Comuni di Monteroni d'Arbia e Buonconvento Prov. di Siena

PROGETTO:

Intervento di ripristino funzionale del ponte sul torrente Sorra in località Ponte d'Arbia a confine tra i Comuni di Buonconvento e Monteroni d'Arbia (Codice CIG Z591B7E23C)

Ponte sul torrente Sorra, Località Ponte d'Arbia (SI)

D4 - FASCICOLO DEI CALCOLI
MODELLO CALCOLO A t_∞

INTEGRAZIONI

I TECNICI : Dott.Ing. Min. Gaetano Zanchi

Dott. Ing. Andrea Pannini

Dott. Ing. Claudio Lombardi

Dott. Ing. Giacomo Taliani

Dott. Geol. Duccio Notari





Data : Maggio 2017

Oggetto: INTEGRAZIONI VERIFICA COLLEGAMENTI t_∞

Verifiche collegamenti strutture intelaiate

Simbologia

F	<daN>	= Forza trasmessa dall'ala della trave
F_{co}	<daN>	= Forza trasmessa dalle ali della trave alle costole orizzontali
A_{co}	<cmq>	= Area delle costole orizzontali
FR_{co}	<daN>	= Forza resistente delle costole orizzontali
F_{cd}	<daN>	= Forza trasmessa dalle ali della trave alle costole diagonali
A_{cd}	<cmq>	= Area delle costole diagonali
FR_{cd}	<daN>	= Forza resistente delle costole diagonali
N	<daN>	= Sforzo normale agente sul collegamento
Ty	<daN>	= Taglio in direzione Y agente sul collegamento
Tz	<daN>	= Taglio in direzione Z agente sul collegamento
Mx	<daNm>	= Momento torcente intorno all'asse X del collegamento
Mz	<daNm>	= Momento flettente intorno all'asse Z del collegamento
Tx_l	<daN>	= Taglio in direzione X locale
Ty_l	<daN>	= Taglio in direzione Y locale
N_l	<daN>	= Sforzo normale in direzione Z locale
Mx_l	<daNm>	= Momento flettente intorno all'asse X locale
My_l	<daNm>	= Momento flettente intorno all'asse Y locale
Mz_l	<daNm>	= Momento torcente intorno all'asse Z
Fv,Ed	<daN>	= Taglio nei bulloni
Fv,Rd	<daN>	= Resistenza a taglio del bullone
Fb,Ed,p	<daN>	= Rifollamento lato piastra
Fb,Rd,p	<daN>	= Resistenza a rifollamento lato piastra
Ft,Ed	<daN>	= Trazione nei bulloni
Ft,Rd	<daN>	= Resistenza a trazione del bullone
Bp,Ed,p	<daN>	= Azione di punzonamento di progetto lato piastra
Bb,Rd,p	<daN>	= Punzonamento
Int. V-T		= Controllo interazione taglio/trazione [4.2.65]
LT	<m>	= Lunghezza tirafondi
σ_{cR}	<daN/cmq>	= Tensione nel calcestruzzo indotta dalla rosetta
σ_{fR}	<daN/cmq>	= Tensione nell'acciaio della rosetta per flessione
σ_c	<daN/cmq>	= Tensione nel calcestruzzo
TP	<daN>	= Azione che genera tensione tangenziale parallela
TO	<daN>	= Azione che genera tensione tangenziale ortogonale
NO	<daN>	= Azione che genera tensione normale ortogonale
τ_P	<daN/cmq>	= Tensione tangenziale parallela all'asse del cordone di saldatura
τ_O	<daN/cmq>	= Tensione tangenziale ortogonale all'asse del cordone di saldatura
σ_O	<daN/cmq>	= Tensione normale ortogonale all'asse del cordone di saldatura
σ_{ID}	<daN/cmq>	= Tensione ideale nel cordone di saldatura
Σ_T	<daN/cmq>	= Somma tensioni nel cordone di saldatura
Bnetta	<mm>	= Larghezza sezione al netto di eventuali fori
Hnetta	<mm>	= Altezza sezione al netto di eventuali fori
W	<cmc>	= Modulo di resistenza della piastra irrigidita
σ	<daN/cmq>	= Tensione normale
τ	<daN/cmq>	= Tensione tangenziale
My	<daNm>	= Momento flettente intorno all'asse Y del collegamento
Fb,Ed,a	<daN>	= Azione di rifollamento di progetto lato asta
Fb,Rd,a	<daN>	= Rifollamento lato asta
b_{eff}	<cm>	= Larghezza efficace
t_w	<cm>	= Spessore dell'anima della colonna

Collegamento -041_-375

Piastra 220.00 x 220.00 s=15.00 - 6 Tirafondi ϕ 16 - Profondità di infissione: 350.00
3 righe ad interasse 89.00
2 colonne ad interasse 178.00
Altezza di gola saldature: anima 7.07 - ala 7.07

Tirafondi e calcestruzzo

CC 1 SLV (Collegamento -041_-375)
Azioni sul collegamento: N=-5965.50 Ty=-4.83 Tz=-1.56 Mx=0.01 Mz=-1.02
Sollecitazioni agenti localmente: Tx_l=-4.83 Ty_l=-1.56 N_l=-5965.50 Mx_l=-0.00 My_l=-1.02 Mz_l=0.01
Taglio nei bulloni: Fv,Ed=0.86 Fv,Rd=7720.78
Rifollamento lato piastra: Fb,Ed,p=0.85 Fb,Rd,p=6790.19
Tirafondi:LT=0.45 (0.31) σ_{cR}=0.00 σ_{fR}=0.00
Compressione nel calcestruzzo: σ_c=12.38
CC 1 SLV (Collegamento -041_-375)
Azioni sul collegamento: N=-5965.50 Ty=-12.58 Tz=-1.56 Mx=0.01 Mz=-7.43
Sollecitazioni agenti localmente: Tx_l=-12.58 Ty_l=-1.56 N_l=-5965.50 Mx_l=-0.00 My_l=-7.43 Mz_l=0.01
Taglio nei bulloni: Fv,Ed=2.13 Fv,Rd=7720.78
Rifollamento lato piastra: Fb,Ed,p=2.13 Fb,Rd,p=6100.34
Tirafondi:LT=0.45 (0.31) σ_{cR}=0.00 σ_{fR}=0.00
Compressione nel calcestruzzo: σ_c=12.74
CC 1 SLV (Collegamento -041_-375)
Azioni sul collegamento: N=-5965.50 Ty=-4.83 Tz=27.71 Mx=0.01 Mz=-1.02
Sollecitazioni agenti localmente: Tx_l=-4.83 Ty_l=27.71 N_l=-5965.50 Mx_l=-0.00 My_l=-1.02 Mz_l=0.01
Taglio nei bulloni: Fv,Ed=4.70 Fv,Rd=7720.78

Rifollamento lato piastra: Fb,Ed,p=4.70 Fb,Rd,p=6238.26
Tirafondi:LT=0.45 (0.31) σ_{cR}=0.00 σ_{fR}=0.00
Compressione nel calcestruzzo: σ_c=12.38
CC 1 SLV (Collegamento -041_-375)
Azioni sul collegamento: N=-5965.50 Ty=-12.58 Tz=27.71 Mx=0.01 Mz=-7.43
Sollecitazioni agenti localmente: Tx_l=-12.58 Ty_l=27.71 N_l=-5965.50 Mx_l=-0.00 My_l=-7.43 Mz_l=0.01
Taglio nei bulloni: Fv,Ed=5.09 Fv,Rd=7720.78
Rifollamento lato piastra: Fb,Ed,p=5.08 Fb,Rd,p=7800.00
Tirafondi:LT=0.45 (0.31) σ_{cR}=0.00 σ_{fR}=0.00
Compressione nel calcestruzzo: σ_c=12.74
CC 1 SLV (Collegamento -041_-375)
Azioni sul collegamento: N=-13808.10 Ty=-4.83 Tz=-1.56 Mx=0.01 Mz=-1.02
Sollecitazioni agenti localmente: Tx_l=-4.83 Ty_l=-1.56 N_l=-13808.10 Mx_l=-0.00 My_l=-1.02 Mz_l=0.01
Taglio nei bulloni: Fv,Ed=0.86 Fv,Rd=7720.78
Rifollamento lato piastra: Fb,Ed,p=0.85 Fb,Rd,p=6790.33
Tirafondi:LT=0.45 (0.31) σ_{cR}=0.00 σ_{fR}=0.00
Compressione nel calcestruzzo: σ_c=28.59
CC 1 SLV (Collegamento -041_-375)
Azioni sul collegamento: N=-13808.10 Ty=-12.58 Tz=-1.56 Mx=0.01 Mz=-7.43
Sollecitazioni agenti localmente: Tx_l=-12.58 Ty_l=-1.56 N_l=-13808.10 Mx_l=-0.00 My_l=-7.43 Mz_l=0.01
Taglio nei bulloni: Fv,Ed=2.13 Fv,Rd=7720.78
Rifollamento lato piastra: Fb,Ed,p=2.13 Fb,Rd,p=6100.37
Tirafondi:LT=0.45 (0.31) σ_{cR}=0.00 σ_{fR}=0.00
Compressione nel calcestruzzo: σ_c=28.95
CC 1 SLV (Collegamento -041_-375)
Azioni sul collegamento: N=-13808.10 Ty=-4.83 Tz=27.71 Mx=0.01 Mz=-1.02
Sollecitazioni agenti localmente: Tx_l=-4.83 Ty_l=27.71 N_l=-13808.10 Mx_l=-0.00 My_l=-1.02 Mz_l=0.01
Taglio nei bulloni: Fv,Ed=4.70 Fv,Rd=7720.78
Rifollamento lato piastra: Fb,Ed,p=4.70 Fb,Rd,p=6238.27
Tirafondi:LT=0.45 (0.31) σ_{cR}=0.00 σ_{fR}=0.00
Compressione nel calcestruzzo: σ_c=28.59
CC 1 SLV (Collegamento -041_-375)
Azioni sul collegamento: N=-13808.10 Ty=-12.58 Tz=27.71 Mx=0.01 Mz=-7.43
Sollecitazioni agenti localmente: Tx_l=-12.58 Ty_l=27.71 N_l=-13808.10 Mx_l=-0.00 My_l=-7.43 Mz_l=0.01
Taglio nei bulloni: Fv,Ed=5.09 Fv,Rd=7720.78
Rifollamento lato piastra: Fb,Ed,p=5.08 Fb,Rd,p=7800.06
Tirafondi:LT=0.45 (0.31) σ_{cR}=0.00 σ_{fR}=0.00
Compressione nel calcestruzzo: σ_c=28.95
CC 2 SLD (Collegamento -041_-375)
Azioni sul collegamento: N=-8788.68 Ty=-8.45 Tz=9.00 Mx=0.00 Mz=-5.38
Sollecitazioni agenti localmente: Tx_l=-8.45 Ty_l=9.00 N_l=-8788.68 Mx_l=-0.00 My_l=-5.38 Mz_l=0.00
Taglio nei bulloni: Fv,Ed=2.06 Fv,Rd=9650.97
Rifollamento lato piastra: Fb,Ed,p=2.06 Fb,Rd,p=14554.80
Tirafondi:LT=0.45 (0.31) σ_{cR}=0.00 σ_{fR}=0.00
Compressione nel calcestruzzo: σ_c=18.46
CC 2 SLD (Collegamento -041_-375)
Azioni sul collegamento: N=-8788.68 Ty=-10.81 Tz=9.00 Mx=0.00 Mz=-7.34
Sollecitazioni agenti localmente: Tx_l=-10.81 Ty_l=9.00 N_l=-8788.68 Mx_l=-0.00 My_l=-7.34 Mz_l=0.00
Taglio nei bulloni: Fv,Ed=2.35 Fv,Rd=9650.97
Rifollamento lato piastra: Fb,Ed,p=2.35 Fb,Rd,p=13819.90
Tirafondi:LT=0.45 (0.31) σ_{cR}=0.00 σ_{fR}=0.00
Compressione nel calcestruzzo: σ_c=18.57
CC 2 SLD (Collegamento -041_-375)
Azioni sul collegamento: N=-8788.68 Ty=-8.45 Tz=17.92 Mx=0.00 Mz=-5.38
Sollecitazioni agenti localmente: Tx_l=-8.45 Ty_l=17.92 N_l=-8788.68 Mx_l=-0.00 My_l=-5.38 Mz_l=0.00
Taglio nei bulloni: Fv,Ed=3.31 Fv,Rd=9650.97
Rifollamento lato piastra: Fb,Ed,p=3.30 Fb,Rd,p=9966.55
Tirafondi:LT=0.45 (0.31) σ_{cR}=0.00 σ_{fR}=0.00
Compressione nel calcestruzzo: σ_c=18.46
CC 2 SLD (Collegamento -041_-375)
Azioni sul collegamento: N=-8788.68 Ty=-10.81 Tz=17.92 Mx=0.00 Mz=-7.34
Sollecitazioni agenti localmente: Tx_l=-10.81 Ty_l=17.92 N_l=-8788.68 Mx_l=-0.00 My_l=-7.34 Mz_l=0.00
Taglio nei bulloni: Fv,Ed=3.49 Fv,Rd=9650.97
Rifollamento lato piastra: Fb,Ed,p=3.49 Fb,Rd,p=11595.70
Tirafondi:LT=0.45 (0.31) σ_{cR}=0.00 σ_{fR}=0.00
Compressione nel calcestruzzo: σ_c=18.57
CC 2 SLD (Collegamento -041_-375)
Azioni sul collegamento: N=-11180.10 Ty=-8.45 Tz=8.99 Mx=0.00 Mz=-5.38
Sollecitazioni agenti localmente: Tx_l=-8.45 Ty_l=8.99 N_l=-11180.10 Mx_l=-0.00 My_l=-5.38 Mz_l=0.00
Taglio nei bulloni: Fv,Ed=2.06 Fv,Rd=9650.97
Rifollamento lato piastra: Fb,Ed,p=2.06 Fb,Rd,p=14554.80
Tirafondi:LT=0.45 (0.31) σ_{cR}=0.00 σ_{fR}=0.00
Compressione nel calcestruzzo: σ_c=23.40
CC 2 SLD (Collegamento -041_-375)
Azioni sul collegamento: N=-11180.10 Ty=-10.81 Tz=8.99 Mx=0.00 Mz=-7.34
Sollecitazioni agenti localmente: Tx_l=-10.81 Ty_l=8.99 N_l=-11180.10 Mx_l=-0.00 My_l=-7.34 Mz_l=0.00
Taglio nei bulloni: Fv,Ed=2.35 Fv,Rd=9650.97
Rifollamento lato piastra: Fb,Ed,p=2.35 Fb,Rd,p=13819.90
Tirafondi:LT=0.45 (0.31) σ_{cR}=0.00 σ_{fR}=0.00
Compressione nel calcestruzzo: σ_c=23.51

CC 2 SLD (Collegamento -041_-375)
Azioni sul collegamento: N=-11180.10 Ty=-8.45 Tz=17.92 Mx=0.00 Mz=-5.38
Sollecitazioni agenti localmente: Tx_l=-8.45 Ty_l=17.92 N_l=-11180.10 Mx_l=-0.00 My_l=-5.38 Mz_l=0.00
Taglio nei bulloni: Fv,Ed=3.31 Fv,Rd=9650.97
Rifollamento lato piastra: Fb,Ed,p=3.30 Fb,Rd,p=9966.67
Tirafondi:LT=0.45 (0.31) σ_{cR}=0.00 σ_{fR}=0.00
Compressione nel calcestruzzo: σ_c=23.40
CC 2 SLD (Collegamento -041_-375)
Azioni sul collegamento: N=-11180.10 Ty=-10.81 Tz=17.92 Mx=0.00 Mz=-7.34
Sollecitazioni agenti localmente: Tx_l=-10.81 Ty_l=17.92 N_l=-11180.10 Mx_l=-0.00 My_l=-7.34 Mz_l=0.00
Taglio nei bulloni: Fv,Ed=3.49 Fv,Rd=9650.97
Rifollamento lato piastra: Fb,Ed,p=3.49 Fb,Rd,p=11595.90
Tirafondi:LT=0.45 (0.31) σ_{cR}=0.00 σ_{fR}=0.00
Compressione nel calcestruzzo: σ_c=23.51
CC 3 SLV (Collegamento -041_-375)
Azioni sul collegamento: N=-5970.40 Ty=-5.34 Tz=-1.24 Mx=0.01 Mz=-2.07
Sollecitazioni agenti localmente: Tx_l=-5.34 Ty_l=-1.24 N_l=-5970.40 Mx_l=-0.00 My_l=-2.07 Mz_l=0.01
Taglio nei bulloni: Fv,Ed=0.92 Fv,Rd=7720.78
Rifollamento lato piastra: Fb,Ed,p=0.92 Fb,Rd,p=6409.29
Tirafondi:LT=0.45 (0.31) σ_{cR}=0.00 σ_{fR}=0.00
Compressione nel calcestruzzo: σ_c=12.45
CC 3 SLV (Collegamento -041_-375)
Azioni sul collegamento: N=-5970.40 Ty=-12.07 Tz=-1.24 Mx=0.01 Mz=-6.38
Sollecitazioni agenti localmente: Tx_l=-12.07 Ty_l=-1.24 N_l=-5970.40 Mx_l=-0.00 My_l=-6.38 Mz_l=0.01
Taglio nei bulloni: Fv,Ed=2.03 Fv,Rd=7720.78
Rifollamento lato piastra: Fb,Ed,p=2.03 Fb,Rd,p=6064.04
Tirafondi:LT=0.45 (0.31) σ_{cR}=0.00 σ_{fR}=0.00
Compressione nel calcestruzzo: σ_c=12.69
CC 3 SLV (Collegamento -041_-375)
Azioni sul collegamento: N=-5970.40 Ty=-5.34 Tz=27.38 Mx=0.01 Mz=-2.07
Sollecitazioni agenti localmente: Tx_l=-5.34 Ty_l=27.38 N_l=-5970.40 Mx_l=-0.00 My_l=-2.07 Mz_l=0.01
Taglio nei bulloni: Fv,Ed=4.66 Fv,Rd=7720.78
Rifollamento lato piastra: Fb,Ed,p=4.66 Fb,Rd,p=6310.01
Tirafondi:LT=0.45 (0.31) σ_{cR}=0.00 σ_{fR}=0.00
Compressione nel calcestruzzo: σ_c=12.45
CC 3 SLV (Collegamento -041_-375)
Azioni sul collegamento: N=-5970.40 Ty=-12.07 Tz=27.38 Mx=0.01 Mz=-6.38
Sollecitazioni agenti localmente: Tx_l=-12.07 Ty_l=27.38 N_l=-5970.40 Mx_l=-0.00 My_l=-6.38 Mz_l=0.01
Taglio nei bulloni: Fv,Ed=5.00 Fv,Rd=7720.78
Rifollamento lato piastra: Fb,Ed,p=4.99 Fb,Rd,p=7705.57
Tirafondi:LT=0.45 (0.31) σ_{cR}=0.00 σ_{fR}=0.00
Compressione nel calcestruzzo: σ_c=12.69
CC 3 SLV (Collegamento -041_-375)
Azioni sul collegamento: N=-13803.30 Ty=-5.34 Tz=-1.24 Mx=0.01 Mz=-2.07
Sollecitazioni agenti localmente: Tx_l=-5.34 Ty_l=-1.24 N_l=-13803.30 Mx_l=-0.00 My_l=-2.07 Mz_l=0.01
Taglio nei bulloni: Fv,Ed=0.92 Fv,Rd=7720.78
Rifollamento lato piastra: Fb,Ed,p=0.92 Fb,Rd,p=6409.17
Tirafondi:LT=0.45 (0.31) σ_{cR}=0.00 σ_{fR}=0.00
Compressione nel calcestruzzo: σ_c=28.64
CC 3 SLV (Collegamento -041_-375)
Azioni sul collegamento: N=-13803.30 Ty=-12.07 Tz=-1.24 Mx=0.01 Mz=-6.38
Sollecitazioni agenti localmente: Tx_l=-12.07 Ty_l=-1.24 N_l=-13803.30 Mx_l=-0.00 My_l=-6.38 Mz_l=0.01
Taglio nei bulloni: Fv,Ed=2.03 Fv,Rd=7720.78
Rifollamento lato piastra: Fb,Ed,p=2.03 Fb,Rd,p=6064.01
Tirafondi:LT=0.45 (0.31) σ_{cR}=0.00 σ_{fR}=0.00
Compressione nel calcestruzzo: σ_c=28.88
CC 3 SLV (Collegamento -041_-375)
Azioni sul collegamento: N=-13803.30 Ty=-5.34 Tz=27.38 Mx=0.01 Mz=-2.07
Sollecitazioni agenti localmente: Tx_l=-5.34 Ty_l=27.38 N_l=-13803.30 Mx_l=-0.00 My_l=-2.07 Mz_l=0.01
Taglio nei bulloni: Fv,Ed=4.66 Fv,Rd=7720.78
Rifollamento lato piastra: Fb,Ed,p=4.66 Fb,Rd,p=6310.02
Tirafondi:LT=0.45 (0.31) σ_{cR}=0.00 σ_{fR}=0.00
Compressione nel calcestruzzo: σ_c=28.64
CC 3 SLV (Collegamento -041_-375)
Azioni sul collegamento: N=-13803.30 Ty=-12.07 Tz=27.38 Mx=0.01 Mz=-6.38
Sollecitazioni agenti localmente: Tx_l=-12.07 Ty_l=27.38 N_l=-13803.30 Mx_l=-0.00 My_l=-6.38 Mz_l=0.01
Taglio nei bulloni: Fv,Ed=5.00 Fv,Rd=7720.78
Rifollamento lato piastra: Fb,Ed,p=4.99 Fb,Rd,p=7705.62
Tirafondi:LT=0.45 (0.31) σ_{cR}=0.00 σ_{fR}=0.00
Compressione nel calcestruzzo: σ_c=28.88
CC 4 SLD (Collegamento -041_-375)
Azioni sul collegamento: N=-8790.17 Ty=-8.61 Tz=9.10 Mx=0.00 Mz=-5.70
Sollecitazioni agenti localmente: Tx_l=-8.61 Ty_l=9.10 N_l=-8790.17 Mx_l=-0.00 My_l=-5.70 Mz_l=0.00
Taglio nei bulloni: Fv,Ed=2.09 Fv,Rd=9650.97
Rifollamento lato piastra: Fb,Ed,p=2.09 Fb,Rd,p=14620.30
Tirafondi:LT=0.45 (0.31) σ_{cR}=0.00 σ_{fR}=0.00
Compressione nel calcestruzzo: σ_c=18.48
CC 4 SLD (Collegamento -041_-375)
Azioni sul collegamento: N=-8790.17 Ty=-10.66 Tz=9.10 Mx=0.00 Mz=-7.02
Sollecitazioni agenti localmente: Tx_l=-10.66 Ty_l=9.10 N_l=-8790.17 Mx_l=-0.00 My_l=-7.02 Mz_l=0.00

Taglio nei bulloni: Fv,Ed=2.34 Fv,Rd=9650.97
Rifollamento lato piastra: Fb,Ed,p=2.34 Fb,Rd,p=13966.90
Tirafondi:LT=0.45 (0.31) σ_{cR}=0.00 σ_{fR}=0.00
Compressione nel calcestruzzo: σ_c=18.56
CC 4 SLD (Collegamento -041_-375)
Azioni sul collegamento: N=-8790.17 Ty=-8.61 Tz=17.82 Mx=0.00 Mz=-5.70
Sollecitazioni agenti localmente: Tx_l=-8.61 Ty_l=17.82 N_l=-8790.17 Mx_l=-0.00 My_l=-5.70 Mz_l=0.00
Taglio nei bulloni: Fv,Ed=3.30 Fv,Rd=9650.97
Rifollamento lato piastra: Fb,Ed,p=3.30 Fb,Rd,p=10099.90
Tirafondi:LT=0.45 (0.31) σ_{cR}=0.00 σ_{fR}=0.00
Compressione nel calcestruzzo: σ_c=18.48
CC 4 SLD (Collegamento -041_-375)
Azioni sul collegamento: N=-8790.17 Ty=-10.66 Tz=17.82 Mx=0.00 Mz=-7.02
Sollecitazioni agenti localmente: Tx_l=-10.66 Ty_l=17.82 N_l=-8790.17 Mx_l=-0.00 My_l=-7.02 Mz_l=0.00
Taglio nei bulloni: Fv,Ed=3.46 Fv,Rd=9650.97
Rifollamento lato piastra: Fb,Ed,p=3.46 Fb,Rd,p=11532.70
Tirafondi:LT=0.45 (0.31) σ_{cR}=0.00 σ_{fR}=0.00
Compressione nel calcestruzzo: σ_c=18.56
CC 4 SLD (Collegamento -041_-375)
Azioni sul collegamento: N=-11178.70 Ty=-8.61 Tz=9.09 Mx=0.00 Mz=-5.70
Sollecitazioni agenti localmente: Tx_l=-8.61 Ty_l=9.09 N_l=-11178.70 Mx_l=-0.00 My_l=-5.70 Mz_l=0.00
Taglio nei bulloni: Fv,Ed=2.09 Fv,Rd=9650.97
Rifollamento lato piastra: Fb,Ed,p=2.09 Fb,Rd,p=14620.70
Tirafondi:LT=0.45 (0.31) σ_{cR}=0.00 σ_{fR}=0.00
Compressione nel calcestruzzo: σ_c=23.42
CC 4 SLD (Collegamento -041_-375)
Azioni sul collegamento: N=-11178.70 Ty=-10.66 Tz=9.09 Mx=0.00 Mz=-7.02
Sollecitazioni agenti localmente: Tx_l=-10.66 Ty_l=9.09 N_l=-11178.70 Mx_l=-0.00 My_l=-7.02 Mz_l=0.00
Taglio nei bulloni: Fv,Ed=2.34 Fv,Rd=9650.97
Rifollamento lato piastra: Fb,Ed,p=2.34 Fb,Rd,p=13966.60
Tirafondi:LT=0.45 (0.31) σ_{cR}=0.00 σ_{fR}=0.00
Compressione nel calcestruzzo: σ_c=23.49
CC 4 SLD (Collegamento -041_-375)
Azioni sul collegamento: N=-11178.70 Ty=-8.61 Tz=17.82 Mx=0.00 Mz=-5.70
Sollecitazioni agenti localmente: Tx_l=-8.61 Ty_l=17.82 N_l=-11178.70 Mx_l=-0.00 My_l=-5.70 Mz_l=0.00
Taglio nei bulloni: Fv,Ed=3.30 Fv,Rd=9650.97
Rifollamento lato piastra: Fb,Ed,p=3.30 Fb,Rd,p=10099.90
Tirafondi:LT=0.45 (0.31) σ_{cR}=0.00 σ_{fR}=0.00
Compressione nel calcestruzzo: σ_c=23.42
CC 4 SLD (Collegamento -041_-375)
Azioni sul collegamento: N=-11178.70 Ty=-10.66 Tz=17.82 Mx=0.00 Mz=-7.02
Sollecitazioni agenti localmente: Tx_l=-10.66 Ty_l=17.82 N_l=-11178.70 Mx_l=-0.00 My_l=-7.02 Mz_l=0.00
Taglio nei bulloni: Fv,Ed=3.46 Fv,Rd=9650.97
Rifollamento lato piastra: Fb,Ed,p=3.46 Fb,Rd,p=11532.60
Tirafondi:LT=0.45 (0.31) σ_{cR}=0.00 σ_{fR}=0.00
Compressione nel calcestruzzo: σ_c=23.49
CC 5 SLV (Collegamento -041_-375)
Azioni sul collegamento: N=-13803.30 Ty=-12.07 Tz=27.38 Mx=0.01 Mz=-6.38
Sollecitazioni agenti localmente: Tx_l=-12.07 Ty_l=27.38 N_l=-13803.30 Mx_l=-0.00 My_l=-6.38 Mz_l=0.01
Taglio nei bulloni: Fv,Ed=5.01 Fv,Rd=7720.78
Rifollamento lato piastra: Fb,Ed,p=4.99 Fb,Rd,p=7692.98
Tirafondi:LT=0.45 (0.31) σ_{cR}=0.00 σ_{fR}=0.00
Compressione nel calcestruzzo: σ_c=28.88
CC 5 SLV (Collegamento -041_-375)
Azioni sul collegamento: N=-13803.30 Ty=-5.34 Tz=27.38 Mx=0.01 Mz=-2.07
Sollecitazioni agenti localmente: Tx_l=-5.34 Ty_l=27.38 N_l=-13803.30 Mx_l=-0.00 My_l=-2.07 Mz_l=0.01
Taglio nei bulloni: Fv,Ed=4.67 Fv,Rd=7720.78
Rifollamento lato piastra: Fb,Ed,p=4.66 Fb,Rd,p=6305.51
Tirafondi:LT=0.45 (0.31) σ_{cR}=0.00 σ_{fR}=0.00
Compressione nel calcestruzzo: σ_c=28.64
CC 5 SLV (Collegamento -041_-375)
Azioni sul collegamento: N=-13803.30 Ty=-12.07 Tz=-1.24 Mx=0.01 Mz=-6.38
Sollecitazioni agenti localmente: Tx_l=-12.07 Ty_l=-1.24 N_l=-13803.30 Mx_l=-0.00 My_l=-6.38 Mz_l=0.01
Taglio nei bulloni: Fv,Ed=2.04 Fv,Rd=7720.78
Rifollamento lato piastra: Fb,Ed,p=2.03 Fb,Rd,p=6059.33
Tirafondi:LT=0.45 (0.31) σ_{cR}=0.00 σ_{fR}=0.00
Compressione nel calcestruzzo: σ_c=28.88
CC 5 SLV (Collegamento -041_-375)
Azioni sul collegamento: N=-13803.30 Ty=-5.34 Tz=-1.24 Mx=0.01 Mz=-2.07
Sollecitazioni agenti localmente: Tx_l=-5.34 Ty_l=-1.24 N_l=-13803.30 Mx_l=-0.00 My_l=-2.07 Mz_l=0.01
Taglio nei bulloni: Fv,Ed=0.93 Fv,Rd=7720.78
Rifollamento lato piastra: Fb,Ed,p=0.92 Fb,Rd,p=6382.84
Tirafondi:LT=0.45 (0.31) σ_{cR}=0.00 σ_{fR}=0.00
Compressione nel calcestruzzo: σ_c=28.64
CC 5 SLV (Collegamento -041_-375)
Azioni sul collegamento: N=-5970.40 Ty=-12.07 Tz=27.38 Mx=0.01 Mz=-6.38
Sollecitazioni agenti localmente: Tx_l=-12.07 Ty_l=27.38 N_l=-5970.40 Mx_l=-0.00 My_l=-6.38 Mz_l=0.01
Taglio nei bulloni: Fv,Ed=5.01 Fv,Rd=7720.78
Rifollamento lato piastra: Fb,Ed,p=4.99 Fb,Rd,p=7692.93
Tirafondi:LT=0.45 (0.31) σ_{cR}=0.00 σ_{fR}=0.00

Compressione nel calcestruzzo: σ_c=12.69
CC 5 SLV (Collegamento -041_-375)
Azioni sul collegamento: N=-5970.40 Ty=-5.34 Tz=27.38 Mx=0.01 Mz=-2.07
Sollecitazioni agenti localmente: Tx_l=-5.34 Ty_l=27.38 N_l=-5970.40 Mx_l=-0.00 My_l=-2.07 Mz_l=0.01
Taglio nei bulloni: Fv,Ed=4.67 Fv,Rd=7720.78
Rifollamento lato piastra: Fb,Ed,p=4.66 Fb,Rd,p=6305.50
Tirafondi:LT=0.45 (0.31) σ_{cR}=0.00 σ_{fR}=0.00
Compressione nel calcestruzzo: σ_c=12.45
CC 5 SLV (Collegamento -041_-375)
Azioni sul collegamento: N=-5970.40 Ty=-12.07 Tz=-1.24 Mx=0.01 Mz=-6.38
Sollecitazioni agenti localmente: Tx_l=-12.07 Ty_l=-1.24 N_l=-5970.40 Mx_l=-0.00 My_l=-6.38 Mz_l=0.01
Taglio nei bulloni: Fv,Ed=2.04 Fv,Rd=7720.78
Rifollamento lato piastra: Fb,Ed,p=2.03 Fb,Rd,p=6059.35
Tirafondi:LT=0.45 (0.31) σ_{cR}=0.00 σ_{fR}=0.00
Compressione nel calcestruzzo: σ_c=12.69
CC 5 SLV (Collegamento -041_-375)
Azioni sul collegamento: N=-5970.40 Ty=-5.34 Tz=-1.24 Mx=0.01 Mz=-2.07
Sollecitazioni agenti localmente: Tx_l=-5.34 Ty_l=-1.24 N_l=-5970.40 Mx_l=-0.00 My_l=-2.07 Mz_l=0.01
Taglio nei bulloni: Fv,Ed=0.93 Fv,Rd=7720.78
Rifollamento lato piastra: Fb,Ed,p=0.92 Fb,Rd,p=6382.95
Tirafondi:LT=0.45 (0.31) σ_{cR}=0.00 σ_{fR}=0.00
Compressione nel calcestruzzo: σ_c=12.45
CC 6 SLD (Collegamento -041_-375)
Azioni sul collegamento: N=-11178.70 Ty=-10.66 Tz=17.82 Mx=0.00 Mz=-7.02
Sollecitazioni agenti localmente: Tx_l=-10.66 Ty_l=17.82 N_l=-11178.70 Mx_l=-0.00 My_l=-7.02 Mz_l=0.00
Taglio nei bulloni: Fv,Ed=3.46 Fv,Rd=9650.97
Rifollamento lato piastra: Fb,Ed,p=3.46 Fb,Rd,p=11521.10
Tirafondi:LT=0.45 (0.31) σ_{cR}=0.00 σ_{fR}=0.00
Compressione nel calcestruzzo: σ_c=23.49
CC 6 SLD (Collegamento -041_-375)
Azioni sul collegamento: N=-11178.70 Ty=-8.61 Tz=17.82 Mx=0.00 Mz=-5.70
Sollecitazioni agenti localmente: Tx_l=-8.61 Ty_l=17.82 N_l=-11178.70 Mx_l=-0.00 My_l=-5.70 Mz_l=0.00
Taglio nei bulloni: Fv,Ed=3.30 Fv,Rd=9650.97
Rifollamento lato piastra: Fb,Ed,p=3.30 Fb,Rd,p=10091.40
Tirafondi:LT=0.45 (0.31) σ_{cR}=0.00 σ_{fR}=0.00
Compressione nel calcestruzzo: σ_c=23.42
CC 6 SLD (Collegamento -041_-375)
Azioni sul collegamento: N=-11178.70 Ty=-10.66 Tz=9.09 Mx=0.00 Mz=-7.02
Sollecitazioni agenti localmente: Tx_l=-10.66 Ty_l=9.09 N_l=-11178.70 Mx_l=-0.00 My_l=-7.02 Mz_l=0.00
Taglio nei bulloni: Fv,Ed=2.34 Fv,Rd=9650.97
Rifollamento lato piastra: Fb,Ed,p=2.34 Fb,Rd,p=13967.40
Tirafondi:LT=0.45 (0.31) σ_{cR}=0.00 σ_{fR}=0.00
Compressione nel calcestruzzo: σ_c=23.49
CC 6 SLD (Collegamento -041_-375)
Azioni sul collegamento: N=-11178.70 Ty=-8.61 Tz=9.09 Mx=0.00 Mz=-5.70
Sollecitazioni agenti localmente: Tx_l=-8.61 Ty_l=9.09 N_l=-11178.70 Mx_l=-0.00 My_l=-5.70 Mz_l=0.00
Taglio nei bulloni: Fv,Ed=2.09 Fv,Rd=9650.97
Rifollamento lato piastra: Fb,Ed,p=2.09 Fb,Rd,p=14606.30
Tirafondi:LT=0.45 (0.31) σ_{cR}=0.00 σ_{fR}=0.00
Compressione nel calcestruzzo: σ_c=23.42
CC 6 SLD (Collegamento -041_-375)
Azioni sul collegamento: N=-8790.17 Ty=-10.66 Tz=17.82 Mx=0.00 Mz=-7.02
Sollecitazioni agenti localmente: Tx_l=-10.66 Ty_l=17.82 N_l=-8790.17 Mx_l=-0.00 My_l=-7.02 Mz_l=0.00
Taglio nei bulloni: Fv,Ed=3.46 Fv,Rd=9650.97
Rifollamento lato piastra: Fb,Ed,p=3.46 Fb,Rd,p=11521.20
Tirafondi:LT=0.45 (0.31) σ_{cR}=0.00 σ_{fR}=0.00
Compressione nel calcestruzzo: σ_c=18.56
CC 6 SLD (Collegamento -041_-375)
Azioni sul collegamento: N=-8790.17 Ty=-8.61 Tz=17.82 Mx=0.00 Mz=-5.70
Sollecitazioni agenti localmente: Tx_l=-8.61 Ty_l=17.82 N_l=-8790.17 Mx_l=-0.00 My_l=-5.70 Mz_l=0.00
Taglio nei bulloni: Fv,Ed=3.30 Fv,Rd=9650.97
Rifollamento lato piastra: Fb,Ed,p=3.30 Fb,Rd,p=10091.50
Tirafondi:LT=0.45 (0.31) σ_{cR}=0.00 σ_{fR}=0.00
Compressione nel calcestruzzo: σ_c=18.48
CC 6 SLD (Collegamento -041_-375)
Azioni sul collegamento: N=-8790.17 Ty=-10.66 Tz=9.10 Mx=0.00 Mz=-7.02
Sollecitazioni agenti localmente: Tx_l=-10.66 Ty_l=9.10 N_l=-8790.17 Mx_l=-0.00 My_l=-7.02 Mz_l=0.00
Taglio nei bulloni: Fv,Ed=2.34 Fv,Rd=9650.97
Rifollamento lato piastra: Fb,Ed,p=2.34 Fb,Rd,p=13967.70
Tirafondi:LT=0.45 (0.31) σ_{cR}=0.00 σ_{fR}=0.00
Compressione nel calcestruzzo: σ_c=18.56
CC 6 SLD (Collegamento -041_-375)
Azioni sul collegamento: N=-8790.17 Ty=-8.61 Tz=9.10 Mx=0.00 Mz=-5.70
Sollecitazioni agenti localmente: Tx_l=-8.61 Ty_l=9.10 N_l=-8790.17 Mx_l=-0.00 My_l=-5.70 Mz_l=0.00
Taglio nei bulloni: Fv,Ed=2.09 Fv,Rd=9650.97
Rifollamento lato piastra: Fb,Ed,p=2.09 Fb,Rd,p=14606.00
Tirafondi:LT=0.45 (0.31) σ_{cR}=0.00 σ_{fR}=0.00
Compressione nel calcestruzzo: σ_c=18.48
CC 7 SLV (Collegamento -041_-375)
Azioni sul collegamento: N=-13808.10 Ty=-12.58 Tz=27.71 Mx=0.01 Mz=-7.43

Sollecitazioni agenti localmente: Tx_l=-12.58 Ty_l=27.71 N_l=-13808.10 Mx_l=-0.00 My_l=-7.43 Mz_l=0.01
Taglio nei bulloni: Fv,Ed=5.08 Fv,Rd=7720.78
Rifollamento lato piastra: Fb,Ed,p=5.08 Fb,Rd,p=7814.68
Tirafondi:LT=0.45 (0.31) σ_{cR}=0.00 σ_{fR}=0.00
Compressione nel calcestruzzo: σ_c=28.95
CC 7 SLV (Collegamento -041_-375)
Azioni sul collegamento: N=-13808.10 Ty=-4.83 Tz=27.71 Mx=0.01 Mz=-1.02
Sollecitazioni agenti localmente: Tx_l=-4.83 Ty_l=27.71 N_l=-13808.10 Mx_l=-0.00 My_l=-1.02 Mz_l=0.01
Taglio nei bulloni: Fv,Ed=4.70 Fv,Rd=7720.78
Rifollamento lato piastra: Fb,Ed,p=4.69 Fb,Rd,p=6242.66
Tirafondi:LT=0.45 (0.31) σ_{cR}=0.00 σ_{fR}=0.00
Compressione nel calcestruzzo: σ_c=28.59
CC 7 SLV (Collegamento -041_-375)
Azioni sul collegamento: N=-13808.10 Ty=-12.58 Tz=-1.56 Mx=0.01 Mz=-7.43
Sollecitazioni agenti localmente: Tx_l=-12.58 Ty_l=-1.56 N_l=-13808.10 Mx_l=-0.00 My_l=-7.43 Mz_l=0.01
Taglio nei bulloni: Fv,Ed=2.12 Fv,Rd=7720.78
Rifollamento lato piastra: Fb,Ed,p=2.12 Fb,Rd,p=6106.70
Tirafondi:LT=0.45 (0.31) σ_{cR}=0.00 σ_{fR}=0.00
Compressione nel calcestruzzo: σ_c=28.95
CC 7 SLV (Collegamento -041_-375)
Azioni sul collegamento: N=-13808.10 Ty=-4.83 Tz=-1.56 Mx=0.01 Mz=-1.02
Sollecitazioni agenti localmente: Tx_l=-4.83 Ty_l=-1.56 N_l=-13808.10 Mx_l=-0.00 My_l=-1.02 Mz_l=0.01
Taglio nei bulloni: Fv,Ed=0.86 Fv,Rd=7720.78
Rifollamento lato piastra: Fb,Ed,p=0.85 Fb,Rd,p=6840.35
Tirafondi:LT=0.45 (0.31) σ_{cR}=0.00 σ_{fR}=0.00
Compressione nel calcestruzzo: σ_c=28.59
CC 7 SLV (Collegamento -041_-375)
Azioni sul collegamento: N=-5965.50 Ty=-12.58 Tz=27.71 Mx=0.01 Mz=-7.43
Sollecitazioni agenti localmente: Tx_l=-12.58 Ty_l=27.71 N_l=-5965.50 Mx_l=-0.00 My_l=-7.43 Mz_l=0.01
Taglio nei bulloni: Fv,Ed=5.08 Fv,Rd=7720.78
Rifollamento lato piastra: Fb,Ed,p=5.08 Fb,Rd,p=7814.62
Tirafondi:LT=0.45 (0.31) σ_{cR}=0.00 σ_{fR}=0.00
Compressione nel calcestruzzo: σ_c=12.74
CC 7 SLV (Collegamento -041_-375)
Azioni sul collegamento: N=-5965.50 Ty=-4.83 Tz=27.71 Mx=0.01 Mz=-1.02
Sollecitazioni agenti localmente: Tx_l=-4.83 Ty_l=27.71 N_l=-5965.50 Mx_l=-0.00 My_l=-1.02 Mz_l=0.01
Taglio nei bulloni: Fv,Ed=4.70 Fv,Rd=7720.78
Rifollamento lato piastra: Fb,Ed,p=4.69 Fb,Rd,p=6242.65
Tirafondi:LT=0.45 (0.31) σ_{cR}=0.00 σ_{fR}=0.00
Compressione nel calcestruzzo: σ_c=12.38
CC 7 SLV (Collegamento -041_-375)
Azioni sul collegamento: N=-5965.50 Ty=-12.58 Tz=-1.56 Mx=0.01 Mz=-7.43
Sollecitazioni agenti localmente: Tx_l=-12.58 Ty_l=-1.56 N_l=-5965.50 Mx_l=-0.00 My_l=-7.43 Mz_l=0.01
Taglio nei bulloni: Fv,Ed=2.12 Fv,Rd=7720.78
Rifollamento lato piastra: Fb,Ed,p=2.12 Fb,Rd,p=6106.68
Tirafondi:LT=0.45 (0.31) σ_{cR}=0.00 σ_{fR}=0.00
Compressione nel calcestruzzo: σ_c=12.74
CC 7 SLV (Collegamento -041_-375)
Azioni sul collegamento: N=-5965.50 Ty=-4.83 Tz=-1.56 Mx=0.01 Mz=-1.02
Sollecitazioni agenti localmente: Tx_l=-4.83 Ty_l=-1.56 N_l=-5965.50 Mx_l=-0.00 My_l=-1.02 Mz_l=0.01
Taglio nei bulloni: Fv,Ed=0.86 Fv,Rd=7720.78
Rifollamento lato piastra: Fb,Ed,p=0.85 Fb,Rd,p=6840.20
Tirafondi:LT=0.45 (0.31) σ_{cR}=0.00 σ_{fR}=0.00
Compressione nel calcestruzzo: σ_c=12.38
CC 8 SLD (Collegamento -041_-375)
Azioni sul collegamento: N=-11180.10 Ty=-10.81 Tz=17.92 Mx=0.00 Mz=-7.34
Sollecitazioni agenti localmente: Tx_l=-10.81 Ty_l=17.92 N_l=-11180.10 Mx_l=-0.00 My_l=-7.34 Mz_l=0.00
Taglio nei bulloni: Fv,Ed=3.49 Fv,Rd=9650.97
Rifollamento lato piastra: Fb,Ed,p=3.49 Fb,Rd,p=11608.90
Tirafondi:LT=0.45 (0.31) σ_{cR}=0.00 σ_{fR}=0.00
Compressione nel calcestruzzo: σ_c=23.51
CC 8 SLD (Collegamento -041_-375)
Azioni sul collegamento: N=-11180.10 Ty=-8.45 Tz=17.92 Mx=0.00 Mz=-5.38
Sollecitazioni agenti localmente: Tx_l=-8.45 Ty_l=17.92 N_l=-11180.10 Mx_l=-0.00 My_l=-5.38 Mz_l=0.00
Taglio nei bulloni: Fv,Ed=3.30 Fv,Rd=9650.97
Rifollamento lato piastra: Fb,Ed,p=3.30 Fb,Rd,p=9975.84
Tirafondi:LT=0.45 (0.31) σ_{cR}=0.00 σ_{fR}=0.00
Compressione nel calcestruzzo: σ_c=23.40
CC 8 SLD (Collegamento -041_-375)
Azioni sul collegamento: N=-11180.10 Ty=-10.81 Tz=8.99 Mx=0.00 Mz=-7.34
Sollecitazioni agenti localmente: Tx_l=-10.81 Ty_l=8.99 N_l=-11180.10 Mx_l=-0.00 My_l=-7.34 Mz_l=0.00
Taglio nei bulloni: Fv,Ed=2.34 Fv,Rd=9650.97
Rifollamento lato piastra: Fb,Ed,p=2.34 Fb,Rd,p=13818.80
Tirafondi:LT=0.45 (0.31) σ_{cR}=0.00 σ_{fR}=0.00
Compressione nel calcestruzzo: σ_c=23.51
CC 8 SLD (Collegamento -041_-375)
Azioni sul collegamento: N=-11180.10 Ty=-8.45 Tz=8.99 Mx=0.00 Mz=-5.38
Sollecitazioni agenti localmente: Tx_l=-8.45 Ty_l=8.99 N_l=-11180.10 Mx_l=-0.00 My_l=-5.38 Mz_l=0.00
Taglio nei bulloni: Fv,Ed=2.06 Fv,Rd=9650.97
Rifollamento lato piastra: Fb,Ed,p=2.06 Fb,Rd,p=14571.10

Tirafondi:LT=0.45 (0.31) σ_{cR}=0.00 σ_{fR}=0.00
Compressione nel calcestruzzo: σ_c=23.40
CC 8 SLD (Collegamento -041_-375)
Azioni sul collegamento: N=-8788.68 Ty=-10.81 Tz=17.92 Mx=0.00 Mz=-7.34
Sollecitazioni agenti localmente: Tx_l=-10.81 Ty_l=17.92 N_l=-8788.68 Mx_l=-0.00 My_l=-7.34 Mz_l=0.00
Taglio nei bulloni: Fv,Ed=3.49 Fv,Rd=9650.97
Rifollamento lato piastra: Fb,Ed,p=3.49 Fb,Rd,p=11608.70
Tirafondi:LT=0.45 (0.31) σ_{cR}=0.00 σ_{fR}=0.00
Compressione nel calcestruzzo: σ_c=18.57
CC 8 SLD (Collegamento -041_-375)
Azioni sul collegamento: N=-8788.68 Ty=-8.45 Tz=17.92 Mx=0.00 Mz=-5.38
Sollecitazioni agenti localmente: Tx_l=-8.45 Ty_l=17.92 N_l=-8788.68 Mx_l=-0.00 My_l=-5.38 Mz_l=0.00
Taglio nei bulloni: Fv,Ed=3.30 Fv,Rd=9650.97
Rifollamento lato piastra: Fb,Ed,p=3.30 Fb,Rd,p=9975.72
Tirafondi:LT=0.45 (0.31) σ_{cR}=0.00 σ_{fR}=0.00
Compressione nel calcestruzzo: σ_c=18.46
CC 8 SLD (Collegamento -041_-375)
Azioni sul collegamento: N=-8788.68 Ty=-10.81 Tz=9.00 Mx=0.00 Mz=-7.34
Sollecitazioni agenti localmente: Tx_l=-10.81 Ty_l=9.00 N_l=-8788.68 Mx_l=-0.00 My_l=-7.34 Mz_l=0.00
Taglio nei bulloni: Fv,Ed=2.34 Fv,Rd=9650.97
Rifollamento lato piastra: Fb,Ed,p=2.34 Fb,Rd,p=13818.80
Tirafondi:LT=0.45 (0.31) σ_{cR}=0.00 σ_{fR}=0.00
Compressione nel calcestruzzo: σ_c=18.57
CC 8 SLD (Collegamento -041_-375)
Azioni sul collegamento: N=-8788.68 Ty=-8.45 Tz=9.00 Mx=0.00 Mz=-5.38
Sollecitazioni agenti localmente: Tx_l=-8.45 Ty_l=9.00 N_l=-8788.68 Mx_l=-0.00 My_l=-5.38 Mz_l=0.00
Taglio nei bulloni: Fv,Ed=2.06 Fv,Rd=9650.97
Rifollamento lato piastra: Fb,Ed,p=2.06 Fb,Rd,p=14571.10
Tirafondi:LT=0.45 (0.31) σ_{cR}=0.00 σ_{fR}=0.00
Compressione nel calcestruzzo: σ_c=18.46
CC 9 SLV (Collegamento -041_-375)
Azioni sul collegamento: N=-8703.00 Ty=-6.76 Tz=8.19 Mx=0.02 Mz=-1.67
Sollecitazioni agenti localmente: Tx_l=-6.76 Ty_l=8.19 N_l=-8703.00 Mx_l=-0.00 My_l=-1.67 Mz_l=0.02
Taglio nei bulloni: Fv,Ed=1.80 Fv,Rd=7720.78
Rifollamento lato piastra: Fb,Ed,p=1.77 Fb,Rd,p=10882.40
Tirafondi:LT=0.45 (0.31) σ_{cR}=0.00 σ_{fR}=0.00
Compressione nel calcestruzzo: σ_c=18.08
CC 9 SLV (Collegamento -041_-375)
Azioni sul collegamento: N=-8703.00 Ty=-10.65 Tz=8.19 Mx=0.02 Mz=-6.77
Sollecitazioni agenti localmente: Tx_l=-10.65 Ty_l=8.19 N_l=-8703.00 Mx_l=-0.00 My_l=-6.77 Mz_l=0.02
Taglio nei bulloni: Fv,Ed=2.27 Fv,Rd=7720.78
Rifollamento lato piastra: Fb,Ed,p=2.27 Fb,Rd,p=10734.10
Tirafondi:LT=0.45 (0.31) σ_{cR}=0.00 σ_{fR}=0.00
Compressione nel calcestruzzo: σ_c=18.36
CC 9 SLV (Collegamento -041_-375)
Azioni sul collegamento: N=-8703.00 Ty=-6.76 Tz=17.96 Mx=0.02 Mz=-1.67
Sollecitazioni agenti localmente: Tx_l=-6.76 Ty_l=17.96 N_l=-8703.00 Mx_l=-0.00 My_l=-1.67 Mz_l=0.02
Taglio nei bulloni: Fv,Ed=3.22 Fv,Rd=7720.78
Rifollamento lato piastra: Fb,Ed,p=3.21 Fb,Rd,p=7188.83
Tirafondi:LT=0.45 (0.31) σ_{cR}=0.00 σ_{fR}=0.00
Compressione nel calcestruzzo: σ_c=18.08
CC 9 SLV (Collegamento -041_-375)
Azioni sul collegamento: N=-8703.00 Ty=-10.65 Tz=17.96 Mx=0.02 Mz=-6.77
Sollecitazioni agenti localmente: Tx_l=-10.65 Ty_l=17.96 N_l=-8703.00 Mx_l=-0.00 My_l=-6.77 Mz_l=0.02
Taglio nei bulloni: Fv,Ed=3.51 Fv,Rd=7720.78
Rifollamento lato piastra: Fb,Ed,p=3.49 Fb,Rd,p=9057.64
Tirafondi:LT=0.45 (0.31) σ_{cR}=0.00 σ_{fR}=0.00
Compressione nel calcestruzzo: σ_c=18.36
CC 9 SLV (Collegamento -041_-375)
Azioni sul collegamento: N=-11070.70 Ty=-6.76 Tz=8.19 Mx=0.02 Mz=-1.67
Sollecitazioni agenti localmente: Tx_l=-6.76 Ty_l=8.19 N_l=-11070.70 Mx_l=-0.00 My_l=-1.67 Mz_l=0.02
Taglio nei bulloni: Fv,Ed=1.80 Fv,Rd=7720.78
Rifollamento lato piastra: Fb,Ed,p=1.77 Fb,Rd,p=10882.20
Tirafondi:LT=0.45 (0.31) σ_{cR}=0.00 σ_{fR}=0.00
Compressione nel calcestruzzo: σ_c=22.97
CC 9 SLV (Collegamento -041_-375)
Azioni sul collegamento: N=-11070.70 Ty=-10.65 Tz=8.19 Mx=0.02 Mz=-6.77
Sollecitazioni agenti localmente: Tx_l=-10.65 Ty_l=8.19 N_l=-11070.70 Mx_l=-0.00 My_l=-6.77 Mz_l=0.02
Taglio nei bulloni: Fv,Ed=2.27 Fv,Rd=7720.78
Rifollamento lato piastra: Fb,Ed,p=2.27 Fb,Rd,p=10734.30
Tirafondi:LT=0.45 (0.31) σ_{cR}=0.00 σ_{fR}=0.00
Compressione nel calcestruzzo: σ_c=23.25
CC 9 SLV (Collegamento -041_-375)
Azioni sul collegamento: N=-11070.70 Ty=-6.76 Tz=17.96 Mx=0.02 Mz=-1.67
Sollecitazioni agenti localmente: Tx_l=-6.76 Ty_l=17.96 N_l=-11070.70 Mx_l=-0.00 My_l=-1.67 Mz_l=0.02
Taglio nei bulloni: Fv,Ed=3.22 Fv,Rd=7720.78
Rifollamento lato piastra: Fb,Ed,p=3.21 Fb,Rd,p=7188.82
Tirafondi:LT=0.45 (0.31) σ_{cR}=0.00 σ_{fR}=0.00
Compressione nel calcestruzzo: σ_c=22.97
CC 9 SLV (Collegamento -041_-375)

Azioni sul collegamento: N=-11070.70 Ty=-10.65 Tz=17.96 Mx=0.02 Mz=-6.77
Sollecitazioni agenti localmente: Tx_l=-10.65 Ty_l=17.96 N_l=-11070.70 Mx_l=-0.00 My_l=-6.77 Mz_l=0.02
Taglio nei bulloni: Fv,Ed=3.51 Fv,Rd=7720.78
Rifollamento lato piastra: Fb,Ed,p=3.49 Fb,Rd,p=9057.62
Tirafondi:LT=0.45 (0.31) σ_{cR}=0.00 σ_{fR}=0.00
Compressione nel calcestruzzo: σ_c=23.25
CC 10 SLD (Collegamento -041_-375)
Azioni sul collegamento: N=-9623.43 Ty=-9.04 Tz=11.97 Mx=0.00 Mz=-5.58
Sollecitazioni agenti localmente: Tx_l=-9.04 Ty_l=11.97 N_l=-9623.43 Mx_l=-0.00 My_l=-5.58 Mz_l=0.00
Taglio nei bulloni: Fv,Ed=2.51 Fv,Rd=9650.97
Rifollamento lato piastra: Fb,Ed,p=2.50 Fb,Rd,p=13290.30
Tirafondi:LT=0.45 (0.31) σ_{cR}=0.00 σ_{fR}=0.00
Compressione nel calcestruzzo: σ_c=20.20
CC 10 SLD (Collegamento -041_-375)
Azioni sul collegamento: N=-9623.43 Ty=-10.22 Tz=11.97 Mx=0.00 Mz=-7.14
Sollecitazioni agenti localmente: Tx_l=-10.22 Ty_l=11.97 N_l=-9623.43 Mx_l=-0.00 My_l=-7.14 Mz_l=0.00
Taglio nei bulloni: Fv,Ed=2.63 Fv,Rd=9650.97
Rifollamento lato piastra: Fb,Ed,p=2.62 Fb,Rd,p=13946.10
Tirafondi:LT=0.45 (0.31) σ_{cR}=0.00 σ_{fR}=0.00
Compressione nel calcestruzzo: σ_c=20.29
CC 10 SLD (Collegamento -041_-375)
Azioni sul collegamento: N=-9623.43 Ty=-9.04 Tz=14.95 Mx=0.00 Mz=-5.58
Sollecitazioni agenti localmente: Tx_l=-9.04 Ty_l=14.95 N_l=-9623.43 Mx_l=-0.00 My_l=-5.58 Mz_l=0.00
Taglio nei bulloni: Fv,Ed=2.92 Fv,Rd=9650.97
Rifollamento lato piastra: Fb,Ed,p=2.91 Fb,Rd,p=11593.60
Tirafondi:LT=0.45 (0.31) σ_{cR}=0.00 σ_{fR}=0.00
Compressione nel calcestruzzo: σ_c=20.20
CC 10 SLD (Collegamento -041_-375)
Azioni sul collegamento: N=-9623.43 Ty=-10.22 Tz=14.95 Mx=0.00 Mz=-7.14
Sollecitazioni agenti localmente: Tx_l=-10.22 Ty_l=14.95 N_l=-9623.43 Mx_l=-0.00 My_l=-7.14 Mz_l=0.00
Taglio nei bulloni: Fv,Ed=3.02 Fv,Rd=9650.97
Rifollamento lato piastra: Fb,Ed,p=3.02 Fb,Rd,p=12777.30
Tirafondi:LT=0.45 (0.31) σ_{cR}=0.00 σ_{fR}=0.00
Compressione nel calcestruzzo: σ_c=20.29
CC 10 SLD (Collegamento -041_-375)
Azioni sul collegamento: N=-10345.40 Ty=-9.04 Tz=11.97 Mx=0.00 Mz=-5.58
Sollecitazioni agenti localmente: Tx_l=-9.04 Ty_l=11.97 N_l=-10345.40 Mx_l=-0.00 My_l=-5.58 Mz_l=0.00
Taglio nei bulloni: Fv,Ed=2.51 Fv,Rd=9650.97
Rifollamento lato piastra: Fb,Ed,p=2.50 Fb,Rd,p=13290.30
Tirafondi:LT=0.45 (0.31) σ_{cR}=0.00 σ_{fR}=0.00
Compressione nel calcestruzzo: σ_c=21.69
CC 10 SLD (Collegamento -041_-375)
Azioni sul collegamento: N=-10345.40 Ty=-10.22 Tz=11.97 Mx=0.00 Mz=-7.14
Sollecitazioni agenti localmente: Tx_l=-10.22 Ty_l=11.97 N_l=-10345.40 Mx_l=-0.00 My_l=-7.14 Mz_l=0.00
Taglio nei bulloni: Fv,Ed=2.63 Fv,Rd=9650.97
Rifollamento lato piastra: Fb,Ed,p=2.62 Fb,Rd,p=13946.10
Tirafondi:LT=0.45 (0.31) σ_{cR}=0.00 σ_{fR}=0.00
Compressione nel calcestruzzo: σ_c=21.78
CC 10 SLD (Collegamento -041_-375)
Azioni sul collegamento: N=-10345.40 Ty=-9.04 Tz=14.95 Mx=0.00 Mz=-5.58
Sollecitazioni agenti localmente: Tx_l=-9.04 Ty_l=14.95 N_l=-10345.40 Mx_l=-0.00 My_l=-5.58 Mz_l=0.00
Taglio nei bulloni: Fv,Ed=2.92 Fv,Rd=9650.97
Rifollamento lato piastra: Fb,Ed,p=2.91 Fb,Rd,p=11593.70
Tirafondi:LT=0.45 (0.31) σ_{cR}=0.00 σ_{fR}=0.00
Compressione nel calcestruzzo: σ_c=21.69
CC 10 SLD (Collegamento -041_-375)
Azioni sul collegamento: N=-10345.40 Ty=-10.22 Tz=14.95 Mx=0.00 Mz=-7.14
Sollecitazioni agenti localmente: Tx_l=-10.22 Ty_l=14.95 N_l=-10345.40 Mx_l=-0.00 My_l=-7.14 Mz_l=0.00
Taglio nei bulloni: Fv,Ed=3.02 Fv,Rd=9650.97
Rifollamento lato piastra: Fb,Ed,p=3.02 Fb,Rd,p=12777.50
Tirafondi:LT=0.45 (0.31) σ_{cR}=0.00 σ_{fR}=0.00
Compressione nel calcestruzzo: σ_c=21.78
CC 11 SLV (Collegamento -041_-375)
Azioni sul collegamento: N=-11054.30 Ty=-8.94 Tz=16.87 Mx=0.02 Mz=-3.28
Sollecitazioni agenti localmente: Tx_l=-8.94 Ty_l=16.87 N_l=-11054.30 Mx_l=-0.00 My_l=-3.28 Mz_l=0.02
Taglio nei bulloni: Fv,Ed=3.21 Fv,Rd=7720.78
Rifollamento lato piastra: Fb,Ed,p=3.19 Fb,Rd,p=8413.41
Tirafondi:LT=0.45 (0.31) σ_{cR}=0.00 σ_{fR}=0.00
Compressione nel calcestruzzo: σ_c=23.02
CC 11 SLV (Collegamento -041_-375)
Azioni sul collegamento: N=-11054.30 Ty=-8.48 Tz=16.87 Mx=0.02 Mz=-5.16
Sollecitazioni agenti localmente: Tx_l=-8.48 Ty_l=16.87 N_l=-11054.30 Mx_l=-0.00 My_l=-5.16 Mz_l=0.02
Taglio nei bulloni: Fv,Ed=3.17 Fv,Rd=7720.78
Rifollamento lato piastra: Fb,Ed,p=3.16 Fb,Rd,p=8162.21
Tirafondi:LT=0.45 (0.31) σ_{cR}=0.00 σ_{fR}=0.00
Compressione nel calcestruzzo: σ_c=23.13
CC 11 SLV (Collegamento -041_-375)
Azioni sul collegamento: N=-11054.30 Ty=-8.94 Tz=9.28 Mx=0.02 Mz=-3.28
Sollecitazioni agenti localmente: Tx_l=-8.94 Ty_l=9.28 N_l=-11054.30 Mx_l=-0.00 My_l=-3.28 Mz_l=0.02
Taglio nei bulloni: Fv,Ed=2.17 Fv,Rd=7720.78

Rifollamento lato piastra: Fb,Ed,p=2.15 Fb,Rd,p=11654.10
Tirafondi:LT=0.45 (0.31) σ_{cR}=0.00 σ_{fR}=0.00
Compressione nel calcestruzzo: σ_c=23.02
CC 11 SLV (Collegamento -041_-375)
Azioni sul collegamento: N=-11054.30 Ty=-8.48 Tz=9.28 Mx=0.02 Mz=-5.16
Sollecitazioni agenti localmente: Tx_l=-8.48 Ty_l=9.28 N_l=-11054.30 Mx_l=-0.00 My_l=-5.16 Mz_l=0.02
Taglio nei bulloni: Fv,Ed=2.12 Fv,Rd=7720.78
Rifollamento lato piastra: Fb,Ed,p=2.10 Fb,Rd,p=11373.40
Tirafondi:LT=0.45 (0.31) σ_{cR}=0.00 σ_{fR}=0.00
Compressione nel calcestruzzo: σ_c=23.13
CC 11 SLV (Collegamento -041_-375)
Azioni sul collegamento: N=-8719.33 Ty=-8.94 Tz=16.87 Mx=0.02 Mz=-3.28
Sollecitazioni agenti localmente: Tx_l=-8.94 Ty_l=16.87 N_l=-8719.33 Mx_l=-0.00 My_l=-3.28 Mz_l=0.02
Taglio nei bulloni: Fv,Ed=3.21 Fv,Rd=7720.78
Rifollamento lato piastra: Fb,Ed,p=3.19 Fb,Rd,p=8413.39
Tirafondi:LT=0.45 (0.31) σ_{cR}=0.00 σ_{fR}=0.00
Compressione nel calcestruzzo: σ_c=18.20
CC 11 SLV (Collegamento -041_-375)
Azioni sul collegamento: N=-8719.33 Ty=-8.48 Tz=16.87 Mx=0.02 Mz=-5.16
Sollecitazioni agenti localmente: Tx_l=-8.48 Ty_l=16.87 N_l=-8719.33 Mx_l=-0.00 My_l=-5.16 Mz_l=0.02
Taglio nei bulloni: Fv,Ed=3.17 Fv,Rd=7720.78
Rifollamento lato piastra: Fb,Ed,p=3.16 Fb,Rd,p=8162.20
Tirafondi:LT=0.45 (0.31) σ_{cR}=0.00 σ_{fR}=0.00
Compressione nel calcestruzzo: σ_c=18.31
CC 11 SLV (Collegamento -041_-375)
Azioni sul collegamento: N=-8719.33 Ty=-8.94 Tz=9.28 Mx=0.02 Mz=-3.28
Sollecitazioni agenti localmente: Tx_l=-8.94 Ty_l=9.28 N_l=-8719.33 Mx_l=-0.00 My_l=-3.28 Mz_l=0.02
Taglio nei bulloni: Fv,Ed=2.17 Fv,Rd=7720.78
Rifollamento lato piastra: Fb,Ed,p=2.15 Fb,Rd,p=11654.30
Tirafondi:LT=0.45 (0.31) σ_{cR}=0.00 σ_{fR}=0.00
Compressione nel calcestruzzo: σ_c=18.20
CC 11 SLV (Collegamento -041_-375)
Azioni sul collegamento: N=-8719.33 Ty=-8.48 Tz=9.28 Mx=0.02 Mz=-5.16
Sollecitazioni agenti localmente: Tx_l=-8.48 Ty_l=9.28 N_l=-8719.33 Mx_l=-0.00 My_l=-5.16 Mz_l=0.02
Taglio nei bulloni: Fv,Ed=2.12 Fv,Rd=7720.78
Rifollamento lato piastra: Fb,Ed,p=2.10 Fb,Rd,p=11373.60
Tirafondi:LT=0.45 (0.31) σ_{cR}=0.00 σ_{fR}=0.00
Compressione nel calcestruzzo: σ_c=18.31
CC 12 SLD (Collegamento -041_-375)
Azioni sul collegamento: N=-10340.40 Ty=-9.70 Tz=14.62 Mx=0.00 Mz=-6.07
Sollecitazioni agenti localmente: Tx_l=-9.70 Ty_l=14.62 N_l=-10340.40 Mx_l=-0.00 My_l=-6.07 Mz_l=0.00
Taglio nei bulloni: Fv,Ed=2.93 Fv,Rd=9650.97
Rifollamento lato piastra: Fb,Ed,p=2.92 Fb,Rd,p=12460.40
Tirafondi:LT=0.45 (0.31) σ_{cR}=0.00 σ_{fR}=0.00
Compressione nel calcestruzzo: σ_c=21.71
CC 12 SLD (Collegamento -041_-375)
Azioni sul collegamento: N=-10340.40 Ty=-9.56 Tz=14.62 Mx=0.00 Mz=-6.65
Sollecitazioni agenti localmente: Tx_l=-9.56 Ty_l=14.62 N_l=-10340.40 Mx_l=-0.00 My_l=-6.65 Mz_l=0.00
Taglio nei bulloni: Fv,Ed=2.92 Fv,Rd=9650.97
Rifollamento lato piastra: Fb,Ed,p=2.91 Fb,Rd,p=12313.60
Tirafondi:LT=0.45 (0.31) σ_{cR}=0.00 σ_{fR}=0.00
Compressione nel calcestruzzo: σ_c=21.74
CC 12 SLD (Collegamento -041_-375)
Azioni sul collegamento: N=-10340.40 Ty=-9.70 Tz=12.30 Mx=0.00 Mz=-6.07
Sollecitazioni agenti localmente: Tx_l=-9.70 Ty_l=12.30 N_l=-10340.40 Mx_l=-0.00 My_l=-6.07 Mz_l=0.00
Taglio nei bulloni: Fv,Ed=2.62 Fv,Rd=9650.97
Rifollamento lato piastra: Fb,Ed,p=2.61 Fb,Rd,p=13507.30
Tirafondi:LT=0.45 (0.31) σ_{cR}=0.00 σ_{fR}=0.00
Compressione nel calcestruzzo: σ_c=21.71
CC 12 SLD (Collegamento -041_-375)
Azioni sul collegamento: N=-10340.40 Ty=-9.56 Tz=12.30 Mx=0.00 Mz=-6.65
Sollecitazioni agenti localmente: Tx_l=-9.56 Ty_l=12.30 N_l=-10340.40 Mx_l=-0.00 My_l=-6.65 Mz_l=0.00
Taglio nei bulloni: Fv,Ed=2.60 Fv,Rd=9650.97
Rifollamento lato piastra: Fb,Ed,p=2.60 Fb,Rd,p=13432.90
Tirafondi:LT=0.45 (0.31) σ_{cR}=0.00 σ_{fR}=0.00
Compressione nel calcestruzzo: σ_c=21.74
CC 12 SLD (Collegamento -041_-375)
Azioni sul collegamento: N=-9628.41 Ty=-9.70 Tz=14.62 Mx=0.00 Mz=-6.07
Sollecitazioni agenti localmente: Tx_l=-9.70 Ty_l=14.62 N_l=-9628.41 Mx_l=-0.00 My_l=-6.07 Mz_l=0.00
Taglio nei bulloni: Fv,Ed=2.93 Fv,Rd=9650.97
Rifollamento lato piastra: Fb,Ed,p=2.92 Fb,Rd,p=12460.50
Tirafondi:LT=0.45 (0.31) σ_{cR}=0.00 σ_{fR}=0.00
Compressione nel calcestruzzo: σ_c=20.24
CC 12 SLD (Collegamento -041_-375)
Azioni sul collegamento: N=-9628.41 Ty=-9.56 Tz=14.62 Mx=0.00 Mz=-6.65
Sollecitazioni agenti localmente: Tx_l=-9.56 Ty_l=14.62 N_l=-9628.41 Mx_l=-0.00 My_l=-6.65 Mz_l=0.00
Taglio nei bulloni: Fv,Ed=2.92 Fv,Rd=9650.97
Rifollamento lato piastra: Fb,Ed,p=2.91 Fb,Rd,p=12313.60
Tirafondi:LT=0.45 (0.31) σ_{cR}=0.00 σ_{fR}=0.00
Compressione nel calcestruzzo: σ_c=20.27

CC 12 SLD (Collegamento -041_-375)
Azioni sul collegamento: N=-9628.40 Ty=-9.70 Tz=12.30 Mx=0.00 Mz=-6.07
Sollecitazioni agenti localmente: Tx_l=-9.70 Ty_l=12.30 N_l=-9628.40 Mx_l=-0.00 My_l=-6.07 Mz_l=0.00
Taglio nei bulloni: Fv,Ed=2.62 Fv,Rd=9650.97
Rifollamento lato piastra: Fb,Ed,p=2.61 Fb,Rd,p=13507.30
Tirafondi:LT=0.45 (0.31) σ_{cR}=0.00 σ_{fR}=0.00
Compressione nel calcestruzzo: σ_c=20.24
CC 12 SLD (Collegamento -041_-375)
Azioni sul collegamento: N=-9628.40 Ty=-9.56 Tz=12.30 Mx=0.00 Mz=-6.65
Sollecitazioni agenti localmente: Tx_l=-9.56 Ty_l=12.30 N_l=-9628.40 Mx_l=-0.00 My_l=-6.65 Mz_l=0.00
Taglio nei bulloni: Fv,Ed=2.60 Fv,Rd=9650.97
Rifollamento lato piastra: Fb,Ed,p=2.60 Fb,Rd,p=13432.90
Tirafondi:LT=0.45 (0.31) σ_{cR}=0.00 σ_{fR}=0.00
Compressione nel calcestruzzo: σ_c=20.27
CC 13 SLV (Collegamento -041_-375)
Azioni sul collegamento: N=-8719.33 Ty=-8.48 Tz=9.28 Mx=0.00 Mz=-5.16
Sollecitazioni agenti localmente: Tx_l=-8.48 Ty_l=9.28 N_l=-8719.33 Mx_l=-0.00 My_l=-5.16 Mz_l=0.00
Taglio nei bulloni: Fv,Ed=2.10 Fv,Rd=7720.78
Rifollamento lato piastra: Fb,Ed,p=2.09 Fb,Rd,p=11497.00
Tirafondi:LT=0.45 (0.31) σ_{cR}=0.00 σ_{fR}=0.00
Compressione nel calcestruzzo: σ_c=18.31
CC 13 SLV (Collegamento -041_-375)
Azioni sul collegamento: N=-8719.33 Ty=-8.94 Tz=9.28 Mx=0.00 Mz=-3.28
Sollecitazioni agenti localmente: Tx_l=-8.94 Ty_l=9.28 N_l=-8719.33 Mx_l=-0.00 My_l=-3.28 Mz_l=0.00
Taglio nei bulloni: Fv,Ed=2.15 Fv,Rd=7720.78
Rifollamento lato piastra: Fb,Ed,p=2.14 Fb,Rd,p=11799.50
Tirafondi:LT=0.45 (0.31) σ_{cR}=0.00 σ_{fR}=0.00
Compressione nel calcestruzzo: σ_c=18.20
CC 13 SLV (Collegamento -041_-375)
Azioni sul collegamento: N=-8719.33 Ty=-8.48 Tz=16.87 Mx=0.00 Mz=-5.16
Sollecitazioni agenti localmente: Tx_l=-8.48 Ty_l=16.87 N_l=-8719.33 Mx_l=-0.00 My_l=-5.16 Mz_l=0.00
Taglio nei bulloni: Fv,Ed=3.15 Fv,Rd=7720.78
Rifollamento lato piastra: Fb,Ed,p=3.15 Fb,Rd,p=8248.03
Tirafondi:LT=0.45 (0.31) σ_{cR}=0.00 σ_{fR}=0.00
Compressione nel calcestruzzo: σ_c=18.31
CC 13 SLV (Collegamento -041_-375)
Azioni sul collegamento: N=-8719.33 Ty=-8.94 Tz=16.87 Mx=0.00 Mz=-3.28
Sollecitazioni agenti localmente: Tx_l=-8.94 Ty_l=16.87 N_l=-8719.33 Mx_l=-0.00 My_l=-3.28 Mz_l=0.00
Taglio nei bulloni: Fv,Ed=3.18 Fv,Rd=7720.78
Rifollamento lato piastra: Fb,Ed,p=3.18 Fb,Rd,p=8505.85
Tirafondi:LT=0.45 (0.31) σ_{cR}=0.00 σ_{fR}=0.00
Compressione nel calcestruzzo: σ_c=18.20
CC 13 SLV (Collegamento -041_-375)
Azioni sul collegamento: N=-11054.30 Ty=-8.48 Tz=9.28 Mx=0.00 Mz=-5.16
Sollecitazioni agenti localmente: Tx_l=-8.48 Ty_l=9.28 N_l=-11054.30 Mx_l=-0.00 My_l=-5.16 Mz_l=0.00
Taglio nei bulloni: Fv,Ed=2.10 Fv,Rd=7720.78
Rifollamento lato piastra: Fb,Ed,p=2.09 Fb,Rd,p=11496.80
Tirafondi:LT=0.45 (0.31) σ_{cR}=0.00 σ_{fR}=0.00
Compressione nel calcestruzzo: σ_c=23.13
CC 13 SLV (Collegamento -041_-375)
Azioni sul collegamento: N=-11054.30 Ty=-8.94 Tz=9.28 Mx=0.00 Mz=-3.28
Sollecitazioni agenti localmente: Tx_l=-8.94 Ty_l=9.28 N_l=-11054.30 Mx_l=-0.00 My_l=-3.28 Mz_l=0.00
Taglio nei bulloni: Fv,Ed=2.15 Fv,Rd=7720.78
Rifollamento lato piastra: Fb,Ed,p=2.14 Fb,Rd,p=11799.30
Tirafondi:LT=0.45 (0.31) σ_{cR}=0.00 σ_{fR}=0.00
Compressione nel calcestruzzo: σ_c=23.02
CC 13 SLV (Collegamento -041_-375)
Azioni sul collegamento: N=-11054.30 Ty=-8.48 Tz=16.87 Mx=0.00 Mz=-5.16
Sollecitazioni agenti localmente: Tx_l=-8.48 Ty_l=16.87 N_l=-11054.30 Mx_l=-0.00 My_l=-5.16 Mz_l=0.00
Taglio nei bulloni: Fv,Ed=3.15 Fv,Rd=7720.78
Rifollamento lato piastra: Fb,Ed,p=3.15 Fb,Rd,p=8248.04
Tirafondi:LT=0.45 (0.31) σ_{cR}=0.00 σ_{fR}=0.00
Compressione nel calcestruzzo: σ_c=23.13
CC 13 SLV (Collegamento -041_-375)
Azioni sul collegamento: N=-11054.30 Ty=-8.94 Tz=16.87 Mx=0.00 Mz=-3.28
Sollecitazioni agenti localmente: Tx_l=-8.94 Ty_l=16.87 N_l=-11054.30 Mx_l=-0.00 My_l=-3.28 Mz_l=0.00
Taglio nei bulloni: Fv,Ed=3.18 Fv,Rd=7720.78
Rifollamento lato piastra: Fb,Ed,p=3.18 Fb,Rd,p=8505.86
Tirafondi:LT=0.45 (0.31) σ_{cR}=0.00 σ_{fR}=0.00
Compressione nel calcestruzzo: σ_c=23.02
CC 14 SLD (Collegamento -041_-375)
Azioni sul collegamento: N=-9628.40 Ty=-9.56 Tz=12.30 Mx=-0.00 Mz=-6.65
Sollecitazioni agenti localmente: Tx_l=-9.56 Ty_l=12.30 N_l=-9628.40 Mx_l=-0.00 My_l=-6.65 Mz_l=-0.00
Taglio nei bulloni: Fv,Ed=2.60 Fv,Rd=9650.97
Rifollamento lato piastra: Fb,Ed,p=2.60 Fb,Rd,p=13456.30
Tirafondi:LT=0.45 (0.31) σ_{cR}=0.00 σ_{fR}=0.00
Compressione nel calcestruzzo: σ_c=20.27
CC 14 SLD (Collegamento -041_-375)
Azioni sul collegamento: N=-9628.40 Ty=-9.70 Tz=12.30 Mx=-0.00 Mz=-6.07
Sollecitazioni agenti localmente: Tx_l=-9.70 Ty_l=12.30 N_l=-9628.40 Mx_l=-0.00 My_l=-6.07 Mz_l=-0.00

Taglio nei bulloni: Fv,Ed=2.61 Fv,Rd=9650.97
Rifollamento lato piastra: Fb,Ed,p=2.61 Fb,Rd,p=13530.90
Tirafondi:LT=0.45 (0.31) σ_{cR}=0.00 σ_{fR}=0.00
Compressione nel calcestruzzo: σ_c=20.24
CC 14 SLD (Collegamento -041_-375)
Azioni sul collegamento: N=-9628.41 Ty=-9.56 Tz=14.62 Mx=-0.00 Mz=-6.65
Sollecitazioni agenti localmente: Tx_l=-9.56 Ty_l=14.62 N_l=-9628.41 Mx_l=-0.00 My_l=-6.65 Mz_l=-0.00
Taglio nei bulloni: Fv,Ed=2.91 Fv,Rd=9650.97
Rifollamento lato piastra: Fb,Ed,p=2.91 Fb,Rd,p=12357.70
Tirafondi:LT=0.45 (0.31) σ_{cR}=0.00 σ_{fR}=0.00
Compressione nel calcestruzzo: σ_c=20.27
CC 14 SLD (Collegamento -041_-375)
Azioni sul collegamento: N=-9628.41 Ty=-9.70 Tz=14.62 Mx=-0.00 Mz=-6.07
Sollecitazioni agenti localmente: Tx_l=-9.70 Ty_l=14.62 N_l=-9628.41 Mx_l=-0.00 My_l=-6.07 Mz_l=-0.00
Taglio nei bulloni: Fv,Ed=2.93 Fv,Rd=9650.97
Rifollamento lato piastra: Fb,Ed,p=2.93 Fb,Rd,p=12505.40
Tirafondi:LT=0.45 (0.31) σ_{cR}=0.00 σ_{fR}=0.00
Compressione nel calcestruzzo: σ_c=20.24
CC 14 SLD (Collegamento -041_-375)
Azioni sul collegamento: N=-10340.40 Ty=-9.56 Tz=12.30 Mx=-0.00 Mz=-6.65
Sollecitazioni agenti localmente: Tx_l=-9.56 Ty_l=12.30 N_l=-10340.40 Mx_l=-0.00 My_l=-6.65 Mz_l=-0.00
Taglio nei bulloni: Fv,Ed=2.60 Fv,Rd=9650.97
Rifollamento lato piastra: Fb,Ed,p=2.60 Fb,Rd,p=13456.30
Tirafondi:LT=0.45 (0.31) σ_{cR}=0.00 σ_{fR}=0.00
Compressione nel calcestruzzo: σ_c=21.74
CC 14 SLD (Collegamento -041_-375)
Azioni sul collegamento: N=-10340.40 Ty=-9.70 Tz=12.30 Mx=-0.00 Mz=-6.07
Sollecitazioni agenti localmente: Tx_l=-9.70 Ty_l=12.30 N_l=-10340.40 Mx_l=-0.00 My_l=-6.07 Mz_l=-0.00
Taglio nei bulloni: Fv,Ed=2.61 Fv,Rd=9650.97
Rifollamento lato piastra: Fb,Ed,p=2.61 Fb,Rd,p=13530.90
Tirafondi:LT=0.45 (0.31) σ_{cR}=0.00 σ_{fR}=0.00
Compressione nel calcestruzzo: σ_c=21.71
CC 14 SLD (Collegamento -041_-375)
Azioni sul collegamento: N=-10340.40 Ty=-9.56 Tz=14.62 Mx=-0.00 Mz=-6.65
Sollecitazioni agenti localmente: Tx_l=-9.56 Ty_l=14.62 N_l=-10340.40 Mx_l=-0.00 My_l=-6.65 Mz_l=-0.00
Taglio nei bulloni: Fv,Ed=2.91 Fv,Rd=9650.97
Rifollamento lato piastra: Fb,Ed,p=2.91 Fb,Rd,p=12357.70
Tirafondi:LT=0.45 (0.31) σ_{cR}=0.00 σ_{fR}=0.00
Compressione nel calcestruzzo: σ_c=21.74
CC 14 SLD (Collegamento -041_-375)
Azioni sul collegamento: N=-10340.40 Ty=-9.70 Tz=14.62 Mx=-0.00 Mz=-6.07
Sollecitazioni agenti localmente: Tx_l=-9.70 Ty_l=14.62 N_l=-10340.40 Mx_l=-0.00 My_l=-6.07 Mz_l=-0.00
Taglio nei bulloni: Fv,Ed=2.93 Fv,Rd=9650.97
Rifollamento lato piastra: Fb,Ed,p=2.93 Fb,Rd,p=12505.40
Tirafondi:LT=0.45 (0.31) σ_{cR}=0.00 σ_{fR}=0.00
Compressione nel calcestruzzo: σ_c=21.71
CC 15 SLV (Collegamento -041_-375)
Azioni sul collegamento: N=-11070.70 Ty=-10.65 Tz=17.96 Mx=0.00 Mz=-6.77
Sollecitazioni agenti localmente: Tx_l=-10.65 Ty_l=17.96 N_l=-11070.70 Mx_l=-0.00 My_l=-6.77 Mz_l=0.00
Taglio nei bulloni: Fv,Ed=3.48 Fv,Rd=7720.78
Rifollamento lato piastra: Fb,Ed,p=3.48 Fb,Rd,p=9160.87
Tirafondi:LT=0.45 (0.31) σ_{cR}=0.00 σ_{fR}=0.00
Compressione nel calcestruzzo: σ_c=23.25
CC 15 SLV (Collegamento -041_-375)
Azioni sul collegamento: N=-11070.70 Ty=-6.76 Tz=17.96 Mx=0.00 Mz=-1.67
Sollecitazioni agenti localmente: Tx_l=-6.76 Ty_l=17.96 N_l=-11070.70 Mx_l=-0.00 My_l=-1.67 Mz_l=0.00
Taglio nei bulloni: Fv,Ed=3.20 Fv,Rd=7720.78
Rifollamento lato piastra: Fb,Ed,p=3.20 Fb,Rd,p=7243.97
Tirafondi:LT=0.45 (0.31) σ_{cR}=0.00 σ_{fR}=0.00
Compressione nel calcestruzzo: σ_c=22.97
CC 15 SLV (Collegamento -041_-375)
Azioni sul collegamento: N=-11070.70 Ty=-10.65 Tz=8.19 Mx=0.00 Mz=-6.77
Sollecitazioni agenti localmente: Tx_l=-10.65 Ty_l=8.19 N_l=-11070.70 Mx_l=-0.00 My_l=-6.77 Mz_l=0.00
Taglio nei bulloni: Fv,Ed=2.24 Fv,Rd=7720.78
Rifollamento lato piastra: Fb,Ed,p=2.24 Fb,Rd,p=10722.30
Tirafondi:LT=0.45 (0.31) σ_{cR}=0.00 σ_{fR}=0.00
Compressione nel calcestruzzo: σ_c=23.25
CC 15 SLV (Collegamento -041_-375)
Azioni sul collegamento: N=-11070.70 Ty=-6.76 Tz=8.19 Mx=0.00 Mz=-1.67
Sollecitazioni agenti localmente: Tx_l=-6.76 Ty_l=8.19 N_l=-11070.70 Mx_l=-0.00 My_l=-1.67 Mz_l=0.00
Taglio nei bulloni: Fv,Ed=1.77 Fv,Rd=7720.78
Rifollamento lato piastra: Fb,Ed,p=1.77 Fb,Rd,p=11008.90
Tirafondi:LT=0.45 (0.31) σ_{cR}=0.00 σ_{fR}=0.00
Compressione nel calcestruzzo: σ_c=22.97
CC 15 SLV (Collegamento -041_-375)
Azioni sul collegamento: N=-8703.00 Ty=-10.65 Tz=17.96 Mx=0.00 Mz=-6.77
Sollecitazioni agenti localmente: Tx_l=-10.65 Ty_l=17.96 N_l=-8703.00 Mx_l=-0.00 My_l=-6.77 Mz_l=0.00
Taglio nei bulloni: Fv,Ed=3.48 Fv,Rd=7720.78
Rifollamento lato piastra: Fb,Ed,p=3.48 Fb,Rd,p=9160.89
Tirafondi:LT=0.45 (0.31) σ_{cR}=0.00 σ_{fR}=0.00

Compressione nel calcestruzzo: σ_c=18.36
CC 15 SLV (Collegamento -041_-375)
Azioni sul collegamento: N=-8703.00 Ty=-6.76 Tz=17.96 Mx=0.00 Mz=-1.67
Sollecitazioni agenti localmente: Tx_l=-6.76 Ty_l=17.96 N_l=-8703.00 Mx_l=-0.00 My_l=-1.67 Mz_l=0.00
Taglio nei bulloni: Fv,Ed=3.20 Fv,Rd=7720.78
Rifollamento lato piastra: Fb,Ed,p=3.20 Fb,Rd,p=7243.98
Tirafondi:LT=0.45 (0.31) σ_{cR}=0.00 σ_{fR}=0.00
Compressione nel calcestruzzo: σ_c=18.08
CC 15 SLV (Collegamento -041_-375)
Azioni sul collegamento: N=-8703.00 Ty=-10.65 Tz=8.19 Mx=0.00 Mz=-6.77
Sollecitazioni agenti localmente: Tx_l=-10.65 Ty_l=8.19 N_l=-8703.00 Mx_l=-0.00 My_l=-6.77 Mz_l=0.00
Taglio nei bulloni: Fv,Ed=2.24 Fv,Rd=7720.78
Rifollamento lato piastra: Fb,Ed,p=2.24 Fb,Rd,p=10722.10
Tirafondi:LT=0.45 (0.31) σ_{cR}=0.00 σ_{fR}=0.00
Compressione nel calcestruzzo: σ_c=18.36
CC 15 SLV (Collegamento -041_-375)
Azioni sul collegamento: N=-8703.00 Ty=-6.76 Tz=8.19 Mx=0.00 Mz=-1.67
Sollecitazioni agenti localmente: Tx_l=-6.76 Ty_l=8.19 N_l=-8703.00 Mx_l=-0.00 My_l=-1.67 Mz_l=0.00
Taglio nei bulloni: Fv,Ed=1.77 Fv,Rd=7720.78
Rifollamento lato piastra: Fb,Ed,p=1.77 Fb,Rd,p=11009.10
Tirafondi:LT=0.45 (0.31) σ_{cR}=0.00 σ_{fR}=0.00
Compressione nel calcestruzzo: σ_c=18.08
CC 16 SLD (Collegamento -041_-375)
Azioni sul collegamento: N=-10345.40 Ty=-10.22 Tz=14.95 Mx=-0.00 Mz=-7.14
Sollecitazioni agenti localmente: Tx_l=-10.22 Ty_l=14.95 N_l=-10345.40 Mx_l=-0.00 My_l=-7.14 Mz_l=-0.00
Taglio nei bulloni: Fv,Ed=3.02 Fv,Rd=9650.97
Rifollamento lato piastra: Fb,Ed,p=3.02 Fb,Rd,p=12823.60
Tirafondi:LT=0.45 (0.31) σ_{cR}=0.00 σ_{fR}=0.00
Compressione nel calcestruzzo: σ_c=21.78
CC 16 SLD (Collegamento -041_-375)
Azioni sul collegamento: N=-10345.40 Ty=-9.04 Tz=14.95 Mx=-0.00 Mz=-5.58
Sollecitazioni agenti localmente: Tx_l=-9.04 Ty_l=14.95 N_l=-10345.40 Mx_l=-0.00 My_l=-5.58 Mz_l=-0.00
Taglio nei bulloni: Fv,Ed=2.91 Fv,Rd=9650.97
Rifollamento lato piastra: Fb,Ed,p=2.91 Fb,Rd,p=11633.00
Tirafondi:LT=0.45 (0.31) σ_{cR}=0.00 σ_{fR}=0.00
Compressione nel calcestruzzo: σ_c=21.69
CC 16 SLD (Collegamento -041_-375)
Azioni sul collegamento: N=-10345.40 Ty=-10.22 Tz=11.97 Mx=-0.00 Mz=-7.14
Sollecitazioni agenti localmente: Tx_l=-10.22 Ty_l=11.97 N_l=-10345.40 Mx_l=-0.00 My_l=-7.14 Mz_l=-0.00
Taglio nei bulloni: Fv,Ed=2.63 Fv,Rd=9650.97
Rifollamento lato piastra: Fb,Ed,p=2.63 Fb,Rd,p=13972.40
Tirafondi:LT=0.45 (0.31) σ_{cR}=0.00 σ_{fR}=0.00
Compressione nel calcestruzzo: σ_c=21.78
CC 16 SLD (Collegamento -041_-375)
Azioni sul collegamento: N=-10345.40 Ty=-9.04 Tz=11.97 Mx=-0.00 Mz=-5.58
Sollecitazioni agenti localmente: Tx_l=-9.04 Ty_l=11.97 N_l=-10345.40 Mx_l=-0.00 My_l=-5.58 Mz_l=-0.00
Taglio nei bulloni: Fv,Ed=2.50 Fv,Rd=9650.97
Rifollamento lato piastra: Fb,Ed,p=2.50 Fb,Rd,p=13313.90
Tirafondi:LT=0.45 (0.31) σ_{cR}=0.00 σ_{fR}=0.00
Compressione nel calcestruzzo: σ_c=21.69
CC 16 SLD (Collegamento -041_-375)
Azioni sul collegamento: N=-9623.43 Ty=-10.22 Tz=14.95 Mx=-0.00 Mz=-7.14
Sollecitazioni agenti localmente: Tx_l=-10.22 Ty_l=14.95 N_l=-9623.43 Mx_l=-0.00 My_l=-7.14 Mz_l=-0.00
Taglio nei bulloni: Fv,Ed=3.02 Fv,Rd=9650.97
Rifollamento lato piastra: Fb,Ed,p=3.02 Fb,Rd,p=12823.40
Tirafondi:LT=0.45 (0.31) σ_{cR}=0.00 σ_{fR}=0.00
Compressione nel calcestruzzo: σ_c=20.29
CC 16 SLD (Collegamento -041_-375)
Azioni sul collegamento: N=-9623.43 Ty=-9.04 Tz=14.95 Mx=-0.00 Mz=-5.58
Sollecitazioni agenti localmente: Tx_l=-9.04 Ty_l=14.95 N_l=-9623.43 Mx_l=-0.00 My_l=-5.58 Mz_l=-0.00
Taglio nei bulloni: Fv,Ed=2.91 Fv,Rd=9650.97
Rifollamento lato piastra: Fb,Ed,p=2.91 Fb,Rd,p=11632.80
Tirafondi:LT=0.45 (0.31) σ_{cR}=0.00 σ_{fR}=0.00
Compressione nel calcestruzzo: σ_c=20.20
CC 16 SLD (Collegamento -041_-375)
Azioni sul collegamento: N=-9623.43 Ty=-10.22 Tz=11.97 Mx=-0.00 Mz=-7.14
Sollecitazioni agenti localmente: Tx_l=-10.22 Ty_l=11.97 N_l=-9623.43 Mx_l=-0.00 My_l=-7.14 Mz_l=-0.00
Taglio nei bulloni: Fv,Ed=2.63 Fv,Rd=9650.97
Rifollamento lato piastra: Fb,Ed,p=2.63 Fb,Rd,p=13972.40
Tirafondi:LT=0.45 (0.31) σ_{cR}=0.00 σ_{fR}=0.00
Compressione nel calcestruzzo: σ_c=20.29
CC 16 SLD (Collegamento -041_-375)
Azioni sul collegamento: N=-9623.43 Ty=-9.04 Tz=11.97 Mx=-0.00 Mz=-5.58
Sollecitazioni agenti localmente: Tx_l=-9.04 Ty_l=11.97 N_l=-9623.43 Mx_l=-0.00 My_l=-5.58 Mz_l=-0.00
Taglio nei bulloni: Fv,Ed=2.50 Fv,Rd=9650.97
Rifollamento lato piastra: Fb,Ed,p=2.50 Fb,Rd,p=13313.90
Tirafondi:LT=0.45 (0.31) σ_{cR}=0.00 σ_{fR}=0.00
Compressione nel calcestruzzo: σ_c=20.20
CC 17 SLV (Collegamento -041_-375)
Azioni sul collegamento: N=-6246.30 Ty=-7.49 Tz=-0.46 Mx=-0.02 Mz=-7.17

Sollecitazioni agenti localmente: Tx_l=-7.49 Ty_l=-0.46 N_l=-6246.30 Mx_l=-0.00 My_l=-7.17 Mz_l=-0.02
Taglio nei bulloni: Fv,Ed=1.27 Fv,Rd=7720.78
Rifollamento lato piastra: Fb,Ed,p=1.27 Fb,Rd,p=6030.03
Tirafondi:LT=0.45 (0.31) σ_{cR}=0.00 σ_{fR}=0.00
Compressione nel calcestruzzo: σ_c=13.31
CC 17 SLV (Collegamento -041_-375)
Azioni sul collegamento: N=-6246.30 Ty=-15.25 Tz=-0.46 Mx=-0.02 Mz=-13.58
Sollecitazioni agenti localmente: Tx_l=-15.25 Ty_l=-0.46 N_l=-6246.30 Mx_l=-0.00 My_l=-13.58 Mz_l=-0.02
Taglio nei bulloni: Fv,Ed=2.56 Fv,Rd=7720.78
Rifollamento lato piastra: Fb,Ed,p=2.56 Fb,Rd,p=5991.64
Tirafondi:LT=0.45 (0.31) σ_{cR}=0.00 σ_{fR}=0.00
Compressione nel calcestruzzo: σ_c=13.67
CC 17 SLV (Collegamento -041_-375)
Azioni sul collegamento: N=-6246.30 Ty=-7.49 Tz=28.82 Mx=-0.02 Mz=-7.17
Sollecitazioni agenti localmente: Tx_l=-7.49 Ty_l=28.82 N_l=-6246.30 Mx_l=-0.00 My_l=-7.17 Mz_l=-0.02
Taglio nei bulloni: Fv,Ed=4.99 Fv,Rd=7720.78
Rifollamento lato piastra: Fb,Ed,p=4.99 Fb,Rd,p=6595.88
Tirafondi:LT=0.45 (0.31) σ_{cR}=0.00 σ_{fR}=0.00
Compressione nel calcestruzzo: σ_c=13.31
CC 17 SLV (Collegamento -041_-375)
Azioni sul collegamento: N=-6246.30 Ty=-15.25 Tz=28.82 Mx=-0.02 Mz=-13.58
Sollecitazioni agenti localmente: Tx_l=-15.25 Ty_l=28.82 N_l=-6246.30 Mx_l=-0.00 My_l=-13.58 Mz_l=-0.02
Taglio nei bulloni: Fv,Ed=5.46 Fv,Rd=7720.78
Rifollamento lato piastra: Fb,Ed,p=5.46 Fb,Rd,p=8530.44
Tirafondi:LT=0.45 (0.31) σ_{cR}=0.00 σ_{fR}=0.00
Compressione nel calcestruzzo: σ_c=13.67
CC 17 SLV (Collegamento -041_-375)
Azioni sul collegamento: N=-14088.90 Ty=-7.49 Tz=-0.46 Mx=-0.02 Mz=-7.17
Sollecitazioni agenti localmente: Tx_l=-7.49 Ty_l=-0.46 N_l=-14088.90 Mx_l=-0.00 My_l=-7.17 Mz_l=-0.02
Taglio nei bulloni: Fv,Ed=1.27 Fv,Rd=7720.78
Rifollamento lato piastra: Fb,Ed,p=1.27 Fb,Rd,p=6030.08
Tirafondi:LT=0.45 (0.31) σ_{cR}=0.00 σ_{fR}=0.00
Compressione nel calcestruzzo: σ_c=29.51
CC 17 SLV (Collegamento -041_-375)
Azioni sul collegamento: N=-14088.90 Ty=-15.25 Tz=-0.46 Mx=-0.02 Mz=-13.58
Sollecitazioni agenti localmente: Tx_l=-15.25 Ty_l=-0.46 N_l=-14088.90 Mx_l=-0.00 My_l=-13.58 Mz_l=-0.02
Taglio nei bulloni: Fv,Ed=2.56 Fv,Rd=7720.78
Rifollamento lato piastra: Fb,Ed,p=2.56 Fb,Rd,p=5991.65
Tirafondi:LT=0.45 (0.31) σ_{cR}=0.00 σ_{fR}=0.00
Compressione nel calcestruzzo: σ_c=29.87
CC 17 SLV (Collegamento -041_-375)
Azioni sul collegamento: N=-14088.90 Ty=-7.49 Tz=28.82 Mx=-0.02 Mz=-7.17
Sollecitazioni agenti localmente: Tx_l=-7.49 Ty_l=28.82 N_l=-14088.90 Mx_l=-0.00 My_l=-7.17 Mz_l=-0.02
Taglio nei bulloni: Fv,Ed=4.99 Fv,Rd=7720.78
Rifollamento lato piastra: Fb,Ed,p=4.99 Fb,Rd,p=6595.88
Tirafondi:LT=0.45 (0.31) σ_{cR}=0.00 σ_{fR}=0.00
Compressione nel calcestruzzo: σ_c=29.51
CC 17 SLV (Collegamento -041_-375)
Azioni sul collegamento: N=-14088.90 Ty=-15.25 Tz=28.82 Mx=-0.02 Mz=-13.58
Sollecitazioni agenti localmente: Tx_l=-15.25 Ty_l=28.82 N_l=-14088.90 Mx_l=-0.00 My_l=-13.58 Mz_l=-0.02
Taglio nei bulloni: Fv,Ed=5.46 Fv,Rd=7720.78
Rifollamento lato piastra: Fb,Ed,p=5.46 Fb,Rd,p=8530.43
Tirafondi:LT=0.45 (0.31) σ_{cR}=0.00 σ_{fR}=0.00
Compressione nel calcestruzzo: σ_c=29.87
CC 18 SLD (Collegamento -041_-375)
Azioni sul collegamento: N=-8874.30 Ty=-9.26 Tz=9.33 Mx=-0.01 Mz=-7.26
Sollecitazioni agenti localmente: Tx_l=-9.26 Ty_l=9.33 N_l=-8874.30 Mx_l=-0.00 My_l=-7.26 Mz_l=-0.01
Taglio nei bulloni: Fv,Ed=2.20 Fv,Rd=9650.97
Rifollamento lato piastra: Fb,Ed,p=2.20 Fb,Rd,p=14966.80
Tirafondi:LT=0.45 (0.31) σ_{cR}=0.00 σ_{fR}=0.00
Compressione nel calcestruzzo: σ_c=18.74
CC 18 SLD (Collegamento -041_-375)
Azioni sul collegamento: N=-8874.30 Ty=-11.63 Tz=9.33 Mx=-0.01 Mz=-9.21
Sollecitazioni agenti localmente: Tx_l=-11.63 Ty_l=9.33 N_l=-8874.30 Mx_l=-0.00 My_l=-9.21 Mz_l=-0.01
Taglio nei bulloni: Fv,Ed=2.50 Fv,Rd=9650.97
Rifollamento lato piastra: Fb,Ed,p=2.49 Fb,Rd,p=13573.10
Tirafondi:LT=0.45 (0.31) σ_{cR}=0.00 σ_{fR}=0.00
Compressione nel calcestruzzo: σ_c=18.85
CC 18 SLD (Collegamento -041_-375)
Azioni sul collegamento: N=-8874.30 Ty=-9.26 Tz=18.26 Mx=-0.01 Mz=-7.26
Sollecitazioni agenti localmente: Tx_l=-9.26 Ty_l=18.26 N_l=-8874.30 Mx_l=-0.00 My_l=-7.26 Mz_l=-0.01
Taglio nei bulloni: Fv,Ed=3.42 Fv,Rd=9650.97
Rifollamento lato piastra: Fb,Ed,p=3.42 Fb,Rd,p=10394.10
Tirafondi:LT=0.45 (0.31) σ_{cR}=0.00 σ_{fR}=0.00
Compressione nel calcestruzzo: σ_c=18.74
CC 18 SLD (Collegamento -041_-375)
Azioni sul collegamento: N=-8874.30 Ty=-11.63 Tz=18.26 Mx=-0.01 Mz=-9.21
Sollecitazioni agenti localmente: Tx_l=-11.63 Ty_l=18.26 N_l=-8874.30 Mx_l=-0.00 My_l=-9.21 Mz_l=-0.01
Taglio nei bulloni: Fv,Ed=3.62 Fv,Rd=9650.97
Rifollamento lato piastra: Fb,Ed,p=3.62 Fb,Rd,p=12106.80

Tirafondi:LT=0.45 (0.31) σ_{cR}=0.00 σ_{fR}=0.00
Compressione nel calcestruzzo: σ_c=18.85
CC 18 SLD (Collegamento -041_-375)
Azioni sul collegamento: N=-11265.80 Ty=-9.26 Tz=9.33 Mx=-0.01 Mz=-7.26
Sollecitazioni agenti localmente: Tx_l=-9.26 Ty_l=9.33 N_l=-11265.80 Mx_l=-0.00 My_l=-7.26 Mz_l=-0.01
Taglio nei bulloni: Fv,Ed=2.20 Fv,Rd=9650.97
Rifollamento lato piastra: Fb,Ed,p=2.20 Fb,Rd,p=14966.60
Tirafondi:LT=0.45 (0.31) σ_{cR}=0.00 σ_{fR}=0.00
Compressione nel calcestruzzo: σ_c=23.69
CC 18 SLD (Collegamento -041_-375)
Azioni sul collegamento: N=-11265.80 Ty=-11.63 Tz=9.33 Mx=-0.01 Mz=-9.21
Sollecitazioni agenti localmente: Tx_l=-11.63 Ty_l=9.33 N_l=-11265.80 Mx_l=-0.00 My_l=-9.21 Mz_l=-0.01
Taglio nei bulloni: Fv,Ed=2.50 Fv,Rd=9650.97
Rifollamento lato piastra: Fb,Ed,p=2.49 Fb,Rd,p=13573.20
Tirafondi:LT=0.45 (0.31) σ_{cR}=0.00 σ_{fR}=0.00
Compressione nel calcestruzzo: σ_c=23.80
CC 18 SLD (Collegamento -041_-375)
Azioni sul collegamento: N=-11265.80 Ty=-9.26 Tz=18.26 Mx=-0.01 Mz=-7.26
Sollecitazioni agenti localmente: Tx_l=-9.26 Ty_l=18.26 N_l=-11265.80 Mx_l=-0.00 My_l=-7.26 Mz_l=-0.01
Taglio nei bulloni: Fv,Ed=3.42 Fv,Rd=9650.97
Rifollamento lato piastra: Fb,Ed,p=3.42 Fb,Rd,p=10394.10
Tirafondi:LT=0.45 (0.31) σ_{cR}=0.00 σ_{fR}=0.00
Compressione nel calcestruzzo: σ_c=23.69
CC 18 SLD (Collegamento -041_-375)
Azioni sul collegamento: N=-11265.80 Ty=-11.63 Tz=18.26 Mx=-0.01 Mz=-9.21
Sollecitazioni agenti localmente: Tx_l=-11.63 Ty_l=18.26 N_l=-11265.80 Mx_l=-0.00 My_l=-9.21 Mz_l=-0.01
Taglio nei bulloni: Fv,Ed=3.62 Fv,Rd=9650.97
Rifollamento lato piastra: Fb,Ed,p=3.62 Fb,Rd,p=12106.80
Tirafondi:LT=0.45 (0.31) σ_{cR}=0.00 σ_{fR}=0.00
Compressione nel calcestruzzo: σ_c=23.80
CC 19 SLV (Collegamento -041_-375)
Azioni sul collegamento: N=-6251.20 Ty=-8.00 Tz=-0.13 Mx=-0.01 Mz=-8.22
Sollecitazioni agenti localmente: Tx_l=-8.00 Ty_l=-0.13 N_l=-6251.20 Mx_l=-0.00 My_l=-8.22 Mz_l=-0.01
Taglio nei bulloni: Fv,Ed=1.35 Fv,Rd=7720.78
Rifollamento lato piastra: Fb,Ed,p=1.35 Fb,Rd,p=5985.57
Tirafondi:LT=0.45 (0.31) σ_{cR}=0.00 σ_{fR}=0.00
Compressione nel calcestruzzo: σ_c=13.38
CC 19 SLV (Collegamento -041_-375)
Azioni sul collegamento: N=-6251.20 Ty=-14.73 Tz=-0.13 Mx=-0.01 Mz=-12.53
Sollecitazioni agenti localmente: Tx_l=-14.73 Ty_l=-0.13 N_l=-6251.20 Mx_l=-0.00 My_l=-12.53 Mz_l=-0.01
Taglio nei bulloni: Fv,Ed=2.47 Fv,Rd=7720.78
Rifollamento lato piastra: Fb,Ed,p=2.47 Fb,Rd,p=5981.08
Tirafondi:LT=0.45 (0.31) σ_{cR}=0.00 σ_{fR}=0.00
Compressione nel calcestruzzo: σ_c=13.62
CC 19 SLV (Collegamento -041_-375)
Azioni sul collegamento: N=-6251.20 Ty=-8.00 Tz=28.49 Mx=-0.01 Mz=-8.22
Sollecitazioni agenti localmente: Tx_l=-8.00 Ty_l=28.49 N_l=-6251.20 Mx_l=-0.00 My_l=-8.22 Mz_l=-0.01
Taglio nei bulloni: Fv,Ed=4.95 Fv,Rd=7720.78
Rifollamento lato piastra: Fb,Ed,p=4.95 Fb,Rd,p=6694.64
Tirafondi:LT=0.45 (0.31) σ_{cR}=0.00 σ_{fR}=0.00
Compressione nel calcestruzzo: σ_c=13.38
CC 19 SLV (Collegamento -041_-375)
Azioni sul collegamento: N=-6251.20 Ty=-14.73 Tz=28.49 Mx=-0.01 Mz=-12.53
Sollecitazioni agenti localmente: Tx_l=-14.73 Ty_l=28.49 N_l=-6251.20 Mx_l=-0.00 My_l=-12.53 Mz_l=-0.01
Taglio nei bulloni: Fv,Ed=5.37 Fv,Rd=7720.78
Rifollamento lato piastra: Fb,Ed,p=5.37 Fb,Rd,p=8410.41
Tirafondi:LT=0.45 (0.31) σ_{cR}=0.00 σ_{fR}=0.00
Compressione nel calcestruzzo: σ_c=13.62
CC 19 SLV (Collegamento -041_-375)
Azioni sul collegamento: N=-14084.00 Ty=-8.00 Tz=-0.13 Mx=-0.01 Mz=-8.22
Sollecitazioni agenti localmente: Tx_l=-8.00 Ty_l=-0.13 N_l=-14084.00 Mx_l=-0.00 My_l=-8.22 Mz_l=-0.01
Taglio nei bulloni: Fv,Ed=1.35 Fv,Rd=7720.78
Rifollamento lato piastra: Fb,Ed,p=1.35 Fb,Rd,p=5985.57
Tirafondi:LT=0.45 (0.31) σ_{cR}=0.00 σ_{fR}=0.00
Compressione nel calcestruzzo: σ_c=29.56
CC 19 SLV (Collegamento -041_-375)
Azioni sul collegamento: N=-14084.00 Ty=-14.73 Tz=-0.13 Mx=-0.01 Mz=-12.53
Sollecitazioni agenti localmente: Tx_l=-14.73 Ty_l=-0.13 N_l=-14084.00 Mx_l=-0.00 My_l=-12.53 Mz_l=-0.01
Taglio nei bulloni: Fv,Ed=2.47 Fv,Rd=7720.78
Rifollamento lato piastra: Fb,Ed,p=2.47 Fb,Rd,p=5981.08
Tirafondi:LT=0.45 (0.31) σ_{cR}=0.00 σ_{fR}=0.00
Compressione nel calcestruzzo: σ_c=29.81
CC 19 SLV (Collegamento -041_-375)
Azioni sul collegamento: N=-14084.00 Ty=-8.00 Tz=28.49 Mx=-0.01 Mz=-8.22
Sollecitazioni agenti localmente: Tx_l=-8.00 Ty_l=28.49 N_l=-14084.00 Mx_l=-0.00 My_l=-8.22 Mz_l=-0.01
Taglio nei bulloni: Fv,Ed=4.95 Fv,Rd=7720.78
Rifollamento lato piastra: Fb,Ed,p=4.95 Fb,Rd,p=6694.66
Tirafondi:LT=0.45 (0.31) σ_{cR}=0.00 σ_{fR}=0.00
Compressione nel calcestruzzo: σ_c=29.56
CC 19 SLV (Collegamento -041_-375)

Azioni sul collegamento: N=-14084.00 Ty=-14.73 Tz=28.49 Mx=-0.01 Mz=-12.53
Sollecitazioni agenti localmente: Tx_l=-14.73 Ty_l=28.49 N_l=-14084.00 Mx_l=-0.00 My_l=-12.53 Mz_l=-0.01
Taglio nei bulloni: Fv,Ed=5.36 Fv,Rd=7720.78
Rifollamento lato piastra: Fb,Ed,p=5.36 Fb,Rd,p=8410.50
Tirafondi:LT=0.45 (0.31) σ_{cR}=0.00 σ_{fR}=0.00
Compressione nel calcestruzzo: σ_c=29.81
CC 20 SLD (Collegamento -041_-375)
Azioni sul collegamento: N=-8875.79 Ty=-9.42 Tz=9.43 Mx=-0.01 Mz=-7.58
Sollecitazioni agenti localmente: Tx_l=-9.42 Ty_l=9.43 N_l=-8875.79 Mx_l=-0.00 My_l=-7.58 Mz_l=-0.01
Taglio nei bulloni: Fv,Ed=2.23 Fv,Rd=9650.97
Rifollamento lato piastra: Fb,Ed,p=2.23 Fb,Rd,p=15012.30
Tirafondi:LT=0.45 (0.31) σ_{cR}=0.00 σ_{fR}=0.00
Compressione nel calcestruzzo: σ_c=18.77
CC 20 SLD (Collegamento -041_-375)
Azioni sul collegamento: N=-8875.79 Ty=-11.47 Tz=9.43 Mx=-0.01 Mz=-8.89
Sollecitazioni agenti localmente: Tx_l=-11.47 Ty_l=9.43 N_l=-8875.79 Mx_l=-0.00 My_l=-8.89 Mz_l=-0.01
Taglio nei bulloni: Fv,Ed=2.48 Fv,Rd=9650.97
Rifollamento lato piastra: Fb,Ed,p=2.48 Fb,Rd,p=13713.20
Tirafondi:LT=0.45 (0.31) σ_{cR}=0.00 σ_{fR}=0.00
Compressione nel calcestruzzo: σ_c=18.84
CC 20 SLD (Collegamento -041_-375)
Azioni sul collegamento: N=-8875.80 Ty=-9.42 Tz=18.16 Mx=-0.01 Mz=-7.58
Sollecitazioni agenti localmente: Tx_l=-9.42 Ty_l=18.16 N_l=-8875.80 Mx_l=-0.00 My_l=-7.58 Mz_l=-0.01
Taglio nei bulloni: Fv,Ed=3.42 Fv,Rd=9650.97
Rifollamento lato piastra: Fb,Ed,p=3.42 Fb,Rd,p=10525.50
Tirafondi:LT=0.45 (0.31) σ_{cR}=0.00 σ_{fR}=0.00
Compressione nel calcestruzzo: σ_c=18.77
CC 20 SLD (Collegamento -041_-375)
Azioni sul collegamento: N=-8875.80 Ty=-11.47 Tz=18.16 Mx=-0.01 Mz=-8.89
Sollecitazioni agenti localmente: Tx_l=-11.47 Ty_l=18.16 N_l=-8875.80 Mx_l=-0.00 My_l=-8.89 Mz_l=-0.01
Taglio nei bulloni: Fv,Ed=3.59 Fv,Rd=9650.97
Rifollamento lato piastra: Fb,Ed,p=3.59 Fb,Rd,p=12028.20
Tirafondi:LT=0.45 (0.31) σ_{cR}=0.00 σ_{fR}=0.00
Compressione nel calcestruzzo: σ_c=18.84
CC 20 SLD (Collegamento -041_-375)
Azioni sul collegamento: N=-11264.30 Ty=-9.42 Tz=9.43 Mx=-0.01 Mz=-7.58
Sollecitazioni agenti localmente: Tx_l=-9.42 Ty_l=9.43 N_l=-11264.30 Mx_l=-0.00 My_l=-7.58 Mz_l=-0.01
Taglio nei bulloni: Fv,Ed=2.23 Fv,Rd=9650.97
Rifollamento lato piastra: Fb,Ed,p=2.23 Fb,Rd,p=15012.40
Tirafondi:LT=0.45 (0.31) σ_{cR}=0.00 σ_{fR}=0.00
Compressione nel calcestruzzo: σ_c=23.70
CC 20 SLD (Collegamento -041_-375)
Azioni sul collegamento: N=-11264.30 Ty=-11.47 Tz=9.43 Mx=-0.01 Mz=-8.89
Sollecitazioni agenti localmente: Tx_l=-11.47 Ty_l=9.43 N_l=-11264.30 Mx_l=-0.00 My_l=-8.89 Mz_l=-0.01
Taglio nei bulloni: Fv,Ed=2.48 Fv,Rd=9650.97
Rifollamento lato piastra: Fb,Ed,p=2.48 Fb,Rd,p=13713.20
Tirafondi:LT=0.45 (0.31) σ_{cR}=0.00 σ_{fR}=0.00
Compressione nel calcestruzzo: σ_c=23.77
CC 20 SLD (Collegamento -041_-375)
Azioni sul collegamento: N=-11264.30 Ty=-9.42 Tz=18.16 Mx=-0.01 Mz=-7.58
Sollecitazioni agenti localmente: Tx_l=-9.42 Ty_l=18.16 N_l=-11264.30 Mx_l=-0.00 My_l=-7.58 Mz_l=-0.01
Taglio nei bulloni: Fv,Ed=3.42 Fv,Rd=9650.97
Rifollamento lato piastra: Fb,Ed,p=3.42 Fb,Rd,p=10525.60
Tirafondi:LT=0.45 (0.31) σ_{cR}=0.00 σ_{fR}=0.00
Compressione nel calcestruzzo: σ_c=23.70
CC 20 SLD (Collegamento -041_-375)
Azioni sul collegamento: N=-11264.30 Ty=-11.47 Tz=18.16 Mx=-0.01 Mz=-8.89
Sollecitazioni agenti localmente: Tx_l=-11.47 Ty_l=18.16 N_l=-11264.30 Mx_l=-0.00 My_l=-8.89 Mz_l=-0.01
Taglio nei bulloni: Fv,Ed=3.59 Fv,Rd=9650.97
Rifollamento lato piastra: Fb,Ed,p=3.59 Fb,Rd,p=12028.30
Tirafondi:LT=0.45 (0.31) σ_{cR}=0.00 σ_{fR}=0.00
Compressione nel calcestruzzo: σ_c=23.77
CC 21 SLV (Collegamento -041_-375)
Azioni sul collegamento: N=-14084.00 Ty=-14.73 Tz=28.49 Mx=-0.02 Mz=-12.53
Sollecitazioni agenti localmente: Tx_l=-14.73 Ty_l=28.49 N_l=-14084.00 Mx_l=-0.00 My_l=-12.53 Mz_l=-0.02
Taglio nei bulloni: Fv,Ed=5.37 Fv,Rd=7720.78
Rifollamento lato piastra: Fb,Ed,p=5.37 Fb,Rd,p=8415.37
Tirafondi:LT=0.45 (0.31) σ_{cR}=0.00 σ_{fR}=0.00
Compressione nel calcestruzzo: σ_c=29.81
CC 21 SLV (Collegamento -041_-375)
Azioni sul collegamento: N=-14084.00 Ty=-8.00 Tz=28.49 Mx=-0.02 Mz=-8.22
Sollecitazioni agenti localmente: Tx_l=-8.00 Ty_l=28.49 N_l=-14084.00 Mx_l=-0.00 My_l=-8.22 Mz_l=-0.02
Taglio nei bulloni: Fv,Ed=4.96 Fv,Rd=7720.78
Rifollamento lato piastra: Fb,Ed,p=4.96 Fb,Rd,p=6698.52
Tirafondi:LT=0.45 (0.31) σ_{cR}=0.00 σ_{fR}=0.00
Compressione nel calcestruzzo: σ_c=29.56
CC 21 SLV (Collegamento -041_-375)
Azioni sul collegamento: N=-14084.00 Ty=-14.73 Tz=-0.13 Mx=-0.02 Mz=-12.53
Sollecitazioni agenti localmente: Tx_l=-14.73 Ty_l=-0.13 N_l=-14084.00 Mx_l=-0.00 My_l=-12.53 Mz_l=-0.02
Taglio nei bulloni: Fv,Ed=2.48 Fv,Rd=7720.78

Rifollamento lato piastra: Fb,Ed,p=2.48 Fb,Rd,p=5981.64
Tirafondi:LT=0.45 (0.31) σ_{cR}=0.00 σ_{fR}=0.00
Compressione nel calcestruzzo: σ_c=29.81
CC 21 SLV (Collegamento -041_-375)
Azioni sul collegamento: N=-14084.00 Ty=-8.00 Tz=-0.13 Mx=-0.02 Mz=-8.22
Sollecitazioni agenti localmente: Tx_l=-8.00 Ty_l=-0.13 N_l=-14084.00 Mx_l=-0.00 My_l=-8.22 Mz_l=-0.02
Taglio nei bulloni: Fv,Ed=1.35 Fv,Rd=7720.78
Rifollamento lato piastra: Fb,Ed,p=1.35 Fb,Rd,p=5987.42
Tirafondi:LT=0.45 (0.31) σ_{cR}=0.00 σ_{fR}=0.00
Compressione nel calcestruzzo: σ_c=29.56
CC 21 SLV (Collegamento -041_-375)
Azioni sul collegamento: N=-6251.20 Ty=-14.73 Tz=28.49 Mx=-0.02 Mz=-12.53
Sollecitazioni agenti localmente: Tx_l=-14.73 Ty_l=28.49 N_l=-6251.20 Mx_l=-0.00 My_l=-12.53 Mz_l=-0.02
Taglio nei bulloni: Fv,Ed=5.37 Fv,Rd=7720.78
Rifollamento lato piastra: Fb,Ed,p=5.37 Fb,Rd,p=8415.27
Tirafondi:LT=0.45 (0.31) σ_{cR}=0.00 σ_{fR}=0.00
Compressione nel calcestruzzo: σ_c=13.62
CC 21 SLV (Collegamento -041_-375)
Azioni sul collegamento: N=-6251.20 Ty=-8.00 Tz=28.49 Mx=-0.02 Mz=-8.22
Sollecitazioni agenti localmente: Tx_l=-8.00 Ty_l=28.49 N_l=-6251.20 Mx_l=-0.00 My_l=-8.22 Mz_l=-0.02
Taglio nei bulloni: Fv,Ed=4.96 Fv,Rd=7720.78
Rifollamento lato piastra: Fb,Ed,p=4.96 Fb,Rd,p=6698.50
Tirafondi:LT=0.45 (0.31) σ_{cR}=0.00 σ_{fR}=0.00
Compressione nel calcestruzzo: σ_c=13.38
CC 21 SLV (Collegamento -041_-375)
Azioni sul collegamento: N=-6251.20 Ty=-14.73 Tz=-0.13 Mx=-0.02 Mz=-12.53
Sollecitazioni agenti localmente: Tx_l=-14.73 Ty_l=-0.13 N_l=-6251.20 Mx_l=-0.00 My_l=-12.53 Mz_l=-0.02
Taglio nei bulloni: Fv,Ed=2.48 Fv,Rd=7720.78
Rifollamento lato piastra: Fb,Ed,p=2.48 Fb,Rd,p=5981.64
Tirafondi:LT=0.45 (0.31) σ_{cR}=0.00 σ_{fR}=0.00
Compressione nel calcestruzzo: σ_c=13.62
CC 21 SLV (Collegamento -041_-375)
Azioni sul collegamento: N=-6251.20 Ty=-8.00 Tz=-0.13 Mx=-0.02 Mz=-8.22
Sollecitazioni agenti localmente: Tx_l=-8.00 Ty_l=-0.13 N_l=-6251.20 Mx_l=-0.00 My_l=-8.22 Mz_l=-0.02
Taglio nei bulloni: Fv,Ed=1.35 Fv,Rd=7720.78
Rifollamento lato piastra: Fb,Ed,p=1.35 Fb,Rd,p=5987.41
Tirafondi:LT=0.45 (0.31) σ_{cR}=0.00 σ_{fR}=0.00
Compressione nel calcestruzzo: σ_c=13.38
CC 22 SLD (Collegamento -041_-375)
Azioni sul collegamento: N=-11264.30 Ty=-11.47 Tz=18.16 Mx=-0.01 Mz=-8.89
Sollecitazioni agenti localmente: Tx_l=-11.47 Ty_l=18.16 N_l=-11264.30 Mx_l=-0.00 My_l=-8.89 Mz_l=-0.01
Taglio nei bulloni: Fv,Ed=3.59 Fv,Rd=9650.97
Rifollamento lato piastra: Fb,Ed,p=3.59 Fb,Rd,p=12031.00
Tirafondi:LT=0.45 (0.31) σ_{cR}=0.00 σ_{fR}=0.00
Compressione nel calcestruzzo: σ_c=23.77
CC 22 SLD (Collegamento -041_-375)
Azioni sul collegamento: N=-11264.30 Ty=-9.42 Tz=18.16 Mx=-0.01 Mz=-7.58
Sollecitazioni agenti localmente: Tx_l=-9.42 Ty_l=18.16 N_l=-11264.30 Mx_l=-0.00 My_l=-7.58 Mz_l=-0.01
Taglio nei bulloni: Fv,Ed=3.42 Fv,Rd=9650.97
Rifollamento lato piastra: Fb,Ed,p=3.42 Fb,Rd,p=10528.50
Tirafondi:LT=0.45 (0.31) σ_{cR}=0.00 σ_{fR}=0.00
Compressione nel calcestruzzo: σ_c=23.70
CC 22 SLD (Collegamento -041_-375)
Azioni sul collegamento: N=-11264.30 Ty=-11.47 Tz=9.43 Mx=-0.01 Mz=-8.89
Sollecitazioni agenti localmente: Tx_l=-11.47 Ty_l=9.43 N_l=-11264.30 Mx_l=-0.00 My_l=-8.89 Mz_l=-0.01
Taglio nei bulloni: Fv,Ed=2.49 Fv,Rd=9650.97
Rifollamento lato piastra: Fb,Ed,p=2.48 Fb,Rd,p=13703.40
Tirafondi:LT=0.45 (0.31) σ_{cR}=0.00 σ_{fR}=0.00
Compressione nel calcestruzzo: σ_c=23.77
CC 22 SLD (Collegamento -041_-375)
Azioni sul collegamento: N=-11264.30 Ty=-9.42 Tz=9.43 Mx=-0.01 Mz=-7.58
Sollecitazioni agenti localmente: Tx_l=-9.42 Ty_l=9.43 N_l=-11264.30 Mx_l=-0.00 My_l=-7.58 Mz_l=-0.01
Taglio nei bulloni: Fv,Ed=2.23 Fv,Rd=9650.97
Rifollamento lato piastra: Fb,Ed,p=2.23 Fb,Rd,p=15012.40
Tirafondi:LT=0.45 (0.31) σ_{cR}=0.00 σ_{fR}=0.00
Compressione nel calcestruzzo: σ_c=23.70
CC 22 SLD (Collegamento -041_-375)
Azioni sul collegamento: N=-8875.80 Ty=-11.47 Tz=18.16 Mx=-0.01 Mz=-8.89
Sollecitazioni agenti localmente: Tx_l=-11.47 Ty_l=18.16 N_l=-8875.80 Mx_l=-0.00 My_l=-8.89 Mz_l=-0.01
Taglio nei bulloni: Fv,Ed=3.59 Fv,Rd=9650.97
Rifollamento lato piastra: Fb,Ed,p=3.59 Fb,Rd,p=12031.00
Tirafondi:LT=0.45 (0.31) σ_{cR}=0.00 σ_{fR}=0.00
Compressione nel calcestruzzo: σ_c=18.84
CC 22 SLD (Collegamento -041_-375)
Azioni sul collegamento: N=-8875.80 Ty=-9.42 Tz=18.16 Mx=-0.01 Mz=-7.58
Sollecitazioni agenti localmente: Tx_l=-9.42 Ty_l=18.16 N_l=-8875.80 Mx_l=-0.00 My_l=-7.58 Mz_l=-0.01
Taglio nei bulloni: Fv,Ed=3.42 Fv,Rd=9650.97
Rifollamento lato piastra: Fb,Ed,p=3.42 Fb,Rd,p=10528.40
Tirafondi:LT=0.45 (0.31) σ_{cR}=0.00 σ_{fR}=0.00
Compressione nel calcestruzzo: σ_c=18.77

CC 22 SLD (Collegamento -041_-375)
Azioni sul collegamento: N=-8875.79 Ty=-11.47 Tz=9.43 Mx=-0.01 Mz=-8.89
Sollecitazioni agenti localmente: Tx_l=-11.47 Ty_l=9.43 N_l=-8875.79 Mx_l=-0.00 My_l=-8.89 Mz_l=-0.01
Taglio nei bulloni: Fv,Ed=2.49 Fv,Rd=9650.97
Rifollamento lato piastra: Fb,Ed,p=2.48 Fb,Rd,p=13703.40
Tirafondi:LT=0.45 (0.31) σ_{cR}=0.00 σ_{fR}=0.00
Compressione nel calcestruzzo: σ_c=18.84
CC 22 SLD (Collegamento -041_-375)
Azioni sul collegamento: N=-8875.79 Ty=-9.42 Tz=9.43 Mx=-0.01 Mz=-7.58
Sollecitazioni agenti localmente: Tx_l=-9.42 Ty_l=9.43 N_l=-8875.79 Mx_l=-0.00 My_l=-7.58 Mz_l=-0.01
Taglio nei bulloni: Fv,Ed=2.23 Fv,Rd=9650.97
Rifollamento lato piastra: Fb,Ed,p=2.23 Fb,Rd,p=15012.30
Tirafondi:LT=0.45 (0.31) σ_{cR}=0.00 σ_{fR}=0.00
Compressione nel calcestruzzo: σ_c=18.77
CC 23 SLV (Collegamento -041_-375)
Azioni sul collegamento: N=-14088.90 Ty=-15.25 Tz=28.82 Mx=-0.01 Mz=-13.58
Sollecitazioni agenti localmente: Tx_l=-15.25 Ty_l=28.82 N_l=-14088.90 Mx_l=-0.00 My_l=-13.58 Mz_l=-0.01
Taglio nei bulloni: Fv,Ed=5.45 Fv,Rd=7720.78
Rifollamento lato piastra: Fb,Ed,p=5.45 Fb,Rd,p=8525.03
Tirafondi:LT=0.45 (0.31) σ_{cR}=0.00 σ_{fR}=0.00
Compressione nel calcestruzzo: σ_c=29.87
CC 23 SLV (Collegamento -041_-375)
Azioni sul collegamento: N=-14088.90 Ty=-7.49 Tz=28.82 Mx=-0.01 Mz=-7.17
Sollecitazioni agenti localmente: Tx_l=-7.49 Ty_l=28.82 N_l=-14088.90 Mx_l=-0.00 My_l=-7.17 Mz_l=-0.01
Taglio nei bulloni: Fv,Ed=4.98 Fv,Rd=7720.78
Rifollamento lato piastra: Fb,Ed,p=4.98 Fb,Rd,p=6591.79
Tirafondi:LT=0.45 (0.31) σ_{cR}=0.00 σ_{fR}=0.00
Compressione nel calcestruzzo: σ_c=29.51
CC 23 SLV (Collegamento -041_-375)
Azioni sul collegamento: N=-14088.90 Ty=-15.25 Tz=-0.46 Mx=-0.01 Mz=-13.58
Sollecitazioni agenti localmente: Tx_l=-15.25 Ty_l=-0.46 N_l=-14088.90 Mx_l=-0.00 My_l=-13.58 Mz_l=-0.01
Taglio nei bulloni: Fv,Ed=2.56 Fv,Rd=7720.78
Rifollamento lato piastra: Fb,Ed,p=2.56 Fb,Rd,p=5990.28
Tirafondi:LT=0.45 (0.31) σ_{cR}=0.00 σ_{fR}=0.00
Compressione nel calcestruzzo: σ_c=29.87
CC 23 SLV (Collegamento -041_-375)
Azioni sul collegamento: N=-14088.90 Ty=-7.49 Tz=-0.46 Mx=-0.01 Mz=-7.17
Sollecitazioni agenti localmente: Tx_l=-7.49 Ty_l=-0.46 N_l=-14088.90 Mx_l=-0.00 My_l=-7.17 Mz_l=-0.01
Taglio nei bulloni: Fv,Ed=1.27 Fv,Rd=7720.78
Rifollamento lato piastra: Fb,Ed,p=1.27 Fb,Rd,p=6024.64
Tirafondi:LT=0.45 (0.31) σ_{cR}=0.00 σ_{fR}=0.00
Compressione nel calcestruzzo: σ_c=29.51
CC 23 SLV (Collegamento -041_-375)
Azioni sul collegamento: N=-6246.30 Ty=-15.25 Tz=28.82 Mx=-0.01 Mz=-13.58
Sollecitazioni agenti localmente: Tx_l=-15.25 Ty_l=28.82 N_l=-6246.30 Mx_l=-0.00 My_l=-13.58 Mz_l=-0.01
Taglio nei bulloni: Fv,Ed=5.45 Fv,Rd=7720.78
Rifollamento lato piastra: Fb,Ed,p=5.45 Fb,Rd,p=8525.04
Tirafondi:LT=0.45 (0.31) σ_{cR}=0.00 σ_{fR}=0.00
Compressione nel calcestruzzo: σ_c=13.67
CC 23 SLV (Collegamento -041_-375)
Azioni sul collegamento: N=-6246.30 Ty=-7.49 Tz=28.82 Mx=-0.01 Mz=-7.17
Sollecitazioni agenti localmente: Tx_l=-7.49 Ty_l=28.82 N_l=-6246.30 Mx_l=-0.00 My_l=-7.17 Mz_l=-0.01
Taglio nei bulloni: Fv,Ed=4.98 Fv,Rd=7720.78
Rifollamento lato piastra: Fb,Ed,p=4.98 Fb,Rd,p=6591.79
Tirafondi:LT=0.45 (0.31) σ_{cR}=0.00 σ_{fR}=0.00
Compressione nel calcestruzzo: σ_c=13.31
CC 23 SLV (Collegamento -041_-375)
Azioni sul collegamento: N=-6246.30 Ty=-15.25 Tz=-0.46 Mx=-0.01 Mz=-13.58
Sollecitazioni agenti localmente: Tx_l=-15.25 Ty_l=-0.46 N_l=-6246.30 Mx_l=-0.00 My_l=-13.58 Mz_l=-0.01
Taglio nei bulloni: Fv,Ed=2.56 Fv,Rd=7720.78
Rifollamento lato piastra: Fb,Ed,p=2.56 Fb,Rd,p=5990.26
Tirafondi:LT=0.45 (0.31) σ_{cR}=0.00 σ_{fR}=0.00
Compressione nel calcestruzzo: σ_c=13.67
CC 23 SLV (Collegamento -041_-375)
Azioni sul collegamento: N=-6246.30 Ty=-7.49 Tz=-0.46 Mx=-0.01 Mz=-7.17
Sollecitazioni agenti localmente: Tx_l=-7.49 Ty_l=-0.46 N_l=-6246.30 Mx_l=-0.00 My_l=-7.17 Mz_l=-0.01
Taglio nei bulloni: Fv,Ed=1.27 Fv,Rd=7720.78
Rifollamento lato piastra: Fb,Ed,p=1.27 Fb,Rd,p=6024.60
Tirafondi:LT=0.45 (0.31) σ_{cR}=0.00 σ_{fR}=0.00
Compressione nel calcestruzzo: σ_c=13.31
CC 24 SLD (Collegamento -041_-375)
Azioni sul collegamento: N=-11265.80 Ty=-11.63 Tz=18.26 Mx=-0.01 Mz=-9.21
Sollecitazioni agenti localmente: Tx_l=-11.63 Ty_l=18.26 N_l=-11265.80 Mx_l=-0.00 My_l=-9.21 Mz_l=-0.01
Taglio nei bulloni: Fv,Ed=3.62 Fv,Rd=9650.97
Rifollamento lato piastra: Fb,Ed,p=3.62 Fb,Rd,p=12103.80
Tirafondi:LT=0.45 (0.31) σ_{cR}=0.00 σ_{fR}=0.00
Compressione nel calcestruzzo: σ_c=23.80
CC 24 SLD (Collegamento -041_-375)
Azioni sul collegamento: N=-11265.80 Ty=-9.26 Tz=18.26 Mx=-0.01 Mz=-7.26
Sollecitazioni agenti localmente: Tx_l=-9.26 Ty_l=18.26 N_l=-11265.80 Mx_l=-0.00 My_l=-7.26 Mz_l=-0.01

Taglio nei bulloni: Fv,Ed=3.42 Fv,Rd=9650.97
Rifollamento lato piastra: Fb,Ed,p=3.42 Fb,Rd,p=10390.90
Tirafondi:LT=0.45 (0.31) σ_{cR}=0.00 σ_{fR}=0.00
Compressione nel calcestruzzo: σ_c=23.69
CC 24 SLD (Collegamento -041_-375)
Azioni sul collegamento: N=-11265.80 Ty=-11.63 Tz=9.33 Mx=-0.01 Mz=-9.21
Sollecitazioni agenti localmente: Tx_l=-11.63 Ty_l=9.33 N_l=-11265.80 Mx_l=-0.00 My_l=-9.21 Mz_l=-0.01
Taglio nei bulloni: Fv,Ed=2.49 Fv,Rd=9650.97
Rifollamento lato piastra: Fb,Ed,p=2.49 Fb,Rd,p=13583.80
Tirafondi:LT=0.45 (0.31) σ_{cR}=0.00 σ_{fR}=0.00
Compressione nel calcestruzzo: σ_c=23.80
CC 24 SLD (Collegamento -041_-375)
Azioni sul collegamento: N=-11265.80 Ty=-9.26 Tz=9.33 Mx=-0.01 Mz=-7.26
Sollecitazioni agenti localmente: Tx_l=-9.26 Ty_l=9.33 N_l=-11265.80 Mx_l=-0.00 My_l=-7.26 Mz_l=-0.01
Taglio nei bulloni: Fv,Ed=2.20 Fv,Rd=9650.97
Rifollamento lato piastra: Fb,Ed,p=2.20 Fb,Rd,p=14966.50
Tirafondi:LT=0.45 (0.31) σ_{cR}=0.00 σ_{fR}=0.00
Compressione nel calcestruzzo: σ_c=23.69
CC 24 SLD (Collegamento -041_-375)
Azioni sul collegamento: N=-8874.30 Ty=-11.63 Tz=18.26 Mx=-0.01 Mz=-9.21
Sollecitazioni agenti localmente: Tx_l=-11.63 Ty_l=18.26 N_l=-8874.30 Mx_l=-0.00 My_l=-9.21 Mz_l=-0.01
Taglio nei bulloni: Fv,Ed=3.62 Fv,Rd=9650.97
Rifollamento lato piastra: Fb,Ed,p=3.62 Fb,Rd,p=12103.70
Tirafondi:LT=0.45 (0.31) σ_{cR}=0.00 σ_{fR}=0.00
Compressione nel calcestruzzo: σ_c=18.85
CC 24 SLD (Collegamento -041_-375)
Azioni sul collegamento: N=-8874.30 Ty=-9.26 Tz=18.26 Mx=-0.01 Mz=-7.26
Sollecitazioni agenti localmente: Tx_l=-9.26 Ty_l=18.26 N_l=-8874.30 Mx_l=-0.00 My_l=-7.26 Mz_l=-0.01
Taglio nei bulloni: Fv,Ed=3.42 Fv,Rd=9650.97
Rifollamento lato piastra: Fb,Ed,p=3.42 Fb,Rd,p=10390.80
Tirafondi:LT=0.45 (0.31) σ_{cR}=0.00 σ_{fR}=0.00
Compressione nel calcestruzzo: σ_c=18.74
CC 24 SLD (Collegamento -041_-375)
Azioni sul collegamento: N=-8874.30 Ty=-11.63 Tz=9.33 Mx=-0.01 Mz=-9.21
Sollecitazioni agenti localmente: Tx_l=-11.63 Ty_l=9.33 N_l=-8874.30 Mx_l=-0.00 My_l=-9.21 Mz_l=-0.01
Taglio nei bulloni: Fv,Ed=2.49 Fv,Rd=9650.97
Rifollamento lato piastra: Fb,Ed,p=2.49 Fb,Rd,p=13583.70
Tirafondi:LT=0.45 (0.31) σ_{cR}=0.00 σ_{fR}=0.00
Compressione nel calcestruzzo: σ_c=18.85
CC 24 SLD (Collegamento -041_-375)
Azioni sul collegamento: N=-8874.30 Ty=-9.26 Tz=9.33 Mx=-0.01 Mz=-7.26
Sollecitazioni agenti localmente: Tx_l=-9.26 Ty_l=9.33 N_l=-8874.30 Mx_l=-0.00 My_l=-7.26 Mz_l=-0.01
Taglio nei bulloni: Fv,Ed=2.20 Fv,Rd=9650.97
Rifollamento lato piastra: Fb,Ed,p=2.20 Fb,Rd,p=14966.70
Tirafondi:LT=0.45 (0.31) σ_{cR}=0.00 σ_{fR}=0.00
Compressione nel calcestruzzo: σ_c=18.74
CC 25 SLV (Collegamento -041_-375)
Azioni sul collegamento: N=-8983.80 Ty=-9.43 Tz=9.29 Mx=-0.02 Mz=-7.83
Sollecitazioni agenti localmente: Tx_l=-9.43 Ty_l=9.29 N_l=-8983.80 Mx_l=-0.00 My_l=-7.83 Mz_l=-0.02
Taglio nei bulloni: Fv,Ed=2.24 Fv,Rd=7720.78
Rifollamento lato piastra: Fb,Ed,p=2.21 Fb,Rd,p=11743.70
Tirafondi:LT=0.45 (0.31) σ_{cR}=0.00 σ_{fR}=0.00
Compressione nel calcestruzzo: σ_c=19.00
CC 25 SLV (Collegamento -041_-375)
Azioni sul collegamento: N=-8983.80 Ty=-13.31 Tz=9.29 Mx=-0.02 Mz=-12.93
Sollecitazioni agenti localmente: Tx_l=-13.31 Ty_l=9.29 N_l=-8983.80 Mx_l=-0.00 My_l=-12.93 Mz_l=-0.02
Taglio nei bulloni: Fv,Ed=2.74 Fv,Rd=7720.78
Rifollamento lato piastra: Fb,Ed,p=2.71 Fb,Rd,p=10187.60
Tirafondi:LT=0.45 (0.31) σ_{cR}=0.00 σ_{fR}=0.00
Compressione nel calcestruzzo: σ_c=19.29
CC 25 SLV (Collegamento -041_-375)
Azioni sul collegamento: N=-8983.80 Ty=-9.43 Tz=19.07 Mx=-0.02 Mz=-7.83
Sollecitazioni agenti localmente: Tx_l=-9.43 Ty_l=19.07 N_l=-8983.80 Mx_l=-0.00 My_l=-7.83 Mz_l=-0.02
Taglio nei bulloni: Fv,Ed=3.58 Fv,Rd=7720.78
Rifollamento lato piastra: Fb,Ed,p=3.58 Fb,Rd,p=8222.68
Tirafondi:LT=0.45 (0.31) σ_{cR}=0.00 σ_{fR}=0.00
Compressione nel calcestruzzo: σ_c=19.00
CC 25 SLV (Collegamento -041_-375)
Azioni sul collegamento: N=-8983.80 Ty=-13.31 Tz=19.07 Mx=-0.02 Mz=-12.93
Sollecitazioni agenti localmente: Tx_l=-13.31 Ty_l=19.07 N_l=-8983.80 Mx_l=-0.00 My_l=-12.93 Mz_l=-0.02
Taglio nei bulloni: Fv,Ed=3.91 Fv,Rd=7720.78
Rifollamento lato piastra: Fb,Ed,p=3.91 Fb,Rd,p=10377.00
Tirafondi:LT=0.45 (0.31) σ_{cR}=0.00 σ_{fR}=0.00
Compressione nel calcestruzzo: σ_c=19.29
CC 25 SLV (Collegamento -041_-375)
Azioni sul collegamento: N=-11351.50 Ty=-9.43 Tz=9.29 Mx=-0.02 Mz=-7.83
Sollecitazioni agenti localmente: Tx_l=-9.43 Ty_l=9.29 N_l=-11351.50 Mx_l=-0.00 My_l=-7.83 Mz_l=-0.02
Taglio nei bulloni: Fv,Ed=2.24 Fv,Rd=7720.78
Rifollamento lato piastra: Fb,Ed,p=2.21 Fb,Rd,p=11743.70
Tirafondi:LT=0.45 (0.31) σ_{cR}=0.00 σ_{fR}=0.00

Compressione nel calcestruzzo: σ_c=23.89
CC 25 SLV (Collegamento -041_-375)
Azioni sul collegamento: N=-11351.50 Ty=-13.31 Tz=9.29 Mx=-0.02 Mz=-12.93
Sollecitazioni agenti localmente: Tx_l=-13.31 Ty_l=9.29 N_l=-11351.50 Mx_l=-0.00 My_l=-12.93 Mz_l=-0.02
Taglio nei bulloni: Fv,Ed=2.74 Fv,Rd=7720.78
Rifollamento lato piastra: Fb,Ed,p=2.71 Fb,Rd,p=10187.70
Tirafondi:LT=0.45 (0.31) σ_{cR}=0.00 σ_{fR}=0.00
Compressione nel calcestruzzo: σ_c=24.18
CC 25 SLV (Collegamento -041_-375)
Azioni sul collegamento: N=-11351.50 Ty=-9.43 Tz=19.07 Mx=-0.02 Mz=-7.83
Sollecitazioni agenti localmente: Tx_l=-9.43 Ty_l=19.07 N_l=-11351.50 Mx_l=-0.00 My_l=-7.83 Mz_l=-0.02
Taglio nei bulloni: Fv,Ed=3.58 Fv,Rd=7720.78
Rifollamento lato piastra: Fb,Ed,p=3.58 Fb,Rd,p=8222.74
Tirafondi:LT=0.45 (0.31) σ_{cR}=0.00 σ_{fR}=0.00
Compressione nel calcestruzzo: σ_c=23.89
CC 25 SLV (Collegamento -041_-375)
Azioni sul collegamento: N=-11351.50 Ty=-13.31 Tz=19.07 Mx=-0.02 Mz=-12.93
Sollecitazioni agenti localmente: Tx_l=-13.31 Ty_l=19.07 N_l=-11351.50 Mx_l=-0.00 My_l=-12.93 Mz_l=-0.02
Taglio nei bulloni: Fv,Ed=3.91 Fv,Rd=7720.78
Rifollamento lato piastra: Fb,Ed,p=3.91 Fb,Rd,p=10377.10
Tirafondi:LT=0.45 (0.31) σ_{cR}=0.00 σ_{fR}=0.00
Compressione nel calcestruzzo: σ_c=24.18
CC 26 SLD (Collegamento -041_-375)
Azioni sul collegamento: N=-9709.05 Ty=-9.85 Tz=12.31 Mx=-0.01 Mz=-7.46
Sollecitazioni agenti localmente: Tx_l=-9.85 Ty_l=12.31 N_l=-9709.05 Mx_l=-0.00 My_l=-7.46 Mz_l=-0.01
Taglio nei bulloni: Fv,Ed=2.64 Fv,Rd=9650.97
Rifollamento lato piastra: Fb,Ed,p=2.64 Fb,Rd,p=13614.70
Tirafondi:LT=0.45 (0.31) σ_{cR}=0.00 σ_{fR}=0.00
Compressione nel calcestruzzo: σ_c=20.48
CC 26 SLD (Collegamento -041_-375)
Azioni sul collegamento: N=-9709.05 Ty=-11.04 Tz=12.31 Mx=-0.01 Mz=-9.01
Sollecitazioni agenti localmente: Tx_l=-11.04 Ty_l=12.31 N_l=-9709.05 Mx_l=-0.00 My_l=-9.01 Mz_l=-0.01
Taglio nei bulloni: Fv,Ed=2.77 Fv,Rd=9650.97
Rifollamento lato piastra: Fb,Ed,p=2.77 Fb,Rd,p=14273.40
Tirafondi:LT=0.45 (0.31) σ_{cR}=0.00 σ_{fR}=0.00
Compressione nel calcestruzzo: σ_c=20.57
CC 26 SLD (Collegamento -041_-375)
Azioni sul collegamento: N=-9709.05 Ty=-9.85 Tz=15.29 Mx=-0.01 Mz=-7.46
Sollecitazioni agenti localmente: Tx_l=-9.85 Ty_l=15.29 N_l=-9709.05 Mx_l=-0.00 My_l=-7.46 Mz_l=-0.01
Taglio nei bulloni: Fv,Ed=3.04 Fv,Rd=9650.97
Rifollamento lato piastra: Fb,Ed,p=3.04 Fb,Rd,p=12228.90
Tirafondi:LT=0.45 (0.31) σ_{cR}=0.00 σ_{fR}=0.00
Compressione nel calcestruzzo: σ_c=20.48
CC 26 SLD (Collegamento -041_-375)
Azioni sul collegamento: N=-9709.05 Ty=-11.04 Tz=15.29 Mx=-0.01 Mz=-9.01
Sollecitazioni agenti localmente: Tx_l=-11.04 Ty_l=15.29 N_l=-9709.05 Mx_l=-0.00 My_l=-9.01 Mz_l=-0.01
Taglio nei bulloni: Fv,Ed=3.16 Fv,Rd=9650.97
Rifollamento lato piastra: Fb,Ed,p=3.16 Fb,Rd,p=13109.50
Tirafondi:LT=0.45 (0.31) σ_{cR}=0.00 σ_{fR}=0.00
Compressione nel calcestruzzo: σ_c=20.57
CC 26 SLD (Collegamento -041_-375)
Azioni sul collegamento: N=-10431.00 Ty=-9.85 Tz=12.31 Mx=-0.01 Mz=-7.46
Sollecitazioni agenti localmente: Tx_l=-9.85 Ty_l=12.31 N_l=-10431.00 Mx_l=-0.00 My_l=-7.46 Mz_l=-0.01
Taglio nei bulloni: Fv,Ed=2.64 Fv,Rd=9650.97
Rifollamento lato piastra: Fb,Ed,p=2.64 Fb,Rd,p=13614.70
Tirafondi:LT=0.45 (0.31) σ_{cR}=0.00 σ_{fR}=0.00
Compressione nel calcestruzzo: σ_c=21.97
CC 26 SLD (Collegamento -041_-375)
Azioni sul collegamento: N=-10431.00 Ty=-11.04 Tz=12.31 Mx=-0.01 Mz=-9.01
Sollecitazioni agenti localmente: Tx_l=-11.04 Ty_l=12.31 N_l=-10431.00 Mx_l=-0.00 My_l=-9.01 Mz_l=-0.01
Taglio nei bulloni: Fv,Ed=2.77 Fv,Rd=9650.97
Rifollamento lato piastra: Fb,Ed,p=2.77 Fb,Rd,p=14273.40
Tirafondi:LT=0.45 (0.31) σ_{cR}=0.00 σ_{fR}=0.00
Compressione nel calcestruzzo: σ_c=22.06
CC 26 SLD (Collegamento -041_-375)
Azioni sul collegamento: N=-10431.00 Ty=-9.85 Tz=15.29 Mx=-0.01 Mz=-7.46
Sollecitazioni agenti localmente: Tx_l=-9.85 Ty_l=15.29 N_l=-10431.00 Mx_l=-0.00 My_l=-7.46 Mz_l=-0.01
Taglio nei bulloni: Fv,Ed=3.04 Fv,Rd=9650.97
Rifollamento lato piastra: Fb,Ed,p=3.04 Fb,Rd,p=12228.80
Tirafondi:LT=0.45 (0.31) σ_{cR}=0.00 σ_{fR}=0.00
Compressione nel calcestruzzo: σ_c=21.97
CC 26 SLD (Collegamento -041_-375)
Azioni sul collegamento: N=-10431.00 Ty=-11.04 Tz=15.29 Mx=-0.01 Mz=-9.01
Sollecitazioni agenti localmente: Tx_l=-11.04 Ty_l=15.29 N_l=-10431.00 Mx_l=-0.00 My_l=-9.01 Mz_l=-0.01
Taglio nei bulloni: Fv,Ed=3.16 Fv,Rd=9650.97
Rifollamento lato piastra: Fb,Ed,p=3.16 Fb,Rd,p=13109.50
Tirafondi:LT=0.45 (0.31) σ_{cR}=0.00 σ_{fR}=0.00
Compressione nel calcestruzzo: σ_c=22.06
CC 27 SLV (Collegamento -041_-375)
Azioni sul collegamento: N=-11335.10 Ty=-11.60 Tz=17.98 Mx=-0.02 Mz=-9.43

Sollecitazioni agenti localmente: T_{x_l}=-11.60 T_{y_l}=17.98 N_l=-11335.10 M_{x_l}=-0.00 M_{y_l}=-9.43 M_{z_l}=-0.02
Taglio nei bulloni: Fv,Ed=3.60 Fv,Rd=7720.78
Rifollamento lato piastra: Fb,Ed,p=3.60 Fb,Rd,p=9812.20
Tirafondi:LT=0.45 (0.31) σ_{cR}=0.00 σ_{fR}=0.00
Compressione nel calcestruzzo: σ_c=23.95
CC 27 SLV (Collegamento -041_-375)
Azioni sul collegamento: N=-11335.10 Ty=-11.14 Tz=17.98 Mx=-0.02 Mz=-11.32
Sollecitazioni agenti localmente: T_{x_l}=-11.14 T_{y_l}=17.98 N_l=-11335.10 M_{x_l}=-0.00 M_{y_l}=-11.32 M_{z_l}=-0.02
Taglio nei bulloni: Fv,Ed=3.56 Fv,Rd=7720.78
Rifollamento lato piastra: Fb,Ed,p=3.56 Fb,Rd,p=9511.63
Tirafondi:LT=0.45 (0.31) σ_{cR}=0.00 σ_{fR}=0.00
Compressione nel calcestruzzo: σ_c=24.06
CC 27 SLV (Collegamento -041_-375)
Azioni sul collegamento: N=-11335.10 Ty=-11.60 Tz=10.38 Mx=-0.02 Mz=-9.43
Sollecitazioni agenti localmente: T_{x_l}=-11.60 T_{y_l}=10.38 N_l=-11335.10 M_{x_l}=-0.00 M_{y_l}=-9.43 M_{z_l}=-0.02
Taglio nei bulloni: Fv,Ed=2.63 Fv,Rd=7720.78
Rifollamento lato piastra: Fb,Ed,p=2.60 Fb,Rd,p=11265.80
Tirafondi:LT=0.45 (0.31) σ_{cR}=0.00 σ_{fR}=0.00
Compressione nel calcestruzzo: σ_c=23.95
CC 27 SLV (Collegamento -041_-375)
Azioni sul collegamento: N=-11335.10 Ty=-11.14 Tz=10.38 Mx=-0.02 Mz=-11.32
Sollecitazioni agenti localmente: T_{x_l}=-11.14 T_{y_l}=10.38 N_l=-11335.10 M_{x_l}=-0.00 M_{y_l}=-11.32 M_{z_l}=-0.02
Taglio nei bulloni: Fv,Ed=2.57 Fv,Rd=7720.78
Rifollamento lato piastra: Fb,Ed,p=2.54 Fb,Rd,p=11465.80
Tirafondi:LT=0.45 (0.31) σ_{cR}=0.00 σ_{fR}=0.00
Compressione nel calcestruzzo: σ_c=24.06
CC 27 SLV (Collegamento -041_-375)
Azioni sul collegamento: N=-9000.13 Ty=-11.60 Tz=17.98 Mx=-0.02 Mz=-9.43
Sollecitazioni agenti localmente: T_{x_l}=-11.60 T_{y_l}=17.98 N_l=-9000.13 M_{x_l}=-0.00 M_{y_l}=-9.43 M_{z_l}=-0.02
Taglio nei bulloni: Fv,Ed=3.60 Fv,Rd=7720.78
Rifollamento lato piastra: Fb,Ed,p=3.60 Fb,Rd,p=9812.05
Tirafondi:LT=0.45 (0.31) σ_{cR}=0.00 σ_{fR}=0.00
Compressione nel calcestruzzo: σ_c=19.13
CC 27 SLV (Collegamento -041_-375)
Azioni sul collegamento: N=-9000.13 Ty=-11.14 Tz=17.98 Mx=-0.02 Mz=-11.32
Sollecitazioni agenti localmente: T_{x_l}=-11.14 T_{y_l}=17.98 N_l=-9000.13 M_{x_l}=-0.00 M_{y_l}=-11.32 M_{z_l}=-0.02
Taglio nei bulloni: Fv,Ed=3.56 Fv,Rd=7720.78
Rifollamento lato piastra: Fb,Ed,p=3.56 Fb,Rd,p=9511.49
Tirafondi:LT=0.45 (0.31) σ_{cR}=0.00 σ_{fR}=0.00
Compressione nel calcestruzzo: σ_c=19.23
CC 27 SLV (Collegamento -041_-375)
Azioni sul collegamento: N=-9000.13 Ty=-11.60 Tz=10.38 Mx=-0.02 Mz=-9.43
Sollecitazioni agenti localmente: T_{x_l}=-11.60 T_{y_l}=10.38 N_l=-9000.13 M_{x_l}=-0.00 M_{y_l}=-9.43 M_{z_l}=-0.02
Taglio nei bulloni: Fv,Ed=2.63 Fv,Rd=7720.78
Rifollamento lato piastra: Fb,Ed,p=2.60 Fb,Rd,p=11265.80
Tirafondi:LT=0.45 (0.31) σ_{cR}=0.00 σ_{fR}=0.00
Compressione nel calcestruzzo: σ_c=19.13
CC 27 SLV (Collegamento -041_-375)
Azioni sul collegamento: N=-9000.13 Ty=-11.14 Tz=10.38 Mx=-0.02 Mz=-11.32
Sollecitazioni agenti localmente: T_{x_l}=-11.14 T_{y_l}=10.38 N_l=-9000.13 M_{x_l}=-0.00 M_{y_l}=-11.32 M_{z_l}=-0.02
Taglio nei bulloni: Fv,Ed=2.57 Fv,Rd=7720.78
Rifollamento lato piastra: Fb,Ed,p=2.54 Fb,Rd,p=11465.80
Tirafondi:LT=0.45 (0.31) σ_{cR}=0.00 σ_{fR}=0.00
Compressione nel calcestruzzo: σ_c=19.23
CC 28 SLD (Collegamento -041_-375)
Azioni sul collegamento: N=-10426.00 Ty=-10.51 Tz=14.95 Mx=-0.01 Mz=-7.95
Sollecitazioni agenti localmente: T_{x_l}=-10.51 T_{y_l}=14.95 N_l=-10426.00 M_{x_l}=-0.00 M_{y_l}=-7.95 M_{z_l}=-0.01
Taglio nei bulloni: Fv,Ed=3.06 Fv,Rd=9650.97
Rifollamento lato piastra: Fb,Ed,p=3.06 Fb,Rd,p=12993.60
Tirafondi:LT=0.45 (0.31) σ_{cR}=0.00 σ_{fR}=0.00
Compressione nel calcestruzzo: σ_c=21.99
CC 28 SLD (Collegamento -041_-375)
Azioni sul collegamento: N=-10426.00 Ty=-10.37 Tz=14.95 Mx=-0.01 Mz=-8.52
Sollecitazioni agenti localmente: T_{x_l}=-10.37 T_{y_l}=14.95 N_l=-10426.00 M_{x_l}=-0.00 M_{y_l}=-8.52 M_{z_l}=-0.01
Taglio nei bulloni: Fv,Ed=3.05 Fv,Rd=9650.97
Rifollamento lato piastra: Fb,Ed,p=3.05 Fb,Rd,p=12936.70
Tirafondi:LT=0.45 (0.31) σ_{cR}=0.00 σ_{fR}=0.00
Compressione nel calcestruzzo: σ_c=22.02
CC 28 SLD (Collegamento -041_-375)
Azioni sul collegamento: N=-10426.00 Ty=-10.51 Tz=12.64 Mx=-0.01 Mz=-7.95
Sollecitazioni agenti localmente: T_{x_l}=-10.51 T_{y_l}=12.64 N_l=-10426.00 M_{x_l}=-0.00 M_{y_l}=-7.95 M_{z_l}=-0.01
Taglio nei bulloni: Fv,Ed=2.75 Fv,Rd=9650.97
Rifollamento lato piastra: Fb,Ed,p=2.75 Fb,Rd,p=13824.50
Tirafondi:LT=0.45 (0.31) σ_{cR}=0.00 σ_{fR}=0.00
Compressione nel calcestruzzo: σ_c=21.99
CC 28 SLD (Collegamento -041_-375)
Azioni sul collegamento: N=-10426.00 Ty=-10.37 Tz=12.64 Mx=-0.01 Mz=-8.52
Sollecitazioni agenti localmente: T_{x_l}=-10.37 T_{y_l}=12.64 N_l=-10426.00 M_{x_l}=-0.00 M_{y_l}=-8.52 M_{z_l}=-0.01
Taglio nei bulloni: Fv,Ed=2.74 Fv,Rd=9650.97
Rifollamento lato piastra: Fb,Ed,p=2.74 Fb,Rd,p=13749.70

Tirafondi:LT=0.45 (0.31) σ_{cR}=0.00 σ_{fR}=0.00
Compressione nel calcestruzzo: σ_c=22.02
CC 28 SLD (Collegamento -041_-375)
Azioni sul collegamento: N=-9714.03 Ty=-10.51 Tz=14.95 Mx=-0.01 Mz=-7.95
Sollecitazioni agenti localmente: Tx_l=-10.51 Ty_l=14.95 N_l=-9714.03 Mx_l=-0.00 My_l=-7.95 Mz_l=-0.01
Taglio nei bulloni: Fv,Ed=3.06 Fv,Rd=9650.97
Rifollamento lato piastra: Fb,Ed,p=3.06 Fb,Rd,p=12993.50
Tirafondi:LT=0.45 (0.31) σ_{cR}=0.00 σ_{fR}=0.00
Compressione nel calcestruzzo: σ_c=20.52
CC 28 SLD (Collegamento -041_-375)
Azioni sul collegamento: N=-9714.03 Ty=-10.37 Tz=14.95 Mx=-0.01 Mz=-8.52
Sollecitazioni agenti localmente: Tx_l=-10.37 Ty_l=14.95 N_l=-9714.03 Mx_l=-0.00 My_l=-8.52 Mz_l=-0.01
Taglio nei bulloni: Fv,Ed=3.05 Fv,Rd=9650.97
Rifollamento lato piastra: Fb,Ed,p=3.05 Fb,Rd,p=12936.60
Tirafondi:LT=0.45 (0.31) σ_{cR}=0.00 σ_{fR}=0.00
Compressione nel calcestruzzo: σ_c=20.55
CC 28 SLD (Collegamento -041_-375)
Azioni sul collegamento: N=-9714.03 Ty=-10.51 Tz=12.64 Mx=-0.01 Mz=-7.95
Sollecitazioni agenti localmente: Tx_l=-10.51 Ty_l=12.64 N_l=-9714.03 Mx_l=-0.00 My_l=-7.95 Mz_l=-0.01
Taglio nei bulloni: Fv,Ed=2.75 Fv,Rd=9650.97
Rifollamento lato piastra: Fb,Ed,p=2.75 Fb,Rd,p=13824.50
Tirafondi:LT=0.45 (0.31) σ_{cR}=0.00 σ_{fR}=0.00
Compressione nel calcestruzzo: σ_c=20.52
CC 28 SLD (Collegamento -041_-375)
Azioni sul collegamento: N=-9714.03 Ty=-10.37 Tz=12.64 Mx=-0.01 Mz=-8.52
Sollecitazioni agenti localmente: Tx_l=-10.37 Ty_l=12.64 N_l=-9714.03 Mx_l=-0.00 My_l=-8.52 Mz_l=-0.01
Taglio nei bulloni: Fv,Ed=2.74 Fv,Rd=9650.97
Rifollamento lato piastra: Fb,Ed,p=2.74 Fb,Rd,p=13749.70
Tirafondi:LT=0.45 (0.31) σ_{cR}=0.00 σ_{fR}=0.00
Compressione nel calcestruzzo: σ_c=20.55
CC 29 SLV (Collegamento -041_-375)
Azioni sul collegamento: N=-9000.13 Ty=-11.14 Tz=10.38 Mx=-0.01 Mz=-11.32
Sollecitazioni agenti localmente: Tx_l=-11.14 Ty_l=10.38 N_l=-9000.13 Mx_l=-0.00 My_l=-11.32 Mz_l=-0.01
Taglio nei bulloni: Fv,Ed=2.55 Fv,Rd=7720.78
Rifollamento lato piastra: Fb,Ed,p=2.54 Fb,Rd,p=11570.00
Tirafondi:LT=0.45 (0.31) σ_{cR}=0.00 σ_{fR}=0.00
Compressione nel calcestruzzo: σ_c=19.23
CC 29 SLV (Collegamento -041_-375)
Azioni sul collegamento: N=-9000.13 Ty=-11.60 Tz=10.38 Mx=-0.01 Mz=-9.43
Sollecitazioni agenti localmente: Tx_l=-11.60 Ty_l=10.38 N_l=-9000.13 Mx_l=-0.00 My_l=-9.43 Mz_l=-0.01
Taglio nei bulloni: Fv,Ed=2.61 Fv,Rd=7720.78
Rifollamento lato piastra: Fb,Ed,p=2.60 Fb,Rd,p=11361.90
Tirafondi:LT=0.45 (0.31) σ_{cR}=0.00 σ_{fR}=0.00
Compressione nel calcestruzzo: σ_c=19.13
CC 29 SLV (Collegamento -041_-375)
Azioni sul collegamento: N=-9000.13 Ty=-11.14 Tz=17.98 Mx=-0.01 Mz=-11.32
Sollecitazioni agenti localmente: Tx_l=-11.14 Ty_l=17.98 N_l=-9000.13 Mx_l=-0.00 My_l=-11.32 Mz_l=-0.01
Taglio nei bulloni: Fv,Ed=3.54 Fv,Rd=7720.78
Rifollamento lato piastra: Fb,Ed,p=3.54 Fb,Rd,p=9485.66
Tirafondi:LT=0.45 (0.31) σ_{cR}=0.00 σ_{fR}=0.00
Compressione nel calcestruzzo: σ_c=19.23
CC 29 SLV (Collegamento -041_-375)
Azioni sul collegamento: N=-9000.13 Ty=-11.60 Tz=17.98 Mx=-0.01 Mz=-9.43
Sollecitazioni agenti localmente: Tx_l=-11.60 Ty_l=17.98 N_l=-9000.13 Mx_l=-0.00 My_l=-9.43 Mz_l=-0.01
Taglio nei bulloni: Fv,Ed=3.58 Fv,Rd=7720.78
Rifollamento lato piastra: Fb,Ed,p=3.58 Fb,Rd,p=9786.90
Tirafondi:LT=0.45 (0.31) σ_{cR}=0.00 σ_{fR}=0.00
Compressione nel calcestruzzo: σ_c=19.13
CC 29 SLV (Collegamento -041_-375)
Azioni sul collegamento: N=-11335.10 Ty=-11.14 Tz=10.38 Mx=-0.01 Mz=-11.32
Sollecitazioni agenti localmente: Tx_l=-11.14 Ty_l=10.38 N_l=-11335.10 Mx_l=-0.00 My_l=-11.32 Mz_l=-0.01
Taglio nei bulloni: Fv,Ed=2.55 Fv,Rd=7720.78
Rifollamento lato piastra: Fb,Ed,p=2.54 Fb,Rd,p=11570.00
Tirafondi:LT=0.45 (0.31) σ_{cR}=0.00 σ_{fR}=0.00
Compressione nel calcestruzzo: σ_c=24.06
CC 29 SLV (Collegamento -041_-375)
Azioni sul collegamento: N=-11335.10 Ty=-11.60 Tz=10.38 Mx=-0.01 Mz=-9.43
Sollecitazioni agenti localmente: Tx_l=-11.60 Ty_l=10.38 N_l=-11335.10 Mx_l=-0.00 My_l=-9.43 Mz_l=-0.01
Taglio nei bulloni: Fv,Ed=2.61 Fv,Rd=7720.78
Rifollamento lato piastra: Fb,Ed,p=2.60 Fb,Rd,p=11361.80
Tirafondi:LT=0.45 (0.31) σ_{cR}=0.00 σ_{fR}=0.00
Compressione nel calcestruzzo: σ_c=23.95
CC 29 SLV (Collegamento -041_-375)
Azioni sul collegamento: N=-11335.10 Ty=-11.14 Tz=17.98 Mx=-0.01 Mz=-11.32
Sollecitazioni agenti localmente: Tx_l=-11.14 Ty_l=17.98 N_l=-11335.10 Mx_l=-0.00 My_l=-11.32 Mz_l=-0.01
Taglio nei bulloni: Fv,Ed=3.54 Fv,Rd=7720.78
Rifollamento lato piastra: Fb,Ed,p=3.54 Fb,Rd,p=9485.80
Tirafondi:LT=0.45 (0.31) σ_{cR}=0.00 σ_{fR}=0.00
Compressione nel calcestruzzo: σ_c=24.06
CC 29 SLV (Collegamento -041_-375)

Azioni sul collegamento: N=-11335.10 Ty=-11.60 Tz=17.98 Mx=-0.01 Mz=-9.43
Sollecitazioni agenti localmente: Tx_l=-11.60 Ty_l=17.98 N_l=-11335.10 Mx_l=-0.00 My_l=-9.43 Mz_l=-0.01
Taglio nei bulloni: Fv,Ed=3.58 Fv,Rd=7720.78
Rifollamento lato piastra: Fb,Ed,p=3.58 Fb,Rd,p=9787.05
Tirafondi:LT=0.45 (0.31) σ_{cR}=0.00 σ_{fR}=0.00
Compressione nel calcestruzzo: σ_c=23.95
CC 30 SLD (Collegamento -041_-375)
Azioni sul collegamento: N=-9714.03 Ty=-10.37 Tz=12.64 Mx=-0.00 Mz=-8.52
Sollecitazioni agenti localmente: Tx_l=-10.37 Ty_l=12.64 N_l=-9714.03 Mx_l=-0.00 My_l=-8.52 Mz_l=-0.00
Taglio nei bulloni: Fv,Ed=2.73 Fv,Rd=9650.97
Rifollamento lato piastra: Fb,Ed,p=2.73 Fb,Rd,p=13746.60
Tirafondi:LT=0.45 (0.31) σ_{cR}=0.00 σ_{fR}=0.00
Compressione nel calcestruzzo: σ_c=20.55
CC 30 SLD (Collegamento -041_-375)
Azioni sul collegamento: N=-9714.03 Ty=-10.51 Tz=12.64 Mx=-0.00 Mz=-7.95
Sollecitazioni agenti localmente: Tx_l=-10.51 Ty_l=12.64 N_l=-9714.03 Mx_l=-0.00 My_l=-7.95 Mz_l=-0.00
Taglio nei bulloni: Fv,Ed=2.75 Fv,Rd=9650.97
Rifollamento lato piastra: Fb,Ed,p=2.75 Fb,Rd,p=13821.60
Tirafondi:LT=0.45 (0.31) σ_{cR}=0.00 σ_{fR}=0.00
Compressione nel calcestruzzo: σ_c=20.52
CC 30 SLD (Collegamento -041_-375)
Azioni sul collegamento: N=-9714.03 Ty=-10.37 Tz=14.95 Mx=-0.00 Mz=-8.52
Sollecitazioni agenti localmente: Tx_l=-10.37 Ty_l=14.95 N_l=-9714.03 Mx_l=-0.00 My_l=-8.52 Mz_l=-0.00
Taglio nei bulloni: Fv,Ed=3.04 Fv,Rd=9650.97
Rifollamento lato piastra: Fb,Ed,p=3.04 Fb,Rd,p=12932.60
Tirafondi:LT=0.45 (0.31) σ_{cR}=0.00 σ_{fR}=0.00
Compressione nel calcestruzzo: σ_c=20.55
CC 30 SLD (Collegamento -041_-375)
Azioni sul collegamento: N=-9714.03 Ty=-10.51 Tz=14.95 Mx=-0.00 Mz=-7.95
Sollecitazioni agenti localmente: Tx_l=-10.51 Ty_l=14.95 N_l=-9714.03 Mx_l=-0.00 My_l=-7.95 Mz_l=-0.00
Taglio nei bulloni: Fv,Ed=3.05 Fv,Rd=9650.97
Rifollamento lato piastra: Fb,Ed,p=3.05 Fb,Rd,p=12989.60
Tirafondi:LT=0.45 (0.31) σ_{cR}=0.00 σ_{fR}=0.00
Compressione nel calcestruzzo: σ_c=20.52
CC 30 SLD (Collegamento -041_-375)
Azioni sul collegamento: N=-10426.00 Ty=-10.37 Tz=12.64 Mx=-0.00 Mz=-8.52
Sollecitazioni agenti localmente: Tx_l=-10.37 Ty_l=12.64 N_l=-10426.00 Mx_l=-0.00 My_l=-8.52 Mz_l=-0.00
Taglio nei bulloni: Fv,Ed=2.73 Fv,Rd=9650.97
Rifollamento lato piastra: Fb,Ed,p=2.73 Fb,Rd,p=13746.60
Tirafondi:LT=0.45 (0.31) σ_{cR}=0.00 σ_{fR}=0.00
Compressione nel calcestruzzo: σ_c=22.02
CC 30 SLD (Collegamento -041_-375)
Azioni sul collegamento: N=-10426.00 Ty=-10.51 Tz=12.64 Mx=-0.00 Mz=-7.95
Sollecitazioni agenti localmente: Tx_l=-10.51 Ty_l=12.64 N_l=-10426.00 Mx_l=-0.00 My_l=-7.95 Mz_l=-0.00
Taglio nei bulloni: Fv,Ed=2.75 Fv,Rd=9650.97
Rifollamento lato piastra: Fb,Ed,p=2.75 Fb,Rd,p=13821.60
Tirafondi:LT=0.45 (0.31) σ_{cR}=0.00 σ_{fR}=0.00
Compressione nel calcestruzzo: σ_c=21.99
CC 30 SLD (Collegamento -041_-375)
Azioni sul collegamento: N=-10426.00 Ty=-10.37 Tz=14.95 Mx=-0.00 Mz=-8.52
Sollecitazioni agenti localmente: Tx_l=-10.37 Ty_l=14.95 N_l=-10426.00 Mx_l=-0.00 My_l=-8.52 Mz_l=-0.00
Taglio nei bulloni: Fv,Ed=3.04 Fv,Rd=9650.97
Rifollamento lato piastra: Fb,Ed,p=3.04 Fb,Rd,p=12932.70
Tirafondi:LT=0.45 (0.31) σ_{cR}=0.00 σ_{fR}=0.00
Compressione nel calcestruzzo: σ_c=22.02
CC 30 SLD (Collegamento -041_-375)
Azioni sul collegamento: N=-10426.00 Ty=-10.51 Tz=14.95 Mx=-0.00 Mz=-7.95
Sollecitazioni agenti localmente: Tx_l=-10.51 Ty_l=14.95 N_l=-10426.00 Mx_l=-0.00 My_l=-7.95 Mz_l=-0.00
Taglio nei bulloni: Fv,Ed=3.05 Fv,Rd=9650.97
Rifollamento lato piastra: Fb,Ed,p=3.05 Fb,Rd,p=12989.70
Tirafondi:LT=0.45 (0.31) σ_{cR}=0.00 σ_{fR}=0.00
Compressione nel calcestruzzo: σ_c=21.99
CC 31 SLV (Collegamento -041_-375)
Azioni sul collegamento: N=-11351.50 Ty=-13.31 Tz=19.07 Mx=-0.01 Mz=-12.93
Sollecitazioni agenti localmente: Tx_l=-13.31 Ty_l=19.07 N_l=-11351.50 Mx_l=-0.00 My_l=-12.93 Mz_l=-0.01
Taglio nei bulloni: Fv,Ed=3.89 Fv,Rd=7720.78
Rifollamento lato piastra: Fb,Ed,p=3.89 Fb,Rd,p=10368.80
Tirafondi:LT=0.45 (0.31) σ_{cR}=0.00 σ_{fR}=0.00
Compressione nel calcestruzzo: σ_c=24.18
CC 31 SLV (Collegamento -041_-375)
Azioni sul collegamento: N=-11351.50 Ty=-9.43 Tz=19.07 Mx=-0.01 Mz=-7.83
Sollecitazioni agenti localmente: Tx_l=-9.43 Ty_l=19.07 N_l=-11351.50 Mx_l=-0.00 My_l=-7.83 Mz_l=-0.01
Taglio nei bulloni: Fv,Ed=3.56 Fv,Rd=7720.78
Rifollamento lato piastra: Fb,Ed,p=3.56 Fb,Rd,p=8196.96
Tirafondi:LT=0.45 (0.31) σ_{cR}=0.00 σ_{fR}=0.00
Compressione nel calcestruzzo: σ_c=23.89
CC 31 SLV (Collegamento -041_-375)
Azioni sul collegamento: N=-11351.50 Ty=-13.31 Tz=9.29 Mx=-0.01 Mz=-12.93
Sollecitazioni agenti localmente: Tx_l=-13.31 Ty_l=9.29 N_l=-11351.50 Mx_l=-0.00 My_l=-12.93 Mz_l=-0.01
Taglio nei bulloni: Fv,Ed=2.72 Fv,Rd=7720.78

Rifollamento lato piastra: Fb,Ed,p=2.71 Fb,Rd,p=10335.60
Tirafondi:LT=0.45 (0.31) σ_{cR}=0.00 σ_{fR}=0.00
Compressione nel calcestruzzo: σ_c=24.18
CC 31 SLV (Collegamento -041_-375)
Azioni sul collegamento: N=-11351.50 Ty=-9.43 Tz=9.29 Mx=-0.01 Mz=-7.83
Sollecitazioni agenti localmente: Tx_l=-9.43 Ty_l=9.29 N_l=-11351.50 Mx_l=-0.00 My_l=-7.83 Mz_l=-0.01
Taglio nei bulloni: Fv,Ed=2.22 Fv,Rd=7720.78
Rifollamento lato piastra: Fb,Ed,p=2.21 Fb,Rd,p=11874.90
Tirafondi:LT=0.45 (0.31) σ_{cR}=0.00 σ_{fR}=0.00
Compressione nel calcestruzzo: σ_c=23.89
CC 31 SLV (Collegamento -041_-375)
Azioni sul collegamento: N=-8983.80 Ty=-13.31 Tz=19.07 Mx=-0.01 Mz=-12.93
Sollecitazioni agenti localmente: Tx_l=-13.31 Ty_l=19.07 N_l=-8983.80 Mx_l=-0.00 My_l=-12.93 Mz_l=-0.01
Taglio nei bulloni: Fv,Ed=3.89 Fv,Rd=7720.78
Rifollamento lato piastra: Fb,Ed,p=3.89 Fb,Rd,p=10368.80
Tirafondi:LT=0.45 (0.31) σ_{cR}=0.00 σ_{fR}=0.00
Compressione nel calcestruzzo: σ_c=19.29
CC 31 SLV (Collegamento -041_-375)
Azioni sul collegamento: N=-8983.80 Ty=-9.43 Tz=19.07 Mx=-0.01 Mz=-7.83
Sollecitazioni agenti localmente: Tx_l=-9.43 Ty_l=19.07 N_l=-8983.80 Mx_l=-0.00 My_l=-7.83 Mz_l=-0.01
Taglio nei bulloni: Fv,Ed=3.56 Fv,Rd=7720.78
Rifollamento lato piastra: Fb,Ed,p=3.56 Fb,Rd,p=8196.89
Tirafondi:LT=0.45 (0.31) σ_{cR}=0.00 σ_{fR}=0.00
Compressione nel calcestruzzo: σ_c=19.00
CC 31 SLV (Collegamento -041_-375)
Azioni sul collegamento: N=-8983.80 Ty=-13.31 Tz=9.29 Mx=-0.01 Mz=-12.93
Sollecitazioni agenti localmente: Tx_l=-13.31 Ty_l=9.29 N_l=-8983.80 Mx_l=-0.00 My_l=-12.93 Mz_l=-0.01
Taglio nei bulloni: Fv,Ed=2.72 Fv,Rd=7720.78
Rifollamento lato piastra: Fb,Ed,p=2.71 Fb,Rd,p=10335.50
Tirafondi:LT=0.45 (0.31) σ_{cR}=0.00 σ_{fR}=0.00
Compressione nel calcestruzzo: σ_c=19.29
CC 31 SLV (Collegamento -041_-375)
Azioni sul collegamento: N=-8983.80 Ty=-9.43 Tz=9.29 Mx=-0.01 Mz=-7.83
Sollecitazioni agenti localmente: Tx_l=-9.43 Ty_l=9.29 N_l=-8983.80 Mx_l=-0.00 My_l=-7.83 Mz_l=-0.01
Taglio nei bulloni: Fv,Ed=2.22 Fv,Rd=7720.78
Rifollamento lato piastra: Fb,Ed,p=2.21 Fb,Rd,p=11874.90
Tirafondi:LT=0.45 (0.31) σ_{cR}=0.00 σ_{fR}=0.00
Compressione nel calcestruzzo: σ_c=19.00
CC 32 SLD (Collegamento -041_-375)
Azioni sul collegamento: N=-10431.00 Ty=-11.04 Tz=15.29 Mx=-0.00 Mz=-9.01
Sollecitazioni agenti localmente: Tx_l=-11.04 Ty_l=15.29 N_l=-10431.00 Mx_l=-0.00 My_l=-9.01 Mz_l=-0.00
Taglio nei bulloni: Fv,Ed=3.15 Fv,Rd=9650.97
Rifollamento lato piastra: Fb,Ed,p=3.15 Fb,Rd,p=13105.80
Tirafondi:LT=0.45 (0.31) σ_{cR}=0.00 σ_{fR}=0.00
Compressione nel calcestruzzo: σ_c=22.06
CC 32 SLD (Collegamento -041_-375)
Azioni sul collegamento: N=-10431.00 Ty=-9.85 Tz=15.29 Mx=-0.00 Mz=-7.46
Sollecitazioni agenti localmente: Tx_l=-9.85 Ty_l=15.29 N_l=-10431.00 Mx_l=-0.00 My_l=-7.46 Mz_l=-0.00
Taglio nei bulloni: Fv,Ed=3.04 Fv,Rd=9650.97
Rifollamento lato piastra: Fb,Ed,p=3.04 Fb,Rd,p=12217.40
Tirafondi:LT=0.45 (0.31) σ_{cR}=0.00 σ_{fR}=0.00
Compressione nel calcestruzzo: σ_c=21.97
CC 32 SLD (Collegamento -041_-375)
Azioni sul collegamento: N=-10431.00 Ty=-11.04 Tz=12.31 Mx=-0.00 Mz=-9.01
Sollecitazioni agenti localmente: Tx_l=-11.04 Ty_l=12.31 N_l=-10431.00 Mx_l=-0.00 My_l=-9.01 Mz_l=-0.00
Taglio nei bulloni: Fv,Ed=2.76 Fv,Rd=9650.97
Rifollamento lato piastra: Fb,Ed,p=2.76 Fb,Rd,p=14271.40
Tirafondi:LT=0.45 (0.31) σ_{cR}=0.00 σ_{fR}=0.00
Compressione nel calcestruzzo: σ_c=22.06
CC 32 SLD (Collegamento -041_-375)
Azioni sul collegamento: N=-10431.00 Ty=-9.85 Tz=12.31 Mx=-0.00 Mz=-7.46
Sollecitazioni agenti localmente: Tx_l=-9.85 Ty_l=12.31 N_l=-10431.00 Mx_l=-0.00 My_l=-7.46 Mz_l=-0.00
Taglio nei bulloni: Fv,Ed=2.63 Fv,Rd=9650.97
Rifollamento lato piastra: Fb,Ed,p=2.63 Fb,Rd,p=13611.20
Tirafondi:LT=0.45 (0.31) σ_{cR}=0.00 σ_{fR}=0.00
Compressione nel calcestruzzo: σ_c=21.97
CC 32 SLD (Collegamento -041_-375)
Azioni sul collegamento: N=-9709.05 Ty=-11.04 Tz=15.29 Mx=-0.00 Mz=-9.01
Sollecitazioni agenti localmente: Tx_l=-11.04 Ty_l=15.29 N_l=-9709.05 Mx_l=-0.00 My_l=-9.01 Mz_l=-0.00
Taglio nei bulloni: Fv,Ed=3.15 Fv,Rd=9650.97
Rifollamento lato piastra: Fb,Ed,p=3.15 Fb,Rd,p=13105.80
Tirafondi:LT=0.45 (0.31) σ_{cR}=0.00 σ_{fR}=0.00
Compressione nel calcestruzzo: σ_c=20.57
CC 32 SLD (Collegamento -041_-375)
Azioni sul collegamento: N=-9709.05 Ty=-9.85 Tz=15.29 Mx=-0.00 Mz=-7.46
Sollecitazioni agenti localmente: Tx_l=-9.85 Ty_l=15.29 N_l=-9709.05 Mx_l=-0.00 My_l=-7.46 Mz_l=-0.00
Taglio nei bulloni: Fv,Ed=3.04 Fv,Rd=9650.97
Rifollamento lato piastra: Fb,Ed,p=3.04 Fb,Rd,p=12217.40
Tirafondi:LT=0.45 (0.31) σ_{cR}=0.00 σ_{fR}=0.00
Compressione nel calcestruzzo: σ_c=20.48

CC 32 SLD (Collegamento -041_-375)
Azioni sul collegamento: N=-9709.05 Ty=-11.04 Tz=12.31 Mx=-0.00 Mz=-9.01
Sollecitazioni agenti localmente: Tx_l=-11.04 Ty_l=12.31 N_l=-9709.05 Mx_l=-0.00 My_l=-9.01 Mz_l=-0.00
Taglio nei bulloni: Fv,Ed=2.76 Fv,Rd=9650.97
Rifollamento lato piastra: Fb,Ed,p=2.76 Fb,Rd,p=14271.50
Tirafondi:LT=0.45 (0.31) σ_{cR}=0.00 σ_{fR}=0.00
Compressione nel calcestruzzo: σ_c=20.57
CC 32 SLD (Collegamento -041_-375)
Azioni sul collegamento: N=-9709.05 Ty=-9.85 Tz=12.31 Mx=-0.00 Mz=-7.46
Sollecitazioni agenti localmente: Tx_l=-9.85 Ty_l=12.31 N_l=-9709.05 Mx_l=-0.00 My_l=-7.46 Mz_l=-0.00
Taglio nei bulloni: Fv,Ed=2.63 Fv,Rd=9650.97
Rifollamento lato piastra: Fb,Ed,p=2.63 Fb,Rd,p=13611.20
Tirafondi:LT=0.45 (0.31) σ_{cR}=0.00 σ_{fR}=0.00
Compressione nel calcestruzzo: σ_c=20.48
CC 33 SLU (Collegamento -041_-375)
Azioni sul collegamento: N=-36642.60 Ty=-20.20 Tz=103.27 Mx=-0.00 Mz=-14.84
Sollecitazioni agenti localmente: Tx_l=-20.20 Ty_l=103.27 N_l=-36642.60 Mx_l=-0.00 My_l=-14.84 Mz_l=-0.00
Taglio nei bulloni: Fv,Ed=17.54 Fv,Rd=7720.78
Rifollamento lato piastra: Fb,Ed,p=17.54 Fb,Rd,p=6320.46
Tirafondi:LT=0.45 (0.31) σ_{cR}=0.00 σ_{fR}=0.00
Compressione nel calcestruzzo: σ_c=76.54
CC 34 SLU (Collegamento -041_-375)
Azioni sul collegamento: N=-37458.50 Ty=-20.96 Tz=106.28 Mx=-0.00 Mz=-15.40
Sollecitazioni agenti localmente: Tx_l=-20.96 Ty_l=106.28 N_l=-37458.50 Mx_l=-0.00 My_l=-15.40 Mz_l=-0.00
Taglio nei bulloni: Fv,Ed=18.06 Fv,Rd=7720.78
Rifollamento lato piastra: Fb,Ed,p=18.06 Fb,Rd,p=6325.89
Tirafondi:LT=0.45 (0.31) σ_{cR}=0.00 σ_{fR}=0.00
Compressione nel calcestruzzo: σ_c=78.26
CC 35 SLU (Collegamento -041_-375)
Azioni sul collegamento: N=-37049.70 Ty=-20.49 Tz=104.83 Mx=-0.01 Mz=-14.94
Sollecitazioni agenti localmente: Tx_l=-20.49 Ty_l=104.83 N_l=-37049.70 Mx_l=-0.00 My_l=-14.94 Mz_l=-0.01
Taglio nei bulloni: Fv,Ed=17.81 Fv,Rd=7720.78
Rifollamento lato piastra: Fb,Ed,p=17.81 Fb,Rd,p=6320.00
Tirafondi:LT=0.45 (0.31) σ_{cR}=0.00 σ_{fR}=0.00
Compressione nel calcestruzzo: σ_c=77.39
CC 36 SLU (Collegamento -041_-375)
Azioni sul collegamento: N=-37051.40 Ty=-20.67 Tz=104.72 Mx=-0.00 Mz=-15.30
Sollecitazioni agenti localmente: Tx_l=-20.67 Ty_l=104.72 N_l=-37051.40 Mx_l=-0.00 My_l=-15.30 Mz_l=-0.00
Taglio nei bulloni: Fv,Ed=17.79 Fv,Rd=7720.78
Rifollamento lato piastra: Fb,Ed,p=17.79 Fb,Rd,p=6326.43
Tirafondi:LT=0.45 (0.31) σ_{cR}=0.00 σ_{fR}=0.00
Compressione nel calcestruzzo: σ_c=77.41
CC 37 SLU (Collegamento -041_-375)
Azioni sul collegamento: N=-29860.20 Ty=10.64 Tz=77.84 Mx=-0.00 Mz=8.54
Sollecitazioni agenti localmente: Tx_l=10.64 Ty_l=77.84 N_l=-29860.20 Mx_l=-0.00 My_l=8.54 Mz_l=-0.00
Taglio nei bulloni: Fv,Ed=13.10 Fv,Rd=7720.78
Rifollamento lato piastra: Fb,Ed,p=13.10 Fb,Rd,p=6144.10
Tirafondi:LT=0.45 (0.31) σ_{cR}=0.00 σ_{fR}=0.00
Compressione nel calcestruzzo: σ_c=62.18
CC 38 SLU (Collegamento -041_-375)
Azioni sul collegamento: N=-30676.20 Ty=9.89 Tz=80.85 Mx=-0.00 Mz=7.98
Sollecitazioni agenti localmente: Tx_l=9.89 Ty_l=80.85 N_l=-30676.20 Mx_l=-0.00 My_l=7.98 Mz_l=-0.00
Taglio nei bulloni: Fv,Ed=13.58 Fv,Rd=7720.78
Rifollamento lato piastra: Fb,Ed,p=13.58 Fb,Rd,p=6111.02
Tirafondi:LT=0.45 (0.31) σ_{cR}=0.00 σ_{fR}=0.00
Compressione nel calcestruzzo: σ_c=63.83
CC 39 SLU (Collegamento -041_-375)
Azioni sul collegamento: N=-30267.30 Ty=10.35 Tz=79.40 Mx=-0.01 Mz=8.45
Sollecitazioni agenti localmente: Tx_l=10.35 Ty_l=79.40 N_l=-30267.30 Mx_l=-0.00 My_l=8.45 Mz_l=-0.01
Taglio nei bulloni: Fv,Ed=13.35 Fv,Rd=7720.78
Rifollamento lato piastra: Fb,Ed,p=13.35 Fb,Rd,p=6128.96
Tirafondi:LT=0.45 (0.31) σ_{cR}=0.00 σ_{fR}=0.00
Compressione nel calcestruzzo: σ_c=63.01
CC 40 SLU (Collegamento -041_-375)
Azioni sul collegamento: N=-30269.10 Ty=10.18 Tz=79.28 Mx=-0.00 Mz=8.08
Sollecitazioni agenti localmente: Tx_l=10.18 Ty_l=79.28 N_l=-30269.10 Mx_l=-0.00 My_l=8.08 Mz_l=-0.00
Taglio nei bulloni: Fv,Ed=13.33 Fv,Rd=7720.78
Rifollamento lato piastra: Fb,Ed,p=13.33 Fb,Rd,p=6124.62
Tirafondi:LT=0.45 (0.31) σ_{cR}=0.00 σ_{fR}=0.00
Compressione nel calcestruzzo: σ_c=62.99
CC 41 SLU (Collegamento -041_-375)
Azioni sul collegamento: N=-27459.80 Ty=-19.36 Tz=69.55 Mx=-0.00 Mz=-14.09
Sollecitazioni agenti localmente: Tx_l=-19.36 Ty_l=69.55 N_l=-27459.80 Mx_l=-0.00 My_l=-14.09 Mz_l=-0.00
Taglio nei bulloni: Fv,Ed=12.04 Fv,Rd=7720.78
Rifollamento lato piastra: Fb,Ed,p=12.04 Fb,Rd,p=6671.78
Tirafondi:LT=0.45 (0.31) σ_{cR}=0.00 σ_{fR}=0.00
Compressione nel calcestruzzo: σ_c=57.53
CC 42 SLU (Collegamento -041_-375)
Azioni sul collegamento: N=-28275.70 Ty=-20.11 Tz=72.57 Mx=-0.00 Mz=-14.65
Sollecitazioni agenti localmente: Tx_l=-20.11 Ty_l=72.57 N_l=-28275.70 Mx_l=-0.00 My_l=-14.65 Mz_l=-0.00

Taglio nei bulloni: Fv,Ed=12.56 Fv,Rd=7720.78
Rifollamento lato piastra: Fb,Ed,p=12.56 Fb,Rd,p=6665.95
Tirafondi:LT=0.45 (0.31) σ_{cR}=0.00 σ_{fR}=0.00
Compressione nel calcestruzzo: σ_c=59.25
CC 43 SLU (Collegamento -041_-375)
Azioni sul collegamento: N=-27866.90 Ty=-19.65 Tz=71.12 Mx=-0.01 Mz=-14.19
Sollecitazioni agenti localmente: Tx_l=-19.65 Ty_l=71.12 N_l=-27866.90 Mx_l=-0.00 My_l=-14.19 Mz_l=-0.01
Taglio nei bulloni: Fv,Ed=12.30 Fv,Rd=7720.78
Rifollamento lato piastra: Fb,Ed,p=12.30 Fb,Rd,p=6661.73
Tirafondi:LT=0.45 (0.31) σ_{cR}=0.00 σ_{fR}=0.00
Compressione nel calcestruzzo: σ_c=58.38
CC 44 SLU (Collegamento -041_-375)
Azioni sul collegamento: N=-27868.60 Ty=-19.82 Tz=71.00 Mx=-0.00 Mz=-14.55
Sollecitazioni agenti localmente: Tx_l=-19.82 Ty_l=71.00 N_l=-27868.60 Mx_l=-0.00 My_l=-14.55 Mz_l=-0.00
Taglio nei bulloni: Fv,Ed=12.29 Fv,Rd=7720.78
Rifollamento lato piastra: Fb,Ed,p=12.29 Fb,Rd,p=6675.89
Tirafondi:LT=0.45 (0.31) σ_{cR}=0.00 σ_{fR}=0.00
Compressione nel calcestruzzo: σ_c=58.40
CC 45 SLU (Collegamento -041_-375)
Azioni sul collegamento: N=-29479.00 Ty=-19.57 Tz=76.97 Mx=-0.00 Mz=-14.38
Sollecitazioni agenti localmente: Tx_l=-19.57 Ty_l=76.97 N_l=-29479.00 Mx_l=-0.00 My_l=-14.38 Mz_l=-0.00
Taglio nei bulloni: Fv,Ed=13.24 Fv,Rd=7720.78
Rifollamento lato piastra: Fb,Ed,p=13.24 Fb,Rd,p=6556.74
Tirafondi:LT=0.45 (0.31) σ_{cR}=0.00 σ_{fR}=0.00
Compressione nel calcestruzzo: σ_c=61.72
CC 46 SLU (Collegamento -041_-375)
Azioni sul collegamento: N=-30295.00 Ty=-20.33 Tz=79.99 Mx=-0.00 Mz=-14.94
Sollecitazioni agenti localmente: Tx_l=-20.33 Ty_l=79.99 N_l=-30295.00 Mx_l=-0.00 My_l=-14.94 Mz_l=-0.00
Taglio nei bulloni: Fv,Ed=13.76 Fv,Rd=7720.78
Rifollamento lato piastra: Fb,Ed,p=13.76 Fb,Rd,p=6556.04
Tirafondi:LT=0.45 (0.31) σ_{cR}=0.00 σ_{fR}=0.00
Compressione nel calcestruzzo: σ_c=63.43
CC 47 SLU (Collegamento -041_-375)
Azioni sul collegamento: N=-29886.10 Ty=-19.86 Tz=78.54 Mx=-0.00 Mz=-14.48
Sollecitazioni agenti localmente: Tx_l=-19.86 Ty_l=78.54 N_l=-29886.10 Mx_l=-0.00 My_l=-14.48 Mz_l=-0.00
Taglio nei bulloni: Fv,Ed=13.51 Fv,Rd=7720.78
Rifollamento lato piastra: Fb,Ed,p=13.51 Fb,Rd,p=6550.64
Tirafondi:LT=0.45 (0.31) σ_{cR}=0.00 σ_{fR}=0.00
Compressione nel calcestruzzo: σ_c=62.56
CC 48 SLU (Collegamento -041_-375)
Azioni sul collegamento: N=-29887.90 Ty=-20.04 Tz=78.42 Mx=-0.00 Mz=-14.84
Sollecitazioni agenti localmente: Tx_l=-20.04 Ty_l=78.42 N_l=-29887.90 Mx_l=-0.00 My_l=-14.84 Mz_l=-0.00
Taglio nei bulloni: Fv,Ed=13.49 Fv,Rd=7720.78
Rifollamento lato piastra: Fb,Ed,p=13.49 Fb,Rd,p=6562.20
Tirafondi:LT=0.45 (0.31) σ_{cR}=0.00 σ_{fR}=0.00
Compressione nel calcestruzzo: σ_c=62.59
CC 49 SLU (Collegamento -041_-375)
Azioni sul collegamento: N=-24404.80 Ty=3.50 Tz=57.94 Mx=-0.00 Mz=3.11
Sollecitazioni agenti localmente: Tx_l=3.50 Ty_l=57.94 N_l=-24404.80 Mx_l=-0.00 My_l=3.11 Mz_l=-0.00
Taglio nei bulloni: Fv,Ed=9.68 Fv,Rd=7720.78
Rifollamento lato piastra: Fb,Ed,p=9.68 Fb,Rd,p=6011.06
Tirafondi:LT=0.45 (0.31) σ_{cR}=0.00 σ_{fR}=0.00
Compressione nel calcestruzzo: σ_c=50.60
CC 50 SLU (Collegamento -041_-375)
Azioni sul collegamento: N=-25220.80 Ty=2.75 Tz=60.96 Mx=-0.00 Mz=2.55
Sollecitazioni agenti localmente: Tx_l=2.75 Ty_l=60.96 N_l=-25220.80 Mx_l=-0.00 My_l=2.55 Mz_l=-0.00
Taglio nei bulloni: Fv,Ed=10.17 Fv,Rd=7720.78
Rifollamento lato piastra: Fb,Ed,p=10.17 Fb,Rd,p=5996.83
Tirafondi:LT=0.45 (0.31) σ_{cR}=0.00 σ_{fR}=0.00
Compressione nel calcestruzzo: σ_c=52.25
CC 51 SLU (Collegamento -041_-375)
Azioni sul collegamento: N=-24811.90 Ty=3.21 Tz=59.51 Mx=-0.00 Mz=3.02
Sollecitazioni agenti localmente: Tx_l=3.21 Ty_l=59.51 N_l=-24811.90 Mx_l=-0.00 My_l=3.02 Mz_l=-0.00
Taglio nei bulloni: Fv,Ed=9.94 Fv,Rd=7720.78
Rifollamento lato piastra: Fb,Ed,p=9.94 Fb,Rd,p=6004.50
Tirafondi:LT=0.45 (0.31) σ_{cR}=0.00 σ_{fR}=0.00
Compressione nel calcestruzzo: σ_c=51.43
CC 52 SLU (Collegamento -041_-375)
Azioni sul collegamento: N=-24813.70 Ty=3.04 Tz=59.39 Mx=-0.00 Mz=2.65
Sollecitazioni agenti localmente: Tx_l=3.04 Ty_l=59.39 N_l=-24813.70 Mx_l=-0.00 My_l=2.65 Mz_l=-0.00
Taglio nei bulloni: Fv,Ed=9.92 Fv,Rd=7720.78
Rifollamento lato piastra: Fb,Ed,p=9.92 Fb,Rd,p=6002.01
Tirafondi:LT=0.45 (0.31) σ_{cR}=0.00 σ_{fR}=0.00
Compressione nel calcestruzzo: σ_c=51.42
CC 53 SLU (Collegamento -041_-375)
Azioni sul collegamento: N=-22608.90 Ty=-18.94 Tz=51.75 Mx=-0.00 Mz=-13.82
Sollecitazioni agenti localmente: Tx_l=-18.94 Ty_l=51.75 N_l=-22608.90 Mx_l=-0.00 My_l=-13.82 Mz_l=-0.00
Taglio nei bulloni: Fv,Ed=9.19 Fv,Rd=7720.78
Rifollamento lato piastra: Fb,Ed,p=9.19 Fb,Rd,p=7181.50
Tirafondi:LT=0.45 (0.31) σ_{cR}=0.00 σ_{fR}=0.00

Compressione nel calcestruzzo: σ_c=47.49
CC 54 SLU (Collegamento -041_-375)
Azioni sul collegamento: N=-23424.90 Ty=-19.70 Tz=54.76 Mx=-0.00 Mz=-14.38
Sollecitazioni agenti localmente: Tx_l=-19.70 Ty_l=54.76 N_l=-23424.90 Mx_l=-0.00 My_l=-14.38 Mz_l=-0.00
Taglio nei bulloni: Fv,Ed=9.71 Fv,Rd=7720.78
Rifollamento lato piastra: Fb,Ed,p=9.71 Fb,Rd,p=7139.65
Tirafondi:LT=0.45 (0.31) σ_{cR}=0.00 σ_{fR}=0.00
Compressione nel calcestruzzo: σ_c=49.21
CC 55 SLU (Collegamento -041_-375)
Azioni sul collegamento: N=-23016.00 Ty=-19.23 Tz=53.31 Mx=-0.00 Mz=-13.92
Sollecitazioni agenti localmente: Tx_l=-19.23 Ty_l=53.31 N_l=-23016.00 Mx_l=-0.00 My_l=-13.92 Mz_l=-0.00
Taglio nei bulloni: Fv,Ed=9.45 Fv,Rd=7720.78
Rifollamento lato piastra: Fb,Ed,p=9.45 Fb,Rd,p=7146.82
Tirafondi:LT=0.45 (0.31) σ_{cR}=0.00 σ_{fR}=0.00
Compressione nel calcestruzzo: σ_c=48.34
CC 56 SLU (Collegamento -041_-375)
Azioni sul collegamento: N=-23017.80 Ty=-19.41 Tz=53.20 Mx=-0.00 Mz=-14.28
Sollecitazioni agenti localmente: Tx_l=-19.41 Ty_l=53.20 N_l=-23017.80 Mx_l=-0.00 My_l=-14.28 Mz_l=-0.00
Taglio nei bulloni: Fv,Ed=9.44 Fv,Rd=7720.78
Rifollamento lato piastra: Fb,Ed,p=9.44 Fb,Rd,p=7173.04
Tirafondi:LT=0.45 (0.31) σ_{cR}=0.00 σ_{fR}=0.00
Compressione nel calcestruzzo: σ_c=48.36
CC 57 SLU (Collegamento -041_-375)
Azioni sul collegamento: N=-30221.30 Ty=-20.56 Tz=79.74 Mx=-0.00 Mz=-15.10
Sollecitazioni agenti localmente: Tx_l=-20.56 Ty_l=79.74 N_l=-30221.30 Mx_l=-0.00 My_l=-15.10 Mz_l=-0.00
Taglio nei bulloni: Fv,Ed=13.73 Fv,Rd=7720.78
Rifollamento lato piastra: Fb,Ed,p=13.73 Fb,Rd,p=6572.82
Tirafondi:LT=0.45 (0.31) σ_{cR}=0.00 σ_{fR}=0.00
Compressione nel calcestruzzo: σ_c=63.29
CC 58 SLU (Collegamento -041_-375)
Azioni sul collegamento: N=-31037.20 Ty=-21.31 Tz=82.75 Mx=-0.00 Mz=-15.66
Sollecitazioni agenti localmente: Tx_l=-21.31 Ty_l=82.75 N_l=-31037.20 Mx_l=-0.00 My_l=-15.66 Mz_l=-0.00
Taglio nei bulloni: Fv,Ed=14.25 Fv,Rd=7720.78
Rifollamento lato piastra: Fb,Ed,p=14.25 Fb,Rd,p=6571.56
Tirafondi:LT=0.45 (0.31) σ_{cR}=0.00 σ_{fR}=0.00
Compressione nel calcestruzzo: σ_c=65.01
CC 59 SLU (Collegamento -041_-375)
Azioni sul collegamento: N=-30628.40 Ty=-20.85 Tz=81.31 Mx=-0.00 Mz=-15.20
Sollecitazioni agenti localmente: Tx_l=-20.85 Ty_l=81.31 N_l=-30628.40 Mx_l=-0.00 My_l=-15.20 Mz_l=-0.00
Taglio nei bulloni: Fv,Ed=14.00 Fv,Rd=7720.78
Rifollamento lato piastra: Fb,Ed,p=14.00 Fb,Rd,p=6566.51
Tirafondi:LT=0.45 (0.31) σ_{cR}=0.00 σ_{fR}=0.00
Compressione nel calcestruzzo: σ_c=64.14
CC 60 SLU (Collegamento -041_-375)
Azioni sul collegamento: N=-30630.10 Ty=-21.02 Tz=81.19 Mx=-0.00 Mz=-15.57
Sollecitazioni agenti localmente: Tx_l=-21.02 Ty_l=81.19 N_l=-30630.10 Mx_l=-0.00 My_l=-15.57 Mz_l=-0.00
Taglio nei bulloni: Fv,Ed=13.98 Fv,Rd=7720.78
Rifollamento lato piastra: Fb,Ed,p=13.98 Fb,Rd,p=6577.88
Tirafondi:LT=0.45 (0.31) σ_{cR}=0.00 σ_{fR}=0.00
Compressione nel calcestruzzo: σ_c=64.16
CC 61 SLU (Collegamento -041_-375)
Azioni sul collegamento: N=-25147.00 Ty=2.52 Tz=60.71 Mx=-0.00 Mz=2.39
Sollecitazioni agenti localmente: Tx_l=2.52 Ty_l=60.71 N_l=-25147.00 Mx_l=-0.00 My_l=2.39 Mz_l=-0.00
Taglio nei bulloni: Fv,Ed=10.13 Fv,Rd=7720.78
Rifollamento lato piastra: Fb,Ed,p=10.13 Fb,Rd,p=5994.10
Tirafondi:LT=0.45 (0.31) σ_{cR}=0.00 σ_{fR}=0.00
Compressione nel calcestruzzo: σ_c=52.09
CC 62 SLU (Collegamento -041_-375)
Azioni sul collegamento: N=-25963.00 Ty=1.76 Tz=63.73 Mx=-0.00 Mz=1.83
Sollecitazioni agenti localmente: Tx_l=1.76 Ty_l=63.73 N_l=-25963.00 Mx_l=-0.00 My_l=1.83 Mz_l=-0.00
Taglio nei bulloni: Fv,Ed=10.63 Fv,Rd=7720.78
Rifollamento lato piastra: Fb,Ed,p=10.63 Fb,Rd,p=5985.75
Tirafondi:LT=0.45 (0.31) σ_{cR}=0.00 σ_{fR}=0.00
Compressione nel calcestruzzo: σ_c=53.75
CC 63 SLU (Collegamento -041_-375)
Azioni sul collegamento: N=-25554.10 Ty=2.23 Tz=62.28 Mx=-0.00 Mz=2.29
Sollecitazioni agenti localmente: Tx_l=2.23 Ty_l=62.28 N_l=-25554.10 Mx_l=-0.00 My_l=2.29 Mz_l=-0.00
Taglio nei bulloni: Fv,Ed=10.39 Fv,Rd=7720.78
Rifollamento lato piastra: Fb,Ed,p=10.39 Fb,Rd,p=5990.20
Tirafondi:LT=0.45 (0.31) σ_{cR}=0.00 σ_{fR}=0.00
Compressione nel calcestruzzo: σ_c=52.93
CC 64 SLU (Collegamento -041_-375)
Azioni sul collegamento: N=-25555.90 Ty=2.05 Tz=62.16 Mx=-0.00 Mz=1.93
Sollecitazioni agenti localmente: Tx_l=2.05 Ty_l=62.16 N_l=-25555.90 Mx_l=-0.00 My_l=1.93 Mz_l=-0.00
Taglio nei bulloni: Fv,Ed=10.37 Fv,Rd=7720.78
Rifollamento lato piastra: Fb,Ed,p=10.37 Fb,Rd,p=5988.63
Tirafondi:LT=0.45 (0.31) σ_{cR}=0.00 σ_{fR}=0.00
Compressione nel calcestruzzo: σ_c=52.91
CC 65 SLU (Collegamento -041_-375)
Azioni sul collegamento: N=-23351.20 Ty=-19.92 Tz=54.52 Mx=-0.00 Mz=-14.54

Sollecitazioni agenti localmente: Tx_l=-19.92 Ty_l=54.52 N_l=-23351.20 Mx_l=-0.00 My_l=-14.54 Mz_l=-0.00
Taglio nei bulloni: Fv,Ed=9.68 Fv,Rd=7720.78
Rifollamento lato piastra: Fb,Ed,p=9.68 Fb,Rd,p=7177.80
Tirafondi:LT=0.45 (0.31) σ_{cR}=0.00 σ_{fR}=0.00
Compressione nel calcestruzzo: σ_c=49.07
CC 66 SLU (Collegamento -041_-375)
Azioni sul collegamento: N=-24167.10 Ty=-20.68 Tz=57.53 Mx=-0.00 Mz=-15.10
Sollecitazioni agenti localmente: Tx_l=-20.68 Ty_l=57.53 N_l=-24167.10 Mx_l=-0.00 My_l=-15.10 Mz_l=-0.00
Taglio nei bulloni: Fv,Ed=10.19 Fv,Rd=7720.78
Rifollamento lato piastra: Fb,Ed,p=10.19 Fb,Rd,p=7138.20
Tirafondi:LT=0.45 (0.31) σ_{cR}=0.00 σ_{fR}=0.00
Compressione nel calcestruzzo: σ_c=50.78
CC 67 SLU (Collegamento -041_-375)
Azioni sul collegamento: N=-23758.30 Ty=-20.21 Tz=56.08 Mx=-0.00 Mz=-14.64
Sollecitazioni agenti localmente: Tx_l=-20.21 Ty_l=56.08 N_l=-23758.30 Mx_l=-0.00 My_l=-14.64 Mz_l=-0.00
Taglio nei bulloni: Fv,Ed=9.94 Fv,Rd=7720.78
Rifollamento lato piastra: Fb,Ed,p=9.94 Fb,Rd,p=7145.00
Tirafondi:LT=0.45 (0.31) σ_{cR}=0.00 σ_{fR}=0.00
Compressione nel calcestruzzo: σ_c=49.91
CC 68 SLU (Collegamento -041_-375)
Azioni sul collegamento: N=-23760.00 Ty=-20.39 Tz=55.97 Mx=-0.00 Mz=-15.01
Sollecitazioni agenti localmente: Tx_l=-20.39 Ty_l=55.97 N_l=-23760.00 Mx_l=-0.00 My_l=-15.01 Mz_l=-0.00
Taglio nei bulloni: Fv,Ed=9.93 Fv,Rd=7720.78
Rifollamento lato piastra: Fb,Ed,p=9.93 Fb,Rd,p=7169.95
Tirafondi:LT=0.45 (0.31) σ_{cR}=0.00 σ_{fR}=0.00
Compressione nel calcestruzzo: σ_c=49.94
CC 97 SLU (Collegamento -041_-375)
Azioni sul collegamento: N=-31084.20 Ty=-25.01 Tz=90.82 Mx=0.05 Mz=-11.42
Sollecitazioni agenti localmente: Tx_l=-25.01 Ty_l=90.82 N_l=-31084.20 Mx_l=-0.00 My_l=-11.42 Mz_l=0.05
Taglio nei bulloni: Fv,Ed=15.76 Fv,Rd=7720.78
Rifollamento lato piastra: Fb,Ed,p=15.74 Fb,Rd,p=6634.08
Tirafondi:LT=0.45 (0.31) σ_{cR}=0.00 σ_{fR}=0.00
Compressione nel calcestruzzo: σ_c=64.87
CC 98 SLU (Collegamento -041_-375)
Azioni sul collegamento: N=-31900.20 Ty=-25.76 Tz=93.83 Mx=0.05 Mz=-11.97
Sollecitazioni agenti localmente: Tx_l=-25.76 Ty_l=93.83 N_l=-31900.20 Mx_l=-0.00 My_l=-11.97 Mz_l=0.05
Taglio nei bulloni: Fv,Ed=16.28 Fv,Rd=7720.78
Rifollamento lato piastra: Fb,Ed,p=16.25 Fb,Rd,p=6630.90
Tirafondi:LT=0.45 (0.31) σ_{cR}=0.00 σ_{fR}=0.00
Compressione nel calcestruzzo: σ_c=66.58
CC 99 SLU (Collegamento -041_-375)
Azioni sul collegamento: N=-31491.30 Ty=-25.30 Tz=92.39 Mx=0.05 Mz=-11.51
Sollecitazioni agenti localmente: Tx_l=-25.30 Ty_l=92.39 N_l=-31491.30 Mx_l=-0.00 My_l=-11.51 Mz_l=0.05
Taglio nei bulloni: Fv,Ed=16.03 Fv,Rd=7720.78
Rifollamento lato piastra: Fb,Ed,p=16.00 Fb,Rd,p=6627.34
Tirafondi:LT=0.45 (0.31) σ_{cR}=0.00 σ_{fR}=0.00
Compressione nel calcestruzzo: σ_c=65.71
CC 100 SLU (Collegamento -041_-375)
Azioni sul collegamento: N=-31493.10 Ty=-25.48 Tz=92.27 Mx=0.05 Mz=-11.88
Sollecitazioni agenti localmente: Tx_l=-25.48 Ty_l=92.27 N_l=-31493.10 Mx_l=-0.00 My_l=-11.88 Mz_l=0.05
Taglio nei bulloni: Fv,Ed=16.02 Fv,Rd=7720.78
Rifollamento lato piastra: Fb,Ed,p=15.99 Fb,Rd,p=6637.57
Tirafondi:LT=0.45 (0.31) σ_{cR}=0.00 σ_{fR}=0.00
Compressione nel calcestruzzo: σ_c=65.74
CC 101 SLU (Collegamento -041_-375)
Azioni sul collegamento: N=-8294.89 Ty=-5.21 Tz=7.37 Mx=-0.01 Mz=-4.43
Sollecitazioni agenti localmente: Tx_l=-5.21 Ty_l=7.37 N_l=-8294.89 Mx_l=-0.00 My_l=-4.43 Mz_l=-0.01
Taglio nei bulloni: Fv,Ed=1.52 Fv,Rd=7720.78
Rifollamento lato piastra: Fb,Ed,p=1.52 Fb,Rd,p=10418.20
Tirafondi:LT=0.45 (0.31) σ_{cR}=0.00 σ_{fR}=0.00
Compressione nel calcestruzzo: σ_c=17.39
CC 102 SLU (Collegamento -041_-375)
Azioni sul collegamento: N=-9110.88 Ty=-5.97 Tz=10.39 Mx=-0.01 Mz=-4.99
Sollecitazioni agenti localmente: Tx_l=-5.97 Ty_l=10.39 N_l=-9110.88 Mx_l=-0.00 My_l=-4.99 Mz_l=-0.01
Taglio nei bulloni: Fv,Ed=2.01 Fv,Rd=7720.78
Rifollamento lato piastra: Fb,Ed,p=2.01 Fb,Rd,p=8996.51
Tirafondi:LT=0.45 (0.31) σ_{cR}=0.00 σ_{fR}=0.00
Compressione nel calcestruzzo: σ_c=19.11
CC 103 SLU (Collegamento -041_-375)
Azioni sul collegamento: N=-8702.00 Ty=-5.50 Tz=8.94 Mx=-0.01 Mz=-4.53
Sollecitazioni agenti localmente: Tx_l=-5.50 Ty_l=8.94 N_l=-8702.00 Mx_l=-0.00 My_l=-4.53 Mz_l=-0.01
Taglio nei bulloni: Fv,Ed=1.76 Fv,Rd=7720.78
Rifollamento lato piastra: Fb,Ed,p=1.76 Fb,Rd,p=9453.60
Tirafondi:LT=0.45 (0.31) σ_{cR}=0.00 σ_{fR}=0.00
Compressione nel calcestruzzo: σ_c=18.23
CC 104 SLU (Collegamento -041_-375)
Azioni sul collegamento: N=-8703.78 Ty=-5.68 Tz=8.82 Mx=-0.01 Mz=-4.89
Sollecitazioni agenti localmente: Tx_l=-5.68 Ty_l=8.82 N_l=-8703.78 Mx_l=-0.00 My_l=-4.89 Mz_l=-0.01
Taglio nei bulloni: Fv,Ed=1.76 Fv,Rd=7720.78
Rifollamento lato piastra: Fb,Ed,p=1.76 Fb,Rd,p=9779.84

Tirafondi:LT=0.45 (0.31) σ_{cR}=0.00 σ_{fR}=0.00
Compressione nel calcestruzzo: σ_c=18.26

Saldatura profilo-piastra

CC 1 SLV (Collegamento -041_-375)
Azioni sul collegamento: N=-5965.50 Ty=-4.83 Tz=-1.56 Mx=0.01 Mz=-1.02
Sollecitazioni agenti localmente: Tx_l=-4.83 Ty_l=-1.56 N_l=-5965.50 My_l=1.02 Mz_l=0.01
Azioni sul cordone: TP=-0.37 TO=-0.13 NO=-440.97
Tensioni nel cordone: τ_P=0.12 τ_0= 0.04 σ_0=141.65 σ_{ID}=141.65 Σ_T=141.69
CC 1 SLV (Collegamento -041_-375)
Azioni sul collegamento: N=-5965.50 Ty=-12.58 Tz=-1.56 Mx=0.01 Mz=-7.43
Sollecitazioni agenti localmente: Tx_l=-12.58 Ty_l=-1.56 N_l=-5965.50 My_l=7.43 Mz_l=0.01
Azioni sul cordone: TP=-0.94 TO=-0.13 NO=-440.97
Tensioni nel cordone: τ_P=0.30 τ_0= 0.04 σ_0=151.01 σ_{ID}=151.01 Σ_T=151.05
CC 1 SLV (Collegamento -041_-375)
Azioni sul collegamento: N=-5965.50 Ty=-4.83 Tz=27.71 Mx=0.01 Mz=-1.02
Sollecitazioni agenti localmente: Tx_l=-4.83 Ty_l=27.71 N_l=-5965.50 My_l=1.02 Mz_l=0.01
Azioni sul cordone: TP=-0.37 TO=2.04 NO=-440.97
Tensioni nel cordone: τ_P=0.12 τ_0=0.65 σ_0=141.65 σ_{ID}=141.65 Σ_T=142.30
CC 1 SLV (Collegamento -041_-375)
Azioni sul collegamento: N=-5965.50 Ty=-12.58 Tz=27.71 Mx=0.01 Mz=-7.43
Sollecitazioni agenti localmente: Tx_l=-12.58 Ty_l=27.71 N_l=-5965.50 My_l=7.43 Mz_l=0.01
Azioni sul cordone: TP=-0.94 TO=2.04 NO=-440.97
Tensioni nel cordone: τ_P=0.30 τ_0=0.65 σ_0=151.01 σ_{ID}=151.01 Σ_T=151.66
CC 1 SLV (Collegamento -041_-375)
Azioni sul collegamento: N=-13808.10 Ty=-4.83 Tz=-1.56 Mx=0.01 Mz=-1.02
Sollecitazioni agenti localmente: Tx_l=-4.83 Ty_l=-1.56 N_l=-13808.10 My_l=1.02 Mz_l=0.01
Azioni sul cordone: TP=-0.37 TO=-0.13 NO=-1020.70
Tensioni nel cordone: τ_P=0.12 τ_0= 0.04 σ_0=325.92 σ_{ID}=325.92 Σ_T=325.96
CC 1 SLV (Collegamento -041_-375)
Azioni sul collegamento: N=-13808.10 Ty=-12.58 Tz=-1.56 Mx=0.01 Mz=-7.43
Sollecitazioni agenti localmente: Tx_l=-12.58 Ty_l=-1.56 N_l=-13808.10 My_l=7.43 Mz_l=0.01
Azioni sul cordone: TP=-0.94 TO=-0.13 NO=-1020.70
Tensioni nel cordone: τ_P=0.30 τ_0= 0.04 σ_0=335.28 σ_{ID}=335.28 Σ_T=335.32
CC 1 SLV (Collegamento -041_-375)
Azioni sul collegamento: N=-13808.10 Ty=-4.83 Tz=27.71 Mx=0.01 Mz=-1.02
Sollecitazioni agenti localmente: Tx_l=-4.83 Ty_l=27.71 N_l=-13808.10 My_l=1.02 Mz_l=0.01
Azioni sul cordone: TP=-0.37 TO=2.04 NO=-1020.70
Tensioni nel cordone: τ_P=0.12 τ_0=0.65 σ_0=325.92 σ_{ID}=325.92 Σ_T=326.57
CC 1 SLV (Collegamento -041_-375)
Azioni sul collegamento: N=-13808.10 Ty=-12.58 Tz=27.71 Mx=0.01 Mz=-7.43
Sollecitazioni agenti localmente: Tx_l=-12.58 Ty_l=27.71 N_l=-13808.10 My_l=7.43 Mz_l=0.01
Azioni sul cordone: TP=-0.94 TO=2.04 NO=-1020.70
Tensioni nel cordone: τ_P=0.30 τ_0=0.65 σ_0=335.28 σ_{ID}=335.28 Σ_T=335.93
CC 2 SLD (Collegamento -041_-375)
Azioni sul collegamento: N=-8788.68 Ty=-8.45 Tz=9.00 Mx=0.00 Mz=-5.38
Sollecitazioni agenti localmente: Tx_l=-8.45 Ty_l=9.00 N_l=-8788.68 My_l=5.38 Mz_l=0.00
Azioni sul cordone: TP=-0.63 TO=0.66 NO=-649.66
Tensioni nel cordone: τ_P=0.20 τ_0=0.21 σ_0=214.36 σ_{ID}=214.36 Σ_T=214.57
CC 2 SLD (Collegamento -041_-375)
Azioni sul collegamento: N=-8788.68 Ty=-10.81 Tz=9.00 Mx=0.00 Mz=-7.34
Sollecitazioni agenti localmente: Tx_l=-10.81 Ty_l=9.00 N_l=-8788.68 My_l=7.34 Mz_l=0.00
Azioni sul cordone: TP=-0.80 TO=0.66 NO=-649.66
Tensioni nel cordone: τ_P=0.25 τ_0=0.21 σ_0=217.21 σ_{ID}=217.21 Σ_T=217.42
CC 2 SLD (Collegamento -041_-375)
Azioni sul collegamento: N=-8788.68 Ty=-8.45 Tz=17.92 Mx=0.00 Mz=-5.38
Sollecitazioni agenti localmente: Tx_l=-8.45 Ty_l=17.92 N_l=-8788.68 My_l=5.38 Mz_l=0.00
Azioni sul cordone: TP=-0.63 TO=1.32 NO=-649.66
Tensioni nel cordone: τ_P=0.20 τ_0=0.42 σ_0=214.36 σ_{ID}=214.36 Σ_T=214.78
CC 2 SLD (Collegamento -041_-375)
Azioni sul collegamento: N=-8788.68 Ty=-10.81 Tz=17.92 Mx=0.00 Mz=-7.34
Sollecitazioni agenti localmente: Tx_l=-10.81 Ty_l=17.92 N_l=-8788.68 My_l=7.34 Mz_l=0.00
Azioni sul cordone: TP=-0.80 TO=1.32 NO=-649.66
Tensioni nel cordone: τ_P=0.25 τ_0=0.42 σ_0=217.21 σ_{ID}=217.21 Σ_T=217.63
CC 2 SLD (Collegamento -041_-375)
Azioni sul collegamento: N=-11180.10 Ty=-8.45 Tz=8.99 Mx=0.00 Mz=-5.38
Sollecitazioni agenti localmente: Tx_l=-8.45 Ty_l=8.99 N_l=-11180.10 My_l=5.38 Mz_l=0.00
Azioni sul cordone: TP=-0.63 TO=0.66 NO=-826.44
Tensioni nel cordone: τ_P=0.20 τ_0=0.21 σ_0=270.55 σ_{ID}=270.55 Σ_T=270.76
CC 2 SLD (Collegamento -041_-375)
Azioni sul collegamento: N=-11180.10 Ty=-10.81 Tz=8.99 Mx=0.00 Mz=-7.34
Sollecitazioni agenti localmente: Tx_l=-10.81 Ty_l=8.99 N_l=-11180.10 My_l=7.34 Mz_l=0.00
Azioni sul cordone: TP=-0.80 TO=0.66 NO=-826.44
Tensioni nel cordone: τ_P=0.25 τ_0=0.21 σ_0=273.40 σ_{ID}=273.40 Σ_T=273.61
CC 2 SLD (Collegamento -041_-375)
Azioni sul collegamento: N=-11180.10 Ty=-8.45 Tz=17.92 Mx=0.00 Mz=-5.38
Sollecitazioni agenti localmente: Tx_l=-8.45 Ty_l=17.92 N_l=-11180.10 My_l=5.38 Mz_l=0.00
Azioni sul cordone: TP=-0.63 TO=1.32 NO=-826.44
Tensioni nel cordone: τ_P=0.20 τ_0=0.42 σ_0=270.55 σ_{ID}=270.55 Σ_T=270.97
CC 2 SLD (Collegamento -041_-375)

Azioni sul collegamento: N=-11180.10 Ty=-10.81 Tz=17.92 Mx=0.00 Mz=-7.34
Sollecitazioni agenti localmente: Tx_l=-10.81 Ty_l=17.92 N_l=-11180.10 My_l=7.34 Mz_l=0.00
Azioni sul cordone: TP=-0.80 TO=1.32 NO=-826.44
Tensioni nel cordone: τ_P=0.25 τ_0=0.42 σ_0=273.40 σ_{ID}=273.40 Σ_T=273.82
CC 3 SLV (Collegamento -041_-375)
Azioni sul collegamento: N=-5970.40 Ty=-5.34 Tz=-1.24 Mx=0.01 Mz=-2.07
Sollecitazioni agenti localmente: Tx_l=-5.34 Ty_l=-1.24 N_l=-5970.40 My_l=2.07 Mz_l=0.01
Azioni sul cordone: TP=-0.40 TO=-0.10 NO=-441.33
Tensioni nel cordone: τ_P=0.13 τ_0= 0.03 σ_0=143.30 σ_{ID}=143.30 Σ_T=143.33
CC 3 SLV (Collegamento -041_-375)
Azioni sul collegamento: N=-5970.40 Ty=-12.07 Tz=-1.24 Mx=0.01 Mz=-6.38
Sollecitazioni agenti localmente: Tx_l=-12.07 Ty_l=-1.24 N_l=-5970.40 My_l=6.38 Mz_l=0.01
Azioni sul cordone: TP=-0.90 TO=-0.10 NO=-441.33
Tensioni nel cordone: τ_P=0.29 τ_0= 0.03 σ_0=149.59 σ_{ID}=149.59 Σ_T=149.63
CC 3 SLV (Collegamento -041_-375)
Azioni sul collegamento: N=-5970.40 Ty=-5.34 Tz=27.38 Mx=0.01 Mz=-2.07
Sollecitazioni agenti localmente: Tx_l=-5.34 Ty_l=27.38 N_l=-5970.40 My_l=2.07 Mz_l=0.01
Azioni sul cordone: TP=-0.40 TO=2.02 NO=-441.33
Tensioni nel cordone: τ_P=0.13 τ_0=0.64 σ_0=143.30 σ_{ID}=143.30 Σ_T=143.94
CC 3 SLV (Collegamento -041_-375)
Azioni sul collegamento: N=-5970.40 Ty=-12.07 Tz=27.38 Mx=0.01 Mz=-6.38
Sollecitazioni agenti localmente: Tx_l=-12.07 Ty_l=27.38 N_l=-5970.40 My_l=6.38 Mz_l=0.01
Azioni sul cordone: TP=-0.90 TO=2.02 NO=-441.33
Tensioni nel cordone: τ_P=0.29 τ_0=0.64 σ_0=149.59 σ_{ID}=149.60 Σ_T=150.24
CC 3 SLV (Collegamento -041_-375)
Azioni sul collegamento: N=-13803.30 Ty=-5.34 Tz=-1.24 Mx=0.01 Mz=-2.07
Sollecitazioni agenti localmente: Tx_l=-5.34 Ty_l=-1.24 N_l=-13803.30 My_l=2.07 Mz_l=0.01
Azioni sul cordone: TP=-0.40 TO=-0.10 NO=-1020.34
Tensioni nel cordone: τ_P=0.13 τ_0= 0.03 σ_0=327.33 σ_{ID}=327.33 Σ_T=327.36
CC 3 SLV (Collegamento -041_-375)
Azioni sul collegamento: N=-13803.30 Ty=-12.07 Tz=-1.24 Mx=0.01 Mz=-6.38
Sollecitazioni agenti localmente: Tx_l=-12.07 Ty_l=-1.24 N_l=-13803.30 My_l=6.38 Mz_l=0.01
Azioni sul cordone: TP=-0.90 TO=-0.10 NO=-1020.34
Tensioni nel cordone: τ_P=0.29 τ_0= 0.03 σ_0=333.63 σ_{ID}=333.63 Σ_T=333.66
CC 3 SLV (Collegamento -041_-375)
Azioni sul collegamento: N=-13803.30 Ty=-5.34 Tz=27.38 Mx=0.01 Mz=-2.07
Sollecitazioni agenti localmente: Tx_l=-5.34 Ty_l=27.38 N_l=-13803.30 My_l=2.07 Mz_l=0.01
Azioni sul cordone: TP=-0.40 TO=2.02 NO=-1020.34
Tensioni nel cordone: τ_P=0.13 τ_0=0.64 σ_0=327.33 σ_{ID}=327.33 Σ_T=327.98
CC 3 SLV (Collegamento -041_-375)
Azioni sul collegamento: N=-13803.30 Ty=-12.07 Tz=27.38 Mx=0.01 Mz=-6.38
Sollecitazioni agenti localmente: Tx_l=-12.07 Ty_l=27.38 N_l=-13803.30 My_l=6.38 Mz_l=0.01
Azioni sul cordone: TP=-0.90 TO=2.02 NO=-1020.34
Tensioni nel cordone: τ_P=0.29 τ_0=0.64 σ_0=333.63 σ_{ID}=333.63 Σ_T=334.27
CC 4 SLD (Collegamento -041_-375)
Azioni sul collegamento: N=-8790.17 Ty=-8.61 Tz=9.10 Mx=0.00 Mz=-5.70
Sollecitazioni agenti localmente: Tx_l=-8.61 Ty_l=9.10 N_l=-8790.17 My_l=5.70 Mz_l=0.00
Azioni sul cordone: TP=-0.64 TO=0.67 NO=-649.77
Tensioni nel cordone: τ_P=0.20 τ_0=0.21 σ_0=214.86 σ_{ID}=214.86 Σ_T=215.07
CC 4 SLD (Collegamento -041_-375)
Azioni sul collegamento: N=-8790.17 Ty=-10.66 Tz=9.10 Mx=0.00 Mz=-7.02
Sollecitazioni agenti localmente: Tx_l=-10.66 Ty_l=9.10 N_l=-8790.17 My_l=7.02 Mz_l=0.00
Azioni sul cordone: TP=-0.79 TO=0.67 NO=-649.77
Tensioni nel cordone: τ_P=0.25 τ_0=0.21 σ_0=216.78 σ_{ID}=216.78 Σ_T=217.00
CC 4 SLD (Collegamento -041_-375)
Azioni sul collegamento: N=-8790.17 Ty=-8.61 Tz=17.82 Mx=0.00 Mz=-5.70
Sollecitazioni agenti localmente: Tx_l=-8.61 Ty_l=17.82 N_l=-8790.17 My_l=5.70 Mz_l=0.00
Azioni sul cordone: TP=-0.64 TO=1.32 NO=-649.77
Tensioni nel cordone: τ_P=0.20 τ_0=0.42 σ_0=214.86 σ_{ID}=214.86 Σ_T=215.28
CC 4 SLD (Collegamento -041_-375)
Azioni sul collegamento: N=-8790.17 Ty=-10.66 Tz=17.82 Mx=0.00 Mz=-7.02
Sollecitazioni agenti localmente: Tx_l=-10.66 Ty_l=17.82 N_l=-8790.17 My_l=7.02 Mz_l=0.00
Azioni sul cordone: TP=-0.79 TO=1.32 NO=-649.77
Tensioni nel cordone: τ_P=0.25 τ_0=0.42 σ_0=216.78 σ_{ID}=216.78 Σ_T=217.20
CC 4 SLD (Collegamento -041_-375)
Azioni sul collegamento: N=-11178.70 Ty=-8.61 Tz=9.09 Mx=0.00 Mz=-5.70
Sollecitazioni agenti localmente: Tx_l=-8.61 Ty_l=9.09 N_l=-11178.70 My_l=5.70 Mz_l=0.00
Azioni sul cordone: TP=-0.64 TO=0.67 NO=-826.33
Tensioni nel cordone: τ_P=0.20 τ_0=0.21 σ_0=270.98 σ_{ID}=270.98 Σ_T=271.19
CC 4 SLD (Collegamento -041_-375)
Azioni sul collegamento: N=-11178.70 Ty=-10.66 Tz=9.09 Mx=0.00 Mz=-7.02
Sollecitazioni agenti localmente: Tx_l=-10.66 Ty_l=9.09 N_l=-11178.70 My_l=7.02 Mz_l=0.00
Azioni sul cordone: TP=-0.79 TO=0.67 NO=-826.33
Tensioni nel cordone: τ_P=0.25 τ_0=0.21 σ_0=272.90 σ_{ID}=272.90 Σ_T=273.11
CC 4 SLD (Collegamento -041_-375)
Azioni sul collegamento: N=-11178.70 Ty=-8.61 Tz=17.82 Mx=0.00 Mz=-5.70
Sollecitazioni agenti localmente: Tx_l=-8.61 Ty_l=17.82 N_l=-11178.70 My_l=5.70 Mz_l=0.00
Azioni sul cordone: TP=-0.64 TO=1.32 NO=-826.33
Tensioni nel cordone: τ_P=0.20 τ_0=0.42 σ_0=270.98 σ_{ID}=270.98 Σ_T=271.40
CC 4 SLD (Collegamento -041_-375)
Azioni sul collegamento: N=-11178.70 Ty=-10.66 Tz=17.82 Mx=0.00 Mz=-7.02

Sollecitazioni agenti localmente: Tx_l=-10.66 Ty_l=17.82 N_l=-11178.70 My_l=7.02 Mz_l=0.00
Azioni sul cordone: TP=-0.79 TO=1.32 NO=-826.33
Tensioni nel cordone: τ_P=0.25 τ_0=0.42 σ_0=272.90 σ_{ID}=272.90 Σ_T=273.32
CC 5 SLV (Collegamento -041_-375)
Azioni sul collegamento: N=-13803.30 Ty=-12.07 Tz=27.38 Mx=0.01 Mz=-6.38
Sollecitazioni agenti localmente: Tx_l=-12.07 Ty_l=27.38 N_l=-13803.30 My_l=6.38 Mz_l=0.01
Azioni sul cordone: TP=-0.91 TO=2.01 NO=-1020.34
Tensioni nel cordone: τ_P=0.29 τ_0=0.64 σ_0=333.63 σ_{ID}=333.63 Σ_T=334.27
CC 5 SLV (Collegamento -041_-375)
Azioni sul collegamento: N=-13803.30 Ty=-5.34 Tz=27.38 Mx=0.01 Mz=-2.07
Sollecitazioni agenti localmente: Tx_l=-5.34 Ty_l=27.38 N_l=-13803.30 My_l=2.07 Mz_l=0.01
Azioni sul cordone: TP=-0.41 TO=2.01 NO=-1020.34
Tensioni nel cordone: τ_P=0.13 τ_0=0.64 σ_0=327.33 σ_{ID}=327.33 Σ_T=327.97
CC 5 SLV (Collegamento -041_-375)
Azioni sul collegamento: N=-13803.30 Ty=-12.07 Tz=-1.24 Mx=0.01 Mz=-6.38
Sollecitazioni agenti localmente: Tx_l=-12.07 Ty_l=-1.24 N_l=-13803.30 My_l=6.38 Mz_l=0.01
Azioni sul cordone: TP=-0.91 TO=-0.10 NO=-1020.34
Tensioni nel cordone: τ_P=0.29 τ_0= 0.03 σ_0=333.63 σ_{ID}=333.63 Σ_T=333.66
CC 5 SLV (Collegamento -041_-375)
Azioni sul collegamento: N=-13803.30 Ty=-5.34 Tz=-1.24 Mx=0.01 Mz=-2.07
Sollecitazioni agenti localmente: Tx_l=-5.34 Ty_l=-1.24 N_l=-13803.30 My_l=2.07 Mz_l=0.01
Azioni sul cordone: TP=-0.41 TO=-0.10 NO=-1020.34
Tensioni nel cordone: τ_P=0.13 τ_0= 0.03 σ_0=327.33 σ_{ID}=327.33 Σ_T=327.37
CC 5 SLV (Collegamento -041_-375)
Azioni sul collegamento: N=-5970.40 Ty=-12.07 Tz=27.38 Mx=0.01 Mz=-6.38
Sollecitazioni agenti localmente: Tx_l=-12.07 Ty_l=27.38 N_l=-5970.40 My_l=6.38 Mz_l=0.01
Azioni sul cordone: TP=-0.91 TO=2.01 NO=-441.33
Tensioni nel cordone: τ_P=0.29 τ_0=0.64 σ_0=149.59 σ_{ID}=149.60 Σ_T=150.24
CC 5 SLV (Collegamento -041_-375)
Azioni sul collegamento: N=-5970.40 Ty=-5.34 Tz=27.38 Mx=0.01 Mz=-2.07
Sollecitazioni agenti localmente: Tx_l=-5.34 Ty_l=27.38 N_l=-5970.40 My_l=2.07 Mz_l=0.01
Azioni sul cordone: TP=-0.41 TO=2.01 NO=-441.33
Tensioni nel cordone: τ_P=0.13 τ_0=0.64 σ_0=143.30 σ_{ID}=143.30 Σ_T=143.94
CC 5 SLV (Collegamento -041_-375)
Azioni sul collegamento: N=-5970.40 Ty=-12.07 Tz=-1.24 Mx=0.01 Mz=-6.38
Sollecitazioni agenti localmente: Tx_l=-12.07 Ty_l=-1.24 N_l=-5970.40 My_l=6.38 Mz_l=0.01
Azioni sul cordone: TP=-0.91 TO=-0.10 NO=-441.33
Tensioni nel cordone: τ_P=0.29 τ_0= 0.03 σ_0=149.59 σ_{ID}=149.59 Σ_T=149.63
CC 5 SLV (Collegamento -041_-375)
Azioni sul collegamento: N=-5970.40 Ty=-5.34 Tz=-1.24 Mx=0.01 Mz=-2.07
Sollecitazioni agenti localmente: Tx_l=-5.34 Ty_l=-1.24 N_l=-5970.40 My_l=2.07 Mz_l=0.01
Azioni sul cordone: TP=-0.41 TO=-0.10 NO=-441.33
Tensioni nel cordone: τ_P=0.13 τ_0= 0.03 σ_0=143.30 σ_{ID}=143.30 Σ_T=143.33
CC 6 SLD (Collegamento -041_-375)
Azioni sul collegamento: N=-11178.70 Ty=-10.66 Tz=17.82 Mx=0.00 Mz=-7.02
Sollecitazioni agenti localmente: Tx_l=-10.66 Ty_l=17.82 N_l=-11178.70 My_l=7.02 Mz_l=0.00
Azioni sul cordone: TP=-0.79 TO=1.32 NO=-826.33
Tensioni nel cordone: τ_P=0.25 τ_0=0.42 σ_0=272.90 σ_{ID}=272.90 Σ_T=273.32
CC 6 SLD (Collegamento -041_-375)
Azioni sul collegamento: N=-11178.70 Ty=-8.61 Tz=17.82 Mx=0.00 Mz=-5.70
Sollecitazioni agenti localmente: Tx_l=-8.61 Ty_l=17.82 N_l=-11178.70 My_l=5.70 Mz_l=0.00
Azioni sul cordone: TP=-0.64 TO=1.32 NO=-826.33
Tensioni nel cordone: τ_P=0.20 τ_0=0.42 σ_0=270.98 σ_{ID}=270.98 Σ_T=271.40
CC 6 SLD (Collegamento -041_-375)
Azioni sul collegamento: N=-11178.70 Ty=-10.66 Tz=9.09 Mx=0.00 Mz=-7.02
Sollecitazioni agenti localmente: Tx_l=-10.66 Ty_l=9.09 N_l=-11178.70 My_l=7.02 Mz_l=0.00
Azioni sul cordone: TP=-0.79 TO=0.67 NO=-826.33
Tensioni nel cordone: τ_P=0.25 τ_0=0.21 σ_0=272.90 σ_{ID}=272.90 Σ_T=273.11
CC 6 SLD (Collegamento -041_-375)
Azioni sul collegamento: N=-11178.70 Ty=-8.61 Tz=9.09 Mx=0.00 Mz=-5.70
Sollecitazioni agenti localmente: Tx_l=-8.61 Ty_l=9.09 N_l=-11178.70 My_l=5.70 Mz_l=0.00
Azioni sul cordone: TP=-0.64 TO=0.67 NO=-826.33
Tensioni nel cordone: τ_P=0.20 τ_0=0.21 σ_0=270.98 σ_{ID}=270.98 Σ_T=271.19
CC 6 SLD (Collegamento -041_-375)
Azioni sul collegamento: N=-8790.17 Ty=-10.66 Tz=17.82 Mx=0.00 Mz=-7.02
Sollecitazioni agenti localmente: Tx_l=-10.66 Ty_l=17.82 N_l=-8790.17 My_l=7.02 Mz_l=0.00
Azioni sul cordone: TP=-0.79 TO=1.32 NO=-649.77
Tensioni nel cordone: τ_P=0.25 τ_0=0.42 σ_0=216.78 σ_{ID}=216.78 Σ_T=217.20
CC 6 SLD (Collegamento -041_-375)
Azioni sul collegamento: N=-8790.17 Ty=-8.61 Tz=17.82 Mx=0.00 Mz=-5.70
Sollecitazioni agenti localmente: Tx_l=-8.61 Ty_l=17.82 N_l=-8790.17 My_l=5.70 Mz_l=0.00
Azioni sul cordone: TP=-0.64 TO=1.32 NO=-649.77
Tensioni nel cordone: τ_P=0.20 τ_0=0.42 σ_0=214.86 σ_{ID}=214.86 Σ_T=215.28
CC 6 SLD (Collegamento -041_-375)
Azioni sul collegamento: N=-8790.17 Ty=-10.66 Tz=9.10 Mx=0.00 Mz=-7.02
Sollecitazioni agenti localmente: Tx_l=-10.66 Ty_l=9.10 N_l=-8790.17 My_l=7.02 Mz_l=0.00
Azioni sul cordone: TP=-0.79 TO=0.67 NO=-649.77
Tensioni nel cordone: τ_P=0.25 τ_0=0.21 σ_0=216.78 σ_{ID}=216.78 Σ_T=217.00
CC 6 SLD (Collegamento -041_-375)
Azioni sul collegamento: N=-8790.17 Ty=-8.61 Tz=9.10 Mx=0.00 Mz=-5.70
Sollecitazioni agenti localmente: Tx_l=-8.61 Ty_l=9.10 N_l=-8790.17 My_l=5.70 Mz_l=0.00

Azioni sul cordone: TP=-0.64 TO=0.67 NO=-649.77
Tensioni nel cordone: τ_P=0.20 τ_0=0.21 σ_0=214.86 σ_{ID}=214.86 Σ_T=215.07
CC 7 SLV (Collegamento -041_-375)
Azioni sul collegamento: N=-13808.10 Ty=-12.58 Tz=27.71 Mx=0.01 Mz=-7.43
Sollecitazioni agenti localmente: Tx_l=-12.58 Ty_l=27.71 N_l=-13808.10 My_l=7.43 Mz_l=0.01
Azioni sul cordone: TP=-0.94 TO=2.04 NO=-1020.70
Tensioni nel cordone: τ_P=0.30 τ_0=0.65 σ_0=335.28 σ_{ID}=335.28 Σ_T=335.93
CC 7 SLV (Collegamento -041_-375)
Azioni sul collegamento: N=-13808.10 Ty=-4.83 Tz=27.71 Mx=0.01 Mz=-1.02
Sollecitazioni agenti localmente: Tx_l=-4.83 Ty_l=27.71 N_l=-13808.10 My_l=1.02 Mz_l=0.01
Azioni sul cordone: TP=-0.37 TO=2.04 NO=-1020.70
Tensioni nel cordone: τ_P=0.12 τ_0=0.65 σ_0=325.92 σ_{ID}=325.92 Σ_T=326.57
CC 7 SLV (Collegamento -041_-375)
Azioni sul collegamento: N=-13808.10 Ty=-12.58 Tz=-1.56 Mx=0.01 Mz=-7.43
Sollecitazioni agenti localmente: Tx_l=-12.58 Ty_l=-1.56 N_l=-13808.10 My_l=7.43 Mz_l=0.01
Azioni sul cordone: TP=-0.94 TO=-0.12 NO=-1020.70
Tensioni nel cordone: τ_P=0.30 τ_0= 0.04 σ_0=335.28 σ_{ID}=335.28 Σ_T=335.32
CC 7 SLV (Collegamento -041_-375)
Azioni sul collegamento: N=-13808.10 Ty=-4.83 Tz=-1.56 Mx=0.01 Mz=-1.02
Sollecitazioni agenti localmente: Tx_l=-4.83 Ty_l=-1.56 N_l=-13808.10 My_l=1.02 Mz_l=0.01
Azioni sul cordone: TP=-0.37 TO=-0.12 NO=-1020.70
Tensioni nel cordone: τ_P=0.12 τ_0= 0.04 σ_0=325.92 σ_{ID}=325.92 Σ_T=325.96
CC 7 SLV (Collegamento -041_-375)
Azioni sul collegamento: N=-5965.50 Ty=-12.58 Tz=27.71 Mx=0.01 Mz=-7.43
Sollecitazioni agenti localmente: Tx_l=-12.58 Ty_l=27.71 N_l=-5965.50 My_l=7.43 Mz_l=0.01
Azioni sul cordone: TP=-0.94 TO=2.04 NO=-440.97
Tensioni nel cordone: τ_P=0.30 τ_0=0.65 σ_0=151.01 σ_{ID}=151.01 Σ_T=151.66
CC 7 SLV (Collegamento -041_-375)
Azioni sul collegamento: N=-5965.50 Ty=-4.83 Tz=27.71 Mx=0.01 Mz=-1.02
Sollecitazioni agenti localmente: Tx_l=-4.83 Ty_l=27.71 N_l=-5965.50 My_l=1.02 Mz_l=0.01
Azioni sul cordone: TP=-0.37 TO=2.04 NO=-440.97
Tensioni nel cordone: τ_P=0.12 τ_0=0.65 σ_0=141.65 σ_{ID}=141.65 Σ_T=142.30
CC 7 SLV (Collegamento -041_-375)
Azioni sul collegamento: N=-5965.50 Ty=-12.58 Tz=-1.56 Mx=0.01 Mz=-7.43
Sollecitazioni agenti localmente: Tx_l=-12.58 Ty_l=-1.56 N_l=-5965.50 My_l=7.43 Mz_l=0.01
Azioni sul cordone: TP=-0.94 TO=-0.12 NO=-440.97
Tensioni nel cordone: τ_P=0.30 τ_0= 0.04 σ_0=151.01 σ_{ID}=151.01 Σ_T=151.05
CC 7 SLV (Collegamento -041_-375)
Azioni sul collegamento: N=-5965.50 Ty=-4.83 Tz=-1.56 Mx=0.01 Mz=-1.02
Sollecitazioni agenti localmente: Tx_l=-4.83 Ty_l=-1.56 N_l=-5965.50 My_l=1.02 Mz_l=0.01
Azioni sul cordone: TP=-0.37 TO=-0.12 NO=-440.97
Tensioni nel cordone: τ_P=0.12 τ_0= 0.04 σ_0=141.65 σ_{ID}=141.65 Σ_T=141.69
CC 8 SLD (Collegamento -041_-375)
Azioni sul collegamento: N=-11180.10 Ty=-10.81 Tz=17.92 Mx=0.00 Mz=-7.34
Sollecitazioni agenti localmente: Tx_l=-10.81 Ty_l=17.92 N_l=-11180.10 My_l=7.34 Mz_l=0.00
Azioni sul cordone: TP=-0.80 TO=1.32 NO=-826.44
Tensioni nel cordone: τ_P=0.25 τ_0=0.42 σ_0=273.40 σ_{ID}=273.40 Σ_T=273.82
CC 8 SLD (Collegamento -041_-375)
Azioni sul collegamento: N=-11180.10 Ty=-8.45 Tz=17.92 Mx=0.00 Mz=-5.38
Sollecitazioni agenti localmente: Tx_l=-8.45 Ty_l=17.92 N_l=-11180.10 My_l=5.38 Mz_l=0.00
Azioni sul cordone: TP=-0.62 TO=1.32 NO=-826.44
Tensioni nel cordone: τ_P=0.20 τ_0=0.42 σ_0=270.55 σ_{ID}=270.55 Σ_T=270.97
CC 8 SLD (Collegamento -041_-375)
Azioni sul collegamento: N=-11180.10 Ty=-10.81 Tz=8.99 Mx=0.00 Mz=-7.34
Sollecitazioni agenti localmente: Tx_l=-10.81 Ty_l=8.99 N_l=-11180.10 My_l=7.34 Mz_l=0.00
Azioni sul cordone: TP=-0.80 TO=0.66 NO=-826.44
Tensioni nel cordone: τ_P=0.25 τ_0=0.21 σ_0=273.40 σ_{ID}=273.40 Σ_T=273.61
CC 8 SLD (Collegamento -041_-375)
Azioni sul collegamento: N=-11180.10 Ty=-8.45 Tz=8.99 Mx=0.00 Mz=-5.38
Sollecitazioni agenti localmente: Tx_l=-8.45 Ty_l=8.99 N_l=-11180.10 My_l=5.38 Mz_l=0.00
Azioni sul cordone: TP=-0.62 TO=0.66 NO=-826.44
Tensioni nel cordone: τ_P=0.20 τ_0=0.21 σ_0=270.55 σ_{ID}=270.55 Σ_T=270.76
CC 8 SLD (Collegamento -041_-375)
Azioni sul collegamento: N=-8788.68 Ty=-10.81 Tz=17.92 Mx=0.00 Mz=-7.34
Sollecitazioni agenti localmente: Tx_l=-10.81 Ty_l=17.92 N_l=-8788.68 My_l=7.34 Mz_l=0.00
Azioni sul cordone: TP=-0.80 TO=1.32 NO=-649.66
Tensioni nel cordone: τ_P=0.25 τ_0=0.42 σ_0=217.21 σ_{ID}=217.21 Σ_T=217.63
CC 8 SLD (Collegamento -041_-375)
Azioni sul collegamento: N=-8788.68 Ty=-8.45 Tz=17.92 Mx=0.00 Mz=-5.38
Sollecitazioni agenti localmente: Tx_l=-8.45 Ty_l=17.92 N_l=-8788.68 My_l=5.38 Mz_l=0.00
Azioni sul cordone: TP=-0.62 TO=1.32 NO=-649.66
Tensioni nel cordone: τ_P=0.20 τ_0=0.42 σ_0=214.36 σ_{ID}=214.36 Σ_T=214.78
CC 8 SLD (Collegamento -041_-375)
Azioni sul collegamento: N=-8788.68 Ty=-10.81 Tz=9.00 Mx=0.00 Mz=-7.34
Sollecitazioni agenti localmente: Tx_l=-10.81 Ty_l=9.00 N_l=-8788.68 My_l=7.34 Mz_l=0.00
Azioni sul cordone: TP=-0.80 TO=0.66 NO=-649.66
Tensioni nel cordone: τ_P=0.25 τ_0=0.21 σ_0=217.21 σ_{ID}=217.21 Σ_T=217.43
CC 8 SLD (Collegamento -041_-375)
Azioni sul collegamento: N=-8788.68 Ty=-8.45 Tz=9.00 Mx=0.00 Mz=-5.38
Sollecitazioni agenti localmente: Tx_l=-8.45 Ty_l=9.00 N_l=-8788.68 My_l=5.38 Mz_l=0.00
Azioni sul cordone: TP=-0.62 TO=0.66 NO=-649.66

Tensioni nel cordone: τ_P=0.20 τ_0=0.21 σ_0=214.36 σ_{ID}=214.36 Σ_T=214.57
CC 9 SLV (Collegamento -041_-375)
Azioni sul collegamento: N=-8703.00 Ty=-6.76 Tz=8.19 Mx=0.02 Mz=-1.67
Sollecitazioni agenti localmente: Tx_l=-6.76 Ty_l=8.19 N_l=-8703.00 My_l=1.67 Mz_l=0.02
Azioni sul cordone: TP=-0.52 TO=0.59 NO=-643.33
Tensioni nel cordone: τ_P=0.17 τ_0=0.19 σ_0=206.93 σ_{ID}=206.93 Σ_T=207.11
CC 9 SLV (Collegamento -041_-375)
Azioni sul collegamento: N=-8703.00 Ty=-10.65 Tz=8.19 Mx=0.02 Mz=-6.77
Sollecitazioni agenti localmente: Tx_l=-10.65 Ty_l=8.19 N_l=-8703.00 My_l=6.77 Mz_l=0.02
Azioni sul cordone: TP=-0.81 TO=0.59 NO=-643.33
Tensioni nel cordone: τ_P=0.26 τ_0=0.19 σ_0=214.38 σ_{ID}=214.38 Σ_T=214.56
CC 9 SLV (Collegamento -041_-375)
Azioni sul collegamento: N=-8703.00 Ty=-6.76 Tz=17.96 Mx=0.02 Mz=-1.67
Sollecitazioni agenti localmente: Tx_l=-6.76 Ty_l=17.96 N_l=-8703.00 My_l=1.67 Mz_l=0.02
Azioni sul cordone: TP=-0.52 TO=1.31 NO=-643.33
Tensioni nel cordone: τ_P=0.17 τ_0=0.42 σ_0=206.93 σ_{ID}=206.93 Σ_T=207.34
CC 9 SLV (Collegamento -041_-375)
Azioni sul collegamento: N=-8703.00 Ty=-10.65 Tz=17.96 Mx=0.02 Mz=-6.77
Sollecitazioni agenti localmente: Tx_l=-10.65 Ty_l=17.96 N_l=-8703.00 My_l=6.77 Mz_l=0.02
Azioni sul cordone: TP=-0.81 TO=1.31 NO=-643.33
Tensioni nel cordone: τ_P=0.26 τ_0=0.42 σ_0=214.38 σ_{ID}=214.38 Σ_T=214.79
CC 9 SLV (Collegamento -041_-375)
Azioni sul collegamento: N=-11070.70 Ty=-6.76 Tz=8.19 Mx=0.02 Mz=-1.67
Sollecitazioni agenti localmente: Tx_l=-6.76 Ty_l=8.19 N_l=-11070.70 My_l=1.67 Mz_l=0.02
Azioni sul cordone: TP=-0.52 TO=0.59 NO=-818.35
Tensioni nel cordone: τ_P=0.17 τ_0=0.19 σ_0=262.55 σ_{ID}=262.55 Σ_T=262.74
CC 9 SLV (Collegamento -041_-375)
Azioni sul collegamento: N=-11070.70 Ty=-10.65 Tz=8.19 Mx=0.02 Mz=-6.77
Sollecitazioni agenti localmente: Tx_l=-10.65 Ty_l=8.19 N_l=-11070.70 My_l=6.77 Mz_l=0.02
Azioni sul cordone: TP=-0.81 TO=0.59 NO=-818.35
Tensioni nel cordone: τ_P=0.26 τ_0=0.19 σ_0=270.00 σ_{ID}=270.00 Σ_T=270.19
CC 9 SLV (Collegamento -041_-375)
Azioni sul collegamento: N=-11070.70 Ty=-6.76 Tz=17.96 Mx=0.02 Mz=-1.67
Sollecitazioni agenti localmente: Tx_l=-6.76 Ty_l=17.96 N_l=-11070.70 My_l=1.67 Mz_l=0.02
Azioni sul cordone: TP=-0.52 TO=1.31 NO=-818.35
Tensioni nel cordone: τ_P=0.17 τ_0=0.42 σ_0=262.55 σ_{ID}=262.55 Σ_T=262.97
CC 9 SLV (Collegamento -041_-375)
Azioni sul collegamento: N=-11070.70 Ty=-10.65 Tz=17.96 Mx=0.02 Mz=-6.77
Sollecitazioni agenti localmente: Tx_l=-10.65 Ty_l=17.96 N_l=-11070.70 My_l=6.77 Mz_l=0.02
Azioni sul cordone: TP=-0.81 TO=1.31 NO=-818.35
Tensioni nel cordone: τ_P=0.26 τ_0=0.42 σ_0=270.00 σ_{ID}=270.00 Σ_T=270.42
CC 10 SLD (Collegamento -041_-375)
Azioni sul collegamento: N=-9623.43 Ty=-9.04 Tz=11.97 Mx=0.00 Mz=-5.58
Sollecitazioni agenti localmente: Tx_l=-9.04 Ty_l=11.97 N_l=-9623.43 My_l=5.58 Mz_l=0.00
Azioni sul cordone: TP=-0.67 TO=0.88 NO=-711.37
Tensioni nel cordone: τ_P=0.21 τ_0=0.28 σ_0=234.26 σ_{ID}=234.26 Σ_T=234.54
CC 10 SLD (Collegamento -041_-375)
Azioni sul collegamento: N=-9623.43 Ty=-10.22 Tz=11.97 Mx=0.00 Mz=-7.14
Sollecitazioni agenti localmente: Tx_l=-10.22 Ty_l=11.97 N_l=-9623.43 My_l=7.14 Mz_l=0.00
Azioni sul cordone: TP=-0.76 TO=0.88 NO=-711.37
Tensioni nel cordone: τ_P=0.24 τ_0=0.28 σ_0=236.53 σ_{ID}=236.54 Σ_T=236.82
CC 10 SLD (Collegamento -041_-375)
Azioni sul collegamento: N=-9623.43 Ty=-9.04 Tz=14.95 Mx=0.00 Mz=-5.58
Sollecitazioni agenti localmente: Tx_l=-9.04 Ty_l=14.95 N_l=-9623.43 My_l=5.58 Mz_l=0.00
Azioni sul cordone: TP=-0.67 TO=1.10 NO=-711.37
Tensioni nel cordone: τ_P=0.21 τ_0=0.35 σ_0=234.26 σ_{ID}=234.26 Σ_T=234.61
CC 10 SLD (Collegamento -041_-375)
Azioni sul collegamento: N=-9623.43 Ty=-10.22 Tz=14.95 Mx=0.00 Mz=-7.14
Sollecitazioni agenti localmente: Tx_l=-10.22 Ty_l=14.95 N_l=-9623.43 My_l=7.14 Mz_l=0.00
Azioni sul cordone: TP=-0.76 TO=1.10 NO=-711.37
Tensioni nel cordone: τ_P=0.24 τ_0=0.35 σ_0=236.53 σ_{ID}=236.54 Σ_T=236.89
CC 10 SLD (Collegamento -041_-375)
Azioni sul collegamento: N=-10345.40 Ty=-9.04 Tz=11.97 Mx=0.00 Mz=-5.58
Sollecitazioni agenti localmente: Tx_l=-9.04 Ty_l=11.97 N_l=-10345.40 My_l=5.58 Mz_l=0.00
Azioni sul cordone: TP=-0.67 TO=0.88 NO=-764.74
Tensioni nel cordone: τ_P=0.21 τ_0=0.28 σ_0=251.23 σ_{ID}=251.23 Σ_T=251.51
CC 10 SLD (Collegamento -041_-375)
Azioni sul collegamento: N=-10345.40 Ty=-10.22 Tz=11.97 Mx=0.00 Mz=-7.14
Sollecitazioni agenti localmente: Tx_l=-10.22 Ty_l=11.97 N_l=-10345.40 My_l=7.14 Mz_l=0.00
Azioni sul cordone: TP=-0.76 TO=0.88 NO=-764.74
Tensioni nel cordone: τ_P=0.24 τ_0=0.28 σ_0=253.50 σ_{ID}=253.50 Σ_T=253.78
CC 10 SLD (Collegamento -041_-375)
Azioni sul collegamento: N=-10345.40 Ty=-9.04 Tz=14.95 Mx=0.00 Mz=-5.58
Sollecitazioni agenti localmente: Tx_l=-9.04 Ty_l=14.95 N_l=-10345.40 My_l=5.58 Mz_l=0.00
Azioni sul cordone: TP=-0.67 TO=1.10 NO=-764.74
Tensioni nel cordone: τ_P=0.21 τ_0=0.35 σ_0=251.23 σ_{ID}=251.23 Σ_T=251.58
CC 10 SLD (Collegamento -041_-375)
Azioni sul collegamento: N=-10345.40 Ty=-10.22 Tz=14.95 Mx=0.00 Mz=-7.14
Sollecitazioni agenti localmente: Tx_l=-10.22 Ty_l=14.95 N_l=-10345.40 My_l=7.14 Mz_l=0.00
Azioni sul cordone: TP=-0.76 TO=1.10 NO=-764.74
Tensioni nel cordone: τ_P=0.24 τ_0=0.35 σ_0=253.50 σ_{ID}=253.50 Σ_T=253.85

CC 11 SLV (Collegamento -041_-375)
Azioni sul collegamento: N=-11054.30 Ty=-8.94 Tz=16.87 Mx=0.02 Mz=-3.28
Sollecitazioni agenti localmente: Tx_l=-8.94 Ty_l=16.87 N_l=-11054.30 My_l=3.28 Mz_l=0.02
Azioni sul cordone: TP=-0.68 TO=1.23 NO=-817.14
Tensioni nel cordone: τ_P=0.22 τ_0=0.39 σ_0=264.52 σ_{ID}=264.52 Σ_T=264.91
CC 11 SLV (Collegamento -041_-375)
Azioni sul collegamento: N=-11054.30 Ty=-8.48 Tz=16.87 Mx=0.02 Mz=-5.16
Sollecitazioni agenti localmente: Tx_l=-8.48 Ty_l=16.87 N_l=-11054.30 My_l=5.16 Mz_l=0.02
Azioni sul cordone: TP=-0.65 TO=1.23 NO=-817.14
Tensioni nel cordone: τ_P=0.21 τ_0=0.39 σ_0=267.27 σ_{ID}=267.27 Σ_T=267.66
CC 11 SLV (Collegamento -041_-375)
Azioni sul collegamento: N=-11054.30 Ty=-8.94 Tz=9.28 Mx=0.02 Mz=-3.28
Sollecitazioni agenti localmente: Tx_l=-8.94 Ty_l=9.28 N_l=-11054.30 My_l=3.28 Mz_l=0.02
Azioni sul cordone: TP=-0.68 TO=0.67 NO=-817.14
Tensioni nel cordone: τ_P=0.22 τ_0=0.21 σ_0=264.52 σ_{ID}=264.52 Σ_T=264.73
CC 11 SLV (Collegamento -041_-375)
Azioni sul collegamento: N=-11054.30 Ty=-8.48 Tz=9.28 Mx=0.02 Mz=-5.16
Sollecitazioni agenti localmente: Tx_l=-8.48 Ty_l=9.28 N_l=-11054.30 My_l=5.16 Mz_l=0.02
Azioni sul cordone: TP=-0.65 TO=0.67 NO=-817.14
Tensioni nel cordone: τ_P=0.21 τ_0=0.21 σ_0=267.27 σ_{ID}=267.27 Σ_T=267.49
CC 11 SLV (Collegamento -041_-375)
Azioni sul collegamento: N=-8719.33 Ty=-8.94 Tz=16.87 Mx=0.02 Mz=-3.28
Sollecitazioni agenti localmente: Tx_l=-8.94 Ty_l=16.87 N_l=-8719.33 My_l=3.28 Mz_l=0.02
Azioni sul cordone: TP=-0.68 TO=1.23 NO=-644.53
Tensioni nel cordone: τ_P=0.22 τ_0=0.39 σ_0=209.66 σ_{ID}=209.66 Σ_T=210.05
CC 11 SLV (Collegamento -041_-375)
Azioni sul collegamento: N=-8719.33 Ty=-8.48 Tz=16.87 Mx=0.02 Mz=-5.16
Sollecitazioni agenti localmente: Tx_l=-8.48 Ty_l=16.87 N_l=-8719.33 My_l=5.16 Mz_l=0.02
Azioni sul cordone: TP=-0.65 TO=1.23 NO=-644.53
Tensioni nel cordone: τ_P=0.21 τ_0=0.39 σ_0=212.41 σ_{ID}=212.41 Σ_T=212.80
CC 11 SLV (Collegamento -041_-375)
Azioni sul collegamento: N=-8719.33 Ty=-8.94 Tz=9.28 Mx=0.02 Mz=-3.28
Sollecitazioni agenti localmente: Tx_l=-8.94 Ty_l=9.28 N_l=-8719.33 My_l=3.28 Mz_l=0.02
Azioni sul cordone: TP=-0.68 TO=0.67 NO=-644.53
Tensioni nel cordone: τ_P=0.22 τ_0=0.21 σ_0=209.66 σ_{ID}=209.66 Σ_T=209.87
CC 11 SLV (Collegamento -041_-375)
Azioni sul collegamento: N=-8719.33 Ty=-8.48 Tz=9.28 Mx=0.02 Mz=-5.16
Sollecitazioni agenti localmente: Tx_l=-8.48 Ty_l=9.28 N_l=-8719.33 My_l=5.16 Mz_l=0.02
Azioni sul cordone: TP=-0.65 TO=0.67 NO=-644.53
Tensioni nel cordone: τ_P=0.21 τ_0=0.21 σ_0=212.41 σ_{ID}=212.41 Σ_T=212.62
CC 12 SLD (Collegamento -041_-375)
Azioni sul collegamento: N=-10340.40 Ty=-9.70 Tz=14.62 Mx=0.00 Mz=-6.07
Sollecitazioni agenti localmente: Tx_l=-9.70 Ty_l=14.62 N_l=-10340.40 My_l=6.07 Mz_l=0.00
Azioni sul cordone: TP=-0.72 TO=1.08 NO=-764.37
Tensioni nel cordone: τ_P=0.23 τ_0=0.34 σ_0=251.83 σ_{ID}=251.83 Σ_T=252.17
CC 12 SLD (Collegamento -041_-375)
Azioni sul collegamento: N=-10340.40 Ty=-9.56 Tz=14.62 Mx=0.00 Mz=-6.65
Sollecitazioni agenti localmente: Tx_l=-9.56 Ty_l=14.62 N_l=-10340.40 My_l=6.65 Mz_l=0.00
Azioni sul cordone: TP=-0.71 TO=1.08 NO=-764.37
Tensioni nel cordone: τ_P=0.23 τ_0=0.34 σ_0=252.66 σ_{ID}=252.67 Σ_T=253.01
CC 12 SLD (Collegamento -041_-375)
Azioni sul collegamento: N=-10340.40 Ty=-9.70 Tz=12.30 Mx=0.00 Mz=-6.07
Sollecitazioni agenti localmente: Tx_l=-9.70 Ty_l=12.30 N_l=-10340.40 My_l=6.07 Mz_l=0.00
Azioni sul cordone: TP=-0.72 TO=0.91 NO=-764.37
Tensioni nel cordone: τ_P=0.23 τ_0=0.29 σ_0=251.83 σ_{ID}=251.83 Σ_T=252.11
CC 12 SLD (Collegamento -041_-375)
Azioni sul collegamento: N=-10340.40 Ty=-9.56 Tz=12.30 Mx=0.00 Mz=-6.65
Sollecitazioni agenti localmente: Tx_l=-9.56 Ty_l=12.30 N_l=-10340.40 My_l=6.65 Mz_l=0.00
Azioni sul cordone: TP=-0.71 TO=0.91 NO=-764.37
Tensioni nel cordone: τ_P=0.23 τ_0=0.29 σ_0=252.66 σ_{ID}=252.67 Σ_T=252.95
CC 12 SLD (Collegamento -041_-375)
Azioni sul collegamento: N=-9628.41 Ty=-9.70 Tz=14.62 Mx=0.00 Mz=-6.07
Sollecitazioni agenti localmente: Tx_l=-9.70 Ty_l=14.62 N_l=-9628.41 My_l=6.07 Mz_l=0.00
Azioni sul cordone: TP=-0.72 TO=1.08 NO=-711.74
Tensioni nel cordone: τ_P=0.23 τ_0=0.34 σ_0=235.10 σ_{ID}=235.10 Σ_T=235.44
CC 12 SLD (Collegamento -041_-375)
Azioni sul collegamento: N=-9628.41 Ty=-9.56 Tz=14.62 Mx=0.00 Mz=-6.65
Sollecitazioni agenti localmente: Tx_l=-9.56 Ty_l=14.62 N_l=-9628.41 My_l=6.65 Mz_l=0.00
Azioni sul cordone: TP=-0.71 TO=1.08 NO=-711.74
Tensioni nel cordone: τ_P=0.23 τ_0=0.34 σ_0=235.94 σ_{ID}=235.94 Σ_T=236.28
CC 12 SLD (Collegamento -041_-375)
Azioni sul collegamento: N=-9628.40 Ty=-9.70 Tz=12.30 Mx=0.00 Mz=-6.07
Sollecitazioni agenti localmente: Tx_l=-9.70 Ty_l=12.30 N_l=-9628.40 My_l=6.07 Mz_l=0.00
Azioni sul cordone: TP=-0.72 TO=0.91 NO=-711.73
Tensioni nel cordone: τ_P=0.23 τ_0=0.29 σ_0=235.10 σ_{ID}=235.10 Σ_T=235.38
CC 12 SLD (Collegamento -041_-375)
Azioni sul collegamento: N=-9628.40 Ty=-9.56 Tz=12.30 Mx=0.00 Mz=-6.65
Sollecitazioni agenti localmente: Tx_l=-9.56 Ty_l=12.30 N_l=-9628.40 My_l=6.65 Mz_l=0.00
Azioni sul cordone: TP=-0.71 TO=0.91 NO=-711.73
Tensioni nel cordone: τ_P=0.23 τ_0=0.29 σ_0=235.94 σ_{ID}=235.94 Σ_T=236.22
CC 13 SLV (Collegamento -041_-375)

Azioni sul collegamento: N=-8719.33 Ty=-8.48 Tz=9.28 Mx=0.00 Mz=-5.16
Sollecitazioni agenti localmente: Tx_l=-8.48 Ty_l=9.28 N_l=-8719.33 My_l=5.16 Mz_l=0.00
Azioni sul cordone: TP=-0.63 TO=0.68 NO=-644.53
Tensioni nel cordone: τ_P=0.20 τ_0=0.22 σ_0=212.41 σ_{ID}=212.41 Σ_T=212.63
CC 13 SLV (Collegamento -041_-375)
Azioni sul collegamento: N=-8719.33 Ty=-8.94 Tz=9.28 Mx=0.00 Mz=-3.28
Sollecitazioni agenti localmente: Tx_l=-8.94 Ty_l=9.28 N_l=-8719.33 My_l=3.28 Mz_l=0.00
Azioni sul cordone: TP=-0.66 TO=0.68 NO=-644.53
Tensioni nel cordone: τ_P=0.21 τ_0=0.22 σ_0=209.66 σ_{ID}=209.66 Σ_T=209.87
CC 13 SLV (Collegamento -041_-375)
Azioni sul collegamento: N=-8719.33 Ty=-8.48 Tz=16.87 Mx=0.00 Mz=-5.16
Sollecitazioni agenti localmente: Tx_l=-8.48 Ty_l=16.87 N_l=-8719.33 My_l=5.16 Mz_l=0.00
Azioni sul cordone: TP=-0.63 TO=1.25 NO=-644.53
Tensioni nel cordone: τ_P=0.20 τ_0=0.40 σ_0=212.41 σ_{ID}=212.41 Σ_T=212.81
CC 13 SLV (Collegamento -041_-375)
Azioni sul collegamento: N=-8719.33 Ty=-8.94 Tz=16.87 Mx=0.00 Mz=-3.28
Sollecitazioni agenti localmente: Tx_l=-8.94 Ty_l=16.87 N_l=-8719.33 My_l=3.28 Mz_l=0.00
Azioni sul cordone: TP=-0.66 TO=1.25 NO=-644.53
Tensioni nel cordone: τ_P=0.21 τ_0=0.40 σ_0=209.66 σ_{ID}=209.66 Σ_T=210.05
CC 13 SLV (Collegamento -041_-375)
Azioni sul collegamento: N=-11054.30 Ty=-8.48 Tz=9.28 Mx=0.00 Mz=-5.16
Sollecitazioni agenti localmente: Tx_l=-8.48 Ty_l=9.28 N_l=-11054.30 My_l=5.16 Mz_l=0.00
Azioni sul cordone: TP=-0.63 TO=0.68 NO=-817.14
Tensioni nel cordone: τ_P=0.20 τ_0=0.22 σ_0=267.27 σ_{ID}=267.27 Σ_T=267.49
CC 13 SLV (Collegamento -041_-375)
Azioni sul collegamento: N=-11054.30 Ty=-8.94 Tz=9.28 Mx=0.00 Mz=-3.28
Sollecitazioni agenti localmente: Tx_l=-8.94 Ty_l=9.28 N_l=-11054.30 My_l=3.28 Mz_l=0.00
Azioni sul cordone: TP=-0.66 TO=0.68 NO=-817.14
Tensioni nel cordone: τ_P=0.21 τ_0=0.22 σ_0=264.52 σ_{ID}=264.52 Σ_T=264.74
CC 13 SLV (Collegamento -041_-375)
Azioni sul collegamento: N=-11054.30 Ty=-8.48 Tz=16.87 Mx=0.00 Mz=-5.16
Sollecitazioni agenti localmente: Tx_l=-8.48 Ty_l=16.87 N_l=-11054.30 My_l=5.16 Mz_l=0.00
Azioni sul cordone: TP=-0.63 TO=1.25 NO=-817.14
Tensioni nel cordone: τ_P=0.20 τ_0=0.40 σ_0=267.27 σ_{ID}=267.27 Σ_T=267.67
CC 13 SLV (Collegamento -041_-375)
Azioni sul collegamento: N=-11054.30 Ty=-8.94 Tz=16.87 Mx=0.00 Mz=-3.28
Sollecitazioni agenti localmente: Tx_l=-8.94 Ty_l=16.87 N_l=-11054.30 My_l=3.28 Mz_l=0.00
Azioni sul cordone: TP=-0.66 TO=1.25 NO=-817.14
Tensioni nel cordone: τ_P=0.21 τ_0=0.40 σ_0=264.52 σ_{ID}=264.52 Σ_T=264.92
CC 14 SLD (Collegamento -041_-375)
Azioni sul collegamento: N=-9628.40 Ty=-9.56 Tz=12.30 Mx=-0.00 Mz=-6.65
Sollecitazioni agenti localmente: Tx_l=-9.56 Ty_l=12.30 N_l=-9628.40 My_l=6.65 Mz_l=-0.00
Azioni sul cordone: TP=-0.71 TO=0.91 NO=-711.73
Tensioni nel cordone: τ_P=0.22 τ_0=0.29 σ_0=235.94 σ_{ID}=235.94 Σ_T=236.23
CC 14 SLD (Collegamento -041_-375)
Azioni sul collegamento: N=-9628.40 Ty=-9.70 Tz=12.30 Mx=-0.00 Mz=-6.07
Sollecitazioni agenti localmente: Tx_l=-9.70 Ty_l=12.30 N_l=-9628.40 My_l=6.07 Mz_l=-0.00
Azioni sul cordone: TP=-0.72 TO=0.91 NO=-711.73
Tensioni nel cordone: τ_P=0.23 τ_0=0.29 σ_0=235.10 σ_{ID}=235.10 Σ_T=235.39
CC 14 SLD (Collegamento -041_-375)
Azioni sul collegamento: N=-9628.41 Ty=-9.56 Tz=14.62 Mx=-0.00 Mz=-6.65
Sollecitazioni agenti localmente: Tx_l=-9.56 Ty_l=14.62 N_l=-9628.41 My_l=6.65 Mz_l=-0.00
Azioni sul cordone: TP=-0.71 TO=1.08 NO=-711.74
Tensioni nel cordone: τ_P=0.22 τ_0=0.34 σ_0=235.94 σ_{ID}=235.94 Σ_T=236.28
CC 14 SLD (Collegamento -041_-375)
Azioni sul collegamento: N=-9628.41 Ty=-9.70 Tz=14.62 Mx=-0.00 Mz=-6.07
Sollecitazioni agenti localmente: Tx_l=-9.70 Ty_l=14.62 N_l=-9628.41 My_l=6.07 Mz_l=-0.00
Azioni sul cordone: TP=-0.72 TO=1.08 NO=-711.74
Tensioni nel cordone: τ_P=0.23 τ_0=0.34 σ_0=235.10 σ_{ID}=235.10 Σ_T=235.44
CC 14 SLD (Collegamento -041_-375)
Azioni sul collegamento: N=-10340.40 Ty=-9.56 Tz=12.30 Mx=-0.00 Mz=-6.65
Sollecitazioni agenti localmente: Tx_l=-9.56 Ty_l=12.30 N_l=-10340.40 My_l=6.65 Mz_l=-0.00
Azioni sul cordone: TP=-0.71 TO=0.91 NO=-764.37
Tensioni nel cordone: τ_P=0.22 τ_0=0.29 σ_0=252.66 σ_{ID}=252.67 Σ_T=252.96
CC 14 SLD (Collegamento -041_-375)
Azioni sul collegamento: N=-10340.40 Ty=-9.70 Tz=12.30 Mx=-0.00 Mz=-6.07
Sollecitazioni agenti localmente: Tx_l=-9.70 Ty_l=12.30 N_l=-10340.40 My_l=6.07 Mz_l=-0.00
Azioni sul cordone: TP=-0.72 TO=0.91 NO=-764.37
Tensioni nel cordone: τ_P=0.23 τ_0=0.29 σ_0=251.83 σ_{ID}=251.83 Σ_T=252.12
CC 14 SLD (Collegamento -041_-375)
Azioni sul collegamento: N=-10340.40 Ty=-9.56 Tz=14.62 Mx=-0.00 Mz=-6.65
Sollecitazioni agenti localmente: Tx_l=-9.56 Ty_l=14.62 N_l=-10340.40 My_l=6.65 Mz_l=-0.00
Azioni sul cordone: TP=-0.71 TO=1.08 NO=-764.37
Tensioni nel cordone: τ_P=0.22 τ_0=0.34 σ_0=252.66 σ_{ID}=252.67 Σ_T=253.01
CC 14 SLD (Collegamento -041_-375)
Azioni sul collegamento: N=-10340.40 Ty=-9.70 Tz=14.62 Mx=-0.00 Mz=-6.07
Sollecitazioni agenti localmente: Tx_l=-9.70 Ty_l=14.62 N_l=-10340.40 My_l=6.07 Mz_l=-0.00
Azioni sul cordone: TP=-0.72 TO=1.08 NO=-764.37
Tensioni nel cordone: τ_P=0.23 τ_0=0.34 σ_0=251.83 σ_{ID}=251.83 Σ_T=252.17
CC 15 SLV (Collegamento -041_-375)
Azioni sul collegamento: N=-11070.70 Ty=-10.65 Tz=17.96 Mx=0.00 Mz=-6.77

Sollecitazioni agenti localmente: Tx_l=-10.65 Ty_l=17.96 N_l=-11070.70 My_l=6.77 Mz_l=0.00
Azioni sul cordone: TP=-0.79 TO=1.33 NO=-818.35
Tensioni nel cordone: τ_P=0.25 τ_0=0.42 σ_0=270.00 σ_{ID}=270.00 Σ_T=270.43
CC 15 SLV (Collegamento -041_-375)
Azioni sul collegamento: N=-11070.70 Ty=-6.76 Tz=17.96 Mx=0.00 Mz=-1.67
Sollecitazioni agenti localmente: Tx_l=-6.76 Ty_l=17.96 N_l=-11070.70 My_l=1.67 Mz_l=0.00
Azioni sul cordone: TP=-0.50 TO=1.33 NO=-818.35
Tensioni nel cordone: τ_P=0.16 τ_0=0.42 σ_0=262.55 σ_{ID}=262.55 Σ_T=262.98
CC 15 SLV (Collegamento -041_-375)
Azioni sul collegamento: N=-11070.70 Ty=-10.65 Tz=8.19 Mx=0.00 Mz=-6.77
Sollecitazioni agenti localmente: Tx_l=-10.65 Ty_l=8.19 N_l=-11070.70 My_l=6.77 Mz_l=0.00
Azioni sul cordone: TP=-0.79 TO=0.60 NO=-818.35
Tensioni nel cordone: τ_P=0.25 τ_0=0.19 σ_0=270.00 σ_{ID}=270.00 Σ_T=270.20
CC 15 SLV (Collegamento -041_-375)
Azioni sul collegamento: N=-11070.70 Ty=-6.76 Tz=8.19 Mx=0.00 Mz=-1.67
Sollecitazioni agenti localmente: Tx_l=-6.76 Ty_l=8.19 N_l=-11070.70 My_l=1.67 Mz_l=0.00
Azioni sul cordone: TP=-0.50 TO=0.60 NO=-818.35
Tensioni nel cordone: τ_P=0.16 τ_0=0.19 σ_0=262.55 σ_{ID}=262.55 Σ_T=262.75
CC 15 SLV (Collegamento -041_-375)
Azioni sul collegamento: N=-8703.00 Ty=-10.65 Tz=17.96 Mx=0.00 Mz=-6.77
Sollecitazioni agenti localmente: Tx_l=-10.65 Ty_l=17.96 N_l=-8703.00 My_l=6.77 Mz_l=0.00
Azioni sul cordone: TP=-0.79 TO=1.33 NO=-643.33
Tensioni nel cordone: τ_P=0.25 τ_0=0.42 σ_0=214.38 σ_{ID}=214.38 Σ_T=214.80
CC 15 SLV (Collegamento -041_-375)
Azioni sul collegamento: N=-8703.00 Ty=-6.76 Tz=17.96 Mx=0.00 Mz=-1.67
Sollecitazioni agenti localmente: Tx_l=-6.76 Ty_l=17.96 N_l=-8703.00 My_l=1.67 Mz_l=0.00
Azioni sul cordone: TP=-0.50 TO=1.33 NO=-643.33
Tensioni nel cordone: τ_P=0.16 τ_0=0.42 σ_0=206.93 σ_{ID}=206.93 Σ_T=207.35
CC 15 SLV (Collegamento -041_-375)
Azioni sul collegamento: N=-8703.00 Ty=-10.65 Tz=8.19 Mx=0.00 Mz=-6.77
Sollecitazioni agenti localmente: Tx_l=-10.65 Ty_l=8.19 N_l=-8703.00 My_l=6.77 Mz_l=0.00
Azioni sul cordone: TP=-0.79 TO=0.60 NO=-643.33
Tensioni nel cordone: τ_P=0.25 τ_0=0.19 σ_0=214.38 σ_{ID}=214.38 Σ_T=214.57
CC 15 SLV (Collegamento -041_-375)
Azioni sul collegamento: N=-8703.00 Ty=-6.76 Tz=8.19 Mx=0.00 Mz=-1.67
Sollecitazioni agenti localmente: Tx_l=-6.76 Ty_l=8.19 N_l=-8703.00 My_l=1.67 Mz_l=0.00
Azioni sul cordone: TP=-0.50 TO=0.60 NO=-643.33
Tensioni nel cordone: τ_P=0.16 τ_0=0.19 σ_0=206.93 σ_{ID}=206.93 Σ_T=207.12
CC 16 SLD (Collegamento -041_-375)
Azioni sul collegamento: N=-10345.40 Ty=-10.22 Tz=14.95 Mx=-0.00 Mz=-7.14
Sollecitazioni agenti localmente: Tx_l=-10.22 Ty_l=14.95 N_l=-10345.40 My_l=7.14 Mz_l=-0.00
Azioni sul cordone: TP=-0.75 TO=1.11 NO=-764.74
Tensioni nel cordone: τ_P=0.24 τ_0=0.35 σ_0=253.50 σ_{ID}=253.50 Σ_T=253.85
CC 16 SLD (Collegamento -041_-375)
Azioni sul collegamento: N=-10345.40 Ty=-9.04 Tz=14.95 Mx=-0.00 Mz=-5.58
Sollecitazioni agenti localmente: Tx_l=-9.04 Ty_l=14.95 N_l=-10345.40 My_l=5.58 Mz_l=-0.00
Azioni sul cordone: TP=-0.67 TO=1.11 NO=-764.74
Tensioni nel cordone: τ_P=0.21 τ_0=0.35 σ_0=251.23 σ_{ID}=251.23 Σ_T=251.58
CC 16 SLD (Collegamento -041_-375)
Azioni sul collegamento: N=-10345.40 Ty=-10.22 Tz=11.97 Mx=-0.00 Mz=-7.14
Sollecitazioni agenti localmente: Tx_l=-10.22 Ty_l=11.97 N_l=-10345.40 My_l=7.14 Mz_l=-0.00
Azioni sul cordone: TP=-0.75 TO=0.89 NO=-764.74
Tensioni nel cordone: τ_P=0.24 τ_0=0.28 σ_0=253.50 σ_{ID}=253.50 Σ_T=253.78
CC 16 SLD (Collegamento -041_-375)
Azioni sul collegamento: N=-10345.40 Ty=-9.04 Tz=11.97 Mx=-0.00 Mz=-5.58
Sollecitazioni agenti localmente: Tx_l=-9.04 Ty_l=11.97 N_l=-10345.40 My_l=5.58 Mz_l=-0.00
Azioni sul cordone: TP=-0.67 TO=0.89 NO=-764.74
Tensioni nel cordone: τ_P=0.21 τ_0=0.28 σ_0=251.23 σ_{ID}=251.23 Σ_T=251.51
CC 16 SLD (Collegamento -041_-375)
Azioni sul collegamento: N=-9623.43 Ty=-10.22 Tz=14.95 Mx=-0.00 Mz=-7.14
Sollecitazioni agenti localmente: Tx_l=-10.22 Ty_l=14.95 N_l=-9623.43 My_l=7.14 Mz_l=-0.00
Azioni sul cordone: TP=-0.75 TO=1.11 NO=-711.37
Tensioni nel cordone: τ_P=0.24 τ_0=0.35 σ_0=236.53 σ_{ID}=236.54 Σ_T=236.89
CC 16 SLD (Collegamento -041_-375)
Azioni sul collegamento: N=-9623.43 Ty=-9.04 Tz=14.95 Mx=-0.00 Mz=-5.58
Sollecitazioni agenti localmente: Tx_l=-9.04 Ty_l=14.95 N_l=-9623.43 My_l=5.58 Mz_l=-0.00
Azioni sul cordone: TP=-0.67 TO=1.11 NO=-711.37
Tensioni nel cordone: τ_P=0.21 τ_0=0.35 σ_0=234.26 σ_{ID}=234.26 Σ_T=234.62
CC 16 SLD (Collegamento -041_-375)
Azioni sul collegamento: N=-9623.43 Ty=-10.22 Tz=11.97 Mx=-0.00 Mz=-7.14
Sollecitazioni agenti localmente: Tx_l=-10.22 Ty_l=11.97 N_l=-9623.43 My_l=7.14 Mz_l=-0.00
Azioni sul cordone: TP=-0.75 TO=0.89 NO=-711.37
Tensioni nel cordone: τ_P=0.24 τ_0=0.28 σ_0=236.53 σ_{ID}=236.54 Σ_T=236.82
CC 16 SLD (Collegamento -041_-375)
Azioni sul collegamento: N=-9623.43 Ty=-9.04 Tz=11.97 Mx=-0.00 Mz=-5.58
Sollecitazioni agenti localmente: Tx_l=-9.04 Ty_l=11.97 N_l=-9623.43 My_l=5.58 Mz_l=-0.00
Azioni sul cordone: TP=-0.67 TO=0.89 NO=-711.37
Tensioni nel cordone: τ_P=0.21 τ_0=0.28 σ_0=234.26 σ_{ID}=234.26 Σ_T=234.54
CC 17 SLV (Collegamento -041_-375)
Azioni sul collegamento: N=-6246.30 Ty=-7.49 Tz=-0.46 Mx=-0.02 Mz=-7.17
Sollecitazioni agenti localmente: Tx_l=-7.49 Ty_l=-0.46 N_l=-6246.30 My_l=7.17 Mz_l=-0.02

Azioni sul cordone: TP=-0.53 TO=-0.02 NO=-461.73
Tensioni nel cordone: τ_P=0.17 τ_O=6.25E-03 σ_O=157.24 σ_{ID}=157.24 Σ_T=157.24
CC 17 SLV (Collegamento -041_-375)
Azioni sul collegamento: N=-6246.30 Ty=-15.25 Tz=-0.46 Mx=-0.02 Mz=-13.58
Sollecitazioni agenti localmente: Tx_l=-15.25 Ty_l=-0.46 N_l=-6246.30 My_l=13.58 Mz_l=-0.02
Azioni sul cordone: TP=-1.11 TO=-0.02 NO=-461.73
Tensioni nel cordone: τ_P=0.35 τ_O=6.25E-03 σ_O=166.60 σ_{ID}=166.60 Σ_T=166.60
CC 17 SLV (Collegamento -041_-375)
Azioni sul collegamento: N=-6246.30 Ty=-7.49 Tz=28.82 Mx=-0.02 Mz=-7.17
Sollecitazioni agenti localmente: Tx_l=-7.49 Ty_l=28.82 N_l=-6246.30 My_l=7.17 Mz_l=-0.02
Azioni sul cordone: TP=-0.53 TO=2.14 NO=-461.73
Tensioni nel cordone: τ_P=0.17 τ_O=0.68 σ_O=157.24 σ_{ID}=157.24 Σ_T=157.92
CC 17 SLV (Collegamento -041_-375)
Azioni sul collegamento: N=-6246.30 Ty=-15.25 Tz=28.82 Mx=-0.02 Mz=-13.58
Sollecitazioni agenti localmente: Tx_l=-15.25 Ty_l=28.82 N_l=-6246.30 My_l=13.58 Mz_l=-0.02
Azioni sul cordone: TP=-1.11 TO=2.14 NO=-461.73
Tensioni nel cordone: τ_P=0.35 τ_O=0.68 σ_O=166.60 σ_{ID}=166.60 Σ_T=167.28
CC 17 SLV (Collegamento -041_-375)
Azioni sul collegamento: N=-14088.90 Ty=-7.49 Tz=-0.46 Mx=-0.02 Mz=-7.17
Sollecitazioni agenti localmente: Tx_l=-7.49 Ty_l=-0.46 N_l=-14088.90 My_l=7.17 Mz_l=-0.02
Azioni sul cordone: TP=-0.53 TO=-0.02 NO=-1041.46
Tensioni nel cordone: τ_P=0.17 τ_O=6.26E-03 σ_O=341.50 σ_{ID}=341.50 Σ_T=341.51
CC 17 SLV (Collegamento -041_-375)
Azioni sul collegamento: N=-14088.90 Ty=-15.25 Tz=-0.46 Mx=-0.02 Mz=-13.58
Sollecitazioni agenti localmente: Tx_l=-15.25 Ty_l=-0.46 N_l=-14088.90 My_l=13.58 Mz_l=-0.02
Azioni sul cordone: TP=-1.11 TO=-0.02 NO=-1041.46
Tensioni nel cordone: τ_P=0.35 τ_O=6.26E-03 σ_O=350.86 σ_{ID}=350.86 Σ_T=350.87
CC 17 SLV (Collegamento -041_-375)
Azioni sul collegamento: N=-14088.90 Ty=-7.49 Tz=28.82 Mx=-0.02 Mz=-7.17
Sollecitazioni agenti localmente: Tx_l=-7.49 Ty_l=28.82 N_l=-14088.90 My_l=7.17 Mz_l=-0.02
Azioni sul cordone: TP=-0.53 TO=2.14 NO=-1041.46
Tensioni nel cordone: τ_P=0.17 τ_O=0.68 σ_O=341.50 σ_{ID}=341.50 Σ_T=342.19
CC 17 SLV (Collegamento -041_-375)
Azioni sul collegamento: N=-14088.90 Ty=-15.25 Tz=28.82 Mx=-0.02 Mz=-13.58
Sollecitazioni agenti localmente: Tx_l=-15.25 Ty_l=28.82 N_l=-14088.90 My_l=13.58 Mz_l=-0.02
Azioni sul cordone: TP=-1.11 TO=2.14 NO=-1041.46
Tensioni nel cordone: τ_P=0.35 τ_O=0.68 σ_O=350.86 σ_{ID}=350.86 Σ_T=351.55
CC 18 SLD (Collegamento -041_-375)
Azioni sul collegamento: N=-8874.30 Ty=-9.26 Tz=9.33 Mx=-0.01 Mz=-7.26
Sollecitazioni agenti localmente: Tx_l=-9.26 Ty_l=9.33 N_l=-8874.30 My_l=7.26 Mz_l=-0.01
Azioni sul cordone: TP=-0.68 TO=0.70 NO=-655.99
Tensioni nel cordone: τ_P=0.21 τ_O=0.22 σ_O=219.11 σ_{ID}=219.11 Σ_T=219.33
CC 18 SLD (Collegamento -041_-375)
Azioni sul collegamento: N=-8874.30 Ty=-11.63 Tz=9.33 Mx=-0.01 Mz=-9.21
Sollecitazioni agenti localmente: Tx_l=-11.63 Ty_l=9.33 N_l=-8874.30 My_l=9.21 Mz_l=-0.01
Azioni sul cordone: TP=-0.85 TO=0.70 NO=-655.99
Tensioni nel cordone: τ_P=0.27 τ_O=0.22 σ_O=221.97 σ_{ID}=221.97 Σ_T=222.19
CC 18 SLD (Collegamento -041_-375)
Azioni sul collegamento: N=-8874.30 Ty=-9.26 Tz=18.26 Mx=-0.01 Mz=-7.26
Sollecitazioni agenti localmente: Tx_l=-9.26 Ty_l=18.26 N_l=-8874.30 My_l=7.26 Mz_l=-0.01
Azioni sul cordone: TP=-0.68 TO=1.36 NO=-655.99
Tensioni nel cordone: τ_P=0.21 τ_O=0.43 σ_O=219.11 σ_{ID}=219.11 Σ_T=219.54
CC 18 SLD (Collegamento -041_-375)
Azioni sul collegamento: N=-8874.30 Ty=-11.63 Tz=18.26 Mx=-0.01 Mz=-9.21
Sollecitazioni agenti localmente: Tx_l=-11.63 Ty_l=18.26 N_l=-8874.30 My_l=9.21 Mz_l=-0.01
Azioni sul cordone: TP=-0.85 TO=1.36 NO=-655.99
Tensioni nel cordone: τ_P=0.27 τ_O=0.43 σ_O=221.97 σ_{ID}=221.97 Σ_T=222.40
CC 18 SLD (Collegamento -041_-375)
Azioni sul collegamento: N=-11265.80 Ty=-9.26 Tz=9.33 Mx=-0.01 Mz=-7.26
Sollecitazioni agenti localmente: Tx_l=-9.26 Ty_l=9.33 N_l=-11265.80 My_l=7.26 Mz_l=-0.01
Azioni sul cordone: TP=-0.68 TO=0.70 NO=-832.77
Tensioni nel cordone: τ_P=0.21 τ_O=0.22 σ_O=275.30 σ_{ID}=275.30 Σ_T=275.52
CC 18 SLD (Collegamento -041_-375)
Azioni sul collegamento: N=-11265.80 Ty=-11.63 Tz=9.33 Mx=-0.01 Mz=-9.21
Sollecitazioni agenti localmente: Tx_l=-11.63 Ty_l=9.33 N_l=-11265.80 My_l=9.21 Mz_l=-0.01
Azioni sul cordone: TP=-0.85 TO=0.70 NO=-832.77
Tensioni nel cordone: τ_P=0.27 τ_O=0.22 σ_O=278.15 σ_{ID}=278.15 Σ_T=278.38
CC 18 SLD (Collegamento -041_-375)
Azioni sul collegamento: N=-11265.80 Ty=-9.26 Tz=18.26 Mx=-0.01 Mz=-7.26
Sollecitazioni agenti localmente: Tx_l=-9.26 Ty_l=18.26 N_l=-11265.80 My_l=7.26 Mz_l=-0.01
Azioni sul cordone: TP=-0.68 TO=1.36 NO=-832.77
Tensioni nel cordone: τ_P=0.21 τ_O=0.43 σ_O=275.30 σ_{ID}=275.30 Σ_T=275.73
CC 18 SLD (Collegamento -041_-375)
Azioni sul collegamento: N=-11265.80 Ty=-11.63 Tz=18.26 Mx=-0.01 Mz=-9.21
Sollecitazioni agenti localmente: Tx_l=-11.63 Ty_l=18.26 N_l=-11265.80 My_l=9.21 Mz_l=-0.01
Azioni sul cordone: TP=-0.85 TO=1.36 NO=-832.77
Tensioni nel cordone: τ_P=0.27 τ_O=0.43 σ_O=278.15 σ_{ID}=278.16 Σ_T=278.59
CC 19 SLV (Collegamento -041_-375)
Azioni sul collegamento: N=-6251.20 Ty=-8.00 Tz=-0.13 Mx=-0.01 Mz=-8.22
Sollecitazioni agenti localmente: Tx_l=-8.00 Ty_l=-0.13 N_l=-6251.20 My_l=8.22 Mz_l=-0.01
Azioni sul cordone: TP=-0.58 TO=0.00 NO=-462.09

Tensioni nel cordone: τ_P=0.18 τ_0=2.05E-04 σ_0=158.88 σ_{ID}=158.88 Σ_T=158.88
CC 19 SLV (Collegamento -041_-375)
Azioni sul collegamento: N=-6251.20 Ty=-14.73 Tz=-0.13 Mx=-0.01 Mz=-12.53
Sollecitazioni agenti localmente: Tx_l=-14.73 Ty_l=-0.13 N_l=-6251.20 My_l=12.53 Mz_l=-0.01
Azioni sul cordone: TP=-1.07 TO=0.00 NO=-462.09
Tensioni nel cordone: τ_P=0.34 τ_0=2.05E-04 σ_0=165.18 σ_{ID}=165.18 Σ_T=165.18
CC 19 SLV (Collegamento -041_-375)
Azioni sul collegamento: N=-6251.20 Ty=-8.00 Tz=28.49 Mx=-0.01 Mz=-8.22
Sollecitazioni agenti localmente: Tx_l=-8.00 Ty_l=28.49 N_l=-6251.20 My_l=8.22 Mz_l=-0.01
Azioni sul cordone: TP=-0.58 TO=2.12 NO=-462.09
Tensioni nel cordone: τ_P=0.18 τ_0=0.67 σ_0=158.88 σ_{ID}=158.88 Σ_T=159.56
CC 19 SLV (Collegamento -041_-375)
Azioni sul collegamento: N=-6251.20 Ty=-14.73 Tz=28.49 Mx=-0.01 Mz=-12.53
Sollecitazioni agenti localmente: Tx_l=-14.73 Ty_l=28.49 N_l=-6251.20 My_l=12.53 Mz_l=-0.01
Azioni sul cordone: TP=-1.07 TO=2.12 NO=-462.09
Tensioni nel cordone: τ_P=0.34 τ_0=0.67 σ_0=165.18 σ_{ID}=165.18 Σ_T=165.85
CC 19 SLV (Collegamento -041_-375)
Azioni sul collegamento: N=-14084.00 Ty=-8.00 Tz=-0.13 Mx=-0.01 Mz=-8.22
Sollecitazioni agenti localmente: Tx_l=-8.00 Ty_l=-0.13 N_l=-14084.00 My_l=8.22 Mz_l=-0.01
Azioni sul cordone: TP=-0.58 TO=0.00 NO=-1041.10
Tensioni nel cordone: τ_P=0.18 τ_0=2.04E-04 σ_0=342.92 σ_{ID}=342.92 Σ_T=342.92
CC 19 SLV (Collegamento -041_-375)
Azioni sul collegamento: N=-14084.00 Ty=-14.73 Tz=-0.13 Mx=-0.01 Mz=-12.53
Sollecitazioni agenti localmente: Tx_l=-14.73 Ty_l=-0.13 N_l=-14084.00 My_l=12.53 Mz_l=-0.01
Azioni sul cordone: TP=-1.07 TO=0.00 NO=-1041.10
Tensioni nel cordone: τ_P=0.34 τ_0=2.04E-04 σ_0=349.22 σ_{ID}=349.22 Σ_T=349.22
CC 19 SLV (Collegamento -041_-375)
Azioni sul collegamento: N=-14084.00 Ty=-8.00 Tz=28.49 Mx=-0.01 Mz=-8.22
Sollecitazioni agenti localmente: Tx_l=-8.00 Ty_l=28.49 N_l=-14084.00 My_l=8.22 Mz_l=-0.01
Azioni sul cordone: TP=-0.58 TO=2.12 NO=-1041.10
Tensioni nel cordone: τ_P=0.18 τ_0=0.67 σ_0=342.92 σ_{ID}=342.92 Σ_T=343.59
CC 19 SLV (Collegamento -041_-375)
Azioni sul collegamento: N=-14084.00 Ty=-14.73 Tz=28.49 Mx=-0.01 Mz=-12.53
Sollecitazioni agenti localmente: Tx_l=-14.73 Ty_l=28.49 N_l=-14084.00 My_l=12.53 Mz_l=-0.01
Azioni sul cordone: TP=-1.07 TO=2.12 NO=-1041.10
Tensioni nel cordone: τ_P=0.34 τ_0=0.67 σ_0=349.22 σ_{ID}=349.22 Σ_T=349.89
CC 20 SLD (Collegamento -041_-375)
Azioni sul collegamento: N=-8875.79 Ty=-9.42 Tz=9.43 Mx=-0.01 Mz=-7.58
Sollecitazioni agenti localmente: Tx_l=-9.42 Ty_l=9.43 N_l=-8875.79 My_l=7.58 Mz_l=-0.01
Azioni sul cordone: TP=-0.69 TO=0.70 NO=-656.10
Tensioni nel cordone: τ_P=0.22 τ_0=0.22 σ_0=219.61 σ_{ID}=219.61 Σ_T=219.84
CC 20 SLD (Collegamento -041_-375)
Azioni sul collegamento: N=-8875.79 Ty=-11.47 Tz=9.43 Mx=-0.01 Mz=-8.89
Sollecitazioni agenti localmente: Tx_l=-11.47 Ty_l=9.43 N_l=-8875.79 My_l=8.89 Mz_l=-0.01
Azioni sul cordone: TP=-0.84 TO=0.70 NO=-656.10
Tensioni nel cordone: τ_P=0.27 τ_0=0.22 σ_0=221.53 σ_{ID}=221.53 Σ_T=221.76
CC 20 SLD (Collegamento -041_-375)
Azioni sul collegamento: N=-8875.80 Ty=-9.42 Tz=18.16 Mx=-0.01 Mz=-7.58
Sollecitazioni agenti localmente: Tx_l=-9.42 Ty_l=18.16 N_l=-8875.80 My_l=7.58 Mz_l=-0.01
Azioni sul cordone: TP=-0.69 TO=1.35 NO=-656.10
Tensioni nel cordone: τ_P=0.22 τ_0=0.43 σ_0=219.61 σ_{ID}=219.62 Σ_T=220.04
CC 20 SLD (Collegamento -041_-375)
Azioni sul collegamento: N=-8875.80 Ty=-11.47 Tz=18.16 Mx=-0.01 Mz=-8.89
Sollecitazioni agenti localmente: Tx_l=-11.47 Ty_l=18.16 N_l=-8875.80 My_l=8.89 Mz_l=-0.01
Azioni sul cordone: TP=-0.84 TO=1.35 NO=-656.10
Tensioni nel cordone: τ_P=0.27 τ_0=0.43 σ_0=221.53 σ_{ID}=221.53 Σ_T=221.96
CC 20 SLD (Collegamento -041_-375)
Azioni sul collegamento: N=-11264.30 Ty=-9.42 Tz=9.43 Mx=-0.01 Mz=-7.58
Sollecitazioni agenti localmente: Tx_l=-9.42 Ty_l=9.43 N_l=-11264.30 My_l=7.58 Mz_l=-0.01
Azioni sul cordone: TP=-0.69 TO=0.70 NO=-832.66
Tensioni nel cordone: τ_P=0.22 τ_0=0.22 σ_0=275.73 σ_{ID}=275.73 Σ_T=275.96
CC 20 SLD (Collegamento -041_-375)
Azioni sul collegamento: N=-11264.30 Ty=-11.47 Tz=9.43 Mx=-0.01 Mz=-8.89
Sollecitazioni agenti localmente: Tx_l=-11.47 Ty_l=9.43 N_l=-11264.30 My_l=8.89 Mz_l=-0.01
Azioni sul cordone: TP=-0.84 TO=0.70 NO=-832.66
Tensioni nel cordone: τ_P=0.27 τ_0=0.22 σ_0=277.65 σ_{ID}=277.65 Σ_T=277.88
CC 20 SLD (Collegamento -041_-375)
Azioni sul collegamento: N=-11264.30 Ty=-9.42 Tz=18.16 Mx=-0.01 Mz=-7.58
Sollecitazioni agenti localmente: Tx_l=-9.42 Ty_l=18.16 N_l=-11264.30 My_l=7.58 Mz_l=-0.01
Azioni sul cordone: TP=-0.69 TO=1.35 NO=-832.66
Tensioni nel cordone: τ_P=0.22 τ_0=0.43 σ_0=275.73 σ_{ID}=275.73 Σ_T=276.16
CC 20 SLD (Collegamento -041_-375)
Azioni sul collegamento: N=-11264.30 Ty=-11.47 Tz=18.16 Mx=-0.01 Mz=-8.89
Sollecitazioni agenti localmente: Tx_l=-11.47 Ty_l=18.16 N_l=-11264.30 My_l=8.89 Mz_l=-0.01
Azioni sul cordone: TP=-0.84 TO=1.35 NO=-832.66
Tensioni nel cordone: τ_P=0.27 τ_0=0.43 σ_0=277.65 σ_{ID}=277.65 Σ_T=278.08
CC 21 SLV (Collegamento -041_-375)
Azioni sul collegamento: N=-14084.00 Ty=-14.73 Tz=28.49 Mx=-0.02 Mz=-12.53
Sollecitazioni agenti localmente: Tx_l=-14.73 Ty_l=28.49 N_l=-14084.00 My_l=12.53 Mz_l=-0.02
Azioni sul cordone: TP=-1.07 TO=2.12 NO=-1041.10
Tensioni nel cordone: τ_P=0.34 τ_0=0.67 σ_0=349.22 σ_{ID}=349.22 Σ_T=349.89

CC 21 SLV (Collegamento -041_-375)
Azioni sul collegamento: N=-14084.00 Ty=-8.00 Tz=28.49 Mx=-0.02 Mz=-8.22
Sollecitazioni agenti localmente: Tx_l=-8.00 Ty_l=28.49 N_l=-14084.00 My_l=8.22 Mz_l=-0.02
Azioni sul cordone: TP=-0.57 TO=2.12 NO=-1041.10
Tensioni nel cordone: τ_P=0.18 τ_0=0.67 σ_0=342.92 σ_{ID}=342.92 Σ_T=343.59
CC 21 SLV (Collegamento -041_-375)
Azioni sul collegamento: N=-14084.00 Ty=-14.73 Tz=-0.13 Mx=-0.02 Mz=-12.53
Sollecitazioni agenti localmente: Tx_l=-14.73 Ty_l=-0.13 N_l=-14084.00 My_l=12.53 Mz_l=-0.02
Azioni sul cordone: TP=-1.07 TO=0.00 NO=-1041.10
Tensioni nel cordone: τ_P=0.34 τ_0=1.35E-03 σ_0=349.22 σ_{ID}=349.22 Σ_T=349.22
CC 21 SLV (Collegamento -041_-375)
Azioni sul collegamento: N=-14084.00 Ty=-8.00 Tz=-0.13 Mx=-0.02 Mz=-8.22
Sollecitazioni agenti localmente: Tx_l=-8.00 Ty_l=-0.13 N_l=-14084.00 My_l=8.22 Mz_l=-0.02
Azioni sul cordone: TP=-0.57 TO=0.00 NO=-1041.10
Tensioni nel cordone: τ_P=0.18 τ_0=1.35E-03 σ_0=342.92 σ_{ID}=342.92 Σ_T=342.92
CC 21 SLV (Collegamento -041_-375)
Azioni sul collegamento: N=-6251.20 Ty=-14.73 Tz=28.49 Mx=-0.02 Mz=-12.53
Sollecitazioni agenti localmente: Tx_l=-14.73 Ty_l=28.49 N_l=-6251.20 My_l=12.53 Mz_l=-0.02
Azioni sul cordone: TP=-1.07 TO=2.12 NO=-462.09
Tensioni nel cordone: τ_P=0.34 τ_0=0.67 σ_0=165.18 σ_{ID}=165.18 Σ_T=165.85
CC 21 SLV (Collegamento -041_-375)
Azioni sul collegamento: N=-6251.20 Ty=-8.00 Tz=28.49 Mx=-0.02 Mz=-8.22
Sollecitazioni agenti localmente: Tx_l=-8.00 Ty_l=28.49 N_l=-6251.20 My_l=8.22 Mz_l=-0.02
Azioni sul cordone: TP=-0.57 TO=2.12 NO=-462.09
Tensioni nel cordone: τ_P=0.18 τ_0=0.67 σ_0=158.88 σ_{ID}=158.88 Σ_T=159.56
CC 21 SLV (Collegamento -041_-375)
Azioni sul collegamento: N=-6251.20 Ty=-14.73 Tz=-0.13 Mx=-0.02 Mz=-12.53
Sollecitazioni agenti localmente: Tx_l=-14.73 Ty_l=-0.13 N_l=-6251.20 My_l=12.53 Mz_l=-0.02
Azioni sul cordone: TP=-1.07 TO=0.00 NO=-462.09
Tensioni nel cordone: τ_P=0.34 τ_0=1.35E-03 σ_0=165.18 σ_{ID}=165.18 Σ_T=165.18
CC 21 SLV (Collegamento -041_-375)
Azioni sul collegamento: N=-6251.20 Ty=-8.00 Tz=-0.13 Mx=-0.02 Mz=-8.22
Sollecitazioni agenti localmente: Tx_l=-8.00 Ty_l=-0.13 N_l=-6251.20 My_l=8.22 Mz_l=-0.02
Azioni sul cordone: TP=-0.57 TO=0.00 NO=-462.09
Tensioni nel cordone: τ_P=0.18 τ_0=1.35E-03 σ_0=158.88 σ_{ID}=158.88 Σ_T=158.88
CC 22 SLD (Collegamento -041_-375)
Azioni sul collegamento: N=-11264.30 Ty=-11.47 Tz=18.16 Mx=-0.01 Mz=-8.89
Sollecitazioni agenti localmente: Tx_l=-11.47 Ty_l=18.16 N_l=-11264.30 My_l=8.89 Mz_l=-0.01
Azioni sul cordone: TP=-0.84 TO=1.35 NO=-832.66
Tensioni nel cordone: τ_P=0.27 τ_0=0.43 σ_0=277.65 σ_{ID}=277.65 Σ_T=278.08
CC 22 SLD (Collegamento -041_-375)
Azioni sul collegamento: N=-11264.30 Ty=-9.42 Tz=18.16 Mx=-0.01 Mz=-7.58
Sollecitazioni agenti localmente: Tx_l=-9.42 Ty_l=18.16 N_l=-11264.30 My_l=7.58 Mz_l=-0.01
Azioni sul cordone: TP=-0.69 TO=1.35 NO=-832.66
Tensioni nel cordone: τ_P=0.22 τ_0=0.43 σ_0=275.73 σ_{ID}=275.73 Σ_T=276.16
CC 22 SLD (Collegamento -041_-375)
Azioni sul collegamento: N=-11264.30 Ty=-11.47 Tz=9.43 Mx=-0.01 Mz=-8.89
Sollecitazioni agenti localmente: Tx_l=-11.47 Ty_l=9.43 N_l=-11264.30 My_l=8.89 Mz_l=-0.01
Azioni sul cordone: TP=-0.84 TO=0.70 NO=-832.66
Tensioni nel cordone: τ_P=0.27 τ_0=0.22 σ_0=277.65 σ_{ID}=277.65 Σ_T=277.88
CC 22 SLD (Collegamento -041_-375)
Azioni sul collegamento: N=-11264.30 Ty=-9.42 Tz=9.43 Mx=-0.01 Mz=-7.58
Sollecitazioni agenti localmente: Tx_l=-9.42 Ty_l=9.43 N_l=-11264.30 My_l=7.58 Mz_l=-0.01
Azioni sul cordone: TP=-0.69 TO=0.70 NO=-832.66
Tensioni nel cordone: τ_P=0.22 τ_0=0.22 σ_0=275.73 σ_{ID}=275.73 Σ_T=275.96
CC 22 SLD (Collegamento -041_-375)
Azioni sul collegamento: N=-8875.80 Ty=-11.47 Tz=18.16 Mx=-0.01 Mz=-8.89
Sollecitazioni agenti localmente: Tx_l=-11.47 Ty_l=18.16 N_l=-8875.80 My_l=8.89 Mz_l=-0.01
Azioni sul cordone: TP=-0.84 TO=1.35 NO=-656.10
Tensioni nel cordone: τ_P=0.27 τ_0=0.43 σ_0=221.53 σ_{ID}=221.53 Σ_T=221.96
CC 22 SLD (Collegamento -041_-375)
Azioni sul collegamento: N=-8875.80 Ty=-9.42 Tz=18.16 Mx=-0.01 Mz=-7.58
Sollecitazioni agenti localmente: Tx_l=-9.42 Ty_l=18.16 N_l=-8875.80 My_l=7.58 Mz_l=-0.01
Azioni sul cordone: TP=-0.69 TO=1.35 NO=-656.10
Tensioni nel cordone: τ_P=0.22 τ_0=0.43 σ_0=219.61 σ_{ID}=219.62 Σ_T=220.04
CC 22 SLD (Collegamento -041_-375)
Azioni sul collegamento: N=-8875.79 Ty=-11.47 Tz=9.43 Mx=-0.01 Mz=-8.89
Sollecitazioni agenti localmente: Tx_l=-11.47 Ty_l=9.43 N_l=-8875.79 My_l=8.89 Mz_l=-0.01
Azioni sul cordone: TP=-0.84 TO=0.70 NO=-656.10
Tensioni nel cordone: τ_P=0.27 τ_0=0.22 σ_0=221.53 σ_{ID}=221.53 Σ_T=221.76
CC 22 SLD (Collegamento -041_-375)
Azioni sul collegamento: N=-8875.79 Ty=-9.42 Tz=9.43 Mx=-0.01 Mz=-7.58
Sollecitazioni agenti localmente: Tx_l=-9.42 Ty_l=9.43 N_l=-8875.79 My_l=7.58 Mz_l=-0.01
Azioni sul cordone: TP=-0.69 TO=0.70 NO=-656.10
Tensioni nel cordone: τ_P=0.22 τ_0=0.22 σ_0=219.61 σ_{ID}=219.61 Σ_T=219.84
CC 23 SLV (Collegamento -041_-375)
Azioni sul collegamento: N=-14088.90 Ty=-15.25 Tz=28.82 Mx=-0.01 Mz=-13.58
Sollecitazioni agenti localmente: Tx_l=-15.25 Ty_l=28.82 N_l=-14088.90 My_l=13.58 Mz_l=-0.01
Azioni sul cordone: TP=-1.11 TO=2.14 NO=-1041.46
Tensioni nel cordone: τ_P=0.35 τ_0=0.68 σ_0=350.86 σ_{ID}=350.86 Σ_T=351.54
CC 23 SLV (Collegamento -041_-375)

Azioni sul collegamento: N=-14088.90 Ty=-7.49 Tz=28.82 Mx=-0.01 Mz=-7.17
Sollecitazioni agenti localmente: Tx_l=-7.49 Ty_l=28.82 N_l=-14088.90 My_l=7.17 Mz_l=-0.01
Azioni sul cordone: TP=-0.54 TO=2.14 NO=-1041.46
Tensioni nel cordone: τ_P=0.17 τ_0=0.68 σ_0=341.50 σ_{ID}=341.50 Σ_T=342.19
CC 23 SLV (Collegamento -041_-375)
Azioni sul collegamento: N=-14088.90 Ty=-15.25 Tz=-0.46 Mx=-0.01 Mz=-13.58
Sollecitazioni agenti localmente: Tx_l=-15.25 Ty_l=-0.46 N_l=-14088.90 My_l=13.58 Mz_l=-0.01
Azioni sul cordone: TP=-1.11 TO=-0.02 NO=-1041.46
Tensioni nel cordone: τ_P=0.35 τ_0=7.55E-03 σ_0=350.86 σ_{ID}=350.86 Σ_T=350.87
CC 23 SLV (Collegamento -041_-375)
Azioni sul collegamento: N=-14088.90 Ty=-7.49 Tz=-0.46 Mx=-0.01 Mz=-7.17
Sollecitazioni agenti localmente: Tx_l=-7.49 Ty_l=-0.46 N_l=-14088.90 My_l=7.17 Mz_l=-0.01
Azioni sul cordone: TP=-0.54 TO=-0.02 NO=-1041.46
Tensioni nel cordone: τ_P=0.17 τ_0=7.55E-03 σ_0=341.50 σ_{ID}=341.50 Σ_T=341.51
CC 23 SLV (Collegamento -041_-375)
Azioni sul collegamento: N=-6246.30 Ty=-15.25 Tz=28.82 Mx=-0.01 Mz=-13.58
Sollecitazioni agenti localmente: Tx_l=-15.25 Ty_l=28.82 N_l=-6246.30 My_l=13.58 Mz_l=-0.01
Azioni sul cordone: TP=-1.11 TO=2.14 NO=-461.73
Tensioni nel cordone: τ_P=0.35 τ_0=0.68 σ_0=166.60 σ_{ID}=166.60 Σ_T=167.28
CC 23 SLV (Collegamento -041_-375)
Azioni sul collegamento: N=-6246.30 Ty=-7.49 Tz=28.82 Mx=-0.01 Mz=-7.17
Sollecitazioni agenti localmente: Tx_l=-7.49 Ty_l=28.82 N_l=-6246.30 My_l=7.17 Mz_l=-0.01
Azioni sul cordone: TP=-0.54 TO=2.14 NO=-461.73
Tensioni nel cordone: τ_P=0.17 τ_0=0.68 σ_0=157.24 σ_{ID}=157.24 Σ_T=157.92
CC 23 SLV (Collegamento -041_-375)
Azioni sul collegamento: N=-6246.30 Ty=-15.25 Tz=-0.46 Mx=-0.01 Mz=-13.58
Sollecitazioni agenti localmente: Tx_l=-15.25 Ty_l=-0.46 N_l=-6246.30 My_l=13.58 Mz_l=-0.01
Azioni sul cordone: TP=-1.11 TO=-0.02 NO=-461.73
Tensioni nel cordone: τ_P=0.35 τ_0=7.54E-03 σ_0=166.60 σ_{ID}=166.60 Σ_T=166.60
CC 23 SLV (Collegamento -041_-375)
Azioni sul collegamento: N=-6246.30 Ty=-7.49 Tz=-0.46 Mx=-0.01 Mz=-7.17
Sollecitazioni agenti localmente: Tx_l=-7.49 Ty_l=-0.46 N_l=-6246.30 My_l=7.17 Mz_l=-0.01
Azioni sul cordone: TP=-0.54 TO=-0.02 NO=-461.73
Tensioni nel cordone: τ_P=0.17 τ_0=7.54E-03 σ_0=157.24 σ_{ID}=157.24 Σ_T=157.25
CC 24 SLD (Collegamento -041_-375)
Azioni sul collegamento: N=-11265.80 Ty=-11.63 Tz=18.26 Mx=-0.01 Mz=-9.21
Sollecitazioni agenti localmente: Tx_l=-11.63 Ty_l=18.26 N_l=-11265.80 My_l=9.21 Mz_l=-0.01
Azioni sul cordone: TP=-0.85 TO=1.35 NO=-832.77
Tensioni nel cordone: τ_P=0.27 τ_0=0.43 σ_0=278.15 σ_{ID}=278.16 Σ_T=278.59
CC 24 SLD (Collegamento -041_-375)
Azioni sul collegamento: N=-11265.80 Ty=-9.26 Tz=18.26 Mx=-0.01 Mz=-7.26
Sollecitazioni agenti localmente: Tx_l=-9.26 Ty_l=18.26 N_l=-11265.80 My_l=7.26 Mz_l=-0.01
Azioni sul cordone: TP=-0.68 TO=1.35 NO=-832.77
Tensioni nel cordone: τ_P=0.22 τ_0=0.43 σ_0=275.30 σ_{ID}=275.30 Σ_T=275.73
CC 24 SLD (Collegamento -041_-375)
Azioni sul collegamento: N=-11265.80 Ty=-11.63 Tz=9.33 Mx=-0.01 Mz=-9.21
Sollecitazioni agenti localmente: Tx_l=-11.63 Ty_l=9.33 N_l=-11265.80 My_l=9.21 Mz_l=-0.01
Azioni sul cordone: TP=-0.85 TO=0.69 NO=-832.77
Tensioni nel cordone: τ_P=0.27 τ_0=0.22 σ_0=278.15 σ_{ID}=278.15 Σ_T=278.38
CC 24 SLD (Collegamento -041_-375)
Azioni sul collegamento: N=-11265.80 Ty=-9.26 Tz=9.33 Mx=-0.01 Mz=-7.26
Sollecitazioni agenti localmente: Tx_l=-9.26 Ty_l=9.33 N_l=-11265.80 My_l=7.26 Mz_l=-0.01
Azioni sul cordone: TP=-0.68 TO=0.69 NO=-832.77
Tensioni nel cordone: τ_P=0.22 τ_0=0.22 σ_0=275.30 σ_{ID}=275.30 Σ_T=275.52
CC 24 SLD (Collegamento -041_-375)
Azioni sul collegamento: N=-8874.30 Ty=-11.63 Tz=18.26 Mx=-0.01 Mz=-9.21
Sollecitazioni agenti localmente: Tx_l=-11.63 Ty_l=18.26 N_l=-8874.30 My_l=9.21 Mz_l=-0.01
Azioni sul cordone: TP=-0.85 TO=1.35 NO=-655.99
Tensioni nel cordone: τ_P=0.27 τ_0=0.43 σ_0=221.97 σ_{ID}=221.97 Σ_T=222.40
CC 24 SLD (Collegamento -041_-375)
Azioni sul collegamento: N=-8874.30 Ty=-9.26 Tz=18.26 Mx=-0.01 Mz=-7.26
Sollecitazioni agenti localmente: Tx_l=-9.26 Ty_l=18.26 N_l=-8874.30 My_l=7.26 Mz_l=-0.01
Azioni sul cordone: TP=-0.68 TO=1.35 NO=-655.99
Tensioni nel cordone: τ_P=0.22 τ_0=0.43 σ_0=219.11 σ_{ID}=219.11 Σ_T=219.54
CC 24 SLD (Collegamento -041_-375)
Azioni sul collegamento: N=-8874.30 Ty=-11.63 Tz=9.33 Mx=-0.01 Mz=-9.21
Sollecitazioni agenti localmente: Tx_l=-11.63 Ty_l=9.33 N_l=-8874.30 My_l=9.21 Mz_l=-0.01
Azioni sul cordone: TP=-0.85 TO=0.69 NO=-655.99
Tensioni nel cordone: τ_P=0.27 τ_0=0.22 σ_0=221.97 σ_{ID}=221.97 Σ_T=222.19
CC 24 SLD (Collegamento -041_-375)
Azioni sul collegamento: N=-8874.30 Ty=-9.26 Tz=9.33 Mx=-0.01 Mz=-7.26
Sollecitazioni agenti localmente: Tx_l=-9.26 Ty_l=9.33 N_l=-8874.30 My_l=7.26 Mz_l=-0.01
Azioni sul cordone: TP=-0.68 TO=0.69 NO=-655.99
Tensioni nel cordone: τ_P=0.22 τ_0=0.22 σ_0=219.11 σ_{ID}=219.11 Σ_T=219.33
CC 25 SLV (Collegamento -041_-375)
Azioni sul collegamento: N=-8983.80 Ty=-9.43 Tz=9.29 Mx=-0.02 Mz=-7.83
Sollecitazioni agenti localmente: Tx_l=-9.43 Ty_l=9.29 N_l=-8983.80 My_l=7.83 Mz_l=-0.02
Azioni sul cordone: TP=-0.67 TO=0.71 NO=-664.09
Tensioni nel cordone: τ_P=0.21 τ_0=0.22 σ_0=222.51 σ_{ID}=222.51 Σ_T=222.74
CC 25 SLV (Collegamento -041_-375)
Azioni sul collegamento: N=-8983.80 Ty=-13.31 Tz=9.29 Mx=-0.02 Mz=-12.93

Sollecitazioni agenti localmente: Tx_l=-13.31 Ty_l=9.29 N_l=-8983.80 My_l=12.93 Mz_l=-0.02
Azioni sul cordone: TP=-0.96 TO=0.71 NO=-664.09
Tensioni nel cordone: τ_P=0.30 τ_0=0.22 σ_0=229.96 σ_{ID}=229.96 Σ_T=230.19
CC 25 SLV (Collegamento -041_-375)
Azioni sul collegamento: N=-8983.80 Ty=-9.43 Tz=19.07 Mx=-0.02 Mz=-7.83
Sollecitazioni agenti localmente: Tx_l=-9.43 Ty_l=19.07 N_l=-8983.80 My_l=7.83 Mz_l=-0.02
Azioni sul cordone: TP=-0.67 TO=1.43 NO=-664.09
Tensioni nel cordone: τ_P=0.21 τ_0=0.45 σ_0=222.51 σ_{ID}=222.51 Σ_T=222.97
CC 25 SLV (Collegamento -041_-375)
Azioni sul collegamento: N=-8983.80 Ty=-13.31 Tz=19.07 Mx=-0.02 Mz=-12.93
Sollecitazioni agenti localmente: Tx_l=-13.31 Ty_l=19.07 N_l=-8983.80 My_l=12.93 Mz_l=-0.02
Azioni sul cordone: TP=-0.96 TO=1.43 NO=-664.09
Tensioni nel cordone: τ_P=0.30 τ_0=0.45 σ_0=229.96 σ_{ID}=229.96 Σ_T=230.41
CC 25 SLV (Collegamento -041_-375)
Azioni sul collegamento: N=-11351.50 Ty=-9.43 Tz=9.29 Mx=-0.02 Mz=-7.83
Sollecitazioni agenti localmente: Tx_l=-9.43 Ty_l=9.29 N_l=-11351.50 My_l=7.83 Mz_l=-0.02
Azioni sul cordone: TP=-0.67 TO=0.71 NO=-839.10
Tensioni nel cordone: τ_P=0.21 τ_0=0.22 σ_0=278.14 σ_{ID}=278.14 Σ_T=278.36
CC 25 SLV (Collegamento -041_-375)
Azioni sul collegamento: N=-11351.50 Ty=-13.31 Tz=9.29 Mx=-0.02 Mz=-12.93
Sollecitazioni agenti localmente: Tx_l=-13.31 Ty_l=9.29 N_l=-11351.50 My_l=12.93 Mz_l=-0.02
Azioni sul cordone: TP=-0.96 TO=0.71 NO=-839.10
Tensioni nel cordone: τ_P=0.30 τ_0=0.22 σ_0=285.59 σ_{ID}=285.59 Σ_T=285.81
CC 25 SLV (Collegamento -041_-375)
Azioni sul collegamento: N=-11351.50 Ty=-9.43 Tz=19.07 Mx=-0.02 Mz=-7.83
Sollecitazioni agenti localmente: Tx_l=-9.43 Ty_l=19.07 N_l=-11351.50 My_l=7.83 Mz_l=-0.02
Azioni sul cordone: TP=-0.67 TO=1.43 NO=-839.10
Tensioni nel cordone: τ_P=0.21 τ_0=0.45 σ_0=278.14 σ_{ID}=278.14 Σ_T=278.59
CC 25 SLV (Collegamento -041_-375)
Azioni sul collegamento: N=-11351.50 Ty=-13.31 Tz=19.07 Mx=-0.02 Mz=-12.93
Sollecitazioni agenti localmente: Tx_l=-13.31 Ty_l=19.07 N_l=-11351.50 My_l=12.93 Mz_l=-0.02
Azioni sul cordone: TP=-0.96 TO=1.43 NO=-839.10
Tensioni nel cordone: τ_P=0.30 τ_0=0.45 σ_0=285.59 σ_{ID}=285.59 Σ_T=286.04
CC 26 SLD (Collegamento -041_-375)
Azioni sul collegamento: N=-9709.05 Ty=-9.85 Tz=12.31 Mx=-0.01 Mz=-7.46
Sollecitazioni agenti localmente: Tx_l=-9.85 Ty_l=12.31 N_l=-9709.05 My_l=7.46 Mz_l=-0.01
Azioni sul cordone: TP=-0.72 TO=0.92 NO=-717.70
Tensioni nel cordone: τ_P=0.23 τ_0=0.29 σ_0=239.02 σ_{ID}=239.02 Σ_T=239.31
CC 26 SLD (Collegamento -041_-375)
Azioni sul collegamento: N=-9709.05 Ty=-11.04 Tz=12.31 Mx=-0.01 Mz=-9.01
Sollecitazioni agenti localmente: Tx_l=-11.04 Ty_l=12.31 N_l=-9709.05 My_l=9.01 Mz_l=-0.01
Azioni sul cordone: TP=-0.81 TO=0.92 NO=-717.70
Tensioni nel cordone: τ_P=0.26 τ_0=0.29 σ_0=241.29 σ_{ID}=241.29 Σ_T=241.58
CC 26 SLD (Collegamento -041_-375)
Azioni sul collegamento: N=-9709.05 Ty=-9.85 Tz=15.29 Mx=-0.01 Mz=-7.46
Sollecitazioni agenti localmente: Tx_l=-9.85 Ty_l=15.29 N_l=-9709.05 My_l=7.46 Mz_l=-0.01
Azioni sul cordone: TP=-0.72 TO=1.14 NO=-717.70
Tensioni nel cordone: τ_P=0.23 τ_0=0.36 σ_0=239.02 σ_{ID}=239.02 Σ_T=239.38
CC 26 SLD (Collegamento -041_-375)
Azioni sul collegamento: N=-9709.05 Ty=-11.04 Tz=15.29 Mx=-0.01 Mz=-9.01
Sollecitazioni agenti localmente: Tx_l=-11.04 Ty_l=15.29 N_l=-9709.05 My_l=9.01 Mz_l=-0.01
Azioni sul cordone: TP=-0.81 TO=1.14 NO=-717.70
Tensioni nel cordone: τ_P=0.26 τ_0=0.36 σ_0=241.29 σ_{ID}=241.29 Σ_T=241.65
CC 26 SLD (Collegamento -041_-375)
Azioni sul collegamento: N=-10431.00 Ty=-9.85 Tz=12.31 Mx=-0.01 Mz=-7.46
Sollecitazioni agenti localmente: Tx_l=-9.85 Ty_l=12.31 N_l=-10431.00 My_l=7.46 Mz_l=-0.01
Azioni sul cordone: TP=-0.72 TO=0.92 NO=-771.06
Tensioni nel cordone: τ_P=0.23 τ_0=0.29 σ_0=255.98 σ_{ID}=255.98 Σ_T=256.27
CC 26 SLD (Collegamento -041_-375)
Azioni sul collegamento: N=-10431.00 Ty=-11.04 Tz=12.31 Mx=-0.01 Mz=-9.01
Sollecitazioni agenti localmente: Tx_l=-11.04 Ty_l=12.31 N_l=-10431.00 My_l=9.01 Mz_l=-0.01
Azioni sul cordone: TP=-0.81 TO=0.92 NO=-771.06
Tensioni nel cordone: τ_P=0.26 τ_0=0.29 σ_0=258.25 σ_{ID}=258.25 Σ_T=258.54
CC 26 SLD (Collegamento -041_-375)
Azioni sul collegamento: N=-10431.00 Ty=-9.85 Tz=15.29 Mx=-0.01 Mz=-7.46
Sollecitazioni agenti localmente: Tx_l=-9.85 Ty_l=15.29 N_l=-10431.00 My_l=7.46 Mz_l=-0.01
Azioni sul cordone: TP=-0.72 TO=1.14 NO=-771.06
Tensioni nel cordone: τ_P=0.23 τ_0=0.36 σ_0=255.98 σ_{ID}=255.98 Σ_T=256.34
CC 26 SLD (Collegamento -041_-375)
Azioni sul collegamento: N=-10431.00 Ty=-11.04 Tz=15.29 Mx=-0.01 Mz=-9.01
Sollecitazioni agenti localmente: Tx_l=-11.04 Ty_l=15.29 N_l=-10431.00 My_l=9.01 Mz_l=-0.01
Azioni sul cordone: TP=-0.81 TO=1.14 NO=-771.06
Tensioni nel cordone: τ_P=0.26 τ_0=0.36 σ_0=258.25 σ_{ID}=258.25 Σ_T=258.61
CC 27 SLV (Collegamento -041_-375)
Azioni sul collegamento: N=-11335.10 Ty=-11.60 Tz=17.98 Mx=-0.02 Mz=-9.43
Sollecitazioni agenti localmente: Tx_l=-11.60 Ty_l=17.98 N_l=-11335.10 My_l=9.43 Mz_l=-0.02
Azioni sul cordone: TP=-0.83 TO=1.35 NO=-837.90
Tensioni nel cordone: τ_P=0.26 τ_0=0.43 σ_0=280.11 σ_{ID}=280.11 Σ_T=280.53
CC 27 SLV (Collegamento -041_-375)
Azioni sul collegamento: N=-11335.10 Ty=-11.14 Tz=17.98 Mx=-0.02 Mz=-11.32
Sollecitazioni agenti localmente: Tx_l=-11.14 Ty_l=17.98 N_l=-11335.10 My_l=11.32 Mz_l=-0.02

Azioni sul cordone: TP=-0.80 TO=1.35 NO=-837.90
Tensioni nel cordone: τ_P=0.25 τ_O=0.43 σ_O=282.86 σ_{ID}=282.86 Σ_T=283.29
CC 27 SLV (Collegamento -041_-375)
Azioni sul collegamento: N=-11335.10 Ty=-11.60 Tz=10.38 Mx=-0.02 Mz=-9.43
Sollecitazioni agenti localmente: Tx_l=-11.60 Ty_l=10.38 N_l=-11335.10 My_l=9.43 Mz_l=-0.02
Azioni sul cordone: TP=-0.83 TO=0.79 NO=-837.90
Tensioni nel cordone: τ_P=0.26 τ_O=0.25 σ_O=280.11 σ_{ID}=280.11 Σ_T=280.36
CC 27 SLV (Collegamento -041_-375)
Azioni sul collegamento: N=-11335.10 Ty=-11.14 Tz=10.38 Mx=-0.02 Mz=-11.32
Sollecitazioni agenti localmente: Tx_l=-11.14 Ty_l=10.38 N_l=-11335.10 My_l=11.32 Mz_l=-0.02
Azioni sul cordone: TP=-0.80 TO=0.79 NO=-837.90
Tensioni nel cordone: τ_P=0.25 τ_O=0.25 σ_O=282.86 σ_{ID}=282.86 Σ_T=283.11
CC 27 SLV (Collegamento -041_-375)
Azioni sul collegamento: N=-9000.13 Ty=-11.60 Tz=17.98 Mx=-0.02 Mz=-9.43
Sollecitazioni agenti localmente: Tx_l=-11.60 Ty_l=17.98 N_l=-9000.13 My_l=9.43 Mz_l=-0.02
Azioni sul cordone: TP=-0.83 TO=1.35 NO=-665.29
Tensioni nel cordone: τ_P=0.26 τ_O=0.43 σ_O=225.24 σ_{ID}=225.24 Σ_T=225.67
CC 27 SLV (Collegamento -041_-375)
Azioni sul collegamento: N=-9000.13 Ty=-11.14 Tz=17.98 Mx=-0.02 Mz=-11.32
Sollecitazioni agenti localmente: Tx_l=-11.14 Ty_l=17.98 N_l=-9000.13 My_l=11.32 Mz_l=-0.02
Azioni sul cordone: TP=-0.80 TO=1.35 NO=-665.29
Tensioni nel cordone: τ_P=0.25 τ_O=0.43 σ_O=228.00 σ_{ID}=228.00 Σ_T=228.42
CC 27 SLV (Collegamento -041_-375)
Azioni sul collegamento: N=-9000.13 Ty=-11.60 Tz=10.38 Mx=-0.02 Mz=-9.43
Sollecitazioni agenti localmente: Tx_l=-11.60 Ty_l=10.38 N_l=-9000.13 My_l=9.43 Mz_l=-0.02
Azioni sul cordone: TP=-0.83 TO=0.79 NO=-665.29
Tensioni nel cordone: τ_P=0.26 τ_O=0.25 σ_O=225.24 σ_{ID}=225.24 Σ_T=225.49
CC 27 SLV (Collegamento -041_-375)
Azioni sul collegamento: N=-9000.13 Ty=-11.14 Tz=10.38 Mx=-0.02 Mz=-11.32
Sollecitazioni agenti localmente: Tx_l=-11.14 Ty_l=10.38 N_l=-9000.13 My_l=11.32 Mz_l=-0.02
Azioni sul cordone: TP=-0.80 TO=0.79 NO=-665.29
Tensioni nel cordone: τ_P=0.25 τ_O=0.25 σ_O=228.00 σ_{ID}=228.00 Σ_T=228.25
CC 28 SLD (Collegamento -041_-375)
Azioni sul collegamento: N=-10426.00 Ty=-10.51 Tz=14.95 Mx=-0.01 Mz=-7.95
Sollecitazioni agenti localmente: Tx_l=-10.51 Ty_l=14.95 N_l=-10426.00 My_l=7.95 Mz_l=-0.01
Azioni sul cordone: TP=-0.77 TO=1.11 NO=-770.70
Tensioni nel cordone: τ_P=0.24 τ_O=0.35 σ_O=256.58 σ_{ID}=256.58 Σ_T=256.93
CC 28 SLD (Collegamento -041_-375)
Azioni sul collegamento: N=-10426.00 Ty=-10.37 Tz=14.95 Mx=-0.01 Mz=-8.52
Sollecitazioni agenti localmente: Tx_l=-10.37 Ty_l=14.95 N_l=-10426.00 My_l=8.52 Mz_l=-0.01
Azioni sul cordone: TP=-0.76 TO=1.11 NO=-770.70
Tensioni nel cordone: τ_P=0.24 τ_O=0.35 σ_O=257.42 σ_{ID}=257.42 Σ_T=257.77
CC 28 SLD (Collegamento -041_-375)
Azioni sul collegamento: N=-10426.00 Ty=-10.51 Tz=12.64 Mx=-0.01 Mz=-7.95
Sollecitazioni agenti localmente: Tx_l=-10.51 Ty_l=12.64 N_l=-10426.00 My_l=7.95 Mz_l=-0.01
Azioni sul cordone: TP=-0.77 TO=0.94 NO=-770.70
Tensioni nel cordone: τ_P=0.24 τ_O=0.30 σ_O=256.58 σ_{ID}=256.58 Σ_T=256.88
CC 28 SLD (Collegamento -041_-375)
Azioni sul collegamento: N=-10426.00 Ty=-10.37 Tz=12.64 Mx=-0.01 Mz=-8.52
Sollecitazioni agenti localmente: Tx_l=-10.37 Ty_l=12.64 N_l=-10426.00 My_l=8.52 Mz_l=-0.01
Azioni sul cordone: TP=-0.76 TO=0.94 NO=-770.70
Tensioni nel cordone: τ_P=0.24 τ_O=0.30 σ_O=257.42 σ_{ID}=257.42 Σ_T=257.72
CC 28 SLD (Collegamento -041_-375)
Azioni sul collegamento: N=-9714.03 Ty=-10.51 Tz=14.95 Mx=-0.01 Mz=-7.95
Sollecitazioni agenti localmente: Tx_l=-10.51 Ty_l=14.95 N_l=-9714.03 My_l=7.95 Mz_l=-0.01
Azioni sul cordone: TP=-0.77 TO=1.11 NO=-718.06
Tensioni nel cordone: τ_P=0.24 τ_O=0.35 σ_O=239.85 σ_{ID}=239.85 Σ_T=240.20
CC 28 SLD (Collegamento -041_-375)
Azioni sul collegamento: N=-9714.03 Ty=-10.37 Tz=14.95 Mx=-0.01 Mz=-8.52
Sollecitazioni agenti localmente: Tx_l=-10.37 Ty_l=14.95 N_l=-9714.03 My_l=8.52 Mz_l=-0.01
Azioni sul cordone: TP=-0.76 TO=1.11 NO=-718.06
Tensioni nel cordone: τ_P=0.24 τ_O=0.35 σ_O=240.69 σ_{ID}=240.69 Σ_T=241.04
CC 28 SLD (Collegamento -041_-375)
Azioni sul collegamento: N=-9714.03 Ty=-10.51 Tz=12.64 Mx=-0.01 Mz=-7.95
Sollecitazioni agenti localmente: Tx_l=-10.51 Ty_l=12.64 N_l=-9714.03 My_l=7.95 Mz_l=-0.01
Azioni sul cordone: TP=-0.77 TO=0.94 NO=-718.06
Tensioni nel cordone: τ_P=0.24 τ_O=0.30 σ_O=239.85 σ_{ID}=239.85 Σ_T=240.15
CC 28 SLD (Collegamento -041_-375)
Azioni sul collegamento: N=-9714.03 Ty=-10.37 Tz=12.64 Mx=-0.01 Mz=-8.52
Sollecitazioni agenti localmente: Tx_l=-10.37 Ty_l=12.64 N_l=-9714.03 My_l=8.52 Mz_l=-0.01
Azioni sul cordone: TP=-0.76 TO=0.94 NO=-718.06
Tensioni nel cordone: τ_P=0.24 τ_O=0.30 σ_O=240.69 σ_{ID}=240.69 Σ_T=240.99
CC 29 SLV (Collegamento -041_-375)
Azioni sul collegamento: N=-9000.13 Ty=-11.14 Tz=10.38 Mx=-0.01 Mz=-11.32
Sollecitazioni agenti localmente: Tx_l=-11.14 Ty_l=10.38 N_l=-9000.13 My_l=11.32 Mz_l=-0.01
Azioni sul cordone: TP=-0.82 TO=0.77 NO=-665.29
Tensioni nel cordone: τ_P=0.26 τ_O=0.25 σ_O=228.00 σ_{ID}=228.00 Σ_T=228.24
CC 29 SLV (Collegamento -041_-375)
Azioni sul collegamento: N=-9000.13 Ty=-11.60 Tz=10.38 Mx=-0.01 Mz=-9.43
Sollecitazioni agenti localmente: Tx_l=-11.60 Ty_l=10.38 N_l=-9000.13 My_l=9.43 Mz_l=-0.01
Azioni sul cordone: TP=-0.85 TO=0.77 NO=-665.29

Tensioni nel cordone: τ_P=0.27 τ_0=0.25 σ_0=225.24 σ_{ID}=225.24 Σ_T=225.49
CC 29 SLV (Collegamento -041_-375)
Azioni sul collegamento: N=-9000.13 Ty=-11.14 Tz=17.98 Mx=-0.01 Mz=-11.32
Sollecitazioni agenti localmente: Tx_l=-11.14 Ty_l=17.98 N_l=-9000.13 My_l=11.32 Mz_l=-0.01
Azioni sul cordone: TP=-0.82 TO=1.33 NO=-665.29
Tensioni nel cordone: τ_P=0.26 τ_0=0.42 σ_0=228.00 σ_{ID}=228.00 Σ_T=228.42
CC 29 SLV (Collegamento -041_-375)
Azioni sul collegamento: N=-9000.13 Ty=-11.60 Tz=17.98 Mx=-0.01 Mz=-9.43
Sollecitazioni agenti localmente: Tx_l=-11.60 Ty_l=17.98 N_l=-9000.13 My_l=9.43 Mz_l=-0.01
Azioni sul cordone: TP=-0.85 TO=1.33 NO=-665.29
Tensioni nel cordone: τ_P=0.27 τ_0=0.42 σ_0=225.24 σ_{ID}=225.24 Σ_T=225.67
CC 29 SLV (Collegamento -041_-375)
Azioni sul collegamento: N=-11335.10 Ty=-11.14 Tz=10.38 Mx=-0.01 Mz=-11.32
Sollecitazioni agenti localmente: Tx_l=-11.14 Ty_l=10.38 N_l=-11335.10 My_l=11.32 Mz_l=-0.01
Azioni sul cordone: TP=-0.82 TO=0.77 NO=-837.90
Tensioni nel cordone: τ_P=0.26 τ_0=0.25 σ_0=282.86 σ_{ID}=282.86 Σ_T=283.10
CC 29 SLV (Collegamento -041_-375)
Azioni sul collegamento: N=-11335.10 Ty=-11.60 Tz=10.38 Mx=-0.01 Mz=-9.43
Sollecitazioni agenti localmente: Tx_l=-11.60 Ty_l=10.38 N_l=-11335.10 My_l=9.43 Mz_l=-0.01
Azioni sul cordone: TP=-0.85 TO=0.77 NO=-837.90
Tensioni nel cordone: τ_P=0.27 τ_0=0.25 σ_0=280.11 σ_{ID}=280.11 Σ_T=280.35
CC 29 SLV (Collegamento -041_-375)
Azioni sul collegamento: N=-11335.10 Ty=-11.14 Tz=17.98 Mx=-0.01 Mz=-11.32
Sollecitazioni agenti localmente: Tx_l=-11.14 Ty_l=17.98 N_l=-11335.10 My_l=11.32 Mz_l=-0.01
Azioni sul cordone: TP=-0.82 TO=1.33 NO=-837.90
Tensioni nel cordone: τ_P=0.26 τ_0=0.42 σ_0=282.86 σ_{ID}=282.86 Σ_T=283.28
CC 29 SLV (Collegamento -041_-375)
Azioni sul collegamento: N=-11335.10 Ty=-11.60 Tz=17.98 Mx=-0.01 Mz=-9.43
Sollecitazioni agenti localmente: Tx_l=-11.60 Ty_l=17.98 N_l=-11335.10 My_l=9.43 Mz_l=-0.01
Azioni sul cordone: TP=-0.85 TO=1.33 NO=-837.90
Tensioni nel cordone: τ_P=0.27 τ_0=0.42 σ_0=280.11 σ_{ID}=280.11 Σ_T=280.53
CC 30 SLD (Collegamento -041_-375)
Azioni sul collegamento: N=-9714.03 Ty=-10.37 Tz=12.64 Mx=-0.00 Mz=-8.52
Sollecitazioni agenti localmente: Tx_l=-10.37 Ty_l=12.64 N_l=-9714.03 My_l=8.52 Mz_l=-0.00
Azioni sul cordone: TP=-0.76 TO=0.94 NO=-718.06
Tensioni nel cordone: τ_P=0.24 τ_0=0.30 σ_0=240.69 σ_{ID}=240.69 Σ_T=240.99
CC 30 SLD (Collegamento -041_-375)
Azioni sul collegamento: N=-9714.03 Ty=-10.51 Tz=12.64 Mx=-0.00 Mz=-7.95
Sollecitazioni agenti localmente: Tx_l=-10.51 Ty_l=12.64 N_l=-9714.03 My_l=7.95 Mz_l=-0.00
Azioni sul cordone: TP=-0.77 TO=0.94 NO=-718.06
Tensioni nel cordone: τ_P=0.25 τ_0=0.30 σ_0=239.85 σ_{ID}=239.85 Σ_T=240.15
CC 30 SLD (Collegamento -041_-375)
Azioni sul collegamento: N=-9714.03 Ty=-10.37 Tz=14.95 Mx=-0.00 Mz=-8.52
Sollecitazioni agenti localmente: Tx_l=-10.37 Ty_l=14.95 N_l=-9714.03 My_l=8.52 Mz_l=-0.00
Azioni sul cordone: TP=-0.76 TO=1.11 NO=-718.06
Tensioni nel cordone: τ_P=0.24 τ_0=0.35 σ_0=240.69 σ_{ID}=240.69 Σ_T=241.04
CC 30 SLD (Collegamento -041_-375)
Azioni sul collegamento: N=-9714.03 Ty=-10.51 Tz=14.95 Mx=-0.00 Mz=-7.95
Sollecitazioni agenti localmente: Tx_l=-10.51 Ty_l=14.95 N_l=-9714.03 My_l=7.95 Mz_l=-0.00
Azioni sul cordone: TP=-0.77 TO=1.11 NO=-718.06
Tensioni nel cordone: τ_P=0.25 τ_0=0.35 σ_0=239.85 σ_{ID}=239.85 Σ_T=240.20
CC 30 SLD (Collegamento -041_-375)
Azioni sul collegamento: N=-10426.00 Ty=-10.37 Tz=12.64 Mx=-0.00 Mz=-8.52
Sollecitazioni agenti localmente: Tx_l=-10.37 Ty_l=12.64 N_l=-10426.00 My_l=8.52 Mz_l=-0.00
Azioni sul cordone: TP=-0.76 TO=0.94 NO=-770.70
Tensioni nel cordone: τ_P=0.24 τ_0=0.30 σ_0=257.42 σ_{ID}=257.42 Σ_T=257.72
CC 30 SLD (Collegamento -041_-375)
Azioni sul collegamento: N=-10426.00 Ty=-10.51 Tz=12.64 Mx=-0.00 Mz=-7.95
Sollecitazioni agenti localmente: Tx_l=-10.51 Ty_l=12.64 N_l=-10426.00 My_l=7.95 Mz_l=-0.00
Azioni sul cordone: TP=-0.77 TO=0.94 NO=-770.70
Tensioni nel cordone: τ_P=0.25 τ_0=0.30 σ_0=256.58 σ_{ID}=256.58 Σ_T=256.88
CC 30 SLD (Collegamento -041_-375)
Azioni sul collegamento: N=-10426.00 Ty=-10.37 Tz=14.95 Mx=-0.00 Mz=-8.52
Sollecitazioni agenti localmente: Tx_l=-10.37 Ty_l=14.95 N_l=-10426.00 My_l=8.52 Mz_l=-0.00
Azioni sul cordone: TP=-0.76 TO=1.11 NO=-770.70
Tensioni nel cordone: τ_P=0.24 τ_0=0.35 σ_0=257.42 σ_{ID}=257.42 Σ_T=257.77
CC 30 SLD (Collegamento -041_-375)
Azioni sul collegamento: N=-10426.00 Ty=-10.51 Tz=14.95 Mx=-0.00 Mz=-7.95
Sollecitazioni agenti localmente: Tx_l=-10.51 Ty_l=14.95 N_l=-10426.00 My_l=7.95 Mz_l=-0.00
Azioni sul cordone: TP=-0.77 TO=1.11 NO=-770.70
Tensioni nel cordone: τ_P=0.25 τ_0=0.35 σ_0=256.58 σ_{ID}=256.58 Σ_T=256.93
CC 31 SLV (Collegamento -041_-375)
Azioni sul collegamento: N=-11351.50 Ty=-13.31 Tz=19.07 Mx=-0.01 Mz=-12.93
Sollecitazioni agenti localmente: Tx_l=-13.31 Ty_l=19.07 N_l=-11351.50 My_l=12.93 Mz_l=-0.01
Azioni sul cordone: TP=-0.98 TO=1.42 NO=-839.10
Tensioni nel cordone: τ_P=0.31 τ_0=0.45 σ_0=285.59 σ_{ID}=285.59 Σ_T=286.04
CC 31 SLV (Collegamento -041_-375)
Azioni sul collegamento: N=-11351.50 Ty=-9.43 Tz=19.07 Mx=-0.01 Mz=-7.83
Sollecitazioni agenti localmente: Tx_l=-9.43 Ty_l=19.07 N_l=-11351.50 My_l=7.83 Mz_l=-0.01
Azioni sul cordone: TP=-0.69 TO=1.42 NO=-839.10
Tensioni nel cordone: τ_P=0.22 τ_0=0.45 σ_0=278.14 σ_{ID}=278.14 Σ_T=278.59

CC 31 SLV (Collegamento -041_-375)
Azioni sul collegamento: N=-11351.50 Ty=-13.31 Tz=9.29 Mx=-0.01 Mz=-12.93
Sollecitazioni agenti localmente: Tx_l=-13.31 Ty_l=9.29 N_l=-11351.50 My_l=12.93 Mz_l=-0.01
Azioni sul cordone: TP=-0.98 TO=0.69 NO=-839.10
Tensioni nel cordone: τ_P=0.31 τ_0=0.22 σ_0=285.59 σ_{ID}=285.59 Σ_T=285.81
CC 31 SLV (Collegamento -041_-375)
Azioni sul collegamento: N=-11351.50 Ty=-9.43 Tz=9.29 Mx=-0.01 Mz=-7.83
Sollecitazioni agenti localmente: Tx_l=-9.43 Ty_l=9.29 N_l=-11351.50 My_l=7.83 Mz_l=-0.01
Azioni sul cordone: TP=-0.69 TO=0.69 NO=-839.10
Tensioni nel cordone: τ_P=0.22 τ_0=0.22 σ_0=278.14 σ_{ID}=278.14 Σ_T=278.36
CC 31 SLV (Collegamento -041_-375)
Azioni sul collegamento: N=-8983.80 Ty=-13.31 Tz=19.07 Mx=-0.01 Mz=-12.93
Sollecitazioni agenti localmente: Tx_l=-13.31 Ty_l=19.07 N_l=-8983.80 My_l=12.93 Mz_l=-0.01
Azioni sul cordone: TP=-0.98 TO=1.42 NO=-664.09
Tensioni nel cordone: τ_P=0.31 τ_0=0.45 σ_0=229.96 σ_{ID}=229.96 Σ_T=230.41
CC 31 SLV (Collegamento -041_-375)
Azioni sul collegamento: N=-8983.80 Ty=-9.43 Tz=19.07 Mx=-0.01 Mz=-7.83
Sollecitazioni agenti localmente: Tx_l=-9.43 Ty_l=19.07 N_l=-8983.80 My_l=7.83 Mz_l=-0.01
Azioni sul cordone: TP=-0.69 TO=1.42 NO=-664.09
Tensioni nel cordone: τ_P=0.22 τ_0=0.45 σ_0=222.51 σ_{ID}=222.51 Σ_T=222.96
CC 31 SLV (Collegamento -041_-375)
Azioni sul collegamento: N=-8983.80 Ty=-13.31 Tz=9.29 Mx=-0.01 Mz=-12.93
Sollecitazioni agenti localmente: Tx_l=-13.31 Ty_l=9.29 N_l=-8983.80 My_l=12.93 Mz_l=-0.01
Azioni sul cordone: TP=-0.98 TO=0.69 NO=-664.09
Tensioni nel cordone: τ_P=0.31 τ_0=0.22 σ_0=229.96 σ_{ID}=229.96 Σ_T=230.18
CC 31 SLV (Collegamento -041_-375)
Azioni sul collegamento: N=-8983.80 Ty=-9.43 Tz=9.29 Mx=-0.01 Mz=-7.83
Sollecitazioni agenti localmente: Tx_l=-9.43 Ty_l=9.29 N_l=-8983.80 My_l=7.83 Mz_l=-0.01
Azioni sul cordone: TP=-0.69 TO=0.69 NO=-664.09
Tensioni nel cordone: τ_P=0.22 τ_0=0.22 σ_0=222.51 σ_{ID}=222.51 Σ_T=222.73
CC 32 SLD (Collegamento -041_-375)
Azioni sul collegamento: N=-10431.00 Ty=-11.04 Tz=15.29 Mx=-0.00 Mz=-9.01
Sollecitazioni agenti localmente: Tx_l=-11.04 Ty_l=15.29 N_l=-10431.00 My_l=9.01 Mz_l=-0.00
Azioni sul cordone: TP=-0.81 TO=1.13 NO=-771.06
Tensioni nel cordone: τ_P=0.26 τ_0=0.36 σ_0=258.25 σ_{ID}=258.25 Σ_T=258.61
CC 32 SLD (Collegamento -041_-375)
Azioni sul collegamento: N=-10431.00 Ty=-9.85 Tz=15.29 Mx=-0.00 Mz=-7.46
Sollecitazioni agenti localmente: Tx_l=-9.85 Ty_l=15.29 N_l=-10431.00 My_l=7.46 Mz_l=-0.00
Azioni sul cordone: TP=-0.72 TO=1.13 NO=-771.06
Tensioni nel cordone: τ_P=0.23 τ_0=0.36 σ_0=255.98 σ_{ID}=255.98 Σ_T=256.34
CC 32 SLD (Collegamento -041_-375)
Azioni sul collegamento: N=-10431.00 Ty=-11.04 Tz=12.31 Mx=-0.00 Mz=-9.01
Sollecitazioni agenti localmente: Tx_l=-11.04 Ty_l=12.31 N_l=-10431.00 My_l=9.01 Mz_l=-0.00
Azioni sul cordone: TP=-0.81 TO=0.91 NO=-771.06
Tensioni nel cordone: τ_P=0.26 τ_0=0.29 σ_0=258.25 σ_{ID}=258.25 Σ_T=258.54
CC 32 SLD (Collegamento -041_-375)
Azioni sul collegamento: N=-10431.00 Ty=-9.85 Tz=12.31 Mx=-0.00 Mz=-7.46
Sollecitazioni agenti localmente: Tx_l=-9.85 Ty_l=12.31 N_l=-10431.00 My_l=7.46 Mz_l=-0.00
Azioni sul cordone: TP=-0.72 TO=0.91 NO=-771.06
Tensioni nel cordone: τ_P=0.23 τ_0=0.29 σ_0=255.98 σ_{ID}=255.98 Σ_T=256.27
CC 32 SLD (Collegamento -041_-375)
Azioni sul collegamento: N=-9709.05 Ty=-11.04 Tz=15.29 Mx=-0.00 Mz=-9.01
Sollecitazioni agenti localmente: Tx_l=-11.04 Ty_l=15.29 N_l=-9709.05 My_l=9.01 Mz_l=-0.00
Azioni sul cordone: TP=-0.81 TO=1.13 NO=-717.70
Tensioni nel cordone: τ_P=0.26 τ_0=0.36 σ_0=241.29 σ_{ID}=241.29 Σ_T=241.65
CC 32 SLD (Collegamento -041_-375)
Azioni sul collegamento: N=-9709.05 Ty=-9.85 Tz=15.29 Mx=-0.00 Mz=-7.46
Sollecitazioni agenti localmente: Tx_l=-9.85 Ty_l=15.29 N_l=-9709.05 My_l=7.46 Mz_l=-0.00
Azioni sul cordone: TP=-0.72 TO=1.13 NO=-717.70
Tensioni nel cordone: τ_P=0.23 τ_0=0.36 σ_0=239.02 σ_{ID}=239.02 Σ_T=239.38
CC 32 SLD (Collegamento -041_-375)
Azioni sul collegamento: N=-9709.05 Ty=-11.04 Tz=12.31 Mx=-0.00 Mz=-9.01
Sollecitazioni agenti localmente: Tx_l=-11.04 Ty_l=12.31 N_l=-9709.05 My_l=9.01 Mz_l=-0.00
Azioni sul cordone: TP=-0.81 TO=0.91 NO=-717.70
Tensioni nel cordone: τ_P=0.26 τ_0=0.29 σ_0=241.29 σ_{ID}=241.29 Σ_T=241.58
CC 32 SLD (Collegamento -041_-375)
Azioni sul collegamento: N=-9709.05 Ty=-9.85 Tz=12.31 Mx=-0.00 Mz=-7.46
Sollecitazioni agenti localmente: Tx_l=-9.85 Ty_l=12.31 N_l=-9709.05 My_l=7.46 Mz_l=-0.00
Azioni sul cordone: TP=-0.72 TO=0.91 NO=-717.70
Tensioni nel cordone: τ_P=0.23 τ_0=0.29 σ_0=239.02 σ_{ID}=239.02 Σ_T=239.31
CC 33 SLU (Collegamento -041_-375)
Azioni sul collegamento: N=-36642.60 Ty=-20.20 Tz=103.27 Mx=-0.00 Mz=-14.84
Sollecitazioni agenti localmente: Tx_l=-20.20 Ty_l=103.27 N_l=-36642.60 My_l=14.84 Mz_l=-0.00
Azioni sul cordone: TP=-1.49 TO=7.64 NO=-2708.63
Tensioni nel cordone: τ_P=0.47 τ_0=2.43 σ_0=882.61 σ_{ID}=882.62 Σ_T=885.04
CC 34 SLU (Collegamento -041_-375)
Azioni sul collegamento: N=-37458.50 Ty=-20.96 Tz=106.28 Mx=-0.00 Mz=-15.40
Sollecitazioni agenti localmente: Tx_l=-20.96 Ty_l=106.28 N_l=-37458.50 My_l=15.40 Mz_l=-0.00
Azioni sul cordone: TP=-1.54 TO=7.86 NO=-2768.95
Tensioni nel cordone: τ_P=0.49 τ_0=2.50 σ_0=902.60 σ_{ID}=902.60 Σ_T=905.10
CC 35 SLU (Collegamento -041_-375)

Azioni sul collegamento: N=-37049.70 Ty=-20.49 Tz=104.83 Mx=-0.01 Mz=-14.94
Sollecitazioni agenti localmente: Tx_l=-20.49 Ty_l=104.83 N_l=-37049.70 My_l=14.94 Mz_l=-0.01
Azioni sul cordone: TP=-1.51 TO=7.75 NO=-2738.72
Tensioni nel cordone: τ_P=0.48 τ_0=2.46 σ_0=892.32 σ_{ID}=892.32 Σ_T=894.78
CC 36 SLU (Collegamento -041_-375)
Azioni sul collegamento: N=-37051.40 Ty=-20.67 Tz=104.72 Mx=-0.00 Mz=-15.30
Sollecitazioni agenti localmente: Tx_l=-20.67 Ty_l=104.72 N_l=-37051.40 My_l=15.30 Mz_l=-0.00
Azioni sul cordone: TP=-1.52 TO=7.74 NO=-2738.85
Tensioni nel cordone: τ_P=0.48 τ_0=2.46 σ_0=892.89 σ_{ID}=892.90 Σ_T=895.35
CC 37 SLU (Collegamento -041_-375)
Azioni sul collegamento: N=-29860.20 Ty=10.64 Tz=77.84 Mx=-0.00 Mz=8.54
Sollecitazioni agenti localmente: Tx_l=10.64 Ty_l=77.84 N_l=-29860.20 My_l=-8.54 Mz_l=-0.00
Azioni sul cordone: TP=0.79 TO=5.75 NO=-2207.27
Tensioni nel cordone: τ_P=0.25 τ_0=1.83 σ_0=714.06 σ_{ID}=714.06 Σ_T=715.89
CC 38 SLU (Collegamento -041_-375)
Azioni sul collegamento: N=-30676.20 Ty=9.89 Tz=80.85 Mx=-0.00 Mz=7.98
Sollecitazioni agenti localmente: Tx_l=9.89 Ty_l=80.85 N_l=-30676.20 My_l=-7.98 Mz_l=-0.00
Azioni sul cordone: TP=0.74 TO=5.97 NO=-2267.59
Tensioni nel cordone: τ_P=0.23 τ_0=1.90 σ_0=732.42 σ_{ID}=732.42 Σ_T=734.32
CC 39 SLU (Collegamento -041_-375)
Azioni sul collegamento: N=-30267.30 Ty=10.35 Tz=79.40 Mx=-0.01 Mz=8.45
Sollecitazioni agenti localmente: Tx_l=10.35 Ty_l=79.40 N_l=-30267.30 My_l=-8.45 Mz_l=-0.01
Azioni sul cordone: TP=0.77 TO=5.86 NO=-2237.37
Tensioni nel cordone: τ_P=0.25 τ_0=1.86 σ_0=723.48 σ_{ID}=723.49 Σ_T=725.35
CC 40 SLU (Collegamento -041_-375)
Azioni sul collegamento: N=-30269.10 Ty=10.18 Tz=79.28 Mx=-0.00 Mz=8.08
Sollecitazioni agenti localmente: Tx_l=10.18 Ty_l=79.28 N_l=-30269.10 My_l=-8.08 Mz_l=-0.00
Azioni sul cordone: TP=0.76 TO=5.86 NO=-2237.50
Tensioni nel cordone: τ_P=0.24 τ_0=1.86 σ_0=722.99 σ_{ID}=723.00 Σ_T=724.86
CC 41 SLU (Collegamento -041_-375)
Azioni sul collegamento: N=-27459.80 Ty=-19.36 Tz=69.55 Mx=-0.00 Mz=-14.09
Sollecitazioni agenti localmente: Tx_l=-19.36 Ty_l=69.55 N_l=-27459.80 My_l=14.09 Mz_l=-0.00
Azioni sul cordone: TP=-1.43 TO=5.14 NO=-2029.83
Tensioni nel cordone: τ_P=0.45 τ_0=1.64 σ_0=665.76 σ_{ID}=665.77 Σ_T=667.40
CC 42 SLU (Collegamento -041_-375)
Azioni sul collegamento: N=-28275.70 Ty=-20.11 Tz=72.57 Mx=-0.00 Mz=-14.65
Sollecitazioni agenti localmente: Tx_l=-20.11 Ty_l=72.57 N_l=-28275.70 My_l=14.65 Mz_l=-0.00
Azioni sul cordone: TP=-1.48 TO=5.37 NO=-2090.15
Tensioni nel cordone: τ_P=0.47 τ_0=1.71 σ_0=685.75 σ_{ID}=685.75 Σ_T=687.46
CC 43 SLU (Collegamento -041_-375)
Azioni sul collegamento: N=-27866.90 Ty=-19.65 Tz=71.12 Mx=-0.01 Mz=-14.19
Sollecitazioni agenti localmente: Tx_l=-19.65 Ty_l=71.12 N_l=-27866.90 My_l=14.19 Mz_l=-0.01
Azioni sul cordone: TP=-1.45 TO=5.26 NO=-2059.93
Tensioni nel cordone: τ_P=0.46 τ_0=1.67 σ_0=675.47 σ_{ID}=675.47 Σ_T=677.14
CC 44 SLU (Collegamento -041_-375)
Azioni sul collegamento: N=-27868.60 Ty=-19.82 Tz=71.00 Mx=-0.00 Mz=-14.55
Sollecitazioni agenti localmente: Tx_l=-19.82 Ty_l=71.00 N_l=-27868.60 My_l=14.55 Mz_l=-0.00
Azioni sul cordone: TP=-1.46 TO=5.25 NO=-2060.06
Tensioni nel cordone: τ_P=0.46 τ_0=1.67 σ_0=676.05 σ_{ID}=676.05 Σ_T=677.72
CC 45 SLU (Collegamento -041_-375)
Azioni sul collegamento: N=-29479.00 Ty=-19.57 Tz=76.97 Mx=-0.00 Mz=-14.38
Sollecitazioni agenti localmente: Tx_l=-19.57 Ty_l=76.97 N_l=-29479.00 My_l=14.38 Mz_l=-0.00
Azioni sul cordone: TP=-1.44 TO=5.69 NO=-2179.10
Tensioni nel cordone: τ_P=0.46 τ_0=1.81 σ_0=713.63 σ_{ID}=713.63 Σ_T=715.44
CC 46 SLU (Collegamento -041_-375)
Azioni sul collegamento: N=-30295.00 Ty=-20.33 Tz=79.99 Mx=-0.00 Mz=-14.94
Sollecitazioni agenti localmente: Tx_l=-20.33 Ty_l=79.99 N_l=-30295.00 My_l=14.94 Mz_l=-0.00
Azioni sul cordone: TP=-1.50 TO=5.92 NO=-2239.42
Tensioni nel cordone: τ_P=0.48 τ_0=1.88 σ_0=733.62 σ_{ID}=733.62 Σ_T=735.50
CC 47 SLU (Collegamento -041_-375)
Azioni sul collegamento: N=-29886.10 Ty=-19.86 Tz=78.54 Mx=-0.00 Mz=-14.48
Sollecitazioni agenti localmente: Tx_l=-19.86 Ty_l=78.54 N_l=-29886.10 My_l=14.48 Mz_l=-0.00
Azioni sul cordone: TP=-1.46 TO=5.81 NO=-2209.19
Tensioni nel cordone: τ_P=0.46 τ_0=1.85 σ_0=723.34 σ_{ID}=723.34 Σ_T=725.18
CC 48 SLU (Collegamento -041_-375)
Azioni sul collegamento: N=-29887.90 Ty=-20.04 Tz=78.42 Mx=-0.00 Mz=-14.84
Sollecitazioni agenti localmente: Tx_l=-20.04 Ty_l=78.42 N_l=-29887.90 My_l=14.84 Mz_l=-0.00
Azioni sul cordone: TP=-1.48 TO=5.80 NO=-2209.32
Tensioni nel cordone: τ_P=0.47 τ_0=1.84 σ_0=723.91 σ_{ID}=723.92 Σ_T=725.76
CC 49 SLU (Collegamento -041_-375)
Azioni sul collegamento: N=-24404.80 Ty=3.50 Tz=57.94 Mx=-0.00 Mz=3.11
Sollecitazioni agenti localmente: Tx_l=3.50 Ty_l=57.94 N_l=-24404.80 My_l=-3.11 Mz_l=-0.00
Azioni sul cordone: TP=0.26 TO=4.28 NO=-1804.01
Tensioni nel cordone: τ_P= 0.08 τ_0=1.36 σ_0=577.95 σ_{ID}=577.95 Σ_T=579.31
CC 50 SLU (Collegamento -041_-375)
Azioni sul collegamento: N=-25220.80 Ty=2.75 Tz=60.96 Mx=-0.00 Mz=2.55
Sollecitazioni agenti localmente: Tx_l=2.75 Ty_l=60.96 N_l=-25220.80 My_l=-2.55 Mz_l=-0.00
Azioni sul cordone: TP=0.21 TO=4.50 NO=-1864.33
Tensioni nel cordone: τ_P= 0.07 τ_0=1.43 σ_0=596.31 σ_{ID}=596.31 Σ_T=597.74
CC 51 SLU (Collegamento -041_-375)
Azioni sul collegamento: N=-24811.90 Ty=3.21 Tz=59.51 Mx=-0.00 Mz=3.02

Sollecitazioni agenti localmente: Tx_l=3.21 Ty_l=59.51 N_l=-24811.90 My_l=-3.02 Mz_l=-0.00
Azioni sul cordone: TP=0.24 TO=4.40 NO=-1834.11
Tensioni nel cordone: τ_P= 0.08 τ_0=1.40 σ_0=587.37 σ_{ID}=587.38 Σ_T=588.77
CC 52 SLU (Collegamento -041_-375)
Azioni sul collegamento: N=-24813.70 Ty=3.04 Tz=59.39 Mx=-0.00 Mz=2.65
Sollecitazioni agenti localmente: Tx_l=3.04 Ty_l=59.39 N_l=-24813.70 My_l=-2.65 Mz_l=-0.00
Azioni sul cordone: TP=0.23 TO=4.39 NO=-1834.24
Tensioni nel cordone: τ_P= 0.07 τ_0=1.39 σ_0=586.88 σ_{ID}=586.88 Σ_T=588.28
CC 53 SLU (Collegamento -041_-375)
Azioni sul collegamento: N=-22608.90 Ty=-18.94 Tz=51.75 Mx=-0.00 Mz=-13.82
Sollecitazioni agenti localmente: Tx_l=-18.94 Ty_l=51.75 N_l=-22608.90 My_l=13.82 Mz_l=-0.00
Azioni sul cordone: TP=-1.40 TO=3.83 NO=-1671.26
Tensioni nel cordone: τ_P=0.44 τ_0=1.22 σ_0=551.40 σ_{ID}=551.40 Σ_T=552.62
CC 54 SLU (Collegamento -041_-375)
Azioni sul collegamento: N=-23424.90 Ty=-19.70 Tz=54.76 Mx=-0.00 Mz=-14.38
Sollecitazioni agenti localmente: Tx_l=-19.70 Ty_l=54.76 N_l=-23424.90 My_l=14.38 Mz_l=-0.00
Azioni sul cordone: TP=-1.45 TO=4.05 NO=-1731.58
Tensioni nel cordone: τ_P=0.46 τ_0=1.29 σ_0=571.38 σ_{ID}=571.39 Σ_T=572.67
CC 55 SLU (Collegamento -041_-375)
Azioni sul collegamento: N=-23016.00 Ty=-19.23 Tz=53.31 Mx=-0.00 Mz=-13.92
Sollecitazioni agenti localmente: Tx_l=-19.23 Ty_l=53.31 N_l=-23016.00 My_l=13.92 Mz_l=-0.00
Azioni sul cordone: TP=-1.42 TO=3.94 NO=-1701.35
Tensioni nel cordone: τ_P=0.45 τ_0=1.25 σ_0=561.11 σ_{ID}=561.11 Σ_T=562.36
CC 56 SLU (Collegamento -041_-375)
Azioni sul collegamento: N=-23017.80 Ty=-19.41 Tz=53.20 Mx=-0.00 Mz=-14.28
Sollecitazioni agenti localmente: Tx_l=-19.41 Ty_l=53.20 N_l=-23017.80 My_l=14.28 Mz_l=-0.00
Azioni sul cordone: TP=-1.43 TO=3.93 NO=-1701.48
Tensioni nel cordone: τ_P=0.45 τ_0=1.25 σ_0=561.68 σ_{ID}=561.68 Σ_T=562.93
CC 57 SLU (Collegamento -041_-375)
Azioni sul collegamento: N=-30221.30 Ty=-20.56 Tz=79.74 Mx=-0.00 Mz=-15.10
Sollecitazioni agenti localmente: Tx_l=-20.56 Ty_l=79.74 N_l=-30221.30 My_l=15.10 Mz_l=-0.00
Azioni sul cordone: TP=-1.52 TO=5.90 NO=-2233.96
Tensioni nel cordone: τ_P=0.48 τ_0=1.87 σ_0=732.13 σ_{ID}=732.13 Σ_T=734.00
CC 58 SLU (Collegamento -041_-375)
Azioni sul collegamento: N=-31037.20 Ty=-21.31 Tz=82.75 Mx=-0.00 Mz=-15.66
Sollecitazioni agenti localmente: Tx_l=-21.31 Ty_l=82.75 N_l=-31037.20 My_l=15.66 Mz_l=-0.00
Azioni sul cordone: TP=-1.57 TO=6.12 NO=-2294.28
Tensioni nel cordone: τ_P=0.50 τ_0=1.95 σ_0=752.12 σ_{ID}=752.12 Σ_T=754.06
CC 59 SLU (Collegamento -041_-375)
Azioni sul collegamento: N=-30628.40 Ty=-20.85 Tz=81.31 Mx=-0.00 Mz=-15.20
Sollecitazioni agenti localmente: Tx_l=-20.85 Ty_l=81.31 N_l=-30628.40 My_l=15.20 Mz_l=-0.00
Azioni sul cordone: TP=-1.54 TO=6.01 NO=-2264.06
Tensioni nel cordone: τ_P=0.49 τ_0=1.91 σ_0=741.84 σ_{ID}=741.84 Σ_T=743.75
CC 60 SLU (Collegamento -041_-375)
Azioni sul collegamento: N=-30630.10 Ty=-21.02 Tz=81.19 Mx=-0.00 Mz=-15.57
Sollecitazioni agenti localmente: Tx_l=-21.02 Ty_l=81.19 N_l=-30630.10 My_l=15.57 Mz_l=-0.00
Azioni sul cordone: TP=-1.55 TO=6.00 NO=-2264.19
Tensioni nel cordone: τ_P=0.49 τ_0=1.91 σ_0=742.41 σ_{ID}=742.41 Σ_T=744.32
CC 61 SLU (Collegamento -041_-375)
Azioni sul collegamento: N=-25147.00 Ty=2.52 Tz=60.71 Mx=-0.00 Mz=2.39
Sollecitazioni agenti localmente: Tx_l=2.52 Ty_l=60.71 N_l=-25147.00 My_l=-2.39 Mz_l=-0.00
Azioni sul cordone: TP=0.19 TO=4.48 NO=-1858.88
Tensioni nel cordone: τ_P= 0.06 τ_0=1.43 σ_0=594.33 σ_{ID}=594.33 Σ_T=595.76
CC 62 SLU (Collegamento -041_-375)
Azioni sul collegamento: N=-25963.00 Ty=1.76 Tz=63.73 Mx=-0.00 Mz=1.83
Sollecitazioni agenti localmente: Tx_l=1.76 Ty_l=63.73 N_l=-25963.00 My_l=-1.83 Mz_l=-0.00
Azioni sul cordone: TP=0.14 TO=4.71 NO=-1919.19
Tensioni nel cordone: τ_P= 0.04 τ_0=1.50 σ_0=612.69 σ_{ID}=612.69 Σ_T=614.18
CC 63 SLU (Collegamento -041_-375)
Azioni sul collegamento: N=-25554.10 Ty=2.23 Tz=62.28 Mx=-0.00 Mz=2.29
Sollecitazioni agenti localmente: Tx_l=2.23 Ty_l=62.28 N_l=-25554.10 My_l=-2.29 Mz_l=-0.00
Azioni sul cordone: TP=0.17 TO=4.60 NO=-1888.97
Tensioni nel cordone: τ_P= 0.05 τ_0=1.46 σ_0=603.76 σ_{ID}=603.76 Σ_T=605.22
CC 64 SLU (Collegamento -041_-375)
Azioni sul collegamento: N=-25555.90 Ty=2.05 Tz=62.16 Mx=-0.00 Mz=1.93
Sollecitazioni agenti localmente: Tx_l=2.05 Ty_l=62.16 N_l=-25555.90 My_l=-1.93 Mz_l=-0.00
Azioni sul cordone: TP=0.16 TO=4.59 NO=-1889.10
Tensioni nel cordone: τ_P= 0.05 τ_0=1.46 σ_0=603.26 σ_{ID}=603.27 Σ_T=604.72
CC 65 SLU (Collegamento -041_-375)
Azioni sul collegamento: N=-23351.20 Ty=-19.92 Tz=54.52 Mx=-0.00 Mz=-14.54
Sollecitazioni agenti localmente: Tx_l=-19.92 Ty_l=54.52 N_l=-23351.20 My_l=14.54 Mz_l=-0.00
Azioni sul cordone: TP=-1.47 TO=4.03 NO=-1726.12
Tensioni nel cordone: τ_P=0.47 τ_0=1.28 σ_0=569.89 σ_{ID}=569.90 Σ_T=571.18
CC 66 SLU (Collegamento -041_-375)
Azioni sul collegamento: N=-24167.10 Ty=-20.68 Tz=57.53 Mx=-0.00 Mz=-15.10
Sollecitazioni agenti localmente: Tx_l=-20.68 Ty_l=57.53 N_l=-24167.10 My_l=15.10 Mz_l=-0.00
Azioni sul cordone: TP=-1.52 TO=4.26 NO=-1786.44
Tensioni nel cordone: τ_P=0.48 τ_0=1.35 σ_0=589.88 σ_{ID}=589.88 Σ_T=591.23
CC 67 SLU (Collegamento -041_-375)
Azioni sul collegamento: N=-23758.30 Ty=-20.21 Tz=56.08 Mx=-0.00 Mz=-14.64
Sollecitazioni agenti localmente: Tx_l=-20.21 Ty_l=56.08 N_l=-23758.30 My_l=14.64 Mz_l=-0.00

Azioni sul cordone: TP=-1.49 TO=4.15 NO=-1756.22
Tensioni nel cordone: τ_P=0.47 τ_O=1.32 σ_O=579.60 σ_{ID}=579.60 Σ_T=580.92
CC 68 SLU (Collegamento -041_-375)
Azioni sul collegamento: N=-23760.00 Ty=-20.39 Tz=55.97 Mx=-0.00 Mz=-15.01
Sollecitazioni agenti localmente: Tx_l=-20.39 Ty_l=55.97 N_l=-23760.00 My_l=15.01 Mz_l=-0.00
Azioni sul cordone: TP=-1.50 TO=4.14 NO=-1756.35
Tensioni nel cordone: τ_P=0.48 τ_O=1.32 σ_O=580.17 σ_{ID}=580.18 Σ_T=581.49
CC 97 SLU (Collegamento -041_-375)
Azioni sul collegamento: N=-31084.20 Ty=-25.01 Tz=90.82 Mx=0.05 Mz=-11.42
Sollecitazioni agenti localmente: Tx_l=-25.01 Ty_l=90.82 N_l=-31084.20 My_l=11.42 Mz_l=0.05
Azioni sul cordone: TP=-1.90 TO=6.68 NO=-2297.76
Tensioni nel cordone: τ_P=0.60 τ_O=2.12 σ_O=747.02 σ_{ID}=747.02 Σ_T=749.14
CC 98 SLU (Collegamento -041_-375)
Azioni sul collegamento: N=-31900.20 Ty=-25.76 Tz=93.83 Mx=0.05 Mz=-11.97
Sollecitazioni agenti localmente: Tx_l=-25.76 Ty_l=93.83 N_l=-31900.20 My_l=11.97 Mz_l=0.05
Azioni sul cordone: TP=-1.96 TO=6.90 NO=-2358.07
Tensioni nel cordone: τ_P=0.62 τ_O=2.19 σ_O=767.00 σ_{ID}=767.01 Σ_T=769.20
CC 99 SLU (Collegamento -041_-375)
Azioni sul collegamento: N=-31491.30 Ty=-25.30 Tz=92.39 Mx=0.05 Mz=-11.51
Sollecitazioni agenti localmente: Tx_l=-25.30 Ty_l=92.39 N_l=-31491.30 My_l=11.51 Mz_l=0.05
Azioni sul cordone: TP=-1.92 TO=6.79 NO=-2327.85
Tensioni nel cordone: τ_P=0.61 τ_O=2.16 σ_O=756.72 σ_{ID}=756.73 Σ_T=758.88
CC 100 SLU (Collegamento -041_-375)
Azioni sul collegamento: N=-31493.10 Ty=-25.48 Tz=92.27 Mx=0.05 Mz=-11.88
Sollecitazioni agenti localmente: Tx_l=-25.48 Ty_l=92.27 N_l=-31493.10 My_l=11.88 Mz_l=0.05
Azioni sul cordone: TP=-1.94 TO=6.78 NO=-2327.98
Tensioni nel cordone: τ_P=0.62 τ_O=2.16 σ_O=757.30 σ_{ID}=757.30 Σ_T=759.45
CC 101 SLU (Collegamento -041_-375)
Azioni sul collegamento: N=-8294.89 Ty=-5.21 Tz=7.37 Mx=-0.01 Mz=-4.43
Sollecitazioni agenti localmente: Tx_l=-5.21 Ty_l=7.37 N_l=-8294.89 My_l=4.43 Mz_l=-0.01
Azioni sul cordone: TP=-0.38 TO=0.55 NO=-613.16
Tensioni nel cordone: τ_P=0.12 τ_O=0.18 σ_O=201.37 σ_{ID}=201.37 Σ_T=201.54
CC 102 SLU (Collegamento -041_-375)
Azioni sul collegamento: N=-9110.88 Ty=-5.97 Tz=10.39 Mx=-0.01 Mz=-4.99
Sollecitazioni agenti localmente: Tx_l=-5.97 Ty_l=10.39 N_l=-9110.88 My_l=4.99 Mz_l=-0.01
Azioni sul cordone: TP=-0.43 TO=0.77 NO=-673.48
Tensioni nel cordone: τ_P=0.14 τ_O=0.25 σ_O=221.35 σ_{ID}=221.35 Σ_T=221.60
CC 103 SLU (Collegamento -041_-375)
Azioni sul collegamento: N=-8702.00 Ty=-5.50 Tz=8.94 Mx=-0.01 Mz=-4.53
Sollecitazioni agenti localmente: Tx_l=-5.50 Ty_l=8.94 N_l=-8702.00 My_l=4.53 Mz_l=-0.01
Azioni sul cordone: TP=-0.40 TO=0.67 NO=-643.25
Tensioni nel cordone: τ_P=0.13 τ_O=0.21 σ_O=211.07 σ_{ID}=211.07 Σ_T=211.28
CC 104 SLU (Collegamento -041_-375)
Azioni sul collegamento: N=-8703.78 Ty=-5.68 Tz=8.82 Mx=-0.01 Mz=-4.89
Sollecitazioni agenti localmente: Tx_l=-5.68 Ty_l=8.82 N_l=-8703.78 My_l=4.89 Mz_l=-0.01
Azioni sul cordone: TP=-0.41 TO=0.66 NO=-643.39
Tensioni nel cordone: τ_P=0.13 τ_O=0.21 σ_O=211.65 σ_{ID}=211.65 Σ_T=211.86

Flessione attacco superiore piastra

Bnetta=220.00 Hnetta=15.00
CC 1 SLV (Collegamento -041_-375)
Azioni sul collegamento: N=-5965.50 Ty=-4.83 Tz=-1.56 Mx=0.01 Mz=-1.02
Sollecitazioni agenti localmente: Ty_l=-1084.64 Mx_l=-21.69
Tensioni nella sezione: σ=262.94 τ=32.87
CC 1 SLV (Collegamento -041_-375)
Azioni sul collegamento: N=-5965.50 Ty=-12.58 Tz=-1.56 Mx=0.01 Mz=-7.43
Sollecitazioni agenti localmente: Ty_l=-1084.64 Mx_l=-21.69
Tensioni nella sezione: σ=262.94 τ=32.87
CC 1 SLV (Collegamento -041_-375)
Azioni sul collegamento: N=-5965.50 Ty=-4.83 Tz=27.71 Mx=0.01 Mz=-1.02
Sollecitazioni agenti localmente: Ty_l=-1084.64 Mx_l=-21.69
Tensioni nella sezione: σ=262.94 τ=32.87
CC 1 SLV (Collegamento -041_-375)
Azioni sul collegamento: N=-5965.50 Ty=-12.58 Tz=27.71 Mx=0.01 Mz=-7.43
Sollecitazioni agenti localmente: Ty_l=-1084.64 Mx_l=-21.69
Tensioni nella sezione: σ=262.94 τ=32.87
CC 1 SLV (Collegamento -041_-375)
Azioni sul collegamento: N=-13808.10 Ty=-4.83 Tz=-1.56 Mx=0.01 Mz=-1.02
Sollecitazioni agenti localmente: Ty_l=-2510.57 Mx_l=-50.21
Tensioni nella sezione: σ=608.62 τ=76.08
CC 1 SLV (Collegamento -041_-375)
Azioni sul collegamento: N=-13808.10 Ty=-12.58 Tz=-1.56 Mx=0.01 Mz=-7.43
Sollecitazioni agenti localmente: Ty_l=-2510.57 Mx_l=-50.21
Tensioni nella sezione: σ=608.62 τ=76.08
CC 1 SLV (Collegamento -041_-375)
Azioni sul collegamento: N=-13808.10 Ty=-4.83 Tz=27.71 Mx=0.01 Mz=-1.02
Sollecitazioni agenti localmente: Ty_l=-2510.57 Mx_l=-50.21
Tensioni nella sezione: σ=608.62 τ=76.08
CC 1 SLV (Collegamento -041_-375)
Azioni sul collegamento: N=-13808.10 Ty=-12.58 Tz=27.71 Mx=0.01 Mz=-7.43

Sollecitazioni agenti localmente: Ty_l=-2510.57 Mx_l=-50.21
Tensioni nella sezione: σ=608.62 τ=76.08
CC 2 SLD (Collegamento -041_-375)
Azioni sul collegamento: N=-8788.68 Ty=-8.45 Tz=9.00 Mx=0.00 Mz=-5.38
Sollecitazioni agenti localmente: Ty_l=-1597.94 Mx_l=-31.96
Tensioni nella sezione: σ=387.38 τ=48.42
CC 2 SLD (Collegamento -041_-375)
Azioni sul collegamento: N=-8788.68 Ty=-10.81 Tz=9.00 Mx=0.00 Mz=-7.34
Sollecitazioni agenti localmente: Ty_l=-1597.94 Mx_l=-31.96
Tensioni nella sezione: σ=387.38 τ=48.42
CC 2 SLD (Collegamento -041_-375)
Azioni sul collegamento: N=-8788.68 Ty=-8.45 Tz=17.92 Mx=0.00 Mz=-5.38
Sollecitazioni agenti localmente: Ty_l=-1597.94 Mx_l=-31.96
Tensioni nella sezione: σ=387.38 τ=48.42
CC 2 SLD (Collegamento -041_-375)
Azioni sul collegamento: N=-8788.68 Ty=-10.81 Tz=17.92 Mx=0.00 Mz=-7.34
Sollecitazioni agenti localmente: Ty_l=-1597.94 Mx_l=-31.96
Tensioni nella sezione: σ=387.38 τ=48.42
CC 2 SLD (Collegamento -041_-375)
Azioni sul collegamento: N=-11180.10 Ty=-8.45 Tz=8.99 Mx=0.00 Mz=-5.38
Sollecitazioni agenti localmente: Ty_l=-2032.75 Mx_l=-40.66
Tensioni nella sezione: σ=492.79 τ=61.60
CC 2 SLD (Collegamento -041_-375)
Azioni sul collegamento: N=-11180.10 Ty=-10.81 Tz=8.99 Mx=0.00 Mz=-7.34
Sollecitazioni agenti localmente: Ty_l=-2032.75 Mx_l=-40.66
Tensioni nella sezione: σ=492.79 τ=61.60
CC 2 SLD (Collegamento -041_-375)
Azioni sul collegamento: N=-11180.10 Ty=-8.45 Tz=17.92 Mx=0.00 Mz=-5.38
Sollecitazioni agenti localmente: Ty_l=-2032.75 Mx_l=-40.66
Tensioni nella sezione: σ=492.79 τ=61.60
CC 2 SLD (Collegamento -041_-375)
Azioni sul collegamento: N=-11180.10 Ty=-10.81 Tz=17.92 Mx=0.00 Mz=-7.34
Sollecitazioni agenti localmente: Ty_l=-2032.75 Mx_l=-40.66
Tensioni nella sezione: σ=492.79 τ=61.60
CC 3 SLV (Collegamento -041_-375)
Azioni sul collegamento: N=-5970.40 Ty=-5.34 Tz=-1.24 Mx=0.01 Mz=-2.07
Sollecitazioni agenti localmente: Ty_l=-1085.53 Mx_l=-21.71
Tensioni nella sezione: σ=263.16 τ=32.89
CC 3 SLV (Collegamento -041_-375)
Azioni sul collegamento: N=-5970.40 Ty=-12.07 Tz=-1.24 Mx=0.01 Mz=-6.38
Sollecitazioni agenti localmente: Ty_l=-1085.53 Mx_l=-21.71
Tensioni nella sezione: σ=263.16 τ=32.89
CC 3 SLV (Collegamento -041_-375)
Azioni sul collegamento: N=-5970.40 Ty=-5.34 Tz=27.38 Mx=0.01 Mz=-2.07
Sollecitazioni agenti localmente: Ty_l=-1085.53 Mx_l=-21.71
Tensioni nella sezione: σ=263.16 τ=32.89
CC 3 SLV (Collegamento -041_-375)
Azioni sul collegamento: N=-5970.40 Ty=-12.07 Tz=27.38 Mx=0.01 Mz=-6.38
Sollecitazioni agenti localmente: Ty_l=-1085.53 Mx_l=-21.71
Tensioni nella sezione: σ=263.16 τ=32.89
CC 3 SLV (Collegamento -041_-375)
Azioni sul collegamento: N=-13803.30 Ty=-5.34 Tz=-1.24 Mx=0.01 Mz=-2.07
Sollecitazioni agenti localmente: Ty_l=-2509.68 Mx_l=-50.19
Tensioni nella sezione: σ=608.41 τ=76.05
CC 3 SLV (Collegamento -041_-375)
Azioni sul collegamento: N=-13803.30 Ty=-12.07 Tz=-1.24 Mx=0.01 Mz=-6.38
Sollecitazioni agenti localmente: Ty_l=-2509.68 Mx_l=-50.19
Tensioni nella sezione: σ=608.41 τ=76.05
CC 3 SLV (Collegamento -041_-375)
Azioni sul collegamento: N=-13803.30 Ty=-5.34 Tz=27.38 Mx=0.01 Mz=-2.07
Sollecitazioni agenti localmente: Ty_l=-2509.68 Mx_l=-50.19
Tensioni nella sezione: σ=608.41 τ=76.05
CC 3 SLV (Collegamento -041_-375)
Azioni sul collegamento: N=-13803.30 Ty=-12.07 Tz=27.38 Mx=0.01 Mz=-6.38
Sollecitazioni agenti localmente: Ty_l=-2509.68 Mx_l=-50.19
Tensioni nella sezione: σ=608.41 τ=76.05
CC 4 SLD (Collegamento -041_-375)
Azioni sul collegamento: N=-8790.17 Ty=-8.61 Tz=9.10 Mx=0.00 Mz=-5.70
Sollecitazioni agenti localmente: Ty_l=-1598.21 Mx_l=-31.96
Tensioni nella sezione: σ=387.44 τ=48.43
CC 4 SLD (Collegamento -041_-375)
Azioni sul collegamento: N=-8790.17 Ty=-10.66 Tz=9.10 Mx=0.00 Mz=-7.02
Sollecitazioni agenti localmente: Ty_l=-1598.21 Mx_l=-31.96
Tensioni nella sezione: σ=387.44 τ=48.43
CC 4 SLD (Collegamento -041_-375)
Azioni sul collegamento: N=-8790.17 Ty=-8.61 Tz=17.82 Mx=0.00 Mz=-5.70
Sollecitazioni agenti localmente: Ty_l=-1598.21 Mx_l=-31.96
Tensioni nella sezione: σ=387.44 τ=48.43
CC 4 SLD (Collegamento -041_-375)
Azioni sul collegamento: N=-8790.17 Ty=-10.66 Tz=17.82 Mx=0.00 Mz=-7.02

Sollecitazioni agenti localmente: Ty_l=-1598.21 Mx_l=-31.96
Tensioni nella sezione: σ=387.44 τ=48.43
CC 4 SLD (Collegamento -041_-375)
Azioni sul collegamento: N=-11178.70 Ty=-8.61 Tz=9.09 Mx=0.00 Mz=-5.70
Sollecitazioni agenti localmente: Ty_l=-2032.48 Mx_l=-40.65
Tensioni nella sezione: σ=492.72 τ=61.59
CC 4 SLD (Collegamento -041_-375)
Azioni sul collegamento: N=-11178.70 Ty=-10.66 Tz=9.09 Mx=0.00 Mz=-7.02
Sollecitazioni agenti localmente: Ty_l=-2032.48 Mx_l=-40.65
Tensioni nella sezione: σ=492.72 τ=61.59
CC 4 SLD (Collegamento -041_-375)
Azioni sul collegamento: N=-11178.70 Ty=-8.61 Tz=17.82 Mx=0.00 Mz=-5.70
Sollecitazioni agenti localmente: Ty_l=-2032.48 Mx_l=-40.65
Tensioni nella sezione: σ=492.72 τ=61.59
CC 4 SLD (Collegamento -041_-375)
Azioni sul collegamento: N=-11178.70 Ty=-10.66 Tz=17.82 Mx=0.00 Mz=-7.02
Sollecitazioni agenti localmente: Ty_l=-2032.48 Mx_l=-40.65
Tensioni nella sezione: σ=492.72 τ=61.59
CC 5 SLV (Collegamento -041_-375)
Azioni sul collegamento: N=-13803.30 Ty=-12.07 Tz=27.38 Mx=0.01 Mz=-6.38
Sollecitazioni agenti localmente: Ty_l=-2509.68 Mx_l=-50.19
Tensioni nella sezione: σ=608.41 τ=76.05
CC 5 SLV (Collegamento -041_-375)
Azioni sul collegamento: N=-13803.30 Ty=-5.34 Tz=27.38 Mx=0.01 Mz=-2.07
Sollecitazioni agenti localmente: Ty_l=-2509.68 Mx_l=-50.19
Tensioni nella sezione: σ=608.41 τ=76.05
CC 5 SLV (Collegamento -041_-375)
Azioni sul collegamento: N=-13803.30 Ty=-12.07 Tz=-1.24 Mx=0.01 Mz=-6.38
Sollecitazioni agenti localmente: Ty_l=-2509.68 Mx_l=-50.19
Tensioni nella sezione: σ=608.41 τ=76.05
CC 5 SLV (Collegamento -041_-375)
Azioni sul collegamento: N=-13803.30 Ty=-5.34 Tz=-1.24 Mx=0.01 Mz=-2.07
Sollecitazioni agenti localmente: Ty_l=-2509.68 Mx_l=-50.19
Tensioni nella sezione: σ=608.41 τ=76.05
CC 5 SLV (Collegamento -041_-375)
Azioni sul collegamento: N=-5970.40 Ty=-12.07 Tz=27.38 Mx=0.01 Mz=-6.38
Sollecitazioni agenti localmente: Ty_l=-1085.53 Mx_l=-21.71
Tensioni nella sezione: σ=263.16 τ=32.89
CC 5 SLV (Collegamento -041_-375)
Azioni sul collegamento: N=-5970.40 Ty=-5.34 Tz=27.38 Mx=0.01 Mz=-2.07
Sollecitazioni agenti localmente: Ty_l=-1085.53 Mx_l=-21.71
Tensioni nella sezione: σ=263.16 τ=32.89
CC 5 SLV (Collegamento -041_-375)
Azioni sul collegamento: N=-5970.40 Ty=-12.07 Tz=-1.24 Mx=0.01 Mz=-6.38
Sollecitazioni agenti localmente: Ty_l=-1085.53 Mx_l=-21.71
Tensioni nella sezione: σ=263.16 τ=32.89
CC 5 SLV (Collegamento -041_-375)
Azioni sul collegamento: N=-5970.40 Ty=-5.34 Tz=-1.24 Mx=0.01 Mz=-2.07
Sollecitazioni agenti localmente: Ty_l=-1085.53 Mx_l=-21.71
Tensioni nella sezione: σ=263.16 τ=32.89
CC 6 SLD (Collegamento -041_-375)
Azioni sul collegamento: N=-11178.70 Ty=-10.66 Tz=17.82 Mx=0.00 Mz=-7.02
Sollecitazioni agenti localmente: Ty_l=-2032.48 Mx_l=-40.65
Tensioni nella sezione: σ=492.72 τ=61.59
CC 6 SLD (Collegamento -041_-375)
Azioni sul collegamento: N=-11178.70 Ty=-8.61 Tz=17.82 Mx=0.00 Mz=-5.70
Sollecitazioni agenti localmente: Ty_l=-2032.48 Mx_l=-40.65
Tensioni nella sezione: σ=492.72 τ=61.59
CC 6 SLD (Collegamento -041_-375)
Azioni sul collegamento: N=-11178.70 Ty=-10.66 Tz=9.09 Mx=0.00 Mz=-7.02
Sollecitazioni agenti localmente: Ty_l=-2032.48 Mx_l=-40.65
Tensioni nella sezione: σ=492.72 τ=61.59
CC 6 SLD (Collegamento -041_-375)
Azioni sul collegamento: N=-11178.70 Ty=-8.61 Tz=9.09 Mx=0.00 Mz=-5.70
Sollecitazioni agenti localmente: Ty_l=-2032.48 Mx_l=-40.65
Tensioni nella sezione: σ=492.72 τ=61.59
CC 6 SLD (Collegamento -041_-375)
Azioni sul collegamento: N=-8790.17 Ty=-10.66 Tz=17.82 Mx=0.00 Mz=-7.02
Sollecitazioni agenti localmente: Ty_l=-1598.21 Mx_l=-31.96
Tensioni nella sezione: σ=387.44 τ=48.43
CC 6 SLD (Collegamento -041_-375)
Azioni sul collegamento: N=-8790.17 Ty=-8.61 Tz=17.82 Mx=0.00 Mz=-5.70
Sollecitazioni agenti localmente: Ty_l=-1598.21 Mx_l=-31.96
Tensioni nella sezione: σ=387.44 τ=48.43
CC 6 SLD (Collegamento -041_-375)
Azioni sul collegamento: N=-8790.17 Ty=-10.66 Tz=9.10 Mx=0.00 Mz=-7.02
Sollecitazioni agenti localmente: Ty_l=-1598.21 Mx_l=-31.96
Tensioni nella sezione: σ=387.44 τ=48.43
CC 6 SLD (Collegamento -041_-375)
Azioni sul collegamento: N=-8790.17 Ty=-8.61 Tz=9.10 Mx=0.00 Mz=-5.70

Sollecitazioni agenti localmente: Ty_l=-1598.21 Mx_l=-31.96
Tensioni nella sezione: σ=387.44 τ=48.43
CC 7 SLV (Collegamento -041_-375)
Azioni sul collegamento: N=-13808.10 Ty=-12.58 Tz=27.71 Mx=0.01 Mz=-7.43
Sollecitazioni agenti localmente: Ty_l=-2510.57 Mx_l=-50.21
Tensioni nella sezione: σ=608.62 τ=76.08
CC 7 SLV (Collegamento -041_-375)
Azioni sul collegamento: N=-13808.10 Ty=-4.83 Tz=27.71 Mx=0.01 Mz=-1.02
Sollecitazioni agenti localmente: Ty_l=-2510.57 Mx_l=-50.21
Tensioni nella sezione: σ=608.62 τ=76.08
CC 7 SLV (Collegamento -041_-375)
Azioni sul collegamento: N=-13808.10 Ty=-12.58 Tz=-1.56 Mx=0.01 Mz=-7.43
Sollecitazioni agenti localmente: Ty_l=-2510.57 Mx_l=-50.21
Tensioni nella sezione: σ=608.62 τ=76.08
CC 7 SLV (Collegamento -041_-375)
Azioni sul collegamento: N=-13808.10 Ty=-4.83 Tz=-1.56 Mx=0.01 Mz=-1.02
Sollecitazioni agenti localmente: Ty_l=-2510.57 Mx_l=-50.21
Tensioni nella sezione: σ=608.62 τ=76.08
CC 7 SLV (Collegamento -041_-375)
Azioni sul collegamento: N=-5965.50 Ty=-12.58 Tz=27.71 Mx=0.01 Mz=-7.43
Sollecitazioni agenti localmente: Ty_l=-1084.64 Mx_l=-21.69
Tensioni nella sezione: σ=262.94 τ=32.87
CC 7 SLV (Collegamento -041_-375)
Azioni sul collegamento: N=-5965.50 Ty=-4.83 Tz=27.71 Mx=0.01 Mz=-1.02
Sollecitazioni agenti localmente: Ty_l=-1084.64 Mx_l=-21.69
Tensioni nella sezione: σ=262.94 τ=32.87
CC 7 SLV (Collegamento -041_-375)
Azioni sul collegamento: N=-5965.50 Ty=-12.58 Tz=-1.56 Mx=0.01 Mz=-7.43
Sollecitazioni agenti localmente: Ty_l=-1084.64 Mx_l=-21.69
Tensioni nella sezione: σ=262.94 τ=32.87
CC 7 SLV (Collegamento -041_-375)
Azioni sul collegamento: N=-5965.50 Ty=-4.83 Tz=-1.56 Mx=0.01 Mz=-1.02
Sollecitazioni agenti localmente: Ty_l=-1084.64 Mx_l=-21.69
Tensioni nella sezione: σ=262.94 τ=32.87
CC 8 SLD (Collegamento -041_-375)
Azioni sul collegamento: N=-11180.10 Ty=-10.81 Tz=17.92 Mx=0.00 Mz=-7.34
Sollecitazioni agenti localmente: Ty_l=-2032.75 Mx_l=-40.66
Tensioni nella sezione: σ=492.79 τ=61.60
CC 8 SLD (Collegamento -041_-375)
Azioni sul collegamento: N=-11180.10 Ty=-8.45 Tz=17.92 Mx=0.00 Mz=-5.38
Sollecitazioni agenti localmente: Ty_l=-2032.75 Mx_l=-40.66
Tensioni nella sezione: σ=492.79 τ=61.60
CC 8 SLD (Collegamento -041_-375)
Azioni sul collegamento: N=-11180.10 Ty=-10.81 Tz=8.99 Mx=0.00 Mz=-7.34
Sollecitazioni agenti localmente: Ty_l=-2032.75 Mx_l=-40.66
Tensioni nella sezione: σ=492.79 τ=61.60
CC 8 SLD (Collegamento -041_-375)
Azioni sul collegamento: N=-11180.10 Ty=-8.45 Tz=8.99 Mx=0.00 Mz=-5.38
Sollecitazioni agenti localmente: Ty_l=-2032.75 Mx_l=-40.66
Tensioni nella sezione: σ=492.79 τ=61.60
CC 8 SLD (Collegamento -041_-375)
Azioni sul collegamento: N=-8788.68 Ty=-10.81 Tz=17.92 Mx=0.00 Mz=-7.34
Sollecitazioni agenti localmente: Ty_l=-1597.94 Mx_l=-31.96
Tensioni nella sezione: σ=387.38 τ=48.42
CC 8 SLD (Collegamento -041_-375)
Azioni sul collegamento: N=-8788.68 Ty=-8.45 Tz=17.92 Mx=0.00 Mz=-5.38
Sollecitazioni agenti localmente: Ty_l=-1597.94 Mx_l=-31.96
Tensioni nella sezione: σ=387.38 τ=48.42
CC 8 SLD (Collegamento -041_-375)
Azioni sul collegamento: N=-8788.68 Ty=-10.81 Tz=9.00 Mx=0.00 Mz=-7.34
Sollecitazioni agenti localmente: Ty_l=-1597.94 Mx_l=-31.96
Tensioni nella sezione: σ=387.38 τ=48.42
CC 8 SLD (Collegamento -041_-375)
Azioni sul collegamento: N=-8788.68 Ty=-8.45 Tz=9.00 Mx=0.00 Mz=-5.38
Sollecitazioni agenti localmente: Ty_l=-1597.94 Mx_l=-31.96
Tensioni nella sezione: σ=387.38 τ=48.42
CC 9 SLV (Collegamento -041_-375)
Azioni sul collegamento: N=-8703.00 Ty=-6.76 Tz=8.19 Mx=0.02 Mz=-1.67
Sollecitazioni agenti localmente: Ty_l=-1582.36 Mx_l=-31.65
Tensioni nella sezione: σ=383.60 τ=47.95
CC 9 SLV (Collegamento -041_-375)
Azioni sul collegamento: N=-8703.00 Ty=-10.65 Tz=8.19 Mx=0.02 Mz=-6.77
Sollecitazioni agenti localmente: Ty_l=-1582.36 Mx_l=-31.65
Tensioni nella sezione: σ=383.60 τ=47.95
CC 9 SLV (Collegamento -041_-375)
Azioni sul collegamento: N=-8703.00 Ty=-6.76 Tz=17.96 Mx=0.02 Mz=-1.67
Sollecitazioni agenti localmente: Ty_l=-1582.36 Mx_l=-31.65
Tensioni nella sezione: σ=383.60 τ=47.95
CC 9 SLV (Collegamento -041_-375)
Azioni sul collegamento: N=-8703.00 Ty=-10.65 Tz=17.96 Mx=0.02 Mz=-6.77

Sollecitazioni agenti localmente: Ty_l=-1582.36 Mx_l=-31.65
Tensioni nella sezione: σ=383.60 τ=47.95
CC 9 SLV (Collegamento -041_-375)
Azioni sul collegamento: N=-11070.70 Ty=-6.76 Tz=8.19 Mx=0.02 Mz=-1.67
Sollecitazioni agenti localmente: Ty_l=-2012.85 Mx_l=-40.26
Tensioni nella sezione: σ=487.96 τ=61.00
CC 9 SLV (Collegamento -041_-375)
Azioni sul collegamento: N=-11070.70 Ty=-10.65 Tz=8.19 Mx=0.02 Mz=-6.77
Sollecitazioni agenti localmente: Ty_l=-2012.85 Mx_l=-40.26
Tensioni nella sezione: σ=487.96 τ=61.00
CC 9 SLV (Collegamento -041_-375)
Azioni sul collegamento: N=-11070.70 Ty=-6.76 Tz=17.96 Mx=0.02 Mz=-1.67
Sollecitazioni agenti localmente: Ty_l=-2012.85 Mx_l=-40.26
Tensioni nella sezione: σ=487.96 τ=61.00
CC 9 SLV (Collegamento -041_-375)
Azioni sul collegamento: N=-11070.70 Ty=-10.65 Tz=17.96 Mx=0.02 Mz=-6.77
Sollecitazioni agenti localmente: Ty_l=-2012.85 Mx_l=-40.26
Tensioni nella sezione: σ=487.96 τ=61.00
CC 10 SLD (Collegamento -041_-375)
Azioni sul collegamento: N=-9623.43 Ty=-9.04 Tz=11.97 Mx=0.00 Mz=-5.58
Sollecitazioni agenti localmente: Ty_l=-1749.71 Mx_l=-34.99
Tensioni nella sezione: σ=424.17 τ=53.02
CC 10 SLD (Collegamento -041_-375)
Azioni sul collegamento: N=-9623.43 Ty=-10.22 Tz=11.97 Mx=0.00 Mz=-7.14
Sollecitazioni agenti localmente: Ty_l=-1749.71 Mx_l=-34.99
Tensioni nella sezione: σ=424.17 τ=53.02
CC 10 SLD (Collegamento -041_-375)
Azioni sul collegamento: N=-9623.43 Ty=-9.04 Tz=14.95 Mx=0.00 Mz=-5.58
Sollecitazioni agenti localmente: Ty_l=-1749.71 Mx_l=-34.99
Tensioni nella sezione: σ=424.17 τ=53.02
CC 10 SLD (Collegamento -041_-375)
Azioni sul collegamento: N=-9623.43 Ty=-10.22 Tz=14.95 Mx=0.00 Mz=-7.14
Sollecitazioni agenti localmente: Ty_l=-1749.71 Mx_l=-34.99
Tensioni nella sezione: σ=424.17 τ=53.02
CC 10 SLD (Collegamento -041_-375)
Azioni sul collegamento: N=-10345.40 Ty=-9.04 Tz=11.97 Mx=0.00 Mz=-5.58
Sollecitazioni agenti localmente: Ty_l=-1880.98 Mx_l=-37.62
Tensioni nella sezione: σ=455.99 τ=57.00
CC 10 SLD (Collegamento -041_-375)
Azioni sul collegamento: N=-10345.40 Ty=-10.22 Tz=11.97 Mx=0.00 Mz=-7.14
Sollecitazioni agenti localmente: Ty_l=-1880.98 Mx_l=-37.62
Tensioni nella sezione: σ=455.99 τ=57.00
CC 10 SLD (Collegamento -041_-375)
Azioni sul collegamento: N=-10345.40 Ty=-9.04 Tz=14.95 Mx=0.00 Mz=-5.58
Sollecitazioni agenti localmente: Ty_l=-1880.98 Mx_l=-37.62
Tensioni nella sezione: σ=455.99 τ=57.00
CC 10 SLD (Collegamento -041_-375)
Azioni sul collegamento: N=-10345.40 Ty=-10.22 Tz=14.95 Mx=0.00 Mz=-7.14
Sollecitazioni agenti localmente: Ty_l=-1880.98 Mx_l=-37.62
Tensioni nella sezione: σ=455.99 τ=57.00
CC 11 SLV (Collegamento -041_-375)
Azioni sul collegamento: N=-11054.30 Ty=-8.94 Tz=16.87 Mx=0.02 Mz=-3.28
Sollecitazioni agenti localmente: Ty_l=-2009.88 Mx_l=-40.20
Tensioni nella sezione: σ=487.24 τ=60.91
CC 11 SLV (Collegamento -041_-375)
Azioni sul collegamento: N=-11054.30 Ty=-8.48 Tz=16.87 Mx=0.02 Mz=-5.16
Sollecitazioni agenti localmente: Ty_l=-2009.88 Mx_l=-40.20
Tensioni nella sezione: σ=487.24 τ=60.91
CC 11 SLV (Collegamento -041_-375)
Azioni sul collegamento: N=-11054.30 Ty=-8.94 Tz=9.28 Mx=0.02 Mz=-3.28
Sollecitazioni agenti localmente: Ty_l=-2009.88 Mx_l=-40.20
Tensioni nella sezione: σ=487.24 τ=60.91
CC 11 SLV (Collegamento -041_-375)
Azioni sul collegamento: N=-11054.30 Ty=-8.48 Tz=9.28 Mx=0.02 Mz=-5.16
Sollecitazioni agenti localmente: Ty_l=-2009.88 Mx_l=-40.20
Tensioni nella sezione: σ=487.24 τ=60.91
CC 11 SLV (Collegamento -041_-375)
Azioni sul collegamento: N=-8719.33 Ty=-8.94 Tz=16.87 Mx=0.02 Mz=-3.28
Sollecitazioni agenti localmente: Ty_l=-1585.33 Mx_l=-31.71
Tensioni nella sezione: σ=384.32 τ=48.04
CC 11 SLV (Collegamento -041_-375)
Azioni sul collegamento: N=-8719.33 Ty=-8.48 Tz=16.87 Mx=0.02 Mz=-5.16
Sollecitazioni agenti localmente: Ty_l=-1585.33 Mx_l=-31.71
Tensioni nella sezione: σ=384.32 τ=48.04
CC 11 SLV (Collegamento -041_-375)
Azioni sul collegamento: N=-8719.33 Ty=-8.94 Tz=9.28 Mx=0.02 Mz=-3.28
Sollecitazioni agenti localmente: Ty_l=-1585.33 Mx_l=-31.71
Tensioni nella sezione: σ=384.32 τ=48.04
CC 11 SLV (Collegamento -041_-375)
Azioni sul collegamento: N=-8719.33 Ty=-8.48 Tz=9.28 Mx=0.02 Mz=-5.16

Sollecitazioni agenti localmente: Ty_l=-1585.33 Mx_l=-31.71
Tensioni nella sezione: σ=384.32 τ=48.04
CC 12 SLD (Collegamento -041_-375)
Azioni sul collegamento: N=-10340.40 Ty=-9.70 Tz=14.62 Mx=0.00 Mz=-6.07
Sollecitazioni agenti localmente: Ty_l=-1880.08 Mx_l=-37.60
Tensioni nella sezione: σ=455.77 τ=56.97
CC 12 SLD (Collegamento -041_-375)
Azioni sul collegamento: N=-10340.40 Ty=-9.56 Tz=14.62 Mx=0.00 Mz=-6.65
Sollecitazioni agenti localmente: Ty_l=-1880.08 Mx_l=-37.60
Tensioni nella sezione: σ=455.77 τ=56.97
CC 12 SLD (Collegamento -041_-375)
Azioni sul collegamento: N=-10340.40 Ty=-9.70 Tz=12.30 Mx=0.00 Mz=-6.07
Sollecitazioni agenti localmente: Ty_l=-1880.08 Mx_l=-37.60
Tensioni nella sezione: σ=455.77 τ=56.97
CC 12 SLD (Collegamento -041_-375)
Azioni sul collegamento: N=-10340.40 Ty=-9.56 Tz=12.30 Mx=0.00 Mz=-6.65
Sollecitazioni agenti localmente: Ty_l=-1880.08 Mx_l=-37.60
Tensioni nella sezione: σ=455.77 τ=56.97
CC 12 SLD (Collegamento -041_-375)
Azioni sul collegamento: N=-9628.41 Ty=-9.70 Tz=14.62 Mx=0.00 Mz=-6.07
Sollecitazioni agenti localmente: Ty_l=-1750.62 Mx_l=-35.01
Tensioni nella sezione: σ=424.39 τ=53.05
CC 12 SLD (Collegamento -041_-375)
Azioni sul collegamento: N=-9628.41 Ty=-9.56 Tz=14.62 Mx=0.00 Mz=-6.65
Sollecitazioni agenti localmente: Ty_l=-1750.62 Mx_l=-35.01
Tensioni nella sezione: σ=424.39 τ=53.05
CC 12 SLD (Collegamento -041_-375)
Azioni sul collegamento: N=-9628.40 Ty=-9.70 Tz=12.30 Mx=0.00 Mz=-6.07
Sollecitazioni agenti localmente: Ty_l=-1750.62 Mx_l=-35.01
Tensioni nella sezione: σ=424.39 τ=53.05
CC 12 SLD (Collegamento -041_-375)
Azioni sul collegamento: N=-9628.40 Ty=-9.56 Tz=12.30 Mx=0.00 Mz=-6.65
Sollecitazioni agenti localmente: Ty_l=-1750.62 Mx_l=-35.01
Tensioni nella sezione: σ=424.39 τ=53.05
CC 13 SLV (Collegamento -041_-375)
Azioni sul collegamento: N=-8719.33 Ty=-8.48 Tz=9.28 Mx=0.00 Mz=-5.16
Sollecitazioni agenti localmente: Ty_l=-1585.33 Mx_l=-31.71
Tensioni nella sezione: σ=384.32 τ=48.04
CC 13 SLV (Collegamento -041_-375)
Azioni sul collegamento: N=-8719.33 Ty=-8.94 Tz=9.28 Mx=0.00 Mz=-3.28
Sollecitazioni agenti localmente: Ty_l=-1585.33 Mx_l=-31.71
Tensioni nella sezione: σ=384.32 τ=48.04
CC 13 SLV (Collegamento -041_-375)
Azioni sul collegamento: N=-8719.33 Ty=-8.48 Tz=16.87 Mx=0.00 Mz=-5.16
Sollecitazioni agenti localmente: Ty_l=-1585.33 Mx_l=-31.71
Tensioni nella sezione: σ=384.32 τ=48.04
CC 13 SLV (Collegamento -041_-375)
Azioni sul collegamento: N=-8719.33 Ty=-8.94 Tz=16.87 Mx=0.00 Mz=-3.28
Sollecitazioni agenti localmente: Ty_l=-1585.33 Mx_l=-31.71
Tensioni nella sezione: σ=384.32 τ=48.04
CC 13 SLV (Collegamento -041_-375)
Azioni sul collegamento: N=-11054.30 Ty=-8.48 Tz=9.28 Mx=0.00 Mz=-5.16
Sollecitazioni agenti localmente: Ty_l=-2009.88 Mx_l=-40.20
Tensioni nella sezione: σ=487.24 τ=60.91
CC 13 SLV (Collegamento -041_-375)
Azioni sul collegamento: N=-11054.30 Ty=-8.94 Tz=9.28 Mx=0.00 Mz=-3.28
Sollecitazioni agenti localmente: Ty_l=-2009.88 Mx_l=-40.20
Tensioni nella sezione: σ=487.24 τ=60.91
CC 13 SLV (Collegamento -041_-375)
Azioni sul collegamento: N=-11054.30 Ty=-8.48 Tz=16.87 Mx=0.00 Mz=-5.16
Sollecitazioni agenti localmente: Ty_l=-2009.88 Mx_l=-40.20
Tensioni nella sezione: σ=487.24 τ=60.91
CC 13 SLV (Collegamento -041_-375)
Azioni sul collegamento: N=-11054.30 Ty=-8.94 Tz=16.87 Mx=0.00 Mz=-3.28
Sollecitazioni agenti localmente: Ty_l=-2009.88 Mx_l=-40.20
Tensioni nella sezione: σ=487.24 τ=60.91
CC 14 SLD (Collegamento -041_-375)
Azioni sul collegamento: N=-9628.40 Ty=-9.56 Tz=12.30 Mx=-0.00 Mz=-6.65
Sollecitazioni agenti localmente: Ty_l=-1750.62 Mx_l=-35.01
Tensioni nella sezione: σ=424.39 τ=53.05
CC 14 SLD (Collegamento -041_-375)
Azioni sul collegamento: N=-9628.40 Ty=-9.70 Tz=12.30 Mx=-0.00 Mz=-6.07
Sollecitazioni agenti localmente: Ty_l=-1750.62 Mx_l=-35.01
Tensioni nella sezione: σ=424.39 τ=53.05
CC 14 SLD (Collegamento -041_-375)
Azioni sul collegamento: N=-9628.41 Ty=-9.56 Tz=14.62 Mx=-0.00 Mz=-6.65
Sollecitazioni agenti localmente: Ty_l=-1750.62 Mx_l=-35.01
Tensioni nella sezione: σ=424.39 τ=53.05
CC 14 SLD (Collegamento -041_-375)
Azioni sul collegamento: N=-9628.41 Ty=-9.70 Tz=14.62 Mx=-0.00 Mz=-6.07

Sollecitazioni agenti localmente: Ty_l=-1750.62 Mx_l=-35.01
Tensioni nella sezione: σ=424.39 τ=53.05
CC 14 SLD (Collegamento -041_-375)
Azioni sul collegamento: N=-10340.40 Ty=-9.56 Tz=12.30 Mx=-0.00 Mz=-6.65
Sollecitazioni agenti localmente: Ty_l=-1880.08 Mx_l=-37.60
Tensioni nella sezione: σ=455.77 τ=56.97
CC 14 SLD (Collegamento -041_-375)
Azioni sul collegamento: N=-10340.40 Ty=-9.70 Tz=12.30 Mx=-0.00 Mz=-6.07
Sollecitazioni agenti localmente: Ty_l=-1880.08 Mx_l=-37.60
Tensioni nella sezione: σ=455.77 τ=56.97
CC 14 SLD (Collegamento -041_-375)
Azioni sul collegamento: N=-10340.40 Ty=-9.56 Tz=14.62 Mx=-0.00 Mz=-6.65
Sollecitazioni agenti localmente: Ty_l=-1880.08 Mx_l=-37.60
Tensioni nella sezione: σ=455.77 τ=56.97
CC 14 SLD (Collegamento -041_-375)
Azioni sul collegamento: N=-10340.40 Ty=-9.70 Tz=14.62 Mx=-0.00 Mz=-6.07
Sollecitazioni agenti localmente: Ty_l=-1880.08 Mx_l=-37.60
Tensioni nella sezione: σ=455.77 τ=56.97
CC 15 SLV (Collegamento -041_-375)
Azioni sul collegamento: N=-11070.70 Ty=-10.65 Tz=17.96 Mx=0.00 Mz=-6.77
Sollecitazioni agenti localmente: Ty_l=-2012.85 Mx_l=-40.26
Tensioni nella sezione: σ=487.96 τ=61.00
CC 15 SLV (Collegamento -041_-375)
Azioni sul collegamento: N=-11070.70 Ty=-6.76 Tz=17.96 Mx=0.00 Mz=-1.67
Sollecitazioni agenti localmente: Ty_l=-2012.85 Mx_l=-40.26
Tensioni nella sezione: σ=487.96 τ=61.00
CC 15 SLV (Collegamento -041_-375)
Azioni sul collegamento: N=-11070.70 Ty=-10.65 Tz=8.19 Mx=0.00 Mz=-6.77
Sollecitazioni agenti localmente: Ty_l=-2012.85 Mx_l=-40.26
Tensioni nella sezione: σ=487.96 τ=61.00
CC 15 SLV (Collegamento -041_-375)
Azioni sul collegamento: N=-11070.70 Ty=-6.76 Tz=8.19 Mx=0.00 Mz=-1.67
Sollecitazioni agenti localmente: Ty_l=-2012.85 Mx_l=-40.26
Tensioni nella sezione: σ=487.96 τ=61.00
CC 15 SLV (Collegamento -041_-375)
Azioni sul collegamento: N=-8703.00 Ty=-10.65 Tz=17.96 Mx=0.00 Mz=-6.77
Sollecitazioni agenti localmente: Ty_l=-1582.36 Mx_l=-31.65
Tensioni nella sezione: σ=383.60 τ=47.95
CC 15 SLV (Collegamento -041_-375)
Azioni sul collegamento: N=-8703.00 Ty=-6.76 Tz=17.96 Mx=0.00 Mz=-1.67
Sollecitazioni agenti localmente: Ty_l=-1582.36 Mx_l=-31.65
Tensioni nella sezione: σ=383.60 τ=47.95
CC 15 SLV (Collegamento -041_-375)
Azioni sul collegamento: N=-8703.00 Ty=-10.65 Tz=8.19 Mx=0.00 Mz=-6.77
Sollecitazioni agenti localmente: Ty_l=-1582.36 Mx_l=-31.65
Tensioni nella sezione: σ=383.60 τ=47.95
CC 15 SLV (Collegamento -041_-375)
Azioni sul collegamento: N=-8703.00 Ty=-6.76 Tz=8.19 Mx=0.00 Mz=-1.67
Sollecitazioni agenti localmente: Ty_l=-1582.36 Mx_l=-31.65
Tensioni nella sezione: σ=383.60 τ=47.95
CC 16 SLD (Collegamento -041_-375)
Azioni sul collegamento: N=-10345.40 Ty=-10.22 Tz=14.95 Mx=-0.00 Mz=-7.14
Sollecitazioni agenti localmente: Ty_l=-1880.98 Mx_l=-37.62
Tensioni nella sezione: σ=455.99 τ=57.00
CC 16 SLD (Collegamento -041_-375)
Azioni sul collegamento: N=-10345.40 Ty=-9.04 Tz=14.95 Mx=-0.00 Mz=-5.58
Sollecitazioni agenti localmente: Ty_l=-1880.98 Mx_l=-37.62
Tensioni nella sezione: σ=455.99 τ=57.00
CC 16 SLD (Collegamento -041_-375)
Azioni sul collegamento: N=-10345.40 Ty=-10.22 Tz=11.97 Mx=-0.00 Mz=-7.14
Sollecitazioni agenti localmente: Ty_l=-1880.98 Mx_l=-37.62
Tensioni nella sezione: σ=455.99 τ=57.00
CC 16 SLD (Collegamento -041_-375)
Azioni sul collegamento: N=-10345.40 Ty=-9.04 Tz=11.97 Mx=-0.00 Mz=-5.58
Sollecitazioni agenti localmente: Ty_l=-1880.98 Mx_l=-37.62
Tensioni nella sezione: σ=455.99 τ=57.00
CC 16 SLD (Collegamento -041_-375)
Azioni sul collegamento: N=-9623.43 Ty=-10.22 Tz=14.95 Mx=-0.00 Mz=-7.14
Sollecitazioni agenti localmente: Ty_l=-1749.71 Mx_l=-34.99
Tensioni nella sezione: σ=424.17 τ=53.02
CC 16 SLD (Collegamento -041_-375)
Azioni sul collegamento: N=-9623.43 Ty=-9.04 Tz=14.95 Mx=-0.00 Mz=-5.58
Sollecitazioni agenti localmente: Ty_l=-1749.71 Mx_l=-34.99
Tensioni nella sezione: σ=424.17 τ=53.02
CC 16 SLD (Collegamento -041_-375)
Azioni sul collegamento: N=-9623.43 Ty=-10.22 Tz=11.97 Mx=-0.00 Mz=-7.14
Sollecitazioni agenti localmente: Ty_l=-1749.71 Mx_l=-34.99
Tensioni nella sezione: σ=424.17 τ=53.02
CC 16 SLD (Collegamento -041_-375)
Azioni sul collegamento: N=-9623.43 Ty=-9.04 Tz=11.97 Mx=-0.00 Mz=-5.58

Sollecitazioni agenti localmente: Ty_l=-1749.71 Mx_l=-34.99
Tensioni nella sezione: σ=424.17 τ=53.02
CC 17 SLV (Collegamento -041_-375)
Azioni sul collegamento: N=-6246.30 Ty=-7.49 Tz=-0.46 Mx=-0.02 Mz=-7.17
Sollecitazioni agenti localmente: Ty_l=-1135.69 Mx_l=-22.71
Tensioni nella sezione: σ=275.32 τ=34.41
CC 17 SLV (Collegamento -041_-375)
Azioni sul collegamento: N=-6246.30 Ty=-15.25 Tz=-0.46 Mx=-0.02 Mz=-13.58
Sollecitazioni agenti localmente: Ty_l=-1135.69 Mx_l=-22.71
Tensioni nella sezione: σ=275.32 τ=34.41
CC 17 SLV (Collegamento -041_-375)
Azioni sul collegamento: N=-6246.30 Ty=-7.49 Tz=28.82 Mx=-0.02 Mz=-7.17
Sollecitazioni agenti localmente: Ty_l=-1135.69 Mx_l=-22.71
Tensioni nella sezione: σ=275.32 τ=34.41
CC 17 SLV (Collegamento -041_-375)
Azioni sul collegamento: N=-6246.30 Ty=-15.25 Tz=28.82 Mx=-0.02 Mz=-13.58
Sollecitazioni agenti localmente: Ty_l=-1135.69 Mx_l=-22.71
Tensioni nella sezione: σ=275.32 τ=34.41
CC 17 SLV (Collegamento -041_-375)
Azioni sul collegamento: N=-14088.90 Ty=-7.49 Tz=-0.46 Mx=-0.02 Mz=-7.17
Sollecitazioni agenti localmente: Ty_l=-2561.63 Mx_l=-51.23
Tensioni nella sezione: σ=621.00 τ=77.63
CC 17 SLV (Collegamento -041_-375)
Azioni sul collegamento: N=-14088.90 Ty=-15.25 Tz=-0.46 Mx=-0.02 Mz=-13.58
Sollecitazioni agenti localmente: Ty_l=-2561.63 Mx_l=-51.23
Tensioni nella sezione: σ=621.00 τ=77.63
CC 17 SLV (Collegamento -041_-375)
Azioni sul collegamento: N=-14088.90 Ty=-7.49 Tz=28.82 Mx=-0.02 Mz=-7.17
Sollecitazioni agenti localmente: Ty_l=-2561.63 Mx_l=-51.23
Tensioni nella sezione: σ=621.00 τ=77.63
CC 17 SLV (Collegamento -041_-375)
Azioni sul collegamento: N=-14088.90 Ty=-15.25 Tz=28.82 Mx=-0.02 Mz=-13.58
Sollecitazioni agenti localmente: Ty_l=-2561.63 Mx_l=-51.23
Tensioni nella sezione: σ=621.00 τ=77.63
CC 18 SLD (Collegamento -041_-375)
Azioni sul collegamento: N=-8874.30 Ty=-9.26 Tz=9.33 Mx=-0.01 Mz=-7.26
Sollecitazioni agenti localmente: Ty_l=-1613.51 Mx_l=-32.27
Tensioni nella sezione: σ=391.15 τ=48.89
CC 18 SLD (Collegamento -041_-375)
Azioni sul collegamento: N=-8874.30 Ty=-11.63 Tz=9.33 Mx=-0.01 Mz=-9.21
Sollecitazioni agenti localmente: Ty_l=-1613.51 Mx_l=-32.27
Tensioni nella sezione: σ=391.15 τ=48.89
CC 18 SLD (Collegamento -041_-375)
Azioni sul collegamento: N=-8874.30 Ty=-9.26 Tz=18.26 Mx=-0.01 Mz=-7.26
Sollecitazioni agenti localmente: Ty_l=-1613.51 Mx_l=-32.27
Tensioni nella sezione: σ=391.15 τ=48.89
CC 18 SLD (Collegamento -041_-375)
Azioni sul collegamento: N=-8874.30 Ty=-11.63 Tz=18.26 Mx=-0.01 Mz=-9.21
Sollecitazioni agenti localmente: Ty_l=-1613.51 Mx_l=-32.27
Tensioni nella sezione: σ=391.15 τ=48.89
CC 18 SLD (Collegamento -041_-375)
Azioni sul collegamento: N=-11265.80 Ty=-9.26 Tz=9.33 Mx=-0.01 Mz=-7.26
Sollecitazioni agenti localmente: Ty_l=-2048.32 Mx_l=-40.97
Tensioni nella sezione: σ=496.56 τ=62.07
CC 18 SLD (Collegamento -041_-375)
Azioni sul collegamento: N=-11265.80 Ty=-11.63 Tz=9.33 Mx=-0.01 Mz=-9.21
Sollecitazioni agenti localmente: Ty_l=-2048.32 Mx_l=-40.97
Tensioni nella sezione: σ=496.56 τ=62.07
CC 18 SLD (Collegamento -041_-375)
Azioni sul collegamento: N=-11265.80 Ty=-9.26 Tz=18.26 Mx=-0.01 Mz=-7.26
Sollecitazioni agenti localmente: Ty_l=-2048.32 Mx_l=-40.97
Tensioni nella sezione: σ=496.56 τ=62.07
CC 18 SLD (Collegamento -041_-375)
Azioni sul collegamento: N=-11265.80 Ty=-11.63 Tz=18.26 Mx=-0.01 Mz=-9.21
Sollecitazioni agenti localmente: Ty_l=-2048.32 Mx_l=-40.97
Tensioni nella sezione: σ=496.56 τ=62.07
CC 19 SLV (Collegamento -041_-375)
Azioni sul collegamento: N=-6251.20 Ty=-8.00 Tz=-0.13 Mx=-0.01 Mz=-8.22
Sollecitazioni agenti localmente: Ty_l=-1136.58 Mx_l=-22.73
Tensioni nella sezione: σ=275.53 τ=34.44
CC 19 SLV (Collegamento -041_-375)
Azioni sul collegamento: N=-6251.20 Ty=-14.73 Tz=-0.13 Mx=-0.01 Mz=-12.53
Sollecitazioni agenti localmente: Ty_l=-1136.58 Mx_l=-22.73
Tensioni nella sezione: σ=275.53 τ=34.44
CC 19 SLV (Collegamento -041_-375)
Azioni sul collegamento: N=-6251.20 Ty=-8.00 Tz=28.49 Mx=-0.01 Mz=-8.22
Sollecitazioni agenti localmente: Ty_l=-1136.58 Mx_l=-22.73
Tensioni nella sezione: σ=275.53 τ=34.44
CC 19 SLV (Collegamento -041_-375)
Azioni sul collegamento: N=-6251.20 Ty=-14.73 Tz=28.49 Mx=-0.01 Mz=-12.53

Sollecitazioni agenti localmente: Ty_l=-1136.58 Mx_l=-22.73
Tensioni nella sezione: σ=275.53 τ=34.44
CC 19 SLV (Collegamento -041_-375)
Azioni sul collegamento: N=-14084.00 Ty=-8.00 Tz=-0.13 Mx=-0.01 Mz=-8.22
Sollecitazioni agenti localmente: Ty_l=-2560.74 Mx_l=-51.21
Tensioni nella sezione: σ=620.78 τ=77.60
CC 19 SLV (Collegamento -041_-375)
Azioni sul collegamento: N=-14084.00 Ty=-14.73 Tz=-0.13 Mx=-0.01 Mz=-12.53
Sollecitazioni agenti localmente: Ty_l=-2560.74 Mx_l=-51.21
Tensioni nella sezione: σ=620.78 τ=77.60
CC 19 SLV (Collegamento -041_-375)
Azioni sul collegamento: N=-14084.00 Ty=-8.00 Tz=28.49 Mx=-0.01 Mz=-8.22
Sollecitazioni agenti localmente: Ty_l=-2560.74 Mx_l=-51.21
Tensioni nella sezione: σ=620.78 τ=77.60
CC 19 SLV (Collegamento -041_-375)
Azioni sul collegamento: N=-14084.00 Ty=-14.73 Tz=28.49 Mx=-0.01 Mz=-12.53
Sollecitazioni agenti localmente: Ty_l=-2560.74 Mx_l=-51.21
Tensioni nella sezione: σ=620.78 τ=77.60
CC 20 SLD (Collegamento -041_-375)
Azioni sul collegamento: N=-8875.79 Ty=-9.42 Tz=9.43 Mx=-0.01 Mz=-7.58
Sollecitazioni agenti localmente: Ty_l=-1613.78 Mx_l=-32.28
Tensioni nella sezione: σ=391.22 τ=48.90
CC 20 SLD (Collegamento -041_-375)
Azioni sul collegamento: N=-8875.79 Ty=-11.47 Tz=9.43 Mx=-0.01 Mz=-8.89
Sollecitazioni agenti localmente: Ty_l=-1613.78 Mx_l=-32.28
Tensioni nella sezione: σ=391.22 τ=48.90
CC 20 SLD (Collegamento -041_-375)
Azioni sul collegamento: N=-8875.80 Ty=-9.42 Tz=18.16 Mx=-0.01 Mz=-7.58
Sollecitazioni agenti localmente: Ty_l=-1613.78 Mx_l=-32.28
Tensioni nella sezione: σ=391.22 τ=48.90
CC 20 SLD (Collegamento -041_-375)
Azioni sul collegamento: N=-8875.80 Ty=-11.47 Tz=18.16 Mx=-0.01 Mz=-8.89
Sollecitazioni agenti localmente: Ty_l=-1613.78 Mx_l=-32.28
Tensioni nella sezione: σ=391.22 τ=48.90
CC 20 SLD (Collegamento -041_-375)
Azioni sul collegamento: N=-11264.30 Ty=-9.42 Tz=9.43 Mx=-0.01 Mz=-7.58
Sollecitazioni agenti localmente: Ty_l=-2048.05 Mx_l=-40.96
Tensioni nella sezione: σ=496.50 τ=62.06
CC 20 SLD (Collegamento -041_-375)
Azioni sul collegamento: N=-11264.30 Ty=-11.47 Tz=9.43 Mx=-0.01 Mz=-8.89
Sollecitazioni agenti localmente: Ty_l=-2048.05 Mx_l=-40.96
Tensioni nella sezione: σ=496.50 τ=62.06
CC 20 SLD (Collegamento -041_-375)
Azioni sul collegamento: N=-11264.30 Ty=-9.42 Tz=18.16 Mx=-0.01 Mz=-7.58
Sollecitazioni agenti localmente: Ty_l=-2048.05 Mx_l=-40.96
Tensioni nella sezione: σ=496.50 τ=62.06
CC 20 SLD (Collegamento -041_-375)
Azioni sul collegamento: N=-11264.30 Ty=-11.47 Tz=18.16 Mx=-0.01 Mz=-8.89
Sollecitazioni agenti localmente: Ty_l=-2048.05 Mx_l=-40.96
Tensioni nella sezione: σ=496.50 τ=62.06
CC 21 SLV (Collegamento -041_-375)
Azioni sul collegamento: N=-14084.00 Ty=-14.73 Tz=28.49 Mx=-0.02 Mz=-12.53
Sollecitazioni agenti localmente: Ty_l=-2560.74 Mx_l=-51.21
Tensioni nella sezione: σ=620.78 τ=77.60
CC 21 SLV (Collegamento -041_-375)
Azioni sul collegamento: N=-14084.00 Ty=-8.00 Tz=28.49 Mx=-0.02 Mz=-8.22
Sollecitazioni agenti localmente: Ty_l=-2560.74 Mx_l=-51.21
Tensioni nella sezione: σ=620.78 τ=77.60
CC 21 SLV (Collegamento -041_-375)
Azioni sul collegamento: N=-14084.00 Ty=-14.73 Tz=-0.13 Mx=-0.02 Mz=-12.53
Sollecitazioni agenti localmente: Ty_l=-2560.74 Mx_l=-51.21
Tensioni nella sezione: σ=620.78 τ=77.60
CC 21 SLV (Collegamento -041_-375)
Azioni sul collegamento: N=-14084.00 Ty=-8.00 Tz=-0.13 Mx=-0.02 Mz=-8.22
Sollecitazioni agenti localmente: Ty_l=-2560.74 Mx_l=-51.21
Tensioni nella sezione: σ=620.78 τ=77.60
CC 21 SLV (Collegamento -041_-375)
Azioni sul collegamento: N=-6251.20 Ty=-14.73 Tz=28.49 Mx=-0.02 Mz=-12.53
Sollecitazioni agenti localmente: Ty_l=-1136.58 Mx_l=-22.73
Tensioni nella sezione: σ=275.53 τ=34.44
CC 21 SLV (Collegamento -041_-375)
Azioni sul collegamento: N=-6251.20 Ty=-8.00 Tz=28.49 Mx=-0.02 Mz=-8.22
Sollecitazioni agenti localmente: Ty_l=-1136.58 Mx_l=-22.73
Tensioni nella sezione: σ=275.53 τ=34.44
CC 21 SLV (Collegamento -041_-375)
Azioni sul collegamento: N=-6251.20 Ty=-14.73 Tz=-0.13 Mx=-0.02 Mz=-12.53
Sollecitazioni agenti localmente: Ty_l=-1136.58 Mx_l=-22.73
Tensioni nella sezione: σ=275.53 τ=34.44
CC 21 SLV (Collegamento -041_-375)
Azioni sul collegamento: N=-6251.20 Ty=-8.00 Tz=-0.13 Mx=-0.02 Mz=-8.22

Sollecitazioni agenti localmente: Ty_l=-1136.58 Mx_l=-22.73
Tensioni nella sezione: σ=275.53 τ=34.44
CC 22 SLD (Collegamento -041_-375)
Azioni sul collegamento: N=-11264.30 Ty=-11.47 Tz=18.16 Mx=-0.01 Mz=-8.89
Sollecitazioni agenti localmente: Ty_l=-2048.05 Mx_l=-40.96
Tensioni nella sezione: σ=496.50 τ=62.06
CC 22 SLD (Collegamento -041_-375)
Azioni sul collegamento: N=-11264.30 Ty=-9.42 Tz=18.16 Mx=-0.01 Mz=-7.58
Sollecitazioni agenti localmente: Ty_l=-2048.05 Mx_l=-40.96
Tensioni nella sezione: σ=496.50 τ=62.06
CC 22 SLD (Collegamento -041_-375)
Azioni sul collegamento: N=-11264.30 Ty=-11.47 Tz=9.43 Mx=-0.01 Mz=-8.89
Sollecitazioni agenti localmente: Ty_l=-2048.05 Mx_l=-40.96
Tensioni nella sezione: σ=496.50 τ=62.06
CC 22 SLD (Collegamento -041_-375)
Azioni sul collegamento: N=-11264.30 Ty=-9.42 Tz=9.43 Mx=-0.01 Mz=-7.58
Sollecitazioni agenti localmente: Ty_l=-2048.05 Mx_l=-40.96
Tensioni nella sezione: σ=496.50 τ=62.06
CC 22 SLD (Collegamento -041_-375)
Azioni sul collegamento: N=-8875.80 Ty=-11.47 Tz=18.16 Mx=-0.01 Mz=-8.89
Sollecitazioni agenti localmente: Ty_l=-1613.78 Mx_l=-32.28
Tensioni nella sezione: σ=391.22 τ=48.90
CC 22 SLD (Collegamento -041_-375)
Azioni sul collegamento: N=-8875.80 Ty=-9.42 Tz=18.16 Mx=-0.01 Mz=-7.58
Sollecitazioni agenti localmente: Ty_l=-1613.78 Mx_l=-32.28
Tensioni nella sezione: σ=391.22 τ=48.90
CC 22 SLD (Collegamento -041_-375)
Azioni sul collegamento: N=-8875.79 Ty=-11.47 Tz=9.43 Mx=-0.01 Mz=-8.89
Sollecitazioni agenti localmente: Ty_l=-1613.78 Mx_l=-32.28
Tensioni nella sezione: σ=391.22 τ=48.90
CC 22 SLD (Collegamento -041_-375)
Azioni sul collegamento: N=-8875.79 Ty=-9.42 Tz=9.43 Mx=-0.01 Mz=-7.58
Sollecitazioni agenti localmente: Ty_l=-1613.78 Mx_l=-32.28
Tensioni nella sezione: σ=391.22 τ=48.90
CC 23 SLV (Collegamento -041_-375)
Azioni sul collegamento: N=-14088.90 Ty=-15.25 Tz=28.82 Mx=-0.01 Mz=-13.58
Sollecitazioni agenti localmente: Ty_l=-2561.63 Mx_l=-51.23
Tensioni nella sezione: σ=621.00 τ=77.63
CC 23 SLV (Collegamento -041_-375)
Azioni sul collegamento: N=-14088.90 Ty=-7.49 Tz=28.82 Mx=-0.01 Mz=-7.17
Sollecitazioni agenti localmente: Ty_l=-2561.63 Mx_l=-51.23
Tensioni nella sezione: σ=621.00 τ=77.63
CC 23 SLV (Collegamento -041_-375)
Azioni sul collegamento: N=-14088.90 Ty=-15.25 Tz=-0.46 Mx=-0.01 Mz=-13.58
Sollecitazioni agenti localmente: Ty_l=-2561.63 Mx_l=-51.23
Tensioni nella sezione: σ=621.00 τ=77.63
CC 23 SLV (Collegamento -041_-375)
Azioni sul collegamento: N=-14088.90 Ty=-7.49 Tz=-0.46 Mx=-0.01 Mz=-7.17
Sollecitazioni agenti localmente: Ty_l=-2561.63 Mx_l=-51.23
Tensioni nella sezione: σ=621.00 τ=77.63
CC 23 SLV (Collegamento -041_-375)
Azioni sul collegamento: N=-6246.30 Ty=-15.25 Tz=28.82 Mx=-0.01 Mz=-13.58
Sollecitazioni agenti localmente: Ty_l=-1135.69 Mx_l=-22.71
Tensioni nella sezione: σ=275.32 τ=34.41
CC 23 SLV (Collegamento -041_-375)
Azioni sul collegamento: N=-6246.30 Ty=-7.49 Tz=28.82 Mx=-0.01 Mz=-7.17
Sollecitazioni agenti localmente: Ty_l=-1135.69 Mx_l=-22.71
Tensioni nella sezione: σ=275.32 τ=34.41
CC 23 SLV (Collegamento -041_-375)
Azioni sul collegamento: N=-6246.30 Ty=-15.25 Tz=-0.46 Mx=-0.01 Mz=-13.58
Sollecitazioni agenti localmente: Ty_l=-1135.69 Mx_l=-22.71
Tensioni nella sezione: σ=275.32 τ=34.41
CC 23 SLV (Collegamento -041_-375)
Azioni sul collegamento: N=-6246.30 Ty=-7.49 Tz=-0.46 Mx=-0.01 Mz=-7.17
Sollecitazioni agenti localmente: Ty_l=-1135.69 Mx_l=-22.71
Tensioni nella sezione: σ=275.32 τ=34.41
CC 24 SLD (Collegamento -041_-375)
Azioni sul collegamento: N=-11265.80 Ty=-11.63 Tz=18.26 Mx=-0.01 Mz=-9.21
Sollecitazioni agenti localmente: Ty_l=-2048.32 Mx_l=-40.97
Tensioni nella sezione: σ=496.56 τ=62.07
CC 24 SLD (Collegamento -041_-375)
Azioni sul collegamento: N=-11265.80 Ty=-9.26 Tz=18.26 Mx=-0.01 Mz=-7.26
Sollecitazioni agenti localmente: Ty_l=-2048.32 Mx_l=-40.97
Tensioni nella sezione: σ=496.56 τ=62.07
CC 24 SLD (Collegamento -041_-375)
Azioni sul collegamento: N=-11265.80 Ty=-11.63 Tz=9.33 Mx=-0.01 Mz=-9.21
Sollecitazioni agenti localmente: Ty_l=-2048.32 Mx_l=-40.97
Tensioni nella sezione: σ=496.56 τ=62.07
CC 24 SLD (Collegamento -041_-375)
Azioni sul collegamento: N=-11265.80 Ty=-9.26 Tz=9.33 Mx=-0.01 Mz=-7.26

Sollecitazioni agenti localmente: Ty_l=-2048.32 Mx_l=-40.97
Tensioni nella sezione: σ=496.56 τ=62.07
CC 24 SLD (Collegamento -041_-375)
Azioni sul collegamento: N=-8874.30 Ty=-11.63 Tz=18.26 Mx=-0.01 Mz=-9.21
Sollecitazioni agenti localmente: Ty_l=-1613.51 Mx_l=-32.27
Tensioni nella sezione: σ=391.15 τ=48.89
CC 24 SLD (Collegamento -041_-375)
Azioni sul collegamento: N=-8874.30 Ty=-9.26 Tz=18.26 Mx=-0.01 Mz=-7.26
Sollecitazioni agenti localmente: Ty_l=-1613.51 Mx_l=-32.27
Tensioni nella sezione: σ=391.15 τ=48.89
CC 24 SLD (Collegamento -041_-375)
Azioni sul collegamento: N=-8874.30 Ty=-11.63 Tz=9.33 Mx=-0.01 Mz=-9.21
Sollecitazioni agenti localmente: Ty_l=-1613.51 Mx_l=-32.27
Tensioni nella sezione: σ=391.15 τ=48.89
CC 24 SLD (Collegamento -041_-375)
Azioni sul collegamento: N=-8874.30 Ty=-9.26 Tz=9.33 Mx=-0.01 Mz=-7.26
Sollecitazioni agenti localmente: Ty_l=-1613.51 Mx_l=-32.27
Tensioni nella sezione: σ=391.15 τ=48.89
CC 25 SLV (Collegamento -041_-375)
Azioni sul collegamento: N=-8983.80 Ty=-9.43 Tz=9.29 Mx=-0.02 Mz=-7.83
Sollecitazioni agenti localmente: Ty_l=-1633.42 Mx_l=-32.67
Tensioni nella sezione: σ=395.98 τ=49.50
CC 25 SLV (Collegamento -041_-375)
Azioni sul collegamento: N=-8983.80 Ty=-13.31 Tz=9.29 Mx=-0.02 Mz=-12.93
Sollecitazioni agenti localmente: Ty_l=-1633.42 Mx_l=-32.67
Tensioni nella sezione: σ=395.98 τ=49.50
CC 25 SLV (Collegamento -041_-375)
Azioni sul collegamento: N=-8983.80 Ty=-9.43 Tz=19.07 Mx=-0.02 Mz=-7.83
Sollecitazioni agenti localmente: Ty_l=-1633.42 Mx_l=-32.67
Tensioni nella sezione: σ=395.98 τ=49.50
CC 25 SLV (Collegamento -041_-375)
Azioni sul collegamento: N=-8983.80 Ty=-13.31 Tz=19.07 Mx=-0.02 Mz=-12.93
Sollecitazioni agenti localmente: Ty_l=-1633.42 Mx_l=-32.67
Tensioni nella sezione: σ=395.98 τ=49.50
CC 25 SLV (Collegamento -041_-375)
Azioni sul collegamento: N=-11351.50 Ty=-9.43 Tz=9.29 Mx=-0.02 Mz=-7.83
Sollecitazioni agenti localmente: Ty_l=-2063.90 Mx_l=-41.28
Tensioni nella sezione: σ=500.34 τ=62.54
CC 25 SLV (Collegamento -041_-375)
Azioni sul collegamento: N=-11351.50 Ty=-13.31 Tz=9.29 Mx=-0.02 Mz=-12.93
Sollecitazioni agenti localmente: Ty_l=-2063.90 Mx_l=-41.28
Tensioni nella sezione: σ=500.34 τ=62.54
CC 25 SLV (Collegamento -041_-375)
Azioni sul collegamento: N=-11351.50 Ty=-9.43 Tz=19.07 Mx=-0.02 Mz=-7.83
Sollecitazioni agenti localmente: Ty_l=-2063.90 Mx_l=-41.28
Tensioni nella sezione: σ=500.34 τ=62.54
CC 25 SLV (Collegamento -041_-375)
Azioni sul collegamento: N=-11351.50 Ty=-13.31 Tz=19.07 Mx=-0.02 Mz=-12.93
Sollecitazioni agenti localmente: Ty_l=-2063.90 Mx_l=-41.28
Tensioni nella sezione: σ=500.34 τ=62.54
CC 26 SLD (Collegamento -041_-375)
Azioni sul collegamento: N=-9709.05 Ty=-9.85 Tz=12.31 Mx=-0.01 Mz=-7.46
Sollecitazioni agenti localmente: Ty_l=-1765.28 Mx_l=-35.31
Tensioni nella sezione: σ=427.95 τ=53.49
CC 26 SLD (Collegamento -041_-375)
Azioni sul collegamento: N=-9709.05 Ty=-11.04 Tz=12.31 Mx=-0.01 Mz=-9.01
Sollecitazioni agenti localmente: Ty_l=-1765.28 Mx_l=-35.31
Tensioni nella sezione: σ=427.95 τ=53.49
CC 26 SLD (Collegamento -041_-375)
Azioni sul collegamento: N=-9709.05 Ty=-9.85 Tz=15.29 Mx=-0.01 Mz=-7.46
Sollecitazioni agenti localmente: Ty_l=-1765.28 Mx_l=-35.31
Tensioni nella sezione: σ=427.95 τ=53.49
CC 26 SLD (Collegamento -041_-375)
Azioni sul collegamento: N=-9709.05 Ty=-11.04 Tz=15.29 Mx=-0.01 Mz=-9.01
Sollecitazioni agenti localmente: Ty_l=-1765.28 Mx_l=-35.31
Tensioni nella sezione: σ=427.95 τ=53.49
CC 26 SLD (Collegamento -041_-375)
Azioni sul collegamento: N=-10431.00 Ty=-9.85 Tz=12.31 Mx=-0.01 Mz=-7.46
Sollecitazioni agenti localmente: Ty_l=-1896.55 Mx_l=-37.93
Tensioni nella sezione: σ=459.77 τ=57.47
CC 26 SLD (Collegamento -041_-375)
Azioni sul collegamento: N=-10431.00 Ty=-11.04 Tz=12.31 Mx=-0.01 Mz=-9.01
Sollecitazioni agenti localmente: Ty_l=-1896.55 Mx_l=-37.93
Tensioni nella sezione: σ=459.77 τ=57.47
CC 26 SLD (Collegamento -041_-375)
Azioni sul collegamento: N=-10431.00 Ty=-9.85 Tz=15.29 Mx=-0.01 Mz=-7.46
Sollecitazioni agenti localmente: Ty_l=-1896.55 Mx_l=-37.93
Tensioni nella sezione: σ=459.77 τ=57.47
CC 26 SLD (Collegamento -041_-375)
Azioni sul collegamento: N=-10431.00 Ty=-11.04 Tz=15.29 Mx=-0.01 Mz=-9.01

Sollecitazioni agenti localmente: Ty_l=-1896.55 Mx_l=-37.93
Tensioni nella sezione: σ=459.77 τ=57.47
CC 27 SLV (Collegamento -041_-375)
Azioni sul collegamento: N=-11335.10 Ty=-11.60 Tz=17.98 Mx=-0.02 Mz=-9.43
Sollecitazioni agenti localmente: Ty_l=-2060.93 Mx_l=-41.22
Tensioni nella sezione: σ=499.62 τ=62.45
CC 27 SLV (Collegamento -041_-375)
Azioni sul collegamento: N=-11335.10 Ty=-11.14 Tz=17.98 Mx=-0.02 Mz=-11.32
Sollecitazioni agenti localmente: Ty_l=-2060.93 Mx_l=-41.22
Tensioni nella sezione: σ=499.62 τ=62.45
CC 27 SLV (Collegamento -041_-375)
Azioni sul collegamento: N=-11335.10 Ty=-11.60 Tz=10.38 Mx=-0.02 Mz=-9.43
Sollecitazioni agenti localmente: Ty_l=-2060.93 Mx_l=-41.22
Tensioni nella sezione: σ=499.62 τ=62.45
CC 27 SLV (Collegamento -041_-375)
Azioni sul collegamento: N=-11335.10 Ty=-11.14 Tz=10.38 Mx=-0.02 Mz=-11.32
Sollecitazioni agenti localmente: Ty_l=-2060.93 Mx_l=-41.22
Tensioni nella sezione: σ=499.62 τ=62.45
CC 27 SLV (Collegamento -041_-375)
Azioni sul collegamento: N=-9000.13 Ty=-11.60 Tz=17.98 Mx=-0.02 Mz=-9.43
Sollecitazioni agenti localmente: Ty_l=-1636.39 Mx_l=-32.73
Tensioni nella sezione: σ=396.70 τ=49.59
CC 27 SLV (Collegamento -041_-375)
Azioni sul collegamento: N=-9000.13 Ty=-11.14 Tz=17.98 Mx=-0.02 Mz=-11.32
Sollecitazioni agenti localmente: Ty_l=-1636.39 Mx_l=-32.73
Tensioni nella sezione: σ=396.70 τ=49.59
CC 27 SLV (Collegamento -041_-375)
Azioni sul collegamento: N=-9000.13 Ty=-11.60 Tz=10.38 Mx=-0.02 Mz=-9.43
Sollecitazioni agenti localmente: Ty_l=-1636.39 Mx_l=-32.73
Tensioni nella sezione: σ=396.70 τ=49.59
CC 27 SLV (Collegamento -041_-375)
Azioni sul collegamento: N=-9000.13 Ty=-11.14 Tz=10.38 Mx=-0.02 Mz=-11.32
Sollecitazioni agenti localmente: Ty_l=-1636.39 Mx_l=-32.73
Tensioni nella sezione: σ=396.70 τ=49.59
CC 28 SLD (Collegamento -041_-375)
Azioni sul collegamento: N=-10426.00 Ty=-10.51 Tz=14.95 Mx=-0.01 Mz=-7.95
Sollecitazioni agenti localmente: Ty_l=-1895.64 Mx_l=-37.91
Tensioni nella sezione: σ=459.55 τ=57.44
CC 28 SLD (Collegamento -041_-375)
Azioni sul collegamento: N=-10426.00 Ty=-10.37 Tz=14.95 Mx=-0.01 Mz=-8.52
Sollecitazioni agenti localmente: Ty_l=-1895.64 Mx_l=-37.91
Tensioni nella sezione: σ=459.55 τ=57.44
CC 28 SLD (Collegamento -041_-375)
Azioni sul collegamento: N=-10426.00 Ty=-10.51 Tz=12.64 Mx=-0.01 Mz=-7.95
Sollecitazioni agenti localmente: Ty_l=-1895.64 Mx_l=-37.91
Tensioni nella sezione: σ=459.55 τ=57.44
CC 28 SLD (Collegamento -041_-375)
Azioni sul collegamento: N=-10426.00 Ty=-10.37 Tz=12.64 Mx=-0.01 Mz=-8.52
Sollecitazioni agenti localmente: Ty_l=-1895.64 Mx_l=-37.91
Tensioni nella sezione: σ=459.55 τ=57.44
CC 28 SLD (Collegamento -041_-375)
Azioni sul collegamento: N=-9714.03 Ty=-10.51 Tz=14.95 Mx=-0.01 Mz=-7.95
Sollecitazioni agenti localmente: Ty_l=-1766.19 Mx_l=-35.32
Tensioni nella sezione: σ=428.17 τ=53.52
CC 28 SLD (Collegamento -041_-375)
Azioni sul collegamento: N=-9714.03 Ty=-10.37 Tz=14.95 Mx=-0.01 Mz=-8.52
Sollecitazioni agenti localmente: Ty_l=-1766.19 Mx_l=-35.32
Tensioni nella sezione: σ=428.17 τ=53.52
CC 28 SLD (Collegamento -041_-375)
Azioni sul collegamento: N=-9714.03 Ty=-10.51 Tz=12.64 Mx=-0.01 Mz=-7.95
Sollecitazioni agenti localmente: Ty_l=-1766.19 Mx_l=-35.32
Tensioni nella sezione: σ=428.17 τ=53.52
CC 28 SLD (Collegamento -041_-375)
Azioni sul collegamento: N=-9714.03 Ty=-10.37 Tz=12.64 Mx=-0.01 Mz=-8.52
Sollecitazioni agenti localmente: Ty_l=-1766.19 Mx_l=-35.32
Tensioni nella sezione: σ=428.17 τ=53.52
CC 29 SLV (Collegamento -041_-375)
Azioni sul collegamento: N=-9000.13 Ty=-11.14 Tz=10.38 Mx=-0.01 Mz=-11.32
Sollecitazioni agenti localmente: Ty_l=-1636.39 Mx_l=-32.73
Tensioni nella sezione: σ=396.70 τ=49.59
CC 29 SLV (Collegamento -041_-375)
Azioni sul collegamento: N=-9000.13 Ty=-11.60 Tz=10.38 Mx=-0.01 Mz=-9.43
Sollecitazioni agenti localmente: Ty_l=-1636.39 Mx_l=-32.73
Tensioni nella sezione: σ=396.70 τ=49.59
CC 29 SLV (Collegamento -041_-375)
Azioni sul collegamento: N=-9000.13 Ty=-11.14 Tz=17.98 Mx=-0.01 Mz=-11.32
Sollecitazioni agenti localmente: Ty_l=-1636.39 Mx_l=-32.73
Tensioni nella sezione: σ=396.70 τ=49.59
CC 29 SLV (Collegamento -041_-375)
Azioni sul collegamento: N=-9000.13 Ty=-11.60 Tz=17.98 Mx=-0.01 Mz=-9.43

Sollecitazioni agenti localmente: Ty_l=-1636.39 Mx_l=-32.73
Tensioni nella sezione: σ=396.70 τ=49.59
CC 29 SLV (Collegamento -041_-375)
Azioni sul collegamento: N=-11335.10 Ty=-11.14 Tz=10.38 Mx=-0.01 Mz=-11.32
Sollecitazioni agenti localmente: Ty_l=-2060.93 Mx_l=-41.22
Tensioni nella sezione: σ=499.62 τ=62.45
CC 29 SLV (Collegamento -041_-375)
Azioni sul collegamento: N=-11335.10 Ty=-11.60 Tz=10.38 Mx=-0.01 Mz=-9.43
Sollecitazioni agenti localmente: Ty_l=-2060.93 Mx_l=-41.22
Tensioni nella sezione: σ=499.62 τ=62.45
CC 29 SLV (Collegamento -041_-375)
Azioni sul collegamento: N=-11335.10 Ty=-11.14 Tz=17.98 Mx=-0.01 Mz=-11.32
Sollecitazioni agenti localmente: Ty_l=-2060.93 Mx_l=-41.22
Tensioni nella sezione: σ=499.62 τ=62.45
CC 29 SLV (Collegamento -041_-375)
Azioni sul collegamento: N=-11335.10 Ty=-11.60 Tz=17.98 Mx=-0.01 Mz=-9.43
Sollecitazioni agenti localmente: Ty_l=-2060.93 Mx_l=-41.22
Tensioni nella sezione: σ=499.62 τ=62.45
CC 30 SLD (Collegamento -041_-375)
Azioni sul collegamento: N=-9714.03 Ty=-10.37 Tz=12.64 Mx=-0.00 Mz=-8.52
Sollecitazioni agenti localmente: Ty_l=-1766.19 Mx_l=-35.32
Tensioni nella sezione: σ=428.17 τ=53.52
CC 30 SLD (Collegamento -041_-375)
Azioni sul collegamento: N=-9714.03 Ty=-10.51 Tz=12.64 Mx=-0.00 Mz=-7.95
Sollecitazioni agenti localmente: Ty_l=-1766.19 Mx_l=-35.32
Tensioni nella sezione: σ=428.17 τ=53.52
CC 30 SLD (Collegamento -041_-375)
Azioni sul collegamento: N=-9714.03 Ty=-10.37 Tz=14.95 Mx=-0.00 Mz=-8.52
Sollecitazioni agenti localmente: Ty_l=-1766.19 Mx_l=-35.32
Tensioni nella sezione: σ=428.17 τ=53.52
CC 30 SLD (Collegamento -041_-375)
Azioni sul collegamento: N=-9714.03 Ty=-10.51 Tz=14.95 Mx=-0.00 Mz=-7.95
Sollecitazioni agenti localmente: Ty_l=-1766.19 Mx_l=-35.32
Tensioni nella sezione: σ=428.17 τ=53.52
CC 30 SLD (Collegamento -041_-375)
Azioni sul collegamento: N=-10426.00 Ty=-10.37 Tz=12.64 Mx=-0.00 Mz=-8.52
Sollecitazioni agenti localmente: Ty_l=-1895.64 Mx_l=-37.91
Tensioni nella sezione: σ=459.55 τ=57.44
CC 30 SLD (Collegamento -041_-375)
Azioni sul collegamento: N=-10426.00 Ty=-10.51 Tz=12.64 Mx=-0.00 Mz=-7.95
Sollecitazioni agenti localmente: Ty_l=-1895.64 Mx_l=-37.91
Tensioni nella sezione: σ=459.55 τ=57.44
CC 30 SLD (Collegamento -041_-375)
Azioni sul collegamento: N=-10426.00 Ty=-10.37 Tz=14.95 Mx=-0.00 Mz=-8.52
Sollecitazioni agenti localmente: Ty_l=-1895.64 Mx_l=-37.91
Tensioni nella sezione: σ=459.55 τ=57.44
CC 30 SLD (Collegamento -041_-375)
Azioni sul collegamento: N=-10426.00 Ty=-10.51 Tz=14.95 Mx=-0.00 Mz=-7.95
Sollecitazioni agenti localmente: Ty_l=-1895.64 Mx_l=-37.91
Tensioni nella sezione: σ=459.55 τ=57.44
CC 31 SLV (Collegamento -041_-375)
Azioni sul collegamento: N=-11351.50 Ty=-13.31 Tz=19.07 Mx=-0.01 Mz=-12.93
Sollecitazioni agenti localmente: Ty_l=-2063.90 Mx_l=-41.28
Tensioni nella sezione: σ=500.34 τ=62.54
CC 31 SLV (Collegamento -041_-375)
Azioni sul collegamento: N=-11351.50 Ty=-9.43 Tz=19.07 Mx=-0.01 Mz=-7.83
Sollecitazioni agenti localmente: Ty_l=-2063.90 Mx_l=-41.28
Tensioni nella sezione: σ=500.34 τ=62.54
CC 31 SLV (Collegamento -041_-375)
Azioni sul collegamento: N=-11351.50 Ty=-13.31 Tz=9.29 Mx=-0.01 Mz=-12.93
Sollecitazioni agenti localmente: Ty_l=-2063.90 Mx_l=-41.28
Tensioni nella sezione: σ=500.34 τ=62.54
CC 31 SLV (Collegamento -041_-375)
Azioni sul collegamento: N=-11351.50 Ty=-9.43 Tz=9.29 Mx=-0.01 Mz=-7.83
Sollecitazioni agenti localmente: Ty_l=-2063.90 Mx_l=-41.28
Tensioni nella sezione: σ=500.34 τ=62.54
CC 31 SLV (Collegamento -041_-375)
Azioni sul collegamento: N=-8983.80 Ty=-13.31 Tz=19.07 Mx=-0.01 Mz=-12.93
Sollecitazioni agenti localmente: Ty_l=-1633.42 Mx_l=-32.67
Tensioni nella sezione: σ=395.98 τ=49.50
CC 31 SLV (Collegamento -041_-375)
Azioni sul collegamento: N=-8983.80 Ty=-9.43 Tz=19.07 Mx=-0.01 Mz=-7.83
Sollecitazioni agenti localmente: Ty_l=-1633.42 Mx_l=-32.67
Tensioni nella sezione: σ=395.98 τ=49.50
CC 31 SLV (Collegamento -041_-375)
Azioni sul collegamento: N=-8983.80 Ty=-13.31 Tz=9.29 Mx=-0.01 Mz=-12.93
Sollecitazioni agenti localmente: Ty_l=-1633.42 Mx_l=-32.67
Tensioni nella sezione: σ=395.98 τ=49.50
CC 31 SLV (Collegamento -041_-375)
Azioni sul collegamento: N=-8983.80 Ty=-9.43 Tz=9.29 Mx=-0.01 Mz=-7.83

Sollecitazioni agenti localmente: Ty_l=-1633.42 Mx_l=-32.67
Tensioni nella sezione: σ=395.98 τ=49.50
CC 32 SLD (Collegamento -041_-375)
Azioni sul collegamento: N=-10431.00 Ty=-11.04 Tz=15.29 Mx=-0.00 Mz=-9.01
Sollecitazioni agenti localmente: Ty_l=-1896.55 Mx_l=-37.93
Tensioni nella sezione: σ=459.77 τ=57.47
CC 32 SLD (Collegamento -041_-375)
Azioni sul collegamento: N=-10431.00 Ty=-9.85 Tz=15.29 Mx=-0.00 Mz=-7.46
Sollecitazioni agenti localmente: Ty_l=-1896.55 Mx_l=-37.93
Tensioni nella sezione: σ=459.77 τ=57.47
CC 32 SLD (Collegamento -041_-375)
Azioni sul collegamento: N=-10431.00 Ty=-11.04 Tz=12.31 Mx=-0.00 Mz=-9.01
Sollecitazioni agenti localmente: Ty_l=-1896.55 Mx_l=-37.93
Tensioni nella sezione: σ=459.77 τ=57.47
CC 32 SLD (Collegamento -041_-375)
Azioni sul collegamento: N=-10431.00 Ty=-9.85 Tz=12.31 Mx=-0.00 Mz=-7.46
Sollecitazioni agenti localmente: Ty_l=-1896.55 Mx_l=-37.93
Tensioni nella sezione: σ=459.77 τ=57.47
CC 32 SLD (Collegamento -041_-375)
Azioni sul collegamento: N=-9709.05 Ty=-11.04 Tz=15.29 Mx=-0.00 Mz=-9.01
Sollecitazioni agenti localmente: Ty_l=-1765.28 Mx_l=-35.31
Tensioni nella sezione: σ=427.95 τ=53.49
CC 32 SLD (Collegamento -041_-375)
Azioni sul collegamento: N=-9709.05 Ty=-9.85 Tz=15.29 Mx=-0.00 Mz=-7.46
Sollecitazioni agenti localmente: Ty_l=-1765.28 Mx_l=-35.31
Tensioni nella sezione: σ=427.95 τ=53.49
CC 32 SLD (Collegamento -041_-375)
Azioni sul collegamento: N=-9709.05 Ty=-11.04 Tz=12.31 Mx=-0.00 Mz=-9.01
Sollecitazioni agenti localmente: Ty_l=-1765.28 Mx_l=-35.31
Tensioni nella sezione: σ=427.95 τ=53.49
CC 32 SLD (Collegamento -041_-375)
Azioni sul collegamento: N=-9709.05 Ty=-9.85 Tz=12.31 Mx=-0.00 Mz=-7.46
Sollecitazioni agenti localmente: Ty_l=-1765.28 Mx_l=-35.31
Tensioni nella sezione: σ=427.95 τ=53.49
CC 33 SLU (Collegamento -041_-375)
Azioni sul collegamento: N=-36642.60 Ty=-20.20 Tz=103.27 Mx=-0.00 Mz=-14.84
Sollecitazioni agenti localmente: Ty_l=-6662.28 Mx_l=-133.25
Tensioni nella sezione: σ=1615.10 τ=201.89
CC 34 SLU (Collegamento -041_-375)
Azioni sul collegamento: N=-37458.50 Ty=-20.96 Tz=106.28 Mx=-0.00 Mz=-15.40
Sollecitazioni agenti localmente: Ty_l=-6810.64 Mx_l=-136.21
Tensioni nella sezione: σ=1651.06 τ=206.38
CC 35 SLU (Collegamento -041_-375)
Azioni sul collegamento: N=-37049.70 Ty=-20.49 Tz=104.83 Mx=-0.01 Mz=-14.94
Sollecitazioni agenti localmente: Ty_l=-6736.30 Mx_l=-134.73
Tensioni nella sezione: σ=1633.04 τ=204.13
CC 36 SLU (Collegamento -041_-375)
Azioni sul collegamento: N=-37051.40 Ty=-20.67 Tz=104.72 Mx=-0.00 Mz=-15.30
Sollecitazioni agenti localmente: Ty_l=-6736.62 Mx_l=-134.73
Tensioni nella sezione: σ=1633.12 τ=204.14
CC 37 SLU (Collegamento -041_-375)
Azioni sul collegamento: N=-29860.20 Ty=10.64 Tz=77.84 Mx=-0.00 Mz=8.54
Sollecitazioni agenti localmente: Ty_l=-5429.12 Mx_l=-108.58
Tensioni nella sezione: σ=1316.15 τ=164.52
CC 38 SLU (Collegamento -041_-375)
Azioni sul collegamento: N=-30676.20 Ty=9.89 Tz=80.85 Mx=-0.00 Mz=7.98
Sollecitazioni agenti localmente: Ty_l=-5577.49 Mx_l=-111.55
Tensioni nella sezione: σ=1352.12 τ=169.01
CC 39 SLU (Collegamento -041_-375)
Azioni sul collegamento: N=-30267.30 Ty=10.35 Tz=79.40 Mx=-0.01 Mz=8.45
Sollecitazioni agenti localmente: Ty_l=-5503.14 Mx_l=-110.06
Tensioni nella sezione: σ=1334.09 τ=166.76
CC 40 SLU (Collegamento -041_-375)
Azioni sul collegamento: N=-30269.10 Ty=10.18 Tz=79.28 Mx=-0.00 Mz=8.08
Sollecitazioni agenti localmente: Ty_l=-5503.47 Mx_l=-110.07
Tensioni nella sezione: σ=1334.17 τ=166.77
CC 41 SLU (Collegamento -041_-375)
Azioni sul collegamento: N=-27459.80 Ty=-19.36 Tz=69.55 Mx=-0.00 Mz=-14.09
Sollecitazioni agenti localmente: Ty_l=-4992.68 Mx_l=-99.85
Tensioni nella sezione: σ=1210.34 τ=151.29
CC 42 SLU (Collegamento -041_-375)
Azioni sul collegamento: N=-28275.70 Ty=-20.11 Tz=72.57 Mx=-0.00 Mz=-14.65
Sollecitazioni agenti localmente: Ty_l=-5141.04 Mx_l=-102.82
Tensioni nella sezione: σ=1246.31 τ=155.79
CC 43 SLU (Collegamento -041_-375)
Azioni sul collegamento: N=-27866.90 Ty=-19.65 Tz=71.12 Mx=-0.01 Mz=-14.19
Sollecitazioni agenti localmente: Ty_l=-5066.70 Mx_l=-101.33
Tensioni nella sezione: σ=1228.29 τ=153.54
CC 44 SLU (Collegamento -041_-375)
Azioni sul collegamento: N=-27868.60 Ty=-19.82 Tz=71.00 Mx=-0.00 Mz=-14.55

Sollecitazioni agenti localmente: Ty_l=-5067.02 Mx_l=-101.34
Tensioni nella sezione: σ=1228.37 τ=153.55
CC 45 SLU (Collegamento -041_-375)
Azioni sul collegamento: N=-29479.00 Ty=-19.57 Tz=76.97 Mx=-0.00 Mz=-14.38
Sollecitazioni agenti localmente: Ty_l=-5359.82 Mx_l=-107.20
Tensioni nella sezione: σ=1299.35 τ=162.42
CC 46 SLU (Collegamento -041_-375)
Azioni sul collegamento: N=-30295.00 Ty=-20.33 Tz=79.99 Mx=-0.00 Mz=-14.94
Sollecitazioni agenti localmente: Ty_l=-5508.18 Mx_l=-110.16
Tensioni nella sezione: σ=1335.32 τ=166.91
CC 47 SLU (Collegamento -041_-375)
Azioni sul collegamento: N=-29886.10 Ty=-19.86 Tz=78.54 Mx=-0.00 Mz=-14.48
Sollecitazioni agenti localmente: Ty_l=-5433.85 Mx_l=-108.68
Tensioni nella sezione: σ=1317.29 τ=164.66
CC 48 SLU (Collegamento -041_-375)
Azioni sul collegamento: N=-29887.90 Ty=-20.04 Tz=78.42 Mx=-0.00 Mz=-14.84
Sollecitazioni agenti localmente: Ty_l=-5434.17 Mx_l=-108.68
Tensioni nella sezione: σ=1317.37 τ=164.67
CC 49 SLU (Collegamento -041_-375)
Azioni sul collegamento: N=-24404.80 Ty=3.50 Tz=57.94 Mx=-0.00 Mz=3.11
Sollecitazioni agenti localmente: Ty_l=-4437.24 Mx_l=-88.74
Tensioni nella sezione: σ=1075.69 τ=134.46
CC 50 SLU (Collegamento -041_-375)
Azioni sul collegamento: N=-25220.80 Ty=2.75 Tz=60.96 Mx=-0.00 Mz=2.55
Sollecitazioni agenti localmente: Ty_l=-4585.60 Mx_l=-91.71
Tensioni nella sezione: σ=1111.66 τ=138.96
CC 51 SLU (Collegamento -041_-375)
Azioni sul collegamento: N=-24811.90 Ty=3.21 Tz=59.51 Mx=-0.00 Mz=3.02
Sollecitazioni agenti localmente: Ty_l=-4511.26 Mx_l=-90.22
Tensioni nella sezione: σ=1093.64 τ=136.71
CC 52 SLU (Collegamento -041_-375)
Azioni sul collegamento: N=-24813.70 Ty=3.04 Tz=59.39 Mx=-0.00 Mz=2.65
Sollecitazioni agenti localmente: Ty_l=-4511.58 Mx_l=-90.23
Tensioni nella sezione: σ=1093.71 τ=136.72
CC 53 SLU (Collegamento -041_-375)
Azioni sul collegamento: N=-22608.90 Ty=-18.94 Tz=51.75 Mx=-0.00 Mz=-13.82
Sollecitazioni agenti localmente: Ty_l=-4110.71 Mx_l=-82.21
Tensioni nella sezione: σ=996.53 τ=124.57
CC 54 SLU (Collegamento -041_-375)
Azioni sul collegamento: N=-23424.90 Ty=-19.70 Tz=54.76 Mx=-0.00 Mz=-14.38
Sollecitazioni agenti localmente: Ty_l=-4259.08 Mx_l=-85.18
Tensioni nella sezione: σ=1032.50 τ=129.06
CC 55 SLU (Collegamento -041_-375)
Azioni sul collegamento: N=-23016.00 Ty=-19.23 Tz=53.31 Mx=-0.00 Mz=-13.92
Sollecitazioni agenti localmente: Ty_l=-4184.74 Mx_l=-83.69
Tensioni nella sezione: σ=1014.48 τ=126.81
CC 56 SLU (Collegamento -041_-375)
Azioni sul collegamento: N=-23017.80 Ty=-19.41 Tz=53.20 Mx=-0.00 Mz=-14.28
Sollecitazioni agenti localmente: Ty_l=-4185.06 Mx_l=-83.70
Tensioni nella sezione: σ=1014.56 τ=126.82
CC 57 SLU (Collegamento -041_-375)
Azioni sul collegamento: N=-30221.30 Ty=-20.56 Tz=79.74 Mx=-0.00 Mz=-15.10
Sollecitazioni agenti localmente: Ty_l=-5494.77 Mx_l=-109.89
Tensioni nella sezione: σ=1332.06 τ=166.51
CC 58 SLU (Collegamento -041_-375)
Azioni sul collegamento: N=-31037.20 Ty=-21.31 Tz=82.75 Mx=-0.00 Mz=-15.66
Sollecitazioni agenti localmente: Ty_l=-5643.13 Mx_l=-112.86
Tensioni nella sezione: σ=1368.03 τ=171.00
CC 59 SLU (Collegamento -041_-375)
Azioni sul collegamento: N=-30628.40 Ty=-20.85 Tz=81.31 Mx=-0.00 Mz=-15.20
Sollecitazioni agenti localmente: Ty_l=-5568.79 Mx_l=-111.38
Tensioni nella sezione: σ=1350.01 τ=168.75
CC 60 SLU (Collegamento -041_-375)
Azioni sul collegamento: N=-30630.10 Ty=-21.02 Tz=81.19 Mx=-0.00 Mz=-15.57
Sollecitazioni agenti localmente: Ty_l=-5569.11 Mx_l=-111.38
Tensioni nella sezione: σ=1350.09 τ=168.76
CC 61 SLU (Collegamento -041_-375)
Azioni sul collegamento: N=-25147.00 Ty=2.52 Tz=60.71 Mx=-0.00 Mz=2.39
Sollecitazioni agenti localmente: Ty_l=-4572.19 Mx_l=-91.44
Tensioni nella sezione: σ=1108.41 τ=138.55
CC 62 SLU (Collegamento -041_-375)
Azioni sul collegamento: N=-25963.00 Ty=1.76 Tz=63.73 Mx=-0.00 Mz=1.83
Sollecitazioni agenti localmente: Ty_l=-4720.55 Mx_l=-94.41
Tensioni nella sezione: σ=1144.37 τ=143.05
CC 63 SLU (Collegamento -041_-375)
Azioni sul collegamento: N=-25554.10 Ty=2.23 Tz=62.28 Mx=-0.00 Mz=2.29
Sollecitazioni agenti localmente: Ty_l=-4646.21 Mx_l=-92.92
Tensioni nella sezione: σ=1126.35 τ=140.79
CC 64 SLU (Collegamento -041_-375)
Azioni sul collegamento: N=-25555.90 Ty=2.05 Tz=62.16 Mx=-0.00 Mz=1.93

Sollecitazioni agenti localmente: Ty_l=-4646.53 Mx_l=-92.93
Tensioni nella sezione: σ=1126.43 τ=140.80
CC 65 SLU (Collegamento -041_-375)
Azioni sul collegamento: N=-23351.20 Ty=-19.92 Tz=54.52 Mx=-0.00 Mz=-14.54
Sollecitazioni agenti localmente: Ty_l=-4245.66 Mx_l=-84.91
Tensioni nella sezione: σ=1029.25 τ=128.66
CC 66 SLU (Collegamento -041_-375)
Azioni sul collegamento: N=-24167.10 Ty=-20.68 Tz=57.53 Mx=-0.00 Mz=-15.10
Sollecitazioni agenti localmente: Ty_l=-4394.02 Mx_l=-87.88
Tensioni nella sezione: σ=1065.22 τ=133.15
CC 67 SLU (Collegamento -041_-375)
Azioni sul collegamento: N=-23758.30 Ty=-20.21 Tz=56.08 Mx=-0.00 Mz=-14.64
Sollecitazioni agenti localmente: Ty_l=-4319.69 Mx_l=-86.39
Tensioni nella sezione: σ=1047.19 τ=130.90
CC 68 SLU (Collegamento -041_-375)
Azioni sul collegamento: N=-23760.00 Ty=-20.39 Tz=55.97 Mx=-0.00 Mz=-15.01
Sollecitazioni agenti localmente: Ty_l=-4320.01 Mx_l=-86.40
Tensioni nella sezione: σ=1047.27 τ=130.91
CC 97 SLU (Collegamento -041_-375)
Azioni sul collegamento: N=-31084.20 Ty=-25.01 Tz=90.82 Mx=0.05 Mz=-11.42
Sollecitazioni agenti localmente: Ty_l=-5651.68 Mx_l=-113.03
Tensioni nella sezione: σ=1370.10 τ=171.26
CC 98 SLU (Collegamento -041_-375)
Azioni sul collegamento: N=-31900.20 Ty=-25.76 Tz=93.83 Mx=0.05 Mz=-11.97
Sollecitazioni agenti localmente: Ty_l=-5800.04 Mx_l=-116.00
Tensioni nella sezione: σ=1406.07 τ=175.76
CC 99 SLU (Collegamento -041_-375)
Azioni sul collegamento: N=-31491.30 Ty=-25.30 Tz=92.39 Mx=0.05 Mz=-11.51
Sollecitazioni agenti localmente: Ty_l=-5725.70 Mx_l=-114.51
Tensioni nella sezione: σ=1388.04 τ=173.51
CC 100 SLU (Collegamento -041_-375)
Azioni sul collegamento: N=-31493.10 Ty=-25.48 Tz=92.27 Mx=0.05 Mz=-11.88
Sollecitazioni agenti localmente: Ty_l=-5726.02 Mx_l=-114.52
Tensioni nella sezione: σ=1388.12 τ=173.52
CC 101 SLU (Collegamento -041_-375)
Azioni sul collegamento: N=-8294.89 Ty=-5.21 Tz=7.37 Mx=-0.01 Mz=-4.43
Sollecitazioni agenti localmente: Ty_l=-1508.16 Mx_l=-30.16
Tensioni nella sezione: σ=365.61 τ=45.70
CC 102 SLU (Collegamento -041_-375)
Azioni sul collegamento: N=-9110.88 Ty=-5.97 Tz=10.39 Mx=-0.01 Mz=-4.99
Sollecitazioni agenti localmente: Ty_l=-1656.52 Mx_l=-33.13
Tensioni nella sezione: σ=401.58 τ=50.20
CC 103 SLU (Collegamento -041_-375)
Azioni sul collegamento: N=-8702.00 Ty=-5.50 Tz=8.94 Mx=-0.01 Mz=-4.53
Sollecitazioni agenti localmente: Ty_l=-1582.18 Mx_l=-31.64
Tensioni nella sezione: σ=383.56 τ=47.94
CC 104 SLU (Collegamento -041_-375)
Azioni sul collegamento: N=-8703.78 Ty=-5.68 Tz=8.82 Mx=-0.01 Mz=-4.89
Sollecitazioni agenti localmente: Ty_l=-1582.50 Mx_l=-31.65
Tensioni nella sezione: σ=383.64 τ=47.95

Flessione attacco inferiore piastra

Bnetta=220.00 Hnetta=15.00
CC 1 SLV (Collegamento -041_-375)
Azioni sul collegamento: N=-5965.50 Ty=-4.83 Tz=-1.56 Mx=0.01 Mz=-1.02
Sollecitazioni agenti localmente: Ty_l=-1084.64 Mx_l=-21.69
Tensioni nella sezione: σ=262.94 τ=32.87
CC 1 SLV (Collegamento -041_-375)
Azioni sul collegamento: N=-5965.50 Ty=-12.58 Tz=-1.56 Mx=0.01 Mz=-7.43
Sollecitazioni agenti localmente: Ty_l=-1084.64 Mx_l=-21.69
Tensioni nella sezione: σ=262.94 τ=32.87
CC 1 SLV (Collegamento -041_-375)
Azioni sul collegamento: N=-5965.50 Ty=-4.83 Tz=27.71 Mx=0.01 Mz=-1.02
Sollecitazioni agenti localmente: Ty_l=-1084.64 Mx_l=-21.69
Tensioni nella sezione: σ=262.94 τ=32.87
CC 1 SLV (Collegamento -041_-375)
Azioni sul collegamento: N=-5965.50 Ty=-12.58 Tz=27.71 Mx=0.01 Mz=-7.43
Sollecitazioni agenti localmente: Ty_l=-1084.64 Mx_l=-21.69
Tensioni nella sezione: σ=262.94 τ=32.87
CC 1 SLV (Collegamento -041_-375)
Azioni sul collegamento: N=-13808.10 Ty=-4.83 Tz=-1.56 Mx=0.01 Mz=-1.02
Sollecitazioni agenti localmente: Ty_l=-2510.57 Mx_l=-50.21
Tensioni nella sezione: σ=608.62 τ=76.08
CC 1 SLV (Collegamento -041_-375)
Azioni sul collegamento: N=-13808.10 Ty=-12.58 Tz=-1.56 Mx=0.01 Mz=-7.43
Sollecitazioni agenti localmente: Ty_l=-2510.57 Mx_l=-50.21
Tensioni nella sezione: σ=608.62 τ=76.08
CC 1 SLV (Collegamento -041_-375)
Azioni sul collegamento: N=-13808.10 Ty=-4.83 Tz=27.71 Mx=0.01 Mz=-1.02
Sollecitazioni agenti localmente: Ty_l=-2510.57 Mx_l=-50.21

Tensioni nella sezione: σ=608.62 τ=76.08
CC 1 SLV (Collegamento -041_-375)
Azioni sul collegamento: N=-13808.10 Ty=-12.58 Tz=27.71 Mx=0.01 Mz=-7.43
Sollecitazioni agenti localmente: Ty_l=-2510.57 Mx_l=-50.21
Tensioni nella sezione: σ=608.62 τ=76.08
CC 2 SLD (Collegamento -041_-375)
Azioni sul collegamento: N=-8788.68 Ty=-8.45 Tz=9.00 Mx=0.00 Mz=-5.38
Sollecitazioni agenti localmente: Ty_l=-1597.94 Mx_l=-31.96
Tensioni nella sezione: σ=387.38 τ=48.42
CC 2 SLD (Collegamento -041_-375)
Azioni sul collegamento: N=-8788.68 Ty=-10.81 Tz=9.00 Mx=0.00 Mz=-7.34
Sollecitazioni agenti localmente: Ty_l=-1597.94 Mx_l=-31.96
Tensioni nella sezione: σ=387.38 τ=48.42
CC 2 SLD (Collegamento -041_-375)
Azioni sul collegamento: N=-8788.68 Ty=-8.45 Tz=17.92 Mx=0.00 Mz=-5.38
Sollecitazioni agenti localmente: Ty_l=-1597.94 Mx_l=-31.96
Tensioni nella sezione: σ=387.38 τ=48.42
CC 2 SLD (Collegamento -041_-375)
Azioni sul collegamento: N=-8788.68 Ty=-10.81 Tz=17.92 Mx=0.00 Mz=-7.34
Sollecitazioni agenti localmente: Ty_l=-1597.94 Mx_l=-31.96
Tensioni nella sezione: σ=387.38 τ=48.42
CC 2 SLD (Collegamento -041_-375)
Azioni sul collegamento: N=-11180.10 Ty=-8.45 Tz=8.99 Mx=0.00 Mz=-5.38
Sollecitazioni agenti localmente: Ty_l=-2032.75 Mx_l=-40.66
Tensioni nella sezione: σ=492.79 τ=61.60
CC 2 SLD (Collegamento -041_-375)
Azioni sul collegamento: N=-11180.10 Ty=-10.81 Tz=8.99 Mx=0.00 Mz=-7.34
Sollecitazioni agenti localmente: Ty_l=-2032.75 Mx_l=-40.66
Tensioni nella sezione: σ=492.79 τ=61.60
CC 2 SLD (Collegamento -041_-375)
Azioni sul collegamento: N=-11180.10 Ty=-8.45 Tz=17.92 Mx=0.00 Mz=-5.38
Sollecitazioni agenti localmente: Ty_l=-2032.75 Mx_l=-40.66
Tensioni nella sezione: σ=492.79 τ=61.60
CC 2 SLD (Collegamento -041_-375)
Azioni sul collegamento: N=-11180.10 Ty=-10.81 Tz=17.92 Mx=0.00 Mz=-7.34
Sollecitazioni agenti localmente: Ty_l=-2032.75 Mx_l=-40.66
Tensioni nella sezione: σ=492.79 τ=61.60
CC 3 SLV (Collegamento -041_-375)
Azioni sul collegamento: N=-5970.40 Ty=-5.34 Tz=-1.24 Mx=0.01 Mz=-2.07
Sollecitazioni agenti localmente: Ty_l=-1085.53 Mx_l=-21.71
Tensioni nella sezione: σ=263.16 τ=32.89
CC 3 SLV (Collegamento -041_-375)
Azioni sul collegamento: N=-5970.40 Ty=-12.07 Tz=-1.24 Mx=0.01 Mz=-6.38
Sollecitazioni agenti localmente: Ty_l=-1085.53 Mx_l=-21.71
Tensioni nella sezione: σ=263.16 τ=32.89
CC 3 SLV (Collegamento -041_-375)
Azioni sul collegamento: N=-5970.40 Ty=-5.34 Tz=27.38 Mx=0.01 Mz=-2.07
Sollecitazioni agenti localmente: Ty_l=-1085.53 Mx_l=-21.71
Tensioni nella sezione: σ=263.16 τ=32.89
CC 3 SLV (Collegamento -041_-375)
Azioni sul collegamento: N=-5970.40 Ty=-12.07 Tz=27.38 Mx=0.01 Mz=-6.38
Sollecitazioni agenti localmente: Ty_l=-1085.53 Mx_l=-21.71
Tensioni nella sezione: σ=263.16 τ=32.89
CC 3 SLV (Collegamento -041_-375)
Azioni sul collegamento: N=-13803.30 Ty=-5.34 Tz=-1.24 Mx=0.01 Mz=-2.07
Sollecitazioni agenti localmente: Ty_l=-2509.68 Mx_l=-50.19
Tensioni nella sezione: σ=608.41 τ=76.05
CC 3 SLV (Collegamento -041_-375)
Azioni sul collegamento: N=-13803.30 Ty=-12.07 Tz=-1.24 Mx=0.01 Mz=-6.38
Sollecitazioni agenti localmente: Ty_l=-2509.68 Mx_l=-50.19
Tensioni nella sezione: σ=608.41 τ=76.05
CC 3 SLV (Collegamento -041_-375)
Azioni sul collegamento: N=-13803.30 Ty=-5.34 Tz=27.38 Mx=0.01 Mz=-2.07
Sollecitazioni agenti localmente: Ty_l=-2509.68 Mx_l=-50.19
Tensioni nella sezione: σ=608.41 τ=76.05
CC 3 SLV (Collegamento -041_-375)
Azioni sul collegamento: N=-13803.30 Ty=-12.07 Tz=27.38 Mx=0.01 Mz=-6.38
Sollecitazioni agenti localmente: Ty_l=-2509.68 Mx_l=-50.19
Tensioni nella sezione: σ=608.41 τ=76.05
CC 4 SLD (Collegamento -041_-375)
Azioni sul collegamento: N=-8790.17 Ty=-8.61 Tz=9.10 Mx=0.00 Mz=-5.70
Sollecitazioni agenti localmente: Ty_l=-1598.21 Mx_l=-31.96
Tensioni nella sezione: σ=387.44 τ=48.43
CC 4 SLD (Collegamento -041_-375)
Azioni sul collegamento: N=-8790.17 Ty=-10.66 Tz=9.10 Mx=0.00 Mz=-7.02
Sollecitazioni agenti localmente: Ty_l=-1598.21 Mx_l=-31.96
Tensioni nella sezione: σ=387.44 τ=48.43
CC 4 SLD (Collegamento -041_-375)
Azioni sul collegamento: N=-8790.17 Ty=-8.61 Tz=17.82 Mx=0.00 Mz=-5.70
Sollecitazioni agenti localmente: Ty_l=-1598.21 Mx_l=-31.96

Tensioni nella sezione: σ=387.44 τ=48.43
CC 4 SLD (Collegamento -041_-375)
Azioni sul collegamento: N=-8790.17 Ty=-10.66 Tz=17.82 Mx=0.00 Mz=-7.02
Sollecitazioni agenti localmente: Ty_l=-1598.21 Mx_l=-31.96
Tensioni nella sezione: σ=387.44 τ=48.43
CC 4 SLD (Collegamento -041_-375)
Azioni sul collegamento: N=-11178.70 Ty=-8.61 Tz=9.09 Mx=0.00 Mz=-5.70
Sollecitazioni agenti localmente: Ty_l=-2032.48 Mx_l=-40.65
Tensioni nella sezione: σ=492.72 τ=61.59
CC 4 SLD (Collegamento -041_-375)
Azioni sul collegamento: N=-11178.70 Ty=-10.66 Tz=9.09 Mx=0.00 Mz=-7.02
Sollecitazioni agenti localmente: Ty_l=-2032.48 Mx_l=-40.65
Tensioni nella sezione: σ=492.72 τ=61.59
CC 4 SLD (Collegamento -041_-375)
Azioni sul collegamento: N=-11178.70 Ty=-8.61 Tz=17.82 Mx=0.00 Mz=-5.70
Sollecitazioni agenti localmente: Ty_l=-2032.48 Mx_l=-40.65
Tensioni nella sezione: σ=492.72 τ=61.59
CC 4 SLD (Collegamento -041_-375)
Azioni sul collegamento: N=-11178.70 Ty=-10.66 Tz=17.82 Mx=0.00 Mz=-7.02
Sollecitazioni agenti localmente: Ty_l=-2032.48 Mx_l=-40.65
Tensioni nella sezione: σ=492.72 τ=61.59
CC 5 SLV (Collegamento -041_-375)
Azioni sul collegamento: N=-13803.30 Ty=-12.07 Tz=27.38 Mx=0.01 Mz=-6.38
Sollecitazioni agenti localmente: Ty_l=-2509.68 Mx_l=-50.19
Tensioni nella sezione: σ=608.41 τ=76.05
CC 5 SLV (Collegamento -041_-375)
Azioni sul collegamento: N=-13803.30 Ty=-5.34 Tz=27.38 Mx=0.01 Mz=-2.07
Sollecitazioni agenti localmente: Ty_l=-2509.68 Mx_l=-50.19
Tensioni nella sezione: σ=608.41 τ=76.05
CC 5 SLV (Collegamento -041_-375)
Azioni sul collegamento: N=-13803.30 Ty=-12.07 Tz=-1.24 Mx=0.01 Mz=-6.38
Sollecitazioni agenti localmente: Ty_l=-2509.68 Mx_l=-50.19
Tensioni nella sezione: σ=608.41 τ=76.05
CC 5 SLV (Collegamento -041_-375)
Azioni sul collegamento: N=-13803.30 Ty=-5.34 Tz=-1.24 Mx=0.01 Mz=-2.07
Sollecitazioni agenti localmente: Ty_l=-2509.68 Mx_l=-50.19
Tensioni nella sezione: σ=608.41 τ=76.05
CC 5 SLV (Collegamento -041_-375)
Azioni sul collegamento: N=-5970.40 Ty=-12.07 Tz=27.38 Mx=0.01 Mz=-6.38
Sollecitazioni agenti localmente: Ty_l=-1085.53 Mx_l=-21.71
Tensioni nella sezione: σ=263.16 τ=32.89
CC 5 SLV (Collegamento -041_-375)
Azioni sul collegamento: N=-5970.40 Ty=-5.34 Tz=27.38 Mx=0.01 Mz=-2.07
Sollecitazioni agenti localmente: Ty_l=-1085.53 Mx_l=-21.71
Tensioni nella sezione: σ=263.16 τ=32.89
CC 5 SLV (Collegamento -041_-375)
Azioni sul collegamento: N=-5970.40 Ty=-12.07 Tz=-1.24 Mx=0.01 Mz=-6.38
Sollecitazioni agenti localmente: Ty_l=-1085.53 Mx_l=-21.71
Tensioni nella sezione: σ=263.16 τ=32.89
CC 5 SLV (Collegamento -041_-375)
Azioni sul collegamento: N=-5970.40 Ty=-5.34 Tz=-1.24 Mx=0.01 Mz=-2.07
Sollecitazioni agenti localmente: Ty_l=-1085.53 Mx_l=-21.71
Tensioni nella sezione: σ=263.16 τ=32.89
CC 6 SLD (Collegamento -041_-375)
Azioni sul collegamento: N=-11178.70 Ty=-10.66 Tz=17.82 Mx=0.00 Mz=-7.02
Sollecitazioni agenti localmente: Ty_l=-2032.48 Mx_l=-40.65
Tensioni nella sezione: σ=492.72 τ=61.59
CC 6 SLD (Collegamento -041_-375)
Azioni sul collegamento: N=-11178.70 Ty=-8.61 Tz=17.82 Mx=0.00 Mz=-5.70
Sollecitazioni agenti localmente: Ty_l=-2032.48 Mx_l=-40.65
Tensioni nella sezione: σ=492.72 τ=61.59
CC 6 SLD (Collegamento -041_-375)
Azioni sul collegamento: N=-11178.70 Ty=-10.66 Tz=9.09 Mx=0.00 Mz=-7.02
Sollecitazioni agenti localmente: Ty_l=-2032.48 Mx_l=-40.65
Tensioni nella sezione: σ=492.72 τ=61.59
CC 6 SLD (Collegamento -041_-375)
Azioni sul collegamento: N=-11178.70 Ty=-8.61 Tz=9.09 Mx=0.00 Mz=-5.70
Sollecitazioni agenti localmente: Ty_l=-2032.48 Mx_l=-40.65
Tensioni nella sezione: σ=492.72 τ=61.59
CC 6 SLD (Collegamento -041_-375)
Azioni sul collegamento: N=-8790.17 Ty=-10.66 Tz=17.82 Mx=0.00 Mz=-7.02
Sollecitazioni agenti localmente: Ty_l=-1598.21 Mx_l=-31.96
Tensioni nella sezione: σ=387.44 τ=48.43
CC 6 SLD (Collegamento -041_-375)
Azioni sul collegamento: N=-8790.17 Ty=-8.61 Tz=17.82 Mx=0.00 Mz=-5.70
Sollecitazioni agenti localmente: Ty_l=-1598.21 Mx_l=-31.96
Tensioni nella sezione: σ=387.44 τ=48.43
CC 6 SLD (Collegamento -041_-375)
Azioni sul collegamento: N=-8790.17 Ty=-10.66 Tz=9.10 Mx=0.00 Mz=-7.02
Sollecitazioni agenti localmente: Ty_l=-1598.21 Mx_l=-31.96

Tensioni nella sezione: σ=387.44 τ=48.43
CC 6 SLD (Collegamento -041_-375)
Azioni sul collegamento: N=-8790.17 Ty=-8.61 Tz=9.10 Mx=0.00 Mz=-5.70
Sollecitazioni agenti localmente: Ty_l=-1598.21 Mx_l=-31.96
Tensioni nella sezione: σ=387.44 τ=48.43
CC 7 SLV (Collegamento -041_-375)
Azioni sul collegamento: N=-13808.10 Ty=-12.58 Tz=27.71 Mx=0.01 Mz=-7.43
Sollecitazioni agenti localmente: Ty_l=-2510.57 Mx_l=-50.21
Tensioni nella sezione: σ=608.62 τ=76.08
CC 7 SLV (Collegamento -041_-375)
Azioni sul collegamento: N=-13808.10 Ty=-4.83 Tz=27.71 Mx=0.01 Mz=-1.02
Sollecitazioni agenti localmente: Ty_l=-2510.57 Mx_l=-50.21
Tensioni nella sezione: σ=608.62 τ=76.08
CC 7 SLV (Collegamento -041_-375)
Azioni sul collegamento: N=-13808.10 Ty=-12.58 Tz=-1.56 Mx=0.01 Mz=-7.43
Sollecitazioni agenti localmente: Ty_l=-2510.57 Mx_l=-50.21
Tensioni nella sezione: σ=608.62 τ=76.08
CC 7 SLV (Collegamento -041_-375)
Azioni sul collegamento: N=-13808.10 Ty=-4.83 Tz=-1.56 Mx=0.01 Mz=-1.02
Sollecitazioni agenti localmente: Ty_l=-2510.57 Mx_l=-50.21
Tensioni nella sezione: σ=608.62 τ=76.08
CC 7 SLV (Collegamento -041_-375)
Azioni sul collegamento: N=-5965.50 Ty=-12.58 Tz=27.71 Mx=0.01 Mz=-7.43
Sollecitazioni agenti localmente: Ty_l=-1084.64 Mx_l=-21.69
Tensioni nella sezione: σ=262.94 τ=32.87
CC 7 SLV (Collegamento -041_-375)
Azioni sul collegamento: N=-5965.50 Ty=-4.83 Tz=27.71 Mx=0.01 Mz=-1.02
Sollecitazioni agenti localmente: Ty_l=-1084.64 Mx_l=-21.69
Tensioni nella sezione: σ=262.94 τ=32.87
CC 7 SLV (Collegamento -041_-375)
Azioni sul collegamento: N=-5965.50 Ty=-12.58 Tz=-1.56 Mx=0.01 Mz=-7.43
Sollecitazioni agenti localmente: Ty_l=-1084.64 Mx_l=-21.69
Tensioni nella sezione: σ=262.94 τ=32.87
CC 7 SLV (Collegamento -041_-375)
Azioni sul collegamento: N=-5965.50 Ty=-4.83 Tz=-1.56 Mx=0.01 Mz=-1.02
Sollecitazioni agenti localmente: Ty_l=-1084.64 Mx_l=-21.69
Tensioni nella sezione: σ=262.94 τ=32.87
CC 8 SLD (Collegamento -041_-375)
Azioni sul collegamento: N=-11180.10 Ty=-10.81 Tz=17.92 Mx=0.00 Mz=-7.34
Sollecitazioni agenti localmente: Ty_l=-2032.75 Mx_l=-40.66
Tensioni nella sezione: σ=492.79 τ=61.60
CC 8 SLD (Collegamento -041_-375)
Azioni sul collegamento: N=-11180.10 Ty=-8.45 Tz=17.92 Mx=0.00 Mz=-5.38
Sollecitazioni agenti localmente: Ty_l=-2032.75 Mx_l=-40.66
Tensioni nella sezione: σ=492.79 τ=61.60
CC 8 SLD (Collegamento -041_-375)
Azioni sul collegamento: N=-11180.10 Ty=-10.81 Tz=8.99 Mx=0.00 Mz=-7.34
Sollecitazioni agenti localmente: Ty_l=-2032.75 Mx_l=-40.66
Tensioni nella sezione: σ=492.79 τ=61.60
CC 8 SLD (Collegamento -041_-375)
Azioni sul collegamento: N=-11180.10 Ty=-8.45 Tz=8.99 Mx=0.00 Mz=-5.38
Sollecitazioni agenti localmente: Ty_l=-2032.75 Mx_l=-40.66
Tensioni nella sezione: σ=492.79 τ=61.60
CC 8 SLD (Collegamento -041_-375)
Azioni sul collegamento: N=-8788.68 Ty=-10.81 Tz=17.92 Mx=0.00 Mz=-7.34
Sollecitazioni agenti localmente: Ty_l=-1597.94 Mx_l=-31.96
Tensioni nella sezione: σ=387.38 τ=48.42
CC 8 SLD (Collegamento -041_-375)
Azioni sul collegamento: N=-8788.68 Ty=-8.45 Tz=17.92 Mx=0.00 Mz=-5.38
Sollecitazioni agenti localmente: Ty_l=-1597.94 Mx_l=-31.96
Tensioni nella sezione: σ=387.38 τ=48.42
CC 8 SLD (Collegamento -041_-375)
Azioni sul collegamento: N=-8788.68 Ty=-10.81 Tz=9.00 Mx=0.00 Mz=-7.34
Sollecitazioni agenti localmente: Ty_l=-1597.94 Mx_l=-31.96
Tensioni nella sezione: σ=387.38 τ=48.42
CC 8 SLD (Collegamento -041_-375)
Azioni sul collegamento: N=-8788.68 Ty=-8.45 Tz=9.00 Mx=0.00 Mz=-5.38
Sollecitazioni agenti localmente: Ty_l=-1597.94 Mx_l=-31.96
Tensioni nella sezione: σ=387.38 τ=48.42
CC 9 SLV (Collegamento -041_-375)
Azioni sul collegamento: N=-8703.00 Ty=-6.76 Tz=8.19 Mx=0.02 Mz=-1.67
Sollecitazioni agenti localmente: Ty_l=-1582.36 Mx_l=-31.65
Tensioni nella sezione: σ=383.60 τ=47.95
CC 9 SLV (Collegamento -041_-375)
Azioni sul collegamento: N=-8703.00 Ty=-10.65 Tz=8.19 Mx=0.02 Mz=-6.77
Sollecitazioni agenti localmente: Ty_l=-1582.36 Mx_l=-31.65
Tensioni nella sezione: σ=383.60 τ=47.95
CC 9 SLV (Collegamento -041_-375)
Azioni sul collegamento: N=-8703.00 Ty=-6.76 Tz=17.96 Mx=0.02 Mz=-1.67
Sollecitazioni agenti localmente: Ty_l=-1582.36 Mx_l=-31.65

Tensioni nella sezione: σ=383.60 τ=47.95
CC 9 SLV (Collegamento -041_-375)
Azioni sul collegamento: N=-8703.00 Ty=-10.65 Tz=17.96 Mx=0.02 Mz=-6.77
Sollecitazioni agenti localmente: Ty_l=-1582.36 Mx_l=-31.65
Tensioni nella sezione: σ=383.60 τ=47.95
CC 9 SLV (Collegamento -041_-375)
Azioni sul collegamento: N=-11070.70 Ty=-6.76 Tz=8.19 Mx=0.02 Mz=-1.67
Sollecitazioni agenti localmente: Ty_l=-2012.85 Mx_l=-40.26
Tensioni nella sezione: σ=487.96 τ=61.00
CC 9 SLV (Collegamento -041_-375)
Azioni sul collegamento: N=-11070.70 Ty=-10.65 Tz=8.19 Mx=0.02 Mz=-6.77
Sollecitazioni agenti localmente: Ty_l=-2012.85 Mx_l=-40.26
Tensioni nella sezione: σ=487.96 τ=61.00
CC 9 SLV (Collegamento -041_-375)
Azioni sul collegamento: N=-11070.70 Ty=-6.76 Tz=17.96 Mx=0.02 Mz=-1.67
Sollecitazioni agenti localmente: Ty_l=-2012.85 Mx_l=-40.26
Tensioni nella sezione: σ=487.96 τ=61.00
CC 9 SLV (Collegamento -041_-375)
Azioni sul collegamento: N=-11070.70 Ty=-10.65 Tz=17.96 Mx=0.02 Mz=-6.77
Sollecitazioni agenti localmente: Ty_l=-2012.85 Mx_l=-40.26
Tensioni nella sezione: σ=487.96 τ=61.00
CC 10 SLD (Collegamento -041_-375)
Azioni sul collegamento: N=-9623.43 Ty=-9.04 Tz=11.97 Mx=0.00 Mz=-5.58
Sollecitazioni agenti localmente: Ty_l=-1749.71 Mx_l=-34.99
Tensioni nella sezione: σ=424.17 τ=53.02
CC 10 SLD (Collegamento -041_-375)
Azioni sul collegamento: N=-9623.43 Ty=-10.22 Tz=11.97 Mx=0.00 Mz=-7.14
Sollecitazioni agenti localmente: Ty_l=-1749.71 Mx_l=-34.99
Tensioni nella sezione: σ=424.17 τ=53.02
CC 10 SLD (Collegamento -041_-375)
Azioni sul collegamento: N=-9623.43 Ty=-9.04 Tz=14.95 Mx=0.00 Mz=-5.58
Sollecitazioni agenti localmente: Ty_l=-1749.71 Mx_l=-34.99
Tensioni nella sezione: σ=424.17 τ=53.02
CC 10 SLD (Collegamento -041_-375)
Azioni sul collegamento: N=-9623.43 Ty=-10.22 Tz=14.95 Mx=0.00 Mz=-7.14
Sollecitazioni agenti localmente: Ty_l=-1749.71 Mx_l=-34.99
Tensioni nella sezione: σ=424.17 τ=53.02
CC 10 SLD (Collegamento -041_-375)
Azioni sul collegamento: N=-10345.40 Ty=-9.04 Tz=11.97 Mx=0.00 Mz=-5.58
Sollecitazioni agenti localmente: Ty_l=-1880.98 Mx_l=-37.62
Tensioni nella sezione: σ=456.00 τ=57.00
CC 10 SLD (Collegamento -041_-375)
Azioni sul collegamento: N=-10345.40 Ty=-10.22 Tz=11.97 Mx=0.00 Mz=-7.14
Sollecitazioni agenti localmente: Ty_l=-1880.98 Mx_l=-37.62
Tensioni nella sezione: σ=456.00 τ=57.00
CC 10 SLD (Collegamento -041_-375)
Azioni sul collegamento: N=-10345.40 Ty=-9.04 Tz=14.95 Mx=0.00 Mz=-5.58
Sollecitazioni agenti localmente: Ty_l=-1880.98 Mx_l=-37.62
Tensioni nella sezione: σ=456.00 τ=57.00
CC 10 SLD (Collegamento -041_-375)
Azioni sul collegamento: N=-10345.40 Ty=-10.22 Tz=14.95 Mx=0.00 Mz=-7.14
Sollecitazioni agenti localmente: Ty_l=-1880.98 Mx_l=-37.62
Tensioni nella sezione: σ=456.00 τ=57.00
CC 11 SLV (Collegamento -041_-375)
Azioni sul collegamento: N=-11054.30 Ty=-8.94 Tz=16.87 Mx=0.02 Mz=-3.28
Sollecitazioni agenti localmente: Ty_l=-2009.88 Mx_l=-40.20
Tensioni nella sezione: σ=487.24 τ=60.91
CC 11 SLV (Collegamento -041_-375)
Azioni sul collegamento: N=-11054.30 Ty=-8.48 Tz=16.87 Mx=0.02 Mz=-5.16
Sollecitazioni agenti localmente: Ty_l=-2009.88 Mx_l=-40.20
Tensioni nella sezione: σ=487.24 τ=60.91
CC 11 SLV (Collegamento -041_-375)
Azioni sul collegamento: N=-11054.30 Ty=-8.94 Tz=9.28 Mx=0.02 Mz=-3.28
Sollecitazioni agenti localmente: Ty_l=-2009.88 Mx_l=-40.20
Tensioni nella sezione: σ=487.24 τ=60.91
CC 11 SLV (Collegamento -041_-375)
Azioni sul collegamento: N=-11054.30 Ty=-8.48 Tz=9.28 Mx=0.02 Mz=-5.16
Sollecitazioni agenti localmente: Ty_l=-2009.88 Mx_l=-40.20
Tensioni nella sezione: σ=487.24 τ=60.91
CC 11 SLV (Collegamento -041_-375)
Azioni sul collegamento: N=-8719.33 Ty=-8.94 Tz=16.87 Mx=0.02 Mz=-3.28
Sollecitazioni agenti localmente: Ty_l=-1585.33 Mx_l=-31.71
Tensioni nella sezione: σ=384.32 τ=48.04
CC 11 SLV (Collegamento -041_-375)
Azioni sul collegamento: N=-8719.33 Ty=-8.48 Tz=16.87 Mx=0.02 Mz=-5.16
Sollecitazioni agenti localmente: Ty_l=-1585.33 Mx_l=-31.71
Tensioni nella sezione: σ=384.32 τ=48.04
CC 11 SLV (Collegamento -041_-375)
Azioni sul collegamento: N=-8719.33 Ty=-8.94 Tz=9.28 Mx=0.02 Mz=-3.28
Sollecitazioni agenti localmente: Ty_l=-1585.33 Mx_l=-31.71

Tensioni nella sezione: σ=384.32 τ=48.04
CC 11 SLV (Collegamento -041_-375)
Azioni sul collegamento: N=-8719.33 Ty=-8.48 Tz=9.28 Mx=0.02 Mz=-5.16
Sollecitazioni agenti localmente: Ty_l=-1585.33 Mx_l=-31.71
Tensioni nella sezione: σ=384.32 τ=48.04
CC 12 SLD (Collegamento -041_-375)
Azioni sul collegamento: N=-10340.40 Ty=-9.70 Tz=14.62 Mx=0.00 Mz=-6.07
Sollecitazioni agenti localmente: Ty_l=-1880.08 Mx_l=-37.60
Tensioni nella sezione: σ=455.77 τ=56.97
CC 12 SLD (Collegamento -041_-375)
Azioni sul collegamento: N=-10340.40 Ty=-9.56 Tz=14.62 Mx=0.00 Mz=-6.65
Sollecitazioni agenti localmente: Ty_l=-1880.08 Mx_l=-37.60
Tensioni nella sezione: σ=455.77 τ=56.97
CC 12 SLD (Collegamento -041_-375)
Azioni sul collegamento: N=-10340.40 Ty=-9.70 Tz=12.30 Mx=0.00 Mz=-6.07
Sollecitazioni agenti localmente: Ty_l=-1880.08 Mx_l=-37.60
Tensioni nella sezione: σ=455.77 τ=56.97
CC 12 SLD (Collegamento -041_-375)
Azioni sul collegamento: N=-10340.40 Ty=-9.56 Tz=12.30 Mx=0.00 Mz=-6.65
Sollecitazioni agenti localmente: Ty_l=-1880.08 Mx_l=-37.60
Tensioni nella sezione: σ=455.77 τ=56.97
CC 12 SLD (Collegamento -041_-375)
Azioni sul collegamento: N=-9628.41 Ty=-9.70 Tz=14.62 Mx=0.00 Mz=-6.07
Sollecitazioni agenti localmente: Ty_l=-1750.62 Mx_l=-35.01
Tensioni nella sezione: σ=424.39 τ=53.05
CC 12 SLD (Collegamento -041_-375)
Azioni sul collegamento: N=-9628.41 Ty=-9.56 Tz=14.62 Mx=0.00 Mz=-6.65
Sollecitazioni agenti localmente: Ty_l=-1750.62 Mx_l=-35.01
Tensioni nella sezione: σ=424.39 τ=53.05
CC 12 SLD (Collegamento -041_-375)
Azioni sul collegamento: N=-9628.40 Ty=-9.70 Tz=12.30 Mx=0.00 Mz=-6.07
Sollecitazioni agenti localmente: Ty_l=-1750.62 Mx_l=-35.01
Tensioni nella sezione: σ=424.39 τ=53.05
CC 12 SLD (Collegamento -041_-375)
Azioni sul collegamento: N=-9628.40 Ty=-9.56 Tz=12.30 Mx=0.00 Mz=-6.65
Sollecitazioni agenti localmente: Ty_l=-1750.62 Mx_l=-35.01
Tensioni nella sezione: σ=424.39 τ=53.05
CC 13 SLV (Collegamento -041_-375)
Azioni sul collegamento: N=-8719.33 Ty=-8.48 Tz=9.28 Mx=0.00 Mz=-5.16
Sollecitazioni agenti localmente: Ty_l=-1585.33 Mx_l=-31.71
Tensioni nella sezione: σ=384.32 τ=48.04
CC 13 SLV (Collegamento -041_-375)
Azioni sul collegamento: N=-8719.33 Ty=-8.94 Tz=9.28 Mx=0.00 Mz=-3.28
Sollecitazioni agenti localmente: Ty_l=-1585.33 Mx_l=-31.71
Tensioni nella sezione: σ=384.32 τ=48.04
CC 13 SLV (Collegamento -041_-375)
Azioni sul collegamento: N=-8719.33 Ty=-8.48 Tz=16.87 Mx=0.00 Mz=-5.16
Sollecitazioni agenti localmente: Ty_l=-1585.33 Mx_l=-31.71
Tensioni nella sezione: σ=384.32 τ=48.04
CC 13 SLV (Collegamento -041_-375)
Azioni sul collegamento: N=-8719.33 Ty=-8.94 Tz=16.87 Mx=0.00 Mz=-3.28
Sollecitazioni agenti localmente: Ty_l=-1585.33 Mx_l=-31.71
Tensioni nella sezione: σ=384.32 τ=48.04
CC 13 SLV (Collegamento -041_-375)
Azioni sul collegamento: N=-11054.30 Ty=-8.48 Tz=9.28 Mx=0.00 Mz=-5.16
Sollecitazioni agenti localmente: Ty_l=-2009.88 Mx_l=-40.20
Tensioni nella sezione: σ=487.24 τ=60.91
CC 13 SLV (Collegamento -041_-375)
Azioni sul collegamento: N=-11054.30 Ty=-8.94 Tz=9.28 Mx=0.00 Mz=-3.28
Sollecitazioni agenti localmente: Ty_l=-2009.88 Mx_l=-40.20
Tensioni nella sezione: σ=487.24 τ=60.91
CC 13 SLV (Collegamento -041_-375)
Azioni sul collegamento: N=-11054.30 Ty=-8.48 Tz=16.87 Mx=0.00 Mz=-5.16
Sollecitazioni agenti localmente: Ty_l=-2009.88 Mx_l=-40.20
Tensioni nella sezione: σ=487.24 τ=60.91
CC 13 SLV (Collegamento -041_-375)
Azioni sul collegamento: N=-11054.30 Ty=-8.94 Tz=16.87 Mx=0.00 Mz=-3.28
Sollecitazioni agenti localmente: Ty_l=-2009.88 Mx_l=-40.20
Tensioni nella sezione: σ=487.24 τ=60.91
CC 14 SLD (Collegamento -041_-375)
Azioni sul collegamento: N=-9628.40 Ty=-9.56 Tz=12.30 Mx=-0.00 Mz=-6.65
Sollecitazioni agenti localmente: Ty_l=-1750.62 Mx_l=-35.01
Tensioni nella sezione: σ=424.39 τ=53.05
CC 14 SLD (Collegamento -041_-375)
Azioni sul collegamento: N=-9628.40 Ty=-9.70 Tz=12.30 Mx=-0.00 Mz=-6.07
Sollecitazioni agenti localmente: Ty_l=-1750.62 Mx_l=-35.01
Tensioni nella sezione: σ=424.39 τ=53.05
CC 14 SLD (Collegamento -041_-375)
Azioni sul collegamento: N=-9628.41 Ty=-9.56 Tz=14.62 Mx=-0.00 Mz=-6.65
Sollecitazioni agenti localmente: Ty_l=-1750.62 Mx_l=-35.01

Tensioni nella sezione: σ=424.39 τ=53.05
CC 14 SLD (Collegamento -041_-375)
Azioni sul collegamento: N=-9628.41 Ty=-9.70 Tz=14.62 Mx=-0.00 Mz=-6.07
Sollecitazioni agenti localmente: Ty_l=-1750.62 Mx_l=-35.01
Tensioni nella sezione: σ=424.39 τ=53.05
CC 14 SLD (Collegamento -041_-375)
Azioni sul collegamento: N=-10340.40 Ty=-9.56 Tz=12.30 Mx=-0.00 Mz=-6.65
Sollecitazioni agenti localmente: Ty_l=-1880.08 Mx_l=-37.60
Tensioni nella sezione: σ=455.77 τ=56.97
CC 14 SLD (Collegamento -041_-375)
Azioni sul collegamento: N=-10340.40 Ty=-9.70 Tz=12.30 Mx=-0.00 Mz=-6.07
Sollecitazioni agenti localmente: Ty_l=-1880.08 Mx_l=-37.60
Tensioni nella sezione: σ=455.77 τ=56.97
CC 14 SLD (Collegamento -041_-375)
Azioni sul collegamento: N=-10340.40 Ty=-9.56 Tz=14.62 Mx=-0.00 Mz=-6.65
Sollecitazioni agenti localmente: Ty_l=-1880.08 Mx_l=-37.60
Tensioni nella sezione: σ=455.77 τ=56.97
CC 14 SLD (Collegamento -041_-375)
Azioni sul collegamento: N=-10340.40 Ty=-9.70 Tz=14.62 Mx=-0.00 Mz=-6.07
Sollecitazioni agenti localmente: Ty_l=-1880.08 Mx_l=-37.60
Tensioni nella sezione: σ=455.77 τ=56.97
CC 15 SLV (Collegamento -041_-375)
Azioni sul collegamento: N=-11070.70 Ty=-10.65 Tz=17.96 Mx=0.00 Mz=-6.77
Sollecitazioni agenti localmente: Ty_l=-2012.85 Mx_l=-40.26
Tensioni nella sezione: σ=487.96 τ=61.00
CC 15 SLV (Collegamento -041_-375)
Azioni sul collegamento: N=-11070.70 Ty=-6.76 Tz=17.96 Mx=0.00 Mz=-1.67
Sollecitazioni agenti localmente: Ty_l=-2012.85 Mx_l=-40.26
Tensioni nella sezione: σ=487.96 τ=61.00
CC 15 SLV (Collegamento -041_-375)
Azioni sul collegamento: N=-11070.70 Ty=-10.65 Tz=8.19 Mx=0.00 Mz=-6.77
Sollecitazioni agenti localmente: Ty_l=-2012.85 Mx_l=-40.26
Tensioni nella sezione: σ=487.96 τ=61.00
CC 15 SLV (Collegamento -041_-375)
Azioni sul collegamento: N=-11070.70 Ty=-6.76 Tz=8.19 Mx=0.00 Mz=-1.67
Sollecitazioni agenti localmente: Ty_l=-2012.85 Mx_l=-40.26
Tensioni nella sezione: σ=487.96 τ=61.00
CC 15 SLV (Collegamento -041_-375)
Azioni sul collegamento: N=-8703.00 Ty=-10.65 Tz=17.96 Mx=0.00 Mz=-6.77
Sollecitazioni agenti localmente: Ty_l=-1582.36 Mx_l=-31.65
Tensioni nella sezione: σ=383.60 τ=47.95
CC 15 SLV (Collegamento -041_-375)
Azioni sul collegamento: N=-8703.00 Ty=-6.76 Tz=17.96 Mx=0.00 Mz=-1.67
Sollecitazioni agenti localmente: Ty_l=-1582.36 Mx_l=-31.65
Tensioni nella sezione: σ=383.60 τ=47.95
CC 15 SLV (Collegamento -041_-375)
Azioni sul collegamento: N=-8703.00 Ty=-10.65 Tz=8.19 Mx=0.00 Mz=-6.77
Sollecitazioni agenti localmente: Ty_l=-1582.36 Mx_l=-31.65
Tensioni nella sezione: σ=383.60 τ=47.95
CC 15 SLV (Collegamento -041_-375)
Azioni sul collegamento: N=-8703.00 Ty=-6.76 Tz=8.19 Mx=0.00 Mz=-1.67
Sollecitazioni agenti localmente: Ty_l=-1582.36 Mx_l=-31.65
Tensioni nella sezione: σ=383.60 τ=47.95
CC 16 SLD (Collegamento -041_-375)
Azioni sul collegamento: N=-10345.40 Ty=-10.22 Tz=14.95 Mx=-0.00 Mz=-7.14
Sollecitazioni agenti localmente: Ty_l=-1880.98 Mx_l=-37.62
Tensioni nella sezione: σ=456.00 τ=57.00
CC 16 SLD (Collegamento -041_-375)
Azioni sul collegamento: N=-10345.40 Ty=-9.04 Tz=14.95 Mx=-0.00 Mz=-5.58
Sollecitazioni agenti localmente: Ty_l=-1880.98 Mx_l=-37.62
Tensioni nella sezione: σ=456.00 τ=57.00
CC 16 SLD (Collegamento -041_-375)
Azioni sul collegamento: N=-10345.40 Ty=-10.22 Tz=11.97 Mx=-0.00 Mz=-7.14
Sollecitazioni agenti localmente: Ty_l=-1880.98 Mx_l=-37.62
Tensioni nella sezione: σ=456.00 τ=57.00
CC 16 SLD (Collegamento -041_-375)
Azioni sul collegamento: N=-10345.40 Ty=-9.04 Tz=11.97 Mx=-0.00 Mz=-5.58
Sollecitazioni agenti localmente: Ty_l=-1880.98 Mx_l=-37.62
Tensioni nella sezione: σ=456.00 τ=57.00
CC 16 SLD (Collegamento -041_-375)
Azioni sul collegamento: N=-9623.43 Ty=-10.22 Tz=14.95 Mx=-0.00 Mz=-7.14
Sollecitazioni agenti localmente: Ty_l=-1749.71 Mx_l=-34.99
Tensioni nella sezione: σ=424.17 τ=53.02
CC 16 SLD (Collegamento -041_-375)
Azioni sul collegamento: N=-9623.43 Ty=-9.04 Tz=14.95 Mx=-0.00 Mz=-5.58
Sollecitazioni agenti localmente: Ty_l=-1749.71 Mx_l=-34.99
Tensioni nella sezione: σ=424.17 τ=53.02
CC 16 SLD (Collegamento -041_-375)
Azioni sul collegamento: N=-9623.43 Ty=-10.22 Tz=11.97 Mx=-0.00 Mz=-7.14
Sollecitazioni agenti localmente: Ty_l=-1749.71 Mx_l=-34.99

Tensioni nella sezione: σ=424.17 τ=53.02
CC 16 SLD (Collegamento -041_-375)
Azioni sul collegamento: N=-9623.43 Ty=-9.04 Tz=11.97 Mx=-0.00 Mz=-5.58
Sollecitazioni agenti localmente: Ty_l=-1749.71 Mx_l=-34.99
Tensioni nella sezione: σ=424.17 τ=53.02
CC 17 SLV (Collegamento -041_-375)
Azioni sul collegamento: N=-6246.30 Ty=-7.49 Tz=-0.46 Mx=-0.02 Mz=-7.17
Sollecitazioni agenti localmente: Ty_l=-1135.69 Mx_l=-22.71
Tensioni nella sezione: σ=275.32 τ=34.41
CC 17 SLV (Collegamento -041_-375)
Azioni sul collegamento: N=-6246.30 Ty=-15.25 Tz=-0.46 Mx=-0.02 Mz=-13.58
Sollecitazioni agenti localmente: Ty_l=-1135.69 Mx_l=-22.71
Tensioni nella sezione: σ=275.32 τ=34.41
CC 17 SLV (Collegamento -041_-375)
Azioni sul collegamento: N=-6246.30 Ty=-7.49 Tz=28.82 Mx=-0.02 Mz=-7.17
Sollecitazioni agenti localmente: Ty_l=-1135.69 Mx_l=-22.71
Tensioni nella sezione: σ=275.32 τ=34.41
CC 17 SLV (Collegamento -041_-375)
Azioni sul collegamento: N=-6246.30 Ty=-15.25 Tz=28.82 Mx=-0.02 Mz=-13.58
Sollecitazioni agenti localmente: Ty_l=-1135.69 Mx_l=-22.71
Tensioni nella sezione: σ=275.32 τ=34.41
CC 17 SLV (Collegamento -041_-375)
Azioni sul collegamento: N=-14088.90 Ty=-7.49 Tz=-0.46 Mx=-0.02 Mz=-7.17
Sollecitazioni agenti localmente: Ty_l=-2561.63 Mx_l=-51.23
Tensioni nella sezione: σ=621.00 τ=77.63
CC 17 SLV (Collegamento -041_-375)
Azioni sul collegamento: N=-14088.90 Ty=-15.25 Tz=-0.46 Mx=-0.02 Mz=-13.58
Sollecitazioni agenti localmente: Ty_l=-2561.63 Mx_l=-51.23
Tensioni nella sezione: σ=621.00 τ=77.63
CC 17 SLV (Collegamento -041_-375)
Azioni sul collegamento: N=-14088.90 Ty=-7.49 Tz=28.82 Mx=-0.02 Mz=-7.17
Sollecitazioni agenti localmente: Ty_l=-2561.63 Mx_l=-51.23
Tensioni nella sezione: σ=621.00 τ=77.63
CC 17 SLV (Collegamento -041_-375)
Azioni sul collegamento: N=-14088.90 Ty=-15.25 Tz=28.82 Mx=-0.02 Mz=-13.58
Sollecitazioni agenti localmente: Ty_l=-2561.63 Mx_l=-51.23
Tensioni nella sezione: σ=621.00 τ=77.63
CC 18 SLD (Collegamento -041_-375)
Azioni sul collegamento: N=-8874.30 Ty=-9.26 Tz=9.33 Mx=-0.01 Mz=-7.26
Sollecitazioni agenti localmente: Ty_l=-1613.51 Mx_l=-32.27
Tensioni nella sezione: σ=391.15 τ=48.89
CC 18 SLD (Collegamento -041_-375)
Azioni sul collegamento: N=-8874.30 Ty=-11.63 Tz=9.33 Mx=-0.01 Mz=-9.21
Sollecitazioni agenti localmente: Ty_l=-1613.51 Mx_l=-32.27
Tensioni nella sezione: σ=391.15 τ=48.89
CC 18 SLD (Collegamento -041_-375)
Azioni sul collegamento: N=-8874.30 Ty=-9.26 Tz=18.26 Mx=-0.01 Mz=-7.26
Sollecitazioni agenti localmente: Ty_l=-1613.51 Mx_l=-32.27
Tensioni nella sezione: σ=391.15 τ=48.89
CC 18 SLD (Collegamento -041_-375)
Azioni sul collegamento: N=-8874.30 Ty=-11.63 Tz=18.26 Mx=-0.01 Mz=-9.21
Sollecitazioni agenti localmente: Ty_l=-1613.51 Mx_l=-32.27
Tensioni nella sezione: σ=391.15 τ=48.89
CC 18 SLD (Collegamento -041_-375)
Azioni sul collegamento: N=-11265.80 Ty=-9.26 Tz=9.33 Mx=-0.01 Mz=-7.26
Sollecitazioni agenti localmente: Ty_l=-2048.32 Mx_l=-40.97
Tensioni nella sezione: σ=496.56 τ=62.07
CC 18 SLD (Collegamento -041_-375)
Azioni sul collegamento: N=-11265.80 Ty=-11.63 Tz=9.33 Mx=-0.01 Mz=-9.21
Sollecitazioni agenti localmente: Ty_l=-2048.32 Mx_l=-40.97
Tensioni nella sezione: σ=496.56 τ=62.07
CC 18 SLD (Collegamento -041_-375)
Azioni sul collegamento: N=-11265.80 Ty=-9.26 Tz=18.26 Mx=-0.01 Mz=-7.26
Sollecitazioni agenti localmente: Ty_l=-2048.32 Mx_l=-40.97
Tensioni nella sezione: σ=496.56 τ=62.07
CC 18 SLD (Collegamento -041_-375)
Azioni sul collegamento: N=-11265.80 Ty=-11.63 Tz=18.26 Mx=-0.01 Mz=-9.21
Sollecitazioni agenti localmente: Ty_l=-2048.32 Mx_l=-40.97
Tensioni nella sezione: σ=496.56 τ=62.07
CC 19 SLV (Collegamento -041_-375)
Azioni sul collegamento: N=-6251.20 Ty=-8.00 Tz=-0.13 Mx=-0.01 Mz=-8.22
Sollecitazioni agenti localmente: Ty_l=-1136.58 Mx_l=-22.73
Tensioni nella sezione: σ=275.53 τ=34.44
CC 19 SLV (Collegamento -041_-375)
Azioni sul collegamento: N=-6251.20 Ty=-14.73 Tz=-0.13 Mx=-0.01 Mz=-12.53
Sollecitazioni agenti localmente: Ty_l=-1136.58 Mx_l=-22.73
Tensioni nella sezione: σ=275.53 τ=34.44
CC 19 SLV (Collegamento -041_-375)
Azioni sul collegamento: N=-6251.20 Ty=-8.00 Tz=28.49 Mx=-0.01 Mz=-8.22
Sollecitazioni agenti localmente: Ty_l=-1136.58 Mx_l=-22.73

Tensioni nella sezione: σ=275.53 τ=34.44
CC 19 SLV (Collegamento -041_-375)
Azioni sul collegamento: N=-6251.20 Ty=-14.73 Tz=28.49 Mx=-0.01 Mz=-12.53
Sollecitazioni agenti localmente: Ty_l=-1136.58 Mx_l=-22.73
Tensioni nella sezione: σ=275.53 τ=34.44
CC 19 SLV (Collegamento -041_-375)
Azioni sul collegamento: N=-14084.00 Ty=-8.00 Tz=-0.13 Mx=-0.01 Mz=-8.22
Sollecitazioni agenti localmente: Ty_l=-2560.74 Mx_l=-51.21
Tensioni nella sezione: σ=620.78 τ=77.60
CC 19 SLV (Collegamento -041_-375)
Azioni sul collegamento: N=-14084.00 Ty=-14.73 Tz=-0.13 Mx=-0.01 Mz=-12.53
Sollecitazioni agenti localmente: Ty_l=-2560.74 Mx_l=-51.21
Tensioni nella sezione: σ=620.78 τ=77.60
CC 19 SLV (Collegamento -041_-375)
Azioni sul collegamento: N=-14084.00 Ty=-8.00 Tz=28.49 Mx=-0.01 Mz=-8.22
Sollecitazioni agenti localmente: Ty_l=-2560.74 Mx_l=-51.21
Tensioni nella sezione: σ=620.78 τ=77.60
CC 19 SLV (Collegamento -041_-375)
Azioni sul collegamento: N=-14084.00 Ty=-14.73 Tz=28.49 Mx=-0.01 Mz=-12.53
Sollecitazioni agenti localmente: Ty_l=-2560.74 Mx_l=-51.21
Tensioni nella sezione: σ=620.78 τ=77.60
CC 20 SLD (Collegamento -041_-375)
Azioni sul collegamento: N=-8875.79 Ty=-9.42 Tz=9.43 Mx=-0.01 Mz=-7.58
Sollecitazioni agenti localmente: Ty_l=-1613.78 Mx_l=-32.28
Tensioni nella sezione: σ=391.22 τ=48.90
CC 20 SLD (Collegamento -041_-375)
Azioni sul collegamento: N=-8875.79 Ty=-11.47 Tz=9.43 Mx=-0.01 Mz=-8.89
Sollecitazioni agenti localmente: Ty_l=-1613.78 Mx_l=-32.28
Tensioni nella sezione: σ=391.22 τ=48.90
CC 20 SLD (Collegamento -041_-375)
Azioni sul collegamento: N=-8875.80 Ty=-9.42 Tz=18.16 Mx=-0.01 Mz=-7.58
Sollecitazioni agenti localmente: Ty_l=-1613.78 Mx_l=-32.28
Tensioni nella sezione: σ=391.22 τ=48.90
CC 20 SLD (Collegamento -041_-375)
Azioni sul collegamento: N=-8875.80 Ty=-11.47 Tz=18.16 Mx=-0.01 Mz=-8.89
Sollecitazioni agenti localmente: Ty_l=-1613.78 Mx_l=-32.28
Tensioni nella sezione: σ=391.22 τ=48.90
CC 20 SLD (Collegamento -041_-375)
Azioni sul collegamento: N=-11264.30 Ty=-9.42 Tz=9.43 Mx=-0.01 Mz=-7.58
Sollecitazioni agenti localmente: Ty_l=-2048.05 Mx_l=-40.96
Tensioni nella sezione: σ=496.50 τ=62.06
CC 20 SLD (Collegamento -041_-375)
Azioni sul collegamento: N=-11264.30 Ty=-11.47 Tz=9.43 Mx=-0.01 Mz=-8.89
Sollecitazioni agenti localmente: Ty_l=-2048.05 Mx_l=-40.96
Tensioni nella sezione: σ=496.50 τ=62.06
CC 20 SLD (Collegamento -041_-375)
Azioni sul collegamento: N=-11264.30 Ty=-9.42 Tz=18.16 Mx=-0.01 Mz=-7.58
Sollecitazioni agenti localmente: Ty_l=-2048.05 Mx_l=-40.96
Tensioni nella sezione: σ=496.50 τ=62.06
CC 20 SLD (Collegamento -041_-375)
Azioni sul collegamento: N=-11264.30 Ty=-11.47 Tz=18.16 Mx=-0.01 Mz=-8.89
Sollecitazioni agenti localmente: Ty_l=-2048.05 Mx_l=-40.96
Tensioni nella sezione: σ=496.50 τ=62.06
CC 21 SLV (Collegamento -041_-375)
Azioni sul collegamento: N=-14084.00 Ty=-14.73 Tz=28.49 Mx=-0.02 Mz=-12.53
Sollecitazioni agenti localmente: Ty_l=-2560.74 Mx_l=-51.21
Tensioni nella sezione: σ=620.78 τ=77.60
CC 21 SLV (Collegamento -041_-375)
Azioni sul collegamento: N=-14084.00 Ty=-8.00 Tz=28.49 Mx=-0.02 Mz=-8.22
Sollecitazioni agenti localmente: Ty_l=-2560.74 Mx_l=-51.21
Tensioni nella sezione: σ=620.78 τ=77.60
CC 21 SLV (Collegamento -041_-375)
Azioni sul collegamento: N=-14084.00 Ty=-14.73 Tz=-0.13 Mx=-0.02 Mz=-12.53
Sollecitazioni agenti localmente: Ty_l=-2560.74 Mx_l=-51.21
Tensioni nella sezione: σ=620.78 τ=77.60
CC 21 SLV (Collegamento -041_-375)
Azioni sul collegamento: N=-14084.00 Ty=-8.00 Tz=-0.13 Mx=-0.02 Mz=-8.22
Sollecitazioni agenti localmente: Ty_l=-2560.74 Mx_l=-51.21
Tensioni nella sezione: σ=620.78 τ=77.60
CC 21 SLV (Collegamento -041_-375)
Azioni sul collegamento: N=-6251.20 Ty=-14.73 Tz=28.49 Mx=-0.02 Mz=-12.53
Sollecitazioni agenti localmente: Ty_l=-1136.58 Mx_l=-22.73
Tensioni nella sezione: σ=275.53 τ=34.44
CC 21 SLV (Collegamento -041_-375)
Azioni sul collegamento: N=-6251.20 Ty=-8.00 Tz=28.49 Mx=-0.02 Mz=-8.22
Sollecitazioni agenti localmente: Ty_l=-1136.58 Mx_l=-22.73
Tensioni nella sezione: σ=275.53 τ=34.44
CC 21 SLV (Collegamento -041_-375)
Azioni sul collegamento: N=-6251.20 Ty=-14.73 Tz=-0.13 Mx=-0.02 Mz=-12.53
Sollecitazioni agenti localmente: Ty_l=-1136.58 Mx_l=-22.73

Tensioni nella sezione: σ=275.53 τ=34.44
CC 21 SLV (Collegamento -041_-375)
Azioni sul collegamento: N=-6251.20 Ty=-8.00 Tz=-0.13 Mx=-0.02 Mz=-8.22
Sollecitazioni agenti localmente: Ty_l=-1136.58 Mx_l=-22.73
Tensioni nella sezione: σ=275.53 τ=34.44
CC 22 SLD (Collegamento -041_-375)
Azioni sul collegamento: N=-11264.30 Ty=-11.47 Tz=18.16 Mx=-0.01 Mz=-8.89
Sollecitazioni agenti localmente: Ty_l=-2048.05 Mx_l=-40.96
Tensioni nella sezione: σ=496.50 τ=62.06
CC 22 SLD (Collegamento -041_-375)
Azioni sul collegamento: N=-11264.30 Ty=-9.42 Tz=18.16 Mx=-0.01 Mz=-7.58
Sollecitazioni agenti localmente: Ty_l=-2048.05 Mx_l=-40.96
Tensioni nella sezione: σ=496.50 τ=62.06
CC 22 SLD (Collegamento -041_-375)
Azioni sul collegamento: N=-11264.30 Ty=-11.47 Tz=9.43 Mx=-0.01 Mz=-8.89
Sollecitazioni agenti localmente: Ty_l=-2048.05 Mx_l=-40.96
Tensioni nella sezione: σ=496.50 τ=62.06
CC 22 SLD (Collegamento -041_-375)
Azioni sul collegamento: N=-11264.30 Ty=-9.42 Tz=9.43 Mx=-0.01 Mz=-7.58
Sollecitazioni agenti localmente: Ty_l=-2048.05 Mx_l=-40.96
Tensioni nella sezione: σ=496.50 τ=62.06
CC 22 SLD (Collegamento -041_-375)
Azioni sul collegamento: N=-8875.80 Ty=-11.47 Tz=18.16 Mx=-0.01 Mz=-8.89
Sollecitazioni agenti localmente: Ty_l=-1613.78 Mx_l=-32.28
Tensioni nella sezione: σ=391.22 τ=48.90
CC 22 SLD (Collegamento -041_-375)
Azioni sul collegamento: N=-8875.80 Ty=-9.42 Tz=18.16 Mx=-0.01 Mz=-7.58
Sollecitazioni agenti localmente: Ty_l=-1613.78 Mx_l=-32.28
Tensioni nella sezione: σ=391.22 τ=48.90
CC 22 SLD (Collegamento -041_-375)
Azioni sul collegamento: N=-8875.79 Ty=-11.47 Tz=9.43 Mx=-0.01 Mz=-8.89
Sollecitazioni agenti localmente: Ty_l=-1613.78 Mx_l=-32.28
Tensioni nella sezione: σ=391.22 τ=48.90
CC 22 SLD (Collegamento -041_-375)
Azioni sul collegamento: N=-8875.79 Ty=-9.42 Tz=9.43 Mx=-0.01 Mz=-7.58
Sollecitazioni agenti localmente: Ty_l=-1613.78 Mx_l=-32.28
Tensioni nella sezione: σ=391.22 τ=48.90
CC 23 SLV (Collegamento -041_-375)
Azioni sul collegamento: N=-14088.90 Ty=-15.25 Tz=28.82 Mx=-0.01 Mz=-13.58
Sollecitazioni agenti localmente: Ty_l=-2561.63 Mx_l=-51.23
Tensioni nella sezione: σ=621.00 τ=77.63
CC 23 SLV (Collegamento -041_-375)
Azioni sul collegamento: N=-14088.90 Ty=-7.49 Tz=28.82 Mx=-0.01 Mz=-7.17
Sollecitazioni agenti localmente: Ty_l=-2561.63 Mx_l=-51.23
Tensioni nella sezione: σ=621.00 τ=77.63
CC 23 SLV (Collegamento -041_-375)
Azioni sul collegamento: N=-14088.90 Ty=-15.25 Tz=-0.46 Mx=-0.01 Mz=-13.58
Sollecitazioni agenti localmente: Ty_l=-2561.63 Mx_l=-51.23
Tensioni nella sezione: σ=621.00 τ=77.63
CC 23 SLV (Collegamento -041_-375)
Azioni sul collegamento: N=-14088.90 Ty=-7.49 Tz=-0.46 Mx=-0.01 Mz=-7.17
Sollecitazioni agenti localmente: Ty_l=-2561.63 Mx_l=-51.23
Tensioni nella sezione: σ=621.00 τ=77.63
CC 23 SLV (Collegamento -041_-375)
Azioni sul collegamento: N=-6246.30 Ty=-15.25 Tz=28.82 Mx=-0.01 Mz=-13.58
Sollecitazioni agenti localmente: Ty_l=-1135.69 Mx_l=-22.71
Tensioni nella sezione: σ=275.32 τ=34.41
CC 23 SLV (Collegamento -041_-375)
Azioni sul collegamento: N=-6246.30 Ty=-7.49 Tz=28.82 Mx=-0.01 Mz=-7.17
Sollecitazioni agenti localmente: Ty_l=-1135.69 Mx_l=-22.71
Tensioni nella sezione: σ=275.32 τ=34.41
CC 23 SLV (Collegamento -041_-375)
Azioni sul collegamento: N=-6246.30 Ty=-15.25 Tz=-0.46 Mx=-0.01 Mz=-13.58
Sollecitazioni agenti localmente: Ty_l=-1135.69 Mx_l=-22.71
Tensioni nella sezione: σ=275.32 τ=34.41
CC 23 SLV (Collegamento -041_-375)
Azioni sul collegamento: N=-6246.30 Ty=-7.49 Tz=-0.46 Mx=-0.01 Mz=-7.17
Sollecitazioni agenti localmente: Ty_l=-1135.69 Mx_l=-22.71
Tensioni nella sezione: σ=275.32 τ=34.41
CC 24 SLD (Collegamento -041_-375)
Azioni sul collegamento: N=-11265.80 Ty=-11.63 Tz=18.26 Mx=-0.01 Mz=-9.21
Sollecitazioni agenti localmente: Ty_l=-2048.32 Mx_l=-40.97
Tensioni nella sezione: σ=496.56 τ=62.07
CC 24 SLD (Collegamento -041_-375)
Azioni sul collegamento: N=-11265.80 Ty=-9.26 Tz=18.26 Mx=-0.01 Mz=-7.26
Sollecitazioni agenti localmente: Ty_l=-2048.32 Mx_l=-40.97
Tensioni nella sezione: σ=496.56 τ=62.07
CC 24 SLD (Collegamento -041_-375)
Azioni sul collegamento: N=-11265.80 Ty=-11.63 Tz=9.33 Mx=-0.01 Mz=-9.21
Sollecitazioni agenti localmente: Ty_l=-2048.32 Mx_l=-40.97

Tensioni nella sezione: σ=496.56 τ=62.07
CC 24 SLD (Collegamento -041_-375)
Azioni sul collegamento: N=-11265.80 Ty=-9.26 Tz=9.33 Mx=-0.01 Mz=-7.26
Sollecitazioni agenti localmente: Ty_l=-2048.32 Mx_l=-40.97
Tensioni nella sezione: σ=496.56 τ=62.07
CC 24 SLD (Collegamento -041_-375)
Azioni sul collegamento: N=-8874.30 Ty=-11.63 Tz=18.26 Mx=-0.01 Mz=-9.21
Sollecitazioni agenti localmente: Ty_l=-1613.51 Mx_l=-32.27
Tensioni nella sezione: σ=391.15 τ=48.89
CC 24 SLD (Collegamento -041_-375)
Azioni sul collegamento: N=-8874.30 Ty=-9.26 Tz=18.26 Mx=-0.01 Mz=-7.26
Sollecitazioni agenti localmente: Ty_l=-1613.51 Mx_l=-32.27
Tensioni nella sezione: σ=391.15 τ=48.89
CC 24 SLD (Collegamento -041_-375)
Azioni sul collegamento: N=-8874.30 Ty=-11.63 Tz=9.33 Mx=-0.01 Mz=-9.21
Sollecitazioni agenti localmente: Ty_l=-1613.51 Mx_l=-32.27
Tensioni nella sezione: σ=391.15 τ=48.89
CC 24 SLD (Collegamento -041_-375)
Azioni sul collegamento: N=-8874.30 Ty=-9.26 Tz=9.33 Mx=-0.01 Mz=-7.26
Sollecitazioni agenti localmente: Ty_l=-1613.51 Mx_l=-32.27
Tensioni nella sezione: σ=391.15 τ=48.89
CC 25 SLV (Collegamento -041_-375)
Azioni sul collegamento: N=-8983.80 Ty=-9.43 Tz=9.29 Mx=-0.02 Mz=-7.83
Sollecitazioni agenti localmente: Ty_l=-1633.42 Mx_l=-32.67
Tensioni nella sezione: σ=395.98 τ=49.50
CC 25 SLV (Collegamento -041_-375)
Azioni sul collegamento: N=-8983.80 Ty=-13.31 Tz=9.29 Mx=-0.02 Mz=-12.93
Sollecitazioni agenti localmente: Ty_l=-1633.42 Mx_l=-32.67
Tensioni nella sezione: σ=395.98 τ=49.50
CC 25 SLV (Collegamento -041_-375)
Azioni sul collegamento: N=-8983.80 Ty=-9.43 Tz=19.07 Mx=-0.02 Mz=-7.83
Sollecitazioni agenti localmente: Ty_l=-1633.42 Mx_l=-32.67
Tensioni nella sezione: σ=395.98 τ=49.50
CC 25 SLV (Collegamento -041_-375)
Azioni sul collegamento: N=-8983.80 Ty=-13.31 Tz=19.07 Mx=-0.02 Mz=-12.93
Sollecitazioni agenti localmente: Ty_l=-1633.42 Mx_l=-32.67
Tensioni nella sezione: σ=395.98 τ=49.50
CC 25 SLV (Collegamento -041_-375)
Azioni sul collegamento: N=-11351.50 Ty=-9.43 Tz=9.29 Mx=-0.02 Mz=-7.83
Sollecitazioni agenti localmente: Ty_l=-2063.90 Mx_l=-41.28
Tensioni nella sezione: σ=500.34 τ=62.54
CC 25 SLV (Collegamento -041_-375)
Azioni sul collegamento: N=-11351.50 Ty=-13.31 Tz=9.29 Mx=-0.02 Mz=-12.93
Sollecitazioni agenti localmente: Ty_l=-2063.90 Mx_l=-41.28
Tensioni nella sezione: σ=500.34 τ=62.54
CC 25 SLV (Collegamento -041_-375)
Azioni sul collegamento: N=-11351.50 Ty=-9.43 Tz=19.07 Mx=-0.02 Mz=-7.83
Sollecitazioni agenti localmente: Ty_l=-2063.90 Mx_l=-41.28
Tensioni nella sezione: σ=500.34 τ=62.54
CC 25 SLV (Collegamento -041_-375)
Azioni sul collegamento: N=-11351.50 Ty=-13.31 Tz=19.07 Mx=-0.02 Mz=-12.93
Sollecitazioni agenti localmente: Ty_l=-2063.90 Mx_l=-41.28
Tensioni nella sezione: σ=500.34 τ=62.54
CC 26 SLD (Collegamento -041_-375)
Azioni sul collegamento: N=-9709.05 Ty=-9.85 Tz=12.31 Mx=-0.01 Mz=-7.46
Sollecitazioni agenti localmente: Ty_l=-1765.28 Mx_l=-35.31
Tensioni nella sezione: σ=427.95 τ=53.49
CC 26 SLD (Collegamento -041_-375)
Azioni sul collegamento: N=-9709.05 Ty=-11.04 Tz=12.31 Mx=-0.01 Mz=-9.01
Sollecitazioni agenti localmente: Ty_l=-1765.28 Mx_l=-35.31
Tensioni nella sezione: σ=427.95 τ=53.49
CC 26 SLD (Collegamento -041_-375)
Azioni sul collegamento: N=-9709.05 Ty=-9.85 Tz=15.29 Mx=-0.01 Mz=-7.46
Sollecitazioni agenti localmente: Ty_l=-1765.28 Mx_l=-35.31
Tensioni nella sezione: σ=427.95 τ=53.49
CC 26 SLD (Collegamento -041_-375)
Azioni sul collegamento: N=-9709.05 Ty=-11.04 Tz=15.29 Mx=-0.01 Mz=-9.01
Sollecitazioni agenti localmente: Ty_l=-1765.28 Mx_l=-35.31
Tensioni nella sezione: σ=427.95 τ=53.49
CC 26 SLD (Collegamento -041_-375)
Azioni sul collegamento: N=-10431.00 Ty=-9.85 Tz=12.31 Mx=-0.01 Mz=-7.46
Sollecitazioni agenti localmente: Ty_l=-1896.55 Mx_l=-37.93
Tensioni nella sezione: σ=459.77 τ=57.47
CC 26 SLD (Collegamento -041_-375)
Azioni sul collegamento: N=-10431.00 Ty=-11.04 Tz=12.31 Mx=-0.01 Mz=-9.01
Sollecitazioni agenti localmente: Ty_l=-1896.55 Mx_l=-37.93
Tensioni nella sezione: σ=459.77 τ=57.47
CC 26 SLD (Collegamento -041_-375)
Azioni sul collegamento: N=-10431.00 Ty=-9.85 Tz=15.29 Mx=-0.01 Mz=-7.46
Sollecitazioni agenti localmente: Ty_l=-1896.55 Mx_l=-37.93

Tensioni nella sezione: σ=459.77 τ=57.47
CC 26 SLD (Collegamento -041_-375)
Azioni sul collegamento: N=-10431.00 Ty=-11.04 Tz=15.29 Mx=-0.01 Mz=-9.01
Sollecitazioni agenti localmente: Ty_l=-1896.55 Mx_l=-37.93
Tensioni nella sezione: σ=459.77 τ=57.47
CC 27 SLV (Collegamento -041_-375)
Azioni sul collegamento: N=-11335.10 Ty=-11.60 Tz=17.98 Mx=-0.02 Mz=-9.43
Sollecitazioni agenti localmente: Ty_l=-2060.93 Mx_l=-41.22
Tensioni nella sezione: σ=499.62 τ=62.45
CC 27 SLV (Collegamento -041_-375)
Azioni sul collegamento: N=-11335.10 Ty=-11.14 Tz=17.98 Mx=-0.02 Mz=-11.32
Sollecitazioni agenti localmente: Ty_l=-2060.93 Mx_l=-41.22
Tensioni nella sezione: σ=499.62 τ=62.45
CC 27 SLV (Collegamento -041_-375)
Azioni sul collegamento: N=-11335.10 Ty=-11.60 Tz=10.38 Mx=-0.02 Mz=-9.43
Sollecitazioni agenti localmente: Ty_l=-2060.93 Mx_l=-41.22
Tensioni nella sezione: σ=499.62 τ=62.45
CC 27 SLV (Collegamento -041_-375)
Azioni sul collegamento: N=-11335.10 Ty=-11.14 Tz=10.38 Mx=-0.02 Mz=-11.32
Sollecitazioni agenti localmente: Ty_l=-2060.93 Mx_l=-41.22
Tensioni nella sezione: σ=499.62 τ=62.45
CC 27 SLV (Collegamento -041_-375)
Azioni sul collegamento: N=-9000.13 Ty=-11.60 Tz=17.98 Mx=-0.02 Mz=-9.43
Sollecitazioni agenti localmente: Ty_l=-1636.39 Mx_l=-32.73
Tensioni nella sezione: σ=396.70 τ=49.59
CC 27 SLV (Collegamento -041_-375)
Azioni sul collegamento: N=-9000.13 Ty=-11.14 Tz=17.98 Mx=-0.02 Mz=-11.32
Sollecitazioni agenti localmente: Ty_l=-1636.39 Mx_l=-32.73
Tensioni nella sezione: σ=396.70 τ=49.59
CC 27 SLV (Collegamento -041_-375)
Azioni sul collegamento: N=-9000.13 Ty=-11.60 Tz=10.38 Mx=-0.02 Mz=-9.43
Sollecitazioni agenti localmente: Ty_l=-1636.39 Mx_l=-32.73
Tensioni nella sezione: σ=396.70 τ=49.59
CC 27 SLV (Collegamento -041_-375)
Azioni sul collegamento: N=-9000.13 Ty=-11.14 Tz=10.38 Mx=-0.02 Mz=-11.32
Sollecitazioni agenti localmente: Ty_l=-1636.39 Mx_l=-32.73
Tensioni nella sezione: σ=396.70 τ=49.59
CC 28 SLD (Collegamento -041_-375)
Azioni sul collegamento: N=-10426.00 Ty=-10.51 Tz=14.95 Mx=-0.01 Mz=-7.95
Sollecitazioni agenti localmente: Ty_l=-1895.64 Mx_l=-37.91
Tensioni nella sezione: σ=459.55 τ=57.44
CC 28 SLD (Collegamento -041_-375)
Azioni sul collegamento: N=-10426.00 Ty=-10.37 Tz=14.95 Mx=-0.01 Mz=-8.52
Sollecitazioni agenti localmente: Ty_l=-1895.64 Mx_l=-37.91
Tensioni nella sezione: σ=459.55 τ=57.44
CC 28 SLD (Collegamento -041_-375)
Azioni sul collegamento: N=-10426.00 Ty=-10.51 Tz=12.64 Mx=-0.01 Mz=-7.95
Sollecitazioni agenti localmente: Ty_l=-1895.64 Mx_l=-37.91
Tensioni nella sezione: σ=459.55 τ=57.44
CC 28 SLD (Collegamento -041_-375)
Azioni sul collegamento: N=-10426.00 Ty=-10.37 Tz=12.64 Mx=-0.01 Mz=-8.52
Sollecitazioni agenti localmente: Ty_l=-1895.64 Mx_l=-37.91
Tensioni nella sezione: σ=459.55 τ=57.44
CC 28 SLD (Collegamento -041_-375)
Azioni sul collegamento: N=-9714.03 Ty=-10.51 Tz=14.95 Mx=-0.01 Mz=-7.95
Sollecitazioni agenti localmente: Ty_l=-1766.19 Mx_l=-35.32
Tensioni nella sezione: σ=428.17 τ=53.52
CC 28 SLD (Collegamento -041_-375)
Azioni sul collegamento: N=-9714.03 Ty=-10.37 Tz=14.95 Mx=-0.01 Mz=-8.52
Sollecitazioni agenti localmente: Ty_l=-1766.19 Mx_l=-35.32
Tensioni nella sezione: σ=428.17 τ=53.52
CC 28 SLD (Collegamento -041_-375)
Azioni sul collegamento: N=-9714.03 Ty=-10.51 Tz=12.64 Mx=-0.01 Mz=-7.95
Sollecitazioni agenti localmente: Ty_l=-1766.19 Mx_l=-35.32
Tensioni nella sezione: σ=428.17 τ=53.52
CC 28 SLD (Collegamento -041_-375)
Azioni sul collegamento: N=-9714.03 Ty=-10.37 Tz=12.64 Mx=-0.01 Mz=-8.52
Sollecitazioni agenti localmente: Ty_l=-1766.19 Mx_l=-35.32
Tensioni nella sezione: σ=428.17 τ=53.52
CC 29 SLV (Collegamento -041_-375)
Azioni sul collegamento: N=-9000.13 Ty=-11.14 Tz=10.38 Mx=-0.01 Mz=-11.32
Sollecitazioni agenti localmente: Ty_l=-1636.39 Mx_l=-32.73
Tensioni nella sezione: σ=396.70 τ=49.59
CC 29 SLV (Collegamento -041_-375)
Azioni sul collegamento: N=-9000.13 Ty=-11.60 Tz=10.38 Mx=-0.01 Mz=-9.43
Sollecitazioni agenti localmente: Ty_l=-1636.39 Mx_l=-32.73
Tensioni nella sezione: σ=396.70 τ=49.59
CC 29 SLV (Collegamento -041_-375)
Azioni sul collegamento: N=-9000.13 Ty=-11.14 Tz=17.98 Mx=-0.01 Mz=-11.32
Sollecitazioni agenti localmente: Ty_l=-1636.39 Mx_l=-32.73

Tensioni nella sezione: σ=396.70 τ=49.59
CC 29 SLV (Collegamento -041_-375)
Azioni sul collegamento: N=-9000.13 Ty=-11.60 Tz=17.98 Mx=-0.01 Mz=-9.43
Sollecitazioni agenti localmente: Ty_l=-1636.39 Mx_l=-32.73
Tensioni nella sezione: σ=396.70 τ=49.59
CC 29 SLV (Collegamento -041_-375)
Azioni sul collegamento: N=-11335.10 Ty=-11.14 Tz=10.38 Mx=-0.01 Mz=-11.32
Sollecitazioni agenti localmente: Ty_l=-2060.93 Mx_l=-41.22
Tensioni nella sezione: σ=499.62 τ=62.45
CC 29 SLV (Collegamento -041_-375)
Azioni sul collegamento: N=-11335.10 Ty=-11.60 Tz=10.38 Mx=-0.01 Mz=-9.43
Sollecitazioni agenti localmente: Ty_l=-2060.93 Mx_l=-41.22
Tensioni nella sezione: σ=499.62 τ=62.45
CC 29 SLV (Collegamento -041_-375)
Azioni sul collegamento: N=-11335.10 Ty=-11.14 Tz=17.98 Mx=-0.01 Mz=-11.32
Sollecitazioni agenti localmente: Ty_l=-2060.93 Mx_l=-41.22
Tensioni nella sezione: σ=499.62 τ=62.45
CC 29 SLV (Collegamento -041_-375)
Azioni sul collegamento: N=-11335.10 Ty=-11.60 Tz=17.98 Mx=-0.01 Mz=-9.43
Sollecitazioni agenti localmente: Ty_l=-2060.93 Mx_l=-41.22
Tensioni nella sezione: σ=499.62 τ=62.45
CC 30 SLD (Collegamento -041_-375)
Azioni sul collegamento: N=-9714.03 Ty=-10.37 Tz=12.64 Mx=-0.00 Mz=-8.52
Sollecitazioni agenti localmente: Ty_l=-1766.19 Mx_l=-35.32
Tensioni nella sezione: σ=428.17 τ=53.52
CC 30 SLD (Collegamento -041_-375)
Azioni sul collegamento: N=-9714.03 Ty=-10.51 Tz=12.64 Mx=-0.00 Mz=-7.95
Sollecitazioni agenti localmente: Ty_l=-1766.19 Mx_l=-35.32
Tensioni nella sezione: σ=428.17 τ=53.52
CC 30 SLD (Collegamento -041_-375)
Azioni sul collegamento: N=-9714.03 Ty=-10.37 Tz=14.95 Mx=-0.00 Mz=-8.52
Sollecitazioni agenti localmente: Ty_l=-1766.19 Mx_l=-35.32
Tensioni nella sezione: σ=428.17 τ=53.52
CC 30 SLD (Collegamento -041_-375)
Azioni sul collegamento: N=-9714.03 Ty=-10.51 Tz=14.95 Mx=-0.00 Mz=-7.95
Sollecitazioni agenti localmente: Ty_l=-1766.19 Mx_l=-35.32
Tensioni nella sezione: σ=428.17 τ=53.52
CC 30 SLD (Collegamento -041_-375)
Azioni sul collegamento: N=-10426.00 Ty=-10.37 Tz=12.64 Mx=-0.00 Mz=-8.52
Sollecitazioni agenti localmente: Ty_l=-1895.64 Mx_l=-37.91
Tensioni nella sezione: σ=459.55 τ=57.44
CC 30 SLD (Collegamento -041_-375)
Azioni sul collegamento: N=-10426.00 Ty=-10.51 Tz=12.64 Mx=-0.00 Mz=-7.95
Sollecitazioni agenti localmente: Ty_l=-1895.64 Mx_l=-37.91
Tensioni nella sezione: σ=459.55 τ=57.44
CC 30 SLD (Collegamento -041_-375)
Azioni sul collegamento: N=-10426.00 Ty=-10.37 Tz=14.95 Mx=-0.00 Mz=-8.52
Sollecitazioni agenti localmente: Ty_l=-1895.64 Mx_l=-37.91
Tensioni nella sezione: σ=459.55 τ=57.44
CC 30 SLD (Collegamento -041_-375)
Azioni sul collegamento: N=-10426.00 Ty=-10.51 Tz=14.95 Mx=-0.00 Mz=-7.95
Sollecitazioni agenti localmente: Ty_l=-1895.64 Mx_l=-37.91
Tensioni nella sezione: σ=459.55 τ=57.44
CC 31 SLV (Collegamento -041_-375)
Azioni sul collegamento: N=-11351.50 Ty=-13.31 Tz=19.07 Mx=-0.01 Mz=-12.93
Sollecitazioni agenti localmente: Ty_l=-2063.90 Mx_l=-41.28
Tensioni nella sezione: σ=500.34 τ=62.54
CC 31 SLV (Collegamento -041_-375)
Azioni sul collegamento: N=-11351.50 Ty=-9.43 Tz=19.07 Mx=-0.01 Mz=-7.83
Sollecitazioni agenti localmente: Ty_l=-2063.90 Mx_l=-41.28
Tensioni nella sezione: σ=500.34 τ=62.54
CC 31 SLV (Collegamento -041_-375)
Azioni sul collegamento: N=-11351.50 Ty=-13.31 Tz=9.29 Mx=-0.01 Mz=-12.93
Sollecitazioni agenti localmente: Ty_l=-2063.90 Mx_l=-41.28
Tensioni nella sezione: σ=500.34 τ=62.54
CC 31 SLV (Collegamento -041_-375)
Azioni sul collegamento: N=-11351.50 Ty=-9.43 Tz=9.29 Mx=-0.01 Mz=-7.83
Sollecitazioni agenti localmente: Ty_l=-2063.90 Mx_l=-41.28
Tensioni nella sezione: σ=500.34 τ=62.54
CC 31 SLV (Collegamento -041_-375)
Azioni sul collegamento: N=-8983.80 Ty=-13.31 Tz=19.07 Mx=-0.01 Mz=-12.93
Sollecitazioni agenti localmente: Ty_l=-1633.42 Mx_l=-32.67
Tensioni nella sezione: σ=395.98 τ=49.50
CC 31 SLV (Collegamento -041_-375)
Azioni sul collegamento: N=-8983.80 Ty=-9.43 Tz=19.07 Mx=-0.01 Mz=-7.83
Sollecitazioni agenti localmente: Ty_l=-1633.42 Mx_l=-32.67
Tensioni nella sezione: σ=395.98 τ=49.50
CC 31 SLV (Collegamento -041_-375)
Azioni sul collegamento: N=-8983.80 Ty=-13.31 Tz=9.29 Mx=-0.01 Mz=-12.93
Sollecitazioni agenti localmente: Ty_l=-1633.42 Mx_l=-32.67

Tensioni nella sezione: σ=395.98 τ=49.50
CC 31 SLV (Collegamento -041_-375)
Azioni sul collegamento: N=-8983.80 Ty=-9.43 Tz=9.29 Mx=-0.01 Mz=-7.83
Sollecitazioni agenti localmente: Ty_l=-1633.42 Mx_l=-32.67
Tensioni nella sezione: σ=395.98 τ=49.50
CC 32 SLD (Collegamento -041_-375)
Azioni sul collegamento: N=-10431.00 Ty=-11.04 Tz=15.29 Mx=-0.00 Mz=-9.01
Sollecitazioni agenti localmente: Ty_l=-1896.55 Mx_l=-37.93
Tensioni nella sezione: σ=459.77 τ=57.47
CC 32 SLD (Collegamento -041_-375)
Azioni sul collegamento: N=-10431.00 Ty=-9.85 Tz=15.29 Mx=-0.00 Mz=-7.46
Sollecitazioni agenti localmente: Ty_l=-1896.55 Mx_l=-37.93
Tensioni nella sezione: σ=459.77 τ=57.47
CC 32 SLD (Collegamento -041_-375)
Azioni sul collegamento: N=-10431.00 Ty=-11.04 Tz=12.31 Mx=-0.00 Mz=-9.01
Sollecitazioni agenti localmente: Ty_l=-1896.55 Mx_l=-37.93
Tensioni nella sezione: σ=459.77 τ=57.47
CC 32 SLD (Collegamento -041_-375)
Azioni sul collegamento: N=-10431.00 Ty=-9.85 Tz=12.31 Mx=-0.00 Mz=-7.46
Sollecitazioni agenti localmente: Ty_l=-1896.55 Mx_l=-37.93
Tensioni nella sezione: σ=459.77 τ=57.47
CC 32 SLD (Collegamento -041_-375)
Azioni sul collegamento: N=-9709.05 Ty=-11.04 Tz=15.29 Mx=-0.00 Mz=-9.01
Sollecitazioni agenti localmente: Ty_l=-1765.28 Mx_l=-35.31
Tensioni nella sezione: σ=427.95 τ=53.49
CC 32 SLD (Collegamento -041_-375)
Azioni sul collegamento: N=-9709.05 Ty=-9.85 Tz=15.29 Mx=-0.00 Mz=-7.46
Sollecitazioni agenti localmente: Ty_l=-1765.28 Mx_l=-35.31
Tensioni nella sezione: σ=427.95 τ=53.49
CC 32 SLD (Collegamento -041_-375)
Azioni sul collegamento: N=-9709.05 Ty=-11.04 Tz=12.31 Mx=-0.00 Mz=-9.01
Sollecitazioni agenti localmente: Ty_l=-1765.28 Mx_l=-35.31
Tensioni nella sezione: σ=427.95 τ=53.49
CC 32 SLD (Collegamento -041_-375)
Azioni sul collegamento: N=-9709.05 Ty=-9.85 Tz=12.31 Mx=-0.00 Mz=-7.46
Sollecitazioni agenti localmente: Ty_l=-1765.28 Mx_l=-35.31
Tensioni nella sezione: σ=427.95 τ=53.49
CC 33 SLU (Collegamento -041_-375)
Azioni sul collegamento: N=-36642.60 Ty=-20.20 Tz=103.27 Mx=-0.00 Mz=-14.84
Sollecitazioni agenti localmente: Ty_l=-6662.28 Mx_l=-133.25
Tensioni nella sezione: σ=1615.10 τ=201.89
CC 34 SLU (Collegamento -041_-375)
Azioni sul collegamento: N=-37458.50 Ty=-20.96 Tz=106.28 Mx=-0.00 Mz=-15.40
Sollecitazioni agenti localmente: Ty_l=-6810.65 Mx_l=-136.21
Tensioni nella sezione: σ=1651.06 τ=206.38
CC 35 SLU (Collegamento -041_-375)
Azioni sul collegamento: N=-37049.70 Ty=-20.49 Tz=104.83 Mx=-0.01 Mz=-14.94
Sollecitazioni agenti localmente: Ty_l=-6736.30 Mx_l=-134.73
Tensioni nella sezione: σ=1633.04 τ=204.13
CC 36 SLU (Collegamento -041_-375)
Azioni sul collegamento: N=-37051.40 Ty=-20.67 Tz=104.72 Mx=-0.00 Mz=-15.30
Sollecitazioni agenti localmente: Ty_l=-6736.63 Mx_l=-134.73
Tensioni nella sezione: σ=1633.12 τ=204.14
CC 37 SLU (Collegamento -041_-375)
Azioni sul collegamento: N=-29860.20 Ty=10.64 Tz=77.84 Mx=-0.00 Mz=8.54
Sollecitazioni agenti localmente: Ty_l=-5429.13 Mx_l=-108.58
Tensioni nella sezione: σ=1316.15 τ=164.52
CC 38 SLU (Collegamento -041_-375)
Azioni sul collegamento: N=-30676.20 Ty=9.89 Tz=80.85 Mx=-0.00 Mz=7.98
Sollecitazioni agenti localmente: Ty_l=-5577.49 Mx_l=-111.55
Tensioni nella sezione: σ=1352.12 τ=169.01
CC 39 SLU (Collegamento -041_-375)
Azioni sul collegamento: N=-30267.30 Ty=10.35 Tz=79.40 Mx=-0.01 Mz=8.45
Sollecitazioni agenti localmente: Ty_l=-5503.15 Mx_l=-110.06
Tensioni nella sezione: σ=1334.09 τ=166.76
CC 40 SLU (Collegamento -041_-375)
Azioni sul collegamento: N=-30269.10 Ty=10.18 Tz=79.28 Mx=-0.00 Mz=8.08
Sollecitazioni agenti localmente: Ty_l=-5503.47 Mx_l=-110.07
Tensioni nella sezione: σ=1334.17 τ=166.77
CC 41 SLU (Collegamento -041_-375)
Azioni sul collegamento: N=-27459.80 Ty=-19.36 Tz=69.55 Mx=-0.00 Mz=-14.09
Sollecitazioni agenti localmente: Ty_l=-4992.68 Mx_l=-99.85
Tensioni nella sezione: σ=1210.34 τ=151.29
CC 42 SLU (Collegamento -041_-375)
Azioni sul collegamento: N=-28275.70 Ty=-20.11 Tz=72.57 Mx=-0.00 Mz=-14.65
Sollecitazioni agenti localmente: Ty_l=-5141.04 Mx_l=-102.82
Tensioni nella sezione: σ=1246.31 τ=155.79
CC 43 SLU (Collegamento -041_-375)
Azioni sul collegamento: N=-27866.90 Ty=-19.65 Tz=71.12 Mx=-0.01 Mz=-14.19
Sollecitazioni agenti localmente: Ty_l=-5066.70 Mx_l=-101.33

Tensioni nella sezione: σ=1228.29 τ=153.54
CC 44 SLU (Collegamento -041_-375)
Azioni sul collegamento: N=-27868.60 Ty=-19.82 Tz=71.00 Mx=-0.00 Mz=-14.55
Sollecitazioni agenti localmente: Ty_l=-5067.02 Mx_l=-101.34
Tensioni nella sezione: σ=1228.37 τ=153.55
CC 45 SLU (Collegamento -041_-375)
Azioni sul collegamento: N=-29479.00 Ty=-19.57 Tz=76.97 Mx=-0.00 Mz=-14.38
Sollecitazioni agenti localmente: Ty_l=-5359.82 Mx_l=-107.20
Tensioni nella sezione: σ=1299.35 τ=162.42
CC 46 SLU (Collegamento -041_-375)
Azioni sul collegamento: N=-30295.00 Ty=-20.33 Tz=79.99 Mx=-0.00 Mz=-14.94
Sollecitazioni agenti localmente: Ty_l=-5508.19 Mx_l=-110.16
Tensioni nella sezione: σ=1335.32 τ=166.91
CC 47 SLU (Collegamento -041_-375)
Azioni sul collegamento: N=-29886.10 Ty=-19.86 Tz=78.54 Mx=-0.00 Mz=-14.48
Sollecitazioni agenti localmente: Ty_l=-5433.85 Mx_l=-108.68
Tensioni nella sezione: σ=1317.29 τ=164.66
CC 48 SLU (Collegamento -041_-375)
Azioni sul collegamento: N=-29887.90 Ty=-20.04 Tz=78.42 Mx=-0.00 Mz=-14.84
Sollecitazioni agenti localmente: Ty_l=-5434.17 Mx_l=-108.68
Tensioni nella sezione: σ=1317.37 τ=164.67
CC 49 SLU (Collegamento -041_-375)
Azioni sul collegamento: N=-24404.80 Ty=3.50 Tz=57.94 Mx=-0.00 Mz=3.11
Sollecitazioni agenti localmente: Ty_l=-4437.24 Mx_l=-88.74
Tensioni nella sezione: σ=1075.69 τ=134.46
CC 50 SLU (Collegamento -041_-375)
Azioni sul collegamento: N=-25220.80 Ty=2.75 Tz=60.96 Mx=-0.00 Mz=2.55
Sollecitazioni agenti localmente: Ty_l=-4585.60 Mx_l=-91.71
Tensioni nella sezione: σ=1111.66 τ=138.96
CC 51 SLU (Collegamento -041_-375)
Azioni sul collegamento: N=-24811.90 Ty=3.21 Tz=59.51 Mx=-0.00 Mz=3.02
Sollecitazioni agenti localmente: Ty_l=-4511.26 Mx_l=-90.22
Tensioni nella sezione: σ=1093.64 τ=136.71
CC 52 SLU (Collegamento -041_-375)
Azioni sul collegamento: N=-24813.70 Ty=3.04 Tz=59.39 Mx=-0.00 Mz=2.65
Sollecitazioni agenti localmente: Ty_l=-4511.58 Mx_l=-90.23
Tensioni nella sezione: σ=1093.72 τ=136.72
CC 53 SLU (Collegamento -041_-375)
Azioni sul collegamento: N=-22608.90 Ty=-18.94 Tz=51.75 Mx=-0.00 Mz=-13.82
Sollecitazioni agenti localmente: Ty_l=-4110.72 Mx_l=-82.21
Tensioni nella sezione: σ=996.53 τ=124.57
CC 54 SLU (Collegamento -041_-375)
Azioni sul collegamento: N=-23424.90 Ty=-19.70 Tz=54.76 Mx=-0.00 Mz=-14.38
Sollecitazioni agenti localmente: Ty_l=-4259.08 Mx_l=-85.18
Tensioni nella sezione: σ=1032.50 τ=129.06
CC 55 SLU (Collegamento -041_-375)
Azioni sul collegamento: N=-23016.00 Ty=-19.23 Tz=53.31 Mx=-0.00 Mz=-13.92
Sollecitazioni agenti localmente: Ty_l=-4184.74 Mx_l=-83.69
Tensioni nella sezione: σ=1014.48 τ=126.81
CC 56 SLU (Collegamento -041_-375)
Azioni sul collegamento: N=-23017.80 Ty=-19.41 Tz=53.20 Mx=-0.00 Mz=-14.28
Sollecitazioni agenti localmente: Ty_l=-4185.06 Mx_l=-83.70
Tensioni nella sezione: σ=1014.56 τ=126.82
CC 57 SLU (Collegamento -041_-375)
Azioni sul collegamento: N=-30221.30 Ty=-20.56 Tz=79.74 Mx=-0.00 Mz=-15.10
Sollecitazioni agenti localmente: Ty_l=-5494.77 Mx_l=-109.89
Tensioni nella sezione: σ=1332.06 τ=166.51
CC 58 SLU (Collegamento -041_-375)
Azioni sul collegamento: N=-31037.20 Ty=-21.31 Tz=82.75 Mx=-0.00 Mz=-15.66
Sollecitazioni agenti localmente: Ty_l=-5643.13 Mx_l=-112.86
Tensioni nella sezione: σ=1368.03 τ=171.00
CC 59 SLU (Collegamento -041_-375)
Azioni sul collegamento: N=-30628.40 Ty=-20.85 Tz=81.31 Mx=-0.00 Mz=-15.20
Sollecitazioni agenti localmente: Ty_l=-5568.79 Mx_l=-111.38
Tensioni nella sezione: σ=1350.01 τ=168.75
CC 60 SLU (Collegamento -041_-375)
Azioni sul collegamento: N=-30630.10 Ty=-21.02 Tz=81.19 Mx=-0.00 Mz=-15.57
Sollecitazioni agenti localmente: Ty_l=-5569.12 Mx_l=-111.38
Tensioni nella sezione: σ=1350.09 τ=168.76
CC 61 SLU (Collegamento -041_-375)
Azioni sul collegamento: N=-25147.00 Ty=2.52 Tz=60.71 Mx=-0.00 Mz=2.39
Sollecitazioni agenti localmente: Ty_l=-4572.19 Mx_l=-91.44
Tensioni nella sezione: σ=1108.41 τ=138.55
CC 62 SLU (Collegamento -041_-375)
Azioni sul collegamento: N=-25963.00 Ty=1.76 Tz=63.73 Mx=-0.00 Mz=1.83
Sollecitazioni agenti localmente: Ty_l=-4720.55 Mx_l=-94.41
Tensioni nella sezione: σ=1144.37 τ=143.05
CC 63 SLU (Collegamento -041_-375)
Azioni sul collegamento: N=-25554.10 Ty=2.23 Tz=62.28 Mx=-0.00 Mz=2.29
Sollecitazioni agenti localmente: Ty_l=-4646.21 Mx_l=-92.92

Tensioni nella sezione: σ=1126.35 τ=140.79
CC 64 SLU (Collegamento -041_-375)
Azioni sul collegamento: N=-25555.90 Ty=2.05 Tz=62.16 Mx=-0.00 Mz=1.93
Sollecitazioni agenti localmente: Ty_l=-4646.53 Mx_l=-92.93
Tensioni nella sezione: σ=1126.43 τ=140.80
CC 65 SLU (Collegamento -041_-375)
Azioni sul collegamento: N=-23351.20 Ty=-19.92 Tz=54.52 Mx=-0.00 Mz=-14.54
Sollecitazioni agenti localmente: Ty_l=-4245.66 Mx_l=-84.91
Tensioni nella sezione: σ=1029.25 τ=128.66
CC 66 SLU (Collegamento -041_-375)
Azioni sul collegamento: N=-24167.10 Ty=-20.68 Tz=57.53 Mx=-0.00 Mz=-15.10
Sollecitazioni agenti localmente: Ty_l=-4394.03 Mx_l=-87.88
Tensioni nella sezione: σ=1065.22 τ=133.15
CC 67 SLU (Collegamento -041_-375)
Azioni sul collegamento: N=-23758.30 Ty=-20.21 Tz=56.08 Mx=-0.00 Mz=-14.64
Sollecitazioni agenti localmente: Ty_l=-4319.69 Mx_l=-86.39
Tensioni nella sezione: σ=1047.19 τ=130.90
CC 68 SLU (Collegamento -041_-375)
Azioni sul collegamento: N=-23760.00 Ty=-20.39 Tz=55.97 Mx=-0.00 Mz=-15.01
Sollecitazioni agenti localmente: Ty_l=-4320.01 Mx_l=-86.40
Tensioni nella sezione: σ=1047.27 τ=130.91
CC 97 SLU (Collegamento -041_-375)
Azioni sul collegamento: N=-31084.20 Ty=-25.01 Tz=90.82 Mx=0.05 Mz=-11.42
Sollecitazioni agenti localmente: Ty_l=-5651.68 Mx_l=-113.03
Tensioni nella sezione: σ=1370.10 τ=171.26
CC 98 SLU (Collegamento -041_-375)
Azioni sul collegamento: N=-31900.20 Ty=-25.76 Tz=93.83 Mx=0.05 Mz=-11.97
Sollecitazioni agenti localmente: Ty_l=-5800.04 Mx_l=-116.00
Tensioni nella sezione: σ=1406.07 τ=175.76
CC 99 SLU (Collegamento -041_-375)
Azioni sul collegamento: N=-31491.30 Ty=-25.30 Tz=92.39 Mx=0.05 Mz=-11.51
Sollecitazioni agenti localmente: Ty_l=-5725.70 Mx_l=-114.51
Tensioni nella sezione: σ=1388.05 τ=173.51
CC 100 SLU (Collegamento -041_-375)
Azioni sul collegamento: N=-31493.10 Ty=-25.48 Tz=92.27 Mx=0.05 Mz=-11.88
Sollecitazioni agenti localmente: Ty_l=-5726.02 Mx_l=-114.52
Tensioni nella sezione: σ=1388.12 τ=173.52
CC 101 SLU (Collegamento -041_-375)
Azioni sul collegamento: N=-8294.89 Ty=-5.21 Tz=7.37 Mx=-0.01 Mz=-4.43
Sollecitazioni agenti localmente: Ty_l=-1508.16 Mx_l=-30.16
Tensioni nella sezione: σ=365.61 τ=45.70
CC 102 SLU (Collegamento -041_-375)
Azioni sul collegamento: N=-9110.88 Ty=-5.97 Tz=10.39 Mx=-0.01 Mz=-4.99
Sollecitazioni agenti localmente: Ty_l=-1656.52 Mx_l=-33.13
Tensioni nella sezione: σ=401.58 τ=50.20
CC 103 SLU (Collegamento -041_-375)
Azioni sul collegamento: N=-8702.00 Ty=-5.50 Tz=8.94 Mx=-0.01 Mz=-4.53
Sollecitazioni agenti localmente: Ty_l=-1582.18 Mx_l=-31.64
Tensioni nella sezione: σ=383.56 τ=47.94
CC 104 SLU (Collegamento -041_-375)
Azioni sul collegamento: N=-8703.78 Ty=-5.68 Tz=8.82 Mx=-0.01 Mz=-4.89
Sollecitazioni agenti localmente: Ty_l=-1582.50 Mx_l=-31.65
Tensioni nella sezione: σ=383.64 τ=47.95

Flessione attacco destro piastra

Bnetta=220.00 Hnetta=15.00
CC 1 SLV (Collegamento -041_-375)
Azioni sul collegamento: N=-5965.50 Ty=-4.83 Tz=-1.56 Mx=0.01 Mz=-1.02
Sollecitazioni agenti localmente: Ty_l=-1053.47 My_l=-21.59
Tensioni nella sezione: σ=261.70 τ=31.92
CC 1 SLV (Collegamento -041_-375)
Azioni sul collegamento: N=-5965.50 Ty=-12.58 Tz=-1.56 Mx=0.01 Mz=-7.43
Sollecitazioni agenti localmente: Ty_l=-1027.98 My_l=-21.03
Tensioni nella sezione: σ=254.94 τ=31.15
CC 1 SLV (Collegamento -041_-375)
Azioni sul collegamento: N=-5965.50 Ty=-4.83 Tz=27.71 Mx=0.01 Mz=-1.02
Sollecitazioni agenti localmente: Ty_l=-1053.47 My_l=-21.59
Tensioni nella sezione: σ=261.70 τ=31.92
CC 1 SLV (Collegamento -041_-375)
Azioni sul collegamento: N=-5965.50 Ty=-12.58 Tz=27.71 Mx=0.01 Mz=-7.43
Sollecitazioni agenti localmente: Ty_l=-1027.98 My_l=-21.03
Tensioni nella sezione: σ=254.94 τ=31.15
CC 1 SLV (Collegamento -041_-375)
Azioni sul collegamento: N=-13808.10 Ty=-4.83 Tz=-1.56 Mx=0.01 Mz=-1.02
Sollecitazioni agenti localmente: Ty_l=-2443.75 My_l=-50.09
Tensioni nella sezione: σ=607.17 τ=74.05
CC 1 SLV (Collegamento -041_-375)
Azioni sul collegamento: N=-13808.10 Ty=-12.58 Tz=-1.56 Mx=0.01 Mz=-7.43
Sollecitazioni agenti localmente: Ty_l=-2418.27 My_l=-49.53

Tensioni nella sezione: σ=600.40 τ=73.28
CC 1 SLV (Collegamento -041_-375)
Azioni sul collegamento: N=-13808.10 Ty=-4.83 Tz=27.71 Mx=0.01 Mz=-1.02
Sollecitazioni agenti localmente: Ty_l=-2443.75 My_l=-50.09
Tensioni nella sezione: σ=607.17 τ=74.05
CC 1 SLV (Collegamento -041_-375)
Azioni sul collegamento: N=-13808.10 Ty=-12.58 Tz=27.71 Mx=0.01 Mz=-7.43
Sollecitazioni agenti localmente: Ty_l=-2418.27 My_l=-49.53
Tensioni nella sezione: σ=600.40 τ=73.28
CC 2 SLD (Collegamento -041_-375)
Azioni sul collegamento: N=-8788.68 Ty=-8.45 Tz=9.00 Mx=0.00 Mz=-5.38
Sollecitazioni agenti localmente: Ty_l=-1536.58 My_l=-31.47
Tensioni nella sezione: σ=381.45 τ=46.56
CC 2 SLD (Collegamento -041_-375)
Azioni sul collegamento: N=-8788.68 Ty=-10.81 Tz=9.00 Mx=0.00 Mz=-7.34
Sollecitazioni agenti localmente: Ty_l=-1528.81 My_l=-31.30
Tensioni nella sezione: σ=379.39 τ=46.33
CC 2 SLD (Collegamento -041_-375)
Azioni sul collegamento: N=-8788.68 Ty=-8.45 Tz=17.92 Mx=0.00 Mz=-5.38
Sollecitazioni agenti localmente: Ty_l=-1536.58 My_l=-31.47
Tensioni nella sezione: σ=381.45 τ=46.56
CC 2 SLD (Collegamento -041_-375)
Azioni sul collegamento: N=-8788.68 Ty=-10.81 Tz=17.92 Mx=0.00 Mz=-7.34
Sollecitazioni agenti localmente: Ty_l=-1528.81 My_l=-31.30
Tensioni nella sezione: σ=379.39 τ=46.33
CC 2 SLD (Collegamento -041_-375)
Azioni sul collegamento: N=-11180.10 Ty=-8.45 Tz=8.99 Mx=0.00 Mz=-5.38
Sollecitazioni agenti localmente: Ty_l=-1960.52 My_l=-40.16
Tensioni nella sezione: σ=486.80 τ=59.41
CC 2 SLD (Collegamento -041_-375)
Azioni sul collegamento: N=-11180.10 Ty=-10.81 Tz=8.99 Mx=0.00 Mz=-7.34
Sollecitazioni agenti localmente: Ty_l=-1952.75 My_l=-39.99
Tensioni nella sezione: σ=484.73 τ=59.17
CC 2 SLD (Collegamento -041_-375)
Azioni sul collegamento: N=-11180.10 Ty=-8.45 Tz=17.92 Mx=0.00 Mz=-5.38
Sollecitazioni agenti localmente: Ty_l=-1960.52 My_l=-40.16
Tensioni nella sezione: σ=486.80 τ=59.41
CC 2 SLD (Collegamento -041_-375)
Azioni sul collegamento: N=-11180.10 Ty=-10.81 Tz=17.92 Mx=0.00 Mz=-7.34
Sollecitazioni agenti localmente: Ty_l=-1952.75 My_l=-39.99
Tensioni nella sezione: σ=484.73 τ=59.17
CC 3 SLV (Collegamento -041_-375)
Azioni sul collegamento: N=-5970.40 Ty=-5.34 Tz=-1.24 Mx=0.01 Mz=-2.07
Sollecitazioni agenti localmente: Ty_l=-1050.17 My_l=-21.52
Tensioni nella sezione: σ=260.81 τ=31.82
CC 3 SLV (Collegamento -041_-375)
Azioni sul collegamento: N=-5970.40 Ty=-12.07 Tz=-1.24 Mx=0.01 Mz=-6.38
Sollecitazioni agenti localmente: Ty_l=-1033.02 My_l=-21.14
Tensioni nella sezione: σ=256.26 τ=31.30
CC 3 SLV (Collegamento -041_-375)
Azioni sul collegamento: N=-5970.40 Ty=-5.34 Tz=27.38 Mx=0.01 Mz=-2.07
Sollecitazioni agenti localmente: Ty_l=-1050.17 My_l=-21.52
Tensioni nella sezione: σ=260.81 τ=31.82
CC 3 SLV (Collegamento -041_-375)
Azioni sul collegamento: N=-5970.40 Ty=-12.07 Tz=27.38 Mx=0.01 Mz=-6.38
Sollecitazioni agenti localmente: Ty_l=-1033.02 My_l=-21.14
Tensioni nella sezione: σ=256.26 τ=31.30
CC 3 SLV (Collegamento -041_-375)
Azioni sul collegamento: N=-13803.30 Ty=-5.34 Tz=-1.24 Mx=0.01 Mz=-2.07
Sollecitazioni agenti localmente: Ty_l=-2438.72 My_l=-49.98
Tensioni nella sezione: σ=605.85 τ=73.90
CC 3 SLV (Collegamento -041_-375)
Azioni sul collegamento: N=-13803.30 Ty=-12.07 Tz=-1.24 Mx=0.01 Mz=-6.38
Sollecitazioni agenti localmente: Ty_l=-2421.57 My_l=-49.61
Tensioni nella sezione: σ=601.29 τ=73.38
CC 3 SLV (Collegamento -041_-375)
Azioni sul collegamento: N=-13803.30 Ty=-5.34 Tz=27.38 Mx=0.01 Mz=-2.07
Sollecitazioni agenti localmente: Ty_l=-2438.72 My_l=-49.98
Tensioni nella sezione: σ=605.85 τ=73.90
CC 3 SLV (Collegamento -041_-375)
Azioni sul collegamento: N=-13803.30 Ty=-12.07 Tz=27.38 Mx=0.01 Mz=-6.38
Sollecitazioni agenti localmente: Ty_l=-2421.57 My_l=-49.61
Tensioni nella sezione: σ=601.29 τ=73.38
CC 4 SLD (Collegamento -041_-375)
Azioni sul collegamento: N=-8790.17 Ty=-8.61 Tz=9.10 Mx=0.00 Mz=-5.70
Sollecitazioni agenti localmente: Ty_l=-1535.57 My_l=-31.45
Tensioni nella sezione: σ=381.18 τ=46.53
CC 4 SLD (Collegamento -041_-375)
Azioni sul collegamento: N=-8790.17 Ty=-10.66 Tz=9.10 Mx=0.00 Mz=-7.02
Sollecitazioni agenti localmente: Ty_l=-1530.34 My_l=-31.33

Tensioni nella sezione: σ=379.79 τ=46.37
CC 4 SLD (Collegamento -041_-375)
Azioni sul collegamento: N=-8790.17 Ty=-8.61 Tz=17.82 Mx=0.00 Mz=-5.70
Sollecitazioni agenti localmente: Ty_l=-1535.57 My_l=-31.45
Tensioni nella sezione: σ=381.18 τ=46.53
CC 4 SLD (Collegamento -041_-375)
Azioni sul collegamento: N=-8790.17 Ty=-10.66 Tz=17.82 Mx=0.00 Mz=-7.02
Sollecitazioni agenti localmente: Ty_l=-1530.34 My_l=-31.33
Tensioni nella sezione: σ=379.79 τ=46.37
CC 4 SLD (Collegamento -041_-375)
Azioni sul collegamento: N=-11178.70 Ty=-8.61 Tz=9.09 Mx=0.00 Mz=-5.70
Sollecitazioni agenti localmente: Ty_l=-1958.98 My_l=-40.13
Tensioni nella sezione: σ=486.39 τ=59.36
CC 4 SLD (Collegamento -041_-375)
Azioni sul collegamento: N=-11178.70 Ty=-10.66 Tz=9.09 Mx=0.00 Mz=-7.02
Sollecitazioni agenti localmente: Ty_l=-1953.76 My_l=-40.01
Tensioni nella sezione: σ=485.00 τ=59.20
CC 4 SLD (Collegamento -041_-375)
Azioni sul collegamento: N=-11178.70 Ty=-8.61 Tz=17.82 Mx=0.00 Mz=-5.70
Sollecitazioni agenti localmente: Ty_l=-1958.98 My_l=-40.13
Tensioni nella sezione: σ=486.39 τ=59.36
CC 4 SLD (Collegamento -041_-375)
Azioni sul collegamento: N=-11178.70 Ty=-10.66 Tz=17.82 Mx=0.00 Mz=-7.02
Sollecitazioni agenti localmente: Ty_l=-1953.76 My_l=-40.01
Tensioni nella sezione: σ=485.00 τ=59.20
CC 5 SLV (Collegamento -041_-375)
Azioni sul collegamento: N=-13803.30 Ty=-12.07 Tz=27.38 Mx=0.01 Mz=-6.38
Sollecitazioni agenti localmente: Ty_l=-2421.57 My_l=-49.61
Tensioni nella sezione: σ=601.29 τ=73.38
CC 5 SLV (Collegamento -041_-375)
Azioni sul collegamento: N=-13803.30 Ty=-5.34 Tz=27.38 Mx=0.01 Mz=-2.07
Sollecitazioni agenti localmente: Ty_l=-2438.72 My_l=-49.98
Tensioni nella sezione: σ=605.85 τ=73.90
CC 5 SLV (Collegamento -041_-375)
Azioni sul collegamento: N=-13803.30 Ty=-12.07 Tz=-1.24 Mx=0.01 Mz=-6.38
Sollecitazioni agenti localmente: Ty_l=-2421.57 My_l=-49.61
Tensioni nella sezione: σ=601.29 τ=73.38
CC 5 SLV (Collegamento -041_-375)
Azioni sul collegamento: N=-13803.30 Ty=-5.34 Tz=-1.24 Mx=0.01 Mz=-2.07
Sollecitazioni agenti localmente: Ty_l=-2438.72 My_l=-49.98
Tensioni nella sezione: σ=605.85 τ=73.90
CC 5 SLV (Collegamento -041_-375)
Azioni sul collegamento: N=-5970.40 Ty=-12.07 Tz=27.38 Mx=0.01 Mz=-6.38
Sollecitazioni agenti localmente: Ty_l=-1033.02 My_l=-21.14
Tensioni nella sezione: σ=256.26 τ=31.30
CC 5 SLV (Collegamento -041_-375)
Azioni sul collegamento: N=-5970.40 Ty=-5.34 Tz=27.38 Mx=0.01 Mz=-2.07
Sollecitazioni agenti localmente: Ty_l=-1050.17 My_l=-21.52
Tensioni nella sezione: σ=260.81 τ=31.82
CC 5 SLV (Collegamento -041_-375)
Azioni sul collegamento: N=-5970.40 Ty=-12.07 Tz=-1.24 Mx=0.01 Mz=-6.38
Sollecitazioni agenti localmente: Ty_l=-1033.02 My_l=-21.14
Tensioni nella sezione: σ=256.26 τ=31.30
CC 5 SLV (Collegamento -041_-375)
Azioni sul collegamento: N=-5970.40 Ty=-5.34 Tz=-1.24 Mx=0.01 Mz=-2.07
Sollecitazioni agenti localmente: Ty_l=-1050.17 My_l=-21.52
Tensioni nella sezione: σ=260.81 τ=31.82
CC 6 SLD (Collegamento -041_-375)
Azioni sul collegamento: N=-11178.70 Ty=-10.66 Tz=17.82 Mx=0.00 Mz=-7.02
Sollecitazioni agenti localmente: Ty_l=-1953.76 My_l=-40.01
Tensioni nella sezione: σ=485.00 τ=59.20
CC 6 SLD (Collegamento -041_-375)
Azioni sul collegamento: N=-11178.70 Ty=-8.61 Tz=17.82 Mx=0.00 Mz=-5.70
Sollecitazioni agenti localmente: Ty_l=-1958.98 My_l=-40.13
Tensioni nella sezione: σ=486.39 τ=59.36
CC 6 SLD (Collegamento -041_-375)
Azioni sul collegamento: N=-11178.70 Ty=-10.66 Tz=9.09 Mx=0.00 Mz=-7.02
Sollecitazioni agenti localmente: Ty_l=-1953.76 My_l=-40.01
Tensioni nella sezione: σ=485.00 τ=59.20
CC 6 SLD (Collegamento -041_-375)
Azioni sul collegamento: N=-11178.70 Ty=-8.61 Tz=9.09 Mx=0.00 Mz=-5.70
Sollecitazioni agenti localmente: Ty_l=-1958.98 My_l=-40.13
Tensioni nella sezione: σ=486.39 τ=59.36
CC 6 SLD (Collegamento -041_-375)
Azioni sul collegamento: N=-8790.17 Ty=-10.66 Tz=17.82 Mx=0.00 Mz=-7.02
Sollecitazioni agenti localmente: Ty_l=-1530.34 My_l=-31.33
Tensioni nella sezione: σ=379.79 τ=46.37
CC 6 SLD (Collegamento -041_-375)
Azioni sul collegamento: N=-8790.17 Ty=-8.61 Tz=17.82 Mx=0.00 Mz=-5.70
Sollecitazioni agenti localmente: Ty_l=-1535.57 My_l=-31.45

Tensioni nella sezione: σ=381.18 τ=46.53
CC 6 SLD (Collegamento -041_-375)
Azioni sul collegamento: N=-8790.17 Ty=-10.66 Tz=9.10 Mx=0.00 Mz=-7.02
Sollecitazioni agenti localmente: Ty_l=-1530.34 My_l=-31.33
Tensioni nella sezione: σ=379.79 τ=46.37
CC 6 SLD (Collegamento -041_-375)
Azioni sul collegamento: N=-8790.17 Ty=-8.61 Tz=9.10 Mx=0.00 Mz=-5.70
Sollecitazioni agenti localmente: Ty_l=-1535.57 My_l=-31.45
Tensioni nella sezione: σ=381.18 τ=46.53
CC 7 SLV (Collegamento -041_-375)
Azioni sul collegamento: N=-13808.10 Ty=-12.58 Tz=27.71 Mx=0.01 Mz=-7.43
Sollecitazioni agenti localmente: Ty_l=-2418.27 My_l=-49.53
Tensioni nella sezione: σ=600.40 τ=73.28
CC 7 SLV (Collegamento -041_-375)
Azioni sul collegamento: N=-13808.10 Ty=-4.83 Tz=27.71 Mx=0.01 Mz=-1.02
Sollecitazioni agenti localmente: Ty_l=-2443.75 My_l=-50.09
Tensioni nella sezione: σ=607.17 τ=74.05
CC 7 SLV (Collegamento -041_-375)
Azioni sul collegamento: N=-13808.10 Ty=-12.58 Tz=-1.56 Mx=0.01 Mz=-7.43
Sollecitazioni agenti localmente: Ty_l=-2418.27 My_l=-49.53
Tensioni nella sezione: σ=600.40 τ=73.28
CC 7 SLV (Collegamento -041_-375)
Azioni sul collegamento: N=-13808.10 Ty=-4.83 Tz=-1.56 Mx=0.01 Mz=-1.02
Sollecitazioni agenti localmente: Ty_l=-2443.75 My_l=-50.09
Tensioni nella sezione: σ=607.17 τ=74.05
CC 7 SLV (Collegamento -041_-375)
Azioni sul collegamento: N=-5965.50 Ty=-12.58 Tz=27.71 Mx=0.01 Mz=-7.43
Sollecitazioni agenti localmente: Ty_l=-1027.98 My_l=-21.03
Tensioni nella sezione: σ=254.94 τ=31.15
CC 7 SLV (Collegamento -041_-375)
Azioni sul collegamento: N=-5965.50 Ty=-4.83 Tz=27.71 Mx=0.01 Mz=-1.02
Sollecitazioni agenti localmente: Ty_l=-1053.47 My_l=-21.59
Tensioni nella sezione: σ=261.70 τ=31.92
CC 7 SLV (Collegamento -041_-375)
Azioni sul collegamento: N=-5965.50 Ty=-12.58 Tz=-1.56 Mx=0.01 Mz=-7.43
Sollecitazioni agenti localmente: Ty_l=-1027.98 My_l=-21.03
Tensioni nella sezione: σ=254.94 τ=31.15
CC 7 SLV (Collegamento -041_-375)
Azioni sul collegamento: N=-5965.50 Ty=-4.83 Tz=-1.56 Mx=0.01 Mz=-1.02
Sollecitazioni agenti localmente: Ty_l=-1053.47 My_l=-21.59
Tensioni nella sezione: σ=261.70 τ=31.92
CC 8 SLD (Collegamento -041_-375)
Azioni sul collegamento: N=-11180.10 Ty=-10.81 Tz=17.92 Mx=0.00 Mz=-7.34
Sollecitazioni agenti localmente: Ty_l=-1952.75 My_l=-39.99
Tensioni nella sezione: σ=484.73 τ=59.17
CC 8 SLD (Collegamento -041_-375)
Azioni sul collegamento: N=-11180.10 Ty=-8.45 Tz=17.92 Mx=0.00 Mz=-5.38
Sollecitazioni agenti localmente: Ty_l=-1960.52 My_l=-40.16
Tensioni nella sezione: σ=486.80 τ=59.41
CC 8 SLD (Collegamento -041_-375)
Azioni sul collegamento: N=-11180.10 Ty=-10.81 Tz=8.99 Mx=0.00 Mz=-7.34
Sollecitazioni agenti localmente: Ty_l=-1952.75 My_l=-39.99
Tensioni nella sezione: σ=484.73 τ=59.17
CC 8 SLD (Collegamento -041_-375)
Azioni sul collegamento: N=-11180.10 Ty=-8.45 Tz=8.99 Mx=0.00 Mz=-5.38
Sollecitazioni agenti localmente: Ty_l=-1960.52 My_l=-40.16
Tensioni nella sezione: σ=486.80 τ=59.41
CC 8 SLD (Collegamento -041_-375)
Azioni sul collegamento: N=-8788.68 Ty=-10.81 Tz=17.92 Mx=0.00 Mz=-7.34
Sollecitazioni agenti localmente: Ty_l=-1528.81 My_l=-31.30
Tensioni nella sezione: σ=379.39 τ=46.33
CC 8 SLD (Collegamento -041_-375)
Azioni sul collegamento: N=-8788.68 Ty=-8.45 Tz=17.92 Mx=0.00 Mz=-5.38
Sollecitazioni agenti localmente: Ty_l=-1536.58 My_l=-31.47
Tensioni nella sezione: σ=381.45 τ=46.56
CC 8 SLD (Collegamento -041_-375)
Azioni sul collegamento: N=-8788.68 Ty=-10.81 Tz=9.00 Mx=0.00 Mz=-7.34
Sollecitazioni agenti localmente: Ty_l=-1528.81 My_l=-31.30
Tensioni nella sezione: σ=379.39 τ=46.33
CC 8 SLD (Collegamento -041_-375)
Azioni sul collegamento: N=-8788.68 Ty=-8.45 Tz=9.00 Mx=0.00 Mz=-5.38
Sollecitazioni agenti localmente: Ty_l=-1536.58 My_l=-31.47
Tensioni nella sezione: σ=381.45 τ=46.56
CC 9 SLV (Collegamento -041_-375)
Azioni sul collegamento: N=-8703.00 Ty=-6.76 Tz=8.19 Mx=0.02 Mz=-1.67
Sollecitazioni agenti localmente: Ty_l=-1536.15 My_l=-31.48
Tensioni nella sezione: σ=381.60 τ=46.55
CC 9 SLV (Collegamento -041_-375)
Azioni sul collegamento: N=-8703.00 Ty=-10.65 Tz=8.19 Mx=0.02 Mz=-6.77
Sollecitazioni agenti localmente: Ty_l=-1515.87 My_l=-31.04

Tensioni nella sezione: σ=376.21 τ=45.94
CC 9 SLV (Collegamento -041_-375)
Azioni sul collegamento: N=-8703.00 Ty=-6.76 Tz=17.96 Mx=0.02 Mz=-1.67
Sollecitazioni agenti localmente: Ty_l=-1536.15 My_l=-31.48
Tensioni nella sezione: σ=381.60 τ=46.55
CC 9 SLV (Collegamento -041_-375)
Azioni sul collegamento: N=-8703.00 Ty=-10.65 Tz=17.96 Mx=0.02 Mz=-6.77
Sollecitazioni agenti localmente: Ty_l=-1515.87 My_l=-31.04
Tensioni nella sezione: σ=376.21 τ=45.94
CC 9 SLV (Collegamento -041_-375)
Azioni sul collegamento: N=-11070.70 Ty=-6.76 Tz=8.19 Mx=0.02 Mz=-1.67
Sollecitazioni agenti localmente: Ty_l=-1955.87 My_l=-40.09
Tensioni nella sezione: σ=485.89 τ=59.27
CC 9 SLV (Collegamento -041_-375)
Azioni sul collegamento: N=-11070.70 Ty=-10.65 Tz=8.19 Mx=0.02 Mz=-6.77
Sollecitazioni agenti localmente: Ty_l=-1935.59 My_l=-39.64
Tensioni nella sezione: σ=480.51 τ=58.65
CC 9 SLV (Collegamento -041_-375)
Azioni sul collegamento: N=-11070.70 Ty=-6.76 Tz=17.96 Mx=0.02 Mz=-1.67
Sollecitazioni agenti localmente: Ty_l=-1955.87 My_l=-40.09
Tensioni nella sezione: σ=485.89 τ=59.27
CC 9 SLV (Collegamento -041_-375)
Azioni sul collegamento: N=-11070.70 Ty=-10.65 Tz=17.96 Mx=0.02 Mz=-6.77
Sollecitazioni agenti localmente: Ty_l=-1935.59 My_l=-39.64
Tensioni nella sezione: σ=480.51 τ=58.65
CC 10 SLD (Collegamento -041_-375)
Azioni sul collegamento: N=-9623.43 Ty=-9.04 Tz=11.97 Mx=0.00 Mz=-5.58
Sollecitazioni agenti localmente: Ty_l=-1683.76 My_l=-34.49
Tensioni nella sezione: σ=418.01 τ=51.02
CC 10 SLD (Collegamento -041_-375)
Azioni sul collegamento: N=-9623.43 Ty=-10.22 Tz=11.97 Mx=0.00 Mz=-7.14
Sollecitazioni agenti localmente: Ty_l=-1677.58 My_l=-34.35
Tensioni nella sezione: σ=416.37 τ=50.84
CC 10 SLD (Collegamento -041_-375)
Azioni sul collegamento: N=-9623.43 Ty=-9.04 Tz=14.95 Mx=0.00 Mz=-5.58
Sollecitazioni agenti localmente: Ty_l=-1683.76 My_l=-34.49
Tensioni nella sezione: σ=418.01 τ=51.02
CC 10 SLD (Collegamento -041_-375)
Azioni sul collegamento: N=-9623.43 Ty=-10.22 Tz=14.95 Mx=0.00 Mz=-7.14
Sollecitazioni agenti localmente: Ty_l=-1677.58 My_l=-34.35
Tensioni nella sezione: σ=416.37 τ=50.84
CC 10 SLD (Collegamento -041_-375)
Azioni sul collegamento: N=-10345.40 Ty=-9.04 Tz=11.97 Mx=0.00 Mz=-5.58
Sollecitazioni agenti localmente: Ty_l=-1811.75 My_l=-37.11
Tensioni nella sezione: σ=449.81 τ=54.90
CC 10 SLD (Collegamento -041_-375)
Azioni sul collegamento: N=-10345.40 Ty=-10.22 Tz=11.97 Mx=0.00 Mz=-7.14
Sollecitazioni agenti localmente: Ty_l=-1805.56 My_l=-36.97
Tensioni nella sezione: σ=448.17 τ=54.71
CC 10 SLD (Collegamento -041_-375)
Azioni sul collegamento: N=-10345.40 Ty=-9.04 Tz=14.95 Mx=0.00 Mz=-5.58
Sollecitazioni agenti localmente: Ty_l=-1811.75 My_l=-37.11
Tensioni nella sezione: σ=449.81 τ=54.90
CC 10 SLD (Collegamento -041_-375)
Azioni sul collegamento: N=-10345.40 Ty=-10.22 Tz=14.95 Mx=0.00 Mz=-7.14
Sollecitazioni agenti localmente: Ty_l=-1805.56 My_l=-36.97
Tensioni nella sezione: σ=448.17 τ=54.71
CC 11 SLV (Collegamento -041_-375)
Azioni sul collegamento: N=-11054.30 Ty=-8.94 Tz=16.87 Mx=0.02 Mz=-3.28
Sollecitazioni agenti localmente: Ty_l=-1946.58 My_l=-39.89
Tensioni nella sezione: σ=483.48 τ=58.99
CC 11 SLV (Collegamento -041_-375)
Azioni sul collegamento: N=-11054.30 Ty=-8.48 Tz=16.87 Mx=0.02 Mz=-5.16
Sollecitazioni agenti localmente: Ty_l=-1939.09 My_l=-39.72
Tensioni nella sezione: σ=481.49 τ=58.76
CC 11 SLV (Collegamento -041_-375)
Azioni sul collegamento: N=-11054.30 Ty=-8.94 Tz=9.28 Mx=0.02 Mz=-3.28
Sollecitazioni agenti localmente: Ty_l=-1946.58 My_l=-39.89
Tensioni nella sezione: σ=483.48 τ=58.99
CC 11 SLV (Collegamento -041_-375)
Azioni sul collegamento: N=-11054.30 Ty=-8.48 Tz=9.28 Mx=0.02 Mz=-5.16
Sollecitazioni agenti localmente: Ty_l=-1939.09 My_l=-39.72
Tensioni nella sezione: σ=481.49 τ=58.76
CC 11 SLV (Collegamento -041_-375)
Azioni sul collegamento: N=-8719.33 Ty=-8.94 Tz=16.87 Mx=0.02 Mz=-3.28
Sollecitazioni agenti localmente: Ty_l=-1532.65 My_l=-31.40
Tensioni nella sezione: σ=380.62 τ=46.44
CC 11 SLV (Collegamento -041_-375)
Azioni sul collegamento: N=-8719.33 Ty=-8.48 Tz=16.87 Mx=0.02 Mz=-5.16
Sollecitazioni agenti localmente: Ty_l=-1525.16 My_l=-31.24

Tensioni nella sezione: σ=378.63 τ=46.22
CC 11 SLV (Collegamento -041_-375)
Azioni sul collegamento: N=-8719.33 Ty=-8.94 Tz=9.28 Mx=0.02 Mz=-3.28
Sollecitazioni agenti localmente: Ty_l=-1532.65 My_l=-31.40
Tensioni nella sezione: σ=380.62 τ=46.44
CC 11 SLV (Collegamento -041_-375)
Azioni sul collegamento: N=-8719.33 Ty=-8.48 Tz=9.28 Mx=0.02 Mz=-5.16
Sollecitazioni agenti localmente: Ty_l=-1525.16 My_l=-31.24
Tensioni nella sezione: σ=378.63 τ=46.22
CC 12 SLD (Collegamento -041_-375)
Azioni sul collegamento: N=-10340.40 Ty=-9.70 Tz=14.62 Mx=0.00 Mz=-6.07
Sollecitazioni agenti localmente: Ty_l=-1808.92 My_l=-37.05
Tensioni nella sezione: σ=449.08 τ=54.82
CC 12 SLD (Collegamento -041_-375)
Azioni sul collegamento: N=-10340.40 Ty=-9.56 Tz=14.62 Mx=0.00 Mz=-6.65
Sollecitazioni agenti localmente: Ty_l=-1806.63 My_l=-37.00
Tensioni nella sezione: σ=448.47 τ=54.75
CC 12 SLD (Collegamento -041_-375)
Azioni sul collegamento: N=-10340.40 Ty=-9.70 Tz=12.30 Mx=0.00 Mz=-6.07
Sollecitazioni agenti localmente: Ty_l=-1808.92 My_l=-37.05
Tensioni nella sezione: σ=449.08 τ=54.82
CC 12 SLD (Collegamento -041_-375)
Azioni sul collegamento: N=-10340.40 Ty=-9.56 Tz=12.30 Mx=0.00 Mz=-6.65
Sollecitazioni agenti localmente: Ty_l=-1806.63 My_l=-37.00
Tensioni nella sezione: σ=448.47 τ=54.75
CC 12 SLD (Collegamento -041_-375)
Azioni sul collegamento: N=-9628.41 Ty=-9.70 Tz=14.62 Mx=0.00 Mz=-6.07
Sollecitazioni agenti localmente: Ty_l=-1682.70 My_l=-34.46
Tensioni nella sezione: σ=417.71 τ=50.99
CC 12 SLD (Collegamento -041_-375)
Azioni sul collegamento: N=-9628.41 Ty=-9.56 Tz=14.62 Mx=0.00 Mz=-6.65
Sollecitazioni agenti localmente: Ty_l=-1680.41 My_l=-34.41
Tensioni nella sezione: σ=417.11 τ=50.92
CC 12 SLD (Collegamento -041_-375)
Azioni sul collegamento: N=-9628.40 Ty=-9.70 Tz=12.30 Mx=0.00 Mz=-6.07
Sollecitazioni agenti localmente: Ty_l=-1682.70 My_l=-34.46
Tensioni nella sezione: σ=417.71 τ=50.99
CC 12 SLD (Collegamento -041_-375)
Azioni sul collegamento: N=-9628.40 Ty=-9.56 Tz=12.30 Mx=0.00 Mz=-6.65
Sollecitazioni agenti localmente: Ty_l=-1680.41 My_l=-34.41
Tensioni nella sezione: σ=417.11 τ=50.92
CC 13 SLV (Collegamento -041_-375)
Azioni sul collegamento: N=-8719.33 Ty=-8.48 Tz=9.28 Mx=0.00 Mz=-5.16
Sollecitazioni agenti localmente: Ty_l=-1525.16 My_l=-31.24
Tensioni nella sezione: σ=378.63 τ=46.22
CC 13 SLV (Collegamento -041_-375)
Azioni sul collegamento: N=-8719.33 Ty=-8.94 Tz=9.28 Mx=0.00 Mz=-3.28
Sollecitazioni agenti localmente: Ty_l=-1532.65 My_l=-31.40
Tensioni nella sezione: σ=380.62 τ=46.44
CC 13 SLV (Collegamento -041_-375)
Azioni sul collegamento: N=-8719.33 Ty=-8.48 Tz=16.87 Mx=0.00 Mz=-5.16
Sollecitazioni agenti localmente: Ty_l=-1525.16 My_l=-31.24
Tensioni nella sezione: σ=378.63 τ=46.22
CC 13 SLV (Collegamento -041_-375)
Azioni sul collegamento: N=-8719.33 Ty=-8.94 Tz=16.87 Mx=0.00 Mz=-3.28
Sollecitazioni agenti localmente: Ty_l=-1532.65 My_l=-31.40
Tensioni nella sezione: σ=380.62 τ=46.44
CC 13 SLV (Collegamento -041_-375)
Azioni sul collegamento: N=-11054.30 Ty=-8.48 Tz=9.28 Mx=0.00 Mz=-5.16
Sollecitazioni agenti localmente: Ty_l=-1939.09 My_l=-39.72
Tensioni nella sezione: σ=481.49 τ=58.76
CC 13 SLV (Collegamento -041_-375)
Azioni sul collegamento: N=-11054.30 Ty=-8.94 Tz=9.28 Mx=0.00 Mz=-3.28
Sollecitazioni agenti localmente: Ty_l=-1946.58 My_l=-39.89
Tensioni nella sezione: σ=483.48 τ=58.99
CC 13 SLV (Collegamento -041_-375)
Azioni sul collegamento: N=-11054.30 Ty=-8.48 Tz=16.87 Mx=0.00 Mz=-5.16
Sollecitazioni agenti localmente: Ty_l=-1939.09 My_l=-39.72
Tensioni nella sezione: σ=481.49 τ=58.76
CC 13 SLV (Collegamento -041_-375)
Azioni sul collegamento: N=-11054.30 Ty=-8.94 Tz=16.87 Mx=0.00 Mz=-3.28
Sollecitazioni agenti localmente: Ty_l=-1946.58 My_l=-39.89
Tensioni nella sezione: σ=483.48 τ=58.99
CC 14 SLD (Collegamento -041_-375)
Azioni sul collegamento: N=-9628.40 Ty=-9.56 Tz=12.30 Mx=-0.00 Mz=-6.65
Sollecitazioni agenti localmente: Ty_l=-1680.41 My_l=-34.41
Tensioni nella sezione: σ=417.11 τ=50.92
CC 14 SLD (Collegamento -041_-375)
Azioni sul collegamento: N=-9628.40 Ty=-9.70 Tz=12.30 Mx=-0.00 Mz=-6.07
Sollecitazioni agenti localmente: Ty_l=-1682.70 My_l=-34.46

Tensioni nella sezione: σ=417.71 τ=50.99
CC 14 SLD (Collegamento -041_-375)
Azioni sul collegamento: N=-9628.41 Ty=-9.56 Tz=14.62 Mx=-0.00 Mz=-6.65
Sollecitazioni agenti localmente: Ty_l=-1680.41 My_l=-34.41
Tensioni nella sezione: σ=417.11 τ=50.92
CC 14 SLD (Collegamento -041_-375)
Azioni sul collegamento: N=-9628.41 Ty=-9.70 Tz=14.62 Mx=-0.00 Mz=-6.07
Sollecitazioni agenti localmente: Ty_l=-1682.70 My_l=-34.46
Tensioni nella sezione: σ=417.71 τ=50.99
CC 14 SLD (Collegamento -041_-375)
Azioni sul collegamento: N=-10340.40 Ty=-9.56 Tz=12.30 Mx=-0.00 Mz=-6.65
Sollecitazioni agenti localmente: Ty_l=-1806.63 My_l=-37.00
Tensioni nella sezione: σ=448.47 τ=54.75
CC 14 SLD (Collegamento -041_-375)
Azioni sul collegamento: N=-10340.40 Ty=-9.70 Tz=12.30 Mx=-0.00 Mz=-6.07
Sollecitazioni agenti localmente: Ty_l=-1808.92 My_l=-37.05
Tensioni nella sezione: σ=449.08 τ=54.82
CC 14 SLD (Collegamento -041_-375)
Azioni sul collegamento: N=-10340.40 Ty=-9.56 Tz=14.62 Mx=-0.00 Mz=-6.65
Sollecitazioni agenti localmente: Ty_l=-1806.63 My_l=-37.00
Tensioni nella sezione: σ=448.47 τ=54.75
CC 14 SLD (Collegamento -041_-375)
Azioni sul collegamento: N=-10340.40 Ty=-9.70 Tz=14.62 Mx=-0.00 Mz=-6.07
Sollecitazioni agenti localmente: Ty_l=-1808.92 My_l=-37.05
Tensioni nella sezione: σ=449.08 τ=54.82
CC 15 SLV (Collegamento -041_-375)
Azioni sul collegamento: N=-11070.70 Ty=-10.65 Tz=17.96 Mx=0.00 Mz=-6.77
Sollecitazioni agenti localmente: Ty_l=-1935.59 My_l=-39.64
Tensioni nella sezione: σ=480.51 τ=58.65
CC 15 SLV (Collegamento -041_-375)
Azioni sul collegamento: N=-11070.70 Ty=-6.76 Tz=17.96 Mx=0.00 Mz=-1.67
Sollecitazioni agenti localmente: Ty_l=-1955.87 My_l=-40.09
Tensioni nella sezione: σ=485.89 τ=59.27
CC 15 SLV (Collegamento -041_-375)
Azioni sul collegamento: N=-11070.70 Ty=-10.65 Tz=8.19 Mx=0.00 Mz=-6.77
Sollecitazioni agenti localmente: Ty_l=-1935.59 My_l=-39.64
Tensioni nella sezione: σ=480.51 τ=58.65
CC 15 SLV (Collegamento -041_-375)
Azioni sul collegamento: N=-11070.70 Ty=-6.76 Tz=8.19 Mx=0.00 Mz=-1.67
Sollecitazioni agenti localmente: Ty_l=-1955.87 My_l=-40.09
Tensioni nella sezione: σ=485.89 τ=59.27
CC 15 SLV (Collegamento -041_-375)
Azioni sul collegamento: N=-8703.00 Ty=-10.65 Tz=17.96 Mx=0.00 Mz=-6.77
Sollecitazioni agenti localmente: Ty_l=-1515.87 My_l=-31.04
Tensioni nella sezione: σ=376.21 τ=45.94
CC 15 SLV (Collegamento -041_-375)
Azioni sul collegamento: N=-8703.00 Ty=-6.76 Tz=17.96 Mx=0.00 Mz=-1.67
Sollecitazioni agenti localmente: Ty_l=-1536.15 My_l=-31.48
Tensioni nella sezione: σ=381.60 τ=46.55
CC 15 SLV (Collegamento -041_-375)
Azioni sul collegamento: N=-8703.00 Ty=-10.65 Tz=8.19 Mx=0.00 Mz=-6.77
Sollecitazioni agenti localmente: Ty_l=-1515.87 My_l=-31.04
Tensioni nella sezione: σ=376.21 τ=45.94
CC 15 SLV (Collegamento -041_-375)
Azioni sul collegamento: N=-8703.00 Ty=-6.76 Tz=8.19 Mx=0.00 Mz=-1.67
Sollecitazioni agenti localmente: Ty_l=-1536.15 My_l=-31.48
Tensioni nella sezione: σ=381.60 τ=46.55
CC 16 SLD (Collegamento -041_-375)
Azioni sul collegamento: N=-10345.40 Ty=-10.22 Tz=14.95 Mx=-0.00 Mz=-7.14
Sollecitazioni agenti localmente: Ty_l=-1805.56 My_l=-36.97
Tensioni nella sezione: σ=448.17 τ=54.71
CC 16 SLD (Collegamento -041_-375)
Azioni sul collegamento: N=-10345.40 Ty=-9.04 Tz=14.95 Mx=-0.00 Mz=-5.58
Sollecitazioni agenti localmente: Ty_l=-1811.75 My_l=-37.11
Tensioni nella sezione: σ=449.81 τ=54.90
CC 16 SLD (Collegamento -041_-375)
Azioni sul collegamento: N=-10345.40 Ty=-10.22 Tz=11.97 Mx=-0.00 Mz=-7.14
Sollecitazioni agenti localmente: Ty_l=-1805.56 My_l=-36.97
Tensioni nella sezione: σ=448.17 τ=54.71
CC 16 SLD (Collegamento -041_-375)
Azioni sul collegamento: N=-10345.40 Ty=-9.04 Tz=11.97 Mx=-0.00 Mz=-5.58
Sollecitazioni agenti localmente: Ty_l=-1811.75 My_l=-37.11
Tensioni nella sezione: σ=449.81 τ=54.90
CC 16 SLD (Collegamento -041_-375)
Azioni sul collegamento: N=-9623.43 Ty=-10.22 Tz=14.95 Mx=-0.00 Mz=-7.14
Sollecitazioni agenti localmente: Ty_l=-1677.58 My_l=-34.35
Tensioni nella sezione: σ=416.37 τ=50.84
CC 16 SLD (Collegamento -041_-375)
Azioni sul collegamento: N=-9623.43 Ty=-9.04 Tz=14.95 Mx=-0.00 Mz=-5.58
Sollecitazioni agenti localmente: Ty_l=-1683.76 My_l=-34.49

Tensioni nella sezione: σ=418.01 τ=51.02
CC 16 SLD (Collegamento -041_-375)
Azioni sul collegamento: N=-9623.43 Ty=-10.22 Tz=11.97 Mx=-0.00 Mz=-7.14
Sollecitazioni agenti localmente: Ty_l=-1677.58 My_l=-34.35
Tensioni nella sezione: σ=416.37 τ=50.84
CC 16 SLD (Collegamento -041_-375)
Azioni sul collegamento: N=-9623.43 Ty=-9.04 Tz=11.97 Mx=-0.00 Mz=-5.58
Sollecitazioni agenti localmente: Ty_l=-1683.76 My_l=-34.49
Tensioni nella sezione: σ=418.01 τ=51.02
CC 17 SLV (Collegamento -041_-375)
Azioni sul collegamento: N=-6246.30 Ty=-7.49 Tz=-0.46 Mx=-0.02 Mz=-7.17
Sollecitazioni agenti localmente: Ty_l=-1078.77 My_l=-22.07
Tensioni nella sezione: σ=267.57 τ=32.69
CC 17 SLV (Collegamento -041_-375)
Azioni sul collegamento: N=-6246.30 Ty=-15.25 Tz=-0.46 Mx=-0.02 Mz=-13.58
Sollecitazioni agenti localmente: Ty_l=-1053.29 My_l=-21.52
Tensioni nella sezione: σ=260.81 τ=31.92
CC 17 SLV (Collegamento -041_-375)
Azioni sul collegamento: N=-6246.30 Ty=-7.49 Tz=28.82 Mx=-0.02 Mz=-7.17
Sollecitazioni agenti localmente: Ty_l=-1078.77 My_l=-22.07
Tensioni nella sezione: σ=267.57 τ=32.69
CC 17 SLV (Collegamento -041_-375)
Azioni sul collegamento: N=-6246.30 Ty=-15.25 Tz=28.82 Mx=-0.02 Mz=-13.58
Sollecitazioni agenti localmente: Ty_l=-1053.29 My_l=-21.52
Tensioni nella sezione: σ=260.81 τ=31.92
CC 17 SLV (Collegamento -041_-375)
Azioni sul collegamento: N=-14088.90 Ty=-7.49 Tz=-0.46 Mx=-0.02 Mz=-7.17
Sollecitazioni agenti localmente: Ty_l=-2469.06 My_l=-50.58
Tensioni nella sezione: σ=613.04 τ=74.82
CC 17 SLV (Collegamento -041_-375)
Azioni sul collegamento: N=-14088.90 Ty=-15.25 Tz=-0.46 Mx=-0.02 Mz=-13.58
Sollecitazioni agenti localmente: Ty_l=-2443.58 My_l=-50.02
Tensioni nella sezione: σ=606.27 τ=74.05
CC 17 SLV (Collegamento -041_-375)
Azioni sul collegamento: N=-14088.90 Ty=-7.49 Tz=28.82 Mx=-0.02 Mz=-7.17
Sollecitazioni agenti localmente: Ty_l=-2469.06 My_l=-50.58
Tensioni nella sezione: σ=613.04 τ=74.82
CC 17 SLV (Collegamento -041_-375)
Azioni sul collegamento: N=-14088.90 Ty=-15.25 Tz=28.82 Mx=-0.02 Mz=-13.58
Sollecitazioni agenti localmente: Ty_l=-2443.58 My_l=-50.02
Tensioni nella sezione: σ=606.27 τ=74.05
CC 18 SLD (Collegamento -041_-375)
Azioni sul collegamento: N=-8874.30 Ty=-9.26 Tz=9.33 Mx=-0.01 Mz=-7.26
Sollecitazioni agenti localmente: Ty_l=-1544.29 My_l=-31.62
Tensioni nella sezione: σ=383.24 τ=46.80
CC 18 SLD (Collegamento -041_-375)
Azioni sul collegamento: N=-8874.30 Ty=-11.63 Tz=9.33 Mx=-0.01 Mz=-9.21
Sollecitazioni agenti localmente: Ty_l=-1536.52 My_l=-31.45
Tensioni nella sezione: σ=381.18 τ=46.56
CC 18 SLD (Collegamento -041_-375)
Azioni sul collegamento: N=-8874.30 Ty=-9.26 Tz=18.26 Mx=-0.01 Mz=-7.26
Sollecitazioni agenti localmente: Ty_l=-1544.29 My_l=-31.62
Tensioni nella sezione: σ=383.24 τ=46.80
CC 18 SLD (Collegamento -041_-375)
Azioni sul collegamento: N=-8874.30 Ty=-11.63 Tz=18.26 Mx=-0.01 Mz=-9.21
Sollecitazioni agenti localmente: Ty_l=-1536.52 My_l=-31.45
Tensioni nella sezione: σ=381.18 τ=46.56
CC 18 SLD (Collegamento -041_-375)
Azioni sul collegamento: N=-11265.80 Ty=-9.26 Tz=9.33 Mx=-0.01 Mz=-7.26
Sollecitazioni agenti localmente: Ty_l=-1968.24 My_l=-40.31
Tensioni nella sezione: σ=488.59 τ=59.64
CC 18 SLD (Collegamento -041_-375)
Azioni sul collegamento: N=-11265.80 Ty=-11.63 Tz=9.33 Mx=-0.01 Mz=-9.21
Sollecitazioni agenti localmente: Ty_l=-1960.47 My_l=-40.14
Tensioni nella sezione: σ=486.52 τ=59.41
CC 18 SLD (Collegamento -041_-375)
Azioni sul collegamento: N=-11265.80 Ty=-9.26 Tz=18.26 Mx=-0.01 Mz=-7.26
Sollecitazioni agenti localmente: Ty_l=-1968.24 My_l=-40.31
Tensioni nella sezione: σ=488.59 τ=59.64
CC 18 SLD (Collegamento -041_-375)
Azioni sul collegamento: N=-11265.80 Ty=-11.63 Tz=18.26 Mx=-0.01 Mz=-9.21
Sollecitazioni agenti localmente: Ty_l=-1960.47 My_l=-40.14
Tensioni nella sezione: σ=486.52 τ=59.41
CC 19 SLV (Collegamento -041_-375)
Azioni sul collegamento: N=-6251.20 Ty=-8.00 Tz=-0.13 Mx=-0.01 Mz=-8.22
Sollecitazioni agenti localmente: Ty_l=-1075.47 My_l=-22.00
Tensioni nella sezione: σ=266.68 τ=32.59
CC 19 SLV (Collegamento -041_-375)
Azioni sul collegamento: N=-6251.20 Ty=-14.73 Tz=-0.13 Mx=-0.01 Mz=-12.53
Sollecitazioni agenti localmente: Ty_l=-1058.32 My_l=-21.63

Tensioni nella sezione: σ=262.13 τ=32.07
CC 19 SLV (Collegamento -041_-375)
Azioni sul collegamento: N=-6251.20 Ty=-8.00 Tz=28.49 Mx=-0.01 Mz=-8.22
Sollecitazioni agenti localmente: Ty_l=-1075.47 My_l=-22.00
Tensioni nella sezione: σ=266.68 τ=32.59
CC 19 SLV (Collegamento -041_-375)
Azioni sul collegamento: N=-6251.20 Ty=-14.73 Tz=28.49 Mx=-0.01 Mz=-12.53
Sollecitazioni agenti localmente: Ty_l=-1058.32 My_l=-21.63
Tensioni nella sezione: σ=262.13 τ=32.07
CC 19 SLV (Collegamento -041_-375)
Azioni sul collegamento: N=-14084.00 Ty=-8.00 Tz=-0.13 Mx=-0.01 Mz=-8.22
Sollecitazioni agenti localmente: Ty_l=-2464.02 My_l=-50.47
Tensioni nella sezione: σ=611.72 τ=74.67
CC 19 SLV (Collegamento -041_-375)
Azioni sul collegamento: N=-14084.00 Ty=-14.73 Tz=-0.13 Mx=-0.01 Mz=-12.53
Sollecitazioni agenti localmente: Ty_l=-2446.88 My_l=-50.09
Tensioni nella sezione: σ=607.17 τ=74.15
CC 19 SLV (Collegamento -041_-375)
Azioni sul collegamento: N=-14084.00 Ty=-8.00 Tz=28.49 Mx=-0.01 Mz=-8.22
Sollecitazioni agenti localmente: Ty_l=-2464.02 My_l=-50.47
Tensioni nella sezione: σ=611.72 τ=74.67
CC 19 SLV (Collegamento -041_-375)
Azioni sul collegamento: N=-14084.00 Ty=-14.73 Tz=28.49 Mx=-0.01 Mz=-12.53
Sollecitazioni agenti localmente: Ty_l=-2446.87 My_l=-50.09
Tensioni nella sezione: σ=607.17 τ=74.15
CC 20 SLD (Collegamento -041_-375)
Azioni sul collegamento: N=-8875.79 Ty=-9.42 Tz=9.43 Mx=-0.01 Mz=-7.58
Sollecitazioni agenti localmente: Ty_l=-1543.29 My_l=-31.60
Tensioni nella sezione: σ=382.97 τ=46.77
CC 20 SLD (Collegamento -041_-375)
Azioni sul collegamento: N=-8875.79 Ty=-11.47 Tz=9.43 Mx=-0.01 Mz=-8.89
Sollecitazioni agenti localmente: Ty_l=-1538.06 My_l=-31.48
Tensioni nella sezione: σ=381.58 τ=46.61
CC 20 SLD (Collegamento -041_-375)
Azioni sul collegamento: N=-8875.80 Ty=-9.42 Tz=18.16 Mx=-0.01 Mz=-7.58
Sollecitazioni agenti localmente: Ty_l=-1543.29 My_l=-31.60
Tensioni nella sezione: σ=382.97 τ=46.77
CC 20 SLD (Collegamento -041_-375)
Azioni sul collegamento: N=-8875.80 Ty=-11.47 Tz=18.16 Mx=-0.01 Mz=-8.89
Sollecitazioni agenti localmente: Ty_l=-1538.06 My_l=-31.48
Tensioni nella sezione: σ=381.58 τ=46.61
CC 20 SLD (Collegamento -041_-375)
Azioni sul collegamento: N=-11264.30 Ty=-9.42 Tz=9.43 Mx=-0.01 Mz=-7.58
Sollecitazioni agenti localmente: Ty_l=-1966.70 My_l=-40.28
Tensioni nella sezione: σ=488.18 τ=59.60
CC 20 SLD (Collegamento -041_-375)
Azioni sul collegamento: N=-11264.30 Ty=-11.47 Tz=9.43 Mx=-0.01 Mz=-8.89
Sollecitazioni agenti localmente: Ty_l=-1961.47 My_l=-40.16
Tensioni nella sezione: σ=486.80 τ=59.44
CC 20 SLD (Collegamento -041_-375)
Azioni sul collegamento: N=-11264.30 Ty=-9.42 Tz=18.16 Mx=-0.01 Mz=-7.58
Sollecitazioni agenti localmente: Ty_l=-1966.70 My_l=-40.28
Tensioni nella sezione: σ=488.18 τ=59.60
CC 20 SLD (Collegamento -041_-375)
Azioni sul collegamento: N=-11264.30 Ty=-11.47 Tz=18.16 Mx=-0.01 Mz=-8.89
Sollecitazioni agenti localmente: Ty_l=-1961.47 My_l=-40.16
Tensioni nella sezione: σ=486.80 τ=59.44
CC 21 SLV (Collegamento -041_-375)
Azioni sul collegamento: N=-14084.00 Ty=-14.73 Tz=28.49 Mx=-0.02 Mz=-12.53
Sollecitazioni agenti localmente: Ty_l=-2446.87 My_l=-50.09
Tensioni nella sezione: σ=607.17 τ=74.15
CC 21 SLV (Collegamento -041_-375)
Azioni sul collegamento: N=-14084.00 Ty=-8.00 Tz=28.49 Mx=-0.02 Mz=-8.22
Sollecitazioni agenti localmente: Ty_l=-2464.02 My_l=-50.47
Tensioni nella sezione: σ=611.72 τ=74.67
CC 21 SLV (Collegamento -041_-375)
Azioni sul collegamento: N=-14084.00 Ty=-14.73 Tz=-0.13 Mx=-0.02 Mz=-12.53
Sollecitazioni agenti localmente: Ty_l=-2446.88 My_l=-50.09
Tensioni nella sezione: σ=607.17 τ=74.15
CC 21 SLV (Collegamento -041_-375)
Azioni sul collegamento: N=-14084.00 Ty=-8.00 Tz=-0.13 Mx=-0.02 Mz=-8.22
Sollecitazioni agenti localmente: Ty_l=-2464.02 My_l=-50.47
Tensioni nella sezione: σ=611.72 τ=74.67
CC 21 SLV (Collegamento -041_-375)
Azioni sul collegamento: N=-6251.20 Ty=-14.73 Tz=28.49 Mx=-0.02 Mz=-12.53
Sollecitazioni agenti localmente: Ty_l=-1058.32 My_l=-21.63
Tensioni nella sezione: σ=262.13 τ=32.07
CC 21 SLV (Collegamento -041_-375)
Azioni sul collegamento: N=-6251.20 Ty=-8.00 Tz=28.49 Mx=-0.02 Mz=-8.22
Sollecitazioni agenti localmente: Ty_l=-1075.47 My_l=-22.00

Tensioni nella sezione: σ=266.68 τ=32.59
CC 21 SLV (Collegamento -041_-375)
Azioni sul collegamento: N=-6251.20 Ty=-14.73 Tz=-0.13 Mx=-0.02 Mz=-12.53
Sollecitazioni agenti localmente: Ty_l=-1058.32 My_l=-21.63
Tensioni nella sezione: σ=262.13 τ=32.07
CC 21 SLV (Collegamento -041_-375)
Azioni sul collegamento: N=-6251.20 Ty=-8.00 Tz=-0.13 Mx=-0.02 Mz=-8.22
Sollecitazioni agenti localmente: Ty_l=-1075.47 My_l=-22.00
Tensioni nella sezione: σ=266.68 τ=32.59
CC 22 SLD (Collegamento -041_-375)
Azioni sul collegamento: N=-11264.30 Ty=-11.47 Tz=18.16 Mx=-0.01 Mz=-8.89
Sollecitazioni agenti localmente: Ty_l=-1961.47 My_l=-40.16
Tensioni nella sezione: σ=486.80 τ=59.44
CC 22 SLD (Collegamento -041_-375)
Azioni sul collegamento: N=-11264.30 Ty=-9.42 Tz=18.16 Mx=-0.01 Mz=-7.58
Sollecitazioni agenti localmente: Ty_l=-1966.70 My_l=-40.28
Tensioni nella sezione: σ=488.18 τ=59.60
CC 22 SLD (Collegamento -041_-375)
Azioni sul collegamento: N=-11264.30 Ty=-11.47 Tz=9.43 Mx=-0.01 Mz=-8.89
Sollecitazioni agenti localmente: Ty_l=-1961.47 My_l=-40.16
Tensioni nella sezione: σ=486.80 τ=59.44
CC 22 SLD (Collegamento -041_-375)
Azioni sul collegamento: N=-11264.30 Ty=-9.42 Tz=9.43 Mx=-0.01 Mz=-7.58
Sollecitazioni agenti localmente: Ty_l=-1966.70 My_l=-40.28
Tensioni nella sezione: σ=488.18 τ=59.60
CC 22 SLD (Collegamento -041_-375)
Azioni sul collegamento: N=-8875.80 Ty=-11.47 Tz=18.16 Mx=-0.01 Mz=-8.89
Sollecitazioni agenti localmente: Ty_l=-1538.06 My_l=-31.48
Tensioni nella sezione: σ=381.58 τ=46.61
CC 22 SLD (Collegamento -041_-375)
Azioni sul collegamento: N=-8875.80 Ty=-9.42 Tz=18.16 Mx=-0.01 Mz=-7.58
Sollecitazioni agenti localmente: Ty_l=-1543.29 My_l=-31.60
Tensioni nella sezione: σ=382.97 τ=46.77
CC 22 SLD (Collegamento -041_-375)
Azioni sul collegamento: N=-8875.79 Ty=-11.47 Tz=9.43 Mx=-0.01 Mz=-8.89
Sollecitazioni agenti localmente: Ty_l=-1538.06 My_l=-31.48
Tensioni nella sezione: σ=381.58 τ=46.61
CC 22 SLD (Collegamento -041_-375)
Azioni sul collegamento: N=-8875.79 Ty=-9.42 Tz=9.43 Mx=-0.01 Mz=-7.58
Sollecitazioni agenti localmente: Ty_l=-1543.29 My_l=-31.60
Tensioni nella sezione: σ=382.97 τ=46.77
CC 23 SLV (Collegamento -041_-375)
Azioni sul collegamento: N=-14088.90 Ty=-15.25 Tz=28.82 Mx=-0.01 Mz=-13.58
Sollecitazioni agenti localmente: Ty_l=-2443.58 My_l=-50.02
Tensioni nella sezione: σ=606.27 τ=74.05
CC 23 SLV (Collegamento -041_-375)
Azioni sul collegamento: N=-14088.90 Ty=-7.49 Tz=28.82 Mx=-0.01 Mz=-7.17
Sollecitazioni agenti localmente: Ty_l=-2469.06 My_l=-50.58
Tensioni nella sezione: σ=613.04 τ=74.82
CC 23 SLV (Collegamento -041_-375)
Azioni sul collegamento: N=-14088.90 Ty=-15.25 Tz=-0.46 Mx=-0.01 Mz=-13.58
Sollecitazioni agenti localmente: Ty_l=-2443.58 My_l=-50.02
Tensioni nella sezione: σ=606.27 τ=74.05
CC 23 SLV (Collegamento -041_-375)
Azioni sul collegamento: N=-14088.90 Ty=-7.49 Tz=-0.46 Mx=-0.01 Mz=-7.17
Sollecitazioni agenti localmente: Ty_l=-2469.06 My_l=-50.58
Tensioni nella sezione: σ=613.04 τ=74.82
CC 23 SLV (Collegamento -041_-375)
Azioni sul collegamento: N=-6246.30 Ty=-15.25 Tz=28.82 Mx=-0.01 Mz=-13.58
Sollecitazioni agenti localmente: Ty_l=-1053.29 My_l=-21.52
Tensioni nella sezione: σ=260.81 τ=31.92
CC 23 SLV (Collegamento -041_-375)
Azioni sul collegamento: N=-6246.30 Ty=-7.49 Tz=28.82 Mx=-0.01 Mz=-7.17
Sollecitazioni agenti localmente: Ty_l=-1078.77 My_l=-22.07
Tensioni nella sezione: σ=267.57 τ=32.69
CC 23 SLV (Collegamento -041_-375)
Azioni sul collegamento: N=-6246.30 Ty=-15.25 Tz=-0.46 Mx=-0.01 Mz=-13.58
Sollecitazioni agenti localmente: Ty_l=-1053.29 My_l=-21.52
Tensioni nella sezione: σ=260.81 τ=31.92
CC 23 SLV (Collegamento -041_-375)
Azioni sul collegamento: N=-6246.30 Ty=-7.49 Tz=-0.46 Mx=-0.01 Mz=-7.17
Sollecitazioni agenti localmente: Ty_l=-1078.77 My_l=-22.07
Tensioni nella sezione: σ=267.57 τ=32.69
CC 24 SLD (Collegamento -041_-375)
Azioni sul collegamento: N=-11265.80 Ty=-11.63 Tz=18.26 Mx=-0.01 Mz=-9.21
Sollecitazioni agenti localmente: Ty_l=-1960.47 My_l=-40.14
Tensioni nella sezione: σ=486.52 τ=59.41
CC 24 SLD (Collegamento -041_-375)
Azioni sul collegamento: N=-11265.80 Ty=-9.26 Tz=18.26 Mx=-0.01 Mz=-7.26
Sollecitazioni agenti localmente: Ty_l=-1968.24 My_l=-40.31

Tensioni nella sezione: σ=488.59 τ=59.64
CC 24 SLD (Collegamento -041_-375)
Azioni sul collegamento: N=-11265.80 Ty=-11.63 Tz=9.33 Mx=-0.01 Mz=-9.21
Sollecitazioni agenti localmente: Ty_l=-1960.47 My_l=-40.14
Tensioni nella sezione: σ=486.52 τ=59.41
CC 24 SLD (Collegamento -041_-375)
Azioni sul collegamento: N=-11265.80 Ty=-9.26 Tz=9.33 Mx=-0.01 Mz=-7.26
Sollecitazioni agenti localmente: Ty_l=-1968.24 My_l=-40.31
Tensioni nella sezione: σ=488.59 τ=59.64
CC 24 SLD (Collegamento -041_-375)
Azioni sul collegamento: N=-8874.30 Ty=-11.63 Tz=18.26 Mx=-0.01 Mz=-9.21
Sollecitazioni agenti localmente: Ty_l=-1536.52 My_l=-31.45
Tensioni nella sezione: σ=381.18 τ=46.56
CC 24 SLD (Collegamento -041_-375)
Azioni sul collegamento: N=-8874.30 Ty=-9.26 Tz=18.26 Mx=-0.01 Mz=-7.26
Sollecitazioni agenti localmente: Ty_l=-1544.29 My_l=-31.62
Tensioni nella sezione: σ=383.24 τ=46.80
CC 24 SLD (Collegamento -041_-375)
Azioni sul collegamento: N=-8874.30 Ty=-11.63 Tz=9.33 Mx=-0.01 Mz=-9.21
Sollecitazioni agenti localmente: Ty_l=-1536.52 My_l=-31.45
Tensioni nella sezione: σ=381.18 τ=46.56
CC 24 SLD (Collegamento -041_-375)
Azioni sul collegamento: N=-8874.30 Ty=-9.26 Tz=9.33 Mx=-0.01 Mz=-7.26
Sollecitazioni agenti localmente: Ty_l=-1544.29 My_l=-31.62
Tensioni nella sezione: σ=383.24 τ=46.80
CC 25 SLV (Collegamento -041_-375)
Azioni sul collegamento: N=-8983.80 Ty=-9.43 Tz=9.29 Mx=-0.02 Mz=-7.83
Sollecitazioni agenti localmente: Ty_l=-1561.46 My_l=-31.97
Tensioni nella sezione: σ=387.47 τ=47.32
CC 25 SLV (Collegamento -041_-375)
Azioni sul collegamento: N=-8983.80 Ty=-13.31 Tz=9.29 Mx=-0.02 Mz=-12.93
Sollecitazioni agenti localmente: Ty_l=-1541.17 My_l=-31.52
Tensioni nella sezione: σ=382.08 τ=46.70
CC 25 SLV (Collegamento -041_-375)
Azioni sul collegamento: N=-8983.80 Ty=-9.43 Tz=19.07 Mx=-0.02 Mz=-7.83
Sollecitazioni agenti localmente: Ty_l=-1561.46 My_l=-31.97
Tensioni nella sezione: σ=387.47 τ=47.32
CC 25 SLV (Collegamento -041_-375)
Azioni sul collegamento: N=-8983.80 Ty=-13.31 Tz=19.07 Mx=-0.02 Mz=-12.93
Sollecitazioni agenti localmente: Ty_l=-1541.17 My_l=-31.52
Tensioni nella sezione: σ=382.08 τ=46.70
CC 25 SLV (Collegamento -041_-375)
Azioni sul collegamento: N=-11351.50 Ty=-9.43 Tz=9.29 Mx=-0.02 Mz=-7.83
Sollecitazioni agenti localmente: Ty_l=-1981.18 My_l=-40.57
Tensioni nella sezione: σ=491.76 τ=60.04
CC 25 SLV (Collegamento -041_-375)
Azioni sul collegamento: N=-11351.50 Ty=-13.31 Tz=9.29 Mx=-0.02 Mz=-12.93
Sollecitazioni agenti localmente: Ty_l=-1960.89 My_l=-40.13
Tensioni nella sezione: σ=486.38 τ=59.42
CC 25 SLV (Collegamento -041_-375)
Azioni sul collegamento: N=-11351.50 Ty=-9.43 Tz=19.07 Mx=-0.02 Mz=-7.83
Sollecitazioni agenti localmente: Ty_l=-1981.18 My_l=-40.57
Tensioni nella sezione: σ=491.76 τ=60.04
CC 25 SLV (Collegamento -041_-375)
Azioni sul collegamento: N=-11351.50 Ty=-13.31 Tz=19.07 Mx=-0.02 Mz=-12.93
Sollecitazioni agenti localmente: Ty_l=-1960.89 My_l=-40.13
Tensioni nella sezione: σ=486.38 τ=59.42
CC 26 SLD (Collegamento -041_-375)
Azioni sul collegamento: N=-9709.05 Ty=-9.85 Tz=12.31 Mx=-0.01 Mz=-7.46
Sollecitazioni agenti localmente: Ty_l=-1691.48 My_l=-34.63
Tensioni nella sezione: σ=419.80 τ=51.26
CC 26 SLD (Collegamento -041_-375)
Azioni sul collegamento: N=-9709.05 Ty=-11.04 Tz=12.31 Mx=-0.01 Mz=-9.01
Sollecitazioni agenti localmente: Ty_l=-1685.29 My_l=-34.50
Tensioni nella sezione: σ=418.16 τ=51.07
CC 26 SLD (Collegamento -041_-375)
Azioni sul collegamento: N=-9709.05 Ty=-9.85 Tz=15.29 Mx=-0.01 Mz=-7.46
Sollecitazioni agenti localmente: Ty_l=-1691.48 My_l=-34.63
Tensioni nella sezione: σ=419.80 τ=51.26
CC 26 SLD (Collegamento -041_-375)
Azioni sul collegamento: N=-9709.05 Ty=-11.04 Tz=15.29 Mx=-0.01 Mz=-9.01
Sollecitazioni agenti localmente: Ty_l=-1685.29 My_l=-34.50
Tensioni nella sezione: σ=418.16 τ=51.07
CC 26 SLD (Collegamento -041_-375)
Azioni sul collegamento: N=-10431.00 Ty=-9.85 Tz=12.31 Mx=-0.01 Mz=-7.46
Sollecitazioni agenti localmente: Ty_l=-1819.46 My_l=-37.26
Tensioni nella sezione: σ=451.61 τ=55.14
CC 26 SLD (Collegamento -041_-375)
Azioni sul collegamento: N=-10431.00 Ty=-11.04 Tz=12.31 Mx=-0.01 Mz=-9.01
Sollecitazioni agenti localmente: Ty_l=-1813.28 My_l=-37.12

Tensioni nella sezione: σ=449.96 τ=54.95
CC 26 SLD (Collegamento -041_-375)
Azioni sul collegamento: N=-10431.00 Ty=-9.85 Tz=15.29 Mx=-0.01 Mz=-7.46
Sollecitazioni agenti localmente: Ty_l=-1819.46 My_l=-37.26
Tensioni nella sezione: σ=451.61 τ=55.14
CC 26 SLD (Collegamento -041_-375)
Azioni sul collegamento: N=-10431.00 Ty=-11.04 Tz=15.29 Mx=-0.01 Mz=-9.01
Sollecitazioni agenti localmente: Ty_l=-1813.28 My_l=-37.12
Tensioni nella sezione: σ=449.96 τ=54.95
CC 27 SLV (Collegamento -041_-375)
Azioni sul collegamento: N=-11335.10 Ty=-11.60 Tz=17.98 Mx=-0.02 Mz=-9.43
Sollecitazioni agenti localmente: Ty_l=-1971.89 My_l=-40.37
Tensioni nella sezione: σ=489.35 τ=59.75
CC 27 SLV (Collegamento -041_-375)
Azioni sul collegamento: N=-11335.10 Ty=-11.14 Tz=17.98 Mx=-0.02 Mz=-11.32
Sollecitazioni agenti localmente: Ty_l=-1964.39 My_l=-40.21
Tensioni nella sezione: σ=487.36 τ=59.53
CC 27 SLV (Collegamento -041_-375)
Azioni sul collegamento: N=-11335.10 Ty=-11.60 Tz=10.38 Mx=-0.02 Mz=-9.43
Sollecitazioni agenti localmente: Ty_l=-1971.89 My_l=-40.37
Tensioni nella sezione: σ=489.35 τ=59.75
CC 27 SLV (Collegamento -041_-375)
Azioni sul collegamento: N=-11335.10 Ty=-11.14 Tz=10.38 Mx=-0.02 Mz=-11.32
Sollecitazioni agenti localmente: Ty_l=-1964.39 My_l=-40.21
Tensioni nella sezione: σ=487.36 τ=59.53
CC 27 SLV (Collegamento -041_-375)
Azioni sul collegamento: N=-9000.13 Ty=-11.60 Tz=17.98 Mx=-0.02 Mz=-9.43
Sollecitazioni agenti localmente: Ty_l=-1557.96 My_l=-31.89
Tensioni nella sezione: σ=386.49 τ=47.21
CC 27 SLV (Collegamento -041_-375)
Azioni sul collegamento: N=-9000.13 Ty=-11.14 Tz=17.98 Mx=-0.02 Mz=-11.32
Sollecitazioni agenti localmente: Ty_l=-1550.46 My_l=-31.72
Tensioni nella sezione: σ=384.50 τ=46.98
CC 27 SLV (Collegamento -041_-375)
Azioni sul collegamento: N=-9000.13 Ty=-11.60 Tz=10.38 Mx=-0.02 Mz=-9.43
Sollecitazioni agenti localmente: Ty_l=-1557.96 My_l=-31.89
Tensioni nella sezione: σ=386.49 τ=47.21
CC 27 SLV (Collegamento -041_-375)
Azioni sul collegamento: N=-9000.13 Ty=-11.14 Tz=10.38 Mx=-0.02 Mz=-11.32
Sollecitazioni agenti localmente: Ty_l=-1550.46 My_l=-31.72
Tensioni nella sezione: σ=384.50 τ=46.98
CC 28 SLD (Collegamento -041_-375)
Azioni sul collegamento: N=-10426.00 Ty=-10.51 Tz=14.95 Mx=-0.01 Mz=-7.95
Sollecitazioni agenti localmente: Ty_l=-1816.63 My_l=-37.20
Tensioni nella sezione: σ=450.87 τ=55.05
CC 28 SLD (Collegamento -041_-375)
Azioni sul collegamento: N=-10426.00 Ty=-10.37 Tz=14.95 Mx=-0.01 Mz=-8.52
Sollecitazioni agenti localmente: Ty_l=-1814.35 My_l=-37.15
Tensioni nella sezione: σ=450.26 τ=54.98
CC 28 SLD (Collegamento -041_-375)
Azioni sul collegamento: N=-10426.00 Ty=-10.51 Tz=12.64 Mx=-0.01 Mz=-7.95
Sollecitazioni agenti localmente: Ty_l=-1816.63 My_l=-37.20
Tensioni nella sezione: σ=450.87 τ=55.05
CC 28 SLD (Collegamento -041_-375)
Azioni sul collegamento: N=-10426.00 Ty=-10.37 Tz=12.64 Mx=-0.01 Mz=-8.52
Sollecitazioni agenti localmente: Ty_l=-1814.35 My_l=-37.15
Tensioni nella sezione: σ=450.26 τ=54.98
CC 28 SLD (Collegamento -041_-375)
Azioni sul collegamento: N=-9714.03 Ty=-10.51 Tz=14.95 Mx=-0.01 Mz=-7.95
Sollecitazioni agenti localmente: Ty_l=-1690.41 My_l=-34.61
Tensioni nella sezione: σ=419.50 τ=51.22
CC 28 SLD (Collegamento -041_-375)
Azioni sul collegamento: N=-9714.03 Ty=-10.37 Tz=14.95 Mx=-0.01 Mz=-8.52
Sollecitazioni agenti localmente: Ty_l=-1688.13 My_l=-34.56
Tensioni nella sezione: σ=418.90 τ=51.16
CC 28 SLD (Collegamento -041_-375)
Azioni sul collegamento: N=-9714.03 Ty=-10.51 Tz=12.64 Mx=-0.01 Mz=-7.95
Sollecitazioni agenti localmente: Ty_l=-1690.41 My_l=-34.61
Tensioni nella sezione: σ=419.50 τ=51.22
CC 28 SLD (Collegamento -041_-375)
Azioni sul collegamento: N=-9714.03 Ty=-10.37 Tz=12.64 Mx=-0.01 Mz=-8.52
Sollecitazioni agenti localmente: Ty_l=-1688.13 My_l=-34.56
Tensioni nella sezione: σ=418.90 τ=51.16
CC 29 SLV (Collegamento -041_-375)
Azioni sul collegamento: N=-9000.13 Ty=-11.14 Tz=10.38 Mx=-0.01 Mz=-11.32
Sollecitazioni agenti localmente: Ty_l=-1550.46 My_l=-31.72
Tensioni nella sezione: σ=384.50 τ=46.98
CC 29 SLV (Collegamento -041_-375)
Azioni sul collegamento: N=-9000.13 Ty=-11.60 Tz=10.38 Mx=-0.01 Mz=-9.43
Sollecitazioni agenti localmente: Ty_l=-1557.96 My_l=-31.89

Tensioni nella sezione: σ=386.49 τ=47.21
CC 29 SLV (Collegamento -041_-375)
Azioni sul collegamento: N=-9000.13 Ty=-11.14 Tz=17.98 Mx=-0.01 Mz=-11.32
Sollecitazioni agenti localmente: Ty_l=-1550.46 My_l=-31.72
Tensioni nella sezione: σ=384.50 τ=46.98
CC 29 SLV (Collegamento -041_-375)
Azioni sul collegamento: N=-9000.13 Ty=-11.60 Tz=17.98 Mx=-0.01 Mz=-9.43
Sollecitazioni agenti localmente: Ty_l=-1557.96 My_l=-31.89
Tensioni nella sezione: σ=386.49 τ=47.21
CC 29 SLV (Collegamento -041_-375)
Azioni sul collegamento: N=-11335.10 Ty=-11.14 Tz=10.38 Mx=-0.01 Mz=-11.32
Sollecitazioni agenti localmente: Ty_l=-1964.39 My_l=-40.21
Tensioni nella sezione: σ=487.36 τ=59.53
CC 29 SLV (Collegamento -041_-375)
Azioni sul collegamento: N=-11335.10 Ty=-11.60 Tz=10.38 Mx=-0.01 Mz=-9.43
Sollecitazioni agenti localmente: Ty_l=-1971.89 My_l=-40.37
Tensioni nella sezione: σ=489.35 τ=59.75
CC 29 SLV (Collegamento -041_-375)
Azioni sul collegamento: N=-11335.10 Ty=-11.14 Tz=17.98 Mx=-0.01 Mz=-11.32
Sollecitazioni agenti localmente: Ty_l=-1964.39 My_l=-40.21
Tensioni nella sezione: σ=487.36 τ=59.53
CC 29 SLV (Collegamento -041_-375)
Azioni sul collegamento: N=-11335.10 Ty=-11.60 Tz=17.98 Mx=-0.01 Mz=-9.43
Sollecitazioni agenti localmente: Ty_l=-1971.89 My_l=-40.37
Tensioni nella sezione: σ=489.35 τ=59.75
CC 30 SLD (Collegamento -041_-375)
Azioni sul collegamento: N=-9714.03 Ty=-10.37 Tz=12.64 Mx=-0.00 Mz=-8.52
Sollecitazioni agenti localmente: Ty_l=-1688.13 My_l=-34.56
Tensioni nella sezione: σ=418.90 τ=51.16
CC 30 SLD (Collegamento -041_-375)
Azioni sul collegamento: N=-9714.03 Ty=-10.51 Tz=12.64 Mx=-0.00 Mz=-7.95
Sollecitazioni agenti localmente: Ty_l=-1690.41 My_l=-34.61
Tensioni nella sezione: σ=419.50 τ=51.22
CC 30 SLD (Collegamento -041_-375)
Azioni sul collegamento: N=-9714.03 Ty=-10.37 Tz=14.95 Mx=-0.00 Mz=-8.52
Sollecitazioni agenti localmente: Ty_l=-1688.13 My_l=-34.56
Tensioni nella sezione: σ=418.90 τ=51.16
CC 30 SLD (Collegamento -041_-375)
Azioni sul collegamento: N=-9714.03 Ty=-10.51 Tz=14.95 Mx=-0.00 Mz=-7.95
Sollecitazioni agenti localmente: Ty_l=-1690.41 My_l=-34.61
Tensioni nella sezione: σ=419.50 τ=51.22
CC 30 SLD (Collegamento -041_-375)
Azioni sul collegamento: N=-10426.00 Ty=-10.37 Tz=12.64 Mx=-0.00 Mz=-8.52
Sollecitazioni agenti localmente: Ty_l=-1814.35 My_l=-37.15
Tensioni nella sezione: σ=450.26 τ=54.98
CC 30 SLD (Collegamento -041_-375)
Azioni sul collegamento: N=-10426.00 Ty=-10.51 Tz=12.64 Mx=-0.00 Mz=-7.95
Sollecitazioni agenti localmente: Ty_l=-1816.63 My_l=-37.20
Tensioni nella sezione: σ=450.87 τ=55.05
CC 30 SLD (Collegamento -041_-375)
Azioni sul collegamento: N=-10426.00 Ty=-10.37 Tz=14.95 Mx=-0.00 Mz=-8.52
Sollecitazioni agenti localmente: Ty_l=-1814.35 My_l=-37.15
Tensioni nella sezione: σ=450.26 τ=54.98
CC 30 SLD (Collegamento -041_-375)
Azioni sul collegamento: N=-10426.00 Ty=-10.51 Tz=14.95 Mx=-0.00 Mz=-7.95
Sollecitazioni agenti localmente: Ty_l=-1816.63 My_l=-37.20
Tensioni nella sezione: σ=450.87 τ=55.05
CC 31 SLV (Collegamento -041_-375)
Azioni sul collegamento: N=-11351.50 Ty=-13.31 Tz=19.07 Mx=-0.01 Mz=-12.93
Sollecitazioni agenti localmente: Ty_l=-1960.89 My_l=-40.13
Tensioni nella sezione: σ=486.38 τ=59.42
CC 31 SLV (Collegamento -041_-375)
Azioni sul collegamento: N=-11351.50 Ty=-9.43 Tz=19.07 Mx=-0.01 Mz=-7.83
Sollecitazioni agenti localmente: Ty_l=-1981.18 My_l=-40.57
Tensioni nella sezione: σ=491.76 τ=60.04
CC 31 SLV (Collegamento -041_-375)
Azioni sul collegamento: N=-11351.50 Ty=-13.31 Tz=9.29 Mx=-0.01 Mz=-12.93
Sollecitazioni agenti localmente: Ty_l=-1960.89 My_l=-40.13
Tensioni nella sezione: σ=486.38 τ=59.42
CC 31 SLV (Collegamento -041_-375)
Azioni sul collegamento: N=-11351.50 Ty=-9.43 Tz=9.29 Mx=-0.01 Mz=-7.83
Sollecitazioni agenti localmente: Ty_l=-1981.18 My_l=-40.57
Tensioni nella sezione: σ=491.76 τ=60.04
CC 31 SLV (Collegamento -041_-375)
Azioni sul collegamento: N=-8983.80 Ty=-13.31 Tz=19.07 Mx=-0.01 Mz=-12.93
Sollecitazioni agenti localmente: Ty_l=-1541.17 My_l=-31.52
Tensioni nella sezione: σ=382.08 τ=46.70
CC 31 SLV (Collegamento -041_-375)
Azioni sul collegamento: N=-8983.80 Ty=-9.43 Tz=19.07 Mx=-0.01 Mz=-7.83
Sollecitazioni agenti localmente: Ty_l=-1561.46 My_l=-31.97

Tensioni nella sezione: σ=387.47 τ=47.32
CC 31 SLV (Collegamento -041_-375)
Azioni sul collegamento: N=-8983.80 Ty=-13.31 Tz=9.29 Mx=-0.01 Mz=-12.93
Sollecitazioni agenti localmente: Ty_l=-1541.17 My_l=-31.52
Tensioni nella sezione: σ=382.08 τ=46.70
CC 31 SLV (Collegamento -041_-375)
Azioni sul collegamento: N=-8983.80 Ty=-9.43 Tz=9.29 Mx=-0.01 Mz=-7.83
Sollecitazioni agenti localmente: Ty_l=-1561.46 My_l=-31.97
Tensioni nella sezione: σ=387.47 τ=47.32
CC 32 SLD (Collegamento -041_-375)
Azioni sul collegamento: N=-10431.00 Ty=-11.04 Tz=15.29 Mx=-0.00 Mz=-9.01
Sollecitazioni agenti localmente: Ty_l=-1813.28 My_l=-37.12
Tensioni nella sezione: σ=449.96 τ=54.95
CC 32 SLD (Collegamento -041_-375)
Azioni sul collegamento: N=-10431.00 Ty=-9.85 Tz=15.29 Mx=-0.00 Mz=-7.46
Sollecitazioni agenti localmente: Ty_l=-1819.46 My_l=-37.26
Tensioni nella sezione: σ=451.61 τ=55.14
CC 32 SLD (Collegamento -041_-375)
Azioni sul collegamento: N=-10431.00 Ty=-11.04 Tz=12.31 Mx=-0.00 Mz=-9.01
Sollecitazioni agenti localmente: Ty_l=-1813.28 My_l=-37.12
Tensioni nella sezione: σ=449.96 τ=54.95
CC 32 SLD (Collegamento -041_-375)
Azioni sul collegamento: N=-10431.00 Ty=-9.85 Tz=12.31 Mx=-0.00 Mz=-7.46
Sollecitazioni agenti localmente: Ty_l=-1819.46 My_l=-37.26
Tensioni nella sezione: σ=451.61 τ=55.14
CC 32 SLD (Collegamento -041_-375)
Azioni sul collegamento: N=-9709.05 Ty=-11.04 Tz=15.29 Mx=-0.00 Mz=-9.01
Sollecitazioni agenti localmente: Ty_l=-1685.29 My_l=-34.50
Tensioni nella sezione: σ=418.16 τ=51.07
CC 32 SLD (Collegamento -041_-375)
Azioni sul collegamento: N=-9709.05 Ty=-9.85 Tz=15.29 Mx=-0.00 Mz=-7.46
Sollecitazioni agenti localmente: Ty_l=-1691.48 My_l=-34.63
Tensioni nella sezione: σ=419.80 τ=51.26
CC 32 SLD (Collegamento -041_-375)
Azioni sul collegamento: N=-9709.05 Ty=-11.04 Tz=12.31 Mx=-0.00 Mz=-9.01
Sollecitazioni agenti localmente: Ty_l=-1685.29 My_l=-34.50
Tensioni nella sezione: σ=418.16 τ=51.07
CC 32 SLD (Collegamento -041_-375)
Azioni sul collegamento: N=-9709.05 Ty=-9.85 Tz=12.31 Mx=-0.00 Mz=-7.46
Sollecitazioni agenti localmente: Ty_l=-1691.48 My_l=-34.63
Tensioni nella sezione: σ=419.80 τ=51.26
CC 33 SLU (Collegamento -041_-375)
Azioni sul collegamento: N=-36642.60 Ty=-20.20 Tz=103.27 Mx=-0.00 Mz=-14.84
Sollecitazioni agenti localmente: Ty_l=-6436.70 My_l=-131.87
Tensioni nella sezione: σ=1598.42 τ=195.05
CC 34 SLU (Collegamento -041_-375)
Azioni sul collegamento: N=-37458.50 Ty=-20.96 Tz=106.28 Mx=-0.00 Mz=-15.40
Sollecitazioni agenti localmente: Ty_l=-6579.14 My_l=-134.79
Tensioni nella sezione: σ=1633.78 τ=199.37
CC 35 SLU (Collegamento -041_-375)
Azioni sul collegamento: N=-37049.70 Ty=-20.49 Tz=104.83 Mx=-0.01 Mz=-14.94
Sollecitazioni agenti localmente: Ty_l=-6508.49 My_l=-133.34
Tensioni nella sezione: σ=1616.25 τ=197.23
CC 36 SLU (Collegamento -041_-375)
Azioni sul collegamento: N=-37051.40 Ty=-20.67 Tz=104.72 Mx=-0.00 Mz=-15.30
Sollecitazioni agenti localmente: Ty_l=-6507.35 My_l=-133.32
Tensioni nella sezione: σ=1615.95 τ=197.19
CC 37 SLU (Collegamento -041_-375)
Azioni sul collegamento: N=-29860.20 Ty=10.64 Tz=77.84 Mx=-0.00 Mz=8.54
Sollecitazioni agenti localmente: Ty_l=-5327.38 My_l=-109.26
Tensioni nella sezione: σ=1324.35 τ=161.44
CC 38 SLU (Collegamento -041_-375)
Azioni sul collegamento: N=-30676.20 Ty=9.89 Tz=80.85 Mx=-0.00 Mz=7.98
Sollecitazioni agenti localmente: Ty_l=-5469.81 My_l=-112.18
Tensioni nella sezione: σ=1359.70 τ=165.75
CC 39 SLU (Collegamento -041_-375)
Azioni sul collegamento: N=-30267.30 Ty=10.35 Tz=79.40 Mx=-0.01 Mz=8.45
Sollecitazioni agenti localmente: Ty_l=-5399.16 My_l=-110.73
Tensioni nella sezione: σ=1342.18 τ=163.61
CC 40 SLU (Collegamento -041_-375)
Azioni sul collegamento: N=-30269.10 Ty=10.18 Tz=79.28 Mx=-0.00 Mz=8.08
Sollecitazioni agenti localmente: Ty_l=-5398.03 My_l=-110.70
Tensioni nella sezione: σ=1341.87 τ=163.58
CC 41 SLU (Collegamento -041_-375)
Azioni sul collegamento: N=-27459.80 Ty=-19.36 Tz=69.55 Mx=-0.00 Mz=-14.09
Sollecitazioni agenti localmente: Ty_l=-4811.82 My_l=-98.56
Tensioni nella sezione: σ=1194.71 τ=145.81
CC 42 SLU (Collegamento -041_-375)
Azioni sul collegamento: N=-28275.70 Ty=-20.11 Tz=72.57 Mx=-0.00 Mz=-14.65
Sollecitazioni agenti localmente: Ty_l=-4954.25 My_l=-101.48

Tensioni nella sezione: σ=1230.07 τ=150.13
CC 43 SLU (Collegamento -041_-375)
Azioni sul collegamento: N=-27866.90 Ty=-19.65 Tz=71.12 Mx=-0.01 Mz=-14.19
Sollecitazioni agenti localmente: Ty_l=-4883.60 My_l=-100.03
Tensioni nella sezione: σ=1212.54 τ=147.99
CC 44 SLU (Collegamento -041_-375)
Azioni sul collegamento: N=-27868.60 Ty=-19.82 Tz=71.00 Mx=-0.00 Mz=-14.55
Sollecitazioni agenti localmente: Ty_l=-4882.47 My_l=-100.01
Tensioni nella sezione: σ=1212.24 τ=147.95
CC 45 SLU (Collegamento -041_-375)
Azioni sul collegamento: N=-29479.00 Ty=-19.57 Tz=76.97 Mx=-0.00 Mz=-14.38
Sollecitazioni agenti localmente: Ty_l=-5168.63 My_l=-105.88
Tensioni nella sezione: σ=1283.36 τ=156.63
CC 46 SLU (Collegamento -041_-375)
Azioni sul collegamento: N=-30295.00 Ty=-20.33 Tz=79.99 Mx=-0.00 Mz=-14.94
Sollecitazioni agenti localmente: Ty_l=-5311.06 My_l=-108.79
Tensioni nella sezione: σ=1318.71 τ=160.94
CC 47 SLU (Collegamento -041_-375)
Azioni sul collegamento: N=-29886.10 Ty=-19.86 Tz=78.54 Mx=-0.00 Mz=-14.48
Sollecitazioni agenti localmente: Ty_l=-5240.41 My_l=-107.35
Tensioni nella sezione: σ=1301.19 τ=158.80
CC 48 SLU (Collegamento -041_-375)
Azioni sul collegamento: N=-29887.90 Ty=-20.04 Tz=78.42 Mx=-0.00 Mz=-14.84
Sollecitazioni agenti localmente: Ty_l=-5239.28 My_l=-107.32
Tensioni nella sezione: σ=1300.88 τ=158.77
CC 49 SLU (Collegamento -041_-375)
Azioni sul collegamento: N=-24404.80 Ty=3.50 Tz=57.94 Mx=-0.00 Mz=3.11
Sollecitazioni agenti localmente: Ty_l=-4338.69 My_l=-88.96
Tensioni nella sezione: σ=1078.31 τ=131.47
CC 50 SLU (Collegamento -041_-375)
Azioni sul collegamento: N=-25220.80 Ty=2.75 Tz=60.96 Mx=-0.00 Mz=2.55
Sollecitazioni agenti localmente: Ty_l=-4481.12 My_l=-91.88
Tensioni nella sezione: σ=1113.66 τ=135.79
CC 51 SLU (Collegamento -041_-375)
Azioni sul collegamento: N=-24811.90 Ty=3.21 Tz=59.51 Mx=-0.00 Mz=3.02
Sollecitazioni agenti localmente: Ty_l=-4410.48 My_l=-90.43
Tensioni nella sezione: σ=1096.14 τ=133.65
CC 52 SLU (Collegamento -041_-375)
Azioni sul collegamento: N=-24813.70 Ty=3.04 Tz=59.39 Mx=-0.00 Mz=2.65
Sollecitazioni agenti localmente: Ty_l=-4409.34 My_l=-90.41
Tensioni nella sezione: σ=1095.83 τ=133.62
CC 53 SLU (Collegamento -041_-375)
Azioni sul collegamento: N=-22608.90 Ty=-18.94 Tz=51.75 Mx=-0.00 Mz=-13.82
Sollecitazioni agenti localmente: Ty_l=-3952.98 My_l=-80.96
Tensioni nella sezione: σ=981.32 τ=119.79
CC 54 SLU (Collegamento -041_-375)
Azioni sul collegamento: N=-23424.90 Ty=-19.70 Tz=54.76 Mx=-0.00 Mz=-14.38
Sollecitazioni agenti localmente: Ty_l=-4095.41 My_l=-83.88
Tensioni nella sezione: σ=1016.68 τ=124.10
CC 55 SLU (Collegamento -041_-375)
Azioni sul collegamento: N=-23016.00 Ty=-19.23 Tz=53.31 Mx=-0.00 Mz=-13.92
Sollecitazioni agenti localmente: Ty_l=-4024.76 My_l=-82.43
Tensioni nella sezione: σ=999.15 τ=121.96
CC 56 SLU (Collegamento -041_-375)
Azioni sul collegamento: N=-23017.80 Ty=-19.41 Tz=53.20 Mx=-0.00 Mz=-14.28
Sollecitazioni agenti localmente: Ty_l=-4023.62 My_l=-82.40
Tensioni nella sezione: σ=998.85 τ=121.93
CC 57 SLU (Collegamento -041_-375)
Azioni sul collegamento: N=-30221.30 Ty=-20.56 Tz=79.74 Mx=-0.00 Mz=-15.10
Sollecitazioni agenti localmente: Ty_l=-5297.33 My_l=-108.51
Tensioni nella sezione: σ=1315.29 τ=160.53
CC 58 SLU (Collegamento -041_-375)
Azioni sul collegamento: N=-31037.20 Ty=-21.31 Tz=82.75 Mx=-0.00 Mz=-15.66
Sollecitazioni agenti localmente: Ty_l=-5439.76 My_l=-111.43
Tensioni nella sezione: σ=1350.64 τ=164.84
CC 59 SLU (Collegamento -041_-375)
Azioni sul collegamento: N=-30628.40 Ty=-20.85 Tz=81.31 Mx=-0.00 Mz=-15.20
Sollecitazioni agenti localmente: Ty_l=-5369.11 My_l=-109.98
Tensioni nella sezione: σ=1333.12 τ=162.70
CC 60 SLU (Collegamento -041_-375)
Azioni sul collegamento: N=-30630.10 Ty=-21.02 Tz=81.19 Mx=-0.00 Mz=-15.57
Sollecitazioni agenti localmente: Ty_l=-5367.97 My_l=-109.96
Tensioni nella sezione: σ=1332.81 τ=162.67
CC 61 SLU (Collegamento -041_-375)
Azioni sul collegamento: N=-25147.00 Ty=2.52 Tz=60.71 Mx=-0.00 Mz=2.39
Sollecitazioni agenti localmente: Ty_l=-4467.39 My_l=-91.59
Tensioni nella sezione: σ=1110.24 τ=135.38
CC 62 SLU (Collegamento -041_-375)
Azioni sul collegamento: N=-25963.00 Ty=1.76 Tz=63.73 Mx=-0.00 Mz=1.83
Sollecitazioni agenti localmente: Ty_l=-4609.82 My_l=-94.51

Tensioni nella sezione: σ=1145.59 τ=139.69
CC 63 SLU (Collegamento -041_-375)
Azioni sul collegamento: N=-25554.10 Ty=2.23 Tz=62.28 Mx=-0.00 Mz=2.29
Sollecitazioni agenti localmente: Ty_l=-4539.17 My_l=-93.07
Tensioni nella sezione: σ=1128.07 τ=137.55
CC 64 SLU (Collegamento -041_-375)
Azioni sul collegamento: N=-25555.90 Ty=2.05 Tz=62.16 Mx=-0.00 Mz=1.93
Sollecitazioni agenti localmente: Ty_l=-4538.03 My_l=-93.04
Tensioni nella sezione: σ=1127.76 τ=137.52
CC 65 SLU (Collegamento -041_-375)
Azioni sul collegamento: N=-23351.20 Ty=-19.92 Tz=54.52 Mx=-0.00 Mz=-14.54
Sollecitazioni agenti localmente: Ty_l=-4081.67 My_l=-83.59
Tensioni nella sezione: σ=1013.25 τ=123.69
CC 66 SLU (Collegamento -041_-375)
Azioni sul collegamento: N=-24167.10 Ty=-20.68 Tz=57.53 Mx=-0.00 Mz=-15.10
Sollecitazioni agenti localmente: Ty_l=-4224.10 My_l=-86.51
Tensioni nella sezione: σ=1048.61 τ=128.00
CC 67 SLU (Collegamento -041_-375)
Azioni sul collegamento: N=-23758.30 Ty=-20.21 Tz=56.08 Mx=-0.00 Mz=-14.64
Sollecitazioni agenti localmente: Ty_l=-4153.46 My_l=-85.06
Tensioni nella sezione: σ=1031.08 τ=125.86
CC 68 SLU (Collegamento -041_-375)
Azioni sul collegamento: N=-23760.00 Ty=-20.39 Tz=55.97 Mx=-0.00 Mz=-15.01
Sollecitazioni agenti localmente: Ty_l=-4152.32 My_l=-85.04
Tensioni nella sezione: σ=1030.78 τ=125.83
CC 97 SLU (Collegamento -041_-375)
Azioni sul collegamento: N=-31084.20 Ty=-25.01 Tz=90.82 Mx=0.05 Mz=-11.42
Sollecitazioni agenti localmente: Ty_l=-5464.97 My_l=-111.97
Tensioni nella sezione: σ=1357.19 τ=165.60
CC 98 SLU (Collegamento -041_-375)
Azioni sul collegamento: N=-31900.20 Ty=-25.76 Tz=93.83 Mx=0.05 Mz=-11.97
Sollecitazioni agenti localmente: Ty_l=-5607.41 My_l=-114.89
Tensioni nella sezione: σ=1392.55 τ=169.92
CC 99 SLU (Collegamento -041_-375)
Azioni sul collegamento: N=-31491.30 Ty=-25.30 Tz=92.39 Mx=0.05 Mz=-11.51
Sollecitazioni agenti localmente: Ty_l=-5536.76 My_l=-113.44
Tensioni nella sezione: σ=1375.02 τ=167.78
CC 100 SLU (Collegamento -041_-375)
Azioni sul collegamento: N=-31493.10 Ty=-25.48 Tz=92.27 Mx=0.05 Mz=-11.88
Sollecitazioni agenti localmente: Ty_l=-5535.62 My_l=-113.41
Tensioni nella sezione: σ=1374.72 τ=167.75
CC 101 SLU (Collegamento -041_-375)
Azioni sul collegamento: N=-8294.89 Ty=-5.21 Tz=7.37 Mx=-0.01 Mz=-4.43
Sollecitazioni agenti localmente: Ty_l=-1452.83 My_l=-29.76
Tensioni nella sezione: σ=360.71 τ=44.03
CC 102 SLU (Collegamento -041_-375)
Azioni sul collegamento: N=-9110.88 Ty=-5.97 Tz=10.39 Mx=-0.01 Mz=-4.99
Sollecitazioni agenti localmente: Ty_l=-1595.26 My_l=-32.68
Tensioni nella sezione: σ=396.06 τ=48.34
CC 103 SLU (Collegamento -041_-375)
Azioni sul collegamento: N=-8702.00 Ty=-5.50 Tz=8.94 Mx=-0.01 Mz=-4.53
Sollecitazioni agenti localmente: Ty_l=-1524.62 My_l=-31.23
Tensioni nella sezione: σ=378.54 τ=46.20
CC 104 SLU (Collegamento -041_-375)
Azioni sul collegamento: N=-8703.78 Ty=-5.68 Tz=8.82 Mx=-0.01 Mz=-4.89
Sollecitazioni agenti localmente: Ty_l=-1523.48 My_l=-31.20
Tensioni nella sezione: σ=378.23 τ=46.17

Flessione attacco sinistro piastra

Bnetta=220.00 Hnetta=15.00
CC 1 SLV (Collegamento -041_-375)
Azioni sul collegamento: N=-5965.50 Ty=-4.83 Tz=-1.56 Mx=0.01 Mz=-1.02
Sollecitazioni agenti localmente: Ty_l=-1061.58 My_l=-21.77
Tensioni nella sezione: σ=263.85 τ=32.17
CC 1 SLV (Collegamento -041_-375)
Azioni sul collegamento: N=-5965.50 Ty=-12.58 Tz=-1.56 Mx=0.01 Mz=-7.43
Sollecitazioni agenti localmente: Ty_l=-1087.06 My_l=-22.33
Tensioni nella sezione: σ=270.62 τ=32.94
CC 1 SLV (Collegamento -041_-375)
Azioni sul collegamento: N=-5965.50 Ty=-4.83 Tz=27.71 Mx=0.01 Mz=-1.02
Sollecitazioni agenti localmente: Ty_l=-1061.58 My_l=-21.77
Tensioni nella sezione: σ=263.85 τ=32.17
CC 1 SLV (Collegamento -041_-375)
Azioni sul collegamento: N=-5965.50 Ty=-12.58 Tz=27.71 Mx=0.01 Mz=-7.43
Sollecitazioni agenti localmente: Ty_l=-1087.06 My_l=-22.33
Tensioni nella sezione: σ=270.62 τ=32.94
CC 1 SLV (Collegamento -041_-375)
Azioni sul collegamento: N=-13808.10 Ty=-4.83 Tz=-1.56 Mx=0.01 Mz=-1.02
Sollecitazioni agenti localmente: Ty_l=-2451.86 My_l=-50.27

Tensioni nella sezione: σ=609.32 τ=74.30
CC 1 SLV (Collegamento -041_-375)
Azioni sul collegamento: N=-13808.10 Ty=-12.58 Tz=-1.56 Mx=0.01 Mz=-7.43
Sollecitazioni agenti localmente: Ty_l=-2477.34 My_l=-50.83
Tensioni nella sezione: σ=616.08 τ=75.07
CC 1 SLV (Collegamento -041_-375)
Azioni sul collegamento: N=-13808.10 Ty=-4.83 Tz=27.71 Mx=0.01 Mz=-1.02
Sollecitazioni agenti localmente: Ty_l=-2451.86 My_l=-50.27
Tensioni nella sezione: σ=609.32 τ=74.30
CC 1 SLV (Collegamento -041_-375)
Azioni sul collegamento: N=-13808.10 Ty=-12.58 Tz=27.71 Mx=0.01 Mz=-7.43
Sollecitazioni agenti localmente: Ty_l=-2477.34 My_l=-50.83
Tensioni nella sezione: σ=616.08 τ=75.07
CC 2 SLD (Collegamento -041_-375)
Azioni sul collegamento: N=-8788.68 Ty=-8.45 Tz=9.00 Mx=0.00 Mz=-5.38
Sollecitazioni agenti localmente: Ty_l=-1579.41 My_l=-32.41
Tensioni nella sezione: σ=392.82 τ=47.86
CC 2 SLD (Collegamento -041_-375)
Azioni sul collegamento: N=-8788.68 Ty=-10.81 Tz=9.00 Mx=0.00 Mz=-7.34
Sollecitazioni agenti localmente: Ty_l=-1587.18 My_l=-32.58
Tensioni nella sezione: σ=394.88 τ=48.10
CC 2 SLD (Collegamento -041_-375)
Azioni sul collegamento: N=-8788.68 Ty=-8.45 Tz=17.92 Mx=0.00 Mz=-5.38
Sollecitazioni agenti localmente: Ty_l=-1579.41 My_l=-32.41
Tensioni nella sezione: σ=392.82 τ=47.86
CC 2 SLD (Collegamento -041_-375)
Azioni sul collegamento: N=-8788.68 Ty=-10.81 Tz=17.92 Mx=0.00 Mz=-7.34
Sollecitazioni agenti localmente: Ty_l=-1587.18 My_l=-32.58
Tensioni nella sezione: σ=394.88 τ=48.10
CC 2 SLD (Collegamento -041_-375)
Azioni sul collegamento: N=-11180.10 Ty=-8.45 Tz=8.99 Mx=0.00 Mz=-5.38
Sollecitazioni agenti localmente: Ty_l=-2003.35 My_l=-41.10
Tensioni nella sezione: σ=498.17 τ=60.71
CC 2 SLD (Collegamento -041_-375)
Azioni sul collegamento: N=-11180.10 Ty=-10.81 Tz=8.99 Mx=0.00 Mz=-7.34
Sollecitazioni agenti localmente: Ty_l=-2011.12 My_l=-41.27
Tensioni nella sezione: σ=500.23 τ=60.94
CC 2 SLD (Collegamento -041_-375)
Azioni sul collegamento: N=-11180.10 Ty=-8.45 Tz=17.92 Mx=0.00 Mz=-5.38
Sollecitazioni agenti localmente: Ty_l=-2003.35 My_l=-41.10
Tensioni nella sezione: σ=498.17 τ=60.71
CC 2 SLD (Collegamento -041_-375)
Azioni sul collegamento: N=-11180.10 Ty=-10.81 Tz=17.92 Mx=0.00 Mz=-7.34
Sollecitazioni agenti localmente: Ty_l=-2011.12 My_l=-41.27
Tensioni nella sezione: σ=500.23 τ=60.94
CC 3 SLV (Collegamento -041_-375)
Azioni sul collegamento: N=-5970.40 Ty=-5.34 Tz=-1.24 Mx=0.01 Mz=-2.07
Sollecitazioni agenti localmente: Ty_l=-1066.61 My_l=-21.88
Tensioni nella sezione: σ=265.18 τ=32.32
CC 3 SLV (Collegamento -041_-375)
Azioni sul collegamento: N=-5970.40 Ty=-12.07 Tz=-1.24 Mx=0.01 Mz=-6.38
Sollecitazioni agenti localmente: Ty_l=-1083.76 My_l=-22.25
Tensioni nella sezione: σ=269.73 τ=32.84
CC 3 SLV (Collegamento -041_-375)
Azioni sul collegamento: N=-5970.40 Ty=-5.34 Tz=27.38 Mx=0.01 Mz=-2.07
Sollecitazioni agenti localmente: Ty_l=-1066.61 My_l=-21.88
Tensioni nella sezione: σ=265.18 τ=32.32
CC 3 SLV (Collegamento -041_-375)
Azioni sul collegamento: N=-5970.40 Ty=-12.07 Tz=27.38 Mx=0.01 Mz=-6.38
Sollecitazioni agenti localmente: Ty_l=-1083.76 My_l=-22.25
Tensioni nella sezione: σ=269.73 τ=32.84
CC 3 SLV (Collegamento -041_-375)
Azioni sul collegamento: N=-13803.30 Ty=-5.34 Tz=-1.24 Mx=0.01 Mz=-2.07
Sollecitazioni agenti localmente: Ty_l=-2455.16 My_l=-50.34
Tensioni nella sezione: σ=610.21 τ=74.40
CC 3 SLV (Collegamento -041_-375)
Azioni sul collegamento: N=-13803.30 Ty=-12.07 Tz=-1.24 Mx=0.01 Mz=-6.38
Sollecitazioni agenti localmente: Ty_l=-2472.31 My_l=-50.72
Tensioni nella sezione: σ=614.76 τ=74.92
CC 3 SLV (Collegamento -041_-375)
Azioni sul collegamento: N=-13803.30 Ty=-5.34 Tz=27.38 Mx=0.01 Mz=-2.07
Sollecitazioni agenti localmente: Ty_l=-2455.16 My_l=-50.34
Tensioni nella sezione: σ=610.21 τ=74.40
CC 3 SLV (Collegamento -041_-375)
Azioni sul collegamento: N=-13803.30 Ty=-12.07 Tz=27.38 Mx=0.01 Mz=-6.38
Sollecitazioni agenti localmente: Ty_l=-2472.31 My_l=-50.72
Tensioni nella sezione: σ=614.76 τ=74.92
CC 4 SLD (Collegamento -041_-375)
Azioni sul collegamento: N=-8790.17 Ty=-8.61 Tz=9.10 Mx=0.00 Mz=-5.70
Sollecitazioni agenti localmente: Ty_l=-1580.94 My_l=-32.44

Tensioni nella sezione: σ=393.23 τ=47.91
CC 4 SLD (Collegamento -041_-375)
Azioni sul collegamento: N=-8790.17 Ty=-10.66 Tz=9.10 Mx=0.00 Mz=-7.02
Sollecitazioni agenti localmente: Ty_l=-1586.17 My_l=-32.56
Tensioni nella sezione: σ=394.61 τ=48.07
CC 4 SLD (Collegamento -041_-375)
Azioni sul collegamento: N=-8790.17 Ty=-8.61 Tz=17.82 Mx=0.00 Mz=-5.70
Sollecitazioni agenti localmente: Ty_l=-1580.94 My_l=-32.44
Tensioni nella sezione: σ=393.23 τ=47.91
CC 4 SLD (Collegamento -041_-375)
Azioni sul collegamento: N=-8790.17 Ty=-10.66 Tz=17.82 Mx=0.00 Mz=-7.02
Sollecitazioni agenti localmente: Ty_l=-1586.17 My_l=-32.56
Tensioni nella sezione: σ=394.61 τ=48.07
CC 4 SLD (Collegamento -041_-375)
Azioni sul collegamento: N=-11178.70 Ty=-8.61 Tz=9.09 Mx=0.00 Mz=-5.70
Sollecitazioni agenti localmente: Ty_l=-2004.36 My_l=-41.12
Tensioni nella sezione: σ=498.44 τ=60.74
CC 4 SLD (Collegamento -041_-375)
Azioni sul collegamento: N=-11178.70 Ty=-10.66 Tz=9.09 Mx=0.00 Mz=-7.02
Sollecitazioni agenti localmente: Ty_l=-2009.59 My_l=-41.24
Tensioni nella sezione: σ=499.82 τ=60.90
CC 4 SLD (Collegamento -041_-375)
Azioni sul collegamento: N=-11178.70 Ty=-8.61 Tz=17.82 Mx=0.00 Mz=-5.70
Sollecitazioni agenti localmente: Ty_l=-2004.36 My_l=-41.12
Tensioni nella sezione: σ=498.44 τ=60.74
CC 4 SLD (Collegamento -041_-375)
Azioni sul collegamento: N=-11178.70 Ty=-10.66 Tz=17.82 Mx=0.00 Mz=-7.02
Sollecitazioni agenti localmente: Ty_l=-2009.59 My_l=-41.24
Tensioni nella sezione: σ=499.82 τ=60.90
CC 5 SLV (Collegamento -041_-375)
Azioni sul collegamento: N=-13803.30 Ty=-12.07 Tz=27.38 Mx=0.01 Mz=-6.38
Sollecitazioni agenti localmente: Ty_l=-2472.31 My_l=-50.72
Tensioni nella sezione: σ=614.76 τ=74.92
CC 5 SLV (Collegamento -041_-375)
Azioni sul collegamento: N=-13803.30 Ty=-5.34 Tz=27.38 Mx=0.01 Mz=-2.07
Sollecitazioni agenti localmente: Ty_l=-2455.16 My_l=-50.34
Tensioni nella sezione: σ=610.21 τ=74.40
CC 5 SLV (Collegamento -041_-375)
Azioni sul collegamento: N=-13803.30 Ty=-12.07 Tz=-1.24 Mx=0.01 Mz=-6.38
Sollecitazioni agenti localmente: Ty_l=-2472.31 My_l=-50.72
Tensioni nella sezione: σ=614.76 τ=74.92
CC 5 SLV (Collegamento -041_-375)
Azioni sul collegamento: N=-13803.30 Ty=-5.34 Tz=-1.24 Mx=0.01 Mz=-2.07
Sollecitazioni agenti localmente: Ty_l=-2455.16 My_l=-50.34
Tensioni nella sezione: σ=610.21 τ=74.40
CC 5 SLV (Collegamento -041_-375)
Azioni sul collegamento: N=-5970.40 Ty=-12.07 Tz=27.38 Mx=0.01 Mz=-6.38
Sollecitazioni agenti localmente: Ty_l=-1083.76 My_l=-22.25
Tensioni nella sezione: σ=269.73 τ=32.84
CC 5 SLV (Collegamento -041_-375)
Azioni sul collegamento: N=-5970.40 Ty=-5.34 Tz=27.38 Mx=0.01 Mz=-2.07
Sollecitazioni agenti localmente: Ty_l=-1066.61 My_l=-21.88
Tensioni nella sezione: σ=265.18 τ=32.32
CC 5 SLV (Collegamento -041_-375)
Azioni sul collegamento: N=-5970.40 Ty=-12.07 Tz=-1.24 Mx=0.01 Mz=-6.38
Sollecitazioni agenti localmente: Ty_l=-1083.76 My_l=-22.25
Tensioni nella sezione: σ=269.73 τ=32.84
CC 5 SLV (Collegamento -041_-375)
Azioni sul collegamento: N=-5970.40 Ty=-5.34 Tz=-1.24 Mx=0.01 Mz=-2.07
Sollecitazioni agenti localmente: Ty_l=-1066.61 My_l=-21.88
Tensioni nella sezione: σ=265.18 τ=32.32
CC 6 SLD (Collegamento -041_-375)
Azioni sul collegamento: N=-11178.70 Ty=-10.66 Tz=17.82 Mx=0.00 Mz=-7.02
Sollecitazioni agenti localmente: Ty_l=-2009.59 My_l=-41.24
Tensioni nella sezione: σ=499.82 τ=60.90
CC 6 SLD (Collegamento -041_-375)
Azioni sul collegamento: N=-11178.70 Ty=-8.61 Tz=17.82 Mx=0.00 Mz=-5.70
Sollecitazioni agenti localmente: Ty_l=-2004.36 My_l=-41.12
Tensioni nella sezione: σ=498.44 τ=60.74
CC 6 SLD (Collegamento -041_-375)
Azioni sul collegamento: N=-11178.70 Ty=-10.66 Tz=9.09 Mx=0.00 Mz=-7.02
Sollecitazioni agenti localmente: Ty_l=-2009.59 My_l=-41.24
Tensioni nella sezione: σ=499.82 τ=60.90
CC 6 SLD (Collegamento -041_-375)
Azioni sul collegamento: N=-11178.70 Ty=-8.61 Tz=9.09 Mx=0.00 Mz=-5.70
Sollecitazioni agenti localmente: Ty_l=-2004.36 My_l=-41.12
Tensioni nella sezione: σ=498.44 τ=60.74
CC 6 SLD (Collegamento -041_-375)
Azioni sul collegamento: N=-8790.17 Ty=-10.66 Tz=17.82 Mx=0.00 Mz=-7.02
Sollecitazioni agenti localmente: Ty_l=-1586.17 My_l=-32.56

Tensioni nella sezione: σ=394.61 τ=48.07
CC 6 SLD (Collegamento -041_-375)
Azioni sul collegamento: N=-8790.17 Ty=-8.61 Tz=17.82 Mx=0.00 Mz=-5.70
Sollecitazioni agenti localmente: Ty_l=-1580.94 My_l=-32.44
Tensioni nella sezione: σ=393.23 τ=47.91
CC 6 SLD (Collegamento -041_-375)
Azioni sul collegamento: N=-8790.17 Ty=-10.66 Tz=9.10 Mx=0.00 Mz=-7.02
Sollecitazioni agenti localmente: Ty_l=-1586.17 My_l=-32.56
Tensioni nella sezione: σ=394.61 τ=48.07
CC 6 SLD (Collegamento -041_-375)
Azioni sul collegamento: N=-8790.17 Ty=-8.61 Tz=9.10 Mx=0.00 Mz=-5.70
Sollecitazioni agenti localmente: Ty_l=-1580.94 My_l=-32.44
Tensioni nella sezione: σ=393.23 τ=47.91
CC 7 SLV (Collegamento -041_-375)
Azioni sul collegamento: N=-13808.10 Ty=-12.58 Tz=27.71 Mx=0.01 Mz=-7.43
Sollecitazioni agenti localmente: Ty_l=-2477.34 My_l=-50.83
Tensioni nella sezione: σ=616.08 τ=75.07
CC 7 SLV (Collegamento -041_-375)
Azioni sul collegamento: N=-13808.10 Ty=-4.83 Tz=27.71 Mx=0.01 Mz=-1.02
Sollecitazioni agenti localmente: Ty_l=-2451.86 My_l=-50.27
Tensioni nella sezione: σ=609.32 τ=74.30
CC 7 SLV (Collegamento -041_-375)
Azioni sul collegamento: N=-13808.10 Ty=-12.58 Tz=-1.56 Mx=0.01 Mz=-7.43
Sollecitazioni agenti localmente: Ty_l=-2477.34 My_l=-50.83
Tensioni nella sezione: σ=616.08 τ=75.07
CC 7 SLV (Collegamento -041_-375)
Azioni sul collegamento: N=-13808.10 Ty=-4.83 Tz=-1.56 Mx=0.01 Mz=-1.02
Sollecitazioni agenti localmente: Ty_l=-2451.86 My_l=-50.27
Tensioni nella sezione: σ=609.32 τ=74.30
CC 7 SLV (Collegamento -041_-375)
Azioni sul collegamento: N=-5965.50 Ty=-12.58 Tz=27.71 Mx=0.01 Mz=-7.43
Sollecitazioni agenti localmente: Ty_l=-1087.06 My_l=-22.33
Tensioni nella sezione: σ=270.62 τ=32.94
CC 7 SLV (Collegamento -041_-375)
Azioni sul collegamento: N=-5965.50 Ty=-4.83 Tz=27.71 Mx=0.01 Mz=-1.02
Sollecitazioni agenti localmente: Ty_l=-1061.58 My_l=-21.77
Tensioni nella sezione: σ=263.85 τ=32.17
CC 7 SLV (Collegamento -041_-375)
Azioni sul collegamento: N=-5965.50 Ty=-12.58 Tz=-1.56 Mx=0.01 Mz=-7.43
Sollecitazioni agenti localmente: Ty_l=-1087.06 My_l=-22.33
Tensioni nella sezione: σ=270.62 τ=32.94
CC 7 SLV (Collegamento -041_-375)
Azioni sul collegamento: N=-5965.50 Ty=-4.83 Tz=-1.56 Mx=0.01 Mz=-1.02
Sollecitazioni agenti localmente: Ty_l=-1061.58 My_l=-21.77
Tensioni nella sezione: σ=263.85 τ=32.17
CC 8 SLD (Collegamento -041_-375)
Azioni sul collegamento: N=-11180.10 Ty=-10.81 Tz=17.92 Mx=0.00 Mz=-7.34
Sollecitazioni agenti localmente: Ty_l=-2011.12 My_l=-41.27
Tensioni nella sezione: σ=500.23 τ=60.94
CC 8 SLD (Collegamento -041_-375)
Azioni sul collegamento: N=-11180.10 Ty=-8.45 Tz=17.92 Mx=0.00 Mz=-5.38
Sollecitazioni agenti localmente: Ty_l=-2003.35 My_l=-41.10
Tensioni nella sezione: σ=498.17 τ=60.71
CC 8 SLD (Collegamento -041_-375)
Azioni sul collegamento: N=-11180.10 Ty=-10.81 Tz=8.99 Mx=0.00 Mz=-7.34
Sollecitazioni agenti localmente: Ty_l=-2011.12 My_l=-41.27
Tensioni nella sezione: σ=500.23 τ=60.94
CC 8 SLD (Collegamento -041_-375)
Azioni sul collegamento: N=-11180.10 Ty=-8.45 Tz=8.99 Mx=0.00 Mz=-5.38
Sollecitazioni agenti localmente: Ty_l=-2003.35 My_l=-41.10
Tensioni nella sezione: σ=498.17 τ=60.71
CC 8 SLD (Collegamento -041_-375)
Azioni sul collegamento: N=-8788.68 Ty=-10.81 Tz=17.92 Mx=0.00 Mz=-7.34
Sollecitazioni agenti localmente: Ty_l=-1587.18 My_l=-32.58
Tensioni nella sezione: σ=394.88 τ=48.10
CC 8 SLD (Collegamento -041_-375)
Azioni sul collegamento: N=-8788.68 Ty=-8.45 Tz=17.92 Mx=0.00 Mz=-5.38
Sollecitazioni agenti localmente: Ty_l=-1579.41 My_l=-32.41
Tensioni nella sezione: σ=392.82 τ=47.86
CC 8 SLD (Collegamento -041_-375)
Azioni sul collegamento: N=-8788.68 Ty=-10.81 Tz=9.00 Mx=0.00 Mz=-7.34
Sollecitazioni agenti localmente: Ty_l=-1587.18 My_l=-32.58
Tensioni nella sezione: σ=394.88 τ=48.10
CC 8 SLD (Collegamento -041_-375)
Azioni sul collegamento: N=-8788.68 Ty=-8.45 Tz=9.00 Mx=0.00 Mz=-5.38
Sollecitazioni agenti localmente: Ty_l=-1579.41 My_l=-32.41
Tensioni nella sezione: σ=392.82 τ=47.86
CC 9 SLV (Collegamento -041_-375)
Azioni sul collegamento: N=-8703.00 Ty=-6.76 Tz=8.19 Mx=0.02 Mz=-1.67
Sollecitazioni agenti localmente: Ty_l=-1549.46 My_l=-31.77

Tensioni nella sezione: σ=385.13 τ=46.95
CC 9 SLV (Collegamento -041_-375)
Azioni sul collegamento: N=-8703.00 Ty=-10.65 Tz=8.19 Mx=0.02 Mz=-6.77
Sollecitazioni agenti localmente: Ty_l=-1569.74 My_l=-32.22
Tensioni nella sezione: σ=390.51 τ=47.57
CC 9 SLV (Collegamento -041_-375)
Azioni sul collegamento: N=-8703.00 Ty=-6.76 Tz=17.96 Mx=0.02 Mz=-1.67
Sollecitazioni agenti localmente: Ty_l=-1549.46 My_l=-31.77
Tensioni nella sezione: σ=385.13 τ=46.95
CC 9 SLV (Collegamento -041_-375)
Azioni sul collegamento: N=-8703.00 Ty=-10.65 Tz=17.96 Mx=0.02 Mz=-6.77
Sollecitazioni agenti localmente: Ty_l=-1569.74 My_l=-32.22
Tensioni nella sezione: σ=390.51 τ=47.57
CC 9 SLV (Collegamento -041_-375)
Azioni sul collegamento: N=-11070.70 Ty=-6.76 Tz=8.19 Mx=0.02 Mz=-1.67
Sollecitazioni agenti localmente: Ty_l=-1969.18 My_l=-40.38
Tensioni nella sezione: σ=489.42 τ=59.67
CC 9 SLV (Collegamento -041_-375)
Azioni sul collegamento: N=-11070.70 Ty=-10.65 Tz=8.19 Mx=0.02 Mz=-6.77
Sollecitazioni agenti localmente: Ty_l=-1989.46 My_l=-40.82
Tensioni nella sezione: σ=494.81 τ=60.29
CC 9 SLV (Collegamento -041_-375)
Azioni sul collegamento: N=-11070.70 Ty=-6.76 Tz=17.96 Mx=0.02 Mz=-1.67
Sollecitazioni agenti localmente: Ty_l=-1969.18 My_l=-40.38
Tensioni nella sezione: σ=489.42 τ=59.67
CC 9 SLV (Collegamento -041_-375)
Azioni sul collegamento: N=-11070.70 Ty=-10.65 Tz=17.96 Mx=0.02 Mz=-6.77
Sollecitazioni agenti localmente: Ty_l=-1989.46 My_l=-40.82
Tensioni nella sezione: σ=494.81 τ=60.29
CC 10 SLD (Collegamento -041_-375)
Azioni sul collegamento: N=-9623.43 Ty=-9.04 Tz=11.97 Mx=0.00 Mz=-5.58
Sollecitazioni agenti localmente: Ty_l=-1728.18 My_l=-35.46
Tensioni nella sezione: σ=429.80 τ=52.37
CC 10 SLD (Collegamento -041_-375)
Azioni sul collegamento: N=-9623.43 Ty=-10.22 Tz=11.97 Mx=0.00 Mz=-7.14
Sollecitazioni agenti localmente: Ty_l=-1734.36 My_l=-35.59
Tensioni nella sezione: σ=431.44 τ=52.56
CC 10 SLD (Collegamento -041_-375)
Azioni sul collegamento: N=-9623.43 Ty=-9.04 Tz=14.95 Mx=0.00 Mz=-5.58
Sollecitazioni agenti localmente: Ty_l=-1728.18 My_l=-35.46
Tensioni nella sezione: σ=429.80 τ=52.37
CC 10 SLD (Collegamento -041_-375)
Azioni sul collegamento: N=-9623.43 Ty=-10.22 Tz=14.95 Mx=0.00 Mz=-7.14
Sollecitazioni agenti localmente: Ty_l=-1734.36 My_l=-35.59
Tensioni nella sezione: σ=431.44 τ=52.56
CC 10 SLD (Collegamento -041_-375)
Azioni sul collegamento: N=-10345.40 Ty=-9.04 Tz=11.97 Mx=0.00 Mz=-5.58
Sollecitazioni agenti localmente: Ty_l=-1856.17 My_l=-38.08
Tensioni nella sezione: σ=461.61 τ=56.25
CC 10 SLD (Collegamento -041_-375)
Azioni sul collegamento: N=-10345.40 Ty=-10.22 Tz=11.97 Mx=0.00 Mz=-7.14
Sollecitazioni agenti localmente: Ty_l=-1862.35 My_l=-38.22
Tensioni nella sezione: σ=463.25 τ=56.43
CC 10 SLD (Collegamento -041_-375)
Azioni sul collegamento: N=-10345.40 Ty=-9.04 Tz=14.95 Mx=0.00 Mz=-5.58
Sollecitazioni agenti localmente: Ty_l=-1856.17 My_l=-38.08
Tensioni nella sezione: σ=461.61 τ=56.25
CC 10 SLD (Collegamento -041_-375)
Azioni sul collegamento: N=-10345.40 Ty=-10.22 Tz=14.95 Mx=0.00 Mz=-7.14
Sollecitazioni agenti localmente: Ty_l=-1862.35 My_l=-38.22
Tensioni nella sezione: σ=463.25 τ=56.43
CC 11 SLV (Collegamento -041_-375)
Azioni sul collegamento: N=-11054.30 Ty=-8.94 Tz=16.87 Mx=0.02 Mz=-3.28
Sollecitazioni agenti localmente: Ty_l=-1972.68 My_l=-40.46
Tensioni nella sezione: σ=490.40 τ=59.78
CC 11 SLV (Collegamento -041_-375)
Azioni sul collegamento: N=-11054.30 Ty=-8.48 Tz=16.87 Mx=0.02 Mz=-5.16
Sollecitazioni agenti localmente: Ty_l=-1980.17 My_l=-40.62
Tensioni nella sezione: σ=492.39 τ=60.01
CC 11 SLV (Collegamento -041_-375)
Azioni sul collegamento: N=-11054.30 Ty=-8.94 Tz=9.28 Mx=0.02 Mz=-3.28
Sollecitazioni agenti localmente: Ty_l=-1972.68 My_l=-40.46
Tensioni nella sezione: σ=490.40 τ=59.78
CC 11 SLV (Collegamento -041_-375)
Azioni sul collegamento: N=-11054.30 Ty=-8.48 Tz=9.28 Mx=0.02 Mz=-5.16
Sollecitazioni agenti localmente: Ty_l=-1980.17 My_l=-40.62
Tensioni nella sezione: σ=492.39 τ=60.01
CC 11 SLV (Collegamento -041_-375)
Azioni sul collegamento: N=-8719.33 Ty=-8.94 Tz=16.87 Mx=0.02 Mz=-3.28
Sollecitazioni agenti localmente: Ty_l=-1558.75 My_l=-31.97

Tensioni nella sezione: σ=387.55 τ=47.23
CC 11 SLV (Collegamento -041_-375)
Azioni sul collegamento: N=-8719.33 Ty=-8.48 Tz=16.87 Mx=0.02 Mz=-5.16
Sollecitazioni agenti localmente: Ty_l=-1566.24 My_l=-32.14
Tensioni nella sezione: σ=389.54 τ=47.46
CC 11 SLV (Collegamento -041_-375)
Azioni sul collegamento: N=-8719.33 Ty=-8.94 Tz=9.28 Mx=0.02 Mz=-3.28
Sollecitazioni agenti localmente: Ty_l=-1558.75 My_l=-31.97
Tensioni nella sezione: σ=387.55 τ=47.23
CC 11 SLV (Collegamento -041_-375)
Azioni sul collegamento: N=-8719.33 Ty=-8.48 Tz=9.28 Mx=0.02 Mz=-5.16
Sollecitazioni agenti localmente: Ty_l=-1566.24 My_l=-32.14
Tensioni nella sezione: σ=389.54 τ=47.46
CC 12 SLD (Collegamento -041_-375)
Azioni sul collegamento: N=-10340.40 Ty=-9.70 Tz=14.62 Mx=0.00 Mz=-6.07
Sollecitazioni agenti localmente: Ty_l=-1857.23 My_l=-38.11
Tensioni nella sezione: σ=461.90 τ=56.28
CC 12 SLD (Collegamento -041_-375)
Azioni sul collegamento: N=-10340.40 Ty=-9.56 Tz=14.62 Mx=0.00 Mz=-6.65
Sollecitazioni agenti localmente: Ty_l=-1859.52 My_l=-38.16
Tensioni nella sezione: σ=462.51 τ=56.35
CC 12 SLD (Collegamento -041_-375)
Azioni sul collegamento: N=-10340.40 Ty=-9.70 Tz=12.30 Mx=0.00 Mz=-6.07
Sollecitazioni agenti localmente: Ty_l=-1857.23 My_l=-38.11
Tensioni nella sezione: σ=461.90 τ=56.28
CC 12 SLD (Collegamento -041_-375)
Azioni sul collegamento: N=-10340.40 Ty=-9.56 Tz=12.30 Mx=0.00 Mz=-6.65
Sollecitazioni agenti localmente: Ty_l=-1859.52 My_l=-38.16
Tensioni nella sezione: σ=462.51 τ=56.35
CC 12 SLD (Collegamento -041_-375)
Azioni sul collegamento: N=-9628.41 Ty=-9.70 Tz=14.62 Mx=0.00 Mz=-6.07
Sollecitazioni agenti localmente: Ty_l=-1731.01 My_l=-35.52
Tensioni nella sezione: σ=430.54 τ=52.45
CC 12 SLD (Collegamento -041_-375)
Azioni sul collegamento: N=-9628.41 Ty=-9.56 Tz=14.62 Mx=0.00 Mz=-6.65
Sollecitazioni agenti localmente: Ty_l=-1733.30 My_l=-35.57
Tensioni nella sezione: σ=431.15 τ=52.52
CC 12 SLD (Collegamento -041_-375)
Azioni sul collegamento: N=-9628.40 Ty=-9.70 Tz=12.30 Mx=0.00 Mz=-6.07
Sollecitazioni agenti localmente: Ty_l=-1731.01 My_l=-35.52
Tensioni nella sezione: σ=430.54 τ=52.45
CC 12 SLD (Collegamento -041_-375)
Azioni sul collegamento: N=-9628.40 Ty=-9.56 Tz=12.30 Mx=0.00 Mz=-6.65
Sollecitazioni agenti localmente: Ty_l=-1733.30 My_l=-35.57
Tensioni nella sezione: σ=431.15 τ=52.52
CC 13 SLV (Collegamento -041_-375)
Azioni sul collegamento: N=-8719.33 Ty=-8.48 Tz=9.28 Mx=0.00 Mz=-5.16
Sollecitazioni agenti localmente: Ty_l=-1566.24 My_l=-32.14
Tensioni nella sezione: σ=389.54 τ=47.46
CC 13 SLV (Collegamento -041_-375)
Azioni sul collegamento: N=-8719.33 Ty=-8.94 Tz=9.28 Mx=0.00 Mz=-3.28
Sollecitazioni agenti localmente: Ty_l=-1558.75 My_l=-31.97
Tensioni nella sezione: σ=387.55 τ=47.23
CC 13 SLV (Collegamento -041_-375)
Azioni sul collegamento: N=-8719.33 Ty=-8.48 Tz=16.87 Mx=0.00 Mz=-5.16
Sollecitazioni agenti localmente: Ty_l=-1566.24 My_l=-32.14
Tensioni nella sezione: σ=389.54 τ=47.46
CC 13 SLV (Collegamento -041_-375)
Azioni sul collegamento: N=-8719.33 Ty=-8.94 Tz=16.87 Mx=0.00 Mz=-3.28
Sollecitazioni agenti localmente: Ty_l=-1558.75 My_l=-31.97
Tensioni nella sezione: σ=387.55 τ=47.23
CC 13 SLV (Collegamento -041_-375)
Azioni sul collegamento: N=-11054.30 Ty=-8.48 Tz=9.28 Mx=0.00 Mz=-5.16
Sollecitazioni agenti localmente: Ty_l=-1980.17 My_l=-40.62
Tensioni nella sezione: σ=492.39 τ=60.01
CC 13 SLV (Collegamento -041_-375)
Azioni sul collegamento: N=-11054.30 Ty=-8.94 Tz=9.28 Mx=0.00 Mz=-3.28
Sollecitazioni agenti localmente: Ty_l=-1972.68 My_l=-40.46
Tensioni nella sezione: σ=490.40 τ=59.78
CC 13 SLV (Collegamento -041_-375)
Azioni sul collegamento: N=-11054.30 Ty=-8.48 Tz=16.87 Mx=0.00 Mz=-5.16
Sollecitazioni agenti localmente: Ty_l=-1980.17 My_l=-40.62
Tensioni nella sezione: σ=492.39 τ=60.01
CC 13 SLV (Collegamento -041_-375)
Azioni sul collegamento: N=-11054.30 Ty=-8.94 Tz=16.87 Mx=0.00 Mz=-3.28
Sollecitazioni agenti localmente: Ty_l=-1972.68 My_l=-40.46
Tensioni nella sezione: σ=490.40 τ=59.78
CC 14 SLD (Collegamento -041_-375)
Azioni sul collegamento: N=-9628.40 Ty=-9.56 Tz=12.30 Mx=-0.00 Mz=-6.65
Sollecitazioni agenti localmente: Ty_l=-1733.30 My_l=-35.57

Tensioni nella sezione: σ=431.15 τ=52.52
CC 14 SLD (Collegamento -041_-375)
Azioni sul collegamento: N=-9628.40 Ty=-9.70 Tz=12.30 Mx=-0.00 Mz=-6.07
Sollecitazioni agenti localmente: Ty_l=-1731.01 My_l=-35.52
Tensioni nella sezione: σ=430.54 τ=52.45
CC 14 SLD (Collegamento -041_-375)
Azioni sul collegamento: N=-9628.41 Ty=-9.56 Tz=14.62 Mx=-0.00 Mz=-6.65
Sollecitazioni agenti localmente: Ty_l=-1733.30 My_l=-35.57
Tensioni nella sezione: σ=431.15 τ=52.52
CC 14 SLD (Collegamento -041_-375)
Azioni sul collegamento: N=-9628.41 Ty=-9.70 Tz=14.62 Mx=-0.00 Mz=-6.07
Sollecitazioni agenti localmente: Ty_l=-1731.01 My_l=-35.52
Tensioni nella sezione: σ=430.54 τ=52.45
CC 14 SLD (Collegamento -041_-375)
Azioni sul collegamento: N=-10340.40 Ty=-9.56 Tz=12.30 Mx=-0.00 Mz=-6.65
Sollecitazioni agenti localmente: Ty_l=-1859.52 My_l=-38.16
Tensioni nella sezione: σ=462.51 τ=56.35
CC 14 SLD (Collegamento -041_-375)
Azioni sul collegamento: N=-10340.40 Ty=-9.70 Tz=12.30 Mx=-0.00 Mz=-6.07
Sollecitazioni agenti localmente: Ty_l=-1857.23 My_l=-38.11
Tensioni nella sezione: σ=461.90 τ=56.28
CC 14 SLD (Collegamento -041_-375)
Azioni sul collegamento: N=-10340.40 Ty=-9.56 Tz=14.62 Mx=-0.00 Mz=-6.65
Sollecitazioni agenti localmente: Ty_l=-1859.52 My_l=-38.16
Tensioni nella sezione: σ=462.51 τ=56.35
CC 14 SLD (Collegamento -041_-375)
Azioni sul collegamento: N=-10340.40 Ty=-9.70 Tz=14.62 Mx=-0.00 Mz=-6.07
Sollecitazioni agenti localmente: Ty_l=-1857.23 My_l=-38.11
Tensioni nella sezione: σ=461.90 τ=56.28
CC 15 SLV (Collegamento -041_-375)
Azioni sul collegamento: N=-11070.70 Ty=-10.65 Tz=17.96 Mx=0.00 Mz=-6.77
Sollecitazioni agenti localmente: Ty_l=-1989.46 My_l=-40.82
Tensioni nella sezione: σ=494.81 τ=60.29
CC 15 SLV (Collegamento -041_-375)
Azioni sul collegamento: N=-11070.70 Ty=-6.76 Tz=17.96 Mx=0.00 Mz=-1.67
Sollecitazioni agenti localmente: Ty_l=-1969.18 My_l=-40.38
Tensioni nella sezione: σ=489.42 τ=59.67
CC 15 SLV (Collegamento -041_-375)
Azioni sul collegamento: N=-11070.70 Ty=-10.65 Tz=8.19 Mx=0.00 Mz=-6.77
Sollecitazioni agenti localmente: Ty_l=-1989.46 My_l=-40.82
Tensioni nella sezione: σ=494.81 τ=60.29
CC 15 SLV (Collegamento -041_-375)
Azioni sul collegamento: N=-11070.70 Ty=-6.76 Tz=8.19 Mx=0.00 Mz=-1.67
Sollecitazioni agenti localmente: Ty_l=-1969.18 My_l=-40.38
Tensioni nella sezione: σ=489.42 τ=59.67
CC 15 SLV (Collegamento -041_-375)
Azioni sul collegamento: N=-8703.00 Ty=-10.65 Tz=17.96 Mx=0.00 Mz=-6.77
Sollecitazioni agenti localmente: Ty_l=-1569.74 My_l=-32.22
Tensioni nella sezione: σ=390.51 τ=47.57
CC 15 SLV (Collegamento -041_-375)
Azioni sul collegamento: N=-8703.00 Ty=-6.76 Tz=17.96 Mx=0.00 Mz=-1.67
Sollecitazioni agenti localmente: Ty_l=-1549.46 My_l=-31.77
Tensioni nella sezione: σ=385.13 τ=46.95
CC 15 SLV (Collegamento -041_-375)
Azioni sul collegamento: N=-8703.00 Ty=-10.65 Tz=8.19 Mx=0.00 Mz=-6.77
Sollecitazioni agenti localmente: Ty_l=-1569.74 My_l=-32.22
Tensioni nella sezione: σ=390.51 τ=47.57
CC 15 SLV (Collegamento -041_-375)
Azioni sul collegamento: N=-8703.00 Ty=-6.76 Tz=8.19 Mx=0.00 Mz=-1.67
Sollecitazioni agenti localmente: Ty_l=-1549.46 My_l=-31.77
Tensioni nella sezione: σ=385.13 τ=46.95
CC 16 SLD (Collegamento -041_-375)
Azioni sul collegamento: N=-10345.40 Ty=-10.22 Tz=14.95 Mx=-0.00 Mz=-7.14
Sollecitazioni agenti localmente: Ty_l=-1862.35 My_l=-38.22
Tensioni nella sezione: σ=463.25 τ=56.43
CC 16 SLD (Collegamento -041_-375)
Azioni sul collegamento: N=-10345.40 Ty=-9.04 Tz=14.95 Mx=-0.00 Mz=-5.58
Sollecitazioni agenti localmente: Ty_l=-1856.17 My_l=-38.08
Tensioni nella sezione: σ=461.61 τ=56.25
CC 16 SLD (Collegamento -041_-375)
Azioni sul collegamento: N=-10345.40 Ty=-10.22 Tz=11.97 Mx=-0.00 Mz=-7.14
Sollecitazioni agenti localmente: Ty_l=-1862.35 My_l=-38.22
Tensioni nella sezione: σ=463.25 τ=56.43
CC 16 SLD (Collegamento -041_-375)
Azioni sul collegamento: N=-10345.40 Ty=-9.04 Tz=11.97 Mx=-0.00 Mz=-5.58
Sollecitazioni agenti localmente: Ty_l=-1856.17 My_l=-38.08
Tensioni nella sezione: σ=461.61 τ=56.25
CC 16 SLD (Collegamento -041_-375)
Azioni sul collegamento: N=-9623.43 Ty=-10.22 Tz=14.95 Mx=-0.00 Mz=-7.14
Sollecitazioni agenti localmente: Ty_l=-1734.36 My_l=-35.59

Tensioni nella sezione: σ=431.44 τ=52.56
CC 16 SLD (Collegamento -041_-375)
Azioni sul collegamento: N=-9623.43 Ty=-9.04 Tz=14.95 Mx=-0.00 Mz=-5.58
Sollecitazioni agenti localmente: Ty_l=-1728.18 My_l=-35.46
Tensioni nella sezione: σ=429.80 τ=52.37
CC 16 SLD (Collegamento -041_-375)
Azioni sul collegamento: N=-9623.43 Ty=-10.22 Tz=11.97 Mx=-0.00 Mz=-7.14
Sollecitazioni agenti localmente: Ty_l=-1734.36 My_l=-35.59
Tensioni nella sezione: σ=431.44 τ=52.56
CC 16 SLD (Collegamento -041_-375)
Azioni sul collegamento: N=-9623.43 Ty=-9.04 Tz=11.97 Mx=-0.00 Mz=-5.58
Sollecitazioni agenti localmente: Ty_l=-1728.18 My_l=-35.46
Tensioni nella sezione: σ=429.80 τ=52.37
CC 17 SLV (Collegamento -041_-375)
Azioni sul collegamento: N=-6246.30 Ty=-7.49 Tz=-0.46 Mx=-0.02 Mz=-7.17
Sollecitazioni agenti localmente: Ty_l=-1135.83 My_l=-23.32
Tensioni nella sezione: σ=282.72 τ=34.42
CC 17 SLV (Collegamento -041_-375)
Azioni sul collegamento: N=-6246.30 Ty=-15.25 Tz=-0.46 Mx=-0.02 Mz=-13.58
Sollecitazioni agenti localmente: Ty_l=-1161.31 My_l=-23.88
Tensioni nella sezione: σ=289.48 τ=35.19
CC 17 SLV (Collegamento -041_-375)
Azioni sul collegamento: N=-6246.30 Ty=-7.49 Tz=28.82 Mx=-0.02 Mz=-7.17
Sollecitazioni agenti localmente: Ty_l=-1135.83 My_l=-23.32
Tensioni nella sezione: σ=282.72 τ=34.42
CC 17 SLV (Collegamento -041_-375)
Azioni sul collegamento: N=-6246.30 Ty=-15.25 Tz=28.82 Mx=-0.02 Mz=-13.58
Sollecitazioni agenti localmente: Ty_l=-1161.31 My_l=-23.88
Tensioni nella sezione: σ=289.48 τ=35.19
CC 17 SLV (Collegamento -041_-375)
Azioni sul collegamento: N=-14088.90 Ty=-7.49 Tz=-0.46 Mx=-0.02 Mz=-7.17
Sollecitazioni agenti localmente: Ty_l=-2526.11 My_l=-51.83
Tensioni nella sezione: σ=628.18 τ=76.55
CC 17 SLV (Collegamento -041_-375)
Azioni sul collegamento: N=-14088.90 Ty=-15.25 Tz=-0.46 Mx=-0.02 Mz=-13.58
Sollecitazioni agenti localmente: Ty_l=-2551.60 My_l=-52.38
Tensioni nella sezione: σ=634.95 τ=77.32
CC 17 SLV (Collegamento -041_-375)
Azioni sul collegamento: N=-14088.90 Ty=-7.49 Tz=28.82 Mx=-0.02 Mz=-7.17
Sollecitazioni agenti localmente: Ty_l=-2526.11 My_l=-51.83
Tensioni nella sezione: σ=628.18 τ=76.55
CC 17 SLV (Collegamento -041_-375)
Azioni sul collegamento: N=-14088.90 Ty=-15.25 Tz=28.82 Mx=-0.02 Mz=-13.58
Sollecitazioni agenti localmente: Ty_l=-2551.60 My_l=-52.38
Tensioni nella sezione: σ=634.95 τ=77.32
CC 18 SLD (Collegamento -041_-375)
Azioni sul collegamento: N=-8874.30 Ty=-9.26 Tz=9.33 Mx=-0.01 Mz=-7.26
Sollecitazioni agenti localmente: Ty_l=-1602.05 My_l=-32.88
Tensioni nella sezione: σ=398.57 τ=48.55
CC 18 SLD (Collegamento -041_-375)
Azioni sul collegamento: N=-8874.30 Ty=-11.63 Tz=9.33 Mx=-0.01 Mz=-9.21
Sollecitazioni agenti localmente: Ty_l=-1609.82 My_l=-33.05
Tensioni nella sezione: σ=400.64 τ=48.78
CC 18 SLD (Collegamento -041_-375)
Azioni sul collegamento: N=-8874.30 Ty=-9.26 Tz=18.26 Mx=-0.01 Mz=-7.26
Sollecitazioni agenti localmente: Ty_l=-1602.05 My_l=-32.88
Tensioni nella sezione: σ=398.57 τ=48.55
CC 18 SLD (Collegamento -041_-375)
Azioni sul collegamento: N=-8874.30 Ty=-11.63 Tz=18.26 Mx=-0.01 Mz=-9.21
Sollecitazioni agenti localmente: Ty_l=-1609.82 My_l=-33.05
Tensioni nella sezione: σ=400.64 τ=48.78
CC 18 SLD (Collegamento -041_-375)
Azioni sul collegamento: N=-11265.80 Ty=-9.26 Tz=9.33 Mx=-0.01 Mz=-7.26
Sollecitazioni agenti localmente: Ty_l=-2025.99 My_l=-41.57
Tensioni nella sezione: σ=503.92 τ=61.39
CC 18 SLD (Collegamento -041_-375)
Azioni sul collegamento: N=-11265.80 Ty=-11.63 Tz=9.33 Mx=-0.01 Mz=-9.21
Sollecitazioni agenti localmente: Ty_l=-2033.76 My_l=-41.74
Tensioni nella sezione: σ=505.98 τ=61.63
CC 18 SLD (Collegamento -041_-375)
Azioni sul collegamento: N=-11265.80 Ty=-9.26 Tz=18.26 Mx=-0.01 Mz=-7.26
Sollecitazioni agenti localmente: Ty_l=-2025.99 My_l=-41.57
Tensioni nella sezione: σ=503.92 τ=61.39
CC 18 SLD (Collegamento -041_-375)
Azioni sul collegamento: N=-11265.80 Ty=-11.63 Tz=18.26 Mx=-0.01 Mz=-9.21
Sollecitazioni agenti localmente: Ty_l=-2033.76 My_l=-41.74
Tensioni nella sezione: σ=505.98 τ=61.63
CC 19 SLV (Collegamento -041_-375)
Azioni sul collegamento: N=-6251.20 Ty=-8.00 Tz=-0.13 Mx=-0.01 Mz=-8.22
Sollecitazioni agenti localmente: Ty_l=-1140.86 My_l=-23.43

Tensioni nella sezione: σ=284.04 τ=34.57
CC 19 SLV (Collegamento -041_-375)
Azioni sul collegamento: N=-6251.20 Ty=-14.73 Tz=-0.13 Mx=-0.01 Mz=-12.53
Sollecitazioni agenti localmente: Ty_l=-1158.01 My_l=-23.81
Tensioni nella sezione: σ=288.59 τ=35.09
CC 19 SLV (Collegamento -041_-375)
Azioni sul collegamento: N=-6251.20 Ty=-8.00 Tz=28.49 Mx=-0.01 Mz=-8.22
Sollecitazioni agenti localmente: Ty_l=-1140.86 My_l=-23.43
Tensioni nella sezione: σ=284.04 τ=34.57
CC 19 SLV (Collegamento -041_-375)
Azioni sul collegamento: N=-6251.20 Ty=-14.73 Tz=28.49 Mx=-0.01 Mz=-12.53
Sollecitazioni agenti localmente: Ty_l=-1158.01 My_l=-23.81
Tensioni nella sezione: σ=288.59 τ=35.09
CC 19 SLV (Collegamento -041_-375)
Azioni sul collegamento: N=-14084.00 Ty=-8.00 Tz=-0.13 Mx=-0.01 Mz=-8.22
Sollecitazioni agenti localmente: Ty_l=-2529.41 My_l=-51.90
Tensioni nella sezione: σ=629.08 τ=76.65
CC 19 SLV (Collegamento -041_-375)
Azioni sul collegamento: N=-14084.00 Ty=-14.73 Tz=-0.13 Mx=-0.01 Mz=-12.53
Sollecitazioni agenti localmente: Ty_l=-2546.56 My_l=-52.27
Tensioni nella sezione: σ=633.63 τ=77.17
CC 19 SLV (Collegamento -041_-375)
Azioni sul collegamento: N=-14084.00 Ty=-8.00 Tz=28.49 Mx=-0.01 Mz=-8.22
Sollecitazioni agenti localmente: Ty_l=-2529.41 My_l=-51.90
Tensioni nella sezione: σ=629.08 τ=76.65
CC 19 SLV (Collegamento -041_-375)
Azioni sul collegamento: N=-14084.00 Ty=-14.73 Tz=28.49 Mx=-0.01 Mz=-12.53
Sollecitazioni agenti localmente: Ty_l=-2546.56 My_l=-52.27
Tensioni nella sezione: σ=633.63 τ=77.17
CC 20 SLD (Collegamento -041_-375)
Azioni sul collegamento: N=-8875.79 Ty=-9.42 Tz=9.43 Mx=-0.01 Mz=-7.58
Sollecitazioni agenti localmente: Ty_l=-1603.59 My_l=-32.92
Tensioni nella sezione: σ=398.98 τ=48.59
CC 20 SLD (Collegamento -041_-375)
Azioni sul collegamento: N=-8875.79 Ty=-11.47 Tz=9.43 Mx=-0.01 Mz=-8.89
Sollecitazioni agenti localmente: Ty_l=-1608.81 My_l=-33.03
Tensioni nella sezione: σ=400.37 τ=48.75
CC 20 SLD (Collegamento -041_-375)
Azioni sul collegamento: N=-8875.80 Ty=-9.42 Tz=18.16 Mx=-0.01 Mz=-7.58
Sollecitazioni agenti localmente: Ty_l=-1603.59 My_l=-32.92
Tensioni nella sezione: σ=398.98 τ=48.59
CC 20 SLD (Collegamento -041_-375)
Azioni sul collegamento: N=-8875.80 Ty=-11.47 Tz=18.16 Mx=-0.01 Mz=-8.89
Sollecitazioni agenti localmente: Ty_l=-1608.81 My_l=-33.03
Tensioni nella sezione: σ=400.37 τ=48.75
CC 20 SLD (Collegamento -041_-375)
Azioni sul collegamento: N=-11264.30 Ty=-9.42 Tz=9.43 Mx=-0.01 Mz=-7.58
Sollecitazioni agenti localmente: Ty_l=-2027.00 My_l=-41.60
Tensioni nella sezione: σ=504.19 τ=61.42
CC 20 SLD (Collegamento -041_-375)
Azioni sul collegamento: N=-11264.30 Ty=-11.47 Tz=9.43 Mx=-0.01 Mz=-8.89
Sollecitazioni agenti localmente: Ty_l=-2032.23 My_l=-41.71
Tensioni nella sezione: σ=505.58 τ=61.58
CC 20 SLD (Collegamento -041_-375)
Azioni sul collegamento: N=-11264.30 Ty=-9.42 Tz=18.16 Mx=-0.01 Mz=-7.58
Sollecitazioni agenti localmente: Ty_l=-2027.00 My_l=-41.60
Tensioni nella sezione: σ=504.19 τ=61.42
CC 20 SLD (Collegamento -041_-375)
Azioni sul collegamento: N=-11264.30 Ty=-11.47 Tz=18.16 Mx=-0.01 Mz=-8.89
Sollecitazioni agenti localmente: Ty_l=-2032.23 My_l=-41.71
Tensioni nella sezione: σ=505.58 τ=61.58
CC 21 SLV (Collegamento -041_-375)
Azioni sul collegamento: N=-14084.00 Ty=-14.73 Tz=28.49 Mx=-0.02 Mz=-12.53
Sollecitazioni agenti localmente: Ty_l=-2546.56 My_l=-52.27
Tensioni nella sezione: σ=633.63 τ=77.17
CC 21 SLV (Collegamento -041_-375)
Azioni sul collegamento: N=-14084.00 Ty=-8.00 Tz=28.49 Mx=-0.02 Mz=-8.22
Sollecitazioni agenti localmente: Ty_l=-2529.41 My_l=-51.90
Tensioni nella sezione: σ=629.08 τ=76.65
CC 21 SLV (Collegamento -041_-375)
Azioni sul collegamento: N=-14084.00 Ty=-14.73 Tz=-0.13 Mx=-0.02 Mz=-12.53
Sollecitazioni agenti localmente: Ty_l=-2546.56 My_l=-52.27
Tensioni nella sezione: σ=633.63 τ=77.17
CC 21 SLV (Collegamento -041_-375)
Azioni sul collegamento: N=-14084.00 Ty=-8.00 Tz=-0.13 Mx=-0.02 Mz=-8.22
Sollecitazioni agenti localmente: Ty_l=-2529.41 My_l=-51.90
Tensioni nella sezione: σ=629.08 τ=76.65
CC 21 SLV (Collegamento -041_-375)
Azioni sul collegamento: N=-6251.20 Ty=-14.73 Tz=28.49 Mx=-0.02 Mz=-12.53
Sollecitazioni agenti localmente: Ty_l=-1158.01 My_l=-23.81

Tensioni nella sezione: σ=288.59 τ=35.09
CC 21 SLV (Collegamento -041_-375)
Azioni sul collegamento: N=-6251.20 Ty=-8.00 Tz=28.49 Mx=-0.02 Mz=-8.22
Sollecitazioni agenti localmente: Ty_l=-1140.86 My_l=-23.43
Tensioni nella sezione: σ=284.04 τ=34.57
CC 21 SLV (Collegamento -041_-375)
Azioni sul collegamento: N=-6251.20 Ty=-14.73 Tz=-0.13 Mx=-0.02 Mz=-12.53
Sollecitazioni agenti localmente: Ty_l=-1158.01 My_l=-23.81
Tensioni nella sezione: σ=288.59 τ=35.09
CC 21 SLV (Collegamento -041_-375)
Azioni sul collegamento: N=-6251.20 Ty=-8.00 Tz=-0.13 Mx=-0.02 Mz=-8.22
Sollecitazioni agenti localmente: Ty_l=-1140.86 My_l=-23.43
Tensioni nella sezione: σ=284.04 τ=34.57
CC 22 SLD (Collegamento -041_-375)
Azioni sul collegamento: N=-11264.30 Ty=-11.47 Tz=18.16 Mx=-0.01 Mz=-8.89
Sollecitazioni agenti localmente: Ty_l=-2032.23 My_l=-41.71
Tensioni nella sezione: σ=505.58 τ=61.58
CC 22 SLD (Collegamento -041_-375)
Azioni sul collegamento: N=-11264.30 Ty=-9.42 Tz=18.16 Mx=-0.01 Mz=-7.58
Sollecitazioni agenti localmente: Ty_l=-2027.00 My_l=-41.60
Tensioni nella sezione: σ=504.19 τ=61.42
CC 22 SLD (Collegamento -041_-375)
Azioni sul collegamento: N=-11264.30 Ty=-11.47 Tz=9.43 Mx=-0.01 Mz=-8.89
Sollecitazioni agenti localmente: Ty_l=-2032.23 My_l=-41.71
Tensioni nella sezione: σ=505.58 τ=61.58
CC 22 SLD (Collegamento -041_-375)
Azioni sul collegamento: N=-11264.30 Ty=-9.42 Tz=9.43 Mx=-0.01 Mz=-7.58
Sollecitazioni agenti localmente: Ty_l=-2027.00 My_l=-41.60
Tensioni nella sezione: σ=504.19 τ=61.42
CC 22 SLD (Collegamento -041_-375)
Azioni sul collegamento: N=-8875.80 Ty=-11.47 Tz=18.16 Mx=-0.01 Mz=-8.89
Sollecitazioni agenti localmente: Ty_l=-1608.81 My_l=-33.03
Tensioni nella sezione: σ=400.37 τ=48.75
CC 22 SLD (Collegamento -041_-375)
Azioni sul collegamento: N=-8875.80 Ty=-9.42 Tz=18.16 Mx=-0.01 Mz=-7.58
Sollecitazioni agenti localmente: Ty_l=-1603.59 My_l=-32.92
Tensioni nella sezione: σ=398.98 τ=48.59
CC 22 SLD (Collegamento -041_-375)
Azioni sul collegamento: N=-8875.79 Ty=-11.47 Tz=9.43 Mx=-0.01 Mz=-8.89
Sollecitazioni agenti localmente: Ty_l=-1608.81 My_l=-33.03
Tensioni nella sezione: σ=400.37 τ=48.75
CC 22 SLD (Collegamento -041_-375)
Azioni sul collegamento: N=-8875.79 Ty=-9.42 Tz=9.43 Mx=-0.01 Mz=-7.58
Sollecitazioni agenti localmente: Ty_l=-1603.59 My_l=-32.92
Tensioni nella sezione: σ=398.98 τ=48.59
CC 23 SLV (Collegamento -041_-375)
Azioni sul collegamento: N=-14088.90 Ty=-15.25 Tz=28.82 Mx=-0.01 Mz=-13.58
Sollecitazioni agenti localmente: Ty_l=-2551.60 My_l=-52.38
Tensioni nella sezione: σ=634.95 τ=77.32
CC 23 SLV (Collegamento -041_-375)
Azioni sul collegamento: N=-14088.90 Ty=-7.49 Tz=28.82 Mx=-0.01 Mz=-7.17
Sollecitazioni agenti localmente: Ty_l=-2526.11 My_l=-51.83
Tensioni nella sezione: σ=628.18 τ=76.55
CC 23 SLV (Collegamento -041_-375)
Azioni sul collegamento: N=-14088.90 Ty=-15.25 Tz=-0.46 Mx=-0.01 Mz=-13.58
Sollecitazioni agenti localmente: Ty_l=-2551.60 My_l=-52.38
Tensioni nella sezione: σ=634.95 τ=77.32
CC 23 SLV (Collegamento -041_-375)
Azioni sul collegamento: N=-14088.90 Ty=-7.49 Tz=-0.46 Mx=-0.01 Mz=-7.17
Sollecitazioni agenti localmente: Ty_l=-2526.11 My_l=-51.83
Tensioni nella sezione: σ=628.18 τ=76.55
CC 23 SLV (Collegamento -041_-375)
Azioni sul collegamento: N=-6246.30 Ty=-15.25 Tz=28.82 Mx=-0.01 Mz=-13.58
Sollecitazioni agenti localmente: Ty_l=-1161.31 My_l=-23.88
Tensioni nella sezione: σ=289.48 τ=35.19
CC 23 SLV (Collegamento -041_-375)
Azioni sul collegamento: N=-6246.30 Ty=-7.49 Tz=28.82 Mx=-0.01 Mz=-7.17
Sollecitazioni agenti localmente: Ty_l=-1135.83 My_l=-23.32
Tensioni nella sezione: σ=282.72 τ=34.42
CC 23 SLV (Collegamento -041_-375)
Azioni sul collegamento: N=-6246.30 Ty=-15.25 Tz=-0.46 Mx=-0.01 Mz=-13.58
Sollecitazioni agenti localmente: Ty_l=-1161.31 My_l=-23.88
Tensioni nella sezione: σ=289.48 τ=35.19
CC 23 SLV (Collegamento -041_-375)
Azioni sul collegamento: N=-6246.30 Ty=-7.49 Tz=-0.46 Mx=-0.01 Mz=-7.17
Sollecitazioni agenti localmente: Ty_l=-1135.83 My_l=-23.32
Tensioni nella sezione: σ=282.72 τ=34.42
CC 24 SLD (Collegamento -041_-375)
Azioni sul collegamento: N=-11265.80 Ty=-11.63 Tz=18.26 Mx=-0.01 Mz=-9.21
Sollecitazioni agenti localmente: Ty_l=-2033.76 My_l=-41.74

Tensioni nella sezione: σ=505.98 τ=61.63
CC 24 SLD (Collegamento -041_-375)
Azioni sul collegamento: N=-11265.80 Ty=-9.26 Tz=18.26 Mx=-0.01 Mz=-7.26
Sollecitazioni agenti localmente: Ty_l=-2025.99 My_l=-41.57
Tensioni nella sezione: σ=503.92 τ=61.39
CC 24 SLD (Collegamento -041_-375)
Azioni sul collegamento: N=-11265.80 Ty=-11.63 Tz=9.33 Mx=-0.01 Mz=-9.21
Sollecitazioni agenti localmente: Ty_l=-2033.76 My_l=-41.74
Tensioni nella sezione: σ=505.98 τ=61.63
CC 24 SLD (Collegamento -041_-375)
Azioni sul collegamento: N=-11265.80 Ty=-9.26 Tz=9.33 Mx=-0.01 Mz=-7.26
Sollecitazioni agenti localmente: Ty_l=-2025.99 My_l=-41.57
Tensioni nella sezione: σ=503.92 τ=61.39
CC 24 SLD (Collegamento -041_-375)
Azioni sul collegamento: N=-8874.30 Ty=-11.63 Tz=18.26 Mx=-0.01 Mz=-9.21
Sollecitazioni agenti localmente: Ty_l=-1609.82 My_l=-33.05
Tensioni nella sezione: σ=400.64 τ=48.78
CC 24 SLD (Collegamento -041_-375)
Azioni sul collegamento: N=-8874.30 Ty=-9.26 Tz=18.26 Mx=-0.01 Mz=-7.26
Sollecitazioni agenti localmente: Ty_l=-1602.05 My_l=-32.88
Tensioni nella sezione: σ=398.57 τ=48.55
CC 24 SLD (Collegamento -041_-375)
Azioni sul collegamento: N=-8874.30 Ty=-11.63 Tz=9.33 Mx=-0.01 Mz=-9.21
Sollecitazioni agenti localmente: Ty_l=-1609.82 My_l=-33.05
Tensioni nella sezione: σ=400.64 τ=48.78
CC 24 SLD (Collegamento -041_-375)
Azioni sul collegamento: N=-8874.30 Ty=-9.26 Tz=9.33 Mx=-0.01 Mz=-7.26
Sollecitazioni agenti localmente: Ty_l=-1602.05 My_l=-32.88
Tensioni nella sezione: σ=398.57 τ=48.55
CC 25 SLV (Collegamento -041_-375)
Azioni sul collegamento: N=-8983.80 Ty=-9.43 Tz=9.29 Mx=-0.02 Mz=-7.83
Sollecitazioni agenti localmente: Ty_l=-1623.71 My_l=-33.33
Tensioni nella sezione: σ=404.00 τ=49.20
CC 25 SLV (Collegamento -041_-375)
Azioni sul collegamento: N=-8983.80 Ty=-13.31 Tz=9.29 Mx=-0.02 Mz=-12.93
Sollecitazioni agenti localmente: Ty_l=-1643.99 My_l=-33.77
Tensioni nella sezione: σ=409.38 τ=49.82
CC 25 SLV (Collegamento -041_-375)
Azioni sul collegamento: N=-8983.80 Ty=-9.43 Tz=19.07 Mx=-0.02 Mz=-7.83
Sollecitazioni agenti localmente: Ty_l=-1623.71 My_l=-33.33
Tensioni nella sezione: σ=404.00 τ=49.20
CC 25 SLV (Collegamento -041_-375)
Azioni sul collegamento: N=-8983.80 Ty=-13.31 Tz=19.07 Mx=-0.02 Mz=-12.93
Sollecitazioni agenti localmente: Ty_l=-1643.99 My_l=-33.77
Tensioni nella sezione: σ=409.38 τ=49.82
CC 25 SLV (Collegamento -041_-375)
Azioni sul collegamento: N=-11351.50 Ty=-9.43 Tz=9.29 Mx=-0.02 Mz=-7.83
Sollecitazioni agenti localmente: Ty_l=-2043.43 My_l=-41.93
Tensioni nella sezione: σ=508.29 τ=61.92
CC 25 SLV (Collegamento -041_-375)
Azioni sul collegamento: N=-11351.50 Ty=-13.31 Tz=9.29 Mx=-0.02 Mz=-12.93
Sollecitazioni agenti localmente: Ty_l=-2063.71 My_l=-42.38
Tensioni nella sezione: σ=513.67 τ=62.54
CC 25 SLV (Collegamento -041_-375)
Azioni sul collegamento: N=-11351.50 Ty=-9.43 Tz=19.07 Mx=-0.02 Mz=-7.83
Sollecitazioni agenti localmente: Ty_l=-2043.43 My_l=-41.93
Tensioni nella sezione: σ=508.29 τ=61.92
CC 25 SLV (Collegamento -041_-375)
Azioni sul collegamento: N=-11351.50 Ty=-13.31 Tz=19.07 Mx=-0.02 Mz=-12.93
Sollecitazioni agenti localmente: Ty_l=-2063.71 My_l=-42.38
Tensioni nella sezione: σ=513.67 τ=62.54
CC 26 SLD (Collegamento -041_-375)
Azioni sul collegamento: N=-9709.05 Ty=-9.85 Tz=12.31 Mx=-0.01 Mz=-7.46
Sollecitazioni agenti localmente: Ty_l=-1750.82 My_l=-35.93
Tensioni nella sezione: σ=435.56 τ=53.06
CC 26 SLD (Collegamento -041_-375)
Azioni sul collegamento: N=-9709.05 Ty=-11.04 Tz=12.31 Mx=-0.01 Mz=-9.01
Sollecitazioni agenti localmente: Ty_l=-1757.01 My_l=-36.07
Tensioni nella sezione: σ=437.20 τ=53.24
CC 26 SLD (Collegamento -041_-375)
Azioni sul collegamento: N=-9709.05 Ty=-9.85 Tz=15.29 Mx=-0.01 Mz=-7.46
Sollecitazioni agenti localmente: Ty_l=-1750.82 My_l=-35.93
Tensioni nella sezione: σ=435.56 τ=53.06
CC 26 SLD (Collegamento -041_-375)
Azioni sul collegamento: N=-9709.05 Ty=-11.04 Tz=15.29 Mx=-0.01 Mz=-9.01
Sollecitazioni agenti localmente: Ty_l=-1757.01 My_l=-36.07
Tensioni nella sezione: σ=437.20 τ=53.24
CC 26 SLD (Collegamento -041_-375)
Azioni sul collegamento: N=-10431.00 Ty=-9.85 Tz=12.31 Mx=-0.01 Mz=-7.46
Sollecitazioni agenti localmente: Ty_l=-1878.81 My_l=-38.56

Tensioni nella sezione: σ=467.36 τ=56.93
CC 26 SLD (Collegamento -041_-375)
Azioni sul collegamento: N=-10431.00 Ty=-11.04 Tz=12.31 Mx=-0.01 Mz=-9.01
Sollecitazioni agenti localmente: Ty_l=-1884.99 My_l=-38.69
Tensioni nella sezione: σ=469.00 τ=57.12
CC 26 SLD (Collegamento -041_-375)
Azioni sul collegamento: N=-10431.00 Ty=-9.85 Tz=15.29 Mx=-0.01 Mz=-7.46
Sollecitazioni agenti localmente: Ty_l=-1878.81 My_l=-38.56
Tensioni nella sezione: σ=467.36 τ=56.93
CC 26 SLD (Collegamento -041_-375)
Azioni sul collegamento: N=-10431.00 Ty=-11.04 Tz=15.29 Mx=-0.01 Mz=-9.01
Sollecitazioni agenti localmente: Ty_l=-1884.99 My_l=-38.69
Tensioni nella sezione: σ=469.00 τ=57.12
CC 27 SLV (Collegamento -041_-375)
Azioni sul collegamento: N=-11335.10 Ty=-11.60 Tz=17.98 Mx=-0.02 Mz=-9.43
Sollecitazioni agenti localmente: Ty_l=-2046.93 My_l=-42.01
Tensioni nella sezione: σ=509.27 τ=62.03
CC 27 SLV (Collegamento -041_-375)
Azioni sul collegamento: N=-11335.10 Ty=-11.14 Tz=17.98 Mx=-0.02 Mz=-11.32
Sollecitazioni agenti localmente: Ty_l=-2054.42 My_l=-42.18
Tensioni nella sezione: σ=511.26 τ=62.26
CC 27 SLV (Collegamento -041_-375)
Azioni sul collegamento: N=-11335.10 Ty=-11.60 Tz=10.38 Mx=-0.02 Mz=-9.43
Sollecitazioni agenti localmente: Ty_l=-2046.93 My_l=-42.01
Tensioni nella sezione: σ=509.27 τ=62.03
CC 27 SLV (Collegamento -041_-375)
Azioni sul collegamento: N=-11335.10 Ty=-11.14 Tz=10.38 Mx=-0.02 Mz=-11.32
Sollecitazioni agenti localmente: Ty_l=-2054.42 My_l=-42.18
Tensioni nella sezione: σ=511.26 τ=62.26
CC 27 SLV (Collegamento -041_-375)
Azioni sul collegamento: N=-9000.13 Ty=-11.60 Tz=17.98 Mx=-0.02 Mz=-9.43
Sollecitazioni agenti localmente: Ty_l=-1633.00 My_l=-33.53
Tensioni nella sezione: σ=406.41 τ=49.48
CC 27 SLV (Collegamento -041_-375)
Azioni sul collegamento: N=-9000.13 Ty=-11.14 Tz=17.98 Mx=-0.02 Mz=-11.32
Sollecitazioni agenti localmente: Ty_l=-1640.49 My_l=-33.69
Tensioni nella sezione: σ=408.40 τ=49.71
CC 27 SLV (Collegamento -041_-375)
Azioni sul collegamento: N=-9000.13 Ty=-11.60 Tz=10.38 Mx=-0.02 Mz=-9.43
Sollecitazioni agenti localmente: Ty_l=-1633.00 My_l=-33.53
Tensioni nella sezione: σ=406.41 τ=49.48
CC 27 SLV (Collegamento -041_-375)
Azioni sul collegamento: N=-9000.13 Ty=-11.14 Tz=10.38 Mx=-0.02 Mz=-11.32
Sollecitazioni agenti localmente: Ty_l=-1640.49 My_l=-33.69
Tensioni nella sezione: σ=408.40 τ=49.71
CC 28 SLD (Collegamento -041_-375)
Azioni sul collegamento: N=-10426.00 Ty=-10.51 Tz=14.95 Mx=-0.01 Mz=-7.95
Sollecitazioni agenti localmente: Ty_l=-1879.87 My_l=-38.58
Tensioni nella sezione: σ=467.66 τ=56.97
CC 28 SLD (Collegamento -041_-375)
Azioni sul collegamento: N=-10426.00 Ty=-10.37 Tz=14.95 Mx=-0.01 Mz=-8.52
Sollecitazioni agenti localmente: Ty_l=-1882.16 My_l=-38.63
Tensioni nella sezione: σ=468.26 τ=57.04
CC 28 SLD (Collegamento -041_-375)
Azioni sul collegamento: N=-10426.00 Ty=-10.51 Tz=12.64 Mx=-0.01 Mz=-7.95
Sollecitazioni agenti localmente: Ty_l=-1879.87 My_l=-38.58
Tensioni nella sezione: σ=467.66 τ=56.97
CC 28 SLD (Collegamento -041_-375)
Azioni sul collegamento: N=-10426.00 Ty=-10.37 Tz=12.64 Mx=-0.01 Mz=-8.52
Sollecitazioni agenti localmente: Ty_l=-1882.16 My_l=-38.63
Tensioni nella sezione: σ=468.26 τ=57.04
CC 28 SLD (Collegamento -041_-375)
Azioni sul collegamento: N=-9714.03 Ty=-10.51 Tz=14.95 Mx=-0.01 Mz=-7.95
Sollecitazioni agenti localmente: Ty_l=-1753.65 My_l=-35.99
Tensioni nella sezione: σ=436.29 τ=53.14
CC 28 SLD (Collegamento -041_-375)
Azioni sul collegamento: N=-9714.03 Ty=-10.37 Tz=14.95 Mx=-0.01 Mz=-8.52
Sollecitazioni agenti localmente: Ty_l=-1755.94 My_l=-36.04
Tensioni nella sezione: σ=436.90 τ=53.21
CC 28 SLD (Collegamento -041_-375)
Azioni sul collegamento: N=-9714.03 Ty=-10.51 Tz=12.64 Mx=-0.01 Mz=-7.95
Sollecitazioni agenti localmente: Ty_l=-1753.65 My_l=-35.99
Tensioni nella sezione: σ=436.29 τ=53.14
CC 28 SLD (Collegamento -041_-375)
Azioni sul collegamento: N=-9714.03 Ty=-10.37 Tz=12.64 Mx=-0.01 Mz=-8.52
Sollecitazioni agenti localmente: Ty_l=-1755.94 My_l=-36.04
Tensioni nella sezione: σ=436.90 τ=53.21
CC 29 SLV (Collegamento -041_-375)
Azioni sul collegamento: N=-9000.13 Ty=-11.14 Tz=10.38 Mx=-0.01 Mz=-11.32
Sollecitazioni agenti localmente: Ty_l=-1640.49 My_l=-33.69

Tensioni nella sezione: σ=408.40 τ=49.71
CC 29 SLV (Collegamento -041_-375)
Azioni sul collegamento: N=-9000.13 Ty=-11.60 Tz=10.38 Mx=-0.01 Mz=-9.43
Sollecitazioni agenti localmente: Ty_l=-1633.00 My_l=-33.53
Tensioni nella sezione: σ=406.41 τ=49.48
CC 29 SLV (Collegamento -041_-375)
Azioni sul collegamento: N=-9000.13 Ty=-11.14 Tz=17.98 Mx=-0.01 Mz=-11.32
Sollecitazioni agenti localmente: Ty_l=-1640.49 My_l=-33.69
Tensioni nella sezione: σ=408.40 τ=49.71
CC 29 SLV (Collegamento -041_-375)
Azioni sul collegamento: N=-9000.13 Ty=-11.60 Tz=17.98 Mx=-0.01 Mz=-9.43
Sollecitazioni agenti localmente: Ty_l=-1633.00 My_l=-33.53
Tensioni nella sezione: σ=406.41 τ=49.48
CC 29 SLV (Collegamento -041_-375)
Azioni sul collegamento: N=-11335.10 Ty=-11.14 Tz=10.38 Mx=-0.01 Mz=-11.32
Sollecitazioni agenti localmente: Ty_l=-2054.43 My_l=-42.18
Tensioni nella sezione: σ=511.26 τ=62.26
CC 29 SLV (Collegamento -041_-375)
Azioni sul collegamento: N=-11335.10 Ty=-11.60 Tz=10.38 Mx=-0.01 Mz=-9.43
Sollecitazioni agenti localmente: Ty_l=-2046.93 My_l=-42.01
Tensioni nella sezione: σ=509.27 τ=62.03
CC 29 SLV (Collegamento -041_-375)
Azioni sul collegamento: N=-11335.10 Ty=-11.14 Tz=17.98 Mx=-0.01 Mz=-11.32
Sollecitazioni agenti localmente: Ty_l=-2054.43 My_l=-42.18
Tensioni nella sezione: σ=511.26 τ=62.26
CC 29 SLV (Collegamento -041_-375)
Azioni sul collegamento: N=-11335.10 Ty=-11.60 Tz=17.98 Mx=-0.01 Mz=-9.43
Sollecitazioni agenti localmente: Ty_l=-2046.93 My_l=-42.01
Tensioni nella sezione: σ=509.27 τ=62.03
CC 30 SLD (Collegamento -041_-375)
Azioni sul collegamento: N=-9714.03 Ty=-10.37 Tz=12.64 Mx=-0.00 Mz=-8.52
Sollecitazioni agenti localmente: Ty_l=-1755.94 My_l=-36.04
Tensioni nella sezione: σ=436.90 τ=53.21
CC 30 SLD (Collegamento -041_-375)
Azioni sul collegamento: N=-9714.03 Ty=-10.51 Tz=12.64 Mx=-0.00 Mz=-7.95
Sollecitazioni agenti localmente: Ty_l=-1753.65 My_l=-35.99
Tensioni nella sezione: σ=436.29 τ=53.14
CC 30 SLD (Collegamento -041_-375)
Azioni sul collegamento: N=-9714.03 Ty=-10.37 Tz=14.95 Mx=-0.00 Mz=-8.52
Sollecitazioni agenti localmente: Ty_l=-1755.94 My_l=-36.04
Tensioni nella sezione: σ=436.90 τ=53.21
CC 30 SLD (Collegamento -041_-375)
Azioni sul collegamento: N=-9714.03 Ty=-10.51 Tz=14.95 Mx=-0.00 Mz=-7.95
Sollecitazioni agenti localmente: Ty_l=-1753.65 My_l=-35.99
Tensioni nella sezione: σ=436.29 τ=53.14
CC 30 SLD (Collegamento -041_-375)
Azioni sul collegamento: N=-10426.00 Ty=-10.37 Tz=12.64 Mx=-0.00 Mz=-8.52
Sollecitazioni agenti localmente: Ty_l=-1882.16 My_l=-38.63
Tensioni nella sezione: σ=468.26 τ=57.04
CC 30 SLD (Collegamento -041_-375)
Azioni sul collegamento: N=-10426.00 Ty=-10.51 Tz=12.64 Mx=-0.00 Mz=-7.95
Sollecitazioni agenti localmente: Ty_l=-1879.87 My_l=-38.58
Tensioni nella sezione: σ=467.66 τ=56.97
CC 30 SLD (Collegamento -041_-375)
Azioni sul collegamento: N=-10426.00 Ty=-10.37 Tz=14.95 Mx=-0.00 Mz=-8.52
Sollecitazioni agenti localmente: Ty_l=-1882.16 My_l=-38.63
Tensioni nella sezione: σ=468.26 τ=57.04
CC 30 SLD (Collegamento -041_-375)
Azioni sul collegamento: N=-10426.00 Ty=-10.51 Tz=14.95 Mx=-0.00 Mz=-7.95
Sollecitazioni agenti localmente: Ty_l=-1879.87 My_l=-38.58
Tensioni nella sezione: σ=467.66 τ=56.97
CC 31 SLV (Collegamento -041_-375)
Azioni sul collegamento: N=-11351.50 Ty=-13.31 Tz=19.07 Mx=-0.01 Mz=-12.93
Sollecitazioni agenti localmente: Ty_l=-2063.71 My_l=-42.38
Tensioni nella sezione: σ=513.67 τ=62.54
CC 31 SLV (Collegamento -041_-375)
Azioni sul collegamento: N=-11351.50 Ty=-9.43 Tz=19.07 Mx=-0.01 Mz=-7.83
Sollecitazioni agenti localmente: Ty_l=-2043.43 My_l=-41.93
Tensioni nella sezione: σ=508.29 τ=61.92
CC 31 SLV (Collegamento -041_-375)
Azioni sul collegamento: N=-11351.50 Ty=-13.31 Tz=9.29 Mx=-0.01 Mz=-12.93
Sollecitazioni agenti localmente: Ty_l=-2063.71 My_l=-42.38
Tensioni nella sezione: σ=513.67 τ=62.54
CC 31 SLV (Collegamento -041_-375)
Azioni sul collegamento: N=-11351.50 Ty=-9.43 Tz=9.29 Mx=-0.01 Mz=-7.83
Sollecitazioni agenti localmente: Ty_l=-2043.43 My_l=-41.93
Tensioni nella sezione: σ=508.29 τ=61.92
CC 31 SLV (Collegamento -041_-375)
Azioni sul collegamento: N=-8983.80 Ty=-13.31 Tz=19.07 Mx=-0.01 Mz=-12.93
Sollecitazioni agenti localmente: Ty_l=-1643.99 My_l=-33.77

Tensioni nella sezione: σ=409.38 τ=49.82
CC 31 SLV (Collegamento -041_-375)
Azioni sul collegamento: N=-8983.80 Ty=-9.43 Tz=19.07 Mx=-0.01 Mz=-7.83
Sollecitazioni agenti localmente: Ty_l=-1623.71 My_l=-33.33
Tensioni nella sezione: σ=404.00 τ=49.20
CC 31 SLV (Collegamento -041_-375)
Azioni sul collegamento: N=-8983.80 Ty=-13.31 Tz=9.29 Mx=-0.01 Mz=-12.93
Sollecitazioni agenti localmente: Ty_l=-1643.99 My_l=-33.77
Tensioni nella sezione: σ=409.38 τ=49.82
CC 31 SLV (Collegamento -041_-375)
Azioni sul collegamento: N=-8983.80 Ty=-9.43 Tz=9.29 Mx=-0.01 Mz=-7.83
Sollecitazioni agenti localmente: Ty_l=-1623.71 My_l=-33.33
Tensioni nella sezione: σ=404.00 τ=49.20
CC 32 SLD (Collegamento -041_-375)
Azioni sul collegamento: N=-10431.00 Ty=-11.04 Tz=15.29 Mx=-0.00 Mz=-9.01
Sollecitazioni agenti localmente: Ty_l=-1884.99 My_l=-38.69
Tensioni nella sezione: σ=469.00 τ=57.12
CC 32 SLD (Collegamento -041_-375)
Azioni sul collegamento: N=-10431.00 Ty=-9.85 Tz=15.29 Mx=-0.00 Mz=-7.46
Sollecitazioni agenti localmente: Ty_l=-1878.81 My_l=-38.56
Tensioni nella sezione: σ=467.36 τ=56.93
CC 32 SLD (Collegamento -041_-375)
Azioni sul collegamento: N=-10431.00 Ty=-11.04 Tz=12.31 Mx=-0.00 Mz=-9.01
Sollecitazioni agenti localmente: Ty_l=-1884.99 My_l=-38.69
Tensioni nella sezione: σ=469.00 τ=57.12
CC 32 SLD (Collegamento -041_-375)
Azioni sul collegamento: N=-10431.00 Ty=-9.85 Tz=12.31 Mx=-0.00 Mz=-7.46
Sollecitazioni agenti localmente: Ty_l=-1878.81 My_l=-38.56
Tensioni nella sezione: σ=467.36 τ=56.93
CC 32 SLD (Collegamento -041_-375)
Azioni sul collegamento: N=-9709.05 Ty=-11.04 Tz=15.29 Mx=-0.00 Mz=-9.01
Sollecitazioni agenti localmente: Ty_l=-1757.01 My_l=-36.07
Tensioni nella sezione: σ=437.20 τ=53.24
CC 32 SLD (Collegamento -041_-375)
Azioni sul collegamento: N=-9709.05 Ty=-9.85 Tz=15.29 Mx=-0.00 Mz=-7.46
Sollecitazioni agenti localmente: Ty_l=-1750.82 My_l=-35.93
Tensioni nella sezione: σ=435.56 τ=53.06
CC 32 SLD (Collegamento -041_-375)
Azioni sul collegamento: N=-9709.05 Ty=-11.04 Tz=12.31 Mx=-0.00 Mz=-9.01
Sollecitazioni agenti localmente: Ty_l=-1757.01 My_l=-36.07
Tensioni nella sezione: σ=437.20 τ=53.24
CC 32 SLD (Collegamento -041_-375)
Azioni sul collegamento: N=-9709.05 Ty=-9.85 Tz=12.31 Mx=-0.00 Mz=-7.46
Sollecitazioni agenti localmente: Ty_l=-1750.82 My_l=-35.93
Tensioni nella sezione: σ=435.56 τ=53.06
CC 33 SLU (Collegamento -041_-375)
Azioni sul collegamento: N=-36642.60 Ty=-20.20 Tz=103.27 Mx=-0.00 Mz=-14.84
Sollecitazioni agenti localmente: Ty_l=-6554.75 My_l=-134.46
Tensioni nella sezione: σ=1629.76 τ=198.63
CC 34 SLU (Collegamento -041_-375)
Azioni sul collegamento: N=-37458.50 Ty=-20.96 Tz=106.28 Mx=-0.00 Mz=-15.40
Sollecitazioni agenti localmente: Ty_l=-6701.62 My_l=-137.47
Tensioni nella sezione: σ=1666.29 τ=203.08
CC 35 SLU (Collegamento -041_-375)
Azioni sul collegamento: N=-37049.70 Ty=-20.49 Tz=104.83 Mx=-0.01 Mz=-14.94
Sollecitazioni agenti localmente: Ty_l=-6627.30 My_l=-135.94
Tensioni nella sezione: σ=1647.79 τ=200.83
CC 36 SLU (Collegamento -041_-375)
Azioni sul collegamento: N=-37051.40 Ty=-20.67 Tz=104.72 Mx=-0.00 Mz=-15.30
Sollecitazioni agenti localmente: Ty_l=-6629.07 My_l=-135.98
Tensioni nella sezione: σ=1648.26 τ=200.88
CC 37 SLU (Collegamento -041_-375)
Azioni sul collegamento: N=-29860.20 Ty=10.64 Tz=77.84 Mx=-0.00 Mz=8.54
Sollecitazioni agenti localmente: Ty_l=-5259.42 My_l=-107.77
Tensioni nella sezione: σ=1306.31 τ=159.38
CC 38 SLU (Collegamento -041_-375)
Azioni sul collegamento: N=-30676.20 Ty=9.89 Tz=80.85 Mx=-0.00 Mz=7.98
Sollecitazioni agenti localmente: Ty_l=-5406.29 My_l=-110.78
Tensioni nella sezione: σ=1342.84 τ=163.83
CC 39 SLU (Collegamento -041_-375)
Azioni sul collegamento: N=-30267.30 Ty=10.35 Tz=79.40 Mx=-0.01 Mz=8.45
Sollecitazioni agenti localmente: Ty_l=-5331.97 My_l=-109.26
Tensioni nella sezione: σ=1324.34 τ=161.57
CC 40 SLU (Collegamento -041_-375)
Azioni sul collegamento: N=-30269.10 Ty=10.18 Tz=79.28 Mx=-0.00 Mz=8.08
Sollecitazioni agenti localmente: Ty_l=-5333.74 My_l=-109.30
Tensioni nella sezione: σ=1324.81 τ=161.63
CC 41 SLU (Collegamento -041_-375)
Azioni sul collegamento: N=-27459.80 Ty=-19.36 Tz=69.55 Mx=-0.00 Mz=-14.09
Sollecitazioni agenti localmente: Ty_l=-4923.91 My_l=-101.02

Tensioni nella sezione: σ=1224.47 τ=149.21
CC 42 SLU (Collegamento -041_-375)
Azioni sul collegamento: N=-28275.70 Ty=-20.11 Tz=72.57 Mx=-0.00 Mz=-14.65
Sollecitazioni agenti localmente: Ty_l=-5070.78 My_l=-104.03
Tensioni nella sezione: σ=1261.00 τ=153.66
CC 43 SLU (Collegamento -041_-375)
Azioni sul collegamento: N=-27866.90 Ty=-19.65 Tz=71.12 Mx=-0.01 Mz=-14.19
Sollecitazioni agenti localmente: Ty_l=-4996.46 My_l=-102.51
Tensioni nella sezione: σ=1242.50 τ=151.41
CC 44 SLU (Collegamento -041_-375)
Azioni sul collegamento: N=-27868.60 Ty=-19.82 Tz=71.00 Mx=-0.00 Mz=-14.55
Sollecitazioni agenti localmente: Ty_l=-4998.23 My_l=-102.55
Tensioni nella sezione: σ=1242.97 τ=151.46
CC 45 SLU (Collegamento -041_-375)
Azioni sul collegamento: N=-29479.00 Ty=-19.57 Tz=76.97 Mx=-0.00 Mz=-14.38
Sollecitazioni agenti localmente: Ty_l=-5283.03 My_l=-108.38
Tensioni nella sezione: σ=1313.72 τ=160.09
CC 46 SLU (Collegamento -041_-375)
Azioni sul collegamento: N=-30295.00 Ty=-20.33 Tz=79.99 Mx=-0.00 Mz=-14.94
Sollecitazioni agenti localmente: Ty_l=-5429.90 My_l=-111.40
Tensioni nella sezione: σ=1350.26 τ=164.54
CC 47 SLU (Collegamento -041_-375)
Azioni sul collegamento: N=-29886.10 Ty=-19.86 Tz=78.54 Mx=-0.00 Mz=-14.48
Sollecitazioni agenti localmente: Ty_l=-5355.58 My_l=-109.87
Tensioni nella sezione: σ=1331.76 τ=162.29
CC 48 SLU (Collegamento -041_-375)
Azioni sul collegamento: N=-29887.90 Ty=-20.04 Tz=78.42 Mx=-0.00 Mz=-14.84
Sollecitazioni agenti localmente: Ty_l=-5357.35 My_l=-109.91
Tensioni nella sezione: σ=1332.22 τ=162.34
CC 49 SLU (Collegamento -041_-375)
Azioni sul collegamento: N=-24404.80 Ty=3.50 Tz=57.94 Mx=-0.00 Mz=3.11
Sollecitazioni agenti localmente: Ty_l=-4313.93 My_l=-88.42
Tensioni nella sezione: σ=1071.74 τ=130.72
CC 50 SLU (Collegamento -041_-375)
Azioni sul collegamento: N=-25220.80 Ty=2.75 Tz=60.96 Mx=-0.00 Mz=2.55
Sollecitazioni agenti localmente: Ty_l=-4460.80 My_l=-91.43
Tensioni nella sezione: σ=1108.27 τ=135.18
CC 51 SLU (Collegamento -041_-375)
Azioni sul collegamento: N=-24811.90 Ty=3.21 Tz=59.51 Mx=-0.00 Mz=3.02
Sollecitazioni agenti localmente: Ty_l=-4386.48 My_l=-89.91
Tensioni nella sezione: σ=1089.77 τ=132.92
CC 52 SLU (Collegamento -041_-375)
Azioni sul collegamento: N=-24813.70 Ty=3.04 Tz=59.39 Mx=-0.00 Mz=2.65
Sollecitazioni agenti localmente: Ty_l=-4388.25 My_l=-89.94
Tensioni nella sezione: σ=1090.23 τ=132.98
CC 53 SLU (Collegamento -041_-375)
Azioni sul collegamento: N=-22608.90 Ty=-18.94 Tz=51.75 Mx=-0.00 Mz=-13.82
Sollecitazioni agenti localmente: Ty_l=-4062.92 My_l=-83.37
Tensioni nella sezione: σ=1010.51 τ=123.12
CC 54 SLU (Collegamento -041_-375)
Azioni sul collegamento: N=-23424.90 Ty=-19.70 Tz=54.76 Mx=-0.00 Mz=-14.38
Sollecitazioni agenti localmente: Ty_l=-4209.79 My_l=-86.38
Tensioni nella sezione: σ=1047.04 τ=127.57
CC 55 SLU (Collegamento -041_-375)
Azioni sul collegamento: N=-23016.00 Ty=-19.23 Tz=53.31 Mx=-0.00 Mz=-13.92
Sollecitazioni agenti localmente: Ty_l=-4135.47 My_l=-84.85
Tensioni nella sezione: σ=1028.54 τ=125.32
CC 56 SLU (Collegamento -041_-375)
Azioni sul collegamento: N=-23017.80 Ty=-19.41 Tz=53.20 Mx=-0.00 Mz=-14.28
Sollecitazioni agenti localmente: Ty_l=-4137.24 My_l=-84.89
Tensioni nella sezione: σ=1029.01 τ=125.37
CC 57 SLU (Collegamento -041_-375)
Azioni sul collegamento: N=-30221.30 Ty=-20.56 Tz=79.74 Mx=-0.00 Mz=-15.10
Sollecitazioni agenti localmente: Ty_l=-5417.48 My_l=-111.14
Tensioni nella sezione: σ=1347.18 τ=164.17
CC 58 SLU (Collegamento -041_-375)
Azioni sul collegamento: N=-31037.20 Ty=-21.31 Tz=82.75 Mx=-0.00 Mz=-15.66
Sollecitazioni agenti localmente: Ty_l=-5564.35 My_l=-114.16
Tensioni nella sezione: σ=1383.71 τ=168.62
CC 59 SLU (Collegamento -041_-375)
Azioni sul collegamento: N=-30628.40 Ty=-20.85 Tz=81.31 Mx=-0.00 Mz=-15.20
Sollecitazioni agenti localmente: Ty_l=-5490.03 My_l=-112.63
Tensioni nella sezione: σ=1365.22 τ=166.37
CC 60 SLU (Collegamento -041_-375)
Azioni sul collegamento: N=-30630.10 Ty=-21.02 Tz=81.19 Mx=-0.00 Mz=-15.57
Sollecitazioni agenti localmente: Ty_l=-5491.80 My_l=-112.67
Tensioni nella sezione: σ=1365.68 τ=166.42
CC 61 SLU (Collegamento -041_-375)
Azioni sul collegamento: N=-25147.00 Ty=2.52 Tz=60.71 Mx=-0.00 Mz=2.39
Sollecitazioni agenti localmente: Ty_l=-4448.38 My_l=-91.18

Tensioni nella sezione: σ=1105.19 τ=134.80
CC 62 SLU (Collegamento -041_-375)
Azioni sul collegamento: N=-25963.00 Ty=1.76 Tz=63.73 Mx=-0.00 Mz=1.83
Sollecitazioni agenti localmente: Ty_l=-4595.25 My_l=-94.19
Tensioni nella sezione: σ=1141.73 τ=139.25
CC 63 SLU (Collegamento -041_-375)
Azioni sul collegamento: N=-25554.10 Ty=2.23 Tz=62.28 Mx=-0.00 Mz=2.29
Sollecitazioni agenti localmente: Ty_l=-4520.94 My_l=-92.67
Tensioni nella sezione: σ=1123.23 τ=137.00
CC 64 SLU (Collegamento -041_-375)
Azioni sul collegamento: N=-25555.90 Ty=2.05 Tz=62.16 Mx=-0.00 Mz=1.93
Sollecitazioni agenti localmente: Ty_l=-4522.70 My_l=-92.70
Tensioni nella sezione: σ=1123.69 τ=137.05
CC 65 SLU (Collegamento -041_-375)
Azioni sul collegamento: N=-23351.20 Ty=-19.92 Tz=54.52 Mx=-0.00 Mz=-14.54
Sollecitazioni agenti localmente: Ty_l=-4197.38 My_l=-86.13
Tensioni nella sezione: σ=1043.97 τ=127.19
CC 66 SLU (Collegamento -041_-375)
Azioni sul collegamento: N=-24167.10 Ty=-20.68 Tz=57.53 Mx=-0.00 Mz=-15.10
Sollecitazioni agenti localmente: Ty_l=-4344.25 My_l=-89.14
Tensioni nella sezione: σ=1080.50 τ=131.64
CC 67 SLU (Collegamento -041_-375)
Azioni sul collegamento: N=-23758.30 Ty=-20.21 Tz=56.08 Mx=-0.00 Mz=-14.64
Sollecitazioni agenti localmente: Ty_l=-4269.93 My_l=-87.61
Tensioni nella sezione: σ=1062.00 τ=129.39
CC 68 SLU (Collegamento -041_-375)
Azioni sul collegamento: N=-23760.00 Ty=-20.39 Tz=55.97 Mx=-0.00 Mz=-15.01
Sollecitazioni agenti localmente: Ty_l=-4271.69 My_l=-87.65
Tensioni nella sezione: σ=1062.46 τ=129.44
CC 97 SLU (Collegamento -041_-375)
Azioni sul collegamento: N=-31084.20 Ty=-25.01 Tz=90.82 Mx=0.05 Mz=-11.42
Sollecitazioni agenti localmente: Ty_l=-5555.80 My_l=-113.96
Tensioni nella sezione: σ=1381.30 τ=168.36
CC 98 SLU (Collegamento -041_-375)
Azioni sul collegamento: N=-31900.20 Ty=-25.76 Tz=93.83 Mx=0.05 Mz=-11.97
Sollecitazioni agenti localmente: Ty_l=-5702.67 My_l=-116.97
Tensioni nella sezione: σ=1417.83 τ=172.81
CC 99 SLU (Collegamento -041_-375)
Azioni sul collegamento: N=-31491.30 Ty=-25.30 Tz=92.39 Mx=0.05 Mz=-11.51
Sollecitazioni agenti localmente: Ty_l=-5628.35 My_l=-115.44
Tensioni nella sezione: σ=1399.34 τ=170.56
CC 100 SLU (Collegamento -041_-375)
Azioni sul collegamento: N=-31493.10 Ty=-25.48 Tz=92.27 Mx=0.05 Mz=-11.88
Sollecitazioni agenti localmente: Ty_l=-5630.12 My_l=-115.48
Tensioni nella sezione: σ=1399.80 τ=170.61
CC 101 SLU (Collegamento -041_-375)
Azioni sul collegamento: N=-8294.89 Ty=-5.21 Tz=7.37 Mx=-0.01 Mz=-4.43
Sollecitazioni agenti localmente: Ty_l=-1488.09 My_l=-30.53
Tensioni nella sezione: σ=370.07 τ=45.09
CC 102 SLU (Collegamento -041_-375)
Azioni sul collegamento: N=-9110.88 Ty=-5.97 Tz=10.39 Mx=-0.01 Mz=-4.99
Sollecitazioni agenti localmente: Ty_l=-1634.96 My_l=-33.54
Tensioni nella sezione: σ=406.60 τ=49.54
CC 103 SLU (Collegamento -041_-375)
Azioni sul collegamento: N=-8702.00 Ty=-5.50 Tz=8.94 Mx=-0.01 Mz=-4.53
Sollecitazioni agenti localmente: Ty_l=-1560.64 My_l=-32.02
Tensioni nella sezione: σ=388.10 τ=47.29
CC 104 SLU (Collegamento -041_-375)
Azioni sul collegamento: N=-8703.78 Ty=-5.68 Tz=8.82 Mx=-0.01 Mz=-4.89
Sollecitazioni agenti localmente: Ty_l=-1562.41 My_l=-32.06
Tensioni nella sezione: σ=388.56 τ=47.35

Collegamento -044_-376

Piastra 220.00 x 220.00 s=15.00 - 6 Tirafondi ϕ 16 - Profondità di infissione: 350.00
3 righe ad interasse 89.00
2 colonne ad interasse 178.00
Altezza di gola saldature: anima 7.07 - ala 7.07

Tirafondi e calcestruzzo

CC 1 SLV (Collegamento -044_-376)
Azioni sul collegamento: N=-6246.31 Ty=15.25 Tz=-0.46 Mx=0.02 Mz=13.58
Sollecitazioni agenti localmente: Tx_l=15.25 Ty_l=-0.46 N_l=-6246.31 Mx_l=-0.00 My_l=13.58 Mz_l=0.02
Taglio nei bulloni: Fv,Ed=2.56 Fv,Rd=7720.78
Rifollamento lato piastra: Fb,Ed,p=2.56 Fb,Rd,p=5991.65
Tirafondi:LT=0.45 (0.31) σ_{cR}=0.00 σ_{fR}=0.00
Compressione nel calcestruzzo: σ_c=13.67
CC 1 SLV (Collegamento -044_-376)
Azioni sul collegamento: N=-6246.31 Ty=7.49 Tz=-0.46 Mx=0.02 Mz=7.17

Sollecitazioni agenti localmente: Tx_l=7.49 Ty_l=-0.46 N_l=-6246.31 Mx_l=-0.00 My_l=7.17 Mz_l=0.02
Taglio nei bulloni: Fv,Ed=1.27 Fv,Rd=7720.78
Rifollamento lato piastra: Fb,Ed,p=1.27 Fb,Rd,p=6030.04
Tirafondi:LT=0.45 (0.31) σ_{cR}=0.00 σ_{fR}=0.00
Compressione nel calcestruzzo: σ_c=13.31
CC 1 SLV (Collegamento -044_-376)
Azioni sul collegamento: N=-6246.31 Ty=15.25 Tz=28.82 Mx=0.02 Mz=13.58
Sollecitazioni agenti localmente: Tx_l=15.25 Ty_l=28.82 N_l=-6246.31 Mx_l=-0.00 My_l=13.58 Mz_l=0.02
Taglio nei bulloni: Fv,Ed=5.46 Fv,Rd=7720.78
Rifollamento lato piastra: Fb,Ed,p=5.46 Fb,Rd,p=8530.43
Tirafondi:LT=0.45 (0.31) σ_{cR}=0.00 σ_{fR}=0.00
Compressione nel calcestruzzo: σ_c=13.67
CC 1 SLV (Collegamento -044_-376)
Azioni sul collegamento: N=-6246.31 Ty=7.49 Tz=28.82 Mx=0.02 Mz=7.17
Sollecitazioni agenti localmente: Tx_l=7.49 Ty_l=28.82 N_l=-6246.31 Mx_l=-0.00 My_l=7.17 Mz_l=0.02
Taglio nei bulloni: Fv,Ed=4.99 Fv,Rd=7720.78
Rifollamento lato piastra: Fb,Ed,p=4.99 Fb,Rd,p=6595.89
Tirafondi:LT=0.45 (0.31) σ_{cR}=0.00 σ_{fR}=0.00
Compressione nel calcestruzzo: σ_c=13.31
CC 1 SLV (Collegamento -044_-376)
Azioni sul collegamento: N=-14088.90 Ty=15.25 Tz=-0.46 Mx=0.02 Mz=13.58
Sollecitazioni agenti localmente: Tx_l=15.25 Ty_l=-0.46 N_l=-14088.90 Mx_l=-0.00 My_l=13.58 Mz_l=0.02
Taglio nei bulloni: Fv,Ed=2.56 Fv,Rd=7720.78
Rifollamento lato piastra: Fb,Ed,p=2.56 Fb,Rd,p=5991.67
Tirafondi:LT=0.45 (0.31) σ_{cR}=0.00 σ_{fR}=0.00
Compressione nel calcestruzzo: σ_c=29.87
CC 1 SLV (Collegamento -044_-376)
Azioni sul collegamento: N=-14088.90 Ty=7.49 Tz=-0.46 Mx=0.02 Mz=7.17
Sollecitazioni agenti localmente: Tx_l=7.49 Ty_l=-0.46 N_l=-14088.90 Mx_l=-0.00 My_l=7.17 Mz_l=0.02
Taglio nei bulloni: Fv,Ed=1.27 Fv,Rd=7720.78
Rifollamento lato piastra: Fb,Ed,p=1.27 Fb,Rd,p=6030.13
Tirafondi:LT=0.45 (0.31) σ_{cR}=0.00 σ_{fR}=0.00
Compressione nel calcestruzzo: σ_c=29.51
CC 1 SLV (Collegamento -044_-376)
Azioni sul collegamento: N=-14088.90 Ty=15.25 Tz=28.82 Mx=0.02 Mz=13.58
Sollecitazioni agenti localmente: Tx_l=15.25 Ty_l=28.82 N_l=-14088.90 Mx_l=-0.00 My_l=13.58 Mz_l=0.02
Taglio nei bulloni: Fv,Ed=5.46 Fv,Rd=7720.78
Rifollamento lato piastra: Fb,Ed,p=5.46 Fb,Rd,p=8530.47
Tirafondi:LT=0.45 (0.31) σ_{cR}=0.00 σ_{fR}=0.00
Compressione nel calcestruzzo: σ_c=29.87
CC 1 SLV (Collegamento -044_-376)
Azioni sul collegamento: N=-14088.90 Ty=7.49 Tz=28.82 Mx=0.02 Mz=7.17
Sollecitazioni agenti localmente: Tx_l=7.49 Ty_l=28.82 N_l=-14088.90 Mx_l=-0.00 My_l=7.17 Mz_l=0.02
Taglio nei bulloni: Fv,Ed=4.99 Fv,Rd=7720.78
Rifollamento lato piastra: Fb,Ed,p=4.99 Fb,Rd,p=6595.90
Tirafondi:LT=0.45 (0.31) σ_{cR}=0.00 σ_{fR}=0.00
Compressione nel calcestruzzo: σ_c=29.51
CC 2 SLD (Collegamento -044_-376)
Azioni sul collegamento: N=-8874.30 Ty=11.63 Tz=9.33 Mx=0.01 Mz=9.21
Sollecitazioni agenti localmente: Tx_l=11.63 Ty_l=9.33 N_l=-8874.30 Mx_l=-0.00 My_l=9.21 Mz_l=0.01
Taglio nei bulloni: Fv,Ed=2.50 Fv,Rd=9650.97
Rifollamento lato piastra: Fb,Ed,p=2.49 Fb,Rd,p=13573.20
Tirafondi:LT=0.45 (0.31) σ_{cR}=0.00 σ_{fR}=0.00
Compressione nel calcestruzzo: σ_c=18.85
CC 2 SLD (Collegamento -044_-376)
Azioni sul collegamento: N=-8874.30 Ty=9.26 Tz=9.33 Mx=0.01 Mz=7.26
Sollecitazioni agenti localmente: Tx_l=9.26 Ty_l=9.33 N_l=-8874.30 Mx_l=-0.00 My_l=7.26 Mz_l=0.01
Taglio nei bulloni: Fv,Ed=2.20 Fv,Rd=9650.97
Rifollamento lato piastra: Fb,Ed,p=2.20 Fb,Rd,p=14966.60
Tirafondi:LT=0.45 (0.31) σ_{cR}=0.00 σ_{fR}=0.00
Compressione nel calcestruzzo: σ_c=18.74
CC 2 SLD (Collegamento -044_-376)
Azioni sul collegamento: N=-8874.30 Ty=11.63 Tz=18.26 Mx=0.01 Mz=9.21
Sollecitazioni agenti localmente: Tx_l=11.63 Ty_l=18.26 N_l=-8874.30 Mx_l=-0.00 My_l=9.21 Mz_l=0.01
Taglio nei bulloni: Fv,Ed=3.62 Fv,Rd=9650.97
Rifollamento lato piastra: Fb,Ed,p=3.62 Fb,Rd,p=12106.90
Tirafondi:LT=0.45 (0.31) σ_{cR}=0.00 σ_{fR}=0.00
Compressione nel calcestruzzo: σ_c=18.85
CC 2 SLD (Collegamento -044_-376)
Azioni sul collegamento: N=-8874.30 Ty=9.26 Tz=18.26 Mx=0.01 Mz=7.26
Sollecitazioni agenti localmente: Tx_l=9.26 Ty_l=18.26 N_l=-8874.30 Mx_l=-0.00 My_l=7.26 Mz_l=0.01
Taglio nei bulloni: Fv,Ed=3.42 Fv,Rd=9650.97
Rifollamento lato piastra: Fb,Ed,p=3.42 Fb,Rd,p=10394.20
Tirafondi:LT=0.45 (0.31) σ_{cR}=0.00 σ_{fR}=0.00
Compressione nel calcestruzzo: σ_c=18.74
CC 2 SLD (Collegamento -044_-376)
Azioni sul collegamento: N=-11265.80 Ty=11.63 Tz=9.33 Mx=0.01 Mz=9.21
Sollecitazioni agenti localmente: Tx_l=11.63 Ty_l=9.33 N_l=-11265.80 Mx_l=-0.00 My_l=9.21 Mz_l=0.01
Taglio nei bulloni: Fv,Ed=2.50 Fv,Rd=9650.97
Rifollamento lato piastra: Fb,Ed,p=2.49 Fb,Rd,p=13573.20

Tirafondi:LT=0.45 (0.31) σ_{cR}=0.00 σ_{fR}=0.00
Compressione nel calcestruzzo: σ_c=23.80
CC 2 SLD (Collegamento -044_-376)
Azioni sul collegamento: N=-11265.80 Ty=9.26 Tz=9.33 Mx=0.01 Mz=7.26
Sollecitazioni agenti localmente: Tx_l=9.26 Ty_l=9.33 N_l=-11265.80 Mx_l=-0.00 My_l=7.26 Mz_l=0.01
Taglio nei bulloni: Fv,Ed=2.20 Fv,Rd=9650.97
Rifollamento lato piastra: Fb,Ed,p=2.20 Fb,Rd,p=14966.70
Tirafondi:LT=0.45 (0.31) σ_{cR}=0.00 σ_{fR}=0.00
Compressione nel calcestruzzo: σ_c=23.69
CC 2 SLD (Collegamento -044_-376)
Azioni sul collegamento: N=-11265.80 Ty=11.63 Tz=18.26 Mx=0.01 Mz=9.21
Sollecitazioni agenti localmente: Tx_l=11.63 Ty_l=18.26 N_l=-11265.80 Mx_l=-0.00 My_l=9.21 Mz_l=0.01
Taglio nei bulloni: Fv,Ed=3.62 Fv,Rd=9650.97
Rifollamento lato piastra: Fb,Ed,p=3.62 Fb,Rd,p=12106.70
Tirafondi:LT=0.45 (0.31) σ_{cR}=0.00 σ_{fR}=0.00
Compressione nel calcestruzzo: σ_c=23.80
CC 2 SLD (Collegamento -044_-376)
Azioni sul collegamento: N=-11265.80 Ty=9.26 Tz=18.26 Mx=0.01 Mz=7.26
Sollecitazioni agenti localmente: Tx_l=9.26 Ty_l=18.26 N_l=-11265.80 Mx_l=-0.00 My_l=7.26 Mz_l=0.01
Taglio nei bulloni: Fv,Ed=3.42 Fv,Rd=9650.97
Rifollamento lato piastra: Fb,Ed,p=3.42 Fb,Rd,p=10394.10
Tirafondi:LT=0.45 (0.31) σ_{cR}=0.00 σ_{fR}=0.00
Compressione nel calcestruzzo: σ_c=23.69
CC 3 SLV (Collegamento -044_-376)
Azioni sul collegamento: N=-6251.19 Ty=14.73 Tz=-0.13 Mx=0.01 Mz=12.53
Sollecitazioni agenti localmente: Tx_l=14.73 Ty_l=-0.13 N_l=-6251.19 Mx_l=-0.00 My_l=12.53 Mz_l=0.01
Taglio nei bulloni: Fv,Ed=2.47 Fv,Rd=7720.78
Rifollamento lato piastra: Fb,Ed,p=2.47 Fb,Rd,p=5981.08
Tirafondi:LT=0.45 (0.31) σ_{cR}=0.00 σ_{fR}=0.00
Compressione nel calcestruzzo: σ_c=13.62
CC 3 SLV (Collegamento -044_-376)
Azioni sul collegamento: N=-6251.19 Ty=8.00 Tz=-0.13 Mx=0.01 Mz=8.22
Sollecitazioni agenti localmente: Tx_l=8.00 Ty_l=-0.13 N_l=-6251.19 Mx_l=-0.00 My_l=8.22 Mz_l=0.01
Taglio nei bulloni: Fv,Ed=1.35 Fv,Rd=7720.78
Rifollamento lato piastra: Fb,Ed,p=1.35 Fb,Rd,p=5985.56
Tirafondi:LT=0.45 (0.31) σ_{cR}=0.00 σ_{fR}=0.00
Compressione nel calcestruzzo: σ_c=13.38
CC 3 SLV (Collegamento -044_-376)
Azioni sul collegamento: N=-6251.19 Ty=14.73 Tz=28.49 Mx=0.01 Mz=12.53
Sollecitazioni agenti localmente: Tx_l=14.73 Ty_l=28.49 N_l=-6251.19 Mx_l=-0.00 My_l=12.53 Mz_l=0.01
Taglio nei bulloni: Fv,Ed=5.36 Fv,Rd=7720.78
Rifollamento lato piastra: Fb,Ed,p=5.36 Fb,Rd,p=8410.48
Tirafondi:LT=0.45 (0.31) σ_{cR}=0.00 σ_{fR}=0.00
Compressione nel calcestruzzo: σ_c=13.62
CC 3 SLV (Collegamento -044_-376)
Azioni sul collegamento: N=-6251.19 Ty=8.00 Tz=28.49 Mx=0.01 Mz=8.22
Sollecitazioni agenti localmente: Tx_l=8.00 Ty_l=28.49 N_l=-6251.19 Mx_l=-0.00 My_l=8.22 Mz_l=0.01
Taglio nei bulloni: Fv,Ed=4.95 Fv,Rd=7720.78
Rifollamento lato piastra: Fb,Ed,p=4.95 Fb,Rd,p=6694.64
Tirafondi:LT=0.45 (0.31) σ_{cR}=0.00 σ_{fR}=0.00
Compressione nel calcestruzzo: σ_c=13.38
CC 3 SLV (Collegamento -044_-376)
Azioni sul collegamento: N=-14084.10 Ty=14.73 Tz=-0.13 Mx=0.01 Mz=12.53
Sollecitazioni agenti localmente: Tx_l=14.73 Ty_l=-0.13 N_l=-14084.10 Mx_l=-0.00 My_l=12.53 Mz_l=0.01
Taglio nei bulloni: Fv,Ed=2.47 Fv,Rd=7720.78
Rifollamento lato piastra: Fb,Ed,p=2.47 Fb,Rd,p=5981.08
Tirafondi:LT=0.45 (0.31) σ_{cR}=0.00 σ_{fR}=0.00
Compressione nel calcestruzzo: σ_c=29.81
CC 3 SLV (Collegamento -044_-376)
Azioni sul collegamento: N=-14084.10 Ty=8.00 Tz=-0.13 Mx=0.01 Mz=8.22
Sollecitazioni agenti localmente: Tx_l=8.00 Ty_l=-0.13 N_l=-14084.10 Mx_l=-0.00 My_l=8.22 Mz_l=0.01
Taglio nei bulloni: Fv,Ed=1.35 Fv,Rd=7720.78
Rifollamento lato piastra: Fb,Ed,p=1.35 Fb,Rd,p=5985.57
Tirafondi:LT=0.45 (0.31) σ_{cR}=0.00 σ_{fR}=0.00
Compressione nel calcestruzzo: σ_c=29.56
CC 3 SLV (Collegamento -044_-376)
Azioni sul collegamento: N=-14084.10 Ty=14.73 Tz=28.49 Mx=0.01 Mz=12.53
Sollecitazioni agenti localmente: Tx_l=14.73 Ty_l=28.49 N_l=-14084.10 Mx_l=-0.00 My_l=12.53 Mz_l=0.01
Taglio nei bulloni: Fv,Ed=5.37 Fv,Rd=7720.78
Rifollamento lato piastra: Fb,Ed,p=5.37 Fb,Rd,p=8410.39
Tirafondi:LT=0.45 (0.31) σ_{cR}=0.00 σ_{fR}=0.00
Compressione nel calcestruzzo: σ_c=29.81
CC 3 SLV (Collegamento -044_-376)
Azioni sul collegamento: N=-14084.10 Ty=8.00 Tz=28.49 Mx=0.01 Mz=8.22
Sollecitazioni agenti localmente: Tx_l=8.00 Ty_l=28.49 N_l=-14084.10 Mx_l=-0.00 My_l=8.22 Mz_l=0.01
Taglio nei bulloni: Fv,Ed=4.95 Fv,Rd=7720.78
Rifollamento lato piastra: Fb,Ed,p=4.95 Fb,Rd,p=6694.61
Tirafondi:LT=0.45 (0.31) σ_{cR}=0.00 σ_{fR}=0.00
Compressione nel calcestruzzo: σ_c=29.56
CC 4 SLD (Collegamento -044_-376)

Azioni sul collegamento: N=-8875.79 Ty=11.47 Tz=9.43 Mx=0.01 Mz=8.89
Sollecitazioni agenti localmente: Tx_l=11.47 Ty_l=9.43 N_l=-8875.79 Mx_l=-0.00 My_l=8.89 Mz_l=0.01
Taglio nei bulloni: Fv,Ed=2.48 Fv,Rd=9650.97
Rifollamento lato piastra: Fb,Ed,p=2.48 Fb,Rd,p=13713.10
Tirafondi:LT=0.45 (0.31) σ_{cR}=0.00 σ_{fR}=0.00
Compressione nel calcestruzzo: σ_c=18.84
CC 4 SLD (Collegamento -044_-376)
Azioni sul collegamento: N=-8875.79 Ty=9.42 Tz=9.43 Mx=0.01 Mz=7.58
Sollecitazioni agenti localmente: Tx_l=9.42 Ty_l=9.43 N_l=-8875.79 Mx_l=-0.00 My_l=7.58 Mz_l=0.01
Taglio nei bulloni: Fv,Ed=2.23 Fv,Rd=9650.97
Rifollamento lato piastra: Fb,Ed,p=2.23 Fb,Rd,p=15012.50
Tirafondi:LT=0.45 (0.31) σ_{cR}=0.00 σ_{fR}=0.00
Compressione nel calcestruzzo: σ_c=18.77
CC 4 SLD (Collegamento -044_-376)
Azioni sul collegamento: N=-8875.79 Ty=11.47 Tz=18.16 Mx=0.01 Mz=8.89
Sollecitazioni agenti localmente: Tx_l=11.47 Ty_l=18.16 N_l=-8875.79 Mx_l=-0.00 My_l=8.89 Mz_l=0.01
Taglio nei bulloni: Fv,Ed=3.59 Fv,Rd=9650.97
Rifollamento lato piastra: Fb,Ed,p=3.59 Fb,Rd,p=12028.20
Tirafondi:LT=0.45 (0.31) σ_{cR}=0.00 σ_{fR}=0.00
Compressione nel calcestruzzo: σ_c=18.84
CC 4 SLD (Collegamento -044_-376)
Azioni sul collegamento: N=-8875.79 Ty=9.42 Tz=18.16 Mx=0.01 Mz=7.58
Sollecitazioni agenti localmente: Tx_l=9.42 Ty_l=18.16 N_l=-8875.79 Mx_l=-0.00 My_l=7.58 Mz_l=0.01
Taglio nei bulloni: Fv,Ed=3.42 Fv,Rd=9650.97
Rifollamento lato piastra: Fb,Ed,p=3.42 Fb,Rd,p=10525.50
Tirafondi:LT=0.45 (0.31) σ_{cR}=0.00 σ_{fR}=0.00
Compressione nel calcestruzzo: σ_c=18.77
CC 4 SLD (Collegamento -044_-376)
Azioni sul collegamento: N=-11264.30 Ty=11.47 Tz=9.43 Mx=0.01 Mz=8.89
Sollecitazioni agenti localmente: Tx_l=11.47 Ty_l=9.43 N_l=-11264.30 Mx_l=-0.00 My_l=8.89 Mz_l=0.01
Taglio nei bulloni: Fv,Ed=2.48 Fv,Rd=9650.97
Rifollamento lato piastra: Fb,Ed,p=2.48 Fb,Rd,p=13713.30
Tirafondi:LT=0.45 (0.31) σ_{cR}=0.00 σ_{fR}=0.00
Compressione nel calcestruzzo: σ_c=23.77
CC 4 SLD (Collegamento -044_-376)
Azioni sul collegamento: N=-11264.30 Ty=9.42 Tz=9.43 Mx=0.01 Mz=7.58
Sollecitazioni agenti localmente: Tx_l=9.42 Ty_l=9.43 N_l=-11264.30 Mx_l=-0.00 My_l=7.58 Mz_l=0.01
Taglio nei bulloni: Fv,Ed=2.23 Fv,Rd=9650.97
Rifollamento lato piastra: Fb,Ed,p=2.23 Fb,Rd,p=15012.30
Tirafondi:LT=0.45 (0.31) σ_{cR}=0.00 σ_{fR}=0.00
Compressione nel calcestruzzo: σ_c=23.70
CC 4 SLD (Collegamento -044_-376)
Azioni sul collegamento: N=-11264.30 Ty=11.47 Tz=18.16 Mx=0.01 Mz=8.89
Sollecitazioni agenti localmente: Tx_l=11.47 Ty_l=18.16 N_l=-11264.30 Mx_l=-0.00 My_l=8.89 Mz_l=0.01
Taglio nei bulloni: Fv,Ed=3.59 Fv,Rd=9650.97
Rifollamento lato piastra: Fb,Ed,p=3.59 Fb,Rd,p=12028.20
Tirafondi:LT=0.45 (0.31) σ_{cR}=0.00 σ_{fR}=0.00
Compressione nel calcestruzzo: σ_c=23.77
CC 4 SLD (Collegamento -044_-376)
Azioni sul collegamento: N=-11264.30 Ty=9.42 Tz=18.16 Mx=0.01 Mz=7.58
Sollecitazioni agenti localmente: Tx_l=9.42 Ty_l=18.16 N_l=-11264.30 Mx_l=-0.00 My_l=7.58 Mz_l=0.01
Taglio nei bulloni: Fv,Ed=3.42 Fv,Rd=9650.97
Rifollamento lato piastra: Fb,Ed,p=3.42 Fb,Rd,p=10525.50
Tirafondi:LT=0.45 (0.31) σ_{cR}=0.00 σ_{fR}=0.00
Compressione nel calcestruzzo: σ_c=23.70
CC 5 SLV (Collegamento -044_-376)
Azioni sul collegamento: N=-14084.10 Ty=8.00 Tz=28.49 Mx=0.02 Mz=8.22
Sollecitazioni agenti localmente: Tx_l=8.00 Ty_l=28.49 N_l=-14084.10 Mx_l=-0.00 My_l=8.22 Mz_l=0.02
Taglio nei bulloni: Fv,Ed=4.96 Fv,Rd=7720.78
Rifollamento lato piastra: Fb,Ed,p=4.96 Fb,Rd,p=6698.48
Tirafondi:LT=0.45 (0.31) σ_{cR}=0.00 σ_{fR}=0.00
Compressione nel calcestruzzo: σ_c=29.56
CC 5 SLV (Collegamento -044_-376)
Azioni sul collegamento: N=-14084.10 Ty=14.73 Tz=28.49 Mx=0.02 Mz=12.53
Sollecitazioni agenti localmente: Tx_l=14.73 Ty_l=28.49 N_l=-14084.10 Mx_l=-0.00 My_l=12.53 Mz_l=0.02
Taglio nei bulloni: Fv,Ed=5.37 Fv,Rd=7720.78
Rifollamento lato piastra: Fb,Ed,p=5.37 Fb,Rd,p=8415.25
Tirafondi:LT=0.45 (0.31) σ_{cR}=0.00 σ_{fR}=0.00
Compressione nel calcestruzzo: σ_c=29.81
CC 5 SLV (Collegamento -044_-376)
Azioni sul collegamento: N=-14084.10 Ty=8.00 Tz=-0.13 Mx=0.02 Mz=8.22
Sollecitazioni agenti localmente: Tx_l=8.00 Ty_l=-0.13 N_l=-14084.10 Mx_l=-0.00 My_l=8.22 Mz_l=0.02
Taglio nei bulloni: Fv,Ed=1.35 Fv,Rd=7720.78
Rifollamento lato piastra: Fb,Ed,p=1.35 Fb,Rd,p=5987.41
Tirafondi:LT=0.45 (0.31) σ_{cR}=0.00 σ_{fR}=0.00
Compressione nel calcestruzzo: σ_c=29.56
CC 5 SLV (Collegamento -044_-376)
Azioni sul collegamento: N=-14084.10 Ty=14.73 Tz=-0.13 Mx=0.02 Mz=12.53
Sollecitazioni agenti localmente: Tx_l=14.73 Ty_l=-0.13 N_l=-14084.10 Mx_l=-0.00 My_l=12.53 Mz_l=0.02
Taglio nei bulloni: Fv,Ed=2.48 Fv,Rd=7720.78

Rifollamento lato piastra: Fb,Ed,p=2.48 Fb,Rd,p=5981.64
Tirafondi:LT=0.45 (0.31) σ_{cR}=0.00 σ_{fR}=0.00
Compressione nel calcestruzzo: σ_c=29.81
CC 5 SLV (Collegamento -044_-376)
Azioni sul collegamento: N=-6251.19 Ty=8.00 Tz=28.49 Mx=0.02 Mz=8.22
Sollecitazioni agenti localmente: T_{x_l}=8.00 T_{y_l}=28.49 N_l=-6251.19 M_{x_l}=-0.00 M_{y_l}=8.22 M_{z_l}=0.02
Taglio nei bulloni: Fv,Ed=4.96 Fv,Rd=7720.78
Rifollamento lato piastra: Fb,Ed,p=4.96 Fb,Rd,p=6698.50
Tirafondi:LT=0.45 (0.31) σ_{cR}=0.00 σ_{fR}=0.00
Compressione nel calcestruzzo: σ_c=13.38
CC 5 SLV (Collegamento -044_-376)
Azioni sul collegamento: N=-6251.19 Ty=14.73 Tz=28.49 Mx=0.02 Mz=12.53
Sollecitazioni agenti localmente: T_{x_l}=14.73 T_{y_l}=28.49 N_l=-6251.19 M_{x_l}=-0.00 M_{y_l}=12.53 M_{z_l}=0.02
Taglio nei bulloni: Fv,Ed=5.37 Fv,Rd=7720.78
Rifollamento lato piastra: Fb,Ed,p=5.37 Fb,Rd,p=8415.34
Tirafondi:LT=0.45 (0.31) σ_{cR}=0.00 σ_{fR}=0.00
Compressione nel calcestruzzo: σ_c=13.62
CC 5 SLV (Collegamento -044_-376)
Azioni sul collegamento: N=-6251.19 Ty=8.00 Tz=-0.13 Mx=0.02 Mz=8.22
Sollecitazioni agenti localmente: T_{x_l}=8.00 T_{y_l}=-0.13 N_l=-6251.19 M_{x_l}=-0.00 M_{y_l}=8.22 M_{z_l}=0.02
Taglio nei bulloni: Fv,Ed=1.35 Fv,Rd=7720.78
Rifollamento lato piastra: Fb,Ed,p=1.35 Fb,Rd,p=5987.40
Tirafondi:LT=0.45 (0.31) σ_{cR}=0.00 σ_{fR}=0.00
Compressione nel calcestruzzo: σ_c=13.38
CC 5 SLV (Collegamento -044_-376)
Azioni sul collegamento: N=-6251.19 Ty=14.73 Tz=-0.13 Mx=0.02 Mz=12.53
Sollecitazioni agenti localmente: T_{x_l}=14.73 T_{y_l}=-0.13 N_l=-6251.19 M_{x_l}=-0.00 M_{y_l}=12.53 M_{z_l}=0.02
Taglio nei bulloni: Fv,Ed=2.48 Fv,Rd=7720.78
Rifollamento lato piastra: Fb,Ed,p=2.48 Fb,Rd,p=5981.63
Tirafondi:LT=0.45 (0.31) σ_{cR}=0.00 σ_{fR}=0.00
Compressione nel calcestruzzo: σ_c=13.62
CC 6 SLD (Collegamento -044_-376)
Azioni sul collegamento: N=-11264.30 Ty=9.42 Tz=18.16 Mx=0.01 Mz=7.58
Sollecitazioni agenti localmente: T_{x_l}=9.42 T_{y_l}=18.16 N_l=-11264.30 M_{x_l}=-0.00 M_{y_l}=7.58 M_{z_l}=0.01
Taglio nei bulloni: Fv,Ed=3.42 Fv,Rd=9650.97
Rifollamento lato piastra: Fb,Ed,p=3.42 Fb,Rd,p=10528.40
Tirafondi:LT=0.45 (0.31) σ_{cR}=0.00 σ_{fR}=0.00
Compressione nel calcestruzzo: σ_c=23.70
CC 6 SLD (Collegamento -044_-376)
Azioni sul collegamento: N=-11264.30 Ty=11.47 Tz=18.16 Mx=0.01 Mz=8.89
Sollecitazioni agenti localmente: T_{x_l}=11.47 T_{y_l}=18.16 N_l=-11264.30 M_{x_l}=-0.00 M_{y_l}=8.89 M_{z_l}=0.01
Taglio nei bulloni: Fv,Ed=3.59 Fv,Rd=9650.97
Rifollamento lato piastra: Fb,Ed,p=3.59 Fb,Rd,p=12031.00
Tirafondi:LT=0.45 (0.31) σ_{cR}=0.00 σ_{fR}=0.00
Compressione nel calcestruzzo: σ_c=23.77
CC 6 SLD (Collegamento -044_-376)
Azioni sul collegamento: N=-11264.30 Ty=9.42 Tz=9.43 Mx=0.01 Mz=7.58
Sollecitazioni agenti localmente: T_{x_l}=9.42 T_{y_l}=9.43 N_l=-11264.30 M_{x_l}=-0.00 M_{y_l}=7.58 M_{z_l}=0.01
Taglio nei bulloni: Fv,Ed=2.23 Fv,Rd=9650.97
Rifollamento lato piastra: Fb,Ed,p=2.23 Fb,Rd,p=15012.30
Tirafondi:LT=0.45 (0.31) σ_{cR}=0.00 σ_{fR}=0.00
Compressione nel calcestruzzo: σ_c=23.70
CC 6 SLD (Collegamento -044_-376)
Azioni sul collegamento: N=-11264.30 Ty=11.47 Tz=9.43 Mx=0.01 Mz=8.89
Sollecitazioni agenti localmente: T_{x_l}=11.47 T_{y_l}=9.43 N_l=-11264.30 M_{x_l}=-0.00 M_{y_l}=8.89 M_{z_l}=0.01
Taglio nei bulloni: Fv,Ed=2.49 Fv,Rd=9650.97
Rifollamento lato piastra: Fb,Ed,p=2.48 Fb,Rd,p=13703.50
Tirafondi:LT=0.45 (0.31) σ_{cR}=0.00 σ_{fR}=0.00
Compressione nel calcestruzzo: σ_c=23.77
CC 6 SLD (Collegamento -044_-376)
Azioni sul collegamento: N=-8875.79 Ty=9.42 Tz=18.16 Mx=0.01 Mz=7.58
Sollecitazioni agenti localmente: T_{x_l}=9.42 T_{y_l}=18.16 N_l=-8875.79 M_{x_l}=-0.00 M_{y_l}=7.58 M_{z_l}=0.01
Taglio nei bulloni: Fv,Ed=3.42 Fv,Rd=9650.97
Rifollamento lato piastra: Fb,Ed,p=3.42 Fb,Rd,p=10528.40
Tirafondi:LT=0.45 (0.31) σ_{cR}=0.00 σ_{fR}=0.00
Compressione nel calcestruzzo: σ_c=18.77
CC 6 SLD (Collegamento -044_-376)
Azioni sul collegamento: N=-8875.79 Ty=11.47 Tz=18.16 Mx=0.01 Mz=8.89
Sollecitazioni agenti localmente: T_{x_l}=11.47 T_{y_l}=18.16 N_l=-8875.79 M_{x_l}=-0.00 M_{y_l}=8.89 M_{z_l}=0.01
Taglio nei bulloni: Fv,Ed=3.59 Fv,Rd=9650.97
Rifollamento lato piastra: Fb,Ed,p=3.59 Fb,Rd,p=12030.90
Tirafondi:LT=0.45 (0.31) σ_{cR}=0.00 σ_{fR}=0.00
Compressione nel calcestruzzo: σ_c=18.84
CC 6 SLD (Collegamento -044_-376)
Azioni sul collegamento: N=-8875.79 Ty=9.42 Tz=9.43 Mx=0.01 Mz=7.58
Sollecitazioni agenti localmente: T_{x_l}=9.42 T_{y_l}=9.43 N_l=-8875.79 M_{x_l}=-0.00 M_{y_l}=7.58 M_{z_l}=0.01
Taglio nei bulloni: Fv,Ed=2.23 Fv,Rd=9650.97
Rifollamento lato piastra: Fb,Ed,p=2.23 Fb,Rd,p=15012.50
Tirafondi:LT=0.45 (0.31) σ_{cR}=0.00 σ_{fR}=0.00
Compressione nel calcestruzzo: σ_c=18.77

CC 6 SLD (Collegamento -044_-376)
Azioni sul collegamento: N=-8875.79 Ty=11.47 Tz=9.43 Mx=0.01 Mz=8.89
Sollecitazioni agenti localmente: Tx_l=11.47 Ty_l=9.43 N_l=-8875.79 Mx_l=-0.00 My_l=8.89 Mz_l=0.01
Taglio nei bulloni: Fv,Ed=2.49 Fv,Rd=9650.97
Rifollamento lato piastra: Fb,Ed,p=2.48 Fb,Rd,p=13703.30
Tirafondi:LT=0.45 (0.31) σ_{cR}=0.00 σ_{fR}=0.00
Compressione nel calcestruzzo: σ_c=18.84
CC 7 SLV (Collegamento -044_-376)
Azioni sul collegamento: N=-14088.90 Ty=7.49 Tz=28.82 Mx=0.01 Mz=7.17
Sollecitazioni agenti localmente: Tx_l=7.49 Ty_l=28.82 N_l=-14088.90 Mx_l=-0.00 My_l=7.17 Mz_l=0.01
Taglio nei bulloni: Fv,Ed=4.98 Fv,Rd=7720.78
Rifollamento lato piastra: Fb,Ed,p=4.98 Fb,Rd,p=6591.81
Tirafondi:LT=0.45 (0.31) σ_{cR}=0.00 σ_{fR}=0.00
Compressione nel calcestruzzo: σ_c=29.51
CC 7 SLV (Collegamento -044_-376)
Azioni sul collegamento: N=-14088.90 Ty=15.25 Tz=28.82 Mx=0.01 Mz=13.58
Sollecitazioni agenti localmente: Tx_l=15.25 Ty_l=28.82 N_l=-14088.90 Mx_l=-0.00 My_l=13.58 Mz_l=0.01
Taglio nei bulloni: Fv,Ed=5.45 Fv,Rd=7720.78
Rifollamento lato piastra: Fb,Ed,p=5.45 Fb,Rd,p=8525.07
Tirafondi:LT=0.45 (0.31) σ_{cR}=0.00 σ_{fR}=0.00
Compressione nel calcestruzzo: σ_c=29.87
CC 7 SLV (Collegamento -044_-376)
Azioni sul collegamento: N=-14088.90 Ty=7.49 Tz=-0.46 Mx=0.01 Mz=7.17
Sollecitazioni agenti localmente: Tx_l=7.49 Ty_l=-0.46 N_l=-14088.90 Mx_l=-0.00 My_l=7.17 Mz_l=0.01
Taglio nei bulloni: Fv,Ed=1.27 Fv,Rd=7720.78
Rifollamento lato piastra: Fb,Ed,p=1.27 Fb,Rd,p=6024.69
Tirafondi:LT=0.45 (0.31) σ_{cR}=0.00 σ_{fR}=0.00
Compressione nel calcestruzzo: σ_c=29.51
CC 7 SLV (Collegamento -044_-376)
Azioni sul collegamento: N=-14088.90 Ty=15.25 Tz=-0.46 Mx=0.01 Mz=13.58
Sollecitazioni agenti localmente: Tx_l=15.25 Ty_l=-0.46 N_l=-14088.90 Mx_l=-0.00 My_l=13.58 Mz_l=0.01
Taglio nei bulloni: Fv,Ed=2.56 Fv,Rd=7720.78
Rifollamento lato piastra: Fb,Ed,p=2.56 Fb,Rd,p=5990.28
Tirafondi:LT=0.45 (0.31) σ_{cR}=0.00 σ_{fR}=0.00
Compressione nel calcestruzzo: σ_c=29.87
CC 7 SLV (Collegamento -044_-376)
Azioni sul collegamento: N=-6246.31 Ty=7.49 Tz=28.82 Mx=0.01 Mz=7.17
Sollecitazioni agenti localmente: Tx_l=7.49 Ty_l=28.82 N_l=-6246.31 Mx_l=-0.00 My_l=7.17 Mz_l=0.01
Taglio nei bulloni: Fv,Ed=4.98 Fv,Rd=7720.78
Rifollamento lato piastra: Fb,Ed,p=4.98 Fb,Rd,p=6591.80
Tirafondi:LT=0.45 (0.31) σ_{cR}=0.00 σ_{fR}=0.00
Compressione nel calcestruzzo: σ_c=13.31
CC 7 SLV (Collegamento -044_-376)
Azioni sul collegamento: N=-6246.31 Ty=15.25 Tz=28.82 Mx=0.01 Mz=13.58
Sollecitazioni agenti localmente: Tx_l=15.25 Ty_l=28.82 N_l=-6246.31 Mx_l=-0.00 My_l=13.58 Mz_l=0.01
Taglio nei bulloni: Fv,Ed=5.45 Fv,Rd=7720.78
Rifollamento lato piastra: Fb,Ed,p=5.45 Fb,Rd,p=8525.03
Tirafondi:LT=0.45 (0.31) σ_{cR}=0.00 σ_{fR}=0.00
Compressione nel calcestruzzo: σ_c=13.67
CC 7 SLV (Collegamento -044_-376)
Azioni sul collegamento: N=-6246.31 Ty=7.49 Tz=-0.46 Mx=0.01 Mz=7.17
Sollecitazioni agenti localmente: Tx_l=7.49 Ty_l=-0.46 N_l=-6246.31 Mx_l=-0.00 My_l=7.17 Mz_l=0.01
Taglio nei bulloni: Fv,Ed=1.27 Fv,Rd=7720.78
Rifollamento lato piastra: Fb,Ed,p=1.27 Fb,Rd,p=6024.60
Tirafondi:LT=0.45 (0.31) σ_{cR}=0.00 σ_{fR}=0.00
Compressione nel calcestruzzo: σ_c=13.31
CC 7 SLV (Collegamento -044_-376)
Azioni sul collegamento: N=-6246.31 Ty=15.25 Tz=-0.46 Mx=0.01 Mz=13.58
Sollecitazioni agenti localmente: Tx_l=15.25 Ty_l=-0.46 N_l=-6246.31 Mx_l=-0.00 My_l=13.58 Mz_l=0.01
Taglio nei bulloni: Fv,Ed=2.56 Fv,Rd=7720.78
Rifollamento lato piastra: Fb,Ed,p=2.56 Fb,Rd,p=5990.26
Tirafondi:LT=0.45 (0.31) σ_{cR}=0.00 σ_{fR}=0.00
Compressione nel calcestruzzo: σ_c=13.67
CC 8 SLD (Collegamento -044_-376)
Azioni sul collegamento: N=-11265.80 Ty=9.26 Tz=18.26 Mx=0.01 Mz=7.26
Sollecitazioni agenti localmente: Tx_l=9.26 Ty_l=18.26 N_l=-11265.80 Mx_l=-0.00 My_l=7.26 Mz_l=0.01
Taglio nei bulloni: Fv,Ed=3.42 Fv,Rd=9650.97
Rifollamento lato piastra: Fb,Ed,p=3.42 Fb,Rd,p=10390.80
Tirafondi:LT=0.45 (0.31) σ_{cR}=0.00 σ_{fR}=0.00
Compressione nel calcestruzzo: σ_c=23.69
CC 8 SLD (Collegamento -044_-376)
Azioni sul collegamento: N=-11265.80 Ty=11.63 Tz=18.26 Mx=0.01 Mz=9.21
Sollecitazioni agenti localmente: Tx_l=11.63 Ty_l=18.26 N_l=-11265.80 Mx_l=-0.00 My_l=9.21 Mz_l=0.01
Taglio nei bulloni: Fv,Ed=3.62 Fv,Rd=9650.97
Rifollamento lato piastra: Fb,Ed,p=3.62 Fb,Rd,p=12103.70
Tirafondi:LT=0.45 (0.31) σ_{cR}=0.00 σ_{fR}=0.00
Compressione nel calcestruzzo: σ_c=23.80
CC 8 SLD (Collegamento -044_-376)
Azioni sul collegamento: N=-11265.80 Ty=9.26 Tz=9.33 Mx=0.01 Mz=7.26
Sollecitazioni agenti localmente: Tx_l=9.26 Ty_l=9.33 N_l=-11265.80 Mx_l=-0.00 My_l=7.26 Mz_l=0.01

Taglio nei bulloni: Fv,Ed=2.20 Fv,Rd=9650.97
Rifollamento lato piastra: Fb,Ed,p=2.20 Fb,Rd,p=14966.60
Tirafondi:LT=0.45 (0.31) σ_{cR}=0.00 σ_{fR}=0.00
Compressione nel calcestruzzo: σ_c=23.69
CC 8 SLD (Collegamento -044_-376)
Azioni sul collegamento: N=-11265.80 Ty=11.63 Tz=9.33 Mx=0.01 Mz=9.21
Sollecitazioni agenti localmente: Tx_l=11.63 Ty_l=9.33 N_l=-11265.80 Mx_l=-0.00 My_l=9.21 Mz_l=0.01
Taglio nei bulloni: Fv,Ed=2.49 Fv,Rd=9650.97
Rifollamento lato piastra: Fb,Ed,p=2.49 Fb,Rd,p=13583.70
Tirafondi:LT=0.45 (0.31) σ_{cR}=0.00 σ_{fR}=0.00
Compressione nel calcestruzzo: σ_c=23.80
CC 8 SLD (Collegamento -044_-376)
Azioni sul collegamento: N=-8874.30 Ty=9.26 Tz=18.26 Mx=0.01 Mz=7.26
Sollecitazioni agenti localmente: Tx_l=9.26 Ty_l=18.26 N_l=-8874.30 Mx_l=-0.00 My_l=7.26 Mz_l=0.01
Taglio nei bulloni: Fv,Ed=3.42 Fv,Rd=9650.97
Rifollamento lato piastra: Fb,Ed,p=3.42 Fb,Rd,p=10390.90
Tirafondi:LT=0.45 (0.31) σ_{cR}=0.00 σ_{fR}=0.00
Compressione nel calcestruzzo: σ_c=18.74
CC 8 SLD (Collegamento -044_-376)
Azioni sul collegamento: N=-8874.30 Ty=11.63 Tz=18.26 Mx=0.01 Mz=9.21
Sollecitazioni agenti localmente: Tx_l=11.63 Ty_l=18.26 N_l=-8874.30 Mx_l=-0.00 My_l=9.21 Mz_l=0.01
Taglio nei bulloni: Fv,Ed=3.62 Fv,Rd=9650.97
Rifollamento lato piastra: Fb,Ed,p=3.62 Fb,Rd,p=12103.80
Tirafondi:LT=0.45 (0.31) σ_{cR}=0.00 σ_{fR}=0.00
Compressione nel calcestruzzo: σ_c=18.85
CC 8 SLD (Collegamento -044_-376)
Azioni sul collegamento: N=-8874.30 Ty=9.26 Tz=9.33 Mx=0.01 Mz=7.26
Sollecitazioni agenti localmente: Tx_l=9.26 Ty_l=9.33 N_l=-8874.30 Mx_l=-0.00 My_l=7.26 Mz_l=0.01
Taglio nei bulloni: Fv,Ed=2.20 Fv,Rd=9650.97
Rifollamento lato piastra: Fb,Ed,p=2.20 Fb,Rd,p=14966.60
Tirafondi:LT=0.45 (0.31) σ_{cR}=0.00 σ_{fR}=0.00
Compressione nel calcestruzzo: σ_c=18.74
CC 8 SLD (Collegamento -044_-376)
Azioni sul collegamento: N=-8874.30 Ty=11.63 Tz=9.33 Mx=0.01 Mz=9.21
Sollecitazioni agenti localmente: Tx_l=11.63 Ty_l=9.33 N_l=-8874.30 Mx_l=-0.00 My_l=9.21 Mz_l=0.01
Taglio nei bulloni: Fv,Ed=2.49 Fv,Rd=9650.97
Rifollamento lato piastra: Fb,Ed,p=2.49 Fb,Rd,p=13583.80
Tirafondi:LT=0.45 (0.31) σ_{cR}=0.00 σ_{fR}=0.00
Compressione nel calcestruzzo: σ_c=18.85
CC 9 SLV (Collegamento -044_-376)
Azioni sul collegamento: N=-8983.82 Ty=13.31 Tz=9.29 Mx=0.02 Mz=12.92
Sollecitazioni agenti localmente: Tx_l=13.31 Ty_l=9.29 N_l=-8983.82 Mx_l=-0.00 My_l=12.92 Mz_l=0.02
Taglio nei bulloni: Fv,Ed=2.74 Fv,Rd=7720.78
Rifollamento lato piastra: Fb,Ed,p=2.71 Fb,Rd,p=10187.60
Tirafondi:LT=0.45 (0.31) σ_{cR}=0.00 σ_{fR}=0.00
Compressione nel calcestruzzo: σ_c=19.29
CC 9 SLV (Collegamento -044_-376)
Azioni sul collegamento: N=-8983.82 Ty=9.43 Tz=9.29 Mx=0.02 Mz=7.83
Sollecitazioni agenti localmente: Tx_l=9.43 Ty_l=9.29 N_l=-8983.82 Mx_l=-0.00 My_l=7.83 Mz_l=0.02
Taglio nei bulloni: Fv,Ed=2.24 Fv,Rd=7720.78
Rifollamento lato piastra: Fb,Ed,p=2.21 Fb,Rd,p=11743.50
Tirafondi:LT=0.45 (0.31) σ_{cR}=0.00 σ_{fR}=0.00
Compressione nel calcestruzzo: σ_c=19.00
CC 9 SLV (Collegamento -044_-376)
Azioni sul collegamento: N=-8983.82 Ty=13.31 Tz=19.07 Mx=0.02 Mz=12.92
Sollecitazioni agenti localmente: Tx_l=13.31 Ty_l=19.07 N_l=-8983.82 Mx_l=-0.00 My_l=12.92 Mz_l=0.02
Taglio nei bulloni: Fv,Ed=3.91 Fv,Rd=7720.78
Rifollamento lato piastra: Fb,Ed,p=3.91 Fb,Rd,p=10376.90
Tirafondi:LT=0.45 (0.31) σ_{cR}=0.00 σ_{fR}=0.00
Compressione nel calcestruzzo: σ_c=19.29
CC 9 SLV (Collegamento -044_-376)
Azioni sul collegamento: N=-8983.82 Ty=9.43 Tz=19.07 Mx=0.02 Mz=7.83
Sollecitazioni agenti localmente: Tx_l=9.43 Ty_l=19.07 N_l=-8983.82 Mx_l=-0.00 My_l=7.83 Mz_l=0.02
Taglio nei bulloni: Fv,Ed=3.58 Fv,Rd=7720.78
Rifollamento lato piastra: Fb,Ed,p=3.58 Fb,Rd,p=8222.71
Tirafondi:LT=0.45 (0.31) σ_{cR}=0.00 σ_{fR}=0.00
Compressione nel calcestruzzo: σ_c=19.00
CC 9 SLV (Collegamento -044_-376)
Azioni sul collegamento: N=-11351.40 Ty=13.31 Tz=9.29 Mx=0.02 Mz=12.92
Sollecitazioni agenti localmente: Tx_l=13.31 Ty_l=9.29 N_l=-11351.40 Mx_l=-0.00 My_l=12.92 Mz_l=0.02
Taglio nei bulloni: Fv,Ed=2.74 Fv,Rd=7720.78
Rifollamento lato piastra: Fb,Ed,p=2.71 Fb,Rd,p=10187.90
Tirafondi:LT=0.45 (0.31) σ_{cR}=0.00 σ_{fR}=0.00
Compressione nel calcestruzzo: σ_c=24.18
CC 9 SLV (Collegamento -044_-376)
Azioni sul collegamento: N=-11351.40 Ty=9.43 Tz=9.29 Mx=0.02 Mz=7.83
Sollecitazioni agenti localmente: Tx_l=9.43 Ty_l=9.29 N_l=-11351.40 Mx_l=-0.00 My_l=7.83 Mz_l=0.02
Taglio nei bulloni: Fv,Ed=2.24 Fv,Rd=7720.78
Rifollamento lato piastra: Fb,Ed,p=2.21 Fb,Rd,p=11743.70
Tirafondi:LT=0.45 (0.31) σ_{cR}=0.00 σ_{fR}=0.00

Compressione nel calcestruzzo: σ_c=23.89
CC 9 SLV (Collegamento -044_-376)
Azioni sul collegamento: N=-11351.40 Ty=13.31 Tz=19.07 Mx=0.02 Mz=12.92
Sollecitazioni agenti localmente: Tx_l=13.31 Ty_l=19.07 N_l=-11351.40 Mx_l=-0.00 My_l=12.92 Mz_l=0.02
Taglio nei bulloni: Fv,Ed=3.91 Fv,Rd=7720.78
Rifollamento lato piastra: Fb,Ed,p=3.91 Fb,Rd,p=10376.90
Tirafondi:LT=0.45 (0.31) σ_{cR}=0.00 σ_{fR}=0.00
Compressione nel calcestruzzo: σ_c=24.18
CC 9 SLV (Collegamento -044_-376)
Azioni sul collegamento: N=-11351.40 Ty=9.43 Tz=19.07 Mx=0.02 Mz=7.83
Sollecitazioni agenti localmente: Tx_l=9.43 Ty_l=19.07 N_l=-11351.40 Mx_l=-0.00 My_l=7.83 Mz_l=0.02
Taglio nei bulloni: Fv,Ed=3.58 Fv,Rd=7720.78
Rifollamento lato piastra: Fb,Ed,p=3.58 Fb,Rd,p=8222.72
Tirafondi:LT=0.45 (0.31) σ_{cR}=0.00 σ_{fR}=0.00
Compressione nel calcestruzzo: σ_c=23.89
CC 10 SLD (Collegamento -044_-376)
Azioni sul collegamento: N=-9709.06 Ty=11.04 Tz=12.31 Mx=0.01 Mz=9.01
Sollecitazioni agenti localmente: Tx_l=11.04 Ty_l=12.31 N_l=-9709.06 Mx_l=-0.00 My_l=9.01 Mz_l=0.01
Taglio nei bulloni: Fv,Ed=2.77 Fv,Rd=9650.97
Rifollamento lato piastra: Fb,Ed,p=2.77 Fb,Rd,p=14273.20
Tirafondi:LT=0.45 (0.31) σ_{cR}=0.00 σ_{fR}=0.00
Compressione nel calcestruzzo: σ_c=20.57
CC 10 SLD (Collegamento -044_-376)
Azioni sul collegamento: N=-9709.06 Ty=9.85 Tz=12.31 Mx=0.01 Mz=7.46
Sollecitazioni agenti localmente: Tx_l=9.85 Ty_l=12.31 N_l=-9709.06 Mx_l=-0.00 My_l=7.46 Mz_l=0.01
Taglio nei bulloni: Fv,Ed=2.64 Fv,Rd=9650.97
Rifollamento lato piastra: Fb,Ed,p=2.64 Fb,Rd,p=13614.70
Tirafondi:LT=0.45 (0.31) σ_{cR}=0.00 σ_{fR}=0.00
Compressione nel calcestruzzo: σ_c=20.48
CC 10 SLD (Collegamento -044_-376)
Azioni sul collegamento: N=-9709.06 Ty=11.04 Tz=15.29 Mx=0.01 Mz=9.01
Sollecitazioni agenti localmente: Tx_l=11.04 Ty_l=15.29 N_l=-9709.06 Mx_l=-0.00 My_l=9.01 Mz_l=0.01
Taglio nei bulloni: Fv,Ed=3.16 Fv,Rd=9650.97
Rifollamento lato piastra: Fb,Ed,p=3.16 Fb,Rd,p=13109.50
Tirafondi:LT=0.45 (0.31) σ_{cR}=0.00 σ_{fR}=0.00
Compressione nel calcestruzzo: σ_c=20.57
CC 10 SLD (Collegamento -044_-376)
Azioni sul collegamento: N=-9709.06 Ty=9.85 Tz=15.29 Mx=0.01 Mz=7.46
Sollecitazioni agenti localmente: Tx_l=9.85 Ty_l=15.29 N_l=-9709.06 Mx_l=-0.00 My_l=7.46 Mz_l=0.01
Taglio nei bulloni: Fv,Ed=3.04 Fv,Rd=9650.97
Rifollamento lato piastra: Fb,Ed,p=3.04 Fb,Rd,p=12229.00
Tirafondi:LT=0.45 (0.31) σ_{cR}=0.00 σ_{fR}=0.00
Compressione nel calcestruzzo: σ_c=20.48
CC 10 SLD (Collegamento -044_-376)
Azioni sul collegamento: N=-10431.00 Ty=11.04 Tz=12.31 Mx=0.01 Mz=9.01
Sollecitazioni agenti localmente: Tx_l=11.04 Ty_l=12.31 N_l=-10431.00 Mx_l=-0.00 My_l=9.01 Mz_l=0.01
Taglio nei bulloni: Fv,Ed=2.77 Fv,Rd=9650.97
Rifollamento lato piastra: Fb,Ed,p=2.77 Fb,Rd,p=14273.30
Tirafondi:LT=0.45 (0.31) σ_{cR}=0.00 σ_{fR}=0.00
Compressione nel calcestruzzo: σ_c=22.06
CC 10 SLD (Collegamento -044_-376)
Azioni sul collegamento: N=-10431.00 Ty=9.85 Tz=12.31 Mx=0.01 Mz=7.46
Sollecitazioni agenti localmente: Tx_l=9.85 Ty_l=12.31 N_l=-10431.00 Mx_l=-0.00 My_l=7.46 Mz_l=0.01
Taglio nei bulloni: Fv,Ed=2.64 Fv,Rd=9650.97
Rifollamento lato piastra: Fb,Ed,p=2.64 Fb,Rd,p=13614.70
Tirafondi:LT=0.45 (0.31) σ_{cR}=0.00 σ_{fR}=0.00
Compressione nel calcestruzzo: σ_c=21.97
CC 10 SLD (Collegamento -044_-376)
Azioni sul collegamento: N=-10431.00 Ty=11.04 Tz=15.29 Mx=0.01 Mz=9.01
Sollecitazioni agenti localmente: Tx_l=11.04 Ty_l=15.29 N_l=-10431.00 Mx_l=-0.00 My_l=9.01 Mz_l=0.01
Taglio nei bulloni: Fv,Ed=3.16 Fv,Rd=9650.97
Rifollamento lato piastra: Fb,Ed,p=3.16 Fb,Rd,p=13109.50
Tirafondi:LT=0.45 (0.31) σ_{cR}=0.00 σ_{fR}=0.00
Compressione nel calcestruzzo: σ_c=22.06
CC 10 SLD (Collegamento -044_-376)
Azioni sul collegamento: N=-10431.00 Ty=9.85 Tz=15.29 Mx=0.01 Mz=7.46
Sollecitazioni agenti localmente: Tx_l=9.85 Ty_l=15.29 N_l=-10431.00 Mx_l=-0.00 My_l=7.46 Mz_l=0.01
Taglio nei bulloni: Fv,Ed=3.04 Fv,Rd=9650.97
Rifollamento lato piastra: Fb,Ed,p=3.04 Fb,Rd,p=12229.00
Tirafondi:LT=0.45 (0.31) σ_{cR}=0.00 σ_{fR}=0.00
Compressione nel calcestruzzo: σ_c=21.97
CC 11 SLV (Collegamento -044_-376)
Azioni sul collegamento: N=-11335.10 Ty=11.14 Tz=17.98 Mx=0.02 Mz=11.32
Sollecitazioni agenti localmente: Tx_l=11.14 Ty_l=17.98 N_l=-11335.10 Mx_l=-0.00 My_l=11.32 Mz_l=0.02
Taglio nei bulloni: Fv,Ed=3.56 Fv,Rd=7720.78
Rifollamento lato piastra: Fb,Ed,p=3.56 Fb,Rd,p=9511.56
Tirafondi:LT=0.45 (0.31) σ_{cR}=0.00 σ_{fR}=0.00
Compressione nel calcestruzzo: σ_c=24.06
CC 11 SLV (Collegamento -044_-376)
Azioni sul collegamento: N=-11335.10 Ty=11.60 Tz=17.98 Mx=0.02 Mz=9.43

Sollecitazioni agenti localmente: Tx_l=11.60 Ty_l=17.98 N_l=-11335.10 Mx_l=-0.00 My_l=9.43 Mz_l=0.02
Taglio nei bulloni: Fv,Ed=3.60 Fv,Rd=7720.78
Rifollamento lato piastra: Fb,Ed,p=3.60 Fb,Rd,p=9812.38
Tirafondi:LT=0.45 (0.31) σ_{cR}=0.00 σ_{fR}=0.00
Compressione nel calcestruzzo: σ_c=23.95
CC 11 SLV (Collegamento -044_-376)
Azioni sul collegamento: N=-11335.10 Ty=11.14 Tz=10.38 Mx=0.02 Mz=11.32
Sollecitazioni agenti localmente: Tx_l=11.14 Ty_l=10.38 N_l=-11335.10 Mx_l=-0.00 My_l=11.32 Mz_l=0.02
Taglio nei bulloni: Fv,Ed=2.57 Fv,Rd=7720.78
Rifollamento lato piastra: Fb,Ed,p=2.54 Fb,Rd,p=11465.80
Tirafondi:LT=0.45 (0.31) σ_{cR}=0.00 σ_{fR}=0.00
Compressione nel calcestruzzo: σ_c=24.06
CC 11 SLV (Collegamento -044_-376)
Azioni sul collegamento: N=-11335.10 Ty=11.60 Tz=10.38 Mx=0.02 Mz=9.43
Sollecitazioni agenti localmente: Tx_l=11.60 Ty_l=10.38 N_l=-11335.10 Mx_l=-0.00 My_l=9.43 Mz_l=0.02
Taglio nei bulloni: Fv,Ed=2.63 Fv,Rd=7720.78
Rifollamento lato piastra: Fb,Ed,p=2.60 Fb,Rd,p=11265.60
Tirafondi:LT=0.45 (0.31) σ_{cR}=0.00 σ_{fR}=0.00
Compressione nel calcestruzzo: σ_c=23.95
CC 11 SLV (Collegamento -044_-376)
Azioni sul collegamento: N=-9000.10 Ty=11.14 Tz=17.98 Mx=0.02 Mz=11.32
Sollecitazioni agenti localmente: Tx_l=11.14 Ty_l=17.98 N_l=-9000.10 Mx_l=-0.00 My_l=11.32 Mz_l=0.02
Taglio nei bulloni: Fv,Ed=3.56 Fv,Rd=7720.78
Rifollamento lato piastra: Fb,Ed,p=3.56 Fb,Rd,p=9511.46
Tirafondi:LT=0.45 (0.31) σ_{cR}=0.00 σ_{fR}=0.00
Compressione nel calcestruzzo: σ_c=19.23
CC 11 SLV (Collegamento -044_-376)
Azioni sul collegamento: N=-9000.10 Ty=11.60 Tz=17.98 Mx=0.02 Mz=9.43
Sollecitazioni agenti localmente: Tx_l=11.60 Ty_l=17.98 N_l=-9000.10 Mx_l=-0.00 My_l=9.43 Mz_l=0.02
Taglio nei bulloni: Fv,Ed=3.60 Fv,Rd=7720.78
Rifollamento lato piastra: Fb,Ed,p=3.60 Fb,Rd,p=9812.27
Tirafondi:LT=0.45 (0.31) σ_{cR}=0.00 σ_{fR}=0.00
Compressione nel calcestruzzo: σ_c=19.13
CC 11 SLV (Collegamento -044_-376)
Azioni sul collegamento: N=-9000.10 Ty=11.14 Tz=10.38 Mx=0.02 Mz=11.32
Sollecitazioni agenti localmente: Tx_l=11.14 Ty_l=10.38 N_l=-9000.10 Mx_l=-0.00 My_l=11.32 Mz_l=0.02
Taglio nei bulloni: Fv,Ed=2.57 Fv,Rd=7720.78
Rifollamento lato piastra: Fb,Ed,p=2.54 Fb,Rd,p=11465.90
Tirafondi:LT=0.45 (0.31) σ_{cR}=0.00 σ_{fR}=0.00
Compressione nel calcestruzzo: σ_c=19.23
CC 11 SLV (Collegamento -044_-376)
Azioni sul collegamento: N=-9000.10 Ty=11.60 Tz=10.38 Mx=0.02 Mz=9.43
Sollecitazioni agenti localmente: Tx_l=11.60 Ty_l=10.38 N_l=-9000.10 Mx_l=-0.00 My_l=9.43 Mz_l=0.02
Taglio nei bulloni: Fv,Ed=2.63 Fv,Rd=7720.78
Rifollamento lato piastra: Fb,Ed,p=2.60 Fb,Rd,p=11265.70
Tirafondi:LT=0.45 (0.31) σ_{cR}=0.00 σ_{fR}=0.00
Compressione nel calcestruzzo: σ_c=19.13
CC 12 SLD (Collegamento -044_-376)
Azioni sul collegamento: N=-10426.00 Ty=10.37 Tz=14.95 Mx=0.01 Mz=8.52
Sollecitazioni agenti localmente: Tx_l=10.37 Ty_l=14.95 N_l=-10426.00 Mx_l=-0.00 My_l=8.52 Mz_l=0.01
Taglio nei bulloni: Fv,Ed=3.05 Fv,Rd=9650.97
Rifollamento lato piastra: Fb,Ed,p=3.05 Fb,Rd,p=12936.60
Tirafondi:LT=0.45 (0.31) σ_{cR}=0.00 σ_{fR}=0.00
Compressione nel calcestruzzo: σ_c=22.02
CC 12 SLD (Collegamento -044_-376)
Azioni sul collegamento: N=-10426.00 Ty=10.51 Tz=14.95 Mx=0.01 Mz=7.95
Sollecitazioni agenti localmente: Tx_l=10.51 Ty_l=14.95 N_l=-10426.00 Mx_l=-0.00 My_l=7.95 Mz_l=0.01
Taglio nei bulloni: Fv,Ed=3.06 Fv,Rd=9650.97
Rifollamento lato piastra: Fb,Ed,p=3.06 Fb,Rd,p=12993.60
Tirafondi:LT=0.45 (0.31) σ_{cR}=0.00 σ_{fR}=0.00
Compressione nel calcestruzzo: σ_c=21.99
CC 12 SLD (Collegamento -044_-376)
Azioni sul collegamento: N=-10426.00 Ty=10.37 Tz=12.64 Mx=0.01 Mz=8.52
Sollecitazioni agenti localmente: Tx_l=10.37 Ty_l=12.64 N_l=-10426.00 Mx_l=-0.00 My_l=8.52 Mz_l=0.01
Taglio nei bulloni: Fv,Ed=2.74 Fv,Rd=9650.97
Rifollamento lato piastra: Fb,Ed,p=2.74 Fb,Rd,p=13749.50
Tirafondi:LT=0.45 (0.31) σ_{cR}=0.00 σ_{fR}=0.00
Compressione nel calcestruzzo: σ_c=22.02
CC 12 SLD (Collegamento -044_-376)
Azioni sul collegamento: N=-10426.00 Ty=10.51 Tz=12.64 Mx=0.01 Mz=7.95
Sollecitazioni agenti localmente: Tx_l=10.51 Ty_l=12.64 N_l=-10426.00 Mx_l=-0.00 My_l=7.95 Mz_l=0.01
Taglio nei bulloni: Fv,Ed=2.75 Fv,Rd=9650.97
Rifollamento lato piastra: Fb,Ed,p=2.75 Fb,Rd,p=13824.40
Tirafondi:LT=0.45 (0.31) σ_{cR}=0.00 σ_{fR}=0.00
Compressione nel calcestruzzo: σ_c=21.99
CC 12 SLD (Collegamento -044_-376)
Azioni sul collegamento: N=-9714.02 Ty=10.37 Tz=14.95 Mx=0.01 Mz=8.52
Sollecitazioni agenti localmente: Tx_l=10.37 Ty_l=14.95 N_l=-9714.02 Mx_l=-0.00 My_l=8.52 Mz_l=0.01
Taglio nei bulloni: Fv,Ed=3.05 Fv,Rd=9650.97
Rifollamento lato piastra: Fb,Ed,p=3.05 Fb,Rd,p=12936.70

Tirafondi:LT=0.45 (0.31) σ_{cR}=0.00 σ_{fR}=0.00
Compressione nel calcestruzzo: σ_c=20.55
CC 12 SLD (Collegamento -044_-376)
Azioni sul collegamento: N=-9714.02 Ty=10.51 Tz=14.95 Mx=0.01 Mz=7.95
Sollecitazioni agenti localmente: Tx_l=10.51 Ty_l=14.95 N_l=-9714.02 Mx_l=-0.00 My_l=7.95 Mz_l=0.01
Taglio nei bulloni: Fv,Ed=3.06 Fv,Rd=9650.97
Rifollamento lato piastra: Fb,Ed,p=3.06 Fb,Rd,p=12993.60
Tirafondi:LT=0.45 (0.31) σ_{cR}=0.00 σ_{fR}=0.00
Compressione nel calcestruzzo: σ_c=20.52
CC 12 SLD (Collegamento -044_-376)
Azioni sul collegamento: N=-9714.02 Ty=10.37 Tz=12.64 Mx=0.01 Mz=8.52
Sollecitazioni agenti localmente: Tx_l=10.37 Ty_l=12.64 N_l=-9714.02 Mx_l=-0.00 My_l=8.52 Mz_l=0.01
Taglio nei bulloni: Fv,Ed=2.74 Fv,Rd=9650.97
Rifollamento lato piastra: Fb,Ed,p=2.74 Fb,Rd,p=13749.60
Tirafondi:LT=0.45 (0.31) σ_{cR}=0.00 σ_{fR}=0.00
Compressione nel calcestruzzo: σ_c=20.55
CC 12 SLD (Collegamento -044_-376)
Azioni sul collegamento: N=-9714.02 Ty=10.51 Tz=12.64 Mx=0.01 Mz=7.95
Sollecitazioni agenti localmente: Tx_l=10.51 Ty_l=12.64 N_l=-9714.02 Mx_l=-0.00 My_l=7.95 Mz_l=0.01
Taglio nei bulloni: Fv,Ed=2.75 Fv,Rd=9650.97
Rifollamento lato piastra: Fb,Ed,p=2.75 Fb,Rd,p=13824.50
Tirafondi:LT=0.45 (0.31) σ_{cR}=0.00 σ_{fR}=0.00
Compressione nel calcestruzzo: σ_c=20.52
CC 13 SLV (Collegamento -044_-376)
Azioni sul collegamento: N=-9000.10 Ty=11.60 Tz=10.38 Mx=0.01 Mz=9.43
Sollecitazioni agenti localmente: Tx_l=11.60 Ty_l=10.38 N_l=-9000.10 Mx_l=-0.00 My_l=9.43 Mz_l=0.01
Taglio nei bulloni: Fv,Ed=2.61 Fv,Rd=7720.78
Rifollamento lato piastra: Fb,Ed,p=2.60 Fb,Rd,p=11361.90
Tirafondi:LT=0.45 (0.31) σ_{cR}=0.00 σ_{fR}=0.00
Compressione nel calcestruzzo: σ_c=19.13
CC 13 SLV (Collegamento -044_-376)
Azioni sul collegamento: N=-9000.10 Ty=11.14 Tz=10.38 Mx=0.01 Mz=11.32
Sollecitazioni agenti localmente: Tx_l=11.14 Ty_l=10.38 N_l=-9000.10 Mx_l=-0.00 My_l=11.32 Mz_l=0.01
Taglio nei bulloni: Fv,Ed=2.55 Fv,Rd=7720.78
Rifollamento lato piastra: Fb,Ed,p=2.54 Fb,Rd,p=11570.10
Tirafondi:LT=0.45 (0.31) σ_{cR}=0.00 σ_{fR}=0.00
Compressione nel calcestruzzo: σ_c=19.23
CC 13 SLV (Collegamento -044_-376)
Azioni sul collegamento: N=-9000.10 Ty=11.60 Tz=17.98 Mx=0.01 Mz=9.43
Sollecitazioni agenti localmente: Tx_l=11.60 Ty_l=17.98 N_l=-9000.10 Mx_l=-0.00 My_l=9.43 Mz_l=0.01
Taglio nei bulloni: Fv,Ed=3.58 Fv,Rd=7720.78
Rifollamento lato piastra: Fb,Ed,p=3.58 Fb,Rd,p=9787.11
Tirafondi:LT=0.45 (0.31) σ_{cR}=0.00 σ_{fR}=0.00
Compressione nel calcestruzzo: σ_c=19.13
CC 13 SLV (Collegamento -044_-376)
Azioni sul collegamento: N=-9000.10 Ty=11.14 Tz=17.98 Mx=0.01 Mz=11.32
Sollecitazioni agenti localmente: Tx_l=11.14 Ty_l=17.98 N_l=-9000.10 Mx_l=-0.00 My_l=11.32 Mz_l=0.01
Taglio nei bulloni: Fv,Ed=3.54 Fv,Rd=7720.78
Rifollamento lato piastra: Fb,Ed,p=3.54 Fb,Rd,p=9485.63
Tirafondi:LT=0.45 (0.31) σ_{cR}=0.00 σ_{fR}=0.00
Compressione nel calcestruzzo: σ_c=19.23
CC 13 SLV (Collegamento -044_-376)
Azioni sul collegamento: N=-11335.10 Ty=11.60 Tz=10.38 Mx=0.01 Mz=9.43
Sollecitazioni agenti localmente: Tx_l=11.60 Ty_l=10.38 N_l=-11335.10 Mx_l=-0.00 My_l=9.43 Mz_l=0.01
Taglio nei bulloni: Fv,Ed=2.61 Fv,Rd=7720.78
Rifollamento lato piastra: Fb,Ed,p=2.60 Fb,Rd,p=11361.70
Tirafondi:LT=0.45 (0.31) σ_{cR}=0.00 σ_{fR}=0.00
Compressione nel calcestruzzo: σ_c=23.95
CC 13 SLV (Collegamento -044_-376)
Azioni sul collegamento: N=-11335.10 Ty=11.14 Tz=10.38 Mx=0.01 Mz=11.32
Sollecitazioni agenti localmente: Tx_l=11.14 Ty_l=10.38 N_l=-11335.10 Mx_l=-0.00 My_l=11.32 Mz_l=0.01
Taglio nei bulloni: Fv,Ed=2.55 Fv,Rd=7720.78
Rifollamento lato piastra: Fb,Ed,p=2.54 Fb,Rd,p=11570.00
Tirafondi:LT=0.45 (0.31) σ_{cR}=0.00 σ_{fR}=0.00
Compressione nel calcestruzzo: σ_c=24.06
CC 13 SLV (Collegamento -044_-376)
Azioni sul collegamento: N=-11335.10 Ty=11.60 Tz=17.98 Mx=0.01 Mz=9.43
Sollecitazioni agenti localmente: Tx_l=11.60 Ty_l=17.98 N_l=-11335.10 Mx_l=-0.00 My_l=9.43 Mz_l=0.01
Taglio nei bulloni: Fv,Ed=3.58 Fv,Rd=7720.78
Rifollamento lato piastra: Fb,Ed,p=3.58 Fb,Rd,p=9787.22
Tirafondi:LT=0.45 (0.31) σ_{cR}=0.00 σ_{fR}=0.00
Compressione nel calcestruzzo: σ_c=23.95
CC 13 SLV (Collegamento -044_-376)
Azioni sul collegamento: N=-11335.10 Ty=11.14 Tz=17.98 Mx=0.01 Mz=11.32
Sollecitazioni agenti localmente: Tx_l=11.14 Ty_l=17.98 N_l=-11335.10 Mx_l=-0.00 My_l=11.32 Mz_l=0.01
Taglio nei bulloni: Fv,Ed=3.54 Fv,Rd=7720.78
Rifollamento lato piastra: Fb,Ed,p=3.54 Fb,Rd,p=9485.73
Tirafondi:LT=0.45 (0.31) σ_{cR}=0.00 σ_{fR}=0.00
Compressione nel calcestruzzo: σ_c=24.06
CC 14 SLD (Collegamento -044_-376)

Azioni sul collegamento: N=-9714.02 Ty=10.51 Tz=12.64 Mx=0.00 Mz=7.95
Sollecitazioni agenti localmente: Tx_l=10.51 Ty_l=12.64 N_l=-9714.02 Mx_l=-0.00 My_l=7.95 Mz_l=0.00
Taglio nei bulloni: Fv,Ed=2.75 Fv,Rd=9650.97
Rifollamento lato piastra: Fb,Ed,p=2.75 Fb,Rd,p=13821.60
Tirafondi:LT=0.45 (0.31) σ_{cR}=0.00 σ_{fR}=0.00
Compressione nel calcestruzzo: σ_c=20.52
CC 14 SLD (Collegamento -044_-376)
Azioni sul collegamento: N=-9714.02 Ty=10.37 Tz=12.64 Mx=0.00 Mz=8.52
Sollecitazioni agenti localmente: Tx_l=10.37 Ty_l=12.64 N_l=-9714.02 Mx_l=-0.00 My_l=8.52 Mz_l=0.00
Taglio nei bulloni: Fv,Ed=2.73 Fv,Rd=9650.97
Rifollamento lato piastra: Fb,Ed,p=2.73 Fb,Rd,p=13746.50
Tirafondi:LT=0.45 (0.31) σ_{cR}=0.00 σ_{fR}=0.00
Compressione nel calcestruzzo: σ_c=20.55
CC 14 SLD (Collegamento -044_-376)
Azioni sul collegamento: N=-9714.02 Ty=10.51 Tz=14.95 Mx=0.00 Mz=7.95
Sollecitazioni agenti localmente: Tx_l=10.51 Ty_l=14.95 N_l=-9714.02 Mx_l=-0.00 My_l=7.95 Mz_l=0.00
Taglio nei bulloni: Fv,Ed=3.05 Fv,Rd=9650.97
Rifollamento lato piastra: Fb,Ed,p=3.05 Fb,Rd,p=12989.70
Tirafondi:LT=0.45 (0.31) σ_{cR}=0.00 σ_{fR}=0.00
Compressione nel calcestruzzo: σ_c=20.52
CC 14 SLD (Collegamento -044_-376)
Azioni sul collegamento: N=-9714.02 Ty=10.37 Tz=14.95 Mx=0.00 Mz=8.52
Sollecitazioni agenti localmente: Tx_l=10.37 Ty_l=14.95 N_l=-9714.02 Mx_l=-0.00 My_l=8.52 Mz_l=0.00
Taglio nei bulloni: Fv,Ed=3.04 Fv,Rd=9650.97
Rifollamento lato piastra: Fb,Ed,p=3.04 Fb,Rd,p=12932.70
Tirafondi:LT=0.45 (0.31) σ_{cR}=0.00 σ_{fR}=0.00
Compressione nel calcestruzzo: σ_c=20.55
CC 14 SLD (Collegamento -044_-376)
Azioni sul collegamento: N=-10426.00 Ty=10.51 Tz=12.64 Mx=0.00 Mz=7.95
Sollecitazioni agenti localmente: Tx_l=10.51 Ty_l=12.64 N_l=-10426.00 Mx_l=-0.00 My_l=7.95 Mz_l=0.00
Taglio nei bulloni: Fv,Ed=2.75 Fv,Rd=9650.97
Rifollamento lato piastra: Fb,Ed,p=2.75 Fb,Rd,p=13821.50
Tirafondi:LT=0.45 (0.31) σ_{cR}=0.00 σ_{fR}=0.00
Compressione nel calcestruzzo: σ_c=21.99
CC 14 SLD (Collegamento -044_-376)
Azioni sul collegamento: N=-10426.00 Ty=10.37 Tz=12.64 Mx=0.00 Mz=8.52
Sollecitazioni agenti localmente: Tx_l=10.37 Ty_l=12.64 N_l=-10426.00 Mx_l=-0.00 My_l=8.52 Mz_l=0.00
Taglio nei bulloni: Fv,Ed=2.73 Fv,Rd=9650.97
Rifollamento lato piastra: Fb,Ed,p=2.73 Fb,Rd,p=13746.40
Tirafondi:LT=0.45 (0.31) σ_{cR}=0.00 σ_{fR}=0.00
Compressione nel calcestruzzo: σ_c=22.02
CC 14 SLD (Collegamento -044_-376)
Azioni sul collegamento: N=-10426.00 Ty=10.51 Tz=14.95 Mx=0.00 Mz=7.95
Sollecitazioni agenti localmente: Tx_l=10.51 Ty_l=14.95 N_l=-10426.00 Mx_l=-0.00 My_l=7.95 Mz_l=0.00
Taglio nei bulloni: Fv,Ed=3.05 Fv,Rd=9650.97
Rifollamento lato piastra: Fb,Ed,p=3.05 Fb,Rd,p=12989.70
Tirafondi:LT=0.45 (0.31) σ_{cR}=0.00 σ_{fR}=0.00
Compressione nel calcestruzzo: σ_c=21.99
CC 14 SLD (Collegamento -044_-376)
Azioni sul collegamento: N=-10426.00 Ty=10.37 Tz=14.95 Mx=0.00 Mz=8.52
Sollecitazioni agenti localmente: Tx_l=10.37 Ty_l=14.95 N_l=-10426.00 Mx_l=-0.00 My_l=8.52 Mz_l=0.00
Taglio nei bulloni: Fv,Ed=3.04 Fv,Rd=9650.97
Rifollamento lato piastra: Fb,Ed,p=3.04 Fb,Rd,p=12932.60
Tirafondi:LT=0.45 (0.31) σ_{cR}=0.00 σ_{fR}=0.00
Compressione nel calcestruzzo: σ_c=22.02
CC 15 SLV (Collegamento -044_-376)
Azioni sul collegamento: N=-11351.40 Ty=9.43 Tz=19.07 Mx=0.01 Mz=7.83
Sollecitazioni agenti localmente: Tx_l=9.43 Ty_l=19.07 N_l=-11351.40 Mx_l=-0.00 My_l=7.83 Mz_l=0.01
Taglio nei bulloni: Fv,Ed=3.56 Fv,Rd=7720.78
Rifollamento lato piastra: Fb,Ed,p=3.56 Fb,Rd,p=8196.94
Tirafondi:LT=0.45 (0.31) σ_{cR}=0.00 σ_{fR}=0.00
Compressione nel calcestruzzo: σ_c=23.89
CC 15 SLV (Collegamento -044_-376)
Azioni sul collegamento: N=-11351.40 Ty=13.31 Tz=19.07 Mx=0.01 Mz=12.92
Sollecitazioni agenti localmente: Tx_l=13.31 Ty_l=19.07 N_l=-11351.40 Mx_l=-0.00 My_l=12.92 Mz_l=0.01
Taglio nei bulloni: Fv,Ed=3.89 Fv,Rd=7720.78
Rifollamento lato piastra: Fb,Ed,p=3.89 Fb,Rd,p=10368.70
Tirafondi:LT=0.45 (0.31) σ_{cR}=0.00 σ_{fR}=0.00
Compressione nel calcestruzzo: σ_c=24.18
CC 15 SLV (Collegamento -044_-376)
Azioni sul collegamento: N=-11351.40 Ty=9.43 Tz=9.29 Mx=0.01 Mz=7.83
Sollecitazioni agenti localmente: Tx_l=9.43 Ty_l=9.29 N_l=-11351.40 Mx_l=-0.00 My_l=7.83 Mz_l=0.01
Taglio nei bulloni: Fv,Ed=2.22 Fv,Rd=7720.78
Rifollamento lato piastra: Fb,Ed,p=2.21 Fb,Rd,p=11874.90
Tirafondi:LT=0.45 (0.31) σ_{cR}=0.00 σ_{fR}=0.00
Compressione nel calcestruzzo: σ_c=23.89
CC 15 SLV (Collegamento -044_-376)
Azioni sul collegamento: N=-11351.40 Ty=13.31 Tz=9.29 Mx=0.01 Mz=12.92
Sollecitazioni agenti localmente: Tx_l=13.31 Ty_l=9.29 N_l=-11351.40 Mx_l=-0.00 My_l=12.92 Mz_l=0.01
Taglio nei bulloni: Fv,Ed=2.72 Fv,Rd=7720.78

Rifollamento lato piastra: Fb,Ed,p=2.71 Fb,Rd,p=10335.70
Tirafondi:LT=0.45 (0.31) σ_{cR}=0.00 σ_{fR}=0.00
Compressione nel calcestruzzo: σ_c=24.18
CC 15 SLV (Collegamento -044_-376)
Azioni sul collegamento: N=-8983.82 Ty=9.43 Tz=19.07 Mx=0.01 Mz=7.83
Sollecitazioni agenti localmente: Tx_l=9.43 Ty_l=19.07 N_l=-8983.82 Mx_l=-0.00 My_l=7.83 Mz_l=0.01
Taglio nei bulloni: Fv,Ed=3.56 Fv,Rd=7720.78
Rifollamento lato piastra: Fb,Ed,p=3.56 Fb,Rd,p=8196.92
Tirafondi:LT=0.45 (0.31) σ_{cR}=0.00 σ_{fR}=0.00
Compressione nel calcestruzzo: σ_c=19.00
CC 15 SLV (Collegamento -044_-376)
Azioni sul collegamento: N=-8983.82 Ty=13.31 Tz=19.07 Mx=0.01 Mz=12.92
Sollecitazioni agenti localmente: Tx_l=13.31 Ty_l=19.07 N_l=-8983.82 Mx_l=-0.00 My_l=12.92 Mz_l=0.01
Taglio nei bulloni: Fv,Ed=3.89 Fv,Rd=7720.78
Rifollamento lato piastra: Fb,Ed,p=3.89 Fb,Rd,p=10368.70
Tirafondi:LT=0.45 (0.31) σ_{cR}=0.00 σ_{fR}=0.00
Compressione nel calcestruzzo: σ_c=19.29
CC 15 SLV (Collegamento -044_-376)
Azioni sul collegamento: N=-8983.82 Ty=9.43 Tz=9.29 Mx=0.01 Mz=7.83
Sollecitazioni agenti localmente: Tx_l=9.43 Ty_l=9.29 N_l=-8983.82 Mx_l=-0.00 My_l=7.83 Mz_l=0.01
Taglio nei bulloni: Fv,Ed=2.22 Fv,Rd=7720.78
Rifollamento lato piastra: Fb,Ed,p=2.21 Fb,Rd,p=11874.70
Tirafondi:LT=0.45 (0.31) σ_{cR}=0.00 σ_{fR}=0.00
Compressione nel calcestruzzo: σ_c=19.00
CC 15 SLV (Collegamento -044_-376)
Azioni sul collegamento: N=-8983.82 Ty=13.31 Tz=9.29 Mx=0.01 Mz=12.92
Sollecitazioni agenti localmente: Tx_l=13.31 Ty_l=9.29 N_l=-8983.82 Mx_l=-0.00 My_l=12.92 Mz_l=0.01
Taglio nei bulloni: Fv,Ed=2.72 Fv,Rd=7720.78
Rifollamento lato piastra: Fb,Ed,p=2.71 Fb,Rd,p=10335.60
Tirafondi:LT=0.45 (0.31) σ_{cR}=0.00 σ_{fR}=0.00
Compressione nel calcestruzzo: σ_c=19.29
CC 16 SLD (Collegamento -044_-376)
Azioni sul collegamento: N=-10431.00 Ty=9.85 Tz=15.29 Mx=0.00 Mz=7.46
Sollecitazioni agenti localmente: Tx_l=9.85 Ty_l=15.29 N_l=-10431.00 Mx_l=-0.00 My_l=7.46 Mz_l=0.00
Taglio nei bulloni: Fv,Ed=3.04 Fv,Rd=9650.97
Rifollamento lato piastra: Fb,Ed,p=3.04 Fb,Rd,p=12217.60
Tirafondi:LT=0.45 (0.31) σ_{cR}=0.00 σ_{fR}=0.00
Compressione nel calcestruzzo: σ_c=21.97
CC 16 SLD (Collegamento -044_-376)
Azioni sul collegamento: N=-10431.00 Ty=11.04 Tz=15.29 Mx=0.00 Mz=9.01
Sollecitazioni agenti localmente: Tx_l=11.04 Ty_l=15.29 N_l=-10431.00 Mx_l=-0.00 My_l=9.01 Mz_l=0.00
Taglio nei bulloni: Fv,Ed=3.15 Fv,Rd=9650.97
Rifollamento lato piastra: Fb,Ed,p=3.15 Fb,Rd,p=13105.80
Tirafondi:LT=0.45 (0.31) σ_{cR}=0.00 σ_{fR}=0.00
Compressione nel calcestruzzo: σ_c=22.06
CC 16 SLD (Collegamento -044_-376)
Azioni sul collegamento: N=-10431.00 Ty=9.85 Tz=12.31 Mx=0.00 Mz=7.46
Sollecitazioni agenti localmente: Tx_l=9.85 Ty_l=12.31 N_l=-10431.00 Mx_l=-0.00 My_l=7.46 Mz_l=0.00
Taglio nei bulloni: Fv,Ed=2.63 Fv,Rd=9650.97
Rifollamento lato piastra: Fb,Ed,p=2.63 Fb,Rd,p=13611.20
Tirafondi:LT=0.45 (0.31) σ_{cR}=0.00 σ_{fR}=0.00
Compressione nel calcestruzzo: σ_c=21.97
CC 16 SLD (Collegamento -044_-376)
Azioni sul collegamento: N=-10431.00 Ty=11.04 Tz=12.31 Mx=0.00 Mz=9.01
Sollecitazioni agenti localmente: Tx_l=11.04 Ty_l=12.31 N_l=-10431.00 Mx_l=-0.00 My_l=9.01 Mz_l=0.00
Taglio nei bulloni: Fv,Ed=2.76 Fv,Rd=9650.97
Rifollamento lato piastra: Fb,Ed,p=2.76 Fb,Rd,p=14271.30
Tirafondi:LT=0.45 (0.31) σ_{cR}=0.00 σ_{fR}=0.00
Compressione nel calcestruzzo: σ_c=22.06
CC 16 SLD (Collegamento -044_-376)
Azioni sul collegamento: N=-9709.06 Ty=9.85 Tz=15.29 Mx=0.00 Mz=7.46
Sollecitazioni agenti localmente: Tx_l=9.85 Ty_l=15.29 N_l=-9709.06 Mx_l=-0.00 My_l=7.46 Mz_l=0.00
Taglio nei bulloni: Fv,Ed=3.04 Fv,Rd=9650.97
Rifollamento lato piastra: Fb,Ed,p=3.04 Fb,Rd,p=12217.50
Tirafondi:LT=0.45 (0.31) σ_{cR}=0.00 σ_{fR}=0.00
Compressione nel calcestruzzo: σ_c=20.48
CC 16 SLD (Collegamento -044_-376)
Azioni sul collegamento: N=-9709.06 Ty=11.04 Tz=15.29 Mx=0.00 Mz=9.01
Sollecitazioni agenti localmente: Tx_l=11.04 Ty_l=15.29 N_l=-9709.06 Mx_l=-0.00 My_l=9.01 Mz_l=0.00
Taglio nei bulloni: Fv,Ed=3.15 Fv,Rd=9650.97
Rifollamento lato piastra: Fb,Ed,p=3.15 Fb,Rd,p=13105.80
Tirafondi:LT=0.45 (0.31) σ_{cR}=0.00 σ_{fR}=0.00
Compressione nel calcestruzzo: σ_c=20.57
CC 16 SLD (Collegamento -044_-376)
Azioni sul collegamento: N=-9709.06 Ty=9.85 Tz=12.31 Mx=0.00 Mz=7.46
Sollecitazioni agenti localmente: Tx_l=9.85 Ty_l=12.31 N_l=-9709.06 Mx_l=-0.00 My_l=7.46 Mz_l=0.00
Taglio nei bulloni: Fv,Ed=2.63 Fv,Rd=9650.97
Rifollamento lato piastra: Fb,Ed,p=2.63 Fb,Rd,p=13611.20
Tirafondi:LT=0.45 (0.31) σ_{cR}=0.00 σ_{fR}=0.00
Compressione nel calcestruzzo: σ_c=20.48

CC 16 SLD (Collegamento -044_-376)
Azioni sul collegamento: N=-9709.06 Ty=11.04 Tz=12.31 Mx=0.00 Mz=9.01
Sollecitazioni agenti localmente: Tx_l=11.04 Ty_l=12.31 N_l=-9709.06 Mx_l=-0.00 My_l=9.01 Mz_l=0.00
Taglio nei bulloni: Fv,Ed=2.76 Fv,Rd=9650.97
Rifollamento lato piastra: Fb,Ed,p=2.76 Fb,Rd,p=14271.30
Tirafondi:LT=0.45 (0.31) σ_{cR}=0.00 σ_{fR}=0.00
Compressione nel calcestruzzo: σ_c=20.57
CC 17 SLV (Collegamento -044_-376)
Azioni sul collegamento: N=-5965.51 Ty=12.58 Tz=-1.56 Mx=-0.01 Mz=7.43
Sollecitazioni agenti localmente: Tx_l=12.58 Ty_l=-1.56 N_l=-5965.51 Mx_l=-0.00 My_l=7.43 Mz_l=-0.01
Taglio nei bulloni: Fv,Ed=2.13 Fv,Rd=7720.78
Rifollamento lato piastra: Fb,Ed,p=2.13 Fb,Rd,p=6100.35
Tirafondi:LT=0.45 (0.31) σ_{cR}=0.00 σ_{fR}=0.00
Compressione nel calcestruzzo: σ_c=12.74
CC 17 SLV (Collegamento -044_-376)
Azioni sul collegamento: N=-5965.51 Ty=4.83 Tz=-1.56 Mx=-0.01 Mz=1.02
Sollecitazioni agenti localmente: Tx_l=4.83 Ty_l=-1.56 N_l=-5965.51 Mx_l=-0.00 My_l=1.02 Mz_l=-0.01
Taglio nei bulloni: Fv,Ed=0.86 Fv,Rd=7720.78
Rifollamento lato piastra: Fb,Ed,p=0.85 Fb,Rd,p=6790.22
Tirafondi:LT=0.45 (0.31) σ_{cR}=0.00 σ_{fR}=0.00
Compressione nel calcestruzzo: σ_c=12.38
CC 17 SLV (Collegamento -044_-376)
Azioni sul collegamento: N=-5965.51 Ty=12.58 Tz=27.71 Mx=-0.01 Mz=7.43
Sollecitazioni agenti localmente: Tx_l=12.58 Ty_l=27.71 N_l=-5965.51 Mx_l=-0.00 My_l=7.43 Mz_l=-0.01
Taglio nei bulloni: Fv,Ed=5.09 Fv,Rd=7720.78
Rifollamento lato piastra: Fb,Ed,p=5.08 Fb,Rd,p=7799.99
Tirafondi:LT=0.45 (0.31) σ_{cR}=0.00 σ_{fR}=0.00
Compressione nel calcestruzzo: σ_c=12.74
CC 17 SLV (Collegamento -044_-376)
Azioni sul collegamento: N=-5965.51 Ty=4.83 Tz=27.71 Mx=-0.01 Mz=1.02
Sollecitazioni agenti localmente: Tx_l=4.83 Ty_l=27.71 N_l=-5965.51 Mx_l=-0.00 My_l=1.02 Mz_l=-0.01
Taglio nei bulloni: Fv,Ed=4.70 Fv,Rd=7720.78
Rifollamento lato piastra: Fb,Ed,p=4.70 Fb,Rd,p=6238.27
Tirafondi:LT=0.45 (0.31) σ_{cR}=0.00 σ_{fR}=0.00
Compressione nel calcestruzzo: σ_c=12.38
CC 17 SLV (Collegamento -044_-376)
Azioni sul collegamento: N=-13808.10 Ty=12.58 Tz=-1.56 Mx=-0.01 Mz=7.43
Sollecitazioni agenti localmente: Tx_l=12.58 Ty_l=-1.56 N_l=-13808.10 Mx_l=-0.00 My_l=7.43 Mz_l=-0.01
Taglio nei bulloni: Fv,Ed=2.13 Fv,Rd=7720.78
Rifollamento lato piastra: Fb,Ed,p=2.13 Fb,Rd,p=6100.29
Tirafondi:LT=0.45 (0.31) σ_{cR}=0.00 σ_{fR}=0.00
Compressione nel calcestruzzo: σ_c=28.95
CC 17 SLV (Collegamento -044_-376)
Azioni sul collegamento: N=-13808.10 Ty=4.83 Tz=-1.56 Mx=-0.01 Mz=1.02
Sollecitazioni agenti localmente: Tx_l=4.83 Ty_l=-1.56 N_l=-13808.10 Mx_l=-0.00 My_l=1.02 Mz_l=-0.01
Taglio nei bulloni: Fv,Ed=0.86 Fv,Rd=7720.78
Rifollamento lato piastra: Fb,Ed,p=0.85 Fb,Rd,p=6789.83
Tirafondi:LT=0.45 (0.31) σ_{cR}=0.00 σ_{fR}=0.00
Compressione nel calcestruzzo: σ_c=28.59
CC 17 SLV (Collegamento -044_-376)
Azioni sul collegamento: N=-13808.10 Ty=12.58 Tz=27.71 Mx=-0.01 Mz=7.43
Sollecitazioni agenti localmente: Tx_l=12.58 Ty_l=27.71 N_l=-13808.10 Mx_l=-0.00 My_l=7.43 Mz_l=-0.01
Taglio nei bulloni: Fv,Ed=5.09 Fv,Rd=7720.78
Rifollamento lato piastra: Fb,Ed,p=5.08 Fb,Rd,p=7800.00
Tirafondi:LT=0.45 (0.31) σ_{cR}=0.00 σ_{fR}=0.00
Compressione nel calcestruzzo: σ_c=28.95
CC 17 SLV (Collegamento -044_-376)
Azioni sul collegamento: N=-13808.10 Ty=4.83 Tz=27.71 Mx=-0.01 Mz=1.02
Sollecitazioni agenti localmente: Tx_l=4.83 Ty_l=27.71 N_l=-13808.10 Mx_l=-0.00 My_l=1.02 Mz_l=-0.01
Taglio nei bulloni: Fv,Ed=4.70 Fv,Rd=7720.78
Rifollamento lato piastra: Fb,Ed,p=4.70 Fb,Rd,p=6238.28
Tirafondi:LT=0.45 (0.31) σ_{cR}=0.00 σ_{fR}=0.00
Compressione nel calcestruzzo: σ_c=28.59
CC 18 SLD (Collegamento -044_-376)
Azioni sul collegamento: N=-8788.68 Ty=10.81 Tz=9.00 Mx=-0.00 Mz=7.34
Sollecitazioni agenti localmente: Tx_l=10.81 Ty_l=9.00 N_l=-8788.68 Mx_l=-0.00 My_l=7.34 Mz_l=-0.00
Taglio nei bulloni: Fv,Ed=2.35 Fv,Rd=9650.97
Rifollamento lato piastra: Fb,Ed,p=2.35 Fb,Rd,p=13820.10
Tirafondi:LT=0.45 (0.31) σ_{cR}=0.00 σ_{fR}=0.00
Compressione nel calcestruzzo: σ_c=18.57
CC 18 SLD (Collegamento -044_-376)
Azioni sul collegamento: N=-8788.68 Ty=8.45 Tz=9.00 Mx=-0.00 Mz=5.38
Sollecitazioni agenti localmente: Tx_l=8.45 Ty_l=9.00 N_l=-8788.68 Mx_l=-0.00 My_l=5.38 Mz_l=-0.00
Taglio nei bulloni: Fv,Ed=2.06 Fv,Rd=9650.97
Rifollamento lato piastra: Fb,Ed,p=2.06 Fb,Rd,p=14554.70
Tirafondi:LT=0.45 (0.31) σ_{cR}=0.00 σ_{fR}=0.00
Compressione nel calcestruzzo: σ_c=18.46
CC 18 SLD (Collegamento -044_-376)
Azioni sul collegamento: N=-8788.68 Ty=10.81 Tz=17.92 Mx=-0.00 Mz=7.34
Sollecitazioni agenti localmente: Tx_l=10.81 Ty_l=17.92 N_l=-8788.68 Mx_l=-0.00 My_l=7.34 Mz_l=-0.00

Taglio nei bulloni: Fv,Ed=3.49 Fv,Rd=9650.97
Rifollamento lato piastra: Fb,Ed,p=3.49 Fb,Rd,p=11595.70
Tirafondi:LT=0.45 (0.31) σ_{cR}=0.00 σ_{fR}=0.00
Compressione nel calcestruzzo: σ_c=18.57
CC 18 SLD (Collegamento -044_-376)
Azioni sul collegamento: N=-8788.68 Ty=8.45 Tz=17.92 Mx=-0.00 Mz=5.38
Sollecitazioni agenti localmente: Tx_l=8.45 Ty_l=17.92 N_l=-8788.68 Mx_l=-0.00 My_l=5.38 Mz_l=-0.00
Taglio nei bulloni: Fv,Ed=3.31 Fv,Rd=9650.97
Rifollamento lato piastra: Fb,Ed,p=3.30 Fb,Rd,p=9966.60
Tirafondi:LT=0.45 (0.31) σ_{cR}=0.00 σ_{fR}=0.00
Compressione nel calcestruzzo: σ_c=18.46
CC 18 SLD (Collegamento -044_-376)
Azioni sul collegamento: N=-11180.10 Ty=10.81 Tz=9.00 Mx=-0.00 Mz=7.34
Sollecitazioni agenti localmente: Tx_l=10.81 Ty_l=9.00 N_l=-11180.10 Mx_l=-0.00 My_l=7.34 Mz_l=-0.00
Taglio nei bulloni: Fv,Ed=2.35 Fv,Rd=9650.97
Rifollamento lato piastra: Fb,Ed,p=2.35 Fb,Rd,p=13820.20
Tirafondi:LT=0.45 (0.31) σ_{cR}=0.00 σ_{fR}=0.00
Compressione nel calcestruzzo: σ_c=23.51
CC 18 SLD (Collegamento -044_-376)
Azioni sul collegamento: N=-11180.10 Ty=8.45 Tz=9.00 Mx=-0.00 Mz=5.38
Sollecitazioni agenti localmente: Tx_l=8.45 Ty_l=9.00 N_l=-11180.10 Mx_l=-0.00 My_l=5.38 Mz_l=-0.00
Taglio nei bulloni: Fv,Ed=2.06 Fv,Rd=9650.97
Rifollamento lato piastra: Fb,Ed,p=2.06 Fb,Rd,p=14554.50
Tirafondi:LT=0.45 (0.31) σ_{cR}=0.00 σ_{fR}=0.00
Compressione nel calcestruzzo: σ_c=23.40
CC 18 SLD (Collegamento -044_-376)
Azioni sul collegamento: N=-11180.10 Ty=10.81 Tz=17.92 Mx=-0.00 Mz=7.34
Sollecitazioni agenti localmente: Tx_l=10.81 Ty_l=17.92 N_l=-11180.10 Mx_l=-0.00 My_l=7.34 Mz_l=-0.00
Taglio nei bulloni: Fv,Ed=3.49 Fv,Rd=9650.97
Rifollamento lato piastra: Fb,Ed,p=3.49 Fb,Rd,p=11595.60
Tirafondi:LT=0.45 (0.31) σ_{cR}=0.00 σ_{fR}=0.00
Compressione nel calcestruzzo: σ_c=23.51
CC 18 SLD (Collegamento -044_-376)
Azioni sul collegamento: N=-11180.10 Ty=8.45 Tz=17.92 Mx=-0.00 Mz=5.38
Sollecitazioni agenti localmente: Tx_l=8.45 Ty_l=17.92 N_l=-11180.10 Mx_l=-0.00 My_l=5.38 Mz_l=-0.00
Taglio nei bulloni: Fv,Ed=3.31 Fv,Rd=9650.97
Rifollamento lato piastra: Fb,Ed,p=3.30 Fb,Rd,p=9966.54
Tirafondi:LT=0.45 (0.31) σ_{cR}=0.00 σ_{fR}=0.00
Compressione nel calcestruzzo: σ_c=23.40
CC 19 SLV (Collegamento -044_-376)
Azioni sul collegamento: N=-5970.39 Ty=12.07 Tz=-1.24 Mx=-0.01 Mz=6.38
Sollecitazioni agenti localmente: Tx_l=12.07 Ty_l=-1.24 N_l=-5970.39 Mx_l=-0.00 My_l=6.38 Mz_l=-0.01
Taglio nei bulloni: Fv,Ed=2.03 Fv,Rd=7720.78
Rifollamento lato piastra: Fb,Ed,p=2.03 Fb,Rd,p=6064.01
Tirafondi:LT=0.45 (0.31) σ_{cR}=0.00 σ_{fR}=0.00
Compressione nel calcestruzzo: σ_c=12.69
CC 19 SLV (Collegamento -044_-376)
Azioni sul collegamento: N=-5970.39 Ty=5.34 Tz=-1.24 Mx=-0.01 Mz=2.07
Sollecitazioni agenti localmente: Tx_l=5.34 Ty_l=-1.24 N_l=-5970.39 Mx_l=-0.00 My_l=2.07 Mz_l=-0.01
Taglio nei bulloni: Fv,Ed=0.92 Fv,Rd=7720.78
Rifollamento lato piastra: Fb,Ed,p=0.92 Fb,Rd,p=6409.15
Tirafondi:LT=0.45 (0.31) σ_{cR}=0.00 σ_{fR}=0.00
Compressione nel calcestruzzo: σ_c=12.45
CC 19 SLV (Collegamento -044_-376)
Azioni sul collegamento: N=-5970.39 Ty=12.07 Tz=27.38 Mx=-0.01 Mz=6.38
Sollecitazioni agenti localmente: Tx_l=12.07 Ty_l=27.38 N_l=-5970.39 Mx_l=-0.00 My_l=6.38 Mz_l=-0.01
Taglio nei bulloni: Fv,Ed=5.00 Fv,Rd=7720.78
Rifollamento lato piastra: Fb,Ed,p=4.99 Fb,Rd,p=7705.58
Tirafondi:LT=0.45 (0.31) σ_{cR}=0.00 σ_{fR}=0.00
Compressione nel calcestruzzo: σ_c=12.69
CC 19 SLV (Collegamento -044_-376)
Azioni sul collegamento: N=-5970.39 Ty=5.34 Tz=27.38 Mx=-0.01 Mz=2.07
Sollecitazioni agenti localmente: Tx_l=5.34 Ty_l=27.38 N_l=-5970.39 Mx_l=-0.00 My_l=2.07 Mz_l=-0.01
Taglio nei bulloni: Fv,Ed=4.66 Fv,Rd=7720.78
Rifollamento lato piastra: Fb,Ed,p=4.66 Fb,Rd,p=6310.00
Tirafondi:LT=0.45 (0.31) σ_{cR}=0.00 σ_{fR}=0.00
Compressione nel calcestruzzo: σ_c=12.45
CC 19 SLV (Collegamento -044_-376)
Azioni sul collegamento: N=-13803.30 Ty=12.07 Tz=-1.24 Mx=-0.01 Mz=6.38
Sollecitazioni agenti localmente: Tx_l=12.07 Ty_l=-1.24 N_l=-13803.30 Mx_l=-0.00 My_l=6.38 Mz_l=-0.01
Taglio nei bulloni: Fv,Ed=2.03 Fv,Rd=7720.78
Rifollamento lato piastra: Fb,Ed,p=2.03 Fb,Rd,p=6064.00
Tirafondi:LT=0.45 (0.31) σ_{cR}=0.00 σ_{fR}=0.00
Compressione nel calcestruzzo: σ_c=28.88
CC 19 SLV (Collegamento -044_-376)
Azioni sul collegamento: N=-13803.30 Ty=5.34 Tz=-1.24 Mx=-0.01 Mz=2.07
Sollecitazioni agenti localmente: Tx_l=5.34 Ty_l=-1.24 N_l=-13803.30 Mx_l=-0.00 My_l=2.07 Mz_l=-0.01
Taglio nei bulloni: Fv,Ed=0.92 Fv,Rd=7720.78
Rifollamento lato piastra: Fb,Ed,p=0.92 Fb,Rd,p=6409.11
Tirafondi:LT=0.45 (0.31) σ_{cR}=0.00 σ_{fR}=0.00

Compressione nel calcestruzzo: σ_c=28.64
CC 19 SLV (Collegamento -044_-376)
Azioni sul collegamento: N=-13803.30 Ty=12.07 Tz=27.38 Mx=-0.01 Mz=6.38
Sollecitazioni agenti localmente: Tx_l=12.07 Ty_l=27.38 N_l=-13803.30 Mx_l=-0.00 My_l=6.38 Mz_l=-0.01
Taglio nei bulloni: Fv,Ed=5.00 Fv,Rd=7720.78
Rifollamento lato piastra: Fb,Ed,p=4.99 Fb,Rd,p=7705.62
Tirafondi:LT=0.45 (0.31) σ_{cR}=0.00 σ_{fR}=0.00
Compressione nel calcestruzzo: σ_c=28.88
CC 19 SLV (Collegamento -044_-376)
Azioni sul collegamento: N=-13803.30 Ty=5.34 Tz=27.38 Mx=-0.01 Mz=2.07
Sollecitazioni agenti localmente: Tx_l=5.34 Ty_l=27.38 N_l=-13803.30 Mx_l=-0.00 My_l=2.07 Mz_l=-0.01
Taglio nei bulloni: Fv,Ed=4.66 Fv,Rd=7720.78
Rifollamento lato piastra: Fb,Ed,p=4.66 Fb,Rd,p=6310.01
Tirafondi:LT=0.45 (0.31) σ_{cR}=0.00 σ_{fR}=0.00
Compressione nel calcestruzzo: σ_c=28.64
CC 20 SLD (Collegamento -044_-376)
Azioni sul collegamento: N=-8790.17 Ty=10.66 Tz=9.09 Mx=-0.00 Mz=7.02
Sollecitazioni agenti localmente: Tx_l=10.66 Ty_l=9.09 N_l=-8790.17 Mx_l=-0.00 My_l=7.02 Mz_l=-0.00
Taglio nei bulloni: Fv,Ed=2.34 Fv,Rd=9650.97
Rifollamento lato piastra: Fb,Ed,p=2.34 Fb,Rd,p=13966.70
Tirafondi:LT=0.45 (0.31) σ_{cR}=0.00 σ_{fR}=0.00
Compressione nel calcestruzzo: σ_c=18.56
CC 20 SLD (Collegamento -044_-376)
Azioni sul collegamento: N=-8790.17 Ty=8.61 Tz=9.09 Mx=-0.00 Mz=5.70
Sollecitazioni agenti localmente: Tx_l=8.61 Ty_l=9.09 N_l=-8790.17 Mx_l=-0.00 My_l=5.70 Mz_l=-0.00
Taglio nei bulloni: Fv,Ed=2.09 Fv,Rd=9650.97
Rifollamento lato piastra: Fb,Ed,p=2.09 Fb,Rd,p=14620.50
Tirafondi:LT=0.45 (0.31) σ_{cR}=0.00 σ_{fR}=0.00
Compressione nel calcestruzzo: σ_c=18.48
CC 20 SLD (Collegamento -044_-376)
Azioni sul collegamento: N=-8790.17 Ty=10.66 Tz=17.82 Mx=-0.00 Mz=7.02
Sollecitazioni agenti localmente: Tx_l=10.66 Ty_l=17.82 N_l=-8790.17 Mx_l=-0.00 My_l=7.02 Mz_l=-0.00
Taglio nei bulloni: Fv,Ed=3.46 Fv,Rd=9650.97
Rifollamento lato piastra: Fb,Ed,p=3.46 Fb,Rd,p=11532.60
Tirafondi:LT=0.45 (0.31) σ_{cR}=0.00 σ_{fR}=0.00
Compressione nel calcestruzzo: σ_c=18.56
CC 20 SLD (Collegamento -044_-376)
Azioni sul collegamento: N=-8790.17 Ty=8.61 Tz=17.82 Mx=-0.00 Mz=5.70
Sollecitazioni agenti localmente: Tx_l=8.61 Ty_l=17.82 N_l=-8790.17 Mx_l=-0.00 My_l=5.70 Mz_l=-0.00
Taglio nei bulloni: Fv,Ed=3.30 Fv,Rd=9650.97
Rifollamento lato piastra: Fb,Ed,p=3.30 Fb,Rd,p=10099.90
Tirafondi:LT=0.45 (0.31) σ_{cR}=0.00 σ_{fR}=0.00
Compressione nel calcestruzzo: σ_c=18.48
CC 20 SLD (Collegamento -044_-376)
Azioni sul collegamento: N=-11178.70 Ty=10.66 Tz=9.10 Mx=-0.00 Mz=7.02
Sollecitazioni agenti localmente: Tx_l=10.66 Ty_l=9.10 N_l=-11178.70 Mx_l=-0.00 My_l=7.02 Mz_l=-0.00
Taglio nei bulloni: Fv,Ed=2.34 Fv,Rd=9650.97
Rifollamento lato piastra: Fb,Ed,p=2.34 Fb,Rd,p=13966.90
Tirafondi:LT=0.45 (0.31) σ_{cR}=0.00 σ_{fR}=0.00
Compressione nel calcestruzzo: σ_c=23.49
CC 20 SLD (Collegamento -044_-376)
Azioni sul collegamento: N=-11178.70 Ty=8.61 Tz=9.10 Mx=-0.00 Mz=5.70
Sollecitazioni agenti localmente: Tx_l=8.61 Ty_l=9.10 N_l=-11178.70 Mx_l=-0.00 My_l=5.70 Mz_l=-0.00
Taglio nei bulloni: Fv,Ed=2.09 Fv,Rd=9650.97
Rifollamento lato piastra: Fb,Ed,p=2.09 Fb,Rd,p=14620.30
Tirafondi:LT=0.45 (0.31) σ_{cR}=0.00 σ_{fR}=0.00
Compressione nel calcestruzzo: σ_c=23.42
CC 20 SLD (Collegamento -044_-376)
Azioni sul collegamento: N=-11178.70 Ty=10.66 Tz=17.82 Mx=-0.00 Mz=7.02
Sollecitazioni agenti localmente: Tx_l=10.66 Ty_l=17.82 N_l=-11178.70 Mx_l=-0.00 My_l=7.02 Mz_l=-0.00
Taglio nei bulloni: Fv,Ed=3.46 Fv,Rd=9650.97
Rifollamento lato piastra: Fb,Ed,p=3.46 Fb,Rd,p=11532.50
Tirafondi:LT=0.45 (0.31) σ_{cR}=0.00 σ_{fR}=0.00
Compressione nel calcestruzzo: σ_c=23.49
CC 20 SLD (Collegamento -044_-376)
Azioni sul collegamento: N=-11178.70 Ty=8.61 Tz=17.82 Mx=-0.00 Mz=5.70
Sollecitazioni agenti localmente: Tx_l=8.61 Ty_l=17.82 N_l=-11178.70 Mx_l=-0.00 My_l=5.70 Mz_l=-0.00
Taglio nei bulloni: Fv,Ed=3.30 Fv,Rd=9650.97
Rifollamento lato piastra: Fb,Ed,p=3.30 Fb,Rd,p=10099.80
Tirafondi:LT=0.45 (0.31) σ_{cR}=0.00 σ_{fR}=0.00
Compressione nel calcestruzzo: σ_c=23.42
CC 21 SLV (Collegamento -044_-376)
Azioni sul collegamento: N=-13803.30 Ty=5.34 Tz=27.38 Mx=-0.01 Mz=2.07
Sollecitazioni agenti localmente: Tx_l=5.34 Ty_l=27.38 N_l=-13803.30 Mx_l=-0.00 My_l=2.07 Mz_l=-0.01
Taglio nei bulloni: Fv,Ed=4.67 Fv,Rd=7720.78
Rifollamento lato piastra: Fb,Ed,p=4.66 Fb,Rd,p=6305.50
Tirafondi:LT=0.45 (0.31) σ_{cR}=0.00 σ_{fR}=0.00
Compressione nel calcestruzzo: σ_c=28.64
CC 21 SLV (Collegamento -044_-376)
Azioni sul collegamento: N=-13803.30 Ty=12.07 Tz=27.38 Mx=-0.01 Mz=6.38

Sollecitazioni agenti localmente: T_{x_l}=12.07 T_{y_l}=27.38 N_l=-13803.30 M_{x_l}=-0.00 M_{y_l}=6.38 M_{z_l}=-0.01
Taglio nei bulloni: Fv,Ed=5.01 Fv,Rd=7720.78
Rifollamento lato piastra: Fb,Ed,p=4.99 Fb,Rd,p=7692.98
Tirafondi:LT=0.45 (0.31) σ_{cR}=0.00 σ_{fR}=0.00
Compressione nel calcestruzzo: σ_c=28.88
CC 21 SLV (Collegamento -044_-376)
Azioni sul collegamento: N=-13803.30 Ty=5.34 Tz=-1.24 Mx=-0.01 Mz=2.07
Sollecitazioni agenti localmente: T_{x_l}=5.34 T_{y_l}=-1.24 N_l=-13803.30 M_{x_l}=-0.00 M_{y_l}=2.07 M_{z_l}=-0.01
Taglio nei bulloni: Fv,Ed=0.93 Fv,Rd=7720.78
Rifollamento lato piastra: Fb,Ed,p=0.92 Fb,Rd,p=6382.76
Tirafondi:LT=0.45 (0.31) σ_{cR}=0.00 σ_{fR}=0.00
Compressione nel calcestruzzo: σ_c=28.64
CC 21 SLV (Collegamento -044_-376)
Azioni sul collegamento: N=-13803.30 Ty=12.07 Tz=-1.24 Mx=-0.01 Mz=6.38
Sollecitazioni agenti localmente: T_{x_l}=12.07 T_{y_l}=-1.24 N_l=-13803.30 M_{x_l}=-0.00 M_{y_l}=6.38 M_{z_l}=-0.01
Taglio nei bulloni: Fv,Ed=2.04 Fv,Rd=7720.78
Rifollamento lato piastra: Fb,Ed,p=2.03 Fb,Rd,p=6059.31
Tirafondi:LT=0.45 (0.31) σ_{cR}=0.00 σ_{fR}=0.00
Compressione nel calcestruzzo: σ_c=28.88
CC 21 SLV (Collegamento -044_-376)
Azioni sul collegamento: N=-5970.39 Ty=5.34 Tz=27.38 Mx=-0.01 Mz=2.07
Sollecitazioni agenti localmente: T_{x_l}=5.34 T_{y_l}=27.38 N_l=-5970.39 M_{x_l}=-0.00 M_{y_l}=2.07 M_{z_l}=-0.01
Taglio nei bulloni: Fv,Ed=4.67 Fv,Rd=7720.78
Rifollamento lato piastra: Fb,Ed,p=4.66 Fb,Rd,p=6305.49
Tirafondi:LT=0.45 (0.31) σ_{cR}=0.00 σ_{fR}=0.00
Compressione nel calcestruzzo: σ_c=12.45
CC 21 SLV (Collegamento -044_-376)
Azioni sul collegamento: N=-5970.39 Ty=12.07 Tz=27.38 Mx=-0.01 Mz=6.38
Sollecitazioni agenti localmente: T_{x_l}=12.07 T_{y_l}=27.38 N_l=-5970.39 M_{x_l}=-0.00 M_{y_l}=6.38 M_{z_l}=-0.01
Taglio nei bulloni: Fv,Ed=5.01 Fv,Rd=7720.78
Rifollamento lato piastra: Fb,Ed,p=4.99 Fb,Rd,p=7692.94
Tirafondi:LT=0.45 (0.31) σ_{cR}=0.00 σ_{fR}=0.00
Compressione nel calcestruzzo: σ_c=12.69
CC 21 SLV (Collegamento -044_-376)
Azioni sul collegamento: N=-5970.39 Ty=5.34 Tz=-1.24 Mx=-0.01 Mz=2.07
Sollecitazioni agenti localmente: T_{x_l}=5.34 T_{y_l}=-1.24 N_l=-5970.39 M_{x_l}=-0.00 M_{y_l}=2.07 M_{z_l}=-0.01
Taglio nei bulloni: Fv,Ed=0.93 Fv,Rd=7720.78
Rifollamento lato piastra: Fb,Ed,p=0.92 Fb,Rd,p=6382.81
Tirafondi:LT=0.45 (0.31) σ_{cR}=0.00 σ_{fR}=0.00
Compressione nel calcestruzzo: σ_c=12.45
CC 21 SLV (Collegamento -044_-376)
Azioni sul collegamento: N=-5970.39 Ty=12.07 Tz=-1.24 Mx=-0.01 Mz=6.38
Sollecitazioni agenti localmente: T_{x_l}=12.07 T_{y_l}=-1.24 N_l=-5970.39 M_{x_l}=-0.00 M_{y_l}=6.38 M_{z_l}=-0.01
Taglio nei bulloni: Fv,Ed=2.04 Fv,Rd=7720.78
Rifollamento lato piastra: Fb,Ed,p=2.03 Fb,Rd,p=6059.32
Tirafondi:LT=0.45 (0.31) σ_{cR}=0.00 σ_{fR}=0.00
Compressione nel calcestruzzo: σ_c=12.69
CC 22 SLD (Collegamento -044_-376)
Azioni sul collegamento: N=-11178.70 Ty=8.61 Tz=17.82 Mx=-0.00 Mz=5.70
Sollecitazioni agenti localmente: T_{x_l}=8.61 T_{y_l}=17.82 N_l=-11178.70 M_{x_l}=-0.00 M_{y_l}=5.70 M_{z_l}=-0.00
Taglio nei bulloni: Fv,Ed=3.30 Fv,Rd=9650.97
Rifollamento lato piastra: Fb,Ed,p=3.30 Fb,Rd,p=10091.30
Tirafondi:LT=0.45 (0.31) σ_{cR}=0.00 σ_{fR}=0.00
Compressione nel calcestruzzo: σ_c=23.42
CC 22 SLD (Collegamento -044_-376)
Azioni sul collegamento: N=-11178.70 Ty=10.66 Tz=17.82 Mx=-0.00 Mz=7.02
Sollecitazioni agenti localmente: T_{x_l}=10.66 T_{y_l}=17.82 N_l=-11178.70 M_{x_l}=-0.00 M_{y_l}=7.02 M_{z_l}=-0.00
Taglio nei bulloni: Fv,Ed=3.46 Fv,Rd=9650.97
Rifollamento lato piastra: Fb,Ed,p=3.46 Fb,Rd,p=11521.10
Tirafondi:LT=0.45 (0.31) σ_{cR}=0.00 σ_{fR}=0.00
Compressione nel calcestruzzo: σ_c=23.49
CC 22 SLD (Collegamento -044_-376)
Azioni sul collegamento: N=-11178.70 Ty=8.61 Tz=9.10 Mx=-0.00 Mz=5.70
Sollecitazioni agenti localmente: T_{x_l}=8.61 T_{y_l}=9.10 N_l=-11178.70 M_{x_l}=-0.00 M_{y_l}=5.70 M_{z_l}=-0.00
Taglio nei bulloni: Fv,Ed=2.09 Fv,Rd=9650.97
Rifollamento lato piastra: Fb,Ed,p=2.09 Fb,Rd,p=14605.90
Tirafondi:LT=0.45 (0.31) σ_{cR}=0.00 σ_{fR}=0.00
Compressione nel calcestruzzo: σ_c=23.42
CC 22 SLD (Collegamento -044_-376)
Azioni sul collegamento: N=-11178.70 Ty=10.66 Tz=9.10 Mx=-0.00 Mz=7.02
Sollecitazioni agenti localmente: T_{x_l}=10.66 T_{y_l}=9.10 N_l=-11178.70 M_{x_l}=-0.00 M_{y_l}=7.02 M_{z_l}=-0.00
Taglio nei bulloni: Fv,Ed=2.34 Fv,Rd=9650.97
Rifollamento lato piastra: Fb,Ed,p=2.34 Fb,Rd,p=13967.80
Tirafondi:LT=0.45 (0.31) σ_{cR}=0.00 σ_{fR}=0.00
Compressione nel calcestruzzo: σ_c=23.49
CC 22 SLD (Collegamento -044_-376)
Azioni sul collegamento: N=-8790.17 Ty=8.61 Tz=17.82 Mx=-0.00 Mz=5.70
Sollecitazioni agenti localmente: T_{x_l}=8.61 T_{y_l}=17.82 N_l=-8790.17 M_{x_l}=-0.00 M_{y_l}=5.70 M_{z_l}=-0.00
Taglio nei bulloni: Fv,Ed=3.30 Fv,Rd=9650.97
Rifollamento lato piastra: Fb,Ed,p=3.30 Fb,Rd,p=10091.40

Tirafondi:LT=0.45 (0.31) σ_{cR}=0.00 σ_{fR}=0.00
Compressione nel calcestruzzo: σ_c=18.48
CC 22 SLD (Collegamento -044_-376)
Azioni sul collegamento: N=-8790.17 Ty=10.66 Tz=17.82 Mx=-0.00 Mz=7.02
Sollecitazioni agenti localmente: Tx_l=10.66 Ty_l=17.82 N_l=-8790.17 Mx_l=-0.00 My_l=7.02 Mz_l=-0.00
Taglio nei bulloni: Fv,Ed=3.46 Fv,Rd=9650.97
Rifollamento lato piastra: Fb,Ed,p=3.46 Fb,Rd,p=11521.20
Tirafondi:LT=0.45 (0.31) σ_{cR}=0.00 σ_{fR}=0.00
Compressione nel calcestruzzo: σ_c=18.56
CC 22 SLD (Collegamento -044_-376)
Azioni sul collegamento: N=-8790.17 Ty=8.61 Tz=9.09 Mx=-0.00 Mz=5.70
Sollecitazioni agenti localmente: Tx_l=8.61 Ty_l=9.09 N_l=-8790.17 Mx_l=-0.00 My_l=5.70 Mz_l=-0.00
Taglio nei bulloni: Fv,Ed=2.09 Fv,Rd=9650.97
Rifollamento lato piastra: Fb,Ed,p=2.09 Fb,Rd,p=14606.10
Tirafondi:LT=0.45 (0.31) σ_{cR}=0.00 σ_{fR}=0.00
Compressione nel calcestruzzo: σ_c=18.48
CC 22 SLD (Collegamento -044_-376)
Azioni sul collegamento: N=-8790.17 Ty=10.66 Tz=9.09 Mx=-0.00 Mz=7.02
Sollecitazioni agenti localmente: Tx_l=10.66 Ty_l=9.09 N_l=-8790.17 Mx_l=-0.00 My_l=7.02 Mz_l=-0.00
Taglio nei bulloni: Fv,Ed=2.34 Fv,Rd=9650.97
Rifollamento lato piastra: Fb,Ed,p=2.34 Fb,Rd,p=13967.60
Tirafondi:LT=0.45 (0.31) σ_{cR}=0.00 σ_{fR}=0.00
Compressione nel calcestruzzo: σ_c=18.56
CC 23 SLV (Collegamento -044_-376)
Azioni sul collegamento: N=-13808.10 Ty=4.83 Tz=27.71 Mx=-0.01 Mz=1.02
Sollecitazioni agenti localmente: Tx_l=4.83 Ty_l=27.71 N_l=-13808.10 Mx_l=-0.00 My_l=1.02 Mz_l=-0.01
Taglio nei bulloni: Fv,Ed=4.70 Fv,Rd=7720.78
Rifollamento lato piastra: Fb,Ed,p=4.69 Fb,Rd,p=6242.66
Tirafondi:LT=0.45 (0.31) σ_{cR}=0.00 σ_{fR}=0.00
Compressione nel calcestruzzo: σ_c=28.59
CC 23 SLV (Collegamento -044_-376)
Azioni sul collegamento: N=-13808.10 Ty=12.58 Tz=27.71 Mx=-0.01 Mz=7.43
Sollecitazioni agenti localmente: Tx_l=12.58 Ty_l=27.71 N_l=-13808.10 Mx_l=-0.00 My_l=7.43 Mz_l=-0.01
Taglio nei bulloni: Fv,Ed=5.08 Fv,Rd=7720.78
Rifollamento lato piastra: Fb,Ed,p=5.08 Fb,Rd,p=7814.63
Tirafondi:LT=0.45 (0.31) σ_{cR}=0.00 σ_{fR}=0.00
Compressione nel calcestruzzo: σ_c=28.95
CC 23 SLV (Collegamento -044_-376)
Azioni sul collegamento: N=-13808.10 Ty=4.83 Tz=-1.56 Mx=-0.01 Mz=1.02
Sollecitazioni agenti localmente: Tx_l=4.83 Ty_l=-1.56 N_l=-13808.10 Mx_l=-0.00 My_l=1.02 Mz_l=-0.01
Taglio nei bulloni: Fv,Ed=0.86 Fv,Rd=7720.78
Rifollamento lato piastra: Fb,Ed,p=0.85 Fb,Rd,p=6839.84
Tirafondi:LT=0.45 (0.31) σ_{cR}=0.00 σ_{fR}=0.00
Compressione nel calcestruzzo: σ_c=28.59
CC 23 SLV (Collegamento -044_-376)
Azioni sul collegamento: N=-13808.10 Ty=12.58 Tz=-1.56 Mx=-0.01 Mz=7.43
Sollecitazioni agenti localmente: Tx_l=12.58 Ty_l=-1.56 N_l=-13808.10 Mx_l=-0.00 My_l=7.43 Mz_l=-0.01
Taglio nei bulloni: Fv,Ed=2.12 Fv,Rd=7720.78
Rifollamento lato piastra: Fb,Ed,p=2.12 Fb,Rd,p=6106.63
Tirafondi:LT=0.45 (0.31) σ_{cR}=0.00 σ_{fR}=0.00
Compressione nel calcestruzzo: σ_c=28.95
CC 23 SLV (Collegamento -044_-376)
Azioni sul collegamento: N=-5965.51 Ty=4.83 Tz=27.71 Mx=-0.01 Mz=1.02
Sollecitazioni agenti localmente: Tx_l=4.83 Ty_l=27.71 N_l=-5965.51 Mx_l=-0.00 My_l=1.02 Mz_l=-0.01
Taglio nei bulloni: Fv,Ed=4.70 Fv,Rd=7720.78
Rifollamento lato piastra: Fb,Ed,p=4.69 Fb,Rd,p=6242.67
Tirafondi:LT=0.45 (0.31) σ_{cR}=0.00 σ_{fR}=0.00
Compressione nel calcestruzzo: σ_c=12.38
CC 23 SLV (Collegamento -044_-376)
Azioni sul collegamento: N=-5965.51 Ty=12.58 Tz=27.71 Mx=-0.01 Mz=7.43
Sollecitazioni agenti localmente: Tx_l=12.58 Ty_l=27.71 N_l=-5965.51 Mx_l=-0.00 My_l=7.43 Mz_l=-0.01
Taglio nei bulloni: Fv,Ed=5.08 Fv,Rd=7720.78
Rifollamento lato piastra: Fb,Ed,p=5.08 Fb,Rd,p=7814.62
Tirafondi:LT=0.45 (0.31) σ_{cR}=0.00 σ_{fR}=0.00
Compressione nel calcestruzzo: σ_c=12.74
CC 23 SLV (Collegamento -044_-376)
Azioni sul collegamento: N=-5965.51 Ty=4.83 Tz=-1.56 Mx=-0.01 Mz=1.02
Sollecitazioni agenti localmente: Tx_l=4.83 Ty_l=-1.56 N_l=-5965.51 Mx_l=-0.00 My_l=1.02 Mz_l=-0.01
Taglio nei bulloni: Fv,Ed=0.86 Fv,Rd=7720.78
Rifollamento lato piastra: Fb,Ed,p=0.85 Fb,Rd,p=6840.25
Tirafondi:LT=0.45 (0.31) σ_{cR}=0.00 σ_{fR}=0.00
Compressione nel calcestruzzo: σ_c=12.38
CC 23 SLV (Collegamento -044_-376)
Azioni sul collegamento: N=-5965.51 Ty=12.58 Tz=-1.56 Mx=-0.01 Mz=7.43
Sollecitazioni agenti localmente: Tx_l=12.58 Ty_l=-1.56 N_l=-5965.51 Mx_l=-0.00 My_l=7.43 Mz_l=-0.01
Taglio nei bulloni: Fv,Ed=2.12 Fv,Rd=7720.78
Rifollamento lato piastra: Fb,Ed,p=2.12 Fb,Rd,p=6106.69
Tirafondi:LT=0.45 (0.31) σ_{cR}=0.00 σ_{fR}=0.00
Compressione nel calcestruzzo: σ_c=12.74
CC 24 SLD (Collegamento -044_-376)

Azioni sul collegamento: N=-11180.10 Ty=8.45 Tz=17.92 Mx=-0.00 Mz=5.38
Sollecitazioni agenti localmente: Tx_l=8.45 Ty_l=17.92 N_l=-11180.10 Mx_l=-0.00 My_l=5.38 Mz_l=-0.00
Taglio nei bulloni: Fv,Ed=3.30 Fv,Rd=9650.97
Rifollamento lato piastra: Fb,Ed,p=3.30 Fb,Rd,p=9975.72
Tirafondi:LT=0.45 (0.31) σ_{cR}=0.00 σ_{fR}=0.00
Compressione nel calcestruzzo: σ_c=23.40
CC 24 SLD (Collegamento -044_-376)
Azioni sul collegamento: N=-11180.10 Ty=10.81 Tz=17.92 Mx=-0.00 Mz=7.34
Sollecitazioni agenti localmente: Tx_l=10.81 Ty_l=17.92 N_l=-11180.10 Mx_l=-0.00 My_l=7.34 Mz_l=-0.00
Taglio nei bulloni: Fv,Ed=3.49 Fv,Rd=9650.97
Rifollamento lato piastra: Fb,Ed,p=3.49 Fb,Rd,p=11608.60
Tirafondi:LT=0.45 (0.31) σ_{cR}=0.00 σ_{fR}=0.00
Compressione nel calcestruzzo: σ_c=23.51
CC 24 SLD (Collegamento -044_-376)
Azioni sul collegamento: N=-11180.10 Ty=8.45 Tz=9.00 Mx=-0.00 Mz=5.38
Sollecitazioni agenti localmente: Tx_l=8.45 Ty_l=9.00 N_l=-11180.10 Mx_l=-0.00 My_l=5.38 Mz_l=-0.00
Taglio nei bulloni: Fv,Ed=2.06 Fv,Rd=9650.97
Rifollamento lato piastra: Fb,Ed,p=2.06 Fb,Rd,p=14570.70
Tirafondi:LT=0.45 (0.31) σ_{cR}=0.00 σ_{fR}=0.00
Compressione nel calcestruzzo: σ_c=23.40
CC 24 SLD (Collegamento -044_-376)
Azioni sul collegamento: N=-11180.10 Ty=10.81 Tz=9.00 Mx=-0.00 Mz=7.34
Sollecitazioni agenti localmente: Tx_l=10.81 Ty_l=9.00 N_l=-11180.10 Mx_l=-0.00 My_l=7.34 Mz_l=-0.00
Taglio nei bulloni: Fv,Ed=2.34 Fv,Rd=9650.97
Rifollamento lato piastra: Fb,Ed,p=2.34 Fb,Rd,p=13819.10
Tirafondi:LT=0.45 (0.31) σ_{cR}=0.00 σ_{fR}=0.00
Compressione nel calcestruzzo: σ_c=23.51
CC 24 SLD (Collegamento -044_-376)
Azioni sul collegamento: N=-8788.68 Ty=8.45 Tz=17.92 Mx=-0.00 Mz=5.38
Sollecitazioni agenti localmente: Tx_l=8.45 Ty_l=17.92 N_l=-8788.68 Mx_l=-0.00 My_l=5.38 Mz_l=-0.00
Taglio nei bulloni: Fv,Ed=3.30 Fv,Rd=9650.97
Rifollamento lato piastra: Fb,Ed,p=3.30 Fb,Rd,p=9975.78
Tirafondi:LT=0.45 (0.31) σ_{cR}=0.00 σ_{fR}=0.00
Compressione nel calcestruzzo: σ_c=18.46
CC 24 SLD (Collegamento -044_-376)
Azioni sul collegamento: N=-8788.68 Ty=10.81 Tz=17.92 Mx=-0.00 Mz=7.34
Sollecitazioni agenti localmente: Tx_l=10.81 Ty_l=17.92 N_l=-8788.68 Mx_l=-0.00 My_l=7.34 Mz_l=-0.00
Taglio nei bulloni: Fv,Ed=3.49 Fv,Rd=9650.97
Rifollamento lato piastra: Fb,Ed,p=3.49 Fb,Rd,p=11608.80
Tirafondi:LT=0.45 (0.31) σ_{cR}=0.00 σ_{fR}=0.00
Compressione nel calcestruzzo: σ_c=18.57
CC 24 SLD (Collegamento -044_-376)
Azioni sul collegamento: N=-8788.68 Ty=8.45 Tz=9.00 Mx=-0.00 Mz=5.38
Sollecitazioni agenti localmente: Tx_l=8.45 Ty_l=9.00 N_l=-8788.68 Mx_l=-0.00 My_l=5.38 Mz_l=-0.00
Taglio nei bulloni: Fv,Ed=2.06 Fv,Rd=9650.97
Rifollamento lato piastra: Fb,Ed,p=2.06 Fb,Rd,p=14570.90
Tirafondi:LT=0.45 (0.31) σ_{cR}=0.00 σ_{fR}=0.00
Compressione nel calcestruzzo: σ_c=18.46
CC 24 SLD (Collegamento -044_-376)
Azioni sul collegamento: N=-8788.68 Ty=10.81 Tz=9.00 Mx=-0.00 Mz=7.34
Sollecitazioni agenti localmente: Tx_l=10.81 Ty_l=9.00 N_l=-8788.68 Mx_l=-0.00 My_l=7.34 Mz_l=-0.00
Taglio nei bulloni: Fv,Ed=2.34 Fv,Rd=9650.97
Rifollamento lato piastra: Fb,Ed,p=2.34 Fb,Rd,p=13819.00
Tirafondi:LT=0.45 (0.31) σ_{cR}=0.00 σ_{fR}=0.00
Compressione nel calcestruzzo: σ_c=18.57
CC 25 SLV (Collegamento -044_-376)
Azioni sul collegamento: N=-8703.02 Ty=10.65 Tz=8.19 Mx=-0.02 Mz=6.77
Sollecitazioni agenti localmente: Tx_l=10.65 Ty_l=8.19 N_l=-8703.02 Mx_l=-0.00 My_l=6.77 Mz_l=-0.02
Taglio nei bulloni: Fv,Ed=2.27 Fv,Rd=7720.78
Rifollamento lato piastra: Fb,Ed,p=2.27 Fb,Rd,p=10734.30
Tirafondi:LT=0.45 (0.31) σ_{cR}=0.00 σ_{fR}=0.00
Compressione nel calcestruzzo: σ_c=18.36
CC 25 SLV (Collegamento -044_-376)
Azioni sul collegamento: N=-8703.02 Ty=6.76 Tz=8.19 Mx=-0.02 Mz=1.67
Sollecitazioni agenti localmente: Tx_l=6.76 Ty_l=8.19 N_l=-8703.02 Mx_l=-0.00 My_l=1.67 Mz_l=-0.02
Taglio nei bulloni: Fv,Ed=1.80 Fv,Rd=7720.78
Rifollamento lato piastra: Fb,Ed,p=1.77 Fb,Rd,p=10882.40
Tirafondi:LT=0.45 (0.31) σ_{cR}=0.00 σ_{fR}=0.00
Compressione nel calcestruzzo: σ_c=18.08
CC 25 SLV (Collegamento -044_-376)
Azioni sul collegamento: N=-8703.02 Ty=10.65 Tz=17.96 Mx=-0.02 Mz=6.77
Sollecitazioni agenti localmente: Tx_l=10.65 Ty_l=17.96 N_l=-8703.02 Mx_l=-0.00 My_l=6.77 Mz_l=-0.02
Taglio nei bulloni: Fv,Ed=3.51 Fv,Rd=7720.78
Rifollamento lato piastra: Fb,Ed,p=3.49 Fb,Rd,p=9057.55
Tirafondi:LT=0.45 (0.31) σ_{cR}=0.00 σ_{fR}=0.00
Compressione nel calcestruzzo: σ_c=18.36
CC 25 SLV (Collegamento -044_-376)
Azioni sul collegamento: N=-8703.02 Ty=6.76 Tz=17.96 Mx=-0.02 Mz=1.67
Sollecitazioni agenti localmente: Tx_l=6.76 Ty_l=17.96 N_l=-8703.02 Mx_l=-0.00 My_l=1.67 Mz_l=-0.02
Taglio nei bulloni: Fv,Ed=3.22 Fv,Rd=7720.78

Rifollamento lato piastra: Fb,Ed,p=3.21 Fb,Rd,p=7188.91
Tirafondi:LT=0.45 (0.31) σ_{cR}=0.00 σ_{fR}=0.00
Compressione nel calcestruzzo: σ_c=18.08
CC 25 SLV (Collegamento -044_-376)
Azioni sul collegamento: N=-11070.60 Ty=10.65 Tz=8.19 Mx=-0.02 Mz=6.77
Sollecitazioni agenti localmente: Tx_l=10.65 Ty_l=8.19 N_l=-11070.60 Mx_l=-0.00 My_l=6.77 Mz_l=-0.02
Taglio nei bulloni: Fv,Ed=2.27 Fv,Rd=7720.78
Rifollamento lato piastra: Fb,Ed,p=2.27 Fb,Rd,p=10734.10
Tirafondi:LT=0.45 (0.31) σ_{cR}=0.00 σ_{fR}=0.00
Compressione nel calcestruzzo: σ_c=23.25
CC 25 SLV (Collegamento -044_-376)
Azioni sul collegamento: N=-11070.60 Ty=6.76 Tz=8.19 Mx=-0.02 Mz=1.67
Sollecitazioni agenti localmente: Tx_l=6.76 Ty_l=8.19 N_l=-11070.60 Mx_l=-0.00 My_l=1.67 Mz_l=-0.02
Taglio nei bulloni: Fv,Ed=1.80 Fv,Rd=7720.78
Rifollamento lato piastra: Fb,Ed,p=1.77 Fb,Rd,p=10882.60
Tirafondi:LT=0.45 (0.31) σ_{cR}=0.00 σ_{fR}=0.00
Compressione nel calcestruzzo: σ_c=22.97
CC 25 SLV (Collegamento -044_-376)
Azioni sul collegamento: N=-11070.60 Ty=10.65 Tz=17.96 Mx=-0.02 Mz=6.77
Sollecitazioni agenti localmente: Tx_l=10.65 Ty_l=17.96 N_l=-11070.60 Mx_l=-0.00 My_l=6.77 Mz_l=-0.02
Taglio nei bulloni: Fv,Ed=3.51 Fv,Rd=7720.78
Rifollamento lato piastra: Fb,Ed,p=3.49 Fb,Rd,p=9057.46
Tirafondi:LT=0.45 (0.31) σ_{cR}=0.00 σ_{fR}=0.00
Compressione nel calcestruzzo: σ_c=23.25
CC 25 SLV (Collegamento -044_-376)
Azioni sul collegamento: N=-11070.60 Ty=6.76 Tz=17.96 Mx=-0.02 Mz=1.67
Sollecitazioni agenti localmente: Tx_l=6.76 Ty_l=17.96 N_l=-11070.60 Mx_l=-0.00 My_l=1.67 Mz_l=-0.02
Taglio nei bulloni: Fv,Ed=3.22 Fv,Rd=7720.78
Rifollamento lato piastra: Fb,Ed,p=3.21 Fb,Rd,p=7188.88
Tirafondi:LT=0.45 (0.31) σ_{cR}=0.00 σ_{fR}=0.00
Compressione nel calcestruzzo: σ_c=22.97
CC 26 SLD (Collegamento -044_-376)
Azioni sul collegamento: N=-9623.43 Ty=10.22 Tz=11.97 Mx=-0.00 Mz=7.14
Sollecitazioni agenti localmente: Tx_l=10.22 Ty_l=11.97 N_l=-9623.43 Mx_l=-0.00 My_l=7.14 Mz_l=-0.00
Taglio nei bulloni: Fv,Ed=2.63 Fv,Rd=9650.97
Rifollamento lato piastra: Fb,Ed,p=2.62 Fb,Rd,p=13946.20
Tirafondi:LT=0.45 (0.31) σ_{cR}=0.00 σ_{fR}=0.00
Compressione nel calcestruzzo: σ_c=20.29
CC 26 SLD (Collegamento -044_-376)
Azioni sul collegamento: N=-9623.43 Ty=9.04 Tz=11.97 Mx=-0.00 Mz=5.58
Sollecitazioni agenti localmente: Tx_l=9.04 Ty_l=11.97 N_l=-9623.43 Mx_l=-0.00 My_l=5.58 Mz_l=-0.00
Taglio nei bulloni: Fv,Ed=2.51 Fv,Rd=9650.97
Rifollamento lato piastra: Fb,Ed,p=2.50 Fb,Rd,p=13290.40
Tirafondi:LT=0.45 (0.31) σ_{cR}=0.00 σ_{fR}=0.00
Compressione nel calcestruzzo: σ_c=20.20
CC 26 SLD (Collegamento -044_-376)
Azioni sul collegamento: N=-9623.43 Ty=10.22 Tz=14.95 Mx=-0.00 Mz=7.14
Sollecitazioni agenti localmente: Tx_l=10.22 Ty_l=14.95 N_l=-9623.43 Mx_l=-0.00 My_l=7.14 Mz_l=-0.00
Taglio nei bulloni: Fv,Ed=3.02 Fv,Rd=9650.97
Rifollamento lato piastra: Fb,Ed,p=3.02 Fb,Rd,p=12777.30
Tirafondi:LT=0.45 (0.31) σ_{cR}=0.00 σ_{fR}=0.00
Compressione nel calcestruzzo: σ_c=20.29
CC 26 SLD (Collegamento -044_-376)
Azioni sul collegamento: N=-9623.43 Ty=9.04 Tz=14.95 Mx=-0.00 Mz=5.58
Sollecitazioni agenti localmente: Tx_l=9.04 Ty_l=14.95 N_l=-9623.43 Mx_l=-0.00 My_l=5.58 Mz_l=-0.00
Taglio nei bulloni: Fv,Ed=2.92 Fv,Rd=9650.97
Rifollamento lato piastra: Fb,Ed,p=2.91 Fb,Rd,p=11593.70
Tirafondi:LT=0.45 (0.31) σ_{cR}=0.00 σ_{fR}=0.00
Compressione nel calcestruzzo: σ_c=20.20
CC 26 SLD (Collegamento -044_-376)
Azioni sul collegamento: N=-10345.40 Ty=10.22 Tz=11.97 Mx=-0.00 Mz=7.14
Sollecitazioni agenti localmente: Tx_l=10.22 Ty_l=11.97 N_l=-10345.40 Mx_l=-0.00 My_l=7.14 Mz_l=-0.00
Taglio nei bulloni: Fv,Ed=2.63 Fv,Rd=9650.97
Rifollamento lato piastra: Fb,Ed,p=2.62 Fb,Rd,p=13946.00
Tirafondi:LT=0.45 (0.31) σ_{cR}=0.00 σ_{fR}=0.00
Compressione nel calcestruzzo: σ_c=21.78
CC 26 SLD (Collegamento -044_-376)
Azioni sul collegamento: N=-10345.40 Ty=9.04 Tz=11.97 Mx=-0.00 Mz=5.58
Sollecitazioni agenti localmente: Tx_l=9.04 Ty_l=11.97 N_l=-10345.40 Mx_l=-0.00 My_l=5.58 Mz_l=-0.00
Taglio nei bulloni: Fv,Ed=2.51 Fv,Rd=9650.97
Rifollamento lato piastra: Fb,Ed,p=2.50 Fb,Rd,p=13290.30
Tirafondi:LT=0.45 (0.31) σ_{cR}=0.00 σ_{fR}=0.00
Compressione nel calcestruzzo: σ_c=21.69
CC 26 SLD (Collegamento -044_-376)
Azioni sul collegamento: N=-10345.40 Ty=10.22 Tz=14.95 Mx=-0.00 Mz=7.14
Sollecitazioni agenti localmente: Tx_l=10.22 Ty_l=14.95 N_l=-10345.40 Mx_l=-0.00 My_l=7.14 Mz_l=-0.00
Taglio nei bulloni: Fv,Ed=3.02 Fv,Rd=9650.97
Rifollamento lato piastra: Fb,Ed,p=3.02 Fb,Rd,p=12777.40
Tirafondi:LT=0.45 (0.31) σ_{cR}=0.00 σ_{fR}=0.00
Compressione nel calcestruzzo: σ_c=21.78

CC 26 SLD (Collegamento -044_-376)
Azioni sul collegamento: N=-10345.40 Ty=9.04 Tz=14.95 Mx=-0.00 Mz=5.58
Sollecitazioni agenti localmente: Tx_l=9.04 Ty_l=14.95 N_l=-10345.40 Mx_l=-0.00 My_l=5.58 Mz_l=-0.00
Taglio nei bulloni: Fv,Ed=2.92 Fv,Rd=9650.97
Rifollamento lato piastra: Fb,Ed,p=2.91 Fb,Rd,p=11593.70
Tirafondi:LT=0.45 (0.31) σ_{cR}=0.00 σ_{fR}=0.00
Compressione nel calcestruzzo: σ_c=21.69
CC 27 SLV (Collegamento -044_-376)
Azioni sul collegamento: N=-11054.30 Ty=8.48 Tz=16.87 Mx=-0.02 Mz=5.16
Sollecitazioni agenti localmente: Tx_l=8.48 Ty_l=16.87 N_l=-11054.30 Mx_l=-0.00 My_l=5.16 Mz_l=-0.02
Taglio nei bulloni: Fv,Ed=3.17 Fv,Rd=7720.78
Rifollamento lato piastra: Fb,Ed,p=3.16 Fb,Rd,p=8162.14
Tirafondi:LT=0.45 (0.31) σ_{cR}=0.00 σ_{fR}=0.00
Compressione nel calcestruzzo: σ_c=23.13
CC 27 SLV (Collegamento -044_-376)
Azioni sul collegamento: N=-11054.30 Ty=8.94 Tz=16.87 Mx=-0.02 Mz=3.28
Sollecitazioni agenti localmente: Tx_l=8.94 Ty_l=16.87 N_l=-11054.30 Mx_l=-0.00 My_l=3.28 Mz_l=-0.02
Taglio nei bulloni: Fv,Ed=3.21 Fv,Rd=7720.78
Rifollamento lato piastra: Fb,Ed,p=3.19 Fb,Rd,p=8413.54
Tirafondi:LT=0.45 (0.31) σ_{cR}=0.00 σ_{fR}=0.00
Compressione nel calcestruzzo: σ_c=23.02
CC 27 SLV (Collegamento -044_-376)
Azioni sul collegamento: N=-11054.30 Ty=8.48 Tz=9.28 Mx=-0.02 Mz=5.16
Sollecitazioni agenti localmente: Tx_l=8.48 Ty_l=9.28 N_l=-11054.30 Mx_l=-0.00 My_l=5.16 Mz_l=-0.02
Taglio nei bulloni: Fv,Ed=2.12 Fv,Rd=7720.78
Rifollamento lato piastra: Fb,Ed,p=2.10 Fb,Rd,p=11373.40
Tirafondi:LT=0.45 (0.31) σ_{cR}=0.00 σ_{fR}=0.00
Compressione nel calcestruzzo: σ_c=23.13
CC 27 SLV (Collegamento -044_-376)
Azioni sul collegamento: N=-11054.30 Ty=8.94 Tz=9.28 Mx=-0.02 Mz=3.28
Sollecitazioni agenti localmente: Tx_l=8.94 Ty_l=9.28 N_l=-11054.30 Mx_l=-0.00 My_l=3.28 Mz_l=-0.02
Taglio nei bulloni: Fv,Ed=2.17 Fv,Rd=7720.78
Rifollamento lato piastra: Fb,Ed,p=2.15 Fb,Rd,p=11654.30
Tirafondi:LT=0.45 (0.31) σ_{cR}=0.00 σ_{fR}=0.00
Compressione nel calcestruzzo: σ_c=23.02
CC 27 SLV (Collegamento -044_-376)
Azioni sul collegamento: N=-8719.31 Ty=8.48 Tz=16.87 Mx=-0.02 Mz=5.16
Sollecitazioni agenti localmente: Tx_l=8.48 Ty_l=16.87 N_l=-8719.31 Mx_l=-0.00 My_l=5.16 Mz_l=-0.02
Taglio nei bulloni: Fv,Ed=3.17 Fv,Rd=7720.78
Rifollamento lato piastra: Fb,Ed,p=3.16 Fb,Rd,p=8162.15
Tirafondi:LT=0.45 (0.31) σ_{cR}=0.00 σ_{fR}=0.00
Compressione nel calcestruzzo: σ_c=18.31
CC 27 SLV (Collegamento -044_-376)
Azioni sul collegamento: N=-8719.31 Ty=8.94 Tz=16.87 Mx=-0.02 Mz=3.28
Sollecitazioni agenti localmente: Tx_l=8.94 Ty_l=16.87 N_l=-8719.31 Mx_l=-0.00 My_l=3.28 Mz_l=-0.02
Taglio nei bulloni: Fv,Ed=3.21 Fv,Rd=7720.78
Rifollamento lato piastra: Fb,Ed,p=3.19 Fb,Rd,p=8413.57
Tirafondi:LT=0.45 (0.31) σ_{cR}=0.00 σ_{fR}=0.00
Compressione nel calcestruzzo: σ_c=18.20
CC 27 SLV (Collegamento -044_-376)
Azioni sul collegamento: N=-8719.31 Ty=8.48 Tz=9.28 Mx=-0.02 Mz=5.16
Sollecitazioni agenti localmente: Tx_l=8.48 Ty_l=9.28 N_l=-8719.31 Mx_l=-0.00 My_l=5.16 Mz_l=-0.02
Taglio nei bulloni: Fv,Ed=2.12 Fv,Rd=7720.78
Rifollamento lato piastra: Fb,Ed,p=2.10 Fb,Rd,p=11373.60
Tirafondi:LT=0.45 (0.31) σ_{cR}=0.00 σ_{fR}=0.00
Compressione nel calcestruzzo: σ_c=18.31
CC 27 SLV (Collegamento -044_-376)
Azioni sul collegamento: N=-8719.31 Ty=8.94 Tz=9.28 Mx=-0.02 Mz=3.28
Sollecitazioni agenti localmente: Tx_l=8.94 Ty_l=9.28 N_l=-8719.31 Mx_l=-0.00 My_l=3.28 Mz_l=-0.02
Taglio nei bulloni: Fv,Ed=2.17 Fv,Rd=7720.78
Rifollamento lato piastra: Fb,Ed,p=2.15 Fb,Rd,p=11654.50
Tirafondi:LT=0.45 (0.31) σ_{cR}=0.00 σ_{fR}=0.00
Compressione nel calcestruzzo: σ_c=18.20
CC 28 SLD (Collegamento -044_-376)
Azioni sul collegamento: N=-10340.40 Ty=9.56 Tz=14.62 Mx=-0.00 Mz=6.65
Sollecitazioni agenti localmente: Tx_l=9.56 Ty_l=14.62 N_l=-10340.40 Mx_l=-0.00 My_l=6.65 Mz_l=-0.00
Taglio nei bulloni: Fv,Ed=2.92 Fv,Rd=9650.97
Rifollamento lato piastra: Fb,Ed,p=2.91 Fb,Rd,p=12313.60
Tirafondi:LT=0.45 (0.31) σ_{cR}=0.00 σ_{fR}=0.00
Compressione nel calcestruzzo: σ_c=21.74
CC 28 SLD (Collegamento -044_-376)
Azioni sul collegamento: N=-10340.40 Ty=9.70 Tz=14.62 Mx=-0.00 Mz=6.07
Sollecitazioni agenti localmente: Tx_l=9.70 Ty_l=14.62 N_l=-10340.40 Mx_l=-0.00 My_l=6.07 Mz_l=-0.00
Taglio nei bulloni: Fv,Ed=2.93 Fv,Rd=9650.97
Rifollamento lato piastra: Fb,Ed,p=2.92 Fb,Rd,p=12460.60
Tirafondi:LT=0.45 (0.31) σ_{cR}=0.00 σ_{fR}=0.00
Compressione nel calcestruzzo: σ_c=21.71
CC 28 SLD (Collegamento -044_-376)
Azioni sul collegamento: N=-10340.40 Ty=9.56 Tz=12.30 Mx=-0.00 Mz=6.65
Sollecitazioni agenti localmente: Tx_l=9.56 Ty_l=12.30 N_l=-10340.40 Mx_l=-0.00 My_l=6.65 Mz_l=-0.00

Taglio nei bulloni: Fv,Ed=2.60 Fv,Rd=9650.97
Rifollamento lato piastra: Fb,Ed,p=2.60 Fb,Rd,p=13432.90
Tirafondi:LT=0.45 (0.31) σ_{cR}=0.00 σ_{fR}=0.00
Compressione nel calcestruzzo: σ_c=21.74
CC 28 SLD (Collegamento -044_-376)
Azioni sul collegamento: N=-10340.40 Ty=9.70 Tz=12.30 Mx=-0.00 Mz=6.07
Sollecitazioni agenti localmente: Tx_l=9.70 Ty_l=12.30 N_l=-10340.40 Mx_l=-0.00 My_l=6.07 Mz_l=-0.00
Taglio nei bulloni: Fv,Ed=2.62 Fv,Rd=9650.97
Rifollamento lato piastra: Fb,Ed,p=2.61 Fb,Rd,p=13507.30
Tirafondi:LT=0.45 (0.31) σ_{cR}=0.00 σ_{fR}=0.00
Compressione nel calcestruzzo: σ_c=21.71
CC 28 SLD (Collegamento -044_-376)
Azioni sul collegamento: N=-9628.40 Ty=9.56 Tz=14.62 Mx=-0.00 Mz=6.65
Sollecitazioni agenti localmente: Tx_l=9.56 Ty_l=14.62 N_l=-9628.40 Mx_l=-0.00 My_l=6.65 Mz_l=-0.00
Taglio nei bulloni: Fv,Ed=2.92 Fv,Rd=9650.97
Rifollamento lato piastra: Fb,Ed,p=2.91 Fb,Rd,p=12313.70
Tirafondi:LT=0.45 (0.31) σ_{cR}=0.00 σ_{fR}=0.00
Compressione nel calcestruzzo: σ_c=20.27
CC 28 SLD (Collegamento -044_-376)
Azioni sul collegamento: N=-9628.40 Ty=9.70 Tz=14.62 Mx=-0.00 Mz=6.07
Sollecitazioni agenti localmente: Tx_l=9.70 Ty_l=14.62 N_l=-9628.40 Mx_l=-0.00 My_l=6.07 Mz_l=-0.00
Taglio nei bulloni: Fv,Ed=2.93 Fv,Rd=9650.97
Rifollamento lato piastra: Fb,Ed,p=2.92 Fb,Rd,p=12460.70
Tirafondi:LT=0.45 (0.31) σ_{cR}=0.00 σ_{fR}=0.00
Compressione nel calcestruzzo: σ_c=20.24
CC 28 SLD (Collegamento -044_-376)
Azioni sul collegamento: N=-9628.40 Ty=9.56 Tz=12.30 Mx=-0.00 Mz=6.65
Sollecitazioni agenti localmente: Tx_l=9.56 Ty_l=12.30 N_l=-9628.40 Mx_l=-0.00 My_l=6.65 Mz_l=-0.00
Taglio nei bulloni: Fv,Ed=2.60 Fv,Rd=9650.97
Rifollamento lato piastra: Fb,Ed,p=2.60 Fb,Rd,p=13432.90
Tirafondi:LT=0.45 (0.31) σ_{cR}=0.00 σ_{fR}=0.00
Compressione nel calcestruzzo: σ_c=20.27
CC 28 SLD (Collegamento -044_-376)
Azioni sul collegamento: N=-9628.40 Ty=9.70 Tz=12.30 Mx=-0.00 Mz=6.07
Sollecitazioni agenti localmente: Tx_l=9.70 Ty_l=12.30 N_l=-9628.40 Mx_l=-0.00 My_l=6.07 Mz_l=-0.00
Taglio nei bulloni: Fv,Ed=2.62 Fv,Rd=9650.97
Rifollamento lato piastra: Fb,Ed,p=2.61 Fb,Rd,p=13507.30
Tirafondi:LT=0.45 (0.31) σ_{cR}=0.00 σ_{fR}=0.00
Compressione nel calcestruzzo: σ_c=20.24
CC 29 SLV (Collegamento -044_-376)
Azioni sul collegamento: N=-8719.31 Ty=8.94 Tz=9.28 Mx=-0.00 Mz=3.28
Sollecitazioni agenti localmente: Tx_l=8.94 Ty_l=9.28 N_l=-8719.31 Mx_l=-0.00 My_l=3.28 Mz_l=-0.00
Taglio nei bulloni: Fv,Ed=2.15 Fv,Rd=7720.78
Rifollamento lato piastra: Fb,Ed,p=2.14 Fb,Rd,p=11799.80
Tirafondi:LT=0.45 (0.31) σ_{cR}=0.00 σ_{fR}=0.00
Compressione nel calcestruzzo: σ_c=18.20
CC 29 SLV (Collegamento -044_-376)
Azioni sul collegamento: N=-8719.31 Ty=8.48 Tz=9.28 Mx=-0.00 Mz=5.16
Sollecitazioni agenti localmente: Tx_l=8.48 Ty_l=9.28 N_l=-8719.31 Mx_l=-0.00 My_l=5.16 Mz_l=-0.00
Taglio nei bulloni: Fv,Ed=2.10 Fv,Rd=7720.78
Rifollamento lato piastra: Fb,Ed,p=2.09 Fb,Rd,p=11497.00
Tirafondi:LT=0.45 (0.31) σ_{cR}=0.00 σ_{fR}=0.00
Compressione nel calcestruzzo: σ_c=18.31
CC 29 SLV (Collegamento -044_-376)
Azioni sul collegamento: N=-8719.31 Ty=8.94 Tz=16.87 Mx=-0.00 Mz=3.28
Sollecitazioni agenti localmente: Tx_l=8.94 Ty_l=16.87 N_l=-8719.31 Mx_l=-0.00 My_l=3.28 Mz_l=-0.00
Taglio nei bulloni: Fv,Ed=3.18 Fv,Rd=7720.78
Rifollamento lato piastra: Fb,Ed,p=3.18 Fb,Rd,p=8506.04
Tirafondi:LT=0.45 (0.31) σ_{cR}=0.00 σ_{fR}=0.00
Compressione nel calcestruzzo: σ_c=18.20
CC 29 SLV (Collegamento -044_-376)
Azioni sul collegamento: N=-8719.31 Ty=8.48 Tz=16.87 Mx=-0.00 Mz=5.16
Sollecitazioni agenti localmente: Tx_l=8.48 Ty_l=16.87 N_l=-8719.31 Mx_l=-0.00 My_l=5.16 Mz_l=-0.00
Taglio nei bulloni: Fv,Ed=3.15 Fv,Rd=7720.78
Rifollamento lato piastra: Fb,Ed,p=3.15 Fb,Rd,p=8248.00
Tirafondi:LT=0.45 (0.31) σ_{cR}=0.00 σ_{fR}=0.00
Compressione nel calcestruzzo: σ_c=18.31
CC 29 SLV (Collegamento -044_-376)
Azioni sul collegamento: N=-11054.30 Ty=8.94 Tz=9.28 Mx=-0.00 Mz=3.28
Sollecitazioni agenti localmente: Tx_l=8.94 Ty_l=9.28 N_l=-11054.30 Mx_l=-0.00 My_l=3.28 Mz_l=-0.00
Taglio nei bulloni: Fv,Ed=2.15 Fv,Rd=7720.78
Rifollamento lato piastra: Fb,Ed,p=2.14 Fb,Rd,p=11799.50
Tirafondi:LT=0.45 (0.31) σ_{cR}=0.00 σ_{fR}=0.00
Compressione nel calcestruzzo: σ_c=23.02
CC 29 SLV (Collegamento -044_-376)
Azioni sul collegamento: N=-11054.30 Ty=8.48 Tz=9.28 Mx=-0.00 Mz=5.16
Sollecitazioni agenti localmente: Tx_l=8.48 Ty_l=9.28 N_l=-11054.30 Mx_l=-0.00 My_l=5.16 Mz_l=-0.00
Taglio nei bulloni: Fv,Ed=2.10 Fv,Rd=7720.78
Rifollamento lato piastra: Fb,Ed,p=2.09 Fb,Rd,p=11496.70
Tirafondi:LT=0.45 (0.31) σ_{cR}=0.00 σ_{fR}=0.00

Compressione nel calcestruzzo: σ_c=23.13
CC 29 SLV (Collegamento -044_-376)
Azioni sul collegamento: N=-11054.30 Ty=8.94 Tz=16.87 Mx=-0.00 Mz=3.28
Sollecitazioni agenti localmente: Tx_l=8.94 Ty_l=16.87 N_l=-11054.30 Mx_l=-0.00 My_l=3.28 Mz_l=-0.00
Taglio nei bulloni: Fv,Ed=3.18 Fv,Rd=7720.78
Rifollamento lato piastra: Fb,Ed,p=3.18 Fb,Rd,p=8506.02
Tirafondi:LT=0.45 (0.31) σ_{cR}=0.00 σ_{fR}=0.00
Compressione nel calcestruzzo: σ_c=23.02
CC 29 SLV (Collegamento -044_-376)
Azioni sul collegamento: N=-11054.30 Ty=8.48 Tz=16.87 Mx=-0.00 Mz=5.16
Sollecitazioni agenti localmente: Tx_l=8.48 Ty_l=16.87 N_l=-11054.30 Mx_l=-0.00 My_l=5.16 Mz_l=-0.00
Taglio nei bulloni: Fv,Ed=3.15 Fv,Rd=7720.78
Rifollamento lato piastra: Fb,Ed,p=3.15 Fb,Rd,p=8247.98
Tirafondi:LT=0.45 (0.31) σ_{cR}=0.00 σ_{fR}=0.00
Compressione nel calcestruzzo: σ_c=23.13
CC 30 SLD (Collegamento -044_-376)
Azioni sul collegamento: N=-9628.40 Ty=9.70 Tz=12.30 Mx=0.00 Mz=6.07
Sollecitazioni agenti localmente: Tx_l=9.70 Ty_l=12.30 N_l=-9628.40 Mx_l=-0.00 My_l=6.07 Mz_l=0.00
Taglio nei bulloni: Fv,Ed=2.61 Fv,Rd=9650.97
Rifollamento lato piastra: Fb,Ed,p=2.61 Fb,Rd,p=13530.90
Tirafondi:LT=0.45 (0.31) σ_{cR}=0.00 σ_{fR}=0.00
Compressione nel calcestruzzo: σ_c=20.24
CC 30 SLD (Collegamento -044_-376)
Azioni sul collegamento: N=-9628.40 Ty=9.56 Tz=12.30 Mx=0.00 Mz=6.65
Sollecitazioni agenti localmente: Tx_l=9.56 Ty_l=12.30 N_l=-9628.40 Mx_l=-0.00 My_l=6.65 Mz_l=0.00
Taglio nei bulloni: Fv,Ed=2.60 Fv,Rd=9650.97
Rifollamento lato piastra: Fb,Ed,p=2.60 Fb,Rd,p=13456.20
Tirafondi:LT=0.45 (0.31) σ_{cR}=0.00 σ_{fR}=0.00
Compressione nel calcestruzzo: σ_c=20.27
CC 30 SLD (Collegamento -044_-376)
Azioni sul collegamento: N=-9628.40 Ty=9.70 Tz=14.62 Mx=0.00 Mz=6.07
Sollecitazioni agenti localmente: Tx_l=9.70 Ty_l=14.62 N_l=-9628.40 Mx_l=-0.00 My_l=6.07 Mz_l=0.00
Taglio nei bulloni: Fv,Ed=2.93 Fv,Rd=9650.97
Rifollamento lato piastra: Fb,Ed,p=2.93 Fb,Rd,p=12505.60
Tirafondi:LT=0.45 (0.31) σ_{cR}=0.00 σ_{fR}=0.00
Compressione nel calcestruzzo: σ_c=20.24
CC 30 SLD (Collegamento -044_-376)
Azioni sul collegamento: N=-9628.40 Ty=9.56 Tz=14.62 Mx=0.00 Mz=6.65
Sollecitazioni agenti localmente: Tx_l=9.56 Ty_l=14.62 N_l=-9628.40 Mx_l=-0.00 My_l=6.65 Mz_l=0.00
Taglio nei bulloni: Fv,Ed=2.91 Fv,Rd=9650.97
Rifollamento lato piastra: Fb,Ed,p=2.91 Fb,Rd,p=12357.80
Tirafondi:LT=0.45 (0.31) σ_{cR}=0.00 σ_{fR}=0.00
Compressione nel calcestruzzo: σ_c=20.27
CC 30 SLD (Collegamento -044_-376)
Azioni sul collegamento: N=-10340.40 Ty=9.70 Tz=12.30 Mx=0.00 Mz=6.07
Sollecitazioni agenti localmente: Tx_l=9.70 Ty_l=12.30 N_l=-10340.40 Mx_l=-0.00 My_l=6.07 Mz_l=0.00
Taglio nei bulloni: Fv,Ed=2.61 Fv,Rd=9650.97
Rifollamento lato piastra: Fb,Ed,p=2.61 Fb,Rd,p=13531.00
Tirafondi:LT=0.45 (0.31) σ_{cR}=0.00 σ_{fR}=0.00
Compressione nel calcestruzzo: σ_c=21.71
CC 30 SLD (Collegamento -044_-376)
Azioni sul collegamento: N=-10340.40 Ty=9.56 Tz=12.30 Mx=0.00 Mz=6.65
Sollecitazioni agenti localmente: Tx_l=9.56 Ty_l=12.30 N_l=-10340.40 Mx_l=-0.00 My_l=6.65 Mz_l=0.00
Taglio nei bulloni: Fv,Ed=2.60 Fv,Rd=9650.97
Rifollamento lato piastra: Fb,Ed,p=2.60 Fb,Rd,p=13456.30
Tirafondi:LT=0.45 (0.31) σ_{cR}=0.00 σ_{fR}=0.00
Compressione nel calcestruzzo: σ_c=21.74
CC 30 SLD (Collegamento -044_-376)
Azioni sul collegamento: N=-10340.40 Ty=9.70 Tz=14.62 Mx=0.00 Mz=6.07
Sollecitazioni agenti localmente: Tx_l=9.70 Ty_l=14.62 N_l=-10340.40 Mx_l=-0.00 My_l=6.07 Mz_l=0.00
Taglio nei bulloni: Fv,Ed=2.93 Fv,Rd=9650.97
Rifollamento lato piastra: Fb,Ed,p=2.93 Fb,Rd,p=12505.50
Tirafondi:LT=0.45 (0.31) σ_{cR}=0.00 σ_{fR}=0.00
Compressione nel calcestruzzo: σ_c=21.71
CC 30 SLD (Collegamento -044_-376)
Azioni sul collegamento: N=-10340.40 Ty=9.56 Tz=14.62 Mx=0.00 Mz=6.65
Sollecitazioni agenti localmente: Tx_l=9.56 Ty_l=14.62 N_l=-10340.40 Mx_l=-0.00 My_l=6.65 Mz_l=0.00
Taglio nei bulloni: Fv,Ed=2.91 Fv,Rd=9650.97
Rifollamento lato piastra: Fb,Ed,p=2.91 Fb,Rd,p=12357.70
Tirafondi:LT=0.45 (0.31) σ_{cR}=0.00 σ_{fR}=0.00
Compressione nel calcestruzzo: σ_c=21.74
CC 31 SLV (Collegamento -044_-376)
Azioni sul collegamento: N=-11070.60 Ty=6.76 Tz=17.96 Mx=-0.00 Mz=1.67
Sollecitazioni agenti localmente: Tx_l=6.76 Ty_l=17.96 N_l=-11070.60 Mx_l=-0.00 My_l=1.67 Mz_l=-0.00
Taglio nei bulloni: Fv,Ed=3.20 Fv,Rd=7720.78
Rifollamento lato piastra: Fb,Ed,p=3.20 Fb,Rd,p=7244.04
Tirafondi:LT=0.45 (0.31) σ_{cR}=0.00 σ_{fR}=0.00
Compressione nel calcestruzzo: σ_c=22.97
CC 31 SLV (Collegamento -044_-376)
Azioni sul collegamento: N=-11070.60 Ty=10.65 Tz=17.96 Mx=-0.00 Mz=6.77

Sollecitazioni agenti localmente: Tx_l=10.65 Ty_l=17.96 N_l=-11070.60 Mx_l=-0.00 My_l=6.77 Mz_l=-0.00
Taglio nei bulloni: Fv,Ed=3.48 Fv,Rd=7720.78
Rifollamento lato piastra: Fb,Ed,p=3.48 Fb,Rd,p=9160.73
Tirafondi:LT=0.45 (0.31) σ_{cR}=0.00 σ_{fR}=0.00
Compressione nel calcestruzzo: σ_c=23.25
CC 31 SLV (Collegamento -044_-376)
Azioni sul collegamento: N=-11070.60 Ty=6.76 Tz=8.19 Mx=-0.00 Mz=1.67
Sollecitazioni agenti localmente: Tx_l=6.76 Ty_l=8.19 N_l=-11070.60 Mx_l=-0.00 My_l=1.67 Mz_l=-0.00
Taglio nei bulloni: Fv,Ed=1.77 Fv,Rd=7720.78
Rifollamento lato piastra: Fb,Ed,p=1.77 Fb,Rd,p=11009.40
Tirafondi:LT=0.45 (0.31) σ_{cR}=0.00 σ_{fR}=0.00
Compressione nel calcestruzzo: σ_c=22.97
CC 31 SLV (Collegamento -044_-376)
Azioni sul collegamento: N=-11070.60 Ty=10.65 Tz=8.19 Mx=-0.00 Mz=6.77
Sollecitazioni agenti localmente: Tx_l=10.65 Ty_l=8.19 N_l=-11070.60 Mx_l=-0.00 My_l=6.77 Mz_l=-0.00
Taglio nei bulloni: Fv,Ed=2.24 Fv,Rd=7720.78
Rifollamento lato piastra: Fb,Ed,p=2.24 Fb,Rd,p=10722.10
Tirafondi:LT=0.45 (0.31) σ_{cR}=0.00 σ_{fR}=0.00
Compressione nel calcestruzzo: σ_c=23.25
CC 31 SLV (Collegamento -044_-376)
Azioni sul collegamento: N=-8703.02 Ty=6.76 Tz=17.96 Mx=-0.00 Mz=1.67
Sollecitazioni agenti localmente: Tx_l=6.76 Ty_l=17.96 N_l=-8703.02 Mx_l=-0.00 My_l=1.67 Mz_l=-0.00
Taglio nei bulloni: Fv,Ed=3.20 Fv,Rd=7720.78
Rifollamento lato piastra: Fb,Ed,p=3.20 Fb,Rd,p=7244.08
Tirafondi:LT=0.45 (0.31) σ_{cR}=0.00 σ_{fR}=0.00
Compressione nel calcestruzzo: σ_c=18.08
CC 31 SLV (Collegamento -044_-376)
Azioni sul collegamento: N=-8703.02 Ty=10.65 Tz=17.96 Mx=-0.00 Mz=6.77
Sollecitazioni agenti localmente: Tx_l=10.65 Ty_l=17.96 N_l=-8703.02 Mx_l=-0.00 My_l=6.77 Mz_l=-0.00
Taglio nei bulloni: Fv,Ed=3.48 Fv,Rd=7720.78
Rifollamento lato piastra: Fb,Ed,p=3.48 Fb,Rd,p=9160.83
Tirafondi:LT=0.45 (0.31) σ_{cR}=0.00 σ_{fR}=0.00
Compressione nel calcestruzzo: σ_c=18.36
CC 31 SLV (Collegamento -044_-376)
Azioni sul collegamento: N=-8703.02 Ty=6.76 Tz=8.19 Mx=-0.00 Mz=1.67
Sollecitazioni agenti localmente: Tx_l=6.76 Ty_l=8.19 N_l=-8703.02 Mx_l=-0.00 My_l=1.67 Mz_l=-0.00
Taglio nei bulloni: Fv,Ed=1.77 Fv,Rd=7720.78
Rifollamento lato piastra: Fb,Ed,p=1.77 Fb,Rd,p=11009.20
Tirafondi:LT=0.45 (0.31) σ_{cR}=0.00 σ_{fR}=0.00
Compressione nel calcestruzzo: σ_c=18.08
CC 31 SLV (Collegamento -044_-376)
Azioni sul collegamento: N=-8703.02 Ty=10.65 Tz=8.19 Mx=-0.00 Mz=6.77
Sollecitazioni agenti localmente: Tx_l=10.65 Ty_l=8.19 N_l=-8703.02 Mx_l=-0.00 My_l=6.77 Mz_l=-0.00
Taglio nei bulloni: Fv,Ed=2.24 Fv,Rd=7720.78
Rifollamento lato piastra: Fb,Ed,p=2.24 Fb,Rd,p=10722.30
Tirafondi:LT=0.45 (0.31) σ_{cR}=0.00 σ_{fR}=0.00
Compressione nel calcestruzzo: σ_c=18.36
CC 32 SLD (Collegamento -044_-376)
Azioni sul collegamento: N=-10345.40 Ty=9.04 Tz=14.95 Mx=0.00 Mz=5.58
Sollecitazioni agenti localmente: Tx_l=9.04 Ty_l=14.95 N_l=-10345.40 Mx_l=-0.00 My_l=5.58 Mz_l=0.00
Taglio nei bulloni: Fv,Ed=2.91 Fv,Rd=9650.97
Rifollamento lato piastra: Fb,Ed,p=2.91 Fb,Rd,p=11633.00
Tirafondi:LT=0.45 (0.31) σ_{cR}=0.00 σ_{fR}=0.00
Compressione nel calcestruzzo: σ_c=21.69
CC 32 SLD (Collegamento -044_-376)
Azioni sul collegamento: N=-10345.40 Ty=10.22 Tz=14.95 Mx=0.00 Mz=7.14
Sollecitazioni agenti localmente: Tx_l=10.22 Ty_l=14.95 N_l=-10345.40 Mx_l=-0.00 My_l=7.14 Mz_l=0.00
Taglio nei bulloni: Fv,Ed=3.02 Fv,Rd=9650.97
Rifollamento lato piastra: Fb,Ed,p=3.02 Fb,Rd,p=12823.50
Tirafondi:LT=0.45 (0.31) σ_{cR}=0.00 σ_{fR}=0.00
Compressione nel calcestruzzo: σ_c=21.78
CC 32 SLD (Collegamento -044_-376)
Azioni sul collegamento: N=-10345.40 Ty=9.04 Tz=11.97 Mx=0.00 Mz=5.58
Sollecitazioni agenti localmente: Tx_l=9.04 Ty_l=11.97 N_l=-10345.40 Mx_l=-0.00 My_l=5.58 Mz_l=0.00
Taglio nei bulloni: Fv,Ed=2.50 Fv,Rd=9650.97
Rifollamento lato piastra: Fb,Ed,p=2.50 Fb,Rd,p=13313.80
Tirafondi:LT=0.45 (0.31) σ_{cR}=0.00 σ_{fR}=0.00
Compressione nel calcestruzzo: σ_c=21.69
CC 32 SLD (Collegamento -044_-376)
Azioni sul collegamento: N=-10345.40 Ty=10.22 Tz=11.97 Mx=0.00 Mz=7.14
Sollecitazioni agenti localmente: Tx_l=10.22 Ty_l=11.97 N_l=-10345.40 Mx_l=-0.00 My_l=7.14 Mz_l=0.00
Taglio nei bulloni: Fv,Ed=2.63 Fv,Rd=9650.97
Rifollamento lato piastra: Fb,Ed,p=2.63 Fb,Rd,p=13972.30
Tirafondi:LT=0.45 (0.31) σ_{cR}=0.00 σ_{fR}=0.00
Compressione nel calcestruzzo: σ_c=21.78
CC 32 SLD (Collegamento -044_-376)
Azioni sul collegamento: N=-9623.43 Ty=9.04 Tz=14.95 Mx=0.00 Mz=5.58
Sollecitazioni agenti localmente: Tx_l=9.04 Ty_l=14.95 N_l=-9623.43 Mx_l=-0.00 My_l=5.58 Mz_l=0.00
Taglio nei bulloni: Fv,Ed=2.91 Fv,Rd=9650.97
Rifollamento lato piastra: Fb,Ed,p=2.91 Fb,Rd,p=11632.90

Tirafondi:LT=0.45 (0.31) σ_{cR}=0.00 σ_{fR}=0.00
Compressione nel calcestruzzo: σ_c=20.20
CC 32 SLD (Collegamento -044_-376)
Azioni sul collegamento: N=-9623.43 Ty=10.22 Tz=14.95 Mx=0.00 Mz=7.14
Sollecitazioni agenti localmente: Tx_l=10.22 Ty_l=14.95 N_l=-9623.43 Mx_l=-0.00 My_l=7.14 Mz_l=0.00
Taglio nei bulloni: Fv,Ed=3.02 Fv,Rd=9650.97
Rifollamento lato piastra: Fb,Ed,p=3.02 Fb,Rd,p=12823.50
Tirafondi:LT=0.45 (0.31) σ_{cR}=0.00 σ_{fR}=0.00
Compressione nel calcestruzzo: σ_c=20.29
CC 32 SLD (Collegamento -044_-376)
Azioni sul collegamento: N=-9623.43 Ty=9.04 Tz=11.97 Mx=0.00 Mz=5.58
Sollecitazioni agenti localmente: Tx_l=9.04 Ty_l=11.97 N_l=-9623.43 Mx_l=-0.00 My_l=5.58 Mz_l=0.00
Taglio nei bulloni: Fv,Ed=2.50 Fv,Rd=9650.97
Rifollamento lato piastra: Fb,Ed,p=2.50 Fb,Rd,p=13314.00
Tirafondi:LT=0.45 (0.31) σ_{cR}=0.00 σ_{fR}=0.00
Compressione nel calcestruzzo: σ_c=20.20
CC 32 SLD (Collegamento -044_-376)
Azioni sul collegamento: N=-9623.43 Ty=10.22 Tz=11.97 Mx=0.00 Mz=7.14
Sollecitazioni agenti localmente: Tx_l=10.22 Ty_l=11.97 N_l=-9623.43 Mx_l=-0.00 My_l=7.14 Mz_l=0.00
Taglio nei bulloni: Fv,Ed=2.63 Fv,Rd=9650.97
Rifollamento lato piastra: Fb,Ed,p=2.63 Fb,Rd,p=13972.40
Tirafondi:LT=0.45 (0.31) σ_{cR}=0.00 σ_{fR}=0.00
Compressione nel calcestruzzo: σ_c=20.29
CC 33 SLU (Collegamento -044_-376)
Azioni sul collegamento: N=-37458.50 Ty=20.96 Tz=106.28 Mx=0.00 Mz=15.40
Sollecitazioni agenti localmente: Tx_l=20.96 Ty_l=106.28 N_l=-37458.50 Mx_l=-0.00 My_l=15.40 Mz_l=0.00
Taglio nei bulloni: Fv,Ed=18.06 Fv,Rd=7720.78
Rifollamento lato piastra: Fb,Ed,p=18.06 Fb,Rd,p=6325.89
Tirafondi:LT=0.45 (0.31) σ_{cR}=0.00 σ_{fR}=0.00
Compressione nel calcestruzzo: σ_c=78.26
CC 34 SLU (Collegamento -044_-376)
Azioni sul collegamento: N=-36642.60 Ty=20.20 Tz=103.27 Mx=0.00 Mz=14.84
Sollecitazioni agenti localmente: Tx_l=20.20 Ty_l=103.27 N_l=-36642.60 Mx_l=-0.00 My_l=14.84 Mz_l=0.00
Taglio nei bulloni: Fv,Ed=17.54 Fv,Rd=7720.78
Rifollamento lato piastra: Fb,Ed,p=17.54 Fb,Rd,p=6320.46
Tirafondi:LT=0.45 (0.31) σ_{cR}=0.00 σ_{fR}=0.00
Compressione nel calcestruzzo: σ_c=76.54
CC 35 SLU (Collegamento -044_-376)
Azioni sul collegamento: N=-37049.70 Ty=20.49 Tz=104.83 Mx=0.01 Mz=14.94
Sollecitazioni agenti localmente: Tx_l=20.49 Ty_l=104.83 N_l=-37049.70 Mx_l=-0.00 My_l=14.94 Mz_l=0.01
Taglio nei bulloni: Fv,Ed=17.81 Fv,Rd=7720.78
Rifollamento lato piastra: Fb,Ed,p=17.81 Fb,Rd,p=6320.01
Tirafondi:LT=0.45 (0.31) σ_{cR}=0.00 σ_{fR}=0.00
Compressione nel calcestruzzo: σ_c=77.39
CC 36 SLU (Collegamento -044_-376)
Azioni sul collegamento: N=-37051.40 Ty=20.67 Tz=104.72 Mx=0.00 Mz=15.30
Sollecitazioni agenti localmente: Tx_l=20.67 Ty_l=104.72 N_l=-37051.40 Mx_l=-0.00 My_l=15.30 Mz_l=0.00
Taglio nei bulloni: Fv,Ed=17.79 Fv,Rd=7720.78
Rifollamento lato piastra: Fb,Ed,p=17.79 Fb,Rd,p=6326.43
Tirafondi:LT=0.45 (0.31) σ_{cR}=0.00 σ_{fR}=0.00
Compressione nel calcestruzzo: σ_c=77.41
CC 37 SLU (Collegamento -044_-376)
Azioni sul collegamento: N=-28275.70 Ty=20.11 Tz=72.57 Mx=0.00 Mz=14.65
Sollecitazioni agenti localmente: Tx_l=20.11 Ty_l=72.57 N_l=-28275.70 Mx_l=-0.00 My_l=14.65 Mz_l=0.00
Taglio nei bulloni: Fv,Ed=12.56 Fv,Rd=7720.78
Rifollamento lato piastra: Fb,Ed,p=12.56 Fb,Rd,p=6665.94
Tirafondi:LT=0.45 (0.31) σ_{cR}=0.00 σ_{fR}=0.00
Compressione nel calcestruzzo: σ_c=59.25
CC 38 SLU (Collegamento -044_-376)
Azioni sul collegamento: N=-27459.70 Ty=19.36 Tz=69.55 Mx=0.00 Mz=14.09
Sollecitazioni agenti localmente: Tx_l=19.36 Ty_l=69.55 N_l=-27459.70 Mx_l=-0.00 My_l=14.09 Mz_l=0.00
Taglio nei bulloni: Fv,Ed=12.04 Fv,Rd=7720.78
Rifollamento lato piastra: Fb,Ed,p=12.04 Fb,Rd,p=6671.76
Tirafondi:LT=0.45 (0.31) σ_{cR}=0.00 σ_{fR}=0.00
Compressione nel calcestruzzo: σ_c=57.53
CC 39 SLU (Collegamento -044_-376)
Azioni sul collegamento: N=-27866.80 Ty=19.65 Tz=71.12 Mx=0.01 Mz=14.19
Sollecitazioni agenti localmente: Tx_l=19.65 Ty_l=71.12 N_l=-27866.80 Mx_l=-0.00 My_l=14.19 Mz_l=0.01
Taglio nei bulloni: Fv,Ed=12.30 Fv,Rd=7720.78
Rifollamento lato piastra: Fb,Ed,p=12.30 Fb,Rd,p=6661.72
Tirafondi:LT=0.45 (0.31) σ_{cR}=0.00 σ_{fR}=0.00
Compressione nel calcestruzzo: σ_c=58.38
CC 40 SLU (Collegamento -044_-376)
Azioni sul collegamento: N=-27868.60 Ty=19.82 Tz=71.00 Mx=0.00 Mz=14.55
Sollecitazioni agenti localmente: Tx_l=19.82 Ty_l=71.00 N_l=-27868.60 Mx_l=-0.00 My_l=14.55 Mz_l=0.00
Taglio nei bulloni: Fv,Ed=12.29 Fv,Rd=7720.78
Rifollamento lato piastra: Fb,Ed,p=12.29 Fb,Rd,p=6675.92
Tirafondi:LT=0.45 (0.31) σ_{cR}=0.00 σ_{fR}=0.00
Compressione nel calcestruzzo: σ_c=58.40
CC 41 SLU (Collegamento -044_-376)

Azioni sul collegamento: N=-30676.20 Ty=-9.89 Tz=80.85 Mx=0.00 Mz=-7.99
Sollecitazioni agenti localmente: Tx_l=-9.89 Ty_l=80.85 N_l=-30676.20 Mx_l=-0.00 My_l=-7.99 Mz_l=0.00
Taglio nei bulloni: Fv,Ed=13.58 Fv,Rd=7720.78
Rifollamento lato piastra: Fb,Ed,p=13.58 Fb,Rd,p=6111.02
Tirafondi:LT=0.45 (0.31) σ_{cR}=0.00 σ_{fR}=0.00
Compressione nel calcestruzzo: σ_c=63.83
CC 42 SLU (Collegamento -044_-376)
Azioni sul collegamento: N=-29860.20 Ty=-10.64 Tz=77.84 Mx=0.00 Mz=-8.54
Sollecitazioni agenti localmente: Tx_l=-10.64 Ty_l=77.84 N_l=-29860.20 Mx_l=-0.00 My_l=-8.54 Mz_l=0.00
Taglio nei bulloni: Fv,Ed=13.10 Fv,Rd=7720.78
Rifollamento lato piastra: Fb,Ed,p=13.10 Fb,Rd,p=6144.10
Tirafondi:LT=0.45 (0.31) σ_{cR}=0.00 σ_{fR}=0.00
Compressione nel calcestruzzo: σ_c=62.18
CC 43 SLU (Collegamento -044_-376)
Azioni sul collegamento: N=-30267.40 Ty=-10.35 Tz=79.40 Mx=0.01 Mz=-8.45
Sollecitazioni agenti localmente: Tx_l=-10.35 Ty_l=79.40 N_l=-30267.40 Mx_l=-0.00 My_l=-8.45 Mz_l=0.01
Taglio nei bulloni: Fv,Ed=13.35 Fv,Rd=7720.78
Rifollamento lato piastra: Fb,Ed,p=13.35 Fb,Rd,p=6128.96
Tirafondi:LT=0.45 (0.31) σ_{cR}=0.00 σ_{fR}=0.00
Compressione nel calcestruzzo: σ_c=63.01
CC 44 SLU (Collegamento -044_-376)
Azioni sul collegamento: N=-30269.10 Ty=-10.18 Tz=79.28 Mx=0.00 Mz=-8.08
Sollecitazioni agenti localmente: Tx_l=-10.18 Ty_l=79.28 N_l=-30269.10 Mx_l=-0.00 My_l=-8.08 Mz_l=0.00
Taglio nei bulloni: Fv,Ed=13.33 Fv,Rd=7720.78
Rifollamento lato piastra: Fb,Ed,p=13.33 Fb,Rd,p=6124.62
Tirafondi:LT=0.45 (0.31) σ_{cR}=0.00 σ_{fR}=0.00
Compressione nel calcestruzzo: σ_c=62.99
CC 45 SLU (Collegamento -044_-376)
Azioni sul collegamento: N=-30295.00 Ty=20.33 Tz=79.99 Mx=0.00 Mz=14.94
Sollecitazioni agenti localmente: Tx_l=20.33 Ty_l=79.99 N_l=-30295.00 Mx_l=-0.00 My_l=14.94 Mz_l=0.00
Taglio nei bulloni: Fv,Ed=13.76 Fv,Rd=7720.78
Rifollamento lato piastra: Fb,Ed,p=13.76 Fb,Rd,p=6556.04
Tirafondi:LT=0.45 (0.31) σ_{cR}=0.00 σ_{fR}=0.00
Compressione nel calcestruzzo: σ_c=63.43
CC 46 SLU (Collegamento -044_-376)
Azioni sul collegamento: N=-29479.00 Ty=19.57 Tz=76.97 Mx=0.00 Mz=14.38
Sollecitazioni agenti localmente: Tx_l=19.57 Ty_l=76.97 N_l=-29479.00 Mx_l=-0.00 My_l=14.38 Mz_l=0.00
Taglio nei bulloni: Fv,Ed=13.24 Fv,Rd=7720.78
Rifollamento lato piastra: Fb,Ed,p=13.24 Fb,Rd,p=6556.74
Tirafondi:LT=0.45 (0.31) σ_{cR}=0.00 σ_{fR}=0.00
Compressione nel calcestruzzo: σ_c=61.72
CC 47 SLU (Collegamento -044_-376)
Azioni sul collegamento: N=-29886.10 Ty=19.86 Tz=78.54 Mx=0.00 Mz=14.48
Sollecitazioni agenti localmente: Tx_l=19.86 Ty_l=78.54 N_l=-29886.10 Mx_l=-0.00 My_l=14.48 Mz_l=0.00
Taglio nei bulloni: Fv,Ed=13.51 Fv,Rd=7720.78
Rifollamento lato piastra: Fb,Ed,p=13.51 Fb,Rd,p=6550.62
Tirafondi:LT=0.45 (0.31) σ_{cR}=0.00 σ_{fR}=0.00
Compressione nel calcestruzzo: σ_c=62.56
CC 48 SLU (Collegamento -044_-376)
Azioni sul collegamento: N=-29887.90 Ty=20.04 Tz=78.42 Mx=0.00 Mz=14.84
Sollecitazioni agenti localmente: Tx_l=20.04 Ty_l=78.42 N_l=-29887.90 Mx_l=-0.00 My_l=14.84 Mz_l=0.00
Taglio nei bulloni: Fv,Ed=13.49 Fv,Rd=7720.78
Rifollamento lato piastra: Fb,Ed,p=13.49 Fb,Rd,p=6562.18
Tirafondi:LT=0.45 (0.31) σ_{cR}=0.00 σ_{fR}=0.00
Compressione nel calcestruzzo: σ_c=62.59
CC 49 SLU (Collegamento -044_-376)
Azioni sul collegamento: N=-23424.90 Ty=19.70 Tz=54.76 Mx=0.00 Mz=14.38
Sollecitazioni agenti localmente: Tx_l=19.70 Ty_l=54.76 N_l=-23424.90 Mx_l=-0.00 My_l=14.38 Mz_l=0.00
Taglio nei bulloni: Fv,Ed=9.71 Fv,Rd=7720.78
Rifollamento lato piastra: Fb,Ed,p=9.71 Fb,Rd,p=7139.63
Tirafondi:LT=0.45 (0.31) σ_{cR}=0.00 σ_{fR}=0.00
Compressione nel calcestruzzo: σ_c=49.21
CC 50 SLU (Collegamento -044_-376)
Azioni sul collegamento: N=-22608.90 Ty=18.94 Tz=51.75 Mx=0.00 Mz=13.82
Sollecitazioni agenti localmente: Tx_l=18.94 Ty_l=51.75 N_l=-22608.90 Mx_l=-0.00 My_l=13.82 Mz_l=0.00
Taglio nei bulloni: Fv,Ed=9.19 Fv,Rd=7720.78
Rifollamento lato piastra: Fb,Ed,p=9.19 Fb,Rd,p=7181.48
Tirafondi:LT=0.45 (0.31) σ_{cR}=0.00 σ_{fR}=0.00
Compressione nel calcestruzzo: σ_c=47.49
CC 51 SLU (Collegamento -044_-376)
Azioni sul collegamento: N=-23016.00 Ty=19.23 Tz=53.31 Mx=0.00 Mz=13.92
Sollecitazioni agenti localmente: Tx_l=19.23 Ty_l=53.31 N_l=-23016.00 Mx_l=-0.00 My_l=13.92 Mz_l=0.00
Taglio nei bulloni: Fv,Ed=9.45 Fv,Rd=7720.78
Rifollamento lato piastra: Fb,Ed,p=9.45 Fb,Rd,p=7146.81
Tirafondi:LT=0.45 (0.31) σ_{cR}=0.00 σ_{fR}=0.00
Compressione nel calcestruzzo: σ_c=48.34
CC 52 SLU (Collegamento -044_-376)
Azioni sul collegamento: N=-23017.80 Ty=19.41 Tz=53.20 Mx=0.00 Mz=14.28
Sollecitazioni agenti localmente: Tx_l=19.41 Ty_l=53.20 N_l=-23017.80 Mx_l=-0.00 My_l=14.28 Mz_l=0.00
Taglio nei bulloni: Fv,Ed=9.44 Fv,Rd=7720.78

Rifollamento lato piastra: Fb,Ed,p=9.44 Fb,Rd,p=7173.07
Tirafondi:LT=0.45 (0.31) σ_{cR}=0.00 σ_{fR}=0.00
Compressione nel calcestruzzo: σ_c=48.36
CC 53 SLU (Collegamento -044_-376)
Azioni sul collegamento: N=-25220.90 Ty=-2.75 Tz=60.96 Mx=0.00 Mz=-2.55
Sollecitazioni agenti localmente: Tx_l=-2.75 Ty_l=60.96 N_l=-25220.90 Mx_l=-0.00 My_l=-2.55 Mz_l=0.00
Taglio nei bulloni: Fv,Ed=10.17 Fv,Rd=7720.78
Rifollamento lato piastra: Fb,Ed,p=10.17 Fb,Rd,p=5996.83
Tirafondi:LT=0.45 (0.31) σ_{cR}=0.00 σ_{fR}=0.00
Compressione nel calcestruzzo: σ_c=52.25
CC 54 SLU (Collegamento -044_-376)
Azioni sul collegamento: N=-24404.90 Ty=-3.50 Tz=57.94 Mx=0.00 Mz=-3.11
Sollecitazioni agenti localmente: Tx_l=-3.50 Ty_l=57.94 N_l=-24404.90 Mx_l=-0.00 My_l=-3.11 Mz_l=0.00
Taglio nei bulloni: Fv,Ed=9.68 Fv,Rd=7720.78
Rifollamento lato piastra: Fb,Ed,p=9.68 Fb,Rd,p=6011.06
Tirafondi:LT=0.45 (0.31) σ_{cR}=0.00 σ_{fR}=0.00
Compressione nel calcestruzzo: σ_c=50.60
CC 55 SLU (Collegamento -044_-376)
Azioni sul collegamento: N=-24812.00 Ty=-3.21 Tz=59.51 Mx=0.00 Mz=-3.02
Sollecitazioni agenti localmente: Tx_l=-3.21 Ty_l=59.51 N_l=-24812.00 Mx_l=-0.00 My_l=-3.02 Mz_l=0.00
Taglio nei bulloni: Fv,Ed=9.94 Fv,Rd=7720.78
Rifollamento lato piastra: Fb,Ed,p=9.94 Fb,Rd,p=6004.50
Tirafondi:LT=0.45 (0.31) σ_{cR}=0.00 σ_{fR}=0.00
Compressione nel calcestruzzo: σ_c=51.43
CC 56 SLU (Collegamento -044_-376)
Azioni sul collegamento: N=-24813.70 Ty=-3.04 Tz=59.39 Mx=0.00 Mz=-2.65
Sollecitazioni agenti localmente: Tx_l=-3.04 Ty_l=59.39 N_l=-24813.70 Mx_l=-0.00 My_l=-2.65 Mz_l=0.00
Taglio nei bulloni: Fv,Ed=9.92 Fv,Rd=7720.78
Rifollamento lato piastra: Fb,Ed,p=9.92 Fb,Rd,p=6002.01
Tirafondi:LT=0.45 (0.31) σ_{cR}=0.00 σ_{fR}=0.00
Compressione nel calcestruzzo: σ_c=51.42
CC 57 SLU (Collegamento -044_-376)
Azioni sul collegamento: N=-28074.70 Ty=18.58 Tz=71.81 Mx=0.00 Mz=13.65
Sollecitazioni agenti localmente: Tx_l=18.58 Ty_l=71.81 N_l=-28074.70 Mx_l=-0.00 My_l=13.65 Mz_l=0.00
Taglio nei bulloni: Fv,Ed=12.37 Fv,Rd=7720.78
Rifollamento lato piastra: Fb,Ed,p=12.37 Fb,Rd,p=6577.01
Tirafondi:LT=0.45 (0.31) σ_{cR}=0.00 σ_{fR}=0.00
Compressione nel calcestruzzo: σ_c=58.77
CC 58 SLU (Collegamento -044_-376)
Azioni sul collegamento: N=-27258.70 Ty=17.82 Tz=68.80 Mx=0.00 Mz=13.09
Sollecitazioni agenti localmente: Tx_l=17.82 Ty_l=68.80 N_l=-27258.70 Mx_l=-0.00 My_l=13.09 Mz_l=0.00
Taglio nei bulloni: Fv,Ed=11.85 Fv,Rd=7720.78
Rifollamento lato piastra: Fb,Ed,p=11.85 Fb,Rd,p=6578.74
Tirafondi:LT=0.45 (0.31) σ_{cR}=0.00 σ_{fR}=0.00
Compressione nel calcestruzzo: σ_c=57.06
CC 59 SLU (Collegamento -044_-376)
Azioni sul collegamento: N=-27665.80 Ty=18.11 Tz=70.37 Mx=0.00 Mz=13.19
Sollecitazioni agenti localmente: Tx_l=18.11 Ty_l=70.37 N_l=-27665.80 Mx_l=-0.00 My_l=13.19 Mz_l=0.00
Taglio nei bulloni: Fv,Ed=12.12 Fv,Rd=7720.78
Rifollamento lato piastra: Fb,Ed,p=12.12 Fb,Rd,p=6571.24
Tirafondi:LT=0.45 (0.31) σ_{cR}=0.00 σ_{fR}=0.00
Compressione nel calcestruzzo: σ_c=57.90
CC 60 SLU (Collegamento -044_-376)
Azioni sul collegamento: N=-27667.60 Ty=18.29 Tz=70.25 Mx=0.00 Mz=13.55
Sollecitazioni agenti localmente: Tx_l=18.29 Ty_l=70.25 N_l=-27667.60 Mx_l=-0.00 My_l=13.55 Mz_l=0.00
Taglio nei bulloni: Fv,Ed=12.10 Fv,Rd=7720.78
Rifollamento lato piastra: Fb,Ed,p=12.10 Fb,Rd,p=6584.47
Tirafondi:LT=0.45 (0.31) σ_{cR}=0.00 σ_{fR}=0.00
Compressione nel calcestruzzo: σ_c=57.93
CC 61 SLU (Collegamento -044_-376)
Azioni sul collegamento: N=-21204.60 Ty=17.94 Tz=46.59 Mx=0.00 Mz=13.09
Sollecitazioni agenti localmente: Tx_l=17.94 Ty_l=46.59 N_l=-21204.60 Mx_l=-0.00 My_l=13.09 Mz_l=0.00
Taglio nei bulloni: Fv,Ed=8.33 Fv,Rd=7720.78
Rifollamento lato piastra: Fb,Ed,p=8.33 Fb,Rd,p=7311.85
Tirafondi:LT=0.45 (0.31) σ_{cR}=0.00 σ_{fR}=0.00
Compressione nel calcestruzzo: σ_c=44.55
CC 62 SLU (Collegamento -044_-376)
Azioni sul collegamento: N=-20388.60 Ty=17.19 Tz=43.58 Mx=0.00 Mz=12.53
Sollecitazioni agenti localmente: Tx_l=17.19 Ty_l=43.58 N_l=-20388.60 Mx_l=-0.00 My_l=12.53 Mz_l=0.00
Taglio nei bulloni: Fv,Ed=7.81 Fv,Rd=7720.78
Rifollamento lato piastra: Fb,Ed,p=7.81 Fb,Rd,p=7377.83
Tirafondi:LT=0.45 (0.31) σ_{cR}=0.00 σ_{fR}=0.00
Compressione nel calcestruzzo: σ_c=42.83
CC 63 SLU (Collegamento -044_-376)
Azioni sul collegamento: N=-20795.70 Ty=17.48 Tz=45.14 Mx=0.00 Mz=12.63
Sollecitazioni agenti localmente: Tx_l=17.48 Ty_l=45.14 N_l=-20795.70 Mx_l=-0.00 My_l=12.63 Mz_l=0.00
Taglio nei bulloni: Fv,Ed=8.07 Fv,Rd=7720.78
Rifollamento lato piastra: Fb,Ed,p=8.07 Fb,Rd,p=7326.64
Tirafondi:LT=0.45 (0.31) σ_{cR}=0.00 σ_{fR}=0.00
Compressione nel calcestruzzo: σ_c=43.68

CC 64 SLU (Collegamento -044_-376)
Azioni sul collegamento: N=-20797.50 Ty=17.66 Tz=45.03 Mx=0.00 Mz=12.99
Sollecitazioni agenti localmente: Tx_l=17.66 Ty_l=45.03 N_l=-20797.50 Mx_l=-0.00 My_l=12.99 Mz_l=0.00
Taglio nei bulloni: Fv,Ed=8.06 Fv,Rd=7720.78
Rifollamento lato piastra: Fb,Ed,p=8.06 Fb,Rd,p=7360.58
Tirafondi:LT=0.45 (0.31) σ_{cR}=0.00 σ_{fR}=0.00
Compressione nel calcestruzzo: σ_c=43.70
CC 65 SLU (Collegamento -044_-376)
Azioni sul collegamento: N=-23000.50 Ty=-4.50 Tz=52.79 Mx=0.00 Mz=-3.84
Sollecitazioni agenti localmente: Tx_l=-4.50 Ty_l=52.79 N_l=-23000.50 Mx_l=-0.00 My_l=-3.84 Mz_l=0.00
Taglio nei bulloni: Fv,Ed=8.83 Fv,Rd=7720.78
Rifollamento lato piastra: Fb,Ed,p=8.83 Fb,Rd,p=6042.82
Tirafondi:LT=0.45 (0.31) σ_{cR}=0.00 σ_{fR}=0.00
Compressione nel calcestruzzo: σ_c=47.74
CC 66 SLU (Collegamento -044_-376)
Azioni sul collegamento: N=-22184.60 Ty=-5.26 Tz=49.77 Mx=0.00 Mz=-4.40
Sollecitazioni agenti localmente: Tx_l=-5.26 Ty_l=49.77 N_l=-22184.60 Mx_l=-0.00 My_l=-4.40 Mz_l=0.00
Taglio nei bulloni: Fv,Ed=8.35 Fv,Rd=7720.78
Rifollamento lato piastra: Fb,Ed,p=8.35 Fb,Rd,p=6076.99
Tirafondi:LT=0.45 (0.31) σ_{cR}=0.00 σ_{fR}=0.00
Compressione nel calcestruzzo: σ_c=46.08
CC 67 SLU (Collegamento -044_-376)
Azioni sul collegamento: N=-22591.70 Ty=-4.97 Tz=51.34 Mx=0.00 Mz=-4.30
Sollecitazioni agenti localmente: Tx_l=-4.97 Ty_l=51.34 N_l=-22591.70 Mx_l=-0.00 My_l=-4.30 Mz_l=0.00
Taglio nei bulloni: Fv,Ed=8.60 Fv,Rd=7720.78
Rifollamento lato piastra: Fb,Ed,p=8.60 Fb,Rd,p=6061.04
Tirafondi:LT=0.45 (0.31) σ_{cR}=0.00 σ_{fR}=0.00
Compressione nel calcestruzzo: σ_c=46.92
CC 68 SLU (Collegamento -044_-376)
Azioni sul collegamento: N=-22593.40 Ty=-4.79 Tz=51.22 Mx=0.00 Mz=-3.94
Sollecitazioni agenti localmente: Tx_l=-4.79 Ty_l=51.22 N_l=-22593.40 Mx_l=-0.00 My_l=-3.94 Mz_l=0.00
Taglio nei bulloni: Fv,Ed=8.58 Fv,Rd=7720.78
Rifollamento lato piastra: Fb,Ed,p=8.58 Fb,Rd,p=6055.97
Tirafondi:LT=0.45 (0.31) σ_{cR}=0.00 σ_{fR}=0.00
Compressione nel calcestruzzo: σ_c=46.90
CC 97 SLU (Collegamento -044_-376)
Azioni sul collegamento: N=-32775.80 Ty=25.16 Tz=97.03 Mx=-0.05 Mz=10.53
Sollecitazioni agenti localmente: Tx_l=25.16 Ty_l=97.03 N_l=-32775.80 Mx_l=-0.00 My_l=10.53 Mz_l=-0.05
Taglio nei bulloni: Fv,Ed=16.78 Fv,Rd=7720.78
Rifollamento lato piastra: Fb,Ed,p=16.75 Fb,Rd,p=6557.48
Tirafondi:LT=0.45 (0.31) σ_{cR}=0.00 σ_{fR}=0.00
Compressione nel calcestruzzo: σ_c=68.31
CC 98 SLU (Collegamento -044_-376)
Azioni sul collegamento: N=-31959.80 Ty=24.41 Tz=94.02 Mx=-0.05 Mz=9.97
Sollecitazioni agenti localmente: Tx_l=24.41 Ty_l=94.02 N_l=-31959.80 Mx_l=-0.00 My_l=9.97 Mz_l=-0.05
Taglio nei bulloni: Fv,Ed=16.26 Fv,Rd=7720.78
Rifollamento lato piastra: Fb,Ed,p=16.23 Fb,Rd,p=6558.09
Tirafondi:LT=0.45 (0.31) σ_{cR}=0.00 σ_{fR}=0.00
Compressione nel calcestruzzo: σ_c=66.59
CC 99 SLU (Collegamento -044_-376)
Azioni sul collegamento: N=-32366.90 Ty=24.69 Tz=95.58 Mx=-0.05 Mz=10.07
Sollecitazioni agenti localmente: Tx_l=24.69 Ty_l=95.58 N_l=-32366.90 Mx_l=-0.00 My_l=10.07 Mz_l=-0.05
Taglio nei bulloni: Fv,Ed=16.52 Fv,Rd=7720.78
Rifollamento lato piastra: Fb,Ed,p=16.50 Fb,Rd,p=6553.17
Tirafondi:LT=0.45 (0.31) σ_{cR}=0.00 σ_{fR}=0.00
Compressione nel calcestruzzo: σ_c=67.44
CC 100 SLU (Collegamento -044_-376)
Azioni sul collegamento: N=-32368.70 Ty=24.87 Tz=95.47 Mx=-0.05 Mz=10.43
Sollecitazioni agenti localmente: Tx_l=24.87 Ty_l=95.47 N_l=-32368.70 Mx_l=-0.00 My_l=10.43 Mz_l=-0.05
Taglio nei bulloni: Fv,Ed=16.52 Fv,Rd=7720.78
Rifollamento lato piastra: Fb,Ed,p=16.49 Fb,Rd,p=6562.39
Tirafondi:LT=0.45 (0.31) σ_{cR}=0.00 σ_{fR}=0.00
Compressione nel calcestruzzo: σ_c=67.47
CC 101 SLU (Collegamento -044_-376)
Azioni sul collegamento: N=-9110.88 Ty=5.97 Tz=10.39 Mx=0.01 Mz=4.99
Sollecitazioni agenti localmente: Tx_l=5.97 Ty_l=10.39 N_l=-9110.88 Mx_l=-0.00 My_l=4.99 Mz_l=0.01
Taglio nei bulloni: Fv,Ed=2.01 Fv,Rd=7720.78
Rifollamento lato piastra: Fb,Ed,p=2.01 Fb,Rd,p=8996.52
Tirafondi:LT=0.45 (0.31) σ_{cR}=0.00 σ_{fR}=0.00
Compressione nel calcestruzzo: σ_c=19.11
CC 102 SLU (Collegamento -044_-376)
Azioni sul collegamento: N=-8294.89 Ty=5.21 Tz=7.37 Mx=0.01 Mz=4.43
Sollecitazioni agenti localmente: Tx_l=5.21 Ty_l=7.37 N_l=-8294.89 Mx_l=-0.00 My_l=4.43 Mz_l=0.01
Taglio nei bulloni: Fv,Ed=1.52 Fv,Rd=7720.78
Rifollamento lato piastra: Fb,Ed,p=1.52 Fb,Rd,p=10418.20
Tirafondi:LT=0.45 (0.31) σ_{cR}=0.00 σ_{fR}=0.00
Compressione nel calcestruzzo: σ_c=17.39
CC 103 SLU (Collegamento -044_-376)
Azioni sul collegamento: N=-8702.00 Ty=5.50 Tz=8.94 Mx=0.01 Mz=4.53
Sollecitazioni agenti localmente: Tx_l=5.50 Ty_l=8.94 N_l=-8702.00 Mx_l=-0.00 My_l=4.53 Mz_l=0.01

Taglio nei bulloni: Fv,Ed=1.76 Fv,Rd=7720.78
Rifollamento lato piastra: Fb,Ed,p=1.76 Fb,Rd,p=9453.96
Tirafondi:LT=0.45 (0.31) σ_{cR}=0.00 σ_{fR}=0.00
Compressione nel calcestruzzo: σ_c=18.23
CC 104 SLU (Collegamento -044_-376)
Azioni sul collegamento: N=-8703.77 Ty=5.68 Tz=8.82 Mx=0.01 Mz=4.89
Sollecitazioni agenti localmente: Tx_l=5.68 Ty_l=8.82 N_l=-8703.77 Mx_l=-0.00 My_l=4.89 Mz_l=0.01
Taglio nei bulloni: Fv,Ed=1.76 Fv,Rd=7720.78
Rifollamento lato piastra: Fb,Ed,p=1.76 Fb,Rd,p=9780.06
Tirafondi:LT=0.45 (0.31) σ_{cR}=0.00 σ_{fR}=0.00
Compressione nel calcestruzzo: σ_c=18.26

Saldatura profilo-piastra

CC 1 SLV (Collegamento -044_-376)
Azioni sul collegamento: N=-6246.31 Ty=15.25 Tz=-0.46 Mx=0.02 Mz=13.58
Sollecitazioni agenti localmente: Tx_l=15.25 Ty_l=-0.46 N_l=-6246.31 My_l=-13.58 Mz_l=0.02
Azioni sul cordone: TP=1.11 TO=-0.02 NO=-461.73
Tensioni nel cordone: τ_P=0.35 τ_0=6.25E-03 σ_0=166.60 σ_{ID}=166.60 Σ_T=166.60
CC 1 SLV (Collegamento -044_-376)
Azioni sul collegamento: N=-6246.31 Ty=7.49 Tz=-0.46 Mx=0.02 Mz=7.17
Sollecitazioni agenti localmente: Tx_l=7.49 Ty_l=-0.46 N_l=-6246.31 My_l=-7.17 Mz_l=0.02
Azioni sul cordone: TP=0.53 TO=-0.02 NO=-461.73
Tensioni nel cordone: τ_P=0.17 τ_0=6.25E-03 σ_0=157.24 σ_{ID}=157.24 Σ_T=157.24
CC 1 SLV (Collegamento -044_-376)
Azioni sul collegamento: N=-6246.31 Ty=15.25 Tz=28.82 Mx=0.02 Mz=13.58
Sollecitazioni agenti localmente: Tx_l=15.25 Ty_l=28.82 N_l=-6246.31 My_l=-13.58 Mz_l=0.02
Azioni sul cordone: TP=1.11 TO=2.14 NO=-461.73
Tensioni nel cordone: τ_P=0.35 τ_0=0.68 σ_0=166.60 σ_{ID}=166.60 Σ_T=167.28
CC 1 SLV (Collegamento -044_-376)
Azioni sul collegamento: N=-6246.31 Ty=7.49 Tz=28.82 Mx=0.02 Mz=7.17
Sollecitazioni agenti localmente: Tx_l=7.49 Ty_l=28.82 N_l=-6246.31 My_l=-7.17 Mz_l=0.02
Azioni sul cordone: TP=0.53 TO=2.14 NO=-461.73
Tensioni nel cordone: τ_P=0.17 τ_0=0.68 σ_0=157.24 σ_{ID}=157.24 Σ_T=157.92
CC 1 SLV (Collegamento -044_-376)
Azioni sul collegamento: N=-14088.90 Ty=15.25 Tz=-0.46 Mx=0.02 Mz=13.58
Sollecitazioni agenti localmente: Tx_l=15.25 Ty_l=-0.46 N_l=-14088.90 My_l=-13.58 Mz_l=0.02
Azioni sul cordone: TP=1.11 TO=-0.02 NO=-1041.46
Tensioni nel cordone: τ_P=0.35 τ_0=6.26E-03 σ_0=350.86 σ_{ID}=350.86 Σ_T=350.87
CC 1 SLV (Collegamento -044_-376)
Azioni sul collegamento: N=-14088.90 Ty=7.49 Tz=-0.46 Mx=0.02 Mz=7.17
Sollecitazioni agenti localmente: Tx_l=7.49 Ty_l=-0.46 N_l=-14088.90 My_l=-7.17 Mz_l=0.02
Azioni sul cordone: TP=0.53 TO=-0.02 NO=-1041.46
Tensioni nel cordone: τ_P=0.17 τ_0=6.26E-03 σ_0=341.50 σ_{ID}=341.50 Σ_T=341.51
CC 1 SLV (Collegamento -044_-376)
Azioni sul collegamento: N=-14088.90 Ty=15.25 Tz=28.82 Mx=0.02 Mz=13.58
Sollecitazioni agenti localmente: Tx_l=15.25 Ty_l=28.82 N_l=-14088.90 My_l=-13.58 Mz_l=0.02
Azioni sul cordone: TP=1.11 TO=2.14 NO=-1041.46
Tensioni nel cordone: τ_P=0.35 τ_0=0.68 σ_0=350.86 σ_{ID}=350.86 Σ_T=351.55
CC 1 SLV (Collegamento -044_-376)
Azioni sul collegamento: N=-14088.90 Ty=7.49 Tz=28.82 Mx=0.02 Mz=7.17
Sollecitazioni agenti localmente: Tx_l=7.49 Ty_l=28.82 N_l=-14088.90 My_l=-7.17 Mz_l=0.02
Azioni sul cordone: TP=0.53 TO=2.14 NO=-1041.46
Tensioni nel cordone: τ_P=0.17 τ_0=0.68 σ_0=341.50 σ_{ID}=341.50 Σ_T=342.19
CC 2 SLD (Collegamento -044_-376)
Azioni sul collegamento: N=-8874.30 Ty=11.63 Tz=9.33 Mx=0.01 Mz=9.21
Sollecitazioni agenti localmente: Tx_l=11.63 Ty_l=9.33 N_l=-8874.30 My_l=-9.21 Mz_l=0.01
Azioni sul cordone: TP=0.85 TO=0.70 NO=-655.99
Tensioni nel cordone: τ_P=0.27 τ_0=0.22 σ_0=221.97 σ_{ID}=221.97 Σ_T=222.19
CC 2 SLD (Collegamento -044_-376)
Azioni sul collegamento: N=-8874.30 Ty=9.26 Tz=9.33 Mx=0.01 Mz=7.26
Sollecitazioni agenti localmente: Tx_l=9.26 Ty_l=9.33 N_l=-8874.30 My_l=-7.26 Mz_l=0.01
Azioni sul cordone: TP=0.68 TO=0.70 NO=-655.99
Tensioni nel cordone: τ_P=0.21 τ_0=0.22 σ_0=219.11 σ_{ID}=219.11 Σ_T=219.33
CC 2 SLD (Collegamento -044_-376)
Azioni sul collegamento: N=-8874.30 Ty=11.63 Tz=18.26 Mx=0.01 Mz=9.21
Sollecitazioni agenti localmente: Tx_l=11.63 Ty_l=18.26 N_l=-8874.30 My_l=-9.21 Mz_l=0.01
Azioni sul cordone: TP=0.85 TO=1.36 NO=-655.99
Tensioni nel cordone: τ_P=0.27 τ_0=0.43 σ_0=221.97 σ_{ID}=221.97 Σ_T=222.40
CC 2 SLD (Collegamento -044_-376)
Azioni sul collegamento: N=-8874.30 Ty=9.26 Tz=18.26 Mx=0.01 Mz=7.26
Sollecitazioni agenti localmente: Tx_l=9.26 Ty_l=18.26 N_l=-8874.30 My_l=-7.26 Mz_l=0.01
Azioni sul cordone: TP=0.68 TO=1.36 NO=-655.99
Tensioni nel cordone: τ_P=0.21 τ_0=0.43 σ_0=219.11 σ_{ID}=219.11 Σ_T=219.54
CC 2 SLD (Collegamento -044_-376)
Azioni sul collegamento: N=-11265.80 Ty=11.63 Tz=9.33 Mx=0.01 Mz=9.21
Sollecitazioni agenti localmente: Tx_l=11.63 Ty_l=9.33 N_l=-11265.80 My_l=-9.21 Mz_l=0.01
Azioni sul cordone: TP=0.85 TO=0.70 NO=-832.77
Tensioni nel cordone: τ_P=0.27 τ_0=0.22 σ_0=278.15 σ_{ID}=278.15 Σ_T=278.38
CC 2 SLD (Collegamento -044_-376)
Azioni sul collegamento: N=-11265.80 Ty=9.26 Tz=9.33 Mx=0.01 Mz=7.26

Sollecitazioni agenti localmente: Tx_l=9.26 Ty_l=9.33 N_l=-11265.80 My_l=-7.26 Mz_l=0.01
Azioni sul cordone: TP=0.68 TO=0.70 NO=-832.77
Tensioni nel cordone: τ_P=0.21 τ_0=0.22 σ_0=275.30 σ_{ID}=275.30 Σ_T=275.52
CC 2 SLD (Collegamento -044_-376)
Azioni sul collegamento: N=-11265.80 Ty=11.63 Tz=18.26 Mx=0.01 Mz=9.21
Sollecitazioni agenti localmente: Tx_l=11.63 Ty_l=18.26 N_l=-11265.80 My_l=-9.21 Mz_l=0.01
Azioni sul cordone: TP=0.85 TO=1.36 NO=-832.77
Tensioni nel cordone: τ_P=0.27 τ_0=0.43 σ_0=278.15 σ_{ID}=278.15 Σ_T=278.59
CC 2 SLD (Collegamento -044_-376)
Azioni sul collegamento: N=-11265.80 Ty=9.26 Tz=18.26 Mx=0.01 Mz=7.26
Sollecitazioni agenti localmente: Tx_l=9.26 Ty_l=18.26 N_l=-11265.80 My_l=-7.26 Mz_l=0.01
Azioni sul cordone: TP=0.68 TO=1.36 NO=-832.77
Tensioni nel cordone: τ_P=0.21 τ_0=0.43 σ_0=275.30 σ_{ID}=275.30 Σ_T=275.73
CC 3 SLV (Collegamento -044_-376)
Azioni sul collegamento: N=-6251.19 Ty=14.73 Tz=-0.13 Mx=0.01 Mz=12.53
Sollecitazioni agenti localmente: Tx_l=14.73 Ty_l=-0.13 N_l=-6251.19 My_l=-12.53 Mz_l=0.01
Azioni sul cordone: TP=1.07 TO=0.00 NO=-462.09
Tensioni nel cordone: τ_P=0.34 τ_0=2.10E-04 σ_0=165.18 σ_{ID}=165.18 Σ_T=165.18
CC 3 SLV (Collegamento -044_-376)
Azioni sul collegamento: N=-6251.19 Ty=8.00 Tz=-0.13 Mx=0.01 Mz=8.22
Sollecitazioni agenti localmente: Tx_l=8.00 Ty_l=-0.13 N_l=-6251.19 My_l=-8.22 Mz_l=0.01
Azioni sul cordone: TP=0.58 TO=0.00 NO=-462.09
Tensioni nel cordone: τ_P=0.18 τ_0=2.10E-04 σ_0=158.88 σ_{ID}=158.88 Σ_T=158.88
CC 3 SLV (Collegamento -044_-376)
Azioni sul collegamento: N=-6251.19 Ty=14.73 Tz=28.49 Mx=0.01 Mz=12.53
Sollecitazioni agenti localmente: Tx_l=14.73 Ty_l=28.49 N_l=-6251.19 My_l=-12.53 Mz_l=0.01
Azioni sul cordone: TP=1.07 TO=2.12 NO=-462.09
Tensioni nel cordone: τ_P=0.34 τ_0=0.67 σ_0=165.18 σ_{ID}=165.18 Σ_T=165.85
CC 3 SLV (Collegamento -044_-376)
Azioni sul collegamento: N=-6251.19 Ty=8.00 Tz=28.49 Mx=0.01 Mz=8.22
Sollecitazioni agenti localmente: Tx_l=8.00 Ty_l=28.49 N_l=-6251.19 My_l=-8.22 Mz_l=0.01
Azioni sul cordone: TP=0.58 TO=2.12 NO=-462.09
Tensioni nel cordone: τ_P=0.18 τ_0=0.67 σ_0=158.88 σ_{ID}=158.88 Σ_T=159.56
CC 3 SLV (Collegamento -044_-376)
Azioni sul collegamento: N=-14084.10 Ty=14.73 Tz=-0.13 Mx=0.01 Mz=12.53
Sollecitazioni agenti localmente: Tx_l=14.73 Ty_l=-0.13 N_l=-14084.10 My_l=-12.53 Mz_l=0.01
Azioni sul cordone: TP=1.07 TO=0.00 NO=-1041.10
Tensioni nel cordone: τ_P=0.34 τ_0=2.06E-04 σ_0=349.22 σ_{ID}=349.22 Σ_T=349.22
CC 3 SLV (Collegamento -044_-376)
Azioni sul collegamento: N=-14084.10 Ty=8.00 Tz=-0.13 Mx=0.01 Mz=8.22
Sollecitazioni agenti localmente: Tx_l=8.00 Ty_l=-0.13 N_l=-14084.10 My_l=-8.22 Mz_l=0.01
Azioni sul cordone: TP=0.58 TO=0.00 NO=-1041.10
Tensioni nel cordone: τ_P=0.18 τ_0=2.06E-04 σ_0=342.92 σ_{ID}=342.92 Σ_T=342.92
CC 3 SLV (Collegamento -044_-376)
Azioni sul collegamento: N=-14084.10 Ty=14.73 Tz=28.49 Mx=0.01 Mz=12.53
Sollecitazioni agenti localmente: Tx_l=14.73 Ty_l=28.49 N_l=-14084.10 My_l=-12.53 Mz_l=0.01
Azioni sul cordone: TP=1.07 TO=2.12 NO=-1041.10
Tensioni nel cordone: τ_P=0.34 τ_0=0.67 σ_0=349.22 σ_{ID}=349.22 Σ_T=349.89
CC 3 SLV (Collegamento -044_-376)
Azioni sul collegamento: N=-14084.10 Ty=8.00 Tz=28.49 Mx=0.01 Mz=8.22
Sollecitazioni agenti localmente: Tx_l=8.00 Ty_l=28.49 N_l=-14084.10 My_l=-8.22 Mz_l=0.01
Azioni sul cordone: TP=0.58 TO=2.12 NO=-1041.10
Tensioni nel cordone: τ_P=0.18 τ_0=0.67 σ_0=342.92 σ_{ID}=342.92 Σ_T=343.59
CC 4 SLD (Collegamento -044_-376)
Azioni sul collegamento: N=-8875.79 Ty=11.47 Tz=9.43 Mx=0.01 Mz=8.89
Sollecitazioni agenti localmente: Tx_l=11.47 Ty_l=9.43 N_l=-8875.79 My_l=-8.89 Mz_l=0.01
Azioni sul cordone: TP=0.84 TO=0.70 NO=-656.10
Tensioni nel cordone: τ_P=0.27 τ_0=0.22 σ_0=221.53 σ_{ID}=221.53 Σ_T=221.76
CC 4 SLD (Collegamento -044_-376)
Azioni sul collegamento: N=-8875.79 Ty=9.42 Tz=9.43 Mx=0.01 Mz=7.58
Sollecitazioni agenti localmente: Tx_l=9.42 Ty_l=9.43 N_l=-8875.79 My_l=-7.58 Mz_l=0.01
Azioni sul cordone: TP=0.69 TO=0.70 NO=-656.10
Tensioni nel cordone: τ_P=0.22 τ_0=0.22 σ_0=219.61 σ_{ID}=219.61 Σ_T=219.84
CC 4 SLD (Collegamento -044_-376)
Azioni sul collegamento: N=-8875.79 Ty=11.47 Tz=18.16 Mx=0.01 Mz=8.89
Sollecitazioni agenti localmente: Tx_l=11.47 Ty_l=18.16 N_l=-8875.79 My_l=-8.89 Mz_l=0.01
Azioni sul cordone: TP=0.84 TO=1.35 NO=-656.10
Tensioni nel cordone: τ_P=0.27 τ_0=0.43 σ_0=221.53 σ_{ID}=221.53 Σ_T=221.96
CC 4 SLD (Collegamento -044_-376)
Azioni sul collegamento: N=-8875.79 Ty=9.42 Tz=18.16 Mx=0.01 Mz=7.58
Sollecitazioni agenti localmente: Tx_l=9.42 Ty_l=18.16 N_l=-8875.79 My_l=-7.58 Mz_l=0.01
Azioni sul cordone: TP=0.69 TO=1.35 NO=-656.10
Tensioni nel cordone: τ_P=0.22 τ_0=0.43 σ_0=219.61 σ_{ID}=219.62 Σ_T=220.04
CC 4 SLD (Collegamento -044_-376)
Azioni sul collegamento: N=-11264.30 Ty=11.47 Tz=9.43 Mx=0.01 Mz=8.89
Sollecitazioni agenti localmente: Tx_l=11.47 Ty_l=9.43 N_l=-11264.30 My_l=-8.89 Mz_l=0.01
Azioni sul cordone: TP=0.84 TO=0.70 NO=-832.66
Tensioni nel cordone: τ_P=0.27 τ_0=0.22 σ_0=277.65 σ_{ID}=277.65 Σ_T=277.88
CC 4 SLD (Collegamento -044_-376)
Azioni sul collegamento: N=-11264.30 Ty=9.42 Tz=9.43 Mx=0.01 Mz=7.58
Sollecitazioni agenti localmente: Tx_l=9.42 Ty_l=9.43 N_l=-11264.30 My_l=-7.58 Mz_l=0.01

Azioni sul cordone: TP=0.69 TO=0.70 NO=-832.66
Tensioni nel cordone: τ_P=0.22 τ_O=0.22 σ_O=275.73 σ_{ID}=275.73 Σ_T=275.96
CC 4 SLD (Collegamento -044_-376)
Azioni sul collegamento: N=-11264.30 Ty=11.47 Tz=18.16 Mx=0.01 Mz=8.89
Sollecitazioni agenti localmente: Tx_l=11.47 Ty_l=18.16 N_l=-11264.30 My_l=-8.89 Mz_l=0.01
Azioni sul cordone: TP=0.84 TO=1.35 NO=-832.66
Tensioni nel cordone: τ_P=0.27 τ_O=0.43 σ_O=277.65 σ_{ID}=277.65 Σ_T=278.08
CC 4 SLD (Collegamento -044_-376)
Azioni sul collegamento: N=-11264.30 Ty=9.42 Tz=18.16 Mx=0.01 Mz=7.58
Sollecitazioni agenti localmente: Tx_l=9.42 Ty_l=18.16 N_l=-11264.30 My_l=-7.58 Mz_l=0.01
Azioni sul cordone: TP=0.69 TO=1.35 NO=-832.66
Tensioni nel cordone: τ_P=0.22 τ_O=0.43 σ_O=275.73 σ_{ID}=275.73 Σ_T=276.16
CC 5 SLV (Collegamento -044_-376)
Azioni sul collegamento: N=-14084.10 Ty=8.00 Tz=28.49 Mx=0.02 Mz=8.22
Sollecitazioni agenti localmente: Tx_l=8.00 Ty_l=28.49 N_l=-14084.10 My_l=-8.22 Mz_l=0.02
Azioni sul cordone: TP=0.57 TO=2.12 NO=-1041.10
Tensioni nel cordone: τ_P=0.18 τ_O=0.67 σ_O=342.92 σ_{ID}=342.92 Σ_T=343.59
CC 5 SLV (Collegamento -044_-376)
Azioni sul collegamento: N=-14084.10 Ty=14.73 Tz=28.49 Mx=0.02 Mz=12.53
Sollecitazioni agenti localmente: Tx_l=14.73 Ty_l=28.49 N_l=-14084.10 My_l=-12.53 Mz_l=0.02
Azioni sul cordone: TP=1.07 TO=2.12 NO=-1041.10
Tensioni nel cordone: τ_P=0.34 τ_O=0.67 σ_O=349.22 σ_{ID}=349.22 Σ_T=349.89
CC 5 SLV (Collegamento -044_-376)
Azioni sul collegamento: N=-14084.10 Ty=8.00 Tz=-0.13 Mx=0.02 Mz=8.22
Sollecitazioni agenti localmente: Tx_l=8.00 Ty_l=-0.13 N_l=-14084.10 My_l=-8.22 Mz_l=0.02
Azioni sul cordone: TP=0.57 TO=0.00 NO=-1041.10
Tensioni nel cordone: τ_P=0.18 τ_O=1.35E-03 σ_O=342.92 σ_{ID}=342.92 Σ_T=342.92
CC 5 SLV (Collegamento -044_-376)
Azioni sul collegamento: N=-14084.10 Ty=14.73 Tz=-0.13 Mx=0.02 Mz=12.53
Sollecitazioni agenti localmente: Tx_l=14.73 Ty_l=-0.13 N_l=-14084.10 My_l=-12.53 Mz_l=0.02
Azioni sul cordone: TP=1.07 TO=0.00 NO=-1041.10
Tensioni nel cordone: τ_P=0.34 τ_O=1.35E-03 σ_O=349.22 σ_{ID}=349.22 Σ_T=349.22
CC 5 SLV (Collegamento -044_-376)
Azioni sul collegamento: N=-6251.19 Ty=8.00 Tz=28.49 Mx=0.02 Mz=8.22
Sollecitazioni agenti localmente: Tx_l=8.00 Ty_l=28.49 N_l=-6251.19 My_l=-8.22 Mz_l=0.02
Azioni sul cordone: TP=0.57 TO=2.12 NO=-462.09
Tensioni nel cordone: τ_P=0.18 τ_O=0.67 σ_O=158.88 σ_{ID}=158.88 Σ_T=159.56
CC 5 SLV (Collegamento -044_-376)
Azioni sul collegamento: N=-6251.19 Ty=14.73 Tz=28.49 Mx=0.02 Mz=12.53
Sollecitazioni agenti localmente: Tx_l=14.73 Ty_l=28.49 N_l=-6251.19 My_l=-12.53 Mz_l=0.02
Azioni sul cordone: TP=1.07 TO=2.12 NO=-462.09
Tensioni nel cordone: τ_P=0.34 τ_O=0.67 σ_O=165.18 σ_{ID}=165.18 Σ_T=165.85
CC 5 SLV (Collegamento -044_-376)
Azioni sul collegamento: N=-6251.19 Ty=8.00 Tz=-0.13 Mx=0.02 Mz=8.22
Sollecitazioni agenti localmente: Tx_l=8.00 Ty_l=-0.13 N_l=-6251.19 My_l=-8.22 Mz_l=0.02
Azioni sul cordone: TP=0.57 TO=0.00 NO=-462.09
Tensioni nel cordone: τ_P=0.18 τ_O=1.36E-03 σ_O=158.88 σ_{ID}=158.88 Σ_T=158.88
CC 5 SLV (Collegamento -044_-376)
Azioni sul collegamento: N=-6251.19 Ty=14.73 Tz=-0.13 Mx=0.02 Mz=12.53
Sollecitazioni agenti localmente: Tx_l=14.73 Ty_l=-0.13 N_l=-6251.19 My_l=-12.53 Mz_l=0.02
Azioni sul cordone: TP=1.07 TO=0.00 NO=-462.09
Tensioni nel cordone: τ_P=0.34 τ_O=1.36E-03 σ_O=165.18 σ_{ID}=165.18 Σ_T=165.18
CC 6 SLD (Collegamento -044_-376)
Azioni sul collegamento: N=-11264.30 Ty=9.42 Tz=18.16 Mx=0.01 Mz=7.58
Sollecitazioni agenti localmente: Tx_l=9.42 Ty_l=18.16 N_l=-11264.30 My_l=-7.58 Mz_l=0.01
Azioni sul cordone: TP=0.69 TO=1.35 NO=-832.66
Tensioni nel cordone: τ_P=0.22 τ_O=0.43 σ_O=275.73 σ_{ID}=275.73 Σ_T=276.16
CC 6 SLD (Collegamento -044_-376)
Azioni sul collegamento: N=-11264.30 Ty=11.47 Tz=18.16 Mx=0.01 Mz=8.89
Sollecitazioni agenti localmente: Tx_l=11.47 Ty_l=18.16 N_l=-11264.30 My_l=-8.89 Mz_l=0.01
Azioni sul cordone: TP=0.84 TO=1.35 NO=-832.66
Tensioni nel cordone: τ_P=0.27 τ_O=0.43 σ_O=277.65 σ_{ID}=277.65 Σ_T=278.08
CC 6 SLD (Collegamento -044_-376)
Azioni sul collegamento: N=-11264.30 Ty=9.42 Tz=9.43 Mx=0.01 Mz=7.58
Sollecitazioni agenti localmente: Tx_l=9.42 Ty_l=9.43 N_l=-11264.30 My_l=-7.58 Mz_l=0.01
Azioni sul cordone: TP=0.69 TO=0.70 NO=-832.66
Tensioni nel cordone: τ_P=0.22 τ_O=0.22 σ_O=275.73 σ_{ID}=275.73 Σ_T=275.96
CC 6 SLD (Collegamento -044_-376)
Azioni sul collegamento: N=-11264.30 Ty=11.47 Tz=9.43 Mx=0.01 Mz=8.89
Sollecitazioni agenti localmente: Tx_l=11.47 Ty_l=9.43 N_l=-11264.30 My_l=-8.89 Mz_l=0.01
Azioni sul cordone: TP=0.84 TO=0.70 NO=-832.66
Tensioni nel cordone: τ_P=0.27 τ_O=0.22 σ_O=277.65 σ_{ID}=277.65 Σ_T=277.88
CC 6 SLD (Collegamento -044_-376)
Azioni sul collegamento: N=-8875.79 Ty=9.42 Tz=18.16 Mx=0.01 Mz=7.58
Sollecitazioni agenti localmente: Tx_l=9.42 Ty_l=18.16 N_l=-8875.79 My_l=-7.58 Mz_l=0.01
Azioni sul cordone: TP=0.69 TO=1.35 NO=-656.10
Tensioni nel cordone: τ_P=0.22 τ_O=0.43 σ_O=219.61 σ_{ID}=219.62 Σ_T=220.04
CC 6 SLD (Collegamento -044_-376)
Azioni sul collegamento: N=-8875.79 Ty=11.47 Tz=18.16 Mx=0.01 Mz=8.89
Sollecitazioni agenti localmente: Tx_l=11.47 Ty_l=18.16 N_l=-8875.79 My_l=-8.89 Mz_l=0.01
Azioni sul cordone: TP=0.84 TO=1.35 NO=-656.10

Tensioni nel cordone: τ_P=0.27 τ_0=0.43 σ_0=221.53 σ_{ID}=221.53 Σ_T=221.96
CC 6 SLD (Collegamento -044_-376)
Azioni sul collegamento: N=-8875.79 Ty=9.42 Tz=9.43 Mx=0.01 Mz=7.58
Sollecitazioni agenti localmente: Tx_l=9.42 Ty_l=9.43 N_l=-8875.79 My_l=-7.58 Mz_l=0.01
Azioni sul cordone: TP=0.69 TO=0.70 NO=-656.10
Tensioni nel cordone: τ_P=0.22 τ_0=0.22 σ_0=219.61 σ_{ID}=219.61 Σ_T=219.84
CC 6 SLD (Collegamento -044_-376)
Azioni sul collegamento: N=-8875.79 Ty=11.47 Tz=9.43 Mx=0.01 Mz=8.89
Sollecitazioni agenti localmente: Tx_l=11.47 Ty_l=9.43 N_l=-8875.79 My_l=-8.89 Mz_l=0.01
Azioni sul cordone: TP=0.84 TO=0.70 NO=-656.10
Tensioni nel cordone: τ_P=0.27 τ_0=0.22 σ_0=221.53 σ_{ID}=221.53 Σ_T=221.76
CC 7 SLV (Collegamento -044_-376)
Azioni sul collegamento: N=-14088.90 Ty=7.49 Tz=28.82 Mx=0.01 Mz=7.17
Sollecitazioni agenti localmente: Tx_l=7.49 Ty_l=28.82 N_l=-14088.90 My_l=-7.17 Mz_l=0.01
Azioni sul cordone: TP=0.54 TO=2.14 NO=-1041.46
Tensioni nel cordone: τ_P=0.17 τ_0=0.68 σ_0=341.50 σ_{ID}=341.50 Σ_T=342.19
CC 7 SLV (Collegamento -044_-376)
Azioni sul collegamento: N=-14088.90 Ty=15.25 Tz=28.82 Mx=0.01 Mz=13.58
Sollecitazioni agenti localmente: Tx_l=15.25 Ty_l=28.82 N_l=-14088.90 My_l=-13.58 Mz_l=0.01
Azioni sul cordone: TP=1.11 TO=2.14 NO=-1041.46
Tensioni nel cordone: τ_P=0.35 τ_0=0.68 σ_0=350.86 σ_{ID}=350.86 Σ_T=351.54
CC 7 SLV (Collegamento -044_-376)
Azioni sul collegamento: N=-14088.90 Ty=7.49 Tz=-0.46 Mx=0.01 Mz=7.17
Sollecitazioni agenti localmente: Tx_l=7.49 Ty_l=-0.46 N_l=-14088.90 My_l=-7.17 Mz_l=0.01
Azioni sul cordone: TP=0.54 TO=-0.02 NO=-1041.46
Tensioni nel cordone: τ_P=0.17 τ_0=7.56E-03 σ_0=341.50 σ_{ID}=341.50 Σ_T=341.51
CC 7 SLV (Collegamento -044_-376)
Azioni sul collegamento: N=-14088.90 Ty=15.25 Tz=-0.46 Mx=0.01 Mz=13.58
Sollecitazioni agenti localmente: Tx_l=15.25 Ty_l=-0.46 N_l=-14088.90 My_l=-13.58 Mz_l=0.01
Azioni sul cordone: TP=1.11 TO=-0.02 NO=-1041.46
Tensioni nel cordone: τ_P=0.35 τ_0=7.56E-03 σ_0=350.86 σ_{ID}=350.86 Σ_T=350.87
CC 7 SLV (Collegamento -044_-376)
Azioni sul collegamento: N=-6246.31 Ty=7.49 Tz=28.82 Mx=0.01 Mz=7.17
Sollecitazioni agenti localmente: Tx_l=7.49 Ty_l=28.82 N_l=-6246.31 My_l=-7.17 Mz_l=0.01
Azioni sul cordone: TP=0.54 TO=2.14 NO=-461.73
Tensioni nel cordone: τ_P=0.17 τ_0=0.68 σ_0=157.24 σ_{ID}=157.24 Σ_T=157.92
CC 7 SLV (Collegamento -044_-376)
Azioni sul collegamento: N=-6246.31 Ty=15.25 Tz=28.82 Mx=0.01 Mz=13.58
Sollecitazioni agenti localmente: Tx_l=15.25 Ty_l=28.82 N_l=-6246.31 My_l=-13.58 Mz_l=0.01
Azioni sul cordone: TP=1.11 TO=2.14 NO=-461.73
Tensioni nel cordone: τ_P=0.35 τ_0=0.68 σ_0=166.60 σ_{ID}=166.60 Σ_T=167.28
CC 7 SLV (Collegamento -044_-376)
Azioni sul collegamento: N=-6246.31 Ty=7.49 Tz=-0.46 Mx=0.01 Mz=7.17
Sollecitazioni agenti localmente: Tx_l=7.49 Ty_l=-0.46 N_l=-6246.31 My_l=-7.17 Mz_l=0.01
Azioni sul cordone: TP=0.54 TO=-0.02 NO=-461.73
Tensioni nel cordone: τ_P=0.17 τ_0=7.54E-03 σ_0=157.24 σ_{ID}=157.24 Σ_T=157.25
CC 7 SLV (Collegamento -044_-376)
Azioni sul collegamento: N=-6246.31 Ty=15.25 Tz=-0.46 Mx=0.01 Mz=13.58
Sollecitazioni agenti localmente: Tx_l=15.25 Ty_l=-0.46 N_l=-6246.31 My_l=-13.58 Mz_l=0.01
Azioni sul cordone: TP=1.11 TO=-0.02 NO=-461.73
Tensioni nel cordone: τ_P=0.35 τ_0=7.54E-03 σ_0=166.60 σ_{ID}=166.60 Σ_T=166.60
CC 8 SLD (Collegamento -044_-376)
Azioni sul collegamento: N=-11265.80 Ty=9.26 Tz=18.26 Mx=0.01 Mz=7.26
Sollecitazioni agenti localmente: Tx_l=9.26 Ty_l=18.26 N_l=-11265.80 My_l=-7.26 Mz_l=0.01
Azioni sul cordone: TP=0.68 TO=1.35 NO=-832.77
Tensioni nel cordone: τ_P=0.22 τ_0=0.43 σ_0=275.30 σ_{ID}=275.30 Σ_T=275.73
CC 8 SLD (Collegamento -044_-376)
Azioni sul collegamento: N=-11265.80 Ty=11.63 Tz=18.26 Mx=0.01 Mz=9.21
Sollecitazioni agenti localmente: Tx_l=11.63 Ty_l=18.26 N_l=-11265.80 My_l=-9.21 Mz_l=0.01
Azioni sul cordone: TP=0.85 TO=1.35 NO=-832.77
Tensioni nel cordone: τ_P=0.27 τ_0=0.43 σ_0=278.15 σ_{ID}=278.15 Σ_T=278.58
CC 8 SLD (Collegamento -044_-376)
Azioni sul collegamento: N=-11265.80 Ty=9.26 Tz=9.33 Mx=0.01 Mz=7.26
Sollecitazioni agenti localmente: Tx_l=9.26 Ty_l=9.33 N_l=-11265.80 My_l=-7.26 Mz_l=0.01
Azioni sul cordone: TP=0.68 TO=0.69 NO=-832.77
Tensioni nel cordone: τ_P=0.22 τ_0=0.22 σ_0=275.30 σ_{ID}=275.30 Σ_T=275.52
CC 8 SLD (Collegamento -044_-376)
Azioni sul collegamento: N=-11265.80 Ty=11.63 Tz=9.33 Mx=0.01 Mz=9.21
Sollecitazioni agenti localmente: Tx_l=11.63 Ty_l=9.33 N_l=-11265.80 My_l=-9.21 Mz_l=0.01
Azioni sul cordone: TP=0.85 TO=0.69 NO=-832.77
Tensioni nel cordone: τ_P=0.27 τ_0=0.22 σ_0=278.15 σ_{ID}=278.15 Σ_T=278.38
CC 8 SLD (Collegamento -044_-376)
Azioni sul collegamento: N=-8874.30 Ty=9.26 Tz=18.26 Mx=0.01 Mz=7.26
Sollecitazioni agenti localmente: Tx_l=9.26 Ty_l=18.26 N_l=-8874.30 My_l=-7.26 Mz_l=0.01
Azioni sul cordone: TP=0.68 TO=1.35 NO=-655.99
Tensioni nel cordone: τ_P=0.22 τ_0=0.43 σ_0=219.11 σ_{ID}=219.11 Σ_T=219.54
CC 8 SLD (Collegamento -044_-376)
Azioni sul collegamento: N=-8874.30 Ty=11.63 Tz=18.26 Mx=0.01 Mz=9.21
Sollecitazioni agenti localmente: Tx_l=11.63 Ty_l=18.26 N_l=-8874.30 My_l=-9.21 Mz_l=0.01
Azioni sul cordone: TP=0.85 TO=1.35 NO=-655.99
Tensioni nel cordone: τ_P=0.27 τ_0=0.43 σ_0=221.97 σ_{ID}=221.97 Σ_T=222.40

CC 8 SLD (Collegamento -044_-376)
Azioni sul collegamento: N=-8874.30 Ty=9.26 Tz=9.33 Mx=0.01 Mz=7.26
Sollecitazioni agenti localmente: Tx_l=9.26 Ty_l=9.33 N_l=-8874.30 My_l=-7.26 Mz_l=0.01
Azioni sul cordone: TP=0.68 TO=0.69 NO=-655.99
Tensioni nel cordone: τ_P=0.22 τ_0=0.22 σ_0=219.11 σ_{ID}=219.11 Σ_T=219.33
CC 8 SLD (Collegamento -044_-376)
Azioni sul collegamento: N=-8874.30 Ty=11.63 Tz=9.33 Mx=0.01 Mz=9.21
Sollecitazioni agenti localmente: Tx_l=11.63 Ty_l=9.33 N_l=-8874.30 My_l=-9.21 Mz_l=0.01
Azioni sul cordone: TP=0.85 TO=0.69 NO=-655.99
Tensioni nel cordone: τ_P=0.27 τ_0=0.22 σ_0=221.97 σ_{ID}=221.97 Σ_T=222.19
CC 9 SLV (Collegamento -044_-376)
Azioni sul collegamento: N=-8983.82 Ty=13.31 Tz=9.29 Mx=0.02 Mz=12.92
Sollecitazioni agenti localmente: Tx_l=13.31 Ty_l=9.29 N_l=-8983.82 My_l=-12.92 Mz_l=0.02
Azioni sul cordone: TP=0.96 TO=0.71 NO=-664.09
Tensioni nel cordone: τ_P=0.30 τ_0=0.22 σ_0=229.96 σ_{ID}=229.96 Σ_T=230.19
CC 9 SLV (Collegamento -044_-376)
Azioni sul collegamento: N=-8983.82 Ty=9.43 Tz=9.29 Mx=0.02 Mz=7.83
Sollecitazioni agenti localmente: Tx_l=9.43 Ty_l=9.29 N_l=-8983.82 My_l=-7.83 Mz_l=0.02
Azioni sul cordone: TP=0.67 TO=0.71 NO=-664.09
Tensioni nel cordone: τ_P=0.21 τ_0=0.22 σ_0=222.51 σ_{ID}=222.51 Σ_T=222.74
CC 9 SLV (Collegamento -044_-376)
Azioni sul collegamento: N=-8983.82 Ty=13.31 Tz=19.07 Mx=0.02 Mz=12.92
Sollecitazioni agenti localmente: Tx_l=13.31 Ty_l=19.07 N_l=-8983.82 My_l=-12.92 Mz_l=0.02
Azioni sul cordone: TP=0.96 TO=1.43 NO=-664.09
Tensioni nel cordone: τ_P=0.30 τ_0=0.45 σ_0=229.96 σ_{ID}=229.96 Σ_T=230.41
CC 9 SLV (Collegamento -044_-376)
Azioni sul collegamento: N=-8983.82 Ty=9.43 Tz=19.07 Mx=0.02 Mz=7.83
Sollecitazioni agenti localmente: Tx_l=9.43 Ty_l=19.07 N_l=-8983.82 My_l=-7.83 Mz_l=0.02
Azioni sul cordone: TP=0.67 TO=1.43 NO=-664.09
Tensioni nel cordone: τ_P=0.21 τ_0=0.45 σ_0=222.51 σ_{ID}=222.51 Σ_T=222.97
CC 9 SLV (Collegamento -044_-376)
Azioni sul collegamento: N=-11351.40 Ty=13.31 Tz=9.29 Mx=0.02 Mz=12.92
Sollecitazioni agenti localmente: Tx_l=13.31 Ty_l=9.29 N_l=-11351.40 My_l=-12.92 Mz_l=0.02
Azioni sul cordone: TP=0.96 TO=0.71 NO=-839.10
Tensioni nel cordone: τ_P=0.30 τ_0=0.22 σ_0=285.59 σ_{ID}=285.59 Σ_T=285.81
CC 9 SLV (Collegamento -044_-376)
Azioni sul collegamento: N=-11351.40 Ty=9.43 Tz=9.29 Mx=0.02 Mz=7.83
Sollecitazioni agenti localmente: Tx_l=9.43 Ty_l=9.29 N_l=-11351.40 My_l=-7.83 Mz_l=0.02
Azioni sul cordone: TP=0.67 TO=0.71 NO=-839.10
Tensioni nel cordone: τ_P=0.21 τ_0=0.22 σ_0=278.14 σ_{ID}=278.14 Σ_T=278.36
CC 9 SLV (Collegamento -044_-376)
Azioni sul collegamento: N=-11351.40 Ty=13.31 Tz=19.07 Mx=0.02 Mz=12.92
Sollecitazioni agenti localmente: Tx_l=13.31 Ty_l=19.07 N_l=-11351.40 My_l=-12.92 Mz_l=0.02
Azioni sul cordone: TP=0.96 TO=1.43 NO=-839.10
Tensioni nel cordone: τ_P=0.30 τ_0=0.45 σ_0=285.59 σ_{ID}=285.59 Σ_T=286.04
CC 9 SLV (Collegamento -044_-376)
Azioni sul collegamento: N=-11351.40 Ty=9.43 Tz=19.07 Mx=0.02 Mz=7.83
Sollecitazioni agenti localmente: Tx_l=9.43 Ty_l=19.07 N_l=-11351.40 My_l=-7.83 Mz_l=0.02
Azioni sul cordone: TP=0.67 TO=1.43 NO=-839.10
Tensioni nel cordone: τ_P=0.21 τ_0=0.45 σ_0=278.14 σ_{ID}=278.14 Σ_T=278.59
CC 10 SLD (Collegamento -044_-376)
Azioni sul collegamento: N=-9709.06 Ty=11.04 Tz=12.31 Mx=0.01 Mz=9.01
Sollecitazioni agenti localmente: Tx_l=11.04 Ty_l=12.31 N_l=-9709.06 My_l=-9.01 Mz_l=0.01
Azioni sul cordone: TP=0.81 TO=0.92 NO=-717.70
Tensioni nel cordone: τ_P=0.26 τ_0=0.29 σ_0=241.29 σ_{ID}=241.29 Σ_T=241.58
CC 10 SLD (Collegamento -044_-376)
Azioni sul collegamento: N=-9709.06 Ty=9.85 Tz=12.31 Mx=0.01 Mz=7.46
Sollecitazioni agenti localmente: Tx_l=9.85 Ty_l=12.31 N_l=-9709.06 My_l=-7.46 Mz_l=0.01
Azioni sul cordone: TP=0.72 TO=0.92 NO=-717.70
Tensioni nel cordone: τ_P=0.23 τ_0=0.29 σ_0=239.02 σ_{ID}=239.02 Σ_T=239.31
CC 10 SLD (Collegamento -044_-376)
Azioni sul collegamento: N=-9709.06 Ty=11.04 Tz=15.29 Mx=0.01 Mz=9.01
Sollecitazioni agenti localmente: Tx_l=11.04 Ty_l=15.29 N_l=-9709.06 My_l=-9.01 Mz_l=0.01
Azioni sul cordone: TP=0.81 TO=1.14 NO=-717.70
Tensioni nel cordone: τ_P=0.26 τ_0=0.36 σ_0=241.29 σ_{ID}=241.29 Σ_T=241.65
CC 10 SLD (Collegamento -044_-376)
Azioni sul collegamento: N=-9709.06 Ty=9.85 Tz=15.29 Mx=0.01 Mz=7.46
Sollecitazioni agenti localmente: Tx_l=9.85 Ty_l=15.29 N_l=-9709.06 My_l=-7.46 Mz_l=0.01
Azioni sul cordone: TP=0.72 TO=1.14 NO=-717.70
Tensioni nel cordone: τ_P=0.23 τ_0=0.36 σ_0=239.02 σ_{ID}=239.02 Σ_T=239.38
CC 10 SLD (Collegamento -044_-376)
Azioni sul collegamento: N=-10431.00 Ty=11.04 Tz=12.31 Mx=0.01 Mz=9.01
Sollecitazioni agenti localmente: Tx_l=11.04 Ty_l=12.31 N_l=-10431.00 My_l=-9.01 Mz_l=0.01
Azioni sul cordone: TP=0.81 TO=0.92 NO=-771.06
Tensioni nel cordone: τ_P=0.26 τ_0=0.29 σ_0=258.25 σ_{ID}=258.25 Σ_T=258.54
CC 10 SLD (Collegamento -044_-376)
Azioni sul collegamento: N=-10431.00 Ty=9.85 Tz=12.31 Mx=0.01 Mz=7.46
Sollecitazioni agenti localmente: Tx_l=9.85 Ty_l=12.31 N_l=-10431.00 My_l=-7.46 Mz_l=0.01
Azioni sul cordone: TP=0.72 TO=0.92 NO=-771.06
Tensioni nel cordone: τ_P=0.23 τ_0=0.29 σ_0=255.98 σ_{ID}=255.98 Σ_T=256.27
CC 10 SLD (Collegamento -044_-376)

Azioni sul collegamento: N=-10431.00 Ty=11.04 Tz=15.29 Mx=0.01 Mz=9.01
Sollecitazioni agenti localmente: Tx_l=11.04 Ty_l=15.29 N_l=-10431.00 My_l=-9.01 Mz_l=0.01
Azioni sul cordone: TP=0.81 TO=1.14 NO=-771.06
Tensioni nel cordone: τ_P=0.26 τ_0=0.36 σ_0=258.25 σ_{ID}=258.25 Σ_T=258.61
CC 10 SLD (Collegamento -044_-376)
Azioni sul collegamento: N=-10431.00 Ty=9.85 Tz=15.29 Mx=0.01 Mz=7.46
Sollecitazioni agenti localmente: Tx_l=9.85 Ty_l=15.29 N_l=-10431.00 My_l=-7.46 Mz_l=0.01
Azioni sul cordone: TP=0.72 TO=1.14 NO=-771.06
Tensioni nel cordone: τ_P=0.23 τ_0=0.36 σ_0=255.98 σ_{ID}=255.98 Σ_T=256.34
CC 11 SLV (Collegamento -044_-376)
Azioni sul collegamento: N=-11335.10 Ty=11.14 Tz=17.98 Mx=0.02 Mz=11.32
Sollecitazioni agenti localmente: Tx_l=11.14 Ty_l=17.98 N_l=-11335.10 My_l=-11.32 Mz_l=0.02
Azioni sul cordone: TP=0.80 TO=1.35 NO=-837.90
Tensioni nel cordone: τ_P=0.25 τ_0=0.43 σ_0=282.86 σ_{ID}=282.86 Σ_T=283.29
CC 11 SLV (Collegamento -044_-376)
Azioni sul collegamento: N=-11335.10 Ty=11.60 Tz=17.98 Mx=0.02 Mz=9.43
Sollecitazioni agenti localmente: Tx_l=11.60 Ty_l=17.98 N_l=-11335.10 My_l=-9.43 Mz_l=0.02
Azioni sul cordone: TP=0.83 TO=1.35 NO=-837.90
Tensioni nel cordone: τ_P=0.26 τ_0=0.43 σ_0=280.11 σ_{ID}=280.11 Σ_T=280.53
CC 11 SLV (Collegamento -044_-376)
Azioni sul collegamento: N=-11335.10 Ty=11.14 Tz=10.38 Mx=0.02 Mz=11.32
Sollecitazioni agenti localmente: Tx_l=11.14 Ty_l=10.38 N_l=-11335.10 My_l=-11.32 Mz_l=0.02
Azioni sul cordone: TP=0.80 TO=0.79 NO=-837.90
Tensioni nel cordone: τ_P=0.25 τ_0=0.25 σ_0=282.86 σ_{ID}=282.86 Σ_T=283.11
CC 11 SLV (Collegamento -044_-376)
Azioni sul collegamento: N=-11335.10 Ty=11.60 Tz=10.38 Mx=0.02 Mz=9.43
Sollecitazioni agenti localmente: Tx_l=11.60 Ty_l=10.38 N_l=-11335.10 My_l=-9.43 Mz_l=0.02
Azioni sul cordone: TP=0.83 TO=0.79 NO=-837.90
Tensioni nel cordone: τ_P=0.26 τ_0=0.25 σ_0=280.11 σ_{ID}=280.11 Σ_T=280.36
CC 11 SLV (Collegamento -044_-376)
Azioni sul collegamento: N=-9000.10 Ty=11.14 Tz=17.98 Mx=0.02 Mz=11.32
Sollecitazioni agenti localmente: Tx_l=11.14 Ty_l=17.98 N_l=-9000.10 My_l=-11.32 Mz_l=0.02
Azioni sul cordone: TP=0.80 TO=1.35 NO=-665.29
Tensioni nel cordone: τ_P=0.25 τ_0=0.43 σ_0=228.00 σ_{ID}=228.00 Σ_T=228.42
CC 11 SLV (Collegamento -044_-376)
Azioni sul collegamento: N=-9000.10 Ty=11.60 Tz=17.98 Mx=0.02 Mz=9.43
Sollecitazioni agenti localmente: Tx_l=11.60 Ty_l=17.98 N_l=-9000.10 My_l=-9.43 Mz_l=0.02
Azioni sul cordone: TP=0.83 TO=1.35 NO=-665.29
Tensioni nel cordone: τ_P=0.26 τ_0=0.43 σ_0=225.24 σ_{ID}=225.24 Σ_T=225.67
CC 11 SLV (Collegamento -044_-376)
Azioni sul collegamento: N=-9000.10 Ty=11.14 Tz=10.38 Mx=0.02 Mz=11.32
Sollecitazioni agenti localmente: Tx_l=11.14 Ty_l=10.38 N_l=-9000.10 My_l=-11.32 Mz_l=0.02
Azioni sul cordone: TP=0.80 TO=0.79 NO=-665.29
Tensioni nel cordone: τ_P=0.25 τ_0=0.25 σ_0=228.00 σ_{ID}=228.00 Σ_T=228.25
CC 11 SLV (Collegamento -044_-376)
Azioni sul collegamento: N=-9000.10 Ty=11.60 Tz=10.38 Mx=0.02 Mz=9.43
Sollecitazioni agenti localmente: Tx_l=11.60 Ty_l=10.38 N_l=-9000.10 My_l=-9.43 Mz_l=0.02
Azioni sul cordone: TP=0.83 TO=0.79 NO=-665.29
Tensioni nel cordone: τ_P=0.26 τ_0=0.25 σ_0=225.24 σ_{ID}=225.24 Σ_T=225.49
CC 12 SLD (Collegamento -044_-376)
Azioni sul collegamento: N=-10426.00 Ty=10.37 Tz=14.95 Mx=0.01 Mz=8.52
Sollecitazioni agenti localmente: Tx_l=10.37 Ty_l=14.95 N_l=-10426.00 My_l=-8.52 Mz_l=0.01
Azioni sul cordone: TP=0.76 TO=1.11 NO=-770.70
Tensioni nel cordone: τ_P=0.24 τ_0=0.35 σ_0=257.42 σ_{ID}=257.42 Σ_T=257.77
CC 12 SLD (Collegamento -044_-376)
Azioni sul collegamento: N=-10426.00 Ty=10.51 Tz=14.95 Mx=0.01 Mz=7.95
Sollecitazioni agenti localmente: Tx_l=10.51 Ty_l=14.95 N_l=-10426.00 My_l=-7.95 Mz_l=0.01
Azioni sul cordone: TP=0.77 TO=1.11 NO=-770.70
Tensioni nel cordone: τ_P=0.24 τ_0=0.35 σ_0=256.58 σ_{ID}=256.58 Σ_T=256.93
CC 12 SLD (Collegamento -044_-376)
Azioni sul collegamento: N=-10426.00 Ty=10.37 Tz=12.64 Mx=0.01 Mz=8.52
Sollecitazioni agenti localmente: Tx_l=10.37 Ty_l=12.64 N_l=-10426.00 My_l=-8.52 Mz_l=0.01
Azioni sul cordone: TP=0.76 TO=0.94 NO=-770.70
Tensioni nel cordone: τ_P=0.24 τ_0=0.30 σ_0=257.42 σ_{ID}=257.42 Σ_T=257.72
CC 12 SLD (Collegamento -044_-376)
Azioni sul collegamento: N=-10426.00 Ty=10.51 Tz=12.64 Mx=0.01 Mz=7.95
Sollecitazioni agenti localmente: Tx_l=10.51 Ty_l=12.64 N_l=-10426.00 My_l=-7.95 Mz_l=0.01
Azioni sul cordone: TP=0.77 TO=0.94 NO=-770.70
Tensioni nel cordone: τ_P=0.24 τ_0=0.30 σ_0=256.58 σ_{ID}=256.58 Σ_T=256.88
CC 12 SLD (Collegamento -044_-376)
Azioni sul collegamento: N=-9714.02 Ty=10.37 Tz=14.95 Mx=0.01 Mz=8.52
Sollecitazioni agenti localmente: Tx_l=10.37 Ty_l=14.95 N_l=-9714.02 My_l=-8.52 Mz_l=0.01
Azioni sul cordone: TP=0.76 TO=1.11 NO=-718.06
Tensioni nel cordone: τ_P=0.24 τ_0=0.35 σ_0=240.69 σ_{ID}=240.69 Σ_T=241.04
CC 12 SLD (Collegamento -044_-376)
Azioni sul collegamento: N=-9714.02 Ty=10.51 Tz=14.95 Mx=0.01 Mz=7.95
Sollecitazioni agenti localmente: Tx_l=10.51 Ty_l=14.95 N_l=-9714.02 My_l=-7.95 Mz_l=0.01
Azioni sul cordone: TP=0.77 TO=1.11 NO=-718.06
Tensioni nel cordone: τ_P=0.24 τ_0=0.35 σ_0=239.85 σ_{ID}=239.85 Σ_T=240.20
CC 12 SLD (Collegamento -044_-376)
Azioni sul collegamento: N=-9714.02 Ty=10.37 Tz=12.64 Mx=0.01 Mz=8.52

Sollecitazioni agenti localmente: Tx_l=10.37 Ty_l=12.64 N_l=-9714.02 My_l=-8.52 Mz_l=0.01
Azioni sul cordone: TP=0.76 TO=0.94 NO=-718.06
Tensioni nel cordone: τ_P=0.24 τ_0=0.30 σ_0=240.69 σ_{ID}=240.69 Σ_T=240.99
CC 12 SLD (Collegamento -044_-376)
Azioni sul collegamento: N=-9714.02 Ty=10.51 Tz=12.64 Mx=0.01 Mz=7.95
Sollecitazioni agenti localmente: Tx_l=10.51 Ty_l=12.64 N_l=-9714.02 My_l=-7.95 Mz_l=0.01
Azioni sul cordone: TP=0.77 TO=0.94 NO=-718.06
Tensioni nel cordone: τ_P=0.24 τ_0=0.30 σ_0=239.85 σ_{ID}=239.85 Σ_T=240.15
CC 13 SLV (Collegamento -044_-376)
Azioni sul collegamento: N=-9000.10 Ty=11.60 Tz=10.38 Mx=0.01 Mz=9.43
Sollecitazioni agenti localmente: Tx_l=11.60 Ty_l=10.38 N_l=-9000.10 My_l=-9.43 Mz_l=0.01
Azioni sul cordone: TP=0.85 TO=0.77 NO=-665.29
Tensioni nel cordone: τ_P=0.27 τ_0=0.25 σ_0=225.24 σ_{ID}=225.24 Σ_T=225.49
CC 13 SLV (Collegamento -044_-376)
Azioni sul collegamento: N=-9000.10 Ty=11.14 Tz=10.38 Mx=0.01 Mz=11.32
Sollecitazioni agenti localmente: Tx_l=11.14 Ty_l=10.38 N_l=-9000.10 My_l=-11.32 Mz_l=0.01
Azioni sul cordone: TP=0.82 TO=0.77 NO=-665.29
Tensioni nel cordone: τ_P=0.26 τ_0=0.25 σ_0=228.00 σ_{ID}=228.00 Σ_T=228.24
CC 13 SLV (Collegamento -044_-376)
Azioni sul collegamento: N=-9000.10 Ty=11.60 Tz=17.98 Mx=0.01 Mz=9.43
Sollecitazioni agenti localmente: Tx_l=11.60 Ty_l=17.98 N_l=-9000.10 My_l=-9.43 Mz_l=0.01
Azioni sul cordone: TP=0.85 TO=1.33 NO=-665.29
Tensioni nel cordone: τ_P=0.27 τ_0=0.42 σ_0=225.24 σ_{ID}=225.24 Σ_T=225.67
CC 13 SLV (Collegamento -044_-376)
Azioni sul collegamento: N=-9000.10 Ty=11.14 Tz=17.98 Mx=0.01 Mz=11.32
Sollecitazioni agenti localmente: Tx_l=11.14 Ty_l=17.98 N_l=-9000.10 My_l=-11.32 Mz_l=0.01
Azioni sul cordone: TP=0.82 TO=1.33 NO=-665.29
Tensioni nel cordone: τ_P=0.26 τ_0=0.42 σ_0=228.00 σ_{ID}=228.00 Σ_T=228.42
CC 13 SLV (Collegamento -044_-376)
Azioni sul collegamento: N=-11335.10 Ty=11.60 Tz=10.38 Mx=0.01 Mz=9.43
Sollecitazioni agenti localmente: Tx_l=11.60 Ty_l=10.38 N_l=-11335.10 My_l=-9.43 Mz_l=0.01
Azioni sul cordone: TP=0.85 TO=0.77 NO=-837.90
Tensioni nel cordone: τ_P=0.27 τ_0=0.25 σ_0=280.11 σ_{ID}=280.11 Σ_T=280.35
CC 13 SLV (Collegamento -044_-376)
Azioni sul collegamento: N=-11335.10 Ty=11.14 Tz=10.38 Mx=0.01 Mz=11.32
Sollecitazioni agenti localmente: Tx_l=11.14 Ty_l=10.38 N_l=-11335.10 My_l=-11.32 Mz_l=0.01
Azioni sul cordone: TP=0.82 TO=0.77 NO=-837.90
Tensioni nel cordone: τ_P=0.26 τ_0=0.25 σ_0=282.86 σ_{ID}=282.86 Σ_T=283.10
CC 13 SLV (Collegamento -044_-376)
Azioni sul collegamento: N=-11335.10 Ty=11.60 Tz=17.98 Mx=0.01 Mz=9.43
Sollecitazioni agenti localmente: Tx_l=11.60 Ty_l=17.98 N_l=-11335.10 My_l=-9.43 Mz_l=0.01
Azioni sul cordone: TP=0.85 TO=1.33 NO=-837.90
Tensioni nel cordone: τ_P=0.27 τ_0=0.42 σ_0=280.11 σ_{ID}=280.11 Σ_T=280.53
CC 13 SLV (Collegamento -044_-376)
Azioni sul collegamento: N=-11335.10 Ty=11.14 Tz=17.98 Mx=0.01 Mz=11.32
Sollecitazioni agenti localmente: Tx_l=11.14 Ty_l=17.98 N_l=-11335.10 My_l=-11.32 Mz_l=0.01
Azioni sul cordone: TP=0.82 TO=1.33 NO=-837.90
Tensioni nel cordone: τ_P=0.26 τ_0=0.42 σ_0=282.86 σ_{ID}=282.86 Σ_T=283.28
CC 14 SLD (Collegamento -044_-376)
Azioni sul collegamento: N=-9714.02 Ty=10.51 Tz=12.64 Mx=0.00 Mz=7.95
Sollecitazioni agenti localmente: Tx_l=10.51 Ty_l=12.64 N_l=-9714.02 My_l=-7.95 Mz_l=0.00
Azioni sul cordone: TP=0.77 TO=0.94 NO=-718.06
Tensioni nel cordone: τ_P=0.25 τ_0=0.30 σ_0=239.85 σ_{ID}=239.85 Σ_T=240.15
CC 14 SLD (Collegamento -044_-376)
Azioni sul collegamento: N=-9714.02 Ty=10.37 Tz=12.64 Mx=0.00 Mz=8.52
Sollecitazioni agenti localmente: Tx_l=10.37 Ty_l=12.64 N_l=-9714.02 My_l=-8.52 Mz_l=0.00
Azioni sul cordone: TP=0.76 TO=0.94 NO=-718.06
Tensioni nel cordone: τ_P=0.24 τ_0=0.30 σ_0=240.69 σ_{ID}=240.69 Σ_T=240.99
CC 14 SLD (Collegamento -044_-376)
Azioni sul collegamento: N=-9714.02 Ty=10.51 Tz=14.95 Mx=0.00 Mz=7.95
Sollecitazioni agenti localmente: Tx_l=10.51 Ty_l=14.95 N_l=-9714.02 My_l=-7.95 Mz_l=0.00
Azioni sul cordone: TP=0.77 TO=1.11 NO=-718.06
Tensioni nel cordone: τ_P=0.25 τ_0=0.35 σ_0=239.85 σ_{ID}=239.85 Σ_T=240.20
CC 14 SLD (Collegamento -044_-376)
Azioni sul collegamento: N=-9714.02 Ty=10.37 Tz=14.95 Mx=0.00 Mz=8.52
Sollecitazioni agenti localmente: Tx_l=10.37 Ty_l=14.95 N_l=-9714.02 My_l=-8.52 Mz_l=0.00
Azioni sul cordone: TP=0.76 TO=1.11 NO=-718.06
Tensioni nel cordone: τ_P=0.24 τ_0=0.35 σ_0=240.69 σ_{ID}=240.69 Σ_T=241.04
CC 14 SLD (Collegamento -044_-376)
Azioni sul collegamento: N=-10426.00 Ty=10.51 Tz=12.64 Mx=0.00 Mz=7.95
Sollecitazioni agenti localmente: Tx_l=10.51 Ty_l=12.64 N_l=-10426.00 My_l=-7.95 Mz_l=0.00
Azioni sul cordone: TP=0.77 TO=0.94 NO=-770.70
Tensioni nel cordone: τ_P=0.25 τ_0=0.30 σ_0=256.58 σ_{ID}=256.58 Σ_T=256.88
CC 14 SLD (Collegamento -044_-376)
Azioni sul collegamento: N=-10426.00 Ty=10.37 Tz=12.64 Mx=0.00 Mz=8.52
Sollecitazioni agenti localmente: Tx_l=10.37 Ty_l=12.64 N_l=-10426.00 My_l=-8.52 Mz_l=0.00
Azioni sul cordone: TP=0.76 TO=0.94 NO=-770.70
Tensioni nel cordone: τ_P=0.24 τ_0=0.30 σ_0=257.42 σ_{ID}=257.42 Σ_T=257.72
CC 14 SLD (Collegamento -044_-376)
Azioni sul collegamento: N=-10426.00 Ty=10.51 Tz=14.95 Mx=0.00 Mz=7.95
Sollecitazioni agenti localmente: Tx_l=10.51 Ty_l=14.95 N_l=-10426.00 My_l=-7.95 Mz_l=0.00

Azioni sul cordone: TP=0.77 TO=1.11 NO=-770.70
Tensioni nel cordone: τ_P=0.25 τ_0=0.35 σ_0=256.58 σ_{ID}=256.58 Σ_T=256.93
CC 14 SLD (Collegamento -044_-376)
Azioni sul collegamento: N=-10426.00 Ty=10.37 Tz=14.95 Mx=0.00 Mz=8.52
Sollecitazioni agenti localmente: Tx_l=10.37 Ty_l=14.95 N_l=-10426.00 My_l=-8.52 Mz_l=0.00
Azioni sul cordone: TP=0.76 TO=1.11 NO=-770.70
Tensioni nel cordone: τ_P=0.24 τ_0=0.35 σ_0=257.42 σ_{ID}=257.42 Σ_T=257.77
CC 15 SLV (Collegamento -044_-376)
Azioni sul collegamento: N=-11351.40 Ty=9.43 Tz=19.07 Mx=0.01 Mz=7.83
Sollecitazioni agenti localmente: Tx_l=9.43 Ty_l=19.07 N_l=-11351.40 My_l=-7.83 Mz_l=0.01
Azioni sul cordone: TP=0.69 TO=1.42 NO=-839.10
Tensioni nel cordone: τ_P=0.22 τ_0=0.45 σ_0=278.14 σ_{ID}=278.14 Σ_T=278.59
CC 15 SLV (Collegamento -044_-376)
Azioni sul collegamento: N=-11351.40 Ty=13.31 Tz=19.07 Mx=0.01 Mz=12.92
Sollecitazioni agenti localmente: Tx_l=13.31 Ty_l=19.07 N_l=-11351.40 My_l=-12.92 Mz_l=0.01
Azioni sul cordone: TP=0.98 TO=1.42 NO=-839.10
Tensioni nel cordone: τ_P=0.31 τ_0=0.45 σ_0=285.59 σ_{ID}=285.59 Σ_T=286.04
CC 15 SLV (Collegamento -044_-376)
Azioni sul collegamento: N=-11351.40 Ty=9.43 Tz=9.29 Mx=0.01 Mz=7.83
Sollecitazioni agenti localmente: Tx_l=9.43 Ty_l=9.29 N_l=-11351.40 My_l=-7.83 Mz_l=0.01
Azioni sul cordone: TP=0.69 TO=0.69 NO=-839.10
Tensioni nel cordone: τ_P=0.22 τ_0=0.22 σ_0=278.14 σ_{ID}=278.14 Σ_T=278.36
CC 15 SLV (Collegamento -044_-376)
Azioni sul collegamento: N=-11351.40 Ty=13.31 Tz=9.29 Mx=0.01 Mz=12.92
Sollecitazioni agenti localmente: Tx_l=13.31 Ty_l=9.29 N_l=-11351.40 My_l=-12.92 Mz_l=0.01
Azioni sul cordone: TP=0.98 TO=0.69 NO=-839.10
Tensioni nel cordone: τ_P=0.31 τ_0=0.22 σ_0=285.59 σ_{ID}=285.59 Σ_T=285.81
CC 15 SLV (Collegamento -044_-376)
Azioni sul collegamento: N=-8983.82 Ty=9.43 Tz=19.07 Mx=0.01 Mz=7.83
Sollecitazioni agenti localmente: Tx_l=9.43 Ty_l=19.07 N_l=-8983.82 My_l=-7.83 Mz_l=0.01
Azioni sul cordone: TP=0.69 TO=1.42 NO=-664.09
Tensioni nel cordone: τ_P=0.22 τ_0=0.45 σ_0=222.51 σ_{ID}=222.51 Σ_T=222.96
CC 15 SLV (Collegamento -044_-376)
Azioni sul collegamento: N=-8983.82 Ty=13.31 Tz=19.07 Mx=0.01 Mz=12.92
Sollecitazioni agenti localmente: Tx_l=13.31 Ty_l=19.07 N_l=-8983.82 My_l=-12.92 Mz_l=0.01
Azioni sul cordone: TP=0.98 TO=1.42 NO=-664.09
Tensioni nel cordone: τ_P=0.31 τ_0=0.45 σ_0=229.96 σ_{ID}=229.96 Σ_T=230.41
CC 15 SLV (Collegamento -044_-376)
Azioni sul collegamento: N=-8983.82 Ty=9.43 Tz=9.29 Mx=0.01 Mz=7.83
Sollecitazioni agenti localmente: Tx_l=9.43 Ty_l=9.29 N_l=-8983.82 My_l=-7.83 Mz_l=0.01
Azioni sul cordone: TP=0.69 TO=0.69 NO=-664.09
Tensioni nel cordone: τ_P=0.22 τ_0=0.22 σ_0=222.51 σ_{ID}=222.51 Σ_T=222.73
CC 15 SLV (Collegamento -044_-376)
Azioni sul collegamento: N=-8983.82 Ty=13.31 Tz=9.29 Mx=0.01 Mz=12.92
Sollecitazioni agenti localmente: Tx_l=13.31 Ty_l=9.29 N_l=-8983.82 My_l=-12.92 Mz_l=0.01
Azioni sul cordone: TP=0.98 TO=0.69 NO=-664.09
Tensioni nel cordone: τ_P=0.31 τ_0=0.22 σ_0=229.96 σ_{ID}=229.96 Σ_T=230.18
CC 16 SLD (Collegamento -044_-376)
Azioni sul collegamento: N=-10431.00 Ty=9.85 Tz=15.29 Mx=0.00 Mz=7.46
Sollecitazioni agenti localmente: Tx_l=9.85 Ty_l=15.29 N_l=-10431.00 My_l=-7.46 Mz_l=0.00
Azioni sul cordone: TP=0.72 TO=1.13 NO=-771.06
Tensioni nel cordone: τ_P=0.23 τ_0=0.36 σ_0=255.98 σ_{ID}=255.98 Σ_T=256.34
CC 16 SLD (Collegamento -044_-376)
Azioni sul collegamento: N=-10431.00 Ty=11.04 Tz=15.29 Mx=0.00 Mz=9.01
Sollecitazioni agenti localmente: Tx_l=11.04 Ty_l=15.29 N_l=-10431.00 My_l=-9.01 Mz_l=0.00
Azioni sul cordone: TP=0.81 TO=1.13 NO=-771.06
Tensioni nel cordone: τ_P=0.26 τ_0=0.36 σ_0=258.25 σ_{ID}=258.25 Σ_T=258.61
CC 16 SLD (Collegamento -044_-376)
Azioni sul collegamento: N=-10431.00 Ty=9.85 Tz=12.31 Mx=0.00 Mz=7.46
Sollecitazioni agenti localmente: Tx_l=9.85 Ty_l=12.31 N_l=-10431.00 My_l=-7.46 Mz_l=0.00
Azioni sul cordone: TP=0.72 TO=0.91 NO=-771.06
Tensioni nel cordone: τ_P=0.23 τ_0=0.29 σ_0=255.98 σ_{ID}=255.98 Σ_T=256.27
CC 16 SLD (Collegamento -044_-376)
Azioni sul collegamento: N=-10431.00 Ty=11.04 Tz=12.31 Mx=0.00 Mz=9.01
Sollecitazioni agenti localmente: Tx_l=11.04 Ty_l=12.31 N_l=-10431.00 My_l=-9.01 Mz_l=0.00
Azioni sul cordone: TP=0.81 TO=0.91 NO=-771.06
Tensioni nel cordone: τ_P=0.26 τ_0=0.29 σ_0=258.25 σ_{ID}=258.25 Σ_T=258.54
CC 16 SLD (Collegamento -044_-376)
Azioni sul collegamento: N=-9709.06 Ty=9.85 Tz=15.29 Mx=0.00 Mz=7.46
Sollecitazioni agenti localmente: Tx_l=9.85 Ty_l=15.29 N_l=-9709.06 My_l=-7.46 Mz_l=0.00
Azioni sul cordone: TP=0.72 TO=1.13 NO=-717.70
Tensioni nel cordone: τ_P=0.23 τ_0=0.36 σ_0=239.02 σ_{ID}=239.02 Σ_T=239.38
CC 16 SLD (Collegamento -044_-376)
Azioni sul collegamento: N=-9709.06 Ty=11.04 Tz=15.29 Mx=0.00 Mz=9.01
Sollecitazioni agenti localmente: Tx_l=11.04 Ty_l=15.29 N_l=-9709.06 My_l=-9.01 Mz_l=0.00
Azioni sul cordone: TP=0.81 TO=1.13 NO=-717.70
Tensioni nel cordone: τ_P=0.26 τ_0=0.36 σ_0=241.29 σ_{ID}=241.29 Σ_T=241.65
CC 16 SLD (Collegamento -044_-376)
Azioni sul collegamento: N=-9709.06 Ty=9.85 Tz=12.31 Mx=0.00 Mz=7.46
Sollecitazioni agenti localmente: Tx_l=9.85 Ty_l=12.31 N_l=-9709.06 My_l=-7.46 Mz_l=0.00
Azioni sul cordone: TP=0.72 TO=0.91 NO=-717.70

Tensioni nel cordone: τ_P=0.23 τ_0=0.29 σ_0=239.02 σ_{ID}=239.02 Σ_T=239.31
CC 16 SLD (Collegamento -044_-376)
Azioni sul collegamento: N=-9709.06 Ty=11.04 Tz=12.31 Mx=0.00 Mz=9.01
Sollecitazioni agenti localmente: Tx_l=11.04 Ty_l=12.31 N_l=-9709.06 My_l=-9.01 Mz_l=0.00
Azioni sul cordone: TP=0.81 TO=0.91 NO=-717.70
Tensioni nel cordone: τ_P=0.26 τ_0=0.29 σ_0=241.29 σ_{ID}=241.29 Σ_T=241.58
CC 17 SLV (Collegamento -044_-376)
Azioni sul collegamento: N=-5965.51 Ty=12.58 Tz=-1.56 Mx=-0.01 Mz=7.43
Sollecitazioni agenti localmente: Tx_l=12.58 Ty_l=-1.56 N_l=-5965.51 My_l=-7.43 Mz_l=-0.01
Azioni sul cordone: TP=0.94 TO=-0.13 NO=-440.97
Tensioni nel cordone: τ_P=0.30 τ_0= 0.04 σ_0=151.01 σ_{ID}=151.01 Σ_T=151.05
CC 17 SLV (Collegamento -044_-376)
Azioni sul collegamento: N=-5965.51 Ty=4.83 Tz=-1.56 Mx=-0.01 Mz=1.02
Sollecitazioni agenti localmente: Tx_l=4.83 Ty_l=-1.56 N_l=-5965.51 My_l=-1.02 Mz_l=-0.01
Azioni sul cordone: TP=0.37 TO=-0.13 NO=-440.97
Tensioni nel cordone: τ_P=0.12 τ_0= 0.04 σ_0=141.65 σ_{ID}=141.65 Σ_T=141.69
CC 17 SLV (Collegamento -044_-376)
Azioni sul collegamento: N=-5965.51 Ty=12.58 Tz=27.71 Mx=-0.01 Mz=7.43
Sollecitazioni agenti localmente: Tx_l=12.58 Ty_l=27.71 N_l=-5965.51 My_l=-7.43 Mz_l=-0.01
Azioni sul cordone: TP=0.94 TO=2.04 NO=-440.97
Tensioni nel cordone: τ_P=0.30 τ_0=0.65 σ_0=151.01 σ_{ID}=151.01 Σ_T=151.66
CC 17 SLV (Collegamento -044_-376)
Azioni sul collegamento: N=-5965.51 Ty=4.83 Tz=27.71 Mx=-0.01 Mz=1.02
Sollecitazioni agenti localmente: Tx_l=4.83 Ty_l=27.71 N_l=-5965.51 My_l=-1.02 Mz_l=-0.01
Azioni sul cordone: TP=0.37 TO=2.04 NO=-440.97
Tensioni nel cordone: τ_P=0.12 τ_0=0.65 σ_0=141.65 σ_{ID}=141.65 Σ_T=142.30
CC 17 SLV (Collegamento -044_-376)
Azioni sul collegamento: N=-13808.10 Ty=12.58 Tz=-1.56 Mx=-0.01 Mz=7.43
Sollecitazioni agenti localmente: Tx_l=12.58 Ty_l=-1.56 N_l=-13808.10 My_l=-7.43 Mz_l=-0.01
Azioni sul cordone: TP=0.94 TO=-0.13 NO=-1020.70
Tensioni nel cordone: τ_P=0.30 τ_0= 0.04 σ_0=335.28 σ_{ID}=335.28 Σ_T=335.32
CC 17 SLV (Collegamento -044_-376)
Azioni sul collegamento: N=-13808.10 Ty=4.83 Tz=-1.56 Mx=-0.01 Mz=1.02
Sollecitazioni agenti localmente: Tx_l=4.83 Ty_l=-1.56 N_l=-13808.10 My_l=-1.02 Mz_l=-0.01
Azioni sul cordone: TP=0.37 TO=-0.13 NO=-1020.70
Tensioni nel cordone: τ_P=0.12 τ_0= 0.04 σ_0=325.92 σ_{ID}=325.92 Σ_T=325.96
CC 17 SLV (Collegamento -044_-376)
Azioni sul collegamento: N=-13808.10 Ty=12.58 Tz=27.71 Mx=-0.01 Mz=7.43
Sollecitazioni agenti localmente: Tx_l=12.58 Ty_l=27.71 N_l=-13808.10 My_l=-7.43 Mz_l=-0.01
Azioni sul cordone: TP=0.94 TO=2.04 NO=-1020.70
Tensioni nel cordone: τ_P=0.30 τ_0=0.65 σ_0=335.28 σ_{ID}=335.28 Σ_T=335.93
CC 17 SLV (Collegamento -044_-376)
Azioni sul collegamento: N=-13808.10 Ty=4.83 Tz=27.71 Mx=-0.01 Mz=1.02
Sollecitazioni agenti localmente: Tx_l=4.83 Ty_l=27.71 N_l=-13808.10 My_l=-1.02 Mz_l=-0.01
Azioni sul cordone: TP=0.37 TO=2.04 NO=-1020.70
Tensioni nel cordone: τ_P=0.12 τ_0=0.65 σ_0=325.92 σ_{ID}=325.92 Σ_T=326.57
CC 18 SLD (Collegamento -044_-376)
Azioni sul collegamento: N=-8788.68 Ty=10.81 Tz=9.00 Mx=-0.00 Mz=7.34
Sollecitazioni agenti localmente: Tx_l=10.81 Ty_l=9.00 N_l=-8788.68 My_l=-7.34 Mz_l=-0.00
Azioni sul cordone: TP=0.80 TO=0.66 NO=-649.66
Tensioni nel cordone: τ_P=0.25 τ_0=0.21 σ_0=217.21 σ_{ID}=217.21 Σ_T=217.42
CC 18 SLD (Collegamento -044_-376)
Azioni sul collegamento: N=-8788.68 Ty=8.45 Tz=9.00 Mx=-0.00 Mz=5.38
Sollecitazioni agenti localmente: Tx_l=8.45 Ty_l=9.00 N_l=-8788.68 My_l=-5.38 Mz_l=-0.00
Azioni sul cordone: TP=0.63 TO=0.66 NO=-649.66
Tensioni nel cordone: τ_P=0.20 τ_0=0.21 σ_0=214.36 σ_{ID}=214.36 Σ_T=214.57
CC 18 SLD (Collegamento -044_-376)
Azioni sul collegamento: N=-8788.68 Ty=10.81 Tz=17.92 Mx=-0.00 Mz=7.34
Sollecitazioni agenti localmente: Tx_l=10.81 Ty_l=17.92 N_l=-8788.68 My_l=-7.34 Mz_l=-0.00
Azioni sul cordone: TP=0.80 TO=1.32 NO=-649.66
Tensioni nel cordone: τ_P=0.25 τ_0=0.42 σ_0=217.21 σ_{ID}=217.21 Σ_T=217.63
CC 18 SLD (Collegamento -044_-376)
Azioni sul collegamento: N=-8788.68 Ty=8.45 Tz=17.92 Mx=-0.00 Mz=5.38
Sollecitazioni agenti localmente: Tx_l=8.45 Ty_l=17.92 N_l=-8788.68 My_l=-5.38 Mz_l=-0.00
Azioni sul cordone: TP=0.63 TO=1.32 NO=-649.66
Tensioni nel cordone: τ_P=0.20 τ_0=0.42 σ_0=214.36 σ_{ID}=214.36 Σ_T=214.78
CC 18 SLD (Collegamento -044_-376)
Azioni sul collegamento: N=-11180.10 Ty=10.81 Tz=9.00 Mx=-0.00 Mz=7.34
Sollecitazioni agenti localmente: Tx_l=10.81 Ty_l=9.00 N_l=-11180.10 My_l=-7.34 Mz_l=-0.00
Azioni sul cordone: TP=0.80 TO=0.66 NO=-826.44
Tensioni nel cordone: τ_P=0.25 τ_0=0.21 σ_0=273.40 σ_{ID}=273.40 Σ_T=273.61
CC 18 SLD (Collegamento -044_-376)
Azioni sul collegamento: N=-11180.10 Ty=8.45 Tz=9.00 Mx=-0.00 Mz=5.38
Sollecitazioni agenti localmente: Tx_l=8.45 Ty_l=9.00 N_l=-11180.10 My_l=-5.38 Mz_l=-0.00
Azioni sul cordone: TP=0.63 TO=0.66 NO=-826.44
Tensioni nel cordone: τ_P=0.20 τ_0=0.21 σ_0=270.55 σ_{ID}=270.55 Σ_T=270.76
CC 18 SLD (Collegamento -044_-376)
Azioni sul collegamento: N=-11180.10 Ty=10.81 Tz=17.92 Mx=-0.00 Mz=7.34
Sollecitazioni agenti localmente: Tx_l=10.81 Ty_l=17.92 N_l=-11180.10 My_l=-7.34 Mz_l=-0.00
Azioni sul cordone: TP=0.80 TO=1.32 NO=-826.44
Tensioni nel cordone: τ_P=0.25 τ_0=0.42 σ_0=273.40 σ_{ID}=273.40 Σ_T=273.82

CC 18 SLD (Collegamento -044_-376)
Azioni sul collegamento: N=-11180.10 Ty=8.45 Tz=17.92 Mx=-0.00 Mz=5.38
Sollecitazioni agenti localmente: Tx_l=8.45 Ty_l=17.92 N_l=-11180.10 My_l=-5.38 Mz_l=-0.00
Azioni sul cordone: TP=0.63 TO=1.32 NO=-826.44
Tensioni nel cordone: τ_P=0.20 τ_0=0.42 σ_0=270.55 σ_{ID}=270.55 Σ_T=270.97
CC 19 SLV (Collegamento -044_-376)
Azioni sul collegamento: N=-5970.39 Ty=12.07 Tz=-1.24 Mx=-0.01 Mz=6.38
Sollecitazioni agenti localmente: Tx_l=12.07 Ty_l=-1.24 N_l=-5970.39 My_l=-6.38 Mz_l=-0.01
Azioni sul cordone: TP=0.90 TO=-0.10 NO=-441.33
Tensioni nel cordone: τ_P=0.29 τ_0= 0.03 σ_0=149.59 σ_{ID}=149.59 Σ_T=149.63
CC 19 SLV (Collegamento -044_-376)
Azioni sul collegamento: N=-5970.39 Ty=5.34 Tz=-1.24 Mx=-0.01 Mz=2.07
Sollecitazioni agenti localmente: Tx_l=5.34 Ty_l=-1.24 N_l=-5970.39 My_l=-2.07 Mz_l=-0.01
Azioni sul cordone: TP=0.40 TO=-0.10 NO=-441.33
Tensioni nel cordone: τ_P=0.13 τ_0= 0.03 σ_0=143.30 σ_{ID}=143.30 Σ_T=143.33
CC 19 SLV (Collegamento -044_-376)
Azioni sul collegamento: N=-5970.39 Ty=12.07 Tz=27.38 Mx=-0.01 Mz=6.38
Sollecitazioni agenti localmente: Tx_l=12.07 Ty_l=27.38 N_l=-5970.39 My_l=-6.38 Mz_l=-0.01
Azioni sul cordone: TP=0.90 TO=2.02 NO=-441.33
Tensioni nel cordone: τ_P=0.29 τ_0=0.64 σ_0=149.59 σ_{ID}=149.60 Σ_T=150.24
CC 19 SLV (Collegamento -044_-376)
Azioni sul collegamento: N=-5970.39 Ty=5.34 Tz=27.38 Mx=-0.01 Mz=2.07
Sollecitazioni agenti localmente: Tx_l=5.34 Ty_l=27.38 N_l=-5970.39 My_l=-2.07 Mz_l=-0.01
Azioni sul cordone: TP=0.40 TO=2.02 NO=-441.33
Tensioni nel cordone: τ_P=0.13 τ_0=0.64 σ_0=143.30 σ_{ID}=143.30 Σ_T=143.94
CC 19 SLV (Collegamento -044_-376)
Azioni sul collegamento: N=-13803.30 Ty=12.07 Tz=-1.24 Mx=-0.01 Mz=6.38
Sollecitazioni agenti localmente: Tx_l=12.07 Ty_l=-1.24 N_l=-13803.30 My_l=-6.38 Mz_l=-0.01
Azioni sul cordone: TP=0.90 TO=-0.10 NO=-1020.34
Tensioni nel cordone: τ_P=0.29 τ_0= 0.03 σ_0=333.63 σ_{ID}=333.63 Σ_T=333.66
CC 19 SLV (Collegamento -044_-376)
Azioni sul collegamento: N=-13803.30 Ty=5.34 Tz=-1.24 Mx=-0.01 Mz=2.07
Sollecitazioni agenti localmente: Tx_l=5.34 Ty_l=-1.24 N_l=-13803.30 My_l=-2.07 Mz_l=-0.01
Azioni sul cordone: TP=0.40 TO=-0.10 NO=-1020.34
Tensioni nel cordone: τ_P=0.13 τ_0= 0.03 σ_0=327.33 σ_{ID}=327.33 Σ_T=327.36
CC 19 SLV (Collegamento -044_-376)
Azioni sul collegamento: N=-13803.30 Ty=12.07 Tz=27.38 Mx=-0.01 Mz=6.38
Sollecitazioni agenti localmente: Tx_l=12.07 Ty_l=27.38 N_l=-13803.30 My_l=-6.38 Mz_l=-0.01
Azioni sul cordone: TP=0.90 TO=2.02 NO=-1020.34
Tensioni nel cordone: τ_P=0.29 τ_0=0.64 σ_0=333.63 σ_{ID}=333.63 Σ_T=334.27
CC 19 SLV (Collegamento -044_-376)
Azioni sul collegamento: N=-13803.30 Ty=5.34 Tz=27.38 Mx=-0.01 Mz=2.07
Sollecitazioni agenti localmente: Tx_l=5.34 Ty_l=27.38 N_l=-13803.30 My_l=-2.07 Mz_l=-0.01
Azioni sul cordone: TP=0.40 TO=2.02 NO=-1020.34
Tensioni nel cordone: τ_P=0.13 τ_0=0.64 σ_0=327.33 σ_{ID}=327.33 Σ_T=327.98
CC 20 SLD (Collegamento -044_-376)
Azioni sul collegamento: N=-8790.17 Ty=10.66 Tz=9.09 Mx=-0.00 Mz=7.02
Sollecitazioni agenti localmente: Tx_l=10.66 Ty_l=9.09 N_l=-8790.17 My_l=-7.02 Mz_l=-0.00
Azioni sul cordone: TP=0.79 TO=0.67 NO=-649.77
Tensioni nel cordone: τ_P=0.25 τ_0=0.21 σ_0=216.78 σ_{ID}=216.78 Σ_T=217.00
CC 20 SLD (Collegamento -044_-376)
Azioni sul collegamento: N=-8790.17 Ty=8.61 Tz=9.09 Mx=-0.00 Mz=5.70
Sollecitazioni agenti localmente: Tx_l=8.61 Ty_l=9.09 N_l=-8790.17 My_l=-5.70 Mz_l=-0.00
Azioni sul cordone: TP=0.64 TO=0.67 NO=-649.77
Tensioni nel cordone: τ_P=0.20 τ_0=0.21 σ_0=214.86 σ_{ID}=214.86 Σ_T=215.07
CC 20 SLD (Collegamento -044_-376)
Azioni sul collegamento: N=-8790.17 Ty=10.66 Tz=17.82 Mx=-0.00 Mz=7.02
Sollecitazioni agenti localmente: Tx_l=10.66 Ty_l=17.82 N_l=-8790.17 My_l=-7.02 Mz_l=-0.00
Azioni sul cordone: TP=0.79 TO=1.32 NO=-649.77
Tensioni nel cordone: τ_P=0.25 τ_0=0.42 σ_0=216.78 σ_{ID}=216.78 Σ_T=217.20
CC 20 SLD (Collegamento -044_-376)
Azioni sul collegamento: N=-8790.17 Ty=8.61 Tz=17.82 Mx=-0.00 Mz=5.70
Sollecitazioni agenti localmente: Tx_l=8.61 Ty_l=17.82 N_l=-8790.17 My_l=-5.70 Mz_l=-0.00
Azioni sul cordone: TP=0.64 TO=1.32 NO=-649.77
Tensioni nel cordone: τ_P=0.20 τ_0=0.42 σ_0=214.86 σ_{ID}=214.86 Σ_T=215.28
CC 20 SLD (Collegamento -044_-376)
Azioni sul collegamento: N=-11178.70 Ty=10.66 Tz=9.10 Mx=-0.00 Mz=7.02
Sollecitazioni agenti localmente: Tx_l=10.66 Ty_l=9.10 N_l=-11178.70 My_l=-7.02 Mz_l=-0.00
Azioni sul cordone: TP=0.79 TO=0.67 NO=-826.33
Tensioni nel cordone: τ_P=0.25 τ_0=0.21 σ_0=272.90 σ_{ID}=272.90 Σ_T=273.11
CC 20 SLD (Collegamento -044_-376)
Azioni sul collegamento: N=-11178.70 Ty=8.61 Tz=9.10 Mx=-0.00 Mz=5.70
Sollecitazioni agenti localmente: Tx_l=8.61 Ty_l=9.10 N_l=-11178.70 My_l=-5.70 Mz_l=-0.00
Azioni sul cordone: TP=0.64 TO=0.67 NO=-826.33
Tensioni nel cordone: τ_P=0.20 τ_0=0.21 σ_0=270.98 σ_{ID}=270.98 Σ_T=271.19
CC 20 SLD (Collegamento -044_-376)
Azioni sul collegamento: N=-11178.70 Ty=10.66 Tz=17.82 Mx=-0.00 Mz=7.02
Sollecitazioni agenti localmente: Tx_l=10.66 Ty_l=17.82 N_l=-11178.70 My_l=-7.02 Mz_l=-0.00
Azioni sul cordone: TP=0.79 TO=1.32 NO=-826.33
Tensioni nel cordone: τ_P=0.25 τ_0=0.42 σ_0=272.90 σ_{ID}=272.90 Σ_T=273.32
CC 20 SLD (Collegamento -044_-376)

Azioni sul collegamento: N=-11178.70 Ty=8.61 Tz=17.82 Mx=-0.00 Mz=5.70
Sollecitazioni agenti localmente: Tx_l=8.61 Ty_l=17.82 N_l=-11178.70 My_l=-5.70 Mz_l=-0.00
Azioni sul cordone: TP=0.64 TO=1.32 NO=-826.33
Tensioni nel cordone: τ_P=0.20 τ_0=0.42 σ_0=270.98 σ_{ID}=270.98 Σ_T=271.40
CC 21 SLV (Collegamento -044_-376)
Azioni sul collegamento: N=-13803.30 Ty=5.34 Tz=27.38 Mx=-0.01 Mz=2.07
Sollecitazioni agenti localmente: Tx_l=5.34 Ty_l=27.38 N_l=-13803.30 My_l=-2.07 Mz_l=-0.01
Azioni sul cordone: TP=0.41 TO=2.01 NO=-1020.34
Tensioni nel cordone: τ_P=0.13 τ_0=0.64 σ_0=327.33 σ_{ID}=327.33 Σ_T=327.97
CC 21 SLV (Collegamento -044_-376)
Azioni sul collegamento: N=-13803.30 Ty=12.07 Tz=27.38 Mx=-0.01 Mz=6.38
Sollecitazioni agenti localmente: Tx_l=12.07 Ty_l=27.38 N_l=-13803.30 My_l=-6.38 Mz_l=-0.01
Azioni sul cordone: TP=0.91 TO=2.01 NO=-1020.34
Tensioni nel cordone: τ_P=0.29 τ_0=0.64 σ_0=333.63 σ_{ID}=333.63 Σ_T=334.27
CC 21 SLV (Collegamento -044_-376)
Azioni sul collegamento: N=-13803.30 Ty=5.34 Tz=-1.24 Mx=-0.01 Mz=2.07
Sollecitazioni agenti localmente: Tx_l=5.34 Ty_l=-1.24 N_l=-13803.30 My_l=-2.07 Mz_l=-0.01
Azioni sul cordone: TP=0.41 TO=-0.10 NO=-1020.34
Tensioni nel cordone: τ_P=0.13 τ_0= 0.03 σ_0=327.33 σ_{ID}=327.33 Σ_T=327.37
CC 21 SLV (Collegamento -044_-376)
Azioni sul collegamento: N=-13803.30 Ty=12.07 Tz=-1.24 Mx=-0.01 Mz=6.38
Sollecitazioni agenti localmente: Tx_l=12.07 Ty_l=-1.24 N_l=-13803.30 My_l=-6.38 Mz_l=-0.01
Azioni sul cordone: TP=0.91 TO=-0.10 NO=-1020.34
Tensioni nel cordone: τ_P=0.29 τ_0= 0.03 σ_0=333.63 σ_{ID}=333.63 Σ_T=333.66
CC 21 SLV (Collegamento -044_-376)
Azioni sul collegamento: N=-5970.39 Ty=5.34 Tz=27.38 Mx=-0.01 Mz=2.07
Sollecitazioni agenti localmente: Tx_l=5.34 Ty_l=27.38 N_l=-5970.39 My_l=-2.07 Mz_l=-0.01
Azioni sul cordone: TP=0.41 TO=2.01 NO=-441.33
Tensioni nel cordone: τ_P=0.13 τ_0=0.64 σ_0=143.30 σ_{ID}=143.30 Σ_T=143.94
CC 21 SLV (Collegamento -044_-376)
Azioni sul collegamento: N=-5970.39 Ty=12.07 Tz=27.38 Mx=-0.01 Mz=6.38
Sollecitazioni agenti localmente: Tx_l=12.07 Ty_l=27.38 N_l=-5970.39 My_l=-6.38 Mz_l=-0.01
Azioni sul cordone: TP=0.91 TO=2.01 NO=-441.33
Tensioni nel cordone: τ_P=0.29 τ_0=0.64 σ_0=149.59 σ_{ID}=149.60 Σ_T=150.24
CC 21 SLV (Collegamento -044_-376)
Azioni sul collegamento: N=-5970.39 Ty=5.34 Tz=-1.24 Mx=-0.01 Mz=2.07
Sollecitazioni agenti localmente: Tx_l=5.34 Ty_l=-1.24 N_l=-5970.39 My_l=-2.07 Mz_l=-0.01
Azioni sul cordone: TP=0.41 TO=-0.10 NO=-441.33
Tensioni nel cordone: τ_P=0.13 τ_0= 0.03 σ_0=143.30 σ_{ID}=143.30 Σ_T=143.33
CC 21 SLV (Collegamento -044_-376)
Azioni sul collegamento: N=-5970.39 Ty=12.07 Tz=-1.24 Mx=-0.01 Mz=6.38
Sollecitazioni agenti localmente: Tx_l=12.07 Ty_l=-1.24 N_l=-5970.39 My_l=-6.38 Mz_l=-0.01
Azioni sul cordone: TP=0.91 TO=-0.10 NO=-441.33
Tensioni nel cordone: τ_P=0.29 τ_0= 0.03 σ_0=149.59 σ_{ID}=149.59 Σ_T=149.63
CC 22 SLD (Collegamento -044_-376)
Azioni sul collegamento: N=-11178.70 Ty=8.61 Tz=17.82 Mx=-0.00 Mz=5.70
Sollecitazioni agenti localmente: Tx_l=8.61 Ty_l=17.82 N_l=-11178.70 My_l=-5.70 Mz_l=-0.00
Azioni sul cordone: TP=0.64 TO=1.32 NO=-826.33
Tensioni nel cordone: τ_P=0.20 τ_0=0.42 σ_0=270.98 σ_{ID}=270.98 Σ_T=271.40
CC 22 SLD (Collegamento -044_-376)
Azioni sul collegamento: N=-11178.70 Ty=10.66 Tz=17.82 Mx=-0.00 Mz=7.02
Sollecitazioni agenti localmente: Tx_l=10.66 Ty_l=17.82 N_l=-11178.70 My_l=-7.02 Mz_l=-0.00
Azioni sul cordone: TP=0.79 TO=1.32 NO=-826.33
Tensioni nel cordone: τ_P=0.25 τ_0=0.42 σ_0=272.90 σ_{ID}=272.90 Σ_T=273.32
CC 22 SLD (Collegamento -044_-376)
Azioni sul collegamento: N=-11178.70 Ty=8.61 Tz=9.10 Mx=-0.00 Mz=5.70
Sollecitazioni agenti localmente: Tx_l=8.61 Ty_l=9.10 N_l=-11178.70 My_l=-5.70 Mz_l=-0.00
Azioni sul cordone: TP=0.64 TO=0.67 NO=-826.33
Tensioni nel cordone: τ_P=0.20 τ_0=0.21 σ_0=270.98 σ_{ID}=270.98 Σ_T=271.19
CC 22 SLD (Collegamento -044_-376)
Azioni sul collegamento: N=-11178.70 Ty=10.66 Tz=9.10 Mx=-0.00 Mz=7.02
Sollecitazioni agenti localmente: Tx_l=10.66 Ty_l=9.10 N_l=-11178.70 My_l=-7.02 Mz_l=-0.00
Azioni sul cordone: TP=0.79 TO=0.67 NO=-826.33
Tensioni nel cordone: τ_P=0.25 τ_0=0.21 σ_0=272.90 σ_{ID}=272.90 Σ_T=273.11
CC 22 SLD (Collegamento -044_-376)
Azioni sul collegamento: N=-8790.17 Ty=8.61 Tz=17.82 Mx=-0.00 Mz=5.70
Sollecitazioni agenti localmente: Tx_l=8.61 Ty_l=17.82 N_l=-8790.17 My_l=-5.70 Mz_l=-0.00
Azioni sul cordone: TP=0.64 TO=1.32 NO=-649.77
Tensioni nel cordone: τ_P=0.20 τ_0=0.42 σ_0=214.86 σ_{ID}=214.86 Σ_T=215.28
CC 22 SLD (Collegamento -044_-376)
Azioni sul collegamento: N=-8790.17 Ty=10.66 Tz=17.82 Mx=-0.00 Mz=7.02
Sollecitazioni agenti localmente: Tx_l=10.66 Ty_l=17.82 N_l=-8790.17 My_l=-7.02 Mz_l=-0.00
Azioni sul cordone: TP=0.79 TO=1.32 NO=-649.77
Tensioni nel cordone: τ_P=0.25 τ_0=0.42 σ_0=216.78 σ_{ID}=216.78 Σ_T=217.20
CC 22 SLD (Collegamento -044_-376)
Azioni sul collegamento: N=-8790.17 Ty=8.61 Tz=9.09 Mx=-0.00 Mz=5.70
Sollecitazioni agenti localmente: Tx_l=8.61 Ty_l=9.09 N_l=-8790.17 My_l=-5.70 Mz_l=-0.00
Azioni sul cordone: TP=0.64 TO=0.67 NO=-649.77
Tensioni nel cordone: τ_P=0.20 τ_0=0.21 σ_0=214.86 σ_{ID}=214.86 Σ_T=215.07
CC 22 SLD (Collegamento -044_-376)
Azioni sul collegamento: N=-8790.17 Ty=10.66 Tz=9.09 Mx=-0.00 Mz=7.02

Sollecitazioni agenti localmente: Tx_l=10.66 Ty_l=9.09 N_l=-8790.17 My_l=-7.02 Mz_l=-0.00
Azioni sul cordone: TP=0.79 TO=0.67 NO=-649.77
Tensioni nel cordone: τ_P=0.25 τ_0=0.21 σ_0=216.78 σ_{ID}=216.78 Σ_T=217.00
CC 23 SLV (Collegamento -044_-376)
Azioni sul collegamento: N=-13808.10 Ty=4.83 Tz=27.71 Mx=-0.01 Mz=1.02
Sollecitazioni agenti localmente: Tx_l=4.83 Ty_l=27.71 N_l=-13808.10 My_l=-1.02 Mz_l=-0.01
Azioni sul cordone: TP=0.37 TO=2.04 NO=-1020.70
Tensioni nel cordone: τ_P=0.12 τ_0=0.65 σ_0=325.92 σ_{ID}=325.92 Σ_T=326.57
CC 23 SLV (Collegamento -044_-376)
Azioni sul collegamento: N=-13808.10 Ty=12.58 Tz=27.71 Mx=-0.01 Mz=7.43
Sollecitazioni agenti localmente: Tx_l=12.58 Ty_l=27.71 N_l=-13808.10 My_l=-7.43 Mz_l=-0.01
Azioni sul cordone: TP=0.94 TO=2.04 NO=-1020.70
Tensioni nel cordone: τ_P=0.30 τ_0=0.65 σ_0=335.28 σ_{ID}=335.28 Σ_T=335.93
CC 23 SLV (Collegamento -044_-376)
Azioni sul collegamento: N=-13808.10 Ty=4.83 Tz=-1.56 Mx=-0.01 Mz=1.02
Sollecitazioni agenti localmente: Tx_l=4.83 Ty_l=-1.56 N_l=-13808.10 My_l=-1.02 Mz_l=-0.01
Azioni sul cordone: TP=0.37 TO=-0.12 NO=-1020.70
Tensioni nel cordone: τ_P=0.12 τ_0= 0.04 σ_0=325.92 σ_{ID}=325.92 Σ_T=325.96
CC 23 SLV (Collegamento -044_-376)
Azioni sul collegamento: N=-13808.10 Ty=12.58 Tz=-1.56 Mx=-0.01 Mz=7.43
Sollecitazioni agenti localmente: Tx_l=12.58 Ty_l=-1.56 N_l=-13808.10 My_l=-7.43 Mz_l=-0.01
Azioni sul cordone: TP=0.94 TO=-0.12 NO=-1020.70
Tensioni nel cordone: τ_P=0.30 τ_0= 0.04 σ_0=335.28 σ_{ID}=335.28 Σ_T=335.31
CC 23 SLV (Collegamento -044_-376)
Azioni sul collegamento: N=-5965.51 Ty=4.83 Tz=27.71 Mx=-0.01 Mz=1.02
Sollecitazioni agenti localmente: Tx_l=4.83 Ty_l=27.71 N_l=-5965.51 My_l=-1.02 Mz_l=-0.01
Azioni sul cordone: TP=0.37 TO=2.04 NO=-440.97
Tensioni nel cordone: τ_P=0.12 τ_0=0.65 σ_0=141.65 σ_{ID}=141.65 Σ_T=142.30
CC 23 SLV (Collegamento -044_-376)
Azioni sul collegamento: N=-5965.51 Ty=12.58 Tz=27.71 Mx=-0.01 Mz=7.43
Sollecitazioni agenti localmente: Tx_l=12.58 Ty_l=27.71 N_l=-5965.51 My_l=-7.43 Mz_l=-0.01
Azioni sul cordone: TP=0.94 TO=2.04 NO=-440.97
Tensioni nel cordone: τ_P=0.30 τ_0=0.65 σ_0=151.01 σ_{ID}=151.01 Σ_T=151.66
CC 23 SLV (Collegamento -044_-376)
Azioni sul collegamento: N=-5965.51 Ty=4.83 Tz=-1.56 Mx=-0.01 Mz=1.02
Sollecitazioni agenti localmente: Tx_l=4.83 Ty_l=-1.56 N_l=-5965.51 My_l=-1.02 Mz_l=-0.01
Azioni sul cordone: TP=0.37 TO=-0.12 NO=-440.97
Tensioni nel cordone: τ_P=0.12 τ_0= 0.04 σ_0=141.65 σ_{ID}=141.65 Σ_T=141.69
CC 23 SLV (Collegamento -044_-376)
Azioni sul collegamento: N=-5965.51 Ty=12.58 Tz=-1.56 Mx=-0.01 Mz=7.43
Sollecitazioni agenti localmente: Tx_l=12.58 Ty_l=-1.56 N_l=-5965.51 My_l=-7.43 Mz_l=-0.01
Azioni sul cordone: TP=0.94 TO=-0.12 NO=-440.97
Tensioni nel cordone: τ_P=0.30 τ_0= 0.04 σ_0=151.01 σ_{ID}=151.01 Σ_T=151.05
CC 24 SLD (Collegamento -044_-376)
Azioni sul collegamento: N=-11180.10 Ty=8.45 Tz=17.92 Mx=-0.00 Mz=5.38
Sollecitazioni agenti localmente: Tx_l=8.45 Ty_l=17.92 N_l=-11180.10 My_l=-5.38 Mz_l=-0.00
Azioni sul cordone: TP=0.62 TO=1.32 NO=-826.44
Tensioni nel cordone: τ_P=0.20 τ_0=0.42 σ_0=270.55 σ_{ID}=270.55 Σ_T=270.97
CC 24 SLD (Collegamento -044_-376)
Azioni sul collegamento: N=-11180.10 Ty=10.81 Tz=17.92 Mx=-0.00 Mz=7.34
Sollecitazioni agenti localmente: Tx_l=10.81 Ty_l=17.92 N_l=-11180.10 My_l=-7.34 Mz_l=-0.00
Azioni sul cordone: TP=0.80 TO=1.32 NO=-826.44
Tensioni nel cordone: τ_P=0.25 τ_0=0.42 σ_0=273.40 σ_{ID}=273.40 Σ_T=273.82
CC 24 SLD (Collegamento -044_-376)
Azioni sul collegamento: N=-11180.10 Ty=8.45 Tz=9.00 Mx=-0.00 Mz=5.38
Sollecitazioni agenti localmente: Tx_l=8.45 Ty_l=9.00 N_l=-11180.10 My_l=-5.38 Mz_l=-0.00
Azioni sul cordone: TP=0.62 TO=0.66 NO=-826.44
Tensioni nel cordone: τ_P=0.20 τ_0=0.21 σ_0=270.55 σ_{ID}=270.55 Σ_T=270.76
CC 24 SLD (Collegamento -044_-376)
Azioni sul collegamento: N=-11180.10 Ty=10.81 Tz=9.00 Mx=-0.00 Mz=7.34
Sollecitazioni agenti localmente: Tx_l=10.81 Ty_l=9.00 N_l=-11180.10 My_l=-7.34 Mz_l=-0.00
Azioni sul cordone: TP=0.80 TO=0.66 NO=-826.44
Tensioni nel cordone: τ_P=0.25 τ_0=0.21 σ_0=273.40 σ_{ID}=273.40 Σ_T=273.61
CC 24 SLD (Collegamento -044_-376)
Azioni sul collegamento: N=-8788.68 Ty=8.45 Tz=17.92 Mx=-0.00 Mz=5.38
Sollecitazioni agenti localmente: Tx_l=8.45 Ty_l=17.92 N_l=-8788.68 My_l=-5.38 Mz_l=-0.00
Azioni sul cordone: TP=0.62 TO=1.32 NO=-649.66
Tensioni nel cordone: τ_P=0.20 τ_0=0.42 σ_0=214.36 σ_{ID}=214.36 Σ_T=214.78
CC 24 SLD (Collegamento -044_-376)
Azioni sul collegamento: N=-8788.68 Ty=10.81 Tz=17.92 Mx=-0.00 Mz=7.34
Sollecitazioni agenti localmente: Tx_l=10.81 Ty_l=17.92 N_l=-8788.68 My_l=-7.34 Mz_l=-0.00
Azioni sul cordone: TP=0.80 TO=1.32 NO=-649.66
Tensioni nel cordone: τ_P=0.25 τ_0=0.42 σ_0=217.21 σ_{ID}=217.21 Σ_T=217.63
CC 24 SLD (Collegamento -044_-376)
Azioni sul collegamento: N=-8788.68 Ty=8.45 Tz=9.00 Mx=-0.00 Mz=5.38
Sollecitazioni agenti localmente: Tx_l=8.45 Ty_l=9.00 N_l=-8788.68 My_l=-5.38 Mz_l=-0.00
Azioni sul cordone: TP=0.62 TO=0.66 NO=-649.66
Tensioni nel cordone: τ_P=0.20 τ_0=0.21 σ_0=214.36 σ_{ID}=214.36 Σ_T=214.57
CC 24 SLD (Collegamento -044_-376)
Azioni sul collegamento: N=-8788.68 Ty=10.81 Tz=9.00 Mx=-0.00 Mz=7.34
Sollecitazioni agenti localmente: Tx_l=10.81 Ty_l=9.00 N_l=-8788.68 My_l=-7.34 Mz_l=-0.00

Azioni sul cordone: TP=0.80 TO=0.66 NO=-649.66
Tensioni nel cordone: τ_P=0.25 τ_O=0.21 σ_O=217.21 σ_{ID}=217.21 Σ_T=217.43
CC 25 SLV (Collegamento -044_-376)
Azioni sul collegamento: N=-8703.02 Ty=10.65 Tz=8.19 Mx=-0.02 Mz=6.77
Sollecitazioni agenti localmente: Tx_l=10.65 Ty_l=8.19 N_l=-8703.02 My_l=-6.77 Mz_l=-0.02
Azioni sul cordone: TP=0.81 TO=0.59 NO=-643.33
Tensioni nel cordone: τ_P=0.26 τ_O=0.19 σ_O=214.38 σ_{ID}=214.38 Σ_T=214.56
CC 25 SLV (Collegamento -044_-376)
Azioni sul collegamento: N=-8703.02 Ty=6.76 Tz=8.19 Mx=-0.02 Mz=1.67
Sollecitazioni agenti localmente: Tx_l=6.76 Ty_l=8.19 N_l=-8703.02 My_l=-1.67 Mz_l=-0.02
Azioni sul cordone: TP=0.52 TO=0.59 NO=-643.33
Tensioni nel cordone: τ_P=0.17 τ_O=0.19 σ_O=206.93 σ_{ID}=206.93 Σ_T=207.11
CC 25 SLV (Collegamento -044_-376)
Azioni sul collegamento: N=-8703.02 Ty=10.65 Tz=17.96 Mx=-0.02 Mz=6.77
Sollecitazioni agenti localmente: Tx_l=10.65 Ty_l=17.96 N_l=-8703.02 My_l=-6.77 Mz_l=-0.02
Azioni sul cordone: TP=0.81 TO=1.31 NO=-643.33
Tensioni nel cordone: τ_P=0.26 τ_O=0.42 σ_O=214.38 σ_{ID}=214.38 Σ_T=214.79
CC 25 SLV (Collegamento -044_-376)
Azioni sul collegamento: N=-8703.02 Ty=6.76 Tz=17.96 Mx=-0.02 Mz=1.67
Sollecitazioni agenti localmente: Tx_l=6.76 Ty_l=17.96 N_l=-8703.02 My_l=-1.67 Mz_l=-0.02
Azioni sul cordone: TP=0.52 TO=1.31 NO=-643.33
Tensioni nel cordone: τ_P=0.17 τ_O=0.42 σ_O=206.93 σ_{ID}=206.93 Σ_T=207.34
CC 25 SLV (Collegamento -044_-376)
Azioni sul collegamento: N=-11070.60 Ty=10.65 Tz=8.19 Mx=-0.02 Mz=6.77
Sollecitazioni agenti localmente: Tx_l=10.65 Ty_l=8.19 N_l=-11070.60 My_l=-6.77 Mz_l=-0.02
Azioni sul cordone: TP=0.81 TO=0.59 NO=-818.34
Tensioni nel cordone: τ_P=0.26 τ_O=0.19 σ_O=270.00 σ_{ID}=270.00 Σ_T=270.19
CC 25 SLV (Collegamento -044_-376)
Azioni sul collegamento: N=-11070.60 Ty=6.76 Tz=8.19 Mx=-0.02 Mz=1.67
Sollecitazioni agenti localmente: Tx_l=6.76 Ty_l=8.19 N_l=-11070.60 My_l=-1.67 Mz_l=-0.02
Azioni sul cordone: TP=0.52 TO=0.59 NO=-818.34
Tensioni nel cordone: τ_P=0.17 τ_O=0.19 σ_O=262.55 σ_{ID}=262.55 Σ_T=262.74
CC 25 SLV (Collegamento -044_-376)
Azioni sul collegamento: N=-11070.60 Ty=10.65 Tz=17.96 Mx=-0.02 Mz=6.77
Sollecitazioni agenti localmente: Tx_l=10.65 Ty_l=17.96 N_l=-11070.60 My_l=-6.77 Mz_l=-0.02
Azioni sul cordone: TP=0.81 TO=1.31 NO=-818.34
Tensioni nel cordone: τ_P=0.26 τ_O=0.42 σ_O=270.00 σ_{ID}=270.00 Σ_T=270.42
CC 25 SLV (Collegamento -044_-376)
Azioni sul collegamento: N=-11070.60 Ty=6.76 Tz=17.96 Mx=-0.02 Mz=1.67
Sollecitazioni agenti localmente: Tx_l=6.76 Ty_l=17.96 N_l=-11070.60 My_l=-1.67 Mz_l=-0.02
Azioni sul cordone: TP=0.52 TO=1.31 NO=-818.34
Tensioni nel cordone: τ_P=0.17 τ_O=0.42 σ_O=262.55 σ_{ID}=262.55 Σ_T=262.97
CC 26 SLD (Collegamento -044_-376)
Azioni sul collegamento: N=-9623.43 Ty=10.22 Tz=11.97 Mx=-0.00 Mz=7.14
Sollecitazioni agenti localmente: Tx_l=10.22 Ty_l=11.97 N_l=-9623.43 My_l=-7.14 Mz_l=-0.00
Azioni sul cordone: TP=0.76 TO=0.88 NO=-711.37
Tensioni nel cordone: τ_P=0.24 τ_O=0.28 σ_O=236.53 σ_{ID}=236.54 Σ_T=236.82
CC 26 SLD (Collegamento -044_-376)
Azioni sul collegamento: N=-9623.43 Ty=9.04 Tz=11.97 Mx=-0.00 Mz=5.58
Sollecitazioni agenti localmente: Tx_l=9.04 Ty_l=11.97 N_l=-9623.43 My_l=-5.58 Mz_l=-0.00
Azioni sul cordone: TP=0.67 TO=0.88 NO=-711.37
Tensioni nel cordone: τ_P=0.21 τ_O=0.28 σ_O=234.26 σ_{ID}=234.26 Σ_T=234.54
CC 26 SLD (Collegamento -044_-376)
Azioni sul collegamento: N=-9623.43 Ty=10.22 Tz=14.95 Mx=-0.00 Mz=7.14
Sollecitazioni agenti localmente: Tx_l=10.22 Ty_l=14.95 N_l=-9623.43 My_l=-7.14 Mz_l=-0.00
Azioni sul cordone: TP=0.76 TO=1.10 NO=-711.37
Tensioni nel cordone: τ_P=0.24 τ_O=0.35 σ_O=236.53 σ_{ID}=236.54 Σ_T=236.89
CC 26 SLD (Collegamento -044_-376)
Azioni sul collegamento: N=-9623.43 Ty=9.04 Tz=14.95 Mx=-0.00 Mz=5.58
Sollecitazioni agenti localmente: Tx_l=9.04 Ty_l=14.95 N_l=-9623.43 My_l=-5.58 Mz_l=-0.00
Azioni sul cordone: TP=0.67 TO=1.10 NO=-711.37
Tensioni nel cordone: τ_P=0.21 τ_O=0.35 σ_O=234.26 σ_{ID}=234.26 Σ_T=234.61
CC 26 SLD (Collegamento -044_-376)
Azioni sul collegamento: N=-10345.40 Ty=10.22 Tz=11.97 Mx=-0.00 Mz=7.14
Sollecitazioni agenti localmente: Tx_l=10.22 Ty_l=11.97 N_l=-10345.40 My_l=-7.14 Mz_l=-0.00
Azioni sul cordone: TP=0.76 TO=0.88 NO=-764.73
Tensioni nel cordone: τ_P=0.24 τ_O=0.28 σ_O=253.50 σ_{ID}=253.50 Σ_T=253.78
CC 26 SLD (Collegamento -044_-376)
Azioni sul collegamento: N=-10345.40 Ty=9.04 Tz=11.97 Mx=-0.00 Mz=5.58
Sollecitazioni agenti localmente: Tx_l=9.04 Ty_l=11.97 N_l=-10345.40 My_l=-5.58 Mz_l=-0.00
Azioni sul cordone: TP=0.67 TO=0.88 NO=-764.73
Tensioni nel cordone: τ_P=0.21 τ_O=0.28 σ_O=251.23 σ_{ID}=251.23 Σ_T=251.51
CC 26 SLD (Collegamento -044_-376)
Azioni sul collegamento: N=-10345.40 Ty=10.22 Tz=14.95 Mx=-0.00 Mz=7.14
Sollecitazioni agenti localmente: Tx_l=10.22 Ty_l=14.95 N_l=-10345.40 My_l=-7.14 Mz_l=-0.00
Azioni sul cordone: TP=0.76 TO=1.10 NO=-764.73
Tensioni nel cordone: τ_P=0.24 τ_O=0.35 σ_O=253.50 σ_{ID}=253.50 Σ_T=253.85
CC 26 SLD (Collegamento -044_-376)
Azioni sul collegamento: N=-10345.40 Ty=9.04 Tz=14.95 Mx=-0.00 Mz=5.58
Sollecitazioni agenti localmente: Tx_l=9.04 Ty_l=14.95 N_l=-10345.40 My_l=-5.58 Mz_l=-0.00
Azioni sul cordone: TP=0.67 TO=1.10 NO=-764.73

Tensioni nel cordone: τ_P=0.21 τ_0=0.35 σ_0=251.23 σ_{ID}=251.23 Σ_T=251.58
CC 27 SLV (Collegamento -044_-376)
Azioni sul collegamento: N=-11054.30 Ty=8.48 Tz=16.87 Mx=-0.02 Mz=5.16
Sollecitazioni agenti localmente: Tx_l=8.48 Ty_l=16.87 N_l=-11054.30 My_l=-5.16 Mz_l=-0.02
Azioni sul cordone: TP=0.65 TO=1.23 NO=-817.14
Tensioni nel cordone: τ_P=0.21 τ_0=0.39 σ_0=267.27 σ_{ID}=267.27 Σ_T=267.66
CC 27 SLV (Collegamento -044_-376)
Azioni sul collegamento: N=-11054.30 Ty=8.94 Tz=16.87 Mx=-0.02 Mz=3.28
Sollecitazioni agenti localmente: Tx_l=8.94 Ty_l=16.87 N_l=-11054.30 My_l=-3.28 Mz_l=-0.02
Azioni sul cordone: TP=0.68 TO=1.23 NO=-817.14
Tensioni nel cordone: τ_P=0.22 τ_0=0.39 σ_0=264.52 σ_{ID}=264.52 Σ_T=264.91
CC 27 SLV (Collegamento -044_-376)
Azioni sul collegamento: N=-11054.30 Ty=8.48 Tz=9.28 Mx=-0.02 Mz=5.16
Sollecitazioni agenti localmente: Tx_l=8.48 Ty_l=9.28 N_l=-11054.30 My_l=-5.16 Mz_l=-0.02
Azioni sul cordone: TP=0.65 TO=0.67 NO=-817.14
Tensioni nel cordone: τ_P=0.21 τ_0=0.21 σ_0=267.27 σ_{ID}=267.27 Σ_T=267.49
CC 27 SLV (Collegamento -044_-376)
Azioni sul collegamento: N=-11054.30 Ty=8.94 Tz=9.28 Mx=-0.02 Mz=3.28
Sollecitazioni agenti localmente: Tx_l=8.94 Ty_l=9.28 N_l=-11054.30 My_l=-3.28 Mz_l=-0.02
Azioni sul cordone: TP=0.68 TO=0.67 NO=-817.14
Tensioni nel cordone: τ_P=0.22 τ_0=0.21 σ_0=264.52 σ_{ID}=264.52 Σ_T=264.73
CC 27 SLV (Collegamento -044_-376)
Azioni sul collegamento: N=-8719.31 Ty=8.48 Tz=16.87 Mx=-0.02 Mz=5.16
Sollecitazioni agenti localmente: Tx_l=8.48 Ty_l=16.87 N_l=-8719.31 My_l=-5.16 Mz_l=-0.02
Azioni sul cordone: TP=0.65 TO=1.23 NO=-644.53
Tensioni nel cordone: τ_P=0.21 τ_0=0.39 σ_0=212.41 σ_{ID}=212.41 Σ_T=212.80
CC 27 SLV (Collegamento -044_-376)
Azioni sul collegamento: N=-8719.31 Ty=8.94 Tz=16.87 Mx=-0.02 Mz=3.28
Sollecitazioni agenti localmente: Tx_l=8.94 Ty_l=16.87 N_l=-8719.31 My_l=-3.28 Mz_l=-0.02
Azioni sul cordone: TP=0.68 TO=1.23 NO=-644.53
Tensioni nel cordone: τ_P=0.22 τ_0=0.39 σ_0=209.66 σ_{ID}=209.66 Σ_T=210.05
CC 27 SLV (Collegamento -044_-376)
Azioni sul collegamento: N=-8719.31 Ty=8.48 Tz=9.28 Mx=-0.02 Mz=5.16
Sollecitazioni agenti localmente: Tx_l=8.48 Ty_l=9.28 N_l=-8719.31 My_l=-5.16 Mz_l=-0.02
Azioni sul cordone: TP=0.65 TO=0.67 NO=-644.53
Tensioni nel cordone: τ_P=0.21 τ_0=0.21 σ_0=212.41 σ_{ID}=212.41 Σ_T=212.62
CC 27 SLV (Collegamento -044_-376)
Azioni sul collegamento: N=-8719.31 Ty=8.94 Tz=9.28 Mx=-0.02 Mz=3.28
Sollecitazioni agenti localmente: Tx_l=8.94 Ty_l=9.28 N_l=-8719.31 My_l=-3.28 Mz_l=-0.02
Azioni sul cordone: TP=0.68 TO=0.67 NO=-644.53
Tensioni nel cordone: τ_P=0.22 τ_0=0.21 σ_0=209.66 σ_{ID}=209.66 Σ_T=209.87
CC 28 SLD (Collegamento -044_-376)
Azioni sul collegamento: N=-10340.40 Ty=9.56 Tz=14.62 Mx=-0.00 Mz=6.65
Sollecitazioni agenti localmente: Tx_l=9.56 Ty_l=14.62 N_l=-10340.40 My_l=-6.65 Mz_l=-0.00
Azioni sul cordone: TP=0.71 TO=1.08 NO=-764.37
Tensioni nel cordone: τ_P=0.23 τ_0=0.34 σ_0=252.66 σ_{ID}=252.67 Σ_T=253.01
CC 28 SLD (Collegamento -044_-376)
Azioni sul collegamento: N=-10340.40 Ty=9.70 Tz=14.62 Mx=-0.00 Mz=6.07
Sollecitazioni agenti localmente: Tx_l=9.70 Ty_l=14.62 N_l=-10340.40 My_l=-6.07 Mz_l=-0.00
Azioni sul cordone: TP=0.72 TO=1.08 NO=-764.37
Tensioni nel cordone: τ_P=0.23 τ_0=0.34 σ_0=251.83 σ_{ID}=251.83 Σ_T=252.17
CC 28 SLD (Collegamento -044_-376)
Azioni sul collegamento: N=-10340.40 Ty=9.56 Tz=12.30 Mx=-0.00 Mz=6.65
Sollecitazioni agenti localmente: Tx_l=9.56 Ty_l=12.30 N_l=-10340.40 My_l=-6.65 Mz_l=-0.00
Azioni sul cordone: TP=0.71 TO=0.91 NO=-764.37
Tensioni nel cordone: τ_P=0.23 τ_0=0.29 σ_0=252.66 σ_{ID}=252.67 Σ_T=252.95
CC 28 SLD (Collegamento -044_-376)
Azioni sul collegamento: N=-10340.40 Ty=9.70 Tz=12.30 Mx=-0.00 Mz=6.07
Sollecitazioni agenti localmente: Tx_l=9.70 Ty_l=12.30 N_l=-10340.40 My_l=-6.07 Mz_l=-0.00
Azioni sul cordone: TP=0.72 TO=0.91 NO=-764.37
Tensioni nel cordone: τ_P=0.23 τ_0=0.29 σ_0=251.83 σ_{ID}=251.83 Σ_T=252.11
CC 28 SLD (Collegamento -044_-376)
Azioni sul collegamento: N=-9628.40 Ty=9.56 Tz=14.62 Mx=-0.00 Mz=6.65
Sollecitazioni agenti localmente: Tx_l=9.56 Ty_l=14.62 N_l=-9628.40 My_l=-6.65 Mz_l=-0.00
Azioni sul cordone: TP=0.71 TO=1.08 NO=-711.73
Tensioni nel cordone: τ_P=0.23 τ_0=0.34 σ_0=235.94 σ_{ID}=235.94 Σ_T=236.28
CC 28 SLD (Collegamento -044_-376)
Azioni sul collegamento: N=-9628.40 Ty=9.70 Tz=14.62 Mx=-0.00 Mz=6.07
Sollecitazioni agenti localmente: Tx_l=9.70 Ty_l=14.62 N_l=-9628.40 My_l=-6.07 Mz_l=-0.00
Azioni sul cordone: TP=0.72 TO=1.08 NO=-711.73
Tensioni nel cordone: τ_P=0.23 τ_0=0.34 σ_0=235.10 σ_{ID}=235.10 Σ_T=235.44
CC 28 SLD (Collegamento -044_-376)
Azioni sul collegamento: N=-9628.40 Ty=9.56 Tz=12.30 Mx=-0.00 Mz=6.65
Sollecitazioni agenti localmente: Tx_l=9.56 Ty_l=12.30 N_l=-9628.40 My_l=-6.65 Mz_l=-0.00
Azioni sul cordone: TP=0.71 TO=0.91 NO=-711.73
Tensioni nel cordone: τ_P=0.23 τ_0=0.29 σ_0=235.94 σ_{ID}=235.94 Σ_T=236.22
CC 28 SLD (Collegamento -044_-376)
Azioni sul collegamento: N=-9628.40 Ty=9.70 Tz=12.30 Mx=-0.00 Mz=6.07
Sollecitazioni agenti localmente: Tx_l=9.70 Ty_l=12.30 N_l=-9628.40 My_l=-6.07 Mz_l=-0.00
Azioni sul cordone: TP=0.72 TO=0.91 NO=-711.73
Tensioni nel cordone: τ_P=0.23 τ_0=0.29 σ_0=235.10 σ_{ID}=235.10 Σ_T=235.38

CC 29 SLV (Collegamento -044_-376)
Azioni sul collegamento: N=-8719.31 Ty=8.94 Tz=9.28 Mx=-0.00 Mz=3.28
Sollecitazioni agenti localmente: Tx_l=8.94 Ty_l=9.28 N_l=-8719.31 My_l=-3.28 Mz_l=-0.00
Azioni sul cordone: TP=0.66 TO=0.68 NO=-644.53
Tensioni nel cordone: τ_P=0.21 τ_0=0.22 σ_0=209.66 σ_{ID}=209.66 Σ_T=209.88
CC 29 SLV (Collegamento -044_-376)
Azioni sul collegamento: N=-8719.31 Ty=8.48 Tz=9.28 Mx=-0.00 Mz=5.16
Sollecitazioni agenti localmente: Tx_l=8.48 Ty_l=9.28 N_l=-8719.31 My_l=-5.16 Mz_l=-0.00
Azioni sul cordone: TP=0.63 TO=0.68 NO=-644.53
Tensioni nel cordone: τ_P=0.20 τ_0=0.22 σ_0=212.41 σ_{ID}=212.41 Σ_T=212.63
CC 29 SLV (Collegamento -044_-376)
Azioni sul collegamento: N=-8719.31 Ty=8.94 Tz=16.87 Mx=-0.00 Mz=3.28
Sollecitazioni agenti localmente: Tx_l=8.94 Ty_l=16.87 N_l=-8719.31 My_l=-3.28 Mz_l=-0.00
Azioni sul cordone: TP=0.66 TO=1.25 NO=-644.53
Tensioni nel cordone: τ_P=0.21 τ_0=0.40 σ_0=209.66 σ_{ID}=209.66 Σ_T=210.05
CC 29 SLV (Collegamento -044_-376)
Azioni sul collegamento: N=-8719.31 Ty=8.48 Tz=16.87 Mx=-0.00 Mz=5.16
Sollecitazioni agenti localmente: Tx_l=8.48 Ty_l=16.87 N_l=-8719.31 My_l=-5.16 Mz_l=-0.00
Azioni sul cordone: TP=0.63 TO=1.25 NO=-644.53
Tensioni nel cordone: τ_P=0.20 τ_0=0.40 σ_0=212.41 σ_{ID}=212.41 Σ_T=212.81
CC 29 SLV (Collegamento -044_-376)
Azioni sul collegamento: N=-11054.30 Ty=8.94 Tz=9.28 Mx=-0.00 Mz=3.28
Sollecitazioni agenti localmente: Tx_l=8.94 Ty_l=9.28 N_l=-11054.30 My_l=-3.28 Mz_l=-0.00
Azioni sul cordone: TP=0.66 TO=0.68 NO=-817.14
Tensioni nel cordone: τ_P=0.21 τ_0=0.22 σ_0=264.52 σ_{ID}=264.52 Σ_T=264.74
CC 29 SLV (Collegamento -044_-376)
Azioni sul collegamento: N=-11054.30 Ty=8.48 Tz=9.28 Mx=-0.00 Mz=5.16
Sollecitazioni agenti localmente: Tx_l=8.48 Ty_l=9.28 N_l=-11054.30 My_l=-5.16 Mz_l=-0.00
Azioni sul cordone: TP=0.63 TO=0.68 NO=-817.14
Tensioni nel cordone: τ_P=0.20 τ_0=0.22 σ_0=267.27 σ_{ID}=267.27 Σ_T=267.49
CC 29 SLV (Collegamento -044_-376)
Azioni sul collegamento: N=-11054.30 Ty=8.94 Tz=16.87 Mx=-0.00 Mz=3.28
Sollecitazioni agenti localmente: Tx_l=8.94 Ty_l=16.87 N_l=-11054.30 My_l=-3.28 Mz_l=-0.00
Azioni sul cordone: TP=0.66 TO=1.25 NO=-817.14
Tensioni nel cordone: τ_P=0.21 τ_0=0.40 σ_0=264.52 σ_{ID}=264.52 Σ_T=264.92
CC 29 SLV (Collegamento -044_-376)
Azioni sul collegamento: N=-11054.30 Ty=8.48 Tz=16.87 Mx=-0.00 Mz=5.16
Sollecitazioni agenti localmente: Tx_l=8.48 Ty_l=16.87 N_l=-11054.30 My_l=-5.16 Mz_l=-0.00
Azioni sul cordone: TP=0.63 TO=1.25 NO=-817.14
Tensioni nel cordone: τ_P=0.20 τ_0=0.40 σ_0=267.27 σ_{ID}=267.27 Σ_T=267.67
CC 30 SLD (Collegamento -044_-376)
Azioni sul collegamento: N=-9628.40 Ty=9.70 Tz=12.30 Mx=0.00 Mz=6.07
Sollecitazioni agenti localmente: Tx_l=9.70 Ty_l=12.30 N_l=-9628.40 My_l=-6.07 Mz_l=0.00
Azioni sul cordone: TP=0.72 TO=0.91 NO=-711.73
Tensioni nel cordone: τ_P=0.23 τ_0=0.29 σ_0=235.10 σ_{ID}=235.10 Σ_T=235.39
CC 30 SLD (Collegamento -044_-376)
Azioni sul collegamento: N=-9628.40 Ty=9.56 Tz=12.30 Mx=0.00 Mz=6.65
Sollecitazioni agenti localmente: Tx_l=9.56 Ty_l=12.30 N_l=-9628.40 My_l=-6.65 Mz_l=0.00
Azioni sul cordone: TP=0.71 TO=0.91 NO=-711.73
Tensioni nel cordone: τ_P=0.22 τ_0=0.29 σ_0=235.94 σ_{ID}=235.94 Σ_T=236.22
CC 30 SLD (Collegamento -044_-376)
Azioni sul collegamento: N=-9628.40 Ty=9.70 Tz=14.62 Mx=0.00 Mz=6.07
Sollecitazioni agenti localmente: Tx_l=9.70 Ty_l=14.62 N_l=-9628.40 My_l=-6.07 Mz_l=0.00
Azioni sul cordone: TP=0.72 TO=1.08 NO=-711.73
Tensioni nel cordone: τ_P=0.23 τ_0=0.34 σ_0=235.10 σ_{ID}=235.10 Σ_T=235.44
CC 30 SLD (Collegamento -044_-376)
Azioni sul collegamento: N=-9628.40 Ty=9.56 Tz=14.62 Mx=0.00 Mz=6.65
Sollecitazioni agenti localmente: Tx_l=9.56 Ty_l=14.62 N_l=-9628.40 My_l=-6.65 Mz_l=0.00
Azioni sul cordone: TP=0.71 TO=1.08 NO=-711.73
Tensioni nel cordone: τ_P=0.22 τ_0=0.34 σ_0=235.94 σ_{ID}=235.94 Σ_T=236.28
CC 30 SLD (Collegamento -044_-376)
Azioni sul collegamento: N=-10340.40 Ty=9.70 Tz=12.30 Mx=0.00 Mz=6.07
Sollecitazioni agenti localmente: Tx_l=9.70 Ty_l=12.30 N_l=-10340.40 My_l=-6.07 Mz_l=0.00
Azioni sul cordone: TP=0.72 TO=0.91 NO=-764.37
Tensioni nel cordone: τ_P=0.23 τ_0=0.29 σ_0=251.83 σ_{ID}=251.83 Σ_T=252.12
CC 30 SLD (Collegamento -044_-376)
Azioni sul collegamento: N=-10340.40 Ty=9.56 Tz=12.30 Mx=0.00 Mz=6.65
Sollecitazioni agenti localmente: Tx_l=9.56 Ty_l=12.30 N_l=-10340.40 My_l=-6.65 Mz_l=0.00
Azioni sul cordone: TP=0.71 TO=0.91 NO=-764.37
Tensioni nel cordone: τ_P=0.22 τ_0=0.29 σ_0=252.66 σ_{ID}=252.67 Σ_T=252.96
CC 30 SLD (Collegamento -044_-376)
Azioni sul collegamento: N=-10340.40 Ty=9.70 Tz=14.62 Mx=0.00 Mz=6.07
Sollecitazioni agenti localmente: Tx_l=9.70 Ty_l=14.62 N_l=-10340.40 My_l=-6.07 Mz_l=0.00
Azioni sul cordone: TP=0.72 TO=1.08 NO=-764.37
Tensioni nel cordone: τ_P=0.23 τ_0=0.34 σ_0=251.83 σ_{ID}=251.83 Σ_T=252.17
CC 30 SLD (Collegamento -044_-376)
Azioni sul collegamento: N=-10340.40 Ty=9.56 Tz=14.62 Mx=0.00 Mz=6.65
Sollecitazioni agenti localmente: Tx_l=9.56 Ty_l=14.62 N_l=-10340.40 My_l=-6.65 Mz_l=0.00
Azioni sul cordone: TP=0.71 TO=1.08 NO=-764.37
Tensioni nel cordone: τ_P=0.22 τ_0=0.34 σ_0=252.66 σ_{ID}=252.67 Σ_T=253.01
CC 31 SLV (Collegamento -044_-376)

Azioni sul collegamento: N=-11070.60 Ty=6.76 Tz=17.96 Mx=-0.00 Mz=1.67
Sollecitazioni agenti localmente: Tx_l=6.76 Ty_l=17.96 N_l=-11070.60 My_l=-1.67 Mz_l=-0.00
Azioni sul cordone: TP=0.50 TO=1.33 NO=-818.34
Tensioni nel cordone: τ_P=0.16 τ_0=0.42 σ_0=262.55 σ_{ID}=262.55 Σ_T=262.98
CC 31 SLV (Collegamento -044_-376)
Azioni sul collegamento: N=-11070.60 Ty=10.65 Tz=17.96 Mx=-0.00 Mz=6.77
Sollecitazioni agenti localmente: Tx_l=10.65 Ty_l=17.96 N_l=-11070.60 My_l=-6.77 Mz_l=-0.00
Azioni sul cordone: TP=0.79 TO=1.33 NO=-818.34
Tensioni nel cordone: τ_P=0.25 τ_0=0.42 σ_0=270.00 σ_{ID}=270.00 Σ_T=270.42
CC 31 SLV (Collegamento -044_-376)
Azioni sul collegamento: N=-11070.60 Ty=6.76 Tz=8.19 Mx=-0.00 Mz=1.67
Sollecitazioni agenti localmente: Tx_l=6.76 Ty_l=8.19 N_l=-11070.60 My_l=-1.67 Mz_l=-0.00
Azioni sul cordone: TP=0.50 TO=0.60 NO=-818.34
Tensioni nel cordone: τ_P=0.16 τ_0=0.19 σ_0=262.55 σ_{ID}=262.55 Σ_T=262.75
CC 31 SLV (Collegamento -044_-376)
Azioni sul collegamento: N=-11070.60 Ty=10.65 Tz=8.19 Mx=-0.00 Mz=6.77
Sollecitazioni agenti localmente: Tx_l=10.65 Ty_l=8.19 N_l=-11070.60 My_l=-6.77 Mz_l=-0.00
Azioni sul cordone: TP=0.79 TO=0.60 NO=-818.34
Tensioni nel cordone: τ_P=0.25 τ_0=0.19 σ_0=270.00 σ_{ID}=270.00 Σ_T=270.19
CC 31 SLV (Collegamento -044_-376)
Azioni sul collegamento: N=-8703.02 Ty=6.76 Tz=17.96 Mx=-0.00 Mz=1.67
Sollecitazioni agenti localmente: Tx_l=6.76 Ty_l=17.96 N_l=-8703.02 My_l=-1.67 Mz_l=-0.00
Azioni sul cordone: TP=0.50 TO=1.33 NO=-643.33
Tensioni nel cordone: τ_P=0.16 τ_0=0.42 σ_0=206.93 σ_{ID}=206.93 Σ_T=207.35
CC 31 SLV (Collegamento -044_-376)
Azioni sul collegamento: N=-8703.02 Ty=10.65 Tz=17.96 Mx=-0.00 Mz=6.77
Sollecitazioni agenti localmente: Tx_l=10.65 Ty_l=17.96 N_l=-8703.02 My_l=-6.77 Mz_l=-0.00
Azioni sul cordone: TP=0.79 TO=1.33 NO=-643.33
Tensioni nel cordone: τ_P=0.25 τ_0=0.42 σ_0=214.38 σ_{ID}=214.38 Σ_T=214.80
CC 31 SLV (Collegamento -044_-376)
Azioni sul collegamento: N=-8703.02 Ty=6.76 Tz=8.19 Mx=-0.00 Mz=1.67
Sollecitazioni agenti localmente: Tx_l=6.76 Ty_l=8.19 N_l=-8703.02 My_l=-1.67 Mz_l=-0.00
Azioni sul cordone: TP=0.50 TO=0.60 NO=-643.33
Tensioni nel cordone: τ_P=0.16 τ_0=0.19 σ_0=206.93 σ_{ID}=206.93 Σ_T=207.12
CC 31 SLV (Collegamento -044_-376)
Azioni sul collegamento: N=-8703.02 Ty=10.65 Tz=8.19 Mx=-0.00 Mz=6.77
Sollecitazioni agenti localmente: Tx_l=10.65 Ty_l=8.19 N_l=-8703.02 My_l=-6.77 Mz_l=-0.00
Azioni sul cordone: TP=0.79 TO=0.60 NO=-643.33
Tensioni nel cordone: τ_P=0.25 τ_0=0.19 σ_0=214.38 σ_{ID}=214.38 Σ_T=214.57
CC 32 SLD (Collegamento -044_-376)
Azioni sul collegamento: N=-10345.40 Ty=9.04 Tz=14.95 Mx=0.00 Mz=5.58
Sollecitazioni agenti localmente: Tx_l=9.04 Ty_l=14.95 N_l=-10345.40 My_l=-5.58 Mz_l=0.00
Azioni sul cordone: TP=0.67 TO=1.11 NO=-764.73
Tensioni nel cordone: τ_P=0.21 τ_0=0.35 σ_0=251.23 σ_{ID}=251.23 Σ_T=251.58
CC 32 SLD (Collegamento -044_-376)
Azioni sul collegamento: N=-10345.40 Ty=10.22 Tz=14.95 Mx=0.00 Mz=7.14
Sollecitazioni agenti localmente: Tx_l=10.22 Ty_l=14.95 N_l=-10345.40 My_l=-7.14 Mz_l=0.00
Azioni sul cordone: TP=0.75 TO=1.11 NO=-764.73
Tensioni nel cordone: τ_P=0.24 τ_0=0.35 σ_0=253.50 σ_{ID}=253.50 Σ_T=253.85
CC 32 SLD (Collegamento -044_-376)
Azioni sul collegamento: N=-10345.40 Ty=9.04 Tz=11.97 Mx=0.00 Mz=5.58
Sollecitazioni agenti localmente: Tx_l=9.04 Ty_l=11.97 N_l=-10345.40 My_l=-5.58 Mz_l=0.00
Azioni sul cordone: TP=0.67 TO=0.89 NO=-764.73
Tensioni nel cordone: τ_P=0.21 τ_0=0.28 σ_0=251.23 σ_{ID}=251.23 Σ_T=251.51
CC 32 SLD (Collegamento -044_-376)
Azioni sul collegamento: N=-10345.40 Ty=10.22 Tz=11.97 Mx=0.00 Mz=7.14
Sollecitazioni agenti localmente: Tx_l=10.22 Ty_l=11.97 N_l=-10345.40 My_l=-7.14 Mz_l=0.00
Azioni sul cordone: TP=0.75 TO=0.89 NO=-764.73
Tensioni nel cordone: τ_P=0.24 τ_0=0.28 σ_0=253.50 σ_{ID}=253.50 Σ_T=253.78
CC 32 SLD (Collegamento -044_-376)
Azioni sul collegamento: N=-9623.43 Ty=9.04 Tz=14.95 Mx=0.00 Mz=5.58
Sollecitazioni agenti localmente: Tx_l=9.04 Ty_l=14.95 N_l=-9623.43 My_l=-5.58 Mz_l=0.00
Azioni sul cordone: TP=0.67 TO=1.11 NO=-711.37
Tensioni nel cordone: τ_P=0.21 τ_0=0.35 σ_0=234.26 σ_{ID}=234.26 Σ_T=234.62
CC 32 SLD (Collegamento -044_-376)
Azioni sul collegamento: N=-9623.43 Ty=10.22 Tz=14.95 Mx=0.00 Mz=7.14
Sollecitazioni agenti localmente: Tx_l=10.22 Ty_l=14.95 N_l=-9623.43 My_l=-7.14 Mz_l=0.00
Azioni sul cordone: TP=0.75 TO=1.11 NO=-711.37
Tensioni nel cordone: τ_P=0.24 τ_0=0.35 σ_0=236.53 σ_{ID}=236.54 Σ_T=236.89
CC 32 SLD (Collegamento -044_-376)
Azioni sul collegamento: N=-9623.43 Ty=9.04 Tz=11.97 Mx=0.00 Mz=5.58
Sollecitazioni agenti localmente: Tx_l=9.04 Ty_l=11.97 N_l=-9623.43 My_l=-5.58 Mz_l=0.00
Azioni sul cordone: TP=0.67 TO=0.89 NO=-711.37
Tensioni nel cordone: τ_P=0.21 τ_0=0.28 σ_0=234.26 σ_{ID}=234.26 Σ_T=234.55
CC 32 SLD (Collegamento -044_-376)
Azioni sul collegamento: N=-9623.43 Ty=10.22 Tz=11.97 Mx=0.00 Mz=7.14
Sollecitazioni agenti localmente: Tx_l=10.22 Ty_l=11.97 N_l=-9623.43 My_l=-7.14 Mz_l=0.00
Azioni sul cordone: TP=0.75 TO=0.89 NO=-711.37
Tensioni nel cordone: τ_P=0.24 τ_0=0.28 σ_0=236.53 σ_{ID}=236.54 Σ_T=236.82
CC 33 SLU (Collegamento -044_-376)
Azioni sul collegamento: N=-37458.50 Ty=20.96 Tz=106.28 Mx=0.00 Mz=15.40

Sollecitazioni agenti localmente: Tx_l=20.96 Ty_l=106.28 N_l=-37458.50 My_l=-15.40 Mz_l=0.00
Azioni sul cordone: TP=1.54 TO=7.86 NO=-2768.95
Tensioni nel cordone: τ_P=0.49 τ_0=2.50 σ_0=902.60 σ_{ID}=902.60 Σ_T=905.10
CC 34 SLU (Collegamento -044_-376)
Azioni sul collegamento: N=-36642.60 Ty=20.20 Tz=103.27 Mx=0.00 Mz=14.84
Sollecitazioni agenti localmente: Tx_l=20.20 Ty_l=103.27 N_l=-36642.60 My_l=-14.84 Mz_l=0.00
Azioni sul cordone: TP=1.49 TO=7.64 NO=-2708.63
Tensioni nel cordone: τ_P=0.47 τ_0=2.43 σ_0=882.61 σ_{ID}=882.62 Σ_T=885.04
CC 35 SLU (Collegamento -044_-376)
Azioni sul collegamento: N=-37049.70 Ty=20.49 Tz=104.83 Mx=0.01 Mz=14.94
Sollecitazioni agenti localmente: Tx_l=20.49 Ty_l=104.83 N_l=-37049.70 My_l=-14.94 Mz_l=0.01
Azioni sul cordone: TP=1.51 TO=7.75 NO=-2738.72
Tensioni nel cordone: τ_P=0.48 τ_0=2.46 σ_0=892.32 σ_{ID}=892.32 Σ_T=894.78
CC 36 SLU (Collegamento -044_-376)
Azioni sul collegamento: N=-37051.40 Ty=20.67 Tz=104.72 Mx=0.00 Mz=15.30
Sollecitazioni agenti localmente: Tx_l=20.67 Ty_l=104.72 N_l=-37051.40 My_l=-15.30 Mz_l=0.00
Azioni sul cordone: TP=1.52 TO=7.74 NO=-2738.85
Tensioni nel cordone: τ_P=0.48 τ_0=2.46 σ_0=892.89 σ_{ID}=892.90 Σ_T=895.35
CC 37 SLU (Collegamento -044_-376)
Azioni sul collegamento: N=-28275.70 Ty=20.11 Tz=72.57 Mx=0.00 Mz=14.65
Sollecitazioni agenti localmente: Tx_l=20.11 Ty_l=72.57 N_l=-28275.70 My_l=-14.65 Mz_l=0.00
Azioni sul cordone: TP=1.48 TO=5.37 NO=-2090.15
Tensioni nel cordone: τ_P=0.47 τ_0=1.71 σ_0=685.75 σ_{ID}=685.75 Σ_T=687.46
CC 38 SLU (Collegamento -044_-376)
Azioni sul collegamento: N=-27459.70 Ty=19.36 Tz=69.55 Mx=0.00 Mz=14.09
Sollecitazioni agenti localmente: Tx_l=19.36 Ty_l=69.55 N_l=-27459.70 My_l=-14.09 Mz_l=0.00
Azioni sul cordone: TP=1.43 TO=5.14 NO=-2029.83
Tensioni nel cordone: τ_P=0.45 τ_0=1.64 σ_0=665.76 σ_{ID}=665.77 Σ_T=667.40
CC 39 SLU (Collegamento -044_-376)
Azioni sul collegamento: N=-27866.80 Ty=19.65 Tz=71.12 Mx=0.01 Mz=14.19
Sollecitazioni agenti localmente: Tx_l=19.65 Ty_l=71.12 N_l=-27866.80 My_l=-14.19 Mz_l=0.01
Azioni sul cordone: TP=1.45 TO=5.26 NO=-2059.92
Tensioni nel cordone: τ_P=0.46 τ_0=1.67 σ_0=675.47 σ_{ID}=675.47 Σ_T=677.14
CC 40 SLU (Collegamento -044_-376)
Azioni sul collegamento: N=-27868.60 Ty=19.82 Tz=71.00 Mx=0.00 Mz=14.55
Sollecitazioni agenti localmente: Tx_l=19.82 Ty_l=71.00 N_l=-27868.60 My_l=-14.55 Mz_l=0.00
Azioni sul cordone: TP=1.46 TO=5.25 NO=-2060.06
Tensioni nel cordone: τ_P=0.46 τ_0=1.67 σ_0=676.04 σ_{ID}=676.05 Σ_T=677.71
CC 41 SLU (Collegamento -044_-376)
Azioni sul collegamento: N=-30676.20 Ty=-9.89 Tz=80.85 Mx=0.00 Mz=-7.99
Sollecitazioni agenti localmente: Tx_l=-9.89 Ty_l=80.85 N_l=-30676.20 My_l=7.99 Mz_l=0.00
Azioni sul cordone: TP=-0.74 TO=5.97 NO=-2267.60
Tensioni nel cordone: τ_P=0.23 τ_0=1.90 σ_0=732.42 σ_{ID}=732.42 Σ_T=734.32
CC 42 SLU (Collegamento -044_-376)
Azioni sul collegamento: N=-29860.20 Ty=-10.64 Tz=77.84 Mx=0.00 Mz=-8.54
Sollecitazioni agenti localmente: Tx_l=-10.64 Ty_l=77.84 N_l=-29860.20 My_l=8.54 Mz_l=0.00
Azioni sul cordone: TP=-0.79 TO=5.75 NO=-2207.28
Tensioni nel cordone: τ_P=0.25 τ_0=1.83 σ_0=714.06 σ_{ID}=714.06 Σ_T=715.89
CC 43 SLU (Collegamento -044_-376)
Azioni sul collegamento: N=-30267.40 Ty=-10.35 Tz=79.40 Mx=0.01 Mz=-8.45
Sollecitazioni agenti localmente: Tx_l=-10.35 Ty_l=79.40 N_l=-30267.40 My_l=8.45 Mz_l=0.01
Azioni sul cordone: TP=-0.77 TO=5.86 NO=-2237.37
Tensioni nel cordone: τ_P=0.25 τ_0=1.86 σ_0=723.49 σ_{ID}=723.49 Σ_T=725.35
CC 44 SLU (Collegamento -044_-376)
Azioni sul collegamento: N=-30269.10 Ty=-10.18 Tz=79.28 Mx=0.00 Mz=-8.08
Sollecitazioni agenti localmente: Tx_l=-10.18 Ty_l=79.28 N_l=-30269.10 My_l=8.08 Mz_l=0.00
Azioni sul cordone: TP=-0.76 TO=5.86 NO=-2237.50
Tensioni nel cordone: τ_P=0.24 τ_0=1.86 σ_0=722.99 σ_{ID}=723.00 Σ_T=724.86
CC 45 SLU (Collegamento -044_-376)
Azioni sul collegamento: N=-30295.00 Ty=20.33 Tz=79.99 Mx=0.00 Mz=14.94
Sollecitazioni agenti localmente: Tx_l=20.33 Ty_l=79.99 N_l=-30295.00 My_l=-14.94 Mz_l=0.00
Azioni sul cordone: TP=1.50 TO=5.92 NO=-2239.42
Tensioni nel cordone: τ_P=0.48 τ_0=1.88 σ_0=733.62 σ_{ID}=733.62 Σ_T=735.50
CC 46 SLU (Collegamento -044_-376)
Azioni sul collegamento: N=-29479.00 Ty=19.57 Tz=76.97 Mx=0.00 Mz=14.38
Sollecitazioni agenti localmente: Tx_l=19.57 Ty_l=76.97 N_l=-29479.00 My_l=-14.38 Mz_l=0.00
Azioni sul cordone: TP=1.44 TO=5.69 NO=-2179.10
Tensioni nel cordone: τ_P=0.46 τ_0=1.81 σ_0=713.63 σ_{ID}=713.63 Σ_T=715.44
CC 47 SLU (Collegamento -044_-376)
Azioni sul collegamento: N=-29886.10 Ty=19.86 Tz=78.54 Mx=0.00 Mz=14.48
Sollecitazioni agenti localmente: Tx_l=19.86 Ty_l=78.54 N_l=-29886.10 My_l=-14.48 Mz_l=0.00
Azioni sul cordone: TP=1.46 TO=5.81 NO=-2209.19
Tensioni nel cordone: τ_P=0.46 τ_0=1.85 σ_0=723.34 σ_{ID}=723.34 Σ_T=725.18
CC 48 SLU (Collegamento -044_-376)
Azioni sul collegamento: N=-29887.90 Ty=20.04 Tz=78.42 Mx=0.00 Mz=14.84
Sollecitazioni agenti localmente: Tx_l=20.04 Ty_l=78.42 N_l=-29887.90 My_l=-14.84 Mz_l=0.00
Azioni sul cordone: TP=1.48 TO=5.80 NO=-2209.32
Tensioni nel cordone: τ_P=0.47 τ_0=1.84 σ_0=723.91 σ_{ID}=723.92 Σ_T=725.76
CC 49 SLU (Collegamento -044_-376)
Azioni sul collegamento: N=-23424.90 Ty=19.70 Tz=54.76 Mx=0.00 Mz=14.38
Sollecitazioni agenti localmente: Tx_l=19.70 Ty_l=54.76 N_l=-23424.90 My_l=-14.38 Mz_l=0.00

Azioni sul cordone: TP=1.45 TO=4.05 NO=-1731.58
Tensioni nel cordone: τ_P=0.46 τ_0=1.29 σ_0=571.38 σ_{ID}=571.39 Σ_T=572.67
CC 50 SLU (Collegamento -044_-376)
Azioni sul collegamento: N=-22608.90 Ty=18.94 Tz=51.75 Mx=0.00 Mz=13.82
Sollecitazioni agenti localmente: Tx_l=18.94 Ty_l=51.75 N_l=-22608.90 My_l=-13.82 Mz_l=0.00
Azioni sul cordone: TP=1.40 TO=3.83 NO=-1671.26
Tensioni nel cordone: τ_P=0.44 τ_0=1.22 σ_0=551.40 σ_{ID}=551.40 Σ_T=552.62
CC 51 SLU (Collegamento -044_-376)
Azioni sul collegamento: N=-23016.00 Ty=19.23 Tz=53.31 Mx=0.00 Mz=13.92
Sollecitazioni agenti localmente: Tx_l=19.23 Ty_l=53.31 N_l=-23016.00 My_l=-13.92 Mz_l=0.00
Azioni sul cordone: TP=1.42 TO=3.94 NO=-1701.35
Tensioni nel cordone: τ_P=0.45 τ_0=1.25 σ_0=561.10 σ_{ID}=561.11 Σ_T=562.36
CC 52 SLU (Collegamento -044_-376)
Azioni sul collegamento: N=-23017.80 Ty=19.41 Tz=53.20 Mx=0.00 Mz=14.28
Sollecitazioni agenti localmente: Tx_l=19.41 Ty_l=53.20 N_l=-23017.80 My_l=-14.28 Mz_l=0.00
Azioni sul cordone: TP=1.43 TO=3.93 NO=-1701.48
Tensioni nel cordone: τ_P=0.45 τ_0=1.25 σ_0=561.68 σ_{ID}=561.68 Σ_T=562.93
CC 53 SLU (Collegamento -044_-376)
Azioni sul collegamento: N=-25220.90 Ty=-2.75 Tz=60.96 Mx=0.00 Mz=-2.55
Sollecitazioni agenti localmente: Tx_l=-2.75 Ty_l=60.96 N_l=-25220.90 My_l=2.55 Mz_l=0.00
Azioni sul cordone: TP=-0.21 TO=4.50 NO=-1864.33
Tensioni nel cordone: τ_P= 0.07 τ_0=1.43 σ_0=596.31 σ_{ID}=596.31 Σ_T=597.74
CC 54 SLU (Collegamento -044_-376)
Azioni sul collegamento: N=-24404.90 Ty=-3.50 Tz=57.94 Mx=0.00 Mz=-3.11
Sollecitazioni agenti localmente: Tx_l=-3.50 Ty_l=57.94 N_l=-24404.90 My_l=3.11 Mz_l=0.00
Azioni sul cordone: TP=-0.26 TO=4.28 NO=-1804.01
Tensioni nel cordone: τ_P= 0.08 τ_0=1.36 σ_0=577.95 σ_{ID}=577.95 Σ_T=579.31
CC 55 SLU (Collegamento -044_-376)
Azioni sul collegamento: N=-24812.00 Ty=-3.21 Tz=59.51 Mx=0.00 Mz=-3.02
Sollecitazioni agenti localmente: Tx_l=-3.21 Ty_l=59.51 N_l=-24812.00 My_l=3.02 Mz_l=0.00
Azioni sul cordone: TP=-0.24 TO=4.40 NO=-1834.11
Tensioni nel cordone: τ_P= 0.08 τ_0=1.40 σ_0=587.38 σ_{ID}=587.38 Σ_T=588.77
CC 56 SLU (Collegamento -044_-376)
Azioni sul collegamento: N=-24813.70 Ty=-3.04 Tz=59.39 Mx=0.00 Mz=-2.65
Sollecitazioni agenti localmente: Tx_l=-3.04 Ty_l=59.39 N_l=-24813.70 My_l=2.65 Mz_l=0.00
Azioni sul cordone: TP=-0.23 TO=4.39 NO=-1834.24
Tensioni nel cordone: τ_P= 0.07 τ_0=1.39 σ_0=586.88 σ_{ID}=586.89 Σ_T=588.28
CC 57 SLU (Collegamento -044_-376)
Azioni sul collegamento: N=-28074.70 Ty=18.58 Tz=71.81 Mx=0.00 Mz=13.65
Sollecitazioni agenti localmente: Tx_l=18.58 Ty_l=71.81 N_l=-28074.70 My_l=-13.65 Mz_l=0.00
Azioni sul cordone: TP=1.37 TO=5.31 NO=-2075.29
Tensioni nel cordone: τ_P=0.44 τ_0=1.69 σ_0=679.57 σ_{ID}=679.57 Σ_T=681.26
CC 58 SLU (Collegamento -044_-376)
Azioni sul collegamento: N=-27258.70 Ty=17.82 Tz=68.80 Mx=0.00 Mz=13.09
Sollecitazioni agenti localmente: Tx_l=17.82 Ty_l=68.80 N_l=-27258.70 My_l=-13.09 Mz_l=0.00
Azioni sul cordone: TP=1.31 TO=5.09 NO=-2014.97
Tensioni nel cordone: τ_P=0.42 τ_0=1.62 σ_0=659.58 σ_{ID}=659.59 Σ_T=661.20
CC 59 SLU (Collegamento -044_-376)
Azioni sul collegamento: N=-27665.80 Ty=18.11 Tz=70.37 Mx=0.00 Mz=13.19
Sollecitazioni agenti localmente: Tx_l=18.11 Ty_l=70.37 N_l=-27665.80 My_l=-13.19 Mz_l=0.00
Azioni sul cordone: TP=1.33 TO=5.21 NO=-2045.07
Tensioni nel cordone: τ_P=0.42 τ_0=1.65 σ_0=669.29 σ_{ID}=669.29 Σ_T=670.94
CC 60 SLU (Collegamento -044_-376)
Azioni sul collegamento: N=-27667.60 Ty=18.29 Tz=70.25 Mx=0.00 Mz=13.55
Sollecitazioni agenti localmente: Tx_l=18.29 Ty_l=70.25 N_l=-27667.60 My_l=-13.55 Mz_l=0.00
Azioni sul cordone: TP=1.35 TO=5.20 NO=-2045.20
Tensioni nel cordone: τ_P=0.43 τ_0=1.65 σ_0=669.86 σ_{ID}=669.87 Σ_T=671.52
CC 61 SLU (Collegamento -044_-376)
Azioni sul collegamento: N=-21204.60 Ty=17.94 Tz=46.59 Mx=0.00 Mz=13.09
Sollecitazioni agenti localmente: Tx_l=17.94 Ty_l=46.59 N_l=-21204.60 My_l=-13.09 Mz_l=0.00
Azioni sul cordone: TP=1.32 TO=3.45 NO=-1567.45
Tensioni nel cordone: τ_P=0.42 τ_0=1.10 σ_0=517.34 σ_{ID}=517.34 Σ_T=518.43
CC 62 SLU (Collegamento -044_-376)
Azioni sul collegamento: N=-20388.60 Ty=17.19 Tz=43.58 Mx=0.00 Mz=12.53
Sollecitazioni agenti localmente: Tx_l=17.19 Ty_l=43.58 N_l=-20388.60 My_l=-12.53 Mz_l=0.00
Azioni sul cordone: TP=1.27 TO=3.22 NO=-1507.13
Tensioni nel cordone: τ_P=0.40 τ_0=1.02 σ_0=497.35 σ_{ID}=497.35 Σ_T=498.37
CC 63 SLU (Collegamento -044_-376)
Azioni sul collegamento: N=-20795.70 Ty=17.48 Tz=45.14 Mx=0.00 Mz=12.63
Sollecitazioni agenti localmente: Tx_l=17.48 Ty_l=45.14 N_l=-20795.70 My_l=-12.63 Mz_l=0.00
Azioni sul cordone: TP=1.29 TO=3.34 NO=-1537.23
Tensioni nel cordone: τ_P=0.41 τ_0=1.06 σ_0=507.06 σ_{ID}=507.06 Σ_T=508.12
CC 64 SLU (Collegamento -044_-376)
Azioni sul collegamento: N=-20797.50 Ty=17.66 Tz=45.03 Mx=0.00 Mz=12.99
Sollecitazioni agenti localmente: Tx_l=17.66 Ty_l=45.03 N_l=-20797.50 My_l=-12.99 Mz_l=0.00
Azioni sul cordone: TP=1.30 TO=3.33 NO=-1537.36
Tensioni nel cordone: τ_P=0.41 τ_0=1.06 σ_0=507.63 σ_{ID}=507.63 Σ_T=508.69
CC 65 SLU (Collegamento -044_-376)
Azioni sul collegamento: N=-23000.50 Ty=-4.50 Tz=52.79 Mx=0.00 Mz=-3.84
Sollecitazioni agenti localmente: Tx_l=-4.50 Ty_l=52.79 N_l=-23000.50 My_l=3.84 Mz_l=0.00
Azioni sul cordone: TP=-0.34 TO=3.90 NO=-1700.21

Tensioni nel cordone: τ_P=0.11 τ_0=1.24 σ_0=546.02 σ_{ID}=546.02 Σ_T=547.26
CC 66 SLU (Collegamento -044_-376)
Azioni sul collegamento: N=-22184.60 Ty=-5.26 Tz=49.77 Mx=0.00 Mz=-4.40
Sollecitazioni agenti localmente: Tx_l=-5.26 Ty_l=49.77 N_l=-22184.60 My_l=4.40 Mz_l=0.00
Azioni sul cordone: TP=-0.39 TO=3.68 NO=-1639.89
Tensioni nel cordone: τ_P=0.12 τ_0=1.17 σ_0=527.67 σ_{ID}=527.67 Σ_T=528.83
CC 67 SLU (Collegamento -044_-376)
Azioni sul collegamento: N=-22591.70 Ty=-4.97 Tz=51.34 Mx=0.00 Mz=-4.30
Sollecitazioni agenti localmente: Tx_l=-4.97 Ty_l=51.34 N_l=-22591.70 My_l=4.30 Mz_l=0.00
Azioni sul cordone: TP=-0.37 TO=3.79 NO=-1669.98
Tensioni nel cordone: τ_P=0.12 τ_0=1.20 σ_0=537.09 σ_{ID}=537.09 Σ_T=538.29
CC 68 SLU (Collegamento -044_-376)
Azioni sul collegamento: N=-22593.40 Ty=-4.79 Tz=51.22 Mx=0.00 Mz=-3.94
Sollecitazioni agenti localmente: Tx_l=-4.79 Ty_l=51.22 N_l=-22593.40 My_l=3.94 Mz_l=0.00
Azioni sul cordone: TP=-0.36 TO=3.78 NO=-1670.11
Tensioni nel cordone: τ_P=0.11 τ_0=1.20 σ_0=536.60 σ_{ID}=536.60 Σ_T=537.80
CC 97 SLU (Collegamento -044_-376)
Azioni sul collegamento: N=-32775.80 Ty=25.16 Tz=97.03 Mx=-0.05 Mz=10.53
Sollecitazioni agenti localmente: Tx_l=25.16 Ty_l=97.03 N_l=-32775.80 My_l=-10.53 Mz_l=-0.05
Azioni sul cordone: TP=1.92 TO=7.13 NO=-2422.79
Tensioni nel cordone: τ_P=0.61 τ_0=2.27 σ_0=785.46 σ_{ID}=785.47 Σ_T=787.73
CC 98 SLU (Collegamento -044_-376)
Azioni sul collegamento: N=-31959.80 Ty=24.41 Tz=94.02 Mx=-0.05 Mz=9.97
Sollecitazioni agenti localmente: Tx_l=24.41 Ty_l=94.02 N_l=-31959.80 My_l=-9.97 Mz_l=-0.05
Azioni sul cordone: TP=1.87 TO=6.91 NO=-2362.48
Tensioni nel cordone: τ_P=0.59 τ_0=2.20 σ_0=765.48 σ_{ID}=765.48 Σ_T=767.67
CC 99 SLU (Collegamento -044_-376)
Azioni sul collegamento: N=-32366.90 Ty=24.69 Tz=95.58 Mx=-0.05 Mz=10.07
Sollecitazioni agenti localmente: Tx_l=24.69 Ty_l=95.58 N_l=-32366.90 My_l=-10.07 Mz_l=-0.05
Azioni sul cordone: TP=1.89 TO=7.02 NO=-2392.57
Tensioni nel cordone: τ_P=0.60 τ_0=2.23 σ_0=775.18 σ_{ID}=775.19 Σ_T=777.41
CC 100 SLU (Collegamento -044_-376)
Azioni sul collegamento: N=-32368.70 Ty=24.87 Tz=95.47 Mx=-0.05 Mz=10.43
Sollecitazioni agenti localmente: Tx_l=24.87 Ty_l=95.47 N_l=-32368.70 My_l=-10.43 Mz_l=-0.05
Azioni sul cordone: TP=1.90 TO=7.01 NO=-2392.70
Tensioni nel cordone: τ_P=0.60 τ_0=2.23 σ_0=775.76 σ_{ID}=775.76 Σ_T=777.99
CC 101 SLU (Collegamento -044_-376)
Azioni sul collegamento: N=-9110.88 Ty=5.97 Tz=10.39 Mx=0.01 Mz=4.99
Sollecitazioni agenti localmente: Tx_l=5.97 Ty_l=10.39 N_l=-9110.88 My_l=-4.99 Mz_l=0.01
Azioni sul cordone: TP=0.43 TO=0.77 NO=-673.48
Tensioni nel cordone: τ_P=0.14 τ_0=0.25 σ_0=221.35 σ_{ID}=221.35 Σ_T=221.60
CC 102 SLU (Collegamento -044_-376)
Azioni sul collegamento: N=-8294.89 Ty=5.21 Tz=7.37 Mx=0.01 Mz=4.43
Sollecitazioni agenti localmente: Tx_l=5.21 Ty_l=7.37 N_l=-8294.89 My_l=-4.43 Mz_l=0.01
Azioni sul cordone: TP=0.38 TO=0.55 NO=-613.16
Tensioni nel cordone: τ_P=0.12 τ_0=0.18 σ_0=201.37 σ_{ID}=201.37 Σ_T=201.54
CC 103 SLU (Collegamento -044_-376)
Azioni sul collegamento: N=-8702.00 Ty=5.50 Tz=8.94 Mx=0.01 Mz=4.53
Sollecitazioni agenti localmente: Tx_l=5.50 Ty_l=8.94 N_l=-8702.00 My_l=-4.53 Mz_l=0.01
Azioni sul cordone: TP=0.40 TO=0.67 NO=-643.25
Tensioni nel cordone: τ_P=0.13 τ_0=0.21 σ_0=211.07 σ_{ID}=211.07 Σ_T=211.28
CC 104 SLU (Collegamento -044_-376)
Azioni sul collegamento: N=-8703.77 Ty=5.68 Tz=8.82 Mx=0.01 Mz=4.89
Sollecitazioni agenti localmente: Tx_l=5.68 Ty_l=8.82 N_l=-8703.77 My_l=-4.89 Mz_l=0.01
Azioni sul cordone: TP=0.41 TO=0.66 NO=-643.38
Tensioni nel cordone: τ_P=0.13 τ_0=0.21 σ_0=211.65 σ_{ID}=211.65 Σ_T=211.86

Flessione attacco superiore piastra

Bnetta=220.00 Hnetta=15.00
CC 1 SLV (Collegamento -044_-376)
Azioni sul collegamento: N=-6246.31 Ty=15.25 Tz=-0.46 Mx=0.02 Mz=13.58
Sollecitazioni agenti localmente: Ty_l=-1135.69 Mx_l=-22.71
Tensioni nella sezione: σ=275.32 τ=34.41
CC 1 SLV (Collegamento -044_-376)
Azioni sul collegamento: N=-6246.31 Ty=7.49 Tz=-0.46 Mx=0.02 Mz=7.17
Sollecitazioni agenti localmente: Ty_l=-1135.69 Mx_l=-22.71
Tensioni nella sezione: σ=275.32 τ=34.41
CC 1 SLV (Collegamento -044_-376)
Azioni sul collegamento: N=-6246.31 Ty=15.25 Tz=28.82 Mx=0.02 Mz=13.58
Sollecitazioni agenti localmente: Ty_l=-1135.69 Mx_l=-22.71
Tensioni nella sezione: σ=275.32 τ=34.41
CC 1 SLV (Collegamento -044_-376)
Azioni sul collegamento: N=-6246.31 Ty=7.49 Tz=28.82 Mx=0.02 Mz=7.17
Sollecitazioni agenti localmente: Ty_l=-1135.69 Mx_l=-22.71
Tensioni nella sezione: σ=275.32 τ=34.41
CC 1 SLV (Collegamento -044_-376)
Azioni sul collegamento: N=-14088.90 Ty=15.25 Tz=-0.46 Mx=0.02 Mz=13.58
Sollecitazioni agenti localmente: Ty_l=-2561.62 Mx_l=-51.23
Tensioni nella sezione: σ=621.00 τ=77.63
CC 1 SLV (Collegamento -044_-376)

Azioni sul collegamento: N=-14088.90 Ty=7.49 Tz=-0.46 Mx=0.02 Mz=7.17
Sollecitazioni agenti localmente: Ty_l=-2561.62 Mx_l=-51.23
Tensioni nella sezione: σ=621.00 τ=77.63
CC 1 SLV (Collegamento -044_-376)
Azioni sul collegamento: N=-14088.90 Ty=15.25 Tz=28.82 Mx=0.02 Mz=13.58
Sollecitazioni agenti localmente: Ty_l=-2561.62 Mx_l=-51.23
Tensioni nella sezione: σ=621.00 τ=77.63
CC 1 SLV (Collegamento -044_-376)
Azioni sul collegamento: N=-14088.90 Ty=7.49 Tz=28.82 Mx=0.02 Mz=7.17
Sollecitazioni agenti localmente: Ty_l=-2561.62 Mx_l=-51.23
Tensioni nella sezione: σ=621.00 τ=77.63
CC 2 SLD (Collegamento -044_-376)
Azioni sul collegamento: N=-8874.30 Ty=11.63 Tz=9.33 Mx=0.01 Mz=9.21
Sollecitazioni agenti localmente: Ty_l=-1613.51 Mx_l=-32.27
Tensioni nella sezione: σ=391.15 τ=48.89
CC 2 SLD (Collegamento -044_-376)
Azioni sul collegamento: N=-8874.30 Ty=9.26 Tz=9.33 Mx=0.01 Mz=7.26
Sollecitazioni agenti localmente: Ty_l=-1613.51 Mx_l=-32.27
Tensioni nella sezione: σ=391.15 τ=48.89
CC 2 SLD (Collegamento -044_-376)
Azioni sul collegamento: N=-8874.30 Ty=11.63 Tz=18.26 Mx=0.01 Mz=9.21
Sollecitazioni agenti localmente: Ty_l=-1613.51 Mx_l=-32.27
Tensioni nella sezione: σ=391.15 τ=48.89
CC 2 SLD (Collegamento -044_-376)
Azioni sul collegamento: N=-8874.30 Ty=9.26 Tz=18.26 Mx=0.01 Mz=7.26
Sollecitazioni agenti localmente: Ty_l=-1613.51 Mx_l=-32.27
Tensioni nella sezione: σ=391.15 τ=48.89
CC 2 SLD (Collegamento -044_-376)
Azioni sul collegamento: N=-11265.80 Ty=11.63 Tz=9.33 Mx=0.01 Mz=9.21
Sollecitazioni agenti localmente: Ty_l=-2048.32 Mx_l=-40.97
Tensioni nella sezione: σ=496.56 τ=62.07
CC 2 SLD (Collegamento -044_-376)
Azioni sul collegamento: N=-11265.80 Ty=9.26 Tz=9.33 Mx=0.01 Mz=7.26
Sollecitazioni agenti localmente: Ty_l=-2048.32 Mx_l=-40.97
Tensioni nella sezione: σ=496.56 τ=62.07
CC 2 SLD (Collegamento -044_-376)
Azioni sul collegamento: N=-11265.80 Ty=11.63 Tz=18.26 Mx=0.01 Mz=9.21
Sollecitazioni agenti localmente: Ty_l=-2048.32 Mx_l=-40.97
Tensioni nella sezione: σ=496.56 τ=62.07
CC 2 SLD (Collegamento -044_-376)
Azioni sul collegamento: N=-11265.80 Ty=9.26 Tz=18.26 Mx=0.01 Mz=7.26
Sollecitazioni agenti localmente: Ty_l=-2048.32 Mx_l=-40.97
Tensioni nella sezione: σ=496.56 τ=62.07
CC 3 SLV (Collegamento -044_-376)
Azioni sul collegamento: N=-6251.19 Ty=14.73 Tz=-0.13 Mx=0.01 Mz=12.53
Sollecitazioni agenti localmente: Ty_l=-1136.58 Mx_l=-22.73
Tensioni nella sezione: σ=275.53 τ=34.44
CC 3 SLV (Collegamento -044_-376)
Azioni sul collegamento: N=-6251.19 Ty=8.00 Tz=-0.13 Mx=0.01 Mz=8.22
Sollecitazioni agenti localmente: Ty_l=-1136.58 Mx_l=-22.73
Tensioni nella sezione: σ=275.53 τ=34.44
CC 3 SLV (Collegamento -044_-376)
Azioni sul collegamento: N=-6251.19 Ty=14.73 Tz=28.49 Mx=0.01 Mz=12.53
Sollecitazioni agenti localmente: Ty_l=-1136.58 Mx_l=-22.73
Tensioni nella sezione: σ=275.53 τ=34.44
CC 3 SLV (Collegamento -044_-376)
Azioni sul collegamento: N=-6251.19 Ty=8.00 Tz=28.49 Mx=0.01 Mz=8.22
Sollecitazioni agenti localmente: Ty_l=-1136.58 Mx_l=-22.73
Tensioni nella sezione: σ=275.53 τ=34.44
CC 3 SLV (Collegamento -044_-376)
Azioni sul collegamento: N=-14084.10 Ty=14.73 Tz=-0.13 Mx=0.01 Mz=12.53
Sollecitazioni agenti localmente: Ty_l=-2560.74 Mx_l=-51.21
Tensioni nella sezione: σ=620.78 τ=77.60
CC 3 SLV (Collegamento -044_-376)
Azioni sul collegamento: N=-14084.10 Ty=8.00 Tz=-0.13 Mx=0.01 Mz=8.22
Sollecitazioni agenti localmente: Ty_l=-2560.74 Mx_l=-51.21
Tensioni nella sezione: σ=620.78 τ=77.60
CC 3 SLV (Collegamento -044_-376)
Azioni sul collegamento: N=-14084.10 Ty=14.73 Tz=28.49 Mx=0.01 Mz=12.53
Sollecitazioni agenti localmente: Ty_l=-2560.74 Mx_l=-51.21
Tensioni nella sezione: σ=620.78 τ=77.60
CC 3 SLV (Collegamento -044_-376)
Azioni sul collegamento: N=-14084.10 Ty=8.00 Tz=28.49 Mx=0.01 Mz=8.22
Sollecitazioni agenti localmente: Ty_l=-2560.74 Mx_l=-51.21
Tensioni nella sezione: σ=620.78 τ=77.60
CC 4 SLD (Collegamento -044_-376)
Azioni sul collegamento: N=-8875.79 Ty=11.47 Tz=9.43 Mx=0.01 Mz=8.89
Sollecitazioni agenti localmente: Ty_l=-1613.78 Mx_l=-32.28
Tensioni nella sezione: σ=391.22 τ=48.90
CC 4 SLD (Collegamento -044_-376)

Azioni sul collegamento: N=-8875.79 Ty=9.42 Tz=9.43 Mx=0.01 Mz=7.58
Sollecitazioni agenti localmente: Ty_l=-1613.78 Mx_l=-32.28
Tensioni nella sezione: σ=391.22 τ=48.90
CC 4 SLD (Collegamento -044_-376)
Azioni sul collegamento: N=-8875.79 Ty=11.47 Tz=18.16 Mx=0.01 Mz=8.89
Sollecitazioni agenti localmente: Ty_l=-1613.78 Mx_l=-32.28
Tensioni nella sezione: σ=391.22 τ=48.90
CC 4 SLD (Collegamento -044_-376)
Azioni sul collegamento: N=-8875.79 Ty=9.42 Tz=18.16 Mx=0.01 Mz=7.58
Sollecitazioni agenti localmente: Ty_l=-1613.78 Mx_l=-32.28
Tensioni nella sezione: σ=391.22 τ=48.90
CC 4 SLD (Collegamento -044_-376)
Azioni sul collegamento: N=-11264.30 Ty=11.47 Tz=9.43 Mx=0.01 Mz=8.89
Sollecitazioni agenti localmente: Ty_l=-2048.05 Mx_l=-40.96
Tensioni nella sezione: σ=496.50 τ=62.06
CC 4 SLD (Collegamento -044_-376)
Azioni sul collegamento: N=-11264.30 Ty=9.42 Tz=9.43 Mx=0.01 Mz=7.58
Sollecitazioni agenti localmente: Ty_l=-2048.05 Mx_l=-40.96
Tensioni nella sezione: σ=496.50 τ=62.06
CC 4 SLD (Collegamento -044_-376)
Azioni sul collegamento: N=-11264.30 Ty=11.47 Tz=18.16 Mx=0.01 Mz=8.89
Sollecitazioni agenti localmente: Ty_l=-2048.05 Mx_l=-40.96
Tensioni nella sezione: σ=496.50 τ=62.06
CC 4 SLD (Collegamento -044_-376)
Azioni sul collegamento: N=-11264.30 Ty=9.42 Tz=18.16 Mx=0.01 Mz=7.58
Sollecitazioni agenti localmente: Ty_l=-2048.05 Mx_l=-40.96
Tensioni nella sezione: σ=496.50 τ=62.06
CC 5 SLV (Collegamento -044_-376)
Azioni sul collegamento: N=-14084.10 Ty=8.00 Tz=28.49 Mx=0.02 Mz=8.22
Sollecitazioni agenti localmente: Ty_l=-2560.74 Mx_l=-51.21
Tensioni nella sezione: σ=620.78 τ=77.60
CC 5 SLV (Collegamento -044_-376)
Azioni sul collegamento: N=-14084.10 Ty=14.73 Tz=28.49 Mx=0.02 Mz=12.53
Sollecitazioni agenti localmente: Ty_l=-2560.74 Mx_l=-51.21
Tensioni nella sezione: σ=620.78 τ=77.60
CC 5 SLV (Collegamento -044_-376)
Azioni sul collegamento: N=-14084.10 Ty=8.00 Tz=-0.13 Mx=0.02 Mz=8.22
Sollecitazioni agenti localmente: Ty_l=-2560.74 Mx_l=-51.21
Tensioni nella sezione: σ=620.78 τ=77.60
CC 5 SLV (Collegamento -044_-376)
Azioni sul collegamento: N=-14084.10 Ty=14.73 Tz=-0.13 Mx=0.02 Mz=12.53
Sollecitazioni agenti localmente: Ty_l=-2560.74 Mx_l=-51.21
Tensioni nella sezione: σ=620.78 τ=77.60
CC 5 SLV (Collegamento -044_-376)
Azioni sul collegamento: N=-6251.19 Ty=8.00 Tz=28.49 Mx=0.02 Mz=8.22
Sollecitazioni agenti localmente: Ty_l=-1136.58 Mx_l=-22.73
Tensioni nella sezione: σ=275.53 τ=34.44
CC 5 SLV (Collegamento -044_-376)
Azioni sul collegamento: N=-6251.19 Ty=14.73 Tz=28.49 Mx=0.02 Mz=12.53
Sollecitazioni agenti localmente: Ty_l=-1136.58 Mx_l=-22.73
Tensioni nella sezione: σ=275.53 τ=34.44
CC 5 SLV (Collegamento -044_-376)
Azioni sul collegamento: N=-6251.19 Ty=8.00 Tz=-0.13 Mx=0.02 Mz=8.22
Sollecitazioni agenti localmente: Ty_l=-1136.58 Mx_l=-22.73
Tensioni nella sezione: σ=275.53 τ=34.44
CC 5 SLV (Collegamento -044_-376)
Azioni sul collegamento: N=-6251.19 Ty=14.73 Tz=-0.13 Mx=0.02 Mz=12.53
Sollecitazioni agenti localmente: Ty_l=-1136.58 Mx_l=-22.73
Tensioni nella sezione: σ=275.53 τ=34.44
CC 6 SLD (Collegamento -044_-376)
Azioni sul collegamento: N=-11264.30 Ty=9.42 Tz=18.16 Mx=0.01 Mz=7.58
Sollecitazioni agenti localmente: Ty_l=-2048.05 Mx_l=-40.96
Tensioni nella sezione: σ=496.50 τ=62.06
CC 6 SLD (Collegamento -044_-376)
Azioni sul collegamento: N=-11264.30 Ty=11.47 Tz=18.16 Mx=0.01 Mz=8.89
Sollecitazioni agenti localmente: Ty_l=-2048.05 Mx_l=-40.96
Tensioni nella sezione: σ=496.50 τ=62.06
CC 6 SLD (Collegamento -044_-376)
Azioni sul collegamento: N=-11264.30 Ty=9.42 Tz=9.43 Mx=0.01 Mz=7.58
Sollecitazioni agenti localmente: Ty_l=-2048.05 Mx_l=-40.96
Tensioni nella sezione: σ=496.50 τ=62.06
CC 6 SLD (Collegamento -044_-376)
Azioni sul collegamento: N=-11264.30 Ty=11.47 Tz=9.43 Mx=0.01 Mz=8.89
Sollecitazioni agenti localmente: Ty_l=-2048.05 Mx_l=-40.96
Tensioni nella sezione: σ=496.50 τ=62.06
CC 6 SLD (Collegamento -044_-376)
Azioni sul collegamento: N=-8875.79 Ty=9.42 Tz=18.16 Mx=0.01 Mz=7.58
Sollecitazioni agenti localmente: Ty_l=-1613.78 Mx_l=-32.28
Tensioni nella sezione: σ=391.22 τ=48.90
CC 6 SLD (Collegamento -044_-376)

Azioni sul collegamento: N=-8875.79 Ty=11.47 Tz=18.16 Mx=0.01 Mz=8.89
Sollecitazioni agenti localmente: Ty_l=-1613.78 Mx_l=-32.28
Tensioni nella sezione: σ=391.22 τ=48.90
CC 6 SLD (Collegamento -044_-376)
Azioni sul collegamento: N=-8875.79 Ty=9.42 Tz=9.43 Mx=0.01 Mz=7.58
Sollecitazioni agenti localmente: Ty_l=-1613.78 Mx_l=-32.28
Tensioni nella sezione: σ=391.22 τ=48.90
CC 6 SLD (Collegamento -044_-376)
Azioni sul collegamento: N=-8875.79 Ty=11.47 Tz=9.43 Mx=0.01 Mz=8.89
Sollecitazioni agenti localmente: Ty_l=-1613.78 Mx_l=-32.28
Tensioni nella sezione: σ=391.22 τ=48.90
CC 7 SLV (Collegamento -044_-376)
Azioni sul collegamento: N=-14088.90 Ty=7.49 Tz=28.82 Mx=0.01 Mz=7.17
Sollecitazioni agenti localmente: Ty_l=-2561.62 Mx_l=-51.23
Tensioni nella sezione: σ=621.00 τ=77.63
CC 7 SLV (Collegamento -044_-376)
Azioni sul collegamento: N=-14088.90 Ty=15.25 Tz=28.82 Mx=0.01 Mz=13.58
Sollecitazioni agenti localmente: Ty_l=-2561.62 Mx_l=-51.23
Tensioni nella sezione: σ=621.00 τ=77.63
CC 7 SLV (Collegamento -044_-376)
Azioni sul collegamento: N=-14088.90 Ty=7.49 Tz=-0.46 Mx=0.01 Mz=7.17
Sollecitazioni agenti localmente: Ty_l=-2561.62 Mx_l=-51.23
Tensioni nella sezione: σ=621.00 τ=77.63
CC 7 SLV (Collegamento -044_-376)
Azioni sul collegamento: N=-14088.90 Ty=15.25 Tz=-0.46 Mx=0.01 Mz=13.58
Sollecitazioni agenti localmente: Ty_l=-2561.62 Mx_l=-51.23
Tensioni nella sezione: σ=621.00 τ=77.63
CC 7 SLV (Collegamento -044_-376)
Azioni sul collegamento: N=-6246.31 Ty=7.49 Tz=28.82 Mx=0.01 Mz=7.17
Sollecitazioni agenti localmente: Ty_l=-1135.69 Mx_l=-22.71
Tensioni nella sezione: σ=275.32 τ=34.41
CC 7 SLV (Collegamento -044_-376)
Azioni sul collegamento: N=-6246.31 Ty=15.25 Tz=28.82 Mx=0.01 Mz=13.58
Sollecitazioni agenti localmente: Ty_l=-1135.69 Mx_l=-22.71
Tensioni nella sezione: σ=275.32 τ=34.41
CC 7 SLV (Collegamento -044_-376)
Azioni sul collegamento: N=-6246.31 Ty=7.49 Tz=-0.46 Mx=0.01 Mz=7.17
Sollecitazioni agenti localmente: Ty_l=-1135.69 Mx_l=-22.71
Tensioni nella sezione: σ=275.32 τ=34.41
CC 7 SLV (Collegamento -044_-376)
Azioni sul collegamento: N=-6246.31 Ty=15.25 Tz=-0.46 Mx=0.01 Mz=13.58
Sollecitazioni agenti localmente: Ty_l=-1135.69 Mx_l=-22.71
Tensioni nella sezione: σ=275.32 τ=34.41
CC 8 SLD (Collegamento -044_-376)
Azioni sul collegamento: N=-11265.80 Ty=9.26 Tz=18.26 Mx=0.01 Mz=7.26
Sollecitazioni agenti localmente: Ty_l=-2048.32 Mx_l=-40.97
Tensioni nella sezione: σ=496.56 τ=62.07
CC 8 SLD (Collegamento -044_-376)
Azioni sul collegamento: N=-11265.80 Ty=11.63 Tz=18.26 Mx=0.01 Mz=9.21
Sollecitazioni agenti localmente: Ty_l=-2048.32 Mx_l=-40.97
Tensioni nella sezione: σ=496.56 τ=62.07
CC 8 SLD (Collegamento -044_-376)
Azioni sul collegamento: N=-11265.80 Ty=9.26 Tz=9.33 Mx=0.01 Mz=7.26
Sollecitazioni agenti localmente: Ty_l=-2048.32 Mx_l=-40.97
Tensioni nella sezione: σ=496.56 τ=62.07
CC 8 SLD (Collegamento -044_-376)
Azioni sul collegamento: N=-11265.80 Ty=11.63 Tz=9.33 Mx=0.01 Mz=9.21
Sollecitazioni agenti localmente: Ty_l=-2048.32 Mx_l=-40.97
Tensioni nella sezione: σ=496.56 τ=62.07
CC 8 SLD (Collegamento -044_-376)
Azioni sul collegamento: N=-8874.30 Ty=9.26 Tz=18.26 Mx=0.01 Mz=7.26
Sollecitazioni agenti localmente: Ty_l=-1613.51 Mx_l=-32.27
Tensioni nella sezione: σ=391.15 τ=48.89
CC 8 SLD (Collegamento -044_-376)
Azioni sul collegamento: N=-8874.30 Ty=11.63 Tz=18.26 Mx=0.01 Mz=9.21
Sollecitazioni agenti localmente: Ty_l=-1613.51 Mx_l=-32.27
Tensioni nella sezione: σ=391.15 τ=48.89
CC 8 SLD (Collegamento -044_-376)
Azioni sul collegamento: N=-8874.30 Ty=9.26 Tz=9.33 Mx=0.01 Mz=7.26
Sollecitazioni agenti localmente: Ty_l=-1613.51 Mx_l=-32.27
Tensioni nella sezione: σ=391.15 τ=48.89
CC 8 SLD (Collegamento -044_-376)
Azioni sul collegamento: N=-8874.30 Ty=11.63 Tz=9.33 Mx=0.01 Mz=9.21
Sollecitazioni agenti localmente: Ty_l=-1613.51 Mx_l=-32.27
Tensioni nella sezione: σ=391.15 τ=48.89
CC 9 SLV (Collegamento -044_-376)
Azioni sul collegamento: N=-8983.82 Ty=13.31 Tz=9.29 Mx=0.02 Mz=12.92
Sollecitazioni agenti localmente: Ty_l=-1633.42 Mx_l=-32.67
Tensioni nella sezione: σ=395.98 τ=49.50
CC 9 SLV (Collegamento -044_-376)

Azioni sul collegamento: N=-8983.82 Ty=9.43 Tz=9.29 Mx=0.02 Mz=7.83
Sollecitazioni agenti localmente: Ty_l=-1633.42 Mx_l=-32.67
Tensioni nella sezione: σ=395.98 τ=49.50
CC 9 SLV (Collegamento -044_-376)
Azioni sul collegamento: N=-8983.82 Ty=13.31 Tz=19.07 Mx=0.02 Mz=12.92
Sollecitazioni agenti localmente: Ty_l=-1633.42 Mx_l=-32.67
Tensioni nella sezione: σ=395.98 τ=49.50
CC 9 SLV (Collegamento -044_-376)
Azioni sul collegamento: N=-8983.82 Ty=9.43 Tz=19.07 Mx=0.02 Mz=7.83
Sollecitazioni agenti localmente: Ty_l=-1633.42 Mx_l=-32.67
Tensioni nella sezione: σ=395.98 τ=49.50
CC 9 SLV (Collegamento -044_-376)
Azioni sul collegamento: N=-11351.40 Ty=13.31 Tz=9.29 Mx=0.02 Mz=12.92
Sollecitazioni agenti localmente: Ty_l=-2063.90 Mx_l=-41.28
Tensioni nella sezione: σ=500.34 τ=62.54
CC 9 SLV (Collegamento -044_-376)
Azioni sul collegamento: N=-11351.40 Ty=9.43 Tz=9.29 Mx=0.02 Mz=7.83
Sollecitazioni agenti localmente: Ty_l=-2063.90 Mx_l=-41.28
Tensioni nella sezione: σ=500.34 τ=62.54
CC 9 SLV (Collegamento -044_-376)
Azioni sul collegamento: N=-11351.40 Ty=13.31 Tz=19.07 Mx=0.02 Mz=12.92
Sollecitazioni agenti localmente: Ty_l=-2063.90 Mx_l=-41.28
Tensioni nella sezione: σ=500.34 τ=62.54
CC 9 SLV (Collegamento -044_-376)
Azioni sul collegamento: N=-11351.40 Ty=9.43 Tz=19.07 Mx=0.02 Mz=7.83
Sollecitazioni agenti localmente: Ty_l=-2063.90 Mx_l=-41.28
Tensioni nella sezione: σ=500.34 τ=62.54
CC 10 SLD (Collegamento -044_-376)
Azioni sul collegamento: N=-9709.06 Ty=11.04 Tz=12.31 Mx=0.01 Mz=9.01
Sollecitazioni agenti localmente: Ty_l=-1765.28 Mx_l=-35.31
Tensioni nella sezione: σ=427.95 τ=53.49
CC 10 SLD (Collegamento -044_-376)
Azioni sul collegamento: N=-9709.06 Ty=9.85 Tz=12.31 Mx=0.01 Mz=7.46
Sollecitazioni agenti localmente: Ty_l=-1765.28 Mx_l=-35.31
Tensioni nella sezione: σ=427.95 τ=53.49
CC 10 SLD (Collegamento -044_-376)
Azioni sul collegamento: N=-9709.06 Ty=11.04 Tz=15.29 Mx=0.01 Mz=9.01
Sollecitazioni agenti localmente: Ty_l=-1765.28 Mx_l=-35.31
Tensioni nella sezione: σ=427.95 τ=53.49
CC 10 SLD (Collegamento -044_-376)
Azioni sul collegamento: N=-9709.06 Ty=9.85 Tz=15.29 Mx=0.01 Mz=7.46
Sollecitazioni agenti localmente: Ty_l=-1765.28 Mx_l=-35.31
Tensioni nella sezione: σ=427.95 τ=53.49
CC 10 SLD (Collegamento -044_-376)
Azioni sul collegamento: N=-10431.00 Ty=11.04 Tz=12.31 Mx=0.01 Mz=9.01
Sollecitazioni agenti localmente: Ty_l=-1896.55 Mx_l=-37.93
Tensioni nella sezione: σ=459.77 τ=57.47
CC 10 SLD (Collegamento -044_-376)
Azioni sul collegamento: N=-10431.00 Ty=9.85 Tz=12.31 Mx=0.01 Mz=7.46
Sollecitazioni agenti localmente: Ty_l=-1896.55 Mx_l=-37.93
Tensioni nella sezione: σ=459.77 τ=57.47
CC 10 SLD (Collegamento -044_-376)
Azioni sul collegamento: N=-10431.00 Ty=11.04 Tz=15.29 Mx=0.01 Mz=9.01
Sollecitazioni agenti localmente: Ty_l=-1896.55 Mx_l=-37.93
Tensioni nella sezione: σ=459.77 τ=57.47
CC 10 SLD (Collegamento -044_-376)
Azioni sul collegamento: N=-10431.00 Ty=9.85 Tz=15.29 Mx=0.01 Mz=7.46
Sollecitazioni agenti localmente: Ty_l=-1896.55 Mx_l=-37.93
Tensioni nella sezione: σ=459.77 τ=57.47
CC 11 SLV (Collegamento -044_-376)
Azioni sul collegamento: N=-11335.10 Ty=11.14 Tz=17.98 Mx=0.02 Mz=11.32
Sollecitazioni agenti localmente: Ty_l=-2060.93 Mx_l=-41.22
Tensioni nella sezione: σ=499.62 τ=62.45
CC 11 SLV (Collegamento -044_-376)
Azioni sul collegamento: N=-11335.10 Ty=11.60 Tz=17.98 Mx=0.02 Mz=9.43
Sollecitazioni agenti localmente: Ty_l=-2060.93 Mx_l=-41.22
Tensioni nella sezione: σ=499.62 τ=62.45
CC 11 SLV (Collegamento -044_-376)
Azioni sul collegamento: N=-11335.10 Ty=11.14 Tz=10.38 Mx=0.02 Mz=11.32
Sollecitazioni agenti localmente: Ty_l=-2060.93 Mx_l=-41.22
Tensioni nella sezione: σ=499.62 τ=62.45
CC 11 SLV (Collegamento -044_-376)
Azioni sul collegamento: N=-11335.10 Ty=11.60 Tz=10.38 Mx=0.02 Mz=9.43
Sollecitazioni agenti localmente: Ty_l=-2060.93 Mx_l=-41.22
Tensioni nella sezione: σ=499.62 τ=62.45
CC 11 SLV (Collegamento -044_-376)
Azioni sul collegamento: N=-9000.10 Ty=11.14 Tz=17.98 Mx=0.02 Mz=11.32
Sollecitazioni agenti localmente: Ty_l=-1636.38 Mx_l=-32.73
Tensioni nella sezione: σ=396.70 τ=49.59
CC 11 SLV (Collegamento -044_-376)

Azioni sul collegamento: N=-9000.10 Ty=11.60 Tz=17.98 Mx=0.02 Mz=9.43
Sollecitazioni agenti localmente: Ty_l=-1636.38 Mx_l=-32.73
Tensioni nella sezione: σ=396.70 τ=49.59
CC 11 SLV (Collegamento -044_-376)
Azioni sul collegamento: N=-9000.10 Ty=11.14 Tz=10.38 Mx=0.02 Mz=11.32
Sollecitazioni agenti localmente: Ty_l=-1636.38 Mx_l=-32.73
Tensioni nella sezione: σ=396.70 τ=49.59
CC 11 SLV (Collegamento -044_-376)
Azioni sul collegamento: N=-9000.10 Ty=11.60 Tz=10.38 Mx=0.02 Mz=9.43
Sollecitazioni agenti localmente: Ty_l=-1636.38 Mx_l=-32.73
Tensioni nella sezione: σ=396.70 τ=49.59
CC 12 SLD (Collegamento -044_-376)
Azioni sul collegamento: N=-10426.00 Ty=10.37 Tz=14.95 Mx=0.01 Mz=8.52
Sollecitazioni agenti localmente: Ty_l=-1895.64 Mx_l=-37.91
Tensioni nella sezione: σ=459.55 τ=57.44
CC 12 SLD (Collegamento -044_-376)
Azioni sul collegamento: N=-10426.00 Ty=10.51 Tz=14.95 Mx=0.01 Mz=7.95
Sollecitazioni agenti localmente: Ty_l=-1895.64 Mx_l=-37.91
Tensioni nella sezione: σ=459.55 τ=57.44
CC 12 SLD (Collegamento -044_-376)
Azioni sul collegamento: N=-10426.00 Ty=10.37 Tz=12.64 Mx=0.01 Mz=8.52
Sollecitazioni agenti localmente: Ty_l=-1895.64 Mx_l=-37.91
Tensioni nella sezione: σ=459.55 τ=57.44
CC 12 SLD (Collegamento -044_-376)
Azioni sul collegamento: N=-10426.00 Ty=10.51 Tz=12.64 Mx=0.01 Mz=7.95
Sollecitazioni agenti localmente: Ty_l=-1895.64 Mx_l=-37.91
Tensioni nella sezione: σ=459.55 τ=57.44
CC 12 SLD (Collegamento -044_-376)
Azioni sul collegamento: N=-9714.02 Ty=10.37 Tz=14.95 Mx=0.01 Mz=8.52
Sollecitazioni agenti localmente: Ty_l=-1766.19 Mx_l=-35.32
Tensioni nella sezione: σ=428.17 τ=53.52
CC 12 SLD (Collegamento -044_-376)
Azioni sul collegamento: N=-9714.02 Ty=10.51 Tz=14.95 Mx=0.01 Mz=7.95
Sollecitazioni agenti localmente: Ty_l=-1766.19 Mx_l=-35.32
Tensioni nella sezione: σ=428.17 τ=53.52
CC 12 SLD (Collegamento -044_-376)
Azioni sul collegamento: N=-9714.02 Ty=10.37 Tz=12.64 Mx=0.01 Mz=8.52
Sollecitazioni agenti localmente: Ty_l=-1766.19 Mx_l=-35.32
Tensioni nella sezione: σ=428.17 τ=53.52
CC 12 SLD (Collegamento -044_-376)
Azioni sul collegamento: N=-9714.02 Ty=10.51 Tz=12.64 Mx=0.01 Mz=7.95
Sollecitazioni agenti localmente: Ty_l=-1766.19 Mx_l=-35.32
Tensioni nella sezione: σ=428.17 τ=53.52
CC 13 SLV (Collegamento -044_-376)
Azioni sul collegamento: N=-9000.10 Ty=11.60 Tz=10.38 Mx=0.01 Mz=9.43
Sollecitazioni agenti localmente: Ty_l=-1636.38 Mx_l=-32.73
Tensioni nella sezione: σ=396.70 τ=49.59
CC 13 SLV (Collegamento -044_-376)
Azioni sul collegamento: N=-9000.10 Ty=11.14 Tz=10.38 Mx=0.01 Mz=11.32
Sollecitazioni agenti localmente: Ty_l=-1636.38 Mx_l=-32.73
Tensioni nella sezione: σ=396.70 τ=49.59
CC 13 SLV (Collegamento -044_-376)
Azioni sul collegamento: N=-9000.10 Ty=11.60 Tz=17.98 Mx=0.01 Mz=9.43
Sollecitazioni agenti localmente: Ty_l=-1636.38 Mx_l=-32.73
Tensioni nella sezione: σ=396.70 τ=49.59
CC 13 SLV (Collegamento -044_-376)
Azioni sul collegamento: N=-9000.10 Ty=11.14 Tz=17.98 Mx=0.01 Mz=11.32
Sollecitazioni agenti localmente: Ty_l=-1636.38 Mx_l=-32.73
Tensioni nella sezione: σ=396.70 τ=49.59
CC 13 SLV (Collegamento -044_-376)
Azioni sul collegamento: N=-11335.10 Ty=11.60 Tz=10.38 Mx=0.01 Mz=9.43
Sollecitazioni agenti localmente: Ty_l=-2060.93 Mx_l=-41.22
Tensioni nella sezione: σ=499.62 τ=62.45
CC 13 SLV (Collegamento -044_-376)
Azioni sul collegamento: N=-11335.10 Ty=11.14 Tz=10.38 Mx=0.01 Mz=11.32
Sollecitazioni agenti localmente: Ty_l=-2060.93 Mx_l=-41.22
Tensioni nella sezione: σ=499.62 τ=62.45
CC 13 SLV (Collegamento -044_-376)
Azioni sul collegamento: N=-11335.10 Ty=11.60 Tz=17.98 Mx=0.01 Mz=9.43
Sollecitazioni agenti localmente: Ty_l=-2060.93 Mx_l=-41.22
Tensioni nella sezione: σ=499.62 τ=62.45
CC 13 SLV (Collegamento -044_-376)
Azioni sul collegamento: N=-11335.10 Ty=11.14 Tz=17.98 Mx=0.01 Mz=11.32
Sollecitazioni agenti localmente: Ty_l=-2060.93 Mx_l=-41.22
Tensioni nella sezione: σ=499.62 τ=62.45
CC 14 SLD (Collegamento -044_-376)
Azioni sul collegamento: N=-9714.02 Ty=10.51 Tz=12.64 Mx=0.00 Mz=7.95
Sollecitazioni agenti localmente: Ty_l=-1766.19 Mx_l=-35.32
Tensioni nella sezione: σ=428.17 τ=53.52
CC 14 SLD (Collegamento -044_-376)

Azioni sul collegamento: N=-9714.02 Ty=10.37 Tz=12.64 Mx=0.00 Mz=8.52
Sollecitazioni agenti localmente: Ty_l=-1766.19 Mx_l=-35.32
Tensioni nella sezione: σ=428.17 τ=53.52
CC 14 SLD (Collegamento -044_-376)
Azioni sul collegamento: N=-9714.02 Ty=10.51 Tz=14.95 Mx=0.00 Mz=7.95
Sollecitazioni agenti localmente: Ty_l=-1766.19 Mx_l=-35.32
Tensioni nella sezione: σ=428.17 τ=53.52
CC 14 SLD (Collegamento -044_-376)
Azioni sul collegamento: N=-9714.02 Ty=10.37 Tz=14.95 Mx=0.00 Mz=8.52
Sollecitazioni agenti localmente: Ty_l=-1766.19 Mx_l=-35.32
Tensioni nella sezione: σ=428.17 τ=53.52
CC 14 SLD (Collegamento -044_-376)
Azioni sul collegamento: N=-10426.00 Ty=10.51 Tz=12.64 Mx=0.00 Mz=7.95
Sollecitazioni agenti localmente: Ty_l=-1895.64 Mx_l=-37.91
Tensioni nella sezione: σ=459.55 τ=57.44
CC 14 SLD (Collegamento -044_-376)
Azioni sul collegamento: N=-10426.00 Ty=10.37 Tz=12.64 Mx=0.00 Mz=8.52
Sollecitazioni agenti localmente: Ty_l=-1895.64 Mx_l=-37.91
Tensioni nella sezione: σ=459.55 τ=57.44
CC 14 SLD (Collegamento -044_-376)
Azioni sul collegamento: N=-10426.00 Ty=10.51 Tz=14.95 Mx=0.00 Mz=7.95
Sollecitazioni agenti localmente: Ty_l=-1895.64 Mx_l=-37.91
Tensioni nella sezione: σ=459.55 τ=57.44
CC 14 SLD (Collegamento -044_-376)
Azioni sul collegamento: N=-10426.00 Ty=10.37 Tz=14.95 Mx=0.00 Mz=8.52
Sollecitazioni agenti localmente: Ty_l=-1895.64 Mx_l=-37.91
Tensioni nella sezione: σ=459.55 τ=57.44
CC 15 SLV (Collegamento -044_-376)
Azioni sul collegamento: N=-11351.40 Ty=9.43 Tz=19.07 Mx=0.01 Mz=7.83
Sollecitazioni agenti localmente: Ty_l=-2063.90 Mx_l=-41.28
Tensioni nella sezione: σ=500.34 τ=62.54
CC 15 SLV (Collegamento -044_-376)
Azioni sul collegamento: N=-11351.40 Ty=13.31 Tz=19.07 Mx=0.01 Mz=12.92
Sollecitazioni agenti localmente: Ty_l=-2063.90 Mx_l=-41.28
Tensioni nella sezione: σ=500.34 τ=62.54
CC 15 SLV (Collegamento -044_-376)
Azioni sul collegamento: N=-11351.40 Ty=9.43 Tz=9.29 Mx=0.01 Mz=7.83
Sollecitazioni agenti localmente: Ty_l=-2063.90 Mx_l=-41.28
Tensioni nella sezione: σ=500.34 τ=62.54
CC 15 SLV (Collegamento -044_-376)
Azioni sul collegamento: N=-11351.40 Ty=13.31 Tz=9.29 Mx=0.01 Mz=12.92
Sollecitazioni agenti localmente: Ty_l=-2063.90 Mx_l=-41.28
Tensioni nella sezione: σ=500.34 τ=62.54
CC 15 SLV (Collegamento -044_-376)
Azioni sul collegamento: N=-8983.82 Ty=9.43 Tz=19.07 Mx=0.01 Mz=7.83
Sollecitazioni agenti localmente: Ty_l=-1633.42 Mx_l=-32.67
Tensioni nella sezione: σ=395.98 τ=49.50
CC 15 SLV (Collegamento -044_-376)
Azioni sul collegamento: N=-8983.82 Ty=13.31 Tz=19.07 Mx=0.01 Mz=12.92
Sollecitazioni agenti localmente: Ty_l=-1633.42 Mx_l=-32.67
Tensioni nella sezione: σ=395.98 τ=49.50
CC 15 SLV (Collegamento -044_-376)
Azioni sul collegamento: N=-8983.82 Ty=9.43 Tz=9.29 Mx=0.01 Mz=7.83
Sollecitazioni agenti localmente: Ty_l=-1633.42 Mx_l=-32.67
Tensioni nella sezione: σ=395.98 τ=49.50
CC 15 SLV (Collegamento -044_-376)
Azioni sul collegamento: N=-8983.82 Ty=13.31 Tz=9.29 Mx=0.01 Mz=12.92
Sollecitazioni agenti localmente: Ty_l=-1633.42 Mx_l=-32.67
Tensioni nella sezione: σ=395.98 τ=49.50
CC 16 SLD (Collegamento -044_-376)
Azioni sul collegamento: N=-10431.00 Ty=9.85 Tz=15.29 Mx=0.00 Mz=7.46
Sollecitazioni agenti localmente: Ty_l=-1896.55 Mx_l=-37.93
Tensioni nella sezione: σ=459.77 τ=57.47
CC 16 SLD (Collegamento -044_-376)
Azioni sul collegamento: N=-10431.00 Ty=11.04 Tz=15.29 Mx=0.00 Mz=9.01
Sollecitazioni agenti localmente: Ty_l=-1896.55 Mx_l=-37.93
Tensioni nella sezione: σ=459.77 τ=57.47
CC 16 SLD (Collegamento -044_-376)
Azioni sul collegamento: N=-10431.00 Ty=9.85 Tz=12.31 Mx=0.00 Mz=7.46
Sollecitazioni agenti localmente: Ty_l=-1896.55 Mx_l=-37.93
Tensioni nella sezione: σ=459.77 τ=57.47
CC 16 SLD (Collegamento -044_-376)
Azioni sul collegamento: N=-10431.00 Ty=11.04 Tz=12.31 Mx=0.00 Mz=9.01
Sollecitazioni agenti localmente: Ty_l=-1896.55 Mx_l=-37.93
Tensioni nella sezione: σ=459.77 τ=57.47
CC 16 SLD (Collegamento -044_-376)
Azioni sul collegamento: N=-9709.06 Ty=9.85 Tz=15.29 Mx=0.00 Mz=7.46
Sollecitazioni agenti localmente: Ty_l=-1765.28 Mx_l=-35.31
Tensioni nella sezione: σ=427.95 τ=53.49
CC 16 SLD (Collegamento -044_-376)

Azioni sul collegamento: N=-9709.06 Ty=11.04 Tz=15.29 Mx=0.00 Mz=9.01
Sollecitazioni agenti localmente: Ty_l=-1765.28 Mx_l=-35.31
Tensioni nella sezione: σ=427.95 τ=53.49
CC 16 SLD (Collegamento -044_-376)
Azioni sul collegamento: N=-9709.06 Ty=9.85 Tz=12.31 Mx=0.00 Mz=7.46
Sollecitazioni agenti localmente: Ty_l=-1765.28 Mx_l=-35.31
Tensioni nella sezione: σ=427.95 τ=53.49
CC 16 SLD (Collegamento -044_-376)
Azioni sul collegamento: N=-9709.06 Ty=11.04 Tz=12.31 Mx=0.00 Mz=9.01
Sollecitazioni agenti localmente: Ty_l=-1765.28 Mx_l=-35.31
Tensioni nella sezione: σ=427.95 τ=53.49
CC 17 SLV (Collegamento -044_-376)
Azioni sul collegamento: N=-5965.51 Ty=12.58 Tz=-1.56 Mx=-0.01 Mz=7.43
Sollecitazioni agenti localmente: Ty_l=-1084.64 Mx_l=-21.69
Tensioni nella sezione: σ=262.94 τ=32.87
CC 17 SLV (Collegamento -044_-376)
Azioni sul collegamento: N=-5965.51 Ty=4.83 Tz=-1.56 Mx=-0.01 Mz=1.02
Sollecitazioni agenti localmente: Ty_l=-1084.64 Mx_l=-21.69
Tensioni nella sezione: σ=262.94 τ=32.87
CC 17 SLV (Collegamento -044_-376)
Azioni sul collegamento: N=-5965.51 Ty=12.58 Tz=27.71 Mx=-0.01 Mz=7.43
Sollecitazioni agenti localmente: Ty_l=-1084.64 Mx_l=-21.69
Tensioni nella sezione: σ=262.94 τ=32.87
CC 17 SLV (Collegamento -044_-376)
Azioni sul collegamento: N=-5965.51 Ty=4.83 Tz=27.71 Mx=-0.01 Mz=1.02
Sollecitazioni agenti localmente: Ty_l=-1084.64 Mx_l=-21.69
Tensioni nella sezione: σ=262.94 τ=32.87
CC 17 SLV (Collegamento -044_-376)
Azioni sul collegamento: N=-13808.10 Ty=12.58 Tz=-1.56 Mx=-0.01 Mz=7.43
Sollecitazioni agenti localmente: Ty_l=-2510.57 Mx_l=-50.21
Tensioni nella sezione: σ=608.62 τ=76.08
CC 17 SLV (Collegamento -044_-376)
Azioni sul collegamento: N=-13808.10 Ty=4.83 Tz=-1.56 Mx=-0.01 Mz=1.02
Sollecitazioni agenti localmente: Ty_l=-2510.57 Mx_l=-50.21
Tensioni nella sezione: σ=608.62 τ=76.08
CC 17 SLV (Collegamento -044_-376)
Azioni sul collegamento: N=-13808.10 Ty=12.58 Tz=27.71 Mx=-0.01 Mz=7.43
Sollecitazioni agenti localmente: Ty_l=-2510.57 Mx_l=-50.21
Tensioni nella sezione: σ=608.62 τ=76.08
CC 17 SLV (Collegamento -044_-376)
Azioni sul collegamento: N=-13808.10 Ty=4.83 Tz=27.71 Mx=-0.01 Mz=1.02
Sollecitazioni agenti localmente: Ty_l=-2510.57 Mx_l=-50.21
Tensioni nella sezione: σ=608.62 τ=76.08
CC 18 SLD (Collegamento -044_-376)
Azioni sul collegamento: N=-8788.68 Ty=10.81 Tz=9.00 Mx=-0.00 Mz=7.34
Sollecitazioni agenti localmente: Ty_l=-1597.94 Mx_l=-31.96
Tensioni nella sezione: σ=387.38 τ=48.42
CC 18 SLD (Collegamento -044_-376)
Azioni sul collegamento: N=-8788.68 Ty=8.45 Tz=9.00 Mx=-0.00 Mz=5.38
Sollecitazioni agenti localmente: Ty_l=-1597.94 Mx_l=-31.96
Tensioni nella sezione: σ=387.38 τ=48.42
CC 18 SLD (Collegamento -044_-376)
Azioni sul collegamento: N=-8788.68 Ty=10.81 Tz=17.92 Mx=-0.00 Mz=7.34
Sollecitazioni agenti localmente: Ty_l=-1597.94 Mx_l=-31.96
Tensioni nella sezione: σ=387.38 τ=48.42
CC 18 SLD (Collegamento -044_-376)
Azioni sul collegamento: N=-8788.68 Ty=8.45 Tz=17.92 Mx=-0.00 Mz=5.38
Sollecitazioni agenti localmente: Ty_l=-1597.94 Mx_l=-31.96
Tensioni nella sezione: σ=387.38 τ=48.42
CC 18 SLD (Collegamento -044_-376)
Azioni sul collegamento: N=-11180.10 Ty=10.81 Tz=9.00 Mx=-0.00 Mz=7.34
Sollecitazioni agenti localmente: Ty_l=-2032.75 Mx_l=-40.66
Tensioni nella sezione: σ=492.79 τ=61.60
CC 18 SLD (Collegamento -044_-376)
Azioni sul collegamento: N=-11180.10 Ty=8.45 Tz=9.00 Mx=-0.00 Mz=5.38
Sollecitazioni agenti localmente: Ty_l=-2032.75 Mx_l=-40.66
Tensioni nella sezione: σ=492.79 τ=61.60
CC 18 SLD (Collegamento -044_-376)
Azioni sul collegamento: N=-11180.10 Ty=10.81 Tz=17.92 Mx=-0.00 Mz=7.34
Sollecitazioni agenti localmente: Ty_l=-2032.75 Mx_l=-40.66
Tensioni nella sezione: σ=492.79 τ=61.60
CC 18 SLD (Collegamento -044_-376)
Azioni sul collegamento: N=-11180.10 Ty=8.45 Tz=17.92 Mx=-0.00 Mz=5.38
Sollecitazioni agenti localmente: Ty_l=-2032.75 Mx_l=-40.66
Tensioni nella sezione: σ=492.79 τ=61.60
CC 19 SLV (Collegamento -044_-376)
Azioni sul collegamento: N=-5970.39 Ty=12.07 Tz=-1.24 Mx=-0.01 Mz=6.38
Sollecitazioni agenti localmente: Ty_l=-1085.53 Mx_l=-21.71
Tensioni nella sezione: σ=263.16 τ=32.89
CC 19 SLV (Collegamento -044_-376)

Azioni sul collegamento: N=-5970.39 Ty=5.34 Tz=-1.24 Mx=-0.01 Mz=2.07
Sollecitazioni agenti localmente: Ty_l=-1085.53 Mx_l=-21.71
Tensioni nella sezione: σ=263.16 τ=32.89
CC 19 SLV (Collegamento -044_-376)
Azioni sul collegamento: N=-5970.39 Ty=12.07 Tz=27.38 Mx=-0.01 Mz=6.38
Sollecitazioni agenti localmente: Ty_l=-1085.53 Mx_l=-21.71
Tensioni nella sezione: σ=263.16 τ=32.89
CC 19 SLV (Collegamento -044_-376)
Azioni sul collegamento: N=-5970.39 Ty=5.34 Tz=27.38 Mx=-0.01 Mz=2.07
Sollecitazioni agenti localmente: Ty_l=-1085.53 Mx_l=-21.71
Tensioni nella sezione: σ=263.16 τ=32.89
CC 19 SLV (Collegamento -044_-376)
Azioni sul collegamento: N=-13803.30 Ty=12.07 Tz=-1.24 Mx=-0.01 Mz=6.38
Sollecitazioni agenti localmente: Ty_l=-2509.68 Mx_l=-50.19
Tensioni nella sezione: σ=608.41 τ=76.05
CC 19 SLV (Collegamento -044_-376)
Azioni sul collegamento: N=-13803.30 Ty=5.34 Tz=-1.24 Mx=-0.01 Mz=2.07
Sollecitazioni agenti localmente: Ty_l=-2509.68 Mx_l=-50.19
Tensioni nella sezione: σ=608.41 τ=76.05
CC 19 SLV (Collegamento -044_-376)
Azioni sul collegamento: N=-13803.30 Ty=12.07 Tz=27.38 Mx=-0.01 Mz=6.38
Sollecitazioni agenti localmente: Ty_l=-2509.68 Mx_l=-50.19
Tensioni nella sezione: σ=608.41 τ=76.05
CC 19 SLV (Collegamento -044_-376)
Azioni sul collegamento: N=-13803.30 Ty=5.34 Tz=27.38 Mx=-0.01 Mz=2.07
Sollecitazioni agenti localmente: Ty_l=-2509.68 Mx_l=-50.19
Tensioni nella sezione: σ=608.41 τ=76.05
CC 20 SLD (Collegamento -044_-376)
Azioni sul collegamento: N=-8790.17 Ty=10.66 Tz=9.09 Mx=-0.00 Mz=7.02
Sollecitazioni agenti localmente: Ty_l=-1598.21 Mx_l=-31.96
Tensioni nella sezione: σ=387.44 τ=48.43
CC 20 SLD (Collegamento -044_-376)
Azioni sul collegamento: N=-8790.17 Ty=8.61 Tz=9.09 Mx=-0.00 Mz=5.70
Sollecitazioni agenti localmente: Ty_l=-1598.21 Mx_l=-31.96
Tensioni nella sezione: σ=387.44 τ=48.43
CC 20 SLD (Collegamento -044_-376)
Azioni sul collegamento: N=-8790.17 Ty=10.66 Tz=17.82 Mx=-0.00 Mz=7.02
Sollecitazioni agenti localmente: Ty_l=-1598.21 Mx_l=-31.96
Tensioni nella sezione: σ=387.44 τ=48.43
CC 20 SLD (Collegamento -044_-376)
Azioni sul collegamento: N=-8790.17 Ty=8.61 Tz=17.82 Mx=-0.00 Mz=5.70
Sollecitazioni agenti localmente: Ty_l=-1598.21 Mx_l=-31.96
Tensioni nella sezione: σ=387.44 τ=48.43
CC 20 SLD (Collegamento -044_-376)
Azioni sul collegamento: N=-11178.70 Ty=10.66 Tz=9.10 Mx=-0.00 Mz=7.02
Sollecitazioni agenti localmente: Ty_l=-2032.48 Mx_l=-40.65
Tensioni nella sezione: σ=492.72 τ=61.59
CC 20 SLD (Collegamento -044_-376)
Azioni sul collegamento: N=-11178.70 Ty=8.61 Tz=9.10 Mx=-0.00 Mz=5.70
Sollecitazioni agenti localmente: Ty_l=-2032.48 Mx_l=-40.65
Tensioni nella sezione: σ=492.72 τ=61.59
CC 20 SLD (Collegamento -044_-376)
Azioni sul collegamento: N=-11178.70 Ty=10.66 Tz=17.82 Mx=-0.00 Mz=7.02
Sollecitazioni agenti localmente: Ty_l=-2032.48 Mx_l=-40.65
Tensioni nella sezione: σ=492.72 τ=61.59
CC 20 SLD (Collegamento -044_-376)
Azioni sul collegamento: N=-11178.70 Ty=8.61 Tz=17.82 Mx=-0.00 Mz=5.70
Sollecitazioni agenti localmente: Ty_l=-2032.48 Mx_l=-40.65
Tensioni nella sezione: σ=492.72 τ=61.59
CC 21 SLV (Collegamento -044_-376)
Azioni sul collegamento: N=-13803.30 Ty=5.34 Tz=27.38 Mx=-0.01 Mz=2.07
Sollecitazioni agenti localmente: Ty_l=-2509.68 Mx_l=-50.19
Tensioni nella sezione: σ=608.41 τ=76.05
CC 21 SLV (Collegamento -044_-376)
Azioni sul collegamento: N=-13803.30 Ty=12.07 Tz=27.38 Mx=-0.01 Mz=6.38
Sollecitazioni agenti localmente: Ty_l=-2509.68 Mx_l=-50.19
Tensioni nella sezione: σ=608.41 τ=76.05
CC 21 SLV (Collegamento -044_-376)
Azioni sul collegamento: N=-13803.30 Ty=5.34 Tz=-1.24 Mx=-0.01 Mz=2.07
Sollecitazioni agenti localmente: Ty_l=-2509.68 Mx_l=-50.19
Tensioni nella sezione: σ=608.41 τ=76.05
CC 21 SLV (Collegamento -044_-376)
Azioni sul collegamento: N=-13803.30 Ty=12.07 Tz=-1.24 Mx=-0.01 Mz=6.38
Sollecitazioni agenti localmente: Ty_l=-2509.68 Mx_l=-50.19
Tensioni nella sezione: σ=608.41 τ=76.05
CC 21 SLV (Collegamento -044_-376)
Azioni sul collegamento: N=-5970.39 Ty=5.34 Tz=27.38 Mx=-0.01 Mz=2.07
Sollecitazioni agenti localmente: Ty_l=-1085.53 Mx_l=-21.71
Tensioni nella sezione: σ=263.16 τ=32.89
CC 21 SLV (Collegamento -044_-376)

Azioni sul collegamento: N=-5970.39 Ty=12.07 Tz=27.38 Mx=-0.01 Mz=6.38
Sollecitazioni agenti localmente: Ty_l=-1085.53 Mx_l=-21.71
Tensioni nella sezione: σ=263.16 τ=32.89
CC 21 SLV (Collegamento -044_-376)
Azioni sul collegamento: N=-5970.39 Ty=5.34 Tz=-1.24 Mx=-0.01 Mz=2.07
Sollecitazioni agenti localmente: Ty_l=-1085.53 Mx_l=-21.71
Tensioni nella sezione: σ=263.16 τ=32.89
CC 21 SLV (Collegamento -044_-376)
Azioni sul collegamento: N=-5970.39 Ty=12.07 Tz=-1.24 Mx=-0.01 Mz=6.38
Sollecitazioni agenti localmente: Ty_l=-1085.53 Mx_l=-21.71
Tensioni nella sezione: σ=263.16 τ=32.89
CC 22 SLD (Collegamento -044_-376)
Azioni sul collegamento: N=-11178.70 Ty=8.61 Tz=17.82 Mx=-0.00 Mz=5.70
Sollecitazioni agenti localmente: Ty_l=-2032.48 Mx_l=-40.65
Tensioni nella sezione: σ=492.72 τ=61.59
CC 22 SLD (Collegamento -044_-376)
Azioni sul collegamento: N=-11178.70 Ty=10.66 Tz=17.82 Mx=-0.00 Mz=7.02
Sollecitazioni agenti localmente: Ty_l=-2032.48 Mx_l=-40.65
Tensioni nella sezione: σ=492.72 τ=61.59
CC 22 SLD (Collegamento -044_-376)
Azioni sul collegamento: N=-11178.70 Ty=8.61 Tz=9.10 Mx=-0.00 Mz=5.70
Sollecitazioni agenti localmente: Ty_l=-2032.48 Mx_l=-40.65
Tensioni nella sezione: σ=492.72 τ=61.59
CC 22 SLD (Collegamento -044_-376)
Azioni sul collegamento: N=-11178.70 Ty=10.66 Tz=9.10 Mx=-0.00 Mz=7.02
Sollecitazioni agenti localmente: Ty_l=-2032.48 Mx_l=-40.65
Tensioni nella sezione: σ=492.72 τ=61.59
CC 22 SLD (Collegamento -044_-376)
Azioni sul collegamento: N=-8790.17 Ty=8.61 Tz=17.82 Mx=-0.00 Mz=5.70
Sollecitazioni agenti localmente: Ty_l=-1598.21 Mx_l=-31.96
Tensioni nella sezione: σ=387.44 τ=48.43
CC 22 SLD (Collegamento -044_-376)
Azioni sul collegamento: N=-8790.17 Ty=10.66 Tz=17.82 Mx=-0.00 Mz=7.02
Sollecitazioni agenti localmente: Ty_l=-1598.21 Mx_l=-31.96
Tensioni nella sezione: σ=387.44 τ=48.43
CC 22 SLD (Collegamento -044_-376)
Azioni sul collegamento: N=-8790.17 Ty=8.61 Tz=9.09 Mx=-0.00 Mz=5.70
Sollecitazioni agenti localmente: Ty_l=-1598.21 Mx_l=-31.96
Tensioni nella sezione: σ=387.44 τ=48.43
CC 22 SLD (Collegamento -044_-376)
Azioni sul collegamento: N=-8790.17 Ty=10.66 Tz=9.09 Mx=-0.00 Mz=7.02
Sollecitazioni agenti localmente: Ty_l=-1598.21 Mx_l=-31.96
Tensioni nella sezione: σ=387.44 τ=48.43
CC 23 SLV (Collegamento -044_-376)
Azioni sul collegamento: N=-13808.10 Ty=4.83 Tz=27.71 Mx=-0.01 Mz=1.02
Sollecitazioni agenti localmente: Ty_l=-2510.57 Mx_l=-50.21
Tensioni nella sezione: σ=608.62 τ=76.08
CC 23 SLV (Collegamento -044_-376)
Azioni sul collegamento: N=-13808.10 Ty=12.58 Tz=27.71 Mx=-0.01 Mz=7.43
Sollecitazioni agenti localmente: Ty_l=-2510.57 Mx_l=-50.21
Tensioni nella sezione: σ=608.62 τ=76.08
CC 23 SLV (Collegamento -044_-376)
Azioni sul collegamento: N=-13808.10 Ty=4.83 Tz=-1.56 Mx=-0.01 Mz=1.02
Sollecitazioni agenti localmente: Ty_l=-2510.57 Mx_l=-50.21
Tensioni nella sezione: σ=608.62 τ=76.08
CC 23 SLV (Collegamento -044_-376)
Azioni sul collegamento: N=-13808.10 Ty=12.58 Tz=-1.56 Mx=-0.01 Mz=7.43
Sollecitazioni agenti localmente: Ty_l=-2510.57 Mx_l=-50.21
Tensioni nella sezione: σ=608.62 τ=76.08
CC 23 SLV (Collegamento -044_-376)
Azioni sul collegamento: N=-5965.51 Ty=4.83 Tz=27.71 Mx=-0.01 Mz=1.02
Sollecitazioni agenti localmente: Ty_l=-1084.64 Mx_l=-21.69
Tensioni nella sezione: σ=262.94 τ=32.87
CC 23 SLV (Collegamento -044_-376)
Azioni sul collegamento: N=-5965.51 Ty=12.58 Tz=27.71 Mx=-0.01 Mz=7.43
Sollecitazioni agenti localmente: Ty_l=-1084.64 Mx_l=-21.69
Tensioni nella sezione: σ=262.94 τ=32.87
CC 23 SLV (Collegamento -044_-376)
Azioni sul collegamento: N=-5965.51 Ty=4.83 Tz=-1.56 Mx=-0.01 Mz=1.02
Sollecitazioni agenti localmente: Ty_l=-1084.64 Mx_l=-21.69
Tensioni nella sezione: σ=262.94 τ=32.87
CC 23 SLV (Collegamento -044_-376)
Azioni sul collegamento: N=-5965.51 Ty=12.58 Tz=-1.56 Mx=-0.01 Mz=7.43
Sollecitazioni agenti localmente: Ty_l=-1084.64 Mx_l=-21.69
Tensioni nella sezione: σ=262.94 τ=32.87
CC 24 SLD (Collegamento -044_-376)
Azioni sul collegamento: N=-11180.10 Ty=8.45 Tz=17.92 Mx=-0.00 Mz=5.38
Sollecitazioni agenti localmente: Ty_l=-2032.75 Mx_l=-40.66
Tensioni nella sezione: σ=492.79 τ=61.60
CC 24 SLD (Collegamento -044_-376)

Azioni sul collegamento: N=-11180.10 Ty=10.81 Tz=17.92 Mx=-0.00 Mz=7.34
Sollecitazioni agenti localmente: Ty_l=-2032.75 Mx_l=-40.66
Tensioni nella sezione: σ=492.79 τ=61.60
CC 24 SLD (Collegamento -044_-376)
Azioni sul collegamento: N=-11180.10 Ty=8.45 Tz=9.00 Mx=-0.00 Mz=5.38
Sollecitazioni agenti localmente: Ty_l=-2032.75 Mx_l=-40.66
Tensioni nella sezione: σ=492.79 τ=61.60
CC 24 SLD (Collegamento -044_-376)
Azioni sul collegamento: N=-11180.10 Ty=10.81 Tz=9.00 Mx=-0.00 Mz=7.34
Sollecitazioni agenti localmente: Ty_l=-2032.75 Mx_l=-40.66
Tensioni nella sezione: σ=492.79 τ=61.60
CC 24 SLD (Collegamento -044_-376)
Azioni sul collegamento: N=-8788.68 Ty=8.45 Tz=17.92 Mx=-0.00 Mz=5.38
Sollecitazioni agenti localmente: Ty_l=-1597.94 Mx_l=-31.96
Tensioni nella sezione: σ=387.38 τ=48.42
CC 24 SLD (Collegamento -044_-376)
Azioni sul collegamento: N=-8788.68 Ty=10.81 Tz=17.92 Mx=-0.00 Mz=7.34
Sollecitazioni agenti localmente: Ty_l=-1597.94 Mx_l=-31.96
Tensioni nella sezione: σ=387.38 τ=48.42
CC 24 SLD (Collegamento -044_-376)
Azioni sul collegamento: N=-8788.68 Ty=8.45 Tz=9.00 Mx=-0.00 Mz=5.38
Sollecitazioni agenti localmente: Ty_l=-1597.94 Mx_l=-31.96
Tensioni nella sezione: σ=387.38 τ=48.42
CC 24 SLD (Collegamento -044_-376)
Azioni sul collegamento: N=-8788.68 Ty=10.81 Tz=9.00 Mx=-0.00 Mz=7.34
Sollecitazioni agenti localmente: Ty_l=-1597.94 Mx_l=-31.96
Tensioni nella sezione: σ=387.38 τ=48.42
CC 25 SLV (Collegamento -044_-376)
Azioni sul collegamento: N=-8703.02 Ty=10.65 Tz=8.19 Mx=-0.02 Mz=6.77
Sollecitazioni agenti localmente: Ty_l=-1582.37 Mx_l=-31.65
Tensioni nella sezione: σ=383.60 τ=47.95
CC 25 SLV (Collegamento -044_-376)
Azioni sul collegamento: N=-8703.02 Ty=6.76 Tz=8.19 Mx=-0.02 Mz=1.67
Sollecitazioni agenti localmente: Ty_l=-1582.37 Mx_l=-31.65
Tensioni nella sezione: σ=383.60 τ=47.95
CC 25 SLV (Collegamento -044_-376)
Azioni sul collegamento: N=-8703.02 Ty=10.65 Tz=17.96 Mx=-0.02 Mz=6.77
Sollecitazioni agenti localmente: Ty_l=-1582.37 Mx_l=-31.65
Tensioni nella sezione: σ=383.60 τ=47.95
CC 25 SLV (Collegamento -044_-376)
Azioni sul collegamento: N=-8703.02 Ty=6.76 Tz=17.96 Mx=-0.02 Mz=1.67
Sollecitazioni agenti localmente: Ty_l=-1582.37 Mx_l=-31.65
Tensioni nella sezione: σ=383.60 τ=47.95
CC 25 SLV (Collegamento -044_-376)
Azioni sul collegamento: N=-11070.60 Ty=10.65 Tz=8.19 Mx=-0.02 Mz=6.77
Sollecitazioni agenti localmente: Ty_l=-2012.84 Mx_l=-40.26
Tensioni nella sezione: σ=487.96 τ=61.00
CC 25 SLV (Collegamento -044_-376)
Azioni sul collegamento: N=-11070.60 Ty=6.76 Tz=8.19 Mx=-0.02 Mz=1.67
Sollecitazioni agenti localmente: Ty_l=-2012.84 Mx_l=-40.26
Tensioni nella sezione: σ=487.96 τ=61.00
CC 25 SLV (Collegamento -044_-376)
Azioni sul collegamento: N=-11070.60 Ty=10.65 Tz=17.96 Mx=-0.02 Mz=6.77
Sollecitazioni agenti localmente: Ty_l=-2012.84 Mx_l=-40.26
Tensioni nella sezione: σ=487.96 τ=61.00
CC 25 SLV (Collegamento -044_-376)
Azioni sul collegamento: N=-11070.60 Ty=6.76 Tz=17.96 Mx=-0.02 Mz=1.67
Sollecitazioni agenti localmente: Ty_l=-2012.84 Mx_l=-40.26
Tensioni nella sezione: σ=487.96 τ=61.00
CC 26 SLD (Collegamento -044_-376)
Azioni sul collegamento: N=-9623.43 Ty=10.22 Tz=11.97 Mx=-0.00 Mz=7.14
Sollecitazioni agenti localmente: Ty_l=-1749.72 Mx_l=-34.99
Tensioni nella sezione: σ=424.17 τ=53.02
CC 26 SLD (Collegamento -044_-376)
Azioni sul collegamento: N=-9623.43 Ty=9.04 Tz=11.97 Mx=-0.00 Mz=5.58
Sollecitazioni agenti localmente: Ty_l=-1749.72 Mx_l=-34.99
Tensioni nella sezione: σ=424.17 τ=53.02
CC 26 SLD (Collegamento -044_-376)
Azioni sul collegamento: N=-9623.43 Ty=10.22 Tz=14.95 Mx=-0.00 Mz=7.14
Sollecitazioni agenti localmente: Ty_l=-1749.71 Mx_l=-34.99
Tensioni nella sezione: σ=424.17 τ=53.02
CC 26 SLD (Collegamento -044_-376)
Azioni sul collegamento: N=-9623.43 Ty=9.04 Tz=14.95 Mx=-0.00 Mz=5.58
Sollecitazioni agenti localmente: Ty_l=-1749.71 Mx_l=-34.99
Tensioni nella sezione: σ=424.17 τ=53.02
CC 26 SLD (Collegamento -044_-376)
Azioni sul collegamento: N=-10345.40 Ty=10.22 Tz=11.97 Mx=-0.00 Mz=7.14
Sollecitazioni agenti localmente: Ty_l=-1880.98 Mx_l=-37.62
Tensioni nella sezione: σ=455.99 τ=57.00
CC 26 SLD (Collegamento -044_-376)

Azioni sul collegamento: N=-10345.40 Ty=9.04 Tz=11.97 Mx=-0.00 Mz=5.58
Sollecitazioni agenti localmente: Ty_l=-1880.98 Mx_l=-37.62
Tensioni nella sezione: σ=455.99 τ=57.00
CC 26 SLD (Collegamento -044_-376)
Azioni sul collegamento: N=-10345.40 Ty=10.22 Tz=14.95 Mx=-0.00 Mz=7.14
Sollecitazioni agenti localmente: Ty_l=-1880.98 Mx_l=-37.62
Tensioni nella sezione: σ=455.99 τ=57.00
CC 26 SLD (Collegamento -044_-376)
Azioni sul collegamento: N=-10345.40 Ty=9.04 Tz=14.95 Mx=-0.00 Mz=5.58
Sollecitazioni agenti localmente: Ty_l=-1880.98 Mx_l=-37.62
Tensioni nella sezione: σ=455.99 τ=57.00
CC 27 SLV (Collegamento -044_-376)
Azioni sul collegamento: N=-11054.30 Ty=8.48 Tz=16.87 Mx=-0.02 Mz=5.16
Sollecitazioni agenti localmente: Ty_l=-2009.88 Mx_l=-40.20
Tensioni nella sezione: σ=487.24 τ=60.91
CC 27 SLV (Collegamento -044_-376)
Azioni sul collegamento: N=-11054.30 Ty=8.94 Tz=16.87 Mx=-0.02 Mz=3.28
Sollecitazioni agenti localmente: Ty_l=-2009.88 Mx_l=-40.20
Tensioni nella sezione: σ=487.24 τ=60.91
CC 27 SLV (Collegamento -044_-376)
Azioni sul collegamento: N=-11054.30 Ty=8.48 Tz=9.28 Mx=-0.02 Mz=5.16
Sollecitazioni agenti localmente: Ty_l=-2009.88 Mx_l=-40.20
Tensioni nella sezione: σ=487.24 τ=60.91
CC 27 SLV (Collegamento -044_-376)
Azioni sul collegamento: N=-11054.30 Ty=8.94 Tz=9.28 Mx=-0.02 Mz=3.28
Sollecitazioni agenti localmente: Ty_l=-2009.88 Mx_l=-40.20
Tensioni nella sezione: σ=487.24 τ=60.91
CC 27 SLV (Collegamento -044_-376)
Azioni sul collegamento: N=-8719.31 Ty=8.48 Tz=16.87 Mx=-0.02 Mz=5.16
Sollecitazioni agenti localmente: Ty_l=-1585.33 Mx_l=-31.71
Tensioni nella sezione: σ=384.32 τ=48.04
CC 27 SLV (Collegamento -044_-376)
Azioni sul collegamento: N=-8719.31 Ty=8.94 Tz=16.87 Mx=-0.02 Mz=3.28
Sollecitazioni agenti localmente: Ty_l=-1585.33 Mx_l=-31.71
Tensioni nella sezione: σ=384.32 τ=48.04
CC 27 SLV (Collegamento -044_-376)
Azioni sul collegamento: N=-8719.31 Ty=8.48 Tz=9.28 Mx=-0.02 Mz=5.16
Sollecitazioni agenti localmente: Ty_l=-1585.33 Mx_l=-31.71
Tensioni nella sezione: σ=384.32 τ=48.04
CC 27 SLV (Collegamento -044_-376)
Azioni sul collegamento: N=-8719.31 Ty=8.94 Tz=9.28 Mx=-0.02 Mz=3.28
Sollecitazioni agenti localmente: Ty_l=-1585.33 Mx_l=-31.71
Tensioni nella sezione: σ=384.32 τ=48.04
CC 28 SLD (Collegamento -044_-376)
Azioni sul collegamento: N=-10340.40 Ty=9.56 Tz=14.62 Mx=-0.00 Mz=6.65
Sollecitazioni agenti localmente: Ty_l=-1880.08 Mx_l=-37.60
Tensioni nella sezione: σ=455.77 τ=56.97
CC 28 SLD (Collegamento -044_-376)
Azioni sul collegamento: N=-10340.40 Ty=9.70 Tz=14.62 Mx=-0.00 Mz=6.07
Sollecitazioni agenti localmente: Ty_l=-1880.08 Mx_l=-37.60
Tensioni nella sezione: σ=455.77 τ=56.97
CC 28 SLD (Collegamento -044_-376)
Azioni sul collegamento: N=-10340.40 Ty=9.56 Tz=12.30 Mx=-0.00 Mz=6.65
Sollecitazioni agenti localmente: Ty_l=-1880.08 Mx_l=-37.60
Tensioni nella sezione: σ=455.77 τ=56.97
CC 28 SLD (Collegamento -044_-376)
Azioni sul collegamento: N=-10340.40 Ty=9.70 Tz=12.30 Mx=-0.00 Mz=6.07
Sollecitazioni agenti localmente: Ty_l=-1880.08 Mx_l=-37.60
Tensioni nella sezione: σ=455.77 τ=56.97
CC 28 SLD (Collegamento -044_-376)
Azioni sul collegamento: N=-9628.40 Ty=9.56 Tz=14.62 Mx=-0.00 Mz=6.65
Sollecitazioni agenti localmente: Ty_l=-1750.62 Mx_l=-35.01
Tensioni nella sezione: σ=424.39 τ=53.05
CC 28 SLD (Collegamento -044_-376)
Azioni sul collegamento: N=-9628.40 Ty=9.70 Tz=14.62 Mx=-0.00 Mz=6.07
Sollecitazioni agenti localmente: Ty_l=-1750.62 Mx_l=-35.01
Tensioni nella sezione: σ=424.39 τ=53.05
CC 28 SLD (Collegamento -044_-376)
Azioni sul collegamento: N=-9628.40 Ty=9.56 Tz=12.30 Mx=-0.00 Mz=6.65
Sollecitazioni agenti localmente: Ty_l=-1750.62 Mx_l=-35.01
Tensioni nella sezione: σ=424.39 τ=53.05
CC 28 SLD (Collegamento -044_-376)
Azioni sul collegamento: N=-9628.40 Ty=9.70 Tz=12.30 Mx=-0.00 Mz=6.07
Sollecitazioni agenti localmente: Ty_l=-1750.62 Mx_l=-35.01
Tensioni nella sezione: σ=424.39 τ=53.05
CC 29 SLV (Collegamento -044_-376)
Azioni sul collegamento: N=-8719.31 Ty=8.94 Tz=9.28 Mx=-0.00 Mz=3.28
Sollecitazioni agenti localmente: Ty_l=-1585.33 Mx_l=-31.71
Tensioni nella sezione: σ=384.32 τ=48.04
CC 29 SLV (Collegamento -044_-376)

Azioni sul collegamento: N=-8719.31 Ty=8.48 Tz=9.28 Mx=-0.00 Mz=5.16
Sollecitazioni agenti localmente: Ty_l=-1585.33 Mx_l=-31.71
Tensioni nella sezione: σ=384.32 τ=48.04
CC 29 SLV (Collegamento -044_-376)
Azioni sul collegamento: N=-8719.31 Ty=8.94 Tz=16.87 Mx=-0.00 Mz=3.28
Sollecitazioni agenti localmente: Ty_l=-1585.33 Mx_l=-31.71
Tensioni nella sezione: σ=384.32 τ=48.04
CC 29 SLV (Collegamento -044_-376)
Azioni sul collegamento: N=-8719.31 Ty=8.48 Tz=16.87 Mx=-0.00 Mz=5.16
Sollecitazioni agenti localmente: Ty_l=-1585.33 Mx_l=-31.71
Tensioni nella sezione: σ=384.32 τ=48.04
CC 29 SLV (Collegamento -044_-376)
Azioni sul collegamento: N=-11054.30 Ty=8.94 Tz=9.28 Mx=-0.00 Mz=3.28
Sollecitazioni agenti localmente: Ty_l=-2009.88 Mx_l=-40.20
Tensioni nella sezione: σ=487.24 τ=60.91
CC 29 SLV (Collegamento -044_-376)
Azioni sul collegamento: N=-11054.30 Ty=8.48 Tz=9.28 Mx=-0.00 Mz=5.16
Sollecitazioni agenti localmente: Ty_l=-2009.88 Mx_l=-40.20
Tensioni nella sezione: σ=487.24 τ=60.91
CC 29 SLV (Collegamento -044_-376)
Azioni sul collegamento: N=-11054.30 Ty=8.94 Tz=16.87 Mx=-0.00 Mz=3.28
Sollecitazioni agenti localmente: Ty_l=-2009.88 Mx_l=-40.20
Tensioni nella sezione: σ=487.24 τ=60.91
CC 29 SLV (Collegamento -044_-376)
Azioni sul collegamento: N=-11054.30 Ty=8.48 Tz=16.87 Mx=-0.00 Mz=5.16
Sollecitazioni agenti localmente: Ty_l=-2009.88 Mx_l=-40.20
Tensioni nella sezione: σ=487.24 τ=60.91
CC 30 SLD (Collegamento -044_-376)
Azioni sul collegamento: N=-9628.40 Ty=9.70 Tz=12.30 Mx=0.00 Mz=6.07
Sollecitazioni agenti localmente: Ty_l=-1750.62 Mx_l=-35.01
Tensioni nella sezione: σ=424.39 τ=53.05
CC 30 SLD (Collegamento -044_-376)
Azioni sul collegamento: N=-9628.40 Ty=9.56 Tz=12.30 Mx=0.00 Mz=6.65
Sollecitazioni agenti localmente: Ty_l=-1750.62 Mx_l=-35.01
Tensioni nella sezione: σ=424.39 τ=53.05
CC 30 SLD (Collegamento -044_-376)
Azioni sul collegamento: N=-9628.40 Ty=9.70 Tz=14.62 Mx=0.00 Mz=6.07
Sollecitazioni agenti localmente: Ty_l=-1750.62 Mx_l=-35.01
Tensioni nella sezione: σ=424.39 τ=53.05
CC 30 SLD (Collegamento -044_-376)
Azioni sul collegamento: N=-9628.40 Ty=9.56 Tz=14.62 Mx=0.00 Mz=6.65
Sollecitazioni agenti localmente: Ty_l=-1750.62 Mx_l=-35.01
Tensioni nella sezione: σ=424.39 τ=53.05
CC 30 SLD (Collegamento -044_-376)
Azioni sul collegamento: N=-10340.40 Ty=9.70 Tz=12.30 Mx=0.00 Mz=6.07
Sollecitazioni agenti localmente: Ty_l=-1880.08 Mx_l=-37.60
Tensioni nella sezione: σ=455.77 τ=56.97
CC 30 SLD (Collegamento -044_-376)
Azioni sul collegamento: N=-10340.40 Ty=9.56 Tz=12.30 Mx=0.00 Mz=6.65
Sollecitazioni agenti localmente: Ty_l=-1880.08 Mx_l=-37.60
Tensioni nella sezione: σ=455.77 τ=56.97
CC 30 SLD (Collegamento -044_-376)
Azioni sul collegamento: N=-10340.40 Ty=9.70 Tz=14.62 Mx=0.00 Mz=6.07
Sollecitazioni agenti localmente: Ty_l=-1880.08 Mx_l=-37.60
Tensioni nella sezione: σ=455.77 τ=56.97
CC 30 SLD (Collegamento -044_-376)
Azioni sul collegamento: N=-10340.40 Ty=9.56 Tz=14.62 Mx=0.00 Mz=6.65
Sollecitazioni agenti localmente: Ty_l=-1880.08 Mx_l=-37.60
Tensioni nella sezione: σ=455.77 τ=56.97
CC 31 SLV (Collegamento -044_-376)
Azioni sul collegamento: N=-11070.60 Ty=6.76 Tz=17.96 Mx=-0.00 Mz=1.67
Sollecitazioni agenti localmente: Ty_l=-2012.84 Mx_l=-40.26
Tensioni nella sezione: σ=487.96 τ=61.00
CC 31 SLV (Collegamento -044_-376)
Azioni sul collegamento: N=-11070.60 Ty=10.65 Tz=17.96 Mx=-0.00 Mz=6.77
Sollecitazioni agenti localmente: Ty_l=-2012.84 Mx_l=-40.26
Tensioni nella sezione: σ=487.96 τ=61.00
CC 31 SLV (Collegamento -044_-376)
Azioni sul collegamento: N=-11070.60 Ty=6.76 Tz=8.19 Mx=-0.00 Mz=1.67
Sollecitazioni agenti localmente: Ty_l=-2012.84 Mx_l=-40.26
Tensioni nella sezione: σ=487.96 τ=61.00
CC 31 SLV (Collegamento -044_-376)
Azioni sul collegamento: N=-11070.60 Ty=10.65 Tz=8.19 Mx=-0.00 Mz=6.77
Sollecitazioni agenti localmente: Ty_l=-2012.84 Mx_l=-40.26
Tensioni nella sezione: σ=487.96 τ=61.00
CC 31 SLV (Collegamento -044_-376)
Azioni sul collegamento: N=-8703.02 Ty=6.76 Tz=17.96 Mx=-0.00 Mz=1.67
Sollecitazioni agenti localmente: Ty_l=-1582.37 Mx_l=-31.65
Tensioni nella sezione: σ=383.60 τ=47.95
CC 31 SLV (Collegamento -044_-376)

Azioni sul collegamento: N=-8703.02 Ty=10.65 Tz=17.96 Mx=-0.00 Mz=6.77
Sollecitazioni agenti localmente: Ty_l=-1582.37 Mx_l=-31.65
Tensioni nella sezione: σ=383.60 τ=47.95
CC 31 SLV (Collegamento -044_-376)
Azioni sul collegamento: N=-8703.02 Ty=6.76 Tz=8.19 Mx=-0.00 Mz=1.67
Sollecitazioni agenti localmente: Ty_l=-1582.37 Mx_l=-31.65
Tensioni nella sezione: σ=383.60 τ=47.95
CC 31 SLV (Collegamento -044_-376)
Azioni sul collegamento: N=-8703.02 Ty=10.65 Tz=8.19 Mx=-0.00 Mz=6.77
Sollecitazioni agenti localmente: Ty_l=-1582.37 Mx_l=-31.65
Tensioni nella sezione: σ=383.60 τ=47.95
CC 32 SLD (Collegamento -044_-376)
Azioni sul collegamento: N=-10345.40 Ty=9.04 Tz=14.95 Mx=0.00 Mz=5.58
Sollecitazioni agenti localmente: Ty_l=-1880.98 Mx_l=-37.62
Tensioni nella sezione: σ=455.99 τ=57.00
CC 32 SLD (Collegamento -044_-376)
Azioni sul collegamento: N=-10345.40 Ty=10.22 Tz=14.95 Mx=0.00 Mz=7.14
Sollecitazioni agenti localmente: Ty_l=-1880.98 Mx_l=-37.62
Tensioni nella sezione: σ=455.99 τ=57.00
CC 32 SLD (Collegamento -044_-376)
Azioni sul collegamento: N=-10345.40 Ty=9.04 Tz=11.97 Mx=0.00 Mz=5.58
Sollecitazioni agenti localmente: Ty_l=-1880.98 Mx_l=-37.62
Tensioni nella sezione: σ=455.99 τ=57.00
CC 32 SLD (Collegamento -044_-376)
Azioni sul collegamento: N=-10345.40 Ty=10.22 Tz=11.97 Mx=0.00 Mz=7.14
Sollecitazioni agenti localmente: Ty_l=-1880.98 Mx_l=-37.62
Tensioni nella sezione: σ=455.99 τ=57.00
CC 32 SLD (Collegamento -044_-376)
Azioni sul collegamento: N=-9623.43 Ty=9.04 Tz=14.95 Mx=0.00 Mz=5.58
Sollecitazioni agenti localmente: Ty_l=-1749.71 Mx_l=-34.99
Tensioni nella sezione: σ=424.17 τ=53.02
CC 32 SLD (Collegamento -044_-376)
Azioni sul collegamento: N=-9623.43 Ty=10.22 Tz=14.95 Mx=0.00 Mz=7.14
Sollecitazioni agenti localmente: Ty_l=-1749.71 Mx_l=-34.99
Tensioni nella sezione: σ=424.17 τ=53.02
CC 32 SLD (Collegamento -044_-376)
Azioni sul collegamento: N=-9623.43 Ty=9.04 Tz=11.97 Mx=0.00 Mz=5.58
Sollecitazioni agenti localmente: Ty_l=-1749.72 Mx_l=-34.99
Tensioni nella sezione: σ=424.17 τ=53.02
CC 32 SLD (Collegamento -044_-376)
Azioni sul collegamento: N=-9623.43 Ty=10.22 Tz=11.97 Mx=0.00 Mz=7.14
Sollecitazioni agenti localmente: Ty_l=-1749.72 Mx_l=-34.99
Tensioni nella sezione: σ=424.17 τ=53.02
CC 33 SLU (Collegamento -044_-376)
Azioni sul collegamento: N=-37458.50 Ty=20.96 Tz=106.28 Mx=0.00 Mz=15.40
Sollecitazioni agenti localmente: Ty_l=-6810.64 Mx_l=-136.21
Tensioni nella sezione: σ=1651.06 τ=206.38
CC 34 SLU (Collegamento -044_-376)
Azioni sul collegamento: N=-36642.60 Ty=20.20 Tz=103.27 Mx=0.00 Mz=14.84
Sollecitazioni agenti localmente: Ty_l=-6662.28 Mx_l=-133.25
Tensioni nella sezione: σ=1615.10 τ=201.89
CC 35 SLU (Collegamento -044_-376)
Azioni sul collegamento: N=-37049.70 Ty=20.49 Tz=104.83 Mx=0.01 Mz=14.94
Sollecitazioni agenti localmente: Ty_l=-6736.30 Mx_l=-134.73
Tensioni nella sezione: σ=1633.04 τ=204.13
CC 36 SLU (Collegamento -044_-376)
Azioni sul collegamento: N=-37051.40 Ty=20.67 Tz=104.72 Mx=0.00 Mz=15.30
Sollecitazioni agenti localmente: Ty_l=-6736.62 Mx_l=-134.73
Tensioni nella sezione: σ=1633.12 τ=204.14
CC 37 SLU (Collegamento -044_-376)
Azioni sul collegamento: N=-28275.70 Ty=20.11 Tz=72.57 Mx=0.00 Mz=14.65
Sollecitazioni agenti localmente: Ty_l=-5141.04 Mx_l=-102.82
Tensioni nella sezione: σ=1246.31 τ=155.79
CC 38 SLU (Collegamento -044_-376)
Azioni sul collegamento: N=-27459.70 Ty=19.36 Tz=69.55 Mx=0.00 Mz=14.09
Sollecitazioni agenti localmente: Ty_l=-4992.68 Mx_l=-99.85
Tensioni nella sezione: σ=1210.34 τ=151.29
CC 39 SLU (Collegamento -044_-376)
Azioni sul collegamento: N=-27866.80 Ty=19.65 Tz=71.12 Mx=0.01 Mz=14.19
Sollecitazioni agenti localmente: Ty_l=-5066.70 Mx_l=-101.33
Tensioni nella sezione: σ=1228.29 τ=153.54
CC 40 SLU (Collegamento -044_-376)
Azioni sul collegamento: N=-27868.60 Ty=19.82 Tz=71.00 Mx=0.00 Mz=14.55
Sollecitazioni agenti localmente: Ty_l=-5067.02 Mx_l=-101.34
Tensioni nella sezione: σ=1228.37 τ=153.55
CC 41 SLU (Collegamento -044_-376)
Azioni sul collegamento: N=-30676.20 Ty=-9.89 Tz=80.85 Mx=0.00 Mz=-7.99
Sollecitazioni agenti localmente: Ty_l=-5577.50 Mx_l=-111.55
Tensioni nella sezione: σ=1352.12 τ=169.01
CC 42 SLU (Collegamento -044_-376)

Azioni sul collegamento: N=-29860.20 Ty=-10.64 Tz=77.84 Mx=0.00 Mz=-8.54
Sollecitazioni agenti localmente: Ty_l=-5429.13 Mx_l=-108.58
Tensioni nella sezione: σ=1316.15 τ=164.52
CC 43 SLU (Collegamento -044_-376)
Azioni sul collegamento: N=-30267.40 Ty=-10.35 Tz=79.40 Mx=0.01 Mz=-8.45
Sollecitazioni agenti localmente: Ty_l=-5503.15 Mx_l=-110.06
Tensioni nella sezione: σ=1334.09 τ=166.76
CC 44 SLU (Collegamento -044_-376)
Azioni sul collegamento: N=-30269.10 Ty=-10.18 Tz=79.28 Mx=0.00 Mz=-8.08
Sollecitazioni agenti localmente: Ty_l=-5503.48 Mx_l=-110.07
Tensioni nella sezione: σ=1334.17 τ=166.77
CC 45 SLU (Collegamento -044_-376)
Azioni sul collegamento: N=-30295.00 Ty=20.33 Tz=79.99 Mx=0.00 Mz=14.94
Sollecitazioni agenti localmente: Ty_l=-5508.18 Mx_l=-110.16
Tensioni nella sezione: σ=1335.32 τ=166.91
CC 46 SLU (Collegamento -044_-376)
Azioni sul collegamento: N=-29479.00 Ty=19.57 Tz=76.97 Mx=0.00 Mz=14.38
Sollecitazioni agenti localmente: Ty_l=-5359.82 Mx_l=-107.20
Tensioni nella sezione: σ=1299.35 τ=162.42
CC 47 SLU (Collegamento -044_-376)
Azioni sul collegamento: N=-29886.10 Ty=19.86 Tz=78.54 Mx=0.00 Mz=14.48
Sollecitazioni agenti localmente: Ty_l=-5433.85 Mx_l=-108.68
Tensioni nella sezione: σ=1317.29 τ=164.66
CC 48 SLU (Collegamento -044_-376)
Azioni sul collegamento: N=-29887.90 Ty=20.04 Tz=78.42 Mx=0.00 Mz=14.84
Sollecitazioni agenti localmente: Ty_l=-5434.17 Mx_l=-108.68
Tensioni nella sezione: σ=1317.37 τ=164.67
CC 49 SLU (Collegamento -044_-376)
Azioni sul collegamento: N=-23424.90 Ty=19.70 Tz=54.76 Mx=0.00 Mz=14.38
Sollecitazioni agenti localmente: Ty_l=-4259.07 Mx_l=-85.18
Tensioni nella sezione: σ=1032.50 τ=129.06
CC 50 SLU (Collegamento -044_-376)
Azioni sul collegamento: N=-22608.90 Ty=18.94 Tz=51.75 Mx=0.00 Mz=13.82
Sollecitazioni agenti localmente: Ty_l=-4110.71 Mx_l=-82.21
Tensioni nella sezione: σ=996.53 τ=124.57
CC 51 SLU (Collegamento -044_-376)
Azioni sul collegamento: N=-23016.00 Ty=19.23 Tz=53.31 Mx=0.00 Mz=13.92
Sollecitazioni agenti localmente: Ty_l=-4184.73 Mx_l=-83.69
Tensioni nella sezione: σ=1014.48 τ=126.81
CC 52 SLU (Collegamento -044_-376)
Azioni sul collegamento: N=-23017.80 Ty=19.41 Tz=53.20 Mx=0.00 Mz=14.28
Sollecitazioni agenti localmente: Ty_l=-4185.06 Mx_l=-83.70
Tensioni nella sezione: σ=1014.56 τ=126.82
CC 53 SLU (Collegamento -044_-376)
Azioni sul collegamento: N=-25220.90 Ty=-2.75 Tz=60.96 Mx=0.00 Mz=-2.55
Sollecitazioni agenti localmente: Ty_l=-4585.61 Mx_l=-91.71
Tensioni nella sezione: σ=1111.66 τ=138.96
CC 54 SLU (Collegamento -044_-376)
Azioni sul collegamento: N=-24404.90 Ty=-3.50 Tz=57.94 Mx=0.00 Mz=-3.11
Sollecitazioni agenti localmente: Ty_l=-4437.25 Mx_l=-88.74
Tensioni nella sezione: σ=1075.69 τ=134.46
CC 55 SLU (Collegamento -044_-376)
Azioni sul collegamento: N=-24812.00 Ty=-3.21 Tz=59.51 Mx=0.00 Mz=-3.02
Sollecitazioni agenti localmente: Ty_l=-4511.27 Mx_l=-90.23
Tensioni nella sezione: σ=1093.64 τ=136.71
CC 56 SLU (Collegamento -044_-376)
Azioni sul collegamento: N=-24813.70 Ty=-3.04 Tz=59.39 Mx=0.00 Mz=-2.65
Sollecitazioni agenti localmente: Ty_l=-4511.59 Mx_l=-90.23
Tensioni nella sezione: σ=1093.72 τ=136.72
CC 57 SLU (Collegamento -044_-376)
Azioni sul collegamento: N=-28074.70 Ty=18.58 Tz=71.81 Mx=0.00 Mz=13.65
Sollecitazioni agenti localmente: Ty_l=-5104.49 Mx_l=-102.09
Tensioni nella sezione: σ=1237.45 τ=154.68
CC 58 SLU (Collegamento -044_-376)
Azioni sul collegamento: N=-27258.70 Ty=17.82 Tz=68.80 Mx=0.00 Mz=13.09
Sollecitazioni agenti localmente: Ty_l=-4956.13 Mx_l=-99.12
Tensioni nella sezione: σ=1201.48 τ=150.19
CC 59 SLU (Collegamento -044_-376)
Azioni sul collegamento: N=-27665.80 Ty=18.11 Tz=70.37 Mx=0.00 Mz=13.19
Sollecitazioni agenti localmente: Ty_l=-5030.15 Mx_l=-100.60
Tensioni nella sezione: σ=1219.43 τ=152.43
CC 60 SLU (Collegamento -044_-376)
Azioni sul collegamento: N=-27667.60 Ty=18.29 Tz=70.25 Mx=0.00 Mz=13.55
Sollecitazioni agenti localmente: Ty_l=-5030.47 Mx_l=-100.61
Tensioni nella sezione: σ=1219.51 τ=152.44
CC 61 SLU (Collegamento -044_-376)
Azioni sul collegamento: N=-21204.60 Ty=17.94 Tz=46.59 Mx=0.00 Mz=13.09
Sollecitazioni agenti localmente: Ty_l=-3855.38 Mx_l=-77.11
Tensioni nella sezione: σ=934.64 τ=116.83
CC 62 SLU (Collegamento -044_-376)

Azioni sul collegamento: N=-20388.60 Ty=17.19 Tz=43.58 Mx=0.00 Mz=12.53
Sollecitazioni agenti localmente: Ty_l=-3707.02 Mx_l=-74.14
Tensioni nella sezione: σ=898.67 τ=112.33
CC 63 SLU (Collegamento -044_-376)
Azioni sul collegamento: N=-20795.70 Ty=17.48 Tz=45.14 Mx=0.00 Mz=12.63
Sollecitazioni agenti localmente: Ty_l=-3781.04 Mx_l=-75.62
Tensioni nella sezione: σ=916.61 τ=114.58
CC 64 SLU (Collegamento -044_-376)
Azioni sul collegamento: N=-20797.50 Ty=17.66 Tz=45.03 Mx=0.00 Mz=12.99
Sollecitazioni agenti localmente: Ty_l=-3781.36 Mx_l=-75.63
Tensioni nella sezione: σ=916.69 τ=114.59
CC 65 SLU (Collegamento -044_-376)
Azioni sul collegamento: N=-23000.50 Ty=-4.50 Tz=52.79 Mx=0.00 Mz=-3.84
Sollecitazioni agenti localmente: Ty_l=-4181.91 Mx_l=-83.64
Tensioni nella sezione: σ=1013.80 τ=126.72
CC 66 SLU (Collegamento -044_-376)
Azioni sul collegamento: N=-22184.60 Ty=-5.26 Tz=49.77 Mx=0.00 Mz=-4.40
Sollecitazioni agenti localmente: Ty_l=-4033.55 Mx_l=-80.67
Tensioni nella sezione: σ=977.83 τ=122.23
CC 67 SLU (Collegamento -044_-376)
Azioni sul collegamento: N=-22591.70 Ty=-4.97 Tz=51.34 Mx=0.00 Mz=-4.30
Sollecitazioni agenti localmente: Ty_l=-4107.58 Mx_l=-82.15
Tensioni nella sezione: σ=995.77 τ=124.47
CC 68 SLU (Collegamento -044_-376)
Azioni sul collegamento: N=-22593.40 Ty=-4.79 Tz=51.22 Mx=0.00 Mz=-3.94
Sollecitazioni agenti localmente: Ty_l=-4107.89 Mx_l=-82.16
Tensioni nella sezione: σ=995.85 τ=124.48
CC 97 SLU (Collegamento -044_-376)
Azioni sul collegamento: N=-32775.80 Ty=25.16 Tz=97.03 Mx=-0.05 Mz=10.53
Sollecitazioni agenti localmente: Ty_l=-5959.23 Mx_l=-119.18
Tensioni nella sezione: σ=1444.66 τ=180.58
CC 98 SLU (Collegamento -044_-376)
Azioni sul collegamento: N=-31959.80 Ty=24.41 Tz=94.02 Mx=-0.05 Mz=9.97
Sollecitazioni agenti localmente: Ty_l=-5810.87 Mx_l=-116.22
Tensioni nella sezione: σ=1408.69 τ=176.09
CC 99 SLU (Collegamento -044_-376)
Azioni sul collegamento: N=-32366.90 Ty=24.69 Tz=95.58 Mx=-0.05 Mz=10.07
Sollecitazioni agenti localmente: Ty_l=-5884.88 Mx_l=-117.70
Tensioni nella sezione: σ=1426.64 τ=178.33
CC 100 SLU (Collegamento -044_-376)
Azioni sul collegamento: N=-32368.70 Ty=24.87 Tz=95.47 Mx=-0.05 Mz=10.43
Sollecitazioni agenti localmente: Ty_l=-5885.21 Mx_l=-117.70
Tensioni nella sezione: σ=1426.71 τ=178.34
CC 101 SLU (Collegamento -044_-376)
Azioni sul collegamento: N=-9110.88 Ty=5.97 Tz=10.39 Mx=0.01 Mz=4.99
Sollecitazioni agenti localmente: Ty_l=-1656.52 Mx_l=-33.13
Tensioni nella sezione: σ=401.58 τ=50.20
CC 102 SLU (Collegamento -044_-376)
Azioni sul collegamento: N=-8294.89 Ty=5.21 Tz=7.37 Mx=0.01 Mz=4.43
Sollecitazioni agenti localmente: Ty_l=-1508.16 Mx_l=-30.16
Tensioni nella sezione: σ=365.61 τ=45.70
CC 103 SLU (Collegamento -044_-376)
Azioni sul collegamento: N=-8702.00 Ty=5.50 Tz=8.94 Mx=0.01 Mz=4.53
Sollecitazioni agenti localmente: Ty_l=-1582.18 Mx_l=-31.64
Tensioni nella sezione: σ=383.56 τ=47.94
CC 104 SLU (Collegamento -044_-376)
Azioni sul collegamento: N=-8703.77 Ty=5.68 Tz=8.82 Mx=0.01 Mz=4.89
Sollecitazioni agenti localmente: Ty_l=-1582.50 Mx_l=-31.65
Tensioni nella sezione: σ=383.64 τ=47.95

Flessione attacco inferiore piastra

Bnetta=220.00 Hnetta=15.00
CC 1 SLV (Collegamento -044_-376)
Azioni sul collegamento: N=-6246.31 Ty=15.25 Tz=-0.46 Mx=0.02 Mz=13.58
Sollecitazioni agenti localmente: Ty_l=-1135.69 Mx_l=-22.71
Tensioni nella sezione: σ=275.32 τ=34.41
CC 1 SLV (Collegamento -044_-376)
Azioni sul collegamento: N=-6246.31 Ty=7.49 Tz=-0.46 Mx=0.02 Mz=7.17
Sollecitazioni agenti localmente: Ty_l=-1135.69 Mx_l=-22.71
Tensioni nella sezione: σ=275.32 τ=34.41
CC 1 SLV (Collegamento -044_-376)
Azioni sul collegamento: N=-6246.31 Ty=15.25 Tz=28.82 Mx=0.02 Mz=13.58
Sollecitazioni agenti localmente: Ty_l=-1135.69 Mx_l=-22.71
Tensioni nella sezione: σ=275.32 τ=34.41
CC 1 SLV (Collegamento -044_-376)
Azioni sul collegamento: N=-6246.31 Ty=7.49 Tz=28.82 Mx=0.02 Mz=7.17
Sollecitazioni agenti localmente: Ty_l=-1135.69 Mx_l=-22.71
Tensioni nella sezione: σ=275.32 τ=34.41
CC 1 SLV (Collegamento -044_-376)
Azioni sul collegamento: N=-14088.90 Ty=15.25 Tz=-0.46 Mx=0.02 Mz=13.58

Sollecitazioni agenti localmente: Ty_l=-2561.63 Mx_l=-51.23
Tensioni nella sezione: σ=621.00 τ=77.63
CC 1 SLV (Collegamento -044_-376)
Azioni sul collegamento: N=-14088.90 Ty=7.49 Tz=-0.46 Mx=0.02 Mz=7.17
Sollecitazioni agenti localmente: Ty_l=-2561.63 Mx_l=-51.23
Tensioni nella sezione: σ=621.00 τ=77.63
CC 1 SLV (Collegamento -044_-376)
Azioni sul collegamento: N=-14088.90 Ty=15.25 Tz=28.82 Mx=0.02 Mz=13.58
Sollecitazioni agenti localmente: Ty_l=-2561.63 Mx_l=-51.23
Tensioni nella sezione: σ=621.00 τ=77.63
CC 1 SLV (Collegamento -044_-376)
Azioni sul collegamento: N=-14088.90 Ty=7.49 Tz=28.82 Mx=0.02 Mz=7.17
Sollecitazioni agenti localmente: Ty_l=-2561.63 Mx_l=-51.23
Tensioni nella sezione: σ=621.00 τ=77.63
CC 2 SLD (Collegamento -044_-376)
Azioni sul collegamento: N=-8874.30 Ty=11.63 Tz=9.33 Mx=0.01 Mz=9.21
Sollecitazioni agenti localmente: Ty_l=-1613.51 Mx_l=-32.27
Tensioni nella sezione: σ=391.15 τ=48.89
CC 2 SLD (Collegamento -044_-376)
Azioni sul collegamento: N=-8874.30 Ty=9.26 Tz=9.33 Mx=0.01 Mz=7.26
Sollecitazioni agenti localmente: Ty_l=-1613.51 Mx_l=-32.27
Tensioni nella sezione: σ=391.15 τ=48.89
CC 2 SLD (Collegamento -044_-376)
Azioni sul collegamento: N=-8874.30 Ty=11.63 Tz=18.26 Mx=0.01 Mz=9.21
Sollecitazioni agenti localmente: Ty_l=-1613.51 Mx_l=-32.27
Tensioni nella sezione: σ=391.15 τ=48.89
CC 2 SLD (Collegamento -044_-376)
Azioni sul collegamento: N=-8874.30 Ty=9.26 Tz=18.26 Mx=0.01 Mz=7.26
Sollecitazioni agenti localmente: Ty_l=-1613.51 Mx_l=-32.27
Tensioni nella sezione: σ=391.15 τ=48.89
CC 2 SLD (Collegamento -044_-376)
Azioni sul collegamento: N=-11265.80 Ty=11.63 Tz=9.33 Mx=0.01 Mz=9.21
Sollecitazioni agenti localmente: Ty_l=-2048.32 Mx_l=-40.97
Tensioni nella sezione: σ=496.56 τ=62.07
CC 2 SLD (Collegamento -044_-376)
Azioni sul collegamento: N=-11265.80 Ty=9.26 Tz=9.33 Mx=0.01 Mz=7.26
Sollecitazioni agenti localmente: Ty_l=-2048.32 Mx_l=-40.97
Tensioni nella sezione: σ=496.56 τ=62.07
CC 2 SLD (Collegamento -044_-376)
Azioni sul collegamento: N=-11265.80 Ty=11.63 Tz=18.26 Mx=0.01 Mz=9.21
Sollecitazioni agenti localmente: Ty_l=-2048.32 Mx_l=-40.97
Tensioni nella sezione: σ=496.56 τ=62.07
CC 2 SLD (Collegamento -044_-376)
Azioni sul collegamento: N=-11265.80 Ty=9.26 Tz=18.26 Mx=0.01 Mz=7.26
Sollecitazioni agenti localmente: Ty_l=-2048.32 Mx_l=-40.97
Tensioni nella sezione: σ=496.56 τ=62.07
CC 3 SLV (Collegamento -044_-376)
Azioni sul collegamento: N=-6251.19 Ty=14.73 Tz=-0.13 Mx=0.01 Mz=12.53
Sollecitazioni agenti localmente: Ty_l=-1136.58 Mx_l=-22.73
Tensioni nella sezione: σ=275.53 τ=34.44
CC 3 SLV (Collegamento -044_-376)
Azioni sul collegamento: N=-6251.19 Ty=8.00 Tz=-0.13 Mx=0.01 Mz=8.22
Sollecitazioni agenti localmente: Ty_l=-1136.58 Mx_l=-22.73
Tensioni nella sezione: σ=275.53 τ=34.44
CC 3 SLV (Collegamento -044_-376)
Azioni sul collegamento: N=-6251.19 Ty=14.73 Tz=28.49 Mx=0.01 Mz=12.53
Sollecitazioni agenti localmente: Ty_l=-1136.58 Mx_l=-22.73
Tensioni nella sezione: σ=275.53 τ=34.44
CC 3 SLV (Collegamento -044_-376)
Azioni sul collegamento: N=-6251.19 Ty=8.00 Tz=28.49 Mx=0.01 Mz=8.22
Sollecitazioni agenti localmente: Ty_l=-1136.58 Mx_l=-22.73
Tensioni nella sezione: σ=275.53 τ=34.44
CC 3 SLV (Collegamento -044_-376)
Azioni sul collegamento: N=-14084.10 Ty=14.73 Tz=-0.13 Mx=0.01 Mz=12.53
Sollecitazioni agenti localmente: Ty_l=-2560.74 Mx_l=-51.21
Tensioni nella sezione: σ=620.78 τ=77.60
CC 3 SLV (Collegamento -044_-376)
Azioni sul collegamento: N=-14084.10 Ty=8.00 Tz=-0.13 Mx=0.01 Mz=8.22
Sollecitazioni agenti localmente: Ty_l=-2560.74 Mx_l=-51.21
Tensioni nella sezione: σ=620.78 τ=77.60
CC 3 SLV (Collegamento -044_-376)
Azioni sul collegamento: N=-14084.10 Ty=14.73 Tz=28.49 Mx=0.01 Mz=12.53
Sollecitazioni agenti localmente: Ty_l=-2560.74 Mx_l=-51.21
Tensioni nella sezione: σ=620.78 τ=77.60
CC 3 SLV (Collegamento -044_-376)
Azioni sul collegamento: N=-14084.10 Ty=8.00 Tz=28.49 Mx=0.01 Mz=8.22
Sollecitazioni agenti localmente: Ty_l=-2560.74 Mx_l=-51.21
Tensioni nella sezione: σ=620.78 τ=77.60
CC 4 SLD (Collegamento -044_-376)
Azioni sul collegamento: N=-8875.79 Ty=11.47 Tz=9.43 Mx=0.01 Mz=8.89

Sollecitazioni agenti localmente: Ty_l=-1613.78 Mx_l=-32.28
Tensioni nella sezione: σ=391.22 τ=48.90
CC 4 SLD (Collegamento -044_-376)
Azioni sul collegamento: N=-8875.79 Ty=9.42 Tz=9.43 Mx=0.01 Mz=7.58
Sollecitazioni agenti localmente: Ty_l=-1613.78 Mx_l=-32.28
Tensioni nella sezione: σ=391.22 τ=48.90
CC 4 SLD (Collegamento -044_-376)
Azioni sul collegamento: N=-8875.79 Ty=11.47 Tz=18.16 Mx=0.01 Mz=8.89
Sollecitazioni agenti localmente: Ty_l=-1613.78 Mx_l=-32.28
Tensioni nella sezione: σ=391.22 τ=48.90
CC 4 SLD (Collegamento -044_-376)
Azioni sul collegamento: N=-8875.79 Ty=9.42 Tz=18.16 Mx=0.01 Mz=7.58
Sollecitazioni agenti localmente: Ty_l=-1613.78 Mx_l=-32.28
Tensioni nella sezione: σ=391.22 τ=48.90
CC 4 SLD (Collegamento -044_-376)
Azioni sul collegamento: N=-11264.30 Ty=11.47 Tz=9.43 Mx=0.01 Mz=8.89
Sollecitazioni agenti localmente: Ty_l=-2048.05 Mx_l=-40.96
Tensioni nella sezione: σ=496.50 τ=62.06
CC 4 SLD (Collegamento -044_-376)
Azioni sul collegamento: N=-11264.30 Ty=9.42 Tz=9.43 Mx=0.01 Mz=7.58
Sollecitazioni agenti localmente: Ty_l=-2048.05 Mx_l=-40.96
Tensioni nella sezione: σ=496.50 τ=62.06
CC 4 SLD (Collegamento -044_-376)
Azioni sul collegamento: N=-11264.30 Ty=11.47 Tz=18.16 Mx=0.01 Mz=8.89
Sollecitazioni agenti localmente: Ty_l=-2048.05 Mx_l=-40.96
Tensioni nella sezione: σ=496.50 τ=62.06
CC 4 SLD (Collegamento -044_-376)
Azioni sul collegamento: N=-11264.30 Ty=9.42 Tz=18.16 Mx=0.01 Mz=7.58
Sollecitazioni agenti localmente: Ty_l=-2048.05 Mx_l=-40.96
Tensioni nella sezione: σ=496.50 τ=62.06
CC 5 SLV (Collegamento -044_-376)
Azioni sul collegamento: N=-14084.10 Ty=8.00 Tz=28.49 Mx=0.02 Mz=8.22
Sollecitazioni agenti localmente: Ty_l=-2560.74 Mx_l=-51.21
Tensioni nella sezione: σ=620.78 τ=77.60
CC 5 SLV (Collegamento -044_-376)
Azioni sul collegamento: N=-14084.10 Ty=14.73 Tz=28.49 Mx=0.02 Mz=12.53
Sollecitazioni agenti localmente: Ty_l=-2560.74 Mx_l=-51.21
Tensioni nella sezione: σ=620.78 τ=77.60
CC 5 SLV (Collegamento -044_-376)
Azioni sul collegamento: N=-14084.10 Ty=8.00 Tz=-0.13 Mx=0.02 Mz=8.22
Sollecitazioni agenti localmente: Ty_l=-2560.74 Mx_l=-51.21
Tensioni nella sezione: σ=620.78 τ=77.60
CC 5 SLV (Collegamento -044_-376)
Azioni sul collegamento: N=-14084.10 Ty=14.73 Tz=-0.13 Mx=0.02 Mz=12.53
Sollecitazioni agenti localmente: Ty_l=-2560.74 Mx_l=-51.21
Tensioni nella sezione: σ=620.78 τ=77.60
CC 5 SLV (Collegamento -044_-376)
Azioni sul collegamento: N=-6251.19 Ty=8.00 Tz=28.49 Mx=0.02 Mz=8.22
Sollecitazioni agenti localmente: Ty_l=-1136.58 Mx_l=-22.73
Tensioni nella sezione: σ=275.53 τ=34.44
CC 5 SLV (Collegamento -044_-376)
Azioni sul collegamento: N=-6251.19 Ty=14.73 Tz=28.49 Mx=0.02 Mz=12.53
Sollecitazioni agenti localmente: Ty_l=-1136.58 Mx_l=-22.73
Tensioni nella sezione: σ=275.53 τ=34.44
CC 5 SLV (Collegamento -044_-376)
Azioni sul collegamento: N=-6251.19 Ty=8.00 Tz=-0.13 Mx=0.02 Mz=8.22
Sollecitazioni agenti localmente: Ty_l=-1136.58 Mx_l=-22.73
Tensioni nella sezione: σ=275.53 τ=34.44
CC 5 SLV (Collegamento -044_-376)
Azioni sul collegamento: N=-6251.19 Ty=14.73 Tz=-0.13 Mx=0.02 Mz=12.53
Sollecitazioni agenti localmente: Ty_l=-1136.58 Mx_l=-22.73
Tensioni nella sezione: σ=275.53 τ=34.44
CC 6 SLD (Collegamento -044_-376)
Azioni sul collegamento: N=-11264.30 Ty=9.42 Tz=18.16 Mx=0.01 Mz=7.58
Sollecitazioni agenti localmente: Ty_l=-2048.05 Mx_l=-40.96
Tensioni nella sezione: σ=496.50 τ=62.06
CC 6 SLD (Collegamento -044_-376)
Azioni sul collegamento: N=-11264.30 Ty=11.47 Tz=18.16 Mx=0.01 Mz=8.89
Sollecitazioni agenti localmente: Ty_l=-2048.05 Mx_l=-40.96
Tensioni nella sezione: σ=496.50 τ=62.06
CC 6 SLD (Collegamento -044_-376)
Azioni sul collegamento: N=-11264.30 Ty=9.42 Tz=9.43 Mx=0.01 Mz=7.58
Sollecitazioni agenti localmente: Ty_l=-2048.05 Mx_l=-40.96
Tensioni nella sezione: σ=496.50 τ=62.06
CC 6 SLD (Collegamento -044_-376)
Azioni sul collegamento: N=-11264.30 Ty=11.47 Tz=9.43 Mx=0.01 Mz=8.89
Sollecitazioni agenti localmente: Ty_l=-2048.05 Mx_l=-40.96
Tensioni nella sezione: σ=496.50 τ=62.06
CC 6 SLD (Collegamento -044_-376)
Azioni sul collegamento: N=-8875.79 Ty=9.42 Tz=18.16 Mx=0.01 Mz=7.58

Sollecitazioni agenti localmente: Ty_l=-1613.78 Mx_l=-32.28
Tensioni nella sezione: σ=391.22 τ=48.90
CC 6 SLD (Collegamento -044_-376)
Azioni sul collegamento: N=-8875.79 Ty=11.47 Tz=18.16 Mx=0.01 Mz=8.89
Sollecitazioni agenti localmente: Ty_l=-1613.78 Mx_l=-32.28
Tensioni nella sezione: σ=391.22 τ=48.90
CC 6 SLD (Collegamento -044_-376)
Azioni sul collegamento: N=-8875.79 Ty=9.42 Tz=9.43 Mx=0.01 Mz=7.58
Sollecitazioni agenti localmente: Ty_l=-1613.78 Mx_l=-32.28
Tensioni nella sezione: σ=391.22 τ=48.90
CC 6 SLD (Collegamento -044_-376)
Azioni sul collegamento: N=-8875.79 Ty=11.47 Tz=9.43 Mx=0.01 Mz=8.89
Sollecitazioni agenti localmente: Ty_l=-1613.78 Mx_l=-32.28
Tensioni nella sezione: σ=391.22 τ=48.90
CC 7 SLV (Collegamento -044_-376)
Azioni sul collegamento: N=-14088.90 Ty=7.49 Tz=28.82 Mx=0.01 Mz=7.17
Sollecitazioni agenti localmente: Ty_l=-2561.63 Mx_l=-51.23
Tensioni nella sezione: σ=621.00 τ=77.63
CC 7 SLV (Collegamento -044_-376)
Azioni sul collegamento: N=-14088.90 Ty=15.25 Tz=28.82 Mx=0.01 Mz=13.58
Sollecitazioni agenti localmente: Ty_l=-2561.63 Mx_l=-51.23
Tensioni nella sezione: σ=621.00 τ=77.63
CC 7 SLV (Collegamento -044_-376)
Azioni sul collegamento: N=-14088.90 Ty=7.49 Tz=-0.46 Mx=0.01 Mz=7.17
Sollecitazioni agenti localmente: Ty_l=-2561.63 Mx_l=-51.23
Tensioni nella sezione: σ=621.00 τ=77.63
CC 7 SLV (Collegamento -044_-376)
Azioni sul collegamento: N=-14088.90 Ty=15.25 Tz=-0.46 Mx=0.01 Mz=13.58
Sollecitazioni agenti localmente: Ty_l=-2561.63 Mx_l=-51.23
Tensioni nella sezione: σ=621.00 τ=77.63
CC 7 SLV (Collegamento -044_-376)
Azioni sul collegamento: N=-6246.31 Ty=7.49 Tz=28.82 Mx=0.01 Mz=7.17
Sollecitazioni agenti localmente: Ty_l=-1135.69 Mx_l=-22.71
Tensioni nella sezione: σ=275.32 τ=34.41
CC 7 SLV (Collegamento -044_-376)
Azioni sul collegamento: N=-6246.31 Ty=15.25 Tz=28.82 Mx=0.01 Mz=13.58
Sollecitazioni agenti localmente: Ty_l=-1135.69 Mx_l=-22.71
Tensioni nella sezione: σ=275.32 τ=34.41
CC 7 SLV (Collegamento -044_-376)
Azioni sul collegamento: N=-6246.31 Ty=7.49 Tz=-0.46 Mx=0.01 Mz=7.17
Sollecitazioni agenti localmente: Ty_l=-1135.69 Mx_l=-22.71
Tensioni nella sezione: σ=275.32 τ=34.41
CC 7 SLV (Collegamento -044_-376)
Azioni sul collegamento: N=-6246.31 Ty=15.25 Tz=-0.46 Mx=0.01 Mz=13.58
Sollecitazioni agenti localmente: Ty_l=-1135.69 Mx_l=-22.71
Tensioni nella sezione: σ=275.32 τ=34.41
CC 8 SLD (Collegamento -044_-376)
Azioni sul collegamento: N=-11265.80 Ty=9.26 Tz=18.26 Mx=0.01 Mz=7.26
Sollecitazioni agenti localmente: Ty_l=-2048.32 Mx_l=-40.97
Tensioni nella sezione: σ=496.56 τ=62.07
CC 8 SLD (Collegamento -044_-376)
Azioni sul collegamento: N=-11265.80 Ty=11.63 Tz=18.26 Mx=0.01 Mz=9.21
Sollecitazioni agenti localmente: Ty_l=-2048.32 Mx_l=-40.97
Tensioni nella sezione: σ=496.56 τ=62.07
CC 8 SLD (Collegamento -044_-376)
Azioni sul collegamento: N=-11265.80 Ty=9.26 Tz=9.33 Mx=0.01 Mz=7.26
Sollecitazioni agenti localmente: Ty_l=-2048.32 Mx_l=-40.97
Tensioni nella sezione: σ=496.56 τ=62.07
CC 8 SLD (Collegamento -044_-376)
Azioni sul collegamento: N=-11265.80 Ty=11.63 Tz=9.33 Mx=0.01 Mz=9.21
Sollecitazioni agenti localmente: Ty_l=-2048.32 Mx_l=-40.97
Tensioni nella sezione: σ=496.56 τ=62.07
CC 8 SLD (Collegamento -044_-376)
Azioni sul collegamento: N=-8874.30 Ty=9.26 Tz=18.26 Mx=0.01 Mz=7.26
Sollecitazioni agenti localmente: Ty_l=-1613.51 Mx_l=-32.27
Tensioni nella sezione: σ=391.15 τ=48.89
CC 8 SLD (Collegamento -044_-376)
Azioni sul collegamento: N=-8874.30 Ty=11.63 Tz=18.26 Mx=0.01 Mz=9.21
Sollecitazioni agenti localmente: Ty_l=-1613.51 Mx_l=-32.27
Tensioni nella sezione: σ=391.15 τ=48.89
CC 8 SLD (Collegamento -044_-376)
Azioni sul collegamento: N=-8874.30 Ty=9.26 Tz=9.33 Mx=0.01 Mz=7.26
Sollecitazioni agenti localmente: Ty_l=-1613.51 Mx_l=-32.27
Tensioni nella sezione: σ=391.15 τ=48.89
CC 8 SLD (Collegamento -044_-376)
Azioni sul collegamento: N=-8874.30 Ty=11.63 Tz=9.33 Mx=0.01 Mz=9.21
Sollecitazioni agenti localmente: Ty_l=-1613.51 Mx_l=-32.27
Tensioni nella sezione: σ=391.15 τ=48.89
CC 9 SLV (Collegamento -044_-376)
Azioni sul collegamento: N=-8983.82 Ty=13.31 Tz=9.29 Mx=0.02 Mz=12.92

Sollecitazioni agenti localmente: Ty_l=-1633.42 Mx_l=-32.67
Tensioni nella sezione: σ=395.98 τ=49.50
CC 9 SLV (Collegamento -044_-376)
Azioni sul collegamento: N=-8983.82 Ty=9.43 Tz=9.29 Mx=0.02 Mz=7.83
Sollecitazioni agenti localmente: Ty_l=-1633.42 Mx_l=-32.67
Tensioni nella sezione: σ=395.98 τ=49.50
CC 9 SLV (Collegamento -044_-376)
Azioni sul collegamento: N=-8983.82 Ty=13.31 Tz=19.07 Mx=0.02 Mz=12.92
Sollecitazioni agenti localmente: Ty_l=-1633.42 Mx_l=-32.67
Tensioni nella sezione: σ=395.98 τ=49.50
CC 9 SLV (Collegamento -044_-376)
Azioni sul collegamento: N=-8983.82 Ty=9.43 Tz=19.07 Mx=0.02 Mz=7.83
Sollecitazioni agenti localmente: Ty_l=-1633.42 Mx_l=-32.67
Tensioni nella sezione: σ=395.98 τ=49.50
CC 9 SLV (Collegamento -044_-376)
Azioni sul collegamento: N=-11351.40 Ty=13.31 Tz=9.29 Mx=0.02 Mz=12.92
Sollecitazioni agenti localmente: Ty_l=-2063.90 Mx_l=-41.28
Tensioni nella sezione: σ=500.34 τ=62.54
CC 9 SLV (Collegamento -044_-376)
Azioni sul collegamento: N=-11351.40 Ty=9.43 Tz=9.29 Mx=0.02 Mz=7.83
Sollecitazioni agenti localmente: Ty_l=-2063.90 Mx_l=-41.28
Tensioni nella sezione: σ=500.34 τ=62.54
CC 9 SLV (Collegamento -044_-376)
Azioni sul collegamento: N=-11351.40 Ty=13.31 Tz=19.07 Mx=0.02 Mz=12.92
Sollecitazioni agenti localmente: Ty_l=-2063.90 Mx_l=-41.28
Tensioni nella sezione: σ=500.34 τ=62.54
CC 9 SLV (Collegamento -044_-376)
Azioni sul collegamento: N=-11351.40 Ty=9.43 Tz=19.07 Mx=0.02 Mz=7.83
Sollecitazioni agenti localmente: Ty_l=-2063.90 Mx_l=-41.28
Tensioni nella sezione: σ=500.34 τ=62.54
CC 10 SLD (Collegamento -044_-376)
Azioni sul collegamento: N=-9709.06 Ty=11.04 Tz=12.31 Mx=0.01 Mz=9.01
Sollecitazioni agenti localmente: Ty_l=-1765.28 Mx_l=-35.31
Tensioni nella sezione: σ=427.95 τ=53.49
CC 10 SLD (Collegamento -044_-376)
Azioni sul collegamento: N=-9709.06 Ty=9.85 Tz=12.31 Mx=0.01 Mz=7.46
Sollecitazioni agenti localmente: Ty_l=-1765.28 Mx_l=-35.31
Tensioni nella sezione: σ=427.95 τ=53.49
CC 10 SLD (Collegamento -044_-376)
Azioni sul collegamento: N=-9709.06 Ty=11.04 Tz=15.29 Mx=0.01 Mz=9.01
Sollecitazioni agenti localmente: Ty_l=-1765.28 Mx_l=-35.31
Tensioni nella sezione: σ=427.95 τ=53.49
CC 10 SLD (Collegamento -044_-376)
Azioni sul collegamento: N=-9709.06 Ty=9.85 Tz=15.29 Mx=0.01 Mz=7.46
Sollecitazioni agenti localmente: Ty_l=-1765.28 Mx_l=-35.31
Tensioni nella sezione: σ=427.95 τ=53.49
CC 10 SLD (Collegamento -044_-376)
Azioni sul collegamento: N=-10431.00 Ty=11.04 Tz=12.31 Mx=0.01 Mz=9.01
Sollecitazioni agenti localmente: Ty_l=-1896.55 Mx_l=-37.93
Tensioni nella sezione: σ=459.77 τ=57.47
CC 10 SLD (Collegamento -044_-376)
Azioni sul collegamento: N=-10431.00 Ty=9.85 Tz=12.31 Mx=0.01 Mz=7.46
Sollecitazioni agenti localmente: Ty_l=-1896.55 Mx_l=-37.93
Tensioni nella sezione: σ=459.77 τ=57.47
CC 10 SLD (Collegamento -044_-376)
Azioni sul collegamento: N=-10431.00 Ty=11.04 Tz=15.29 Mx=0.01 Mz=9.01
Sollecitazioni agenti localmente: Ty_l=-1896.55 Mx_l=-37.93
Tensioni nella sezione: σ=459.77 τ=57.47
CC 10 SLD (Collegamento -044_-376)
Azioni sul collegamento: N=-10431.00 Ty=9.85 Tz=15.29 Mx=0.01 Mz=7.46
Sollecitazioni agenti localmente: Ty_l=-1896.55 Mx_l=-37.93
Tensioni nella sezione: σ=459.77 τ=57.47
CC 11 SLV (Collegamento -044_-376)
Azioni sul collegamento: N=-11335.10 Ty=11.14 Tz=17.98 Mx=0.02 Mz=11.32
Sollecitazioni agenti localmente: Ty_l=-2060.94 Mx_l=-41.22
Tensioni nella sezione: σ=499.62 τ=62.45
CC 11 SLV (Collegamento -044_-376)
Azioni sul collegamento: N=-11335.10 Ty=11.60 Tz=17.98 Mx=0.02 Mz=9.43
Sollecitazioni agenti localmente: Ty_l=-2060.94 Mx_l=-41.22
Tensioni nella sezione: σ=499.62 τ=62.45
CC 11 SLV (Collegamento -044_-376)
Azioni sul collegamento: N=-11335.10 Ty=11.14 Tz=10.38 Mx=0.02 Mz=11.32
Sollecitazioni agenti localmente: Ty_l=-2060.94 Mx_l=-41.22
Tensioni nella sezione: σ=499.62 τ=62.45
CC 11 SLV (Collegamento -044_-376)
Azioni sul collegamento: N=-11335.10 Ty=11.60 Tz=10.38 Mx=0.02 Mz=9.43
Sollecitazioni agenti localmente: Ty_l=-2060.94 Mx_l=-41.22
Tensioni nella sezione: σ=499.62 τ=62.45
CC 11 SLV (Collegamento -044_-376)
Azioni sul collegamento: N=-9000.10 Ty=11.14 Tz=17.98 Mx=0.02 Mz=11.32

Sollecitazioni agenti localmente: Ty_l=-1636.38 Mx_l=-32.73
Tensioni nella sezione: σ=396.70 τ=49.59
CC 11 SLV (Collegamento -044_-376)
Azioni sul collegamento: N=-9000.10 Ty=11.60 Tz=17.98 Mx=0.02 Mz=9.43
Sollecitazioni agenti localmente: Ty_l=-1636.38 Mx_l=-32.73
Tensioni nella sezione: σ=396.70 τ=49.59
CC 11 SLV (Collegamento -044_-376)
Azioni sul collegamento: N=-9000.10 Ty=11.14 Tz=10.38 Mx=0.02 Mz=11.32
Sollecitazioni agenti localmente: Ty_l=-1636.38 Mx_l=-32.73
Tensioni nella sezione: σ=396.70 τ=49.59
CC 11 SLV (Collegamento -044_-376)
Azioni sul collegamento: N=-9000.10 Ty=11.60 Tz=10.38 Mx=0.02 Mz=9.43
Sollecitazioni agenti localmente: Ty_l=-1636.38 Mx_l=-32.73
Tensioni nella sezione: σ=396.70 τ=49.59
CC 12 SLD (Collegamento -044_-376)
Azioni sul collegamento: N=-10426.00 Ty=10.37 Tz=14.95 Mx=0.01 Mz=8.52
Sollecitazioni agenti localmente: Ty_l=-1895.64 Mx_l=-37.91
Tensioni nella sezione: σ=459.55 τ=57.44
CC 12 SLD (Collegamento -044_-376)
Azioni sul collegamento: N=-10426.00 Ty=10.51 Tz=14.95 Mx=0.01 Mz=7.95
Sollecitazioni agenti localmente: Ty_l=-1895.64 Mx_l=-37.91
Tensioni nella sezione: σ=459.55 τ=57.44
CC 12 SLD (Collegamento -044_-376)
Azioni sul collegamento: N=-10426.00 Ty=10.37 Tz=12.64 Mx=0.01 Mz=8.52
Sollecitazioni agenti localmente: Ty_l=-1895.64 Mx_l=-37.91
Tensioni nella sezione: σ=459.55 τ=57.44
CC 12 SLD (Collegamento -044_-376)
Azioni sul collegamento: N=-10426.00 Ty=10.51 Tz=12.64 Mx=0.01 Mz=7.95
Sollecitazioni agenti localmente: Ty_l=-1895.64 Mx_l=-37.91
Tensioni nella sezione: σ=459.55 τ=57.44
CC 12 SLD (Collegamento -044_-376)
Azioni sul collegamento: N=-9714.02 Ty=10.37 Tz=14.95 Mx=0.01 Mz=8.52
Sollecitazioni agenti localmente: Ty_l=-1766.19 Mx_l=-35.32
Tensioni nella sezione: σ=428.17 τ=53.52
CC 12 SLD (Collegamento -044_-376)
Azioni sul collegamento: N=-9714.02 Ty=10.51 Tz=14.95 Mx=0.01 Mz=7.95
Sollecitazioni agenti localmente: Ty_l=-1766.19 Mx_l=-35.32
Tensioni nella sezione: σ=428.17 τ=53.52
CC 12 SLD (Collegamento -044_-376)
Azioni sul collegamento: N=-9714.02 Ty=10.37 Tz=12.64 Mx=0.01 Mz=8.52
Sollecitazioni agenti localmente: Ty_l=-1766.19 Mx_l=-35.32
Tensioni nella sezione: σ=428.17 τ=53.52
CC 12 SLD (Collegamento -044_-376)
Azioni sul collegamento: N=-9714.02 Ty=10.51 Tz=12.64 Mx=0.01 Mz=7.95
Sollecitazioni agenti localmente: Ty_l=-1766.19 Mx_l=-35.32
Tensioni nella sezione: σ=428.17 τ=53.52
CC 13 SLV (Collegamento -044_-376)
Azioni sul collegamento: N=-9000.10 Ty=11.60 Tz=10.38 Mx=0.01 Mz=9.43
Sollecitazioni agenti localmente: Ty_l=-1636.38 Mx_l=-32.73
Tensioni nella sezione: σ=396.70 τ=49.59
CC 13 SLV (Collegamento -044_-376)
Azioni sul collegamento: N=-9000.10 Ty=11.14 Tz=10.38 Mx=0.01 Mz=11.32
Sollecitazioni agenti localmente: Ty_l=-1636.38 Mx_l=-32.73
Tensioni nella sezione: σ=396.70 τ=49.59
CC 13 SLV (Collegamento -044_-376)
Azioni sul collegamento: N=-9000.10 Ty=11.60 Tz=17.98 Mx=0.01 Mz=9.43
Sollecitazioni agenti localmente: Ty_l=-1636.38 Mx_l=-32.73
Tensioni nella sezione: σ=396.70 τ=49.59
CC 13 SLV (Collegamento -044_-376)
Azioni sul collegamento: N=-9000.10 Ty=11.14 Tz=17.98 Mx=0.01 Mz=11.32
Sollecitazioni agenti localmente: Ty_l=-1636.38 Mx_l=-32.73
Tensioni nella sezione: σ=396.70 τ=49.59
CC 13 SLV (Collegamento -044_-376)
Azioni sul collegamento: N=-11335.10 Ty=11.60 Tz=10.38 Mx=0.01 Mz=9.43
Sollecitazioni agenti localmente: Ty_l=-2060.94 Mx_l=-41.22
Tensioni nella sezione: σ=499.62 τ=62.45
CC 13 SLV (Collegamento -044_-376)
Azioni sul collegamento: N=-11335.10 Ty=11.14 Tz=10.38 Mx=0.01 Mz=11.32
Sollecitazioni agenti localmente: Ty_l=-2060.94 Mx_l=-41.22
Tensioni nella sezione: σ=499.62 τ=62.45
CC 13 SLV (Collegamento -044_-376)
Azioni sul collegamento: N=-11335.10 Ty=11.60 Tz=17.98 Mx=0.01 Mz=9.43
Sollecitazioni agenti localmente: Ty_l=-2060.94 Mx_l=-41.22
Tensioni nella sezione: σ=499.62 τ=62.45
CC 13 SLV (Collegamento -044_-376)
Azioni sul collegamento: N=-11335.10 Ty=11.14 Tz=17.98 Mx=0.01 Mz=11.32
Sollecitazioni agenti localmente: Ty_l=-2060.94 Mx_l=-41.22
Tensioni nella sezione: σ=499.62 τ=62.45
CC 14 SLD (Collegamento -044_-376)
Azioni sul collegamento: N=-9714.02 Ty=10.51 Tz=12.64 Mx=0.00 Mz=7.95

Sollecitazioni agenti localmente: Ty_l=-1766.19 Mx_l=-35.32
Tensioni nella sezione: σ=428.17 τ=53.52
CC 14 SLD (Collegamento -044_-376)
Azioni sul collegamento: N=-9714.02 Ty=10.37 Tz=12.64 Mx=0.00 Mz=8.52
Sollecitazioni agenti localmente: Ty_l=-1766.19 Mx_l=-35.32
Tensioni nella sezione: σ=428.17 τ=53.52
CC 14 SLD (Collegamento -044_-376)
Azioni sul collegamento: N=-9714.02 Ty=10.51 Tz=14.95 Mx=0.00 Mz=7.95
Sollecitazioni agenti localmente: Ty_l=-1766.19 Mx_l=-35.32
Tensioni nella sezione: σ=428.17 τ=53.52
CC 14 SLD (Collegamento -044_-376)
Azioni sul collegamento: N=-9714.02 Ty=10.37 Tz=14.95 Mx=0.00 Mz=8.52
Sollecitazioni agenti localmente: Ty_l=-1766.19 Mx_l=-35.32
Tensioni nella sezione: σ=428.17 τ=53.52
CC 14 SLD (Collegamento -044_-376)
Azioni sul collegamento: N=-10426.00 Ty=10.51 Tz=12.64 Mx=0.00 Mz=7.95
Sollecitazioni agenti localmente: Ty_l=-1895.64 Mx_l=-37.91
Tensioni nella sezione: σ=459.55 τ=57.44
CC 14 SLD (Collegamento -044_-376)
Azioni sul collegamento: N=-10426.00 Ty=10.37 Tz=12.64 Mx=0.00 Mz=8.52
Sollecitazioni agenti localmente: Ty_l=-1895.64 Mx_l=-37.91
Tensioni nella sezione: σ=459.55 τ=57.44
CC 14 SLD (Collegamento -044_-376)
Azioni sul collegamento: N=-10426.00 Ty=10.51 Tz=14.95 Mx=0.00 Mz=7.95
Sollecitazioni agenti localmente: Ty_l=-1895.64 Mx_l=-37.91
Tensioni nella sezione: σ=459.55 τ=57.44
CC 14 SLD (Collegamento -044_-376)
Azioni sul collegamento: N=-10426.00 Ty=10.37 Tz=14.95 Mx=0.00 Mz=8.52
Sollecitazioni agenti localmente: Ty_l=-1895.64 Mx_l=-37.91
Tensioni nella sezione: σ=459.55 τ=57.44
CC 15 SLV (Collegamento -044_-376)
Azioni sul collegamento: N=-11351.40 Ty=9.43 Tz=19.07 Mx=0.01 Mz=7.83
Sollecitazioni agenti localmente: Ty_l=-2063.90 Mx_l=-41.28
Tensioni nella sezione: σ=500.34 τ=62.54
CC 15 SLV (Collegamento -044_-376)
Azioni sul collegamento: N=-11351.40 Ty=13.31 Tz=19.07 Mx=0.01 Mz=12.92
Sollecitazioni agenti localmente: Ty_l=-2063.90 Mx_l=-41.28
Tensioni nella sezione: σ=500.34 τ=62.54
CC 15 SLV (Collegamento -044_-376)
Azioni sul collegamento: N=-11351.40 Ty=9.43 Tz=9.29 Mx=0.01 Mz=7.83
Sollecitazioni agenti localmente: Ty_l=-2063.90 Mx_l=-41.28
Tensioni nella sezione: σ=500.34 τ=62.54
CC 15 SLV (Collegamento -044_-376)
Azioni sul collegamento: N=-11351.40 Ty=13.31 Tz=9.29 Mx=0.01 Mz=12.92
Sollecitazioni agenti localmente: Ty_l=-2063.90 Mx_l=-41.28
Tensioni nella sezione: σ=500.34 τ=62.54
CC 15 SLV (Collegamento -044_-376)
Azioni sul collegamento: N=-8983.82 Ty=9.43 Tz=19.07 Mx=0.01 Mz=7.83
Sollecitazioni agenti localmente: Ty_l=-1633.42 Mx_l=-32.67
Tensioni nella sezione: σ=395.98 τ=49.50
CC 15 SLV (Collegamento -044_-376)
Azioni sul collegamento: N=-8983.82 Ty=13.31 Tz=19.07 Mx=0.01 Mz=12.92
Sollecitazioni agenti localmente: Ty_l=-1633.42 Mx_l=-32.67
Tensioni nella sezione: σ=395.98 τ=49.50
CC 15 SLV (Collegamento -044_-376)
Azioni sul collegamento: N=-8983.82 Ty=9.43 Tz=9.29 Mx=0.01 Mz=7.83
Sollecitazioni agenti localmente: Ty_l=-1633.42 Mx_l=-32.67
Tensioni nella sezione: σ=395.98 τ=49.50
CC 15 SLV (Collegamento -044_-376)
Azioni sul collegamento: N=-8983.82 Ty=13.31 Tz=9.29 Mx=0.01 Mz=12.92
Sollecitazioni agenti localmente: Ty_l=-1633.42 Mx_l=-32.67
Tensioni nella sezione: σ=395.98 τ=49.50
CC 16 SLD (Collegamento -044_-376)
Azioni sul collegamento: N=-10431.00 Ty=9.85 Tz=15.29 Mx=0.00 Mz=7.46
Sollecitazioni agenti localmente: Ty_l=-1896.55 Mx_l=-37.93
Tensioni nella sezione: σ=459.77 τ=57.47
CC 16 SLD (Collegamento -044_-376)
Azioni sul collegamento: N=-10431.00 Ty=11.04 Tz=15.29 Mx=0.00 Mz=9.01
Sollecitazioni agenti localmente: Ty_l=-1896.55 Mx_l=-37.93
Tensioni nella sezione: σ=459.77 τ=57.47
CC 16 SLD (Collegamento -044_-376)
Azioni sul collegamento: N=-10431.00 Ty=9.85 Tz=12.31 Mx=0.00 Mz=7.46
Sollecitazioni agenti localmente: Ty_l=-1896.55 Mx_l=-37.93
Tensioni nella sezione: σ=459.77 τ=57.47
CC 16 SLD (Collegamento -044_-376)
Azioni sul collegamento: N=-10431.00 Ty=11.04 Tz=12.31 Mx=0.00 Mz=9.01
Sollecitazioni agenti localmente: Ty_l=-1896.55 Mx_l=-37.93
Tensioni nella sezione: σ=459.77 τ=57.47
CC 16 SLD (Collegamento -044_-376)
Azioni sul collegamento: N=-9709.06 Ty=9.85 Tz=15.29 Mx=0.00 Mz=7.46

Sollecitazioni agenti localmente: Ty_l=-1765.28 Mx_l=-35.31
Tensioni nella sezione: σ=427.95 τ=53.49
CC 16 SLD (Collegamento -044_-376)
Azioni sul collegamento: N=-9709.06 Ty=11.04 Tz=15.29 Mx=0.00 Mz=9.01
Sollecitazioni agenti localmente: Ty_l=-1765.28 Mx_l=-35.31
Tensioni nella sezione: σ=427.95 τ=53.49
CC 16 SLD (Collegamento -044_-376)
Azioni sul collegamento: N=-9709.06 Ty=9.85 Tz=12.31 Mx=0.00 Mz=7.46
Sollecitazioni agenti localmente: Ty_l=-1765.28 Mx_l=-35.31
Tensioni nella sezione: σ=427.95 τ=53.49
CC 16 SLD (Collegamento -044_-376)
Azioni sul collegamento: N=-9709.06 Ty=11.04 Tz=12.31 Mx=0.00 Mz=9.01
Sollecitazioni agenti localmente: Ty_l=-1765.28 Mx_l=-35.31
Tensioni nella sezione: σ=427.95 τ=53.49
CC 17 SLV (Collegamento -044_-376)
Azioni sul collegamento: N=-5965.51 Ty=12.58 Tz=-1.56 Mx=-0.01 Mz=7.43
Sollecitazioni agenti localmente: Ty_l=-1084.64 Mx_l=-21.69
Tensioni nella sezione: σ=262.94 τ=32.87
CC 17 SLV (Collegamento -044_-376)
Azioni sul collegamento: N=-5965.51 Ty=4.83 Tz=-1.56 Mx=-0.01 Mz=1.02
Sollecitazioni agenti localmente: Ty_l=-1084.64 Mx_l=-21.69
Tensioni nella sezione: σ=262.94 τ=32.87
CC 17 SLV (Collegamento -044_-376)
Azioni sul collegamento: N=-5965.51 Ty=12.58 Tz=27.71 Mx=-0.01 Mz=7.43
Sollecitazioni agenti localmente: Ty_l=-1084.64 Mx_l=-21.69
Tensioni nella sezione: σ=262.94 τ=32.87
CC 17 SLV (Collegamento -044_-376)
Azioni sul collegamento: N=-5965.51 Ty=4.83 Tz=27.71 Mx=-0.01 Mz=1.02
Sollecitazioni agenti localmente: Ty_l=-1084.64 Mx_l=-21.69
Tensioni nella sezione: σ=262.94 τ=32.87
CC 17 SLV (Collegamento -044_-376)
Azioni sul collegamento: N=-13808.10 Ty=12.58 Tz=-1.56 Mx=-0.01 Mz=7.43
Sollecitazioni agenti localmente: Ty_l=-2510.57 Mx_l=-50.21
Tensioni nella sezione: σ=608.62 τ=76.08
CC 17 SLV (Collegamento -044_-376)
Azioni sul collegamento: N=-13808.10 Ty=4.83 Tz=-1.56 Mx=-0.01 Mz=1.02
Sollecitazioni agenti localmente: Ty_l=-2510.57 Mx_l=-50.21
Tensioni nella sezione: σ=608.62 τ=76.08
CC 17 SLV (Collegamento -044_-376)
Azioni sul collegamento: N=-13808.10 Ty=12.58 Tz=27.71 Mx=-0.01 Mz=7.43
Sollecitazioni agenti localmente: Ty_l=-2510.57 Mx_l=-50.21
Tensioni nella sezione: σ=608.62 τ=76.08
CC 17 SLV (Collegamento -044_-376)
Azioni sul collegamento: N=-13808.10 Ty=4.83 Tz=27.71 Mx=-0.01 Mz=1.02
Sollecitazioni agenti localmente: Ty_l=-2510.57 Mx_l=-50.21
Tensioni nella sezione: σ=608.62 τ=76.08
CC 18 SLD (Collegamento -044_-376)
Azioni sul collegamento: N=-8788.68 Ty=10.81 Tz=9.00 Mx=-0.00 Mz=7.34
Sollecitazioni agenti localmente: Ty_l=-1597.94 Mx_l=-31.96
Tensioni nella sezione: σ=387.38 τ=48.42
CC 18 SLD (Collegamento -044_-376)
Azioni sul collegamento: N=-8788.68 Ty=8.45 Tz=9.00 Mx=-0.00 Mz=5.38
Sollecitazioni agenti localmente: Ty_l=-1597.94 Mx_l=-31.96
Tensioni nella sezione: σ=387.38 τ=48.42
CC 18 SLD (Collegamento -044_-376)
Azioni sul collegamento: N=-8788.68 Ty=10.81 Tz=17.92 Mx=-0.00 Mz=7.34
Sollecitazioni agenti localmente: Ty_l=-1597.94 Mx_l=-31.96
Tensioni nella sezione: σ=387.38 τ=48.42
CC 18 SLD (Collegamento -044_-376)
Azioni sul collegamento: N=-8788.68 Ty=8.45 Tz=17.92 Mx=-0.00 Mz=5.38
Sollecitazioni agenti localmente: Ty_l=-1597.94 Mx_l=-31.96
Tensioni nella sezione: σ=387.38 τ=48.42
CC 18 SLD (Collegamento -044_-376)
Azioni sul collegamento: N=-11180.10 Ty=10.81 Tz=9.00 Mx=-0.00 Mz=7.34
Sollecitazioni agenti localmente: Ty_l=-2032.75 Mx_l=-40.66
Tensioni nella sezione: σ=492.79 τ=61.60
CC 18 SLD (Collegamento -044_-376)
Azioni sul collegamento: N=-11180.10 Ty=8.45 Tz=9.00 Mx=-0.00 Mz=5.38
Sollecitazioni agenti localmente: Ty_l=-2032.75 Mx_l=-40.66
Tensioni nella sezione: σ=492.79 τ=61.60
CC 18 SLD (Collegamento -044_-376)
Azioni sul collegamento: N=-11180.10 Ty=10.81 Tz=17.92 Mx=-0.00 Mz=7.34
Sollecitazioni agenti localmente: Ty_l=-2032.75 Mx_l=-40.66
Tensioni nella sezione: σ=492.79 τ=61.60
CC 18 SLD (Collegamento -044_-376)
Azioni sul collegamento: N=-11180.10 Ty=8.45 Tz=17.92 Mx=-0.00 Mz=5.38
Sollecitazioni agenti localmente: Ty_l=-2032.75 Mx_l=-40.66
Tensioni nella sezione: σ=492.79 τ=61.60
CC 19 SLV (Collegamento -044_-376)
Azioni sul collegamento: N=-5970.39 Ty=12.07 Tz=-1.24 Mx=-0.01 Mz=6.38

Sollecitazioni agenti localmente: Ty_l=-1085.53 Mx_l=-21.71
Tensioni nella sezione: σ=263.16 τ=32.89
CC 19 SLV (Collegamento -044_-376)
Azioni sul collegamento: N=-5970.39 Ty=5.34 Tz=-1.24 Mx=-0.01 Mz=2.07
Sollecitazioni agenti localmente: Ty_l=-1085.53 Mx_l=-21.71
Tensioni nella sezione: σ=263.16 τ=32.89
CC 19 SLV (Collegamento -044_-376)
Azioni sul collegamento: N=-5970.39 Ty=12.07 Tz=27.38 Mx=-0.01 Mz=6.38
Sollecitazioni agenti localmente: Ty_l=-1085.53 Mx_l=-21.71
Tensioni nella sezione: σ=263.16 τ=32.89
CC 19 SLV (Collegamento -044_-376)
Azioni sul collegamento: N=-5970.39 Ty=5.34 Tz=27.38 Mx=-0.01 Mz=2.07
Sollecitazioni agenti localmente: Ty_l=-1085.53 Mx_l=-21.71
Tensioni nella sezione: σ=263.16 τ=32.89
CC 19 SLV (Collegamento -044_-376)
Azioni sul collegamento: N=-13803.30 Ty=12.07 Tz=-1.24 Mx=-0.01 Mz=6.38
Sollecitazioni agenti localmente: Ty_l=-2509.68 Mx_l=-50.19
Tensioni nella sezione: σ=608.41 τ=76.05
CC 19 SLV (Collegamento -044_-376)
Azioni sul collegamento: N=-13803.30 Ty=5.34 Tz=-1.24 Mx=-0.01 Mz=2.07
Sollecitazioni agenti localmente: Ty_l=-2509.68 Mx_l=-50.19
Tensioni nella sezione: σ=608.41 τ=76.05
CC 19 SLV (Collegamento -044_-376)
Azioni sul collegamento: N=-13803.30 Ty=12.07 Tz=27.38 Mx=-0.01 Mz=6.38
Sollecitazioni agenti localmente: Ty_l=-2509.68 Mx_l=-50.19
Tensioni nella sezione: σ=608.41 τ=76.05
CC 19 SLV (Collegamento -044_-376)
Azioni sul collegamento: N=-13803.30 Ty=5.34 Tz=27.38 Mx=-0.01 Mz=2.07
Sollecitazioni agenti localmente: Ty_l=-2509.68 Mx_l=-50.19
Tensioni nella sezione: σ=608.41 τ=76.05
CC 20 SLD (Collegamento -044_-376)
Azioni sul collegamento: N=-8790.17 Ty=10.66 Tz=9.09 Mx=-0.00 Mz=7.02
Sollecitazioni agenti localmente: Ty_l=-1598.21 Mx_l=-31.96
Tensioni nella sezione: σ=387.44 τ=48.43
CC 20 SLD (Collegamento -044_-376)
Azioni sul collegamento: N=-8790.17 Ty=8.61 Tz=9.09 Mx=-0.00 Mz=5.70
Sollecitazioni agenti localmente: Ty_l=-1598.21 Mx_l=-31.96
Tensioni nella sezione: σ=387.44 τ=48.43
CC 20 SLD (Collegamento -044_-376)
Azioni sul collegamento: N=-8790.17 Ty=10.66 Tz=17.82 Mx=-0.00 Mz=7.02
Sollecitazioni agenti localmente: Ty_l=-1598.21 Mx_l=-31.96
Tensioni nella sezione: σ=387.44 τ=48.43
CC 20 SLD (Collegamento -044_-376)
Azioni sul collegamento: N=-8790.17 Ty=8.61 Tz=17.82 Mx=-0.00 Mz=5.70
Sollecitazioni agenti localmente: Ty_l=-1598.21 Mx_l=-31.96
Tensioni nella sezione: σ=387.44 τ=48.43
CC 20 SLD (Collegamento -044_-376)
Azioni sul collegamento: N=-11178.70 Ty=10.66 Tz=9.10 Mx=-0.00 Mz=7.02
Sollecitazioni agenti localmente: Ty_l=-2032.48 Mx_l=-40.65
Tensioni nella sezione: σ=492.72 τ=61.59
CC 20 SLD (Collegamento -044_-376)
Azioni sul collegamento: N=-11178.70 Ty=8.61 Tz=9.10 Mx=-0.00 Mz=5.70
Sollecitazioni agenti localmente: Ty_l=-2032.48 Mx_l=-40.65
Tensioni nella sezione: σ=492.72 τ=61.59
CC 20 SLD (Collegamento -044_-376)
Azioni sul collegamento: N=-11178.70 Ty=10.66 Tz=17.82 Mx=-0.00 Mz=7.02
Sollecitazioni agenti localmente: Ty_l=-2032.48 Mx_l=-40.65
Tensioni nella sezione: σ=492.72 τ=61.59
CC 20 SLD (Collegamento -044_-376)
Azioni sul collegamento: N=-11178.70 Ty=8.61 Tz=17.82 Mx=-0.00 Mz=5.70
Sollecitazioni agenti localmente: Ty_l=-2032.48 Mx_l=-40.65
Tensioni nella sezione: σ=492.72 τ=61.59
CC 21 SLV (Collegamento -044_-376)
Azioni sul collegamento: N=-13803.30 Ty=5.34 Tz=27.38 Mx=-0.01 Mz=2.07
Sollecitazioni agenti localmente: Ty_l=-2509.68 Mx_l=-50.19
Tensioni nella sezione: σ=608.41 τ=76.05
CC 21 SLV (Collegamento -044_-376)
Azioni sul collegamento: N=-13803.30 Ty=12.07 Tz=27.38 Mx=-0.01 Mz=6.38
Sollecitazioni agenti localmente: Ty_l=-2509.68 Mx_l=-50.19
Tensioni nella sezione: σ=608.41 τ=76.05
CC 21 SLV (Collegamento -044_-376)
Azioni sul collegamento: N=-13803.30 Ty=5.34 Tz=-1.24 Mx=-0.01 Mz=2.07
Sollecitazioni agenti localmente: Ty_l=-2509.68 Mx_l=-50.19
Tensioni nella sezione: σ=608.41 τ=76.05
CC 21 SLV (Collegamento -044_-376)
Azioni sul collegamento: N=-13803.30 Ty=12.07 Tz=-1.24 Mx=-0.01 Mz=6.38
Sollecitazioni agenti localmente: Ty_l=-2509.68 Mx_l=-50.19
Tensioni nella sezione: σ=608.41 τ=76.05
CC 21 SLV (Collegamento -044_-376)
Azioni sul collegamento: N=-5970.39 Ty=5.34 Tz=27.38 Mx=-0.01 Mz=2.07

Sollecitazioni agenti localmente: Ty_l=-1085.53 Mx_l=-21.71
Tensioni nella sezione: σ=263.16 τ=32.89
CC 21 SLV (Collegamento -044_-376)
Azioni sul collegamento: N=-5970.39 Ty=12.07 Tz=27.38 Mx=-0.01 Mz=6.38
Sollecitazioni agenti localmente: Ty_l=-1085.53 Mx_l=-21.71
Tensioni nella sezione: σ=263.16 τ=32.89
CC 21 SLV (Collegamento -044_-376)
Azioni sul collegamento: N=-5970.39 Ty=5.34 Tz=-1.24 Mx=-0.01 Mz=2.07
Sollecitazioni agenti localmente: Ty_l=-1085.53 Mx_l=-21.71
Tensioni nella sezione: σ=263.16 τ=32.89
CC 21 SLV (Collegamento -044_-376)
Azioni sul collegamento: N=-5970.39 Ty=12.07 Tz=-1.24 Mx=-0.01 Mz=6.38
Sollecitazioni agenti localmente: Ty_l=-1085.53 Mx_l=-21.71
Tensioni nella sezione: σ=263.16 τ=32.89
CC 22 SLD (Collegamento -044_-376)
Azioni sul collegamento: N=-11178.70 Ty=8.61 Tz=17.82 Mx=-0.00 Mz=5.70
Sollecitazioni agenti localmente: Ty_l=-2032.48 Mx_l=-40.65
Tensioni nella sezione: σ=492.72 τ=61.59
CC 22 SLD (Collegamento -044_-376)
Azioni sul collegamento: N=-11178.70 Ty=10.66 Tz=17.82 Mx=-0.00 Mz=7.02
Sollecitazioni agenti localmente: Ty_l=-2032.48 Mx_l=-40.65
Tensioni nella sezione: σ=492.72 τ=61.59
CC 22 SLD (Collegamento -044_-376)
Azioni sul collegamento: N=-11178.70 Ty=8.61 Tz=9.10 Mx=-0.00 Mz=5.70
Sollecitazioni agenti localmente: Ty_l=-2032.48 Mx_l=-40.65
Tensioni nella sezione: σ=492.72 τ=61.59
CC 22 SLD (Collegamento -044_-376)
Azioni sul collegamento: N=-11178.70 Ty=10.66 Tz=9.10 Mx=-0.00 Mz=7.02
Sollecitazioni agenti localmente: Ty_l=-2032.48 Mx_l=-40.65
Tensioni nella sezione: σ=492.72 τ=61.59
CC 22 SLD (Collegamento -044_-376)
Azioni sul collegamento: N=-8790.17 Ty=8.61 Tz=17.82 Mx=-0.00 Mz=5.70
Sollecitazioni agenti localmente: Ty_l=-1598.21 Mx_l=-31.96
Tensioni nella sezione: σ=387.44 τ=48.43
CC 22 SLD (Collegamento -044_-376)
Azioni sul collegamento: N=-8790.17 Ty=10.66 Tz=17.82 Mx=-0.00 Mz=7.02
Sollecitazioni agenti localmente: Ty_l=-1598.21 Mx_l=-31.96
Tensioni nella sezione: σ=387.44 τ=48.43
CC 22 SLD (Collegamento -044_-376)
Azioni sul collegamento: N=-8790.17 Ty=8.61 Tz=9.09 Mx=-0.00 Mz=5.70
Sollecitazioni agenti localmente: Ty_l=-1598.21 Mx_l=-31.96
Tensioni nella sezione: σ=387.44 τ=48.43
CC 22 SLD (Collegamento -044_-376)
Azioni sul collegamento: N=-8790.17 Ty=10.66 Tz=9.09 Mx=-0.00 Mz=7.02
Sollecitazioni agenti localmente: Ty_l=-1598.21 Mx_l=-31.96
Tensioni nella sezione: σ=387.44 τ=48.43
CC 23 SLV (Collegamento -044_-376)
Azioni sul collegamento: N=-13808.10 Ty=4.83 Tz=27.71 Mx=-0.01 Mz=1.02
Sollecitazioni agenti localmente: Ty_l=-2510.57 Mx_l=-50.21
Tensioni nella sezione: σ=608.62 τ=76.08
CC 23 SLV (Collegamento -044_-376)
Azioni sul collegamento: N=-13808.10 Ty=12.58 Tz=27.71 Mx=-0.01 Mz=7.43
Sollecitazioni agenti localmente: Ty_l=-2510.57 Mx_l=-50.21
Tensioni nella sezione: σ=608.62 τ=76.08
CC 23 SLV (Collegamento -044_-376)
Azioni sul collegamento: N=-13808.10 Ty=4.83 Tz=-1.56 Mx=-0.01 Mz=1.02
Sollecitazioni agenti localmente: Ty_l=-2510.57 Mx_l=-50.21
Tensioni nella sezione: σ=608.62 τ=76.08
CC 23 SLV (Collegamento -044_-376)
Azioni sul collegamento: N=-13808.10 Ty=12.58 Tz=-1.56 Mx=-0.01 Mz=7.43
Sollecitazioni agenti localmente: Ty_l=-2510.57 Mx_l=-50.21
Tensioni nella sezione: σ=608.62 τ=76.08
CC 23 SLV (Collegamento -044_-376)
Azioni sul collegamento: N=-5965.51 Ty=4.83 Tz=27.71 Mx=-0.01 Mz=1.02
Sollecitazioni agenti localmente: Ty_l=-1084.64 Mx_l=-21.69
Tensioni nella sezione: σ=262.94 τ=32.87
CC 23 SLV (Collegamento -044_-376)
Azioni sul collegamento: N=-5965.51 Ty=12.58 Tz=27.71 Mx=-0.01 Mz=7.43
Sollecitazioni agenti localmente: Ty_l=-1084.64 Mx_l=-21.69
Tensioni nella sezione: σ=262.94 τ=32.87
CC 23 SLV (Collegamento -044_-376)
Azioni sul collegamento: N=-5965.51 Ty=4.83 Tz=-1.56 Mx=-0.01 Mz=1.02
Sollecitazioni agenti localmente: Ty_l=-1084.64 Mx_l=-21.69
Tensioni nella sezione: σ=262.94 τ=32.87
CC 23 SLV (Collegamento -044_-376)
Azioni sul collegamento: N=-5965.51 Ty=12.58 Tz=-1.56 Mx=-0.01 Mz=7.43
Sollecitazioni agenti localmente: Ty_l=-1084.64 Mx_l=-21.69
Tensioni nella sezione: σ=262.94 τ=32.87
CC 24 SLD (Collegamento -044_-376)
Azioni sul collegamento: N=-11180.10 Ty=8.45 Tz=17.92 Mx=-0.00 Mz=5.38

Sollecitazioni agenti localmente: Ty_l=-2032.75 Mx_l=-40.66
Tensioni nella sezione: σ=492.79 τ=61.60
CC 24 SLD (Collegamento -044_-376)
Azioni sul collegamento: N=-11180.10 Ty=10.81 Tz=17.92 Mx=-0.00 Mz=7.34
Sollecitazioni agenti localmente: Ty_l=-2032.75 Mx_l=-40.66
Tensioni nella sezione: σ=492.79 τ=61.60
CC 24 SLD (Collegamento -044_-376)
Azioni sul collegamento: N=-11180.10 Ty=8.45 Tz=9.00 Mx=-0.00 Mz=5.38
Sollecitazioni agenti localmente: Ty_l=-2032.75 Mx_l=-40.66
Tensioni nella sezione: σ=492.79 τ=61.60
CC 24 SLD (Collegamento -044_-376)
Azioni sul collegamento: N=-11180.10 Ty=10.81 Tz=9.00 Mx=-0.00 Mz=7.34
Sollecitazioni agenti localmente: Ty_l=-2032.75 Mx_l=-40.66
Tensioni nella sezione: σ=492.79 τ=61.60
CC 24 SLD (Collegamento -044_-376)
Azioni sul collegamento: N=-8788.68 Ty=8.45 Tz=17.92 Mx=-0.00 Mz=5.38
Sollecitazioni agenti localmente: Ty_l=-1597.94 Mx_l=-31.96
Tensioni nella sezione: σ=387.38 τ=48.42
CC 24 SLD (Collegamento -044_-376)
Azioni sul collegamento: N=-8788.68 Ty=10.81 Tz=17.92 Mx=-0.00 Mz=7.34
Sollecitazioni agenti localmente: Ty_l=-1597.94 Mx_l=-31.96
Tensioni nella sezione: σ=387.38 τ=48.42
CC 24 SLD (Collegamento -044_-376)
Azioni sul collegamento: N=-8788.68 Ty=8.45 Tz=9.00 Mx=-0.00 Mz=5.38
Sollecitazioni agenti localmente: Ty_l=-1597.94 Mx_l=-31.96
Tensioni nella sezione: σ=387.38 τ=48.42
CC 24 SLD (Collegamento -044_-376)
Azioni sul collegamento: N=-8788.68 Ty=10.81 Tz=9.00 Mx=-0.00 Mz=7.34
Sollecitazioni agenti localmente: Ty_l=-1597.94 Mx_l=-31.96
Tensioni nella sezione: σ=387.38 τ=48.42
CC 25 SLV (Collegamento -044_-376)
Azioni sul collegamento: N=-8703.02 Ty=10.65 Tz=8.19 Mx=-0.02 Mz=6.77
Sollecitazioni agenti localmente: Ty_l=-1582.37 Mx_l=-31.65
Tensioni nella sezione: σ=383.60 τ=47.95
CC 25 SLV (Collegamento -044_-376)
Azioni sul collegamento: N=-8703.02 Ty=6.76 Tz=8.19 Mx=-0.02 Mz=1.67
Sollecitazioni agenti localmente: Ty_l=-1582.37 Mx_l=-31.65
Tensioni nella sezione: σ=383.60 τ=47.95
CC 25 SLV (Collegamento -044_-376)
Azioni sul collegamento: N=-8703.02 Ty=10.65 Tz=17.96 Mx=-0.02 Mz=6.77
Sollecitazioni agenti localmente: Ty_l=-1582.37 Mx_l=-31.65
Tensioni nella sezione: σ=383.60 τ=47.95
CC 25 SLV (Collegamento -044_-376)
Azioni sul collegamento: N=-8703.02 Ty=6.76 Tz=17.96 Mx=-0.02 Mz=1.67
Sollecitazioni agenti localmente: Ty_l=-1582.37 Mx_l=-31.65
Tensioni nella sezione: σ=383.60 τ=47.95
CC 25 SLV (Collegamento -044_-376)
Azioni sul collegamento: N=-11070.60 Ty=10.65 Tz=8.19 Mx=-0.02 Mz=6.77
Sollecitazioni agenti localmente: Ty_l=-2012.84 Mx_l=-40.26
Tensioni nella sezione: σ=487.96 τ=61.00
CC 25 SLV (Collegamento -044_-376)
Azioni sul collegamento: N=-11070.60 Ty=6.76 Tz=8.19 Mx=-0.02 Mz=1.67
Sollecitazioni agenti localmente: Ty_l=-2012.84 Mx_l=-40.26
Tensioni nella sezione: σ=487.96 τ=61.00
CC 25 SLV (Collegamento -044_-376)
Azioni sul collegamento: N=-11070.60 Ty=10.65 Tz=17.96 Mx=-0.02 Mz=6.77
Sollecitazioni agenti localmente: Ty_l=-2012.84 Mx_l=-40.26
Tensioni nella sezione: σ=487.96 τ=61.00
CC 25 SLV (Collegamento -044_-376)
Azioni sul collegamento: N=-11070.60 Ty=6.76 Tz=17.96 Mx=-0.02 Mz=1.67
Sollecitazioni agenti localmente: Ty_l=-2012.84 Mx_l=-40.26
Tensioni nella sezione: σ=487.96 τ=61.00
CC 26 SLD (Collegamento -044_-376)
Azioni sul collegamento: N=-9623.43 Ty=10.22 Tz=11.97 Mx=-0.00 Mz=7.14
Sollecitazioni agenti localmente: Ty_l=-1749.72 Mx_l=-34.99
Tensioni nella sezione: σ=424.17 τ=53.02
CC 26 SLD (Collegamento -044_-376)
Azioni sul collegamento: N=-9623.43 Ty=9.04 Tz=11.97 Mx=-0.00 Mz=5.58
Sollecitazioni agenti localmente: Ty_l=-1749.72 Mx_l=-34.99
Tensioni nella sezione: σ=424.17 τ=53.02
CC 26 SLD (Collegamento -044_-376)
Azioni sul collegamento: N=-9623.43 Ty=10.22 Tz=14.95 Mx=-0.00 Mz=7.14
Sollecitazioni agenti localmente: Ty_l=-1749.72 Mx_l=-34.99
Tensioni nella sezione: σ=424.17 τ=53.02
CC 26 SLD (Collegamento -044_-376)
Azioni sul collegamento: N=-9623.43 Ty=9.04 Tz=14.95 Mx=-0.00 Mz=5.58
Sollecitazioni agenti localmente: Ty_l=-1749.72 Mx_l=-34.99
Tensioni nella sezione: σ=424.17 τ=53.02
CC 26 SLD (Collegamento -044_-376)
Azioni sul collegamento: N=-10345.40 Ty=10.22 Tz=11.97 Mx=-0.00 Mz=7.14

Sollecitazioni agenti localmente: Ty_l=-1880.98 Mx_l=-37.62
Tensioni nella sezione: σ=455.99 τ=57.00
CC 26 SLD (Collegamento -044_-376)
Azioni sul collegamento: N=-10345.40 Ty=9.04 Tz=11.97 Mx=-0.00 Mz=5.58
Sollecitazioni agenti localmente: Ty_l=-1880.98 Mx_l=-37.62
Tensioni nella sezione: σ=455.99 τ=57.00
CC 26 SLD (Collegamento -044_-376)
Azioni sul collegamento: N=-10345.40 Ty=10.22 Tz=14.95 Mx=-0.00 Mz=7.14
Sollecitazioni agenti localmente: Ty_l=-1880.98 Mx_l=-37.62
Tensioni nella sezione: σ=455.99 τ=57.00
CC 26 SLD (Collegamento -044_-376)
Azioni sul collegamento: N=-10345.40 Ty=9.04 Tz=14.95 Mx=-0.00 Mz=5.58
Sollecitazioni agenti localmente: Ty_l=-1880.98 Mx_l=-37.62
Tensioni nella sezione: σ=455.99 τ=57.00
CC 27 SLV (Collegamento -044_-376)
Azioni sul collegamento: N=-11054.30 Ty=8.48 Tz=16.87 Mx=-0.02 Mz=5.16
Sollecitazioni agenti localmente: Ty_l=-2009.88 Mx_l=-40.20
Tensioni nella sezione: σ=487.24 τ=60.91
CC 27 SLV (Collegamento -044_-376)
Azioni sul collegamento: N=-11054.30 Ty=8.94 Tz=16.87 Mx=-0.02 Mz=3.28
Sollecitazioni agenti localmente: Ty_l=-2009.88 Mx_l=-40.20
Tensioni nella sezione: σ=487.24 τ=60.91
CC 27 SLV (Collegamento -044_-376)
Azioni sul collegamento: N=-11054.30 Ty=8.48 Tz=9.28 Mx=-0.02 Mz=5.16
Sollecitazioni agenti localmente: Ty_l=-2009.88 Mx_l=-40.20
Tensioni nella sezione: σ=487.24 τ=60.91
CC 27 SLV (Collegamento -044_-376)
Azioni sul collegamento: N=-11054.30 Ty=8.94 Tz=9.28 Mx=-0.02 Mz=3.28
Sollecitazioni agenti localmente: Ty_l=-2009.88 Mx_l=-40.20
Tensioni nella sezione: σ=487.24 τ=60.91
CC 27 SLV (Collegamento -044_-376)
Azioni sul collegamento: N=-8719.31 Ty=8.48 Tz=16.87 Mx=-0.02 Mz=5.16
Sollecitazioni agenti localmente: Ty_l=-1585.33 Mx_l=-31.71
Tensioni nella sezione: σ=384.32 τ=48.04
CC 27 SLV (Collegamento -044_-376)
Azioni sul collegamento: N=-8719.31 Ty=8.94 Tz=16.87 Mx=-0.02 Mz=3.28
Sollecitazioni agenti localmente: Ty_l=-1585.33 Mx_l=-31.71
Tensioni nella sezione: σ=384.32 τ=48.04
CC 27 SLV (Collegamento -044_-376)
Azioni sul collegamento: N=-8719.31 Ty=8.48 Tz=9.28 Mx=-0.02 Mz=5.16
Sollecitazioni agenti localmente: Ty_l=-1585.33 Mx_l=-31.71
Tensioni nella sezione: σ=384.32 τ=48.04
CC 27 SLV (Collegamento -044_-376)
Azioni sul collegamento: N=-8719.31 Ty=8.94 Tz=9.28 Mx=-0.02 Mz=3.28
Sollecitazioni agenti localmente: Ty_l=-1585.33 Mx_l=-31.71
Tensioni nella sezione: σ=384.32 τ=48.04
CC 28 SLD (Collegamento -044_-376)
Azioni sul collegamento: N=-10340.40 Ty=9.56 Tz=14.62 Mx=-0.00 Mz=6.65
Sollecitazioni agenti localmente: Ty_l=-1880.08 Mx_l=-37.60
Tensioni nella sezione: σ=455.78 τ=56.97
CC 28 SLD (Collegamento -044_-376)
Azioni sul collegamento: N=-10340.40 Ty=9.70 Tz=14.62 Mx=-0.00 Mz=6.07
Sollecitazioni agenti localmente: Ty_l=-1880.08 Mx_l=-37.60
Tensioni nella sezione: σ=455.78 τ=56.97
CC 28 SLD (Collegamento -044_-376)
Azioni sul collegamento: N=-10340.40 Ty=9.56 Tz=12.30 Mx=-0.00 Mz=6.65
Sollecitazioni agenti localmente: Ty_l=-1880.08 Mx_l=-37.60
Tensioni nella sezione: σ=455.78 τ=56.97
CC 28 SLD (Collegamento -044_-376)
Azioni sul collegamento: N=-10340.40 Ty=9.70 Tz=12.30 Mx=-0.00 Mz=6.07
Sollecitazioni agenti localmente: Ty_l=-1880.08 Mx_l=-37.60
Tensioni nella sezione: σ=455.78 τ=56.97
CC 28 SLD (Collegamento -044_-376)
Azioni sul collegamento: N=-9628.40 Ty=9.56 Tz=14.62 Mx=-0.00 Mz=6.65
Sollecitazioni agenti localmente: Ty_l=-1750.62 Mx_l=-35.01
Tensioni nella sezione: σ=424.39 τ=53.05
CC 28 SLD (Collegamento -044_-376)
Azioni sul collegamento: N=-9628.40 Ty=9.70 Tz=14.62 Mx=-0.00 Mz=6.07
Sollecitazioni agenti localmente: Ty_l=-1750.62 Mx_l=-35.01
Tensioni nella sezione: σ=424.39 τ=53.05
CC 28 SLD (Collegamento -044_-376)
Azioni sul collegamento: N=-9628.40 Ty=9.56 Tz=12.30 Mx=-0.00 Mz=6.65
Sollecitazioni agenti localmente: Ty_l=-1750.62 Mx_l=-35.01
Tensioni nella sezione: σ=424.39 τ=53.05
CC 28 SLD (Collegamento -044_-376)
Azioni sul collegamento: N=-9628.40 Ty=9.70 Tz=12.30 Mx=-0.00 Mz=6.07
Sollecitazioni agenti localmente: Ty_l=-1750.62 Mx_l=-35.01
Tensioni nella sezione: σ=424.39 τ=53.05
CC 29 SLV (Collegamento -044_-376)
Azioni sul collegamento: N=-8719.31 Ty=8.94 Tz=9.28 Mx=-0.00 Mz=3.28

Sollecitazioni agenti localmente: Ty_l=-1585.33 Mx_l=-31.71
Tensioni nella sezione: σ=384.32 τ=48.04
CC 29 SLV (Collegamento -044_-376)
Azioni sul collegamento: N=-8719.31 Ty=8.48 Tz=9.28 Mx=-0.00 Mz=5.16
Sollecitazioni agenti localmente: Ty_l=-1585.33 Mx_l=-31.71
Tensioni nella sezione: σ=384.32 τ=48.04
CC 29 SLV (Collegamento -044_-376)
Azioni sul collegamento: N=-8719.31 Ty=8.94 Tz=16.87 Mx=-0.00 Mz=3.28
Sollecitazioni agenti localmente: Ty_l=-1585.33 Mx_l=-31.71
Tensioni nella sezione: σ=384.32 τ=48.04
CC 29 SLV (Collegamento -044_-376)
Azioni sul collegamento: N=-8719.31 Ty=8.48 Tz=16.87 Mx=-0.00 Mz=5.16
Sollecitazioni agenti localmente: Ty_l=-1585.33 Mx_l=-31.71
Tensioni nella sezione: σ=384.32 τ=48.04
CC 29 SLV (Collegamento -044_-376)
Azioni sul collegamento: N=-11054.30 Ty=8.94 Tz=9.28 Mx=-0.00 Mz=3.28
Sollecitazioni agenti localmente: Ty_l=-2009.88 Mx_l=-40.20
Tensioni nella sezione: σ=487.24 τ=60.91
CC 29 SLV (Collegamento -044_-376)
Azioni sul collegamento: N=-11054.30 Ty=8.48 Tz=9.28 Mx=-0.00 Mz=5.16
Sollecitazioni agenti localmente: Ty_l=-2009.88 Mx_l=-40.20
Tensioni nella sezione: σ=487.24 τ=60.91
CC 29 SLV (Collegamento -044_-376)
Azioni sul collegamento: N=-11054.30 Ty=8.94 Tz=16.87 Mx=-0.00 Mz=3.28
Sollecitazioni agenti localmente: Ty_l=-2009.88 Mx_l=-40.20
Tensioni nella sezione: σ=487.24 τ=60.91
CC 29 SLV (Collegamento -044_-376)
Azioni sul collegamento: N=-11054.30 Ty=8.48 Tz=16.87 Mx=-0.00 Mz=5.16
Sollecitazioni agenti localmente: Ty_l=-2009.88 Mx_l=-40.20
Tensioni nella sezione: σ=487.24 τ=60.91
CC 30 SLD (Collegamento -044_-376)
Azioni sul collegamento: N=-9628.40 Ty=9.70 Tz=12.30 Mx=0.00 Mz=6.07
Sollecitazioni agenti localmente: Ty_l=-1750.62 Mx_l=-35.01
Tensioni nella sezione: σ=424.39 τ=53.05
CC 30 SLD (Collegamento -044_-376)
Azioni sul collegamento: N=-9628.40 Ty=9.56 Tz=12.30 Mx=0.00 Mz=6.65
Sollecitazioni agenti localmente: Ty_l=-1750.62 Mx_l=-35.01
Tensioni nella sezione: σ=424.39 τ=53.05
CC 30 SLD (Collegamento -044_-376)
Azioni sul collegamento: N=-9628.40 Ty=9.70 Tz=14.62 Mx=0.00 Mz=6.07
Sollecitazioni agenti localmente: Ty_l=-1750.62 Mx_l=-35.01
Tensioni nella sezione: σ=424.39 τ=53.05
CC 30 SLD (Collegamento -044_-376)
Azioni sul collegamento: N=-9628.40 Ty=9.56 Tz=14.62 Mx=0.00 Mz=6.65
Sollecitazioni agenti localmente: Ty_l=-1750.62 Mx_l=-35.01
Tensioni nella sezione: σ=424.39 τ=53.05
CC 30 SLD (Collegamento -044_-376)
Azioni sul collegamento: N=-10340.40 Ty=9.70 Tz=12.30 Mx=0.00 Mz=6.07
Sollecitazioni agenti localmente: Ty_l=-1880.08 Mx_l=-37.60
Tensioni nella sezione: σ=455.78 τ=56.97
CC 30 SLD (Collegamento -044_-376)
Azioni sul collegamento: N=-10340.40 Ty=9.56 Tz=12.30 Mx=0.00 Mz=6.65
Sollecitazioni agenti localmente: Ty_l=-1880.08 Mx_l=-37.60
Tensioni nella sezione: σ=455.78 τ=56.97
CC 30 SLD (Collegamento -044_-376)
Azioni sul collegamento: N=-10340.40 Ty=9.70 Tz=14.62 Mx=0.00 Mz=6.07
Sollecitazioni agenti localmente: Ty_l=-1880.08 Mx_l=-37.60
Tensioni nella sezione: σ=455.78 τ=56.97
CC 30 SLD (Collegamento -044_-376)
Azioni sul collegamento: N=-10340.40 Ty=9.56 Tz=14.62 Mx=0.00 Mz=6.65
Sollecitazioni agenti localmente: Ty_l=-1880.08 Mx_l=-37.60
Tensioni nella sezione: σ=455.78 τ=56.97
CC 31 SLV (Collegamento -044_-376)
Azioni sul collegamento: N=-11070.60 Ty=6.76 Tz=17.96 Mx=-0.00 Mz=1.67
Sollecitazioni agenti localmente: Ty_l=-2012.84 Mx_l=-40.26
Tensioni nella sezione: σ=487.96 τ=61.00
CC 31 SLV (Collegamento -044_-376)
Azioni sul collegamento: N=-11070.60 Ty=10.65 Tz=17.96 Mx=-0.00 Mz=6.77
Sollecitazioni agenti localmente: Ty_l=-2012.84 Mx_l=-40.26
Tensioni nella sezione: σ=487.96 τ=61.00
CC 31 SLV (Collegamento -044_-376)
Azioni sul collegamento: N=-11070.60 Ty=6.76 Tz=8.19 Mx=-0.00 Mz=1.67
Sollecitazioni agenti localmente: Ty_l=-2012.84 Mx_l=-40.26
Tensioni nella sezione: σ=487.96 τ=61.00
CC 31 SLV (Collegamento -044_-376)
Azioni sul collegamento: N=-11070.60 Ty=10.65 Tz=8.19 Mx=-0.00 Mz=6.77
Sollecitazioni agenti localmente: Ty_l=-2012.84 Mx_l=-40.26
Tensioni nella sezione: σ=487.96 τ=61.00
CC 31 SLV (Collegamento -044_-376)
Azioni sul collegamento: N=-8703.02 Ty=6.76 Tz=17.96 Mx=-0.00 Mz=1.67

Sollecitazioni agenti localmente: Ty_l=-1582.37 Mx_l=-31.65
Tensioni nella sezione: σ=383.60 τ=47.95
CC 31 SLV (Collegamento -044_-376)
Azioni sul collegamento: N=-8703.02 Ty=10.65 Tz=17.96 Mx=-0.00 Mz=6.77
Sollecitazioni agenti localmente: Ty_l=-1582.37 Mx_l=-31.65
Tensioni nella sezione: σ=383.60 τ=47.95
CC 31 SLV (Collegamento -044_-376)
Azioni sul collegamento: N=-8703.02 Ty=6.76 Tz=8.19 Mx=-0.00 Mz=1.67
Sollecitazioni agenti localmente: Ty_l=-1582.37 Mx_l=-31.65
Tensioni nella sezione: σ=383.60 τ=47.95
CC 31 SLV (Collegamento -044_-376)
Azioni sul collegamento: N=-8703.02 Ty=10.65 Tz=8.19 Mx=-0.00 Mz=6.77
Sollecitazioni agenti localmente: Ty_l=-1582.37 Mx_l=-31.65
Tensioni nella sezione: σ=383.60 τ=47.95
CC 32 SLD (Collegamento -044_-376)
Azioni sul collegamento: N=-10345.40 Ty=9.04 Tz=14.95 Mx=0.00 Mz=5.58
Sollecitazioni agenti localmente: Ty_l=-1880.98 Mx_l=-37.62
Tensioni nella sezione: σ=455.99 τ=57.00
CC 32 SLD (Collegamento -044_-376)
Azioni sul collegamento: N=-10345.40 Ty=10.22 Tz=14.95 Mx=0.00 Mz=7.14
Sollecitazioni agenti localmente: Ty_l=-1880.98 Mx_l=-37.62
Tensioni nella sezione: σ=455.99 τ=57.00
CC 32 SLD (Collegamento -044_-376)
Azioni sul collegamento: N=-10345.40 Ty=9.04 Tz=11.97 Mx=0.00 Mz=5.58
Sollecitazioni agenti localmente: Ty_l=-1880.98 Mx_l=-37.62
Tensioni nella sezione: σ=455.99 τ=57.00
CC 32 SLD (Collegamento -044_-376)
Azioni sul collegamento: N=-10345.40 Ty=10.22 Tz=11.97 Mx=0.00 Mz=7.14
Sollecitazioni agenti localmente: Ty_l=-1880.98 Mx_l=-37.62
Tensioni nella sezione: σ=455.99 τ=57.00
CC 32 SLD (Collegamento -044_-376)
Azioni sul collegamento: N=-9623.43 Ty=9.04 Tz=14.95 Mx=0.00 Mz=5.58
Sollecitazioni agenti localmente: Ty_l=-1749.72 Mx_l=-34.99
Tensioni nella sezione: σ=424.17 τ=53.02
CC 32 SLD (Collegamento -044_-376)
Azioni sul collegamento: N=-9623.43 Ty=10.22 Tz=14.95 Mx=0.00 Mz=7.14
Sollecitazioni agenti localmente: Ty_l=-1749.72 Mx_l=-34.99
Tensioni nella sezione: σ=424.17 τ=53.02
CC 32 SLD (Collegamento -044_-376)
Azioni sul collegamento: N=-9623.43 Ty=9.04 Tz=11.97 Mx=0.00 Mz=5.58
Sollecitazioni agenti localmente: Ty_l=-1749.72 Mx_l=-34.99
Tensioni nella sezione: σ=424.17 τ=53.02
CC 32 SLD (Collegamento -044_-376)
Azioni sul collegamento: N=-9623.43 Ty=10.22 Tz=11.97 Mx=0.00 Mz=7.14
Sollecitazioni agenti localmente: Ty_l=-1749.72 Mx_l=-34.99
Tensioni nella sezione: σ=424.17 τ=53.02
CC 33 SLU (Collegamento -044_-376)
Azioni sul collegamento: N=-37458.50 Ty=20.96 Tz=106.28 Mx=0.00 Mz=15.40
Sollecitazioni agenti localmente: Ty_l=-6810.65 Mx_l=-136.21
Tensioni nella sezione: σ=1651.06 τ=206.38
CC 34 SLU (Collegamento -044_-376)
Azioni sul collegamento: N=-36642.60 Ty=20.20 Tz=103.27 Mx=0.00 Mz=14.84
Sollecitazioni agenti localmente: Ty_l=-6662.28 Mx_l=-133.25
Tensioni nella sezione: σ=1615.10 τ=201.89
CC 35 SLU (Collegamento -044_-376)
Azioni sul collegamento: N=-37049.70 Ty=20.49 Tz=104.83 Mx=0.01 Mz=14.94
Sollecitazioni agenti localmente: Ty_l=-6736.31 Mx_l=-134.73
Tensioni nella sezione: σ=1633.04 τ=204.13
CC 36 SLU (Collegamento -044_-376)
Azioni sul collegamento: N=-37051.40 Ty=20.67 Tz=104.72 Mx=0.00 Mz=15.30
Sollecitazioni agenti localmente: Ty_l=-6736.63 Mx_l=-134.73
Tensioni nella sezione: σ=1633.12 τ=204.14
CC 37 SLU (Collegamento -044_-376)
Azioni sul collegamento: N=-28275.70 Ty=20.11 Tz=72.57 Mx=0.00 Mz=14.65
Sollecitazioni agenti localmente: Ty_l=-5141.04 Mx_l=-102.82
Tensioni nella sezione: σ=1246.31 τ=155.79
CC 38 SLU (Collegamento -044_-376)
Azioni sul collegamento: N=-27459.70 Ty=19.36 Tz=69.55 Mx=0.00 Mz=14.09
Sollecitazioni agenti localmente: Ty_l=-4992.68 Mx_l=-99.85
Tensioni nella sezione: σ=1210.34 τ=151.29
CC 39 SLU (Collegamento -044_-376)
Azioni sul collegamento: N=-27866.80 Ty=19.65 Tz=71.12 Mx=0.01 Mz=14.19
Sollecitazioni agenti localmente: Ty_l=-5066.70 Mx_l=-101.33
Tensioni nella sezione: σ=1228.29 τ=153.54
CC 40 SLU (Collegamento -044_-376)
Azioni sul collegamento: N=-27868.60 Ty=19.82 Tz=71.00 Mx=0.00 Mz=14.55
Sollecitazioni agenti localmente: Ty_l=-5067.02 Mx_l=-101.34
Tensioni nella sezione: σ=1228.37 τ=153.55
CC 41 SLU (Collegamento -044_-376)
Azioni sul collegamento: N=-30676.20 Ty=-9.89 Tz=80.85 Mx=0.00 Mz=-7.99

Sollecitazioni agenti localmente: Ty_l=-5577.50 Mx_l=-111.55
Tensioni nella sezione: σ=1352.12 τ=169.01
CC 42 SLU (Collegamento -044_-376)
Azioni sul collegamento: N=-29860.20 Ty=-10.64 Tz=77.84 Mx=0.00 Mz=-8.54
Sollecitazioni agenti localmente: Ty_l=-5429.14 Mx_l=-108.58
Tensioni nella sezione: σ=1316.15 τ=164.52
CC 43 SLU (Collegamento -044_-376)
Azioni sul collegamento: N=-30267.40 Ty=-10.35 Tz=79.40 Mx=0.01 Mz=-8.45
Sollecitazioni agenti localmente: Ty_l=-5503.16 Mx_l=-110.06
Tensioni nella sezione: σ=1334.10 τ=166.76
CC 44 SLU (Collegamento -044_-376)
Azioni sul collegamento: N=-30269.10 Ty=-10.18 Tz=79.28 Mx=0.00 Mz=-8.08
Sollecitazioni agenti localmente: Ty_l=-5503.48 Mx_l=-110.07
Tensioni nella sezione: σ=1334.17 τ=166.77
CC 45 SLU (Collegamento -044_-376)
Azioni sul collegamento: N=-30295.00 Ty=20.33 Tz=79.99 Mx=0.00 Mz=14.94
Sollecitazioni agenti localmente: Ty_l=-5508.19 Mx_l=-110.16
Tensioni nella sezione: σ=1335.32 τ=166.91
CC 46 SLU (Collegamento -044_-376)
Azioni sul collegamento: N=-29479.00 Ty=19.57 Tz=76.97 Mx=0.00 Mz=14.38
Sollecitazioni agenti localmente: Ty_l=-5359.82 Mx_l=-107.20
Tensioni nella sezione: σ=1299.35 τ=162.42
CC 47 SLU (Collegamento -044_-376)
Azioni sul collegamento: N=-29886.10 Ty=19.86 Tz=78.54 Mx=0.00 Mz=14.48
Sollecitazioni agenti localmente: Ty_l=-5433.85 Mx_l=-108.68
Tensioni nella sezione: σ=1317.29 τ=164.66
CC 48 SLU (Collegamento -044_-376)
Azioni sul collegamento: N=-29887.90 Ty=20.04 Tz=78.42 Mx=0.00 Mz=14.84
Sollecitazioni agenti localmente: Ty_l=-5434.17 Mx_l=-108.68
Tensioni nella sezione: σ=1317.37 τ=164.67
CC 49 SLU (Collegamento -044_-376)
Azioni sul collegamento: N=-23424.90 Ty=19.70 Tz=54.76 Mx=0.00 Mz=14.38
Sollecitazioni agenti localmente: Ty_l=-4259.07 Mx_l=-85.18
Tensioni nella sezione: σ=1032.50 τ=129.06
CC 50 SLU (Collegamento -044_-376)
Azioni sul collegamento: N=-22608.90 Ty=18.94 Tz=51.75 Mx=0.00 Mz=13.82
Sollecitazioni agenti localmente: Ty_l=-4110.71 Mx_l=-82.21
Tensioni nella sezione: σ=996.53 τ=124.57
CC 51 SLU (Collegamento -044_-376)
Azioni sul collegamento: N=-23016.00 Ty=19.23 Tz=53.31 Mx=0.00 Mz=13.92
Sollecitazioni agenti localmente: Ty_l=-4184.73 Mx_l=-83.69
Tensioni nella sezione: σ=1014.48 τ=126.81
CC 52 SLU (Collegamento -044_-376)
Azioni sul collegamento: N=-23017.80 Ty=19.41 Tz=53.20 Mx=0.00 Mz=14.28
Sollecitazioni agenti localmente: Ty_l=-4185.06 Mx_l=-83.70
Tensioni nella sezione: σ=1014.56 τ=126.82
CC 53 SLU (Collegamento -044_-376)
Azioni sul collegamento: N=-25220.90 Ty=-2.75 Tz=60.96 Mx=0.00 Mz=-2.55
Sollecitazioni agenti localmente: Ty_l=-4585.61 Mx_l=-91.71
Tensioni nella sezione: σ=1111.66 τ=138.96
CC 54 SLU (Collegamento -044_-376)
Azioni sul collegamento: N=-24404.90 Ty=-3.50 Tz=57.94 Mx=0.00 Mz=-3.11
Sollecitazioni agenti localmente: Ty_l=-4437.25 Mx_l=-88.74
Tensioni nella sezione: σ=1075.69 τ=134.46
CC 55 SLU (Collegamento -044_-376)
Azioni sul collegamento: N=-24812.00 Ty=-3.21 Tz=59.51 Mx=0.00 Mz=-3.02
Sollecitazioni agenti localmente: Ty_l=-4511.27 Mx_l=-90.23
Tensioni nella sezione: σ=1093.64 τ=136.71
CC 56 SLU (Collegamento -044_-376)
Azioni sul collegamento: N=-24813.70 Ty=-3.04 Tz=59.39 Mx=0.00 Mz=-2.65
Sollecitazioni agenti localmente: Ty_l=-4511.59 Mx_l=-90.23
Tensioni nella sezione: σ=1093.72 τ=136.72
CC 57 SLU (Collegamento -044_-376)
Azioni sul collegamento: N=-28074.70 Ty=18.58 Tz=71.81 Mx=0.00 Mz=13.65
Sollecitazioni agenti localmente: Ty_l=-5104.49 Mx_l=-102.09
Tensioni nella sezione: σ=1237.45 τ=154.68
CC 58 SLU (Collegamento -044_-376)
Azioni sul collegamento: N=-27258.70 Ty=17.82 Tz=68.80 Mx=0.00 Mz=13.09
Sollecitazioni agenti localmente: Ty_l=-4956.13 Mx_l=-99.12
Tensioni nella sezione: σ=1201.48 τ=150.19
CC 59 SLU (Collegamento -044_-376)
Azioni sul collegamento: N=-27665.80 Ty=18.11 Tz=70.37 Mx=0.00 Mz=13.19
Sollecitazioni agenti localmente: Ty_l=-5030.15 Mx_l=-100.60
Tensioni nella sezione: σ=1219.43 τ=152.43
CC 60 SLU (Collegamento -044_-376)
Azioni sul collegamento: N=-27667.60 Ty=18.29 Tz=70.25 Mx=0.00 Mz=13.55
Sollecitazioni agenti localmente: Ty_l=-5030.47 Mx_l=-100.61
Tensioni nella sezione: σ=1219.51 τ=152.44
CC 61 SLU (Collegamento -044_-376)
Azioni sul collegamento: N=-21204.60 Ty=17.94 Tz=46.59 Mx=0.00 Mz=13.09

Sollecitazioni agenti localmente: Ty_l=-3855.38 Mx_l=-77.11
Tensioni nella sezione: σ=934.64 τ=116.83
CC 62 SLU (Collegamento -044_-376)
Azioni sul collegamento: N=-20388.60 Ty=17.19 Tz=43.58 Mx=0.00 Mz=12.53
Sollecitazioni agenti localmente: Ty_l=-3707.02 Mx_l=-74.14
Tensioni nella sezione: σ=898.67 τ=112.33
CC 63 SLU (Collegamento -044_-376)
Azioni sul collegamento: N=-20795.70 Ty=17.48 Tz=45.14 Mx=0.00 Mz=12.63
Sollecitazioni agenti localmente: Ty_l=-3781.04 Mx_l=-75.62
Tensioni nella sezione: σ=916.61 τ=114.58
CC 64 SLU (Collegamento -044_-376)
Azioni sul collegamento: N=-20797.50 Ty=17.66 Tz=45.03 Mx=0.00 Mz=12.99
Sollecitazioni agenti localmente: Ty_l=-3781.36 Mx_l=-75.63
Tensioni nella sezione: σ=916.69 τ=114.59
CC 65 SLU (Collegamento -044_-376)
Azioni sul collegamento: N=-23000.50 Ty=-4.50 Tz=52.79 Mx=0.00 Mz=-3.84
Sollecitazioni agenti localmente: Ty_l=-4181.92 Mx_l=-83.64
Tensioni nella sezione: σ=1013.80 τ=126.72
CC 66 SLU (Collegamento -044_-376)
Azioni sul collegamento: N=-22184.60 Ty=-5.26 Tz=49.77 Mx=0.00 Mz=-4.40
Sollecitazioni agenti localmente: Ty_l=-4033.55 Mx_l=-80.67
Tensioni nella sezione: σ=977.83 τ=122.23
CC 67 SLU (Collegamento -044_-376)
Azioni sul collegamento: N=-22591.70 Ty=-4.97 Tz=51.34 Mx=0.00 Mz=-4.30
Sollecitazioni agenti localmente: Ty_l=-4107.58 Mx_l=-82.15
Tensioni nella sezione: σ=995.77 τ=124.47
CC 68 SLU (Collegamento -044_-376)
Azioni sul collegamento: N=-22593.40 Ty=-4.79 Tz=51.22 Mx=0.00 Mz=-3.94
Sollecitazioni agenti localmente: Ty_l=-4107.90 Mx_l=-82.16
Tensioni nella sezione: σ=995.85 τ=124.48
CC 97 SLU (Collegamento -044_-376)
Azioni sul collegamento: N=-32775.80 Ty=25.16 Tz=97.03 Mx=-0.05 Mz=10.53
Sollecitazioni agenti localmente: Ty_l=-5959.23 Mx_l=-119.18
Tensioni nella sezione: σ=1444.66 τ=180.58
CC 98 SLU (Collegamento -044_-376)
Azioni sul collegamento: N=-31959.80 Ty=24.41 Tz=94.02 Mx=-0.05 Mz=9.97
Sollecitazioni agenti localmente: Ty_l=-5810.87 Mx_l=-116.22
Tensioni nella sezione: σ=1408.69 τ=176.09
CC 99 SLU (Collegamento -044_-376)
Azioni sul collegamento: N=-32366.90 Ty=24.69 Tz=95.58 Mx=-0.05 Mz=10.07
Sollecitazioni agenti localmente: Ty_l=-5884.89 Mx_l=-117.70
Tensioni nella sezione: σ=1426.64 τ=178.33
CC 100 SLU (Collegamento -044_-376)
Azioni sul collegamento: N=-32368.70 Ty=24.87 Tz=95.47 Mx=-0.05 Mz=10.43
Sollecitazioni agenti localmente: Ty_l=-5885.21 Mx_l=-117.70
Tensioni nella sezione: σ=1426.72 τ=178.34
CC 101 SLU (Collegamento -044_-376)
Azioni sul collegamento: N=-9110.88 Ty=5.97 Tz=10.39 Mx=0.01 Mz=4.99
Sollecitazioni agenti localmente: Ty_l=-1656.52 Mx_l=-33.13
Tensioni nella sezione: σ=401.58 τ=50.20
CC 102 SLU (Collegamento -044_-376)
Azioni sul collegamento: N=-8294.89 Ty=5.21 Tz=7.37 Mx=0.01 Mz=4.43
Sollecitazioni agenti localmente: Ty_l=-1508.16 Mx_l=-30.16
Tensioni nella sezione: σ=365.61 τ=45.70
CC 103 SLU (Collegamento -044_-376)
Azioni sul collegamento: N=-8702.00 Ty=5.50 Tz=8.94 Mx=0.01 Mz=4.53
Sollecitazioni agenti localmente: Ty_l=-1582.18 Mx_l=-31.64
Tensioni nella sezione: σ=383.56 τ=47.94
CC 104 SLU (Collegamento -044_-376)
Azioni sul collegamento: N=-8703.77 Ty=5.68 Tz=8.82 Mx=0.01 Mz=4.89
Sollecitazioni agenti localmente: Ty_l=-1582.50 Mx_l=-31.65
Tensioni nella sezione: σ=383.64 τ=47.95

Flessione attacco destro piastra

Bnetta=220.00 Hnetta=15.00
CC 1 SLV (Collegamento -044_-376)
Azioni sul collegamento: N=-6246.31 Ty=15.25 Tz=-0.46 Mx=0.02 Mz=13.58
Sollecitazioni agenti localmente: Ty_l=-1161.31 My_l=-23.88
Tensioni nella sezione: σ=289.48 τ=35.19
CC 1 SLV (Collegamento -044_-376)
Azioni sul collegamento: N=-6246.31 Ty=7.49 Tz=-0.46 Mx=0.02 Mz=7.17
Sollecitazioni agenti localmente: Ty_l=-1135.83 My_l=-23.32
Tensioni nella sezione: σ=282.72 τ=34.42
CC 1 SLV (Collegamento -044_-376)
Azioni sul collegamento: N=-6246.31 Ty=15.25 Tz=28.82 Mx=0.02 Mz=13.58
Sollecitazioni agenti localmente: Ty_l=-1161.31 My_l=-23.88
Tensioni nella sezione: σ=289.48 τ=35.19
CC 1 SLV (Collegamento -044_-376)
Azioni sul collegamento: N=-6246.31 Ty=7.49 Tz=28.82 Mx=0.02 Mz=7.17
Sollecitazioni agenti localmente: Ty_l=-1135.83 My_l=-23.32

Tensioni nella sezione: σ=282.72 τ=34.42
CC 1 SLV (Collegamento -044_-376)
Azioni sul collegamento: N=-14088.90 Ty=15.25 Tz=-0.46 Mx=0.02 Mz=13.58
Sollecitazioni agenti localmente: Ty_l=-2551.59 My_l=-52.38
Tensioni nella sezione: σ=634.95 τ=77.32
CC 1 SLV (Collegamento -044_-376)
Azioni sul collegamento: N=-14088.90 Ty=7.49 Tz=-0.46 Mx=0.02 Mz=7.17
Sollecitazioni agenti localmente: Ty_l=-2526.11 My_l=-51.83
Tensioni nella sezione: σ=628.18 τ=76.55
CC 1 SLV (Collegamento -044_-376)
Azioni sul collegamento: N=-14088.90 Ty=15.25 Tz=28.82 Mx=0.02 Mz=13.58
Sollecitazioni agenti localmente: Ty_l=-2551.59 My_l=-52.38
Tensioni nella sezione: σ=634.95 τ=77.32
CC 1 SLV (Collegamento -044_-376)
Azioni sul collegamento: N=-14088.90 Ty=7.49 Tz=28.82 Mx=0.02 Mz=7.17
Sollecitazioni agenti localmente: Ty_l=-2526.11 My_l=-51.83
Tensioni nella sezione: σ=628.18 τ=76.55
CC 2 SLD (Collegamento -044_-376)
Azioni sul collegamento: N=-8874.30 Ty=11.63 Tz=9.33 Mx=0.01 Mz=9.21
Sollecitazioni agenti localmente: Ty_l=-1609.82 My_l=-33.05
Tensioni nella sezione: σ=400.64 τ=48.78
CC 2 SLD (Collegamento -044_-376)
Azioni sul collegamento: N=-8874.30 Ty=9.26 Tz=9.33 Mx=0.01 Mz=7.26
Sollecitazioni agenti localmente: Ty_l=-1602.05 My_l=-32.88
Tensioni nella sezione: σ=398.57 τ=48.55
CC 2 SLD (Collegamento -044_-376)
Azioni sul collegamento: N=-8874.30 Ty=11.63 Tz=18.26 Mx=0.01 Mz=9.21
Sollecitazioni agenti localmente: Ty_l=-1609.82 My_l=-33.05
Tensioni nella sezione: σ=400.64 τ=48.78
CC 2 SLD (Collegamento -044_-376)
Azioni sul collegamento: N=-8874.30 Ty=9.26 Tz=18.26 Mx=0.01 Mz=7.26
Sollecitazioni agenti localmente: Ty_l=-1602.05 My_l=-32.88
Tensioni nella sezione: σ=398.57 τ=48.55
CC 2 SLD (Collegamento -044_-376)
Azioni sul collegamento: N=-11265.80 Ty=11.63 Tz=9.33 Mx=0.01 Mz=9.21
Sollecitazioni agenti localmente: Ty_l=-2033.76 My_l=-41.74
Tensioni nella sezione: σ=505.98 τ=61.63
CC 2 SLD (Collegamento -044_-376)
Azioni sul collegamento: N=-11265.80 Ty=9.26 Tz=9.33 Mx=0.01 Mz=7.26
Sollecitazioni agenti localmente: Ty_l=-2025.99 My_l=-41.57
Tensioni nella sezione: σ=503.92 τ=61.39
CC 2 SLD (Collegamento -044_-376)
Azioni sul collegamento: N=-11265.80 Ty=11.63 Tz=18.26 Mx=0.01 Mz=9.21
Sollecitazioni agenti localmente: Ty_l=-2033.76 My_l=-41.74
Tensioni nella sezione: σ=505.98 τ=61.63
CC 2 SLD (Collegamento -044_-376)
Azioni sul collegamento: N=-11265.80 Ty=9.26 Tz=18.26 Mx=0.01 Mz=7.26
Sollecitazioni agenti localmente: Ty_l=-2025.99 My_l=-41.57
Tensioni nella sezione: σ=503.92 τ=61.39
CC 3 SLV (Collegamento -044_-376)
Azioni sul collegamento: N=-6251.19 Ty=14.73 Tz=-0.13 Mx=0.01 Mz=12.53
Sollecitazioni agenti localmente: Ty_l=-1158.01 My_l=-23.81
Tensioni nella sezione: σ=288.59 τ=35.09
CC 3 SLV (Collegamento -044_-376)
Azioni sul collegamento: N=-6251.19 Ty=8.00 Tz=-0.13 Mx=0.01 Mz=8.22
Sollecitazioni agenti localmente: Ty_l=-1140.86 My_l=-23.43
Tensioni nella sezione: σ=284.04 τ=34.57
CC 3 SLV (Collegamento -044_-376)
Azioni sul collegamento: N=-6251.19 Ty=14.73 Tz=28.49 Mx=0.01 Mz=12.53
Sollecitazioni agenti localmente: Ty_l=-1158.01 My_l=-23.81
Tensioni nella sezione: σ=288.59 τ=35.09
CC 3 SLV (Collegamento -044_-376)
Azioni sul collegamento: N=-6251.19 Ty=8.00 Tz=28.49 Mx=0.01 Mz=8.22
Sollecitazioni agenti localmente: Ty_l=-1140.86 My_l=-23.43
Tensioni nella sezione: σ=284.04 τ=34.57
CC 3 SLV (Collegamento -044_-376)
Azioni sul collegamento: N=-14084.10 Ty=14.73 Tz=-0.13 Mx=0.01 Mz=12.53
Sollecitazioni agenti localmente: Ty_l=-2546.56 My_l=-52.27
Tensioni nella sezione: σ=633.63 τ=77.17
CC 3 SLV (Collegamento -044_-376)
Azioni sul collegamento: N=-14084.10 Ty=8.00 Tz=-0.13 Mx=0.01 Mz=8.22
Sollecitazioni agenti localmente: Ty_l=-2529.41 My_l=-51.90
Tensioni nella sezione: σ=629.08 τ=76.65
CC 3 SLV (Collegamento -044_-376)
Azioni sul collegamento: N=-14084.10 Ty=14.73 Tz=28.49 Mx=0.01 Mz=12.53
Sollecitazioni agenti localmente: Ty_l=-2546.56 My_l=-52.27
Tensioni nella sezione: σ=633.63 τ=77.17
CC 3 SLV (Collegamento -044_-376)
Azioni sul collegamento: N=-14084.10 Ty=8.00 Tz=28.49 Mx=0.01 Mz=8.22
Sollecitazioni agenti localmente: Ty_l=-2529.41 My_l=-51.90

Tensioni nella sezione: σ=629.08 τ=76.65
CC 4 SLD (Collegamento -044_-376)
Azioni sul collegamento: N=-8875.79 Ty=11.47 Tz=9.43 Mx=0.01 Mz=8.89
Sollecitazioni agenti localmente: Ty_l=-1608.81 My_l=-33.03
Tensioni nella sezione: σ=400.37 τ=48.75
CC 4 SLD (Collegamento -044_-376)
Azioni sul collegamento: N=-8875.79 Ty=9.42 Tz=9.43 Mx=0.01 Mz=7.58
Sollecitazioni agenti localmente: Ty_l=-1603.58 My_l=-32.92
Tensioni nella sezione: σ=398.98 τ=48.59
CC 4 SLD (Collegamento -044_-376)
Azioni sul collegamento: N=-8875.79 Ty=11.47 Tz=18.16 Mx=0.01 Mz=8.89
Sollecitazioni agenti localmente: Ty_l=-1608.81 My_l=-33.03
Tensioni nella sezione: σ=400.37 τ=48.75
CC 4 SLD (Collegamento -044_-376)
Azioni sul collegamento: N=-8875.79 Ty=9.42 Tz=18.16 Mx=0.01 Mz=7.58
Sollecitazioni agenti localmente: Ty_l=-1603.58 My_l=-32.92
Tensioni nella sezione: σ=398.98 τ=48.59
CC 4 SLD (Collegamento -044_-376)
Azioni sul collegamento: N=-11264.30 Ty=11.47 Tz=9.43 Mx=0.01 Mz=8.89
Sollecitazioni agenti localmente: Ty_l=-2032.23 My_l=-41.71
Tensioni nella sezione: σ=505.58 τ=61.58
CC 4 SLD (Collegamento -044_-376)
Azioni sul collegamento: N=-11264.30 Ty=9.42 Tz=9.43 Mx=0.01 Mz=7.58
Sollecitazioni agenti localmente: Ty_l=-2027.00 My_l=-41.60
Tensioni nella sezione: σ=504.19 τ=61.42
CC 4 SLD (Collegamento -044_-376)
Azioni sul collegamento: N=-11264.30 Ty=11.47 Tz=18.16 Mx=0.01 Mz=8.89
Sollecitazioni agenti localmente: Ty_l=-2032.23 My_l=-41.71
Tensioni nella sezione: σ=505.58 τ=61.58
CC 4 SLD (Collegamento -044_-376)
Azioni sul collegamento: N=-11264.30 Ty=9.42 Tz=18.16 Mx=0.01 Mz=7.58
Sollecitazioni agenti localmente: Ty_l=-2027.00 My_l=-41.60
Tensioni nella sezione: σ=504.19 τ=61.42
CC 5 SLV (Collegamento -044_-376)
Azioni sul collegamento: N=-14084.10 Ty=8.00 Tz=28.49 Mx=0.02 Mz=8.22
Sollecitazioni agenti localmente: Ty_l=-2529.41 My_l=-51.90
Tensioni nella sezione: σ=629.08 τ=76.65
CC 5 SLV (Collegamento -044_-376)
Azioni sul collegamento: N=-14084.10 Ty=14.73 Tz=28.49 Mx=0.02 Mz=12.53
Sollecitazioni agenti localmente: Ty_l=-2546.56 My_l=-52.27
Tensioni nella sezione: σ=633.63 τ=77.17
CC 5 SLV (Collegamento -044_-376)
Azioni sul collegamento: N=-14084.10 Ty=8.00 Tz=-0.13 Mx=0.02 Mz=8.22
Sollecitazioni agenti localmente: Ty_l=-2529.41 My_l=-51.90
Tensioni nella sezione: σ=629.08 τ=76.65
CC 5 SLV (Collegamento -044_-376)
Azioni sul collegamento: N=-14084.10 Ty=14.73 Tz=-0.13 Mx=0.02 Mz=12.53
Sollecitazioni agenti localmente: Ty_l=-2546.56 My_l=-52.27
Tensioni nella sezione: σ=633.63 τ=77.17
CC 5 SLV (Collegamento -044_-376)
Azioni sul collegamento: N=-6251.19 Ty=8.00 Tz=28.49 Mx=0.02 Mz=8.22
Sollecitazioni agenti localmente: Ty_l=-1140.86 My_l=-23.43
Tensioni nella sezione: σ=284.04 τ=34.57
CC 5 SLV (Collegamento -044_-376)
Azioni sul collegamento: N=-6251.19 Ty=14.73 Tz=28.49 Mx=0.02 Mz=12.53
Sollecitazioni agenti localmente: Ty_l=-1158.01 My_l=-23.81
Tensioni nella sezione: σ=288.59 τ=35.09
CC 5 SLV (Collegamento -044_-376)
Azioni sul collegamento: N=-6251.19 Ty=8.00 Tz=-0.13 Mx=0.02 Mz=8.22
Sollecitazioni agenti localmente: Ty_l=-1140.86 My_l=-23.43
Tensioni nella sezione: σ=284.04 τ=34.57
CC 5 SLV (Collegamento -044_-376)
Azioni sul collegamento: N=-6251.19 Ty=14.73 Tz=-0.13 Mx=0.02 Mz=12.53
Sollecitazioni agenti localmente: Ty_l=-1158.01 My_l=-23.81
Tensioni nella sezione: σ=288.59 τ=35.09
CC 6 SLD (Collegamento -044_-376)
Azioni sul collegamento: N=-11264.30 Ty=9.42 Tz=18.16 Mx=0.01 Mz=7.58
Sollecitazioni agenti localmente: Ty_l=-2027.00 My_l=-41.60
Tensioni nella sezione: σ=504.19 τ=61.42
CC 6 SLD (Collegamento -044_-376)
Azioni sul collegamento: N=-11264.30 Ty=11.47 Tz=18.16 Mx=0.01 Mz=8.89
Sollecitazioni agenti localmente: Ty_l=-2032.23 My_l=-41.71
Tensioni nella sezione: σ=505.58 τ=61.58
CC 6 SLD (Collegamento -044_-376)
Azioni sul collegamento: N=-11264.30 Ty=9.42 Tz=9.43 Mx=0.01 Mz=7.58
Sollecitazioni agenti localmente: Ty_l=-2027.00 My_l=-41.60
Tensioni nella sezione: σ=504.19 τ=61.42
CC 6 SLD (Collegamento -044_-376)
Azioni sul collegamento: N=-11264.30 Ty=11.47 Tz=9.43 Mx=0.01 Mz=8.89
Sollecitazioni agenti localmente: Ty_l=-2032.23 My_l=-41.71

Tensioni nella sezione: σ=505.58 τ=61.58
CC 6 SLD (Collegamento -044_-376)
Azioni sul collegamento: N=-8875.79 Ty=9.42 Tz=18.16 Mx=0.01 Mz=7.58
Sollecitazioni agenti localmente: Ty_l=-1603.58 My_l=-32.92
Tensioni nella sezione: σ=398.98 τ=48.59
CC 6 SLD (Collegamento -044_-376)
Azioni sul collegamento: N=-8875.79 Ty=11.47 Tz=18.16 Mx=0.01 Mz=8.89
Sollecitazioni agenti localmente: Ty_l=-1608.81 My_l=-33.03
Tensioni nella sezione: σ=400.37 τ=48.75
CC 6 SLD (Collegamento -044_-376)
Azioni sul collegamento: N=-8875.79 Ty=9.42 Tz=9.43 Mx=0.01 Mz=7.58
Sollecitazioni agenti localmente: Ty_l=-1603.58 My_l=-32.92
Tensioni nella sezione: σ=398.98 τ=48.59
CC 6 SLD (Collegamento -044_-376)
Azioni sul collegamento: N=-8875.79 Ty=11.47 Tz=9.43 Mx=0.01 Mz=8.89
Sollecitazioni agenti localmente: Ty_l=-1608.81 My_l=-33.03
Tensioni nella sezione: σ=400.37 τ=48.75
CC 7 SLV (Collegamento -044_-376)
Azioni sul collegamento: N=-14088.90 Ty=7.49 Tz=28.82 Mx=0.01 Mz=7.17
Sollecitazioni agenti localmente: Ty_l=-2526.11 My_l=-51.83
Tensioni nella sezione: σ=628.18 τ=76.55
CC 7 SLV (Collegamento -044_-376)
Azioni sul collegamento: N=-14088.90 Ty=15.25 Tz=28.82 Mx=0.01 Mz=13.58
Sollecitazioni agenti localmente: Ty_l=-2551.59 My_l=-52.38
Tensioni nella sezione: σ=634.95 τ=77.32
CC 7 SLV (Collegamento -044_-376)
Azioni sul collegamento: N=-14088.90 Ty=7.49 Tz=-0.46 Mx=0.01 Mz=7.17
Sollecitazioni agenti localmente: Ty_l=-2526.11 My_l=-51.83
Tensioni nella sezione: σ=628.18 τ=76.55
CC 7 SLV (Collegamento -044_-376)
Azioni sul collegamento: N=-14088.90 Ty=15.25 Tz=-0.46 Mx=0.01 Mz=13.58
Sollecitazioni agenti localmente: Ty_l=-2551.59 My_l=-52.38
Tensioni nella sezione: σ=634.95 τ=77.32
CC 7 SLV (Collegamento -044_-376)
Azioni sul collegamento: N=-6246.31 Ty=7.49 Tz=28.82 Mx=0.01 Mz=7.17
Sollecitazioni agenti localmente: Ty_l=-1135.83 My_l=-23.32
Tensioni nella sezione: σ=282.72 τ=34.42
CC 7 SLV (Collegamento -044_-376)
Azioni sul collegamento: N=-6246.31 Ty=15.25 Tz=28.82 Mx=0.01 Mz=13.58
Sollecitazioni agenti localmente: Ty_l=-1161.31 My_l=-23.88
Tensioni nella sezione: σ=289.48 τ=35.19
CC 7 SLV (Collegamento -044_-376)
Azioni sul collegamento: N=-6246.31 Ty=7.49 Tz=-0.46 Mx=0.01 Mz=7.17
Sollecitazioni agenti localmente: Ty_l=-1135.83 My_l=-23.32
Tensioni nella sezione: σ=282.72 τ=34.42
CC 7 SLV (Collegamento -044_-376)
Azioni sul collegamento: N=-6246.31 Ty=15.25 Tz=-0.46 Mx=0.01 Mz=13.58
Sollecitazioni agenti localmente: Ty_l=-1161.31 My_l=-23.88
Tensioni nella sezione: σ=289.48 τ=35.19
CC 8 SLD (Collegamento -044_-376)
Azioni sul collegamento: N=-11265.80 Ty=9.26 Tz=18.26 Mx=0.01 Mz=7.26
Sollecitazioni agenti localmente: Ty_l=-2025.99 My_l=-41.57
Tensioni nella sezione: σ=503.92 τ=61.39
CC 8 SLD (Collegamento -044_-376)
Azioni sul collegamento: N=-11265.80 Ty=11.63 Tz=18.26 Mx=0.01 Mz=9.21
Sollecitazioni agenti localmente: Ty_l=-2033.76 My_l=-41.74
Tensioni nella sezione: σ=505.98 τ=61.63
CC 8 SLD (Collegamento -044_-376)
Azioni sul collegamento: N=-11265.80 Ty=9.26 Tz=9.33 Mx=0.01 Mz=7.26
Sollecitazioni agenti localmente: Ty_l=-2025.99 My_l=-41.57
Tensioni nella sezione: σ=503.92 τ=61.39
CC 8 SLD (Collegamento -044_-376)
Azioni sul collegamento: N=-11265.80 Ty=11.63 Tz=9.33 Mx=0.01 Mz=9.21
Sollecitazioni agenti localmente: Ty_l=-2033.76 My_l=-41.74
Tensioni nella sezione: σ=505.98 τ=61.63
CC 8 SLD (Collegamento -044_-376)
Azioni sul collegamento: N=-8874.30 Ty=9.26 Tz=18.26 Mx=0.01 Mz=7.26
Sollecitazioni agenti localmente: Ty_l=-1602.05 My_l=-32.88
Tensioni nella sezione: σ=398.57 τ=48.55
CC 8 SLD (Collegamento -044_-376)
Azioni sul collegamento: N=-8874.30 Ty=11.63 Tz=18.26 Mx=0.01 Mz=9.21
Sollecitazioni agenti localmente: Ty_l=-1609.82 My_l=-33.05
Tensioni nella sezione: σ=400.64 τ=48.78
CC 8 SLD (Collegamento -044_-376)
Azioni sul collegamento: N=-8874.30 Ty=9.26 Tz=9.33 Mx=0.01 Mz=7.26
Sollecitazioni agenti localmente: Ty_l=-1602.05 My_l=-32.88
Tensioni nella sezione: σ=398.57 τ=48.55
CC 8 SLD (Collegamento -044_-376)
Azioni sul collegamento: N=-8874.30 Ty=11.63 Tz=9.33 Mx=0.01 Mz=9.21
Sollecitazioni agenti localmente: Ty_l=-1609.82 My_l=-33.05

Tensioni nella sezione: σ=400.64 τ=48.78
CC 9 SLV (Collegamento -044_-376)
Azioni sul collegamento: N=-8983.82 Ty=13.31 Tz=9.29 Mx=0.02 Mz=12.92
Sollecitazioni agenti localmente: Ty_l=-1644.00 My_l=-33.77
Tensioni nella sezione: σ=409.38 τ=49.82
CC 9 SLV (Collegamento -044_-376)
Azioni sul collegamento: N=-8983.82 Ty=9.43 Tz=9.29 Mx=0.02 Mz=7.83
Sollecitazioni agenti localmente: Ty_l=-1623.71 My_l=-33.33
Tensioni nella sezione: σ=404.00 τ=49.20
CC 9 SLV (Collegamento -044_-376)
Azioni sul collegamento: N=-8983.82 Ty=13.31 Tz=19.07 Mx=0.02 Mz=12.92
Sollecitazioni agenti localmente: Ty_l=-1644.00 My_l=-33.77
Tensioni nella sezione: σ=409.38 τ=49.82
CC 9 SLV (Collegamento -044_-376)
Azioni sul collegamento: N=-8983.82 Ty=9.43 Tz=19.07 Mx=0.02 Mz=7.83
Sollecitazioni agenti localmente: Ty_l=-1623.71 My_l=-33.33
Tensioni nella sezione: σ=404.00 τ=49.20
CC 9 SLV (Collegamento -044_-376)
Azioni sul collegamento: N=-11351.40 Ty=13.31 Tz=9.29 Mx=0.02 Mz=12.92
Sollecitazioni agenti localmente: Ty_l=-2063.71 My_l=-42.38
Tensioni nella sezione: σ=513.67 τ=62.54
CC 9 SLV (Collegamento -044_-376)
Azioni sul collegamento: N=-11351.40 Ty=9.43 Tz=9.29 Mx=0.02 Mz=7.83
Sollecitazioni agenti localmente: Ty_l=-2043.43 My_l=-41.93
Tensioni nella sezione: σ=508.29 τ=61.92
CC 9 SLV (Collegamento -044_-376)
Azioni sul collegamento: N=-11351.40 Ty=13.31 Tz=19.07 Mx=0.02 Mz=12.92
Sollecitazioni agenti localmente: Ty_l=-2063.71 My_l=-42.38
Tensioni nella sezione: σ=513.67 τ=62.54
CC 9 SLV (Collegamento -044_-376)
Azioni sul collegamento: N=-11351.40 Ty=9.43 Tz=19.07 Mx=0.02 Mz=7.83
Sollecitazioni agenti localmente: Ty_l=-2043.43 My_l=-41.93
Tensioni nella sezione: σ=508.29 τ=61.92
CC 10 SLD (Collegamento -044_-376)
Azioni sul collegamento: N=-9709.06 Ty=11.04 Tz=12.31 Mx=0.01 Mz=9.01
Sollecitazioni agenti localmente: Ty_l=-1757.01 My_l=-36.07
Tensioni nella sezione: σ=437.20 τ=53.24
CC 10 SLD (Collegamento -044_-376)
Azioni sul collegamento: N=-9709.06 Ty=9.85 Tz=12.31 Mx=0.01 Mz=7.46
Sollecitazioni agenti localmente: Ty_l=-1750.82 My_l=-35.93
Tensioni nella sezione: σ=435.56 τ=53.06
CC 10 SLD (Collegamento -044_-376)
Azioni sul collegamento: N=-9709.06 Ty=11.04 Tz=15.29 Mx=0.01 Mz=9.01
Sollecitazioni agenti localmente: Ty_l=-1757.01 My_l=-36.07
Tensioni nella sezione: σ=437.20 τ=53.24
CC 10 SLD (Collegamento -044_-376)
Azioni sul collegamento: N=-9709.06 Ty=9.85 Tz=15.29 Mx=0.01 Mz=7.46
Sollecitazioni agenti localmente: Ty_l=-1750.82 My_l=-35.93
Tensioni nella sezione: σ=435.56 τ=53.06
CC 10 SLD (Collegamento -044_-376)
Azioni sul collegamento: N=-10431.00 Ty=11.04 Tz=12.31 Mx=0.01 Mz=9.01
Sollecitazioni agenti localmente: Ty_l=-1884.99 My_l=-38.69
Tensioni nella sezione: σ=469.00 τ=57.12
CC 10 SLD (Collegamento -044_-376)
Azioni sul collegamento: N=-10431.00 Ty=9.85 Tz=12.31 Mx=0.01 Mz=7.46
Sollecitazioni agenti localmente: Ty_l=-1878.81 My_l=-38.56
Tensioni nella sezione: σ=467.36 τ=56.93
CC 10 SLD (Collegamento -044_-376)
Azioni sul collegamento: N=-10431.00 Ty=11.04 Tz=15.29 Mx=0.01 Mz=9.01
Sollecitazioni agenti localmente: Ty_l=-1884.99 My_l=-38.69
Tensioni nella sezione: σ=469.00 τ=57.12
CC 10 SLD (Collegamento -044_-376)
Azioni sul collegamento: N=-10431.00 Ty=9.85 Tz=15.29 Mx=0.01 Mz=7.46
Sollecitazioni agenti localmente: Ty_l=-1878.81 My_l=-38.56
Tensioni nella sezione: σ=467.36 τ=56.93
CC 11 SLV (Collegamento -044_-376)
Azioni sul collegamento: N=-11335.10 Ty=11.14 Tz=17.98 Mx=0.02 Mz=11.32
Sollecitazioni agenti localmente: Ty_l=-2054.43 My_l=-42.18
Tensioni nella sezione: σ=511.26 τ=62.26
CC 11 SLV (Collegamento -044_-376)
Azioni sul collegamento: N=-11335.10 Ty=11.60 Tz=17.98 Mx=0.02 Mz=9.43
Sollecitazioni agenti localmente: Ty_l=-2046.93 My_l=-42.01
Tensioni nella sezione: σ=509.27 τ=62.03
CC 11 SLV (Collegamento -044_-376)
Azioni sul collegamento: N=-11335.10 Ty=11.14 Tz=10.38 Mx=0.02 Mz=11.32
Sollecitazioni agenti localmente: Ty_l=-2054.43 My_l=-42.18
Tensioni nella sezione: σ=511.26 τ=62.26
CC 11 SLV (Collegamento -044_-376)
Azioni sul collegamento: N=-11335.10 Ty=11.60 Tz=10.38 Mx=0.02 Mz=9.43
Sollecitazioni agenti localmente: Ty_l=-2046.93 My_l=-42.01

Tensioni nella sezione: σ=509.27 τ=62.03
CC 11 SLV (Collegamento -044_-376)
Azioni sul collegamento: N=-9000.10 Ty=11.14 Tz=17.98 Mx=0.02 Mz=11.32
Sollecitazioni agenti localmente: Ty_l=-1640.49 My_l=-33.69
Tensioni nella sezione: σ=408.40 τ=49.71
CC 11 SLV (Collegamento -044_-376)
Azioni sul collegamento: N=-9000.10 Ty=11.60 Tz=17.98 Mx=0.02 Mz=9.43
Sollecitazioni agenti localmente: Ty_l=-1633.00 My_l=-33.53
Tensioni nella sezione: σ=406.41 τ=49.48
CC 11 SLV (Collegamento -044_-376)
Azioni sul collegamento: N=-9000.10 Ty=11.14 Tz=10.38 Mx=0.02 Mz=11.32
Sollecitazioni agenti localmente: Ty_l=-1640.49 My_l=-33.69
Tensioni nella sezione: σ=408.40 τ=49.71
CC 11 SLV (Collegamento -044_-376)
Azioni sul collegamento: N=-9000.10 Ty=11.60 Tz=10.38 Mx=0.02 Mz=9.43
Sollecitazioni agenti localmente: Ty_l=-1633.00 My_l=-33.53
Tensioni nella sezione: σ=406.41 τ=49.48
CC 12 SLD (Collegamento -044_-376)
Azioni sul collegamento: N=-10426.00 Ty=10.37 Tz=14.95 Mx=0.01 Mz=8.52
Sollecitazioni agenti localmente: Ty_l=-1882.16 My_l=-38.63
Tensioni nella sezione: σ=468.26 τ=57.04
CC 12 SLD (Collegamento -044_-376)
Azioni sul collegamento: N=-10426.00 Ty=10.51 Tz=14.95 Mx=0.01 Mz=7.95
Sollecitazioni agenti localmente: Ty_l=-1879.88 My_l=-38.58
Tensioni nella sezione: σ=467.66 τ=56.97
CC 12 SLD (Collegamento -044_-376)
Azioni sul collegamento: N=-10426.00 Ty=10.37 Tz=12.64 Mx=0.01 Mz=8.52
Sollecitazioni agenti localmente: Ty_l=-1882.16 My_l=-38.63
Tensioni nella sezione: σ=468.26 τ=57.04
CC 12 SLD (Collegamento -044_-376)
Azioni sul collegamento: N=-10426.00 Ty=10.51 Tz=12.64 Mx=0.01 Mz=7.95
Sollecitazioni agenti localmente: Ty_l=-1879.88 My_l=-38.58
Tensioni nella sezione: σ=467.66 τ=56.97
CC 12 SLD (Collegamento -044_-376)
Azioni sul collegamento: N=-9714.02 Ty=10.37 Tz=14.95 Mx=0.01 Mz=8.52
Sollecitazioni agenti localmente: Ty_l=-1755.94 My_l=-36.04
Tensioni nella sezione: σ=436.90 τ=53.21
CC 12 SLD (Collegamento -044_-376)
Azioni sul collegamento: N=-9714.02 Ty=10.51 Tz=14.95 Mx=0.01 Mz=7.95
Sollecitazioni agenti localmente: Ty_l=-1753.65 My_l=-35.99
Tensioni nella sezione: σ=436.29 τ=53.14
CC 12 SLD (Collegamento -044_-376)
Azioni sul collegamento: N=-9714.02 Ty=10.37 Tz=12.64 Mx=0.01 Mz=8.52
Sollecitazioni agenti localmente: Ty_l=-1755.94 My_l=-36.04
Tensioni nella sezione: σ=436.90 τ=53.21
CC 12 SLD (Collegamento -044_-376)
Azioni sul collegamento: N=-9714.02 Ty=10.51 Tz=12.64 Mx=0.01 Mz=7.95
Sollecitazioni agenti localmente: Ty_l=-1753.65 My_l=-35.99
Tensioni nella sezione: σ=436.29 τ=53.14
CC 13 SLV (Collegamento -044_-376)
Azioni sul collegamento: N=-9000.10 Ty=11.60 Tz=10.38 Mx=0.01 Mz=9.43
Sollecitazioni agenti localmente: Ty_l=-1633.00 My_l=-33.53
Tensioni nella sezione: σ=406.41 τ=49.48
CC 13 SLV (Collegamento -044_-376)
Azioni sul collegamento: N=-9000.10 Ty=11.14 Tz=10.38 Mx=0.01 Mz=11.32
Sollecitazioni agenti localmente: Ty_l=-1640.49 My_l=-33.69
Tensioni nella sezione: σ=408.40 τ=49.71
CC 13 SLV (Collegamento -044_-376)
Azioni sul collegamento: N=-9000.10 Ty=11.60 Tz=17.98 Mx=0.01 Mz=9.43
Sollecitazioni agenti localmente: Ty_l=-1633.00 My_l=-33.53
Tensioni nella sezione: σ=406.41 τ=49.48
CC 13 SLV (Collegamento -044_-376)
Azioni sul collegamento: N=-9000.10 Ty=11.14 Tz=17.98 Mx=0.01 Mz=11.32
Sollecitazioni agenti localmente: Ty_l=-1640.49 My_l=-33.69
Tensioni nella sezione: σ=408.40 τ=49.71
CC 13 SLV (Collegamento -044_-376)
Azioni sul collegamento: N=-11335.10 Ty=11.60 Tz=10.38 Mx=0.01 Mz=9.43
Sollecitazioni agenti localmente: Ty_l=-2046.93 My_l=-42.01
Tensioni nella sezione: σ=509.27 τ=62.03
CC 13 SLV (Collegamento -044_-376)
Azioni sul collegamento: N=-11335.10 Ty=11.14 Tz=10.38 Mx=0.01 Mz=11.32
Sollecitazioni agenti localmente: Ty_l=-2054.43 My_l=-42.18
Tensioni nella sezione: σ=511.26 τ=62.26
CC 13 SLV (Collegamento -044_-376)
Azioni sul collegamento: N=-11335.10 Ty=11.60 Tz=17.98 Mx=0.01 Mz=9.43
Sollecitazioni agenti localmente: Ty_l=-2046.93 My_l=-42.01
Tensioni nella sezione: σ=509.27 τ=62.03
CC 13 SLV (Collegamento -044_-376)
Azioni sul collegamento: N=-11335.10 Ty=11.14 Tz=17.98 Mx=0.01 Mz=11.32
Sollecitazioni agenti localmente: Ty_l=-2054.43 My_l=-42.18

Tensioni nella sezione: σ=511.26 τ=62.26
CC 14 SLD (Collegamento -044_-376)
Azioni sul collegamento: N=-9714.02 Ty=10.51 Tz=12.64 Mx=0.00 Mz=7.95
Sollecitazioni agenti localmente: Ty_l=-1753.65 My_l=-35.99
Tensioni nella sezione: σ=436.29 τ=53.14
CC 14 SLD (Collegamento -044_-376)
Azioni sul collegamento: N=-9714.02 Ty=10.37 Tz=12.64 Mx=0.00 Mz=8.52
Sollecitazioni agenti localmente: Ty_l=-1755.94 My_l=-36.04
Tensioni nella sezione: σ=436.90 τ=53.21
CC 14 SLD (Collegamento -044_-376)
Azioni sul collegamento: N=-9714.02 Ty=10.51 Tz=14.95 Mx=0.00 Mz=7.95
Sollecitazioni agenti localmente: Ty_l=-1753.65 My_l=-35.99
Tensioni nella sezione: σ=436.29 τ=53.14
CC 14 SLD (Collegamento -044_-376)
Azioni sul collegamento: N=-9714.02 Ty=10.37 Tz=14.95 Mx=0.00 Mz=8.52
Sollecitazioni agenti localmente: Ty_l=-1755.94 My_l=-36.04
Tensioni nella sezione: σ=436.90 τ=53.21
CC 14 SLD (Collegamento -044_-376)
Azioni sul collegamento: N=-10426.00 Ty=10.51 Tz=12.64 Mx=0.00 Mz=7.95
Sollecitazioni agenti localmente: Ty_l=-1879.88 My_l=-38.58
Tensioni nella sezione: σ=467.66 τ=56.97
CC 14 SLD (Collegamento -044_-376)
Azioni sul collegamento: N=-10426.00 Ty=10.37 Tz=12.64 Mx=0.00 Mz=8.52
Sollecitazioni agenti localmente: Ty_l=-1882.16 My_l=-38.63
Tensioni nella sezione: σ=468.26 τ=57.04
CC 14 SLD (Collegamento -044_-376)
Azioni sul collegamento: N=-10426.00 Ty=10.51 Tz=14.95 Mx=0.00 Mz=7.95
Sollecitazioni agenti localmente: Ty_l=-1879.88 My_l=-38.58
Tensioni nella sezione: σ=467.66 τ=56.97
CC 14 SLD (Collegamento -044_-376)
Azioni sul collegamento: N=-10426.00 Ty=10.37 Tz=14.95 Mx=0.00 Mz=8.52
Sollecitazioni agenti localmente: Ty_l=-1882.16 My_l=-38.63
Tensioni nella sezione: σ=468.26 τ=57.04
CC 15 SLV (Collegamento -044_-376)
Azioni sul collegamento: N=-11351.40 Ty=9.43 Tz=19.07 Mx=0.01 Mz=7.83
Sollecitazioni agenti localmente: Ty_l=-2043.43 My_l=-41.93
Tensioni nella sezione: σ=508.29 τ=61.92
CC 15 SLV (Collegamento -044_-376)
Azioni sul collegamento: N=-11351.40 Ty=13.31 Tz=19.07 Mx=0.01 Mz=12.92
Sollecitazioni agenti localmente: Ty_l=-2063.71 My_l=-42.38
Tensioni nella sezione: σ=513.67 τ=62.54
CC 15 SLV (Collegamento -044_-376)
Azioni sul collegamento: N=-11351.40 Ty=9.43 Tz=9.29 Mx=0.01 Mz=7.83
Sollecitazioni agenti localmente: Ty_l=-2043.43 My_l=-41.93
Tensioni nella sezione: σ=508.29 τ=61.92
CC 15 SLV (Collegamento -044_-376)
Azioni sul collegamento: N=-11351.40 Ty=13.31 Tz=9.29 Mx=0.01 Mz=12.92
Sollecitazioni agenti localmente: Ty_l=-2063.71 My_l=-42.38
Tensioni nella sezione: σ=513.67 τ=62.54
CC 15 SLV (Collegamento -044_-376)
Azioni sul collegamento: N=-8983.82 Ty=9.43 Tz=19.07 Mx=0.01 Mz=7.83
Sollecitazioni agenti localmente: Ty_l=-1623.71 My_l=-33.33
Tensioni nella sezione: σ=404.00 τ=49.20
CC 15 SLV (Collegamento -044_-376)
Azioni sul collegamento: N=-8983.82 Ty=13.31 Tz=19.07 Mx=0.01 Mz=12.92
Sollecitazioni agenti localmente: Ty_l=-1644.00 My_l=-33.77
Tensioni nella sezione: σ=409.38 τ=49.82
CC 15 SLV (Collegamento -044_-376)
Azioni sul collegamento: N=-8983.82 Ty=9.43 Tz=9.29 Mx=0.01 Mz=7.83
Sollecitazioni agenti localmente: Ty_l=-1623.71 My_l=-33.33
Tensioni nella sezione: σ=404.00 τ=49.20
CC 15 SLV (Collegamento -044_-376)
Azioni sul collegamento: N=-8983.82 Ty=13.31 Tz=9.29 Mx=0.01 Mz=12.92
Sollecitazioni agenti localmente: Ty_l=-1644.00 My_l=-33.77
Tensioni nella sezione: σ=409.38 τ=49.82
CC 16 SLD (Collegamento -044_-376)
Azioni sul collegamento: N=-10431.00 Ty=9.85 Tz=15.29 Mx=0.00 Mz=7.46
Sollecitazioni agenti localmente: Ty_l=-1878.81 My_l=-38.56
Tensioni nella sezione: σ=467.36 τ=56.93
CC 16 SLD (Collegamento -044_-376)
Azioni sul collegamento: N=-10431.00 Ty=11.04 Tz=15.29 Mx=0.00 Mz=9.01
Sollecitazioni agenti localmente: Ty_l=-1884.99 My_l=-38.69
Tensioni nella sezione: σ=469.00 τ=57.12
CC 16 SLD (Collegamento -044_-376)
Azioni sul collegamento: N=-10431.00 Ty=9.85 Tz=12.31 Mx=0.00 Mz=7.46
Sollecitazioni agenti localmente: Ty_l=-1878.81 My_l=-38.56
Tensioni nella sezione: σ=467.36 τ=56.93
CC 16 SLD (Collegamento -044_-376)
Azioni sul collegamento: N=-10431.00 Ty=11.04 Tz=12.31 Mx=0.00 Mz=9.01
Sollecitazioni agenti localmente: Ty_l=-1884.99 My_l=-38.69

Tensioni nella sezione: σ=469.00 τ=57.12
CC 16 SLD (Collegamento -044_-376)
Azioni sul collegamento: N=-9709.06 Ty=9.85 Tz=15.29 Mx=0.00 Mz=7.46
Sollecitazioni agenti localmente: Ty_l=-1750.82 My_l=-35.93
Tensioni nella sezione: σ=435.56 τ=53.06
CC 16 SLD (Collegamento -044_-376)
Azioni sul collegamento: N=-9709.06 Ty=11.04 Tz=15.29 Mx=0.00 Mz=9.01
Sollecitazioni agenti localmente: Ty_l=-1757.01 My_l=-36.07
Tensioni nella sezione: σ=437.20 τ=53.24
CC 16 SLD (Collegamento -044_-376)
Azioni sul collegamento: N=-9709.06 Ty=9.85 Tz=12.31 Mx=0.00 Mz=7.46
Sollecitazioni agenti localmente: Ty_l=-1750.82 My_l=-35.93
Tensioni nella sezione: σ=435.56 τ=53.06
CC 16 SLD (Collegamento -044_-376)
Azioni sul collegamento: N=-9709.06 Ty=11.04 Tz=12.31 Mx=0.00 Mz=9.01
Sollecitazioni agenti localmente: Ty_l=-1757.01 My_l=-36.07
Tensioni nella sezione: σ=437.20 τ=53.24
CC 17 SLV (Collegamento -044_-376)
Azioni sul collegamento: N=-5965.51 Ty=12.58 Tz=-1.56 Mx=-0.01 Mz=7.43
Sollecitazioni agenti localmente: Ty_l=-1087.06 My_l=-22.33
Tensioni nella sezione: σ=270.62 τ=32.94
CC 17 SLV (Collegamento -044_-376)
Azioni sul collegamento: N=-5965.51 Ty=4.83 Tz=-1.56 Mx=-0.01 Mz=1.02
Sollecitazioni agenti localmente: Ty_l=-1061.58 My_l=-21.77
Tensioni nella sezione: σ=263.86 τ=32.17
CC 17 SLV (Collegamento -044_-376)
Azioni sul collegamento: N=-5965.51 Ty=12.58 Tz=27.71 Mx=-0.01 Mz=7.43
Sollecitazioni agenti localmente: Ty_l=-1087.06 My_l=-22.33
Tensioni nella sezione: σ=270.62 τ=32.94
CC 17 SLV (Collegamento -044_-376)
Azioni sul collegamento: N=-5965.51 Ty=4.83 Tz=27.71 Mx=-0.01 Mz=1.02
Sollecitazioni agenti localmente: Ty_l=-1061.58 My_l=-21.77
Tensioni nella sezione: σ=263.86 τ=32.17
CC 17 SLV (Collegamento -044_-376)
Azioni sul collegamento: N=-13808.10 Ty=12.58 Tz=-1.56 Mx=-0.01 Mz=7.43
Sollecitazioni agenti localmente: Ty_l=-2477.34 My_l=-50.83
Tensioni nella sezione: σ=616.08 τ=75.07
CC 17 SLV (Collegamento -044_-376)
Azioni sul collegamento: N=-13808.10 Ty=4.83 Tz=-1.56 Mx=-0.01 Mz=1.02
Sollecitazioni agenti localmente: Ty_l=-2451.86 My_l=-50.27
Tensioni nella sezione: σ=609.32 τ=74.30
CC 17 SLV (Collegamento -044_-376)
Azioni sul collegamento: N=-13808.10 Ty=12.58 Tz=27.71 Mx=-0.01 Mz=7.43
Sollecitazioni agenti localmente: Ty_l=-2477.34 My_l=-50.83
Tensioni nella sezione: σ=616.08 τ=75.07
CC 17 SLV (Collegamento -044_-376)
Azioni sul collegamento: N=-13808.10 Ty=4.83 Tz=27.71 Mx=-0.01 Mz=1.02
Sollecitazioni agenti localmente: Ty_l=-2451.86 My_l=-50.27
Tensioni nella sezione: σ=609.32 τ=74.30
CC 18 SLD (Collegamento -044_-376)
Azioni sul collegamento: N=-8788.68 Ty=10.81 Tz=9.00 Mx=-0.00 Mz=7.34
Sollecitazioni agenti localmente: Ty_l=-1587.18 My_l=-32.58
Tensioni nella sezione: σ=394.88 τ=48.10
CC 18 SLD (Collegamento -044_-376)
Azioni sul collegamento: N=-8788.68 Ty=8.45 Tz=9.00 Mx=-0.00 Mz=5.38
Sollecitazioni agenti localmente: Ty_l=-1579.41 My_l=-32.41
Tensioni nella sezione: σ=392.82 τ=47.86
CC 18 SLD (Collegamento -044_-376)
Azioni sul collegamento: N=-8788.68 Ty=10.81 Tz=17.92 Mx=-0.00 Mz=7.34
Sollecitazioni agenti localmente: Ty_l=-1587.18 My_l=-32.58
Tensioni nella sezione: σ=394.88 τ=48.10
CC 18 SLD (Collegamento -044_-376)
Azioni sul collegamento: N=-8788.68 Ty=8.45 Tz=17.92 Mx=-0.00 Mz=5.38
Sollecitazioni agenti localmente: Ty_l=-1579.41 My_l=-32.41
Tensioni nella sezione: σ=392.82 τ=47.86
CC 18 SLD (Collegamento -044_-376)
Azioni sul collegamento: N=-11180.10 Ty=10.81 Tz=9.00 Mx=-0.00 Mz=7.34
Sollecitazioni agenti localmente: Ty_l=-2011.12 My_l=-41.27
Tensioni nella sezione: σ=500.23 τ=60.94
CC 18 SLD (Collegamento -044_-376)
Azioni sul collegamento: N=-11180.10 Ty=8.45 Tz=9.00 Mx=-0.00 Mz=5.38
Sollecitazioni agenti localmente: Ty_l=-2003.35 My_l=-41.10
Tensioni nella sezione: σ=498.17 τ=60.71
CC 18 SLD (Collegamento -044_-376)
Azioni sul collegamento: N=-11180.10 Ty=10.81 Tz=17.92 Mx=-0.00 Mz=7.34
Sollecitazioni agenti localmente: Ty_l=-2011.12 My_l=-41.27
Tensioni nella sezione: σ=500.23 τ=60.94
CC 18 SLD (Collegamento -044_-376)
Azioni sul collegamento: N=-11180.10 Ty=8.45 Tz=17.92 Mx=-0.00 Mz=5.38
Sollecitazioni agenti localmente: Ty_l=-2003.35 My_l=-41.10

Tensioni nella sezione: σ=498.17 τ=60.71
CC 19 SLV (Collegamento -044_-376)
Azioni sul collegamento: N=-5970.39 Ty=12.07 Tz=-1.24 Mx=-0.01 Mz=6.38
Sollecitazioni agenti localmente: Ty_l=-1083.76 My_l=-22.25
Tensioni nella sezione: σ=269.73 τ=32.84
CC 19 SLV (Collegamento -044_-376)
Azioni sul collegamento: N=-5970.39 Ty=5.34 Tz=-1.24 Mx=-0.01 Mz=2.07
Sollecitazioni agenti localmente: Ty_l=-1066.61 My_l=-21.88
Tensioni nella sezione: σ=265.18 τ=32.32
CC 19 SLV (Collegamento -044_-376)
Azioni sul collegamento: N=-5970.39 Ty=12.07 Tz=27.38 Mx=-0.01 Mz=6.38
Sollecitazioni agenti localmente: Ty_l=-1083.76 My_l=-22.25
Tensioni nella sezione: σ=269.73 τ=32.84
CC 19 SLV (Collegamento -044_-376)
Azioni sul collegamento: N=-5970.39 Ty=5.34 Tz=27.38 Mx=-0.01 Mz=2.07
Sollecitazioni agenti localmente: Ty_l=-1066.61 My_l=-21.88
Tensioni nella sezione: σ=265.18 τ=32.32
CC 19 SLV (Collegamento -044_-376)
Azioni sul collegamento: N=-13803.30 Ty=12.07 Tz=-1.24 Mx=-0.01 Mz=6.38
Sollecitazioni agenti localmente: Ty_l=-2472.31 My_l=-50.72
Tensioni nella sezione: σ=614.76 τ=74.92
CC 19 SLV (Collegamento -044_-376)
Azioni sul collegamento: N=-13803.30 Ty=5.34 Tz=-1.24 Mx=-0.01 Mz=2.07
Sollecitazioni agenti localmente: Ty_l=-2455.16 My_l=-50.34
Tensioni nella sezione: σ=610.21 τ=74.40
CC 19 SLV (Collegamento -044_-376)
Azioni sul collegamento: N=-13803.30 Ty=12.07 Tz=27.38 Mx=-0.01 Mz=6.38
Sollecitazioni agenti localmente: Ty_l=-2472.31 My_l=-50.72
Tensioni nella sezione: σ=614.76 τ=74.92
CC 19 SLV (Collegamento -044_-376)
Azioni sul collegamento: N=-13803.30 Ty=5.34 Tz=27.38 Mx=-0.01 Mz=2.07
Sollecitazioni agenti localmente: Ty_l=-2455.16 My_l=-50.34
Tensioni nella sezione: σ=610.21 τ=74.40
CC 20 SLD (Collegamento -044_-376)
Azioni sul collegamento: N=-8790.17 Ty=10.66 Tz=9.09 Mx=-0.00 Mz=7.02
Sollecitazioni agenti localmente: Ty_l=-1586.17 My_l=-32.56
Tensioni nella sezione: σ=394.61 τ=48.07
CC 20 SLD (Collegamento -044_-376)
Azioni sul collegamento: N=-8790.17 Ty=8.61 Tz=9.09 Mx=-0.00 Mz=5.70
Sollecitazioni agenti localmente: Ty_l=-1580.94 My_l=-32.44
Tensioni nella sezione: σ=393.23 τ=47.91
CC 20 SLD (Collegamento -044_-376)
Azioni sul collegamento: N=-8790.17 Ty=10.66 Tz=17.82 Mx=-0.00 Mz=7.02
Sollecitazioni agenti localmente: Ty_l=-1586.17 My_l=-32.56
Tensioni nella sezione: σ=394.61 τ=48.07
CC 20 SLD (Collegamento -044_-376)
Azioni sul collegamento: N=-8790.17 Ty=8.61 Tz=17.82 Mx=-0.00 Mz=5.70
Sollecitazioni agenti localmente: Ty_l=-1580.94 My_l=-32.44
Tensioni nella sezione: σ=393.23 τ=47.91
CC 20 SLD (Collegamento -044_-376)
Azioni sul collegamento: N=-11178.70 Ty=10.66 Tz=9.10 Mx=-0.00 Mz=7.02
Sollecitazioni agenti localmente: Ty_l=-2009.59 My_l=-41.24
Tensioni nella sezione: σ=499.82 τ=60.90
CC 20 SLD (Collegamento -044_-376)
Azioni sul collegamento: N=-11178.70 Ty=8.61 Tz=9.10 Mx=-0.00 Mz=5.70
Sollecitazioni agenti localmente: Ty_l=-2004.36 My_l=-41.12
Tensioni nella sezione: σ=498.44 τ=60.74
CC 20 SLD (Collegamento -044_-376)
Azioni sul collegamento: N=-11178.70 Ty=10.66 Tz=17.82 Mx=-0.00 Mz=7.02
Sollecitazioni agenti localmente: Ty_l=-2009.59 My_l=-41.24
Tensioni nella sezione: σ=499.82 τ=60.90
CC 20 SLD (Collegamento -044_-376)
Azioni sul collegamento: N=-11178.70 Ty=8.61 Tz=17.82 Mx=-0.00 Mz=5.70
Sollecitazioni agenti localmente: Ty_l=-2004.36 My_l=-41.12
Tensioni nella sezione: σ=498.44 τ=60.74
CC 21 SLV (Collegamento -044_-376)
Azioni sul collegamento: N=-13803.30 Ty=5.34 Tz=27.38 Mx=-0.01 Mz=2.07
Sollecitazioni agenti localmente: Ty_l=-2455.16 My_l=-50.34
Tensioni nella sezione: σ=610.21 τ=74.40
CC 21 SLV (Collegamento -044_-376)
Azioni sul collegamento: N=-13803.30 Ty=12.07 Tz=27.38 Mx=-0.01 Mz=6.38
Sollecitazioni agenti localmente: Ty_l=-2472.31 My_l=-50.72
Tensioni nella sezione: σ=614.76 τ=74.92
CC 21 SLV (Collegamento -044_-376)
Azioni sul collegamento: N=-13803.30 Ty=5.34 Tz=-1.24 Mx=-0.01 Mz=2.07
Sollecitazioni agenti localmente: Ty_l=-2455.16 My_l=-50.34
Tensioni nella sezione: σ=610.21 τ=74.40
CC 21 SLV (Collegamento -044_-376)
Azioni sul collegamento: N=-13803.30 Ty=12.07 Tz=-1.24 Mx=-0.01 Mz=6.38
Sollecitazioni agenti localmente: Ty_l=-2472.31 My_l=-50.72

Tensioni nella sezione: σ=614.76 τ=74.92
CC 21 SLV (Collegamento -044_-376)
Azioni sul collegamento: N=-5970.39 Ty=5.34 Tz=27.38 Mx=-0.01 Mz=2.07
Sollecitazioni agenti localmente: Ty_l=-1066.61 My_l=-21.88
Tensioni nella sezione: σ=265.18 τ=32.32
CC 21 SLV (Collegamento -044_-376)
Azioni sul collegamento: N=-5970.39 Ty=12.07 Tz=27.38 Mx=-0.01 Mz=6.38
Sollecitazioni agenti localmente: Ty_l=-1083.76 My_l=-22.25
Tensioni nella sezione: σ=269.73 τ=32.84
CC 21 SLV (Collegamento -044_-376)
Azioni sul collegamento: N=-5970.39 Ty=5.34 Tz=-1.24 Mx=-0.01 Mz=2.07
Sollecitazioni agenti localmente: Ty_l=-1066.61 My_l=-21.88
Tensioni nella sezione: σ=265.18 τ=32.32
CC 21 SLV (Collegamento -044_-376)
Azioni sul collegamento: N=-5970.39 Ty=12.07 Tz=-1.24 Mx=-0.01 Mz=6.38
Sollecitazioni agenti localmente: Ty_l=-1083.76 My_l=-22.25
Tensioni nella sezione: σ=269.73 τ=32.84
CC 22 SLD (Collegamento -044_-376)
Azioni sul collegamento: N=-11178.70 Ty=8.61 Tz=17.82 Mx=-0.00 Mz=5.70
Sollecitazioni agenti localmente: Ty_l=-2004.36 My_l=-41.12
Tensioni nella sezione: σ=498.44 τ=60.74
CC 22 SLD (Collegamento -044_-376)
Azioni sul collegamento: N=-11178.70 Ty=10.66 Tz=17.82 Mx=-0.00 Mz=7.02
Sollecitazioni agenti localmente: Ty_l=-2009.59 My_l=-41.24
Tensioni nella sezione: σ=499.82 τ=60.90
CC 22 SLD (Collegamento -044_-376)
Azioni sul collegamento: N=-11178.70 Ty=8.61 Tz=9.10 Mx=-0.00 Mz=5.70
Sollecitazioni agenti localmente: Ty_l=-2004.36 My_l=-41.12
Tensioni nella sezione: σ=498.44 τ=60.74
CC 22 SLD (Collegamento -044_-376)
Azioni sul collegamento: N=-11178.70 Ty=10.66 Tz=9.10 Mx=-0.00 Mz=7.02
Sollecitazioni agenti localmente: Ty_l=-2009.59 My_l=-41.24
Tensioni nella sezione: σ=499.82 τ=60.90
CC 22 SLD (Collegamento -044_-376)
Azioni sul collegamento: N=-8790.17 Ty=8.61 Tz=17.82 Mx=-0.00 Mz=5.70
Sollecitazioni agenti localmente: Ty_l=-1580.94 My_l=-32.44
Tensioni nella sezione: σ=393.23 τ=47.91
CC 22 SLD (Collegamento -044_-376)
Azioni sul collegamento: N=-8790.17 Ty=10.66 Tz=17.82 Mx=-0.00 Mz=7.02
Sollecitazioni agenti localmente: Ty_l=-1586.17 My_l=-32.56
Tensioni nella sezione: σ=394.61 τ=48.07
CC 22 SLD (Collegamento -044_-376)
Azioni sul collegamento: N=-8790.17 Ty=8.61 Tz=9.09 Mx=-0.00 Mz=5.70
Sollecitazioni agenti localmente: Ty_l=-1580.94 My_l=-32.44
Tensioni nella sezione: σ=393.23 τ=47.91
CC 22 SLD (Collegamento -044_-376)
Azioni sul collegamento: N=-8790.17 Ty=10.66 Tz=9.09 Mx=-0.00 Mz=7.02
Sollecitazioni agenti localmente: Ty_l=-1586.17 My_l=-32.56
Tensioni nella sezione: σ=394.61 τ=48.07
CC 23 SLV (Collegamento -044_-376)
Azioni sul collegamento: N=-13808.10 Ty=4.83 Tz=27.71 Mx=-0.01 Mz=1.02
Sollecitazioni agenti localmente: Ty_l=-2451.86 My_l=-50.27
Tensioni nella sezione: σ=609.32 τ=74.30
CC 23 SLV (Collegamento -044_-376)
Azioni sul collegamento: N=-13808.10 Ty=12.58 Tz=27.71 Mx=-0.01 Mz=7.43
Sollecitazioni agenti localmente: Ty_l=-2477.34 My_l=-50.83
Tensioni nella sezione: σ=616.08 τ=75.07
CC 23 SLV (Collegamento -044_-376)
Azioni sul collegamento: N=-13808.10 Ty=4.83 Tz=-1.56 Mx=-0.01 Mz=1.02
Sollecitazioni agenti localmente: Ty_l=-2451.86 My_l=-50.27
Tensioni nella sezione: σ=609.32 τ=74.30
CC 23 SLV (Collegamento -044_-376)
Azioni sul collegamento: N=-13808.10 Ty=12.58 Tz=-1.56 Mx=-0.01 Mz=7.43
Sollecitazioni agenti localmente: Ty_l=-2477.34 My_l=-50.83
Tensioni nella sezione: σ=616.08 τ=75.07
CC 23 SLV (Collegamento -044_-376)
Azioni sul collegamento: N=-5965.51 Ty=4.83 Tz=27.71 Mx=-0.01 Mz=1.02
Sollecitazioni agenti localmente: Ty_l=-1061.58 My_l=-21.77
Tensioni nella sezione: σ=263.86 τ=32.17
CC 23 SLV (Collegamento -044_-376)
Azioni sul collegamento: N=-5965.51 Ty=12.58 Tz=27.71 Mx=-0.01 Mz=7.43
Sollecitazioni agenti localmente: Ty_l=-1087.06 My_l=-22.33
Tensioni nella sezione: σ=270.62 τ=32.94
CC 23 SLV (Collegamento -044_-376)
Azioni sul collegamento: N=-5965.51 Ty=4.83 Tz=-1.56 Mx=-0.01 Mz=1.02
Sollecitazioni agenti localmente: Ty_l=-1061.58 My_l=-21.77
Tensioni nella sezione: σ=263.86 τ=32.17
CC 23 SLV (Collegamento -044_-376)
Azioni sul collegamento: N=-5965.51 Ty=12.58 Tz=-1.56 Mx=-0.01 Mz=7.43
Sollecitazioni agenti localmente: Ty_l=-1087.06 My_l=-22.33

Tensioni nella sezione: σ=270.62 τ=32.94
CC 24 SLD (Collegamento -044_-376)
Azioni sul collegamento: N=-11180.10 Ty=8.45 Tz=17.92 Mx=-0.00 Mz=5.38
Sollecitazioni agenti localmente: Ty_l=-2003.35 My_l=-41.10
Tensioni nella sezione: σ=498.17 τ=60.71
CC 24 SLD (Collegamento -044_-376)
Azioni sul collegamento: N=-11180.10 Ty=10.81 Tz=17.92 Mx=-0.00 Mz=7.34
Sollecitazioni agenti localmente: Ty_l=-2011.12 My_l=-41.27
Tensioni nella sezione: σ=500.23 τ=60.94
CC 24 SLD (Collegamento -044_-376)
Azioni sul collegamento: N=-11180.10 Ty=8.45 Tz=9.00 Mx=-0.00 Mz=5.38
Sollecitazioni agenti localmente: Ty_l=-2003.35 My_l=-41.10
Tensioni nella sezione: σ=498.17 τ=60.71
CC 24 SLD (Collegamento -044_-376)
Azioni sul collegamento: N=-11180.10 Ty=10.81 Tz=9.00 Mx=-0.00 Mz=7.34
Sollecitazioni agenti localmente: Ty_l=-2011.12 My_l=-41.27
Tensioni nella sezione: σ=500.23 τ=60.94
CC 24 SLD (Collegamento -044_-376)
Azioni sul collegamento: N=-8788.68 Ty=8.45 Tz=17.92 Mx=-0.00 Mz=5.38
Sollecitazioni agenti localmente: Ty_l=-1579.41 My_l=-32.41
Tensioni nella sezione: σ=392.82 τ=47.86
CC 24 SLD (Collegamento -044_-376)
Azioni sul collegamento: N=-8788.68 Ty=10.81 Tz=17.92 Mx=-0.00 Mz=7.34
Sollecitazioni agenti localmente: Ty_l=-1587.18 My_l=-32.58
Tensioni nella sezione: σ=394.88 τ=48.10
CC 24 SLD (Collegamento -044_-376)
Azioni sul collegamento: N=-8788.68 Ty=8.45 Tz=9.00 Mx=-0.00 Mz=5.38
Sollecitazioni agenti localmente: Ty_l=-1579.41 My_l=-32.41
Tensioni nella sezione: σ=392.82 τ=47.86
CC 24 SLD (Collegamento -044_-376)
Azioni sul collegamento: N=-8788.68 Ty=10.81 Tz=9.00 Mx=-0.00 Mz=7.34
Sollecitazioni agenti localmente: Ty_l=-1587.18 My_l=-32.58
Tensioni nella sezione: σ=394.88 τ=48.10
CC 25 SLV (Collegamento -044_-376)
Azioni sul collegamento: N=-8703.02 Ty=10.65 Tz=8.19 Mx=-0.02 Mz=6.77
Sollecitazioni agenti localmente: Ty_l=-1569.74 My_l=-32.22
Tensioni nella sezione: σ=390.51 τ=47.57
CC 25 SLV (Collegamento -044_-376)
Azioni sul collegamento: N=-8703.02 Ty=6.76 Tz=8.19 Mx=-0.02 Mz=1.67
Sollecitazioni agenti localmente: Ty_l=-1549.46 My_l=-31.77
Tensioni nella sezione: σ=385.13 τ=46.95
CC 25 SLV (Collegamento -044_-376)
Azioni sul collegamento: N=-8703.02 Ty=10.65 Tz=17.96 Mx=-0.02 Mz=6.77
Sollecitazioni agenti localmente: Ty_l=-1569.74 My_l=-32.22
Tensioni nella sezione: σ=390.51 τ=47.57
CC 25 SLV (Collegamento -044_-376)
Azioni sul collegamento: N=-8703.02 Ty=6.76 Tz=17.96 Mx=-0.02 Mz=1.67
Sollecitazioni agenti localmente: Ty_l=-1549.46 My_l=-31.77
Tensioni nella sezione: σ=385.13 τ=46.95
CC 25 SLV (Collegamento -044_-376)
Azioni sul collegamento: N=-11070.60 Ty=10.65 Tz=8.19 Mx=-0.02 Mz=6.77
Sollecitazioni agenti localmente: Ty_l=-1989.46 My_l=-40.82
Tensioni nella sezione: σ=494.81 τ=60.29
CC 25 SLV (Collegamento -044_-376)
Azioni sul collegamento: N=-11070.60 Ty=6.76 Tz=8.19 Mx=-0.02 Mz=1.67
Sollecitazioni agenti localmente: Ty_l=-1969.18 My_l=-40.38
Tensioni nella sezione: σ=489.42 τ=59.67
CC 25 SLV (Collegamento -044_-376)
Azioni sul collegamento: N=-11070.60 Ty=10.65 Tz=17.96 Mx=-0.02 Mz=6.77
Sollecitazioni agenti localmente: Ty_l=-1989.46 My_l=-40.82
Tensioni nella sezione: σ=494.81 τ=60.29
CC 25 SLV (Collegamento -044_-376)
Azioni sul collegamento: N=-11070.60 Ty=6.76 Tz=17.96 Mx=-0.02 Mz=1.67
Sollecitazioni agenti localmente: Ty_l=-1969.18 My_l=-40.38
Tensioni nella sezione: σ=489.42 τ=59.67
CC 26 SLD (Collegamento -044_-376)
Azioni sul collegamento: N=-9623.43 Ty=10.22 Tz=11.97 Mx=-0.00 Mz=7.14
Sollecitazioni agenti localmente: Ty_l=-1734.36 My_l=-35.59
Tensioni nella sezione: σ=431.44 τ=52.56
CC 26 SLD (Collegamento -044_-376)
Azioni sul collegamento: N=-9623.43 Ty=9.04 Tz=11.97 Mx=-0.00 Mz=5.58
Sollecitazioni agenti localmente: Ty_l=-1728.18 My_l=-35.46
Tensioni nella sezione: σ=429.80 τ=52.37
CC 26 SLD (Collegamento -044_-376)
Azioni sul collegamento: N=-9623.43 Ty=10.22 Tz=14.95 Mx=-0.00 Mz=7.14
Sollecitazioni agenti localmente: Ty_l=-1734.36 My_l=-35.59
Tensioni nella sezione: σ=431.44 τ=52.56
CC 26 SLD (Collegamento -044_-376)
Azioni sul collegamento: N=-9623.43 Ty=9.04 Tz=14.95 Mx=-0.00 Mz=5.58
Sollecitazioni agenti localmente: Ty_l=-1728.18 My_l=-35.46

Tensioni nella sezione: σ=429.80 τ=52.37
CC 26 SLD (Collegamento -044_-376)
Azioni sul collegamento: N=-10345.40 Ty=10.22 Tz=11.97 Mx=-0.00 Mz=7.14
Sollecitazioni agenti localmente: Ty_l=-1862.35 My_l=-38.22
Tensioni nella sezione: σ=463.25 τ=56.43
CC 26 SLD (Collegamento -044_-376)
Azioni sul collegamento: N=-10345.40 Ty=9.04 Tz=11.97 Mx=-0.00 Mz=5.58
Sollecitazioni agenti localmente: Ty_l=-1856.16 My_l=-38.08
Tensioni nella sezione: σ=461.61 τ=56.25
CC 26 SLD (Collegamento -044_-376)
Azioni sul collegamento: N=-10345.40 Ty=10.22 Tz=14.95 Mx=-0.00 Mz=7.14
Sollecitazioni agenti localmente: Ty_l=-1862.35 My_l=-38.22
Tensioni nella sezione: σ=463.25 τ=56.43
CC 26 SLD (Collegamento -044_-376)
Azioni sul collegamento: N=-10345.40 Ty=9.04 Tz=14.95 Mx=-0.00 Mz=5.58
Sollecitazioni agenti localmente: Ty_l=-1856.16 My_l=-38.08
Tensioni nella sezione: σ=461.61 τ=56.25
CC 27 SLV (Collegamento -044_-376)
Azioni sul collegamento: N=-11054.30 Ty=8.48 Tz=16.87 Mx=-0.02 Mz=5.16
Sollecitazioni agenti localmente: Ty_l=-1980.17 My_l=-40.62
Tensioni nella sezione: σ=492.39 τ=60.01
CC 27 SLV (Collegamento -044_-376)
Azioni sul collegamento: N=-11054.30 Ty=8.94 Tz=16.87 Mx=-0.02 Mz=3.28
Sollecitazioni agenti localmente: Ty_l=-1972.68 My_l=-40.46
Tensioni nella sezione: σ=490.40 τ=59.78
CC 27 SLV (Collegamento -044_-376)
Azioni sul collegamento: N=-11054.30 Ty=8.48 Tz=9.28 Mx=-0.02 Mz=5.16
Sollecitazioni agenti localmente: Ty_l=-1980.17 My_l=-40.62
Tensioni nella sezione: σ=492.39 τ=60.01
CC 27 SLV (Collegamento -044_-376)
Azioni sul collegamento: N=-11054.30 Ty=8.94 Tz=9.28 Mx=-0.02 Mz=3.28
Sollecitazioni agenti localmente: Ty_l=-1972.68 My_l=-40.46
Tensioni nella sezione: σ=490.40 τ=59.78
CC 27 SLV (Collegamento -044_-376)
Azioni sul collegamento: N=-8719.31 Ty=8.48 Tz=16.87 Mx=-0.02 Mz=5.16
Sollecitazioni agenti localmente: Ty_l=-1566.24 My_l=-32.14
Tensioni nella sezione: σ=389.54 τ=47.46
CC 27 SLV (Collegamento -044_-376)
Azioni sul collegamento: N=-8719.31 Ty=8.94 Tz=16.87 Mx=-0.02 Mz=3.28
Sollecitazioni agenti localmente: Ty_l=-1558.74 My_l=-31.97
Tensioni nella sezione: σ=387.55 τ=47.23
CC 27 SLV (Collegamento -044_-376)
Azioni sul collegamento: N=-8719.31 Ty=8.48 Tz=9.28 Mx=-0.02 Mz=5.16
Sollecitazioni agenti localmente: Ty_l=-1566.24 My_l=-32.14
Tensioni nella sezione: σ=389.54 τ=47.46
CC 27 SLV (Collegamento -044_-376)
Azioni sul collegamento: N=-8719.31 Ty=8.94 Tz=9.28 Mx=-0.02 Mz=3.28
Sollecitazioni agenti localmente: Ty_l=-1558.74 My_l=-31.97
Tensioni nella sezione: σ=387.55 τ=47.23
CC 28 SLD (Collegamento -044_-376)
Azioni sul collegamento: N=-10340.40 Ty=9.56 Tz=14.62 Mx=-0.00 Mz=6.65
Sollecitazioni agenti localmente: Ty_l=-1859.52 My_l=-38.16
Tensioni nella sezione: σ=462.51 τ=56.35
CC 28 SLD (Collegamento -044_-376)
Azioni sul collegamento: N=-10340.40 Ty=9.70 Tz=14.62 Mx=-0.00 Mz=6.07
Sollecitazioni agenti localmente: Ty_l=-1857.23 My_l=-38.11
Tensioni nella sezione: σ=461.90 τ=56.28
CC 28 SLD (Collegamento -044_-376)
Azioni sul collegamento: N=-10340.40 Ty=9.56 Tz=12.30 Mx=-0.00 Mz=6.65
Sollecitazioni agenti localmente: Ty_l=-1859.52 My_l=-38.16
Tensioni nella sezione: σ=462.51 τ=56.35
CC 28 SLD (Collegamento -044_-376)
Azioni sul collegamento: N=-10340.40 Ty=9.70 Tz=12.30 Mx=-0.00 Mz=6.07
Sollecitazioni agenti localmente: Ty_l=-1857.23 My_l=-38.11
Tensioni nella sezione: σ=461.90 τ=56.28
CC 28 SLD (Collegamento -044_-376)
Azioni sul collegamento: N=-9628.40 Ty=9.56 Tz=14.62 Mx=-0.00 Mz=6.65
Sollecitazioni agenti localmente: Ty_l=-1733.30 My_l=-35.57
Tensioni nella sezione: σ=431.15 τ=52.52
CC 28 SLD (Collegamento -044_-376)
Azioni sul collegamento: N=-9628.40 Ty=9.70 Tz=14.62 Mx=-0.00 Mz=6.07
Sollecitazioni agenti localmente: Ty_l=-1731.01 My_l=-35.52
Tensioni nella sezione: σ=430.54 τ=52.45
CC 28 SLD (Collegamento -044_-376)
Azioni sul collegamento: N=-9628.40 Ty=9.56 Tz=12.30 Mx=-0.00 Mz=6.65
Sollecitazioni agenti localmente: Ty_l=-1733.30 My_l=-35.57
Tensioni nella sezione: σ=431.15 τ=52.52
CC 28 SLD (Collegamento -044_-376)
Azioni sul collegamento: N=-9628.40 Ty=9.70 Tz=12.30 Mx=-0.00 Mz=6.07
Sollecitazioni agenti localmente: Ty_l=-1731.01 My_l=-35.52

Tensioni nella sezione: σ=430.54 τ=52.45
CC 29 SLV (Collegamento -044_-376)
Azioni sul collegamento: N=-8719.31 Ty=8.94 Tz=9.28 Mx=-0.00 Mz=3.28
Sollecitazioni agenti localmente: Ty_l=-1558.74 My_l=-31.97
Tensioni nella sezione: σ=387.55 τ=47.23
CC 29 SLV (Collegamento -044_-376)
Azioni sul collegamento: N=-8719.31 Ty=8.48 Tz=9.28 Mx=-0.00 Mz=5.16
Sollecitazioni agenti localmente: Ty_l=-1566.24 My_l=-32.14
Tensioni nella sezione: σ=389.54 τ=47.46
CC 29 SLV (Collegamento -044_-376)
Azioni sul collegamento: N=-8719.31 Ty=8.94 Tz=16.87 Mx=-0.00 Mz=3.28
Sollecitazioni agenti localmente: Ty_l=-1558.74 My_l=-31.97
Tensioni nella sezione: σ=387.55 τ=47.23
CC 29 SLV (Collegamento -044_-376)
Azioni sul collegamento: N=-8719.31 Ty=8.48 Tz=16.87 Mx=-0.00 Mz=5.16
Sollecitazioni agenti localmente: Ty_l=-1566.24 My_l=-32.14
Tensioni nella sezione: σ=389.54 τ=47.46
CC 29 SLV (Collegamento -044_-376)
Azioni sul collegamento: N=-11054.30 Ty=8.94 Tz=9.28 Mx=-0.00 Mz=3.28
Sollecitazioni agenti localmente: Ty_l=-1972.68 My_l=-40.46
Tensioni nella sezione: σ=490.40 τ=59.78
CC 29 SLV (Collegamento -044_-376)
Azioni sul collegamento: N=-11054.30 Ty=8.48 Tz=9.28 Mx=-0.00 Mz=5.16
Sollecitazioni agenti localmente: Ty_l=-1980.17 My_l=-40.62
Tensioni nella sezione: σ=492.39 τ=60.01
CC 29 SLV (Collegamento -044_-376)
Azioni sul collegamento: N=-11054.30 Ty=8.94 Tz=16.87 Mx=-0.00 Mz=3.28
Sollecitazioni agenti localmente: Ty_l=-1972.68 My_l=-40.46
Tensioni nella sezione: σ=490.40 τ=59.78
CC 29 SLV (Collegamento -044_-376)
Azioni sul collegamento: N=-11054.30 Ty=8.48 Tz=16.87 Mx=-0.00 Mz=5.16
Sollecitazioni agenti localmente: Ty_l=-1980.17 My_l=-40.62
Tensioni nella sezione: σ=492.39 τ=60.01
CC 30 SLD (Collegamento -044_-376)
Azioni sul collegamento: N=-9628.40 Ty=9.70 Tz=12.30 Mx=0.00 Mz=6.07
Sollecitazioni agenti localmente: Ty_l=-1731.01 My_l=-35.52
Tensioni nella sezione: σ=430.54 τ=52.45
CC 30 SLD (Collegamento -044_-376)
Azioni sul collegamento: N=-9628.40 Ty=9.56 Tz=12.30 Mx=0.00 Mz=6.65
Sollecitazioni agenti localmente: Ty_l=-1733.30 My_l=-35.57
Tensioni nella sezione: σ=431.15 τ=52.52
CC 30 SLD (Collegamento -044_-376)
Azioni sul collegamento: N=-9628.40 Ty=9.70 Tz=14.62 Mx=0.00 Mz=6.07
Sollecitazioni agenti localmente: Ty_l=-1731.01 My_l=-35.52
Tensioni nella sezione: σ=430.54 τ=52.45
CC 30 SLD (Collegamento -044_-376)
Azioni sul collegamento: N=-9628.40 Ty=9.56 Tz=14.62 Mx=0.00 Mz=6.65
Sollecitazioni agenti localmente: Ty_l=-1733.30 My_l=-35.57
Tensioni nella sezione: σ=431.15 τ=52.52
CC 30 SLD (Collegamento -044_-376)
Azioni sul collegamento: N=-10340.40 Ty=9.70 Tz=12.30 Mx=0.00 Mz=6.07
Sollecitazioni agenti localmente: Ty_l=-1857.23 My_l=-38.11
Tensioni nella sezione: σ=461.90 τ=56.28
CC 30 SLD (Collegamento -044_-376)
Azioni sul collegamento: N=-10340.40 Ty=9.56 Tz=12.30 Mx=0.00 Mz=6.65
Sollecitazioni agenti localmente: Ty_l=-1859.52 My_l=-38.16
Tensioni nella sezione: σ=462.51 τ=56.35
CC 30 SLD (Collegamento -044_-376)
Azioni sul collegamento: N=-10340.40 Ty=9.70 Tz=14.62 Mx=0.00 Mz=6.07
Sollecitazioni agenti localmente: Ty_l=-1857.23 My_l=-38.11
Tensioni nella sezione: σ=461.90 τ=56.28
CC 30 SLD (Collegamento -044_-376)
Azioni sul collegamento: N=-10340.40 Ty=9.56 Tz=14.62 Mx=0.00 Mz=6.65
Sollecitazioni agenti localmente: Ty_l=-1859.52 My_l=-38.16
Tensioni nella sezione: σ=462.51 τ=56.35
CC 31 SLV (Collegamento -044_-376)
Azioni sul collegamento: N=-11070.60 Ty=6.76 Tz=17.96 Mx=-0.00 Mz=1.67
Sollecitazioni agenti localmente: Ty_l=-1969.18 My_l=-40.38
Tensioni nella sezione: σ=489.42 τ=59.67
CC 31 SLV (Collegamento -044_-376)
Azioni sul collegamento: N=-11070.60 Ty=10.65 Tz=17.96 Mx=-0.00 Mz=6.77
Sollecitazioni agenti localmente: Ty_l=-1989.46 My_l=-40.82
Tensioni nella sezione: σ=494.81 τ=60.29
CC 31 SLV (Collegamento -044_-376)
Azioni sul collegamento: N=-11070.60 Ty=6.76 Tz=8.19 Mx=-0.00 Mz=1.67
Sollecitazioni agenti localmente: Ty_l=-1969.18 My_l=-40.38
Tensioni nella sezione: σ=489.42 τ=59.67
CC 31 SLV (Collegamento -044_-376)
Azioni sul collegamento: N=-11070.60 Ty=10.65 Tz=8.19 Mx=-0.00 Mz=6.77
Sollecitazioni agenti localmente: Ty_l=-1989.46 My_l=-40.82

Tensioni nella sezione: σ=494.81 τ=60.29
CC 31 SLV (Collegamento -044_-376)
Azioni sul collegamento: N=-8703.02 Ty=6.76 Tz=17.96 Mx=-0.00 Mz=1.67
Sollecitazioni agenti localmente: Ty_l=-1549.46 My_l=-31.77
Tensioni nella sezione: σ=385.13 τ=46.95
CC 31 SLV (Collegamento -044_-376)
Azioni sul collegamento: N=-8703.02 Ty=10.65 Tz=17.96 Mx=-0.00 Mz=6.77
Sollecitazioni agenti localmente: Ty_l=-1569.74 My_l=-32.22
Tensioni nella sezione: σ=390.51 τ=47.57
CC 31 SLV (Collegamento -044_-376)
Azioni sul collegamento: N=-8703.02 Ty=6.76 Tz=8.19 Mx=-0.00 Mz=1.67
Sollecitazioni agenti localmente: Ty_l=-1549.46 My_l=-31.77
Tensioni nella sezione: σ=385.13 τ=46.95
CC 31 SLV (Collegamento -044_-376)
Azioni sul collegamento: N=-8703.02 Ty=10.65 Tz=8.19 Mx=-0.00 Mz=6.77
Sollecitazioni agenti localmente: Ty_l=-1569.74 My_l=-32.22
Tensioni nella sezione: σ=390.51 τ=47.57
CC 32 SLD (Collegamento -044_-376)
Azioni sul collegamento: N=-10345.40 Ty=9.04 Tz=14.95 Mx=0.00 Mz=5.58
Sollecitazioni agenti localmente: Ty_l=-1856.16 My_l=-38.08
Tensioni nella sezione: σ=461.61 τ=56.25
CC 32 SLD (Collegamento -044_-376)
Azioni sul collegamento: N=-10345.40 Ty=10.22 Tz=14.95 Mx=0.00 Mz=7.14
Sollecitazioni agenti localmente: Ty_l=-1862.35 My_l=-38.22
Tensioni nella sezione: σ=463.25 τ=56.43
CC 32 SLD (Collegamento -044_-376)
Azioni sul collegamento: N=-10345.40 Ty=9.04 Tz=11.97 Mx=0.00 Mz=5.58
Sollecitazioni agenti localmente: Ty_l=-1856.16 My_l=-38.08
Tensioni nella sezione: σ=461.61 τ=56.25
CC 32 SLD (Collegamento -044_-376)
Azioni sul collegamento: N=-10345.40 Ty=10.22 Tz=11.97 Mx=0.00 Mz=7.14
Sollecitazioni agenti localmente: Ty_l=-1862.35 My_l=-38.22
Tensioni nella sezione: σ=463.25 τ=56.43
CC 32 SLD (Collegamento -044_-376)
Azioni sul collegamento: N=-9623.43 Ty=9.04 Tz=14.95 Mx=0.00 Mz=5.58
Sollecitazioni agenti localmente: Ty_l=-1728.18 My_l=-35.46
Tensioni nella sezione: σ=429.80 τ=52.37
CC 32 SLD (Collegamento -044_-376)
Azioni sul collegamento: N=-9623.43 Ty=10.22 Tz=14.95 Mx=0.00 Mz=7.14
Sollecitazioni agenti localmente: Ty_l=-1734.36 My_l=-35.59
Tensioni nella sezione: σ=431.44 τ=52.56
CC 32 SLD (Collegamento -044_-376)
Azioni sul collegamento: N=-9623.43 Ty=9.04 Tz=11.97 Mx=0.00 Mz=5.58
Sollecitazioni agenti localmente: Ty_l=-1728.18 My_l=-35.46
Tensioni nella sezione: σ=429.80 τ=52.37
CC 32 SLD (Collegamento -044_-376)
Azioni sul collegamento: N=-9623.43 Ty=10.22 Tz=11.97 Mx=0.00 Mz=7.14
Sollecitazioni agenti localmente: Ty_l=-1734.36 My_l=-35.59
Tensioni nella sezione: σ=431.44 τ=52.56
CC 33 SLU (Collegamento -044_-376)
Azioni sul collegamento: N=-37458.50 Ty=20.96 Tz=106.28 Mx=0.00 Mz=15.40
Sollecitazioni agenti localmente: Ty_l=-6701.62 My_l=-137.47
Tensioni nella sezione: σ=1666.29 τ=203.08
CC 34 SLU (Collegamento -044_-376)
Azioni sul collegamento: N=-36642.60 Ty=20.20 Tz=103.27 Mx=0.00 Mz=14.84
Sollecitazioni agenti localmente: Ty_l=-6554.75 My_l=-134.46
Tensioni nella sezione: σ=1629.76 τ=198.63
CC 35 SLU (Collegamento -044_-376)
Azioni sul collegamento: N=-37049.70 Ty=20.49 Tz=104.83 Mx=0.01 Mz=14.94
Sollecitazioni agenti localmente: Ty_l=-6627.30 My_l=-135.94
Tensioni nella sezione: σ=1647.79 τ=200.83
CC 36 SLU (Collegamento -044_-376)
Azioni sul collegamento: N=-37051.40 Ty=20.67 Tz=104.72 Mx=0.00 Mz=15.30
Sollecitazioni agenti localmente: Ty_l=-6629.07 My_l=-135.98
Tensioni nella sezione: σ=1648.26 τ=200.88
CC 37 SLU (Collegamento -044_-376)
Azioni sul collegamento: N=-28275.70 Ty=20.11 Tz=72.57 Mx=0.00 Mz=14.65
Sollecitazioni agenti localmente: Ty_l=-5070.78 My_l=-104.03
Tensioni nella sezione: σ=1261.00 τ=153.66
CC 38 SLU (Collegamento -044_-376)
Azioni sul collegamento: N=-27459.70 Ty=19.36 Tz=69.55 Mx=0.00 Mz=14.09
Sollecitazioni agenti localmente: Ty_l=-4923.91 My_l=-101.02
Tensioni nella sezione: σ=1224.47 τ=149.21
CC 39 SLU (Collegamento -044_-376)
Azioni sul collegamento: N=-27866.80 Ty=19.65 Tz=71.12 Mx=0.01 Mz=14.19
Sollecitazioni agenti localmente: Ty_l=-4996.46 My_l=-102.51
Tensioni nella sezione: σ=1242.50 τ=151.41
CC 40 SLU (Collegamento -044_-376)
Azioni sul collegamento: N=-27868.60 Ty=19.82 Tz=71.00 Mx=0.00 Mz=14.55
Sollecitazioni agenti localmente: Ty_l=-4998.22 My_l=-102.55

Tensioni nella sezione: σ=1242.97 τ=151.46
CC 41 SLU (Collegamento -044_-376)
Azioni sul collegamento: N=-30676.20 Ty=-9.89 Tz=80.85 Mx=0.00 Mz=-7.99
Sollecitazioni agenti localmente: Ty_l=-5406.30 My_l=-110.78
Tensioni nella sezione: σ=1342.84 τ=163.83
CC 42 SLU (Collegamento -044_-376)
Azioni sul collegamento: N=-29860.20 Ty=-10.64 Tz=77.84 Mx=0.00 Mz=-8.54
Sollecitazioni agenti localmente: Ty_l=-5259.43 My_l=-107.77
Tensioni nella sezione: σ=1306.31 τ=159.38
CC 43 SLU (Collegamento -044_-376)
Azioni sul collegamento: N=-30267.40 Ty=-10.35 Tz=79.40 Mx=0.01 Mz=-8.45
Sollecitazioni agenti localmente: Ty_l=-5331.98 My_l=-109.26
Tensioni nella sezione: σ=1324.35 τ=161.57
CC 44 SLU (Collegamento -044_-376)
Azioni sul collegamento: N=-30269.10 Ty=-10.18 Tz=79.28 Mx=0.00 Mz=-8.08
Sollecitazioni agenti localmente: Ty_l=-5333.74 My_l=-109.30
Tensioni nella sezione: σ=1324.81 τ=161.63
CC 45 SLU (Collegamento -044_-376)
Azioni sul collegamento: N=-30295.00 Ty=20.33 Tz=79.99 Mx=0.00 Mz=14.94
Sollecitazioni agenti localmente: Ty_l=-5429.90 My_l=-111.40
Tensioni nella sezione: σ=1350.26 τ=164.54
CC 46 SLU (Collegamento -044_-376)
Azioni sul collegamento: N=-29479.00 Ty=19.57 Tz=76.97 Mx=0.00 Mz=14.38
Sollecitazioni agenti localmente: Ty_l=-5283.03 My_l=-108.38
Tensioni nella sezione: σ=1313.72 τ=160.09
CC 47 SLU (Collegamento -044_-376)
Azioni sul collegamento: N=-29886.10 Ty=19.86 Tz=78.54 Mx=0.00 Mz=14.48
Sollecitazioni agenti localmente: Ty_l=-5355.58 My_l=-109.87
Tensioni nella sezione: σ=1331.76 τ=162.29
CC 48 SLU (Collegamento -044_-376)
Azioni sul collegamento: N=-29887.90 Ty=20.04 Tz=78.42 Mx=0.00 Mz=14.84
Sollecitazioni agenti localmente: Ty_l=-5357.35 My_l=-109.91
Tensioni nella sezione: σ=1332.22 τ=162.34
CC 49 SLU (Collegamento -044_-376)
Azioni sul collegamento: N=-23424.90 Ty=19.70 Tz=54.76 Mx=0.00 Mz=14.38
Sollecitazioni agenti localmente: Ty_l=-4209.79 My_l=-86.38
Tensioni nella sezione: σ=1047.04 τ=127.57
CC 50 SLU (Collegamento -044_-376)
Azioni sul collegamento: N=-22608.90 Ty=18.94 Tz=51.75 Mx=0.00 Mz=13.82
Sollecitazioni agenti localmente: Ty_l=-4062.92 My_l=-83.37
Tensioni nella sezione: σ=1010.51 τ=123.12
CC 51 SLU (Collegamento -044_-376)
Azioni sul collegamento: N=-23016.00 Ty=19.23 Tz=53.31 Mx=0.00 Mz=13.92
Sollecitazioni agenti localmente: Ty_l=-4135.47 My_l=-84.85
Tensioni nella sezione: σ=1028.54 τ=125.32
CC 52 SLU (Collegamento -044_-376)
Azioni sul collegamento: N=-23017.80 Ty=19.41 Tz=53.20 Mx=0.00 Mz=14.28
Sollecitazioni agenti localmente: Ty_l=-4137.24 My_l=-84.89
Tensioni nella sezione: σ=1029.00 τ=125.37
CC 53 SLU (Collegamento -044_-376)
Azioni sul collegamento: N=-25220.90 Ty=-2.75 Tz=60.96 Mx=0.00 Mz=-2.55
Sollecitazioni agenti localmente: Ty_l=-4460.81 My_l=-91.43
Tensioni nella sezione: σ=1108.27 τ=135.18
CC 54 SLU (Collegamento -044_-376)
Azioni sul collegamento: N=-24404.90 Ty=-3.50 Tz=57.94 Mx=0.00 Mz=-3.11
Sollecitazioni agenti localmente: Ty_l=-4313.94 My_l=-88.42
Tensioni nella sezione: σ=1071.74 τ=130.72
CC 55 SLU (Collegamento -044_-376)
Azioni sul collegamento: N=-24812.00 Ty=-3.21 Tz=59.51 Mx=0.00 Mz=-3.02
Sollecitazioni agenti localmente: Ty_l=-4386.49 My_l=-89.91
Tensioni nella sezione: σ=1089.77 τ=132.92
CC 56 SLU (Collegamento -044_-376)
Azioni sul collegamento: N=-24813.70 Ty=-3.04 Tz=59.39 Mx=0.00 Mz=-2.65
Sollecitazioni agenti localmente: Ty_l=-4388.25 My_l=-89.94
Tensioni nella sezione: σ=1090.24 τ=132.98
CC 57 SLU (Collegamento -044_-376)
Azioni sul collegamento: N=-28074.70 Ty=18.58 Tz=71.81 Mx=0.00 Mz=13.65
Sollecitazioni agenti localmente: Ty_l=-5031.17 My_l=-103.22
Tensioni nella sezione: σ=1251.09 τ=152.46
CC 58 SLU (Collegamento -044_-376)
Azioni sul collegamento: N=-27258.70 Ty=17.82 Tz=68.80 Mx=0.00 Mz=13.09
Sollecitazioni agenti localmente: Ty_l=-4884.30 My_l=-100.20
Tensioni nella sezione: σ=1214.56 τ=148.01
CC 59 SLU (Collegamento -044_-376)
Azioni sul collegamento: N=-27665.80 Ty=18.11 Tz=70.37 Mx=0.00 Mz=13.19
Sollecitazioni agenti localmente: Ty_l=-4956.86 My_l=-101.69
Tensioni nella sezione: σ=1232.59 τ=150.21
CC 60 SLU (Collegamento -044_-376)
Azioni sul collegamento: N=-27667.60 Ty=18.29 Tz=70.25 Mx=0.00 Mz=13.55
Sollecitazioni agenti localmente: Ty_l=-4958.62 My_l=-101.73

Tensioni nella sezione: σ=1233.06 τ=150.26
CC 61 SLU (Collegamento -044_-376)
Azioni sul collegamento: N=-21204.60 Ty=17.94 Tz=46.59 Mx=0.00 Mz=13.09
Sollecitazioni agenti localmente: Ty_l=-3811.06 My_l=-78.20
Tensioni nella sezione: σ=947.88 τ=115.49
CC 62 SLU (Collegamento -044_-376)
Azioni sul collegamento: N=-20388.60 Ty=17.19 Tz=43.58 Mx=0.00 Mz=12.53
Sollecitazioni agenti localmente: Ty_l=-3664.19 My_l=-75.19
Tensioni nella sezione: σ=911.34 τ=111.04
CC 63 SLU (Collegamento -044_-376)
Azioni sul collegamento: N=-20795.70 Ty=17.48 Tz=45.14 Mx=0.00 Mz=12.63
Sollecitazioni agenti localmente: Ty_l=-3736.75 My_l=-76.67
Tensioni nella sezione: σ=929.38 τ=113.23
CC 64 SLU (Collegamento -044_-376)
Azioni sul collegamento: N=-20797.50 Ty=17.66 Tz=45.03 Mx=0.00 Mz=12.99
Sollecitazioni agenti localmente: Ty_l=-3738.51 My_l=-76.71
Tensioni nella sezione: σ=929.84 τ=113.29
CC 65 SLU (Collegamento -044_-376)
Azioni sul collegamento: N=-23000.50 Ty=-4.50 Tz=52.79 Mx=0.00 Mz=-3.84
Sollecitazioni agenti localmente: Ty_l=-4062.08 My_l=-83.25
Tensioni nella sezione: σ=1009.11 τ=123.09
CC 66 SLU (Collegamento -044_-376)
Azioni sul collegamento: N=-22184.60 Ty=-5.26 Tz=49.77 Mx=0.00 Mz=-4.40
Sollecitazioni agenti localmente: Ty_l=-3915.21 My_l=-80.24
Tensioni nella sezione: σ=972.57 τ=118.64
CC 67 SLU (Collegamento -044_-376)
Azioni sul collegamento: N=-22591.70 Ty=-4.97 Tz=51.34 Mx=0.00 Mz=-4.30
Sollecitazioni agenti localmente: Ty_l=-3987.76 My_l=-81.73
Tensioni nella sezione: σ=990.61 τ=120.84
CC 68 SLU (Collegamento -044_-376)
Azioni sul collegamento: N=-22593.40 Ty=-4.79 Tz=51.22 Mx=0.00 Mz=-3.94
Sollecitazioni agenti localmente: Ty_l=-3989.53 My_l=-81.76
Tensioni nella sezione: σ=991.07 τ=120.89
CC 97 SLU (Collegamento -044_-376)
Azioni sul collegamento: N=-32775.80 Ty=25.16 Tz=97.03 Mx=-0.05 Mz=10.53
Sollecitazioni agenti localmente: Ty_l=-5852.13 My_l=-120.03
Tensioni nella sezione: σ=1454.88 τ=177.34
CC 98 SLU (Collegamento -044_-376)
Azioni sul collegamento: N=-31959.80 Ty=24.41 Tz=94.02 Mx=-0.05 Mz=9.97
Sollecitazioni agenti localmente: Ty_l=-5705.26 My_l=-117.01
Tensioni nella sezione: σ=1418.34 τ=172.89
CC 99 SLU (Collegamento -044_-376)
Azioni sul collegamento: N=-32366.90 Ty=24.69 Tz=95.58 Mx=-0.05 Mz=10.07
Sollecitazioni agenti localmente: Ty_l=-5777.81 My_l=-118.50
Tensioni nella sezione: σ=1436.38 τ=175.09
CC 100 SLU (Collegamento -044_-376)
Azioni sul collegamento: N=-32368.70 Ty=24.87 Tz=95.47 Mx=-0.05 Mz=10.43
Sollecitazioni agenti localmente: Ty_l=-5779.57 My_l=-118.54
Tensioni nella sezione: σ=1436.84 τ=175.14
CC 101 SLU (Collegamento -044_-376)
Azioni sul collegamento: N=-9110.88 Ty=5.97 Tz=10.39 Mx=0.01 Mz=4.99
Sollecitazioni agenti localmente: Ty_l=-1634.96 My_l=-33.54
Tensioni nella sezione: σ=406.60 τ=49.54
CC 102 SLU (Collegamento -044_-376)
Azioni sul collegamento: N=-8294.89 Ty=5.21 Tz=7.37 Mx=0.01 Mz=4.43
Sollecitazioni agenti localmente: Ty_l=-1488.09 My_l=-30.53
Tensioni nella sezione: σ=370.07 τ=45.09
CC 103 SLU (Collegamento -044_-376)
Azioni sul collegamento: N=-8702.00 Ty=5.50 Tz=8.94 Mx=0.01 Mz=4.53
Sollecitazioni agenti localmente: Ty_l=-1560.64 My_l=-32.02
Tensioni nella sezione: σ=388.10 τ=47.29
CC 104 SLU (Collegamento -044_-376)
Azioni sul collegamento: N=-8703.77 Ty=5.68 Tz=8.82 Mx=0.01 Mz=4.89
Sollecitazioni agenti localmente: Ty_l=-1562.40 My_l=-32.06
Tensioni nella sezione: σ=388.56 τ=47.35

Flessione attacco sinistro piastra

Bnetta=220.00 Hnetta=15.00
CC 1 SLV (Collegamento -044_-376)
Azioni sul collegamento: N=-6246.31 Ty=15.25 Tz=-0.46 Mx=0.02 Mz=13.58
Sollecitazioni agenti localmente: Ty_l=-1053.29 My_l=-21.52
Tensioni nella sezione: σ=260.81 τ=31.92
CC 1 SLV (Collegamento -044_-376)
Azioni sul collegamento: N=-6246.31 Ty=7.49 Tz=-0.46 Mx=0.02 Mz=7.17
Sollecitazioni agenti localmente: Ty_l=-1078.77 My_l=-22.07
Tensioni nella sezione: σ=267.57 τ=32.69
CC 1 SLV (Collegamento -044_-376)
Azioni sul collegamento: N=-6246.31 Ty=15.25 Tz=28.82 Mx=0.02 Mz=13.58
Sollecitazioni agenti localmente: Ty_l=-1053.29 My_l=-21.52

Tensioni nella sezione: σ=260.81 τ=31.92
CC 1 SLV (Collegamento -044_-376)
Azioni sul collegamento: N=-6246.31 Ty=7.49 Tz=28.82 Mx=0.02 Mz=7.17
Sollecitazioni agenti localmente: Ty_l=-1078.77 My_l=-22.07
Tensioni nella sezione: σ=267.57 τ=32.69
CC 1 SLV (Collegamento -044_-376)
Azioni sul collegamento: N=-14088.90 Ty=15.25 Tz=-0.46 Mx=0.02 Mz=13.58
Sollecitazioni agenti localmente: Ty_l=-2443.58 My_l=-50.02
Tensioni nella sezione: σ=606.27 τ=74.05
CC 1 SLV (Collegamento -044_-376)
Azioni sul collegamento: N=-14088.90 Ty=7.49 Tz=-0.46 Mx=0.02 Mz=7.17
Sollecitazioni agenti localmente: Ty_l=-2469.06 My_l=-50.58
Tensioni nella sezione: σ=613.04 τ=74.82
CC 1 SLV (Collegamento -044_-376)
Azioni sul collegamento: N=-14088.90 Ty=15.25 Tz=28.82 Mx=0.02 Mz=13.58
Sollecitazioni agenti localmente: Ty_l=-2443.58 My_l=-50.02
Tensioni nella sezione: σ=606.27 τ=74.05
CC 1 SLV (Collegamento -044_-376)
Azioni sul collegamento: N=-14088.90 Ty=7.49 Tz=28.82 Mx=0.02 Mz=7.17
Sollecitazioni agenti localmente: Ty_l=-2469.06 My_l=-50.58
Tensioni nella sezione: σ=613.04 τ=74.82
CC 2 SLD (Collegamento -044_-376)
Azioni sul collegamento: N=-8874.30 Ty=11.63 Tz=9.33 Mx=0.01 Mz=9.21
Sollecitazioni agenti localmente: Ty_l=-1536.52 My_l=-31.45
Tensioni nella sezione: σ=381.18 τ=46.56
CC 2 SLD (Collegamento -044_-376)
Azioni sul collegamento: N=-8874.30 Ty=9.26 Tz=9.33 Mx=0.01 Mz=7.26
Sollecitazioni agenti localmente: Ty_l=-1544.29 My_l=-31.62
Tensioni nella sezione: σ=383.24 τ=46.80
CC 2 SLD (Collegamento -044_-376)
Azioni sul collegamento: N=-8874.30 Ty=11.63 Tz=18.26 Mx=0.01 Mz=9.21
Sollecitazioni agenti localmente: Ty_l=-1536.52 My_l=-31.45
Tensioni nella sezione: σ=381.18 τ=46.56
CC 2 SLD (Collegamento -044_-376)
Azioni sul collegamento: N=-8874.30 Ty=9.26 Tz=18.26 Mx=0.01 Mz=7.26
Sollecitazioni agenti localmente: Ty_l=-1544.29 My_l=-31.62
Tensioni nella sezione: σ=383.24 τ=46.80
CC 2 SLD (Collegamento -044_-376)
Azioni sul collegamento: N=-11265.80 Ty=11.63 Tz=9.33 Mx=0.01 Mz=9.21
Sollecitazioni agenti localmente: Ty_l=-1960.46 My_l=-40.14
Tensioni nella sezione: σ=486.52 τ=59.41
CC 2 SLD (Collegamento -044_-376)
Azioni sul collegamento: N=-11265.80 Ty=9.26 Tz=9.33 Mx=0.01 Mz=7.26
Sollecitazioni agenti localmente: Ty_l=-1968.23 My_l=-40.31
Tensioni nella sezione: σ=488.59 τ=59.64
CC 2 SLD (Collegamento -044_-376)
Azioni sul collegamento: N=-11265.80 Ty=11.63 Tz=18.26 Mx=0.01 Mz=9.21
Sollecitazioni agenti localmente: Ty_l=-1960.47 My_l=-40.14
Tensioni nella sezione: σ=486.52 τ=59.41
CC 2 SLD (Collegamento -044_-376)
Azioni sul collegamento: N=-11265.80 Ty=9.26 Tz=18.26 Mx=0.01 Mz=7.26
Sollecitazioni agenti localmente: Ty_l=-1968.24 My_l=-40.31
Tensioni nella sezione: σ=488.59 τ=59.64
CC 3 SLV (Collegamento -044_-376)
Azioni sul collegamento: N=-6251.19 Ty=14.73 Tz=-0.13 Mx=0.01 Mz=12.53
Sollecitazioni agenti localmente: Ty_l=-1058.32 My_l=-21.63
Tensioni nella sezione: σ=262.13 τ=32.07
CC 3 SLV (Collegamento -044_-376)
Azioni sul collegamento: N=-6251.19 Ty=8.00 Tz=-0.13 Mx=0.01 Mz=8.22
Sollecitazioni agenti localmente: Ty_l=-1075.47 My_l=-22.00
Tensioni nella sezione: σ=266.68 τ=32.59
CC 3 SLV (Collegamento -044_-376)
Azioni sul collegamento: N=-6251.19 Ty=14.73 Tz=28.49 Mx=0.01 Mz=12.53
Sollecitazioni agenti localmente: Ty_l=-1058.32 My_l=-21.63
Tensioni nella sezione: σ=262.13 τ=32.07
CC 3 SLV (Collegamento -044_-376)
Azioni sul collegamento: N=-6251.19 Ty=8.00 Tz=28.49 Mx=0.01 Mz=8.22
Sollecitazioni agenti localmente: Ty_l=-1075.47 My_l=-22.00
Tensioni nella sezione: σ=266.68 τ=32.59
CC 3 SLV (Collegamento -044_-376)
Azioni sul collegamento: N=-14084.10 Ty=14.73 Tz=-0.13 Mx=0.01 Mz=12.53
Sollecitazioni agenti localmente: Ty_l=-2446.88 My_l=-50.09
Tensioni nella sezione: σ=607.17 τ=74.15
CC 3 SLV (Collegamento -044_-376)
Azioni sul collegamento: N=-14084.10 Ty=8.00 Tz=-0.13 Mx=0.01 Mz=8.22
Sollecitazioni agenti localmente: Ty_l=-2464.02 My_l=-50.47
Tensioni nella sezione: σ=611.72 τ=74.67
CC 3 SLV (Collegamento -044_-376)
Azioni sul collegamento: N=-14084.10 Ty=14.73 Tz=28.49 Mx=0.01 Mz=12.53
Sollecitazioni agenti localmente: Ty_l=-2446.88 My_l=-50.09

Tensioni nella sezione: σ=607.17 τ=74.15
CC 3 SLV (Collegamento -044_-376)
Azioni sul collegamento: N=-14084.10 Ty=8.00 Tz=28.49 Mx=0.01 Mz=8.22
Sollecitazioni agenti localmente: Ty_l=-2464.02 My_l=-50.47
Tensioni nella sezione: σ=611.72 τ=74.67
CC 4 SLD (Collegamento -044_-376)
Azioni sul collegamento: N=-8875.79 Ty=11.47 Tz=9.43 Mx=0.01 Mz=8.89
Sollecitazioni agenti localmente: Ty_l=-1538.06 My_l=-31.48
Tensioni nella sezione: σ=381.58 τ=46.61
CC 4 SLD (Collegamento -044_-376)
Azioni sul collegamento: N=-8875.79 Ty=9.42 Tz=9.43 Mx=0.01 Mz=7.58
Sollecitazioni agenti localmente: Ty_l=-1543.29 My_l=-31.60
Tensioni nella sezione: σ=382.97 τ=46.77
CC 4 SLD (Collegamento -044_-376)
Azioni sul collegamento: N=-8875.79 Ty=11.47 Tz=18.16 Mx=0.01 Mz=8.89
Sollecitazioni agenti localmente: Ty_l=-1538.06 My_l=-31.48
Tensioni nella sezione: σ=381.58 τ=46.61
CC 4 SLD (Collegamento -044_-376)
Azioni sul collegamento: N=-8875.79 Ty=9.42 Tz=18.16 Mx=0.01 Mz=7.58
Sollecitazioni agenti localmente: Ty_l=-1543.29 My_l=-31.60
Tensioni nella sezione: σ=382.97 τ=46.77
CC 4 SLD (Collegamento -044_-376)
Azioni sul collegamento: N=-11264.30 Ty=11.47 Tz=9.43 Mx=0.01 Mz=8.89
Sollecitazioni agenti localmente: Ty_l=-1961.47 My_l=-40.16
Tensioni nella sezione: σ=486.80 τ=59.44
CC 4 SLD (Collegamento -044_-376)
Azioni sul collegamento: N=-11264.30 Ty=9.42 Tz=9.43 Mx=0.01 Mz=7.58
Sollecitazioni agenti localmente: Ty_l=-1966.70 My_l=-40.28
Tensioni nella sezione: σ=488.18 τ=59.60
CC 4 SLD (Collegamento -044_-376)
Azioni sul collegamento: N=-11264.30 Ty=11.47 Tz=18.16 Mx=0.01 Mz=8.89
Sollecitazioni agenti localmente: Ty_l=-1961.47 My_l=-40.16
Tensioni nella sezione: σ=486.80 τ=59.44
CC 4 SLD (Collegamento -044_-376)
Azioni sul collegamento: N=-11264.30 Ty=9.42 Tz=18.16 Mx=0.01 Mz=7.58
Sollecitazioni agenti localmente: Ty_l=-1966.70 My_l=-40.28
Tensioni nella sezione: σ=488.18 τ=59.60
CC 5 SLV (Collegamento -044_-376)
Azioni sul collegamento: N=-14084.10 Ty=8.00 Tz=28.49 Mx=0.02 Mz=8.22
Sollecitazioni agenti localmente: Ty_l=-2464.02 My_l=-50.47
Tensioni nella sezione: σ=611.72 τ=74.67
CC 5 SLV (Collegamento -044_-376)
Azioni sul collegamento: N=-14084.10 Ty=14.73 Tz=28.49 Mx=0.02 Mz=12.53
Sollecitazioni agenti localmente: Ty_l=-2446.88 My_l=-50.09
Tensioni nella sezione: σ=607.17 τ=74.15
CC 5 SLV (Collegamento -044_-376)
Azioni sul collegamento: N=-14084.10 Ty=8.00 Tz=-0.13 Mx=0.02 Mz=8.22
Sollecitazioni agenti localmente: Ty_l=-2464.02 My_l=-50.47
Tensioni nella sezione: σ=611.72 τ=74.67
CC 5 SLV (Collegamento -044_-376)
Azioni sul collegamento: N=-14084.10 Ty=14.73 Tz=-0.13 Mx=0.02 Mz=12.53
Sollecitazioni agenti localmente: Ty_l=-2446.88 My_l=-50.09
Tensioni nella sezione: σ=607.17 τ=74.15
CC 5 SLV (Collegamento -044_-376)
Azioni sul collegamento: N=-6251.19 Ty=8.00 Tz=28.49 Mx=0.02 Mz=8.22
Sollecitazioni agenti localmente: Ty_l=-1075.47 My_l=-22.00
Tensioni nella sezione: σ=266.68 τ=32.59
CC 5 SLV (Collegamento -044_-376)
Azioni sul collegamento: N=-6251.19 Ty=14.73 Tz=28.49 Mx=0.02 Mz=12.53
Sollecitazioni agenti localmente: Ty_l=-1058.32 My_l=-21.63
Tensioni nella sezione: σ=262.13 τ=32.07
CC 5 SLV (Collegamento -044_-376)
Azioni sul collegamento: N=-6251.19 Ty=8.00 Tz=-0.13 Mx=0.02 Mz=8.22
Sollecitazioni agenti localmente: Ty_l=-1075.47 My_l=-22.00
Tensioni nella sezione: σ=266.68 τ=32.59
CC 5 SLV (Collegamento -044_-376)
Azioni sul collegamento: N=-6251.19 Ty=14.73 Tz=-0.13 Mx=0.02 Mz=12.53
Sollecitazioni agenti localmente: Ty_l=-1058.32 My_l=-21.63
Tensioni nella sezione: σ=262.13 τ=32.07
CC 6 SLD (Collegamento -044_-376)
Azioni sul collegamento: N=-11264.30 Ty=9.42 Tz=18.16 Mx=0.01 Mz=7.58
Sollecitazioni agenti localmente: Ty_l=-1966.70 My_l=-40.28
Tensioni nella sezione: σ=488.18 τ=59.60
CC 6 SLD (Collegamento -044_-376)
Azioni sul collegamento: N=-11264.30 Ty=11.47 Tz=18.16 Mx=0.01 Mz=8.89
Sollecitazioni agenti localmente: Ty_l=-1961.47 My_l=-40.16
Tensioni nella sezione: σ=486.80 τ=59.44
CC 6 SLD (Collegamento -044_-376)
Azioni sul collegamento: N=-11264.30 Ty=9.42 Tz=9.43 Mx=0.01 Mz=7.58
Sollecitazioni agenti localmente: Ty_l=-1966.70 My_l=-40.28

Tensioni nella sezione: σ=488.18 τ=59.60
CC 6 SLD (Collegamento -044_-376)
Azioni sul collegamento: N=-11264.30 Ty=11.47 Tz=9.43 Mx=0.01 Mz=8.89
Sollecitazioni agenti localmente: Ty_l=-1961.47 My_l=-40.16
Tensioni nella sezione: σ=486.80 τ=59.44
CC 6 SLD (Collegamento -044_-376)
Azioni sul collegamento: N=-8875.79 Ty=9.42 Tz=18.16 Mx=0.01 Mz=7.58
Sollecitazioni agenti localmente: Ty_l=-1543.29 My_l=-31.60
Tensioni nella sezione: σ=382.97 τ=46.77
CC 6 SLD (Collegamento -044_-376)
Azioni sul collegamento: N=-8875.79 Ty=11.47 Tz=18.16 Mx=0.01 Mz=8.89
Sollecitazioni agenti localmente: Ty_l=-1538.06 My_l=-31.48
Tensioni nella sezione: σ=381.58 τ=46.61
CC 6 SLD (Collegamento -044_-376)
Azioni sul collegamento: N=-8875.79 Ty=9.42 Tz=9.43 Mx=0.01 Mz=7.58
Sollecitazioni agenti localmente: Ty_l=-1543.29 My_l=-31.60
Tensioni nella sezione: σ=382.97 τ=46.77
CC 6 SLD (Collegamento -044_-376)
Azioni sul collegamento: N=-8875.79 Ty=11.47 Tz=9.43 Mx=0.01 Mz=8.89
Sollecitazioni agenti localmente: Ty_l=-1538.06 My_l=-31.48
Tensioni nella sezione: σ=381.58 τ=46.61
CC 7 SLV (Collegamento -044_-376)
Azioni sul collegamento: N=-14088.90 Ty=7.49 Tz=28.82 Mx=0.01 Mz=7.17
Sollecitazioni agenti localmente: Ty_l=-2469.06 My_l=-50.58
Tensioni nella sezione: σ=613.04 τ=74.82
CC 7 SLV (Collegamento -044_-376)
Azioni sul collegamento: N=-14088.90 Ty=15.25 Tz=28.82 Mx=0.01 Mz=13.58
Sollecitazioni agenti localmente: Ty_l=-2443.58 My_l=-50.02
Tensioni nella sezione: σ=606.27 τ=74.05
CC 7 SLV (Collegamento -044_-376)
Azioni sul collegamento: N=-14088.90 Ty=7.49 Tz=-0.46 Mx=0.01 Mz=7.17
Sollecitazioni agenti localmente: Ty_l=-2469.06 My_l=-50.58
Tensioni nella sezione: σ=613.04 τ=74.82
CC 7 SLV (Collegamento -044_-376)
Azioni sul collegamento: N=-14088.90 Ty=15.25 Tz=-0.46 Mx=0.01 Mz=13.58
Sollecitazioni agenti localmente: Ty_l=-2443.58 My_l=-50.02
Tensioni nella sezione: σ=606.27 τ=74.05
CC 7 SLV (Collegamento -044_-376)
Azioni sul collegamento: N=-6246.31 Ty=7.49 Tz=28.82 Mx=0.01 Mz=7.17
Sollecitazioni agenti localmente: Ty_l=-1078.77 My_l=-22.07
Tensioni nella sezione: σ=267.57 τ=32.69
CC 7 SLV (Collegamento -044_-376)
Azioni sul collegamento: N=-6246.31 Ty=15.25 Tz=28.82 Mx=0.01 Mz=13.58
Sollecitazioni agenti localmente: Ty_l=-1053.29 My_l=-21.52
Tensioni nella sezione: σ=260.81 τ=31.92
CC 7 SLV (Collegamento -044_-376)
Azioni sul collegamento: N=-6246.31 Ty=7.49 Tz=-0.46 Mx=0.01 Mz=7.17
Sollecitazioni agenti localmente: Ty_l=-1078.77 My_l=-22.07
Tensioni nella sezione: σ=267.57 τ=32.69
CC 7 SLV (Collegamento -044_-376)
Azioni sul collegamento: N=-6246.31 Ty=15.25 Tz=-0.46 Mx=0.01 Mz=13.58
Sollecitazioni agenti localmente: Ty_l=-1053.29 My_l=-21.52
Tensioni nella sezione: σ=260.81 τ=31.92
CC 8 SLD (Collegamento -044_-376)
Azioni sul collegamento: N=-11265.80 Ty=9.26 Tz=18.26 Mx=0.01 Mz=7.26
Sollecitazioni agenti localmente: Ty_l=-1968.24 My_l=-40.31
Tensioni nella sezione: σ=488.59 τ=59.64
CC 8 SLD (Collegamento -044_-376)
Azioni sul collegamento: N=-11265.80 Ty=11.63 Tz=18.26 Mx=0.01 Mz=9.21
Sollecitazioni agenti localmente: Ty_l=-1960.47 My_l=-40.14
Tensioni nella sezione: σ=486.52 τ=59.41
CC 8 SLD (Collegamento -044_-376)
Azioni sul collegamento: N=-11265.80 Ty=9.26 Tz=9.33 Mx=0.01 Mz=7.26
Sollecitazioni agenti localmente: Ty_l=-1968.23 My_l=-40.31
Tensioni nella sezione: σ=488.59 τ=59.64
CC 8 SLD (Collegamento -044_-376)
Azioni sul collegamento: N=-11265.80 Ty=11.63 Tz=9.33 Mx=0.01 Mz=9.21
Sollecitazioni agenti localmente: Ty_l=-1960.46 My_l=-40.14
Tensioni nella sezione: σ=486.52 τ=59.41
CC 8 SLD (Collegamento -044_-376)
Azioni sul collegamento: N=-8874.30 Ty=9.26 Tz=18.26 Mx=0.01 Mz=7.26
Sollecitazioni agenti localmente: Ty_l=-1544.29 My_l=-31.62
Tensioni nella sezione: σ=383.24 τ=46.80
CC 8 SLD (Collegamento -044_-376)
Azioni sul collegamento: N=-8874.30 Ty=11.63 Tz=18.26 Mx=0.01 Mz=9.21
Sollecitazioni agenti localmente: Ty_l=-1536.52 My_l=-31.45
Tensioni nella sezione: σ=381.18 τ=46.56
CC 8 SLD (Collegamento -044_-376)
Azioni sul collegamento: N=-8874.30 Ty=9.26 Tz=9.33 Mx=0.01 Mz=7.26
Sollecitazioni agenti localmente: Ty_l=-1544.29 My_l=-31.62

Tensioni nella sezione: σ=383.24 τ=46.80
CC 8 SLD (Collegamento -044_-376)
Azioni sul collegamento: N=-8874.30 Ty=11.63 Tz=9.33 Mx=0.01 Mz=9.21
Sollecitazioni agenti localmente: Ty_l=-1536.52 My_l=-31.45
Tensioni nella sezione: σ=381.18 τ=46.56
CC 9 SLV (Collegamento -044_-376)
Azioni sul collegamento: N=-8983.82 Ty=13.31 Tz=9.29 Mx=0.02 Mz=12.92
Sollecitazioni agenti localmente: Ty_l=-1541.18 My_l=-31.52
Tensioni nella sezione: σ=382.09 τ=46.70
CC 9 SLV (Collegamento -044_-376)
Azioni sul collegamento: N=-8983.82 Ty=9.43 Tz=9.29 Mx=0.02 Mz=7.83
Sollecitazioni agenti localmente: Ty_l=-1561.46 My_l=-31.97
Tensioni nella sezione: σ=387.47 τ=47.32
CC 9 SLV (Collegamento -044_-376)
Azioni sul collegamento: N=-8983.82 Ty=13.31 Tz=19.07 Mx=0.02 Mz=12.92
Sollecitazioni agenti localmente: Ty_l=-1541.18 My_l=-31.52
Tensioni nella sezione: σ=382.09 τ=46.70
CC 9 SLV (Collegamento -044_-376)
Azioni sul collegamento: N=-8983.82 Ty=9.43 Tz=19.07 Mx=0.02 Mz=7.83
Sollecitazioni agenti localmente: Ty_l=-1561.46 My_l=-31.97
Tensioni nella sezione: σ=387.47 τ=47.32
CC 9 SLV (Collegamento -044_-376)
Azioni sul collegamento: N=-11351.40 Ty=13.31 Tz=9.29 Mx=0.02 Mz=12.92
Sollecitazioni agenti localmente: Ty_l=-1960.89 My_l=-40.13
Tensioni nella sezione: σ=486.38 τ=59.42
CC 9 SLV (Collegamento -044_-376)
Azioni sul collegamento: N=-11351.40 Ty=9.43 Tz=9.29 Mx=0.02 Mz=7.83
Sollecitazioni agenti localmente: Ty_l=-1981.17 My_l=-40.57
Tensioni nella sezione: σ=491.76 τ=60.04
CC 9 SLV (Collegamento -044_-376)
Azioni sul collegamento: N=-11351.40 Ty=13.31 Tz=19.07 Mx=0.02 Mz=12.92
Sollecitazioni agenti localmente: Ty_l=-1960.89 My_l=-40.13
Tensioni nella sezione: σ=486.38 τ=59.42
CC 9 SLV (Collegamento -044_-376)
Azioni sul collegamento: N=-11351.40 Ty=9.43 Tz=19.07 Mx=0.02 Mz=7.83
Sollecitazioni agenti localmente: Ty_l=-1981.17 My_l=-40.57
Tensioni nella sezione: σ=491.76 τ=60.04
CC 10 SLD (Collegamento -044_-376)
Azioni sul collegamento: N=-9709.06 Ty=11.04 Tz=12.31 Mx=0.01 Mz=9.01
Sollecitazioni agenti localmente: Ty_l=-1685.29 My_l=-34.50
Tensioni nella sezione: σ=418.16 τ=51.07
CC 10 SLD (Collegamento -044_-376)
Azioni sul collegamento: N=-9709.06 Ty=9.85 Tz=12.31 Mx=0.01 Mz=7.46
Sollecitazioni agenti localmente: Ty_l=-1691.48 My_l=-34.63
Tensioni nella sezione: σ=419.80 τ=51.26
CC 10 SLD (Collegamento -044_-376)
Azioni sul collegamento: N=-9709.06 Ty=11.04 Tz=15.29 Mx=0.01 Mz=9.01
Sollecitazioni agenti localmente: Ty_l=-1685.29 My_l=-34.50
Tensioni nella sezione: σ=418.16 τ=51.07
CC 10 SLD (Collegamento -044_-376)
Azioni sul collegamento: N=-9709.06 Ty=9.85 Tz=15.29 Mx=0.01 Mz=7.46
Sollecitazioni agenti localmente: Ty_l=-1691.48 My_l=-34.63
Tensioni nella sezione: σ=419.80 τ=51.26
CC 10 SLD (Collegamento -044_-376)
Azioni sul collegamento: N=-10431.00 Ty=11.04 Tz=12.31 Mx=0.01 Mz=9.01
Sollecitazioni agenti localmente: Ty_l=-1813.28 My_l=-37.12
Tensioni nella sezione: σ=449.96 τ=54.95
CC 10 SLD (Collegamento -044_-376)
Azioni sul collegamento: N=-10431.00 Ty=9.85 Tz=12.31 Mx=0.01 Mz=7.46
Sollecitazioni agenti localmente: Ty_l=-1819.46 My_l=-37.26
Tensioni nella sezione: σ=451.61 τ=55.14
CC 10 SLD (Collegamento -044_-376)
Azioni sul collegamento: N=-10431.00 Ty=11.04 Tz=15.29 Mx=0.01 Mz=9.01
Sollecitazioni agenti localmente: Ty_l=-1813.28 My_l=-37.12
Tensioni nella sezione: σ=449.96 τ=54.95
CC 10 SLD (Collegamento -044_-376)
Azioni sul collegamento: N=-10431.00 Ty=9.85 Tz=15.29 Mx=0.01 Mz=7.46
Sollecitazioni agenti localmente: Ty_l=-1819.46 My_l=-37.26
Tensioni nella sezione: σ=451.61 τ=55.14
CC 11 SLV (Collegamento -044_-376)
Azioni sul collegamento: N=-11335.10 Ty=11.14 Tz=17.98 Mx=0.02 Mz=11.32
Sollecitazioni agenti localmente: Ty_l=-1964.40 My_l=-40.21
Tensioni nella sezione: σ=487.36 τ=59.53
CC 11 SLV (Collegamento -044_-376)
Azioni sul collegamento: N=-11335.10 Ty=11.60 Tz=17.98 Mx=0.02 Mz=9.43
Sollecitazioni agenti localmente: Ty_l=-1971.89 My_l=-40.37
Tensioni nella sezione: σ=489.35 τ=59.75
CC 11 SLV (Collegamento -044_-376)
Azioni sul collegamento: N=-11335.10 Ty=11.14 Tz=10.38 Mx=0.02 Mz=11.32
Sollecitazioni agenti localmente: Ty_l=-1964.40 My_l=-40.21

Tensioni nella sezione: σ=487.36 τ=59.53
CC 11 SLV (Collegamento -044_-376)
Azioni sul collegamento: N=-11335.10 Ty=11.60 Tz=10.38 Mx=0.02 Mz=9.43
Sollecitazioni agenti localmente: Ty_l=-1971.89 My_l=-40.37
Tensioni nella sezione: σ=489.35 τ=59.75
CC 11 SLV (Collegamento -044_-376)
Azioni sul collegamento: N=-9000.10 Ty=11.14 Tz=17.98 Mx=0.02 Mz=11.32
Sollecitazioni agenti localmente: Ty_l=-1550.46 My_l=-31.72
Tensioni nella sezione: σ=384.50 τ=46.98
CC 11 SLV (Collegamento -044_-376)
Azioni sul collegamento: N=-9000.10 Ty=11.60 Tz=17.98 Mx=0.02 Mz=9.43
Sollecitazioni agenti localmente: Ty_l=-1557.95 My_l=-31.89
Tensioni nella sezione: σ=386.49 τ=47.21
CC 11 SLV (Collegamento -044_-376)
Azioni sul collegamento: N=-9000.10 Ty=11.14 Tz=10.38 Mx=0.02 Mz=11.32
Sollecitazioni agenti localmente: Ty_l=-1550.46 My_l=-31.72
Tensioni nella sezione: σ=384.50 τ=46.98
CC 11 SLV (Collegamento -044_-376)
Azioni sul collegamento: N=-9000.10 Ty=11.60 Tz=10.38 Mx=0.02 Mz=9.43
Sollecitazioni agenti localmente: Ty_l=-1557.95 My_l=-31.89
Tensioni nella sezione: σ=386.49 τ=47.21
CC 12 SLD (Collegamento -044_-376)
Azioni sul collegamento: N=-10426.00 Ty=10.37 Tz=14.95 Mx=0.01 Mz=8.52
Sollecitazioni agenti localmente: Ty_l=-1814.35 My_l=-37.15
Tensioni nella sezione: σ=450.26 τ=54.98
CC 12 SLD (Collegamento -044_-376)
Azioni sul collegamento: N=-10426.00 Ty=10.51 Tz=14.95 Mx=0.01 Mz=7.95
Sollecitazioni agenti localmente: Ty_l=-1816.63 My_l=-37.20
Tensioni nella sezione: σ=450.87 τ=55.05
CC 12 SLD (Collegamento -044_-376)
Azioni sul collegamento: N=-10426.00 Ty=10.37 Tz=12.64 Mx=0.01 Mz=8.52
Sollecitazioni agenti localmente: Ty_l=-1814.35 My_l=-37.15
Tensioni nella sezione: σ=450.26 τ=54.98
CC 12 SLD (Collegamento -044_-376)
Azioni sul collegamento: N=-10426.00 Ty=10.51 Tz=12.64 Mx=0.01 Mz=7.95
Sollecitazioni agenti localmente: Ty_l=-1816.63 My_l=-37.20
Tensioni nella sezione: σ=450.87 τ=55.05
CC 12 SLD (Collegamento -044_-376)
Azioni sul collegamento: N=-9714.02 Ty=10.37 Tz=14.95 Mx=0.01 Mz=8.52
Sollecitazioni agenti localmente: Ty_l=-1688.13 My_l=-34.56
Tensioni nella sezione: σ=418.90 τ=51.16
CC 12 SLD (Collegamento -044_-376)
Azioni sul collegamento: N=-9714.02 Ty=10.51 Tz=14.95 Mx=0.01 Mz=7.95
Sollecitazioni agenti localmente: Ty_l=-1690.41 My_l=-34.61
Tensioni nella sezione: σ=419.50 τ=51.22
CC 12 SLD (Collegamento -044_-376)
Azioni sul collegamento: N=-9714.02 Ty=10.37 Tz=12.64 Mx=0.01 Mz=8.52
Sollecitazioni agenti localmente: Ty_l=-1688.13 My_l=-34.56
Tensioni nella sezione: σ=418.90 τ=51.16
CC 12 SLD (Collegamento -044_-376)
Azioni sul collegamento: N=-9714.02 Ty=10.51 Tz=12.64 Mx=0.01 Mz=7.95
Sollecitazioni agenti localmente: Ty_l=-1690.41 My_l=-34.61
Tensioni nella sezione: σ=419.50 τ=51.22
CC 13 SLV (Collegamento -044_-376)
Azioni sul collegamento: N=-9000.10 Ty=11.60 Tz=10.38 Mx=0.01 Mz=9.43
Sollecitazioni agenti localmente: Ty_l=-1557.95 My_l=-31.89
Tensioni nella sezione: σ=386.49 τ=47.21
CC 13 SLV (Collegamento -044_-376)
Azioni sul collegamento: N=-9000.10 Ty=11.14 Tz=10.38 Mx=0.01 Mz=11.32
Sollecitazioni agenti localmente: Ty_l=-1550.46 My_l=-31.72
Tensioni nella sezione: σ=384.50 τ=46.98
CC 13 SLV (Collegamento -044_-376)
Azioni sul collegamento: N=-9000.10 Ty=11.60 Tz=17.98 Mx=0.01 Mz=9.43
Sollecitazioni agenti localmente: Ty_l=-1557.95 My_l=-31.89
Tensioni nella sezione: σ=386.49 τ=47.21
CC 13 SLV (Collegamento -044_-376)
Azioni sul collegamento: N=-9000.10 Ty=11.14 Tz=17.98 Mx=0.01 Mz=11.32
Sollecitazioni agenti localmente: Ty_l=-1550.46 My_l=-31.72
Tensioni nella sezione: σ=384.50 τ=46.98
CC 13 SLV (Collegamento -044_-376)
Azioni sul collegamento: N=-11335.10 Ty=11.60 Tz=10.38 Mx=0.01 Mz=9.43
Sollecitazioni agenti localmente: Ty_l=-1971.89 My_l=-40.37
Tensioni nella sezione: σ=489.35 τ=59.75
CC 13 SLV (Collegamento -044_-376)
Azioni sul collegamento: N=-11335.10 Ty=11.14 Tz=10.38 Mx=0.01 Mz=11.32
Sollecitazioni agenti localmente: Ty_l=-1964.40 My_l=-40.21
Tensioni nella sezione: σ=487.36 τ=59.53
CC 13 SLV (Collegamento -044_-376)
Azioni sul collegamento: N=-11335.10 Ty=11.60 Tz=17.98 Mx=0.01 Mz=9.43
Sollecitazioni agenti localmente: Ty_l=-1971.89 My_l=-40.37

Tensioni nella sezione: σ=489.35 τ=59.75
CC 13 SLV (Collegamento -044_-376)
Azioni sul collegamento: N=-11335.10 Ty=11.14 Tz=17.98 Mx=0.01 Mz=11.32
Sollecitazioni agenti localmente: Ty_l=-1964.40 My_l=-40.21
Tensioni nella sezione: σ=487.36 τ=59.53
CC 14 SLD (Collegamento -044_-376)
Azioni sul collegamento: N=-9714.02 Ty=10.51 Tz=12.64 Mx=0.00 Mz=7.95
Sollecitazioni agenti localmente: Ty_l=-1690.41 My_l=-34.61
Tensioni nella sezione: σ=419.50 τ=51.22
CC 14 SLD (Collegamento -044_-376)
Azioni sul collegamento: N=-9714.02 Ty=10.37 Tz=12.64 Mx=0.00 Mz=8.52
Sollecitazioni agenti localmente: Ty_l=-1688.13 My_l=-34.56
Tensioni nella sezione: σ=418.90 τ=51.16
CC 14 SLD (Collegamento -044_-376)
Azioni sul collegamento: N=-9714.02 Ty=10.51 Tz=14.95 Mx=0.00 Mz=7.95
Sollecitazioni agenti localmente: Ty_l=-1690.41 My_l=-34.61
Tensioni nella sezione: σ=419.50 τ=51.22
CC 14 SLD (Collegamento -044_-376)
Azioni sul collegamento: N=-9714.02 Ty=10.37 Tz=14.95 Mx=0.00 Mz=8.52
Sollecitazioni agenti localmente: Ty_l=-1688.13 My_l=-34.56
Tensioni nella sezione: σ=418.90 τ=51.16
CC 14 SLD (Collegamento -044_-376)
Azioni sul collegamento: N=-10426.00 Ty=10.51 Tz=12.64 Mx=0.00 Mz=7.95
Sollecitazioni agenti localmente: Ty_l=-1816.63 My_l=-37.20
Tensioni nella sezione: σ=450.87 τ=55.05
CC 14 SLD (Collegamento -044_-376)
Azioni sul collegamento: N=-10426.00 Ty=10.37 Tz=12.64 Mx=0.00 Mz=8.52
Sollecitazioni agenti localmente: Ty_l=-1814.35 My_l=-37.15
Tensioni nella sezione: σ=450.26 τ=54.98
CC 14 SLD (Collegamento -044_-376)
Azioni sul collegamento: N=-10426.00 Ty=10.51 Tz=14.95 Mx=0.00 Mz=7.95
Sollecitazioni agenti localmente: Ty_l=-1816.63 My_l=-37.20
Tensioni nella sezione: σ=450.87 τ=55.05
CC 14 SLD (Collegamento -044_-376)
Azioni sul collegamento: N=-10426.00 Ty=10.37 Tz=14.95 Mx=0.00 Mz=8.52
Sollecitazioni agenti localmente: Ty_l=-1814.35 My_l=-37.15
Tensioni nella sezione: σ=450.26 τ=54.98
CC 15 SLV (Collegamento -044_-376)
Azioni sul collegamento: N=-11351.40 Ty=9.43 Tz=19.07 Mx=0.01 Mz=7.83
Sollecitazioni agenti localmente: Ty_l=-1981.17 My_l=-40.57
Tensioni nella sezione: σ=491.76 τ=60.04
CC 15 SLV (Collegamento -044_-376)
Azioni sul collegamento: N=-11351.40 Ty=13.31 Tz=19.07 Mx=0.01 Mz=12.92
Sollecitazioni agenti localmente: Ty_l=-1960.89 My_l=-40.13
Tensioni nella sezione: σ=486.38 τ=59.42
CC 15 SLV (Collegamento -044_-376)
Azioni sul collegamento: N=-11351.40 Ty=9.43 Tz=9.29 Mx=0.01 Mz=7.83
Sollecitazioni agenti localmente: Ty_l=-1981.17 My_l=-40.57
Tensioni nella sezione: σ=491.76 τ=60.04
CC 15 SLV (Collegamento -044_-376)
Azioni sul collegamento: N=-11351.40 Ty=13.31 Tz=9.29 Mx=0.01 Mz=12.92
Sollecitazioni agenti localmente: Ty_l=-1960.89 My_l=-40.13
Tensioni nella sezione: σ=486.38 τ=59.42
CC 15 SLV (Collegamento -044_-376)
Azioni sul collegamento: N=-8983.82 Ty=9.43 Tz=19.07 Mx=0.01 Mz=7.83
Sollecitazioni agenti localmente: Ty_l=-1561.46 My_l=-31.97
Tensioni nella sezione: σ=387.47 τ=47.32
CC 15 SLV (Collegamento -044_-376)
Azioni sul collegamento: N=-8983.82 Ty=13.31 Tz=19.07 Mx=0.01 Mz=12.92
Sollecitazioni agenti localmente: Ty_l=-1541.18 My_l=-31.52
Tensioni nella sezione: σ=382.09 τ=46.70
CC 15 SLV (Collegamento -044_-376)
Azioni sul collegamento: N=-8983.82 Ty=9.43 Tz=9.29 Mx=0.01 Mz=7.83
Sollecitazioni agenti localmente: Ty_l=-1561.46 My_l=-31.97
Tensioni nella sezione: σ=387.47 τ=47.32
CC 15 SLV (Collegamento -044_-376)
Azioni sul collegamento: N=-8983.82 Ty=13.31 Tz=9.29 Mx=0.01 Mz=12.92
Sollecitazioni agenti localmente: Ty_l=-1541.18 My_l=-31.52
Tensioni nella sezione: σ=382.09 τ=46.70
CC 16 SLD (Collegamento -044_-376)
Azioni sul collegamento: N=-10431.00 Ty=9.85 Tz=15.29 Mx=0.00 Mz=7.46
Sollecitazioni agenti localmente: Ty_l=-1819.46 My_l=-37.26
Tensioni nella sezione: σ=451.61 τ=55.14
CC 16 SLD (Collegamento -044_-376)
Azioni sul collegamento: N=-10431.00 Ty=11.04 Tz=15.29 Mx=0.00 Mz=9.01
Sollecitazioni agenti localmente: Ty_l=-1813.28 My_l=-37.12
Tensioni nella sezione: σ=449.96 τ=54.95
CC 16 SLD (Collegamento -044_-376)
Azioni sul collegamento: N=-10431.00 Ty=9.85 Tz=12.31 Mx=0.00 Mz=7.46
Sollecitazioni agenti localmente: Ty_l=-1819.46 My_l=-37.26

Tensioni nella sezione: σ=451.61 τ=55.14
CC 16 SLD (Collegamento -044_-376)
Azioni sul collegamento: N=-10431.00 Ty=11.04 Tz=12.31 Mx=0.00 Mz=9.01
Sollecitazioni agenti localmente: Ty_l=-1813.28 My_l=-37.12
Tensioni nella sezione: σ=449.96 τ=54.95
CC 16 SLD (Collegamento -044_-376)
Azioni sul collegamento: N=-9709.06 Ty=9.85 Tz=15.29 Mx=0.00 Mz=7.46
Sollecitazioni agenti localmente: Ty_l=-1691.48 My_l=-34.63
Tensioni nella sezione: σ=419.80 τ=51.26
CC 16 SLD (Collegamento -044_-376)
Azioni sul collegamento: N=-9709.06 Ty=11.04 Tz=15.29 Mx=0.00 Mz=9.01
Sollecitazioni agenti localmente: Ty_l=-1685.29 My_l=-34.50
Tensioni nella sezione: σ=418.16 τ=51.07
CC 16 SLD (Collegamento -044_-376)
Azioni sul collegamento: N=-9709.06 Ty=9.85 Tz=12.31 Mx=0.00 Mz=7.46
Sollecitazioni agenti localmente: Ty_l=-1691.48 My_l=-34.63
Tensioni nella sezione: σ=419.80 τ=51.26
CC 16 SLD (Collegamento -044_-376)
Azioni sul collegamento: N=-9709.06 Ty=11.04 Tz=12.31 Mx=0.00 Mz=9.01
Sollecitazioni agenti localmente: Ty_l=-1685.29 My_l=-34.50
Tensioni nella sezione: σ=418.16 τ=51.07
CC 17 SLV (Collegamento -044_-376)
Azioni sul collegamento: N=-5965.51 Ty=12.58 Tz=-1.56 Mx=-0.01 Mz=7.43
Sollecitazioni agenti localmente: Ty_l=-1027.99 My_l=-21.03
Tensioni nella sezione: σ=254.94 τ=31.15
CC 17 SLV (Collegamento -044_-376)
Azioni sul collegamento: N=-5965.51 Ty=4.83 Tz=-1.56 Mx=-0.01 Mz=1.02
Sollecitazioni agenti localmente: Ty_l=-1053.47 My_l=-21.59
Tensioni nella sezione: σ=261.70 τ=31.92
CC 17 SLV (Collegamento -044_-376)
Azioni sul collegamento: N=-5965.51 Ty=12.58 Tz=27.71 Mx=-0.01 Mz=7.43
Sollecitazioni agenti localmente: Ty_l=-1027.99 My_l=-21.03
Tensioni nella sezione: σ=254.94 τ=31.15
CC 17 SLV (Collegamento -044_-376)
Azioni sul collegamento: N=-5965.51 Ty=4.83 Tz=27.71 Mx=-0.01 Mz=1.02
Sollecitazioni agenti localmente: Ty_l=-1053.47 My_l=-21.59
Tensioni nella sezione: σ=261.70 τ=31.92
CC 17 SLV (Collegamento -044_-376)
Azioni sul collegamento: N=-13808.10 Ty=12.58 Tz=-1.56 Mx=-0.01 Mz=7.43
Sollecitazioni agenti localmente: Ty_l=-2418.27 My_l=-49.53
Tensioni nella sezione: σ=600.40 τ=73.28
CC 17 SLV (Collegamento -044_-376)
Azioni sul collegamento: N=-13808.10 Ty=4.83 Tz=-1.56 Mx=-0.01 Mz=1.02
Sollecitazioni agenti localmente: Ty_l=-2443.75 My_l=-50.09
Tensioni nella sezione: σ=607.17 τ=74.05
CC 17 SLV (Collegamento -044_-376)
Azioni sul collegamento: N=-13808.10 Ty=12.58 Tz=27.71 Mx=-0.01 Mz=7.43
Sollecitazioni agenti localmente: Ty_l=-2418.27 My_l=-49.53
Tensioni nella sezione: σ=600.40 τ=73.28
CC 17 SLV (Collegamento -044_-376)
Azioni sul collegamento: N=-13808.10 Ty=4.83 Tz=27.71 Mx=-0.01 Mz=1.02
Sollecitazioni agenti localmente: Ty_l=-2443.75 My_l=-50.09
Tensioni nella sezione: σ=607.17 τ=74.05
CC 18 SLD (Collegamento -044_-376)
Azioni sul collegamento: N=-8788.68 Ty=10.81 Tz=9.00 Mx=-0.00 Mz=7.34
Sollecitazioni agenti localmente: Ty_l=-1528.81 My_l=-31.30
Tensioni nella sezione: σ=379.39 τ=46.33
CC 18 SLD (Collegamento -044_-376)
Azioni sul collegamento: N=-8788.68 Ty=8.45 Tz=9.00 Mx=-0.00 Mz=5.38
Sollecitazioni agenti localmente: Ty_l=-1536.58 My_l=-31.47
Tensioni nella sezione: σ=381.45 τ=46.56
CC 18 SLD (Collegamento -044_-376)
Azioni sul collegamento: N=-8788.68 Ty=10.81 Tz=17.92 Mx=-0.00 Mz=7.34
Sollecitazioni agenti localmente: Ty_l=-1528.81 My_l=-31.30
Tensioni nella sezione: σ=379.39 τ=46.33
CC 18 SLD (Collegamento -044_-376)
Azioni sul collegamento: N=-8788.68 Ty=8.45 Tz=17.92 Mx=-0.00 Mz=5.38
Sollecitazioni agenti localmente: Ty_l=-1536.58 My_l=-31.47
Tensioni nella sezione: σ=381.45 τ=46.56
CC 18 SLD (Collegamento -044_-376)
Azioni sul collegamento: N=-11180.10 Ty=10.81 Tz=9.00 Mx=-0.00 Mz=7.34
Sollecitazioni agenti localmente: Ty_l=-1952.75 My_l=-39.99
Tensioni nella sezione: σ=484.73 τ=59.17
CC 18 SLD (Collegamento -044_-376)
Azioni sul collegamento: N=-11180.10 Ty=8.45 Tz=9.00 Mx=-0.00 Mz=5.38
Sollecitazioni agenti localmente: Ty_l=-1960.52 My_l=-40.16
Tensioni nella sezione: σ=486.80 τ=59.41
CC 18 SLD (Collegamento -044_-376)
Azioni sul collegamento: N=-11180.10 Ty=10.81 Tz=17.92 Mx=-0.00 Mz=7.34
Sollecitazioni agenti localmente: Ty_l=-1952.75 My_l=-39.99

Tensioni nella sezione: σ=484.73 τ=59.17
CC 18 SLD (Collegamento -044_-376)
Azioni sul collegamento: N=-11180.10 Ty=8.45 Tz=17.92 Mx=-0.00 Mz=5.38
Sollecitazioni agenti localmente: Ty_l=-1960.52 My_l=-40.16
Tensioni nella sezione: σ=486.80 τ=59.41
CC 19 SLV (Collegamento -044_-376)
Azioni sul collegamento: N=-5970.39 Ty=12.07 Tz=-1.24 Mx=-0.01 Mz=6.38
Sollecitazioni agenti localmente: Ty_l=-1033.02 My_l=-21.14
Tensioni nella sezione: σ=256.26 τ=31.30
CC 19 SLV (Collegamento -044_-376)
Azioni sul collegamento: N=-5970.39 Ty=5.34 Tz=-1.24 Mx=-0.01 Mz=2.07
Sollecitazioni agenti localmente: Ty_l=-1050.17 My_l=-21.52
Tensioni nella sezione: σ=260.81 τ=31.82
CC 19 SLV (Collegamento -044_-376)
Azioni sul collegamento: N=-5970.39 Ty=12.07 Tz=27.38 Mx=-0.01 Mz=6.38
Sollecitazioni agenti localmente: Ty_l=-1033.02 My_l=-21.14
Tensioni nella sezione: σ=256.26 τ=31.30
CC 19 SLV (Collegamento -044_-376)
Azioni sul collegamento: N=-5970.39 Ty=5.34 Tz=27.38 Mx=-0.01 Mz=2.07
Sollecitazioni agenti localmente: Ty_l=-1050.17 My_l=-21.52
Tensioni nella sezione: σ=260.81 τ=31.82
CC 19 SLV (Collegamento -044_-376)
Azioni sul collegamento: N=-13803.30 Ty=12.07 Tz=-1.24 Mx=-0.01 Mz=6.38
Sollecitazioni agenti localmente: Ty_l=-2421.57 My_l=-49.61
Tensioni nella sezione: σ=601.29 τ=73.38
CC 19 SLV (Collegamento -044_-376)
Azioni sul collegamento: N=-13803.30 Ty=5.34 Tz=-1.24 Mx=-0.01 Mz=2.07
Sollecitazioni agenti localmente: Ty_l=-2438.72 My_l=-49.98
Tensioni nella sezione: σ=605.85 τ=73.90
CC 19 SLV (Collegamento -044_-376)
Azioni sul collegamento: N=-13803.30 Ty=12.07 Tz=27.38 Mx=-0.01 Mz=6.38
Sollecitazioni agenti localmente: Ty_l=-2421.57 My_l=-49.61
Tensioni nella sezione: σ=601.29 τ=73.38
CC 19 SLV (Collegamento -044_-376)
Azioni sul collegamento: N=-13803.30 Ty=5.34 Tz=27.38 Mx=-0.01 Mz=2.07
Sollecitazioni agenti localmente: Ty_l=-2438.72 My_l=-49.98
Tensioni nella sezione: σ=605.85 τ=73.90
CC 20 SLD (Collegamento -044_-376)
Azioni sul collegamento: N=-8790.17 Ty=10.66 Tz=9.09 Mx=-0.00 Mz=7.02
Sollecitazioni agenti localmente: Ty_l=-1530.34 My_l=-31.33
Tensioni nella sezione: σ=379.79 τ=46.37
CC 20 SLD (Collegamento -044_-376)
Azioni sul collegamento: N=-8790.17 Ty=8.61 Tz=9.09 Mx=-0.00 Mz=5.70
Sollecitazioni agenti localmente: Ty_l=-1535.57 My_l=-31.45
Tensioni nella sezione: σ=381.18 τ=46.53
CC 20 SLD (Collegamento -044_-376)
Azioni sul collegamento: N=-8790.17 Ty=10.66 Tz=17.82 Mx=-0.00 Mz=7.02
Sollecitazioni agenti localmente: Ty_l=-1530.34 My_l=-31.33
Tensioni nella sezione: σ=379.79 τ=46.37
CC 20 SLD (Collegamento -044_-376)
Azioni sul collegamento: N=-8790.17 Ty=8.61 Tz=17.82 Mx=-0.00 Mz=5.70
Sollecitazioni agenti localmente: Ty_l=-1535.57 My_l=-31.45
Tensioni nella sezione: σ=381.18 τ=46.53
CC 20 SLD (Collegamento -044_-376)
Azioni sul collegamento: N=-11178.70 Ty=10.66 Tz=9.10 Mx=-0.00 Mz=7.02
Sollecitazioni agenti localmente: Ty_l=-1953.76 My_l=-40.01
Tensioni nella sezione: σ=485.00 τ=59.20
CC 20 SLD (Collegamento -044_-376)
Azioni sul collegamento: N=-11178.70 Ty=8.61 Tz=9.10 Mx=-0.00 Mz=5.70
Sollecitazioni agenti localmente: Ty_l=-1958.98 My_l=-40.13
Tensioni nella sezione: σ=486.39 τ=59.36
CC 20 SLD (Collegamento -044_-376)
Azioni sul collegamento: N=-11178.70 Ty=10.66 Tz=17.82 Mx=-0.00 Mz=7.02
Sollecitazioni agenti localmente: Ty_l=-1953.76 My_l=-40.01
Tensioni nella sezione: σ=485.00 τ=59.20
CC 20 SLD (Collegamento -044_-376)
Azioni sul collegamento: N=-11178.70 Ty=8.61 Tz=17.82 Mx=-0.00 Mz=5.70
Sollecitazioni agenti localmente: Ty_l=-1958.98 My_l=-40.13
Tensioni nella sezione: σ=486.39 τ=59.36
CC 21 SLV (Collegamento -044_-376)
Azioni sul collegamento: N=-13803.30 Ty=5.34 Tz=27.38 Mx=-0.01 Mz=2.07
Sollecitazioni agenti localmente: Ty_l=-2438.72 My_l=-49.98
Tensioni nella sezione: σ=605.85 τ=73.90
CC 21 SLV (Collegamento -044_-376)
Azioni sul collegamento: N=-13803.30 Ty=12.07 Tz=27.38 Mx=-0.01 Mz=6.38
Sollecitazioni agenti localmente: Ty_l=-2421.57 My_l=-49.61
Tensioni nella sezione: σ=601.29 τ=73.38
CC 21 SLV (Collegamento -044_-376)
Azioni sul collegamento: N=-13803.30 Ty=5.34 Tz=-1.24 Mx=-0.01 Mz=2.07
Sollecitazioni agenti localmente: Ty_l=-2438.72 My_l=-49.98

Tensioni nella sezione: σ=605.85 τ=73.90
CC 21 SLV (Collegamento -044_-376)
Azioni sul collegamento: N=-13803.30 Ty=12.07 Tz=-1.24 Mx=-0.01 Mz=6.38
Sollecitazioni agenti localmente: Ty_l=-2421.57 My_l=-49.61
Tensioni nella sezione: σ=601.29 τ=73.38
CC 21 SLV (Collegamento -044_-376)
Azioni sul collegamento: N=-5970.39 Ty=5.34 Tz=27.38 Mx=-0.01 Mz=2.07
Sollecitazioni agenti localmente: Ty_l=-1050.17 My_l=-21.52
Tensioni nella sezione: σ=260.81 τ=31.82
CC 21 SLV (Collegamento -044_-376)
Azioni sul collegamento: N=-5970.39 Ty=12.07 Tz=27.38 Mx=-0.01 Mz=6.38
Sollecitazioni agenti localmente: Ty_l=-1033.02 My_l=-21.14
Tensioni nella sezione: σ=256.26 τ=31.30
CC 21 SLV (Collegamento -044_-376)
Azioni sul collegamento: N=-5970.39 Ty=5.34 Tz=-1.24 Mx=-0.01 Mz=2.07
Sollecitazioni agenti localmente: Ty_l=-1050.17 My_l=-21.52
Tensioni nella sezione: σ=260.81 τ=31.82
CC 21 SLV (Collegamento -044_-376)
Azioni sul collegamento: N=-5970.39 Ty=12.07 Tz=-1.24 Mx=-0.01 Mz=6.38
Sollecitazioni agenti localmente: Ty_l=-1033.02 My_l=-21.14
Tensioni nella sezione: σ=256.26 τ=31.30
CC 22 SLD (Collegamento -044_-376)
Azioni sul collegamento: N=-11178.70 Ty=8.61 Tz=17.82 Mx=-0.00 Mz=5.70
Sollecitazioni agenti localmente: Ty_l=-1958.98 My_l=-40.13
Tensioni nella sezione: σ=486.39 τ=59.36
CC 22 SLD (Collegamento -044_-376)
Azioni sul collegamento: N=-11178.70 Ty=10.66 Tz=17.82 Mx=-0.00 Mz=7.02
Sollecitazioni agenti localmente: Ty_l=-1953.76 My_l=-40.01
Tensioni nella sezione: σ=485.00 τ=59.20
CC 22 SLD (Collegamento -044_-376)
Azioni sul collegamento: N=-11178.70 Ty=8.61 Tz=9.10 Mx=-0.00 Mz=5.70
Sollecitazioni agenti localmente: Ty_l=-1958.98 My_l=-40.13
Tensioni nella sezione: σ=486.39 τ=59.36
CC 22 SLD (Collegamento -044_-376)
Azioni sul collegamento: N=-11178.70 Ty=10.66 Tz=9.10 Mx=-0.00 Mz=7.02
Sollecitazioni agenti localmente: Ty_l=-1953.76 My_l=-40.01
Tensioni nella sezione: σ=485.00 τ=59.20
CC 22 SLD (Collegamento -044_-376)
Azioni sul collegamento: N=-8790.17 Ty=8.61 Tz=17.82 Mx=-0.00 Mz=5.70
Sollecitazioni agenti localmente: Ty_l=-1535.57 My_l=-31.45
Tensioni nella sezione: σ=381.18 τ=46.53
CC 22 SLD (Collegamento -044_-376)
Azioni sul collegamento: N=-8790.17 Ty=10.66 Tz=17.82 Mx=-0.00 Mz=7.02
Sollecitazioni agenti localmente: Ty_l=-1530.34 My_l=-31.33
Tensioni nella sezione: σ=379.79 τ=46.37
CC 22 SLD (Collegamento -044_-376)
Azioni sul collegamento: N=-8790.17 Ty=8.61 Tz=9.09 Mx=-0.00 Mz=5.70
Sollecitazioni agenti localmente: Ty_l=-1535.57 My_l=-31.45
Tensioni nella sezione: σ=381.18 τ=46.53
CC 22 SLD (Collegamento -044_-376)
Azioni sul collegamento: N=-8790.17 Ty=10.66 Tz=9.09 Mx=-0.00 Mz=7.02
Sollecitazioni agenti localmente: Ty_l=-1530.34 My_l=-31.33
Tensioni nella sezione: σ=379.79 τ=46.37
CC 23 SLV (Collegamento -044_-376)
Azioni sul collegamento: N=-13808.10 Ty=4.83 Tz=27.71 Mx=-0.01 Mz=1.02
Sollecitazioni agenti localmente: Ty_l=-2443.75 My_l=-50.09
Tensioni nella sezione: σ=607.17 τ=74.05
CC 23 SLV (Collegamento -044_-376)
Azioni sul collegamento: N=-13808.10 Ty=12.58 Tz=27.71 Mx=-0.01 Mz=7.43
Sollecitazioni agenti localmente: Ty_l=-2418.27 My_l=-49.53
Tensioni nella sezione: σ=600.40 τ=73.28
CC 23 SLV (Collegamento -044_-376)
Azioni sul collegamento: N=-13808.10 Ty=4.83 Tz=-1.56 Mx=-0.01 Mz=1.02
Sollecitazioni agenti localmente: Ty_l=-2443.75 My_l=-50.09
Tensioni nella sezione: σ=607.17 τ=74.05
CC 23 SLV (Collegamento -044_-376)
Azioni sul collegamento: N=-13808.10 Ty=12.58 Tz=-1.56 Mx=-0.01 Mz=7.43
Sollecitazioni agenti localmente: Ty_l=-2418.27 My_l=-49.53
Tensioni nella sezione: σ=600.40 τ=73.28
CC 23 SLV (Collegamento -044_-376)
Azioni sul collegamento: N=-5965.51 Ty=4.83 Tz=27.71 Mx=-0.01 Mz=1.02
Sollecitazioni agenti localmente: Ty_l=-1053.47 My_l=-21.59
Tensioni nella sezione: σ=261.70 τ=31.92
CC 23 SLV (Collegamento -044_-376)
Azioni sul collegamento: N=-5965.51 Ty=12.58 Tz=27.71 Mx=-0.01 Mz=7.43
Sollecitazioni agenti localmente: Ty_l=-1027.99 My_l=-21.03
Tensioni nella sezione: σ=254.94 τ=31.15
CC 23 SLV (Collegamento -044_-376)
Azioni sul collegamento: N=-5965.51 Ty=4.83 Tz=-1.56 Mx=-0.01 Mz=1.02
Sollecitazioni agenti localmente: Ty_l=-1053.47 My_l=-21.59

Tensioni nella sezione: σ=261.70 τ=31.92
CC 23 SLV (Collegamento -044_-376)
Azioni sul collegamento: N=-5965.51 Ty=12.58 Tz=-1.56 Mx=-0.01 Mz=7.43
Sollecitazioni agenti localmente: Ty_l=-1027.99 My_l=-21.03
Tensioni nella sezione: σ=254.94 τ=31.15
CC 24 SLD (Collegamento -044_-376)
Azioni sul collegamento: N=-11180.10 Ty=8.45 Tz=17.92 Mx=-0.00 Mz=5.38
Sollecitazioni agenti localmente: Ty_l=-1960.52 My_l=-40.16
Tensioni nella sezione: σ=486.80 τ=59.41
CC 24 SLD (Collegamento -044_-376)
Azioni sul collegamento: N=-11180.10 Ty=10.81 Tz=17.92 Mx=-0.00 Mz=7.34
Sollecitazioni agenti localmente: Ty_l=-1952.75 My_l=-39.99
Tensioni nella sezione: σ=484.73 τ=59.17
CC 24 SLD (Collegamento -044_-376)
Azioni sul collegamento: N=-11180.10 Ty=8.45 Tz=9.00 Mx=-0.00 Mz=5.38
Sollecitazioni agenti localmente: Ty_l=-1960.52 My_l=-40.16
Tensioni nella sezione: σ=486.80 τ=59.41
CC 24 SLD (Collegamento -044_-376)
Azioni sul collegamento: N=-11180.10 Ty=10.81 Tz=9.00 Mx=-0.00 Mz=7.34
Sollecitazioni agenti localmente: Ty_l=-1952.75 My_l=-39.99
Tensioni nella sezione: σ=484.73 τ=59.17
CC 24 SLD (Collegamento -044_-376)
Azioni sul collegamento: N=-8788.68 Ty=8.45 Tz=17.92 Mx=-0.00 Mz=5.38
Sollecitazioni agenti localmente: Ty_l=-1536.58 My_l=-31.47
Tensioni nella sezione: σ=381.45 τ=46.56
CC 24 SLD (Collegamento -044_-376)
Azioni sul collegamento: N=-8788.68 Ty=10.81 Tz=17.92 Mx=-0.00 Mz=7.34
Sollecitazioni agenti localmente: Ty_l=-1528.81 My_l=-31.30
Tensioni nella sezione: σ=379.39 τ=46.33
CC 24 SLD (Collegamento -044_-376)
Azioni sul collegamento: N=-8788.68 Ty=8.45 Tz=9.00 Mx=-0.00 Mz=5.38
Sollecitazioni agenti localmente: Ty_l=-1536.58 My_l=-31.47
Tensioni nella sezione: σ=381.45 τ=46.56
CC 24 SLD (Collegamento -044_-376)
Azioni sul collegamento: N=-8788.68 Ty=10.81 Tz=9.00 Mx=-0.00 Mz=7.34
Sollecitazioni agenti localmente: Ty_l=-1528.81 My_l=-31.30
Tensioni nella sezione: σ=379.39 τ=46.33
CC 25 SLV (Collegamento -044_-376)
Azioni sul collegamento: N=-8703.02 Ty=10.65 Tz=8.19 Mx=-0.02 Mz=6.77
Sollecitazioni agenti localmente: Ty_l=-1515.87 My_l=-31.04
Tensioni nella sezione: σ=376.21 τ=45.94
CC 25 SLV (Collegamento -044_-376)
Azioni sul collegamento: N=-8703.02 Ty=6.76 Tz=8.19 Mx=-0.02 Mz=1.67
Sollecitazioni agenti localmente: Ty_l=-1536.15 My_l=-31.48
Tensioni nella sezione: σ=381.60 τ=46.55
CC 25 SLV (Collegamento -044_-376)
Azioni sul collegamento: N=-8703.02 Ty=10.65 Tz=17.96 Mx=-0.02 Mz=6.77
Sollecitazioni agenti localmente: Ty_l=-1515.87 My_l=-31.04
Tensioni nella sezione: σ=376.21 τ=45.94
CC 25 SLV (Collegamento -044_-376)
Azioni sul collegamento: N=-8703.02 Ty=6.76 Tz=17.96 Mx=-0.02 Mz=1.67
Sollecitazioni agenti localmente: Ty_l=-1536.15 My_l=-31.48
Tensioni nella sezione: σ=381.60 τ=46.55
CC 25 SLV (Collegamento -044_-376)
Azioni sul collegamento: N=-11070.60 Ty=10.65 Tz=8.19 Mx=-0.02 Mz=6.77
Sollecitazioni agenti localmente: Ty_l=-1935.58 My_l=-39.64
Tensioni nella sezione: σ=480.51 τ=58.65
CC 25 SLV (Collegamento -044_-376)
Azioni sul collegamento: N=-11070.60 Ty=6.76 Tz=8.19 Mx=-0.02 Mz=1.67
Sollecitazioni agenti localmente: Ty_l=-1955.87 My_l=-40.09
Tensioni nella sezione: σ=485.89 τ=59.27
CC 25 SLV (Collegamento -044_-376)
Azioni sul collegamento: N=-11070.60 Ty=10.65 Tz=17.96 Mx=-0.02 Mz=6.77
Sollecitazioni agenti localmente: Ty_l=-1935.58 My_l=-39.64
Tensioni nella sezione: σ=480.51 τ=58.65
CC 25 SLV (Collegamento -044_-376)
Azioni sul collegamento: N=-11070.60 Ty=6.76 Tz=17.96 Mx=-0.02 Mz=1.67
Sollecitazioni agenti localmente: Ty_l=-1955.87 My_l=-40.09
Tensioni nella sezione: σ=485.89 τ=59.27
CC 26 SLD (Collegamento -044_-376)
Azioni sul collegamento: N=-9623.43 Ty=10.22 Tz=11.97 Mx=-0.00 Mz=7.14
Sollecitazioni agenti localmente: Ty_l=-1677.58 My_l=-34.35
Tensioni nella sezione: σ=416.37 τ=50.84
CC 26 SLD (Collegamento -044_-376)
Azioni sul collegamento: N=-9623.43 Ty=9.04 Tz=11.97 Mx=-0.00 Mz=5.58
Sollecitazioni agenti localmente: Ty_l=-1683.76 My_l=-34.49
Tensioni nella sezione: σ=418.01 τ=51.02
CC 26 SLD (Collegamento -044_-376)
Azioni sul collegamento: N=-9623.43 Ty=10.22 Tz=14.95 Mx=-0.00 Mz=7.14
Sollecitazioni agenti localmente: Ty_l=-1677.58 My_l=-34.35

Tensioni nella sezione: σ=416.37 τ=50.84
CC 26 SLD (Collegamento -044_-376)
Azioni sul collegamento: N=-9623.43 Ty=9.04 Tz=14.95 Mx=-0.00 Mz=5.58
Sollecitazioni agenti localmente: Ty_l=-1683.76 My_l=-34.49
Tensioni nella sezione: σ=418.01 τ=51.02
CC 26 SLD (Collegamento -044_-376)
Azioni sul collegamento: N=-10345.40 Ty=10.22 Tz=11.97 Mx=-0.00 Mz=7.14
Sollecitazioni agenti localmente: Ty_l=-1805.56 My_l=-36.97
Tensioni nella sezione: σ=448.17 τ=54.71
CC 26 SLD (Collegamento -044_-376)
Azioni sul collegamento: N=-10345.40 Ty=9.04 Tz=11.97 Mx=-0.00 Mz=5.58
Sollecitazioni agenti localmente: Ty_l=-1811.75 My_l=-37.11
Tensioni nella sezione: σ=449.81 τ=54.90
CC 26 SLD (Collegamento -044_-376)
Azioni sul collegamento: N=-10345.40 Ty=10.22 Tz=14.95 Mx=-0.00 Mz=7.14
Sollecitazioni agenti localmente: Ty_l=-1805.56 My_l=-36.97
Tensioni nella sezione: σ=448.17 τ=54.71
CC 26 SLD (Collegamento -044_-376)
Azioni sul collegamento: N=-10345.40 Ty=9.04 Tz=14.95 Mx=-0.00 Mz=5.58
Sollecitazioni agenti localmente: Ty_l=-1811.75 My_l=-37.11
Tensioni nella sezione: σ=449.81 τ=54.90
CC 27 SLV (Collegamento -044_-376)
Azioni sul collegamento: N=-11054.30 Ty=8.48 Tz=16.87 Mx=-0.02 Mz=5.16
Sollecitazioni agenti localmente: Ty_l=-1939.09 My_l=-39.72
Tensioni nella sezione: σ=481.49 τ=58.76
CC 27 SLV (Collegamento -044_-376)
Azioni sul collegamento: N=-11054.30 Ty=8.94 Tz=16.87 Mx=-0.02 Mz=3.28
Sollecitazioni agenti localmente: Ty_l=-1946.58 My_l=-39.89
Tensioni nella sezione: σ=483.48 τ=58.99
CC 27 SLV (Collegamento -044_-376)
Azioni sul collegamento: N=-11054.30 Ty=8.48 Tz=9.28 Mx=-0.02 Mz=5.16
Sollecitazioni agenti localmente: Ty_l=-1939.09 My_l=-39.72
Tensioni nella sezione: σ=481.49 τ=58.76
CC 27 SLV (Collegamento -044_-376)
Azioni sul collegamento: N=-11054.30 Ty=8.94 Tz=9.28 Mx=-0.02 Mz=3.28
Sollecitazioni agenti localmente: Ty_l=-1946.58 My_l=-39.89
Tensioni nella sezione: σ=483.48 τ=58.99
CC 27 SLV (Collegamento -044_-376)
Azioni sul collegamento: N=-8719.31 Ty=8.48 Tz=16.87 Mx=-0.02 Mz=5.16
Sollecitazioni agenti localmente: Ty_l=-1525.15 My_l=-31.24
Tensioni nella sezione: σ=378.63 τ=46.22
CC 27 SLV (Collegamento -044_-376)
Azioni sul collegamento: N=-8719.31 Ty=8.94 Tz=16.87 Mx=-0.02 Mz=3.28
Sollecitazioni agenti localmente: Ty_l=-1532.65 My_l=-31.40
Tensioni nella sezione: σ=380.62 τ=46.44
CC 27 SLV (Collegamento -044_-376)
Azioni sul collegamento: N=-8719.31 Ty=8.48 Tz=9.28 Mx=-0.02 Mz=5.16
Sollecitazioni agenti localmente: Ty_l=-1525.15 My_l=-31.24
Tensioni nella sezione: σ=378.63 τ=46.22
CC 27 SLV (Collegamento -044_-376)
Azioni sul collegamento: N=-8719.31 Ty=8.94 Tz=9.28 Mx=-0.02 Mz=3.28
Sollecitazioni agenti localmente: Ty_l=-1532.65 My_l=-31.40
Tensioni nella sezione: σ=380.62 τ=46.44
CC 28 SLD (Collegamento -044_-376)
Azioni sul collegamento: N=-10340.40 Ty=9.56 Tz=14.62 Mx=-0.00 Mz=6.65
Sollecitazioni agenti localmente: Ty_l=-1806.63 My_l=-37.00
Tensioni nella sezione: σ=448.47 τ=54.75
CC 28 SLD (Collegamento -044_-376)
Azioni sul collegamento: N=-10340.40 Ty=9.70 Tz=14.62 Mx=-0.00 Mz=6.07
Sollecitazioni agenti localmente: Ty_l=-1808.92 My_l=-37.05
Tensioni nella sezione: σ=449.08 τ=54.82
CC 28 SLD (Collegamento -044_-376)
Azioni sul collegamento: N=-10340.40 Ty=9.56 Tz=12.30 Mx=-0.00 Mz=6.65
Sollecitazioni agenti localmente: Ty_l=-1806.63 My_l=-37.00
Tensioni nella sezione: σ=448.47 τ=54.75
CC 28 SLD (Collegamento -044_-376)
Azioni sul collegamento: N=-10340.40 Ty=9.70 Tz=12.30 Mx=-0.00 Mz=6.07
Sollecitazioni agenti localmente: Ty_l=-1808.92 My_l=-37.05
Tensioni nella sezione: σ=449.08 τ=54.82
CC 28 SLD (Collegamento -044_-376)
Azioni sul collegamento: N=-9628.40 Ty=9.56 Tz=14.62 Mx=-0.00 Mz=6.65
Sollecitazioni agenti localmente: Ty_l=-1680.41 My_l=-34.41
Tensioni nella sezione: σ=417.11 τ=50.92
CC 28 SLD (Collegamento -044_-376)
Azioni sul collegamento: N=-9628.40 Ty=9.70 Tz=14.62 Mx=-0.00 Mz=6.07
Sollecitazioni agenti localmente: Ty_l=-1682.69 My_l=-34.46
Tensioni nella sezione: σ=417.71 τ=50.99
CC 28 SLD (Collegamento -044_-376)
Azioni sul collegamento: N=-9628.40 Ty=9.56 Tz=12.30 Mx=-0.00 Mz=6.65
Sollecitazioni agenti localmente: Ty_l=-1680.41 My_l=-34.41

Tensioni nella sezione: σ=417.11 τ=50.92
CC 28 SLD (Collegamento -044_-376)
Azioni sul collegamento: N=-9628.40 Ty=9.70 Tz=12.30 Mx=-0.00 Mz=6.07
Sollecitazioni agenti localmente: Ty_l=-1682.69 My_l=-34.46
Tensioni nella sezione: σ=417.71 τ=50.99
CC 29 SLV (Collegamento -044_-376)
Azioni sul collegamento: N=-8719.31 Ty=8.94 Tz=9.28 Mx=-0.00 Mz=3.28
Sollecitazioni agenti localmente: Ty_l=-1532.65 My_l=-31.40
Tensioni nella sezione: σ=380.62 τ=46.44
CC 29 SLV (Collegamento -044_-376)
Azioni sul collegamento: N=-8719.31 Ty=8.48 Tz=9.28 Mx=-0.00 Mz=5.16
Sollecitazioni agenti localmente: Ty_l=-1525.15 My_l=-31.24
Tensioni nella sezione: σ=378.63 τ=46.22
CC 29 SLV (Collegamento -044_-376)
Azioni sul collegamento: N=-8719.31 Ty=8.94 Tz=16.87 Mx=-0.00 Mz=3.28
Sollecitazioni agenti localmente: Ty_l=-1532.65 My_l=-31.40
Tensioni nella sezione: σ=380.62 τ=46.44
CC 29 SLV (Collegamento -044_-376)
Azioni sul collegamento: N=-8719.31 Ty=8.48 Tz=16.87 Mx=-0.00 Mz=5.16
Sollecitazioni agenti localmente: Ty_l=-1525.15 My_l=-31.24
Tensioni nella sezione: σ=378.63 τ=46.22
CC 29 SLV (Collegamento -044_-376)
Azioni sul collegamento: N=-11054.30 Ty=8.94 Tz=9.28 Mx=-0.00 Mz=3.28
Sollecitazioni agenti localmente: Ty_l=-1946.58 My_l=-39.89
Tensioni nella sezione: σ=483.48 τ=58.99
CC 29 SLV (Collegamento -044_-376)
Azioni sul collegamento: N=-11054.30 Ty=8.48 Tz=9.28 Mx=-0.00 Mz=5.16
Sollecitazioni agenti localmente: Ty_l=-1939.09 My_l=-39.72
Tensioni nella sezione: σ=481.49 τ=58.76
CC 29 SLV (Collegamento -044_-376)
Azioni sul collegamento: N=-11054.30 Ty=8.94 Tz=16.87 Mx=-0.00 Mz=3.28
Sollecitazioni agenti localmente: Ty_l=-1946.58 My_l=-39.89
Tensioni nella sezione: σ=483.48 τ=58.99
CC 29 SLV (Collegamento -044_-376)
Azioni sul collegamento: N=-11054.30 Ty=8.48 Tz=16.87 Mx=-0.00 Mz=5.16
Sollecitazioni agenti localmente: Ty_l=-1939.09 My_l=-39.72
Tensioni nella sezione: σ=481.49 τ=58.76
CC 30 SLD (Collegamento -044_-376)
Azioni sul collegamento: N=-9628.40 Ty=9.70 Tz=12.30 Mx=0.00 Mz=6.07
Sollecitazioni agenti localmente: Ty_l=-1682.69 My_l=-34.46
Tensioni nella sezione: σ=417.71 τ=50.99
CC 30 SLD (Collegamento -044_-376)
Azioni sul collegamento: N=-9628.40 Ty=9.56 Tz=12.30 Mx=0.00 Mz=6.65
Sollecitazioni agenti localmente: Ty_l=-1680.41 My_l=-34.41
Tensioni nella sezione: σ=417.11 τ=50.92
CC 30 SLD (Collegamento -044_-376)
Azioni sul collegamento: N=-9628.40 Ty=9.70 Tz=14.62 Mx=0.00 Mz=6.07
Sollecitazioni agenti localmente: Ty_l=-1682.69 My_l=-34.46
Tensioni nella sezione: σ=417.71 τ=50.99
CC 30 SLD (Collegamento -044_-376)
Azioni sul collegamento: N=-9628.40 Ty=9.56 Tz=14.62 Mx=0.00 Mz=6.65
Sollecitazioni agenti localmente: Ty_l=-1680.41 My_l=-34.41
Tensioni nella sezione: σ=417.11 τ=50.92
CC 30 SLD (Collegamento -044_-376)
Azioni sul collegamento: N=-10340.40 Ty=9.70 Tz=12.30 Mx=0.00 Mz=6.07
Sollecitazioni agenti localmente: Ty_l=-1808.92 My_l=-37.05
Tensioni nella sezione: σ=449.08 τ=54.82
CC 30 SLD (Collegamento -044_-376)
Azioni sul collegamento: N=-10340.40 Ty=9.56 Tz=12.30 Mx=0.00 Mz=6.65
Sollecitazioni agenti localmente: Ty_l=-1806.63 My_l=-37.00
Tensioni nella sezione: σ=448.47 τ=54.75
CC 30 SLD (Collegamento -044_-376)
Azioni sul collegamento: N=-10340.40 Ty=9.70 Tz=14.62 Mx=0.00 Mz=6.07
Sollecitazioni agenti localmente: Ty_l=-1808.92 My_l=-37.05
Tensioni nella sezione: σ=449.08 τ=54.82
CC 30 SLD (Collegamento -044_-376)
Azioni sul collegamento: N=-10340.40 Ty=9.56 Tz=14.62 Mx=0.00 Mz=6.65
Sollecitazioni agenti localmente: Ty_l=-1806.63 My_l=-37.00
Tensioni nella sezione: σ=448.47 τ=54.75
CC 31 SLV (Collegamento -044_-376)
Azioni sul collegamento: N=-11070.60 Ty=6.76 Tz=17.96 Mx=-0.00 Mz=1.67
Sollecitazioni agenti localmente: Ty_l=-1955.87 My_l=-40.09
Tensioni nella sezione: σ=485.89 τ=59.27
CC 31 SLV (Collegamento -044_-376)
Azioni sul collegamento: N=-11070.60 Ty=10.65 Tz=17.96 Mx=-0.00 Mz=6.77
Sollecitazioni agenti localmente: Ty_l=-1935.58 My_l=-39.64
Tensioni nella sezione: σ=480.51 τ=58.65
CC 31 SLV (Collegamento -044_-376)
Azioni sul collegamento: N=-11070.60 Ty=6.76 Tz=8.19 Mx=-0.00 Mz=1.67
Sollecitazioni agenti localmente: Ty_l=-1955.87 My_l=-40.09

Tensioni nella sezione: σ=485.89 τ=59.27
CC 31 SLV (Collegamento -044_-376)
Azioni sul collegamento: N=-11070.60 Ty=10.65 Tz=8.19 Mx=-0.00 Mz=6.77
Sollecitazioni agenti localmente: Ty_l=-1935.58 My_l=-39.64
Tensioni nella sezione: σ=480.51 τ=58.65
CC 31 SLV (Collegamento -044_-376)
Azioni sul collegamento: N=-8703.02 Ty=6.76 Tz=17.96 Mx=-0.00 Mz=1.67
Sollecitazioni agenti localmente: Ty_l=-1536.15 My_l=-31.48
Tensioni nella sezione: σ=381.60 τ=46.55
CC 31 SLV (Collegamento -044_-376)
Azioni sul collegamento: N=-8703.02 Ty=10.65 Tz=17.96 Mx=-0.00 Mz=6.77
Sollecitazioni agenti localmente: Ty_l=-1515.87 My_l=-31.04
Tensioni nella sezione: σ=376.21 τ=45.94
CC 31 SLV (Collegamento -044_-376)
Azioni sul collegamento: N=-8703.02 Ty=6.76 Tz=8.19 Mx=-0.00 Mz=1.67
Sollecitazioni agenti localmente: Ty_l=-1536.15 My_l=-31.48
Tensioni nella sezione: σ=381.60 τ=46.55
CC 31 SLV (Collegamento -044_-376)
Azioni sul collegamento: N=-8703.02 Ty=10.65 Tz=8.19 Mx=-0.00 Mz=6.77
Sollecitazioni agenti localmente: Ty_l=-1515.87 My_l=-31.04
Tensioni nella sezione: σ=376.21 τ=45.94
CC 32 SLD (Collegamento -044_-376)
Azioni sul collegamento: N=-10345.40 Ty=9.04 Tz=14.95 Mx=0.00 Mz=5.58
Sollecitazioni agenti localmente: Ty_l=-1811.75 My_l=-37.11
Tensioni nella sezione: σ=449.81 τ=54.90
CC 32 SLD (Collegamento -044_-376)
Azioni sul collegamento: N=-10345.40 Ty=10.22 Tz=14.95 Mx=0.00 Mz=7.14
Sollecitazioni agenti localmente: Ty_l=-1805.56 My_l=-36.97
Tensioni nella sezione: σ=448.17 τ=54.71
CC 32 SLD (Collegamento -044_-376)
Azioni sul collegamento: N=-10345.40 Ty=9.04 Tz=11.97 Mx=0.00 Mz=5.58
Sollecitazioni agenti localmente: Ty_l=-1811.75 My_l=-37.11
Tensioni nella sezione: σ=449.81 τ=54.90
CC 32 SLD (Collegamento -044_-376)
Azioni sul collegamento: N=-10345.40 Ty=10.22 Tz=11.97 Mx=0.00 Mz=7.14
Sollecitazioni agenti localmente: Ty_l=-1805.56 My_l=-36.97
Tensioni nella sezione: σ=448.17 τ=54.71
CC 32 SLD (Collegamento -044_-376)
Azioni sul collegamento: N=-9623.43 Ty=9.04 Tz=14.95 Mx=0.00 Mz=5.58
Sollecitazioni agenti localmente: Ty_l=-1683.76 My_l=-34.49
Tensioni nella sezione: σ=418.01 τ=51.02
CC 32 SLD (Collegamento -044_-376)
Azioni sul collegamento: N=-9623.43 Ty=10.22 Tz=14.95 Mx=0.00 Mz=7.14
Sollecitazioni agenti localmente: Ty_l=-1677.58 My_l=-34.35
Tensioni nella sezione: σ=416.37 τ=50.84
CC 32 SLD (Collegamento -044_-376)
Azioni sul collegamento: N=-9623.43 Ty=9.04 Tz=11.97 Mx=0.00 Mz=5.58
Sollecitazioni agenti localmente: Ty_l=-1683.76 My_l=-34.49
Tensioni nella sezione: σ=418.01 τ=51.02
CC 32 SLD (Collegamento -044_-376)
Azioni sul collegamento: N=-9623.43 Ty=10.22 Tz=11.97 Mx=0.00 Mz=7.14
Sollecitazioni agenti localmente: Ty_l=-1677.58 My_l=-34.35
Tensioni nella sezione: σ=416.37 τ=50.84
CC 33 SLU (Collegamento -044_-376)
Azioni sul collegamento: N=-37458.50 Ty=20.96 Tz=106.28 Mx=0.00 Mz=15.40
Sollecitazioni agenti localmente: Ty_l=-6579.14 My_l=-134.79
Tensioni nella sezione: σ=1633.78 τ=199.37
CC 34 SLU (Collegamento -044_-376)
Azioni sul collegamento: N=-36642.60 Ty=20.20 Tz=103.27 Mx=0.00 Mz=14.84
Sollecitazioni agenti localmente: Ty_l=-6436.70 My_l=-131.87
Tensioni nella sezione: σ=1598.42 τ=195.05
CC 35 SLU (Collegamento -044_-376)
Azioni sul collegamento: N=-37049.70 Ty=20.49 Tz=104.83 Mx=0.01 Mz=14.94
Sollecitazioni agenti localmente: Ty_l=-6508.49 My_l=-133.34
Tensioni nella sezione: σ=1616.25 τ=197.23
CC 36 SLU (Collegamento -044_-376)
Azioni sul collegamento: N=-37051.40 Ty=20.67 Tz=104.72 Mx=0.00 Mz=15.30
Sollecitazioni agenti localmente: Ty_l=-6507.35 My_l=-133.32
Tensioni nella sezione: σ=1615.95 τ=197.19
CC 37 SLU (Collegamento -044_-376)
Azioni sul collegamento: N=-28275.70 Ty=20.11 Tz=72.57 Mx=0.00 Mz=14.65
Sollecitazioni agenti localmente: Ty_l=-4954.25 My_l=-101.48
Tensioni nella sezione: σ=1230.07 τ=150.13
CC 38 SLU (Collegamento -044_-376)
Azioni sul collegamento: N=-27459.70 Ty=19.36 Tz=69.55 Mx=0.00 Mz=14.09
Sollecitazioni agenti localmente: Ty_l=-4811.81 My_l=-98.56
Tensioni nella sezione: σ=1194.71 τ=145.81
CC 39 SLU (Collegamento -044_-376)
Azioni sul collegamento: N=-27866.80 Ty=19.65 Tz=71.12 Mx=0.01 Mz=14.19
Sollecitazioni agenti localmente: Ty_l=-4883.60 My_l=-100.03

Tensioni nella sezione: σ=1212.54 τ=147.99
CC 40 SLU (Collegamento -044_-376)
Azioni sul collegamento: N=-27868.60 Ty=19.82 Tz=71.00 Mx=0.00 Mz=14.55
Sollecitazioni agenti localmente: Ty_l=-4882.46 My_l=-100.01
Tensioni nella sezione: σ=1212.24 τ=147.95
CC 41 SLU (Collegamento -044_-376)
Azioni sul collegamento: N=-30676.20 Ty=-9.89 Tz=80.85 Mx=0.00 Mz=-7.99
Sollecitazioni agenti localmente: Ty_l=-5469.82 My_l=-112.18
Tensioni nella sezione: σ=1359.71 τ=165.75
CC 42 SLU (Collegamento -044_-376)
Azioni sul collegamento: N=-29860.20 Ty=-10.64 Tz=77.84 Mx=0.00 Mz=-8.54
Sollecitazioni agenti localmente: Ty_l=-5327.39 My_l=-109.26
Tensioni nella sezione: σ=1324.35 τ=161.44
CC 43 SLU (Collegamento -044_-376)
Azioni sul collegamento: N=-30267.40 Ty=-10.35 Tz=79.40 Mx=0.01 Mz=-8.45
Sollecitazioni agenti localmente: Ty_l=-5399.17 My_l=-110.73
Tensioni nella sezione: σ=1342.18 τ=163.61
CC 44 SLU (Collegamento -044_-376)
Azioni sul collegamento: N=-30269.10 Ty=-10.18 Tz=79.28 Mx=0.00 Mz=-8.08
Sollecitazioni agenti localmente: Ty_l=-5398.04 My_l=-110.70
Tensioni nella sezione: σ=1341.88 τ=163.58
CC 45 SLU (Collegamento -044_-376)
Azioni sul collegamento: N=-30295.00 Ty=20.33 Tz=79.99 Mx=0.00 Mz=14.94
Sollecitazioni agenti localmente: Ty_l=-5311.06 My_l=-108.79
Tensioni nella sezione: σ=1318.71 τ=160.94
CC 46 SLU (Collegamento -044_-376)
Azioni sul collegamento: N=-29479.00 Ty=19.57 Tz=76.97 Mx=0.00 Mz=14.38
Sollecitazioni agenti localmente: Ty_l=-5168.63 My_l=-105.88
Tensioni nella sezione: σ=1283.36 τ=156.63
CC 47 SLU (Collegamento -044_-376)
Azioni sul collegamento: N=-29886.10 Ty=19.86 Tz=78.54 Mx=0.00 Mz=14.48
Sollecitazioni agenti localmente: Ty_l=-5240.41 My_l=-107.35
Tensioni nella sezione: σ=1301.19 τ=158.80
CC 48 SLU (Collegamento -044_-376)
Azioni sul collegamento: N=-29887.90 Ty=20.04 Tz=78.42 Mx=0.00 Mz=14.84
Sollecitazioni agenti localmente: Ty_l=-5239.28 My_l=-107.32
Tensioni nella sezione: σ=1300.88 τ=158.77
CC 49 SLU (Collegamento -044_-376)
Azioni sul collegamento: N=-23424.90 Ty=19.70 Tz=54.76 Mx=0.00 Mz=14.38
Sollecitazioni agenti localmente: Ty_l=-4095.40 My_l=-83.88
Tensioni nella sezione: σ=1016.68 τ=124.10
CC 50 SLU (Collegamento -044_-376)
Azioni sul collegamento: N=-22608.90 Ty=18.94 Tz=51.75 Mx=0.00 Mz=13.82
Sollecitazioni agenti localmente: Ty_l=-3952.97 My_l=-80.96
Tensioni nella sezione: σ=981.32 τ=119.79
CC 51 SLU (Collegamento -044_-376)
Azioni sul collegamento: N=-23016.00 Ty=19.23 Tz=53.31 Mx=0.00 Mz=13.92
Sollecitazioni agenti localmente: Ty_l=-4024.76 My_l=-82.43
Tensioni nella sezione: σ=999.15 τ=121.96
CC 52 SLU (Collegamento -044_-376)
Azioni sul collegamento: N=-23017.80 Ty=19.41 Tz=53.20 Mx=0.00 Mz=14.28
Sollecitazioni agenti localmente: Ty_l=-4023.62 My_l=-82.40
Tensioni nella sezione: σ=998.85 τ=121.93
CC 53 SLU (Collegamento -044_-376)
Azioni sul collegamento: N=-25220.90 Ty=-2.75 Tz=60.96 Mx=0.00 Mz=-2.55
Sollecitazioni agenti localmente: Ty_l=-4481.13 My_l=-91.88
Tensioni nella sezione: σ=1113.67 τ=135.79
CC 54 SLU (Collegamento -044_-376)
Azioni sul collegamento: N=-24404.90 Ty=-3.50 Tz=57.94 Mx=0.00 Mz=-3.11
Sollecitazioni agenti localmente: Ty_l=-4338.70 My_l=-88.96
Tensioni nella sezione: σ=1078.31 τ=131.48
CC 55 SLU (Collegamento -044_-376)
Azioni sul collegamento: N=-24812.00 Ty=-3.21 Tz=59.51 Mx=0.00 Mz=-3.02
Sollecitazioni agenti localmente: Ty_l=-4410.48 My_l=-90.43
Tensioni nella sezione: σ=1096.14 τ=133.65
CC 56 SLU (Collegamento -044_-376)
Azioni sul collegamento: N=-24813.70 Ty=-3.04 Tz=59.39 Mx=0.00 Mz=-2.65
Sollecitazioni agenti localmente: Ty_l=-4409.35 My_l=-90.41
Tensioni nella sezione: σ=1095.83 τ=133.62
CC 57 SLU (Collegamento -044_-376)
Azioni sul collegamento: N=-28074.70 Ty=18.58 Tz=71.81 Mx=0.00 Mz=13.65
Sollecitazioni agenti localmente: Ty_l=-4922.59 My_l=-100.84
Tensioni nella sezione: σ=1222.27 τ=149.17
CC 58 SLU (Collegamento -044_-376)
Azioni sul collegamento: N=-27258.70 Ty=17.82 Tz=68.80 Mx=0.00 Mz=13.09
Sollecitazioni agenti localmente: Ty_l=-4780.15 My_l=-97.92
Tensioni nella sezione: σ=1186.91 τ=144.85
CC 59 SLU (Collegamento -044_-376)
Azioni sul collegamento: N=-27665.80 Ty=18.11 Tz=70.37 Mx=0.00 Mz=13.19
Sollecitazioni agenti localmente: Ty_l=-4851.94 My_l=-99.39

Tensioni nella sezione: σ=1204.74 τ=147.03
CC 60 SLU (Collegamento -044_-376)
Azioni sul collegamento: N=-27667.60 Ty=18.29 Tz=70.25 Mx=0.00 Mz=13.55
Sollecitazioni agenti localmente: Ty_l=-4850.80 My_l=-99.37
Tensioni nella sezione: σ=1204.44 τ=146.99
CC 61 SLU (Collegamento -044_-376)
Azioni sul collegamento: N=-21204.60 Ty=17.94 Tz=46.59 Mx=0.00 Mz=13.09
Sollecitazioni agenti localmente: Ty_l=-3706.93 My_l=-75.92
Tensioni nella sezione: σ=920.23 τ=112.33
CC 62 SLU (Collegamento -044_-376)
Azioni sul collegamento: N=-20388.60 Ty=17.19 Tz=43.58 Mx=0.00 Mz=12.53
Sollecitazioni agenti localmente: Ty_l=-3564.49 My_l=-73.00
Tensioni nella sezione: σ=884.88 τ=108.02
CC 63 SLU (Collegamento -044_-376)
Azioni sul collegamento: N=-20795.70 Ty=17.48 Tz=45.14 Mx=0.00 Mz=12.63
Sollecitazioni agenti localmente: Ty_l=-3636.28 My_l=-74.47
Tensioni nella sezione: σ=902.71 τ=110.19
CC 64 SLU (Collegamento -044_-376)
Azioni sul collegamento: N=-20797.50 Ty=17.66 Tz=45.03 Mx=0.00 Mz=12.99
Sollecitazioni agenti localmente: Ty_l=-3635.14 My_l=-74.45
Tensioni nella sezione: σ=902.40 τ=110.16
CC 65 SLU (Collegamento -044_-376)
Azioni sul collegamento: N=-23000.50 Ty=-4.50 Tz=52.79 Mx=0.00 Mz=-3.84
Sollecitazioni agenti localmente: Ty_l=-4092.65 My_l=-83.92
Tensioni nella sezione: σ=1017.22 τ=124.02
CC 66 SLU (Collegamento -044_-376)
Azioni sul collegamento: N=-22184.60 Ty=-5.26 Tz=49.77 Mx=0.00 Mz=-4.40
Sollecitazioni agenti localmente: Ty_l=-3950.22 My_l=-81.00
Tensioni nella sezione: σ=981.87 τ=119.70
CC 67 SLU (Collegamento -044_-376)
Azioni sul collegamento: N=-22591.70 Ty=-4.97 Tz=51.34 Mx=0.00 Mz=-4.30
Sollecitazioni agenti localmente: Ty_l=-4022.00 My_l=-82.47
Tensioni nella sezione: σ=999.70 τ=121.88
CC 68 SLU (Collegamento -044_-376)
Azioni sul collegamento: N=-22593.40 Ty=-4.79 Tz=51.22 Mx=0.00 Mz=-3.94
Sollecitazioni agenti localmente: Ty_l=-4020.87 My_l=-82.45
Tensioni nella sezione: σ=999.39 τ=121.84
CC 97 SLU (Collegamento -044_-376)
Azioni sul collegamento: N=-32775.80 Ty=25.16 Tz=97.03 Mx=-0.05 Mz=10.53
Sollecitazioni agenti localmente: Ty_l=-5768.37 My_l=-118.19
Tensioni nella sezione: σ=1432.64 τ=174.80
CC 98 SLU (Collegamento -044_-376)
Azioni sul collegamento: N=-31959.80 Ty=24.41 Tz=94.02 Mx=-0.05 Mz=9.97
Sollecitazioni agenti localmente: Ty_l=-5625.94 My_l=-115.28
Tensioni nella sezione: σ=1397.29 τ=170.48
CC 99 SLU (Collegamento -044_-376)
Azioni sul collegamento: N=-32366.90 Ty=24.69 Tz=95.58 Mx=-0.05 Mz=10.07
Sollecitazioni agenti localmente: Ty_l=-5697.72 My_l=-116.75
Tensioni nella sezione: σ=1415.12 τ=172.66
CC 100 SLU (Collegamento -044_-376)
Azioni sul collegamento: N=-32368.70 Ty=24.87 Tz=95.47 Mx=-0.05 Mz=10.43
Sollecitazioni agenti localmente: Ty_l=-5696.59 My_l=-116.72
Tensioni nella sezione: σ=1414.81 τ=172.62
CC 101 SLU (Collegamento -044_-376)
Azioni sul collegamento: N=-9110.88 Ty=5.97 Tz=10.39 Mx=0.01 Mz=4.99
Sollecitazioni agenti localmente: Ty_l=-1595.26 My_l=-32.68
Tensioni nella sezione: σ=396.06 τ=48.34
CC 102 SLU (Collegamento -044_-376)
Azioni sul collegamento: N=-8294.89 Ty=5.21 Tz=7.37 Mx=0.01 Mz=4.43
Sollecitazioni agenti localmente: Ty_l=-1452.83 My_l=-29.76
Tensioni nella sezione: σ=360.71 τ=44.03
CC 103 SLU (Collegamento -044_-376)
Azioni sul collegamento: N=-8702.00 Ty=5.50 Tz=8.94 Mx=0.01 Mz=4.53
Sollecitazioni agenti localmente: Ty_l=-1524.62 My_l=-31.23
Tensioni nella sezione: σ=378.54 τ=46.20
CC 104 SLU (Collegamento -044_-376)
Azioni sul collegamento: N=-8703.77 Ty=5.68 Tz=8.82 Mx=0.01 Mz=4.89
Sollecitazioni agenti localmente: Ty_l=-1523.48 My_l=-31.20
Tensioni nella sezione: σ=378.23 τ=46.17

Collegamento -1073_-1074

Piastre anima 300.00 x 186.00 s= 12.00 - 8+8 bulloni ϕ 16
2 righe ad interasse 79.00
4 colonne ad interasse variabile
Piastre ala 650.00 x 120.00 s= 12.00 - 10+10 bulloni ϕ 16
5 righe ad interasse 67.00
2 colonne ad interasse 78.00
Piastre inferiori ala 650.00 x 41.00 s= 12.00

Bullonatura sull'anima

CC 97 SLU
Azioni sul collegamento: N=3466.32 Ty=8.87 Tz=-3601.31 My=512.16 Mz=6.72
Sollecitazioni agenti localmente: Tx_l=1273.81 Ty_l=-3601.31 Mz_l=359.92
Taglio nei bulloni: Fv,Ed=634.08 Fv,Rd=6028.80
Azione di rifollamento di progetto lato asta: Fb,Ed,a=904.16 Fb,Rd,a=5234.83
Rifollamento lato piastra: Fb,Ed,p=634.08 Fb,Rd,p=10931.50

Piastra di anima

Bnetta=24.00 Hnetta=186.00
CC 97 SLU
Azioni sul collegamento: N=3466.32 Ty=8.87 Tz=-3601.31 My=512.16 Mz=6.72
Sollecitazioni agenti localmente: Tx_l=1273.81 Ty_l=-3601.31 Mz_l=359.92
Tensioni nella sezione: σ=288.62 τ=80.67
CC 98 SLU
Azioni sul collegamento: N=3239.77 Ty=8.92 Tz=-3644.77 My=447.24 Mz=6.97
Sollecitazioni agenti localmente: Tx_l=1190.56 Ty_l=-3644.77 Mz_l=353.54
Tensioni nella sezione: σ=282.15 τ=81.65

Verifica a taglio anima forata

Bnetta=6.20 Hnetta=152.40
CC 98 SLU
Azioni sul collegamento: N=3239.77 Ty=8.92 Tz=-3644.77 My=447.24 Mz=6.97
Sollecitazioni agenti localmente: Ty_l=-1822.38
Tensioni nella sezione: σ=0.00 τ=192.87

Bullonatura ali superiori

CC 130 SLU (Collegamento -1073_-1074)
Azioni sul collegamento: N=-1155.26 Ty=6.01 Tz=-1504.20 My=-631.98 Mz=6.49
Sollecitazioni agenti localmente: Tx_l=1966.10 Ty_l=3.01 Mz_l=3.75
Taglio nei bulloni: Fv,Ed=99.03 Fv,Rd=6028.80
Azione di rifollamento di progetto lato asta: Fb,Ed,a=198.07 Fb,Rd,a=6144.62
Rifollamento lato piastra: Fb,Ed,p=99.03 Fb,Rd,p=5014.92
CC 101 SLU
Azioni sul collegamento: N=4929.31 Ty=-4.75 Tz=-624.66 My=1416.40 Mz=-4.86
Sollecitazioni agenti localmente: Tx_l=-3666.36 Ty_l=-2.38 Mz_l=-2.83
Taglio nei bulloni: Fv,Ed=183.85 Fv,Rd=6028.80
Azione di rifollamento di progetto lato asta: Fb,Ed,a=367.69 Fb,Rd,a=9486.96
Rifollamento lato piastra: Fb,Ed,p=183.84 Fb,Rd,p=11616.70

Bullonatura ali inferiori

CC 101 SLU
Azioni sul collegamento: N=4929.31 Ty=-4.75 Tz=-624.66 My=1416.40 Mz=-4.86
Sollecitazioni agenti localmente: Tx_l=6784.23 Ty_l=-2.38 Mz_l=-2.83
Taglio nei bulloni: Fv,Ed=339.74 Fv,Rd=6028.80
Azione di rifollamento di progetto lato asta: Fb,Ed,a=679.48 Fb,Rd,a=6138.90
Rifollamento lato piastra: Fb,Ed,p=339.74 Fb,Rd,p=5011.29

Piastre esterne sulle ali

Bnetta=12.00 Hnetta=120.00
CC 98 SLU (Collegamento -1073_-1074)
Azioni sul collegamento: N=5019.84 Ty=11.83 Tz=-3267.11 My=249.78 Mz=8.14
Sollecitazioni agenti localmente: Tx_l=395.70 Ty_l=3.51 Mz_l=4.07
Tensioni nella sezione: σ=41.60 τ=0.24
CC 101 SLU
Azioni sul collegamento: N=4929.31 Ty=-4.75 Tz=-624.66 My=1416.40 Mz=-4.86
Sollecitazioni agenti localmente: Tx_l=4030.24 Ty_l=-1.41 Mz_l=-2.43
Tensioni nella sezione: σ=288.31 τ= 0.10

Piastre interne sulle ali

Bnetta=12.00 Hnetta=41.00
CC 98 SLU (Collegamento -1073_-1074)
Azioni sul collegamento: N=5019.84 Ty=11.83 Tz=-3267.11 My=249.78 Mz=8.14
Sollecitazioni agenti localmente: Tx_l=135.20 Ty_l=1.20
Tensioni nella sezione: σ=27.48 τ=0.24
CC 101 SLU
Azioni sul collegamento: N=4929.31 Ty=-4.75 Tz=-624.66 My=1416.40 Mz=-4.86
Sollecitazioni agenti localmente: Tx_l=1377.00 Ty_l=-0.48
Tensioni nella sezione: σ=279.88 τ= 0.10

Collegamento -1087_-1088

Piastre anima 300.00 x 186.00 s= 12.00 - 8+8 bulloni ϕ 16
2 righe ad interasse 79.00
4 colonne ad interasse variabile

Piastre ala 650.00 x 120.00 s= 12.00 - 10+10 bulloni ϕ 16
5 righe ad interasse 67.00
2 colonne ad interasse 78.00
Piastre inferiori ala 650.00 x 41.00 s= 12.00

Bullonatura sull'anima

CC 98 SLU (Collegamento -1087_-1088)
Azioni sul collegamento: N=3466.31 Ty=-8.87 Tz=3601.31 My=512.17 Mz=6.72
Sollecitazioni agenti localmente: Tx_l=1273.81 Ty_l=3601.31 Mz_l=359.92
Taglio nei bulloni: Fv,Ed=634.09 Fv,Rd=6028.80
Azione di rifollamento di progetto lato asta: Fb,Ed,a=1268.17 Fb,Rd,a=6845.03
Rifollamento lato piastra: Fb,Ed,p=452.08 Fb,Rd,p=7793.79

Piastra di anima

Bnetta=24.00 Hnetta=186.00
CC 97 SLU (Collegamento -1087_-1088)
Azioni sul collegamento: N=3239.76 Ty=-8.92 Tz=3644.77 My=447.25 Mz=6.97
Sollecitazioni agenti localmente: Tx_l=1190.56 Ty_l=3644.77 Mz_l=353.54
Tensioni nella sezione: σ=282.15 τ=81.65
CC 98 SLU (Collegamento -1087_-1088)
Azioni sul collegamento: N=3466.31 Ty=-8.87 Tz=3601.31 My=512.17 Mz=6.72
Sollecitazioni agenti localmente: Tx_l=1273.81 Ty_l=3601.31 Mz_l=359.92
Tensioni nella sezione: σ=288.62 τ=80.67

Verifica a taglio anima forata

Bnetta=6.20 Hnetta=152.40
CC 97 SLU (Collegamento -1087_-1088)
Azioni sul collegamento: N=3239.76 Ty=-8.92 Tz=3644.77 My=447.25 Mz=6.97
Sollecitazioni agenti localmente: Ty_l=1822.38
Tensioni nella sezione: σ=0.00 τ=192.87

Bullonatura ali superiori

CC 106 SLU (Collegamento -1087_-1088)
Azioni sul collegamento: N=4929.14 Ty=4.75 Tz=624.68 My=1416.38 Mz=-4.86
Sollecitazioni agenti localmente: Tx_l=-3666.32 Ty_l=2.38 Mz_l=-2.03
Taglio nei bulloni: Fv,Ed=183.70 Fv,Rd=6028.80
Azione di rifollamento di progetto lato asta: Fb,Ed,a=367.39 Fb,Rd,a=9486.96
Rifollamento lato piastra: Fb,Ed,p=183.69 Fb,Rd,p=11616.70
CC 49 SLV
Azioni sul collegamento: N=2194.00 Ty=-3.75 Tz=268.11 My=-301.40 Mz=3.81
Sollecitazioni agenti localmente: Tx_l=1805.77 Ty_l=-1.88 Mz_l=1.59
Taglio nei bulloni: Fv,Ed=90.59 Fv,Rd=6028.80
Azione di rifollamento di progetto lato asta: Fb,Ed,a=181.18 Fb,Rd,a=6139.56
Rifollamento lato piastra: Fb,Ed,p=90.59 Fb,Rd,p=5012.23

Bullonatura ali inferiori

CC 106 SLU (Collegamento -1087_-1088)
Azioni sul collegamento: N=4929.14 Ty=4.75 Tz=624.68 My=1416.38 Mz=-4.86
Sollecitazioni agenti localmente: Tx_l=6784.08 Ty_l=2.38 Mz_l=-2.03
Taglio nei bulloni: Fv,Ed=339.58 Fv,Rd=6028.80
Azione di rifollamento di progetto lato asta: Fb,Ed,a=679.17 Fb,Rd,a=6138.72
Rifollamento lato piastra: Fb,Ed,p=339.58 Fb,Rd,p=5011.24

Piastre esterne sulle ali

Bnetta=12.00 Hnetta=120.00
CC 106 SLU (Collegamento -1087_-1088)
Azioni sul collegamento: N=4929.14 Ty=4.75 Tz=624.68 My=1416.38 Mz=-4.86
Sollecitazioni agenti localmente: Tx_l=4030.15 Ty_l=1.41 Mz_l=-2.43
Tensioni nella sezione: σ=288.30 τ= 0.10
CC 97 SLU
Azioni sul collegamento: N=5019.83 Ty=-11.83 Tz=3267.11 My=249.78 Mz=8.14
Sollecitazioni agenti localmente: Tx_l=395.69 Ty_l=-3.51 Mz_l=4.07
Tensioni nella sezione: σ=41.60 τ=0.24

Piastre interne sulle ali

Bnetta=12.00 Hnetta=41.00
CC 106 SLU (Collegamento -1087_-1088)
Azioni sul collegamento: N=4929.14 Ty=4.75 Tz=624.68 My=1416.38 Mz=-4.86
Sollecitazioni agenti localmente: Tx_l=1376.97 Ty_l=0.48
Tensioni nella sezione: σ=279.87 τ= 0.10
CC 97 SLU
Azioni sul collegamento: N=5019.83 Ty=-11.83 Tz=3267.11 My=249.78 Mz=8.14
Sollecitazioni agenti localmente: Tx_l=135.19 Ty_l=-1.20
Tensioni nella sezione: σ=27.48 τ=0.24

Collegamento -1160_-1161

Piastre anima 300.00 x 186.00 s= 12.00 - 8+8 bulloni ϕ 16
2 righe ad interasse 79.00
4 colonne ad interasse variabile
Piastre ala 650.00 x 120.00 s= 12.00 - 10+10 bulloni ϕ 16
5 righe ad interasse 67.00
2 colonne ad interasse 78.00
Piastre inferiori ala 650.00 x 41.00 s= 12.00

Bullonatura sull'anima

CC 97 SLU
Azioni sul collegamento: N=3424.30 Ty=10.17 Tz=-3584.00 My=711.75 Mz=11.46
Sollecitazioni agenti localmente: Tx_l=1258.37 Ty_l=-3584.00 Mz_l=388.65
Taglio nei bulloni: Fv,Ed=666.18 Fv,Rd=6028.80
Azione di rifollamento di progetto lato asta: Fb,Ed,a=961.98 Fb,Rd,a=5236.38
Rifollamento lato piastra: Fb,Ed,p=666.18 Fb,Rd,p=10797.70

Piastra di anima

Bnetta=24.00 Hnetta=186.00
CC 97 SLU
Azioni sul collegamento: N=3424.30 Ty=10.17 Tz=-3584.00 My=711.75 Mz=11.46
Sollecitazioni agenti localmente: Tx_l=1258.37 Ty_l=-3584.00 Mz_l=388.65
Tensioni nella sezione: σ=309.04 τ=80.29
CC 98 SLU
Azioni sul collegamento: N=3203.36 Ty=10.27 Tz=-3626.53 My=650.41 Mz=11.78
Sollecitazioni agenti localmente: Tx_l=1177.18 Ty_l=-3626.53 Mz_l=382.74
Tensioni nella sezione: σ=302.95 τ=81.24

Verifica a taglio anima forata

Bnetta=6.20 Hnetta=152.40
CC 98 SLU
Azioni sul collegamento: N=3203.36 Ty=10.27 Tz=-3626.53 My=650.41 Mz=11.78
Sollecitazioni agenti localmente: Ty_l=-1813.26
Tensioni nella sezione: σ=0.00 τ=191.90

Bullonatura ali superiori

CC 101 SLU
Azioni sul collegamento: N=4765.53 Ty=-8.26 Tz=-789.54 My=1527.85 Mz=-8.74
Sollecitazioni agenti localmente: Tx_l=-4129.32 Ty_l=-4.13 Mz_l=-5.06
Taglio nei bulloni: Fv,Ed=207.43 Fv,Rd=6028.80
Azione di rifollamento di progetto lato asta: Fb,Ed,a=414.81 Fb,Rd,a=9486.96
Rifollamento lato piastra: Fb,Ed,p=207.41 Fb,Rd,p=11616.70

Bullonatura ali inferiori

CC 101 SLU
Azioni sul collegamento: N=4765.53 Ty=-8.26 Tz=-789.54 My=1527.85 Mz=-8.74
Sollecitazioni agenti localmente: Tx_l=7143.59 Ty_l=-4.13 Mz_l=-5.06
Taglio nei bulloni: Fv,Ed=358.14 Fv,Rd=6028.80
Azione di rifollamento di progetto lato asta: Fb,Ed,a=716.27 Fb,Rd,a=6139.45
Rifollamento lato piastra: Fb,Ed,p=358.13 Fb,Rd,p=5011.64

Piastre esterne sulle ali

Bnetta=12.00 Hnetta=120.00
CC 98 SLU (Collegamento -1160_-1161)
Azioni sul collegamento: N=4875.74 Ty=14.34 Tz=-3270.22 My=465.08 Mz=13.19
Sollecitazioni agenti localmente: Tx_l=-103.23 Ty_l=4.26 Mz_l=6.59
Tensioni nella sezione: σ=30.07 τ=0.30
CC 101 SLU
Azioni sul collegamento: N=4765.53 Ty=-8.26 Tz=-789.54 My=1527.85 Mz=-8.74
Sollecitazioni agenti localmente: Tx_l=4243.72 Ty_l=-2.45 Mz_l=-4.37
Tensioni nella sezione: σ=309.87 τ=0.17

Piastre interne sulle ali

Bnetta=12.00 Hnetta=41.00
CC 98 SLU (Collegamento -1160_-1161)
Azioni sul collegamento: N=4875.74 Ty=14.34 Tz=-3270.22 My=465.08 Mz=13.19
Sollecitazioni agenti localmente: Tx_l=-35.27 Ty_l=1.46
Tensioni nella sezione: σ=7.17 τ=0.30
CC 101 SLU
Azioni sul collegamento: N=4765.53 Ty=-8.26 Tz=-789.54 My=1527.85 Mz=-8.74
Sollecitazioni agenti localmente: Tx_l=1449.94 Ty_l=-0.84
Tensioni nella sezione: σ=294.70 τ=0.17

Collegamento -1174_-1173

Piastre anima 300.00 x 186.00 s= 12.00 - 8+8 bulloni ϕ 16
2 righe ad interasse 79.00
4 colonne ad interasse variabile
Piastre ala 650.00 x 120.00 s= 12.00 - 10+10 bulloni ϕ 16
5 righe ad interasse 67.00
2 colonne ad interasse 78.00
Piastre inferiori ala 650.00 x 41.00 s= 12.00

Bullonatura sull'anima

CC 98 SLU
Azioni sul collegamento: N=3424.29 Ty=-10.17 Tz=-3584.00 My=711.75 Mz=-11.46
Sollecitazioni agenti localmente: Tx_l=1258.37 Ty_l=-3584.00 Mz_l=388.65
Taglio nei bulloni: Fv,Ed=666.18 Fv,Rd=6028.80
Azione di rifollamento di progetto lato asta: Fb,Ed,a=961.98 Fb,Rd,a=5236.38
Rifollamento lato piastra: Fb,Ed,p=666.18 Fb,Rd,p=10797.70

Piastra di anima

Bnetta=24.00 Hnetta=186.00
CC 97 SLU
Azioni sul collegamento: N=3203.35 Ty=-10.27 Tz=-3626.53 My=650.42 Mz=-11.78
Sollecitazioni agenti localmente: Tx_l=1177.18 Ty_l=-3626.53 Mz_l=382.74
Tensioni nella sezione: σ=302.95 τ=81.24
CC 98 SLU
Azioni sul collegamento: N=3424.29 Ty=-10.17 Tz=-3584.00 My=711.75 Mz=-11.46
Sollecitazioni agenti localmente: Tx_l=1258.37 Ty_l=-3584.00 Mz_l=388.65
Tensioni nella sezione: σ=309.04 τ=80.29

Verifica a taglio anima forata

Bnetta=6.20 Hnetta=152.40
CC 97 SLU
Azioni sul collegamento: N=3203.35 Ty=-10.27 Tz=-3626.53 My=650.42 Mz=-11.78
Sollecitazioni agenti localmente: Ty_l=-1813.26
Tensioni nella sezione: σ=0.00 τ=191.90

Bullonatura ali superiori

CC 106 SLU
Azioni sul collegamento: N=4765.37 Ty=8.26 Tz=-789.57 My=1527.82 Mz=8.74
Sollecitazioni agenti localmente: Tx_l=-4129.26 Ty_l=4.13 Mz_l=5.06
Taglio nei bulloni: Fv,Ed=207.43 Fv,Rd=6028.80
Azione di rifollamento di progetto lato asta: Fb,Ed,a=414.81 Fb,Rd,a=9486.96
Rifollamento lato piastra: Fb,Ed,p=207.40 Fb,Rd,p=11616.70

Bullonatura ali inferiori

CC 106 SLU
Azioni sul collegamento: N=4765.37 Ty=8.26 Tz=-789.57 My=1527.82 Mz=8.74
Sollecitazioni agenti localmente: Tx_l=7143.43 Ty_l=4.13 Mz_l=5.06
Taglio nei bulloni: Fv,Ed=358.13 Fv,Rd=6028.80
Azione di rifollamento di progetto lato asta: Fb,Ed,a=716.25 Fb,Rd,a=6139.45
Rifollamento lato piastra: Fb,Ed,p=358.12 Fb,Rd,p=5011.64

Piastre esterne sulle ali

Bnetta=12.00 Hnetta=120.00
CC 97 SLU (Collegamento -1174_-1173)
Azioni sul collegamento: N=4875.73 Ty=-14.34 Tz=-3270.22 My=465.09 Mz=-13.19
Sollecitazioni agenti localmente: Tx_l=-103.24 Ty_l=-4.26 Mz_l=-6.59
Tensioni nella sezione: σ=30.07 τ=0.30
CC 106 SLU
Azioni sul collegamento: N=4765.37 Ty=8.26 Tz=-789.57 My=1527.82 Mz=8.74
Sollecitazioni agenti localmente: Tx_l=4243.62 Ty_l=2.45 Mz_l=4.37
Tensioni nella sezione: σ=309.86 τ=0.17

Piastre interne sulle ali

Bnetta=12.00 Hnetta=41.00
CC 97 SLU (Collegamento -1174_-1173)
Azioni sul collegamento: N=4875.73 Ty=-14.34 Tz=-3270.22 My=465.09 Mz=-13.19
Sollecitazioni agenti localmente: Tx_l=-35.27 Ty_l=-1.46
Tensioni nella sezione: σ=7.17 τ=0.30
CC 106 SLU
Azioni sul collegamento: N=4765.37 Ty=8.26 Tz=-789.57 My=1527.82 Mz=8.74
Sollecitazioni agenti localmente: Tx_l=1449.91 Ty_l=0.84
Tensioni nella sezione: σ=294.70 τ=0.17

Collegamento -1174_-1175

Piastre anima 300.00 x 186.00 s= 12.00 - 8+8 bulloni ϕ 16
2 righe ad interasse 79.00
4 colonne ad interasse variabile
Piastre ala 650.00 x 120.00 s= 12.00 - 10+10 bulloni ϕ 16
5 righe ad interasse 67.00
2 colonne ad interasse 78.00
Piastre inferiori ala 650.00 x 41.00 s= 12.00

Bullonatura sull'anima

CC 98 SLU (Collegamento -1174_-1175)
Azioni sul collegamento: N=3926.80 Ty=-2.63 Tz=3135.66 My=593.33 Mz=6.10
Sollecitazioni agenti localmente: Tx_l=1443.03 Ty_l=3135.66 Mz_l=335.60
Taglio nei bulloni: Fv,Ed=593.25 Fv,Rd=6028.80
Azione di rifollamento di progetto lato asta: Fb,Ed,a=1186.50 Fb,Rd,a=6845.03
Rifollamento lato piastra: Fb,Ed,p=437.55 Fb,Rd,p=7794.77

Piastra di anima

Bnetta=24.00 Hnetta=186.00
CC 97 SLU (Collegamento -1174_-1175)
Azioni sul collegamento: N=3702.78 Ty=-2.67 Tz=3174.75 My=534.94 Mz=6.25
Sollecitazioni agenti localmente: Tx_l=1360.71 Ty_l=3174.75 Mz_l=329.87
Tensioni nella sezione: σ=268.85 τ=71.12
CC 98 SLU (Collegamento -1174_-1175)
Azioni sul collegamento: N=3926.80 Ty=-2.63 Tz=3135.66 My=593.33 Mz=6.10
Sollecitazioni agenti localmente: Tx_l=1443.03 Ty_l=3135.66 Mz_l=335.60
Tensioni nella sezione: σ=274.84 τ=70.24

Verifica a taglio anima forata

Bnetta=6.20 Hnetta=152.40
CC 97 SLU (Collegamento -1174_-1175)
Azioni sul collegamento: N=3702.78 Ty=-2.67 Tz=3174.75 My=534.94 Mz=6.25
Sollecitazioni agenti localmente: Ty_l=1587.37
Tensioni nella sezione: σ=0.00 τ=168.00

Bullonatura ali superiori

CC 106 SLU (Collegamento -1174_-1175)
Azioni sul collegamento: N=5076.25 Ty=4.85 Tz=686.79 My=1356.65 Mz=-3.59
Sollecitazioni agenti localmente: Tx_l=-3399.45 Ty_l=2.42 Mz_l=-1.39
Taglio nei bulloni: Fv,Ed=170.23 Fv,Rd=6028.80
Azione di rifollamento di progetto lato asta: Fb,Ed,a=340.46 Fb,Rd,a=9486.96
Rifollamento lato piastra: Fb,Ed,p=170.23 Fb,Rd,p=11616.70
CC 49 SLV
Azioni sul collegamento: N=2313.40 Ty=-2.61 Tz=198.55 My=-278.05 Mz=2.64
Sollecitazioni agenti localmente: Tx_l=1757.40 Ty_l=-1.31 Mz_l=1.10
Taglio nei bulloni: Fv,Ed=88.08 Fv,Rd=6028.80
Azione di rifollamento di progetto lato asta: Fb,Ed,a=176.16 Fb,Rd,a=6139.09
Rifollamento lato piastra: Fb,Ed,p=88.08 Fb,Rd,p=5011.68

Bullonatura ali inferiori

CC 106 SLU (Collegamento -1174_-1175)
Azioni sul collegamento: N=5076.25 Ty=4.85 Tz=686.79 My=1356.65 Mz=-3.59
Sollecitazioni agenti localmente: Tx_l=6610.26 Ty_l=2.42 Mz_l=-1.39
Taglio nei bulloni: Fv,Ed=330.77 Fv,Rd=6028.80
Azione di rifollamento di progetto lato asta: Fb,Ed,a=661.54 Fb,Rd,a=6138.66
Rifollamento lato piastra: Fb,Ed,p=330.77 Fb,Rd,p=5011.18

Piastre esterne sulle ali

Bnetta=12.00 Hnetta=120.00
CC 106 SLU (Collegamento -1174_-1175)
Azioni sul collegamento: N=5076.25 Ty=4.85 Tz=686.79 My=1356.65 Mz=-3.59
Sollecitazioni agenti localmente: Tx_l=3926.89 Ty_l=1.44 Mz_l=-1.79
Tensioni nella sezione: σ=278.93 τ= 0.10
CC 97 SLU
Azioni sul collegamento: N=5236.11 Ty=-5.36 Tz=2863.24 My=365.10 Mz=6.76
Sollecitazioni agenti localmente: Tx_l=183.59 Ty_l=-1.59 Mz_l=3.38
Tensioni nella sezione: σ=24.48 τ=0.11

Piastre interne sulle ali

Bnetta=12.00 Hnetta=41.00
CC 106 SLU (Collegamento -1174_-1175)
Azioni sul collegamento: N=5076.25 Ty=4.85 Tz=686.79 My=1356.65 Mz=-3.59
Sollecitazioni agenti localmente: Tx_l=1341.69 Ty_l=0.49
Tensioni nella sezione: σ=272.70 τ= 0.10
CC 97 SLU
Azioni sul collegamento: N=5236.11 Ty=-5.36 Tz=2863.24 My=365.10 Mz=6.76

Sollecitazioni agenti localmente: Tx_l=62.73 Ty_l=-0.54
Tensioni nella sezione: σ=12.75 τ=0.11

Collegamento -1201_-1202

Piastre anima 300.00 x 186.00 s= 12.00 - 8+8 bulloni ϕ 16
2 righe ad interasse 79.00
4 colonne ad interasse variabile
Piastre ala 650.00 x 120.00 s= 12.00 - 10+10 bulloni ϕ 16
5 righe ad interasse 67.00
2 colonne ad interasse 78.00
Piastre inferiori ala 650.00 x 41.00 s= 12.00

Bullonatura sull'anima

CC 97 SLU (Collegamento -1201_-1202)
Azioni sul collegamento: N=4872.05 Ty=12.08 Tz=-4384.38 My=625.87 Mz=13.32
Sollecitazioni agenti localmente: Tx_l=1790.40 Ty_l=-4384.38 Mz_l=438.53
Taglio nei bulloni: Fv,Ed=783.12 Fv,Rd=6028.80
Azione di rifollamento di progetto lato asta: Fb,Ed,a=1131.44 Fb,Rd,a=5234.78
Rifollamento lato piastra: Fb,Ed,p=783.12 Fb,Rd,p=10788.80

Piastra di anima

Bnetta=24.00 Hnetta=186.00
CC 97 SLU (Collegamento -1201_-1202)
Azioni sul collegamento: N=4872.05 Ty=12.08 Tz=-4384.38 My=625.87 Mz=13.32
Sollecitazioni agenti localmente: Tx_l=1790.40 Ty_l=-4384.38 Mz_l=438.53
Tensioni nella sezione: σ=357.00 τ=98.22
CC 98 SLU (Collegamento -1201_-1202)
Azioni sul collegamento: N=4673.08 Ty=12.23 Tz=-4447.39 My=562.12 Mz=13.66
Sollecitazioni agenti localmente: Tx_l=1717.28 Ty_l=-4447.39 Mz_l=433.87
Tensioni nella sezione: σ=351.99 τ=99.63

Verifica a taglio anima forata

Bnetta=6.20 Hnetta=152.40
CC 98 SLU (Collegamento -1201_-1202)
Azioni sul collegamento: N=4673.08 Ty=12.23 Tz=-4447.39 My=562.12 Mz=13.66
Sollecitazioni agenti localmente: Ty_l=-2223.70
Tensioni nella sezione: σ=0.00 τ=235.34

Bullonatura ali superiori

CC 1 SLV (Collegamento -1201_-1202)
Azioni sul collegamento: N=2406.41 Ty=4.33 Tz=-271.59 My=-295.20 Mz=5.58
Sollecitazioni agenti localmente: Tx_l=1850.08 Ty_l=2.16 Mz_l=3.15
Taglio nei bulloni: Fv,Ed=93.11 Fv,Rd=6028.80
Azione di rifollamento di progetto lato asta: Fb,Ed,a=186.23 Fb,Rd,a=6143.33
Rifollamento lato piastra: Fb,Ed,p=93.11 Fb,Rd,p=5014.22
CC 101 SLU
Azioni sul collegamento: N=4630.23 Ty=-4.14 Tz=-1379.21 My=1440.22 Mz=-9.66
Sollecitazioni agenti localmente: Tx_l=-3848.84 Ty_l=-2.07 Mz_l=-5.18
Taglio nei bulloni: Fv,Ed=193.43 Fv,Rd=6028.80
Azione di rifollamento di progetto lato asta: Fb,Ed,a=386.81 Fb,Rd,a=9486.96
Rifollamento lato piastra: Fb,Ed,p=193.40 Fb,Rd,p=11616.70

Bullonatura ali inferiori

CC 101 SLU
Azioni sul collegamento: N=4630.23 Ty=-4.14 Tz=-1379.21 My=1440.22 Mz=-9.66
Sollecitazioni agenti localmente: Tx_l=6777.53 Ty_l=-2.07 Mz_l=-5.18
Taglio nei bulloni: Fv,Ed=339.86 Fv,Rd=6028.80
Azione di rifollamento di progetto lato asta: Fb,Ed,a=679.71 Fb,Rd,a=6139.53
Rifollamento lato piastra: Fb,Ed,p=339.85 Fb,Rd,p=5011.77

Piastre esterne sulle ali

Bnetta=12.00 Hnetta=120.00
CC 122 SLU (Collegamento -1201_-1202)
Azioni sul collegamento: N=2607.26 Ty=13.40 Tz=-3033.89 My=144.76 Mz=11.73
Sollecitazioni agenti localmente: Tx_l=172.60 Ty_l=3.98 Mz_l=5.86
Tensioni nella sezione: σ=32.35 τ=0.28
CC 101 SLU
Azioni sul collegamento: N=4630.23 Ty=-4.14 Tz=-1379.21 My=1440.22 Mz=-9.66
Sollecitazioni agenti localmente: Tx_l=4026.26 Ty_l=-1.23 Mz_l=-4.83
Tensioni nella sezione: σ=296.37 τ= 0.09

Piastre interne sulle ali

Bnetta=12.00 Hnetta=41.00
CC 122 SLU (Collegamento -1201_-1202)

Azioni sul collegamento: N=2607.26 Ty=13.40 Tz=-3033.89 My=144.76 Mz=11.73
Sollecitazioni agenti localmente: Tx_l=58.97 Ty_l=1.36
Tensioni nella sezione: σ=11.99 τ=0.28
CC 101 SLU
Azioni sul collegamento: N=4630.23 Ty=-4.14 Tz=-1379.21 My=1440.22 Mz=-9.66
Sollecitazioni agenti localmente: Tx_l=1375.64 Ty_l=-0.42
Tensioni nella sezione: σ=279.60 τ= 0.09

Collegamento -1212_-1213

Piastre anima 300.00 x 186.00 s= 12.00 - 8+8 bulloni ϕ 16
2 righe ad interasse 79.00
4 colonne ad interasse variabile
Piastre ala 650.00 x 120.00 s= 12.00 - 10+10 bulloni ϕ 16
5 righe ad interasse 67.00
2 colonne ad interasse 78.00
Piastre inferiori ala 650.00 x 41.00 s= 12.00

Bullonatura sull'anima

CC 98 SLU
Azioni sul collegamento: N=4872.04 Ty=-12.08 Tz=4384.38 My=625.87 Mz=13.32
Sollecitazioni agenti localmente: Tx_l=1790.39 Ty_l=4384.38 Mz_l=438.53
Taglio nei bulloni: Fv,Ed=783.12 Fv,Rd=6028.80
Azione di rifollamento di progetto lato asta: Fb,Ed,a=1566.24 Fb,Rd,a=6845.03
Rifollamento lato piastra: Fb,Ed,p=565.72 Fb,Rd,p=7793.72

Piastra di anima

Bnetta=24.00 Hnetta=186.00
CC 97 SLU
Azioni sul collegamento: N=4673.07 Ty=-12.23 Tz=4447.39 My=562.13 Mz=13.66
Sollecitazioni agenti localmente: Tx_l=1717.27 Ty_l=4447.39 Mz_l=433.87
Tensioni nella sezione: σ=351.99 τ=99.63
CC 98 SLU
Azioni sul collegamento: N=4872.04 Ty=-12.08 Tz=4384.38 My=625.87 Mz=13.32
Sollecitazioni agenti localmente: Tx_l=1790.39 Ty_l=4384.38 Mz_l=438.53
Tensioni nella sezione: σ=357.00 τ=98.22

Verifica a taglio anima forata

Bnetta=6.20 Hnetta=152.40
CC 97 SLU
Azioni sul collegamento: N=4673.07 Ty=-12.23 Tz=4447.39 My=562.13 Mz=13.66
Sollecitazioni agenti localmente: Ty_l=2223.70
Tensioni nella sezione: σ=0.00 τ=235.34

Bullonatura ali superiori

CC 106 SLU (Collegamento -1212_-1213)
Azioni sul collegamento: N=4630.07 Ty=4.14 Tz=1379.25 My=1440.19 Mz=-9.66
Sollecitazioni agenti localmente: Tx_l=-3848.76 Ty_l=2.07 Mz_l=-4.48
Taglio nei bulloni: Fv,Ed=193.29 Fv,Rd=6028.80
Azione di rifollamento di progetto lato asta: Fb,Ed,a=386.54 Fb,Rd,a=9486.96
Rifollamento lato piastra: Fb,Ed,p=193.27 Fb,Rd,p=11616.70
CC 49 SLV
Azioni sul collegamento: N=2406.42 Ty=-4.33 Tz=271.59 My=-295.20 Mz=5.58
Sollecitazioni agenti localmente: Tx_l=1850.08 Ty_l=-2.16 Mz_l=2.43
Taglio nei bulloni: Fv,Ed=92.97 Fv,Rd=6028.80
Azione di rifollamento di progetto lato asta: Fb,Ed,a=185.93 Fb,Rd,a=6140.80
Rifollamento lato piastra: Fb,Ed,p=92.97 Fb,Rd,p=5013.48

Bullonatura ali inferiori

CC 106 SLU (Collegamento -1212_-1213)
Azioni sul collegamento: N=4630.07 Ty=4.14 Tz=1379.25 My=1440.19 Mz=-9.66
Sollecitazioni agenti localmente: Tx_l=6777.35 Ty_l=2.07 Mz_l=-4.48
Taglio nei bulloni: Fv,Ed=339.71 Fv,Rd=6028.80
Azione di rifollamento di progetto lato asta: Fb,Ed,a=679.42 Fb,Rd,a=6139.21
Rifollamento lato piastra: Fb,Ed,p=339.71 Fb,Rd,p=5011.68

Piastre esterne sulle ali

Bnetta=12.00 Hnetta=120.00
CC 106 SLU (Collegamento -1212_-1213)
Azioni sul collegamento: N=4630.07 Ty=4.14 Tz=1379.25 My=1440.19 Mz=-9.66
Sollecitazioni agenti localmente: Tx_l=4026.15 Ty_l=1.23 Mz_l=-4.83
Tensioni nella sezione: σ=296.37 τ= 0.09
CC 97 SLU
Azioni sul collegamento: N=4673.07 Ty=-12.23 Tz=4447.39 My=562.13 Mz=13.66
Sollecitazioni agenti localmente: Tx_l=-353.98 Ty_l=-3.63 Mz_l=6.83
Tensioni nella sezione: σ=48.30 τ=0.25

Piastre interne sulle ali

Bnetta=12.00 Hnetta=41.00
CC 106 SLU (Collegamento -1212_-1213)
Azioni sul collegamento: N=4630.07 Ty=4.14 Tz=1379.25 My=1440.19 Mz=-9.66
Sollecitazioni agenti localmente: Tx_l=1375.60 Ty_l=0.42
Tensioni nella sezione: σ=279.59 τ= 0.09
CC 97 SLU
Azioni sul collegamento: N=4673.07 Ty=-12.23 Tz=4447.39 My=562.13 Mz=13.66
Sollecitazioni agenti localmente: Tx_l=-120.94 Ty_l=-1.24
Tensioni nella sezione: σ=24.58 τ=0.25

Collegamento -179_-383

Piastra 220.00 x 220.00 s=15.00 - 6 Tirafondi ϕ 16 - Profondità di infissione: 350.00
3 righe ad interasse 89.00
2 colonne ad interasse 178.00
Altezza di gola saldature: anima 7.07 - ala 7.07

Tirafondi e calcestruzzo

CC 1 SLV (Collegamento -179_-383)
Azioni sul collegamento: N=-6136.64 Ty=15.19 Tz=-0.86 Mx=0.02 Mz=13.60
Sollecitazioni agenti localmente: Tx_l=15.19 Ty_l=-0.86 N_l=-6136.64 Mx_l=-0.00 My_l=13.60 Mz_l=0.02
Taglio nei bulloni: Fv,Ed=2.56 Fv,Rd=7720.78
Rifollamento lato piastra: Fb,Ed,p=2.56 Fb,Rd,p=6015.41
Tirafondi:LT=0.45 (0.31) σ_{cR}=0.00 σ_{fR}=0.00
Compressione nel calcestruzzo: σ_c=13.45
CC 1 SLV (Collegamento -179_-383)
Azioni sul collegamento: N=-6136.64 Ty=7.48 Tz=-0.86 Mx=0.02 Mz=7.28
Sollecitazioni agenti localmente: Tx_l=7.48 Ty_l=-0.86 N_l=-6136.64 Mx_l=-0.00 My_l=7.28 Mz_l=0.02
Taglio nei bulloni: Fv,Ed=1.28 Fv,Rd=7720.78
Rifollamento lato piastra: Fb,Ed,p=1.28 Fb,Rd,p=6126.38
Tirafondi:LT=0.45 (0.31) σ_{cR}=0.00 σ_{fR}=0.00
Compressione nel calcestruzzo: σ_c=13.09
CC 1 SLV (Collegamento -179_-383)
Azioni sul collegamento: N=-6136.64 Ty=15.19 Tz=28.35 Mx=0.02 Mz=13.60
Sollecitazioni agenti localmente: Tx_l=15.19 Ty_l=28.35 N_l=-6136.64 Mx_l=-0.00 My_l=13.60 Mz_l=0.02
Taglio nei bulloni: Fv,Ed=5.39 Fv,Rd=7720.78
Rifollamento lato piastra: Fb,Ed,p=5.39 Fb,Rd,p=8597.84
Tirafondi:LT=0.45 (0.31) σ_{cR}=0.00 σ_{fR}=0.00
Compressione nel calcestruzzo: σ_c=13.45
CC 1 SLV (Collegamento -179_-383)
Azioni sul collegamento: N=-6136.64 Ty=7.48 Tz=28.35 Mx=0.02 Mz=7.28
Sollecitazioni agenti localmente: Tx_l=7.48 Ty_l=28.35 N_l=-6136.64 Mx_l=-0.00 My_l=7.28 Mz_l=0.02
Taglio nei bulloni: Fv,Ed=4.91 Fv,Rd=7720.78
Rifollamento lato piastra: Fb,Ed,p=4.91 Fb,Rd,p=6614.95
Tirafondi:LT=0.45 (0.31) σ_{cR}=0.00 σ_{fR}=0.00
Compressione nel calcestruzzo: σ_c=13.09
CC 1 SLV (Collegamento -179_-383)
Azioni sul collegamento: N=-13961.30 Ty=15.19 Tz=-0.86 Mx=0.02 Mz=13.60
Sollecitazioni agenti localmente: Tx_l=15.19 Ty_l=-0.86 N_l=-13961.30 Mx_l=-0.00 My_l=13.60 Mz_l=0.02
Taglio nei bulloni: Fv,Ed=2.56 Fv,Rd=7720.78
Rifollamento lato piastra: Fb,Ed,p=2.56 Fb,Rd,p=6015.41
Tirafondi:LT=0.45 (0.31) σ_{cR}=0.00 σ_{fR}=0.00
Compressione nel calcestruzzo: σ_c=29.61
CC 1 SLV (Collegamento -179_-383)
Azioni sul collegamento: N=-13961.30 Ty=7.48 Tz=-0.86 Mx=0.02 Mz=7.28
Sollecitazioni agenti localmente: Tx_l=7.48 Ty_l=-0.86 N_l=-13961.30 Mx_l=-0.00 My_l=7.28 Mz_l=0.02
Taglio nei bulloni: Fv,Ed=1.28 Fv,Rd=7720.78
Rifollamento lato piastra: Fb,Ed,p=1.28 Fb,Rd,p=6126.36
Tirafondi:LT=0.45 (0.31) σ_{cR}=0.00 σ_{fR}=0.00
Compressione nel calcestruzzo: σ_c=29.26
CC 1 SLV (Collegamento -179_-383)
Azioni sul collegamento: N=-13961.30 Ty=15.19 Tz=28.35 Mx=0.02 Mz=13.60
Sollecitazioni agenti localmente: Tx_l=15.19 Ty_l=28.35 N_l=-13961.30 Mx_l=-0.00 My_l=13.60 Mz_l=0.02
Taglio nei bulloni: Fv,Ed=5.39 Fv,Rd=7720.78
Rifollamento lato piastra: Fb,Ed,p=5.39 Fb,Rd,p=8597.92
Tirafondi:LT=0.45 (0.31) σ_{cR}=0.00 σ_{fR}=0.00
Compressione nel calcestruzzo: σ_c=29.61
CC 1 SLV (Collegamento -179_-383)
Azioni sul collegamento: N=-13961.30 Ty=7.48 Tz=28.35 Mx=0.02 Mz=7.28
Sollecitazioni agenti localmente: Tx_l=7.48 Ty_l=28.35 N_l=-13961.30 Mx_l=-0.00 My_l=7.28 Mz_l=0.02
Taglio nei bulloni: Fv,Ed=4.91 Fv,Rd=7720.78
Rifollamento lato piastra: Fb,Ed,p=4.91 Fb,Rd,p=6614.96
Tirafondi:LT=0.45 (0.31) σ_{cR}=0.00 σ_{fR}=0.00
Compressione nel calcestruzzo: σ_c=29.26
CC 2 SLD (Collegamento -179_-383)
Azioni sul collegamento: N=-8758.64 Ty=11.59 Tz=8.91 Mx=0.01 Mz=9.27

Sollecitazioni agenti localmente: Tx_l=11.59 Ty_l=8.91 N_l=-8758.64 Mx_l=-0.00 My_l=9.27 Mz_l=0.01
Taglio nei bulloni: Fv,Ed=2.45 Fv,Rd=9650.97
Rifollamento lato piastra: Fb,Ed,p=2.44 Fb,Rd,p=13350.00
Tirafondi:LT=0.45 (0.31) σ_{cR}=0.00 σ_{fR}=0.00
Compressione nel calcestruzzo: σ_c=18.62
CC 2 SLD (Collegamento -179_-383)
Azioni sul collegamento: N=-8758.64 Ty=9.24 Tz=8.91 Mx=0.01 Mz=7.34
Sollecitazioni agenti localmente: Tx_l=9.24 Ty_l=8.91 N_l=-8758.64 Mx_l=-0.00 My_l=7.34 Mz_l=0.01
Taglio nei bulloni: Fv,Ed=2.15 Fv,Rd=9650.97
Rifollamento lato piastra: Fb,Ed,p=2.14 Fb,Rd,p=14680.20
Tirafondi:LT=0.45 (0.31) σ_{cR}=0.00 σ_{fR}=0.00
Compressione nel calcestruzzo: σ_c=18.51
CC 2 SLD (Collegamento -179_-383)
Azioni sul collegamento: N=-8758.64 Ty=11.59 Tz=17.82 Mx=0.01 Mz=9.27
Sollecitazioni agenti localmente: Tx_l=11.59 Ty_l=17.82 N_l=-8758.64 Mx_l=-0.00 My_l=9.27 Mz_l=0.01
Taglio nei bulloni: Fv,Ed=3.55 Fv,Rd=9650.97
Rifollamento lato piastra: Fb,Ed,p=3.55 Fb,Rd,p=12313.10
Tirafondi:LT=0.45 (0.31) σ_{cR}=0.00 σ_{fR}=0.00
Compressione nel calcestruzzo: σ_c=18.62
CC 2 SLD (Collegamento -179_-383)
Azioni sul collegamento: N=-8758.64 Ty=9.24 Tz=17.82 Mx=0.01 Mz=7.34
Sollecitazioni agenti localmente: Tx_l=9.24 Ty_l=17.82 N_l=-8758.64 Mx_l=-0.00 My_l=7.34 Mz_l=0.01
Taglio nei bulloni: Fv,Ed=3.36 Fv,Rd=9650.97
Rifollamento lato piastra: Fb,Ed,p=3.36 Fb,Rd,p=10527.50
Tirafondi:LT=0.45 (0.31) σ_{cR}=0.00 σ_{fR}=0.00
Compressione nel calcestruzzo: σ_c=18.51
CC 2 SLD (Collegamento -179_-383)
Azioni sul collegamento: N=-11144.60 Ty=11.59 Tz=8.91 Mx=0.01 Mz=9.27
Sollecitazioni agenti localmente: Tx_l=11.59 Ty_l=8.91 N_l=-11144.60 Mx_l=-0.00 My_l=9.27 Mz_l=0.01
Taglio nei bulloni: Fv,Ed=2.45 Fv,Rd=9650.97
Rifollamento lato piastra: Fb,Ed,p=2.44 Fb,Rd,p=13350.20
Tirafondi:LT=0.45 (0.31) σ_{cR}=0.00 σ_{fR}=0.00
Compressione nel calcestruzzo: σ_c=23.55
CC 2 SLD (Collegamento -179_-383)
Azioni sul collegamento: N=-11144.60 Ty=9.24 Tz=8.91 Mx=0.01 Mz=7.34
Sollecitazioni agenti localmente: Tx_l=9.24 Ty_l=8.91 N_l=-11144.60 Mx_l=-0.00 My_l=7.34 Mz_l=0.01
Taglio nei bulloni: Fv,Ed=2.15 Fv,Rd=9650.97
Rifollamento lato piastra: Fb,Ed,p=2.14 Fb,Rd,p=14680.50
Tirafondi:LT=0.45 (0.31) σ_{cR}=0.00 σ_{fR}=0.00
Compressione nel calcestruzzo: σ_c=23.44
CC 2 SLD (Collegamento -179_-383)
Azioni sul collegamento: N=-11144.60 Ty=11.59 Tz=17.82 Mx=0.01 Mz=9.27
Sollecitazioni agenti localmente: Tx_l=11.59 Ty_l=17.82 N_l=-11144.60 Mx_l=-0.00 My_l=9.27 Mz_l=0.01
Taglio nei bulloni: Fv,Ed=3.55 Fv,Rd=9650.97
Rifollamento lato piastra: Fb,Ed,p=3.55 Fb,Rd,p=12313.10
Tirafondi:LT=0.45 (0.31) σ_{cR}=0.00 σ_{fR}=0.00
Compressione nel calcestruzzo: σ_c=23.55
CC 2 SLD (Collegamento -179_-383)
Azioni sul collegamento: N=-11144.60 Ty=9.24 Tz=17.82 Mx=0.01 Mz=7.34
Sollecitazioni agenti localmente: Tx_l=9.24 Ty_l=17.82 N_l=-11144.60 Mx_l=-0.00 My_l=7.34 Mz_l=0.01
Taglio nei bulloni: Fv,Ed=3.36 Fv,Rd=9650.97
Rifollamento lato piastra: Fb,Ed,p=3.36 Fb,Rd,p=10527.50
Tirafondi:LT=0.45 (0.31) σ_{cR}=0.00 σ_{fR}=0.00
Compressione nel calcestruzzo: σ_c=23.44
CC 3 SLV (Collegamento -179_-383)
Azioni sul collegamento: N=-6141.51 Ty=14.68 Tz=-0.53 Mx=0.01 Mz=12.56
Sollecitazioni agenti localmente: Tx_l=14.68 Ty_l=-0.53 N_l=-6141.51 Mx_l=-0.00 My_l=12.56 Mz_l=0.01
Taglio nei bulloni: Fv,Ed=2.46 Fv,Rd=7720.78
Rifollamento lato piastra: Fb,Ed,p=2.46 Fb,Rd,p=5994.78
Tirafondi:LT=0.45 (0.31) σ_{cR}=0.00 σ_{fR}=0.00
Compressione nel calcestruzzo: σ_c=13.40
CC 3 SLV (Collegamento -179_-383)
Azioni sul collegamento: N=-6141.51 Ty=7.99 Tz=-0.53 Mx=0.01 Mz=8.33
Sollecitazioni agenti localmente: Tx_l=7.99 Ty_l=-0.53 N_l=-6141.51 Mx_l=-0.00 My_l=8.33 Mz_l=0.01
Taglio nei bulloni: Fv,Ed=1.35 Fv,Rd=7720.78
Rifollamento lato piastra: Fb,Ed,p=1.35 Fb,Rd,p=6031.29
Tirafondi:LT=0.45 (0.31) σ_{cR}=0.00 σ_{fR}=0.00
Compressione nel calcestruzzo: σ_c=13.16
CC 3 SLV (Collegamento -179_-383)
Azioni sul collegamento: N=-6141.51 Ty=14.68 Tz=28.02 Mx=0.01 Mz=12.56
Sollecitazioni agenti localmente: Tx_l=14.68 Ty_l=28.02 N_l=-6141.51 Mx_l=-0.00 My_l=12.56 Mz_l=0.01
Taglio nei bulloni: Fv,Ed=5.29 Fv,Rd=7720.78
Rifollamento lato piastra: Fb,Ed,p=5.29 Fb,Rd,p=8475.07
Tirafondi:LT=0.45 (0.31) σ_{cR}=0.00 σ_{fR}=0.00
Compressione nel calcestruzzo: σ_c=13.40
CC 3 SLV (Collegamento -179_-383)
Azioni sul collegamento: N=-6141.51 Ty=7.99 Tz=28.02 Mx=0.01 Mz=8.33
Sollecitazioni agenti localmente: Tx_l=7.99 Ty_l=28.02 N_l=-6141.51 Mx_l=-0.00 My_l=8.33 Mz_l=0.01
Taglio nei bulloni: Fv,Ed=4.88 Fv,Rd=7720.78
Rifollamento lato piastra: Fb,Ed,p=4.88 Fb,Rd,p=6717.12

Tirafondi:LT=0.45 (0.31) σ_{cR}=0.00 σ_{fR}=0.00
Compressione nel calcestruzzo: σ_c=13.16
CC 3 SLV (Collegamento -179_-383)
Azioni sul collegamento: N=-13956.40 Ty=14.68 Tz=-0.53 Mx=0.01 Mz=12.56
Sollecitazioni agenti localmente: Tx_l=14.68 Ty_l=-0.53 N_l=-13956.40 Mx_l=-0.00 My_l=12.56 Mz_l=0.01
Taglio nei bulloni: Fv,Ed=2.46 Fv,Rd=7720.78
Rifollamento lato piastra: Fb,Ed,p=2.46 Fb,Rd,p=5994.78
Tirafondi:LT=0.45 (0.31) σ_{cR}=0.00 σ_{fR}=0.00
Compressione nel calcestruzzo: σ_c=29.54
CC 3 SLV (Collegamento -179_-383)
Azioni sul collegamento: N=-13956.40 Ty=7.99 Tz=-0.53 Mx=0.01 Mz=8.33
Sollecitazioni agenti localmente: Tx_l=7.99 Ty_l=-0.53 N_l=-13956.40 Mx_l=-0.00 My_l=8.33 Mz_l=0.01
Taglio nei bulloni: Fv,Ed=1.35 Fv,Rd=7720.78
Rifollamento lato piastra: Fb,Ed,p=1.35 Fb,Rd,p=6031.27
Tirafondi:LT=0.45 (0.31) σ_{cR}=0.00 σ_{fR}=0.00
Compressione nel calcestruzzo: σ_c=29.30
CC 3 SLV (Collegamento -179_-383)
Azioni sul collegamento: N=-13956.40 Ty=14.68 Tz=28.02 Mx=0.01 Mz=12.56
Sollecitazioni agenti localmente: Tx_l=14.68 Ty_l=28.02 N_l=-13956.40 Mx_l=-0.00 My_l=12.56 Mz_l=0.01
Taglio nei bulloni: Fv,Ed=5.29 Fv,Rd=7720.78
Rifollamento lato piastra: Fb,Ed,p=5.29 Fb,Rd,p=8474.99
Tirafondi:LT=0.45 (0.31) σ_{cR}=0.00 σ_{fR}=0.00
Compressione nel calcestruzzo: σ_c=29.54
CC 3 SLV (Collegamento -179_-383)
Azioni sul collegamento: N=-13956.40 Ty=7.99 Tz=28.02 Mx=0.01 Mz=8.33
Sollecitazioni agenti localmente: Tx_l=7.99 Ty_l=28.02 N_l=-13956.40 Mx_l=-0.00 My_l=8.33 Mz_l=0.01
Taglio nei bulloni: Fv,Ed=4.88 Fv,Rd=7720.78
Rifollamento lato piastra: Fb,Ed,p=4.88 Fb,Rd,p=6717.10
Tirafondi:LT=0.45 (0.31) σ_{cR}=0.00 σ_{fR}=0.00
Compressione nel calcestruzzo: σ_c=29.30
CC 4 SLD (Collegamento -179_-383)
Azioni sul collegamento: N=-8760.13 Ty=11.43 Tz=9.01 Mx=0.01 Mz=8.95
Sollecitazioni agenti localmente: Tx_l=11.43 Ty_l=9.01 N_l=-8760.13 Mx_l=-0.00 My_l=8.95 Mz_l=0.01
Taglio nei bulloni: Fv,Ed=2.44 Fv,Rd=9650.97
Rifollamento lato piastra: Fb,Ed,p=2.43 Fb,Rd,p=13483.40
Tirafondi:LT=0.45 (0.31) σ_{cR}=0.00 σ_{fR}=0.00
Compressione nel calcestruzzo: σ_c=18.60
CC 4 SLD (Collegamento -179_-383)
Azioni sul collegamento: N=-8760.13 Ty=9.39 Tz=9.01 Mx=0.01 Mz=7.66
Sollecitazioni agenti localmente: Tx_l=9.39 Ty_l=9.01 N_l=-8760.13 Mx_l=-0.00 My_l=7.66 Mz_l=0.01
Taglio nei bulloni: Fv,Ed=2.18 Fv,Rd=9650.97
Rifollamento lato piastra: Fb,Ed,p=2.17 Fb,Rd,p=14656.40
Tirafondi:LT=0.45 (0.31) σ_{cR}=0.00 σ_{fR}=0.00
Compressione nel calcestruzzo: σ_c=18.53
CC 4 SLD (Collegamento -179_-383)
Azioni sul collegamento: N=-8760.13 Ty=11.43 Tz=17.72 Mx=0.01 Mz=8.95
Sollecitazioni agenti localmente: Tx_l=11.43 Ty_l=17.72 N_l=-8760.13 Mx_l=-0.00 My_l=8.95 Mz_l=0.01
Taglio nei bulloni: Fv,Ed=3.52 Fv,Rd=9650.97
Rifollamento lato piastra: Fb,Ed,p=3.52 Fb,Rd,p=12232.00
Tirafondi:LT=0.45 (0.31) σ_{cR}=0.00 σ_{fR}=0.00
Compressione nel calcestruzzo: σ_c=18.60
CC 4 SLD (Collegamento -179_-383)
Azioni sul collegamento: N=-8760.13 Ty=9.39 Tz=17.72 Mx=0.01 Mz=7.66
Sollecitazioni agenti localmente: Tx_l=9.39 Ty_l=17.72 N_l=-8760.13 Mx_l=-0.00 My_l=7.66 Mz_l=0.01
Taglio nei bulloni: Fv,Ed=3.35 Fv,Rd=9650.97
Rifollamento lato piastra: Fb,Ed,p=3.35 Fb,Rd,p=10666.10
Tirafondi:LT=0.45 (0.31) σ_{cR}=0.00 σ_{fR}=0.00
Compressione nel calcestruzzo: σ_c=18.53
CC 4 SLD (Collegamento -179_-383)
Azioni sul collegamento: N=-11143.10 Ty=11.43 Tz=9.01 Mx=0.01 Mz=8.95
Sollecitazioni agenti localmente: Tx_l=11.43 Ty_l=9.01 N_l=-11143.10 Mx_l=-0.00 My_l=8.95 Mz_l=0.01
Taglio nei bulloni: Fv,Ed=2.44 Fv,Rd=9650.97
Rifollamento lato piastra: Fb,Ed,p=2.43 Fb,Rd,p=13483.60
Tirafondi:LT=0.45 (0.31) σ_{cR}=0.00 σ_{fR}=0.00
Compressione nel calcestruzzo: σ_c=23.53
CC 4 SLD (Collegamento -179_-383)
Azioni sul collegamento: N=-11143.10 Ty=9.39 Tz=9.01 Mx=0.01 Mz=7.66
Sollecitazioni agenti localmente: Tx_l=9.39 Ty_l=9.01 N_l=-11143.10 Mx_l=-0.00 My_l=7.66 Mz_l=0.01
Taglio nei bulloni: Fv,Ed=2.18 Fv,Rd=9650.97
Rifollamento lato piastra: Fb,Ed,p=2.17 Fb,Rd,p=14656.70
Tirafondi:LT=0.45 (0.31) σ_{cR}=0.00 σ_{fR}=0.00
Compressione nel calcestruzzo: σ_c=23.45
CC 4 SLD (Collegamento -179_-383)
Azioni sul collegamento: N=-11143.10 Ty=11.43 Tz=17.72 Mx=0.01 Mz=8.95
Sollecitazioni agenti localmente: Tx_l=11.43 Ty_l=17.72 N_l=-11143.10 Mx_l=-0.00 My_l=8.95 Mz_l=0.01
Taglio nei bulloni: Fv,Ed=3.52 Fv,Rd=9650.97
Rifollamento lato piastra: Fb,Ed,p=3.52 Fb,Rd,p=12232.10
Tirafondi:LT=0.45 (0.31) σ_{cR}=0.00 σ_{fR}=0.00
Compressione nel calcestruzzo: σ_c=23.53
CC 4 SLD (Collegamento -179_-383)

Azioni sul collegamento: N=-11143.10 Ty=9.39 Tz=17.72 Mx=0.01 Mz=7.66
Sollecitazioni agenti localmente: Tx_l=9.39 Ty_l=17.72 N_l=-11143.10 Mx_l=-0.00 My_l=7.66 Mz_l=0.01
Taglio nei bulloni: Fv,Ed=3.35 Fv,Rd=9650.97
Rifollamento lato piastra: Fb,Ed,p=3.35 Fb,Rd,p=10666.20
Tirafondi:LT=0.45 (0.31) σ_{cR}=0.00 σ_{fR}=0.00
Compressione nel calcestruzzo: σ_c=23.45
CC 5 SLV (Collegamento -179_-383)
Azioni sul collegamento: N=-13956.40 Ty=7.99 Tz=28.02 Mx=0.02 Mz=8.33
Sollecitazioni agenti localmente: Tx_l=7.99 Ty_l=28.02 N_l=-13956.40 Mx_l=-0.00 My_l=8.33 Mz_l=0.02
Taglio nei bulloni: Fv,Ed=4.88 Fv,Rd=7720.78
Rifollamento lato piastra: Fb,Ed,p=4.88 Fb,Rd,p=6721.24
Tirafondi:LT=0.45 (0.31) σ_{cR}=0.00 σ_{fR}=0.00
Compressione nel calcestruzzo: σ_c=29.30
CC 5 SLV (Collegamento -179_-383)
Azioni sul collegamento: N=-13956.40 Ty=14.68 Tz=28.02 Mx=0.02 Mz=12.56
Sollecitazioni agenti localmente: Tx_l=14.68 Ty_l=28.02 N_l=-13956.40 Mx_l=-0.00 My_l=12.56 Mz_l=0.02
Taglio nei bulloni: Fv,Ed=5.30 Fv,Rd=7720.78
Rifollamento lato piastra: Fb,Ed,p=5.30 Fb,Rd,p=8480.15
Tirafondi:LT=0.45 (0.31) σ_{cR}=0.00 σ_{fR}=0.00
Compressione nel calcestruzzo: σ_c=29.54
CC 5 SLV (Collegamento -179_-383)
Azioni sul collegamento: N=-13956.40 Ty=7.99 Tz=-0.53 Mx=0.02 Mz=8.33
Sollecitazioni agenti localmente: Tx_l=7.99 Ty_l=-0.53 N_l=-13956.40 Mx_l=-0.00 My_l=8.33 Mz_l=0.02
Taglio nei bulloni: Fv,Ed=1.36 Fv,Rd=7720.78
Rifollamento lato piastra: Fb,Ed,p=1.36 Fb,Rd,p=6036.29
Tirafondi:LT=0.45 (0.31) σ_{cR}=0.00 σ_{fR}=0.00
Compressione nel calcestruzzo: σ_c=29.30
CC 5 SLV (Collegamento -179_-383)
Azioni sul collegamento: N=-13956.40 Ty=14.68 Tz=-0.53 Mx=0.02 Mz=12.56
Sollecitazioni agenti localmente: Tx_l=14.68 Ty_l=-0.53 N_l=-13956.40 Mx_l=-0.00 My_l=12.56 Mz_l=0.02
Taglio nei bulloni: Fv,Ed=2.47 Fv,Rd=7720.78
Rifollamento lato piastra: Fb,Ed,p=2.47 Fb,Rd,p=5996.34
Tirafondi:LT=0.45 (0.31) σ_{cR}=0.00 σ_{fR}=0.00
Compressione nel calcestruzzo: σ_c=29.54
CC 5 SLV (Collegamento -179_-383)
Azioni sul collegamento: N=-6141.51 Ty=7.99 Tz=28.02 Mx=0.02 Mz=8.33
Sollecitazioni agenti localmente: Tx_l=7.99 Ty_l=28.02 N_l=-6141.51 Mx_l=-0.00 My_l=8.33 Mz_l=0.02
Taglio nei bulloni: Fv,Ed=4.88 Fv,Rd=7720.78
Rifollamento lato piastra: Fb,Ed,p=4.88 Fb,Rd,p=6721.26
Tirafondi:LT=0.45 (0.31) σ_{cR}=0.00 σ_{fR}=0.00
Compressione nel calcestruzzo: σ_c=13.16
CC 5 SLV (Collegamento -179_-383)
Azioni sul collegamento: N=-6141.51 Ty=14.68 Tz=28.02 Mx=0.02 Mz=12.56
Sollecitazioni agenti localmente: Tx_l=14.68 Ty_l=28.02 N_l=-6141.51 Mx_l=-0.00 My_l=12.56 Mz_l=0.02
Taglio nei bulloni: Fv,Ed=5.30 Fv,Rd=7720.78
Rifollamento lato piastra: Fb,Ed,p=5.30 Fb,Rd,p=8480.23
Tirafondi:LT=0.45 (0.31) σ_{cR}=0.00 σ_{fR}=0.00
Compressione nel calcestruzzo: σ_c=13.40
CC 5 SLV (Collegamento -179_-383)
Azioni sul collegamento: N=-6141.51 Ty=7.99 Tz=-0.53 Mx=0.02 Mz=8.33
Sollecitazioni agenti localmente: Tx_l=7.99 Ty_l=-0.53 N_l=-6141.51 Mx_l=-0.00 My_l=8.33 Mz_l=0.02
Taglio nei bulloni: Fv,Ed=1.36 Fv,Rd=7720.78
Rifollamento lato piastra: Fb,Ed,p=1.36 Fb,Rd,p=6036.29
Tirafondi:LT=0.45 (0.31) σ_{cR}=0.00 σ_{fR}=0.00
Compressione nel calcestruzzo: σ_c=13.16
CC 5 SLV (Collegamento -179_-383)
Azioni sul collegamento: N=-6141.51 Ty=14.68 Tz=-0.53 Mx=0.02 Mz=12.56
Sollecitazioni agenti localmente: Tx_l=14.68 Ty_l=-0.53 N_l=-6141.51 Mx_l=-0.00 My_l=12.56 Mz_l=0.02
Taglio nei bulloni: Fv,Ed=2.47 Fv,Rd=7720.78
Rifollamento lato piastra: Fb,Ed,p=2.47 Fb,Rd,p=5996.34
Tirafondi:LT=0.45 (0.31) σ_{cR}=0.00 σ_{fR}=0.00
Compressione nel calcestruzzo: σ_c=13.40
CC 6 SLD (Collegamento -179_-383)
Azioni sul collegamento: N=-11143.10 Ty=9.39 Tz=17.72 Mx=0.01 Mz=7.66
Sollecitazioni agenti localmente: Tx_l=9.39 Ty_l=17.72 N_l=-11143.10 Mx_l=-0.00 My_l=7.66 Mz_l=0.01
Taglio nei bulloni: Fv,Ed=3.35 Fv,Rd=9650.97
Rifollamento lato piastra: Fb,Ed,p=3.35 Fb,Rd,p=10669.30
Tirafondi:LT=0.45 (0.31) σ_{cR}=0.00 σ_{fR}=0.00
Compressione nel calcestruzzo: σ_c=23.45
CC 6 SLD (Collegamento -179_-383)
Azioni sul collegamento: N=-11143.10 Ty=11.43 Tz=17.72 Mx=0.01 Mz=8.95
Sollecitazioni agenti localmente: Tx_l=11.43 Ty_l=17.72 N_l=-11143.10 Mx_l=-0.00 My_l=8.95 Mz_l=0.01
Taglio nei bulloni: Fv,Ed=3.53 Fv,Rd=9650.97
Rifollamento lato piastra: Fb,Ed,p=3.53 Fb,Rd,p=12235.00
Tirafondi:LT=0.45 (0.31) σ_{cR}=0.00 σ_{fR}=0.00
Compressione nel calcestruzzo: σ_c=23.53
CC 6 SLD (Collegamento -179_-383)
Azioni sul collegamento: N=-11143.10 Ty=9.39 Tz=9.01 Mx=0.01 Mz=7.66
Sollecitazioni agenti localmente: Tx_l=9.39 Ty_l=9.01 N_l=-11143.10 Mx_l=-0.00 My_l=7.66 Mz_l=0.01
Taglio nei bulloni: Fv,Ed=2.18 Fv,Rd=9650.97

Rifollamento lato piastra: Fb,Ed,p=2.17 Fb,Rd,p=14642.20
Tirafondi:LT=0.45 (0.31) σ_{cR}=0.00 σ_{fR}=0.00
Compressione nel calcestruzzo: σ_c=23.45
CC 6 SLD (Collegamento -179_-383)
Azioni sul collegamento: N=-11143.10 Ty=11.43 Tz=9.01 Mx=0.01 Mz=8.95
Sollecitazioni agenti localmente: Tx_l=11.43 Ty_l=9.01 N_l=-11143.10 Mx_l=-0.00 My_l=8.95 Mz_l=0.01
Taglio nei bulloni: Fv,Ed=2.44 Fv,Rd=9650.97
Rifollamento lato piastra: Fb,Ed,p=2.43 Fb,Rd,p=13473.90
Tirafondi:LT=0.45 (0.31) σ_{cR}=0.00 σ_{fR}=0.00
Compressione nel calcestruzzo: σ_c=23.53
CC 6 SLD (Collegamento -179_-383)
Azioni sul collegamento: N=-8760.13 Ty=9.39 Tz=17.72 Mx=0.01 Mz=7.66
Sollecitazioni agenti localmente: Tx_l=9.39 Ty_l=17.72 N_l=-8760.13 Mx_l=-0.00 My_l=7.66 Mz_l=0.01
Taglio nei bulloni: Fv,Ed=3.35 Fv,Rd=9650.97
Rifollamento lato piastra: Fb,Ed,p=3.35 Fb,Rd,p=10669.20
Tirafondi:LT=0.45 (0.31) σ_{cR}=0.00 σ_{fR}=0.00
Compressione nel calcestruzzo: σ_c=18.53
CC 6 SLD (Collegamento -179_-383)
Azioni sul collegamento: N=-8760.13 Ty=11.43 Tz=17.72 Mx=0.01 Mz=8.95
Sollecitazioni agenti localmente: Tx_l=11.43 Ty_l=17.72 N_l=-8760.13 Mx_l=-0.00 My_l=8.95 Mz_l=0.01
Taglio nei bulloni: Fv,Ed=3.53 Fv,Rd=9650.97
Rifollamento lato piastra: Fb,Ed,p=3.53 Fb,Rd,p=12234.90
Tirafondi:LT=0.45 (0.31) σ_{cR}=0.00 σ_{fR}=0.00
Compressione nel calcestruzzo: σ_c=18.60
CC 6 SLD (Collegamento -179_-383)
Azioni sul collegamento: N=-8760.13 Ty=9.39 Tz=9.01 Mx=0.01 Mz=7.66
Sollecitazioni agenti localmente: Tx_l=9.39 Ty_l=9.01 N_l=-8760.13 Mx_l=-0.00 My_l=7.66 Mz_l=0.01
Taglio nei bulloni: Fv,Ed=2.18 Fv,Rd=9650.97
Rifollamento lato piastra: Fb,Ed,p=2.17 Fb,Rd,p=14641.90
Tirafondi:LT=0.45 (0.31) σ_{cR}=0.00 σ_{fR}=0.00
Compressione nel calcestruzzo: σ_c=18.53
CC 6 SLD (Collegamento -179_-383)
Azioni sul collegamento: N=-8760.13 Ty=11.43 Tz=9.01 Mx=0.01 Mz=8.95
Sollecitazioni agenti localmente: Tx_l=11.43 Ty_l=9.01 N_l=-8760.13 Mx_l=-0.00 My_l=8.95 Mz_l=0.01
Taglio nei bulloni: Fv,Ed=2.44 Fv,Rd=9650.97
Rifollamento lato piastra: Fb,Ed,p=2.43 Fb,Rd,p=13473.60
Tirafondi:LT=0.45 (0.31) σ_{cR}=0.00 σ_{fR}=0.00
Compressione nel calcestruzzo: σ_c=18.60
CC 7 SLV (Collegamento -179_-383)
Azioni sul collegamento: N=-13961.30 Ty=7.48 Tz=28.35 Mx=0.01 Mz=7.28
Sollecitazioni agenti localmente: Tx_l=7.48 Ty_l=28.35 N_l=-13961.30 Mx_l=-0.00 My_l=7.28 Mz_l=0.01
Taglio nei bulloni: Fv,Ed=4.90 Fv,Rd=7720.78
Rifollamento lato piastra: Fb,Ed,p=4.90 Fb,Rd,p=6610.94
Tirafondi:LT=0.45 (0.31) σ_{cR}=0.00 σ_{fR}=0.00
Compressione nel calcestruzzo: σ_c=29.26
CC 7 SLV (Collegamento -179_-383)
Azioni sul collegamento: N=-13961.30 Ty=15.19 Tz=28.35 Mx=0.01 Mz=13.60
Sollecitazioni agenti localmente: Tx_l=15.19 Ty_l=28.35 N_l=-13961.30 Mx_l=-0.00 My_l=13.60 Mz_l=0.01
Taglio nei bulloni: Fv,Ed=5.38 Fv,Rd=7720.78
Rifollamento lato piastra: Fb,Ed,p=5.38 Fb,Rd,p=8592.65
Tirafondi:LT=0.45 (0.31) σ_{cR}=0.00 σ_{fR}=0.00
Compressione nel calcestruzzo: σ_c=29.61
CC 7 SLV (Collegamento -179_-383)
Azioni sul collegamento: N=-13961.30 Ty=7.48 Tz=-0.86 Mx=0.01 Mz=7.28
Sollecitazioni agenti localmente: Tx_l=7.48 Ty_l=-0.86 N_l=-13961.30 Mx_l=-0.00 My_l=7.28 Mz_l=0.01
Taglio nei bulloni: Fv,Ed=1.27 Fv,Rd=7720.78
Rifollamento lato piastra: Fb,Ed,p=1.27 Fb,Rd,p=6117.87
Tirafondi:LT=0.45 (0.31) σ_{cR}=0.00 σ_{fR}=0.00
Compressione nel calcestruzzo: σ_c=29.26
CC 7 SLV (Collegamento -179_-383)
Azioni sul collegamento: N=-13961.30 Ty=15.19 Tz=-0.86 Mx=0.01 Mz=13.60
Sollecitazioni agenti localmente: Tx_l=15.19 Ty_l=-0.86 N_l=-13961.30 Mx_l=-0.00 My_l=13.60 Mz_l=0.01
Taglio nei bulloni: Fv,Ed=2.55 Fv,Rd=7720.78
Rifollamento lato piastra: Fb,Ed,p=2.55 Fb,Rd,p=6013.17
Tirafondi:LT=0.45 (0.31) σ_{cR}=0.00 σ_{fR}=0.00
Compressione nel calcestruzzo: σ_c=29.61
CC 7 SLV (Collegamento -179_-383)
Azioni sul collegamento: N=-6136.64 Ty=7.48 Tz=28.35 Mx=0.01 Mz=7.28
Sollecitazioni agenti localmente: Tx_l=7.48 Ty_l=28.35 N_l=-6136.64 Mx_l=-0.00 My_l=7.28 Mz_l=0.01
Taglio nei bulloni: Fv,Ed=4.90 Fv,Rd=7720.78
Rifollamento lato piastra: Fb,Ed,p=4.90 Fb,Rd,p=6610.92
Tirafondi:LT=0.45 (0.31) σ_{cR}=0.00 σ_{fR}=0.00
Compressione nel calcestruzzo: σ_c=13.09
CC 7 SLV (Collegamento -179_-383)
Azioni sul collegamento: N=-6136.64 Ty=15.19 Tz=28.35 Mx=0.01 Mz=13.60
Sollecitazioni agenti localmente: Tx_l=15.19 Ty_l=28.35 N_l=-6136.64 Mx_l=-0.00 My_l=13.60 Mz_l=0.01
Taglio nei bulloni: Fv,Ed=5.38 Fv,Rd=7720.78
Rifollamento lato piastra: Fb,Ed,p=5.38 Fb,Rd,p=8592.58
Tirafondi:LT=0.45 (0.31) σ_{cR}=0.00 σ_{fR}=0.00
Compressione nel calcestruzzo: σ_c=13.45

CC 7 SLV (Collegamento -179_-383)
Azioni sul collegamento: N=-6136.64 Ty=7.48 Tz=-0.86 Mx=0.01 Mz=7.28
Sollecitazioni agenti localmente: Tx_l=7.48 Ty_l=-0.86 N_l=-6136.64 Mx_l=-0.00 My_l=7.28 Mz_l=0.01
Taglio nei bulloni: Fv,Ed=1.27 Fv,Rd=7720.78
Rifollamento lato piastra: Fb,Ed,p=1.27 Fb,Rd,p=6117.88
Tirafondi:LT=0.45 (0.31) σ_{cR}=0.00 σ_{fR}=0.00
Compressione nel calcestruzzo: σ_c=13.09
CC 7 SLV (Collegamento -179_-383)
Azioni sul collegamento: N=-6136.64 Ty=15.19 Tz=-0.86 Mx=0.01 Mz=13.60
Sollecitazioni agenti localmente: Tx_l=15.19 Ty_l=-0.86 N_l=-6136.64 Mx_l=-0.00 My_l=13.60 Mz_l=0.01
Taglio nei bulloni: Fv,Ed=2.55 Fv,Rd=7720.78
Rifollamento lato piastra: Fb,Ed,p=2.55 Fb,Rd,p=6013.17
Tirafondi:LT=0.45 (0.31) σ_{cR}=0.00 σ_{fR}=0.00
Compressione nel calcestruzzo: σ_c=13.45
CC 8 SLD (Collegamento -179_-383)
Azioni sul collegamento: N=-11144.60 Ty=9.24 Tz=17.82 Mx=0.01 Mz=7.34
Sollecitazioni agenti localmente: Tx_l=9.24 Ty_l=17.82 N_l=-11144.60 Mx_l=-0.00 My_l=7.34 Mz_l=0.01
Taglio nei bulloni: Fv,Ed=3.35 Fv,Rd=9650.97
Rifollamento lato piastra: Fb,Ed,p=3.35 Fb,Rd,p=10524.30
Tirafondi:LT=0.45 (0.31) σ_{cR}=0.00 σ_{fR}=0.00
Compressione nel calcestruzzo: σ_c=23.44
CC 8 SLD (Collegamento -179_-383)
Azioni sul collegamento: N=-11144.60 Ty=11.59 Tz=17.82 Mx=0.01 Mz=9.27
Sollecitazioni agenti localmente: Tx_l=11.59 Ty_l=17.82 N_l=-11144.60 Mx_l=-0.00 My_l=9.27 Mz_l=0.01
Taglio nei bulloni: Fv,Ed=3.55 Fv,Rd=9650.97
Rifollamento lato piastra: Fb,Ed,p=3.55 Fb,Rd,p=12310.10
Tirafondi:LT=0.45 (0.31) σ_{cR}=0.00 σ_{fR}=0.00
Compressione nel calcestruzzo: σ_c=23.55
CC 8 SLD (Collegamento -179_-383)
Azioni sul collegamento: N=-11144.60 Ty=9.24 Tz=8.91 Mx=0.01 Mz=7.34
Sollecitazioni agenti localmente: Tx_l=9.24 Ty_l=8.91 N_l=-11144.60 Mx_l=-0.00 My_l=7.34 Mz_l=0.01
Taglio nei bulloni: Fv,Ed=2.15 Fv,Rd=9650.97
Rifollamento lato piastra: Fb,Ed,p=2.14 Fb,Rd,p=14695.90
Tirafondi:LT=0.45 (0.31) σ_{cR}=0.00 σ_{fR}=0.00
Compressione nel calcestruzzo: σ_c=23.44
CC 8 SLD (Collegamento -179_-383)
Azioni sul collegamento: N=-11144.60 Ty=11.59 Tz=8.91 Mx=0.01 Mz=9.27
Sollecitazioni agenti localmente: Tx_l=11.59 Ty_l=8.91 N_l=-11144.60 Mx_l=-0.00 My_l=9.27 Mz_l=0.01
Taglio nei bulloni: Fv,Ed=2.45 Fv,Rd=9650.97
Rifollamento lato piastra: Fb,Ed,p=2.44 Fb,Rd,p=13359.90
Tirafondi:LT=0.45 (0.31) σ_{cR}=0.00 σ_{fR}=0.00
Compressione nel calcestruzzo: σ_c=23.55
CC 8 SLD (Collegamento -179_-383)
Azioni sul collegamento: N=-8758.64 Ty=9.24 Tz=17.82 Mx=0.01 Mz=7.34
Sollecitazioni agenti localmente: Tx_l=9.24 Ty_l=17.82 N_l=-8758.64 Mx_l=-0.00 My_l=7.34 Mz_l=0.01
Taglio nei bulloni: Fv,Ed=3.35 Fv,Rd=9650.97
Rifollamento lato piastra: Fb,Ed,p=3.35 Fb,Rd,p=10524.30
Tirafondi:LT=0.45 (0.31) σ_{cR}=0.00 σ_{fR}=0.00
Compressione nel calcestruzzo: σ_c=18.51
CC 8 SLD (Collegamento -179_-383)
Azioni sul collegamento: N=-8758.64 Ty=11.59 Tz=17.82 Mx=0.01 Mz=9.27
Sollecitazioni agenti localmente: Tx_l=11.59 Ty_l=17.82 N_l=-8758.64 Mx_l=-0.00 My_l=9.27 Mz_l=0.01
Taglio nei bulloni: Fv,Ed=3.55 Fv,Rd=9650.97
Rifollamento lato piastra: Fb,Ed,p=3.55 Fb,Rd,p=12310.10
Tirafondi:LT=0.45 (0.31) σ_{cR}=0.00 σ_{fR}=0.00
Compressione nel calcestruzzo: σ_c=18.62
CC 8 SLD (Collegamento -179_-383)
Azioni sul collegamento: N=-8758.64 Ty=9.24 Tz=8.91 Mx=0.01 Mz=7.34
Sollecitazioni agenti localmente: Tx_l=9.24 Ty_l=8.91 N_l=-8758.64 Mx_l=-0.00 My_l=7.34 Mz_l=0.01
Taglio nei bulloni: Fv,Ed=2.15 Fv,Rd=9650.97
Rifollamento lato piastra: Fb,Ed,p=2.14 Fb,Rd,p=14695.60
Tirafondi:LT=0.45 (0.31) σ_{cR}=0.00 σ_{fR}=0.00
Compressione nel calcestruzzo: σ_c=18.51
CC 8 SLD (Collegamento -179_-383)
Azioni sul collegamento: N=-8758.64 Ty=11.59 Tz=8.91 Mx=0.01 Mz=9.27
Sollecitazioni agenti localmente: Tx_l=11.59 Ty_l=8.91 N_l=-8758.64 Mx_l=-0.00 My_l=9.27 Mz_l=0.01
Taglio nei bulloni: Fv,Ed=2.45 Fv,Rd=9650.97
Rifollamento lato piastra: Fb,Ed,p=2.44 Fb,Rd,p=13359.70
Tirafondi:LT=0.45 (0.31) σ_{cR}=0.00 σ_{fR}=0.00
Compressione nel calcestruzzo: σ_c=18.62
CC 9 SLV (Collegamento -179_-383)
Azioni sul collegamento: N=-8867.90 Ty=13.27 Tz=8.87 Mx=0.02 Mz=12.98
Sollecitazioni agenti localmente: Tx_l=13.27 Ty_l=8.87 N_l=-8867.90 Mx_l=-0.00 My_l=12.98 Mz_l=0.02
Taglio nei bulloni: Fv,Ed=2.70 Fv,Rd=7720.78
Rifollamento lato piastra: Fb,Ed,p=2.67 Fb,Rd,p=9815.62
Tirafondi:LT=0.45 (0.31) σ_{cR}=0.00 σ_{fR}=0.00
Compressione nel calcestruzzo: σ_c=19.05
CC 9 SLV (Collegamento -179_-383)
Azioni sul collegamento: N=-8867.90 Ty=9.40 Tz=8.87 Mx=0.02 Mz=7.91
Sollecitazioni agenti localmente: Tx_l=9.40 Ty_l=8.87 N_l=-8867.90 Mx_l=-0.00 My_l=7.91 Mz_l=0.02

Taglio nei bulloni: Fv,Ed=2.19 Fv,Rd=7720.78
Rifollamento lato piastra: Fb,Ed,p=2.16 Fb,Rd,p=11497.60
Tirafondi:LT=0.45 (0.31) σ_{cR}=0.00 σ_{fR}=0.00
Compressione nel calcestruzzo: σ_c=18.77
CC 9 SLV (Collegamento -179_-383)
Azioni sul collegamento: N=-8867.90 Ty=13.27 Tz=18.62 Mx=0.02 Mz=12.98
Sollecitazioni agenti localmente: Tx_l=13.27 Ty_l=18.62 N_l=-8867.90 Mx_l=-0.00 My_l=12.98 Mz_l=0.02
Taglio nei bulloni: Fv,Ed=3.85 Fv,Rd=7720.78
Rifollamento lato piastra: Fb,Ed,p=3.85 Fb,Rd,p=10448.10
Tirafondi:LT=0.45 (0.31) σ_{cR}=0.00 σ_{fR}=0.00
Compressione nel calcestruzzo: σ_c=19.05
CC 9 SLV (Collegamento -179_-383)
Azioni sul collegamento: N=-8867.90 Ty=9.40 Tz=18.62 Mx=0.02 Mz=7.91
Sollecitazioni agenti localmente: Tx_l=9.40 Ty_l=18.62 N_l=-8867.90 Mx_l=-0.00 My_l=7.91 Mz_l=0.02
Taglio nei bulloni: Fv,Ed=3.51 Fv,Rd=7720.78
Rifollamento lato piastra: Fb,Ed,p=3.51 Fb,Rd,p=8319.59
Tirafondi:LT=0.45 (0.31) σ_{cR}=0.00 σ_{fR}=0.00
Compressione nel calcestruzzo: σ_c=18.77
CC 9 SLV (Collegamento -179_-383)
Azioni sul collegamento: N=-11230.10 Ty=13.27 Tz=8.87 Mx=0.02 Mz=12.98
Sollecitazioni agenti localmente: Tx_l=13.27 Ty_l=8.87 N_l=-11230.10 Mx_l=-0.00 My_l=12.98 Mz_l=0.02
Taglio nei bulloni: Fv,Ed=2.70 Fv,Rd=7720.78
Rifollamento lato piastra: Fb,Ed,p=2.67 Fb,Rd,p=9815.91
Tirafondi:LT=0.45 (0.31) σ_{cR}=0.00 σ_{fR}=0.00
Compressione nel calcestruzzo: σ_c=23.93
CC 9 SLV (Collegamento -179_-383)
Azioni sul collegamento: N=-11230.10 Ty=9.40 Tz=8.87 Mx=0.02 Mz=7.91
Sollecitazioni agenti localmente: Tx_l=9.40 Ty_l=8.87 N_l=-11230.10 Mx_l=-0.00 My_l=7.91 Mz_l=0.02
Taglio nei bulloni: Fv,Ed=2.19 Fv,Rd=7720.78
Rifollamento lato piastra: Fb,Ed,p=2.16 Fb,Rd,p=11497.80
Tirafondi:LT=0.45 (0.31) σ_{cR}=0.00 σ_{fR}=0.00
Compressione nel calcestruzzo: σ_c=23.65
CC 9 SLV (Collegamento -179_-383)
Azioni sul collegamento: N=-11230.10 Ty=13.27 Tz=18.62 Mx=0.02 Mz=12.98
Sollecitazioni agenti localmente: Tx_l=13.27 Ty_l=18.62 N_l=-11230.10 Mx_l=-0.00 My_l=12.98 Mz_l=0.02
Taglio nei bulloni: Fv,Ed=3.85 Fv,Rd=7720.78
Rifollamento lato piastra: Fb,Ed,p=3.85 Fb,Rd,p=10448.10
Tirafondi:LT=0.45 (0.31) σ_{cR}=0.00 σ_{fR}=0.00
Compressione nel calcestruzzo: σ_c=23.93
CC 9 SLV (Collegamento -179_-383)
Azioni sul collegamento: N=-11230.10 Ty=9.40 Tz=18.62 Mx=0.02 Mz=7.91
Sollecitazioni agenti localmente: Tx_l=9.40 Ty_l=18.62 N_l=-11230.10 Mx_l=-0.00 My_l=7.91 Mz_l=0.02
Taglio nei bulloni: Fv,Ed=3.51 Fv,Rd=7720.78
Rifollamento lato piastra: Fb,Ed,p=3.51 Fb,Rd,p=8319.51
Tirafondi:LT=0.45 (0.31) σ_{cR}=0.00 σ_{fR}=0.00
Compressione nel calcestruzzo: σ_c=23.65
CC 10 SLD (Collegamento -179_-383)
Azioni sul collegamento: N=-9591.49 Ty=11.00 Tz=11.88 Mx=0.01 Mz=9.08
Sollecitazioni agenti localmente: Tx_l=11.00 Ty_l=11.88 N_l=-9591.49 Mx_l=-0.00 My_l=9.08 Mz_l=0.01
Taglio nei bulloni: Fv,Ed=2.71 Fv,Rd=9650.97
Rifollamento lato piastra: Fb,Ed,p=2.71 Fb,Rd,p=14484.10
Tirafondi:LT=0.45 (0.31) σ_{cR}=0.00 σ_{fR}=0.00
Compressione nel calcestruzzo: σ_c=20.33
CC 10 SLD (Collegamento -179_-383)
Azioni sul collegamento: N=-9591.49 Ty=9.82 Tz=11.88 Mx=0.01 Mz=7.53
Sollecitazioni agenti localmente: Tx_l=9.82 Ty_l=11.88 N_l=-9591.49 Mx_l=-0.00 My_l=7.53 Mz_l=0.01
Taglio nei bulloni: Fv,Ed=2.58 Fv,Rd=9650.97
Rifollamento lato piastra: Fb,Ed,p=2.58 Fb,Rd,p=13791.70
Tirafondi:LT=0.45 (0.31) σ_{cR}=0.00 σ_{fR}=0.00
Compressione nel calcestruzzo: σ_c=20.24
CC 10 SLD (Collegamento -179_-383)
Azioni sul collegamento: N=-9591.49 Ty=11.00 Tz=14.85 Mx=0.01 Mz=9.08
Sollecitazioni agenti localmente: Tx_l=11.00 Ty_l=14.85 N_l=-9591.49 Mx_l=-0.00 My_l=9.08 Mz_l=0.01
Taglio nei bulloni: Fv,Ed=3.10 Fv,Rd=9650.97
Rifollamento lato piastra: Fb,Ed,p=3.10 Fb,Rd,p=13228.20
Tirafondi:LT=0.45 (0.31) σ_{cR}=0.00 σ_{fR}=0.00
Compressione nel calcestruzzo: σ_c=20.33
CC 10 SLD (Collegamento -179_-383)
Azioni sul collegamento: N=-9591.49 Ty=9.82 Tz=14.85 Mx=0.01 Mz=7.53
Sollecitazioni agenti localmente: Tx_l=9.82 Ty_l=14.85 N_l=-9591.49 Mx_l=-0.00 My_l=7.53 Mz_l=0.01
Taglio nei bulloni: Fv,Ed=2.98 Fv,Rd=9650.97
Rifollamento lato piastra: Fb,Ed,p=2.98 Fb,Rd,p=12487.90
Tirafondi:LT=0.45 (0.31) σ_{cR}=0.00 σ_{fR}=0.00
Compressione nel calcestruzzo: σ_c=20.24
CC 10 SLD (Collegamento -179_-383)
Azioni sul collegamento: N=-10311.80 Ty=11.00 Tz=11.88 Mx=0.01 Mz=9.08
Sollecitazioni agenti localmente: Tx_l=11.00 Ty_l=11.88 N_l=-10311.80 Mx_l=-0.00 My_l=9.08 Mz_l=0.01
Taglio nei bulloni: Fv,Ed=2.71 Fv,Rd=9650.97
Rifollamento lato piastra: Fb,Ed,p=2.71 Fb,Rd,p=14484.10
Tirafondi:LT=0.45 (0.31) σ_{cR}=0.00 σ_{fR}=0.00

Compressione nel calcestruzzo: σ_c=21.82
CC 10 SLD (Collegamento -179_-383)
Azioni sul collegamento: N=-10311.80 Ty=9.82 Tz=11.88 Mx=0.01 Mz=7.53
Sollecitazioni agenti localmente: Tx_l=9.82 Ty_l=11.88 N_l=-10311.80 Mx_l=-0.00 My_l=7.53 Mz_l=0.01
Taglio nei bulloni: Fv,Ed=2.58 Fv,Rd=9650.97
Rifollamento lato piastra: Fb,Ed,p=2.58 Fb,Rd,p=13791.70
Tirafondi:LT=0.45 (0.31) σ_{cR}=0.00 σ_{fR}=0.00
Compressione nel calcestruzzo: σ_c=21.73
CC 10 SLD (Collegamento -179_-383)
Azioni sul collegamento: N=-10311.80 Ty=11.00 Tz=14.85 Mx=0.01 Mz=9.08
Sollecitazioni agenti localmente: Tx_l=11.00 Ty_l=14.85 N_l=-10311.80 Mx_l=-0.00 My_l=9.08 Mz_l=0.01
Taglio nei bulloni: Fv,Ed=3.10 Fv,Rd=9650.97
Rifollamento lato piastra: Fb,Ed,p=3.10 Fb,Rd,p=13228.20
Tirafondi:LT=0.45 (0.31) σ_{cR}=0.00 σ_{fR}=0.00
Compressione nel calcestruzzo: σ_c=21.82
CC 10 SLD (Collegamento -179_-383)
Azioni sul collegamento: N=-10311.80 Ty=9.82 Tz=14.85 Mx=0.01 Mz=7.53
Sollecitazioni agenti localmente: Tx_l=9.82 Ty_l=14.85 N_l=-10311.80 Mx_l=-0.00 My_l=7.53 Mz_l=0.01
Taglio nei bulloni: Fv,Ed=2.98 Fv,Rd=9650.97
Rifollamento lato piastra: Fb,Ed,p=2.98 Fb,Rd,p=12487.90
Tirafondi:LT=0.45 (0.31) σ_{cR}=0.00 σ_{fR}=0.00
Compressione nel calcestruzzo: σ_c=21.73
CC 11 SLV (Collegamento -179_-383)
Azioni sul collegamento: N=-11213.80 Ty=11.11 Tz=17.53 Mx=0.02 Mz=11.40
Sollecitazioni agenti localmente: Tx_l=11.11 Ty_l=17.53 N_l=-11213.80 Mx_l=-0.00 My_l=11.40 Mz_l=0.02
Taglio nei bulloni: Fv,Ed=3.50 Fv,Rd=7720.78
Rifollamento lato piastra: Fb,Ed,p=3.50 Fb,Rd,p=9678.16
Tirafondi:LT=0.45 (0.31) σ_{cR}=0.00 σ_{fR}=0.00
Compressione nel calcestruzzo: σ_c=23.81
CC 11 SLV (Collegamento -179_-383)
Azioni sul collegamento: N=-11213.80 Ty=11.56 Tz=17.53 Mx=0.02 Mz=9.49
Sollecitazioni agenti localmente: Tx_l=11.56 Ty_l=17.53 N_l=-11213.80 Mx_l=-0.00 My_l=9.49 Mz_l=0.02
Taglio nei bulloni: Fv,Ed=3.54 Fv,Rd=7720.78
Rifollamento lato piastra: Fb,Ed,p=3.54 Fb,Rd,p=9985.13
Tirafondi:LT=0.45 (0.31) σ_{cR}=0.00 σ_{fR}=0.00
Compressione nel calcestruzzo: σ_c=23.70
CC 11 SLV (Collegamento -179_-383)
Azioni sul collegamento: N=-11213.80 Ty=11.11 Tz=9.96 Mx=0.02 Mz=11.40
Sollecitazioni agenti localmente: Tx_l=11.11 Ty_l=9.96 N_l=-11213.80 Mx_l=-0.00 My_l=11.40 Mz_l=0.02
Taglio nei bulloni: Fv,Ed=2.52 Fv,Rd=7720.78
Rifollamento lato piastra: Fb,Ed,p=2.49 Fb,Rd,p=11262.40
Tirafondi:LT=0.45 (0.31) σ_{cR}=0.00 σ_{fR}=0.00
Compressione nel calcestruzzo: σ_c=23.81
CC 11 SLV (Collegamento -179_-383)
Azioni sul collegamento: N=-11213.80 Ty=11.56 Tz=9.96 Mx=0.02 Mz=9.49
Sollecitazioni agenti localmente: Tx_l=11.56 Ty_l=9.96 N_l=-11213.80 Mx_l=-0.00 My_l=9.49 Mz_l=0.02
Taglio nei bulloni: Fv,Ed=2.58 Fv,Rd=7720.78
Rifollamento lato piastra: Fb,Ed,p=2.55 Fb,Rd,p=11079.20
Tirafondi:LT=0.45 (0.31) σ_{cR}=0.00 σ_{fR}=0.00
Compressione nel calcestruzzo: σ_c=23.70
CC 11 SLV (Collegamento -179_-383)
Azioni sul collegamento: N=-8884.11 Ty=11.11 Tz=17.53 Mx=0.02 Mz=11.40
Sollecitazioni agenti localmente: Tx_l=11.11 Ty_l=17.53 N_l=-8884.11 Mx_l=-0.00 My_l=11.40 Mz_l=0.02
Taglio nei bulloni: Fv,Ed=3.50 Fv,Rd=7720.78
Rifollamento lato piastra: Fb,Ed,p=3.50 Fb,Rd,p=9678.01
Tirafondi:LT=0.45 (0.31) σ_{cR}=0.00 σ_{fR}=0.00
Compressione nel calcestruzzo: σ_c=19.00
CC 11 SLV (Collegamento -179_-383)
Azioni sul collegamento: N=-8884.11 Ty=11.56 Tz=17.53 Mx=0.02 Mz=9.49
Sollecitazioni agenti localmente: Tx_l=11.56 Ty_l=17.53 N_l=-8884.11 Mx_l=-0.00 My_l=9.49 Mz_l=0.02
Taglio nei bulloni: Fv,Ed=3.54 Fv,Rd=7720.78
Rifollamento lato piastra: Fb,Ed,p=3.54 Fb,Rd,p=9984.96
Tirafondi:LT=0.45 (0.31) σ_{cR}=0.00 σ_{fR}=0.00
Compressione nel calcestruzzo: σ_c=18.89
CC 11 SLV (Collegamento -179_-383)
Azioni sul collegamento: N=-8884.11 Ty=11.11 Tz=9.96 Mx=0.02 Mz=11.40
Sollecitazioni agenti localmente: Tx_l=11.11 Ty_l=9.96 N_l=-8884.11 Mx_l=-0.00 My_l=11.40 Mz_l=0.02
Taglio nei bulloni: Fv,Ed=2.52 Fv,Rd=7720.78
Rifollamento lato piastra: Fb,Ed,p=2.49 Fb,Rd,p=11262.30
Tirafondi:LT=0.45 (0.31) σ_{cR}=0.00 σ_{fR}=0.00
Compressione nel calcestruzzo: σ_c=19.00
CC 11 SLV (Collegamento -179_-383)
Azioni sul collegamento: N=-8884.11 Ty=11.56 Tz=9.96 Mx=0.02 Mz=9.49
Sollecitazioni agenti localmente: Tx_l=11.56 Ty_l=9.96 N_l=-8884.11 Mx_l=-0.00 My_l=9.49 Mz_l=0.02
Taglio nei bulloni: Fv,Ed=2.58 Fv,Rd=7720.78
Rifollamento lato piastra: Fb,Ed,p=2.55 Fb,Rd,p=11079.10
Tirafondi:LT=0.45 (0.31) σ_{cR}=0.00 σ_{fR}=0.00
Compressione nel calcestruzzo: σ_c=18.89
CC 12 SLD (Collegamento -179_-383)
Azioni sul collegamento: N=-10306.80 Ty=10.34 Tz=14.52 Mx=0.01 Mz=8.60

Sollecitazioni agenti localmente: Tx_l=10.34 Ty_l=14.52 N_l=-10306.80 Mx_l=-0.00 My_l=8.60 Mz_l=0.01
Taglio nei bulloni: Fv,Ed=2.99 Fv,Rd=9650.97
Rifollamento lato piastra: Fb,Ed,p=2.99 Fb,Rd,p=13051.70
Tirafondi:LT=0.45 (0.31) σ_{cR}=0.00 σ_{fR}=0.00
Compressione nel calcestruzzo: σ_c=21.78
CC 12 SLD (Collegamento -179_-383)
Azioni sul collegamento: N=-10306.80 Ty=10.48 Tz=14.52 Mx=0.01 Mz=8.01
Sollecitazioni agenti localmente: Tx_l=10.48 Ty_l=14.52 N_l=-10306.80 Mx_l=-0.00 My_l=8.01 Mz_l=0.01
Taglio nei bulloni: Fv,Ed=3.00 Fv,Rd=9650.97
Rifollamento lato piastra: Fb,Ed,p=3.00 Fb,Rd,p=13109.80
Tirafondi:LT=0.45 (0.31) σ_{cR}=0.00 σ_{fR}=0.00
Compressione nel calcestruzzo: σ_c=21.75
CC 12 SLD (Collegamento -179_-383)
Azioni sul collegamento: N=-10306.80 Ty=10.34 Tz=12.21 Mx=0.01 Mz=8.60
Sollecitazioni agenti localmente: Tx_l=10.34 Ty_l=12.21 N_l=-10306.80 Mx_l=-0.00 My_l=8.60 Mz_l=0.01
Taglio nei bulloni: Fv,Ed=2.68 Fv,Rd=9650.97
Rifollamento lato piastra: Fb,Ed,p=2.68 Fb,Rd,p=13929.10
Tirafondi:LT=0.45 (0.31) σ_{cR}=0.00 σ_{fR}=0.00
Compressione nel calcestruzzo: σ_c=21.78
CC 12 SLD (Collegamento -179_-383)
Azioni sul collegamento: N=-10306.80 Ty=10.48 Tz=12.21 Mx=0.01 Mz=8.01
Sollecitazioni agenti localmente: Tx_l=10.48 Ty_l=12.21 N_l=-10306.80 Mx_l=-0.00 My_l=8.01 Mz_l=0.01
Taglio nei bulloni: Fv,Ed=2.70 Fv,Rd=9650.97
Rifollamento lato piastra: Fb,Ed,p=2.70 Fb,Rd,p=14005.80
Tirafondi:LT=0.45 (0.31) σ_{cR}=0.00 σ_{fR}=0.00
Compressione nel calcestruzzo: σ_c=21.75
CC 12 SLD (Collegamento -179_-383)
Azioni sul collegamento: N=-9596.43 Ty=10.34 Tz=14.52 Mx=0.01 Mz=8.60
Sollecitazioni agenti localmente: Tx_l=10.34 Ty_l=14.52 N_l=-9596.43 Mx_l=-0.00 My_l=8.60 Mz_l=0.01
Taglio nei bulloni: Fv,Ed=2.99 Fv,Rd=9650.97
Rifollamento lato piastra: Fb,Ed,p=2.99 Fb,Rd,p=13051.60
Tirafondi:LT=0.45 (0.31) σ_{cR}=0.00 σ_{fR}=0.00
Compressione nel calcestruzzo: σ_c=20.31
CC 12 SLD (Collegamento -179_-383)
Azioni sul collegamento: N=-9596.43 Ty=10.48 Tz=14.52 Mx=0.01 Mz=8.01
Sollecitazioni agenti localmente: Tx_l=10.48 Ty_l=14.52 N_l=-9596.43 Mx_l=-0.00 My_l=8.01 Mz_l=0.01
Taglio nei bulloni: Fv,Ed=3.00 Fv,Rd=9650.97
Rifollamento lato piastra: Fb,Ed,p=3.00 Fb,Rd,p=13109.70
Tirafondi:LT=0.45 (0.31) σ_{cR}=0.00 σ_{fR}=0.00
Compressione nel calcestruzzo: σ_c=20.28
CC 12 SLD (Collegamento -179_-383)
Azioni sul collegamento: N=-9596.43 Ty=10.34 Tz=12.21 Mx=0.01 Mz=8.60
Sollecitazioni agenti localmente: Tx_l=10.34 Ty_l=12.21 N_l=-9596.43 Mx_l=-0.00 My_l=8.60 Mz_l=0.01
Taglio nei bulloni: Fv,Ed=2.68 Fv,Rd=9650.97
Rifollamento lato piastra: Fb,Ed,p=2.68 Fb,Rd,p=13928.90
Tirafondi:LT=0.45 (0.31) σ_{cR}=0.00 σ_{fR}=0.00
Compressione nel calcestruzzo: σ_c=20.31
CC 12 SLD (Collegamento -179_-383)
Azioni sul collegamento: N=-9596.43 Ty=10.48 Tz=12.21 Mx=0.01 Mz=8.01
Sollecitazioni agenti localmente: Tx_l=10.48 Ty_l=12.21 N_l=-9596.43 Mx_l=-0.00 My_l=8.01 Mz_l=0.01
Taglio nei bulloni: Fv,Ed=2.70 Fv,Rd=9650.97
Rifollamento lato piastra: Fb,Ed,p=2.70 Fb,Rd,p=14005.60
Tirafondi:LT=0.45 (0.31) σ_{cR}=0.00 σ_{fR}=0.00
Compressione nel calcestruzzo: σ_c=20.28
CC 13 SLV (Collegamento -179_-383)
Azioni sul collegamento: N=-8884.11 Ty=11.56 Tz=9.96 Mx=0.01 Mz=9.49
Sollecitazioni agenti localmente: Tx_l=11.56 Ty_l=9.96 N_l=-8884.11 Mx_l=-0.00 My_l=9.49 Mz_l=0.01
Taglio nei bulloni: Fv,Ed=2.56 Fv,Rd=7720.78
Rifollamento lato piastra: Fb,Ed,p=2.54 Fb,Rd,p=11171.90
Tirafondi:LT=0.45 (0.31) σ_{cR}=0.00 σ_{fR}=0.00
Compressione nel calcestruzzo: σ_c=18.89
CC 13 SLV (Collegamento -179_-383)
Azioni sul collegamento: N=-8884.11 Ty=11.11 Tz=9.96 Mx=0.01 Mz=11.40
Sollecitazioni agenti localmente: Tx_l=11.11 Ty_l=9.96 N_l=-8884.11 Mx_l=-0.00 My_l=11.40 Mz_l=0.01
Taglio nei bulloni: Fv,Ed=2.50 Fv,Rd=7720.78
Rifollamento lato piastra: Fb,Ed,p=2.49 Fb,Rd,p=11362.80
Tirafondi:LT=0.45 (0.31) σ_{cR}=0.00 σ_{fR}=0.00
Compressione nel calcestruzzo: σ_c=19.00
CC 13 SLV (Collegamento -179_-383)
Azioni sul collegamento: N=-8884.11 Ty=11.56 Tz=17.53 Mx=0.01 Mz=9.49
Sollecitazioni agenti localmente: Tx_l=11.56 Ty_l=17.53 N_l=-8884.11 Mx_l=-0.00 My_l=9.49 Mz_l=0.01
Taglio nei bulloni: Fv,Ed=3.51 Fv,Rd=7720.78
Rifollamento lato piastra: Fb,Ed,p=3.51 Fb,Rd,p=9959.54
Tirafondi:LT=0.45 (0.31) σ_{cR}=0.00 σ_{fR}=0.00
Compressione nel calcestruzzo: σ_c=18.89
CC 13 SLV (Collegamento -179_-383)
Azioni sul collegamento: N=-8884.11 Ty=11.11 Tz=17.53 Mx=0.01 Mz=11.40
Sollecitazioni agenti localmente: Tx_l=11.11 Ty_l=17.53 N_l=-8884.11 Mx_l=-0.00 My_l=11.40 Mz_l=0.01
Taglio nei bulloni: Fv,Ed=3.47 Fv,Rd=7720.78
Rifollamento lato piastra: Fb,Ed,p=3.47 Fb,Rd,p=9651.81

Tirafondi:LT=0.45 (0.31) σ_{cR}=0.00 σ_{fR}=0.00
Compressione nel calcestruzzo: σ_c=19.00
CC 13 SLV (Collegamento -179_-383)
Azioni sul collegamento: N=-11213.80 Ty=11.56 Tz=9.96 Mx=0.01 Mz=9.49
Sollecitazioni agenti localmente: Tx_l=11.56 Ty_l=9.96 N_l=-11213.80 Mx_l=-0.00 My_l=9.49 Mz_l=0.01
Taglio nei bulloni: Fv,Ed=2.56 Fv,Rd=7720.78
Rifollamento lato piastra: Fb,Ed,p=2.54 Fb,Rd,p=11172.10
Tirafondi:LT=0.45 (0.31) σ_{cR}=0.00 σ_{fR}=0.00
Compressione nel calcestruzzo: σ_c=23.70
CC 13 SLV (Collegamento -179_-383)
Azioni sul collegamento: N=-11213.80 Ty=11.11 Tz=9.96 Mx=0.01 Mz=11.40
Sollecitazioni agenti localmente: Tx_l=11.11 Ty_l=9.96 N_l=-11213.80 Mx_l=-0.00 My_l=11.40 Mz_l=0.01
Taglio nei bulloni: Fv,Ed=2.50 Fv,Rd=7720.78
Rifollamento lato piastra: Fb,Ed,p=2.49 Fb,Rd,p=11363.00
Tirafondi:LT=0.45 (0.31) σ_{cR}=0.00 σ_{fR}=0.00
Compressione nel calcestruzzo: σ_c=23.81
CC 13 SLV (Collegamento -179_-383)
Azioni sul collegamento: N=-11213.80 Ty=11.56 Tz=17.53 Mx=0.01 Mz=9.49
Sollecitazioni agenti localmente: Tx_l=11.56 Ty_l=17.53 N_l=-11213.80 Mx_l=-0.00 My_l=9.49 Mz_l=0.01
Taglio nei bulloni: Fv,Ed=3.51 Fv,Rd=7720.78
Rifollamento lato piastra: Fb,Ed,p=3.51 Fb,Rd,p=9959.71
Tirafondi:LT=0.45 (0.31) σ_{cR}=0.00 σ_{fR}=0.00
Compressione nel calcestruzzo: σ_c=23.70
CC 13 SLV (Collegamento -179_-383)
Azioni sul collegamento: N=-11213.80 Ty=11.11 Tz=17.53 Mx=0.01 Mz=11.40
Sollecitazioni agenti localmente: Tx_l=11.11 Ty_l=17.53 N_l=-11213.80 Mx_l=-0.00 My_l=11.40 Mz_l=0.01
Taglio nei bulloni: Fv,Ed=3.47 Fv,Rd=7720.78
Rifollamento lato piastra: Fb,Ed,p=3.47 Fb,Rd,p=9651.96
Tirafondi:LT=0.45 (0.31) σ_{cR}=0.00 σ_{fR}=0.00
Compressione nel calcestruzzo: σ_c=23.81
CC 14 SLD (Collegamento -179_-383)
Azioni sul collegamento: N=-9596.43 Ty=10.48 Tz=12.21 Mx=0.00 Mz=8.01
Sollecitazioni agenti localmente: Tx_l=10.48 Ty_l=12.21 N_l=-9596.43 Mx_l=-0.00 My_l=8.01 Mz_l=0.00
Taglio nei bulloni: Fv,Ed=2.69 Fv,Rd=9650.97
Rifollamento lato piastra: Fb,Ed,p=2.69 Fb,Rd,p=14003.10
Tirafondi:LT=0.45 (0.31) σ_{cR}=0.00 σ_{fR}=0.00
Compressione nel calcestruzzo: σ_c=20.28
CC 14 SLD (Collegamento -179_-383)
Azioni sul collegamento: N=-9596.43 Ty=10.34 Tz=12.21 Mx=0.00 Mz=8.60
Sollecitazioni agenti localmente: Tx_l=10.34 Ty_l=12.21 N_l=-9596.43 Mx_l=-0.00 My_l=8.60 Mz_l=0.00
Taglio nei bulloni: Fv,Ed=2.67 Fv,Rd=9650.97
Rifollamento lato piastra: Fb,Ed,p=2.67 Fb,Rd,p=13926.10
Tirafondi:LT=0.45 (0.31) σ_{cR}=0.00 σ_{fR}=0.00
Compressione nel calcestruzzo: σ_c=20.31
CC 14 SLD (Collegamento -179_-383)
Azioni sul collegamento: N=-9596.43 Ty=10.48 Tz=14.52 Mx=0.00 Mz=8.01
Sollecitazioni agenti localmente: Tx_l=10.48 Ty_l=14.52 N_l=-9596.43 Mx_l=-0.00 My_l=8.01 Mz_l=0.00
Taglio nei bulloni: Fv,Ed=2.99 Fv,Rd=9650.97
Rifollamento lato piastra: Fb,Ed,p=2.99 Fb,Rd,p=13105.80
Tirafondi:LT=0.45 (0.31) σ_{cR}=0.00 σ_{fR}=0.00
Compressione nel calcestruzzo: σ_c=20.28
CC 14 SLD (Collegamento -179_-383)
Azioni sul collegamento: N=-9596.43 Ty=10.34 Tz=14.52 Mx=0.00 Mz=8.60
Sollecitazioni agenti localmente: Tx_l=10.34 Ty_l=14.52 N_l=-9596.43 Mx_l=-0.00 My_l=8.60 Mz_l=0.00
Taglio nei bulloni: Fv,Ed=2.98 Fv,Rd=9650.97
Rifollamento lato piastra: Fb,Ed,p=2.98 Fb,Rd,p=13047.70
Tirafondi:LT=0.45 (0.31) σ_{cR}=0.00 σ_{fR}=0.00
Compressione nel calcestruzzo: σ_c=20.31
CC 14 SLD (Collegamento -179_-383)
Azioni sul collegamento: N=-10306.80 Ty=10.48 Tz=12.21 Mx=0.00 Mz=8.01
Sollecitazioni agenti localmente: Tx_l=10.48 Ty_l=12.21 N_l=-10306.80 Mx_l=-0.00 My_l=8.01 Mz_l=0.00
Taglio nei bulloni: Fv,Ed=2.69 Fv,Rd=9650.97
Rifollamento lato piastra: Fb,Ed,p=2.69 Fb,Rd,p=14003.20
Tirafondi:LT=0.45 (0.31) σ_{cR}=0.00 σ_{fR}=0.00
Compressione nel calcestruzzo: σ_c=21.75
CC 14 SLD (Collegamento -179_-383)
Azioni sul collegamento: N=-10306.80 Ty=10.34 Tz=12.21 Mx=0.00 Mz=8.60
Sollecitazioni agenti localmente: Tx_l=10.34 Ty_l=12.21 N_l=-10306.80 Mx_l=-0.00 My_l=8.60 Mz_l=0.00
Taglio nei bulloni: Fv,Ed=2.67 Fv,Rd=9650.97
Rifollamento lato piastra: Fb,Ed,p=2.67 Fb,Rd,p=13926.30
Tirafondi:LT=0.45 (0.31) σ_{cR}=0.00 σ_{fR}=0.00
Compressione nel calcestruzzo: σ_c=21.78
CC 14 SLD (Collegamento -179_-383)
Azioni sul collegamento: N=-10306.80 Ty=10.48 Tz=14.52 Mx=0.00 Mz=8.01
Sollecitazioni agenti localmente: Tx_l=10.48 Ty_l=14.52 N_l=-10306.80 Mx_l=-0.00 My_l=8.01 Mz_l=0.00
Taglio nei bulloni: Fv,Ed=2.99 Fv,Rd=9650.97
Rifollamento lato piastra: Fb,Ed,p=2.99 Fb,Rd,p=13105.90
Tirafondi:LT=0.45 (0.31) σ_{cR}=0.00 σ_{fR}=0.00
Compressione nel calcestruzzo: σ_c=21.75
CC 14 SLD (Collegamento -179_-383)

Azioni sul collegamento: N=-10306.80 Ty=10.34 Tz=14.52 Mx=0.00 Mz=8.60
Sollecitazioni agenti localmente: Tx_l=10.34 Ty_l=14.52 N_l=-10306.80 Mx_l=-0.00 My_l=8.60 Mz_l=0.00
Taglio nei bulloni: Fv,Ed=2.98 Fv,Rd=9650.97
Rifollamento lato piastra: Fb,Ed,p=2.98 Fb,Rd,p=13047.80
Tirafondi:LT=0.45 (0.31) σ_{cR}=0.00 σ_{fR}=0.00
Compressione nel calcestruzzo: σ_c=21.78
CC 15 SLV (Collegamento -179_-383)
Azioni sul collegamento: N=-11230.10 Ty=9.40 Tz=18.62 Mx=0.01 Mz=7.91
Sollecitazioni agenti localmente: Tx_l=9.40 Ty_l=18.62 N_l=-11230.10 Mx_l=-0.00 My_l=7.91 Mz_l=0.01
Taglio nei bulloni: Fv,Ed=3.49 Fv,Rd=7720.78
Rifollamento lato piastra: Fb,Ed,p=3.49 Fb,Rd,p=8293.18
Tirafondi:LT=0.45 (0.31) σ_{cR}=0.00 σ_{fR}=0.00
Compressione nel calcestruzzo: σ_c=23.65
CC 15 SLV (Collegamento -179_-383)
Azioni sul collegamento: N=-11230.10 Ty=13.27 Tz=18.62 Mx=0.01 Mz=12.98
Sollecitazioni agenti localmente: Tx_l=13.27 Ty_l=18.62 N_l=-11230.10 Mx_l=-0.00 My_l=12.98 Mz_l=0.01
Taglio nei bulloni: Fv,Ed=3.82 Fv,Rd=7720.78
Rifollamento lato piastra: Fb,Ed,p=3.82 Fb,Rd,p=10440.00
Tirafondi:LT=0.45 (0.31) σ_{cR}=0.00 σ_{fR}=0.00
Compressione nel calcestruzzo: σ_c=23.93
CC 15 SLV (Collegamento -179_-383)
Azioni sul collegamento: N=-11230.10 Ty=9.40 Tz=8.87 Mx=0.01 Mz=7.91
Sollecitazioni agenti localmente: Tx_l=9.40 Ty_l=8.87 N_l=-11230.10 Mx_l=-0.00 My_l=7.91 Mz_l=0.01
Taglio nei bulloni: Fv,Ed=2.17 Fv,Rd=7720.78
Rifollamento lato piastra: Fb,Ed,p=2.15 Fb,Rd,p=11622.90
Tirafondi:LT=0.45 (0.31) σ_{cR}=0.00 σ_{fR}=0.00
Compressione nel calcestruzzo: σ_c=23.65
CC 15 SLV (Collegamento -179_-383)
Azioni sul collegamento: N=-11230.10 Ty=13.27 Tz=8.87 Mx=0.01 Mz=12.98
Sollecitazioni agenti localmente: Tx_l=13.27 Ty_l=8.87 N_l=-11230.10 Mx_l=-0.00 My_l=12.98 Mz_l=0.01
Taglio nei bulloni: Fv,Ed=2.67 Fv,Rd=7720.78
Rifollamento lato piastra: Fb,Ed,p=2.66 Fb,Rd,p=9978.59
Tirafondi:LT=0.45 (0.31) σ_{cR}=0.00 σ_{fR}=0.00
Compressione nel calcestruzzo: σ_c=23.93
CC 15 SLV (Collegamento -179_-383)
Azioni sul collegamento: N=-8867.90 Ty=9.40 Tz=18.62 Mx=0.01 Mz=7.91
Sollecitazioni agenti localmente: Tx_l=9.40 Ty_l=18.62 N_l=-8867.90 Mx_l=-0.00 My_l=7.91 Mz_l=0.01
Taglio nei bulloni: Fv,Ed=3.49 Fv,Rd=7720.78
Rifollamento lato piastra: Fb,Ed,p=3.49 Fb,Rd,p=8293.27
Tirafondi:LT=0.45 (0.31) σ_{cR}=0.00 σ_{fR}=0.00
Compressione nel calcestruzzo: σ_c=18.77
CC 15 SLV (Collegamento -179_-383)
Azioni sul collegamento: N=-8867.90 Ty=13.27 Tz=18.62 Mx=0.01 Mz=12.98
Sollecitazioni agenti localmente: Tx_l=13.27 Ty_l=18.62 N_l=-8867.90 Mx_l=-0.00 My_l=12.98 Mz_l=0.01
Taglio nei bulloni: Fv,Ed=3.82 Fv,Rd=7720.78
Rifollamento lato piastra: Fb,Ed,p=3.82 Fb,Rd,p=10440.00
Tirafondi:LT=0.45 (0.31) σ_{cR}=0.00 σ_{fR}=0.00
Compressione nel calcestruzzo: σ_c=19.05
CC 15 SLV (Collegamento -179_-383)
Azioni sul collegamento: N=-8867.90 Ty=9.40 Tz=8.87 Mx=0.01 Mz=7.91
Sollecitazioni agenti localmente: Tx_l=9.40 Ty_l=8.87 N_l=-8867.90 Mx_l=-0.00 My_l=7.91 Mz_l=0.01
Taglio nei bulloni: Fv,Ed=2.17 Fv,Rd=7720.78
Rifollamento lato piastra: Fb,Ed,p=2.15 Fb,Rd,p=11622.70
Tirafondi:LT=0.45 (0.31) σ_{cR}=0.00 σ_{fR}=0.00
Compressione nel calcestruzzo: σ_c=18.77
CC 15 SLV (Collegamento -179_-383)
Azioni sul collegamento: N=-8867.90 Ty=13.27 Tz=8.87 Mx=0.01 Mz=12.98
Sollecitazioni agenti localmente: Tx_l=13.27 Ty_l=8.87 N_l=-8867.90 Mx_l=-0.00 My_l=12.98 Mz_l=0.01
Taglio nei bulloni: Fv,Ed=2.67 Fv,Rd=7720.78
Rifollamento lato piastra: Fb,Ed,p=2.66 Fb,Rd,p=9978.29
Tirafondi:LT=0.45 (0.31) σ_{cR}=0.00 σ_{fR}=0.00
Compressione nel calcestruzzo: σ_c=19.05
CC 16 SLD (Collegamento -179_-383)
Azioni sul collegamento: N=-10311.80 Ty=9.82 Tz=14.85 Mx=0.00 Mz=7.53
Sollecitazioni agenti localmente: Tx_l=9.82 Ty_l=14.85 N_l=-10311.80 Mx_l=-0.00 My_l=7.53 Mz_l=0.00
Taglio nei bulloni: Fv,Ed=2.97 Fv,Rd=9650.97
Rifollamento lato piastra: Fb,Ed,p=2.97 Fb,Rd,p=12476.40
Tirafondi:LT=0.45 (0.31) σ_{cR}=0.00 σ_{fR}=0.00
Compressione nel calcestruzzo: σ_c=21.73
CC 16 SLD (Collegamento -179_-383)
Azioni sul collegamento: N=-10311.80 Ty=11.00 Tz=14.85 Mx=0.00 Mz=9.08
Sollecitazioni agenti localmente: Tx_l=11.00 Ty_l=14.85 N_l=-10311.80 Mx_l=-0.00 My_l=9.08 Mz_l=0.00
Taglio nei bulloni: Fv,Ed=3.09 Fv,Rd=9650.97
Rifollamento lato piastra: Fb,Ed,p=3.09 Fb,Rd,p=13224.60
Tirafondi:LT=0.45 (0.31) σ_{cR}=0.00 σ_{fR}=0.00
Compressione nel calcestruzzo: σ_c=21.82
CC 16 SLD (Collegamento -179_-383)
Azioni sul collegamento: N=-10311.80 Ty=9.82 Tz=11.88 Mx=0.00 Mz=7.53
Sollecitazioni agenti localmente: Tx_l=9.82 Ty_l=11.88 N_l=-10311.80 Mx_l=-0.00 My_l=7.53 Mz_l=0.00
Taglio nei bulloni: Fv,Ed=2.58 Fv,Rd=9650.97

Rifollamento lato piastra: Fb,Ed,p=2.58 Fb,Rd,p=13788.50
Tirafondi:LT=0.45 (0.31) σ_{cR}=0.00 σ_{fR}=0.00
Compressione nel calcestruzzo: σ_c=21.73
CC 16 SLD (Collegamento -179_-383)
Azioni sul collegamento: N=-10311.80 Ty=11.00 Tz=11.88 Mx=0.00 Mz=9.08
Sollecitazioni agenti localmente: Tx_l=11.00 Ty_l=11.88 N_l=-10311.80 Mx_l=-0.00 My_l=9.08 Mz_l=0.00
Taglio nei bulloni: Fv,Ed=2.71 Fv,Rd=9650.97
Rifollamento lato piastra: Fb,Ed,p=2.71 Fb,Rd,p=14482.70
Tirafondi:LT=0.45 (0.31) σ_{cR}=0.00 σ_{fR}=0.00
Compressione nel calcestruzzo: σ_c=21.82
CC 16 SLD (Collegamento -179_-383)
Azioni sul collegamento: N=-9591.49 Ty=9.82 Tz=14.85 Mx=0.00 Mz=7.53
Sollecitazioni agenti localmente: Tx_l=9.82 Ty_l=14.85 N_l=-9591.49 Mx_l=-0.00 My_l=7.53 Mz_l=0.00
Taglio nei bulloni: Fv,Ed=2.97 Fv,Rd=9650.97
Rifollamento lato piastra: Fb,Ed,p=2.97 Fb,Rd,p=12476.40
Tirafondi:LT=0.45 (0.31) σ_{cR}=0.00 σ_{fR}=0.00
Compressione nel calcestruzzo: σ_c=20.24
CC 16 SLD (Collegamento -179_-383)
Azioni sul collegamento: N=-9591.49 Ty=11.00 Tz=14.85 Mx=0.00 Mz=9.08
Sollecitazioni agenti localmente: Tx_l=11.00 Ty_l=14.85 N_l=-9591.49 Mx_l=-0.00 My_l=9.08 Mz_l=0.00
Taglio nei bulloni: Fv,Ed=3.09 Fv,Rd=9650.97
Rifollamento lato piastra: Fb,Ed,p=3.09 Fb,Rd,p=13224.60
Tirafondi:LT=0.45 (0.31) σ_{cR}=0.00 σ_{fR}=0.00
Compressione nel calcestruzzo: σ_c=20.33
CC 16 SLD (Collegamento -179_-383)
Azioni sul collegamento: N=-9591.49 Ty=9.82 Tz=11.88 Mx=0.00 Mz=7.53
Sollecitazioni agenti localmente: Tx_l=9.82 Ty_l=11.88 N_l=-9591.49 Mx_l=-0.00 My_l=7.53 Mz_l=0.00
Taglio nei bulloni: Fv,Ed=2.58 Fv,Rd=9650.97
Rifollamento lato piastra: Fb,Ed,p=2.58 Fb,Rd,p=13788.50
Tirafondi:LT=0.45 (0.31) σ_{cR}=0.00 σ_{fR}=0.00
Compressione nel calcestruzzo: σ_c=20.24
CC 16 SLD (Collegamento -179_-383)
Azioni sul collegamento: N=-9591.49 Ty=11.00 Tz=11.88 Mx=0.00 Mz=9.08
Sollecitazioni agenti localmente: Tx_l=11.00 Ty_l=11.88 N_l=-9591.49 Mx_l=-0.00 My_l=9.08 Mz_l=0.00
Taglio nei bulloni: Fv,Ed=2.71 Fv,Rd=9650.97
Rifollamento lato piastra: Fb,Ed,p=2.71 Fb,Rd,p=14482.70
Tirafondi:LT=0.45 (0.31) σ_{cR}=0.00 σ_{fR}=0.00
Compressione nel calcestruzzo: σ_c=20.33
CC 17 SLV (Collegamento -179_-383)
Azioni sul collegamento: N=-5856.57 Ty=12.53 Tz=-1.96 Mx=-0.01 Mz=7.45
Sollecitazioni agenti localmente: Tx_l=12.53 Ty_l=-1.96 N_l=-5856.57 Mx_l=-0.00 My_l=7.45 Mz_l=-0.01
Taglio nei bulloni: Fv,Ed=2.13 Fv,Rd=7720.78
Rifollamento lato piastra: Fb,Ed,p=2.12 Fb,Rd,p=6176.88
Tirafondi:LT=0.45 (0.31) σ_{cR}=0.00 σ_{fR}=0.00
Compressione nel calcestruzzo: σ_c=12.52
CC 17 SLV (Collegamento -179_-383)
Azioni sul collegamento: N=-5856.57 Ty=4.82 Tz=-1.96 Mx=-0.01 Mz=1.13
Sollecitazioni agenti localmente: Tx_l=4.82 Ty_l=-1.96 N_l=-5856.57 Mx_l=-0.00 My_l=1.13 Mz_l=-0.01
Taglio nei bulloni: Fv,Ed=0.88 Fv,Rd=7720.78
Rifollamento lato piastra: Fb,Ed,p=0.87 Fb,Rd,p=7301.85
Tirafondi:LT=0.45 (0.31) σ_{cR}=0.00 σ_{fR}=0.00
Compressione nel calcestruzzo: σ_c=12.16
CC 17 SLV (Collegamento -179_-383)
Azioni sul collegamento: N=-5856.57 Ty=12.53 Tz=27.25 Mx=-0.01 Mz=7.45
Sollecitazioni agenti localmente: Tx_l=12.53 Ty_l=27.25 N_l=-5856.57 Mx_l=-0.00 My_l=7.45 Mz_l=-0.01
Taglio nei bulloni: Fv,Ed=5.02 Fv,Rd=7720.78
Rifollamento lato piastra: Fb,Ed,p=5.01 Fb,Rd,p=7849.70
Tirafondi:LT=0.45 (0.31) σ_{cR}=0.00 σ_{fR}=0.00
Compressione nel calcestruzzo: σ_c=12.52
CC 17 SLV (Collegamento -179_-383)
Azioni sul collegamento: N=-5856.57 Ty=4.82 Tz=27.25 Mx=-0.01 Mz=1.13
Sollecitazioni agenti localmente: Tx_l=4.82 Ty_l=27.25 N_l=-5856.57 Mx_l=-0.00 My_l=1.13 Mz_l=-0.01
Taglio nei bulloni: Fv,Ed=4.63 Fv,Rd=7720.78
Rifollamento lato piastra: Fb,Ed,p=4.62 Fb,Rd,p=6246.92
Tirafondi:LT=0.45 (0.31) σ_{cR}=0.00 σ_{fR}=0.00
Compressione nel calcestruzzo: σ_c=12.16
CC 17 SLV (Collegamento -179_-383)
Azioni sul collegamento: N=-13681.20 Ty=12.53 Tz=-1.96 Mx=-0.01 Mz=7.45
Sollecitazioni agenti localmente: Tx_l=12.53 Ty_l=-1.96 N_l=-13681.20 Mx_l=-0.00 My_l=7.45 Mz_l=-0.01
Taglio nei bulloni: Fv,Ed=2.13 Fv,Rd=7720.78
Rifollamento lato piastra: Fb,Ed,p=2.12 Fb,Rd,p=6176.94
Tirafondi:LT=0.45 (0.31) σ_{cR}=0.00 σ_{fR}=0.00
Compressione nel calcestruzzo: σ_c=28.69
CC 17 SLV (Collegamento -179_-383)
Azioni sul collegamento: N=-13681.20 Ty=4.82 Tz=-1.96 Mx=-0.01 Mz=1.13
Sollecitazioni agenti localmente: Tx_l=4.82 Ty_l=-1.96 N_l=-13681.20 Mx_l=-0.00 My_l=1.13 Mz_l=-0.01
Taglio nei bulloni: Fv,Ed=0.88 Fv,Rd=7720.78
Rifollamento lato piastra: Fb,Ed,p=0.87 Fb,Rd,p=7302.22
Tirafondi:LT=0.45 (0.31) σ_{cR}=0.00 σ_{fR}=0.00
Compressione nel calcestruzzo: σ_c=28.33

CC 17 SLV (Collegamento -179_-383)
Azioni sul collegamento: N=-13681.20 Ty=12.53 Tz=27.25 Mx=-0.01 Mz=7.45
Sollecitazioni agenti localmente: Tx_l=12.53 Ty_l=27.25 N_l=-13681.20 Mx_l=-0.00 My_l=7.45 Mz_l=-0.01
Taglio nei bulloni: Fv,Ed=5.02 Fv,Rd=7720.78
Rifollamento lato piastra: Fb,Ed,p=5.01 Fb,Rd,p=7849.74
Tirafondi:LT=0.45 (0.31) σ_{cR}=0.00 σ_{fR}=0.00
Compressione nel calcestruzzo: σ_c=28.69
CC 17 SLV (Collegamento -179_-383)
Azioni sul collegamento: N=-13681.20 Ty=4.82 Tz=27.25 Mx=-0.01 Mz=1.13
Sollecitazioni agenti localmente: Tx_l=4.82 Ty_l=27.25 N_l=-13681.20 Mx_l=-0.00 My_l=1.13 Mz_l=-0.01
Taglio nei bulloni: Fv,Ed=4.63 Fv,Rd=7720.78
Rifollamento lato piastra: Fb,Ed,p=4.62 Fb,Rd,p=6246.92
Tirafondi:LT=0.45 (0.31) σ_{cR}=0.00 σ_{fR}=0.00
Compressione nel calcestruzzo: σ_c=28.33
CC 18 SLD (Collegamento -179_-383)
Azioni sul collegamento: N=-8673.24 Ty=10.78 Tz=8.57 Mx=-0.00 Mz=7.39
Sollecitazioni agenti localmente: Tx_l=10.78 Ty_l=8.57 N_l=-8673.24 Mx_l=-0.00 My_l=7.39 Mz_l=-0.00
Taglio nei bulloni: Fv,Ed=2.30 Fv,Rd=9650.97
Rifollamento lato piastra: Fb,Ed,p=2.30 Fb,Rd,p=13577.20
Tirafondi:LT=0.45 (0.31) σ_{cR}=0.00 σ_{fR}=0.00
Compressione nel calcestruzzo: σ_c=18.34
CC 18 SLD (Collegamento -179_-383)
Azioni sul collegamento: N=-8673.24 Ty=8.42 Tz=8.57 Mx=-0.00 Mz=5.47
Sollecitazioni agenti localmente: Tx_l=8.42 Ty_l=8.57 N_l=-8673.24 Mx_l=-0.00 My_l=5.47 Mz_l=-0.00
Taglio nei bulloni: Fv,Ed=2.01 Fv,Rd=9650.97
Rifollamento lato piastra: Fb,Ed,p=2.00 Fb,Rd,p=14893.20
Tirafondi:LT=0.45 (0.31) σ_{cR}=0.00 σ_{fR}=0.00
Compressione nel calcestruzzo: σ_c=18.23
CC 18 SLD (Collegamento -179_-383)
Azioni sul collegamento: N=-8673.24 Ty=10.78 Tz=17.48 Mx=-0.00 Mz=7.39
Sollecitazioni agenti localmente: Tx_l=10.78 Ty_l=17.48 N_l=-8673.24 Mx_l=-0.00 My_l=7.39 Mz_l=-0.00
Taglio nei bulloni: Fv,Ed=3.42 Fv,Rd=9650.97
Rifollamento lato piastra: Fb,Ed,p=3.42 Fb,Rd,p=11786.10
Tirafondi:LT=0.45 (0.31) σ_{cR}=0.00 σ_{fR}=0.00
Compressione nel calcestruzzo: σ_c=18.34
CC 18 SLD (Collegamento -179_-383)
Azioni sul collegamento: N=-8673.24 Ty=8.42 Tz=17.48 Mx=-0.00 Mz=5.47
Sollecitazioni agenti localmente: Tx_l=8.42 Ty_l=17.48 N_l=-8673.24 Mx_l=-0.00 My_l=5.47 Mz_l=-0.00
Taglio nei bulloni: Fv,Ed=3.24 Fv,Rd=9650.97
Rifollamento lato piastra: Fb,Ed,p=3.23 Fb,Rd,p=10084.80
Tirafondi:LT=0.45 (0.31) σ_{cR}=0.00 σ_{fR}=0.00
Compressione nel calcestruzzo: σ_c=18.23
CC 18 SLD (Collegamento -179_-383)
Azioni sul collegamento: N=-11059.20 Ty=10.78 Tz=8.57 Mx=-0.00 Mz=7.39
Sollecitazioni agenti localmente: Tx_l=10.78 Ty_l=8.57 N_l=-11059.20 Mx_l=-0.00 My_l=7.39 Mz_l=-0.00
Taglio nei bulloni: Fv,Ed=2.30 Fv,Rd=9650.97
Rifollamento lato piastra: Fb,Ed,p=2.30 Fb,Rd,p=13577.40
Tirafondi:LT=0.45 (0.31) σ_{cR}=0.00 σ_{fR}=0.00
Compressione nel calcestruzzo: σ_c=23.27
CC 18 SLD (Collegamento -179_-383)
Azioni sul collegamento: N=-11059.20 Ty=8.42 Tz=8.57 Mx=-0.00 Mz=5.47
Sollecitazioni agenti localmente: Tx_l=8.42 Ty_l=8.57 N_l=-11059.20 Mx_l=-0.00 My_l=5.47 Mz_l=-0.00
Taglio nei bulloni: Fv,Ed=2.01 Fv,Rd=9650.97
Rifollamento lato piastra: Fb,Ed,p=2.00 Fb,Rd,p=14892.90
Tirafondi:LT=0.45 (0.31) σ_{cR}=0.00 σ_{fR}=0.00
Compressione nel calcestruzzo: σ_c=23.16
CC 18 SLD (Collegamento -179_-383)
Azioni sul collegamento: N=-11059.20 Ty=10.78 Tz=17.48 Mx=-0.00 Mz=7.39
Sollecitazioni agenti localmente: Tx_l=10.78 Ty_l=17.48 N_l=-11059.20 Mx_l=-0.00 My_l=7.39 Mz_l=-0.00
Taglio nei bulloni: Fv,Ed=3.42 Fv,Rd=9650.97
Rifollamento lato piastra: Fb,Ed,p=3.42 Fb,Rd,p=11786.10
Tirafondi:LT=0.45 (0.31) σ_{cR}=0.00 σ_{fR}=0.00
Compressione nel calcestruzzo: σ_c=23.27
CC 18 SLD (Collegamento -179_-383)
Azioni sul collegamento: N=-11059.20 Ty=8.42 Tz=17.48 Mx=-0.00 Mz=5.47
Sollecitazioni agenti localmente: Tx_l=8.42 Ty_l=17.48 N_l=-11059.20 Mx_l=-0.00 My_l=5.47 Mz_l=-0.00
Taglio nei bulloni: Fv,Ed=3.24 Fv,Rd=9650.97
Rifollamento lato piastra: Fb,Ed,p=3.23 Fb,Rd,p=10084.80
Tirafondi:LT=0.45 (0.31) σ_{cR}=0.00 σ_{fR}=0.00
Compressione nel calcestruzzo: σ_c=23.16
CC 19 SLV (Collegamento -179_-383)
Azioni sul collegamento: N=-5861.43 Ty=12.02 Tz=-1.63 Mx=-0.01 Mz=6.41
Sollecitazioni agenti localmente: Tx_l=12.02 Ty_l=-1.63 N_l=-5861.43 Mx_l=-0.00 My_l=6.41 Mz_l=-0.01
Taglio nei bulloni: Fv,Ed=2.03 Fv,Rd=7720.78
Rifollamento lato piastra: Fb,Ed,p=2.03 Fb,Rd,p=6132.69
Tirafondi:LT=0.45 (0.31) σ_{cR}=0.00 σ_{fR}=0.00
Compressione nel calcestruzzo: σ_c=12.47
CC 19 SLV (Collegamento -179_-383)
Azioni sul collegamento: N=-5861.43 Ty=5.33 Tz=-1.63 Mx=-0.01 Mz=2.18
Sollecitazioni agenti localmente: Tx_l=5.33 Ty_l=-1.63 N_l=-5861.43 Mx_l=-0.00 My_l=2.18 Mz_l=-0.01

Taglio nei bulloni: Fv,Ed=0.94 Fv,Rd=7720.78
Rifollamento lato piastra: Fb,Ed,p=0.93 Fb,Rd,p=6755.46
Tirafondi:LT=0.45 (0.31) σ_{cR}=0.00 σ_{fR}=0.00
Compressione nel calcestruzzo: σ_c=12.23
CC 19 SLV (Collegamento -179_-383)
Azioni sul collegamento: N=-5861.43 Ty=12.02 Tz=26.92 Mx=-0.01 Mz=6.41
Sollecitazioni agenti localmente: Tx_l=12.02 Ty_l=26.92 N_l=-5861.43 Mx_l=-0.00 My_l=6.41 Mz_l=-0.01
Taglio nei bulloni: Fv,Ed=4.92 Fv,Rd=7720.78
Rifollamento lato piastra: Fb,Ed,p=4.92 Fb,Rd,p=7753.01
Tirafondi:LT=0.45 (0.31) σ_{cR}=0.00 σ_{fR}=0.00
Compressione nel calcestruzzo: σ_c=12.47
CC 19 SLV (Collegamento -179_-383)
Azioni sul collegamento: N=-5861.43 Ty=5.33 Tz=26.92 Mx=-0.01 Mz=2.18
Sollecitazioni agenti localmente: Tx_l=5.33 Ty_l=26.92 N_l=-5861.43 Mx_l=-0.00 My_l=2.18 Mz_l=-0.01
Taglio nei bulloni: Fv,Ed=4.58 Fv,Rd=7720.78
Rifollamento lato piastra: Fb,Ed,p=4.58 Fb,Rd,p=6321.24
Tirafondi:LT=0.45 (0.31) σ_{cR}=0.00 σ_{fR}=0.00
Compressione nel calcestruzzo: σ_c=12.23
CC 19 SLV (Collegamento -179_-383)
Azioni sul collegamento: N=-13676.40 Ty=12.02 Tz=-1.63 Mx=-0.01 Mz=6.41
Sollecitazioni agenti localmente: Tx_l=12.02 Ty_l=-1.63 N_l=-13676.40 Mx_l=-0.00 My_l=6.41 Mz_l=-0.01
Taglio nei bulloni: Fv,Ed=2.03 Fv,Rd=7720.78
Rifollamento lato piastra: Fb,Ed,p=2.03 Fb,Rd,p=6132.74
Tirafondi:LT=0.45 (0.31) σ_{cR}=0.00 σ_{fR}=0.00
Compressione nel calcestruzzo: σ_c=28.62
CC 19 SLV (Collegamento -179_-383)
Azioni sul collegamento: N=-13676.40 Ty=5.33 Tz=-1.63 Mx=-0.01 Mz=2.18
Sollecitazioni agenti localmente: Tx_l=5.33 Ty_l=-1.63 N_l=-13676.40 Mx_l=-0.00 My_l=2.18 Mz_l=-0.01
Taglio nei bulloni: Fv,Ed=0.94 Fv,Rd=7720.78
Rifollamento lato piastra: Fb,Ed,p=0.93 Fb,Rd,p=6755.71
Tirafondi:LT=0.45 (0.31) σ_{cR}=0.00 σ_{fR}=0.00
Compressione nel calcestruzzo: σ_c=28.38
CC 19 SLV (Collegamento -179_-383)
Azioni sul collegamento: N=-13676.40 Ty=12.02 Tz=26.92 Mx=-0.01 Mz=6.41
Sollecitazioni agenti localmente: Tx_l=12.02 Ty_l=26.92 N_l=-13676.40 Mx_l=-0.00 My_l=6.41 Mz_l=-0.01
Taglio nei bulloni: Fv,Ed=4.92 Fv,Rd=7720.78
Rifollamento lato piastra: Fb,Ed,p=4.92 Fb,Rd,p=7752.99
Tirafondi:LT=0.45 (0.31) σ_{cR}=0.00 σ_{fR}=0.00
Compressione nel calcestruzzo: σ_c=28.62
CC 19 SLV (Collegamento -179_-383)
Azioni sul collegamento: N=-13676.40 Ty=5.33 Tz=26.92 Mx=-0.01 Mz=2.18
Sollecitazioni agenti localmente: Tx_l=5.33 Ty_l=26.92 N_l=-13676.40 Mx_l=-0.00 My_l=2.18 Mz_l=-0.01
Taglio nei bulloni: Fv,Ed=4.58 Fv,Rd=7720.78
Rifollamento lato piastra: Fb,Ed,p=4.58 Fb,Rd,p=6321.24
Tirafondi:LT=0.45 (0.31) σ_{cR}=0.00 σ_{fR}=0.00
Compressione nel calcestruzzo: σ_c=28.38
CC 20 SLD (Collegamento -179_-383)
Azioni sul collegamento: N=-8674.72 Ty=10.62 Tz=8.67 Mx=0.00 Mz=7.07
Sollecitazioni agenti localmente: Tx_l=10.62 Ty_l=8.67 N_l=-8674.72 Mx_l=-0.00 My_l=7.07 Mz_l=0.00
Taglio nei bulloni: Fv,Ed=2.29 Fv,Rd=9650.97
Rifollamento lato piastra: Fb,Ed,p=2.29 Fb,Rd,p=13715.40
Tirafondi:LT=0.45 (0.31) σ_{cR}=0.00 σ_{fR}=0.00
Compressione nel calcestruzzo: σ_c=18.32
CC 20 SLD (Collegamento -179_-383)
Azioni sul collegamento: N=-8674.72 Ty=8.58 Tz=8.67 Mx=0.00 Mz=5.79
Sollecitazioni agenti localmente: Tx_l=8.58 Ty_l=8.67 N_l=-8674.72 Mx_l=-0.00 My_l=5.79 Mz_l=0.00
Taglio nei bulloni: Fv,Ed=2.03 Fv,Rd=9650.97
Rifollamento lato piastra: Fb,Ed,p=2.03 Fb,Rd,p=14943.90
Tirafondi:LT=0.45 (0.31) σ_{cR}=0.00 σ_{fR}=0.00
Compressione nel calcestruzzo: σ_c=18.25
CC 20 SLD (Collegamento -179_-383)
Azioni sul collegamento: N=-8674.72 Ty=10.62 Tz=17.38 Mx=0.00 Mz=7.07
Sollecitazioni agenti localmente: Tx_l=10.62 Ty_l=17.38 N_l=-8674.72 Mx_l=-0.00 My_l=7.07 Mz_l=0.00
Taglio nei bulloni: Fv,Ed=3.40 Fv,Rd=9650.97
Rifollamento lato piastra: Fb,Ed,p=3.40 Fb,Rd,p=11719.70
Tirafondi:LT=0.45 (0.31) σ_{cR}=0.00 σ_{fR}=0.00
Compressione nel calcestruzzo: σ_c=18.32
CC 20 SLD (Collegamento -179_-383)
Azioni sul collegamento: N=-8674.72 Ty=8.58 Tz=17.38 Mx=0.00 Mz=5.79
Sollecitazioni agenti localmente: Tx_l=8.58 Ty_l=17.38 N_l=-8674.72 Mx_l=-0.00 My_l=5.79 Mz_l=0.00
Taglio nei bulloni: Fv,Ed=3.23 Fv,Rd=9650.97
Rifollamento lato piastra: Fb,Ed,p=3.23 Fb,Rd,p=10224.70
Tirafondi:LT=0.45 (0.31) σ_{cR}=0.00 σ_{fR}=0.00
Compressione nel calcestruzzo: σ_c=18.25
CC 20 SLD (Collegamento -179_-383)
Azioni sul collegamento: N=-11057.70 Ty=10.62 Tz=8.67 Mx=0.00 Mz=7.07
Sollecitazioni agenti localmente: Tx_l=10.62 Ty_l=8.67 N_l=-11057.70 Mx_l=-0.00 My_l=7.07 Mz_l=0.00
Taglio nei bulloni: Fv,Ed=2.29 Fv,Rd=9650.97
Rifollamento lato piastra: Fb,Ed,p=2.29 Fb,Rd,p=13715.60
Tirafondi:LT=0.45 (0.31) σ_{cR}=0.00 σ_{fR}=0.00

Compressione nel calcestruzzo: σ_c=23.25
CC 20 SLD (Collegamento -179_-383)
Azioni sul collegamento: N=-11057.70 Ty=8.58 Tz=8.67 Mx=0.00 Mz=5.79
Sollecitazioni agenti localmente: Tx_l=8.58 Ty_l=8.67 N_l=-11057.70 Mx_l=-0.00 My_l=5.79 Mz_l=0.00
Taglio nei bulloni: Fv,Ed=2.03 Fv,Rd=9650.97
Rifollamento lato piastra: Fb,Ed,p=2.03 Fb,Rd,p=14943.60
Tirafondi:LT=0.45 (0.31) σ_{cR}=0.00 σ_{fR}=0.00
Compressione nel calcestruzzo: σ_c=23.17
CC 20 SLD (Collegamento -179_-383)
Azioni sul collegamento: N=-11057.70 Ty=10.62 Tz=17.38 Mx=0.00 Mz=7.07
Sollecitazioni agenti localmente: Tx_l=10.62 Ty_l=17.38 N_l=-11057.70 Mx_l=-0.00 My_l=7.07 Mz_l=0.00
Taglio nei bulloni: Fv,Ed=3.40 Fv,Rd=9650.97
Rifollamento lato piastra: Fb,Ed,p=3.40 Fb,Rd,p=11719.80
Tirafondi:LT=0.45 (0.31) σ_{cR}=0.00 σ_{fR}=0.00
Compressione nel calcestruzzo: σ_c=23.25
CC 20 SLD (Collegamento -179_-383)
Azioni sul collegamento: N=-11057.70 Ty=8.58 Tz=17.38 Mx=0.00 Mz=5.79
Sollecitazioni agenti localmente: Tx_l=8.58 Ty_l=17.38 N_l=-11057.70 Mx_l=-0.00 My_l=5.79 Mz_l=0.00
Taglio nei bulloni: Fv,Ed=3.23 Fv,Rd=9650.97
Rifollamento lato piastra: Fb,Ed,p=3.23 Fb,Rd,p=10224.80
Tirafondi:LT=0.45 (0.31) σ_{cR}=0.00 σ_{fR}=0.00
Compressione nel calcestruzzo: σ_c=23.17
CC 21 SLV (Collegamento -179_-383)
Azioni sul collegamento: N=-13676.40 Ty=5.33 Tz=26.92 Mx=-0.01 Mz=2.18
Sollecitazioni agenti localmente: Tx_l=5.33 Ty_l=26.92 N_l=-13676.40 Mx_l=-0.00 My_l=2.18 Mz_l=-0.01
Taglio nei bulloni: Fv,Ed=4.59 Fv,Rd=7720.78
Rifollamento lato piastra: Fb,Ed,p=4.58 Fb,Rd,p=6316.35
Tirafondi:LT=0.45 (0.31) σ_{cR}=0.00 σ_{fR}=0.00
Compressione nel calcestruzzo: σ_c=28.38
CC 21 SLV (Collegamento -179_-383)
Azioni sul collegamento: N=-13676.40 Ty=12.02 Tz=26.92 Mx=-0.01 Mz=6.41
Sollecitazioni agenti localmente: Tx_l=12.02 Ty_l=26.92 N_l=-13676.40 Mx_l=-0.00 My_l=6.41 Mz_l=-0.01
Taglio nei bulloni: Fv,Ed=4.93 Fv,Rd=7720.78
Rifollamento lato piastra: Fb,Ed,p=4.92 Fb,Rd,p=7739.33
Tirafondi:LT=0.45 (0.31) σ_{cR}=0.00 σ_{fR}=0.00
Compressione nel calcestruzzo: σ_c=28.62
CC 21 SLV (Collegamento -179_-383)
Azioni sul collegamento: N=-13676.40 Ty=5.33 Tz=-1.63 Mx=-0.01 Mz=2.18
Sollecitazioni agenti localmente: Tx_l=5.33 Ty_l=-1.63 N_l=-13676.40 Mx_l=-0.00 My_l=2.18 Mz_l=-0.01
Taglio nei bulloni: Fv,Ed=0.95 Fv,Rd=7720.78
Rifollamento lato piastra: Fb,Ed,p=0.94 Fb,Rd,p=6716.11
Tirafondi:LT=0.45 (0.31) σ_{cR}=0.00 σ_{fR}=0.00
Compressione nel calcestruzzo: σ_c=28.38
CC 21 SLV (Collegamento -179_-383)
Azioni sul collegamento: N=-13676.40 Ty=12.02 Tz=-1.63 Mx=-0.01 Mz=6.41
Sollecitazioni agenti localmente: Tx_l=12.02 Ty_l=-1.63 N_l=-13676.40 Mx_l=-0.00 My_l=6.41 Mz_l=-0.01
Taglio nei bulloni: Fv,Ed=2.04 Fv,Rd=7720.78
Rifollamento lato piastra: Fb,Ed,p=2.03 Fb,Rd,p=6125.90
Tirafondi:LT=0.45 (0.31) σ_{cR}=0.00 σ_{fR}=0.00
Compressione nel calcestruzzo: σ_c=28.62
CC 21 SLV (Collegamento -179_-383)
Azioni sul collegamento: N=-5861.43 Ty=5.33 Tz=26.92 Mx=-0.01 Mz=2.18
Sollecitazioni agenti localmente: Tx_l=5.33 Ty_l=26.92 N_l=-5861.43 Mx_l=-0.00 My_l=2.18 Mz_l=-0.01
Taglio nei bulloni: Fv,Ed=4.59 Fv,Rd=7720.78
Rifollamento lato piastra: Fb,Ed,p=4.58 Fb,Rd,p=6316.36
Tirafondi:LT=0.45 (0.31) σ_{cR}=0.00 σ_{fR}=0.00
Compressione nel calcestruzzo: σ_c=12.23
CC 21 SLV (Collegamento -179_-383)
Azioni sul collegamento: N=-5861.43 Ty=12.02 Tz=26.92 Mx=-0.01 Mz=6.41
Sollecitazioni agenti localmente: Tx_l=12.02 Ty_l=26.92 N_l=-5861.43 Mx_l=-0.00 My_l=6.41 Mz_l=-0.01
Taglio nei bulloni: Fv,Ed=4.93 Fv,Rd=7720.78
Rifollamento lato piastra: Fb,Ed,p=4.92 Fb,Rd,p=7739.34
Tirafondi:LT=0.45 (0.31) σ_{cR}=0.00 σ_{fR}=0.00
Compressione nel calcestruzzo: σ_c=12.47
CC 21 SLV (Collegamento -179_-383)
Azioni sul collegamento: N=-5861.43 Ty=5.33 Tz=-1.63 Mx=-0.01 Mz=2.18
Sollecitazioni agenti localmente: Tx_l=5.33 Ty_l=-1.63 N_l=-5861.43 Mx_l=-0.00 My_l=2.18 Mz_l=-0.01
Taglio nei bulloni: Fv,Ed=0.95 Fv,Rd=7720.78
Rifollamento lato piastra: Fb,Ed,p=0.94 Fb,Rd,p=6715.86
Tirafondi:LT=0.45 (0.31) σ_{cR}=0.00 σ_{fR}=0.00
Compressione nel calcestruzzo: σ_c=12.23
CC 21 SLV (Collegamento -179_-383)
Azioni sul collegamento: N=-5861.43 Ty=12.02 Tz=-1.63 Mx=-0.01 Mz=6.41
Sollecitazioni agenti localmente: Tx_l=12.02 Ty_l=-1.63 N_l=-5861.43 Mx_l=-0.00 My_l=6.41 Mz_l=-0.01
Taglio nei bulloni: Fv,Ed=2.04 Fv,Rd=7720.78
Rifollamento lato piastra: Fb,Ed,p=2.03 Fb,Rd,p=6125.85
Tirafondi:LT=0.45 (0.31) σ_{cR}=0.00 σ_{fR}=0.00
Compressione nel calcestruzzo: σ_c=12.47
CC 22 SLD (Collegamento -179_-383)
Azioni sul collegamento: N=-11057.70 Ty=8.58 Tz=17.38 Mx=-0.00 Mz=5.79

Sollecitazioni agenti localmente: Tx_l=8.58 Ty_l=17.38 N_l=-11057.70 Mx_l=-0.00 My_l=5.79 Mz_l=-0.00
Taglio nei bulloni: Fv,Ed=3.23 Fv,Rd=9650.97
Rifollamento lato piastra: Fb,Ed,p=3.23 Fb,Rd,p=10216.20
Tirafondi:LT=0.45 (0.31) σ_{cR}=0.00 σ_{fR}=0.00
Compressione nel calcestruzzo: σ_c=23.17
CC 22 SLD (Collegamento -179_-383)
Azioni sul collegamento: N=-11057.70 Ty=10.62 Tz=17.38 Mx=-0.00 Mz=7.07
Sollecitazioni agenti localmente: Tx_l=10.62 Ty_l=17.38 N_l=-11057.70 Mx_l=-0.00 My_l=7.07 Mz_l=-0.00
Taglio nei bulloni: Fv,Ed=3.40 Fv,Rd=9650.97
Rifollamento lato piastra: Fb,Ed,p=3.40 Fb,Rd,p=11708.50
Tirafondi:LT=0.45 (0.31) σ_{cR}=0.00 σ_{fR}=0.00
Compressione nel calcestruzzo: σ_c=23.25
CC 22 SLD (Collegamento -179_-383)
Azioni sul collegamento: N=-11057.70 Ty=8.58 Tz=8.67 Mx=-0.00 Mz=5.79
Sollecitazioni agenti localmente: Tx_l=8.58 Ty_l=8.67 N_l=-11057.70 Mx_l=-0.00 My_l=5.79 Mz_l=-0.00
Taglio nei bulloni: Fv,Ed=2.04 Fv,Rd=9650.97
Rifollamento lato piastra: Fb,Ed,p=2.03 Fb,Rd,p=14943.50
Tirafondi:LT=0.45 (0.31) σ_{cR}=0.00 σ_{fR}=0.00
Compressione nel calcestruzzo: σ_c=23.17
CC 22 SLD (Collegamento -179_-383)
Azioni sul collegamento: N=-11057.70 Ty=10.62 Tz=8.67 Mx=-0.00 Mz=7.07
Sollecitazioni agenti localmente: Tx_l=10.62 Ty_l=8.67 N_l=-11057.70 Mx_l=-0.00 My_l=7.07 Mz_l=-0.00
Taglio nei bulloni: Fv,Ed=2.29 Fv,Rd=9650.97
Rifollamento lato piastra: Fb,Ed,p=2.29 Fb,Rd,p=13718.00
Tirafondi:LT=0.45 (0.31) σ_{cR}=0.00 σ_{fR}=0.00
Compressione nel calcestruzzo: σ_c=23.25
CC 22 SLD (Collegamento -179_-383)
Azioni sul collegamento: N=-8674.72 Ty=8.58 Tz=17.38 Mx=-0.00 Mz=5.79
Sollecitazioni agenti localmente: Tx_l=8.58 Ty_l=17.38 N_l=-8674.72 Mx_l=-0.00 My_l=5.79 Mz_l=-0.00
Taglio nei bulloni: Fv,Ed=3.23 Fv,Rd=9650.97
Rifollamento lato piastra: Fb,Ed,p=3.23 Fb,Rd,p=10216.10
Tirafondi:LT=0.45 (0.31) σ_{cR}=0.00 σ_{fR}=0.00
Compressione nel calcestruzzo: σ_c=18.25
CC 22 SLD (Collegamento -179_-383)
Azioni sul collegamento: N=-8674.72 Ty=10.62 Tz=17.38 Mx=-0.00 Mz=7.07
Sollecitazioni agenti localmente: Tx_l=10.62 Ty_l=17.38 N_l=-8674.72 Mx_l=-0.00 My_l=7.07 Mz_l=-0.00
Taglio nei bulloni: Fv,Ed=3.40 Fv,Rd=9650.97
Rifollamento lato piastra: Fb,Ed,p=3.40 Fb,Rd,p=11708.30
Tirafondi:LT=0.45 (0.31) σ_{cR}=0.00 σ_{fR}=0.00
Compressione nel calcestruzzo: σ_c=18.32
CC 22 SLD (Collegamento -179_-383)
Azioni sul collegamento: N=-8674.72 Ty=8.58 Tz=8.67 Mx=-0.00 Mz=5.79
Sollecitazioni agenti localmente: Tx_l=8.58 Ty_l=8.67 N_l=-8674.72 Mx_l=-0.00 My_l=5.79 Mz_l=-0.00
Taglio nei bulloni: Fv,Ed=2.04 Fv,Rd=9650.97
Rifollamento lato piastra: Fb,Ed,p=2.03 Fb,Rd,p=14943.80
Tirafondi:LT=0.45 (0.31) σ_{cR}=0.00 σ_{fR}=0.00
Compressione nel calcestruzzo: σ_c=18.25
CC 22 SLD (Collegamento -179_-383)
Azioni sul collegamento: N=-8674.72 Ty=10.62 Tz=8.67 Mx=-0.00 Mz=7.07
Sollecitazioni agenti localmente: Tx_l=10.62 Ty_l=8.67 N_l=-8674.72 Mx_l=-0.00 My_l=7.07 Mz_l=-0.00
Taglio nei bulloni: Fv,Ed=2.29 Fv,Rd=9650.97
Rifollamento lato piastra: Fb,Ed,p=2.29 Fb,Rd,p=13717.80
Tirafondi:LT=0.45 (0.31) σ_{cR}=0.00 σ_{fR}=0.00
Compressione nel calcestruzzo: σ_c=18.32
CC 23 SLV (Collegamento -179_-383)
Azioni sul collegamento: N=-13681.20 Ty=4.82 Tz=27.25 Mx=-0.01 Mz=1.13
Sollecitazioni agenti localmente: Tx_l=4.82 Ty_l=27.25 N_l=-13681.20 Mx_l=-0.00 My_l=1.13 Mz_l=-0.01
Taglio nei bulloni: Fv,Ed=4.62 Fv,Rd=7720.78
Rifollamento lato piastra: Fb,Ed,p=4.62 Fb,Rd,p=6251.30
Tirafondi:LT=0.45 (0.31) σ_{cR}=0.00 σ_{fR}=0.00
Compressione nel calcestruzzo: σ_c=28.33
CC 23 SLV (Collegamento -179_-383)
Azioni sul collegamento: N=-13681.20 Ty=12.53 Tz=27.25 Mx=-0.01 Mz=7.45
Sollecitazioni agenti localmente: Tx_l=12.53 Ty_l=27.25 N_l=-13681.20 Mx_l=-0.00 My_l=7.45 Mz_l=-0.01
Taglio nei bulloni: Fv,Ed=5.01 Fv,Rd=7720.78
Rifollamento lato piastra: Fb,Ed,p=5.00 Fb,Rd,p=7864.29
Tirafondi:LT=0.45 (0.31) σ_{cR}=0.00 σ_{fR}=0.00
Compressione nel calcestruzzo: σ_c=28.69
CC 23 SLV (Collegamento -179_-383)
Azioni sul collegamento: N=-13681.20 Ty=4.82 Tz=-1.96 Mx=-0.01 Mz=1.13
Sollecitazioni agenti localmente: Tx_l=4.82 Ty_l=-1.96 N_l=-13681.20 Mx_l=-0.00 My_l=1.13 Mz_l=-0.01
Taglio nei bulloni: Fv,Ed=0.88 Fv,Rd=7720.78
Rifollamento lato piastra: Fb,Ed,p=0.87 Fb,Rd,p=7367.82
Tirafondi:LT=0.45 (0.31) σ_{cR}=0.00 σ_{fR}=0.00
Compressione nel calcestruzzo: σ_c=28.33
CC 23 SLV (Collegamento -179_-383)
Azioni sul collegamento: N=-13681.20 Ty=12.53 Tz=-1.96 Mx=-0.01 Mz=7.45
Sollecitazioni agenti localmente: Tx_l=12.53 Ty_l=-1.96 N_l=-13681.20 Mx_l=-0.00 My_l=7.45 Mz_l=-0.01
Taglio nei bulloni: Fv,Ed=2.12 Fv,Rd=7720.78
Rifollamento lato piastra: Fb,Ed,p=2.12 Fb,Rd,p=6184.96

Tirafondi:LT=0.45 (0.31) σ_{cR}=0.00 σ_{fR}=0.00
Compressione nel calcestruzzo: σ_c=28.69
CC 23 SLV (Collegamento -179_-383)
Azioni sul collegamento: N=-5856.57 Ty=4.82 Tz=27.25 Mx=-0.01 Mz=1.13
Sollecitazioni agenti localmente: Tx_l=4.82 Ty_l=27.25 N_l=-5856.57 Mx_l=-0.00 My_l=1.13 Mz_l=-0.01
Taglio nei bulloni: Fv,Ed=4.62 Fv,Rd=7720.78
Rifollamento lato piastra: Fb,Ed,p=4.62 Fb,Rd,p=6251.29
Tirafondi:LT=0.45 (0.31) σ_{cR}=0.00 σ_{fR}=0.00
Compressione nel calcestruzzo: σ_c=12.16
CC 23 SLV (Collegamento -179_-383)
Azioni sul collegamento: N=-5856.57 Ty=12.53 Tz=27.25 Mx=-0.01 Mz=7.45
Sollecitazioni agenti localmente: Tx_l=12.53 Ty_l=27.25 N_l=-5856.57 Mx_l=-0.00 My_l=7.45 Mz_l=-0.01
Taglio nei bulloni: Fv,Ed=5.01 Fv,Rd=7720.78
Rifollamento lato piastra: Fb,Ed,p=5.00 Fb,Rd,p=7864.25
Tirafondi:LT=0.45 (0.31) σ_{cR}=0.00 σ_{fR}=0.00
Compressione nel calcestruzzo: σ_c=12.52
CC 23 SLV (Collegamento -179_-383)
Azioni sul collegamento: N=-5856.57 Ty=4.82 Tz=-1.96 Mx=-0.01 Mz=1.13
Sollecitazioni agenti localmente: Tx_l=4.82 Ty_l=-1.96 N_l=-5856.57 Mx_l=-0.00 My_l=1.13 Mz_l=-0.01
Taglio nei bulloni: Fv,Ed=0.88 Fv,Rd=7720.78
Rifollamento lato piastra: Fb,Ed,p=0.87 Fb,Rd,p=7367.43
Tirafondi:LT=0.45 (0.31) σ_{cR}=0.00 σ_{fR}=0.00
Compressione nel calcestruzzo: σ_c=12.16
CC 23 SLV (Collegamento -179_-383)
Azioni sul collegamento: N=-5856.57 Ty=12.53 Tz=-1.96 Mx=-0.01 Mz=7.45
Sollecitazioni agenti localmente: Tx_l=12.53 Ty_l=-1.96 N_l=-5856.57 Mx_l=-0.00 My_l=7.45 Mz_l=-0.01
Taglio nei bulloni: Fv,Ed=2.12 Fv,Rd=7720.78
Rifollamento lato piastra: Fb,Ed,p=2.12 Fb,Rd,p=6184.90
Tirafondi:LT=0.45 (0.31) σ_{cR}=0.00 σ_{fR}=0.00
Compressione nel calcestruzzo: σ_c=12.52
CC 24 SLD (Collegamento -179_-383)
Azioni sul collegamento: N=-11059.20 Ty=8.42 Tz=17.48 Mx=0.00 Mz=5.47
Sollecitazioni agenti localmente: Tx_l=8.42 Ty_l=17.48 N_l=-11059.20 Mx_l=-0.00 My_l=5.47 Mz_l=0.00
Taglio nei bulloni: Fv,Ed=3.23 Fv,Rd=9650.97
Rifollamento lato piastra: Fb,Ed,p=3.23 Fb,Rd,p=10093.20
Tirafondi:LT=0.45 (0.31) σ_{cR}=0.00 σ_{fR}=0.00
Compressione nel calcestruzzo: σ_c=23.16
CC 24 SLD (Collegamento -179_-383)
Azioni sul collegamento: N=-11059.20 Ty=10.78 Tz=17.48 Mx=0.00 Mz=7.39
Sollecitazioni agenti localmente: Tx_l=10.78 Ty_l=17.48 N_l=-11059.20 Mx_l=-0.00 My_l=7.39 Mz_l=0.00
Taglio nei bulloni: Fv,Ed=3.42 Fv,Rd=9650.97
Rifollamento lato piastra: Fb,Ed,p=3.42 Fb,Rd,p=11797.90
Tirafondi:LT=0.45 (0.31) σ_{cR}=0.00 σ_{fR}=0.00
Compressione nel calcestruzzo: σ_c=23.27
CC 24 SLD (Collegamento -179_-383)
Azioni sul collegamento: N=-11059.20 Ty=8.42 Tz=8.57 Mx=0.00 Mz=5.47
Sollecitazioni agenti localmente: Tx_l=8.42 Ty_l=8.57 N_l=-11059.20 Mx_l=-0.00 My_l=5.47 Mz_l=0.00
Taglio nei bulloni: Fv,Ed=2.00 Fv,Rd=9650.97
Rifollamento lato piastra: Fb,Ed,p=2.00 Fb,Rd,p=14893.10
Tirafondi:LT=0.45 (0.31) σ_{cR}=0.00 σ_{fR}=0.00
Compressione nel calcestruzzo: σ_c=23.16
CC 24 SLD (Collegamento -179_-383)
Azioni sul collegamento: N=-11059.20 Ty=10.78 Tz=8.57 Mx=0.00 Mz=7.39
Sollecitazioni agenti localmente: Tx_l=10.78 Ty_l=8.57 N_l=-11059.20 Mx_l=-0.00 My_l=7.39 Mz_l=0.00
Taglio nei bulloni: Fv,Ed=2.30 Fv,Rd=9650.97
Rifollamento lato piastra: Fb,Ed,p=2.30 Fb,Rd,p=13574.70
Tirafondi:LT=0.45 (0.31) σ_{cR}=0.00 σ_{fR}=0.00
Compressione nel calcestruzzo: σ_c=23.27
CC 24 SLD (Collegamento -179_-383)
Azioni sul collegamento: N=-8673.24 Ty=8.42 Tz=17.48 Mx=0.00 Mz=5.47
Sollecitazioni agenti localmente: Tx_l=8.42 Ty_l=17.48 N_l=-8673.24 Mx_l=-0.00 My_l=5.47 Mz_l=0.00
Taglio nei bulloni: Fv,Ed=3.23 Fv,Rd=9650.97
Rifollamento lato piastra: Fb,Ed,p=3.23 Fb,Rd,p=10093.20
Tirafondi:LT=0.45 (0.31) σ_{cR}=0.00 σ_{fR}=0.00
Compressione nel calcestruzzo: σ_c=18.23
CC 24 SLD (Collegamento -179_-383)
Azioni sul collegamento: N=-8673.24 Ty=10.78 Tz=17.48 Mx=0.00 Mz=7.39
Sollecitazioni agenti localmente: Tx_l=10.78 Ty_l=17.48 N_l=-8673.24 Mx_l=-0.00 My_l=7.39 Mz_l=0.00
Taglio nei bulloni: Fv,Ed=3.42 Fv,Rd=9650.97
Rifollamento lato piastra: Fb,Ed,p=3.42 Fb,Rd,p=11797.90
Tirafondi:LT=0.45 (0.31) σ_{cR}=0.00 σ_{fR}=0.00
Compressione nel calcestruzzo: σ_c=18.34
CC 24 SLD (Collegamento -179_-383)
Azioni sul collegamento: N=-8673.24 Ty=8.42 Tz=8.57 Mx=0.00 Mz=5.47
Sollecitazioni agenti localmente: Tx_l=8.42 Ty_l=8.57 N_l=-8673.24 Mx_l=-0.00 My_l=5.47 Mz_l=0.00
Taglio nei bulloni: Fv,Ed=2.00 Fv,Rd=9650.97
Rifollamento lato piastra: Fb,Ed,p=2.00 Fb,Rd,p=14893.40
Tirafondi:LT=0.45 (0.31) σ_{cR}=0.00 σ_{fR}=0.00
Compressione nel calcestruzzo: σ_c=18.23
CC 24 SLD (Collegamento -179_-383)

Azioni sul collegamento: N=-8673.24 Ty=10.78 Tz=8.57 Mx=0.00 Mz=7.39
Sollecitazioni agenti localmente: Tx_l=10.78 Ty_l=8.57 N_l=-8673.24 Mx_l=-0.00 My_l=7.39 Mz_l=0.00
Taglio nei bulloni: Fv,Ed=2.30 Fv,Rd=9650.97
Rifollamento lato piastra: Fb,Ed,p=2.30 Fb,Rd,p=13574.50
Tirafondi:LT=0.45 (0.31) σ_{cR}=0.00 σ_{fR}=0.00
Compressione nel calcestruzzo: σ_c=18.34
CC 25 SLV (Collegamento -179_-383)
Azioni sul collegamento: N=-8587.82 Ty=10.61 Tz=7.77 Mx=-0.02 Mz=6.83
Sollecitazioni agenti localmente: Tx_l=10.61 Ty_l=7.77 N_l=-8587.82 Mx_l=-0.00 My_l=6.83 Mz_l=-0.02
Taglio nei bulloni: Fv,Ed=2.22 Fv,Rd=7720.78
Rifollamento lato piastra: Fb,Ed,p=2.22 Fb,Rd,p=10546.80
Tirafondi:LT=0.45 (0.31) σ_{cR}=0.00 σ_{fR}=0.00
Compressione nel calcestruzzo: σ_c=18.13
CC 25 SLV (Collegamento -179_-383)
Azioni sul collegamento: N=-8587.82 Ty=6.74 Tz=7.77 Mx=-0.02 Mz=1.76
Sollecitazioni agenti localmente: Tx_l=6.74 Ty_l=7.77 N_l=-8587.82 Mx_l=-0.00 My_l=1.76 Mz_l=-0.02
Taglio nei bulloni: Fv,Ed=1.74 Fv,Rd=7720.78
Rifollamento lato piastra: Fb,Ed,p=1.72 Fb,Rd,p=11101.80
Tirafondi:LT=0.45 (0.31) σ_{cR}=0.00 σ_{fR}=0.00
Compressione nel calcestruzzo: σ_c=17.84
CC 25 SLV (Collegamento -179_-383)
Azioni sul collegamento: N=-8587.82 Ty=10.61 Tz=17.52 Mx=-0.02 Mz=6.83
Sollecitazioni agenti localmente: Tx_l=10.61 Ty_l=17.52 N_l=-8587.82 Mx_l=-0.00 My_l=6.83 Mz_l=-0.02
Taglio nei bulloni: Fv,Ed=3.44 Fv,Rd=7720.78
Rifollamento lato piastra: Fb,Ed,p=3.42 Fb,Rd,p=9197.99
Tirafondi:LT=0.45 (0.31) σ_{cR}=0.00 σ_{fR}=0.00
Compressione nel calcestruzzo: σ_c=18.13
CC 25 SLV (Collegamento -179_-383)
Azioni sul collegamento: N=-8587.82 Ty=6.74 Tz=17.52 Mx=-0.02 Mz=1.76
Sollecitazioni agenti localmente: Tx_l=6.74 Ty_l=17.52 N_l=-8587.82 Mx_l=-0.00 My_l=1.76 Mz_l=-0.02
Taglio nei bulloni: Fv,Ed=3.15 Fv,Rd=7720.78
Rifollamento lato piastra: Fb,Ed,p=3.14 Fb,Rd,p=7244.12
Tirafondi:LT=0.45 (0.31) σ_{cR}=0.00 σ_{fR}=0.00
Compressione nel calcestruzzo: σ_c=17.84
CC 25 SLV (Collegamento -179_-383)
Azioni sul collegamento: N=-10950.00 Ty=10.61 Tz=7.77 Mx=-0.02 Mz=6.83
Sollecitazioni agenti localmente: Tx_l=10.61 Ty_l=7.77 N_l=-10950.00 Mx_l=-0.00 My_l=6.83 Mz_l=-0.02
Taglio nei bulloni: Fv,Ed=2.22 Fv,Rd=7720.78
Rifollamento lato piastra: Fb,Ed,p=2.22 Fb,Rd,p=10546.60
Tirafondi:LT=0.45 (0.31) σ_{cR}=0.00 σ_{fR}=0.00
Compressione nel calcestruzzo: σ_c=23.01
CC 25 SLV (Collegamento -179_-383)
Azioni sul collegamento: N=-10950.00 Ty=6.74 Tz=7.77 Mx=-0.02 Mz=1.76
Sollecitazioni agenti localmente: Tx_l=6.74 Ty_l=7.77 N_l=-10950.00 Mx_l=-0.00 My_l=1.76 Mz_l=-0.02
Taglio nei bulloni: Fv,Ed=1.74 Fv,Rd=7720.78
Rifollamento lato piastra: Fb,Ed,p=1.72 Fb,Rd,p=11102.00
Tirafondi:LT=0.45 (0.31) σ_{cR}=0.00 σ_{fR}=0.00
Compressione nel calcestruzzo: σ_c=22.72
CC 25 SLV (Collegamento -179_-383)
Azioni sul collegamento: N=-10950.00 Ty=10.61 Tz=17.52 Mx=-0.02 Mz=6.83
Sollecitazioni agenti localmente: Tx_l=10.61 Ty_l=17.52 N_l=-10950.00 Mx_l=-0.00 My_l=6.83 Mz_l=-0.02
Taglio nei bulloni: Fv,Ed=3.44 Fv,Rd=7720.78
Rifollamento lato piastra: Fb,Ed,p=3.42 Fb,Rd,p=9197.87
Tirafondi:LT=0.45 (0.31) σ_{cR}=0.00 σ_{fR}=0.00
Compressione nel calcestruzzo: σ_c=23.01
CC 25 SLV (Collegamento -179_-383)
Azioni sul collegamento: N=-10950.00 Ty=6.74 Tz=17.52 Mx=-0.02 Mz=1.76
Sollecitazioni agenti localmente: Tx_l=6.74 Ty_l=17.52 N_l=-10950.00 Mx_l=-0.00 My_l=1.76 Mz_l=-0.02
Taglio nei bulloni: Fv,Ed=3.15 Fv,Rd=7720.78
Rifollamento lato piastra: Fb,Ed,p=3.14 Fb,Rd,p=7244.07
Tirafondi:LT=0.45 (0.31) σ_{cR}=0.00 σ_{fR}=0.00
Compressione nel calcestruzzo: σ_c=22.72
CC 26 SLD (Collegamento -179_-383)
Azioni sul collegamento: N=-9506.09 Ty=10.19 Tz=11.54 Mx=-0.00 Mz=7.20
Sollecitazioni agenti localmente: Tx_l=10.19 Ty_l=11.54 N_l=-9506.09 Mx_l=-0.00 My_l=7.20 Mz_l=-0.00
Taglio nei bulloni: Fv,Ed=2.57 Fv,Rd=9650.97
Rifollamento lato piastra: Fb,Ed,p=2.57 Fb,Rd,p=14149.90
Tirafondi:LT=0.45 (0.31) σ_{cR}=0.00 σ_{fR}=0.00
Compressione nel calcestruzzo: σ_c=20.05
CC 26 SLD (Collegamento -179_-383)
Azioni sul collegamento: N=-9506.09 Ty=9.01 Tz=11.54 Mx=-0.00 Mz=5.66
Sollecitazioni agenti localmente: Tx_l=9.01 Ty_l=11.54 N_l=-9506.09 Mx_l=-0.00 My_l=5.66 Mz_l=-0.00
Taglio nei bulloni: Fv,Ed=2.44 Fv,Rd=9650.97
Rifollamento lato piastra: Fb,Ed,p=2.44 Fb,Rd,p=13458.00
Tirafondi:LT=0.45 (0.31) σ_{cR}=0.00 σ_{fR}=0.00
Compressione nel calcestruzzo: σ_c=19.96
CC 26 SLD (Collegamento -179_-383)
Azioni sul collegamento: N=-9506.09 Ty=10.19 Tz=14.51 Mx=-0.00 Mz=7.20
Sollecitazioni agenti localmente: Tx_l=10.19 Ty_l=14.51 N_l=-9506.09 Mx_l=-0.00 My_l=7.20 Mz_l=-0.00
Taglio nei bulloni: Fv,Ed=2.96 Fv,Rd=9650.97

Rifollamento lato piastra: Fb,Ed,p=2.96 Fb,Rd,p=12966.30
Tirafondi:LT=0.45 (0.31) σ_{cR}=0.00 σ_{fR}=0.00
Compressione nel calcestruzzo: σ_c=20.05
CC 26 SLD (Collegamento -179_-383)
Azioni sul collegamento: N=-9506.09 Ty=9.01 Tz=14.51 Mx=-0.00 Mz=5.66
Sollecitazioni agenti localmente: Tx_l=9.01 Ty_l=14.51 N_l=-9506.09 Mx_l=-0.00 My_l=5.66 Mz_l=-0.00
Taglio nei bulloni: Fv,Ed=2.85 Fv,Rd=9650.97
Rifollamento lato piastra: Fb,Ed,p=2.85 Fb,Rd,p=11827.20
Tirafondi:LT=0.45 (0.31) σ_{cR}=0.00 σ_{fR}=0.00
Compressione nel calcestruzzo: σ_c=19.96
CC 26 SLD (Collegamento -179_-383)
Azioni sul collegamento: N=-10226.40 Ty=10.19 Tz=11.54 Mx=-0.00 Mz=7.20
Sollecitazioni agenti localmente: Tx_l=10.19 Ty_l=11.54 N_l=-10226.40 Mx_l=-0.00 My_l=7.20 Mz_l=-0.00
Taglio nei bulloni: Fv,Ed=2.57 Fv,Rd=9650.97
Rifollamento lato piastra: Fb,Ed,p=2.57 Fb,Rd,p=14149.90
Tirafondi:LT=0.45 (0.31) σ_{cR}=0.00 σ_{fR}=0.00
Compressione nel calcestruzzo: σ_c=21.53
CC 26 SLD (Collegamento -179_-383)
Azioni sul collegamento: N=-10226.40 Ty=9.01 Tz=11.54 Mx=-0.00 Mz=5.66
Sollecitazioni agenti localmente: Tx_l=9.01 Ty_l=11.54 N_l=-10226.40 Mx_l=-0.00 My_l=5.66 Mz_l=-0.00
Taglio nei bulloni: Fv,Ed=2.44 Fv,Rd=9650.97
Rifollamento lato piastra: Fb,Ed,p=2.44 Fb,Rd,p=13458.00
Tirafondi:LT=0.45 (0.31) σ_{cR}=0.00 σ_{fR}=0.00
Compressione nel calcestruzzo: σ_c=21.45
CC 26 SLD (Collegamento -179_-383)
Azioni sul collegamento: N=-10226.40 Ty=10.19 Tz=14.51 Mx=-0.00 Mz=7.20
Sollecitazioni agenti localmente: Tx_l=10.19 Ty_l=14.51 N_l=-10226.40 Mx_l=-0.00 My_l=7.20 Mz_l=-0.00
Taglio nei bulloni: Fv,Ed=2.96 Fv,Rd=9650.97
Rifollamento lato piastra: Fb,Ed,p=2.96 Fb,Rd,p=12966.30
Tirafondi:LT=0.45 (0.31) σ_{cR}=0.00 σ_{fR}=0.00
Compressione nel calcestruzzo: σ_c=21.53
CC 26 SLD (Collegamento -179_-383)
Azioni sul collegamento: N=-10226.40 Ty=9.01 Tz=14.51 Mx=-0.00 Mz=5.66
Sollecitazioni agenti localmente: Tx_l=9.01 Ty_l=14.51 N_l=-10226.40 Mx_l=-0.00 My_l=5.66 Mz_l=-0.00
Taglio nei bulloni: Fv,Ed=2.85 Fv,Rd=9650.97
Rifollamento lato piastra: Fb,Ed,p=2.85 Fb,Rd,p=11827.20
Tirafondi:LT=0.45 (0.31) σ_{cR}=0.00 σ_{fR}=0.00
Compressione nel calcestruzzo: σ_c=21.45
CC 27 SLV (Collegamento -179_-383)
Azioni sul collegamento: N=-10933.80 Ty=8.45 Tz=16.43 Mx=-0.02 Mz=5.25
Sollecitazioni agenti localmente: Tx_l=8.45 Ty_l=16.43 N_l=-10933.80 Mx_l=-0.00 My_l=5.25 Mz_l=-0.02
Taglio nei bulloni: Fv,Ed=3.11 Fv,Rd=7720.78
Rifollamento lato piastra: Fb,Ed,p=3.09 Fb,Rd,p=8272.19
Tirafondi:LT=0.45 (0.31) σ_{cR}=0.00 σ_{fR}=0.00
Compressione nel calcestruzzo: σ_c=22.89
CC 27 SLV (Collegamento -179_-383)
Azioni sul collegamento: N=-10933.80 Ty=8.90 Tz=16.43 Mx=-0.02 Mz=3.34
Sollecitazioni agenti localmente: Tx_l=8.90 Ty_l=16.43 N_l=-10933.80 Mx_l=-0.00 My_l=3.34 Mz_l=-0.02
Taglio nei bulloni: Fv,Ed=3.14 Fv,Rd=7720.78
Rifollamento lato piastra: Fb,Ed,p=3.12 Fb,Rd,p=8529.55
Tirafondi:LT=0.45 (0.31) σ_{cR}=0.00 σ_{fR}=0.00
Compressione nel calcestruzzo: σ_c=22.78
CC 27 SLV (Collegamento -179_-383)
Azioni sul collegamento: N=-10933.80 Ty=8.45 Tz=8.86 Mx=-0.02 Mz=5.25
Sollecitazioni agenti localmente: Tx_l=8.45 Ty_l=8.86 N_l=-10933.80 Mx_l=-0.00 My_l=5.25 Mz_l=-0.02
Taglio nei bulloni: Fv,Ed=2.07 Fv,Rd=7720.78
Rifollamento lato piastra: Fb,Ed,p=2.04 Fb,Rd,p=11601.20
Tirafondi:LT=0.45 (0.31) σ_{cR}=0.00 σ_{fR}=0.00
Compressione nel calcestruzzo: σ_c=22.89
CC 27 SLV (Collegamento -179_-383)
Azioni sul collegamento: N=-10933.80 Ty=8.90 Tz=8.86 Mx=-0.02 Mz=3.34
Sollecitazioni agenti localmente: Tx_l=8.90 Ty_l=8.86 N_l=-10933.80 Mx_l=-0.00 My_l=3.34 Mz_l=-0.02
Taglio nei bulloni: Fv,Ed=2.12 Fv,Rd=7720.78
Rifollamento lato piastra: Fb,Ed,p=2.12 Fb,Rd,p=11991.00
Tirafondi:LT=0.45 (0.31) σ_{cR}=0.00 σ_{fR}=0.00
Compressione nel calcestruzzo: σ_c=22.78
CC 27 SLV (Collegamento -179_-383)
Azioni sul collegamento: N=-8604.03 Ty=8.45 Tz=16.43 Mx=-0.02 Mz=5.25
Sollecitazioni agenti localmente: Tx_l=8.45 Ty_l=16.43 N_l=-8604.03 Mx_l=-0.00 My_l=5.25 Mz_l=-0.02
Taglio nei bulloni: Fv,Ed=3.11 Fv,Rd=7720.78
Rifollamento lato piastra: Fb,Ed,p=3.09 Fb,Rd,p=8272.17
Tirafondi:LT=0.45 (0.31) σ_{cR}=0.00 σ_{fR}=0.00
Compressione nel calcestruzzo: σ_c=18.07
CC 27 SLV (Collegamento -179_-383)
Azioni sul collegamento: N=-8604.03 Ty=8.90 Tz=16.43 Mx=-0.02 Mz=3.34
Sollecitazioni agenti localmente: Tx_l=8.90 Ty_l=16.43 N_l=-8604.03 Mx_l=-0.00 My_l=3.34 Mz_l=-0.02
Taglio nei bulloni: Fv,Ed=3.14 Fv,Rd=7720.78
Rifollamento lato piastra: Fb,Ed,p=3.12 Fb,Rd,p=8529.54
Tirafondi:LT=0.45 (0.31) σ_{cR}=0.00 σ_{fR}=0.00
Compressione nel calcestruzzo: σ_c=17.96

CC 27 SLV (Collegamento -179_-383)
Azioni sul collegamento: N=-8604.03 Ty=8.45 Tz=8.86 Mx=-0.02 Mz=5.25
Sollecitazioni agenti localmente: Tx_l=8.45 Ty_l=8.86 N_l=-8604.03 Mx_l=-0.00 My_l=5.25 Mz_l=-0.02
Taglio nei bulloni: Fv,Ed=2.07 Fv,Rd=7720.78
Rifollamento lato piastra: Fb,Ed,p=2.04 Fb,Rd,p=11601.50
Tirafondi:LT=0.45 (0.31) σ_{cR}=0.00 σ_{fR}=0.00
Compressione nel calcestruzzo: σ_c=18.07
CC 27 SLV (Collegamento -179_-383)
Azioni sul collegamento: N=-8604.03 Ty=8.90 Tz=8.86 Mx=-0.02 Mz=3.34
Sollecitazioni agenti localmente: Tx_l=8.90 Ty_l=8.86 N_l=-8604.03 Mx_l=-0.00 My_l=3.34 Mz_l=-0.02
Taglio nei bulloni: Fv,Ed=2.12 Fv,Rd=7720.78
Rifollamento lato piastra: Fb,Ed,p=2.12 Fb,Rd,p=11990.60
Tirafondi:LT=0.45 (0.31) σ_{cR}=0.00 σ_{fR}=0.00
Compressione nel calcestruzzo: σ_c=17.96
CC 28 SLD (Collegamento -179_-383)
Azioni sul collegamento: N=-10221.40 Ty=9.53 Tz=14.18 Mx=-0.00 Mz=6.72
Sollecitazioni agenti localmente: Tx_l=9.53 Ty_l=14.18 N_l=-10221.40 Mx_l=-0.00 My_l=6.72 Mz_l=-0.00
Taglio nei bulloni: Fv,Ed=2.85 Fv,Rd=9650.97
Rifollamento lato piastra: Fb,Ed,p=2.85 Fb,Rd,p=12597.30
Tirafondi:LT=0.45 (0.31) σ_{cR}=0.00 σ_{fR}=0.00
Compressione nel calcestruzzo: σ_c=21.50
CC 28 SLD (Collegamento -179_-383)
Azioni sul collegamento: N=-10221.40 Ty=9.67 Tz=14.18 Mx=-0.00 Mz=6.14
Sollecitazioni agenti localmente: Tx_l=9.67 Ty_l=14.18 N_l=-10221.40 Mx_l=-0.00 My_l=6.14 Mz_l=-0.00
Taglio nei bulloni: Fv,Ed=2.87 Fv,Rd=9650.97
Rifollamento lato piastra: Fb,Ed,p=2.86 Fb,Rd,p=12749.10
Tirafondi:LT=0.45 (0.31) σ_{cR}=0.00 σ_{fR}=0.00
Compressione nel calcestruzzo: σ_c=21.46
CC 28 SLD (Collegamento -179_-383)
Azioni sul collegamento: N=-10221.40 Ty=9.53 Tz=11.87 Mx=-0.00 Mz=6.72
Sollecitazioni agenti localmente: Tx_l=9.53 Ty_l=11.87 N_l=-10221.40 Mx_l=-0.00 My_l=6.72 Mz_l=-0.00
Taglio nei bulloni: Fv,Ed=2.54 Fv,Rd=9650.97
Rifollamento lato piastra: Fb,Ed,p=2.54 Fb,Rd,p=13603.90
Tirafondi:LT=0.45 (0.31) σ_{cR}=0.00 σ_{fR}=0.00
Compressione nel calcestruzzo: σ_c=21.50
CC 28 SLD (Collegamento -179_-383)
Azioni sul collegamento: N=-10221.40 Ty=9.67 Tz=11.87 Mx=-0.00 Mz=6.14
Sollecitazioni agenti localmente: Tx_l=9.67 Ty_l=11.87 N_l=-10221.40 Mx_l=-0.00 My_l=6.14 Mz_l=-0.00
Taglio nei bulloni: Fv,Ed=2.56 Fv,Rd=9650.97
Rifollamento lato piastra: Fb,Ed,p=2.55 Fb,Rd,p=13680.40
Tirafondi:LT=0.45 (0.31) σ_{cR}=0.00 σ_{fR}=0.00
Compressione nel calcestruzzo: σ_c=21.46
CC 28 SLD (Collegamento -179_-383)
Azioni sul collegamento: N=-9511.03 Ty=9.53 Tz=14.18 Mx=-0.00 Mz=6.72
Sollecitazioni agenti localmente: Tx_l=9.53 Ty_l=14.18 N_l=-9511.03 Mx_l=-0.00 My_l=6.72 Mz_l=-0.00
Taglio nei bulloni: Fv,Ed=2.85 Fv,Rd=9650.97
Rifollamento lato piastra: Fb,Ed,p=2.85 Fb,Rd,p=12597.10
Tirafondi:LT=0.45 (0.31) σ_{cR}=0.00 σ_{fR}=0.00
Compressione nel calcestruzzo: σ_c=20.03
CC 28 SLD (Collegamento -179_-383)
Azioni sul collegamento: N=-9511.03 Ty=9.67 Tz=14.18 Mx=-0.00 Mz=6.14
Sollecitazioni agenti localmente: Tx_l=9.67 Ty_l=14.18 N_l=-9511.03 Mx_l=-0.00 My_l=6.14 Mz_l=-0.00
Taglio nei bulloni: Fv,Ed=2.87 Fv,Rd=9650.97
Rifollamento lato piastra: Fb,Ed,p=2.86 Fb,Rd,p=12748.90
Tirafondi:LT=0.45 (0.31) σ_{cR}=0.00 σ_{fR}=0.00
Compressione nel calcestruzzo: σ_c=20.00
CC 28 SLD (Collegamento -179_-383)
Azioni sul collegamento: N=-9511.03 Ty=9.53 Tz=11.87 Mx=-0.00 Mz=6.72
Sollecitazioni agenti localmente: Tx_l=9.53 Ty_l=11.87 N_l=-9511.03 Mx_l=-0.00 My_l=6.72 Mz_l=-0.00
Taglio nei bulloni: Fv,Ed=2.54 Fv,Rd=9650.97
Rifollamento lato piastra: Fb,Ed,p=2.54 Fb,Rd,p=13603.80
Tirafondi:LT=0.45 (0.31) σ_{cR}=0.00 σ_{fR}=0.00
Compressione nel calcestruzzo: σ_c=20.03
CC 28 SLD (Collegamento -179_-383)
Azioni sul collegamento: N=-9511.03 Ty=9.67 Tz=11.87 Mx=-0.00 Mz=6.14
Sollecitazioni agenti localmente: Tx_l=9.67 Ty_l=11.87 N_l=-9511.03 Mx_l=-0.00 My_l=6.14 Mz_l=-0.00
Taglio nei bulloni: Fv,Ed=2.56 Fv,Rd=9650.97
Rifollamento lato piastra: Fb,Ed,p=2.55 Fb,Rd,p=13680.30
Tirafondi:LT=0.45 (0.31) σ_{cR}=0.00 σ_{fR}=0.00
Compressione nel calcestruzzo: σ_c=20.00
CC 29 SLV (Collegamento -179_-383)
Azioni sul collegamento: N=-8604.03 Ty=8.90 Tz=8.86 Mx=-0.00 Mz=3.34
Sollecitazioni agenti localmente: Tx_l=8.90 Ty_l=8.86 N_l=-8604.03 Mx_l=-0.00 My_l=3.34 Mz_l=-0.00
Taglio nei bulloni: Fv,Ed=2.09 Fv,Rd=7720.78
Rifollamento lato piastra: Fb,Ed,p=2.09 Fb,Rd,p=11990.20
Tirafondi:LT=0.45 (0.31) σ_{cR}=0.00 σ_{fR}=0.00
Compressione nel calcestruzzo: σ_c=17.96
CC 29 SLV (Collegamento -179_-383)
Azioni sul collegamento: N=-8604.03 Ty=8.45 Tz=8.86 Mx=-0.00 Mz=5.25
Sollecitazioni agenti localmente: Tx_l=8.45 Ty_l=8.86 N_l=-8604.03 Mx_l=-0.00 My_l=5.25 Mz_l=-0.00

Taglio nei bulloni: Fv,Ed=2.04 Fv,Rd=7720.78
Rifollamento lato piastra: Fb,Ed,p=2.04 Fb,Rd,p=11737.30
Tirafondi:LT=0.45 (0.31) σ_{cR}=0.00 σ_{fR}=0.00
Compressione nel calcestruzzo: σ_c=18.07
CC 29 SLV (Collegamento -179_-383)
Azioni sul collegamento: N=-8604.03 Ty=8.90 Tz=16.43 Mx=-0.00 Mz=3.34
Sollecitazioni agenti localmente: Tx_l=8.90 Ty_l=16.43 N_l=-8604.03 Mx_l=-0.00 My_l=3.34 Mz_l=-0.00
Taglio nei bulloni: Fv,Ed=3.12 Fv,Rd=7720.78
Rifollamento lato piastra: Fb,Ed,p=3.12 Fb,Rd,p=8627.99
Tirafondi:LT=0.45 (0.31) σ_{cR}=0.00 σ_{fR}=0.00
Compressione nel calcestruzzo: σ_c=17.96
CC 29 SLV (Collegamento -179_-383)
Azioni sul collegamento: N=-8604.03 Ty=8.45 Tz=16.43 Mx=-0.00 Mz=5.25
Sollecitazioni agenti localmente: Tx_l=8.45 Ty_l=16.43 N_l=-8604.03 Mx_l=-0.00 My_l=5.25 Mz_l=-0.00
Taglio nei bulloni: Fv,Ed=3.08 Fv,Rd=7720.78
Rifollamento lato piastra: Fb,Ed,p=3.08 Fb,Rd,p=8363.71
Tirafondi:LT=0.45 (0.31) σ_{cR}=0.00 σ_{fR}=0.00
Compressione nel calcestruzzo: σ_c=18.07
CC 29 SLV (Collegamento -179_-383)
Azioni sul collegamento: N=-10933.80 Ty=8.90 Tz=8.86 Mx=-0.00 Mz=3.34
Sollecitazioni agenti localmente: Tx_l=8.90 Ty_l=8.86 N_l=-10933.80 Mx_l=-0.00 My_l=3.34 Mz_l=-0.00
Taglio nei bulloni: Fv,Ed=2.09 Fv,Rd=7720.78
Rifollamento lato piastra: Fb,Ed,p=2.09 Fb,Rd,p=11990.70
Tirafondi:LT=0.45 (0.31) σ_{cR}=0.00 σ_{fR}=0.00
Compressione nel calcestruzzo: σ_c=22.78
CC 29 SLV (Collegamento -179_-383)
Azioni sul collegamento: N=-10933.80 Ty=8.45 Tz=8.86 Mx=-0.00 Mz=5.25
Sollecitazioni agenti localmente: Tx_l=8.45 Ty_l=8.86 N_l=-10933.80 Mx_l=-0.00 My_l=5.25 Mz_l=-0.00
Taglio nei bulloni: Fv,Ed=2.04 Fv,Rd=7720.78
Rifollamento lato piastra: Fb,Ed,p=2.04 Fb,Rd,p=11736.80
Tirafondi:LT=0.45 (0.31) σ_{cR}=0.00 σ_{fR}=0.00
Compressione nel calcestruzzo: σ_c=22.89
CC 29 SLV (Collegamento -179_-383)
Azioni sul collegamento: N=-10933.80 Ty=8.90 Tz=16.43 Mx=-0.00 Mz=3.34
Sollecitazioni agenti localmente: Tx_l=8.90 Ty_l=16.43 N_l=-10933.80 Mx_l=-0.00 My_l=3.34 Mz_l=-0.00
Taglio nei bulloni: Fv,Ed=3.12 Fv,Rd=7720.78
Rifollamento lato piastra: Fb,Ed,p=3.12 Fb,Rd,p=8628.00
Tirafondi:LT=0.45 (0.31) σ_{cR}=0.00 σ_{fR}=0.00
Compressione nel calcestruzzo: σ_c=22.78
CC 29 SLV (Collegamento -179_-383)
Azioni sul collegamento: N=-10933.80 Ty=8.45 Tz=16.43 Mx=-0.00 Mz=5.25
Sollecitazioni agenti localmente: Tx_l=8.45 Ty_l=16.43 N_l=-10933.80 Mx_l=-0.00 My_l=5.25 Mz_l=-0.00
Taglio nei bulloni: Fv,Ed=3.08 Fv,Rd=7720.78
Rifollamento lato piastra: Fb,Ed,p=3.08 Fb,Rd,p=8363.72
Tirafondi:LT=0.45 (0.31) σ_{cR}=0.00 σ_{fR}=0.00
Compressione nel calcestruzzo: σ_c=22.89
CC 30 SLD (Collegamento -179_-383)
Azioni sul collegamento: N=-9511.03 Ty=9.67 Tz=11.87 Mx=0.00 Mz=6.14
Sollecitazioni agenti localmente: Tx_l=9.67 Ty_l=11.87 N_l=-9511.03 Mx_l=-0.00 My_l=6.14 Mz_l=0.00
Taglio nei bulloni: Fv,Ed=2.55 Fv,Rd=9650.97
Rifollamento lato piastra: Fb,Ed,p=2.55 Fb,Rd,p=13702.00
Tirafondi:LT=0.45 (0.31) σ_{cR}=0.00 σ_{fR}=0.00
Compressione nel calcestruzzo: σ_c=20.00
CC 30 SLD (Collegamento -179_-383)
Azioni sul collegamento: N=-9511.03 Ty=9.53 Tz=11.87 Mx=0.00 Mz=6.72
Sollecitazioni agenti localmente: Tx_l=9.53 Ty_l=11.87 N_l=-9511.03 Mx_l=-0.00 My_l=6.72 Mz_l=0.00
Taglio nei bulloni: Fv,Ed=2.54 Fv,Rd=9650.97
Rifollamento lato piastra: Fb,Ed,p=2.54 Fb,Rd,p=13625.20
Tirafondi:LT=0.45 (0.31) σ_{cR}=0.00 σ_{fR}=0.00
Compressione nel calcestruzzo: σ_c=20.03
CC 30 SLD (Collegamento -179_-383)
Azioni sul collegamento: N=-9511.03 Ty=9.67 Tz=14.18 Mx=0.00 Mz=6.14
Sollecitazioni agenti localmente: Tx_l=9.67 Ty_l=14.18 N_l=-9511.03 Mx_l=-0.00 My_l=6.14 Mz_l=0.00
Taglio nei bulloni: Fv,Ed=2.86 Fv,Rd=9650.97
Rifollamento lato piastra: Fb,Ed,p=2.86 Fb,Rd,p=12791.00
Tirafondi:LT=0.45 (0.31) σ_{cR}=0.00 σ_{fR}=0.00
Compressione nel calcestruzzo: σ_c=20.00
CC 30 SLD (Collegamento -179_-383)
Azioni sul collegamento: N=-9511.03 Ty=9.53 Tz=14.18 Mx=0.00 Mz=6.72
Sollecitazioni agenti localmente: Tx_l=9.53 Ty_l=14.18 N_l=-9511.03 Mx_l=-0.00 My_l=6.72 Mz_l=0.00
Taglio nei bulloni: Fv,Ed=2.85 Fv,Rd=9650.97
Rifollamento lato piastra: Fb,Ed,p=2.85 Fb,Rd,p=12638.40
Tirafondi:LT=0.45 (0.31) σ_{cR}=0.00 σ_{fR}=0.00
Compressione nel calcestruzzo: σ_c=20.03
CC 30 SLD (Collegamento -179_-383)
Azioni sul collegamento: N=-10221.40 Ty=9.67 Tz=11.87 Mx=0.00 Mz=6.14
Sollecitazioni agenti localmente: Tx_l=9.67 Ty_l=11.87 N_l=-10221.40 Mx_l=-0.00 My_l=6.14 Mz_l=0.00
Taglio nei bulloni: Fv,Ed=2.55 Fv,Rd=9650.97
Rifollamento lato piastra: Fb,Ed,p=2.55 Fb,Rd,p=13702.10
Tirafondi:LT=0.45 (0.31) σ_{cR}=0.00 σ_{fR}=0.00

Compressione nel calcestruzzo: σ_c=21.46
CC 30 SLD (Collegamento -179_-383)
Azioni sul collegamento: N=-10221.40 Ty=9.53 Tz=11.87 Mx=0.00 Mz=6.72
Sollecitazioni agenti localmente: Tx_l=9.53 Ty_l=11.87 N_l=-10221.40 Mx_l=-0.00 My_l=6.72 Mz_l=0.00
Taglio nei bulloni: Fv,Ed=2.54 Fv,Rd=9650.97
Rifollamento lato piastra: Fb,Ed,p=2.54 Fb,Rd,p=13625.30
Tirafondi:LT=0.45 (0.31) σ_{cR}=0.00 σ_{fR}=0.00
Compressione nel calcestruzzo: σ_c=21.50
CC 30 SLD (Collegamento -179_-383)
Azioni sul collegamento: N=-10221.40 Ty=9.67 Tz=14.18 Mx=0.00 Mz=6.14
Sollecitazioni agenti localmente: Tx_l=9.67 Ty_l=14.18 N_l=-10221.40 Mx_l=-0.00 My_l=6.14 Mz_l=0.00
Taglio nei bulloni: Fv,Ed=2.86 Fv,Rd=9650.97
Rifollamento lato piastra: Fb,Ed,p=2.86 Fb,Rd,p=12791.20
Tirafondi:LT=0.45 (0.31) σ_{cR}=0.00 σ_{fR}=0.00
Compressione nel calcestruzzo: σ_c=21.46
CC 30 SLD (Collegamento -179_-383)
Azioni sul collegamento: N=-10221.40 Ty=9.53 Tz=14.18 Mx=0.00 Mz=6.72
Sollecitazioni agenti localmente: Tx_l=9.53 Ty_l=14.18 N_l=-10221.40 Mx_l=-0.00 My_l=6.72 Mz_l=0.00
Taglio nei bulloni: Fv,Ed=2.85 Fv,Rd=9650.97
Rifollamento lato piastra: Fb,Ed,p=2.85 Fb,Rd,p=12638.60
Tirafondi:LT=0.45 (0.31) σ_{cR}=0.00 σ_{fR}=0.00
Compressione nel calcestruzzo: σ_c=21.50
CC 31 SLV (Collegamento -179_-383)
Azioni sul collegamento: N=-10950.00 Ty=6.74 Tz=17.52 Mx=-0.00 Mz=1.76
Sollecitazioni agenti localmente: Tx_l=6.74 Ty_l=17.52 N_l=-10950.00 Mx_l=-0.00 My_l=1.76 Mz_l=-0.00
Taglio nei bulloni: Fv,Ed=3.13 Fv,Rd=7720.78
Rifollamento lato piastra: Fb,Ed,p=3.13 Fb,Rd,p=7302.07
Tirafondi:LT=0.45 (0.31) σ_{cR}=0.00 σ_{fR}=0.00
Compressione nel calcestruzzo: σ_c=22.72
CC 31 SLV (Collegamento -179_-383)
Azioni sul collegamento: N=-10950.00 Ty=10.61 Tz=17.52 Mx=-0.00 Mz=6.83
Sollecitazioni agenti localmente: Tx_l=10.61 Ty_l=17.52 N_l=-10950.00 Mx_l=-0.00 My_l=6.83 Mz_l=-0.00
Taglio nei bulloni: Fv,Ed=3.42 Fv,Rd=7720.78
Rifollamento lato piastra: Fb,Ed,p=3.41 Fb,Rd,p=9306.73
Tirafondi:LT=0.45 (0.31) σ_{cR}=0.00 σ_{fR}=0.00
Compressione nel calcestruzzo: σ_c=23.01
CC 31 SLV (Collegamento -179_-383)
Azioni sul collegamento: N=-10950.00 Ty=6.74 Tz=7.77 Mx=-0.00 Mz=1.76
Sollecitazioni agenti localmente: Tx_l=6.74 Ty_l=7.77 N_l=-10950.00 Mx_l=-0.00 My_l=1.76 Mz_l=-0.00
Taglio nei bulloni: Fv,Ed=1.72 Fv,Rd=7720.78
Rifollamento lato piastra: Fb,Ed,p=1.71 Fb,Rd,p=11242.30
Tirafondi:LT=0.45 (0.31) σ_{cR}=0.00 σ_{fR}=0.00
Compressione nel calcestruzzo: σ_c=22.72
CC 31 SLV (Collegamento -179_-383)
Azioni sul collegamento: N=-10950.00 Ty=10.61 Tz=7.77 Mx=-0.00 Mz=6.83
Sollecitazioni agenti localmente: Tx_l=10.61 Ty_l=7.77 N_l=-10950.00 Mx_l=-0.00 My_l=6.83 Mz_l=-0.00
Taglio nei bulloni: Fv,Ed=2.19 Fv,Rd=7720.78
Rifollamento lato piastra: Fb,Ed,p=2.19 Fb,Rd,p=10533.10
Tirafondi:LT=0.45 (0.31) σ_{cR}=0.00 σ_{fR}=0.00
Compressione nel calcestruzzo: σ_c=23.01
CC 31 SLV (Collegamento -179_-383)
Azioni sul collegamento: N=-8587.82 Ty=6.74 Tz=17.52 Mx=-0.00 Mz=1.76
Sollecitazioni agenti localmente: Tx_l=6.74 Ty_l=17.52 N_l=-8587.82 Mx_l=-0.00 My_l=1.76 Mz_l=-0.00
Taglio nei bulloni: Fv,Ed=3.13 Fv,Rd=7720.78
Rifollamento lato piastra: Fb,Ed,p=3.13 Fb,Rd,p=7302.12
Tirafondi:LT=0.45 (0.31) σ_{cR}=0.00 σ_{fR}=0.00
Compressione nel calcestruzzo: σ_c=17.84
CC 31 SLV (Collegamento -179_-383)
Azioni sul collegamento: N=-8587.82 Ty=10.61 Tz=17.52 Mx=-0.00 Mz=6.83
Sollecitazioni agenti localmente: Tx_l=10.61 Ty_l=17.52 N_l=-8587.82 Mx_l=-0.00 My_l=6.83 Mz_l=-0.00
Taglio nei bulloni: Fv,Ed=3.42 Fv,Rd=7720.78
Rifollamento lato piastra: Fb,Ed,p=3.41 Fb,Rd,p=9306.86
Tirafondi:LT=0.45 (0.31) σ_{cR}=0.00 σ_{fR}=0.00
Compressione nel calcestruzzo: σ_c=18.13
CC 31 SLV (Collegamento -179_-383)
Azioni sul collegamento: N=-8587.82 Ty=6.74 Tz=7.77 Mx=-0.00 Mz=1.76
Sollecitazioni agenti localmente: Tx_l=6.74 Ty_l=7.77 N_l=-8587.82 Mx_l=-0.00 My_l=1.76 Mz_l=-0.00
Taglio nei bulloni: Fv,Ed=1.72 Fv,Rd=7720.78
Rifollamento lato piastra: Fb,Ed,p=1.71 Fb,Rd,p=11242.10
Tirafondi:LT=0.45 (0.31) σ_{cR}=0.00 σ_{fR}=0.00
Compressione nel calcestruzzo: σ_c=17.84
CC 31 SLV (Collegamento -179_-383)
Azioni sul collegamento: N=-8587.82 Ty=10.61 Tz=7.77 Mx=-0.00 Mz=6.83
Sollecitazioni agenti localmente: Tx_l=10.61 Ty_l=7.77 N_l=-8587.82 Mx_l=-0.00 My_l=6.83 Mz_l=-0.00
Taglio nei bulloni: Fv,Ed=2.19 Fv,Rd=7720.78
Rifollamento lato piastra: Fb,Ed,p=2.19 Fb,Rd,p=10533.30
Tirafondi:LT=0.45 (0.31) σ_{cR}=0.00 σ_{fR}=0.00
Compressione nel calcestruzzo: σ_c=18.13
CC 32 SLD (Collegamento -179_-383)
Azioni sul collegamento: N=-10226.40 Ty=9.01 Tz=14.51 Mx=0.00 Mz=5.66

Sollecitazioni agenti localmente: Tx_l=9.01 Ty_l=14.51 N_l=-10226.40 Mx_l=-0.00 My_l=5.66 Mz_l=0.00
Taglio nei bulloni: Fv,Ed=2.85 Fv,Rd=9650.97
Rifollamento lato piastra: Fb,Ed,p=2.85 Fb,Rd,p=11864.10
Tirafondi:LT=0.45 (0.31) σ_{cR}=0.00 σ_{fR}=0.00
Compressione nel calcestruzzo: σ_c=21.45
CC 32 SLD (Collegamento -179_-383)
Azioni sul collegamento: N=-10226.40 Ty=10.19 Tz=14.51 Mx=0.00 Mz=7.20
Sollecitazioni agenti localmente: Tx_l=10.19 Ty_l=14.51 N_l=-10226.40 Mx_l=-0.00 My_l=7.20 Mz_l=0.00
Taglio nei bulloni: Fv,Ed=2.96 Fv,Rd=9650.97
Rifollamento lato piastra: Fb,Ed,p=2.96 Fb,Rd,p=12982.10
Tirafondi:LT=0.45 (0.31) σ_{cR}=0.00 σ_{fR}=0.00
Compressione nel calcestruzzo: σ_c=21.53
CC 32 SLD (Collegamento -179_-383)
Azioni sul collegamento: N=-10226.40 Ty=9.01 Tz=11.54 Mx=0.00 Mz=5.66
Sollecitazioni agenti localmente: Tx_l=9.01 Ty_l=11.54 N_l=-10226.40 Mx_l=-0.00 My_l=5.66 Mz_l=0.00
Taglio nei bulloni: Fv,Ed=2.44 Fv,Rd=9650.97
Rifollamento lato piastra: Fb,Ed,p=2.44 Fb,Rd,p=13479.60
Tirafondi:LT=0.45 (0.31) σ_{cR}=0.00 σ_{fR}=0.00
Compressione nel calcestruzzo: σ_c=21.45
CC 32 SLD (Collegamento -179_-383)
Azioni sul collegamento: N=-10226.40 Ty=10.19 Tz=11.54 Mx=0.00 Mz=7.20
Sollecitazioni agenti localmente: Tx_l=10.19 Ty_l=11.54 N_l=-10226.40 Mx_l=-0.00 My_l=7.20 Mz_l=0.00
Taglio nei bulloni: Fv,Ed=2.57 Fv,Rd=9650.97
Rifollamento lato piastra: Fb,Ed,p=2.57 Fb,Rd,p=14173.60
Tirafondi:LT=0.45 (0.31) σ_{cR}=0.00 σ_{fR}=0.00
Compressione nel calcestruzzo: σ_c=21.53
CC 32 SLD (Collegamento -179_-383)
Azioni sul collegamento: N=-9506.09 Ty=9.01 Tz=14.51 Mx=0.00 Mz=5.66
Sollecitazioni agenti localmente: Tx_l=9.01 Ty_l=14.51 N_l=-9506.09 Mx_l=-0.00 My_l=5.66 Mz_l=0.00
Taglio nei bulloni: Fv,Ed=2.85 Fv,Rd=9650.97
Rifollamento lato piastra: Fb,Ed,p=2.85 Fb,Rd,p=11864.00
Tirafondi:LT=0.45 (0.31) σ_{cR}=0.00 σ_{fR}=0.00
Compressione nel calcestruzzo: σ_c=19.96
CC 32 SLD (Collegamento -179_-383)
Azioni sul collegamento: N=-9506.09 Ty=10.19 Tz=14.51 Mx=0.00 Mz=7.20
Sollecitazioni agenti localmente: Tx_l=10.19 Ty_l=14.51 N_l=-9506.09 Mx_l=-0.00 My_l=7.20 Mz_l=0.00
Taglio nei bulloni: Fv,Ed=2.96 Fv,Rd=9650.97
Rifollamento lato piastra: Fb,Ed,p=2.96 Fb,Rd,p=12982.10
Tirafondi:LT=0.45 (0.31) σ_{cR}=0.00 σ_{fR}=0.00
Compressione nel calcestruzzo: σ_c=20.05
CC 32 SLD (Collegamento -179_-383)
Azioni sul collegamento: N=-9506.09 Ty=9.01 Tz=11.54 Mx=0.00 Mz=5.66
Sollecitazioni agenti localmente: Tx_l=9.01 Ty_l=11.54 N_l=-9506.09 Mx_l=-0.00 My_l=5.66 Mz_l=0.00
Taglio nei bulloni: Fv,Ed=2.44 Fv,Rd=9650.97
Rifollamento lato piastra: Fb,Ed,p=2.44 Fb,Rd,p=13479.60
Tirafondi:LT=0.45 (0.31) σ_{cR}=0.00 σ_{fR}=0.00
Compressione nel calcestruzzo: σ_c=19.96
CC 32 SLD (Collegamento -179_-383)
Azioni sul collegamento: N=-9506.09 Ty=10.19 Tz=11.54 Mx=0.00 Mz=7.20
Sollecitazioni agenti localmente: Tx_l=10.19 Ty_l=11.54 N_l=-9506.09 Mx_l=-0.00 My_l=7.20 Mz_l=0.00
Taglio nei bulloni: Fv,Ed=2.57 Fv,Rd=9650.97
Rifollamento lato piastra: Fb,Ed,p=2.57 Fb,Rd,p=14173.60
Tirafondi:LT=0.45 (0.31) σ_{cR}=0.00 σ_{fR}=0.00
Compressione nel calcestruzzo: σ_c=20.05
CC 33 SLU (Collegamento -179_-383)
Azioni sul collegamento: N=-36428.20 Ty=20.21 Tz=102.49 Mx=0.01 Mz=15.01
Sollecitazioni agenti localmente: Tx_l=20.21 Ty_l=102.49 N_l=-36428.20 Mx_l=-0.00 My_l=15.01 Mz_l=0.01
Taglio nei bulloni: Fv,Ed=17.42 Fv,Rd=7720.78
Rifollamento lato piastra: Fb,Ed,p=17.42 Fb,Rd,p=6326.05
Tirafondi:LT=0.45 (0.31) σ_{cR}=0.00 σ_{fR}=0.00
Compressione nel calcestruzzo: σ_c=76.11
CC 34 SLU (Collegamento -179_-383)
Azioni sul collegamento: N=-37242.40 Ty=20.96 Tz=105.49 Mx=0.01 Mz=15.56
Sollecitazioni agenti localmente: Tx_l=20.96 Ty_l=105.49 N_l=-37242.40 Mx_l=-0.00 My_l=15.56 Mz_l=0.01
Taglio nei bulloni: Fv,Ed=17.93 Fv,Rd=7720.78
Rifollamento lato piastra: Fb,Ed,p=17.93 Fb,Rd,p=6331.31
Tirafondi:LT=0.45 (0.31) σ_{cR}=0.00 σ_{fR}=0.00
Compressione nel calcestruzzo: σ_c=77.82
CC 35 SLU (Collegamento -179_-383)
Azioni sul collegamento: N=-36836.10 Ty=20.67 Tz=103.93 Mx=0.00 Mz=15.47
Sollecitazioni agenti localmente: Tx_l=20.67 Ty_l=103.93 N_l=-36836.10 Mx_l=-0.00 My_l=15.47 Mz_l=0.00
Taglio nei bulloni: Fv,Ed=17.67 Fv,Rd=7720.78
Rifollamento lato piastra: Fb,Ed,p=17.67 Fb,Rd,p=6331.98
Tirafondi:LT=0.45 (0.31) σ_{cR}=0.00 σ_{fR}=0.00
Compressione nel calcestruzzo: σ_c=76.98
CC 36 SLU (Collegamento -179_-383)
Azioni sul collegamento: N=-36834.40 Ty=20.49 Tz=104.05 Mx=0.01 Mz=15.10
Sollecitazioni agenti localmente: Tx_l=20.49 Ty_l=104.05 N_l=-36834.40 Mx_l=-0.00 My_l=15.10 Mz_l=0.01
Taglio nei bulloni: Fv,Ed=17.68 Fv,Rd=7720.78
Rifollamento lato piastra: Fb,Ed,p=17.68 Fb,Rd,p=6325.46

Tirafondi:LT=0.45 (0.31) σ_{cR}=0.00 σ_{fR}=0.00
Compressione nel calcestruzzo: σ_c=76.96
CC 37 SLU (Collegamento -179_-383)
Azioni sul collegamento: N=-29660.30 Ty=-10.68 Tz=77.11 Mx=0.01 Mz=-8.42
Sollecitazioni agenti localmente: Tx_l=-10.68 Ty_l=77.11 N_l=-29660.30 Mx_l=-0.00 My_l=-8.42 Mz_l=0.01
Taglio nei bulloni: Fv,Ed=12.98 Fv,Rd=7720.78
Rifollamento lato piastra: Fb,Ed,p=12.98 Fb,Rd,p=6148.12
Tirafondi:LT=0.45 (0.31) σ_{cR}=0.00 σ_{fR}=0.00
Compressione nel calcestruzzo: σ_c=61.76
CC 38 SLU (Collegamento -179_-383)
Azioni sul collegamento: N=-30474.50 Ty=-9.93 Tz=80.11 Mx=0.01 Mz=-7.87
Sollecitazioni agenti localmente: Tx_l=-9.93 Ty_l=80.11 N_l=-30474.50 Mx_l=-0.00 My_l=-7.87 Mz_l=0.01
Taglio nei bulloni: Fv,Ed=13.46 Fv,Rd=7720.78
Rifollamento lato piastra: Fb,Ed,p=13.46 Fb,Rd,p=6114.33
Tirafondi:LT=0.45 (0.31) σ_{cR}=0.00 σ_{fR}=0.00
Compressione nel calcestruzzo: σ_c=63.41
CC 39 SLU (Collegamento -179_-383)
Azioni sul collegamento: N=-30068.30 Ty=-10.21 Tz=78.55 Mx=0.00 Mz=-7.97
Sollecitazioni agenti localmente: Tx_l=-10.21 Ty_l=78.55 N_l=-30068.30 Mx_l=-0.00 My_l=-7.97 Mz_l=0.00
Taglio nei bulloni: Fv,Ed=13.21 Fv,Rd=7720.78
Rifollamento lato piastra: Fb,Ed,p=13.21 Fb,Rd,p=6128.22
Tirafondi:LT=0.45 (0.31) σ_{cR}=0.00 σ_{fR}=0.00
Compressione nel calcestruzzo: σ_c=62.57
CC 40 SLU (Collegamento -179_-383)
Azioni sul collegamento: N=-30066.50 Ty=-10.39 Tz=78.67 Mx=0.01 Mz=-8.33
Sollecitazioni agenti localmente: Tx_l=-10.39 Ty_l=78.67 N_l=-30066.50 Mx_l=-0.00 My_l=-8.33 Mz_l=0.01
Taglio nei bulloni: Fv,Ed=13.23 Fv,Rd=7720.78
Rifollamento lato piastra: Fb,Ed,p=13.23 Fb,Rd,p=6132.65
Tirafondi:LT=0.45 (0.31) σ_{cR}=0.00 σ_{fR}=0.00
Compressione nel calcestruzzo: σ_c=62.59
CC 41 SLU (Collegamento -179_-383)
Azioni sul collegamento: N=-27261.60 Ty=19.33 Tz=68.83 Mx=0.01 Mz=14.21
Sollecitazioni agenti localmente: Tx_l=19.33 Ty_l=68.83 N_l=-27261.60 Mx_l=-0.00 My_l=14.21 Mz_l=0.01
Taglio nei bulloni: Fv,Ed=11.92 Fv,Rd=7720.78
Rifollamento lato piastra: Fb,Ed,p=11.92 Fb,Rd,p=6684.65
Tirafondi:LT=0.45 (0.31) σ_{cR}=0.00 σ_{fR}=0.00
Compressione nel calcestruzzo: σ_c=57.13
CC 42 SLU (Collegamento -179_-383)
Azioni sul collegamento: N=-28075.80 Ty=20.08 Tz=71.84 Mx=0.01 Mz=14.76
Sollecitazioni agenti localmente: Tx_l=20.08 Ty_l=71.84 N_l=-28075.80 Mx_l=-0.00 My_l=14.76 Mz_l=0.01
Taglio nei bulloni: Fv,Ed=12.44 Fv,Rd=7720.78
Rifollamento lato piastra: Fb,Ed,p=12.44 Fb,Rd,p=6678.00
Tirafondi:LT=0.45 (0.31) σ_{cR}=0.00 σ_{fR}=0.00
Compressione nel calcestruzzo: σ_c=58.84
CC 43 SLU (Collegamento -179_-383)
Azioni sul collegamento: N=-27669.60 Ty=19.79 Tz=70.28 Mx=0.00 Mz=14.67
Sollecitazioni agenti localmente: Tx_l=19.79 Ty_l=70.28 N_l=-27669.60 Mx_l=-0.00 My_l=14.67 Mz_l=0.00
Taglio nei bulloni: Fv,Ed=12.17 Fv,Rd=7720.78
Rifollamento lato piastra: Fb,Ed,p=12.17 Fb,Rd,p=6688.52
Tirafondi:LT=0.45 (0.31) σ_{cR}=0.00 σ_{fR}=0.00
Compressione nel calcestruzzo: σ_c=58.00
CC 44 SLU (Collegamento -179_-383)
Azioni sul collegamento: N=-27667.80 Ty=19.61 Tz=70.39 Mx=0.01 Mz=14.31
Sollecitazioni agenti localmente: Tx_l=19.61 Ty_l=70.39 N_l=-27667.80 Mx_l=-0.00 My_l=14.31 Mz_l=0.01
Taglio nei bulloni: Fv,Ed=12.19 Fv,Rd=7720.78
Rifollamento lato piastra: Fb,Ed,p=12.19 Fb,Rd,p=6674.03
Tirafondi:LT=0.45 (0.31) σ_{cR}=0.00 σ_{fR}=0.00
Compressione nel calcestruzzo: σ_c=57.97
CC 45 SLU (Collegamento -179_-383)
Azioni sul collegamento: N=-29271.60 Ty=19.56 Tz=76.22 Mx=0.00 Mz=14.53
Sollecitazioni agenti localmente: Tx_l=19.56 Ty_l=76.22 N_l=-29271.60 Mx_l=-0.00 My_l=14.53 Mz_l=0.00
Taglio nei bulloni: Fv,Ed=13.12 Fv,Rd=7720.78
Rifollamento lato piastra: Fb,Ed,p=13.12 Fb,Rd,p=6567.61
Tirafondi:LT=0.45 (0.31) σ_{cR}=0.00 σ_{fR}=0.00
Compressione nel calcestruzzo: σ_c=61.30
CC 46 SLU (Collegamento -179_-383)
Azioni sul collegamento: N=-30085.80 Ty=20.31 Tz=79.22 Mx=0.00 Mz=15.08
Sollecitazioni agenti localmente: Tx_l=20.31 Ty_l=79.22 N_l=-30085.80 Mx_l=-0.00 My_l=15.08 Mz_l=0.00
Taglio nei bulloni: Fv,Ed=13.64 Fv,Rd=7720.78
Rifollamento lato piastra: Fb,Ed,p=13.64 Fb,Rd,p=6566.36
Tirafondi:LT=0.45 (0.31) σ_{cR}=0.00 σ_{fR}=0.00
Compressione nel calcestruzzo: σ_c=63.01
CC 47 SLU (Collegamento -179_-383)
Azioni sul collegamento: N=-29679.60 Ty=20.02 Tz=77.66 Mx=0.00 Mz=14.99
Sollecitazioni agenti localmente: Tx_l=20.02 Ty_l=77.66 N_l=-29679.60 Mx_l=-0.00 My_l=14.99 Mz_l=0.00
Taglio nei bulloni: Fv,Ed=13.37 Fv,Rd=7720.78
Rifollamento lato piastra: Fb,Ed,p=13.37 Fb,Rd,p=6572.91
Tirafondi:LT=0.45 (0.31) σ_{cR}=0.00 σ_{fR}=0.00
Compressione nel calcestruzzo: σ_c=62.17
CC 48 SLU (Collegamento -179_-383)

Azioni sul collegamento: N=-29677.80 Ty=19.84 Tz=77.78 Mx=0.01 Mz=14.62
Sollecitazioni agenti localmente: Tx_l=19.84 Ty_l=77.78 N_l=-29677.80 Mx_l=-0.00 My_l=14.62 Mz_l=0.01
Taglio nei bulloni: Fv,Ed=13.39 Fv,Rd=7720.78
Rifollamento lato piastra: Fb,Ed,p=13.39 Fb,Rd,p=6561.10
Tirafondi:LT=0.45 (0.31) σ_{cR}=0.00 σ_{fR}=0.00
Compressione nel calcestruzzo: σ_c=62.14
CC 49 SLU (Collegamento -179_-383)
Azioni sul collegamento: N=-24208.20 Ty=-3.55 Tz=57.23 Mx=0.01 Mz=-3.00
Sollecitazioni agenti localmente: Tx_l=-3.55 Ty_l=57.23 N_l=-24208.20 Mx_l=-0.00 My_l=-3.00 Mz_l=0.01
Taglio nei bulloni: Fv,Ed=9.56 Fv,Rd=7720.78
Rifollamento lato piastra: Fb,Ed,p=9.56 Fb,Rd,p=6012.61
Tirafondi:LT=0.45 (0.31) σ_{cR}=0.00 σ_{fR}=0.00
Compressione nel calcestruzzo: σ_c=50.19
CC 50 SLU (Collegamento -179_-383)
Azioni sul collegamento: N=-25022.40 Ty=-2.80 Tz=60.23 Mx=0.01 Mz=-2.45
Sollecitazioni agenti localmente: Tx_l=-2.80 Ty_l=60.23 N_l=-25022.40 Mx_l=-0.00 My_l=-2.45 Mz_l=0.01
Taglio nei bulloni: Fv,Ed=10.06 Fv,Rd=7720.78
Rifollamento lato piastra: Fb,Ed,p=10.06 Fb,Rd,p=5997.84
Tirafondi:LT=0.45 (0.31) σ_{cR}=0.00 σ_{fR}=0.00
Compressione nel calcestruzzo: σ_c=51.84
CC 51 SLU (Collegamento -179_-383)
Azioni sul collegamento: N=-24616.20 Ty=-3.08 Tz=58.67 Mx=0.00 Mz=-2.54
Sollecitazioni agenti localmente: Tx_l=-3.08 Ty_l=58.67 N_l=-24616.20 Mx_l=-0.00 My_l=-2.54 Mz_l=0.00
Taglio nei bulloni: Fv,Ed=9.80 Fv,Rd=7720.78
Rifollamento lato piastra: Fb,Ed,p=9.80 Fb,Rd,p=6003.23
Tirafondi:LT=0.45 (0.31) σ_{cR}=0.00 σ_{fR}=0.00
Compressione nel calcestruzzo: σ_c=51.00
CC 52 SLU (Collegamento -179_-383)
Azioni sul collegamento: N=-24614.40 Ty=-3.26 Tz=58.79 Mx=0.01 Mz=-2.91
Sollecitazioni agenti localmente: Tx_l=-3.26 Ty_l=58.79 N_l=-24614.40 Mx_l=-0.00 My_l=-2.91 Mz_l=0.01
Taglio nei bulloni: Fv,Ed=9.82 Fv,Rd=7720.78
Rifollamento lato piastra: Fb,Ed,p=9.82 Fb,Rd,p=6005.80
Tirafondi:LT=0.45 (0.31) σ_{cR}=0.00 σ_{fR}=0.00
Compressione nel calcestruzzo: σ_c=51.02
CC 53 SLU (Collegamento -179_-383)
Azioni sul collegamento: N=-22413.60 Ty=18.90 Tz=51.04 Mx=0.00 Mz=13.93
Sollecitazioni agenti localmente: Tx_l=18.90 Ty_l=51.04 N_l=-22413.60 Mx_l=-0.00 My_l=13.93 Mz_l=0.00
Taglio nei bulloni: Fv,Ed=9.08 Fv,Rd=7720.78
Rifollamento lato piastra: Fb,Ed,p=9.08 Fb,Rd,p=7210.55
Tirafondi:LT=0.45 (0.31) σ_{cR}=0.00 σ_{fR}=0.00
Compressione nel calcestruzzo: σ_c=47.09
CC 54 SLU (Collegamento -179_-383)
Azioni sul collegamento: N=-23227.90 Ty=19.65 Tz=54.04 Mx=0.00 Mz=14.49
Sollecitazioni agenti localmente: Tx_l=19.65 Ty_l=54.04 N_l=-23227.90 Mx_l=-0.00 My_l=14.49 Mz_l=0.00
Taglio nei bulloni: Fv,Ed=9.59 Fv,Rd=7720.78
Rifollamento lato piastra: Fb,Ed,p=9.59 Fb,Rd,p=7165.92
Tirafondi:LT=0.45 (0.31) σ_{cR}=0.00 σ_{fR}=0.00
Compressione nel calcestruzzo: σ_c=48.81
CC 55 SLU (Collegamento -179_-383)
Azioni sul collegamento: N=-22821.60 Ty=19.36 Tz=52.48 Mx=0.00 Mz=14.39
Sollecitazioni agenti localmente: Tx_l=19.36 Ty_l=52.48 N_l=-22821.60 Mx_l=-0.00 My_l=14.39 Mz_l=0.00
Taglio nei bulloni: Fv,Ed=9.33 Fv,Rd=7720.78
Rifollamento lato piastra: Fb,Ed,p=9.33 Fb,Rd,p=7201.05
Tirafondi:LT=0.45 (0.31) σ_{cR}=0.00 σ_{fR}=0.00
Compressione nel calcestruzzo: σ_c=47.96
CC 56 SLU (Collegamento -179_-383)
Azioni sul collegamento: N=-22819.90 Ty=19.19 Tz=52.60 Mx=0.01 Mz=14.03
Sollecitazioni agenti localmente: Tx_l=19.19 Ty_l=52.60 N_l=-22819.90 Mx_l=-0.00 My_l=14.03 Mz_l=0.01
Taglio nei bulloni: Fv,Ed=9.34 Fv,Rd=7720.78
Rifollamento lato piastra: Fb,Ed,p=9.34 Fb,Rd,p=7174.08
Tirafondi:LT=0.45 (0.31) σ_{cR}=0.00 σ_{fR}=0.00
Compressione nel calcestruzzo: σ_c=47.94
CC 57 SLU (Collegamento -179_-383)
Azioni sul collegamento: N=-30019.90 Ty=20.54 Tz=79.01 Mx=0.00 Mz=15.25
Sollecitazioni agenti localmente: Tx_l=20.54 Ty_l=79.01 N_l=-30019.90 Mx_l=-0.00 My_l=15.25 Mz_l=0.00
Taglio nei bulloni: Fv,Ed=13.61 Fv,Rd=7720.78
Rifollamento lato piastra: Fb,Ed,p=13.61 Fb,Rd,p=6583.32
Tirafondi:LT=0.45 (0.31) σ_{cR}=0.00 σ_{fR}=0.00
Compressione nel calcestruzzo: σ_c=62.88
CC 58 SLU (Collegamento -179_-383)
Azioni sul collegamento: N=-30834.10 Ty=21.29 Tz=82.01 Mx=0.00 Mz=15.80
Sollecitazioni agenti localmente: Tx_l=21.29 Ty_l=82.01 N_l=-30834.10 Mx_l=-0.00 My_l=15.80 Mz_l=0.00
Taglio nei bulloni: Fv,Ed=14.13 Fv,Rd=7720.78
Rifollamento lato piastra: Fb,Ed,p=14.13 Fb,Rd,p=6581.51
Tirafondi:LT=0.45 (0.31) σ_{cR}=0.00 σ_{fR}=0.00
Compressione nel calcestruzzo: σ_c=64.60
CC 59 SLU (Collegamento -179_-383)
Azioni sul collegamento: N=-30427.90 Ty=21.01 Tz=80.45 Mx=0.00 Mz=15.71
Sollecitazioni agenti localmente: Tx_l=21.01 Ty_l=80.45 N_l=-30427.90 Mx_l=-0.00 My_l=15.71 Mz_l=0.00
Taglio nei bulloni: Fv,Ed=13.86 Fv,Rd=7720.78

Rifollamento lato piastra: Fb,Ed,p=13.86 Fb,Rd,p=6588.21
Tirafondi:LT=0.45 (0.31) σ_{cR}=0.00 σ_{fR}=0.00
Compressione nel calcestruzzo: σ_c=63.75
CC 60 SLU (Collegamento -179_-383)
Azioni sul collegamento: N=-30426.20 Ty=20.83 Tz=80.57 Mx=0.01 Mz=15.34
Sollecitazioni agenti localmente: Tx_l=20.83 Ty_l=80.57 N_l=-30426.20 Mx_l=-0.00 My_l=15.34 Mz_l=0.01
Taglio nei bulloni: Fv,Ed=13.88 Fv,Rd=7720.78
Rifollamento lato piastra: Fb,Ed,p=13.88 Fb,Rd,p=6576.62
Tirafondi:LT=0.45 (0.31) σ_{cR}=0.00 σ_{fR}=0.00
Compressione nel calcestruzzo: σ_c=63.73
CC 61 SLU (Collegamento -179_-383)
Azioni sul collegamento: N=-24956.60 Ty=-2.56 Tz=60.02 Mx=0.00 Mz=-2.28
Sollecitazioni agenti localmente: Tx_l=-2.56 Ty_l=60.02 N_l=-24956.60 Mx_l=-0.00 My_l=-2.28 Mz_l=0.00
Taglio nei bulloni: Fv,Ed=10.02 Fv,Rd=7720.78
Rifollamento lato piastra: Fb,Ed,p=10.02 Fb,Rd,p=5994.93
Tirafondi:LT=0.45 (0.31) σ_{cR}=0.00 σ_{fR}=0.00
Compressione nel calcestruzzo: σ_c=51.69
CC 62 SLU (Collegamento -179_-383)
Azioni sul collegamento: N=-25770.80 Ty=-1.81 Tz=63.02 Mx=0.00 Mz=-1.73
Sollecitazioni agenti localmente: Tx_l=-1.81 Ty_l=63.02 N_l=-25770.80 Mx_l=-0.00 My_l=-1.73 Mz_l=0.00
Taglio nei bulloni: Fv,Ed=10.51 Fv,Rd=7720.78
Rifollamento lato piastra: Fb,Ed,p=10.51 Fb,Rd,p=5986.24
Tirafondi:LT=0.45 (0.31) σ_{cR}=0.00 σ_{fR}=0.00
Compressione nel calcestruzzo: σ_c=53.34
CC 63 SLU (Collegamento -179_-383)
Azioni sul collegamento: N=-25364.60 Ty=-2.10 Tz=61.46 Mx=0.00 Mz=-1.82
Sollecitazioni agenti localmente: Tx_l=-2.10 Ty_l=61.46 N_l=-25364.60 Mx_l=-0.00 My_l=-1.82 Mz_l=0.00
Taglio nei bulloni: Fv,Ed=10.25 Fv,Rd=7720.78
Rifollamento lato piastra: Fb,Ed,p=10.25 Fb,Rd,p=5989.24
Tirafondi:LT=0.45 (0.31) σ_{cR}=0.00 σ_{fR}=0.00
Compressione nel calcestruzzo: σ_c=52.51
CC 64 SLU (Collegamento -179_-383)
Azioni sul collegamento: N=-25362.80 Ty=-2.28 Tz=61.58 Mx=0.01 Mz=-2.19
Sollecitazioni agenti localmente: Tx_l=-2.28 Ty_l=61.58 N_l=-25362.80 Mx_l=-0.00 My_l=-2.19 Mz_l=0.01
Taglio nei bulloni: Fv,Ed=10.28 Fv,Rd=7720.78
Rifollamento lato piastra: Fb,Ed,p=10.28 Fb,Rd,p=5990.88
Tirafondi:LT=0.45 (0.31) σ_{cR}=0.00 σ_{fR}=0.00
Compressione nel calcestruzzo: σ_c=52.53
CC 65 SLU (Collegamento -179_-383)
Azioni sul collegamento: N=-23162.00 Ty=19.88 Tz=53.83 Mx=0.00 Mz=14.66
Sollecitazioni agenti localmente: Tx_l=19.88 Ty_l=53.83 N_l=-23162.00 Mx_l=-0.00 My_l=14.66 Mz_l=0.00
Taglio nei bulloni: Fv,Ed=9.57 Fv,Rd=7720.78
Rifollamento lato piastra: Fb,Ed,p=9.57 Fb,Rd,p=7204.38
Tirafondi:LT=0.45 (0.31) σ_{cR}=0.00 σ_{fR}=0.00
Compressione nel calcestruzzo: σ_c=48.68
CC 66 SLU (Collegamento -179_-383)
Azioni sul collegamento: N=-23976.20 Ty=20.63 Tz=56.84 Mx=0.00 Mz=15.21
Sollecitazioni agenti localmente: Tx_l=20.63 Ty_l=56.84 N_l=-23976.20 Mx_l=-0.00 My_l=15.21 Mz_l=0.00
Taglio nei bulloni: Fv,Ed=10.08 Fv,Rd=7720.78
Rifollamento lato piastra: Fb,Ed,p=10.08 Fb,Rd,p=7162.30
Tirafondi:LT=0.45 (0.31) σ_{cR}=0.00 σ_{fR}=0.00
Compressione nel calcestruzzo: σ_c=50.39
CC 67 SLU (Collegamento -179_-383)
Azioni sul collegamento: N=-23570.00 Ty=20.35 Tz=55.27 Mx=0.00 Mz=15.11
Sollecitazioni agenti localmente: Tx_l=20.35 Ty_l=55.27 N_l=-23570.00 Mx_l=-0.00 My_l=15.11 Mz_l=0.00
Taglio nei bulloni: Fv,Ed=9.82 Fv,Rd=7720.78
Rifollamento lato piastra: Fb,Ed,p=9.82 Fb,Rd,p=7195.54
Tirafondi:LT=0.45 (0.31) σ_{cR}=0.00 σ_{fR}=0.00
Compressione nel calcestruzzo: σ_c=49.55
CC 68 SLU (Collegamento -179_-383)
Azioni sul collegamento: N=-23568.20 Ty=20.17 Tz=55.39 Mx=0.01 Mz=14.75
Sollecitazioni agenti localmente: Tx_l=20.17 Ty_l=55.39 N_l=-23568.20 Mx_l=-0.00 My_l=14.75 Mz_l=0.01
Taglio nei bulloni: Fv,Ed=9.83 Fv,Rd=7720.78
Rifollamento lato piastra: Fb,Ed,p=9.83 Fb,Rd,p=7169.94
Tirafondi:LT=0.45 (0.31) σ_{cR}=0.00 σ_{fR}=0.00
Compressione nel calcestruzzo: σ_c=49.53
CC 97 SLU (Collegamento -179_-383)
Azioni sul collegamento: N=-12126.50 Ty=21.64 Tz=21.62 Mx=0.05 Mz=23.37
Sollecitazioni agenti localmente: Tx_l=21.64 Ty_l=21.62 N_l=-12126.50 Mx_l=-0.00 My_l=23.37 Mz_l=0.05
Taglio nei bulloni: Fv,Ed=5.18 Fv,Rd=7720.78
Rifollamento lato piastra: Fb,Ed,p=5.10 Fb,Rd,p=11832.80
Tirafondi:LT=0.45 (0.31) σ_{cR}=0.00 σ_{fR}=0.00
Compressione nel calcestruzzo: σ_c=26.37
CC 98 SLU (Collegamento -179_-383)
Azioni sul collegamento: N=-12940.70 Ty=22.39 Tz=24.63 Mx=0.05 Mz=23.92
Sollecitazioni agenti localmente: Tx_l=22.39 Ty_l=24.63 N_l=-12940.70 Mx_l=-0.00 My_l=23.92 Mz_l=0.05
Taglio nei bulloni: Fv,Ed=5.63 Fv,Rd=7720.78
Rifollamento lato piastra: Fb,Ed,p=5.63 Fb,Rd,p=11492.50
Tirafondi:LT=0.45 (0.31) σ_{cR}=0.00 σ_{fR}=0.00
Compressione nel calcestruzzo: σ_c=28.08

CC 99 SLU (Collegamento -179_-383)
Azioni sul collegamento: N=-12534.50 Ty=22.10 Tz=23.06 Mx=0.05 Mz=23.83
Sollecitazioni agenti localmente: Tx_l=22.10 Ty_l=23.06 N_l=-12534.50 Mx_l=-0.00 My_l=23.83 Mz_l=0.05
Taglio nei bulloni: Fv,Ed=5.40 Fv,Rd=7720.78
Rifollamento lato piastra: Fb,Ed,p=5.40 Fb,Rd,p=11773.90
Tirafondi:LT=0.45 (0.31) σ_{cR}=0.00 σ_{fR}=0.00
Compressione nel calcestruzzo: σ_c=27.24
CC 100 SLU (Collegamento -179_-383)
Azioni sul collegamento: N=-12532.70 Ty=21.92 Tz=23.18 Mx=0.05 Mz=23.46
Sollecitazioni agenti localmente: Tx_l=21.92 Ty_l=23.18 N_l=-12532.70 Mx_l=-0.00 My_l=23.46 Mz_l=0.05
Taglio nei bulloni: Fv,Ed=5.40 Fv,Rd=7720.78
Rifollamento lato piastra: Fb,Ed,p=5.40 Fb,Rd,p=11701.80
Tirafondi:LT=0.45 (0.31) σ_{cR}=0.00 σ_{fR}=0.00
Compressione nel calcestruzzo: σ_c=27.22
CC 101 SLU (Collegamento -179_-383)
Azioni sul collegamento: N=-9752.38 Ty=7.57 Tz=12.50 Mx=-0.00 Mz=4.76
Sollecitazioni agenti localmente: Tx_l=7.57 Ty_l=12.50 N_l=-9752.38 Mx_l=-0.00 My_l=4.76 Mz_l=-0.00
Taglio nei bulloni: Fv,Ed=2.44 Fv,Rd=7720.78
Rifollamento lato piastra: Fb,Ed,p=2.44 Fb,Rd,p=9285.15
Tirafondi:LT=0.45 (0.31) σ_{cR}=0.00 σ_{fR}=0.00
Compressione nel calcestruzzo: σ_c=20.42
CC 102 SLU (Collegamento -179_-383)
Azioni sul collegamento: N=-10566.60 Ty=8.33 Tz=15.50 Mx=-0.00 Mz=5.31
Sollecitazioni agenti localmente: Tx_l=8.33 Ty_l=15.50 N_l=-10566.60 Mx_l=-0.00 My_l=5.31 Mz_l=-0.00
Taglio nei bulloni: Fv,Ed=2.94 Fv,Rd=7720.78
Rifollamento lato piastra: Fb,Ed,p=2.93 Fb,Rd,p=8565.48
Tirafondi:LT=0.45 (0.31) σ_{cR}=0.00 σ_{fR}=0.00
Compressione nel calcestruzzo: σ_c=22.13
CC 103 SLU (Collegamento -179_-383)
Azioni sul collegamento: N=-10160.40 Ty=8.04 Tz=13.94 Mx=-0.00 Mz=5.22
Sollecitazioni agenti localmente: Tx_l=8.04 Ty_l=13.94 N_l=-10160.40 Mx_l=-0.00 My_l=5.22 Mz_l=-0.00
Taglio nei bulloni: Fv,Ed=2.69 Fv,Rd=7720.78
Rifollamento lato piastra: Fb,Ed,p=2.68 Fb,Rd,p=8960.54
Tirafondi:LT=0.45 (0.31) σ_{cR}=0.00 σ_{fR}=0.00
Compressione nel calcestruzzo: σ_c=21.29
CC 104 SLU (Collegamento -179_-383)
Azioni sul collegamento: N=-10158.60 Ty=7.86 Tz=14.06 Mx=-0.00 Mz=4.85
Sollecitazioni agenti localmente: Tx_l=7.86 Ty_l=14.06 N_l=-10158.60 Mx_l=-0.00 My_l=4.85 Mz_l=-0.00
Taglio nei bulloni: Fv,Ed=2.69 Fv,Rd=7720.78
Rifollamento lato piastra: Fb,Ed,p=2.69 Fb,Rd,p=8792.05
Tirafondi:LT=0.45 (0.31) σ_{cR}=0.00 σ_{fR}=0.00
Compressione nel calcestruzzo: σ_c=21.26

Saldatura profilo-piastra

CC 1 SLV (Collegamento -179_-383)
Azioni sul collegamento: N=-6136.64 Ty=15.19 Tz=-0.86 Mx=0.02 Mz=13.60
Sollecitazioni agenti localmente: Tx_l=15.19 Ty_l=-0.86 N_l=-6136.64 My_l=-13.60 Mz_l=0.02
Azioni sul cordone: TP=1.10 TO=-0.05 NO=-453.62
Tensioni nel cordone: τ_P=0.35 τ_0= 0.02 σ_0=164.06 σ_{ID}=164.06 Σ_T=164.07
CC 1 SLV (Collegamento -179_-383)
Azioni sul collegamento: N=-6136.64 Ty=7.48 Tz=-0.86 Mx=0.02 Mz=7.28
Sollecitazioni agenti localmente: Tx_l=7.48 Ty_l=-0.86 N_l=-6136.64 My_l=-7.28 Mz_l=0.02
Azioni sul cordone: TP=0.53 TO=-0.05 NO=-453.62
Tensioni nel cordone: τ_P=0.17 τ_0= 0.02 σ_0=154.82 σ_{ID}=154.82 Σ_T=154.84
CC 1 SLV (Collegamento -179_-383)
Azioni sul collegamento: N=-6136.64 Ty=15.19 Tz=28.35 Mx=0.02 Mz=13.60
Sollecitazioni agenti localmente: Tx_l=15.19 Ty_l=28.35 N_l=-6136.64 My_l=-13.60 Mz_l=0.02
Azioni sul cordone: TP=1.10 TO=2.11 NO=-453.62
Tensioni nel cordone: τ_P=0.35 τ_0=0.67 σ_0=164.06 σ_{ID}=164.06 Σ_T=164.73
CC 1 SLV (Collegamento -179_-383)
Azioni sul collegamento: N=-6136.64 Ty=7.48 Tz=28.35 Mx=0.02 Mz=7.28
Sollecitazioni agenti localmente: Tx_l=7.48 Ty_l=28.35 N_l=-6136.64 My_l=-7.28 Mz_l=0.02
Azioni sul cordone: TP=0.53 TO=2.11 NO=-453.62
Tensioni nel cordone: τ_P=0.17 τ_0=0.67 σ_0=154.82 σ_{ID}=154.82 Σ_T=155.49
CC 1 SLV (Collegamento -179_-383)
Azioni sul collegamento: N=-13961.30 Ty=15.19 Tz=-0.86 Mx=0.02 Mz=13.60
Sollecitazioni agenti localmente: Tx_l=15.19 Ty_l=-0.86 N_l=-13961.30 My_l=-13.60 Mz_l=0.02
Azioni sul cordone: TP=1.10 TO=-0.05 NO=-1032.02
Tensioni nel cordone: τ_P=0.35 τ_0= 0.02 σ_0=347.90 σ_{ID}=347.90 Σ_T=347.92
CC 1 SLV (Collegamento -179_-383)
Azioni sul collegamento: N=-13961.30 Ty=7.48 Tz=-0.86 Mx=0.02 Mz=7.28
Sollecitazioni agenti localmente: Tx_l=7.48 Ty_l=-0.86 N_l=-13961.30 My_l=-7.28 Mz_l=0.02
Azioni sul cordone: TP=0.53 TO=-0.05 NO=-1032.02
Tensioni nel cordone: τ_P=0.17 τ_0= 0.02 σ_0=338.67 σ_{ID}=338.67 Σ_T=338.68
CC 1 SLV (Collegamento -179_-383)
Azioni sul collegamento: N=-13961.30 Ty=15.19 Tz=28.35 Mx=0.02 Mz=13.60
Sollecitazioni agenti localmente: Tx_l=15.19 Ty_l=28.35 N_l=-13961.30 My_l=-13.60 Mz_l=0.02
Azioni sul cordone: TP=1.10 TO=2.11 NO=-1032.02
Tensioni nel cordone: τ_P=0.35 τ_0=0.67 σ_0=347.90 σ_{ID}=347.90 Σ_T=348.57
CC 1 SLV (Collegamento -179_-383)

Azioni sul collegamento: N=-13961.30 Ty=7.48 Tz=28.35 Mx=0.02 Mz=7.28
Sollecitazioni agenti localmente: Tx_l=7.48 Ty_l=28.35 N_l=-13961.30 My_l=-7.28 Mz_l=0.02
Azioni sul cordone: TP=0.53 TO=2.11 NO=-1032.02
Tensioni nel cordone: τ_P=0.17 τ_0=0.67 σ_0=338.67 σ_{ID}=338.67 Σ_T=339.34
CC 2 SLD (Collegamento -179_-383)
Azioni sul collegamento: N=-8758.64 Ty=11.59 Tz=8.91 Mx=0.01 Mz=9.27
Sollecitazioni agenti localmente: Tx_l=11.59 Ty_l=8.91 N_l=-8758.64 My_l=-9.27 Mz_l=0.01
Azioni sul cordone: TP=0.85 TO=0.66 NO=-647.44
Tensioni nel cordone: τ_P=0.27 τ_0=0.21 σ_0=219.33 σ_{ID}=219.33 Σ_T=219.54
CC 2 SLD (Collegamento -179_-383)
Azioni sul collegamento: N=-8758.64 Ty=9.24 Tz=8.91 Mx=0.01 Mz=7.34
Sollecitazioni agenti localmente: Tx_l=9.24 Ty_l=8.91 N_l=-8758.64 My_l=-7.34 Mz_l=0.01
Azioni sul cordone: TP=0.67 TO=0.66 NO=-647.44
Tensioni nel cordone: τ_P=0.21 τ_0=0.21 σ_0=216.51 σ_{ID}=216.51 Σ_T=216.72
CC 2 SLD (Collegamento -179_-383)
Azioni sul collegamento: N=-8758.64 Ty=11.59 Tz=17.82 Mx=0.01 Mz=9.27
Sollecitazioni agenti localmente: Tx_l=11.59 Ty_l=17.82 N_l=-8758.64 My_l=-9.27 Mz_l=0.01
Azioni sul cordone: TP=0.85 TO=1.32 NO=-647.44
Tensioni nel cordone: τ_P=0.27 τ_0=0.42 σ_0=219.33 σ_{ID}=219.33 Σ_T=219.75
CC 2 SLD (Collegamento -179_-383)
Azioni sul collegamento: N=-8758.64 Ty=9.24 Tz=17.82 Mx=0.01 Mz=7.34
Sollecitazioni agenti localmente: Tx_l=9.24 Ty_l=17.82 N_l=-8758.64 My_l=-7.34 Mz_l=0.01
Azioni sul cordone: TP=0.67 TO=1.32 NO=-647.44
Tensioni nel cordone: τ_P=0.21 τ_0=0.42 σ_0=216.51 σ_{ID}=216.51 Σ_T=216.93
CC 2 SLD (Collegamento -179_-383)
Azioni sul collegamento: N=-11144.60 Ty=11.59 Tz=8.91 Mx=0.01 Mz=9.27
Sollecitazioni agenti localmente: Tx_l=11.59 Ty_l=8.91 N_l=-11144.60 My_l=-9.27 Mz_l=0.01
Azioni sul cordone: TP=0.85 TO=0.66 NO=-823.81
Tensioni nel cordone: τ_P=0.27 τ_0=0.21 σ_0=275.39 σ_{ID}=275.39 Σ_T=275.60
CC 2 SLD (Collegamento -179_-383)
Azioni sul collegamento: N=-11144.60 Ty=9.24 Tz=8.91 Mx=0.01 Mz=7.34
Sollecitazioni agenti localmente: Tx_l=9.24 Ty_l=8.91 N_l=-11144.60 My_l=-7.34 Mz_l=0.01
Azioni sul cordone: TP=0.67 TO=0.66 NO=-823.81
Tensioni nel cordone: τ_P=0.21 τ_0=0.21 σ_0=272.57 σ_{ID}=272.57 Σ_T=272.79
CC 2 SLD (Collegamento -179_-383)
Azioni sul collegamento: N=-11144.60 Ty=11.59 Tz=17.82 Mx=0.01 Mz=9.27
Sollecitazioni agenti localmente: Tx_l=11.59 Ty_l=17.82 N_l=-11144.60 My_l=-9.27 Mz_l=0.01
Azioni sul cordone: TP=0.85 TO=1.32 NO=-823.82
Tensioni nel cordone: τ_P=0.27 τ_0=0.42 σ_0=275.39 σ_{ID}=275.39 Σ_T=275.81
CC 2 SLD (Collegamento -179_-383)
Azioni sul collegamento: N=-11144.60 Ty=9.24 Tz=17.82 Mx=0.01 Mz=7.34
Sollecitazioni agenti localmente: Tx_l=9.24 Ty_l=17.82 N_l=-11144.60 My_l=-7.34 Mz_l=0.01
Azioni sul cordone: TP=0.67 TO=1.32 NO=-823.82
Tensioni nel cordone: τ_P=0.21 τ_0=0.42 σ_0=272.57 σ_{ID}=272.57 Σ_T=272.99
CC 3 SLV (Collegamento -179_-383)
Azioni sul collegamento: N=-6141.51 Ty=14.68 Tz=-0.53 Mx=0.01 Mz=12.56
Sollecitazioni agenti localmente: Tx_l=14.68 Ty_l=-0.53 N_l=-6141.51 My_l=-12.56 Mz_l=0.01
Azioni sul cordone: TP=1.07 TO=-0.03 NO=-453.98
Tensioni nel cordone: τ_P=0.34 τ_0=9.04E-03 σ_0=162.64 σ_{ID}=162.64 Σ_T=162.65
CC 3 SLV (Collegamento -179_-383)
Azioni sul collegamento: N=-6141.51 Ty=7.99 Tz=-0.53 Mx=0.01 Mz=8.33
Sollecitazioni agenti localmente: Tx_l=7.99 Ty_l=-0.53 N_l=-6141.51 My_l=-8.33 Mz_l=0.01
Azioni sul cordone: TP=0.58 TO=-0.03 NO=-453.98
Tensioni nel cordone: τ_P=0.18 τ_0=9.04E-03 σ_0=156.47 σ_{ID}=156.47 Σ_T=156.47
CC 3 SLV (Collegamento -179_-383)
Azioni sul collegamento: N=-6141.51 Ty=14.68 Tz=28.02 Mx=0.01 Mz=12.56
Sollecitazioni agenti localmente: Tx_l=14.68 Ty_l=28.02 N_l=-6141.51 My_l=-12.56 Mz_l=0.01
Azioni sul cordone: TP=1.07 TO=2.08 NO=-453.98
Tensioni nel cordone: τ_P=0.34 τ_0=0.66 σ_0=162.64 σ_{ID}=162.64 Σ_T=163.30
CC 3 SLV (Collegamento -179_-383)
Azioni sul collegamento: N=-6141.51 Ty=7.99 Tz=28.02 Mx=0.01 Mz=8.33
Sollecitazioni agenti localmente: Tx_l=7.99 Ty_l=28.02 N_l=-6141.51 My_l=-8.33 Mz_l=0.01
Azioni sul cordone: TP=0.58 TO=2.08 NO=-453.98
Tensioni nel cordone: τ_P=0.18 τ_0=0.66 σ_0=156.47 σ_{ID}=156.47 Σ_T=157.13
CC 3 SLV (Collegamento -179_-383)
Azioni sul collegamento: N=-13956.40 Ty=14.68 Tz=-0.53 Mx=0.01 Mz=12.56
Sollecitazioni agenti localmente: Tx_l=14.68 Ty_l=-0.53 N_l=-13956.40 My_l=-12.56 Mz_l=0.01
Azioni sul cordone: TP=1.07 TO=-0.03 NO=-1031.66
Tensioni nel cordone: τ_P=0.34 τ_0=9.04E-03 σ_0=346.26 σ_{ID}=346.26 Σ_T=346.27
CC 3 SLV (Collegamento -179_-383)
Azioni sul collegamento: N=-13956.40 Ty=7.99 Tz=-0.53 Mx=0.01 Mz=8.33
Sollecitazioni agenti localmente: Tx_l=7.99 Ty_l=-0.53 N_l=-13956.40 My_l=-8.33 Mz_l=0.01
Azioni sul cordone: TP=0.58 TO=-0.03 NO=-1031.66
Tensioni nel cordone: τ_P=0.18 τ_0=9.04E-03 σ_0=340.08 σ_{ID}=340.08 Σ_T=340.09
CC 3 SLV (Collegamento -179_-383)
Azioni sul collegamento: N=-13956.40 Ty=14.68 Tz=28.02 Mx=0.01 Mz=12.56
Sollecitazioni agenti localmente: Tx_l=14.68 Ty_l=28.02 N_l=-13956.40 My_l=-12.56 Mz_l=0.01
Azioni sul cordone: TP=1.07 TO=2.08 NO=-1031.66
Tensioni nel cordone: τ_P=0.34 τ_0=0.66 σ_0=346.26 σ_{ID}=346.26 Σ_T=346.92
CC 3 SLV (Collegamento -179_-383)
Azioni sul collegamento: N=-13956.40 Ty=7.99 Tz=28.02 Mx=0.01 Mz=8.33

Sollecitazioni agenti localmente: Tx_l=7.99 Ty_l=28.02 N_l=-13956.40 My_l=-8.33 Mz_l=0.01
Azioni sul cordone: TP=0.58 TO=2.08 NO=-1031.66
Tensioni nel cordone: τ_P=0.18 τ_O=0.66 σ_O=340.08 σ_{ID}=340.08 Σ_T=340.74
CC 4 SLD (Collegamento -179_-383)
Azioni sul collegamento: N=-8760.13 Ty=11.43 Tz=9.01 Mx=0.01 Mz=8.95
Sollecitazioni agenti localmente: Tx_l=11.43 Ty_l=9.01 N_l=-8760.13 My_l=-8.95 Mz_l=0.01
Azioni sul cordone: TP=0.84 TO=0.67 NO=-647.55
Tensioni nel cordone: τ_P=0.27 τ_O=0.21 σ_O=218.90 σ_{ID}=218.90 Σ_T=219.11
CC 4 SLD (Collegamento -179_-383)
Azioni sul collegamento: N=-8760.13 Ty=9.39 Tz=9.01 Mx=0.01 Mz=7.66
Sollecitazioni agenti localmente: Tx_l=9.39 Ty_l=9.01 N_l=-8760.13 My_l=-7.66 Mz_l=0.01
Azioni sul cordone: TP=0.69 TO=0.67 NO=-647.55
Tensioni nel cordone: τ_P=0.22 τ_O=0.21 σ_O=217.01 σ_{ID}=217.01 Σ_T=217.23
CC 4 SLD (Collegamento -179_-383)
Azioni sul collegamento: N=-8760.13 Ty=11.43 Tz=17.72 Mx=0.01 Mz=8.95
Sollecitazioni agenti localmente: Tx_l=11.43 Ty_l=17.72 N_l=-8760.13 My_l=-8.95 Mz_l=0.01
Azioni sul cordone: TP=0.84 TO=1.31 NO=-647.55
Tensioni nel cordone: τ_P=0.27 τ_O=0.42 σ_O=218.90 σ_{ID}=218.90 Σ_T=219.32
CC 4 SLD (Collegamento -179_-383)
Azioni sul collegamento: N=-8760.13 Ty=9.39 Tz=17.72 Mx=0.01 Mz=7.66
Sollecitazioni agenti localmente: Tx_l=9.39 Ty_l=17.72 N_l=-8760.13 My_l=-7.66 Mz_l=0.01
Azioni sul cordone: TP=0.69 TO=1.31 NO=-647.55
Tensioni nel cordone: τ_P=0.22 τ_O=0.42 σ_O=217.01 σ_{ID}=217.01 Σ_T=217.43
CC 4 SLD (Collegamento -179_-383)
Azioni sul collegamento: N=-11143.10 Ty=11.43 Tz=9.01 Mx=0.01 Mz=8.95
Sollecitazioni agenti localmente: Tx_l=11.43 Ty_l=9.01 N_l=-11143.10 My_l=-8.95 Mz_l=0.01
Azioni sul cordone: TP=0.84 TO=0.67 NO=-823.71
Tensioni nel cordone: τ_P=0.27 τ_O=0.21 σ_O=274.89 σ_{ID}=274.89 Σ_T=275.10
CC 4 SLD (Collegamento -179_-383)
Azioni sul collegamento: N=-11143.10 Ty=9.39 Tz=9.01 Mx=0.01 Mz=7.66
Sollecitazioni agenti localmente: Tx_l=9.39 Ty_l=9.01 N_l=-11143.10 My_l=-7.66 Mz_l=0.01
Azioni sul cordone: TP=0.69 TO=0.67 NO=-823.71
Tensioni nel cordone: τ_P=0.22 τ_O=0.21 σ_O=273.00 σ_{ID}=273.00 Σ_T=273.22
CC 4 SLD (Collegamento -179_-383)
Azioni sul collegamento: N=-11143.10 Ty=11.43 Tz=17.72 Mx=0.01 Mz=8.95
Sollecitazioni agenti localmente: Tx_l=11.43 Ty_l=17.72 N_l=-11143.10 My_l=-8.95 Mz_l=0.01
Azioni sul cordone: TP=0.84 TO=1.31 NO=-823.71
Tensioni nel cordone: τ_P=0.27 τ_O=0.42 σ_O=274.89 σ_{ID}=274.89 Σ_T=275.31
CC 4 SLD (Collegamento -179_-383)
Azioni sul collegamento: N=-11143.10 Ty=9.39 Tz=17.72 Mx=0.01 Mz=7.66
Sollecitazioni agenti localmente: Tx_l=9.39 Ty_l=17.72 N_l=-11143.10 My_l=-7.66 Mz_l=0.01
Azioni sul cordone: TP=0.69 TO=1.31 NO=-823.71
Tensioni nel cordone: τ_P=0.22 τ_O=0.42 σ_O=273.00 σ_{ID}=273.00 Σ_T=273.42
CC 5 SLV (Collegamento -179_-383)
Azioni sul collegamento: N=-13956.40 Ty=7.99 Tz=28.02 Mx=0.02 Mz=8.33
Sollecitazioni agenti localmente: Tx_l=7.99 Ty_l=28.02 N_l=-13956.40 My_l=-8.33 Mz_l=0.02
Azioni sul cordone: TP=0.57 TO=2.09 NO=-1031.66
Tensioni nel cordone: τ_P=0.18 τ_O=0.66 σ_O=340.08 σ_{ID}=340.08 Σ_T=340.74
CC 5 SLV (Collegamento -179_-383)
Azioni sul collegamento: N=-13956.40 Ty=14.68 Tz=28.02 Mx=0.02 Mz=12.56
Sollecitazioni agenti localmente: Tx_l=14.68 Ty_l=28.02 N_l=-13956.40 My_l=-12.56 Mz_l=0.02
Azioni sul cordone: TP=1.06 TO=2.09 NO=-1031.66
Tensioni nel cordone: τ_P=0.34 τ_O=0.66 σ_O=346.26 σ_{ID}=346.26 Σ_T=346.92
CC 5 SLV (Collegamento -179_-383)
Azioni sul collegamento: N=-13956.40 Ty=7.99 Tz=-0.53 Mx=0.02 Mz=8.33
Sollecitazioni agenti localmente: Tx_l=7.99 Ty_l=-0.53 N_l=-13956.40 My_l=-8.33 Mz_l=0.02
Azioni sul cordone: TP=0.57 TO=-0.02 NO=-1031.66
Tensioni nel cordone: τ_P=0.18 τ_O=7.84E-03 σ_O=340.08 σ_{ID}=340.08 Σ_T=340.09
CC 5 SLV (Collegamento -179_-383)
Azioni sul collegamento: N=-13956.40 Ty=14.68 Tz=-0.53 Mx=0.02 Mz=12.56
Sollecitazioni agenti localmente: Tx_l=14.68 Ty_l=-0.53 N_l=-13956.40 My_l=-12.56 Mz_l=0.02
Azioni sul cordone: TP=1.06 TO=-0.02 NO=-1031.66
Tensioni nel cordone: τ_P=0.34 τ_O=7.84E-03 σ_O=346.26 σ_{ID}=346.26 Σ_T=346.26
CC 5 SLV (Collegamento -179_-383)
Azioni sul collegamento: N=-6141.51 Ty=7.99 Tz=28.02 Mx=0.02 Mz=8.33
Sollecitazioni agenti localmente: Tx_l=7.99 Ty_l=28.02 N_l=-6141.51 My_l=-8.33 Mz_l=0.02
Azioni sul cordone: TP=0.57 TO=2.09 NO=-453.98
Tensioni nel cordone: τ_P=0.18 τ_O=0.66 σ_O=156.47 σ_{ID}=156.47 Σ_T=157.13
CC 5 SLV (Collegamento -179_-383)
Azioni sul collegamento: N=-6141.51 Ty=14.68 Tz=28.02 Mx=0.02 Mz=12.56
Sollecitazioni agenti localmente: Tx_l=14.68 Ty_l=28.02 N_l=-6141.51 My_l=-12.56 Mz_l=0.02
Azioni sul cordone: TP=1.06 TO=2.09 NO=-453.98
Tensioni nel cordone: τ_P=0.34 τ_O=0.66 σ_O=162.64 σ_{ID}=162.64 Σ_T=163.30
CC 5 SLV (Collegamento -179_-383)
Azioni sul collegamento: N=-6141.51 Ty=7.99 Tz=-0.53 Mx=0.02 Mz=8.33
Sollecitazioni agenti localmente: Tx_l=7.99 Ty_l=-0.53 N_l=-6141.51 My_l=-8.33 Mz_l=0.02
Azioni sul cordone: TP=0.57 TO=-0.02 NO=-453.98
Tensioni nel cordone: τ_P=0.18 τ_O=7.84E-03 σ_O=156.47 σ_{ID}=156.47 Σ_T=156.47
CC 5 SLV (Collegamento -179_-383)
Azioni sul collegamento: N=-6141.51 Ty=14.68 Tz=-0.53 Mx=0.02 Mz=12.56
Sollecitazioni agenti localmente: Tx_l=14.68 Ty_l=-0.53 N_l=-6141.51 My_l=-12.56 Mz_l=0.02

Azioni sul cordone: TP=1.06 TO=-0.02 NO=-453.98
Tensioni nel cordone: τ_P=0.34 τ_0=7.84E-03 σ_0=162.64 σ_{ID}=162.64 Σ_T=162.65
CC 6 SLD (Collegamento -179_-383)
Azioni sul collegamento: N=-11143.10 Ty=9.39 Tz=17.72 Mx=0.01 Mz=7.66
Sollecitazioni agenti localmente: Tx_l=9.39 Ty_l=17.72 N_l=-11143.10 My_l=-7.66 Mz_l=0.01
Azioni sul cordone: TP=0.69 TO=1.32 NO=-823.71
Tensioni nel cordone: τ_P=0.22 τ_0=0.42 σ_0=273.00 σ_{ID}=273.00 Σ_T=273.42
CC 6 SLD (Collegamento -179_-383)
Azioni sul collegamento: N=-11143.10 Ty=11.43 Tz=17.72 Mx=0.01 Mz=8.95
Sollecitazioni agenti localmente: Tx_l=11.43 Ty_l=17.72 N_l=-11143.10 My_l=-8.95 Mz_l=0.01
Azioni sul cordone: TP=0.84 TO=1.32 NO=-823.71
Tensioni nel cordone: τ_P=0.27 τ_0=0.42 σ_0=274.89 σ_{ID}=274.89 Σ_T=275.31
CC 6 SLD (Collegamento -179_-383)
Azioni sul collegamento: N=-11143.10 Ty=9.39 Tz=9.01 Mx=0.01 Mz=7.66
Sollecitazioni agenti localmente: Tx_l=9.39 Ty_l=9.01 N_l=-11143.10 My_l=-7.66 Mz_l=0.01
Azioni sul cordone: TP=0.69 TO=0.67 NO=-823.71
Tensioni nel cordone: τ_P=0.22 τ_0=0.21 σ_0=273.00 σ_{ID}=273.00 Σ_T=273.22
CC 6 SLD (Collegamento -179_-383)
Azioni sul collegamento: N=-11143.10 Ty=11.43 Tz=9.01 Mx=0.01 Mz=8.95
Sollecitazioni agenti localmente: Tx_l=11.43 Ty_l=9.01 N_l=-11143.10 My_l=-8.95 Mz_l=0.01
Azioni sul cordone: TP=0.84 TO=0.67 NO=-823.71
Tensioni nel cordone: τ_P=0.27 τ_0=0.21 σ_0=274.89 σ_{ID}=274.89 Σ_T=275.10
CC 6 SLD (Collegamento -179_-383)
Azioni sul collegamento: N=-8760.13 Ty=9.39 Tz=17.72 Mx=0.01 Mz=7.66
Sollecitazioni agenti localmente: Tx_l=9.39 Ty_l=17.72 N_l=-8760.13 My_l=-7.66 Mz_l=0.01
Azioni sul cordone: TP=0.69 TO=1.32 NO=-647.55
Tensioni nel cordone: τ_P=0.22 τ_0=0.42 σ_0=217.01 σ_{ID}=217.01 Σ_T=217.43
CC 6 SLD (Collegamento -179_-383)
Azioni sul collegamento: N=-8760.13 Ty=11.43 Tz=17.72 Mx=0.01 Mz=8.95
Sollecitazioni agenti localmente: Tx_l=11.43 Ty_l=17.72 N_l=-8760.13 My_l=-8.95 Mz_l=0.01
Azioni sul cordone: TP=0.84 TO=1.32 NO=-647.55
Tensioni nel cordone: τ_P=0.27 τ_0=0.42 σ_0=218.90 σ_{ID}=218.90 Σ_T=219.32
CC 6 SLD (Collegamento -179_-383)
Azioni sul collegamento: N=-8760.13 Ty=9.39 Tz=9.01 Mx=0.01 Mz=7.66
Sollecitazioni agenti localmente: Tx_l=9.39 Ty_l=9.01 N_l=-8760.13 My_l=-7.66 Mz_l=0.01
Azioni sul cordone: TP=0.69 TO=0.67 NO=-647.55
Tensioni nel cordone: τ_P=0.22 τ_0=0.21 σ_0=217.01 σ_{ID}=217.01 Σ_T=217.23
CC 6 SLD (Collegamento -179_-383)
Azioni sul collegamento: N=-8760.13 Ty=11.43 Tz=9.01 Mx=0.01 Mz=8.95
Sollecitazioni agenti localmente: Tx_l=11.43 Ty_l=9.01 N_l=-8760.13 My_l=-8.95 Mz_l=0.01
Azioni sul cordone: TP=0.84 TO=0.67 NO=-647.55
Tensioni nel cordone: τ_P=0.27 τ_0=0.21 σ_0=218.90 σ_{ID}=218.90 Σ_T=219.11
CC 7 SLV (Collegamento -179_-383)
Azioni sul collegamento: N=-13961.30 Ty=7.48 Tz=28.35 Mx=0.01 Mz=7.28
Sollecitazioni agenti localmente: Tx_l=7.48 Ty_l=28.35 N_l=-13961.30 My_l=-7.28 Mz_l=0.01
Azioni sul cordone: TP=0.54 TO=2.11 NO=-1032.02
Tensioni nel cordone: τ_P=0.17 τ_0=0.67 σ_0=338.67 σ_{ID}=338.67 Σ_T=339.33
CC 7 SLV (Collegamento -179_-383)
Azioni sul collegamento: N=-13961.30 Ty=15.19 Tz=28.35 Mx=0.01 Mz=13.60
Sollecitazioni agenti localmente: Tx_l=15.19 Ty_l=28.35 N_l=-13961.30 My_l=-13.60 Mz_l=0.01
Azioni sul cordone: TP=1.11 TO=2.11 NO=-1032.02
Tensioni nel cordone: τ_P=0.35 τ_0=0.67 σ_0=347.90 σ_{ID}=347.90 Σ_T=348.57
CC 7 SLV (Collegamento -179_-383)
Azioni sul collegamento: N=-13961.30 Ty=7.48 Tz=-0.86 Mx=0.01 Mz=7.28
Sollecitazioni agenti localmente: Tx_l=7.48 Ty_l=-0.86 N_l=-13961.30 My_l=-7.28 Mz_l=0.01
Azioni sul cordone: TP=0.54 TO=-0.05 NO=-1032.02
Tensioni nel cordone: τ_P=0.17 τ_0= 0.02 σ_0=338.67 σ_{ID}=338.67 Σ_T=338.68
CC 7 SLV (Collegamento -179_-383)
Azioni sul collegamento: N=-13961.30 Ty=15.19 Tz=-0.86 Mx=0.01 Mz=13.60
Sollecitazioni agenti localmente: Tx_l=15.19 Ty_l=-0.86 N_l=-13961.30 My_l=-13.60 Mz_l=0.01
Azioni sul cordone: TP=1.11 TO=-0.05 NO=-1032.02
Tensioni nel cordone: τ_P=0.35 τ_0= 0.02 σ_0=347.90 σ_{ID}=347.90 Σ_T=347.92
CC 7 SLV (Collegamento -179_-383)
Azioni sul collegamento: N=-6136.64 Ty=7.48 Tz=28.35 Mx=0.01 Mz=7.28
Sollecitazioni agenti localmente: Tx_l=7.48 Ty_l=28.35 N_l=-6136.64 My_l=-7.28 Mz_l=0.01
Azioni sul cordone: TP=0.54 TO=2.11 NO=-453.62
Tensioni nel cordone: τ_P=0.17 τ_0=0.67 σ_0=154.82 σ_{ID}=154.82 Σ_T=155.49
CC 7 SLV (Collegamento -179_-383)
Azioni sul collegamento: N=-6136.64 Ty=15.19 Tz=28.35 Mx=0.01 Mz=13.60
Sollecitazioni agenti localmente: Tx_l=15.19 Ty_l=28.35 N_l=-6136.64 My_l=-13.60 Mz_l=0.01
Azioni sul cordone: TP=1.11 TO=2.11 NO=-453.62
Tensioni nel cordone: τ_P=0.35 τ_0=0.67 σ_0=164.06 σ_{ID}=164.06 Σ_T=164.73
CC 7 SLV (Collegamento -179_-383)
Azioni sul collegamento: N=-6136.64 Ty=7.48 Tz=-0.86 Mx=0.01 Mz=7.28
Sollecitazioni agenti localmente: Tx_l=7.48 Ty_l=-0.86 N_l=-6136.64 My_l=-7.28 Mz_l=0.01
Azioni sul cordone: TP=0.54 TO=-0.05 NO=-453.62
Tensioni nel cordone: τ_P=0.17 τ_0= 0.02 σ_0=154.82 σ_{ID}=154.82 Σ_T=154.84
CC 7 SLV (Collegamento -179_-383)
Azioni sul collegamento: N=-6136.64 Ty=15.19 Tz=-0.86 Mx=0.01 Mz=13.60
Sollecitazioni agenti localmente: Tx_l=15.19 Ty_l=-0.86 N_l=-6136.64 My_l=-13.60 Mz_l=0.01
Azioni sul cordone: TP=1.11 TO=-0.05 NO=-453.62

Tensioni nel cordone: τ_P=0.35 τ_0= 0.02 σ_0=164.06 σ_{ID}=164.06 Σ_T=164.07
CC 8 SLD (Collegamento -179_-383)
Azioni sul collegamento: N=-11144.60 Ty=9.24 Tz=17.82 Mx=0.01 Mz=7.34
Sollecitazioni agenti localmente: Tx_l=9.24 Ty_l=17.82 N_l=-11144.60 My_l=-7.34 Mz_l=0.01
Azioni sul cordone: TP=0.68 TO=1.32 NO=-823.82
Tensioni nel cordone: τ_P=0.21 τ_0=0.42 σ_0=272.57 σ_{ID}=272.57 Σ_T=272.99
CC 8 SLD (Collegamento -179_-383)
Azioni sul collegamento: N=-11144.60 Ty=11.59 Tz=17.82 Mx=0.01 Mz=9.27
Sollecitazioni agenti localmente: Tx_l=11.59 Ty_l=17.82 N_l=-11144.60 My_l=-9.27 Mz_l=0.01
Azioni sul cordone: TP=0.85 TO=1.32 NO=-823.82
Tensioni nel cordone: τ_P=0.27 τ_0=0.42 σ_0=275.39 σ_{ID}=275.39 Σ_T=275.81
CC 8 SLD (Collegamento -179_-383)
Azioni sul collegamento: N=-11144.60 Ty=9.24 Tz=8.91 Mx=0.01 Mz=7.34
Sollecitazioni agenti localmente: Tx_l=9.24 Ty_l=8.91 N_l=-11144.60 My_l=-7.34 Mz_l=0.01
Azioni sul cordone: TP=0.68 TO=0.66 NO=-823.81
Tensioni nel cordone: τ_P=0.21 τ_0=0.21 σ_0=272.57 σ_{ID}=272.57 Σ_T=272.78
CC 8 SLD (Collegamento -179_-383)
Azioni sul collegamento: N=-11144.60 Ty=11.59 Tz=8.91 Mx=0.01 Mz=9.27
Sollecitazioni agenti localmente: Tx_l=11.59 Ty_l=8.91 N_l=-11144.60 My_l=-9.27 Mz_l=0.01
Azioni sul cordone: TP=0.85 TO=0.66 NO=-823.81
Tensioni nel cordone: τ_P=0.27 τ_0=0.21 σ_0=275.39 σ_{ID}=275.39 Σ_T=275.60
CC 8 SLD (Collegamento -179_-383)
Azioni sul collegamento: N=-8758.64 Ty=9.24 Tz=17.82 Mx=0.01 Mz=7.34
Sollecitazioni agenti localmente: Tx_l=9.24 Ty_l=17.82 N_l=-8758.64 My_l=-7.34 Mz_l=0.01
Azioni sul cordone: TP=0.68 TO=1.32 NO=-647.44
Tensioni nel cordone: τ_P=0.21 τ_0=0.42 σ_0=216.51 σ_{ID}=216.51 Σ_T=216.93
CC 8 SLD (Collegamento -179_-383)
Azioni sul collegamento: N=-8758.64 Ty=11.59 Tz=17.82 Mx=0.01 Mz=9.27
Sollecitazioni agenti localmente: Tx_l=11.59 Ty_l=17.82 N_l=-8758.64 My_l=-9.27 Mz_l=0.01
Azioni sul cordone: TP=0.85 TO=1.32 NO=-647.44
Tensioni nel cordone: τ_P=0.27 τ_0=0.42 σ_0=219.33 σ_{ID}=219.33 Σ_T=219.75
CC 8 SLD (Collegamento -179_-383)
Azioni sul collegamento: N=-8758.64 Ty=9.24 Tz=8.91 Mx=0.01 Mz=7.34
Sollecitazioni agenti localmente: Tx_l=9.24 Ty_l=8.91 N_l=-8758.64 My_l=-7.34 Mz_l=0.01
Azioni sul cordone: TP=0.68 TO=0.66 NO=-647.44
Tensioni nel cordone: τ_P=0.21 τ_0=0.21 σ_0=216.51 σ_{ID}=216.51 Σ_T=216.72
CC 8 SLD (Collegamento -179_-383)
Azioni sul collegamento: N=-8758.64 Ty=11.59 Tz=8.91 Mx=0.01 Mz=9.27
Sollecitazioni agenti localmente: Tx_l=11.59 Ty_l=8.91 N_l=-8758.64 My_l=-9.27 Mz_l=0.01
Azioni sul cordone: TP=0.85 TO=0.66 NO=-647.44
Tensioni nel cordone: τ_P=0.27 τ_0=0.21 σ_0=219.33 σ_{ID}=219.33 Σ_T=219.54
CC 9 SLV (Collegamento -179_-383)
Azioni sul collegamento: N=-8867.90 Ty=13.27 Tz=8.87 Mx=0.02 Mz=12.98
Sollecitazioni agenti localmente: Tx_l=13.27 Ty_l=8.87 N_l=-8867.90 My_l=-12.98 Mz_l=0.02
Azioni sul cordone: TP=0.95 TO=0.67 NO=-655.52
Tensioni nel cordone: τ_P=0.30 τ_0=0.21 σ_0=227.32 σ_{ID}=227.32 Σ_T=227.53
CC 9 SLV (Collegamento -179_-383)
Azioni sul collegamento: N=-8867.90 Ty=9.40 Tz=8.87 Mx=0.02 Mz=7.91
Sollecitazioni agenti localmente: Tx_l=9.40 Ty_l=8.87 N_l=-8867.90 My_l=-7.91 Mz_l=0.02
Azioni sul cordone: TP=0.67 TO=0.67 NO=-655.52
Tensioni nel cordone: τ_P=0.21 τ_0=0.21 σ_0=219.91 σ_{ID}=219.91 Σ_T=220.12
CC 9 SLV (Collegamento -179_-383)
Azioni sul collegamento: N=-8867.90 Ty=13.27 Tz=18.62 Mx=0.02 Mz=12.98
Sollecitazioni agenti localmente: Tx_l=13.27 Ty_l=18.62 N_l=-8867.90 My_l=-12.98 Mz_l=0.02
Azioni sul cordone: TP=0.95 TO=1.40 NO=-655.52
Tensioni nel cordone: τ_P=0.30 τ_0=0.44 σ_0=227.32 σ_{ID}=227.32 Σ_T=227.76
CC 9 SLV (Collegamento -179_-383)
Azioni sul collegamento: N=-8867.90 Ty=9.40 Tz=18.62 Mx=0.02 Mz=7.91
Sollecitazioni agenti localmente: Tx_l=9.40 Ty_l=18.62 N_l=-8867.90 My_l=-7.91 Mz_l=0.02
Azioni sul cordone: TP=0.67 TO=1.40 NO=-655.52
Tensioni nel cordone: τ_P=0.21 τ_0=0.44 σ_0=219.91 σ_{ID}=219.91 Σ_T=220.35
CC 9 SLV (Collegamento -179_-383)
Azioni sul collegamento: N=-11230.10 Ty=13.27 Tz=8.87 Mx=0.02 Mz=12.98
Sollecitazioni agenti localmente: Tx_l=13.27 Ty_l=8.87 N_l=-11230.10 My_l=-12.98 Mz_l=0.02
Azioni sul cordone: TP=0.95 TO=0.67 NO=-830.13
Tensioni nel cordone: τ_P=0.30 τ_0=0.21 σ_0=282.82 σ_{ID}=282.82 Σ_T=283.03
CC 9 SLV (Collegamento -179_-383)
Azioni sul collegamento: N=-11230.10 Ty=9.40 Tz=8.87 Mx=0.02 Mz=7.91
Sollecitazioni agenti localmente: Tx_l=9.40 Ty_l=8.87 N_l=-11230.10 My_l=-7.91 Mz_l=0.02
Azioni sul cordone: TP=0.67 TO=0.67 NO=-830.13
Tensioni nel cordone: τ_P=0.21 τ_0=0.21 σ_0=275.40 σ_{ID}=275.40 Σ_T=275.62
CC 9 SLV (Collegamento -179_-383)
Azioni sul collegamento: N=-11230.10 Ty=13.27 Tz=18.62 Mx=0.02 Mz=12.98
Sollecitazioni agenti localmente: Tx_l=13.27 Ty_l=18.62 N_l=-11230.10 My_l=-12.98 Mz_l=0.02
Azioni sul cordone: TP=0.95 TO=1.40 NO=-830.13
Tensioni nel cordone: τ_P=0.30 τ_0=0.44 σ_0=282.82 σ_{ID}=282.82 Σ_T=283.26
CC 9 SLV (Collegamento -179_-383)
Azioni sul collegamento: N=-11230.10 Ty=9.40 Tz=18.62 Mx=0.02 Mz=7.91
Sollecitazioni agenti localmente: Tx_l=9.40 Ty_l=18.62 N_l=-11230.10 My_l=-7.91 Mz_l=0.02
Azioni sul cordone: TP=0.67 TO=1.40 NO=-830.13
Tensioni nel cordone: τ_P=0.21 τ_0=0.44 σ_0=275.40 σ_{ID}=275.40 Σ_T=275.85

CC 10 SLD (Collegamento -179_-383)
Azioni sul collegamento: N=-9591.49 Ty=11.00 Tz=11.88 Mx=0.01 Mz=9.08
Sollecitazioni agenti localmente: Tx_l=11.00 Ty_l=11.88 N_l=-9591.49 My_l=-9.08 Mz_l=0.01
Azioni sul cordone: TP=0.80 TO=0.89 NO=-709.01
Tensioni nel cordone: τ_P=0.26 τ_0=0.28 σ_0=238.62 σ_{ID}=238.62 Σ_T=238.90
CC 10 SLD (Collegamento -179_-383)
Azioni sul collegamento: N=-9591.49 Ty=9.82 Tz=11.88 Mx=0.01 Mz=7.53
Sollecitazioni agenti localmente: Tx_l=9.82 Ty_l=11.88 N_l=-9591.49 My_l=-7.53 Mz_l=0.01
Azioni sul cordone: TP=0.72 TO=0.89 NO=-709.01
Tensioni nel cordone: τ_P=0.23 τ_0=0.28 σ_0=236.36 σ_{ID}=236.36 Σ_T=236.64
CC 10 SLD (Collegamento -179_-383)
Azioni sul collegamento: N=-9591.49 Ty=11.00 Tz=14.85 Mx=0.01 Mz=9.08
Sollecitazioni agenti localmente: Tx_l=11.00 Ty_l=14.85 N_l=-9591.49 My_l=-9.08 Mz_l=0.01
Azioni sul cordone: TP=0.80 TO=1.11 NO=-709.01
Tensioni nel cordone: τ_P=0.26 τ_0=0.35 σ_0=238.62 σ_{ID}=238.62 Σ_T=238.97
CC 10 SLD (Collegamento -179_-383)
Azioni sul collegamento: N=-9591.49 Ty=9.82 Tz=14.85 Mx=0.01 Mz=7.53
Sollecitazioni agenti localmente: Tx_l=9.82 Ty_l=14.85 N_l=-9591.49 My_l=-7.53 Mz_l=0.01
Azioni sul cordone: TP=0.72 TO=1.11 NO=-709.01
Tensioni nel cordone: τ_P=0.23 τ_0=0.35 σ_0=236.36 σ_{ID}=236.36 Σ_T=236.71
CC 10 SLD (Collegamento -179_-383)
Azioni sul collegamento: N=-10311.80 Ty=11.00 Tz=11.88 Mx=0.01 Mz=9.08
Sollecitazioni agenti localmente: Tx_l=11.00 Ty_l=11.88 N_l=-10311.80 My_l=-9.08 Mz_l=0.01
Azioni sul cordone: TP=0.80 TO=0.89 NO=-762.25
Tensioni nel cordone: τ_P=0.26 τ_0=0.28 σ_0=255.54 σ_{ID}=255.54 Σ_T=255.82
CC 10 SLD (Collegamento -179_-383)
Azioni sul collegamento: N=-10311.80 Ty=9.82 Tz=11.88 Mx=0.01 Mz=7.53
Sollecitazioni agenti localmente: Tx_l=9.82 Ty_l=11.88 N_l=-10311.80 My_l=-7.53 Mz_l=0.01
Azioni sul cordone: TP=0.72 TO=0.89 NO=-762.25
Tensioni nel cordone: τ_P=0.23 τ_0=0.28 σ_0=253.28 σ_{ID}=253.28 Σ_T=253.56
CC 10 SLD (Collegamento -179_-383)
Azioni sul collegamento: N=-10311.80 Ty=11.00 Tz=14.85 Mx=0.01 Mz=9.08
Sollecitazioni agenti localmente: Tx_l=11.00 Ty_l=14.85 N_l=-10311.80 My_l=-9.08 Mz_l=0.01
Azioni sul cordone: TP=0.80 TO=1.11 NO=-762.25
Tensioni nel cordone: τ_P=0.26 τ_0=0.35 σ_0=255.54 σ_{ID}=255.54 Σ_T=255.90
CC 10 SLD (Collegamento -179_-383)
Azioni sul collegamento: N=-10311.80 Ty=9.82 Tz=14.85 Mx=0.01 Mz=7.53
Sollecitazioni agenti localmente: Tx_l=9.82 Ty_l=14.85 N_l=-10311.80 My_l=-7.53 Mz_l=0.01
Azioni sul cordone: TP=0.72 TO=1.11 NO=-762.25
Tensioni nel cordone: τ_P=0.23 τ_0=0.35 σ_0=253.28 σ_{ID}=253.28 Σ_T=253.63
CC 11 SLV (Collegamento -179_-383)
Azioni sul collegamento: N=-11213.80 Ty=11.11 Tz=17.53 Mx=0.02 Mz=11.40
Sollecitazioni agenti localmente: Tx_l=11.11 Ty_l=17.53 N_l=-11213.80 My_l=-11.40 Mz_l=0.02
Azioni sul cordone: TP=0.79 TO=1.32 NO=-828.93
Tensioni nel cordone: τ_P=0.25 τ_0=0.42 σ_0=280.12 σ_{ID}=280.13 Σ_T=280.54
CC 11 SLV (Collegamento -179_-383)
Azioni sul collegamento: N=-11213.80 Ty=11.56 Tz=17.53 Mx=0.02 Mz=9.49
Sollecitazioni agenti localmente: Tx_l=11.56 Ty_l=17.53 N_l=-11213.80 My_l=-9.49 Mz_l=0.02
Azioni sul cordone: TP=0.83 TO=1.32 NO=-828.93
Tensioni nel cordone: τ_P=0.26 τ_0=0.42 σ_0=277.34 σ_{ID}=277.34 Σ_T=277.75
CC 11 SLV (Collegamento -179_-383)
Azioni sul collegamento: N=-11213.80 Ty=11.11 Tz=9.96 Mx=0.02 Mz=11.40
Sollecitazioni agenti localmente: Tx_l=11.11 Ty_l=9.96 N_l=-11213.80 My_l=-11.40 Mz_l=0.02
Azioni sul cordone: TP=0.79 TO=0.76 NO=-828.93
Tensioni nel cordone: τ_P=0.25 τ_0=0.24 σ_0=280.12 σ_{ID}=280.13 Σ_T=280.36
CC 11 SLV (Collegamento -179_-383)
Azioni sul collegamento: N=-11213.80 Ty=11.56 Tz=9.96 Mx=0.02 Mz=9.49
Sollecitazioni agenti localmente: Tx_l=11.56 Ty_l=9.96 N_l=-11213.80 My_l=-9.49 Mz_l=0.02
Azioni sul cordone: TP=0.83 TO=0.76 NO=-828.93
Tensioni nel cordone: τ_P=0.26 τ_0=0.24 σ_0=277.34 σ_{ID}=277.34 Σ_T=277.58
CC 11 SLV (Collegamento -179_-383)
Azioni sul collegamento: N=-8884.11 Ty=11.11 Tz=17.53 Mx=0.02 Mz=11.40
Sollecitazioni agenti localmente: Tx_l=11.11 Ty_l=17.53 N_l=-8884.11 My_l=-11.40 Mz_l=0.02
Azioni sul cordone: TP=0.79 TO=1.32 NO=-656.72
Tensioni nel cordone: τ_P=0.25 τ_0=0.42 σ_0=225.39 σ_{ID}=225.39 Σ_T=225.80
CC 11 SLV (Collegamento -179_-383)
Azioni sul collegamento: N=-8884.11 Ty=11.56 Tz=17.53 Mx=0.02 Mz=9.49
Sollecitazioni agenti localmente: Tx_l=11.56 Ty_l=17.53 N_l=-8884.11 My_l=-9.49 Mz_l=0.02
Azioni sul cordone: TP=0.83 TO=1.32 NO=-656.72
Tensioni nel cordone: τ_P=0.26 τ_0=0.42 σ_0=222.60 σ_{ID}=222.60 Σ_T=223.02
CC 11 SLV (Collegamento -179_-383)
Azioni sul collegamento: N=-8884.11 Ty=11.11 Tz=9.96 Mx=0.02 Mz=11.40
Sollecitazioni agenti localmente: Tx_l=11.11 Ty_l=9.96 N_l=-8884.11 My_l=-11.40 Mz_l=0.02
Azioni sul cordone: TP=0.79 TO=0.76 NO=-656.72
Tensioni nel cordone: τ_P=0.25 τ_0=0.24 σ_0=225.39 σ_{ID}=225.39 Σ_T=225.63
CC 11 SLV (Collegamento -179_-383)
Azioni sul collegamento: N=-8884.11 Ty=11.56 Tz=9.96 Mx=0.02 Mz=9.49
Sollecitazioni agenti localmente: Tx_l=11.56 Ty_l=9.96 N_l=-8884.11 My_l=-9.49 Mz_l=0.02
Azioni sul cordone: TP=0.83 TO=0.76 NO=-656.72
Tensioni nel cordone: τ_P=0.26 τ_0=0.24 σ_0=222.60 σ_{ID}=222.60 Σ_T=222.84
CC 12 SLD (Collegamento -179_-383)

Azioni sul collegamento: N=-10306.80 Ty=10.34 Tz=14.52 Mx=0.01 Mz=8.60
Sollecitazioni agenti localmente: Tx_l=10.34 Ty_l=14.52 N_l=-10306.80 My_l=-8.60 Mz_l=0.01
Azioni sul cordone: TP=0.75 TO=1.08 NO=-761.88
Tensioni nel cordone: τ_P=0.24 τ_0=0.34 σ_0=254.72 σ_{ID}=254.72 Σ_T=255.07
CC 12 SLD (Collegamento -179_-383)
Azioni sul collegamento: N=-10306.80 Ty=10.48 Tz=14.52 Mx=0.01 Mz=8.01
Sollecitazioni agenti localmente: Tx_l=10.48 Ty_l=14.52 N_l=-10306.80 My_l=-8.01 Mz_l=0.01
Azioni sul cordone: TP=0.76 TO=1.08 NO=-761.88
Tensioni nel cordone: τ_P=0.24 τ_0=0.34 σ_0=253.87 σ_{ID}=253.87 Σ_T=254.22
CC 12 SLD (Collegamento -179_-383)
Azioni sul collegamento: N=-10306.80 Ty=10.34 Tz=12.21 Mx=0.01 Mz=8.60
Sollecitazioni agenti localmente: Tx_l=10.34 Ty_l=12.21 N_l=-10306.80 My_l=-8.60 Mz_l=0.01
Azioni sul cordone: TP=0.75 TO=0.91 NO=-761.88
Tensioni nel cordone: τ_P=0.24 τ_0=0.29 σ_0=254.72 σ_{ID}=254.72 Σ_T=255.01
CC 12 SLD (Collegamento -179_-383)
Azioni sul collegamento: N=-10306.80 Ty=10.48 Tz=12.21 Mx=0.01 Mz=8.01
Sollecitazioni agenti localmente: Tx_l=10.48 Ty_l=12.21 N_l=-10306.80 My_l=-8.01 Mz_l=0.01
Azioni sul cordone: TP=0.76 TO=0.91 NO=-761.88
Tensioni nel cordone: τ_P=0.24 τ_0=0.29 σ_0=253.87 σ_{ID}=253.87 Σ_T=254.16
CC 12 SLD (Collegamento -179_-383)
Azioni sul collegamento: N=-9596.43 Ty=10.34 Tz=14.52 Mx=0.01 Mz=8.60
Sollecitazioni agenti localmente: Tx_l=10.34 Ty_l=14.52 N_l=-9596.43 My_l=-8.60 Mz_l=0.01
Azioni sul cordone: TP=0.75 TO=1.08 NO=-709.37
Tensioni nel cordone: τ_P=0.24 τ_0=0.34 σ_0=238.03 σ_{ID}=238.03 Σ_T=238.37
CC 12 SLD (Collegamento -179_-383)
Azioni sul collegamento: N=-9596.43 Ty=10.48 Tz=14.52 Mx=0.01 Mz=8.01
Sollecitazioni agenti localmente: Tx_l=10.48 Ty_l=14.52 N_l=-9596.43 My_l=-8.01 Mz_l=0.01
Azioni sul cordone: TP=0.76 TO=1.08 NO=-709.37
Tensioni nel cordone: τ_P=0.24 τ_0=0.34 σ_0=237.18 σ_{ID}=237.18 Σ_T=237.52
CC 12 SLD (Collegamento -179_-383)
Azioni sul collegamento: N=-9596.43 Ty=10.34 Tz=12.21 Mx=0.01 Mz=8.60
Sollecitazioni agenti localmente: Tx_l=10.34 Ty_l=12.21 N_l=-9596.43 My_l=-8.60 Mz_l=0.01
Azioni sul cordone: TP=0.75 TO=0.91 NO=-709.37
Tensioni nel cordone: τ_P=0.24 τ_0=0.29 σ_0=238.03 σ_{ID}=238.03 Σ_T=238.32
CC 12 SLD (Collegamento -179_-383)
Azioni sul collegamento: N=-9596.43 Ty=10.48 Tz=12.21 Mx=0.01 Mz=8.01
Sollecitazioni agenti localmente: Tx_l=10.48 Ty_l=12.21 N_l=-9596.43 My_l=-8.01 Mz_l=0.01
Azioni sul cordone: TP=0.76 TO=0.91 NO=-709.37
Tensioni nel cordone: τ_P=0.24 τ_0=0.29 σ_0=237.18 σ_{ID}=237.18 Σ_T=237.47
CC 13 SLV (Collegamento -179_-383)
Azioni sul collegamento: N=-8884.11 Ty=11.56 Tz=9.96 Mx=0.01 Mz=9.49
Sollecitazioni agenti localmente: Tx_l=11.56 Ty_l=9.96 N_l=-8884.11 My_l=-9.49 Mz_l=0.01
Azioni sul cordone: TP=0.85 TO=0.74 NO=-656.72
Tensioni nel cordone: τ_P=0.27 τ_0=0.24 σ_0=222.60 σ_{ID}=222.60 Σ_T=222.83
CC 13 SLV (Collegamento -179_-383)
Azioni sul collegamento: N=-8884.11 Ty=11.11 Tz=9.96 Mx=0.01 Mz=11.40
Sollecitazioni agenti localmente: Tx_l=11.11 Ty_l=9.96 N_l=-8884.11 My_l=-11.40 Mz_l=0.01
Azioni sul cordone: TP=0.81 TO=0.74 NO=-656.72
Tensioni nel cordone: τ_P=0.26 τ_0=0.24 σ_0=225.39 σ_{ID}=225.39 Σ_T=225.62
CC 13 SLV (Collegamento -179_-383)
Azioni sul collegamento: N=-8884.11 Ty=11.56 Tz=17.53 Mx=0.01 Mz=9.49
Sollecitazioni agenti localmente: Tx_l=11.56 Ty_l=17.53 N_l=-8884.11 My_l=-9.49 Mz_l=0.01
Azioni sul cordone: TP=0.85 TO=1.30 NO=-656.72
Tensioni nel cordone: τ_P=0.27 τ_0=0.41 σ_0=222.60 σ_{ID}=222.60 Σ_T=223.01
CC 13 SLV (Collegamento -179_-383)
Azioni sul collegamento: N=-8884.11 Ty=11.11 Tz=17.53 Mx=0.01 Mz=11.40
Sollecitazioni agenti localmente: Tx_l=11.11 Ty_l=17.53 N_l=-8884.11 My_l=-11.40 Mz_l=0.01
Azioni sul cordone: TP=0.81 TO=1.30 NO=-656.72
Tensioni nel cordone: τ_P=0.26 τ_0=0.41 σ_0=225.39 σ_{ID}=225.39 Σ_T=225.80
CC 13 SLV (Collegamento -179_-383)
Azioni sul collegamento: N=-11213.80 Ty=11.56 Tz=9.96 Mx=0.01 Mz=9.49
Sollecitazioni agenti localmente: Tx_l=11.56 Ty_l=9.96 N_l=-11213.80 My_l=-9.49 Mz_l=0.01
Azioni sul cordone: TP=0.85 TO=0.74 NO=-828.93
Tensioni nel cordone: τ_P=0.27 τ_0=0.24 σ_0=277.34 σ_{ID}=277.34 Σ_T=277.57
CC 13 SLV (Collegamento -179_-383)
Azioni sul collegamento: N=-11213.80 Ty=11.11 Tz=9.96 Mx=0.01 Mz=11.40
Sollecitazioni agenti localmente: Tx_l=11.11 Ty_l=9.96 N_l=-11213.80 My_l=-11.40 Mz_l=0.01
Azioni sul cordone: TP=0.81 TO=0.74 NO=-828.93
Tensioni nel cordone: τ_P=0.26 τ_0=0.24 σ_0=280.12 σ_{ID}=280.13 Σ_T=280.36
CC 13 SLV (Collegamento -179_-383)
Azioni sul collegamento: N=-11213.80 Ty=11.56 Tz=17.53 Mx=0.01 Mz=9.49
Sollecitazioni agenti localmente: Tx_l=11.56 Ty_l=17.53 N_l=-11213.80 My_l=-9.49 Mz_l=0.01
Azioni sul cordone: TP=0.85 TO=1.30 NO=-828.93
Tensioni nel cordone: τ_P=0.27 τ_0=0.41 σ_0=277.34 σ_{ID}=277.34 Σ_T=277.75
CC 13 SLV (Collegamento -179_-383)
Azioni sul collegamento: N=-11213.80 Ty=11.11 Tz=17.53 Mx=0.01 Mz=11.40
Sollecitazioni agenti localmente: Tx_l=11.11 Ty_l=17.53 N_l=-11213.80 My_l=-11.40 Mz_l=0.01
Azioni sul cordone: TP=0.81 TO=1.30 NO=-828.93
Tensioni nel cordone: τ_P=0.26 τ_0=0.41 σ_0=280.12 σ_{ID}=280.13 Σ_T=280.54
CC 14 SLD (Collegamento -179_-383)
Azioni sul collegamento: N=-9596.43 Ty=10.48 Tz=12.21 Mx=0.00 Mz=8.01

Sollecitazioni agenti localmente: Tx_l=10.48 Ty_l=12.21 N_l=-9596.43 My_l=-8.01 Mz_l=0.00
Azioni sul cordone: TP=0.77 TO=0.91 NO=-709.37
Tensioni nel cordone: τ_P=0.24 τ_0=0.29 σ_0=237.18 σ_{ID}=237.18 Σ_T=237.47
CC 14 SLD (Collegamento -179_-383)
Azioni sul collegamento: N=-9596.43 Ty=10.34 Tz=12.21 Mx=0.00 Mz=8.60
Sollecitazioni agenti localmente: Tx_l=10.34 Ty_l=12.21 N_l=-9596.43 My_l=-8.60 Mz_l=0.00
Azioni sul cordone: TP=0.76 TO=0.91 NO=-709.37
Tensioni nel cordone: τ_P=0.24 τ_0=0.29 σ_0=238.03 σ_{ID}=238.03 Σ_T=238.32
CC 14 SLD (Collegamento -179_-383)
Azioni sul collegamento: N=-9596.43 Ty=10.48 Tz=14.52 Mx=0.00 Mz=8.01
Sollecitazioni agenti localmente: Tx_l=10.48 Ty_l=14.52 N_l=-9596.43 My_l=-8.01 Mz_l=0.00
Azioni sul cordone: TP=0.77 TO=1.08 NO=-709.37
Tensioni nel cordone: τ_P=0.24 τ_0=0.34 σ_0=237.18 σ_{ID}=237.18 Σ_T=237.52
CC 14 SLD (Collegamento -179_-383)
Azioni sul collegamento: N=-9596.43 Ty=10.34 Tz=14.52 Mx=0.00 Mz=8.60
Sollecitazioni agenti localmente: Tx_l=10.34 Ty_l=14.52 N_l=-9596.43 My_l=-8.60 Mz_l=0.00
Azioni sul cordone: TP=0.76 TO=1.08 NO=-709.37
Tensioni nel cordone: τ_P=0.24 τ_0=0.34 σ_0=238.03 σ_{ID}=238.03 Σ_T=238.37
CC 14 SLD (Collegamento -179_-383)
Azioni sul collegamento: N=-10306.80 Ty=10.48 Tz=12.21 Mx=0.00 Mz=8.01
Sollecitazioni agenti localmente: Tx_l=10.48 Ty_l=12.21 N_l=-10306.80 My_l=-8.01 Mz_l=0.00
Azioni sul cordone: TP=0.77 TO=0.91 NO=-761.88
Tensioni nel cordone: τ_P=0.24 τ_0=0.29 σ_0=253.87 σ_{ID}=253.87 Σ_T=254.16
CC 14 SLD (Collegamento -179_-383)
Azioni sul collegamento: N=-10306.80 Ty=10.34 Tz=12.21 Mx=0.00 Mz=8.60
Sollecitazioni agenti localmente: Tx_l=10.34 Ty_l=12.21 N_l=-10306.80 My_l=-8.60 Mz_l=0.00
Azioni sul cordone: TP=0.76 TO=0.91 NO=-761.88
Tensioni nel cordone: τ_P=0.24 τ_0=0.29 σ_0=254.72 σ_{ID}=254.72 Σ_T=255.01
CC 14 SLD (Collegamento -179_-383)
Azioni sul collegamento: N=-10306.80 Ty=10.48 Tz=14.52 Mx=0.00 Mz=8.01
Sollecitazioni agenti localmente: Tx_l=10.48 Ty_l=14.52 N_l=-10306.80 My_l=-8.01 Mz_l=0.00
Azioni sul cordone: TP=0.77 TO=1.08 NO=-761.88
Tensioni nel cordone: τ_P=0.24 τ_0=0.34 σ_0=253.87 σ_{ID}=253.87 Σ_T=254.21
CC 14 SLD (Collegamento -179_-383)
Azioni sul collegamento: N=-10306.80 Ty=10.34 Tz=14.52 Mx=0.00 Mz=8.60
Sollecitazioni agenti localmente: Tx_l=10.34 Ty_l=14.52 N_l=-10306.80 My_l=-8.60 Mz_l=0.00
Azioni sul cordone: TP=0.76 TO=1.08 NO=-761.88
Tensioni nel cordone: τ_P=0.24 τ_0=0.34 σ_0=254.72 σ_{ID}=254.72 Σ_T=255.06
CC 15 SLV (Collegamento -179_-383)
Azioni sul collegamento: N=-11230.10 Ty=9.40 Tz=18.62 Mx=0.01 Mz=7.91
Sollecitazioni agenti localmente: Tx_l=9.40 Ty_l=18.62 N_l=-11230.10 My_l=-7.91 Mz_l=0.01
Azioni sul cordone: TP=0.69 TO=1.38 NO=-830.13
Tensioni nel cordone: τ_P=0.22 τ_0=0.44 σ_0=275.40 σ_{ID}=275.40 Σ_T=275.84
CC 15 SLV (Collegamento -179_-383)
Azioni sul collegamento: N=-11230.10 Ty=13.27 Tz=18.62 Mx=0.01 Mz=12.98
Sollecitazioni agenti localmente: Tx_l=13.27 Ty_l=18.62 N_l=-11230.10 My_l=-12.98 Mz_l=0.01
Azioni sul cordone: TP=0.97 TO=1.38 NO=-830.13
Tensioni nel cordone: τ_P=0.31 τ_0=0.44 σ_0=282.82 σ_{ID}=282.82 Σ_T=283.26
CC 15 SLV (Collegamento -179_-383)
Azioni sul collegamento: N=-11230.10 Ty=9.40 Tz=8.87 Mx=0.01 Mz=7.91
Sollecitazioni agenti localmente: Tx_l=9.40 Ty_l=8.87 N_l=-11230.10 My_l=-7.91 Mz_l=0.01
Azioni sul cordone: TP=0.69 TO=0.66 NO=-830.13
Tensioni nel cordone: τ_P=0.22 τ_0=0.21 σ_0=275.40 σ_{ID}=275.40 Σ_T=275.62
CC 15 SLV (Collegamento -179_-383)
Azioni sul collegamento: N=-11230.10 Ty=13.27 Tz=8.87 Mx=0.01 Mz=12.98
Sollecitazioni agenti localmente: Tx_l=13.27 Ty_l=8.87 N_l=-11230.10 My_l=-12.98 Mz_l=0.01
Azioni sul cordone: TP=0.97 TO=0.66 NO=-830.13
Tensioni nel cordone: τ_P=0.31 τ_0=0.21 σ_0=282.82 σ_{ID}=282.82 Σ_T=283.03
CC 15 SLV (Collegamento -179_-383)
Azioni sul collegamento: N=-8867.90 Ty=9.40 Tz=18.62 Mx=0.01 Mz=7.91
Sollecitazioni agenti localmente: Tx_l=9.40 Ty_l=18.62 N_l=-8867.90 My_l=-7.91 Mz_l=0.01
Azioni sul cordone: TP=0.69 TO=1.38 NO=-655.52
Tensioni nel cordone: τ_P=0.22 τ_0=0.44 σ_0=219.91 σ_{ID}=219.91 Σ_T=220.34
CC 15 SLV (Collegamento -179_-383)
Azioni sul collegamento: N=-8867.90 Ty=13.27 Tz=18.62 Mx=0.01 Mz=12.98
Sollecitazioni agenti localmente: Tx_l=13.27 Ty_l=18.62 N_l=-8867.90 My_l=-12.98 Mz_l=0.01
Azioni sul cordone: TP=0.97 TO=1.38 NO=-655.52
Tensioni nel cordone: τ_P=0.31 τ_0=0.44 σ_0=227.32 σ_{ID}=227.32 Σ_T=227.76
CC 15 SLV (Collegamento -179_-383)
Azioni sul collegamento: N=-8867.90 Ty=9.40 Tz=8.87 Mx=0.01 Mz=7.91
Sollecitazioni agenti localmente: Tx_l=9.40 Ty_l=8.87 N_l=-8867.90 My_l=-7.91 Mz_l=0.01
Azioni sul cordone: TP=0.69 TO=0.66 NO=-655.52
Tensioni nel cordone: τ_P=0.22 τ_0=0.21 σ_0=219.91 σ_{ID}=219.91 Σ_T=220.12
CC 15 SLV (Collegamento -179_-383)
Azioni sul collegamento: N=-8867.90 Ty=13.27 Tz=8.87 Mx=0.01 Mz=12.98
Sollecitazioni agenti localmente: Tx_l=13.27 Ty_l=8.87 N_l=-8867.90 My_l=-12.98 Mz_l=0.01
Azioni sul cordone: TP=0.97 TO=0.66 NO=-655.52
Tensioni nel cordone: τ_P=0.31 τ_0=0.21 σ_0=227.32 σ_{ID}=227.32 Σ_T=227.53
CC 16 SLD (Collegamento -179_-383)
Azioni sul collegamento: N=-10311.80 Ty=9.82 Tz=14.85 Mx=0.00 Mz=7.53
Sollecitazioni agenti localmente: Tx_l=9.82 Ty_l=14.85 N_l=-10311.80 My_l=-7.53 Mz_l=0.00

Azioni sul cordone: TP=0.72 TO=1.10 NO=-762.25
Tensioni nel cordone: τ_P=0.23 τ_0=0.35 σ_0=253.28 σ_{ID}=253.28 Σ_T=253.63
CC 16 SLD (Collegamento -179_-383)
Azioni sul collegamento: N=-10311.80 Ty=11.00 Tz=14.85 Mx=0.00 Mz=9.08
Sollecitazioni agenti localmente: Tx_l=11.00 Ty_l=14.85 N_l=-10311.80 My_l=-9.08 Mz_l=0.00
Azioni sul cordone: TP=0.81 TO=1.10 NO=-762.25
Tensioni nel cordone: τ_P=0.26 τ_0=0.35 σ_0=255.54 σ_{ID}=255.54 Σ_T=255.89
CC 16 SLD (Collegamento -179_-383)
Azioni sul collegamento: N=-10311.80 Ty=9.82 Tz=11.88 Mx=0.00 Mz=7.53
Sollecitazioni agenti localmente: Tx_l=9.82 Ty_l=11.88 N_l=-10311.80 My_l=-7.53 Mz_l=0.00
Azioni sul cordone: TP=0.72 TO=0.88 NO=-762.25
Tensioni nel cordone: τ_P=0.23 τ_0=0.28 σ_0=253.28 σ_{ID}=253.28 Σ_T=253.56
CC 16 SLD (Collegamento -179_-383)
Azioni sul collegamento: N=-10311.80 Ty=11.00 Tz=11.88 Mx=0.00 Mz=9.08
Sollecitazioni agenti localmente: Tx_l=11.00 Ty_l=11.88 N_l=-10311.80 My_l=-9.08 Mz_l=0.00
Azioni sul cordone: TP=0.81 TO=0.88 NO=-762.25
Tensioni nel cordone: τ_P=0.26 τ_0=0.28 σ_0=255.54 σ_{ID}=255.54 Σ_T=255.82
CC 16 SLD (Collegamento -179_-383)
Azioni sul collegamento: N=-9591.49 Ty=9.82 Tz=14.85 Mx=0.00 Mz=7.53
Sollecitazioni agenti localmente: Tx_l=9.82 Ty_l=14.85 N_l=-9591.49 My_l=-7.53 Mz_l=0.00
Azioni sul cordone: TP=0.72 TO=1.10 NO=-709.01
Tensioni nel cordone: τ_P=0.23 τ_0=0.35 σ_0=236.36 σ_{ID}=236.36 Σ_T=236.71
CC 16 SLD (Collegamento -179_-383)
Azioni sul collegamento: N=-9591.49 Ty=11.00 Tz=14.85 Mx=0.00 Mz=9.08
Sollecitazioni agenti localmente: Tx_l=11.00 Ty_l=14.85 N_l=-9591.49 My_l=-9.08 Mz_l=0.00
Azioni sul cordone: TP=0.81 TO=1.10 NO=-709.01
Tensioni nel cordone: τ_P=0.26 τ_0=0.35 σ_0=238.62 σ_{ID}=238.62 Σ_T=238.97
CC 16 SLD (Collegamento -179_-383)
Azioni sul collegamento: N=-9591.49 Ty=9.82 Tz=11.88 Mx=0.00 Mz=7.53
Sollecitazioni agenti localmente: Tx_l=9.82 Ty_l=11.88 N_l=-9591.49 My_l=-7.53 Mz_l=0.00
Azioni sul cordone: TP=0.72 TO=0.88 NO=-709.01
Tensioni nel cordone: τ_P=0.23 τ_0=0.28 σ_0=236.36 σ_{ID}=236.36 Σ_T=236.64
CC 16 SLD (Collegamento -179_-383)
Azioni sul collegamento: N=-9591.49 Ty=11.00 Tz=11.88 Mx=0.00 Mz=9.08
Sollecitazioni agenti localmente: Tx_l=11.00 Ty_l=11.88 N_l=-9591.49 My_l=-9.08 Mz_l=0.00
Azioni sul cordone: TP=0.81 TO=0.88 NO=-709.01
Tensioni nel cordone: τ_P=0.26 τ_0=0.28 σ_0=238.62 σ_{ID}=238.62 Σ_T=238.90
CC 17 SLV (Collegamento -179_-383)
Azioni sul collegamento: N=-5856.57 Ty=12.53 Tz=-1.96 Mx=-0.01 Mz=7.45
Sollecitazioni agenti localmente: Tx_l=12.53 Ty_l=-1.96 N_l=-5856.57 My_l=-7.45 Mz_l=-0.01
Azioni sul cordone: TP=0.94 TO=-0.15 NO=-432.92
Tensioni nel cordone: τ_P=0.30 τ_0= 0.05 σ_0=148.49 σ_{ID}=148.49 Σ_T=148.54
CC 17 SLV (Collegamento -179_-383)
Azioni sul collegamento: N=-5856.57 Ty=4.82 Tz=-1.96 Mx=-0.01 Mz=1.13
Sollecitazioni agenti localmente: Tx_l=4.82 Ty_l=-1.96 N_l=-5856.57 My_l=-1.13 Mz_l=-0.01
Azioni sul cordone: TP=0.37 TO=-0.15 NO=-432.92
Tensioni nel cordone: τ_P=0.12 τ_0= 0.05 σ_0=139.25 σ_{ID}=139.25 Σ_T=139.30
CC 17 SLV (Collegamento -179_-383)
Azioni sul collegamento: N=-5856.57 Ty=12.53 Tz=27.25 Mx=-0.01 Mz=7.45
Sollecitazioni agenti localmente: Tx_l=12.53 Ty_l=27.25 N_l=-5856.57 My_l=-7.45 Mz_l=-0.01
Azioni sul cordone: TP=0.94 TO=2.00 NO=-432.92
Tensioni nel cordone: τ_P=0.30 τ_0=0.64 σ_0=148.49 σ_{ID}=148.49 Σ_T=149.13
CC 17 SLV (Collegamento -179_-383)
Azioni sul collegamento: N=-5856.57 Ty=4.82 Tz=27.25 Mx=-0.01 Mz=1.13
Sollecitazioni agenti localmente: Tx_l=4.82 Ty_l=27.25 N_l=-5856.57 My_l=-1.13 Mz_l=-0.01
Azioni sul cordone: TP=0.37 TO=2.00 NO=-432.92
Tensioni nel cordone: τ_P=0.12 τ_0=0.64 σ_0=139.25 σ_{ID}=139.26 Σ_T=139.89
CC 17 SLV (Collegamento -179_-383)
Azioni sul collegamento: N=-13681.20 Ty=12.53 Tz=-1.96 Mx=-0.01 Mz=7.45
Sollecitazioni agenti localmente: Tx_l=12.53 Ty_l=-1.96 N_l=-13681.20 My_l=-7.45 Mz_l=-0.01
Azioni sul cordone: TP=0.94 TO=-0.15 NO=-1011.32
Tensioni nel cordone: τ_P=0.30 τ_0= 0.05 σ_0=332.34 σ_{ID}=332.34 Σ_T=332.38
CC 17 SLV (Collegamento -179_-383)
Azioni sul collegamento: N=-13681.20 Ty=4.82 Tz=-1.96 Mx=-0.01 Mz=1.13
Sollecitazioni agenti localmente: Tx_l=4.82 Ty_l=-1.96 N_l=-13681.20 My_l=-1.13 Mz_l=-0.01
Azioni sul cordone: TP=0.37 TO=-0.15 NO=-1011.32
Tensioni nel cordone: τ_P=0.12 τ_0= 0.05 σ_0=323.10 σ_{ID}=323.10 Σ_T=323.15
CC 17 SLV (Collegamento -179_-383)
Azioni sul collegamento: N=-13681.20 Ty=12.53 Tz=27.25 Mx=-0.01 Mz=7.45
Sollecitazioni agenti localmente: Tx_l=12.53 Ty_l=27.25 N_l=-13681.20 My_l=-7.45 Mz_l=-0.01
Azioni sul cordone: TP=0.94 TO=2.00 NO=-1011.32
Tensioni nel cordone: τ_P=0.30 τ_0=0.64 σ_0=332.34 σ_{ID}=332.34 Σ_T=332.97
CC 17 SLV (Collegamento -179_-383)
Azioni sul collegamento: N=-13681.20 Ty=4.82 Tz=27.25 Mx=-0.01 Mz=1.13
Sollecitazioni agenti localmente: Tx_l=4.82 Ty_l=27.25 N_l=-13681.20 My_l=-1.13 Mz_l=-0.01
Azioni sul cordone: TP=0.37 TO=2.00 NO=-1011.32
Tensioni nel cordone: τ_P=0.12 τ_0=0.64 σ_0=323.10 σ_{ID}=323.10 Σ_T=323.74
CC 18 SLD (Collegamento -179_-383)
Azioni sul collegamento: N=-8673.24 Ty=10.78 Tz=8.57 Mx=-0.00 Mz=7.39
Sollecitazioni agenti localmente: Tx_l=10.78 Ty_l=8.57 N_l=-8673.24 My_l=-7.39 Mz_l=-0.00
Azioni sul cordone: TP=0.80 TO=0.63 NO=-641.13

Tensioni nel cordone: τ_P=0.25 τ_0=0.20 σ_0=214.58 σ_{ID}=214.58 Σ_T=214.78
CC 18 SLD (Collegamento -179_-383)
Azioni sul collegamento: N=-8673.24 Ty=8.42 Tz=8.57 Mx=-0.00 Mz=5.47
Sollecitazioni agenti localmente: Tx_l=8.42 Ty_l=8.57 N_l=-8673.24 My_l=-5.47 Mz_l=-0.00
Azioni sul cordone: TP=0.62 TO=0.63 NO=-641.13
Tensioni nel cordone: τ_P=0.20 τ_0=0.20 σ_0=211.77 σ_{ID}=211.77 Σ_T=211.97
CC 18 SLD (Collegamento -179_-383)
Azioni sul collegamento: N=-8673.24 Ty=10.78 Tz=17.48 Mx=-0.00 Mz=7.39
Sollecitazioni agenti localmente: Tx_l=10.78 Ty_l=17.48 N_l=-8673.24 My_l=-7.39 Mz_l=-0.00
Azioni sul cordone: TP=0.80 TO=1.29 NO=-641.13
Tensioni nel cordone: τ_P=0.25 τ_0=0.41 σ_0=214.58 σ_{ID}=214.58 Σ_T=214.99
CC 18 SLD (Collegamento -179_-383)
Azioni sul collegamento: N=-8673.24 Ty=8.42 Tz=17.48 Mx=-0.00 Mz=5.47
Sollecitazioni agenti localmente: Tx_l=8.42 Ty_l=17.48 N_l=-8673.24 My_l=-5.47 Mz_l=-0.00
Azioni sul cordone: TP=0.62 TO=1.29 NO=-641.13
Tensioni nel cordone: τ_P=0.20 τ_0=0.41 σ_0=211.77 σ_{ID}=211.77 Σ_T=212.18
CC 18 SLD (Collegamento -179_-383)
Azioni sul collegamento: N=-11059.20 Ty=10.78 Tz=8.57 Mx=-0.00 Mz=7.39
Sollecitazioni agenti localmente: Tx_l=10.78 Ty_l=8.57 N_l=-11059.20 My_l=-7.39 Mz_l=-0.00
Azioni sul cordone: TP=0.80 TO=0.63 NO=-817.50
Tensioni nel cordone: τ_P=0.25 τ_0=0.20 σ_0=270.64 σ_{ID}=270.64 Σ_T=270.84
CC 18 SLD (Collegamento -179_-383)
Azioni sul collegamento: N=-11059.20 Ty=8.42 Tz=8.57 Mx=-0.00 Mz=5.47
Sollecitazioni agenti localmente: Tx_l=8.42 Ty_l=8.57 N_l=-11059.20 My_l=-5.47 Mz_l=-0.00
Azioni sul cordone: TP=0.62 TO=0.63 NO=-817.50
Tensioni nel cordone: τ_P=0.20 τ_0=0.20 σ_0=267.83 σ_{ID}=267.83 Σ_T=268.03
CC 18 SLD (Collegamento -179_-383)
Azioni sul collegamento: N=-11059.20 Ty=10.78 Tz=17.48 Mx=-0.00 Mz=7.39
Sollecitazioni agenti localmente: Tx_l=10.78 Ty_l=17.48 N_l=-11059.20 My_l=-7.39 Mz_l=-0.00
Azioni sul cordone: TP=0.80 TO=1.29 NO=-817.50
Tensioni nel cordone: τ_P=0.25 τ_0=0.41 σ_0=270.64 σ_{ID}=270.64 Σ_T=271.05
CC 18 SLD (Collegamento -179_-383)
Azioni sul collegamento: N=-11059.20 Ty=8.42 Tz=17.48 Mx=-0.00 Mz=5.47
Sollecitazioni agenti localmente: Tx_l=8.42 Ty_l=17.48 N_l=-11059.20 My_l=-5.47 Mz_l=-0.00
Azioni sul cordone: TP=0.62 TO=1.29 NO=-817.50
Tensioni nel cordone: τ_P=0.20 τ_0=0.41 σ_0=267.83 σ_{ID}=267.83 Σ_T=268.24
CC 19 SLV (Collegamento -179_-383)
Azioni sul collegamento: N=-5861.43 Ty=12.02 Tz=-1.63 Mx=-0.01 Mz=6.41
Sollecitazioni agenti localmente: Tx_l=12.02 Ty_l=-1.63 N_l=-5861.43 My_l=-6.41 Mz_l=-0.01
Azioni sul cordone: TP=0.90 TO=-0.13 NO=-433.28
Tensioni nel cordone: τ_P=0.28 τ_0= 0.04 σ_0=147.08 σ_{ID}=147.08 Σ_T=147.12
CC 19 SLV (Collegamento -179_-383)
Azioni sul collegamento: N=-5861.43 Ty=5.33 Tz=-1.63 Mx=-0.01 Mz=2.18
Sollecitazioni agenti localmente: Tx_l=5.33 Ty_l=-1.63 N_l=-5861.43 My_l=-2.18 Mz_l=-0.01
Azioni sul cordone: TP=0.40 TO=-0.13 NO=-433.28
Tensioni nel cordone: τ_P=0.13 τ_0= 0.04 σ_0=140.90 σ_{ID}=140.90 Σ_T=140.94
CC 19 SLV (Collegamento -179_-383)
Azioni sul collegamento: N=-5861.43 Ty=12.02 Tz=26.92 Mx=-0.01 Mz=6.41
Sollecitazioni agenti localmente: Tx_l=12.02 Ty_l=26.92 N_l=-5861.43 My_l=-6.41 Mz_l=-0.01
Azioni sul cordone: TP=0.90 TO=1.98 NO=-433.28
Tensioni nel cordone: τ_P=0.28 τ_0=0.63 σ_0=147.08 σ_{ID}=147.08 Σ_T=147.71
CC 19 SLV (Collegamento -179_-383)
Azioni sul collegamento: N=-5861.43 Ty=5.33 Tz=26.92 Mx=-0.01 Mz=2.18
Sollecitazioni agenti localmente: Tx_l=5.33 Ty_l=26.92 N_l=-5861.43 My_l=-2.18 Mz_l=-0.01
Azioni sul cordone: TP=0.40 TO=1.98 NO=-433.28
Tensioni nel cordone: τ_P=0.13 τ_0=0.63 σ_0=140.90 σ_{ID}=140.90 Σ_T=141.53
CC 19 SLV (Collegamento -179_-383)
Azioni sul collegamento: N=-13676.40 Ty=12.02 Tz=-1.63 Mx=-0.01 Mz=6.41
Sollecitazioni agenti localmente: Tx_l=12.02 Ty_l=-1.63 N_l=-13676.40 My_l=-6.41 Mz_l=-0.01
Azioni sul cordone: TP=0.90 TO=-0.13 NO=-1010.96
Tensioni nel cordone: τ_P=0.28 τ_0= 0.04 σ_0=330.69 σ_{ID}=330.69 Σ_T=330.73
CC 19 SLV (Collegamento -179_-383)
Azioni sul collegamento: N=-13676.40 Ty=5.33 Tz=-1.63 Mx=-0.01 Mz=2.18
Sollecitazioni agenti localmente: Tx_l=5.33 Ty_l=-1.63 N_l=-13676.40 My_l=-2.18 Mz_l=-0.01
Azioni sul cordone: TP=0.40 TO=-0.13 NO=-1010.96
Tensioni nel cordone: τ_P=0.13 τ_0= 0.04 σ_0=324.51 σ_{ID}=324.51 Σ_T=324.56
CC 19 SLV (Collegamento -179_-383)
Azioni sul collegamento: N=-13676.40 Ty=12.02 Tz=26.92 Mx=-0.01 Mz=6.41
Sollecitazioni agenti localmente: Tx_l=12.02 Ty_l=26.92 N_l=-13676.40 My_l=-6.41 Mz_l=-0.01
Azioni sul cordone: TP=0.90 TO=1.98 NO=-1010.96
Tensioni nel cordone: τ_P=0.28 τ_0=0.63 σ_0=330.69 σ_{ID}=330.69 Σ_T=331.32
CC 19 SLV (Collegamento -179_-383)
Azioni sul collegamento: N=-13676.40 Ty=5.33 Tz=26.92 Mx=-0.01 Mz=2.18
Sollecitazioni agenti localmente: Tx_l=5.33 Ty_l=26.92 N_l=-13676.40 My_l=-2.18 Mz_l=-0.01
Azioni sul cordone: TP=0.40 TO=1.98 NO=-1010.96
Tensioni nel cordone: τ_P=0.13 τ_0=0.63 σ_0=324.51 σ_{ID}=324.52 Σ_T=325.15
CC 20 SLD (Collegamento -179_-383)
Azioni sul collegamento: N=-8674.72 Ty=10.62 Tz=8.67 Mx=0.00 Mz=7.07
Sollecitazioni agenti localmente: Tx_l=10.62 Ty_l=8.67 N_l=-8674.72 My_l=-7.07 Mz_l=0.00
Azioni sul cordone: TP=0.78 TO=0.64 NO=-641.24
Tensioni nel cordone: τ_P=0.25 τ_0=0.20 σ_0=214.15 σ_{ID}=214.15 Σ_T=214.35

CC 20 SLD (Collegamento -179_-383)
Azioni sul collegamento: N=-8674.72 Ty=8.58 Tz=8.67 Mx=0.00 Mz=5.79
Sollecitazioni agenti localmente: Tx_l=8.58 Ty_l=8.67 N_l=-8674.72 My_l=-5.79 Mz_l=0.00
Azioni sul cordone: TP=0.63 TO=0.64 NO=-641.24
Tensioni nel cordone: τ_P=0.20 τ_0=0.20 σ_0=212.27 σ_{ID}=212.27 Σ_T=212.47
CC 20 SLD (Collegamento -179_-383)
Azioni sul collegamento: N=-8674.72 Ty=10.62 Tz=17.38 Mx=0.00 Mz=7.07
Sollecitazioni agenti localmente: Tx_l=10.62 Ty_l=17.38 N_l=-8674.72 My_l=-7.07 Mz_l=0.00
Azioni sul cordone: TP=0.78 TO=1.28 NO=-641.24
Tensioni nel cordone: τ_P=0.25 τ_0=0.41 σ_0=214.15 σ_{ID}=214.15 Σ_T=214.56
CC 20 SLD (Collegamento -179_-383)
Azioni sul collegamento: N=-8674.72 Ty=8.58 Tz=17.38 Mx=0.00 Mz=5.79
Sollecitazioni agenti localmente: Tx_l=8.58 Ty_l=17.38 N_l=-8674.72 My_l=-5.79 Mz_l=0.00
Azioni sul cordone: TP=0.63 TO=1.28 NO=-641.24
Tensioni nel cordone: τ_P=0.20 τ_0=0.41 σ_0=212.27 σ_{ID}=212.27 Σ_T=212.68
CC 20 SLD (Collegamento -179_-383)
Azioni sul collegamento: N=-11057.70 Ty=10.62 Tz=8.67 Mx=0.00 Mz=7.07
Sollecitazioni agenti localmente: Tx_l=10.62 Ty_l=8.67 N_l=-11057.70 My_l=-7.07 Mz_l=0.00
Azioni sul cordone: TP=0.78 TO=0.64 NO=-817.39
Tensioni nel cordone: τ_P=0.25 τ_0=0.20 σ_0=270.14 σ_{ID}=270.14 Σ_T=270.35
CC 20 SLD (Collegamento -179_-383)
Azioni sul collegamento: N=-11057.70 Ty=8.58 Tz=8.67 Mx=0.00 Mz=5.79
Sollecitazioni agenti localmente: Tx_l=8.58 Ty_l=8.67 N_l=-11057.70 My_l=-5.79 Mz_l=0.00
Azioni sul cordone: TP=0.63 TO=0.64 NO=-817.39
Tensioni nel cordone: τ_P=0.20 τ_0=0.20 σ_0=268.26 σ_{ID}=268.26 Σ_T=268.46
CC 20 SLD (Collegamento -179_-383)
Azioni sul collegamento: N=-11057.70 Ty=10.62 Tz=17.38 Mx=0.00 Mz=7.07
Sollecitazioni agenti localmente: Tx_l=10.62 Ty_l=17.38 N_l=-11057.70 My_l=-7.07 Mz_l=0.00
Azioni sul cordone: TP=0.78 TO=1.28 NO=-817.39
Tensioni nel cordone: τ_P=0.25 τ_0=0.41 σ_0=270.14 σ_{ID}=270.14 Σ_T=270.55
CC 20 SLD (Collegamento -179_-383)
Azioni sul collegamento: N=-11057.70 Ty=8.58 Tz=17.38 Mx=0.00 Mz=5.79
Sollecitazioni agenti localmente: Tx_l=8.58 Ty_l=17.38 N_l=-11057.70 My_l=-5.79 Mz_l=0.00
Azioni sul cordone: TP=0.63 TO=1.28 NO=-817.39
Tensioni nel cordone: τ_P=0.20 τ_0=0.41 σ_0=268.26 σ_{ID}=268.26 Σ_T=268.67
CC 21 SLV (Collegamento -179_-383)
Azioni sul collegamento: N=-13676.40 Ty=5.33 Tz=26.92 Mx=-0.01 Mz=2.18
Sollecitazioni agenti localmente: Tx_l=5.33 Ty_l=26.92 N_l=-13676.40 My_l=-2.18 Mz_l=-0.01
Azioni sul cordone: TP=0.41 TO=1.98 NO=-1010.96
Tensioni nel cordone: τ_P=0.13 τ_0=0.63 σ_0=324.51 σ_{ID}=324.52 Σ_T=325.14
CC 21 SLV (Collegamento -179_-383)
Azioni sul collegamento: N=-13676.40 Ty=12.02 Tz=26.92 Mx=-0.01 Mz=6.41
Sollecitazioni agenti localmente: Tx_l=12.02 Ty_l=26.92 N_l=-13676.40 My_l=-6.41 Mz_l=-0.01
Azioni sul cordone: TP=0.90 TO=1.98 NO=-1010.96
Tensioni nel cordone: τ_P=0.29 τ_0=0.63 σ_0=330.69 σ_{ID}=330.69 Σ_T=331.32
CC 21 SLV (Collegamento -179_-383)
Azioni sul collegamento: N=-13676.40 Ty=5.33 Tz=-1.63 Mx=-0.01 Mz=2.18
Sollecitazioni agenti localmente: Tx_l=5.33 Ty_l=-1.63 N_l=-13676.40 My_l=-2.18 Mz_l=-0.01
Azioni sul cordone: TP=0.41 TO=-0.13 NO=-1010.96
Tensioni nel cordone: τ_P=0.13 τ_0= 0.04 σ_0=324.51 σ_{ID}=324.51 Σ_T=324.56
CC 21 SLV (Collegamento -179_-383)
Azioni sul collegamento: N=-13676.40 Ty=12.02 Tz=-1.63 Mx=-0.01 Mz=6.41
Sollecitazioni agenti localmente: Tx_l=12.02 Ty_l=-1.63 N_l=-13676.40 My_l=-6.41 Mz_l=-0.01
Azioni sul cordone: TP=0.90 TO=-0.13 NO=-1010.96
Tensioni nel cordone: τ_P=0.29 τ_0= 0.04 σ_0=330.69 σ_{ID}=330.69 Σ_T=330.73
CC 21 SLV (Collegamento -179_-383)
Azioni sul collegamento: N=-5861.43 Ty=5.33 Tz=26.92 Mx=-0.01 Mz=2.18
Sollecitazioni agenti localmente: Tx_l=5.33 Ty_l=26.92 N_l=-5861.43 My_l=-2.18 Mz_l=-0.01
Azioni sul cordone: TP=0.41 TO=1.98 NO=-433.28
Tensioni nel cordone: τ_P=0.13 τ_0=0.63 σ_0=140.90 σ_{ID}=140.90 Σ_T=141.53
CC 21 SLV (Collegamento -179_-383)
Azioni sul collegamento: N=-5861.43 Ty=12.02 Tz=26.92 Mx=-0.01 Mz=6.41
Sollecitazioni agenti localmente: Tx_l=12.02 Ty_l=26.92 N_l=-5861.43 My_l=-6.41 Mz_l=-0.01
Azioni sul cordone: TP=0.90 TO=1.98 NO=-433.28
Tensioni nel cordone: τ_P=0.29 τ_0=0.63 σ_0=147.08 σ_{ID}=147.08 Σ_T=147.71
CC 21 SLV (Collegamento -179_-383)
Azioni sul collegamento: N=-5861.43 Ty=5.33 Tz=-1.63 Mx=-0.01 Mz=2.18
Sollecitazioni agenti localmente: Tx_l=5.33 Ty_l=-1.63 N_l=-5861.43 My_l=-2.18 Mz_l=-0.01
Azioni sul cordone: TP=0.41 TO=-0.13 NO=-433.28
Tensioni nel cordone: τ_P=0.13 τ_0= 0.04 σ_0=140.90 σ_{ID}=140.90 Σ_T=140.94
CC 21 SLV (Collegamento -179_-383)
Azioni sul collegamento: N=-5861.43 Ty=12.02 Tz=-1.63 Mx=-0.01 Mz=6.41
Sollecitazioni agenti localmente: Tx_l=12.02 Ty_l=-1.63 N_l=-5861.43 My_l=-6.41 Mz_l=-0.01
Azioni sul cordone: TP=0.90 TO=-0.13 NO=-433.28
Tensioni nel cordone: τ_P=0.29 τ_0= 0.04 σ_0=147.08 σ_{ID}=147.08 Σ_T=147.12
CC 22 SLD (Collegamento -179_-383)
Azioni sul collegamento: N=-11057.70 Ty=8.58 Tz=17.38 Mx=-0.00 Mz=5.79
Sollecitazioni agenti localmente: Tx_l=8.58 Ty_l=17.38 N_l=-11057.70 My_l=-5.79 Mz_l=-0.00
Azioni sul cordone: TP=0.64 TO=1.28 NO=-817.39
Tensioni nel cordone: τ_P=0.20 τ_0=0.41 σ_0=268.26 σ_{ID}=268.26 Σ_T=268.67
CC 22 SLD (Collegamento -179_-383)

Azioni sul collegamento: N=-11057.70 Ty=10.62 Tz=17.38 Mx=-0.00 Mz=7.07
Sollecitazioni agenti localmente: Tx_l=10.62 Ty_l=17.38 N_l=-11057.70 My_l=-7.07 Mz_l=-0.00
Azioni sul cordone: TP=0.79 TO=1.28 NO=-817.39
Tensioni nel cordone: τ_P=0.25 τ_0=0.41 σ_0=270.14 σ_{ID}=270.14 Σ_T=270.55
CC 22 SLD (Collegamento -179_-383)
Azioni sul collegamento: N=-11057.70 Ty=8.58 Tz=8.67 Mx=-0.00 Mz=5.79
Sollecitazioni agenti localmente: Tx_l=8.58 Ty_l=8.67 N_l=-11057.70 My_l=-5.79 Mz_l=-0.00
Azioni sul cordone: TP=0.64 TO=0.64 NO=-817.39
Tensioni nel cordone: τ_P=0.20 τ_0=0.20 σ_0=268.26 σ_{ID}=268.26 Σ_T=268.46
CC 22 SLD (Collegamento -179_-383)
Azioni sul collegamento: N=-11057.70 Ty=10.62 Tz=8.67 Mx=-0.00 Mz=7.07
Sollecitazioni agenti localmente: Tx_l=10.62 Ty_l=8.67 N_l=-11057.70 My_l=-7.07 Mz_l=-0.00
Azioni sul cordone: TP=0.79 TO=0.64 NO=-817.39
Tensioni nel cordone: τ_P=0.25 τ_0=0.20 σ_0=270.14 σ_{ID}=270.14 Σ_T=270.35
CC 22 SLD (Collegamento -179_-383)
Azioni sul collegamento: N=-8674.72 Ty=8.58 Tz=17.38 Mx=-0.00 Mz=5.79
Sollecitazioni agenti localmente: Tx_l=8.58 Ty_l=17.38 N_l=-8674.72 My_l=-5.79 Mz_l=-0.00
Azioni sul cordone: TP=0.64 TO=1.28 NO=-641.24
Tensioni nel cordone: τ_P=0.20 τ_0=0.41 σ_0=212.27 σ_{ID}=212.27 Σ_T=212.68
CC 22 SLD (Collegamento -179_-383)
Azioni sul collegamento: N=-8674.72 Ty=10.62 Tz=17.38 Mx=-0.00 Mz=7.07
Sollecitazioni agenti localmente: Tx_l=10.62 Ty_l=17.38 N_l=-8674.72 My_l=-7.07 Mz_l=-0.00
Azioni sul cordone: TP=0.79 TO=1.28 NO=-641.24
Tensioni nel cordone: τ_P=0.25 τ_0=0.41 σ_0=214.15 σ_{ID}=214.15 Σ_T=214.56
CC 22 SLD (Collegamento -179_-383)
Azioni sul collegamento: N=-8674.72 Ty=8.58 Tz=8.67 Mx=-0.00 Mz=5.79
Sollecitazioni agenti localmente: Tx_l=8.58 Ty_l=8.67 N_l=-8674.72 My_l=-5.79 Mz_l=-0.00
Azioni sul cordone: TP=0.64 TO=0.64 NO=-641.24
Tensioni nel cordone: τ_P=0.20 τ_0=0.20 σ_0=212.27 σ_{ID}=212.27 Σ_T=212.47
CC 22 SLD (Collegamento -179_-383)
Azioni sul collegamento: N=-8674.72 Ty=10.62 Tz=8.67 Mx=-0.00 Mz=7.07
Sollecitazioni agenti localmente: Tx_l=10.62 Ty_l=8.67 N_l=-8674.72 My_l=-7.07 Mz_l=-0.00
Azioni sul cordone: TP=0.79 TO=0.64 NO=-641.24
Tensioni nel cordone: τ_P=0.25 τ_0=0.20 σ_0=214.15 σ_{ID}=214.15 Σ_T=214.35
CC 23 SLV (Collegamento -179_-383)
Azioni sul collegamento: N=-13681.20 Ty=4.82 Tz=27.25 Mx=-0.01 Mz=1.13
Sollecitazioni agenti localmente: Tx_l=4.82 Ty_l=27.25 N_l=-13681.20 My_l=-1.13 Mz_l=-0.01
Azioni sul cordone: TP=0.36 TO=2.01 NO=-1011.32
Tensioni nel cordone: τ_P=0.12 τ_0=0.64 σ_0=323.10 σ_{ID}=323.10 Σ_T=323.74
CC 23 SLV (Collegamento -179_-383)
Azioni sul collegamento: N=-13681.20 Ty=12.53 Tz=27.25 Mx=-0.01 Mz=7.45
Sollecitazioni agenti localmente: Tx_l=12.53 Ty_l=27.25 N_l=-13681.20 My_l=-7.45 Mz_l=-0.01
Azioni sul cordone: TP=0.93 TO=2.01 NO=-1011.32
Tensioni nel cordone: τ_P=0.30 τ_0=0.64 σ_0=332.34 σ_{ID}=332.34 Σ_T=332.97
CC 23 SLV (Collegamento -179_-383)
Azioni sul collegamento: N=-13681.20 Ty=4.82 Tz=-1.96 Mx=-0.01 Mz=1.13
Sollecitazioni agenti localmente: Tx_l=4.82 Ty_l=-1.96 N_l=-13681.20 My_l=-1.13 Mz_l=-0.01
Azioni sul cordone: TP=0.36 TO=-0.15 NO=-1011.32
Tensioni nel cordone: τ_P=0.12 τ_0= 0.05 σ_0=323.10 σ_{ID}=323.10 Σ_T=323.15
CC 23 SLV (Collegamento -179_-383)
Azioni sul collegamento: N=-13681.20 Ty=12.53 Tz=-1.96 Mx=-0.01 Mz=7.45
Sollecitazioni agenti localmente: Tx_l=12.53 Ty_l=-1.96 N_l=-13681.20 My_l=-7.45 Mz_l=-0.01
Azioni sul cordone: TP=0.93 TO=-0.15 NO=-1011.32
Tensioni nel cordone: τ_P=0.30 τ_0= 0.05 σ_0=332.34 σ_{ID}=332.34 Σ_T=332.38
CC 23 SLV (Collegamento -179_-383)
Azioni sul collegamento: N=-5856.57 Ty=4.82 Tz=27.25 Mx=-0.01 Mz=1.13
Sollecitazioni agenti localmente: Tx_l=4.82 Ty_l=27.25 N_l=-5856.57 My_l=-1.13 Mz_l=-0.01
Azioni sul cordone: TP=0.36 TO=2.01 NO=-432.92
Tensioni nel cordone: τ_P=0.12 τ_0=0.64 σ_0=139.25 σ_{ID}=139.26 Σ_T=139.89
CC 23 SLV (Collegamento -179_-383)
Azioni sul collegamento: N=-5856.57 Ty=12.53 Tz=27.25 Mx=-0.01 Mz=7.45
Sollecitazioni agenti localmente: Tx_l=12.53 Ty_l=27.25 N_l=-5856.57 My_l=-7.45 Mz_l=-0.01
Azioni sul cordone: TP=0.93 TO=2.01 NO=-432.92
Tensioni nel cordone: τ_P=0.30 τ_0=0.64 σ_0=148.49 σ_{ID}=148.49 Σ_T=149.13
CC 23 SLV (Collegamento -179_-383)
Azioni sul collegamento: N=-5856.57 Ty=4.82 Tz=-1.96 Mx=-0.01 Mz=1.13
Sollecitazioni agenti localmente: Tx_l=4.82 Ty_l=-1.96 N_l=-5856.57 My_l=-1.13 Mz_l=-0.01
Azioni sul cordone: TP=0.36 TO=-0.15 NO=-432.92
Tensioni nel cordone: τ_P=0.12 τ_0= 0.05 σ_0=139.25 σ_{ID}=139.25 Σ_T=139.30
CC 23 SLV (Collegamento -179_-383)
Azioni sul collegamento: N=-5856.57 Ty=12.53 Tz=-1.96 Mx=-0.01 Mz=7.45
Sollecitazioni agenti localmente: Tx_l=12.53 Ty_l=-1.96 N_l=-5856.57 My_l=-7.45 Mz_l=-0.01
Azioni sul cordone: TP=0.93 TO=-0.15 NO=-432.92
Tensioni nel cordone: τ_P=0.30 τ_0= 0.05 σ_0=148.49 σ_{ID}=148.49 Σ_T=148.54
CC 24 SLD (Collegamento -179_-383)
Azioni sul collegamento: N=-11059.20 Ty=8.42 Tz=17.48 Mx=0.00 Mz=5.47
Sollecitazioni agenti localmente: Tx_l=8.42 Ty_l=17.48 N_l=-11059.20 My_l=-5.47 Mz_l=0.00
Azioni sul cordone: TP=0.62 TO=1.29 NO=-817.50
Tensioni nel cordone: τ_P=0.20 τ_0=0.41 σ_0=267.83 σ_{ID}=267.83 Σ_T=268.24
CC 24 SLD (Collegamento -179_-383)
Azioni sul collegamento: N=-11059.20 Ty=10.78 Tz=17.48 Mx=0.00 Mz=7.39

Sollecitazioni agenti localmente: Tx_l=10.78 Ty_l=17.48 N_l=-11059.20 My_l=-7.39 Mz_l=0.00
Azioni sul cordone: TP=0.80 TO=1.29 NO=-817.50
Tensioni nel cordone: τ_P=0.25 τ_O=0.41 σ_O=270.64 σ_{ID}=270.64 Σ_T=271.05
CC 24 SLD (Collegamento -179_-383)
Azioni sul collegamento: N=-11059.20 Ty=8.42 Tz=8.57 Mx=0.00 Mz=5.47
Sollecitazioni agenti localmente: Tx_l=8.42 Ty_l=8.57 N_l=-11059.20 My_l=-5.47 Mz_l=0.00
Azioni sul cordone: TP=0.62 TO=0.63 NO=-817.50
Tensioni nel cordone: τ_P=0.20 τ_O=0.20 σ_O=267.83 σ_{ID}=267.83 Σ_T=268.03
CC 24 SLD (Collegamento -179_-383)
Azioni sul collegamento: N=-11059.20 Ty=10.78 Tz=8.57 Mx=0.00 Mz=7.39
Sollecitazioni agenti localmente: Tx_l=10.78 Ty_l=8.57 N_l=-11059.20 My_l=-7.39 Mz_l=0.00
Azioni sul cordone: TP=0.80 TO=0.63 NO=-817.50
Tensioni nel cordone: τ_P=0.25 τ_O=0.20 σ_O=270.64 σ_{ID}=270.64 Σ_T=270.85
CC 24 SLD (Collegamento -179_-383)
Azioni sul collegamento: N=-8673.24 Ty=8.42 Tz=17.48 Mx=0.00 Mz=5.47
Sollecitazioni agenti localmente: Tx_l=8.42 Ty_l=17.48 N_l=-8673.24 My_l=-5.47 Mz_l=0.00
Azioni sul cordone: TP=0.62 TO=1.29 NO=-641.13
Tensioni nel cordone: τ_P=0.20 τ_O=0.41 σ_O=211.77 σ_{ID}=211.77 Σ_T=212.18
CC 24 SLD (Collegamento -179_-383)
Azioni sul collegamento: N=-8673.24 Ty=10.78 Tz=17.48 Mx=0.00 Mz=7.39
Sollecitazioni agenti localmente: Tx_l=10.78 Ty_l=17.48 N_l=-8673.24 My_l=-7.39 Mz_l=0.00
Azioni sul cordone: TP=0.80 TO=1.29 NO=-641.13
Tensioni nel cordone: τ_P=0.25 τ_O=0.41 σ_O=214.58 σ_{ID}=214.58 Σ_T=214.99
CC 24 SLD (Collegamento -179_-383)
Azioni sul collegamento: N=-8673.24 Ty=8.42 Tz=8.57 Mx=0.00 Mz=5.47
Sollecitazioni agenti localmente: Tx_l=8.42 Ty_l=8.57 N_l=-8673.24 My_l=-5.47 Mz_l=0.00
Azioni sul cordone: TP=0.62 TO=0.63 NO=-641.13
Tensioni nel cordone: τ_P=0.20 τ_O=0.20 σ_O=211.77 σ_{ID}=211.77 Σ_T=211.97
CC 24 SLD (Collegamento -179_-383)
Azioni sul collegamento: N=-8673.24 Ty=10.78 Tz=8.57 Mx=0.00 Mz=7.39
Sollecitazioni agenti localmente: Tx_l=10.78 Ty_l=8.57 N_l=-8673.24 My_l=-7.39 Mz_l=0.00
Azioni sul cordone: TP=0.80 TO=0.63 NO=-641.13
Tensioni nel cordone: τ_P=0.25 τ_O=0.20 σ_O=214.58 σ_{ID}=214.58 Σ_T=214.78
CC 25 SLV (Collegamento -179_-383)
Azioni sul collegamento: N=-8587.82 Ty=10.61 Tz=7.77 Mx=-0.02 Mz=6.83
Sollecitazioni agenti localmente: Tx_l=10.61 Ty_l=7.77 N_l=-8587.82 My_l=-6.83 Mz_l=-0.02
Azioni sul cordone: TP=0.80 TO=0.56 NO=-634.81
Tensioni nel cordone: τ_P=0.26 τ_O=0.18 σ_O=211.75 σ_{ID}=211.75 Σ_T=211.93
CC 25 SLV (Collegamento -179_-383)
Azioni sul collegamento: N=-8587.82 Ty=6.74 Tz=7.77 Mx=-0.02 Mz=1.76
Sollecitazioni agenti localmente: Tx_l=6.74 Ty_l=7.77 N_l=-8587.82 My_l=-1.76 Mz_l=-0.02
Azioni sul cordone: TP=0.52 TO=0.56 NO=-634.81
Tensioni nel cordone: τ_P=0.16 τ_O=0.18 σ_O=204.34 σ_{ID}=204.34 Σ_T=204.52
CC 25 SLV (Collegamento -179_-383)
Azioni sul collegamento: N=-8587.82 Ty=10.61 Tz=17.52 Mx=-0.02 Mz=6.83
Sollecitazioni agenti localmente: Tx_l=10.61 Ty_l=17.52 N_l=-8587.82 My_l=-6.83 Mz_l=-0.02
Azioni sul cordone: TP=0.80 TO=1.28 NO=-634.81
Tensioni nel cordone: τ_P=0.26 τ_O=0.41 σ_O=211.75 σ_{ID}=211.75 Σ_T=212.16
CC 25 SLV (Collegamento -179_-383)
Azioni sul collegamento: N=-8587.82 Ty=6.74 Tz=17.52 Mx=-0.02 Mz=1.76
Sollecitazioni agenti localmente: Tx_l=6.74 Ty_l=17.52 N_l=-8587.82 My_l=-1.76 Mz_l=-0.02
Azioni sul cordone: TP=0.52 TO=1.28 NO=-634.81
Tensioni nel cordone: τ_P=0.16 τ_O=0.41 σ_O=204.34 σ_{ID}=204.34 Σ_T=204.75
CC 25 SLV (Collegamento -179_-383)
Azioni sul collegamento: N=-10950.00 Ty=10.61 Tz=7.77 Mx=-0.02 Mz=6.83
Sollecitazioni agenti localmente: Tx_l=10.61 Ty_l=7.77 N_l=-10950.00 My_l=-6.83 Mz_l=-0.02
Azioni sul cordone: TP=0.80 TO=0.56 NO=-809.42
Tensioni nel cordone: τ_P=0.26 τ_O=0.18 σ_O=267.25 σ_{ID}=267.25 Σ_T=267.43
CC 25 SLV (Collegamento -179_-383)
Azioni sul collegamento: N=-10950.00 Ty=6.74 Tz=7.77 Mx=-0.02 Mz=1.76
Sollecitazioni agenti localmente: Tx_l=6.74 Ty_l=7.77 N_l=-10950.00 My_l=-1.76 Mz_l=-0.02
Azioni sul cordone: TP=0.52 TO=0.56 NO=-809.42
Tensioni nel cordone: τ_P=0.16 τ_O=0.18 σ_O=259.84 σ_{ID}=259.84 Σ_T=260.02
CC 25 SLV (Collegamento -179_-383)
Azioni sul collegamento: N=-10950.00 Ty=10.61 Tz=17.52 Mx=-0.02 Mz=6.83
Sollecitazioni agenti localmente: Tx_l=10.61 Ty_l=17.52 N_l=-10950.00 My_l=-6.83 Mz_l=-0.02
Azioni sul cordone: TP=0.80 TO=1.28 NO=-809.42
Tensioni nel cordone: τ_P=0.26 τ_O=0.41 σ_O=267.25 σ_{ID}=267.25 Σ_T=267.66
CC 25 SLV (Collegamento -179_-383)
Azioni sul collegamento: N=-10950.00 Ty=6.74 Tz=17.52 Mx=-0.02 Mz=1.76
Sollecitazioni agenti localmente: Tx_l=6.74 Ty_l=17.52 N_l=-10950.00 My_l=-1.76 Mz_l=-0.02
Azioni sul cordone: TP=0.52 TO=1.28 NO=-809.42
Tensioni nel cordone: τ_P=0.16 τ_O=0.41 σ_O=259.84 σ_{ID}=259.84 Σ_T=260.25
CC 26 SLD (Collegamento -179_-383)
Azioni sul collegamento: N=-9506.09 Ty=10.19 Tz=11.54 Mx=-0.00 Mz=7.20
Sollecitazioni agenti localmente: Tx_l=10.19 Ty_l=11.54 N_l=-9506.09 My_l=-7.20 Mz_l=-0.00
Azioni sul cordone: TP=0.76 TO=0.85 NO=-702.69
Tensioni nel cordone: τ_P=0.24 τ_O=0.27 σ_O=233.87 σ_{ID}=233.87 Σ_T=234.14
CC 26 SLD (Collegamento -179_-383)
Azioni sul collegamento: N=-9506.09 Ty=9.01 Tz=11.54 Mx=-0.00 Mz=5.66
Sollecitazioni agenti localmente: Tx_l=9.01 Ty_l=11.54 N_l=-9506.09 My_l=-5.66 Mz_l=-0.00

Azioni sul cordone: TP=0.67 TO=0.85 NO=-702.69
Tensioni nel cordone: τ_P=0.21 τ_0=0.27 σ_0=231.61 σ_{ID}=231.61 Σ_T=231.88
CC 26 SLD (Collegamento -179_-383)
Azioni sul collegamento: N=-9506.09 Ty=10.19 Tz=14.51 Mx=-0.00 Mz=7.20
Sollecitazioni agenti localmente: Tx_l=10.19 Ty_l=14.51 N_l=-9506.09 My_l=-7.20 Mz_l=-0.00
Azioni sul cordone: TP=0.76 TO=1.07 NO=-702.69
Tensioni nel cordone: τ_P=0.24 τ_0=0.34 σ_0=233.87 σ_{ID}=233.87 Σ_T=234.21
CC 26 SLD (Collegamento -179_-383)
Azioni sul collegamento: N=-9506.09 Ty=9.01 Tz=14.51 Mx=-0.00 Mz=5.66
Sollecitazioni agenti localmente: Tx_l=9.01 Ty_l=14.51 N_l=-9506.09 My_l=-5.66 Mz_l=-0.00
Azioni sul cordone: TP=0.67 TO=1.07 NO=-702.69
Tensioni nel cordone: τ_P=0.21 τ_0=0.34 σ_0=231.61 σ_{ID}=231.61 Σ_T=231.95
CC 26 SLD (Collegamento -179_-383)
Azioni sul collegamento: N=-10226.40 Ty=10.19 Tz=11.54 Mx=-0.00 Mz=7.20
Sollecitazioni agenti localmente: Tx_l=10.19 Ty_l=11.54 N_l=-10226.40 My_l=-7.20 Mz_l=-0.00
Azioni sul cordone: TP=0.76 TO=0.85 NO=-755.94
Tensioni nel cordone: τ_P=0.24 τ_0=0.27 σ_0=250.80 σ_{ID}=250.80 Σ_T=251.07
CC 26 SLD (Collegamento -179_-383)
Azioni sul collegamento: N=-10226.40 Ty=9.01 Tz=11.54 Mx=-0.00 Mz=5.66
Sollecitazioni agenti localmente: Tx_l=9.01 Ty_l=11.54 N_l=-10226.40 My_l=-5.66 Mz_l=-0.00
Azioni sul cordone: TP=0.67 TO=0.85 NO=-755.94
Tensioni nel cordone: τ_P=0.21 τ_0=0.27 σ_0=248.54 σ_{ID}=248.54 Σ_T=248.81
CC 26 SLD (Collegamento -179_-383)
Azioni sul collegamento: N=-10226.40 Ty=10.19 Tz=14.51 Mx=-0.00 Mz=7.20
Sollecitazioni agenti localmente: Tx_l=10.19 Ty_l=14.51 N_l=-10226.40 My_l=-7.20 Mz_l=-0.00
Azioni sul cordone: TP=0.76 TO=1.07 NO=-755.94
Tensioni nel cordone: τ_P=0.24 τ_0=0.34 σ_0=250.80 σ_{ID}=250.80 Σ_T=251.14
CC 26 SLD (Collegamento -179_-383)
Azioni sul collegamento: N=-10226.40 Ty=9.01 Tz=14.51 Mx=-0.00 Mz=5.66
Sollecitazioni agenti localmente: Tx_l=9.01 Ty_l=14.51 N_l=-10226.40 My_l=-5.66 Mz_l=-0.00
Azioni sul cordone: TP=0.67 TO=1.07 NO=-755.94
Tensioni nel cordone: τ_P=0.21 τ_0=0.34 σ_0=248.54 σ_{ID}=248.54 Σ_T=248.88
CC 27 SLV (Collegamento -179_-383)
Azioni sul collegamento: N=-10933.80 Ty=8.45 Tz=16.43 Mx=-0.02 Mz=5.25
Sollecitazioni agenti localmente: Tx_l=8.45 Ty_l=16.43 N_l=-10933.80 My_l=-5.25 Mz_l=-0.02
Azioni sul cordone: TP=0.64 TO=1.20 NO=-808.23
Tensioni nel cordone: τ_P=0.20 τ_0=0.38 σ_0=264.56 σ_{ID}=264.56 Σ_T=264.94
CC 27 SLV (Collegamento -179_-383)
Azioni sul collegamento: N=-10933.80 Ty=8.90 Tz=16.43 Mx=-0.02 Mz=3.34
Sollecitazioni agenti localmente: Tx_l=8.90 Ty_l=16.43 N_l=-10933.80 My_l=-3.34 Mz_l=-0.02
Azioni sul cordone: TP=0.68 TO=1.20 NO=-808.23
Tensioni nel cordone: τ_P=0.22 τ_0=0.38 σ_0=261.77 σ_{ID}=261.77 Σ_T=262.15
CC 27 SLV (Collegamento -179_-383)
Azioni sul collegamento: N=-10933.80 Ty=8.45 Tz=8.86 Mx=-0.02 Mz=5.25
Sollecitazioni agenti localmente: Tx_l=8.45 Ty_l=8.86 N_l=-10933.80 My_l=-5.25 Mz_l=-0.02
Azioni sul cordone: TP=0.64 TO=0.64 NO=-808.23
Tensioni nel cordone: τ_P=0.20 τ_0=0.20 σ_0=264.56 σ_{ID}=264.56 Σ_T=264.76
CC 27 SLV (Collegamento -179_-383)
Azioni sul collegamento: N=-10933.80 Ty=8.90 Tz=8.86 Mx=-0.02 Mz=3.34
Sollecitazioni agenti localmente: Tx_l=8.90 Ty_l=8.86 N_l=-10933.80 My_l=-3.34 Mz_l=-0.02
Azioni sul cordone: TP=0.68 TO=0.64 NO=-808.23
Tensioni nel cordone: τ_P=0.22 τ_0=0.20 σ_0=261.77 σ_{ID}=261.77 Σ_T=261.97
CC 27 SLV (Collegamento -179_-383)
Azioni sul collegamento: N=-8604.03 Ty=8.45 Tz=16.43 Mx=-0.02 Mz=5.25
Sollecitazioni agenti localmente: Tx_l=8.45 Ty_l=16.43 N_l=-8604.03 My_l=-5.25 Mz_l=-0.02
Azioni sul cordone: TP=0.64 TO=1.20 NO=-636.01
Tensioni nel cordone: τ_P=0.20 τ_0=0.38 σ_0=209.82 σ_{ID}=209.82 Σ_T=210.20
CC 27 SLV (Collegamento -179_-383)
Azioni sul collegamento: N=-8604.03 Ty=8.90 Tz=16.43 Mx=-0.02 Mz=3.34
Sollecitazioni agenti localmente: Tx_l=8.90 Ty_l=16.43 N_l=-8604.03 My_l=-3.34 Mz_l=-0.02
Azioni sul cordone: TP=0.68 TO=1.20 NO=-636.01
Tensioni nel cordone: τ_P=0.22 τ_0=0.38 σ_0=207.03 σ_{ID}=207.03 Σ_T=207.41
CC 27 SLV (Collegamento -179_-383)
Azioni sul collegamento: N=-8604.03 Ty=8.45 Tz=8.86 Mx=-0.02 Mz=5.25
Sollecitazioni agenti localmente: Tx_l=8.45 Ty_l=8.86 N_l=-8604.03 My_l=-5.25 Mz_l=-0.02
Azioni sul cordone: TP=0.64 TO=0.64 NO=-636.01
Tensioni nel cordone: τ_P=0.20 τ_0=0.20 σ_0=209.82 σ_{ID}=209.82 Σ_T=210.02
CC 27 SLV (Collegamento -179_-383)
Azioni sul collegamento: N=-8604.03 Ty=8.90 Tz=8.86 Mx=-0.02 Mz=3.34
Sollecitazioni agenti localmente: Tx_l=8.90 Ty_l=8.86 N_l=-8604.03 My_l=-3.34 Mz_l=-0.02
Azioni sul cordone: TP=0.68 TO=0.64 NO=-636.01
Tensioni nel cordone: τ_P=0.22 τ_0=0.20 σ_0=207.03 σ_{ID}=207.03 Σ_T=207.24
CC 28 SLD (Collegamento -179_-383)
Azioni sul collegamento: N=-10221.40 Ty=9.53 Tz=14.18 Mx=-0.00 Mz=6.72
Sollecitazioni agenti localmente: Tx_l=9.53 Ty_l=14.18 N_l=-10221.40 My_l=-6.72 Mz_l=-0.00
Azioni sul cordone: TP=0.71 TO=1.05 NO=-755.57
Tensioni nel cordone: τ_P=0.23 τ_0=0.33 σ_0=249.98 σ_{ID}=249.98 Σ_T=250.31
CC 28 SLD (Collegamento -179_-383)
Azioni sul collegamento: N=-10221.40 Ty=9.67 Tz=14.18 Mx=-0.00 Mz=6.14
Sollecitazioni agenti localmente: Tx_l=9.67 Ty_l=14.18 N_l=-10221.40 My_l=-6.14 Mz_l=-0.00
Azioni sul cordone: TP=0.72 TO=1.05 NO=-755.57

Tensioni nel cordone: τ_P=0.23 τ_0=0.33 σ_0=249.13 σ_{ID}=249.13 Σ_T=249.46
CC 28 SLD (Collegamento -179_-383)
Azioni sul collegamento: N=-10221.40 Ty=9.53 Tz=11.87 Mx=-0.00 Mz=6.72
Sollecitazioni agenti localmente: Tx_l=9.53 Ty_l=11.87 N_l=-10221.40 My_l=-6.72 Mz_l=-0.00
Azioni sul cordone: TP=0.71 TO=0.88 NO=-755.57
Tensioni nel cordone: τ_P=0.23 τ_0=0.28 σ_0=249.98 σ_{ID}=249.98 Σ_T=250.25
CC 28 SLD (Collegamento -179_-383)
Azioni sul collegamento: N=-10221.40 Ty=9.67 Tz=11.87 Mx=-0.00 Mz=6.14
Sollecitazioni agenti localmente: Tx_l=9.67 Ty_l=11.87 N_l=-10221.40 My_l=-6.14 Mz_l=-0.00
Azioni sul cordone: TP=0.72 TO=0.88 NO=-755.57
Tensioni nel cordone: τ_P=0.23 τ_0=0.28 σ_0=249.13 σ_{ID}=249.13 Σ_T=249.40
CC 28 SLD (Collegamento -179_-383)
Azioni sul collegamento: N=-9511.03 Ty=9.53 Tz=14.18 Mx=-0.00 Mz=6.72
Sollecitazioni agenti localmente: Tx_l=9.53 Ty_l=14.18 N_l=-9511.03 My_l=-6.72 Mz_l=-0.00
Azioni sul cordone: TP=0.71 TO=1.05 NO=-703.06
Tensioni nel cordone: τ_P=0.23 τ_0=0.33 σ_0=233.28 σ_{ID}=233.28 Σ_T=233.62
CC 28 SLD (Collegamento -179_-383)
Azioni sul collegamento: N=-9511.03 Ty=9.67 Tz=14.18 Mx=-0.00 Mz=6.14
Sollecitazioni agenti localmente: Tx_l=9.67 Ty_l=14.18 N_l=-9511.03 My_l=-6.14 Mz_l=-0.00
Azioni sul cordone: TP=0.72 TO=1.05 NO=-703.06
Tensioni nel cordone: τ_P=0.23 τ_0=0.33 σ_0=232.43 σ_{ID}=232.43 Σ_T=232.77
CC 28 SLD (Collegamento -179_-383)
Azioni sul collegamento: N=-9511.03 Ty=9.53 Tz=11.87 Mx=-0.00 Mz=6.72
Sollecitazioni agenti localmente: Tx_l=9.53 Ty_l=11.87 N_l=-9511.03 My_l=-6.72 Mz_l=-0.00
Azioni sul cordone: TP=0.71 TO=0.88 NO=-703.06
Tensioni nel cordone: τ_P=0.23 τ_0=0.28 σ_0=233.28 σ_{ID}=233.28 Σ_T=233.56
CC 28 SLD (Collegamento -179_-383)
Azioni sul collegamento: N=-9511.03 Ty=9.67 Tz=11.87 Mx=-0.00 Mz=6.14
Sollecitazioni agenti localmente: Tx_l=9.67 Ty_l=11.87 N_l=-9511.03 My_l=-6.14 Mz_l=-0.00
Azioni sul cordone: TP=0.72 TO=0.88 NO=-703.06
Tensioni nel cordone: τ_P=0.23 τ_0=0.28 σ_0=232.43 σ_{ID}=232.43 Σ_T=232.71
CC 29 SLV (Collegamento -179_-383)
Azioni sul collegamento: N=-8604.03 Ty=8.90 Tz=8.86 Mx=-0.00 Mz=3.34
Sollecitazioni agenti localmente: Tx_l=8.90 Ty_l=8.86 N_l=-8604.03 My_l=-3.34 Mz_l=-0.00
Azioni sul cordone: TP=0.66 TO=0.65 NO=-636.01
Tensioni nel cordone: τ_P=0.21 τ_0=0.21 σ_0=207.03 σ_{ID}=207.03 Σ_T=207.24
CC 29 SLV (Collegamento -179_-383)
Azioni sul collegamento: N=-8604.03 Ty=8.45 Tz=8.86 Mx=-0.00 Mz=5.25
Sollecitazioni agenti localmente: Tx_l=8.45 Ty_l=8.86 N_l=-8604.03 My_l=-5.25 Mz_l=-0.00
Azioni sul cordone: TP=0.63 TO=0.65 NO=-636.01
Tensioni nel cordone: τ_P=0.20 τ_0=0.21 σ_0=209.82 σ_{ID}=209.82 Σ_T=210.03
CC 29 SLV (Collegamento -179_-383)
Azioni sul collegamento: N=-8604.03 Ty=8.90 Tz=16.43 Mx=-0.00 Mz=3.34
Sollecitazioni agenti localmente: Tx_l=8.90 Ty_l=16.43 N_l=-8604.03 My_l=-3.34 Mz_l=-0.00
Azioni sul cordone: TP=0.66 TO=1.21 NO=-636.01
Tensioni nel cordone: τ_P=0.21 τ_0=0.39 σ_0=207.03 σ_{ID}=207.03 Σ_T=207.42
CC 29 SLV (Collegamento -179_-383)
Azioni sul collegamento: N=-8604.03 Ty=8.45 Tz=16.43 Mx=-0.00 Mz=5.25
Sollecitazioni agenti localmente: Tx_l=8.45 Ty_l=16.43 N_l=-8604.03 My_l=-5.25 Mz_l=-0.00
Azioni sul cordone: TP=0.63 TO=1.21 NO=-636.01
Tensioni nel cordone: τ_P=0.20 τ_0=0.39 σ_0=209.82 σ_{ID}=209.82 Σ_T=210.21
CC 29 SLV (Collegamento -179_-383)
Azioni sul collegamento: N=-10933.80 Ty=8.90 Tz=8.86 Mx=-0.00 Mz=3.34
Sollecitazioni agenti localmente: Tx_l=8.90 Ty_l=8.86 N_l=-10933.80 My_l=-3.34 Mz_l=-0.00
Azioni sul cordone: TP=0.66 TO=0.65 NO=-808.23
Tensioni nel cordone: τ_P=0.21 τ_0=0.21 σ_0=261.77 σ_{ID}=261.77 Σ_T=261.98
CC 29 SLV (Collegamento -179_-383)
Azioni sul collegamento: N=-10933.80 Ty=8.45 Tz=8.86 Mx=-0.00 Mz=5.25
Sollecitazioni agenti localmente: Tx_l=8.45 Ty_l=8.86 N_l=-10933.80 My_l=-5.25 Mz_l=-0.00
Azioni sul cordone: TP=0.63 TO=0.65 NO=-808.23
Tensioni nel cordone: τ_P=0.20 τ_0=0.21 σ_0=264.56 σ_{ID}=264.56 Σ_T=264.77
CC 29 SLV (Collegamento -179_-383)
Azioni sul collegamento: N=-10933.80 Ty=8.90 Tz=16.43 Mx=-0.00 Mz=3.34
Sollecitazioni agenti localmente: Tx_l=8.90 Ty_l=16.43 N_l=-10933.80 My_l=-3.34 Mz_l=-0.00
Azioni sul cordone: TP=0.66 TO=1.21 NO=-808.23
Tensioni nel cordone: τ_P=0.21 τ_0=0.39 σ_0=261.77 σ_{ID}=261.77 Σ_T=262.16
CC 29 SLV (Collegamento -179_-383)
Azioni sul collegamento: N=-10933.80 Ty=8.45 Tz=16.43 Mx=-0.00 Mz=5.25
Sollecitazioni agenti localmente: Tx_l=8.45 Ty_l=16.43 N_l=-10933.80 My_l=-5.25 Mz_l=-0.00
Azioni sul cordone: TP=0.63 TO=1.21 NO=-808.23
Tensioni nel cordone: τ_P=0.20 τ_0=0.39 σ_0=264.56 σ_{ID}=264.56 Σ_T=264.94
CC 30 SLD (Collegamento -179_-383)
Azioni sul collegamento: N=-9511.03 Ty=9.67 Tz=11.87 Mx=0.00 Mz=6.14
Sollecitazioni agenti localmente: Tx_l=9.67 Ty_l=11.87 N_l=-9511.03 My_l=-6.14 Mz_l=0.00
Azioni sul cordone: TP=0.71 TO=0.88 NO=-703.06
Tensioni nel cordone: τ_P=0.23 τ_0=0.28 σ_0=232.43 σ_{ID}=232.43 Σ_T=232.71
CC 30 SLD (Collegamento -179_-383)
Azioni sul collegamento: N=-9511.03 Ty=9.53 Tz=11.87 Mx=0.00 Mz=6.72
Sollecitazioni agenti localmente: Tx_l=9.53 Ty_l=11.87 N_l=-9511.03 My_l=-6.72 Mz_l=0.00
Azioni sul cordone: TP=0.70 TO=0.88 NO=-703.06
Tensioni nel cordone: τ_P=0.22 τ_0=0.28 σ_0=233.28 σ_{ID}=233.28 Σ_T=233.56

CC 30 SLD (Collegamento -179_-383)
Azioni sul collegamento: N=-9511.03 Ty=9.67 Tz=14.18 Mx=0.00 Mz=6.14
Sollecitazioni agenti localmente: Tx_l=9.67 Ty_l=14.18 N_l=-9511.03 My_l=-6.14 Mz_l=0.00
Azioni sul cordone: TP=0.71 TO=1.05 NO=-703.06
Tensioni nel cordone: τ_P=0.23 τ_0=0.33 σ_0=232.43 σ_{ID}=232.43 Σ_T=232.77
CC 30 SLD (Collegamento -179_-383)
Azioni sul collegamento: N=-9511.03 Ty=9.53 Tz=14.18 Mx=0.00 Mz=6.72
Sollecitazioni agenti localmente: Tx_l=9.53 Ty_l=14.18 N_l=-9511.03 My_l=-6.72 Mz_l=0.00
Azioni sul cordone: TP=0.70 TO=1.05 NO=-703.06
Tensioni nel cordone: τ_P=0.22 τ_0=0.33 σ_0=233.28 σ_{ID}=233.28 Σ_T=233.62
CC 30 SLD (Collegamento -179_-383)
Azioni sul collegamento: N=-10221.40 Ty=9.67 Tz=11.87 Mx=0.00 Mz=6.14
Sollecitazioni agenti localmente: Tx_l=9.67 Ty_l=11.87 N_l=-10221.40 My_l=-6.14 Mz_l=0.00
Azioni sul cordone: TP=0.71 TO=0.88 NO=-755.57
Tensioni nel cordone: τ_P=0.23 τ_0=0.28 σ_0=249.13 σ_{ID}=249.13 Σ_T=249.41
CC 30 SLD (Collegamento -179_-383)
Azioni sul collegamento: N=-10221.40 Ty=9.53 Tz=11.87 Mx=0.00 Mz=6.72
Sollecitazioni agenti localmente: Tx_l=9.53 Ty_l=11.87 N_l=-10221.40 My_l=-6.72 Mz_l=0.00
Azioni sul cordone: TP=0.70 TO=0.88 NO=-755.57
Tensioni nel cordone: τ_P=0.22 τ_0=0.28 σ_0=249.98 σ_{ID}=249.98 Σ_T=250.25
CC 30 SLD (Collegamento -179_-383)
Azioni sul collegamento: N=-10221.40 Ty=9.67 Tz=14.18 Mx=0.00 Mz=6.14
Sollecitazioni agenti localmente: Tx_l=9.67 Ty_l=14.18 N_l=-10221.40 My_l=-6.14 Mz_l=0.00
Azioni sul cordone: TP=0.71 TO=1.05 NO=-755.57
Tensioni nel cordone: τ_P=0.23 τ_0=0.33 σ_0=249.13 σ_{ID}=249.13 Σ_T=249.46
CC 30 SLD (Collegamento -179_-383)
Azioni sul collegamento: N=-10221.40 Ty=9.53 Tz=14.18 Mx=0.00 Mz=6.72
Sollecitazioni agenti localmente: Tx_l=9.53 Ty_l=14.18 N_l=-10221.40 My_l=-6.72 Mz_l=0.00
Azioni sul cordone: TP=0.70 TO=1.05 NO=-755.57
Tensioni nel cordone: τ_P=0.22 τ_0=0.33 σ_0=249.98 σ_{ID}=249.98 Σ_T=250.31
CC 31 SLV (Collegamento -179_-383)
Azioni sul collegamento: N=-10950.00 Ty=6.74 Tz=17.52 Mx=-0.00 Mz=1.76
Sollecitazioni agenti localmente: Tx_l=6.74 Ty_l=17.52 N_l=-10950.00 My_l=-1.76 Mz_l=-0.00
Azioni sul cordone: TP=0.50 TO=1.29 NO=-809.42
Tensioni nel cordone: τ_P=0.16 τ_0=0.41 σ_0=259.84 σ_{ID}=259.84 Σ_T=260.25
CC 31 SLV (Collegamento -179_-383)
Azioni sul collegamento: N=-10950.00 Ty=10.61 Tz=17.52 Mx=-0.00 Mz=6.83
Sollecitazioni agenti localmente: Tx_l=10.61 Ty_l=17.52 N_l=-10950.00 My_l=-6.83 Mz_l=-0.00
Azioni sul cordone: TP=0.79 TO=1.29 NO=-809.42
Tensioni nel cordone: τ_P=0.25 τ_0=0.41 σ_0=267.25 σ_{ID}=267.25 Σ_T=267.66
CC 31 SLV (Collegamento -179_-383)
Azioni sul collegamento: N=-10950.00 Ty=6.74 Tz=7.77 Mx=-0.00 Mz=1.76
Sollecitazioni agenti localmente: Tx_l=6.74 Ty_l=7.77 N_l=-10950.00 My_l=-1.76 Mz_l=-0.00
Azioni sul cordone: TP=0.50 TO=0.57 NO=-809.42
Tensioni nel cordone: τ_P=0.16 τ_0=0.18 σ_0=259.84 σ_{ID}=259.84 Σ_T=260.02
CC 31 SLV (Collegamento -179_-383)
Azioni sul collegamento: N=-10950.00 Ty=10.61 Tz=7.77 Mx=-0.00 Mz=6.83
Sollecitazioni agenti localmente: Tx_l=10.61 Ty_l=7.77 N_l=-10950.00 My_l=-6.83 Mz_l=-0.00
Azioni sul cordone: TP=0.79 TO=0.57 NO=-809.42
Tensioni nel cordone: τ_P=0.25 τ_0=0.18 σ_0=267.25 σ_{ID}=267.25 Σ_T=267.43
CC 31 SLV (Collegamento -179_-383)
Azioni sul collegamento: N=-8587.82 Ty=6.74 Tz=17.52 Mx=-0.00 Mz=1.76
Sollecitazioni agenti localmente: Tx_l=6.74 Ty_l=17.52 N_l=-8587.82 My_l=-1.76 Mz_l=-0.00
Azioni sul cordone: TP=0.50 TO=1.29 NO=-634.81
Tensioni nel cordone: τ_P=0.16 τ_0=0.41 σ_0=204.34 σ_{ID}=204.34 Σ_T=204.75
CC 31 SLV (Collegamento -179_-383)
Azioni sul collegamento: N=-8587.82 Ty=10.61 Tz=17.52 Mx=-0.00 Mz=6.83
Sollecitazioni agenti localmente: Tx_l=10.61 Ty_l=17.52 N_l=-8587.82 My_l=-6.83 Mz_l=-0.00
Azioni sul cordone: TP=0.79 TO=1.29 NO=-634.81
Tensioni nel cordone: τ_P=0.25 τ_0=0.41 σ_0=211.75 σ_{ID}=211.75 Σ_T=212.16
CC 31 SLV (Collegamento -179_-383)
Azioni sul collegamento: N=-8587.82 Ty=6.74 Tz=7.77 Mx=-0.00 Mz=1.76
Sollecitazioni agenti localmente: Tx_l=6.74 Ty_l=7.77 N_l=-8587.82 My_l=-1.76 Mz_l=-0.00
Azioni sul cordone: TP=0.50 TO=0.57 NO=-634.81
Tensioni nel cordone: τ_P=0.16 τ_0=0.18 σ_0=204.34 σ_{ID}=204.34 Σ_T=204.52
CC 31 SLV (Collegamento -179_-383)
Azioni sul collegamento: N=-8587.82 Ty=10.61 Tz=7.77 Mx=-0.00 Mz=6.83
Sollecitazioni agenti localmente: Tx_l=10.61 Ty_l=7.77 N_l=-8587.82 My_l=-6.83 Mz_l=-0.00
Azioni sul cordone: TP=0.79 TO=0.57 NO=-634.81
Tensioni nel cordone: τ_P=0.25 τ_0=0.18 σ_0=211.75 σ_{ID}=211.75 Σ_T=211.93
CC 32 SLD (Collegamento -179_-383)
Azioni sul collegamento: N=-10226.40 Ty=9.01 Tz=14.51 Mx=0.00 Mz=5.66
Sollecitazioni agenti localmente: Tx_l=9.01 Ty_l=14.51 N_l=-10226.40 My_l=-5.66 Mz_l=0.00
Azioni sul cordone: TP=0.66 TO=1.07 NO=-755.94
Tensioni nel cordone: τ_P=0.21 τ_0=0.34 σ_0=248.54 σ_{ID}=248.54 Σ_T=248.88
CC 32 SLD (Collegamento -179_-383)
Azioni sul collegamento: N=-10226.40 Ty=10.19 Tz=14.51 Mx=0.00 Mz=7.20
Sollecitazioni agenti localmente: Tx_l=10.19 Ty_l=14.51 N_l=-10226.40 My_l=-7.20 Mz_l=0.00
Azioni sul cordone: TP=0.75 TO=1.07 NO=-755.94
Tensioni nel cordone: τ_P=0.24 τ_0=0.34 σ_0=250.80 σ_{ID}=250.80 Σ_T=251.14
CC 32 SLD (Collegamento -179_-383)

Azioni sul collegamento: N=-10226.40 Ty=9.01 Tz=11.54 Mx=0.00 Mz=5.66
Sollecitazioni agenti localmente: Tx_l=9.01 Ty_l=11.54 N_l=-10226.40 My_l=-5.66 Mz_l=0.00
Azioni sul cordone: TP=0.66 TO=0.85 NO=-755.94
Tensioni nel cordone: τ_P=0.21 τ_0=0.27 σ_0=248.54 σ_{ID}=248.54 Σ_T=248.81
CC 32 SLD (Collegamento -179_-383)
Azioni sul collegamento: N=-10226.40 Ty=10.19 Tz=11.54 Mx=0.00 Mz=7.20
Sollecitazioni agenti localmente: Tx_l=10.19 Ty_l=11.54 N_l=-10226.40 My_l=-7.20 Mz_l=0.00
Azioni sul cordone: TP=0.75 TO=0.85 NO=-755.94
Tensioni nel cordone: τ_P=0.24 τ_0=0.27 σ_0=250.80 σ_{ID}=250.80 Σ_T=251.07
CC 32 SLD (Collegamento -179_-383)
Azioni sul collegamento: N=-9506.09 Ty=9.01 Tz=14.51 Mx=0.00 Mz=5.66
Sollecitazioni agenti localmente: Tx_l=9.01 Ty_l=14.51 N_l=-9506.09 My_l=-5.66 Mz_l=0.00
Azioni sul cordone: TP=0.66 TO=1.07 NO=-702.69
Tensioni nel cordone: τ_P=0.21 τ_0=0.34 σ_0=231.61 σ_{ID}=231.61 Σ_T=231.96
CC 32 SLD (Collegamento -179_-383)
Azioni sul collegamento: N=-9506.09 Ty=10.19 Tz=14.51 Mx=0.00 Mz=7.20
Sollecitazioni agenti localmente: Tx_l=10.19 Ty_l=14.51 N_l=-9506.09 My_l=-7.20 Mz_l=0.00
Azioni sul cordone: TP=0.75 TO=1.07 NO=-702.69
Tensioni nel cordone: τ_P=0.24 τ_0=0.34 σ_0=233.87 σ_{ID}=233.87 Σ_T=234.22
CC 32 SLD (Collegamento -179_-383)
Azioni sul collegamento: N=-9506.09 Ty=9.01 Tz=11.54 Mx=0.00 Mz=5.66
Sollecitazioni agenti localmente: Tx_l=9.01 Ty_l=11.54 N_l=-9506.09 My_l=-5.66 Mz_l=0.00
Azioni sul cordone: TP=0.66 TO=0.85 NO=-702.69
Tensioni nel cordone: τ_P=0.21 τ_0=0.27 σ_0=231.61 σ_{ID}=231.61 Σ_T=231.88
CC 32 SLD (Collegamento -179_-383)
Azioni sul collegamento: N=-9506.09 Ty=10.19 Tz=11.54 Mx=0.00 Mz=7.20
Sollecitazioni agenti localmente: Tx_l=10.19 Ty_l=11.54 N_l=-9506.09 My_l=-7.20 Mz_l=0.00
Azioni sul cordone: TP=0.75 TO=0.85 NO=-702.69
Tensioni nel cordone: τ_P=0.24 τ_0=0.27 σ_0=233.87 σ_{ID}=233.87 Σ_T=234.15
CC 33 SLU (Collegamento -179_-383)
Azioni sul collegamento: N=-36428.20 Ty=20.21 Tz=102.49 Mx=0.01 Mz=15.01
Sollecitazioni agenti localmente: Tx_l=20.21 Ty_l=102.49 N_l=-36428.20 My_l=-15.01 Mz_l=0.01
Azioni sul cordone: TP=1.49 TO=7.58 NO=-2692.78
Tensioni nel cordone: τ_P=0.47 τ_0=2.41 σ_0=877.82 σ_{ID}=877.83 Σ_T=880.23
CC 34 SLU (Collegamento -179_-383)
Azioni sul collegamento: N=-37242.40 Ty=20.96 Tz=105.49 Mx=0.01 Mz=15.56
Sollecitazioni agenti localmente: Tx_l=20.96 Ty_l=105.49 N_l=-37242.40 My_l=-15.56 Mz_l=0.01
Azioni sul cordone: TP=1.54 TO=7.80 NO=-2752.97
Tensioni nel cordone: τ_P=0.49 τ_0=2.48 σ_0=897.76 σ_{ID}=897.76 Σ_T=900.24
CC 35 SLU (Collegamento -179_-383)
Azioni sul collegamento: N=-36836.10 Ty=20.67 Tz=103.93 Mx=0.00 Mz=15.47
Sollecitazioni agenti localmente: Tx_l=20.67 Ty_l=103.93 N_l=-36836.10 My_l=-15.47 Mz_l=0.00
Azioni sul cordone: TP=1.52 TO=7.69 NO=-2722.94
Tensioni nel cordone: τ_P=0.48 τ_0=2.44 σ_0=888.08 σ_{ID}=888.08 Σ_T=890.52
CC 36 SLU (Collegamento -179_-383)
Azioni sul collegamento: N=-36834.40 Ty=20.49 Tz=104.05 Mx=0.01 Mz=15.10
Sollecitazioni agenti localmente: Tx_l=20.49 Ty_l=104.05 N_l=-36834.40 My_l=-15.10 Mz_l=0.01
Azioni sul cordone: TP=1.51 TO=7.70 NO=-2722.81
Tensioni nel cordone: τ_P=0.48 τ_0=2.45 σ_0=887.50 σ_{ID}=887.51 Σ_T=889.95
CC 37 SLU (Collegamento -179_-383)
Azioni sul collegamento: N=-29660.30 Ty=-10.68 Tz=77.11 Mx=0.01 Mz=-8.42
Sollecitazioni agenti localmente: Tx_l=-10.68 Ty_l=77.11 N_l=-29660.30 My_l=8.42 Mz_l=0.01
Azioni sul cordone: TP=-0.80 TO=5.70 NO=-2192.50
Tensioni nel cordone: τ_P=0.25 τ_0=1.81 σ_0=709.19 σ_{ID}=709.19 Σ_T=711.00
CC 38 SLU (Collegamento -179_-383)
Azioni sul collegamento: N=-30474.50 Ty=-9.93 Tz=80.11 Mx=0.01 Mz=-7.87
Sollecitazioni agenti localmente: Tx_l=-9.93 Ty_l=80.11 N_l=-30474.50 My_l=7.87 Mz_l=0.01
Azioni sul cordone: TP=-0.74 TO=5.92 NO=-2252.68
Tensioni nel cordone: τ_P=0.24 τ_0=1.88 σ_0=727.51 σ_{ID}=727.51 Σ_T=729.39
CC 39 SLU (Collegamento -179_-383)
Azioni sul collegamento: N=-30068.30 Ty=-10.21 Tz=78.55 Mx=0.00 Mz=-7.97
Sollecitazioni agenti localmente: Tx_l=-10.21 Ty_l=78.55 N_l=-30068.30 My_l=7.97 Mz_l=0.00
Azioni sul cordone: TP=-0.76 TO=5.80 NO=-2222.65
Tensioni nel cordone: τ_P=0.24 τ_0=1.84 σ_0=718.10 σ_{ID}=718.11 Σ_T=719.95
CC 40 SLU (Collegamento -179_-383)
Azioni sul collegamento: N=-30066.50 Ty=-10.39 Tz=78.67 Mx=0.01 Mz=-8.33
Sollecitazioni agenti localmente: Tx_l=-10.39 Ty_l=78.67 N_l=-30066.50 My_l=8.33 Mz_l=0.01
Azioni sul cordone: TP=-0.78 TO=5.81 NO=-2222.52
Tensioni nel cordone: τ_P=0.25 τ_0=1.85 σ_0=718.60 σ_{ID}=718.60 Σ_T=720.44
CC 41 SLU (Collegamento -179_-383)
Azioni sul collegamento: N=-27261.60 Ty=19.33 Tz=68.83 Mx=0.01 Mz=14.21
Sollecitazioni agenti localmente: Tx_l=19.33 Ty_l=68.83 N_l=-27261.60 My_l=-14.21 Mz_l=0.01
Azioni sul cordone: TP=1.42 TO=5.09 NO=-2015.19
Tensioni nel cordone: τ_P=0.45 τ_0=1.62 σ_0=661.29 σ_{ID}=661.29 Σ_T=662.91
CC 42 SLU (Collegamento -179_-383)
Azioni sul collegamento: N=-28075.80 Ty=20.08 Tz=71.84 Mx=0.01 Mz=14.76
Sollecitazioni agenti localmente: Tx_l=20.08 Ty_l=71.84 N_l=-28075.80 My_l=-14.76 Mz_l=0.01
Azioni sul cordone: TP=1.48 TO=5.31 NO=-2075.37
Tensioni nel cordone: τ_P=0.47 τ_0=1.69 σ_0=681.22 σ_{ID}=681.23 Σ_T=682.91
CC 43 SLU (Collegamento -179_-383)
Azioni sul collegamento: N=-27669.60 Ty=19.79 Tz=70.28 Mx=0.00 Mz=14.67

Sollecitazioni agenti localmente: Tx_l=19.79 Ty_l=70.28 N_l=-27669.60 My_l=-14.67 Mz_l=0.00
Azioni sul cordone: TP=1.46 TO=5.20 NO=-2045.34
Tensioni nel cordone: τ_P=0.46 τ_0=1.65 σ_0=671.54 σ_{ID}=671.55 Σ_T=673.20
CC 44 SLU (Collegamento -179_-383)
Azioni sul collegamento: N=-27667.80 Ty=19.61 Tz=70.39 Mx=0.01 Mz=14.31
Sollecitazioni agenti localmente: Tx_l=19.61 Ty_l=70.39 N_l=-27667.80 My_l=-14.31 Mz_l=0.01
Azioni sul cordone: TP=1.44 TO=5.21 NO=-2045.21
Tensioni nel cordone: τ_P=0.46 τ_0=1.66 σ_0=670.97 σ_{ID}=670.97 Σ_T=672.63
CC 45 SLU (Collegamento -179_-383)
Azioni sul collegamento: N=-29271.60 Ty=19.56 Tz=76.22 Mx=0.00 Mz=14.53
Sollecitazioni agenti localmente: Tx_l=19.56 Ty_l=76.22 N_l=-29271.60 My_l=-14.53 Mz_l=0.00
Azioni sul cordone: TP=1.44 TO=5.64 NO=-2163.76
Tensioni nel cordone: τ_P=0.46 τ_0=1.79 σ_0=708.98 σ_{ID}=708.98 Σ_T=710.77
CC 46 SLU (Collegamento -179_-383)
Azioni sul collegamento: N=-30085.80 Ty=20.31 Tz=79.22 Mx=0.00 Mz=15.08
Sollecitazioni agenti localmente: Tx_l=20.31 Ty_l=79.22 N_l=-30085.80 My_l=-15.08 Mz_l=0.00
Azioni sul cordone: TP=1.50 TO=5.86 NO=-2223.95
Tensioni nel cordone: τ_P=0.48 τ_0=1.86 σ_0=728.91 σ_{ID}=728.91 Σ_T=730.77
CC 47 SLU (Collegamento -179_-383)
Azioni sul collegamento: N=-29679.60 Ty=20.02 Tz=77.66 Mx=0.00 Mz=14.99
Sollecitazioni agenti localmente: Tx_l=20.02 Ty_l=77.66 N_l=-29679.60 My_l=-14.99 Mz_l=0.00
Azioni sul cordone: TP=1.48 TO=5.74 NO=-2193.92
Tensioni nel cordone: τ_P=0.47 τ_0=1.83 σ_0=719.23 σ_{ID}=719.23 Σ_T=721.06
CC 48 SLU (Collegamento -179_-383)
Azioni sul collegamento: N=-29677.80 Ty=19.84 Tz=77.78 Mx=0.01 Mz=14.62
Sollecitazioni agenti localmente: Tx_l=19.84 Ty_l=77.78 N_l=-29677.80 My_l=-14.62 Mz_l=0.01
Azioni sul cordone: TP=1.46 TO=5.75 NO=-2193.79
Tensioni nel cordone: τ_P=0.46 τ_0=1.83 σ_0=718.66 σ_{ID}=718.66 Σ_T=720.49
CC 49 SLU (Collegamento -179_-383)
Azioni sul collegamento: N=-24208.20 Ty=-3.55 Tz=57.23 Mx=0.01 Mz=-3.00
Sollecitazioni agenti localmente: Tx_l=-3.55 Ty_l=57.23 N_l=-24208.20 My_l=3.00 Mz_l=0.01
Azioni sul cordone: TP=-0.27 TO=4.23 NO=-1789.48
Tensioni nel cordone: τ_P= 0.09 τ_0=1.34 σ_0=573.17 σ_{ID}=573.17 Σ_T=574.51
CC 50 SLU (Collegamento -179_-383)
Azioni sul collegamento: N=-25022.40 Ty=-2.80 Tz=60.23 Mx=0.01 Mz=-2.45
Sollecitazioni agenti localmente: Tx_l=-2.80 Ty_l=60.23 N_l=-25022.40 My_l=2.45 Mz_l=0.01
Azioni sul cordone: TP=-0.21 TO=4.45 NO=-1849.66
Tensioni nel cordone: τ_P= 0.07 τ_0=1.41 σ_0=591.49 σ_{ID}=591.49 Σ_T=592.91
CC 51 SLU (Collegamento -179_-383)
Azioni sul collegamento: N=-24616.20 Ty=-3.08 Tz=58.67 Mx=0.00 Mz=-2.54
Sollecitazioni agenti localmente: Tx_l=-3.08 Ty_l=58.67 N_l=-24616.20 My_l=2.54 Mz_l=0.00
Azioni sul cordone: TP=-0.23 TO=4.33 NO=-1819.64
Tensioni nel cordone: τ_P= 0.07 τ_0=1.38 σ_0=582.08 σ_{ID}=582.09 Σ_T=583.46
CC 52 SLU (Collegamento -179_-383)
Azioni sul collegamento: N=-24614.40 Ty=-3.26 Tz=58.79 Mx=0.01 Mz=-2.91
Sollecitazioni agenti localmente: Tx_l=-3.26 Ty_l=58.79 N_l=-24614.40 My_l=2.91 Mz_l=0.01
Azioni sul cordone: TP=-0.25 TO=4.34 NO=-1819.51
Tensioni nel cordone: τ_P= 0.08 τ_0=1.38 σ_0=582.58 σ_{ID}=582.58 Σ_T=583.96
CC 53 SLU (Collegamento -179_-383)
Azioni sul collegamento: N=-22413.60 Ty=18.90 Tz=51.04 Mx=0.00 Mz=13.93
Sollecitazioni agenti localmente: Tx_l=18.90 Ty_l=51.04 N_l=-22413.60 My_l=-13.93 Mz_l=0.00
Azioni sul cordone: TP=1.39 TO=3.78 NO=-1656.82
Tensioni nel cordone: τ_P=0.44 τ_0=1.20 σ_0=546.98 σ_{ID}=546.98 Σ_T=548.18
CC 54 SLU (Collegamento -179_-383)
Azioni sul collegamento: N=-23227.90 Ty=19.65 Tz=54.04 Mx=0.00 Mz=14.49
Sollecitazioni agenti localmente: Tx_l=19.65 Ty_l=54.04 N_l=-23227.90 My_l=-14.49 Mz_l=0.00
Azioni sul cordone: TP=1.45 TO=4.00 NO=-1717.01
Tensioni nel cordone: τ_P=0.46 τ_0=1.27 σ_0=566.91 σ_{ID}=566.91 Σ_T=568.18
CC 55 SLU (Collegamento -179_-383)
Azioni sul collegamento: N=-22821.60 Ty=19.36 Tz=52.48 Mx=0.00 Mz=14.39
Sollecitazioni agenti localmente: Tx_l=19.36 Ty_l=52.48 N_l=-22821.60 My_l=-14.39 Mz_l=0.00
Azioni sul cordone: TP=1.43 TO=3.88 NO=-1686.98
Tensioni nel cordone: τ_P=0.45 τ_0=1.23 σ_0=557.23 σ_{ID}=557.23 Σ_T=558.47
CC 56 SLU (Collegamento -179_-383)
Azioni sul collegamento: N=-22819.90 Ty=19.19 Tz=52.60 Mx=0.01 Mz=14.03
Sollecitazioni agenti localmente: Tx_l=19.19 Ty_l=52.60 N_l=-22819.90 My_l=-14.03 Mz_l=0.01
Azioni sul cordone: TP=1.41 TO=3.89 NO=-1686.85
Tensioni nel cordone: τ_P=0.45 τ_0=1.24 σ_0=556.66 σ_{ID}=556.66 Σ_T=557.89
CC 57 SLU (Collegamento -179_-383)
Azioni sul collegamento: N=-30019.90 Ty=20.54 Tz=79.01 Mx=0.00 Mz=15.25
Sollecitazioni agenti localmente: Tx_l=20.54 Ty_l=79.01 N_l=-30019.90 My_l=-15.25 Mz_l=0.00
Azioni sul cordone: TP=1.51 TO=5.84 NO=-2219.08
Tensioni nel cordone: τ_P=0.48 τ_0=1.86 σ_0=727.61 σ_{ID}=727.62 Σ_T=729.47
CC 58 SLU (Collegamento -179_-383)
Azioni sul collegamento: N=-30834.10 Ty=21.29 Tz=82.01 Mx=0.00 Mz=15.80
Sollecitazioni agenti localmente: Tx_l=21.29 Ty_l=82.01 N_l=-30834.10 My_l=-15.80 Mz_l=0.00
Azioni sul cordone: TP=1.57 TO=6.07 NO=-2279.27
Tensioni nel cordone: τ_P=0.50 τ_0=1.93 σ_0=747.55 σ_{ID}=747.55 Σ_T=749.48
CC 59 SLU (Collegamento -179_-383)
Azioni sul collegamento: N=-30427.90 Ty=21.01 Tz=80.45 Mx=0.00 Mz=15.71
Sollecitazioni agenti localmente: Tx_l=21.01 Ty_l=80.45 N_l=-30427.90 My_l=-15.71 Mz_l=0.00

Azioni sul cordone: TP=1.55 TO=5.95 NO=-2249.24
Tensioni nel cordone: τ_P=0.49 τ_0=1.89 σ_0=737.87 σ_{ID}=737.87 Σ_T=739.76
CC 60 SLU (Collegamento -179_-383)
Azioni sul collegamento: N=-30426.20 Ty=20.83 Tz=80.57 Mx=0.01 Mz=15.34
Sollecitazioni agenti localmente: Tx_l=20.83 Ty_l=80.57 N_l=-30426.20 My_l=-15.34 Mz_l=0.01
Azioni sul cordone: TP=1.53 TO=5.96 NO=-2249.11
Tensioni nel cordone: τ_P=0.49 τ_0=1.89 σ_0=737.29 σ_{ID}=737.29 Σ_T=739.19
CC 61 SLU (Collegamento -179_-383)
Azioni sul collegamento: N=-24956.60 Ty=-2.56 Tz=60.02 Mx=0.00 Mz=-2.28
Sollecitazioni agenti localmente: Tx_l=-2.56 Ty_l=60.02 N_l=-24956.60 My_l=2.28 Mz_l=0.00
Azioni sul cordone: TP=-0.20 TO=4.43 NO=-1844.80
Tensioni nel cordone: τ_P= 0.06 τ_0=1.41 σ_0=589.70 σ_{ID}=589.70 Σ_T=591.11
CC 62 SLU (Collegamento -179_-383)
Azioni sul collegamento: N=-25770.80 Ty=-1.81 Tz=63.02 Mx=0.00 Mz=-1.73
Sollecitazioni agenti localmente: Tx_l=-1.81 Ty_l=63.02 N_l=-25770.80 My_l=1.73 Mz_l=0.00
Azioni sul cordone: TP=-0.14 TO=4.65 NO=-1904.98
Tensioni nel cordone: τ_P= 0.04 τ_0=1.48 σ_0=608.02 σ_{ID}=608.02 Σ_T=609.50
CC 63 SLU (Collegamento -179_-383)
Azioni sul collegamento: N=-25364.60 Ty=-2.10 Tz=61.46 Mx=0.00 Mz=-1.82
Sollecitazioni agenti localmente: Tx_l=-2.10 Ty_l=61.46 N_l=-25364.60 My_l=1.82 Mz_l=0.00
Azioni sul cordone: TP=-0.16 TO=4.54 NO=-1874.96
Tensioni nel cordone: τ_P= 0.05 τ_0=1.44 σ_0=598.61 σ_{ID}=598.62 Σ_T=600.06
CC 64 SLU (Collegamento -179_-383)
Azioni sul collegamento: N=-25362.80 Ty=-2.28 Tz=61.58 Mx=0.01 Mz=-2.19
Sollecitazioni agenti localmente: Tx_l=-2.28 Ty_l=61.58 N_l=-25362.80 My_l=2.19 Mz_l=0.01
Azioni sul cordone: TP=-0.18 TO=4.55 NO=-1874.82
Tensioni nel cordone: τ_P= 0.06 τ_0=1.45 σ_0=599.11 σ_{ID}=599.11 Σ_T=600.55
CC 65 SLU (Collegamento -179_-383)
Azioni sul collegamento: N=-23162.00 Ty=19.88 Tz=53.83 Mx=0.00 Mz=14.66
Sollecitazioni agenti localmente: Tx_l=19.88 Ty_l=53.83 N_l=-23162.00 My_l=-14.66 Mz_l=0.00
Azioni sul cordone: TP=1.46 TO=3.98 NO=-1712.14
Tensioni nel cordone: τ_P=0.47 τ_0=1.27 σ_0=565.61 σ_{ID}=565.61 Σ_T=566.88
CC 66 SLU (Collegamento -179_-383)
Azioni sul collegamento: N=-23976.20 Ty=20.63 Tz=56.84 Mx=0.00 Mz=15.21
Sollecitazioni agenti localmente: Tx_l=20.63 Ty_l=56.84 N_l=-23976.20 My_l=-15.21 Mz_l=0.00
Azioni sul cordone: TP=1.52 TO=4.21 NO=-1772.33
Tensioni nel cordone: τ_P=0.48 τ_0=1.34 σ_0=585.55 σ_{ID}=585.55 Σ_T=586.88
CC 67 SLU (Collegamento -179_-383)
Azioni sul collegamento: N=-23570.00 Ty=20.35 Tz=55.27 Mx=0.00 Mz=15.11
Sollecitazioni agenti localmente: Tx_l=20.35 Ty_l=55.27 N_l=-23570.00 My_l=-15.11 Mz_l=0.00
Azioni sul cordone: TP=1.50 TO=4.09 NO=-1742.30
Tensioni nel cordone: τ_P=0.48 τ_0=1.30 σ_0=575.87 σ_{ID}=575.87 Σ_T=577.17
CC 68 SLU (Collegamento -179_-383)
Azioni sul collegamento: N=-23568.20 Ty=20.17 Tz=55.39 Mx=0.01 Mz=14.75
Sollecitazioni agenti localmente: Tx_l=20.17 Ty_l=55.39 N_l=-23568.20 My_l=-14.75 Mz_l=0.01
Azioni sul cordone: TP=1.48 TO=4.10 NO=-1742.17
Tensioni nel cordone: τ_P=0.47 τ_0=1.30 σ_0=575.29 σ_{ID}=575.29 Σ_T=576.60
CC 97 SLU (Collegamento -179_-383)
Azioni sul collegamento: N=-12126.50 Ty=21.64 Tz=21.62 Mx=0.05 Mz=23.37
Sollecitazioni agenti localmente: Tx_l=21.64 Ty_l=21.62 N_l=-12126.50 My_l=-23.37 Mz_l=0.05
Azioni sul cordone: TP=1.54 TO=1.64 NO=-896.39
Tensioni nel cordone: τ_P=0.49 τ_0=0.52 σ_0=319.06 σ_{ID}=319.06 Σ_T=319.58
CC 98 SLU (Collegamento -179_-383)
Azioni sul collegamento: N=-12940.70 Ty=22.39 Tz=24.63 Mx=0.05 Mz=23.92
Sollecitazioni agenti localmente: Tx_l=22.39 Ty_l=24.63 N_l=-12940.70 My_l=-23.92 Mz_l=0.05
Azioni sul cordone: TP=1.60 TO=1.86 NO=-956.58
Tensioni nel cordone: τ_P=0.51 τ_0=0.59 σ_0=339.00 σ_{ID}=339.00 Σ_T=339.59
CC 99 SLU (Collegamento -179_-383)
Azioni sul collegamento: N=-12534.50 Ty=22.10 Tz=23.06 Mx=0.05 Mz=23.83
Sollecitazioni agenti localmente: Tx_l=22.10 Ty_l=23.06 N_l=-12534.50 My_l=-23.83 Mz_l=0.05
Azioni sul cordone: TP=1.58 TO=1.74 NO=-926.55
Tensioni nel cordone: τ_P=0.50 τ_0=0.55 σ_0=329.31 σ_{ID}=329.31 Σ_T=329.87
CC 100 SLU (Collegamento -179_-383)
Azioni sul collegamento: N=-12532.70 Ty=21.92 Tz=23.18 Mx=0.05 Mz=23.46
Sollecitazioni agenti localmente: Tx_l=21.92 Ty_l=23.18 N_l=-12532.70 My_l=-23.46 Mz_l=0.05
Azioni sul cordone: TP=1.56 TO=1.75 NO=-926.42
Tensioni nel cordone: τ_P=0.50 τ_0=0.56 σ_0=328.74 σ_{ID}=328.74 Σ_T=329.30
CC 101 SLU (Collegamento -179_-383)
Azioni sul collegamento: N=-9752.38 Ty=7.57 Tz=12.50 Mx=-0.00 Mz=4.76
Sollecitazioni agenti localmente: Tx_l=7.57 Ty_l=12.50 N_l=-9752.38 My_l=-4.76 Mz_l=-0.00
Azioni sul cordone: TP=0.56 TO=0.92 NO=-720.90
Tensioni nel cordone: τ_P=0.18 τ_0=0.29 σ_0=236.09 σ_{ID}=236.09 Σ_T=236.39
CC 102 SLU (Collegamento -179_-383)
Azioni sul collegamento: N=-10566.60 Ty=8.33 Tz=15.50 Mx=-0.00 Mz=5.31
Sollecitazioni agenti localmente: Tx_l=8.33 Ty_l=15.50 N_l=-10566.60 My_l=-5.31 Mz_l=-0.00
Azioni sul cordone: TP=0.62 TO=1.14 NO=-781.09
Tensioni nel cordone: τ_P=0.20 τ_0=0.36 σ_0=256.03 σ_{ID}=256.03 Σ_T=256.39
CC 103 SLU (Collegamento -179_-383)
Azioni sul collegamento: N=-10160.40 Ty=8.04 Tz=13.94 Mx=-0.00 Mz=5.22
Sollecitazioni agenti localmente: Tx_l=8.04 Ty_l=13.94 N_l=-10160.40 My_l=-5.22 Mz_l=-0.00
Azioni sul cordone: TP=0.60 TO=1.03 NO=-751.06

Tensioni nel cordone: τ_P=0.19 τ_O=0.33 σ_O=246.35 σ_{ID}=246.35 Σ_T=246.67
CC 104 SLU (Collegamento -179_-383)
Azioni sul collegamento: N=-10158.60 Ty=7.86 Tz=14.06 Mx=-0.00 Mz=4.85
Sollecitazioni agenti localmente: Tx_l=7.86 Ty_l=14.06 N_l=-10158.60 My_l=-4.85 Mz_l=-0.00
Azioni sul cordone: TP=0.58 TO=1.04 NO=-750.93
Tensioni nel cordone: τ_P=0.19 τ_O=0.33 σ_O=245.77 σ_{ID}=245.77 Σ_T=246.10

Flessione attacco superiore piastra

Bnetta=220.00 Hnetta=15.00
CC 1 SLV (Collegamento -179_-383)
Azioni sul collegamento: N=-6136.64 Ty=15.19 Tz=-0.86 Mx=0.02 Mz=13.60
Sollecitazioni agenti localmente: Ty_l=-1115.75 Mx_l=-22.32
Tensioni nella sezione: σ=270.49 τ=33.81
CC 1 SLV (Collegamento -179_-383)
Azioni sul collegamento: N=-6136.64 Ty=7.48 Tz=-0.86 Mx=0.02 Mz=7.28
Sollecitazioni agenti localmente: Ty_l=-1115.75 Mx_l=-22.32
Tensioni nella sezione: σ=270.49 τ=33.81
CC 1 SLV (Collegamento -179_-383)
Azioni sul collegamento: N=-6136.64 Ty=15.19 Tz=28.35 Mx=0.02 Mz=13.60
Sollecitazioni agenti localmente: Ty_l=-1115.75 Mx_l=-22.32
Tensioni nella sezione: σ=270.49 τ=33.81
CC 1 SLV (Collegamento -179_-383)
Azioni sul collegamento: N=-6136.64 Ty=7.48 Tz=28.35 Mx=0.02 Mz=7.28
Sollecitazioni agenti localmente: Ty_l=-1115.75 Mx_l=-22.32
Tensioni nella sezione: σ=270.49 τ=33.81
CC 1 SLV (Collegamento -179_-383)
Azioni sul collegamento: N=-13961.30 Ty=15.19 Tz=-0.86 Mx=0.02 Mz=13.60
Sollecitazioni agenti localmente: Ty_l=-2538.42 Mx_l=-50.77
Tensioni nella sezione: σ=615.37 τ=76.92
CC 1 SLV (Collegamento -179_-383)
Azioni sul collegamento: N=-13961.30 Ty=7.48 Tz=-0.86 Mx=0.02 Mz=7.28
Sollecitazioni agenti localmente: Ty_l=-2538.42 Mx_l=-50.77
Tensioni nella sezione: σ=615.37 τ=76.92
CC 1 SLV (Collegamento -179_-383)
Azioni sul collegamento: N=-13961.30 Ty=15.19 Tz=28.35 Mx=0.02 Mz=13.60
Sollecitazioni agenti localmente: Ty_l=-2538.42 Mx_l=-50.77
Tensioni nella sezione: σ=615.37 τ=76.92
CC 1 SLV (Collegamento -179_-383)
Azioni sul collegamento: N=-13961.30 Ty=7.48 Tz=28.35 Mx=0.02 Mz=7.28
Sollecitazioni agenti localmente: Ty_l=-2538.42 Mx_l=-50.77
Tensioni nella sezione: σ=615.37 τ=76.92
CC 2 SLD (Collegamento -179_-383)
Azioni sul collegamento: N=-8758.64 Ty=11.59 Tz=8.91 Mx=0.01 Mz=9.27
Sollecitazioni agenti localmente: Ty_l=-1592.48 Mx_l=-31.85
Tensioni nella sezione: σ=386.06 τ=48.26
CC 2 SLD (Collegamento -179_-383)
Azioni sul collegamento: N=-8758.64 Ty=9.24 Tz=8.91 Mx=0.01 Mz=7.34
Sollecitazioni agenti localmente: Ty_l=-1592.48 Mx_l=-31.85
Tensioni nella sezione: σ=386.06 τ=48.26
CC 2 SLD (Collegamento -179_-383)
Azioni sul collegamento: N=-8758.64 Ty=11.59 Tz=17.82 Mx=0.01 Mz=9.27
Sollecitazioni agenti localmente: Ty_l=-1592.48 Mx_l=-31.85
Tensioni nella sezione: σ=386.06 τ=48.26
CC 2 SLD (Collegamento -179_-383)
Azioni sul collegamento: N=-8758.64 Ty=9.24 Tz=17.82 Mx=0.01 Mz=7.34
Sollecitazioni agenti localmente: Ty_l=-1592.48 Mx_l=-31.85
Tensioni nella sezione: σ=386.06 τ=48.26
CC 2 SLD (Collegamento -179_-383)
Azioni sul collegamento: N=-11144.60 Ty=11.59 Tz=8.91 Mx=0.01 Mz=9.27
Sollecitazioni agenti localmente: Ty_l=-2026.30 Mx_l=-40.53
Tensioni nella sezione: σ=491.22 τ=61.40
CC 2 SLD (Collegamento -179_-383)
Azioni sul collegamento: N=-11144.60 Ty=9.24 Tz=8.91 Mx=0.01 Mz=7.34
Sollecitazioni agenti localmente: Ty_l=-2026.30 Mx_l=-40.53
Tensioni nella sezione: σ=491.22 τ=61.40
CC 2 SLD (Collegamento -179_-383)
Azioni sul collegamento: N=-11144.60 Ty=11.59 Tz=17.82 Mx=0.01 Mz=9.27
Sollecitazioni agenti localmente: Ty_l=-2026.30 Mx_l=-40.53
Tensioni nella sezione: σ=491.22 τ=61.40
CC 2 SLD (Collegamento -179_-383)
Azioni sul collegamento: N=-11144.60 Ty=9.24 Tz=17.82 Mx=0.01 Mz=7.34
Sollecitazioni agenti localmente: Ty_l=-2026.30 Mx_l=-40.53
Tensioni nella sezione: σ=491.22 τ=61.40
CC 3 SLV (Collegamento -179_-383)
Azioni sul collegamento: N=-6141.51 Ty=14.68 Tz=-0.53 Mx=0.01 Mz=12.56
Sollecitazioni agenti localmente: Ty_l=-1116.64 Mx_l=-22.33
Tensioni nella sezione: σ=270.70 τ=33.84
CC 3 SLV (Collegamento -179_-383)
Azioni sul collegamento: N=-6141.51 Ty=7.99 Tz=-0.53 Mx=0.01 Mz=8.33
Sollecitazioni agenti localmente: Ty_l=-1116.64 Mx_l=-22.33

Tensioni nella sezione: σ=270.70 τ=33.84
CC 3 SLV (Collegamento -179_-383)
Azioni sul collegamento: N=-6141.51 Ty=14.68 Tz=28.02 Mx=0.01 Mz=12.56
Sollecitazioni agenti localmente: Ty_l=-1116.64 Mx_l=-22.33
Tensioni nella sezione: σ=270.70 τ=33.84
CC 3 SLV (Collegamento -179_-383)
Azioni sul collegamento: N=-6141.51 Ty=7.99 Tz=28.02 Mx=0.01 Mz=8.33
Sollecitazioni agenti localmente: Ty_l=-1116.64 Mx_l=-22.33
Tensioni nella sezione: σ=270.70 τ=33.84
CC 3 SLV (Collegamento -179_-383)
Azioni sul collegamento: N=-13956.40 Ty=14.68 Tz=-0.53 Mx=0.01 Mz=12.56
Sollecitazioni agenti localmente: Ty_l=-2537.54 Mx_l=-50.75
Tensioni nella sezione: σ=615.16 τ=76.89
CC 3 SLV (Collegamento -179_-383)
Azioni sul collegamento: N=-13956.40 Ty=7.99 Tz=-0.53 Mx=0.01 Mz=8.33
Sollecitazioni agenti localmente: Ty_l=-2537.54 Mx_l=-50.75
Tensioni nella sezione: σ=615.16 τ=76.89
CC 3 SLV (Collegamento -179_-383)
Azioni sul collegamento: N=-13956.40 Ty=14.68 Tz=28.02 Mx=0.01 Mz=12.56
Sollecitazioni agenti localmente: Ty_l=-2537.54 Mx_l=-50.75
Tensioni nella sezione: σ=615.16 τ=76.89
CC 3 SLV (Collegamento -179_-383)
Azioni sul collegamento: N=-13956.40 Ty=7.99 Tz=28.02 Mx=0.01 Mz=8.33
Sollecitazioni agenti localmente: Ty_l=-2537.54 Mx_l=-50.75
Tensioni nella sezione: σ=615.16 τ=76.89
CC 4 SLD (Collegamento -179_-383)
Azioni sul collegamento: N=-8760.13 Ty=11.43 Tz=9.01 Mx=0.01 Mz=8.95
Sollecitazioni agenti localmente: Ty_l=-1592.75 Mx_l=-31.85
Tensioni nella sezione: σ=386.12 τ=48.27
CC 4 SLD (Collegamento -179_-383)
Azioni sul collegamento: N=-8760.13 Ty=9.39 Tz=9.01 Mx=0.01 Mz=7.66
Sollecitazioni agenti localmente: Ty_l=-1592.75 Mx_l=-31.85
Tensioni nella sezione: σ=386.12 τ=48.27
CC 4 SLD (Collegamento -179_-383)
Azioni sul collegamento: N=-8760.13 Ty=11.43 Tz=17.72 Mx=0.01 Mz=8.95
Sollecitazioni agenti localmente: Ty_l=-1592.75 Mx_l=-31.85
Tensioni nella sezione: σ=386.12 τ=48.27
CC 4 SLD (Collegamento -179_-383)
Azioni sul collegamento: N=-8760.13 Ty=9.39 Tz=17.72 Mx=0.01 Mz=7.66
Sollecitazioni agenti localmente: Ty_l=-1592.75 Mx_l=-31.85
Tensioni nella sezione: σ=386.12 τ=48.27
CC 4 SLD (Collegamento -179_-383)
Azioni sul collegamento: N=-11143.10 Ty=11.43 Tz=9.01 Mx=0.01 Mz=8.95
Sollecitazioni agenti localmente: Ty_l=-2026.03 Mx_l=-40.52
Tensioni nella sezione: σ=491.16 τ=61.39
CC 4 SLD (Collegamento -179_-383)
Azioni sul collegamento: N=-11143.10 Ty=9.39 Tz=9.01 Mx=0.01 Mz=7.66
Sollecitazioni agenti localmente: Ty_l=-2026.03 Mx_l=-40.52
Tensioni nella sezione: σ=491.16 τ=61.39
CC 4 SLD (Collegamento -179_-383)
Azioni sul collegamento: N=-11143.10 Ty=11.43 Tz=17.72 Mx=0.01 Mz=8.95
Sollecitazioni agenti localmente: Ty_l=-2026.03 Mx_l=-40.52
Tensioni nella sezione: σ=491.16 τ=61.39
CC 4 SLD (Collegamento -179_-383)
Azioni sul collegamento: N=-11143.10 Ty=9.39 Tz=17.72 Mx=0.01 Mz=7.66
Sollecitazioni agenti localmente: Ty_l=-2026.03 Mx_l=-40.52
Tensioni nella sezione: σ=491.16 τ=61.39
CC 5 SLV (Collegamento -179_-383)
Azioni sul collegamento: N=-13956.40 Ty=7.99 Tz=28.02 Mx=0.02 Mz=8.33
Sollecitazioni agenti localmente: Ty_l=-2537.54 Mx_l=-50.75
Tensioni nella sezione: σ=615.16 τ=76.89
CC 5 SLV (Collegamento -179_-383)
Azioni sul collegamento: N=-13956.40 Ty=14.68 Tz=28.02 Mx=0.02 Mz=12.56
Sollecitazioni agenti localmente: Ty_l=-2537.54 Mx_l=-50.75
Tensioni nella sezione: σ=615.16 τ=76.89
CC 5 SLV (Collegamento -179_-383)
Azioni sul collegamento: N=-13956.40 Ty=7.99 Tz=-0.53 Mx=0.02 Mz=8.33
Sollecitazioni agenti localmente: Ty_l=-2537.54 Mx_l=-50.75
Tensioni nella sezione: σ=615.16 τ=76.89
CC 5 SLV (Collegamento -179_-383)
Azioni sul collegamento: N=-13956.40 Ty=14.68 Tz=-0.53 Mx=0.02 Mz=12.56
Sollecitazioni agenti localmente: Ty_l=-2537.54 Mx_l=-50.75
Tensioni nella sezione: σ=615.16 τ=76.89
CC 5 SLV (Collegamento -179_-383)
Azioni sul collegamento: N=-6141.51 Ty=7.99 Tz=28.02 Mx=0.02 Mz=8.33
Sollecitazioni agenti localmente: Ty_l=-1116.64 Mx_l=-22.33
Tensioni nella sezione: σ=270.70 τ=33.84
CC 5 SLV (Collegamento -179_-383)
Azioni sul collegamento: N=-6141.51 Ty=14.68 Tz=28.02 Mx=0.02 Mz=12.56
Sollecitazioni agenti localmente: Ty_l=-1116.64 Mx_l=-22.33

Tensioni nella sezione: σ=270.70 τ=33.84
CC 5 SLV (Collegamento -179_-383)
Azioni sul collegamento: N=-6141.51 Ty=7.99 Tz=-0.53 Mx=0.02 Mz=8.33
Sollecitazioni agenti localmente: Ty_l=-1116.64 Mx_l=-22.33
Tensioni nella sezione: σ=270.70 τ=33.84
CC 5 SLV (Collegamento -179_-383)
Azioni sul collegamento: N=-6141.51 Ty=14.68 Tz=-0.53 Mx=0.02 Mz=12.56
Sollecitazioni agenti localmente: Ty_l=-1116.64 Mx_l=-22.33
Tensioni nella sezione: σ=270.70 τ=33.84
CC 6 SLD (Collegamento -179_-383)
Azioni sul collegamento: N=-11143.10 Ty=9.39 Tz=17.72 Mx=0.01 Mz=7.66
Sollecitazioni agenti localmente: Ty_l=-2026.03 Mx_l=-40.52
Tensioni nella sezione: σ=491.16 τ=61.39
CC 6 SLD (Collegamento -179_-383)
Azioni sul collegamento: N=-11143.10 Ty=11.43 Tz=17.72 Mx=0.01 Mz=8.95
Sollecitazioni agenti localmente: Ty_l=-2026.03 Mx_l=-40.52
Tensioni nella sezione: σ=491.16 τ=61.39
CC 6 SLD (Collegamento -179_-383)
Azioni sul collegamento: N=-11143.10 Ty=9.39 Tz=9.01 Mx=0.01 Mz=7.66
Sollecitazioni agenti localmente: Ty_l=-2026.03 Mx_l=-40.52
Tensioni nella sezione: σ=491.16 τ=61.39
CC 6 SLD (Collegamento -179_-383)
Azioni sul collegamento: N=-11143.10 Ty=11.43 Tz=9.01 Mx=0.01 Mz=8.95
Sollecitazioni agenti localmente: Ty_l=-2026.03 Mx_l=-40.52
Tensioni nella sezione: σ=491.16 τ=61.39
CC 6 SLD (Collegamento -179_-383)
Azioni sul collegamento: N=-8760.13 Ty=9.39 Tz=17.72 Mx=0.01 Mz=7.66
Sollecitazioni agenti localmente: Ty_l=-1592.75 Mx_l=-31.85
Tensioni nella sezione: σ=386.12 τ=48.27
CC 6 SLD (Collegamento -179_-383)
Azioni sul collegamento: N=-8760.13 Ty=11.43 Tz=17.72 Mx=0.01 Mz=8.95
Sollecitazioni agenti localmente: Ty_l=-1592.75 Mx_l=-31.85
Tensioni nella sezione: σ=386.12 τ=48.27
CC 6 SLD (Collegamento -179_-383)
Azioni sul collegamento: N=-8760.13 Ty=9.39 Tz=9.01 Mx=0.01 Mz=7.66
Sollecitazioni agenti localmente: Ty_l=-1592.75 Mx_l=-31.85
Tensioni nella sezione: σ=386.12 τ=48.27
CC 6 SLD (Collegamento -179_-383)
Azioni sul collegamento: N=-8760.13 Ty=11.43 Tz=9.01 Mx=0.01 Mz=8.95
Sollecitazioni agenti localmente: Ty_l=-1592.75 Mx_l=-31.85
Tensioni nella sezione: σ=386.12 τ=48.27
CC 7 SLV (Collegamento -179_-383)
Azioni sul collegamento: N=-13961.30 Ty=7.48 Tz=28.35 Mx=0.01 Mz=7.28
Sollecitazioni agenti localmente: Ty_l=-2538.42 Mx_l=-50.77
Tensioni nella sezione: σ=615.37 τ=76.92
CC 7 SLV (Collegamento -179_-383)
Azioni sul collegamento: N=-13961.30 Ty=15.19 Tz=28.35 Mx=0.01 Mz=13.60
Sollecitazioni agenti localmente: Ty_l=-2538.42 Mx_l=-50.77
Tensioni nella sezione: σ=615.37 τ=76.92
CC 7 SLV (Collegamento -179_-383)
Azioni sul collegamento: N=-13961.30 Ty=7.48 Tz=-0.86 Mx=0.01 Mz=7.28
Sollecitazioni agenti localmente: Ty_l=-2538.42 Mx_l=-50.77
Tensioni nella sezione: σ=615.37 τ=76.92
CC 7 SLV (Collegamento -179_-383)
Azioni sul collegamento: N=-13961.30 Ty=15.19 Tz=-0.86 Mx=0.01 Mz=13.60
Sollecitazioni agenti localmente: Ty_l=-2538.42 Mx_l=-50.77
Tensioni nella sezione: σ=615.37 τ=76.92
CC 7 SLV (Collegamento -179_-383)
Azioni sul collegamento: N=-6136.64 Ty=7.48 Tz=28.35 Mx=0.01 Mz=7.28
Sollecitazioni agenti localmente: Ty_l=-1115.75 Mx_l=-22.32
Tensioni nella sezione: σ=270.49 τ=33.81
CC 7 SLV (Collegamento -179_-383)
Azioni sul collegamento: N=-6136.64 Ty=15.19 Tz=28.35 Mx=0.01 Mz=13.60
Sollecitazioni agenti localmente: Ty_l=-1115.75 Mx_l=-22.32
Tensioni nella sezione: σ=270.49 τ=33.81
CC 7 SLV (Collegamento -179_-383)
Azioni sul collegamento: N=-6136.64 Ty=7.48 Tz=-0.86 Mx=0.01 Mz=7.28
Sollecitazioni agenti localmente: Ty_l=-1115.75 Mx_l=-22.32
Tensioni nella sezione: σ=270.49 τ=33.81
CC 7 SLV (Collegamento -179_-383)
Azioni sul collegamento: N=-6136.64 Ty=15.19 Tz=-0.86 Mx=0.01 Mz=13.60
Sollecitazioni agenti localmente: Ty_l=-1115.75 Mx_l=-22.32
Tensioni nella sezione: σ=270.49 τ=33.81
CC 8 SLD (Collegamento -179_-383)
Azioni sul collegamento: N=-11144.60 Ty=9.24 Tz=17.82 Mx=0.01 Mz=7.34
Sollecitazioni agenti localmente: Ty_l=-2026.30 Mx_l=-40.53
Tensioni nella sezione: σ=491.22 τ=61.40
CC 8 SLD (Collegamento -179_-383)
Azioni sul collegamento: N=-11144.60 Ty=11.59 Tz=17.82 Mx=0.01 Mz=9.27
Sollecitazioni agenti localmente: Ty_l=-2026.30 Mx_l=-40.53

Tensioni nella sezione: σ=491.22 τ=61.40
CC 8 SLD (Collegamento -179_-383)
Azioni sul collegamento: N=-11144.60 Ty=9.24 Tz=8.91 Mx=0.01 Mz=7.34
Sollecitazioni agenti localmente: Ty_l=-2026.30 Mx_l=-40.53
Tensioni nella sezione: σ=491.22 τ=61.40
CC 8 SLD (Collegamento -179_-383)
Azioni sul collegamento: N=-11144.60 Ty=11.59 Tz=8.91 Mx=0.01 Mz=9.27
Sollecitazioni agenti localmente: Ty_l=-2026.30 Mx_l=-40.53
Tensioni nella sezione: σ=491.22 τ=61.40
CC 8 SLD (Collegamento -179_-383)
Azioni sul collegamento: N=-8758.64 Ty=9.24 Tz=17.82 Mx=0.01 Mz=7.34
Sollecitazioni agenti localmente: Ty_l=-1592.48 Mx_l=-31.85
Tensioni nella sezione: σ=386.06 τ=48.26
CC 8 SLD (Collegamento -179_-383)
Azioni sul collegamento: N=-8758.64 Ty=11.59 Tz=17.82 Mx=0.01 Mz=9.27
Sollecitazioni agenti localmente: Ty_l=-1592.48 Mx_l=-31.85
Tensioni nella sezione: σ=386.06 τ=48.26
CC 8 SLD (Collegamento -179_-383)
Azioni sul collegamento: N=-8758.64 Ty=9.24 Tz=8.91 Mx=0.01 Mz=7.34
Sollecitazioni agenti localmente: Ty_l=-1592.48 Mx_l=-31.85
Tensioni nella sezione: σ=386.06 τ=48.26
CC 8 SLD (Collegamento -179_-383)
Azioni sul collegamento: N=-8758.64 Ty=11.59 Tz=8.91 Mx=0.01 Mz=9.27
Sollecitazioni agenti localmente: Ty_l=-1592.48 Mx_l=-31.85
Tensioni nella sezione: σ=386.06 τ=48.26
CC 9 SLV (Collegamento -179_-383)
Azioni sul collegamento: N=-8867.90 Ty=13.27 Tz=8.87 Mx=0.02 Mz=12.98
Sollecitazioni agenti localmente: Ty_l=-1612.34 Mx_l=-32.25
Tensioni nella sezione: σ=390.87 τ=48.86
CC 9 SLV (Collegamento -179_-383)
Azioni sul collegamento: N=-8867.90 Ty=9.40 Tz=8.87 Mx=0.02 Mz=7.91
Sollecitazioni agenti localmente: Ty_l=-1612.34 Mx_l=-32.25
Tensioni nella sezione: σ=390.87 τ=48.86
CC 9 SLV (Collegamento -179_-383)
Azioni sul collegamento: N=-8867.90 Ty=13.27 Tz=18.62 Mx=0.02 Mz=12.98
Sollecitazioni agenti localmente: Ty_l=-1612.34 Mx_l=-32.25
Tensioni nella sezione: σ=390.87 τ=48.86
CC 9 SLV (Collegamento -179_-383)
Azioni sul collegamento: N=-8867.90 Ty=9.40 Tz=18.62 Mx=0.02 Mz=7.91
Sollecitazioni agenti localmente: Ty_l=-1612.34 Mx_l=-32.25
Tensioni nella sezione: σ=390.87 τ=48.86
CC 9 SLV (Collegamento -179_-383)
Azioni sul collegamento: N=-11230.10 Ty=13.27 Tz=8.87 Mx=0.02 Mz=12.98
Sollecitazioni agenti localmente: Ty_l=-2041.83 Mx_l=-40.84
Tensioni nella sezione: σ=494.99 τ=61.87
CC 9 SLV (Collegamento -179_-383)
Azioni sul collegamento: N=-11230.10 Ty=9.40 Tz=8.87 Mx=0.02 Mz=7.91
Sollecitazioni agenti localmente: Ty_l=-2041.83 Mx_l=-40.84
Tensioni nella sezione: σ=494.99 τ=61.87
CC 9 SLV (Collegamento -179_-383)
Azioni sul collegamento: N=-11230.10 Ty=13.27 Tz=18.62 Mx=0.02 Mz=12.98
Sollecitazioni agenti localmente: Ty_l=-2041.83 Mx_l=-40.84
Tensioni nella sezione: σ=494.99 τ=61.87
CC 9 SLV (Collegamento -179_-383)
Azioni sul collegamento: N=-11230.10 Ty=9.40 Tz=18.62 Mx=0.02 Mz=7.91
Sollecitazioni agenti localmente: Ty_l=-2041.83 Mx_l=-40.84
Tensioni nella sezione: σ=494.99 τ=61.87
CC 10 SLD (Collegamento -179_-383)
Azioni sul collegamento: N=-9591.49 Ty=11.00 Tz=11.88 Mx=0.01 Mz=9.08
Sollecitazioni agenti localmente: Ty_l=-1743.91 Mx_l=-34.88
Tensioni nella sezione: σ=422.76 τ=52.85
CC 10 SLD (Collegamento -179_-383)
Azioni sul collegamento: N=-9591.49 Ty=9.82 Tz=11.88 Mx=0.01 Mz=7.53
Sollecitazioni agenti localmente: Ty_l=-1743.91 Mx_l=-34.88
Tensioni nella sezione: σ=422.76 τ=52.85
CC 10 SLD (Collegamento -179_-383)
Azioni sul collegamento: N=-9591.49 Ty=11.00 Tz=14.85 Mx=0.01 Mz=9.08
Sollecitazioni agenti localmente: Ty_l=-1743.91 Mx_l=-34.88
Tensioni nella sezione: σ=422.76 τ=52.85
CC 10 SLD (Collegamento -179_-383)
Azioni sul collegamento: N=-9591.49 Ty=9.82 Tz=14.85 Mx=0.01 Mz=7.53
Sollecitazioni agenti localmente: Ty_l=-1743.91 Mx_l=-34.88
Tensioni nella sezione: σ=422.76 τ=52.85
CC 10 SLD (Collegamento -179_-383)
Azioni sul collegamento: N=-10311.80 Ty=11.00 Tz=11.88 Mx=0.01 Mz=9.08
Sollecitazioni agenti localmente: Ty_l=-1874.87 Mx_l=-37.50
Tensioni nella sezione: σ=454.51 τ=56.81
CC 10 SLD (Collegamento -179_-383)
Azioni sul collegamento: N=-10311.80 Ty=9.82 Tz=11.88 Mx=0.01 Mz=7.53
Sollecitazioni agenti localmente: Ty_l=-1874.87 Mx_l=-37.50

Tensioni nella sezione: σ=454.51 τ=56.81
CC 10 SLD (Collegamento -179_-383)
Azioni sul collegamento: N=-10311.80 Ty=11.00 Tz=14.85 Mx=0.01 Mz=9.08
Sollecitazioni agenti localmente: Ty_l=-1874.87 Mx_l=-37.50
Tensioni nella sezione: σ=454.51 τ=56.81
CC 10 SLD (Collegamento -179_-383)
Azioni sul collegamento: N=-10311.80 Ty=9.82 Tz=14.85 Mx=0.01 Mz=7.53
Sollecitazioni agenti localmente: Ty_l=-1874.87 Mx_l=-37.50
Tensioni nella sezione: σ=454.51 τ=56.81
CC 11 SLV (Collegamento -179_-383)
Azioni sul collegamento: N=-11213.80 Ty=11.11 Tz=17.53 Mx=0.02 Mz=11.40
Sollecitazioni agenti localmente: Ty_l=-2038.88 Mx_l=-40.78
Tensioni nella sezione: σ=494.27 τ=61.78
CC 11 SLV (Collegamento -179_-383)
Azioni sul collegamento: N=-11213.80 Ty=11.56 Tz=17.53 Mx=0.02 Mz=9.49
Sollecitazioni agenti localmente: Ty_l=-2038.88 Mx_l=-40.78
Tensioni nella sezione: σ=494.27 τ=61.78
CC 11 SLV (Collegamento -179_-383)
Azioni sul collegamento: N=-11213.80 Ty=11.11 Tz=9.96 Mx=0.02 Mz=11.40
Sollecitazioni agenti localmente: Ty_l=-2038.88 Mx_l=-40.78
Tensioni nella sezione: σ=494.27 τ=61.78
CC 11 SLV (Collegamento -179_-383)
Azioni sul collegamento: N=-11213.80 Ty=11.56 Tz=9.96 Mx=0.02 Mz=9.49
Sollecitazioni agenti localmente: Ty_l=-2038.88 Mx_l=-40.78
Tensioni nella sezione: σ=494.27 τ=61.78
CC 11 SLV (Collegamento -179_-383)
Azioni sul collegamento: N=-8884.11 Ty=11.11 Tz=17.53 Mx=0.02 Mz=11.40
Sollecitazioni agenti localmente: Ty_l=-1615.29 Mx_l=-32.31
Tensioni nella sezione: σ=391.58 τ=48.95
CC 11 SLV (Collegamento -179_-383)
Azioni sul collegamento: N=-8884.11 Ty=11.56 Tz=17.53 Mx=0.02 Mz=9.49
Sollecitazioni agenti localmente: Ty_l=-1615.29 Mx_l=-32.31
Tensioni nella sezione: σ=391.58 τ=48.95
CC 11 SLV (Collegamento -179_-383)
Azioni sul collegamento: N=-8884.11 Ty=11.11 Tz=9.96 Mx=0.02 Mz=11.40
Sollecitazioni agenti localmente: Ty_l=-1615.29 Mx_l=-32.31
Tensioni nella sezione: σ=391.58 τ=48.95
CC 11 SLV (Collegamento -179_-383)
Azioni sul collegamento: N=-8884.11 Ty=11.56 Tz=9.96 Mx=0.02 Mz=9.49
Sollecitazioni agenti localmente: Ty_l=-1615.29 Mx_l=-32.31
Tensioni nella sezione: σ=391.58 τ=48.95
CC 12 SLD (Collegamento -179_-383)
Azioni sul collegamento: N=-10306.80 Ty=10.34 Tz=14.52 Mx=0.01 Mz=8.60
Sollecitazioni agenti localmente: Ty_l=-1873.97 Mx_l=-37.48
Tensioni nella sezione: σ=454.30 τ=56.79
CC 12 SLD (Collegamento -179_-383)
Azioni sul collegamento: N=-10306.80 Ty=10.48 Tz=14.52 Mx=0.01 Mz=8.01
Sollecitazioni agenti localmente: Ty_l=-1873.97 Mx_l=-37.48
Tensioni nella sezione: σ=454.30 τ=56.79
CC 12 SLD (Collegamento -179_-383)
Azioni sul collegamento: N=-10306.80 Ty=10.34 Tz=12.21 Mx=0.01 Mz=8.60
Sollecitazioni agenti localmente: Ty_l=-1873.97 Mx_l=-37.48
Tensioni nella sezione: σ=454.30 τ=56.79
CC 12 SLD (Collegamento -179_-383)
Azioni sul collegamento: N=-10306.80 Ty=10.48 Tz=12.21 Mx=0.01 Mz=8.01
Sollecitazioni agenti localmente: Ty_l=-1873.97 Mx_l=-37.48
Tensioni nella sezione: σ=454.30 τ=56.79
CC 12 SLD (Collegamento -179_-383)
Azioni sul collegamento: N=-9596.43 Ty=10.34 Tz=14.52 Mx=0.01 Mz=8.60
Sollecitazioni agenti localmente: Ty_l=-1744.81 Mx_l=-34.90
Tensioni nella sezione: σ=422.98 τ=52.87
CC 12 SLD (Collegamento -179_-383)
Azioni sul collegamento: N=-9596.43 Ty=10.48 Tz=14.52 Mx=0.01 Mz=8.01
Sollecitazioni agenti localmente: Ty_l=-1744.81 Mx_l=-34.90
Tensioni nella sezione: σ=422.98 τ=52.87
CC 12 SLD (Collegamento -179_-383)
Azioni sul collegamento: N=-9596.43 Ty=10.34 Tz=12.21 Mx=0.01 Mz=8.60
Sollecitazioni agenti localmente: Ty_l=-1744.81 Mx_l=-34.90
Tensioni nella sezione: σ=422.98 τ=52.87
CC 12 SLD (Collegamento -179_-383)
Azioni sul collegamento: N=-9596.43 Ty=10.48 Tz=12.21 Mx=0.01 Mz=8.01
Sollecitazioni agenti localmente: Ty_l=-1744.81 Mx_l=-34.90
Tensioni nella sezione: σ=422.98 τ=52.87
CC 13 SLV (Collegamento -179_-383)
Azioni sul collegamento: N=-8884.11 Ty=11.56 Tz=9.96 Mx=0.01 Mz=9.49
Sollecitazioni agenti localmente: Ty_l=-1615.29 Mx_l=-32.31
Tensioni nella sezione: σ=391.58 τ=48.95
CC 13 SLV (Collegamento -179_-383)
Azioni sul collegamento: N=-8884.11 Ty=11.11 Tz=9.96 Mx=0.01 Mz=11.40
Sollecitazioni agenti localmente: Ty_l=-1615.29 Mx_l=-32.31

Tensioni nella sezione: σ=391.58 τ=48.95
CC 13 SLV (Collegamento -179_-383)
Azioni sul collegamento: N=-8884.11 Ty=11.56 Tz=17.53 Mx=0.01 Mz=9.49
Sollecitazioni agenti localmente: Ty_l=-1615.29 Mx_l=-32.31
Tensioni nella sezione: σ=391.58 τ=48.95
CC 13 SLV (Collegamento -179_-383)
Azioni sul collegamento: N=-8884.11 Ty=11.11 Tz=17.53 Mx=0.01 Mz=11.40
Sollecitazioni agenti localmente: Ty_l=-1615.29 Mx_l=-32.31
Tensioni nella sezione: σ=391.58 τ=48.95
CC 13 SLV (Collegamento -179_-383)
Azioni sul collegamento: N=-11213.80 Ty=11.56 Tz=9.96 Mx=0.01 Mz=9.49
Sollecitazioni agenti localmente: Ty_l=-2038.88 Mx_l=-40.78
Tensioni nella sezione: σ=494.27 τ=61.78
CC 13 SLV (Collegamento -179_-383)
Azioni sul collegamento: N=-11213.80 Ty=11.11 Tz=9.96 Mx=0.01 Mz=11.40
Sollecitazioni agenti localmente: Ty_l=-2038.88 Mx_l=-40.78
Tensioni nella sezione: σ=494.27 τ=61.78
CC 13 SLV (Collegamento -179_-383)
Azioni sul collegamento: N=-11213.80 Ty=11.56 Tz=17.53 Mx=0.01 Mz=9.49
Sollecitazioni agenti localmente: Ty_l=-2038.88 Mx_l=-40.78
Tensioni nella sezione: σ=494.27 τ=61.78
CC 13 SLV (Collegamento -179_-383)
Azioni sul collegamento: N=-11213.80 Ty=11.11 Tz=17.53 Mx=0.01 Mz=11.40
Sollecitazioni agenti localmente: Ty_l=-2038.88 Mx_l=-40.78
Tensioni nella sezione: σ=494.27 τ=61.78
CC 14 SLD (Collegamento -179_-383)
Azioni sul collegamento: N=-9596.43 Ty=10.48 Tz=12.21 Mx=0.00 Mz=8.01
Sollecitazioni agenti localmente: Ty_l=-1744.81 Mx_l=-34.90
Tensioni nella sezione: σ=422.98 τ=52.87
CC 14 SLD (Collegamento -179_-383)
Azioni sul collegamento: N=-9596.43 Ty=10.34 Tz=12.21 Mx=0.00 Mz=8.60
Sollecitazioni agenti localmente: Ty_l=-1744.81 Mx_l=-34.90
Tensioni nella sezione: σ=422.98 τ=52.87
CC 14 SLD (Collegamento -179_-383)
Azioni sul collegamento: N=-9596.43 Ty=10.48 Tz=14.52 Mx=0.00 Mz=8.01
Sollecitazioni agenti localmente: Ty_l=-1744.81 Mx_l=-34.90
Tensioni nella sezione: σ=422.98 τ=52.87
CC 14 SLD (Collegamento -179_-383)
Azioni sul collegamento: N=-9596.43 Ty=10.34 Tz=14.52 Mx=0.00 Mz=8.60
Sollecitazioni agenti localmente: Ty_l=-1744.81 Mx_l=-34.90
Tensioni nella sezione: σ=422.98 τ=52.87
CC 14 SLD (Collegamento -179_-383)
Azioni sul collegamento: N=-10306.80 Ty=10.48 Tz=12.21 Mx=0.00 Mz=8.01
Sollecitazioni agenti localmente: Ty_l=-1873.97 Mx_l=-37.48
Tensioni nella sezione: σ=454.30 τ=56.79
CC 14 SLD (Collegamento -179_-383)
Azioni sul collegamento: N=-10306.80 Ty=10.34 Tz=12.21 Mx=0.00 Mz=8.60
Sollecitazioni agenti localmente: Ty_l=-1873.97 Mx_l=-37.48
Tensioni nella sezione: σ=454.30 τ=56.79
CC 14 SLD (Collegamento -179_-383)
Azioni sul collegamento: N=-10306.80 Ty=10.48 Tz=14.52 Mx=0.00 Mz=8.01
Sollecitazioni agenti localmente: Ty_l=-1873.97 Mx_l=-37.48
Tensioni nella sezione: σ=454.30 τ=56.79
CC 14 SLD (Collegamento -179_-383)
Azioni sul collegamento: N=-10306.80 Ty=10.34 Tz=14.52 Mx=0.00 Mz=8.60
Sollecitazioni agenti localmente: Ty_l=-1873.97 Mx_l=-37.48
Tensioni nella sezione: σ=454.30 τ=56.79
CC 15 SLV (Collegamento -179_-383)
Azioni sul collegamento: N=-11230.10 Ty=9.40 Tz=18.62 Mx=0.01 Mz=7.91
Sollecitazioni agenti localmente: Ty_l=-2041.83 Mx_l=-40.84
Tensioni nella sezione: σ=494.99 τ=61.87
CC 15 SLV (Collegamento -179_-383)
Azioni sul collegamento: N=-11230.10 Ty=13.27 Tz=18.62 Mx=0.01 Mz=12.98
Sollecitazioni agenti localmente: Ty_l=-2041.83 Mx_l=-40.84
Tensioni nella sezione: σ=494.99 τ=61.87
CC 15 SLV (Collegamento -179_-383)
Azioni sul collegamento: N=-11230.10 Ty=9.40 Tz=8.87 Mx=0.01 Mz=7.91
Sollecitazioni agenti localmente: Ty_l=-2041.83 Mx_l=-40.84
Tensioni nella sezione: σ=494.99 τ=61.87
CC 15 SLV (Collegamento -179_-383)
Azioni sul collegamento: N=-11230.10 Ty=13.27 Tz=8.87 Mx=0.01 Mz=12.98
Sollecitazioni agenti localmente: Ty_l=-2041.83 Mx_l=-40.84
Tensioni nella sezione: σ=494.99 τ=61.87
CC 15 SLV (Collegamento -179_-383)
Azioni sul collegamento: N=-8867.90 Ty=9.40 Tz=18.62 Mx=0.01 Mz=7.91
Sollecitazioni agenti localmente: Ty_l=-1612.34 Mx_l=-32.25
Tensioni nella sezione: σ=390.87 τ=48.86
CC 15 SLV (Collegamento -179_-383)
Azioni sul collegamento: N=-8867.90 Ty=13.27 Tz=18.62 Mx=0.01 Mz=12.98
Sollecitazioni agenti localmente: Ty_l=-1612.34 Mx_l=-32.25

Tensioni nella sezione: σ=390.87 τ=48.86
CC 15 SLV (Collegamento -179_-383)
Azioni sul collegamento: N=-8867.90 Ty=9.40 Tz=8.87 Mx=0.01 Mz=7.91
Sollecitazioni agenti localmente: Ty_l=-1612.34 Mx_l=-32.25
Tensioni nella sezione: σ=390.87 τ=48.86
CC 15 SLV (Collegamento -179_-383)
Azioni sul collegamento: N=-8867.90 Ty=13.27 Tz=8.87 Mx=0.01 Mz=12.98
Sollecitazioni agenti localmente: Ty_l=-1612.34 Mx_l=-32.25
Tensioni nella sezione: σ=390.87 τ=48.86
CC 16 SLD (Collegamento -179_-383)
Azioni sul collegamento: N=-10311.80 Ty=9.82 Tz=14.85 Mx=0.00 Mz=7.53
Sollecitazioni agenti localmente: Ty_l=-1874.87 Mx_l=-37.50
Tensioni nella sezione: σ=454.51 τ=56.81
CC 16 SLD (Collegamento -179_-383)
Azioni sul collegamento: N=-10311.80 Ty=11.00 Tz=14.85 Mx=0.00 Mz=9.08
Sollecitazioni agenti localmente: Ty_l=-1874.87 Mx_l=-37.50
Tensioni nella sezione: σ=454.51 τ=56.81
CC 16 SLD (Collegamento -179_-383)
Azioni sul collegamento: N=-10311.80 Ty=9.82 Tz=11.88 Mx=0.00 Mz=7.53
Sollecitazioni agenti localmente: Ty_l=-1874.87 Mx_l=-37.50
Tensioni nella sezione: σ=454.51 τ=56.81
CC 16 SLD (Collegamento -179_-383)
Azioni sul collegamento: N=-10311.80 Ty=11.00 Tz=11.88 Mx=0.00 Mz=9.08
Sollecitazioni agenti localmente: Ty_l=-1874.87 Mx_l=-37.50
Tensioni nella sezione: σ=454.51 τ=56.81
CC 16 SLD (Collegamento -179_-383)
Azioni sul collegamento: N=-9591.49 Ty=9.82 Tz=14.85 Mx=0.00 Mz=7.53
Sollecitazioni agenti localmente: Ty_l=-1743.91 Mx_l=-34.88
Tensioni nella sezione: σ=422.76 τ=52.85
CC 16 SLD (Collegamento -179_-383)
Azioni sul collegamento: N=-9591.49 Ty=11.00 Tz=14.85 Mx=0.00 Mz=9.08
Sollecitazioni agenti localmente: Ty_l=-1743.91 Mx_l=-34.88
Tensioni nella sezione: σ=422.76 τ=52.85
CC 16 SLD (Collegamento -179_-383)
Azioni sul collegamento: N=-9591.49 Ty=9.82 Tz=11.88 Mx=0.00 Mz=7.53
Sollecitazioni agenti localmente: Ty_l=-1743.91 Mx_l=-34.88
Tensioni nella sezione: σ=422.76 τ=52.85
CC 16 SLD (Collegamento -179_-383)
Azioni sul collegamento: N=-9591.49 Ty=11.00 Tz=11.88 Mx=0.00 Mz=9.08
Sollecitazioni agenti localmente: Ty_l=-1743.91 Mx_l=-34.88
Tensioni nella sezione: σ=422.76 τ=52.85
CC 17 SLV (Collegamento -179_-383)
Azioni sul collegamento: N=-5856.57 Ty=12.53 Tz=-1.96 Mx=-0.01 Mz=7.45
Sollecitazioni agenti localmente: Ty_l=-1064.83 Mx_l=-21.30
Tensioni nella sezione: σ=258.14 τ=32.27
CC 17 SLV (Collegamento -179_-383)
Azioni sul collegamento: N=-5856.57 Ty=4.82 Tz=-1.96 Mx=-0.01 Mz=1.13
Sollecitazioni agenti localmente: Ty_l=-1064.83 Mx_l=-21.30
Tensioni nella sezione: σ=258.14 τ=32.27
CC 17 SLV (Collegamento -179_-383)
Azioni sul collegamento: N=-5856.57 Ty=12.53 Tz=27.25 Mx=-0.01 Mz=7.45
Sollecitazioni agenti localmente: Ty_l=-1064.83 Mx_l=-21.30
Tensioni nella sezione: σ=258.14 τ=32.27
CC 17 SLV (Collegamento -179_-383)
Azioni sul collegamento: N=-5856.57 Ty=4.82 Tz=27.25 Mx=-0.01 Mz=1.13
Sollecitazioni agenti localmente: Ty_l=-1064.83 Mx_l=-21.30
Tensioni nella sezione: σ=258.14 τ=32.27
CC 17 SLV (Collegamento -179_-383)
Azioni sul collegamento: N=-13681.20 Ty=12.53 Tz=-1.96 Mx=-0.01 Mz=7.45
Sollecitazioni agenti localmente: Ty_l=-2487.50 Mx_l=-49.75
Tensioni nella sezione: σ=603.03 τ=75.38
CC 17 SLV (Collegamento -179_-383)
Azioni sul collegamento: N=-13681.20 Ty=4.82 Tz=-1.96 Mx=-0.01 Mz=1.13
Sollecitazioni agenti localmente: Ty_l=-2487.50 Mx_l=-49.75
Tensioni nella sezione: σ=603.03 τ=75.38
CC 17 SLV (Collegamento -179_-383)
Azioni sul collegamento: N=-13681.20 Ty=12.53 Tz=27.25 Mx=-0.01 Mz=7.45
Sollecitazioni agenti localmente: Ty_l=-2487.50 Mx_l=-49.75
Tensioni nella sezione: σ=603.03 τ=75.38
CC 17 SLV (Collegamento -179_-383)
Azioni sul collegamento: N=-13681.20 Ty=4.82 Tz=27.25 Mx=-0.01 Mz=1.13
Sollecitazioni agenti localmente: Ty_l=-2487.50 Mx_l=-49.75
Tensioni nella sezione: σ=603.03 τ=75.38
CC 18 SLD (Collegamento -179_-383)
Azioni sul collegamento: N=-8673.24 Ty=10.78 Tz=8.57 Mx=-0.00 Mz=7.39
Sollecitazioni agenti localmente: Ty_l=-1576.95 Mx_l=-31.54
Tensioni nella sezione: σ=382.29 τ=47.79
CC 18 SLD (Collegamento -179_-383)
Azioni sul collegamento: N=-8673.24 Ty=8.42 Tz=8.57 Mx=-0.00 Mz=5.47
Sollecitazioni agenti localmente: Ty_l=-1576.95 Mx_l=-31.54

Tensioni nella sezione: σ=382.29 τ=47.79
CC 18 SLD (Collegamento -179_-383)
Azioni sul collegamento: N=-8673.24 Ty=10.78 Tz=17.48 Mx=-0.00 Mz=7.39
Sollecitazioni agenti localmente: Ty_l=-1576.95 Mx_l=-31.54
Tensioni nella sezione: σ=382.29 τ=47.79
CC 18 SLD (Collegamento -179_-383)
Azioni sul collegamento: N=-8673.24 Ty=8.42 Tz=17.48 Mx=-0.00 Mz=5.47
Sollecitazioni agenti localmente: Ty_l=-1576.95 Mx_l=-31.54
Tensioni nella sezione: σ=382.29 τ=47.79
CC 18 SLD (Collegamento -179_-383)
Azioni sul collegamento: N=-11059.20 Ty=10.78 Tz=8.57 Mx=-0.00 Mz=7.39
Sollecitazioni agenti localmente: Ty_l=-2010.77 Mx_l=-40.22
Tensioni nella sezione: σ=487.46 τ=60.93
CC 18 SLD (Collegamento -179_-383)
Azioni sul collegamento: N=-11059.20 Ty=8.42 Tz=8.57 Mx=-0.00 Mz=5.47
Sollecitazioni agenti localmente: Ty_l=-2010.77 Mx_l=-40.22
Tensioni nella sezione: σ=487.46 τ=60.93
CC 18 SLD (Collegamento -179_-383)
Azioni sul collegamento: N=-11059.20 Ty=10.78 Tz=17.48 Mx=-0.00 Mz=7.39
Sollecitazioni agenti localmente: Ty_l=-2010.77 Mx_l=-40.22
Tensioni nella sezione: σ=487.46 τ=60.93
CC 18 SLD (Collegamento -179_-383)
Azioni sul collegamento: N=-11059.20 Ty=8.42 Tz=17.48 Mx=-0.00 Mz=5.47
Sollecitazioni agenti localmente: Ty_l=-2010.77 Mx_l=-40.22
Tensioni nella sezione: σ=487.46 τ=60.93
CC 19 SLV (Collegamento -179_-383)
Azioni sul collegamento: N=-5861.43 Ty=12.02 Tz=-1.63 Mx=-0.01 Mz=6.41
Sollecitazioni agenti localmente: Ty_l=-1065.71 Mx_l=-21.31
Tensioni nella sezione: σ=258.35 τ=32.29
CC 19 SLV (Collegamento -179_-383)
Azioni sul collegamento: N=-5861.43 Ty=5.33 Tz=-1.63 Mx=-0.01 Mz=2.18
Sollecitazioni agenti localmente: Ty_l=-1065.71 Mx_l=-21.31
Tensioni nella sezione: σ=258.35 τ=32.29
CC 19 SLV (Collegamento -179_-383)
Azioni sul collegamento: N=-5861.43 Ty=12.02 Tz=26.92 Mx=-0.01 Mz=6.41
Sollecitazioni agenti localmente: Ty_l=-1065.71 Mx_l=-21.31
Tensioni nella sezione: σ=258.35 τ=32.29
CC 19 SLV (Collegamento -179_-383)
Azioni sul collegamento: N=-5861.43 Ty=5.33 Tz=26.92 Mx=-0.01 Mz=2.18
Sollecitazioni agenti localmente: Ty_l=-1065.71 Mx_l=-21.31
Tensioni nella sezione: σ=258.35 τ=32.29
CC 19 SLV (Collegamento -179_-383)
Azioni sul collegamento: N=-13676.40 Ty=12.02 Tz=-1.63 Mx=-0.01 Mz=6.41
Sollecitazioni agenti localmente: Ty_l=-2486.61 Mx_l=-49.73
Tensioni nella sezione: σ=602.81 τ=75.35
CC 19 SLV (Collegamento -179_-383)
Azioni sul collegamento: N=-13676.40 Ty=5.33 Tz=-1.63 Mx=-0.01 Mz=2.18
Sollecitazioni agenti localmente: Ty_l=-2486.61 Mx_l=-49.73
Tensioni nella sezione: σ=602.81 τ=75.35
CC 19 SLV (Collegamento -179_-383)
Azioni sul collegamento: N=-13676.40 Ty=12.02 Tz=26.92 Mx=-0.01 Mz=6.41
Sollecitazioni agenti localmente: Ty_l=-2486.61 Mx_l=-49.73
Tensioni nella sezione: σ=602.81 τ=75.35
CC 19 SLV (Collegamento -179_-383)
Azioni sul collegamento: N=-13676.40 Ty=5.33 Tz=26.92 Mx=-0.01 Mz=2.18
Sollecitazioni agenti localmente: Ty_l=-2486.61 Mx_l=-49.73
Tensioni nella sezione: σ=602.81 τ=75.35
CC 20 SLD (Collegamento -179_-383)
Azioni sul collegamento: N=-8674.72 Ty=10.62 Tz=8.67 Mx=0.00 Mz=7.07
Sollecitazioni agenti localmente: Ty_l=-1577.22 Mx_l=-31.54
Tensioni nella sezione: σ=382.36 τ=47.79
CC 20 SLD (Collegamento -179_-383)
Azioni sul collegamento: N=-8674.72 Ty=8.58 Tz=8.67 Mx=0.00 Mz=5.79
Sollecitazioni agenti localmente: Ty_l=-1577.22 Mx_l=-31.54
Tensioni nella sezione: σ=382.36 τ=47.79
CC 20 SLD (Collegamento -179_-383)
Azioni sul collegamento: N=-8674.72 Ty=10.62 Tz=17.38 Mx=0.00 Mz=7.07
Sollecitazioni agenti localmente: Ty_l=-1577.22 Mx_l=-31.54
Tensioni nella sezione: σ=382.36 τ=47.79
CC 20 SLD (Collegamento -179_-383)
Azioni sul collegamento: N=-8674.72 Ty=8.58 Tz=17.38 Mx=0.00 Mz=5.79
Sollecitazioni agenti localmente: Ty_l=-1577.22 Mx_l=-31.54
Tensioni nella sezione: σ=382.36 τ=47.79
CC 20 SLD (Collegamento -179_-383)
Azioni sul collegamento: N=-11057.70 Ty=10.62 Tz=8.67 Mx=0.00 Mz=7.07
Sollecitazioni agenti localmente: Ty_l=-2010.50 Mx_l=-40.21
Tensioni nella sezione: σ=487.39 τ=60.92
CC 20 SLD (Collegamento -179_-383)
Azioni sul collegamento: N=-11057.70 Ty=8.58 Tz=8.67 Mx=0.00 Mz=5.79
Sollecitazioni agenti localmente: Ty_l=-2010.50 Mx_l=-40.21

Tensioni nella sezione: σ=487.39 τ=60.92
CC 20 SLD (Collegamento -179_-383)
Azioni sul collegamento: N=-11057.70 Ty=10.62 Tz=17.38 Mx=0.00 Mz=7.07
Sollecitazioni agenti localmente: Ty_l=-2010.50 Mx_l=-40.21
Tensioni nella sezione: σ=487.39 τ=60.92
CC 20 SLD (Collegamento -179_-383)
Azioni sul collegamento: N=-11057.70 Ty=8.58 Tz=17.38 Mx=0.00 Mz=5.79
Sollecitazioni agenti localmente: Ty_l=-2010.50 Mx_l=-40.21
Tensioni nella sezione: σ=487.39 τ=60.92
CC 21 SLV (Collegamento -179_-383)
Azioni sul collegamento: N=-13676.40 Ty=5.33 Tz=26.92 Mx=-0.01 Mz=2.18
Sollecitazioni agenti localmente: Ty_l=-2486.61 Mx_l=-49.73
Tensioni nella sezione: σ=602.81 τ=75.35
CC 21 SLV (Collegamento -179_-383)
Azioni sul collegamento: N=-13676.40 Ty=12.02 Tz=26.92 Mx=-0.01 Mz=6.41
Sollecitazioni agenti localmente: Ty_l=-2486.61 Mx_l=-49.73
Tensioni nella sezione: σ=602.81 τ=75.35
CC 21 SLV (Collegamento -179_-383)
Azioni sul collegamento: N=-13676.40 Ty=5.33 Tz=-1.63 Mx=-0.01 Mz=2.18
Sollecitazioni agenti localmente: Ty_l=-2486.61 Mx_l=-49.73
Tensioni nella sezione: σ=602.81 τ=75.35
CC 21 SLV (Collegamento -179_-383)
Azioni sul collegamento: N=-13676.40 Ty=12.02 Tz=-1.63 Mx=-0.01 Mz=6.41
Sollecitazioni agenti localmente: Ty_l=-2486.61 Mx_l=-49.73
Tensioni nella sezione: σ=602.81 τ=75.35
CC 21 SLV (Collegamento -179_-383)
Azioni sul collegamento: N=-5861.43 Ty=5.33 Tz=26.92 Mx=-0.01 Mz=2.18
Sollecitazioni agenti localmente: Ty_l=-1065.71 Mx_l=-21.31
Tensioni nella sezione: σ=258.35 τ=32.29
CC 21 SLV (Collegamento -179_-383)
Azioni sul collegamento: N=-5861.43 Ty=12.02 Tz=26.92 Mx=-0.01 Mz=6.41
Sollecitazioni agenti localmente: Ty_l=-1065.71 Mx_l=-21.31
Tensioni nella sezione: σ=258.35 τ=32.29
CC 21 SLV (Collegamento -179_-383)
Azioni sul collegamento: N=-5861.43 Ty=5.33 Tz=-1.63 Mx=-0.01 Mz=2.18
Sollecitazioni agenti localmente: Ty_l=-1065.71 Mx_l=-21.31
Tensioni nella sezione: σ=258.35 τ=32.29
CC 21 SLV (Collegamento -179_-383)
Azioni sul collegamento: N=-5861.43 Ty=12.02 Tz=-1.63 Mx=-0.01 Mz=6.41
Sollecitazioni agenti localmente: Ty_l=-1065.71 Mx_l=-21.31
Tensioni nella sezione: σ=258.35 τ=32.29
CC 22 SLD (Collegamento -179_-383)
Azioni sul collegamento: N=-11057.70 Ty=8.58 Tz=17.38 Mx=-0.00 Mz=5.79
Sollecitazioni agenti localmente: Ty_l=-2010.50 Mx_l=-40.21
Tensioni nella sezione: σ=487.39 τ=60.92
CC 22 SLD (Collegamento -179_-383)
Azioni sul collegamento: N=-11057.70 Ty=10.62 Tz=17.38 Mx=-0.00 Mz=7.07
Sollecitazioni agenti localmente: Ty_l=-2010.50 Mx_l=-40.21
Tensioni nella sezione: σ=487.39 τ=60.92
CC 22 SLD (Collegamento -179_-383)
Azioni sul collegamento: N=-11057.70 Ty=8.58 Tz=8.67 Mx=-0.00 Mz=5.79
Sollecitazioni agenti localmente: Ty_l=-2010.50 Mx_l=-40.21
Tensioni nella sezione: σ=487.39 τ=60.92
CC 22 SLD (Collegamento -179_-383)
Azioni sul collegamento: N=-11057.70 Ty=10.62 Tz=8.67 Mx=-0.00 Mz=7.07
Sollecitazioni agenti localmente: Ty_l=-2010.50 Mx_l=-40.21
Tensioni nella sezione: σ=487.39 τ=60.92
CC 22 SLD (Collegamento -179_-383)
Azioni sul collegamento: N=-8674.72 Ty=8.58 Tz=17.38 Mx=-0.00 Mz=5.79
Sollecitazioni agenti localmente: Ty_l=-1577.22 Mx_l=-31.54
Tensioni nella sezione: σ=382.36 τ=47.79
CC 22 SLD (Collegamento -179_-383)
Azioni sul collegamento: N=-8674.72 Ty=10.62 Tz=17.38 Mx=-0.00 Mz=7.07
Sollecitazioni agenti localmente: Ty_l=-1577.22 Mx_l=-31.54
Tensioni nella sezione: σ=382.36 τ=47.79
CC 22 SLD (Collegamento -179_-383)
Azioni sul collegamento: N=-8674.72 Ty=8.58 Tz=8.67 Mx=-0.00 Mz=5.79
Sollecitazioni agenti localmente: Ty_l=-1577.22 Mx_l=-31.54
Tensioni nella sezione: σ=382.36 τ=47.79
CC 22 SLD (Collegamento -179_-383)
Azioni sul collegamento: N=-8674.72 Ty=10.62 Tz=8.67 Mx=-0.00 Mz=7.07
Sollecitazioni agenti localmente: Ty_l=-1577.22 Mx_l=-31.54
Tensioni nella sezione: σ=382.36 τ=47.79
CC 23 SLV (Collegamento -179_-383)
Azioni sul collegamento: N=-13681.20 Ty=4.82 Tz=27.25 Mx=-0.01 Mz=1.13
Sollecitazioni agenti localmente: Ty_l=-2487.50 Mx_l=-49.75
Tensioni nella sezione: σ=603.03 τ=75.38
CC 23 SLV (Collegamento -179_-383)
Azioni sul collegamento: N=-13681.20 Ty=12.53 Tz=27.25 Mx=-0.01 Mz=7.45
Sollecitazioni agenti localmente: Ty_l=-2487.50 Mx_l=-49.75

Tensioni nella sezione: σ=603.03 τ=75.38
CC 23 SLV (Collegamento -179_-383)
Azioni sul collegamento: N=-13681.20 Ty=4.82 Tz=-1.96 Mx=-0.01 Mz=1.13
Sollecitazioni agenti localmente: Ty_l=-2487.50 Mx_l=-49.75
Tensioni nella sezione: σ=603.03 τ=75.38
CC 23 SLV (Collegamento -179_-383)
Azioni sul collegamento: N=-13681.20 Ty=12.53 Tz=-1.96 Mx=-0.01 Mz=7.45
Sollecitazioni agenti localmente: Ty_l=-2487.50 Mx_l=-49.75
Tensioni nella sezione: σ=603.03 τ=75.38
CC 23 SLV (Collegamento -179_-383)
Azioni sul collegamento: N=-5856.57 Ty=4.82 Tz=27.25 Mx=-0.01 Mz=1.13
Sollecitazioni agenti localmente: Ty_l=-1064.83 Mx_l=-21.30
Tensioni nella sezione: σ=258.14 τ=32.27
CC 23 SLV (Collegamento -179_-383)
Azioni sul collegamento: N=-5856.57 Ty=12.53 Tz=27.25 Mx=-0.01 Mz=7.45
Sollecitazioni agenti localmente: Ty_l=-1064.83 Mx_l=-21.30
Tensioni nella sezione: σ=258.14 τ=32.27
CC 23 SLV (Collegamento -179_-383)
Azioni sul collegamento: N=-5856.57 Ty=4.82 Tz=-1.96 Mx=-0.01 Mz=1.13
Sollecitazioni agenti localmente: Ty_l=-1064.83 Mx_l=-21.30
Tensioni nella sezione: σ=258.14 τ=32.27
CC 23 SLV (Collegamento -179_-383)
Azioni sul collegamento: N=-5856.57 Ty=12.53 Tz=-1.96 Mx=-0.01 Mz=7.45
Sollecitazioni agenti localmente: Ty_l=-1064.83 Mx_l=-21.30
Tensioni nella sezione: σ=258.14 τ=32.27
CC 24 SLD (Collegamento -179_-383)
Azioni sul collegamento: N=-11059.20 Ty=8.42 Tz=17.48 Mx=0.00 Mz=5.47
Sollecitazioni agenti localmente: Ty_l=-2010.77 Mx_l=-40.22
Tensioni nella sezione: σ=487.46 τ=60.93
CC 24 SLD (Collegamento -179_-383)
Azioni sul collegamento: N=-11059.20 Ty=10.78 Tz=17.48 Mx=0.00 Mz=7.39
Sollecitazioni agenti localmente: Ty_l=-2010.77 Mx_l=-40.22
Tensioni nella sezione: σ=487.46 τ=60.93
CC 24 SLD (Collegamento -179_-383)
Azioni sul collegamento: N=-11059.20 Ty=8.42 Tz=8.57 Mx=0.00 Mz=5.47
Sollecitazioni agenti localmente: Ty_l=-2010.77 Mx_l=-40.22
Tensioni nella sezione: σ=487.46 τ=60.93
CC 24 SLD (Collegamento -179_-383)
Azioni sul collegamento: N=-11059.20 Ty=10.78 Tz=8.57 Mx=0.00 Mz=7.39
Sollecitazioni agenti localmente: Ty_l=-2010.77 Mx_l=-40.22
Tensioni nella sezione: σ=487.46 τ=60.93
CC 24 SLD (Collegamento -179_-383)
Azioni sul collegamento: N=-8673.24 Ty=8.42 Tz=17.48 Mx=0.00 Mz=5.47
Sollecitazioni agenti localmente: Ty_l=-1576.95 Mx_l=-31.54
Tensioni nella sezione: σ=382.29 τ=47.79
CC 24 SLD (Collegamento -179_-383)
Azioni sul collegamento: N=-8673.24 Ty=10.78 Tz=17.48 Mx=0.00 Mz=7.39
Sollecitazioni agenti localmente: Ty_l=-1576.95 Mx_l=-31.54
Tensioni nella sezione: σ=382.29 τ=47.79
CC 24 SLD (Collegamento -179_-383)
Azioni sul collegamento: N=-8673.24 Ty=8.42 Tz=8.57 Mx=0.00 Mz=5.47
Sollecitazioni agenti localmente: Ty_l=-1576.95 Mx_l=-31.54
Tensioni nella sezione: σ=382.29 τ=47.79
CC 24 SLD (Collegamento -179_-383)
Azioni sul collegamento: N=-8673.24 Ty=10.78 Tz=8.57 Mx=0.00 Mz=7.39
Sollecitazioni agenti localmente: Ty_l=-1576.95 Mx_l=-31.54
Tensioni nella sezione: σ=382.29 τ=47.79
CC 25 SLV (Collegamento -179_-383)
Azioni sul collegamento: N=-8587.82 Ty=10.61 Tz=7.77 Mx=-0.02 Mz=6.83
Sollecitazioni agenti localmente: Ty_l=-1561.42 Mx_l=-31.23
Tensioni nella sezione: σ=378.53 τ=47.32
CC 25 SLV (Collegamento -179_-383)
Azioni sul collegamento: N=-8587.82 Ty=6.74 Tz=7.77 Mx=-0.02 Mz=1.76
Sollecitazioni agenti localmente: Ty_l=-1561.42 Mx_l=-31.23
Tensioni nella sezione: σ=378.53 τ=47.32
CC 25 SLV (Collegamento -179_-383)
Azioni sul collegamento: N=-8587.82 Ty=10.61 Tz=17.52 Mx=-0.02 Mz=6.83
Sollecitazioni agenti localmente: Ty_l=-1561.42 Mx_l=-31.23
Tensioni nella sezione: σ=378.53 τ=47.32
CC 25 SLV (Collegamento -179_-383)
Azioni sul collegamento: N=-8587.82 Ty=6.74 Tz=17.52 Mx=-0.02 Mz=1.76
Sollecitazioni agenti localmente: Ty_l=-1561.42 Mx_l=-31.23
Tensioni nella sezione: σ=378.53 τ=47.32
CC 25 SLV (Collegamento -179_-383)
Azioni sul collegamento: N=-10950.00 Ty=10.61 Tz=7.77 Mx=-0.02 Mz=6.83
Sollecitazioni agenti localmente: Ty_l=-1990.90 Mx_l=-39.82
Tensioni nella sezione: σ=482.64 τ=60.33
CC 25 SLV (Collegamento -179_-383)
Azioni sul collegamento: N=-10950.00 Ty=6.74 Tz=7.77 Mx=-0.02 Mz=1.76
Sollecitazioni agenti localmente: Ty_l=-1990.90 Mx_l=-39.82

Tensioni nella sezione: σ=482.64 τ=60.33
CC 25 SLV (Collegamento -179_-383)
Azioni sul collegamento: N=-10950.00 Ty=10.61 Tz=17.52 Mx=-0.02 Mz=6.83
Sollecitazioni agenti localmente: Ty_l=-1990.90 Mx_l=-39.82
Tensioni nella sezione: σ=482.64 τ=60.33
CC 25 SLV (Collegamento -179_-383)
Azioni sul collegamento: N=-10950.00 Ty=6.74 Tz=17.52 Mx=-0.02 Mz=1.76
Sollecitazioni agenti localmente: Ty_l=-1990.90 Mx_l=-39.82
Tensioni nella sezione: σ=482.64 τ=60.33
CC 26 SLD (Collegamento -179_-383)
Azioni sul collegamento: N=-9506.09 Ty=10.19 Tz=11.54 Mx=-0.00 Mz=7.20
Sollecitazioni agenti localmente: Ty_l=-1728.38 Mx_l=-34.57
Tensioni nella sezione: σ=419.00 τ=52.38
CC 26 SLD (Collegamento -179_-383)
Azioni sul collegamento: N=-9506.09 Ty=9.01 Tz=11.54 Mx=-0.00 Mz=5.66
Sollecitazioni agenti localmente: Ty_l=-1728.38 Mx_l=-34.57
Tensioni nella sezione: σ=419.00 τ=52.38
CC 26 SLD (Collegamento -179_-383)
Azioni sul collegamento: N=-9506.09 Ty=10.19 Tz=14.51 Mx=-0.00 Mz=7.20
Sollecitazioni agenti localmente: Ty_l=-1728.38 Mx_l=-34.57
Tensioni nella sezione: σ=419.00 τ=52.38
CC 26 SLD (Collegamento -179_-383)
Azioni sul collegamento: N=-9506.09 Ty=9.01 Tz=14.51 Mx=-0.00 Mz=5.66
Sollecitazioni agenti localmente: Ty_l=-1728.38 Mx_l=-34.57
Tensioni nella sezione: σ=419.00 τ=52.38
CC 26 SLD (Collegamento -179_-383)
Azioni sul collegamento: N=-10226.40 Ty=10.19 Tz=11.54 Mx=-0.00 Mz=7.20
Sollecitazioni agenti localmente: Ty_l=-1859.34 Mx_l=-37.19
Tensioni nella sezione: σ=450.75 τ=56.34
CC 26 SLD (Collegamento -179_-383)
Azioni sul collegamento: N=-10226.40 Ty=9.01 Tz=11.54 Mx=-0.00 Mz=5.66
Sollecitazioni agenti localmente: Ty_l=-1859.34 Mx_l=-37.19
Tensioni nella sezione: σ=450.75 τ=56.34
CC 26 SLD (Collegamento -179_-383)
Azioni sul collegamento: N=-10226.40 Ty=10.19 Tz=14.51 Mx=-0.00 Mz=7.20
Sollecitazioni agenti localmente: Ty_l=-1859.34 Mx_l=-37.19
Tensioni nella sezione: σ=450.75 τ=56.34
CC 26 SLD (Collegamento -179_-383)
Azioni sul collegamento: N=-10226.40 Ty=9.01 Tz=14.51 Mx=-0.00 Mz=5.66
Sollecitazioni agenti localmente: Ty_l=-1859.34 Mx_l=-37.19
Tensioni nella sezione: σ=450.75 τ=56.34
CC 27 SLV (Collegamento -179_-383)
Azioni sul collegamento: N=-10933.80 Ty=8.45 Tz=16.43 Mx=-0.02 Mz=5.25
Sollecitazioni agenti localmente: Ty_l=-1987.96 Mx_l=-39.76
Tensioni nella sezione: σ=481.93 τ=60.24
CC 27 SLV (Collegamento -179_-383)
Azioni sul collegamento: N=-10933.80 Ty=8.90 Tz=16.43 Mx=-0.02 Mz=3.34
Sollecitazioni agenti localmente: Ty_l=-1987.96 Mx_l=-39.76
Tensioni nella sezione: σ=481.93 τ=60.24
CC 27 SLV (Collegamento -179_-383)
Azioni sul collegamento: N=-10933.80 Ty=8.45 Tz=8.86 Mx=-0.02 Mz=5.25
Sollecitazioni agenti localmente: Ty_l=-1987.96 Mx_l=-39.76
Tensioni nella sezione: σ=481.93 τ=60.24
CC 27 SLV (Collegamento -179_-383)
Azioni sul collegamento: N=-10933.80 Ty=8.90 Tz=8.86 Mx=-0.02 Mz=3.34
Sollecitazioni agenti localmente: Ty_l=-1987.96 Mx_l=-39.76
Tensioni nella sezione: σ=481.93 τ=60.24
CC 27 SLV (Collegamento -179_-383)
Azioni sul collegamento: N=-8604.03 Ty=8.45 Tz=16.43 Mx=-0.02 Mz=5.25
Sollecitazioni agenti localmente: Ty_l=-1564.37 Mx_l=-31.29
Tensioni nella sezione: σ=379.24 τ=47.41
CC 27 SLV (Collegamento -179_-383)
Azioni sul collegamento: N=-8604.03 Ty=8.90 Tz=16.43 Mx=-0.02 Mz=3.34
Sollecitazioni agenti localmente: Ty_l=-1564.37 Mx_l=-31.29
Tensioni nella sezione: σ=379.24 τ=47.41
CC 27 SLV (Collegamento -179_-383)
Azioni sul collegamento: N=-8604.03 Ty=8.45 Tz=8.86 Mx=-0.02 Mz=5.25
Sollecitazioni agenti localmente: Ty_l=-1564.37 Mx_l=-31.29
Tensioni nella sezione: σ=379.24 τ=47.41
CC 27 SLV (Collegamento -179_-383)
Azioni sul collegamento: N=-8604.03 Ty=8.90 Tz=8.86 Mx=-0.02 Mz=3.34
Sollecitazioni agenti localmente: Ty_l=-1564.37 Mx_l=-31.29
Tensioni nella sezione: σ=379.24 τ=47.41
CC 28 SLD (Collegamento -179_-383)
Azioni sul collegamento: N=-10221.40 Ty=9.53 Tz=14.18 Mx=-0.00 Mz=6.72
Sollecitazioni agenti localmente: Ty_l=-1858.44 Mx_l=-37.17
Tensioni nella sezione: σ=450.53 τ=56.32
CC 28 SLD (Collegamento -179_-383)
Azioni sul collegamento: N=-10221.40 Ty=9.67 Tz=14.18 Mx=-0.00 Mz=6.14
Sollecitazioni agenti localmente: Ty_l=-1858.44 Mx_l=-37.17

Tensioni nella sezione: σ=450.53 τ=56.32
CC 28 SLD (Collegamento -179_-383)
Azioni sul collegamento: N=-10221.40 Ty=9.53 Tz=11.87 Mx=-0.00 Mz=6.72
Sollecitazioni agenti localmente: Ty_l=-1858.44 Mx_l=-37.17
Tensioni nella sezione: σ=450.53 τ=56.32
CC 28 SLD (Collegamento -179_-383)
Azioni sul collegamento: N=-10221.40 Ty=9.67 Tz=11.87 Mx=-0.00 Mz=6.14
Sollecitazioni agenti localmente: Ty_l=-1858.44 Mx_l=-37.17
Tensioni nella sezione: σ=450.53 τ=56.32
CC 28 SLD (Collegamento -179_-383)
Azioni sul collegamento: N=-9511.03 Ty=9.53 Tz=14.18 Mx=-0.00 Mz=6.72
Sollecitazioni agenti localmente: Ty_l=-1729.28 Mx_l=-34.59
Tensioni nella sezione: σ=419.22 τ=52.40
CC 28 SLD (Collegamento -179_-383)
Azioni sul collegamento: N=-9511.03 Ty=9.67 Tz=14.18 Mx=-0.00 Mz=6.14
Sollecitazioni agenti localmente: Ty_l=-1729.28 Mx_l=-34.59
Tensioni nella sezione: σ=419.22 τ=52.40
CC 28 SLD (Collegamento -179_-383)
Azioni sul collegamento: N=-9511.03 Ty=9.53 Tz=11.87 Mx=-0.00 Mz=6.72
Sollecitazioni agenti localmente: Ty_l=-1729.28 Mx_l=-34.59
Tensioni nella sezione: σ=419.22 τ=52.40
CC 28 SLD (Collegamento -179_-383)
Azioni sul collegamento: N=-9511.03 Ty=9.67 Tz=11.87 Mx=-0.00 Mz=6.14
Sollecitazioni agenti localmente: Ty_l=-1729.28 Mx_l=-34.59
Tensioni nella sezione: σ=419.22 τ=52.40
CC 29 SLV (Collegamento -179_-383)
Azioni sul collegamento: N=-8604.03 Ty=8.90 Tz=8.86 Mx=-0.00 Mz=3.34
Sollecitazioni agenti localmente: Ty_l=-1564.37 Mx_l=-31.29
Tensioni nella sezione: σ=379.24 τ=47.41
CC 29 SLV (Collegamento -179_-383)
Azioni sul collegamento: N=-8604.03 Ty=8.45 Tz=8.86 Mx=-0.00 Mz=5.25
Sollecitazioni agenti localmente: Ty_l=-1564.37 Mx_l=-31.29
Tensioni nella sezione: σ=379.24 τ=47.41
CC 29 SLV (Collegamento -179_-383)
Azioni sul collegamento: N=-8604.03 Ty=8.90 Tz=16.43 Mx=-0.00 Mz=3.34
Sollecitazioni agenti localmente: Ty_l=-1564.37 Mx_l=-31.29
Tensioni nella sezione: σ=379.24 τ=47.41
CC 29 SLV (Collegamento -179_-383)
Azioni sul collegamento: N=-8604.03 Ty=8.45 Tz=16.43 Mx=-0.00 Mz=5.25
Sollecitazioni agenti localmente: Ty_l=-1564.37 Mx_l=-31.29
Tensioni nella sezione: σ=379.24 τ=47.41
CC 29 SLV (Collegamento -179_-383)
Azioni sul collegamento: N=-10933.80 Ty=8.90 Tz=8.86 Mx=-0.00 Mz=3.34
Sollecitazioni agenti localmente: Ty_l=-1987.96 Mx_l=-39.76
Tensioni nella sezione: σ=481.93 τ=60.24
CC 29 SLV (Collegamento -179_-383)
Azioni sul collegamento: N=-10933.80 Ty=8.45 Tz=8.86 Mx=-0.00 Mz=5.25
Sollecitazioni agenti localmente: Ty_l=-1987.96 Mx_l=-39.76
Tensioni nella sezione: σ=481.93 τ=60.24
CC 29 SLV (Collegamento -179_-383)
Azioni sul collegamento: N=-10933.80 Ty=8.90 Tz=16.43 Mx=-0.00 Mz=3.34
Sollecitazioni agenti localmente: Ty_l=-1987.96 Mx_l=-39.76
Tensioni nella sezione: σ=481.93 τ=60.24
CC 29 SLV (Collegamento -179_-383)
Azioni sul collegamento: N=-10933.80 Ty=8.45 Tz=16.43 Mx=-0.00 Mz=5.25
Sollecitazioni agenti localmente: Ty_l=-1987.96 Mx_l=-39.76
Tensioni nella sezione: σ=481.93 τ=60.24
CC 30 SLD (Collegamento -179_-383)
Azioni sul collegamento: N=-9511.03 Ty=9.67 Tz=11.87 Mx=0.00 Mz=6.14
Sollecitazioni agenti localmente: Ty_l=-1729.28 Mx_l=-34.59
Tensioni nella sezione: σ=419.22 τ=52.40
CC 30 SLD (Collegamento -179_-383)
Azioni sul collegamento: N=-9511.03 Ty=9.53 Tz=11.87 Mx=0.00 Mz=6.72
Sollecitazioni agenti localmente: Ty_l=-1729.28 Mx_l=-34.59
Tensioni nella sezione: σ=419.22 τ=52.40
CC 30 SLD (Collegamento -179_-383)
Azioni sul collegamento: N=-9511.03 Ty=9.67 Tz=14.18 Mx=0.00 Mz=6.14
Sollecitazioni agenti localmente: Ty_l=-1729.28 Mx_l=-34.59
Tensioni nella sezione: σ=419.22 τ=52.40
CC 30 SLD (Collegamento -179_-383)
Azioni sul collegamento: N=-9511.03 Ty=9.53 Tz=14.18 Mx=0.00 Mz=6.72
Sollecitazioni agenti localmente: Ty_l=-1729.28 Mx_l=-34.59
Tensioni nella sezione: σ=419.22 τ=52.40
CC 30 SLD (Collegamento -179_-383)
Azioni sul collegamento: N=-10221.40 Ty=9.67 Tz=11.87 Mx=0.00 Mz=6.14
Sollecitazioni agenti localmente: Ty_l=-1858.44 Mx_l=-37.17
Tensioni nella sezione: σ=450.53 τ=56.32
CC 30 SLD (Collegamento -179_-383)
Azioni sul collegamento: N=-10221.40 Ty=9.53 Tz=11.87 Mx=0.00 Mz=6.72
Sollecitazioni agenti localmente: Ty_l=-1858.44 Mx_l=-37.17

Tensioni nella sezione: σ=450.53 τ=56.32
CC 30 SLD (Collegamento -179_-383)
Azioni sul collegamento: N=-10221.40 Ty=9.67 Tz=14.18 Mx=0.00 Mz=6.14
Sollecitazioni agenti localmente: Ty_l=-1858.44 Mx_l=-37.17
Tensioni nella sezione: σ=450.53 τ=56.32
CC 30 SLD (Collegamento -179_-383)
Azioni sul collegamento: N=-10221.40 Ty=9.53 Tz=14.18 Mx=0.00 Mz=6.72
Sollecitazioni agenti localmente: Ty_l=-1858.44 Mx_l=-37.17
Tensioni nella sezione: σ=450.53 τ=56.32
CC 31 SLV (Collegamento -179_-383)
Azioni sul collegamento: N=-10950.00 Ty=6.74 Tz=17.52 Mx=-0.00 Mz=1.76
Sollecitazioni agenti localmente: Ty_l=-1990.90 Mx_l=-39.82
Tensioni nella sezione: σ=482.64 τ=60.33
CC 31 SLV (Collegamento -179_-383)
Azioni sul collegamento: N=-10950.00 Ty=10.61 Tz=17.52 Mx=-0.00 Mz=6.83
Sollecitazioni agenti localmente: Ty_l=-1990.90 Mx_l=-39.82
Tensioni nella sezione: σ=482.64 τ=60.33
CC 31 SLV (Collegamento -179_-383)
Azioni sul collegamento: N=-10950.00 Ty=6.74 Tz=7.77 Mx=-0.00 Mz=1.76
Sollecitazioni agenti localmente: Ty_l=-1990.90 Mx_l=-39.82
Tensioni nella sezione: σ=482.64 τ=60.33
CC 31 SLV (Collegamento -179_-383)
Azioni sul collegamento: N=-10950.00 Ty=10.61 Tz=7.77 Mx=-0.00 Mz=6.83
Sollecitazioni agenti localmente: Ty_l=-1990.90 Mx_l=-39.82
Tensioni nella sezione: σ=482.64 τ=60.33
CC 31 SLV (Collegamento -179_-383)
Azioni sul collegamento: N=-8587.82 Ty=6.74 Tz=17.52 Mx=-0.00 Mz=1.76
Sollecitazioni agenti localmente: Ty_l=-1561.42 Mx_l=-31.23
Tensioni nella sezione: σ=378.53 τ=47.32
CC 31 SLV (Collegamento -179_-383)
Azioni sul collegamento: N=-8587.82 Ty=10.61 Tz=17.52 Mx=-0.00 Mz=6.83
Sollecitazioni agenti localmente: Ty_l=-1561.42 Mx_l=-31.23
Tensioni nella sezione: σ=378.53 τ=47.32
CC 31 SLV (Collegamento -179_-383)
Azioni sul collegamento: N=-8587.82 Ty=6.74 Tz=7.77 Mx=-0.00 Mz=1.76
Sollecitazioni agenti localmente: Ty_l=-1561.42 Mx_l=-31.23
Tensioni nella sezione: σ=378.53 τ=47.32
CC 31 SLV (Collegamento -179_-383)
Azioni sul collegamento: N=-8587.82 Ty=10.61 Tz=7.77 Mx=-0.00 Mz=6.83
Sollecitazioni agenti localmente: Ty_l=-1561.42 Mx_l=-31.23
Tensioni nella sezione: σ=378.53 τ=47.32
CC 32 SLD (Collegamento -179_-383)
Azioni sul collegamento: N=-10226.40 Ty=9.01 Tz=14.51 Mx=0.00 Mz=5.66
Sollecitazioni agenti localmente: Ty_l=-1859.34 Mx_l=-37.19
Tensioni nella sezione: σ=450.75 τ=56.34
CC 32 SLD (Collegamento -179_-383)
Azioni sul collegamento: N=-10226.40 Ty=10.19 Tz=14.51 Mx=0.00 Mz=7.20
Sollecitazioni agenti localmente: Ty_l=-1859.34 Mx_l=-37.19
Tensioni nella sezione: σ=450.75 τ=56.34
CC 32 SLD (Collegamento -179_-383)
Azioni sul collegamento: N=-10226.40 Ty=9.01 Tz=11.54 Mx=0.00 Mz=5.66
Sollecitazioni agenti localmente: Ty_l=-1859.34 Mx_l=-37.19
Tensioni nella sezione: σ=450.75 τ=56.34
CC 32 SLD (Collegamento -179_-383)
Azioni sul collegamento: N=-10226.40 Ty=10.19 Tz=11.54 Mx=0.00 Mz=7.20
Sollecitazioni agenti localmente: Ty_l=-1859.34 Mx_l=-37.19
Tensioni nella sezione: σ=450.75 τ=56.34
CC 32 SLD (Collegamento -179_-383)
Azioni sul collegamento: N=-9506.09 Ty=9.01 Tz=14.51 Mx=0.00 Mz=5.66
Sollecitazioni agenti localmente: Ty_l=-1728.38 Mx_l=-34.57
Tensioni nella sezione: σ=419.00 τ=52.38
CC 32 SLD (Collegamento -179_-383)
Azioni sul collegamento: N=-9506.09 Ty=10.19 Tz=14.51 Mx=0.00 Mz=7.20
Sollecitazioni agenti localmente: Ty_l=-1728.38 Mx_l=-34.57
Tensioni nella sezione: σ=419.00 τ=52.38
CC 32 SLD (Collegamento -179_-383)
Azioni sul collegamento: N=-9506.09 Ty=9.01 Tz=11.54 Mx=0.00 Mz=5.66
Sollecitazioni agenti localmente: Ty_l=-1728.38 Mx_l=-34.57
Tensioni nella sezione: σ=419.00 τ=52.38
CC 32 SLD (Collegamento -179_-383)
Azioni sul collegamento: N=-9506.09 Ty=10.19 Tz=11.54 Mx=0.00 Mz=7.20
Sollecitazioni agenti localmente: Ty_l=-1728.38 Mx_l=-34.57
Tensioni nella sezione: σ=419.00 τ=52.38
CC 33 SLU (Collegamento -179_-383)
Azioni sul collegamento: N=-36428.20 Ty=20.21 Tz=102.49 Mx=0.01 Mz=15.01
Sollecitazioni agenti localmente: Ty_l=-6623.30 Mx_l=-132.47
Tensioni nella sezione: σ=1605.65 τ=200.71
CC 34 SLU (Collegamento -179_-383)
Azioni sul collegamento: N=-37242.40 Ty=20.96 Tz=105.49 Mx=0.01 Mz=15.56
Sollecitazioni agenti localmente: Ty_l=-6771.33 Mx_l=-135.43

Tensioni nella sezione: σ=1641.53 τ=205.19
CC 35 SLU (Collegamento -179_-383)
Azioni sul collegamento: N=-36836.10 Ty=20.67 Tz=103.93 Mx=0.00 Mz=15.47
Sollecitazioni agenti localmente: Ty_l=-6697.48 Mx_l=-133.95
Tensioni nella sezione: σ=1623.63 τ=202.95
CC 36 SLU (Collegamento -179_-383)
Azioni sul collegamento: N=-36834.40 Ty=20.49 Tz=104.05 Mx=0.01 Mz=15.10
Sollecitazioni agenti localmente: Ty_l=-6697.15 Mx_l=-133.94
Tensioni nella sezione: σ=1623.55 τ=202.94
CC 37 SLU (Collegamento -179_-383)
Azioni sul collegamento: N=-29660.30 Ty=-10.68 Tz=77.11 Mx=0.01 Mz=-8.42
Sollecitazioni agenti localmente: Ty_l=-5392.77 Mx_l=-107.86
Tensioni nella sezione: σ=1307.34 τ=163.42
CC 38 SLU (Collegamento -179_-383)
Azioni sul collegamento: N=-30474.50 Ty=-9.93 Tz=80.11 Mx=0.01 Mz=-7.87
Sollecitazioni agenti localmente: Ty_l=-5540.81 Mx_l=-110.82
Tensioni nella sezione: σ=1343.22 τ=167.90
CC 39 SLU (Collegamento -179_-383)
Azioni sul collegamento: N=-30068.30 Ty=-10.21 Tz=78.55 Mx=0.00 Mz=-7.97
Sollecitazioni agenti localmente: Ty_l=-5466.95 Mx_l=-109.34
Tensioni nella sezione: σ=1325.32 τ=165.66
CC 40 SLU (Collegamento -179_-383)
Azioni sul collegamento: N=-30066.50 Ty=-10.39 Tz=78.67 Mx=0.01 Mz=-8.33
Sollecitazioni agenti localmente: Ty_l=-5466.64 Mx_l=-109.33
Tensioni nella sezione: σ=1325.24 τ=165.66
CC 41 SLU (Collegamento -179_-383)
Azioni sul collegamento: N=-27261.60 Ty=19.33 Tz=68.83 Mx=0.01 Mz=14.21
Sollecitazioni agenti localmente: Ty_l=-4956.66 Mx_l=-99.13
Tensioni nella sezione: σ=1201.61 τ=150.20
CC 42 SLU (Collegamento -179_-383)
Azioni sul collegamento: N=-28075.80 Ty=20.08 Tz=71.84 Mx=0.01 Mz=14.76
Sollecitazioni agenti localmente: Ty_l=-5104.69 Mx_l=-102.09
Tensioni nella sezione: σ=1237.50 τ=154.69
CC 43 SLU (Collegamento -179_-383)
Azioni sul collegamento: N=-27669.60 Ty=19.79 Tz=70.28 Mx=0.00 Mz=14.67
Sollecitazioni agenti localmente: Ty_l=-5030.83 Mx_l=-100.62
Tensioni nella sezione: σ=1219.59 τ=152.45
CC 44 SLU (Collegamento -179_-383)
Azioni sul collegamento: N=-27667.80 Ty=19.61 Tz=70.39 Mx=0.01 Mz=14.31
Sollecitazioni agenti localmente: Ty_l=-5030.51 Mx_l=-100.61
Tensioni nella sezione: σ=1219.52 τ=152.44
CC 45 SLU (Collegamento -179_-383)
Azioni sul collegamento: N=-29271.60 Ty=19.56 Tz=76.22 Mx=0.00 Mz=14.53
Sollecitazioni agenti localmente: Ty_l=-5322.11 Mx_l=-106.44
Tensioni nella sezione: σ=1290.20 τ=161.28
CC 46 SLU (Collegamento -179_-383)
Azioni sul collegamento: N=-30085.80 Ty=20.31 Tz=79.22 Mx=0.00 Mz=15.08
Sollecitazioni agenti localmente: Ty_l=-5470.14 Mx_l=-109.40
Tensioni nella sezione: σ=1326.09 τ=165.76
CC 47 SLU (Collegamento -179_-383)
Azioni sul collegamento: N=-29679.60 Ty=20.02 Tz=77.66 Mx=0.00 Mz=14.99
Sollecitazioni agenti localmente: Ty_l=-5396.29 Mx_l=-107.92
Tensioni nella sezione: σ=1308.19 τ=163.52
CC 48 SLU (Collegamento -179_-383)
Azioni sul collegamento: N=-29677.80 Ty=19.84 Tz=77.78 Mx=0.01 Mz=14.62
Sollecitazioni agenti localmente: Ty_l=-5395.96 Mx_l=-107.92
Tensioni nella sezione: σ=1308.11 τ=163.51
CC 49 SLU (Collegamento -179_-383)
Azioni sul collegamento: N=-24208.20 Ty=-3.55 Tz=57.23 Mx=0.01 Mz=-3.00
Sollecitazioni agenti localmente: Ty_l=-4401.49 Mx_l=-88.03
Tensioni nella sezione: σ=1067.03 τ=133.38
CC 50 SLU (Collegamento -179_-383)
Azioni sul collegamento: N=-25022.40 Ty=-2.80 Tz=60.23 Mx=0.01 Mz=-2.45
Sollecitazioni agenti localmente: Ty_l=-4549.53 Mx_l=-90.99
Tensioni nella sezione: σ=1102.91 τ=137.87
CC 51 SLU (Collegamento -179_-383)
Azioni sul collegamento: N=-24616.20 Ty=-3.08 Tz=58.67 Mx=0.00 Mz=-2.54
Sollecitazioni agenti localmente: Ty_l=-4475.67 Mx_l=-89.51
Tensioni nella sezione: σ=1085.01 τ=135.63
CC 52 SLU (Collegamento -179_-383)
Azioni sul collegamento: N=-24614.40 Ty=-3.26 Tz=58.79 Mx=0.01 Mz=-2.91
Sollecitazioni agenti localmente: Ty_l=-4475.35 Mx_l=-89.51
Tensioni nella sezione: σ=1084.93 τ=135.62
CC 53 SLU (Collegamento -179_-383)
Azioni sul collegamento: N=-22413.60 Ty=18.90 Tz=51.04 Mx=0.00 Mz=13.93
Sollecitazioni agenti localmente: Ty_l=-4075.21 Mx_l=-81.50
Tensioni nella sezione: σ=987.93 τ=123.49
CC 54 SLU (Collegamento -179_-383)
Azioni sul collegamento: N=-23227.90 Ty=19.65 Tz=54.04 Mx=0.00 Mz=14.49
Sollecitazioni agenti localmente: Ty_l=-4223.24 Mx_l=-84.46

Tensioni nella sezione: σ=1023.81 τ=127.98
CC 55 SLU (Collegamento -179_-383)
Azioni sul collegamento: N=-22821.60 Ty=19.36 Tz=52.48 Mx=0.00 Mz=14.39
Sollecitazioni agenti localmente: Ty_l=-4149.39 Mx_l=-82.99
Tensioni nella sezione: σ=1005.91 τ=125.74
CC 56 SLU (Collegamento -179_-383)
Azioni sul collegamento: N=-22819.90 Ty=19.19 Tz=52.60 Mx=0.01 Mz=14.03
Sollecitazioni agenti localmente: Ty_l=-4149.06 Mx_l=-82.98
Tensioni nella sezione: σ=1005.83 τ=125.73
CC 57 SLU (Collegamento -179_-383)
Azioni sul collegamento: N=-30019.90 Ty=20.54 Tz=79.01 Mx=0.00 Mz=15.25
Sollecitazioni agenti localmente: Ty_l=-5458.17 Mx_l=-109.16
Tensioni nella sezione: σ=1323.19 τ=165.40
CC 58 SLU (Collegamento -179_-383)
Azioni sul collegamento: N=-30834.10 Ty=21.29 Tz=82.01 Mx=0.00 Mz=15.80
Sollecitazioni agenti localmente: Ty_l=-5606.21 Mx_l=-112.12
Tensioni nella sezione: σ=1359.08 τ=169.88
CC 59 SLU (Collegamento -179_-383)
Azioni sul collegamento: N=-30427.90 Ty=21.01 Tz=80.45 Mx=0.00 Mz=15.71
Sollecitazioni agenti localmente: Ty_l=-5532.35 Mx_l=-110.65
Tensioni nella sezione: σ=1341.17 τ=167.65
CC 60 SLU (Collegamento -179_-383)
Azioni sul collegamento: N=-30426.20 Ty=20.83 Tz=80.57 Mx=0.01 Mz=15.34
Sollecitazioni agenti localmente: Ty_l=-5532.03 Mx_l=-110.64
Tensioni nella sezione: σ=1341.10 τ=167.64
CC 61 SLU (Collegamento -179_-383)
Azioni sul collegamento: N=-24956.60 Ty=-2.56 Tz=60.02 Mx=0.00 Mz=-2.28
Sollecitazioni agenti localmente: Ty_l=-4537.56 Mx_l=-90.75
Tensioni nella sezione: σ=1100.01 τ=137.50
CC 62 SLU (Collegamento -179_-383)
Azioni sul collegamento: N=-25770.80 Ty=-1.81 Tz=63.02 Mx=0.00 Mz=-1.73
Sollecitazioni agenti localmente: Ty_l=-4685.59 Mx_l=-93.71
Tensioni nella sezione: σ=1135.90 τ=141.99
CC 63 SLU (Collegamento -179_-383)
Azioni sul collegamento: N=-25364.60 Ty=-2.10 Tz=61.46 Mx=0.00 Mz=-1.82
Sollecitazioni agenti localmente: Ty_l=-4611.74 Mx_l=-92.23
Tensioni nella sezione: σ=1117.99 τ=139.75
CC 64 SLU (Collegamento -179_-383)
Azioni sul collegamento: N=-25362.80 Ty=-2.28 Tz=61.58 Mx=0.01 Mz=-2.19
Sollecitazioni agenti localmente: Ty_l=-4611.41 Mx_l=-92.23
Tensioni nella sezione: σ=1117.92 τ=139.74
CC 65 SLU (Collegamento -179_-383)
Azioni sul collegamento: N=-23162.00 Ty=19.88 Tz=53.83 Mx=0.00 Mz=14.66
Sollecitazioni agenti localmente: Ty_l=-4211.27 Mx_l=-84.23
Tensioni nella sezione: σ=1020.91 τ=127.61
CC 66 SLU (Collegamento -179_-383)
Azioni sul collegamento: N=-23976.20 Ty=20.63 Tz=56.84 Mx=0.00 Mz=15.21
Sollecitazioni agenti localmente: Ty_l=-4359.31 Mx_l=-87.19
Tensioni nella sezione: σ=1056.80 τ=132.10
CC 67 SLU (Collegamento -179_-383)
Azioni sul collegamento: N=-23570.00 Ty=20.35 Tz=55.27 Mx=0.00 Mz=15.11
Sollecitazioni agenti localmente: Ty_l=-4285.45 Mx_l=-85.71
Tensioni nella sezione: σ=1038.90 τ=129.86
CC 68 SLU (Collegamento -179_-383)
Azioni sul collegamento: N=-23568.20 Ty=20.17 Tz=55.39 Mx=0.01 Mz=14.75
Sollecitazioni agenti localmente: Ty_l=-4285.13 Mx_l=-85.70
Tensioni nella sezione: σ=1038.82 τ=129.85
CC 97 SLU (Collegamento -179_-383)
Azioni sul collegamento: N=-12126.50 Ty=21.64 Tz=21.62 Mx=0.05 Mz=23.37
Sollecitazioni agenti localmente: Ty_l=-2204.81 Mx_l=-44.10
Tensioni nella sezione: σ=534.50 τ=66.81
CC 98 SLU (Collegamento -179_-383)
Azioni sul collegamento: N=-12940.70 Ty=22.39 Tz=24.63 Mx=0.05 Mz=23.92
Sollecitazioni agenti localmente: Ty_l=-2352.85 Mx_l=-47.06
Tensioni nella sezione: σ=570.39 τ=71.30
CC 99 SLU (Collegamento -179_-383)
Azioni sul collegamento: N=-12534.50 Ty=22.10 Tz=23.06 Mx=0.05 Mz=23.83
Sollecitazioni agenti localmente: Ty_l=-2278.99 Mx_l=-45.58
Tensioni nella sezione: σ=552.48 τ=69.06
CC 100 SLU (Collegamento -179_-383)
Azioni sul collegamento: N=-12532.70 Ty=21.92 Tz=23.18 Mx=0.05 Mz=23.46
Sollecitazioni agenti localmente: Ty_l=-2278.67 Mx_l=-45.57
Tensioni nella sezione: σ=552.40 τ=69.05
CC 101 SLU (Collegamento -179_-383)
Azioni sul collegamento: N=-9752.38 Ty=7.57 Tz=12.50 Mx=-0.00 Mz=4.76
Sollecitazioni agenti localmente: Ty_l=-1773.16 Mx_l=-35.46
Tensioni nella sezione: σ=429.86 τ=53.73
CC 102 SLU (Collegamento -179_-383)
Azioni sul collegamento: N=-10566.60 Ty=8.33 Tz=15.50 Mx=-0.00 Mz=5.31
Sollecitazioni agenti localmente: Ty_l=-1921.20 Mx_l=-38.42

Tensioni nella sezione: σ=465.74 τ=58.22
CC 103 SLU (Collegamento -179_-383)
Azioni sul collegamento: N=-10160.40 Ty=8.04 Tz=13.94 Mx=-0.00 Mz=5.22
Sollecitazioni agenti localmente: Ty_l=-1847.34 Mx_l=-36.95
Tensioni nella sezione: σ=447.84 τ=55.98
CC 104 SLU (Collegamento -179_-383)
Azioni sul collegamento: N=-10158.60 Ty=7.86 Tz=14.06 Mx=-0.00 Mz=4.85
Sollecitazioni agenti localmente: Ty_l=-1847.02 Mx_l=-36.94
Tensioni nella sezione: σ=447.76 τ=55.97

Flessione attacco inferiore piastra

Bnetta=220.00 Hnetta=15.00
CC 1 SLV (Collegamento -179_-383)
Azioni sul collegamento: N=-6136.64 Ty=15.19 Tz=-0.86 Mx=0.02 Mz=13.60
Sollecitazioni agenti localmente: Ty_l=-1115.75 Mx_l=-22.32
Tensioni nella sezione: σ=270.49 τ=33.81
CC 1 SLV (Collegamento -179_-383)
Azioni sul collegamento: N=-6136.64 Ty=7.48 Tz=-0.86 Mx=0.02 Mz=7.28
Sollecitazioni agenti localmente: Ty_l=-1115.75 Mx_l=-22.32
Tensioni nella sezione: σ=270.49 τ=33.81
CC 1 SLV (Collegamento -179_-383)
Azioni sul collegamento: N=-6136.64 Ty=15.19 Tz=28.35 Mx=0.02 Mz=13.60
Sollecitazioni agenti localmente: Ty_l=-1115.75 Mx_l=-22.32
Tensioni nella sezione: σ=270.49 τ=33.81
CC 1 SLV (Collegamento -179_-383)
Azioni sul collegamento: N=-6136.64 Ty=7.48 Tz=28.35 Mx=0.02 Mz=7.28
Sollecitazioni agenti localmente: Ty_l=-1115.75 Mx_l=-22.32
Tensioni nella sezione: σ=270.49 τ=33.81
CC 1 SLV (Collegamento -179_-383)
Azioni sul collegamento: N=-13961.30 Ty=15.19 Tz=-0.86 Mx=0.02 Mz=13.60
Sollecitazioni agenti localmente: Ty_l=-2538.42 Mx_l=-50.77
Tensioni nella sezione: σ=615.37 τ=76.92
CC 1 SLV (Collegamento -179_-383)
Azioni sul collegamento: N=-13961.30 Ty=7.48 Tz=-0.86 Mx=0.02 Mz=7.28
Sollecitazioni agenti localmente: Ty_l=-2538.42 Mx_l=-50.77
Tensioni nella sezione: σ=615.37 τ=76.92
CC 1 SLV (Collegamento -179_-383)
Azioni sul collegamento: N=-13961.30 Ty=15.19 Tz=28.35 Mx=0.02 Mz=13.60
Sollecitazioni agenti localmente: Ty_l=-2538.42 Mx_l=-50.77
Tensioni nella sezione: σ=615.37 τ=76.92
CC 1 SLV (Collegamento -179_-383)
Azioni sul collegamento: N=-13961.30 Ty=7.48 Tz=28.35 Mx=0.02 Mz=7.28
Sollecitazioni agenti localmente: Ty_l=-2538.42 Mx_l=-50.77
Tensioni nella sezione: σ=615.37 τ=76.92
CC 2 SLD (Collegamento -179_-383)
Azioni sul collegamento: N=-8758.64 Ty=11.59 Tz=8.91 Mx=0.01 Mz=9.27
Sollecitazioni agenti localmente: Ty_l=-1592.48 Mx_l=-31.85
Tensioni nella sezione: σ=386.06 τ=48.26
CC 2 SLD (Collegamento -179_-383)
Azioni sul collegamento: N=-8758.64 Ty=9.24 Tz=8.91 Mx=0.01 Mz=7.34
Sollecitazioni agenti localmente: Ty_l=-1592.48 Mx_l=-31.85
Tensioni nella sezione: σ=386.06 τ=48.26
CC 2 SLD (Collegamento -179_-383)
Azioni sul collegamento: N=-8758.64 Ty=11.59 Tz=17.82 Mx=0.01 Mz=9.27
Sollecitazioni agenti localmente: Ty_l=-1592.48 Mx_l=-31.85
Tensioni nella sezione: σ=386.06 τ=48.26
CC 2 SLD (Collegamento -179_-383)
Azioni sul collegamento: N=-8758.64 Ty=9.24 Tz=17.82 Mx=0.01 Mz=7.34
Sollecitazioni agenti localmente: Ty_l=-1592.48 Mx_l=-31.85
Tensioni nella sezione: σ=386.06 τ=48.26
CC 2 SLD (Collegamento -179_-383)
Azioni sul collegamento: N=-11144.60 Ty=11.59 Tz=8.91 Mx=0.01 Mz=9.27
Sollecitazioni agenti localmente: Ty_l=-2026.30 Mx_l=-40.53
Tensioni nella sezione: σ=491.22 τ=61.40
CC 2 SLD (Collegamento -179_-383)
Azioni sul collegamento: N=-11144.60 Ty=9.24 Tz=8.91 Mx=0.01 Mz=7.34
Sollecitazioni agenti localmente: Ty_l=-2026.30 Mx_l=-40.53
Tensioni nella sezione: σ=491.22 τ=61.40
CC 2 SLD (Collegamento -179_-383)
Azioni sul collegamento: N=-11144.60 Ty=11.59 Tz=17.82 Mx=0.01 Mz=9.27
Sollecitazioni agenti localmente: Ty_l=-2026.30 Mx_l=-40.53
Tensioni nella sezione: σ=491.22 τ=61.40
CC 2 SLD (Collegamento -179_-383)
Azioni sul collegamento: N=-11144.60 Ty=9.24 Tz=17.82 Mx=0.01 Mz=7.34
Sollecitazioni agenti localmente: Ty_l=-2026.30 Mx_l=-40.53
Tensioni nella sezione: σ=491.22 τ=61.40
CC 3 SLV (Collegamento -179_-383)
Azioni sul collegamento: N=-6141.51 Ty=14.68 Tz=-0.53 Mx=0.01 Mz=12.56
Sollecitazioni agenti localmente: Ty_l=-1116.64 Mx_l=-22.33

Tensioni nella sezione: σ=270.70 τ=33.84
CC 3 SLV (Collegamento -179_-383)
Azioni sul collegamento: N=-6141.51 Ty=7.99 Tz=-0.53 Mx=0.01 Mz=8.33
Sollecitazioni agenti localmente: Ty_l=-1116.64 Mx_l=-22.33
Tensioni nella sezione: σ=270.70 τ=33.84
CC 3 SLV (Collegamento -179_-383)
Azioni sul collegamento: N=-6141.51 Ty=14.68 Tz=28.02 Mx=0.01 Mz=12.56
Sollecitazioni agenti localmente: Ty_l=-1116.64 Mx_l=-22.33
Tensioni nella sezione: σ=270.70 τ=33.84
CC 3 SLV (Collegamento -179_-383)
Azioni sul collegamento: N=-6141.51 Ty=7.99 Tz=28.02 Mx=0.01 Mz=8.33
Sollecitazioni agenti localmente: Ty_l=-1116.64 Mx_l=-22.33
Tensioni nella sezione: σ=270.70 τ=33.84
CC 3 SLV (Collegamento -179_-383)
Azioni sul collegamento: N=-13956.40 Ty=14.68 Tz=-0.53 Mx=0.01 Mz=12.56
Sollecitazioni agenti localmente: Ty_l=-2537.54 Mx_l=-50.75
Tensioni nella sezione: σ=615.16 τ=76.89
CC 3 SLV (Collegamento -179_-383)
Azioni sul collegamento: N=-13956.40 Ty=7.99 Tz=-0.53 Mx=0.01 Mz=8.33
Sollecitazioni agenti localmente: Ty_l=-2537.54 Mx_l=-50.75
Tensioni nella sezione: σ=615.16 τ=76.89
CC 3 SLV (Collegamento -179_-383)
Azioni sul collegamento: N=-13956.40 Ty=14.68 Tz=28.02 Mx=0.01 Mz=12.56
Sollecitazioni agenti localmente: Ty_l=-2537.54 Mx_l=-50.75
Tensioni nella sezione: σ=615.16 τ=76.89
CC 3 SLV (Collegamento -179_-383)
Azioni sul collegamento: N=-13956.40 Ty=7.99 Tz=28.02 Mx=0.01 Mz=8.33
Sollecitazioni agenti localmente: Ty_l=-2537.54 Mx_l=-50.75
Tensioni nella sezione: σ=615.16 τ=76.89
CC 4 SLD (Collegamento -179_-383)
Azioni sul collegamento: N=-8760.13 Ty=11.43 Tz=9.01 Mx=0.01 Mz=8.95
Sollecitazioni agenti localmente: Ty_l=-1592.75 Mx_l=-31.85
Tensioni nella sezione: σ=386.12 τ=48.27
CC 4 SLD (Collegamento -179_-383)
Azioni sul collegamento: N=-8760.13 Ty=9.39 Tz=9.01 Mx=0.01 Mz=7.66
Sollecitazioni agenti localmente: Ty_l=-1592.75 Mx_l=-31.85
Tensioni nella sezione: σ=386.12 τ=48.27
CC 4 SLD (Collegamento -179_-383)
Azioni sul collegamento: N=-8760.13 Ty=11.43 Tz=17.72 Mx=0.01 Mz=8.95
Sollecitazioni agenti localmente: Ty_l=-1592.75 Mx_l=-31.85
Tensioni nella sezione: σ=386.12 τ=48.27
CC 4 SLD (Collegamento -179_-383)
Azioni sul collegamento: N=-8760.13 Ty=9.39 Tz=17.72 Mx=0.01 Mz=7.66
Sollecitazioni agenti localmente: Ty_l=-1592.75 Mx_l=-31.85
Tensioni nella sezione: σ=386.12 τ=48.27
CC 4 SLD (Collegamento -179_-383)
Azioni sul collegamento: N=-11143.10 Ty=11.43 Tz=9.01 Mx=0.01 Mz=8.95
Sollecitazioni agenti localmente: Ty_l=-2026.03 Mx_l=-40.52
Tensioni nella sezione: σ=491.16 τ=61.39
CC 4 SLD (Collegamento -179_-383)
Azioni sul collegamento: N=-11143.10 Ty=9.39 Tz=9.01 Mx=0.01 Mz=7.66
Sollecitazioni agenti localmente: Ty_l=-2026.03 Mx_l=-40.52
Tensioni nella sezione: σ=491.16 τ=61.39
CC 4 SLD (Collegamento -179_-383)
Azioni sul collegamento: N=-11143.10 Ty=11.43 Tz=17.72 Mx=0.01 Mz=8.95
Sollecitazioni agenti localmente: Ty_l=-2026.03 Mx_l=-40.52
Tensioni nella sezione: σ=491.16 τ=61.39
CC 4 SLD (Collegamento -179_-383)
Azioni sul collegamento: N=-11143.10 Ty=9.39 Tz=17.72 Mx=0.01 Mz=7.66
Sollecitazioni agenti localmente: Ty_l=-2026.03 Mx_l=-40.52
Tensioni nella sezione: σ=491.16 τ=61.39
CC 5 SLV (Collegamento -179_-383)
Azioni sul collegamento: N=-13956.40 Ty=7.99 Tz=28.02 Mx=0.02 Mz=8.33
Sollecitazioni agenti localmente: Ty_l=-2537.54 Mx_l=-50.75
Tensioni nella sezione: σ=615.16 τ=76.89
CC 5 SLV (Collegamento -179_-383)
Azioni sul collegamento: N=-13956.40 Ty=14.68 Tz=28.02 Mx=0.02 Mz=12.56
Sollecitazioni agenti localmente: Ty_l=-2537.54 Mx_l=-50.75
Tensioni nella sezione: σ=615.16 τ=76.89
CC 5 SLV (Collegamento -179_-383)
Azioni sul collegamento: N=-13956.40 Ty=7.99 Tz=-0.53 Mx=0.02 Mz=8.33
Sollecitazioni agenti localmente: Ty_l=-2537.54 Mx_l=-50.75
Tensioni nella sezione: σ=615.16 τ=76.89
CC 5 SLV (Collegamento -179_-383)
Azioni sul collegamento: N=-13956.40 Ty=14.68 Tz=-0.53 Mx=0.02 Mz=12.56
Sollecitazioni agenti localmente: Ty_l=-2537.54 Mx_l=-50.75
Tensioni nella sezione: σ=615.16 τ=76.89
CC 5 SLV (Collegamento -179_-383)
Azioni sul collegamento: N=-6141.51 Ty=7.99 Tz=28.02 Mx=0.02 Mz=8.33
Sollecitazioni agenti localmente: Ty_l=-1116.64 Mx_l=-22.33

Tensioni nella sezione: σ=270.70 τ=33.84
CC 5 SLV (Collegamento -179_-383)
Azioni sul collegamento: N=-6141.51 Ty=14.68 Tz=28.02 Mx=0.02 Mz=12.56
Sollecitazioni agenti localmente: Ty_l=-1116.64 Mx_l=-22.33
Tensioni nella sezione: σ=270.70 τ=33.84
CC 5 SLV (Collegamento -179_-383)
Azioni sul collegamento: N=-6141.51 Ty=7.99 Tz=-0.53 Mx=0.02 Mz=8.33
Sollecitazioni agenti localmente: Ty_l=-1116.64 Mx_l=-22.33
Tensioni nella sezione: σ=270.70 τ=33.84
CC 5 SLV (Collegamento -179_-383)
Azioni sul collegamento: N=-6141.51 Ty=14.68 Tz=-0.53 Mx=0.02 Mz=12.56
Sollecitazioni agenti localmente: Ty_l=-1116.64 Mx_l=-22.33
Tensioni nella sezione: σ=270.70 τ=33.84
CC 6 SLD (Collegamento -179_-383)
Azioni sul collegamento: N=-11143.10 Ty=9.39 Tz=17.72 Mx=0.01 Mz=7.66
Sollecitazioni agenti localmente: Ty_l=-2026.03 Mx_l=-40.52
Tensioni nella sezione: σ=491.16 τ=61.39
CC 6 SLD (Collegamento -179_-383)
Azioni sul collegamento: N=-11143.10 Ty=11.43 Tz=17.72 Mx=0.01 Mz=8.95
Sollecitazioni agenti localmente: Ty_l=-2026.03 Mx_l=-40.52
Tensioni nella sezione: σ=491.16 τ=61.39
CC 6 SLD (Collegamento -179_-383)
Azioni sul collegamento: N=-11143.10 Ty=9.39 Tz=9.01 Mx=0.01 Mz=7.66
Sollecitazioni agenti localmente: Ty_l=-2026.03 Mx_l=-40.52
Tensioni nella sezione: σ=491.16 τ=61.39
CC 6 SLD (Collegamento -179_-383)
Azioni sul collegamento: N=-11143.10 Ty=11.43 Tz=9.01 Mx=0.01 Mz=8.95
Sollecitazioni agenti localmente: Ty_l=-2026.03 Mx_l=-40.52
Tensioni nella sezione: σ=491.16 τ=61.39
CC 6 SLD (Collegamento -179_-383)
Azioni sul collegamento: N=-8760.13 Ty=9.39 Tz=17.72 Mx=0.01 Mz=7.66
Sollecitazioni agenti localmente: Ty_l=-1592.75 Mx_l=-31.85
Tensioni nella sezione: σ=386.12 τ=48.27
CC 6 SLD (Collegamento -179_-383)
Azioni sul collegamento: N=-8760.13 Ty=11.43 Tz=17.72 Mx=0.01 Mz=8.95
Sollecitazioni agenti localmente: Ty_l=-1592.75 Mx_l=-31.85
Tensioni nella sezione: σ=386.12 τ=48.27
CC 6 SLD (Collegamento -179_-383)
Azioni sul collegamento: N=-8760.13 Ty=9.39 Tz=9.01 Mx=0.01 Mz=7.66
Sollecitazioni agenti localmente: Ty_l=-1592.75 Mx_l=-31.85
Tensioni nella sezione: σ=386.12 τ=48.27
CC 6 SLD (Collegamento -179_-383)
Azioni sul collegamento: N=-8760.13 Ty=11.43 Tz=9.01 Mx=0.01 Mz=8.95
Sollecitazioni agenti localmente: Ty_l=-1592.75 Mx_l=-31.85
Tensioni nella sezione: σ=386.12 τ=48.27
CC 7 SLV (Collegamento -179_-383)
Azioni sul collegamento: N=-13961.30 Ty=7.48 Tz=28.35 Mx=0.01 Mz=7.28
Sollecitazioni agenti localmente: Ty_l=-2538.42 Mx_l=-50.77
Tensioni nella sezione: σ=615.37 τ=76.92
CC 7 SLV (Collegamento -179_-383)
Azioni sul collegamento: N=-13961.30 Ty=15.19 Tz=28.35 Mx=0.01 Mz=13.60
Sollecitazioni agenti localmente: Ty_l=-2538.42 Mx_l=-50.77
Tensioni nella sezione: σ=615.37 τ=76.92
CC 7 SLV (Collegamento -179_-383)
Azioni sul collegamento: N=-13961.30 Ty=7.48 Tz=-0.86 Mx=0.01 Mz=7.28
Sollecitazioni agenti localmente: Ty_l=-2538.42 Mx_l=-50.77
Tensioni nella sezione: σ=615.37 τ=76.92
CC 7 SLV (Collegamento -179_-383)
Azioni sul collegamento: N=-13961.30 Ty=15.19 Tz=-0.86 Mx=0.01 Mz=13.60
Sollecitazioni agenti localmente: Ty_l=-2538.42 Mx_l=-50.77
Tensioni nella sezione: σ=615.37 τ=76.92
CC 7 SLV (Collegamento -179_-383)
Azioni sul collegamento: N=-6136.64 Ty=7.48 Tz=28.35 Mx=0.01 Mz=7.28
Sollecitazioni agenti localmente: Ty_l=-1115.75 Mx_l=-22.32
Tensioni nella sezione: σ=270.49 τ=33.81
CC 7 SLV (Collegamento -179_-383)
Azioni sul collegamento: N=-6136.64 Ty=15.19 Tz=28.35 Mx=0.01 Mz=13.60
Sollecitazioni agenti localmente: Ty_l=-1115.75 Mx_l=-22.32
Tensioni nella sezione: σ=270.49 τ=33.81
CC 7 SLV (Collegamento -179_-383)
Azioni sul collegamento: N=-6136.64 Ty=7.48 Tz=-0.86 Mx=0.01 Mz=7.28
Sollecitazioni agenti localmente: Ty_l=-1115.75 Mx_l=-22.32
Tensioni nella sezione: σ=270.49 τ=33.81
CC 7 SLV (Collegamento -179_-383)
Azioni sul collegamento: N=-6136.64 Ty=15.19 Tz=-0.86 Mx=0.01 Mz=13.60
Sollecitazioni agenti localmente: Ty_l=-1115.75 Mx_l=-22.32
Tensioni nella sezione: σ=270.49 τ=33.81
CC 8 SLD (Collegamento -179_-383)
Azioni sul collegamento: N=-11144.60 Ty=9.24 Tz=17.82 Mx=0.01 Mz=7.34
Sollecitazioni agenti localmente: Ty_l=-2026.30 Mx_l=-40.53

Tensioni nella sezione: σ=491.22 τ=61.40
CC 8 SLD (Collegamento -179_-383)
Azioni sul collegamento: N=-11144.60 Ty=11.59 Tz=17.82 Mx=0.01 Mz=9.27
Sollecitazioni agenti localmente: Ty_l=-2026.30 Mx_l=-40.53
Tensioni nella sezione: σ=491.22 τ=61.40
CC 8 SLD (Collegamento -179_-383)
Azioni sul collegamento: N=-11144.60 Ty=9.24 Tz=8.91 Mx=0.01 Mz=7.34
Sollecitazioni agenti localmente: Ty_l=-2026.30 Mx_l=-40.53
Tensioni nella sezione: σ=491.22 τ=61.40
CC 8 SLD (Collegamento -179_-383)
Azioni sul collegamento: N=-11144.60 Ty=11.59 Tz=8.91 Mx=0.01 Mz=9.27
Sollecitazioni agenti localmente: Ty_l=-2026.30 Mx_l=-40.53
Tensioni nella sezione: σ=491.22 τ=61.40
CC 8 SLD (Collegamento -179_-383)
Azioni sul collegamento: N=-8758.64 Ty=9.24 Tz=17.82 Mx=0.01 Mz=7.34
Sollecitazioni agenti localmente: Ty_l=-1592.48 Mx_l=-31.85
Tensioni nella sezione: σ=386.06 τ=48.26
CC 8 SLD (Collegamento -179_-383)
Azioni sul collegamento: N=-8758.64 Ty=11.59 Tz=17.82 Mx=0.01 Mz=9.27
Sollecitazioni agenti localmente: Ty_l=-1592.48 Mx_l=-31.85
Tensioni nella sezione: σ=386.06 τ=48.26
CC 8 SLD (Collegamento -179_-383)
Azioni sul collegamento: N=-8758.64 Ty=9.24 Tz=8.91 Mx=0.01 Mz=7.34
Sollecitazioni agenti localmente: Ty_l=-1592.48 Mx_l=-31.85
Tensioni nella sezione: σ=386.06 τ=48.26
CC 8 SLD (Collegamento -179_-383)
Azioni sul collegamento: N=-8758.64 Ty=11.59 Tz=8.91 Mx=0.01 Mz=9.27
Sollecitazioni agenti localmente: Ty_l=-1592.48 Mx_l=-31.85
Tensioni nella sezione: σ=386.06 τ=48.26
CC 9 SLV (Collegamento -179_-383)
Azioni sul collegamento: N=-8867.90 Ty=13.27 Tz=8.87 Mx=0.02 Mz=12.98
Sollecitazioni agenti localmente: Ty_l=-1612.34 Mx_l=-32.25
Tensioni nella sezione: σ=390.87 τ=48.86
CC 9 SLV (Collegamento -179_-383)
Azioni sul collegamento: N=-8867.90 Ty=9.40 Tz=8.87 Mx=0.02 Mz=7.91
Sollecitazioni agenti localmente: Ty_l=-1612.34 Mx_l=-32.25
Tensioni nella sezione: σ=390.87 τ=48.86
CC 9 SLV (Collegamento -179_-383)
Azioni sul collegamento: N=-8867.90 Ty=13.27 Tz=18.62 Mx=0.02 Mz=12.98
Sollecitazioni agenti localmente: Ty_l=-1612.34 Mx_l=-32.25
Tensioni nella sezione: σ=390.87 τ=48.86
CC 9 SLV (Collegamento -179_-383)
Azioni sul collegamento: N=-8867.90 Ty=9.40 Tz=18.62 Mx=0.02 Mz=7.91
Sollecitazioni agenti localmente: Ty_l=-1612.34 Mx_l=-32.25
Tensioni nella sezione: σ=390.87 τ=48.86
CC 9 SLV (Collegamento -179_-383)
Azioni sul collegamento: N=-11230.10 Ty=13.27 Tz=8.87 Mx=0.02 Mz=12.98
Sollecitazioni agenti localmente: Ty_l=-2041.83 Mx_l=-40.84
Tensioni nella sezione: σ=494.99 τ=61.87
CC 9 SLV (Collegamento -179_-383)
Azioni sul collegamento: N=-11230.10 Ty=9.40 Tz=8.87 Mx=0.02 Mz=7.91
Sollecitazioni agenti localmente: Ty_l=-2041.83 Mx_l=-40.84
Tensioni nella sezione: σ=494.99 τ=61.87
CC 9 SLV (Collegamento -179_-383)
Azioni sul collegamento: N=-11230.10 Ty=13.27 Tz=18.62 Mx=0.02 Mz=12.98
Sollecitazioni agenti localmente: Ty_l=-2041.83 Mx_l=-40.84
Tensioni nella sezione: σ=494.99 τ=61.87
CC 9 SLV (Collegamento -179_-383)
Azioni sul collegamento: N=-11230.10 Ty=9.40 Tz=18.62 Mx=0.02 Mz=7.91
Sollecitazioni agenti localmente: Ty_l=-2041.83 Mx_l=-40.84
Tensioni nella sezione: σ=494.99 τ=61.87
CC 10 SLD (Collegamento -179_-383)
Azioni sul collegamento: N=-9591.49 Ty=11.00 Tz=11.88 Mx=0.01 Mz=9.08
Sollecitazioni agenti localmente: Ty_l=-1743.91 Mx_l=-34.88
Tensioni nella sezione: σ=422.76 τ=52.85
CC 10 SLD (Collegamento -179_-383)
Azioni sul collegamento: N=-9591.49 Ty=9.82 Tz=11.88 Mx=0.01 Mz=7.53
Sollecitazioni agenti localmente: Ty_l=-1743.91 Mx_l=-34.88
Tensioni nella sezione: σ=422.76 τ=52.85
CC 10 SLD (Collegamento -179_-383)
Azioni sul collegamento: N=-9591.49 Ty=11.00 Tz=14.85 Mx=0.01 Mz=9.08
Sollecitazioni agenti localmente: Ty_l=-1743.91 Mx_l=-34.88
Tensioni nella sezione: σ=422.76 τ=52.85
CC 10 SLD (Collegamento -179_-383)
Azioni sul collegamento: N=-9591.49 Ty=9.82 Tz=14.85 Mx=0.01 Mz=7.53
Sollecitazioni agenti localmente: Ty_l=-1743.91 Mx_l=-34.88
Tensioni nella sezione: σ=422.76 τ=52.85
CC 10 SLD (Collegamento -179_-383)
Azioni sul collegamento: N=-10311.80 Ty=11.00 Tz=11.88 Mx=0.01 Mz=9.08
Sollecitazioni agenti localmente: Ty_l=-1874.87 Mx_l=-37.50

Tensioni nella sezione: σ=454.51 τ=56.81
CC 10 SLD (Collegamento -179_-383)
Azioni sul collegamento: N=-10311.80 Ty=9.82 Tz=11.88 Mx=0.01 Mz=7.53
Sollecitazioni agenti localmente: Ty_l=-1874.87 Mx_l=-37.50
Tensioni nella sezione: σ=454.51 τ=56.81
CC 10 SLD (Collegamento -179_-383)
Azioni sul collegamento: N=-10311.80 Ty=11.00 Tz=14.85 Mx=0.01 Mz=9.08
Sollecitazioni agenti localmente: Ty_l=-1874.87 Mx_l=-37.50
Tensioni nella sezione: σ=454.51 τ=56.81
CC 10 SLD (Collegamento -179_-383)
Azioni sul collegamento: N=-10311.80 Ty=9.82 Tz=14.85 Mx=0.01 Mz=7.53
Sollecitazioni agenti localmente: Ty_l=-1874.87 Mx_l=-37.50
Tensioni nella sezione: σ=454.51 τ=56.81
CC 11 SLV (Collegamento -179_-383)
Azioni sul collegamento: N=-11213.80 Ty=11.11 Tz=17.53 Mx=0.02 Mz=11.40
Sollecitazioni agenti localmente: Ty_l=-2038.88 Mx_l=-40.78
Tensioni nella sezione: σ=494.27 τ=61.78
CC 11 SLV (Collegamento -179_-383)
Azioni sul collegamento: N=-11213.80 Ty=11.56 Tz=17.53 Mx=0.02 Mz=9.49
Sollecitazioni agenti localmente: Ty_l=-2038.88 Mx_l=-40.78
Tensioni nella sezione: σ=494.27 τ=61.78
CC 11 SLV (Collegamento -179_-383)
Azioni sul collegamento: N=-11213.80 Ty=11.11 Tz=9.96 Mx=0.02 Mz=11.40
Sollecitazioni agenti localmente: Ty_l=-2038.88 Mx_l=-40.78
Tensioni nella sezione: σ=494.27 τ=61.78
CC 11 SLV (Collegamento -179_-383)
Azioni sul collegamento: N=-11213.80 Ty=11.56 Tz=9.96 Mx=0.02 Mz=9.49
Sollecitazioni agenti localmente: Ty_l=-2038.88 Mx_l=-40.78
Tensioni nella sezione: σ=494.27 τ=61.78
CC 11 SLV (Collegamento -179_-383)
Azioni sul collegamento: N=-8884.11 Ty=11.11 Tz=17.53 Mx=0.02 Mz=11.40
Sollecitazioni agenti localmente: Ty_l=-1615.29 Mx_l=-32.31
Tensioni nella sezione: σ=391.58 τ=48.95
CC 11 SLV (Collegamento -179_-383)
Azioni sul collegamento: N=-8884.11 Ty=11.56 Tz=17.53 Mx=0.02 Mz=9.49
Sollecitazioni agenti localmente: Ty_l=-1615.29 Mx_l=-32.31
Tensioni nella sezione: σ=391.58 τ=48.95
CC 11 SLV (Collegamento -179_-383)
Azioni sul collegamento: N=-8884.11 Ty=11.11 Tz=9.96 Mx=0.02 Mz=11.40
Sollecitazioni agenti localmente: Ty_l=-1615.29 Mx_l=-32.31
Tensioni nella sezione: σ=391.58 τ=48.95
CC 11 SLV (Collegamento -179_-383)
Azioni sul collegamento: N=-8884.11 Ty=11.56 Tz=9.96 Mx=0.02 Mz=9.49
Sollecitazioni agenti localmente: Ty_l=-1615.29 Mx_l=-32.31
Tensioni nella sezione: σ=391.58 τ=48.95
CC 12 SLD (Collegamento -179_-383)
Azioni sul collegamento: N=-10306.80 Ty=10.34 Tz=14.52 Mx=0.01 Mz=8.60
Sollecitazioni agenti localmente: Ty_l=-1873.97 Mx_l=-37.48
Tensioni nella sezione: σ=454.30 τ=56.79
CC 12 SLD (Collegamento -179_-383)
Azioni sul collegamento: N=-10306.80 Ty=10.48 Tz=14.52 Mx=0.01 Mz=8.01
Sollecitazioni agenti localmente: Ty_l=-1873.97 Mx_l=-37.48
Tensioni nella sezione: σ=454.30 τ=56.79
CC 12 SLD (Collegamento -179_-383)
Azioni sul collegamento: N=-10306.80 Ty=10.34 Tz=12.21 Mx=0.01 Mz=8.60
Sollecitazioni agenti localmente: Ty_l=-1873.97 Mx_l=-37.48
Tensioni nella sezione: σ=454.30 τ=56.79
CC 12 SLD (Collegamento -179_-383)
Azioni sul collegamento: N=-10306.80 Ty=10.48 Tz=12.21 Mx=0.01 Mz=8.01
Sollecitazioni agenti localmente: Ty_l=-1873.97 Mx_l=-37.48
Tensioni nella sezione: σ=454.30 τ=56.79
CC 12 SLD (Collegamento -179_-383)
Azioni sul collegamento: N=-9596.43 Ty=10.34 Tz=14.52 Mx=0.01 Mz=8.60
Sollecitazioni agenti localmente: Ty_l=-1744.81 Mx_l=-34.90
Tensioni nella sezione: σ=422.98 τ=52.87
CC 12 SLD (Collegamento -179_-383)
Azioni sul collegamento: N=-9596.43 Ty=10.48 Tz=14.52 Mx=0.01 Mz=8.01
Sollecitazioni agenti localmente: Ty_l=-1744.81 Mx_l=-34.90
Tensioni nella sezione: σ=422.98 τ=52.87
CC 12 SLD (Collegamento -179_-383)
Azioni sul collegamento: N=-9596.43 Ty=10.34 Tz=12.21 Mx=0.01 Mz=8.60
Sollecitazioni agenti localmente: Ty_l=-1744.81 Mx_l=-34.90
Tensioni nella sezione: σ=422.98 τ=52.87
CC 12 SLD (Collegamento -179_-383)
Azioni sul collegamento: N=-9596.43 Ty=10.48 Tz=12.21 Mx=0.01 Mz=8.01
Sollecitazioni agenti localmente: Ty_l=-1744.81 Mx_l=-34.90
Tensioni nella sezione: σ=422.98 τ=52.87
CC 13 SLV (Collegamento -179_-383)
Azioni sul collegamento: N=-8884.11 Ty=11.56 Tz=9.96 Mx=0.01 Mz=9.49
Sollecitazioni agenti localmente: Ty_l=-1615.29 Mx_l=-32.31

Tensioni nella sezione: σ=391.58 τ=48.95
CC 13 SLV (Collegamento -179_-383)
Azioni sul collegamento: N=-8884.11 Ty=11.11 Tz=9.96 Mx=0.01 Mz=11.40
Sollecitazioni agenti localmente: Ty_l=-1615.29 Mx_l=-32.31
Tensioni nella sezione: σ=391.58 τ=48.95
CC 13 SLV (Collegamento -179_-383)
Azioni sul collegamento: N=-8884.11 Ty=11.56 Tz=17.53 Mx=0.01 Mz=9.49
Sollecitazioni agenti localmente: Ty_l=-1615.29 Mx_l=-32.31
Tensioni nella sezione: σ=391.58 τ=48.95
CC 13 SLV (Collegamento -179_-383)
Azioni sul collegamento: N=-8884.11 Ty=11.11 Tz=17.53 Mx=0.01 Mz=11.40
Sollecitazioni agenti localmente: Ty_l=-1615.29 Mx_l=-32.31
Tensioni nella sezione: σ=391.58 τ=48.95
CC 13 SLV (Collegamento -179_-383)
Azioni sul collegamento: N=-11213.80 Ty=11.56 Tz=9.96 Mx=0.01 Mz=9.49
Sollecitazioni agenti localmente: Ty_l=-2038.88 Mx_l=-40.78
Tensioni nella sezione: σ=494.27 τ=61.78
CC 13 SLV (Collegamento -179_-383)
Azioni sul collegamento: N=-11213.80 Ty=11.11 Tz=9.96 Mx=0.01 Mz=11.40
Sollecitazioni agenti localmente: Ty_l=-2038.88 Mx_l=-40.78
Tensioni nella sezione: σ=494.27 τ=61.78
CC 13 SLV (Collegamento -179_-383)
Azioni sul collegamento: N=-11213.80 Ty=11.56 Tz=17.53 Mx=0.01 Mz=9.49
Sollecitazioni agenti localmente: Ty_l=-2038.88 Mx_l=-40.78
Tensioni nella sezione: σ=494.27 τ=61.78
CC 13 SLV (Collegamento -179_-383)
Azioni sul collegamento: N=-11213.80 Ty=11.11 Tz=17.53 Mx=0.01 Mz=11.40
Sollecitazioni agenti localmente: Ty_l=-2038.88 Mx_l=-40.78
Tensioni nella sezione: σ=494.27 τ=61.78
CC 14 SLD (Collegamento -179_-383)
Azioni sul collegamento: N=-9596.43 Ty=10.48 Tz=12.21 Mx=0.00 Mz=8.01
Sollecitazioni agenti localmente: Ty_l=-1744.81 Mx_l=-34.90
Tensioni nella sezione: σ=422.98 τ=52.87
CC 14 SLD (Collegamento -179_-383)
Azioni sul collegamento: N=-9596.43 Ty=10.34 Tz=12.21 Mx=0.00 Mz=8.60
Sollecitazioni agenti localmente: Ty_l=-1744.81 Mx_l=-34.90
Tensioni nella sezione: σ=422.98 τ=52.87
CC 14 SLD (Collegamento -179_-383)
Azioni sul collegamento: N=-9596.43 Ty=10.48 Tz=14.52 Mx=0.00 Mz=8.01
Sollecitazioni agenti localmente: Ty_l=-1744.81 Mx_l=-34.90
Tensioni nella sezione: σ=422.98 τ=52.87
CC 14 SLD (Collegamento -179_-383)
Azioni sul collegamento: N=-9596.43 Ty=10.34 Tz=14.52 Mx=0.00 Mz=8.60
Sollecitazioni agenti localmente: Ty_l=-1744.81 Mx_l=-34.90
Tensioni nella sezione: σ=422.98 τ=52.87
CC 14 SLD (Collegamento -179_-383)
Azioni sul collegamento: N=-10306.80 Ty=10.48 Tz=12.21 Mx=0.00 Mz=8.01
Sollecitazioni agenti localmente: Ty_l=-1873.97 Mx_l=-37.48
Tensioni nella sezione: σ=454.30 τ=56.79
CC 14 SLD (Collegamento -179_-383)
Azioni sul collegamento: N=-10306.80 Ty=10.34 Tz=12.21 Mx=0.00 Mz=8.60
Sollecitazioni agenti localmente: Ty_l=-1873.97 Mx_l=-37.48
Tensioni nella sezione: σ=454.30 τ=56.79
CC 14 SLD (Collegamento -179_-383)
Azioni sul collegamento: N=-10306.80 Ty=10.48 Tz=14.52 Mx=0.00 Mz=8.01
Sollecitazioni agenti localmente: Ty_l=-1873.97 Mx_l=-37.48
Tensioni nella sezione: σ=454.30 τ=56.79
CC 14 SLD (Collegamento -179_-383)
Azioni sul collegamento: N=-10306.80 Ty=10.34 Tz=14.52 Mx=0.00 Mz=8.60
Sollecitazioni agenti localmente: Ty_l=-1873.97 Mx_l=-37.48
Tensioni nella sezione: σ=454.30 τ=56.79
CC 15 SLV (Collegamento -179_-383)
Azioni sul collegamento: N=-11230.10 Ty=9.40 Tz=18.62 Mx=0.01 Mz=7.91
Sollecitazioni agenti localmente: Ty_l=-2041.83 Mx_l=-40.84
Tensioni nella sezione: σ=494.99 τ=61.87
CC 15 SLV (Collegamento -179_-383)
Azioni sul collegamento: N=-11230.10 Ty=13.27 Tz=18.62 Mx=0.01 Mz=12.98
Sollecitazioni agenti localmente: Ty_l=-2041.83 Mx_l=-40.84
Tensioni nella sezione: σ=494.99 τ=61.87
CC 15 SLV (Collegamento -179_-383)
Azioni sul collegamento: N=-11230.10 Ty=9.40 Tz=8.87 Mx=0.01 Mz=7.91
Sollecitazioni agenti localmente: Ty_l=-2041.83 Mx_l=-40.84
Tensioni nella sezione: σ=494.99 τ=61.87
CC 15 SLV (Collegamento -179_-383)
Azioni sul collegamento: N=-11230.10 Ty=13.27 Tz=8.87 Mx=0.01 Mz=12.98
Sollecitazioni agenti localmente: Ty_l=-2041.83 Mx_l=-40.84
Tensioni nella sezione: σ=494.99 τ=61.87
CC 15 SLV (Collegamento -179_-383)
Azioni sul collegamento: N=-8867.90 Ty=9.40 Tz=18.62 Mx=0.01 Mz=7.91
Sollecitazioni agenti localmente: Ty_l=-1612.34 Mx_l=-32.25

Tensioni nella sezione: σ=390.87 τ=48.86
CC 15 SLV (Collegamento -179_-383)
Azioni sul collegamento: N=-8867.90 Ty=13.27 Tz=18.62 Mx=0.01 Mz=12.98
Sollecitazioni agenti localmente: Ty_l=-1612.34 Mx_l=-32.25
Tensioni nella sezione: σ=390.87 τ=48.86
CC 15 SLV (Collegamento -179_-383)
Azioni sul collegamento: N=-8867.90 Ty=9.40 Tz=8.87 Mx=0.01 Mz=7.91
Sollecitazioni agenti localmente: Ty_l=-1612.34 Mx_l=-32.25
Tensioni nella sezione: σ=390.87 τ=48.86
CC 15 SLV (Collegamento -179_-383)
Azioni sul collegamento: N=-8867.90 Ty=13.27 Tz=8.87 Mx=0.01 Mz=12.98
Sollecitazioni agenti localmente: Ty_l=-1612.34 Mx_l=-32.25
Tensioni nella sezione: σ=390.87 τ=48.86
CC 16 SLD (Collegamento -179_-383)
Azioni sul collegamento: N=-10311.80 Ty=9.82 Tz=14.85 Mx=0.00 Mz=7.53
Sollecitazioni agenti localmente: Ty_l=-1874.87 Mx_l=-37.50
Tensioni nella sezione: σ=454.51 τ=56.81
CC 16 SLD (Collegamento -179_-383)
Azioni sul collegamento: N=-10311.80 Ty=11.00 Tz=14.85 Mx=0.00 Mz=9.08
Sollecitazioni agenti localmente: Ty_l=-1874.87 Mx_l=-37.50
Tensioni nella sezione: σ=454.51 τ=56.81
CC 16 SLD (Collegamento -179_-383)
Azioni sul collegamento: N=-10311.80 Ty=9.82 Tz=11.88 Mx=0.00 Mz=7.53
Sollecitazioni agenti localmente: Ty_l=-1874.87 Mx_l=-37.50
Tensioni nella sezione: σ=454.51 τ=56.81
CC 16 SLD (Collegamento -179_-383)
Azioni sul collegamento: N=-10311.80 Ty=11.00 Tz=11.88 Mx=0.00 Mz=9.08
Sollecitazioni agenti localmente: Ty_l=-1874.87 Mx_l=-37.50
Tensioni nella sezione: σ=454.51 τ=56.81
CC 16 SLD (Collegamento -179_-383)
Azioni sul collegamento: N=-9591.49 Ty=9.82 Tz=14.85 Mx=0.00 Mz=7.53
Sollecitazioni agenti localmente: Ty_l=-1743.91 Mx_l=-34.88
Tensioni nella sezione: σ=422.76 τ=52.85
CC 16 SLD (Collegamento -179_-383)
Azioni sul collegamento: N=-9591.49 Ty=11.00 Tz=14.85 Mx=0.00 Mz=9.08
Sollecitazioni agenti localmente: Ty_l=-1743.91 Mx_l=-34.88
Tensioni nella sezione: σ=422.76 τ=52.85
CC 16 SLD (Collegamento -179_-383)
Azioni sul collegamento: N=-9591.49 Ty=9.82 Tz=11.88 Mx=0.00 Mz=7.53
Sollecitazioni agenti localmente: Ty_l=-1743.91 Mx_l=-34.88
Tensioni nella sezione: σ=422.76 τ=52.85
CC 16 SLD (Collegamento -179_-383)
Azioni sul collegamento: N=-9591.49 Ty=11.00 Tz=11.88 Mx=0.00 Mz=9.08
Sollecitazioni agenti localmente: Ty_l=-1743.91 Mx_l=-34.88
Tensioni nella sezione: σ=422.76 τ=52.85
CC 17 SLV (Collegamento -179_-383)
Azioni sul collegamento: N=-5856.57 Ty=12.53 Tz=-1.96 Mx=-0.01 Mz=7.45
Sollecitazioni agenti localmente: Ty_l=-1064.83 Mx_l=-21.30
Tensioni nella sezione: σ=258.14 τ=32.27
CC 17 SLV (Collegamento -179_-383)
Azioni sul collegamento: N=-5856.57 Ty=4.82 Tz=-1.96 Mx=-0.01 Mz=1.13
Sollecitazioni agenti localmente: Ty_l=-1064.83 Mx_l=-21.30
Tensioni nella sezione: σ=258.14 τ=32.27
CC 17 SLV (Collegamento -179_-383)
Azioni sul collegamento: N=-5856.57 Ty=12.53 Tz=27.25 Mx=-0.01 Mz=7.45
Sollecitazioni agenti localmente: Ty_l=-1064.83 Mx_l=-21.30
Tensioni nella sezione: σ=258.14 τ=32.27
CC 17 SLV (Collegamento -179_-383)
Azioni sul collegamento: N=-5856.57 Ty=4.82 Tz=27.25 Mx=-0.01 Mz=1.13
Sollecitazioni agenti localmente: Ty_l=-1064.83 Mx_l=-21.30
Tensioni nella sezione: σ=258.14 τ=32.27
CC 17 SLV (Collegamento -179_-383)
Azioni sul collegamento: N=-13681.20 Ty=12.53 Tz=-1.96 Mx=-0.01 Mz=7.45
Sollecitazioni agenti localmente: Ty_l=-2487.50 Mx_l=-49.75
Tensioni nella sezione: σ=603.03 τ=75.38
CC 17 SLV (Collegamento -179_-383)
Azioni sul collegamento: N=-13681.20 Ty=4.82 Tz=-1.96 Mx=-0.01 Mz=1.13
Sollecitazioni agenti localmente: Ty_l=-2487.50 Mx_l=-49.75
Tensioni nella sezione: σ=603.03 τ=75.38
CC 17 SLV (Collegamento -179_-383)
Azioni sul collegamento: N=-13681.20 Ty=12.53 Tz=27.25 Mx=-0.01 Mz=7.45
Sollecitazioni agenti localmente: Ty_l=-2487.50 Mx_l=-49.75
Tensioni nella sezione: σ=603.03 τ=75.38
CC 17 SLV (Collegamento -179_-383)
Azioni sul collegamento: N=-13681.20 Ty=4.82 Tz=27.25 Mx=-0.01 Mz=1.13
Sollecitazioni agenti localmente: Ty_l=-2487.50 Mx_l=-49.75
Tensioni nella sezione: σ=603.03 τ=75.38
CC 18 SLD (Collegamento -179_-383)
Azioni sul collegamento: N=-8673.24 Ty=10.78 Tz=8.57 Mx=-0.00 Mz=7.39
Sollecitazioni agenti localmente: Ty_l=-1576.95 Mx_l=-31.54

Tensioni nella sezione: σ=382.29 τ=47.79
CC 18 SLD (Collegamento -179_-383)
Azioni sul collegamento: N=-8673.24 Ty=8.42 Tz=8.57 Mx=-0.00 Mz=5.47
Sollecitazioni agenti localmente: Ty_l=-1576.95 Mx_l=-31.54
Tensioni nella sezione: σ=382.29 τ=47.79
CC 18 SLD (Collegamento -179_-383)
Azioni sul collegamento: N=-8673.24 Ty=10.78 Tz=17.48 Mx=-0.00 Mz=7.39
Sollecitazioni agenti localmente: Ty_l=-1576.95 Mx_l=-31.54
Tensioni nella sezione: σ=382.29 τ=47.79
CC 18 SLD (Collegamento -179_-383)
Azioni sul collegamento: N=-8673.24 Ty=8.42 Tz=17.48 Mx=-0.00 Mz=5.47
Sollecitazioni agenti localmente: Ty_l=-1576.95 Mx_l=-31.54
Tensioni nella sezione: σ=382.29 τ=47.79
CC 18 SLD (Collegamento -179_-383)
Azioni sul collegamento: N=-11059.20 Ty=10.78 Tz=8.57 Mx=-0.00 Mz=7.39
Sollecitazioni agenti localmente: Ty_l=-2010.77 Mx_l=-40.22
Tensioni nella sezione: σ=487.46 τ=60.93
CC 18 SLD (Collegamento -179_-383)
Azioni sul collegamento: N=-11059.20 Ty=8.42 Tz=8.57 Mx=-0.00 Mz=5.47
Sollecitazioni agenti localmente: Ty_l=-2010.77 Mx_l=-40.22
Tensioni nella sezione: σ=487.46 τ=60.93
CC 18 SLD (Collegamento -179_-383)
Azioni sul collegamento: N=-11059.20 Ty=10.78 Tz=17.48 Mx=-0.00 Mz=7.39
Sollecitazioni agenti localmente: Ty_l=-2010.77 Mx_l=-40.22
Tensioni nella sezione: σ=487.46 τ=60.93
CC 18 SLD (Collegamento -179_-383)
Azioni sul collegamento: N=-11059.20 Ty=8.42 Tz=17.48 Mx=-0.00 Mz=5.47
Sollecitazioni agenti localmente: Ty_l=-2010.77 Mx_l=-40.22
Tensioni nella sezione: σ=487.46 τ=60.93
CC 19 SLV (Collegamento -179_-383)
Azioni sul collegamento: N=-5861.43 Ty=12.02 Tz=-1.63 Mx=-0.01 Mz=6.41
Sollecitazioni agenti localmente: Ty_l=-1065.71 Mx_l=-21.31
Tensioni nella sezione: σ=258.35 τ=32.29
CC 19 SLV (Collegamento -179_-383)
Azioni sul collegamento: N=-5861.43 Ty=5.33 Tz=-1.63 Mx=-0.01 Mz=2.18
Sollecitazioni agenti localmente: Ty_l=-1065.71 Mx_l=-21.31
Tensioni nella sezione: σ=258.35 τ=32.29
CC 19 SLV (Collegamento -179_-383)
Azioni sul collegamento: N=-5861.43 Ty=12.02 Tz=26.92 Mx=-0.01 Mz=6.41
Sollecitazioni agenti localmente: Ty_l=-1065.71 Mx_l=-21.31
Tensioni nella sezione: σ=258.35 τ=32.29
CC 19 SLV (Collegamento -179_-383)
Azioni sul collegamento: N=-5861.43 Ty=5.33 Tz=26.92 Mx=-0.01 Mz=2.18
Sollecitazioni agenti localmente: Ty_l=-1065.71 Mx_l=-21.31
Tensioni nella sezione: σ=258.35 τ=32.29
CC 19 SLV (Collegamento -179_-383)
Azioni sul collegamento: N=-13676.40 Ty=12.02 Tz=-1.63 Mx=-0.01 Mz=6.41
Sollecitazioni agenti localmente: Ty_l=-2486.61 Mx_l=-49.73
Tensioni nella sezione: σ=602.81 τ=75.35
CC 19 SLV (Collegamento -179_-383)
Azioni sul collegamento: N=-13676.40 Ty=5.33 Tz=-1.63 Mx=-0.01 Mz=2.18
Sollecitazioni agenti localmente: Ty_l=-2486.61 Mx_l=-49.73
Tensioni nella sezione: σ=602.81 τ=75.35
CC 19 SLV (Collegamento -179_-383)
Azioni sul collegamento: N=-13676.40 Ty=12.02 Tz=26.92 Mx=-0.01 Mz=6.41
Sollecitazioni agenti localmente: Ty_l=-2486.61 Mx_l=-49.73
Tensioni nella sezione: σ=602.81 τ=75.35
CC 19 SLV (Collegamento -179_-383)
Azioni sul collegamento: N=-13676.40 Ty=5.33 Tz=26.92 Mx=-0.01 Mz=2.18
Sollecitazioni agenti localmente: Ty_l=-2486.61 Mx_l=-49.73
Tensioni nella sezione: σ=602.81 τ=75.35
CC 20 SLD (Collegamento -179_-383)
Azioni sul collegamento: N=-8674.72 Ty=10.62 Tz=8.67 Mx=0.00 Mz=7.07
Sollecitazioni agenti localmente: Ty_l=-1577.22 Mx_l=-31.54
Tensioni nella sezione: σ=382.36 τ=47.79
CC 20 SLD (Collegamento -179_-383)
Azioni sul collegamento: N=-8674.72 Ty=8.58 Tz=8.67 Mx=0.00 Mz=5.79
Sollecitazioni agenti localmente: Ty_l=-1577.22 Mx_l=-31.54
Tensioni nella sezione: σ=382.36 τ=47.79
CC 20 SLD (Collegamento -179_-383)
Azioni sul collegamento: N=-8674.72 Ty=10.62 Tz=17.38 Mx=0.00 Mz=7.07
Sollecitazioni agenti localmente: Ty_l=-1577.22 Mx_l=-31.54
Tensioni nella sezione: σ=382.36 τ=47.79
CC 20 SLD (Collegamento -179_-383)
Azioni sul collegamento: N=-8674.72 Ty=8.58 Tz=17.38 Mx=0.00 Mz=5.79
Sollecitazioni agenti localmente: Ty_l=-1577.22 Mx_l=-31.54
Tensioni nella sezione: σ=382.36 τ=47.79
CC 20 SLD (Collegamento -179_-383)
Azioni sul collegamento: N=-11057.70 Ty=10.62 Tz=8.67 Mx=0.00 Mz=7.07
Sollecitazioni agenti localmente: Ty_l=-2010.50 Mx_l=-40.21

Tensioni nella sezione: σ=487.39 τ=60.92
CC 20 SLD (Collegamento -179_-383)
Azioni sul collegamento: N=-11057.70 Ty=8.58 Tz=8.67 Mx=0.00 Mz=5.79
Sollecitazioni agenti localmente: Ty_l=-2010.50 Mx_l=-40.21
Tensioni nella sezione: σ=487.39 τ=60.92
CC 20 SLD (Collegamento -179_-383)
Azioni sul collegamento: N=-11057.70 Ty=10.62 Tz=17.38 Mx=0.00 Mz=7.07
Sollecitazioni agenti localmente: Ty_l=-2010.50 Mx_l=-40.21
Tensioni nella sezione: σ=487.39 τ=60.92
CC 20 SLD (Collegamento -179_-383)
Azioni sul collegamento: N=-11057.70 Ty=8.58 Tz=17.38 Mx=0.00 Mz=5.79
Sollecitazioni agenti localmente: Ty_l=-2010.50 Mx_l=-40.21
Tensioni nella sezione: σ=487.39 τ=60.92
CC 21 SLV (Collegamento -179_-383)
Azioni sul collegamento: N=-13676.40 Ty=5.33 Tz=26.92 Mx=-0.01 Mz=2.18
Sollecitazioni agenti localmente: Ty_l=-2486.61 Mx_l=-49.73
Tensioni nella sezione: σ=602.81 τ=75.35
CC 21 SLV (Collegamento -179_-383)
Azioni sul collegamento: N=-13676.40 Ty=12.02 Tz=26.92 Mx=-0.01 Mz=6.41
Sollecitazioni agenti localmente: Ty_l=-2486.61 Mx_l=-49.73
Tensioni nella sezione: σ=602.81 τ=75.35
CC 21 SLV (Collegamento -179_-383)
Azioni sul collegamento: N=-13676.40 Ty=5.33 Tz=-1.63 Mx=-0.01 Mz=2.18
Sollecitazioni agenti localmente: Ty_l=-2486.61 Mx_l=-49.73
Tensioni nella sezione: σ=602.81 τ=75.35
CC 21 SLV (Collegamento -179_-383)
Azioni sul collegamento: N=-13676.40 Ty=12.02 Tz=-1.63 Mx=-0.01 Mz=6.41
Sollecitazioni agenti localmente: Ty_l=-2486.61 Mx_l=-49.73
Tensioni nella sezione: σ=602.81 τ=75.35
CC 21 SLV (Collegamento -179_-383)
Azioni sul collegamento: N=-5861.43 Ty=5.33 Tz=26.92 Mx=-0.01 Mz=2.18
Sollecitazioni agenti localmente: Ty_l=-1065.71 Mx_l=-21.31
Tensioni nella sezione: σ=258.35 τ=32.29
CC 21 SLV (Collegamento -179_-383)
Azioni sul collegamento: N=-5861.43 Ty=12.02 Tz=26.92 Mx=-0.01 Mz=6.41
Sollecitazioni agenti localmente: Ty_l=-1065.71 Mx_l=-21.31
Tensioni nella sezione: σ=258.35 τ=32.29
CC 21 SLV (Collegamento -179_-383)
Azioni sul collegamento: N=-5861.43 Ty=5.33 Tz=-1.63 Mx=-0.01 Mz=2.18
Sollecitazioni agenti localmente: Ty_l=-1065.71 Mx_l=-21.31
Tensioni nella sezione: σ=258.35 τ=32.29
CC 21 SLV (Collegamento -179_-383)
Azioni sul collegamento: N=-5861.43 Ty=12.02 Tz=-1.63 Mx=-0.01 Mz=6.41
Sollecitazioni agenti localmente: Ty_l=-1065.71 Mx_l=-21.31
Tensioni nella sezione: σ=258.35 τ=32.29
CC 22 SLD (Collegamento -179_-383)
Azioni sul collegamento: N=-11057.70 Ty=8.58 Tz=17.38 Mx=-0.00 Mz=5.79
Sollecitazioni agenti localmente: Ty_l=-2010.50 Mx_l=-40.21
Tensioni nella sezione: σ=487.39 τ=60.92
CC 22 SLD (Collegamento -179_-383)
Azioni sul collegamento: N=-11057.70 Ty=10.62 Tz=17.38 Mx=-0.00 Mz=7.07
Sollecitazioni agenti localmente: Ty_l=-2010.50 Mx_l=-40.21
Tensioni nella sezione: σ=487.39 τ=60.92
CC 22 SLD (Collegamento -179_-383)
Azioni sul collegamento: N=-11057.70 Ty=8.58 Tz=8.67 Mx=-0.00 Mz=5.79
Sollecitazioni agenti localmente: Ty_l=-2010.50 Mx_l=-40.21
Tensioni nella sezione: σ=487.39 τ=60.92
CC 22 SLD (Collegamento -179_-383)
Azioni sul collegamento: N=-11057.70 Ty=10.62 Tz=8.67 Mx=-0.00 Mz=7.07
Sollecitazioni agenti localmente: Ty_l=-2010.50 Mx_l=-40.21
Tensioni nella sezione: σ=487.39 τ=60.92
CC 22 SLD (Collegamento -179_-383)
Azioni sul collegamento: N=-8674.72 Ty=8.58 Tz=17.38 Mx=-0.00 Mz=5.79
Sollecitazioni agenti localmente: Ty_l=-1577.22 Mx_l=-31.54
Tensioni nella sezione: σ=382.36 τ=47.79
CC 22 SLD (Collegamento -179_-383)
Azioni sul collegamento: N=-8674.72 Ty=10.62 Tz=17.38 Mx=-0.00 Mz=7.07
Sollecitazioni agenti localmente: Ty_l=-1577.22 Mx_l=-31.54
Tensioni nella sezione: σ=382.36 τ=47.79
CC 22 SLD (Collegamento -179_-383)
Azioni sul collegamento: N=-8674.72 Ty=8.58 Tz=8.67 Mx=-0.00 Mz=5.79
Sollecitazioni agenti localmente: Ty_l=-1577.22 Mx_l=-31.54
Tensioni nella sezione: σ=382.36 τ=47.79
CC 22 SLD (Collegamento -179_-383)
Azioni sul collegamento: N=-8674.72 Ty=10.62 Tz=8.67 Mx=-0.00 Mz=7.07
Sollecitazioni agenti localmente: Ty_l=-1577.22 Mx_l=-31.54
Tensioni nella sezione: σ=382.36 τ=47.79
CC 23 SLV (Collegamento -179_-383)
Azioni sul collegamento: N=-13681.20 Ty=4.82 Tz=27.25 Mx=-0.01 Mz=1.13
Sollecitazioni agenti localmente: Ty_l=-2487.50 Mx_l=-49.75

Tensioni nella sezione: σ=603.03 τ=75.38
CC 23 SLV (Collegamento -179_-383)
Azioni sul collegamento: N=-13681.20 Ty=12.53 Tz=27.25 Mx=-0.01 Mz=7.45
Sollecitazioni agenti localmente: Ty_l=-2487.50 Mx_l=-49.75
Tensioni nella sezione: σ=603.03 τ=75.38
CC 23 SLV (Collegamento -179_-383)
Azioni sul collegamento: N=-13681.20 Ty=4.82 Tz=-1.96 Mx=-0.01 Mz=1.13
Sollecitazioni agenti localmente: Ty_l=-2487.50 Mx_l=-49.75
Tensioni nella sezione: σ=603.03 τ=75.38
CC 23 SLV (Collegamento -179_-383)
Azioni sul collegamento: N=-13681.20 Ty=12.53 Tz=-1.96 Mx=-0.01 Mz=7.45
Sollecitazioni agenti localmente: Ty_l=-2487.50 Mx_l=-49.75
Tensioni nella sezione: σ=603.03 τ=75.38
CC 23 SLV (Collegamento -179_-383)
Azioni sul collegamento: N=-5856.57 Ty=4.82 Tz=27.25 Mx=-0.01 Mz=1.13
Sollecitazioni agenti localmente: Ty_l=-1064.83 Mx_l=-21.30
Tensioni nella sezione: σ=258.14 τ=32.27
CC 23 SLV (Collegamento -179_-383)
Azioni sul collegamento: N=-5856.57 Ty=12.53 Tz=27.25 Mx=-0.01 Mz=7.45
Sollecitazioni agenti localmente: Ty_l=-1064.83 Mx_l=-21.30
Tensioni nella sezione: σ=258.14 τ=32.27
CC 23 SLV (Collegamento -179_-383)
Azioni sul collegamento: N=-5856.57 Ty=4.82 Tz=-1.96 Mx=-0.01 Mz=1.13
Sollecitazioni agenti localmente: Ty_l=-1064.83 Mx_l=-21.30
Tensioni nella sezione: σ=258.14 τ=32.27
CC 23 SLV (Collegamento -179_-383)
Azioni sul collegamento: N=-5856.57 Ty=12.53 Tz=-1.96 Mx=-0.01 Mz=7.45
Sollecitazioni agenti localmente: Ty_l=-1064.83 Mx_l=-21.30
Tensioni nella sezione: σ=258.14 τ=32.27
CC 24 SLD (Collegamento -179_-383)
Azioni sul collegamento: N=-11059.20 Ty=8.42 Tz=17.48 Mx=0.00 Mz=5.47
Sollecitazioni agenti localmente: Ty_l=-2010.77 Mx_l=-40.22
Tensioni nella sezione: σ=487.46 τ=60.93
CC 24 SLD (Collegamento -179_-383)
Azioni sul collegamento: N=-11059.20 Ty=10.78 Tz=17.48 Mx=0.00 Mz=7.39
Sollecitazioni agenti localmente: Ty_l=-2010.77 Mx_l=-40.22
Tensioni nella sezione: σ=487.46 τ=60.93
CC 24 SLD (Collegamento -179_-383)
Azioni sul collegamento: N=-11059.20 Ty=8.42 Tz=8.57 Mx=0.00 Mz=5.47
Sollecitazioni agenti localmente: Ty_l=-2010.77 Mx_l=-40.22
Tensioni nella sezione: σ=487.46 τ=60.93
CC 24 SLD (Collegamento -179_-383)
Azioni sul collegamento: N=-11059.20 Ty=10.78 Tz=8.57 Mx=0.00 Mz=7.39
Sollecitazioni agenti localmente: Ty_l=-2010.77 Mx_l=-40.22
Tensioni nella sezione: σ=487.46 τ=60.93
CC 24 SLD (Collegamento -179_-383)
Azioni sul collegamento: N=-8673.24 Ty=8.42 Tz=17.48 Mx=0.00 Mz=5.47
Sollecitazioni agenti localmente: Ty_l=-1576.95 Mx_l=-31.54
Tensioni nella sezione: σ=382.29 τ=47.79
CC 24 SLD (Collegamento -179_-383)
Azioni sul collegamento: N=-8673.24 Ty=10.78 Tz=17.48 Mx=0.00 Mz=7.39
Sollecitazioni agenti localmente: Ty_l=-1576.95 Mx_l=-31.54
Tensioni nella sezione: σ=382.29 τ=47.79
CC 24 SLD (Collegamento -179_-383)
Azioni sul collegamento: N=-8673.24 Ty=8.42 Tz=8.57 Mx=0.00 Mz=5.47
Sollecitazioni agenti localmente: Ty_l=-1576.95 Mx_l=-31.54
Tensioni nella sezione: σ=382.29 τ=47.79
CC 24 SLD (Collegamento -179_-383)
Azioni sul collegamento: N=-8673.24 Ty=10.78 Tz=8.57 Mx=0.00 Mz=7.39
Sollecitazioni agenti localmente: Ty_l=-1576.95 Mx_l=-31.54
Tensioni nella sezione: σ=382.29 τ=47.79
CC 25 SLV (Collegamento -179_-383)
Azioni sul collegamento: N=-8587.82 Ty=10.61 Tz=7.77 Mx=-0.02 Mz=6.83
Sollecitazioni agenti localmente: Ty_l=-1561.42 Mx_l=-31.23
Tensioni nella sezione: σ=378.53 τ=47.32
CC 25 SLV (Collegamento -179_-383)
Azioni sul collegamento: N=-8587.82 Ty=6.74 Tz=7.77 Mx=-0.02 Mz=1.76
Sollecitazioni agenti localmente: Ty_l=-1561.42 Mx_l=-31.23
Tensioni nella sezione: σ=378.53 τ=47.32
CC 25 SLV (Collegamento -179_-383)
Azioni sul collegamento: N=-8587.82 Ty=10.61 Tz=17.52 Mx=-0.02 Mz=6.83
Sollecitazioni agenti localmente: Ty_l=-1561.42 Mx_l=-31.23
Tensioni nella sezione: σ=378.53 τ=47.32
CC 25 SLV (Collegamento -179_-383)
Azioni sul collegamento: N=-8587.82 Ty=6.74 Tz=17.52 Mx=-0.02 Mz=1.76
Sollecitazioni agenti localmente: Ty_l=-1561.42 Mx_l=-31.23
Tensioni nella sezione: σ=378.53 τ=47.32
CC 25 SLV (Collegamento -179_-383)
Azioni sul collegamento: N=-10950.00 Ty=10.61 Tz=7.77 Mx=-0.02 Mz=6.83
Sollecitazioni agenti localmente: Ty_l=-1990.90 Mx_l=-39.82

Tensioni nella sezione: σ=482.64 τ=60.33
CC 25 SLV (Collegamento -179_-383)
Azioni sul collegamento: N=-10950.00 Ty=6.74 Tz=7.77 Mx=-0.02 Mz=1.76
Sollecitazioni agenti localmente: Ty_l=-1990.90 Mx_l=-39.82
Tensioni nella sezione: σ=482.64 τ=60.33
CC 25 SLV (Collegamento -179_-383)
Azioni sul collegamento: N=-10950.00 Ty=10.61 Tz=17.52 Mx=-0.02 Mz=6.83
Sollecitazioni agenti localmente: Ty_l=-1990.90 Mx_l=-39.82
Tensioni nella sezione: σ=482.64 τ=60.33
CC 25 SLV (Collegamento -179_-383)
Azioni sul collegamento: N=-10950.00 Ty=6.74 Tz=17.52 Mx=-0.02 Mz=1.76
Sollecitazioni agenti localmente: Ty_l=-1990.90 Mx_l=-39.82
Tensioni nella sezione: σ=482.64 τ=60.33
CC 26 SLD (Collegamento -179_-383)
Azioni sul collegamento: N=-9506.09 Ty=10.19 Tz=11.54 Mx=-0.00 Mz=7.20
Sollecitazioni agenti localmente: Ty_l=-1728.38 Mx_l=-34.57
Tensioni nella sezione: σ=419.00 τ=52.38
CC 26 SLD (Collegamento -179_-383)
Azioni sul collegamento: N=-9506.09 Ty=9.01 Tz=11.54 Mx=-0.00 Mz=5.66
Sollecitazioni agenti localmente: Ty_l=-1728.38 Mx_l=-34.57
Tensioni nella sezione: σ=419.00 τ=52.38
CC 26 SLD (Collegamento -179_-383)
Azioni sul collegamento: N=-9506.09 Ty=10.19 Tz=14.51 Mx=-0.00 Mz=7.20
Sollecitazioni agenti localmente: Ty_l=-1728.38 Mx_l=-34.57
Tensioni nella sezione: σ=419.00 τ=52.38
CC 26 SLD (Collegamento -179_-383)
Azioni sul collegamento: N=-9506.09 Ty=9.01 Tz=14.51 Mx=-0.00 Mz=5.66
Sollecitazioni agenti localmente: Ty_l=-1728.38 Mx_l=-34.57
Tensioni nella sezione: σ=419.00 τ=52.38
CC 26 SLD (Collegamento -179_-383)
Azioni sul collegamento: N=-10226.40 Ty=10.19 Tz=11.54 Mx=-0.00 Mz=7.20
Sollecitazioni agenti localmente: Ty_l=-1859.34 Mx_l=-37.19
Tensioni nella sezione: σ=450.75 τ=56.34
CC 26 SLD (Collegamento -179_-383)
Azioni sul collegamento: N=-10226.40 Ty=9.01 Tz=11.54 Mx=-0.00 Mz=5.66
Sollecitazioni agenti localmente: Ty_l=-1859.34 Mx_l=-37.19
Tensioni nella sezione: σ=450.75 τ=56.34
CC 26 SLD (Collegamento -179_-383)
Azioni sul collegamento: N=-10226.40 Ty=10.19 Tz=14.51 Mx=-0.00 Mz=7.20
Sollecitazioni agenti localmente: Ty_l=-1859.34 Mx_l=-37.19
Tensioni nella sezione: σ=450.75 τ=56.34
CC 26 SLD (Collegamento -179_-383)
Azioni sul collegamento: N=-10226.40 Ty=9.01 Tz=14.51 Mx=-0.00 Mz=5.66
Sollecitazioni agenti localmente: Ty_l=-1859.34 Mx_l=-37.19
Tensioni nella sezione: σ=450.75 τ=56.34
CC 27 SLV (Collegamento -179_-383)
Azioni sul collegamento: N=-10933.80 Ty=8.45 Tz=16.43 Mx=-0.02 Mz=5.25
Sollecitazioni agenti localmente: Ty_l=-1987.96 Mx_l=-39.76
Tensioni nella sezione: σ=481.93 τ=60.24
CC 27 SLV (Collegamento -179_-383)
Azioni sul collegamento: N=-10933.80 Ty=8.90 Tz=16.43 Mx=-0.02 Mz=3.34
Sollecitazioni agenti localmente: Ty_l=-1987.96 Mx_l=-39.76
Tensioni nella sezione: σ=481.93 τ=60.24
CC 27 SLV (Collegamento -179_-383)
Azioni sul collegamento: N=-10933.80 Ty=8.45 Tz=8.86 Mx=-0.02 Mz=5.25
Sollecitazioni agenti localmente: Ty_l=-1987.96 Mx_l=-39.76
Tensioni nella sezione: σ=481.93 τ=60.24
CC 27 SLV (Collegamento -179_-383)
Azioni sul collegamento: N=-10933.80 Ty=8.90 Tz=8.86 Mx=-0.02 Mz=3.34
Sollecitazioni agenti localmente: Ty_l=-1987.96 Mx_l=-39.76
Tensioni nella sezione: σ=481.93 τ=60.24
CC 27 SLV (Collegamento -179_-383)
Azioni sul collegamento: N=-8604.03 Ty=8.45 Tz=16.43 Mx=-0.02 Mz=5.25
Sollecitazioni agenti localmente: Ty_l=-1564.37 Mx_l=-31.29
Tensioni nella sezione: σ=379.24 τ=47.41
CC 27 SLV (Collegamento -179_-383)
Azioni sul collegamento: N=-8604.03 Ty=8.90 Tz=16.43 Mx=-0.02 Mz=3.34
Sollecitazioni agenti localmente: Ty_l=-1564.37 Mx_l=-31.29
Tensioni nella sezione: σ=379.24 τ=47.41
CC 27 SLV (Collegamento -179_-383)
Azioni sul collegamento: N=-8604.03 Ty=8.45 Tz=8.86 Mx=-0.02 Mz=5.25
Sollecitazioni agenti localmente: Ty_l=-1564.37 Mx_l=-31.29
Tensioni nella sezione: σ=379.24 τ=47.41
CC 27 SLV (Collegamento -179_-383)
Azioni sul collegamento: N=-8604.03 Ty=8.90 Tz=8.86 Mx=-0.02 Mz=3.34
Sollecitazioni agenti localmente: Ty_l=-1564.37 Mx_l=-31.29
Tensioni nella sezione: σ=379.24 τ=47.41
CC 28 SLD (Collegamento -179_-383)
Azioni sul collegamento: N=-10221.40 Ty=9.53 Tz=14.18 Mx=-0.00 Mz=6.72
Sollecitazioni agenti localmente: Ty_l=-1858.44 Mx_l=-37.17

Tensioni nella sezione: σ=450.53 τ=56.32
CC 28 SLD (Collegamento -179_-383)
Azioni sul collegamento: N=-10221.40 Ty=9.67 Tz=14.18 Mx=-0.00 Mz=6.14
Sollecitazioni agenti localmente: Ty_l=-1858.44 Mx_l=-37.17
Tensioni nella sezione: σ=450.53 τ=56.32
CC 28 SLD (Collegamento -179_-383)
Azioni sul collegamento: N=-10221.40 Ty=9.53 Tz=11.87 Mx=-0.00 Mz=6.72
Sollecitazioni agenti localmente: Ty_l=-1858.44 Mx_l=-37.17
Tensioni nella sezione: σ=450.53 τ=56.32
CC 28 SLD (Collegamento -179_-383)
Azioni sul collegamento: N=-10221.40 Ty=9.67 Tz=11.87 Mx=-0.00 Mz=6.14
Sollecitazioni agenti localmente: Ty_l=-1858.44 Mx_l=-37.17
Tensioni nella sezione: σ=450.53 τ=56.32
CC 28 SLD (Collegamento -179_-383)
Azioni sul collegamento: N=-9511.03 Ty=9.53 Tz=14.18 Mx=-0.00 Mz=6.72
Sollecitazioni agenti localmente: Ty_l=-1729.28 Mx_l=-34.59
Tensioni nella sezione: σ=419.22 τ=52.40
CC 28 SLD (Collegamento -179_-383)
Azioni sul collegamento: N=-9511.03 Ty=9.67 Tz=14.18 Mx=-0.00 Mz=6.14
Sollecitazioni agenti localmente: Ty_l=-1729.28 Mx_l=-34.59
Tensioni nella sezione: σ=419.22 τ=52.40
CC 28 SLD (Collegamento -179_-383)
Azioni sul collegamento: N=-9511.03 Ty=9.53 Tz=11.87 Mx=-0.00 Mz=6.72
Sollecitazioni agenti localmente: Ty_l=-1729.28 Mx_l=-34.59
Tensioni nella sezione: σ=419.22 τ=52.40
CC 28 SLD (Collegamento -179_-383)
Azioni sul collegamento: N=-9511.03 Ty=9.67 Tz=11.87 Mx=-0.00 Mz=6.14
Sollecitazioni agenti localmente: Ty_l=-1729.28 Mx_l=-34.59
Tensioni nella sezione: σ=419.22 τ=52.40
CC 29 SLV (Collegamento -179_-383)
Azioni sul collegamento: N=-8604.03 Ty=8.90 Tz=8.86 Mx=-0.00 Mz=3.34
Sollecitazioni agenti localmente: Ty_l=-1564.37 Mx_l=-31.29
Tensioni nella sezione: σ=379.24 τ=47.41
CC 29 SLV (Collegamento -179_-383)
Azioni sul collegamento: N=-8604.03 Ty=8.45 Tz=8.86 Mx=-0.00 Mz=5.25
Sollecitazioni agenti localmente: Ty_l=-1564.37 Mx_l=-31.29
Tensioni nella sezione: σ=379.24 τ=47.41
CC 29 SLV (Collegamento -179_-383)
Azioni sul collegamento: N=-8604.03 Ty=8.90 Tz=16.43 Mx=-0.00 Mz=3.34
Sollecitazioni agenti localmente: Ty_l=-1564.37 Mx_l=-31.29
Tensioni nella sezione: σ=379.24 τ=47.41
CC 29 SLV (Collegamento -179_-383)
Azioni sul collegamento: N=-8604.03 Ty=8.45 Tz=16.43 Mx=-0.00 Mz=5.25
Sollecitazioni agenti localmente: Ty_l=-1564.37 Mx_l=-31.29
Tensioni nella sezione: σ=379.24 τ=47.41
CC 29 SLV (Collegamento -179_-383)
Azioni sul collegamento: N=-10933.80 Ty=8.90 Tz=8.86 Mx=-0.00 Mz=3.34
Sollecitazioni agenti localmente: Ty_l=-1987.96 Mx_l=-39.76
Tensioni nella sezione: σ=481.93 τ=60.24
CC 29 SLV (Collegamento -179_-383)
Azioni sul collegamento: N=-10933.80 Ty=8.45 Tz=8.86 Mx=-0.00 Mz=5.25
Sollecitazioni agenti localmente: Ty_l=-1987.96 Mx_l=-39.76
Tensioni nella sezione: σ=481.93 τ=60.24
CC 29 SLV (Collegamento -179_-383)
Azioni sul collegamento: N=-10933.80 Ty=8.90 Tz=16.43 Mx=-0.00 Mz=3.34
Sollecitazioni agenti localmente: Ty_l=-1987.96 Mx_l=-39.76
Tensioni nella sezione: σ=481.93 τ=60.24
CC 29 SLV (Collegamento -179_-383)
Azioni sul collegamento: N=-10933.80 Ty=8.45 Tz=16.43 Mx=-0.00 Mz=5.25
Sollecitazioni agenti localmente: Ty_l=-1987.96 Mx_l=-39.76
Tensioni nella sezione: σ=481.93 τ=60.24
CC 30 SLD (Collegamento -179_-383)
Azioni sul collegamento: N=-9511.03 Ty=9.67 Tz=11.87 Mx=0.00 Mz=6.14
Sollecitazioni agenti localmente: Ty_l=-1729.28 Mx_l=-34.59
Tensioni nella sezione: σ=419.22 τ=52.40
CC 30 SLD (Collegamento -179_-383)
Azioni sul collegamento: N=-9511.03 Ty=9.53 Tz=11.87 Mx=0.00 Mz=6.72
Sollecitazioni agenti localmente: Ty_l=-1729.28 Mx_l=-34.59
Tensioni nella sezione: σ=419.22 τ=52.40
CC 30 SLD (Collegamento -179_-383)
Azioni sul collegamento: N=-9511.03 Ty=9.67 Tz=14.18 Mx=0.00 Mz=6.14
Sollecitazioni agenti localmente: Ty_l=-1729.28 Mx_l=-34.59
Tensioni nella sezione: σ=419.22 τ=52.40
CC 30 SLD (Collegamento -179_-383)
Azioni sul collegamento: N=-9511.03 Ty=9.53 Tz=14.18 Mx=0.00 Mz=6.72
Sollecitazioni agenti localmente: Ty_l=-1729.28 Mx_l=-34.59
Tensioni nella sezione: σ=419.22 τ=52.40
CC 30 SLD (Collegamento -179_-383)
Azioni sul collegamento: N=-10221.40 Ty=9.67 Tz=11.87 Mx=0.00 Mz=6.14
Sollecitazioni agenti localmente: Ty_l=-1858.44 Mx_l=-37.17

Tensioni nella sezione: σ=450.53 τ=56.32
CC 30 SLD (Collegamento -179_-383)
Azioni sul collegamento: N=-10221.40 Ty=9.53 Tz=11.87 Mx=0.00 Mz=6.72
Sollecitazioni agenti localmente: Ty_l=-1858.44 Mx_l=-37.17
Tensioni nella sezione: σ=450.53 τ=56.32
CC 30 SLD (Collegamento -179_-383)
Azioni sul collegamento: N=-10221.40 Ty=9.67 Tz=14.18 Mx=0.00 Mz=6.14
Sollecitazioni agenti localmente: Ty_l=-1858.44 Mx_l=-37.17
Tensioni nella sezione: σ=450.53 τ=56.32
CC 30 SLD (Collegamento -179_-383)
Azioni sul collegamento: N=-10221.40 Ty=9.53 Tz=14.18 Mx=0.00 Mz=6.72
Sollecitazioni agenti localmente: Ty_l=-1858.44 Mx_l=-37.17
Tensioni nella sezione: σ=450.53 τ=56.32
CC 31 SLV (Collegamento -179_-383)
Azioni sul collegamento: N=-10950.00 Ty=6.74 Tz=17.52 Mx=-0.00 Mz=1.76
Sollecitazioni agenti localmente: Ty_l=-1990.90 Mx_l=-39.82
Tensioni nella sezione: σ=482.64 τ=60.33
CC 31 SLV (Collegamento -179_-383)
Azioni sul collegamento: N=-10950.00 Ty=10.61 Tz=17.52 Mx=-0.00 Mz=6.83
Sollecitazioni agenti localmente: Ty_l=-1990.90 Mx_l=-39.82
Tensioni nella sezione: σ=482.64 τ=60.33
CC 31 SLV (Collegamento -179_-383)
Azioni sul collegamento: N=-10950.00 Ty=6.74 Tz=7.77 Mx=-0.00 Mz=1.76
Sollecitazioni agenti localmente: Ty_l=-1990.90 Mx_l=-39.82
Tensioni nella sezione: σ=482.64 τ=60.33
CC 31 SLV (Collegamento -179_-383)
Azioni sul collegamento: N=-10950.00 Ty=10.61 Tz=7.77 Mx=-0.00 Mz=6.83
Sollecitazioni agenti localmente: Ty_l=-1990.90 Mx_l=-39.82
Tensioni nella sezione: σ=482.64 τ=60.33
CC 31 SLV (Collegamento -179_-383)
Azioni sul collegamento: N=-8587.82 Ty=6.74 Tz=17.52 Mx=-0.00 Mz=1.76
Sollecitazioni agenti localmente: Ty_l=-1561.42 Mx_l=-31.23
Tensioni nella sezione: σ=378.53 τ=47.32
CC 31 SLV (Collegamento -179_-383)
Azioni sul collegamento: N=-8587.82 Ty=10.61 Tz=17.52 Mx=-0.00 Mz=6.83
Sollecitazioni agenti localmente: Ty_l=-1561.42 Mx_l=-31.23
Tensioni nella sezione: σ=378.53 τ=47.32
CC 31 SLV (Collegamento -179_-383)
Azioni sul collegamento: N=-8587.82 Ty=6.74 Tz=7.77 Mx=-0.00 Mz=1.76
Sollecitazioni agenti localmente: Ty_l=-1561.42 Mx_l=-31.23
Tensioni nella sezione: σ=378.53 τ=47.32
CC 31 SLV (Collegamento -179_-383)
Azioni sul collegamento: N=-8587.82 Ty=10.61 Tz=7.77 Mx=-0.00 Mz=6.83
Sollecitazioni agenti localmente: Ty_l=-1561.42 Mx_l=-31.23
Tensioni nella sezione: σ=378.53 τ=47.32
CC 32 SLD (Collegamento -179_-383)
Azioni sul collegamento: N=-10226.40 Ty=9.01 Tz=14.51 Mx=0.00 Mz=5.66
Sollecitazioni agenti localmente: Ty_l=-1859.34 Mx_l=-37.19
Tensioni nella sezione: σ=450.75 τ=56.34
CC 32 SLD (Collegamento -179_-383)
Azioni sul collegamento: N=-10226.40 Ty=10.19 Tz=14.51 Mx=0.00 Mz=7.20
Sollecitazioni agenti localmente: Ty_l=-1859.34 Mx_l=-37.19
Tensioni nella sezione: σ=450.75 τ=56.34
CC 32 SLD (Collegamento -179_-383)
Azioni sul collegamento: N=-10226.40 Ty=9.01 Tz=11.54 Mx=0.00 Mz=5.66
Sollecitazioni agenti localmente: Ty_l=-1859.34 Mx_l=-37.19
Tensioni nella sezione: σ=450.75 τ=56.34
CC 32 SLD (Collegamento -179_-383)
Azioni sul collegamento: N=-10226.40 Ty=10.19 Tz=11.54 Mx=0.00 Mz=7.20
Sollecitazioni agenti localmente: Ty_l=-1859.34 Mx_l=-37.19
Tensioni nella sezione: σ=450.75 τ=56.34
CC 32 SLD (Collegamento -179_-383)
Azioni sul collegamento: N=-9506.09 Ty=9.01 Tz=14.51 Mx=0.00 Mz=5.66
Sollecitazioni agenti localmente: Ty_l=-1728.38 Mx_l=-34.57
Tensioni nella sezione: σ=419.00 τ=52.38
CC 32 SLD (Collegamento -179_-383)
Azioni sul collegamento: N=-9506.09 Ty=10.19 Tz=14.51 Mx=0.00 Mz=7.20
Sollecitazioni agenti localmente: Ty_l=-1728.38 Mx_l=-34.57
Tensioni nella sezione: σ=419.00 τ=52.38
CC 32 SLD (Collegamento -179_-383)
Azioni sul collegamento: N=-9506.09 Ty=9.01 Tz=11.54 Mx=0.00 Mz=5.66
Sollecitazioni agenti localmente: Ty_l=-1728.38 Mx_l=-34.57
Tensioni nella sezione: σ=419.00 τ=52.38
CC 32 SLD (Collegamento -179_-383)
Azioni sul collegamento: N=-9506.09 Ty=10.19 Tz=11.54 Mx=0.00 Mz=7.20
Sollecitazioni agenti localmente: Ty_l=-1728.38 Mx_l=-34.57
Tensioni nella sezione: σ=419.00 τ=52.38
CC 33 SLU (Collegamento -179_-383)
Azioni sul collegamento: N=-36428.20 Ty=20.21 Tz=102.49 Mx=0.01 Mz=15.01
Sollecitazioni agenti localmente: Ty_l=-6623.30 Mx_l=-132.47

Tensioni nella sezione: σ=1605.65 τ=200.71
CC 34 SLU (Collegamento -179_-383)
Azioni sul collegamento: N=-37242.40 Ty=20.96 Tz=105.49 Mx=0.01 Mz=15.56
Sollecitazioni agenti localmente: Ty_l=-6771.34 Mx_l=-135.43
Tensioni nella sezione: σ=1641.53 τ=205.19
CC 35 SLU (Collegamento -179_-383)
Azioni sul collegamento: N=-36836.10 Ty=20.67 Tz=103.93 Mx=0.00 Mz=15.47
Sollecitazioni agenti localmente: Ty_l=-6697.48 Mx_l=-133.95
Tensioni nella sezione: σ=1623.63 τ=202.95
CC 36 SLU (Collegamento -179_-383)
Azioni sul collegamento: N=-36834.40 Ty=20.49 Tz=104.05 Mx=0.01 Mz=15.10
Sollecitazioni agenti localmente: Ty_l=-6697.16 Mx_l=-133.94
Tensioni nella sezione: σ=1623.55 τ=202.94
CC 37 SLU (Collegamento -179_-383)
Azioni sul collegamento: N=-29660.30 Ty=-10.68 Tz=77.11 Mx=0.01 Mz=-8.42
Sollecitazioni agenti localmente: Ty_l=-5392.78 Mx_l=-107.86
Tensioni nella sezione: σ=1307.34 τ=163.42
CC 38 SLU (Collegamento -179_-383)
Azioni sul collegamento: N=-30474.50 Ty=-9.93 Tz=80.11 Mx=0.01 Mz=-7.87
Sollecitazioni agenti localmente: Ty_l=-5540.82 Mx_l=-110.82
Tensioni nella sezione: σ=1343.23 τ=167.90
CC 39 SLU (Collegamento -179_-383)
Azioni sul collegamento: N=-30068.30 Ty=-10.21 Tz=78.55 Mx=0.00 Mz=-7.97
Sollecitazioni agenti localmente: Ty_l=-5466.96 Mx_l=-109.34
Tensioni nella sezione: σ=1325.32 τ=165.66
CC 40 SLU (Collegamento -179_-383)
Azioni sul collegamento: N=-30066.50 Ty=-10.39 Tz=78.67 Mx=0.01 Mz=-8.33
Sollecitazioni agenti localmente: Ty_l=-5466.64 Mx_l=-109.33
Tensioni nella sezione: σ=1325.24 τ=165.66
CC 41 SLU (Collegamento -179_-383)
Azioni sul collegamento: N=-27261.60 Ty=19.33 Tz=68.83 Mx=0.01 Mz=14.21
Sollecitazioni agenti localmente: Ty_l=-4956.66 Mx_l=-99.13
Tensioni nella sezione: σ=1201.61 τ=150.20
CC 42 SLU (Collegamento -179_-383)
Azioni sul collegamento: N=-28075.80 Ty=20.08 Tz=71.84 Mx=0.01 Mz=14.76
Sollecitazioni agenti localmente: Ty_l=-5104.69 Mx_l=-102.09
Tensioni nella sezione: σ=1237.50 τ=154.69
CC 43 SLU (Collegamento -179_-383)
Azioni sul collegamento: N=-27669.60 Ty=19.79 Tz=70.28 Mx=0.00 Mz=14.67
Sollecitazioni agenti localmente: Ty_l=-5030.84 Mx_l=-100.62
Tensioni nella sezione: σ=1219.59 τ=152.45
CC 44 SLU (Collegamento -179_-383)
Azioni sul collegamento: N=-27667.80 Ty=19.61 Tz=70.39 Mx=0.01 Mz=14.31
Sollecitazioni agenti localmente: Ty_l=-5030.52 Mx_l=-100.61
Tensioni nella sezione: σ=1219.52 τ=152.44
CC 45 SLU (Collegamento -179_-383)
Azioni sul collegamento: N=-29271.60 Ty=19.56 Tz=76.22 Mx=0.00 Mz=14.53
Sollecitazioni agenti localmente: Ty_l=-5322.11 Mx_l=-106.44
Tensioni nella sezione: σ=1290.21 τ=161.28
CC 46 SLU (Collegamento -179_-383)
Azioni sul collegamento: N=-30085.80 Ty=20.31 Tz=79.22 Mx=0.00 Mz=15.08
Sollecitazioni agenti localmente: Ty_l=-5470.14 Mx_l=-109.40
Tensioni nella sezione: σ=1326.09 τ=165.76
CC 47 SLU (Collegamento -179_-383)
Azioni sul collegamento: N=-29679.60 Ty=20.02 Tz=77.66 Mx=0.00 Mz=14.99
Sollecitazioni agenti localmente: Ty_l=-5396.29 Mx_l=-107.92
Tensioni nella sezione: σ=1308.19 τ=163.52
CC 48 SLU (Collegamento -179_-383)
Azioni sul collegamento: N=-29677.80 Ty=19.84 Tz=77.78 Mx=0.01 Mz=14.62
Sollecitazioni agenti localmente: Ty_l=-5395.96 Mx_l=-107.92
Tensioni nella sezione: σ=1308.11 τ=163.51
CC 49 SLU (Collegamento -179_-383)
Azioni sul collegamento: N=-24208.20 Ty=-3.55 Tz=57.23 Mx=0.01 Mz=-3.00
Sollecitazioni agenti localmente: Ty_l=-4401.49 Mx_l=-88.03
Tensioni nella sezione: σ=1067.03 τ=133.38
CC 50 SLU (Collegamento -179_-383)
Azioni sul collegamento: N=-25022.40 Ty=-2.80 Tz=60.23 Mx=0.01 Mz=-2.45
Sollecitazioni agenti localmente: Ty_l=-4549.53 Mx_l=-90.99
Tensioni nella sezione: σ=1102.91 τ=137.87
CC 51 SLU (Collegamento -179_-383)
Azioni sul collegamento: N=-24616.20 Ty=-3.08 Tz=58.67 Mx=0.00 Mz=-2.54
Sollecitazioni agenti localmente: Ty_l=-4475.67 Mx_l=-89.51
Tensioni nella sezione: σ=1085.01 τ=135.63
CC 52 SLU (Collegamento -179_-383)
Azioni sul collegamento: N=-24614.40 Ty=-3.26 Tz=58.79 Mx=0.01 Mz=-2.91
Sollecitazioni agenti localmente: Ty_l=-4475.35 Mx_l=-89.51
Tensioni nella sezione: σ=1084.93 τ=135.62
CC 53 SLU (Collegamento -179_-383)
Azioni sul collegamento: N=-22413.60 Ty=18.90 Tz=51.04 Mx=0.00 Mz=13.93
Sollecitazioni agenti localmente: Ty_l=-4075.21 Mx_l=-81.50

Tensioni nella sezione: σ=987.93 τ=123.49
CC 54 SLU (Collegamento -179_-383)
Azioni sul collegamento: N=-23227.90 Ty=19.65 Tz=54.04 Mx=0.00 Mz=14.49
Sollecitazioni agenti localmente: Ty_l=-4223.24 Mx_l=-84.46
Tensioni nella sezione: σ=1023.82 τ=127.98
CC 55 SLU (Collegamento -179_-383)
Azioni sul collegamento: N=-22821.60 Ty=19.36 Tz=52.48 Mx=0.00 Mz=14.39
Sollecitazioni agenti localmente: Ty_l=-4149.39 Mx_l=-82.99
Tensioni nella sezione: σ=1005.91 τ=125.74
CC 56 SLU (Collegamento -179_-383)
Azioni sul collegamento: N=-22819.90 Ty=19.19 Tz=52.60 Mx=0.01 Mz=14.03
Sollecitazioni agenti localmente: Ty_l=-4149.06 Mx_l=-82.98
Tensioni nella sezione: σ=1005.83 τ=125.73
CC 57 SLU (Collegamento -179_-383)
Azioni sul collegamento: N=-30019.90 Ty=20.54 Tz=79.01 Mx=0.00 Mz=15.25
Sollecitazioni agenti localmente: Ty_l=-5458.17 Mx_l=-109.16
Tensioni nella sezione: σ=1323.19 τ=165.40
CC 58 SLU (Collegamento -179_-383)
Azioni sul collegamento: N=-30834.10 Ty=21.29 Tz=82.01 Mx=0.00 Mz=15.80
Sollecitazioni agenti localmente: Ty_l=-5606.21 Mx_l=-112.12
Tensioni nella sezione: σ=1359.08 τ=169.88
CC 59 SLU (Collegamento -179_-383)
Azioni sul collegamento: N=-30427.90 Ty=21.01 Tz=80.45 Mx=0.00 Mz=15.71
Sollecitazioni agenti localmente: Ty_l=-5532.35 Mx_l=-110.65
Tensioni nella sezione: σ=1341.17 τ=167.65
CC 60 SLU (Collegamento -179_-383)
Azioni sul collegamento: N=-30426.20 Ty=20.83 Tz=80.57 Mx=0.01 Mz=15.34
Sollecitazioni agenti localmente: Ty_l=-5532.03 Mx_l=-110.64
Tensioni nella sezione: σ=1341.10 τ=167.64
CC 61 SLU (Collegamento -179_-383)
Azioni sul collegamento: N=-24956.60 Ty=-2.56 Tz=60.02 Mx=0.00 Mz=-2.28
Sollecitazioni agenti localmente: Ty_l=-4537.56 Mx_l=-90.75
Tensioni nella sezione: σ=1100.01 τ=137.50
CC 62 SLU (Collegamento -179_-383)
Azioni sul collegamento: N=-25770.80 Ty=-1.81 Tz=63.02 Mx=0.00 Mz=-1.73
Sollecitazioni agenti localmente: Ty_l=-4685.59 Mx_l=-93.71
Tensioni nella sezione: σ=1135.90 τ=141.99
CC 63 SLU (Collegamento -179_-383)
Azioni sul collegamento: N=-25364.60 Ty=-2.10 Tz=61.46 Mx=0.00 Mz=-1.82
Sollecitazioni agenti localmente: Ty_l=-4611.74 Mx_l=-92.23
Tensioni nella sezione: σ=1117.99 τ=139.75
CC 64 SLU (Collegamento -179_-383)
Azioni sul collegamento: N=-25362.80 Ty=-2.28 Tz=61.58 Mx=0.01 Mz=-2.19
Sollecitazioni agenti localmente: Ty_l=-4611.42 Mx_l=-92.23
Tensioni nella sezione: σ=1117.92 τ=139.74
CC 65 SLU (Collegamento -179_-383)
Azioni sul collegamento: N=-23162.00 Ty=19.88 Tz=53.83 Mx=0.00 Mz=14.66
Sollecitazioni agenti localmente: Ty_l=-4211.28 Mx_l=-84.23
Tensioni nella sezione: σ=1020.91 τ=127.61
CC 66 SLU (Collegamento -179_-383)
Azioni sul collegamento: N=-23976.20 Ty=20.63 Tz=56.84 Mx=0.00 Mz=15.21
Sollecitazioni agenti localmente: Ty_l=-4359.31 Mx_l=-87.19
Tensioni nella sezione: σ=1056.80 τ=132.10
CC 67 SLU (Collegamento -179_-383)
Azioni sul collegamento: N=-23570.00 Ty=20.35 Tz=55.27 Mx=0.00 Mz=15.11
Sollecitazioni agenti localmente: Ty_l=-4285.45 Mx_l=-85.71
Tensioni nella sezione: σ=1038.90 τ=129.86
CC 68 SLU (Collegamento -179_-383)
Azioni sul collegamento: N=-23568.20 Ty=20.17 Tz=55.39 Mx=0.01 Mz=14.75
Sollecitazioni agenti localmente: Ty_l=-4285.13 Mx_l=-85.70
Tensioni nella sezione: σ=1038.82 τ=129.85
CC 97 SLU (Collegamento -179_-383)
Azioni sul collegamento: N=-12126.50 Ty=21.64 Tz=21.62 Mx=0.05 Mz=23.37
Sollecitazioni agenti localmente: Ty_l=-2204.81 Mx_l=-44.10
Tensioni nella sezione: σ=534.50 τ=66.81
CC 98 SLU (Collegamento -179_-383)
Azioni sul collegamento: N=-12940.70 Ty=22.39 Tz=24.63 Mx=0.05 Mz=23.92
Sollecitazioni agenti localmente: Ty_l=-2352.85 Mx_l=-47.06
Tensioni nella sezione: σ=570.39 τ=71.30
CC 99 SLU (Collegamento -179_-383)
Azioni sul collegamento: N=-12534.50 Ty=22.10 Tz=23.06 Mx=0.05 Mz=23.83
Sollecitazioni agenti localmente: Ty_l=-2278.99 Mx_l=-45.58
Tensioni nella sezione: σ=552.48 τ=69.06
CC 100 SLU (Collegamento -179_-383)
Azioni sul collegamento: N=-12532.70 Ty=21.92 Tz=23.18 Mx=0.05 Mz=23.46
Sollecitazioni agenti localmente: Ty_l=-2278.67 Mx_l=-45.57
Tensioni nella sezione: σ=552.40 τ=69.05
CC 101 SLU (Collegamento -179_-383)
Azioni sul collegamento: N=-9752.38 Ty=7.57 Tz=12.50 Mx=-0.00 Mz=4.76
Sollecitazioni agenti localmente: Ty_l=-1773.16 Mx_l=-35.46

Tensioni nella sezione: σ=429.86 τ=53.73
CC 102 SLU (Collegamento -179_-383)
Azioni sul collegamento: N=-10566.60 Ty=8.33 Tz=15.50 Mx=-0.00 Mz=5.31
Sollecitazioni agenti localmente: Ty_l=-1921.20 Mx_l=-38.42
Tensioni nella sezione: σ=465.74 τ=58.22
CC 103 SLU (Collegamento -179_-383)
Azioni sul collegamento: N=-10160.40 Ty=8.04 Tz=13.94 Mx=-0.00 Mz=5.22
Sollecitazioni agenti localmente: Ty_l=-1847.34 Mx_l=-36.95
Tensioni nella sezione: σ=447.84 τ=55.98
CC 104 SLU (Collegamento -179_-383)
Azioni sul collegamento: N=-10158.60 Ty=7.86 Tz=14.06 Mx=-0.00 Mz=4.85
Sollecitazioni agenti localmente: Ty_l=-1847.02 Mx_l=-36.94
Tensioni nella sezione: σ=447.76 τ=55.97

Flessione attacco destro piastra

Bnetta=220.00 Hnetta=15.00
CC 1 SLV (Collegamento -179_-383)
Azioni sul collegamento: N=-6136.64 Ty=15.19 Tz=-0.86 Mx=0.02 Mz=13.60
Sollecitazioni agenti localmente: Ty_l=-1141.97 My_l=-23.49
Tensioni nella sezione: σ=284.68 τ=34.61
CC 1 SLV (Collegamento -179_-383)
Azioni sul collegamento: N=-6136.64 Ty=7.48 Tz=-0.86 Mx=0.02 Mz=7.28
Sollecitazioni agenti localmente: Ty_l=-1116.82 My_l=-22.94
Tensioni nella sezione: σ=278.00 τ=33.84
CC 1 SLV (Collegamento -179_-383)
Azioni sul collegamento: N=-6136.64 Ty=15.19 Tz=28.35 Mx=0.02 Mz=13.60
Sollecitazioni agenti localmente: Ty_l=-1141.97 My_l=-23.49
Tensioni nella sezione: σ=284.68 τ=34.61
CC 1 SLV (Collegamento -179_-383)
Azioni sul collegamento: N=-6136.64 Ty=7.48 Tz=28.35 Mx=0.02 Mz=7.28
Sollecitazioni agenti localmente: Ty_l=-1116.82 My_l=-22.94
Tensioni nella sezione: σ=278.00 τ=33.84
CC 1 SLV (Collegamento -179_-383)
Azioni sul collegamento: N=-13961.30 Ty=15.19 Tz=-0.86 Mx=0.02 Mz=13.60
Sollecitazioni agenti localmente: Ty_l=-2529.07 My_l=-51.92
Tensioni nella sezione: σ=629.35 τ=76.64
CC 1 SLV (Collegamento -179_-383)
Azioni sul collegamento: N=-13961.30 Ty=7.48 Tz=-0.86 Mx=0.02 Mz=7.28
Sollecitazioni agenti localmente: Ty_l=-2503.92 My_l=-51.37
Tensioni nella sezione: σ=622.68 τ=75.88
CC 1 SLV (Collegamento -179_-383)
Azioni sul collegamento: N=-13961.30 Ty=15.19 Tz=28.35 Mx=0.02 Mz=13.60
Sollecitazioni agenti localmente: Ty_l=-2529.07 My_l=-51.92
Tensioni nella sezione: σ=629.35 τ=76.64
CC 1 SLV (Collegamento -179_-383)
Azioni sul collegamento: N=-13961.30 Ty=7.48 Tz=28.35 Mx=0.02 Mz=7.28
Sollecitazioni agenti localmente: Ty_l=-2503.92 My_l=-51.37
Tensioni nella sezione: σ=622.68 τ=75.88
CC 2 SLD (Collegamento -179_-383)
Azioni sul collegamento: N=-8758.64 Ty=11.59 Tz=8.91 Mx=0.01 Mz=9.27
Sollecitazioni agenti localmente: Ty_l=-1589.54 My_l=-32.64
Tensioni nella sezione: σ=395.60 τ=48.17
CC 2 SLD (Collegamento -179_-383)
Azioni sul collegamento: N=-8758.64 Ty=9.24 Tz=8.91 Mx=0.01 Mz=7.34
Sollecitazioni agenti localmente: Ty_l=-1581.87 My_l=-32.47
Tensioni nella sezione: σ=393.57 τ=47.94
CC 2 SLD (Collegamento -179_-383)
Azioni sul collegamento: N=-8758.64 Ty=11.59 Tz=17.82 Mx=0.01 Mz=9.27
Sollecitazioni agenti localmente: Ty_l=-1589.54 My_l=-32.64
Tensioni nella sezione: σ=395.60 τ=48.17
CC 2 SLD (Collegamento -179_-383)
Azioni sul collegamento: N=-8758.64 Ty=9.24 Tz=17.82 Mx=0.01 Mz=7.34
Sollecitazioni agenti localmente: Ty_l=-1581.87 My_l=-32.47
Tensioni nella sezione: σ=393.57 τ=47.94
CC 2 SLD (Collegamento -179_-383)
Azioni sul collegamento: N=-11144.60 Ty=11.59 Tz=8.91 Mx=0.01 Mz=9.27
Sollecitazioni agenti localmente: Ty_l=-2012.51 My_l=-41.31
Tensioni nella sezione: σ=500.70 τ=60.99
CC 2 SLD (Collegamento -179_-383)
Azioni sul collegamento: N=-11144.60 Ty=9.24 Tz=8.91 Mx=0.01 Mz=7.34
Sollecitazioni agenti localmente: Ty_l=-2004.84 My_l=-41.14
Tensioni nella sezione: σ=498.67 τ=60.75
CC 2 SLD (Collegamento -179_-383)
Azioni sul collegamento: N=-11144.60 Ty=11.59 Tz=17.82 Mx=0.01 Mz=9.27
Sollecitazioni agenti localmente: Ty_l=-2012.51 My_l=-41.31
Tensioni nella sezione: σ=500.70 τ=60.99
CC 2 SLD (Collegamento -179_-383)
Azioni sul collegamento: N=-11144.60 Ty=9.24 Tz=17.82 Mx=0.01 Mz=7.34
Sollecitazioni agenti localmente: Ty_l=-2004.84 My_l=-41.14

Tensioni nella sezione: σ=498.67 τ=60.75
CC 3 SLV (Collegamento -179_-383)
Azioni sul collegamento: N=-6141.51 Ty=14.68 Tz=-0.53 Mx=0.01 Mz=12.56
Sollecitazioni agenti localmente: Ty_l=-1138.67 My_l=-23.41
Tensioni nella sezione: σ=283.79 τ=34.51
CC 3 SLV (Collegamento -179_-383)
Azioni sul collegamento: N=-6141.51 Ty=7.99 Tz=-0.53 Mx=0.01 Mz=8.33
Sollecitazioni agenti localmente: Ty_l=-1121.85 My_l=-23.04
Tensioni nella sezione: σ=279.32 τ=34.00
CC 3 SLV (Collegamento -179_-383)
Azioni sul collegamento: N=-6141.51 Ty=14.68 Tz=28.02 Mx=0.01 Mz=12.56
Sollecitazioni agenti localmente: Ty_l=-1138.67 My_l=-23.41
Tensioni nella sezione: σ=283.79 τ=34.51
CC 3 SLV (Collegamento -179_-383)
Azioni sul collegamento: N=-6141.51 Ty=7.99 Tz=28.02 Mx=0.01 Mz=8.33
Sollecitazioni agenti localmente: Ty_l=-1121.85 My_l=-23.04
Tensioni nella sezione: σ=279.32 τ=34.00
CC 3 SLV (Collegamento -179_-383)
Azioni sul collegamento: N=-13956.40 Ty=14.68 Tz=-0.53 Mx=0.01 Mz=12.56
Sollecitazioni agenti localmente: Ty_l=-2524.04 My_l=-51.81
Tensioni nella sezione: σ=628.03 τ=76.49
CC 3 SLV (Collegamento -179_-383)
Azioni sul collegamento: N=-13956.40 Ty=7.99 Tz=-0.53 Mx=0.01 Mz=8.33
Sollecitazioni agenti localmente: Ty_l=-2507.23 My_l=-51.44
Tensioni nella sezione: σ=623.57 τ=75.98
CC 3 SLV (Collegamento -179_-383)
Azioni sul collegamento: N=-13956.40 Ty=14.68 Tz=28.02 Mx=0.01 Mz=12.56
Sollecitazioni agenti localmente: Ty_l=-2524.04 My_l=-51.81
Tensioni nella sezione: σ=628.03 τ=76.49
CC 3 SLV (Collegamento -179_-383)
Azioni sul collegamento: N=-13956.40 Ty=7.99 Tz=28.02 Mx=0.01 Mz=8.33
Sollecitazioni agenti localmente: Ty_l=-2507.22 My_l=-51.44
Tensioni nella sezione: σ=623.57 τ=75.98
CC 4 SLD (Collegamento -179_-383)
Azioni sul collegamento: N=-8760.13 Ty=11.43 Tz=9.01 Mx=0.01 Mz=8.95
Sollecitazioni agenti localmente: Ty_l=-1588.53 My_l=-32.61
Tensioni nella sezione: σ=395.33 τ=48.14
CC 4 SLD (Collegamento -179_-383)
Azioni sul collegamento: N=-8760.13 Ty=9.39 Tz=9.01 Mx=0.01 Mz=7.66
Sollecitazioni agenti localmente: Ty_l=-1583.40 My_l=-32.50
Tensioni nella sezione: σ=393.97 τ=47.98
CC 4 SLD (Collegamento -179_-383)
Azioni sul collegamento: N=-8760.13 Ty=11.43 Tz=17.72 Mx=0.01 Mz=8.95
Sollecitazioni agenti localmente: Ty_l=-1588.53 My_l=-32.61
Tensioni nella sezione: σ=395.33 τ=48.14
CC 4 SLD (Collegamento -179_-383)
Azioni sul collegamento: N=-8760.13 Ty=9.39 Tz=17.72 Mx=0.01 Mz=7.66
Sollecitazioni agenti localmente: Ty_l=-1583.40 My_l=-32.50
Tensioni nella sezione: σ=393.97 τ=47.98
CC 4 SLD (Collegamento -179_-383)
Azioni sul collegamento: N=-11143.10 Ty=11.43 Tz=9.01 Mx=0.01 Mz=8.95
Sollecitazioni agenti localmente: Ty_l=-2010.97 My_l=-41.27
Tensioni nella sezione: σ=500.30 τ=60.94
CC 4 SLD (Collegamento -179_-383)
Azioni sul collegamento: N=-11143.10 Ty=9.39 Tz=9.01 Mx=0.01 Mz=7.66
Sollecitazioni agenti localmente: Ty_l=-2005.85 My_l=-41.16
Tensioni nella sezione: σ=498.94 τ=60.78
CC 4 SLD (Collegamento -179_-383)
Azioni sul collegamento: N=-11143.10 Ty=11.43 Tz=17.72 Mx=0.01 Mz=8.95
Sollecitazioni agenti localmente: Ty_l=-2010.97 My_l=-41.27
Tensioni nella sezione: σ=500.30 τ=60.94
CC 4 SLD (Collegamento -179_-383)
Azioni sul collegamento: N=-11143.10 Ty=9.39 Tz=17.72 Mx=0.01 Mz=7.66
Sollecitazioni agenti localmente: Ty_l=-2005.85 My_l=-41.16
Tensioni nella sezione: σ=498.94 τ=60.78
CC 5 SLV (Collegamento -179_-383)
Azioni sul collegamento: N=-13956.40 Ty=7.99 Tz=28.02 Mx=0.02 Mz=8.33
Sollecitazioni agenti localmente: Ty_l=-2507.22 My_l=-51.44
Tensioni nella sezione: σ=623.57 τ=75.98
CC 5 SLV (Collegamento -179_-383)
Azioni sul collegamento: N=-13956.40 Ty=14.68 Tz=28.02 Mx=0.02 Mz=12.56
Sollecitazioni agenti localmente: Ty_l=-2524.04 My_l=-51.81
Tensioni nella sezione: σ=628.03 τ=76.49
CC 5 SLV (Collegamento -179_-383)
Azioni sul collegamento: N=-13956.40 Ty=7.99 Tz=-0.53 Mx=0.02 Mz=8.33
Sollecitazioni agenti localmente: Ty_l=-2507.23 My_l=-51.44
Tensioni nella sezione: σ=623.57 τ=75.98
CC 5 SLV (Collegamento -179_-383)
Azioni sul collegamento: N=-13956.40 Ty=14.68 Tz=-0.53 Mx=0.02 Mz=12.56
Sollecitazioni agenti localmente: Ty_l=-2524.04 My_l=-51.81

Tensioni nella sezione: σ=628.03 τ=76.49
CC 5 SLV (Collegamento -179_-383)
Azioni sul collegamento: N=-6141.51 Ty=7.99 Tz=28.02 Mx=0.02 Mz=8.33
Sollecitazioni agenti localmente: Ty_l=-1121.85 My_l=-23.04
Tensioni nella sezione: σ=279.32 τ=34.00
CC 5 SLV (Collegamento -179_-383)
Azioni sul collegamento: N=-6141.51 Ty=14.68 Tz=28.02 Mx=0.02 Mz=12.56
Sollecitazioni agenti localmente: Ty_l=-1138.67 My_l=-23.41
Tensioni nella sezione: σ=283.79 τ=34.51
CC 5 SLV (Collegamento -179_-383)
Azioni sul collegamento: N=-6141.51 Ty=7.99 Tz=-0.53 Mx=0.02 Mz=8.33
Sollecitazioni agenti localmente: Ty_l=-1121.85 My_l=-23.04
Tensioni nella sezione: σ=279.32 τ=34.00
CC 5 SLV (Collegamento -179_-383)
Azioni sul collegamento: N=-6141.51 Ty=14.68 Tz=-0.53 Mx=0.02 Mz=12.56
Sollecitazioni agenti localmente: Ty_l=-1138.67 My_l=-23.41
Tensioni nella sezione: σ=283.79 τ=34.51
CC 6 SLD (Collegamento -179_-383)
Azioni sul collegamento: N=-11143.10 Ty=9.39 Tz=17.72 Mx=0.01 Mz=7.66
Sollecitazioni agenti localmente: Ty_l=-2005.85 My_l=-41.16
Tensioni nella sezione: σ=498.94 τ=60.78
CC 6 SLD (Collegamento -179_-383)
Azioni sul collegamento: N=-11143.10 Ty=11.43 Tz=17.72 Mx=0.01 Mz=8.95
Sollecitazioni agenti localmente: Ty_l=-2010.97 My_l=-41.27
Tensioni nella sezione: σ=500.30 τ=60.94
CC 6 SLD (Collegamento -179_-383)
Azioni sul collegamento: N=-11143.10 Ty=9.39 Tz=9.01 Mx=0.01 Mz=7.66
Sollecitazioni agenti localmente: Ty_l=-2005.85 My_l=-41.16
Tensioni nella sezione: σ=498.94 τ=60.78
CC 6 SLD (Collegamento -179_-383)
Azioni sul collegamento: N=-11143.10 Ty=11.43 Tz=9.01 Mx=0.01 Mz=8.95
Sollecitazioni agenti localmente: Ty_l=-2010.97 My_l=-41.27
Tensioni nella sezione: σ=500.30 τ=60.94
CC 6 SLD (Collegamento -179_-383)
Azioni sul collegamento: N=-8760.13 Ty=9.39 Tz=17.72 Mx=0.01 Mz=7.66
Sollecitazioni agenti localmente: Ty_l=-1583.40 My_l=-32.50
Tensioni nella sezione: σ=393.97 τ=47.98
CC 6 SLD (Collegamento -179_-383)
Azioni sul collegamento: N=-8760.13 Ty=11.43 Tz=17.72 Mx=0.01 Mz=8.95
Sollecitazioni agenti localmente: Ty_l=-1588.53 My_l=-32.61
Tensioni nella sezione: σ=395.33 τ=48.14
CC 6 SLD (Collegamento -179_-383)
Azioni sul collegamento: N=-8760.13 Ty=9.39 Tz=9.01 Mx=0.01 Mz=7.66
Sollecitazioni agenti localmente: Ty_l=-1583.40 My_l=-32.50
Tensioni nella sezione: σ=393.97 τ=47.98
CC 6 SLD (Collegamento -179_-383)
Azioni sul collegamento: N=-8760.13 Ty=11.43 Tz=9.01 Mx=0.01 Mz=8.95
Sollecitazioni agenti localmente: Ty_l=-1588.53 My_l=-32.61
Tensioni nella sezione: σ=395.33 τ=48.14
CC 7 SLV (Collegamento -179_-383)
Azioni sul collegamento: N=-13961.30 Ty=7.48 Tz=28.35 Mx=0.01 Mz=7.28
Sollecitazioni agenti localmente: Ty_l=-2503.92 My_l=-51.37
Tensioni nella sezione: σ=622.68 τ=75.88
CC 7 SLV (Collegamento -179_-383)
Azioni sul collegamento: N=-13961.30 Ty=15.19 Tz=28.35 Mx=0.01 Mz=13.60
Sollecitazioni agenti localmente: Ty_l=-2529.07 My_l=-51.92
Tensioni nella sezione: σ=629.35 τ=76.64
CC 7 SLV (Collegamento -179_-383)
Azioni sul collegamento: N=-13961.30 Ty=7.48 Tz=-0.86 Mx=0.01 Mz=7.28
Sollecitazioni agenti localmente: Ty_l=-2503.92 My_l=-51.37
Tensioni nella sezione: σ=622.68 τ=75.88
CC 7 SLV (Collegamento -179_-383)
Azioni sul collegamento: N=-13961.30 Ty=15.19 Tz=-0.86 Mx=0.01 Mz=13.60
Sollecitazioni agenti localmente: Ty_l=-2529.07 My_l=-51.92
Tensioni nella sezione: σ=629.35 τ=76.64
CC 7 SLV (Collegamento -179_-383)
Azioni sul collegamento: N=-6136.64 Ty=7.48 Tz=28.35 Mx=0.01 Mz=7.28
Sollecitazioni agenti localmente: Ty_l=-1116.82 My_l=-22.94
Tensioni nella sezione: σ=278.00 τ=33.84
CC 7 SLV (Collegamento -179_-383)
Azioni sul collegamento: N=-6136.64 Ty=15.19 Tz=28.35 Mx=0.01 Mz=13.60
Sollecitazioni agenti localmente: Ty_l=-1141.97 My_l=-23.49
Tensioni nella sezione: σ=284.68 τ=34.61
CC 7 SLV (Collegamento -179_-383)
Azioni sul collegamento: N=-6136.64 Ty=7.48 Tz=-0.86 Mx=0.01 Mz=7.28
Sollecitazioni agenti localmente: Ty_l=-1116.82 My_l=-22.94
Tensioni nella sezione: σ=278.00 τ=33.84
CC 7 SLV (Collegamento -179_-383)
Azioni sul collegamento: N=-6136.64 Ty=15.19 Tz=-0.86 Mx=0.01 Mz=13.60
Sollecitazioni agenti localmente: Ty_l=-1141.97 My_l=-23.49

Tensioni nella sezione: σ=284.68 τ=34.61
CC 8 SLD (Collegamento -179_-383)
Azioni sul collegamento: N=-11144.60 Ty=9.24 Tz=17.82 Mx=0.01 Mz=7.34
Sollecitazioni agenti localmente: Ty_l=-2004.84 My_l=-41.14
Tensioni nella sezione: σ=498.67 τ=60.75
CC 8 SLD (Collegamento -179_-383)
Azioni sul collegamento: N=-11144.60 Ty=11.59 Tz=17.82 Mx=0.01 Mz=9.27
Sollecitazioni agenti localmente: Ty_l=-2012.51 My_l=-41.31
Tensioni nella sezione: σ=500.70 τ=60.99
CC 8 SLD (Collegamento -179_-383)
Azioni sul collegamento: N=-11144.60 Ty=9.24 Tz=8.91 Mx=0.01 Mz=7.34
Sollecitazioni agenti localmente: Ty_l=-2004.84 My_l=-41.14
Tensioni nella sezione: σ=498.67 τ=60.75
CC 8 SLD (Collegamento -179_-383)
Azioni sul collegamento: N=-11144.60 Ty=11.59 Tz=8.91 Mx=0.01 Mz=9.27
Sollecitazioni agenti localmente: Ty_l=-2012.51 My_l=-41.31
Tensioni nella sezione: σ=500.70 τ=60.99
CC 8 SLD (Collegamento -179_-383)
Azioni sul collegamento: N=-8758.64 Ty=9.24 Tz=17.82 Mx=0.01 Mz=7.34
Sollecitazioni agenti localmente: Ty_l=-1581.87 My_l=-32.47
Tensioni nella sezione: σ=393.57 τ=47.94
CC 8 SLD (Collegamento -179_-383)
Azioni sul collegamento: N=-8758.64 Ty=11.59 Tz=17.82 Mx=0.01 Mz=9.27
Sollecitazioni agenti localmente: Ty_l=-1589.54 My_l=-32.64
Tensioni nella sezione: σ=395.60 τ=48.17
CC 8 SLD (Collegamento -179_-383)
Azioni sul collegamento: N=-8758.64 Ty=9.24 Tz=8.91 Mx=0.01 Mz=7.34
Sollecitazioni agenti localmente: Ty_l=-1581.87 My_l=-32.47
Tensioni nella sezione: σ=393.57 τ=47.94
CC 8 SLD (Collegamento -179_-383)
Azioni sul collegamento: N=-8758.64 Ty=11.59 Tz=8.91 Mx=0.01 Mz=9.27
Sollecitazioni agenti localmente: Ty_l=-1589.54 My_l=-32.64
Tensioni nella sezione: σ=395.60 τ=48.17
CC 9 SLV (Collegamento -179_-383)
Azioni sul collegamento: N=-8867.90 Ty=13.27 Tz=8.87 Mx=0.02 Mz=12.98
Sollecitazioni agenti localmente: Ty_l=-1623.66 My_l=-33.36
Tensioni nella sezione: σ=404.33 τ=49.20
CC 9 SLV (Collegamento -179_-383)
Azioni sul collegamento: N=-8867.90 Ty=9.40 Tz=8.87 Mx=0.02 Mz=7.91
Sollecitazioni agenti localmente: Ty_l=-1603.48 My_l=-32.92
Tensioni nella sezione: σ=398.97 τ=48.59
CC 9 SLV (Collegamento -179_-383)
Azioni sul collegamento: N=-8867.90 Ty=13.27 Tz=18.62 Mx=0.02 Mz=12.98
Sollecitazioni agenti localmente: Ty_l=-1623.66 My_l=-33.36
Tensioni nella sezione: σ=404.33 τ=49.20
CC 9 SLV (Collegamento -179_-383)
Azioni sul collegamento: N=-8867.90 Ty=9.40 Tz=18.62 Mx=0.02 Mz=7.91
Sollecitazioni agenti localmente: Ty_l=-1603.48 My_l=-32.92
Tensioni nella sezione: σ=398.97 τ=48.59
CC 9 SLV (Collegamento -179_-383)
Azioni sul collegamento: N=-11230.10 Ty=13.27 Tz=8.87 Mx=0.02 Mz=12.98
Sollecitazioni agenti localmente: Ty_l=-2042.41 My_l=-41.94
Tensioni nella sezione: σ=508.38 τ=61.89
CC 9 SLV (Collegamento -179_-383)
Azioni sul collegamento: N=-11230.10 Ty=9.40 Tz=8.87 Mx=0.02 Mz=7.91
Sollecitazioni agenti localmente: Ty_l=-2022.23 My_l=-41.50
Tensioni nella sezione: σ=503.03 τ=61.28
CC 9 SLV (Collegamento -179_-383)
Azioni sul collegamento: N=-11230.10 Ty=13.27 Tz=18.62 Mx=0.02 Mz=12.98
Sollecitazioni agenti localmente: Ty_l=-2042.41 My_l=-41.94
Tensioni nella sezione: σ=508.38 τ=61.89
CC 9 SLV (Collegamento -179_-383)
Azioni sul collegamento: N=-11230.10 Ty=9.40 Tz=18.62 Mx=0.02 Mz=7.91
Sollecitazioni agenti localmente: Ty_l=-2022.23 My_l=-41.50
Tensioni nella sezione: σ=503.03 τ=61.28
CC 10 SLD (Collegamento -179_-383)
Azioni sul collegamento: N=-9591.49 Ty=11.00 Tz=11.88 Mx=0.01 Mz=9.08
Sollecitazioni agenti localmente: Ty_l=-1736.42 My_l=-35.65
Tensioni nella sezione: σ=432.09 τ=52.62
CC 10 SLD (Collegamento -179_-383)
Azioni sul collegamento: N=-9591.49 Ty=9.82 Tz=11.88 Mx=0.01 Mz=7.53
Sollecitazioni agenti localmente: Ty_l=-1730.27 My_l=-35.51
Tensioni nella sezione: σ=430.45 τ=52.43
CC 10 SLD (Collegamento -179_-383)
Azioni sul collegamento: N=-9591.49 Ty=11.00 Tz=14.85 Mx=0.01 Mz=9.08
Sollecitazioni agenti localmente: Ty_l=-1736.42 My_l=-35.65
Tensioni nella sezione: σ=432.09 τ=52.62
CC 10 SLD (Collegamento -179_-383)
Azioni sul collegamento: N=-9591.49 Ty=9.82 Tz=14.85 Mx=0.01 Mz=7.53
Sollecitazioni agenti localmente: Ty_l=-1730.27 My_l=-35.51

Tensioni nella sezione: σ=430.45 τ=52.43
CC 10 SLD (Collegamento -179_-383)
Azioni sul collegamento: N=-10311.80 Ty=11.00 Tz=11.88 Mx=0.01 Mz=9.08
Sollecitazioni agenti localmente: Ty_l=-1864.11 My_l=-38.26
Tensioni nella sezione: σ=463.82 τ=56.49
CC 10 SLD (Collegamento -179_-383)
Azioni sul collegamento: N=-10311.80 Ty=9.82 Tz=11.88 Mx=0.01 Mz=7.53
Sollecitazioni agenti localmente: Ty_l=-1857.96 My_l=-38.13
Tensioni nella sezione: σ=462.18 τ=56.30
CC 10 SLD (Collegamento -179_-383)
Azioni sul collegamento: N=-10311.80 Ty=11.00 Tz=14.85 Mx=0.01 Mz=9.08
Sollecitazioni agenti localmente: Ty_l=-1864.11 My_l=-38.26
Tensioni nella sezione: σ=463.82 τ=56.49
CC 10 SLD (Collegamento -179_-383)
Azioni sul collegamento: N=-10311.80 Ty=9.82 Tz=14.85 Mx=0.01 Mz=7.53
Sollecitazioni agenti localmente: Ty_l=-1857.96 My_l=-38.13
Tensioni nella sezione: σ=462.18 τ=56.30
CC 11 SLV (Collegamento -179_-383)
Azioni sul collegamento: N=-11213.80 Ty=11.11 Tz=17.53 Mx=0.02 Mz=11.40
Sollecitazioni agenti localmente: Ty_l=-2033.24 My_l=-41.74
Tensioni nella sezione: σ=506.00 τ=61.61
CC 11 SLV (Collegamento -179_-383)
Azioni sul collegamento: N=-11213.80 Ty=11.56 Tz=17.53 Mx=0.02 Mz=9.49
Sollecitazioni agenti localmente: Ty_l=-2025.65 My_l=-41.58
Tensioni nella sezione: σ=503.98 τ=61.38
CC 11 SLV (Collegamento -179_-383)
Azioni sul collegamento: N=-11213.80 Ty=11.11 Tz=9.96 Mx=0.02 Mz=11.40
Sollecitazioni agenti localmente: Ty_l=-2033.24 My_l=-41.74
Tensioni nella sezione: σ=506.00 τ=61.61
CC 11 SLV (Collegamento -179_-383)
Azioni sul collegamento: N=-11213.80 Ty=11.56 Tz=9.96 Mx=0.02 Mz=9.49
Sollecitazioni agenti localmente: Ty_l=-2025.65 My_l=-41.58
Tensioni nella sezione: σ=503.98 τ=61.38
CC 11 SLV (Collegamento -179_-383)
Azioni sul collegamento: N=-8884.11 Ty=11.11 Tz=17.53 Mx=0.02 Mz=11.40
Sollecitazioni agenti localmente: Ty_l=-1620.24 My_l=-33.28
Tensioni nella sezione: σ=403.38 τ=49.10
CC 11 SLV (Collegamento -179_-383)
Azioni sul collegamento: N=-8884.11 Ty=11.56 Tz=17.53 Mx=0.02 Mz=9.49
Sollecitazioni agenti localmente: Ty_l=-1612.65 My_l=-33.11
Tensioni nella sezione: σ=401.36 τ=48.87
CC 11 SLV (Collegamento -179_-383)
Azioni sul collegamento: N=-8884.11 Ty=11.11 Tz=9.96 Mx=0.02 Mz=11.40
Sollecitazioni agenti localmente: Ty_l=-1620.24 My_l=-33.28
Tensioni nella sezione: σ=403.38 τ=49.10
CC 11 SLV (Collegamento -179_-383)
Azioni sul collegamento: N=-8884.11 Ty=11.56 Tz=9.96 Mx=0.02 Mz=9.49
Sollecitazioni agenti localmente: Ty_l=-1612.65 My_l=-33.11
Tensioni nella sezione: σ=401.36 τ=48.87
CC 12 SLD (Collegamento -179_-383)
Azioni sul collegamento: N=-10306.80 Ty=10.34 Tz=14.52 Mx=0.01 Mz=8.60
Sollecitazioni agenti localmente: Ty_l=-1861.31 My_l=-38.20
Tensioni nella sezione: σ=463.09 τ=56.40
CC 12 SLD (Collegamento -179_-383)
Azioni sul collegamento: N=-10306.80 Ty=10.48 Tz=14.52 Mx=0.01 Mz=8.01
Sollecitazioni agenti localmente: Ty_l=-1859.00 My_l=-38.15
Tensioni nella sezione: σ=462.47 τ=56.33
CC 12 SLD (Collegamento -179_-383)
Azioni sul collegamento: N=-10306.80 Ty=10.34 Tz=12.21 Mx=0.01 Mz=8.60
Sollecitazioni agenti localmente: Ty_l=-1861.31 My_l=-38.20
Tensioni nella sezione: σ=463.09 τ=56.40
CC 12 SLD (Collegamento -179_-383)
Azioni sul collegamento: N=-10306.80 Ty=10.48 Tz=12.21 Mx=0.01 Mz=8.01
Sollecitazioni agenti localmente: Ty_l=-1859.00 My_l=-38.15
Tensioni nella sezione: σ=462.47 τ=56.33
CC 12 SLD (Collegamento -179_-383)
Azioni sul collegamento: N=-9596.43 Ty=10.34 Tz=14.52 Mx=0.01 Mz=8.60
Sollecitazioni agenti localmente: Ty_l=-1735.38 My_l=-35.62
Tensioni nella sezione: σ=431.80 τ=52.59
CC 12 SLD (Collegamento -179_-383)
Azioni sul collegamento: N=-9596.43 Ty=10.48 Tz=14.52 Mx=0.01 Mz=8.01
Sollecitazioni agenti localmente: Ty_l=-1733.06 My_l=-35.57
Tensioni nella sezione: σ=431.18 τ=52.52
CC 12 SLD (Collegamento -179_-383)
Azioni sul collegamento: N=-9596.43 Ty=10.34 Tz=12.21 Mx=0.01 Mz=8.60
Sollecitazioni agenti localmente: Ty_l=-1735.38 My_l=-35.62
Tensioni nella sezione: σ=431.80 τ=52.59
CC 12 SLD (Collegamento -179_-383)
Azioni sul collegamento: N=-9596.43 Ty=10.48 Tz=12.21 Mx=0.01 Mz=8.01
Sollecitazioni agenti localmente: Ty_l=-1733.06 My_l=-35.57

Tensioni nella sezione: σ=431.18 τ=52.52
CC 13 SLV (Collegamento -179_-383)
Azioni sul collegamento: N=-8884.11 Ty=11.56 Tz=9.96 Mx=0.01 Mz=9.49
Sollecitazioni agenti localmente: Ty_l=-1612.65 My_l=-33.11
Tensioni nella sezione: σ=401.36 τ=48.87
CC 13 SLV (Collegamento -179_-383)
Azioni sul collegamento: N=-8884.11 Ty=11.11 Tz=9.96 Mx=0.01 Mz=11.40
Sollecitazioni agenti localmente: Ty_l=-1620.24 My_l=-33.28
Tensioni nella sezione: σ=403.38 τ=49.10
CC 13 SLV (Collegamento -179_-383)
Azioni sul collegamento: N=-8884.11 Ty=11.56 Tz=17.53 Mx=0.01 Mz=9.49
Sollecitazioni agenti localmente: Ty_l=-1612.65 My_l=-33.11
Tensioni nella sezione: σ=401.36 τ=48.87
CC 13 SLV (Collegamento -179_-383)
Azioni sul collegamento: N=-8884.11 Ty=11.11 Tz=17.53 Mx=0.01 Mz=11.40
Sollecitazioni agenti localmente: Ty_l=-1620.24 My_l=-33.28
Tensioni nella sezione: σ=403.38 τ=49.10
CC 13 SLV (Collegamento -179_-383)
Azioni sul collegamento: N=-11213.80 Ty=11.56 Tz=9.96 Mx=0.01 Mz=9.49
Sollecitazioni agenti localmente: Ty_l=-2025.65 My_l=-41.58
Tensioni nella sezione: σ=503.98 τ=61.38
CC 13 SLV (Collegamento -179_-383)
Azioni sul collegamento: N=-11213.80 Ty=11.11 Tz=9.96 Mx=0.01 Mz=11.40
Sollecitazioni agenti localmente: Ty_l=-2033.24 My_l=-41.74
Tensioni nella sezione: σ=506.00 τ=61.61
CC 13 SLV (Collegamento -179_-383)
Azioni sul collegamento: N=-11213.80 Ty=11.56 Tz=17.53 Mx=0.01 Mz=9.49
Sollecitazioni agenti localmente: Ty_l=-2025.65 My_l=-41.58
Tensioni nella sezione: σ=503.98 τ=61.38
CC 13 SLV (Collegamento -179_-383)
Azioni sul collegamento: N=-11213.80 Ty=11.11 Tz=17.53 Mx=0.01 Mz=11.40
Sollecitazioni agenti localmente: Ty_l=-2033.24 My_l=-41.74
Tensioni nella sezione: σ=506.00 τ=61.61
CC 14 SLD (Collegamento -179_-383)
Azioni sul collegamento: N=-9596.43 Ty=10.48 Tz=12.21 Mx=0.00 Mz=8.01
Sollecitazioni agenti localmente: Ty_l=-1733.06 My_l=-35.57
Tensioni nella sezione: σ=431.18 τ=52.52
CC 14 SLD (Collegamento -179_-383)
Azioni sul collegamento: N=-9596.43 Ty=10.34 Tz=12.21 Mx=0.00 Mz=8.60
Sollecitazioni agenti localmente: Ty_l=-1735.38 My_l=-35.62
Tensioni nella sezione: σ=431.80 τ=52.59
CC 14 SLD (Collegamento -179_-383)
Azioni sul collegamento: N=-9596.43 Ty=10.48 Tz=14.52 Mx=0.00 Mz=8.01
Sollecitazioni agenti localmente: Ty_l=-1733.06 My_l=-35.57
Tensioni nella sezione: σ=431.18 τ=52.52
CC 14 SLD (Collegamento -179_-383)
Azioni sul collegamento: N=-9596.43 Ty=10.34 Tz=14.52 Mx=0.00 Mz=8.60
Sollecitazioni agenti localmente: Ty_l=-1735.38 My_l=-35.62
Tensioni nella sezione: σ=431.80 τ=52.59
CC 14 SLD (Collegamento -179_-383)
Azioni sul collegamento: N=-10306.80 Ty=10.48 Tz=12.21 Mx=0.00 Mz=8.01
Sollecitazioni agenti localmente: Ty_l=-1859.00 My_l=-38.15
Tensioni nella sezione: σ=462.47 τ=56.33
CC 14 SLD (Collegamento -179_-383)
Azioni sul collegamento: N=-10306.80 Ty=10.34 Tz=12.21 Mx=0.00 Mz=8.60
Sollecitazioni agenti localmente: Ty_l=-1861.31 My_l=-38.20
Tensioni nella sezione: σ=463.09 τ=56.40
CC 14 SLD (Collegamento -179_-383)
Azioni sul collegamento: N=-10306.80 Ty=10.48 Tz=14.52 Mx=0.00 Mz=8.01
Sollecitazioni agenti localmente: Ty_l=-1859.00 My_l=-38.15
Tensioni nella sezione: σ=462.47 τ=56.33
CC 14 SLD (Collegamento -179_-383)
Azioni sul collegamento: N=-10306.80 Ty=10.34 Tz=14.52 Mx=0.00 Mz=8.60
Sollecitazioni agenti localmente: Ty_l=-1861.31 My_l=-38.20
Tensioni nella sezione: σ=463.09 τ=56.40
CC 15 SLV (Collegamento -179_-383)
Azioni sul collegamento: N=-11230.10 Ty=9.40 Tz=18.62 Mx=0.01 Mz=7.91
Sollecitazioni agenti localmente: Ty_l=-2022.23 My_l=-41.50
Tensioni nella sezione: σ=503.03 τ=61.28
CC 15 SLV (Collegamento -179_-383)
Azioni sul collegamento: N=-11230.10 Ty=13.27 Tz=18.62 Mx=0.01 Mz=12.98
Sollecitazioni agenti localmente: Ty_l=-2042.41 My_l=-41.94
Tensioni nella sezione: σ=508.38 τ=61.89
CC 15 SLV (Collegamento -179_-383)
Azioni sul collegamento: N=-11230.10 Ty=9.40 Tz=8.87 Mx=0.01 Mz=7.91
Sollecitazioni agenti localmente: Ty_l=-2022.23 My_l=-41.50
Tensioni nella sezione: σ=503.03 τ=61.28
CC 15 SLV (Collegamento -179_-383)
Azioni sul collegamento: N=-11230.10 Ty=13.27 Tz=8.87 Mx=0.01 Mz=12.98
Sollecitazioni agenti localmente: Ty_l=-2042.41 My_l=-41.94

Tensioni nella sezione: σ=508.38 τ=61.89
CC 15 SLV (Collegamento -179_-383)
Azioni sul collegamento: N=-8867.90 Ty=9.40 Tz=18.62 Mx=0.01 Mz=7.91
Sollecitazioni agenti localmente: Ty_l=-1603.48 My_l=-32.92
Tensioni nella sezione: σ=398.98 τ=48.59
CC 15 SLV (Collegamento -179_-383)
Azioni sul collegamento: N=-8867.90 Ty=13.27 Tz=18.62 Mx=0.01 Mz=12.98
Sollecitazioni agenti localmente: Ty_l=-1623.66 My_l=-33.36
Tensioni nella sezione: σ=404.33 τ=49.20
CC 15 SLV (Collegamento -179_-383)
Azioni sul collegamento: N=-8867.90 Ty=9.40 Tz=8.87 Mx=0.01 Mz=7.91
Sollecitazioni agenti localmente: Ty_l=-1603.48 My_l=-32.92
Tensioni nella sezione: σ=398.98 τ=48.59
CC 15 SLV (Collegamento -179_-383)
Azioni sul collegamento: N=-8867.90 Ty=13.27 Tz=8.87 Mx=0.01 Mz=12.98
Sollecitazioni agenti localmente: Ty_l=-1623.66 My_l=-33.36
Tensioni nella sezione: σ=404.33 τ=49.20
CC 16 SLD (Collegamento -179_-383)
Azioni sul collegamento: N=-10311.80 Ty=9.82 Tz=14.85 Mx=0.00 Mz=7.53
Sollecitazioni agenti localmente: Ty_l=-1857.96 My_l=-38.13
Tensioni nella sezione: σ=462.18 τ=56.30
CC 16 SLD (Collegamento -179_-383)
Azioni sul collegamento: N=-10311.80 Ty=11.00 Tz=14.85 Mx=0.00 Mz=9.08
Sollecitazioni agenti localmente: Ty_l=-1864.11 My_l=-38.26
Tensioni nella sezione: σ=463.82 τ=56.49
CC 16 SLD (Collegamento -179_-383)
Azioni sul collegamento: N=-10311.80 Ty=9.82 Tz=11.88 Mx=0.00 Mz=7.53
Sollecitazioni agenti localmente: Ty_l=-1857.96 My_l=-38.13
Tensioni nella sezione: σ=462.18 τ=56.30
CC 16 SLD (Collegamento -179_-383)
Azioni sul collegamento: N=-10311.80 Ty=11.00 Tz=11.88 Mx=0.00 Mz=9.08
Sollecitazioni agenti localmente: Ty_l=-1864.11 My_l=-38.26
Tensioni nella sezione: σ=463.82 τ=56.49
CC 16 SLD (Collegamento -179_-383)
Azioni sul collegamento: N=-9591.49 Ty=9.82 Tz=14.85 Mx=0.00 Mz=7.53
Sollecitazioni agenti localmente: Ty_l=-1730.27 My_l=-35.51
Tensioni nella sezione: σ=430.45 τ=52.43
CC 16 SLD (Collegamento -179_-383)
Azioni sul collegamento: N=-9591.49 Ty=11.00 Tz=14.85 Mx=0.00 Mz=9.08
Sollecitazioni agenti localmente: Ty_l=-1736.42 My_l=-35.65
Tensioni nella sezione: σ=432.09 τ=52.62
CC 16 SLD (Collegamento -179_-383)
Azioni sul collegamento: N=-9591.49 Ty=9.82 Tz=11.88 Mx=0.00 Mz=7.53
Sollecitazioni agenti localmente: Ty_l=-1730.27 My_l=-35.51
Tensioni nella sezione: σ=430.45 τ=52.43
CC 16 SLD (Collegamento -179_-383)
Azioni sul collegamento: N=-9591.49 Ty=11.00 Tz=11.88 Mx=0.00 Mz=9.08
Sollecitazioni agenti localmente: Ty_l=-1736.42 My_l=-35.65
Tensioni nella sezione: σ=432.09 τ=52.62
CC 17 SLV (Collegamento -179_-383)
Azioni sul collegamento: N=-5856.57 Ty=12.53 Tz=-1.96 Mx=-0.01 Mz=7.45
Sollecitazioni agenti localmente: Ty_l=-1067.86 My_l=-21.93
Tensioni nella sezione: σ=265.85 τ=32.36
CC 17 SLV (Collegamento -179_-383)
Azioni sul collegamento: N=-5856.57 Ty=4.82 Tz=-1.96 Mx=-0.01 Mz=1.13
Sollecitazioni agenti localmente: Ty_l=-1042.71 My_l=-21.38
Tensioni nella sezione: σ=259.17 τ=31.60
CC 17 SLV (Collegamento -179_-383)
Azioni sul collegamento: N=-5856.57 Ty=12.53 Tz=27.25 Mx=-0.01 Mz=7.45
Sollecitazioni agenti localmente: Ty_l=-1067.86 My_l=-21.93
Tensioni nella sezione: σ=265.85 τ=32.36
CC 17 SLV (Collegamento -179_-383)
Azioni sul collegamento: N=-5856.57 Ty=4.82 Tz=27.25 Mx=-0.01 Mz=1.13
Sollecitazioni agenti localmente: Ty_l=-1042.71 My_l=-21.38
Tensioni nella sezione: σ=259.17 τ=31.60
CC 17 SLV (Collegamento -179_-383)
Azioni sul collegamento: N=-13681.20 Ty=12.53 Tz=-1.96 Mx=-0.01 Mz=7.45
Sollecitazioni agenti localmente: Ty_l=-2454.96 My_l=-50.37
Tensioni nella sezione: σ=610.52 τ=74.39
CC 17 SLV (Collegamento -179_-383)
Azioni sul collegamento: N=-13681.20 Ty=4.82 Tz=-1.96 Mx=-0.01 Mz=1.13
Sollecitazioni agenti localmente: Ty_l=-2429.81 My_l=-49.82
Tensioni nella sezione: σ=603.85 τ=73.63
CC 17 SLV (Collegamento -179_-383)
Azioni sul collegamento: N=-13681.20 Ty=12.53 Tz=27.25 Mx=-0.01 Mz=7.45
Sollecitazioni agenti localmente: Ty_l=-2454.96 My_l=-50.37
Tensioni nella sezione: σ=610.52 τ=74.39
CC 17 SLV (Collegamento -179_-383)
Azioni sul collegamento: N=-13681.20 Ty=4.82 Tz=27.25 Mx=-0.01 Mz=1.13
Sollecitazioni agenti localmente: Ty_l=-2429.81 My_l=-49.82

Tensioni nella sezione: σ=603.85 τ=73.63
CC 18 SLD (Collegamento -179_-383)
Azioni sul collegamento: N=-8673.24 Ty=10.78 Tz=8.57 Mx=-0.00 Mz=7.39
Sollecitazioni agenti localmente: Ty_l=-1566.94 My_l=-32.16
Tensioni nella sezione: σ=389.86 τ=47.48
CC 18 SLD (Collegamento -179_-383)
Azioni sul collegamento: N=-8673.24 Ty=8.42 Tz=8.57 Mx=-0.00 Mz=5.47
Sollecitazioni agenti localmente: Ty_l=-1559.27 My_l=-32.00
Tensioni nella sezione: σ=387.82 τ=47.25
CC 18 SLD (Collegamento -179_-383)
Azioni sul collegamento: N=-8673.24 Ty=10.78 Tz=17.48 Mx=-0.00 Mz=7.39
Sollecitazioni agenti localmente: Ty_l=-1566.94 My_l=-32.16
Tensioni nella sezione: σ=389.86 τ=47.48
CC 18 SLD (Collegamento -179_-383)
Azioni sul collegamento: N=-8673.24 Ty=8.42 Tz=17.48 Mx=-0.00 Mz=5.47
Sollecitazioni agenti localmente: Ty_l=-1559.27 My_l=-32.00
Tensioni nella sezione: σ=387.82 τ=47.25
CC 18 SLD (Collegamento -179_-383)
Azioni sul collegamento: N=-11059.20 Ty=10.78 Tz=8.57 Mx=-0.00 Mz=7.39
Sollecitazioni agenti localmente: Ty_l=-1989.91 My_l=-40.83
Tensioni nella sezione: σ=494.96 τ=60.30
CC 18 SLD (Collegamento -179_-383)
Azioni sul collegamento: N=-11059.20 Ty=8.42 Tz=8.57 Mx=-0.00 Mz=5.47
Sollecitazioni agenti localmente: Ty_l=-1982.24 My_l=-40.67
Tensioni nella sezione: σ=492.93 τ=60.07
CC 18 SLD (Collegamento -179_-383)
Azioni sul collegamento: N=-11059.20 Ty=10.78 Tz=17.48 Mx=-0.00 Mz=7.39
Sollecitazioni agenti localmente: Ty_l=-1989.91 My_l=-40.83
Tensioni nella sezione: σ=494.96 τ=60.30
CC 18 SLD (Collegamento -179_-383)
Azioni sul collegamento: N=-11059.20 Ty=8.42 Tz=17.48 Mx=-0.00 Mz=5.47
Sollecitazioni agenti localmente: Ty_l=-1982.24 My_l=-40.67
Tensioni nella sezione: σ=492.93 τ=60.07
CC 19 SLV (Collegamento -179_-383)
Azioni sul collegamento: N=-5861.43 Ty=12.02 Tz=-1.63 Mx=-0.01 Mz=6.41
Sollecitazioni agenti localmente: Ty_l=-1064.55 My_l=-21.86
Tensioni nella sezione: σ=264.96 τ=32.26
CC 19 SLV (Collegamento -179_-383)
Azioni sul collegamento: N=-5861.43 Ty=5.33 Tz=-1.63 Mx=-0.01 Mz=2.18
Sollecitazioni agenti localmente: Ty_l=-1047.74 My_l=-21.49
Tensioni nella sezione: σ=260.49 τ=31.75
CC 19 SLV (Collegamento -179_-383)
Azioni sul collegamento: N=-5861.43 Ty=12.02 Tz=26.92 Mx=-0.01 Mz=6.41
Sollecitazioni agenti localmente: Ty_l=-1064.55 My_l=-21.86
Tensioni nella sezione: σ=264.96 τ=32.26
CC 19 SLV (Collegamento -179_-383)
Azioni sul collegamento: N=-5861.43 Ty=5.33 Tz=26.92 Mx=-0.01 Mz=2.18
Sollecitazioni agenti localmente: Ty_l=-1047.74 My_l=-21.49
Tensioni nella sezione: σ=260.49 τ=31.75
CC 19 SLV (Collegamento -179_-383)
Azioni sul collegamento: N=-13676.40 Ty=12.02 Tz=-1.63 Mx=-0.01 Mz=6.41
Sollecitazioni agenti localmente: Ty_l=-2449.93 My_l=-50.26
Tensioni nella sezione: σ=609.20 τ=74.24
CC 19 SLV (Collegamento -179_-383)
Azioni sul collegamento: N=-13676.40 Ty=5.33 Tz=-1.63 Mx=-0.01 Mz=2.18
Sollecitazioni agenti localmente: Ty_l=-2433.11 My_l=-49.89
Tensioni nella sezione: σ=604.74 τ=73.73
CC 19 SLV (Collegamento -179_-383)
Azioni sul collegamento: N=-13676.40 Ty=12.02 Tz=26.92 Mx=-0.01 Mz=6.41
Sollecitazioni agenti localmente: Ty_l=-2449.93 My_l=-50.26
Tensioni nella sezione: σ=609.20 τ=74.24
CC 19 SLV (Collegamento -179_-383)
Azioni sul collegamento: N=-13676.40 Ty=5.33 Tz=26.92 Mx=-0.01 Mz=2.18
Sollecitazioni agenti localmente: Ty_l=-2433.11 My_l=-49.89
Tensioni nella sezione: σ=604.74 τ=73.73
CC 20 SLD (Collegamento -179_-383)
Azioni sul collegamento: N=-8674.72 Ty=10.62 Tz=8.67 Mx=0.00 Mz=7.07
Sollecitazioni agenti localmente: Ty_l=-1565.93 My_l=-32.14
Tensioni nella sezione: σ=389.59 τ=47.45
CC 20 SLD (Collegamento -179_-383)
Azioni sul collegamento: N=-8674.72 Ty=8.58 Tz=8.67 Mx=0.00 Mz=5.79
Sollecitazioni agenti localmente: Ty_l=-1560.80 My_l=-32.03
Tensioni nella sezione: σ=388.23 τ=47.30
CC 20 SLD (Collegamento -179_-383)
Azioni sul collegamento: N=-8674.72 Ty=10.62 Tz=17.38 Mx=0.00 Mz=7.07
Sollecitazioni agenti localmente: Ty_l=-1565.93 My_l=-32.14
Tensioni nella sezione: σ=389.59 τ=47.45
CC 20 SLD (Collegamento -179_-383)
Azioni sul collegamento: N=-8674.72 Ty=8.58 Tz=17.38 Mx=0.00 Mz=5.79
Sollecitazioni agenti localmente: Ty_l=-1560.80 My_l=-32.03

Tensioni nella sezione: σ=388.23 τ=47.30
CC 20 SLD (Collegamento -179_-383)
Azioni sul collegamento: N=-11057.70 Ty=10.62 Tz=8.67 Mx=0.00 Mz=7.07
Sollecitazioni agenti localmente: Ty_l=-1988.37 My_l=-40.80
Tensioni nella sezione: σ=494.56 τ=60.25
CC 20 SLD (Collegamento -179_-383)
Azioni sul collegamento: N=-11057.70 Ty=8.58 Tz=8.67 Mx=0.00 Mz=5.79
Sollecitazioni agenti localmente: Ty_l=-1983.25 My_l=-40.69
Tensioni nella sezione: σ=493.20 τ=60.10
CC 20 SLD (Collegamento -179_-383)
Azioni sul collegamento: N=-11057.70 Ty=10.62 Tz=17.38 Mx=0.00 Mz=7.07
Sollecitazioni agenti localmente: Ty_l=-1988.37 My_l=-40.80
Tensioni nella sezione: σ=494.56 τ=60.25
CC 20 SLD (Collegamento -179_-383)
Azioni sul collegamento: N=-11057.70 Ty=8.58 Tz=17.38 Mx=0.00 Mz=5.79
Sollecitazioni agenti localmente: Ty_l=-1983.25 My_l=-40.69
Tensioni nella sezione: σ=493.20 τ=60.10
CC 21 SLV (Collegamento -179_-383)
Azioni sul collegamento: N=-13676.40 Ty=5.33 Tz=26.92 Mx=-0.01 Mz=2.18
Sollecitazioni agenti localmente: Ty_l=-2433.11 My_l=-49.89
Tensioni nella sezione: σ=604.74 τ=73.73
CC 21 SLV (Collegamento -179_-383)
Azioni sul collegamento: N=-13676.40 Ty=12.02 Tz=26.92 Mx=-0.01 Mz=6.41
Sollecitazioni agenti localmente: Ty_l=-2449.93 My_l=-50.26
Tensioni nella sezione: σ=609.20 τ=74.24
CC 21 SLV (Collegamento -179_-383)
Azioni sul collegamento: N=-13676.40 Ty=5.33 Tz=-1.63 Mx=-0.01 Mz=2.18
Sollecitazioni agenti localmente: Ty_l=-2433.11 My_l=-49.89
Tensioni nella sezione: σ=604.74 τ=73.73
CC 21 SLV (Collegamento -179_-383)
Azioni sul collegamento: N=-13676.40 Ty=12.02 Tz=-1.63 Mx=-0.01 Mz=6.41
Sollecitazioni agenti localmente: Ty_l=-2449.93 My_l=-50.26
Tensioni nella sezione: σ=609.20 τ=74.24
CC 21 SLV (Collegamento -179_-383)
Azioni sul collegamento: N=-5861.43 Ty=5.33 Tz=26.92 Mx=-0.01 Mz=2.18
Sollecitazioni agenti localmente: Ty_l=-1047.74 My_l=-21.49
Tensioni nella sezione: σ=260.49 τ=31.75
CC 21 SLV (Collegamento -179_-383)
Azioni sul collegamento: N=-5861.43 Ty=12.02 Tz=26.92 Mx=-0.01 Mz=6.41
Sollecitazioni agenti localmente: Ty_l=-1064.55 My_l=-21.86
Tensioni nella sezione: σ=264.96 τ=32.26
CC 21 SLV (Collegamento -179_-383)
Azioni sul collegamento: N=-5861.43 Ty=5.33 Tz=-1.63 Mx=-0.01 Mz=2.18
Sollecitazioni agenti localmente: Ty_l=-1047.74 My_l=-21.49
Tensioni nella sezione: σ=260.49 τ=31.75
CC 21 SLV (Collegamento -179_-383)
Azioni sul collegamento: N=-5861.43 Ty=12.02 Tz=-1.63 Mx=-0.01 Mz=6.41
Sollecitazioni agenti localmente: Ty_l=-1064.55 My_l=-21.86
Tensioni nella sezione: σ=264.96 τ=32.26
CC 22 SLD (Collegamento -179_-383)
Azioni sul collegamento: N=-11057.70 Ty=8.58 Tz=17.38 Mx=-0.00 Mz=5.79
Sollecitazioni agenti localmente: Ty_l=-1983.25 My_l=-40.69
Tensioni nella sezione: σ=493.20 τ=60.10
CC 22 SLD (Collegamento -179_-383)
Azioni sul collegamento: N=-11057.70 Ty=10.62 Tz=17.38 Mx=-0.00 Mz=7.07
Sollecitazioni agenti localmente: Ty_l=-1988.37 My_l=-40.80
Tensioni nella sezione: σ=494.56 τ=60.25
CC 22 SLD (Collegamento -179_-383)
Azioni sul collegamento: N=-11057.70 Ty=8.58 Tz=8.67 Mx=-0.00 Mz=5.79
Sollecitazioni agenti localmente: Ty_l=-1983.25 My_l=-40.69
Tensioni nella sezione: σ=493.20 τ=60.10
CC 22 SLD (Collegamento -179_-383)
Azioni sul collegamento: N=-11057.70 Ty=10.62 Tz=8.67 Mx=-0.00 Mz=7.07
Sollecitazioni agenti localmente: Ty_l=-1988.37 My_l=-40.80
Tensioni nella sezione: σ=494.56 τ=60.25
CC 22 SLD (Collegamento -179_-383)
Azioni sul collegamento: N=-8674.72 Ty=8.58 Tz=17.38 Mx=-0.00 Mz=5.79
Sollecitazioni agenti localmente: Ty_l=-1560.80 My_l=-32.03
Tensioni nella sezione: σ=388.23 τ=47.30
CC 22 SLD (Collegamento -179_-383)
Azioni sul collegamento: N=-8674.72 Ty=10.62 Tz=17.38 Mx=-0.00 Mz=7.07
Sollecitazioni agenti localmente: Ty_l=-1565.93 My_l=-32.14
Tensioni nella sezione: σ=389.59 τ=47.45
CC 22 SLD (Collegamento -179_-383)
Azioni sul collegamento: N=-8674.72 Ty=8.58 Tz=8.67 Mx=-0.00 Mz=5.79
Sollecitazioni agenti localmente: Ty_l=-1560.80 My_l=-32.03
Tensioni nella sezione: σ=388.23 τ=47.30
CC 22 SLD (Collegamento -179_-383)
Azioni sul collegamento: N=-8674.72 Ty=10.62 Tz=8.67 Mx=-0.00 Mz=7.07
Sollecitazioni agenti localmente: Ty_l=-1565.93 My_l=-32.14

Tensioni nella sezione: σ=389.59 τ=47.45
CC 23 SLV (Collegamento -179_-383)
Azioni sul collegamento: N=-13681.20 Ty=4.82 Tz=27.25 Mx=-0.01 Mz=1.13
Sollecitazioni agenti localmente: Ty_l=-2429.81 My_l=-49.82
Tensioni nella sezione: σ=603.85 τ=73.63
CC 23 SLV (Collegamento -179_-383)
Azioni sul collegamento: N=-13681.20 Ty=12.53 Tz=27.25 Mx=-0.01 Mz=7.45
Sollecitazioni agenti localmente: Ty_l=-2454.96 My_l=-50.37
Tensioni nella sezione: σ=610.52 τ=74.39
CC 23 SLV (Collegamento -179_-383)
Azioni sul collegamento: N=-13681.20 Ty=4.82 Tz=-1.96 Mx=-0.01 Mz=1.13
Sollecitazioni agenti localmente: Ty_l=-2429.81 My_l=-49.82
Tensioni nella sezione: σ=603.85 τ=73.63
CC 23 SLV (Collegamento -179_-383)
Azioni sul collegamento: N=-13681.20 Ty=12.53 Tz=-1.96 Mx=-0.01 Mz=7.45
Sollecitazioni agenti localmente: Ty_l=-2454.96 My_l=-50.37
Tensioni nella sezione: σ=610.52 τ=74.39
CC 23 SLV (Collegamento -179_-383)
Azioni sul collegamento: N=-5856.57 Ty=4.82 Tz=27.25 Mx=-0.01 Mz=1.13
Sollecitazioni agenti localmente: Ty_l=-1042.71 My_l=-21.38
Tensioni nella sezione: σ=259.17 τ=31.60
CC 23 SLV (Collegamento -179_-383)
Azioni sul collegamento: N=-5856.57 Ty=12.53 Tz=27.25 Mx=-0.01 Mz=7.45
Sollecitazioni agenti localmente: Ty_l=-1067.86 My_l=-21.93
Tensioni nella sezione: σ=265.85 τ=32.36
CC 23 SLV (Collegamento -179_-383)
Azioni sul collegamento: N=-5856.57 Ty=4.82 Tz=-1.96 Mx=-0.01 Mz=1.13
Sollecitazioni agenti localmente: Ty_l=-1042.71 My_l=-21.38
Tensioni nella sezione: σ=259.17 τ=31.60
CC 23 SLV (Collegamento -179_-383)
Azioni sul collegamento: N=-5856.57 Ty=12.53 Tz=-1.96 Mx=-0.01 Mz=7.45
Sollecitazioni agenti localmente: Ty_l=-1067.86 My_l=-21.93
Tensioni nella sezione: σ=265.85 τ=32.36
CC 24 SLD (Collegamento -179_-383)
Azioni sul collegamento: N=-11059.20 Ty=8.42 Tz=17.48 Mx=0.00 Mz=5.47
Sollecitazioni agenti localmente: Ty_l=-1982.24 My_l=-40.67
Tensioni nella sezione: σ=492.93 τ=60.07
CC 24 SLD (Collegamento -179_-383)
Azioni sul collegamento: N=-11059.20 Ty=10.78 Tz=17.48 Mx=0.00 Mz=7.39
Sollecitazioni agenti localmente: Ty_l=-1989.91 My_l=-40.83
Tensioni nella sezione: σ=494.96 τ=60.30
CC 24 SLD (Collegamento -179_-383)
Azioni sul collegamento: N=-11059.20 Ty=8.42 Tz=8.57 Mx=0.00 Mz=5.47
Sollecitazioni agenti localmente: Ty_l=-1982.24 My_l=-40.67
Tensioni nella sezione: σ=492.93 τ=60.07
CC 24 SLD (Collegamento -179_-383)
Azioni sul collegamento: N=-11059.20 Ty=10.78 Tz=8.57 Mx=0.00 Mz=7.39
Sollecitazioni agenti localmente: Ty_l=-1989.91 My_l=-40.83
Tensioni nella sezione: σ=494.96 τ=60.30
CC 24 SLD (Collegamento -179_-383)
Azioni sul collegamento: N=-8673.24 Ty=8.42 Tz=17.48 Mx=0.00 Mz=5.47
Sollecitazioni agenti localmente: Ty_l=-1559.27 My_l=-32.00
Tensioni nella sezione: σ=387.82 τ=47.25
CC 24 SLD (Collegamento -179_-383)
Azioni sul collegamento: N=-8673.24 Ty=10.78 Tz=17.48 Mx=0.00 Mz=7.39
Sollecitazioni agenti localmente: Ty_l=-1566.94 My_l=-32.16
Tensioni nella sezione: σ=389.86 τ=47.48
CC 24 SLD (Collegamento -179_-383)
Azioni sul collegamento: N=-8673.24 Ty=8.42 Tz=8.57 Mx=0.00 Mz=5.47
Sollecitazioni agenti localmente: Ty_l=-1559.27 My_l=-32.00
Tensioni nella sezione: σ=387.82 τ=47.25
CC 24 SLD (Collegamento -179_-383)
Azioni sul collegamento: N=-8673.24 Ty=10.78 Tz=8.57 Mx=0.00 Mz=7.39
Sollecitazioni agenti localmente: Ty_l=-1566.94 My_l=-32.16
Tensioni nella sezione: σ=389.86 τ=47.48
CC 25 SLV (Collegamento -179_-383)
Azioni sul collegamento: N=-8587.82 Ty=10.61 Tz=7.77 Mx=-0.02 Mz=6.83
Sollecitazioni agenti localmente: Ty_l=-1549.55 My_l=-31.80
Tensioni nella sezione: σ=385.50 τ=46.96
CC 25 SLV (Collegamento -179_-383)
Azioni sul collegamento: N=-8587.82 Ty=6.74 Tz=7.77 Mx=-0.02 Mz=1.76
Sollecitazioni agenti localmente: Ty_l=-1529.37 My_l=-31.36
Tensioni nella sezione: σ=380.14 τ=46.34
CC 25 SLV (Collegamento -179_-383)
Azioni sul collegamento: N=-8587.82 Ty=10.61 Tz=17.52 Mx=-0.02 Mz=6.83
Sollecitazioni agenti localmente: Ty_l=-1549.55 My_l=-31.80
Tensioni nella sezione: σ=385.50 τ=46.96
CC 25 SLV (Collegamento -179_-383)
Azioni sul collegamento: N=-8587.82 Ty=6.74 Tz=17.52 Mx=-0.02 Mz=1.76
Sollecitazioni agenti localmente: Ty_l=-1529.37 My_l=-31.36

Tensioni nella sezione: σ=380.14 τ=46.34
CC 25 SLV (Collegamento -179_-383)
Azioni sul collegamento: N=-10950.00 Ty=10.61 Tz=7.77 Mx=-0.02 Mz=6.83
Sollecitazioni agenti localmente: Ty_l=-1968.29 My_l=-40.39
Tensioni nella sezione: σ=489.55 τ=59.65
CC 25 SLV (Collegamento -179_-383)
Azioni sul collegamento: N=-10950.00 Ty=6.74 Tz=7.77 Mx=-0.02 Mz=1.76
Sollecitazioni agenti localmente: Ty_l=-1948.11 My_l=-39.95
Tensioni nella sezione: σ=484.19 τ=59.03
CC 25 SLV (Collegamento -179_-383)
Azioni sul collegamento: N=-10950.00 Ty=10.61 Tz=17.52 Mx=-0.02 Mz=6.83
Sollecitazioni agenti localmente: Ty_l=-1968.30 My_l=-40.39
Tensioni nella sezione: σ=489.55 τ=59.65
CC 25 SLV (Collegamento -179_-383)
Azioni sul collegamento: N=-10950.00 Ty=6.74 Tz=17.52 Mx=-0.02 Mz=1.76
Sollecitazioni agenti localmente: Ty_l=-1948.11 My_l=-39.95
Tensioni nella sezione: σ=484.19 τ=59.03
CC 26 SLD (Collegamento -179_-383)
Azioni sul collegamento: N=-9506.09 Ty=10.19 Tz=11.54 Mx=-0.00 Mz=7.20
Sollecitazioni agenti localmente: Ty_l=-1713.82 My_l=-35.17
Tensioni nella sezione: σ=426.35 τ=51.93
CC 26 SLD (Collegamento -179_-383)
Azioni sul collegamento: N=-9506.09 Ty=9.01 Tz=11.54 Mx=-0.00 Mz=5.66
Sollecitazioni agenti localmente: Ty_l=-1707.67 My_l=-35.04
Tensioni nella sezione: σ=424.71 τ=51.75
CC 26 SLD (Collegamento -179_-383)
Azioni sul collegamento: N=-9506.09 Ty=10.19 Tz=14.51 Mx=-0.00 Mz=7.20
Sollecitazioni agenti localmente: Ty_l=-1713.82 My_l=-35.17
Tensioni nella sezione: σ=426.35 τ=51.93
CC 26 SLD (Collegamento -179_-383)
Azioni sul collegamento: N=-9506.09 Ty=9.01 Tz=14.51 Mx=-0.00 Mz=5.66
Sollecitazioni agenti localmente: Ty_l=-1707.67 My_l=-35.04
Tensioni nella sezione: σ=424.71 τ=51.75
CC 26 SLD (Collegamento -179_-383)
Azioni sul collegamento: N=-10226.40 Ty=10.19 Tz=11.54 Mx=-0.00 Mz=7.20
Sollecitazioni agenti localmente: Ty_l=-1841.51 My_l=-37.79
Tensioni nella sezione: σ=458.07 τ=55.80
CC 26 SLD (Collegamento -179_-383)
Azioni sul collegamento: N=-10226.40 Ty=9.01 Tz=11.54 Mx=-0.00 Mz=5.66
Sollecitazioni agenti localmente: Ty_l=-1835.36 My_l=-37.66
Tensioni nella sezione: σ=456.44 τ=55.62
CC 26 SLD (Collegamento -179_-383)
Azioni sul collegamento: N=-10226.40 Ty=10.19 Tz=14.51 Mx=-0.00 Mz=7.20
Sollecitazioni agenti localmente: Ty_l=-1841.51 My_l=-37.79
Tensioni nella sezione: σ=458.07 τ=55.80
CC 26 SLD (Collegamento -179_-383)
Azioni sul collegamento: N=-10226.40 Ty=9.01 Tz=14.51 Mx=-0.00 Mz=5.66
Sollecitazioni agenti localmente: Ty_l=-1835.36 My_l=-37.66
Tensioni nella sezione: σ=456.44 τ=55.62
CC 27 SLV (Collegamento -179_-383)
Azioni sul collegamento: N=-10933.80 Ty=8.45 Tz=16.43 Mx=-0.02 Mz=5.25
Sollecitazioni agenti localmente: Ty_l=-1959.13 My_l=-40.19
Tensioni nella sezione: σ=487.17 τ=59.37
CC 27 SLV (Collegamento -179_-383)
Azioni sul collegamento: N=-10933.80 Ty=8.90 Tz=16.43 Mx=-0.02 Mz=3.34
Sollecitazioni agenti localmente: Ty_l=-1951.53 My_l=-40.02
Tensioni nella sezione: σ=485.15 τ=59.14
CC 27 SLV (Collegamento -179_-383)
Azioni sul collegamento: N=-10933.80 Ty=8.45 Tz=8.86 Mx=-0.02 Mz=5.25
Sollecitazioni agenti localmente: Ty_l=-1959.13 My_l=-40.19
Tensioni nella sezione: σ=487.17 τ=59.37
CC 27 SLV (Collegamento -179_-383)
Azioni sul collegamento: N=-10933.80 Ty=8.90 Tz=8.86 Mx=-0.02 Mz=3.34
Sollecitazioni agenti localmente: Ty_l=-1951.53 My_l=-40.02
Tensioni nella sezione: σ=485.15 τ=59.14
CC 27 SLV (Collegamento -179_-383)
Azioni sul collegamento: N=-8604.03 Ty=8.45 Tz=16.43 Mx=-0.02 Mz=5.25
Sollecitazioni agenti localmente: Ty_l=-1546.13 My_l=-31.72
Tensioni nella sezione: σ=384.54 τ=46.85
CC 27 SLV (Collegamento -179_-383)
Azioni sul collegamento: N=-8604.03 Ty=8.90 Tz=16.43 Mx=-0.02 Mz=3.34
Sollecitazioni agenti localmente: Ty_l=-1538.54 My_l=-31.56
Tensioni nella sezione: σ=382.53 τ=46.62
CC 27 SLV (Collegamento -179_-383)
Azioni sul collegamento: N=-8604.03 Ty=8.45 Tz=8.86 Mx=-0.02 Mz=5.25
Sollecitazioni agenti localmente: Ty_l=-1546.13 My_l=-31.72
Tensioni nella sezione: σ=384.54 τ=46.85
CC 27 SLV (Collegamento -179_-383)
Azioni sul collegamento: N=-8604.03 Ty=8.90 Tz=8.86 Mx=-0.02 Mz=3.34
Sollecitazioni agenti localmente: Ty_l=-1538.54 My_l=-31.56

Tensioni nella sezione: σ=382.53 τ=46.62
CC 28 SLD (Collegamento -179_-383)
Azioni sul collegamento: N=-10221.40 Ty=9.53 Tz=14.18 Mx=-0.00 Mz=6.72
Sollecitazioni agenti localmente: Ty_l=-1838.71 My_l=-37.73
Tensioni nella sezione: σ=457.35 τ=55.72
CC 28 SLD (Collegamento -179_-383)
Azioni sul collegamento: N=-10221.40 Ty=9.67 Tz=14.18 Mx=-0.00 Mz=6.14
Sollecitazioni agenti localmente: Ty_l=-1836.40 My_l=-37.68
Tensioni nella sezione: σ=456.73 τ=55.65
CC 28 SLD (Collegamento -179_-383)
Azioni sul collegamento: N=-10221.40 Ty=9.53 Tz=11.87 Mx=-0.00 Mz=6.72
Sollecitazioni agenti localmente: Ty_l=-1838.71 My_l=-37.73
Tensioni nella sezione: σ=457.35 τ=55.72
CC 28 SLD (Collegamento -179_-383)
Azioni sul collegamento: N=-10221.40 Ty=9.67 Tz=11.87 Mx=-0.00 Mz=6.14
Sollecitazioni agenti localmente: Ty_l=-1836.40 My_l=-37.68
Tensioni nella sezione: σ=456.73 τ=55.65
CC 28 SLD (Collegamento -179_-383)
Azioni sul collegamento: N=-9511.03 Ty=9.53 Tz=14.18 Mx=-0.00 Mz=6.72
Sollecitazioni agenti localmente: Ty_l=-1712.78 My_l=-35.15
Tensioni nella sezione: σ=426.05 τ=51.90
CC 28 SLD (Collegamento -179_-383)
Azioni sul collegamento: N=-9511.03 Ty=9.67 Tz=14.18 Mx=-0.00 Mz=6.14
Sollecitazioni agenti localmente: Ty_l=-1710.46 My_l=-35.10
Tensioni nella sezione: σ=425.44 τ=51.83
CC 28 SLD (Collegamento -179_-383)
Azioni sul collegamento: N=-9511.03 Ty=9.53 Tz=11.87 Mx=-0.00 Mz=6.72
Sollecitazioni agenti localmente: Ty_l=-1712.78 My_l=-35.15
Tensioni nella sezione: σ=426.05 τ=51.90
CC 28 SLD (Collegamento -179_-383)
Azioni sul collegamento: N=-9511.03 Ty=9.67 Tz=11.87 Mx=-0.00 Mz=6.14
Sollecitazioni agenti localmente: Ty_l=-1710.46 My_l=-35.10
Tensioni nella sezione: σ=425.44 τ=51.83
CC 29 SLV (Collegamento -179_-383)
Azioni sul collegamento: N=-8604.03 Ty=8.90 Tz=8.86 Mx=-0.00 Mz=3.34
Sollecitazioni agenti localmente: Ty_l=-1538.54 My_l=-31.56
Tensioni nella sezione: σ=382.53 τ=46.62
CC 29 SLV (Collegamento -179_-383)
Azioni sul collegamento: N=-8604.03 Ty=8.45 Tz=8.86 Mx=-0.00 Mz=5.25
Sollecitazioni agenti localmente: Ty_l=-1546.13 My_l=-31.72
Tensioni nella sezione: σ=384.54 τ=46.85
CC 29 SLV (Collegamento -179_-383)
Azioni sul collegamento: N=-8604.03 Ty=8.90 Tz=16.43 Mx=-0.00 Mz=3.34
Sollecitazioni agenti localmente: Ty_l=-1538.54 My_l=-31.56
Tensioni nella sezione: σ=382.53 τ=46.62
CC 29 SLV (Collegamento -179_-383)
Azioni sul collegamento: N=-8604.03 Ty=8.45 Tz=16.43 Mx=-0.00 Mz=5.25
Sollecitazioni agenti localmente: Ty_l=-1546.13 My_l=-31.72
Tensioni nella sezione: σ=384.54 τ=46.85
CC 29 SLV (Collegamento -179_-383)
Azioni sul collegamento: N=-10933.80 Ty=8.90 Tz=8.86 Mx=-0.00 Mz=3.34
Sollecitazioni agenti localmente: Ty_l=-1951.53 My_l=-40.02
Tensioni nella sezione: σ=485.15 τ=59.14
CC 29 SLV (Collegamento -179_-383)
Azioni sul collegamento: N=-10933.80 Ty=8.45 Tz=8.86 Mx=-0.00 Mz=5.25
Sollecitazioni agenti localmente: Ty_l=-1959.13 My_l=-40.19
Tensioni nella sezione: σ=487.17 τ=59.37
CC 29 SLV (Collegamento -179_-383)
Azioni sul collegamento: N=-10933.80 Ty=8.90 Tz=16.43 Mx=-0.00 Mz=3.34
Sollecitazioni agenti localmente: Ty_l=-1951.53 My_l=-40.02
Tensioni nella sezione: σ=485.15 τ=59.14
CC 29 SLV (Collegamento -179_-383)
Azioni sul collegamento: N=-10933.80 Ty=8.45 Tz=16.43 Mx=-0.00 Mz=5.25
Sollecitazioni agenti localmente: Ty_l=-1959.13 My_l=-40.19
Tensioni nella sezione: σ=487.17 τ=59.37
CC 30 SLD (Collegamento -179_-383)
Azioni sul collegamento: N=-9511.03 Ty=9.67 Tz=11.87 Mx=0.00 Mz=6.14
Sollecitazioni agenti localmente: Ty_l=-1710.46 My_l=-35.10
Tensioni nella sezione: σ=425.44 τ=51.83
CC 30 SLD (Collegamento -179_-383)
Azioni sul collegamento: N=-9511.03 Ty=9.53 Tz=11.87 Mx=0.00 Mz=6.72
Sollecitazioni agenti localmente: Ty_l=-1712.78 My_l=-35.15
Tensioni nella sezione: σ=426.05 τ=51.90
CC 30 SLD (Collegamento -179_-383)
Azioni sul collegamento: N=-9511.03 Ty=9.67 Tz=14.18 Mx=0.00 Mz=6.14
Sollecitazioni agenti localmente: Ty_l=-1710.46 My_l=-35.10
Tensioni nella sezione: σ=425.44 τ=51.83
CC 30 SLD (Collegamento -179_-383)
Azioni sul collegamento: N=-9511.03 Ty=9.53 Tz=14.18 Mx=0.00 Mz=6.72
Sollecitazioni agenti localmente: Ty_l=-1712.78 My_l=-35.15

Tensioni nella sezione: σ=426.05 τ=51.90
CC 30 SLD (Collegamento -179_-383)
Azioni sul collegamento: N=-10221.40 Ty=9.67 Tz=11.87 Mx=0.00 Mz=6.14
Sollecitazioni agenti localmente: Ty_l=-1836.40 My_l=-37.68
Tensioni nella sezione: σ=456.73 τ=55.65
CC 30 SLD (Collegamento -179_-383)
Azioni sul collegamento: N=-10221.40 Ty=9.53 Tz=11.87 Mx=0.00 Mz=6.72
Sollecitazioni agenti localmente: Ty_l=-1838.71 My_l=-37.73
Tensioni nella sezione: σ=457.35 τ=55.72
CC 30 SLD (Collegamento -179_-383)
Azioni sul collegamento: N=-10221.40 Ty=9.67 Tz=14.18 Mx=0.00 Mz=6.14
Sollecitazioni agenti localmente: Ty_l=-1836.40 My_l=-37.68
Tensioni nella sezione: σ=456.73 τ=55.65
CC 30 SLD (Collegamento -179_-383)
Azioni sul collegamento: N=-10221.40 Ty=9.53 Tz=14.18 Mx=0.00 Mz=6.72
Sollecitazioni agenti localmente: Ty_l=-1838.71 My_l=-37.73
Tensioni nella sezione: σ=457.35 τ=55.72
CC 31 SLV (Collegamento -179_-383)
Azioni sul collegamento: N=-10950.00 Ty=6.74 Tz=17.52 Mx=-0.00 Mz=1.76
Sollecitazioni agenti localmente: Ty_l=-1948.11 My_l=-39.95
Tensioni nella sezione: σ=484.19 τ=59.03
CC 31 SLV (Collegamento -179_-383)
Azioni sul collegamento: N=-10950.00 Ty=10.61 Tz=17.52 Mx=-0.00 Mz=6.83
Sollecitazioni agenti localmente: Ty_l=-1968.30 My_l=-40.39
Tensioni nella sezione: σ=489.55 τ=59.65
CC 31 SLV (Collegamento -179_-383)
Azioni sul collegamento: N=-10950.00 Ty=6.74 Tz=7.77 Mx=-0.00 Mz=1.76
Sollecitazioni agenti localmente: Ty_l=-1948.11 My_l=-39.95
Tensioni nella sezione: σ=484.19 τ=59.03
CC 31 SLV (Collegamento -179_-383)
Azioni sul collegamento: N=-10950.00 Ty=10.61 Tz=7.77 Mx=-0.00 Mz=6.83
Sollecitazioni agenti localmente: Ty_l=-1968.29 My_l=-40.39
Tensioni nella sezione: σ=489.55 τ=59.65
CC 31 SLV (Collegamento -179_-383)
Azioni sul collegamento: N=-8587.82 Ty=6.74 Tz=17.52 Mx=-0.00 Mz=1.76
Sollecitazioni agenti localmente: Ty_l=-1529.37 My_l=-31.36
Tensioni nella sezione: σ=380.14 τ=46.34
CC 31 SLV (Collegamento -179_-383)
Azioni sul collegamento: N=-8587.82 Ty=10.61 Tz=17.52 Mx=-0.00 Mz=6.83
Sollecitazioni agenti localmente: Ty_l=-1549.55 My_l=-31.80
Tensioni nella sezione: σ=385.50 τ=46.96
CC 31 SLV (Collegamento -179_-383)
Azioni sul collegamento: N=-8587.82 Ty=6.74 Tz=7.77 Mx=-0.00 Mz=1.76
Sollecitazioni agenti localmente: Ty_l=-1529.37 My_l=-31.36
Tensioni nella sezione: σ=380.14 τ=46.34
CC 31 SLV (Collegamento -179_-383)
Azioni sul collegamento: N=-8587.82 Ty=10.61 Tz=7.77 Mx=-0.00 Mz=6.83
Sollecitazioni agenti localmente: Ty_l=-1549.55 My_l=-31.80
Tensioni nella sezione: σ=385.50 τ=46.96
CC 32 SLD (Collegamento -179_-383)
Azioni sul collegamento: N=-10226.40 Ty=9.01 Tz=14.51 Mx=0.00 Mz=5.66
Sollecitazioni agenti localmente: Ty_l=-1835.36 My_l=-37.66
Tensioni nella sezione: σ=456.44 τ=55.62
CC 32 SLD (Collegamento -179_-383)
Azioni sul collegamento: N=-10226.40 Ty=10.19 Tz=14.51 Mx=0.00 Mz=7.20
Sollecitazioni agenti localmente: Ty_l=-1841.51 My_l=-37.79
Tensioni nella sezione: σ=458.07 τ=55.80
CC 32 SLD (Collegamento -179_-383)
Azioni sul collegamento: N=-10226.40 Ty=9.01 Tz=11.54 Mx=0.00 Mz=5.66
Sollecitazioni agenti localmente: Ty_l=-1835.36 My_l=-37.66
Tensioni nella sezione: σ=456.44 τ=55.62
CC 32 SLD (Collegamento -179_-383)
Azioni sul collegamento: N=-10226.40 Ty=10.19 Tz=11.54 Mx=0.00 Mz=7.20
Sollecitazioni agenti localmente: Ty_l=-1841.51 My_l=-37.79
Tensioni nella sezione: σ=458.07 τ=55.80
CC 32 SLD (Collegamento -179_-383)
Azioni sul collegamento: N=-9506.09 Ty=9.01 Tz=14.51 Mx=0.00 Mz=5.66
Sollecitazioni agenti localmente: Ty_l=-1707.67 My_l=-35.04
Tensioni nella sezione: σ=424.71 τ=51.75
CC 32 SLD (Collegamento -179_-383)
Azioni sul collegamento: N=-9506.09 Ty=10.19 Tz=14.51 Mx=0.00 Mz=7.20
Sollecitazioni agenti localmente: Ty_l=-1713.82 My_l=-35.17
Tensioni nella sezione: σ=426.35 τ=51.93
CC 32 SLD (Collegamento -179_-383)
Azioni sul collegamento: N=-9506.09 Ty=9.01 Tz=11.54 Mx=0.00 Mz=5.66
Sollecitazioni agenti localmente: Ty_l=-1707.67 My_l=-35.04
Tensioni nella sezione: σ=424.71 τ=51.75
CC 32 SLD (Collegamento -179_-383)
Azioni sul collegamento: N=-9506.09 Ty=10.19 Tz=11.54 Mx=0.00 Mz=7.20
Sollecitazioni agenti localmente: Ty_l=-1713.82 My_l=-35.17

Tensioni nella sezione: σ=426.35 τ=51.93
CC 33 SLU (Collegamento -179_-383)
Azioni sul collegamento: N=-36428.20 Ty=20.21 Tz=102.49 Mx=0.01 Mz=15.01
Sollecitazioni agenti localmente: Ty_l=-6517.42 My_l=-133.69
Tensioni nella sezione: σ=1620.49 τ=197.50
CC 34 SLU (Collegamento -179_-383)
Azioni sul collegamento: N=-37242.40 Ty=20.96 Tz=105.49 Mx=0.01 Mz=15.56
Sollecitazioni agenti localmente: Ty_l=-6663.94 My_l=-136.70
Tensioni nella sezione: σ=1656.94 τ=201.94
CC 35 SLU (Collegamento -179_-383)
Azioni sul collegamento: N=-36836.10 Ty=20.67 Tz=103.93 Mx=0.00 Mz=15.47
Sollecitazioni agenti localmente: Ty_l=-6591.56 My_l=-135.21
Tensioni nella sezione: σ=1638.95 τ=199.74
CC 36 SLU (Collegamento -179_-383)
Azioni sul collegamento: N=-36834.40 Ty=20.49 Tz=104.05 Mx=0.01 Mz=15.10
Sollecitazioni agenti localmente: Ty_l=-6589.80 My_l=-135.18
Tensioni nella sezione: σ=1638.48 τ=199.69
CC 37 SLU (Collegamento -179_-383)
Azioni sul collegamento: N=-29660.30 Ty=-10.68 Tz=77.11 Mx=0.01 Mz=-8.42
Sollecitazioni agenti localmente: Ty_l=-5224.45 My_l=-107.05
Tensioni nella sezione: σ=1297.63 τ=158.32
CC 38 SLU (Collegamento -179_-383)
Azioni sul collegamento: N=-30474.50 Ty=-9.93 Tz=80.11 Mx=0.01 Mz=-7.87
Sollecitazioni agenti localmente: Ty_l=-5370.98 My_l=-110.06
Tensioni nella sezione: σ=1334.08 τ=162.76
CC 39 SLU (Collegamento -179_-383)
Azioni sul collegamento: N=-30068.30 Ty=-10.21 Tz=78.55 Mx=0.00 Mz=-7.97
Sollecitazioni agenti localmente: Ty_l=-5298.60 My_l=-108.58
Tensioni nella sezione: σ=1316.08 τ=160.56
CC 40 SLU (Collegamento -179_-383)
Azioni sul collegamento: N=-30066.50 Ty=-10.39 Tz=78.67 Mx=0.01 Mz=-8.33
Sollecitazioni agenti localmente: Ty_l=-5296.84 My_l=-108.54
Tensioni nella sezione: σ=1315.62 τ=160.51
CC 41 SLU (Collegamento -179_-383)
Azioni sul collegamento: N=-27261.60 Ty=19.33 Tz=68.83 Mx=0.01 Mz=14.21
Sollecitazioni agenti localmente: Ty_l=-4889.27 My_l=-100.31
Tensioni nella sezione: σ=1215.87 τ=148.16
CC 42 SLU (Collegamento -179_-383)
Azioni sul collegamento: N=-28075.80 Ty=20.08 Tz=71.84 Mx=0.01 Mz=14.76
Sollecitazioni agenti localmente: Ty_l=-5035.80 My_l=-103.32
Tensioni nella sezione: σ=1252.32 τ=152.60
CC 43 SLU (Collegamento -179_-383)
Azioni sul collegamento: N=-27669.60 Ty=19.79 Tz=70.28 Mx=0.00 Mz=14.67
Sollecitazioni agenti localmente: Ty_l=-4963.42 My_l=-101.83
Tensioni nella sezione: σ=1234.32 τ=150.41
CC 44 SLU (Collegamento -179_-383)
Azioni sul collegamento: N=-27667.80 Ty=19.61 Tz=70.39 Mx=0.01 Mz=14.31
Sollecitazioni agenti localmente: Ty_l=-4961.66 My_l=-101.79
Tensioni nella sezione: σ=1233.86 τ=150.35
CC 45 SLU (Collegamento -179_-383)
Azioni sul collegamento: N=-29271.60 Ty=19.56 Tz=76.22 Mx=0.00 Mz=14.53
Sollecitazioni agenti localmente: Ty_l=-5246.85 My_l=-107.64
Tensioni nella sezione: σ=1304.74 τ=159.00
CC 46 SLU (Collegamento -179_-383)
Azioni sul collegamento: N=-30085.80 Ty=20.31 Tz=79.22 Mx=0.00 Mz=15.08
Sollecitazioni agenti localmente: Ty_l=-5393.37 My_l=-110.65
Tensioni nella sezione: σ=1341.19 τ=163.44
CC 47 SLU (Collegamento -179_-383)
Azioni sul collegamento: N=-29679.60 Ty=20.02 Tz=77.66 Mx=0.00 Mz=14.99
Sollecitazioni agenti localmente: Ty_l=-5320.99 My_l=-109.16
Tensioni nella sezione: σ=1323.20 τ=161.24
CC 48 SLU (Collegamento -179_-383)
Azioni sul collegamento: N=-29677.80 Ty=19.84 Tz=77.78 Mx=0.01 Mz=14.62
Sollecitazioni agenti localmente: Ty_l=-5319.23 My_l=-109.13
Tensioni nella sezione: σ=1322.73 τ=161.19
CC 49 SLU (Collegamento -179_-383)
Azioni sul collegamento: N=-24208.20 Ty=-3.55 Tz=57.23 Mx=0.01 Mz=-3.00
Sollecitazioni agenti localmente: Ty_l=-4279.52 My_l=-87.71
Tensioni nella sezione: σ=1063.19 τ=129.68
CC 50 SLU (Collegamento -179_-383)
Azioni sul collegamento: N=-25022.40 Ty=-2.80 Tz=60.23 Mx=0.01 Mz=-2.45
Sollecitazioni agenti localmente: Ty_l=-4426.05 My_l=-90.72
Tensioni nella sezione: σ=1099.64 τ=134.12
CC 51 SLU (Collegamento -179_-383)
Azioni sul collegamento: N=-24616.20 Ty=-3.08 Tz=58.67 Mx=0.00 Mz=-2.54
Sollecitazioni agenti localmente: Ty_l=-4353.66 My_l=-89.24
Tensioni nella sezione: σ=1081.65 τ=131.93
CC 52 SLU (Collegamento -179_-383)
Azioni sul collegamento: N=-24614.40 Ty=-3.26 Tz=58.79 Mx=0.01 Mz=-2.91
Sollecitazioni agenti localmente: Ty_l=-4351.90 My_l=-89.20

Tensioni nella sezione: σ=1081.19 τ=131.88
CC 53 SLU (Collegamento -179_-383)
Azioni sul collegamento: N=-22413.60 Ty=18.90 Tz=51.04 Mx=0.00 Mz=13.93
Sollecitazioni agenti localmente: Ty_l=-4028.75 My_l=-82.67
Tensioni nella sezione: σ=1002.02 τ=122.08
CC 54 SLU (Collegamento -179_-383)
Azioni sul collegamento: N=-23227.90 Ty=19.65 Tz=54.04 Mx=0.00 Mz=14.49
Sollecitazioni agenti localmente: Ty_l=-4175.28 My_l=-85.67
Tensioni nella sezione: σ=1038.47 τ=126.52
CC 55 SLU (Collegamento -179_-383)
Azioni sul collegamento: N=-22821.60 Ty=19.36 Tz=52.48 Mx=0.00 Mz=14.39
Sollecitazioni agenti localmente: Ty_l=-4102.90 My_l=-84.19
Tensioni nella sezione: σ=1020.48 τ=124.33
CC 56 SLU (Collegamento -179_-383)
Azioni sul collegamento: N=-22819.90 Ty=19.19 Tz=52.60 Mx=0.01 Mz=14.03
Sollecitazioni agenti localmente: Ty_l=-4101.14 My_l=-84.15
Tensioni nella sezione: σ=1020.02 τ=124.28
CC 57 SLU (Collegamento -179_-383)
Azioni sul collegamento: N=-30019.90 Ty=20.54 Tz=79.01 Mx=0.00 Mz=15.25
Sollecitazioni agenti localmente: Ty_l=-5382.38 My_l=-110.42
Tensioni nella sezione: σ=1338.47 τ=163.10
CC 58 SLU (Collegamento -179_-383)
Azioni sul collegamento: N=-30834.10 Ty=21.29 Tz=82.01 Mx=0.00 Mz=15.80
Sollecitazioni agenti localmente: Ty_l=-5528.90 My_l=-113.43
Tensioni nella sezione: σ=1374.92 τ=167.54
CC 59 SLU (Collegamento -179_-383)
Azioni sul collegamento: N=-30427.90 Ty=21.01 Tz=80.45 Mx=0.00 Mz=15.71
Sollecitazioni agenti localmente: Ty_l=-5456.52 My_l=-111.95
Tensioni nella sezione: σ=1356.92 τ=165.35
CC 60 SLU (Collegamento -179_-383)
Azioni sul collegamento: N=-30426.20 Ty=20.83 Tz=80.57 Mx=0.01 Mz=15.34
Sollecitazioni agenti localmente: Ty_l=-5454.76 My_l=-111.91
Tensioni nella sezione: σ=1356.46 τ=165.30
CC 61 SLU (Collegamento -179_-383)
Azioni sul collegamento: N=-24956.60 Ty=-2.56 Tz=60.02 Mx=0.00 Mz=-2.28
Sollecitazioni agenti localmente: Ty_l=-4415.05 My_l=-90.50
Tensioni nella sezione: σ=1096.92 τ=133.79
CC 62 SLU (Collegamento -179_-383)
Azioni sul collegamento: N=-25770.80 Ty=-1.81 Tz=63.02 Mx=0.00 Mz=-1.73
Sollecitazioni agenti localmente: Ty_l=-4561.57 My_l=-93.50
Tensioni nella sezione: σ=1133.37 τ=138.23
CC 63 SLU (Collegamento -179_-383)
Azioni sul collegamento: N=-25364.60 Ty=-2.10 Tz=61.46 Mx=0.00 Mz=-1.82
Sollecitazioni agenti localmente: Ty_l=-4489.19 My_l=-92.02
Tensioni nella sezione: σ=1115.37 τ=136.04
CC 64 SLU (Collegamento -179_-383)
Azioni sul collegamento: N=-25362.80 Ty=-2.28 Tz=61.58 Mx=0.01 Mz=-2.19
Sollecitazioni agenti localmente: Ty_l=-4487.43 My_l=-91.98
Tensioni nella sezione: σ=1114.91 τ=135.98
CC 65 SLU (Collegamento -179_-383)
Azioni sul collegamento: N=-23162.00 Ty=19.88 Tz=53.83 Mx=0.00 Mz=14.66
Sollecitazioni agenti localmente: Ty_l=-4164.29 My_l=-85.45
Tensioni nella sezione: σ=1035.75 τ=126.19
CC 66 SLU (Collegamento -179_-383)
Azioni sul collegamento: N=-23976.20 Ty=20.63 Tz=56.84 Mx=0.00 Mz=15.21
Sollecitazioni agenti localmente: Ty_l=-4310.81 My_l=-88.46
Tensioni nella sezione: σ=1072.20 τ=130.63
CC 67 SLU (Collegamento -179_-383)
Azioni sul collegamento: N=-23570.00 Ty=20.35 Tz=55.27 Mx=0.00 Mz=15.11
Sollecitazioni agenti localmente: Ty_l=-4238.43 My_l=-86.97
Tensioni nella sezione: σ=1054.21 τ=128.44
CC 68 SLU (Collegamento -179_-383)
Azioni sul collegamento: N=-23568.20 Ty=20.17 Tz=55.39 Mx=0.01 Mz=14.75
Sollecitazioni agenti localmente: Ty_l=-4236.67 My_l=-86.93
Tensioni nella sezione: σ=1053.74 τ=128.38
CC 97 SLU (Collegamento -179_-383)
Azioni sul collegamento: N=-12126.50 Ty=21.64 Tz=21.62 Mx=0.05 Mz=23.37
Sollecitazioni agenti localmente: Ty_l=-2242.65 My_l=-46.10
Tensioni nella sezione: σ=558.84 τ=67.96
CC 98 SLU (Collegamento -179_-383)
Azioni sul collegamento: N=-12940.70 Ty=22.39 Tz=24.63 Mx=0.05 Mz=23.92
Sollecitazioni agenti localmente: Ty_l=-2389.18 My_l=-49.11
Tensioni nella sezione: σ=595.29 τ=72.40
CC 99 SLU (Collegamento -179_-383)
Azioni sul collegamento: N=-12534.50 Ty=22.10 Tz=23.06 Mx=0.05 Mz=23.83
Sollecitazioni agenti localmente: Ty_l=-2316.80 My_l=-47.63
Tensioni nella sezione: σ=577.30 τ=70.21
CC 100 SLU (Collegamento -179_-383)
Azioni sul collegamento: N=-12532.70 Ty=21.92 Tz=23.18 Mx=0.05 Mz=23.46
Sollecitazioni agenti localmente: Ty_l=-2315.03 My_l=-47.59

Tensioni nella sezione: σ=576.83 τ=70.15
CC 101 SLU (Collegamento -179_-383)
Azioni sul collegamento: N=-9752.38 Ty=7.57 Tz=12.50 Mx=-0.00 Mz=4.76
Sollecitazioni agenti localmente: Ty_l=-1747.77 My_l=-35.86
Tensioni nella sezione: σ=434.62 τ=52.96
CC 102 SLU (Collegamento -179_-383)
Azioni sul collegamento: N=-10566.60 Ty=8.33 Tz=15.50 Mx=-0.00 Mz=5.31
Sollecitazioni agenti localmente: Ty_l=-1894.30 My_l=-38.86
Tensioni nella sezione: σ=471.06 τ=57.40
CC 103 SLU (Collegamento -179_-383)
Azioni sul collegamento: N=-10160.40 Ty=8.04 Tz=13.94 Mx=-0.00 Mz=5.22
Sollecitazioni agenti localmente: Ty_l=-1821.92 My_l=-37.38
Tensioni nella sezione: σ=453.07 τ=55.21
CC 104 SLU (Collegamento -179_-383)
Azioni sul collegamento: N=-10158.60 Ty=7.86 Tz=14.06 Mx=-0.00 Mz=4.85
Sollecitazioni agenti localmente: Ty_l=-1820.15 My_l=-37.34
Tensioni nella sezione: σ=452.61 τ=55.16

Flessione attacco sinistro piastra

Bnetta=220.00 Hnetta=15.00
CC 1 SLV (Collegamento -179_-383)
Azioni sul collegamento: N=-6136.64 Ty=15.19 Tz=-0.86 Mx=0.02 Mz=13.60
Sollecitazioni agenti localmente: Ty_l=-1033.75 My_l=-21.12
Tensioni nella sezione: σ=255.95 τ=31.33
CC 1 SLV (Collegamento -179_-383)
Azioni sul collegamento: N=-6136.64 Ty=7.48 Tz=-0.86 Mx=0.02 Mz=7.28
Sollecitazioni agenti localmente: Ty_l=-1058.90 My_l=-21.67
Tensioni nella sezione: σ=262.63 τ=32.09
CC 1 SLV (Collegamento -179_-383)
Azioni sul collegamento: N=-6136.64 Ty=15.19 Tz=28.35 Mx=0.02 Mz=13.60
Sollecitazioni agenti localmente: Ty_l=-1033.75 My_l=-21.12
Tensioni nella sezione: σ=255.95 τ=31.33
CC 1 SLV (Collegamento -179_-383)
Azioni sul collegamento: N=-6136.64 Ty=7.48 Tz=28.35 Mx=0.02 Mz=7.28
Sollecitazioni agenti localmente: Ty_l=-1058.90 My_l=-21.67
Tensioni nella sezione: σ=262.63 τ=32.09
CC 1 SLV (Collegamento -179_-383)
Azioni sul collegamento: N=-13961.30 Ty=15.19 Tz=-0.86 Mx=0.02 Mz=13.60
Sollecitazioni agenti localmente: Ty_l=-2420.85 My_l=-49.55
Tensioni nella sezione: σ=600.63 τ=73.36
CC 1 SLV (Collegamento -179_-383)
Azioni sul collegamento: N=-13961.30 Ty=7.48 Tz=-0.86 Mx=0.02 Mz=7.28
Sollecitazioni agenti localmente: Ty_l=-2446.00 My_l=-50.10
Tensioni nella sezione: σ=607.30 τ=74.12
CC 1 SLV (Collegamento -179_-383)
Azioni sul collegamento: N=-13961.30 Ty=15.19 Tz=28.35 Mx=0.02 Mz=13.60
Sollecitazioni agenti localmente: Ty_l=-2420.85 My_l=-49.55
Tensioni nella sezione: σ=600.63 τ=73.36
CC 1 SLV (Collegamento -179_-383)
Azioni sul collegamento: N=-13961.30 Ty=7.48 Tz=28.35 Mx=0.02 Mz=7.28
Sollecitazioni agenti localmente: Ty_l=-2446.00 My_l=-50.10
Tensioni nella sezione: σ=607.30 τ=74.12
CC 2 SLD (Collegamento -179_-383)
Azioni sul collegamento: N=-8758.64 Ty=11.59 Tz=8.91 Mx=0.01 Mz=9.27
Sollecitazioni agenti localmente: Ty_l=-1515.80 My_l=-31.02
Tensioni nella sezione: σ=376.03 τ=45.93
CC 2 SLD (Collegamento -179_-383)
Azioni sul collegamento: N=-8758.64 Ty=9.24 Tz=8.91 Mx=0.01 Mz=7.34
Sollecitazioni agenti localmente: Ty_l=-1523.47 My_l=-31.19
Tensioni nella sezione: σ=378.06 τ=46.17
CC 2 SLD (Collegamento -179_-383)
Azioni sul collegamento: N=-8758.64 Ty=11.59 Tz=17.82 Mx=0.01 Mz=9.27
Sollecitazioni agenti localmente: Ty_l=-1515.80 My_l=-31.02
Tensioni nella sezione: σ=376.03 τ=45.93
CC 2 SLD (Collegamento -179_-383)
Azioni sul collegamento: N=-8758.64 Ty=9.24 Tz=17.82 Mx=0.01 Mz=7.34
Sollecitazioni agenti localmente: Ty_l=-1523.47 My_l=-31.19
Tensioni nella sezione: σ=378.06 τ=46.17
CC 2 SLD (Collegamento -179_-383)
Azioni sul collegamento: N=-11144.60 Ty=11.59 Tz=8.91 Mx=0.01 Mz=9.27
Sollecitazioni agenti localmente: Ty_l=-1938.77 My_l=-39.69
Tensioni nella sezione: σ=481.13 τ=58.75
CC 2 SLD (Collegamento -179_-383)
Azioni sul collegamento: N=-11144.60 Ty=9.24 Tz=8.91 Mx=0.01 Mz=7.34
Sollecitazioni agenti localmente: Ty_l=-1946.44 My_l=-39.86
Tensioni nella sezione: σ=483.17 τ=58.98
CC 2 SLD (Collegamento -179_-383)
Azioni sul collegamento: N=-11144.60 Ty=11.59 Tz=17.82 Mx=0.01 Mz=9.27
Sollecitazioni agenti localmente: Ty_l=-1938.77 My_l=-39.69

Tensioni nella sezione: σ=481.13 τ=58.75
CC 2 SLD (Collegamento -179_-383)
Azioni sul collegamento: N=-11144.60 Ty=9.24 Tz=17.82 Mx=0.01 Mz=7.34
Sollecitazioni agenti localmente: Ty_l=-1946.44 My_l=-39.86
Tensioni nella sezione: σ=483.17 τ=58.98
CC 3 SLV (Collegamento -179_-383)
Azioni sul collegamento: N=-6141.51 Ty=14.68 Tz=-0.53 Mx=0.01 Mz=12.56
Sollecitazioni agenti localmente: Ty_l=-1038.78 My_l=-21.23
Tensioni nella sezione: σ=257.27 τ=31.48
CC 3 SLV (Collegamento -179_-383)
Azioni sul collegamento: N=-6141.51 Ty=7.99 Tz=-0.53 Mx=0.01 Mz=8.33
Sollecitazioni agenti localmente: Ty_l=-1055.59 My_l=-21.59
Tensioni nella sezione: σ=261.74 τ=31.99
CC 3 SLV (Collegamento -179_-383)
Azioni sul collegamento: N=-6141.51 Ty=14.68 Tz=28.02 Mx=0.01 Mz=12.56
Sollecitazioni agenti localmente: Ty_l=-1038.78 My_l=-21.23
Tensioni nella sezione: σ=257.27 τ=31.48
CC 3 SLV (Collegamento -179_-383)
Azioni sul collegamento: N=-6141.51 Ty=7.99 Tz=28.02 Mx=0.01 Mz=8.33
Sollecitazioni agenti localmente: Ty_l=-1055.59 My_l=-21.59
Tensioni nella sezione: σ=261.74 τ=31.99
CC 3 SLV (Collegamento -179_-383)
Azioni sul collegamento: N=-13956.40 Ty=14.68 Tz=-0.53 Mx=0.01 Mz=12.56
Sollecitazioni agenti localmente: Ty_l=-2424.15 My_l=-49.63
Tensioni nella sezione: σ=601.52 τ=73.46
CC 3 SLV (Collegamento -179_-383)
Azioni sul collegamento: N=-13956.40 Ty=7.99 Tz=-0.53 Mx=0.01 Mz=8.33
Sollecitazioni agenti localmente: Ty_l=-2440.97 My_l=-49.99
Tensioni nella sezione: σ=605.98 τ=73.97
CC 3 SLV (Collegamento -179_-383)
Azioni sul collegamento: N=-13956.40 Ty=14.68 Tz=28.02 Mx=0.01 Mz=12.56
Sollecitazioni agenti localmente: Ty_l=-2424.15 My_l=-49.63
Tensioni nella sezione: σ=601.52 τ=73.46
CC 3 SLV (Collegamento -179_-383)
Azioni sul collegamento: N=-13956.40 Ty=7.99 Tz=28.02 Mx=0.01 Mz=8.33
Sollecitazioni agenti localmente: Ty_l=-2440.97 My_l=-49.99
Tensioni nella sezione: σ=605.98 τ=73.97
CC 4 SLD (Collegamento -179_-383)
Azioni sul collegamento: N=-8760.13 Ty=11.43 Tz=9.01 Mx=0.01 Mz=8.95
Sollecitazioni agenti localmente: Ty_l=-1517.33 My_l=-31.06
Tensioni nella sezione: σ=376.43 τ=45.98
CC 4 SLD (Collegamento -179_-383)
Azioni sul collegamento: N=-8760.13 Ty=9.39 Tz=9.01 Mx=0.01 Mz=7.66
Sollecitazioni agenti localmente: Ty_l=-1522.46 My_l=-31.17
Tensioni nella sezione: σ=377.79 τ=46.14
CC 4 SLD (Collegamento -179_-383)
Azioni sul collegamento: N=-8760.13 Ty=11.43 Tz=17.72 Mx=0.01 Mz=8.95
Sollecitazioni agenti localmente: Ty_l=-1517.33 My_l=-31.06
Tensioni nella sezione: σ=376.43 τ=45.98
CC 4 SLD (Collegamento -179_-383)
Azioni sul collegamento: N=-8760.13 Ty=9.39 Tz=17.72 Mx=0.01 Mz=7.66
Sollecitazioni agenti localmente: Ty_l=-1522.46 My_l=-31.17
Tensioni nella sezione: σ=377.79 τ=46.14
CC 4 SLD (Collegamento -179_-383)
Azioni sul collegamento: N=-11143.10 Ty=11.43 Tz=9.01 Mx=0.01 Mz=8.95
Sollecitazioni agenti localmente: Ty_l=-1939.78 My_l=-39.72
Tensioni nella sezione: σ=481.40 τ=58.78
CC 4 SLD (Collegamento -179_-383)
Azioni sul collegamento: N=-11143.10 Ty=9.39 Tz=9.01 Mx=0.01 Mz=7.66
Sollecitazioni agenti localmente: Ty_l=-1944.91 My_l=-39.83
Tensioni nella sezione: σ=482.76 τ=58.94
CC 4 SLD (Collegamento -179_-383)
Azioni sul collegamento: N=-11143.10 Ty=11.43 Tz=17.72 Mx=0.01 Mz=8.95
Sollecitazioni agenti localmente: Ty_l=-1939.78 My_l=-39.72
Tensioni nella sezione: σ=481.40 τ=58.78
CC 4 SLD (Collegamento -179_-383)
Azioni sul collegamento: N=-11143.10 Ty=9.39 Tz=17.72 Mx=0.01 Mz=7.66
Sollecitazioni agenti localmente: Ty_l=-1944.91 My_l=-39.83
Tensioni nella sezione: σ=482.76 τ=58.94
CC 5 SLV (Collegamento -179_-383)
Azioni sul collegamento: N=-13956.40 Ty=7.99 Tz=28.02 Mx=0.02 Mz=8.33
Sollecitazioni agenti localmente: Ty_l=-2440.97 My_l=-49.99
Tensioni nella sezione: σ=605.98 τ=73.97
CC 5 SLV (Collegamento -179_-383)
Azioni sul collegamento: N=-13956.40 Ty=14.68 Tz=28.02 Mx=0.02 Mz=12.56
Sollecitazioni agenti localmente: Ty_l=-2424.15 My_l=-49.63
Tensioni nella sezione: σ=601.52 τ=73.46
CC 5 SLV (Collegamento -179_-383)
Azioni sul collegamento: N=-13956.40 Ty=7.99 Tz=-0.53 Mx=0.02 Mz=8.33
Sollecitazioni agenti localmente: Ty_l=-2440.97 My_l=-49.99

Tensioni nella sezione: σ=605.98 τ=73.97
CC 5 SLV (Collegamento -179_-383)
Azioni sul collegamento: N=-13956.40 Ty=14.68 Tz=-0.53 Mx=0.02 Mz=12.56
Sollecitazioni agenti localmente: Ty_l=-2424.15 My_l=-49.63
Tensioni nella sezione: σ=601.52 τ=73.46
CC 5 SLV (Collegamento -179_-383)
Azioni sul collegamento: N=-6141.51 Ty=7.99 Tz=28.02 Mx=0.02 Mz=8.33
Sollecitazioni agenti localmente: Ty_l=-1055.59 My_l=-21.59
Tensioni nella sezione: σ=261.74 τ=31.99
CC 5 SLV (Collegamento -179_-383)
Azioni sul collegamento: N=-6141.51 Ty=14.68 Tz=28.02 Mx=0.02 Mz=12.56
Sollecitazioni agenti localmente: Ty_l=-1038.78 My_l=-21.23
Tensioni nella sezione: σ=257.27 τ=31.48
CC 5 SLV (Collegamento -179_-383)
Azioni sul collegamento: N=-6141.51 Ty=7.99 Tz=-0.53 Mx=0.02 Mz=8.33
Sollecitazioni agenti localmente: Ty_l=-1055.59 My_l=-21.59
Tensioni nella sezione: σ=261.74 τ=31.99
CC 5 SLV (Collegamento -179_-383)
Azioni sul collegamento: N=-6141.51 Ty=14.68 Tz=-0.53 Mx=0.02 Mz=12.56
Sollecitazioni agenti localmente: Ty_l=-1038.78 My_l=-21.23
Tensioni nella sezione: σ=257.27 τ=31.48
CC 6 SLD (Collegamento -179_-383)
Azioni sul collegamento: N=-11143.10 Ty=9.39 Tz=17.72 Mx=0.01 Mz=7.66
Sollecitazioni agenti localmente: Ty_l=-1944.91 My_l=-39.83
Tensioni nella sezione: σ=482.76 τ=58.94
CC 6 SLD (Collegamento -179_-383)
Azioni sul collegamento: N=-11143.10 Ty=11.43 Tz=17.72 Mx=0.01 Mz=8.95
Sollecitazioni agenti localmente: Ty_l=-1939.78 My_l=-39.72
Tensioni nella sezione: σ=481.40 τ=58.78
CC 6 SLD (Collegamento -179_-383)
Azioni sul collegamento: N=-11143.10 Ty=9.39 Tz=9.01 Mx=0.01 Mz=7.66
Sollecitazioni agenti localmente: Ty_l=-1944.91 My_l=-39.83
Tensioni nella sezione: σ=482.76 τ=58.94
CC 6 SLD (Collegamento -179_-383)
Azioni sul collegamento: N=-11143.10 Ty=11.43 Tz=9.01 Mx=0.01 Mz=8.95
Sollecitazioni agenti localmente: Ty_l=-1939.78 My_l=-39.72
Tensioni nella sezione: σ=481.40 τ=58.78
CC 6 SLD (Collegamento -179_-383)
Azioni sul collegamento: N=-8760.13 Ty=9.39 Tz=17.72 Mx=0.01 Mz=7.66
Sollecitazioni agenti localmente: Ty_l=-1522.46 My_l=-31.17
Tensioni nella sezione: σ=377.79 τ=46.14
CC 6 SLD (Collegamento -179_-383)
Azioni sul collegamento: N=-8760.13 Ty=11.43 Tz=17.72 Mx=0.01 Mz=8.95
Sollecitazioni agenti localmente: Ty_l=-1517.33 My_l=-31.06
Tensioni nella sezione: σ=376.43 τ=45.98
CC 6 SLD (Collegamento -179_-383)
Azioni sul collegamento: N=-8760.13 Ty=9.39 Tz=9.01 Mx=0.01 Mz=7.66
Sollecitazioni agenti localmente: Ty_l=-1522.46 My_l=-31.17
Tensioni nella sezione: σ=377.79 τ=46.14
CC 6 SLD (Collegamento -179_-383)
Azioni sul collegamento: N=-8760.13 Ty=11.43 Tz=9.01 Mx=0.01 Mz=8.95
Sollecitazioni agenti localmente: Ty_l=-1517.33 My_l=-31.06
Tensioni nella sezione: σ=376.43 τ=45.98
CC 7 SLV (Collegamento -179_-383)
Azioni sul collegamento: N=-13961.30 Ty=7.48 Tz=28.35 Mx=0.01 Mz=7.28
Sollecitazioni agenti localmente: Ty_l=-2446.00 My_l=-50.10
Tensioni nella sezione: σ=607.30 τ=74.12
CC 7 SLV (Collegamento -179_-383)
Azioni sul collegamento: N=-13961.30 Ty=15.19 Tz=28.35 Mx=0.01 Mz=13.60
Sollecitazioni agenti localmente: Ty_l=-2420.85 My_l=-49.55
Tensioni nella sezione: σ=600.63 τ=73.36
CC 7 SLV (Collegamento -179_-383)
Azioni sul collegamento: N=-13961.30 Ty=7.48 Tz=-0.86 Mx=0.01 Mz=7.28
Sollecitazioni agenti localmente: Ty_l=-2446.00 My_l=-50.10
Tensioni nella sezione: σ=607.30 τ=74.12
CC 7 SLV (Collegamento -179_-383)
Azioni sul collegamento: N=-13961.30 Ty=15.19 Tz=-0.86 Mx=0.01 Mz=13.60
Sollecitazioni agenti localmente: Ty_l=-2420.85 My_l=-49.55
Tensioni nella sezione: σ=600.63 τ=73.36
CC 7 SLV (Collegamento -179_-383)
Azioni sul collegamento: N=-6136.64 Ty=7.48 Tz=28.35 Mx=0.01 Mz=7.28
Sollecitazioni agenti localmente: Ty_l=-1058.90 My_l=-21.67
Tensioni nella sezione: σ=262.63 τ=32.09
CC 7 SLV (Collegamento -179_-383)
Azioni sul collegamento: N=-6136.64 Ty=15.19 Tz=28.35 Mx=0.01 Mz=13.60
Sollecitazioni agenti localmente: Ty_l=-1033.75 My_l=-21.12
Tensioni nella sezione: σ=255.95 τ=31.33
CC 7 SLV (Collegamento -179_-383)
Azioni sul collegamento: N=-6136.64 Ty=7.48 Tz=-0.86 Mx=0.01 Mz=7.28
Sollecitazioni agenti localmente: Ty_l=-1058.90 My_l=-21.67

Tensioni nella sezione: σ=262.63 τ=32.09
CC 7 SLV (Collegamento -179_-383)
Azioni sul collegamento: N=-6136.64 Ty=15.19 Tz=-0.86 Mx=0.01 Mz=13.60
Sollecitazioni agenti localmente: Ty_l=-1033.75 My_l=-21.12
Tensioni nella sezione: σ=255.95 τ=31.33
CC 8 SLD (Collegamento -179_-383)
Azioni sul collegamento: N=-11144.60 Ty=9.24 Tz=17.82 Mx=0.01 Mz=7.34
Sollecitazioni agenti localmente: Ty_l=-1946.44 My_l=-39.86
Tensioni nella sezione: σ=483.17 τ=58.98
CC 8 SLD (Collegamento -179_-383)
Azioni sul collegamento: N=-11144.60 Ty=11.59 Tz=17.82 Mx=0.01 Mz=9.27
Sollecitazioni agenti localmente: Ty_l=-1938.77 My_l=-39.69
Tensioni nella sezione: σ=481.13 τ=58.75
CC 8 SLD (Collegamento -179_-383)
Azioni sul collegamento: N=-11144.60 Ty=9.24 Tz=8.91 Mx=0.01 Mz=7.34
Sollecitazioni agenti localmente: Ty_l=-1946.44 My_l=-39.86
Tensioni nella sezione: σ=483.17 τ=58.98
CC 8 SLD (Collegamento -179_-383)
Azioni sul collegamento: N=-11144.60 Ty=11.59 Tz=8.91 Mx=0.01 Mz=9.27
Sollecitazioni agenti localmente: Ty_l=-1938.77 My_l=-39.69
Tensioni nella sezione: σ=481.13 τ=58.75
CC 8 SLD (Collegamento -179_-383)
Azioni sul collegamento: N=-8758.64 Ty=9.24 Tz=17.82 Mx=0.01 Mz=7.34
Sollecitazioni agenti localmente: Ty_l=-1523.47 My_l=-31.19
Tensioni nella sezione: σ=378.06 τ=46.17
CC 8 SLD (Collegamento -179_-383)
Azioni sul collegamento: N=-8758.64 Ty=11.59 Tz=17.82 Mx=0.01 Mz=9.27
Sollecitazioni agenti localmente: Ty_l=-1515.80 My_l=-31.02
Tensioni nella sezione: σ=376.03 τ=45.93
CC 8 SLD (Collegamento -179_-383)
Azioni sul collegamento: N=-8758.64 Ty=9.24 Tz=8.91 Mx=0.01 Mz=7.34
Sollecitazioni agenti localmente: Ty_l=-1523.47 My_l=-31.19
Tensioni nella sezione: σ=378.06 τ=46.17
CC 8 SLD (Collegamento -179_-383)
Azioni sul collegamento: N=-8758.64 Ty=11.59 Tz=8.91 Mx=0.01 Mz=9.27
Sollecitazioni agenti localmente: Ty_l=-1515.80 My_l=-31.02
Tensioni nella sezione: σ=376.03 τ=45.93
CC 9 SLV (Collegamento -179_-383)
Azioni sul collegamento: N=-8867.90 Ty=13.27 Tz=8.87 Mx=0.02 Mz=12.98
Sollecitazioni agenti localmente: Ty_l=-1520.41 My_l=-31.10
Tensioni nella sezione: σ=376.92 τ=46.07
CC 9 SLV (Collegamento -179_-383)
Azioni sul collegamento: N=-8867.90 Ty=9.40 Tz=8.87 Mx=0.02 Mz=7.91
Sollecitazioni agenti localmente: Ty_l=-1540.59 My_l=-31.54
Tensioni nella sezione: σ=382.28 τ=46.68
CC 9 SLV (Collegamento -179_-383)
Azioni sul collegamento: N=-8867.90 Ty=13.27 Tz=18.62 Mx=0.02 Mz=12.98
Sollecitazioni agenti localmente: Ty_l=-1520.41 My_l=-31.10
Tensioni nella sezione: σ=376.92 τ=46.07
CC 9 SLV (Collegamento -179_-383)
Azioni sul collegamento: N=-8867.90 Ty=9.40 Tz=18.62 Mx=0.02 Mz=7.91
Sollecitazioni agenti localmente: Ty_l=-1540.59 My_l=-31.54
Tensioni nella sezione: σ=382.28 τ=46.68
CC 9 SLV (Collegamento -179_-383)
Azioni sul collegamento: N=-11230.10 Ty=13.27 Tz=8.87 Mx=0.02 Mz=12.98
Sollecitazioni agenti localmente: Ty_l=-1939.15 My_l=-39.68
Tensioni nella sezione: σ=480.98 τ=58.76
CC 9 SLV (Collegamento -179_-383)
Azioni sul collegamento: N=-11230.10 Ty=9.40 Tz=8.87 Mx=0.02 Mz=7.91
Sollecitazioni agenti localmente: Ty_l=-1959.34 My_l=-40.12
Tensioni nella sezione: σ=486.33 τ=59.37
CC 9 SLV (Collegamento -179_-383)
Azioni sul collegamento: N=-11230.10 Ty=13.27 Tz=18.62 Mx=0.02 Mz=12.98
Sollecitazioni agenti localmente: Ty_l=-1939.15 My_l=-39.68
Tensioni nella sezione: σ=480.98 τ=58.76
CC 9 SLV (Collegamento -179_-383)
Azioni sul collegamento: N=-11230.10 Ty=9.40 Tz=18.62 Mx=0.02 Mz=7.91
Sollecitazioni agenti localmente: Ty_l=-1959.34 My_l=-40.12
Tensioni nella sezione: σ=486.33 τ=59.37
CC 10 SLD (Collegamento -179_-383)
Azioni sul collegamento: N=-9591.49 Ty=11.00 Tz=11.88 Mx=0.01 Mz=9.08
Sollecitazioni agenti localmente: Ty_l=-1664.20 My_l=-34.07
Tensioni nella sezione: σ=412.92 τ=50.43
CC 10 SLD (Collegamento -179_-383)
Azioni sul collegamento: N=-9591.49 Ty=9.82 Tz=11.88 Mx=0.01 Mz=7.53
Sollecitazioni agenti localmente: Ty_l=-1670.35 My_l=-34.20
Tensioni nella sezione: σ=414.55 τ=50.62
CC 10 SLD (Collegamento -179_-383)
Azioni sul collegamento: N=-9591.49 Ty=11.00 Tz=14.85 Mx=0.01 Mz=9.08
Sollecitazioni agenti localmente: Ty_l=-1664.20 My_l=-34.07

Tensioni nella sezione: σ=412.92 τ=50.43
CC 10 SLD (Collegamento -179_-383)
Azioni sul collegamento: N=-9591.49 Ty=9.82 Tz=14.85 Mx=0.01 Mz=7.53
Sollecitazioni agenti localmente: Ty_l=-1670.35 My_l=-34.20
Tensioni nella sezione: σ=414.55 τ=50.62
CC 10 SLD (Collegamento -179_-383)
Azioni sul collegamento: N=-10311.80 Ty=11.00 Tz=11.88 Mx=0.01 Mz=9.08
Sollecitazioni agenti localmente: Ty_l=-1791.89 My_l=-36.68
Tensioni nella sezione: σ=444.64 τ=54.30
CC 10 SLD (Collegamento -179_-383)
Azioni sul collegamento: N=-10311.80 Ty=9.82 Tz=11.88 Mx=0.01 Mz=7.53
Sollecitazioni agenti localmente: Ty_l=-1798.04 My_l=-36.82
Tensioni nella sezione: σ=446.28 τ=54.49
CC 10 SLD (Collegamento -179_-383)
Azioni sul collegamento: N=-10311.80 Ty=11.00 Tz=14.85 Mx=0.01 Mz=9.08
Sollecitazioni agenti localmente: Ty_l=-1791.89 My_l=-36.68
Tensioni nella sezione: σ=444.64 τ=54.30
CC 10 SLD (Collegamento -179_-383)
Azioni sul collegamento: N=-10311.80 Ty=9.82 Tz=14.85 Mx=0.01 Mz=7.53
Sollecitazioni agenti localmente: Ty_l=-1798.04 My_l=-36.82
Tensioni nella sezione: σ=446.28 τ=54.49
CC 11 SLV (Collegamento -179_-383)
Azioni sul collegamento: N=-11213.80 Ty=11.11 Tz=17.53 Mx=0.02 Mz=11.40
Sollecitazioni agenti localmente: Ty_l=-1942.57 My_l=-39.76
Tensioni nella sezione: σ=481.93 τ=58.87
CC 11 SLV (Collegamento -179_-383)
Azioni sul collegamento: N=-11213.80 Ty=11.56 Tz=17.53 Mx=0.02 Mz=9.49
Sollecitazioni agenti localmente: Ty_l=-1950.17 My_l=-39.93
Tensioni nella sezione: σ=483.95 τ=59.10
CC 11 SLV (Collegamento -179_-383)
Azioni sul collegamento: N=-11213.80 Ty=11.11 Tz=9.96 Mx=0.02 Mz=11.40
Sollecitazioni agenti localmente: Ty_l=-1942.57 My_l=-39.76
Tensioni nella sezione: σ=481.93 τ=58.87
CC 11 SLV (Collegamento -179_-383)
Azioni sul collegamento: N=-11213.80 Ty=11.56 Tz=9.96 Mx=0.02 Mz=9.49
Sollecitazioni agenti localmente: Ty_l=-1950.17 My_l=-39.93
Tensioni nella sezione: σ=483.95 τ=59.10
CC 11 SLV (Collegamento -179_-383)
Azioni sul collegamento: N=-8884.11 Ty=11.11 Tz=17.53 Mx=0.02 Mz=11.40
Sollecitazioni agenti localmente: Ty_l=-1529.58 My_l=-31.29
Tensioni nella sezione: σ=379.31 τ=46.35
CC 11 SLV (Collegamento -179_-383)
Azioni sul collegamento: N=-8884.11 Ty=11.56 Tz=17.53 Mx=0.02 Mz=9.49
Sollecitazioni agenti localmente: Ty_l=-1537.17 My_l=-31.46
Tensioni nella sezione: σ=381.32 τ=46.58
CC 11 SLV (Collegamento -179_-383)
Azioni sul collegamento: N=-8884.11 Ty=11.11 Tz=9.96 Mx=0.02 Mz=11.40
Sollecitazioni agenti localmente: Ty_l=-1529.58 My_l=-31.29
Tensioni nella sezione: σ=379.31 τ=46.35
CC 11 SLV (Collegamento -179_-383)
Azioni sul collegamento: N=-8884.11 Ty=11.56 Tz=9.96 Mx=0.02 Mz=9.49
Sollecitazioni agenti localmente: Ty_l=-1537.17 My_l=-31.46
Tensioni nella sezione: σ=381.32 τ=46.58
CC 12 SLD (Collegamento -179_-383)
Azioni sul collegamento: N=-10306.80 Ty=10.34 Tz=14.52 Mx=0.01 Mz=8.60
Sollecitazioni agenti localmente: Ty_l=-1792.93 My_l=-36.71
Tensioni nella sezione: σ=444.94 τ=54.33
CC 12 SLD (Collegamento -179_-383)
Azioni sul collegamento: N=-10306.80 Ty=10.48 Tz=14.52 Mx=0.01 Mz=8.01
Sollecitazioni agenti localmente: Ty_l=-1795.24 My_l=-36.76
Tensioni nella sezione: σ=445.55 τ=54.40
CC 12 SLD (Collegamento -179_-383)
Azioni sul collegamento: N=-10306.80 Ty=10.34 Tz=12.21 Mx=0.01 Mz=8.60
Sollecitazioni agenti localmente: Ty_l=-1792.93 My_l=-36.71
Tensioni nella sezione: σ=444.94 τ=54.33
CC 12 SLD (Collegamento -179_-383)
Azioni sul collegamento: N=-10306.80 Ty=10.48 Tz=12.21 Mx=0.01 Mz=8.01
Sollecitazioni agenti localmente: Ty_l=-1795.24 My_l=-36.76
Tensioni nella sezione: σ=445.55 τ=54.40
CC 12 SLD (Collegamento -179_-383)
Azioni sul collegamento: N=-9596.43 Ty=10.34 Tz=14.52 Mx=0.01 Mz=8.60
Sollecitazioni agenti localmente: Ty_l=-1666.99 My_l=-34.13
Tensioni nella sezione: σ=413.64 τ=50.52
CC 12 SLD (Collegamento -179_-383)
Azioni sul collegamento: N=-9596.43 Ty=10.48 Tz=14.52 Mx=0.01 Mz=8.01
Sollecitazioni agenti localmente: Ty_l=-1669.31 My_l=-34.18
Tensioni nella sezione: σ=414.26 τ=50.59
CC 12 SLD (Collegamento -179_-383)
Azioni sul collegamento: N=-9596.43 Ty=10.34 Tz=12.21 Mx=0.01 Mz=8.60
Sollecitazioni agenti localmente: Ty_l=-1666.99 My_l=-34.13

Tensioni nella sezione: σ=413.64 τ=50.52
CC 12 SLD (Collegamento -179_-383)
Azioni sul collegamento: N=-9596.43 Ty=10.48 Tz=12.21 Mx=0.01 Mz=8.01
Sollecitazioni agenti localmente: Ty_l=-1669.31 My_l=-34.18
Tensioni nella sezione: σ=414.26 τ=50.59
CC 13 SLV (Collegamento -179_-383)
Azioni sul collegamento: N=-8884.11 Ty=11.56 Tz=9.96 Mx=0.01 Mz=9.49
Sollecitazioni agenti localmente: Ty_l=-1537.17 My_l=-31.46
Tensioni nella sezione: σ=381.32 τ=46.58
CC 13 SLV (Collegamento -179_-383)
Azioni sul collegamento: N=-8884.11 Ty=11.11 Tz=9.96 Mx=0.01 Mz=11.40
Sollecitazioni agenti localmente: Ty_l=-1529.58 My_l=-31.29
Tensioni nella sezione: σ=379.31 τ=46.35
CC 13 SLV (Collegamento -179_-383)
Azioni sul collegamento: N=-8884.11 Ty=11.56 Tz=17.53 Mx=0.01 Mz=9.49
Sollecitazioni agenti localmente: Ty_l=-1537.17 My_l=-31.46
Tensioni nella sezione: σ=381.32 τ=46.58
CC 13 SLV (Collegamento -179_-383)
Azioni sul collegamento: N=-8884.11 Ty=11.11 Tz=17.53 Mx=0.01 Mz=11.40
Sollecitazioni agenti localmente: Ty_l=-1529.58 My_l=-31.29
Tensioni nella sezione: σ=379.31 τ=46.35
CC 13 SLV (Collegamento -179_-383)
Azioni sul collegamento: N=-11213.80 Ty=11.56 Tz=9.96 Mx=0.01 Mz=9.49
Sollecitazioni agenti localmente: Ty_l=-1950.17 My_l=-39.93
Tensioni nella sezione: σ=483.95 τ=59.10
CC 13 SLV (Collegamento -179_-383)
Azioni sul collegamento: N=-11213.80 Ty=11.11 Tz=9.96 Mx=0.01 Mz=11.40
Sollecitazioni agenti localmente: Ty_l=-1942.57 My_l=-39.76
Tensioni nella sezione: σ=481.93 τ=58.87
CC 13 SLV (Collegamento -179_-383)
Azioni sul collegamento: N=-11213.80 Ty=11.56 Tz=17.53 Mx=0.01 Mz=9.49
Sollecitazioni agenti localmente: Ty_l=-1950.17 My_l=-39.93
Tensioni nella sezione: σ=483.95 τ=59.10
CC 13 SLV (Collegamento -179_-383)
Azioni sul collegamento: N=-11213.80 Ty=11.11 Tz=17.53 Mx=0.01 Mz=11.40
Sollecitazioni agenti localmente: Ty_l=-1942.57 My_l=-39.76
Tensioni nella sezione: σ=481.93 τ=58.87
CC 14 SLD (Collegamento -179_-383)
Azioni sul collegamento: N=-9596.43 Ty=10.48 Tz=12.21 Mx=0.00 Mz=8.01
Sollecitazioni agenti localmente: Ty_l=-1669.31 My_l=-34.18
Tensioni nella sezione: σ=414.26 τ=50.59
CC 14 SLD (Collegamento -179_-383)
Azioni sul collegamento: N=-9596.43 Ty=10.34 Tz=12.21 Mx=0.00 Mz=8.60
Sollecitazioni agenti localmente: Ty_l=-1666.99 My_l=-34.13
Tensioni nella sezione: σ=413.64 τ=50.52
CC 14 SLD (Collegamento -179_-383)
Azioni sul collegamento: N=-9596.43 Ty=10.48 Tz=14.52 Mx=0.00 Mz=8.01
Sollecitazioni agenti localmente: Ty_l=-1669.31 My_l=-34.18
Tensioni nella sezione: σ=414.26 τ=50.59
CC 14 SLD (Collegamento -179_-383)
Azioni sul collegamento: N=-9596.43 Ty=10.34 Tz=14.52 Mx=0.00 Mz=8.60
Sollecitazioni agenti localmente: Ty_l=-1666.99 My_l=-34.13
Tensioni nella sezione: σ=413.64 τ=50.52
CC 14 SLD (Collegamento -179_-383)
Azioni sul collegamento: N=-10306.80 Ty=10.48 Tz=12.21 Mx=0.00 Mz=8.01
Sollecitazioni agenti localmente: Ty_l=-1795.24 My_l=-36.76
Tensioni nella sezione: σ=445.55 τ=54.40
CC 14 SLD (Collegamento -179_-383)
Azioni sul collegamento: N=-10306.80 Ty=10.34 Tz=12.21 Mx=0.00 Mz=8.60
Sollecitazioni agenti localmente: Ty_l=-1792.93 My_l=-36.71
Tensioni nella sezione: σ=444.94 τ=54.33
CC 14 SLD (Collegamento -179_-383)
Azioni sul collegamento: N=-10306.80 Ty=10.48 Tz=14.52 Mx=0.00 Mz=8.01
Sollecitazioni agenti localmente: Ty_l=-1795.24 My_l=-36.76
Tensioni nella sezione: σ=445.55 τ=54.40
CC 14 SLD (Collegamento -179_-383)
Azioni sul collegamento: N=-10306.80 Ty=10.34 Tz=14.52 Mx=0.00 Mz=8.60
Sollecitazioni agenti localmente: Ty_l=-1792.93 My_l=-36.71
Tensioni nella sezione: σ=444.94 τ=54.33
CC 15 SLV (Collegamento -179_-383)
Azioni sul collegamento: N=-11230.10 Ty=9.40 Tz=18.62 Mx=0.01 Mz=7.91
Sollecitazioni agenti localmente: Ty_l=-1959.34 My_l=-40.12
Tensioni nella sezione: σ=486.33 τ=59.37
CC 15 SLV (Collegamento -179_-383)
Azioni sul collegamento: N=-11230.10 Ty=13.27 Tz=18.62 Mx=0.01 Mz=12.98
Sollecitazioni agenti localmente: Ty_l=-1939.15 My_l=-39.68
Tensioni nella sezione: σ=480.98 τ=58.76
CC 15 SLV (Collegamento -179_-383)
Azioni sul collegamento: N=-11230.10 Ty=9.40 Tz=8.87 Mx=0.01 Mz=7.91
Sollecitazioni agenti localmente: Ty_l=-1959.34 My_l=-40.12

Tensioni nella sezione: σ=486.33 τ=59.37
CC 15 SLV (Collegamento -179_-383)
Azioni sul collegamento: N=-11230.10 Ty=13.27 Tz=8.87 Mx=0.01 Mz=12.98
Sollecitazioni agenti localmente: Ty_l=-1939.15 My_l=-39.68
Tensioni nella sezione: σ=480.98 τ=58.76
CC 15 SLV (Collegamento -179_-383)
Azioni sul collegamento: N=-8867.90 Ty=9.40 Tz=18.62 Mx=0.01 Mz=7.91
Sollecitazioni agenti localmente: Ty_l=-1540.59 My_l=-31.54
Tensioni nella sezione: σ=382.28 τ=46.68
CC 15 SLV (Collegamento -179_-383)
Azioni sul collegamento: N=-8867.90 Ty=13.27 Tz=18.62 Mx=0.01 Mz=12.98
Sollecitazioni agenti localmente: Ty_l=-1520.41 My_l=-31.10
Tensioni nella sezione: σ=376.92 τ=46.07
CC 15 SLV (Collegamento -179_-383)
Azioni sul collegamento: N=-8867.90 Ty=9.40 Tz=8.87 Mx=0.01 Mz=7.91
Sollecitazioni agenti localmente: Ty_l=-1540.59 My_l=-31.54
Tensioni nella sezione: σ=382.28 τ=46.68
CC 15 SLV (Collegamento -179_-383)
Azioni sul collegamento: N=-8867.90 Ty=13.27 Tz=8.87 Mx=0.01 Mz=12.98
Sollecitazioni agenti localmente: Ty_l=-1520.41 My_l=-31.10
Tensioni nella sezione: σ=376.92 τ=46.07
CC 16 SLD (Collegamento -179_-383)
Azioni sul collegamento: N=-10311.80 Ty=9.82 Tz=14.85 Mx=0.00 Mz=7.53
Sollecitazioni agenti localmente: Ty_l=-1798.04 My_l=-36.82
Tensioni nella sezione: σ=446.28 τ=54.49
CC 16 SLD (Collegamento -179_-383)
Azioni sul collegamento: N=-10311.80 Ty=11.00 Tz=14.85 Mx=0.00 Mz=9.08
Sollecitazioni agenti localmente: Ty_l=-1791.89 My_l=-36.68
Tensioni nella sezione: σ=444.64 τ=54.30
CC 16 SLD (Collegamento -179_-383)
Azioni sul collegamento: N=-10311.80 Ty=9.82 Tz=11.88 Mx=0.00 Mz=7.53
Sollecitazioni agenti localmente: Ty_l=-1798.04 My_l=-36.82
Tensioni nella sezione: σ=446.28 τ=54.49
CC 16 SLD (Collegamento -179_-383)
Azioni sul collegamento: N=-10311.80 Ty=11.00 Tz=11.88 Mx=0.00 Mz=9.08
Sollecitazioni agenti localmente: Ty_l=-1791.89 My_l=-36.68
Tensioni nella sezione: σ=444.64 τ=54.30
CC 16 SLD (Collegamento -179_-383)
Azioni sul collegamento: N=-9591.49 Ty=9.82 Tz=14.85 Mx=0.00 Mz=7.53
Sollecitazioni agenti localmente: Ty_l=-1670.35 My_l=-34.20
Tensioni nella sezione: σ=414.55 τ=50.62
CC 16 SLD (Collegamento -179_-383)
Azioni sul collegamento: N=-9591.49 Ty=11.00 Tz=14.85 Mx=0.00 Mz=9.08
Sollecitazioni agenti localmente: Ty_l=-1664.20 My_l=-34.07
Tensioni nella sezione: σ=412.92 τ=50.43
CC 16 SLD (Collegamento -179_-383)
Azioni sul collegamento: N=-9591.49 Ty=9.82 Tz=11.88 Mx=0.00 Mz=7.53
Sollecitazioni agenti localmente: Ty_l=-1670.35 My_l=-34.20
Tensioni nella sezione: σ=414.55 τ=50.62
CC 16 SLD (Collegamento -179_-383)
Azioni sul collegamento: N=-9591.49 Ty=11.00 Tz=11.88 Mx=0.00 Mz=9.08
Sollecitazioni agenti localmente: Ty_l=-1664.20 My_l=-34.07
Tensioni nella sezione: σ=412.92 τ=50.43
CC 17 SLV (Collegamento -179_-383)
Azioni sul collegamento: N=-5856.57 Ty=12.53 Tz=-1.96 Mx=-0.01 Mz=7.45
Sollecitazioni agenti localmente: Ty_l=-1008.56 My_l=-20.63
Tensioni nella sezione: σ=250.11 τ=30.56
CC 17 SLV (Collegamento -179_-383)
Azioni sul collegamento: N=-5856.57 Ty=4.82 Tz=-1.96 Mx=-0.01 Mz=1.13
Sollecitazioni agenti localmente: Ty_l=-1033.71 My_l=-21.18
Tensioni nella sezione: σ=256.79 τ=31.32
CC 17 SLV (Collegamento -179_-383)
Azioni sul collegamento: N=-5856.57 Ty=12.53 Tz=27.25 Mx=-0.01 Mz=7.45
Sollecitazioni agenti localmente: Ty_l=-1008.56 My_l=-20.63
Tensioni nella sezione: σ=250.11 τ=30.56
CC 17 SLV (Collegamento -179_-383)
Azioni sul collegamento: N=-5856.57 Ty=4.82 Tz=27.25 Mx=-0.01 Mz=1.13
Sollecitazioni agenti localmente: Ty_l=-1033.71 My_l=-21.18
Tensioni nella sezione: σ=256.79 τ=31.32
CC 17 SLV (Collegamento -179_-383)
Azioni sul collegamento: N=-13681.20 Ty=12.53 Tz=-1.96 Mx=-0.01 Mz=7.45
Sollecitazioni agenti localmente: Ty_l=-2395.66 My_l=-49.07
Tensioni nella sezione: σ=594.78 τ=72.60
CC 17 SLV (Collegamento -179_-383)
Azioni sul collegamento: N=-13681.20 Ty=4.82 Tz=-1.96 Mx=-0.01 Mz=1.13
Sollecitazioni agenti localmente: Ty_l=-2420.81 My_l=-49.62
Tensioni nella sezione: σ=601.46 τ=73.36
CC 17 SLV (Collegamento -179_-383)
Azioni sul collegamento: N=-13681.20 Ty=12.53 Tz=27.25 Mx=-0.01 Mz=7.45
Sollecitazioni agenti localmente: Ty_l=-2395.66 My_l=-49.07

Tensioni nella sezione: σ=594.78 τ=72.60
CC 17 SLV (Collegamento -179_-383)
Azioni sul collegamento: N=-13681.20 Ty=4.82 Tz=27.25 Mx=-0.01 Mz=1.13
Sollecitazioni agenti localmente: Ty_l=-2420.81 My_l=-49.62
Tensioni nella sezione: σ=601.46 τ=73.36
CC 18 SLD (Collegamento -179_-383)
Azioni sul collegamento: N=-8673.24 Ty=10.78 Tz=8.57 Mx=-0.00 Mz=7.39
Sollecitazioni agenti localmente: Ty_l=-1508.12 My_l=-30.88
Tensioni nella sezione: σ=374.25 τ=45.70
CC 18 SLD (Collegamento -179_-383)
Azioni sul collegamento: N=-8673.24 Ty=8.42 Tz=8.57 Mx=-0.00 Mz=5.47
Sollecitazioni agenti localmente: Ty_l=-1515.79 My_l=-31.04
Tensioni nella sezione: σ=376.28 τ=45.93
CC 18 SLD (Collegamento -179_-383)
Azioni sul collegamento: N=-8673.24 Ty=10.78 Tz=17.48 Mx=-0.00 Mz=7.39
Sollecitazioni agenti localmente: Ty_l=-1508.12 My_l=-30.88
Tensioni nella sezione: σ=374.25 τ=45.70
CC 18 SLD (Collegamento -179_-383)
Azioni sul collegamento: N=-8673.24 Ty=8.42 Tz=17.48 Mx=-0.00 Mz=5.47
Sollecitazioni agenti localmente: Ty_l=-1515.79 My_l=-31.04
Tensioni nella sezione: σ=376.28 τ=45.93
CC 18 SLD (Collegamento -179_-383)
Azioni sul collegamento: N=-11059.20 Ty=10.78 Tz=8.57 Mx=-0.00 Mz=7.39
Sollecitazioni agenti localmente: Ty_l=-1931.09 My_l=-39.55
Tensioni nella sezione: σ=479.35 τ=58.52
CC 18 SLD (Collegamento -179_-383)
Azioni sul collegamento: N=-11059.20 Ty=8.42 Tz=8.57 Mx=-0.00 Mz=5.47
Sollecitazioni agenti localmente: Ty_l=-1938.76 My_l=-39.71
Tensioni nella sezione: σ=481.38 τ=58.75
CC 18 SLD (Collegamento -179_-383)
Azioni sul collegamento: N=-11059.20 Ty=10.78 Tz=17.48 Mx=-0.00 Mz=7.39
Sollecitazioni agenti localmente: Ty_l=-1931.09 My_l=-39.55
Tensioni nella sezione: σ=479.35 τ=58.52
CC 18 SLD (Collegamento -179_-383)
Azioni sul collegamento: N=-11059.20 Ty=8.42 Tz=17.48 Mx=-0.00 Mz=5.47
Sollecitazioni agenti localmente: Ty_l=-1938.76 My_l=-39.71
Tensioni nella sezione: σ=481.38 τ=58.75
CC 19 SLV (Collegamento -179_-383)
Azioni sul collegamento: N=-5861.43 Ty=12.02 Tz=-1.63 Mx=-0.01 Mz=6.41
Sollecitazioni agenti localmente: Ty_l=-1013.59 My_l=-20.74
Tensioni nella sezione: σ=251.43 τ=30.71
CC 19 SLV (Collegamento -179_-383)
Azioni sul collegamento: N=-5861.43 Ty=5.33 Tz=-1.63 Mx=-0.01 Mz=2.18
Sollecitazioni agenti localmente: Ty_l=-1030.41 My_l=-21.11
Tensioni nella sezione: σ=255.89 τ=31.22
CC 19 SLV (Collegamento -179_-383)
Azioni sul collegamento: N=-5861.43 Ty=12.02 Tz=26.92 Mx=-0.01 Mz=6.41
Sollecitazioni agenti localmente: Ty_l=-1013.59 My_l=-20.74
Tensioni nella sezione: σ=251.43 τ=30.71
CC 19 SLV (Collegamento -179_-383)
Azioni sul collegamento: N=-5861.43 Ty=5.33 Tz=26.92 Mx=-0.01 Mz=2.18
Sollecitazioni agenti localmente: Ty_l=-1030.41 My_l=-21.11
Tensioni nella sezione: σ=255.89 τ=31.22
CC 19 SLV (Collegamento -179_-383)
Azioni sul collegamento: N=-13676.40 Ty=12.02 Tz=-1.63 Mx=-0.01 Mz=6.41
Sollecitazioni agenti localmente: Ty_l=-2398.97 My_l=-49.14
Tensioni nella sezione: σ=595.67 τ=72.70
CC 19 SLV (Collegamento -179_-383)
Azioni sul collegamento: N=-13676.40 Ty=5.33 Tz=-1.63 Mx=-0.01 Mz=2.18
Sollecitazioni agenti localmente: Ty_l=-2415.78 My_l=-49.51
Tensioni nella sezione: σ=600.14 τ=73.21
CC 19 SLV (Collegamento -179_-383)
Azioni sul collegamento: N=-13676.40 Ty=12.02 Tz=26.92 Mx=-0.01 Mz=6.41
Sollecitazioni agenti localmente: Ty_l=-2398.97 My_l=-49.14
Tensioni nella sezione: σ=595.67 τ=72.70
CC 19 SLV (Collegamento -179_-383)
Azioni sul collegamento: N=-13676.40 Ty=5.33 Tz=26.92 Mx=-0.01 Mz=2.18
Sollecitazioni agenti localmente: Ty_l=-2415.78 My_l=-49.51
Tensioni nella sezione: σ=600.14 τ=73.21
CC 20 SLD (Collegamento -179_-383)
Azioni sul collegamento: N=-8674.72 Ty=10.62 Tz=8.67 Mx=0.00 Mz=7.07
Sollecitazioni agenti localmente: Ty_l=-1509.65 My_l=-30.91
Tensioni nella sezione: σ=374.65 τ=45.75
CC 20 SLD (Collegamento -179_-383)
Azioni sul collegamento: N=-8674.72 Ty=8.58 Tz=8.67 Mx=0.00 Mz=5.79
Sollecitazioni agenti localmente: Ty_l=-1514.78 My_l=-31.02
Tensioni nella sezione: σ=376.01 τ=45.90
CC 20 SLD (Collegamento -179_-383)
Azioni sul collegamento: N=-8674.72 Ty=10.62 Tz=17.38 Mx=0.00 Mz=7.07
Sollecitazioni agenti localmente: Ty_l=-1509.65 My_l=-30.91

Tensioni nella sezione: σ=374.65 τ=45.75
CC 20 SLD (Collegamento -179_-383)
Azioni sul collegamento: N=-8674.72 Ty=8.58 Tz=17.38 Mx=0.00 Mz=5.79
Sollecitazioni agenti localmente: Ty_l=-1514.78 My_l=-31.02
Tensioni nella sezione: σ=376.01 τ=45.90
CC 20 SLD (Collegamento -179_-383)
Azioni sul collegamento: N=-11057.70 Ty=10.62 Tz=8.67 Mx=0.00 Mz=7.07
Sollecitazioni agenti localmente: Ty_l=-1932.10 My_l=-39.57
Tensioni nella sezione: σ=479.62 τ=58.55
CC 20 SLD (Collegamento -179_-383)
Azioni sul collegamento: N=-11057.70 Ty=8.58 Tz=8.67 Mx=0.00 Mz=5.79
Sollecitazioni agenti localmente: Ty_l=-1937.23 My_l=-39.68
Tensioni nella sezione: σ=480.98 τ=58.70
CC 20 SLD (Collegamento -179_-383)
Azioni sul collegamento: N=-11057.70 Ty=10.62 Tz=17.38 Mx=0.00 Mz=7.07
Sollecitazioni agenti localmente: Ty_l=-1932.10 My_l=-39.57
Tensioni nella sezione: σ=479.62 τ=58.55
CC 20 SLD (Collegamento -179_-383)
Azioni sul collegamento: N=-11057.70 Ty=8.58 Tz=17.38 Mx=0.00 Mz=5.79
Sollecitazioni agenti localmente: Ty_l=-1937.23 My_l=-39.68
Tensioni nella sezione: σ=480.98 τ=58.70
CC 21 SLV (Collegamento -179_-383)
Azioni sul collegamento: N=-13676.40 Ty=5.33 Tz=26.92 Mx=-0.01 Mz=2.18
Sollecitazioni agenti localmente: Ty_l=-2415.78 My_l=-49.51
Tensioni nella sezione: σ=600.14 τ=73.21
CC 21 SLV (Collegamento -179_-383)
Azioni sul collegamento: N=-13676.40 Ty=12.02 Tz=26.92 Mx=-0.01 Mz=6.41
Sollecitazioni agenti localmente: Ty_l=-2398.97 My_l=-49.14
Tensioni nella sezione: σ=595.67 τ=72.70
CC 21 SLV (Collegamento -179_-383)
Azioni sul collegamento: N=-13676.40 Ty=5.33 Tz=-1.63 Mx=-0.01 Mz=2.18
Sollecitazioni agenti localmente: Ty_l=-2415.78 My_l=-49.51
Tensioni nella sezione: σ=600.14 τ=73.21
CC 21 SLV (Collegamento -179_-383)
Azioni sul collegamento: N=-13676.40 Ty=12.02 Tz=-1.63 Mx=-0.01 Mz=6.41
Sollecitazioni agenti localmente: Ty_l=-2398.97 My_l=-49.14
Tensioni nella sezione: σ=595.67 τ=72.70
CC 21 SLV (Collegamento -179_-383)
Azioni sul collegamento: N=-5861.43 Ty=5.33 Tz=26.92 Mx=-0.01 Mz=2.18
Sollecitazioni agenti localmente: Ty_l=-1030.41 My_l=-21.11
Tensioni nella sezione: σ=255.89 τ=31.22
CC 21 SLV (Collegamento -179_-383)
Azioni sul collegamento: N=-5861.43 Ty=12.02 Tz=26.92 Mx=-0.01 Mz=6.41
Sollecitazioni agenti localmente: Ty_l=-1013.59 My_l=-20.74
Tensioni nella sezione: σ=251.43 τ=30.71
CC 21 SLV (Collegamento -179_-383)
Azioni sul collegamento: N=-5861.43 Ty=5.33 Tz=-1.63 Mx=-0.01 Mz=2.18
Sollecitazioni agenti localmente: Ty_l=-1030.41 My_l=-21.11
Tensioni nella sezione: σ=255.89 τ=31.22
CC 21 SLV (Collegamento -179_-383)
Azioni sul collegamento: N=-5861.43 Ty=12.02 Tz=-1.63 Mx=-0.01 Mz=6.41
Sollecitazioni agenti localmente: Ty_l=-1013.59 My_l=-20.74
Tensioni nella sezione: σ=251.43 τ=30.71
CC 22 SLD (Collegamento -179_-383)
Azioni sul collegamento: N=-11057.70 Ty=8.58 Tz=17.38 Mx=-0.00 Mz=5.79
Sollecitazioni agenti localmente: Ty_l=-1937.23 My_l=-39.68
Tensioni nella sezione: σ=480.98 τ=58.70
CC 22 SLD (Collegamento -179_-383)
Azioni sul collegamento: N=-11057.70 Ty=10.62 Tz=17.38 Mx=-0.00 Mz=7.07
Sollecitazioni agenti localmente: Ty_l=-1932.10 My_l=-39.57
Tensioni nella sezione: σ=479.62 τ=58.55
CC 22 SLD (Collegamento -179_-383)
Azioni sul collegamento: N=-11057.70 Ty=8.58 Tz=8.67 Mx=-0.00 Mz=5.79
Sollecitazioni agenti localmente: Ty_l=-1937.23 My_l=-39.68
Tensioni nella sezione: σ=480.98 τ=58.70
CC 22 SLD (Collegamento -179_-383)
Azioni sul collegamento: N=-11057.70 Ty=10.62 Tz=8.67 Mx=-0.00 Mz=7.07
Sollecitazioni agenti localmente: Ty_l=-1932.10 My_l=-39.57
Tensioni nella sezione: σ=479.62 τ=58.55
CC 22 SLD (Collegamento -179_-383)
Azioni sul collegamento: N=-8674.72 Ty=8.58 Tz=17.38 Mx=-0.00 Mz=5.79
Sollecitazioni agenti localmente: Ty_l=-1514.78 My_l=-31.02
Tensioni nella sezione: σ=376.01 τ=45.90
CC 22 SLD (Collegamento -179_-383)
Azioni sul collegamento: N=-8674.72 Ty=10.62 Tz=17.38 Mx=-0.00 Mz=7.07
Sollecitazioni agenti localmente: Ty_l=-1509.65 My_l=-30.91
Tensioni nella sezione: σ=374.65 τ=45.75
CC 22 SLD (Collegamento -179_-383)
Azioni sul collegamento: N=-8674.72 Ty=8.58 Tz=8.67 Mx=-0.00 Mz=5.79
Sollecitazioni agenti localmente: Ty_l=-1514.78 My_l=-31.02

Tensioni nella sezione: σ=376.01 τ=45.90
CC 22 SLD (Collegamento -179_-383)
Azioni sul collegamento: N=-8674.72 Ty=10.62 Tz=8.67 Mx=-0.00 Mz=7.07
Sollecitazioni agenti localmente: Ty_l=-1509.65 My_l=-30.91
Tensioni nella sezione: σ=374.65 τ=45.75
CC 23 SLV (Collegamento -179_-383)
Azioni sul collegamento: N=-13681.20 Ty=4.82 Tz=27.25 Mx=-0.01 Mz=1.13
Sollecitazioni agenti localmente: Ty_l=-2420.81 My_l=-49.62
Tensioni nella sezione: σ=601.46 τ=73.36
CC 23 SLV (Collegamento -179_-383)
Azioni sul collegamento: N=-13681.20 Ty=12.53 Tz=27.25 Mx=-0.01 Mz=7.45
Sollecitazioni agenti localmente: Ty_l=-2395.66 My_l=-49.07
Tensioni nella sezione: σ=594.78 τ=72.60
CC 23 SLV (Collegamento -179_-383)
Azioni sul collegamento: N=-13681.20 Ty=4.82 Tz=-1.96 Mx=-0.01 Mz=1.13
Sollecitazioni agenti localmente: Ty_l=-2420.81 My_l=-49.62
Tensioni nella sezione: σ=601.46 τ=73.36
CC 23 SLV (Collegamento -179_-383)
Azioni sul collegamento: N=-13681.20 Ty=12.53 Tz=-1.96 Mx=-0.01 Mz=7.45
Sollecitazioni agenti localmente: Ty_l=-2395.66 My_l=-49.07
Tensioni nella sezione: σ=594.78 τ=72.60
CC 23 SLV (Collegamento -179_-383)
Azioni sul collegamento: N=-5856.57 Ty=4.82 Tz=27.25 Mx=-0.01 Mz=1.13
Sollecitazioni agenti localmente: Ty_l=-1033.71 My_l=-21.18
Tensioni nella sezione: σ=256.79 τ=31.32
CC 23 SLV (Collegamento -179_-383)
Azioni sul collegamento: N=-5856.57 Ty=12.53 Tz=27.25 Mx=-0.01 Mz=7.45
Sollecitazioni agenti localmente: Ty_l=-1008.56 My_l=-20.63
Tensioni nella sezione: σ=250.11 τ=30.56
CC 23 SLV (Collegamento -179_-383)
Azioni sul collegamento: N=-5856.57 Ty=4.82 Tz=-1.96 Mx=-0.01 Mz=1.13
Sollecitazioni agenti localmente: Ty_l=-1033.71 My_l=-21.18
Tensioni nella sezione: σ=256.79 τ=31.32
CC 23 SLV (Collegamento -179_-383)
Azioni sul collegamento: N=-5856.57 Ty=12.53 Tz=-1.96 Mx=-0.01 Mz=7.45
Sollecitazioni agenti localmente: Ty_l=-1008.56 My_l=-20.63
Tensioni nella sezione: σ=250.11 τ=30.56
CC 24 SLD (Collegamento -179_-383)
Azioni sul collegamento: N=-11059.20 Ty=8.42 Tz=17.48 Mx=0.00 Mz=5.47
Sollecitazioni agenti localmente: Ty_l=-1938.76 My_l=-39.71
Tensioni nella sezione: σ=481.38 τ=58.75
CC 24 SLD (Collegamento -179_-383)
Azioni sul collegamento: N=-11059.20 Ty=10.78 Tz=17.48 Mx=0.00 Mz=7.39
Sollecitazioni agenti localmente: Ty_l=-1931.09 My_l=-39.55
Tensioni nella sezione: σ=479.35 τ=58.52
CC 24 SLD (Collegamento -179_-383)
Azioni sul collegamento: N=-11059.20 Ty=8.42 Tz=8.57 Mx=0.00 Mz=5.47
Sollecitazioni agenti localmente: Ty_l=-1938.76 My_l=-39.71
Tensioni nella sezione: σ=481.38 τ=58.75
CC 24 SLD (Collegamento -179_-383)
Azioni sul collegamento: N=-11059.20 Ty=10.78 Tz=8.57 Mx=0.00 Mz=7.39
Sollecitazioni agenti localmente: Ty_l=-1931.09 My_l=-39.55
Tensioni nella sezione: σ=479.35 τ=58.52
CC 24 SLD (Collegamento -179_-383)
Azioni sul collegamento: N=-8673.24 Ty=8.42 Tz=17.48 Mx=0.00 Mz=5.47
Sollecitazioni agenti localmente: Ty_l=-1515.79 My_l=-31.04
Tensioni nella sezione: σ=376.28 τ=45.93
CC 24 SLD (Collegamento -179_-383)
Azioni sul collegamento: N=-8673.24 Ty=10.78 Tz=17.48 Mx=0.00 Mz=7.39
Sollecitazioni agenti localmente: Ty_l=-1508.12 My_l=-30.88
Tensioni nella sezione: σ=374.25 τ=45.70
CC 24 SLD (Collegamento -179_-383)
Azioni sul collegamento: N=-8673.24 Ty=8.42 Tz=8.57 Mx=0.00 Mz=5.47
Sollecitazioni agenti localmente: Ty_l=-1515.79 My_l=-31.04
Tensioni nella sezione: σ=376.28 τ=45.93
CC 24 SLD (Collegamento -179_-383)
Azioni sul collegamento: N=-8673.24 Ty=10.78 Tz=8.57 Mx=0.00 Mz=7.39
Sollecitazioni agenti localmente: Ty_l=-1508.12 My_l=-30.88
Tensioni nella sezione: σ=374.25 τ=45.70
CC 25 SLV (Collegamento -179_-383)
Azioni sul collegamento: N=-8587.82 Ty=10.61 Tz=7.77 Mx=-0.02 Mz=6.83
Sollecitazioni agenti localmente: Ty_l=-1495.22 My_l=-30.61
Tensioni nella sezione: σ=371.08 τ=45.31
CC 25 SLV (Collegamento -179_-383)
Azioni sul collegamento: N=-8587.82 Ty=6.74 Tz=7.77 Mx=-0.02 Mz=1.76
Sollecitazioni agenti localmente: Ty_l=-1515.40 My_l=-31.06
Tensioni nella sezione: σ=376.44 τ=45.92
CC 25 SLV (Collegamento -179_-383)
Azioni sul collegamento: N=-8587.82 Ty=10.61 Tz=17.52 Mx=-0.02 Mz=6.83
Sollecitazioni agenti localmente: Ty_l=-1495.22 My_l=-30.61

Tensioni nella sezione: σ=371.08 τ=45.31
CC 25 SLV (Collegamento -179_-383)
Azioni sul collegamento: N=-8587.82 Ty=6.74 Tz=17.52 Mx=-0.02 Mz=1.76
Sollecitazioni agenti localmente: Ty_l=-1515.40 My_l=-31.06
Tensioni nella sezione: σ=376.44 τ=45.92
CC 25 SLV (Collegamento -179_-383)
Azioni sul collegamento: N=-10950.00 Ty=10.61 Tz=7.77 Mx=-0.02 Mz=6.83
Sollecitazioni agenti localmente: Ty_l=-1913.97 My_l=-39.20
Tensioni nella sezione: σ=475.13 τ=58.00
CC 25 SLV (Collegamento -179_-383)
Azioni sul collegamento: N=-10950.00 Ty=6.74 Tz=7.77 Mx=-0.02 Mz=1.76
Sollecitazioni agenti localmente: Ty_l=-1934.15 My_l=-39.64
Tensioni nella sezione: σ=480.49 τ=58.61
CC 25 SLV (Collegamento -179_-383)
Azioni sul collegamento: N=-10950.00 Ty=10.61 Tz=17.52 Mx=-0.02 Mz=6.83
Sollecitazioni agenti localmente: Ty_l=-1913.97 My_l=-39.20
Tensioni nella sezione: σ=475.13 τ=58.00
CC 25 SLV (Collegamento -179_-383)
Azioni sul collegamento: N=-10950.00 Ty=6.74 Tz=17.52 Mx=-0.02 Mz=1.76
Sollecitazioni agenti localmente: Ty_l=-1934.15 My_l=-39.64
Tensioni nella sezione: σ=480.49 τ=58.61
CC 26 SLD (Collegamento -179_-383)
Azioni sul collegamento: N=-9506.09 Ty=10.19 Tz=11.54 Mx=-0.00 Mz=7.20
Sollecitazioni agenti localmente: Ty_l=-1656.52 My_l=-33.92
Tensioni nella sezione: σ=411.13 τ=50.20
CC 26 SLD (Collegamento -179_-383)
Azioni sul collegamento: N=-9506.09 Ty=9.01 Tz=11.54 Mx=-0.00 Mz=5.66
Sollecitazioni agenti localmente: Ty_l=-1662.67 My_l=-34.05
Tensioni nella sezione: σ=412.77 τ=50.38
CC 26 SLD (Collegamento -179_-383)
Azioni sul collegamento: N=-9506.09 Ty=10.19 Tz=14.51 Mx=-0.00 Mz=7.20
Sollecitazioni agenti localmente: Ty_l=-1656.52 My_l=-33.92
Tensioni nella sezione: σ=411.13 τ=50.20
CC 26 SLD (Collegamento -179_-383)
Azioni sul collegamento: N=-9506.09 Ty=9.01 Tz=14.51 Mx=-0.00 Mz=5.66
Sollecitazioni agenti localmente: Ty_l=-1662.67 My_l=-34.05
Tensioni nella sezione: σ=412.77 τ=50.38
CC 26 SLD (Collegamento -179_-383)
Azioni sul collegamento: N=-10226.40 Ty=10.19 Tz=11.54 Mx=-0.00 Mz=7.20
Sollecitazioni agenti localmente: Ty_l=-1784.21 My_l=-36.54
Tensioni nella sezione: σ=442.86 τ=54.07
CC 26 SLD (Collegamento -179_-383)
Azioni sul collegamento: N=-10226.40 Ty=9.01 Tz=11.54 Mx=-0.00 Mz=5.66
Sollecitazioni agenti localmente: Ty_l=-1790.36 My_l=-36.67
Tensioni nella sezione: σ=444.50 τ=54.25
CC 26 SLD (Collegamento -179_-383)
Azioni sul collegamento: N=-10226.40 Ty=10.19 Tz=14.51 Mx=-0.00 Mz=7.20
Sollecitazioni agenti localmente: Ty_l=-1784.21 My_l=-36.54
Tensioni nella sezione: σ=442.86 τ=54.07
CC 26 SLD (Collegamento -179_-383)
Azioni sul collegamento: N=-10226.40 Ty=9.01 Tz=14.51 Mx=-0.00 Mz=5.66
Sollecitazioni agenti localmente: Ty_l=-1790.36 My_l=-36.67
Tensioni nella sezione: σ=444.50 τ=54.25
CC 27 SLV (Collegamento -179_-383)
Azioni sul collegamento: N=-10933.80 Ty=8.45 Tz=16.43 Mx=-0.02 Mz=5.25
Sollecitazioni agenti localmente: Ty_l=-1917.39 My_l=-39.28
Tensioni nella sezione: σ=476.09 τ=58.10
CC 27 SLV (Collegamento -179_-383)
Azioni sul collegamento: N=-10933.80 Ty=8.90 Tz=16.43 Mx=-0.02 Mz=3.34
Sollecitazioni agenti localmente: Ty_l=-1924.98 My_l=-39.44
Tensioni nella sezione: σ=478.10 τ=58.33
CC 27 SLV (Collegamento -179_-383)
Azioni sul collegamento: N=-10933.80 Ty=8.45 Tz=8.86 Mx=-0.02 Mz=5.25
Sollecitazioni agenti localmente: Ty_l=-1917.39 My_l=-39.28
Tensioni nella sezione: σ=476.09 τ=58.10
CC 27 SLV (Collegamento -179_-383)
Azioni sul collegamento: N=-10933.80 Ty=8.90 Tz=8.86 Mx=-0.02 Mz=3.34
Sollecitazioni agenti localmente: Ty_l=-1924.98 My_l=-39.44
Tensioni nella sezione: σ=478.10 τ=58.33
CC 27 SLV (Collegamento -179_-383)
Azioni sul collegamento: N=-8604.03 Ty=8.45 Tz=16.43 Mx=-0.02 Mz=5.25
Sollecitazioni agenti localmente: Ty_l=-1504.39 My_l=-30.81
Tensioni nella sezione: σ=373.46 τ=45.59
CC 27 SLV (Collegamento -179_-383)
Azioni sul collegamento: N=-8604.03 Ty=8.90 Tz=16.43 Mx=-0.02 Mz=3.34
Sollecitazioni agenti localmente: Ty_l=-1511.98 My_l=-30.98
Tensioni nella sezione: σ=375.48 τ=45.82
CC 27 SLV (Collegamento -179_-383)
Azioni sul collegamento: N=-8604.03 Ty=8.45 Tz=8.86 Mx=-0.02 Mz=5.25
Sollecitazioni agenti localmente: Ty_l=-1504.39 My_l=-30.81

Tensioni nella sezione: σ=373.46 τ=45.59
CC 27 SLV (Collegamento -179_-383)
Azioni sul collegamento: N=-8604.03 Ty=8.90 Tz=8.86 Mx=-0.02 Mz=3.34
Sollecitazioni agenti localmente: Ty_l=-1511.98 My_l=-30.98
Tensioni nella sezione: σ=375.48 τ=45.82
CC 28 SLD (Collegamento -179_-383)
Azioni sul collegamento: N=-10221.40 Ty=9.53 Tz=14.18 Mx=-0.00 Mz=6.72
Sollecitazioni agenti localmente: Ty_l=-1785.25 My_l=-36.56
Tensioni nella sezione: σ=443.15 τ=54.10
CC 28 SLD (Collegamento -179_-383)
Azioni sul collegamento: N=-10221.40 Ty=9.67 Tz=14.18 Mx=-0.00 Mz=6.14
Sollecitazioni agenti localmente: Ty_l=-1787.56 My_l=-36.61
Tensioni nella sezione: σ=443.77 τ=54.17
CC 28 SLD (Collegamento -179_-383)
Azioni sul collegamento: N=-10221.40 Ty=9.53 Tz=11.87 Mx=-0.00 Mz=6.72
Sollecitazioni agenti localmente: Ty_l=-1785.25 My_l=-36.56
Tensioni nella sezione: σ=443.15 τ=54.10
CC 28 SLD (Collegamento -179_-383)
Azioni sul collegamento: N=-10221.40 Ty=9.67 Tz=11.87 Mx=-0.00 Mz=6.14
Sollecitazioni agenti localmente: Ty_l=-1787.56 My_l=-36.61
Tensioni nella sezione: σ=443.77 τ=54.17
CC 28 SLD (Collegamento -179_-383)
Azioni sul collegamento: N=-9511.03 Ty=9.53 Tz=14.18 Mx=-0.00 Mz=6.72
Sollecitazioni agenti localmente: Ty_l=-1659.31 My_l=-33.98
Tensioni nella sezione: σ=411.86 τ=50.28
CC 28 SLD (Collegamento -179_-383)
Azioni sul collegamento: N=-9511.03 Ty=9.67 Tz=14.18 Mx=-0.00 Mz=6.14
Sollecitazioni agenti localmente: Ty_l=-1661.63 My_l=-34.03
Tensioni nella sezione: σ=412.48 τ=50.35
CC 28 SLD (Collegamento -179_-383)
Azioni sul collegamento: N=-9511.03 Ty=9.53 Tz=11.87 Mx=-0.00 Mz=6.72
Sollecitazioni agenti localmente: Ty_l=-1659.31 My_l=-33.98
Tensioni nella sezione: σ=411.86 τ=50.28
CC 28 SLD (Collegamento -179_-383)
Azioni sul collegamento: N=-9511.03 Ty=9.67 Tz=11.87 Mx=-0.00 Mz=6.14
Sollecitazioni agenti localmente: Ty_l=-1661.63 My_l=-34.03
Tensioni nella sezione: σ=412.48 τ=50.35
CC 29 SLV (Collegamento -179_-383)
Azioni sul collegamento: N=-8604.03 Ty=8.90 Tz=8.86 Mx=-0.00 Mz=3.34
Sollecitazioni agenti localmente: Ty_l=-1511.98 My_l=-30.98
Tensioni nella sezione: σ=375.48 τ=45.82
CC 29 SLV (Collegamento -179_-383)
Azioni sul collegamento: N=-8604.03 Ty=8.45 Tz=8.86 Mx=-0.00 Mz=5.25
Sollecitazioni agenti localmente: Ty_l=-1504.39 My_l=-30.81
Tensioni nella sezione: σ=373.46 τ=45.59
CC 29 SLV (Collegamento -179_-383)
Azioni sul collegamento: N=-8604.03 Ty=8.90 Tz=16.43 Mx=-0.00 Mz=3.34
Sollecitazioni agenti localmente: Ty_l=-1511.98 My_l=-30.98
Tensioni nella sezione: σ=375.48 τ=45.82
CC 29 SLV (Collegamento -179_-383)
Azioni sul collegamento: N=-8604.03 Ty=8.45 Tz=16.43 Mx=-0.00 Mz=5.25
Sollecitazioni agenti localmente: Ty_l=-1504.39 My_l=-30.81
Tensioni nella sezione: σ=373.46 τ=45.59
CC 29 SLV (Collegamento -179_-383)
Azioni sul collegamento: N=-10933.80 Ty=8.90 Tz=8.86 Mx=-0.00 Mz=3.34
Sollecitazioni agenti localmente: Ty_l=-1924.98 My_l=-39.44
Tensioni nella sezione: σ=478.10 τ=58.33
CC 29 SLV (Collegamento -179_-383)
Azioni sul collegamento: N=-10933.80 Ty=8.45 Tz=8.86 Mx=-0.00 Mz=5.25
Sollecitazioni agenti localmente: Ty_l=-1917.39 My_l=-39.28
Tensioni nella sezione: σ=476.09 τ=58.10
CC 29 SLV (Collegamento -179_-383)
Azioni sul collegamento: N=-10933.80 Ty=8.90 Tz=16.43 Mx=-0.00 Mz=3.34
Sollecitazioni agenti localmente: Ty_l=-1924.98 My_l=-39.44
Tensioni nella sezione: σ=478.10 τ=58.33
CC 29 SLV (Collegamento -179_-383)
Azioni sul collegamento: N=-10933.80 Ty=8.45 Tz=16.43 Mx=-0.00 Mz=5.25
Sollecitazioni agenti localmente: Ty_l=-1917.39 My_l=-39.28
Tensioni nella sezione: σ=476.09 τ=58.10
CC 30 SLD (Collegamento -179_-383)
Azioni sul collegamento: N=-9511.03 Ty=9.67 Tz=11.87 Mx=0.00 Mz=6.14
Sollecitazioni agenti localmente: Ty_l=-1661.63 My_l=-34.03
Tensioni nella sezione: σ=412.48 τ=50.35
CC 30 SLD (Collegamento -179_-383)
Azioni sul collegamento: N=-9511.03 Ty=9.53 Tz=11.87 Mx=0.00 Mz=6.72
Sollecitazioni agenti localmente: Ty_l=-1659.31 My_l=-33.98
Tensioni nella sezione: σ=411.86 τ=50.28
CC 30 SLD (Collegamento -179_-383)
Azioni sul collegamento: N=-9511.03 Ty=9.67 Tz=14.18 Mx=0.00 Mz=6.14
Sollecitazioni agenti localmente: Ty_l=-1661.63 My_l=-34.03

Tensioni nella sezione: σ=412.48 τ=50.35
CC 30 SLD (Collegamento -179_-383)
Azioni sul collegamento: N=-9511.03 Ty=9.53 Tz=14.18 Mx=0.00 Mz=6.72
Sollecitazioni agenti localmente: Ty_l=-1659.31 My_l=-33.98
Tensioni nella sezione: σ=411.86 τ=50.28
CC 30 SLD (Collegamento -179_-383)
Azioni sul collegamento: N=-10221.40 Ty=9.67 Tz=11.87 Mx=0.00 Mz=6.14
Sollecitazioni agenti localmente: Ty_l=-1787.56 My_l=-36.61
Tensioni nella sezione: σ=443.77 τ=54.17
CC 30 SLD (Collegamento -179_-383)
Azioni sul collegamento: N=-10221.40 Ty=9.53 Tz=11.87 Mx=0.00 Mz=6.72
Sollecitazioni agenti localmente: Ty_l=-1785.25 My_l=-36.56
Tensioni nella sezione: σ=443.15 τ=54.10
CC 30 SLD (Collegamento -179_-383)
Azioni sul collegamento: N=-10221.40 Ty=9.67 Tz=14.18 Mx=0.00 Mz=6.14
Sollecitazioni agenti localmente: Ty_l=-1787.56 My_l=-36.61
Tensioni nella sezione: σ=443.77 τ=54.17
CC 30 SLD (Collegamento -179_-383)
Azioni sul collegamento: N=-10221.40 Ty=9.53 Tz=14.18 Mx=0.00 Mz=6.72
Sollecitazioni agenti localmente: Ty_l=-1785.25 My_l=-36.56
Tensioni nella sezione: σ=443.15 τ=54.10
CC 31 SLV (Collegamento -179_-383)
Azioni sul collegamento: N=-10950.00 Ty=6.74 Tz=17.52 Mx=-0.00 Mz=1.76
Sollecitazioni agenti localmente: Ty_l=-1934.15 My_l=-39.64
Tensioni nella sezione: σ=480.49 τ=58.61
CC 31 SLV (Collegamento -179_-383)
Azioni sul collegamento: N=-10950.00 Ty=10.61 Tz=17.52 Mx=-0.00 Mz=6.83
Sollecitazioni agenti localmente: Ty_l=-1913.97 My_l=-39.20
Tensioni nella sezione: σ=475.13 τ=58.00
CC 31 SLV (Collegamento -179_-383)
Azioni sul collegamento: N=-10950.00 Ty=6.74 Tz=7.77 Mx=-0.00 Mz=1.76
Sollecitazioni agenti localmente: Ty_l=-1934.15 My_l=-39.64
Tensioni nella sezione: σ=480.49 τ=58.61
CC 31 SLV (Collegamento -179_-383)
Azioni sul collegamento: N=-10950.00 Ty=10.61 Tz=7.77 Mx=-0.00 Mz=6.83
Sollecitazioni agenti localmente: Ty_l=-1913.97 My_l=-39.20
Tensioni nella sezione: σ=475.13 τ=58.00
CC 31 SLV (Collegamento -179_-383)
Azioni sul collegamento: N=-8587.82 Ty=6.74 Tz=17.52 Mx=-0.00 Mz=1.76
Sollecitazioni agenti localmente: Ty_l=-1515.40 My_l=-31.06
Tensioni nella sezione: σ=376.44 τ=45.92
CC 31 SLV (Collegamento -179_-383)
Azioni sul collegamento: N=-8587.82 Ty=10.61 Tz=17.52 Mx=-0.00 Mz=6.83
Sollecitazioni agenti localmente: Ty_l=-1495.22 My_l=-30.61
Tensioni nella sezione: σ=371.08 τ=45.31
CC 31 SLV (Collegamento -179_-383)
Azioni sul collegamento: N=-8587.82 Ty=6.74 Tz=7.77 Mx=-0.00 Mz=1.76
Sollecitazioni agenti localmente: Ty_l=-1515.40 My_l=-31.06
Tensioni nella sezione: σ=376.44 τ=45.92
CC 31 SLV (Collegamento -179_-383)
Azioni sul collegamento: N=-8587.82 Ty=10.61 Tz=7.77 Mx=-0.00 Mz=6.83
Sollecitazioni agenti localmente: Ty_l=-1495.22 My_l=-30.61
Tensioni nella sezione: σ=371.08 τ=45.31
CC 32 SLD (Collegamento -179_-383)
Azioni sul collegamento: N=-10226.40 Ty=9.01 Tz=14.51 Mx=0.00 Mz=5.66
Sollecitazioni agenti localmente: Ty_l=-1790.36 My_l=-36.67
Tensioni nella sezione: σ=444.50 τ=54.25
CC 32 SLD (Collegamento -179_-383)
Azioni sul collegamento: N=-10226.40 Ty=10.19 Tz=14.51 Mx=0.00 Mz=7.20
Sollecitazioni agenti localmente: Ty_l=-1784.21 My_l=-36.54
Tensioni nella sezione: σ=442.86 τ=54.07
CC 32 SLD (Collegamento -179_-383)
Azioni sul collegamento: N=-10226.40 Ty=9.01 Tz=11.54 Mx=0.00 Mz=5.66
Sollecitazioni agenti localmente: Ty_l=-1790.36 My_l=-36.67
Tensioni nella sezione: σ=444.50 τ=54.25
CC 32 SLD (Collegamento -179_-383)
Azioni sul collegamento: N=-10226.40 Ty=10.19 Tz=11.54 Mx=0.00 Mz=7.20
Sollecitazioni agenti localmente: Ty_l=-1784.21 My_l=-36.54
Tensioni nella sezione: σ=442.86 τ=54.07
CC 32 SLD (Collegamento -179_-383)
Azioni sul collegamento: N=-9506.09 Ty=9.01 Tz=14.51 Mx=0.00 Mz=5.66
Sollecitazioni agenti localmente: Ty_l=-1662.67 My_l=-34.05
Tensioni nella sezione: σ=412.77 τ=50.38
CC 32 SLD (Collegamento -179_-383)
Azioni sul collegamento: N=-9506.09 Ty=10.19 Tz=14.51 Mx=0.00 Mz=7.20
Sollecitazioni agenti localmente: Ty_l=-1656.52 My_l=-33.92
Tensioni nella sezione: σ=411.13 τ=50.20
CC 32 SLD (Collegamento -179_-383)
Azioni sul collegamento: N=-9506.09 Ty=9.01 Tz=11.54 Mx=0.00 Mz=5.66
Sollecitazioni agenti localmente: Ty_l=-1662.67 My_l=-34.05

Tensioni nella sezione: σ=412.77 τ=50.38
CC 32 SLD (Collegamento -179_-383)
Azioni sul collegamento: N=-9506.09 Ty=10.19 Tz=11.54 Mx=0.00 Mz=7.20
Sollecitazioni agenti localmente: Ty_l=-1656.52 My_l=-33.92
Tensioni nella sezione: σ=411.13 τ=50.20
CC 33 SLU (Collegamento -179_-383)
Azioni sul collegamento: N=-36428.20 Ty=20.21 Tz=102.49 Mx=0.01 Mz=15.01
Sollecitazioni agenti localmente: Ty_l=-6398.02 My_l=-131.08
Tensioni nella sezione: σ=1588.80 τ=193.88
CC 34 SLU (Collegamento -179_-383)
Azioni sul collegamento: N=-37242.40 Ty=20.96 Tz=105.49 Mx=0.01 Mz=15.56
Sollecitazioni agenti localmente: Ty_l=-6540.16 My_l=-133.99
Tensioni nella sezione: σ=1624.08 τ=198.19
CC 35 SLU (Collegamento -179_-383)
Azioni sul collegamento: N=-36836.10 Ty=20.67 Tz=103.93 Mx=0.00 Mz=15.47
Sollecitazioni agenti localmente: Ty_l=-6468.52 My_l=-132.52
Tensioni nella sezione: σ=1606.29 τ=196.02
CC 36 SLU (Collegamento -179_-383)
Azioni sul collegamento: N=-36834.40 Ty=20.49 Tz=104.05 Mx=0.01 Mz=15.10
Sollecitazioni agenti localmente: Ty_l=-6469.66 My_l=-132.54
Tensioni nella sezione: σ=1606.59 τ=196.05
CC 37 SLU (Collegamento -179_-383)
Azioni sul collegamento: N=-29660.30 Ty=-10.68 Tz=77.11 Mx=0.01 Mz=-8.42
Sollecitazioni agenti localmente: Ty_l=-5291.46 My_l=-108.52
Tensioni nella sezione: σ=1315.42 τ=160.35
CC 38 SLU (Collegamento -179_-383)
Azioni sul collegamento: N=-30474.50 Ty=-9.93 Tz=80.11 Mx=0.01 Mz=-7.87
Sollecitazioni agenti localmente: Ty_l=-5433.61 My_l=-111.43
Tensioni nella sezione: σ=1350.70 τ=164.66
CC 39 SLU (Collegamento -179_-383)
Azioni sul collegamento: N=-30068.30 Ty=-10.21 Tz=78.55 Mx=0.00 Mz=-7.97
Sollecitazioni agenti localmente: Ty_l=-5361.96 My_l=-109.97
Tensioni nella sezione: σ=1332.90 τ=162.48
CC 40 SLU (Collegamento -179_-383)
Azioni sul collegamento: N=-30066.50 Ty=-10.39 Tz=78.67 Mx=0.01 Mz=-8.33
Sollecitazioni agenti localmente: Ty_l=-5363.10 My_l=-109.99
Tensioni nella sezione: σ=1333.21 τ=162.52
CC 41 SLU (Collegamento -179_-383)
Azioni sul collegamento: N=-27261.60 Ty=19.33 Tz=68.83 Mx=0.01 Mz=14.21
Sollecitazioni agenti localmente: Ty_l=-4776.20 My_l=-97.83
Tensioni nella sezione: σ=1185.86 τ=144.73
CC 42 SLU (Collegamento -179_-383)
Azioni sul collegamento: N=-28075.80 Ty=20.08 Tz=71.84 Mx=0.01 Mz=14.76
Sollecitazioni agenti localmente: Ty_l=-4918.35 My_l=-100.74
Tensioni nella sezione: σ=1221.14 τ=149.04
CC 43 SLU (Collegamento -179_-383)
Azioni sul collegamento: N=-27669.60 Ty=19.79 Tz=70.28 Mx=0.00 Mz=14.67
Sollecitazioni agenti localmente: Ty_l=-4846.71 My_l=-99.28
Tensioni nella sezione: σ=1203.34 τ=146.87
CC 44 SLU (Collegamento -179_-383)
Azioni sul collegamento: N=-27667.80 Ty=19.61 Tz=70.39 Mx=0.01 Mz=14.31
Sollecitazioni agenti localmente: Ty_l=-4847.84 My_l=-99.30
Tensioni nella sezione: σ=1203.65 τ=146.90
CC 45 SLU (Collegamento -179_-383)
Azioni sul collegamento: N=-29271.60 Ty=19.56 Tz=76.22 Mx=0.00 Mz=14.53
Sollecitazioni agenti localmente: Ty_l=-5131.26 My_l=-105.11
Tensioni nella sezione: σ=1274.06 τ=155.49
CC 46 SLU (Collegamento -179_-383)
Azioni sul collegamento: N=-30085.80 Ty=20.31 Tz=79.22 Mx=0.00 Mz=15.08
Sollecitazioni agenti localmente: Ty_l=-5273.40 My_l=-108.02
Tensioni nella sezione: σ=1309.34 τ=159.80
CC 47 SLU (Collegamento -179_-383)
Azioni sul collegamento: N=-29679.60 Ty=20.02 Tz=77.66 Mx=0.00 Mz=14.99
Sollecitazioni agenti localmente: Ty_l=-5201.76 My_l=-106.55
Tensioni nella sezione: σ=1291.55 τ=157.63
CC 48 SLU (Collegamento -179_-383)
Azioni sul collegamento: N=-29677.80 Ty=19.84 Tz=77.78 Mx=0.01 Mz=14.62
Sollecitazioni agenti localmente: Ty_l=-5202.90 My_l=-106.58
Tensioni nella sezione: σ=1291.86 τ=157.66
CC 49 SLU (Collegamento -179_-383)
Azioni sul collegamento: N=-24208.20 Ty=-3.55 Tz=57.23 Mx=0.01 Mz=-3.00
Sollecitazioni agenti localmente: Ty_l=-4303.39 My_l=-88.24
Tensioni nella sezione: σ=1069.53 τ=130.41
CC 50 SLU (Collegamento -179_-383)
Azioni sul collegamento: N=-25022.40 Ty=-2.80 Tz=60.23 Mx=0.01 Mz=-2.45
Sollecitazioni agenti localmente: Ty_l=-4445.53 My_l=-91.15
Tensioni nella sezione: σ=1104.81 τ=134.71
CC 51 SLU (Collegamento -179_-383)
Azioni sul collegamento: N=-24616.20 Ty=-3.08 Tz=58.67 Mx=0.00 Mz=-2.54
Sollecitazioni agenti localmente: Ty_l=-4373.89 My_l=-89.68

Tensioni nella sezione: σ=1087.02 τ=132.54
CC 52 SLU (Collegamento -179_-383)
Azioni sul collegamento: N=-24614.40 Ty=-3.26 Tz=58.79 Mx=0.01 Mz=-2.91
Sollecitazioni agenti localmente: Ty_l=-4375.03 My_l=-89.70
Tensioni nella sezione: σ=1087.33 τ=132.58
CC 53 SLU (Collegamento -179_-383)
Azioni sul collegamento: N=-22413.60 Ty=18.90 Tz=51.04 Mx=0.00 Mz=13.93
Sollecitazioni agenti localmente: Ty_l=-3917.90 My_l=-80.24
Tensioni nella sezione: σ=972.60 τ=118.72
CC 54 SLU (Collegamento -179_-383)
Azioni sul collegamento: N=-23227.90 Ty=19.65 Tz=54.04 Mx=0.00 Mz=14.49
Sollecitazioni agenti localmente: Ty_l=-4060.05 My_l=-83.15
Tensioni nella sezione: σ=1007.88 τ=123.03
CC 55 SLU (Collegamento -179_-383)
Azioni sul collegamento: N=-22821.60 Ty=19.36 Tz=52.48 Mx=0.00 Mz=14.39
Sollecitazioni agenti localmente: Ty_l=-3988.41 My_l=-81.68
Tensioni nella sezione: σ=990.09 τ=120.86
CC 56 SLU (Collegamento -179_-383)
Azioni sul collegamento: N=-22819.90 Ty=19.19 Tz=52.60 Mx=0.01 Mz=14.03
Sollecitazioni agenti localmente: Ty_l=-3989.54 My_l=-81.71
Tensioni nella sezione: σ=990.39 τ=120.89
CC 57 SLU (Collegamento -179_-383)
Azioni sul collegamento: N=-30019.90 Ty=20.54 Tz=79.01 Mx=0.00 Mz=15.25
Sollecitazioni agenti localmente: Ty_l=-5261.06 My_l=-107.77
Tensioni nella sezione: σ=1306.26 τ=159.43
CC 58 SLU (Collegamento -179_-383)
Azioni sul collegamento: N=-30834.10 Ty=21.29 Tz=82.01 Mx=0.00 Mz=15.80
Sollecitazioni agenti localmente: Ty_l=-5403.20 My_l=-110.68
Tensioni nella sezione: σ=1341.55 τ=163.73
CC 59 SLU (Collegamento -179_-383)
Azioni sul collegamento: N=-30427.90 Ty=21.01 Tz=80.45 Mx=0.00 Mz=15.71
Sollecitazioni agenti localmente: Ty_l=-5331.56 My_l=-109.21
Tensioni nella sezione: σ=1323.75 τ=161.56
CC 60 SLU (Collegamento -179_-383)
Azioni sul collegamento: N=-30426.20 Ty=20.83 Tz=80.57 Mx=0.01 Mz=15.34
Sollecitazioni agenti localmente: Ty_l=-5332.70 My_l=-109.23
Tensioni nella sezione: σ=1324.06 τ=161.60
CC 61 SLU (Collegamento -179_-383)
Azioni sul collegamento: N=-24956.60 Ty=-2.56 Tz=60.02 Mx=0.00 Mz=-2.28
Sollecitazioni agenti localmente: Ty_l=-4433.19 My_l=-90.89
Tensioni nella sezione: σ=1101.73 τ=134.34
CC 62 SLU (Collegamento -179_-383)
Azioni sul collegamento: N=-25770.80 Ty=-1.81 Tz=63.02 Mx=0.00 Mz=-1.73
Sollecitazioni agenti localmente: Ty_l=-4575.33 My_l=-93.80
Tensioni nella sezione: σ=1137.02 τ=138.65
CC 63 SLU (Collegamento -179_-383)
Azioni sul collegamento: N=-25364.60 Ty=-2.10 Tz=61.46 Mx=0.00 Mz=-1.82
Sollecitazioni agenti localmente: Ty_l=-4503.69 My_l=-92.34
Tensioni nella sezione: σ=1119.22 τ=136.48
CC 64 SLU (Collegamento -179_-383)
Azioni sul collegamento: N=-25362.80 Ty=-2.28 Tz=61.58 Mx=0.01 Mz=-2.19
Sollecitazioni agenti localmente: Ty_l=-4504.83 My_l=-92.36
Tensioni nella sezione: σ=1119.53 τ=136.51
CC 65 SLU (Collegamento -179_-383)
Azioni sul collegamento: N=-23162.00 Ty=19.88 Tz=53.83 Mx=0.00 Mz=14.66
Sollecitazioni agenti localmente: Ty_l=-4047.70 My_l=-82.90
Tensioni nella sezione: σ=1004.80 τ=122.66
CC 66 SLU (Collegamento -179_-383)
Azioni sul collegamento: N=-23976.20 Ty=20.63 Tz=56.84 Mx=0.00 Mz=15.21
Sollecitazioni agenti localmente: Ty_l=-4189.84 My_l=-85.81
Tensioni nella sezione: σ=1040.09 τ=126.97
CC 67 SLU (Collegamento -179_-383)
Azioni sul collegamento: N=-23570.00 Ty=20.35 Tz=55.27 Mx=0.00 Mz=15.11
Sollecitazioni agenti localmente: Ty_l=-4118.20 My_l=-84.34
Tensioni nella sezione: σ=1022.29 τ=124.79
CC 68 SLU (Collegamento -179_-383)
Azioni sul collegamento: N=-23568.20 Ty=20.17 Tz=55.39 Mx=0.01 Mz=14.75
Sollecitazioni agenti localmente: Ty_l=-4119.34 My_l=-84.36
Tensioni nella sezione: σ=1022.60 τ=124.83
CC 97 SLU (Collegamento -179_-383)
Azioni sul collegamento: N=-12126.50 Ty=21.64 Tz=21.62 Mx=0.05 Mz=23.37
Sollecitazioni agenti localmente: Ty_l=-2056.73 My_l=-42.03
Tensioni nella sezione: σ=509.49 τ=62.33
CC 98 SLU (Collegamento -179_-383)
Azioni sul collegamento: N=-12940.70 Ty=22.39 Tz=24.63 Mx=0.05 Mz=23.92
Sollecitazioni agenti localmente: Ty_l=-2198.88 My_l=-44.94
Tensioni nella sezione: σ=544.77 τ=66.63
CC 99 SLU (Collegamento -179_-383)
Azioni sul collegamento: N=-12534.50 Ty=22.10 Tz=23.06 Mx=0.05 Mz=23.83
Sollecitazioni agenti localmente: Ty_l=-2127.24 My_l=-43.48

Tensioni nella sezione: σ=526.98 τ=64.46
CC 100 SLU (Collegamento -179_-383)
Azioni sul collegamento: N=-12532.70 Ty=21.92 Tz=23.18 Mx=0.05 Mz=23.46
Sollecitazioni agenti localmente: Ty_l=-2128.37 My_l=-43.50
Tensioni nella sezione: σ=527.29 τ=64.50
CC 101 SLU (Collegamento -179_-383)
Azioni sul collegamento: N=-9752.38 Ty=7.57 Tz=12.50 Mx=-0.00 Mz=4.76
Sollecitazioni agenti localmente: Ty_l=-1709.89 My_l=-35.03
Tensioni nella sezione: σ=424.56 τ=51.81
CC 102 SLU (Collegamento -179_-383)
Azioni sul collegamento: N=-10566.60 Ty=8.33 Tz=15.50 Mx=-0.00 Mz=5.31
Sollecitazioni agenti localmente: Ty_l=-1852.04 My_l=-37.94
Tensioni nella sezione: σ=459.84 τ=56.12
CC 103 SLU (Collegamento -179_-383)
Azioni sul collegamento: N=-10160.40 Ty=8.04 Tz=13.94 Mx=-0.00 Mz=5.22
Sollecitazioni agenti localmente: Ty_l=-1780.39 My_l=-36.47
Tensioni nella sezione: σ=442.05 τ=53.95
CC 104 SLU (Collegamento -179_-383)
Azioni sul collegamento: N=-10158.60 Ty=7.86 Tz=14.06 Mx=-0.00 Mz=4.85
Sollecitazioni agenti localmente: Ty_l=-1781.53 My_l=-36.49
Tensioni nella sezione: σ=442.36 τ=53.99

Collegamento -182_-384

Piastra 220.00 x 220.00 s=15.00 - 6 Tirafondi ϕ 16 - Profondità di infissione: 350.00
3 righe ad interasse 89.00
2 colonne ad interasse 178.00
Altezza di gola saldature: anima 7.07 - ala 7.07

Tirafondi e calcestruzzo

CC 1 SLV (Collegamento -182_-384)
Azioni sul collegamento: N=-5856.57 Ty=-4.82 Tz=-1.96 Mx=0.01 Mz=-1.13
Sollecitazioni agenti localmente: Tx_l=-4.82 Ty_l=-1.96 N_l=-5856.57 Mx_l=-0.00 My_l=-1.13 Mz_l=0.01
Taglio nei bulloni: Fv,Ed=0.88 Fv,Rd=7720.78
Rifollamento lato piastra: Fb,Ed,p=0.87 Fb,Rd,p=7301.70
Tirafondi:LT=0.45 (0.31) σ_{cR}=0.00 σ_{fR}=0.00
Compressione nel calcestruzzo: σ_c=12.16
CC 1 SLV (Collegamento -182_-384)
Azioni sul collegamento: N=-5856.57 Ty=-12.53 Tz=-1.96 Mx=0.01 Mz=-7.45
Sollecitazioni agenti localmente: Tx_l=-12.53 Ty_l=-1.96 N_l=-5856.57 Mx_l=-0.00 My_l=-7.45 Mz_l=0.01
Taglio nei bulloni: Fv,Ed=2.13 Fv,Rd=7720.78
Rifollamento lato piastra: Fb,Ed,p=2.12 Fb,Rd,p=6176.86
Tirafondi:LT=0.45 (0.31) σ_{cR}=0.00 σ_{fR}=0.00
Compressione nel calcestruzzo: σ_c=12.52
CC 1 SLV (Collegamento -182_-384)
Azioni sul collegamento: N=-5856.57 Ty=-4.82 Tz=27.25 Mx=0.01 Mz=-1.13
Sollecitazioni agenti localmente: Tx_l=-4.82 Ty_l=27.25 N_l=-5856.57 Mx_l=-0.00 My_l=-1.13 Mz_l=0.01
Taglio nei bulloni: Fv,Ed=4.63 Fv,Rd=7720.78
Rifollamento lato piastra: Fb,Ed,p=4.62 Fb,Rd,p=6246.93
Tirafondi:LT=0.45 (0.31) σ_{cR}=0.00 σ_{fR}=0.00
Compressione nel calcestruzzo: σ_c=12.16
CC 1 SLV (Collegamento -182_-384)
Azioni sul collegamento: N=-5856.57 Ty=-12.53 Tz=27.25 Mx=0.01 Mz=-7.45
Sollecitazioni agenti localmente: Tx_l=-12.53 Ty_l=27.25 N_l=-5856.57 Mx_l=-0.00 My_l=-7.45 Mz_l=0.01
Taglio nei bulloni: Fv,Ed=5.02 Fv,Rd=7720.78
Rifollamento lato piastra: Fb,Ed,p=5.01 Fb,Rd,p=7849.70
Tirafondi:LT=0.45 (0.31) σ_{cR}=0.00 σ_{fR}=0.00
Compressione nel calcestruzzo: σ_c=12.52
CC 1 SLV (Collegamento -182_-384)
Azioni sul collegamento: N=-13681.20 Ty=-4.82 Tz=-1.96 Mx=0.01 Mz=-1.13
Sollecitazioni agenti localmente: Tx_l=-4.82 Ty_l=-1.96 N_l=-13681.20 Mx_l=-0.00 My_l=-1.13 Mz_l=0.01
Taglio nei bulloni: Fv,Ed=0.88 Fv,Rd=7720.78
Rifollamento lato piastra: Fb,Ed,p=0.87 Fb,Rd,p=7301.58
Tirafondi:LT=0.45 (0.31) σ_{cR}=0.00 σ_{fR}=0.00
Compressione nel calcestruzzo: σ_c=28.33
CC 1 SLV (Collegamento -182_-384)
Azioni sul collegamento: N=-13681.20 Ty=-12.53 Tz=-1.96 Mx=0.01 Mz=-7.45
Sollecitazioni agenti localmente: Tx_l=-12.53 Ty_l=-1.96 N_l=-13681.20 Mx_l=-0.00 My_l=-7.45 Mz_l=0.01
Taglio nei bulloni: Fv,Ed=2.13 Fv,Rd=7720.78
Rifollamento lato piastra: Fb,Ed,p=2.12 Fb,Rd,p=6176.85
Tirafondi:LT=0.45 (0.31) σ_{cR}=0.00 σ_{fR}=0.00
Compressione nel calcestruzzo: σ_c=28.69
CC 1 SLV (Collegamento -182_-384)
Azioni sul collegamento: N=-13681.20 Ty=-4.82 Tz=27.25 Mx=0.01 Mz=-1.13
Sollecitazioni agenti localmente: Tx_l=-4.82 Ty_l=27.25 N_l=-13681.20 Mx_l=-0.00 My_l=-1.13 Mz_l=0.01
Taglio nei bulloni: Fv,Ed=4.63 Fv,Rd=7720.78
Rifollamento lato piastra: Fb,Ed,p=4.62 Fb,Rd,p=6246.92
Tirafondi:LT=0.45 (0.31) σ_{cR}=0.00 σ_{fR}=0.00
Compressione nel calcestruzzo: σ_c=28.33

CC 1 SLV (Collegamento -182_-384)
Azioni sul collegamento: N=-13681.20 Ty=-12.53 Tz=27.25 Mx=0.01 Mz=-7.45
Sollecitazioni agenti localmente: Tx_l=-12.53 Ty_l=27.25 N_l=-13681.20 Mx_l=-0.00 My_l=-7.45 Mz_l=0.01
Taglio nei bulloni: Fv,Ed=5.02 Fv,Rd=7720.78
Rifollamento lato piastra: Fb,Ed,p=5.01 Fb,Rd,p=7849.67
Tirafondi:LT=0.45 (0.31) σ_{cR}=0.00 σ_{fR}=0.00
Compressione nel calcestruzzo: σ_c=28.69
CC 2 SLD (Collegamento -182_-384)
Azioni sul collegamento: N=-8673.24 Ty=-8.42 Tz=8.57 Mx=0.00 Mz=-5.47
Sollecitazioni agenti localmente: Tx_l=-8.42 Ty_l=8.57 N_l=-8673.24 Mx_l=-0.00 My_l=-5.47 Mz_l=0.00
Taglio nei bulloni: Fv,Ed=2.01 Fv,Rd=9650.97
Rifollamento lato piastra: Fb,Ed,p=2.00 Fb,Rd,p=14893.10
Tirafondi:LT=0.45 (0.31) σ_{cR}=0.00 σ_{fR}=0.00
Compressione nel calcestruzzo: σ_c=18.23
CC 2 SLD (Collegamento -182_-384)
Azioni sul collegamento: N=-8673.24 Ty=-10.78 Tz=8.57 Mx=0.00 Mz=-7.39
Sollecitazioni agenti localmente: Tx_l=-10.78 Ty_l=8.57 N_l=-8673.24 Mx_l=-0.00 My_l=-7.39 Mz_l=0.00
Taglio nei bulloni: Fv,Ed=2.30 Fv,Rd=9650.97
Rifollamento lato piastra: Fb,Ed,p=2.30 Fb,Rd,p=13577.30
Tirafondi:LT=0.45 (0.31) σ_{cR}=0.00 σ_{fR}=0.00
Compressione nel calcestruzzo: σ_c=18.34
CC 2 SLD (Collegamento -182_-384)
Azioni sul collegamento: N=-8673.24 Ty=-8.42 Tz=17.48 Mx=0.00 Mz=-5.47
Sollecitazioni agenti localmente: Tx_l=-8.42 Ty_l=17.48 N_l=-8673.24 Mx_l=-0.00 My_l=-5.47 Mz_l=0.00
Taglio nei bulloni: Fv,Ed=3.24 Fv,Rd=9650.97
Rifollamento lato piastra: Fb,Ed,p=3.23 Fb,Rd,p=10084.80
Tirafondi:LT=0.45 (0.31) σ_{cR}=0.00 σ_{fR}=0.00
Compressione nel calcestruzzo: σ_c=18.23
CC 2 SLD (Collegamento -182_-384)
Azioni sul collegamento: N=-8673.24 Ty=-10.78 Tz=17.48 Mx=0.00 Mz=-7.39
Sollecitazioni agenti localmente: Tx_l=-10.78 Ty_l=17.48 N_l=-8673.24 Mx_l=-0.00 My_l=-7.39 Mz_l=0.00
Taglio nei bulloni: Fv,Ed=3.42 Fv,Rd=9650.97
Rifollamento lato piastra: Fb,Ed,p=3.42 Fb,Rd,p=11786.20
Tirafondi:LT=0.45 (0.31) σ_{cR}=0.00 σ_{fR}=0.00
Compressione nel calcestruzzo: σ_c=18.34
CC 2 SLD (Collegamento -182_-384)
Azioni sul collegamento: N=-11059.20 Ty=-8.42 Tz=8.57 Mx=0.00 Mz=-5.47
Sollecitazioni agenti localmente: Tx_l=-8.42 Ty_l=8.57 N_l=-11059.20 Mx_l=-0.00 My_l=-5.47 Mz_l=0.00
Taglio nei bulloni: Fv,Ed=2.01 Fv,Rd=9650.97
Rifollamento lato piastra: Fb,Ed,p=2.00 Fb,Rd,p=14893.40
Tirafondi:LT=0.45 (0.31) σ_{cR}=0.00 σ_{fR}=0.00
Compressione nel calcestruzzo: σ_c=23.16
CC 2 SLD (Collegamento -182_-384)
Azioni sul collegamento: N=-11059.20 Ty=-10.78 Tz=8.57 Mx=0.00 Mz=-7.39
Sollecitazioni agenti localmente: Tx_l=-10.78 Ty_l=8.57 N_l=-11059.20 Mx_l=-0.00 My_l=-7.39 Mz_l=0.00
Taglio nei bulloni: Fv,Ed=2.30 Fv,Rd=9650.97
Rifollamento lato piastra: Fb,Ed,p=2.30 Fb,Rd,p=13577.10
Tirafondi:LT=0.45 (0.31) σ_{cR}=0.00 σ_{fR}=0.00
Compressione nel calcestruzzo: σ_c=23.27
CC 2 SLD (Collegamento -182_-384)
Azioni sul collegamento: N=-11059.20 Ty=-8.42 Tz=17.48 Mx=0.00 Mz=-5.47
Sollecitazioni agenti localmente: Tx_l=-8.42 Ty_l=17.48 N_l=-11059.20 Mx_l=-0.00 My_l=-5.47 Mz_l=0.00
Taglio nei bulloni: Fv,Ed=3.24 Fv,Rd=9650.97
Rifollamento lato piastra: Fb,Ed,p=3.23 Fb,Rd,p=10084.80
Tirafondi:LT=0.45 (0.31) σ_{cR}=0.00 σ_{fR}=0.00
Compressione nel calcestruzzo: σ_c=23.16
CC 2 SLD (Collegamento -182_-384)
Azioni sul collegamento: N=-11059.20 Ty=-10.78 Tz=17.48 Mx=0.00 Mz=-7.39
Sollecitazioni agenti localmente: Tx_l=-10.78 Ty_l=17.48 N_l=-11059.20 Mx_l=-0.00 My_l=-7.39 Mz_l=0.00
Taglio nei bulloni: Fv,Ed=3.42 Fv,Rd=9650.97
Rifollamento lato piastra: Fb,Ed,p=3.42 Fb,Rd,p=11786.20
Tirafondi:LT=0.45 (0.31) σ_{cR}=0.00 σ_{fR}=0.00
Compressione nel calcestruzzo: σ_c=23.27
CC 3 SLV (Collegamento -182_-384)
Azioni sul collegamento: N=-5861.42 Ty=-5.33 Tz=-1.63 Mx=0.01 Mz=-2.18
Sollecitazioni agenti localmente: Tx_l=-5.33 Ty_l=-1.63 N_l=-5861.42 Mx_l=-0.00 My_l=-2.18 Mz_l=0.01
Taglio nei bulloni: Fv,Ed=0.94 Fv,Rd=7720.78
Rifollamento lato piastra: Fb,Ed,p=0.93 Fb,Rd,p=6755.51
Tirafondi:LT=0.45 (0.31) σ_{cR}=0.00 σ_{fR}=0.00
Compressione nel calcestruzzo: σ_c=12.23
CC 3 SLV (Collegamento -182_-384)
Azioni sul collegamento: N=-5861.42 Ty=-12.02 Tz=-1.63 Mx=0.01 Mz=-6.41
Sollecitazioni agenti localmente: Tx_l=-12.02 Ty_l=-1.63 N_l=-5861.42 Mx_l=-0.00 My_l=-6.41 Mz_l=0.01
Taglio nei bulloni: Fv,Ed=2.03 Fv,Rd=7720.78
Rifollamento lato piastra: Fb,Ed,p=2.03 Fb,Rd,p=6132.69
Tirafondi:LT=0.45 (0.31) σ_{cR}=0.00 σ_{fR}=0.00
Compressione nel calcestruzzo: σ_c=12.47
CC 3 SLV (Collegamento -182_-384)
Azioni sul collegamento: N=-5861.42 Ty=-5.33 Tz=26.92 Mx=0.01 Mz=-2.18
Sollecitazioni agenti localmente: Tx_l=-5.33 Ty_l=26.92 N_l=-5861.42 Mx_l=-0.00 My_l=-2.18 Mz_l=0.01

Taglio nei bulloni: Fv,Ed=4.58 Fv,Rd=7720.78
Rifollamento lato piastra: Fb,Ed,p=4.58 Fb,Rd,p=6321.24
Tirafondi:LT=0.45 (0.31) σ_{cR}=0.00 σ_{fR}=0.00
Compressione nel calcestruzzo: σ_c=12.23
CC 3 SLV (Collegamento -182_-384)
Azioni sul collegamento: N=-5861.42 Ty=-12.02 Tz=26.92 Mx=0.01 Mz=-6.41
Sollecitazioni agenti localmente: Tx_l=-12.02 Ty_l=26.92 N_l=-5861.42 Mx_l=-0.00 My_l=-6.41 Mz_l=0.01
Taglio nei bulloni: Fv,Ed=4.92 Fv,Rd=7720.78
Rifollamento lato piastra: Fb,Ed,p=4.92 Fb,Rd,p=7753.06
Tirafondi:LT=0.45 (0.31) σ_{cR}=0.00 σ_{fR}=0.00
Compressione nel calcestruzzo: σ_c=12.47
CC 3 SLV (Collegamento -182_-384)
Azioni sul collegamento: N=-13676.40 Ty=-5.33 Tz=-1.63 Mx=0.01 Mz=-2.18
Sollecitazioni agenti localmente: Tx_l=-5.33 Ty_l=-1.63 N_l=-13676.40 Mx_l=-0.00 My_l=-2.18 Mz_l=0.01
Taglio nei bulloni: Fv,Ed=0.94 Fv,Rd=7720.78
Rifollamento lato piastra: Fb,Ed,p=0.93 Fb,Rd,p=6754.90
Tirafondi:LT=0.45 (0.31) σ_{cR}=0.00 σ_{fR}=0.00
Compressione nel calcestruzzo: σ_c=28.38
CC 3 SLV (Collegamento -182_-384)
Azioni sul collegamento: N=-13676.40 Ty=-12.02 Tz=-1.63 Mx=0.01 Mz=-6.41
Sollecitazioni agenti localmente: Tx_l=-12.02 Ty_l=-1.63 N_l=-13676.40 Mx_l=-0.00 My_l=-6.41 Mz_l=0.01
Taglio nei bulloni: Fv,Ed=2.03 Fv,Rd=7720.78
Rifollamento lato piastra: Fb,Ed,p=2.03 Fb,Rd,p=6132.57
Tirafondi:LT=0.45 (0.31) σ_{cR}=0.00 σ_{fR}=0.00
Compressione nel calcestruzzo: σ_c=28.62
CC 3 SLV (Collegamento -182_-384)
Azioni sul collegamento: N=-13676.40 Ty=-5.33 Tz=26.92 Mx=0.01 Mz=-2.18
Sollecitazioni agenti localmente: Tx_l=-5.33 Ty_l=26.92 N_l=-13676.40 Mx_l=-0.00 My_l=-2.18 Mz_l=0.01
Taglio nei bulloni: Fv,Ed=4.58 Fv,Rd=7720.78
Rifollamento lato piastra: Fb,Ed,p=4.58 Fb,Rd,p=6321.23
Tirafondi:LT=0.45 (0.31) σ_{cR}=0.00 σ_{fR}=0.00
Compressione nel calcestruzzo: σ_c=28.38
CC 3 SLV (Collegamento -182_-384)
Azioni sul collegamento: N=-13676.40 Ty=-12.02 Tz=26.92 Mx=0.01 Mz=-6.41
Sollecitazioni agenti localmente: Tx_l=-12.02 Ty_l=26.92 N_l=-13676.40 Mx_l=-0.00 My_l=-6.41 Mz_l=0.01
Taglio nei bulloni: Fv,Ed=4.92 Fv,Rd=7720.78
Rifollamento lato piastra: Fb,Ed,p=4.92 Fb,Rd,p=7753.00
Tirafondi:LT=0.45 (0.31) σ_{cR}=0.00 σ_{fR}=0.00
Compressione nel calcestruzzo: σ_c=28.62
CC 4 SLD (Collegamento -182_-384)
Azioni sul collegamento: N=-8674.72 Ty=-8.58 Tz=8.67 Mx=-0.00 Mz=-5.79
Sollecitazioni agenti localmente: Tx_l=-8.58 Ty_l=8.67 N_l=-8674.72 Mx_l=-0.00 My_l=-5.79 Mz_l=-0.00
Taglio nei bulloni: Fv,Ed=2.03 Fv,Rd=9650.97
Rifollamento lato piastra: Fb,Ed,p=2.03 Fb,Rd,p=14943.70
Tirafondi:LT=0.45 (0.31) σ_{cR}=0.00 σ_{fR}=0.00
Compressione nel calcestruzzo: σ_c=18.25
CC 4 SLD (Collegamento -182_-384)
Azioni sul collegamento: N=-8674.72 Ty=-10.62 Tz=8.67 Mx=-0.00 Mz=-7.07
Sollecitazioni agenti localmente: Tx_l=-10.62 Ty_l=8.67 N_l=-8674.72 Mx_l=-0.00 My_l=-7.07 Mz_l=-0.00
Taglio nei bulloni: Fv,Ed=2.29 Fv,Rd=9650.97
Rifollamento lato piastra: Fb,Ed,p=2.29 Fb,Rd,p=13715.40
Tirafondi:LT=0.45 (0.31) σ_{cR}=0.00 σ_{fR}=0.00
Compressione nel calcestruzzo: σ_c=18.32
CC 4 SLD (Collegamento -182_-384)
Azioni sul collegamento: N=-8674.72 Ty=-8.58 Tz=17.38 Mx=-0.00 Mz=-5.79
Sollecitazioni agenti localmente: Tx_l=-8.58 Ty_l=17.38 N_l=-8674.72 Mx_l=-0.00 My_l=-5.79 Mz_l=-0.00
Taglio nei bulloni: Fv,Ed=3.23 Fv,Rd=9650.97
Rifollamento lato piastra: Fb,Ed,p=3.23 Fb,Rd,p=10224.70
Tirafondi:LT=0.45 (0.31) σ_{cR}=0.00 σ_{fR}=0.00
Compressione nel calcestruzzo: σ_c=18.25
CC 4 SLD (Collegamento -182_-384)
Azioni sul collegamento: N=-8674.72 Ty=-10.62 Tz=17.38 Mx=-0.00 Mz=-7.07
Sollecitazioni agenti localmente: Tx_l=-10.62 Ty_l=17.38 N_l=-8674.72 Mx_l=-0.00 My_l=-7.07 Mz_l=-0.00
Taglio nei bulloni: Fv,Ed=3.40 Fv,Rd=9650.97
Rifollamento lato piastra: Fb,Ed,p=3.40 Fb,Rd,p=11719.80
Tirafondi:LT=0.45 (0.31) σ_{cR}=0.00 σ_{fR}=0.00
Compressione nel calcestruzzo: σ_c=18.32
CC 4 SLD (Collegamento -182_-384)
Azioni sul collegamento: N=-11057.70 Ty=-8.58 Tz=8.67 Mx=-0.00 Mz=-5.79
Sollecitazioni agenti localmente: Tx_l=-8.58 Ty_l=8.67 N_l=-11057.70 Mx_l=-0.00 My_l=-5.79 Mz_l=-0.00
Taglio nei bulloni: Fv,Ed=2.03 Fv,Rd=9650.97
Rifollamento lato piastra: Fb,Ed,p=2.03 Fb,Rd,p=14944.00
Tirafondi:LT=0.45 (0.31) σ_{cR}=0.00 σ_{fR}=0.00
Compressione nel calcestruzzo: σ_c=23.17
CC 4 SLD (Collegamento -182_-384)
Azioni sul collegamento: N=-11057.70 Ty=-10.62 Tz=8.67 Mx=-0.00 Mz=-7.07
Sollecitazioni agenti localmente: Tx_l=-10.62 Ty_l=8.67 N_l=-11057.70 Mx_l=-0.00 My_l=-7.07 Mz_l=-0.00
Taglio nei bulloni: Fv,Ed=2.29 Fv,Rd=9650.97
Rifollamento lato piastra: Fb,Ed,p=2.29 Fb,Rd,p=13715.30
Tirafondi:LT=0.45 (0.31) σ_{cR}=0.00 σ_{fR}=0.00

Compressione nel calcestruzzo: σ_c=23.25
CC 4 SLD (Collegamento -182_-384)
Azioni sul collegamento: N=-11057.70 Ty=-8.58 Tz=17.38 Mx=-0.00 Mz=-5.79
Sollecitazioni agenti localmente: Tx_l=-8.58 Ty_l=17.38 N_l=-11057.70 Mx_l=-0.00 My_l=-5.79 Mz_l=-0.00
Taglio nei bulloni: Fv,Ed=3.23 Fv,Rd=9650.97
Rifollamento lato piastra: Fb,Ed,p=3.23 Fb,Rd,p=10224.80
Tirafondi:LT=0.45 (0.31) σ_{cR}=0.00 σ_{fR}=0.00
Compressione nel calcestruzzo: σ_c=23.17
CC 4 SLD (Collegamento -182_-384)
Azioni sul collegamento: N=-11057.70 Ty=-10.62 Tz=17.38 Mx=-0.00 Mz=-7.07
Sollecitazioni agenti localmente: Tx_l=-10.62 Ty_l=17.38 N_l=-11057.70 Mx_l=-0.00 My_l=-7.07 Mz_l=-0.00
Taglio nei bulloni: Fv,Ed=3.40 Fv,Rd=9650.97
Rifollamento lato piastra: Fb,Ed,p=3.40 Fb,Rd,p=11719.90
Tirafondi:LT=0.45 (0.31) σ_{cR}=0.00 σ_{fR}=0.00
Compressione nel calcestruzzo: σ_c=23.25
CC 5 SLV (Collegamento -182_-384)
Azioni sul collegamento: N=-13676.40 Ty=-12.02 Tz=26.92 Mx=0.01 Mz=-6.41
Sollecitazioni agenti localmente: Tx_l=-12.02 Ty_l=26.92 N_l=-13676.40 Mx_l=-0.00 My_l=-6.41 Mz_l=0.01
Taglio nei bulloni: Fv,Ed=4.93 Fv,Rd=7720.78
Rifollamento lato piastra: Fb,Ed,p=4.92 Fb,Rd,p=7739.34
Tirafondi:LT=0.45 (0.31) σ_{cR}=0.00 σ_{fR}=0.00
Compressione nel calcestruzzo: σ_c=28.62
CC 5 SLV (Collegamento -182_-384)
Azioni sul collegamento: N=-13676.40 Ty=-5.33 Tz=26.92 Mx=0.01 Mz=-2.18
Sollecitazioni agenti localmente: Tx_l=-5.33 Ty_l=26.92 N_l=-13676.40 Mx_l=-0.00 My_l=-2.18 Mz_l=0.01
Taglio nei bulloni: Fv,Ed=4.59 Fv,Rd=7720.78
Rifollamento lato piastra: Fb,Ed,p=4.58 Fb,Rd,p=6316.35
Tirafondi:LT=0.45 (0.31) σ_{cR}=0.00 σ_{fR}=0.00
Compressione nel calcestruzzo: σ_c=28.38
CC 5 SLV (Collegamento -182_-384)
Azioni sul collegamento: N=-13676.40 Ty=-12.02 Tz=-1.63 Mx=0.01 Mz=-6.41
Sollecitazioni agenti localmente: Tx_l=-12.02 Ty_l=-1.63 N_l=-13676.40 Mx_l=-0.00 My_l=-6.41 Mz_l=0.01
Taglio nei bulloni: Fv,Ed=2.04 Fv,Rd=7720.78
Rifollamento lato piastra: Fb,Ed,p=2.03 Fb,Rd,p=6125.74
Tirafondi:LT=0.45 (0.31) σ_{cR}=0.00 σ_{fR}=0.00
Compressione nel calcestruzzo: σ_c=28.62
CC 5 SLV (Collegamento -182_-384)
Azioni sul collegamento: N=-13676.40 Ty=-5.33 Tz=-1.63 Mx=0.01 Mz=-2.18
Sollecitazioni agenti localmente: Tx_l=-5.33 Ty_l=-1.63 N_l=-13676.40 Mx_l=-0.00 My_l=-2.18 Mz_l=0.01
Taglio nei bulloni: Fv,Ed=0.95 Fv,Rd=7720.78
Rifollamento lato piastra: Fb,Ed,p=0.94 Fb,Rd,p=6715.32
Tirafondi:LT=0.45 (0.31) σ_{cR}=0.00 σ_{fR}=0.00
Compressione nel calcestruzzo: σ_c=28.38
CC 5 SLV (Collegamento -182_-384)
Azioni sul collegamento: N=-5861.42 Ty=-12.02 Tz=26.92 Mx=0.01 Mz=-6.41
Sollecitazioni agenti localmente: Tx_l=-12.02 Ty_l=26.92 N_l=-5861.42 Mx_l=-0.00 My_l=-6.41 Mz_l=0.01
Taglio nei bulloni: Fv,Ed=4.93 Fv,Rd=7720.78
Rifollamento lato piastra: Fb,Ed,p=4.92 Fb,Rd,p=7739.39
Tirafondi:LT=0.45 (0.31) σ_{cR}=0.00 σ_{fR}=0.00
Compressione nel calcestruzzo: σ_c=12.47
CC 5 SLV (Collegamento -182_-384)
Azioni sul collegamento: N=-5861.42 Ty=-5.33 Tz=26.92 Mx=0.01 Mz=-2.18
Sollecitazioni agenti localmente: Tx_l=-5.33 Ty_l=26.92 N_l=-5861.42 Mx_l=-0.00 My_l=-2.18 Mz_l=0.01
Taglio nei bulloni: Fv,Ed=4.59 Fv,Rd=7720.78
Rifollamento lato piastra: Fb,Ed,p=4.58 Fb,Rd,p=6316.35
Tirafondi:LT=0.45 (0.31) σ_{cR}=0.00 σ_{fR}=0.00
Compressione nel calcestruzzo: σ_c=12.23
CC 5 SLV (Collegamento -182_-384)
Azioni sul collegamento: N=-5861.42 Ty=-12.02 Tz=-1.63 Mx=0.01 Mz=-6.41
Sollecitazioni agenti localmente: Tx_l=-12.02 Ty_l=-1.63 N_l=-5861.42 Mx_l=-0.00 My_l=-6.41 Mz_l=0.01
Taglio nei bulloni: Fv,Ed=2.04 Fv,Rd=7720.78
Rifollamento lato piastra: Fb,Ed,p=2.03 Fb,Rd,p=6125.85
Tirafondi:LT=0.45 (0.31) σ_{cR}=0.00 σ_{fR}=0.00
Compressione nel calcestruzzo: σ_c=12.47
CC 5 SLV (Collegamento -182_-384)
Azioni sul collegamento: N=-5861.42 Ty=-5.33 Tz=-1.63 Mx=0.01 Mz=-2.18
Sollecitazioni agenti localmente: Tx_l=-5.33 Ty_l=-1.63 N_l=-5861.42 Mx_l=-0.00 My_l=-2.18 Mz_l=0.01
Taglio nei bulloni: Fv,Ed=0.95 Fv,Rd=7720.78
Rifollamento lato piastra: Fb,Ed,p=0.94 Fb,Rd,p=6715.90
Tirafondi:LT=0.45 (0.31) σ_{cR}=0.00 σ_{fR}=0.00
Compressione nel calcestruzzo: σ_c=12.23
CC 6 SLD (Collegamento -182_-384)
Azioni sul collegamento: N=-11057.70 Ty=-10.62 Tz=17.38 Mx=0.00 Mz=-7.07
Sollecitazioni agenti localmente: Tx_l=-10.62 Ty_l=17.38 N_l=-11057.70 Mx_l=-0.00 My_l=-7.07 Mz_l=0.00
Taglio nei bulloni: Fv,Ed=3.40 Fv,Rd=9650.97
Rifollamento lato piastra: Fb,Ed,p=3.40 Fb,Rd,p=11708.50
Tirafondi:LT=0.45 (0.31) σ_{cR}=0.00 σ_{fR}=0.00
Compressione nel calcestruzzo: σ_c=23.25
CC 6 SLD (Collegamento -182_-384)
Azioni sul collegamento: N=-11057.70 Ty=-8.58 Tz=17.38 Mx=0.00 Mz=-5.79

Sollecitazioni agenti localmente: Tx_l=-8.58 Ty_l=17.38 N_l=-11057.70 Mx_l=-0.00 My_l=-5.79 Mz_l=0.00
Taglio nei bulloni: Fv,Ed=3.23 Fv,Rd=9650.97
Rifollamento lato piastra: Fb,Ed,p=3.23 Fb,Rd,p=10216.30
Tirafondi:LT=0.45 (0.31) σ_{cR}=0.00 σ_{fR}=0.00
Compressione nel calcestruzzo: σ_c=23.17
CC 6 SLD (Collegamento -182_-384)
Azioni sul collegamento: N=-11057.70 Ty=-10.62 Tz=8.67 Mx=0.00 Mz=-7.07
Sollecitazioni agenti localmente: Tx_l=-10.62 Ty_l=8.67 N_l=-11057.70 Mx_l=-0.00 My_l=-7.07 Mz_l=0.00
Taglio nei bulloni: Fv,Ed=2.29 Fv,Rd=9650.97
Rifollamento lato piastra: Fb,Ed,p=2.29 Fb,Rd,p=13717.70
Tirafondi:LT=0.45 (0.31) σ_{cR}=0.00 σ_{fR}=0.00
Compressione nel calcestruzzo: σ_c=23.25
CC 6 SLD (Collegamento -182_-384)
Azioni sul collegamento: N=-11057.70 Ty=-8.58 Tz=8.67 Mx=0.00 Mz=-5.79
Sollecitazioni agenti localmente: Tx_l=-8.58 Ty_l=8.67 N_l=-11057.70 Mx_l=-0.00 My_l=-5.79 Mz_l=0.00
Taglio nei bulloni: Fv,Ed=2.04 Fv,Rd=9650.97
Rifollamento lato piastra: Fb,Ed,p=2.03 Fb,Rd,p=14943.90
Tirafondi:LT=0.45 (0.31) σ_{cR}=0.00 σ_{fR}=0.00
Compressione nel calcestruzzo: σ_c=23.17
CC 6 SLD (Collegamento -182_-384)
Azioni sul collegamento: N=-8674.72 Ty=-10.62 Tz=17.38 Mx=0.00 Mz=-7.07
Sollecitazioni agenti localmente: Tx_l=-10.62 Ty_l=17.38 N_l=-8674.72 Mx_l=-0.00 My_l=-7.07 Mz_l=0.00
Taglio nei bulloni: Fv,Ed=3.40 Fv,Rd=9650.97
Rifollamento lato piastra: Fb,Ed,p=3.40 Fb,Rd,p=11708.40
Tirafondi:LT=0.45 (0.31) σ_{cR}=0.00 σ_{fR}=0.00
Compressione nel calcestruzzo: σ_c=18.32
CC 6 SLD (Collegamento -182_-384)
Azioni sul collegamento: N=-8674.72 Ty=-8.58 Tz=17.38 Mx=0.00 Mz=-5.79
Sollecitazioni agenti localmente: Tx_l=-8.58 Ty_l=17.38 N_l=-8674.72 Mx_l=-0.00 My_l=-5.79 Mz_l=0.00
Taglio nei bulloni: Fv,Ed=3.23 Fv,Rd=9650.97
Rifollamento lato piastra: Fb,Ed,p=3.23 Fb,Rd,p=10216.20
Tirafondi:LT=0.45 (0.31) σ_{cR}=0.00 σ_{fR}=0.00
Compressione nel calcestruzzo: σ_c=18.25
CC 6 SLD (Collegamento -182_-384)
Azioni sul collegamento: N=-8674.72 Ty=-10.62 Tz=8.67 Mx=0.00 Mz=-7.07
Sollecitazioni agenti localmente: Tx_l=-10.62 Ty_l=8.67 N_l=-8674.72 Mx_l=-0.00 My_l=-7.07 Mz_l=0.00
Taglio nei bulloni: Fv,Ed=2.29 Fv,Rd=9650.97
Rifollamento lato piastra: Fb,Ed,p=2.29 Fb,Rd,p=13717.90
Tirafondi:LT=0.45 (0.31) σ_{cR}=0.00 σ_{fR}=0.00
Compressione nel calcestruzzo: σ_c=18.32
CC 6 SLD (Collegamento -182_-384)
Azioni sul collegamento: N=-8674.72 Ty=-8.58 Tz=8.67 Mx=0.00 Mz=-5.79
Sollecitazioni agenti localmente: Tx_l=-8.58 Ty_l=8.67 N_l=-8674.72 Mx_l=-0.00 My_l=-5.79 Mz_l=0.00
Taglio nei bulloni: Fv,Ed=2.04 Fv,Rd=9650.97
Rifollamento lato piastra: Fb,Ed,p=2.03 Fb,Rd,p=14943.70
Tirafondi:LT=0.45 (0.31) σ_{cR}=0.00 σ_{fR}=0.00
Compressione nel calcestruzzo: σ_c=18.25
CC 7 SLV (Collegamento -182_-384)
Azioni sul collegamento: N=-13681.20 Ty=-12.53 Tz=27.25 Mx=0.01 Mz=-7.45
Sollecitazioni agenti localmente: Tx_l=-12.53 Ty_l=27.25 N_l=-13681.20 Mx_l=-0.00 My_l=-7.45 Mz_l=0.01
Taglio nei bulloni: Fv,Ed=5.01 Fv,Rd=7720.78
Rifollamento lato piastra: Fb,Ed,p=5.00 Fb,Rd,p=7864.22
Tirafondi:LT=0.45 (0.31) σ_{cR}=0.00 σ_{fR}=0.00
Compressione nel calcestruzzo: σ_c=28.69
CC 7 SLV (Collegamento -182_-384)
Azioni sul collegamento: N=-13681.20 Ty=-4.82 Tz=27.25 Mx=0.01 Mz=-1.13
Sollecitazioni agenti localmente: Tx_l=-4.82 Ty_l=27.25 N_l=-13681.20 Mx_l=-0.00 My_l=-1.13 Mz_l=0.01
Taglio nei bulloni: Fv,Ed=4.62 Fv,Rd=7720.78
Rifollamento lato piastra: Fb,Ed,p=4.62 Fb,Rd,p=6251.30
Tirafondi:LT=0.45 (0.31) σ_{cR}=0.00 σ_{fR}=0.00
Compressione nel calcestruzzo: σ_c=28.33
CC 7 SLV (Collegamento -182_-384)
Azioni sul collegamento: N=-13681.20 Ty=-12.53 Tz=-1.96 Mx=0.01 Mz=-7.45
Sollecitazioni agenti localmente: Tx_l=-12.53 Ty_l=-1.96 N_l=-13681.20 Mx_l=-0.00 My_l=-7.45 Mz_l=0.01
Taglio nei bulloni: Fv,Ed=2.12 Fv,Rd=7720.78
Rifollamento lato piastra: Fb,Ed,p=2.12 Fb,Rd,p=6184.86
Tirafondi:LT=0.45 (0.31) σ_{cR}=0.00 σ_{fR}=0.00
Compressione nel calcestruzzo: σ_c=28.69
CC 7 SLV (Collegamento -182_-384)
Azioni sul collegamento: N=-13681.20 Ty=-4.82 Tz=-1.96 Mx=0.01 Mz=-1.13
Sollecitazioni agenti localmente: Tx_l=-4.82 Ty_l=-1.96 N_l=-13681.20 Mx_l=-0.00 My_l=-1.13 Mz_l=0.01
Taglio nei bulloni: Fv,Ed=0.88 Fv,Rd=7720.78
Rifollamento lato piastra: Fb,Ed,p=0.87 Fb,Rd,p=7367.16
Tirafondi:LT=0.45 (0.31) σ_{cR}=0.00 σ_{fR}=0.00
Compressione nel calcestruzzo: σ_c=28.33
CC 7 SLV (Collegamento -182_-384)
Azioni sul collegamento: N=-5856.57 Ty=-12.53 Tz=27.25 Mx=0.01 Mz=-7.45
Sollecitazioni agenti localmente: Tx_l=-12.53 Ty_l=27.25 N_l=-5856.57 Mx_l=-0.00 My_l=-7.45 Mz_l=0.01
Taglio nei bulloni: Fv,Ed=5.01 Fv,Rd=7720.78
Rifollamento lato piastra: Fb,Ed,p=5.00 Fb,Rd,p=7864.25

Tirafondi:LT=0.45 (0.31) σ_{cR}=0.00 σ_{fR}=0.00
Compressione nel calcestruzzo: σ_c=12.52
CC 7 SLV (Collegamento -182_-384)
Azioni sul collegamento: N=-5856.57 Ty=-4.82 Tz=27.25 Mx=0.01 Mz=-1.13
Sollecitazioni agenti localmente: Tx_l=-4.82 Ty_l=27.25 N_l=-5856.57 Mx_l=-0.00 My_l=-1.13 Mz_l=0.01
Taglio nei bulloni: Fv,Ed=4.62 Fv,Rd=7720.78
Rifollamento lato piastra: Fb,Ed,p=4.62 Fb,Rd,p=6251.30
Tirafondi:LT=0.45 (0.31) σ_{cR}=0.00 σ_{fR}=0.00
Compressione nel calcestruzzo: σ_c=12.16
CC 7 SLV (Collegamento -182_-384)
Azioni sul collegamento: N=-5856.57 Ty=-12.53 Tz=-1.96 Mx=0.01 Mz=-7.45
Sollecitazioni agenti localmente: Tx_l=-12.53 Ty_l=-1.96 N_l=-5856.57 Mx_l=-0.00 My_l=-7.45 Mz_l=0.01
Taglio nei bulloni: Fv,Ed=2.12 Fv,Rd=7720.78
Rifollamento lato piastra: Fb,Ed,p=2.12 Fb,Rd,p=6184.88
Tirafondi:LT=0.45 (0.31) σ_{cR}=0.00 σ_{fR}=0.00
Compressione nel calcestruzzo: σ_c=12.52
CC 7 SLV (Collegamento -182_-384)
Azioni sul collegamento: N=-5856.57 Ty=-4.82 Tz=-1.96 Mx=0.01 Mz=-1.13
Sollecitazioni agenti localmente: Tx_l=-4.82 Ty_l=-1.96 N_l=-5856.57 Mx_l=-0.00 My_l=-1.13 Mz_l=0.01
Taglio nei bulloni: Fv,Ed=0.88 Fv,Rd=7720.78
Rifollamento lato piastra: Fb,Ed,p=0.87 Fb,Rd,p=7367.28
Tirafondi:LT=0.45 (0.31) σ_{cR}=0.00 σ_{fR}=0.00
Compressione nel calcestruzzo: σ_c=12.16
CC 8 SLD (Collegamento -182_-384)
Azioni sul collegamento: N=-11059.20 Ty=-10.78 Tz=17.48 Mx=-0.00 Mz=-7.39
Sollecitazioni agenti localmente: Tx_l=-10.78 Ty_l=17.48 N_l=-11059.20 Mx_l=-0.00 My_l=-7.39 Mz_l=-0.00
Taglio nei bulloni: Fv,Ed=3.42 Fv,Rd=9650.97
Rifollamento lato piastra: Fb,Ed,p=3.42 Fb,Rd,p=11797.90
Tirafondi:LT=0.45 (0.31) σ_{cR}=0.00 σ_{fR}=0.00
Compressione nel calcestruzzo: σ_c=23.27
CC 8 SLD (Collegamento -182_-384)
Azioni sul collegamento: N=-11059.20 Ty=-8.42 Tz=17.48 Mx=-0.00 Mz=-5.47
Sollecitazioni agenti localmente: Tx_l=-8.42 Ty_l=17.48 N_l=-11059.20 Mx_l=-0.00 My_l=-5.47 Mz_l=-0.00
Taglio nei bulloni: Fv,Ed=3.23 Fv,Rd=9650.97
Rifollamento lato piastra: Fb,Ed,p=3.23 Fb,Rd,p=10093.30
Tirafondi:LT=0.45 (0.31) σ_{cR}=0.00 σ_{fR}=0.00
Compressione nel calcestruzzo: σ_c=23.16
CC 8 SLD (Collegamento -182_-384)
Azioni sul collegamento: N=-11059.20 Ty=-10.78 Tz=8.57 Mx=-0.00 Mz=-7.39
Sollecitazioni agenti localmente: Tx_l=-10.78 Ty_l=8.57 N_l=-11059.20 Mx_l=-0.00 My_l=-7.39 Mz_l=-0.00
Taglio nei bulloni: Fv,Ed=2.30 Fv,Rd=9650.97
Rifollamento lato piastra: Fb,Ed,p=2.30 Fb,Rd,p=13574.40
Tirafondi:LT=0.45 (0.31) σ_{cR}=0.00 σ_{fR}=0.00
Compressione nel calcestruzzo: σ_c=23.27
CC 8 SLD (Collegamento -182_-384)
Azioni sul collegamento: N=-11059.20 Ty=-8.42 Tz=8.57 Mx=-0.00 Mz=-5.47
Sollecitazioni agenti localmente: Tx_l=-8.42 Ty_l=8.57 N_l=-11059.20 Mx_l=-0.00 My_l=-5.47 Mz_l=-0.00
Taglio nei bulloni: Fv,Ed=2.00 Fv,Rd=9650.97
Rifollamento lato piastra: Fb,Ed,p=2.00 Fb,Rd,p=14893.50
Tirafondi:LT=0.45 (0.31) σ_{cR}=0.00 σ_{fR}=0.00
Compressione nel calcestruzzo: σ_c=23.16
CC 8 SLD (Collegamento -182_-384)
Azioni sul collegamento: N=-8673.24 Ty=-10.78 Tz=17.48 Mx=-0.00 Mz=-7.39
Sollecitazioni agenti localmente: Tx_l=-10.78 Ty_l=17.48 N_l=-8673.24 Mx_l=-0.00 My_l=-7.39 Mz_l=-0.00
Taglio nei bulloni: Fv,Ed=3.42 Fv,Rd=9650.97
Rifollamento lato piastra: Fb,Ed,p=3.42 Fb,Rd,p=11797.90
Tirafondi:LT=0.45 (0.31) σ_{cR}=0.00 σ_{fR}=0.00
Compressione nel calcestruzzo: σ_c=18.34
CC 8 SLD (Collegamento -182_-384)
Azioni sul collegamento: N=-8673.24 Ty=-8.42 Tz=17.48 Mx=-0.00 Mz=-5.47
Sollecitazioni agenti localmente: Tx_l=-8.42 Ty_l=17.48 N_l=-8673.24 Mx_l=-0.00 My_l=-5.47 Mz_l=-0.00
Taglio nei bulloni: Fv,Ed=3.23 Fv,Rd=9650.97
Rifollamento lato piastra: Fb,Ed,p=3.23 Fb,Rd,p=10093.30
Tirafondi:LT=0.45 (0.31) σ_{cR}=0.00 σ_{fR}=0.00
Compressione nel calcestruzzo: σ_c=18.23
CC 8 SLD (Collegamento -182_-384)
Azioni sul collegamento: N=-8673.24 Ty=-10.78 Tz=8.57 Mx=-0.00 Mz=-7.39
Sollecitazioni agenti localmente: Tx_l=-10.78 Ty_l=8.57 N_l=-8673.24 Mx_l=-0.00 My_l=-7.39 Mz_l=-0.00
Taglio nei bulloni: Fv,Ed=2.30 Fv,Rd=9650.97
Rifollamento lato piastra: Fb,Ed,p=2.30 Fb,Rd,p=13574.60
Tirafondi:LT=0.45 (0.31) σ_{cR}=0.00 σ_{fR}=0.00
Compressione nel calcestruzzo: σ_c=18.34
CC 8 SLD (Collegamento -182_-384)
Azioni sul collegamento: N=-8673.24 Ty=-8.42 Tz=8.57 Mx=-0.00 Mz=-5.47
Sollecitazioni agenti localmente: Tx_l=-8.42 Ty_l=8.57 N_l=-8673.24 Mx_l=-0.00 My_l=-5.47 Mz_l=-0.00
Taglio nei bulloni: Fv,Ed=2.00 Fv,Rd=9650.97
Rifollamento lato piastra: Fb,Ed,p=2.00 Fb,Rd,p=14893.20
Tirafondi:LT=0.45 (0.31) σ_{cR}=0.00 σ_{fR}=0.00
Compressione nel calcestruzzo: σ_c=18.23
CC 9 SLV (Collegamento -182_-384)

Azioni sul collegamento: N=-8587.84 Ty=-6.74 Tz=7.77 Mx=0.02 Mz=-1.76
Sollecitazioni agenti localmente: Tx_l=-6.74 Ty_l=7.77 N_l=-8587.84 Mx_l=-0.00 My_l=-1.76 Mz_l=0.02
Taglio nei bulloni: Fv,Ed=1.74 Fv,Rd=7720.78
Rifollamento lato piastra: Fb,Ed,p=1.72 Fb,Rd,p=11102.00
Tirafondi:LT=0.45 (0.31) σ_{cR}=0.00 σ_{fR}=0.00
Compressione nel calcestruzzo: σ_c=17.84
CC 9 SLV (Collegamento -182_-384)
Azioni sul collegamento: N=-8587.84 Ty=-10.61 Tz=7.77 Mx=0.02 Mz=-6.83
Sollecitazioni agenti localmente: Tx_l=-10.61 Ty_l=7.77 N_l=-8587.84 Mx_l=-0.00 My_l=-6.83 Mz_l=0.02
Taglio nei bulloni: Fv,Ed=2.22 Fv,Rd=7720.78
Rifollamento lato piastra: Fb,Ed,p=2.22 Fb,Rd,p=10546.80
Tirafondi:LT=0.45 (0.31) σ_{cR}=0.00 σ_{fR}=0.00
Compressione nel calcestruzzo: σ_c=18.13
CC 9 SLV (Collegamento -182_-384)
Azioni sul collegamento: N=-8587.84 Ty=-6.74 Tz=17.52 Mx=0.02 Mz=-1.76
Sollecitazioni agenti localmente: Tx_l=-6.74 Ty_l=17.52 N_l=-8587.84 Mx_l=-0.00 My_l=-1.76 Mz_l=0.02
Taglio nei bulloni: Fv,Ed=3.15 Fv,Rd=7720.78
Rifollamento lato piastra: Fb,Ed,p=3.14 Fb,Rd,p=7244.15
Tirafondi:LT=0.45 (0.31) σ_{cR}=0.00 σ_{fR}=0.00
Compressione nel calcestruzzo: σ_c=17.84
CC 9 SLV (Collegamento -182_-384)
Azioni sul collegamento: N=-8587.84 Ty=-10.61 Tz=17.52 Mx=0.02 Mz=-6.83
Sollecitazioni agenti localmente: Tx_l=-10.61 Ty_l=17.52 N_l=-8587.84 Mx_l=-0.00 My_l=-6.83 Mz_l=0.02
Taglio nei bulloni: Fv,Ed=3.44 Fv,Rd=7720.78
Rifollamento lato piastra: Fb,Ed,p=3.42 Fb,Rd,p=9197.77
Tirafondi:LT=0.45 (0.31) σ_{cR}=0.00 σ_{fR}=0.00
Compressione nel calcestruzzo: σ_c=18.13
CC 9 SLV (Collegamento -182_-384)
Azioni sul collegamento: N=-10950.00 Ty=-6.74 Tz=7.77 Mx=0.02 Mz=-1.76
Sollecitazioni agenti localmente: Tx_l=-6.74 Ty_l=7.77 N_l=-10950.00 Mx_l=-0.00 My_l=-1.76 Mz_l=0.02
Taglio nei bulloni: Fv,Ed=1.74 Fv,Rd=7720.78
Rifollamento lato piastra: Fb,Ed,p=1.72 Fb,Rd,p=11102.10
Tirafondi:LT=0.45 (0.31) σ_{cR}=0.00 σ_{fR}=0.00
Compressione nel calcestruzzo: σ_c=22.72
CC 9 SLV (Collegamento -182_-384)
Azioni sul collegamento: N=-10950.00 Ty=-10.61 Tz=7.77 Mx=0.02 Mz=-6.83
Sollecitazioni agenti localmente: Tx_l=-10.61 Ty_l=7.77 N_l=-10950.00 Mx_l=-0.00 My_l=-6.83 Mz_l=0.02
Taglio nei bulloni: Fv,Ed=2.22 Fv,Rd=7720.78
Rifollamento lato piastra: Fb,Ed,p=2.22 Fb,Rd,p=10546.70
Tirafondi:LT=0.45 (0.31) σ_{cR}=0.00 σ_{fR}=0.00
Compressione nel calcestruzzo: σ_c=23.01
CC 9 SLV (Collegamento -182_-384)
Azioni sul collegamento: N=-10950.00 Ty=-6.74 Tz=17.52 Mx=0.02 Mz=-1.76
Sollecitazioni agenti localmente: Tx_l=-6.74 Ty_l=17.52 N_l=-10950.00 Mx_l=-0.00 My_l=-1.76 Mz_l=0.02
Taglio nei bulloni: Fv,Ed=3.15 Fv,Rd=7720.78
Rifollamento lato piastra: Fb,Ed,p=3.14 Fb,Rd,p=7244.21
Tirafondi:LT=0.45 (0.31) σ_{cR}=0.00 σ_{fR}=0.00
Compressione nel calcestruzzo: σ_c=22.72
CC 9 SLV (Collegamento -182_-384)
Azioni sul collegamento: N=-10950.00 Ty=-10.61 Tz=17.52 Mx=0.02 Mz=-6.83
Sollecitazioni agenti localmente: Tx_l=-10.61 Ty_l=17.52 N_l=-10950.00 Mx_l=-0.00 My_l=-6.83 Mz_l=0.02
Taglio nei bulloni: Fv,Ed=3.44 Fv,Rd=7720.78
Rifollamento lato piastra: Fb,Ed,p=3.42 Fb,Rd,p=9197.95
Tirafondi:LT=0.45 (0.31) σ_{cR}=0.00 σ_{fR}=0.00
Compressione nel calcestruzzo: σ_c=23.01
CC 10 SLD (Collegamento -182_-384)
Azioni sul collegamento: N=-9506.09 Ty=-9.01 Tz=11.54 Mx=0.00 Mz=-5.66
Sollecitazioni agenti localmente: Tx_l=-9.01 Ty_l=11.54 N_l=-9506.09 Mx_l=-0.00 My_l=-5.66 Mz_l=0.00
Taglio nei bulloni: Fv,Ed=2.44 Fv,Rd=9650.97
Rifollamento lato piastra: Fb,Ed,p=2.44 Fb,Rd,p=13458.10
Tirafondi:LT=0.45 (0.31) σ_{cR}=0.00 σ_{fR}=0.00
Compressione nel calcestruzzo: σ_c=19.96
CC 10 SLD (Collegamento -182_-384)
Azioni sul collegamento: N=-9506.09 Ty=-10.19 Tz=11.54 Mx=0.00 Mz=-7.20
Sollecitazioni agenti localmente: Tx_l=-10.19 Ty_l=11.54 N_l=-9506.09 Mx_l=-0.00 My_l=-7.20 Mz_l=0.00
Taglio nei bulloni: Fv,Ed=2.57 Fv,Rd=9650.97
Rifollamento lato piastra: Fb,Ed,p=2.57 Fb,Rd,p=14149.90
Tirafondi:LT=0.45 (0.31) σ_{cR}=0.00 σ_{fR}=0.00
Compressione nel calcestruzzo: σ_c=20.05
CC 10 SLD (Collegamento -182_-384)
Azioni sul collegamento: N=-9506.09 Ty=-9.01 Tz=14.51 Mx=0.00 Mz=-5.66
Sollecitazioni agenti localmente: Tx_l=-9.01 Ty_l=14.51 N_l=-9506.09 Mx_l=-0.00 My_l=-5.66 Mz_l=0.00
Taglio nei bulloni: Fv,Ed=2.85 Fv,Rd=9650.97
Rifollamento lato piastra: Fb,Ed,p=2.85 Fb,Rd,p=11827.30
Tirafondi:LT=0.45 (0.31) σ_{cR}=0.00 σ_{fR}=0.00
Compressione nel calcestruzzo: σ_c=19.96
CC 10 SLD (Collegamento -182_-384)
Azioni sul collegamento: N=-9506.09 Ty=-10.19 Tz=14.51 Mx=0.00 Mz=-7.20
Sollecitazioni agenti localmente: Tx_l=-10.19 Ty_l=14.51 N_l=-9506.09 Mx_l=-0.00 My_l=-7.20 Mz_l=0.00
Taglio nei bulloni: Fv,Ed=2.96 Fv,Rd=9650.97

Rifollamento lato piastra: Fb,Ed,p=2.96 Fb,Rd,p=12966.30
Tirafondi:LT=0.45 (0.31) σ_{cR}=0.00 σ_{fR}=0.00
Compressione nel calcestruzzo: σ_c=20.05
CC 10 SLD (Collegamento -182_-384)
Azioni sul collegamento: N=-10226.40 Ty=-9.01 Tz=11.54 Mx=0.00 Mz=-5.66
Sollecitazioni agenti localmente: Tx_l=-9.01 Ty_l=11.54 N_l=-10226.40 Mx_l=-0.00 My_l=-5.66 Mz_l=0.00
Taglio nei bulloni: Fv,Ed=2.44 Fv,Rd=9650.97
Rifollamento lato piastra: Fb,Ed,p=2.44 Fb,Rd,p=13458.00
Tirafondi:LT=0.45 (0.31) σ_{cR}=0.00 σ_{fR}=0.00
Compressione nel calcestruzzo: σ_c=21.45
CC 10 SLD (Collegamento -182_-384)
Azioni sul collegamento: N=-10226.40 Ty=-10.19 Tz=11.54 Mx=0.00 Mz=-7.20
Sollecitazioni agenti localmente: Tx_l=-10.19 Ty_l=11.54 N_l=-10226.40 Mx_l=-0.00 My_l=-7.20 Mz_l=0.00
Taglio nei bulloni: Fv,Ed=2.57 Fv,Rd=9650.97
Rifollamento lato piastra: Fb,Ed,p=2.57 Fb,Rd,p=14149.80
Tirafondi:LT=0.45 (0.31) σ_{cR}=0.00 σ_{fR}=0.00
Compressione nel calcestruzzo: σ_c=21.53
CC 10 SLD (Collegamento -182_-384)
Azioni sul collegamento: N=-10226.40 Ty=-9.01 Tz=14.51 Mx=0.00 Mz=-5.66
Sollecitazioni agenti localmente: Tx_l=-9.01 Ty_l=14.51 N_l=-10226.40 Mx_l=-0.00 My_l=-5.66 Mz_l=0.00
Taglio nei bulloni: Fv,Ed=2.85 Fv,Rd=9650.97
Rifollamento lato piastra: Fb,Ed,p=2.85 Fb,Rd,p=11827.40
Tirafondi:LT=0.45 (0.31) σ_{cR}=0.00 σ_{fR}=0.00
Compressione nel calcestruzzo: σ_c=21.45
CC 10 SLD (Collegamento -182_-384)
Azioni sul collegamento: N=-10226.40 Ty=-10.19 Tz=14.51 Mx=0.00 Mz=-7.20
Sollecitazioni agenti localmente: Tx_l=-10.19 Ty_l=14.51 N_l=-10226.40 Mx_l=-0.00 My_l=-7.20 Mz_l=0.00
Taglio nei bulloni: Fv,Ed=2.96 Fv,Rd=9650.97
Rifollamento lato piastra: Fb,Ed,p=2.96 Fb,Rd,p=12966.30
Tirafondi:LT=0.45 (0.31) σ_{cR}=0.00 σ_{fR}=0.00
Compressione nel calcestruzzo: σ_c=21.53
CC 11 SLV (Collegamento -182_-384)
Azioni sul collegamento: N=-10933.80 Ty=-8.90 Tz=16.43 Mx=0.02 Mz=-3.34
Sollecitazioni agenti localmente: Tx_l=-8.90 Ty_l=16.43 N_l=-10933.80 Mx_l=-0.00 My_l=-3.34 Mz_l=0.02
Taglio nei bulloni: Fv,Ed=3.14 Fv,Rd=7720.78
Rifollamento lato piastra: Fb,Ed,p=3.12 Fb,Rd,p=8529.70
Tirafondi:LT=0.45 (0.31) σ_{cR}=0.00 σ_{fR}=0.00
Compressione nel calcestruzzo: σ_c=22.78
CC 11 SLV (Collegamento -182_-384)
Azioni sul collegamento: N=-10933.80 Ty=-8.45 Tz=16.43 Mx=0.02 Mz=-5.25
Sollecitazioni agenti localmente: Tx_l=-8.45 Ty_l=16.43 N_l=-10933.80 Mx_l=-0.00 My_l=-5.25 Mz_l=0.02
Taglio nei bulloni: Fv,Ed=3.11 Fv,Rd=7720.78
Rifollamento lato piastra: Fb,Ed,p=3.09 Fb,Rd,p=8272.11
Tirafondi:LT=0.45 (0.31) σ_{cR}=0.00 σ_{fR}=0.00
Compressione nel calcestruzzo: σ_c=22.89
CC 11 SLV (Collegamento -182_-384)
Azioni sul collegamento: N=-10933.80 Ty=-8.90 Tz=8.86 Mx=0.02 Mz=-3.34
Sollecitazioni agenti localmente: Tx_l=-8.90 Ty_l=8.86 N_l=-10933.80 Mx_l=-0.00 My_l=-3.34 Mz_l=0.02
Taglio nei bulloni: Fv,Ed=2.12 Fv,Rd=7720.78
Rifollamento lato piastra: Fb,Ed,p=2.12 Fb,Rd,p=11990.80
Tirafondi:LT=0.45 (0.31) σ_{cR}=0.00 σ_{fR}=0.00
Compressione nel calcestruzzo: σ_c=22.78
CC 11 SLV (Collegamento -182_-384)
Azioni sul collegamento: N=-10933.80 Ty=-8.45 Tz=8.86 Mx=0.02 Mz=-5.25
Sollecitazioni agenti localmente: Tx_l=-8.45 Ty_l=8.86 N_l=-10933.80 Mx_l=-0.00 My_l=-5.25 Mz_l=0.02
Taglio nei bulloni: Fv,Ed=2.07 Fv,Rd=7720.78
Rifollamento lato piastra: Fb,Ed,p=2.04 Fb,Rd,p=11601.10
Tirafondi:LT=0.45 (0.31) σ_{cR}=0.00 σ_{fR}=0.00
Compressione nel calcestruzzo: σ_c=22.89
CC 11 SLV (Collegamento -182_-384)
Azioni sul collegamento: N=-8604.01 Ty=-8.90 Tz=16.43 Mx=0.02 Mz=-3.34
Sollecitazioni agenti localmente: Tx_l=-8.90 Ty_l=16.43 N_l=-8604.01 Mx_l=-0.00 My_l=-3.34 Mz_l=0.02
Taglio nei bulloni: Fv,Ed=3.14 Fv,Rd=7720.78
Rifollamento lato piastra: Fb,Ed,p=3.12 Fb,Rd,p=8529.61
Tirafondi:LT=0.45 (0.31) σ_{cR}=0.00 σ_{fR}=0.00
Compressione nel calcestruzzo: σ_c=17.96
CC 11 SLV (Collegamento -182_-384)
Azioni sul collegamento: N=-8604.01 Ty=-8.45 Tz=16.43 Mx=0.02 Mz=-5.25
Sollecitazioni agenti localmente: Tx_l=-8.45 Ty_l=16.43 N_l=-8604.01 Mx_l=-0.00 My_l=-5.25 Mz_l=0.02
Taglio nei bulloni: Fv,Ed=3.11 Fv,Rd=7720.78
Rifollamento lato piastra: Fb,Ed,p=3.09 Fb,Rd,p=8272.04
Tirafondi:LT=0.45 (0.31) σ_{cR}=0.00 σ_{fR}=0.00
Compressione nel calcestruzzo: σ_c=18.07
CC 11 SLV (Collegamento -182_-384)
Azioni sul collegamento: N=-8604.01 Ty=-8.90 Tz=8.86 Mx=0.02 Mz=-3.34
Sollecitazioni agenti localmente: Tx_l=-8.90 Ty_l=8.86 N_l=-8604.01 Mx_l=-0.00 My_l=-3.34 Mz_l=0.02
Taglio nei bulloni: Fv,Ed=2.12 Fv,Rd=7720.78
Rifollamento lato piastra: Fb,Ed,p=2.12 Fb,Rd,p=11990.80
Tirafondi:LT=0.45 (0.31) σ_{cR}=0.00 σ_{fR}=0.00
Compressione nel calcestruzzo: σ_c=17.96

CC 11 SLV (Collegamento -182_-384)
Azioni sul collegamento: N=-8604.01 Ty=-8.45 Tz=8.86 Mx=0.02 Mz=-5.25
Sollecitazioni agenti localmente: Tx_l=-8.45 Ty_l=8.86 N_l=-8604.01 Mx_l=-0.00 My_l=-5.25 Mz_l=0.02
Taglio nei bulloni: Fv,Ed=2.07 Fv,Rd=7720.78
Rifollamento lato piastra: Fb,Ed,p=2.04 Fb,Rd,p=11601.10
Tirafondi:LT=0.45 (0.31) σ_{cR}=0.00 σ_{fR}=0.00
Compressione nel calcestruzzo: σ_c=18.07
CC 12 SLD (Collegamento -182_-384)
Azioni sul collegamento: N=-10221.40 Ty=-9.67 Tz=14.18 Mx=0.00 Mz=-6.14
Sollecitazioni agenti localmente: Tx_l=-9.67 Ty_l=14.18 N_l=-10221.40 Mx_l=-0.00 My_l=-6.14 Mz_l=0.00
Taglio nei bulloni: Fv,Ed=2.87 Fv,Rd=9650.97
Rifollamento lato piastra: Fb,Ed,p=2.86 Fb,Rd,p=12748.70
Tirafondi:LT=0.45 (0.31) σ_{cR}=0.00 σ_{fR}=0.00
Compressione nel calcestruzzo: σ_c=21.46
CC 12 SLD (Collegamento -182_-384)
Azioni sul collegamento: N=-10221.40 Ty=-9.53 Tz=14.18 Mx=0.00 Mz=-6.72
Sollecitazioni agenti localmente: Tx_l=-9.53 Ty_l=14.18 N_l=-10221.40 Mx_l=-0.00 My_l=-6.72 Mz_l=0.00
Taglio nei bulloni: Fv,Ed=2.85 Fv,Rd=9650.97
Rifollamento lato piastra: Fb,Ed,p=2.85 Fb,Rd,p=12596.80
Tirafondi:LT=0.45 (0.31) σ_{cR}=0.00 σ_{fR}=0.00
Compressione nel calcestruzzo: σ_c=21.50
CC 12 SLD (Collegamento -182_-384)
Azioni sul collegamento: N=-10221.40 Ty=-9.67 Tz=11.87 Mx=0.00 Mz=-6.14
Sollecitazioni agenti localmente: Tx_l=-9.67 Ty_l=11.87 N_l=-10221.40 Mx_l=-0.00 My_l=-6.14 Mz_l=0.00
Taglio nei bulloni: Fv,Ed=2.56 Fv,Rd=9650.97
Rifollamento lato piastra: Fb,Ed,p=2.55 Fb,Rd,p=13680.50
Tirafondi:LT=0.45 (0.31) σ_{cR}=0.00 σ_{fR}=0.00
Compressione nel calcestruzzo: σ_c=21.46
CC 12 SLD (Collegamento -182_-384)
Azioni sul collegamento: N=-10221.40 Ty=-9.53 Tz=11.87 Mx=0.00 Mz=-6.72
Sollecitazioni agenti localmente: Tx_l=-9.53 Ty_l=11.87 N_l=-10221.40 Mx_l=-0.00 My_l=-6.72 Mz_l=0.00
Taglio nei bulloni: Fv,Ed=2.54 Fv,Rd=9650.97
Rifollamento lato piastra: Fb,Ed,p=2.54 Fb,Rd,p=13604.00
Tirafondi:LT=0.45 (0.31) σ_{cR}=0.00 σ_{fR}=0.00
Compressione nel calcestruzzo: σ_c=21.50
CC 12 SLD (Collegamento -182_-384)
Azioni sul collegamento: N=-9511.02 Ty=-9.67 Tz=14.18 Mx=0.00 Mz=-6.14
Sollecitazioni agenti localmente: Tx_l=-9.67 Ty_l=14.18 N_l=-9511.02 Mx_l=-0.00 My_l=-6.14 Mz_l=0.00
Taglio nei bulloni: Fv,Ed=2.87 Fv,Rd=9650.97
Rifollamento lato piastra: Fb,Ed,p=2.86 Fb,Rd,p=12748.90
Tirafondi:LT=0.45 (0.31) σ_{cR}=0.00 σ_{fR}=0.00
Compressione nel calcestruzzo: σ_c=20.00
CC 12 SLD (Collegamento -182_-384)
Azioni sul collegamento: N=-9511.02 Ty=-9.53 Tz=14.18 Mx=0.00 Mz=-6.72
Sollecitazioni agenti localmente: Tx_l=-9.53 Ty_l=14.18 N_l=-9511.02 Mx_l=-0.00 My_l=-6.72 Mz_l=0.00
Taglio nei bulloni: Fv,Ed=2.85 Fv,Rd=9650.97
Rifollamento lato piastra: Fb,Ed,p=2.85 Fb,Rd,p=12597.00
Tirafondi:LT=0.45 (0.31) σ_{cR}=0.00 σ_{fR}=0.00
Compressione nel calcestruzzo: σ_c=20.03
CC 12 SLD (Collegamento -182_-384)
Azioni sul collegamento: N=-9511.02 Ty=-9.67 Tz=11.87 Mx=0.00 Mz=-6.14
Sollecitazioni agenti localmente: Tx_l=-9.67 Ty_l=11.87 N_l=-9511.02 Mx_l=-0.00 My_l=-6.14 Mz_l=0.00
Taglio nei bulloni: Fv,Ed=2.56 Fv,Rd=9650.97
Rifollamento lato piastra: Fb,Ed,p=2.55 Fb,Rd,p=13680.30
Tirafondi:LT=0.45 (0.31) σ_{cR}=0.00 σ_{fR}=0.00
Compressione nel calcestruzzo: σ_c=20.00
CC 12 SLD (Collegamento -182_-384)
Azioni sul collegamento: N=-9511.02 Ty=-9.53 Tz=11.87 Mx=0.00 Mz=-6.72
Sollecitazioni agenti localmente: Tx_l=-9.53 Ty_l=11.87 N_l=-9511.02 Mx_l=-0.00 My_l=-6.72 Mz_l=0.00
Taglio nei bulloni: Fv,Ed=2.54 Fv,Rd=9650.97
Rifollamento lato piastra: Fb,Ed,p=2.54 Fb,Rd,p=13603.70
Tirafondi:LT=0.45 (0.31) σ_{cR}=0.00 σ_{fR}=0.00
Compressione nel calcestruzzo: σ_c=20.03
CC 13 SLV (Collegamento -182_-384)
Azioni sul collegamento: N=-8604.01 Ty=-8.45 Tz=8.86 Mx=0.00 Mz=-5.25
Sollecitazioni agenti localmente: Tx_l=-8.45 Ty_l=8.86 N_l=-8604.01 Mx_l=-0.00 My_l=-5.25 Mz_l=0.00
Taglio nei bulloni: Fv,Ed=2.04 Fv,Rd=7720.78
Rifollamento lato piastra: Fb,Ed,p=2.04 Fb,Rd,p=11736.80
Tirafondi:LT=0.45 (0.31) σ_{cR}=0.00 σ_{fR}=0.00
Compressione nel calcestruzzo: σ_c=18.07
CC 13 SLV (Collegamento -182_-384)
Azioni sul collegamento: N=-8604.01 Ty=-8.90 Tz=8.86 Mx=0.00 Mz=-3.34
Sollecitazioni agenti localmente: Tx_l=-8.90 Ty_l=8.86 N_l=-8604.01 Mx_l=-0.00 My_l=-3.34 Mz_l=0.00
Taglio nei bulloni: Fv,Ed=2.09 Fv,Rd=7720.78
Rifollamento lato piastra: Fb,Ed,p=2.09 Fb,Rd,p=11990.40
Tirafondi:LT=0.45 (0.31) σ_{cR}=0.00 σ_{fR}=0.00
Compressione nel calcestruzzo: σ_c=17.96
CC 13 SLV (Collegamento -182_-384)
Azioni sul collegamento: N=-8604.01 Ty=-8.45 Tz=16.43 Mx=0.00 Mz=-5.25
Sollecitazioni agenti localmente: Tx_l=-8.45 Ty_l=16.43 N_l=-8604.01 Mx_l=-0.00 My_l=-5.25 Mz_l=0.00

Taglio nei bulloni: Fv,Ed=3.08 Fv,Rd=7720.78
Rifollamento lato piastra: Fb,Ed,p=3.08 Fb,Rd,p=8363.58
Tirafondi:LT=0.45 (0.31) σ_{cR}=0.00 σ_{fR}=0.00
Compressione nel calcestruzzo: σ_c=18.07
CC 13 SLV (Collegamento -182_-384)
Azioni sul collegamento: N=-8604.01 Ty=-8.90 Tz=16.43 Mx=0.00 Mz=-3.34
Sollecitazioni agenti localmente: Tx_l=-8.90 Ty_l=16.43 N_l=-8604.01 Mx_l=-0.00 My_l=-3.34 Mz_l=0.00
Taglio nei bulloni: Fv,Ed=3.12 Fv,Rd=7720.78
Rifollamento lato piastra: Fb,Ed,p=3.12 Fb,Rd,p=8628.09
Tirafondi:LT=0.45 (0.31) σ_{cR}=0.00 σ_{fR}=0.00
Compressione nel calcestruzzo: σ_c=17.96
CC 13 SLV (Collegamento -182_-384)
Azioni sul collegamento: N=-10933.80 Ty=-8.45 Tz=8.86 Mx=0.00 Mz=-5.25
Sollecitazioni agenti localmente: Tx_l=-8.45 Ty_l=8.86 N_l=-10933.80 Mx_l=-0.00 My_l=-5.25 Mz_l=0.00
Taglio nei bulloni: Fv,Ed=2.04 Fv,Rd=7720.78
Rifollamento lato piastra: Fb,Ed,p=2.04 Fb,Rd,p=11736.80
Tirafondi:LT=0.45 (0.31) σ_{cR}=0.00 σ_{fR}=0.00
Compressione nel calcestruzzo: σ_c=22.89
CC 13 SLV (Collegamento -182_-384)
Azioni sul collegamento: N=-10933.80 Ty=-8.90 Tz=8.86 Mx=0.00 Mz=-3.34
Sollecitazioni agenti localmente: Tx_l=-8.90 Ty_l=8.86 N_l=-10933.80 Mx_l=-0.00 My_l=-3.34 Mz_l=0.00
Taglio nei bulloni: Fv,Ed=2.09 Fv,Rd=7720.78
Rifollamento lato piastra: Fb,Ed,p=2.09 Fb,Rd,p=11990.50
Tirafondi:LT=0.45 (0.31) σ_{cR}=0.00 σ_{fR}=0.00
Compressione nel calcestruzzo: σ_c=22.78
CC 13 SLV (Collegamento -182_-384)
Azioni sul collegamento: N=-10933.80 Ty=-8.45 Tz=16.43 Mx=0.00 Mz=-5.25
Sollecitazioni agenti localmente: Tx_l=-8.45 Ty_l=16.43 N_l=-10933.80 Mx_l=-0.00 My_l=-5.25 Mz_l=0.00
Taglio nei bulloni: Fv,Ed=3.08 Fv,Rd=7720.78
Rifollamento lato piastra: Fb,Ed,p=3.08 Fb,Rd,p=8363.66
Tirafondi:LT=0.45 (0.31) σ_{cR}=0.00 σ_{fR}=0.00
Compressione nel calcestruzzo: σ_c=22.89
CC 13 SLV (Collegamento -182_-384)
Azioni sul collegamento: N=-10933.80 Ty=-8.90 Tz=16.43 Mx=0.00 Mz=-3.34
Sollecitazioni agenti localmente: Tx_l=-8.90 Ty_l=16.43 N_l=-10933.80 Mx_l=-0.00 My_l=-3.34 Mz_l=0.00
Taglio nei bulloni: Fv,Ed=3.12 Fv,Rd=7720.78
Rifollamento lato piastra: Fb,Ed,p=3.12 Fb,Rd,p=8628.17
Tirafondi:LT=0.45 (0.31) σ_{cR}=0.00 σ_{fR}=0.00
Compressione nel calcestruzzo: σ_c=22.78
CC 14 SLD (Collegamento -182_-384)
Azioni sul collegamento: N=-9511.02 Ty=-9.53 Tz=11.87 Mx=-0.00 Mz=-6.72
Sollecitazioni agenti localmente: Tx_l=-9.53 Ty_l=11.87 N_l=-9511.02 Mx_l=-0.00 My_l=-6.72 Mz_l=-0.00
Taglio nei bulloni: Fv,Ed=2.54 Fv,Rd=9650.97
Rifollamento lato piastra: Fb,Ed,p=2.54 Fb,Rd,p=13625.10
Tirafondi:LT=0.45 (0.31) σ_{cR}=0.00 σ_{fR}=0.00
Compressione nel calcestruzzo: σ_c=20.03
CC 14 SLD (Collegamento -182_-384)
Azioni sul collegamento: N=-9511.02 Ty=-9.67 Tz=11.87 Mx=-0.00 Mz=-6.14
Sollecitazioni agenti localmente: Tx_l=-9.67 Ty_l=11.87 N_l=-9511.02 Mx_l=-0.00 My_l=-6.14 Mz_l=-0.00
Taglio nei bulloni: Fv,Ed=2.56 Fv,Rd=9650.97
Rifollamento lato piastra: Fb,Ed,p=2.56 Fb,Rd,p=13701.90
Tirafondi:LT=0.45 (0.31) σ_{cR}=0.00 σ_{fR}=0.00
Compressione nel calcestruzzo: σ_c=20.00
CC 14 SLD (Collegamento -182_-384)
Azioni sul collegamento: N=-9511.02 Ty=-9.53 Tz=14.18 Mx=-0.00 Mz=-6.72
Sollecitazioni agenti localmente: Tx_l=-9.53 Ty_l=14.18 N_l=-9511.02 Mx_l=-0.00 My_l=-6.72 Mz_l=-0.00
Taglio nei bulloni: Fv,Ed=2.85 Fv,Rd=9650.97
Rifollamento lato piastra: Fb,Ed,p=2.85 Fb,Rd,p=12638.30
Tirafondi:LT=0.45 (0.31) σ_{cR}=0.00 σ_{fR}=0.00
Compressione nel calcestruzzo: σ_c=20.03
CC 14 SLD (Collegamento -182_-384)
Azioni sul collegamento: N=-9511.02 Ty=-9.67 Tz=14.18 Mx=-0.00 Mz=-6.14
Sollecitazioni agenti localmente: Tx_l=-9.67 Ty_l=14.18 N_l=-9511.02 Mx_l=-0.00 My_l=-6.14 Mz_l=-0.00
Taglio nei bulloni: Fv,Ed=2.86 Fv,Rd=9650.97
Rifollamento lato piastra: Fb,Ed,p=2.86 Fb,Rd,p=12790.90
Tirafondi:LT=0.45 (0.31) σ_{cR}=0.00 σ_{fR}=0.00
Compressione nel calcestruzzo: σ_c=20.00
CC 14 SLD (Collegamento -182_-384)
Azioni sul collegamento: N=-10221.40 Ty=-9.53 Tz=11.87 Mx=-0.00 Mz=-6.72
Sollecitazioni agenti localmente: Tx_l=-9.53 Ty_l=11.87 N_l=-10221.40 Mx_l=-0.00 My_l=-6.72 Mz_l=-0.00
Taglio nei bulloni: Fv,Ed=2.54 Fv,Rd=9650.97
Rifollamento lato piastra: Fb,Ed,p=2.54 Fb,Rd,p=13625.40
Tirafondi:LT=0.45 (0.31) σ_{cR}=0.00 σ_{fR}=0.00
Compressione nel calcestruzzo: σ_c=21.50
CC 14 SLD (Collegamento -182_-384)
Azioni sul collegamento: N=-10221.40 Ty=-9.67 Tz=11.87 Mx=-0.00 Mz=-6.14
Sollecitazioni agenti localmente: Tx_l=-9.67 Ty_l=11.87 N_l=-10221.40 Mx_l=-0.00 My_l=-6.14 Mz_l=-0.00
Taglio nei bulloni: Fv,Ed=2.55 Fv,Rd=9650.97
Rifollamento lato piastra: Fb,Ed,p=2.55 Fb,Rd,p=13702.20
Tirafondi:LT=0.45 (0.31) σ_{cR}=0.00 σ_{fR}=0.00

Compressione nel calcestruzzo: σ_c=21.46
CC 14 SLD (Collegamento -182_-384)
Azioni sul collegamento: N=-10221.40 Ty=-9.53 Tz=14.18 Mx=-0.00 Mz=-6.72
Sollecitazioni agenti localmente: Tx_l=-9.53 Ty_l=14.18 N_l=-10221.40 Mx_l=-0.00 My_l=-6.72 Mz_l=-0.00
Taglio nei bulloni: Fv,Ed=2.85 Fv,Rd=9650.97
Rifollamento lato piastra: Fb,Ed,p=2.85 Fb,Rd,p=12638.20
Tirafondi:LT=0.45 (0.31) σ_{cR}=0.00 σ_{fR}=0.00
Compressione nel calcestruzzo: σ_c=21.50
CC 14 SLD (Collegamento -182_-384)
Azioni sul collegamento: N=-10221.40 Ty=-9.67 Tz=14.18 Mx=-0.00 Mz=-6.14
Sollecitazioni agenti localmente: Tx_l=-9.67 Ty_l=14.18 N_l=-10221.40 Mx_l=-0.00 My_l=-6.14 Mz_l=-0.00
Taglio nei bulloni: Fv,Ed=2.86 Fv,Rd=9650.97
Rifollamento lato piastra: Fb,Ed,p=2.86 Fb,Rd,p=12790.80
Tirafondi:LT=0.45 (0.31) σ_{cR}=0.00 σ_{fR}=0.00
Compressione nel calcestruzzo: σ_c=21.46
CC 15 SLV (Collegamento -182_-384)
Azioni sul collegamento: N=-10950.00 Ty=-10.61 Tz=17.52 Mx=0.00 Mz=-6.83
Sollecitazioni agenti localmente: Tx_l=-10.61 Ty_l=17.52 N_l=-10950.00 Mx_l=-0.00 My_l=-6.83 Mz_l=0.00
Taglio nei bulloni: Fv,Ed=3.42 Fv,Rd=7720.78
Rifollamento lato piastra: Fb,Ed,p=3.41 Fb,Rd,p=9306.83
Tirafondi:LT=0.45 (0.31) σ_{cR}=0.00 σ_{fR}=0.00
Compressione nel calcestruzzo: σ_c=23.01
CC 15 SLV (Collegamento -182_-384)
Azioni sul collegamento: N=-10950.00 Ty=-6.74 Tz=17.52 Mx=0.00 Mz=-1.76
Sollecitazioni agenti localmente: Tx_l=-6.74 Ty_l=17.52 N_l=-10950.00 Mx_l=-0.00 My_l=-1.76 Mz_l=0.00
Taglio nei bulloni: Fv,Ed=3.13 Fv,Rd=7720.78
Rifollamento lato piastra: Fb,Ed,p=3.13 Fb,Rd,p=7302.24
Tirafondi:LT=0.45 (0.31) σ_{cR}=0.00 σ_{fR}=0.00
Compressione nel calcestruzzo: σ_c=22.72
CC 15 SLV (Collegamento -182_-384)
Azioni sul collegamento: N=-10950.00 Ty=-10.61 Tz=7.77 Mx=0.00 Mz=-6.83
Sollecitazioni agenti localmente: Tx_l=-10.61 Ty_l=7.77 N_l=-10950.00 Mx_l=-0.00 My_l=-6.83 Mz_l=0.00
Taglio nei bulloni: Fv,Ed=2.19 Fv,Rd=7720.78
Rifollamento lato piastra: Fb,Ed,p=2.19 Fb,Rd,p=10533.20
Tirafondi:LT=0.45 (0.31) σ_{cR}=0.00 σ_{fR}=0.00
Compressione nel calcestruzzo: σ_c=23.01
CC 15 SLV (Collegamento -182_-384)
Azioni sul collegamento: N=-10950.00 Ty=-6.74 Tz=7.77 Mx=0.00 Mz=-1.76
Sollecitazioni agenti localmente: Tx_l=-6.74 Ty_l=7.77 N_l=-10950.00 Mx_l=-0.00 My_l=-1.76 Mz_l=0.00
Taglio nei bulloni: Fv,Ed=1.72 Fv,Rd=7720.78
Rifollamento lato piastra: Fb,Ed,p=1.71 Fb,Rd,p=11242.40
Tirafondi:LT=0.45 (0.31) σ_{cR}=0.00 σ_{fR}=0.00
Compressione nel calcestruzzo: σ_c=22.72
CC 15 SLV (Collegamento -182_-384)
Azioni sul collegamento: N=-8587.84 Ty=-10.61 Tz=17.52 Mx=0.00 Mz=-6.83
Sollecitazioni agenti localmente: Tx_l=-10.61 Ty_l=17.52 N_l=-8587.84 Mx_l=-0.00 My_l=-6.83 Mz_l=0.00
Taglio nei bulloni: Fv,Ed=3.42 Fv,Rd=7720.78
Rifollamento lato piastra: Fb,Ed,p=3.41 Fb,Rd,p=9306.66
Tirafondi:LT=0.45 (0.31) σ_{cR}=0.00 σ_{fR}=0.00
Compressione nel calcestruzzo: σ_c=18.13
CC 15 SLV (Collegamento -182_-384)
Azioni sul collegamento: N=-8587.84 Ty=-6.74 Tz=17.52 Mx=0.00 Mz=-1.76
Sollecitazioni agenti localmente: Tx_l=-6.74 Ty_l=17.52 N_l=-8587.84 Mx_l=-0.00 My_l=-1.76 Mz_l=0.00
Taglio nei bulloni: Fv,Ed=3.13 Fv,Rd=7720.78
Rifollamento lato piastra: Fb,Ed,p=3.13 Fb,Rd,p=7302.17
Tirafondi:LT=0.45 (0.31) σ_{cR}=0.00 σ_{fR}=0.00
Compressione nel calcestruzzo: σ_c=17.84
CC 15 SLV (Collegamento -182_-384)
Azioni sul collegamento: N=-8587.84 Ty=-10.61 Tz=7.77 Mx=0.00 Mz=-6.83
Sollecitazioni agenti localmente: Tx_l=-10.61 Ty_l=7.77 N_l=-8587.84 Mx_l=-0.00 My_l=-6.83 Mz_l=0.00
Taglio nei bulloni: Fv,Ed=2.19 Fv,Rd=7720.78
Rifollamento lato piastra: Fb,Ed,p=2.19 Fb,Rd,p=10533.30
Tirafondi:LT=0.45 (0.31) σ_{cR}=0.00 σ_{fR}=0.00
Compressione nel calcestruzzo: σ_c=18.13
CC 15 SLV (Collegamento -182_-384)
Azioni sul collegamento: N=-8587.84 Ty=-6.74 Tz=7.77 Mx=0.00 Mz=-1.76
Sollecitazioni agenti localmente: Tx_l=-6.74 Ty_l=7.77 N_l=-8587.84 Mx_l=-0.00 My_l=-1.76 Mz_l=0.00
Taglio nei bulloni: Fv,Ed=1.72 Fv,Rd=7720.78
Rifollamento lato piastra: Fb,Ed,p=1.71 Fb,Rd,p=11242.30
Tirafondi:LT=0.45 (0.31) σ_{cR}=0.00 σ_{fR}=0.00
Compressione nel calcestruzzo: σ_c=17.84
CC 16 SLD (Collegamento -182_-384)
Azioni sul collegamento: N=-10226.40 Ty=-10.19 Tz=14.51 Mx=-0.00 Mz=-7.20
Sollecitazioni agenti localmente: Tx_l=-10.19 Ty_l=14.51 N_l=-10226.40 Mx_l=-0.00 My_l=-7.20 Mz_l=-0.00
Taglio nei bulloni: Fv,Ed=2.96 Fv,Rd=9650.97
Rifollamento lato piastra: Fb,Ed,p=2.96 Fb,Rd,p=12982.20
Tirafondi:LT=0.45 (0.31) σ_{cR}=0.00 σ_{fR}=0.00
Compressione nel calcestruzzo: σ_c=21.53
CC 16 SLD (Collegamento -182_-384)
Azioni sul collegamento: N=-10226.40 Ty=-9.01 Tz=14.51 Mx=-0.00 Mz=-5.66

Sollecitazioni agenti localmente: Tx_l=-9.01 Ty_l=14.51 N_l=-10226.40 Mx_l=-0.00 My_l=-5.66 Mz_l=-0.00
Taglio nei bulloni: Fv,Ed=2.85 Fv,Rd=9650.97
Rifollamento lato piastra: Fb,Ed,p=2.85 Fb,Rd,p=11864.30
Tirafondi:LT=0.45 (0.31) σ_{cR}=0.00 σ_{fR}=0.00
Compressione nel calcestruzzo: σ_c=21.45
CC 16 SLD (Collegamento -182_-384)
Azioni sul collegamento: N=-10226.40 Ty=-10.19 Tz=11.54 Mx=-0.00 Mz=-7.20
Sollecitazioni agenti localmente: Tx_l=-10.19 Ty_l=11.54 N_l=-10226.40 Mx_l=-0.00 My_l=-7.20 Mz_l=-0.00
Taglio nei bulloni: Fv,Ed=2.57 Fv,Rd=9650.97
Rifollamento lato piastra: Fb,Ed,p=2.57 Fb,Rd,p=14173.50
Tirafondi:LT=0.45 (0.31) σ_{cR}=0.00 σ_{fR}=0.00
Compressione nel calcestruzzo: σ_c=21.53
CC 16 SLD (Collegamento -182_-384)
Azioni sul collegamento: N=-10226.40 Ty=-9.01 Tz=11.54 Mx=-0.00 Mz=-5.66
Sollecitazioni agenti localmente: Tx_l=-9.01 Ty_l=11.54 N_l=-10226.40 Mx_l=-0.00 My_l=-5.66 Mz_l=-0.00
Taglio nei bulloni: Fv,Ed=2.44 Fv,Rd=9650.97
Rifollamento lato piastra: Fb,Ed,p=2.44 Fb,Rd,p=13479.60
Tirafondi:LT=0.45 (0.31) σ_{cR}=0.00 σ_{fR}=0.00
Compressione nel calcestruzzo: σ_c=21.45
CC 16 SLD (Collegamento -182_-384)
Azioni sul collegamento: N=-9506.09 Ty=-10.19 Tz=14.51 Mx=-0.00 Mz=-7.20
Sollecitazioni agenti localmente: Tx_l=-10.19 Ty_l=14.51 N_l=-9506.09 Mx_l=-0.00 My_l=-7.20 Mz_l=-0.00
Taglio nei bulloni: Fv,Ed=2.96 Fv,Rd=9650.97
Rifollamento lato piastra: Fb,Ed,p=2.96 Fb,Rd,p=12982.10
Tirafondi:LT=0.45 (0.31) σ_{cR}=0.00 σ_{fR}=0.00
Compressione nel calcestruzzo: σ_c=20.05
CC 16 SLD (Collegamento -182_-384)
Azioni sul collegamento: N=-9506.09 Ty=-9.01 Tz=14.51 Mx=-0.00 Mz=-5.66
Sollecitazioni agenti localmente: Tx_l=-9.01 Ty_l=14.51 N_l=-9506.09 Mx_l=-0.00 My_l=-5.66 Mz_l=-0.00
Taglio nei bulloni: Fv,Ed=2.85 Fv,Rd=9650.97
Rifollamento lato piastra: Fb,Ed,p=2.85 Fb,Rd,p=11864.20
Tirafondi:LT=0.45 (0.31) σ_{cR}=0.00 σ_{fR}=0.00
Compressione nel calcestruzzo: σ_c=19.96
CC 16 SLD (Collegamento -182_-384)
Azioni sul collegamento: N=-9506.09 Ty=-10.19 Tz=11.54 Mx=-0.00 Mz=-7.20
Sollecitazioni agenti localmente: Tx_l=-10.19 Ty_l=11.54 N_l=-9506.09 Mx_l=-0.00 My_l=-7.20 Mz_l=-0.00
Taglio nei bulloni: Fv,Ed=2.57 Fv,Rd=9650.97
Rifollamento lato piastra: Fb,Ed,p=2.57 Fb,Rd,p=14173.60
Tirafondi:LT=0.45 (0.31) σ_{cR}=0.00 σ_{fR}=0.00
Compressione nel calcestruzzo: σ_c=20.05
CC 16 SLD (Collegamento -182_-384)
Azioni sul collegamento: N=-9506.09 Ty=-9.01 Tz=11.54 Mx=-0.00 Mz=-5.66
Sollecitazioni agenti localmente: Tx_l=-9.01 Ty_l=11.54 N_l=-9506.09 Mx_l=-0.00 My_l=-5.66 Mz_l=-0.00
Taglio nei bulloni: Fv,Ed=2.44 Fv,Rd=9650.97
Rifollamento lato piastra: Fb,Ed,p=2.44 Fb,Rd,p=13479.70
Tirafondi:LT=0.45 (0.31) σ_{cR}=0.00 σ_{fR}=0.00
Compressione nel calcestruzzo: σ_c=19.96
CC 17 SLV (Collegamento -182_-384)
Azioni sul collegamento: N=-6136.65 Ty=-7.48 Tz=-0.86 Mx=-0.02 Mz=-7.28
Sollecitazioni agenti localmente: Tx_l=-7.48 Ty_l=-0.86 N_l=-6136.65 Mx_l=-0.00 My_l=-7.28 Mz_l=-0.02
Taglio nei bulloni: Fv,Ed=1.28 Fv,Rd=7720.78
Rifollamento lato piastra: Fb,Ed,p=1.28 Fb,Rd,p=6126.41
Tirafondi:LT=0.45 (0.31) σ_{cR}=0.00 σ_{fR}=0.00
Compressione nel calcestruzzo: σ_c=13.09
CC 17 SLV (Collegamento -182_-384)
Azioni sul collegamento: N=-6136.65 Ty=-15.19 Tz=-0.86 Mx=-0.02 Mz=-13.60
Sollecitazioni agenti localmente: Tx_l=-15.19 Ty_l=-0.86 N_l=-6136.65 Mx_l=-0.00 My_l=-13.60 Mz_l=-0.02
Taglio nei bulloni: Fv,Ed=2.56 Fv,Rd=7720.78
Rifollamento lato piastra: Fb,Ed,p=2.56 Fb,Rd,p=6015.42
Tirafondi:LT=0.45 (0.31) σ_{cR}=0.00 σ_{fR}=0.00
Compressione nel calcestruzzo: σ_c=13.45
CC 17 SLV (Collegamento -182_-384)
Azioni sul collegamento: N=-6136.65 Ty=-7.48 Tz=28.35 Mx=-0.02 Mz=-7.28
Sollecitazioni agenti localmente: Tx_l=-7.48 Ty_l=28.35 N_l=-6136.65 Mx_l=-0.00 My_l=-7.28 Mz_l=-0.02
Taglio nei bulloni: Fv,Ed=4.91 Fv,Rd=7720.78
Rifollamento lato piastra: Fb,Ed,p=4.91 Fb,Rd,p=6614.95
Tirafondi:LT=0.45 (0.31) σ_{cR}=0.00 σ_{fR}=0.00
Compressione nel calcestruzzo: σ_c=13.09
CC 17 SLV (Collegamento -182_-384)
Azioni sul collegamento: N=-6136.65 Ty=-15.19 Tz=28.35 Mx=-0.02 Mz=-13.60
Sollecitazioni agenti localmente: Tx_l=-15.19 Ty_l=28.35 N_l=-6136.65 Mx_l=-0.00 My_l=-13.60 Mz_l=-0.02
Taglio nei bulloni: Fv,Ed=5.39 Fv,Rd=7720.78
Rifollamento lato piastra: Fb,Ed,p=5.39 Fb,Rd,p=8597.82
Tirafondi:LT=0.45 (0.31) σ_{cR}=0.00 σ_{fR}=0.00
Compressione nel calcestruzzo: σ_c=13.45
CC 17 SLV (Collegamento -182_-384)
Azioni sul collegamento: N=-13961.30 Ty=-7.48 Tz=-0.86 Mx=-0.02 Mz=-7.28
Sollecitazioni agenti localmente: Tx_l=-7.48 Ty_l=-0.86 N_l=-13961.30 Mx_l=-0.00 My_l=-7.28 Mz_l=-0.02
Taglio nei bulloni: Fv,Ed=1.28 Fv,Rd=7720.78
Rifollamento lato piastra: Fb,Ed,p=1.28 Fb,Rd,p=6126.42

Tirafondi:LT=0.45 (0.31) σ_{cR}=0.00 σ_{fR}=0.00
Compressione nel calcestruzzo: σ_c=29.26
CC 17 SLV (Collegamento -182_-384)
Azioni sul collegamento: N=-13961.30 Ty=-15.19 Tz=-0.86 Mx=-0.02 Mz=-13.60
Sollecitazioni agenti localmente: Tx_l=-15.19 Ty_l=-0.86 N_l=-13961.30 Mx_l=-0.00 My_l=-13.60 Mz_l=-0.02
Taglio nei bulloni: Fv,Ed=2.56 Fv,Rd=7720.78
Rifollamento lato piastra: Fb,Ed,p=2.56 Fb,Rd,p=6015.42
Tirafondi:LT=0.45 (0.31) σ_{cR}=0.00 σ_{fR}=0.00
Compressione nel calcestruzzo: σ_c=29.61
CC 17 SLV (Collegamento -182_-384)
Azioni sul collegamento: N=-13961.30 Ty=-7.48 Tz=28.35 Mx=-0.02 Mz=-7.28
Sollecitazioni agenti localmente: Tx_l=-7.48 Ty_l=28.35 N_l=-13961.30 Mx_l=-0.00 My_l=-7.28 Mz_l=-0.02
Taglio nei bulloni: Fv,Ed=4.91 Fv,Rd=7720.78
Rifollamento lato piastra: Fb,Ed,p=4.91 Fb,Rd,p=6614.96
Tirafondi:LT=0.45 (0.31) σ_{cR}=0.00 σ_{fR}=0.00
Compressione nel calcestruzzo: σ_c=29.26
CC 17 SLV (Collegamento -182_-384)
Azioni sul collegamento: N=-13961.30 Ty=-15.19 Tz=28.35 Mx=-0.02 Mz=-13.60
Sollecitazioni agenti localmente: Tx_l=-15.19 Ty_l=28.35 N_l=-13961.30 Mx_l=-0.00 My_l=-13.60 Mz_l=-0.02
Taglio nei bulloni: Fv,Ed=5.39 Fv,Rd=7720.78
Rifollamento lato piastra: Fb,Ed,p=5.39 Fb,Rd,p=8597.82
Tirafondi:LT=0.45 (0.31) σ_{cR}=0.00 σ_{fR}=0.00
Compressione nel calcestruzzo: σ_c=29.61
CC 18 SLD (Collegamento -182_-384)
Azioni sul collegamento: N=-8758.64 Ty=-9.24 Tz=8.91 Mx=-0.01 Mz=-7.34
Sollecitazioni agenti localmente: Tx_l=-9.24 Ty_l=8.91 N_l=-8758.64 Mx_l=-0.00 My_l=-7.34 Mz_l=-0.01
Taglio nei bulloni: Fv,Ed=2.15 Fv,Rd=9650.97
Rifollamento lato piastra: Fb,Ed,p=2.14 Fb,Rd,p=14680.30
Tirafondi:LT=0.45 (0.31) σ_{cR}=0.00 σ_{fR}=0.00
Compressione nel calcestruzzo: σ_c=18.51
CC 18 SLD (Collegamento -182_-384)
Azioni sul collegamento: N=-8758.64 Ty=-11.59 Tz=8.91 Mx=-0.01 Mz=-9.27
Sollecitazioni agenti localmente: Tx_l=-11.59 Ty_l=8.91 N_l=-8758.64 Mx_l=-0.00 My_l=-9.27 Mz_l=-0.01
Taglio nei bulloni: Fv,Ed=2.45 Fv,Rd=9650.97
Rifollamento lato piastra: Fb,Ed,p=2.44 Fb,Rd,p=13350.10
Tirafondi:LT=0.45 (0.31) σ_{cR}=0.00 σ_{fR}=0.00
Compressione nel calcestruzzo: σ_c=18.62
CC 18 SLD (Collegamento -182_-384)
Azioni sul collegamento: N=-8758.65 Ty=-9.24 Tz=17.82 Mx=-0.01 Mz=-7.34
Sollecitazioni agenti localmente: Tx_l=-9.24 Ty_l=17.82 N_l=-8758.65 Mx_l=-0.00 My_l=-7.34 Mz_l=-0.01
Taglio nei bulloni: Fv,Ed=3.36 Fv,Rd=9650.97
Rifollamento lato piastra: Fb,Ed,p=3.36 Fb,Rd,p=10527.60
Tirafondi:LT=0.45 (0.31) σ_{cR}=0.00 σ_{fR}=0.00
Compressione nel calcestruzzo: σ_c=18.51
CC 18 SLD (Collegamento -182_-384)
Azioni sul collegamento: N=-8758.65 Ty=-11.59 Tz=17.82 Mx=-0.01 Mz=-9.27
Sollecitazioni agenti localmente: Tx_l=-11.59 Ty_l=17.82 N_l=-8758.65 Mx_l=-0.00 My_l=-9.27 Mz_l=-0.01
Taglio nei bulloni: Fv,Ed=3.55 Fv,Rd=9650.97
Rifollamento lato piastra: Fb,Ed,p=3.55 Fb,Rd,p=12313.20
Tirafondi:LT=0.45 (0.31) σ_{cR}=0.00 σ_{fR}=0.00
Compressione nel calcestruzzo: σ_c=18.62
CC 18 SLD (Collegamento -182_-384)
Azioni sul collegamento: N=-11144.60 Ty=-9.24 Tz=8.91 Mx=-0.01 Mz=-7.34
Sollecitazioni agenti localmente: Tx_l=-9.24 Ty_l=8.91 N_l=-11144.60 Mx_l=-0.00 My_l=-7.34 Mz_l=-0.01
Taglio nei bulloni: Fv,Ed=2.15 Fv,Rd=9650.97
Rifollamento lato piastra: Fb,Ed,p=2.14 Fb,Rd,p=14680.00
Tirafondi:LT=0.45 (0.31) σ_{cR}=0.00 σ_{fR}=0.00
Compressione nel calcestruzzo: σ_c=23.44
CC 18 SLD (Collegamento -182_-384)
Azioni sul collegamento: N=-11144.60 Ty=-11.59 Tz=8.91 Mx=-0.01 Mz=-9.27
Sollecitazioni agenti localmente: Tx_l=-11.59 Ty_l=8.91 N_l=-11144.60 Mx_l=-0.00 My_l=-9.27 Mz_l=-0.01
Taglio nei bulloni: Fv,Ed=2.45 Fv,Rd=9650.97
Rifollamento lato piastra: Fb,Ed,p=2.44 Fb,Rd,p=13349.90
Tirafondi:LT=0.45 (0.31) σ_{cR}=0.00 σ_{fR}=0.00
Compressione nel calcestruzzo: σ_c=23.55
CC 18 SLD (Collegamento -182_-384)
Azioni sul collegamento: N=-11144.60 Ty=-9.24 Tz=17.82 Mx=-0.01 Mz=-7.34
Sollecitazioni agenti localmente: Tx_l=-9.24 Ty_l=17.82 N_l=-11144.60 Mx_l=-0.00 My_l=-7.34 Mz_l=-0.01
Taglio nei bulloni: Fv,Ed=3.36 Fv,Rd=9650.97
Rifollamento lato piastra: Fb,Ed,p=3.36 Fb,Rd,p=10527.60
Tirafondi:LT=0.45 (0.31) σ_{cR}=0.00 σ_{fR}=0.00
Compressione nel calcestruzzo: σ_c=23.44
CC 18 SLD (Collegamento -182_-384)
Azioni sul collegamento: N=-11144.60 Ty=-11.59 Tz=17.82 Mx=-0.01 Mz=-9.27
Sollecitazioni agenti localmente: Tx_l=-11.59 Ty_l=17.82 N_l=-11144.60 Mx_l=-0.00 My_l=-9.27 Mz_l=-0.01
Taglio nei bulloni: Fv,Ed=3.55 Fv,Rd=9650.97
Rifollamento lato piastra: Fb,Ed,p=3.55 Fb,Rd,p=12313.20
Tirafondi:LT=0.45 (0.31) σ_{cR}=0.00 σ_{fR}=0.00
Compressione nel calcestruzzo: σ_c=23.55
CC 19 SLV (Collegamento -182_-384)

Azioni sul collegamento: N=-6141.50 Ty=-7.99 Tz=-0.53 Mx=-0.01 Mz=-8.33
Sollecitazioni agenti localmente: Tx_l=-7.99 Ty_l=-0.53 N_l=-6141.50 Mx_l=-0.00 My_l=-8.33 Mz_l=-0.01
Taglio nei bulloni: Fv,Ed=1.35 Fv,Rd=7720.78
Rifollamento lato piastra: Fb,Ed,p=1.35 Fb,Rd,p=6031.29
Tirafondi:LT=0.45 (0.31) σ_{cR}=0.00 σ_{fR}=0.00
Compressione nel calcestruzzo: σ_c=13.16
CC 19 SLV (Collegamento -182_-384)
Azioni sul collegamento: N=-6141.50 Ty=-14.68 Tz=-0.53 Mx=-0.01 Mz=-12.56
Sollecitazioni agenti localmente: Tx_l=-14.68 Ty_l=-0.53 N_l=-6141.50 Mx_l=-0.00 My_l=-12.56 Mz_l=-0.01
Taglio nei bulloni: Fv,Ed=2.46 Fv,Rd=7720.78
Rifollamento lato piastra: Fb,Ed,p=2.46 Fb,Rd,p=5994.79
Tirafondi:LT=0.45 (0.31) σ_{cR}=0.00 σ_{fR}=0.00
Compressione nel calcestruzzo: σ_c=13.40
CC 19 SLV (Collegamento -182_-384)
Azioni sul collegamento: N=-6141.50 Ty=-7.99 Tz=28.02 Mx=-0.01 Mz=-8.33
Sollecitazioni agenti localmente: Tx_l=-7.99 Ty_l=28.02 N_l=-6141.50 Mx_l=-0.00 My_l=-8.33 Mz_l=-0.01
Taglio nei bulloni: Fv,Ed=4.88 Fv,Rd=7720.78
Rifollamento lato piastra: Fb,Ed,p=4.88 Fb,Rd,p=6717.12
Tirafondi:LT=0.45 (0.31) σ_{cR}=0.00 σ_{fR}=0.00
Compressione nel calcestruzzo: σ_c=13.16
CC 19 SLV (Collegamento -182_-384)
Azioni sul collegamento: N=-6141.50 Ty=-14.68 Tz=28.02 Mx=-0.01 Mz=-12.56
Sollecitazioni agenti localmente: Tx_l=-14.68 Ty_l=28.02 N_l=-6141.50 Mx_l=-0.00 My_l=-12.56 Mz_l=-0.01
Taglio nei bulloni: Fv,Ed=5.29 Fv,Rd=7720.78
Rifollamento lato piastra: Fb,Ed,p=5.29 Fb,Rd,p=8475.13
Tirafondi:LT=0.45 (0.31) σ_{cR}=0.00 σ_{fR}=0.00
Compressione nel calcestruzzo: σ_c=13.40
CC 19 SLV (Collegamento -182_-384)
Azioni sul collegamento: N=-13956.40 Ty=-7.99 Tz=-0.53 Mx=-0.01 Mz=-8.33
Sollecitazioni agenti localmente: Tx_l=-7.99 Ty_l=-0.53 N_l=-13956.40 Mx_l=-0.00 My_l=-8.33 Mz_l=-0.01
Taglio nei bulloni: Fv,Ed=1.35 Fv,Rd=7720.78
Rifollamento lato piastra: Fb,Ed,p=1.35 Fb,Rd,p=6031.24
Tirafondi:LT=0.45 (0.31) σ_{cR}=0.00 σ_{fR}=0.00
Compressione nel calcestruzzo: σ_c=29.30
CC 19 SLV (Collegamento -182_-384)
Azioni sul collegamento: N=-13956.40 Ty=-14.68 Tz=-0.53 Mx=-0.01 Mz=-12.56
Sollecitazioni agenti localmente: Tx_l=-14.68 Ty_l=-0.53 N_l=-13956.40 Mx_l=-0.00 My_l=-12.56 Mz_l=-0.01
Taglio nei bulloni: Fv,Ed=2.46 Fv,Rd=7720.78
Rifollamento lato piastra: Fb,Ed,p=2.46 Fb,Rd,p=5994.76
Tirafondi:LT=0.45 (0.31) σ_{cR}=0.00 σ_{fR}=0.00
Compressione nel calcestruzzo: σ_c=29.54
CC 19 SLV (Collegamento -182_-384)
Azioni sul collegamento: N=-13956.40 Ty=-7.99 Tz=28.02 Mx=-0.01 Mz=-8.33
Sollecitazioni agenti localmente: Tx_l=-7.99 Ty_l=28.02 N_l=-13956.40 Mx_l=-0.00 My_l=-8.33 Mz_l=-0.01
Taglio nei bulloni: Fv,Ed=4.88 Fv,Rd=7720.78
Rifollamento lato piastra: Fb,Ed,p=4.88 Fb,Rd,p=6717.12
Tirafondi:LT=0.45 (0.31) σ_{cR}=0.00 σ_{fR}=0.00
Compressione nel calcestruzzo: σ_c=29.30
CC 19 SLV (Collegamento -182_-384)
Azioni sul collegamento: N=-13956.40 Ty=-14.68 Tz=28.02 Mx=-0.01 Mz=-12.56
Sollecitazioni agenti localmente: Tx_l=-14.68 Ty_l=28.02 N_l=-13956.40 Mx_l=-0.00 My_l=-12.56 Mz_l=-0.01
Taglio nei bulloni: Fv,Ed=5.29 Fv,Rd=7720.78
Rifollamento lato piastra: Fb,Ed,p=5.29 Fb,Rd,p=8475.11
Tirafondi:LT=0.45 (0.31) σ_{cR}=0.00 σ_{fR}=0.00
Compressione nel calcestruzzo: σ_c=29.54
CC 20 SLD (Collegamento -182_-384)
Azioni sul collegamento: N=-8760.12 Ty=-9.39 Tz=9.01 Mx=-0.01 Mz=-7.66
Sollecitazioni agenti localmente: Tx_l=-9.39 Ty_l=9.01 N_l=-8760.12 Mx_l=-0.00 My_l=-7.66 Mz_l=-0.01
Taglio nei bulloni: Fv,Ed=2.18 Fv,Rd=9650.97
Rifollamento lato piastra: Fb,Ed,p=2.17 Fb,Rd,p=14656.60
Tirafondi:LT=0.45 (0.31) σ_{cR}=0.00 σ_{fR}=0.00
Compressione nel calcestruzzo: σ_c=18.53
CC 20 SLD (Collegamento -182_-384)
Azioni sul collegamento: N=-8760.12 Ty=-11.43 Tz=9.01 Mx=-0.01 Mz=-8.95
Sollecitazioni agenti localmente: Tx_l=-11.43 Ty_l=9.01 N_l=-8760.12 Mx_l=-0.00 My_l=-8.95 Mz_l=-0.01
Taglio nei bulloni: Fv,Ed=2.44 Fv,Rd=9650.97
Rifollamento lato piastra: Fb,Ed,p=2.43 Fb,Rd,p=13483.50
Tirafondi:LT=0.45 (0.31) σ_{cR}=0.00 σ_{fR}=0.00
Compressione nel calcestruzzo: σ_c=18.60
CC 20 SLD (Collegamento -182_-384)
Azioni sul collegamento: N=-8760.13 Ty=-9.39 Tz=17.72 Mx=-0.01 Mz=-7.66
Sollecitazioni agenti localmente: Tx_l=-9.39 Ty_l=17.72 N_l=-8760.13 Mx_l=-0.00 My_l=-7.66 Mz_l=-0.01
Taglio nei bulloni: Fv,Ed=3.35 Fv,Rd=9650.97
Rifollamento lato piastra: Fb,Ed,p=3.35 Fb,Rd,p=10666.20
Tirafondi:LT=0.45 (0.31) σ_{cR}=0.00 σ_{fR}=0.00
Compressione nel calcestruzzo: σ_c=18.53
CC 20 SLD (Collegamento -182_-384)
Azioni sul collegamento: N=-8760.13 Ty=-11.43 Tz=17.72 Mx=-0.01 Mz=-8.95
Sollecitazioni agenti localmente: Tx_l=-11.43 Ty_l=17.72 N_l=-8760.13 Mx_l=-0.00 My_l=-8.95 Mz_l=-0.01
Taglio nei bulloni: Fv,Ed=3.52 Fv,Rd=9650.97

Rifollamento lato piastra: Fb,Ed,p=3.52 Fb,Rd,p=12232.10
Tirafondi:LT=0.45 (0.31) σ_{cR}=0.00 σ_{fR}=0.00
Compressione nel calcestruzzo: σ_c=18.60
CC 20 SLD (Collegamento -182_-384)
Azioni sul collegamento: N=-11143.10 Ty=-9.39 Tz=9.01 Mx=-0.01 Mz=-7.66
Sollecitazioni agenti localmente: Tx_l=-9.39 Ty_l=9.01 N_l=-11143.10 Mx_l=-0.00 My_l=-7.66 Mz_l=-0.01
Taglio nei bulloni: Fv,Ed=2.18 Fv,Rd=9650.97
Rifollamento lato piastra: Fb,Ed,p=2.17 Fb,Rd,p=14656.40
Tirafondi:LT=0.45 (0.31) σ_{cR}=0.00 σ_{fR}=0.00
Compressione nel calcestruzzo: σ_c=23.45
CC 20 SLD (Collegamento -182_-384)
Azioni sul collegamento: N=-11143.10 Ty=-11.43 Tz=9.01 Mx=-0.01 Mz=-8.95
Sollecitazioni agenti localmente: Tx_l=-11.43 Ty_l=9.01 N_l=-11143.10 Mx_l=-0.00 My_l=-8.95 Mz_l=-0.01
Taglio nei bulloni: Fv,Ed=2.44 Fv,Rd=9650.97
Rifollamento lato piastra: Fb,Ed,p=2.43 Fb,Rd,p=13483.30
Tirafondi:LT=0.45 (0.31) σ_{cR}=0.00 σ_{fR}=0.00
Compressione nel calcestruzzo: σ_c=23.53
CC 20 SLD (Collegamento -182_-384)
Azioni sul collegamento: N=-11143.10 Ty=-9.39 Tz=17.72 Mx=-0.01 Mz=-7.66
Sollecitazioni agenti localmente: Tx_l=-9.39 Ty_l=17.72 N_l=-11143.10 Mx_l=-0.00 My_l=-7.66 Mz_l=-0.01
Taglio nei bulloni: Fv,Ed=3.35 Fv,Rd=9650.97
Rifollamento lato piastra: Fb,Ed,p=3.35 Fb,Rd,p=10666.20
Tirafondi:LT=0.45 (0.31) σ_{cR}=0.00 σ_{fR}=0.00
Compressione nel calcestruzzo: σ_c=23.45
CC 20 SLD (Collegamento -182_-384)
Azioni sul collegamento: N=-11143.10 Ty=-11.43 Tz=17.72 Mx=-0.01 Mz=-8.95
Sollecitazioni agenti localmente: Tx_l=-11.43 Ty_l=17.72 N_l=-11143.10 Mx_l=-0.00 My_l=-8.95 Mz_l=-0.01
Taglio nei bulloni: Fv,Ed=3.52 Fv,Rd=9650.97
Rifollamento lato piastra: Fb,Ed,p=3.52 Fb,Rd,p=12232.20
Tirafondi:LT=0.45 (0.31) σ_{cR}=0.00 σ_{fR}=0.00
Compressione nel calcestruzzo: σ_c=23.53
CC 21 SLV (Collegamento -182_-384)
Azioni sul collegamento: N=-13956.40 Ty=-14.68 Tz=28.02 Mx=-0.02 Mz=-12.56
Sollecitazioni agenti localmente: Tx_l=-14.68 Ty_l=28.02 N_l=-13956.40 Mx_l=-0.00 My_l=-12.56 Mz_l=-0.02
Taglio nei bulloni: Fv,Ed=5.30 Fv,Rd=7720.78
Rifollamento lato piastra: Fb,Ed,p=5.30 Fb,Rd,p=8480.27
Tirafondi:LT=0.45 (0.31) σ_{cR}=0.00 σ_{fR}=0.00
Compressione nel calcestruzzo: σ_c=29.54
CC 21 SLV (Collegamento -182_-384)
Azioni sul collegamento: N=-13956.40 Ty=-7.99 Tz=28.02 Mx=-0.02 Mz=-8.33
Sollecitazioni agenti localmente: Tx_l=-7.99 Ty_l=28.02 N_l=-13956.40 Mx_l=-0.00 My_l=-8.33 Mz_l=-0.02
Taglio nei bulloni: Fv,Ed=4.88 Fv,Rd=7720.78
Rifollamento lato piastra: Fb,Ed,p=4.88 Fb,Rd,p=6721.26
Tirafondi:LT=0.45 (0.31) σ_{cR}=0.00 σ_{fR}=0.00
Compressione nel calcestruzzo: σ_c=29.30
CC 21 SLV (Collegamento -182_-384)
Azioni sul collegamento: N=-13956.40 Ty=-14.68 Tz=-0.53 Mx=-0.02 Mz=-12.56
Sollecitazioni agenti localmente: Tx_l=-14.68 Ty_l=-0.53 N_l=-13956.40 Mx_l=-0.00 My_l=-12.56 Mz_l=-0.02
Taglio nei bulloni: Fv,Ed=2.47 Fv,Rd=7720.78
Rifollamento lato piastra: Fb,Ed,p=2.47 Fb,Rd,p=5996.33
Tirafondi:LT=0.45 (0.31) σ_{cR}=0.00 σ_{fR}=0.00
Compressione nel calcestruzzo: σ_c=29.54
CC 21 SLV (Collegamento -182_-384)
Azioni sul collegamento: N=-13956.40 Ty=-7.99 Tz=-0.53 Mx=-0.02 Mz=-8.33
Sollecitazioni agenti localmente: Tx_l=-7.99 Ty_l=-0.53 N_l=-13956.40 Mx_l=-0.00 My_l=-8.33 Mz_l=-0.02
Taglio nei bulloni: Fv,Ed=1.36 Fv,Rd=7720.78
Rifollamento lato piastra: Fb,Ed,p=1.36 Fb,Rd,p=6036.25
Tirafondi:LT=0.45 (0.31) σ_{cR}=0.00 σ_{fR}=0.00
Compressione nel calcestruzzo: σ_c=29.30
CC 21 SLV (Collegamento -182_-384)
Azioni sul collegamento: N=-6141.50 Ty=-14.68 Tz=28.02 Mx=-0.02 Mz=-12.56
Sollecitazioni agenti localmente: Tx_l=-14.68 Ty_l=28.02 N_l=-6141.50 Mx_l=-0.00 My_l=-12.56 Mz_l=-0.02
Taglio nei bulloni: Fv,Ed=5.30 Fv,Rd=7720.78
Rifollamento lato piastra: Fb,Ed,p=5.30 Fb,Rd,p=8480.29
Tirafondi:LT=0.45 (0.31) σ_{cR}=0.00 σ_{fR}=0.00
Compressione nel calcestruzzo: σ_c=13.40
CC 21 SLV (Collegamento -182_-384)
Azioni sul collegamento: N=-6141.50 Ty=-7.99 Tz=28.02 Mx=-0.02 Mz=-8.33
Sollecitazioni agenti localmente: Tx_l=-7.99 Ty_l=28.02 N_l=-6141.50 Mx_l=-0.00 My_l=-8.33 Mz_l=-0.02
Taglio nei bulloni: Fv,Ed=4.88 Fv,Rd=7720.78
Rifollamento lato piastra: Fb,Ed,p=4.88 Fb,Rd,p=6721.27
Tirafondi:LT=0.45 (0.31) σ_{cR}=0.00 σ_{fR}=0.00
Compressione nel calcestruzzo: σ_c=13.16
CC 21 SLV (Collegamento -182_-384)
Azioni sul collegamento: N=-6141.50 Ty=-14.68 Tz=-0.53 Mx=-0.02 Mz=-12.56
Sollecitazioni agenti localmente: Tx_l=-14.68 Ty_l=-0.53 N_l=-6141.50 Mx_l=-0.00 My_l=-12.56 Mz_l=-0.02
Taglio nei bulloni: Fv,Ed=2.47 Fv,Rd=7720.78
Rifollamento lato piastra: Fb,Ed,p=2.47 Fb,Rd,p=5996.34
Tirafondi:LT=0.45 (0.31) σ_{cR}=0.00 σ_{fR}=0.00
Compressione nel calcestruzzo: σ_c=13.40

CC 21 SLV (Collegamento -182_-384)
Azioni sul collegamento: N=-6141.50 Ty=-7.99 Tz=-0.53 Mx=-0.02 Mz=-8.33
Sollecitazioni agenti localmente: Tx_l=-7.99 Ty_l=-0.53 N_l=-6141.50 Mx_l=-0.00 My_l=-8.33 Mz_l=-0.02
Taglio nei bulloni: Fv,Ed=1.36 Fv,Rd=7720.78
Rifollamento lato piastra: Fb,Ed,p=1.36 Fb,Rd,p=6036.30
Tirafondi:LT=0.45 (0.31) σ_{cR}=0.00 σ_{fR}=0.00
Compressione nel calcestruzzo: σ_c=13.16
CC 22 SLD (Collegamento -182_-384)
Azioni sul collegamento: N=-11143.10 Ty=-11.43 Tz=17.72 Mx=-0.01 Mz=-8.95
Sollecitazioni agenti localmente: Tx_l=-11.43 Ty_l=17.72 N_l=-11143.10 Mx_l=-0.00 My_l=-8.95 Mz_l=-0.01
Taglio nei bulloni: Fv,Ed=3.53 Fv,Rd=9650.97
Rifollamento lato piastra: Fb,Ed,p=3.53 Fb,Rd,p=12235.10
Tirafondi:LT=0.45 (0.31) σ_{cR}=0.00 σ_{fR}=0.00
Compressione nel calcestruzzo: σ_c=23.53
CC 22 SLD (Collegamento -182_-384)
Azioni sul collegamento: N=-11143.10 Ty=-9.39 Tz=17.72 Mx=-0.01 Mz=-7.66
Sollecitazioni agenti localmente: Tx_l=-9.39 Ty_l=17.72 N_l=-11143.10 Mx_l=-0.00 My_l=-7.66 Mz_l=-0.01
Taglio nei bulloni: Fv,Ed=3.35 Fv,Rd=9650.97
Rifollamento lato piastra: Fb,Ed,p=3.35 Fb,Rd,p=10669.40
Tirafondi:LT=0.45 (0.31) σ_{cR}=0.00 σ_{fR}=0.00
Compressione nel calcestruzzo: σ_c=23.45
CC 22 SLD (Collegamento -182_-384)
Azioni sul collegamento: N=-11143.10 Ty=-11.43 Tz=9.01 Mx=-0.01 Mz=-8.95
Sollecitazioni agenti localmente: Tx_l=-11.43 Ty_l=9.01 N_l=-11143.10 Mx_l=-0.00 My_l=-8.95 Mz_l=-0.01
Taglio nei bulloni: Fv,Ed=2.44 Fv,Rd=9650.97
Rifollamento lato piastra: Fb,Ed,p=2.43 Fb,Rd,p=13473.60
Tirafondi:LT=0.45 (0.31) σ_{cR}=0.00 σ_{fR}=0.00
Compressione nel calcestruzzo: σ_c=23.53
CC 22 SLD (Collegamento -182_-384)
Azioni sul collegamento: N=-11143.10 Ty=-9.39 Tz=9.01 Mx=-0.01 Mz=-7.66
Sollecitazioni agenti localmente: Tx_l=-9.39 Ty_l=9.01 N_l=-11143.10 Mx_l=-0.00 My_l=-7.66 Mz_l=-0.01
Taglio nei bulloni: Fv,Ed=2.18 Fv,Rd=9650.97
Rifollamento lato piastra: Fb,Ed,p=2.17 Fb,Rd,p=14641.80
Tirafondi:LT=0.45 (0.31) σ_{cR}=0.00 σ_{fR}=0.00
Compressione nel calcestruzzo: σ_c=23.45
CC 22 SLD (Collegamento -182_-384)
Azioni sul collegamento: N=-8760.13 Ty=-11.43 Tz=17.72 Mx=-0.01 Mz=-8.95
Sollecitazioni agenti localmente: Tx_l=-11.43 Ty_l=17.72 N_l=-8760.13 Mx_l=-0.00 My_l=-8.95 Mz_l=-0.01
Taglio nei bulloni: Fv,Ed=3.53 Fv,Rd=9650.97
Rifollamento lato piastra: Fb,Ed,p=3.53 Fb,Rd,p=12235.00
Tirafondi:LT=0.45 (0.31) σ_{cR}=0.00 σ_{fR}=0.00
Compressione nel calcestruzzo: σ_c=18.60
CC 22 SLD (Collegamento -182_-384)
Azioni sul collegamento: N=-8760.13 Ty=-9.39 Tz=17.72 Mx=-0.01 Mz=-7.66
Sollecitazioni agenti localmente: Tx_l=-9.39 Ty_l=17.72 N_l=-8760.13 Mx_l=-0.00 My_l=-7.66 Mz_l=-0.01
Taglio nei bulloni: Fv,Ed=3.35 Fv,Rd=9650.97
Rifollamento lato piastra: Fb,Ed,p=3.35 Fb,Rd,p=10669.30
Tirafondi:LT=0.45 (0.31) σ_{cR}=0.00 σ_{fR}=0.00
Compressione nel calcestruzzo: σ_c=18.53
CC 22 SLD (Collegamento -182_-384)
Azioni sul collegamento: N=-8760.12 Ty=-11.43 Tz=9.01 Mx=-0.01 Mz=-8.95
Sollecitazioni agenti localmente: Tx_l=-11.43 Ty_l=9.01 N_l=-8760.12 Mx_l=-0.00 My_l=-8.95 Mz_l=-0.01
Taglio nei bulloni: Fv,Ed=2.44 Fv,Rd=9650.97
Rifollamento lato piastra: Fb,Ed,p=2.43 Fb,Rd,p=13473.70
Tirafondi:LT=0.45 (0.31) σ_{cR}=0.00 σ_{fR}=0.00
Compressione nel calcestruzzo: σ_c=18.60
CC 22 SLD (Collegamento -182_-384)
Azioni sul collegamento: N=-8760.12 Ty=-9.39 Tz=9.01 Mx=-0.01 Mz=-7.66
Sollecitazioni agenti localmente: Tx_l=-9.39 Ty_l=9.01 N_l=-8760.12 Mx_l=-0.00 My_l=-7.66 Mz_l=-0.01
Taglio nei bulloni: Fv,Ed=2.18 Fv,Rd=9650.97
Rifollamento lato piastra: Fb,Ed,p=2.17 Fb,Rd,p=14642.00
Tirafondi:LT=0.45 (0.31) σ_{cR}=0.00 σ_{fR}=0.00
Compressione nel calcestruzzo: σ_c=18.53
CC 23 SLV (Collegamento -182_-384)
Azioni sul collegamento: N=-13961.30 Ty=-15.19 Tz=28.35 Mx=-0.01 Mz=-13.60
Sollecitazioni agenti localmente: Tx_l=-15.19 Ty_l=28.35 N_l=-13961.30 Mx_l=-0.00 My_l=-13.60 Mz_l=-0.01
Taglio nei bulloni: Fv,Ed=5.38 Fv,Rd=7720.78
Rifollamento lato piastra: Fb,Ed,p=5.38 Fb,Rd,p=8592.56
Tirafondi:LT=0.45 (0.31) σ_{cR}=0.00 σ_{fR}=0.00
Compressione nel calcestruzzo: σ_c=29.61
CC 23 SLV (Collegamento -182_-384)
Azioni sul collegamento: N=-13961.30 Ty=-7.48 Tz=28.35 Mx=-0.01 Mz=-7.28
Sollecitazioni agenti localmente: Tx_l=-7.48 Ty_l=28.35 N_l=-13961.30 Mx_l=-0.00 My_l=-7.28 Mz_l=-0.01
Taglio nei bulloni: Fv,Ed=4.90 Fv,Rd=7720.78
Rifollamento lato piastra: Fb,Ed,p=4.90 Fb,Rd,p=6610.93
Tirafondi:LT=0.45 (0.31) σ_{cR}=0.00 σ_{fR}=0.00
Compressione nel calcestruzzo: σ_c=29.26
CC 23 SLV (Collegamento -182_-384)
Azioni sul collegamento: N=-13961.30 Ty=-15.19 Tz=-0.86 Mx=-0.01 Mz=-13.60
Sollecitazioni agenti localmente: Tx_l=-15.19 Ty_l=-0.86 N_l=-13961.30 Mx_l=-0.00 My_l=-13.60 Mz_l=-0.01

Taglio nei bulloni: Fv,Ed=2.55 Fv,Rd=7720.78
Rifollamento lato piastra: Fb,Ed,p=2.55 Fb,Rd,p=6013.19
Tirafondi:LT=0.45 (0.31) σ_{cR}=0.00 σ_{fR}=0.00
Compressione nel calcestruzzo: σ_c=29.61
CC 23 SLV (Collegamento -182_-384)
Azioni sul collegamento: N=-13961.30 Ty=-7.48 Tz=-0.86 Mx=-0.01 Mz=-7.28
Sollecitazioni agenti localmente: Tx_l=-7.48 Ty_l=-0.86 N_l=-13961.30 Mx_l=-0.00 My_l=-7.28 Mz_l=-0.01
Taglio nei bulloni: Fv,Ed=1.27 Fv,Rd=7720.78
Rifollamento lato piastra: Fb,Ed,p=1.27 Fb,Rd,p=6117.92
Tirafondi:LT=0.45 (0.31) σ_{cR}=0.00 σ_{fR}=0.00
Compressione nel calcestruzzo: σ_c=29.26
CC 23 SLV (Collegamento -182_-384)
Azioni sul collegamento: N=-6136.65 Ty=-15.19 Tz=28.35 Mx=-0.01 Mz=-13.60
Sollecitazioni agenti localmente: Tx_l=-15.19 Ty_l=28.35 N_l=-6136.65 Mx_l=-0.00 My_l=-13.60 Mz_l=-0.01
Taglio nei bulloni: Fv,Ed=5.38 Fv,Rd=7720.78
Rifollamento lato piastra: Fb,Ed,p=5.38 Fb,Rd,p=8592.55
Tirafondi:LT=0.45 (0.31) σ_{cR}=0.00 σ_{fR}=0.00
Compressione nel calcestruzzo: σ_c=13.45
CC 23 SLV (Collegamento -182_-384)
Azioni sul collegamento: N=-6136.65 Ty=-7.48 Tz=28.35 Mx=-0.01 Mz=-7.28
Sollecitazioni agenti localmente: Tx_l=-7.48 Ty_l=28.35 N_l=-6136.65 Mx_l=-0.00 My_l=-7.28 Mz_l=-0.01
Taglio nei bulloni: Fv,Ed=4.90 Fv,Rd=7720.78
Rifollamento lato piastra: Fb,Ed,p=4.90 Fb,Rd,p=6610.92
Tirafondi:LT=0.45 (0.31) σ_{cR}=0.00 σ_{fR}=0.00
Compressione nel calcestruzzo: σ_c=13.09
CC 23 SLV (Collegamento -182_-384)
Azioni sul collegamento: N=-6136.65 Ty=-15.19 Tz=-0.86 Mx=-0.01 Mz=-13.60
Sollecitazioni agenti localmente: Tx_l=-15.19 Ty_l=-0.86 N_l=-6136.65 Mx_l=-0.00 My_l=-13.60 Mz_l=-0.01
Taglio nei bulloni: Fv,Ed=2.55 Fv,Rd=7720.78
Rifollamento lato piastra: Fb,Ed,p=2.55 Fb,Rd,p=6013.18
Tirafondi:LT=0.45 (0.31) σ_{cR}=0.00 σ_{fR}=0.00
Compressione nel calcestruzzo: σ_c=13.45
CC 23 SLV (Collegamento -182_-384)
Azioni sul collegamento: N=-6136.65 Ty=-7.48 Tz=-0.86 Mx=-0.01 Mz=-7.28
Sollecitazioni agenti localmente: Tx_l=-7.48 Ty_l=-0.86 N_l=-6136.65 Mx_l=-0.00 My_l=-7.28 Mz_l=-0.01
Taglio nei bulloni: Fv,Ed=1.27 Fv,Rd=7720.78
Rifollamento lato piastra: Fb,Ed,p=1.27 Fb,Rd,p=6117.91
Tirafondi:LT=0.45 (0.31) σ_{cR}=0.00 σ_{fR}=0.00
Compressione nel calcestruzzo: σ_c=13.09
CC 24 SLD (Collegamento -182_-384)
Azioni sul collegamento: N=-11144.60 Ty=-11.59 Tz=17.82 Mx=-0.01 Mz=-9.27
Sollecitazioni agenti localmente: Tx_l=-11.59 Ty_l=17.82 N_l=-11144.60 Mx_l=-0.00 My_l=-9.27 Mz_l=-0.01
Taglio nei bulloni: Fv,Ed=3.55 Fv,Rd=9650.97
Rifollamento lato piastra: Fb,Ed,p=3.55 Fb,Rd,p=12310.20
Tirafondi:LT=0.45 (0.31) σ_{cR}=0.00 σ_{fR}=0.00
Compressione nel calcestruzzo: σ_c=23.55
CC 24 SLD (Collegamento -182_-384)
Azioni sul collegamento: N=-11144.60 Ty=-9.24 Tz=17.82 Mx=-0.01 Mz=-7.34
Sollecitazioni agenti localmente: Tx_l=-9.24 Ty_l=17.82 N_l=-11144.60 Mx_l=-0.00 My_l=-7.34 Mz_l=-0.01
Taglio nei bulloni: Fv,Ed=3.35 Fv,Rd=9650.97
Rifollamento lato piastra: Fb,Ed,p=3.35 Fb,Rd,p=10524.40
Tirafondi:LT=0.45 (0.31) σ_{cR}=0.00 σ_{fR}=0.00
Compressione nel calcestruzzo: σ_c=23.44
CC 24 SLD (Collegamento -182_-384)
Azioni sul collegamento: N=-11144.60 Ty=-11.59 Tz=8.91 Mx=-0.01 Mz=-9.27
Sollecitazioni agenti localmente: Tx_l=-11.59 Ty_l=8.91 N_l=-11144.60 Mx_l=-0.00 My_l=-9.27 Mz_l=-0.01
Taglio nei bulloni: Fv,Ed=2.45 Fv,Rd=9650.97
Rifollamento lato piastra: Fb,Ed,p=2.44 Fb,Rd,p=13359.60
Tirafondi:LT=0.45 (0.31) σ_{cR}=0.00 σ_{fR}=0.00
Compressione nel calcestruzzo: σ_c=23.55
CC 24 SLD (Collegamento -182_-384)
Azioni sul collegamento: N=-11144.60 Ty=-9.24 Tz=8.91 Mx=-0.01 Mz=-7.34
Sollecitazioni agenti localmente: Tx_l=-9.24 Ty_l=8.91 N_l=-11144.60 Mx_l=-0.00 My_l=-7.34 Mz_l=-0.01
Taglio nei bulloni: Fv,Ed=2.15 Fv,Rd=9650.97
Rifollamento lato piastra: Fb,Ed,p=2.14 Fb,Rd,p=14695.50
Tirafondi:LT=0.45 (0.31) σ_{cR}=0.00 σ_{fR}=0.00
Compressione nel calcestruzzo: σ_c=23.44
CC 24 SLD (Collegamento -182_-384)
Azioni sul collegamento: N=-8758.65 Ty=-11.59 Tz=17.82 Mx=-0.01 Mz=-9.27
Sollecitazioni agenti localmente: Tx_l=-11.59 Ty_l=17.82 N_l=-8758.65 Mx_l=-0.00 My_l=-9.27 Mz_l=-0.01
Taglio nei bulloni: Fv,Ed=3.55 Fv,Rd=9650.97
Rifollamento lato piastra: Fb,Ed,p=3.55 Fb,Rd,p=12310.20
Tirafondi:LT=0.45 (0.31) σ_{cR}=0.00 σ_{fR}=0.00
Compressione nel calcestruzzo: σ_c=18.62
CC 24 SLD (Collegamento -182_-384)
Azioni sul collegamento: N=-8758.65 Ty=-9.24 Tz=17.82 Mx=-0.01 Mz=-7.34
Sollecitazioni agenti localmente: Tx_l=-9.24 Ty_l=17.82 N_l=-8758.65 Mx_l=-0.00 My_l=-7.34 Mz_l=-0.01
Taglio nei bulloni: Fv,Ed=3.35 Fv,Rd=9650.97
Rifollamento lato piastra: Fb,Ed,p=3.35 Fb,Rd,p=10524.40
Tirafondi:LT=0.45 (0.31) σ_{cR}=0.00 σ_{fR}=0.00

Compressione nel calcestruzzo: σ_c=18.51
CC 24 SLD (Collegamento -182_-384)
Azioni sul collegamento: N=-8758.64 Ty=-11.59 Tz=8.91 Mx=-0.01 Mz=-9.27
Sollecitazioni agenti localmente: Tx_l=-11.59 Ty_l=8.91 N_l=-8758.64 Mx_l=-0.00 My_l=-9.27 Mz_l=-0.01
Taglio nei bulloni: Fv,Ed=2.45 Fv,Rd=9650.97
Rifollamento lato piastra: Fb,Ed,p=2.44 Fb,Rd,p=13359.80
Tirafondi:LT=0.45 (0.31) σ_{cR}=0.00 σ_{fR}=0.00
Compressione nel calcestruzzo: σ_c=18.62
CC 24 SLD (Collegamento -182_-384)
Azioni sul collegamento: N=-8758.64 Ty=-9.24 Tz=8.91 Mx=-0.01 Mz=-7.34
Sollecitazioni agenti localmente: Tx_l=-9.24 Ty_l=8.91 N_l=-8758.64 Mx_l=-0.00 My_l=-7.34 Mz_l=-0.01
Taglio nei bulloni: Fv,Ed=2.15 Fv,Rd=9650.97
Rifollamento lato piastra: Fb,Ed,p=2.14 Fb,Rd,p=14695.80
Tirafondi:LT=0.45 (0.31) σ_{cR}=0.00 σ_{fR}=0.00
Compressione nel calcestruzzo: σ_c=18.51
CC 25 SLV (Collegamento -182_-384)
Azioni sul collegamento: N=-8867.92 Ty=-9.40 Tz=8.87 Mx=-0.02 Mz=-7.91
Sollecitazioni agenti localmente: Tx_l=-9.40 Ty_l=8.87 N_l=-8867.92 Mx_l=-0.00 My_l=-7.91 Mz_l=-0.02
Taglio nei bulloni: Fv,Ed=2.19 Fv,Rd=7720.78
Rifollamento lato piastra: Fb,Ed,p=2.16 Fb,Rd,p=11497.40
Tirafondi:LT=0.45 (0.31) σ_{cR}=0.00 σ_{fR}=0.00
Compressione nel calcestruzzo: σ_c=18.77
CC 25 SLV (Collegamento -182_-384)
Azioni sul collegamento: N=-8867.92 Ty=-13.27 Tz=8.87 Mx=-0.02 Mz=-12.98
Sollecitazioni agenti localmente: Tx_l=-13.27 Ty_l=8.87 N_l=-8867.92 Mx_l=-0.00 My_l=-12.98 Mz_l=-0.02
Taglio nei bulloni: Fv,Ed=2.70 Fv,Rd=7720.78
Rifollamento lato piastra: Fb,Ed,p=2.67 Fb,Rd,p=9815.61
Tirafondi:LT=0.45 (0.31) σ_{cR}=0.00 σ_{fR}=0.00
Compressione nel calcestruzzo: σ_c=19.05
CC 25 SLV (Collegamento -182_-384)
Azioni sul collegamento: N=-8867.92 Ty=-9.40 Tz=18.62 Mx=-0.02 Mz=-7.91
Sollecitazioni agenti localmente: Tx_l=-9.40 Ty_l=18.62 N_l=-8867.92 Mx_l=-0.00 My_l=-7.91 Mz_l=-0.02
Taglio nei bulloni: Fv,Ed=3.51 Fv,Rd=7720.78
Rifollamento lato piastra: Fb,Ed,p=3.51 Fb,Rd,p=8319.63
Tirafondi:LT=0.45 (0.31) σ_{cR}=0.00 σ_{fR}=0.00
Compressione nel calcestruzzo: σ_c=18.77
CC 25 SLV (Collegamento -182_-384)
Azioni sul collegamento: N=-8867.92 Ty=-13.27 Tz=18.62 Mx=-0.02 Mz=-12.98
Sollecitazioni agenti localmente: Tx_l=-13.27 Ty_l=18.62 N_l=-8867.92 Mx_l=-0.00 My_l=-12.98 Mz_l=-0.02
Taglio nei bulloni: Fv,Ed=3.85 Fv,Rd=7720.78
Rifollamento lato piastra: Fb,Ed,p=3.85 Fb,Rd,p=10448.00
Tirafondi:LT=0.45 (0.31) σ_{cR}=0.00 σ_{fR}=0.00
Compressione nel calcestruzzo: σ_c=19.05
CC 25 SLV (Collegamento -182_-384)
Azioni sul collegamento: N=-11230.00 Ty=-9.40 Tz=8.87 Mx=-0.02 Mz=-7.91
Sollecitazioni agenti localmente: Tx_l=-9.40 Ty_l=8.87 N_l=-11230.00 Mx_l=-0.00 My_l=-7.91 Mz_l=-0.02
Taglio nei bulloni: Fv,Ed=2.19 Fv,Rd=7720.78
Rifollamento lato piastra: Fb,Ed,p=2.16 Fb,Rd,p=11497.80
Tirafondi:LT=0.45 (0.31) σ_{cR}=0.00 σ_{fR}=0.00
Compressione nel calcestruzzo: σ_c=23.65
CC 25 SLV (Collegamento -182_-384)
Azioni sul collegamento: N=-11230.00 Ty=-13.27 Tz=8.87 Mx=-0.02 Mz=-12.98
Sollecitazioni agenti localmente: Tx_l=-13.27 Ty_l=8.87 N_l=-11230.00 Mx_l=-0.00 My_l=-12.98 Mz_l=-0.02
Taglio nei bulloni: Fv,Ed=2.70 Fv,Rd=7720.78
Rifollamento lato piastra: Fb,Ed,p=2.67 Fb,Rd,p=9816.09
Tirafondi:LT=0.45 (0.31) σ_{cR}=0.00 σ_{fR}=0.00
Compressione nel calcestruzzo: σ_c=23.93
CC 25 SLV (Collegamento -182_-384)
Azioni sul collegamento: N=-11230.00 Ty=-9.40 Tz=18.62 Mx=-0.02 Mz=-7.91
Sollecitazioni agenti localmente: Tx_l=-9.40 Ty_l=18.62 N_l=-11230.00 Mx_l=-0.00 My_l=-7.91 Mz_l=-0.02
Taglio nei bulloni: Fv,Ed=3.51 Fv,Rd=7720.78
Rifollamento lato piastra: Fb,Ed,p=3.51 Fb,Rd,p=8319.58
Tirafondi:LT=0.45 (0.31) σ_{cR}=0.00 σ_{fR}=0.00
Compressione nel calcestruzzo: σ_c=23.65
CC 25 SLV (Collegamento -182_-384)
Azioni sul collegamento: N=-11230.00 Ty=-13.27 Tz=18.62 Mx=-0.02 Mz=-12.98
Sollecitazioni agenti localmente: Tx_l=-13.27 Ty_l=18.62 N_l=-11230.00 Mx_l=-0.00 My_l=-12.98 Mz_l=-0.02
Taglio nei bulloni: Fv,Ed=3.85 Fv,Rd=7720.78
Rifollamento lato piastra: Fb,Ed,p=3.85 Fb,Rd,p=10448.00
Tirafondi:LT=0.45 (0.31) σ_{cR}=0.00 σ_{fR}=0.00
Compressione nel calcestruzzo: σ_c=23.93
CC 26 SLD (Collegamento -182_-384)
Azioni sul collegamento: N=-9591.50 Ty=-9.82 Tz=11.88 Mx=-0.01 Mz=-7.53
Sollecitazioni agenti localmente: Tx_l=-9.82 Ty_l=11.88 N_l=-9591.50 Mx_l=-0.00 My_l=-7.53 Mz_l=-0.01
Taglio nei bulloni: Fv,Ed=2.58 Fv,Rd=9650.97
Rifollamento lato piastra: Fb,Ed,p=2.58 Fb,Rd,p=13791.80
Tirafondi:LT=0.45 (0.31) σ_{cR}=0.00 σ_{fR}=0.00
Compressione nel calcestruzzo: σ_c=20.24
CC 26 SLD (Collegamento -182_-384)
Azioni sul collegamento: N=-9591.50 Ty=-11.00 Tz=11.88 Mx=-0.01 Mz=-9.08

Sollecitazioni agenti localmente: Tx_l=-11.00 Ty_l=11.88 N_l=-9591.50 Mx_l=-0.00 My_l=-9.08 Mz_l=-0.01
Taglio nei bulloni: Fv,Ed=2.71 Fv,Rd=9650.97
Rifollamento lato piastra: Fb,Ed,p=2.71 Fb,Rd,p=14484.10
Tirafondi:LT=0.45 (0.31) σ_{cR}=0.00 σ_{fR}=0.00
Compressione nel calcestruzzo: σ_c=20.33
CC 26 SLD (Collegamento -182_-384)
Azioni sul collegamento: N=-9591.50 Ty=-9.82 Tz=14.85 Mx=-0.01 Mz=-7.53
Sollecitazioni agenti localmente: Tx_l=-9.82 Ty_l=14.85 N_l=-9591.50 Mx_l=-0.00 My_l=-7.53 Mz_l=-0.01
Taglio nei bulloni: Fv,Ed=2.98 Fv,Rd=9650.97
Rifollamento lato piastra: Fb,Ed,p=2.98 Fb,Rd,p=12488.00
Tirafondi:LT=0.45 (0.31) σ_{cR}=0.00 σ_{fR}=0.00
Compressione nel calcestruzzo: σ_c=20.24
CC 26 SLD (Collegamento -182_-384)
Azioni sul collegamento: N=-9591.50 Ty=-11.00 Tz=14.85 Mx=-0.01 Mz=-9.08
Sollecitazioni agenti localmente: Tx_l=-11.00 Ty_l=14.85 N_l=-9591.50 Mx_l=-0.00 My_l=-9.08 Mz_l=-0.01
Taglio nei bulloni: Fv,Ed=3.10 Fv,Rd=9650.97
Rifollamento lato piastra: Fb,Ed,p=3.10 Fb,Rd,p=13228.20
Tirafondi:LT=0.45 (0.31) σ_{cR}=0.00 σ_{fR}=0.00
Compressione nel calcestruzzo: σ_c=20.33
CC 26 SLD (Collegamento -182_-384)
Azioni sul collegamento: N=-10311.80 Ty=-9.82 Tz=11.88 Mx=-0.01 Mz=-7.53
Sollecitazioni agenti localmente: Tx_l=-9.82 Ty_l=11.88 N_l=-10311.80 Mx_l=-0.00 My_l=-7.53 Mz_l=-0.01
Taglio nei bulloni: Fv,Ed=2.58 Fv,Rd=9650.97
Rifollamento lato piastra: Fb,Ed,p=2.58 Fb,Rd,p=13791.70
Tirafondi:LT=0.45 (0.31) σ_{cR}=0.00 σ_{fR}=0.00
Compressione nel calcestruzzo: σ_c=21.73
CC 26 SLD (Collegamento -182_-384)
Azioni sul collegamento: N=-10311.80 Ty=-11.00 Tz=11.88 Mx=-0.01 Mz=-9.08
Sollecitazioni agenti localmente: Tx_l=-11.00 Ty_l=11.88 N_l=-10311.80 Mx_l=-0.00 My_l=-9.08 Mz_l=-0.01
Taglio nei bulloni: Fv,Ed=2.71 Fv,Rd=9650.97
Rifollamento lato piastra: Fb,Ed,p=2.71 Fb,Rd,p=14484.00
Tirafondi:LT=0.45 (0.31) σ_{cR}=0.00 σ_{fR}=0.00
Compressione nel calcestruzzo: σ_c=21.82
CC 26 SLD (Collegamento -182_-384)
Azioni sul collegamento: N=-10311.80 Ty=-9.82 Tz=14.85 Mx=-0.01 Mz=-7.53
Sollecitazioni agenti localmente: Tx_l=-9.82 Ty_l=14.85 N_l=-10311.80 Mx_l=-0.00 My_l=-7.53 Mz_l=-0.01
Taglio nei bulloni: Fv,Ed=2.98 Fv,Rd=9650.97
Rifollamento lato piastra: Fb,Ed,p=2.98 Fb,Rd,p=12488.20
Tirafondi:LT=0.45 (0.31) σ_{cR}=0.00 σ_{fR}=0.00
Compressione nel calcestruzzo: σ_c=21.73
CC 26 SLD (Collegamento -182_-384)
Azioni sul collegamento: N=-10311.80 Ty=-11.00 Tz=14.85 Mx=-0.01 Mz=-9.08
Sollecitazioni agenti localmente: Tx_l=-11.00 Ty_l=14.85 N_l=-10311.80 Mx_l=-0.00 My_l=-9.08 Mz_l=-0.01
Taglio nei bulloni: Fv,Ed=3.10 Fv,Rd=9650.97
Rifollamento lato piastra: Fb,Ed,p=3.10 Fb,Rd,p=13228.20
Tirafondi:LT=0.45 (0.31) σ_{cR}=0.00 σ_{fR}=0.00
Compressione nel calcestruzzo: σ_c=21.82
CC 27 SLV (Collegamento -182_-384)
Azioni sul collegamento: N=-11213.90 Ty=-11.56 Tz=17.53 Mx=-0.02 Mz=-9.49
Sollecitazioni agenti localmente: Tx_l=-11.56 Ty_l=17.53 N_l=-11213.90 Mx_l=-0.00 My_l=-9.49 Mz_l=-0.02
Taglio nei bulloni: Fv,Ed=3.54 Fv,Rd=7720.78
Rifollamento lato piastra: Fb,Ed,p=3.54 Fb,Rd,p=9985.33
Tirafondi:LT=0.45 (0.31) σ_{cR}=0.00 σ_{fR}=0.00
Compressione nel calcestruzzo: σ_c=23.70
CC 27 SLV (Collegamento -182_-384)
Azioni sul collegamento: N=-11213.90 Ty=-11.11 Tz=17.53 Mx=-0.02 Mz=-11.40
Sollecitazioni agenti localmente: Tx_l=-11.11 Ty_l=17.53 N_l=-11213.90 Mx_l=-0.00 My_l=-11.40 Mz_l=-0.02
Taglio nei bulloni: Fv,Ed=3.50 Fv,Rd=7720.78
Rifollamento lato piastra: Fb,Ed,p=3.50 Fb,Rd,p=9678.09
Tirafondi:LT=0.45 (0.31) σ_{cR}=0.00 σ_{fR}=0.00
Compressione nel calcestruzzo: σ_c=23.81
CC 27 SLV (Collegamento -182_-384)
Azioni sul collegamento: N=-11213.90 Ty=-11.56 Tz=9.96 Mx=-0.02 Mz=-9.49
Sollecitazioni agenti localmente: Tx_l=-11.56 Ty_l=9.96 N_l=-11213.90 Mx_l=-0.00 My_l=-9.49 Mz_l=-0.02
Taglio nei bulloni: Fv,Ed=2.58 Fv,Rd=7720.78
Rifollamento lato piastra: Fb,Ed,p=2.55 Fb,Rd,p=11079.10
Tirafondi:LT=0.45 (0.31) σ_{cR}=0.00 σ_{fR}=0.00
Compressione nel calcestruzzo: σ_c=23.70
CC 27 SLV (Collegamento -182_-384)
Azioni sul collegamento: N=-11213.90 Ty=-11.11 Tz=9.96 Mx=-0.02 Mz=-11.40
Sollecitazioni agenti localmente: Tx_l=-11.11 Ty_l=9.96 N_l=-11213.90 Mx_l=-0.00 My_l=-11.40 Mz_l=-0.02
Taglio nei bulloni: Fv,Ed=2.52 Fv,Rd=7720.78
Rifollamento lato piastra: Fb,Ed,p=2.49 Fb,Rd,p=11262.40
Tirafondi:LT=0.45 (0.31) σ_{cR}=0.00 σ_{fR}=0.00
Compressione nel calcestruzzo: σ_c=23.81
CC 27 SLV (Collegamento -182_-384)
Azioni sul collegamento: N=-8884.09 Ty=-11.56 Tz=17.53 Mx=-0.02 Mz=-9.49
Sollecitazioni agenti localmente: Tx_l=-11.56 Ty_l=17.53 N_l=-8884.09 Mx_l=-0.00 My_l=-9.49 Mz_l=-0.02
Taglio nei bulloni: Fv,Ed=3.54 Fv,Rd=7720.78
Rifollamento lato piastra: Fb,Ed,p=3.54 Fb,Rd,p=9985.21

Tirafondi:LT=0.45 (0.31) σ_{cR}=0.00 σ_{fR}=0.00
Compressione nel calcestruzzo: σ_c=18.89
CC 27 SLV (Collegamento -182_-384)
Azioni sul collegamento: N=-8884.09 Ty=-11.11 Tz=17.53 Mx=-0.02 Mz=-11.40
Sollecitazioni agenti localmente: Tx_l=-11.11 Ty_l=17.53 N_l=-8884.09 Mx_l=-0.00 My_l=-11.40 Mz_l=-0.02
Taglio nei bulloni: Fv,Ed=3.50 Fv,Rd=7720.78
Rifollamento lato piastra: Fb,Ed,p=3.50 Fb,Rd,p=9677.98
Tirafondi:LT=0.45 (0.31) σ_{cR}=0.00 σ_{fR}=0.00
Compressione nel calcestruzzo: σ_c=19.00
CC 27 SLV (Collegamento -182_-384)
Azioni sul collegamento: N=-8884.09 Ty=-11.56 Tz=9.96 Mx=-0.02 Mz=-9.49
Sollecitazioni agenti localmente: Tx_l=-11.56 Ty_l=9.96 N_l=-8884.09 Mx_l=-0.00 My_l=-9.49 Mz_l=-0.02
Taglio nei bulloni: Fv,Ed=2.58 Fv,Rd=7720.78
Rifollamento lato piastra: Fb,Ed,p=2.55 Fb,Rd,p=11079.00
Tirafondi:LT=0.45 (0.31) σ_{cR}=0.00 σ_{fR}=0.00
Compressione nel calcestruzzo: σ_c=18.89
CC 27 SLV (Collegamento -182_-384)
Azioni sul collegamento: N=-8884.09 Ty=-11.11 Tz=9.96 Mx=-0.02 Mz=-11.40
Sollecitazioni agenti localmente: Tx_l=-11.11 Ty_l=9.96 N_l=-8884.09 Mx_l=-0.00 My_l=-11.40 Mz_l=-0.02
Taglio nei bulloni: Fv,Ed=2.52 Fv,Rd=7720.78
Rifollamento lato piastra: Fb,Ed,p=2.49 Fb,Rd,p=11262.40
Tirafondi:LT=0.45 (0.31) σ_{cR}=0.00 σ_{fR}=0.00
Compressione nel calcestruzzo: σ_c=19.00
CC 28 SLD (Collegamento -182_-384)
Azioni sul collegamento: N=-10306.80 Ty=-10.48 Tz=14.52 Mx=-0.01 Mz=-8.01
Sollecitazioni agenti localmente: Tx_l=-10.48 Ty_l=14.52 N_l=-10306.80 Mx_l=-0.00 My_l=-8.01 Mz_l=-0.01
Taglio nei bulloni: Fv,Ed=3.00 Fv,Rd=9650.97
Rifollamento lato piastra: Fb,Ed,p=3.00 Fb,Rd,p=13109.60
Tirafondi:LT=0.45 (0.31) σ_{cR}=0.00 σ_{fR}=0.00
Compressione nel calcestruzzo: σ_c=21.75
CC 28 SLD (Collegamento -182_-384)
Azioni sul collegamento: N=-10306.80 Ty=-10.34 Tz=14.52 Mx=-0.01 Mz=-8.60
Sollecitazioni agenti localmente: Tx_l=-10.34 Ty_l=14.52 N_l=-10306.80 Mx_l=-0.00 My_l=-8.60 Mz_l=-0.01
Taglio nei bulloni: Fv,Ed=2.99 Fv,Rd=9650.97
Rifollamento lato piastra: Fb,Ed,p=2.99 Fb,Rd,p=13051.50
Tirafondi:LT=0.45 (0.31) σ_{cR}=0.00 σ_{fR}=0.00
Compressione nel calcestruzzo: σ_c=21.78
CC 28 SLD (Collegamento -182_-384)
Azioni sul collegamento: N=-10306.80 Ty=-10.48 Tz=12.21 Mx=-0.01 Mz=-8.01
Sollecitazioni agenti localmente: Tx_l=-10.48 Ty_l=12.21 N_l=-10306.80 Mx_l=-0.00 My_l=-8.01 Mz_l=-0.01
Taglio nei bulloni: Fv,Ed=2.70 Fv,Rd=9650.97
Rifollamento lato piastra: Fb,Ed,p=2.70 Fb,Rd,p=14005.90
Tirafondi:LT=0.45 (0.31) σ_{cR}=0.00 σ_{fR}=0.00
Compressione nel calcestruzzo: σ_c=21.75
CC 28 SLD (Collegamento -182_-384)
Azioni sul collegamento: N=-10306.80 Ty=-10.34 Tz=12.21 Mx=-0.01 Mz=-8.60
Sollecitazioni agenti localmente: Tx_l=-10.34 Ty_l=12.21 N_l=-10306.80 Mx_l=-0.00 My_l=-8.60 Mz_l=-0.01
Taglio nei bulloni: Fv,Ed=2.68 Fv,Rd=9650.97
Rifollamento lato piastra: Fb,Ed,p=2.68 Fb,Rd,p=13929.10
Tirafondi:LT=0.45 (0.31) σ_{cR}=0.00 σ_{fR}=0.00
Compressione nel calcestruzzo: σ_c=21.78
CC 28 SLD (Collegamento -182_-384)
Azioni sul collegamento: N=-9596.43 Ty=-10.48 Tz=14.52 Mx=-0.01 Mz=-8.01
Sollecitazioni agenti localmente: Tx_l=-10.48 Ty_l=14.52 N_l=-9596.43 Mx_l=-0.00 My_l=-8.01 Mz_l=-0.01
Taglio nei bulloni: Fv,Ed=3.00 Fv,Rd=9650.97
Rifollamento lato piastra: Fb,Ed,p=3.00 Fb,Rd,p=13109.70
Tirafondi:LT=0.45 (0.31) σ_{cR}=0.00 σ_{fR}=0.00
Compressione nel calcestruzzo: σ_c=20.28
CC 28 SLD (Collegamento -182_-384)
Azioni sul collegamento: N=-9596.43 Ty=-10.34 Tz=14.52 Mx=-0.01 Mz=-8.60
Sollecitazioni agenti localmente: Tx_l=-10.34 Ty_l=14.52 N_l=-9596.43 Mx_l=-0.00 My_l=-8.60 Mz_l=-0.01
Taglio nei bulloni: Fv,Ed=2.99 Fv,Rd=9650.97
Rifollamento lato piastra: Fb,Ed,p=2.99 Fb,Rd,p=13051.60
Tirafondi:LT=0.45 (0.31) σ_{cR}=0.00 σ_{fR}=0.00
Compressione nel calcestruzzo: σ_c=20.31
CC 28 SLD (Collegamento -182_-384)
Azioni sul collegamento: N=-9596.43 Ty=-10.48 Tz=12.21 Mx=-0.01 Mz=-8.01
Sollecitazioni agenti localmente: Tx_l=-10.48 Ty_l=12.21 N_l=-9596.43 Mx_l=-0.00 My_l=-8.01 Mz_l=-0.01
Taglio nei bulloni: Fv,Ed=2.70 Fv,Rd=9650.97
Rifollamento lato piastra: Fb,Ed,p=2.70 Fb,Rd,p=14005.60
Tirafondi:LT=0.45 (0.31) σ_{cR}=0.00 σ_{fR}=0.00
Compressione nel calcestruzzo: σ_c=20.28
CC 28 SLD (Collegamento -182_-384)
Azioni sul collegamento: N=-9596.43 Ty=-10.34 Tz=12.21 Mx=-0.01 Mz=-8.60
Sollecitazioni agenti localmente: Tx_l=-10.34 Ty_l=12.21 N_l=-9596.43 Mx_l=-0.00 My_l=-8.60 Mz_l=-0.01
Taglio nei bulloni: Fv,Ed=2.68 Fv,Rd=9650.97
Rifollamento lato piastra: Fb,Ed,p=2.68 Fb,Rd,p=13928.80
Tirafondi:LT=0.45 (0.31) σ_{cR}=0.00 σ_{fR}=0.00
Compressione nel calcestruzzo: σ_c=20.31
CC 29 SLV (Collegamento -182_-384)

Azioni sul collegamento: N=-8884.09 Ty=-11.11 Tz=9.96 Mx=-0.01 Mz=-11.40
Sollecitazioni agenti localmente: Tx_l=-11.11 Ty_l=9.96 N_l=-8884.09 Mx_l=-0.00 My_l=-11.40 Mz_l=-0.01
Taglio nei bulloni: Fv,Ed=2.50 Fv,Rd=7720.78
Rifollamento lato piastra: Fb,Ed,p=2.49 Fb,Rd,p=11363.00
Tirafondi:LT=0.45 (0.31) σ_{cR}=0.00 σ_{fR}=0.00
Compressione nel calcestruzzo: σ_c=19.00
CC 29 SLV (Collegamento -182_-384)
Azioni sul collegamento: N=-8884.09 Ty=-11.56 Tz=9.96 Mx=-0.01 Mz=-9.49
Sollecitazioni agenti localmente: Tx_l=-11.56 Ty_l=9.96 N_l=-8884.09 Mx_l=-0.00 My_l=-9.49 Mz_l=-0.01
Taglio nei bulloni: Fv,Ed=2.56 Fv,Rd=7720.78
Rifollamento lato piastra: Fb,Ed,p=2.54 Fb,Rd,p=11171.90
Tirafondi:LT=0.45 (0.31) σ_{cR}=0.00 σ_{fR}=0.00
Compressione nel calcestruzzo: σ_c=18.89
CC 29 SLV (Collegamento -182_-384)
Azioni sul collegamento: N=-8884.09 Ty=-11.11 Tz=17.53 Mx=-0.01 Mz=-11.40
Sollecitazioni agenti localmente: Tx_l=-11.11 Ty_l=17.53 N_l=-8884.09 Mx_l=-0.00 My_l=-11.40 Mz_l=-0.01
Taglio nei bulloni: Fv,Ed=3.47 Fv,Rd=7720.78
Rifollamento lato piastra: Fb,Ed,p=3.47 Fb,Rd,p=9651.78
Tirafondi:LT=0.45 (0.31) σ_{cR}=0.00 σ_{fR}=0.00
Compressione nel calcestruzzo: σ_c=19.00
CC 29 SLV (Collegamento -182_-384)
Azioni sul collegamento: N=-8884.09 Ty=-11.56 Tz=17.53 Mx=-0.01 Mz=-9.49
Sollecitazioni agenti localmente: Tx_l=-11.56 Ty_l=17.53 N_l=-8884.09 Mx_l=-0.00 My_l=-9.49 Mz_l=-0.01
Taglio nei bulloni: Fv,Ed=3.51 Fv,Rd=7720.78
Rifollamento lato piastra: Fb,Ed,p=3.51 Fb,Rd,p=9959.78
Tirafondi:LT=0.45 (0.31) σ_{cR}=0.00 σ_{fR}=0.00
Compressione nel calcestruzzo: σ_c=18.89
CC 29 SLV (Collegamento -182_-384)
Azioni sul collegamento: N=-11213.90 Ty=-11.11 Tz=9.96 Mx=-0.01 Mz=-11.40
Sollecitazioni agenti localmente: Tx_l=-11.11 Ty_l=9.96 N_l=-11213.90 Mx_l=-0.00 My_l=-11.40 Mz_l=-0.01
Taglio nei bulloni: Fv,Ed=2.50 Fv,Rd=7720.78
Rifollamento lato piastra: Fb,Ed,p=2.49 Fb,Rd,p=11363.00
Tirafondi:LT=0.45 (0.31) σ_{cR}=0.00 σ_{fR}=0.00
Compressione nel calcestruzzo: σ_c=23.81
CC 29 SLV (Collegamento -182_-384)
Azioni sul collegamento: N=-11213.90 Ty=-11.56 Tz=9.96 Mx=-0.01 Mz=-9.49
Sollecitazioni agenti localmente: Tx_l=-11.56 Ty_l=9.96 N_l=-11213.90 Mx_l=-0.00 My_l=-9.49 Mz_l=-0.01
Taglio nei bulloni: Fv,Ed=2.56 Fv,Rd=7720.78
Rifollamento lato piastra: Fb,Ed,p=2.54 Fb,Rd,p=11172.00
Tirafondi:LT=0.45 (0.31) σ_{cR}=0.00 σ_{fR}=0.00
Compressione nel calcestruzzo: σ_c=23.70
CC 29 SLV (Collegamento -182_-384)
Azioni sul collegamento: N=-11213.90 Ty=-11.11 Tz=17.53 Mx=-0.01 Mz=-11.40
Sollecitazioni agenti localmente: Tx_l=-11.11 Ty_l=17.53 N_l=-11213.90 Mx_l=-0.00 My_l=-11.40 Mz_l=-0.01
Taglio nei bulloni: Fv,Ed=3.47 Fv,Rd=7720.78
Rifollamento lato piastra: Fb,Ed,p=3.47 Fb,Rd,p=9651.88
Tirafondi:LT=0.45 (0.31) σ_{cR}=0.00 σ_{fR}=0.00
Compressione nel calcestruzzo: σ_c=23.81
CC 29 SLV (Collegamento -182_-384)
Azioni sul collegamento: N=-11213.90 Ty=-11.56 Tz=17.53 Mx=-0.01 Mz=-9.49
Sollecitazioni agenti localmente: Tx_l=-11.56 Ty_l=17.53 N_l=-11213.90 Mx_l=-0.00 My_l=-9.49 Mz_l=-0.01
Taglio nei bulloni: Fv,Ed=3.51 Fv,Rd=7720.78
Rifollamento lato piastra: Fb,Ed,p=3.51 Fb,Rd,p=9959.90
Tirafondi:LT=0.45 (0.31) σ_{cR}=0.00 σ_{fR}=0.00
Compressione nel calcestruzzo: σ_c=23.70
CC 30 SLD (Collegamento -182_-384)
Azioni sul collegamento: N=-9596.43 Ty=-10.34 Tz=12.21 Mx=-0.00 Mz=-8.60
Sollecitazioni agenti localmente: Tx_l=-10.34 Ty_l=12.21 N_l=-9596.43 Mx_l=-0.00 My_l=-8.60 Mz_l=-0.00
Taglio nei bulloni: Fv,Ed=2.67 Fv,Rd=9650.97
Rifollamento lato piastra: Fb,Ed,p=2.67 Fb,Rd,p=13926.10
Tirafondi:LT=0.45 (0.31) σ_{cR}=0.00 σ_{fR}=0.00
Compressione nel calcestruzzo: σ_c=20.31
CC 30 SLD (Collegamento -182_-384)
Azioni sul collegamento: N=-9596.43 Ty=-10.48 Tz=12.21 Mx=-0.00 Mz=-8.01
Sollecitazioni agenti localmente: Tx_l=-10.48 Ty_l=12.21 N_l=-9596.43 Mx_l=-0.00 My_l=-8.01 Mz_l=-0.00
Taglio nei bulloni: Fv,Ed=2.69 Fv,Rd=9650.97
Rifollamento lato piastra: Fb,Ed,p=2.69 Fb,Rd,p=14003.00
Tirafondi:LT=0.45 (0.31) σ_{cR}=0.00 σ_{fR}=0.00
Compressione nel calcestruzzo: σ_c=20.28
CC 30 SLD (Collegamento -182_-384)
Azioni sul collegamento: N=-9596.43 Ty=-10.34 Tz=14.52 Mx=-0.00 Mz=-8.60
Sollecitazioni agenti localmente: Tx_l=-10.34 Ty_l=14.52 N_l=-9596.43 Mx_l=-0.00 My_l=-8.60 Mz_l=-0.00
Taglio nei bulloni: Fv,Ed=2.98 Fv,Rd=9650.97
Rifollamento lato piastra: Fb,Ed,p=2.98 Fb,Rd,p=13047.60
Tirafondi:LT=0.45 (0.31) σ_{cR}=0.00 σ_{fR}=0.00
Compressione nel calcestruzzo: σ_c=20.31
CC 30 SLD (Collegamento -182_-384)
Azioni sul collegamento: N=-9596.43 Ty=-10.48 Tz=14.52 Mx=-0.00 Mz=-8.01
Sollecitazioni agenti localmente: Tx_l=-10.48 Ty_l=14.52 N_l=-9596.43 Mx_l=-0.00 My_l=-8.01 Mz_l=-0.00
Taglio nei bulloni: Fv,Ed=2.99 Fv,Rd=9650.97

Rifollamento lato piastra: Fb,Ed,p=2.99 Fb,Rd,p=13105.80
Tirafondi:LT=0.45 (0.31) σ_{cR}=0.00 σ_{fR}=0.00
Compressione nel calcestruzzo: σ_c=20.28
CC 30 SLD (Collegamento -182_-384)
Azioni sul collegamento: N=-10306.80 Ty=-10.34 Tz=12.21 Mx=-0.00 Mz=-8.60
Sollecitazioni agenti localmente: Tx_l=-10.34 Ty_l=12.21 N_l=-10306.80 Mx_l=-0.00 My_l=-8.60 Mz_l=-0.00
Taglio nei bulloni: Fv,Ed=2.67 Fv,Rd=9650.97
Rifollamento lato piastra: Fb,Ed,p=2.67 Fb,Rd,p=13926.30
Tirafondi:LT=0.45 (0.31) σ_{cR}=0.00 σ_{fR}=0.00
Compressione nel calcestruzzo: σ_c=21.78
CC 30 SLD (Collegamento -182_-384)
Azioni sul collegamento: N=-10306.80 Ty=-10.48 Tz=12.21 Mx=-0.00 Mz=-8.01
Sollecitazioni agenti localmente: Tx_l=-10.48 Ty_l=12.21 N_l=-10306.80 Mx_l=-0.00 My_l=-8.01 Mz_l=-0.00
Taglio nei bulloni: Fv,Ed=2.69 Fv,Rd=9650.97
Rifollamento lato piastra: Fb,Ed,p=2.69 Fb,Rd,p=14003.30
Tirafondi:LT=0.45 (0.31) σ_{cR}=0.00 σ_{fR}=0.00
Compressione nel calcestruzzo: σ_c=21.75
CC 30 SLD (Collegamento -182_-384)
Azioni sul collegamento: N=-10306.80 Ty=-10.34 Tz=14.52 Mx=-0.00 Mz=-8.60
Sollecitazioni agenti localmente: Tx_l=-10.34 Ty_l=14.52 N_l=-10306.80 Mx_l=-0.00 My_l=-8.60 Mz_l=-0.00
Taglio nei bulloni: Fv,Ed=2.98 Fv,Rd=9650.97
Rifollamento lato piastra: Fb,Ed,p=2.98 Fb,Rd,p=13047.60
Tirafondi:LT=0.45 (0.31) σ_{cR}=0.00 σ_{fR}=0.00
Compressione nel calcestruzzo: σ_c=21.78
CC 30 SLD (Collegamento -182_-384)
Azioni sul collegamento: N=-10306.80 Ty=-10.48 Tz=14.52 Mx=-0.00 Mz=-8.01
Sollecitazioni agenti localmente: Tx_l=-10.48 Ty_l=14.52 N_l=-10306.80 Mx_l=-0.00 My_l=-8.01 Mz_l=-0.00
Taglio nei bulloni: Fv,Ed=2.99 Fv,Rd=9650.97
Rifollamento lato piastra: Fb,Ed,p=2.99 Fb,Rd,p=13105.70
Tirafondi:LT=0.45 (0.31) σ_{cR}=0.00 σ_{fR}=0.00
Compressione nel calcestruzzo: σ_c=21.75
CC 31 SLV (Collegamento -182_-384)
Azioni sul collegamento: N=-11230.00 Ty=-13.27 Tz=18.62 Mx=-0.01 Mz=-12.98
Sollecitazioni agenti localmente: Tx_l=-13.27 Ty_l=18.62 N_l=-11230.00 Mx_l=-0.00 My_l=-12.98 Mz_l=-0.01
Taglio nei bulloni: Fv,Ed=3.82 Fv,Rd=7720.78
Rifollamento lato piastra: Fb,Ed,p=3.82 Fb,Rd,p=10439.90
Tirafondi:LT=0.45 (0.31) σ_{cR}=0.00 σ_{fR}=0.00
Compressione nel calcestruzzo: σ_c=23.93
CC 31 SLV (Collegamento -182_-384)
Azioni sul collegamento: N=-11230.00 Ty=-9.40 Tz=18.62 Mx=-0.01 Mz=-7.91
Sollecitazioni agenti localmente: Tx_l=-9.40 Ty_l=18.62 N_l=-11230.00 Mx_l=-0.00 My_l=-7.91 Mz_l=-0.01
Taglio nei bulloni: Fv,Ed=3.49 Fv,Rd=7720.78
Rifollamento lato piastra: Fb,Ed,p=3.49 Fb,Rd,p=8293.25
Tirafondi:LT=0.45 (0.31) σ_{cR}=0.00 σ_{fR}=0.00
Compressione nel calcestruzzo: σ_c=23.65
CC 31 SLV (Collegamento -182_-384)
Azioni sul collegamento: N=-11230.00 Ty=-13.27 Tz=8.87 Mx=-0.01 Mz=-12.98
Sollecitazioni agenti localmente: Tx_l=-13.27 Ty_l=8.87 N_l=-11230.00 Mx_l=-0.00 My_l=-12.98 Mz_l=-0.01
Taglio nei bulloni: Fv,Ed=2.67 Fv,Rd=7720.78
Rifollamento lato piastra: Fb,Ed,p=2.66 Fb,Rd,p=9978.81
Tirafondi:LT=0.45 (0.31) σ_{cR}=0.00 σ_{fR}=0.00
Compressione nel calcestruzzo: σ_c=23.93
CC 31 SLV (Collegamento -182_-384)
Azioni sul collegamento: N=-11230.00 Ty=-9.40 Tz=8.87 Mx=-0.01 Mz=-7.91
Sollecitazioni agenti localmente: Tx_l=-9.40 Ty_l=8.87 N_l=-11230.00 Mx_l=-0.00 My_l=-7.91 Mz_l=-0.01
Taglio nei bulloni: Fv,Ed=2.17 Fv,Rd=7720.78
Rifollamento lato piastra: Fb,Ed,p=2.15 Fb,Rd,p=11622.90
Tirafondi:LT=0.45 (0.31) σ_{cR}=0.00 σ_{fR}=0.00
Compressione nel calcestruzzo: σ_c=23.65
CC 31 SLV (Collegamento -182_-384)
Azioni sul collegamento: N=-8867.92 Ty=-13.27 Tz=18.62 Mx=-0.01 Mz=-12.98
Sollecitazioni agenti localmente: Tx_l=-13.27 Ty_l=18.62 N_l=-8867.92 Mx_l=-0.00 My_l=-12.98 Mz_l=-0.01
Taglio nei bulloni: Fv,Ed=3.82 Fv,Rd=7720.78
Rifollamento lato piastra: Fb,Ed,p=3.82 Fb,Rd,p=10439.90
Tirafondi:LT=0.45 (0.31) σ_{cR}=0.00 σ_{fR}=0.00
Compressione nel calcestruzzo: σ_c=19.05
CC 31 SLV (Collegamento -182_-384)
Azioni sul collegamento: N=-8867.92 Ty=-9.40 Tz=18.62 Mx=-0.01 Mz=-7.91
Sollecitazioni agenti localmente: Tx_l=-9.40 Ty_l=18.62 N_l=-8867.92 Mx_l=-0.00 My_l=-7.91 Mz_l=-0.01
Taglio nei bulloni: Fv,Ed=3.49 Fv,Rd=7720.78
Rifollamento lato piastra: Fb,Ed,p=3.49 Fb,Rd,p=8293.31
Tirafondi:LT=0.45 (0.31) σ_{cR}=0.00 σ_{fR}=0.00
Compressione nel calcestruzzo: σ_c=18.77
CC 31 SLV (Collegamento -182_-384)
Azioni sul collegamento: N=-8867.92 Ty=-13.27 Tz=8.87 Mx=-0.01 Mz=-12.98
Sollecitazioni agenti localmente: Tx_l=-13.27 Ty_l=8.87 N_l=-8867.92 Mx_l=-0.00 My_l=-12.98 Mz_l=-0.01
Taglio nei bulloni: Fv,Ed=2.67 Fv,Rd=7720.78
Rifollamento lato piastra: Fb,Ed,p=2.66 Fb,Rd,p=9978.32
Tirafondi:LT=0.45 (0.31) σ_{cR}=0.00 σ_{fR}=0.00
Compressione nel calcestruzzo: σ_c=19.05

CC 31 SLV (Collegamento -182_-384)
Azioni sul collegamento: N=-8867.92 Ty=-9.40 Tz=8.87 Mx=-0.01 Mz=-7.91
Sollecitazioni agenti localmente: Tx_l=-9.40 Ty_l=8.87 N_l=-8867.92 Mx_l=-0.00 My_l=-7.91 Mz_l=-0.01
Taglio nei bulloni: Fv,Ed=2.17 Fv,Rd=7720.78
Rifollamento lato piastra: Fb,Ed,p=2.15 Fb,Rd,p=11622.60
Tirafondi:LT=0.45 (0.31) σ_{cR}=0.00 σ_{fR}=0.00
Compressione nel calcestruzzo: σ_c=18.77
CC 32 SLD (Collegamento -182_-384)
Azioni sul collegamento: N=-10311.80 Ty=-11.00 Tz=14.85 Mx=-0.00 Mz=-9.08
Sollecitazioni agenti localmente: Tx_l=-11.00 Ty_l=14.85 N_l=-10311.80 Mx_l=-0.00 My_l=-9.08 Mz_l=-0.00
Taglio nei bulloni: Fv,Ed=3.09 Fv,Rd=9650.97
Rifollamento lato piastra: Fb,Ed,p=3.09 Fb,Rd,p=13224.70
Tirafondi:LT=0.45 (0.31) σ_{cR}=0.00 σ_{fR}=0.00
Compressione nel calcestruzzo: σ_c=21.82
CC 32 SLD (Collegamento -182_-384)
Azioni sul collegamento: N=-10311.80 Ty=-9.82 Tz=14.85 Mx=-0.00 Mz=-7.53
Sollecitazioni agenti localmente: Tx_l=-9.82 Ty_l=14.85 N_l=-10311.80 Mx_l=-0.00 My_l=-7.53 Mz_l=-0.00
Taglio nei bulloni: Fv,Ed=2.97 Fv,Rd=9650.97
Rifollamento lato piastra: Fb,Ed,p=2.97 Fb,Rd,p=12476.70
Tirafondi:LT=0.45 (0.31) σ_{cR}=0.00 σ_{fR}=0.00
Compressione nel calcestruzzo: σ_c=21.73
CC 32 SLD (Collegamento -182_-384)
Azioni sul collegamento: N=-10311.80 Ty=-11.00 Tz=11.88 Mx=-0.00 Mz=-9.08
Sollecitazioni agenti localmente: Tx_l=-11.00 Ty_l=11.88 N_l=-10311.80 Mx_l=-0.00 My_l=-9.08 Mz_l=-0.00
Taglio nei bulloni: Fv,Ed=2.71 Fv,Rd=9650.97
Rifollamento lato piastra: Fb,Ed,p=2.71 Fb,Rd,p=14482.60
Tirafondi:LT=0.45 (0.31) σ_{cR}=0.00 σ_{fR}=0.00
Compressione nel calcestruzzo: σ_c=21.82
CC 32 SLD (Collegamento -182_-384)
Azioni sul collegamento: N=-10311.80 Ty=-9.82 Tz=11.88 Mx=-0.00 Mz=-7.53
Sollecitazioni agenti localmente: Tx_l=-9.82 Ty_l=11.88 N_l=-10311.80 Mx_l=-0.00 My_l=-7.53 Mz_l=-0.00
Taglio nei bulloni: Fv,Ed=2.58 Fv,Rd=9650.97
Rifollamento lato piastra: Fb,Ed,p=2.58 Fb,Rd,p=13788.50
Tirafondi:LT=0.45 (0.31) σ_{cR}=0.00 σ_{fR}=0.00
Compressione nel calcestruzzo: σ_c=21.73
CC 32 SLD (Collegamento -182_-384)
Azioni sul collegamento: N=-9591.50 Ty=-11.00 Tz=14.85 Mx=-0.00 Mz=-9.08
Sollecitazioni agenti localmente: Tx_l=-11.00 Ty_l=14.85 N_l=-9591.50 Mx_l=-0.00 My_l=-9.08 Mz_l=-0.00
Taglio nei bulloni: Fv,Ed=3.09 Fv,Rd=9650.97
Rifollamento lato piastra: Fb,Ed,p=3.09 Fb,Rd,p=13224.60
Tirafondi:LT=0.45 (0.31) σ_{cR}=0.00 σ_{fR}=0.00
Compressione nel calcestruzzo: σ_c=20.33
CC 32 SLD (Collegamento -182_-384)
Azioni sul collegamento: N=-9591.50 Ty=-9.82 Tz=14.85 Mx=-0.00 Mz=-7.53
Sollecitazioni agenti localmente: Tx_l=-9.82 Ty_l=14.85 N_l=-9591.50 Mx_l=-0.00 My_l=-7.53 Mz_l=-0.00
Taglio nei bulloni: Fv,Ed=2.97 Fv,Rd=9650.97
Rifollamento lato piastra: Fb,Ed,p=2.97 Fb,Rd,p=12476.60
Tirafondi:LT=0.45 (0.31) σ_{cR}=0.00 σ_{fR}=0.00
Compressione nel calcestruzzo: σ_c=20.24
CC 32 SLD (Collegamento -182_-384)
Azioni sul collegamento: N=-9591.50 Ty=-11.00 Tz=11.88 Mx=-0.00 Mz=-9.08
Sollecitazioni agenti localmente: Tx_l=-11.00 Ty_l=11.88 N_l=-9591.50 Mx_l=-0.00 My_l=-9.08 Mz_l=-0.00
Taglio nei bulloni: Fv,Ed=2.71 Fv,Rd=9650.97
Rifollamento lato piastra: Fb,Ed,p=2.71 Fb,Rd,p=14482.70
Tirafondi:LT=0.45 (0.31) σ_{cR}=0.00 σ_{fR}=0.00
Compressione nel calcestruzzo: σ_c=20.33
CC 32 SLD (Collegamento -182_-384)
Azioni sul collegamento: N=-9591.50 Ty=-9.82 Tz=11.88 Mx=-0.00 Mz=-7.53
Sollecitazioni agenti localmente: Tx_l=-9.82 Ty_l=11.88 N_l=-9591.50 Mx_l=-0.00 My_l=-7.53 Mz_l=-0.00
Taglio nei bulloni: Fv,Ed=2.58 Fv,Rd=9650.97
Rifollamento lato piastra: Fb,Ed,p=2.58 Fb,Rd,p=13788.60
Tirafondi:LT=0.45 (0.31) σ_{cR}=0.00 σ_{fR}=0.00
Compressione nel calcestruzzo: σ_c=20.24
CC 33 SLU (Collegamento -182_-384)
Azioni sul collegamento: N=-37242.40 Ty=-20.96 Tz=105.49 Mx=-0.01 Mz=-15.56
Sollecitazioni agenti localmente: Tx_l=-20.96 Ty_l=105.49 N_l=-37242.40 Mx_l=-0.00 My_l=-15.56 Mz_l=-0.01
Taglio nei bulloni: Fv,Ed=17.93 Fv,Rd=7720.78
Rifollamento lato piastra: Fb,Ed,p=17.93 Fb,Rd,p=6331.32
Tirafondi:LT=0.45 (0.31) σ_{cR}=0.00 σ_{fR}=0.00
Compressione nel calcestruzzo: σ_c=77.82
CC 34 SLU (Collegamento -182_-384)
Azioni sul collegamento: N=-36428.20 Ty=-20.21 Tz=102.49 Mx=-0.01 Mz=-15.01
Sollecitazioni agenti localmente: Tx_l=-20.21 Ty_l=102.49 N_l=-36428.20 Mx_l=-0.00 My_l=-15.01 Mz_l=-0.01
Taglio nei bulloni: Fv,Ed=17.42 Fv,Rd=7720.78
Rifollamento lato piastra: Fb,Ed,p=17.42 Fb,Rd,p=6326.05
Tirafondi:LT=0.45 (0.31) σ_{cR}=0.00 σ_{fR}=0.00
Compressione nel calcestruzzo: σ_c=76.11
CC 35 SLU (Collegamento -182_-384)
Azioni sul collegamento: N=-36836.10 Ty=-20.67 Tz=103.93 Mx=-0.00 Mz=-15.47
Sollecitazioni agenti localmente: Tx_l=-20.67 Ty_l=103.93 N_l=-36836.10 Mx_l=-0.00 My_l=-15.47 Mz_l=-0.00

Taglio nei bulloni: Fv,Ed=17.67 Fv,Rd=7720.78
Rifollamento lato piastra: Fb,Ed,p=17.67 Fb,Rd,p=6331.98
Tirafondi:LT=0.45 (0.31) σ_{cR}=0.00 σ_{fR}=0.00
Compressione nel calcestruzzo: σ_c=76.98
CC 36 SLU (Collegamento -182_-384)
Azioni sul collegamento: N=-36834.40 Ty=-20.49 Tz=104.05 Mx=-0.01 Mz=-15.10
Sollecitazioni agenti localmente: Tx_l=-20.49 Ty_l=104.05 N_l=-36834.40 Mx_l=-0.00 My_l=-15.10 Mz_l=-0.01
Taglio nei bulloni: Fv,Ed=17.68 Fv,Rd=7720.78
Rifollamento lato piastra: Fb,Ed,p=17.68 Fb,Rd,p=6325.47
Tirafondi:LT=0.45 (0.31) σ_{cR}=0.00 σ_{fR}=0.00
Compressione nel calcestruzzo: σ_c=76.96
CC 37 SLU (Collegamento -182_-384)
Azioni sul collegamento: N=-28075.80 Ty=-20.08 Tz=71.84 Mx=-0.01 Mz=-14.76
Sollecitazioni agenti localmente: Tx_l=-20.08 Ty_l=71.84 N_l=-28075.80 Mx_l=-0.00 My_l=-14.76 Mz_l=-0.01
Taglio nei bulloni: Fv,Ed=12.44 Fv,Rd=7720.78
Rifollamento lato piastra: Fb,Ed,p=12.44 Fb,Rd,p=6678.04
Tirafondi:LT=0.45 (0.31) σ_{cR}=0.00 σ_{fR}=0.00
Compressione nel calcestruzzo: σ_c=58.84
CC 38 SLU (Collegamento -182_-384)
Azioni sul collegamento: N=-27261.60 Ty=-19.33 Tz=68.83 Mx=-0.01 Mz=-14.21
Sollecitazioni agenti localmente: Tx_l=-19.33 Ty_l=68.83 N_l=-27261.60 Mx_l=-0.00 My_l=-14.21 Mz_l=-0.01
Taglio nei bulloni: Fv,Ed=11.92 Fv,Rd=7720.78
Rifollamento lato piastra: Fb,Ed,p=11.92 Fb,Rd,p=6684.63
Tirafondi:LT=0.45 (0.31) σ_{cR}=0.00 σ_{fR}=0.00
Compressione nel calcestruzzo: σ_c=57.13
CC 39 SLU (Collegamento -182_-384)
Azioni sul collegamento: N=-27669.60 Ty=-19.79 Tz=70.28 Mx=-0.00 Mz=-14.67
Sollecitazioni agenti localmente: Tx_l=-19.79 Ty_l=70.28 N_l=-27669.60 Mx_l=-0.00 My_l=-14.67 Mz_l=-0.00
Taglio nei bulloni: Fv,Ed=12.17 Fv,Rd=7720.78
Rifollamento lato piastra: Fb,Ed,p=12.17 Fb,Rd,p=6688.53
Tirafondi:LT=0.45 (0.31) σ_{cR}=0.00 σ_{fR}=0.00
Compressione nel calcestruzzo: σ_c=58.00
CC 40 SLU (Collegamento -182_-384)
Azioni sul collegamento: N=-27667.80 Ty=-19.61 Tz=70.39 Mx=-0.01 Mz=-14.31
Sollecitazioni agenti localmente: Tx_l=-19.61 Ty_l=70.39 N_l=-27667.80 Mx_l=-0.00 My_l=-14.31 Mz_l=-0.01
Taglio nei bulloni: Fv,Ed=12.19 Fv,Rd=7720.78
Rifollamento lato piastra: Fb,Ed,p=12.19 Fb,Rd,p=6674.04
Tirafondi:LT=0.45 (0.31) σ_{cR}=0.00 σ_{fR}=0.00
Compressione nel calcestruzzo: σ_c=57.97
CC 41 SLU (Collegamento -182_-384)
Azioni sul collegamento: N=-30474.50 Ty=9.93 Tz=80.11 Mx=-0.01 Mz=7.87
Sollecitazioni agenti localmente: Tx_l=9.93 Ty_l=80.11 N_l=-30474.50 Mx_l=-0.00 My_l=7.87 Mz_l=-0.01
Taglio nei bulloni: Fv,Ed=13.46 Fv,Rd=7720.78
Rifollamento lato piastra: Fb,Ed,p=13.46 Fb,Rd,p=6114.34
Tirafondi:LT=0.45 (0.31) σ_{cR}=0.00 σ_{fR}=0.00
Compressione nel calcestruzzo: σ_c=63.41
CC 42 SLU (Collegamento -182_-384)
Azioni sul collegamento: N=-29660.30 Ty=10.68 Tz=77.11 Mx=-0.01 Mz=8.42
Sollecitazioni agenti localmente: Tx_l=10.68 Ty_l=77.11 N_l=-29660.30 Mx_l=-0.00 My_l=8.42 Mz_l=-0.01
Taglio nei bulloni: Fv,Ed=12.98 Fv,Rd=7720.78
Rifollamento lato piastra: Fb,Ed,p=12.98 Fb,Rd,p=6148.13
Tirafondi:LT=0.45 (0.31) σ_{cR}=0.00 σ_{fR}=0.00
Compressione nel calcestruzzo: σ_c=61.76
CC 43 SLU (Collegamento -182_-384)
Azioni sul collegamento: N=-30068.30 Ty=10.21 Tz=78.55 Mx=-0.00 Mz=7.97
Sollecitazioni agenti localmente: Tx_l=10.21 Ty_l=78.55 N_l=-30068.30 Mx_l=-0.00 My_l=7.97 Mz_l=-0.00
Taglio nei bulloni: Fv,Ed=13.21 Fv,Rd=7720.78
Rifollamento lato piastra: Fb,Ed,p=13.21 Fb,Rd,p=6128.23
Tirafondi:LT=0.45 (0.31) σ_{cR}=0.00 σ_{fR}=0.00
Compressione nel calcestruzzo: σ_c=62.57
CC 44 SLU (Collegamento -182_-384)
Azioni sul collegamento: N=-30066.50 Ty=10.39 Tz=78.67 Mx=-0.01 Mz=8.33
Sollecitazioni agenti localmente: Tx_l=10.39 Ty_l=78.67 N_l=-30066.50 Mx_l=-0.00 My_l=8.33 Mz_l=-0.01
Taglio nei bulloni: Fv,Ed=13.23 Fv,Rd=7720.78
Rifollamento lato piastra: Fb,Ed,p=13.23 Fb,Rd,p=6132.66
Tirafondi:LT=0.45 (0.31) σ_{cR}=0.00 σ_{fR}=0.00
Compressione nel calcestruzzo: σ_c=62.59
CC 45 SLU (Collegamento -182_-384)
Azioni sul collegamento: N=-30085.80 Ty=-20.31 Tz=79.22 Mx=-0.00 Mz=-15.08
Sollecitazioni agenti localmente: Tx_l=-20.31 Ty_l=79.22 N_l=-30085.80 Mx_l=-0.00 My_l=-15.08 Mz_l=-0.00
Taglio nei bulloni: Fv,Ed=13.64 Fv,Rd=7720.78
Rifollamento lato piastra: Fb,Ed,p=13.64 Fb,Rd,p=6566.36
Tirafondi:LT=0.45 (0.31) σ_{cR}=0.00 σ_{fR}=0.00
Compressione nel calcestruzzo: σ_c=63.01
CC 46 SLU (Collegamento -182_-384)
Azioni sul collegamento: N=-29271.60 Ty=-19.56 Tz=76.22 Mx=-0.00 Mz=-14.53
Sollecitazioni agenti localmente: Tx_l=-19.56 Ty_l=76.22 N_l=-29271.60 Mx_l=-0.00 My_l=-14.53 Mz_l=-0.00
Taglio nei bulloni: Fv,Ed=13.12 Fv,Rd=7720.78
Rifollamento lato piastra: Fb,Ed,p=13.12 Fb,Rd,p=6567.61
Tirafondi:LT=0.45 (0.31) σ_{cR}=0.00 σ_{fR}=0.00

Compressione nel calcestruzzo: σ_c=61.30
CC 47 SLU (Collegamento -182_-384)
Azioni sul collegamento: N=-29679.60 Ty=-20.02 Tz=77.66 Mx=-0.00 Mz=-14.99
Sollecitazioni agenti localmente: Tx_l=-20.02 Ty_l=77.66 N_l=-29679.60 Mx_l=-0.00 My_l=-14.99 Mz_l=-0.00
Taglio nei bulloni: Fv,Ed=13.37 Fv,Rd=7720.78
Rifollamento lato piastra: Fb,Ed,p=13.37 Fb,Rd,p=6572.91
Tirafondi:LT=0.45 (0.31) σ_{cR}=0.00 σ_{fR}=0.00
Compressione nel calcestruzzo: σ_c=62.17
CC 48 SLU (Collegamento -182_-384)
Azioni sul collegamento: N=-29677.80 Ty=-19.84 Tz=77.78 Mx=-0.01 Mz=-14.62
Sollecitazioni agenti localmente: Tx_l=-19.84 Ty_l=77.78 N_l=-29677.80 Mx_l=-0.00 My_l=-14.62 Mz_l=-0.01
Taglio nei bulloni: Fv,Ed=13.39 Fv,Rd=7720.78
Rifollamento lato piastra: Fb,Ed,p=13.39 Fb,Rd,p=6561.11
Tirafondi:LT=0.45 (0.31) σ_{cR}=0.00 σ_{fR}=0.00
Compressione nel calcestruzzo: σ_c=62.14
CC 49 SLU (Collegamento -182_-384)
Azioni sul collegamento: N=-23227.80 Ty=-19.65 Tz=54.04 Mx=-0.00 Mz=-14.49
Sollecitazioni agenti localmente: Tx_l=-19.65 Ty_l=54.04 N_l=-23227.80 Mx_l=-0.00 My_l=-14.49 Mz_l=-0.00
Taglio nei bulloni: Fv,Ed=9.59 Fv,Rd=7720.78
Rifollamento lato piastra: Fb,Ed,p=9.59 Fb,Rd,p=7165.91
Tirafondi:LT=0.45 (0.31) σ_{cR}=0.00 σ_{fR}=0.00
Compressione nel calcestruzzo: σ_c=48.81
CC 50 SLU (Collegamento -182_-384)
Azioni sul collegamento: N=-22413.60 Ty=-18.90 Tz=51.04 Mx=-0.00 Mz=-13.93
Sollecitazioni agenti localmente: Tx_l=-18.90 Ty_l=51.04 N_l=-22413.60 Mx_l=-0.00 My_l=-13.93 Mz_l=-0.00
Taglio nei bulloni: Fv,Ed=9.08 Fv,Rd=7720.78
Rifollamento lato piastra: Fb,Ed,p=9.08 Fb,Rd,p=7210.61
Tirafondi:LT=0.45 (0.31) σ_{cR}=0.00 σ_{fR}=0.00
Compressione nel calcestruzzo: σ_c=47.09
CC 51 SLU (Collegamento -182_-384)
Azioni sul collegamento: N=-22821.60 Ty=-19.36 Tz=52.48 Mx=-0.00 Mz=-14.39
Sollecitazioni agenti localmente: Tx_l=-19.36 Ty_l=52.48 N_l=-22821.60 Mx_l=-0.00 My_l=-14.39 Mz_l=-0.00
Taglio nei bulloni: Fv,Ed=9.33 Fv,Rd=7720.78
Rifollamento lato piastra: Fb,Ed,p=9.33 Fb,Rd,p=7201.02
Tirafondi:LT=0.45 (0.31) σ_{cR}=0.00 σ_{fR}=0.00
Compressione nel calcestruzzo: σ_c=47.96
CC 52 SLU (Collegamento -182_-384)
Azioni sul collegamento: N=-22819.80 Ty=-19.19 Tz=52.60 Mx=-0.01 Mz=-14.03
Sollecitazioni agenti localmente: Tx_l=-19.19 Ty_l=52.60 N_l=-22819.80 Mx_l=-0.00 My_l=-14.03 Mz_l=-0.01
Taglio nei bulloni: Fv,Ed=9.34 Fv,Rd=7720.78
Rifollamento lato piastra: Fb,Ed,p=9.34 Fb,Rd,p=7174.05
Tirafondi:LT=0.45 (0.31) σ_{cR}=0.00 σ_{fR}=0.00
Compressione nel calcestruzzo: σ_c=47.94
CC 53 SLU (Collegamento -182_-384)
Azioni sul collegamento: N=-25022.40 Ty=2.80 Tz=60.23 Mx=-0.00 Mz=2.45
Sollecitazioni agenti localmente: Tx_l=2.80 Ty_l=60.23 N_l=-25022.40 Mx_l=-0.00 My_l=2.45 Mz_l=-0.00
Taglio nei bulloni: Fv,Ed=10.06 Fv,Rd=7720.78
Rifollamento lato piastra: Fb,Ed,p=10.06 Fb,Rd,p=5997.84
Tirafondi:LT=0.45 (0.31) σ_{cR}=0.00 σ_{fR}=0.00
Compressione nel calcestruzzo: σ_c=51.84
CC 54 SLU (Collegamento -182_-384)
Azioni sul collegamento: N=-24208.20 Ty=3.55 Tz=57.23 Mx=-0.01 Mz=3.00
Sollecitazioni agenti localmente: Tx_l=3.55 Ty_l=57.23 N_l=-24208.20 Mx_l=-0.00 My_l=3.00 Mz_l=-0.01
Taglio nei bulloni: Fv,Ed=9.56 Fv,Rd=7720.78
Rifollamento lato piastra: Fb,Ed,p=9.56 Fb,Rd,p=6012.62
Tirafondi:LT=0.45 (0.31) σ_{cR}=0.00 σ_{fR}=0.00
Compressione nel calcestruzzo: σ_c=50.19
CC 55 SLU (Collegamento -182_-384)
Azioni sul collegamento: N=-24616.20 Ty=3.09 Tz=58.67 Mx=-0.00 Mz=2.54
Sollecitazioni agenti localmente: Tx_l=3.09 Ty_l=58.67 N_l=-24616.20 Mx_l=-0.00 My_l=2.54 Mz_l=-0.00
Taglio nei bulloni: Fv,Ed=9.80 Fv,Rd=7720.78
Rifollamento lato piastra: Fb,Ed,p=9.80 Fb,Rd,p=6003.23
Tirafondi:LT=0.45 (0.31) σ_{cR}=0.00 σ_{fR}=0.00
Compressione nel calcestruzzo: σ_c=51.00
CC 56 SLU (Collegamento -182_-384)
Azioni sul collegamento: N=-24614.50 Ty=3.26 Tz=58.79 Mx=-0.01 Mz=2.91
Sollecitazioni agenti localmente: Tx_l=3.26 Ty_l=58.79 N_l=-24614.50 Mx_l=-0.00 My_l=2.91 Mz_l=-0.01
Taglio nei bulloni: Fv,Ed=9.82 Fv,Rd=7720.78
Rifollamento lato piastra: Fb,Ed,p=9.82 Fb,Rd,p=6005.81
Tirafondi:LT=0.45 (0.31) σ_{cR}=0.00 σ_{fR}=0.00
Compressione nel calcestruzzo: σ_c=51.02
CC 57 SLU (Collegamento -182_-384)
Azioni sul collegamento: N=-27876.60 Ty=-18.56 Tz=71.09 Mx=-0.00 Mz=-13.78
Sollecitazioni agenti localmente: Tx_l=-18.56 Ty_l=71.09 N_l=-27876.60 Mx_l=-0.00 My_l=-13.78 Mz_l=-0.00
Taglio nei bulloni: Fv,Ed=12.25 Fv,Rd=7720.78
Rifollamento lato piastra: Fb,Ed,p=12.25 Fb,Rd,p=6588.27
Tirafondi:LT=0.45 (0.31) σ_{cR}=0.00 σ_{fR}=0.00
Compressione nel calcestruzzo: σ_c=58.37
CC 58 SLU (Collegamento -182_-384)
Azioni sul collegamento: N=-27062.40 Ty=-17.81 Tz=68.08 Mx=-0.00 Mz=-13.23

Sollecitazioni agenti localmente: Tx_l=-17.81 Ty_l=68.08 N_l=-27062.40 Mx_l=-0.00 My_l=-13.23 Mz_l=-0.00
Taglio nei bulloni: Fv,Ed=11.74 Fv,Rd=7720.78
Rifollamento lato piastra: Fb,Ed,p=11.74 Fb,Rd,p=6590.70
Tirafondi:LT=0.45 (0.31) σ_{cR}=0.00 σ_{fR}=0.00
Compressione nel calcestruzzo: σ_c=56.66
CC 59 SLU (Collegamento -182_-384)
Azioni sul collegamento: N=-27470.40 Ty=-18.27 Tz=69.53 Mx=-0.00 Mz=-13.69
Sollecitazioni agenti localmente: Tx_l=-18.27 Ty_l=69.53 N_l=-27470.40 Mx_l=-0.00 My_l=-13.69 Mz_l=-0.00
Taglio nei bulloni: Fv,Ed=11.99 Fv,Rd=7720.78
Rifollamento lato piastra: Fb,Ed,p=11.99 Fb,Rd,p=6596.25
Tirafondi:LT=0.45 (0.31) σ_{cR}=0.00 σ_{fR}=0.00
Compressione nel calcestruzzo: σ_c=57.53
CC 60 SLU (Collegamento -182_-384)
Azioni sul collegamento: N=-27468.70 Ty=-18.09 Tz=69.65 Mx=-0.01 Mz=-13.33
Sollecitazioni agenti localmente: Tx_l=-18.09 Ty_l=69.65 N_l=-27468.70 Mx_l=-0.00 My_l=-13.33 Mz_l=-0.01
Taglio nei bulloni: Fv,Ed=12.00 Fv,Rd=7720.78
Rifollamento lato piastra: Fb,Ed,p=12.00 Fb,Rd,p=6582.74
Tirafondi:LT=0.45 (0.31) σ_{cR}=0.00 σ_{fR}=0.00
Compressione nel calcestruzzo: σ_c=57.50
CC 61 SLU (Collegamento -182_-384)
Azioni sul collegamento: N=-21018.70 Ty=-17.90 Tz=45.91 Mx=-0.00 Mz=-13.19
Sollecitazioni agenti localmente: Tx_l=-17.90 Ty_l=45.91 N_l=-21018.70 Mx_l=-0.00 My_l=-13.19 Mz_l=-0.00
Taglio nei bulloni: Fv,Ed=8.22 Fv,Rd=7720.78
Rifollamento lato piastra: Fb,Ed,p=8.22 Fb,Rd,p=7345.50
Tirafondi:LT=0.45 (0.31) σ_{cR}=0.00 σ_{fR}=0.00
Compressione nel calcestruzzo: σ_c=44.17
CC 62 SLU (Collegamento -182_-384)
Azioni sul collegamento: N=-20204.50 Ty=-17.15 Tz=42.91 Mx=-0.00 Mz=-12.64
Sollecitazioni agenti localmente: Tx_l=-17.15 Ty_l=42.91 N_l=-20204.50 Mx_l=-0.00 My_l=-12.64 Mz_l=-0.00
Taglio nei bulloni: Fv,Ed=7.71 Fv,Rd=7720.78
Rifollamento lato piastra: Fb,Ed,p=7.71 Fb,Rd,p=7416.06
Tirafondi:LT=0.45 (0.31) σ_{cR}=0.00 σ_{fR}=0.00
Compressione nel calcestruzzo: σ_c=42.46
CC 63 SLU (Collegamento -182_-384)
Azioni sul collegamento: N=-20612.50 Ty=-17.61 Tz=44.35 Mx=-0.00 Mz=-13.10
Sollecitazioni agenti localmente: Tx_l=-17.61 Ty_l=44.35 N_l=-20612.50 Mx_l=-0.00 My_l=-13.10 Mz_l=-0.00
Taglio nei bulloni: Fv,Ed=7.96 Fv,Rd=7720.78
Rifollamento lato piastra: Fb,Ed,p=7.96 Fb,Rd,p=7396.94
Tirafondi:LT=0.45 (0.31) σ_{cR}=0.00 σ_{fR}=0.00
Compressione nel calcestruzzo: σ_c=43.33
CC 64 SLU (Collegamento -182_-384)
Azioni sul collegamento: N=-20610.70 Ty=-17.43 Tz=44.47 Mx=-0.01 Mz=-12.73
Sollecitazioni agenti localmente: Tx_l=-17.43 Ty_l=44.47 N_l=-20610.70 Mx_l=-0.00 My_l=-12.73 Mz_l=-0.01
Taglio nei bulloni: Fv,Ed=7.97 Fv,Rd=7720.78
Rifollamento lato piastra: Fb,Ed,p=7.97 Fb,Rd,p=7361.90
Tirafondi:LT=0.45 (0.31) σ_{cR}=0.00 σ_{fR}=0.00
Compressione nel calcestruzzo: σ_c=43.30
CC 65 SLU (Collegamento -182_-384)
Azioni sul collegamento: N=-22813.30 Ty=4.55 Tz=52.10 Mx=-0.00 Mz=3.75
Sollecitazioni agenti localmente: Tx_l=4.55 Ty_l=52.10 N_l=-22813.30 Mx_l=-0.00 My_l=3.75 Mz_l=-0.00
Taglio nei bulloni: Fv,Ed=8.72 Fv,Rd=7720.78
Rifollamento lato piastra: Fb,Ed,p=8.72 Fb,Rd,p=6045.76
Tirafondi:LT=0.45 (0.31) σ_{cR}=0.00 σ_{fR}=0.00
Compressione nel calcestruzzo: σ_c=47.35
CC 66 SLU (Collegamento -182_-384)
Azioni sul collegamento: N=-21999.10 Ty=5.30 Tz=49.10 Mx=-0.00 Mz=4.30
Sollecitazioni agenti localmente: Tx_l=5.30 Ty_l=49.10 N_l=-21999.10 Mx_l=-0.00 My_l=4.30 Mz_l=-0.00
Taglio nei bulloni: Fv,Ed=8.24 Fv,Rd=7720.78
Rifollamento lato piastra: Fb,Ed,p=8.24 Fb,Rd,p=6081.20
Tirafondi:LT=0.45 (0.31) σ_{cR}=0.00 σ_{fR}=0.00
Compressione nel calcestruzzo: σ_c=45.69
CC 67 SLU (Collegamento -182_-384)
Azioni sul collegamento: N=-22407.10 Ty=4.84 Tz=50.54 Mx=-0.00 Mz=3.84
Sollecitazioni agenti localmente: Tx_l=4.84 Ty_l=50.54 N_l=-22407.10 Mx_l=-0.00 My_l=3.84 Mz_l=-0.00
Taglio nei bulloni: Fv,Ed=8.47 Fv,Rd=7720.78
Rifollamento lato piastra: Fb,Ed,p=8.47 Fb,Rd,p=6059.41
Tirafondi:LT=0.45 (0.31) σ_{cR}=0.00 σ_{fR}=0.00
Compressione nel calcestruzzo: σ_c=46.51
CC 68 SLU (Collegamento -182_-384)
Azioni sul collegamento: N=-22405.30 Ty=5.01 Tz=50.66 Mx=-0.01 Mz=4.20
Sollecitazioni agenti localmente: Tx_l=5.01 Ty_l=50.66 N_l=-22405.30 Mx_l=-0.00 My_l=4.20 Mz_l=-0.01
Taglio nei bulloni: Fv,Ed=8.49 Fv,Rd=7720.78
Rifollamento lato piastra: Fb,Ed,p=8.49 Fb,Rd,p=6064.64
Tirafondi:LT=0.45 (0.31) σ_{cR}=0.00 σ_{fR}=0.00
Compressione nel calcestruzzo: σ_c=46.53
CC 97 SLU (Collegamento -182_-384)
Azioni sul collegamento: N=-12779.50 Ty=-22.48 Tz=24.03 Mx=-0.06 Mz=-25.00
Sollecitazioni agenti localmente: Tx_l=-22.48 Ty_l=24.03 N_l=-12779.50 Mx_l=-0.00 My_l=-25.00 Mz_l=-0.06
Taglio nei bulloni: Fv,Ed=5.57 Fv,Rd=7720.78
Rifollamento lato piastra: Fb,Ed,p=5.57 Fb,Rd,p=11644.90

Tirafondi:LT=0.45 (0.31) σ_{cR}=0.00 σ_{fR}=0.00
Compressione nel calcestruzzo: σ_c=27.81
CC 98 SLU (Collegamento -182_-384)
Azioni sul collegamento: N=-11965.30 Ty=-21.73 Tz=21.02 Mx=-0.06 Mz=-24.45
Sollecitazioni agenti localmente: Tx_l=-21.73 Ty_l=21.02 N_l=-11965.30 Mx_l=-0.00 My_l=-24.45 Mz_l=-0.06
Taglio nei bulloni: Fv,Ed=5.13 Fv,Rd=7720.78
Rifollamento lato piastra: Fb,Ed,p=5.04 Fb,Rd,p=11628.80
Tirafondi:LT=0.45 (0.31) σ_{cR}=0.00 σ_{fR}=0.00
Compressione nel calcestruzzo: σ_c=26.10
CC 99 SLU (Collegamento -182_-384)
Azioni sul collegamento: N=-12373.20 Ty=-22.20 Tz=22.47 Mx=-0.05 Mz=-24.91
Sollecitazioni agenti localmente: Tx_l=-22.20 Ty_l=22.47 N_l=-12373.20 Mx_l=-0.00 My_l=-24.91 Mz_l=-0.05
Taglio nei bulloni: Fv,Ed=5.35 Fv,Rd=7720.78
Rifollamento lato piastra: Fb,Ed,p=5.35 Fb,Rd,p=11948.20
Tirafondi:LT=0.45 (0.31) σ_{cR}=0.00 σ_{fR}=0.00
Compressione nel calcestruzzo: σ_c=26.97
CC 100 SLU (Collegamento -182_-384)
Azioni sul collegamento: N=-12371.50 Ty=-22.02 Tz=22.58 Mx=-0.06 Mz=-24.55
Sollecitazioni agenti localmente: Tx_l=-22.02 Ty_l=22.58 N_l=-12371.50 Mx_l=-0.00 My_l=-24.55 Mz_l=-0.06
Taglio nei bulloni: Fv,Ed=5.35 Fv,Rd=7720.78
Rifollamento lato piastra: Fb,Ed,p=5.35 Fb,Rd,p=11872.30
Tirafondi:LT=0.45 (0.31) σ_{cR}=0.00 σ_{fR}=0.00
Compressione nel calcestruzzo: σ_c=26.94
CC 101 SLU (Collegamento -182_-384)
Azioni sul collegamento: N=-10566.60 Ty=-8.33 Tz=15.50 Mx=0.00 Mz=-5.31
Sollecitazioni agenti localmente: Tx_l=-8.33 Ty_l=15.50 N_l=-10566.60 Mx_l=-0.00 My_l=-5.31 Mz_l=0.00
Taglio nei bulloni: Fv,Ed=2.94 Fv,Rd=7720.78
Rifollamento lato piastra: Fb,Ed,p=2.93 Fb,Rd,p=8565.49
Tirafondi:LT=0.45 (0.31) σ_{cR}=0.00 σ_{fR}=0.00
Compressione nel calcestruzzo: σ_c=22.13
CC 102 SLU (Collegamento -182_-384)
Azioni sul collegamento: N=-9752.38 Ty=-7.57 Tz=12.50 Mx=0.00 Mz=-4.76
Sollecitazioni agenti localmente: Tx_l=-7.57 Ty_l=12.50 N_l=-9752.38 Mx_l=-0.00 My_l=-4.76 Mz_l=0.00
Taglio nei bulloni: Fv,Ed=2.44 Fv,Rd=7720.78
Rifollamento lato piastra: Fb,Ed,p=2.44 Fb,Rd,p=9285.16
Tirafondi:LT=0.45 (0.31) σ_{cR}=0.00 σ_{fR}=0.00
Compressione nel calcestruzzo: σ_c=20.42
CC 103 SLU (Collegamento -182_-384)
Azioni sul collegamento: N=-10160.40 Ty=-8.04 Tz=13.94 Mx=0.00 Mz=-5.22
Sollecitazioni agenti localmente: Tx_l=-8.04 Ty_l=13.94 N_l=-10160.40 Mx_l=-0.00 My_l=-5.22 Mz_l=0.00
Taglio nei bulloni: Fv,Ed=2.69 Fv,Rd=7720.78
Rifollamento lato piastra: Fb,Ed,p=2.68 Fb,Rd,p=8960.60
Tirafondi:LT=0.45 (0.31) σ_{cR}=0.00 σ_{fR}=0.00
Compressione nel calcestruzzo: σ_c=21.29
CC 104 SLU (Collegamento -182_-384)
Azioni sul collegamento: N=-10158.60 Ty=-7.86 Tz=14.06 Mx=0.00 Mz=-4.85
Sollecitazioni agenti localmente: Tx_l=-7.86 Ty_l=14.06 N_l=-10158.60 Mx_l=-0.00 My_l=-4.85 Mz_l=0.00
Taglio nei bulloni: Fv,Ed=2.69 Fv,Rd=7720.78
Rifollamento lato piastra: Fb,Ed,p=2.69 Fb,Rd,p=8792.14
Tirafondi:LT=0.45 (0.31) σ_{cR}=0.00 σ_{fR}=0.00
Compressione nel calcestruzzo: σ_c=21.26

Saldatura profilo-piastra

CC 1 SLV (Collegamento -182_-384)
Azioni sul collegamento: N=-5856.57 Ty=-4.82 Tz=-1.96 Mx=0.01 Mz=-1.13
Sollecitazioni agenti localmente: Tx_l=-4.82 Ty_l=-1.96 N_l=-5856.57 My_l=1.13 Mz_l=0.01
Azioni sul cordone: TP=-0.37 TO=-0.15 NO=-432.92
Tensioni nel cordone: τ_P=0.12 τ_0= 0.05 σ_0=139.25 σ_{ID}=139.26 Σ_T=139.30
CC 1 SLV (Collegamento -182_-384)
Azioni sul collegamento: N=-5856.57 Ty=-12.53 Tz=-1.96 Mx=0.01 Mz=-7.45
Sollecitazioni agenti localmente: Tx_l=-12.53 Ty_l=-1.96 N_l=-5856.57 My_l=7.45 Mz_l=0.01
Azioni sul cordone: TP=-0.94 TO=-0.15 NO=-432.92
Tensioni nel cordone: τ_P=0.30 τ_0= 0.05 σ_0=148.49 σ_{ID}=148.49 Σ_T=148.54
CC 1 SLV (Collegamento -182_-384)
Azioni sul collegamento: N=-5856.57 Ty=-4.82 Tz=27.25 Mx=0.01 Mz=-1.13
Sollecitazioni agenti localmente: Tx_l=-4.82 Ty_l=27.25 N_l=-5856.57 My_l=1.13 Mz_l=0.01
Azioni sul cordone: TP=-0.37 TO=2.00 NO=-432.92
Tensioni nel cordone: τ_P=0.12 τ_0=0.64 σ_0=139.25 σ_{ID}=139.26 Σ_T=139.89
CC 1 SLV (Collegamento -182_-384)
Azioni sul collegamento: N=-5856.57 Ty=-12.53 Tz=27.25 Mx=0.01 Mz=-7.45
Sollecitazioni agenti localmente: Tx_l=-12.53 Ty_l=27.25 N_l=-5856.57 My_l=7.45 Mz_l=0.01
Azioni sul cordone: TP=-0.94 TO=2.00 NO=-432.92
Tensioni nel cordone: τ_P=0.30 τ_0=0.64 σ_0=148.49 σ_{ID}=148.49 Σ_T=149.13
CC 1 SLV (Collegamento -182_-384)
Azioni sul collegamento: N=-13681.20 Ty=-4.82 Tz=-1.96 Mx=0.01 Mz=-1.13
Sollecitazioni agenti localmente: Tx_l=-4.82 Ty_l=-1.96 N_l=-13681.20 My_l=1.13 Mz_l=0.01
Azioni sul cordone: TP=-0.37 TO=-0.15 NO=-1011.32
Tensioni nel cordone: τ_P=0.12 τ_0= 0.05 σ_0=323.10 σ_{ID}=323.10 Σ_T=323.15
CC 1 SLV (Collegamento -182_-384)

Azioni sul collegamento: N=-13681.20 Ty=-12.53 Tz=-1.96 Mx=0.01 Mz=-7.45
Sollecitazioni agenti localmente: Tx_l=-12.53 Ty_l=-1.96 N_l=-13681.20 My_l=7.45 Mz_l=0.01
Azioni sul cordone: TP=-0.94 TO=-0.15 NO=-1011.32
Tensioni nel cordone: τ_P=0.30 τ_0= 0.05 σ_0=332.33 σ_{ID}=332.33 Σ_T=332.38
CC 1 SLV (Collegamento -182_-384)
Azioni sul collegamento: N=-13681.20 Ty=-4.82 Tz=27.25 Mx=0.01 Mz=-1.13
Sollecitazioni agenti localmente: Tx_l=-4.82 Ty_l=27.25 N_l=-13681.20 My_l=1.13 Mz_l=0.01
Azioni sul cordone: TP=-0.37 TO=2.00 NO=-1011.32
Tensioni nel cordone: τ_P=0.12 τ_0=0.64 σ_0=323.10 σ_{ID}=323.10 Σ_T=323.74
CC 1 SLV (Collegamento -182_-384)
Azioni sul collegamento: N=-13681.20 Ty=-12.53 Tz=27.25 Mx=0.01 Mz=-7.45
Sollecitazioni agenti localmente: Tx_l=-12.53 Ty_l=27.25 N_l=-13681.20 My_l=7.45 Mz_l=0.01
Azioni sul cordone: TP=-0.94 TO=2.00 NO=-1011.32
Tensioni nel cordone: τ_P=0.30 τ_0=0.64 σ_0=332.33 σ_{ID}=332.34 Σ_T=332.97
CC 2 SLD (Collegamento -182_-384)
Azioni sul collegamento: N=-8673.24 Ty=-8.42 Tz=8.57 Mx=0.00 Mz=-5.47
Sollecitazioni agenti localmente: Tx_l=-8.42 Ty_l=8.57 N_l=-8673.24 My_l=5.47 Mz_l=0.00
Azioni sul cordone: TP=-0.62 TO=0.63 NO=-641.13
Tensioni nel cordone: τ_P=0.20 τ_0=0.20 σ_0=211.77 σ_{ID}=211.77 Σ_T=211.97
CC 2 SLD (Collegamento -182_-384)
Azioni sul collegamento: N=-8673.24 Ty=-10.78 Tz=8.57 Mx=0.00 Mz=-7.39
Sollecitazioni agenti localmente: Tx_l=-10.78 Ty_l=8.57 N_l=-8673.24 My_l=7.39 Mz_l=0.00
Azioni sul cordone: TP=-0.80 TO=0.63 NO=-641.13
Tensioni nel cordone: τ_P=0.25 τ_0=0.20 σ_0=214.58 σ_{ID}=214.58 Σ_T=214.78
CC 2 SLD (Collegamento -182_-384)
Azioni sul collegamento: N=-8673.24 Ty=-8.42 Tz=17.48 Mx=0.00 Mz=-5.47
Sollecitazioni agenti localmente: Tx_l=-8.42 Ty_l=17.48 N_l=-8673.24 My_l=5.47 Mz_l=0.00
Azioni sul cordone: TP=-0.62 TO=1.29 NO=-641.13
Tensioni nel cordone: τ_P=0.20 τ_0=0.41 σ_0=211.77 σ_{ID}=211.77 Σ_T=212.18
CC 2 SLD (Collegamento -182_-384)
Azioni sul collegamento: N=-8673.24 Ty=-10.78 Tz=17.48 Mx=0.00 Mz=-7.39
Sollecitazioni agenti localmente: Tx_l=-10.78 Ty_l=17.48 N_l=-8673.24 My_l=7.39 Mz_l=0.00
Azioni sul cordone: TP=-0.80 TO=1.29 NO=-641.13
Tensioni nel cordone: τ_P=0.25 τ_0=0.41 σ_0=214.58 σ_{ID}=214.58 Σ_T=214.99
CC 2 SLD (Collegamento -182_-384)
Azioni sul collegamento: N=-11059.20 Ty=-8.42 Tz=8.57 Mx=0.00 Mz=-5.47
Sollecitazioni agenti localmente: Tx_l=-8.42 Ty_l=8.57 N_l=-11059.20 My_l=5.47 Mz_l=0.00
Azioni sul cordone: TP=-0.62 TO=0.63 NO=-817.50
Tensioni nel cordone: τ_P=0.20 τ_0=0.20 σ_0=267.83 σ_{ID}=267.83 Σ_T=268.03
CC 2 SLD (Collegamento -182_-384)
Azioni sul collegamento: N=-11059.20 Ty=-10.78 Tz=8.57 Mx=0.00 Mz=-7.39
Sollecitazioni agenti localmente: Tx_l=-10.78 Ty_l=8.57 N_l=-11059.20 My_l=7.39 Mz_l=0.00
Azioni sul cordone: TP=-0.80 TO=0.63 NO=-817.50
Tensioni nel cordone: τ_P=0.25 τ_0=0.20 σ_0=270.64 σ_{ID}=270.64 Σ_T=270.84
CC 2 SLD (Collegamento -182_-384)
Azioni sul collegamento: N=-11059.20 Ty=-8.42 Tz=17.48 Mx=0.00 Mz=-5.47
Sollecitazioni agenti localmente: Tx_l=-8.42 Ty_l=17.48 N_l=-11059.20 My_l=5.47 Mz_l=0.00
Azioni sul cordone: TP=-0.62 TO=1.29 NO=-817.50
Tensioni nel cordone: τ_P=0.20 τ_0=0.41 σ_0=267.83 σ_{ID}=267.83 Σ_T=268.24
CC 2 SLD (Collegamento -182_-384)
Azioni sul collegamento: N=-11059.20 Ty=-10.78 Tz=17.48 Mx=0.00 Mz=-7.39
Sollecitazioni agenti localmente: Tx_l=-10.78 Ty_l=17.48 N_l=-11059.20 My_l=7.39 Mz_l=0.00
Azioni sul cordone: TP=-0.80 TO=1.29 NO=-817.50
Tensioni nel cordone: τ_P=0.25 τ_0=0.41 σ_0=270.64 σ_{ID}=270.64 Σ_T=271.05
CC 3 SLV (Collegamento -182_-384)
Azioni sul collegamento: N=-5861.42 Ty=-5.33 Tz=-1.63 Mx=0.01 Mz=-2.18
Sollecitazioni agenti localmente: Tx_l=-5.33 Ty_l=-1.63 N_l=-5861.42 My_l=2.18 Mz_l=0.01
Azioni sul cordone: TP=-0.40 TO=-0.13 NO=-433.28
Tensioni nel cordone: τ_P=0.13 τ_0= 0.04 σ_0=140.90 σ_{ID}=140.90 Σ_T=140.94
CC 3 SLV (Collegamento -182_-384)
Azioni sul collegamento: N=-5861.42 Ty=-12.02 Tz=-1.63 Mx=0.01 Mz=-6.41
Sollecitazioni agenti localmente: Tx_l=-12.02 Ty_l=-1.63 N_l=-5861.42 My_l=6.41 Mz_l=0.01
Azioni sul cordone: TP=-0.90 TO=-0.13 NO=-433.28
Tensioni nel cordone: τ_P=0.28 τ_0= 0.04 σ_0=147.08 σ_{ID}=147.08 Σ_T=147.12
CC 3 SLV (Collegamento -182_-384)
Azioni sul collegamento: N=-5861.42 Ty=-5.33 Tz=26.92 Mx=0.01 Mz=-2.18
Sollecitazioni agenti localmente: Tx_l=-5.33 Ty_l=26.92 N_l=-5861.42 My_l=2.18 Mz_l=0.01
Azioni sul cordone: TP=-0.40 TO=1.98 NO=-433.28
Tensioni nel cordone: τ_P=0.13 τ_0=0.63 σ_0=140.90 σ_{ID}=140.90 Σ_T=141.53
CC 3 SLV (Collegamento -182_-384)
Azioni sul collegamento: N=-5861.42 Ty=-12.02 Tz=26.92 Mx=0.01 Mz=-6.41
Sollecitazioni agenti localmente: Tx_l=-12.02 Ty_l=26.92 N_l=-5861.42 My_l=6.41 Mz_l=0.01
Azioni sul cordone: TP=-0.90 TO=1.98 NO=-433.28
Tensioni nel cordone: τ_P=0.28 τ_0=0.63 σ_0=147.08 σ_{ID}=147.08 Σ_T=147.71
CC 3 SLV (Collegamento -182_-384)
Azioni sul collegamento: N=-13676.40 Ty=-5.33 Tz=-1.63 Mx=0.01 Mz=-2.18
Sollecitazioni agenti localmente: Tx_l=-5.33 Ty_l=-1.63 N_l=-13676.40 My_l=2.18 Mz_l=0.01
Azioni sul cordone: TP=-0.40 TO=-0.13 NO=-1010.96
Tensioni nel cordone: τ_P=0.13 τ_0= 0.04 σ_0=324.51 σ_{ID}=324.51 Σ_T=324.56
CC 3 SLV (Collegamento -182_-384)
Azioni sul collegamento: N=-13676.40 Ty=-12.02 Tz=-1.63 Mx=0.01 Mz=-6.41

Sollecitazioni agenti localmente: Tx_l=-12.02 Ty_l=-1.63 N_l=-13676.40 My_l=6.41 Mz_l=0.01
Azioni sul cordone: TP=-0.90 TO=-0.13 NO=-1010.96
Tensioni nel cordone: τ_P=0.28 τ_0= 0.04 σ_0=330.69 σ_{ID}=330.69 Σ_T=330.73
CC 3 SLV (Collegamento -182_-384)
Azioni sul collegamento: N=-13676.40 Ty=-5.33 Tz=26.92 Mx=0.01 Mz=-2.18
Sollecitazioni agenti localmente: Tx_l=-5.33 Ty_l=26.92 N_l=-13676.40 My_l=2.18 Mz_l=0.01
Azioni sul cordone: TP=-0.40 TO=1.98 NO=-1010.96
Tensioni nel cordone: τ_P=0.13 τ_0=0.63 σ_0=324.51 σ_{ID}=324.52 Σ_T=325.15
CC 3 SLV (Collegamento -182_-384)
Azioni sul collegamento: N=-13676.40 Ty=-12.02 Tz=26.92 Mx=0.01 Mz=-6.41
Sollecitazioni agenti localmente: Tx_l=-12.02 Ty_l=26.92 N_l=-13676.40 My_l=6.41 Mz_l=0.01
Azioni sul cordone: TP=-0.90 TO=1.98 NO=-1010.96
Tensioni nel cordone: τ_P=0.28 τ_0=0.63 σ_0=330.69 σ_{ID}=330.69 Σ_T=331.32
CC 4 SLD (Collegamento -182_-384)
Azioni sul collegamento: N=-8674.72 Ty=-8.58 Tz=8.67 Mx=-0.00 Mz=-5.79
Sollecitazioni agenti localmente: Tx_l=-8.58 Ty_l=8.67 N_l=-8674.72 My_l=5.79 Mz_l=-0.00
Azioni sul cordone: TP=-0.63 TO=0.64 NO=-641.24
Tensioni nel cordone: τ_P=0.20 τ_0=0.20 σ_0=212.27 σ_{ID}=212.27 Σ_T=212.47
CC 4 SLD (Collegamento -182_-384)
Azioni sul collegamento: N=-8674.72 Ty=-10.62 Tz=8.67 Mx=-0.00 Mz=-7.07
Sollecitazioni agenti localmente: Tx_l=-10.62 Ty_l=8.67 N_l=-8674.72 My_l=7.07 Mz_l=-0.00
Azioni sul cordone: TP=-0.78 TO=0.64 NO=-641.24
Tensioni nel cordone: τ_P=0.25 τ_0=0.20 σ_0=214.15 σ_{ID}=214.15 Σ_T=214.35
CC 4 SLD (Collegamento -182_-384)
Azioni sul collegamento: N=-8674.72 Ty=-8.58 Tz=17.38 Mx=-0.00 Mz=-5.79
Sollecitazioni agenti localmente: Tx_l=-8.58 Ty_l=17.38 N_l=-8674.72 My_l=5.79 Mz_l=-0.00
Azioni sul cordone: TP=-0.63 TO=1.28 NO=-641.24
Tensioni nel cordone: τ_P=0.20 τ_0=0.41 σ_0=212.27 σ_{ID}=212.27 Σ_T=212.68
CC 4 SLD (Collegamento -182_-384)
Azioni sul collegamento: N=-8674.72 Ty=-10.62 Tz=17.38 Mx=-0.00 Mz=-7.07
Sollecitazioni agenti localmente: Tx_l=-10.62 Ty_l=17.38 N_l=-8674.72 My_l=7.07 Mz_l=-0.00
Azioni sul cordone: TP=-0.78 TO=1.28 NO=-641.24
Tensioni nel cordone: τ_P=0.25 τ_0=0.41 σ_0=214.15 σ_{ID}=214.15 Σ_T=214.56
CC 4 SLD (Collegamento -182_-384)
Azioni sul collegamento: N=-11057.70 Ty=-8.58 Tz=8.67 Mx=-0.00 Mz=-5.79
Sollecitazioni agenti localmente: Tx_l=-8.58 Ty_l=8.67 N_l=-11057.70 My_l=5.79 Mz_l=-0.00
Azioni sul cordone: TP=-0.63 TO=0.64 NO=-817.39
Tensioni nel cordone: τ_P=0.20 τ_0=0.20 σ_0=268.26 σ_{ID}=268.26 Σ_T=268.46
CC 4 SLD (Collegamento -182_-384)
Azioni sul collegamento: N=-11057.70 Ty=-10.62 Tz=8.67 Mx=-0.00 Mz=-7.07
Sollecitazioni agenti localmente: Tx_l=-10.62 Ty_l=8.67 N_l=-11057.70 My_l=7.07 Mz_l=-0.00
Azioni sul cordone: TP=-0.78 TO=0.64 NO=-817.39
Tensioni nel cordone: τ_P=0.25 τ_0=0.20 σ_0=270.14 σ_{ID}=270.14 Σ_T=270.35
CC 4 SLD (Collegamento -182_-384)
Azioni sul collegamento: N=-11057.70 Ty=-8.58 Tz=17.38 Mx=-0.00 Mz=-5.79
Sollecitazioni agenti localmente: Tx_l=-8.58 Ty_l=17.38 N_l=-11057.70 My_l=5.79 Mz_l=-0.00
Azioni sul cordone: TP=-0.63 TO=1.28 NO=-817.39
Tensioni nel cordone: τ_P=0.20 τ_0=0.41 σ_0=268.26 σ_{ID}=268.26 Σ_T=268.67
CC 4 SLD (Collegamento -182_-384)
Azioni sul collegamento: N=-11057.70 Ty=-10.62 Tz=17.38 Mx=-0.00 Mz=-7.07
Sollecitazioni agenti localmente: Tx_l=-10.62 Ty_l=17.38 N_l=-11057.70 My_l=7.07 Mz_l=-0.00
Azioni sul cordone: TP=-0.78 TO=1.28 NO=-817.39
Tensioni nel cordone: τ_P=0.25 τ_0=0.41 σ_0=270.14 σ_{ID}=270.14 Σ_T=270.55
CC 5 SLV (Collegamento -182_-384)
Azioni sul collegamento: N=-13676.40 Ty=-12.02 Tz=26.92 Mx=0.01 Mz=-6.41
Sollecitazioni agenti localmente: Tx_l=-12.02 Ty_l=26.92 N_l=-13676.40 My_l=6.41 Mz_l=0.01
Azioni sul cordone: TP=-0.90 TO=1.98 NO=-1010.96
Tensioni nel cordone: τ_P=0.29 τ_0=0.63 σ_0=330.69 σ_{ID}=330.69 Σ_T=331.32
CC 5 SLV (Collegamento -182_-384)
Azioni sul collegamento: N=-13676.40 Ty=-5.33 Tz=26.92 Mx=0.01 Mz=-2.18
Sollecitazioni agenti localmente: Tx_l=-5.33 Ty_l=26.92 N_l=-13676.40 My_l=2.18 Mz_l=0.01
Azioni sul cordone: TP=-0.41 TO=1.98 NO=-1010.96
Tensioni nel cordone: τ_P=0.13 τ_0=0.63 σ_0=324.51 σ_{ID}=324.52 Σ_T=325.14
CC 5 SLV (Collegamento -182_-384)
Azioni sul collegamento: N=-13676.40 Ty=-12.02 Tz=-1.63 Mx=0.01 Mz=-6.41
Sollecitazioni agenti localmente: Tx_l=-12.02 Ty_l=-1.63 N_l=-13676.40 My_l=6.41 Mz_l=0.01
Azioni sul cordone: TP=-0.90 TO=-0.13 NO=-1010.96
Tensioni nel cordone: τ_P=0.29 τ_0= 0.04 σ_0=330.69 σ_{ID}=330.69 Σ_T=330.73
CC 5 SLV (Collegamento -182_-384)
Azioni sul collegamento: N=-13676.40 Ty=-5.33 Tz=-1.63 Mx=0.01 Mz=-2.18
Sollecitazioni agenti localmente: Tx_l=-5.33 Ty_l=-1.63 N_l=-13676.40 My_l=2.18 Mz_l=0.01
Azioni sul cordone: TP=-0.41 TO=-0.13 NO=-1010.96
Tensioni nel cordone: τ_P=0.13 τ_0= 0.04 σ_0=324.51 σ_{ID}=324.51 Σ_T=324.56
CC 5 SLV (Collegamento -182_-384)
Azioni sul collegamento: N=-5861.42 Ty=-12.02 Tz=26.92 Mx=0.01 Mz=-6.41
Sollecitazioni agenti localmente: Tx_l=-12.02 Ty_l=26.92 N_l=-5861.42 My_l=6.41 Mz_l=0.01
Azioni sul cordone: TP=-0.90 TO=1.98 NO=-433.28
Tensioni nel cordone: τ_P=0.29 τ_0=0.63 σ_0=147.08 σ_{ID}=147.08 Σ_T=147.71
CC 5 SLV (Collegamento -182_-384)
Azioni sul collegamento: N=-5861.42 Ty=-5.33 Tz=26.92 Mx=0.01 Mz=-2.18
Sollecitazioni agenti localmente: Tx_l=-5.33 Ty_l=26.92 N_l=-5861.42 My_l=2.18 Mz_l=0.01

Azioni sul cordone: TP=-0.41 TO=1.98 NO=-433.28
Tensioni nel cordone: τ_P=0.13 τ_0=0.63 σ_0=140.90 σ_{ID}=140.90 Σ_T=141.53
CC 5 SLV (Collegamento -182_-384)
Azioni sul collegamento: N=-5861.42 Ty=-12.02 Tz=-1.63 Mx=0.01 Mz=-6.41
Sollecitazioni agenti localmente: Tx_l=-12.02 Ty_l=-1.63 N_l=-5861.42 My_l=6.41 Mz_l=0.01
Azioni sul cordone: TP=-0.90 TO=-0.13 NO=-433.28
Tensioni nel cordone: τ_P=0.29 τ_0= 0.04 σ_0=147.08 σ_{ID}=147.08 Σ_T=147.12
CC 5 SLV (Collegamento -182_-384)
Azioni sul collegamento: N=-5861.42 Ty=-5.33 Tz=-1.63 Mx=0.01 Mz=-2.18
Sollecitazioni agenti localmente: Tx_l=-5.33 Ty_l=-1.63 N_l=-5861.42 My_l=2.18 Mz_l=0.01
Azioni sul cordone: TP=-0.41 TO=-0.13 NO=-433.28
Tensioni nel cordone: τ_P=0.13 τ_0= 0.04 σ_0=140.90 σ_{ID}=140.90 Σ_T=140.94
CC 6 SLD (Collegamento -182_-384)
Azioni sul collegamento: N=-11057.70 Ty=-10.62 Tz=17.38 Mx=0.00 Mz=-7.07
Sollecitazioni agenti localmente: Tx_l=-10.62 Ty_l=17.38 N_l=-11057.70 My_l=7.07 Mz_l=0.00
Azioni sul cordone: TP=-0.79 TO=1.28 NO=-817.39
Tensioni nel cordone: τ_P=0.25 τ_0=0.41 σ_0=270.14 σ_{ID}=270.14 Σ_T=270.55
CC 6 SLD (Collegamento -182_-384)
Azioni sul collegamento: N=-11057.70 Ty=-8.58 Tz=17.38 Mx=0.00 Mz=-5.79
Sollecitazioni agenti localmente: Tx_l=-8.58 Ty_l=17.38 N_l=-11057.70 My_l=5.79 Mz_l=0.00
Azioni sul cordone: TP=-0.64 TO=1.28 NO=-817.39
Tensioni nel cordone: τ_P=0.20 τ_0=0.41 σ_0=268.26 σ_{ID}=268.26 Σ_T=268.67
CC 6 SLD (Collegamento -182_-384)
Azioni sul collegamento: N=-11057.70 Ty=-10.62 Tz=8.67 Mx=0.00 Mz=-7.07
Sollecitazioni agenti localmente: Tx_l=-10.62 Ty_l=8.67 N_l=-11057.70 My_l=7.07 Mz_l=0.00
Azioni sul cordone: TP=-0.79 TO=0.64 NO=-817.39
Tensioni nel cordone: τ_P=0.25 τ_0=0.20 σ_0=270.14 σ_{ID}=270.14 Σ_T=270.35
CC 6 SLD (Collegamento -182_-384)
Azioni sul collegamento: N=-11057.70 Ty=-8.58 Tz=8.67 Mx=0.00 Mz=-5.79
Sollecitazioni agenti localmente: Tx_l=-8.58 Ty_l=8.67 N_l=-11057.70 My_l=5.79 Mz_l=0.00
Azioni sul cordone: TP=-0.64 TO=0.64 NO=-817.39
Tensioni nel cordone: τ_P=0.20 τ_0=0.20 σ_0=268.26 σ_{ID}=268.26 Σ_T=268.46
CC 6 SLD (Collegamento -182_-384)
Azioni sul collegamento: N=-8674.72 Ty=-10.62 Tz=17.38 Mx=0.00 Mz=-7.07
Sollecitazioni agenti localmente: Tx_l=-10.62 Ty_l=17.38 N_l=-8674.72 My_l=7.07 Mz_l=0.00
Azioni sul cordone: TP=-0.79 TO=1.28 NO=-641.24
Tensioni nel cordone: τ_P=0.25 τ_0=0.41 σ_0=214.15 σ_{ID}=214.15 Σ_T=214.56
CC 6 SLD (Collegamento -182_-384)
Azioni sul collegamento: N=-8674.72 Ty=-8.58 Tz=17.38 Mx=0.00 Mz=-5.79
Sollecitazioni agenti localmente: Tx_l=-8.58 Ty_l=17.38 N_l=-8674.72 My_l=5.79 Mz_l=0.00
Azioni sul cordone: TP=-0.64 TO=1.28 NO=-641.24
Tensioni nel cordone: τ_P=0.20 τ_0=0.41 σ_0=212.27 σ_{ID}=212.27 Σ_T=212.68
CC 6 SLD (Collegamento -182_-384)
Azioni sul collegamento: N=-8674.72 Ty=-10.62 Tz=8.67 Mx=0.00 Mz=-7.07
Sollecitazioni agenti localmente: Tx_l=-10.62 Ty_l=8.67 N_l=-8674.72 My_l=7.07 Mz_l=0.00
Azioni sul cordone: TP=-0.79 TO=0.64 NO=-641.24
Tensioni nel cordone: τ_P=0.25 τ_0=0.20 σ_0=214.15 σ_{ID}=214.15 Σ_T=214.35
CC 6 SLD (Collegamento -182_-384)
Azioni sul collegamento: N=-8674.72 Ty=-8.58 Tz=8.67 Mx=0.00 Mz=-5.79
Sollecitazioni agenti localmente: Tx_l=-8.58 Ty_l=8.67 N_l=-8674.72 My_l=5.79 Mz_l=0.00
Azioni sul cordone: TP=-0.64 TO=0.64 NO=-641.24
Tensioni nel cordone: τ_P=0.20 τ_0=0.20 σ_0=212.27 σ_{ID}=212.27 Σ_T=212.47
CC 7 SLV (Collegamento -182_-384)
Azioni sul collegamento: N=-13681.20 Ty=-12.53 Tz=27.25 Mx=0.01 Mz=-7.45
Sollecitazioni agenti localmente: Tx_l=-12.53 Ty_l=27.25 N_l=-13681.20 My_l=7.45 Mz_l=0.01
Azioni sul cordone: TP=-0.93 TO=2.01 NO=-1011.32
Tensioni nel cordone: τ_P=0.30 τ_0=0.64 σ_0=332.33 σ_{ID}=332.34 Σ_T=332.97
CC 7 SLV (Collegamento -182_-384)
Azioni sul collegamento: N=-13681.20 Ty=-4.82 Tz=27.25 Mx=0.01 Mz=-1.13
Sollecitazioni agenti localmente: Tx_l=-4.82 Ty_l=27.25 N_l=-13681.20 My_l=1.13 Mz_l=0.01
Azioni sul cordone: TP=-0.36 TO=2.01 NO=-1011.32
Tensioni nel cordone: τ_P=0.12 τ_0=0.64 σ_0=323.10 σ_{ID}=323.10 Σ_T=323.74
CC 7 SLV (Collegamento -182_-384)
Azioni sul collegamento: N=-13681.20 Ty=-12.53 Tz=-1.96 Mx=0.01 Mz=-7.45
Sollecitazioni agenti localmente: Tx_l=-12.53 Ty_l=-1.96 N_l=-13681.20 My_l=7.45 Mz_l=0.01
Azioni sul cordone: TP=-0.93 TO=-0.15 NO=-1011.32
Tensioni nel cordone: τ_P=0.30 τ_0= 0.05 σ_0=332.33 σ_{ID}=332.33 Σ_T=332.38
CC 7 SLV (Collegamento -182_-384)
Azioni sul collegamento: N=-13681.20 Ty=-4.82 Tz=-1.96 Mx=0.01 Mz=-1.13
Sollecitazioni agenti localmente: Tx_l=-4.82 Ty_l=-1.96 N_l=-13681.20 My_l=1.13 Mz_l=0.01
Azioni sul cordone: TP=-0.36 TO=-0.15 NO=-1011.32
Tensioni nel cordone: τ_P=0.12 τ_0= 0.05 σ_0=323.10 σ_{ID}=323.10 Σ_T=323.15
CC 7 SLV (Collegamento -182_-384)
Azioni sul collegamento: N=-5856.57 Ty=-12.53 Tz=27.25 Mx=0.01 Mz=-7.45
Sollecitazioni agenti localmente: Tx_l=-12.53 Ty_l=27.25 N_l=-5856.57 My_l=7.45 Mz_l=0.01
Azioni sul cordone: TP=-0.93 TO=2.01 NO=-432.92
Tensioni nel cordone: τ_P=0.30 τ_0=0.64 σ_0=148.49 σ_{ID}=148.49 Σ_T=149.13
CC 7 SLV (Collegamento -182_-384)
Azioni sul collegamento: N=-5856.57 Ty=-4.82 Tz=27.25 Mx=0.01 Mz=-1.13
Sollecitazioni agenti localmente: Tx_l=-4.82 Ty_l=27.25 N_l=-5856.57 My_l=1.13 Mz_l=0.01
Azioni sul cordone: TP=-0.36 TO=2.01 NO=-432.92

Tensioni nel cordone: τ_P=0.12 τ_0=0.64 σ_0=139.25 σ_{ID}=139.26 Σ_T=139.89
CC 7 SLV (Collegamento -182_-384)
Azioni sul collegamento: N=-5856.57 Ty=-12.53 Tz=-1.96 Mx=0.01 Mz=-7.45
Sollecitazioni agenti localmente: Tx_l=-12.53 Ty_l=-1.96 N_l=-5856.57 My_l=7.45 Mz_l=0.01
Azioni sul cordone: TP=-0.93 TO=-0.15 NO=-432.92
Tensioni nel cordone: τ_P=0.30 τ_0= 0.05 σ_0=148.49 σ_{ID}=148.49 Σ_T=148.54
CC 7 SLV (Collegamento -182_-384)
Azioni sul collegamento: N=-5856.57 Ty=-4.82 Tz=-1.96 Mx=0.01 Mz=-1.13
Sollecitazioni agenti localmente: Tx_l=-4.82 Ty_l=-1.96 N_l=-5856.57 My_l=1.13 Mz_l=0.01
Azioni sul cordone: TP=-0.36 TO=-0.15 NO=-432.92
Tensioni nel cordone: τ_P=0.12 τ_0= 0.05 σ_0=139.25 σ_{ID}=139.26 Σ_T=139.30
CC 8 SLD (Collegamento -182_-384)
Azioni sul collegamento: N=-11059.20 Ty=-10.78 Tz=17.48 Mx=-0.00 Mz=-7.39
Sollecitazioni agenti localmente: Tx_l=-10.78 Ty_l=17.48 N_l=-11059.20 My_l=7.39 Mz_l=-0.00
Azioni sul cordone: TP=-0.80 TO=1.29 NO=-817.50
Tensioni nel cordone: τ_P=0.25 τ_0=0.41 σ_0=270.64 σ_{ID}=270.64 Σ_T=271.05
CC 8 SLD (Collegamento -182_-384)
Azioni sul collegamento: N=-11059.20 Ty=-8.42 Tz=17.48 Mx=-0.00 Mz=-5.47
Sollecitazioni agenti localmente: Tx_l=-8.42 Ty_l=17.48 N_l=-11059.20 My_l=5.47 Mz_l=-0.00
Azioni sul cordone: TP=-0.62 TO=1.29 NO=-817.50
Tensioni nel cordone: τ_P=0.20 τ_0=0.41 σ_0=267.83 σ_{ID}=267.83 Σ_T=268.24
CC 8 SLD (Collegamento -182_-384)
Azioni sul collegamento: N=-11059.20 Ty=-10.78 Tz=8.57 Mx=-0.00 Mz=-7.39
Sollecitazioni agenti localmente: Tx_l=-10.78 Ty_l=8.57 N_l=-11059.20 My_l=7.39 Mz_l=-0.00
Azioni sul cordone: TP=-0.80 TO=0.63 NO=-817.50
Tensioni nel cordone: τ_P=0.25 τ_0=0.20 σ_0=270.64 σ_{ID}=270.64 Σ_T=270.85
CC 8 SLD (Collegamento -182_-384)
Azioni sul collegamento: N=-11059.20 Ty=-8.42 Tz=8.57 Mx=-0.00 Mz=-5.47
Sollecitazioni agenti localmente: Tx_l=-8.42 Ty_l=8.57 N_l=-11059.20 My_l=5.47 Mz_l=-0.00
Azioni sul cordone: TP=-0.62 TO=0.63 NO=-817.50
Tensioni nel cordone: τ_P=0.20 τ_0=0.20 σ_0=267.83 σ_{ID}=267.83 Σ_T=268.03
CC 8 SLD (Collegamento -182_-384)
Azioni sul collegamento: N=-8673.24 Ty=-10.78 Tz=17.48 Mx=-0.00 Mz=-7.39
Sollecitazioni agenti localmente: Tx_l=-10.78 Ty_l=17.48 N_l=-8673.24 My_l=7.39 Mz_l=-0.00
Azioni sul cordone: TP=-0.80 TO=1.29 NO=-641.13
Tensioni nel cordone: τ_P=0.25 τ_0=0.41 σ_0=214.58 σ_{ID}=214.58 Σ_T=214.99
CC 8 SLD (Collegamento -182_-384)
Azioni sul collegamento: N=-8673.24 Ty=-8.42 Tz=17.48 Mx=-0.00 Mz=-5.47
Sollecitazioni agenti localmente: Tx_l=-8.42 Ty_l=17.48 N_l=-8673.24 My_l=5.47 Mz_l=-0.00
Azioni sul cordone: TP=-0.62 TO=1.29 NO=-641.13
Tensioni nel cordone: τ_P=0.20 τ_0=0.41 σ_0=211.77 σ_{ID}=211.77 Σ_T=212.18
CC 8 SLD (Collegamento -182_-384)
Azioni sul collegamento: N=-8673.24 Ty=-10.78 Tz=8.57 Mx=-0.00 Mz=-7.39
Sollecitazioni agenti localmente: Tx_l=-10.78 Ty_l=8.57 N_l=-8673.24 My_l=7.39 Mz_l=-0.00
Azioni sul cordone: TP=-0.80 TO=0.63 NO=-641.13
Tensioni nel cordone: τ_P=0.25 τ_0=0.20 σ_0=214.58 σ_{ID}=214.58 Σ_T=214.78
CC 8 SLD (Collegamento -182_-384)
Azioni sul collegamento: N=-8673.24 Ty=-8.42 Tz=8.57 Mx=-0.00 Mz=-5.47
Sollecitazioni agenti localmente: Tx_l=-8.42 Ty_l=8.57 N_l=-8673.24 My_l=5.47 Mz_l=-0.00
Azioni sul cordone: TP=-0.62 TO=0.63 NO=-641.13
Tensioni nel cordone: τ_P=0.20 τ_0=0.20 σ_0=211.77 σ_{ID}=211.77 Σ_T=211.97
CC 9 SLV (Collegamento -182_-384)
Azioni sul collegamento: N=-8587.84 Ty=-6.74 Tz=7.77 Mx=0.02 Mz=-1.76
Sollecitazioni agenti localmente: Tx_l=-6.74 Ty_l=7.77 N_l=-8587.84 My_l=1.76 Mz_l=0.02
Azioni sul cordone: TP=-0.52 TO=0.56 NO=-634.82
Tensioni nel cordone: τ_P=0.16 τ_0=0.18 σ_0=204.34 σ_{ID}=204.34 Σ_T=204.52
CC 9 SLV (Collegamento -182_-384)
Azioni sul collegamento: N=-8587.84 Ty=-10.61 Tz=7.77 Mx=0.02 Mz=-6.83
Sollecitazioni agenti localmente: Tx_l=-10.61 Ty_l=7.77 N_l=-8587.84 My_l=6.83 Mz_l=0.02
Azioni sul cordone: TP=-0.80 TO=0.56 NO=-634.82
Tensioni nel cordone: τ_P=0.26 τ_0=0.18 σ_0=211.75 σ_{ID}=211.75 Σ_T=211.93
CC 9 SLV (Collegamento -182_-384)
Azioni sul collegamento: N=-8587.84 Ty=-6.74 Tz=17.52 Mx=0.02 Mz=-1.76
Sollecitazioni agenti localmente: Tx_l=-6.74 Ty_l=17.52 N_l=-8587.84 My_l=1.76 Mz_l=0.02
Azioni sul cordone: TP=-0.52 TO=1.28 NO=-634.82
Tensioni nel cordone: τ_P=0.16 τ_0=0.41 σ_0=204.34 σ_{ID}=204.34 Σ_T=204.75
CC 9 SLV (Collegamento -182_-384)
Azioni sul collegamento: N=-8587.84 Ty=-10.61 Tz=17.52 Mx=0.02 Mz=-6.83
Sollecitazioni agenti localmente: Tx_l=-10.61 Ty_l=17.52 N_l=-8587.84 My_l=6.83 Mz_l=0.02
Azioni sul cordone: TP=-0.80 TO=1.28 NO=-634.82
Tensioni nel cordone: τ_P=0.26 τ_0=0.41 σ_0=211.75 σ_{ID}=211.75 Σ_T=212.16
CC 9 SLV (Collegamento -182_-384)
Azioni sul collegamento: N=-10950.00 Ty=-6.74 Tz=7.77 Mx=0.02 Mz=-1.76
Sollecitazioni agenti localmente: Tx_l=-6.74 Ty_l=7.77 N_l=-10950.00 My_l=1.76 Mz_l=0.02
Azioni sul cordone: TP=-0.52 TO=0.56 NO=-809.42
Tensioni nel cordone: τ_P=0.16 τ_0=0.18 σ_0=259.84 σ_{ID}=259.84 Σ_T=260.02
CC 9 SLV (Collegamento -182_-384)
Azioni sul collegamento: N=-10950.00 Ty=-10.61 Tz=7.77 Mx=0.02 Mz=-6.83
Sollecitazioni agenti localmente: Tx_l=-10.61 Ty_l=7.77 N_l=-10950.00 My_l=6.83 Mz_l=0.02
Azioni sul cordone: TP=-0.80 TO=0.56 NO=-809.42
Tensioni nel cordone: τ_P=0.26 τ_0=0.18 σ_0=267.25 σ_{ID}=267.25 Σ_T=267.43

CC 9 SLV (Collegamento -182_-384)
Azioni sul collegamento: N=-10950.00 Ty=-6.74 Tz=17.52 Mx=0.02 Mz=-1.76
Sollecitazioni agenti localmente: Tx_l=-6.74 Ty_l=17.52 N_l=-10950.00 My_l=1.76 Mz_l=0.02
Azioni sul cordone: TP=-0.52 TO=1.28 NO=-809.42
Tensioni nel cordone: τ_P=0.16 τ_0=0.41 σ_0=259.84 σ_{ID}=259.84 Σ_T=260.25
CC 9 SLV (Collegamento -182_-384)
Azioni sul collegamento: N=-10950.00 Ty=-10.61 Tz=17.52 Mx=0.02 Mz=-6.83
Sollecitazioni agenti localmente: Tx_l=-10.61 Ty_l=17.52 N_l=-10950.00 My_l=6.83 Mz_l=0.02
Azioni sul cordone: TP=-0.80 TO=1.28 NO=-809.42
Tensioni nel cordone: τ_P=0.26 τ_0=0.41 σ_0=267.25 σ_{ID}=267.25 Σ_T=267.66
CC 10 SLD (Collegamento -182_-384)
Azioni sul collegamento: N=-9506.09 Ty=-9.01 Tz=11.54 Mx=0.00 Mz=-5.66
Sollecitazioni agenti localmente: Tx_l=-9.01 Ty_l=11.54 N_l=-9506.09 My_l=5.66 Mz_l=0.00
Azioni sul cordone: TP=-0.67 TO=0.85 NO=-702.69
Tensioni nel cordone: τ_P=0.21 τ_0=0.27 σ_0=231.61 σ_{ID}=231.61 Σ_T=231.88
CC 10 SLD (Collegamento -182_-384)
Azioni sul collegamento: N=-9506.09 Ty=-10.19 Tz=11.54 Mx=0.00 Mz=-7.20
Sollecitazioni agenti localmente: Tx_l=-10.19 Ty_l=11.54 N_l=-9506.09 My_l=7.20 Mz_l=0.00
Azioni sul cordone: TP=-0.76 TO=0.85 NO=-702.69
Tensioni nel cordone: τ_P=0.24 τ_0=0.27 σ_0=233.87 σ_{ID}=233.87 Σ_T=234.14
CC 10 SLD (Collegamento -182_-384)
Azioni sul collegamento: N=-9506.09 Ty=-9.01 Tz=14.51 Mx=0.00 Mz=-5.66
Sollecitazioni agenti localmente: Tx_l=-9.01 Ty_l=14.51 N_l=-9506.09 My_l=5.66 Mz_l=0.00
Azioni sul cordone: TP=-0.67 TO=1.07 NO=-702.69
Tensioni nel cordone: τ_P=0.21 τ_0=0.34 σ_0=231.61 σ_{ID}=231.61 Σ_T=231.95
CC 10 SLD (Collegamento -182_-384)
Azioni sul collegamento: N=-9506.09 Ty=-10.19 Tz=14.51 Mx=0.00 Mz=-7.20
Sollecitazioni agenti localmente: Tx_l=-10.19 Ty_l=14.51 N_l=-9506.09 My_l=7.20 Mz_l=0.00
Azioni sul cordone: TP=-0.76 TO=1.07 NO=-702.69
Tensioni nel cordone: τ_P=0.24 τ_0=0.34 σ_0=233.87 σ_{ID}=233.87 Σ_T=234.21
CC 10 SLD (Collegamento -182_-384)
Azioni sul collegamento: N=-10226.40 Ty=-9.01 Tz=11.54 Mx=0.00 Mz=-5.66
Sollecitazioni agenti localmente: Tx_l=-9.01 Ty_l=11.54 N_l=-10226.40 My_l=5.66 Mz_l=0.00
Azioni sul cordone: TP=-0.67 TO=0.85 NO=-755.94
Tensioni nel cordone: τ_P=0.21 τ_0=0.27 σ_0=248.54 σ_{ID}=248.54 Σ_T=248.81
CC 10 SLD (Collegamento -182_-384)
Azioni sul collegamento: N=-10226.40 Ty=-10.19 Tz=11.54 Mx=0.00 Mz=-7.20
Sollecitazioni agenti localmente: Tx_l=-10.19 Ty_l=11.54 N_l=-10226.40 My_l=7.20 Mz_l=0.00
Azioni sul cordone: TP=-0.76 TO=0.85 NO=-755.94
Tensioni nel cordone: τ_P=0.24 τ_0=0.27 σ_0=250.80 σ_{ID}=250.80 Σ_T=251.07
CC 10 SLD (Collegamento -182_-384)
Azioni sul collegamento: N=-10226.40 Ty=-9.01 Tz=14.51 Mx=0.00 Mz=-5.66
Sollecitazioni agenti localmente: Tx_l=-9.01 Ty_l=14.51 N_l=-10226.40 My_l=5.66 Mz_l=0.00
Azioni sul cordone: TP=-0.67 TO=1.07 NO=-755.94
Tensioni nel cordone: τ_P=0.21 τ_0=0.34 σ_0=248.54 σ_{ID}=248.54 Σ_T=248.88
CC 10 SLD (Collegamento -182_-384)
Azioni sul collegamento: N=-10226.40 Ty=-10.19 Tz=14.51 Mx=0.00 Mz=-7.20
Sollecitazioni agenti localmente: Tx_l=-10.19 Ty_l=14.51 N_l=-10226.40 My_l=7.20 Mz_l=0.00
Azioni sul cordone: TP=-0.76 TO=1.07 NO=-755.94
Tensioni nel cordone: τ_P=0.24 τ_0=0.34 σ_0=250.80 σ_{ID}=250.80 Σ_T=251.14
CC 11 SLV (Collegamento -182_-384)
Azioni sul collegamento: N=-10933.80 Ty=-8.90 Tz=16.43 Mx=0.02 Mz=-3.34
Sollecitazioni agenti localmente: Tx_l=-8.90 Ty_l=16.43 N_l=-10933.80 My_l=3.34 Mz_l=0.02
Azioni sul cordone: TP=-0.68 TO=1.20 NO=-808.23
Tensioni nel cordone: τ_P=0.22 τ_0=0.38 σ_0=261.77 σ_{ID}=261.77 Σ_T=262.15
CC 11 SLV (Collegamento -182_-384)
Azioni sul collegamento: N=-10933.80 Ty=-8.45 Tz=16.43 Mx=0.02 Mz=-5.25
Sollecitazioni agenti localmente: Tx_l=-8.45 Ty_l=16.43 N_l=-10933.80 My_l=5.25 Mz_l=0.02
Azioni sul cordone: TP=-0.64 TO=1.20 NO=-808.23
Tensioni nel cordone: τ_P=0.20 τ_0=0.38 σ_0=264.56 σ_{ID}=264.56 Σ_T=264.94
CC 11 SLV (Collegamento -182_-384)
Azioni sul collegamento: N=-10933.80 Ty=-8.90 Tz=8.86 Mx=0.02 Mz=-3.34
Sollecitazioni agenti localmente: Tx_l=-8.90 Ty_l=8.86 N_l=-10933.80 My_l=3.34 Mz_l=0.02
Azioni sul cordone: TP=-0.68 TO=0.64 NO=-808.23
Tensioni nel cordone: τ_P=0.22 τ_0=0.20 σ_0=261.77 σ_{ID}=261.77 Σ_T=261.98
CC 11 SLV (Collegamento -182_-384)
Azioni sul collegamento: N=-10933.80 Ty=-8.45 Tz=8.86 Mx=0.02 Mz=-5.25
Sollecitazioni agenti localmente: Tx_l=-8.45 Ty_l=8.86 N_l=-10933.80 My_l=5.25 Mz_l=0.02
Azioni sul cordone: TP=-0.64 TO=0.64 NO=-808.23
Tensioni nel cordone: τ_P=0.20 τ_0=0.20 σ_0=264.56 σ_{ID}=264.56 Σ_T=264.76
CC 11 SLV (Collegamento -182_-384)
Azioni sul collegamento: N=-8604.01 Ty=-8.90 Tz=16.43 Mx=0.02 Mz=-3.34
Sollecitazioni agenti localmente: Tx_l=-8.90 Ty_l=16.43 N_l=-8604.01 My_l=3.34 Mz_l=0.02
Azioni sul cordone: TP=-0.68 TO=1.20 NO=-636.01
Tensioni nel cordone: τ_P=0.22 τ_0=0.38 σ_0=207.03 σ_{ID}=207.03 Σ_T=207.41
CC 11 SLV (Collegamento -182_-384)
Azioni sul collegamento: N=-8604.01 Ty=-8.45 Tz=16.43 Mx=0.02 Mz=-5.25
Sollecitazioni agenti localmente: Tx_l=-8.45 Ty_l=16.43 N_l=-8604.01 My_l=5.25 Mz_l=0.02
Azioni sul cordone: TP=-0.64 TO=1.20 NO=-636.01
Tensioni nel cordone: τ_P=0.20 τ_0=0.38 σ_0=209.82 σ_{ID}=209.82 Σ_T=210.20
CC 11 SLV (Collegamento -182_-384)

Azioni sul collegamento: N=-8604.01 Ty=-8.90 Tz=8.86 Mx=0.02 Mz=-3.34
Sollecitazioni agenti localmente: Tx_l=-8.90 Ty_l=8.86 N_l=-8604.01 My_l=3.34 Mz_l=0.02
Azioni sul cordone: TP=-0.68 TO=0.64 NO=-636.01
Tensioni nel cordone: τ_P=0.22 τ_0=0.20 σ_0=207.03 σ_{ID}=207.03 Σ_T=207.24
CC 11 SLV (Collegamento -182_-384)
Azioni sul collegamento: N=-8604.01 Ty=-8.45 Tz=8.86 Mx=0.02 Mz=-5.25
Sollecitazioni agenti localmente: Tx_l=-8.45 Ty_l=8.86 N_l=-8604.01 My_l=5.25 Mz_l=0.02
Azioni sul cordone: TP=-0.64 TO=0.64 NO=-636.01
Tensioni nel cordone: τ_P=0.20 τ_0=0.20 σ_0=209.82 σ_{ID}=209.82 Σ_T=210.02
CC 12 SLD (Collegamento -182_-384)
Azioni sul collegamento: N=-10221.40 Ty=-9.67 Tz=14.18 Mx=0.00 Mz=-6.14
Sollecitazioni agenti localmente: Tx_l=-9.67 Ty_l=14.18 N_l=-10221.40 My_l=6.14 Mz_l=0.00
Azioni sul cordone: TP=-0.72 TO=1.05 NO=-755.57
Tensioni nel cordone: τ_P=0.23 τ_0=0.33 σ_0=249.13 σ_{ID}=249.13 Σ_T=249.46
CC 12 SLD (Collegamento -182_-384)
Azioni sul collegamento: N=-10221.40 Ty=-9.53 Tz=14.18 Mx=0.00 Mz=-6.72
Sollecitazioni agenti localmente: Tx_l=-9.53 Ty_l=14.18 N_l=-10221.40 My_l=6.72 Mz_l=0.00
Azioni sul cordone: TP=-0.71 TO=1.05 NO=-755.57
Tensioni nel cordone: τ_P=0.23 τ_0=0.33 σ_0=249.98 σ_{ID}=249.98 Σ_T=250.31
CC 12 SLD (Collegamento -182_-384)
Azioni sul collegamento: N=-10221.40 Ty=-9.67 Tz=11.87 Mx=0.00 Mz=-6.14
Sollecitazioni agenti localmente: Tx_l=-9.67 Ty_l=11.87 N_l=-10221.40 My_l=6.14 Mz_l=0.00
Azioni sul cordone: TP=-0.72 TO=0.88 NO=-755.57
Tensioni nel cordone: τ_P=0.23 τ_0=0.28 σ_0=249.13 σ_{ID}=249.13 Σ_T=249.40
CC 12 SLD (Collegamento -182_-384)
Azioni sul collegamento: N=-10221.40 Ty=-9.53 Tz=11.87 Mx=0.00 Mz=-6.72
Sollecitazioni agenti localmente: Tx_l=-9.53 Ty_l=11.87 N_l=-10221.40 My_l=6.72 Mz_l=0.00
Azioni sul cordone: TP=-0.71 TO=0.88 NO=-755.57
Tensioni nel cordone: τ_P=0.23 τ_0=0.28 σ_0=249.98 σ_{ID}=249.98 Σ_T=250.25
CC 12 SLD (Collegamento -182_-384)
Azioni sul collegamento: N=-9511.02 Ty=-9.67 Tz=14.18 Mx=0.00 Mz=-6.14
Sollecitazioni agenti localmente: Tx_l=-9.67 Ty_l=14.18 N_l=-9511.02 My_l=6.14 Mz_l=0.00
Azioni sul cordone: TP=-0.72 TO=1.05 NO=-703.06
Tensioni nel cordone: τ_P=0.23 τ_0=0.33 σ_0=232.43 σ_{ID}=232.44 Σ_T=232.77
CC 12 SLD (Collegamento -182_-384)
Azioni sul collegamento: N=-9511.02 Ty=-9.53 Tz=14.18 Mx=0.00 Mz=-6.72
Sollecitazioni agenti localmente: Tx_l=-9.53 Ty_l=14.18 N_l=-9511.02 My_l=6.72 Mz_l=0.00
Azioni sul cordone: TP=-0.71 TO=1.05 NO=-703.06
Tensioni nel cordone: τ_P=0.23 τ_0=0.33 σ_0=233.28 σ_{ID}=233.28 Σ_T=233.62
CC 12 SLD (Collegamento -182_-384)
Azioni sul collegamento: N=-9511.02 Ty=-9.67 Tz=11.87 Mx=0.00 Mz=-6.14
Sollecitazioni agenti localmente: Tx_l=-9.67 Ty_l=11.87 N_l=-9511.02 My_l=6.14 Mz_l=0.00
Azioni sul cordone: TP=-0.72 TO=0.88 NO=-703.06
Tensioni nel cordone: τ_P=0.23 τ_0=0.28 σ_0=232.43 σ_{ID}=232.43 Σ_T=232.71
CC 12 SLD (Collegamento -182_-384)
Azioni sul collegamento: N=-9511.02 Ty=-9.53 Tz=11.87 Mx=0.00 Mz=-6.72
Sollecitazioni agenti localmente: Tx_l=-9.53 Ty_l=11.87 N_l=-9511.02 My_l=6.72 Mz_l=0.00
Azioni sul cordone: TP=-0.71 TO=0.88 NO=-703.06
Tensioni nel cordone: τ_P=0.23 τ_0=0.28 σ_0=233.28 σ_{ID}=233.28 Σ_T=233.56
CC 13 SLV (Collegamento -182_-384)
Azioni sul collegamento: N=-8604.01 Ty=-8.45 Tz=8.86 Mx=0.00 Mz=-5.25
Sollecitazioni agenti localmente: Tx_l=-8.45 Ty_l=8.86 N_l=-8604.01 My_l=5.25 Mz_l=0.00
Azioni sul cordone: TP=-0.63 TO=0.65 NO=-636.01
Tensioni nel cordone: τ_P=0.20 τ_0=0.21 σ_0=209.82 σ_{ID}=209.82 Σ_T=210.03
CC 13 SLV (Collegamento -182_-384)
Azioni sul collegamento: N=-8604.01 Ty=-8.90 Tz=8.86 Mx=0.00 Mz=-3.34
Sollecitazioni agenti localmente: Tx_l=-8.90 Ty_l=8.86 N_l=-8604.01 My_l=3.34 Mz_l=0.00
Azioni sul cordone: TP=-0.66 TO=0.65 NO=-636.01
Tensioni nel cordone: τ_P=0.21 τ_0=0.21 σ_0=207.03 σ_{ID}=207.03 Σ_T=207.24
CC 13 SLV (Collegamento -182_-384)
Azioni sul collegamento: N=-8604.01 Ty=-8.45 Tz=16.43 Mx=0.00 Mz=-5.25
Sollecitazioni agenti localmente: Tx_l=-8.45 Ty_l=16.43 N_l=-8604.01 My_l=5.25 Mz_l=0.00
Azioni sul cordone: TP=-0.63 TO=1.21 NO=-636.01
Tensioni nel cordone: τ_P=0.20 τ_0=0.39 σ_0=209.82 σ_{ID}=209.82 Σ_T=210.21
CC 13 SLV (Collegamento -182_-384)
Azioni sul collegamento: N=-8604.01 Ty=-8.90 Tz=16.43 Mx=0.00 Mz=-3.34
Sollecitazioni agenti localmente: Tx_l=-8.90 Ty_l=16.43 N_l=-8604.01 My_l=3.34 Mz_l=0.00
Azioni sul cordone: TP=-0.66 TO=1.21 NO=-636.01
Tensioni nel cordone: τ_P=0.21 τ_0=0.39 σ_0=207.03 σ_{ID}=207.03 Σ_T=207.42
CC 13 SLV (Collegamento -182_-384)
Azioni sul collegamento: N=-10933.80 Ty=-8.45 Tz=8.86 Mx=0.00 Mz=-5.25
Sollecitazioni agenti localmente: Tx_l=-8.45 Ty_l=8.86 N_l=-10933.80 My_l=5.25 Mz_l=0.00
Azioni sul cordone: TP=-0.63 TO=0.65 NO=-808.23
Tensioni nel cordone: τ_P=0.20 τ_0=0.21 σ_0=264.56 σ_{ID}=264.56 Σ_T=264.77
CC 13 SLV (Collegamento -182_-384)
Azioni sul collegamento: N=-10933.80 Ty=-8.90 Tz=8.86 Mx=0.00 Mz=-3.34
Sollecitazioni agenti localmente: Tx_l=-8.90 Ty_l=8.86 N_l=-10933.80 My_l=3.34 Mz_l=0.00
Azioni sul cordone: TP=-0.66 TO=0.65 NO=-808.23
Tensioni nel cordone: τ_P=0.21 τ_0=0.21 σ_0=261.77 σ_{ID}=261.77 Σ_T=261.98
CC 13 SLV (Collegamento -182_-384)
Azioni sul collegamento: N=-10933.80 Ty=-8.45 Tz=16.43 Mx=0.00 Mz=-5.25

Sollecitazioni agenti localmente: Tx_l=-8.45 Ty_l=16.43 N_l=-10933.80 My_l=5.25 Mz_l=0.00
Azioni sul cordone: TP=-0.63 TO=1.21 NO=-808.23
Tensioni nel cordone: τ_P=0.20 τ_O=0.39 σ_O=264.56 σ_{ID}=264.56 Σ_T=264.94
CC 13 SLV (Collegamento -182_-384)
Azioni sul collegamento: N=-10933.80 Ty=-8.90 Tz=16.43 Mx=0.00 Mz=-3.34
Sollecitazioni agenti localmente: Tx_l=-8.90 Ty_l=16.43 N_l=-10933.80 My_l=3.34 Mz_l=0.00
Azioni sul cordone: TP=-0.66 TO=1.21 NO=-808.23
Tensioni nel cordone: τ_P=0.21 τ_O=0.39 σ_O=261.77 σ_{ID}=261.77 Σ_T=262.16
CC 14 SLD (Collegamento -182_-384)
Azioni sul collegamento: N=-9511.02 Ty=-9.53 Tz=11.87 Mx=-0.00 Mz=-6.72
Sollecitazioni agenti localmente: Tx_l=-9.53 Ty_l=11.87 N_l=-9511.02 My_l=6.72 Mz_l=-0.00
Azioni sul cordone: TP=-0.70 TO=0.88 NO=-703.06
Tensioni nel cordone: τ_P=0.22 τ_O=0.28 σ_O=233.28 σ_{ID}=233.28 Σ_T=233.56
CC 14 SLD (Collegamento -182_-384)
Azioni sul collegamento: N=-9511.02 Ty=-9.67 Tz=11.87 Mx=-0.00 Mz=-6.14
Sollecitazioni agenti localmente: Tx_l=-9.67 Ty_l=11.87 N_l=-9511.02 My_l=6.14 Mz_l=-0.00
Azioni sul cordone: TP=-0.71 TO=0.88 NO=-703.06
Tensioni nel cordone: τ_P=0.23 τ_O=0.28 σ_O=232.43 σ_{ID}=232.43 Σ_T=232.71
CC 14 SLD (Collegamento -182_-384)
Azioni sul collegamento: N=-9511.02 Ty=-9.53 Tz=14.18 Mx=-0.00 Mz=-6.72
Sollecitazioni agenti localmente: Tx_l=-9.53 Ty_l=14.18 N_l=-9511.02 My_l=6.72 Mz_l=-0.00
Azioni sul cordone: TP=-0.70 TO=1.05 NO=-703.06
Tensioni nel cordone: τ_P=0.22 τ_O=0.33 σ_O=233.28 σ_{ID}=233.28 Σ_T=233.62
CC 14 SLD (Collegamento -182_-384)
Azioni sul collegamento: N=-9511.02 Ty=-9.67 Tz=14.18 Mx=-0.00 Mz=-6.14
Sollecitazioni agenti localmente: Tx_l=-9.67 Ty_l=14.18 N_l=-9511.02 My_l=6.14 Mz_l=-0.00
Azioni sul cordone: TP=-0.71 TO=1.05 NO=-703.06
Tensioni nel cordone: τ_P=0.23 τ_O=0.33 σ_O=232.43 σ_{ID}=232.44 Σ_T=232.77
CC 14 SLD (Collegamento -182_-384)
Azioni sul collegamento: N=-10221.40 Ty=-9.53 Tz=11.87 Mx=-0.00 Mz=-6.72
Sollecitazioni agenti localmente: Tx_l=-9.53 Ty_l=11.87 N_l=-10221.40 My_l=6.72 Mz_l=-0.00
Azioni sul cordone: TP=-0.70 TO=0.88 NO=-755.57
Tensioni nel cordone: τ_P=0.22 τ_O=0.28 σ_O=249.98 σ_{ID}=249.98 Σ_T=250.25
CC 14 SLD (Collegamento -182_-384)
Azioni sul collegamento: N=-10221.40 Ty=-9.67 Tz=11.87 Mx=-0.00 Mz=-6.14
Sollecitazioni agenti localmente: Tx_l=-9.67 Ty_l=11.87 N_l=-10221.40 My_l=6.14 Mz_l=-0.00
Azioni sul cordone: TP=-0.71 TO=0.88 NO=-755.57
Tensioni nel cordone: τ_P=0.23 τ_O=0.28 σ_O=249.13 σ_{ID}=249.13 Σ_T=249.41
CC 14 SLD (Collegamento -182_-384)
Azioni sul collegamento: N=-10221.40 Ty=-9.53 Tz=14.18 Mx=-0.00 Mz=-6.72
Sollecitazioni agenti localmente: Tx_l=-9.53 Ty_l=14.18 N_l=-10221.40 My_l=6.72 Mz_l=-0.00
Azioni sul cordone: TP=-0.70 TO=1.05 NO=-755.57
Tensioni nel cordone: τ_P=0.22 τ_O=0.33 σ_O=249.98 σ_{ID}=249.98 Σ_T=250.31
CC 14 SLD (Collegamento -182_-384)
Azioni sul collegamento: N=-10221.40 Ty=-9.67 Tz=14.18 Mx=-0.00 Mz=-6.14
Sollecitazioni agenti localmente: Tx_l=-9.67 Ty_l=14.18 N_l=-10221.40 My_l=6.14 Mz_l=-0.00
Azioni sul cordone: TP=-0.71 TO=1.05 NO=-755.57
Tensioni nel cordone: τ_P=0.23 τ_O=0.33 σ_O=249.13 σ_{ID}=249.13 Σ_T=249.46
CC 15 SLV (Collegamento -182_-384)
Azioni sul collegamento: N=-10950.00 Ty=-10.61 Tz=17.52 Mx=0.00 Mz=-6.83
Sollecitazioni agenti localmente: Tx_l=-10.61 Ty_l=17.52 N_l=-10950.00 My_l=6.83 Mz_l=0.00
Azioni sul cordone: TP=-0.79 TO=1.29 NO=-809.42
Tensioni nel cordone: τ_P=0.25 τ_O=0.41 σ_O=267.25 σ_{ID}=267.25 Σ_T=267.66
CC 15 SLV (Collegamento -182_-384)
Azioni sul collegamento: N=-10950.00 Ty=-6.74 Tz=17.52 Mx=0.00 Mz=-1.76
Sollecitazioni agenti localmente: Tx_l=-6.74 Ty_l=17.52 N_l=-10950.00 My_l=1.76 Mz_l=0.00
Azioni sul cordone: TP=-0.50 TO=1.29 NO=-809.42
Tensioni nel cordone: τ_P=0.16 τ_O=0.41 σ_O=259.84 σ_{ID}=259.84 Σ_T=260.25
CC 15 SLV (Collegamento -182_-384)
Azioni sul collegamento: N=-10950.00 Ty=-10.61 Tz=7.77 Mx=0.00 Mz=-6.83
Sollecitazioni agenti localmente: Tx_l=-10.61 Ty_l=7.77 N_l=-10950.00 My_l=6.83 Mz_l=0.00
Azioni sul cordone: TP=-0.79 TO=0.57 NO=-809.42
Tensioni nel cordone: τ_P=0.25 τ_O=0.18 σ_O=267.25 σ_{ID}=267.25 Σ_T=267.43
CC 15 SLV (Collegamento -182_-384)
Azioni sul collegamento: N=-10950.00 Ty=-6.74 Tz=7.77 Mx=0.00 Mz=-1.76
Sollecitazioni agenti localmente: Tx_l=-6.74 Ty_l=7.77 N_l=-10950.00 My_l=1.76 Mz_l=0.00
Azioni sul cordone: TP=-0.50 TO=0.57 NO=-809.42
Tensioni nel cordone: τ_P=0.16 τ_O=0.18 σ_O=259.84 σ_{ID}=259.84 Σ_T=260.02
CC 15 SLV (Collegamento -182_-384)
Azioni sul collegamento: N=-8587.84 Ty=-10.61 Tz=17.52 Mx=0.00 Mz=-6.83
Sollecitazioni agenti localmente: Tx_l=-10.61 Ty_l=17.52 N_l=-8587.84 My_l=6.83 Mz_l=0.00
Azioni sul cordone: TP=-0.79 TO=1.29 NO=-634.82
Tensioni nel cordone: τ_P=0.25 τ_O=0.41 σ_O=211.75 σ_{ID}=211.75 Σ_T=212.16
CC 15 SLV (Collegamento -182_-384)
Azioni sul collegamento: N=-8587.84 Ty=-6.74 Tz=17.52 Mx=0.00 Mz=-1.76
Sollecitazioni agenti localmente: Tx_l=-6.74 Ty_l=17.52 N_l=-8587.84 My_l=1.76 Mz_l=0.00
Azioni sul cordone: TP=-0.50 TO=1.29 NO=-634.82
Tensioni nel cordone: τ_P=0.16 τ_O=0.41 σ_O=204.34 σ_{ID}=204.34 Σ_T=204.75
CC 15 SLV (Collegamento -182_-384)
Azioni sul collegamento: N=-8587.84 Ty=-10.61 Tz=7.77 Mx=0.00 Mz=-6.83
Sollecitazioni agenti localmente: Tx_l=-10.61 Ty_l=7.77 N_l=-8587.84 My_l=6.83 Mz_l=0.00

Azioni sul cordone: TP=-0.79 TO=0.57 NO=-634.82
Tensioni nel cordone: τ_P=0.25 τ_0=0.18 σ_0=211.75 σ_{ID}=211.75 Σ_T=211.93
CC 15 SLV (Collegamento -182_-384)
Azioni sul collegamento: N=-8587.84 Ty=-6.74 Tz=7.77 Mx=0.00 Mz=-1.76
Sollecitazioni agenti localmente: Tx_l=-6.74 Ty_l=7.77 N_l=-8587.84 My_l=1.76 Mz_l=0.00
Azioni sul cordone: TP=-0.50 TO=0.57 NO=-634.82
Tensioni nel cordone: τ_P=0.16 τ_0=0.18 σ_0=204.34 σ_{ID}=204.34 Σ_T=204.52
CC 16 SLD (Collegamento -182_-384)
Azioni sul collegamento: N=-10226.40 Ty=-10.19 Tz=14.51 Mx=-0.00 Mz=-7.20
Sollecitazioni agenti localmente: Tx_l=-10.19 Ty_l=14.51 N_l=-10226.40 My_l=7.20 Mz_l=-0.00
Azioni sul cordone: TP=-0.75 TO=1.07 NO=-755.94
Tensioni nel cordone: τ_P=0.24 τ_0=0.34 σ_0=250.80 σ_{ID}=250.80 Σ_T=251.14
CC 16 SLD (Collegamento -182_-384)
Azioni sul collegamento: N=-10226.40 Ty=-9.01 Tz=14.51 Mx=-0.00 Mz=-5.66
Sollecitazioni agenti localmente: Tx_l=-9.01 Ty_l=14.51 N_l=-10226.40 My_l=5.66 Mz_l=-0.00
Azioni sul cordone: TP=-0.66 TO=1.07 NO=-755.94
Tensioni nel cordone: τ_P=0.21 τ_0=0.34 σ_0=248.54 σ_{ID}=248.54 Σ_T=248.88
CC 16 SLD (Collegamento -182_-384)
Azioni sul collegamento: N=-10226.40 Ty=-10.19 Tz=11.54 Mx=-0.00 Mz=-7.20
Sollecitazioni agenti localmente: Tx_l=-10.19 Ty_l=11.54 N_l=-10226.40 My_l=7.20 Mz_l=-0.00
Azioni sul cordone: TP=-0.75 TO=0.85 NO=-755.94
Tensioni nel cordone: τ_P=0.24 τ_0=0.27 σ_0=250.80 σ_{ID}=250.80 Σ_T=251.07
CC 16 SLD (Collegamento -182_-384)
Azioni sul collegamento: N=-10226.40 Ty=-9.01 Tz=11.54 Mx=-0.00 Mz=-5.66
Sollecitazioni agenti localmente: Tx_l=-9.01 Ty_l=11.54 N_l=-10226.40 My_l=5.66 Mz_l=-0.00
Azioni sul cordone: TP=-0.66 TO=0.85 NO=-755.94
Tensioni nel cordone: τ_P=0.21 τ_0=0.27 σ_0=248.54 σ_{ID}=248.54 Σ_T=248.81
CC 16 SLD (Collegamento -182_-384)
Azioni sul collegamento: N=-9506.09 Ty=-10.19 Tz=14.51 Mx=-0.00 Mz=-7.20
Sollecitazioni agenti localmente: Tx_l=-10.19 Ty_l=14.51 N_l=-9506.09 My_l=7.20 Mz_l=-0.00
Azioni sul cordone: TP=-0.75 TO=1.07 NO=-702.69
Tensioni nel cordone: τ_P=0.24 τ_0=0.34 σ_0=233.87 σ_{ID}=233.87 Σ_T=234.22
CC 16 SLD (Collegamento -182_-384)
Azioni sul collegamento: N=-9506.09 Ty=-9.01 Tz=14.51 Mx=-0.00 Mz=-5.66
Sollecitazioni agenti localmente: Tx_l=-9.01 Ty_l=14.51 N_l=-9506.09 My_l=5.66 Mz_l=-0.00
Azioni sul cordone: TP=-0.66 TO=1.07 NO=-702.69
Tensioni nel cordone: τ_P=0.21 τ_0=0.34 σ_0=231.61 σ_{ID}=231.61 Σ_T=231.96
CC 16 SLD (Collegamento -182_-384)
Azioni sul collegamento: N=-9506.09 Ty=-10.19 Tz=11.54 Mx=-0.00 Mz=-7.20
Sollecitazioni agenti localmente: Tx_l=-10.19 Ty_l=11.54 N_l=-9506.09 My_l=7.20 Mz_l=-0.00
Azioni sul cordone: TP=-0.75 TO=0.85 NO=-702.69
Tensioni nel cordone: τ_P=0.24 τ_0=0.27 σ_0=233.87 σ_{ID}=233.87 Σ_T=234.15
CC 16 SLD (Collegamento -182_-384)
Azioni sul collegamento: N=-9506.09 Ty=-9.01 Tz=11.54 Mx=-0.00 Mz=-5.66
Sollecitazioni agenti localmente: Tx_l=-9.01 Ty_l=11.54 N_l=-9506.09 My_l=5.66 Mz_l=-0.00
Azioni sul cordone: TP=-0.66 TO=0.85 NO=-702.69
Tensioni nel cordone: τ_P=0.21 τ_0=0.27 σ_0=231.61 σ_{ID}=231.61 Σ_T=231.88
CC 17 SLV (Collegamento -182_-384)
Azioni sul collegamento: N=-6136.65 Ty=-7.48 Tz=-0.86 Mx=-0.02 Mz=-7.28
Sollecitazioni agenti localmente: Tx_l=-7.48 Ty_l=-0.86 N_l=-6136.65 My_l=7.28 Mz_l=-0.02
Azioni sul cordone: TP=-0.53 TO=-0.05 NO=-453.62
Tensioni nel cordone: τ_P=0.17 τ_0= 0.02 σ_0=154.82 σ_{ID}=154.82 Σ_T=154.84
CC 17 SLV (Collegamento -182_-384)
Azioni sul collegamento: N=-6136.65 Ty=-15.19 Tz=-0.86 Mx=-0.02 Mz=-13.60
Sollecitazioni agenti localmente: Tx_l=-15.19 Ty_l=-0.86 N_l=-6136.65 My_l=13.60 Mz_l=-0.02
Azioni sul cordone: TP=-1.10 TO=-0.05 NO=-453.62
Tensioni nel cordone: τ_P=0.35 τ_0= 0.02 σ_0=164.06 σ_{ID}=164.06 Σ_T=164.07
CC 17 SLV (Collegamento -182_-384)
Azioni sul collegamento: N=-6136.65 Ty=-7.48 Tz=28.35 Mx=-0.02 Mz=-7.28
Sollecitazioni agenti localmente: Tx_l=-7.48 Ty_l=28.35 N_l=-6136.65 My_l=7.28 Mz_l=-0.02
Azioni sul cordone: TP=-0.53 TO=2.11 NO=-453.62
Tensioni nel cordone: τ_P=0.17 τ_0=0.67 σ_0=154.82 σ_{ID}=154.82 Σ_T=155.49
CC 17 SLV (Collegamento -182_-384)
Azioni sul collegamento: N=-6136.65 Ty=-15.19 Tz=28.35 Mx=-0.02 Mz=-13.60
Sollecitazioni agenti localmente: Tx_l=-15.19 Ty_l=28.35 N_l=-6136.65 My_l=13.60 Mz_l=-0.02
Azioni sul cordone: TP=-1.10 TO=2.11 NO=-453.62
Tensioni nel cordone: τ_P=0.35 τ_0=0.67 σ_0=164.06 σ_{ID}=164.06 Σ_T=164.73
CC 17 SLV (Collegamento -182_-384)
Azioni sul collegamento: N=-13961.30 Ty=-7.48 Tz=-0.86 Mx=-0.02 Mz=-7.28
Sollecitazioni agenti localmente: Tx_l=-7.48 Ty_l=-0.86 N_l=-13961.30 My_l=7.28 Mz_l=-0.02
Azioni sul cordone: TP=-0.53 TO=-0.05 NO=-1032.02
Tensioni nel cordone: τ_P=0.17 τ_0= 0.02 σ_0=338.67 σ_{ID}=338.67 Σ_T=338.68
CC 17 SLV (Collegamento -182_-384)
Azioni sul collegamento: N=-13961.30 Ty=-15.19 Tz=-0.86 Mx=-0.02 Mz=-13.60
Sollecitazioni agenti localmente: Tx_l=-15.19 Ty_l=-0.86 N_l=-13961.30 My_l=13.60 Mz_l=-0.02
Azioni sul cordone: TP=-1.10 TO=-0.05 NO=-1032.02
Tensioni nel cordone: τ_P=0.35 τ_0= 0.02 σ_0=347.90 σ_{ID}=347.90 Σ_T=347.92
CC 17 SLV (Collegamento -182_-384)
Azioni sul collegamento: N=-13961.30 Ty=-7.48 Tz=28.35 Mx=-0.02 Mz=-7.28
Sollecitazioni agenti localmente: Tx_l=-7.48 Ty_l=28.35 N_l=-13961.30 My_l=7.28 Mz_l=-0.02
Azioni sul cordone: TP=-0.53 TO=2.11 NO=-1032.02

Tensioni nel cordone: τ_P=0.17 τ_0=0.67 σ_0=338.67 σ_{ID}=338.67 Σ_T=339.34
CC 17 SLV (Collegamento -182_-384)
Azioni sul collegamento: N=-13961.30 Ty=-15.19 Tz=28.35 Mx=-0.02 Mz=-13.60
Sollecitazioni agenti localmente: Tx_l=-15.19 Ty_l=28.35 N_l=-13961.30 My_l=13.60 Mz_l=-0.02
Azioni sul cordone: TP=-1.10 TO=2.11 NO=-1032.02
Tensioni nel cordone: τ_P=0.35 τ_0=0.67 σ_0=347.90 σ_{ID}=347.90 Σ_T=348.57
CC 18 SLD (Collegamento -182_-384)
Azioni sul collegamento: N=-8758.64 Ty=-9.24 Tz=8.91 Mx=-0.01 Mz=-7.34
Sollecitazioni agenti localmente: Tx_l=-9.24 Ty_l=8.91 N_l=-8758.64 My_l=7.34 Mz_l=-0.01
Azioni sul cordone: TP=-0.67 TO=0.66 NO=-647.44
Tensioni nel cordone: τ_P=0.21 τ_0=0.21 σ_0=216.51 σ_{ID}=216.51 Σ_T=216.72
CC 18 SLD (Collegamento -182_-384)
Azioni sul collegamento: N=-8758.64 Ty=-11.59 Tz=8.91 Mx=-0.01 Mz=-9.27
Sollecitazioni agenti localmente: Tx_l=-11.59 Ty_l=8.91 N_l=-8758.64 My_l=9.27 Mz_l=-0.01
Azioni sul cordone: TP=-0.85 TO=0.66 NO=-647.44
Tensioni nel cordone: τ_P=0.27 τ_0=0.21 σ_0=219.33 σ_{ID}=219.33 Σ_T=219.54
CC 18 SLD (Collegamento -182_-384)
Azioni sul collegamento: N=-8758.65 Ty=-9.24 Tz=17.82 Mx=-0.01 Mz=-7.34
Sollecitazioni agenti localmente: Tx_l=-9.24 Ty_l=17.82 N_l=-8758.65 My_l=7.34 Mz_l=-0.01
Azioni sul cordone: TP=-0.67 TO=1.32 NO=-647.44
Tensioni nel cordone: τ_P=0.21 τ_0=0.42 σ_0=216.51 σ_{ID}=216.51 Σ_T=216.93
CC 18 SLD (Collegamento -182_-384)
Azioni sul collegamento: N=-8758.65 Ty=-11.59 Tz=17.82 Mx=-0.01 Mz=-9.27
Sollecitazioni agenti localmente: Tx_l=-11.59 Ty_l=17.82 N_l=-8758.65 My_l=9.27 Mz_l=-0.01
Azioni sul cordone: TP=-0.85 TO=1.32 NO=-647.44
Tensioni nel cordone: τ_P=0.27 τ_0=0.42 σ_0=219.33 σ_{ID}=219.33 Σ_T=219.75
CC 18 SLD (Collegamento -182_-384)
Azioni sul collegamento: N=-11144.60 Ty=-9.24 Tz=8.91 Mx=-0.01 Mz=-7.34
Sollecitazioni agenti localmente: Tx_l=-9.24 Ty_l=8.91 N_l=-11144.60 My_l=7.34 Mz_l=-0.01
Azioni sul cordone: TP=-0.67 TO=0.66 NO=-823.81
Tensioni nel cordone: τ_P=0.21 τ_0=0.21 σ_0=272.57 σ_{ID}=272.57 Σ_T=272.78
CC 18 SLD (Collegamento -182_-384)
Azioni sul collegamento: N=-11144.60 Ty=-11.59 Tz=8.91 Mx=-0.01 Mz=-9.27
Sollecitazioni agenti localmente: Tx_l=-11.59 Ty_l=8.91 N_l=-11144.60 My_l=9.27 Mz_l=-0.01
Azioni sul cordone: TP=-0.85 TO=0.66 NO=-823.81
Tensioni nel cordone: τ_P=0.27 τ_0=0.21 σ_0=275.39 σ_{ID}=275.39 Σ_T=275.60
CC 18 SLD (Collegamento -182_-384)
Azioni sul collegamento: N=-11144.60 Ty=-9.24 Tz=17.82 Mx=-0.01 Mz=-7.34
Sollecitazioni agenti localmente: Tx_l=-9.24 Ty_l=17.82 N_l=-11144.60 My_l=7.34 Mz_l=-0.01
Azioni sul cordone: TP=-0.67 TO=1.32 NO=-823.81
Tensioni nel cordone: τ_P=0.21 τ_0=0.42 σ_0=272.57 σ_{ID}=272.57 Σ_T=272.99
CC 18 SLD (Collegamento -182_-384)
Azioni sul collegamento: N=-11144.60 Ty=-11.59 Tz=17.82 Mx=-0.01 Mz=-9.27
Sollecitazioni agenti localmente: Tx_l=-11.59 Ty_l=17.82 N_l=-11144.60 My_l=9.27 Mz_l=-0.01
Azioni sul cordone: TP=-0.85 TO=1.32 NO=-823.81
Tensioni nel cordone: τ_P=0.27 τ_0=0.42 σ_0=275.39 σ_{ID}=275.39 Σ_T=275.81
CC 19 SLV (Collegamento -182_-384)
Azioni sul collegamento: N=-6141.50 Ty=-7.99 Tz=-0.53 Mx=-0.01 Mz=-8.33
Sollecitazioni agenti localmente: Tx_l=-7.99 Ty_l=-0.53 N_l=-6141.50 My_l=8.33 Mz_l=-0.01
Azioni sul cordone: TP=-0.58 TO=-0.03 NO=-453.98
Tensioni nel cordone: τ_P=0.18 τ_0=9.04E-03 σ_0=156.47 σ_{ID}=156.47 Σ_T=156.47
CC 19 SLV (Collegamento -182_-384)
Azioni sul collegamento: N=-6141.50 Ty=-14.68 Tz=-0.53 Mx=-0.01 Mz=-12.56
Sollecitazioni agenti localmente: Tx_l=-14.68 Ty_l=-0.53 N_l=-6141.50 My_l=12.56 Mz_l=-0.01
Azioni sul cordone: TP=-1.07 TO=-0.03 NO=-453.98
Tensioni nel cordone: τ_P=0.34 τ_0=9.04E-03 σ_0=162.64 σ_{ID}=162.64 Σ_T=162.65
CC 19 SLV (Collegamento -182_-384)
Azioni sul collegamento: N=-6141.50 Ty=-7.99 Tz=28.02 Mx=-0.01 Mz=-8.33
Sollecitazioni agenti localmente: Tx_l=-7.99 Ty_l=28.02 N_l=-6141.50 My_l=8.33 Mz_l=-0.01
Azioni sul cordone: TP=-0.58 TO=2.08 NO=-453.98
Tensioni nel cordone: τ_P=0.18 τ_0=0.66 σ_0=156.47 σ_{ID}=156.47 Σ_T=157.13
CC 19 SLV (Collegamento -182_-384)
Azioni sul collegamento: N=-6141.50 Ty=-14.68 Tz=28.02 Mx=-0.01 Mz=-12.56
Sollecitazioni agenti localmente: Tx_l=-14.68 Ty_l=28.02 N_l=-6141.50 My_l=12.56 Mz_l=-0.01
Azioni sul cordone: TP=-1.07 TO=2.08 NO=-453.98
Tensioni nel cordone: τ_P=0.34 τ_0=0.66 σ_0=162.64 σ_{ID}=162.64 Σ_T=163.30
CC 19 SLV (Collegamento -182_-384)
Azioni sul collegamento: N=-13956.40 Ty=-7.99 Tz=-0.53 Mx=-0.01 Mz=-8.33
Sollecitazioni agenti localmente: Tx_l=-7.99 Ty_l=-0.53 N_l=-13956.40 My_l=8.33 Mz_l=-0.01
Azioni sul cordone: TP=-0.58 TO=-0.03 NO=-1031.66
Tensioni nel cordone: τ_P=0.18 τ_0=9.04E-03 σ_0=340.08 σ_{ID}=340.08 Σ_T=340.09
CC 19 SLV (Collegamento -182_-384)
Azioni sul collegamento: N=-13956.40 Ty=-14.68 Tz=-0.53 Mx=-0.01 Mz=-12.56
Sollecitazioni agenti localmente: Tx_l=-14.68 Ty_l=-0.53 N_l=-13956.40 My_l=12.56 Mz_l=-0.01
Azioni sul cordone: TP=-1.07 TO=-0.03 NO=-1031.66
Tensioni nel cordone: τ_P=0.34 τ_0=9.04E-03 σ_0=346.26 σ_{ID}=346.26 Σ_T=346.27
CC 19 SLV (Collegamento -182_-384)
Azioni sul collegamento: N=-13956.40 Ty=-7.99 Tz=28.02 Mx=-0.01 Mz=-8.33
Sollecitazioni agenti localmente: Tx_l=-7.99 Ty_l=28.02 N_l=-13956.40 My_l=8.33 Mz_l=-0.01
Azioni sul cordone: TP=-0.58 TO=2.08 NO=-1031.66
Tensioni nel cordone: τ_P=0.18 τ_0=0.66 σ_0=340.08 σ_{ID}=340.08 Σ_T=340.74

CC 19 SLV (Collegamento -182_-384)
Azioni sul collegamento: N=-13956.40 Ty=-14.68 Tz=28.02 Mx=-0.01 Mz=-12.56
Sollecitazioni agenti localmente: Tx_l=-14.68 Ty_l=28.02 N_l=-13956.40 My_l=12.56 Mz_l=-0.01
Azioni sul cordone: TP=-1.07 TO=2.08 NO=-1031.66
Tensioni nel cordone: τ_P=0.34 τ_0=0.66 σ_0=346.26 σ_{ID}=346.26 Σ_T=346.92
CC 20 SLD (Collegamento -182_-384)
Azioni sul collegamento: N=-8760.12 Ty=-9.39 Tz=9.01 Mx=-0.01 Mz=-7.66
Sollecitazioni agenti localmente: Tx_l=-9.39 Ty_l=9.01 N_l=-8760.12 My_l=7.66 Mz_l=-0.01
Azioni sul cordone: TP=-0.69 TO=0.67 NO=-647.55
Tensioni nel cordone: τ_P=0.22 τ_0=0.21 σ_0=217.01 σ_{ID}=217.01 Σ_T=217.23
CC 20 SLD (Collegamento -182_-384)
Azioni sul collegamento: N=-8760.12 Ty=-11.43 Tz=9.01 Mx=-0.01 Mz=-8.95
Sollecitazioni agenti localmente: Tx_l=-11.43 Ty_l=9.01 N_l=-8760.12 My_l=8.95 Mz_l=-0.01
Azioni sul cordone: TP=-0.84 TO=0.67 NO=-647.55
Tensioni nel cordone: τ_P=0.27 τ_0=0.21 σ_0=218.90 σ_{ID}=218.90 Σ_T=219.11
CC 20 SLD (Collegamento -182_-384)
Azioni sul collegamento: N=-8760.13 Ty=-9.39 Tz=17.72 Mx=-0.01 Mz=-7.66
Sollecitazioni agenti localmente: Tx_l=-9.39 Ty_l=17.72 N_l=-8760.13 My_l=7.66 Mz_l=-0.01
Azioni sul cordone: TP=-0.69 TO=1.31 NO=-647.55
Tensioni nel cordone: τ_P=0.22 τ_0=0.42 σ_0=217.01 σ_{ID}=217.01 Σ_T=217.43
CC 20 SLD (Collegamento -182_-384)
Azioni sul collegamento: N=-8760.13 Ty=-11.43 Tz=17.72 Mx=-0.01 Mz=-8.95
Sollecitazioni agenti localmente: Tx_l=-11.43 Ty_l=17.72 N_l=-8760.13 My_l=8.95 Mz_l=-0.01
Azioni sul cordone: TP=-0.84 TO=1.31 NO=-647.55
Tensioni nel cordone: τ_P=0.27 τ_0=0.42 σ_0=218.90 σ_{ID}=218.90 Σ_T=219.32
CC 20 SLD (Collegamento -182_-384)
Azioni sul collegamento: N=-11143.10 Ty=-9.39 Tz=9.01 Mx=-0.01 Mz=-7.66
Sollecitazioni agenti localmente: Tx_l=-9.39 Ty_l=9.01 N_l=-11143.10 My_l=7.66 Mz_l=-0.01
Azioni sul cordone: TP=-0.69 TO=0.67 NO=-823.71
Tensioni nel cordone: τ_P=0.22 τ_0=0.21 σ_0=273.00 σ_{ID}=273.00 Σ_T=273.22
CC 20 SLD (Collegamento -182_-384)
Azioni sul collegamento: N=-11143.10 Ty=-11.43 Tz=9.01 Mx=-0.01 Mz=-8.95
Sollecitazioni agenti localmente: Tx_l=-11.43 Ty_l=9.01 N_l=-11143.10 My_l=8.95 Mz_l=-0.01
Azioni sul cordone: TP=-0.84 TO=0.67 NO=-823.71
Tensioni nel cordone: τ_P=0.27 τ_0=0.21 σ_0=274.89 σ_{ID}=274.89 Σ_T=275.10
CC 20 SLD (Collegamento -182_-384)
Azioni sul collegamento: N=-11143.10 Ty=-9.39 Tz=17.72 Mx=-0.01 Mz=-7.66
Sollecitazioni agenti localmente: Tx_l=-9.39 Ty_l=17.72 N_l=-11143.10 My_l=7.66 Mz_l=-0.01
Azioni sul cordone: TP=-0.69 TO=1.31 NO=-823.71
Tensioni nel cordone: τ_P=0.22 τ_0=0.42 σ_0=273.00 σ_{ID}=273.00 Σ_T=273.42
CC 20 SLD (Collegamento -182_-384)
Azioni sul collegamento: N=-11143.10 Ty=-11.43 Tz=17.72 Mx=-0.01 Mz=-8.95
Sollecitazioni agenti localmente: Tx_l=-11.43 Ty_l=17.72 N_l=-11143.10 My_l=8.95 Mz_l=-0.01
Azioni sul cordone: TP=-0.84 TO=1.31 NO=-823.71
Tensioni nel cordone: τ_P=0.27 τ_0=0.42 σ_0=274.89 σ_{ID}=274.89 Σ_T=275.31
CC 21 SLV (Collegamento -182_-384)
Azioni sul collegamento: N=-13956.40 Ty=-14.68 Tz=28.02 Mx=-0.02 Mz=-12.56
Sollecitazioni agenti localmente: Tx_l=-14.68 Ty_l=28.02 N_l=-13956.40 My_l=12.56 Mz_l=-0.02
Azioni sul cordone: TP=-1.06 TO=2.09 NO=-1031.66
Tensioni nel cordone: τ_P=0.34 τ_0=0.66 σ_0=346.26 σ_{ID}=346.26 Σ_T=346.92
CC 21 SLV (Collegamento -182_-384)
Azioni sul collegamento: N=-13956.40 Ty=-7.99 Tz=28.02 Mx=-0.02 Mz=-8.33
Sollecitazioni agenti localmente: Tx_l=-7.99 Ty_l=28.02 N_l=-13956.40 My_l=8.33 Mz_l=-0.02
Azioni sul cordone: TP=-0.57 TO=2.09 NO=-1031.66
Tensioni nel cordone: τ_P=0.18 τ_0=0.66 σ_0=340.08 σ_{ID}=340.08 Σ_T=340.74
CC 21 SLV (Collegamento -182_-384)
Azioni sul collegamento: N=-13956.40 Ty=-14.68 Tz=-0.53 Mx=-0.02 Mz=-12.56
Sollecitazioni agenti localmente: Tx_l=-14.68 Ty_l=-0.53 N_l=-13956.40 My_l=12.56 Mz_l=-0.02
Azioni sul cordone: TP=-1.06 TO=-0.02 NO=-1031.66
Tensioni nel cordone: τ_P=0.34 τ_0=7.84E-03 σ_0=346.26 σ_{ID}=346.26 Σ_T=346.26
CC 21 SLV (Collegamento -182_-384)
Azioni sul collegamento: N=-13956.40 Ty=-7.99 Tz=-0.53 Mx=-0.02 Mz=-8.33
Sollecitazioni agenti localmente: Tx_l=-7.99 Ty_l=-0.53 N_l=-13956.40 My_l=8.33 Mz_l=-0.02
Azioni sul cordone: TP=-0.57 TO=-0.02 NO=-1031.66
Tensioni nel cordone: τ_P=0.18 τ_0=7.84E-03 σ_0=340.08 σ_{ID}=340.08 Σ_T=340.09
CC 21 SLV (Collegamento -182_-384)
Azioni sul collegamento: N=-6141.50 Ty=-14.68 Tz=28.02 Mx=-0.02 Mz=-12.56
Sollecitazioni agenti localmente: Tx_l=-14.68 Ty_l=28.02 N_l=-6141.50 My_l=12.56 Mz_l=-0.02
Azioni sul cordone: TP=-1.06 TO=2.09 NO=-453.98
Tensioni nel cordone: τ_P=0.34 τ_0=0.66 σ_0=162.64 σ_{ID}=162.64 Σ_T=163.30
CC 21 SLV (Collegamento -182_-384)
Azioni sul collegamento: N=-6141.50 Ty=-7.99 Tz=28.02 Mx=-0.02 Mz=-8.33
Sollecitazioni agenti localmente: Tx_l=-7.99 Ty_l=28.02 N_l=-6141.50 My_l=8.33 Mz_l=-0.02
Azioni sul cordone: TP=-0.57 TO=2.09 NO=-453.98
Tensioni nel cordone: τ_P=0.18 τ_0=0.66 σ_0=156.47 σ_{ID}=156.47 Σ_T=157.13
CC 21 SLV (Collegamento -182_-384)
Azioni sul collegamento: N=-6141.50 Ty=-14.68 Tz=-0.53 Mx=-0.02 Mz=-12.56
Sollecitazioni agenti localmente: Tx_l=-14.68 Ty_l=-0.53 N_l=-6141.50 My_l=12.56 Mz_l=-0.02
Azioni sul cordone: TP=-1.06 TO=-0.02 NO=-453.98
Tensioni nel cordone: τ_P=0.34 τ_0=7.84E-03 σ_0=162.64 σ_{ID}=162.64 Σ_T=162.65
CC 21 SLV (Collegamento -182_-384)

Azioni sul collegamento: N=-6141.50 Ty=-7.99 Tz=-0.53 Mx=-0.02 Mz=-8.33
Sollecitazioni agenti localmente: Tx_l=-7.99 Ty_l=-0.53 N_l=-6141.50 My_l=8.33 Mz_l=-0.02
Azioni sul cordone: TP=-0.57 TO=-0.02 NO=-453.98
Tensioni nel cordone: τ_P=0.18 τ_0=7.84E-03 σ_0=156.47 σ_{ID}=156.47 Σ_T=156.47
CC 22 SLD (Collegamento -182_-384)
Azioni sul collegamento: N=-11143.10 Ty=-11.43 Tz=17.72 Mx=-0.01 Mz=-8.95
Sollecitazioni agenti localmente: Tx_l=-11.43 Ty_l=17.72 N_l=-11143.10 My_l=8.95 Mz_l=-0.01
Azioni sul cordone: TP=-0.84 TO=1.32 NO=-823.71
Tensioni nel cordone: τ_P=0.27 τ_0=0.42 σ_0=274.89 σ_{ID}=274.89 Σ_T=275.31
CC 22 SLD (Collegamento -182_-384)
Azioni sul collegamento: N=-11143.10 Ty=-9.39 Tz=17.72 Mx=-0.01 Mz=-7.66
Sollecitazioni agenti localmente: Tx_l=-9.39 Ty_l=17.72 N_l=-11143.10 My_l=7.66 Mz_l=-0.01
Azioni sul cordone: TP=-0.69 TO=1.32 NO=-823.71
Tensioni nel cordone: τ_P=0.22 τ_0=0.42 σ_0=273.00 σ_{ID}=273.00 Σ_T=273.42
CC 22 SLD (Collegamento -182_-384)
Azioni sul collegamento: N=-11143.10 Ty=-11.43 Tz=9.01 Mx=-0.01 Mz=-8.95
Sollecitazioni agenti localmente: Tx_l=-11.43 Ty_l=9.01 N_l=-11143.10 My_l=8.95 Mz_l=-0.01
Azioni sul cordone: TP=-0.84 TO=0.67 NO=-823.71
Tensioni nel cordone: τ_P=0.27 τ_0=0.21 σ_0=274.89 σ_{ID}=274.89 Σ_T=275.10
CC 22 SLD (Collegamento -182_-384)
Azioni sul collegamento: N=-11143.10 Ty=-9.39 Tz=9.01 Mx=-0.01 Mz=-7.66
Sollecitazioni agenti localmente: Tx_l=-9.39 Ty_l=9.01 N_l=-11143.10 My_l=7.66 Mz_l=-0.01
Azioni sul cordone: TP=-0.69 TO=0.67 NO=-823.71
Tensioni nel cordone: τ_P=0.22 τ_0=0.21 σ_0=273.00 σ_{ID}=273.00 Σ_T=273.22
CC 22 SLD (Collegamento -182_-384)
Azioni sul collegamento: N=-8760.13 Ty=-11.43 Tz=17.72 Mx=-0.01 Mz=-8.95
Sollecitazioni agenti localmente: Tx_l=-11.43 Ty_l=17.72 N_l=-8760.13 My_l=8.95 Mz_l=-0.01
Azioni sul cordone: TP=-0.84 TO=1.32 NO=-647.55
Tensioni nel cordone: τ_P=0.27 τ_0=0.42 σ_0=218.90 σ_{ID}=218.90 Σ_T=219.32
CC 22 SLD (Collegamento -182_-384)
Azioni sul collegamento: N=-8760.13 Ty=-9.39 Tz=17.72 Mx=-0.01 Mz=-7.66
Sollecitazioni agenti localmente: Tx_l=-9.39 Ty_l=17.72 N_l=-8760.13 My_l=7.66 Mz_l=-0.01
Azioni sul cordone: TP=-0.69 TO=1.32 NO=-647.55
Tensioni nel cordone: τ_P=0.22 τ_0=0.42 σ_0=217.01 σ_{ID}=217.01 Σ_T=217.43
CC 22 SLD (Collegamento -182_-384)
Azioni sul collegamento: N=-8760.12 Ty=-11.43 Tz=9.01 Mx=-0.01 Mz=-8.95
Sollecitazioni agenti localmente: Tx_l=-11.43 Ty_l=9.01 N_l=-8760.12 My_l=8.95 Mz_l=-0.01
Azioni sul cordone: TP=-0.84 TO=0.67 NO=-647.55
Tensioni nel cordone: τ_P=0.27 τ_0=0.21 σ_0=218.90 σ_{ID}=218.90 Σ_T=219.11
CC 22 SLD (Collegamento -182_-384)
Azioni sul collegamento: N=-8760.12 Ty=-9.39 Tz=9.01 Mx=-0.01 Mz=-7.66
Sollecitazioni agenti localmente: Tx_l=-9.39 Ty_l=9.01 N_l=-8760.12 My_l=7.66 Mz_l=-0.01
Azioni sul cordone: TP=-0.69 TO=0.67 NO=-647.55
Tensioni nel cordone: τ_P=0.22 τ_0=0.21 σ_0=217.01 σ_{ID}=217.01 Σ_T=217.23
CC 23 SLV (Collegamento -182_-384)
Azioni sul collegamento: N=-13961.30 Ty=-15.19 Tz=28.35 Mx=-0.01 Mz=-13.60
Sollecitazioni agenti localmente: Tx_l=-15.19 Ty_l=28.35 N_l=-13961.30 My_l=13.60 Mz_l=-0.01
Azioni sul cordone: TP=-1.11 TO=2.11 NO=-1032.02
Tensioni nel cordone: τ_P=0.35 τ_0=0.67 σ_0=347.90 σ_{ID}=347.90 Σ_T=348.57
CC 23 SLV (Collegamento -182_-384)
Azioni sul collegamento: N=-13961.30 Ty=-7.48 Tz=28.35 Mx=-0.01 Mz=-7.28
Sollecitazioni agenti localmente: Tx_l=-7.48 Ty_l=28.35 N_l=-13961.30 My_l=7.28 Mz_l=-0.01
Azioni sul cordone: TP=-0.54 TO=2.11 NO=-1032.02
Tensioni nel cordone: τ_P=0.17 τ_0=0.67 σ_0=338.67 σ_{ID}=338.67 Σ_T=339.33
CC 23 SLV (Collegamento -182_-384)
Azioni sul collegamento: N=-13961.30 Ty=-15.19 Tz=-0.86 Mx=-0.01 Mz=-13.60
Sollecitazioni agenti localmente: Tx_l=-15.19 Ty_l=-0.86 N_l=-13961.30 My_l=13.60 Mz_l=-0.01
Azioni sul cordone: TP=-1.11 TO=-0.05 NO=-1032.02
Tensioni nel cordone: τ_P=0.35 τ_0= 0.02 σ_0=347.90 σ_{ID}=347.90 Σ_T=347.92
CC 23 SLV (Collegamento -182_-384)
Azioni sul collegamento: N=-13961.30 Ty=-7.48 Tz=-0.86 Mx=-0.01 Mz=-7.28
Sollecitazioni agenti localmente: Tx_l=-7.48 Ty_l=-0.86 N_l=-13961.30 My_l=7.28 Mz_l=-0.01
Azioni sul cordone: TP=-0.54 TO=-0.05 NO=-1032.02
Tensioni nel cordone: τ_P=0.17 τ_0= 0.02 σ_0=338.67 σ_{ID}=338.67 Σ_T=338.68
CC 23 SLV (Collegamento -182_-384)
Azioni sul collegamento: N=-6136.65 Ty=-15.19 Tz=28.35 Mx=-0.01 Mz=-13.60
Sollecitazioni agenti localmente: Tx_l=-15.19 Ty_l=28.35 N_l=-6136.65 My_l=13.60 Mz_l=-0.01
Azioni sul cordone: TP=-1.11 TO=2.11 NO=-453.62
Tensioni nel cordone: τ_P=0.35 τ_0=0.67 σ_0=164.06 σ_{ID}=164.06 Σ_T=164.73
CC 23 SLV (Collegamento -182_-384)
Azioni sul collegamento: N=-6136.65 Ty=-7.48 Tz=28.35 Mx=-0.01 Mz=-7.28
Sollecitazioni agenti localmente: Tx_l=-7.48 Ty_l=28.35 N_l=-6136.65 My_l=7.28 Mz_l=-0.01
Azioni sul cordone: TP=-0.54 TO=2.11 NO=-453.62
Tensioni nel cordone: τ_P=0.17 τ_0=0.67 σ_0=154.82 σ_{ID}=154.82 Σ_T=155.49
CC 23 SLV (Collegamento -182_-384)
Azioni sul collegamento: N=-6136.65 Ty=-15.19 Tz=-0.86 Mx=-0.01 Mz=-13.60
Sollecitazioni agenti localmente: Tx_l=-15.19 Ty_l=-0.86 N_l=-6136.65 My_l=13.60 Mz_l=-0.01
Azioni sul cordone: TP=-1.11 TO=-0.05 NO=-453.62
Tensioni nel cordone: τ_P=0.35 τ_0= 0.02 σ_0=164.06 σ_{ID}=164.06 Σ_T=164.07
CC 23 SLV (Collegamento -182_-384)
Azioni sul collegamento: N=-6136.65 Ty=-7.48 Tz=-0.86 Mx=-0.01 Mz=-7.28

Sollecitazioni agenti localmente: Tx_l=-7.48 Ty_l=-0.86 N_l=-6136.65 My_l=7.28 Mz_l=-0.01
Azioni sul cordone: TP=-0.54 TO=-0.05 NO=-453.62
Tensioni nel cordone: τ_P=0.17 τ_0= 0.02 σ_0=154.82 σ_{ID}=154.82 Σ_T=154.84
CC 24 SLD (Collegamento -182_-384)
Azioni sul collegamento: N=-11144.60 Ty=-11.59 Tz=17.82 Mx=-0.01 Mz=-9.27
Sollecitazioni agenti localmente: Tx_l=-11.59 Ty_l=17.82 N_l=-11144.60 My_l=9.27 Mz_l=-0.01
Azioni sul cordone: TP=-0.85 TO=1.32 NO=-823.81
Tensioni nel cordone: τ_P=0.27 τ_0=0.42 σ_0=275.39 σ_{ID}=275.39 Σ_T=275.81
CC 24 SLD (Collegamento -182_-384)
Azioni sul collegamento: N=-11144.60 Ty=-9.24 Tz=17.82 Mx=-0.01 Mz=-7.34
Sollecitazioni agenti localmente: Tx_l=-9.24 Ty_l=17.82 N_l=-11144.60 My_l=7.34 Mz_l=-0.01
Azioni sul cordone: TP=-0.68 TO=1.32 NO=-823.81
Tensioni nel cordone: τ_P=0.21 τ_0=0.42 σ_0=272.57 σ_{ID}=272.57 Σ_T=272.99
CC 24 SLD (Collegamento -182_-384)
Azioni sul collegamento: N=-11144.60 Ty=-11.59 Tz=8.91 Mx=-0.01 Mz=-9.27
Sollecitazioni agenti localmente: Tx_l=-11.59 Ty_l=8.91 N_l=-11144.60 My_l=9.27 Mz_l=-0.01
Azioni sul cordone: TP=-0.85 TO=0.66 NO=-823.81
Tensioni nel cordone: τ_P=0.27 τ_0=0.21 σ_0=275.39 σ_{ID}=275.39 Σ_T=275.60
CC 24 SLD (Collegamento -182_-384)
Azioni sul collegamento: N=-11144.60 Ty=-9.24 Tz=8.91 Mx=-0.01 Mz=-7.34
Sollecitazioni agenti localmente: Tx_l=-9.24 Ty_l=8.91 N_l=-11144.60 My_l=7.34 Mz_l=-0.01
Azioni sul cordone: TP=-0.68 TO=0.66 NO=-823.81
Tensioni nel cordone: τ_P=0.21 τ_0=0.21 σ_0=272.57 σ_{ID}=272.57 Σ_T=272.78
CC 24 SLD (Collegamento -182_-384)
Azioni sul collegamento: N=-8758.65 Ty=-11.59 Tz=17.82 Mx=-0.01 Mz=-9.27
Sollecitazioni agenti localmente: Tx_l=-11.59 Ty_l=17.82 N_l=-8758.65 My_l=9.27 Mz_l=-0.01
Azioni sul cordone: TP=-0.85 TO=1.32 NO=-647.44
Tensioni nel cordone: τ_P=0.27 τ_0=0.42 σ_0=219.33 σ_{ID}=219.33 Σ_T=219.75
CC 24 SLD (Collegamento -182_-384)
Azioni sul collegamento: N=-8758.65 Ty=-9.24 Tz=17.82 Mx=-0.01 Mz=-7.34
Sollecitazioni agenti localmente: Tx_l=-9.24 Ty_l=17.82 N_l=-8758.65 My_l=7.34 Mz_l=-0.01
Azioni sul cordone: TP=-0.68 TO=1.32 NO=-647.44
Tensioni nel cordone: τ_P=0.21 τ_0=0.42 σ_0=216.51 σ_{ID}=216.51 Σ_T=216.93
CC 24 SLD (Collegamento -182_-384)
Azioni sul collegamento: N=-8758.64 Ty=-11.59 Tz=8.91 Mx=-0.01 Mz=-9.27
Sollecitazioni agenti localmente: Tx_l=-11.59 Ty_l=8.91 N_l=-8758.64 My_l=9.27 Mz_l=-0.01
Azioni sul cordone: TP=-0.85 TO=0.66 NO=-647.44
Tensioni nel cordone: τ_P=0.27 τ_0=0.21 σ_0=219.33 σ_{ID}=219.33 Σ_T=219.54
CC 24 SLD (Collegamento -182_-384)
Azioni sul collegamento: N=-8758.64 Ty=-9.24 Tz=8.91 Mx=-0.01 Mz=-7.34
Sollecitazioni agenti localmente: Tx_l=-9.24 Ty_l=8.91 N_l=-8758.64 My_l=7.34 Mz_l=-0.01
Azioni sul cordone: TP=-0.68 TO=0.66 NO=-647.44
Tensioni nel cordone: τ_P=0.21 τ_0=0.21 σ_0=216.51 σ_{ID}=216.51 Σ_T=216.72
CC 25 SLV (Collegamento -182_-384)
Azioni sul collegamento: N=-8867.92 Ty=-9.40 Tz=8.87 Mx=-0.02 Mz=-7.91
Sollecitazioni agenti localmente: Tx_l=-9.40 Ty_l=8.87 N_l=-8867.92 My_l=7.91 Mz_l=-0.02
Azioni sul cordone: TP=-0.67 TO=0.67 NO=-655.52
Tensioni nel cordone: τ_P=0.21 τ_0=0.21 σ_0=219.91 σ_{ID}=219.91 Σ_T=220.12
CC 25 SLV (Collegamento -182_-384)
Azioni sul collegamento: N=-8867.92 Ty=-13.27 Tz=8.87 Mx=-0.02 Mz=-12.98
Sollecitazioni agenti localmente: Tx_l=-13.27 Ty_l=8.87 N_l=-8867.92 My_l=12.98 Mz_l=-0.02
Azioni sul cordone: TP=-0.95 TO=0.67 NO=-655.52
Tensioni nel cordone: τ_P=0.30 τ_0=0.21 σ_0=227.32 σ_{ID}=227.32 Σ_T=227.53
CC 25 SLV (Collegamento -182_-384)
Azioni sul collegamento: N=-8867.92 Ty=-9.40 Tz=18.62 Mx=-0.02 Mz=-7.91
Sollecitazioni agenti localmente: Tx_l=-9.40 Ty_l=18.62 N_l=-8867.92 My_l=7.91 Mz_l=-0.02
Azioni sul cordone: TP=-0.67 TO=1.40 NO=-655.52
Tensioni nel cordone: τ_P=0.21 τ_0=0.44 σ_0=219.91 σ_{ID}=219.91 Σ_T=220.35
CC 25 SLV (Collegamento -182_-384)
Azioni sul collegamento: N=-8867.92 Ty=-13.27 Tz=18.62 Mx=-0.02 Mz=-12.98
Sollecitazioni agenti localmente: Tx_l=-13.27 Ty_l=18.62 N_l=-8867.92 My_l=12.98 Mz_l=-0.02
Azioni sul cordone: TP=-0.95 TO=1.40 NO=-655.52
Tensioni nel cordone: τ_P=0.30 τ_0=0.44 σ_0=227.32 σ_{ID}=227.32 Σ_T=227.76
CC 25 SLV (Collegamento -182_-384)
Azioni sul collegamento: N=-11230.00 Ty=-9.40 Tz=8.87 Mx=-0.02 Mz=-7.91
Sollecitazioni agenti localmente: Tx_l=-9.40 Ty_l=8.87 N_l=-11230.00 My_l=7.91 Mz_l=-0.02
Azioni sul cordone: TP=-0.67 TO=0.67 NO=-830.13
Tensioni nel cordone: τ_P=0.21 τ_0=0.21 σ_0=275.40 σ_{ID}=275.40 Σ_T=275.62
CC 25 SLV (Collegamento -182_-384)
Azioni sul collegamento: N=-11230.00 Ty=-13.27 Tz=8.87 Mx=-0.02 Mz=-12.98
Sollecitazioni agenti localmente: Tx_l=-13.27 Ty_l=8.87 N_l=-11230.00 My_l=12.98 Mz_l=-0.02
Azioni sul cordone: TP=-0.95 TO=0.67 NO=-830.13
Tensioni nel cordone: τ_P=0.30 τ_0=0.21 σ_0=282.82 σ_{ID}=282.82 Σ_T=283.03
CC 25 SLV (Collegamento -182_-384)
Azioni sul collegamento: N=-11230.00 Ty=-9.40 Tz=18.62 Mx=-0.02 Mz=-7.91
Sollecitazioni agenti localmente: Tx_l=-9.40 Ty_l=18.62 N_l=-11230.00 My_l=7.91 Mz_l=-0.02
Azioni sul cordone: TP=-0.67 TO=1.40 NO=-830.13
Tensioni nel cordone: τ_P=0.21 τ_0=0.44 σ_0=275.40 σ_{ID}=275.40 Σ_T=275.85
CC 25 SLV (Collegamento -182_-384)
Azioni sul collegamento: N=-11230.00 Ty=-13.27 Tz=18.62 Mx=-0.02 Mz=-12.98
Sollecitazioni agenti localmente: Tx_l=-13.27 Ty_l=18.62 N_l=-11230.00 My_l=12.98 Mz_l=-0.02

Azioni sul cordone: TP=-0.95 TO=1.40 NO=-830.13
Tensioni nel cordone: τ_P=0.30 τ_0=0.44 σ_0=282.82 σ_{ID}=282.82 Σ_T=283.26
CC 26 SLD (Collegamento -182_-384)
Azioni sul collegamento: N=-9591.50 Ty=-9.82 Tz=11.88 Mx=-0.01 Mz=-7.53
Sollecitazioni agenti localmente: Tx_l=-9.82 Ty_l=11.88 N_l=-9591.50 My_l=7.53 Mz_l=-0.01
Azioni sul cordone: TP=-0.72 TO=0.89 NO=-709.01
Tensioni nel cordone: τ_P=0.23 τ_0=0.28 σ_0=236.36 σ_{ID}=236.36 Σ_T=236.64
CC 26 SLD (Collegamento -182_-384)
Azioni sul collegamento: N=-9591.50 Ty=-11.00 Tz=11.88 Mx=-0.01 Mz=-9.08
Sollecitazioni agenti localmente: Tx_l=-11.00 Ty_l=11.88 N_l=-9591.50 My_l=9.08 Mz_l=-0.01
Azioni sul cordone: TP=-0.80 TO=0.89 NO=-709.01
Tensioni nel cordone: τ_P=0.26 τ_0=0.28 σ_0=238.62 σ_{ID}=238.62 Σ_T=238.90
CC 26 SLD (Collegamento -182_-384)
Azioni sul collegamento: N=-9591.50 Ty=-9.82 Tz=14.85 Mx=-0.01 Mz=-7.53
Sollecitazioni agenti localmente: Tx_l=-9.82 Ty_l=14.85 N_l=-9591.50 My_l=7.53 Mz_l=-0.01
Azioni sul cordone: TP=-0.72 TO=1.11 NO=-709.01
Tensioni nel cordone: τ_P=0.23 τ_0=0.35 σ_0=236.36 σ_{ID}=236.36 Σ_T=236.71
CC 26 SLD (Collegamento -182_-384)
Azioni sul collegamento: N=-9591.50 Ty=-11.00 Tz=14.85 Mx=-0.01 Mz=-9.08
Sollecitazioni agenti localmente: Tx_l=-11.00 Ty_l=14.85 N_l=-9591.50 My_l=9.08 Mz_l=-0.01
Azioni sul cordone: TP=-0.80 TO=1.11 NO=-709.01
Tensioni nel cordone: τ_P=0.26 τ_0=0.35 σ_0=238.62 σ_{ID}=238.62 Σ_T=238.97
CC 26 SLD (Collegamento -182_-384)
Azioni sul collegamento: N=-10311.80 Ty=-9.82 Tz=11.88 Mx=-0.01 Mz=-7.53
Sollecitazioni agenti localmente: Tx_l=-9.82 Ty_l=11.88 N_l=-10311.80 My_l=7.53 Mz_l=-0.01
Azioni sul cordone: TP=-0.72 TO=0.89 NO=-762.25
Tensioni nel cordone: τ_P=0.23 τ_0=0.28 σ_0=253.28 σ_{ID}=253.28 Σ_T=253.56
CC 26 SLD (Collegamento -182_-384)
Azioni sul collegamento: N=-10311.80 Ty=-11.00 Tz=11.88 Mx=-0.01 Mz=-9.08
Sollecitazioni agenti localmente: Tx_l=-11.00 Ty_l=11.88 N_l=-10311.80 My_l=9.08 Mz_l=-0.01
Azioni sul cordone: TP=-0.80 TO=0.89 NO=-762.25
Tensioni nel cordone: τ_P=0.26 τ_0=0.28 σ_0=255.54 σ_{ID}=255.54 Σ_T=255.82
CC 26 SLD (Collegamento -182_-384)
Azioni sul collegamento: N=-10311.80 Ty=-9.82 Tz=14.85 Mx=-0.01 Mz=-7.53
Sollecitazioni agenti localmente: Tx_l=-9.82 Ty_l=14.85 N_l=-10311.80 My_l=7.53 Mz_l=-0.01
Azioni sul cordone: TP=-0.72 TO=1.11 NO=-762.25
Tensioni nel cordone: τ_P=0.23 τ_0=0.35 σ_0=253.28 σ_{ID}=253.28 Σ_T=253.63
CC 26 SLD (Collegamento -182_-384)
Azioni sul collegamento: N=-10311.80 Ty=-11.00 Tz=14.85 Mx=-0.01 Mz=-9.08
Sollecitazioni agenti localmente: Tx_l=-11.00 Ty_l=14.85 N_l=-10311.80 My_l=9.08 Mz_l=-0.01
Azioni sul cordone: TP=-0.80 TO=1.11 NO=-762.25
Tensioni nel cordone: τ_P=0.26 τ_0=0.35 σ_0=255.54 σ_{ID}=255.54 Σ_T=255.89
CC 27 SLV (Collegamento -182_-384)
Azioni sul collegamento: N=-11213.90 Ty=-11.56 Tz=17.53 Mx=-0.02 Mz=-9.49
Sollecitazioni agenti localmente: Tx_l=-11.56 Ty_l=17.53 N_l=-11213.90 My_l=9.49 Mz_l=-0.02
Azioni sul cordone: TP=-0.83 TO=1.32 NO=-828.93
Tensioni nel cordone: τ_P=0.26 τ_0=0.42 σ_0=277.34 σ_{ID}=277.34 Σ_T=277.75
CC 27 SLV (Collegamento -182_-384)
Azioni sul collegamento: N=-11213.90 Ty=-11.11 Tz=17.53 Mx=-0.02 Mz=-11.40
Sollecitazioni agenti localmente: Tx_l=-11.11 Ty_l=17.53 N_l=-11213.90 My_l=11.40 Mz_l=-0.02
Azioni sul cordone: TP=-0.79 TO=1.32 NO=-828.93
Tensioni nel cordone: τ_P=0.25 τ_0=0.42 σ_0=280.12 σ_{ID}=280.13 Σ_T=280.54
CC 27 SLV (Collegamento -182_-384)
Azioni sul collegamento: N=-11213.90 Ty=-11.56 Tz=9.96 Mx=-0.02 Mz=-9.49
Sollecitazioni agenti localmente: Tx_l=-11.56 Ty_l=9.96 N_l=-11213.90 My_l=9.49 Mz_l=-0.02
Azioni sul cordone: TP=-0.83 TO=0.76 NO=-828.93
Tensioni nel cordone: τ_P=0.26 τ_0=0.24 σ_0=277.34 σ_{ID}=277.34 Σ_T=277.58
CC 27 SLV (Collegamento -182_-384)
Azioni sul collegamento: N=-11213.90 Ty=-11.11 Tz=9.96 Mx=-0.02 Mz=-11.40
Sollecitazioni agenti localmente: Tx_l=-11.11 Ty_l=9.96 N_l=-11213.90 My_l=11.40 Mz_l=-0.02
Azioni sul cordone: TP=-0.79 TO=0.76 NO=-828.93
Tensioni nel cordone: τ_P=0.25 τ_0=0.24 σ_0=280.12 σ_{ID}=280.12 Σ_T=280.36
CC 27 SLV (Collegamento -182_-384)
Azioni sul collegamento: N=-8884.09 Ty=-11.56 Tz=17.53 Mx=-0.02 Mz=-9.49
Sollecitazioni agenti localmente: Tx_l=-11.56 Ty_l=17.53 N_l=-8884.09 My_l=9.49 Mz_l=-0.02
Azioni sul cordone: TP=-0.83 TO=1.32 NO=-656.72
Tensioni nel cordone: τ_P=0.26 τ_0=0.42 σ_0=222.60 σ_{ID}=222.60 Σ_T=223.02
CC 27 SLV (Collegamento -182_-384)
Azioni sul collegamento: N=-8884.09 Ty=-11.11 Tz=17.53 Mx=-0.02 Mz=-11.40
Sollecitazioni agenti localmente: Tx_l=-11.11 Ty_l=17.53 N_l=-8884.09 My_l=11.40 Mz_l=-0.02
Azioni sul cordone: TP=-0.79 TO=1.32 NO=-656.72
Tensioni nel cordone: τ_P=0.25 τ_0=0.42 σ_0=225.38 σ_{ID}=225.39 Σ_T=225.80
CC 27 SLV (Collegamento -182_-384)
Azioni sul collegamento: N=-8884.09 Ty=-11.56 Tz=9.96 Mx=-0.02 Mz=-9.49
Sollecitazioni agenti localmente: Tx_l=-11.56 Ty_l=9.96 N_l=-8884.09 My_l=9.49 Mz_l=-0.02
Azioni sul cordone: TP=-0.83 TO=0.76 NO=-656.72
Tensioni nel cordone: τ_P=0.26 τ_0=0.24 σ_0=222.60 σ_{ID}=222.60 Σ_T=222.84
CC 27 SLV (Collegamento -182_-384)
Azioni sul collegamento: N=-8884.09 Ty=-11.11 Tz=9.96 Mx=-0.02 Mz=-11.40
Sollecitazioni agenti localmente: Tx_l=-11.11 Ty_l=9.96 N_l=-8884.09 My_l=11.40 Mz_l=-0.02
Azioni sul cordone: TP=-0.79 TO=0.76 NO=-656.72

Tensioni nel cordone: τ_P=0.25 τ_0=0.24 σ_0=225.38 σ_{ID}=225.38 Σ_T=225.63
CC 28 SLD (Collegamento -182_-384)
Azioni sul collegamento: N=-10306.80 Ty=-10.48 Tz=14.52 Mx=-0.01 Mz=-8.01
Sollecitazioni agenti localmente: Tx_l=-10.48 Ty_l=14.52 N_l=-10306.80 My_l=8.01 Mz_l=-0.01
Azioni sul cordone: TP=-0.76 TO=1.08 NO=-761.88
Tensioni nel cordone: τ_P=0.24 τ_0=0.34 σ_0=253.87 σ_{ID}=253.87 Σ_T=254.22
CC 28 SLD (Collegamento -182_-384)
Azioni sul collegamento: N=-10306.80 Ty=-10.34 Tz=14.52 Mx=-0.01 Mz=-8.60
Sollecitazioni agenti localmente: Tx_l=-10.34 Ty_l=14.52 N_l=-10306.80 My_l=8.60 Mz_l=-0.01
Azioni sul cordone: TP=-0.75 TO=1.08 NO=-761.88
Tensioni nel cordone: τ_P=0.24 τ_0=0.34 σ_0=254.72 σ_{ID}=254.72 Σ_T=255.07
CC 28 SLD (Collegamento -182_-384)
Azioni sul collegamento: N=-10306.80 Ty=-10.48 Tz=12.21 Mx=-0.01 Mz=-8.01
Sollecitazioni agenti localmente: Tx_l=-10.48 Ty_l=12.21 N_l=-10306.80 My_l=8.01 Mz_l=-0.01
Azioni sul cordone: TP=-0.76 TO=0.91 NO=-761.88
Tensioni nel cordone: τ_P=0.24 τ_0=0.29 σ_0=253.87 σ_{ID}=253.87 Σ_T=254.16
CC 28 SLD (Collegamento -182_-384)
Azioni sul collegamento: N=-10306.80 Ty=-10.34 Tz=12.21 Mx=-0.01 Mz=-8.60
Sollecitazioni agenti localmente: Tx_l=-10.34 Ty_l=12.21 N_l=-10306.80 My_l=8.60 Mz_l=-0.01
Azioni sul cordone: TP=-0.75 TO=0.91 NO=-761.88
Tensioni nel cordone: τ_P=0.24 τ_0=0.29 σ_0=254.72 σ_{ID}=254.72 Σ_T=255.01
CC 28 SLD (Collegamento -182_-384)
Azioni sul collegamento: N=-9596.43 Ty=-10.48 Tz=14.52 Mx=-0.01 Mz=-8.01
Sollecitazioni agenti localmente: Tx_l=-10.48 Ty_l=14.52 N_l=-9596.43 My_l=8.01 Mz_l=-0.01
Azioni sul cordone: TP=-0.76 TO=1.08 NO=-709.37
Tensioni nel cordone: τ_P=0.24 τ_0=0.34 σ_0=237.18 σ_{ID}=237.18 Σ_T=237.52
CC 28 SLD (Collegamento -182_-384)
Azioni sul collegamento: N=-9596.43 Ty=-10.34 Tz=14.52 Mx=-0.01 Mz=-8.60
Sollecitazioni agenti localmente: Tx_l=-10.34 Ty_l=14.52 N_l=-9596.43 My_l=8.60 Mz_l=-0.01
Azioni sul cordone: TP=-0.75 TO=1.08 NO=-709.37
Tensioni nel cordone: τ_P=0.24 τ_0=0.34 σ_0=238.03 σ_{ID}=238.03 Σ_T=238.37
CC 28 SLD (Collegamento -182_-384)
Azioni sul collegamento: N=-9596.43 Ty=-10.48 Tz=12.21 Mx=-0.01 Mz=-8.01
Sollecitazioni agenti localmente: Tx_l=-10.48 Ty_l=12.21 N_l=-9596.43 My_l=8.01 Mz_l=-0.01
Azioni sul cordone: TP=-0.76 TO=0.91 NO=-709.37
Tensioni nel cordone: τ_P=0.24 τ_0=0.29 σ_0=237.18 σ_{ID}=237.18 Σ_T=237.47
CC 28 SLD (Collegamento -182_-384)
Azioni sul collegamento: N=-9596.43 Ty=-10.34 Tz=12.21 Mx=-0.01 Mz=-8.60
Sollecitazioni agenti localmente: Tx_l=-10.34 Ty_l=12.21 N_l=-9596.43 My_l=8.60 Mz_l=-0.01
Azioni sul cordone: TP=-0.75 TO=0.91 NO=-709.37
Tensioni nel cordone: τ_P=0.24 τ_0=0.29 σ_0=238.03 σ_{ID}=238.03 Σ_T=238.32
CC 29 SLV (Collegamento -182_-384)
Azioni sul collegamento: N=-8884.09 Ty=-11.11 Tz=9.96 Mx=-0.01 Mz=-11.40
Sollecitazioni agenti localmente: Tx_l=-11.11 Ty_l=9.96 N_l=-8884.09 My_l=11.40 Mz_l=-0.01
Azioni sul cordone: TP=-0.81 TO=0.74 NO=-656.72
Tensioni nel cordone: τ_P=0.26 τ_0=0.24 σ_0=225.38 σ_{ID}=225.38 Σ_T=225.62
CC 29 SLV (Collegamento -182_-384)
Azioni sul collegamento: N=-8884.09 Ty=-11.56 Tz=9.96 Mx=-0.01 Mz=-9.49
Sollecitazioni agenti localmente: Tx_l=-11.56 Ty_l=9.96 N_l=-8884.09 My_l=9.49 Mz_l=-0.01
Azioni sul cordone: TP=-0.85 TO=0.74 NO=-656.72
Tensioni nel cordone: τ_P=0.27 τ_0=0.24 σ_0=222.60 σ_{ID}=222.60 Σ_T=222.83
CC 29 SLV (Collegamento -182_-384)
Azioni sul collegamento: N=-8884.09 Ty=-11.11 Tz=17.53 Mx=-0.01 Mz=-11.40
Sollecitazioni agenti localmente: Tx_l=-11.11 Ty_l=17.53 N_l=-8884.09 My_l=11.40 Mz_l=-0.01
Azioni sul cordone: TP=-0.81 TO=1.30 NO=-656.72
Tensioni nel cordone: τ_P=0.26 τ_0=0.41 σ_0=225.38 σ_{ID}=225.39 Σ_T=225.80
CC 29 SLV (Collegamento -182_-384)
Azioni sul collegamento: N=-8884.09 Ty=-11.56 Tz=17.53 Mx=-0.01 Mz=-9.49
Sollecitazioni agenti localmente: Tx_l=-11.56 Ty_l=17.53 N_l=-8884.09 My_l=9.49 Mz_l=-0.01
Azioni sul cordone: TP=-0.85 TO=1.30 NO=-656.72
Tensioni nel cordone: τ_P=0.27 τ_0=0.41 σ_0=222.60 σ_{ID}=222.60 Σ_T=223.01
CC 29 SLV (Collegamento -182_-384)
Azioni sul collegamento: N=-11213.90 Ty=-11.11 Tz=9.96 Mx=-0.01 Mz=-11.40
Sollecitazioni agenti localmente: Tx_l=-11.11 Ty_l=9.96 N_l=-11213.90 My_l=11.40 Mz_l=-0.01
Azioni sul cordone: TP=-0.81 TO=0.74 NO=-828.93
Tensioni nel cordone: τ_P=0.26 τ_0=0.24 σ_0=280.12 σ_{ID}=280.12 Σ_T=280.36
CC 29 SLV (Collegamento -182_-384)
Azioni sul collegamento: N=-11213.90 Ty=-11.56 Tz=9.96 Mx=-0.01 Mz=-9.49
Sollecitazioni agenti localmente: Tx_l=-11.56 Ty_l=9.96 N_l=-11213.90 My_l=9.49 Mz_l=-0.01
Azioni sul cordone: TP=-0.85 TO=0.74 NO=-828.93
Tensioni nel cordone: τ_P=0.27 τ_0=0.24 σ_0=277.34 σ_{ID}=277.34 Σ_T=277.57
CC 29 SLV (Collegamento -182_-384)
Azioni sul collegamento: N=-11213.90 Ty=-11.11 Tz=17.53 Mx=-0.01 Mz=-11.40
Sollecitazioni agenti localmente: Tx_l=-11.11 Ty_l=17.53 N_l=-11213.90 My_l=11.40 Mz_l=-0.01
Azioni sul cordone: TP=-0.81 TO=1.30 NO=-828.93
Tensioni nel cordone: τ_P=0.26 τ_0=0.41 σ_0=280.12 σ_{ID}=280.13 Σ_T=280.54
CC 29 SLV (Collegamento -182_-384)
Azioni sul collegamento: N=-11213.90 Ty=-11.56 Tz=17.53 Mx=-0.01 Mz=-9.49
Sollecitazioni agenti localmente: Tx_l=-11.56 Ty_l=17.53 N_l=-11213.90 My_l=9.49 Mz_l=-0.01
Azioni sul cordone: TP=-0.85 TO=1.30 NO=-828.93
Tensioni nel cordone: τ_P=0.27 τ_0=0.41 σ_0=277.34 σ_{ID}=277.34 Σ_T=277.75

CC 30 SLD (Collegamento -182_-384)
Azioni sul collegamento: N=-9596.43 Ty=-10.34 Tz=12.21 Mx=-0.00 Mz=-8.60
Sollecitazioni agenti localmente: Tx_l=-10.34 Ty_l=12.21 N_l=-9596.43 My_l=8.60 Mz_l=-0.00
Azioni sul cordone: TP=-0.76 TO=0.91 NO=-709.37
Tensioni nel cordone: τ_P=0.24 τ_0=0.29 σ_0=238.03 σ_{ID}=238.03 Σ_T=238.32
CC 30 SLD (Collegamento -182_-384)
Azioni sul collegamento: N=-9596.43 Ty=-10.48 Tz=12.21 Mx=-0.00 Mz=-8.01
Sollecitazioni agenti localmente: Tx_l=-10.48 Ty_l=12.21 N_l=-9596.43 My_l=8.01 Mz_l=-0.00
Azioni sul cordone: TP=-0.77 TO=0.91 NO=-709.37
Tensioni nel cordone: τ_P=0.24 τ_0=0.29 σ_0=237.18 σ_{ID}=237.18 Σ_T=237.47
CC 30 SLD (Collegamento -182_-384)
Azioni sul collegamento: N=-9596.43 Ty=-10.34 Tz=14.52 Mx=-0.00 Mz=-8.60
Sollecitazioni agenti localmente: Tx_l=-10.34 Ty_l=14.52 N_l=-9596.43 My_l=8.60 Mz_l=-0.00
Azioni sul cordone: TP=-0.76 TO=1.08 NO=-709.37
Tensioni nel cordone: τ_P=0.24 τ_0=0.34 σ_0=238.03 σ_{ID}=238.03 Σ_T=238.37
CC 30 SLD (Collegamento -182_-384)
Azioni sul collegamento: N=-9596.43 Ty=-10.48 Tz=14.52 Mx=-0.00 Mz=-8.01
Sollecitazioni agenti localmente: Tx_l=-10.48 Ty_l=14.52 N_l=-9596.43 My_l=8.01 Mz_l=-0.00
Azioni sul cordone: TP=-0.77 TO=1.08 NO=-709.37
Tensioni nel cordone: τ_P=0.24 τ_0=0.34 σ_0=237.18 σ_{ID}=237.18 Σ_T=237.52
CC 30 SLD (Collegamento -182_-384)
Azioni sul collegamento: N=-10306.80 Ty=-10.34 Tz=12.21 Mx=-0.00 Mz=-8.60
Sollecitazioni agenti localmente: Tx_l=-10.34 Ty_l=12.21 N_l=-10306.80 My_l=8.60 Mz_l=-0.00
Azioni sul cordone: TP=-0.76 TO=0.91 NO=-761.88
Tensioni nel cordone: τ_P=0.24 τ_0=0.29 σ_0=254.72 σ_{ID}=254.72 Σ_T=255.01
CC 30 SLD (Collegamento -182_-384)
Azioni sul collegamento: N=-10306.80 Ty=-10.48 Tz=12.21 Mx=-0.00 Mz=-8.01
Sollecitazioni agenti localmente: Tx_l=-10.48 Ty_l=12.21 N_l=-10306.80 My_l=8.01 Mz_l=-0.00
Azioni sul cordone: TP=-0.77 TO=0.91 NO=-761.88
Tensioni nel cordone: τ_P=0.24 τ_0=0.29 σ_0=253.87 σ_{ID}=253.87 Σ_T=254.16
CC 30 SLD (Collegamento -182_-384)
Azioni sul collegamento: N=-10306.80 Ty=-10.34 Tz=14.52 Mx=-0.00 Mz=-8.60
Sollecitazioni agenti localmente: Tx_l=-10.34 Ty_l=14.52 N_l=-10306.80 My_l=8.60 Mz_l=-0.00
Azioni sul cordone: TP=-0.76 TO=1.08 NO=-761.88
Tensioni nel cordone: τ_P=0.24 τ_0=0.34 σ_0=254.72 σ_{ID}=254.72 Σ_T=255.06
CC 30 SLD (Collegamento -182_-384)
Azioni sul collegamento: N=-10306.80 Ty=-10.48 Tz=14.52 Mx=-0.00 Mz=-8.01
Sollecitazioni agenti localmente: Tx_l=-10.48 Ty_l=14.52 N_l=-10306.80 My_l=8.01 Mz_l=-0.00
Azioni sul cordone: TP=-0.77 TO=1.08 NO=-761.88
Tensioni nel cordone: τ_P=0.24 τ_0=0.34 σ_0=253.87 σ_{ID}=253.87 Σ_T=254.22
CC 31 SLV (Collegamento -182_-384)
Azioni sul collegamento: N=-11230.00 Ty=-13.27 Tz=18.62 Mx=-0.01 Mz=-12.98
Sollecitazioni agenti localmente: Tx_l=-13.27 Ty_l=18.62 N_l=-11230.00 My_l=12.98 Mz_l=-0.01
Azioni sul cordone: TP=-0.97 TO=1.38 NO=-830.13
Tensioni nel cordone: τ_P=0.31 τ_0=0.44 σ_0=282.82 σ_{ID}=282.82 Σ_T=283.26
CC 31 SLV (Collegamento -182_-384)
Azioni sul collegamento: N=-11230.00 Ty=-9.40 Tz=18.62 Mx=-0.01 Mz=-7.91
Sollecitazioni agenti localmente: Tx_l=-9.40 Ty_l=18.62 N_l=-11230.00 My_l=7.91 Mz_l=-0.01
Azioni sul cordone: TP=-0.69 TO=1.38 NO=-830.13
Tensioni nel cordone: τ_P=0.22 τ_0=0.44 σ_0=275.40 σ_{ID}=275.40 Σ_T=275.85
CC 31 SLV (Collegamento -182_-384)
Azioni sul collegamento: N=-11230.00 Ty=-13.27 Tz=8.87 Mx=-0.01 Mz=-12.98
Sollecitazioni agenti localmente: Tx_l=-13.27 Ty_l=8.87 N_l=-11230.00 My_l=12.98 Mz_l=-0.01
Azioni sul cordone: TP=-0.97 TO=0.66 NO=-830.13
Tensioni nel cordone: τ_P=0.31 τ_0=0.21 σ_0=282.82 σ_{ID}=282.82 Σ_T=283.03
CC 31 SLV (Collegamento -182_-384)
Azioni sul collegamento: N=-11230.00 Ty=-9.40 Tz=8.87 Mx=-0.01 Mz=-7.91
Sollecitazioni agenti localmente: Tx_l=-9.40 Ty_l=8.87 N_l=-11230.00 My_l=7.91 Mz_l=-0.01
Azioni sul cordone: TP=-0.69 TO=0.66 NO=-830.13
Tensioni nel cordone: τ_P=0.22 τ_0=0.21 σ_0=275.40 σ_{ID}=275.40 Σ_T=275.62
CC 31 SLV (Collegamento -182_-384)
Azioni sul collegamento: N=-8867.92 Ty=-13.27 Tz=18.62 Mx=-0.01 Mz=-12.98
Sollecitazioni agenti localmente: Tx_l=-13.27 Ty_l=18.62 N_l=-8867.92 My_l=12.98 Mz_l=-0.01
Azioni sul cordone: TP=-0.97 TO=1.38 NO=-655.52
Tensioni nel cordone: τ_P=0.31 τ_0=0.44 σ_0=227.32 σ_{ID}=227.32 Σ_T=227.76
CC 31 SLV (Collegamento -182_-384)
Azioni sul collegamento: N=-8867.92 Ty=-9.40 Tz=18.62 Mx=-0.01 Mz=-7.91
Sollecitazioni agenti localmente: Tx_l=-9.40 Ty_l=18.62 N_l=-8867.92 My_l=7.91 Mz_l=-0.01
Azioni sul cordone: TP=-0.69 TO=1.38 NO=-655.52
Tensioni nel cordone: τ_P=0.22 τ_0=0.44 σ_0=219.91 σ_{ID}=219.91 Σ_T=220.35
CC 31 SLV (Collegamento -182_-384)
Azioni sul collegamento: N=-8867.92 Ty=-13.27 Tz=8.87 Mx=-0.01 Mz=-12.98
Sollecitazioni agenti localmente: Tx_l=-13.27 Ty_l=8.87 N_l=-8867.92 My_l=12.98 Mz_l=-0.01
Azioni sul cordone: TP=-0.97 TO=0.66 NO=-655.52
Tensioni nel cordone: τ_P=0.31 τ_0=0.21 σ_0=227.32 σ_{ID}=227.32 Σ_T=227.53
CC 31 SLV (Collegamento -182_-384)
Azioni sul collegamento: N=-8867.92 Ty=-9.40 Tz=8.87 Mx=-0.01 Mz=-7.91
Sollecitazioni agenti localmente: Tx_l=-9.40 Ty_l=8.87 N_l=-8867.92 My_l=7.91 Mz_l=-0.01
Azioni sul cordone: TP=-0.69 TO=0.66 NO=-655.52
Tensioni nel cordone: τ_P=0.22 τ_0=0.21 σ_0=219.91 σ_{ID}=219.91 Σ_T=220.12
CC 32 SLD (Collegamento -182_-384)

Azioni sul collegamento: N=-10311.80 Ty=-11.00 Tz=14.85 Mx=-0.00 Mz=-9.08
Sollecitazioni agenti localmente: Tx_l=-11.00 Ty_l=14.85 N_l=-10311.80 My_l=9.08 Mz_l=-0.00
Azioni sul cordone: TP=-0.81 TO=1.10 NO=-762.25
Tensioni nel cordone: τ_P=0.26 τ_0=0.35 σ_0=255.54 σ_{ID}=255.54 Σ_T=255.89
CC 32 SLD (Collegamento -182_-384)
Azioni sul collegamento: N=-10311.80 Ty=-9.82 Tz=14.85 Mx=-0.00 Mz=-7.53
Sollecitazioni agenti localmente: Tx_l=-9.82 Ty_l=14.85 N_l=-10311.80 My_l=7.53 Mz_l=-0.00
Azioni sul cordone: TP=-0.72 TO=1.10 NO=-762.25
Tensioni nel cordone: τ_P=0.23 τ_0=0.35 σ_0=253.28 σ_{ID}=253.28 Σ_T=253.63
CC 32 SLD (Collegamento -182_-384)
Azioni sul collegamento: N=-10311.80 Ty=-11.00 Tz=11.88 Mx=-0.00 Mz=-9.08
Sollecitazioni agenti localmente: Tx_l=-11.00 Ty_l=11.88 N_l=-10311.80 My_l=9.08 Mz_l=-0.00
Azioni sul cordone: TP=-0.81 TO=0.88 NO=-762.25
Tensioni nel cordone: τ_P=0.26 τ_0=0.28 σ_0=255.54 σ_{ID}=255.54 Σ_T=255.82
CC 32 SLD (Collegamento -182_-384)
Azioni sul collegamento: N=-10311.80 Ty=-9.82 Tz=11.88 Mx=-0.00 Mz=-7.53
Sollecitazioni agenti localmente: Tx_l=-9.82 Ty_l=11.88 N_l=-10311.80 My_l=7.53 Mz_l=-0.00
Azioni sul cordone: TP=-0.72 TO=0.88 NO=-762.25
Tensioni nel cordone: τ_P=0.23 τ_0=0.28 σ_0=253.28 σ_{ID}=253.28 Σ_T=253.56
CC 32 SLD (Collegamento -182_-384)
Azioni sul collegamento: N=-9591.50 Ty=-11.00 Tz=14.85 Mx=-0.00 Mz=-9.08
Sollecitazioni agenti localmente: Tx_l=-11.00 Ty_l=14.85 N_l=-9591.50 My_l=9.08 Mz_l=-0.00
Azioni sul cordone: TP=-0.81 TO=1.10 NO=-709.01
Tensioni nel cordone: τ_P=0.26 τ_0=0.35 σ_0=238.62 σ_{ID}=238.62 Σ_T=238.97
CC 32 SLD (Collegamento -182_-384)
Azioni sul collegamento: N=-9591.50 Ty=-9.82 Tz=14.85 Mx=-0.00 Mz=-7.53
Sollecitazioni agenti localmente: Tx_l=-9.82 Ty_l=14.85 N_l=-9591.50 My_l=7.53 Mz_l=-0.00
Azioni sul cordone: TP=-0.72 TO=1.10 NO=-709.01
Tensioni nel cordone: τ_P=0.23 τ_0=0.35 σ_0=236.36 σ_{ID}=236.36 Σ_T=236.71
CC 32 SLD (Collegamento -182_-384)
Azioni sul collegamento: N=-9591.50 Ty=-11.00 Tz=11.88 Mx=-0.00 Mz=-9.08
Sollecitazioni agenti localmente: Tx_l=-11.00 Ty_l=11.88 N_l=-9591.50 My_l=9.08 Mz_l=-0.00
Azioni sul cordone: TP=-0.81 TO=0.88 NO=-709.01
Tensioni nel cordone: τ_P=0.26 τ_0=0.28 σ_0=238.62 σ_{ID}=238.62 Σ_T=238.90
CC 32 SLD (Collegamento -182_-384)
Azioni sul collegamento: N=-9591.50 Ty=-9.82 Tz=11.88 Mx=-0.00 Mz=-7.53
Sollecitazioni agenti localmente: Tx_l=-9.82 Ty_l=11.88 N_l=-9591.50 My_l=7.53 Mz_l=-0.00
Azioni sul cordone: TP=-0.72 TO=0.88 NO=-709.01
Tensioni nel cordone: τ_P=0.23 τ_0=0.28 σ_0=236.36 σ_{ID}=236.36 Σ_T=236.64
CC 33 SLU (Collegamento -182_-384)
Azioni sul collegamento: N=-37242.40 Ty=-20.96 Tz=105.49 Mx=-0.01 Mz=-15.56
Sollecitazioni agenti localmente: Tx_l=-20.96 Ty_l=105.49 N_l=-37242.40 My_l=15.56 Mz_l=-0.01
Azioni sul cordone: TP=-1.54 TO=7.80 NO=-2752.97
Tensioni nel cordone: τ_P=0.49 τ_0=2.48 σ_0=897.76 σ_{ID}=897.76 Σ_T=900.24
CC 34 SLU (Collegamento -182_-384)
Azioni sul collegamento: N=-36428.20 Ty=-20.21 Tz=102.49 Mx=-0.01 Mz=-15.01
Sollecitazioni agenti localmente: Tx_l=-20.21 Ty_l=102.49 N_l=-36428.20 My_l=15.01 Mz_l=-0.01
Azioni sul cordone: TP=-1.49 TO=7.58 NO=-2692.78
Tensioni nel cordone: τ_P=0.47 τ_0=2.41 σ_0=877.82 σ_{ID}=877.83 Σ_T=880.23
CC 35 SLU (Collegamento -182_-384)
Azioni sul collegamento: N=-36836.10 Ty=-20.67 Tz=103.93 Mx=-0.00 Mz=-15.47
Sollecitazioni agenti localmente: Tx_l=-20.67 Ty_l=103.93 N_l=-36836.10 My_l=15.47 Mz_l=-0.00
Azioni sul cordone: TP=-1.52 TO=7.69 NO=-2722.94
Tensioni nel cordone: τ_P=0.48 τ_0=2.44 σ_0=888.08 σ_{ID}=888.08 Σ_T=890.52
CC 36 SLU (Collegamento -182_-384)
Azioni sul collegamento: N=-36834.40 Ty=-20.49 Tz=104.05 Mx=-0.01 Mz=-15.10
Sollecitazioni agenti localmente: Tx_l=-20.49 Ty_l=104.05 N_l=-36834.40 My_l=15.10 Mz_l=-0.01
Azioni sul cordone: TP=-1.51 TO=7.70 NO=-2722.81
Tensioni nel cordone: τ_P=0.48 τ_0=2.45 σ_0=887.50 σ_{ID}=887.51 Σ_T=889.95
CC 37 SLU (Collegamento -182_-384)
Azioni sul collegamento: N=-28075.80 Ty=-20.08 Tz=71.84 Mx=-0.01 Mz=-14.76
Sollecitazioni agenti localmente: Tx_l=-20.08 Ty_l=71.84 N_l=-28075.80 My_l=14.76 Mz_l=-0.01
Azioni sul cordone: TP=-1.48 TO=5.31 NO=-2075.37
Tensioni nel cordone: τ_P=0.47 τ_0=1.69 σ_0=681.22 σ_{ID}=681.23 Σ_T=682.91
CC 38 SLU (Collegamento -182_-384)
Azioni sul collegamento: N=-27261.60 Ty=-19.33 Tz=68.83 Mx=-0.01 Mz=-14.21
Sollecitazioni agenti localmente: Tx_l=-19.33 Ty_l=68.83 N_l=-27261.60 My_l=14.21 Mz_l=-0.01
Azioni sul cordone: TP=-1.42 TO=5.09 NO=-2015.18
Tensioni nel cordone: τ_P=0.45 τ_0=1.62 σ_0=661.29 σ_{ID}=661.29 Σ_T=662.91
CC 39 SLU (Collegamento -182_-384)
Azioni sul collegamento: N=-27669.60 Ty=-19.79 Tz=70.28 Mx=-0.00 Mz=-14.67
Sollecitazioni agenti localmente: Tx_l=-19.79 Ty_l=70.28 N_l=-27669.60 My_l=14.67 Mz_l=-0.00
Azioni sul cordone: TP=-1.46 TO=5.20 NO=-2045.34
Tensioni nel cordone: τ_P=0.46 τ_0=1.65 σ_0=671.54 σ_{ID}=671.54 Σ_T=673.20
CC 40 SLU (Collegamento -182_-384)
Azioni sul collegamento: N=-27667.80 Ty=-19.61 Tz=70.39 Mx=-0.01 Mz=-14.31
Sollecitazioni agenti localmente: Tx_l=-19.61 Ty_l=70.39 N_l=-27667.80 My_l=14.31 Mz_l=-0.01
Azioni sul cordone: TP=-1.44 TO=5.21 NO=-2045.21
Tensioni nel cordone: τ_P=0.46 τ_0=1.66 σ_0=670.97 σ_{ID}=670.97 Σ_T=672.62
CC 41 SLU (Collegamento -182_-384)
Azioni sul collegamento: N=-30474.50 Ty=9.93 Tz=80.11 Mx=-0.01 Mz=7.87

Sollecitazioni agenti localmente: Tx_l=9.93 Ty_l=80.11 N_l=-30474.50 My_l=-7.87 Mz_l=-0.01
Azioni sul cordone: TP=0.74 TO=5.92 NO=-2252.69
Tensioni nel cordone: τ_P=0.24 τ_0=1.88 σ_0=727.51 σ_{ID}=727.52 Σ_T=729.39
CC 42 SLU (Collegamento -182_-384)
Azioni sul collegamento: N=-29660.30 Ty=10.68 Tz=77.11 Mx=-0.01 Mz=8.42
Sollecitazioni agenti localmente: Tx_l=10.68 Ty_l=77.11 N_l=-29660.30 My_l=-8.42 Mz_l=-0.01
Azioni sul cordone: TP=0.80 TO=5.70 NO=-2192.50
Tensioni nel cordone: τ_P=0.25 τ_0=1.81 σ_0=709.19 σ_{ID}=709.19 Σ_T=711.00
CC 43 SLU (Collegamento -182_-384)
Azioni sul collegamento: N=-30068.30 Ty=10.21 Tz=78.55 Mx=-0.00 Mz=7.97
Sollecitazioni agenti localmente: Tx_l=10.21 Ty_l=78.55 N_l=-30068.30 My_l=-7.97 Mz_l=-0.00
Azioni sul cordone: TP=0.76 TO=5.80 NO=-2222.66
Tensioni nel cordone: τ_P=0.24 τ_0=1.84 σ_0=718.11 σ_{ID}=718.11 Σ_T=719.95
CC 44 SLU (Collegamento -182_-384)
Azioni sul collegamento: N=-30066.50 Ty=10.39 Tz=78.67 Mx=-0.01 Mz=8.33
Sollecitazioni agenti localmente: Tx_l=10.39 Ty_l=78.67 N_l=-30066.50 My_l=-8.33 Mz_l=-0.01
Azioni sul cordone: TP=0.78 TO=5.81 NO=-2222.53
Tensioni nel cordone: τ_P=0.25 τ_0=1.85 σ_0=718.60 σ_{ID}=718.60 Σ_T=720.44
CC 45 SLU (Collegamento -182_-384)
Azioni sul collegamento: N=-30085.80 Ty=-20.31 Tz=79.22 Mx=-0.00 Mz=-15.08
Sollecitazioni agenti localmente: Tx_l=-20.31 Ty_l=79.22 N_l=-30085.80 My_l=15.08 Mz_l=-0.00
Azioni sul cordone: TP=-1.50 TO=5.86 NO=-2223.95
Tensioni nel cordone: τ_P=0.48 τ_0=1.86 σ_0=728.91 σ_{ID}=728.91 Σ_T=730.77
CC 46 SLU (Collegamento -182_-384)
Azioni sul collegamento: N=-29271.60 Ty=-19.56 Tz=76.22 Mx=-0.00 Mz=-14.53
Sollecitazioni agenti localmente: Tx_l=-19.56 Ty_l=76.22 N_l=-29271.60 My_l=14.53 Mz_l=-0.00
Azioni sul cordone: TP=-1.44 TO=5.64 NO=-2163.76
Tensioni nel cordone: τ_P=0.46 τ_0=1.79 σ_0=708.98 σ_{ID}=708.98 Σ_T=710.77
CC 47 SLU (Collegamento -182_-384)
Azioni sul collegamento: N=-29679.60 Ty=-20.02 Tz=77.66 Mx=-0.00 Mz=-14.99
Sollecitazioni agenti localmente: Tx_l=-20.02 Ty_l=77.66 N_l=-29679.60 My_l=14.99 Mz_l=-0.00
Azioni sul cordone: TP=-1.48 TO=5.74 NO=-2193.92
Tensioni nel cordone: τ_P=0.47 τ_0=1.83 σ_0=719.23 σ_{ID}=719.23 Σ_T=721.06
CC 48 SLU (Collegamento -182_-384)
Azioni sul collegamento: N=-29677.80 Ty=-19.84 Tz=77.78 Mx=-0.01 Mz=-14.62
Sollecitazioni agenti localmente: Tx_l=-19.84 Ty_l=77.78 N_l=-29677.80 My_l=14.62 Mz_l=-0.01
Azioni sul cordone: TP=-1.46 TO=5.75 NO=-2193.79
Tensioni nel cordone: τ_P=0.46 τ_0=1.83 σ_0=718.66 σ_{ID}=718.66 Σ_T=720.49
CC 49 SLU (Collegamento -182_-384)
Azioni sul collegamento: N=-23227.80 Ty=-19.65 Tz=54.04 Mx=-0.00 Mz=-14.49
Sollecitazioni agenti localmente: Tx_l=-19.65 Ty_l=54.04 N_l=-23227.80 My_l=14.49 Mz_l=-0.00
Azioni sul cordone: TP=-1.45 TO=4.00 NO=-1717.01
Tensioni nel cordone: τ_P=0.46 τ_0=1.27 σ_0=566.91 σ_{ID}=566.91 Σ_T=568.18
CC 50 SLU (Collegamento -182_-384)
Azioni sul collegamento: N=-22413.60 Ty=-18.90 Tz=51.04 Mx=-0.00 Mz=-13.93
Sollecitazioni agenti localmente: Tx_l=-18.90 Ty_l=51.04 N_l=-22413.60 My_l=13.93 Mz_l=-0.00
Azioni sul cordone: TP=-1.39 TO=3.78 NO=-1656.82
Tensioni nel cordone: τ_P=0.44 τ_0=1.20 σ_0=546.98 σ_{ID}=546.98 Σ_T=548.18
CC 51 SLU (Collegamento -182_-384)
Azioni sul collegamento: N=-22821.60 Ty=-19.36 Tz=52.48 Mx=-0.00 Mz=-14.39
Sollecitazioni agenti localmente: Tx_l=-19.36 Ty_l=52.48 N_l=-22821.60 My_l=14.39 Mz_l=-0.00
Azioni sul cordone: TP=-1.43 TO=3.88 NO=-1686.98
Tensioni nel cordone: τ_P=0.45 τ_0=1.23 σ_0=557.23 σ_{ID}=557.23 Σ_T=558.47
CC 52 SLU (Collegamento -182_-384)
Azioni sul collegamento: N=-22819.80 Ty=-19.19 Tz=52.60 Mx=-0.01 Mz=-14.03
Sollecitazioni agenti localmente: Tx_l=-19.19 Ty_l=52.60 N_l=-22819.80 My_l=14.03 Mz_l=-0.01
Azioni sul cordone: TP=-1.41 TO=3.89 NO=-1686.85
Tensioni nel cordone: τ_P=0.45 τ_0=1.24 σ_0=556.66 σ_{ID}=556.66 Σ_T=557.89
CC 53 SLU (Collegamento -182_-384)
Azioni sul collegamento: N=-25022.40 Ty=2.80 Tz=60.23 Mx=-0.00 Mz=2.45
Sollecitazioni agenti localmente: Tx_l=2.80 Ty_l=60.23 N_l=-25022.40 My_l=-2.45 Mz_l=-0.00
Azioni sul cordone: TP=0.21 TO=4.45 NO=-1849.67
Tensioni nel cordone: τ_P= 0.07 τ_0=1.41 σ_0=591.49 σ_{ID}=591.50 Σ_T=592.91
CC 54 SLU (Collegamento -182_-384)
Azioni sul collegamento: N=-24208.20 Ty=3.55 Tz=57.23 Mx=-0.01 Mz=3.00
Sollecitazioni agenti localmente: Tx_l=3.55 Ty_l=57.23 N_l=-24208.20 My_l=-3.00 Mz_l=-0.01
Azioni sul cordone: TP=0.27 TO=4.23 NO=-1789.48
Tensioni nel cordone: τ_P= 0.09 τ_0=1.34 σ_0=573.17 σ_{ID}=573.17 Σ_T=574.51
CC 55 SLU (Collegamento -182_-384)
Azioni sul collegamento: N=-24616.20 Ty=3.09 Tz=58.67 Mx=-0.00 Mz=2.54
Sollecitazioni agenti localmente: Tx_l=3.09 Ty_l=58.67 N_l=-24616.20 My_l=-2.54 Mz_l=-0.00
Azioni sul cordone: TP=0.23 TO=4.33 NO=-1819.64
Tensioni nel cordone: τ_P= 0.07 τ_0=1.38 σ_0=582.09 σ_{ID}=582.09 Σ_T=583.46
CC 56 SLU (Collegamento -182_-384)
Azioni sul collegamento: N=-24614.50 Ty=3.26 Tz=58.79 Mx=-0.01 Mz=2.91
Sollecitazioni agenti localmente: Tx_l=3.26 Ty_l=58.79 N_l=-24614.50 My_l=-2.91 Mz_l=-0.01
Azioni sul cordone: TP=0.25 TO=4.34 NO=-1819.51
Tensioni nel cordone: τ_P= 0.08 τ_0=1.38 σ_0=582.58 σ_{ID}=582.58 Σ_T=583.96
CC 57 SLU (Collegamento -182_-384)
Azioni sul collegamento: N=-27876.60 Ty=-18.56 Tz=71.09 Mx=-0.00 Mz=-13.78
Sollecitazioni agenti localmente: Tx_l=-18.56 Ty_l=71.09 N_l=-27876.60 My_l=13.78 Mz_l=-0.00

Azioni sul cordone: TP=-1.37 TO=5.26 NO=-2060.65
Tensioni nel cordone: τ_P=0.43 τ_O=1.67 σ_O=675.11 σ_{ID}=675.11 Σ_T=676.78
CC 58 SLU (Collegamento -182_-384)
Azioni sul collegamento: N=-27062.40 Ty=-17.81 Tz=68.08 Mx=-0.00 Mz=-13.23
Sollecitazioni agenti localmente: Tx_l=-17.81 Ty_l=68.08 N_l=-27062.40 My_l=13.23 Mz_l=-0.00
Azioni sul cordone: TP=-1.31 TO=5.04 NO=-2000.46
Tensioni nel cordone: τ_P=0.42 τ_O=1.60 σ_O=655.18 σ_{ID}=655.18 Σ_T=656.78
CC 59 SLU (Collegamento -182_-384)
Azioni sul collegamento: N=-27470.40 Ty=-18.27 Tz=69.53 Mx=-0.00 Mz=-13.69
Sollecitazioni agenti localmente: Tx_l=-18.27 Ty_l=69.53 N_l=-27470.40 My_l=13.69 Mz_l=-0.00
Azioni sul cordone: TP=-1.35 TO=5.14 NO=-2030.62
Tensioni nel cordone: τ_P=0.43 τ_O=1.63 σ_O=665.43 σ_{ID}=665.43 Σ_T=667.07
CC 60 SLU (Collegamento -182_-384)
Azioni sul collegamento: N=-27468.70 Ty=-18.09 Tz=69.65 Mx=-0.01 Mz=-13.33
Sollecitazioni agenti localmente: Tx_l=-18.09 Ty_l=69.65 N_l=-27468.70 My_l=13.33 Mz_l=-0.01
Azioni sul cordone: TP=-1.33 TO=5.15 NO=-2030.49
Tensioni nel cordone: τ_P=0.42 τ_O=1.64 σ_O=664.86 σ_{ID}=664.86 Σ_T=666.50
CC 61 SLU (Collegamento -182_-384)
Azioni sul collegamento: N=-21018.70 Ty=-17.90 Tz=45.91 Mx=-0.00 Mz=-13.19
Sollecitazioni agenti localmente: Tx_l=-17.90 Ty_l=45.91 N_l=-21018.70 My_l=13.19 Mz_l=-0.00
Azioni sul cordone: TP=-1.32 TO=3.40 NO=-1553.71
Tensioni nel cordone: τ_P=0.42 τ_O=1.08 σ_O=513.11 σ_{ID}=513.11 Σ_T=514.19
CC 62 SLU (Collegamento -182_-384)
Azioni sul collegamento: N=-20204.50 Ty=-17.15 Tz=42.91 Mx=-0.00 Mz=-12.64
Sollecitazioni agenti localmente: Tx_l=-17.15 Ty_l=42.91 N_l=-20204.50 My_l=12.64 Mz_l=-0.00
Azioni sul cordone: TP=-1.26 TO=3.18 NO=-1493.52
Tensioni nel cordone: τ_P=0.40 τ_O=1.01 σ_O=493.18 σ_{ID}=493.18 Σ_T=494.19
CC 63 SLU (Collegamento -182_-384)
Azioni sul collegamento: N=-20612.50 Ty=-17.61 Tz=44.35 Mx=-0.00 Mz=-13.10
Sollecitazioni agenti localmente: Tx_l=-17.61 Ty_l=44.35 N_l=-20612.50 My_l=13.10 Mz_l=-0.00
Azioni sul cordone: TP=-1.30 TO=3.28 NO=-1523.68
Tensioni nel cordone: τ_P=0.41 τ_O=1.04 σ_O=503.43 σ_{ID}=503.43 Σ_T=504.47
CC 64 SLU (Collegamento -182_-384)
Azioni sul collegamento: N=-20610.70 Ty=-17.43 Tz=44.47 Mx=-0.01 Mz=-12.73
Sollecitazioni agenti localmente: Tx_l=-17.43 Ty_l=44.47 N_l=-20610.70 My_l=12.73 Mz_l=-0.01
Azioni sul cordone: TP=-1.28 TO=3.29 NO=-1523.55
Tensioni nel cordone: τ_P=0.41 τ_O=1.05 σ_O=502.86 σ_{ID}=502.86 Σ_T=503.90
CC 65 SLU (Collegamento -182_-384)
Azioni sul collegamento: N=-22813.30 Ty=4.55 Tz=52.10 Mx=-0.00 Mz=3.75
Sollecitazioni agenti localmente: Tx_l=4.55 Ty_l=52.10 N_l=-22813.30 My_l=-3.75 Mz_l=-0.00
Azioni sul cordone: TP=0.34 TO=3.85 NO=-1686.37
Tensioni nel cordone: τ_P=0.11 τ_O=1.22 σ_O=541.48 σ_{ID}=541.49 Σ_T=542.71
CC 66 SLU (Collegamento -182_-384)
Azioni sul collegamento: N=-21999.10 Ty=5.30 Tz=49.10 Mx=-0.00 Mz=4.30
Sollecitazioni agenti localmente: Tx_l=5.30 Ty_l=49.10 N_l=-21999.10 My_l=-4.30 Mz_l=-0.00
Azioni sul cordone: TP=0.40 TO=3.63 NO=-1626.18
Tensioni nel cordone: τ_P=0.13 τ_O=1.15 σ_O=523.16 σ_{ID}=523.16 Σ_T=524.31
CC 67 SLU (Collegamento -182_-384)
Azioni sul collegamento: N=-22407.10 Ty=4.84 Tz=50.54 Mx=-0.00 Mz=3.84
Sollecitazioni agenti localmente: Tx_l=4.84 Ty_l=50.54 N_l=-22407.10 My_l=-3.84 Mz_l=-0.00
Azioni sul cordone: TP=0.36 TO=3.73 NO=-1656.34
Tensioni nel cordone: τ_P=0.12 τ_O=1.19 σ_O=532.08 σ_{ID}=532.08 Σ_T=533.26
CC 68 SLU (Collegamento -182_-384)
Azioni sul collegamento: N=-22405.30 Ty=5.01 Tz=50.66 Mx=-0.01 Mz=4.20
Sollecitazioni agenti localmente: Tx_l=5.01 Ty_l=50.66 N_l=-22405.30 My_l=-4.20 Mz_l=-0.01
Azioni sul cordone: TP=0.38 TO=3.74 NO=-1656.21
Tensioni nel cordone: τ_P=0.12 τ_O=1.19 σ_O=532.57 σ_{ID}=532.57 Σ_T=533.75
CC 97 SLU (Collegamento -182_-384)
Azioni sul collegamento: N=-12779.50 Ty=-22.48 Tz=24.03 Mx=-0.06 Mz=-25.00
Sollecitazioni agenti localmente: Tx_l=-22.48 Ty_l=24.03 N_l=-12779.50 My_l=25.00 Mz_l=-0.06
Azioni sul cordone: TP=-1.60 TO=1.82 NO=-944.66
Tensioni nel cordone: τ_P=0.51 τ_O=0.58 σ_O=336.79 σ_{ID}=336.79 Σ_T=337.37
CC 98 SLU (Collegamento -182_-384)
Azioni sul collegamento: N=-11965.30 Ty=-21.73 Tz=21.02 Mx=-0.06 Mz=-24.45
Sollecitazioni agenti localmente: Tx_l=-21.73 Ty_l=21.02 N_l=-11965.30 My_l=24.45 Mz_l=-0.06
Azioni sul cordone: TP=-1.54 TO=1.60 NO=-884.48
Tensioni nel cordone: τ_P=0.49 τ_O=0.51 σ_O=316.85 σ_{ID}=316.85 Σ_T=317.36
CC 99 SLU (Collegamento -182_-384)
Azioni sul collegamento: N=-12373.20 Ty=-22.20 Tz=22.47 Mx=-0.05 Mz=-24.91
Sollecitazioni agenti localmente: Tx_l=-22.20 Ty_l=22.47 N_l=-12373.20 My_l=24.91 Mz_l=-0.05
Azioni sul cordone: TP=-1.58 TO=1.70 NO=-914.63
Tensioni nel cordone: τ_P=0.50 τ_O=0.54 σ_O=327.11 σ_{ID}=327.11 Σ_T=327.65
CC 100 SLU (Collegamento -182_-384)
Azioni sul collegamento: N=-12371.50 Ty=-22.02 Tz=22.58 Mx=-0.06 Mz=-24.55
Sollecitazioni agenti localmente: Tx_l=-22.02 Ty_l=22.58 N_l=-12371.50 My_l=24.55 Mz_l=-0.06
Azioni sul cordone: TP=-1.56 TO=1.71 NO=-914.50
Tensioni nel cordone: τ_P=0.50 τ_O=0.55 σ_O=326.53 σ_{ID}=326.53 Σ_T=327.08
CC 101 SLU (Collegamento -182_-384)
Azioni sul collegamento: N=-10566.60 Ty=-8.33 Tz=15.50 Mx=0.00 Mz=-5.31
Sollecitazioni agenti localmente: Tx_l=-8.33 Ty_l=15.50 N_l=-10566.60 My_l=5.31 Mz_l=0.00
Azioni sul cordone: TP=-0.62 TO=1.14 NO=-781.09

Tensioni nel cordone: τ_P=0.20 τ_0=0.36 σ_0=256.03 σ_{ID}=256.03 Σ_T=256.39
CC 102 SLU (Collegamento -182_-384)
Azioni sul collegamento: N=-9752.38 Ty=-7.57 Tz=12.50 Mx=0.00 Mz=-4.76
Sollecitazioni agenti localmente: Tx_l=-7.57 Ty_l=12.50 N_l=-9752.38 My_l=4.76 Mz_l=0.00
Azioni sul cordone: TP=-0.56 TO=0.92 NO=-720.90
Tensioni nel cordone: τ_P=0.18 τ_0=0.29 σ_0=236.09 σ_{ID}=236.09 Σ_T=236.39
CC 103 SLU (Collegamento -182_-384)
Azioni sul collegamento: N=-10160.40 Ty=-8.04 Tz=13.94 Mx=0.00 Mz=-5.22
Sollecitazioni agenti localmente: Tx_l=-8.04 Ty_l=13.94 N_l=-10160.40 My_l=5.22 Mz_l=0.00
Azioni sul cordone: TP=-0.60 TO=1.03 NO=-751.06
Tensioni nel cordone: τ_P=0.19 τ_0=0.33 σ_0=246.35 σ_{ID}=246.35 Σ_T=246.67
CC 104 SLU (Collegamento -182_-384)
Azioni sul collegamento: N=-10158.60 Ty=-7.86 Tz=14.06 Mx=0.00 Mz=-4.85
Sollecitazioni agenti localmente: Tx_l=-7.86 Ty_l=14.06 N_l=-10158.60 My_l=4.85 Mz_l=0.00
Azioni sul cordone: TP=-0.58 TO=1.04 NO=-750.93
Tensioni nel cordone: τ_P=0.19 τ_0=0.33 σ_0=245.77 σ_{ID}=245.77 Σ_T=246.10

Flessione attacco superiore piastra

Bnetta=220.00 Hnetta=15.00
CC 1 SLV (Collegamento -182_-384)
Azioni sul collegamento: N=-5856.57 Ty=-4.82 Tz=-1.96 Mx=0.01 Mz=-1.13
Sollecitazioni agenti localmente: Ty_l=-1064.83 Mx_l=-21.30
Tensioni nella sezione: σ=258.14 τ=32.27
CC 1 SLV (Collegamento -182_-384)
Azioni sul collegamento: N=-5856.57 Ty=-12.53 Tz=-1.96 Mx=0.01 Mz=-7.45
Sollecitazioni agenti localmente: Ty_l=-1064.83 Mx_l=-21.30
Tensioni nella sezione: σ=258.14 τ=32.27
CC 1 SLV (Collegamento -182_-384)
Azioni sul collegamento: N=-5856.57 Ty=-4.82 Tz=27.25 Mx=0.01 Mz=-1.13
Sollecitazioni agenti localmente: Ty_l=-1064.83 Mx_l=-21.30
Tensioni nella sezione: σ=258.14 τ=32.27
CC 1 SLV (Collegamento -182_-384)
Azioni sul collegamento: N=-5856.57 Ty=-12.53 Tz=27.25 Mx=0.01 Mz=-7.45
Sollecitazioni agenti localmente: Ty_l=-1064.83 Mx_l=-21.30
Tensioni nella sezione: σ=258.14 τ=32.27
CC 1 SLV (Collegamento -182_-384)
Azioni sul collegamento: N=-13681.20 Ty=-4.82 Tz=-1.96 Mx=0.01 Mz=-1.13
Sollecitazioni agenti localmente: Ty_l=-2487.49 Mx_l=-49.75
Tensioni nella sezione: σ=603.03 τ=75.38
CC 1 SLV (Collegamento -182_-384)
Azioni sul collegamento: N=-13681.20 Ty=-12.53 Tz=-1.96 Mx=0.01 Mz=-7.45
Sollecitazioni agenti localmente: Ty_l=-2487.49 Mx_l=-49.75
Tensioni nella sezione: σ=603.03 τ=75.38
CC 1 SLV (Collegamento -182_-384)
Azioni sul collegamento: N=-13681.20 Ty=-4.82 Tz=27.25 Mx=0.01 Mz=-1.13
Sollecitazioni agenti localmente: Ty_l=-2487.49 Mx_l=-49.75
Tensioni nella sezione: σ=603.03 τ=75.38
CC 1 SLV (Collegamento -182_-384)
Azioni sul collegamento: N=-13681.20 Ty=-12.53 Tz=27.25 Mx=0.01 Mz=-7.45
Sollecitazioni agenti localmente: Ty_l=-2487.49 Mx_l=-49.75
Tensioni nella sezione: σ=603.03 τ=75.38
CC 2 SLD (Collegamento -182_-384)
Azioni sul collegamento: N=-8673.24 Ty=-8.42 Tz=8.57 Mx=0.00 Mz=-5.47
Sollecitazioni agenti localmente: Ty_l=-1576.95 Mx_l=-31.54
Tensioni nella sezione: σ=382.29 τ=47.79
CC 2 SLD (Collegamento -182_-384)
Azioni sul collegamento: N=-8673.24 Ty=-10.78 Tz=8.57 Mx=0.00 Mz=-7.39
Sollecitazioni agenti localmente: Ty_l=-1576.95 Mx_l=-31.54
Tensioni nella sezione: σ=382.29 τ=47.79
CC 2 SLD (Collegamento -182_-384)
Azioni sul collegamento: N=-8673.24 Ty=-8.42 Tz=17.48 Mx=0.00 Mz=-5.47
Sollecitazioni agenti localmente: Ty_l=-1576.95 Mx_l=-31.54
Tensioni nella sezione: σ=382.29 τ=47.79
CC 2 SLD (Collegamento -182_-384)
Azioni sul collegamento: N=-8673.24 Ty=-10.78 Tz=17.48 Mx=0.00 Mz=-7.39
Sollecitazioni agenti localmente: Ty_l=-1576.95 Mx_l=-31.54
Tensioni nella sezione: σ=382.29 τ=47.79
CC 2 SLD (Collegamento -182_-384)
Azioni sul collegamento: N=-11059.20 Ty=-8.42 Tz=8.57 Mx=0.00 Mz=-5.47
Sollecitazioni agenti localmente: Ty_l=-2010.77 Mx_l=-40.22
Tensioni nella sezione: σ=487.46 τ=60.93
CC 2 SLD (Collegamento -182_-384)
Azioni sul collegamento: N=-11059.20 Ty=-10.78 Tz=8.57 Mx=0.00 Mz=-7.39
Sollecitazioni agenti localmente: Ty_l=-2010.77 Mx_l=-40.22
Tensioni nella sezione: σ=487.46 τ=60.93
CC 2 SLD (Collegamento -182_-384)
Azioni sul collegamento: N=-11059.20 Ty=-8.42 Tz=17.48 Mx=0.00 Mz=-5.47
Sollecitazioni agenti localmente: Ty_l=-2010.77 Mx_l=-40.22
Tensioni nella sezione: σ=487.46 τ=60.93
CC 2 SLD (Collegamento -182_-384)

Azioni sul collegamento: N=-11059.20 Ty=-10.78 Tz=17.48 Mx=0.00 Mz=-7.39
Sollecitazioni agenti localmente: Ty_l=-2010.77 Mx_l=-40.22
Tensioni nella sezione: σ=487.46 τ=60.93
CC 3 SLV (Collegamento -182_-384)
Azioni sul collegamento: N=-5861.42 Ty=-5.33 Tz=-1.63 Mx=0.01 Mz=-2.18
Sollecitazioni agenti localmente: Ty_l=-1065.71 Mx_l=-21.31
Tensioni nella sezione: σ=258.35 τ=32.29
CC 3 SLV (Collegamento -182_-384)
Azioni sul collegamento: N=-5861.42 Ty=-12.02 Tz=-1.63 Mx=0.01 Mz=-6.41
Sollecitazioni agenti localmente: Ty_l=-1065.71 Mx_l=-21.31
Tensioni nella sezione: σ=258.35 τ=32.29
CC 3 SLV (Collegamento -182_-384)
Azioni sul collegamento: N=-5861.42 Ty=-5.33 Tz=26.92 Mx=0.01 Mz=-2.18
Sollecitazioni agenti localmente: Ty_l=-1065.71 Mx_l=-21.31
Tensioni nella sezione: σ=258.35 τ=32.29
CC 3 SLV (Collegamento -182_-384)
Azioni sul collegamento: N=-5861.42 Ty=-12.02 Tz=26.92 Mx=0.01 Mz=-6.41
Sollecitazioni agenti localmente: Ty_l=-1065.71 Mx_l=-21.31
Tensioni nella sezione: σ=258.35 τ=32.29
CC 3 SLV (Collegamento -182_-384)
Azioni sul collegamento: N=-13676.40 Ty=-5.33 Tz=-1.63 Mx=0.01 Mz=-2.18
Sollecitazioni agenti localmente: Ty_l=-2486.61 Mx_l=-49.73
Tensioni nella sezione: σ=602.81 τ=75.35
CC 3 SLV (Collegamento -182_-384)
Azioni sul collegamento: N=-13676.40 Ty=-12.02 Tz=-1.63 Mx=0.01 Mz=-6.41
Sollecitazioni agenti localmente: Ty_l=-2486.61 Mx_l=-49.73
Tensioni nella sezione: σ=602.81 τ=75.35
CC 3 SLV (Collegamento -182_-384)
Azioni sul collegamento: N=-13676.40 Ty=-5.33 Tz=26.92 Mx=0.01 Mz=-2.18
Sollecitazioni agenti localmente: Ty_l=-2486.61 Mx_l=-49.73
Tensioni nella sezione: σ=602.81 τ=75.35
CC 3 SLV (Collegamento -182_-384)
Azioni sul collegamento: N=-13676.40 Ty=-12.02 Tz=26.92 Mx=0.01 Mz=-6.41
Sollecitazioni agenti localmente: Ty_l=-2486.61 Mx_l=-49.73
Tensioni nella sezione: σ=602.81 τ=75.35
CC 4 SLD (Collegamento -182_-384)
Azioni sul collegamento: N=-8674.72 Ty=-8.58 Tz=8.67 Mx=-0.00 Mz=-5.79
Sollecitazioni agenti localmente: Ty_l=-1577.22 Mx_l=-31.54
Tensioni nella sezione: σ=382.36 τ=47.79
CC 4 SLD (Collegamento -182_-384)
Azioni sul collegamento: N=-8674.72 Ty=-10.62 Tz=8.67 Mx=-0.00 Mz=-7.07
Sollecitazioni agenti localmente: Ty_l=-1577.22 Mx_l=-31.54
Tensioni nella sezione: σ=382.36 τ=47.79
CC 4 SLD (Collegamento -182_-384)
Azioni sul collegamento: N=-8674.72 Ty=-8.58 Tz=17.38 Mx=-0.00 Mz=-5.79
Sollecitazioni agenti localmente: Ty_l=-1577.22 Mx_l=-31.54
Tensioni nella sezione: σ=382.36 τ=47.79
CC 4 SLD (Collegamento -182_-384)
Azioni sul collegamento: N=-8674.72 Ty=-10.62 Tz=17.38 Mx=-0.00 Mz=-7.07
Sollecitazioni agenti localmente: Ty_l=-1577.22 Mx_l=-31.54
Tensioni nella sezione: σ=382.36 τ=47.79
CC 4 SLD (Collegamento -182_-384)
Azioni sul collegamento: N=-11057.70 Ty=-8.58 Tz=8.67 Mx=-0.00 Mz=-5.79
Sollecitazioni agenti localmente: Ty_l=-2010.50 Mx_l=-40.21
Tensioni nella sezione: σ=487.39 τ=60.92
CC 4 SLD (Collegamento -182_-384)
Azioni sul collegamento: N=-11057.70 Ty=-10.62 Tz=8.67 Mx=-0.00 Mz=-7.07
Sollecitazioni agenti localmente: Ty_l=-2010.50 Mx_l=-40.21
Tensioni nella sezione: σ=487.39 τ=60.92
CC 4 SLD (Collegamento -182_-384)
Azioni sul collegamento: N=-11057.70 Ty=-8.58 Tz=17.38 Mx=-0.00 Mz=-5.79
Sollecitazioni agenti localmente: Ty_l=-2010.50 Mx_l=-40.21
Tensioni nella sezione: σ=487.39 τ=60.92
CC 4 SLD (Collegamento -182_-384)
Azioni sul collegamento: N=-11057.70 Ty=-10.62 Tz=17.38 Mx=-0.00 Mz=-7.07
Sollecitazioni agenti localmente: Ty_l=-2010.50 Mx_l=-40.21
Tensioni nella sezione: σ=487.39 τ=60.92
CC 5 SLV (Collegamento -182_-384)
Azioni sul collegamento: N=-13676.40 Ty=-12.02 Tz=26.92 Mx=0.01 Mz=-6.41
Sollecitazioni agenti localmente: Ty_l=-2486.61 Mx_l=-49.73
Tensioni nella sezione: σ=602.81 τ=75.35
CC 5 SLV (Collegamento -182_-384)
Azioni sul collegamento: N=-13676.40 Ty=-5.33 Tz=26.92 Mx=0.01 Mz=-2.18
Sollecitazioni agenti localmente: Ty_l=-2486.61 Mx_l=-49.73
Tensioni nella sezione: σ=602.81 τ=75.35
CC 5 SLV (Collegamento -182_-384)
Azioni sul collegamento: N=-13676.40 Ty=-12.02 Tz=-1.63 Mx=0.01 Mz=-6.41
Sollecitazioni agenti localmente: Ty_l=-2486.61 Mx_l=-49.73
Tensioni nella sezione: σ=602.81 τ=75.35
CC 5 SLV (Collegamento -182_-384)

Azioni sul collegamento: N=-13676.40 Ty=-5.33 Tz=-1.63 Mx=0.01 Mz=-2.18
Sollecitazioni agenti localmente: Ty_l=-2486.61 Mx_l=-49.73
Tensioni nella sezione: σ=602.81 τ=75.35
CC 5 SLV (Collegamento -182_-384)
Azioni sul collegamento: N=-5861.42 Ty=-12.02 Tz=26.92 Mx=0.01 Mz=-6.41
Sollecitazioni agenti localmente: Ty_l=-1065.71 Mx_l=-21.31
Tensioni nella sezione: σ=258.35 τ=32.29
CC 5 SLV (Collegamento -182_-384)
Azioni sul collegamento: N=-5861.42 Ty=-5.33 Tz=26.92 Mx=0.01 Mz=-2.18
Sollecitazioni agenti localmente: Ty_l=-1065.71 Mx_l=-21.31
Tensioni nella sezione: σ=258.35 τ=32.29
CC 5 SLV (Collegamento -182_-384)
Azioni sul collegamento: N=-5861.42 Ty=-12.02 Tz=-1.63 Mx=0.01 Mz=-6.41
Sollecitazioni agenti localmente: Ty_l=-1065.71 Mx_l=-21.31
Tensioni nella sezione: σ=258.35 τ=32.29
CC 5 SLV (Collegamento -182_-384)
Azioni sul collegamento: N=-5861.42 Ty=-5.33 Tz=-1.63 Mx=0.01 Mz=-2.18
Sollecitazioni agenti localmente: Ty_l=-1065.71 Mx_l=-21.31
Tensioni nella sezione: σ=258.35 τ=32.29
CC 6 SLD (Collegamento -182_-384)
Azioni sul collegamento: N=-11057.70 Ty=-10.62 Tz=17.38 Mx=0.00 Mz=-7.07
Sollecitazioni agenti localmente: Ty_l=-2010.50 Mx_l=-40.21
Tensioni nella sezione: σ=487.39 τ=60.92
CC 6 SLD (Collegamento -182_-384)
Azioni sul collegamento: N=-11057.70 Ty=-8.58 Tz=17.38 Mx=0.00 Mz=-5.79
Sollecitazioni agenti localmente: Ty_l=-2010.50 Mx_l=-40.21
Tensioni nella sezione: σ=487.39 τ=60.92
CC 6 SLD (Collegamento -182_-384)
Azioni sul collegamento: N=-11057.70 Ty=-10.62 Tz=8.67 Mx=0.00 Mz=-7.07
Sollecitazioni agenti localmente: Ty_l=-2010.50 Mx_l=-40.21
Tensioni nella sezione: σ=487.39 τ=60.92
CC 6 SLD (Collegamento -182_-384)
Azioni sul collegamento: N=-11057.70 Ty=-8.58 Tz=8.67 Mx=0.00 Mz=-5.79
Sollecitazioni agenti localmente: Ty_l=-2010.50 Mx_l=-40.21
Tensioni nella sezione: σ=487.39 τ=60.92
CC 6 SLD (Collegamento -182_-384)
Azioni sul collegamento: N=-8674.72 Ty=-10.62 Tz=17.38 Mx=0.00 Mz=-7.07
Sollecitazioni agenti localmente: Ty_l=-1577.22 Mx_l=-31.54
Tensioni nella sezione: σ=382.36 τ=47.79
CC 6 SLD (Collegamento -182_-384)
Azioni sul collegamento: N=-8674.72 Ty=-8.58 Tz=17.38 Mx=0.00 Mz=-5.79
Sollecitazioni agenti localmente: Ty_l=-1577.22 Mx_l=-31.54
Tensioni nella sezione: σ=382.36 τ=47.79
CC 6 SLD (Collegamento -182_-384)
Azioni sul collegamento: N=-8674.72 Ty=-10.62 Tz=8.67 Mx=0.00 Mz=-7.07
Sollecitazioni agenti localmente: Ty_l=-1577.22 Mx_l=-31.54
Tensioni nella sezione: σ=382.36 τ=47.79
CC 6 SLD (Collegamento -182_-384)
Azioni sul collegamento: N=-8674.72 Ty=-8.58 Tz=8.67 Mx=0.00 Mz=-5.79
Sollecitazioni agenti localmente: Ty_l=-1577.22 Mx_l=-31.54
Tensioni nella sezione: σ=382.36 τ=47.79
CC 7 SLV (Collegamento -182_-384)
Azioni sul collegamento: N=-13681.20 Ty=-12.53 Tz=27.25 Mx=0.01 Mz=-7.45
Sollecitazioni agenti localmente: Ty_l=-2487.49 Mx_l=-49.75
Tensioni nella sezione: σ=603.03 τ=75.38
CC 7 SLV (Collegamento -182_-384)
Azioni sul collegamento: N=-13681.20 Ty=-4.82 Tz=27.25 Mx=0.01 Mz=-1.13
Sollecitazioni agenti localmente: Ty_l=-2487.49 Mx_l=-49.75
Tensioni nella sezione: σ=603.03 τ=75.38
CC 7 SLV (Collegamento -182_-384)
Azioni sul collegamento: N=-13681.20 Ty=-12.53 Tz=-1.96 Mx=0.01 Mz=-7.45
Sollecitazioni agenti localmente: Ty_l=-2487.49 Mx_l=-49.75
Tensioni nella sezione: σ=603.03 τ=75.38
CC 7 SLV (Collegamento -182_-384)
Azioni sul collegamento: N=-13681.20 Ty=-4.82 Tz=-1.96 Mx=0.01 Mz=-1.13
Sollecitazioni agenti localmente: Ty_l=-2487.49 Mx_l=-49.75
Tensioni nella sezione: σ=603.03 τ=75.38
CC 7 SLV (Collegamento -182_-384)
Azioni sul collegamento: N=-5856.57 Ty=-12.53 Tz=27.25 Mx=0.01 Mz=-7.45
Sollecitazioni agenti localmente: Ty_l=-1064.83 Mx_l=-21.30
Tensioni nella sezione: σ=258.14 τ=32.27
CC 7 SLV (Collegamento -182_-384)
Azioni sul collegamento: N=-5856.57 Ty=-4.82 Tz=27.25 Mx=0.01 Mz=-1.13
Sollecitazioni agenti localmente: Ty_l=-1064.83 Mx_l=-21.30
Tensioni nella sezione: σ=258.14 τ=32.27
CC 7 SLV (Collegamento -182_-384)
Azioni sul collegamento: N=-5856.57 Ty=-12.53 Tz=-1.96 Mx=0.01 Mz=-7.45
Sollecitazioni agenti localmente: Ty_l=-1064.83 Mx_l=-21.30
Tensioni nella sezione: σ=258.14 τ=32.27
CC 7 SLV (Collegamento -182_-384)

Azioni sul collegamento: N=-5856.57 Ty=-4.82 Tz=-1.96 Mx=0.01 Mz=-1.13
Sollecitazioni agenti localmente: Ty_l=-1064.83 Mx_l=-21.30
Tensioni nella sezione: σ=258.14 τ=32.27
CC 8 SLD (Collegamento -182_-384)
Azioni sul collegamento: N=-11059.20 Ty=-10.78 Tz=17.48 Mx=-0.00 Mz=-7.39
Sollecitazioni agenti localmente: Ty_l=-2010.77 Mx_l=-40.22
Tensioni nella sezione: σ=487.46 τ=60.93
CC 8 SLD (Collegamento -182_-384)
Azioni sul collegamento: N=-11059.20 Ty=-8.42 Tz=17.48 Mx=-0.00 Mz=-5.47
Sollecitazioni agenti localmente: Ty_l=-2010.77 Mx_l=-40.22
Tensioni nella sezione: σ=487.46 τ=60.93
CC 8 SLD (Collegamento -182_-384)
Azioni sul collegamento: N=-11059.20 Ty=-10.78 Tz=8.57 Mx=-0.00 Mz=-7.39
Sollecitazioni agenti localmente: Ty_l=-2010.77 Mx_l=-40.22
Tensioni nella sezione: σ=487.46 τ=60.93
CC 8 SLD (Collegamento -182_-384)
Azioni sul collegamento: N=-11059.20 Ty=-8.42 Tz=8.57 Mx=-0.00 Mz=-5.47
Sollecitazioni agenti localmente: Ty_l=-2010.77 Mx_l=-40.22
Tensioni nella sezione: σ=487.46 τ=60.93
CC 8 SLD (Collegamento -182_-384)
Azioni sul collegamento: N=-8673.24 Ty=-10.78 Tz=17.48 Mx=-0.00 Mz=-7.39
Sollecitazioni agenti localmente: Ty_l=-1576.95 Mx_l=-31.54
Tensioni nella sezione: σ=382.29 τ=47.79
CC 8 SLD (Collegamento -182_-384)
Azioni sul collegamento: N=-8673.24 Ty=-8.42 Tz=17.48 Mx=-0.00 Mz=-5.47
Sollecitazioni agenti localmente: Ty_l=-1576.95 Mx_l=-31.54
Tensioni nella sezione: σ=382.29 τ=47.79
CC 8 SLD (Collegamento -182_-384)
Azioni sul collegamento: N=-8673.24 Ty=-10.78 Tz=8.57 Mx=-0.00 Mz=-7.39
Sollecitazioni agenti localmente: Ty_l=-1576.95 Mx_l=-31.54
Tensioni nella sezione: σ=382.29 τ=47.79
CC 8 SLD (Collegamento -182_-384)
Azioni sul collegamento: N=-8673.24 Ty=-8.42 Tz=8.57 Mx=-0.00 Mz=-5.47
Sollecitazioni agenti localmente: Ty_l=-1576.95 Mx_l=-31.54
Tensioni nella sezione: σ=382.29 τ=47.79
CC 9 SLV (Collegamento -182_-384)
Azioni sul collegamento: N=-8587.84 Ty=-6.74 Tz=7.77 Mx=0.02 Mz=-1.76
Sollecitazioni agenti localmente: Ty_l=-1561.43 Mx_l=-31.23
Tensioni nella sezione: σ=378.53 τ=47.32
CC 9 SLV (Collegamento -182_-384)
Azioni sul collegamento: N=-8587.84 Ty=-10.61 Tz=7.77 Mx=0.02 Mz=-6.83
Sollecitazioni agenti localmente: Ty_l=-1561.43 Mx_l=-31.23
Tensioni nella sezione: σ=378.53 τ=47.32
CC 9 SLV (Collegamento -182_-384)
Azioni sul collegamento: N=-8587.84 Ty=-6.74 Tz=17.52 Mx=0.02 Mz=-1.76
Sollecitazioni agenti localmente: Ty_l=-1561.43 Mx_l=-31.23
Tensioni nella sezione: σ=378.53 τ=47.32
CC 9 SLV (Collegamento -182_-384)
Azioni sul collegamento: N=-8587.84 Ty=-10.61 Tz=17.52 Mx=0.02 Mz=-6.83
Sollecitazioni agenti localmente: Ty_l=-1561.43 Mx_l=-31.23
Tensioni nella sezione: σ=378.53 τ=47.32
CC 9 SLV (Collegamento -182_-384)
Azioni sul collegamento: N=-10950.00 Ty=-6.74 Tz=7.77 Mx=0.02 Mz=-1.76
Sollecitazioni agenti localmente: Ty_l=-1990.90 Mx_l=-39.82
Tensioni nella sezione: σ=482.64 τ=60.33
CC 9 SLV (Collegamento -182_-384)
Azioni sul collegamento: N=-10950.00 Ty=-10.61 Tz=7.77 Mx=0.02 Mz=-6.83
Sollecitazioni agenti localmente: Ty_l=-1990.90 Mx_l=-39.82
Tensioni nella sezione: σ=482.64 τ=60.33
CC 9 SLV (Collegamento -182_-384)
Azioni sul collegamento: N=-10950.00 Ty=-6.74 Tz=17.52 Mx=0.02 Mz=-1.76
Sollecitazioni agenti localmente: Ty_l=-1990.90 Mx_l=-39.82
Tensioni nella sezione: σ=482.64 τ=60.33
CC 9 SLV (Collegamento -182_-384)
Azioni sul collegamento: N=-10950.00 Ty=-10.61 Tz=17.52 Mx=0.02 Mz=-6.83
Sollecitazioni agenti localmente: Ty_l=-1990.90 Mx_l=-39.82
Tensioni nella sezione: σ=482.64 τ=60.33
CC 10 SLD (Collegamento -182_-384)
Azioni sul collegamento: N=-9506.09 Ty=-9.01 Tz=11.54 Mx=0.00 Mz=-5.66
Sollecitazioni agenti localmente: Ty_l=-1728.38 Mx_l=-34.57
Tensioni nella sezione: σ=419.00 τ=52.38
CC 10 SLD (Collegamento -182_-384)
Azioni sul collegamento: N=-9506.09 Ty=-10.19 Tz=11.54 Mx=0.00 Mz=-7.20
Sollecitazioni agenti localmente: Ty_l=-1728.38 Mx_l=-34.57
Tensioni nella sezione: σ=419.00 τ=52.38
CC 10 SLD (Collegamento -182_-384)
Azioni sul collegamento: N=-9506.09 Ty=-9.01 Tz=14.51 Mx=0.00 Mz=-5.66
Sollecitazioni agenti localmente: Ty_l=-1728.38 Mx_l=-34.57
Tensioni nella sezione: σ=419.00 τ=52.38
CC 10 SLD (Collegamento -182_-384)

Azioni sul collegamento: N=-9506.09 Ty=-10.19 Tz=14.51 Mx=0.00 Mz=-7.20
Sollecitazioni agenti localmente: Ty_l=-1728.38 Mx_l=-34.57
Tensioni nella sezione: σ=419.00 τ=52.38
CC 10 SLD (Collegamento -182_-384)
Azioni sul collegamento: N=-10226.40 Ty=-9.01 Tz=11.54 Mx=0.00 Mz=-5.66
Sollecitazioni agenti localmente: Ty_l=-1859.34 Mx_l=-37.19
Tensioni nella sezione: σ=450.75 τ=56.34
CC 10 SLD (Collegamento -182_-384)
Azioni sul collegamento: N=-10226.40 Ty=-10.19 Tz=11.54 Mx=0.00 Mz=-7.20
Sollecitazioni agenti localmente: Ty_l=-1859.34 Mx_l=-37.19
Tensioni nella sezione: σ=450.75 τ=56.34
CC 10 SLD (Collegamento -182_-384)
Azioni sul collegamento: N=-10226.40 Ty=-9.01 Tz=14.51 Mx=0.00 Mz=-5.66
Sollecitazioni agenti localmente: Ty_l=-1859.34 Mx_l=-37.19
Tensioni nella sezione: σ=450.75 τ=56.34
CC 10 SLD (Collegamento -182_-384)
Azioni sul collegamento: N=-10226.40 Ty=-10.19 Tz=14.51 Mx=0.00 Mz=-7.20
Sollecitazioni agenti localmente: Ty_l=-1859.34 Mx_l=-37.19
Tensioni nella sezione: σ=450.75 τ=56.34
CC 11 SLV (Collegamento -182_-384)
Azioni sul collegamento: N=-10933.80 Ty=-8.90 Tz=16.43 Mx=0.02 Mz=-3.34
Sollecitazioni agenti localmente: Ty_l=-1987.96 Mx_l=-39.76
Tensioni nella sezione: σ=481.93 τ=60.24
CC 11 SLV (Collegamento -182_-384)
Azioni sul collegamento: N=-10933.80 Ty=-8.45 Tz=16.43 Mx=0.02 Mz=-5.25
Sollecitazioni agenti localmente: Ty_l=-1987.96 Mx_l=-39.76
Tensioni nella sezione: σ=481.93 τ=60.24
CC 11 SLV (Collegamento -182_-384)
Azioni sul collegamento: N=-10933.80 Ty=-8.90 Tz=8.86 Mx=0.02 Mz=-3.34
Sollecitazioni agenti localmente: Ty_l=-1987.96 Mx_l=-39.76
Tensioni nella sezione: σ=481.93 τ=60.24
CC 11 SLV (Collegamento -182_-384)
Azioni sul collegamento: N=-10933.80 Ty=-8.45 Tz=8.86 Mx=0.02 Mz=-5.25
Sollecitazioni agenti localmente: Ty_l=-1987.96 Mx_l=-39.76
Tensioni nella sezione: σ=481.93 τ=60.24
CC 11 SLV (Collegamento -182_-384)
Azioni sul collegamento: N=-8604.01 Ty=-8.90 Tz=16.43 Mx=0.02 Mz=-3.34
Sollecitazioni agenti localmente: Ty_l=-1564.37 Mx_l=-31.29
Tensioni nella sezione: σ=379.24 τ=47.41
CC 11 SLV (Collegamento -182_-384)
Azioni sul collegamento: N=-8604.01 Ty=-8.45 Tz=16.43 Mx=0.02 Mz=-5.25
Sollecitazioni agenti localmente: Ty_l=-1564.37 Mx_l=-31.29
Tensioni nella sezione: σ=379.24 τ=47.41
CC 11 SLV (Collegamento -182_-384)
Azioni sul collegamento: N=-8604.01 Ty=-8.90 Tz=8.86 Mx=0.02 Mz=-3.34
Sollecitazioni agenti localmente: Ty_l=-1564.37 Mx_l=-31.29
Tensioni nella sezione: σ=379.24 τ=47.41
CC 11 SLV (Collegamento -182_-384)
Azioni sul collegamento: N=-8604.01 Ty=-8.45 Tz=8.86 Mx=0.02 Mz=-5.25
Sollecitazioni agenti localmente: Ty_l=-1564.37 Mx_l=-31.29
Tensioni nella sezione: σ=379.24 τ=47.41
CC 12 SLD (Collegamento -182_-384)
Azioni sul collegamento: N=-10221.40 Ty=-9.67 Tz=14.18 Mx=0.00 Mz=-6.14
Sollecitazioni agenti localmente: Ty_l=-1858.44 Mx_l=-37.17
Tensioni nella sezione: σ=450.53 τ=56.32
CC 12 SLD (Collegamento -182_-384)
Azioni sul collegamento: N=-10221.40 Ty=-9.53 Tz=14.18 Mx=0.00 Mz=-6.72
Sollecitazioni agenti localmente: Ty_l=-1858.44 Mx_l=-37.17
Tensioni nella sezione: σ=450.53 τ=56.32
CC 12 SLD (Collegamento -182_-384)
Azioni sul collegamento: N=-10221.40 Ty=-9.67 Tz=11.87 Mx=0.00 Mz=-6.14
Sollecitazioni agenti localmente: Ty_l=-1858.44 Mx_l=-37.17
Tensioni nella sezione: σ=450.53 τ=56.32
CC 12 SLD (Collegamento -182_-384)
Azioni sul collegamento: N=-10221.40 Ty=-9.53 Tz=11.87 Mx=0.00 Mz=-6.72
Sollecitazioni agenti localmente: Ty_l=-1858.44 Mx_l=-37.17
Tensioni nella sezione: σ=450.53 τ=56.32
CC 12 SLD (Collegamento -182_-384)
Azioni sul collegamento: N=-9511.02 Ty=-9.67 Tz=14.18 Mx=0.00 Mz=-6.14
Sollecitazioni agenti localmente: Ty_l=-1729.28 Mx_l=-34.59
Tensioni nella sezione: σ=419.22 τ=52.40
CC 12 SLD (Collegamento -182_-384)
Azioni sul collegamento: N=-9511.02 Ty=-9.53 Tz=14.18 Mx=0.00 Mz=-6.72
Sollecitazioni agenti localmente: Ty_l=-1729.28 Mx_l=-34.59
Tensioni nella sezione: σ=419.22 τ=52.40
CC 12 SLD (Collegamento -182_-384)
Azioni sul collegamento: N=-9511.02 Ty=-9.67 Tz=11.87 Mx=0.00 Mz=-6.14
Sollecitazioni agenti localmente: Ty_l=-1729.28 Mx_l=-34.59
Tensioni nella sezione: σ=419.22 τ=52.40
CC 12 SLD (Collegamento -182_-384)

Azioni sul collegamento: N=-9511.02 Ty=-9.53 Tz=11.87 Mx=0.00 Mz=-6.72
Sollecitazioni agenti localmente: Ty_l=-1729.28 Mx_l=-34.59
Tensioni nella sezione: σ=419.22 τ=52.40
CC 13 SLV (Collegamento -182_-384)
Azioni sul collegamento: N=-8604.01 Ty=-8.45 Tz=8.86 Mx=0.00 Mz=-5.25
Sollecitazioni agenti localmente: Ty_l=-1564.37 Mx_l=-31.29
Tensioni nella sezione: σ=379.24 τ=47.41
CC 13 SLV (Collegamento -182_-384)
Azioni sul collegamento: N=-8604.01 Ty=-8.90 Tz=8.86 Mx=0.00 Mz=-3.34
Sollecitazioni agenti localmente: Ty_l=-1564.37 Mx_l=-31.29
Tensioni nella sezione: σ=379.24 τ=47.41
CC 13 SLV (Collegamento -182_-384)
Azioni sul collegamento: N=-8604.01 Ty=-8.45 Tz=16.43 Mx=0.00 Mz=-5.25
Sollecitazioni agenti localmente: Ty_l=-1564.37 Mx_l=-31.29
Tensioni nella sezione: σ=379.24 τ=47.41
CC 13 SLV (Collegamento -182_-384)
Azioni sul collegamento: N=-8604.01 Ty=-8.90 Tz=16.43 Mx=0.00 Mz=-3.34
Sollecitazioni agenti localmente: Ty_l=-1564.37 Mx_l=-31.29
Tensioni nella sezione: σ=379.24 τ=47.41
CC 13 SLV (Collegamento -182_-384)
Azioni sul collegamento: N=-10933.80 Ty=-8.45 Tz=8.86 Mx=0.00 Mz=-5.25
Sollecitazioni agenti localmente: Ty_l=-1987.96 Mx_l=-39.76
Tensioni nella sezione: σ=481.93 τ=60.24
CC 13 SLV (Collegamento -182_-384)
Azioni sul collegamento: N=-10933.80 Ty=-8.90 Tz=8.86 Mx=0.00 Mz=-3.34
Sollecitazioni agenti localmente: Ty_l=-1987.96 Mx_l=-39.76
Tensioni nella sezione: σ=481.93 τ=60.24
CC 13 SLV (Collegamento -182_-384)
Azioni sul collegamento: N=-10933.80 Ty=-8.45 Tz=16.43 Mx=0.00 Mz=-5.25
Sollecitazioni agenti localmente: Ty_l=-1987.96 Mx_l=-39.76
Tensioni nella sezione: σ=481.93 τ=60.24
CC 13 SLV (Collegamento -182_-384)
Azioni sul collegamento: N=-10933.80 Ty=-8.90 Tz=16.43 Mx=0.00 Mz=-3.34
Sollecitazioni agenti localmente: Ty_l=-1987.96 Mx_l=-39.76
Tensioni nella sezione: σ=481.93 τ=60.24
CC 14 SLD (Collegamento -182_-384)
Azioni sul collegamento: N=-9511.02 Ty=-9.53 Tz=11.87 Mx=-0.00 Mz=-6.72
Sollecitazioni agenti localmente: Ty_l=-1729.28 Mx_l=-34.59
Tensioni nella sezione: σ=419.22 τ=52.40
CC 14 SLD (Collegamento -182_-384)
Azioni sul collegamento: N=-9511.02 Ty=-9.67 Tz=11.87 Mx=-0.00 Mz=-6.14
Sollecitazioni agenti localmente: Ty_l=-1729.28 Mx_l=-34.59
Tensioni nella sezione: σ=419.22 τ=52.40
CC 14 SLD (Collegamento -182_-384)
Azioni sul collegamento: N=-9511.02 Ty=-9.53 Tz=14.18 Mx=-0.00 Mz=-6.72
Sollecitazioni agenti localmente: Ty_l=-1729.28 Mx_l=-34.59
Tensioni nella sezione: σ=419.22 τ=52.40
CC 14 SLD (Collegamento -182_-384)
Azioni sul collegamento: N=-9511.02 Ty=-9.67 Tz=14.18 Mx=-0.00 Mz=-6.14
Sollecitazioni agenti localmente: Ty_l=-1729.28 Mx_l=-34.59
Tensioni nella sezione: σ=419.22 τ=52.40
CC 14 SLD (Collegamento -182_-384)
Azioni sul collegamento: N=-10221.40 Ty=-9.53 Tz=11.87 Mx=-0.00 Mz=-6.72
Sollecitazioni agenti localmente: Ty_l=-1858.44 Mx_l=-37.17
Tensioni nella sezione: σ=450.53 τ=56.32
CC 14 SLD (Collegamento -182_-384)
Azioni sul collegamento: N=-10221.40 Ty=-9.67 Tz=11.87 Mx=-0.00 Mz=-6.14
Sollecitazioni agenti localmente: Ty_l=-1858.44 Mx_l=-37.17
Tensioni nella sezione: σ=450.53 τ=56.32
CC 14 SLD (Collegamento -182_-384)
Azioni sul collegamento: N=-10221.40 Ty=-9.53 Tz=14.18 Mx=-0.00 Mz=-6.72
Sollecitazioni agenti localmente: Ty_l=-1858.44 Mx_l=-37.17
Tensioni nella sezione: σ=450.53 τ=56.32
CC 14 SLD (Collegamento -182_-384)
Azioni sul collegamento: N=-10221.40 Ty=-9.67 Tz=14.18 Mx=-0.00 Mz=-6.14
Sollecitazioni agenti localmente: Ty_l=-1858.44 Mx_l=-37.17
Tensioni nella sezione: σ=450.53 τ=56.32
CC 15 SLV (Collegamento -182_-384)
Azioni sul collegamento: N=-10950.00 Ty=-10.61 Tz=17.52 Mx=0.00 Mz=-6.83
Sollecitazioni agenti localmente: Ty_l=-1990.90 Mx_l=-39.82
Tensioni nella sezione: σ=482.64 τ=60.33
CC 15 SLV (Collegamento -182_-384)
Azioni sul collegamento: N=-10950.00 Ty=-6.74 Tz=17.52 Mx=0.00 Mz=-1.76
Sollecitazioni agenti localmente: Ty_l=-1990.90 Mx_l=-39.82
Tensioni nella sezione: σ=482.64 τ=60.33
CC 15 SLV (Collegamento -182_-384)
Azioni sul collegamento: N=-10950.00 Ty=-10.61 Tz=7.77 Mx=0.00 Mz=-6.83
Sollecitazioni agenti localmente: Ty_l=-1990.90 Mx_l=-39.82
Tensioni nella sezione: σ=482.64 τ=60.33
CC 15 SLV (Collegamento -182_-384)

Azioni sul collegamento: N=-10950.00 Ty=-6.74 Tz=7.77 Mx=0.00 Mz=-1.76
Sollecitazioni agenti localmente: Ty_l=-1990.90 Mx_l=-39.82
Tensioni nella sezione: σ=482.64 τ=60.33
CC 15 SLV (Collegamento -182_-384)
Azioni sul collegamento: N=-8587.84 Ty=-10.61 Tz=17.52 Mx=0.00 Mz=-6.83
Sollecitazioni agenti localmente: Ty_l=-1561.43 Mx_l=-31.23
Tensioni nella sezione: σ=378.53 τ=47.32
CC 15 SLV (Collegamento -182_-384)
Azioni sul collegamento: N=-8587.84 Ty=-6.74 Tz=17.52 Mx=0.00 Mz=-1.76
Sollecitazioni agenti localmente: Ty_l=-1561.43 Mx_l=-31.23
Tensioni nella sezione: σ=378.53 τ=47.32
CC 15 SLV (Collegamento -182_-384)
Azioni sul collegamento: N=-8587.84 Ty=-10.61 Tz=7.77 Mx=0.00 Mz=-6.83
Sollecitazioni agenti localmente: Ty_l=-1561.43 Mx_l=-31.23
Tensioni nella sezione: σ=378.53 τ=47.32
CC 15 SLV (Collegamento -182_-384)
Azioni sul collegamento: N=-8587.84 Ty=-6.74 Tz=7.77 Mx=0.00 Mz=-1.76
Sollecitazioni agenti localmente: Ty_l=-1561.43 Mx_l=-31.23
Tensioni nella sezione: σ=378.53 τ=47.32
CC 16 SLD (Collegamento -182_-384)
Azioni sul collegamento: N=-10226.40 Ty=-10.19 Tz=14.51 Mx=-0.00 Mz=-7.20
Sollecitazioni agenti localmente: Ty_l=-1859.34 Mx_l=-37.19
Tensioni nella sezione: σ=450.75 τ=56.34
CC 16 SLD (Collegamento -182_-384)
Azioni sul collegamento: N=-10226.40 Ty=-9.01 Tz=14.51 Mx=-0.00 Mz=-5.66
Sollecitazioni agenti localmente: Ty_l=-1859.34 Mx_l=-37.19
Tensioni nella sezione: σ=450.75 τ=56.34
CC 16 SLD (Collegamento -182_-384)
Azioni sul collegamento: N=-10226.40 Ty=-10.19 Tz=11.54 Mx=-0.00 Mz=-7.20
Sollecitazioni agenti localmente: Ty_l=-1859.34 Mx_l=-37.19
Tensioni nella sezione: σ=450.75 τ=56.34
CC 16 SLD (Collegamento -182_-384)
Azioni sul collegamento: N=-10226.40 Ty=-9.01 Tz=11.54 Mx=-0.00 Mz=-5.66
Sollecitazioni agenti localmente: Ty_l=-1859.34 Mx_l=-37.19
Tensioni nella sezione: σ=450.75 τ=56.34
CC 16 SLD (Collegamento -182_-384)
Azioni sul collegamento: N=-9506.09 Ty=-10.19 Tz=14.51 Mx=-0.00 Mz=-7.20
Sollecitazioni agenti localmente: Ty_l=-1728.38 Mx_l=-34.57
Tensioni nella sezione: σ=419.00 τ=52.38
CC 16 SLD (Collegamento -182_-384)
Azioni sul collegamento: N=-9506.09 Ty=-9.01 Tz=14.51 Mx=-0.00 Mz=-5.66
Sollecitazioni agenti localmente: Ty_l=-1728.38 Mx_l=-34.57
Tensioni nella sezione: σ=419.00 τ=52.38
CC 16 SLD (Collegamento -182_-384)
Azioni sul collegamento: N=-9506.09 Ty=-10.19 Tz=11.54 Mx=-0.00 Mz=-7.20
Sollecitazioni agenti localmente: Ty_l=-1728.38 Mx_l=-34.57
Tensioni nella sezione: σ=419.00 τ=52.38
CC 16 SLD (Collegamento -182_-384)
Azioni sul collegamento: N=-9506.09 Ty=-9.01 Tz=11.54 Mx=-0.00 Mz=-5.66
Sollecitazioni agenti localmente: Ty_l=-1728.38 Mx_l=-34.57
Tensioni nella sezione: σ=419.00 τ=52.38
CC 17 SLV (Collegamento -182_-384)
Azioni sul collegamento: N=-6136.65 Ty=-7.48 Tz=-0.86 Mx=-0.02 Mz=-7.28
Sollecitazioni agenti localmente: Ty_l=-1115.75 Mx_l=-22.32
Tensioni nella sezione: σ=270.49 τ=33.81
CC 17 SLV (Collegamento -182_-384)
Azioni sul collegamento: N=-6136.65 Ty=-15.19 Tz=-0.86 Mx=-0.02 Mz=-13.60
Sollecitazioni agenti localmente: Ty_l=-1115.75 Mx_l=-22.32
Tensioni nella sezione: σ=270.49 τ=33.81
CC 17 SLV (Collegamento -182_-384)
Azioni sul collegamento: N=-6136.65 Ty=-7.48 Tz=28.35 Mx=-0.02 Mz=-7.28
Sollecitazioni agenti localmente: Ty_l=-1115.75 Mx_l=-22.32
Tensioni nella sezione: σ=270.49 τ=33.81
CC 17 SLV (Collegamento -182_-384)
Azioni sul collegamento: N=-6136.65 Ty=-15.19 Tz=28.35 Mx=-0.02 Mz=-13.60
Sollecitazioni agenti localmente: Ty_l=-1115.75 Mx_l=-22.32
Tensioni nella sezione: σ=270.49 τ=33.81
CC 17 SLV (Collegamento -182_-384)
Azioni sul collegamento: N=-13961.30 Ty=-7.48 Tz=-0.86 Mx=-0.02 Mz=-7.28
Sollecitazioni agenti localmente: Ty_l=-2538.42 Mx_l=-50.77
Tensioni nella sezione: σ=615.37 τ=76.92
CC 17 SLV (Collegamento -182_-384)
Azioni sul collegamento: N=-13961.30 Ty=-15.19 Tz=-0.86 Mx=-0.02 Mz=-13.60
Sollecitazioni agenti localmente: Ty_l=-2538.42 Mx_l=-50.77
Tensioni nella sezione: σ=615.37 τ=76.92
CC 17 SLV (Collegamento -182_-384)
Azioni sul collegamento: N=-13961.30 Ty=-7.48 Tz=28.35 Mx=-0.02 Mz=-7.28
Sollecitazioni agenti localmente: Ty_l=-2538.42 Mx_l=-50.77
Tensioni nella sezione: σ=615.37 τ=76.92
CC 17 SLV (Collegamento -182_-384)

Azioni sul collegamento: N=-13961.30 Ty=-15.19 Tz=28.35 Mx=-0.02 Mz=-13.60
Sollecitazioni agenti localmente: Ty_l=-2538.42 Mx_l=-50.77
Tensioni nella sezione: σ=615.37 τ=76.92
CC 18 SLD (Collegamento -182_-384)
Azioni sul collegamento: N=-8758.64 Ty=-9.24 Tz=8.91 Mx=-0.01 Mz=-7.34
Sollecitazioni agenti localmente: Ty_l=-1592.48 Mx_l=-31.85
Tensioni nella sezione: σ=386.06 τ=48.26
CC 18 SLD (Collegamento -182_-384)
Azioni sul collegamento: N=-8758.64 Ty=-11.59 Tz=8.91 Mx=-0.01 Mz=-9.27
Sollecitazioni agenti localmente: Ty_l=-1592.48 Mx_l=-31.85
Tensioni nella sezione: σ=386.06 τ=48.26
CC 18 SLD (Collegamento -182_-384)
Azioni sul collegamento: N=-8758.65 Ty=-9.24 Tz=17.82 Mx=-0.01 Mz=-7.34
Sollecitazioni agenti localmente: Ty_l=-1592.48 Mx_l=-31.85
Tensioni nella sezione: σ=386.06 τ=48.26
CC 18 SLD (Collegamento -182_-384)
Azioni sul collegamento: N=-8758.65 Ty=-11.59 Tz=17.82 Mx=-0.01 Mz=-9.27
Sollecitazioni agenti localmente: Ty_l=-1592.48 Mx_l=-31.85
Tensioni nella sezione: σ=386.06 τ=48.26
CC 18 SLD (Collegamento -182_-384)
Azioni sul collegamento: N=-11144.60 Ty=-9.24 Tz=8.91 Mx=-0.01 Mz=-7.34
Sollecitazioni agenti localmente: Ty_l=-2026.30 Mx_l=-40.53
Tensioni nella sezione: σ=491.22 τ=61.40
CC 18 SLD (Collegamento -182_-384)
Azioni sul collegamento: N=-11144.60 Ty=-11.59 Tz=8.91 Mx=-0.01 Mz=-9.27
Sollecitazioni agenti localmente: Ty_l=-2026.30 Mx_l=-40.53
Tensioni nella sezione: σ=491.22 τ=61.40
CC 18 SLD (Collegamento -182_-384)
Azioni sul collegamento: N=-11144.60 Ty=-9.24 Tz=17.82 Mx=-0.01 Mz=-7.34
Sollecitazioni agenti localmente: Ty_l=-2026.30 Mx_l=-40.53
Tensioni nella sezione: σ=491.22 τ=61.40
CC 18 SLD (Collegamento -182_-384)
Azioni sul collegamento: N=-11144.60 Ty=-11.59 Tz=17.82 Mx=-0.01 Mz=-9.27
Sollecitazioni agenti localmente: Ty_l=-2026.30 Mx_l=-40.53
Tensioni nella sezione: σ=491.22 τ=61.40
CC 19 SLV (Collegamento -182_-384)
Azioni sul collegamento: N=-6141.50 Ty=-7.99 Tz=-0.53 Mx=-0.01 Mz=-8.33
Sollecitazioni agenti localmente: Ty_l=-1116.64 Mx_l=-22.33
Tensioni nella sezione: σ=270.70 τ=33.84
CC 19 SLV (Collegamento -182_-384)
Azioni sul collegamento: N=-6141.50 Ty=-14.68 Tz=-0.53 Mx=-0.01 Mz=-12.56
Sollecitazioni agenti localmente: Ty_l=-1116.64 Mx_l=-22.33
Tensioni nella sezione: σ=270.70 τ=33.84
CC 19 SLV (Collegamento -182_-384)
Azioni sul collegamento: N=-6141.50 Ty=-7.99 Tz=28.02 Mx=-0.01 Mz=-8.33
Sollecitazioni agenti localmente: Ty_l=-1116.64 Mx_l=-22.33
Tensioni nella sezione: σ=270.70 τ=33.84
CC 19 SLV (Collegamento -182_-384)
Azioni sul collegamento: N=-6141.50 Ty=-14.68 Tz=28.02 Mx=-0.01 Mz=-12.56
Sollecitazioni agenti localmente: Ty_l=-1116.64 Mx_l=-22.33
Tensioni nella sezione: σ=270.70 τ=33.84
CC 19 SLV (Collegamento -182_-384)
Azioni sul collegamento: N=-13956.40 Ty=-7.99 Tz=-0.53 Mx=-0.01 Mz=-8.33
Sollecitazioni agenti localmente: Ty_l=-2537.54 Mx_l=-50.75
Tensioni nella sezione: σ=615.16 τ=76.89
CC 19 SLV (Collegamento -182_-384)
Azioni sul collegamento: N=-13956.40 Ty=-14.68 Tz=-0.53 Mx=-0.01 Mz=-12.56
Sollecitazioni agenti localmente: Ty_l=-2537.54 Mx_l=-50.75
Tensioni nella sezione: σ=615.16 τ=76.89
CC 19 SLV (Collegamento -182_-384)
Azioni sul collegamento: N=-13956.40 Ty=-7.99 Tz=28.02 Mx=-0.01 Mz=-8.33
Sollecitazioni agenti localmente: Ty_l=-2537.54 Mx_l=-50.75
Tensioni nella sezione: σ=615.16 τ=76.89
CC 19 SLV (Collegamento -182_-384)
Azioni sul collegamento: N=-13956.40 Ty=-14.68 Tz=28.02 Mx=-0.01 Mz=-12.56
Sollecitazioni agenti localmente: Ty_l=-2537.54 Mx_l=-50.75
Tensioni nella sezione: σ=615.16 τ=76.89
CC 20 SLD (Collegamento -182_-384)
Azioni sul collegamento: N=-8760.12 Ty=-9.39 Tz=9.01 Mx=-0.01 Mz=-7.66
Sollecitazioni agenti localmente: Ty_l=-1592.75 Mx_l=-31.85
Tensioni nella sezione: σ=386.12 τ=48.27
CC 20 SLD (Collegamento -182_-384)
Azioni sul collegamento: N=-8760.12 Ty=-11.43 Tz=9.01 Mx=-0.01 Mz=-8.95
Sollecitazioni agenti localmente: Ty_l=-1592.75 Mx_l=-31.85
Tensioni nella sezione: σ=386.12 τ=48.27
CC 20 SLD (Collegamento -182_-384)
Azioni sul collegamento: N=-8760.13 Ty=-9.39 Tz=17.72 Mx=-0.01 Mz=-7.66
Sollecitazioni agenti localmente: Ty_l=-1592.75 Mx_l=-31.85
Tensioni nella sezione: σ=386.12 τ=48.27
CC 20 SLD (Collegamento -182_-384)

Azioni sul collegamento: N=-8760.13 Ty=-11.43 Tz=17.72 Mx=-0.01 Mz=-8.95
Sollecitazioni agenti localmente: Ty_l=-1592.75 Mx_l=-31.85
Tensioni nella sezione: σ=386.12 τ=48.27
CC 20 SLD (Collegamento -182_-384)
Azioni sul collegamento: N=-11143.10 Ty=-9.39 Tz=9.01 Mx=-0.01 Mz=-7.66
Sollecitazioni agenti localmente: Ty_l=-2026.03 Mx_l=-40.52
Tensioni nella sezione: σ=491.16 τ=61.39
CC 20 SLD (Collegamento -182_-384)
Azioni sul collegamento: N=-11143.10 Ty=-11.43 Tz=9.01 Mx=-0.01 Mz=-8.95
Sollecitazioni agenti localmente: Ty_l=-2026.03 Mx_l=-40.52
Tensioni nella sezione: σ=491.16 τ=61.39
CC 20 SLD (Collegamento -182_-384)
Azioni sul collegamento: N=-11143.10 Ty=-9.39 Tz=17.72 Mx=-0.01 Mz=-7.66
Sollecitazioni agenti localmente: Ty_l=-2026.03 Mx_l=-40.52
Tensioni nella sezione: σ=491.16 τ=61.39
CC 20 SLD (Collegamento -182_-384)
Azioni sul collegamento: N=-11143.10 Ty=-11.43 Tz=17.72 Mx=-0.01 Mz=-8.95
Sollecitazioni agenti localmente: Ty_l=-2026.03 Mx_l=-40.52
Tensioni nella sezione: σ=491.16 τ=61.39
CC 21 SLV (Collegamento -182_-384)
Azioni sul collegamento: N=-13956.40 Ty=-14.68 Tz=28.02 Mx=-0.02 Mz=-12.56
Sollecitazioni agenti localmente: Ty_l=-2537.54 Mx_l=-50.75
Tensioni nella sezione: σ=615.16 τ=76.89
CC 21 SLV (Collegamento -182_-384)
Azioni sul collegamento: N=-13956.40 Ty=-7.99 Tz=28.02 Mx=-0.02 Mz=-8.33
Sollecitazioni agenti localmente: Ty_l=-2537.54 Mx_l=-50.75
Tensioni nella sezione: σ=615.16 τ=76.89
CC 21 SLV (Collegamento -182_-384)
Azioni sul collegamento: N=-13956.40 Ty=-14.68 Tz=-0.53 Mx=-0.02 Mz=-12.56
Sollecitazioni agenti localmente: Ty_l=-2537.54 Mx_l=-50.75
Tensioni nella sezione: σ=615.16 τ=76.89
CC 21 SLV (Collegamento -182_-384)
Azioni sul collegamento: N=-13956.40 Ty=-7.99 Tz=-0.53 Mx=-0.02 Mz=-8.33
Sollecitazioni agenti localmente: Ty_l=-2537.54 Mx_l=-50.75
Tensioni nella sezione: σ=615.16 τ=76.89
CC 21 SLV (Collegamento -182_-384)
Azioni sul collegamento: N=-6141.50 Ty=-14.68 Tz=28.02 Mx=-0.02 Mz=-12.56
Sollecitazioni agenti localmente: Ty_l=-1116.64 Mx_l=-22.33
Tensioni nella sezione: σ=270.70 τ=33.84
CC 21 SLV (Collegamento -182_-384)
Azioni sul collegamento: N=-6141.50 Ty=-7.99 Tz=28.02 Mx=-0.02 Mz=-8.33
Sollecitazioni agenti localmente: Ty_l=-1116.64 Mx_l=-22.33
Tensioni nella sezione: σ=270.70 τ=33.84
CC 21 SLV (Collegamento -182_-384)
Azioni sul collegamento: N=-6141.50 Ty=-14.68 Tz=-0.53 Mx=-0.02 Mz=-12.56
Sollecitazioni agenti localmente: Ty_l=-1116.64 Mx_l=-22.33
Tensioni nella sezione: σ=270.70 τ=33.84
CC 21 SLV (Collegamento -182_-384)
Azioni sul collegamento: N=-6141.50 Ty=-7.99 Tz=-0.53 Mx=-0.02 Mz=-8.33
Sollecitazioni agenti localmente: Ty_l=-1116.64 Mx_l=-22.33
Tensioni nella sezione: σ=270.70 τ=33.84
CC 22 SLD (Collegamento -182_-384)
Azioni sul collegamento: N=-11143.10 Ty=-11.43 Tz=17.72 Mx=-0.01 Mz=-8.95
Sollecitazioni agenti localmente: Ty_l=-2026.03 Mx_l=-40.52
Tensioni nella sezione: σ=491.16 τ=61.39
CC 22 SLD (Collegamento -182_-384)
Azioni sul collegamento: N=-11143.10 Ty=-9.39 Tz=17.72 Mx=-0.01 Mz=-7.66
Sollecitazioni agenti localmente: Ty_l=-2026.03 Mx_l=-40.52
Tensioni nella sezione: σ=491.16 τ=61.39
CC 22 SLD (Collegamento -182_-384)
Azioni sul collegamento: N=-11143.10 Ty=-11.43 Tz=9.01 Mx=-0.01 Mz=-8.95
Sollecitazioni agenti localmente: Ty_l=-2026.03 Mx_l=-40.52
Tensioni nella sezione: σ=491.16 τ=61.39
CC 22 SLD (Collegamento -182_-384)
Azioni sul collegamento: N=-11143.10 Ty=-9.39 Tz=9.01 Mx=-0.01 Mz=-7.66
Sollecitazioni agenti localmente: Ty_l=-2026.03 Mx_l=-40.52
Tensioni nella sezione: σ=491.16 τ=61.39
CC 22 SLD (Collegamento -182_-384)
Azioni sul collegamento: N=-8760.13 Ty=-11.43 Tz=17.72 Mx=-0.01 Mz=-8.95
Sollecitazioni agenti localmente: Ty_l=-1592.75 Mx_l=-31.85
Tensioni nella sezione: σ=386.12 τ=48.27
CC 22 SLD (Collegamento -182_-384)
Azioni sul collegamento: N=-8760.13 Ty=-9.39 Tz=17.72 Mx=-0.01 Mz=-7.66
Sollecitazioni agenti localmente: Ty_l=-1592.75 Mx_l=-31.85
Tensioni nella sezione: σ=386.12 τ=48.27
CC 22 SLD (Collegamento -182_-384)
Azioni sul collegamento: N=-8760.12 Ty=-11.43 Tz=9.01 Mx=-0.01 Mz=-8.95
Sollecitazioni agenti localmente: Ty_l=-1592.75 Mx_l=-31.85
Tensioni nella sezione: σ=386.12 τ=48.27
CC 22 SLD (Collegamento -182_-384)

Azioni sul collegamento: N=-8760.12 Ty=-9.39 Tz=9.01 Mx=-0.01 Mz=-7.66
Sollecitazioni agenti localmente: Ty_l=-1592.75 Mx_l=-31.85
Tensioni nella sezione: σ=386.12 τ=48.27
CC 23 SLV (Collegamento -182_-384)
Azioni sul collegamento: N=-13961.30 Ty=-15.19 Tz=28.35 Mx=-0.01 Mz=-13.60
Sollecitazioni agenti localmente: Ty_l=-2538.42 Mx_l=-50.77
Tensioni nella sezione: σ=615.37 τ=76.92
CC 23 SLV (Collegamento -182_-384)
Azioni sul collegamento: N=-13961.30 Ty=-7.48 Tz=28.35 Mx=-0.01 Mz=-7.28
Sollecitazioni agenti localmente: Ty_l=-2538.42 Mx_l=-50.77
Tensioni nella sezione: σ=615.37 τ=76.92
CC 23 SLV (Collegamento -182_-384)
Azioni sul collegamento: N=-13961.30 Ty=-15.19 Tz=-0.86 Mx=-0.01 Mz=-13.60
Sollecitazioni agenti localmente: Ty_l=-2538.42 Mx_l=-50.77
Tensioni nella sezione: σ=615.37 τ=76.92
CC 23 SLV (Collegamento -182_-384)
Azioni sul collegamento: N=-13961.30 Ty=-7.48 Tz=-0.86 Mx=-0.01 Mz=-7.28
Sollecitazioni agenti localmente: Ty_l=-2538.42 Mx_l=-50.77
Tensioni nella sezione: σ=615.37 τ=76.92
CC 23 SLV (Collegamento -182_-384)
Azioni sul collegamento: N=-6136.65 Ty=-15.19 Tz=28.35 Mx=-0.01 Mz=-13.60
Sollecitazioni agenti localmente: Ty_l=-1115.75 Mx_l=-22.32
Tensioni nella sezione: σ=270.49 τ=33.81
CC 23 SLV (Collegamento -182_-384)
Azioni sul collegamento: N=-6136.65 Ty=-7.48 Tz=28.35 Mx=-0.01 Mz=-7.28
Sollecitazioni agenti localmente: Ty_l=-1115.75 Mx_l=-22.32
Tensioni nella sezione: σ=270.49 τ=33.81
CC 23 SLV (Collegamento -182_-384)
Azioni sul collegamento: N=-6136.65 Ty=-15.19 Tz=-0.86 Mx=-0.01 Mz=-13.60
Sollecitazioni agenti localmente: Ty_l=-1115.75 Mx_l=-22.32
Tensioni nella sezione: σ=270.49 τ=33.81
CC 23 SLV (Collegamento -182_-384)
Azioni sul collegamento: N=-6136.65 Ty=-7.48 Tz=-0.86 Mx=-0.01 Mz=-7.28
Sollecitazioni agenti localmente: Ty_l=-1115.75 Mx_l=-22.32
Tensioni nella sezione: σ=270.49 τ=33.81
CC 24 SLD (Collegamento -182_-384)
Azioni sul collegamento: N=-11144.60 Ty=-11.59 Tz=17.82 Mx=-0.01 Mz=-9.27
Sollecitazioni agenti localmente: Ty_l=-2026.30 Mx_l=-40.53
Tensioni nella sezione: σ=491.22 τ=61.40
CC 24 SLD (Collegamento -182_-384)
Azioni sul collegamento: N=-11144.60 Ty=-9.24 Tz=17.82 Mx=-0.01 Mz=-7.34
Sollecitazioni agenti localmente: Ty_l=-2026.30 Mx_l=-40.53
Tensioni nella sezione: σ=491.22 τ=61.40
CC 24 SLD (Collegamento -182_-384)
Azioni sul collegamento: N=-11144.60 Ty=-11.59 Tz=8.91 Mx=-0.01 Mz=-9.27
Sollecitazioni agenti localmente: Ty_l=-2026.30 Mx_l=-40.53
Tensioni nella sezione: σ=491.22 τ=61.40
CC 24 SLD (Collegamento -182_-384)
Azioni sul collegamento: N=-11144.60 Ty=-9.24 Tz=8.91 Mx=-0.01 Mz=-7.34
Sollecitazioni agenti localmente: Ty_l=-2026.30 Mx_l=-40.53
Tensioni nella sezione: σ=491.22 τ=61.40
CC 24 SLD (Collegamento -182_-384)
Azioni sul collegamento: N=-8758.65 Ty=-11.59 Tz=17.82 Mx=-0.01 Mz=-9.27
Sollecitazioni agenti localmente: Ty_l=-1592.48 Mx_l=-31.85
Tensioni nella sezione: σ=386.06 τ=48.26
CC 24 SLD (Collegamento -182_-384)
Azioni sul collegamento: N=-8758.65 Ty=-9.24 Tz=17.82 Mx=-0.01 Mz=-7.34
Sollecitazioni agenti localmente: Ty_l=-1592.48 Mx_l=-31.85
Tensioni nella sezione: σ=386.06 τ=48.26
CC 24 SLD (Collegamento -182_-384)
Azioni sul collegamento: N=-8758.64 Ty=-11.59 Tz=8.91 Mx=-0.01 Mz=-9.27
Sollecitazioni agenti localmente: Ty_l=-1592.48 Mx_l=-31.85
Tensioni nella sezione: σ=386.06 τ=48.26
CC 24 SLD (Collegamento -182_-384)
Azioni sul collegamento: N=-8758.64 Ty=-9.24 Tz=8.91 Mx=-0.01 Mz=-7.34
Sollecitazioni agenti localmente: Ty_l=-1592.48 Mx_l=-31.85
Tensioni nella sezione: σ=386.06 τ=48.26
CC 25 SLV (Collegamento -182_-384)
Azioni sul collegamento: N=-8867.92 Ty=-9.40 Tz=8.87 Mx=-0.02 Mz=-7.91
Sollecitazioni agenti localmente: Ty_l=-1612.35 Mx_l=-32.25
Tensioni nella sezione: σ=390.87 τ=48.86
CC 25 SLV (Collegamento -182_-384)
Azioni sul collegamento: N=-8867.92 Ty=-13.27 Tz=8.87 Mx=-0.02 Mz=-12.98
Sollecitazioni agenti localmente: Ty_l=-1612.35 Mx_l=-32.25
Tensioni nella sezione: σ=390.87 τ=48.86
CC 25 SLV (Collegamento -182_-384)
Azioni sul collegamento: N=-8867.92 Ty=-9.40 Tz=18.62 Mx=-0.02 Mz=-7.91
Sollecitazioni agenti localmente: Ty_l=-1612.35 Mx_l=-32.25
Tensioni nella sezione: σ=390.87 τ=48.86
CC 25 SLV (Collegamento -182_-384)

Azioni sul collegamento: N=-8867.92 Ty=-13.27 Tz=18.62 Mx=-0.02 Mz=-12.98
Sollecitazioni agenti localmente: Ty_l=-1612.35 Mx_l=-32.25
Tensioni nella sezione: σ=390.87 τ=48.86
CC 25 SLV (Collegamento -182_-384)
Azioni sul collegamento: N=-11230.00 Ty=-9.40 Tz=8.87 Mx=-0.02 Mz=-7.91
Sollecitazioni agenti localmente: Ty_l=-2041.82 Mx_l=-40.84
Tensioni nella sezione: σ=494.99 τ=61.87
CC 25 SLV (Collegamento -182_-384)
Azioni sul collegamento: N=-11230.00 Ty=-13.27 Tz=8.87 Mx=-0.02 Mz=-12.98
Sollecitazioni agenti localmente: Ty_l=-2041.82 Mx_l=-40.84
Tensioni nella sezione: σ=494.99 τ=61.87
CC 25 SLV (Collegamento -182_-384)
Azioni sul collegamento: N=-11230.00 Ty=-9.40 Tz=18.62 Mx=-0.02 Mz=-7.91
Sollecitazioni agenti localmente: Ty_l=-2041.82 Mx_l=-40.84
Tensioni nella sezione: σ=494.99 τ=61.87
CC 25 SLV (Collegamento -182_-384)
Azioni sul collegamento: N=-11230.00 Ty=-13.27 Tz=18.62 Mx=-0.02 Mz=-12.98
Sollecitazioni agenti localmente: Ty_l=-2041.82 Mx_l=-40.84
Tensioni nella sezione: σ=494.99 τ=61.87
CC 26 SLD (Collegamento -182_-384)
Azioni sul collegamento: N=-9591.50 Ty=-9.82 Tz=11.88 Mx=-0.01 Mz=-7.53
Sollecitazioni agenti localmente: Ty_l=-1743.91 Mx_l=-34.88
Tensioni nella sezione: σ=422.76 τ=52.85
CC 26 SLD (Collegamento -182_-384)
Azioni sul collegamento: N=-9591.50 Ty=-11.00 Tz=11.88 Mx=-0.01 Mz=-9.08
Sollecitazioni agenti localmente: Ty_l=-1743.91 Mx_l=-34.88
Tensioni nella sezione: σ=422.76 τ=52.85
CC 26 SLD (Collegamento -182_-384)
Azioni sul collegamento: N=-9591.50 Ty=-9.82 Tz=14.85 Mx=-0.01 Mz=-7.53
Sollecitazioni agenti localmente: Ty_l=-1743.91 Mx_l=-34.88
Tensioni nella sezione: σ=422.76 τ=52.85
CC 26 SLD (Collegamento -182_-384)
Azioni sul collegamento: N=-9591.50 Ty=-11.00 Tz=14.85 Mx=-0.01 Mz=-9.08
Sollecitazioni agenti localmente: Ty_l=-1743.91 Mx_l=-34.88
Tensioni nella sezione: σ=422.76 τ=52.85
CC 26 SLD (Collegamento -182_-384)
Azioni sul collegamento: N=-10311.80 Ty=-9.82 Tz=11.88 Mx=-0.01 Mz=-7.53
Sollecitazioni agenti localmente: Ty_l=-1874.87 Mx_l=-37.50
Tensioni nella sezione: σ=454.51 τ=56.81
CC 26 SLD (Collegamento -182_-384)
Azioni sul collegamento: N=-10311.80 Ty=-11.00 Tz=11.88 Mx=-0.01 Mz=-9.08
Sollecitazioni agenti localmente: Ty_l=-1874.87 Mx_l=-37.50
Tensioni nella sezione: σ=454.51 τ=56.81
CC 26 SLD (Collegamento -182_-384)
Azioni sul collegamento: N=-10311.80 Ty=-9.82 Tz=14.85 Mx=-0.01 Mz=-7.53
Sollecitazioni agenti localmente: Ty_l=-1874.87 Mx_l=-37.50
Tensioni nella sezione: σ=454.51 τ=56.81
CC 26 SLD (Collegamento -182_-384)
Azioni sul collegamento: N=-10311.80 Ty=-11.00 Tz=14.85 Mx=-0.01 Mz=-9.08
Sollecitazioni agenti localmente: Ty_l=-1874.87 Mx_l=-37.50
Tensioni nella sezione: σ=454.51 τ=56.81
CC 27 SLV (Collegamento -182_-384)
Azioni sul collegamento: N=-11213.90 Ty=-11.56 Tz=17.53 Mx=-0.02 Mz=-9.49
Sollecitazioni agenti localmente: Ty_l=-2038.88 Mx_l=-40.78
Tensioni nella sezione: σ=494.27 τ=61.78
CC 27 SLV (Collegamento -182_-384)
Azioni sul collegamento: N=-11213.90 Ty=-11.11 Tz=17.53 Mx=-0.02 Mz=-11.40
Sollecitazioni agenti localmente: Ty_l=-2038.88 Mx_l=-40.78
Tensioni nella sezione: σ=494.27 τ=61.78
CC 27 SLV (Collegamento -182_-384)
Azioni sul collegamento: N=-11213.90 Ty=-11.56 Tz=9.96 Mx=-0.02 Mz=-9.49
Sollecitazioni agenti localmente: Ty_l=-2038.88 Mx_l=-40.78
Tensioni nella sezione: σ=494.27 τ=61.78
CC 27 SLV (Collegamento -182_-384)
Azioni sul collegamento: N=-11213.90 Ty=-11.11 Tz=9.96 Mx=-0.02 Mz=-11.40
Sollecitazioni agenti localmente: Ty_l=-2038.88 Mx_l=-40.78
Tensioni nella sezione: σ=494.27 τ=61.78
CC 27 SLV (Collegamento -182_-384)
Azioni sul collegamento: N=-8884.09 Ty=-11.56 Tz=17.53 Mx=-0.02 Mz=-9.49
Sollecitazioni agenti localmente: Ty_l=-1615.29 Mx_l=-32.31
Tensioni nella sezione: σ=391.58 τ=48.95
CC 27 SLV (Collegamento -182_-384)
Azioni sul collegamento: N=-8884.09 Ty=-11.11 Tz=17.53 Mx=-0.02 Mz=-11.40
Sollecitazioni agenti localmente: Ty_l=-1615.29 Mx_l=-32.31
Tensioni nella sezione: σ=391.58 τ=48.95
CC 27 SLV (Collegamento -182_-384)
Azioni sul collegamento: N=-8884.09 Ty=-11.56 Tz=9.96 Mx=-0.02 Mz=-9.49
Sollecitazioni agenti localmente: Ty_l=-1615.29 Mx_l=-32.31
Tensioni nella sezione: σ=391.58 τ=48.95
CC 27 SLV (Collegamento -182_-384)

Azioni sul collegamento: N=-8884.09 Ty=-11.11 Tz=9.96 Mx=-0.02 Mz=-11.40
Sollecitazioni agenti localmente: Ty_l=-1615.29 Mx_l=-32.31
Tensioni nella sezione: σ=391.58 τ=48.95
CC 28 SLD (Collegamento -182_-384)
Azioni sul collegamento: N=-10306.80 Ty=-10.48 Tz=14.52 Mx=-0.01 Mz=-8.01
Sollecitazioni agenti localmente: Ty_l=-1873.97 Mx_l=-37.48
Tensioni nella sezione: σ=454.30 τ=56.79
CC 28 SLD (Collegamento -182_-384)
Azioni sul collegamento: N=-10306.80 Ty=-10.34 Tz=14.52 Mx=-0.01 Mz=-8.60
Sollecitazioni agenti localmente: Ty_l=-1873.97 Mx_l=-37.48
Tensioni nella sezione: σ=454.30 τ=56.79
CC 28 SLD (Collegamento -182_-384)
Azioni sul collegamento: N=-10306.80 Ty=-10.48 Tz=12.21 Mx=-0.01 Mz=-8.01
Sollecitazioni agenti localmente: Ty_l=-1873.97 Mx_l=-37.48
Tensioni nella sezione: σ=454.30 τ=56.79
CC 28 SLD (Collegamento -182_-384)
Azioni sul collegamento: N=-10306.80 Ty=-10.34 Tz=12.21 Mx=-0.01 Mz=-8.60
Sollecitazioni agenti localmente: Ty_l=-1873.97 Mx_l=-37.48
Tensioni nella sezione: σ=454.30 τ=56.79
CC 28 SLD (Collegamento -182_-384)
Azioni sul collegamento: N=-9596.43 Ty=-10.48 Tz=14.52 Mx=-0.01 Mz=-8.01
Sollecitazioni agenti localmente: Ty_l=-1744.80 Mx_l=-34.90
Tensioni nella sezione: σ=422.98 τ=52.87
CC 28 SLD (Collegamento -182_-384)
Azioni sul collegamento: N=-9596.43 Ty=-10.34 Tz=14.52 Mx=-0.01 Mz=-8.60
Sollecitazioni agenti localmente: Ty_l=-1744.80 Mx_l=-34.90
Tensioni nella sezione: σ=422.98 τ=52.87
CC 28 SLD (Collegamento -182_-384)
Azioni sul collegamento: N=-9596.43 Ty=-10.48 Tz=12.21 Mx=-0.01 Mz=-8.01
Sollecitazioni agenti localmente: Ty_l=-1744.80 Mx_l=-34.90
Tensioni nella sezione: σ=422.98 τ=52.87
CC 28 SLD (Collegamento -182_-384)
Azioni sul collegamento: N=-9596.43 Ty=-10.34 Tz=12.21 Mx=-0.01 Mz=-8.60
Sollecitazioni agenti localmente: Ty_l=-1744.80 Mx_l=-34.90
Tensioni nella sezione: σ=422.98 τ=52.87
CC 29 SLV (Collegamento -182_-384)
Azioni sul collegamento: N=-8884.09 Ty=-11.11 Tz=9.96 Mx=-0.01 Mz=-11.40
Sollecitazioni agenti localmente: Ty_l=-1615.29 Mx_l=-32.31
Tensioni nella sezione: σ=391.58 τ=48.95
CC 29 SLV (Collegamento -182_-384)
Azioni sul collegamento: N=-8884.09 Ty=-11.56 Tz=9.96 Mx=-0.01 Mz=-9.49
Sollecitazioni agenti localmente: Ty_l=-1615.29 Mx_l=-32.31
Tensioni nella sezione: σ=391.58 τ=48.95
CC 29 SLV (Collegamento -182_-384)
Azioni sul collegamento: N=-8884.09 Ty=-11.11 Tz=17.53 Mx=-0.01 Mz=-11.40
Sollecitazioni agenti localmente: Ty_l=-1615.29 Mx_l=-32.31
Tensioni nella sezione: σ=391.58 τ=48.95
CC 29 SLV (Collegamento -182_-384)
Azioni sul collegamento: N=-8884.09 Ty=-11.56 Tz=17.53 Mx=-0.01 Mz=-9.49
Sollecitazioni agenti localmente: Ty_l=-1615.29 Mx_l=-32.31
Tensioni nella sezione: σ=391.58 τ=48.95
CC 29 SLV (Collegamento -182_-384)
Azioni sul collegamento: N=-11213.90 Ty=-11.11 Tz=9.96 Mx=-0.01 Mz=-11.40
Sollecitazioni agenti localmente: Ty_l=-2038.88 Mx_l=-40.78
Tensioni nella sezione: σ=494.27 τ=61.78
CC 29 SLV (Collegamento -182_-384)
Azioni sul collegamento: N=-11213.90 Ty=-11.56 Tz=9.96 Mx=-0.01 Mz=-9.49
Sollecitazioni agenti localmente: Ty_l=-2038.88 Mx_l=-40.78
Tensioni nella sezione: σ=494.27 τ=61.78
CC 29 SLV (Collegamento -182_-384)
Azioni sul collegamento: N=-11213.90 Ty=-11.11 Tz=17.53 Mx=-0.01 Mz=-11.40
Sollecitazioni agenti localmente: Ty_l=-2038.88 Mx_l=-40.78
Tensioni nella sezione: σ=494.27 τ=61.78
CC 29 SLV (Collegamento -182_-384)
Azioni sul collegamento: N=-11213.90 Ty=-11.56 Tz=17.53 Mx=-0.01 Mz=-9.49
Sollecitazioni agenti localmente: Ty_l=-2038.88 Mx_l=-40.78
Tensioni nella sezione: σ=494.27 τ=61.78
CC 30 SLD (Collegamento -182_-384)
Azioni sul collegamento: N=-9596.43 Ty=-10.34 Tz=12.21 Mx=-0.00 Mz=-8.60
Sollecitazioni agenti localmente: Ty_l=-1744.80 Mx_l=-34.90
Tensioni nella sezione: σ=422.98 τ=52.87
CC 30 SLD (Collegamento -182_-384)
Azioni sul collegamento: N=-9596.43 Ty=-10.48 Tz=12.21 Mx=-0.00 Mz=-8.01
Sollecitazioni agenti localmente: Ty_l=-1744.80 Mx_l=-34.90
Tensioni nella sezione: σ=422.98 τ=52.87
CC 30 SLD (Collegamento -182_-384)
Azioni sul collegamento: N=-9596.43 Ty=-10.34 Tz=14.52 Mx=-0.00 Mz=-8.60
Sollecitazioni agenti localmente: Ty_l=-1744.80 Mx_l=-34.90
Tensioni nella sezione: σ=422.98 τ=52.87
CC 30 SLD (Collegamento -182_-384)

Azioni sul collegamento: N=-9596.43 Ty=-10.48 Tz=14.52 Mx=-0.00 Mz=-8.01
Sollecitazioni agenti localmente: Ty_l=-1744.80 Mx_l=-34.90
Tensioni nella sezione: σ=422.98 τ=52.87
CC 30 SLD (Collegamento -182_-384)
Azioni sul collegamento: N=-10306.80 Ty=-10.34 Tz=12.21 Mx=-0.00 Mz=-8.60
Sollecitazioni agenti localmente: Ty_l=-1873.97 Mx_l=-37.48
Tensioni nella sezione: σ=454.30 τ=56.79
CC 30 SLD (Collegamento -182_-384)
Azioni sul collegamento: N=-10306.80 Ty=-10.48 Tz=12.21 Mx=-0.00 Mz=-8.01
Sollecitazioni agenti localmente: Ty_l=-1873.97 Mx_l=-37.48
Tensioni nella sezione: σ=454.30 τ=56.79
CC 30 SLD (Collegamento -182_-384)
Azioni sul collegamento: N=-10306.80 Ty=-10.34 Tz=14.52 Mx=-0.00 Mz=-8.60
Sollecitazioni agenti localmente: Ty_l=-1873.97 Mx_l=-37.48
Tensioni nella sezione: σ=454.30 τ=56.79
CC 30 SLD (Collegamento -182_-384)
Azioni sul collegamento: N=-10306.80 Ty=-10.48 Tz=14.52 Mx=-0.00 Mz=-8.01
Sollecitazioni agenti localmente: Ty_l=-1873.97 Mx_l=-37.48
Tensioni nella sezione: σ=454.30 τ=56.79
CC 31 SLV (Collegamento -182_-384)
Azioni sul collegamento: N=-11230.00 Ty=-13.27 Tz=18.62 Mx=-0.01 Mz=-12.98
Sollecitazioni agenti localmente: Ty_l=-2041.82 Mx_l=-40.84
Tensioni nella sezione: σ=494.99 τ=61.87
CC 31 SLV (Collegamento -182_-384)
Azioni sul collegamento: N=-11230.00 Ty=-9.40 Tz=18.62 Mx=-0.01 Mz=-7.91
Sollecitazioni agenti localmente: Ty_l=-2041.82 Mx_l=-40.84
Tensioni nella sezione: σ=494.99 τ=61.87
CC 31 SLV (Collegamento -182_-384)
Azioni sul collegamento: N=-11230.00 Ty=-13.27 Tz=8.87 Mx=-0.01 Mz=-12.98
Sollecitazioni agenti localmente: Ty_l=-2041.82 Mx_l=-40.84
Tensioni nella sezione: σ=494.99 τ=61.87
CC 31 SLV (Collegamento -182_-384)
Azioni sul collegamento: N=-11230.00 Ty=-9.40 Tz=8.87 Mx=-0.01 Mz=-7.91
Sollecitazioni agenti localmente: Ty_l=-2041.82 Mx_l=-40.84
Tensioni nella sezione: σ=494.99 τ=61.87
CC 31 SLV (Collegamento -182_-384)
Azioni sul collegamento: N=-8867.92 Ty=-13.27 Tz=18.62 Mx=-0.01 Mz=-12.98
Sollecitazioni agenti localmente: Ty_l=-1612.35 Mx_l=-32.25
Tensioni nella sezione: σ=390.87 τ=48.86
CC 31 SLV (Collegamento -182_-384)
Azioni sul collegamento: N=-8867.92 Ty=-9.40 Tz=18.62 Mx=-0.01 Mz=-7.91
Sollecitazioni agenti localmente: Ty_l=-1612.35 Mx_l=-32.25
Tensioni nella sezione: σ=390.87 τ=48.86
CC 31 SLV (Collegamento -182_-384)
Azioni sul collegamento: N=-8867.92 Ty=-13.27 Tz=8.87 Mx=-0.01 Mz=-12.98
Sollecitazioni agenti localmente: Ty_l=-1612.35 Mx_l=-32.25
Tensioni nella sezione: σ=390.87 τ=48.86
CC 31 SLV (Collegamento -182_-384)
Azioni sul collegamento: N=-8867.92 Ty=-9.40 Tz=8.87 Mx=-0.01 Mz=-7.91
Sollecitazioni agenti localmente: Ty_l=-1612.35 Mx_l=-32.25
Tensioni nella sezione: σ=390.87 τ=48.86
CC 32 SLD (Collegamento -182_-384)
Azioni sul collegamento: N=-10311.80 Ty=-11.00 Tz=14.85 Mx=-0.00 Mz=-9.08
Sollecitazioni agenti localmente: Ty_l=-1874.87 Mx_l=-37.50
Tensioni nella sezione: σ=454.51 τ=56.81
CC 32 SLD (Collegamento -182_-384)
Azioni sul collegamento: N=-10311.80 Ty=-9.82 Tz=14.85 Mx=-0.00 Mz=-7.53
Sollecitazioni agenti localmente: Ty_l=-1874.87 Mx_l=-37.50
Tensioni nella sezione: σ=454.51 τ=56.81
CC 32 SLD (Collegamento -182_-384)
Azioni sul collegamento: N=-10311.80 Ty=-11.00 Tz=11.88 Mx=-0.00 Mz=-9.08
Sollecitazioni agenti localmente: Ty_l=-1874.87 Mx_l=-37.50
Tensioni nella sezione: σ=454.51 τ=56.81
CC 32 SLD (Collegamento -182_-384)
Azioni sul collegamento: N=-10311.80 Ty=-9.82 Tz=11.88 Mx=-0.00 Mz=-7.53
Sollecitazioni agenti localmente: Ty_l=-1874.87 Mx_l=-37.50
Tensioni nella sezione: σ=454.51 τ=56.81
CC 32 SLD (Collegamento -182_-384)
Azioni sul collegamento: N=-9591.50 Ty=-11.00 Tz=14.85 Mx=-0.00 Mz=-9.08
Sollecitazioni agenti localmente: Ty_l=-1743.91 Mx_l=-34.88
Tensioni nella sezione: σ=422.76 τ=52.85
CC 32 SLD (Collegamento -182_-384)
Azioni sul collegamento: N=-9591.50 Ty=-9.82 Tz=14.85 Mx=-0.00 Mz=-7.53
Sollecitazioni agenti localmente: Ty_l=-1743.91 Mx_l=-34.88
Tensioni nella sezione: σ=422.76 τ=52.85
CC 32 SLD (Collegamento -182_-384)
Azioni sul collegamento: N=-9591.50 Ty=-11.00 Tz=11.88 Mx=-0.00 Mz=-9.08
Sollecitazioni agenti localmente: Ty_l=-1743.91 Mx_l=-34.88
Tensioni nella sezione: σ=422.76 τ=52.85
CC 32 SLD (Collegamento -182_-384)

Azioni sul collegamento: N=-9591.50 Ty=-9.82 Tz=11.88 Mx=-0.00 Mz=-7.53
Sollecitazioni agenti localmente: Ty_l=-1743.91 Mx_l=-34.88
Tensioni nella sezione: σ=422.76 τ=52.85
CC 33 SLU (Collegamento -182_-384)
Azioni sul collegamento: N=-37242.40 Ty=-20.96 Tz=105.49 Mx=-0.01 Mz=-15.56
Sollecitazioni agenti localmente: Ty_l=-6771.33 Mx_l=-135.43
Tensioni nella sezione: σ=1641.53 τ=205.19
CC 34 SLU (Collegamento -182_-384)
Azioni sul collegamento: N=-36428.20 Ty=-20.21 Tz=102.49 Mx=-0.01 Mz=-15.01
Sollecitazioni agenti localmente: Ty_l=-6623.30 Mx_l=-132.47
Tensioni nella sezione: σ=1605.65 τ=200.71
CC 35 SLU (Collegamento -182_-384)
Azioni sul collegamento: N=-36836.10 Ty=-20.67 Tz=103.93 Mx=-0.00 Mz=-15.47
Sollecitazioni agenti localmente: Ty_l=-6697.48 Mx_l=-133.95
Tensioni nella sezione: σ=1623.63 τ=202.95
CC 36 SLU (Collegamento -182_-384)
Azioni sul collegamento: N=-36834.40 Ty=-20.49 Tz=104.05 Mx=-0.01 Mz=-15.10
Sollecitazioni agenti localmente: Ty_l=-6697.16 Mx_l=-133.94
Tensioni nella sezione: σ=1623.55 τ=202.94
CC 37 SLU (Collegamento -182_-384)
Azioni sul collegamento: N=-28075.80 Ty=-20.08 Tz=71.84 Mx=-0.01 Mz=-14.76
Sollecitazioni agenti localmente: Ty_l=-5104.69 Mx_l=-102.09
Tensioni nella sezione: σ=1237.50 τ=154.69
CC 38 SLU (Collegamento -182_-384)
Azioni sul collegamento: N=-27261.60 Ty=-19.33 Tz=68.83 Mx=-0.01 Mz=-14.21
Sollecitazioni agenti localmente: Ty_l=-4956.65 Mx_l=-99.13
Tensioni nella sezione: σ=1201.61 τ=150.20
CC 39 SLU (Collegamento -182_-384)
Azioni sul collegamento: N=-27669.60 Ty=-19.79 Tz=70.28 Mx=-0.00 Mz=-14.67
Sollecitazioni agenti localmente: Ty_l=-5030.83 Mx_l=-100.62
Tensioni nella sezione: σ=1219.59 τ=152.45
CC 40 SLU (Collegamento -182_-384)
Azioni sul collegamento: N=-27667.80 Ty=-19.61 Tz=70.39 Mx=-0.01 Mz=-14.31
Sollecitazioni agenti localmente: Ty_l=-5030.51 Mx_l=-100.61
Tensioni nella sezione: σ=1219.52 τ=152.44
CC 41 SLU (Collegamento -182_-384)
Azioni sul collegamento: N=-30474.50 Ty=9.93 Tz=80.11 Mx=-0.01 Mz=7.87
Sollecitazioni agenti localmente: Ty_l=-5540.82 Mx_l=-110.82
Tensioni nella sezione: σ=1343.23 τ=167.90
CC 42 SLU (Collegamento -182_-384)
Azioni sul collegamento: N=-29660.30 Ty=10.68 Tz=77.11 Mx=-0.01 Mz=8.42
Sollecitazioni agenti localmente: Ty_l=-5392.79 Mx_l=-107.86
Tensioni nella sezione: σ=1307.34 τ=163.42
CC 43 SLU (Collegamento -182_-384)
Azioni sul collegamento: N=-30068.30 Ty=10.21 Tz=78.55 Mx=-0.00 Mz=7.97
Sollecitazioni agenti localmente: Ty_l=-5466.97 Mx_l=-109.34
Tensioni nella sezione: σ=1325.32 τ=165.67
CC 44 SLU (Collegamento -182_-384)
Azioni sul collegamento: N=-30066.50 Ty=10.39 Tz=78.67 Mx=-0.01 Mz=8.33
Sollecitazioni agenti localmente: Ty_l=-5466.64 Mx_l=-109.33
Tensioni nella sezione: σ=1325.24 τ=165.66
CC 45 SLU (Collegamento -182_-384)
Azioni sul collegamento: N=-30085.80 Ty=-20.31 Tz=79.22 Mx=-0.00 Mz=-15.08
Sollecitazioni agenti localmente: Ty_l=-5470.14 Mx_l=-109.40
Tensioni nella sezione: σ=1326.09 τ=165.76
CC 46 SLU (Collegamento -182_-384)
Azioni sul collegamento: N=-29271.60 Ty=-19.56 Tz=76.22 Mx=-0.00 Mz=-14.53
Sollecitazioni agenti localmente: Ty_l=-5322.11 Mx_l=-106.44
Tensioni nella sezione: σ=1290.20 τ=161.28
CC 47 SLU (Collegamento -182_-384)
Azioni sul collegamento: N=-29679.60 Ty=-20.02 Tz=77.66 Mx=-0.00 Mz=-14.99
Sollecitazioni agenti localmente: Ty_l=-5396.28 Mx_l=-107.92
Tensioni nella sezione: σ=1308.19 τ=163.52
CC 48 SLU (Collegamento -182_-384)
Azioni sul collegamento: N=-29677.80 Ty=-19.84 Tz=77.78 Mx=-0.01 Mz=-14.62
Sollecitazioni agenti localmente: Ty_l=-5395.96 Mx_l=-107.92
Tensioni nella sezione: σ=1308.11 τ=163.51
CC 49 SLU (Collegamento -182_-384)
Azioni sul collegamento: N=-23227.80 Ty=-19.65 Tz=54.04 Mx=-0.00 Mz=-14.49
Sollecitazioni agenti localmente: Ty_l=-4223.24 Mx_l=-84.46
Tensioni nella sezione: σ=1023.81 τ=127.98
CC 50 SLU (Collegamento -182_-384)
Azioni sul collegamento: N=-22413.60 Ty=-18.90 Tz=51.04 Mx=-0.00 Mz=-13.93
Sollecitazioni agenti localmente: Ty_l=-4075.20 Mx_l=-81.50
Tensioni nella sezione: σ=987.93 τ=123.49
CC 51 SLU (Collegamento -182_-384)
Azioni sul collegamento: N=-22821.60 Ty=-19.36 Tz=52.48 Mx=-0.00 Mz=-14.39
Sollecitazioni agenti localmente: Ty_l=-4149.38 Mx_l=-82.99
Tensioni nella sezione: σ=1005.91 τ=125.74
CC 52 SLU (Collegamento -182_-384)

Azioni sul collegamento: N=-22819.80 Ty=-19.19 Tz=52.60 Mx=-0.01 Mz=-14.03
Sollecitazioni agenti localmente: Ty_l=-4149.06 Mx_l=-82.98
Tensioni nella sezione: σ=1005.83 τ=125.73
CC 53 SLU (Collegamento -182_-384)
Azioni sul collegamento: N=-25022.40 Ty=2.80 Tz=60.23 Mx=-0.00 Mz=2.45
Sollecitazioni agenti localmente: Ty_l=-4549.53 Mx_l=-90.99
Tensioni nella sezione: σ=1102.92 τ=137.87
CC 54 SLU (Collegamento -182_-384)
Azioni sul collegamento: N=-24208.20 Ty=3.55 Tz=57.23 Mx=-0.01 Mz=3.00
Sollecitazioni agenti localmente: Ty_l=-4401.50 Mx_l=-88.03
Tensioni nella sezione: σ=1067.03 τ=133.38
CC 55 SLU (Collegamento -182_-384)
Azioni sul collegamento: N=-24616.20 Ty=3.09 Tz=58.67 Mx=-0.00 Mz=2.54
Sollecitazioni agenti localmente: Ty_l=-4475.68 Mx_l=-89.51
Tensioni nella sezione: σ=1085.01 τ=135.63
CC 56 SLU (Collegamento -182_-384)
Azioni sul collegamento: N=-24614.50 Ty=3.26 Tz=58.79 Mx=-0.01 Mz=2.91
Sollecitazioni agenti localmente: Ty_l=-4475.35 Mx_l=-89.51
Tensioni nella sezione: σ=1084.93 τ=135.62
CC 57 SLU (Collegamento -182_-384)
Azioni sul collegamento: N=-27876.60 Ty=-18.56 Tz=71.09 Mx=-0.00 Mz=-13.78
Sollecitazioni agenti localmente: Ty_l=-5068.48 Mx_l=-101.37
Tensioni nella sezione: σ=1228.72 τ=153.59
CC 58 SLU (Collegamento -182_-384)
Azioni sul collegamento: N=-27062.40 Ty=-17.81 Tz=68.08 Mx=-0.00 Mz=-13.23
Sollecitazioni agenti localmente: Ty_l=-4920.44 Mx_l=-98.41
Tensioni nella sezione: σ=1192.83 τ=149.10
CC 59 SLU (Collegamento -182_-384)
Azioni sul collegamento: N=-27470.40 Ty=-18.27 Tz=69.53 Mx=-0.00 Mz=-13.69
Sollecitazioni agenti localmente: Ty_l=-4994.62 Mx_l=-99.89
Tensioni nella sezione: σ=1210.81 τ=151.35
CC 60 SLU (Collegamento -182_-384)
Azioni sul collegamento: N=-27468.70 Ty=-18.09 Tz=69.65 Mx=-0.01 Mz=-13.33
Sollecitazioni agenti localmente: Ty_l=-4994.30 Mx_l=-99.89
Tensioni nella sezione: σ=1210.74 τ=151.34
CC 61 SLU (Collegamento -182_-384)
Azioni sul collegamento: N=-21018.70 Ty=-17.90 Tz=45.91 Mx=-0.00 Mz=-13.19
Sollecitazioni agenti localmente: Ty_l=-3821.58 Mx_l=-76.43
Tensioni nella sezione: σ=926.44 τ=115.81
CC 62 SLU (Collegamento -182_-384)
Azioni sul collegamento: N=-20204.50 Ty=-17.15 Tz=42.91 Mx=-0.00 Mz=-12.64
Sollecitazioni agenti localmente: Ty_l=-3673.54 Mx_l=-73.47
Tensioni nella sezione: σ=890.55 τ=111.32
CC 63 SLU (Collegamento -182_-384)
Azioni sul collegamento: N=-20612.50 Ty=-17.61 Tz=44.35 Mx=-0.00 Mz=-13.10
Sollecitazioni agenti localmente: Ty_l=-3747.72 Mx_l=-74.95
Tensioni nella sezione: σ=908.54 τ=113.57
CC 64 SLU (Collegamento -182_-384)
Azioni sul collegamento: N=-20610.70 Ty=-17.43 Tz=44.47 Mx=-0.01 Mz=-12.73
Sollecitazioni agenti localmente: Ty_l=-3747.40 Mx_l=-74.95
Tensioni nella sezione: σ=908.46 τ=113.56
CC 65 SLU (Collegamento -182_-384)
Azioni sul collegamento: N=-22813.30 Ty=4.55 Tz=52.10 Mx=-0.00 Mz=3.75
Sollecitazioni agenti localmente: Ty_l=-4147.87 Mx_l=-82.96
Tensioni nella sezione: σ=1005.54 τ=125.69
CC 66 SLU (Collegamento -182_-384)
Azioni sul collegamento: N=-21999.10 Ty=5.30 Tz=49.10 Mx=-0.00 Mz=4.30
Sollecitazioni agenti localmente: Ty_l=-3999.83 Mx_l=-80.00
Tensioni nella sezione: σ=969.65 τ=121.21
CC 67 SLU (Collegamento -182_-384)
Azioni sul collegamento: N=-22407.10 Ty=4.84 Tz=50.54 Mx=-0.00 Mz=3.84
Sollecitazioni agenti localmente: Ty_l=-4074.01 Mx_l=-81.48
Tensioni nella sezione: σ=987.64 τ=123.45
CC 68 SLU (Collegamento -182_-384)
Azioni sul collegamento: N=-22405.30 Ty=5.01 Tz=50.66 Mx=-0.01 Mz=4.20
Sollecitazioni agenti localmente: Ty_l=-4073.69 Mx_l=-81.47
Tensioni nella sezione: σ=987.56 τ=123.44
CC 97 SLU (Collegamento -182_-384)
Azioni sul collegamento: N=-12779.50 Ty=-22.48 Tz=24.03 Mx=-0.06 Mz=-25.00
Sollecitazioni agenti localmente: Ty_l=-2323.54 Mx_l=-46.47
Tensioni nella sezione: σ=563.28 τ=70.41
CC 98 SLU (Collegamento -182_-384)
Azioni sul collegamento: N=-11965.30 Ty=-21.73 Tz=21.02 Mx=-0.06 Mz=-24.45
Sollecitazioni agenti localmente: Ty_l=-2175.50 Mx_l=-43.51
Tensioni nella sezione: σ=527.39 τ=65.92
CC 99 SLU (Collegamento -182_-384)
Azioni sul collegamento: N=-12373.20 Ty=-22.20 Tz=22.47 Mx=-0.05 Mz=-24.91
Sollecitazioni agenti localmente: Ty_l=-2249.68 Mx_l=-44.99
Tensioni nella sezione: σ=545.38 τ=68.17
CC 100 SLU (Collegamento -182_-384)

Azioni sul collegamento: N=-12371.50 Ty=-22.02 Tz=22.58 Mx=-0.06 Mz=-24.55
Sollecitazioni agenti localmente: Ty_l=-2249.36 Mx_l=-44.99
Tensioni nella sezione: σ=545.30 τ=68.16
CC 101 SLU (Collegamento -182_-384)
Azioni sul collegamento: N=-10566.60 Ty=-8.33 Tz=15.50 Mx=0.00 Mz=-5.31
Sollecitazioni agenti localmente: Ty_l=-1921.20 Mx_l=-38.42
Tensioni nella sezione: σ=465.74 τ=58.22
CC 102 SLU (Collegamento -182_-384)
Azioni sul collegamento: N=-9752.38 Ty=-7.57 Tz=12.50 Mx=0.00 Mz=-4.76
Sollecitazioni agenti localmente: Ty_l=-1773.16 Mx_l=-35.46
Tensioni nella sezione: σ=429.86 τ=53.73
CC 103 SLU (Collegamento -182_-384)
Azioni sul collegamento: N=-10160.40 Ty=-8.04 Tz=13.94 Mx=0.00 Mz=-5.22
Sollecitazioni agenti localmente: Ty_l=-1847.34 Mx_l=-36.95
Tensioni nella sezione: σ=447.84 τ=55.98
CC 104 SLU (Collegamento -182_-384)
Azioni sul collegamento: N=-10158.60 Ty=-7.86 Tz=14.06 Mx=0.00 Mz=-4.85
Sollecitazioni agenti localmente: Ty_l=-1847.02 Mx_l=-36.94
Tensioni nella sezione: σ=447.76 τ=55.97

Flessione attacco inferiore piastra

Bnetta=220.00 Hnetta=15.00
CC 1 SLV (Collegamento -182_-384)
Azioni sul collegamento: N=-5856.57 Ty=-4.82 Tz=-1.96 Mx=0.01 Mz=-1.13
Sollecitazioni agenti localmente: Ty_l=-1064.83 Mx_l=-21.30
Tensioni nella sezione: σ=258.14 τ=32.27
CC 1 SLV (Collegamento -182_-384)
Azioni sul collegamento: N=-5856.57 Ty=-12.53 Tz=-1.96 Mx=0.01 Mz=-7.45
Sollecitazioni agenti localmente: Ty_l=-1064.83 Mx_l=-21.30
Tensioni nella sezione: σ=258.14 τ=32.27
CC 1 SLV (Collegamento -182_-384)
Azioni sul collegamento: N=-5856.57 Ty=-4.82 Tz=27.25 Mx=0.01 Mz=-1.13
Sollecitazioni agenti localmente: Ty_l=-1064.83 Mx_l=-21.30
Tensioni nella sezione: σ=258.14 τ=32.27
CC 1 SLV (Collegamento -182_-384)
Azioni sul collegamento: N=-5856.57 Ty=-12.53 Tz=27.25 Mx=0.01 Mz=-7.45
Sollecitazioni agenti localmente: Ty_l=-1064.83 Mx_l=-21.30
Tensioni nella sezione: σ=258.14 τ=32.27
CC 1 SLV (Collegamento -182_-384)
Azioni sul collegamento: N=-13681.20 Ty=-4.82 Tz=-1.96 Mx=0.01 Mz=-1.13
Sollecitazioni agenti localmente: Ty_l=-2487.50 Mx_l=-49.75
Tensioni nella sezione: σ=603.03 τ=75.38
CC 1 SLV (Collegamento -182_-384)
Azioni sul collegamento: N=-13681.20 Ty=-12.53 Tz=-1.96 Mx=0.01 Mz=-7.45
Sollecitazioni agenti localmente: Ty_l=-2487.49 Mx_l=-49.75
Tensioni nella sezione: σ=603.03 τ=75.38
CC 1 SLV (Collegamento -182_-384)
Azioni sul collegamento: N=-13681.20 Ty=-4.82 Tz=27.25 Mx=0.01 Mz=-1.13
Sollecitazioni agenti localmente: Ty_l=-2487.50 Mx_l=-49.75
Tensioni nella sezione: σ=603.03 τ=75.38
CC 1 SLV (Collegamento -182_-384)
Azioni sul collegamento: N=-13681.20 Ty=-12.53 Tz=27.25 Mx=0.01 Mz=-7.45
Sollecitazioni agenti localmente: Ty_l=-2487.49 Mx_l=-49.75
Tensioni nella sezione: σ=603.03 τ=75.38
CC 2 SLD (Collegamento -182_-384)
Azioni sul collegamento: N=-8673.24 Ty=-8.42 Tz=8.57 Mx=0.00 Mz=-5.47
Sollecitazioni agenti localmente: Ty_l=-1576.95 Mx_l=-31.54
Tensioni nella sezione: σ=382.29 τ=47.79
CC 2 SLD (Collegamento -182_-384)
Azioni sul collegamento: N=-8673.24 Ty=-10.78 Tz=8.57 Mx=0.00 Mz=-7.39
Sollecitazioni agenti localmente: Ty_l=-1576.95 Mx_l=-31.54
Tensioni nella sezione: σ=382.29 τ=47.79
CC 2 SLD (Collegamento -182_-384)
Azioni sul collegamento: N=-8673.24 Ty=-8.42 Tz=17.48 Mx=0.00 Mz=-5.47
Sollecitazioni agenti localmente: Ty_l=-1576.95 Mx_l=-31.54
Tensioni nella sezione: σ=382.29 τ=47.79
CC 2 SLD (Collegamento -182_-384)
Azioni sul collegamento: N=-8673.24 Ty=-10.78 Tz=17.48 Mx=0.00 Mz=-7.39
Sollecitazioni agenti localmente: Ty_l=-1576.95 Mx_l=-31.54
Tensioni nella sezione: σ=382.29 τ=47.79
CC 2 SLD (Collegamento -182_-384)
Azioni sul collegamento: N=-11059.20 Ty=-8.42 Tz=8.57 Mx=0.00 Mz=-5.47
Sollecitazioni agenti localmente: Ty_l=-2010.77 Mx_l=-40.22
Tensioni nella sezione: σ=487.46 τ=60.93
CC 2 SLD (Collegamento -182_-384)
Azioni sul collegamento: N=-11059.20 Ty=-10.78 Tz=8.57 Mx=0.00 Mz=-7.39
Sollecitazioni agenti localmente: Ty_l=-2010.77 Mx_l=-40.22
Tensioni nella sezione: σ=487.46 τ=60.93
CC 2 SLD (Collegamento -182_-384)
Azioni sul collegamento: N=-11059.20 Ty=-8.42 Tz=17.48 Mx=0.00 Mz=-5.47

Sollecitazioni agenti localmente: Ty_l=-2010.77 Mx_l=-40.22
Tensioni nella sezione: σ=487.46 τ=60.93
CC 2 SLD (Collegamento -182_-384)
Azioni sul collegamento: N=-11059.20 Ty=-10.78 Tz=17.48 Mx=0.00 Mz=-7.39
Sollecitazioni agenti localmente: Ty_l=-2010.77 Mx_l=-40.22
Tensioni nella sezione: σ=487.46 τ=60.93
CC 3 SLV (Collegamento -182_-384)
Azioni sul collegamento: N=-5861.42 Ty=-5.33 Tz=-1.63 Mx=0.01 Mz=-2.18
Sollecitazioni agenti localmente: Ty_l=-1065.71 Mx_l=-21.31
Tensioni nella sezione: σ=258.35 τ=32.29
CC 3 SLV (Collegamento -182_-384)
Azioni sul collegamento: N=-5861.42 Ty=-12.02 Tz=-1.63 Mx=0.01 Mz=-6.41
Sollecitazioni agenti localmente: Ty_l=-1065.71 Mx_l=-21.31
Tensioni nella sezione: σ=258.35 τ=32.29
CC 3 SLV (Collegamento -182_-384)
Azioni sul collegamento: N=-5861.42 Ty=-5.33 Tz=26.92 Mx=0.01 Mz=-2.18
Sollecitazioni agenti localmente: Ty_l=-1065.71 Mx_l=-21.31
Tensioni nella sezione: σ=258.35 τ=32.29
CC 3 SLV (Collegamento -182_-384)
Azioni sul collegamento: N=-5861.42 Ty=-12.02 Tz=26.92 Mx=0.01 Mz=-6.41
Sollecitazioni agenti localmente: Ty_l=-1065.71 Mx_l=-21.31
Tensioni nella sezione: σ=258.35 τ=32.29
CC 3 SLV (Collegamento -182_-384)
Azioni sul collegamento: N=-13676.40 Ty=-5.33 Tz=-1.63 Mx=0.01 Mz=-2.18
Sollecitazioni agenti localmente: Ty_l=-2486.61 Mx_l=-49.73
Tensioni nella sezione: σ=602.81 τ=75.35
CC 3 SLV (Collegamento -182_-384)
Azioni sul collegamento: N=-13676.40 Ty=-12.02 Tz=-1.63 Mx=0.01 Mz=-6.41
Sollecitazioni agenti localmente: Ty_l=-2486.61 Mx_l=-49.73
Tensioni nella sezione: σ=602.81 τ=75.35
CC 3 SLV (Collegamento -182_-384)
Azioni sul collegamento: N=-13676.40 Ty=-5.33 Tz=26.92 Mx=0.01 Mz=-2.18
Sollecitazioni agenti localmente: Ty_l=-2486.61 Mx_l=-49.73
Tensioni nella sezione: σ=602.81 τ=75.35
CC 3 SLV (Collegamento -182_-384)
Azioni sul collegamento: N=-13676.40 Ty=-12.02 Tz=26.92 Mx=0.01 Mz=-6.41
Sollecitazioni agenti localmente: Ty_l=-2486.61 Mx_l=-49.73
Tensioni nella sezione: σ=602.81 τ=75.35
CC 4 SLD (Collegamento -182_-384)
Azioni sul collegamento: N=-8674.72 Ty=-8.58 Tz=8.67 Mx=-0.00 Mz=-5.79
Sollecitazioni agenti localmente: Ty_l=-1577.22 Mx_l=-31.54
Tensioni nella sezione: σ=382.36 τ=47.79
CC 4 SLD (Collegamento -182_-384)
Azioni sul collegamento: N=-8674.72 Ty=-10.62 Tz=8.67 Mx=-0.00 Mz=-7.07
Sollecitazioni agenti localmente: Ty_l=-1577.22 Mx_l=-31.54
Tensioni nella sezione: σ=382.36 τ=47.79
CC 4 SLD (Collegamento -182_-384)
Azioni sul collegamento: N=-8674.72 Ty=-8.58 Tz=17.38 Mx=-0.00 Mz=-5.79
Sollecitazioni agenti localmente: Ty_l=-1577.22 Mx_l=-31.54
Tensioni nella sezione: σ=382.36 τ=47.79
CC 4 SLD (Collegamento -182_-384)
Azioni sul collegamento: N=-8674.72 Ty=-10.62 Tz=17.38 Mx=-0.00 Mz=-7.07
Sollecitazioni agenti localmente: Ty_l=-1577.22 Mx_l=-31.54
Tensioni nella sezione: σ=382.36 τ=47.79
CC 4 SLD (Collegamento -182_-384)
Azioni sul collegamento: N=-11057.70 Ty=-8.58 Tz=8.67 Mx=-0.00 Mz=-5.79
Sollecitazioni agenti localmente: Ty_l=-2010.50 Mx_l=-40.21
Tensioni nella sezione: σ=487.39 τ=60.92
CC 4 SLD (Collegamento -182_-384)
Azioni sul collegamento: N=-11057.70 Ty=-10.62 Tz=8.67 Mx=-0.00 Mz=-7.07
Sollecitazioni agenti localmente: Ty_l=-2010.50 Mx_l=-40.21
Tensioni nella sezione: σ=487.39 τ=60.92
CC 4 SLD (Collegamento -182_-384)
Azioni sul collegamento: N=-11057.70 Ty=-8.58 Tz=17.38 Mx=-0.00 Mz=-5.79
Sollecitazioni agenti localmente: Ty_l=-2010.50 Mx_l=-40.21
Tensioni nella sezione: σ=487.39 τ=60.92
CC 4 SLD (Collegamento -182_-384)
Azioni sul collegamento: N=-11057.70 Ty=-10.62 Tz=17.38 Mx=-0.00 Mz=-7.07
Sollecitazioni agenti localmente: Ty_l=-2010.50 Mx_l=-40.21
Tensioni nella sezione: σ=487.39 τ=60.92
CC 5 SLV (Collegamento -182_-384)
Azioni sul collegamento: N=-13676.40 Ty=-12.02 Tz=26.92 Mx=0.01 Mz=-6.41
Sollecitazioni agenti localmente: Ty_l=-2486.61 Mx_l=-49.73
Tensioni nella sezione: σ=602.81 τ=75.35
CC 5 SLV (Collegamento -182_-384)
Azioni sul collegamento: N=-13676.40 Ty=-5.33 Tz=26.92 Mx=0.01 Mz=-2.18
Sollecitazioni agenti localmente: Ty_l=-2486.61 Mx_l=-49.73
Tensioni nella sezione: σ=602.81 τ=75.35
CC 5 SLV (Collegamento -182_-384)
Azioni sul collegamento: N=-13676.40 Ty=-12.02 Tz=-1.63 Mx=0.01 Mz=-6.41

Sollecitazioni agenti localmente: Ty_l=-2486.61 Mx_l=-49.73
Tensioni nella sezione: σ=602.81 τ=75.35
CC 5 SLV (Collegamento -182_-384)
Azioni sul collegamento: N=-13676.40 Ty=-5.33 Tz=-1.63 Mx=0.01 Mz=-2.18
Sollecitazioni agenti localmente: Ty_l=-2486.61 Mx_l=-49.73
Tensioni nella sezione: σ=602.81 τ=75.35
CC 5 SLV (Collegamento -182_-384)
Azioni sul collegamento: N=-5861.42 Ty=-12.02 Tz=26.92 Mx=0.01 Mz=-6.41
Sollecitazioni agenti localmente: Ty_l=-1065.71 Mx_l=-21.31
Tensioni nella sezione: σ=258.35 τ=32.29
CC 5 SLV (Collegamento -182_-384)
Azioni sul collegamento: N=-5861.42 Ty=-5.33 Tz=26.92 Mx=0.01 Mz=-2.18
Sollecitazioni agenti localmente: Ty_l=-1065.71 Mx_l=-21.31
Tensioni nella sezione: σ=258.35 τ=32.29
CC 5 SLV (Collegamento -182_-384)
Azioni sul collegamento: N=-5861.42 Ty=-12.02 Tz=-1.63 Mx=0.01 Mz=-6.41
Sollecitazioni agenti localmente: Ty_l=-1065.71 Mx_l=-21.31
Tensioni nella sezione: σ=258.35 τ=32.29
CC 5 SLV (Collegamento -182_-384)
Azioni sul collegamento: N=-5861.42 Ty=-5.33 Tz=-1.63 Mx=0.01 Mz=-2.18
Sollecitazioni agenti localmente: Ty_l=-1065.71 Mx_l=-21.31
Tensioni nella sezione: σ=258.35 τ=32.29
CC 6 SLD (Collegamento -182_-384)
Azioni sul collegamento: N=-11057.70 Ty=-10.62 Tz=17.38 Mx=0.00 Mz=-7.07
Sollecitazioni agenti localmente: Ty_l=-2010.50 Mx_l=-40.21
Tensioni nella sezione: σ=487.39 τ=60.92
CC 6 SLD (Collegamento -182_-384)
Azioni sul collegamento: N=-11057.70 Ty=-8.58 Tz=17.38 Mx=0.00 Mz=-5.79
Sollecitazioni agenti localmente: Ty_l=-2010.50 Mx_l=-40.21
Tensioni nella sezione: σ=487.39 τ=60.92
CC 6 SLD (Collegamento -182_-384)
Azioni sul collegamento: N=-11057.70 Ty=-10.62 Tz=8.67 Mx=0.00 Mz=-7.07
Sollecitazioni agenti localmente: Ty_l=-2010.50 Mx_l=-40.21
Tensioni nella sezione: σ=487.39 τ=60.92
CC 6 SLD (Collegamento -182_-384)
Azioni sul collegamento: N=-11057.70 Ty=-8.58 Tz=8.67 Mx=0.00 Mz=-5.79
Sollecitazioni agenti localmente: Ty_l=-2010.50 Mx_l=-40.21
Tensioni nella sezione: σ=487.39 τ=60.92
CC 6 SLD (Collegamento -182_-384)
Azioni sul collegamento: N=-8674.72 Ty=-10.62 Tz=17.38 Mx=0.00 Mz=-7.07
Sollecitazioni agenti localmente: Ty_l=-1577.22 Mx_l=-31.54
Tensioni nella sezione: σ=382.36 τ=47.79
CC 6 SLD (Collegamento -182_-384)
Azioni sul collegamento: N=-8674.72 Ty=-8.58 Tz=17.38 Mx=0.00 Mz=-5.79
Sollecitazioni agenti localmente: Ty_l=-1577.22 Mx_l=-31.54
Tensioni nella sezione: σ=382.36 τ=47.79
CC 6 SLD (Collegamento -182_-384)
Azioni sul collegamento: N=-8674.72 Ty=-10.62 Tz=8.67 Mx=0.00 Mz=-7.07
Sollecitazioni agenti localmente: Ty_l=-1577.22 Mx_l=-31.54
Tensioni nella sezione: σ=382.36 τ=47.79
CC 6 SLD (Collegamento -182_-384)
Azioni sul collegamento: N=-8674.72 Ty=-8.58 Tz=8.67 Mx=0.00 Mz=-5.79
Sollecitazioni agenti localmente: Ty_l=-1577.22 Mx_l=-31.54
Tensioni nella sezione: σ=382.36 τ=47.79
CC 7 SLV (Collegamento -182_-384)
Azioni sul collegamento: N=-13681.20 Ty=-12.53 Tz=27.25 Mx=0.01 Mz=-7.45
Sollecitazioni agenti localmente: Ty_l=-2487.49 Mx_l=-49.75
Tensioni nella sezione: σ=603.03 τ=75.38
CC 7 SLV (Collegamento -182_-384)
Azioni sul collegamento: N=-13681.20 Ty=-4.82 Tz=27.25 Mx=0.01 Mz=-1.13
Sollecitazioni agenti localmente: Ty_l=-2487.50 Mx_l=-49.75
Tensioni nella sezione: σ=603.03 τ=75.38
CC 7 SLV (Collegamento -182_-384)
Azioni sul collegamento: N=-13681.20 Ty=-12.53 Tz=-1.96 Mx=0.01 Mz=-7.45
Sollecitazioni agenti localmente: Ty_l=-2487.49 Mx_l=-49.75
Tensioni nella sezione: σ=603.03 τ=75.38
CC 7 SLV (Collegamento -182_-384)
Azioni sul collegamento: N=-13681.20 Ty=-4.82 Tz=-1.96 Mx=0.01 Mz=-1.13
Sollecitazioni agenti localmente: Ty_l=-2487.50 Mx_l=-49.75
Tensioni nella sezione: σ=603.03 τ=75.38
CC 7 SLV (Collegamento -182_-384)
Azioni sul collegamento: N=-5856.57 Ty=-12.53 Tz=27.25 Mx=0.01 Mz=-7.45
Sollecitazioni agenti localmente: Ty_l=-1064.83 Mx_l=-21.30
Tensioni nella sezione: σ=258.14 τ=32.27
CC 7 SLV (Collegamento -182_-384)
Azioni sul collegamento: N=-5856.57 Ty=-4.82 Tz=27.25 Mx=0.01 Mz=-1.13
Sollecitazioni agenti localmente: Ty_l=-1064.83 Mx_l=-21.30
Tensioni nella sezione: σ=258.14 τ=32.27
CC 7 SLV (Collegamento -182_-384)
Azioni sul collegamento: N=-5856.57 Ty=-12.53 Tz=-1.96 Mx=0.01 Mz=-7.45

Sollecitazioni agenti localmente: Ty_l=-1064.83 Mx_l=-21.30
Tensioni nella sezione: σ=258.14 τ=32.27
CC 7 SLV (Collegamento -182_-384)
Azioni sul collegamento: N=-5856.57 Ty=-4.82 Tz=-1.96 Mx=0.01 Mz=-1.13
Sollecitazioni agenti localmente: Ty_l=-1064.83 Mx_l=-21.30
Tensioni nella sezione: σ=258.14 τ=32.27
CC 8 SLD (Collegamento -182_-384)
Azioni sul collegamento: N=-11059.20 Ty=-10.78 Tz=17.48 Mx=-0.00 Mz=-7.39
Sollecitazioni agenti localmente: Ty_l=-2010.77 Mx_l=-40.22
Tensioni nella sezione: σ=487.46 τ=60.93
CC 8 SLD (Collegamento -182_-384)
Azioni sul collegamento: N=-11059.20 Ty=-8.42 Tz=17.48 Mx=-0.00 Mz=-5.47
Sollecitazioni agenti localmente: Ty_l=-2010.77 Mx_l=-40.22
Tensioni nella sezione: σ=487.46 τ=60.93
CC 8 SLD (Collegamento -182_-384)
Azioni sul collegamento: N=-11059.20 Ty=-10.78 Tz=8.57 Mx=-0.00 Mz=-7.39
Sollecitazioni agenti localmente: Ty_l=-2010.77 Mx_l=-40.22
Tensioni nella sezione: σ=487.46 τ=60.93
CC 8 SLD (Collegamento -182_-384)
Azioni sul collegamento: N=-11059.20 Ty=-8.42 Tz=8.57 Mx=-0.00 Mz=-5.47
Sollecitazioni agenti localmente: Ty_l=-2010.77 Mx_l=-40.22
Tensioni nella sezione: σ=487.46 τ=60.93
CC 8 SLD (Collegamento -182_-384)
Azioni sul collegamento: N=-8673.24 Ty=-10.78 Tz=17.48 Mx=-0.00 Mz=-7.39
Sollecitazioni agenti localmente: Ty_l=-1576.95 Mx_l=-31.54
Tensioni nella sezione: σ=382.29 τ=47.79
CC 8 SLD (Collegamento -182_-384)
Azioni sul collegamento: N=-8673.24 Ty=-8.42 Tz=17.48 Mx=-0.00 Mz=-5.47
Sollecitazioni agenti localmente: Ty_l=-1576.95 Mx_l=-31.54
Tensioni nella sezione: σ=382.29 τ=47.79
CC 8 SLD (Collegamento -182_-384)
Azioni sul collegamento: N=-8673.24 Ty=-10.78 Tz=8.57 Mx=-0.00 Mz=-7.39
Sollecitazioni agenti localmente: Ty_l=-1576.95 Mx_l=-31.54
Tensioni nella sezione: σ=382.29 τ=47.79
CC 8 SLD (Collegamento -182_-384)
Azioni sul collegamento: N=-8673.24 Ty=-8.42 Tz=8.57 Mx=-0.00 Mz=-5.47
Sollecitazioni agenti localmente: Ty_l=-1576.95 Mx_l=-31.54
Tensioni nella sezione: σ=382.29 τ=47.79
CC 9 SLV (Collegamento -182_-384)
Azioni sul collegamento: N=-8587.84 Ty=-6.74 Tz=7.77 Mx=0.02 Mz=-1.76
Sollecitazioni agenti localmente: Ty_l=-1561.43 Mx_l=-31.23
Tensioni nella sezione: σ=378.53 τ=47.32
CC 9 SLV (Collegamento -182_-384)
Azioni sul collegamento: N=-8587.84 Ty=-10.61 Tz=7.77 Mx=0.02 Mz=-6.83
Sollecitazioni agenti localmente: Ty_l=-1561.43 Mx_l=-31.23
Tensioni nella sezione: σ=378.53 τ=47.32
CC 9 SLV (Collegamento -182_-384)
Azioni sul collegamento: N=-8587.84 Ty=-6.74 Tz=17.52 Mx=0.02 Mz=-1.76
Sollecitazioni agenti localmente: Ty_l=-1561.43 Mx_l=-31.23
Tensioni nella sezione: σ=378.53 τ=47.32
CC 9 SLV (Collegamento -182_-384)
Azioni sul collegamento: N=-8587.84 Ty=-10.61 Tz=17.52 Mx=0.02 Mz=-6.83
Sollecitazioni agenti localmente: Ty_l=-1561.43 Mx_l=-31.23
Tensioni nella sezione: σ=378.53 τ=47.32
CC 9 SLV (Collegamento -182_-384)
Azioni sul collegamento: N=-10950.00 Ty=-6.74 Tz=7.77 Mx=0.02 Mz=-1.76
Sollecitazioni agenti localmente: Ty_l=-1990.90 Mx_l=-39.82
Tensioni nella sezione: σ=482.64 τ=60.33
CC 9 SLV (Collegamento -182_-384)
Azioni sul collegamento: N=-10950.00 Ty=-10.61 Tz=7.77 Mx=0.02 Mz=-6.83
Sollecitazioni agenti localmente: Ty_l=-1990.90 Mx_l=-39.82
Tensioni nella sezione: σ=482.64 τ=60.33
CC 9 SLV (Collegamento -182_-384)
Azioni sul collegamento: N=-10950.00 Ty=-6.74 Tz=17.52 Mx=0.02 Mz=-1.76
Sollecitazioni agenti localmente: Ty_l=-1990.90 Mx_l=-39.82
Tensioni nella sezione: σ=482.64 τ=60.33
CC 9 SLV (Collegamento -182_-384)
Azioni sul collegamento: N=-10950.00 Ty=-10.61 Tz=17.52 Mx=0.02 Mz=-6.83
Sollecitazioni agenti localmente: Ty_l=-1990.90 Mx_l=-39.82
Tensioni nella sezione: σ=482.64 τ=60.33
CC 10 SLD (Collegamento -182_-384)
Azioni sul collegamento: N=-9506.09 Ty=-9.01 Tz=11.54 Mx=0.00 Mz=-5.66
Sollecitazioni agenti localmente: Ty_l=-1728.38 Mx_l=-34.57
Tensioni nella sezione: σ=419.00 τ=52.38
CC 10 SLD (Collegamento -182_-384)
Azioni sul collegamento: N=-9506.09 Ty=-10.19 Tz=11.54 Mx=0.00 Mz=-7.20
Sollecitazioni agenti localmente: Ty_l=-1728.38 Mx_l=-34.57
Tensioni nella sezione: σ=419.00 τ=52.38
CC 10 SLD (Collegamento -182_-384)
Azioni sul collegamento: N=-9506.09 Ty=-9.01 Tz=14.51 Mx=0.00 Mz=-5.66

Sollecitazioni agenti localmente: Ty_l=-1728.38 Mx_l=-34.57
Tensioni nella sezione: σ=419.00 τ=52.38
CC 10 SLD (Collegamento -182_-384)
Azioni sul collegamento: N=-9506.09 Ty=-10.19 Tz=14.51 Mx=0.00 Mz=-7.20
Sollecitazioni agenti localmente: Ty_l=-1728.38 Mx_l=-34.57
Tensioni nella sezione: σ=419.00 τ=52.38
CC 10 SLD (Collegamento -182_-384)
Azioni sul collegamento: N=-10226.40 Ty=-9.01 Tz=11.54 Mx=0.00 Mz=-5.66
Sollecitazioni agenti localmente: Ty_l=-1859.34 Mx_l=-37.19
Tensioni nella sezione: σ=450.75 τ=56.34
CC 10 SLD (Collegamento -182_-384)
Azioni sul collegamento: N=-10226.40 Ty=-10.19 Tz=11.54 Mx=0.00 Mz=-7.20
Sollecitazioni agenti localmente: Ty_l=-1859.34 Mx_l=-37.19
Tensioni nella sezione: σ=450.75 τ=56.34
CC 10 SLD (Collegamento -182_-384)
Azioni sul collegamento: N=-10226.40 Ty=-9.01 Tz=14.51 Mx=0.00 Mz=-5.66
Sollecitazioni agenti localmente: Ty_l=-1859.34 Mx_l=-37.19
Tensioni nella sezione: σ=450.75 τ=56.34
CC 10 SLD (Collegamento -182_-384)
Azioni sul collegamento: N=-10226.40 Ty=-10.19 Tz=14.51 Mx=0.00 Mz=-7.20
Sollecitazioni agenti localmente: Ty_l=-1859.34 Mx_l=-37.19
Tensioni nella sezione: σ=450.75 τ=56.34
CC 11 SLV (Collegamento -182_-384)
Azioni sul collegamento: N=-10933.80 Ty=-8.90 Tz=16.43 Mx=0.02 Mz=-3.34
Sollecitazioni agenti localmente: Ty_l=-1987.96 Mx_l=-39.76
Tensioni nella sezione: σ=481.93 τ=60.24
CC 11 SLV (Collegamento -182_-384)
Azioni sul collegamento: N=-10933.80 Ty=-8.45 Tz=16.43 Mx=0.02 Mz=-5.25
Sollecitazioni agenti localmente: Ty_l=-1987.96 Mx_l=-39.76
Tensioni nella sezione: σ=481.93 τ=60.24
CC 11 SLV (Collegamento -182_-384)
Azioni sul collegamento: N=-10933.80 Ty=-8.90 Tz=8.86 Mx=0.02 Mz=-3.34
Sollecitazioni agenti localmente: Ty_l=-1987.96 Mx_l=-39.76
Tensioni nella sezione: σ=481.93 τ=60.24
CC 11 SLV (Collegamento -182_-384)
Azioni sul collegamento: N=-10933.80 Ty=-8.45 Tz=8.86 Mx=0.02 Mz=-5.25
Sollecitazioni agenti localmente: Ty_l=-1987.96 Mx_l=-39.76
Tensioni nella sezione: σ=481.93 τ=60.24
CC 11 SLV (Collegamento -182_-384)
Azioni sul collegamento: N=-8604.01 Ty=-8.90 Tz=16.43 Mx=0.02 Mz=-3.34
Sollecitazioni agenti localmente: Ty_l=-1564.37 Mx_l=-31.29
Tensioni nella sezione: σ=379.24 τ=47.41
CC 11 SLV (Collegamento -182_-384)
Azioni sul collegamento: N=-8604.01 Ty=-8.45 Tz=16.43 Mx=0.02 Mz=-5.25
Sollecitazioni agenti localmente: Ty_l=-1564.37 Mx_l=-31.29
Tensioni nella sezione: σ=379.24 τ=47.41
CC 11 SLV (Collegamento -182_-384)
Azioni sul collegamento: N=-8604.01 Ty=-8.90 Tz=8.86 Mx=0.02 Mz=-3.34
Sollecitazioni agenti localmente: Ty_l=-1564.37 Mx_l=-31.29
Tensioni nella sezione: σ=379.24 τ=47.41
CC 11 SLV (Collegamento -182_-384)
Azioni sul collegamento: N=-8604.01 Ty=-8.45 Tz=8.86 Mx=0.02 Mz=-5.25
Sollecitazioni agenti localmente: Ty_l=-1564.37 Mx_l=-31.29
Tensioni nella sezione: σ=379.24 τ=47.41
CC 12 SLD (Collegamento -182_-384)
Azioni sul collegamento: N=-10221.40 Ty=-9.67 Tz=14.18 Mx=0.00 Mz=-6.14
Sollecitazioni agenti localmente: Ty_l=-1858.44 Mx_l=-37.17
Tensioni nella sezione: σ=450.53 τ=56.32
CC 12 SLD (Collegamento -182_-384)
Azioni sul collegamento: N=-10221.40 Ty=-9.53 Tz=14.18 Mx=0.00 Mz=-6.72
Sollecitazioni agenti localmente: Ty_l=-1858.44 Mx_l=-37.17
Tensioni nella sezione: σ=450.53 τ=56.32
CC 12 SLD (Collegamento -182_-384)
Azioni sul collegamento: N=-10221.40 Ty=-9.67 Tz=11.87 Mx=0.00 Mz=-6.14
Sollecitazioni agenti localmente: Ty_l=-1858.44 Mx_l=-37.17
Tensioni nella sezione: σ=450.53 τ=56.32
CC 12 SLD (Collegamento -182_-384)
Azioni sul collegamento: N=-10221.40 Ty=-9.53 Tz=11.87 Mx=0.00 Mz=-6.72
Sollecitazioni agenti localmente: Ty_l=-1858.44 Mx_l=-37.17
Tensioni nella sezione: σ=450.53 τ=56.32
CC 12 SLD (Collegamento -182_-384)
Azioni sul collegamento: N=-9511.02 Ty=-9.67 Tz=14.18 Mx=0.00 Mz=-6.14
Sollecitazioni agenti localmente: Ty_l=-1729.28 Mx_l=-34.59
Tensioni nella sezione: σ=419.22 τ=52.40
CC 12 SLD (Collegamento -182_-384)
Azioni sul collegamento: N=-9511.02 Ty=-9.53 Tz=14.18 Mx=0.00 Mz=-6.72
Sollecitazioni agenti localmente: Ty_l=-1729.28 Mx_l=-34.59
Tensioni nella sezione: σ=419.22 τ=52.40
CC 12 SLD (Collegamento -182_-384)
Azioni sul collegamento: N=-9511.02 Ty=-9.67 Tz=11.87 Mx=0.00 Mz=-6.14

Sollecitazioni agenti localmente: Ty_l=-1729.28 Mx_l=-34.59
Tensioni nella sezione: σ=419.22 τ=52.40
CC 12 SLD (Collegamento -182_-384)
Azioni sul collegamento: N=-9511.02 Ty=-9.53 Tz=11.87 Mx=0.00 Mz=-6.72
Sollecitazioni agenti localmente: Ty_l=-1729.28 Mx_l=-34.59
Tensioni nella sezione: σ=419.22 τ=52.40
CC 13 SLV (Collegamento -182_-384)
Azioni sul collegamento: N=-8604.01 Ty=-8.45 Tz=8.86 Mx=0.00 Mz=-5.25
Sollecitazioni agenti localmente: Ty_l=-1564.37 Mx_l=-31.29
Tensioni nella sezione: σ=379.24 τ=47.41
CC 13 SLV (Collegamento -182_-384)
Azioni sul collegamento: N=-8604.01 Ty=-8.90 Tz=8.86 Mx=0.00 Mz=-3.34
Sollecitazioni agenti localmente: Ty_l=-1564.37 Mx_l=-31.29
Tensioni nella sezione: σ=379.24 τ=47.41
CC 13 SLV (Collegamento -182_-384)
Azioni sul collegamento: N=-8604.01 Ty=-8.45 Tz=16.43 Mx=0.00 Mz=-5.25
Sollecitazioni agenti localmente: Ty_l=-1564.37 Mx_l=-31.29
Tensioni nella sezione: σ=379.24 τ=47.41
CC 13 SLV (Collegamento -182_-384)
Azioni sul collegamento: N=-8604.01 Ty=-8.90 Tz=16.43 Mx=0.00 Mz=-3.34
Sollecitazioni agenti localmente: Ty_l=-1564.37 Mx_l=-31.29
Tensioni nella sezione: σ=379.24 τ=47.41
CC 13 SLV (Collegamento -182_-384)
Azioni sul collegamento: N=-10933.80 Ty=-8.45 Tz=8.86 Mx=0.00 Mz=-5.25
Sollecitazioni agenti localmente: Ty_l=-1987.96 Mx_l=-39.76
Tensioni nella sezione: σ=481.93 τ=60.24
CC 13 SLV (Collegamento -182_-384)
Azioni sul collegamento: N=-10933.80 Ty=-8.90 Tz=8.86 Mx=0.00 Mz=-3.34
Sollecitazioni agenti localmente: Ty_l=-1987.96 Mx_l=-39.76
Tensioni nella sezione: σ=481.93 τ=60.24
CC 13 SLV (Collegamento -182_-384)
Azioni sul collegamento: N=-10933.80 Ty=-8.45 Tz=16.43 Mx=0.00 Mz=-5.25
Sollecitazioni agenti localmente: Ty_l=-1987.96 Mx_l=-39.76
Tensioni nella sezione: σ=481.93 τ=60.24
CC 13 SLV (Collegamento -182_-384)
Azioni sul collegamento: N=-10933.80 Ty=-8.90 Tz=16.43 Mx=0.00 Mz=-3.34
Sollecitazioni agenti localmente: Ty_l=-1987.96 Mx_l=-39.76
Tensioni nella sezione: σ=481.93 τ=60.24
CC 14 SLD (Collegamento -182_-384)
Azioni sul collegamento: N=-9511.02 Ty=-9.53 Tz=11.87 Mx=-0.00 Mz=-6.72
Sollecitazioni agenti localmente: Ty_l=-1729.28 Mx_l=-34.59
Tensioni nella sezione: σ=419.22 τ=52.40
CC 14 SLD (Collegamento -182_-384)
Azioni sul collegamento: N=-9511.02 Ty=-9.67 Tz=11.87 Mx=-0.00 Mz=-6.14
Sollecitazioni agenti localmente: Ty_l=-1729.28 Mx_l=-34.59
Tensioni nella sezione: σ=419.22 τ=52.40
CC 14 SLD (Collegamento -182_-384)
Azioni sul collegamento: N=-9511.02 Ty=-9.53 Tz=14.18 Mx=-0.00 Mz=-6.72
Sollecitazioni agenti localmente: Ty_l=-1729.28 Mx_l=-34.59
Tensioni nella sezione: σ=419.22 τ=52.40
CC 14 SLD (Collegamento -182_-384)
Azioni sul collegamento: N=-9511.02 Ty=-9.67 Tz=14.18 Mx=-0.00 Mz=-6.14
Sollecitazioni agenti localmente: Ty_l=-1729.28 Mx_l=-34.59
Tensioni nella sezione: σ=419.22 τ=52.40
CC 14 SLD (Collegamento -182_-384)
Azioni sul collegamento: N=-10221.40 Ty=-9.53 Tz=11.87 Mx=-0.00 Mz=-6.72
Sollecitazioni agenti localmente: Ty_l=-1858.44 Mx_l=-37.17
Tensioni nella sezione: σ=450.53 τ=56.32
CC 14 SLD (Collegamento -182_-384)
Azioni sul collegamento: N=-10221.40 Ty=-9.67 Tz=11.87 Mx=-0.00 Mz=-6.14
Sollecitazioni agenti localmente: Ty_l=-1858.44 Mx_l=-37.17
Tensioni nella sezione: σ=450.53 τ=56.32
CC 14 SLD (Collegamento -182_-384)
Azioni sul collegamento: N=-10221.40 Ty=-9.53 Tz=14.18 Mx=-0.00 Mz=-6.72
Sollecitazioni agenti localmente: Ty_l=-1858.44 Mx_l=-37.17
Tensioni nella sezione: σ=450.53 τ=56.32
CC 14 SLD (Collegamento -182_-384)
Azioni sul collegamento: N=-10221.40 Ty=-9.67 Tz=14.18 Mx=-0.00 Mz=-6.14
Sollecitazioni agenti localmente: Ty_l=-1858.44 Mx_l=-37.17
Tensioni nella sezione: σ=450.53 τ=56.32
CC 15 SLV (Collegamento -182_-384)
Azioni sul collegamento: N=-10950.00 Ty=-10.61 Tz=17.52 Mx=0.00 Mz=-6.83
Sollecitazioni agenti localmente: Ty_l=-1990.90 Mx_l=-39.82
Tensioni nella sezione: σ=482.64 τ=60.33
CC 15 SLV (Collegamento -182_-384)
Azioni sul collegamento: N=-10950.00 Ty=-6.74 Tz=17.52 Mx=0.00 Mz=-1.76
Sollecitazioni agenti localmente: Ty_l=-1990.90 Mx_l=-39.82
Tensioni nella sezione: σ=482.64 τ=60.33
CC 15 SLV (Collegamento -182_-384)
Azioni sul collegamento: N=-10950.00 Ty=-10.61 Tz=7.77 Mx=0.00 Mz=-6.83

Sollecitazioni agenti localmente: Ty_l=-1990.90 Mx_l=-39.82
Tensioni nella sezione: σ=482.64 τ=60.33
CC 15 SLV (Collegamento -182_-384)
Azioni sul collegamento: N=-10950.00 Ty=-6.74 Tz=7.77 Mx=0.00 Mz=-1.76
Sollecitazioni agenti localmente: Ty_l=-1990.90 Mx_l=-39.82
Tensioni nella sezione: σ=482.64 τ=60.33
CC 15 SLV (Collegamento -182_-384)
Azioni sul collegamento: N=-8587.84 Ty=-10.61 Tz=17.52 Mx=0.00 Mz=-6.83
Sollecitazioni agenti localmente: Ty_l=-1561.43 Mx_l=-31.23
Tensioni nella sezione: σ=378.53 τ=47.32
CC 15 SLV (Collegamento -182_-384)
Azioni sul collegamento: N=-8587.84 Ty=-6.74 Tz=17.52 Mx=0.00 Mz=-1.76
Sollecitazioni agenti localmente: Ty_l=-1561.43 Mx_l=-31.23
Tensioni nella sezione: σ=378.53 τ=47.32
CC 15 SLV (Collegamento -182_-384)
Azioni sul collegamento: N=-8587.84 Ty=-10.61 Tz=7.77 Mx=0.00 Mz=-6.83
Sollecitazioni agenti localmente: Ty_l=-1561.43 Mx_l=-31.23
Tensioni nella sezione: σ=378.53 τ=47.32
CC 15 SLV (Collegamento -182_-384)
Azioni sul collegamento: N=-8587.84 Ty=-6.74 Tz=7.77 Mx=0.00 Mz=-1.76
Sollecitazioni agenti localmente: Ty_l=-1561.43 Mx_l=-31.23
Tensioni nella sezione: σ=378.53 τ=47.32
CC 16 SLD (Collegamento -182_-384)
Azioni sul collegamento: N=-10226.40 Ty=-10.19 Tz=14.51 Mx=-0.00 Mz=-7.20
Sollecitazioni agenti localmente: Ty_l=-1859.34 Mx_l=-37.19
Tensioni nella sezione: σ=450.75 τ=56.34
CC 16 SLD (Collegamento -182_-384)
Azioni sul collegamento: N=-10226.40 Ty=-9.01 Tz=14.51 Mx=-0.00 Mz=-5.66
Sollecitazioni agenti localmente: Ty_l=-1859.34 Mx_l=-37.19
Tensioni nella sezione: σ=450.75 τ=56.34
CC 16 SLD (Collegamento -182_-384)
Azioni sul collegamento: N=-10226.40 Ty=-10.19 Tz=11.54 Mx=-0.00 Mz=-7.20
Sollecitazioni agenti localmente: Ty_l=-1859.34 Mx_l=-37.19
Tensioni nella sezione: σ=450.75 τ=56.34
CC 16 SLD (Collegamento -182_-384)
Azioni sul collegamento: N=-10226.40 Ty=-9.01 Tz=11.54 Mx=-0.00 Mz=-5.66
Sollecitazioni agenti localmente: Ty_l=-1859.34 Mx_l=-37.19
Tensioni nella sezione: σ=450.75 τ=56.34
CC 16 SLD (Collegamento -182_-384)
Azioni sul collegamento: N=-9506.09 Ty=-10.19 Tz=14.51 Mx=-0.00 Mz=-7.20
Sollecitazioni agenti localmente: Ty_l=-1728.38 Mx_l=-34.57
Tensioni nella sezione: σ=419.00 τ=52.38
CC 16 SLD (Collegamento -182_-384)
Azioni sul collegamento: N=-9506.09 Ty=-9.01 Tz=14.51 Mx=-0.00 Mz=-5.66
Sollecitazioni agenti localmente: Ty_l=-1728.38 Mx_l=-34.57
Tensioni nella sezione: σ=419.00 τ=52.38
CC 16 SLD (Collegamento -182_-384)
Azioni sul collegamento: N=-9506.09 Ty=-10.19 Tz=11.54 Mx=-0.00 Mz=-7.20
Sollecitazioni agenti localmente: Ty_l=-1728.38 Mx_l=-34.57
Tensioni nella sezione: σ=419.00 τ=52.38
CC 16 SLD (Collegamento -182_-384)
Azioni sul collegamento: N=-9506.09 Ty=-9.01 Tz=11.54 Mx=-0.00 Mz=-5.66
Sollecitazioni agenti localmente: Ty_l=-1728.38 Mx_l=-34.57
Tensioni nella sezione: σ=419.00 τ=52.38
CC 17 SLV (Collegamento -182_-384)
Azioni sul collegamento: N=-6136.65 Ty=-7.48 Tz=-0.86 Mx=-0.02 Mz=-7.28
Sollecitazioni agenti localmente: Ty_l=-1115.75 Mx_l=-22.32
Tensioni nella sezione: σ=270.49 τ=33.81
CC 17 SLV (Collegamento -182_-384)
Azioni sul collegamento: N=-6136.65 Ty=-15.19 Tz=-0.86 Mx=-0.02 Mz=-13.60
Sollecitazioni agenti localmente: Ty_l=-1115.75 Mx_l=-22.32
Tensioni nella sezione: σ=270.49 τ=33.81
CC 17 SLV (Collegamento -182_-384)
Azioni sul collegamento: N=-6136.65 Ty=-7.48 Tz=28.35 Mx=-0.02 Mz=-7.28
Sollecitazioni agenti localmente: Ty_l=-1115.75 Mx_l=-22.32
Tensioni nella sezione: σ=270.49 τ=33.81
CC 17 SLV (Collegamento -182_-384)
Azioni sul collegamento: N=-6136.65 Ty=-15.19 Tz=28.35 Mx=-0.02 Mz=-13.60
Sollecitazioni agenti localmente: Ty_l=-1115.75 Mx_l=-22.32
Tensioni nella sezione: σ=270.49 τ=33.81
CC 17 SLV (Collegamento -182_-384)
Azioni sul collegamento: N=-13961.30 Ty=-7.48 Tz=-0.86 Mx=-0.02 Mz=-7.28
Sollecitazioni agenti localmente: Ty_l=-2538.42 Mx_l=-50.77
Tensioni nella sezione: σ=615.37 τ=76.92
CC 17 SLV (Collegamento -182_-384)
Azioni sul collegamento: N=-13961.30 Ty=-15.19 Tz=-0.86 Mx=-0.02 Mz=-13.60
Sollecitazioni agenti localmente: Ty_l=-2538.42 Mx_l=-50.77
Tensioni nella sezione: σ=615.37 τ=76.92
CC 17 SLV (Collegamento -182_-384)
Azioni sul collegamento: N=-13961.30 Ty=-7.48 Tz=28.35 Mx=-0.02 Mz=-7.28

Sollecitazioni agenti localmente: Ty_l=-2538.42 Mx_l=-50.77
Tensioni nella sezione: σ=615.37 τ=76.92
CC 17 SLV (Collegamento -182_-384)
Azioni sul collegamento: N=-13961.30 Ty=-15.19 Tz=28.35 Mx=-0.02 Mz=-13.60
Sollecitazioni agenti localmente: Ty_l=-2538.42 Mx_l=-50.77
Tensioni nella sezione: σ=615.37 τ=76.92
CC 18 SLD (Collegamento -182_-384)
Azioni sul collegamento: N=-8758.64 Ty=-9.24 Tz=8.91 Mx=-0.01 Mz=-7.34
Sollecitazioni agenti localmente: Ty_l=-1592.48 Mx_l=-31.85
Tensioni nella sezione: σ=386.06 τ=48.26
CC 18 SLD (Collegamento -182_-384)
Azioni sul collegamento: N=-8758.64 Ty=-11.59 Tz=8.91 Mx=-0.01 Mz=-9.27
Sollecitazioni agenti localmente: Ty_l=-1592.48 Mx_l=-31.85
Tensioni nella sezione: σ=386.06 τ=48.26
CC 18 SLD (Collegamento -182_-384)
Azioni sul collegamento: N=-8758.65 Ty=-9.24 Tz=17.82 Mx=-0.01 Mz=-7.34
Sollecitazioni agenti localmente: Ty_l=-1592.48 Mx_l=-31.85
Tensioni nella sezione: σ=386.06 τ=48.26
CC 18 SLD (Collegamento -182_-384)
Azioni sul collegamento: N=-8758.65 Ty=-11.59 Tz=17.82 Mx=-0.01 Mz=-9.27
Sollecitazioni agenti localmente: Ty_l=-1592.48 Mx_l=-31.85
Tensioni nella sezione: σ=386.06 τ=48.26
CC 18 SLD (Collegamento -182_-384)
Azioni sul collegamento: N=-11144.60 Ty=-9.24 Tz=8.91 Mx=-0.01 Mz=-7.34
Sollecitazioni agenti localmente: Ty_l=-2026.30 Mx_l=-40.53
Tensioni nella sezione: σ=491.22 τ=61.40
CC 18 SLD (Collegamento -182_-384)
Azioni sul collegamento: N=-11144.60 Ty=-11.59 Tz=8.91 Mx=-0.01 Mz=-9.27
Sollecitazioni agenti localmente: Ty_l=-2026.30 Mx_l=-40.53
Tensioni nella sezione: σ=491.22 τ=61.40
CC 18 SLD (Collegamento -182_-384)
Azioni sul collegamento: N=-11144.60 Ty=-9.24 Tz=17.82 Mx=-0.01 Mz=-7.34
Sollecitazioni agenti localmente: Ty_l=-2026.30 Mx_l=-40.53
Tensioni nella sezione: σ=491.22 τ=61.40
CC 18 SLD (Collegamento -182_-384)
Azioni sul collegamento: N=-11144.60 Ty=-11.59 Tz=17.82 Mx=-0.01 Mz=-9.27
Sollecitazioni agenti localmente: Ty_l=-2026.30 Mx_l=-40.53
Tensioni nella sezione: σ=491.22 τ=61.40
CC 19 SLV (Collegamento -182_-384)
Azioni sul collegamento: N=-6141.50 Ty=-7.99 Tz=-0.53 Mx=-0.01 Mz=-8.33
Sollecitazioni agenti localmente: Ty_l=-1116.64 Mx_l=-22.33
Tensioni nella sezione: σ=270.70 τ=33.84
CC 19 SLV (Collegamento -182_-384)
Azioni sul collegamento: N=-6141.50 Ty=-14.68 Tz=-0.53 Mx=-0.01 Mz=-12.56
Sollecitazioni agenti localmente: Ty_l=-1116.64 Mx_l=-22.33
Tensioni nella sezione: σ=270.70 τ=33.84
CC 19 SLV (Collegamento -182_-384)
Azioni sul collegamento: N=-6141.50 Ty=-7.99 Tz=28.02 Mx=-0.01 Mz=-8.33
Sollecitazioni agenti localmente: Ty_l=-1116.64 Mx_l=-22.33
Tensioni nella sezione: σ=270.70 τ=33.84
CC 19 SLV (Collegamento -182_-384)
Azioni sul collegamento: N=-6141.50 Ty=-14.68 Tz=28.02 Mx=-0.01 Mz=-12.56
Sollecitazioni agenti localmente: Ty_l=-1116.64 Mx_l=-22.33
Tensioni nella sezione: σ=270.70 τ=33.84
CC 19 SLV (Collegamento -182_-384)
Azioni sul collegamento: N=-13956.40 Ty=-7.99 Tz=-0.53 Mx=-0.01 Mz=-8.33
Sollecitazioni agenti localmente: Ty_l=-2537.54 Mx_l=-50.75
Tensioni nella sezione: σ=615.16 τ=76.89
CC 19 SLV (Collegamento -182_-384)
Azioni sul collegamento: N=-13956.40 Ty=-14.68 Tz=-0.53 Mx=-0.01 Mz=-12.56
Sollecitazioni agenti localmente: Ty_l=-2537.54 Mx_l=-50.75
Tensioni nella sezione: σ=615.16 τ=76.89
CC 19 SLV (Collegamento -182_-384)
Azioni sul collegamento: N=-13956.40 Ty=-7.99 Tz=28.02 Mx=-0.01 Mz=-8.33
Sollecitazioni agenti localmente: Ty_l=-2537.54 Mx_l=-50.75
Tensioni nella sezione: σ=615.16 τ=76.89
CC 19 SLV (Collegamento -182_-384)
Azioni sul collegamento: N=-13956.40 Ty=-14.68 Tz=28.02 Mx=-0.01 Mz=-12.56
Sollecitazioni agenti localmente: Ty_l=-2537.54 Mx_l=-50.75
Tensioni nella sezione: σ=615.16 τ=76.89
CC 20 SLD (Collegamento -182_-384)
Azioni sul collegamento: N=-8760.12 Ty=-9.39 Tz=9.01 Mx=-0.01 Mz=-7.66
Sollecitazioni agenti localmente: Ty_l=-1592.75 Mx_l=-31.85
Tensioni nella sezione: σ=386.12 τ=48.27
CC 20 SLD (Collegamento -182_-384)
Azioni sul collegamento: N=-8760.12 Ty=-11.43 Tz=9.01 Mx=-0.01 Mz=-8.95
Sollecitazioni agenti localmente: Ty_l=-1592.75 Mx_l=-31.85
Tensioni nella sezione: σ=386.12 τ=48.27
CC 20 SLD (Collegamento -182_-384)
Azioni sul collegamento: N=-8760.13 Ty=-9.39 Tz=17.72 Mx=-0.01 Mz=-7.66

Sollecitazioni agenti localmente: Ty_l=-1592.75 Mx_l=-31.85
Tensioni nella sezione: σ=386.12 τ=48.27
CC 20 SLD (Collegamento -182_-384)
Azioni sul collegamento: N=-8760.13 Ty=-11.43 Tz=17.72 Mx=-0.01 Mz=-8.95
Sollecitazioni agenti localmente: Ty_l=-1592.75 Mx_l=-31.85
Tensioni nella sezione: σ=386.12 τ=48.27
CC 20 SLD (Collegamento -182_-384)
Azioni sul collegamento: N=-11143.10 Ty=-9.39 Tz=9.01 Mx=-0.01 Mz=-7.66
Sollecitazioni agenti localmente: Ty_l=-2026.03 Mx_l=-40.52
Tensioni nella sezione: σ=491.16 τ=61.39
CC 20 SLD (Collegamento -182_-384)
Azioni sul collegamento: N=-11143.10 Ty=-11.43 Tz=9.01 Mx=-0.01 Mz=-8.95
Sollecitazioni agenti localmente: Ty_l=-2026.03 Mx_l=-40.52
Tensioni nella sezione: σ=491.16 τ=61.39
CC 20 SLD (Collegamento -182_-384)
Azioni sul collegamento: N=-11143.10 Ty=-9.39 Tz=17.72 Mx=-0.01 Mz=-7.66
Sollecitazioni agenti localmente: Ty_l=-2026.03 Mx_l=-40.52
Tensioni nella sezione: σ=491.16 τ=61.39
CC 20 SLD (Collegamento -182_-384)
Azioni sul collegamento: N=-11143.10 Ty=-11.43 Tz=17.72 Mx=-0.01 Mz=-8.95
Sollecitazioni agenti localmente: Ty_l=-2026.03 Mx_l=-40.52
Tensioni nella sezione: σ=491.16 τ=61.39
CC 21 SLV (Collegamento -182_-384)
Azioni sul collegamento: N=-13956.40 Ty=-14.68 Tz=28.02 Mx=-0.02 Mz=-12.56
Sollecitazioni agenti localmente: Ty_l=-2537.54 Mx_l=-50.75
Tensioni nella sezione: σ=615.16 τ=76.89
CC 21 SLV (Collegamento -182_-384)
Azioni sul collegamento: N=-13956.40 Ty=-7.99 Tz=28.02 Mx=-0.02 Mz=-8.33
Sollecitazioni agenti localmente: Ty_l=-2537.54 Mx_l=-50.75
Tensioni nella sezione: σ=615.16 τ=76.89
CC 21 SLV (Collegamento -182_-384)
Azioni sul collegamento: N=-13956.40 Ty=-14.68 Tz=-0.53 Mx=-0.02 Mz=-12.56
Sollecitazioni agenti localmente: Ty_l=-2537.54 Mx_l=-50.75
Tensioni nella sezione: σ=615.16 τ=76.89
CC 21 SLV (Collegamento -182_-384)
Azioni sul collegamento: N=-13956.40 Ty=-7.99 Tz=-0.53 Mx=-0.02 Mz=-8.33
Sollecitazioni agenti localmente: Ty_l=-2537.54 Mx_l=-50.75
Tensioni nella sezione: σ=615.16 τ=76.89
CC 21 SLV (Collegamento -182_-384)
Azioni sul collegamento: N=-6141.50 Ty=-14.68 Tz=28.02 Mx=-0.02 Mz=-12.56
Sollecitazioni agenti localmente: Ty_l=-1116.64 Mx_l=-22.33
Tensioni nella sezione: σ=270.70 τ=33.84
CC 21 SLV (Collegamento -182_-384)
Azioni sul collegamento: N=-6141.50 Ty=-7.99 Tz=28.02 Mx=-0.02 Mz=-8.33
Sollecitazioni agenti localmente: Ty_l=-1116.64 Mx_l=-22.33
Tensioni nella sezione: σ=270.70 τ=33.84
CC 21 SLV (Collegamento -182_-384)
Azioni sul collegamento: N=-6141.50 Ty=-14.68 Tz=-0.53 Mx=-0.02 Mz=-12.56
Sollecitazioni agenti localmente: Ty_l=-1116.64 Mx_l=-22.33
Tensioni nella sezione: σ=270.70 τ=33.84
CC 21 SLV (Collegamento -182_-384)
Azioni sul collegamento: N=-6141.50 Ty=-7.99 Tz=-0.53 Mx=-0.02 Mz=-8.33
Sollecitazioni agenti localmente: Ty_l=-1116.64 Mx_l=-22.33
Tensioni nella sezione: σ=270.70 τ=33.84
CC 22 SLD (Collegamento -182_-384)
Azioni sul collegamento: N=-11143.10 Ty=-11.43 Tz=17.72 Mx=-0.01 Mz=-8.95
Sollecitazioni agenti localmente: Ty_l=-2026.03 Mx_l=-40.52
Tensioni nella sezione: σ=491.16 τ=61.39
CC 22 SLD (Collegamento -182_-384)
Azioni sul collegamento: N=-11143.10 Ty=-9.39 Tz=17.72 Mx=-0.01 Mz=-7.66
Sollecitazioni agenti localmente: Ty_l=-2026.03 Mx_l=-40.52
Tensioni nella sezione: σ=491.16 τ=61.39
CC 22 SLD (Collegamento -182_-384)
Azioni sul collegamento: N=-11143.10 Ty=-11.43 Tz=9.01 Mx=-0.01 Mz=-8.95
Sollecitazioni agenti localmente: Ty_l=-2026.03 Mx_l=-40.52
Tensioni nella sezione: σ=491.16 τ=61.39
CC 22 SLD (Collegamento -182_-384)
Azioni sul collegamento: N=-11143.10 Ty=-9.39 Tz=9.01 Mx=-0.01 Mz=-7.66
Sollecitazioni agenti localmente: Ty_l=-2026.03 Mx_l=-40.52
Tensioni nella sezione: σ=491.16 τ=61.39
CC 22 SLD (Collegamento -182_-384)
Azioni sul collegamento: N=-8760.13 Ty=-11.43 Tz=17.72 Mx=-0.01 Mz=-8.95
Sollecitazioni agenti localmente: Ty_l=-1592.75 Mx_l=-31.85
Tensioni nella sezione: σ=386.12 τ=48.27
CC 22 SLD (Collegamento -182_-384)
Azioni sul collegamento: N=-8760.13 Ty=-9.39 Tz=17.72 Mx=-0.01 Mz=-7.66
Sollecitazioni agenti localmente: Ty_l=-1592.75 Mx_l=-31.85
Tensioni nella sezione: σ=386.12 τ=48.27
CC 22 SLD (Collegamento -182_-384)
Azioni sul collegamento: N=-8760.12 Ty=-11.43 Tz=9.01 Mx=-0.01 Mz=-8.95

Sollecitazioni agenti localmente: Ty_l=-1592.75 Mx_l=-31.85
Tensioni nella sezione: σ=386.12 τ=48.27
CC 22 SLD (Collegamento -182_-384)
Azioni sul collegamento: N=-8760.12 Ty=-9.39 Tz=9.01 Mx=-0.01 Mz=-7.66
Sollecitazioni agenti localmente: Ty_l=-1592.75 Mx_l=-31.85
Tensioni nella sezione: σ=386.12 τ=48.27
CC 23 SLV (Collegamento -182_-384)
Azioni sul collegamento: N=-13961.30 Ty=-15.19 Tz=28.35 Mx=-0.01 Mz=-13.60
Sollecitazioni agenti localmente: Ty_l=-2538.42 Mx_l=-50.77
Tensioni nella sezione: σ=615.37 τ=76.92
CC 23 SLV (Collegamento -182_-384)
Azioni sul collegamento: N=-13961.30 Ty=-7.48 Tz=28.35 Mx=-0.01 Mz=-7.28
Sollecitazioni agenti localmente: Ty_l=-2538.42 Mx_l=-50.77
Tensioni nella sezione: σ=615.37 τ=76.92
CC 23 SLV (Collegamento -182_-384)
Azioni sul collegamento: N=-13961.30 Ty=-15.19 Tz=-0.86 Mx=-0.01 Mz=-13.60
Sollecitazioni agenti localmente: Ty_l=-2538.42 Mx_l=-50.77
Tensioni nella sezione: σ=615.37 τ=76.92
CC 23 SLV (Collegamento -182_-384)
Azioni sul collegamento: N=-13961.30 Ty=-7.48 Tz=-0.86 Mx=-0.01 Mz=-7.28
Sollecitazioni agenti localmente: Ty_l=-2538.42 Mx_l=-50.77
Tensioni nella sezione: σ=615.37 τ=76.92
CC 23 SLV (Collegamento -182_-384)
Azioni sul collegamento: N=-6136.65 Ty=-15.19 Tz=28.35 Mx=-0.01 Mz=-13.60
Sollecitazioni agenti localmente: Ty_l=-1115.75 Mx_l=-22.32
Tensioni nella sezione: σ=270.49 τ=33.81
CC 23 SLV (Collegamento -182_-384)
Azioni sul collegamento: N=-6136.65 Ty=-7.48 Tz=28.35 Mx=-0.01 Mz=-7.28
Sollecitazioni agenti localmente: Ty_l=-1115.75 Mx_l=-22.32
Tensioni nella sezione: σ=270.49 τ=33.81
CC 23 SLV (Collegamento -182_-384)
Azioni sul collegamento: N=-6136.65 Ty=-15.19 Tz=-0.86 Mx=-0.01 Mz=-13.60
Sollecitazioni agenti localmente: Ty_l=-1115.75 Mx_l=-22.32
Tensioni nella sezione: σ=270.49 τ=33.81
CC 23 SLV (Collegamento -182_-384)
Azioni sul collegamento: N=-6136.65 Ty=-7.48 Tz=-0.86 Mx=-0.01 Mz=-7.28
Sollecitazioni agenti localmente: Ty_l=-1115.75 Mx_l=-22.32
Tensioni nella sezione: σ=270.49 τ=33.81
CC 24 SLD (Collegamento -182_-384)
Azioni sul collegamento: N=-11144.60 Ty=-11.59 Tz=17.82 Mx=-0.01 Mz=-9.27
Sollecitazioni agenti localmente: Ty_l=-2026.30 Mx_l=-40.53
Tensioni nella sezione: σ=491.22 τ=61.40
CC 24 SLD (Collegamento -182_-384)
Azioni sul collegamento: N=-11144.60 Ty=-9.24 Tz=17.82 Mx=-0.01 Mz=-7.34
Sollecitazioni agenti localmente: Ty_l=-2026.30 Mx_l=-40.53
Tensioni nella sezione: σ=491.22 τ=61.40
CC 24 SLD (Collegamento -182_-384)
Azioni sul collegamento: N=-11144.60 Ty=-11.59 Tz=8.91 Mx=-0.01 Mz=-9.27
Sollecitazioni agenti localmente: Ty_l=-2026.30 Mx_l=-40.53
Tensioni nella sezione: σ=491.22 τ=61.40
CC 24 SLD (Collegamento -182_-384)
Azioni sul collegamento: N=-11144.60 Ty=-9.24 Tz=8.91 Mx=-0.01 Mz=-7.34
Sollecitazioni agenti localmente: Ty_l=-2026.30 Mx_l=-40.53
Tensioni nella sezione: σ=491.22 τ=61.40
CC 24 SLD (Collegamento -182_-384)
Azioni sul collegamento: N=-8758.65 Ty=-11.59 Tz=17.82 Mx=-0.01 Mz=-9.27
Sollecitazioni agenti localmente: Ty_l=-1592.48 Mx_l=-31.85
Tensioni nella sezione: σ=386.06 τ=48.26
CC 24 SLD (Collegamento -182_-384)
Azioni sul collegamento: N=-8758.65 Ty=-9.24 Tz=17.82 Mx=-0.01 Mz=-7.34
Sollecitazioni agenti localmente: Ty_l=-1592.48 Mx_l=-31.85
Tensioni nella sezione: σ=386.06 τ=48.26
CC 24 SLD (Collegamento -182_-384)
Azioni sul collegamento: N=-8758.64 Ty=-11.59 Tz=8.91 Mx=-0.01 Mz=-9.27
Sollecitazioni agenti localmente: Ty_l=-1592.48 Mx_l=-31.85
Tensioni nella sezione: σ=386.06 τ=48.26
CC 24 SLD (Collegamento -182_-384)
Azioni sul collegamento: N=-8758.64 Ty=-9.24 Tz=8.91 Mx=-0.01 Mz=-7.34
Sollecitazioni agenti localmente: Ty_l=-1592.48 Mx_l=-31.85
Tensioni nella sezione: σ=386.06 τ=48.26
CC 25 SLV (Collegamento -182_-384)
Azioni sul collegamento: N=-8867.92 Ty=-9.40 Tz=8.87 Mx=-0.02 Mz=-7.91
Sollecitazioni agenti localmente: Ty_l=-1612.35 Mx_l=-32.25
Tensioni nella sezione: σ=390.87 τ=48.86
CC 25 SLV (Collegamento -182_-384)
Azioni sul collegamento: N=-8867.92 Ty=-13.27 Tz=8.87 Mx=-0.02 Mz=-12.98
Sollecitazioni agenti localmente: Ty_l=-1612.35 Mx_l=-32.25
Tensioni nella sezione: σ=390.87 τ=48.86
CC 25 SLV (Collegamento -182_-384)
Azioni sul collegamento: N=-8867.92 Ty=-9.40 Tz=18.62 Mx=-0.02 Mz=-7.91

Sollecitazioni agenti localmente: Ty_l=-1612.35 Mx_l=-32.25
Tensioni nella sezione: σ=390.87 τ=48.86
CC 25 SLV (Collegamento -182_-384)
Azioni sul collegamento: N=-8867.92 Ty=-13.27 Tz=18.62 Mx=-0.02 Mz=-12.98
Sollecitazioni agenti localmente: Ty_l=-1612.35 Mx_l=-32.25
Tensioni nella sezione: σ=390.87 τ=48.86
CC 25 SLV (Collegamento -182_-384)
Azioni sul collegamento: N=-11230.00 Ty=-9.40 Tz=8.87 Mx=-0.02 Mz=-7.91
Sollecitazioni agenti localmente: Ty_l=-2041.82 Mx_l=-40.84
Tensioni nella sezione: σ=494.99 τ=61.87
CC 25 SLV (Collegamento -182_-384)
Azioni sul collegamento: N=-11230.00 Ty=-13.27 Tz=8.87 Mx=-0.02 Mz=-12.98
Sollecitazioni agenti localmente: Ty_l=-2041.82 Mx_l=-40.84
Tensioni nella sezione: σ=494.99 τ=61.87
CC 25 SLV (Collegamento -182_-384)
Azioni sul collegamento: N=-11230.00 Ty=-9.40 Tz=18.62 Mx=-0.02 Mz=-7.91
Sollecitazioni agenti localmente: Ty_l=-2041.82 Mx_l=-40.84
Tensioni nella sezione: σ=494.99 τ=61.87
CC 25 SLV (Collegamento -182_-384)
Azioni sul collegamento: N=-11230.00 Ty=-13.27 Tz=18.62 Mx=-0.02 Mz=-12.98
Sollecitazioni agenti localmente: Ty_l=-2041.82 Mx_l=-40.84
Tensioni nella sezione: σ=494.99 τ=61.87
CC 26 SLD (Collegamento -182_-384)
Azioni sul collegamento: N=-9591.50 Ty=-9.82 Tz=11.88 Mx=-0.01 Mz=-7.53
Sollecitazioni agenti localmente: Ty_l=-1743.91 Mx_l=-34.88
Tensioni nella sezione: σ=422.76 τ=52.85
CC 26 SLD (Collegamento -182_-384)
Azioni sul collegamento: N=-9591.50 Ty=-11.00 Tz=11.88 Mx=-0.01 Mz=-9.08
Sollecitazioni agenti localmente: Ty_l=-1743.91 Mx_l=-34.88
Tensioni nella sezione: σ=422.76 τ=52.85
CC 26 SLD (Collegamento -182_-384)
Azioni sul collegamento: N=-9591.50 Ty=-9.82 Tz=14.85 Mx=-0.01 Mz=-7.53
Sollecitazioni agenti localmente: Ty_l=-1743.91 Mx_l=-34.88
Tensioni nella sezione: σ=422.76 τ=52.85
CC 26 SLD (Collegamento -182_-384)
Azioni sul collegamento: N=-9591.50 Ty=-11.00 Tz=14.85 Mx=-0.01 Mz=-9.08
Sollecitazioni agenti localmente: Ty_l=-1743.91 Mx_l=-34.88
Tensioni nella sezione: σ=422.76 τ=52.85
CC 26 SLD (Collegamento -182_-384)
Azioni sul collegamento: N=-10311.80 Ty=-9.82 Tz=11.88 Mx=-0.01 Mz=-7.53
Sollecitazioni agenti localmente: Ty_l=-1874.87 Mx_l=-37.50
Tensioni nella sezione: σ=454.51 τ=56.81
CC 26 SLD (Collegamento -182_-384)
Azioni sul collegamento: N=-10311.80 Ty=-11.00 Tz=11.88 Mx=-0.01 Mz=-9.08
Sollecitazioni agenti localmente: Ty_l=-1874.87 Mx_l=-37.50
Tensioni nella sezione: σ=454.51 τ=56.81
CC 26 SLD (Collegamento -182_-384)
Azioni sul collegamento: N=-10311.80 Ty=-9.82 Tz=14.85 Mx=-0.01 Mz=-7.53
Sollecitazioni agenti localmente: Ty_l=-1874.87 Mx_l=-37.50
Tensioni nella sezione: σ=454.51 τ=56.81
CC 26 SLD (Collegamento -182_-384)
Azioni sul collegamento: N=-10311.80 Ty=-11.00 Tz=14.85 Mx=-0.01 Mz=-9.08
Sollecitazioni agenti localmente: Ty_l=-1874.87 Mx_l=-37.50
Tensioni nella sezione: σ=454.51 τ=56.81
CC 27 SLV (Collegamento -182_-384)
Azioni sul collegamento: N=-11213.90 Ty=-11.56 Tz=17.53 Mx=-0.02 Mz=-9.49
Sollecitazioni agenti localmente: Ty_l=-2038.88 Mx_l=-40.78
Tensioni nella sezione: σ=494.27 τ=61.78
CC 27 SLV (Collegamento -182_-384)
Azioni sul collegamento: N=-11213.90 Ty=-11.11 Tz=17.53 Mx=-0.02 Mz=-11.40
Sollecitazioni agenti localmente: Ty_l=-2038.88 Mx_l=-40.78
Tensioni nella sezione: σ=494.27 τ=61.78
CC 27 SLV (Collegamento -182_-384)
Azioni sul collegamento: N=-11213.90 Ty=-11.56 Tz=9.96 Mx=-0.02 Mz=-9.49
Sollecitazioni agenti localmente: Ty_l=-2038.88 Mx_l=-40.78
Tensioni nella sezione: σ=494.27 τ=61.78
CC 27 SLV (Collegamento -182_-384)
Azioni sul collegamento: N=-11213.90 Ty=-11.11 Tz=9.96 Mx=-0.02 Mz=-11.40
Sollecitazioni agenti localmente: Ty_l=-2038.88 Mx_l=-40.78
Tensioni nella sezione: σ=494.27 τ=61.78
CC 27 SLV (Collegamento -182_-384)
Azioni sul collegamento: N=-8884.09 Ty=-11.56 Tz=17.53 Mx=-0.02 Mz=-9.49
Sollecitazioni agenti localmente: Ty_l=-1615.29 Mx_l=-32.31
Tensioni nella sezione: σ=391.58 τ=48.95
CC 27 SLV (Collegamento -182_-384)
Azioni sul collegamento: N=-8884.09 Ty=-11.11 Tz=17.53 Mx=-0.02 Mz=-11.40
Sollecitazioni agenti localmente: Ty_l=-1615.29 Mx_l=-32.31
Tensioni nella sezione: σ=391.58 τ=48.95
CC 27 SLV (Collegamento -182_-384)
Azioni sul collegamento: N=-8884.09 Ty=-11.56 Tz=9.96 Mx=-0.02 Mz=-9.49

Sollecitazioni agenti localmente: Ty_l=-1615.29 Mx_l=-32.31
Tensioni nella sezione: σ=391.58 τ=48.95
CC 27 SLV (Collegamento -182_-384)
Azioni sul collegamento: N=-8884.09 Ty=-11.11 Tz=9.96 Mx=-0.02 Mz=-11.40
Sollecitazioni agenti localmente: Ty_l=-1615.29 Mx_l=-32.31
Tensioni nella sezione: σ=391.58 τ=48.95
CC 28 SLD (Collegamento -182_-384)
Azioni sul collegamento: N=-10306.80 Ty=-10.48 Tz=14.52 Mx=-0.01 Mz=-8.01
Sollecitazioni agenti localmente: Ty_l=-1873.97 Mx_l=-37.48
Tensioni nella sezione: σ=454.30 τ=56.79
CC 28 SLD (Collegamento -182_-384)
Azioni sul collegamento: N=-10306.80 Ty=-10.34 Tz=14.52 Mx=-0.01 Mz=-8.60
Sollecitazioni agenti localmente: Ty_l=-1873.97 Mx_l=-37.48
Tensioni nella sezione: σ=454.30 τ=56.79
CC 28 SLD (Collegamento -182_-384)
Azioni sul collegamento: N=-10306.80 Ty=-10.48 Tz=12.21 Mx=-0.01 Mz=-8.01
Sollecitazioni agenti localmente: Ty_l=-1873.97 Mx_l=-37.48
Tensioni nella sezione: σ=454.30 τ=56.79
CC 28 SLD (Collegamento -182_-384)
Azioni sul collegamento: N=-10306.80 Ty=-10.34 Tz=12.21 Mx=-0.01 Mz=-8.60
Sollecitazioni agenti localmente: Ty_l=-1873.97 Mx_l=-37.48
Tensioni nella sezione: σ=454.30 τ=56.79
CC 28 SLD (Collegamento -182_-384)
Azioni sul collegamento: N=-9596.43 Ty=-10.48 Tz=14.52 Mx=-0.01 Mz=-8.01
Sollecitazioni agenti localmente: Ty_l=-1744.80 Mx_l=-34.90
Tensioni nella sezione: σ=422.98 τ=52.87
CC 28 SLD (Collegamento -182_-384)
Azioni sul collegamento: N=-9596.43 Ty=-10.34 Tz=14.52 Mx=-0.01 Mz=-8.60
Sollecitazioni agenti localmente: Ty_l=-1744.80 Mx_l=-34.90
Tensioni nella sezione: σ=422.98 τ=52.87
CC 28 SLD (Collegamento -182_-384)
Azioni sul collegamento: N=-9596.43 Ty=-10.48 Tz=12.21 Mx=-0.01 Mz=-8.01
Sollecitazioni agenti localmente: Ty_l=-1744.80 Mx_l=-34.90
Tensioni nella sezione: σ=422.98 τ=52.87
CC 28 SLD (Collegamento -182_-384)
Azioni sul collegamento: N=-9596.43 Ty=-10.34 Tz=12.21 Mx=-0.01 Mz=-8.60
Sollecitazioni agenti localmente: Ty_l=-1744.80 Mx_l=-34.90
Tensioni nella sezione: σ=422.98 τ=52.87
CC 29 SLV (Collegamento -182_-384)
Azioni sul collegamento: N=-8884.09 Ty=-11.11 Tz=9.96 Mx=-0.01 Mz=-11.40
Sollecitazioni agenti localmente: Ty_l=-1615.29 Mx_l=-32.31
Tensioni nella sezione: σ=391.58 τ=48.95
CC 29 SLV (Collegamento -182_-384)
Azioni sul collegamento: N=-8884.09 Ty=-11.56 Tz=9.96 Mx=-0.01 Mz=-9.49
Sollecitazioni agenti localmente: Ty_l=-1615.29 Mx_l=-32.31
Tensioni nella sezione: σ=391.58 τ=48.95
CC 29 SLV (Collegamento -182_-384)
Azioni sul collegamento: N=-8884.09 Ty=-11.11 Tz=17.53 Mx=-0.01 Mz=-11.40
Sollecitazioni agenti localmente: Ty_l=-1615.29 Mx_l=-32.31
Tensioni nella sezione: σ=391.58 τ=48.95
CC 29 SLV (Collegamento -182_-384)
Azioni sul collegamento: N=-8884.09 Ty=-11.56 Tz=17.53 Mx=-0.01 Mz=-9.49
Sollecitazioni agenti localmente: Ty_l=-1615.29 Mx_l=-32.31
Tensioni nella sezione: σ=391.58 τ=48.95
CC 29 SLV (Collegamento -182_-384)
Azioni sul collegamento: N=-11213.90 Ty=-11.11 Tz=9.96 Mx=-0.01 Mz=-11.40
Sollecitazioni agenti localmente: Ty_l=-2038.88 Mx_l=-40.78
Tensioni nella sezione: σ=494.27 τ=61.78
CC 29 SLV (Collegamento -182_-384)
Azioni sul collegamento: N=-11213.90 Ty=-11.56 Tz=9.96 Mx=-0.01 Mz=-9.49
Sollecitazioni agenti localmente: Ty_l=-2038.88 Mx_l=-40.78
Tensioni nella sezione: σ=494.27 τ=61.78
CC 29 SLV (Collegamento -182_-384)
Azioni sul collegamento: N=-11213.90 Ty=-11.11 Tz=17.53 Mx=-0.01 Mz=-11.40
Sollecitazioni agenti localmente: Ty_l=-2038.88 Mx_l=-40.78
Tensioni nella sezione: σ=494.27 τ=61.78
CC 29 SLV (Collegamento -182_-384)
Azioni sul collegamento: N=-11213.90 Ty=-11.56 Tz=17.53 Mx=-0.01 Mz=-9.49
Sollecitazioni agenti localmente: Ty_l=-2038.88 Mx_l=-40.78
Tensioni nella sezione: σ=494.27 τ=61.78
CC 30 SLD (Collegamento -182_-384)
Azioni sul collegamento: N=-9596.43 Ty=-10.34 Tz=12.21 Mx=-0.00 Mz=-8.60
Sollecitazioni agenti localmente: Ty_l=-1744.80 Mx_l=-34.90
Tensioni nella sezione: σ=422.98 τ=52.87
CC 30 SLD (Collegamento -182_-384)
Azioni sul collegamento: N=-9596.43 Ty=-10.48 Tz=12.21 Mx=-0.00 Mz=-8.01
Sollecitazioni agenti localmente: Ty_l=-1744.80 Mx_l=-34.90
Tensioni nella sezione: σ=422.98 τ=52.87
CC 30 SLD (Collegamento -182_-384)
Azioni sul collegamento: N=-9596.43 Ty=-10.34 Tz=14.52 Mx=-0.00 Mz=-8.60

Sollecitazioni agenti localmente: Ty_l=-1744.80 Mx_l=-34.90
Tensioni nella sezione: σ=422.98 τ=52.87
CC 30 SLD (Collegamento -182_-384)
Azioni sul collegamento: N=-9596.43 Ty=-10.48 Tz=14.52 Mx=-0.00 Mz=-8.01
Sollecitazioni agenti localmente: Ty_l=-1744.80 Mx_l=-34.90
Tensioni nella sezione: σ=422.98 τ=52.87
CC 30 SLD (Collegamento -182_-384)
Azioni sul collegamento: N=-10306.80 Ty=-10.34 Tz=12.21 Mx=-0.00 Mz=-8.60
Sollecitazioni agenti localmente: Ty_l=-1873.97 Mx_l=-37.48
Tensioni nella sezione: σ=454.30 τ=56.79
CC 30 SLD (Collegamento -182_-384)
Azioni sul collegamento: N=-10306.80 Ty=-10.48 Tz=12.21 Mx=-0.00 Mz=-8.01
Sollecitazioni agenti localmente: Ty_l=-1873.97 Mx_l=-37.48
Tensioni nella sezione: σ=454.30 τ=56.79
CC 30 SLD (Collegamento -182_-384)
Azioni sul collegamento: N=-10306.80 Ty=-10.34 Tz=14.52 Mx=-0.00 Mz=-8.60
Sollecitazioni agenti localmente: Ty_l=-1873.97 Mx_l=-37.48
Tensioni nella sezione: σ=454.30 τ=56.79
CC 30 SLD (Collegamento -182_-384)
Azioni sul collegamento: N=-10306.80 Ty=-10.48 Tz=14.52 Mx=-0.00 Mz=-8.01
Sollecitazioni agenti localmente: Ty_l=-1873.97 Mx_l=-37.48
Tensioni nella sezione: σ=454.30 τ=56.79
CC 31 SLV (Collegamento -182_-384)
Azioni sul collegamento: N=-11230.00 Ty=-13.27 Tz=18.62 Mx=-0.01 Mz=-12.98
Sollecitazioni agenti localmente: Ty_l=-2041.82 Mx_l=-40.84
Tensioni nella sezione: σ=494.99 τ=61.87
CC 31 SLV (Collegamento -182_-384)
Azioni sul collegamento: N=-11230.00 Ty=-9.40 Tz=18.62 Mx=-0.01 Mz=-7.91
Sollecitazioni agenti localmente: Ty_l=-2041.82 Mx_l=-40.84
Tensioni nella sezione: σ=494.99 τ=61.87
CC 31 SLV (Collegamento -182_-384)
Azioni sul collegamento: N=-11230.00 Ty=-13.27 Tz=8.87 Mx=-0.01 Mz=-12.98
Sollecitazioni agenti localmente: Ty_l=-2041.82 Mx_l=-40.84
Tensioni nella sezione: σ=494.99 τ=61.87
CC 31 SLV (Collegamento -182_-384)
Azioni sul collegamento: N=-11230.00 Ty=-9.40 Tz=8.87 Mx=-0.01 Mz=-7.91
Sollecitazioni agenti localmente: Ty_l=-2041.82 Mx_l=-40.84
Tensioni nella sezione: σ=494.99 τ=61.87
CC 31 SLV (Collegamento -182_-384)
Azioni sul collegamento: N=-8867.92 Ty=-13.27 Tz=18.62 Mx=-0.01 Mz=-12.98
Sollecitazioni agenti localmente: Ty_l=-1612.35 Mx_l=-32.25
Tensioni nella sezione: σ=390.87 τ=48.86
CC 31 SLV (Collegamento -182_-384)
Azioni sul collegamento: N=-8867.92 Ty=-9.40 Tz=18.62 Mx=-0.01 Mz=-7.91
Sollecitazioni agenti localmente: Ty_l=-1612.35 Mx_l=-32.25
Tensioni nella sezione: σ=390.87 τ=48.86
CC 31 SLV (Collegamento -182_-384)
Azioni sul collegamento: N=-8867.92 Ty=-13.27 Tz=8.87 Mx=-0.01 Mz=-12.98
Sollecitazioni agenti localmente: Ty_l=-1612.35 Mx_l=-32.25
Tensioni nella sezione: σ=390.87 τ=48.86
CC 31 SLV (Collegamento -182_-384)
Azioni sul collegamento: N=-8867.92 Ty=-9.40 Tz=8.87 Mx=-0.01 Mz=-7.91
Sollecitazioni agenti localmente: Ty_l=-1612.35 Mx_l=-32.25
Tensioni nella sezione: σ=390.87 τ=48.86
CC 32 SLD (Collegamento -182_-384)
Azioni sul collegamento: N=-10311.80 Ty=-11.00 Tz=14.85 Mx=-0.00 Mz=-9.08
Sollecitazioni agenti localmente: Ty_l=-1874.87 Mx_l=-37.50
Tensioni nella sezione: σ=454.51 τ=56.81
CC 32 SLD (Collegamento -182_-384)
Azioni sul collegamento: N=-10311.80 Ty=-9.82 Tz=14.85 Mx=-0.00 Mz=-7.53
Sollecitazioni agenti localmente: Ty_l=-1874.87 Mx_l=-37.50
Tensioni nella sezione: σ=454.51 τ=56.81
CC 32 SLD (Collegamento -182_-384)
Azioni sul collegamento: N=-10311.80 Ty=-11.00 Tz=11.88 Mx=-0.00 Mz=-9.08
Sollecitazioni agenti localmente: Ty_l=-1874.87 Mx_l=-37.50
Tensioni nella sezione: σ=454.51 τ=56.81
CC 32 SLD (Collegamento -182_-384)
Azioni sul collegamento: N=-10311.80 Ty=-9.82 Tz=11.88 Mx=-0.00 Mz=-7.53
Sollecitazioni agenti localmente: Ty_l=-1874.87 Mx_l=-37.50
Tensioni nella sezione: σ=454.51 τ=56.81
CC 32 SLD (Collegamento -182_-384)
Azioni sul collegamento: N=-9591.50 Ty=-11.00 Tz=14.85 Mx=-0.00 Mz=-9.08
Sollecitazioni agenti localmente: Ty_l=-1743.91 Mx_l=-34.88
Tensioni nella sezione: σ=422.76 τ=52.85
CC 32 SLD (Collegamento -182_-384)
Azioni sul collegamento: N=-9591.50 Ty=-9.82 Tz=14.85 Mx=-0.00 Mz=-7.53
Sollecitazioni agenti localmente: Ty_l=-1743.91 Mx_l=-34.88
Tensioni nella sezione: σ=422.76 τ=52.85
CC 32 SLD (Collegamento -182_-384)
Azioni sul collegamento: N=-9591.50 Ty=-11.00 Tz=11.88 Mx=-0.00 Mz=-9.08

Sollecitazioni agenti localmente: Ty_l=-1743.91 Mx_l=-34.88
Tensioni nella sezione: σ=422.76 τ=52.85
CC 32 SLD (Collegamento -182_-384)
Azioni sul collegamento: N=-9591.50 Ty=-9.82 Tz=11.88 Mx=-0.00 Mz=-7.53
Sollecitazioni agenti localmente: Ty_l=-1743.91 Mx_l=-34.88
Tensioni nella sezione: σ=422.76 τ=52.85
CC 33 SLU (Collegamento -182_-384)
Azioni sul collegamento: N=-37242.40 Ty=-20.96 Tz=105.49 Mx=-0.01 Mz=-15.56
Sollecitazioni agenti localmente: Ty_l=-6771.34 Mx_l=-135.43
Tensioni nella sezione: σ=1641.53 τ=205.19
CC 34 SLU (Collegamento -182_-384)
Azioni sul collegamento: N=-36428.20 Ty=-20.21 Tz=102.49 Mx=-0.01 Mz=-15.01
Sollecitazioni agenti localmente: Ty_l=-6623.30 Mx_l=-132.47
Tensioni nella sezione: σ=1605.65 τ=200.71
CC 35 SLU (Collegamento -182_-384)
Azioni sul collegamento: N=-36836.10 Ty=-20.67 Tz=103.93 Mx=-0.00 Mz=-15.47
Sollecitazioni agenti localmente: Ty_l=-6697.48 Mx_l=-133.95
Tensioni nella sezione: σ=1623.63 τ=202.95
CC 36 SLU (Collegamento -182_-384)
Azioni sul collegamento: N=-36834.40 Ty=-20.49 Tz=104.05 Mx=-0.01 Mz=-15.10
Sollecitazioni agenti localmente: Ty_l=-6697.16 Mx_l=-133.94
Tensioni nella sezione: σ=1623.55 τ=202.94
CC 37 SLU (Collegamento -182_-384)
Azioni sul collegamento: N=-28075.80 Ty=-20.08 Tz=71.84 Mx=-0.01 Mz=-14.76
Sollecitazioni agenti localmente: Ty_l=-5104.69 Mx_l=-102.09
Tensioni nella sezione: σ=1237.50 τ=154.69
CC 38 SLU (Collegamento -182_-384)
Azioni sul collegamento: N=-27261.60 Ty=-19.33 Tz=68.83 Mx=-0.01 Mz=-14.21
Sollecitazioni agenti localmente: Ty_l=-4956.65 Mx_l=-99.13
Tensioni nella sezione: σ=1201.61 τ=150.20
CC 39 SLU (Collegamento -182_-384)
Azioni sul collegamento: N=-27669.60 Ty=-19.79 Tz=70.28 Mx=-0.00 Mz=-14.67
Sollecitazioni agenti localmente: Ty_l=-5030.83 Mx_l=-100.62
Tensioni nella sezione: σ=1219.59 τ=152.45
CC 40 SLU (Collegamento -182_-384)
Azioni sul collegamento: N=-27667.80 Ty=-19.61 Tz=70.39 Mx=-0.01 Mz=-14.31
Sollecitazioni agenti localmente: Ty_l=-5030.51 Mx_l=-100.61
Tensioni nella sezione: σ=1219.52 τ=152.44
CC 41 SLU (Collegamento -182_-384)
Azioni sul collegamento: N=-30474.50 Ty=9.93 Tz=80.11 Mx=-0.01 Mz=7.87
Sollecitazioni agenti localmente: Ty_l=-5540.82 Mx_l=-110.82
Tensioni nella sezione: σ=1343.23 τ=167.90
CC 42 SLU (Collegamento -182_-384)
Azioni sul collegamento: N=-29660.30 Ty=10.68 Tz=77.11 Mx=-0.01 Mz=8.42
Sollecitazioni agenti localmente: Ty_l=-5392.79 Mx_l=-107.86
Tensioni nella sezione: σ=1307.34 τ=163.42
CC 43 SLU (Collegamento -182_-384)
Azioni sul collegamento: N=-30068.30 Ty=10.21 Tz=78.55 Mx=-0.00 Mz=7.97
Sollecitazioni agenti localmente: Ty_l=-5466.97 Mx_l=-109.34
Tensioni nella sezione: σ=1325.32 τ=165.67
CC 44 SLU (Collegamento -182_-384)
Azioni sul collegamento: N=-30066.50 Ty=10.39 Tz=78.67 Mx=-0.01 Mz=8.33
Sollecitazioni agenti localmente: Ty_l=-5466.64 Mx_l=-109.33
Tensioni nella sezione: σ=1325.24 τ=165.66
CC 45 SLU (Collegamento -182_-384)
Azioni sul collegamento: N=-30085.80 Ty=-20.31 Tz=79.22 Mx=-0.00 Mz=-15.08
Sollecitazioni agenti localmente: Ty_l=-5470.14 Mx_l=-109.40
Tensioni nella sezione: σ=1326.09 τ=165.76
CC 46 SLU (Collegamento -182_-384)
Azioni sul collegamento: N=-29271.60 Ty=-19.56 Tz=76.22 Mx=-0.00 Mz=-14.53
Sollecitazioni agenti localmente: Ty_l=-5322.11 Mx_l=-106.44
Tensioni nella sezione: σ=1290.21 τ=161.28
CC 47 SLU (Collegamento -182_-384)
Azioni sul collegamento: N=-29679.60 Ty=-20.02 Tz=77.66 Mx=-0.00 Mz=-14.99
Sollecitazioni agenti localmente: Ty_l=-5396.29 Mx_l=-107.92
Tensioni nella sezione: σ=1308.19 τ=163.52
CC 48 SLU (Collegamento -182_-384)
Azioni sul collegamento: N=-29677.80 Ty=-19.84 Tz=77.78 Mx=-0.01 Mz=-14.62
Sollecitazioni agenti localmente: Ty_l=-5395.96 Mx_l=-107.92
Tensioni nella sezione: σ=1308.11 τ=163.51
CC 49 SLU (Collegamento -182_-384)
Azioni sul collegamento: N=-23227.80 Ty=-19.65 Tz=54.04 Mx=-0.00 Mz=-14.49
Sollecitazioni agenti localmente: Ty_l=-4223.24 Mx_l=-84.46
Tensioni nella sezione: σ=1023.81 τ=127.98
CC 50 SLU (Collegamento -182_-384)
Azioni sul collegamento: N=-22413.60 Ty=-18.90 Tz=51.04 Mx=-0.00 Mz=-13.93
Sollecitazioni agenti localmente: Ty_l=-4075.21 Mx_l=-81.50
Tensioni nella sezione: σ=987.93 τ=123.49
CC 51 SLU (Collegamento -182_-384)
Azioni sul collegamento: N=-22821.60 Ty=-19.36 Tz=52.48 Mx=-0.00 Mz=-14.39

Sollecitazioni agenti localmente: Ty_l=-4149.38 Mx_l=-82.99
Tensioni nella sezione: σ=1005.91 τ=125.74
CC 52 SLU (Collegamento -182_-384)
Azioni sul collegamento: N=-22819.80 Ty=-19.19 Tz=52.60 Mx=-0.01 Mz=-14.03
Sollecitazioni agenti localmente: Ty_l=-4149.06 Mx_l=-82.98
Tensioni nella sezione: σ=1005.83 τ=125.73
CC 53 SLU (Collegamento -182_-384)
Azioni sul collegamento: N=-25022.40 Ty=2.80 Tz=60.23 Mx=-0.00 Mz=2.45
Sollecitazioni agenti localmente: Ty_l=-4549.54 Mx_l=-90.99
Tensioni nella sezione: σ=1102.92 τ=137.87
CC 54 SLU (Collegamento -182_-384)
Azioni sul collegamento: N=-24208.20 Ty=3.55 Tz=57.23 Mx=-0.01 Mz=3.00
Sollecitazioni agenti localmente: Ty_l=-4401.50 Mx_l=-88.03
Tensioni nella sezione: σ=1067.03 τ=133.38
CC 55 SLU (Collegamento -182_-384)
Azioni sul collegamento: N=-24616.20 Ty=3.09 Tz=58.67 Mx=-0.00 Mz=2.54
Sollecitazioni agenti localmente: Ty_l=-4475.68 Mx_l=-89.51
Tensioni nella sezione: σ=1085.01 τ=135.63
CC 56 SLU (Collegamento -182_-384)
Azioni sul collegamento: N=-24614.50 Ty=3.26 Tz=58.79 Mx=-0.01 Mz=2.91
Sollecitazioni agenti localmente: Ty_l=-4475.36 Mx_l=-89.51
Tensioni nella sezione: σ=1084.93 τ=135.62
CC 57 SLU (Collegamento -182_-384)
Azioni sul collegamento: N=-27876.60 Ty=-18.56 Tz=71.09 Mx=-0.00 Mz=-13.78
Sollecitazioni agenti localmente: Ty_l=-5068.48 Mx_l=-101.37
Tensioni nella sezione: σ=1228.72 τ=153.59
CC 58 SLU (Collegamento -182_-384)
Azioni sul collegamento: N=-27062.40 Ty=-17.81 Tz=68.08 Mx=-0.00 Mz=-13.23
Sollecitazioni agenti localmente: Ty_l=-4920.44 Mx_l=-98.41
Tensioni nella sezione: σ=1192.83 τ=149.10
CC 59 SLU (Collegamento -182_-384)
Azioni sul collegamento: N=-27470.40 Ty=-18.27 Tz=69.53 Mx=-0.00 Mz=-13.69
Sollecitazioni agenti localmente: Ty_l=-4994.62 Mx_l=-99.89
Tensioni nella sezione: σ=1210.82 τ=151.35
CC 60 SLU (Collegamento -182_-384)
Azioni sul collegamento: N=-27468.70 Ty=-18.09 Tz=69.65 Mx=-0.01 Mz=-13.33
Sollecitazioni agenti localmente: Ty_l=-4994.30 Mx_l=-99.89
Tensioni nella sezione: σ=1210.74 τ=151.34
CC 61 SLU (Collegamento -182_-384)
Azioni sul collegamento: N=-21018.70 Ty=-17.90 Tz=45.91 Mx=-0.00 Mz=-13.19
Sollecitazioni agenti localmente: Ty_l=-3821.58 Mx_l=-76.43
Tensioni nella sezione: σ=926.44 τ=115.81
CC 62 SLU (Collegamento -182_-384)
Azioni sul collegamento: N=-20204.50 Ty=-17.15 Tz=42.91 Mx=-0.00 Mz=-12.64
Sollecitazioni agenti localmente: Ty_l=-3673.54 Mx_l=-73.47
Tensioni nella sezione: σ=890.55 τ=111.32
CC 63 SLU (Collegamento -182_-384)
Azioni sul collegamento: N=-20612.50 Ty=-17.61 Tz=44.35 Mx=-0.00 Mz=-13.10
Sollecitazioni agenti localmente: Ty_l=-3747.72 Mx_l=-74.95
Tensioni nella sezione: σ=908.54 τ=113.57
CC 64 SLU (Collegamento -182_-384)
Azioni sul collegamento: N=-20610.70 Ty=-17.43 Tz=44.47 Mx=-0.01 Mz=-12.73
Sollecitazioni agenti localmente: Ty_l=-3747.40 Mx_l=-74.95
Tensioni nella sezione: σ=908.46 τ=113.56
CC 65 SLU (Collegamento -182_-384)
Azioni sul collegamento: N=-22813.30 Ty=4.55 Tz=52.10 Mx=-0.00 Mz=3.75
Sollecitazioni agenti localmente: Ty_l=-4147.87 Mx_l=-82.96
Tensioni nella sezione: σ=1005.54 τ=125.69
CC 66 SLU (Collegamento -182_-384)
Azioni sul collegamento: N=-21999.10 Ty=5.30 Tz=49.10 Mx=-0.00 Mz=4.30
Sollecitazioni agenti localmente: Ty_l=-3999.83 Mx_l=-80.00
Tensioni nella sezione: σ=969.65 τ=121.21
CC 67 SLU (Collegamento -182_-384)
Azioni sul collegamento: N=-22407.10 Ty=4.84 Tz=50.54 Mx=-0.00 Mz=3.84
Sollecitazioni agenti localmente: Ty_l=-4074.01 Mx_l=-81.48
Tensioni nella sezione: σ=987.64 τ=123.45
CC 68 SLU (Collegamento -182_-384)
Azioni sul collegamento: N=-22405.30 Ty=5.01 Tz=50.66 Mx=-0.01 Mz=4.20
Sollecitazioni agenti localmente: Ty_l=-4073.69 Mx_l=-81.47
Tensioni nella sezione: σ=987.56 τ=123.44
CC 97 SLU (Collegamento -182_-384)
Azioni sul collegamento: N=-12779.50 Ty=-22.48 Tz=24.03 Mx=-0.06 Mz=-25.00
Sollecitazioni agenti localmente: Ty_l=-2323.54 Mx_l=-46.47
Tensioni nella sezione: σ=563.28 τ=70.41
CC 98 SLU (Collegamento -182_-384)
Azioni sul collegamento: N=-11965.30 Ty=-21.73 Tz=21.02 Mx=-0.06 Mz=-24.45
Sollecitazioni agenti localmente: Ty_l=-2175.50 Mx_l=-43.51
Tensioni nella sezione: σ=527.39 τ=65.92
CC 99 SLU (Collegamento -182_-384)
Azioni sul collegamento: N=-12373.20 Ty=-22.20 Tz=22.47 Mx=-0.05 Mz=-24.91

Sollecitazioni agenti localmente: Ty_l=-2249.68 Mx_l=-44.99
Tensioni nella sezione: σ=545.38 τ=68.17
CC 100 SLU (Collegamento -182_-384)
Azioni sul collegamento: N=-12371.50 Ty=-22.02 Tz=22.58 Mx=-0.06 Mz=-24.55
Sollecitazioni agenti localmente: Ty_l=-2249.36 Mx_l=-44.99
Tensioni nella sezione: σ=545.30 τ=68.16
CC 101 SLU (Collegamento -182_-384)
Azioni sul collegamento: N=-10566.60 Ty=-8.33 Tz=15.50 Mx=0.00 Mz=-5.31
Sollecitazioni agenti localmente: Ty_l=-1921.20 Mx_l=-38.42
Tensioni nella sezione: σ=465.74 τ=58.22
CC 102 SLU (Collegamento -182_-384)
Azioni sul collegamento: N=-9752.38 Ty=-7.57 Tz=12.50 Mx=0.00 Mz=-4.76
Sollecitazioni agenti localmente: Ty_l=-1773.16 Mx_l=-35.46
Tensioni nella sezione: σ=429.86 τ=53.73
CC 103 SLU (Collegamento -182_-384)
Azioni sul collegamento: N=-10160.40 Ty=-8.04 Tz=13.94 Mx=0.00 Mz=-5.22
Sollecitazioni agenti localmente: Ty_l=-1847.34 Mx_l=-36.95
Tensioni nella sezione: σ=447.84 τ=55.98
CC 104 SLU (Collegamento -182_-384)
Azioni sul collegamento: N=-10158.60 Ty=-7.86 Tz=14.06 Mx=0.00 Mz=-4.85
Sollecitazioni agenti localmente: Ty_l=-1847.02 Mx_l=-36.94
Tensioni nella sezione: σ=447.76 τ=55.97

Flessione attacco destro piastra

Bnetta=220.00 Hnetta=15.00
CC 1 SLV (Collegamento -182_-384)
Azioni sul collegamento: N=-5856.57 Ty=-4.82 Tz=-1.96 Mx=0.01 Mz=-1.13
Sollecitazioni agenti localmente: Ty_l=-1033.71 My_l=-21.18
Tensioni nella sezione: σ=256.79 τ=31.32
CC 1 SLV (Collegamento -182_-384)
Azioni sul collegamento: N=-5856.57 Ty=-12.53 Tz=-1.96 Mx=0.01 Mz=-7.45
Sollecitazioni agenti localmente: Ty_l=-1008.56 My_l=-20.63
Tensioni nella sezione: σ=250.11 τ=30.56
CC 1 SLV (Collegamento -182_-384)
Azioni sul collegamento: N=-5856.57 Ty=-4.82 Tz=27.25 Mx=0.01 Mz=-1.13
Sollecitazioni agenti localmente: Ty_l=-1033.71 My_l=-21.18
Tensioni nella sezione: σ=256.79 τ=31.32
CC 1 SLV (Collegamento -182_-384)
Azioni sul collegamento: N=-5856.57 Ty=-12.53 Tz=27.25 Mx=0.01 Mz=-7.45
Sollecitazioni agenti localmente: Ty_l=-1008.56 My_l=-20.63
Tensioni nella sezione: σ=250.11 τ=30.56
CC 1 SLV (Collegamento -182_-384)
Azioni sul collegamento: N=-13681.20 Ty=-4.82 Tz=-1.96 Mx=0.01 Mz=-1.13
Sollecitazioni agenti localmente: Ty_l=-2420.81 My_l=-49.62
Tensioni nella sezione: σ=601.46 τ=73.36
CC 1 SLV (Collegamento -182_-384)
Azioni sul collegamento: N=-13681.20 Ty=-12.53 Tz=-1.96 Mx=0.01 Mz=-7.45
Sollecitazioni agenti localmente: Ty_l=-2395.66 My_l=-49.07
Tensioni nella sezione: σ=594.78 τ=72.60
CC 1 SLV (Collegamento -182_-384)
Azioni sul collegamento: N=-13681.20 Ty=-4.82 Tz=27.25 Mx=0.01 Mz=-1.13
Sollecitazioni agenti localmente: Ty_l=-2420.81 My_l=-49.62
Tensioni nella sezione: σ=601.46 τ=73.36
CC 1 SLV (Collegamento -182_-384)
Azioni sul collegamento: N=-13681.20 Ty=-12.53 Tz=27.25 Mx=0.01 Mz=-7.45
Sollecitazioni agenti localmente: Ty_l=-2395.66 My_l=-49.07
Tensioni nella sezione: σ=594.78 τ=72.60
CC 2 SLD (Collegamento -182_-384)
Azioni sul collegamento: N=-8673.24 Ty=-8.42 Tz=8.57 Mx=0.00 Mz=-5.47
Sollecitazioni agenti localmente: Ty_l=-1515.79 My_l=-31.04
Tensioni nella sezione: σ=376.28 τ=45.93
CC 2 SLD (Collegamento -182_-384)
Azioni sul collegamento: N=-8673.24 Ty=-10.78 Tz=8.57 Mx=0.00 Mz=-7.39
Sollecitazioni agenti localmente: Ty_l=-1508.12 My_l=-30.88
Tensioni nella sezione: σ=374.25 τ=45.70
CC 2 SLD (Collegamento -182_-384)
Azioni sul collegamento: N=-8673.24 Ty=-8.42 Tz=17.48 Mx=0.00 Mz=-5.47
Sollecitazioni agenti localmente: Ty_l=-1515.79 My_l=-31.04
Tensioni nella sezione: σ=376.28 τ=45.93
CC 2 SLD (Collegamento -182_-384)
Azioni sul collegamento: N=-8673.24 Ty=-10.78 Tz=17.48 Mx=0.00 Mz=-7.39
Sollecitazioni agenti localmente: Ty_l=-1508.12 My_l=-30.88
Tensioni nella sezione: σ=374.25 τ=45.70
CC 2 SLD (Collegamento -182_-384)
Azioni sul collegamento: N=-11059.20 Ty=-8.42 Tz=8.57 Mx=0.00 Mz=-5.47
Sollecitazioni agenti localmente: Ty_l=-1938.76 My_l=-39.71
Tensioni nella sezione: σ=481.38 τ=58.75
CC 2 SLD (Collegamento -182_-384)
Azioni sul collegamento: N=-11059.20 Ty=-10.78 Tz=8.57 Mx=0.00 Mz=-7.39
Sollecitazioni agenti localmente: Ty_l=-1931.09 My_l=-39.55

Tensioni nella sezione: σ=479.35 τ=58.52
CC 2 SLD (Collegamento -182_-384)
Azioni sul collegamento: N=-11059.20 Ty=-8.42 Tz=17.48 Mx=0.00 Mz=-5.47
Sollecitazioni agenti localmente: Ty_l=-1938.76 My_l=-39.71
Tensioni nella sezione: σ=481.38 τ=58.75
CC 2 SLD (Collegamento -182_-384)
Azioni sul collegamento: N=-11059.20 Ty=-10.78 Tz=17.48 Mx=0.00 Mz=-7.39
Sollecitazioni agenti localmente: Ty_l=-1931.09 My_l=-39.55
Tensioni nella sezione: σ=479.35 τ=58.52
CC 3 SLV (Collegamento -182_-384)
Azioni sul collegamento: N=-5861.42 Ty=-5.33 Tz=-1.63 Mx=0.01 Mz=-2.18
Sollecitazioni agenti localmente: Ty_l=-1030.41 My_l=-21.11
Tensioni nella sezione: σ=255.89 τ=31.22
CC 3 SLV (Collegamento -182_-384)
Azioni sul collegamento: N=-5861.42 Ty=-12.02 Tz=-1.63 Mx=0.01 Mz=-6.41
Sollecitazioni agenti localmente: Ty_l=-1013.59 My_l=-20.74
Tensioni nella sezione: σ=251.43 τ=30.71
CC 3 SLV (Collegamento -182_-384)
Azioni sul collegamento: N=-5861.42 Ty=-5.33 Tz=26.92 Mx=0.01 Mz=-2.18
Sollecitazioni agenti localmente: Ty_l=-1030.41 My_l=-21.11
Tensioni nella sezione: σ=255.89 τ=31.22
CC 3 SLV (Collegamento -182_-384)
Azioni sul collegamento: N=-5861.42 Ty=-12.02 Tz=26.92 Mx=0.01 Mz=-6.41
Sollecitazioni agenti localmente: Ty_l=-1013.59 My_l=-20.74
Tensioni nella sezione: σ=251.43 τ=30.71
CC 3 SLV (Collegamento -182_-384)
Azioni sul collegamento: N=-13676.40 Ty=-5.33 Tz=-1.63 Mx=0.01 Mz=-2.18
Sollecitazioni agenti localmente: Ty_l=-2415.78 My_l=-49.51
Tensioni nella sezione: σ=600.14 τ=73.21
CC 3 SLV (Collegamento -182_-384)
Azioni sul collegamento: N=-13676.40 Ty=-12.02 Tz=-1.63 Mx=0.01 Mz=-6.41
Sollecitazioni agenti localmente: Ty_l=-2398.97 My_l=-49.14
Tensioni nella sezione: σ=595.67 τ=72.70
CC 3 SLV (Collegamento -182_-384)
Azioni sul collegamento: N=-13676.40 Ty=-5.33 Tz=26.92 Mx=0.01 Mz=-2.18
Sollecitazioni agenti localmente: Ty_l=-2415.78 My_l=-49.51
Tensioni nella sezione: σ=600.14 τ=73.21
CC 3 SLV (Collegamento -182_-384)
Azioni sul collegamento: N=-13676.40 Ty=-12.02 Tz=26.92 Mx=0.01 Mz=-6.41
Sollecitazioni agenti localmente: Ty_l=-2398.97 My_l=-49.14
Tensioni nella sezione: σ=595.67 τ=72.70
CC 4 SLD (Collegamento -182_-384)
Azioni sul collegamento: N=-8674.72 Ty=-8.58 Tz=8.67 Mx=-0.00 Mz=-5.79
Sollecitazioni agenti localmente: Ty_l=-1514.78 My_l=-31.02
Tensioni nella sezione: σ=376.01 τ=45.90
CC 4 SLD (Collegamento -182_-384)
Azioni sul collegamento: N=-8674.72 Ty=-10.62 Tz=8.67 Mx=-0.00 Mz=-7.07
Sollecitazioni agenti localmente: Ty_l=-1509.65 My_l=-30.91
Tensioni nella sezione: σ=374.65 τ=45.75
CC 4 SLD (Collegamento -182_-384)
Azioni sul collegamento: N=-8674.72 Ty=-8.58 Tz=17.38 Mx=-0.00 Mz=-5.79
Sollecitazioni agenti localmente: Ty_l=-1514.78 My_l=-31.02
Tensioni nella sezione: σ=376.01 τ=45.90
CC 4 SLD (Collegamento -182_-384)
Azioni sul collegamento: N=-8674.72 Ty=-10.62 Tz=17.38 Mx=-0.00 Mz=-7.07
Sollecitazioni agenti localmente: Ty_l=-1509.65 My_l=-30.91
Tensioni nella sezione: σ=374.65 τ=45.75
CC 4 SLD (Collegamento -182_-384)
Azioni sul collegamento: N=-11057.70 Ty=-8.58 Tz=8.67 Mx=-0.00 Mz=-5.79
Sollecitazioni agenti localmente: Ty_l=-1937.23 My_l=-39.68
Tensioni nella sezione: σ=480.98 τ=58.70
CC 4 SLD (Collegamento -182_-384)
Azioni sul collegamento: N=-11057.70 Ty=-10.62 Tz=8.67 Mx=-0.00 Mz=-7.07
Sollecitazioni agenti localmente: Ty_l=-1932.10 My_l=-39.57
Tensioni nella sezione: σ=479.62 τ=58.55
CC 4 SLD (Collegamento -182_-384)
Azioni sul collegamento: N=-11057.70 Ty=-8.58 Tz=17.38 Mx=-0.00 Mz=-5.79
Sollecitazioni agenti localmente: Ty_l=-1937.23 My_l=-39.68
Tensioni nella sezione: σ=480.98 τ=58.70
CC 4 SLD (Collegamento -182_-384)
Azioni sul collegamento: N=-11057.70 Ty=-10.62 Tz=17.38 Mx=-0.00 Mz=-7.07
Sollecitazioni agenti localmente: Ty_l=-1932.10 My_l=-39.57
Tensioni nella sezione: σ=479.62 τ=58.55
CC 5 SLV (Collegamento -182_-384)
Azioni sul collegamento: N=-13676.40 Ty=-12.02 Tz=26.92 Mx=0.01 Mz=-6.41
Sollecitazioni agenti localmente: Ty_l=-2398.97 My_l=-49.14
Tensioni nella sezione: σ=595.67 τ=72.70
CC 5 SLV (Collegamento -182_-384)
Azioni sul collegamento: N=-13676.40 Ty=-5.33 Tz=26.92 Mx=0.01 Mz=-2.18
Sollecitazioni agenti localmente: Ty_l=-2415.78 My_l=-49.51

Tensioni nella sezione: σ=600.14 τ=73.21
CC 5 SLV (Collegamento -182_-384)
Azioni sul collegamento: N=-13676.40 Ty=-12.02 Tz=-1.63 Mx=0.01 Mz=-6.41
Sollecitazioni agenti localmente: Ty_l=-2398.97 My_l=-49.14
Tensioni nella sezione: σ=595.67 τ=72.70
CC 5 SLV (Collegamento -182_-384)
Azioni sul collegamento: N=-13676.40 Ty=-5.33 Tz=-1.63 Mx=0.01 Mz=-2.18
Sollecitazioni agenti localmente: Ty_l=-2415.78 My_l=-49.51
Tensioni nella sezione: σ=600.14 τ=73.21
CC 5 SLV (Collegamento -182_-384)
Azioni sul collegamento: N=-5861.42 Ty=-12.02 Tz=26.92 Mx=0.01 Mz=-6.41
Sollecitazioni agenti localmente: Ty_l=-1013.59 My_l=-20.74
Tensioni nella sezione: σ=251.43 τ=30.71
CC 5 SLV (Collegamento -182_-384)
Azioni sul collegamento: N=-5861.42 Ty=-5.33 Tz=26.92 Mx=0.01 Mz=-2.18
Sollecitazioni agenti localmente: Ty_l=-1030.41 My_l=-21.11
Tensioni nella sezione: σ=255.89 τ=31.22
CC 5 SLV (Collegamento -182_-384)
Azioni sul collegamento: N=-5861.42 Ty=-12.02 Tz=-1.63 Mx=0.01 Mz=-6.41
Sollecitazioni agenti localmente: Ty_l=-1013.59 My_l=-20.74
Tensioni nella sezione: σ=251.43 τ=30.71
CC 5 SLV (Collegamento -182_-384)
Azioni sul collegamento: N=-5861.42 Ty=-5.33 Tz=-1.63 Mx=0.01 Mz=-2.18
Sollecitazioni agenti localmente: Ty_l=-1030.41 My_l=-21.11
Tensioni nella sezione: σ=255.89 τ=31.22
CC 6 SLD (Collegamento -182_-384)
Azioni sul collegamento: N=-11057.70 Ty=-10.62 Tz=17.38 Mx=0.00 Mz=-7.07
Sollecitazioni agenti localmente: Ty_l=-1932.10 My_l=-39.57
Tensioni nella sezione: σ=479.62 τ=58.55
CC 6 SLD (Collegamento -182_-384)
Azioni sul collegamento: N=-11057.70 Ty=-8.58 Tz=17.38 Mx=0.00 Mz=-5.79
Sollecitazioni agenti localmente: Ty_l=-1937.23 My_l=-39.68
Tensioni nella sezione: σ=480.98 τ=58.70
CC 6 SLD (Collegamento -182_-384)
Azioni sul collegamento: N=-11057.70 Ty=-10.62 Tz=8.67 Mx=0.00 Mz=-7.07
Sollecitazioni agenti localmente: Ty_l=-1932.10 My_l=-39.57
Tensioni nella sezione: σ=479.62 τ=58.55
CC 6 SLD (Collegamento -182_-384)
Azioni sul collegamento: N=-11057.70 Ty=-8.58 Tz=8.67 Mx=0.00 Mz=-5.79
Sollecitazioni agenti localmente: Ty_l=-1937.23 My_l=-39.68
Tensioni nella sezione: σ=480.98 τ=58.70
CC 6 SLD (Collegamento -182_-384)
Azioni sul collegamento: N=-8674.72 Ty=-10.62 Tz=17.38 Mx=0.00 Mz=-7.07
Sollecitazioni agenti localmente: Ty_l=-1509.65 My_l=-30.91
Tensioni nella sezione: σ=374.65 τ=45.75
CC 6 SLD (Collegamento -182_-384)
Azioni sul collegamento: N=-8674.72 Ty=-8.58 Tz=17.38 Mx=0.00 Mz=-5.79
Sollecitazioni agenti localmente: Ty_l=-1514.78 My_l=-31.02
Tensioni nella sezione: σ=376.01 τ=45.90
CC 6 SLD (Collegamento -182_-384)
Azioni sul collegamento: N=-8674.72 Ty=-10.62 Tz=8.67 Mx=0.00 Mz=-7.07
Sollecitazioni agenti localmente: Ty_l=-1509.65 My_l=-30.91
Tensioni nella sezione: σ=374.65 τ=45.75
CC 6 SLD (Collegamento -182_-384)
Azioni sul collegamento: N=-8674.72 Ty=-8.58 Tz=8.67 Mx=0.00 Mz=-5.79
Sollecitazioni agenti localmente: Ty_l=-1514.78 My_l=-31.02
Tensioni nella sezione: σ=376.01 τ=45.90
CC 7 SLV (Collegamento -182_-384)
Azioni sul collegamento: N=-13681.20 Ty=-12.53 Tz=27.25 Mx=0.01 Mz=-7.45
Sollecitazioni agenti localmente: Ty_l=-2395.66 My_l=-49.07
Tensioni nella sezione: σ=594.78 τ=72.60
CC 7 SLV (Collegamento -182_-384)
Azioni sul collegamento: N=-13681.20 Ty=-4.82 Tz=27.25 Mx=0.01 Mz=-1.13
Sollecitazioni agenti localmente: Ty_l=-2420.81 My_l=-49.62
Tensioni nella sezione: σ=601.46 τ=73.36
CC 7 SLV (Collegamento -182_-384)
Azioni sul collegamento: N=-13681.20 Ty=-12.53 Tz=-1.96 Mx=0.01 Mz=-7.45
Sollecitazioni agenti localmente: Ty_l=-2395.66 My_l=-49.07
Tensioni nella sezione: σ=594.78 τ=72.60
CC 7 SLV (Collegamento -182_-384)
Azioni sul collegamento: N=-13681.20 Ty=-4.82 Tz=-1.96 Mx=0.01 Mz=-1.13
Sollecitazioni agenti localmente: Ty_l=-2420.81 My_l=-49.62
Tensioni nella sezione: σ=601.46 τ=73.36
CC 7 SLV (Collegamento -182_-384)
Azioni sul collegamento: N=-5856.57 Ty=-12.53 Tz=27.25 Mx=0.01 Mz=-7.45
Sollecitazioni agenti localmente: Ty_l=-1008.56 My_l=-20.63
Tensioni nella sezione: σ=250.11 τ=30.56
CC 7 SLV (Collegamento -182_-384)
Azioni sul collegamento: N=-5856.57 Ty=-4.82 Tz=27.25 Mx=0.01 Mz=-1.13
Sollecitazioni agenti localmente: Ty_l=-1033.71 My_l=-21.18

Tensioni nella sezione: σ=256.79 τ=31.32
CC 7 SLV (Collegamento -182_-384)
Azioni sul collegamento: N=-5856.57 Ty=-12.53 Tz=-1.96 Mx=0.01 Mz=-7.45
Sollecitazioni agenti localmente: Ty_l=-1008.56 My_l=-20.63
Tensioni nella sezione: σ=250.11 τ=30.56
CC 7 SLV (Collegamento -182_-384)
Azioni sul collegamento: N=-5856.57 Ty=-4.82 Tz=-1.96 Mx=0.01 Mz=-1.13
Sollecitazioni agenti localmente: Ty_l=-1033.71 My_l=-21.18
Tensioni nella sezione: σ=256.79 τ=31.32
CC 8 SLD (Collegamento -182_-384)
Azioni sul collegamento: N=-11059.20 Ty=-10.78 Tz=17.48 Mx=-0.00 Mz=-7.39
Sollecitazioni agenti localmente: Ty_l=-1931.09 My_l=-39.55
Tensioni nella sezione: σ=479.35 τ=58.52
CC 8 SLD (Collegamento -182_-384)
Azioni sul collegamento: N=-11059.20 Ty=-8.42 Tz=17.48 Mx=-0.00 Mz=-5.47
Sollecitazioni agenti localmente: Ty_l=-1938.76 My_l=-39.71
Tensioni nella sezione: σ=481.38 τ=58.75
CC 8 SLD (Collegamento -182_-384)
Azioni sul collegamento: N=-11059.20 Ty=-10.78 Tz=8.57 Mx=-0.00 Mz=-7.39
Sollecitazioni agenti localmente: Ty_l=-1931.09 My_l=-39.55
Tensioni nella sezione: σ=479.35 τ=58.52
CC 8 SLD (Collegamento -182_-384)
Azioni sul collegamento: N=-11059.20 Ty=-8.42 Tz=8.57 Mx=-0.00 Mz=-5.47
Sollecitazioni agenti localmente: Ty_l=-1938.76 My_l=-39.71
Tensioni nella sezione: σ=481.38 τ=58.75
CC 8 SLD (Collegamento -182_-384)
Azioni sul collegamento: N=-8673.24 Ty=-10.78 Tz=17.48 Mx=-0.00 Mz=-7.39
Sollecitazioni agenti localmente: Ty_l=-1508.12 My_l=-30.88
Tensioni nella sezione: σ=374.25 τ=45.70
CC 8 SLD (Collegamento -182_-384)
Azioni sul collegamento: N=-8673.24 Ty=-8.42 Tz=17.48 Mx=-0.00 Mz=-5.47
Sollecitazioni agenti localmente: Ty_l=-1515.79 My_l=-31.04
Tensioni nella sezione: σ=376.28 τ=45.93
CC 8 SLD (Collegamento -182_-384)
Azioni sul collegamento: N=-8673.24 Ty=-10.78 Tz=8.57 Mx=-0.00 Mz=-7.39
Sollecitazioni agenti localmente: Ty_l=-1508.12 My_l=-30.88
Tensioni nella sezione: σ=374.25 τ=45.70
CC 8 SLD (Collegamento -182_-384)
Azioni sul collegamento: N=-8673.24 Ty=-8.42 Tz=8.57 Mx=-0.00 Mz=-5.47
Sollecitazioni agenti localmente: Ty_l=-1515.79 My_l=-31.04
Tensioni nella sezione: σ=376.28 τ=45.93
CC 9 SLV (Collegamento -182_-384)
Azioni sul collegamento: N=-8587.84 Ty=-6.74 Tz=7.77 Mx=0.02 Mz=-1.76
Sollecitazioni agenti localmente: Ty_l=-1515.41 My_l=-31.06
Tensioni nella sezione: σ=376.44 τ=45.92
CC 9 SLV (Collegamento -182_-384)
Azioni sul collegamento: N=-8587.84 Ty=-10.61 Tz=7.77 Mx=0.02 Mz=-6.83
Sollecitazioni agenti localmente: Ty_l=-1495.23 My_l=-30.61
Tensioni nella sezione: σ=371.08 τ=45.31
CC 9 SLV (Collegamento -182_-384)
Azioni sul collegamento: N=-8587.84 Ty=-6.74 Tz=17.52 Mx=0.02 Mz=-1.76
Sollecitazioni agenti localmente: Ty_l=-1515.41 My_l=-31.06
Tensioni nella sezione: σ=376.44 τ=45.92
CC 9 SLV (Collegamento -182_-384)
Azioni sul collegamento: N=-8587.84 Ty=-10.61 Tz=17.52 Mx=0.02 Mz=-6.83
Sollecitazioni agenti localmente: Ty_l=-1495.23 My_l=-30.61
Tensioni nella sezione: σ=371.08 τ=45.31
CC 9 SLV (Collegamento -182_-384)
Azioni sul collegamento: N=-10950.00 Ty=-6.74 Tz=7.77 Mx=0.02 Mz=-1.76
Sollecitazioni agenti localmente: Ty_l=-1934.14 My_l=-39.64
Tensioni nella sezione: σ=480.49 τ=58.61
CC 9 SLV (Collegamento -182_-384)
Azioni sul collegamento: N=-10950.00 Ty=-10.61 Tz=7.77 Mx=0.02 Mz=-6.83
Sollecitazioni agenti localmente: Ty_l=-1913.97 My_l=-39.20
Tensioni nella sezione: σ=475.13 τ=58.00
CC 9 SLV (Collegamento -182_-384)
Azioni sul collegamento: N=-10950.00 Ty=-6.74 Tz=17.52 Mx=0.02 Mz=-1.76
Sollecitazioni agenti localmente: Ty_l=-1934.14 My_l=-39.64
Tensioni nella sezione: σ=480.49 τ=58.61
CC 9 SLV (Collegamento -182_-384)
Azioni sul collegamento: N=-10950.00 Ty=-10.61 Tz=17.52 Mx=0.02 Mz=-6.83
Sollecitazioni agenti localmente: Ty_l=-1913.97 My_l=-39.20
Tensioni nella sezione: σ=475.13 τ=58.00
CC 10 SLD (Collegamento -182_-384)
Azioni sul collegamento: N=-9506.09 Ty=-9.01 Tz=11.54 Mx=0.00 Mz=-5.66
Sollecitazioni agenti localmente: Ty_l=-1662.67 My_l=-34.05
Tensioni nella sezione: σ=412.77 τ=50.38
CC 10 SLD (Collegamento -182_-384)
Azioni sul collegamento: N=-9506.09 Ty=-10.19 Tz=11.54 Mx=0.00 Mz=-7.20
Sollecitazioni agenti localmente: Ty_l=-1656.52 My_l=-33.92

Tensioni nella sezione: σ=411.13 τ=50.20
CC 10 SLD (Collegamento -182_-384)
Azioni sul collegamento: N=-9506.09 Ty=-9.01 Tz=14.51 Mx=0.00 Mz=-5.66
Sollecitazioni agenti localmente: Ty_l=-1662.67 My_l=-34.05
Tensioni nella sezione: σ=412.77 τ=50.38
CC 10 SLD (Collegamento -182_-384)
Azioni sul collegamento: N=-9506.09 Ty=-10.19 Tz=14.51 Mx=0.00 Mz=-7.20
Sollecitazioni agenti localmente: Ty_l=-1656.52 My_l=-33.92
Tensioni nella sezione: σ=411.13 τ=50.20
CC 10 SLD (Collegamento -182_-384)
Azioni sul collegamento: N=-10226.40 Ty=-9.01 Tz=11.54 Mx=0.00 Mz=-5.66
Sollecitazioni agenti localmente: Ty_l=-1790.36 My_l=-36.67
Tensioni nella sezione: σ=444.50 τ=54.25
CC 10 SLD (Collegamento -182_-384)
Azioni sul collegamento: N=-10226.40 Ty=-10.19 Tz=11.54 Mx=0.00 Mz=-7.20
Sollecitazioni agenti localmente: Ty_l=-1784.21 My_l=-36.54
Tensioni nella sezione: σ=442.86 τ=54.07
CC 10 SLD (Collegamento -182_-384)
Azioni sul collegamento: N=-10226.40 Ty=-9.01 Tz=14.51 Mx=0.00 Mz=-5.66
Sollecitazioni agenti localmente: Ty_l=-1790.36 My_l=-36.67
Tensioni nella sezione: σ=444.50 τ=54.25
CC 10 SLD (Collegamento -182_-384)
Azioni sul collegamento: N=-10226.40 Ty=-10.19 Tz=14.51 Mx=0.00 Mz=-7.20
Sollecitazioni agenti localmente: Ty_l=-1784.21 My_l=-36.54
Tensioni nella sezione: σ=442.86 τ=54.07
CC 11 SLV (Collegamento -182_-384)
Azioni sul collegamento: N=-10933.80 Ty=-8.90 Tz=16.43 Mx=0.02 Mz=-3.34
Sollecitazioni agenti localmente: Ty_l=-1924.98 My_l=-39.44
Tensioni nella sezione: σ=478.10 τ=58.33
CC 11 SLV (Collegamento -182_-384)
Azioni sul collegamento: N=-10933.80 Ty=-8.45 Tz=16.43 Mx=0.02 Mz=-5.25
Sollecitazioni agenti localmente: Ty_l=-1917.39 My_l=-39.28
Tensioni nella sezione: σ=476.09 τ=58.10
CC 11 SLV (Collegamento -182_-384)
Azioni sul collegamento: N=-10933.80 Ty=-8.90 Tz=8.86 Mx=0.02 Mz=-3.34
Sollecitazioni agenti localmente: Ty_l=-1924.98 My_l=-39.44
Tensioni nella sezione: σ=478.10 τ=58.33
CC 11 SLV (Collegamento -182_-384)
Azioni sul collegamento: N=-10933.80 Ty=-8.45 Tz=8.86 Mx=0.02 Mz=-5.25
Sollecitazioni agenti localmente: Ty_l=-1917.39 My_l=-39.28
Tensioni nella sezione: σ=476.09 τ=58.10
CC 11 SLV (Collegamento -182_-384)
Azioni sul collegamento: N=-8604.01 Ty=-8.90 Tz=16.43 Mx=0.02 Mz=-3.34
Sollecitazioni agenti localmente: Ty_l=-1511.98 My_l=-30.98
Tensioni nella sezione: σ=375.48 τ=45.82
CC 11 SLV (Collegamento -182_-384)
Azioni sul collegamento: N=-8604.01 Ty=-8.45 Tz=16.43 Mx=0.02 Mz=-5.25
Sollecitazioni agenti localmente: Ty_l=-1504.39 My_l=-30.81
Tensioni nella sezione: σ=373.46 τ=45.59
CC 11 SLV (Collegamento -182_-384)
Azioni sul collegamento: N=-8604.01 Ty=-8.90 Tz=8.86 Mx=0.02 Mz=-3.34
Sollecitazioni agenti localmente: Ty_l=-1511.98 My_l=-30.98
Tensioni nella sezione: σ=375.48 τ=45.82
CC 11 SLV (Collegamento -182_-384)
Azioni sul collegamento: N=-8604.01 Ty=-8.45 Tz=8.86 Mx=0.02 Mz=-5.25
Sollecitazioni agenti localmente: Ty_l=-1504.39 My_l=-30.81
Tensioni nella sezione: σ=373.46 τ=45.59
CC 12 SLD (Collegamento -182_-384)
Azioni sul collegamento: N=-10221.40 Ty=-9.67 Tz=14.18 Mx=0.00 Mz=-6.14
Sollecitazioni agenti localmente: Ty_l=-1787.57 My_l=-36.61
Tensioni nella sezione: σ=443.77 τ=54.17
CC 12 SLD (Collegamento -182_-384)
Azioni sul collegamento: N=-10221.40 Ty=-9.53 Tz=14.18 Mx=0.00 Mz=-6.72
Sollecitazioni agenti localmente: Ty_l=-1785.25 My_l=-36.56
Tensioni nella sezione: σ=443.15 τ=54.10
CC 12 SLD (Collegamento -182_-384)
Azioni sul collegamento: N=-10221.40 Ty=-9.67 Tz=11.87 Mx=0.00 Mz=-6.14
Sollecitazioni agenti localmente: Ty_l=-1787.56 My_l=-36.61
Tensioni nella sezione: σ=443.77 τ=54.17
CC 12 SLD (Collegamento -182_-384)
Azioni sul collegamento: N=-10221.40 Ty=-9.53 Tz=11.87 Mx=0.00 Mz=-6.72
Sollecitazioni agenti localmente: Ty_l=-1785.25 My_l=-36.56
Tensioni nella sezione: σ=443.15 τ=54.10
CC 12 SLD (Collegamento -182_-384)
Azioni sul collegamento: N=-9511.02 Ty=-9.67 Tz=14.18 Mx=0.00 Mz=-6.14
Sollecitazioni agenti localmente: Ty_l=-1661.63 My_l=-34.03
Tensioni nella sezione: σ=412.48 τ=50.35
CC 12 SLD (Collegamento -182_-384)
Azioni sul collegamento: N=-9511.02 Ty=-9.53 Tz=14.18 Mx=0.00 Mz=-6.72
Sollecitazioni agenti localmente: Ty_l=-1659.31 My_l=-33.98

Tensioni nella sezione: σ=411.86 τ=50.28
CC 12 SLD (Collegamento -182_-384)
Azioni sul collegamento: N=-9511.02 Ty=-9.67 Tz=11.87 Mx=0.00 Mz=-6.14
Sollecitazioni agenti localmente: Ty_l=-1661.63 My_l=-34.03
Tensioni nella sezione: σ=412.48 τ=50.35
CC 12 SLD (Collegamento -182_-384)
Azioni sul collegamento: N=-9511.02 Ty=-9.53 Tz=11.87 Mx=0.00 Mz=-6.72
Sollecitazioni agenti localmente: Ty_l=-1659.31 My_l=-33.98
Tensioni nella sezione: σ=411.86 τ=50.28
CC 13 SLV (Collegamento -182_-384)
Azioni sul collegamento: N=-8604.01 Ty=-8.45 Tz=8.86 Mx=0.00 Mz=-5.25
Sollecitazioni agenti localmente: Ty_l=-1504.39 My_l=-30.81
Tensioni nella sezione: σ=373.46 τ=45.59
CC 13 SLV (Collegamento -182_-384)
Azioni sul collegamento: N=-8604.01 Ty=-8.90 Tz=8.86 Mx=0.00 Mz=-3.34
Sollecitazioni agenti localmente: Ty_l=-1511.98 My_l=-30.98
Tensioni nella sezione: σ=375.48 τ=45.82
CC 13 SLV (Collegamento -182_-384)
Azioni sul collegamento: N=-8604.01 Ty=-8.45 Tz=16.43 Mx=0.00 Mz=-5.25
Sollecitazioni agenti localmente: Ty_l=-1504.39 My_l=-30.81
Tensioni nella sezione: σ=373.46 τ=45.59
CC 13 SLV (Collegamento -182_-384)
Azioni sul collegamento: N=-8604.01 Ty=-8.90 Tz=16.43 Mx=0.00 Mz=-3.34
Sollecitazioni agenti localmente: Ty_l=-1511.98 My_l=-30.98
Tensioni nella sezione: σ=375.48 τ=45.82
CC 13 SLV (Collegamento -182_-384)
Azioni sul collegamento: N=-10933.80 Ty=-8.45 Tz=8.86 Mx=0.00 Mz=-5.25
Sollecitazioni agenti localmente: Ty_l=-1917.39 My_l=-39.28
Tensioni nella sezione: σ=476.09 τ=58.10
CC 13 SLV (Collegamento -182_-384)
Azioni sul collegamento: N=-10933.80 Ty=-8.90 Tz=8.86 Mx=0.00 Mz=-3.34
Sollecitazioni agenti localmente: Ty_l=-1924.98 My_l=-39.44
Tensioni nella sezione: σ=478.10 τ=58.33
CC 13 SLV (Collegamento -182_-384)
Azioni sul collegamento: N=-10933.80 Ty=-8.45 Tz=16.43 Mx=0.00 Mz=-5.25
Sollecitazioni agenti localmente: Ty_l=-1917.39 My_l=-39.28
Tensioni nella sezione: σ=476.09 τ=58.10
CC 13 SLV (Collegamento -182_-384)
Azioni sul collegamento: N=-10933.80 Ty=-8.90 Tz=16.43 Mx=0.00 Mz=-3.34
Sollecitazioni agenti localmente: Ty_l=-1924.98 My_l=-39.44
Tensioni nella sezione: σ=478.10 τ=58.33
CC 14 SLD (Collegamento -182_-384)
Azioni sul collegamento: N=-9511.02 Ty=-9.53 Tz=11.87 Mx=-0.00 Mz=-6.72
Sollecitazioni agenti localmente: Ty_l=-1659.31 My_l=-33.98
Tensioni nella sezione: σ=411.86 τ=50.28
CC 14 SLD (Collegamento -182_-384)
Azioni sul collegamento: N=-9511.02 Ty=-9.67 Tz=11.87 Mx=-0.00 Mz=-6.14
Sollecitazioni agenti localmente: Ty_l=-1661.63 My_l=-34.03
Tensioni nella sezione: σ=412.48 τ=50.35
CC 14 SLD (Collegamento -182_-384)
Azioni sul collegamento: N=-9511.02 Ty=-9.53 Tz=14.18 Mx=-0.00 Mz=-6.72
Sollecitazioni agenti localmente: Ty_l=-1659.31 My_l=-33.98
Tensioni nella sezione: σ=411.86 τ=50.28
CC 14 SLD (Collegamento -182_-384)
Azioni sul collegamento: N=-9511.02 Ty=-9.67 Tz=14.18 Mx=-0.00 Mz=-6.14
Sollecitazioni agenti localmente: Ty_l=-1661.63 My_l=-34.03
Tensioni nella sezione: σ=412.48 τ=50.35
CC 14 SLD (Collegamento -182_-384)
Azioni sul collegamento: N=-10221.40 Ty=-9.53 Tz=11.87 Mx=-0.00 Mz=-6.72
Sollecitazioni agenti localmente: Ty_l=-1785.25 My_l=-36.56
Tensioni nella sezione: σ=443.15 τ=54.10
CC 14 SLD (Collegamento -182_-384)
Azioni sul collegamento: N=-10221.40 Ty=-9.67 Tz=11.87 Mx=-0.00 Mz=-6.14
Sollecitazioni agenti localmente: Ty_l=-1787.56 My_l=-36.61
Tensioni nella sezione: σ=443.77 τ=54.17
CC 14 SLD (Collegamento -182_-384)
Azioni sul collegamento: N=-10221.40 Ty=-9.53 Tz=14.18 Mx=-0.00 Mz=-6.72
Sollecitazioni agenti localmente: Ty_l=-1785.25 My_l=-36.56
Tensioni nella sezione: σ=443.15 τ=54.10
CC 14 SLD (Collegamento -182_-384)
Azioni sul collegamento: N=-10221.40 Ty=-9.67 Tz=14.18 Mx=-0.00 Mz=-6.14
Sollecitazioni agenti localmente: Ty_l=-1787.57 My_l=-36.61
Tensioni nella sezione: σ=443.77 τ=54.17
CC 15 SLV (Collegamento -182_-384)
Azioni sul collegamento: N=-10950.00 Ty=-10.61 Tz=17.52 Mx=0.00 Mz=-6.83
Sollecitazioni agenti localmente: Ty_l=-1913.97 My_l=-39.20
Tensioni nella sezione: σ=475.13 τ=58.00
CC 15 SLV (Collegamento -182_-384)
Azioni sul collegamento: N=-10950.00 Ty=-6.74 Tz=17.52 Mx=0.00 Mz=-1.76
Sollecitazioni agenti localmente: Ty_l=-1934.14 My_l=-39.64

Tensioni nella sezione: σ=480.49 τ=58.61
CC 15 SLV (Collegamento -182_-384)
Azioni sul collegamento: N=-10950.00 Ty=-10.61 Tz=7.77 Mx=0.00 Mz=-6.83
Sollecitazioni agenti localmente: Ty_l=-1913.97 My_l=-39.20
Tensioni nella sezione: σ=475.13 τ=58.00
CC 15 SLV (Collegamento -182_-384)
Azioni sul collegamento: N=-10950.00 Ty=-6.74 Tz=7.77 Mx=0.00 Mz=-1.76
Sollecitazioni agenti localmente: Ty_l=-1934.14 My_l=-39.64
Tensioni nella sezione: σ=480.49 τ=58.61
CC 15 SLV (Collegamento -182_-384)
Azioni sul collegamento: N=-8587.84 Ty=-10.61 Tz=17.52 Mx=0.00 Mz=-6.83
Sollecitazioni agenti localmente: Ty_l=-1495.23 My_l=-30.61
Tensioni nella sezione: σ=371.08 τ=45.31
CC 15 SLV (Collegamento -182_-384)
Azioni sul collegamento: N=-8587.84 Ty=-6.74 Tz=17.52 Mx=0.00 Mz=-1.76
Sollecitazioni agenti localmente: Ty_l=-1515.41 My_l=-31.06
Tensioni nella sezione: σ=376.44 τ=45.92
CC 15 SLV (Collegamento -182_-384)
Azioni sul collegamento: N=-8587.84 Ty=-10.61 Tz=7.77 Mx=0.00 Mz=-6.83
Sollecitazioni agenti localmente: Ty_l=-1495.23 My_l=-30.61
Tensioni nella sezione: σ=371.08 τ=45.31
CC 15 SLV (Collegamento -182_-384)
Azioni sul collegamento: N=-8587.84 Ty=-6.74 Tz=7.77 Mx=0.00 Mz=-1.76
Sollecitazioni agenti localmente: Ty_l=-1515.41 My_l=-31.06
Tensioni nella sezione: σ=376.44 τ=45.92
CC 16 SLD (Collegamento -182_-384)
Azioni sul collegamento: N=-10226.40 Ty=-10.19 Tz=14.51 Mx=-0.00 Mz=-7.20
Sollecitazioni agenti localmente: Ty_l=-1784.21 My_l=-36.54
Tensioni nella sezione: σ=442.86 τ=54.07
CC 16 SLD (Collegamento -182_-384)
Azioni sul collegamento: N=-10226.40 Ty=-9.01 Tz=14.51 Mx=-0.00 Mz=-5.66
Sollecitazioni agenti localmente: Ty_l=-1790.36 My_l=-36.67
Tensioni nella sezione: σ=444.50 τ=54.25
CC 16 SLD (Collegamento -182_-384)
Azioni sul collegamento: N=-10226.40 Ty=-10.19 Tz=11.54 Mx=-0.00 Mz=-7.20
Sollecitazioni agenti localmente: Ty_l=-1784.21 My_l=-36.54
Tensioni nella sezione: σ=442.86 τ=54.07
CC 16 SLD (Collegamento -182_-384)
Azioni sul collegamento: N=-10226.40 Ty=-9.01 Tz=11.54 Mx=-0.00 Mz=-5.66
Sollecitazioni agenti localmente: Ty_l=-1790.36 My_l=-36.67
Tensioni nella sezione: σ=444.50 τ=54.25
CC 16 SLD (Collegamento -182_-384)
Azioni sul collegamento: N=-9506.09 Ty=-10.19 Tz=14.51 Mx=-0.00 Mz=-7.20
Sollecitazioni agenti localmente: Ty_l=-1656.52 My_l=-33.92
Tensioni nella sezione: σ=411.13 τ=50.20
CC 16 SLD (Collegamento -182_-384)
Azioni sul collegamento: N=-9506.09 Ty=-9.01 Tz=14.51 Mx=-0.00 Mz=-5.66
Sollecitazioni agenti localmente: Ty_l=-1662.67 My_l=-34.05
Tensioni nella sezione: σ=412.77 τ=50.38
CC 16 SLD (Collegamento -182_-384)
Azioni sul collegamento: N=-9506.09 Ty=-10.19 Tz=11.54 Mx=-0.00 Mz=-7.20
Sollecitazioni agenti localmente: Ty_l=-1656.52 My_l=-33.92
Tensioni nella sezione: σ=411.13 τ=50.20
CC 16 SLD (Collegamento -182_-384)
Azioni sul collegamento: N=-9506.09 Ty=-9.01 Tz=11.54 Mx=-0.00 Mz=-5.66
Sollecitazioni agenti localmente: Ty_l=-1662.67 My_l=-34.05
Tensioni nella sezione: σ=412.77 τ=50.38
CC 17 SLV (Collegamento -182_-384)
Azioni sul collegamento: N=-6136.65 Ty=-7.48 Tz=-0.86 Mx=-0.02 Mz=-7.28
Sollecitazioni agenti localmente: Ty_l=-1058.90 My_l=-21.67
Tensioni nella sezione: σ=262.63 τ=32.09
CC 17 SLV (Collegamento -182_-384)
Azioni sul collegamento: N=-6136.65 Ty=-15.19 Tz=-0.86 Mx=-0.02 Mz=-13.60
Sollecitazioni agenti localmente: Ty_l=-1033.75 My_l=-21.12
Tensioni nella sezione: σ=255.95 τ=31.33
CC 17 SLV (Collegamento -182_-384)
Azioni sul collegamento: N=-6136.65 Ty=-7.48 Tz=28.35 Mx=-0.02 Mz=-7.28
Sollecitazioni agenti localmente: Ty_l=-1058.90 My_l=-21.67
Tensioni nella sezione: σ=262.63 τ=32.09
CC 17 SLV (Collegamento -182_-384)
Azioni sul collegamento: N=-6136.65 Ty=-15.19 Tz=28.35 Mx=-0.02 Mz=-13.60
Sollecitazioni agenti localmente: Ty_l=-1033.75 My_l=-21.12
Tensioni nella sezione: σ=255.95 τ=31.33
CC 17 SLV (Collegamento -182_-384)
Azioni sul collegamento: N=-13961.30 Ty=-7.48 Tz=-0.86 Mx=-0.02 Mz=-7.28
Sollecitazioni agenti localmente: Ty_l=-2445.99 My_l=-50.10
Tensioni nella sezione: σ=607.30 τ=74.12
CC 17 SLV (Collegamento -182_-384)
Azioni sul collegamento: N=-13961.30 Ty=-15.19 Tz=-0.86 Mx=-0.02 Mz=-13.60
Sollecitazioni agenti localmente: Ty_l=-2420.85 My_l=-49.55

Tensioni nella sezione: σ=600.63 τ=73.36
CC 17 SLV (Collegamento -182_-384)
Azioni sul collegamento: N=-13961.30 Ty=-7.48 Tz=28.35 Mx=-0.02 Mz=-7.28
Sollecitazioni agenti localmente: Ty_l=-2445.99 My_l=-50.10
Tensioni nella sezione: σ=607.30 τ=74.12
CC 17 SLV (Collegamento -182_-384)
Azioni sul collegamento: N=-13961.30 Ty=-15.19 Tz=28.35 Mx=-0.02 Mz=-13.60
Sollecitazioni agenti localmente: Ty_l=-2420.85 My_l=-49.55
Tensioni nella sezione: σ=600.63 τ=73.36
CC 18 SLD (Collegamento -182_-384)
Azioni sul collegamento: N=-8758.64 Ty=-9.24 Tz=8.91 Mx=-0.01 Mz=-7.34
Sollecitazioni agenti localmente: Ty_l=-1523.47 My_l=-31.19
Tensioni nella sezione: σ=378.06 τ=46.17
CC 18 SLD (Collegamento -182_-384)
Azioni sul collegamento: N=-8758.64 Ty=-11.59 Tz=8.91 Mx=-0.01 Mz=-9.27
Sollecitazioni agenti localmente: Ty_l=-1515.80 My_l=-31.02
Tensioni nella sezione: σ=376.03 τ=45.93
CC 18 SLD (Collegamento -182_-384)
Azioni sul collegamento: N=-8758.65 Ty=-9.24 Tz=17.82 Mx=-0.01 Mz=-7.34
Sollecitazioni agenti localmente: Ty_l=-1523.47 My_l=-31.19
Tensioni nella sezione: σ=378.06 τ=46.17
CC 18 SLD (Collegamento -182_-384)
Azioni sul collegamento: N=-8758.65 Ty=-11.59 Tz=17.82 Mx=-0.01 Mz=-9.27
Sollecitazioni agenti localmente: Ty_l=-1515.80 My_l=-31.02
Tensioni nella sezione: σ=376.03 τ=45.93
CC 18 SLD (Collegamento -182_-384)
Azioni sul collegamento: N=-11144.60 Ty=-9.24 Tz=8.91 Mx=-0.01 Mz=-7.34
Sollecitazioni agenti localmente: Ty_l=-1946.44 My_l=-39.86
Tensioni nella sezione: σ=483.17 τ=58.98
CC 18 SLD (Collegamento -182_-384)
Azioni sul collegamento: N=-11144.60 Ty=-11.59 Tz=8.91 Mx=-0.01 Mz=-9.27
Sollecitazioni agenti localmente: Ty_l=-1938.77 My_l=-39.69
Tensioni nella sezione: σ=481.13 τ=58.75
CC 18 SLD (Collegamento -182_-384)
Azioni sul collegamento: N=-11144.60 Ty=-9.24 Tz=17.82 Mx=-0.01 Mz=-7.34
Sollecitazioni agenti localmente: Ty_l=-1946.44 My_l=-39.86
Tensioni nella sezione: σ=483.17 τ=58.98
CC 18 SLD (Collegamento -182_-384)
Azioni sul collegamento: N=-11144.60 Ty=-11.59 Tz=17.82 Mx=-0.01 Mz=-9.27
Sollecitazioni agenti localmente: Ty_l=-1938.77 My_l=-39.69
Tensioni nella sezione: σ=481.13 τ=58.75
CC 19 SLV (Collegamento -182_-384)
Azioni sul collegamento: N=-6141.50 Ty=-7.99 Tz=-0.53 Mx=-0.01 Mz=-8.33
Sollecitazioni agenti localmente: Ty_l=-1055.59 My_l=-21.59
Tensioni nella sezione: σ=261.74 τ=31.99
CC 19 SLV (Collegamento -182_-384)
Azioni sul collegamento: N=-6141.50 Ty=-14.68 Tz=-0.53 Mx=-0.01 Mz=-12.56
Sollecitazioni agenti localmente: Ty_l=-1038.78 My_l=-21.23
Tensioni nella sezione: σ=257.27 τ=31.48
CC 19 SLV (Collegamento -182_-384)
Azioni sul collegamento: N=-6141.50 Ty=-7.99 Tz=28.02 Mx=-0.01 Mz=-8.33
Sollecitazioni agenti localmente: Ty_l=-1055.59 My_l=-21.59
Tensioni nella sezione: σ=261.74 τ=31.99
CC 19 SLV (Collegamento -182_-384)
Azioni sul collegamento: N=-6141.50 Ty=-14.68 Tz=28.02 Mx=-0.01 Mz=-12.56
Sollecitazioni agenti localmente: Ty_l=-1038.78 My_l=-21.23
Tensioni nella sezione: σ=257.27 τ=31.48
CC 19 SLV (Collegamento -182_-384)
Azioni sul collegamento: N=-13956.40 Ty=-7.99 Tz=-0.53 Mx=-0.01 Mz=-8.33
Sollecitazioni agenti localmente: Ty_l=-2440.97 My_l=-49.99
Tensioni nella sezione: σ=605.98 τ=73.97
CC 19 SLV (Collegamento -182_-384)
Azioni sul collegamento: N=-13956.40 Ty=-14.68 Tz=-0.53 Mx=-0.01 Mz=-12.56
Sollecitazioni agenti localmente: Ty_l=-2424.15 My_l=-49.63
Tensioni nella sezione: σ=601.52 τ=73.46
CC 19 SLV (Collegamento -182_-384)
Azioni sul collegamento: N=-13956.40 Ty=-7.99 Tz=28.02 Mx=-0.01 Mz=-8.33
Sollecitazioni agenti localmente: Ty_l=-2440.97 My_l=-49.99
Tensioni nella sezione: σ=605.98 τ=73.97
CC 19 SLV (Collegamento -182_-384)
Azioni sul collegamento: N=-13956.40 Ty=-14.68 Tz=28.02 Mx=-0.01 Mz=-12.56
Sollecitazioni agenti localmente: Ty_l=-2424.15 My_l=-49.63
Tensioni nella sezione: σ=601.52 τ=73.46
CC 20 SLD (Collegamento -182_-384)
Azioni sul collegamento: N=-8760.12 Ty=-9.39 Tz=9.01 Mx=-0.01 Mz=-7.66
Sollecitazioni agenti localmente: Ty_l=-1522.46 My_l=-31.17
Tensioni nella sezione: σ=377.79 τ=46.14
CC 20 SLD (Collegamento -182_-384)
Azioni sul collegamento: N=-8760.12 Ty=-11.43 Tz=9.01 Mx=-0.01 Mz=-8.95
Sollecitazioni agenti localmente: Ty_l=-1517.33 My_l=-31.06

Tensioni nella sezione: σ=376.43 τ=45.98
CC 20 SLD (Collegamento -182_-384)
Azioni sul collegamento: N=-8760.13 Ty=-9.39 Tz=17.72 Mx=-0.01 Mz=-7.66
Sollecitazioni agenti localmente: Ty_l=-1522.46 My_l=-31.17
Tensioni nella sezione: σ=377.79 τ=46.14
CC 20 SLD (Collegamento -182_-384)
Azioni sul collegamento: N=-8760.13 Ty=-11.43 Tz=17.72 Mx=-0.01 Mz=-8.95
Sollecitazioni agenti localmente: Ty_l=-1517.33 My_l=-31.06
Tensioni nella sezione: σ=376.43 τ=45.98
CC 20 SLD (Collegamento -182_-384)
Azioni sul collegamento: N=-11143.10 Ty=-9.39 Tz=9.01 Mx=-0.01 Mz=-7.66
Sollecitazioni agenti localmente: Ty_l=-1944.91 My_l=-39.83
Tensioni nella sezione: σ=482.76 τ=58.94
CC 20 SLD (Collegamento -182_-384)
Azioni sul collegamento: N=-11143.10 Ty=-11.43 Tz=9.01 Mx=-0.01 Mz=-8.95
Sollecitazioni agenti localmente: Ty_l=-1939.78 My_l=-39.72
Tensioni nella sezione: σ=481.40 τ=58.78
CC 20 SLD (Collegamento -182_-384)
Azioni sul collegamento: N=-11143.10 Ty=-9.39 Tz=17.72 Mx=-0.01 Mz=-7.66
Sollecitazioni agenti localmente: Ty_l=-1944.91 My_l=-39.83
Tensioni nella sezione: σ=482.76 τ=58.94
CC 20 SLD (Collegamento -182_-384)
Azioni sul collegamento: N=-11143.10 Ty=-11.43 Tz=17.72 Mx=-0.01 Mz=-8.95
Sollecitazioni agenti localmente: Ty_l=-1939.78 My_l=-39.72
Tensioni nella sezione: σ=481.40 τ=58.78
CC 21 SLV (Collegamento -182_-384)
Azioni sul collegamento: N=-13956.40 Ty=-14.68 Tz=28.02 Mx=-0.02 Mz=-12.56
Sollecitazioni agenti localmente: Ty_l=-2424.15 My_l=-49.63
Tensioni nella sezione: σ=601.52 τ=73.46
CC 21 SLV (Collegamento -182_-384)
Azioni sul collegamento: N=-13956.40 Ty=-7.99 Tz=28.02 Mx=-0.02 Mz=-8.33
Sollecitazioni agenti localmente: Ty_l=-2440.97 My_l=-49.99
Tensioni nella sezione: σ=605.98 τ=73.97
CC 21 SLV (Collegamento -182_-384)
Azioni sul collegamento: N=-13956.40 Ty=-14.68 Tz=-0.53 Mx=-0.02 Mz=-12.56
Sollecitazioni agenti localmente: Ty_l=-2424.15 My_l=-49.63
Tensioni nella sezione: σ=601.52 τ=73.46
CC 21 SLV (Collegamento -182_-384)
Azioni sul collegamento: N=-13956.40 Ty=-7.99 Tz=-0.53 Mx=-0.02 Mz=-8.33
Sollecitazioni agenti localmente: Ty_l=-2440.97 My_l=-49.99
Tensioni nella sezione: σ=605.98 τ=73.97
CC 21 SLV (Collegamento -182_-384)
Azioni sul collegamento: N=-6141.50 Ty=-14.68 Tz=28.02 Mx=-0.02 Mz=-12.56
Sollecitazioni agenti localmente: Ty_l=-1038.78 My_l=-21.23
Tensioni nella sezione: σ=257.27 τ=31.48
CC 21 SLV (Collegamento -182_-384)
Azioni sul collegamento: N=-6141.50 Ty=-7.99 Tz=28.02 Mx=-0.02 Mz=-8.33
Sollecitazioni agenti localmente: Ty_l=-1055.59 My_l=-21.59
Tensioni nella sezione: σ=261.74 τ=31.99
CC 21 SLV (Collegamento -182_-384)
Azioni sul collegamento: N=-6141.50 Ty=-14.68 Tz=-0.53 Mx=-0.02 Mz=-12.56
Sollecitazioni agenti localmente: Ty_l=-1038.78 My_l=-21.23
Tensioni nella sezione: σ=257.27 τ=31.48
CC 21 SLV (Collegamento -182_-384)
Azioni sul collegamento: N=-6141.50 Ty=-7.99 Tz=-0.53 Mx=-0.02 Mz=-8.33
Sollecitazioni agenti localmente: Ty_l=-1055.59 My_l=-21.59
Tensioni nella sezione: σ=261.74 τ=31.99
CC 22 SLD (Collegamento -182_-384)
Azioni sul collegamento: N=-11143.10 Ty=-11.43 Tz=17.72 Mx=-0.01 Mz=-8.95
Sollecitazioni agenti localmente: Ty_l=-1939.78 My_l=-39.72
Tensioni nella sezione: σ=481.40 τ=58.78
CC 22 SLD (Collegamento -182_-384)
Azioni sul collegamento: N=-11143.10 Ty=-9.39 Tz=17.72 Mx=-0.01 Mz=-7.66
Sollecitazioni agenti localmente: Ty_l=-1944.91 My_l=-39.83
Tensioni nella sezione: σ=482.76 τ=58.94
CC 22 SLD (Collegamento -182_-384)
Azioni sul collegamento: N=-11143.10 Ty=-11.43 Tz=9.01 Mx=-0.01 Mz=-8.95
Sollecitazioni agenti localmente: Ty_l=-1939.78 My_l=-39.72
Tensioni nella sezione: σ=481.40 τ=58.78
CC 22 SLD (Collegamento -182_-384)
Azioni sul collegamento: N=-11143.10 Ty=-9.39 Tz=9.01 Mx=-0.01 Mz=-7.66
Sollecitazioni agenti localmente: Ty_l=-1944.91 My_l=-39.83
Tensioni nella sezione: σ=482.76 τ=58.94
CC 22 SLD (Collegamento -182_-384)
Azioni sul collegamento: N=-8760.13 Ty=-11.43 Tz=17.72 Mx=-0.01 Mz=-8.95
Sollecitazioni agenti localmente: Ty_l=-1517.33 My_l=-31.06
Tensioni nella sezione: σ=376.43 τ=45.98
CC 22 SLD (Collegamento -182_-384)
Azioni sul collegamento: N=-8760.13 Ty=-9.39 Tz=17.72 Mx=-0.01 Mz=-7.66
Sollecitazioni agenti localmente: Ty_l=-1522.46 My_l=-31.17

Tensioni nella sezione: σ=377.79 τ=46.14
CC 22 SLD (Collegamento -182_-384)
Azioni sul collegamento: N=-8760.12 Ty=-11.43 Tz=9.01 Mx=-0.01 Mz=-8.95
Sollecitazioni agenti localmente: Ty_l=-1517.33 My_l=-31.06
Tensioni nella sezione: σ=376.43 τ=45.98
CC 22 SLD (Collegamento -182_-384)
Azioni sul collegamento: N=-8760.12 Ty=-9.39 Tz=9.01 Mx=-0.01 Mz=-7.66
Sollecitazioni agenti localmente: Ty_l=-1522.46 My_l=-31.17
Tensioni nella sezione: σ=377.79 τ=46.14
CC 23 SLV (Collegamento -182_-384)
Azioni sul collegamento: N=-13961.30 Ty=-15.19 Tz=28.35 Mx=-0.01 Mz=-13.60
Sollecitazioni agenti localmente: Ty_l=-2420.85 My_l=-49.55
Tensioni nella sezione: σ=600.63 τ=73.36
CC 23 SLV (Collegamento -182_-384)
Azioni sul collegamento: N=-13961.30 Ty=-7.48 Tz=28.35 Mx=-0.01 Mz=-7.28
Sollecitazioni agenti localmente: Ty_l=-2445.99 My_l=-50.10
Tensioni nella sezione: σ=607.30 τ=74.12
CC 23 SLV (Collegamento -182_-384)
Azioni sul collegamento: N=-13961.30 Ty=-15.19 Tz=-0.86 Mx=-0.01 Mz=-13.60
Sollecitazioni agenti localmente: Ty_l=-2420.85 My_l=-49.55
Tensioni nella sezione: σ=600.63 τ=73.36
CC 23 SLV (Collegamento -182_-384)
Azioni sul collegamento: N=-13961.30 Ty=-7.48 Tz=-0.86 Mx=-0.01 Mz=-7.28
Sollecitazioni agenti localmente: Ty_l=-2445.99 My_l=-50.10
Tensioni nella sezione: σ=607.30 τ=74.12
CC 23 SLV (Collegamento -182_-384)
Azioni sul collegamento: N=-6136.65 Ty=-15.19 Tz=28.35 Mx=-0.01 Mz=-13.60
Sollecitazioni agenti localmente: Ty_l=-1033.75 My_l=-21.12
Tensioni nella sezione: σ=255.95 τ=31.33
CC 23 SLV (Collegamento -182_-384)
Azioni sul collegamento: N=-6136.65 Ty=-7.48 Tz=28.35 Mx=-0.01 Mz=-7.28
Sollecitazioni agenti localmente: Ty_l=-1058.90 My_l=-21.67
Tensioni nella sezione: σ=262.63 τ=32.09
CC 23 SLV (Collegamento -182_-384)
Azioni sul collegamento: N=-6136.65 Ty=-15.19 Tz=-0.86 Mx=-0.01 Mz=-13.60
Sollecitazioni agenti localmente: Ty_l=-1033.75 My_l=-21.12
Tensioni nella sezione: σ=255.95 τ=31.33
CC 23 SLV (Collegamento -182_-384)
Azioni sul collegamento: N=-6136.65 Ty=-7.48 Tz=-0.86 Mx=-0.01 Mz=-7.28
Sollecitazioni agenti localmente: Ty_l=-1058.90 My_l=-21.67
Tensioni nella sezione: σ=262.63 τ=32.09
CC 24 SLD (Collegamento -182_-384)
Azioni sul collegamento: N=-11144.60 Ty=-11.59 Tz=17.82 Mx=-0.01 Mz=-9.27
Sollecitazioni agenti localmente: Ty_l=-1938.77 My_l=-39.69
Tensioni nella sezione: σ=481.13 τ=58.75
CC 24 SLD (Collegamento -182_-384)
Azioni sul collegamento: N=-11144.60 Ty=-9.24 Tz=17.82 Mx=-0.01 Mz=-7.34
Sollecitazioni agenti localmente: Ty_l=-1946.44 My_l=-39.86
Tensioni nella sezione: σ=483.17 τ=58.98
CC 24 SLD (Collegamento -182_-384)
Azioni sul collegamento: N=-11144.60 Ty=-11.59 Tz=8.91 Mx=-0.01 Mz=-9.27
Sollecitazioni agenti localmente: Ty_l=-1938.77 My_l=-39.69
Tensioni nella sezione: σ=481.13 τ=58.75
CC 24 SLD (Collegamento -182_-384)
Azioni sul collegamento: N=-11144.60 Ty=-9.24 Tz=8.91 Mx=-0.01 Mz=-7.34
Sollecitazioni agenti localmente: Ty_l=-1946.44 My_l=-39.86
Tensioni nella sezione: σ=483.17 τ=58.98
CC 24 SLD (Collegamento -182_-384)
Azioni sul collegamento: N=-8758.65 Ty=-11.59 Tz=17.82 Mx=-0.01 Mz=-9.27
Sollecitazioni agenti localmente: Ty_l=-1515.80 My_l=-31.02
Tensioni nella sezione: σ=376.03 τ=45.93
CC 24 SLD (Collegamento -182_-384)
Azioni sul collegamento: N=-8758.65 Ty=-9.24 Tz=17.82 Mx=-0.01 Mz=-7.34
Sollecitazioni agenti localmente: Ty_l=-1523.47 My_l=-31.19
Tensioni nella sezione: σ=378.06 τ=46.17
CC 24 SLD (Collegamento -182_-384)
Azioni sul collegamento: N=-8758.64 Ty=-11.59 Tz=8.91 Mx=-0.01 Mz=-9.27
Sollecitazioni agenti localmente: Ty_l=-1515.80 My_l=-31.02
Tensioni nella sezione: σ=376.03 τ=45.93
CC 24 SLD (Collegamento -182_-384)
Azioni sul collegamento: N=-8758.64 Ty=-9.24 Tz=8.91 Mx=-0.01 Mz=-7.34
Sollecitazioni agenti localmente: Ty_l=-1523.47 My_l=-31.19
Tensioni nella sezione: σ=378.06 τ=46.17
CC 25 SLV (Collegamento -182_-384)
Azioni sul collegamento: N=-8867.92 Ty=-9.40 Tz=8.87 Mx=-0.02 Mz=-7.91
Sollecitazioni agenti localmente: Ty_l=-1540.59 My_l=-31.54
Tensioni nella sezione: σ=382.28 τ=46.68
CC 25 SLV (Collegamento -182_-384)
Azioni sul collegamento: N=-8867.92 Ty=-13.27 Tz=8.87 Mx=-0.02 Mz=-12.98
Sollecitazioni agenti localmente: Ty_l=-1520.41 My_l=-31.10

Tensioni nella sezione: σ=376.92 τ=46.07
CC 25 SLV (Collegamento -182_-384)
Azioni sul collegamento: N=-8867.92 Ty=-9.40 Tz=18.62 Mx=-0.02 Mz=-7.91
Sollecitazioni agenti localmente: Ty_l=-1540.59 My_l=-31.54
Tensioni nella sezione: σ=382.28 τ=46.68
CC 25 SLV (Collegamento -182_-384)
Azioni sul collegamento: N=-8867.92 Ty=-13.27 Tz=18.62 Mx=-0.02 Mz=-12.98
Sollecitazioni agenti localmente: Ty_l=-1520.41 My_l=-31.10
Tensioni nella sezione: σ=376.92 τ=46.07
CC 25 SLV (Collegamento -182_-384)
Azioni sul collegamento: N=-11230.00 Ty=-9.40 Tz=8.87 Mx=-0.02 Mz=-7.91
Sollecitazioni agenti localmente: Ty_l=-1959.33 My_l=-40.12
Tensioni nella sezione: σ=486.33 τ=59.37
CC 25 SLV (Collegamento -182_-384)
Azioni sul collegamento: N=-11230.00 Ty=-13.27 Tz=8.87 Mx=-0.02 Mz=-12.98
Sollecitazioni agenti localmente: Ty_l=-1939.15 My_l=-39.68
Tensioni nella sezione: σ=480.97 τ=58.76
CC 25 SLV (Collegamento -182_-384)
Azioni sul collegamento: N=-11230.00 Ty=-9.40 Tz=18.62 Mx=-0.02 Mz=-7.91
Sollecitazioni agenti localmente: Ty_l=-1959.33 My_l=-40.12
Tensioni nella sezione: σ=486.33 τ=59.37
CC 25 SLV (Collegamento -182_-384)
Azioni sul collegamento: N=-11230.00 Ty=-13.27 Tz=18.62 Mx=-0.02 Mz=-12.98
Sollecitazioni agenti localmente: Ty_l=-1939.15 My_l=-39.68
Tensioni nella sezione: σ=480.97 τ=58.76
CC 26 SLD (Collegamento -182_-384)
Azioni sul collegamento: N=-9591.50 Ty=-9.82 Tz=11.88 Mx=-0.01 Mz=-7.53
Sollecitazioni agenti localmente: Ty_l=-1670.35 My_l=-34.20
Tensioni nella sezione: σ=414.55 τ=50.62
CC 26 SLD (Collegamento -182_-384)
Azioni sul collegamento: N=-9591.50 Ty=-11.00 Tz=11.88 Mx=-0.01 Mz=-9.08
Sollecitazioni agenti localmente: Ty_l=-1664.20 My_l=-34.07
Tensioni nella sezione: σ=412.92 τ=50.43
CC 26 SLD (Collegamento -182_-384)
Azioni sul collegamento: N=-9591.50 Ty=-9.82 Tz=14.85 Mx=-0.01 Mz=-7.53
Sollecitazioni agenti localmente: Ty_l=-1670.35 My_l=-34.20
Tensioni nella sezione: σ=414.55 τ=50.62
CC 26 SLD (Collegamento -182_-384)
Azioni sul collegamento: N=-9591.50 Ty=-11.00 Tz=14.85 Mx=-0.01 Mz=-9.08
Sollecitazioni agenti localmente: Ty_l=-1664.20 My_l=-34.07
Tensioni nella sezione: σ=412.92 τ=50.43
CC 26 SLD (Collegamento -182_-384)
Azioni sul collegamento: N=-10311.80 Ty=-9.82 Tz=11.88 Mx=-0.01 Mz=-7.53
Sollecitazioni agenti localmente: Ty_l=-1798.04 My_l=-36.82
Tensioni nella sezione: σ=446.28 τ=54.49
CC 26 SLD (Collegamento -182_-384)
Azioni sul collegamento: N=-10311.80 Ty=-11.00 Tz=11.88 Mx=-0.01 Mz=-9.08
Sollecitazioni agenti localmente: Ty_l=-1791.89 My_l=-36.68
Tensioni nella sezione: σ=444.64 τ=54.30
CC 26 SLD (Collegamento -182_-384)
Azioni sul collegamento: N=-10311.80 Ty=-9.82 Tz=14.85 Mx=-0.01 Mz=-7.53
Sollecitazioni agenti localmente: Ty_l=-1798.04 My_l=-36.82
Tensioni nella sezione: σ=446.28 τ=54.49
CC 26 SLD (Collegamento -182_-384)
Azioni sul collegamento: N=-10311.80 Ty=-11.00 Tz=14.85 Mx=-0.01 Mz=-9.08
Sollecitazioni agenti localmente: Ty_l=-1791.89 My_l=-36.68
Tensioni nella sezione: σ=444.64 τ=54.30
CC 27 SLV (Collegamento -182_-384)
Azioni sul collegamento: N=-11213.90 Ty=-11.56 Tz=17.53 Mx=-0.02 Mz=-9.49
Sollecitazioni agenti localmente: Ty_l=-1950.17 My_l=-39.93
Tensioni nella sezione: σ=483.95 τ=59.10
CC 27 SLV (Collegamento -182_-384)
Azioni sul collegamento: N=-11213.90 Ty=-11.11 Tz=17.53 Mx=-0.02 Mz=-11.40
Sollecitazioni agenti localmente: Ty_l=-1942.58 My_l=-39.76
Tensioni nella sezione: σ=481.93 τ=58.87
CC 27 SLV (Collegamento -182_-384)
Azioni sul collegamento: N=-11213.90 Ty=-11.56 Tz=9.96 Mx=-0.02 Mz=-9.49
Sollecitazioni agenti localmente: Ty_l=-1950.17 My_l=-39.93
Tensioni nella sezione: σ=483.95 τ=59.10
CC 27 SLV (Collegamento -182_-384)
Azioni sul collegamento: N=-11213.90 Ty=-11.11 Tz=9.96 Mx=-0.02 Mz=-11.40
Sollecitazioni agenti localmente: Ty_l=-1942.58 My_l=-39.76
Tensioni nella sezione: σ=481.93 τ=58.87
CC 27 SLV (Collegamento -182_-384)
Azioni sul collegamento: N=-8884.09 Ty=-11.56 Tz=17.53 Mx=-0.02 Mz=-9.49
Sollecitazioni agenti localmente: Ty_l=-1537.16 My_l=-31.46
Tensioni nella sezione: σ=381.32 τ=46.58
CC 27 SLV (Collegamento -182_-384)
Azioni sul collegamento: N=-8884.09 Ty=-11.11 Tz=17.53 Mx=-0.02 Mz=-11.40
Sollecitazioni agenti localmente: Ty_l=-1529.58 My_l=-31.29

Tensioni nella sezione: σ=379.31 τ=46.35
CC 27 SLV (Collegamento -182_-384)
Azioni sul collegamento: N=-8884.09 Ty=-11.56 Tz=9.96 Mx=-0.02 Mz=-9.49
Sollecitazioni agenti localmente: Ty_l=-1537.16 My_l=-31.46
Tensioni nella sezione: σ=381.32 τ=46.58
CC 27 SLV (Collegamento -182_-384)
Azioni sul collegamento: N=-8884.09 Ty=-11.11 Tz=9.96 Mx=-0.02 Mz=-11.40
Sollecitazioni agenti localmente: Ty_l=-1529.58 My_l=-31.29
Tensioni nella sezione: σ=379.31 τ=46.35
CC 28 SLD (Collegamento -182_-384)
Azioni sul collegamento: N=-10306.80 Ty=-10.48 Tz=14.52 Mx=-0.01 Mz=-8.01
Sollecitazioni agenti localmente: Ty_l=-1795.25 My_l=-36.76
Tensioni nella sezione: σ=445.55 τ=54.40
CC 28 SLD (Collegamento -182_-384)
Azioni sul collegamento: N=-10306.80 Ty=-10.34 Tz=14.52 Mx=-0.01 Mz=-8.60
Sollecitazioni agenti localmente: Ty_l=-1792.93 My_l=-36.71
Tensioni nella sezione: σ=444.94 τ=54.33
CC 28 SLD (Collegamento -182_-384)
Azioni sul collegamento: N=-10306.80 Ty=-10.48 Tz=12.21 Mx=-0.01 Mz=-8.01
Sollecitazioni agenti localmente: Ty_l=-1795.24 My_l=-36.76
Tensioni nella sezione: σ=445.55 τ=54.40
CC 28 SLD (Collegamento -182_-384)
Azioni sul collegamento: N=-10306.80 Ty=-10.34 Tz=12.21 Mx=-0.01 Mz=-8.60
Sollecitazioni agenti localmente: Ty_l=-1792.93 My_l=-36.71
Tensioni nella sezione: σ=444.94 τ=54.33
CC 28 SLD (Collegamento -182_-384)
Azioni sul collegamento: N=-9596.43 Ty=-10.48 Tz=14.52 Mx=-0.01 Mz=-8.01
Sollecitazioni agenti localmente: Ty_l=-1669.31 My_l=-34.18
Tensioni nella sezione: σ=414.26 τ=50.59
CC 28 SLD (Collegamento -182_-384)
Azioni sul collegamento: N=-9596.43 Ty=-10.34 Tz=14.52 Mx=-0.01 Mz=-8.60
Sollecitazioni agenti localmente: Ty_l=-1666.99 My_l=-34.13
Tensioni nella sezione: σ=413.64 τ=50.51
CC 28 SLD (Collegamento -182_-384)
Azioni sul collegamento: N=-9596.43 Ty=-10.48 Tz=12.21 Mx=-0.01 Mz=-8.01
Sollecitazioni agenti localmente: Ty_l=-1669.31 My_l=-34.18
Tensioni nella sezione: σ=414.26 τ=50.59
CC 28 SLD (Collegamento -182_-384)
Azioni sul collegamento: N=-9596.43 Ty=-10.34 Tz=12.21 Mx=-0.01 Mz=-8.60
Sollecitazioni agenti localmente: Ty_l=-1666.99 My_l=-34.13
Tensioni nella sezione: σ=413.64 τ=50.51
CC 29 SLV (Collegamento -182_-384)
Azioni sul collegamento: N=-8884.09 Ty=-11.11 Tz=9.96 Mx=-0.01 Mz=-11.40
Sollecitazioni agenti localmente: Ty_l=-1529.58 My_l=-31.29
Tensioni nella sezione: σ=379.31 τ=46.35
CC 29 SLV (Collegamento -182_-384)
Azioni sul collegamento: N=-8884.09 Ty=-11.56 Tz=9.96 Mx=-0.01 Mz=-9.49
Sollecitazioni agenti localmente: Ty_l=-1537.16 My_l=-31.46
Tensioni nella sezione: σ=381.32 τ=46.58
CC 29 SLV (Collegamento -182_-384)
Azioni sul collegamento: N=-8884.09 Ty=-11.11 Tz=17.53 Mx=-0.01 Mz=-11.40
Sollecitazioni agenti localmente: Ty_l=-1529.58 My_l=-31.29
Tensioni nella sezione: σ=379.31 τ=46.35
CC 29 SLV (Collegamento -182_-384)
Azioni sul collegamento: N=-8884.09 Ty=-11.56 Tz=17.53 Mx=-0.01 Mz=-9.49
Sollecitazioni agenti localmente: Ty_l=-1537.16 My_l=-31.46
Tensioni nella sezione: σ=381.32 τ=46.58
CC 29 SLV (Collegamento -182_-384)
Azioni sul collegamento: N=-11213.90 Ty=-11.11 Tz=9.96 Mx=-0.01 Mz=-11.40
Sollecitazioni agenti localmente: Ty_l=-1942.58 My_l=-39.76
Tensioni nella sezione: σ=481.93 τ=58.87
CC 29 SLV (Collegamento -182_-384)
Azioni sul collegamento: N=-11213.90 Ty=-11.56 Tz=9.96 Mx=-0.01 Mz=-9.49
Sollecitazioni agenti localmente: Ty_l=-1950.17 My_l=-39.93
Tensioni nella sezione: σ=483.95 τ=59.10
CC 29 SLV (Collegamento -182_-384)
Azioni sul collegamento: N=-11213.90 Ty=-11.11 Tz=17.53 Mx=-0.01 Mz=-11.40
Sollecitazioni agenti localmente: Ty_l=-1942.58 My_l=-39.76
Tensioni nella sezione: σ=481.93 τ=58.87
CC 29 SLV (Collegamento -182_-384)
Azioni sul collegamento: N=-11213.90 Ty=-11.56 Tz=17.53 Mx=-0.01 Mz=-9.49
Sollecitazioni agenti localmente: Ty_l=-1950.17 My_l=-39.93
Tensioni nella sezione: σ=483.95 τ=59.10
CC 30 SLD (Collegamento -182_-384)
Azioni sul collegamento: N=-9596.43 Ty=-10.34 Tz=12.21 Mx=-0.00 Mz=-8.60
Sollecitazioni agenti localmente: Ty_l=-1666.99 My_l=-34.13
Tensioni nella sezione: σ=413.64 τ=50.51
CC 30 SLD (Collegamento -182_-384)
Azioni sul collegamento: N=-9596.43 Ty=-10.48 Tz=12.21 Mx=-0.00 Mz=-8.01
Sollecitazioni agenti localmente: Ty_l=-1669.31 My_l=-34.18

Tensioni nella sezione: σ=414.26 τ=50.59
CC 30 SLD (Collegamento -182_-384)
Azioni sul collegamento: N=-9596.43 Ty=-10.34 Tz=14.52 Mx=-0.00 Mz=-8.60
Sollecitazioni agenti localmente: Ty_l=-1666.99 My_l=-34.13
Tensioni nella sezione: σ=413.64 τ=50.51
CC 30 SLD (Collegamento -182_-384)
Azioni sul collegamento: N=-9596.43 Ty=-10.48 Tz=14.52 Mx=-0.00 Mz=-8.01
Sollecitazioni agenti localmente: Ty_l=-1669.31 My_l=-34.18
Tensioni nella sezione: σ=414.26 τ=50.59
CC 30 SLD (Collegamento -182_-384)
Azioni sul collegamento: N=-10306.80 Ty=-10.34 Tz=12.21 Mx=-0.00 Mz=-8.60
Sollecitazioni agenti localmente: Ty_l=-1792.93 My_l=-36.71
Tensioni nella sezione: σ=444.94 τ=54.33
CC 30 SLD (Collegamento -182_-384)
Azioni sul collegamento: N=-10306.80 Ty=-10.48 Tz=12.21 Mx=-0.00 Mz=-8.01
Sollecitazioni agenti localmente: Ty_l=-1795.24 My_l=-36.76
Tensioni nella sezione: σ=445.55 τ=54.40
CC 30 SLD (Collegamento -182_-384)
Azioni sul collegamento: N=-10306.80 Ty=-10.34 Tz=14.52 Mx=-0.00 Mz=-8.60
Sollecitazioni agenti localmente: Ty_l=-1792.93 My_l=-36.71
Tensioni nella sezione: σ=444.94 τ=54.33
CC 30 SLD (Collegamento -182_-384)
Azioni sul collegamento: N=-10306.80 Ty=-10.48 Tz=14.52 Mx=-0.00 Mz=-8.01
Sollecitazioni agenti localmente: Ty_l=-1795.25 My_l=-36.76
Tensioni nella sezione: σ=445.55 τ=54.40
CC 31 SLV (Collegamento -182_-384)
Azioni sul collegamento: N=-11230.00 Ty=-13.27 Tz=18.62 Mx=-0.01 Mz=-12.98
Sollecitazioni agenti localmente: Ty_l=-1939.15 My_l=-39.68
Tensioni nella sezione: σ=480.97 τ=58.76
CC 31 SLV (Collegamento -182_-384)
Azioni sul collegamento: N=-11230.00 Ty=-9.40 Tz=18.62 Mx=-0.01 Mz=-7.91
Sollecitazioni agenti localmente: Ty_l=-1959.33 My_l=-40.12
Tensioni nella sezione: σ=486.33 τ=59.37
CC 31 SLV (Collegamento -182_-384)
Azioni sul collegamento: N=-11230.00 Ty=-13.27 Tz=8.87 Mx=-0.01 Mz=-12.98
Sollecitazioni agenti localmente: Ty_l=-1939.15 My_l=-39.68
Tensioni nella sezione: σ=480.97 τ=58.76
CC 31 SLV (Collegamento -182_-384)
Azioni sul collegamento: N=-11230.00 Ty=-9.40 Tz=8.87 Mx=-0.01 Mz=-7.91
Sollecitazioni agenti localmente: Ty_l=-1959.33 My_l=-40.12
Tensioni nella sezione: σ=486.33 τ=59.37
CC 31 SLV (Collegamento -182_-384)
Azioni sul collegamento: N=-8867.92 Ty=-13.27 Tz=18.62 Mx=-0.01 Mz=-12.98
Sollecitazioni agenti localmente: Ty_l=-1520.41 My_l=-31.10
Tensioni nella sezione: σ=376.92 τ=46.07
CC 31 SLV (Collegamento -182_-384)
Azioni sul collegamento: N=-8867.92 Ty=-9.40 Tz=18.62 Mx=-0.01 Mz=-7.91
Sollecitazioni agenti localmente: Ty_l=-1540.59 My_l=-31.54
Tensioni nella sezione: σ=382.28 τ=46.68
CC 31 SLV (Collegamento -182_-384)
Azioni sul collegamento: N=-8867.92 Ty=-13.27 Tz=8.87 Mx=-0.01 Mz=-12.98
Sollecitazioni agenti localmente: Ty_l=-1520.41 My_l=-31.10
Tensioni nella sezione: σ=376.92 τ=46.07
CC 31 SLV (Collegamento -182_-384)
Azioni sul collegamento: N=-8867.92 Ty=-9.40 Tz=8.87 Mx=-0.01 Mz=-7.91
Sollecitazioni agenti localmente: Ty_l=-1540.59 My_l=-31.54
Tensioni nella sezione: σ=382.28 τ=46.68
CC 32 SLD (Collegamento -182_-384)
Azioni sul collegamento: N=-10311.80 Ty=-11.00 Tz=14.85 Mx=-0.00 Mz=-9.08
Sollecitazioni agenti localmente: Ty_l=-1791.89 My_l=-36.68
Tensioni nella sezione: σ=444.64 τ=54.30
CC 32 SLD (Collegamento -182_-384)
Azioni sul collegamento: N=-10311.80 Ty=-9.82 Tz=14.85 Mx=-0.00 Mz=-7.53
Sollecitazioni agenti localmente: Ty_l=-1798.04 My_l=-36.82
Tensioni nella sezione: σ=446.28 τ=54.49
CC 32 SLD (Collegamento -182_-384)
Azioni sul collegamento: N=-10311.80 Ty=-11.00 Tz=11.88 Mx=-0.00 Mz=-9.08
Sollecitazioni agenti localmente: Ty_l=-1791.89 My_l=-36.68
Tensioni nella sezione: σ=444.64 τ=54.30
CC 32 SLD (Collegamento -182_-384)
Azioni sul collegamento: N=-10311.80 Ty=-9.82 Tz=11.88 Mx=-0.00 Mz=-7.53
Sollecitazioni agenti localmente: Ty_l=-1798.04 My_l=-36.82
Tensioni nella sezione: σ=446.28 τ=54.49
CC 32 SLD (Collegamento -182_-384)
Azioni sul collegamento: N=-9591.50 Ty=-11.00 Tz=14.85 Mx=-0.00 Mz=-9.08
Sollecitazioni agenti localmente: Ty_l=-1664.20 My_l=-34.07
Tensioni nella sezione: σ=412.92 τ=50.43
CC 32 SLD (Collegamento -182_-384)
Azioni sul collegamento: N=-9591.50 Ty=-9.82 Tz=14.85 Mx=-0.00 Mz=-7.53
Sollecitazioni agenti localmente: Ty_l=-1670.35 My_l=-34.20

Tensioni nella sezione: σ=414.55 τ=50.62
CC 32 SLD (Collegamento -182_-384)
Azioni sul collegamento: N=-9591.50 Ty=-11.00 Tz=11.88 Mx=-0.00 Mz=-9.08
Sollecitazioni agenti localmente: Ty_l=-1664.20 My_l=-34.07
Tensioni nella sezione: σ=412.92 τ=50.43
CC 32 SLD (Collegamento -182_-384)
Azioni sul collegamento: N=-9591.50 Ty=-9.82 Tz=11.88 Mx=-0.00 Mz=-7.53
Sollecitazioni agenti localmente: Ty_l=-1670.35 My_l=-34.20
Tensioni nella sezione: σ=414.55 τ=50.62
CC 33 SLU (Collegamento -182_-384)
Azioni sul collegamento: N=-37242.40 Ty=-20.96 Tz=105.49 Mx=-0.01 Mz=-15.56
Sollecitazioni agenti localmente: Ty_l=-6540.16 My_l=-133.99
Tensioni nella sezione: σ=1624.08 τ=198.19
CC 34 SLU (Collegamento -182_-384)
Azioni sul collegamento: N=-36428.20 Ty=-20.21 Tz=102.49 Mx=-0.01 Mz=-15.01
Sollecitazioni agenti localmente: Ty_l=-6398.02 My_l=-131.08
Tensioni nella sezione: σ=1588.80 τ=193.88
CC 35 SLU (Collegamento -182_-384)
Azioni sul collegamento: N=-36836.10 Ty=-20.67 Tz=103.93 Mx=-0.00 Mz=-15.47
Sollecitazioni agenti localmente: Ty_l=-6468.52 My_l=-132.52
Tensioni nella sezione: σ=1606.29 τ=196.02
CC 36 SLU (Collegamento -182_-384)
Azioni sul collegamento: N=-36834.40 Ty=-20.49 Tz=104.05 Mx=-0.01 Mz=-15.10
Sollecitazioni agenti localmente: Ty_l=-6469.66 My_l=-132.54
Tensioni nella sezione: σ=1606.59 τ=196.05
CC 37 SLU (Collegamento -182_-384)
Azioni sul collegamento: N=-28075.80 Ty=-20.08 Tz=71.84 Mx=-0.01 Mz=-14.76
Sollecitazioni agenti localmente: Ty_l=-4918.34 My_l=-100.74
Tensioni nella sezione: σ=1221.14 τ=149.04
CC 38 SLU (Collegamento -182_-384)
Azioni sul collegamento: N=-27261.60 Ty=-19.33 Tz=68.83 Mx=-0.01 Mz=-14.21
Sollecitazioni agenti localmente: Ty_l=-4776.20 My_l=-97.83
Tensioni nella sezione: σ=1185.85 τ=144.73
CC 39 SLU (Collegamento -182_-384)
Azioni sul collegamento: N=-27669.60 Ty=-19.79 Tz=70.28 Mx=-0.00 Mz=-14.67
Sollecitazioni agenti localmente: Ty_l=-4846.70 My_l=-99.28
Tensioni nella sezione: σ=1203.34 τ=146.87
CC 40 SLU (Collegamento -182_-384)
Azioni sul collegamento: N=-27667.80 Ty=-19.61 Tz=70.39 Mx=-0.01 Mz=-14.31
Sollecitazioni agenti localmente: Ty_l=-4847.84 My_l=-99.30
Tensioni nella sezione: σ=1203.65 τ=146.90
CC 41 SLU (Collegamento -182_-384)
Azioni sul collegamento: N=-30474.50 Ty=9.93 Tz=80.11 Mx=-0.01 Mz=7.87
Sollecitazioni agenti localmente: Ty_l=-5433.62 My_l=-111.43
Tensioni nella sezione: σ=1350.70 τ=164.66
CC 42 SLU (Collegamento -182_-384)
Azioni sul collegamento: N=-29660.30 Ty=10.68 Tz=77.11 Mx=-0.01 Mz=8.42
Sollecitazioni agenti localmente: Ty_l=-5291.47 My_l=-108.52
Tensioni nella sezione: σ=1315.42 τ=160.35
CC 43 SLU (Collegamento -182_-384)
Azioni sul collegamento: N=-30068.30 Ty=10.21 Tz=78.55 Mx=-0.00 Mz=7.97
Sollecitazioni agenti localmente: Ty_l=-5361.97 My_l=-109.97
Tensioni nella sezione: σ=1332.91 τ=162.48
CC 44 SLU (Collegamento -182_-384)
Azioni sul collegamento: N=-30066.50 Ty=10.39 Tz=78.67 Mx=-0.01 Mz=8.33
Sollecitazioni agenti localmente: Ty_l=-5363.11 My_l=-109.99
Tensioni nella sezione: σ=1333.21 τ=162.52
CC 45 SLU (Collegamento -182_-384)
Azioni sul collegamento: N=-30085.80 Ty=-20.31 Tz=79.22 Mx=-0.00 Mz=-15.08
Sollecitazioni agenti localmente: Ty_l=-5273.40 My_l=-108.02
Tensioni nella sezione: σ=1309.34 τ=159.80
CC 46 SLU (Collegamento -182_-384)
Azioni sul collegamento: N=-29271.60 Ty=-19.56 Tz=76.22 Mx=-0.00 Mz=-14.53
Sollecitazioni agenti localmente: Ty_l=-5131.26 My_l=-105.11
Tensioni nella sezione: σ=1274.06 τ=155.49
CC 47 SLU (Collegamento -182_-384)
Azioni sul collegamento: N=-29679.60 Ty=-20.02 Tz=77.66 Mx=-0.00 Mz=-14.99
Sollecitazioni agenti localmente: Ty_l=-5201.76 My_l=-106.55
Tensioni nella sezione: σ=1291.55 τ=157.63
CC 48 SLU (Collegamento -182_-384)
Azioni sul collegamento: N=-29677.80 Ty=-19.84 Tz=77.78 Mx=-0.01 Mz=-14.62
Sollecitazioni agenti localmente: Ty_l=-5202.90 My_l=-106.58
Tensioni nella sezione: σ=1291.86 τ=157.66
CC 49 SLU (Collegamento -182_-384)
Azioni sul collegamento: N=-23227.80 Ty=-19.65 Tz=54.04 Mx=-0.00 Mz=-14.49
Sollecitazioni agenti localmente: Ty_l=-4060.04 My_l=-83.15
Tensioni nella sezione: σ=1007.88 τ=123.03
CC 50 SLU (Collegamento -182_-384)
Azioni sul collegamento: N=-22413.60 Ty=-18.90 Tz=51.04 Mx=-0.00 Mz=-13.93
Sollecitazioni agenti localmente: Ty_l=-3917.90 My_l=-80.24

Tensioni nella sezione: σ=972.60 τ=118.72
CC 51 SLU (Collegamento -182_-384)
Azioni sul collegamento: N=-22821.60 Ty=-19.36 Tz=52.48 Mx=-0.00 Mz=-14.39
Sollecitazioni agenti localmente: Ty_l=-3988.40 My_l=-81.68
Tensioni nella sezione: σ=990.09 τ=120.86
CC 52 SLU (Collegamento -182_-384)
Azioni sul collegamento: N=-22819.80 Ty=-19.19 Tz=52.60 Mx=-0.01 Mz=-14.03
Sollecitazioni agenti localmente: Ty_l=-3989.54 My_l=-81.71
Tensioni nella sezione: σ=990.39 τ=120.89
CC 53 SLU (Collegamento -182_-384)
Azioni sul collegamento: N=-25022.40 Ty=2.80 Tz=60.23 Mx=-0.00 Mz=2.45
Sollecitazioni agenti localmente: Ty_l=-4445.54 My_l=-91.15
Tensioni nella sezione: σ=1104.82 τ=134.71
CC 54 SLU (Collegamento -182_-384)
Azioni sul collegamento: N=-24208.20 Ty=3.55 Tz=57.23 Mx=-0.01 Mz=3.00
Sollecitazioni agenti localmente: Ty_l=-4303.40 My_l=-88.24
Tensioni nella sezione: σ=1069.53 τ=130.41
CC 55 SLU (Collegamento -182_-384)
Azioni sul collegamento: N=-24616.20 Ty=3.09 Tz=58.67 Mx=-0.00 Mz=2.54
Sollecitazioni agenti localmente: Ty_l=-4373.90 My_l=-89.68
Tensioni nella sezione: σ=1087.02 τ=132.54
CC 56 SLU (Collegamento -182_-384)
Azioni sul collegamento: N=-24614.50 Ty=3.26 Tz=58.79 Mx=-0.01 Mz=2.91
Sollecitazioni agenti localmente: Ty_l=-4375.04 My_l=-89.70
Tensioni nella sezione: σ=1087.33 τ=132.58
CC 57 SLU (Collegamento -182_-384)
Azioni sul collegamento: N=-27876.60 Ty=-18.56 Tz=71.09 Mx=-0.00 Mz=-13.78
Sollecitazioni agenti localmente: Ty_l=-4886.94 My_l=-100.11
Tensioni nella sezione: σ=1213.40 τ=148.09
CC 58 SLU (Collegamento -182_-384)
Azioni sul collegamento: N=-27062.40 Ty=-17.81 Tz=68.08 Mx=-0.00 Mz=-13.23
Sollecitazioni agenti localmente: Ty_l=-4744.80 My_l=-97.19
Tensioni nella sezione: σ=1178.12 τ=143.78
CC 59 SLU (Collegamento -182_-384)
Azioni sul collegamento: N=-27470.40 Ty=-18.27 Tz=69.53 Mx=-0.00 Mz=-13.69
Sollecitazioni agenti localmente: Ty_l=-4815.30 My_l=-98.64
Tensioni nella sezione: σ=1195.61 τ=145.92
CC 60 SLU (Collegamento -182_-384)
Azioni sul collegamento: N=-27468.70 Ty=-18.09 Tz=69.65 Mx=-0.01 Mz=-13.33
Sollecitazioni agenti localmente: Ty_l=-4816.44 My_l=-98.66
Tensioni nella sezione: σ=1195.91 τ=145.95
CC 61 SLU (Collegamento -182_-384)
Azioni sul collegamento: N=-21018.70 Ty=-17.90 Tz=45.91 Mx=-0.00 Mz=-13.19
Sollecitazioni agenti localmente: Ty_l=-3673.58 My_l=-75.23
Tensioni nella sezione: σ=911.94 τ=111.32
CC 62 SLU (Collegamento -182_-384)
Azioni sul collegamento: N=-20204.50 Ty=-17.15 Tz=42.91 Mx=-0.00 Mz=-12.64
Sollecitazioni agenti localmente: Ty_l=-3531.44 My_l=-72.32
Tensioni nella sezione: σ=876.66 τ=107.01
CC 63 SLU (Collegamento -182_-384)
Azioni sul collegamento: N=-20612.50 Ty=-17.61 Tz=44.35 Mx=-0.00 Mz=-13.10
Sollecitazioni agenti localmente: Ty_l=-3601.94 My_l=-73.77
Tensioni nella sezione: σ=894.14 τ=109.15
CC 64 SLU (Collegamento -182_-384)
Azioni sul collegamento: N=-20610.70 Ty=-17.43 Tz=44.47 Mx=-0.01 Mz=-12.73
Sollecitazioni agenti localmente: Ty_l=-3603.08 My_l=-73.79
Tensioni nella sezione: σ=894.45 τ=109.18
CC 65 SLU (Collegamento -182_-384)
Azioni sul collegamento: N=-22813.30 Ty=4.55 Tz=52.10 Mx=-0.00 Mz=3.75
Sollecitazioni agenti localmente: Ty_l=-4059.08 My_l=-83.23
Tensioni nella sezione: σ=1008.87 τ=123.00
CC 66 SLU (Collegamento -182_-384)
Azioni sul collegamento: N=-21999.10 Ty=5.30 Tz=49.10 Mx=-0.00 Mz=4.30
Sollecitazioni agenti localmente: Ty_l=-3916.94 My_l=-80.32
Tensioni nella sezione: σ=973.59 τ=118.69
CC 67 SLU (Collegamento -182_-384)
Azioni sul collegamento: N=-22407.10 Ty=4.84 Tz=50.54 Mx=-0.00 Mz=3.84
Sollecitazioni agenti localmente: Ty_l=-3987.44 My_l=-81.76
Tensioni nella sezione: σ=991.08 τ=120.83
CC 68 SLU (Collegamento -182_-384)
Azioni sul collegamento: N=-22405.30 Ty=5.01 Tz=50.66 Mx=-0.01 Mz=4.20
Sollecitazioni agenti localmente: Ty_l=-3988.58 My_l=-81.79
Tensioni nella sezione: σ=991.38 τ=120.87
CC 97 SLU (Collegamento -182_-384)
Azioni sul collegamento: N=-12779.50 Ty=-22.48 Tz=24.03 Mx=-0.06 Mz=-25.00
Sollecitazioni agenti localmente: Ty_l=-2166.00 My_l=-44.26
Tensioni nella sezione: σ=536.53 τ=65.64
CC 98 SLU (Collegamento -182_-384)
Azioni sul collegamento: N=-11965.30 Ty=-21.73 Tz=21.02 Mx=-0.06 Mz=-24.45
Sollecitazioni agenti localmente: Ty_l=-2023.85 My_l=-41.35

Tensioni nella sezione: σ=501.25 τ=61.33
CC 99 SLU (Collegamento -182_-384)
Azioni sul collegamento: N=-12373.20 Ty=-22.20 Tz=22.47 Mx=-0.05 Mz=-24.91
Sollecitazioni agenti localmente: Ty_l=-2094.36 My_l=-42.80
Tensioni nella sezione: σ=518.74 τ=63.47
CC 100 SLU (Collegamento -182_-384)
Azioni sul collegamento: N=-12371.50 Ty=-22.02 Tz=22.58 Mx=-0.06 Mz=-24.55
Sollecitazioni agenti localmente: Ty_l=-2095.50 My_l=-42.82
Tensioni nella sezione: σ=519.04 τ=63.50
CC 101 SLU (Collegamento -182_-384)
Azioni sul collegamento: N=-10566.60 Ty=-8.33 Tz=15.50 Mx=0.00 Mz=-5.31
Sollecitazioni agenti localmente: Ty_l=-1852.04 My_l=-37.94
Tensioni nella sezione: σ=459.84 τ=56.12
CC 102 SLU (Collegamento -182_-384)
Azioni sul collegamento: N=-9752.38 Ty=-7.57 Tz=12.50 Mx=0.00 Mz=-4.76
Sollecitazioni agenti localmente: Ty_l=-1709.89 My_l=-35.03
Tensioni nella sezione: σ=424.56 τ=51.81
CC 103 SLU (Collegamento -182_-384)
Azioni sul collegamento: N=-10160.40 Ty=-8.04 Tz=13.94 Mx=0.00 Mz=-5.22
Sollecitazioni agenti localmente: Ty_l=-1780.39 My_l=-36.47
Tensioni nella sezione: σ=442.05 τ=53.95
CC 104 SLU (Collegamento -182_-384)
Azioni sul collegamento: N=-10158.60 Ty=-7.86 Tz=14.06 Mx=0.00 Mz=-4.85
Sollecitazioni agenti localmente: Ty_l=-1781.53 My_l=-36.49
Tensioni nella sezione: σ=442.36 τ=53.99

Flessione attacco sinistro piastra

Bnetta=220.00 Hnetta=15.00
CC 1 SLV (Collegamento -182_-384)
Azioni sul collegamento: N=-5856.57 Ty=-4.82 Tz=-1.96 Mx=0.01 Mz=-1.13
Sollecitazioni agenti localmente: Ty_l=-1042.71 My_l=-21.38
Tensioni nella sezione: σ=259.17 τ=31.60
CC 1 SLV (Collegamento -182_-384)
Azioni sul collegamento: N=-5856.57 Ty=-12.53 Tz=-1.96 Mx=0.01 Mz=-7.45
Sollecitazioni agenti localmente: Ty_l=-1067.86 My_l=-21.93
Tensioni nella sezione: σ=265.85 τ=32.36
CC 1 SLV (Collegamento -182_-384)
Azioni sul collegamento: N=-5856.57 Ty=-4.82 Tz=27.25 Mx=0.01 Mz=-1.13
Sollecitazioni agenti localmente: Ty_l=-1042.71 My_l=-21.38
Tensioni nella sezione: σ=259.17 τ=31.60
CC 1 SLV (Collegamento -182_-384)
Azioni sul collegamento: N=-5856.57 Ty=-12.53 Tz=27.25 Mx=0.01 Mz=-7.45
Sollecitazioni agenti localmente: Ty_l=-1067.86 My_l=-21.93
Tensioni nella sezione: σ=265.85 τ=32.36
CC 1 SLV (Collegamento -182_-384)
Azioni sul collegamento: N=-13681.20 Ty=-4.82 Tz=-1.96 Mx=0.01 Mz=-1.13
Sollecitazioni agenti localmente: Ty_l=-2429.81 My_l=-49.82
Tensioni nella sezione: σ=603.85 τ=73.63
CC 1 SLV (Collegamento -182_-384)
Azioni sul collegamento: N=-13681.20 Ty=-12.53 Tz=-1.96 Mx=0.01 Mz=-7.45
Sollecitazioni agenti localmente: Ty_l=-2454.95 My_l=-50.37
Tensioni nella sezione: σ=610.52 τ=74.39
CC 1 SLV (Collegamento -182_-384)
Azioni sul collegamento: N=-13681.20 Ty=-4.82 Tz=27.25 Mx=0.01 Mz=-1.13
Sollecitazioni agenti localmente: Ty_l=-2429.81 My_l=-49.82
Tensioni nella sezione: σ=603.85 τ=73.63
CC 1 SLV (Collegamento -182_-384)
Azioni sul collegamento: N=-13681.20 Ty=-12.53 Tz=27.25 Mx=0.01 Mz=-7.45
Sollecitazioni agenti localmente: Ty_l=-2454.95 My_l=-50.37
Tensioni nella sezione: σ=610.52 τ=74.39
CC 2 SLD (Collegamento -182_-384)
Azioni sul collegamento: N=-8673.24 Ty=-8.42 Tz=8.57 Mx=0.00 Mz=-5.47
Sollecitazioni agenti localmente: Ty_l=-1559.27 My_l=-32.00
Tensioni nella sezione: σ=387.82 τ=47.25
CC 2 SLD (Collegamento -182_-384)
Azioni sul collegamento: N=-8673.24 Ty=-10.78 Tz=8.57 Mx=0.00 Mz=-7.39
Sollecitazioni agenti localmente: Ty_l=-1566.94 My_l=-32.16
Tensioni nella sezione: σ=389.86 τ=47.48
CC 2 SLD (Collegamento -182_-384)
Azioni sul collegamento: N=-8673.24 Ty=-8.42 Tz=17.48 Mx=0.00 Mz=-5.47
Sollecitazioni agenti localmente: Ty_l=-1559.27 My_l=-32.00
Tensioni nella sezione: σ=387.82 τ=47.25
CC 2 SLD (Collegamento -182_-384)
Azioni sul collegamento: N=-8673.24 Ty=-10.78 Tz=17.48 Mx=0.00 Mz=-7.39
Sollecitazioni agenti localmente: Ty_l=-1566.94 My_l=-32.16
Tensioni nella sezione: σ=389.86 τ=47.48
CC 2 SLD (Collegamento -182_-384)
Azioni sul collegamento: N=-11059.20 Ty=-8.42 Tz=8.57 Mx=0.00 Mz=-5.47
Sollecitazioni agenti localmente: Ty_l=-1982.24 My_l=-40.67

Tensioni nella sezione: σ=492.93 τ=60.07
CC 2 SLD (Collegamento -182_-384)
Azioni sul collegamento: N=-11059.20 Ty=-10.78 Tz=8.57 Mx=0.00 Mz=-7.39
Sollecitazioni agenti localmente: Ty_l=-1989.91 My_l=-40.83
Tensioni nella sezione: σ=494.96 τ=60.30
CC 2 SLD (Collegamento -182_-384)
Azioni sul collegamento: N=-11059.20 Ty=-8.42 Tz=17.48 Mx=0.00 Mz=-5.47
Sollecitazioni agenti localmente: Ty_l=-1982.24 My_l=-40.67
Tensioni nella sezione: σ=492.93 τ=60.07
CC 2 SLD (Collegamento -182_-384)
Azioni sul collegamento: N=-11059.20 Ty=-10.78 Tz=17.48 Mx=0.00 Mz=-7.39
Sollecitazioni agenti localmente: Ty_l=-1989.91 My_l=-40.83
Tensioni nella sezione: σ=494.96 τ=60.30
CC 3 SLV (Collegamento -182_-384)
Azioni sul collegamento: N=-5861.42 Ty=-5.33 Tz=-1.63 Mx=0.01 Mz=-2.18
Sollecitazioni agenti localmente: Ty_l=-1047.73 My_l=-21.49
Tensioni nella sezione: σ=260.49 τ=31.75
CC 3 SLV (Collegamento -182_-384)
Azioni sul collegamento: N=-5861.42 Ty=-12.02 Tz=-1.63 Mx=0.01 Mz=-6.41
Sollecitazioni agenti localmente: Ty_l=-1064.55 My_l=-21.86
Tensioni nella sezione: σ=264.96 τ=32.26
CC 3 SLV (Collegamento -182_-384)
Azioni sul collegamento: N=-5861.42 Ty=-5.33 Tz=26.92 Mx=0.01 Mz=-2.18
Sollecitazioni agenti localmente: Ty_l=-1047.73 My_l=-21.49
Tensioni nella sezione: σ=260.49 τ=31.75
CC 3 SLV (Collegamento -182_-384)
Azioni sul collegamento: N=-5861.42 Ty=-12.02 Tz=26.92 Mx=0.01 Mz=-6.41
Sollecitazioni agenti localmente: Ty_l=-1064.55 My_l=-21.86
Tensioni nella sezione: σ=264.96 τ=32.26
CC 3 SLV (Collegamento -182_-384)
Azioni sul collegamento: N=-13676.40 Ty=-5.33 Tz=-1.63 Mx=0.01 Mz=-2.18
Sollecitazioni agenti localmente: Ty_l=-2433.11 My_l=-49.89
Tensioni nella sezione: σ=604.74 τ=73.73
CC 3 SLV (Collegamento -182_-384)
Azioni sul collegamento: N=-13676.40 Ty=-12.02 Tz=-1.63 Mx=0.01 Mz=-6.41
Sollecitazioni agenti localmente: Ty_l=-2449.93 My_l=-50.26
Tensioni nella sezione: σ=609.20 τ=74.24
CC 3 SLV (Collegamento -182_-384)
Azioni sul collegamento: N=-13676.40 Ty=-5.33 Tz=26.92 Mx=0.01 Mz=-2.18
Sollecitazioni agenti localmente: Ty_l=-2433.11 My_l=-49.89
Tensioni nella sezione: σ=604.74 τ=73.73
CC 3 SLV (Collegamento -182_-384)
Azioni sul collegamento: N=-13676.40 Ty=-12.02 Tz=26.92 Mx=0.01 Mz=-6.41
Sollecitazioni agenti localmente: Ty_l=-2449.93 My_l=-50.26
Tensioni nella sezione: σ=609.20 τ=74.24
CC 4 SLD (Collegamento -182_-384)
Azioni sul collegamento: N=-8674.72 Ty=-8.58 Tz=8.67 Mx=-0.00 Mz=-5.79
Sollecitazioni agenti localmente: Ty_l=-1560.80 My_l=-32.03
Tensioni nella sezione: σ=388.23 τ=47.30
CC 4 SLD (Collegamento -182_-384)
Azioni sul collegamento: N=-8674.72 Ty=-10.62 Tz=8.67 Mx=-0.00 Mz=-7.07
Sollecitazioni agenti localmente: Ty_l=-1565.93 My_l=-32.14
Tensioni nella sezione: σ=389.59 τ=47.45
CC 4 SLD (Collegamento -182_-384)
Azioni sul collegamento: N=-8674.72 Ty=-8.58 Tz=17.38 Mx=-0.00 Mz=-5.79
Sollecitazioni agenti localmente: Ty_l=-1560.80 My_l=-32.03
Tensioni nella sezione: σ=388.23 τ=47.30
CC 4 SLD (Collegamento -182_-384)
Azioni sul collegamento: N=-8674.72 Ty=-10.62 Tz=17.38 Mx=-0.00 Mz=-7.07
Sollecitazioni agenti localmente: Ty_l=-1565.93 My_l=-32.14
Tensioni nella sezione: σ=389.59 τ=47.45
CC 4 SLD (Collegamento -182_-384)
Azioni sul collegamento: N=-11057.70 Ty=-8.58 Tz=8.67 Mx=-0.00 Mz=-5.79
Sollecitazioni agenti localmente: Ty_l=-1983.25 My_l=-40.69
Tensioni nella sezione: σ=493.20 τ=60.10
CC 4 SLD (Collegamento -182_-384)
Azioni sul collegamento: N=-11057.70 Ty=-10.62 Tz=8.67 Mx=-0.00 Mz=-7.07
Sollecitazioni agenti localmente: Ty_l=-1988.38 My_l=-40.80
Tensioni nella sezione: σ=494.56 τ=60.25
CC 4 SLD (Collegamento -182_-384)
Azioni sul collegamento: N=-11057.70 Ty=-8.58 Tz=17.38 Mx=-0.00 Mz=-5.79
Sollecitazioni agenti localmente: Ty_l=-1983.25 My_l=-40.69
Tensioni nella sezione: σ=493.20 τ=60.10
CC 4 SLD (Collegamento -182_-384)
Azioni sul collegamento: N=-11057.70 Ty=-10.62 Tz=17.38 Mx=-0.00 Mz=-7.07
Sollecitazioni agenti localmente: Ty_l=-1988.38 My_l=-40.80
Tensioni nella sezione: σ=494.56 τ=60.25
CC 5 SLV (Collegamento -182_-384)
Azioni sul collegamento: N=-13676.40 Ty=-12.02 Tz=26.92 Mx=0.01 Mz=-6.41
Sollecitazioni agenti localmente: Ty_l=-2449.93 My_l=-50.26

Tensioni nella sezione: σ=609.20 τ=74.24
CC 5 SLV (Collegamento -182_-384)
Azioni sul collegamento: N=-13676.40 Ty=-5.33 Tz=26.92 Mx=0.01 Mz=-2.18
Sollecitazioni agenti localmente: Ty_l=-2433.11 My_l=-49.89
Tensioni nella sezione: σ=604.74 τ=73.73
CC 5 SLV (Collegamento -182_-384)
Azioni sul collegamento: N=-13676.40 Ty=-12.02 Tz=-1.63 Mx=0.01 Mz=-6.41
Sollecitazioni agenti localmente: Ty_l=-2449.93 My_l=-50.26
Tensioni nella sezione: σ=609.20 τ=74.24
CC 5 SLV (Collegamento -182_-384)
Azioni sul collegamento: N=-13676.40 Ty=-5.33 Tz=-1.63 Mx=0.01 Mz=-2.18
Sollecitazioni agenti localmente: Ty_l=-2433.11 My_l=-49.89
Tensioni nella sezione: σ=604.74 τ=73.73
CC 5 SLV (Collegamento -182_-384)
Azioni sul collegamento: N=-5861.42 Ty=-12.02 Tz=26.92 Mx=0.01 Mz=-6.41
Sollecitazioni agenti localmente: Ty_l=-1064.55 My_l=-21.86
Tensioni nella sezione: σ=264.96 τ=32.26
CC 5 SLV (Collegamento -182_-384)
Azioni sul collegamento: N=-5861.42 Ty=-5.33 Tz=26.92 Mx=0.01 Mz=-2.18
Sollecitazioni agenti localmente: Ty_l=-1047.73 My_l=-21.49
Tensioni nella sezione: σ=260.49 τ=31.75
CC 5 SLV (Collegamento -182_-384)
Azioni sul collegamento: N=-5861.42 Ty=-12.02 Tz=-1.63 Mx=0.01 Mz=-6.41
Sollecitazioni agenti localmente: Ty_l=-1064.55 My_l=-21.86
Tensioni nella sezione: σ=264.96 τ=32.26
CC 5 SLV (Collegamento -182_-384)
Azioni sul collegamento: N=-5861.42 Ty=-5.33 Tz=-1.63 Mx=0.01 Mz=-2.18
Sollecitazioni agenti localmente: Ty_l=-1047.73 My_l=-21.49
Tensioni nella sezione: σ=260.49 τ=31.75
CC 6 SLD (Collegamento -182_-384)
Azioni sul collegamento: N=-11057.70 Ty=-10.62 Tz=17.38 Mx=0.00 Mz=-7.07
Sollecitazioni agenti localmente: Ty_l=-1988.38 My_l=-40.80
Tensioni nella sezione: σ=494.56 τ=60.25
CC 6 SLD (Collegamento -182_-384)
Azioni sul collegamento: N=-11057.70 Ty=-8.58 Tz=17.38 Mx=0.00 Mz=-5.79
Sollecitazioni agenti localmente: Ty_l=-1983.25 My_l=-40.69
Tensioni nella sezione: σ=493.20 τ=60.10
CC 6 SLD (Collegamento -182_-384)
Azioni sul collegamento: N=-11057.70 Ty=-10.62 Tz=8.67 Mx=0.00 Mz=-7.07
Sollecitazioni agenti localmente: Ty_l=-1988.38 My_l=-40.80
Tensioni nella sezione: σ=494.56 τ=60.25
CC 6 SLD (Collegamento -182_-384)
Azioni sul collegamento: N=-11057.70 Ty=-8.58 Tz=8.67 Mx=0.00 Mz=-5.79
Sollecitazioni agenti localmente: Ty_l=-1983.25 My_l=-40.69
Tensioni nella sezione: σ=493.20 τ=60.10
CC 6 SLD (Collegamento -182_-384)
Azioni sul collegamento: N=-8674.72 Ty=-10.62 Tz=17.38 Mx=0.00 Mz=-7.07
Sollecitazioni agenti localmente: Ty_l=-1565.93 My_l=-32.14
Tensioni nella sezione: σ=389.59 τ=47.45
CC 6 SLD (Collegamento -182_-384)
Azioni sul collegamento: N=-8674.72 Ty=-8.58 Tz=17.38 Mx=0.00 Mz=-5.79
Sollecitazioni agenti localmente: Ty_l=-1560.80 My_l=-32.03
Tensioni nella sezione: σ=388.23 τ=47.30
CC 6 SLD (Collegamento -182_-384)
Azioni sul collegamento: N=-8674.72 Ty=-10.62 Tz=8.67 Mx=0.00 Mz=-7.07
Sollecitazioni agenti localmente: Ty_l=-1565.93 My_l=-32.14
Tensioni nella sezione: σ=389.59 τ=47.45
CC 6 SLD (Collegamento -182_-384)
Azioni sul collegamento: N=-8674.72 Ty=-8.58 Tz=8.67 Mx=0.00 Mz=-5.79
Sollecitazioni agenti localmente: Ty_l=-1560.80 My_l=-32.03
Tensioni nella sezione: σ=388.23 τ=47.30
CC 7 SLV (Collegamento -182_-384)
Azioni sul collegamento: N=-13681.20 Ty=-12.53 Tz=27.25 Mx=0.01 Mz=-7.45
Sollecitazioni agenti localmente: Ty_l=-2454.95 My_l=-50.37
Tensioni nella sezione: σ=610.52 τ=74.39
CC 7 SLV (Collegamento -182_-384)
Azioni sul collegamento: N=-13681.20 Ty=-4.82 Tz=27.25 Mx=0.01 Mz=-1.13
Sollecitazioni agenti localmente: Ty_l=-2429.81 My_l=-49.82
Tensioni nella sezione: σ=603.85 τ=73.63
CC 7 SLV (Collegamento -182_-384)
Azioni sul collegamento: N=-13681.20 Ty=-12.53 Tz=-1.96 Mx=0.01 Mz=-7.45
Sollecitazioni agenti localmente: Ty_l=-2454.95 My_l=-50.37
Tensioni nella sezione: σ=610.52 τ=74.39
CC 7 SLV (Collegamento -182_-384)
Azioni sul collegamento: N=-13681.20 Ty=-4.82 Tz=-1.96 Mx=0.01 Mz=-1.13
Sollecitazioni agenti localmente: Ty_l=-2429.81 My_l=-49.82
Tensioni nella sezione: σ=603.85 τ=73.63
CC 7 SLV (Collegamento -182_-384)
Azioni sul collegamento: N=-5856.57 Ty=-12.53 Tz=27.25 Mx=0.01 Mz=-7.45
Sollecitazioni agenti localmente: Ty_l=-1067.86 My_l=-21.93

Tensioni nella sezione: σ=265.85 τ=32.36
CC 7 SLV (Collegamento -182_-384)
Azioni sul collegamento: N=-5856.57 Ty=-4.82 Tz=27.25 Mx=0.01 Mz=-1.13
Sollecitazioni agenti localmente: Ty_l=-1042.71 My_l=-21.38
Tensioni nella sezione: σ=259.17 τ=31.60
CC 7 SLV (Collegamento -182_-384)
Azioni sul collegamento: N=-5856.57 Ty=-12.53 Tz=-1.96 Mx=0.01 Mz=-7.45
Sollecitazioni agenti localmente: Ty_l=-1067.86 My_l=-21.93
Tensioni nella sezione: σ=265.85 τ=32.36
CC 7 SLV (Collegamento -182_-384)
Azioni sul collegamento: N=-5856.57 Ty=-4.82 Tz=-1.96 Mx=0.01 Mz=-1.13
Sollecitazioni agenti localmente: Ty_l=-1042.71 My_l=-21.38
Tensioni nella sezione: σ=259.17 τ=31.60
CC 8 SLD (Collegamento -182_-384)
Azioni sul collegamento: N=-11059.20 Ty=-10.78 Tz=17.48 Mx=-0.00 Mz=-7.39
Sollecitazioni agenti localmente: Ty_l=-1989.91 My_l=-40.83
Tensioni nella sezione: σ=494.96 τ=60.30
CC 8 SLD (Collegamento -182_-384)
Azioni sul collegamento: N=-11059.20 Ty=-8.42 Tz=17.48 Mx=-0.00 Mz=-5.47
Sollecitazioni agenti localmente: Ty_l=-1982.24 My_l=-40.67
Tensioni nella sezione: σ=492.93 τ=60.07
CC 8 SLD (Collegamento -182_-384)
Azioni sul collegamento: N=-11059.20 Ty=-10.78 Tz=8.57 Mx=-0.00 Mz=-7.39
Sollecitazioni agenti localmente: Ty_l=-1989.91 My_l=-40.83
Tensioni nella sezione: σ=494.96 τ=60.30
CC 8 SLD (Collegamento -182_-384)
Azioni sul collegamento: N=-11059.20 Ty=-8.42 Tz=8.57 Mx=-0.00 Mz=-5.47
Sollecitazioni agenti localmente: Ty_l=-1982.24 My_l=-40.67
Tensioni nella sezione: σ=492.93 τ=60.07
CC 8 SLD (Collegamento -182_-384)
Azioni sul collegamento: N=-8673.24 Ty=-10.78 Tz=17.48 Mx=-0.00 Mz=-7.39
Sollecitazioni agenti localmente: Ty_l=-1566.94 My_l=-32.16
Tensioni nella sezione: σ=389.86 τ=47.48
CC 8 SLD (Collegamento -182_-384)
Azioni sul collegamento: N=-8673.24 Ty=-8.42 Tz=17.48 Mx=-0.00 Mz=-5.47
Sollecitazioni agenti localmente: Ty_l=-1559.27 My_l=-32.00
Tensioni nella sezione: σ=387.82 τ=47.25
CC 8 SLD (Collegamento -182_-384)
Azioni sul collegamento: N=-8673.24 Ty=-10.78 Tz=8.57 Mx=-0.00 Mz=-7.39
Sollecitazioni agenti localmente: Ty_l=-1566.94 My_l=-32.16
Tensioni nella sezione: σ=389.86 τ=47.48
CC 8 SLD (Collegamento -182_-384)
Azioni sul collegamento: N=-8673.24 Ty=-8.42 Tz=8.57 Mx=-0.00 Mz=-5.47
Sollecitazioni agenti localmente: Ty_l=-1559.27 My_l=-32.00
Tensioni nella sezione: σ=387.82 τ=47.25
CC 9 SLV (Collegamento -182_-384)
Azioni sul collegamento: N=-8587.84 Ty=-6.74 Tz=7.77 Mx=0.02 Mz=-1.76
Sollecitazioni agenti localmente: Ty_l=-1529.37 My_l=-31.36
Tensioni nella sezione: σ=380.14 τ=46.34
CC 9 SLV (Collegamento -182_-384)
Azioni sul collegamento: N=-8587.84 Ty=-10.61 Tz=7.77 Mx=0.02 Mz=-6.83
Sollecitazioni agenti localmente: Ty_l=-1549.55 My_l=-31.80
Tensioni nella sezione: σ=385.50 τ=46.96
CC 9 SLV (Collegamento -182_-384)
Azioni sul collegamento: N=-8587.84 Ty=-6.74 Tz=17.52 Mx=0.02 Mz=-1.76
Sollecitazioni agenti localmente: Ty_l=-1529.37 My_l=-31.36
Tensioni nella sezione: σ=380.14 τ=46.34
CC 9 SLV (Collegamento -182_-384)
Azioni sul collegamento: N=-8587.84 Ty=-10.61 Tz=17.52 Mx=0.02 Mz=-6.83
Sollecitazioni agenti localmente: Ty_l=-1549.55 My_l=-31.80
Tensioni nella sezione: σ=385.50 τ=46.96
CC 9 SLV (Collegamento -182_-384)
Azioni sul collegamento: N=-10950.00 Ty=-6.74 Tz=7.77 Mx=0.02 Mz=-1.76
Sollecitazioni agenti localmente: Ty_l=-1948.11 My_l=-39.95
Tensioni nella sezione: σ=484.19 τ=59.03
CC 9 SLV (Collegamento -182_-384)
Azioni sul collegamento: N=-10950.00 Ty=-10.61 Tz=7.77 Mx=0.02 Mz=-6.83
Sollecitazioni agenti localmente: Ty_l=-1968.29 My_l=-40.39
Tensioni nella sezione: σ=489.55 τ=59.65
CC 9 SLV (Collegamento -182_-384)
Azioni sul collegamento: N=-10950.00 Ty=-6.74 Tz=17.52 Mx=0.02 Mz=-1.76
Sollecitazioni agenti localmente: Ty_l=-1948.11 My_l=-39.95
Tensioni nella sezione: σ=484.19 τ=59.03
CC 9 SLV (Collegamento -182_-384)
Azioni sul collegamento: N=-10950.00 Ty=-10.61 Tz=17.52 Mx=0.02 Mz=-6.83
Sollecitazioni agenti localmente: Ty_l=-1968.29 My_l=-40.39
Tensioni nella sezione: σ=489.55 τ=59.65
CC 10 SLD (Collegamento -182_-384)
Azioni sul collegamento: N=-9506.09 Ty=-9.01 Tz=11.54 Mx=0.00 Mz=-5.66
Sollecitazioni agenti localmente: Ty_l=-1707.67 My_l=-35.04

Tensioni nella sezione: σ=424.71 τ=51.75
CC 10 SLD (Collegamento -182_-384)
Azioni sul collegamento: N=-9506.09 Ty=-10.19 Tz=11.54 Mx=0.00 Mz=-7.20
Sollecitazioni agenti localmente: Ty_l=-1713.82 My_l=-35.17
Tensioni nella sezione: σ=426.35 τ=51.93
CC 10 SLD (Collegamento -182_-384)
Azioni sul collegamento: N=-9506.09 Ty=-9.01 Tz=14.51 Mx=0.00 Mz=-5.66
Sollecitazioni agenti localmente: Ty_l=-1707.67 My_l=-35.04
Tensioni nella sezione: σ=424.71 τ=51.75
CC 10 SLD (Collegamento -182_-384)
Azioni sul collegamento: N=-9506.09 Ty=-10.19 Tz=14.51 Mx=0.00 Mz=-7.20
Sollecitazioni agenti localmente: Ty_l=-1713.82 My_l=-35.17
Tensioni nella sezione: σ=426.35 τ=51.93
CC 10 SLD (Collegamento -182_-384)
Azioni sul collegamento: N=-10226.40 Ty=-9.01 Tz=11.54 Mx=0.00 Mz=-5.66
Sollecitazioni agenti localmente: Ty_l=-1835.36 My_l=-37.66
Tensioni nella sezione: σ=456.44 τ=55.62
CC 10 SLD (Collegamento -182_-384)
Azioni sul collegamento: N=-10226.40 Ty=-10.19 Tz=11.54 Mx=0.00 Mz=-7.20
Sollecitazioni agenti localmente: Ty_l=-1841.51 My_l=-37.79
Tensioni nella sezione: σ=458.07 τ=55.80
CC 10 SLD (Collegamento -182_-384)
Azioni sul collegamento: N=-10226.40 Ty=-9.01 Tz=14.51 Mx=0.00 Mz=-5.66
Sollecitazioni agenti localmente: Ty_l=-1835.36 My_l=-37.66
Tensioni nella sezione: σ=456.44 τ=55.62
CC 10 SLD (Collegamento -182_-384)
Azioni sul collegamento: N=-10226.40 Ty=-10.19 Tz=14.51 Mx=0.00 Mz=-7.20
Sollecitazioni agenti localmente: Ty_l=-1841.51 My_l=-37.79
Tensioni nella sezione: σ=458.07 τ=55.80
CC 11 SLV (Collegamento -182_-384)
Azioni sul collegamento: N=-10933.80 Ty=-8.90 Tz=16.43 Mx=0.02 Mz=-3.34
Sollecitazioni agenti localmente: Ty_l=-1951.54 My_l=-40.03
Tensioni nella sezione: σ=485.15 τ=59.14
CC 11 SLV (Collegamento -182_-384)
Azioni sul collegamento: N=-10933.80 Ty=-8.45 Tz=16.43 Mx=0.02 Mz=-5.25
Sollecitazioni agenti localmente: Ty_l=-1959.13 My_l=-40.19
Tensioni nella sezione: σ=487.17 τ=59.37
CC 11 SLV (Collegamento -182_-384)
Azioni sul collegamento: N=-10933.80 Ty=-8.90 Tz=8.86 Mx=0.02 Mz=-3.34
Sollecitazioni agenti localmente: Ty_l=-1951.54 My_l=-40.03
Tensioni nella sezione: σ=485.15 τ=59.14
CC 11 SLV (Collegamento -182_-384)
Azioni sul collegamento: N=-10933.80 Ty=-8.45 Tz=8.86 Mx=0.02 Mz=-5.25
Sollecitazioni agenti localmente: Ty_l=-1959.13 My_l=-40.19
Tensioni nella sezione: σ=487.17 τ=59.37
CC 11 SLV (Collegamento -182_-384)
Azioni sul collegamento: N=-8604.01 Ty=-8.90 Tz=16.43 Mx=0.02 Mz=-3.34
Sollecitazioni agenti localmente: Ty_l=-1538.54 My_l=-31.56
Tensioni nella sezione: σ=382.53 τ=46.62
CC 11 SLV (Collegamento -182_-384)
Azioni sul collegamento: N=-8604.01 Ty=-8.45 Tz=16.43 Mx=0.02 Mz=-5.25
Sollecitazioni agenti localmente: Ty_l=-1546.12 My_l=-31.72
Tensioni nella sezione: σ=384.54 τ=46.85
CC 11 SLV (Collegamento -182_-384)
Azioni sul collegamento: N=-8604.01 Ty=-8.90 Tz=8.86 Mx=0.02 Mz=-3.34
Sollecitazioni agenti localmente: Ty_l=-1538.54 My_l=-31.56
Tensioni nella sezione: σ=382.53 τ=46.62
CC 11 SLV (Collegamento -182_-384)
Azioni sul collegamento: N=-8604.01 Ty=-8.45 Tz=8.86 Mx=0.02 Mz=-5.25
Sollecitazioni agenti localmente: Ty_l=-1546.12 My_l=-31.72
Tensioni nella sezione: σ=384.54 τ=46.85
CC 12 SLD (Collegamento -182_-384)
Azioni sul collegamento: N=-10221.40 Ty=-9.67 Tz=14.18 Mx=0.00 Mz=-6.14
Sollecitazioni agenti localmente: Ty_l=-1836.40 My_l=-37.68
Tensioni nella sezione: σ=456.73 τ=55.65
CC 12 SLD (Collegamento -182_-384)
Azioni sul collegamento: N=-10221.40 Ty=-9.53 Tz=14.18 Mx=0.00 Mz=-6.72
Sollecitazioni agenti localmente: Ty_l=-1838.71 My_l=-37.73
Tensioni nella sezione: σ=457.35 τ=55.72
CC 12 SLD (Collegamento -182_-384)
Azioni sul collegamento: N=-10221.40 Ty=-9.67 Tz=11.87 Mx=0.00 Mz=-6.14
Sollecitazioni agenti localmente: Ty_l=-1836.40 My_l=-37.68
Tensioni nella sezione: σ=456.73 τ=55.65
CC 12 SLD (Collegamento -182_-384)
Azioni sul collegamento: N=-10221.40 Ty=-9.53 Tz=11.87 Mx=0.00 Mz=-6.72
Sollecitazioni agenti localmente: Ty_l=-1838.71 My_l=-37.73
Tensioni nella sezione: σ=457.35 τ=55.72
CC 12 SLD (Collegamento -182_-384)
Azioni sul collegamento: N=-9511.02 Ty=-9.67 Tz=14.18 Mx=0.00 Mz=-6.14
Sollecitazioni agenti localmente: Ty_l=-1710.46 My_l=-35.10

Tensioni nella sezione: σ=425.44 τ=51.83
CC 12 SLD (Collegamento -182_-384)
Azioni sul collegamento: N=-9511.02 Ty=-9.53 Tz=14.18 Mx=0.00 Mz=-6.72
Sollecitazioni agenti localmente: Ty_l=-1712.78 My_l=-35.15
Tensioni nella sezione: σ=426.05 τ=51.90
CC 12 SLD (Collegamento -182_-384)
Azioni sul collegamento: N=-9511.02 Ty=-9.67 Tz=11.87 Mx=0.00 Mz=-6.14
Sollecitazioni agenti localmente: Ty_l=-1710.46 My_l=-35.10
Tensioni nella sezione: σ=425.44 τ=51.83
CC 12 SLD (Collegamento -182_-384)
Azioni sul collegamento: N=-9511.02 Ty=-9.53 Tz=11.87 Mx=0.00 Mz=-6.72
Sollecitazioni agenti localmente: Ty_l=-1712.78 My_l=-35.15
Tensioni nella sezione: σ=426.05 τ=51.90
CC 13 SLV (Collegamento -182_-384)
Azioni sul collegamento: N=-8604.01 Ty=-8.45 Tz=8.86 Mx=0.00 Mz=-5.25
Sollecitazioni agenti localmente: Ty_l=-1546.12 My_l=-31.72
Tensioni nella sezione: σ=384.54 τ=46.85
CC 13 SLV (Collegamento -182_-384)
Azioni sul collegamento: N=-8604.01 Ty=-8.90 Tz=8.86 Mx=0.00 Mz=-3.34
Sollecitazioni agenti localmente: Ty_l=-1538.54 My_l=-31.56
Tensioni nella sezione: σ=382.53 τ=46.62
CC 13 SLV (Collegamento -182_-384)
Azioni sul collegamento: N=-8604.01 Ty=-8.45 Tz=16.43 Mx=0.00 Mz=-5.25
Sollecitazioni agenti localmente: Ty_l=-1546.12 My_l=-31.72
Tensioni nella sezione: σ=384.54 τ=46.85
CC 13 SLV (Collegamento -182_-384)
Azioni sul collegamento: N=-8604.01 Ty=-8.90 Tz=16.43 Mx=0.00 Mz=-3.34
Sollecitazioni agenti localmente: Ty_l=-1538.54 My_l=-31.56
Tensioni nella sezione: σ=382.53 τ=46.62
CC 13 SLV (Collegamento -182_-384)
Azioni sul collegamento: N=-10933.80 Ty=-8.45 Tz=8.86 Mx=0.00 Mz=-5.25
Sollecitazioni agenti localmente: Ty_l=-1959.13 My_l=-40.19
Tensioni nella sezione: σ=487.17 τ=59.37
CC 13 SLV (Collegamento -182_-384)
Azioni sul collegamento: N=-10933.80 Ty=-8.90 Tz=8.86 Mx=0.00 Mz=-3.34
Sollecitazioni agenti localmente: Ty_l=-1951.54 My_l=-40.03
Tensioni nella sezione: σ=485.15 τ=59.14
CC 13 SLV (Collegamento -182_-384)
Azioni sul collegamento: N=-10933.80 Ty=-8.45 Tz=16.43 Mx=0.00 Mz=-5.25
Sollecitazioni agenti localmente: Ty_l=-1959.13 My_l=-40.19
Tensioni nella sezione: σ=487.17 τ=59.37
CC 13 SLV (Collegamento -182_-384)
Azioni sul collegamento: N=-10933.80 Ty=-8.90 Tz=16.43 Mx=0.00 Mz=-3.34
Sollecitazioni agenti localmente: Ty_l=-1951.54 My_l=-40.03
Tensioni nella sezione: σ=485.15 τ=59.14
CC 14 SLD (Collegamento -182_-384)
Azioni sul collegamento: N=-9511.02 Ty=-9.53 Tz=11.87 Mx=-0.00 Mz=-6.72
Sollecitazioni agenti localmente: Ty_l=-1712.78 My_l=-35.15
Tensioni nella sezione: σ=426.05 τ=51.90
CC 14 SLD (Collegamento -182_-384)
Azioni sul collegamento: N=-9511.02 Ty=-9.67 Tz=11.87 Mx=-0.00 Mz=-6.14
Sollecitazioni agenti localmente: Ty_l=-1710.46 My_l=-35.10
Tensioni nella sezione: σ=425.44 τ=51.83
CC 14 SLD (Collegamento -182_-384)
Azioni sul collegamento: N=-9511.02 Ty=-9.53 Tz=14.18 Mx=-0.00 Mz=-6.72
Sollecitazioni agenti localmente: Ty_l=-1712.78 My_l=-35.15
Tensioni nella sezione: σ=426.05 τ=51.90
CC 14 SLD (Collegamento -182_-384)
Azioni sul collegamento: N=-9511.02 Ty=-9.67 Tz=14.18 Mx=-0.00 Mz=-6.14
Sollecitazioni agenti localmente: Ty_l=-1710.46 My_l=-35.10
Tensioni nella sezione: σ=425.44 τ=51.83
CC 14 SLD (Collegamento -182_-384)
Azioni sul collegamento: N=-10221.40 Ty=-9.53 Tz=11.87 Mx=-0.00 Mz=-6.72
Sollecitazioni agenti localmente: Ty_l=-1838.71 My_l=-37.73
Tensioni nella sezione: σ=457.35 τ=55.72
CC 14 SLD (Collegamento -182_-384)
Azioni sul collegamento: N=-10221.40 Ty=-9.67 Tz=11.87 Mx=-0.00 Mz=-6.14
Sollecitazioni agenti localmente: Ty_l=-1836.40 My_l=-37.68
Tensioni nella sezione: σ=456.73 τ=55.65
CC 14 SLD (Collegamento -182_-384)
Azioni sul collegamento: N=-10221.40 Ty=-9.53 Tz=14.18 Mx=-0.00 Mz=-6.72
Sollecitazioni agenti localmente: Ty_l=-1838.71 My_l=-37.73
Tensioni nella sezione: σ=457.35 τ=55.72
CC 14 SLD (Collegamento -182_-384)
Azioni sul collegamento: N=-10221.40 Ty=-9.67 Tz=14.18 Mx=-0.00 Mz=-6.14
Sollecitazioni agenti localmente: Ty_l=-1836.40 My_l=-37.68
Tensioni nella sezione: σ=456.73 τ=55.65
CC 15 SLV (Collegamento -182_-384)
Azioni sul collegamento: N=-10950.00 Ty=-10.61 Tz=17.52 Mx=0.00 Mz=-6.83
Sollecitazioni agenti localmente: Ty_l=-1968.29 My_l=-40.39

Tensioni nella sezione: σ=489.55 τ=59.65
CC 15 SLV (Collegamento -182_-384)
Azioni sul collegamento: N=-10950.00 Ty=-6.74 Tz=17.52 Mx=0.00 Mz=-1.76
Sollecitazioni agenti localmente: Ty_l=-1948.11 My_l=-39.95
Tensioni nella sezione: σ=484.19 τ=59.03
CC 15 SLV (Collegamento -182_-384)
Azioni sul collegamento: N=-10950.00 Ty=-10.61 Tz=7.77 Mx=0.00 Mz=-6.83
Sollecitazioni agenti localmente: Ty_l=-1968.29 My_l=-40.39
Tensioni nella sezione: σ=489.55 τ=59.65
CC 15 SLV (Collegamento -182_-384)
Azioni sul collegamento: N=-10950.00 Ty=-6.74 Tz=7.77 Mx=0.00 Mz=-1.76
Sollecitazioni agenti localmente: Ty_l=-1948.11 My_l=-39.95
Tensioni nella sezione: σ=484.19 τ=59.03
CC 15 SLV (Collegamento -182_-384)
Azioni sul collegamento: N=-8587.84 Ty=-10.61 Tz=17.52 Mx=0.00 Mz=-6.83
Sollecitazioni agenti localmente: Ty_l=-1549.55 My_l=-31.80
Tensioni nella sezione: σ=385.50 τ=46.96
CC 15 SLV (Collegamento -182_-384)
Azioni sul collegamento: N=-8587.84 Ty=-6.74 Tz=17.52 Mx=0.00 Mz=-1.76
Sollecitazioni agenti localmente: Ty_l=-1529.37 My_l=-31.36
Tensioni nella sezione: σ=380.14 τ=46.34
CC 15 SLV (Collegamento -182_-384)
Azioni sul collegamento: N=-8587.84 Ty=-10.61 Tz=7.77 Mx=0.00 Mz=-6.83
Sollecitazioni agenti localmente: Ty_l=-1549.55 My_l=-31.80
Tensioni nella sezione: σ=385.50 τ=46.96
CC 15 SLV (Collegamento -182_-384)
Azioni sul collegamento: N=-8587.84 Ty=-6.74 Tz=7.77 Mx=0.00 Mz=-1.76
Sollecitazioni agenti localmente: Ty_l=-1529.37 My_l=-31.36
Tensioni nella sezione: σ=380.14 τ=46.34
CC 16 SLD (Collegamento -182_-384)
Azioni sul collegamento: N=-10226.40 Ty=-10.19 Tz=14.51 Mx=-0.00 Mz=-7.20
Sollecitazioni agenti localmente: Ty_l=-1841.51 My_l=-37.79
Tensioni nella sezione: σ=458.07 τ=55.80
CC 16 SLD (Collegamento -182_-384)
Azioni sul collegamento: N=-10226.40 Ty=-9.01 Tz=14.51 Mx=-0.00 Mz=-5.66
Sollecitazioni agenti localmente: Ty_l=-1835.36 My_l=-37.66
Tensioni nella sezione: σ=456.44 τ=55.62
CC 16 SLD (Collegamento -182_-384)
Azioni sul collegamento: N=-10226.40 Ty=-10.19 Tz=11.54 Mx=-0.00 Mz=-7.20
Sollecitazioni agenti localmente: Ty_l=-1841.51 My_l=-37.79
Tensioni nella sezione: σ=458.07 τ=55.80
CC 16 SLD (Collegamento -182_-384)
Azioni sul collegamento: N=-10226.40 Ty=-9.01 Tz=11.54 Mx=-0.00 Mz=-5.66
Sollecitazioni agenti localmente: Ty_l=-1835.36 My_l=-37.66
Tensioni nella sezione: σ=456.44 τ=55.62
CC 16 SLD (Collegamento -182_-384)
Azioni sul collegamento: N=-9506.09 Ty=-10.19 Tz=14.51 Mx=-0.00 Mz=-7.20
Sollecitazioni agenti localmente: Ty_l=-1713.82 My_l=-35.17
Tensioni nella sezione: σ=426.35 τ=51.93
CC 16 SLD (Collegamento -182_-384)
Azioni sul collegamento: N=-9506.09 Ty=-9.01 Tz=14.51 Mx=-0.00 Mz=-5.66
Sollecitazioni agenti localmente: Ty_l=-1707.67 My_l=-35.04
Tensioni nella sezione: σ=424.71 τ=51.75
CC 16 SLD (Collegamento -182_-384)
Azioni sul collegamento: N=-9506.09 Ty=-10.19 Tz=11.54 Mx=-0.00 Mz=-7.20
Sollecitazioni agenti localmente: Ty_l=-1713.82 My_l=-35.17
Tensioni nella sezione: σ=426.35 τ=51.93
CC 16 SLD (Collegamento -182_-384)
Azioni sul collegamento: N=-9506.09 Ty=-9.01 Tz=11.54 Mx=-0.00 Mz=-5.66
Sollecitazioni agenti localmente: Ty_l=-1707.67 My_l=-35.04
Tensioni nella sezione: σ=424.71 τ=51.75
CC 17 SLV (Collegamento -182_-384)
Azioni sul collegamento: N=-6136.65 Ty=-7.48 Tz=-0.86 Mx=-0.02 Mz=-7.28
Sollecitazioni agenti localmente: Ty_l=-1116.82 My_l=-22.94
Tensioni nella sezione: σ=278.00 τ=33.84
CC 17 SLV (Collegamento -182_-384)
Azioni sul collegamento: N=-6136.65 Ty=-15.19 Tz=-0.86 Mx=-0.02 Mz=-13.60
Sollecitazioni agenti localmente: Ty_l=-1141.97 My_l=-23.49
Tensioni nella sezione: σ=284.68 τ=34.61
CC 17 SLV (Collegamento -182_-384)
Azioni sul collegamento: N=-6136.65 Ty=-7.48 Tz=28.35 Mx=-0.02 Mz=-7.28
Sollecitazioni agenti localmente: Ty_l=-1116.82 My_l=-22.94
Tensioni nella sezione: σ=278.00 τ=33.84
CC 17 SLV (Collegamento -182_-384)
Azioni sul collegamento: N=-6136.65 Ty=-15.19 Tz=28.35 Mx=-0.02 Mz=-13.60
Sollecitazioni agenti localmente: Ty_l=-1141.97 My_l=-23.49
Tensioni nella sezione: σ=284.68 τ=34.61
CC 17 SLV (Collegamento -182_-384)
Azioni sul collegamento: N=-13961.30 Ty=-7.48 Tz=-0.86 Mx=-0.02 Mz=-7.28
Sollecitazioni agenti localmente: Ty_l=-2503.92 My_l=-51.37

Tensioni nella sezione: σ=622.68 τ=75.88
CC 17 SLV (Collegamento -182_-384)
Azioni sul collegamento: N=-13961.30 Ty=-15.19 Tz=-0.86 Mx=-0.02 Mz=-13.60
Sollecitazioni agenti localmente: Ty_l=-2529.07 My_l=-51.92
Tensioni nella sezione: σ=629.35 τ=76.64
CC 17 SLV (Collegamento -182_-384)
Azioni sul collegamento: N=-13961.30 Ty=-7.48 Tz=28.35 Mx=-0.02 Mz=-7.28
Sollecitazioni agenti localmente: Ty_l=-2503.92 My_l=-51.37
Tensioni nella sezione: σ=622.68 τ=75.88
CC 17 SLV (Collegamento -182_-384)
Azioni sul collegamento: N=-13961.30 Ty=-15.19 Tz=28.35 Mx=-0.02 Mz=-13.60
Sollecitazioni agenti localmente: Ty_l=-2529.07 My_l=-51.92
Tensioni nella sezione: σ=629.35 τ=76.64
CC 18 SLD (Collegamento -182_-384)
Azioni sul collegamento: N=-8758.64 Ty=-9.24 Tz=8.91 Mx=-0.01 Mz=-7.34
Sollecitazioni agenti localmente: Ty_l=-1581.87 My_l=-32.47
Tensioni nella sezione: σ=393.57 τ=47.94
CC 18 SLD (Collegamento -182_-384)
Azioni sul collegamento: N=-8758.64 Ty=-11.59 Tz=8.91 Mx=-0.01 Mz=-9.27
Sollecitazioni agenti localmente: Ty_l=-1589.54 My_l=-32.64
Tensioni nella sezione: σ=395.60 τ=48.17
CC 18 SLD (Collegamento -182_-384)
Azioni sul collegamento: N=-8758.65 Ty=-9.24 Tz=17.82 Mx=-0.01 Mz=-7.34
Sollecitazioni agenti localmente: Ty_l=-1581.87 My_l=-32.47
Tensioni nella sezione: σ=393.57 τ=47.94
CC 18 SLD (Collegamento -182_-384)
Azioni sul collegamento: N=-8758.65 Ty=-11.59 Tz=17.82 Mx=-0.01 Mz=-9.27
Sollecitazioni agenti localmente: Ty_l=-1589.54 My_l=-32.64
Tensioni nella sezione: σ=395.60 τ=48.17
CC 18 SLD (Collegamento -182_-384)
Azioni sul collegamento: N=-11144.60 Ty=-9.24 Tz=8.91 Mx=-0.01 Mz=-7.34
Sollecitazioni agenti localmente: Ty_l=-2004.84 My_l=-41.14
Tensioni nella sezione: σ=498.67 τ=60.75
CC 18 SLD (Collegamento -182_-384)
Azioni sul collegamento: N=-11144.60 Ty=-11.59 Tz=8.91 Mx=-0.01 Mz=-9.27
Sollecitazioni agenti localmente: Ty_l=-2012.51 My_l=-41.31
Tensioni nella sezione: σ=500.70 τ=60.99
CC 18 SLD (Collegamento -182_-384)
Azioni sul collegamento: N=-11144.60 Ty=-9.24 Tz=17.82 Mx=-0.01 Mz=-7.34
Sollecitazioni agenti localmente: Ty_l=-2004.84 My_l=-41.14
Tensioni nella sezione: σ=498.67 τ=60.75
CC 18 SLD (Collegamento -182_-384)
Azioni sul collegamento: N=-11144.60 Ty=-11.59 Tz=17.82 Mx=-0.01 Mz=-9.27
Sollecitazioni agenti localmente: Ty_l=-2012.51 My_l=-41.31
Tensioni nella sezione: σ=500.70 τ=60.99
CC 19 SLV (Collegamento -182_-384)
Azioni sul collegamento: N=-6141.50 Ty=-7.99 Tz=-0.53 Mx=-0.01 Mz=-8.33
Sollecitazioni agenti localmente: Ty_l=-1121.85 My_l=-23.04
Tensioni nella sezione: σ=279.32 τ=34.00
CC 19 SLV (Collegamento -182_-384)
Azioni sul collegamento: N=-6141.50 Ty=-14.68 Tz=-0.53 Mx=-0.01 Mz=-12.56
Sollecitazioni agenti localmente: Ty_l=-1138.67 My_l=-23.41
Tensioni nella sezione: σ=283.79 τ=34.51
CC 19 SLV (Collegamento -182_-384)
Azioni sul collegamento: N=-6141.50 Ty=-7.99 Tz=28.02 Mx=-0.01 Mz=-8.33
Sollecitazioni agenti localmente: Ty_l=-1121.85 My_l=-23.04
Tensioni nella sezione: σ=279.32 τ=34.00
CC 19 SLV (Collegamento -182_-384)
Azioni sul collegamento: N=-6141.50 Ty=-14.68 Tz=28.02 Mx=-0.01 Mz=-12.56
Sollecitazioni agenti localmente: Ty_l=-1138.67 My_l=-23.41
Tensioni nella sezione: σ=283.79 τ=34.51
CC 19 SLV (Collegamento -182_-384)
Azioni sul collegamento: N=-13956.40 Ty=-7.99 Tz=-0.53 Mx=-0.01 Mz=-8.33
Sollecitazioni agenti localmente: Ty_l=-2507.23 My_l=-51.44
Tensioni nella sezione: σ=623.57 τ=75.98
CC 19 SLV (Collegamento -182_-384)
Azioni sul collegamento: N=-13956.40 Ty=-14.68 Tz=-0.53 Mx=-0.01 Mz=-12.56
Sollecitazioni agenti localmente: Ty_l=-2524.04 My_l=-51.81
Tensioni nella sezione: σ=628.03 τ=76.49
CC 19 SLV (Collegamento -182_-384)
Azioni sul collegamento: N=-13956.40 Ty=-7.99 Tz=28.02 Mx=-0.01 Mz=-8.33
Sollecitazioni agenti localmente: Ty_l=-2507.23 My_l=-51.44
Tensioni nella sezione: σ=623.57 τ=75.98
CC 19 SLV (Collegamento -182_-384)
Azioni sul collegamento: N=-13956.40 Ty=-14.68 Tz=28.02 Mx=-0.01 Mz=-12.56
Sollecitazioni agenti localmente: Ty_l=-2524.04 My_l=-51.81
Tensioni nella sezione: σ=628.03 τ=76.49
CC 20 SLD (Collegamento -182_-384)
Azioni sul collegamento: N=-8760.12 Ty=-9.39 Tz=9.01 Mx=-0.01 Mz=-7.66
Sollecitazioni agenti localmente: Ty_l=-1583.40 My_l=-32.50

Tensioni nella sezione: σ=393.97 τ=47.98
CC 20 SLD (Collegamento -182_-384)
Azioni sul collegamento: N=-8760.12 Ty=-11.43 Tz=9.01 Mx=-0.01 Mz=-8.95
Sollecitazioni agenti localmente: Ty_l=-1588.53 My_l=-32.61
Tensioni nella sezione: σ=395.33 τ=48.14
CC 20 SLD (Collegamento -182_-384)
Azioni sul collegamento: N=-8760.13 Ty=-9.39 Tz=17.72 Mx=-0.01 Mz=-7.66
Sollecitazioni agenti localmente: Ty_l=-1583.40 My_l=-32.50
Tensioni nella sezione: σ=393.97 τ=47.98
CC 20 SLD (Collegamento -182_-384)
Azioni sul collegamento: N=-8760.13 Ty=-11.43 Tz=17.72 Mx=-0.01 Mz=-8.95
Sollecitazioni agenti localmente: Ty_l=-1588.53 My_l=-32.61
Tensioni nella sezione: σ=395.33 τ=48.14
CC 20 SLD (Collegamento -182_-384)
Azioni sul collegamento: N=-11143.10 Ty=-9.39 Tz=9.01 Mx=-0.01 Mz=-7.66
Sollecitazioni agenti localmente: Ty_l=-2005.85 My_l=-41.16
Tensioni nella sezione: σ=498.94 τ=60.78
CC 20 SLD (Collegamento -182_-384)
Azioni sul collegamento: N=-11143.10 Ty=-11.43 Tz=9.01 Mx=-0.01 Mz=-8.95
Sollecitazioni agenti localmente: Ty_l=-2010.97 My_l=-41.27
Tensioni nella sezione: σ=500.30 τ=60.94
CC 20 SLD (Collegamento -182_-384)
Azioni sul collegamento: N=-11143.10 Ty=-9.39 Tz=17.72 Mx=-0.01 Mz=-7.66
Sollecitazioni agenti localmente: Ty_l=-2005.85 My_l=-41.16
Tensioni nella sezione: σ=498.94 τ=60.78
CC 20 SLD (Collegamento -182_-384)
Azioni sul collegamento: N=-11143.10 Ty=-11.43 Tz=17.72 Mx=-0.01 Mz=-8.95
Sollecitazioni agenti localmente: Ty_l=-2010.97 My_l=-41.27
Tensioni nella sezione: σ=500.30 τ=60.94
CC 21 SLV (Collegamento -182_-384)
Azioni sul collegamento: N=-13956.40 Ty=-14.68 Tz=28.02 Mx=-0.02 Mz=-12.56
Sollecitazioni agenti localmente: Ty_l=-2524.04 My_l=-51.81
Tensioni nella sezione: σ=628.03 τ=76.49
CC 21 SLV (Collegamento -182_-384)
Azioni sul collegamento: N=-13956.40 Ty=-7.99 Tz=28.02 Mx=-0.02 Mz=-8.33
Sollecitazioni agenti localmente: Ty_l=-2507.23 My_l=-51.44
Tensioni nella sezione: σ=623.57 τ=75.98
CC 21 SLV (Collegamento -182_-384)
Azioni sul collegamento: N=-13956.40 Ty=-14.68 Tz=-0.53 Mx=-0.02 Mz=-12.56
Sollecitazioni agenti localmente: Ty_l=-2524.04 My_l=-51.81
Tensioni nella sezione: σ=628.03 τ=76.49
CC 21 SLV (Collegamento -182_-384)
Azioni sul collegamento: N=-13956.40 Ty=-7.99 Tz=-0.53 Mx=-0.02 Mz=-8.33
Sollecitazioni agenti localmente: Ty_l=-2507.23 My_l=-51.44
Tensioni nella sezione: σ=623.57 τ=75.98
CC 21 SLV (Collegamento -182_-384)
Azioni sul collegamento: N=-6141.50 Ty=-14.68 Tz=28.02 Mx=-0.02 Mz=-12.56
Sollecitazioni agenti localmente: Ty_l=-1138.67 My_l=-23.41
Tensioni nella sezione: σ=283.79 τ=34.51
CC 21 SLV (Collegamento -182_-384)
Azioni sul collegamento: N=-6141.50 Ty=-7.99 Tz=28.02 Mx=-0.02 Mz=-8.33
Sollecitazioni agenti localmente: Ty_l=-1121.85 My_l=-23.04
Tensioni nella sezione: σ=279.32 τ=34.00
CC 21 SLV (Collegamento -182_-384)
Azioni sul collegamento: N=-6141.50 Ty=-14.68 Tz=-0.53 Mx=-0.02 Mz=-12.56
Sollecitazioni agenti localmente: Ty_l=-1138.67 My_l=-23.41
Tensioni nella sezione: σ=283.79 τ=34.51
CC 21 SLV (Collegamento -182_-384)
Azioni sul collegamento: N=-6141.50 Ty=-7.99 Tz=-0.53 Mx=-0.02 Mz=-8.33
Sollecitazioni agenti localmente: Ty_l=-1121.85 My_l=-23.04
Tensioni nella sezione: σ=279.32 τ=34.00
CC 22 SLD (Collegamento -182_-384)
Azioni sul collegamento: N=-11143.10 Ty=-11.43 Tz=17.72 Mx=-0.01 Mz=-8.95
Sollecitazioni agenti localmente: Ty_l=-2010.97 My_l=-41.27
Tensioni nella sezione: σ=500.30 τ=60.94
CC 22 SLD (Collegamento -182_-384)
Azioni sul collegamento: N=-11143.10 Ty=-9.39 Tz=17.72 Mx=-0.01 Mz=-7.66
Sollecitazioni agenti localmente: Ty_l=-2005.85 My_l=-41.16
Tensioni nella sezione: σ=498.94 τ=60.78
CC 22 SLD (Collegamento -182_-384)
Azioni sul collegamento: N=-11143.10 Ty=-11.43 Tz=9.01 Mx=-0.01 Mz=-8.95
Sollecitazioni agenti localmente: Ty_l=-2010.97 My_l=-41.27
Tensioni nella sezione: σ=500.30 τ=60.94
CC 22 SLD (Collegamento -182_-384)
Azioni sul collegamento: N=-11143.10 Ty=-9.39 Tz=9.01 Mx=-0.01 Mz=-7.66
Sollecitazioni agenti localmente: Ty_l=-2005.85 My_l=-41.16
Tensioni nella sezione: σ=498.94 τ=60.78
CC 22 SLD (Collegamento -182_-384)
Azioni sul collegamento: N=-8760.13 Ty=-11.43 Tz=17.72 Mx=-0.01 Mz=-8.95
Sollecitazioni agenti localmente: Ty_l=-1588.53 My_l=-32.61

Tensioni nella sezione: σ=395.33 τ=48.14
CC 22 SLD (Collegamento -182_-384)
Azioni sul collegamento: N=-8760.13 Ty=-9.39 Tz=17.72 Mx=-0.01 Mz=-7.66
Sollecitazioni agenti localmente: Ty_l=-1583.40 My_l=-32.50
Tensioni nella sezione: σ=393.97 τ=47.98
CC 22 SLD (Collegamento -182_-384)
Azioni sul collegamento: N=-8760.12 Ty=-11.43 Tz=9.01 Mx=-0.01 Mz=-8.95
Sollecitazioni agenti localmente: Ty_l=-1588.53 My_l=-32.61
Tensioni nella sezione: σ=395.33 τ=48.14
CC 22 SLD (Collegamento -182_-384)
Azioni sul collegamento: N=-8760.12 Ty=-9.39 Tz=9.01 Mx=-0.01 Mz=-7.66
Sollecitazioni agenti localmente: Ty_l=-1583.40 My_l=-32.50
Tensioni nella sezione: σ=393.97 τ=47.98
CC 23 SLV (Collegamento -182_-384)
Azioni sul collegamento: N=-13961.30 Ty=-15.19 Tz=28.35 Mx=-0.01 Mz=-13.60
Sollecitazioni agenti localmente: Ty_l=-2529.07 My_l=-51.92
Tensioni nella sezione: σ=629.35 τ=76.64
CC 23 SLV (Collegamento -182_-384)
Azioni sul collegamento: N=-13961.30 Ty=-7.48 Tz=28.35 Mx=-0.01 Mz=-7.28
Sollecitazioni agenti localmente: Ty_l=-2503.92 My_l=-51.37
Tensioni nella sezione: σ=622.68 τ=75.88
CC 23 SLV (Collegamento -182_-384)
Azioni sul collegamento: N=-13961.30 Ty=-15.19 Tz=-0.86 Mx=-0.01 Mz=-13.60
Sollecitazioni agenti localmente: Ty_l=-2529.07 My_l=-51.92
Tensioni nella sezione: σ=629.35 τ=76.64
CC 23 SLV (Collegamento -182_-384)
Azioni sul collegamento: N=-13961.30 Ty=-7.48 Tz=-0.86 Mx=-0.01 Mz=-7.28
Sollecitazioni agenti localmente: Ty_l=-2503.92 My_l=-51.37
Tensioni nella sezione: σ=622.68 τ=75.88
CC 23 SLV (Collegamento -182_-384)
Azioni sul collegamento: N=-6136.65 Ty=-15.19 Tz=28.35 Mx=-0.01 Mz=-13.60
Sollecitazioni agenti localmente: Ty_l=-1141.97 My_l=-23.49
Tensioni nella sezione: σ=284.68 τ=34.61
CC 23 SLV (Collegamento -182_-384)
Azioni sul collegamento: N=-6136.65 Ty=-7.48 Tz=28.35 Mx=-0.01 Mz=-7.28
Sollecitazioni agenti localmente: Ty_l=-1116.82 My_l=-22.94
Tensioni nella sezione: σ=278.00 τ=33.84
CC 23 SLV (Collegamento -182_-384)
Azioni sul collegamento: N=-6136.65 Ty=-15.19 Tz=-0.86 Mx=-0.01 Mz=-13.60
Sollecitazioni agenti localmente: Ty_l=-1141.97 My_l=-23.49
Tensioni nella sezione: σ=284.68 τ=34.61
CC 23 SLV (Collegamento -182_-384)
Azioni sul collegamento: N=-6136.65 Ty=-7.48 Tz=-0.86 Mx=-0.01 Mz=-7.28
Sollecitazioni agenti localmente: Ty_l=-1116.82 My_l=-22.94
Tensioni nella sezione: σ=278.00 τ=33.84
CC 24 SLD (Collegamento -182_-384)
Azioni sul collegamento: N=-11144.60 Ty=-11.59 Tz=17.82 Mx=-0.01 Mz=-9.27
Sollecitazioni agenti localmente: Ty_l=-2012.51 My_l=-41.31
Tensioni nella sezione: σ=500.70 τ=60.99
CC 24 SLD (Collegamento -182_-384)
Azioni sul collegamento: N=-11144.60 Ty=-9.24 Tz=17.82 Mx=-0.01 Mz=-7.34
Sollecitazioni agenti localmente: Ty_l=-2004.84 My_l=-41.14
Tensioni nella sezione: σ=498.67 τ=60.75
CC 24 SLD (Collegamento -182_-384)
Azioni sul collegamento: N=-11144.60 Ty=-11.59 Tz=8.91 Mx=-0.01 Mz=-9.27
Sollecitazioni agenti localmente: Ty_l=-2012.51 My_l=-41.31
Tensioni nella sezione: σ=500.70 τ=60.99
CC 24 SLD (Collegamento -182_-384)
Azioni sul collegamento: N=-11144.60 Ty=-9.24 Tz=8.91 Mx=-0.01 Mz=-7.34
Sollecitazioni agenti localmente: Ty_l=-2004.84 My_l=-41.14
Tensioni nella sezione: σ=498.67 τ=60.75
CC 24 SLD (Collegamento -182_-384)
Azioni sul collegamento: N=-8758.65 Ty=-11.59 Tz=17.82 Mx=-0.01 Mz=-9.27
Sollecitazioni agenti localmente: Ty_l=-1589.54 My_l=-32.64
Tensioni nella sezione: σ=395.60 τ=48.17
CC 24 SLD (Collegamento -182_-384)
Azioni sul collegamento: N=-8758.65 Ty=-9.24 Tz=17.82 Mx=-0.01 Mz=-7.34
Sollecitazioni agenti localmente: Ty_l=-1581.87 My_l=-32.47
Tensioni nella sezione: σ=393.57 τ=47.94
CC 24 SLD (Collegamento -182_-384)
Azioni sul collegamento: N=-8758.64 Ty=-11.59 Tz=8.91 Mx=-0.01 Mz=-9.27
Sollecitazioni agenti localmente: Ty_l=-1589.54 My_l=-32.64
Tensioni nella sezione: σ=395.60 τ=48.17
CC 24 SLD (Collegamento -182_-384)
Azioni sul collegamento: N=-8758.64 Ty=-9.24 Tz=8.91 Mx=-0.01 Mz=-7.34
Sollecitazioni agenti localmente: Ty_l=-1581.87 My_l=-32.47
Tensioni nella sezione: σ=393.57 τ=47.94
CC 25 SLV (Collegamento -182_-384)
Azioni sul collegamento: N=-8867.92 Ty=-9.40 Tz=8.87 Mx=-0.02 Mz=-7.91
Sollecitazioni agenti localmente: Ty_l=-1603.49 My_l=-32.92

Tensioni nella sezione: σ=398.98 τ=48.59
CC 25 SLV (Collegamento -182_-384)
Azioni sul collegamento: N=-8867.92 Ty=-13.27 Tz=8.87 Mx=-0.02 Mz=-12.98
Sollecitazioni agenti localmente: Ty_l=-1623.67 My_l=-33.36
Tensioni nella sezione: σ=404.33 τ=49.20
CC 25 SLV (Collegamento -182_-384)
Azioni sul collegamento: N=-8867.92 Ty=-9.40 Tz=18.62 Mx=-0.02 Mz=-7.91
Sollecitazioni agenti localmente: Ty_l=-1603.49 My_l=-32.92
Tensioni nella sezione: σ=398.98 τ=48.59
CC 25 SLV (Collegamento -182_-384)
Azioni sul collegamento: N=-8867.92 Ty=-13.27 Tz=18.62 Mx=-0.02 Mz=-12.98
Sollecitazioni agenti localmente: Ty_l=-1623.67 My_l=-33.36
Tensioni nella sezione: σ=404.33 τ=49.20
CC 25 SLV (Collegamento -182_-384)
Azioni sul collegamento: N=-11230.00 Ty=-9.40 Tz=8.87 Mx=-0.02 Mz=-7.91
Sollecitazioni agenti localmente: Ty_l=-2022.23 My_l=-41.50
Tensioni nella sezione: σ=503.03 τ=61.28
CC 25 SLV (Collegamento -182_-384)
Azioni sul collegamento: N=-11230.00 Ty=-13.27 Tz=8.87 Mx=-0.02 Mz=-12.98
Sollecitazioni agenti localmente: Ty_l=-2042.40 My_l=-41.94
Tensioni nella sezione: σ=508.38 τ=61.89
CC 25 SLV (Collegamento -182_-384)
Azioni sul collegamento: N=-11230.00 Ty=-9.40 Tz=18.62 Mx=-0.02 Mz=-7.91
Sollecitazioni agenti localmente: Ty_l=-2022.23 My_l=-41.50
Tensioni nella sezione: σ=503.03 τ=61.28
CC 25 SLV (Collegamento -182_-384)
Azioni sul collegamento: N=-11230.00 Ty=-13.27 Tz=18.62 Mx=-0.02 Mz=-12.98
Sollecitazioni agenti localmente: Ty_l=-2042.40 My_l=-41.94
Tensioni nella sezione: σ=508.38 τ=61.89
CC 26 SLD (Collegamento -182_-384)
Azioni sul collegamento: N=-9591.50 Ty=-9.82 Tz=11.88 Mx=-0.01 Mz=-7.53
Sollecitazioni agenti localmente: Ty_l=-1730.27 My_l=-35.51
Tensioni nella sezione: σ=430.45 τ=52.43
CC 26 SLD (Collegamento -182_-384)
Azioni sul collegamento: N=-9591.50 Ty=-11.00 Tz=11.88 Mx=-0.01 Mz=-9.08
Sollecitazioni agenti localmente: Ty_l=-1736.42 My_l=-35.65
Tensioni nella sezione: σ=432.09 τ=52.62
CC 26 SLD (Collegamento -182_-384)
Azioni sul collegamento: N=-9591.50 Ty=-9.82 Tz=14.85 Mx=-0.01 Mz=-7.53
Sollecitazioni agenti localmente: Ty_l=-1730.27 My_l=-35.51
Tensioni nella sezione: σ=430.45 τ=52.43
CC 26 SLD (Collegamento -182_-384)
Azioni sul collegamento: N=-9591.50 Ty=-11.00 Tz=14.85 Mx=-0.01 Mz=-9.08
Sollecitazioni agenti localmente: Ty_l=-1736.42 My_l=-35.65
Tensioni nella sezione: σ=432.09 τ=52.62
CC 26 SLD (Collegamento -182_-384)
Azioni sul collegamento: N=-10311.80 Ty=-9.82 Tz=11.88 Mx=-0.01 Mz=-7.53
Sollecitazioni agenti localmente: Ty_l=-1857.95 My_l=-38.13
Tensioni nella sezione: σ=462.18 τ=56.30
CC 26 SLD (Collegamento -182_-384)
Azioni sul collegamento: N=-10311.80 Ty=-11.00 Tz=11.88 Mx=-0.01 Mz=-9.08
Sollecitazioni agenti localmente: Ty_l=-1864.11 My_l=-38.26
Tensioni nella sezione: σ=463.81 τ=56.49
CC 26 SLD (Collegamento -182_-384)
Azioni sul collegamento: N=-10311.80 Ty=-9.82 Tz=14.85 Mx=-0.01 Mz=-7.53
Sollecitazioni agenti localmente: Ty_l=-1857.96 My_l=-38.13
Tensioni nella sezione: σ=462.18 τ=56.30
CC 26 SLD (Collegamento -182_-384)
Azioni sul collegamento: N=-10311.80 Ty=-11.00 Tz=14.85 Mx=-0.01 Mz=-9.08
Sollecitazioni agenti localmente: Ty_l=-1864.11 My_l=-38.26
Tensioni nella sezione: σ=463.81 τ=56.49
CC 27 SLV (Collegamento -182_-384)
Azioni sul collegamento: N=-11213.90 Ty=-11.56 Tz=17.53 Mx=-0.02 Mz=-9.49
Sollecitazioni agenti localmente: Ty_l=-2025.65 My_l=-41.58
Tensioni nella sezione: σ=503.98 τ=61.38
CC 27 SLV (Collegamento -182_-384)
Azioni sul collegamento: N=-11213.90 Ty=-11.11 Tz=17.53 Mx=-0.02 Mz=-11.40
Sollecitazioni agenti localmente: Ty_l=-2033.24 My_l=-41.74
Tensioni nella sezione: σ=506.00 τ=61.61
CC 27 SLV (Collegamento -182_-384)
Azioni sul collegamento: N=-11213.90 Ty=-11.56 Tz=9.96 Mx=-0.02 Mz=-9.49
Sollecitazioni agenti localmente: Ty_l=-2025.65 My_l=-41.58
Tensioni nella sezione: σ=503.98 τ=61.38
CC 27 SLV (Collegamento -182_-384)
Azioni sul collegamento: N=-11213.90 Ty=-11.11 Tz=9.96 Mx=-0.02 Mz=-11.40
Sollecitazioni agenti localmente: Ty_l=-2033.24 My_l=-41.74
Tensioni nella sezione: σ=506.00 τ=61.61
CC 27 SLV (Collegamento -182_-384)
Azioni sul collegamento: N=-8884.09 Ty=-11.56 Tz=17.53 Mx=-0.02 Mz=-9.49
Sollecitazioni agenti localmente: Ty_l=-1612.65 My_l=-33.11

Tensioni nella sezione: σ=401.36 τ=48.87
CC 27 SLV (Collegamento -182_-384)
Azioni sul collegamento: N=-8884.09 Ty=-11.11 Tz=17.53 Mx=-0.02 Mz=-11.40
Sollecitazioni agenti localmente: Ty_l=-1620.24 My_l=-33.28
Tensioni nella sezione: σ=403.37 τ=49.10
CC 27 SLV (Collegamento -182_-384)
Azioni sul collegamento: N=-8884.09 Ty=-11.56 Tz=9.96 Mx=-0.02 Mz=-9.49
Sollecitazioni agenti localmente: Ty_l=-1612.65 My_l=-33.11
Tensioni nella sezione: σ=401.36 τ=48.87
CC 27 SLV (Collegamento -182_-384)
Azioni sul collegamento: N=-8884.09 Ty=-11.11 Tz=9.96 Mx=-0.02 Mz=-11.40
Sollecitazioni agenti localmente: Ty_l=-1620.24 My_l=-33.28
Tensioni nella sezione: σ=403.37 τ=49.10
CC 28 SLD (Collegamento -182_-384)
Azioni sul collegamento: N=-10306.80 Ty=-10.48 Tz=14.52 Mx=-0.01 Mz=-8.01
Sollecitazioni agenti localmente: Ty_l=-1859.00 My_l=-38.15
Tensioni nella sezione: σ=462.47 τ=56.33
CC 28 SLD (Collegamento -182_-384)
Azioni sul collegamento: N=-10306.80 Ty=-10.34 Tz=14.52 Mx=-0.01 Mz=-8.60
Sollecitazioni agenti localmente: Ty_l=-1861.31 My_l=-38.20
Tensioni nella sezione: σ=463.09 τ=56.40
CC 28 SLD (Collegamento -182_-384)
Azioni sul collegamento: N=-10306.80 Ty=-10.48 Tz=12.21 Mx=-0.01 Mz=-8.01
Sollecitazioni agenti localmente: Ty_l=-1859.00 My_l=-38.15
Tensioni nella sezione: σ=462.47 τ=56.33
CC 28 SLD (Collegamento -182_-384)
Azioni sul collegamento: N=-10306.80 Ty=-10.34 Tz=12.21 Mx=-0.01 Mz=-8.60
Sollecitazioni agenti localmente: Ty_l=-1861.31 My_l=-38.20
Tensioni nella sezione: σ=463.09 τ=56.40
CC 28 SLD (Collegamento -182_-384)
Azioni sul collegamento: N=-9596.43 Ty=-10.48 Tz=14.52 Mx=-0.01 Mz=-8.01
Sollecitazioni agenti localmente: Ty_l=-1733.06 My_l=-35.57
Tensioni nella sezione: σ=431.18 τ=52.52
CC 28 SLD (Collegamento -182_-384)
Azioni sul collegamento: N=-9596.43 Ty=-10.34 Tz=14.52 Mx=-0.01 Mz=-8.60
Sollecitazioni agenti localmente: Ty_l=-1735.38 My_l=-35.62
Tensioni nella sezione: σ=431.80 τ=52.59
CC 28 SLD (Collegamento -182_-384)
Azioni sul collegamento: N=-9596.43 Ty=-10.48 Tz=12.21 Mx=-0.01 Mz=-8.01
Sollecitazioni agenti localmente: Ty_l=-1733.06 My_l=-35.57
Tensioni nella sezione: σ=431.18 τ=52.52
CC 28 SLD (Collegamento -182_-384)
Azioni sul collegamento: N=-9596.43 Ty=-10.34 Tz=12.21 Mx=-0.01 Mz=-8.60
Sollecitazioni agenti localmente: Ty_l=-1735.38 My_l=-35.62
Tensioni nella sezione: σ=431.80 τ=52.59
CC 29 SLV (Collegamento -182_-384)
Azioni sul collegamento: N=-8884.09 Ty=-11.11 Tz=9.96 Mx=-0.01 Mz=-11.40
Sollecitazioni agenti localmente: Ty_l=-1620.24 My_l=-33.28
Tensioni nella sezione: σ=403.37 τ=49.10
CC 29 SLV (Collegamento -182_-384)
Azioni sul collegamento: N=-8884.09 Ty=-11.56 Tz=9.96 Mx=-0.01 Mz=-9.49
Sollecitazioni agenti localmente: Ty_l=-1612.65 My_l=-33.11
Tensioni nella sezione: σ=401.36 τ=48.87
CC 29 SLV (Collegamento -182_-384)
Azioni sul collegamento: N=-8884.09 Ty=-11.11 Tz=17.53 Mx=-0.01 Mz=-11.40
Sollecitazioni agenti localmente: Ty_l=-1620.24 My_l=-33.28
Tensioni nella sezione: σ=403.37 τ=49.10
CC 29 SLV (Collegamento -182_-384)
Azioni sul collegamento: N=-8884.09 Ty=-11.56 Tz=17.53 Mx=-0.01 Mz=-9.49
Sollecitazioni agenti localmente: Ty_l=-1612.65 My_l=-33.11
Tensioni nella sezione: σ=401.36 τ=48.87
CC 29 SLV (Collegamento -182_-384)
Azioni sul collegamento: N=-11213.90 Ty=-11.11 Tz=9.96 Mx=-0.01 Mz=-11.40
Sollecitazioni agenti localmente: Ty_l=-2033.24 My_l=-41.74
Tensioni nella sezione: σ=506.00 τ=61.61
CC 29 SLV (Collegamento -182_-384)
Azioni sul collegamento: N=-11213.90 Ty=-11.56 Tz=9.96 Mx=-0.01 Mz=-9.49
Sollecitazioni agenti localmente: Ty_l=-2025.65 My_l=-41.58
Tensioni nella sezione: σ=503.98 τ=61.38
CC 29 SLV (Collegamento -182_-384)
Azioni sul collegamento: N=-11213.90 Ty=-11.11 Tz=17.53 Mx=-0.01 Mz=-11.40
Sollecitazioni agenti localmente: Ty_l=-2033.24 My_l=-41.74
Tensioni nella sezione: σ=506.00 τ=61.61
CC 29 SLV (Collegamento -182_-384)
Azioni sul collegamento: N=-11213.90 Ty=-11.56 Tz=17.53 Mx=-0.01 Mz=-9.49
Sollecitazioni agenti localmente: Ty_l=-2025.65 My_l=-41.58
Tensioni nella sezione: σ=503.98 τ=61.38
CC 30 SLD (Collegamento -182_-384)
Azioni sul collegamento: N=-9596.43 Ty=-10.34 Tz=12.21 Mx=-0.00 Mz=-8.60
Sollecitazioni agenti localmente: Ty_l=-1735.38 My_l=-35.62

Tensioni nella sezione: σ=431.80 τ=52.59
CC 30 SLD (Collegamento -182_-384)
Azioni sul collegamento: N=-9596.43 Ty=-10.48 Tz=12.21 Mx=-0.00 Mz=-8.01
Sollecitazioni agenti localmente: Ty_l=-1733.06 My_l=-35.57
Tensioni nella sezione: σ=431.18 τ=52.52
CC 30 SLD (Collegamento -182_-384)
Azioni sul collegamento: N=-9596.43 Ty=-10.34 Tz=14.52 Mx=-0.00 Mz=-8.60
Sollecitazioni agenti localmente: Ty_l=-1735.38 My_l=-35.62
Tensioni nella sezione: σ=431.80 τ=52.59
CC 30 SLD (Collegamento -182_-384)
Azioni sul collegamento: N=-9596.43 Ty=-10.48 Tz=14.52 Mx=-0.00 Mz=-8.01
Sollecitazioni agenti localmente: Ty_l=-1733.06 My_l=-35.57
Tensioni nella sezione: σ=431.18 τ=52.52
CC 30 SLD (Collegamento -182_-384)
Azioni sul collegamento: N=-10306.80 Ty=-10.34 Tz=12.21 Mx=-0.00 Mz=-8.60
Sollecitazioni agenti localmente: Ty_l=-1861.31 My_l=-38.20
Tensioni nella sezione: σ=463.09 τ=56.40
CC 30 SLD (Collegamento -182_-384)
Azioni sul collegamento: N=-10306.80 Ty=-10.48 Tz=12.21 Mx=-0.00 Mz=-8.01
Sollecitazioni agenti localmente: Ty_l=-1859.00 My_l=-38.15
Tensioni nella sezione: σ=462.47 τ=56.33
CC 30 SLD (Collegamento -182_-384)
Azioni sul collegamento: N=-10306.80 Ty=-10.34 Tz=14.52 Mx=-0.00 Mz=-8.60
Sollecitazioni agenti localmente: Ty_l=-1861.31 My_l=-38.20
Tensioni nella sezione: σ=463.09 τ=56.40
CC 30 SLD (Collegamento -182_-384)
Azioni sul collegamento: N=-10306.80 Ty=-10.48 Tz=14.52 Mx=-0.00 Mz=-8.01
Sollecitazioni agenti localmente: Ty_l=-1859.00 My_l=-38.15
Tensioni nella sezione: σ=462.47 τ=56.33
CC 31 SLV (Collegamento -182_-384)
Azioni sul collegamento: N=-11230.00 Ty=-13.27 Tz=18.62 Mx=-0.01 Mz=-12.98
Sollecitazioni agenti localmente: Ty_l=-2042.40 My_l=-41.94
Tensioni nella sezione: σ=508.38 τ=61.89
CC 31 SLV (Collegamento -182_-384)
Azioni sul collegamento: N=-11230.00 Ty=-9.40 Tz=18.62 Mx=-0.01 Mz=-7.91
Sollecitazioni agenti localmente: Ty_l=-2022.23 My_l=-41.50
Tensioni nella sezione: σ=503.03 τ=61.28
CC 31 SLV (Collegamento -182_-384)
Azioni sul collegamento: N=-11230.00 Ty=-13.27 Tz=8.87 Mx=-0.01 Mz=-12.98
Sollecitazioni agenti localmente: Ty_l=-2042.40 My_l=-41.94
Tensioni nella sezione: σ=508.38 τ=61.89
CC 31 SLV (Collegamento -182_-384)
Azioni sul collegamento: N=-11230.00 Ty=-9.40 Tz=8.87 Mx=-0.01 Mz=-7.91
Sollecitazioni agenti localmente: Ty_l=-2022.23 My_l=-41.50
Tensioni nella sezione: σ=503.03 τ=61.28
CC 31 SLV (Collegamento -182_-384)
Azioni sul collegamento: N=-8867.92 Ty=-13.27 Tz=18.62 Mx=-0.01 Mz=-12.98
Sollecitazioni agenti localmente: Ty_l=-1623.67 My_l=-33.36
Tensioni nella sezione: σ=404.33 τ=49.20
CC 31 SLV (Collegamento -182_-384)
Azioni sul collegamento: N=-8867.92 Ty=-9.40 Tz=18.62 Mx=-0.01 Mz=-7.91
Sollecitazioni agenti localmente: Ty_l=-1603.49 My_l=-32.92
Tensioni nella sezione: σ=398.98 τ=48.59
CC 31 SLV (Collegamento -182_-384)
Azioni sul collegamento: N=-8867.92 Ty=-13.27 Tz=8.87 Mx=-0.01 Mz=-12.98
Sollecitazioni agenti localmente: Ty_l=-1623.67 My_l=-33.36
Tensioni nella sezione: σ=404.33 τ=49.20
CC 31 SLV (Collegamento -182_-384)
Azioni sul collegamento: N=-8867.92 Ty=-9.40 Tz=8.87 Mx=-0.01 Mz=-7.91
Sollecitazioni agenti localmente: Ty_l=-1603.49 My_l=-32.92
Tensioni nella sezione: σ=398.98 τ=48.59
CC 32 SLD (Collegamento -182_-384)
Azioni sul collegamento: N=-10311.80 Ty=-11.00 Tz=14.85 Mx=-0.00 Mz=-9.08
Sollecitazioni agenti localmente: Ty_l=-1864.11 My_l=-38.26
Tensioni nella sezione: σ=463.81 τ=56.49
CC 32 SLD (Collegamento -182_-384)
Azioni sul collegamento: N=-10311.80 Ty=-9.82 Tz=14.85 Mx=-0.00 Mz=-7.53
Sollecitazioni agenti localmente: Ty_l=-1857.96 My_l=-38.13
Tensioni nella sezione: σ=462.18 τ=56.30
CC 32 SLD (Collegamento -182_-384)
Azioni sul collegamento: N=-10311.80 Ty=-11.00 Tz=11.88 Mx=-0.00 Mz=-9.08
Sollecitazioni agenti localmente: Ty_l=-1864.11 My_l=-38.26
Tensioni nella sezione: σ=463.81 τ=56.49
CC 32 SLD (Collegamento -182_-384)
Azioni sul collegamento: N=-10311.80 Ty=-9.82 Tz=11.88 Mx=-0.00 Mz=-7.53
Sollecitazioni agenti localmente: Ty_l=-1857.95 My_l=-38.13
Tensioni nella sezione: σ=462.18 τ=56.30
CC 32 SLD (Collegamento -182_-384)
Azioni sul collegamento: N=-9591.50 Ty=-11.00 Tz=14.85 Mx=-0.00 Mz=-9.08
Sollecitazioni agenti localmente: Ty_l=-1736.42 My_l=-35.65

Tensioni nella sezione: σ=432.09 τ=52.62
CC 32 SLD (Collegamento -182_-384)
Azioni sul collegamento: N=-9591.50 Ty=-9.82 Tz=14.85 Mx=-0.00 Mz=-7.53
Sollecitazioni agenti localmente: Ty_l=-1730.27 My_l=-35.51
Tensioni nella sezione: σ=430.45 τ=52.43
CC 32 SLD (Collegamento -182_-384)
Azioni sul collegamento: N=-9591.50 Ty=-11.00 Tz=11.88 Mx=-0.00 Mz=-9.08
Sollecitazioni agenti localmente: Ty_l=-1736.42 My_l=-35.65
Tensioni nella sezione: σ=432.09 τ=52.62
CC 32 SLD (Collegamento -182_-384)
Azioni sul collegamento: N=-9591.50 Ty=-9.82 Tz=11.88 Mx=-0.00 Mz=-7.53
Sollecitazioni agenti localmente: Ty_l=-1730.27 My_l=-35.51
Tensioni nella sezione: σ=430.45 τ=52.43
CC 33 SLU (Collegamento -182_-384)
Azioni sul collegamento: N=-37242.40 Ty=-20.96 Tz=105.49 Mx=-0.01 Mz=-15.56
Sollecitazioni agenti localmente: Ty_l=-6663.95 My_l=-136.70
Tensioni nella sezione: σ=1656.94 τ=201.94
CC 34 SLU (Collegamento -182_-384)
Azioni sul collegamento: N=-36428.20 Ty=-20.21 Tz=102.49 Mx=-0.01 Mz=-15.01
Sollecitazioni agenti localmente: Ty_l=-6517.42 My_l=-133.69
Tensioni nella sezione: σ=1620.49 τ=197.50
CC 35 SLU (Collegamento -182_-384)
Azioni sul collegamento: N=-36836.10 Ty=-20.67 Tz=103.93 Mx=-0.00 Mz=-15.47
Sollecitazioni agenti localmente: Ty_l=-6591.56 My_l=-135.21
Tensioni nella sezione: σ=1638.95 τ=199.74
CC 36 SLU (Collegamento -182_-384)
Azioni sul collegamento: N=-36834.40 Ty=-20.49 Tz=104.05 Mx=-0.01 Mz=-15.10
Sollecitazioni agenti localmente: Ty_l=-6589.80 My_l=-135.18
Tensioni nella sezione: σ=1638.49 τ=199.69
CC 37 SLU (Collegamento -182_-384)
Azioni sul collegamento: N=-28075.80 Ty=-20.08 Tz=71.84 Mx=-0.01 Mz=-14.76
Sollecitazioni agenti localmente: Ty_l=-5035.80 My_l=-103.32
Tensioni nella sezione: σ=1252.32 τ=152.60
CC 38 SLU (Collegamento -182_-384)
Azioni sul collegamento: N=-27261.60 Ty=-19.33 Tz=68.83 Mx=-0.01 Mz=-14.21
Sollecitazioni agenti localmente: Ty_l=-4889.27 My_l=-100.31
Tensioni nella sezione: σ=1215.87 τ=148.16
CC 39 SLU (Collegamento -182_-384)
Azioni sul collegamento: N=-27669.60 Ty=-19.79 Tz=70.28 Mx=-0.00 Mz=-14.67
Sollecitazioni agenti localmente: Ty_l=-4963.42 My_l=-101.83
Tensioni nella sezione: σ=1234.32 τ=150.41
CC 40 SLU (Collegamento -182_-384)
Azioni sul collegamento: N=-27667.80 Ty=-19.61 Tz=70.39 Mx=-0.01 Mz=-14.31
Sollecitazioni agenti localmente: Ty_l=-4961.65 My_l=-101.79
Tensioni nella sezione: σ=1233.86 τ=150.35
CC 41 SLU (Collegamento -182_-384)
Azioni sul collegamento: N=-30474.50 Ty=9.93 Tz=80.11 Mx=-0.01 Mz=7.87
Sollecitazioni agenti localmente: Ty_l=-5370.99 My_l=-110.06
Tensioni nella sezione: σ=1334.08 τ=162.76
CC 42 SLU (Collegamento -182_-384)
Azioni sul collegamento: N=-29660.30 Ty=10.68 Tz=77.11 Mx=-0.01 Mz=8.42
Sollecitazioni agenti localmente: Ty_l=-5224.46 My_l=-107.06
Tensioni nella sezione: σ=1297.63 τ=158.32
CC 43 SLU (Collegamento -182_-384)
Azioni sul collegamento: N=-30068.30 Ty=10.21 Tz=78.55 Mx=-0.00 Mz=7.97
Sollecitazioni agenti localmente: Ty_l=-5298.61 My_l=-108.58
Tensioni nella sezione: σ=1316.09 τ=160.56
CC 44 SLU (Collegamento -182_-384)
Azioni sul collegamento: N=-30066.50 Ty=10.39 Tz=78.67 Mx=-0.01 Mz=8.33
Sollecitazioni agenti localmente: Ty_l=-5296.85 My_l=-108.54
Tensioni nella sezione: σ=1315.62 τ=160.51
CC 45 SLU (Collegamento -182_-384)
Azioni sul collegamento: N=-30085.80 Ty=-20.31 Tz=79.22 Mx=-0.00 Mz=-15.08
Sollecitazioni agenti localmente: Ty_l=-5393.37 My_l=-110.65
Tensioni nella sezione: σ=1341.19 τ=163.44
CC 46 SLU (Collegamento -182_-384)
Azioni sul collegamento: N=-29271.60 Ty=-19.56 Tz=76.22 Mx=-0.00 Mz=-14.53
Sollecitazioni agenti localmente: Ty_l=-5246.85 My_l=-107.64
Tensioni nella sezione: σ=1304.74 τ=159.00
CC 47 SLU (Collegamento -182_-384)
Azioni sul collegamento: N=-29679.60 Ty=-20.02 Tz=77.66 Mx=-0.00 Mz=-14.99
Sollecitazioni agenti localmente: Ty_l=-5320.99 My_l=-109.16
Tensioni nella sezione: σ=1323.20 τ=161.24
CC 48 SLU (Collegamento -182_-384)
Azioni sul collegamento: N=-29677.80 Ty=-19.84 Tz=77.78 Mx=-0.01 Mz=-14.62
Sollecitazioni agenti localmente: Ty_l=-5319.23 My_l=-109.13
Tensioni nella sezione: σ=1322.73 τ=161.19
CC 49 SLU (Collegamento -182_-384)
Azioni sul collegamento: N=-23227.80 Ty=-19.65 Tz=54.04 Mx=-0.00 Mz=-14.49
Sollecitazioni agenti localmente: Ty_l=-4175.28 My_l=-85.67

Tensioni nella sezione: σ=1038.47 τ=126.52
CC 50 SLU (Collegamento -182_-384)
Azioni sul collegamento: N=-22413.60 Ty=-18.90 Tz=51.04 Mx=-0.00 Mz=-13.93
Sollecitazioni agenti localmente: Ty_l=-4028.75 My_l=-82.67
Tensioni nella sezione: σ=1002.02 τ=122.08
CC 51 SLU (Collegamento -182_-384)
Azioni sul collegamento: N=-22821.60 Ty=-19.36 Tz=52.48 Mx=-0.00 Mz=-14.39
Sollecitazioni agenti localmente: Ty_l=-4102.90 My_l=-84.19
Tensioni nella sezione: σ=1020.48 τ=124.33
CC 52 SLU (Collegamento -182_-384)
Azioni sul collegamento: N=-22819.80 Ty=-19.19 Tz=52.60 Mx=-0.01 Mz=-14.03
Sollecitazioni agenti localmente: Ty_l=-4101.13 My_l=-84.15
Tensioni nella sezione: σ=1020.02 τ=124.28
CC 53 SLU (Collegamento -182_-384)
Azioni sul collegamento: N=-25022.40 Ty=2.80 Tz=60.23 Mx=-0.00 Mz=2.45
Sollecitazioni agenti localmente: Ty_l=-4426.05 My_l=-90.72
Tensioni nella sezione: σ=1099.64 τ=134.12
CC 54 SLU (Collegamento -182_-384)
Azioni sul collegamento: N=-24208.20 Ty=3.55 Tz=57.23 Mx=-0.01 Mz=3.00
Sollecitazioni agenti localmente: Ty_l=-4279.52 My_l=-87.71
Tensioni nella sezione: σ=1063.19 τ=129.68
CC 55 SLU (Collegamento -182_-384)
Azioni sul collegamento: N=-24616.20 Ty=3.09 Tz=58.67 Mx=-0.00 Mz=2.54
Sollecitazioni agenti localmente: Ty_l=-4353.67 My_l=-89.24
Tensioni nella sezione: σ=1081.65 τ=131.93
CC 56 SLU (Collegamento -182_-384)
Azioni sul collegamento: N=-24614.50 Ty=3.26 Tz=58.79 Mx=-0.01 Mz=2.91
Sollecitazioni agenti localmente: Ty_l=-4351.91 My_l=-89.20
Tensioni nella sezione: σ=1081.19 τ=131.88
CC 57 SLU (Collegamento -182_-384)
Azioni sul collegamento: N=-27876.60 Ty=-18.56 Tz=71.09 Mx=-0.00 Mz=-13.78
Sollecitazioni agenti localmente: Ty_l=-4996.59 My_l=-102.51
Tensioni nella sezione: σ=1242.51 τ=151.41
CC 58 SLU (Collegamento -182_-384)
Azioni sul collegamento: N=-27062.40 Ty=-17.81 Tz=68.08 Mx=-0.00 Mz=-13.23
Sollecitazioni agenti localmente: Ty_l=-4850.07 My_l=-99.50
Tensioni nella sezione: σ=1206.06 τ=146.97
CC 59 SLU (Collegamento -182_-384)
Azioni sul collegamento: N=-27470.40 Ty=-18.27 Tz=69.53 Mx=-0.00 Mz=-13.69
Sollecitazioni agenti localmente: Ty_l=-4924.21 My_l=-101.02
Tensioni nella sezione: σ=1224.52 τ=149.22
CC 60 SLU (Collegamento -182_-384)
Azioni sul collegamento: N=-27468.70 Ty=-18.09 Tz=69.65 Mx=-0.01 Mz=-13.33
Sollecitazioni agenti localmente: Ty_l=-4922.45 My_l=-100.98
Tensioni nella sezione: σ=1224.05 τ=149.16
CC 61 SLU (Collegamento -182_-384)
Azioni sul collegamento: N=-21018.70 Ty=-17.90 Tz=45.91 Mx=-0.00 Mz=-13.19
Sollecitazioni agenti localmente: Ty_l=-3778.50 My_l=-77.53
Tensioni nella sezione: σ=939.79 τ=114.50
CC 62 SLU (Collegamento -182_-384)
Azioni sul collegamento: N=-20204.50 Ty=-17.15 Tz=42.91 Mx=-0.00 Mz=-12.64
Sollecitazioni agenti localmente: Ty_l=-3631.97 My_l=-74.53
Tensioni nella sezione: σ=903.34 τ=110.06
CC 63 SLU (Collegamento -182_-384)
Azioni sul collegamento: N=-20612.50 Ty=-17.61 Tz=44.35 Mx=-0.00 Mz=-13.10
Sollecitazioni agenti localmente: Ty_l=-3706.12 My_l=-76.05
Tensioni nella sezione: σ=921.80 τ=112.31
CC 64 SLU (Collegamento -182_-384)
Azioni sul collegamento: N=-20610.70 Ty=-17.43 Tz=44.47 Mx=-0.01 Mz=-12.73
Sollecitazioni agenti localmente: Ty_l=-3704.35 My_l=-76.01
Tensioni nella sezione: σ=921.34 τ=112.25
CC 65 SLU (Collegamento -182_-384)
Azioni sul collegamento: N=-22813.30 Ty=4.55 Tz=52.10 Mx=-0.00 Mz=3.75
Sollecitazioni agenti localmente: Ty_l=-4029.27 My_l=-82.58
Tensioni nella sezione: σ=1000.96 τ=122.10
CC 66 SLU (Collegamento -182_-384)
Azioni sul collegamento: N=-21999.10 Ty=5.30 Tz=49.10 Mx=-0.00 Mz=4.30
Sollecitazioni agenti localmente: Ty_l=-3882.74 My_l=-79.57
Tensioni nella sezione: σ=964.51 τ=117.66
CC 67 SLU (Collegamento -182_-384)
Azioni sul collegamento: N=-22407.10 Ty=4.84 Tz=50.54 Mx=-0.00 Mz=3.84
Sollecitazioni agenti localmente: Ty_l=-3956.89 My_l=-81.09
Tensioni nella sezione: σ=982.97 τ=119.91
CC 68 SLU (Collegamento -182_-384)
Azioni sul collegamento: N=-22405.30 Ty=5.01 Tz=50.66 Mx=-0.01 Mz=4.20
Sollecitazioni agenti localmente: Ty_l=-3955.13 My_l=-81.06
Tensioni nella sezione: σ=982.50 τ=119.85
CC 97 SLU (Collegamento -182_-384)
Azioni sul collegamento: N=-12779.50 Ty=-22.48 Tz=24.03 Mx=-0.06 Mz=-25.00
Sollecitazioni agenti localmente: Ty_l=-2364.90 My_l=-48.62

Tensioni nella sezione: σ=589.33 τ=71.66
CC 98 SLU (Collegamento -182_-384)
Azioni sul collegamento: N=-11965.30 Ty=-21.73 Tz=21.02 Mx=-0.06 Mz=-24.45
Sollecitazioni agenti localmente: Ty_l=-2218.38 My_l=-45.61
Tensioni nella sezione: σ=552.88 τ=67.22
CC 99 SLU (Collegamento -182_-384)
Azioni sul collegamento: N=-12373.20 Ty=-22.20 Tz=22.47 Mx=-0.05 Mz=-24.91
Sollecitazioni agenti localmente: Ty_l=-2292.52 My_l=-47.14
Tensioni nella sezione: σ=571.34 τ=69.47
CC 100 SLU (Collegamento -182_-384)
Azioni sul collegamento: N=-12371.50 Ty=-22.02 Tz=22.58 Mx=-0.06 Mz=-24.55
Sollecitazioni agenti localmente: Ty_l=-2290.76 My_l=-47.10
Tensioni nella sezione: σ=570.88 τ=69.42
CC 101 SLU (Collegamento -182_-384)
Azioni sul collegamento: N=-10566.60 Ty=-8.33 Tz=15.50 Mx=0.00 Mz=-5.31
Sollecitazioni agenti localmente: Ty_l=-1894.30 My_l=-38.86
Tensioni nella sezione: σ=471.06 τ=57.40
CC 102 SLU (Collegamento -182_-384)
Azioni sul collegamento: N=-9752.38 Ty=-7.57 Tz=12.50 Mx=0.00 Mz=-4.76
Sollecitazioni agenti localmente: Ty_l=-1747.77 My_l=-35.86
Tensioni nella sezione: σ=434.62 τ=52.96
CC 103 SLU (Collegamento -182_-384)
Azioni sul collegamento: N=-10160.40 Ty=-8.04 Tz=13.94 Mx=0.00 Mz=-5.22
Sollecitazioni agenti localmente: Ty_l=-1821.92 My_l=-37.38
Tensioni nella sezione: σ=453.07 τ=55.21
CC 104 SLU (Collegamento -182_-384)
Azioni sul collegamento: N=-10158.60 Ty=-7.86 Tz=14.06 Mx=0.00 Mz=-4.85
Sollecitazioni agenti localmente: Ty_l=-1820.15 My_l=-37.34
Tensioni nella sezione: σ=452.61 τ=55.16

Collegamento -375_-503

Saldatura a cordone d'angolo
Altezza di gola saldature: anima 7.07 - ala 7.07

Saldatura profilo-profilo

CC 102 SLU (Collegamento -375_-503)
Azioni sul collegamento: N=354.85 Ty=10.42 Tz=-92.75 Mx=1.47 Mz=9.36
Sollecitazioni agenti localmente: Tx_l=10.42 Ty_l=-92.75 N_l=354.85 My_l=-9.36 Mz_l=1.47
Azioni sul cordone: TP=-2.46 TO=7.98 NO=26.11
Tensioni nel cordone: τ_P=0.78 τ_O=2.54 σ_O=21.97 σ_{ID}=22.13 Σ_T=24.50
CC 128 SLU (Collegamento -375_-503)
Azioni sul collegamento: N=313.49 Ty=13.61 Tz=-86.35 Mx=1.65 Mz=10.71
Sollecitazioni agenti localmente: Tx_l=13.61 Ty_l=-86.35 N_l=313.49 My_l=-10.71 Mz_l=1.65
Azioni sul cordone: TP=-2.90 TO=7.65 NO=23.07
Tensioni nel cordone: τ_P=0.92 τ_O=2.43 σ_O=22.98 σ_{ID}=23.12 Σ_T=25.41

Verifica lato anima della colonna

CC 98 SLU (Collegamento -375_-503)
Azioni sul collegamento: N=365.33 Ty=3.40 Tz=-94.37 Mx=-0.00 Mz=0.87
Zona tesa: F=147.11 b_{eff}=13.20 t_w=0.70 σ=15.92
Zona tesa: F=147.11 b_{eff}=13.20 t_w=0.70 σ=15.92

Collegamento -376_-504

Saldatura a cordone d'angolo
Altezza di gola saldature: anima 7.07 - ala 7.07

Saldatura profilo-profilo

CC 1 SLV (Collegamento -376_-504)
Azioni sul collegamento: N=176.80 Ty=1.82 Tz=-55.38 Mx=0.47 Mz=2.63
Sollecitazioni agenti localmente: Tx_l=1.82 Ty_l=-55.38 N_l=176.80 My_l=-2.63 Mz_l=0.47
Azioni sul cordone: TP=-0.68 TO=4.45 NO=13.01
Tensioni nel cordone: τ_P=0.22 τ_O=1.41 σ_O=7.98 σ_{ID}=8.11 Σ_T=9.39
CC 1 SLV (Collegamento -376_-504)
Azioni sul collegamento: N=176.80 Ty=0.22 Tz=-55.38 Mx=0.14 Mz=0.47
Sollecitazioni agenti localmente: Tx_l=0.22 Ty_l=-55.38 N_l=176.80 My_l=-0.47 Mz_l=0.14
Azioni sul cordone: TP=-0.18 TO=4.19 NO=13.01
Tensioni nel cordone: τ_P= 0.06 τ_O=1.33 σ_O=4.82 σ_{ID}=5.00 Σ_T=6.15
CC 1 SLV (Collegamento -376_-504)
Azioni sul collegamento: N=176.80 Ty=1.82 Tz=-55.38 Mx=0.47 Mz=2.63
Sollecitazioni agenti localmente: Tx_l=1.82 Ty_l=-55.38 N_l=176.80 My_l=-2.63 Mz_l=0.47
Azioni sul cordone: TP=-0.68 TO=4.45 NO=13.01
Tensioni nel cordone: τ_P=0.22 τ_O=1.41 σ_O=7.98 σ_{ID}=8.11 Σ_T=9.39
CC 1 SLV (Collegamento -376_-504)
Azioni sul collegamento: N=176.80 Ty=0.22 Tz=-55.38 Mx=0.14 Mz=0.47
Sollecitazioni agenti localmente: Tx_l=0.22 Ty_l=-55.38 N_l=176.80 My_l=-0.47 Mz_l=0.14
Azioni sul cordone: TP=-0.18 TO=4.19 NO=13.01

Tensioni nel cordone: τ_P= 0.06 τ_0=1.33 σ_0=4.82 σ_{ID}=5.00 Σ_T=6.15
CC 1 SLV (Collegamento -376_-504)
Azioni sul collegamento: N=122.83 Ty=1.82 Tz=-47.03 Mx=0.47 Mz=2.63
Sollecitazioni agenti localmente: Tx_l=1.82 Ty_l=-47.03 N_l=122.83 My_l=-2.63 Mz_l=0.47
Azioni sul cordone: TP=-0.68 TO=3.83 NO=9.04
Tensioni nel cordone: τ_P=0.22 τ_0=1.22 σ_0=6.72 σ_{ID}=6.83 Σ_T=7.94
CC 1 SLV (Collegamento -376_-504)
Azioni sul collegamento: N=122.83 Ty=0.22 Tz=-47.03 Mx=0.14 Mz=0.47
Sollecitazioni agenti localmente: Tx_l=0.22 Ty_l=-47.03 N_l=122.83 My_l=-0.47 Mz_l=0.14
Azioni sul cordone: TP=-0.18 TO=3.57 NO=9.04
Tensioni nel cordone: τ_P= 0.06 τ_0=1.14 σ_0=3.56 σ_{ID}=3.74 Σ_T=4.70
CC 1 SLV (Collegamento -376_-504)
Azioni sul collegamento: N=122.83 Ty=1.82 Tz=-47.03 Mx=0.47 Mz=2.63
Sollecitazioni agenti localmente: Tx_l=1.82 Ty_l=-47.03 N_l=122.83 My_l=-2.63 Mz_l=0.47
Azioni sul cordone: TP=-0.68 TO=3.83 NO=9.04
Tensioni nel cordone: τ_P=0.22 τ_0=1.22 σ_0=6.72 σ_{ID}=6.83 Σ_T=7.94
CC 1 SLV (Collegamento -376_-504)
Azioni sul collegamento: N=122.83 Ty=0.22 Tz=-47.03 Mx=0.14 Mz=0.47
Sollecitazioni agenti localmente: Tx_l=0.22 Ty_l=-47.03 N_l=122.83 My_l=-0.47 Mz_l=0.14
Azioni sul cordone: TP=-0.18 TO=3.57 NO=9.04
Tensioni nel cordone: τ_P= 0.06 τ_0=1.14 σ_0=3.56 σ_{ID}=3.74 Σ_T=4.70
CC 2 SLD (Collegamento -376_-504)
Azioni sul collegamento: N=156.43 Ty=1.58 Tz=-52.23 Mx=0.40 Mz=2.22
Sollecitazioni agenti localmente: Tx_l=1.58 Ty_l=-52.23 N_l=156.43 My_l=-2.22 Mz_l=0.40
Azioni sul cordone: TP=-0.58 TO=4.16 NO=11.51
Tensioni nel cordone: τ_P=0.18 τ_0=1.32 σ_0=6.91 σ_{ID}=7.04 Σ_T=8.23
CC 2 SLD (Collegamento -376_-504)
Azioni sul collegamento: N=156.43 Ty=1.10 Tz=-52.23 Mx=0.30 Mz=1.57
Sollecitazioni agenti localmente: Tx_l=1.10 Ty_l=-52.23 N_l=156.43 My_l=-1.57 Mz_l=0.30
Azioni sul cordone: TP=-0.43 TO=4.08 NO=11.51
Tensioni nel cordone: τ_P=0.14 τ_0=1.30 σ_0=5.94 σ_{ID}=6.09 Σ_T=7.24
CC 2 SLD (Collegamento -376_-504)
Azioni sul collegamento: N=156.43 Ty=1.58 Tz=-52.23 Mx=0.40 Mz=2.22
Sollecitazioni agenti localmente: Tx_l=1.58 Ty_l=-52.23 N_l=156.43 My_l=-2.22 Mz_l=0.40
Azioni sul cordone: TP=-0.58 TO=4.16 NO=11.51
Tensioni nel cordone: τ_P=0.18 τ_0=1.32 σ_0=6.91 σ_{ID}=7.04 Σ_T=8.23
CC 2 SLD (Collegamento -376_-504)
Azioni sul collegamento: N=156.43 Ty=1.10 Tz=-52.23 Mx=0.30 Mz=1.57
Sollecitazioni agenti localmente: Tx_l=1.10 Ty_l=-52.23 N_l=156.43 My_l=-1.57 Mz_l=0.30
Azioni sul cordone: TP=-0.43 TO=4.08 NO=11.51
Tensioni nel cordone: τ_P=0.14 τ_0=1.30 σ_0=5.94 σ_{ID}=6.09 Σ_T=7.24
CC 2 SLD (Collegamento -376_-504)
Azioni sul collegamento: N=139.97 Ty=1.58 Tz=-49.68 Mx=0.40 Mz=2.22
Sollecitazioni agenti localmente: Tx_l=1.58 Ty_l=-49.68 N_l=139.97 My_l=-2.22 Mz_l=0.40
Azioni sul cordone: TP=-0.58 TO=3.97 NO=10.30
Tensioni nel cordone: τ_P=0.18 τ_0=1.26 σ_0=6.52 σ_{ID}=6.65 Σ_T=7.79
CC 2 SLD (Collegamento -376_-504)
Azioni sul collegamento: N=139.97 Ty=1.10 Tz=-49.68 Mx=0.30 Mz=1.57
Sollecitazioni agenti localmente: Tx_l=1.10 Ty_l=-49.68 N_l=139.97 My_l=-1.57 Mz_l=0.30
Azioni sul cordone: TP=-0.43 TO=3.89 NO=10.30
Tensioni nel cordone: τ_P=0.14 τ_0=1.24 σ_0=5.56 σ_{ID}=5.70 Σ_T=6.80
CC 2 SLD (Collegamento -376_-504)
Azioni sul collegamento: N=139.97 Ty=1.58 Tz=-49.68 Mx=0.40 Mz=2.22
Sollecitazioni agenti localmente: Tx_l=1.58 Ty_l=-49.68 N_l=139.97 My_l=-2.22 Mz_l=0.40
Azioni sul cordone: TP=-0.58 TO=3.97 NO=10.30
Tensioni nel cordone: τ_P=0.18 τ_0=1.26 σ_0=6.52 σ_{ID}=6.65 Σ_T=7.79
CC 2 SLD (Collegamento -376_-504)
Azioni sul collegamento: N=139.97 Ty=1.10 Tz=-49.68 Mx=0.30 Mz=1.57
Sollecitazioni agenti localmente: Tx_l=1.10 Ty_l=-49.68 N_l=139.97 My_l=-1.57 Mz_l=0.30
Azioni sul cordone: TP=-0.43 TO=3.89 NO=10.30
Tensioni nel cordone: τ_P=0.14 τ_0=1.24 σ_0=5.56 σ_{ID}=5.70 Σ_T=6.80
CC 3 SLV (Collegamento -376_-504)
Azioni sul collegamento: N=176.71 Ty=1.54 Tz=-55.37 Mx=0.43 Mz=2.39
Sollecitazioni agenti localmente: Tx_l=1.54 Ty_l=-55.37 N_l=176.71 My_l=-2.39 Mz_l=0.43
Azioni sul cordone: TP=-0.61 TO=4.42 NO=13.00
Tensioni nel cordone: τ_P=0.19 τ_0=1.40 σ_0=7.62 σ_{ID}=7.75 Σ_T=9.02
CC 3 SLV (Collegamento -376_-504)
Azioni sul collegamento: N=176.71 Ty=0.50 Tz=-55.37 Mx=0.18 Mz=0.72
Sollecitazioni agenti localmente: Tx_l=0.50 Ty_l=-55.37 N_l=176.71 My_l=-0.72 Mz_l=0.18
Azioni sul cordone: TP=-0.24 TO=4.21 NO=13.00
Tensioni nel cordone: τ_P= 0.08 τ_0=1.34 σ_0=5.18 σ_{ID}=5.35 Σ_T=6.52
CC 3 SLV (Collegamento -376_-504)
Azioni sul collegamento: N=176.71 Ty=1.54 Tz=-55.37 Mx=0.43 Mz=2.39
Sollecitazioni agenti localmente: Tx_l=1.54 Ty_l=-55.37 N_l=176.71 My_l=-2.39 Mz_l=0.43
Azioni sul cordone: TP=-0.61 TO=4.42 NO=13.00
Tensioni nel cordone: τ_P=0.19 τ_0=1.40 σ_0=7.62 σ_{ID}=7.75 Σ_T=9.02
CC 3 SLV (Collegamento -376_-504)
Azioni sul collegamento: N=176.71 Ty=0.50 Tz=-55.37 Mx=0.18 Mz=0.72
Sollecitazioni agenti localmente: Tx_l=0.50 Ty_l=-55.37 N_l=176.71 My_l=-0.72 Mz_l=0.18
Azioni sul cordone: TP=-0.24 TO=4.21 NO=13.00
Tensioni nel cordone: τ_P= 0.08 τ_0=1.34 σ_0=5.18 σ_{ID}=5.35 Σ_T=6.52

CC 3 SLV (Collegamento -376_-504)
Azioni sul collegamento: N=122.93 Ty=1.54 Tz=-47.05 Mx=0.43 Mz=2.39
Sollecitazioni agenti localmente: Tx_l=1.54 Ty_l=-47.05 N_l=122.93 My_l=-2.39 Mz_l=0.43
Azioni sul cordone: TP=-0.61 TO=3.80 NO=9.05
Tensioni nel cordone: τ_P=0.19 τ_0=1.21 σ_0=6.36 σ_{ID}=6.48 Σ_T=7.57
CC 3 SLV (Collegamento -376_-504)
Azioni sul collegamento: N=122.93 Ty=0.50 Tz=-47.05 Mx=0.18 Mz=0.72
Sollecitazioni agenti localmente: Tx_l=0.50 Ty_l=-47.05 N_l=122.93 My_l=-0.72 Mz_l=0.18
Azioni sul cordone: TP=-0.24 TO=3.60 NO=9.05
Tensioni nel cordone: τ_P= 0.08 τ_0=1.14 σ_0=3.92 σ_{ID}=4.09 Σ_T=5.07
CC 3 SLV (Collegamento -376_-504)
Azioni sul collegamento: N=122.93 Ty=1.54 Tz=-47.05 Mx=0.43 Mz=2.39
Sollecitazioni agenti localmente: Tx_l=1.54 Ty_l=-47.05 N_l=122.93 My_l=-2.39 Mz_l=0.43
Azioni sul cordone: TP=-0.61 TO=3.80 NO=9.05
Tensioni nel cordone: τ_P=0.19 τ_0=1.21 σ_0=6.36 σ_{ID}=6.48 Σ_T=7.57
CC 3 SLV (Collegamento -376_-504)
Azioni sul collegamento: N=122.93 Ty=0.50 Tz=-47.05 Mx=0.18 Mz=0.72
Sollecitazioni agenti localmente: Tx_l=0.50 Ty_l=-47.05 N_l=122.93 My_l=-0.72 Mz_l=0.18
Azioni sul cordone: TP=-0.24 TO=3.60 NO=9.05
Tensioni nel cordone: τ_P= 0.08 τ_0=1.14 σ_0=3.92 σ_{ID}=4.09 Σ_T=5.07
CC 4 SLD (Collegamento -376_-504)
Azioni sul collegamento: N=156.40 Ty=1.50 Tz=-52.23 Mx=0.39 Mz=2.15
Sollecitazioni agenti localmente: Tx_l=1.50 Ty_l=-52.23 N_l=156.40 My_l=-2.15 Mz_l=0.39
Azioni sul cordone: TP=-0.56 TO=4.15 NO=11.51
Tensioni nel cordone: τ_P=0.18 τ_0=1.32 σ_0=6.80 σ_{ID}=6.93 Σ_T=8.12
CC 4 SLD (Collegamento -376_-504)
Azioni sul collegamento: N=156.40 Ty=1.18 Tz=-52.23 Mx=0.31 Mz=1.64
Sollecitazioni agenti localmente: Tx_l=1.18 Ty_l=-52.23 N_l=156.40 My_l=-1.64 Mz_l=0.31
Azioni sul cordone: TP=-0.44 TO=4.09 NO=11.51
Tensioni nel cordone: τ_P=0.14 τ_0=1.30 σ_0=6.05 σ_{ID}=6.19 Σ_T=7.35
CC 4 SLD (Collegamento -376_-504)
Azioni sul collegamento: N=156.40 Ty=1.50 Tz=-52.23 Mx=0.39 Mz=2.15
Sollecitazioni agenti localmente: Tx_l=1.50 Ty_l=-52.23 N_l=156.40 My_l=-2.15 Mz_l=0.39
Azioni sul cordone: TP=-0.56 TO=4.15 NO=11.51
Tensioni nel cordone: τ_P=0.18 τ_0=1.32 σ_0=6.80 σ_{ID}=6.93 Σ_T=8.12
CC 4 SLD (Collegamento -376_-504)
Azioni sul collegamento: N=156.40 Ty=1.18 Tz=-52.23 Mx=0.31 Mz=1.64
Sollecitazioni agenti localmente: Tx_l=1.18 Ty_l=-52.23 N_l=156.40 My_l=-1.64 Mz_l=0.31
Azioni sul cordone: TP=-0.44 TO=4.09 NO=11.51
Tensioni nel cordone: τ_P=0.14 τ_0=1.30 σ_0=6.05 σ_{ID}=6.19 Σ_T=7.35
CC 4 SLD (Collegamento -376_-504)
Azioni sul collegamento: N=140.00 Ty=1.50 Tz=-49.69 Mx=0.39 Mz=2.15
Sollecitazioni agenti localmente: Tx_l=1.50 Ty_l=-49.69 N_l=140.00 My_l=-2.15 Mz_l=0.39
Azioni sul cordone: TP=-0.56 TO=3.96 NO=10.30
Tensioni nel cordone: τ_P=0.18 τ_0=1.26 σ_0=6.41 σ_{ID}=6.54 Σ_T=7.67
CC 4 SLD (Collegamento -376_-504)
Azioni sul collegamento: N=140.00 Ty=1.18 Tz=-49.69 Mx=0.31 Mz=1.64
Sollecitazioni agenti localmente: Tx_l=1.18 Ty_l=-49.69 N_l=140.00 My_l=-1.64 Mz_l=0.31
Azioni sul cordone: TP=-0.44 TO=3.90 NO=10.30
Tensioni nel cordone: τ_P=0.14 τ_0=1.24 σ_0=5.67 σ_{ID}=5.81 Σ_T=6.91
CC 4 SLD (Collegamento -376_-504)
Azioni sul collegamento: N=140.00 Ty=1.50 Tz=-49.69 Mx=0.39 Mz=2.15
Sollecitazioni agenti localmente: Tx_l=1.50 Ty_l=-49.69 N_l=140.00 My_l=-2.15 Mz_l=0.39
Azioni sul cordone: TP=-0.56 TO=3.96 NO=10.30
Tensioni nel cordone: τ_P=0.18 τ_0=1.26 σ_0=6.41 σ_{ID}=6.54 Σ_T=7.67
CC 4 SLD (Collegamento -376_-504)
Azioni sul collegamento: N=140.00 Ty=1.18 Tz=-49.69 Mx=0.31 Mz=1.64
Sollecitazioni agenti localmente: Tx_l=1.18 Ty_l=-49.69 N_l=140.00 My_l=-1.64 Mz_l=0.31
Azioni sul cordone: TP=-0.44 TO=3.90 NO=10.30
Tensioni nel cordone: τ_P=0.14 τ_0=1.24 σ_0=5.67 σ_{ID}=5.81 Σ_T=6.91
CC 5 SLV (Collegamento -376_-504)
Azioni sul collegamento: N=122.93 Ty=0.50 Tz=-47.05 Mx=0.14 Mz=0.72
Sollecitazioni agenti localmente: Tx_l=0.50 Ty_l=-47.05 N_l=122.93 My_l=-0.72 Mz_l=0.14
Azioni sul cordone: TP=-0.20 TO=3.57 NO=9.05
Tensioni nel cordone: τ_P= 0.06 τ_0=1.14 σ_0=3.93 σ_{ID}=4.09 Σ_T=5.07
CC 5 SLV (Collegamento -376_-504)
Azioni sul collegamento: N=122.93 Ty=1.54 Tz=-47.05 Mx=0.40 Mz=2.39
Sollecitazioni agenti localmente: Tx_l=1.54 Ty_l=-47.05 N_l=122.93 My_l=-2.39 Mz_l=0.40
Azioni sul cordone: TP=-0.57 TO=3.78 NO=9.05
Tensioni nel cordone: τ_P=0.18 τ_0=1.20 σ_0=6.37 σ_{ID}=6.48 Σ_T=7.57
CC 5 SLV (Collegamento -376_-504)
Azioni sul collegamento: N=122.93 Ty=0.50 Tz=-47.05 Mx=0.14 Mz=0.72
Sollecitazioni agenti localmente: Tx_l=0.50 Ty_l=-47.05 N_l=122.93 My_l=-0.72 Mz_l=0.14
Azioni sul cordone: TP=-0.20 TO=3.57 NO=9.05
Tensioni nel cordone: τ_P= 0.06 τ_0=1.14 σ_0=3.93 σ_{ID}=4.09 Σ_T=5.07
CC 5 SLV (Collegamento -376_-504)
Azioni sul collegamento: N=122.93 Ty=1.54 Tz=-47.05 Mx=0.40 Mz=2.39
Sollecitazioni agenti localmente: Tx_l=1.54 Ty_l=-47.05 N_l=122.93 My_l=-2.39 Mz_l=0.40
Azioni sul cordone: TP=-0.57 TO=3.78 NO=9.05
Tensioni nel cordone: τ_P=0.18 τ_0=1.20 σ_0=6.37 σ_{ID}=6.48 Σ_T=7.57
CC 5 SLV (Collegamento -376_-504)

Azioni sul collegamento: N=176.71 Ty=0.50 Tz=-55.37 Mx=0.14 Mz=0.72
Sollecitazioni agenti localmente: Tx_l=0.50 Ty_l=-55.37 N_l=176.71 My_l=-0.72 Mz_l=0.14
Azioni sul cordone: TP=-0.20 TO=4.19 NO=13.00
Tensioni nel cordone: τ_P= 0.06 τ_0=1.33 σ_0=5.19 σ_{ID}=5.36 Σ_T=6.52
CC 5 SLV (Collegamento -376_-504)
Azioni sul collegamento: N=176.71 Ty=1.54 Tz=-55.37 Mx=0.40 Mz=2.39
Sollecitazioni agenti localmente: Tx_l=1.54 Ty_l=-55.37 N_l=176.71 My_l=-2.39 Mz_l=0.40
Azioni sul cordone: TP=-0.57 TO=4.39 NO=13.00
Tensioni nel cordone: τ_P=0.18 τ_0=1.40 σ_0=7.62 σ_{ID}=7.75 Σ_T=9.02
CC 5 SLV (Collegamento -376_-504)
Azioni sul collegamento: N=176.71 Ty=0.50 Tz=-55.37 Mx=0.14 Mz=0.72
Sollecitazioni agenti localmente: Tx_l=0.50 Ty_l=-55.37 N_l=176.71 My_l=-0.72 Mz_l=0.14
Azioni sul cordone: TP=-0.20 TO=4.19 NO=13.00
Tensioni nel cordone: τ_P= 0.06 τ_0=1.33 σ_0=5.19 σ_{ID}=5.36 Σ_T=6.52
CC 5 SLV (Collegamento -376_-504)
Azioni sul collegamento: N=176.71 Ty=1.54 Tz=-55.37 Mx=0.40 Mz=2.39
Sollecitazioni agenti localmente: Tx_l=1.54 Ty_l=-55.37 N_l=176.71 My_l=-2.39 Mz_l=0.40
Azioni sul cordone: TP=-0.57 TO=4.39 NO=13.00
Tensioni nel cordone: τ_P=0.18 τ_0=1.40 σ_0=7.62 σ_{ID}=7.75 Σ_T=9.02
CC 6 SLD (Collegamento -376_-504)
Azioni sul collegamento: N=140.00 Ty=1.18 Tz=-49.69 Mx=0.30 Mz=1.64
Sollecitazioni agenti localmente: Tx_l=1.18 Ty_l=-49.69 N_l=140.00 My_l=-1.64 Mz_l=0.30
Azioni sul cordone: TP=-0.43 TO=3.89 NO=10.30
Tensioni nel cordone: τ_P=0.14 τ_0=1.24 σ_0=5.67 σ_{ID}=5.81 Σ_T=6.91
CC 6 SLD (Collegamento -376_-504)
Azioni sul collegamento: N=140.00 Ty=1.50 Tz=-49.69 Mx=0.38 Mz=2.15
Sollecitazioni agenti localmente: Tx_l=1.50 Ty_l=-49.69 N_l=140.00 My_l=-2.15 Mz_l=0.38
Azioni sul cordone: TP=-0.55 TO=3.96 NO=10.30
Tensioni nel cordone: τ_P=0.17 τ_0=1.26 σ_0=6.42 σ_{ID}=6.54 Σ_T=7.67
CC 6 SLD (Collegamento -376_-504)
Azioni sul collegamento: N=140.00 Ty=1.18 Tz=-49.69 Mx=0.30 Mz=1.64
Sollecitazioni agenti localmente: Tx_l=1.18 Ty_l=-49.69 N_l=140.00 My_l=-1.64 Mz_l=0.30
Azioni sul cordone: TP=-0.43 TO=3.89 NO=10.30
Tensioni nel cordone: τ_P=0.14 τ_0=1.24 σ_0=5.67 σ_{ID}=5.81 Σ_T=6.91
CC 6 SLD (Collegamento -376_-504)
Azioni sul collegamento: N=140.00 Ty=1.50 Tz=-49.69 Mx=0.38 Mz=2.15
Sollecitazioni agenti localmente: Tx_l=1.50 Ty_l=-49.69 N_l=140.00 My_l=-2.15 Mz_l=0.38
Azioni sul cordone: TP=-0.55 TO=3.96 NO=10.30
Tensioni nel cordone: τ_P=0.17 τ_0=1.26 σ_0=6.42 σ_{ID}=6.54 Σ_T=7.67
CC 6 SLD (Collegamento -376_-504)
Azioni sul collegamento: N=156.40 Ty=1.18 Tz=-52.23 Mx=0.30 Mz=1.64
Sollecitazioni agenti localmente: Tx_l=1.18 Ty_l=-52.23 N_l=156.40 My_l=-1.64 Mz_l=0.30
Azioni sul cordone: TP=-0.43 TO=4.08 NO=11.51
Tensioni nel cordone: τ_P=0.14 τ_0=1.30 σ_0=6.06 σ_{ID}=6.20 Σ_T=7.35
CC 6 SLD (Collegamento -376_-504)
Azioni sul collegamento: N=156.40 Ty=1.50 Tz=-52.23 Mx=0.38 Mz=2.15
Sollecitazioni agenti localmente: Tx_l=1.50 Ty_l=-52.23 N_l=156.40 My_l=-2.15 Mz_l=0.38
Azioni sul cordone: TP=-0.55 TO=4.14 NO=11.51
Tensioni nel cordone: τ_P=0.17 τ_0=1.32 σ_0=6.80 σ_{ID}=6.93 Σ_T=8.12
CC 6 SLD (Collegamento -376_-504)
Azioni sul collegamento: N=156.40 Ty=1.18 Tz=-52.23 Mx=0.30 Mz=1.64
Sollecitazioni agenti localmente: Tx_l=1.18 Ty_l=-52.23 N_l=156.40 My_l=-1.64 Mz_l=0.30
Azioni sul cordone: TP=-0.43 TO=4.08 NO=11.51
Tensioni nel cordone: τ_P=0.14 τ_0=1.30 σ_0=6.06 σ_{ID}=6.20 Σ_T=7.35
CC 6 SLD (Collegamento -376_-504)
Azioni sul collegamento: N=156.40 Ty=1.50 Tz=-52.23 Mx=0.38 Mz=2.15
Sollecitazioni agenti localmente: Tx_l=1.50 Ty_l=-52.23 N_l=156.40 My_l=-2.15 Mz_l=0.38
Azioni sul cordone: TP=-0.55 TO=4.14 NO=11.51
Tensioni nel cordone: τ_P=0.17 τ_0=1.32 σ_0=6.80 σ_{ID}=6.93 Σ_T=8.12
CC 7 SLV (Collegamento -376_-504)
Azioni sul collegamento: N=122.83 Ty=0.22 Tz=-47.03 Mx=0.10 Mz=0.48
Sollecitazioni agenti localmente: Tx_l=0.22 Ty_l=-47.03 N_l=122.83 My_l=-0.48 Mz_l=0.10
Azioni sul cordone: TP=-0.13 TO=3.54 NO=9.04
Tensioni nel cordone: τ_P= 0.04 τ_0=1.13 σ_0=3.57 σ_{ID}=3.74 Σ_T=4.69
CC 7 SLV (Collegamento -376_-504)
Azioni sul collegamento: N=122.83 Ty=1.82 Tz=-47.03 Mx=0.44 Mz=2.64
Sollecitazioni agenti localmente: Tx_l=1.82 Ty_l=-47.03 N_l=122.83 My_l=-2.64 Mz_l=0.44
Azioni sul cordone: TP=-0.64 TO=3.80 NO=9.04
Tensioni nel cordone: τ_P=0.20 τ_0=1.21 σ_0=6.73 σ_{ID}=6.84 Σ_T=7.93
CC 7 SLV (Collegamento -376_-504)
Azioni sul collegamento: N=122.83 Ty=0.22 Tz=-47.03 Mx=0.10 Mz=0.48
Sollecitazioni agenti localmente: Tx_l=0.22 Ty_l=-47.03 N_l=122.83 My_l=-0.48 Mz_l=0.10
Azioni sul cordone: TP=-0.13 TO=3.54 NO=9.04
Tensioni nel cordone: τ_P= 0.04 τ_0=1.13 σ_0=3.57 σ_{ID}=3.74 Σ_T=4.69
CC 7 SLV (Collegamento -376_-504)
Azioni sul collegamento: N=122.83 Ty=1.82 Tz=-47.03 Mx=0.44 Mz=2.64
Sollecitazioni agenti localmente: Tx_l=1.82 Ty_l=-47.03 N_l=122.83 My_l=-2.64 Mz_l=0.44
Azioni sul cordone: TP=-0.64 TO=3.80 NO=9.04
Tensioni nel cordone: τ_P=0.20 τ_0=1.21 σ_0=6.73 σ_{ID}=6.84 Σ_T=7.93
CC 7 SLV (Collegamento -376_-504)
Azioni sul collegamento: N=176.80 Ty=0.22 Tz=-55.38 Mx=0.10 Mz=0.48

Sollecitazioni agenti localmente: Tx_l=0.22 Ty_l=-55.38 N_l=176.80 My_l=-0.48 Mz_l=0.10
Azioni sul cordone: TP=-0.13 TO=4.16 NO=13.01
Tensioni nel cordone: τ_P= 0.04 τ_0=1.32 σ_0=4.83 σ_{ID}=5.01 Σ_T=6.15
CC 7 SLV (Collegamento -376_-504)
Azioni sul collegamento: N=176.80 Ty=1.82 Tz=-55.38 Mx=0.44 Mz=2.64
Sollecitazioni agenti localmente: Tx_l=1.82 Ty_l=-55.38 N_l=176.80 My_l=-2.64 Mz_l=0.44
Azioni sul cordone: TP=-0.64 TO=4.42 NO=13.01
Tensioni nel cordone: τ_P=0.20 τ_0=1.40 σ_0=7.99 σ_{ID}=8.11 Σ_T=9.39
CC 7 SLV (Collegamento -376_-504)
Azioni sul collegamento: N=176.80 Ty=0.22 Tz=-55.38 Mx=0.10 Mz=0.48
Sollecitazioni agenti localmente: Tx_l=0.22 Ty_l=-55.38 N_l=176.80 My_l=-0.48 Mz_l=0.10
Azioni sul cordone: TP=-0.13 TO=4.16 NO=13.01
Tensioni nel cordone: τ_P= 0.04 τ_0=1.32 σ_0=4.83 σ_{ID}=5.01 Σ_T=6.15
CC 7 SLV (Collegamento -376_-504)
Azioni sul collegamento: N=176.80 Ty=1.82 Tz=-55.38 Mx=0.44 Mz=2.64
Sollecitazioni agenti localmente: Tx_l=1.82 Ty_l=-55.38 N_l=176.80 My_l=-2.64 Mz_l=0.44
Azioni sul cordone: TP=-0.64 TO=4.42 NO=13.01
Tensioni nel cordone: τ_P=0.20 τ_0=1.40 σ_0=7.99 σ_{ID}=8.11 Σ_T=9.39
CC 8 SLD (Collegamento -376_-504)
Azioni sul collegamento: N=139.97 Ty=1.10 Tz=-49.68 Mx=0.29 Mz=1.57
Sollecitazioni agenti localmente: Tx_l=1.10 Ty_l=-49.68 N_l=139.97 My_l=-1.57 Mz_l=0.29
Azioni sul cordone: TP=-0.41 TO=3.88 NO=10.30
Tensioni nel cordone: τ_P=0.13 τ_0=1.23 σ_0=5.56 σ_{ID}=5.70 Σ_T=6.80
CC 8 SLD (Collegamento -376_-504)
Azioni sul collegamento: N=139.97 Ty=1.58 Tz=-49.68 Mx=0.39 Mz=2.23
Sollecitazioni agenti localmente: Tx_l=1.58 Ty_l=-49.68 N_l=139.97 My_l=-2.23 Mz_l=0.39
Azioni sul cordone: TP=-0.57 TO=3.96 NO=10.30
Tensioni nel cordone: τ_P=0.18 τ_0=1.26 σ_0=6.53 σ_{ID}=6.65 Σ_T=7.79
CC 8 SLD (Collegamento -376_-504)
Azioni sul collegamento: N=139.97 Ty=1.10 Tz=-49.68 Mx=0.29 Mz=1.57
Sollecitazioni agenti localmente: Tx_l=1.10 Ty_l=-49.68 N_l=139.97 My_l=-1.57 Mz_l=0.29
Azioni sul cordone: TP=-0.41 TO=3.88 NO=10.30
Tensioni nel cordone: τ_P=0.13 τ_0=1.23 σ_0=5.56 σ_{ID}=5.70 Σ_T=6.80
CC 8 SLD (Collegamento -376_-504)
Azioni sul collegamento: N=139.97 Ty=1.58 Tz=-49.68 Mx=0.39 Mz=2.23
Sollecitazioni agenti localmente: Tx_l=1.58 Ty_l=-49.68 N_l=139.97 My_l=-2.23 Mz_l=0.39
Azioni sul cordone: TP=-0.57 TO=3.96 NO=10.30
Tensioni nel cordone: τ_P=0.18 τ_0=1.26 σ_0=6.53 σ_{ID}=6.65 Σ_T=7.79
CC 8 SLD (Collegamento -376_-504)
Azioni sul collegamento: N=156.43 Ty=1.10 Tz=-52.23 Mx=0.29 Mz=1.57
Sollecitazioni agenti localmente: Tx_l=1.10 Ty_l=-52.23 N_l=156.43 My_l=-1.57 Mz_l=0.29
Azioni sul cordone: TP=-0.41 TO=4.07 NO=11.51
Tensioni nel cordone: τ_P=0.13 τ_0=1.29 σ_0=5.95 σ_{ID}=6.09 Σ_T=7.24
CC 8 SLD (Collegamento -376_-504)
Azioni sul collegamento: N=156.43 Ty=1.58 Tz=-52.23 Mx=0.39 Mz=2.23
Sollecitazioni agenti localmente: Tx_l=1.58 Ty_l=-52.23 N_l=156.43 My_l=-2.23 Mz_l=0.39
Azioni sul cordone: TP=-0.57 TO=4.15 NO=11.51
Tensioni nel cordone: τ_P=0.18 τ_0=1.32 σ_0=6.91 σ_{ID}=7.04 Σ_T=8.23
CC 8 SLD (Collegamento -376_-504)
Azioni sul collegamento: N=156.43 Ty=1.10 Tz=-52.23 Mx=0.29 Mz=1.57
Sollecitazioni agenti localmente: Tx_l=1.10 Ty_l=-52.23 N_l=156.43 My_l=-1.57 Mz_l=0.29
Azioni sul cordone: TP=-0.41 TO=4.07 NO=11.51
Tensioni nel cordone: τ_P=0.13 τ_0=1.29 σ_0=5.95 σ_{ID}=6.09 Σ_T=7.24
CC 8 SLD (Collegamento -376_-504)
Azioni sul collegamento: N=156.43 Ty=1.58 Tz=-52.23 Mx=0.39 Mz=2.23
Sollecitazioni agenti localmente: Tx_l=1.58 Ty_l=-52.23 N_l=156.43 My_l=-2.23 Mz_l=0.39
Azioni sul cordone: TP=-0.57 TO=4.15 NO=11.51
Tensioni nel cordone: τ_P=0.18 τ_0=1.32 σ_0=6.91 σ_{ID}=7.04 Σ_T=8.23
CC 9 SLV (Collegamento -376_-504)
Azioni sul collegamento: N=158.05 Ty=1.67 Tz=-52.48 Mx=0.41 Mz=2.25
Sollecitazioni agenti localmente: Tx_l=1.67 Ty_l=-52.48 N_l=158.05 My_l=-2.25 Mz_l=0.41
Azioni sul cordone: TP=-0.59 TO=4.18 NO=11.63
Tensioni nel cordone: τ_P=0.19 τ_0=1.33 σ_0=6.98 σ_{ID}=7.11 Σ_T=8.31
CC 9 SLV (Collegamento -376_-504)
Azioni sul collegamento: N=158.05 Ty=0.36 Tz=-52.48 Mx=0.19 Mz=0.85
Sollecitazioni agenti localmente: Tx_l=0.36 Ty_l=-52.48 N_l=158.05 My_l=-0.85 Mz_l=0.19
Azioni sul cordone: TP=-0.25 TO=4.01 NO=11.63
Tensioni nel cordone: τ_P= 0.08 τ_0=1.27 σ_0=4.94 σ_{ID}=5.11 Σ_T=6.22
CC 9 SLV (Collegamento -376_-504)
Azioni sul collegamento: N=158.05 Ty=1.67 Tz=-52.48 Mx=0.41 Mz=2.25
Sollecitazioni agenti localmente: Tx_l=1.67 Ty_l=-52.48 N_l=158.05 My_l=-2.25 Mz_l=0.41
Azioni sul cordone: TP=-0.59 TO=4.18 NO=11.63
Tensioni nel cordone: τ_P=0.19 τ_0=1.33 σ_0=6.98 σ_{ID}=7.11 Σ_T=8.31
CC 9 SLV (Collegamento -376_-504)
Azioni sul collegamento: N=158.05 Ty=0.36 Tz=-52.48 Mx=0.19 Mz=0.85
Sollecitazioni agenti localmente: Tx_l=0.36 Ty_l=-52.48 N_l=158.05 My_l=-0.85 Mz_l=0.19
Azioni sul cordone: TP=-0.25 TO=4.01 NO=11.63
Tensioni nel cordone: τ_P= 0.08 τ_0=1.27 σ_0=4.94 σ_{ID}=5.11 Σ_T=6.22
CC 9 SLV (Collegamento -376_-504)
Azioni sul collegamento: N=141.58 Ty=1.67 Tz=-49.93 Mx=0.41 Mz=2.25
Sollecitazioni agenti localmente: Tx_l=1.67 Ty_l=-49.93 N_l=141.58 My_l=-2.25 Mz_l=0.41

Azioni sul cordone: TP=-0.59 TO=3.99 NO=10.42
Tensioni nel cordone: τ_P=0.19 τ_0=1.27 σ_0=6.60 σ_{ID}=6.72 Σ_T=7.87
CC 9 SLV (Collegamento -376_-504)
Azioni sul collegamento: N=141.58 Ty=0.36 Tz=-49.93 Mx=0.19 Mz=0.85
Sollecitazioni agenti localmente: Tx_l=0.36 Ty_l=-49.93 N_l=141.58 My_l=-0.85 Mz_l=0.19
Azioni sul cordone: TP=-0.25 TO=3.82 NO=10.42
Tensioni nel cordone: τ_P= 0.08 τ_0=1.22 σ_0=4.56 σ_{ID}=4.72 Σ_T=5.77
CC 9 SLV (Collegamento -376_-504)
Azioni sul collegamento: N=141.58 Ty=1.67 Tz=-49.93 Mx=0.41 Mz=2.25
Sollecitazioni agenti localmente: Tx_l=1.67 Ty_l=-49.93 N_l=141.58 My_l=-2.25 Mz_l=0.41
Azioni sul cordone: TP=-0.59 TO=3.99 NO=10.42
Tensioni nel cordone: τ_P=0.19 τ_0=1.27 σ_0=6.60 σ_{ID}=6.72 Σ_T=7.87
CC 9 SLV (Collegamento -376_-504)
Azioni sul collegamento: N=141.58 Ty=0.36 Tz=-49.93 Mx=0.19 Mz=0.85
Sollecitazioni agenti localmente: Tx_l=0.36 Ty_l=-49.93 N_l=141.58 My_l=-0.85 Mz_l=0.19
Azioni sul cordone: TP=-0.25 TO=3.82 NO=10.42
Tensioni nel cordone: τ_P= 0.08 τ_0=1.22 σ_0=4.56 σ_{ID}=4.72 Σ_T=5.77
CC 10 SLD (Collegamento -376_-504)
Azioni sul collegamento: N=150.71 Ty=1.54 Tz=-51.35 Mx=0.38 Mz=2.11
Sollecitazioni agenti localmente: Tx_l=1.54 Ty_l=-51.35 N_l=150.71 My_l=-2.11 Mz_l=0.38
Azioni sul cordone: TP=-0.55 TO=4.08 NO=11.09
Tensioni nel cordone: τ_P=0.18 τ_0=1.30 σ_0=6.60 σ_{ID}=6.73 Σ_T=7.90
CC 10 SLD (Collegamento -376_-504)
Azioni sul collegamento: N=150.71 Ty=1.14 Tz=-51.35 Mx=0.31 Mz=1.68
Sollecitazioni agenti localmente: Tx_l=1.14 Ty_l=-51.35 N_l=150.71 My_l=-1.68 Mz_l=0.31
Azioni sul cordone: TP=-0.45 TO=4.03 NO=11.09
Tensioni nel cordone: τ_P=0.14 τ_0=1.28 σ_0=5.98 σ_{ID}=6.12 Σ_T=7.26
CC 10 SLD (Collegamento -376_-504)
Azioni sul collegamento: N=150.71 Ty=1.54 Tz=-51.35 Mx=0.38 Mz=2.11
Sollecitazioni agenti localmente: Tx_l=1.54 Ty_l=-51.35 N_l=150.71 My_l=-2.11 Mz_l=0.38
Azioni sul cordone: TP=-0.55 TO=4.08 NO=11.09
Tensioni nel cordone: τ_P=0.18 τ_0=1.30 σ_0=6.60 σ_{ID}=6.73 Σ_T=7.90
CC 10 SLD (Collegamento -376_-504)
Azioni sul collegamento: N=150.71 Ty=1.14 Tz=-51.35 Mx=0.31 Mz=1.68
Sollecitazioni agenti localmente: Tx_l=1.14 Ty_l=-51.35 N_l=150.71 My_l=-1.68 Mz_l=0.31
Azioni sul cordone: TP=-0.45 TO=4.03 NO=11.09
Tensioni nel cordone: τ_P=0.14 τ_0=1.28 σ_0=5.98 σ_{ID}=6.12 Σ_T=7.26
CC 10 SLD (Collegamento -376_-504)
Azioni sul collegamento: N=145.69 Ty=1.54 Tz=-50.57 Mx=0.38 Mz=2.11
Sollecitazioni agenti localmente: Tx_l=1.54 Ty_l=-50.57 N_l=145.69 My_l=-2.11 Mz_l=0.38
Azioni sul cordone: TP=-0.55 TO=4.02 NO=10.72
Tensioni nel cordone: τ_P=0.18 τ_0=1.28 σ_0=6.49 σ_{ID}=6.61 Σ_T=7.76
CC 10 SLD (Collegamento -376_-504)
Azioni sul collegamento: N=145.69 Ty=1.14 Tz=-50.57 Mx=0.31 Mz=1.68
Sollecitazioni agenti localmente: Tx_l=1.14 Ty_l=-50.57 N_l=145.69 My_l=-1.68 Mz_l=0.31
Azioni sul cordone: TP=-0.45 TO=3.97 NO=10.72
Tensioni nel cordone: τ_P=0.14 τ_0=1.26 σ_0=5.86 σ_{ID}=6.00 Σ_T=7.13
CC 10 SLD (Collegamento -376_-504)
Azioni sul collegamento: N=145.69 Ty=1.54 Tz=-50.57 Mx=0.38 Mz=2.11
Sollecitazioni agenti localmente: Tx_l=1.54 Ty_l=-50.57 N_l=145.69 My_l=-2.11 Mz_l=0.38
Azioni sul cordone: TP=-0.55 TO=4.02 NO=10.72
Tensioni nel cordone: τ_P=0.18 τ_0=1.28 σ_0=6.49 σ_{ID}=6.61 Σ_T=7.76
CC 10 SLD (Collegamento -376_-504)
Azioni sul collegamento: N=145.69 Ty=1.14 Tz=-50.57 Mx=0.31 Mz=1.68
Sollecitazioni agenti localmente: Tx_l=1.14 Ty_l=-50.57 N_l=145.69 My_l=-1.68 Mz_l=0.31
Azioni sul cordone: TP=-0.45 TO=3.97 NO=10.72
Tensioni nel cordone: τ_P=0.14 τ_0=1.26 σ_0=5.86 σ_{ID}=6.00 Σ_T=7.13
CC 11 SLV (Collegamento -376_-504)
Azioni sul collegamento: N=141.89 Ty=1.28 Tz=-49.98 Mx=0.31 Mz=1.68
Sollecitazioni agenti localmente: Tx_l=1.28 Ty_l=-49.98 N_l=141.89 My_l=-1.68 Mz_l=0.31
Azioni sul cordone: TP=-0.45 TO=3.92 NO=10.44
Tensioni nel cordone: τ_P=0.14 τ_0=1.25 σ_0=5.77 σ_{ID}=5.90 Σ_T=7.01
CC 11 SLV (Collegamento -376_-504)
Azioni sul collegamento: N=141.89 Ty=0.76 Tz=-49.98 Mx=0.27 Mz=1.43
Sollecitazioni agenti localmente: Tx_l=0.76 Ty_l=-49.98 N_l=141.89 My_l=-1.43 Mz_l=0.27
Azioni sul cordone: TP=-0.36 TO=3.89 NO=10.44
Tensioni nel cordone: τ_P=0.12 τ_0=1.24 σ_0=5.41 σ_{ID}=5.55 Σ_T=6.64
CC 11 SLV (Collegamento -376_-504)
Azioni sul collegamento: N=141.89 Ty=1.28 Tz=-49.98 Mx=0.31 Mz=1.68
Sollecitazioni agenti localmente: Tx_l=1.28 Ty_l=-49.98 N_l=141.89 My_l=-1.68 Mz_l=0.31
Azioni sul cordone: TP=-0.45 TO=3.92 NO=10.44
Tensioni nel cordone: τ_P=0.14 τ_0=1.25 σ_0=5.77 σ_{ID}=5.90 Σ_T=7.01
CC 11 SLV (Collegamento -376_-504)
Azioni sul collegamento: N=141.89 Ty=0.76 Tz=-49.98 Mx=0.27 Mz=1.43
Sollecitazioni agenti localmente: Tx_l=0.76 Ty_l=-49.98 N_l=141.89 My_l=-1.43 Mz_l=0.27
Azioni sul cordone: TP=-0.36 TO=3.89 NO=10.44
Tensioni nel cordone: τ_P=0.12 τ_0=1.24 σ_0=5.41 σ_{ID}=5.55 Σ_T=6.64
CC 11 SLV (Collegamento -376_-504)
Azioni sul collegamento: N=157.75 Ty=1.28 Tz=-52.44 Mx=0.31 Mz=1.68
Sollecitazioni agenti localmente: Tx_l=1.28 Ty_l=-52.44 N_l=157.75 My_l=-1.68 Mz_l=0.31
Azioni sul cordone: TP=-0.45 TO=4.10 NO=11.61

Tensioni nel cordone: τ_P=0.14 τ_0=1.30 σ_0=6.14 σ_{ID}=6.28 Σ_T=7.44
CC 11 SLV (Collegamento -376_-504)
Azioni sul collegamento: N=157.75 Ty=0.76 Tz=-52.44 Mx=0.27 Mz=1.43
Sollecitazioni agenti localmente: Tx_l=0.76 Ty_l=-52.44 N_l=157.75 My_l=-1.43 Mz_l=0.27
Azioni sul cordone: TP=-0.36 TO=4.07 NO=11.61
Tensioni nel cordone: τ_P=0.12 τ_0=1.29 σ_0=5.78 σ_{ID}=5.92 Σ_T=7.07
CC 11 SLV (Collegamento -376_-504)
Azioni sul collegamento: N=157.75 Ty=1.28 Tz=-52.44 Mx=0.31 Mz=1.68
Sollecitazioni agenti localmente: Tx_l=1.28 Ty_l=-52.44 N_l=157.75 My_l=-1.68 Mz_l=0.31
Azioni sul cordone: TP=-0.45 TO=4.10 NO=11.61
Tensioni nel cordone: τ_P=0.14 τ_0=1.30 σ_0=6.14 σ_{ID}=6.28 Σ_T=7.44
CC 11 SLV (Collegamento -376_-504)
Azioni sul collegamento: N=157.75 Ty=0.76 Tz=-52.44 Mx=0.27 Mz=1.43
Sollecitazioni agenti localmente: Tx_l=0.76 Ty_l=-52.44 N_l=157.75 My_l=-1.43 Mz_l=0.27
Azioni sul cordone: TP=-0.36 TO=4.07 NO=11.61
Tensioni nel cordone: τ_P=0.12 τ_0=1.29 σ_0=5.78 σ_{ID}=5.92 Σ_T=7.07
CC 12 SLD (Collegamento -376_-504)
Azioni sul collegamento: N=145.78 Ty=1.42 Tz=-50.58 Mx=0.35 Mz=1.93
Sollecitazioni agenti localmente: Tx_l=1.42 Ty_l=-50.58 N_l=145.78 My_l=-1.93 Mz_l=0.35
Azioni sul cordone: TP=-0.51 TO=4.00 NO=10.73
Tensioni nel cordone: τ_P=0.16 τ_0=1.27 σ_0=6.23 σ_{ID}=6.36 Σ_T=7.50
CC 12 SLD (Collegamento -376_-504)
Azioni sul collegamento: N=145.78 Ty=1.26 Tz=-50.58 Mx=0.34 Mz=1.86
Sollecitazioni agenti localmente: Tx_l=1.26 Ty_l=-50.58 N_l=145.78 My_l=-1.86 Mz_l=0.34
Azioni sul cordone: TP=-0.48 TO=3.99 NO=10.73
Tensioni nel cordone: τ_P=0.15 τ_0=1.27 σ_0=6.12 σ_{ID}=6.26 Σ_T=7.39
CC 12 SLD (Collegamento -376_-504)
Azioni sul collegamento: N=145.78 Ty=1.42 Tz=-50.58 Mx=0.35 Mz=1.93
Sollecitazioni agenti localmente: Tx_l=1.42 Ty_l=-50.58 N_l=145.78 My_l=-1.93 Mz_l=0.35
Azioni sul cordone: TP=-0.51 TO=4.00 NO=10.73
Tensioni nel cordone: τ_P=0.16 τ_0=1.27 σ_0=6.23 σ_{ID}=6.36 Σ_T=7.50
CC 12 SLD (Collegamento -376_-504)
Azioni sul collegamento: N=145.78 Ty=1.26 Tz=-50.58 Mx=0.34 Mz=1.86
Sollecitazioni agenti localmente: Tx_l=1.26 Ty_l=-50.58 N_l=145.78 My_l=-1.86 Mz_l=0.34
Azioni sul cordone: TP=-0.48 TO=3.99 NO=10.73
Tensioni nel cordone: τ_P=0.15 τ_0=1.27 σ_0=6.12 σ_{ID}=6.26 Σ_T=7.39
CC 12 SLD (Collegamento -376_-504)
Azioni sul collegamento: N=150.62 Ty=1.42 Tz=-51.33 Mx=0.35 Mz=1.93
Sollecitazioni agenti localmente: Tx_l=1.42 Ty_l=-51.33 N_l=150.62 My_l=-1.93 Mz_l=0.35
Azioni sul cordone: TP=-0.51 TO=4.05 NO=11.08
Tensioni nel cordone: τ_P=0.16 τ_0=1.29 σ_0=6.35 σ_{ID}=6.48 Σ_T=7.64
CC 12 SLD (Collegamento -376_-504)
Azioni sul collegamento: N=150.62 Ty=1.26 Tz=-51.33 Mx=0.34 Mz=1.86
Sollecitazioni agenti localmente: Tx_l=1.26 Ty_l=-51.33 N_l=150.62 My_l=-1.86 Mz_l=0.34
Azioni sul cordone: TP=-0.48 TO=4.04 NO=11.08
Tensioni nel cordone: τ_P=0.15 τ_0=1.29 σ_0=6.24 σ_{ID}=6.37 Σ_T=7.52
CC 12 SLD (Collegamento -376_-504)
Azioni sul collegamento: N=150.62 Ty=1.42 Tz=-51.33 Mx=0.35 Mz=1.93
Sollecitazioni agenti localmente: Tx_l=1.42 Ty_l=-51.33 N_l=150.62 My_l=-1.93 Mz_l=0.35
Azioni sul cordone: TP=-0.51 TO=4.05 NO=11.08
Tensioni nel cordone: τ_P=0.16 τ_0=1.29 σ_0=6.35 σ_{ID}=6.48 Σ_T=7.64
CC 12 SLD (Collegamento -376_-504)
Azioni sul collegamento: N=150.62 Ty=1.26 Tz=-51.33 Mx=0.34 Mz=1.86
Sollecitazioni agenti localmente: Tx_l=1.26 Ty_l=-51.33 N_l=150.62 My_l=-1.86 Mz_l=0.34
Azioni sul cordone: TP=-0.48 TO=4.04 NO=11.08
Tensioni nel cordone: τ_P=0.15 τ_0=1.29 σ_0=6.24 σ_{ID}=6.37 Σ_T=7.52
CC 13 SLV (Collegamento -376_-504)
Azioni sul collegamento: N=157.75 Ty=0.76 Tz=-52.44 Mx=0.27 Mz=1.43
Sollecitazioni agenti localmente: Tx_l=0.76 Ty_l=-52.44 N_l=157.75 My_l=-1.43 Mz_l=0.27
Azioni sul cordone: TP=-0.37 TO=4.07 NO=11.61
Tensioni nel cordone: τ_P=0.12 τ_0=1.29 σ_0=5.78 σ_{ID}=5.92 Σ_T=7.07
CC 13 SLV (Collegamento -376_-504)
Azioni sul collegamento: N=157.75 Ty=1.28 Tz=-52.44 Mx=0.31 Mz=1.68
Sollecitazioni agenti localmente: Tx_l=1.28 Ty_l=-52.44 N_l=157.75 My_l=-1.68 Mz_l=0.31
Azioni sul cordone: TP=-0.45 TO=4.10 NO=11.61
Tensioni nel cordone: τ_P=0.14 τ_0=1.30 σ_0=6.14 σ_{ID}=6.28 Σ_T=7.44
CC 13 SLV (Collegamento -376_-504)
Azioni sul collegamento: N=157.75 Ty=0.76 Tz=-52.44 Mx=0.27 Mz=1.43
Sollecitazioni agenti localmente: Tx_l=0.76 Ty_l=-52.44 N_l=157.75 My_l=-1.43 Mz_l=0.27
Azioni sul cordone: TP=-0.37 TO=4.07 NO=11.61
Tensioni nel cordone: τ_P=0.12 τ_0=1.29 σ_0=5.78 σ_{ID}=5.92 Σ_T=7.07
CC 13 SLV (Collegamento -376_-504)
Azioni sul collegamento: N=157.75 Ty=1.28 Tz=-52.44 Mx=0.31 Mz=1.68
Sollecitazioni agenti localmente: Tx_l=1.28 Ty_l=-52.44 N_l=157.75 My_l=-1.68 Mz_l=0.31
Azioni sul cordone: TP=-0.45 TO=4.10 NO=11.61
Tensioni nel cordone: τ_P=0.14 τ_0=1.30 σ_0=6.14 σ_{ID}=6.28 Σ_T=7.44
CC 13 SLV (Collegamento -376_-504)
Azioni sul collegamento: N=141.89 Ty=0.76 Tz=-49.98 Mx=0.27 Mz=1.43
Sollecitazioni agenti localmente: Tx_l=0.76 Ty_l=-49.98 N_l=141.89 My_l=-1.43 Mz_l=0.27
Azioni sul cordone: TP=-0.37 TO=3.89 NO=10.44
Tensioni nel cordone: τ_P=0.12 τ_0=1.24 σ_0=5.41 σ_{ID}=5.55 Σ_T=6.64

CC 13 SLV (Collegamento -376_-504)
Azioni sul collegamento: N=141.89 Ty=1.28 Tz=-49.98 Mx=0.31 Mz=1.68
Sollecitazioni agenti localmente: Tx_l=1.28 Ty_l=-49.98 N_l=141.89 My_l=-1.68 Mz_l=0.31
Azioni sul cordone: TP=-0.45 TO=3.92 NO=10.44
Tensioni nel cordone: τ_P=0.14 τ_0=1.25 σ_0=5.77 σ_{ID}=5.90 Σ_T=7.01
CC 13 SLV (Collegamento -376_-504)
Azioni sul collegamento: N=141.89 Ty=0.76 Tz=-49.98 Mx=0.27 Mz=1.43
Sollecitazioni agenti localmente: Tx_l=0.76 Ty_l=-49.98 N_l=141.89 My_l=-1.43 Mz_l=0.27
Azioni sul cordone: TP=-0.37 TO=3.89 NO=10.44
Tensioni nel cordone: τ_P=0.12 τ_0=1.24 σ_0=5.41 σ_{ID}=5.55 Σ_T=6.64
CC 13 SLV (Collegamento -376_-504)
Azioni sul collegamento: N=141.89 Ty=1.28 Tz=-49.98 Mx=0.31 Mz=1.68
Sollecitazioni agenti localmente: Tx_l=1.28 Ty_l=-49.98 N_l=141.89 My_l=-1.68 Mz_l=0.31
Azioni sul cordone: TP=-0.45 TO=3.92 NO=10.44
Tensioni nel cordone: τ_P=0.14 τ_0=1.25 σ_0=5.77 σ_{ID}=5.90 Σ_T=7.01
CC 14 SLD (Collegamento -376_-504)
Azioni sul collegamento: N=150.62 Ty=1.26 Tz=-51.33 Mx=0.34 Mz=1.86
Sollecitazioni agenti localmente: Tx_l=1.26 Ty_l=-51.33 N_l=150.62 My_l=-1.86 Mz_l=0.34
Azioni sul cordone: TP=-0.48 TO=4.04 NO=11.08
Tensioni nel cordone: τ_P=0.15 τ_0=1.29 σ_0=6.24 σ_{ID}=6.37 Σ_T=7.52
CC 14 SLD (Collegamento -376_-504)
Azioni sul collegamento: N=150.62 Ty=1.42 Tz=-51.33 Mx=0.35 Mz=1.93
Sollecitazioni agenti localmente: Tx_l=1.42 Ty_l=-51.33 N_l=150.62 My_l=-1.93 Mz_l=0.35
Azioni sul cordone: TP=-0.51 TO=4.05 NO=11.08
Tensioni nel cordone: τ_P=0.16 τ_0=1.29 σ_0=6.35 σ_{ID}=6.48 Σ_T=7.64
CC 14 SLD (Collegamento -376_-504)
Azioni sul collegamento: N=150.62 Ty=1.26 Tz=-51.33 Mx=0.34 Mz=1.86
Sollecitazioni agenti localmente: Tx_l=1.26 Ty_l=-51.33 N_l=150.62 My_l=-1.86 Mz_l=0.34
Azioni sul cordone: TP=-0.48 TO=4.04 NO=11.08
Tensioni nel cordone: τ_P=0.15 τ_0=1.29 σ_0=6.24 σ_{ID}=6.37 Σ_T=7.52
CC 14 SLD (Collegamento -376_-504)
Azioni sul collegamento: N=150.62 Ty=1.42 Tz=-51.33 Mx=0.35 Mz=1.93
Sollecitazioni agenti localmente: Tx_l=1.42 Ty_l=-51.33 N_l=150.62 My_l=-1.93 Mz_l=0.35
Azioni sul cordone: TP=-0.51 TO=4.05 NO=11.08
Tensioni nel cordone: τ_P=0.16 τ_0=1.29 σ_0=6.35 σ_{ID}=6.48 Σ_T=7.64
CC 14 SLD (Collegamento -376_-504)
Azioni sul collegamento: N=145.78 Ty=1.26 Tz=-50.58 Mx=0.34 Mz=1.86
Sollecitazioni agenti localmente: Tx_l=1.26 Ty_l=-50.58 N_l=145.78 My_l=-1.86 Mz_l=0.34
Azioni sul cordone: TP=-0.48 TO=3.99 NO=10.73
Tensioni nel cordone: τ_P=0.15 τ_0=1.27 σ_0=6.12 σ_{ID}=6.26 Σ_T=7.39
CC 14 SLD (Collegamento -376_-504)
Azioni sul collegamento: N=145.78 Ty=1.42 Tz=-50.58 Mx=0.35 Mz=1.93
Sollecitazioni agenti localmente: Tx_l=1.42 Ty_l=-50.58 N_l=145.78 My_l=-1.93 Mz_l=0.35
Azioni sul cordone: TP=-0.51 TO=4.00 NO=10.73
Tensioni nel cordone: τ_P=0.16 τ_0=1.27 σ_0=6.23 σ_{ID}=6.36 Σ_T=7.50
CC 14 SLD (Collegamento -376_-504)
Azioni sul collegamento: N=145.78 Ty=1.26 Tz=-50.58 Mx=0.34 Mz=1.86
Sollecitazioni agenti localmente: Tx_l=1.26 Ty_l=-50.58 N_l=145.78 My_l=-1.86 Mz_l=0.34
Azioni sul cordone: TP=-0.48 TO=3.99 NO=10.73
Tensioni nel cordone: τ_P=0.15 τ_0=1.27 σ_0=6.12 σ_{ID}=6.26 Σ_T=7.39
CC 14 SLD (Collegamento -376_-504)
Azioni sul collegamento: N=145.78 Ty=1.42 Tz=-50.58 Mx=0.35 Mz=1.93
Sollecitazioni agenti localmente: Tx_l=1.42 Ty_l=-50.58 N_l=145.78 My_l=-1.93 Mz_l=0.35
Azioni sul cordone: TP=-0.51 TO=4.00 NO=10.73
Tensioni nel cordone: τ_P=0.16 τ_0=1.27 σ_0=6.23 σ_{ID}=6.36 Σ_T=7.50
CC 15 SLV (Collegamento -376_-504)
Azioni sul collegamento: N=141.58 Ty=0.36 Tz=-49.93 Mx=0.17 Mz=0.86
Sollecitazioni agenti localmente: Tx_l=0.36 Ty_l=-49.93 N_l=141.58 My_l=-0.86 Mz_l=0.17
Azioni sul cordone: TP=-0.22 TO=3.81 NO=10.42
Tensioni nel cordone: τ_P= 0.07 τ_0=1.21 σ_0=4.56 σ_{ID}=4.72 Σ_T=5.77
CC 15 SLV (Collegamento -376_-504)
Azioni sul collegamento: N=141.58 Ty=1.67 Tz=-49.93 Mx=0.39 Mz=2.25
Sollecitazioni agenti localmente: Tx_l=1.67 Ty_l=-49.93 N_l=141.58 My_l=-2.25 Mz_l=0.39
Azioni sul cordone: TP=-0.57 TO=3.98 NO=10.42
Tensioni nel cordone: τ_P=0.18 τ_0=1.26 σ_0=6.60 σ_{ID}=6.73 Σ_T=7.87
CC 15 SLV (Collegamento -376_-504)
Azioni sul collegamento: N=141.58 Ty=0.36 Tz=-49.93 Mx=0.17 Mz=0.86
Sollecitazioni agenti localmente: Tx_l=0.36 Ty_l=-49.93 N_l=141.58 My_l=-0.86 Mz_l=0.17
Azioni sul cordone: TP=-0.22 TO=3.81 NO=10.42
Tensioni nel cordone: τ_P= 0.07 τ_0=1.21 σ_0=4.56 σ_{ID}=4.72 Σ_T=5.77
CC 15 SLV (Collegamento -376_-504)
Azioni sul collegamento: N=141.58 Ty=1.67 Tz=-49.93 Mx=0.39 Mz=2.25
Sollecitazioni agenti localmente: Tx_l=1.67 Ty_l=-49.93 N_l=141.58 My_l=-2.25 Mz_l=0.39
Azioni sul cordone: TP=-0.57 TO=3.98 NO=10.42
Tensioni nel cordone: τ_P=0.18 τ_0=1.26 σ_0=6.60 σ_{ID}=6.73 Σ_T=7.87
CC 15 SLV (Collegamento -376_-504)
Azioni sul collegamento: N=158.05 Ty=0.36 Tz=-52.48 Mx=0.17 Mz=0.86
Sollecitazioni agenti localmente: Tx_l=0.36 Ty_l=-52.48 N_l=158.05 My_l=-0.86 Mz_l=0.17
Azioni sul cordone: TP=-0.22 TO=4.00 NO=11.63
Tensioni nel cordone: τ_P= 0.07 τ_0=1.27 σ_0=4.95 σ_{ID}=5.11 Σ_T=6.22
CC 15 SLV (Collegamento -376_-504)

Azioni sul collegamento: N=158.05 Ty=1.67 Tz=-52.48 Mx=0.39 Mz=2.25
Sollecitazioni agenti localmente: Tx_l=1.67 Ty_l=-52.48 N_l=158.05 My_l=-2.25 Mz_l=0.39
Azioni sul cordone: TP=-0.57 TO=4.17 NO=11.63
Tensioni nel cordone: τ_P=0.18 τ_0=1.32 σ_0=6.99 σ_{ID}=7.11 Σ_T=8.31
CC 15 SLV (Collegamento -376_-504)
Azioni sul collegamento: N=158.05 Ty=0.36 Tz=-52.48 Mx=0.17 Mz=0.86
Sollecitazioni agenti localmente: Tx_l=0.36 Ty_l=-52.48 N_l=158.05 My_l=-0.86 Mz_l=0.17
Azioni sul cordone: TP=-0.22 TO=4.00 NO=11.63
Tensioni nel cordone: τ_P= 0.07 τ_0=1.27 σ_0=4.95 σ_{ID}=5.11 Σ_T=6.22
CC 15 SLV (Collegamento -376_-504)
Azioni sul collegamento: N=158.05 Ty=1.67 Tz=-52.48 Mx=0.39 Mz=2.25
Sollecitazioni agenti localmente: Tx_l=1.67 Ty_l=-52.48 N_l=158.05 My_l=-2.25 Mz_l=0.39
Azioni sul cordone: TP=-0.57 TO=4.17 NO=11.63
Tensioni nel cordone: τ_P=0.18 τ_0=1.32 σ_0=6.99 σ_{ID}=7.11 Σ_T=8.31
CC 16 SLD (Collegamento -376_-504)
Azioni sul collegamento: N=145.69 Ty=1.14 Tz=-50.57 Mx=0.31 Mz=1.68
Sollecitazioni agenti localmente: Tx_l=1.14 Ty_l=-50.57 N_l=145.69 My_l=-1.68 Mz_l=0.31
Azioni sul cordone: TP=-0.44 TO=3.96 NO=10.72
Tensioni nel cordone: τ_P=0.14 τ_0=1.26 σ_0=5.87 σ_{ID}=6.00 Σ_T=7.13
CC 16 SLD (Collegamento -376_-504)
Azioni sul collegamento: N=145.69 Ty=1.54 Tz=-50.57 Mx=0.37 Mz=2.11
Sollecitazioni agenti localmente: Tx_l=1.54 Ty_l=-50.57 N_l=145.69 My_l=-2.11 Mz_l=0.37
Azioni sul cordone: TP=-0.54 TO=4.02 NO=10.72
Tensioni nel cordone: τ_P=0.17 τ_0=1.28 σ_0=6.49 σ_{ID}=6.61 Σ_T=7.76
CC 16 SLD (Collegamento -376_-504)
Azioni sul collegamento: N=145.69 Ty=1.14 Tz=-50.57 Mx=0.31 Mz=1.68
Sollecitazioni agenti localmente: Tx_l=1.14 Ty_l=-50.57 N_l=145.69 My_l=-1.68 Mz_l=0.31
Azioni sul cordone: TP=-0.44 TO=3.96 NO=10.72
Tensioni nel cordone: τ_P=0.14 τ_0=1.26 σ_0=5.87 σ_{ID}=6.00 Σ_T=7.13
CC 16 SLD (Collegamento -376_-504)
Azioni sul collegamento: N=145.69 Ty=1.54 Tz=-50.57 Mx=0.37 Mz=2.11
Sollecitazioni agenti localmente: Tx_l=1.54 Ty_l=-50.57 N_l=145.69 My_l=-2.11 Mz_l=0.37
Azioni sul cordone: TP=-0.54 TO=4.02 NO=10.72
Tensioni nel cordone: τ_P=0.17 τ_0=1.28 σ_0=6.49 σ_{ID}=6.61 Σ_T=7.76
CC 16 SLD (Collegamento -376_-504)
Azioni sul collegamento: N=150.71 Ty=1.14 Tz=-51.35 Mx=0.31 Mz=1.68
Sollecitazioni agenti localmente: Tx_l=1.14 Ty_l=-51.35 N_l=150.71 My_l=-1.68 Mz_l=0.31
Azioni sul cordone: TP=-0.44 TO=4.02 NO=11.09
Tensioni nel cordone: τ_P=0.14 τ_0=1.28 σ_0=5.98 σ_{ID}=6.12 Σ_T=7.26
CC 16 SLD (Collegamento -376_-504)
Azioni sul collegamento: N=150.71 Ty=1.54 Tz=-51.35 Mx=0.37 Mz=2.11
Sollecitazioni agenti localmente: Tx_l=1.54 Ty_l=-51.35 N_l=150.71 My_l=-2.11 Mz_l=0.37
Azioni sul cordone: TP=-0.54 TO=4.07 NO=11.09
Tensioni nel cordone: τ_P=0.17 τ_0=1.29 σ_0=6.61 σ_{ID}=6.73 Σ_T=7.90
CC 16 SLD (Collegamento -376_-504)
Azioni sul collegamento: N=150.71 Ty=1.14 Tz=-51.35 Mx=0.31 Mz=1.68
Sollecitazioni agenti localmente: Tx_l=1.14 Ty_l=-51.35 N_l=150.71 My_l=-1.68 Mz_l=0.31
Azioni sul cordone: TP=-0.44 TO=4.02 NO=11.09
Tensioni nel cordone: τ_P=0.14 τ_0=1.28 σ_0=5.98 σ_{ID}=6.12 Σ_T=7.26
CC 16 SLD (Collegamento -376_-504)
Azioni sul collegamento: N=150.71 Ty=1.54 Tz=-51.35 Mx=0.37 Mz=2.11
Sollecitazioni agenti localmente: Tx_l=1.54 Ty_l=-51.35 N_l=150.71 My_l=-2.11 Mz_l=0.37
Azioni sul cordone: TP=-0.54 TO=4.07 NO=11.09
Tensioni nel cordone: τ_P=0.17 τ_0=1.29 σ_0=6.61 σ_{ID}=6.73 Σ_T=7.90
CC 17 SLV (Collegamento -376_-504)
Azioni sul collegamento: N=172.15 Ty=2.73 Tz=-54.66 Mx=0.64 Mz=3.62
Sollecitazioni agenti localmente: Tx_l=2.73 Ty_l=-54.66 N_l=172.15 My_l=-3.62 Mz_l=0.64
Azioni sul cordone: TP=-0.93 TO=4.52 NO=12.67
Tensioni nel cordone: τ_P=0.30 τ_0=1.44 σ_0=9.31 σ_{ID}=9.42 Σ_T=10.74
CC 17 SLV (Collegamento -376_-504)
Azioni sul collegamento: N=172.15 Ty=1.14 Tz=-54.66 Mx=0.30 Mz=1.45
Sollecitazioni agenti localmente: Tx_l=1.14 Ty_l=-54.66 N_l=172.15 My_l=-1.45 Mz_l=0.30
Azioni sul cordone: TP=-0.43 TO=4.26 NO=12.67
Tensioni nel cordone: τ_P=0.14 τ_0=1.35 σ_0=6.15 σ_{ID}=6.30 Σ_T=7.50
CC 17 SLV (Collegamento -376_-504)
Azioni sul collegamento: N=172.15 Ty=2.73 Tz=-54.66 Mx=0.64 Mz=3.62
Sollecitazioni agenti localmente: Tx_l=2.73 Ty_l=-54.66 N_l=172.15 My_l=-3.62 Mz_l=0.64
Azioni sul cordone: TP=-0.93 TO=4.52 NO=12.67
Tensioni nel cordone: τ_P=0.30 τ_0=1.44 σ_0=9.31 σ_{ID}=9.42 Σ_T=10.74
CC 17 SLV (Collegamento -376_-504)
Azioni sul collegamento: N=172.15 Ty=1.14 Tz=-54.66 Mx=0.30 Mz=1.45
Sollecitazioni agenti localmente: Tx_l=1.14 Ty_l=-54.66 N_l=172.15 My_l=-1.45 Mz_l=0.30
Azioni sul cordone: TP=-0.43 TO=4.26 NO=12.67
Tensioni nel cordone: τ_P=0.14 τ_0=1.35 σ_0=6.15 σ_{ID}=6.30 Σ_T=7.50
CC 17 SLV (Collegamento -376_-504)
Azioni sul collegamento: N=118.18 Ty=2.73 Tz=-46.31 Mx=0.64 Mz=3.62
Sollecitazioni agenti localmente: Tx_l=2.73 Ty_l=-46.31 N_l=118.18 My_l=-3.62 Mz_l=0.64
Azioni sul cordone: TP=-0.93 TO=3.91 NO=8.70
Tensioni nel cordone: τ_P=0.30 τ_0=1.24 σ_0=8.04 σ_{ID}=8.15 Σ_T=9.29
CC 17 SLV (Collegamento -376_-504)
Azioni sul collegamento: N=118.18 Ty=1.14 Tz=-46.31 Mx=0.30 Mz=1.45

Sollecitazioni agenti localmente: Tx_l=1.14 Ty_l=-46.31 N_l=118.18 My_l=-1.45 Mz_l=0.30
Azioni sul cordone: TP=-0.43 TO=3.65 NO=8.70
Tensioni nel cordone: τ_P=0.14 τ_0=1.16 σ_0=4.89 σ_{ID}=5.02 Σ_T=6.05
CC 17 SLV (Collegamento -376_-504)
Azioni sul collegamento: N=118.18 Ty=2.73 Tz=-46.31 Mx=0.64 Mz=3.62
Sollecitazioni agenti localmente: Tx_l=2.73 Ty_l=-46.31 N_l=118.18 My_l=-3.62 Mz_l=0.64
Azioni sul cordone: TP=-0.93 TO=3.91 NO=8.70
Tensioni nel cordone: τ_P=0.30 τ_0=1.24 σ_0=8.04 σ_{ID}=8.15 Σ_T=9.29
CC 17 SLV (Collegamento -376_-504)
Azioni sul collegamento: N=118.18 Ty=1.14 Tz=-46.31 Mx=0.30 Mz=1.45
Sollecitazioni agenti localmente: Tx_l=1.14 Ty_l=-46.31 N_l=118.18 My_l=-1.45 Mz_l=0.30
Azioni sul cordone: TP=-0.43 TO=3.65 NO=8.70
Tensioni nel cordone: τ_P=0.14 τ_0=1.16 σ_0=4.89 σ_{ID}=5.02 Σ_T=6.05
CC 18 SLD (Collegamento -376_-504)
Azioni sul collegamento: N=155.01 Ty=1.86 Tz=-52.01 Mx=0.45 Mz=2.52
Sollecitazioni agenti localmente: Tx_l=1.86 Ty_l=-52.01 N_l=155.01 My_l=-2.52 Mz_l=0.45
Azioni sul cordone: TP=-0.66 TO=4.18 NO=11.41
Tensioni nel cordone: τ_P=0.21 τ_0=1.33 σ_0=7.31 σ_{ID}=7.44 Σ_T=8.64
CC 18 SLD (Collegamento -376_-504)
Azioni sul collegamento: N=155.01 Ty=1.38 Tz=-52.01 Mx=0.35 Mz=1.87
Sollecitazioni agenti localmente: Tx_l=1.38 Ty_l=-52.01 N_l=155.01 My_l=-1.87 Mz_l=0.35
Azioni sul cordone: TP=-0.50 TO=4.10 NO=11.41
Tensioni nel cordone: τ_P=0.16 τ_0=1.30 σ_0=6.35 σ_{ID}=6.48 Σ_T=7.65
CC 18 SLD (Collegamento -376_-504)
Azioni sul collegamento: N=155.01 Ty=1.86 Tz=-52.01 Mx=0.45 Mz=2.52
Sollecitazioni agenti localmente: Tx_l=1.86 Ty_l=-52.01 N_l=155.01 My_l=-2.52 Mz_l=0.45
Azioni sul cordone: TP=-0.66 TO=4.18 NO=11.41
Tensioni nel cordone: τ_P=0.21 τ_0=1.33 σ_0=7.31 σ_{ID}=7.44 Σ_T=8.64
CC 18 SLD (Collegamento -376_-504)
Azioni sul collegamento: N=155.01 Ty=1.38 Tz=-52.01 Mx=0.35 Mz=1.87
Sollecitazioni agenti localmente: Tx_l=1.38 Ty_l=-52.01 N_l=155.01 My_l=-1.87 Mz_l=0.35
Azioni sul cordone: TP=-0.50 TO=4.10 NO=11.41
Tensioni nel cordone: τ_P=0.16 τ_0=1.30 σ_0=6.35 σ_{ID}=6.48 Σ_T=7.65
CC 18 SLD (Collegamento -376_-504)
Azioni sul collegamento: N=138.55 Ty=1.86 Tz=-49.47 Mx=0.45 Mz=2.52
Sollecitazioni agenti localmente: Tx_l=1.86 Ty_l=-49.47 N_l=138.55 My_l=-2.52 Mz_l=0.45
Azioni sul cordone: TP=-0.66 TO=4.00 NO=10.20
Tensioni nel cordone: τ_P=0.21 τ_0=1.27 σ_0=6.93 σ_{ID}=7.05 Σ_T=8.20
CC 18 SLD (Collegamento -376_-504)
Azioni sul collegamento: N=138.55 Ty=1.38 Tz=-49.47 Mx=0.35 Mz=1.87
Sollecitazioni agenti localmente: Tx_l=1.38 Ty_l=-49.47 N_l=138.55 My_l=-1.87 Mz_l=0.35
Azioni sul cordone: TP=-0.50 TO=3.92 NO=10.20
Tensioni nel cordone: τ_P=0.16 τ_0=1.24 σ_0=5.96 σ_{ID}=6.10 Σ_T=7.21
CC 18 SLD (Collegamento -376_-504)
Azioni sul collegamento: N=138.55 Ty=1.86 Tz=-49.47 Mx=0.45 Mz=2.52
Sollecitazioni agenti localmente: Tx_l=1.86 Ty_l=-49.47 N_l=138.55 My_l=-2.52 Mz_l=0.45
Azioni sul cordone: TP=-0.66 TO=4.00 NO=10.20
Tensioni nel cordone: τ_P=0.21 τ_0=1.27 σ_0=6.93 σ_{ID}=7.05 Σ_T=8.20
CC 18 SLD (Collegamento -376_-504)
Azioni sul collegamento: N=138.55 Ty=1.38 Tz=-49.47 Mx=0.35 Mz=1.87
Sollecitazioni agenti localmente: Tx_l=1.38 Ty_l=-49.47 N_l=138.55 My_l=-1.87 Mz_l=0.35
Azioni sul cordone: TP=-0.50 TO=3.92 NO=10.20
Tensioni nel cordone: τ_P=0.16 τ_0=1.24 σ_0=5.96 σ_{ID}=6.10 Σ_T=7.21
CC 19 SLV (Collegamento -376_-504)
Azioni sul collegamento: N=172.06 Ty=2.46 Tz=-54.65 Mx=0.60 Mz=3.37
Sollecitazioni agenti localmente: Tx_l=2.46 Ty_l=-54.65 N_l=172.06 My_l=-3.37 Mz_l=0.60
Azioni sul cordone: TP=-0.87 TO=4.49 NO=12.66
Tensioni nel cordone: τ_P=0.28 τ_0=1.43 σ_0=8.94 σ_{ID}=9.06 Σ_T=10.37
CC 19 SLV (Collegamento -376_-504)
Azioni sul collegamento: N=172.06 Ty=1.41 Tz=-54.65 Mx=0.34 Mz=1.70
Sollecitazioni agenti localmente: Tx_l=1.41 Ty_l=-54.65 N_l=172.06 My_l=-1.70 Mz_l=0.34
Azioni sul cordone: TP=-0.49 TO=4.29 NO=12.66
Tensioni nel cordone: τ_P=0.16 τ_0=1.36 σ_0=6.51 σ_{ID}=6.65 Σ_T=7.87
CC 19 SLV (Collegamento -376_-504)
Azioni sul collegamento: N=172.06 Ty=2.46 Tz=-54.65 Mx=0.60 Mz=3.37
Sollecitazioni agenti localmente: Tx_l=2.46 Ty_l=-54.65 N_l=172.06 My_l=-3.37 Mz_l=0.60
Azioni sul cordone: TP=-0.87 TO=4.49 NO=12.66
Tensioni nel cordone: τ_P=0.28 τ_0=1.43 σ_0=8.94 σ_{ID}=9.06 Σ_T=10.37
CC 19 SLV (Collegamento -376_-504)
Azioni sul collegamento: N=172.06 Ty=1.41 Tz=-54.65 Mx=0.34 Mz=1.70
Sollecitazioni agenti localmente: Tx_l=1.41 Ty_l=-54.65 N_l=172.06 My_l=-1.70 Mz_l=0.34
Azioni sul cordone: TP=-0.49 TO=4.29 NO=12.66
Tensioni nel cordone: τ_P=0.16 τ_0=1.36 σ_0=6.51 σ_{ID}=6.65 Σ_T=7.87
CC 19 SLV (Collegamento -376_-504)
Azioni sul collegamento: N=118.27 Ty=2.46 Tz=-46.33 Mx=0.60 Mz=3.37
Sollecitazioni agenti localmente: Tx_l=2.46 Ty_l=-46.33 N_l=118.27 My_l=-3.37 Mz_l=0.60
Azioni sul cordone: TP=-0.87 TO=3.88 NO=8.70
Tensioni nel cordone: τ_P=0.28 τ_0=1.23 σ_0=7.69 σ_{ID}=7.79 Σ_T=8.92
CC 19 SLV (Collegamento -376_-504)
Azioni sul collegamento: N=118.27 Ty=1.41 Tz=-46.33 Mx=0.34 Mz=1.70
Sollecitazioni agenti localmente: Tx_l=1.41 Ty_l=-46.33 N_l=118.27 My_l=-1.70 Mz_l=0.34

Azioni sul cordone: TP=-0.49 TO=3.68 NO=8.70
Tensioni nel cordone: τ_P=0.16 τ_0=1.17 σ_0=5.25 σ_{ID}=5.38 Σ_T=6.42
CC 19 SLV (Collegamento -376_-504)
Azioni sul collegamento: N=118.27 Ty=2.46 Tz=-46.33 Mx=0.60 Mz=3.37
Sollecitazioni agenti localmente: Tx_l=2.46 Ty_l=-46.33 N_l=118.27 My_l=-3.37 Mz_l=0.60
Azioni sul cordone: TP=-0.87 TO=3.88 NO=8.70
Tensioni nel cordone: τ_P=0.28 τ_0=1.23 σ_0=7.69 σ_{ID}=7.79 Σ_T=8.92
CC 19 SLV (Collegamento -376_-504)
Azioni sul collegamento: N=118.27 Ty=1.41 Tz=-46.33 Mx=0.34 Mz=1.70
Sollecitazioni agenti localmente: Tx_l=1.41 Ty_l=-46.33 N_l=118.27 My_l=-1.70 Mz_l=0.34
Azioni sul cordone: TP=-0.49 TO=3.68 NO=8.70
Tensioni nel cordone: τ_P=0.16 τ_0=1.17 σ_0=5.25 σ_{ID}=5.38 Σ_T=6.42
CC 20 SLD (Collegamento -376_-504)
Azioni sul collegamento: N=154.98 Ty=1.78 Tz=-52.01 Mx=0.44 Mz=2.45
Sollecitazioni agenti localmente: Tx_l=1.78 Ty_l=-52.01 N_l=154.98 My_l=-2.45 Mz_l=0.44
Azioni sul cordone: TP=-0.64 TO=4.17 NO=11.40
Tensioni nel cordone: τ_P=0.20 τ_0=1.33 σ_0=7.20 σ_{ID}=7.33 Σ_T=8.53
CC 20 SLD (Collegamento -376_-504)
Azioni sul collegamento: N=154.98 Ty=1.46 Tz=-52.01 Mx=0.36 Mz=1.94
Sollecitazioni agenti localmente: Tx_l=1.46 Ty_l=-52.01 N_l=154.98 My_l=-1.94 Mz_l=0.36
Azioni sul cordone: TP=-0.52 TO=4.11 NO=11.40
Tensioni nel cordone: τ_P=0.17 τ_0=1.31 σ_0=6.46 σ_{ID}=6.59 Σ_T=7.77
CC 20 SLD (Collegamento -376_-504)
Azioni sul collegamento: N=154.98 Ty=1.78 Tz=-52.01 Mx=0.44 Mz=2.45
Sollecitazioni agenti localmente: Tx_l=1.78 Ty_l=-52.01 N_l=154.98 My_l=-2.45 Mz_l=0.44
Azioni sul cordone: TP=-0.64 TO=4.17 NO=11.40
Tensioni nel cordone: τ_P=0.20 τ_0=1.33 σ_0=7.20 σ_{ID}=7.33 Σ_T=8.53
CC 20 SLD (Collegamento -376_-504)
Azioni sul collegamento: N=154.98 Ty=1.46 Tz=-52.01 Mx=0.36 Mz=1.94
Sollecitazioni agenti localmente: Tx_l=1.46 Ty_l=-52.01 N_l=154.98 My_l=-1.94 Mz_l=0.36
Azioni sul cordone: TP=-0.52 TO=4.11 NO=11.40
Tensioni nel cordone: τ_P=0.17 τ_0=1.31 σ_0=6.46 σ_{ID}=6.59 Σ_T=7.77
CC 20 SLD (Collegamento -376_-504)
Azioni sul collegamento: N=138.58 Ty=1.78 Tz=-49.47 Mx=0.44 Mz=2.45
Sollecitazioni agenti localmente: Tx_l=1.78 Ty_l=-49.47 N_l=138.58 My_l=-2.45 Mz_l=0.44
Azioni sul cordone: TP=-0.64 TO=3.99 NO=10.20
Tensioni nel cordone: τ_P=0.20 τ_0=1.27 σ_0=6.82 σ_{ID}=6.94 Σ_T=8.09
CC 20 SLD (Collegamento -376_-504)
Azioni sul collegamento: N=138.58 Ty=1.46 Tz=-49.47 Mx=0.36 Mz=1.94
Sollecitazioni agenti localmente: Tx_l=1.46 Ty_l=-49.47 N_l=138.58 My_l=-1.94 Mz_l=0.36
Azioni sul cordone: TP=-0.52 TO=3.92 NO=10.20
Tensioni nel cordone: τ_P=0.17 τ_0=1.25 σ_0=6.08 σ_{ID}=6.20 Σ_T=7.32
CC 20 SLD (Collegamento -376_-504)
Azioni sul collegamento: N=138.58 Ty=1.78 Tz=-49.47 Mx=0.44 Mz=2.45
Sollecitazioni agenti localmente: Tx_l=1.78 Ty_l=-49.47 N_l=138.58 My_l=-2.45 Mz_l=0.44
Azioni sul cordone: TP=-0.64 TO=3.99 NO=10.20
Tensioni nel cordone: τ_P=0.20 τ_0=1.27 σ_0=6.82 σ_{ID}=6.94 Σ_T=8.09
CC 20 SLD (Collegamento -376_-504)
Azioni sul collegamento: N=138.58 Ty=1.46 Tz=-49.47 Mx=0.36 Mz=1.94
Sollecitazioni agenti localmente: Tx_l=1.46 Ty_l=-49.47 N_l=138.58 My_l=-1.94 Mz_l=0.36
Azioni sul cordone: TP=-0.52 TO=3.92 NO=10.20
Tensioni nel cordone: τ_P=0.17 τ_0=1.25 σ_0=6.08 σ_{ID}=6.20 Σ_T=7.32
CC 21 SLV (Collegamento -376_-504)
Azioni sul collegamento: N=118.27 Ty=1.41 Tz=-46.33 Mx=0.31 Mz=1.71
Sollecitazioni agenti localmente: Tx_l=1.41 Ty_l=-46.33 N_l=118.27 My_l=-1.71 Mz_l=0.31
Azioni sul cordone: TP=-0.46 TO=3.65 NO=8.70
Tensioni nel cordone: τ_P=0.14 τ_0=1.16 σ_0=5.26 σ_{ID}=5.39 Σ_T=6.42
CC 21 SLV (Collegamento -376_-504)
Azioni sul collegamento: N=118.27 Ty=2.46 Tz=-46.33 Mx=0.56 Mz=3.37
Sollecitazioni agenti localmente: Tx_l=2.46 Ty_l=-46.33 N_l=118.27 My_l=-3.37 Mz_l=0.56
Azioni sul cordone: TP=-0.83 TO=3.85 NO=8.70
Tensioni nel cordone: τ_P=0.26 τ_0=1.22 σ_0=7.69 σ_{ID}=7.80 Σ_T=8.92
CC 21 SLV (Collegamento -376_-504)
Azioni sul collegamento: N=118.27 Ty=1.41 Tz=-46.33 Mx=0.31 Mz=1.71
Sollecitazioni agenti localmente: Tx_l=1.41 Ty_l=-46.33 N_l=118.27 My_l=-1.71 Mz_l=0.31
Azioni sul cordone: TP=-0.46 TO=3.65 NO=8.70
Tensioni nel cordone: τ_P=0.14 τ_0=1.16 σ_0=5.26 σ_{ID}=5.39 Σ_T=6.42
CC 21 SLV (Collegamento -376_-504)
Azioni sul collegamento: N=118.27 Ty=2.46 Tz=-46.33 Mx=0.56 Mz=3.37
Sollecitazioni agenti localmente: Tx_l=2.46 Ty_l=-46.33 N_l=118.27 My_l=-3.37 Mz_l=0.56
Azioni sul cordone: TP=-0.83 TO=3.85 NO=8.70
Tensioni nel cordone: τ_P=0.26 τ_0=1.22 σ_0=7.69 σ_{ID}=7.80 Σ_T=8.92
CC 21 SLV (Collegamento -376_-504)
Azioni sul collegamento: N=172.06 Ty=1.41 Tz=-54.65 Mx=0.31 Mz=1.71
Sollecitazioni agenti localmente: Tx_l=1.41 Ty_l=-54.65 N_l=172.06 My_l=-1.71 Mz_l=0.31
Azioni sul cordone: TP=-0.46 TO=4.26 NO=12.66
Tensioni nel cordone: τ_P=0.14 τ_0=1.35 σ_0=6.52 σ_{ID}=6.66 Σ_T=7.87
CC 21 SLV (Collegamento -376_-504)
Azioni sul collegamento: N=172.06 Ty=2.46 Tz=-54.65 Mx=0.56 Mz=3.37
Sollecitazioni agenti localmente: Tx_l=2.46 Ty_l=-54.65 N_l=172.06 My_l=-3.37 Mz_l=0.56
Azioni sul cordone: TP=-0.83 TO=4.47 NO=12.66

Tensioni nel cordone: τ_P=0.26 τ_0=1.42 σ_0=8.95 σ_{ID}=9.07 Σ_T=10.37
CC 21 SLV (Collegamento -376_-504)
Azioni sul collegamento: N=172.06 Ty=1.41 Tz=-54.65 Mx=0.31 Mz=1.71
Sollecitazioni agenti localmente: Tx_l=1.41 Ty_l=-54.65 N_l=172.06 My_l=-1.71 Mz_l=0.31
Azioni sul cordone: TP=-0.46 TO=4.26 NO=12.66
Tensioni nel cordone: τ_P=0.14 τ_0=1.35 σ_0=6.52 σ_{ID}=6.66 Σ_T=7.87
CC 21 SLV (Collegamento -376_-504)
Azioni sul collegamento: N=172.06 Ty=2.46 Tz=-54.65 Mx=0.56 Mz=3.37
Sollecitazioni agenti localmente: Tx_l=2.46 Ty_l=-54.65 N_l=172.06 My_l=-3.37 Mz_l=0.56
Azioni sul cordone: TP=-0.83 TO=4.47 NO=12.66
Tensioni nel cordone: τ_P=0.26 τ_0=1.42 σ_0=8.95 σ_{ID}=9.07 Σ_T=10.37
CC 22 SLD (Collegamento -376_-504)
Azioni sul collegamento: N=138.58 Ty=1.46 Tz=-49.47 Mx=0.35 Mz=1.94
Sollecitazioni agenti localmente: Tx_l=1.46 Ty_l=-49.47 N_l=138.58 My_l=-1.94 Mz_l=0.35
Azioni sul cordone: TP=-0.51 TO=3.92 NO=10.20
Tensioni nel cordone: τ_P=0.16 τ_0=1.24 σ_0=6.08 σ_{ID}=6.21 Σ_T=7.32
CC 22 SLD (Collegamento -376_-504)
Azioni sul collegamento: N=138.58 Ty=1.78 Tz=-49.47 Mx=0.43 Mz=2.45
Sollecitazioni agenti localmente: Tx_l=1.78 Ty_l=-49.47 N_l=138.58 My_l=-2.45 Mz_l=0.43
Azioni sul cordone: TP=-0.62 TO=3.98 NO=10.20
Tensioni nel cordone: τ_P=0.20 τ_0=1.26 σ_0=6.82 σ_{ID}=6.94 Σ_T=8.09
CC 22 SLD (Collegamento -376_-504)
Azioni sul collegamento: N=138.58 Ty=1.46 Tz=-49.47 Mx=0.35 Mz=1.94
Sollecitazioni agenti localmente: Tx_l=1.46 Ty_l=-49.47 N_l=138.58 My_l=-1.94 Mz_l=0.35
Azioni sul cordone: TP=-0.51 TO=3.92 NO=10.20
Tensioni nel cordone: τ_P=0.16 τ_0=1.24 σ_0=6.08 σ_{ID}=6.21 Σ_T=7.32
CC 22 SLD (Collegamento -376_-504)
Azioni sul collegamento: N=138.58 Ty=1.78 Tz=-49.47 Mx=0.43 Mz=2.45
Sollecitazioni agenti localmente: Tx_l=1.78 Ty_l=-49.47 N_l=138.58 My_l=-2.45 Mz_l=0.43
Azioni sul cordone: TP=-0.62 TO=3.98 NO=10.20
Tensioni nel cordone: τ_P=0.20 τ_0=1.26 σ_0=6.82 σ_{ID}=6.94 Σ_T=8.09
CC 22 SLD (Collegamento -376_-504)
Azioni sul collegamento: N=154.98 Ty=1.46 Tz=-52.01 Mx=0.35 Mz=1.94
Sollecitazioni agenti localmente: Tx_l=1.46 Ty_l=-52.01 N_l=154.98 My_l=-1.94 Mz_l=0.35
Azioni sul cordone: TP=-0.51 TO=4.10 NO=11.40
Tensioni nel cordone: τ_P=0.16 τ_0=1.30 σ_0=6.46 σ_{ID}=6.59 Σ_T=7.77
CC 22 SLD (Collegamento -376_-504)
Azioni sul collegamento: N=154.98 Ty=1.78 Tz=-52.01 Mx=0.43 Mz=2.45
Sollecitazioni agenti localmente: Tx_l=1.78 Ty_l=-52.01 N_l=154.98 My_l=-2.45 Mz_l=0.43
Azioni sul cordone: TP=-0.62 TO=4.16 NO=11.40
Tensioni nel cordone: τ_P=0.20 τ_0=1.32 σ_0=7.20 σ_{ID}=7.33 Σ_T=8.53
CC 22 SLD (Collegamento -376_-504)
Azioni sul collegamento: N=154.98 Ty=1.46 Tz=-52.01 Mx=0.35 Mz=1.94
Sollecitazioni agenti localmente: Tx_l=1.46 Ty_l=-52.01 N_l=154.98 My_l=-1.94 Mz_l=0.35
Azioni sul cordone: TP=-0.51 TO=4.10 NO=11.40
Tensioni nel cordone: τ_P=0.16 τ_0=1.30 σ_0=6.46 σ_{ID}=6.59 Σ_T=7.77
CC 22 SLD (Collegamento -376_-504)
Azioni sul collegamento: N=154.98 Ty=1.78 Tz=-52.01 Mx=0.43 Mz=2.45
Sollecitazioni agenti localmente: Tx_l=1.78 Ty_l=-52.01 N_l=154.98 My_l=-2.45 Mz_l=0.43
Azioni sul cordone: TP=-0.62 TO=4.16 NO=11.40
Tensioni nel cordone: τ_P=0.20 τ_0=1.32 σ_0=7.20 σ_{ID}=7.33 Σ_T=8.53
CC 23 SLV (Collegamento -376_-504)
Azioni sul collegamento: N=118.18 Ty=1.14 Tz=-46.31 Mx=0.26 Mz=1.46
Sollecitazioni agenti localmente: Tx_l=1.14 Ty_l=-46.31 N_l=118.18 My_l=-1.46 Mz_l=0.26
Azioni sul cordone: TP=-0.39 TO=3.62 NO=8.70
Tensioni nel cordone: τ_P=0.12 τ_0=1.15 σ_0=4.90 σ_{ID}=5.03 Σ_T=6.05
CC 23 SLV (Collegamento -376_-504)
Azioni sul collegamento: N=118.18 Ty=2.73 Tz=-46.31 Mx=0.60 Mz=3.62
Sollecitazioni agenti localmente: Tx_l=2.73 Ty_l=-46.31 N_l=118.18 My_l=-3.62 Mz_l=0.60
Azioni sul cordone: TP=-0.89 TO=3.88 NO=8.70
Tensioni nel cordone: τ_P=0.28 τ_0=1.23 σ_0=8.05 σ_{ID}=8.15 Σ_T=9.29
CC 23 SLV (Collegamento -376_-504)
Azioni sul collegamento: N=118.18 Ty=1.14 Tz=-46.31 Mx=0.26 Mz=1.46
Sollecitazioni agenti localmente: Tx_l=1.14 Ty_l=-46.31 N_l=118.18 My_l=-1.46 Mz_l=0.26
Azioni sul cordone: TP=-0.39 TO=3.62 NO=8.70
Tensioni nel cordone: τ_P=0.12 τ_0=1.15 σ_0=4.90 σ_{ID}=5.03 Σ_T=6.05
CC 23 SLV (Collegamento -376_-504)
Azioni sul collegamento: N=118.18 Ty=2.73 Tz=-46.31 Mx=0.60 Mz=3.62
Sollecitazioni agenti localmente: Tx_l=2.73 Ty_l=-46.31 N_l=118.18 My_l=-3.62 Mz_l=0.60
Azioni sul cordone: TP=-0.89 TO=3.88 NO=8.70
Tensioni nel cordone: τ_P=0.28 τ_0=1.23 σ_0=8.05 σ_{ID}=8.15 Σ_T=9.29
CC 23 SLV (Collegamento -376_-504)
Azioni sul collegamento: N=172.15 Ty=1.14 Tz=-54.66 Mx=0.26 Mz=1.46
Sollecitazioni agenti localmente: Tx_l=1.14 Ty_l=-54.66 N_l=172.15 My_l=-1.46 Mz_l=0.26
Azioni sul cordone: TP=-0.39 TO=4.23 NO=12.67
Tensioni nel cordone: τ_P=0.12 τ_0=1.34 σ_0=6.16 σ_{ID}=6.30 Σ_T=7.50
CC 23 SLV (Collegamento -376_-504)
Azioni sul collegamento: N=172.15 Ty=2.73 Tz=-54.66 Mx=0.60 Mz=3.62
Sollecitazioni agenti localmente: Tx_l=2.73 Ty_l=-54.66 N_l=172.15 My_l=-3.62 Mz_l=0.60
Azioni sul cordone: TP=-0.89 TO=4.49 NO=12.67
Tensioni nel cordone: τ_P=0.28 τ_0=1.43 σ_0=9.31 σ_{ID}=9.43 Σ_T=10.74

CC 23 SLV (Collegamento -376_-504)
Azioni sul collegamento: N=172.15 Ty=1.14 Tz=-54.66 Mx=0.26 Mz=1.46
Sollecitazioni agenti localmente: Tx_l=1.14 Ty_l=-54.66 N_l=172.15 My_l=-1.46 Mz_l=0.26
Azioni sul cordone: TP=-0.39 TO=4.23 NO=12.67
Tensioni nel cordone: τ_P=0.12 τ_0=1.34 σ_0=6.16 σ_{ID}=6.30 Σ_T=7.50
CC 23 SLV (Collegamento -376_-504)
Azioni sul collegamento: N=172.15 Ty=2.73 Tz=-54.66 Mx=0.60 Mz=3.62
Sollecitazioni agenti localmente: Tx_l=2.73 Ty_l=-54.66 N_l=172.15 My_l=-3.62 Mz_l=0.60
Azioni sul cordone: TP=-0.89 TO=4.49 NO=12.67
Tensioni nel cordone: τ_P=0.28 τ_0=1.43 σ_0=9.31 σ_{ID}=9.43 Σ_T=10.74
CC 24 SLD (Collegamento -376_-504)
Azioni sul collegamento: N=138.55 Ty=1.38 Tz=-49.47 Mx=0.34 Mz=1.87
Sollecitazioni agenti localmente: Tx_l=1.38 Ty_l=-49.47 N_l=138.55 My_l=-1.87 Mz_l=0.34
Azioni sul cordone: TP=-0.49 TO=3.91 NO=10.20
Tensioni nel cordone: τ_P=0.16 τ_0=1.24 σ_0=5.97 σ_{ID}=6.10 Σ_T=7.21
CC 24 SLD (Collegamento -376_-504)
Azioni sul collegamento: N=138.55 Ty=1.86 Tz=-49.47 Mx=0.44 Mz=2.53
Sollecitazioni agenti localmente: Tx_l=1.86 Ty_l=-49.47 N_l=138.55 My_l=-2.53 Mz_l=0.44
Azioni sul cordone: TP=-0.64 TO=3.99 NO=10.20
Tensioni nel cordone: τ_P=0.20 τ_0=1.27 σ_0=6.93 σ_{ID}=7.05 Σ_T=8.20
CC 24 SLD (Collegamento -376_-504)
Azioni sul collegamento: N=138.55 Ty=1.38 Tz=-49.47 Mx=0.34 Mz=1.87
Sollecitazioni agenti localmente: Tx_l=1.38 Ty_l=-49.47 N_l=138.55 My_l=-1.87 Mz_l=0.34
Azioni sul cordone: TP=-0.49 TO=3.91 NO=10.20
Tensioni nel cordone: τ_P=0.16 τ_0=1.24 σ_0=5.97 σ_{ID}=6.10 Σ_T=7.21
CC 24 SLD (Collegamento -376_-504)
Azioni sul collegamento: N=138.55 Ty=1.86 Tz=-49.47 Mx=0.44 Mz=2.53
Sollecitazioni agenti localmente: Tx_l=1.86 Ty_l=-49.47 N_l=138.55 My_l=-2.53 Mz_l=0.44
Azioni sul cordone: TP=-0.64 TO=3.99 NO=10.20
Tensioni nel cordone: τ_P=0.20 τ_0=1.27 σ_0=6.93 σ_{ID}=7.05 Σ_T=8.20
CC 24 SLD (Collegamento -376_-504)
Azioni sul collegamento: N=155.01 Ty=1.38 Tz=-52.01 Mx=0.34 Mz=1.87
Sollecitazioni agenti localmente: Tx_l=1.38 Ty_l=-52.01 N_l=155.01 My_l=-1.87 Mz_l=0.34
Azioni sul cordone: TP=-0.49 TO=4.09 NO=11.41
Tensioni nel cordone: τ_P=0.16 τ_0=1.30 σ_0=6.35 σ_{ID}=6.49 Σ_T=7.65
CC 24 SLD (Collegamento -376_-504)
Azioni sul collegamento: N=155.01 Ty=1.86 Tz=-52.01 Mx=0.44 Mz=2.53
Sollecitazioni agenti localmente: Tx_l=1.86 Ty_l=-52.01 N_l=155.01 My_l=-2.53 Mz_l=0.44
Azioni sul cordone: TP=-0.64 TO=4.17 NO=11.41
Tensioni nel cordone: τ_P=0.20 τ_0=1.33 σ_0=7.31 σ_{ID}=7.44 Σ_T=8.64
CC 24 SLD (Collegamento -376_-504)
Azioni sul collegamento: N=155.01 Ty=1.38 Tz=-52.01 Mx=0.34 Mz=1.87
Sollecitazioni agenti localmente: Tx_l=1.38 Ty_l=-52.01 N_l=155.01 My_l=-1.87 Mz_l=0.34
Azioni sul cordone: TP=-0.49 TO=4.09 NO=11.41
Tensioni nel cordone: τ_P=0.16 τ_0=1.30 σ_0=6.35 σ_{ID}=6.49 Σ_T=7.65
CC 24 SLD (Collegamento -376_-504)
Azioni sul collegamento: N=155.01 Ty=1.86 Tz=-52.01 Mx=0.44 Mz=2.53
Sollecitazioni agenti localmente: Tx_l=1.86 Ty_l=-52.01 N_l=155.01 My_l=-2.53 Mz_l=0.44
Azioni sul cordone: TP=-0.64 TO=4.17 NO=11.41
Tensioni nel cordone: τ_P=0.20 τ_0=1.33 σ_0=7.31 σ_{ID}=7.44 Σ_T=8.64
CC 25 SLV (Collegamento -376_-504)
Azioni sul collegamento: N=153.40 Ty=2.59 Tz=-51.76 Mx=0.57 Mz=3.23
Sollecitazioni agenti localmente: Tx_l=2.59 Ty_l=-51.76 N_l=153.40 My_l=-3.23 Mz_l=0.57
Azioni sul cordone: TP=-0.85 TO=4.26 NO=11.29
Tensioni nel cordone: τ_P=0.27 τ_0=1.35 σ_0=8.31 σ_{ID}=8.42 Σ_T=9.66
CC 25 SLV (Collegamento -376_-504)
Azioni sul collegamento: N=153.40 Ty=1.28 Tz=-51.76 Mx=0.35 Mz=1.84
Sollecitazioni agenti localmente: Tx_l=1.28 Ty_l=-51.76 N_l=153.40 My_l=-1.84 Mz_l=0.35
Azioni sul cordone: TP=-0.50 TO=4.09 NO=11.29
Tensioni nel cordone: τ_P=0.16 τ_0=1.30 σ_0=6.27 σ_{ID}=6.41 Σ_T=7.57
CC 25 SLV (Collegamento -376_-504)
Azioni sul collegamento: N=153.40 Ty=2.59 Tz=-51.76 Mx=0.57 Mz=3.23
Sollecitazioni agenti localmente: Tx_l=2.59 Ty_l=-51.76 N_l=153.40 My_l=-3.23 Mz_l=0.57
Azioni sul cordone: TP=-0.85 TO=4.26 NO=11.29
Tensioni nel cordone: τ_P=0.27 τ_0=1.35 σ_0=8.31 σ_{ID}=8.42 Σ_T=9.66
CC 25 SLV (Collegamento -376_-504)
Azioni sul collegamento: N=153.40 Ty=1.28 Tz=-51.76 Mx=0.35 Mz=1.84
Sollecitazioni agenti localmente: Tx_l=1.28 Ty_l=-51.76 N_l=153.40 My_l=-1.84 Mz_l=0.35
Azioni sul cordone: TP=-0.50 TO=4.09 NO=11.29
Tensioni nel cordone: τ_P=0.16 τ_0=1.30 σ_0=6.27 σ_{ID}=6.41 Σ_T=7.57
CC 25 SLV (Collegamento -376_-504)
Azioni sul collegamento: N=136.93 Ty=2.59 Tz=-49.21 Mx=0.57 Mz=3.23
Sollecitazioni agenti localmente: Tx_l=2.59 Ty_l=-49.21 N_l=136.93 My_l=-3.23 Mz_l=0.57
Azioni sul cordone: TP=-0.85 TO=4.07 NO=10.08
Tensioni nel cordone: τ_P=0.27 τ_0=1.29 σ_0=7.93 σ_{ID}=8.04 Σ_T=9.22
CC 25 SLV (Collegamento -376_-504)
Azioni sul collegamento: N=136.93 Ty=1.28 Tz=-49.21 Mx=0.35 Mz=1.84
Sollecitazioni agenti localmente: Tx_l=1.28 Ty_l=-49.21 N_l=136.93 My_l=-1.84 Mz_l=0.35
Azioni sul cordone: TP=-0.50 TO=3.90 NO=10.08
Tensioni nel cordone: τ_P=0.16 τ_0=1.24 σ_0=5.89 σ_{ID}=6.02 Σ_T=7.13
CC 25 SLV (Collegamento -376_-504)

Azioni sul collegamento: N=136.93 Ty=2.59 Tz=-49.21 Mx=0.57 Mz=3.23
Sollecitazioni agenti localmente: Tx_l=2.59 Ty_l=-49.21 N_l=136.93 My_l=-3.23 Mz_l=0.57
Azioni sul cordone: TP=-0.85 TO=4.07 NO=10.08
Tensioni nel cordone: τ_P=0.27 τ_0=1.29 σ_0=7.93 σ_{ID}=8.04 Σ_T=9.22
CC 25 SLV (Collegamento -376_-504)
Azioni sul collegamento: N=136.93 Ty=1.28 Tz=-49.21 Mx=0.35 Mz=1.84
Sollecitazioni agenti localmente: Tx_l=1.28 Ty_l=-49.21 N_l=136.93 My_l=-1.84 Mz_l=0.35
Azioni sul cordone: TP=-0.50 TO=3.90 NO=10.08
Tensioni nel cordone: τ_P=0.16 τ_0=1.24 σ_0=5.89 σ_{ID}=6.02 Σ_T=7.13
CC 26 SLD (Collegamento -376_-504)
Azioni sul collegamento: N=149.29 Ty=1.82 Tz=-51.13 Mx=0.43 Mz=2.41
Sollecitazioni agenti localmente: Tx_l=1.82 Ty_l=-51.13 N_l=149.29 My_l=-2.41 Mz_l=0.43
Azioni sul cordone: TP=-0.63 TO=4.10 NO=10.99
Tensioni nel cordone: τ_P=0.20 τ_0=1.30 σ_0=7.01 σ_{ID}=7.13 Σ_T=8.31
CC 26 SLD (Collegamento -376_-504)
Azioni sul collegamento: N=149.29 Ty=1.42 Tz=-51.13 Mx=0.36 Mz=1.98
Sollecitazioni agenti localmente: Tx_l=1.42 Ty_l=-51.13 N_l=149.29 My_l=-1.98 Mz_l=0.36
Azioni sul cordone: TP=-0.52 TO=4.05 NO=10.99
Tensioni nel cordone: τ_P=0.17 τ_0=1.29 σ_0=6.39 σ_{ID}=6.52 Σ_T=7.67
CC 26 SLD (Collegamento -376_-504)
Azioni sul collegamento: N=149.29 Ty=1.82 Tz=-51.13 Mx=0.43 Mz=2.41
Sollecitazioni agenti localmente: Tx_l=1.82 Ty_l=-51.13 N_l=149.29 My_l=-2.41 Mz_l=0.43
Azioni sul cordone: TP=-0.63 TO=4.10 NO=10.99
Tensioni nel cordone: τ_P=0.20 τ_0=1.30 σ_0=7.01 σ_{ID}=7.13 Σ_T=8.31
CC 26 SLD (Collegamento -376_-504)
Azioni sul collegamento: N=149.29 Ty=1.42 Tz=-51.13 Mx=0.36 Mz=1.98
Sollecitazioni agenti localmente: Tx_l=1.42 Ty_l=-51.13 N_l=149.29 My_l=-1.98 Mz_l=0.36
Azioni sul cordone: TP=-0.52 TO=4.05 NO=10.99
Tensioni nel cordone: τ_P=0.17 τ_0=1.29 σ_0=6.39 σ_{ID}=6.52 Σ_T=7.67
CC 26 SLD (Collegamento -376_-504)
Azioni sul collegamento: N=144.27 Ty=1.82 Tz=-50.35 Mx=0.43 Mz=2.41
Sollecitazioni agenti localmente: Tx_l=1.82 Ty_l=-50.35 N_l=144.27 My_l=-2.41 Mz_l=0.43
Azioni sul cordone: TP=-0.63 TO=4.04 NO=10.62
Tensioni nel cordone: τ_P=0.20 τ_0=1.29 σ_0=6.89 σ_{ID}=7.01 Σ_T=8.18
CC 26 SLD (Collegamento -376_-504)
Azioni sul collegamento: N=144.27 Ty=1.42 Tz=-50.35 Mx=0.36 Mz=1.98
Sollecitazioni agenti localmente: Tx_l=1.42 Ty_l=-50.35 N_l=144.27 My_l=-1.98 Mz_l=0.36
Azioni sul cordone: TP=-0.52 TO=3.99 NO=10.62
Tensioni nel cordone: τ_P=0.17 τ_0=1.27 σ_0=6.27 σ_{ID}=6.40 Σ_T=7.54
CC 26 SLD (Collegamento -376_-504)
Azioni sul collegamento: N=144.27 Ty=1.82 Tz=-50.35 Mx=0.43 Mz=2.41
Sollecitazioni agenti localmente: Tx_l=1.82 Ty_l=-50.35 N_l=144.27 My_l=-2.41 Mz_l=0.43
Azioni sul cordone: TP=-0.63 TO=4.04 NO=10.62
Tensioni nel cordone: τ_P=0.20 τ_0=1.29 σ_0=6.89 σ_{ID}=7.01 Σ_T=8.18
CC 26 SLD (Collegamento -376_-504)
Azioni sul collegamento: N=144.27 Ty=1.42 Tz=-50.35 Mx=0.36 Mz=1.98
Sollecitazioni agenti localmente: Tx_l=1.42 Ty_l=-50.35 N_l=144.27 My_l=-1.98 Mz_l=0.36
Azioni sul cordone: TP=-0.52 TO=3.99 NO=10.62
Tensioni nel cordone: τ_P=0.17 τ_0=1.27 σ_0=6.27 σ_{ID}=6.40 Σ_T=7.54
CC 27 SLV (Collegamento -376_-504)
Azioni sul collegamento: N=137.24 Ty=2.20 Tz=-49.26 Mx=0.47 Mz=2.66
Sollecitazioni agenti localmente: Tx_l=2.20 Ty_l=-49.26 N_l=137.24 My_l=-2.66 Mz_l=0.47
Azioni sul cordone: TP=-0.70 TO=3.99 NO=10.10
Tensioni nel cordone: τ_P=0.22 τ_0=1.27 σ_0=7.10 σ_{ID}=7.21 Σ_T=8.37
CC 27 SLV (Collegamento -376_-504)
Azioni sul collegamento: N=137.24 Ty=1.68 Tz=-49.26 Mx=0.43 Mz=2.41
Sollecitazioni agenti localmente: Tx_l=1.68 Ty_l=-49.26 N_l=137.24 My_l=-2.41 Mz_l=0.43
Azioni sul cordone: TP=-0.62 TO=3.96 NO=10.10
Tensioni nel cordone: τ_P=0.20 τ_0=1.26 σ_0=6.74 σ_{ID}=6.86 Σ_T=8.00
CC 27 SLV (Collegamento -376_-504)
Azioni sul collegamento: N=137.24 Ty=2.20 Tz=-49.26 Mx=0.47 Mz=2.66
Sollecitazioni agenti localmente: Tx_l=2.20 Ty_l=-49.26 N_l=137.24 My_l=-2.66 Mz_l=0.47
Azioni sul cordone: TP=-0.70 TO=3.99 NO=10.10
Tensioni nel cordone: τ_P=0.22 τ_0=1.27 σ_0=7.10 σ_{ID}=7.21 Σ_T=8.37
CC 27 SLV (Collegamento -376_-504)
Azioni sul collegamento: N=137.24 Ty=1.68 Tz=-49.26 Mx=0.43 Mz=2.41
Sollecitazioni agenti localmente: Tx_l=1.68 Ty_l=-49.26 N_l=137.24 My_l=-2.41 Mz_l=0.43
Azioni sul cordone: TP=-0.62 TO=3.96 NO=10.10
Tensioni nel cordone: τ_P=0.20 τ_0=1.26 σ_0=6.74 σ_{ID}=6.86 Σ_T=8.00
CC 27 SLV (Collegamento -376_-504)
Azioni sul collegamento: N=153.09 Ty=2.20 Tz=-51.72 Mx=0.47 Mz=2.66
Sollecitazioni agenti localmente: Tx_l=2.20 Ty_l=-51.72 N_l=153.09 My_l=-2.66 Mz_l=0.47
Azioni sul cordone: TP=-0.70 TO=4.17 NO=11.27
Tensioni nel cordone: τ_P=0.22 τ_0=1.33 σ_0=7.47 σ_{ID}=7.59 Σ_T=8.79
CC 27 SLV (Collegamento -376_-504)
Azioni sul collegamento: N=153.09 Ty=1.68 Tz=-51.72 Mx=0.43 Mz=2.41
Sollecitazioni agenti localmente: Tx_l=1.68 Ty_l=-51.72 N_l=153.09 My_l=-2.41 Mz_l=0.43
Azioni sul cordone: TP=-0.62 TO=4.14 NO=11.27
Tensioni nel cordone: τ_P=0.20 τ_0=1.32 σ_0=7.11 σ_{ID}=7.23 Σ_T=8.42
CC 27 SLV (Collegamento -376_-504)
Azioni sul collegamento: N=153.09 Ty=2.20 Tz=-51.72 Mx=0.47 Mz=2.66

Sollecitazioni agenti localmente: Tx_l=2.20 Ty_l=-51.72 N_l=153.09 My_l=-2.66 Mz_l=0.47
Azioni sul cordone: TP=-0.70 TO=4.17 NO=11.27
Tensioni nel cordone: τ_P=0.22 τ_0=1.33 σ_0=7.47 σ_{ID}=7.59 Σ_T=8.79
CC 27 SLV (Collegamento -376_-504)
Azioni sul collegamento: N=153.09 Ty=1.68 Tz=-51.72 Mx=0.43 Mz=2.41
Sollecitazioni agenti localmente: Tx_l=1.68 Ty_l=-51.72 N_l=153.09 My_l=-2.41 Mz_l=0.43
Azioni sul cordone: TP=-0.62 TO=4.14 NO=11.27
Tensioni nel cordone: τ_P=0.20 τ_0=1.32 σ_0=7.11 σ_{ID}=7.23 Σ_T=8.42
CC 28 SLD (Collegamento -376_-504)
Azioni sul collegamento: N=144.37 Ty=1.70 Tz=-50.36 Mx=0.40 Mz=2.23
Sollecitazioni agenti localmente: Tx_l=1.70 Ty_l=-50.36 N_l=144.37 My_l=-2.23 Mz_l=0.40
Azioni sul cordone: TP=-0.59 TO=4.02 NO=10.62
Tensioni nel cordone: τ_P=0.19 τ_0=1.28 σ_0=6.64 σ_{ID}=6.76 Σ_T=7.92
CC 28 SLD (Collegamento -376_-504)
Azioni sul collegamento: N=144.37 Ty=1.54 Tz=-50.36 Mx=0.39 Mz=2.16
Sollecitazioni agenti localmente: Tx_l=1.54 Ty_l=-50.36 N_l=144.37 My_l=-2.16 Mz_l=0.39
Azioni sul cordone: TP=-0.56 TO=4.01 NO=10.62
Tensioni nel cordone: τ_P=0.18 τ_0=1.28 σ_0=6.53 σ_{ID}=6.65 Σ_T=7.80
CC 28 SLD (Collegamento -376_-504)
Azioni sul collegamento: N=144.37 Ty=1.70 Tz=-50.36 Mx=0.40 Mz=2.23
Sollecitazioni agenti localmente: Tx_l=1.70 Ty_l=-50.36 N_l=144.37 My_l=-2.23 Mz_l=0.40
Azioni sul cordone: TP=-0.59 TO=4.02 NO=10.62
Tensioni nel cordone: τ_P=0.19 τ_0=1.28 σ_0=6.64 σ_{ID}=6.76 Σ_T=7.92
CC 28 SLD (Collegamento -376_-504)
Azioni sul collegamento: N=144.37 Ty=1.54 Tz=-50.36 Mx=0.39 Mz=2.16
Sollecitazioni agenti localmente: Tx_l=1.54 Ty_l=-50.36 N_l=144.37 My_l=-2.16 Mz_l=0.39
Azioni sul cordone: TP=-0.56 TO=4.01 NO=10.62
Tensioni nel cordone: τ_P=0.18 τ_0=1.28 σ_0=6.53 σ_{ID}=6.65 Σ_T=7.80
CC 28 SLD (Collegamento -376_-504)
Azioni sul collegamento: N=149.20 Ty=1.70 Tz=-51.11 Mx=0.40 Mz=2.23
Sollecitazioni agenti localmente: Tx_l=1.70 Ty_l=-51.11 N_l=149.20 My_l=-2.23 Mz_l=0.40
Azioni sul cordone: TP=-0.59 TO=4.08 NO=10.98
Tensioni nel cordone: τ_P=0.19 τ_0=1.30 σ_0=6.75 σ_{ID}=6.88 Σ_T=8.05
CC 28 SLD (Collegamento -376_-504)
Azioni sul collegamento: N=149.20 Ty=1.54 Tz=-51.11 Mx=0.39 Mz=2.16
Sollecitazioni agenti localmente: Tx_l=1.54 Ty_l=-51.11 N_l=149.20 My_l=-2.16 Mz_l=0.39
Azioni sul cordone: TP=-0.56 TO=4.07 NO=10.98
Tensioni nel cordone: τ_P=0.18 τ_0=1.29 σ_0=6.64 σ_{ID}=6.77 Σ_T=7.93
CC 28 SLD (Collegamento -376_-504)
Azioni sul collegamento: N=149.20 Ty=1.70 Tz=-51.11 Mx=0.40 Mz=2.23
Sollecitazioni agenti localmente: Tx_l=1.70 Ty_l=-51.11 N_l=149.20 My_l=-2.23 Mz_l=0.40
Azioni sul cordone: TP=-0.59 TO=4.08 NO=10.98
Tensioni nel cordone: τ_P=0.19 τ_0=1.30 σ_0=6.75 σ_{ID}=6.88 Σ_T=8.05
CC 28 SLD (Collegamento -376_-504)
Azioni sul collegamento: N=149.20 Ty=1.54 Tz=-51.11 Mx=0.39 Mz=2.16
Sollecitazioni agenti localmente: Tx_l=1.54 Ty_l=-51.11 N_l=149.20 My_l=-2.16 Mz_l=0.39
Azioni sul cordone: TP=-0.56 TO=4.07 NO=10.98
Tensioni nel cordone: τ_P=0.18 τ_0=1.29 σ_0=6.64 σ_{ID}=6.77 Σ_T=7.93
CC 29 SLV (Collegamento -376_-504)
Azioni sul collegamento: N=153.09 Ty=1.68 Tz=-51.72 Mx=0.43 Mz=2.41
Sollecitazioni agenti localmente: Tx_l=1.68 Ty_l=-51.72 N_l=153.09 My_l=-2.41 Mz_l=0.43
Azioni sul cordone: TP=-0.62 TO=4.15 NO=11.27
Tensioni nel cordone: τ_P=0.20 τ_0=1.32 σ_0=7.11 σ_{ID}=7.23 Σ_T=8.42
CC 29 SLV (Collegamento -376_-504)
Azioni sul collegamento: N=153.09 Ty=2.20 Tz=-51.72 Mx=0.47 Mz=2.66
Sollecitazioni agenti localmente: Tx_l=2.20 Ty_l=-51.72 N_l=153.09 My_l=-2.66 Mz_l=0.47
Azioni sul cordone: TP=-0.70 TO=4.18 NO=11.27
Tensioni nel cordone: τ_P=0.22 τ_0=1.33 σ_0=7.47 σ_{ID}=7.59 Σ_T=8.79
CC 29 SLV (Collegamento -376_-504)
Azioni sul collegamento: N=153.09 Ty=1.68 Tz=-51.72 Mx=0.43 Mz=2.41
Sollecitazioni agenti localmente: Tx_l=1.68 Ty_l=-51.72 N_l=153.09 My_l=-2.41 Mz_l=0.43
Azioni sul cordone: TP=-0.62 TO=4.15 NO=11.27
Tensioni nel cordone: τ_P=0.20 τ_0=1.32 σ_0=7.11 σ_{ID}=7.23 Σ_T=8.42
CC 29 SLV (Collegamento -376_-504)
Azioni sul collegamento: N=153.09 Ty=2.20 Tz=-51.72 Mx=0.47 Mz=2.66
Sollecitazioni agenti localmente: Tx_l=2.20 Ty_l=-51.72 N_l=153.09 My_l=-2.66 Mz_l=0.47
Azioni sul cordone: TP=-0.70 TO=4.18 NO=11.27
Tensioni nel cordone: τ_P=0.22 τ_0=1.33 σ_0=7.47 σ_{ID}=7.59 Σ_T=8.79
CC 29 SLV (Collegamento -376_-504)
Azioni sul collegamento: N=137.24 Ty=1.68 Tz=-49.26 Mx=0.43 Mz=2.41
Sollecitazioni agenti localmente: Tx_l=1.68 Ty_l=-49.26 N_l=137.24 My_l=-2.41 Mz_l=0.43
Azioni sul cordone: TP=-0.62 TO=3.97 NO=10.10
Tensioni nel cordone: τ_P=0.20 τ_0=1.26 σ_0=6.74 σ_{ID}=6.85 Σ_T=8.00
CC 29 SLV (Collegamento -376_-504)
Azioni sul collegamento: N=137.24 Ty=2.20 Tz=-49.26 Mx=0.47 Mz=2.66
Sollecitazioni agenti localmente: Tx_l=2.20 Ty_l=-49.26 N_l=137.24 My_l=-2.66 Mz_l=0.47
Azioni sul cordone: TP=-0.70 TO=4.00 NO=10.10
Tensioni nel cordone: τ_P=0.22 τ_0=1.27 σ_0=7.10 σ_{ID}=7.21 Σ_T=8.37
CC 29 SLV (Collegamento -376_-504)
Azioni sul collegamento: N=137.24 Ty=1.68 Tz=-49.26 Mx=0.43 Mz=2.41
Sollecitazioni agenti localmente: Tx_l=1.68 Ty_l=-49.26 N_l=137.24 My_l=-2.41 Mz_l=0.43

Azioni sul cordone: TP=-0.62 TO=3.97 NO=10.10
Tensioni nel cordone: τ_P=0.20 τ_0=1.26 σ_0=6.74 σ_{ID}=6.85 Σ_T=8.00
CC 29 SLV (Collegamento -376_-504)
Azioni sul collegamento: N=137.24 Ty=2.20 Tz=-49.26 Mx=0.47 Mz=2.66
Sollecitazioni agenti localmente: Tx_l=2.20 Ty_l=-49.26 N_l=137.24 My_l=-2.66 Mz_l=0.47
Azioni sul cordone: TP=-0.70 TO=4.00 NO=10.10
Tensioni nel cordone: τ_P=0.22 τ_0=1.27 σ_0=7.10 σ_{ID}=7.21 Σ_T=8.37
CC 30 SLD (Collegamento -376_-504)
Azioni sul collegamento: N=149.20 Ty=1.54 Tz=-51.11 Mx=0.39 Mz=2.16
Sollecitazioni agenti localmente: Tx_l=1.54 Ty_l=-51.11 N_l=149.20 My_l=-2.16 Mz_l=0.39
Azioni sul cordone: TP=-0.56 TO=4.07 NO=10.98
Tensioni nel cordone: τ_P=0.18 τ_0=1.29 σ_0=6.64 σ_{ID}=6.77 Σ_T=7.93
CC 30 SLD (Collegamento -376_-504)
Azioni sul collegamento: N=149.20 Ty=1.70 Tz=-51.11 Mx=0.40 Mz=2.23
Sollecitazioni agenti localmente: Tx_l=1.70 Ty_l=-51.11 N_l=149.20 My_l=-2.23 Mz_l=0.40
Azioni sul cordone: TP=-0.59 TO=4.08 NO=10.98
Tensioni nel cordone: τ_P=0.19 τ_0=1.30 σ_0=6.75 σ_{ID}=6.88 Σ_T=8.05
CC 30 SLD (Collegamento -376_-504)
Azioni sul collegamento: N=149.20 Ty=1.54 Tz=-51.11 Mx=0.39 Mz=2.16
Sollecitazioni agenti localmente: Tx_l=1.54 Ty_l=-51.11 N_l=149.20 My_l=-2.16 Mz_l=0.39
Azioni sul cordone: TP=-0.56 TO=4.07 NO=10.98
Tensioni nel cordone: τ_P=0.18 τ_0=1.29 σ_0=6.64 σ_{ID}=6.77 Σ_T=7.93
CC 30 SLD (Collegamento -376_-504)
Azioni sul collegamento: N=149.20 Ty=1.70 Tz=-51.11 Mx=0.40 Mz=2.23
Sollecitazioni agenti localmente: Tx_l=1.70 Ty_l=-51.11 N_l=149.20 My_l=-2.23 Mz_l=0.40
Azioni sul cordone: TP=-0.59 TO=4.08 NO=10.98
Tensioni nel cordone: τ_P=0.19 τ_0=1.30 σ_0=6.75 σ_{ID}=6.88 Σ_T=8.05
CC 30 SLD (Collegamento -376_-504)
Azioni sul collegamento: N=144.37 Ty=1.54 Tz=-50.36 Mx=0.39 Mz=2.16
Sollecitazioni agenti localmente: Tx_l=1.54 Ty_l=-50.36 N_l=144.37 My_l=-2.16 Mz_l=0.39
Azioni sul cordone: TP=-0.56 TO=4.01 NO=10.62
Tensioni nel cordone: τ_P=0.18 τ_0=1.28 σ_0=6.53 σ_{ID}=6.65 Σ_T=7.80
CC 30 SLD (Collegamento -376_-504)
Azioni sul collegamento: N=144.37 Ty=1.70 Tz=-50.36 Mx=0.40 Mz=2.23
Sollecitazioni agenti localmente: Tx_l=1.70 Ty_l=-50.36 N_l=144.37 My_l=-2.23 Mz_l=0.40
Azioni sul cordone: TP=-0.59 TO=4.02 NO=10.62
Tensioni nel cordone: τ_P=0.19 τ_0=1.28 σ_0=6.64 σ_{ID}=6.76 Σ_T=7.92
CC 30 SLD (Collegamento -376_-504)
Azioni sul collegamento: N=144.37 Ty=1.54 Tz=-50.36 Mx=0.39 Mz=2.16
Sollecitazioni agenti localmente: Tx_l=1.54 Ty_l=-50.36 N_l=144.37 My_l=-2.16 Mz_l=0.39
Azioni sul cordone: TP=-0.56 TO=4.01 NO=10.62
Tensioni nel cordone: τ_P=0.18 τ_0=1.28 σ_0=6.53 σ_{ID}=6.65 Σ_T=7.80
CC 30 SLD (Collegamento -376_-504)
Azioni sul collegamento: N=144.37 Ty=1.70 Tz=-50.36 Mx=0.40 Mz=2.23
Sollecitazioni agenti localmente: Tx_l=1.70 Ty_l=-50.36 N_l=144.37 My_l=-2.23 Mz_l=0.40
Azioni sul cordone: TP=-0.59 TO=4.02 NO=10.62
Tensioni nel cordone: τ_P=0.19 τ_0=1.28 σ_0=6.64 σ_{ID}=6.76 Σ_T=7.92
CC 31 SLV (Collegamento -376_-504)
Azioni sul collegamento: N=136.93 Ty=1.28 Tz=-49.21 Mx=0.33 Mz=1.84
Sollecitazioni agenti localmente: Tx_l=1.28 Ty_l=-49.21 N_l=136.93 My_l=-1.84 Mz_l=0.33
Azioni sul cordone: TP=-0.48 TO=3.88 NO=10.08
Tensioni nel cordone: τ_P=0.15 τ_0=1.23 σ_0=5.89 σ_{ID}=6.02 Σ_T=7.13
CC 31 SLV (Collegamento -376_-504)
Azioni sul collegamento: N=136.93 Ty=2.59 Tz=-49.21 Mx=0.55 Mz=3.24
Sollecitazioni agenti localmente: Tx_l=2.59 Ty_l=-49.21 N_l=136.93 My_l=-3.24 Mz_l=0.55
Azioni sul cordone: TP=-0.82 TO=4.05 NO=10.08
Tensioni nel cordone: τ_P=0.26 τ_0=1.29 σ_0=7.93 σ_{ID}=8.04 Σ_T=9.22
CC 31 SLV (Collegamento -376_-504)
Azioni sul collegamento: N=136.93 Ty=1.28 Tz=-49.21 Mx=0.33 Mz=1.84
Sollecitazioni agenti localmente: Tx_l=1.28 Ty_l=-49.21 N_l=136.93 My_l=-1.84 Mz_l=0.33
Azioni sul cordone: TP=-0.48 TO=3.88 NO=10.08
Tensioni nel cordone: τ_P=0.15 τ_0=1.23 σ_0=5.89 σ_{ID}=6.02 Σ_T=7.13
CC 31 SLV (Collegamento -376_-504)
Azioni sul collegamento: N=136.93 Ty=2.59 Tz=-49.21 Mx=0.55 Mz=3.24
Sollecitazioni agenti localmente: Tx_l=2.59 Ty_l=-49.21 N_l=136.93 My_l=-3.24 Mz_l=0.55
Azioni sul cordone: TP=-0.82 TO=4.05 NO=10.08
Tensioni nel cordone: τ_P=0.26 τ_0=1.29 σ_0=7.93 σ_{ID}=8.04 Σ_T=9.22
CC 31 SLV (Collegamento -376_-504)
Azioni sul collegamento: N=153.40 Ty=1.28 Tz=-51.76 Mx=0.33 Mz=1.84
Sollecitazioni agenti localmente: Tx_l=1.28 Ty_l=-51.76 N_l=153.40 My_l=-1.84 Mz_l=0.33
Azioni sul cordone: TP=-0.48 TO=4.07 NO=11.29
Tensioni nel cordone: τ_P=0.15 τ_0=1.29 σ_0=6.28 σ_{ID}=6.41 Σ_T=7.57
CC 31 SLV (Collegamento -376_-504)
Azioni sul collegamento: N=153.40 Ty=2.59 Tz=-51.76 Mx=0.55 Mz=3.24
Sollecitazioni agenti localmente: Tx_l=2.59 Ty_l=-51.76 N_l=153.40 My_l=-3.24 Mz_l=0.55
Azioni sul cordone: TP=-0.82 TO=4.24 NO=11.29
Tensioni nel cordone: τ_P=0.26 τ_0=1.35 σ_0=8.32 σ_{ID}=8.43 Σ_T=9.66
CC 31 SLV (Collegamento -376_-504)
Azioni sul collegamento: N=153.40 Ty=1.28 Tz=-51.76 Mx=0.33 Mz=1.84
Sollecitazioni agenti localmente: Tx_l=1.28 Ty_l=-51.76 N_l=153.40 My_l=-1.84 Mz_l=0.33
Azioni sul cordone: TP=-0.48 TO=4.07 NO=11.29

Tensioni nel cordone: τ_P=0.15 τ_0=1.29 σ_0=6.28 σ_{ID}=6.41 Σ_T=7.57
CC 31 SLV (Collegamento -376_-504)
Azioni sul collegamento: N=153.40 Ty=2.59 Tz=-51.76 Mx=0.55 Mz=3.24
Sollecitazioni agenti localmente: Tx_l=2.59 Ty_l=-51.76 N_l=153.40 My_l=-3.24 Mz_l=0.55
Azioni sul cordone: TP=-0.82 TO=4.24 NO=11.29
Tensioni nel cordone: τ_P=0.26 τ_0=1.35 σ_0=8.32 σ_{ID}=8.43 Σ_T=9.66
CC 32 SLD (Collegamento -376_-504)
Azioni sul collegamento: N=144.27 Ty=1.42 Tz=-50.35 Mx=0.36 Mz=1.98
Sollecitazioni agenti localmente: Tx_l=1.42 Ty_l=-50.35 N_l=144.27 My_l=-1.98 Mz_l=0.36
Azioni sul cordone: TP=-0.52 TO=3.99 NO=10.62
Tensioni nel cordone: τ_P=0.16 τ_0=1.27 σ_0=6.27 σ_{ID}=6.40 Σ_T=7.54
CC 32 SLD (Collegamento -376_-504)
Azioni sul collegamento: N=144.27 Ty=1.82 Tz=-50.35 Mx=0.42 Mz=2.41
Sollecitazioni agenti localmente: Tx_l=1.82 Ty_l=-50.35 N_l=144.27 My_l=-2.41 Mz_l=0.42
Azioni sul cordone: TP=-0.62 TO=4.04 NO=10.62
Tensioni nel cordone: τ_P=0.20 τ_0=1.28 σ_0=6.89 σ_{ID}=7.01 Σ_T=8.18
CC 32 SLD (Collegamento -376_-504)
Azioni sul collegamento: N=144.27 Ty=1.42 Tz=-50.35 Mx=0.36 Mz=1.98
Sollecitazioni agenti localmente: Tx_l=1.42 Ty_l=-50.35 N_l=144.27 My_l=-1.98 Mz_l=0.36
Azioni sul cordone: TP=-0.52 TO=3.99 NO=10.62
Tensioni nel cordone: τ_P=0.16 τ_0=1.27 σ_0=6.27 σ_{ID}=6.40 Σ_T=7.54
CC 32 SLD (Collegamento -376_-504)
Azioni sul collegamento: N=144.27 Ty=1.82 Tz=-50.35 Mx=0.42 Mz=2.41
Sollecitazioni agenti localmente: Tx_l=1.82 Ty_l=-50.35 N_l=144.27 My_l=-2.41 Mz_l=0.42
Azioni sul cordone: TP=-0.62 TO=4.04 NO=10.62
Tensioni nel cordone: τ_P=0.20 τ_0=1.28 σ_0=6.89 σ_{ID}=7.01 Σ_T=8.18
CC 32 SLD (Collegamento -376_-504)
Azioni sul collegamento: N=149.29 Ty=1.42 Tz=-51.13 Mx=0.36 Mz=1.98
Sollecitazioni agenti localmente: Tx_l=1.42 Ty_l=-51.13 N_l=149.29 My_l=-1.98 Mz_l=0.36
Azioni sul cordone: TP=-0.52 TO=4.04 NO=10.99
Tensioni nel cordone: τ_P=0.16 τ_0=1.29 σ_0=6.39 σ_{ID}=6.52 Σ_T=7.67
CC 32 SLD (Collegamento -376_-504)
Azioni sul collegamento: N=149.29 Ty=1.82 Tz=-51.13 Mx=0.42 Mz=2.41
Sollecitazioni agenti localmente: Tx_l=1.82 Ty_l=-51.13 N_l=149.29 My_l=-2.41 Mz_l=0.42
Azioni sul cordone: TP=-0.62 TO=4.10 NO=10.99
Tensioni nel cordone: τ_P=0.20 τ_0=1.30 σ_0=7.01 σ_{ID}=7.13 Σ_T=8.31
CC 32 SLD (Collegamento -376_-504)
Azioni sul collegamento: N=149.29 Ty=1.42 Tz=-51.13 Mx=0.36 Mz=1.98
Sollecitazioni agenti localmente: Tx_l=1.42 Ty_l=-51.13 N_l=149.29 My_l=-1.98 Mz_l=0.36
Azioni sul cordone: TP=-0.52 TO=4.04 NO=10.99
Tensioni nel cordone: τ_P=0.16 τ_0=1.29 σ_0=6.39 σ_{ID}=6.52 Σ_T=7.67
CC 32 SLD (Collegamento -376_-504)
Azioni sul collegamento: N=149.29 Ty=1.82 Tz=-51.13 Mx=0.42 Mz=2.41
Sollecitazioni agenti localmente: Tx_l=1.82 Ty_l=-51.13 N_l=149.29 My_l=-2.41 Mz_l=0.42
Azioni sul cordone: TP=-0.62 TO=4.10 NO=10.99
Tensioni nel cordone: τ_P=0.20 τ_0=1.30 σ_0=7.01 σ_{ID}=7.13 Σ_T=8.31
CC 33 SLU (Collegamento -376_-504)
Azioni sul collegamento: N=371.78 Ty=3.15 Tz=-95.37 Mx=0.78 Mz=4.34
Sollecitazioni agenti localmente: Tx_l=3.15 Ty_l=-95.37 N_l=371.78 My_l=-4.34 Mz_l=0.78
Azioni sul cordone: TP=-1.13 TO=7.63 NO=27.36
Tensioni nel cordone: τ_P=0.36 τ_0=2.43 σ_0=15.04 σ_{ID}=15.23 Σ_T=17.46
CC 34 SLU (Collegamento -376_-504)
Azioni sul collegamento: N=366.17 Ty=3.01 Tz=-94.50 Mx=0.75 Mz=4.14
Sollecitazioni agenti localmente: Tx_l=3.01 Ty_l=-94.50 N_l=366.17 My_l=-4.14 Mz_l=0.75
Azioni sul cordone: TP=-1.08 TO=7.54 NO=26.94
Tensioni nel cordone: τ_P=0.34 τ_0=2.40 σ_0=14.61 σ_{ID}=14.81 Σ_T=17.01
CC 35 SLU (Collegamento -376_-504)
Azioni sul collegamento: N=369.00 Ty=3.13 Tz=-94.94 Mx=0.77 Mz=4.28
Sollecitazioni agenti localmente: Tx_l=3.13 Ty_l=-94.94 N_l=369.00 My_l=-4.28 Mz_l=0.77
Azioni sul cordone: TP=-1.12 TO=7.59 NO=27.15
Tensioni nel cordone: τ_P=0.36 τ_0=2.41 σ_0=14.88 σ_{ID}=15.08 Σ_T=17.30
CC 36 SLU (Collegamento -376_-504)
Azioni sul collegamento: N=368.95 Ty=3.03 Tz=-94.93 Mx=0.76 Mz=4.20
Sollecitazioni agenti localmente: Tx_l=3.03 Ty_l=-94.93 N_l=368.95 My_l=-4.20 Mz_l=0.76
Azioni sul cordone: TP=-1.10 TO=7.58 NO=27.15
Tensioni nel cordone: τ_P=0.35 τ_0=2.41 σ_0=14.76 σ_{ID}=14.96 Σ_T=17.17
CC 37 SLU (Collegamento -376_-504)
Azioni sul collegamento: N=304.32 Ty=3.00 Tz=-84.93 Mx=0.77 Mz=4.30
Sollecitazioni agenti localmente: Tx_l=3.00 Ty_l=-84.93 N_l=304.32 My_l=-4.30 Mz_l=0.77
Azioni sul cordone: TP=-1.11 TO=6.86 NO=22.39
Tensioni nel cordone: τ_P=0.35 τ_0=2.18 σ_0=13.40 σ_{ID}=13.58 Σ_T=15.58
CC 38 SLU (Collegamento -376_-504)
Azioni sul collegamento: N=298.72 Ty=2.86 Tz=-84.06 Mx=0.74 Mz=4.10
Sollecitazioni agenti localmente: Tx_l=2.86 Ty_l=-84.06 N_l=298.72 My_l=-4.10 Mz_l=0.74
Azioni sul cordone: TP=-1.06 TO=6.77 NO=21.98
Tensioni nel cordone: τ_P=0.34 τ_0=2.15 σ_0=12.98 σ_{ID}=13.16 Σ_T=15.13
CC 39 SLU (Collegamento -376_-504)
Azioni sul collegamento: N=301.54 Ty=2.98 Tz=-84.50 Mx=0.76 Mz=4.25
Sollecitazioni agenti localmente: Tx_l=2.98 Ty_l=-84.50 N_l=301.54 My_l=-4.25 Mz_l=0.76
Azioni sul cordone: TP=-1.09 TO=6.82 NO=22.19
Tensioni nel cordone: τ_P=0.35 τ_0=2.17 σ_0=13.25 σ_{ID}=13.43 Σ_T=15.42

CC 40 SLU (Collegamento -376_-504)
Azioni sul collegamento: N=301.50 Ty=2.88 Tz=-84.49 Mx=0.75 Mz=4.16
Sollecitazioni agenti localmente: Tx_l=2.88 Ty_l=-84.49 N_l=301.50 My_l=-4.16 Mz_l=0.75
Azioni sul cordone: TP=-1.07 TO=6.81 NO=22.19
Tensioni nel cordone: τ_P=0.34 τ_0=2.16 σ_0=13.13 σ_{ID}=13.31 Σ_T=15.29
CC 41 SLU (Collegamento -376_-504)
Azioni sul collegamento: N=335.80 Ty=-2.05 Tz=-89.80 Mx=-0.48 Mz=-2.83
Sollecitazioni agenti localmente: Tx_l=-2.05 Ty_l=-89.80 N_l=335.80 My_l=2.83 Mz_l=-0.48
Azioni sul cordone: TP=0.71 TO=6.99 NO=24.71
Tensioni nel cordone: τ_P=0.22 τ_0=2.22 σ_0=11.99 σ_{ID}=12.19 Σ_T=14.21
CC 42 SLU (Collegamento -376_-504)
Azioni sul collegamento: N=330.19 Ty=-2.19 Tz=-88.93 Mx=-0.52 Mz=-3.03
Sollecitazioni agenti localmente: Tx_l=-2.19 Ty_l=-88.93 N_l=330.19 My_l=3.03 Mz_l=-0.52
Azioni sul cordone: TP=0.76 TO=6.95 NO=24.30
Tensioni nel cordone: τ_P=0.24 τ_0=2.21 σ_0=12.15 σ_{ID}=12.35 Σ_T=14.36
CC 43 SLU (Collegamento -376_-504)
Azioni sul collegamento: N=333.02 Ty=-2.08 Tz=-89.37 Mx=-0.49 Mz=-2.89
Sollecitazioni agenti localmente: Tx_l=-2.08 Ty_l=-89.37 N_l=333.02 My_l=2.89 Mz_l=-0.49
Azioni sul cordone: TP=0.72 TO=6.96 NO=24.50
Tensioni nel cordone: τ_P=0.23 τ_0=2.21 σ_0=12.01 σ_{ID}=12.21 Σ_T=14.22
CC 44 SLU (Collegamento -376_-504)
Azioni sul collegamento: N=332.97 Ty=-2.17 Tz=-89.36 Mx=-0.51 Mz=-2.97
Sollecitazioni agenti localmente: Tx_l=-2.17 Ty_l=-89.36 N_l=332.97 My_l=2.97 Mz_l=-0.51
Azioni sul cordone: TP=0.74 TO=6.97 NO=24.50
Tensioni nel cordone: τ_P=0.24 τ_0=2.22 σ_0=12.13 σ_{ID}=12.33 Σ_T=14.35
CC 45 SLU (Collegamento -376_-504)
Azioni sul collegamento: N=319.15 Ty=3.14 Tz=-87.22 Mx=0.78 Mz=4.32
Sollecitazioni agenti localmente: Tx_l=3.14 Ty_l=-87.22 N_l=319.15 My_l=-4.32 Mz_l=0.78
Azioni sul cordone: TP=-1.12 TO=7.03 NO=23.48
Tensioni nel cordone: τ_P=0.36 τ_0=2.23 σ_0=13.77 σ_{ID}=13.95 Σ_T=16.00
CC 46 SLU (Collegamento -376_-504)
Azioni sul collegamento: N=313.55 Ty=3.00 Tz=-86.35 Mx=0.74 Mz=4.12
Sollecitazioni agenti localmente: Tx_l=3.00 Ty_l=-86.35 N_l=313.55 My_l=-4.12 Mz_l=0.74
Azioni sul cordone: TP=-1.07 TO=6.94 NO=23.07
Tensioni nel cordone: τ_P=0.34 τ_0=2.21 σ_0=13.34 σ_{ID}=13.53 Σ_T=15.55
CC 47 SLU (Collegamento -376_-504)
Azioni sul collegamento: N=316.37 Ty=3.12 Tz=-86.79 Mx=0.76 Mz=4.26
Sollecitazioni agenti localmente: Tx_l=3.12 Ty_l=-86.79 N_l=316.37 My_l=-4.26 Mz_l=0.76
Azioni sul cordone: TP=-1.11 TO=6.99 NO=23.28
Tensioni nel cordone: τ_P=0.35 τ_0=2.22 σ_0=13.62 σ_{ID}=13.80 Σ_T=15.84
CC 48 SLU (Collegamento -376_-504)
Azioni sul collegamento: N=316.33 Ty=3.02 Tz=-86.79 Mx=0.75 Mz=4.17
Sollecitazioni agenti localmente: Tx_l=3.02 Ty_l=-86.79 N_l=316.33 My_l=-4.17 Mz_l=0.75
Azioni sul cordone: TP=-1.09 TO=6.98 NO=23.28
Tensioni nel cordone: τ_P=0.35 τ_0=2.22 σ_0=13.49 σ_{ID}=13.68 Σ_T=15.71
CC 49 SLU (Collegamento -376_-504)
Azioni sul collegamento: N=268.69 Ty=3.03 Tz=-79.41 Mx=0.77 Mz=4.29
Sollecitazioni agenti localmente: Tx_l=3.03 Ty_l=-79.41 N_l=268.69 My_l=-4.29 Mz_l=0.77
Azioni sul cordone: TP=-1.11 TO=6.45 NO=19.77
Tensioni nel cordone: τ_P=0.35 τ_0=2.05 σ_0=12.55 σ_{ID}=12.72 Σ_T=14.60
CC 50 SLU (Collegamento -376_-504)
Azioni sul collegamento: N=263.08 Ty=2.89 Tz=-78.54 Mx=0.73 Mz=4.09
Sollecitazioni agenti localmente: Tx_l=2.89 Ty_l=-78.54 N_l=263.08 My_l=-4.09 Mz_l=0.73
Azioni sul cordone: TP=-1.06 TO=6.36 NO=19.36
Tensioni nel cordone: τ_P=0.34 τ_0=2.02 σ_0=12.12 σ_{ID}=12.30 Σ_T=14.14
CC 51 SLU (Collegamento -376_-504)
Azioni sul collegamento: N=265.90 Ty=3.00 Tz=-78.98 Mx=0.76 Mz=4.23
Sollecitazioni agenti localmente: Tx_l=3.00 Ty_l=-78.98 N_l=265.90 My_l=-4.23 Mz_l=0.76
Azioni sul cordone: TP=-1.09 TO=6.41 NO=19.57
Tensioni nel cordone: τ_P=0.35 τ_0=2.04 σ_0=12.40 σ_{ID}=12.57 Σ_T=14.43
CC 52 SLU (Collegamento -376_-504)
Azioni sul collegamento: N=265.86 Ty=2.91 Tz=-78.97 Mx=0.74 Mz=4.15
Sollecitazioni agenti localmente: Tx_l=2.91 Ty_l=-78.97 N_l=265.86 My_l=-4.15 Mz_l=0.74
Azioni sul cordone: TP=-1.07 TO=6.40 NO=19.56
Tensioni nel cordone: τ_P=0.34 τ_0=2.03 σ_0=12.27 σ_{ID}=12.45 Σ_T=14.31
CC 53 SLU (Collegamento -376_-504)
Azioni sul collegamento: N=292.23 Ty=-0.75 Tz=-83.06 Mx=-0.17 Mz=-1.05
Sollecitazioni agenti localmente: Tx_l=-0.75 Ty_l=-83.06 N_l=292.23 My_l=1.05 Mz_l=-0.17
Azioni sul cordone: TP=0.25 TO=6.25 NO=21.50
Tensioni nel cordone: τ_P= 0.08 τ_0=1.99 σ_0=8.37 σ_{ID}=8.60 Σ_T=10.35
CC 54 SLU (Collegamento -376_-504)
Azioni sul collegamento: N=286.63 Ty=-0.89 Tz=-82.19 Mx=-0.21 Mz=-1.25
Sollecitazioni agenti localmente: Tx_l=-0.89 Ty_l=-82.19 N_l=286.63 My_l=1.25 Mz_l=-0.21
Azioni sul cordone: TP=0.30 TO=6.21 NO=21.09
Tensioni nel cordone: τ_P= 0.10 τ_0=1.97 σ_0=8.53 σ_{ID}=8.75 Σ_T=10.50
CC 55 SLU (Collegamento -376_-504)
Azioni sul collegamento: N=289.45 Ty=-0.78 Tz=-82.63 Mx=-0.18 Mz=-1.11
Sollecitazioni agenti localmente: Tx_l=-0.78 Ty_l=-82.63 N_l=289.45 My_l=1.11 Mz_l=-0.18
Azioni sul cordone: TP=0.27 TO=6.22 NO=21.30
Tensioni nel cordone: τ_P= 0.08 τ_0=1.98 σ_0=8.39 σ_{ID}=8.62 Σ_T=10.37
CC 56 SLU (Collegamento -376_-504)

Azioni sul collegamento: N=289.41 Ty=-0.87 Tz=-82.62 Mx=-0.20 Mz=-1.19
Sollecitazioni agenti localmente: Tx_l=-0.87 Ty_l=-82.62 N_l=289.41 My_l=1.19 Mz_l=-0.20
Azioni sul cordone: TP=0.29 TO=6.23 NO=21.30
Tensioni nel cordone: τ_P= 0.09 τ_0=1.98 σ_0=8.51 σ_{ID}=8.74 Σ_T=10.49
CC 57 SLU (Collegamento -376_-504)
Azioni sul collegamento: N=303.76 Ty=2.83 Tz=-84.84 Mx=0.70 Mz=3.86
Sollecitazioni agenti localmente: Tx_l=2.83 Ty_l=-84.84 N_l=303.76 My_l=-3.86 Mz_l=0.70
Azioni sul cordone: TP=-1.01 TO=6.79 NO=22.35
Tensioni nel cordone: τ_P=0.32 τ_0=2.16 σ_0=12.74 σ_{ID}=12.93 Σ_T=14.90
CC 58 SLU (Collegamento -376_-504)
Azioni sul collegamento: N=298.15 Ty=2.69 Tz=-83.97 Mx=0.66 Mz=3.66
Sollecitazioni agenti localmente: Tx_l=2.69 Ty_l=-83.97 N_l=298.15 My_l=-3.66 Mz_l=0.66
Azioni sul cordone: TP=-0.96 TO=6.70 NO=21.94
Tensioni nel cordone: τ_P=0.30 τ_0=2.13 σ_0=12.32 σ_{ID}=12.51 Σ_T=14.45
CC 59 SLU (Collegamento -376_-504)
Azioni sul collegamento: N=300.98 Ty=2.80 Tz=-84.41 Mx=0.69 Mz=3.80
Sollecitazioni agenti localmente: Tx_l=2.80 Ty_l=-84.41 N_l=300.98 My_l=-3.80 Mz_l=0.69
Azioni sul cordone: TP=-1.00 TO=6.75 NO=22.15
Tensioni nel cordone: τ_P=0.32 τ_0=2.15 σ_0=12.59 σ_{ID}=12.78 Σ_T=14.74
CC 60 SLU (Collegamento -376_-504)
Azioni sul collegamento: N=300.94 Ty=2.71 Tz=-84.40 Mx=0.67 Mz=3.72
Sollecitazioni agenti localmente: Tx_l=2.71 Ty_l=-84.40 N_l=300.94 My_l=-3.72 Mz_l=0.67
Azioni sul cordone: TP=-0.97 TO=6.74 NO=22.14
Tensioni nel cordone: τ_P=0.31 τ_0=2.14 σ_0=12.47 σ_{ID}=12.66 Σ_T=14.61
CC 61 SLU (Collegamento -376_-504)
Azioni sul collegamento: N=253.29 Ty=2.72 Tz=-77.03 Mx=0.69 Mz=3.83
Sollecitazioni agenti localmente: Tx_l=2.72 Ty_l=-77.03 N_l=253.29 My_l=-3.83 Mz_l=0.69
Azioni sul cordone: TP=-0.99 TO=6.21 NO=18.64
Tensioni nel cordone: τ_P=0.31 τ_0=1.97 σ_0=11.52 σ_{ID}=11.69 Σ_T=13.50
CC 62 SLU (Collegamento -376_-504)
Azioni sul collegamento: N=247.69 Ty=2.58 Tz=-76.16 Mx=0.65 Mz=3.63
Sollecitazioni agenti localmente: Tx_l=2.58 Ty_l=-76.16 N_l=247.69 My_l=-3.63 Mz_l=0.65
Azioni sul cordone: TP=-0.94 TO=6.12 NO=18.23
Tensioni nel cordone: τ_P=0.30 τ_0=1.94 σ_0=11.10 σ_{ID}=11.27 Σ_T=13.04
CC 63 SLU (Collegamento -376_-504)
Azioni sul collegamento: N=250.51 Ty=2.69 Tz=-76.60 Mx=0.68 Mz=3.77
Sollecitazioni agenti localmente: Tx_l=2.69 Ty_l=-76.60 N_l=250.51 My_l=-3.77 Mz_l=0.68
Azioni sul cordone: TP=-0.98 TO=6.17 NO=18.43
Tensioni nel cordone: τ_P=0.31 τ_0=1.96 σ_0=11.37 σ_{ID}=11.54 Σ_T=13.33
CC 64 SLU (Collegamento -376_-504)
Azioni sul collegamento: N=250.47 Ty=2.60 Tz=-76.59 Mx=0.66 Mz=3.69
Sollecitazioni agenti localmente: Tx_l=2.60 Ty_l=-76.59 N_l=250.47 My_l=-3.69 Mz_l=0.66
Azioni sul cordone: TP=-0.95 TO=6.16 NO=18.43
Tensioni nel cordone: τ_P=0.30 τ_0=1.96 σ_0=11.25 σ_{ID}=11.42 Σ_T=13.21
CC 65 SLU (Collegamento -376_-504)
Azioni sul collegamento: N=276.84 Ty=-1.07 Tz=-80.67 Mx=-0.25 Mz=-1.51
Sollecitazioni agenti localmente: Tx_l=-1.07 Ty_l=-80.67 N_l=276.84 My_l=1.51 Mz_l=-0.25
Azioni sul cordone: TP=0.37 TO=6.13 NO=20.37
Tensioni nel cordone: τ_P=0.12 τ_0=1.95 σ_0=8.67 σ_{ID}=8.89 Σ_T=10.62
CC 66 SLU (Collegamento -376_-504)
Azioni sul collegamento: N=271.24 Ty=-1.20 Tz=-79.81 Mx=-0.28 Mz=-1.71
Sollecitazioni agenti localmente: Tx_l=-1.20 Ty_l=-79.81 N_l=271.24 My_l=1.71 Mz_l=-0.28
Azioni sul cordone: TP=0.42 TO=6.10 NO=19.96
Tensioni nel cordone: τ_P=0.13 τ_0=1.94 σ_0=8.83 σ_{ID}=9.05 Σ_T=10.77
CC 67 SLU (Collegamento -376_-504)
Azioni sul collegamento: N=274.06 Ty=-1.09 Tz=-80.24 Mx=-0.26 Mz=-1.56
Sollecitazioni agenti localmente: Tx_l=-1.09 Ty_l=-80.24 N_l=274.06 My_l=1.56 Mz_l=-0.26
Azioni sul cordone: TP=0.38 TO=6.11 NO=20.17
Tensioni nel cordone: τ_P=0.12 τ_0=1.94 σ_0=8.69 σ_{ID}=8.91 Σ_T=10.64
CC 68 SLU (Collegamento -376_-504)
Azioni sul collegamento: N=274.02 Ty=-1.18 Tz=-80.24 Mx=-0.27 Mz=-1.65
Sollecitazioni agenti localmente: Tx_l=-1.18 Ty_l=-80.24 N_l=274.02 My_l=1.65 Mz_l=-0.27
Azioni sul cordone: TP=0.40 TO=6.12 NO=20.16
Tensioni nel cordone: τ_P=0.13 τ_0=1.95 σ_0=8.81 σ_{ID}=9.03 Σ_T=10.76
CC 97 SLU (Collegamento -376_-504)
Azioni sul collegamento: N=317.17 Ty=-4.15 Tz=-77.11 Mx=0.57 Mz=2.29
Sollecitazioni agenti localmente: Tx_l=-4.15 Ty_l=-77.11 N_l=317.17 My_l=-2.29 Mz_l=0.57
Azioni sul cordone: TP=-0.97 TO=-6.13 NO=23.34
Tensioni nel cordone: τ_P=0.31 τ_0=1.95 σ_0=10.76 σ_{ID}=10.94 Σ_T=12.71
CC 98 SLU (Collegamento -376_-504)
Azioni sul collegamento: N=311.56 Ty=-4.28 Tz=-76.24 Mx=0.54 Mz=2.09
Sollecitazioni agenti localmente: Tx_l=-4.28 Ty_l=-76.24 N_l=311.56 My_l=-2.09 Mz_l=0.54
Azioni sul cordone: TP=-0.94 TO=-6.04 NO=22.93
Tensioni nel cordone: τ_P=0.30 τ_0=1.92 σ_0=10.33 σ_{ID}=10.52 Σ_T=12.25
CC 99 SLU (Collegamento -376_-504)
Azioni sul collegamento: N=314.39 Ty=-4.17 Tz=-76.68 Mx=0.56 Mz=2.23
Sollecitazioni agenti localmente: Tx_l=-4.17 Ty_l=-76.68 N_l=314.39 My_l=-2.23 Mz_l=0.56
Azioni sul cordone: TP=-0.96 TO=-6.09 NO=23.13
Tensioni nel cordone: τ_P=0.30 τ_0=1.93 σ_0=10.61 σ_{ID}=10.79 Σ_T=12.54
CC 100 SLU (Collegamento -376_-504)
Azioni sul collegamento: N=314.35 Ty=-4.26 Tz=-76.67 Mx=0.55 Mz=2.14

Sollecitazioni agenti localmente: Tx_l=-4.26 Ty_l=-76.67 N_l=314.35 My_l=-2.14 Mz_l=0.55
Azioni sul cordone: TP=-0.95 TO=-6.08 NO=23.13
Tensioni nel cordone: τ_P=0.30 τ_O=1.93 σ_O=10.48 σ_{ID}=10.67 Σ_T=12.42
CC 101 SLU (Collegamento -376_-504)
Azioni sul collegamento: N=141.43 Ty=1.27 Tz=-49.91 Mx=0.26 Mz=1.59
Sollecitazioni agenti localmente: Tx_l=1.27 Ty_l=-49.91 N_l=141.43 My_l=-1.59 Mz_l=0.26
Azioni sul cordone: TP=-0.40 TO=3.88 NO=10.41
Tensioni nel cordone: τ_P=0.13 τ_O=1.23 σ_O=5.64 σ_{ID}=5.77 Σ_T=6.87
CC 102 SLU (Collegamento -376_-504)
Azioni sul collegamento: N=135.83 Ty=1.13 Tz=-49.04 Mx=0.23 Mz=1.39
Sollecitazioni agenti localmente: Tx_l=1.13 Ty_l=-49.04 N_l=135.83 My_l=-1.39 Mz_l=0.23
Azioni sul cordone: TP=-0.35 TO=3.79 NO=9.99
Tensioni nel cordone: τ_P=0.11 τ_O=1.20 σ_O=5.21 σ_{ID}=5.35 Σ_T=6.42
CC 103 SLU (Collegamento -376_-504)
Azioni sul collegamento: N=138.65 Ty=1.25 Tz=-49.48 Mx=0.25 Mz=1.54
Sollecitazioni agenti localmente: Tx_l=1.25 Ty_l=-49.48 N_l=138.65 My_l=-1.54 Mz_l=0.25
Azioni sul cordone: TP=-0.38 TO=3.84 NO=10.20
Tensioni nel cordone: τ_P=0.12 τ_O=1.22 σ_O=5.49 σ_{ID}=5.62 Σ_T=6.71
CC 104 SLU (Collegamento -376_-504)
Azioni sul collegamento: N=138.61 Ty=1.16 Tz=-49.47 Mx=0.24 Mz=1.45
Sollecitazioni agenti localmente: Tx_l=1.16 Ty_l=-49.47 N_l=138.61 My_l=-1.45 Mz_l=0.24
Azioni sul cordone: TP=-0.36 TO=3.83 NO=10.20
Tensioni nel cordone: τ_P=0.11 τ_O=1.22 σ_O=5.36 σ_{ID}=5.50 Σ_T=6.58

Verifica lato anima della colonna

CC 1 SLV (Collegamento -376_-504)
Azioni sul collegamento: N=176.80 Ty=1.82 Tz=-55.38 Mx=0.47 Mz=2.63
Zona tesa: F=71.19 b_{eff}=13.20 t_w=0.70 σ=7.71
Zona tesa: F=71.19 b_{eff}=13.20 t_w=0.70 σ=7.71
CC 1 SLV (Collegamento -376_-504)
Azioni sul collegamento: N=176.80 Ty=0.22 Tz=-55.38 Mx=0.14 Mz=0.47
Zona tesa: F=71.19 b_{eff}=13.20 t_w=0.70 σ=7.71
Zona tesa: F=71.19 b_{eff}=13.20 t_w=0.70 σ=7.71
CC 1 SLV (Collegamento -376_-504)
Azioni sul collegamento: N=176.80 Ty=1.82 Tz=-55.38 Mx=0.47 Mz=2.63
Zona tesa: F=71.19 b_{eff}=13.20 t_w=0.70 σ=7.71
Zona tesa: F=71.19 b_{eff}=13.20 t_w=0.70 σ=7.71
CC 1 SLV (Collegamento -376_-504)
Azioni sul collegamento: N=176.80 Ty=0.22 Tz=-55.38 Mx=0.14 Mz=0.47
Zona tesa: F=71.19 b_{eff}=13.20 t_w=0.70 σ=7.71
Zona tesa: F=71.19 b_{eff}=13.20 t_w=0.70 σ=7.71
CC 1 SLV (Collegamento -376_-504)
Azioni sul collegamento: N=122.83 Ty=1.82 Tz=-47.03 Mx=0.47 Mz=2.63
Zona tesa: F=49.46 b_{eff}=13.20 t_w=0.70 σ=5.35
Zona tesa: F=49.46 b_{eff}=13.20 t_w=0.70 σ=5.35
CC 1 SLV (Collegamento -376_-504)
Azioni sul collegamento: N=122.83 Ty=0.22 Tz=-47.03 Mx=0.14 Mz=0.47
Zona tesa: F=49.46 b_{eff}=13.20 t_w=0.70 σ=5.35
Zona tesa: F=49.46 b_{eff}=13.20 t_w=0.70 σ=5.35
CC 1 SLV (Collegamento -376_-504)
Azioni sul collegamento: N=122.83 Ty=1.82 Tz=-47.03 Mx=0.47 Mz=2.63
Zona tesa: F=49.46 b_{eff}=13.20 t_w=0.70 σ=5.35
Zona tesa: F=49.46 b_{eff}=13.20 t_w=0.70 σ=5.35
CC 1 SLV (Collegamento -376_-504)
Azioni sul collegamento: N=122.83 Ty=0.22 Tz=-47.03 Mx=0.14 Mz=0.47
Zona tesa: F=49.46 b_{eff}=13.20 t_w=0.70 σ=5.35
Zona tesa: F=49.46 b_{eff}=13.20 t_w=0.70 σ=5.35
CC 2 SLD (Collegamento -376_-504)
Azioni sul collegamento: N=156.43 Ty=1.58 Tz=-52.23 Mx=0.40 Mz=2.22
Zona tesa: F=62.99 b_{eff}=13.20 t_w=0.70 σ=6.82
Zona tesa: F=62.99 b_{eff}=13.20 t_w=0.70 σ=6.82
CC 2 SLD (Collegamento -376_-504)
Azioni sul collegamento: N=156.43 Ty=1.10 Tz=-52.23 Mx=0.30 Mz=1.57
Zona tesa: F=62.99 b_{eff}=13.20 t_w=0.70 σ=6.82
Zona tesa: F=62.99 b_{eff}=13.20 t_w=0.70 σ=6.82
CC 2 SLD (Collegamento -376_-504)
Azioni sul collegamento: N=156.43 Ty=1.58 Tz=-52.23 Mx=0.40 Mz=2.22
Zona tesa: F=62.99 b_{eff}=13.20 t_w=0.70 σ=6.82
Zona tesa: F=62.99 b_{eff}=13.20 t_w=0.70 σ=6.82
CC 2 SLD (Collegamento -376_-504)
Azioni sul collegamento: N=156.43 Ty=1.10 Tz=-52.23 Mx=0.30 Mz=1.57
Zona tesa: F=62.99 b_{eff}=13.20 t_w=0.70 σ=6.82
Zona tesa: F=62.99 b_{eff}=13.20 t_w=0.70 σ=6.82
CC 2 SLD (Collegamento -376_-504)
Azioni sul collegamento: N=139.97 Ty=1.58 Tz=-49.68 Mx=0.40 Mz=2.22
Zona tesa: F=56.36 b_{eff}=13.20 t_w=0.70 σ=6.10
Zona tesa: F=56.36 b_{eff}=13.20 t_w=0.70 σ=6.10
CC 2 SLD (Collegamento -376_-504)

Azioni sul collegamento: N=139.97 Ty=1.10 Tz=-49.68 Mx=0.30 Mz=1.57
Zona tesa: F=56.36 b_{eff}=13.20 t_w=0.70 σ=6.10
Zona tesa: F=56.36 b_{eff}=13.20 t_w=0.70 σ=6.10
CC 2 SLD (Collegamento -376_-504)
Azioni sul collegamento: N=139.97 Ty=1.58 Tz=-49.68 Mx=0.40 Mz=2.22
Zona tesa: F=56.36 b_{eff}=13.20 t_w=0.70 σ=6.10
Zona tesa: F=56.36 b_{eff}=13.20 t_w=0.70 σ=6.10
CC 2 SLD (Collegamento -376_-504)
Azioni sul collegamento: N=139.97 Ty=1.10 Tz=-49.68 Mx=0.30 Mz=1.57
Zona tesa: F=56.36 b_{eff}=13.20 t_w=0.70 σ=6.10
Zona tesa: F=56.36 b_{eff}=13.20 t_w=0.70 σ=6.10
CC 3 SLV (Collegamento -376_-504)
Azioni sul collegamento: N=176.71 Ty=1.54 Tz=-55.37 Mx=0.43 Mz=2.39
Zona tesa: F=71.16 b_{eff}=13.20 t_w=0.70 σ=7.70
Zona tesa: F=71.16 b_{eff}=13.20 t_w=0.70 σ=7.70
CC 3 SLV (Collegamento -376_-504)
Azioni sul collegamento: N=176.71 Ty=0.50 Tz=-55.37 Mx=0.18 Mz=0.72
Zona tesa: F=71.16 b_{eff}=13.20 t_w=0.70 σ=7.70
Zona tesa: F=71.16 b_{eff}=13.20 t_w=0.70 σ=7.70
CC 3 SLV (Collegamento -376_-504)
Azioni sul collegamento: N=176.71 Ty=1.54 Tz=-55.37 Mx=0.43 Mz=2.39
Zona tesa: F=71.16 b_{eff}=13.20 t_w=0.70 σ=7.70
Zona tesa: F=71.16 b_{eff}=13.20 t_w=0.70 σ=7.70
CC 3 SLV (Collegamento -376_-504)
Azioni sul collegamento: N=176.71 Ty=0.50 Tz=-55.37 Mx=0.18 Mz=0.72
Zona tesa: F=71.16 b_{eff}=13.20 t_w=0.70 σ=7.70
Zona tesa: F=71.16 b_{eff}=13.20 t_w=0.70 σ=7.70
CC 3 SLV (Collegamento -376_-504)
Azioni sul collegamento: N=122.93 Ty=1.54 Tz=-47.05 Mx=0.43 Mz=2.39
Zona tesa: F=49.50 b_{eff}=13.20 t_w=0.70 σ=5.36
Zona tesa: F=49.50 b_{eff}=13.20 t_w=0.70 σ=5.36
CC 3 SLV (Collegamento -376_-504)
Azioni sul collegamento: N=122.93 Ty=0.50 Tz=-47.05 Mx=0.18 Mz=0.72
Zona tesa: F=49.50 b_{eff}=13.20 t_w=0.70 σ=5.36
Zona tesa: F=49.50 b_{eff}=13.20 t_w=0.70 σ=5.36
CC 3 SLV (Collegamento -376_-504)
Azioni sul collegamento: N=122.93 Ty=1.54 Tz=-47.05 Mx=0.43 Mz=2.39
Zona tesa: F=49.50 b_{eff}=13.20 t_w=0.70 σ=5.36
Zona tesa: F=49.50 b_{eff}=13.20 t_w=0.70 σ=5.36
CC 3 SLV (Collegamento -376_-504)
Azioni sul collegamento: N=122.93 Ty=0.50 Tz=-47.05 Mx=0.18 Mz=0.72
Zona tesa: F=49.50 b_{eff}=13.20 t_w=0.70 σ=5.36
Zona tesa: F=49.50 b_{eff}=13.20 t_w=0.70 σ=5.36
CC 4 SLD (Collegamento -376_-504)
Azioni sul collegamento: N=156.40 Ty=1.50 Tz=-52.23 Mx=0.39 Mz=2.15
Zona tesa: F=62.98 b_{eff}=13.20 t_w=0.70 σ=6.82
Zona tesa: F=62.98 b_{eff}=13.20 t_w=0.70 σ=6.82
CC 4 SLD (Collegamento -376_-504)
Azioni sul collegamento: N=156.40 Ty=1.18 Tz=-52.23 Mx=0.31 Mz=1.64
Zona tesa: F=62.98 b_{eff}=13.20 t_w=0.70 σ=6.82
Zona tesa: F=62.98 b_{eff}=13.20 t_w=0.70 σ=6.82
CC 4 SLD (Collegamento -376_-504)
Azioni sul collegamento: N=156.40 Ty=1.50 Tz=-52.23 Mx=0.39 Mz=2.15
Zona tesa: F=62.98 b_{eff}=13.20 t_w=0.70 σ=6.82
Zona tesa: F=62.98 b_{eff}=13.20 t_w=0.70 σ=6.82
CC 4 SLD (Collegamento -376_-504)
Azioni sul collegamento: N=156.40 Ty=1.18 Tz=-52.23 Mx=0.31 Mz=1.64
Zona tesa: F=62.98 b_{eff}=13.20 t_w=0.70 σ=6.82
Zona tesa: F=62.98 b_{eff}=13.20 t_w=0.70 σ=6.82
CC 4 SLD (Collegamento -376_-504)
Azioni sul collegamento: N=140.00 Ty=1.50 Tz=-49.69 Mx=0.39 Mz=2.15
Zona tesa: F=56.38 b_{eff}=13.20 t_w=0.70 σ=6.10
Zona tesa: F=56.38 b_{eff}=13.20 t_w=0.70 σ=6.10
CC 4 SLD (Collegamento -376_-504)
Azioni sul collegamento: N=140.00 Ty=1.18 Tz=-49.69 Mx=0.31 Mz=1.64
Zona tesa: F=56.38 b_{eff}=13.20 t_w=0.70 σ=6.10
Zona tesa: F=56.38 b_{eff}=13.20 t_w=0.70 σ=6.10
CC 4 SLD (Collegamento -376_-504)
Azioni sul collegamento: N=140.00 Ty=1.50 Tz=-49.69 Mx=0.39 Mz=2.15
Zona tesa: F=56.38 b_{eff}=13.20 t_w=0.70 σ=6.10
Zona tesa: F=56.38 b_{eff}=13.20 t_w=0.70 σ=6.10
CC 4 SLD (Collegamento -376_-504)
Azioni sul collegamento: N=140.00 Ty=1.18 Tz=-49.69 Mx=0.31 Mz=1.64
Zona tesa: F=56.38 b_{eff}=13.20 t_w=0.70 σ=6.10
Zona tesa: F=56.38 b_{eff}=13.20 t_w=0.70 σ=6.10
CC 5 SLV (Collegamento -376_-504)
Azioni sul collegamento: N=122.93 Ty=0.50 Tz=-47.05 Mx=0.14 Mz=0.72
Zona tesa: F=49.50 b_{eff}=13.20 t_w=0.70 σ=5.36

Zona tesa: F=49.50 b_{eff}=13.20 t_w=0.70 σ=5.36
CC 5 SLV (Collegamento -376_-504)
Azioni sul collegamento: N=122.93 Ty=1.54 Tz=-47.05 Mx=0.40 Mz=2.39
Zona tesa: F=49.50 b_{eff}=13.20 t_w=0.70 σ=5.36
Zona tesa: F=49.50 b_{eff}=13.20 t_w=0.70 σ=5.36
CC 5 SLV (Collegamento -376_-504)
Azioni sul collegamento: N=122.93 Ty=0.50 Tz=-47.05 Mx=0.14 Mz=0.72
Zona tesa: F=49.50 b_{eff}=13.20 t_w=0.70 σ=5.36
Zona tesa: F=49.50 b_{eff}=13.20 t_w=0.70 σ=5.36
CC 5 SLV (Collegamento -376_-504)
Azioni sul collegamento: N=122.93 Ty=1.54 Tz=-47.05 Mx=0.40 Mz=2.39
Zona tesa: F=49.50 b_{eff}=13.20 t_w=0.70 σ=5.36
Zona tesa: F=49.50 b_{eff}=13.20 t_w=0.70 σ=5.36
CC 5 SLV (Collegamento -376_-504)
Azioni sul collegamento: N=176.71 Ty=0.50 Tz=-55.37 Mx=0.14 Mz=0.72
Zona tesa: F=71.16 b_{eff}=13.20 t_w=0.70 σ=7.70
Zona tesa: F=71.16 b_{eff}=13.20 t_w=0.70 σ=7.70
CC 5 SLV (Collegamento -376_-504)
Azioni sul collegamento: N=176.71 Ty=1.54 Tz=-55.37 Mx=0.40 Mz=2.39
Zona tesa: F=71.16 b_{eff}=13.20 t_w=0.70 σ=7.70
Zona tesa: F=71.16 b_{eff}=13.20 t_w=0.70 σ=7.70
CC 5 SLV (Collegamento -376_-504)
Azioni sul collegamento: N=176.71 Ty=0.50 Tz=-55.37 Mx=0.14 Mz=0.72
Zona tesa: F=71.16 b_{eff}=13.20 t_w=0.70 σ=7.70
Zona tesa: F=71.16 b_{eff}=13.20 t_w=0.70 σ=7.70
CC 5 SLV (Collegamento -376_-504)
Azioni sul collegamento: N=176.71 Ty=1.54 Tz=-55.37 Mx=0.40 Mz=2.39
Zona tesa: F=71.16 b_{eff}=13.20 t_w=0.70 σ=7.70
Zona tesa: F=71.16 b_{eff}=13.20 t_w=0.70 σ=7.70
CC 6 SLD (Collegamento -376_-504)
Azioni sul collegamento: N=140.00 Ty=1.18 Tz=-49.69 Mx=0.30 Mz=1.64
Zona tesa: F=56.38 b_{eff}=13.20 t_w=0.70 σ=6.10
Zona tesa: F=56.38 b_{eff}=13.20 t_w=0.70 σ=6.10
CC 6 SLD (Collegamento -376_-504)
Azioni sul collegamento: N=140.00 Ty=1.50 Tz=-49.69 Mx=0.38 Mz=2.15
Zona tesa: F=56.38 b_{eff}=13.20 t_w=0.70 σ=6.10
Zona tesa: F=56.38 b_{eff}=13.20 t_w=0.70 σ=6.10
CC 6 SLD (Collegamento -376_-504)
Azioni sul collegamento: N=140.00 Ty=1.18 Tz=-49.69 Mx=0.30 Mz=1.64
Zona tesa: F=56.38 b_{eff}=13.20 t_w=0.70 σ=6.10
Zona tesa: F=56.38 b_{eff}=13.20 t_w=0.70 σ=6.10
CC 6 SLD (Collegamento -376_-504)
Azioni sul collegamento: N=140.00 Ty=1.50 Tz=-49.69 Mx=0.38 Mz=2.15
Zona tesa: F=56.38 b_{eff}=13.20 t_w=0.70 σ=6.10
Zona tesa: F=56.38 b_{eff}=13.20 t_w=0.70 σ=6.10
CC 6 SLD (Collegamento -376_-504)
Azioni sul collegamento: N=156.40 Ty=1.18 Tz=-52.23 Mx=0.30 Mz=1.64
Zona tesa: F=62.98 b_{eff}=13.20 t_w=0.70 σ=6.82
Zona tesa: F=62.98 b_{eff}=13.20 t_w=0.70 σ=6.82
CC 6 SLD (Collegamento -376_-504)
Azioni sul collegamento: N=156.40 Ty=1.50 Tz=-52.23 Mx=0.38 Mz=2.15
Zona tesa: F=62.98 b_{eff}=13.20 t_w=0.70 σ=6.82
Zona tesa: F=62.98 b_{eff}=13.20 t_w=0.70 σ=6.82
CC 6 SLD (Collegamento -376_-504)
Azioni sul collegamento: N=156.40 Ty=1.18 Tz=-52.23 Mx=0.30 Mz=1.64
Zona tesa: F=62.98 b_{eff}=13.20 t_w=0.70 σ=6.82
Zona tesa: F=62.98 b_{eff}=13.20 t_w=0.70 σ=6.82
CC 6 SLD (Collegamento -376_-504)
Azioni sul collegamento: N=156.40 Ty=1.50 Tz=-52.23 Mx=0.38 Mz=2.15
Zona tesa: F=62.98 b_{eff}=13.20 t_w=0.70 σ=6.82
Zona tesa: F=62.98 b_{eff}=13.20 t_w=0.70 σ=6.82
CC 7 SLV (Collegamento -376_-504)
Azioni sul collegamento: N=122.83 Ty=0.22 Tz=-47.03 Mx=0.10 Mz=0.48
Zona tesa: F=49.46 b_{eff}=13.20 t_w=0.70 σ=5.35
Zona tesa: F=49.46 b_{eff}=13.20 t_w=0.70 σ=5.35
CC 7 SLV (Collegamento -376_-504)
Azioni sul collegamento: N=122.83 Ty=1.82 Tz=-47.03 Mx=0.44 Mz=2.64
Zona tesa: F=49.46 b_{eff}=13.20 t_w=0.70 σ=5.35
Zona tesa: F=49.46 b_{eff}=13.20 t_w=0.70 σ=5.35
CC 7 SLV (Collegamento -376_-504)
Azioni sul collegamento: N=122.83 Ty=0.22 Tz=-47.03 Mx=0.10 Mz=0.48
Zona tesa: F=49.46 b_{eff}=13.20 t_w=0.70 σ=5.35
Zona tesa: F=49.46 b_{eff}=13.20 t_w=0.70 σ=5.35
CC 7 SLV (Collegamento -376_-504)
Azioni sul collegamento: N=122.83 Ty=1.82 Tz=-47.03 Mx=0.44 Mz=2.64
Zona tesa: F=49.46 b_{eff}=13.20 t_w=0.70 σ=5.35
Zona tesa: F=49.46 b_{eff}=13.20 t_w=0.70 σ=5.35
CC 7 SLV (Collegamento -376_-504)

Azioni sul collegamento: N=176.80 Ty=0.22 Tz=-55.38 Mx=0.10 Mz=0.48
Zona tesa: F=71.19 b_{eff}=13.20 t_w=0.70 σ=7.71
Zona tesa: F=71.19 b_{eff}=13.20 t_w=0.70 σ=7.71
CC 7 SLV (Collegamento -376_-504)
Azioni sul collegamento: N=176.80 Ty=1.82 Tz=-55.38 Mx=0.44 Mz=2.64
Zona tesa: F=71.19 b_{eff}=13.20 t_w=0.70 σ=7.71
Zona tesa: F=71.19 b_{eff}=13.20 t_w=0.70 σ=7.71
CC 7 SLV (Collegamento -376_-504)
Azioni sul collegamento: N=176.80 Ty=0.22 Tz=-55.38 Mx=0.10 Mz=0.48
Zona tesa: F=71.19 b_{eff}=13.20 t_w=0.70 σ=7.71
Zona tesa: F=71.19 b_{eff}=13.20 t_w=0.70 σ=7.71
CC 7 SLV (Collegamento -376_-504)
Azioni sul collegamento: N=176.80 Ty=1.82 Tz=-55.38 Mx=0.44 Mz=2.64
Zona tesa: F=71.19 b_{eff}=13.20 t_w=0.70 σ=7.71
Zona tesa: F=71.19 b_{eff}=13.20 t_w=0.70 σ=7.71
CC 8 SLD (Collegamento -376_-504)
Azioni sul collegamento: N=139.97 Ty=1.10 Tz=-49.68 Mx=0.29 Mz=1.57
Zona tesa: F=56.36 b_{eff}=13.20 t_w=0.70 σ=6.10
Zona tesa: F=56.36 b_{eff}=13.20 t_w=0.70 σ=6.10
CC 8 SLD (Collegamento -376_-504)
Azioni sul collegamento: N=139.97 Ty=1.58 Tz=-49.68 Mx=0.39 Mz=2.23
Zona tesa: F=56.36 b_{eff}=13.20 t_w=0.70 σ=6.10
Zona tesa: F=56.36 b_{eff}=13.20 t_w=0.70 σ=6.10
CC 8 SLD (Collegamento -376_-504)
Azioni sul collegamento: N=139.97 Ty=1.10 Tz=-49.68 Mx=0.29 Mz=1.57
Zona tesa: F=56.36 b_{eff}=13.20 t_w=0.70 σ=6.10
Zona tesa: F=56.36 b_{eff}=13.20 t_w=0.70 σ=6.10
CC 8 SLD (Collegamento -376_-504)
Azioni sul collegamento: N=139.97 Ty=1.58 Tz=-49.68 Mx=0.39 Mz=2.23
Zona tesa: F=56.36 b_{eff}=13.20 t_w=0.70 σ=6.10
Zona tesa: F=56.36 b_{eff}=13.20 t_w=0.70 σ=6.10
CC 8 SLD (Collegamento -376_-504)
Azioni sul collegamento: N=156.43 Ty=1.10 Tz=-52.23 Mx=0.29 Mz=1.57
Zona tesa: F=62.99 b_{eff}=13.20 t_w=0.70 σ=6.82
Zona tesa: F=62.99 b_{eff}=13.20 t_w=0.70 σ=6.82
CC 8 SLD (Collegamento -376_-504)
Azioni sul collegamento: N=156.43 Ty=1.58 Tz=-52.23 Mx=0.39 Mz=2.23
Zona tesa: F=62.99 b_{eff}=13.20 t_w=0.70 σ=6.82
Zona tesa: F=62.99 b_{eff}=13.20 t_w=0.70 σ=6.82
CC 8 SLD (Collegamento -376_-504)
Azioni sul collegamento: N=156.43 Ty=1.10 Tz=-52.23 Mx=0.29 Mz=1.57
Zona tesa: F=62.99 b_{eff}=13.20 t_w=0.70 σ=6.82
Zona tesa: F=62.99 b_{eff}=13.20 t_w=0.70 σ=6.82
CC 8 SLD (Collegamento -376_-504)
Azioni sul collegamento: N=156.43 Ty=1.58 Tz=-52.23 Mx=0.39 Mz=2.23
Zona tesa: F=62.99 b_{eff}=13.20 t_w=0.70 σ=6.82
Zona tesa: F=62.99 b_{eff}=13.20 t_w=0.70 σ=6.82
CC 9 SLV (Collegamento -376_-504)
Azioni sul collegamento: N=158.05 Ty=1.67 Tz=-52.48 Mx=0.41 Mz=2.25
Zona tesa: F=63.65 b_{eff}=13.20 t_w=0.70 σ=6.89
Zona tesa: F=63.65 b_{eff}=13.20 t_w=0.70 σ=6.89
CC 9 SLV (Collegamento -376_-504)
Azioni sul collegamento: N=158.05 Ty=0.36 Tz=-52.48 Mx=0.19 Mz=0.85
Zona tesa: F=63.65 b_{eff}=13.20 t_w=0.70 σ=6.89
Zona tesa: F=63.65 b_{eff}=13.20 t_w=0.70 σ=6.89
CC 9 SLV (Collegamento -376_-504)
Azioni sul collegamento: N=158.05 Ty=1.67 Tz=-52.48 Mx=0.41 Mz=2.25
Zona tesa: F=63.65 b_{eff}=13.20 t_w=0.70 σ=6.89
Zona tesa: F=63.65 b_{eff}=13.20 t_w=0.70 σ=6.89
CC 9 SLV (Collegamento -376_-504)
Azioni sul collegamento: N=158.05 Ty=0.36 Tz=-52.48 Mx=0.19 Mz=0.85
Zona tesa: F=63.65 b_{eff}=13.20 t_w=0.70 σ=6.89
Zona tesa: F=63.65 b_{eff}=13.20 t_w=0.70 σ=6.89
CC 9 SLV (Collegamento -376_-504)
Azioni sul collegamento: N=141.58 Ty=1.67 Tz=-49.93 Mx=0.41 Mz=2.25
Zona tesa: F=57.01 b_{eff}=13.20 t_w=0.70 σ=6.17
Zona tesa: F=57.01 b_{eff}=13.20 t_w=0.70 σ=6.17
CC 9 SLV (Collegamento -376_-504)
Azioni sul collegamento: N=141.58 Ty=0.36 Tz=-49.93 Mx=0.19 Mz=0.85
Zona tesa: F=57.01 b_{eff}=13.20 t_w=0.70 σ=6.17
Zona tesa: F=57.01 b_{eff}=13.20 t_w=0.70 σ=6.17
CC 9 SLV (Collegamento -376_-504)
Azioni sul collegamento: N=141.58 Ty=1.67 Tz=-49.93 Mx=0.41 Mz=2.25
Zona tesa: F=57.01 b_{eff}=13.20 t_w=0.70 σ=6.17
Zona tesa: F=57.01 b_{eff}=13.20 t_w=0.70 σ=6.17
CC 9 SLV (Collegamento -376_-504)
Azioni sul collegamento: N=141.58 Ty=0.36 Tz=-49.93 Mx=0.19 Mz=0.85
Zona tesa: F=57.01 b_{eff}=13.20 t_w=0.70 σ=6.17

Zona tesa: F=57.01 b_{eff}=13.20 t_w=0.70 σ=6.17
CC 10 SLD (Collegamento -376_-504)
Azioni sul collegamento: N=150.71 Ty=1.54 Tz=-51.35 Mx=0.38 Mz=2.11
Zona tesa: F=60.69 b_{eff}=13.20 t_w=0.70 σ=6.57
Zona tesa: F=60.69 b_{eff}=13.20 t_w=0.70 σ=6.57
CC 10 SLD (Collegamento -376_-504)
Azioni sul collegamento: N=150.71 Ty=1.14 Tz=-51.35 Mx=0.31 Mz=1.68
Zona tesa: F=60.69 b_{eff}=13.20 t_w=0.70 σ=6.57
Zona tesa: F=60.69 b_{eff}=13.20 t_w=0.70 σ=6.57
CC 10 SLD (Collegamento -376_-504)
Azioni sul collegamento: N=150.71 Ty=1.54 Tz=-51.35 Mx=0.38 Mz=2.11
Zona tesa: F=60.69 b_{eff}=13.20 t_w=0.70 σ=6.57
Zona tesa: F=60.69 b_{eff}=13.20 t_w=0.70 σ=6.57
CC 10 SLD (Collegamento -376_-504)
Azioni sul collegamento: N=150.71 Ty=1.14 Tz=-51.35 Mx=0.31 Mz=1.68
Zona tesa: F=60.69 b_{eff}=13.20 t_w=0.70 σ=6.57
Zona tesa: F=60.69 b_{eff}=13.20 t_w=0.70 σ=6.57
CC 10 SLD (Collegamento -376_-504)
Azioni sul collegamento: N=145.69 Ty=1.54 Tz=-50.57 Mx=0.38 Mz=2.11
Zona tesa: F=58.67 b_{eff}=13.20 t_w=0.70 σ=6.35
Zona tesa: F=58.67 b_{eff}=13.20 t_w=0.70 σ=6.35
CC 10 SLD (Collegamento -376_-504)
Azioni sul collegamento: N=145.69 Ty=1.14 Tz=-50.57 Mx=0.31 Mz=1.68
Zona tesa: F=58.67 b_{eff}=13.20 t_w=0.70 σ=6.35
Zona tesa: F=58.67 b_{eff}=13.20 t_w=0.70 σ=6.35
CC 10 SLD (Collegamento -376_-504)
Azioni sul collegamento: N=145.69 Ty=1.54 Tz=-50.57 Mx=0.38 Mz=2.11
Zona tesa: F=58.67 b_{eff}=13.20 t_w=0.70 σ=6.35
Zona tesa: F=58.67 b_{eff}=13.20 t_w=0.70 σ=6.35
CC 10 SLD (Collegamento -376_-504)
Azioni sul collegamento: N=145.69 Ty=1.14 Tz=-50.57 Mx=0.31 Mz=1.68
Zona tesa: F=58.67 b_{eff}=13.20 t_w=0.70 σ=6.35
Zona tesa: F=58.67 b_{eff}=13.20 t_w=0.70 σ=6.35
CC 11 SLV (Collegamento -376_-504)
Azioni sul collegamento: N=141.89 Ty=1.28 Tz=-49.98 Mx=0.31 Mz=1.68
Zona tesa: F=57.14 b_{eff}=13.20 t_w=0.70 σ=6.18
Zona tesa: F=57.14 b_{eff}=13.20 t_w=0.70 σ=6.18
CC 11 SLV (Collegamento -376_-504)
Azioni sul collegamento: N=141.89 Ty=0.76 Tz=-49.98 Mx=0.27 Mz=1.43
Zona tesa: F=57.14 b_{eff}=13.20 t_w=0.70 σ=6.18
Zona tesa: F=57.14 b_{eff}=13.20 t_w=0.70 σ=6.18
CC 11 SLV (Collegamento -376_-504)
Azioni sul collegamento: N=141.89 Ty=1.28 Tz=-49.98 Mx=0.31 Mz=1.68
Zona tesa: F=57.14 b_{eff}=13.20 t_w=0.70 σ=6.18
Zona tesa: F=57.14 b_{eff}=13.20 t_w=0.70 σ=6.18
CC 11 SLV (Collegamento -376_-504)
Azioni sul collegamento: N=141.89 Ty=0.76 Tz=-49.98 Mx=0.27 Mz=1.43
Zona tesa: F=57.14 b_{eff}=13.20 t_w=0.70 σ=6.18
Zona tesa: F=57.14 b_{eff}=13.20 t_w=0.70 σ=6.18
CC 11 SLV (Collegamento -376_-504)
Azioni sul collegamento: N=157.75 Ty=1.28 Tz=-52.44 Mx=0.31 Mz=1.68
Zona tesa: F=63.52 b_{eff}=13.20 t_w=0.70 σ=6.87
Zona tesa: F=63.52 b_{eff}=13.20 t_w=0.70 σ=6.87
CC 11 SLV (Collegamento -376_-504)
Azioni sul collegamento: N=157.75 Ty=0.76 Tz=-52.44 Mx=0.27 Mz=1.43
Zona tesa: F=63.52 b_{eff}=13.20 t_w=0.70 σ=6.87
Zona tesa: F=63.52 b_{eff}=13.20 t_w=0.70 σ=6.87
CC 11 SLV (Collegamento -376_-504)
Azioni sul collegamento: N=157.75 Ty=1.28 Tz=-52.44 Mx=0.31 Mz=1.68
Zona tesa: F=63.52 b_{eff}=13.20 t_w=0.70 σ=6.87
Zona tesa: F=63.52 b_{eff}=13.20 t_w=0.70 σ=6.87
CC 11 SLV (Collegamento -376_-504)
Azioni sul collegamento: N=157.75 Ty=0.76 Tz=-52.44 Mx=0.27 Mz=1.43
Zona tesa: F=63.52 b_{eff}=13.20 t_w=0.70 σ=6.87
Zona tesa: F=63.52 b_{eff}=13.20 t_w=0.70 σ=6.87
CC 12 SLD (Collegamento -376_-504)
Azioni sul collegamento: N=145.78 Ty=1.42 Tz=-50.58 Mx=0.35 Mz=1.93
Zona tesa: F=58.70 b_{eff}=13.20 t_w=0.70 σ=6.35
Zona tesa: F=58.70 b_{eff}=13.20 t_w=0.70 σ=6.35
CC 12 SLD (Collegamento -376_-504)
Azioni sul collegamento: N=145.78 Ty=1.26 Tz=-50.58 Mx=0.34 Mz=1.86
Zona tesa: F=58.70 b_{eff}=13.20 t_w=0.70 σ=6.35
Zona tesa: F=58.70 b_{eff}=13.20 t_w=0.70 σ=6.35
CC 12 SLD (Collegamento -376_-504)
Azioni sul collegamento: N=145.78 Ty=1.42 Tz=-50.58 Mx=0.35 Mz=1.93
Zona tesa: F=58.70 b_{eff}=13.20 t_w=0.70 σ=6.35
Zona tesa: F=58.70 b_{eff}=13.20 t_w=0.70 σ=6.35
CC 12 SLD (Collegamento -376_-504)

Azioni sul collegamento: N=145.78 Ty=1.26 Tz=-50.58 Mx=0.34 Mz=1.86
Zona tesa: F=58.70 b_{eff}=13.20 t_w=0.70 σ=6.35
Zona tesa: F=58.70 b_{eff}=13.20 t_w=0.70 σ=6.35
CC 12 SLD (Collegamento -376_-504)
Azioni sul collegamento: N=150.62 Ty=1.42 Tz=-51.33 Mx=0.35 Mz=1.93
Zona tesa: F=60.65 b_{eff}=13.20 t_w=0.70 σ=6.56
Zona tesa: F=60.65 b_{eff}=13.20 t_w=0.70 σ=6.56
CC 12 SLD (Collegamento -376_-504)
Azioni sul collegamento: N=150.62 Ty=1.26 Tz=-51.33 Mx=0.34 Mz=1.86
Zona tesa: F=60.65 b_{eff}=13.20 t_w=0.70 σ=6.56
Zona tesa: F=60.65 b_{eff}=13.20 t_w=0.70 σ=6.56
CC 12 SLD (Collegamento -376_-504)
Azioni sul collegamento: N=150.62 Ty=1.42 Tz=-51.33 Mx=0.35 Mz=1.93
Zona tesa: F=60.65 b_{eff}=13.20 t_w=0.70 σ=6.56
Zona tesa: F=60.65 b_{eff}=13.20 t_w=0.70 σ=6.56
CC 12 SLD (Collegamento -376_-504)
Azioni sul collegamento: N=150.62 Ty=1.26 Tz=-51.33 Mx=0.34 Mz=1.86
Zona tesa: F=60.65 b_{eff}=13.20 t_w=0.70 σ=6.56
Zona tesa: F=60.65 b_{eff}=13.20 t_w=0.70 σ=6.56
CC 13 SLV (Collegamento -376_-504)
Azioni sul collegamento: N=157.75 Ty=0.76 Tz=-52.44 Mx=0.27 Mz=1.43
Zona tesa: F=63.52 b_{eff}=13.20 t_w=0.70 σ=6.87
Zona tesa: F=63.52 b_{eff}=13.20 t_w=0.70 σ=6.87
CC 13 SLV (Collegamento -376_-504)
Azioni sul collegamento: N=157.75 Ty=1.28 Tz=-52.44 Mx=0.31 Mz=1.68
Zona tesa: F=63.52 b_{eff}=13.20 t_w=0.70 σ=6.87
Zona tesa: F=63.52 b_{eff}=13.20 t_w=0.70 σ=6.87
CC 13 SLV (Collegamento -376_-504)
Azioni sul collegamento: N=157.75 Ty=0.76 Tz=-52.44 Mx=0.27 Mz=1.43
Zona tesa: F=63.52 b_{eff}=13.20 t_w=0.70 σ=6.87
Zona tesa: F=63.52 b_{eff}=13.20 t_w=0.70 σ=6.87
CC 13 SLV (Collegamento -376_-504)
Azioni sul collegamento: N=157.75 Ty=1.28 Tz=-52.44 Mx=0.31 Mz=1.68
Zona tesa: F=63.52 b_{eff}=13.20 t_w=0.70 σ=6.87
Zona tesa: F=63.52 b_{eff}=13.20 t_w=0.70 σ=6.87
CC 13 SLV (Collegamento -376_-504)
Azioni sul collegamento: N=141.89 Ty=0.76 Tz=-49.98 Mx=0.27 Mz=1.43
Zona tesa: F=57.14 b_{eff}=13.20 t_w=0.70 σ=6.18
Zona tesa: F=57.14 b_{eff}=13.20 t_w=0.70 σ=6.18
CC 13 SLV (Collegamento -376_-504)
Azioni sul collegamento: N=141.89 Ty=1.28 Tz=-49.98 Mx=0.31 Mz=1.68
Zona tesa: F=57.14 b_{eff}=13.20 t_w=0.70 σ=6.18
Zona tesa: F=57.14 b_{eff}=13.20 t_w=0.70 σ=6.18
CC 13 SLV (Collegamento -376_-504)
Azioni sul collegamento: N=141.89 Ty=0.76 Tz=-49.98 Mx=0.27 Mz=1.43
Zona tesa: F=57.14 b_{eff}=13.20 t_w=0.70 σ=6.18
Zona tesa: F=57.14 b_{eff}=13.20 t_w=0.70 σ=6.18
CC 13 SLV (Collegamento -376_-504)
Azioni sul collegamento: N=141.89 Ty=1.28 Tz=-49.98 Mx=0.31 Mz=1.68
Zona tesa: F=57.14 b_{eff}=13.20 t_w=0.70 σ=6.18
Zona tesa: F=57.14 b_{eff}=13.20 t_w=0.70 σ=6.18
CC 14 SLD (Collegamento -376_-504)
Azioni sul collegamento: N=150.62 Ty=1.26 Tz=-51.33 Mx=0.34 Mz=1.86
Zona tesa: F=60.65 b_{eff}=13.20 t_w=0.70 σ=6.56
Zona tesa: F=60.65 b_{eff}=13.20 t_w=0.70 σ=6.56
CC 14 SLD (Collegamento -376_-504)
Azioni sul collegamento: N=150.62 Ty=1.42 Tz=-51.33 Mx=0.35 Mz=1.93
Zona tesa: F=60.65 b_{eff}=13.20 t_w=0.70 σ=6.56
Zona tesa: F=60.65 b_{eff}=13.20 t_w=0.70 σ=6.56
CC 14 SLD (Collegamento -376_-504)
Azioni sul collegamento: N=150.62 Ty=1.26 Tz=-51.33 Mx=0.34 Mz=1.86
Zona tesa: F=60.65 b_{eff}=13.20 t_w=0.70 σ=6.56
Zona tesa: F=60.65 b_{eff}=13.20 t_w=0.70 σ=6.56
CC 14 SLD (Collegamento -376_-504)
Azioni sul collegamento: N=150.62 Ty=1.42 Tz=-51.33 Mx=0.35 Mz=1.93
Zona tesa: F=60.65 b_{eff}=13.20 t_w=0.70 σ=6.56
Zona tesa: F=60.65 b_{eff}=13.20 t_w=0.70 σ=6.56
CC 14 SLD (Collegamento -376_-504)
Azioni sul collegamento: N=145.78 Ty=1.26 Tz=-50.58 Mx=0.34 Mz=1.86
Zona tesa: F=58.70 b_{eff}=13.20 t_w=0.70 σ=6.35
Zona tesa: F=58.70 b_{eff}=13.20 t_w=0.70 σ=6.35
CC 14 SLD (Collegamento -376_-504)
Azioni sul collegamento: N=145.78 Ty=1.42 Tz=-50.58 Mx=0.35 Mz=1.93
Zona tesa: F=58.70 b_{eff}=13.20 t_w=0.70 σ=6.35
Zona tesa: F=58.70 b_{eff}=13.20 t_w=0.70 σ=6.35
CC 14 SLD (Collegamento -376_-504)
Azioni sul collegamento: N=145.78 Ty=1.26 Tz=-50.58 Mx=0.34 Mz=1.86
Zona tesa: F=58.70 b_{eff}=13.20 t_w=0.70 σ=6.35

Zona tesa: F=58.70 b_{eff}=13.20 t_w=0.70 σ=6.35
CC 14 SLD (Collegamento -376_-504)
Azioni sul collegamento: N=145.78 Ty=1.42 Tz=-50.58 Mx=0.35 Mz=1.93
Zona tesa: F=58.70 b_{eff}=13.20 t_w=0.70 σ=6.35
Zona tesa: F=58.70 b_{eff}=13.20 t_w=0.70 σ=6.35
CC 15 SLV (Collegamento -376_-504)
Azioni sul collegamento: N=141.58 Ty=0.36 Tz=-49.93 Mx=0.17 Mz=0.86
Zona tesa: F=57.01 b_{eff}=13.20 t_w=0.70 σ=6.17
Zona tesa: F=57.01 b_{eff}=13.20 t_w=0.70 σ=6.17
CC 15 SLV (Collegamento -376_-504)
Azioni sul collegamento: N=141.58 Ty=1.67 Tz=-49.93 Mx=0.39 Mz=2.25
Zona tesa: F=57.01 b_{eff}=13.20 t_w=0.70 σ=6.17
Zona tesa: F=57.01 b_{eff}=13.20 t_w=0.70 σ=6.17
CC 15 SLV (Collegamento -376_-504)
Azioni sul collegamento: N=141.58 Ty=0.36 Tz=-49.93 Mx=0.17 Mz=0.86
Zona tesa: F=57.01 b_{eff}=13.20 t_w=0.70 σ=6.17
Zona tesa: F=57.01 b_{eff}=13.20 t_w=0.70 σ=6.17
CC 15 SLV (Collegamento -376_-504)
Azioni sul collegamento: N=141.58 Ty=1.67 Tz=-49.93 Mx=0.39 Mz=2.25
Zona tesa: F=57.01 b_{eff}=13.20 t_w=0.70 σ=6.17
Zona tesa: F=57.01 b_{eff}=13.20 t_w=0.70 σ=6.17
CC 15 SLV (Collegamento -376_-504)
Azioni sul collegamento: N=158.05 Ty=0.36 Tz=-52.48 Mx=0.17 Mz=0.86
Zona tesa: F=63.65 b_{eff}=13.20 t_w=0.70 σ=6.89
Zona tesa: F=63.65 b_{eff}=13.20 t_w=0.70 σ=6.89
CC 15 SLV (Collegamento -376_-504)
Azioni sul collegamento: N=158.05 Ty=1.67 Tz=-52.48 Mx=0.39 Mz=2.25
Zona tesa: F=63.65 b_{eff}=13.20 t_w=0.70 σ=6.89
Zona tesa: F=63.65 b_{eff}=13.20 t_w=0.70 σ=6.89
CC 15 SLV (Collegamento -376_-504)
Azioni sul collegamento: N=158.05 Ty=0.36 Tz=-52.48 Mx=0.17 Mz=0.86
Zona tesa: F=63.65 b_{eff}=13.20 t_w=0.70 σ=6.89
Zona tesa: F=63.65 b_{eff}=13.20 t_w=0.70 σ=6.89
CC 15 SLV (Collegamento -376_-504)
Azioni sul collegamento: N=158.05 Ty=1.67 Tz=-52.48 Mx=0.39 Mz=2.25
Zona tesa: F=63.65 b_{eff}=13.20 t_w=0.70 σ=6.89
Zona tesa: F=63.65 b_{eff}=13.20 t_w=0.70 σ=6.89
CC 16 SLD (Collegamento -376_-504)
Azioni sul collegamento: N=145.69 Ty=1.14 Tz=-50.57 Mx=0.31 Mz=1.68
Zona tesa: F=58.67 b_{eff}=13.20 t_w=0.70 σ=6.35
Zona tesa: F=58.67 b_{eff}=13.20 t_w=0.70 σ=6.35
CC 16 SLD (Collegamento -376_-504)
Azioni sul collegamento: N=145.69 Ty=1.54 Tz=-50.57 Mx=0.37 Mz=2.11
Zona tesa: F=58.67 b_{eff}=13.20 t_w=0.70 σ=6.35
Zona tesa: F=58.67 b_{eff}=13.20 t_w=0.70 σ=6.35
CC 16 SLD (Collegamento -376_-504)
Azioni sul collegamento: N=145.69 Ty=1.14 Tz=-50.57 Mx=0.31 Mz=1.68
Zona tesa: F=58.67 b_{eff}=13.20 t_w=0.70 σ=6.35
Zona tesa: F=58.67 b_{eff}=13.20 t_w=0.70 σ=6.35
CC 16 SLD (Collegamento -376_-504)
Azioni sul collegamento: N=145.69 Ty=1.54 Tz=-50.57 Mx=0.37 Mz=2.11
Zona tesa: F=58.67 b_{eff}=13.20 t_w=0.70 σ=6.35
Zona tesa: F=58.67 b_{eff}=13.20 t_w=0.70 σ=6.35
CC 16 SLD (Collegamento -376_-504)
Azioni sul collegamento: N=150.71 Ty=1.14 Tz=-51.35 Mx=0.31 Mz=1.68
Zona tesa: F=60.69 b_{eff}=13.20 t_w=0.70 σ=6.57
Zona tesa: F=60.69 b_{eff}=13.20 t_w=0.70 σ=6.57
CC 16 SLD (Collegamento -376_-504)
Azioni sul collegamento: N=150.71 Ty=1.54 Tz=-51.35 Mx=0.37 Mz=2.11
Zona tesa: F=60.69 b_{eff}=13.20 t_w=0.70 σ=6.57
Zona tesa: F=60.69 b_{eff}=13.20 t_w=0.70 σ=6.57
CC 16 SLD (Collegamento -376_-504)
Azioni sul collegamento: N=150.71 Ty=1.14 Tz=-51.35 Mx=0.31 Mz=1.68
Zona tesa: F=60.69 b_{eff}=13.20 t_w=0.70 σ=6.57
Zona tesa: F=60.69 b_{eff}=13.20 t_w=0.70 σ=6.57
CC 16 SLD (Collegamento -376_-504)
Azioni sul collegamento: N=150.71 Ty=1.54 Tz=-51.35 Mx=0.37 Mz=2.11
Zona tesa: F=60.69 b_{eff}=13.20 t_w=0.70 σ=6.57
Zona tesa: F=60.69 b_{eff}=13.20 t_w=0.70 σ=6.57
CC 17 SLV (Collegamento -376_-504)
Azioni sul collegamento: N=172.15 Ty=2.73 Tz=-54.66 Mx=0.64 Mz=3.62
Zona tesa: F=69.32 b_{eff}=13.20 t_w=0.70 σ=7.50
Zona tesa: F=69.32 b_{eff}=13.20 t_w=0.70 σ=7.50
CC 17 SLV (Collegamento -376_-504)
Azioni sul collegamento: N=172.15 Ty=1.14 Tz=-54.66 Mx=0.30 Mz=1.45
Zona tesa: F=69.32 b_{eff}=13.20 t_w=0.70 σ=7.50
Zona tesa: F=69.32 b_{eff}=13.20 t_w=0.70 σ=7.50
CC 17 SLV (Collegamento -376_-504)

Azioni sul collegamento: N=172.15 Ty=2.73 Tz=-54.66 Mx=0.64 Mz=3.62
Zona tesa: F=69.32 b_{eff}=13.20 t_w=0.70 σ=7.50
Zona tesa: F=69.32 b_{eff}=13.20 t_w=0.70 σ=7.50
CC 17 SLV (Collegamento -376_-504)
Azioni sul collegamento: N=172.15 Ty=1.14 Tz=-54.66 Mx=0.30 Mz=1.45
Zona tesa: F=69.32 b_{eff}=13.20 t_w=0.70 σ=7.50
Zona tesa: F=69.32 b_{eff}=13.20 t_w=0.70 σ=7.50
CC 17 SLV (Collegamento -376_-504)
Azioni sul collegamento: N=118.18 Ty=2.73 Tz=-46.31 Mx=0.64 Mz=3.62
Zona tesa: F=47.59 b_{eff}=13.20 t_w=0.70 σ=5.15
Zona tesa: F=47.59 b_{eff}=13.20 t_w=0.70 σ=5.15
CC 17 SLV (Collegamento -376_-504)
Azioni sul collegamento: N=118.18 Ty=1.14 Tz=-46.31 Mx=0.30 Mz=1.45
Zona tesa: F=47.59 b_{eff}=13.20 t_w=0.70 σ=5.15
Zona tesa: F=47.59 b_{eff}=13.20 t_w=0.70 σ=5.15
CC 17 SLV (Collegamento -376_-504)
Azioni sul collegamento: N=118.18 Ty=2.73 Tz=-46.31 Mx=0.64 Mz=3.62
Zona tesa: F=47.59 b_{eff}=13.20 t_w=0.70 σ=5.15
Zona tesa: F=47.59 b_{eff}=13.20 t_w=0.70 σ=5.15
CC 17 SLV (Collegamento -376_-504)
Azioni sul collegamento: N=118.18 Ty=1.14 Tz=-46.31 Mx=0.30 Mz=1.45
Zona tesa: F=47.59 b_{eff}=13.20 t_w=0.70 σ=5.15
Zona tesa: F=47.59 b_{eff}=13.20 t_w=0.70 σ=5.15
CC 18 SLD (Collegamento -376_-504)
Azioni sul collegamento: N=155.01 Ty=1.86 Tz=-52.01 Mx=0.45 Mz=2.52
Zona tesa: F=62.42 b_{eff}=13.20 t_w=0.70 σ=6.76
Zona tesa: F=62.42 b_{eff}=13.20 t_w=0.70 σ=6.76
CC 18 SLD (Collegamento -376_-504)
Azioni sul collegamento: N=155.01 Ty=1.38 Tz=-52.01 Mx=0.35 Mz=1.87
Zona tesa: F=62.42 b_{eff}=13.20 t_w=0.70 σ=6.76
Zona tesa: F=62.42 b_{eff}=13.20 t_w=0.70 σ=6.76
CC 18 SLD (Collegamento -376_-504)
Azioni sul collegamento: N=155.01 Ty=1.86 Tz=-52.01 Mx=0.45 Mz=2.52
Zona tesa: F=62.42 b_{eff}=13.20 t_w=0.70 σ=6.76
Zona tesa: F=62.42 b_{eff}=13.20 t_w=0.70 σ=6.76
CC 18 SLD (Collegamento -376_-504)
Azioni sul collegamento: N=155.01 Ty=1.38 Tz=-52.01 Mx=0.35 Mz=1.87
Zona tesa: F=62.42 b_{eff}=13.20 t_w=0.70 σ=6.76
Zona tesa: F=62.42 b_{eff}=13.20 t_w=0.70 σ=6.76
CC 18 SLD (Collegamento -376_-504)
Azioni sul collegamento: N=138.55 Ty=1.86 Tz=-49.47 Mx=0.45 Mz=2.52
Zona tesa: F=55.79 b_{eff}=13.20 t_w=0.70 σ=6.04
Zona tesa: F=55.79 b_{eff}=13.20 t_w=0.70 σ=6.04
CC 18 SLD (Collegamento -376_-504)
Azioni sul collegamento: N=138.55 Ty=1.38 Tz=-49.47 Mx=0.35 Mz=1.87
Zona tesa: F=55.79 b_{eff}=13.20 t_w=0.70 σ=6.04
Zona tesa: F=55.79 b_{eff}=13.20 t_w=0.70 σ=6.04
CC 18 SLD (Collegamento -376_-504)
Azioni sul collegamento: N=138.55 Ty=1.86 Tz=-49.47 Mx=0.45 Mz=2.52
Zona tesa: F=55.79 b_{eff}=13.20 t_w=0.70 σ=6.04
Zona tesa: F=55.79 b_{eff}=13.20 t_w=0.70 σ=6.04
CC 18 SLD (Collegamento -376_-504)
Azioni sul collegamento: N=138.55 Ty=1.38 Tz=-49.47 Mx=0.35 Mz=1.87
Zona tesa: F=55.79 b_{eff}=13.20 t_w=0.70 σ=6.04
Zona tesa: F=55.79 b_{eff}=13.20 t_w=0.70 σ=6.04
CC 19 SLV (Collegamento -376_-504)
Azioni sul collegamento: N=172.06 Ty=2.46 Tz=-54.65 Mx=0.60 Mz=3.37
Zona tesa: F=69.28 b_{eff}=13.20 t_w=0.70 σ=7.50
Zona tesa: F=69.28 b_{eff}=13.20 t_w=0.70 σ=7.50
CC 19 SLV (Collegamento -376_-504)
Azioni sul collegamento: N=172.06 Ty=1.41 Tz=-54.65 Mx=0.34 Mz=1.70
Zona tesa: F=69.28 b_{eff}=13.20 t_w=0.70 σ=7.50
Zona tesa: F=69.28 b_{eff}=13.20 t_w=0.70 σ=7.50
CC 19 SLV (Collegamento -376_-504)
Azioni sul collegamento: N=172.06 Ty=2.46 Tz=-54.65 Mx=0.60 Mz=3.37
Zona tesa: F=69.28 b_{eff}=13.20 t_w=0.70 σ=7.50
Zona tesa: F=69.28 b_{eff}=13.20 t_w=0.70 σ=7.50
CC 19 SLV (Collegamento -376_-504)
Azioni sul collegamento: N=172.06 Ty=1.41 Tz=-54.65 Mx=0.34 Mz=1.70
Zona tesa: F=69.28 b_{eff}=13.20 t_w=0.70 σ=7.50
Zona tesa: F=69.28 b_{eff}=13.20 t_w=0.70 σ=7.50
CC 19 SLV (Collegamento -376_-504)
Azioni sul collegamento: N=118.27 Ty=2.46 Tz=-46.33 Mx=0.60 Mz=3.37
Zona tesa: F=47.63 b_{eff}=13.20 t_w=0.70 σ=5.15
Zona tesa: F=47.63 b_{eff}=13.20 t_w=0.70 σ=5.15
CC 19 SLV (Collegamento -376_-504)
Azioni sul collegamento: N=118.27 Ty=1.41 Tz=-46.33 Mx=0.34 Mz=1.70
Zona tesa: F=47.63 b_{eff}=13.20 t_w=0.70 σ=5.15

Zona tesa: F=47.63 b_{eff}=13.20 t_w=0.70 σ=5.15
CC 19 SLV (Collegamento -376_-504)
Azioni sul collegamento: N=118.27 Ty=2.46 Tz=-46.33 Mx=0.60 Mz=3.37
Zona tesa: F=47.63 b_{eff}=13.20 t_w=0.70 σ=5.15
Zona tesa: F=47.63 b_{eff}=13.20 t_w=0.70 σ=5.15
CC 19 SLV (Collegamento -376_-504)
Azioni sul collegamento: N=118.27 Ty=1.41 Tz=-46.33 Mx=0.34 Mz=1.70
Zona tesa: F=47.63 b_{eff}=13.20 t_w=0.70 σ=5.15
Zona tesa: F=47.63 b_{eff}=13.20 t_w=0.70 σ=5.15
CC 20 SLD (Collegamento -376_-504)
Azioni sul collegamento: N=154.98 Ty=1.78 Tz=-52.01 Mx=0.44 Mz=2.45
Zona tesa: F=62.41 b_{eff}=13.20 t_w=0.70 σ=6.75
Zona tesa: F=62.41 b_{eff}=13.20 t_w=0.70 σ=6.75
CC 20 SLD (Collegamento -376_-504)
Azioni sul collegamento: N=154.98 Ty=1.46 Tz=-52.01 Mx=0.36 Mz=1.94
Zona tesa: F=62.41 b_{eff}=13.20 t_w=0.70 σ=6.75
Zona tesa: F=62.41 b_{eff}=13.20 t_w=0.70 σ=6.75
CC 20 SLD (Collegamento -376_-504)
Azioni sul collegamento: N=154.98 Ty=1.78 Tz=-52.01 Mx=0.44 Mz=2.45
Zona tesa: F=62.41 b_{eff}=13.20 t_w=0.70 σ=6.75
Zona tesa: F=62.41 b_{eff}=13.20 t_w=0.70 σ=6.75
CC 20 SLD (Collegamento -376_-504)
Azioni sul collegamento: N=154.98 Ty=1.46 Tz=-52.01 Mx=0.36 Mz=1.94
Zona tesa: F=62.41 b_{eff}=13.20 t_w=0.70 σ=6.75
Zona tesa: F=62.41 b_{eff}=13.20 t_w=0.70 σ=6.75
CC 20 SLD (Collegamento -376_-504)
Azioni sul collegamento: N=138.58 Ty=1.78 Tz=-49.47 Mx=0.44 Mz=2.45
Zona tesa: F=55.80 b_{eff}=13.20 t_w=0.70 σ=6.04
Zona tesa: F=55.80 b_{eff}=13.20 t_w=0.70 σ=6.04
CC 20 SLD (Collegamento -376_-504)
Azioni sul collegamento: N=138.58 Ty=1.46 Tz=-49.47 Mx=0.36 Mz=1.94
Zona tesa: F=55.80 b_{eff}=13.20 t_w=0.70 σ=6.04
Zona tesa: F=55.80 b_{eff}=13.20 t_w=0.70 σ=6.04
CC 20 SLD (Collegamento -376_-504)
Azioni sul collegamento: N=138.58 Ty=1.78 Tz=-49.47 Mx=0.44 Mz=2.45
Zona tesa: F=55.80 b_{eff}=13.20 t_w=0.70 σ=6.04
Zona tesa: F=55.80 b_{eff}=13.20 t_w=0.70 σ=6.04
CC 20 SLD (Collegamento -376_-504)
Azioni sul collegamento: N=138.58 Ty=1.46 Tz=-49.47 Mx=0.36 Mz=1.94
Zona tesa: F=55.80 b_{eff}=13.20 t_w=0.70 σ=6.04
Zona tesa: F=55.80 b_{eff}=13.20 t_w=0.70 σ=6.04
CC 21 SLV (Collegamento -376_-504)
Azioni sul collegamento: N=118.27 Ty=1.41 Tz=-46.33 Mx=0.31 Mz=1.71
Zona tesa: F=47.63 b_{eff}=13.20 t_w=0.70 σ=5.15
Zona tesa: F=47.63 b_{eff}=13.20 t_w=0.70 σ=5.15
CC 21 SLV (Collegamento -376_-504)
Azioni sul collegamento: N=118.27 Ty=2.46 Tz=-46.33 Mx=0.56 Mz=3.37
Zona tesa: F=47.63 b_{eff}=13.20 t_w=0.70 σ=5.15
Zona tesa: F=47.63 b_{eff}=13.20 t_w=0.70 σ=5.15
CC 21 SLV (Collegamento -376_-504)
Azioni sul collegamento: N=118.27 Ty=1.41 Tz=-46.33 Mx=0.31 Mz=1.71
Zona tesa: F=47.63 b_{eff}=13.20 t_w=0.70 σ=5.15
Zona tesa: F=47.63 b_{eff}=13.20 t_w=0.70 σ=5.15
CC 21 SLV (Collegamento -376_-504)
Azioni sul collegamento: N=118.27 Ty=2.46 Tz=-46.33 Mx=0.56 Mz=3.37
Zona tesa: F=47.63 b_{eff}=13.20 t_w=0.70 σ=5.15
Zona tesa: F=47.63 b_{eff}=13.20 t_w=0.70 σ=5.15
CC 21 SLV (Collegamento -376_-504)
Azioni sul collegamento: N=172.06 Ty=1.41 Tz=-54.65 Mx=0.31 Mz=1.71
Zona tesa: F=69.28 b_{eff}=13.20 t_w=0.70 σ=7.50
Zona tesa: F=69.28 b_{eff}=13.20 t_w=0.70 σ=7.50
CC 21 SLV (Collegamento -376_-504)
Azioni sul collegamento: N=172.06 Ty=2.46 Tz=-54.65 Mx=0.56 Mz=3.37
Zona tesa: F=69.28 b_{eff}=13.20 t_w=0.70 σ=7.50
Zona tesa: F=69.28 b_{eff}=13.20 t_w=0.70 σ=7.50
CC 21 SLV (Collegamento -376_-504)
Azioni sul collegamento: N=172.06 Ty=1.41 Tz=-54.65 Mx=0.31 Mz=1.71
Zona tesa: F=69.28 b_{eff}=13.20 t_w=0.70 σ=7.50
Zona tesa: F=69.28 b_{eff}=13.20 t_w=0.70 σ=7.50
CC 21 SLV (Collegamento -376_-504)
Azioni sul collegamento: N=172.06 Ty=2.46 Tz=-54.65 Mx=0.56 Mz=3.37
Zona tesa: F=69.28 b_{eff}=13.20 t_w=0.70 σ=7.50
Zona tesa: F=69.28 b_{eff}=13.20 t_w=0.70 σ=7.50
CC 22 SLD (Collegamento -376_-504)
Azioni sul collegamento: N=138.58 Ty=1.46 Tz=-49.47 Mx=0.35 Mz=1.94
Zona tesa: F=55.80 b_{eff}=13.20 t_w=0.70 σ=6.04
Zona tesa: F=55.80 b_{eff}=13.20 t_w=0.70 σ=6.04
CC 22 SLD (Collegamento -376_-504)

Azioni sul collegamento: N=138.58 Ty=1.78 Tz=-49.47 Mx=0.43 Mz=2.45
Zona tesa: F=55.80 b_{eff}=13.20 t_w=0.70 σ=6.04
Zona tesa: F=55.80 b_{eff}=13.20 t_w=0.70 σ=6.04
CC 22 SLD (Collegamento -376_-504)
Azioni sul collegamento: N=138.58 Ty=1.46 Tz=-49.47 Mx=0.35 Mz=1.94
Zona tesa: F=55.80 b_{eff}=13.20 t_w=0.70 σ=6.04
Zona tesa: F=55.80 b_{eff}=13.20 t_w=0.70 σ=6.04
CC 22 SLD (Collegamento -376_-504)
Azioni sul collegamento: N=138.58 Ty=1.78 Tz=-49.47 Mx=0.43 Mz=2.45
Zona tesa: F=55.80 b_{eff}=13.20 t_w=0.70 σ=6.04
Zona tesa: F=55.80 b_{eff}=13.20 t_w=0.70 σ=6.04
CC 22 SLD (Collegamento -376_-504)
Azioni sul collegamento: N=154.98 Ty=1.46 Tz=-52.01 Mx=0.35 Mz=1.94
Zona tesa: F=62.41 b_{eff}=13.20 t_w=0.70 σ=6.75
Zona tesa: F=62.41 b_{eff}=13.20 t_w=0.70 σ=6.75
CC 22 SLD (Collegamento -376_-504)
Azioni sul collegamento: N=154.98 Ty=1.78 Tz=-52.01 Mx=0.43 Mz=2.45
Zona tesa: F=62.41 b_{eff}=13.20 t_w=0.70 σ=6.75
Zona tesa: F=62.41 b_{eff}=13.20 t_w=0.70 σ=6.75
CC 22 SLD (Collegamento -376_-504)
Azioni sul collegamento: N=154.98 Ty=1.46 Tz=-52.01 Mx=0.35 Mz=1.94
Zona tesa: F=62.41 b_{eff}=13.20 t_w=0.70 σ=6.75
Zona tesa: F=62.41 b_{eff}=13.20 t_w=0.70 σ=6.75
CC 22 SLD (Collegamento -376_-504)
Azioni sul collegamento: N=154.98 Ty=1.78 Tz=-52.01 Mx=0.43 Mz=2.45
Zona tesa: F=62.41 b_{eff}=13.20 t_w=0.70 σ=6.75
Zona tesa: F=62.41 b_{eff}=13.20 t_w=0.70 σ=6.75
CC 23 SLV (Collegamento -376_-504)
Azioni sul collegamento: N=118.18 Ty=1.14 Tz=-46.31 Mx=0.26 Mz=1.46
Zona tesa: F=47.59 b_{eff}=13.20 t_w=0.70 σ=5.15
Zona tesa: F=47.59 b_{eff}=13.20 t_w=0.70 σ=5.15
CC 23 SLV (Collegamento -376_-504)
Azioni sul collegamento: N=118.18 Ty=2.73 Tz=-46.31 Mx=0.60 Mz=3.62
Zona tesa: F=47.59 b_{eff}=13.20 t_w=0.70 σ=5.15
Zona tesa: F=47.59 b_{eff}=13.20 t_w=0.70 σ=5.15
CC 23 SLV (Collegamento -376_-504)
Azioni sul collegamento: N=118.18 Ty=1.14 Tz=-46.31 Mx=0.26 Mz=1.46
Zona tesa: F=47.59 b_{eff}=13.20 t_w=0.70 σ=5.15
Zona tesa: F=47.59 b_{eff}=13.20 t_w=0.70 σ=5.15
CC 23 SLV (Collegamento -376_-504)
Azioni sul collegamento: N=118.18 Ty=2.73 Tz=-46.31 Mx=0.60 Mz=3.62
Zona tesa: F=47.59 b_{eff}=13.20 t_w=0.70 σ=5.15
Zona tesa: F=47.59 b_{eff}=13.20 t_w=0.70 σ=5.15
CC 23 SLV (Collegamento -376_-504)
Azioni sul collegamento: N=172.15 Ty=1.14 Tz=-54.66 Mx=0.26 Mz=1.46
Zona tesa: F=69.32 b_{eff}=13.20 t_w=0.70 σ=7.50
Zona tesa: F=69.32 b_{eff}=13.20 t_w=0.70 σ=7.50
CC 23 SLV (Collegamento -376_-504)
Azioni sul collegamento: N=172.15 Ty=2.73 Tz=-54.66 Mx=0.60 Mz=3.62
Zona tesa: F=69.32 b_{eff}=13.20 t_w=0.70 σ=7.50
Zona tesa: F=69.32 b_{eff}=13.20 t_w=0.70 σ=7.50
CC 23 SLV (Collegamento -376_-504)
Azioni sul collegamento: N=172.15 Ty=1.14 Tz=-54.66 Mx=0.26 Mz=1.46
Zona tesa: F=69.32 b_{eff}=13.20 t_w=0.70 σ=7.50
Zona tesa: F=69.32 b_{eff}=13.20 t_w=0.70 σ=7.50
CC 23 SLV (Collegamento -376_-504)
Azioni sul collegamento: N=172.15 Ty=2.73 Tz=-54.66 Mx=0.60 Mz=3.62
Zona tesa: F=69.32 b_{eff}=13.20 t_w=0.70 σ=7.50
Zona tesa: F=69.32 b_{eff}=13.20 t_w=0.70 σ=7.50
CC 24 SLD (Collegamento -376_-504)
Azioni sul collegamento: N=138.55 Ty=1.38 Tz=-49.47 Mx=0.34 Mz=1.87
Zona tesa: F=55.79 b_{eff}=13.20 t_w=0.70 σ=6.04
Zona tesa: F=55.79 b_{eff}=13.20 t_w=0.70 σ=6.04
CC 24 SLD (Collegamento -376_-504)
Azioni sul collegamento: N=138.55 Ty=1.86 Tz=-49.47 Mx=0.44 Mz=2.53
Zona tesa: F=55.79 b_{eff}=13.20 t_w=0.70 σ=6.04
Zona tesa: F=55.79 b_{eff}=13.20 t_w=0.70 σ=6.04
CC 24 SLD (Collegamento -376_-504)
Azioni sul collegamento: N=138.55 Ty=1.38 Tz=-49.47 Mx=0.34 Mz=1.87
Zona tesa: F=55.79 b_{eff}=13.20 t_w=0.70 σ=6.04
Zona tesa: F=55.79 b_{eff}=13.20 t_w=0.70 σ=6.04
CC 24 SLD (Collegamento -376_-504)
Azioni sul collegamento: N=138.55 Ty=1.86 Tz=-49.47 Mx=0.44 Mz=2.53
Zona tesa: F=55.79 b_{eff}=13.20 t_w=0.70 σ=6.04
Zona tesa: F=55.79 b_{eff}=13.20 t_w=0.70 σ=6.04
CC 24 SLD (Collegamento -376_-504)
Azioni sul collegamento: N=155.01 Ty=1.38 Tz=-52.01 Mx=0.34 Mz=1.87
Zona tesa: F=62.42 b_{eff}=13.20 t_w=0.70 σ=6.76

Zona tesa: F=62.42 b_{eff}=13.20 t_w=0.70 σ=6.76
CC 24 SLD (Collegamento -376_-504)
Azioni sul collegamento: N=155.01 Ty=1.86 Tz=-52.01 Mx=0.44 Mz=2.53
Zona tesa: F=62.42 b_{eff}=13.20 t_w=0.70 σ=6.76
Zona tesa: F=62.42 b_{eff}=13.20 t_w=0.70 σ=6.76
CC 24 SLD (Collegamento -376_-504)
Azioni sul collegamento: N=155.01 Ty=1.38 Tz=-52.01 Mx=0.34 Mz=1.87
Zona tesa: F=62.42 b_{eff}=13.20 t_w=0.70 σ=6.76
Zona tesa: F=62.42 b_{eff}=13.20 t_w=0.70 σ=6.76
CC 24 SLD (Collegamento -376_-504)
Azioni sul collegamento: N=155.01 Ty=1.86 Tz=-52.01 Mx=0.44 Mz=2.53
Zona tesa: F=62.42 b_{eff}=13.20 t_w=0.70 σ=6.76
Zona tesa: F=62.42 b_{eff}=13.20 t_w=0.70 σ=6.76
CC 25 SLV (Collegamento -376_-504)
Azioni sul collegamento: N=153.40 Ty=2.59 Tz=-51.76 Mx=0.57 Mz=3.23
Zona tesa: F=61.77 b_{eff}=13.20 t_w=0.70 σ=6.69
Zona tesa: F=61.77 b_{eff}=13.20 t_w=0.70 σ=6.69
CC 25 SLV (Collegamento -376_-504)
Azioni sul collegamento: N=153.40 Ty=1.28 Tz=-51.76 Mx=0.35 Mz=1.84
Zona tesa: F=61.77 b_{eff}=13.20 t_w=0.70 σ=6.69
Zona tesa: F=61.77 b_{eff}=13.20 t_w=0.70 σ=6.69
CC 25 SLV (Collegamento -376_-504)
Azioni sul collegamento: N=153.40 Ty=2.59 Tz=-51.76 Mx=0.57 Mz=3.23
Zona tesa: F=61.77 b_{eff}=13.20 t_w=0.70 σ=6.69
Zona tesa: F=61.77 b_{eff}=13.20 t_w=0.70 σ=6.69
CC 25 SLV (Collegamento -376_-504)
Azioni sul collegamento: N=153.40 Ty=1.28 Tz=-51.76 Mx=0.35 Mz=1.84
Zona tesa: F=61.77 b_{eff}=13.20 t_w=0.70 σ=6.69
Zona tesa: F=61.77 b_{eff}=13.20 t_w=0.70 σ=6.69
CC 25 SLV (Collegamento -376_-504)
Azioni sul collegamento: N=136.93 Ty=2.59 Tz=-49.21 Mx=0.57 Mz=3.23
Zona tesa: F=55.14 b_{eff}=13.20 t_w=0.70 σ=5.97
Zona tesa: F=55.14 b_{eff}=13.20 t_w=0.70 σ=5.97
CC 25 SLV (Collegamento -376_-504)
Azioni sul collegamento: N=136.93 Ty=1.28 Tz=-49.21 Mx=0.35 Mz=1.84
Zona tesa: F=55.14 b_{eff}=13.20 t_w=0.70 σ=5.97
Zona tesa: F=55.14 b_{eff}=13.20 t_w=0.70 σ=5.97
CC 25 SLV (Collegamento -376_-504)
Azioni sul collegamento: N=136.93 Ty=2.59 Tz=-49.21 Mx=0.57 Mz=3.23
Zona tesa: F=55.14 b_{eff}=13.20 t_w=0.70 σ=5.97
Zona tesa: F=55.14 b_{eff}=13.20 t_w=0.70 σ=5.97
CC 25 SLV (Collegamento -376_-504)
Azioni sul collegamento: N=136.93 Ty=1.28 Tz=-49.21 Mx=0.35 Mz=1.84
Zona tesa: F=55.14 b_{eff}=13.20 t_w=0.70 σ=5.97
Zona tesa: F=55.14 b_{eff}=13.20 t_w=0.70 σ=5.97
CC 26 SLD (Collegamento -376_-504)
Azioni sul collegamento: N=149.29 Ty=1.82 Tz=-51.13 Mx=0.43 Mz=2.41
Zona tesa: F=60.12 b_{eff}=13.20 t_w=0.70 σ=6.51
Zona tesa: F=60.12 b_{eff}=13.20 t_w=0.70 σ=6.51
CC 26 SLD (Collegamento -376_-504)
Azioni sul collegamento: N=149.29 Ty=1.42 Tz=-51.13 Mx=0.36 Mz=1.98
Zona tesa: F=60.12 b_{eff}=13.20 t_w=0.70 σ=6.51
Zona tesa: F=60.12 b_{eff}=13.20 t_w=0.70 σ=6.51
CC 26 SLD (Collegamento -376_-504)
Azioni sul collegamento: N=149.29 Ty=1.82 Tz=-51.13 Mx=0.43 Mz=2.41
Zona tesa: F=60.12 b_{eff}=13.20 t_w=0.70 σ=6.51
Zona tesa: F=60.12 b_{eff}=13.20 t_w=0.70 σ=6.51
CC 26 SLD (Collegamento -376_-504)
Azioni sul collegamento: N=149.29 Ty=1.42 Tz=-51.13 Mx=0.36 Mz=1.98
Zona tesa: F=60.12 b_{eff}=13.20 t_w=0.70 σ=6.51
Zona tesa: F=60.12 b_{eff}=13.20 t_w=0.70 σ=6.51
CC 26 SLD (Collegamento -376_-504)
Azioni sul collegamento: N=144.27 Ty=1.82 Tz=-50.35 Mx=0.43 Mz=2.41
Zona tesa: F=58.10 b_{eff}=13.20 t_w=0.70 σ=6.29
Zona tesa: F=58.10 b_{eff}=13.20 t_w=0.70 σ=6.29
CC 26 SLD (Collegamento -376_-504)
Azioni sul collegamento: N=144.27 Ty=1.42 Tz=-50.35 Mx=0.36 Mz=1.98
Zona tesa: F=58.10 b_{eff}=13.20 t_w=0.70 σ=6.29
Zona tesa: F=58.10 b_{eff}=13.20 t_w=0.70 σ=6.29
CC 26 SLD (Collegamento -376_-504)
Azioni sul collegamento: N=144.27 Ty=1.82 Tz=-50.35 Mx=0.43 Mz=2.41
Zona tesa: F=58.10 b_{eff}=13.20 t_w=0.70 σ=6.29
Zona tesa: F=58.10 b_{eff}=13.20 t_w=0.70 σ=6.29
CC 26 SLD (Collegamento -376_-504)
Azioni sul collegamento: N=144.27 Ty=1.42 Tz=-50.35 Mx=0.36 Mz=1.98
Zona tesa: F=58.10 b_{eff}=13.20 t_w=0.70 σ=6.29
Zona tesa: F=58.10 b_{eff}=13.20 t_w=0.70 σ=6.29
CC 27 SLV (Collegamento -376_-504)

Azioni sul collegamento: N=137.24 Ty=2.20 Tz=-49.26 Mx=0.47 Mz=2.66
Zona tesa: F=55.26 b_{eff}=13.20 t_w=0.70 σ=5.98
Zona tesa: F=55.26 b_{eff}=13.20 t_w=0.70 σ=5.98
CC 27 SLV (Collegamento -376_-504)
Azioni sul collegamento: N=137.24 Ty=1.68 Tz=-49.26 Mx=0.43 Mz=2.41
Zona tesa: F=55.26 b_{eff}=13.20 t_w=0.70 σ=5.98
Zona tesa: F=55.26 b_{eff}=13.20 t_w=0.70 σ=5.98
CC 27 SLV (Collegamento -376_-504)
Azioni sul collegamento: N=137.24 Ty=2.20 Tz=-49.26 Mx=0.47 Mz=2.66
Zona tesa: F=55.26 b_{eff}=13.20 t_w=0.70 σ=5.98
Zona tesa: F=55.26 b_{eff}=13.20 t_w=0.70 σ=5.98
CC 27 SLV (Collegamento -376_-504)
Azioni sul collegamento: N=137.24 Ty=1.68 Tz=-49.26 Mx=0.43 Mz=2.41
Zona tesa: F=55.26 b_{eff}=13.20 t_w=0.70 σ=5.98
Zona tesa: F=55.26 b_{eff}=13.20 t_w=0.70 σ=5.98
CC 27 SLV (Collegamento -376_-504)
Azioni sul collegamento: N=153.09 Ty=2.20 Tz=-51.72 Mx=0.47 Mz=2.66
Zona tesa: F=61.65 b_{eff}=13.20 t_w=0.70 σ=6.67
Zona tesa: F=61.65 b_{eff}=13.20 t_w=0.70 σ=6.67
CC 27 SLV (Collegamento -376_-504)
Azioni sul collegamento: N=153.09 Ty=1.68 Tz=-51.72 Mx=0.43 Mz=2.41
Zona tesa: F=61.65 b_{eff}=13.20 t_w=0.70 σ=6.67
Zona tesa: F=61.65 b_{eff}=13.20 t_w=0.70 σ=6.67
CC 27 SLV (Collegamento -376_-504)
Azioni sul collegamento: N=153.09 Ty=2.20 Tz=-51.72 Mx=0.47 Mz=2.66
Zona tesa: F=61.65 b_{eff}=13.20 t_w=0.70 σ=6.67
Zona tesa: F=61.65 b_{eff}=13.20 t_w=0.70 σ=6.67
CC 27 SLV (Collegamento -376_-504)
Azioni sul collegamento: N=153.09 Ty=1.68 Tz=-51.72 Mx=0.43 Mz=2.41
Zona tesa: F=61.65 b_{eff}=13.20 t_w=0.70 σ=6.67
Zona tesa: F=61.65 b_{eff}=13.20 t_w=0.70 σ=6.67
CC 28 SLD (Collegamento -376_-504)
Azioni sul collegamento: N=144.37 Ty=1.70 Tz=-50.36 Mx=0.40 Mz=2.23
Zona tesa: F=58.13 b_{eff}=13.20 t_w=0.70 σ=6.29
Zona tesa: F=58.13 b_{eff}=13.20 t_w=0.70 σ=6.29
CC 28 SLD (Collegamento -376_-504)
Azioni sul collegamento: N=144.37 Ty=1.54 Tz=-50.36 Mx=0.39 Mz=2.16
Zona tesa: F=58.13 b_{eff}=13.20 t_w=0.70 σ=6.29
Zona tesa: F=58.13 b_{eff}=13.20 t_w=0.70 σ=6.29
CC 28 SLD (Collegamento -376_-504)
Azioni sul collegamento: N=144.37 Ty=1.70 Tz=-50.36 Mx=0.40 Mz=2.23
Zona tesa: F=58.13 b_{eff}=13.20 t_w=0.70 σ=6.29
Zona tesa: F=58.13 b_{eff}=13.20 t_w=0.70 σ=6.29
CC 28 SLD (Collegamento -376_-504)
Azioni sul collegamento: N=144.37 Ty=1.54 Tz=-50.36 Mx=0.39 Mz=2.16
Zona tesa: F=58.13 b_{eff}=13.20 t_w=0.70 σ=6.29
Zona tesa: F=58.13 b_{eff}=13.20 t_w=0.70 σ=6.29
CC 28 SLD (Collegamento -376_-504)
Azioni sul collegamento: N=149.20 Ty=1.70 Tz=-51.11 Mx=0.40 Mz=2.23
Zona tesa: F=60.08 b_{eff}=13.20 t_w=0.70 σ=6.50
Zona tesa: F=60.08 b_{eff}=13.20 t_w=0.70 σ=6.50
CC 28 SLD (Collegamento -376_-504)
Azioni sul collegamento: N=149.20 Ty=1.54 Tz=-51.11 Mx=0.39 Mz=2.16
Zona tesa: F=60.08 b_{eff}=13.20 t_w=0.70 σ=6.50
Zona tesa: F=60.08 b_{eff}=13.20 t_w=0.70 σ=6.50
CC 28 SLD (Collegamento -376_-504)
Azioni sul collegamento: N=149.20 Ty=1.70 Tz=-51.11 Mx=0.40 Mz=2.23
Zona tesa: F=60.08 b_{eff}=13.20 t_w=0.70 σ=6.50
Zona tesa: F=60.08 b_{eff}=13.20 t_w=0.70 σ=6.50
CC 28 SLD (Collegamento -376_-504)
Azioni sul collegamento: N=149.20 Ty=1.54 Tz=-51.11 Mx=0.39 Mz=2.16
Zona tesa: F=60.08 b_{eff}=13.20 t_w=0.70 σ=6.50
Zona tesa: F=60.08 b_{eff}=13.20 t_w=0.70 σ=6.50
CC 29 SLV (Collegamento -376_-504)
Azioni sul collegamento: N=153.09 Ty=1.68 Tz=-51.72 Mx=0.43 Mz=2.41
Zona tesa: F=61.65 b_{eff}=13.20 t_w=0.70 σ=6.67
Zona tesa: F=61.65 b_{eff}=13.20 t_w=0.70 σ=6.67
CC 29 SLV (Collegamento -376_-504)
Azioni sul collegamento: N=153.09 Ty=2.20 Tz=-51.72 Mx=0.47 Mz=2.66
Zona tesa: F=61.65 b_{eff}=13.20 t_w=0.70 σ=6.67
Zona tesa: F=61.65 b_{eff}=13.20 t_w=0.70 σ=6.67
CC 29 SLV (Collegamento -376_-504)
Azioni sul collegamento: N=153.09 Ty=1.68 Tz=-51.72 Mx=0.43 Mz=2.41
Zona tesa: F=61.65 b_{eff}=13.20 t_w=0.70 σ=6.67
Zona tesa: F=61.65 b_{eff}=13.20 t_w=0.70 σ=6.67
CC 29 SLV (Collegamento -376_-504)
Azioni sul collegamento: N=153.09 Ty=2.20 Tz=-51.72 Mx=0.47 Mz=2.66
Zona tesa: F=61.65 b_{eff}=13.20 t_w=0.70 σ=6.67

Zona tesa: F=61.65 b_{eff}=13.20 t_w=0.70 σ=6.67
CC 29 SLV (Collegamento -376_-504)
Azioni sul collegamento: N=137.24 Ty=1.68 Tz=-49.26 Mx=0.43 Mz=2.41
Zona tesa: F=55.26 b_{eff}=13.20 t_w=0.70 σ=5.98
Zona tesa: F=55.26 b_{eff}=13.20 t_w=0.70 σ=5.98
CC 29 SLV (Collegamento -376_-504)
Azioni sul collegamento: N=137.24 Ty=2.20 Tz=-49.26 Mx=0.47 Mz=2.66
Zona tesa: F=55.26 b_{eff}=13.20 t_w=0.70 σ=5.98
Zona tesa: F=55.26 b_{eff}=13.20 t_w=0.70 σ=5.98
CC 29 SLV (Collegamento -376_-504)
Azioni sul collegamento: N=137.24 Ty=1.68 Tz=-49.26 Mx=0.43 Mz=2.41
Zona tesa: F=55.26 b_{eff}=13.20 t_w=0.70 σ=5.98
Zona tesa: F=55.26 b_{eff}=13.20 t_w=0.70 σ=5.98
CC 29 SLV (Collegamento -376_-504)
Azioni sul collegamento: N=137.24 Ty=2.20 Tz=-49.26 Mx=0.47 Mz=2.66
Zona tesa: F=55.26 b_{eff}=13.20 t_w=0.70 σ=5.98
Zona tesa: F=55.26 b_{eff}=13.20 t_w=0.70 σ=5.98
CC 30 SLD (Collegamento -376_-504)
Azioni sul collegamento: N=149.20 Ty=1.54 Tz=-51.11 Mx=0.39 Mz=2.16
Zona tesa: F=60.08 b_{eff}=13.20 t_w=0.70 σ=6.50
Zona tesa: F=60.08 b_{eff}=13.20 t_w=0.70 σ=6.50
CC 30 SLD (Collegamento -376_-504)
Azioni sul collegamento: N=149.20 Ty=1.70 Tz=-51.11 Mx=0.40 Mz=2.23
Zona tesa: F=60.08 b_{eff}=13.20 t_w=0.70 σ=6.50
Zona tesa: F=60.08 b_{eff}=13.20 t_w=0.70 σ=6.50
CC 30 SLD (Collegamento -376_-504)
Azioni sul collegamento: N=149.20 Ty=1.54 Tz=-51.11 Mx=0.39 Mz=2.16
Zona tesa: F=60.08 b_{eff}=13.20 t_w=0.70 σ=6.50
Zona tesa: F=60.08 b_{eff}=13.20 t_w=0.70 σ=6.50
CC 30 SLD (Collegamento -376_-504)
Azioni sul collegamento: N=149.20 Ty=1.70 Tz=-51.11 Mx=0.40 Mz=2.23
Zona tesa: F=60.08 b_{eff}=13.20 t_w=0.70 σ=6.50
Zona tesa: F=60.08 b_{eff}=13.20 t_w=0.70 σ=6.50
CC 30 SLD (Collegamento -376_-504)
Azioni sul collegamento: N=144.37 Ty=1.54 Tz=-50.36 Mx=0.39 Mz=2.16
Zona tesa: F=58.13 b_{eff}=13.20 t_w=0.70 σ=6.29
Zona tesa: F=58.13 b_{eff}=13.20 t_w=0.70 σ=6.29
CC 30 SLD (Collegamento -376_-504)
Azioni sul collegamento: N=144.37 Ty=1.70 Tz=-50.36 Mx=0.40 Mz=2.23
Zona tesa: F=58.13 b_{eff}=13.20 t_w=0.70 σ=6.29
Zona tesa: F=58.13 b_{eff}=13.20 t_w=0.70 σ=6.29
CC 30 SLD (Collegamento -376_-504)
Azioni sul collegamento: N=144.37 Ty=1.54 Tz=-50.36 Mx=0.39 Mz=2.16
Zona tesa: F=58.13 b_{eff}=13.20 t_w=0.70 σ=6.29
Zona tesa: F=58.13 b_{eff}=13.20 t_w=0.70 σ=6.29
CC 30 SLD (Collegamento -376_-504)
Azioni sul collegamento: N=144.37 Ty=1.70 Tz=-50.36 Mx=0.40 Mz=2.23
Zona tesa: F=58.13 b_{eff}=13.20 t_w=0.70 σ=6.29
Zona tesa: F=58.13 b_{eff}=13.20 t_w=0.70 σ=6.29
CC 31 SLV (Collegamento -376_-504)
Azioni sul collegamento: N=136.93 Ty=1.28 Tz=-49.21 Mx=0.33 Mz=1.84
Zona tesa: F=55.14 b_{eff}=13.20 t_w=0.70 σ=5.97
Zona tesa: F=55.14 b_{eff}=13.20 t_w=0.70 σ=5.97
CC 31 SLV (Collegamento -376_-504)
Azioni sul collegamento: N=136.93 Ty=2.59 Tz=-49.21 Mx=0.55 Mz=3.24
Zona tesa: F=55.14 b_{eff}=13.20 t_w=0.70 σ=5.97
Zona tesa: F=55.14 b_{eff}=13.20 t_w=0.70 σ=5.97
CC 31 SLV (Collegamento -376_-504)
Azioni sul collegamento: N=136.93 Ty=1.28 Tz=-49.21 Mx=0.33 Mz=1.84
Zona tesa: F=55.14 b_{eff}=13.20 t_w=0.70 σ=5.97
Zona tesa: F=55.14 b_{eff}=13.20 t_w=0.70 σ=5.97
CC 31 SLV (Collegamento -376_-504)
Azioni sul collegamento: N=136.93 Ty=2.59 Tz=-49.21 Mx=0.55 Mz=3.24
Zona tesa: F=55.14 b_{eff}=13.20 t_w=0.70 σ=5.97
Zona tesa: F=55.14 b_{eff}=13.20 t_w=0.70 σ=5.97
CC 31 SLV (Collegamento -376_-504)
Azioni sul collegamento: N=153.40 Ty=1.28 Tz=-51.76 Mx=0.33 Mz=1.84
Zona tesa: F=61.77 b_{eff}=13.20 t_w=0.70 σ=6.69
Zona tesa: F=61.77 b_{eff}=13.20 t_w=0.70 σ=6.69
CC 31 SLV (Collegamento -376_-504)
Azioni sul collegamento: N=153.40 Ty=2.59 Tz=-51.76 Mx=0.55 Mz=3.24
Zona tesa: F=61.77 b_{eff}=13.20 t_w=0.70 σ=6.69
Zona tesa: F=61.77 b_{eff}=13.20 t_w=0.70 σ=6.69
CC 31 SLV (Collegamento -376_-504)
Azioni sul collegamento: N=153.40 Ty=1.28 Tz=-51.76 Mx=0.33 Mz=1.84
Zona tesa: F=61.77 b_{eff}=13.20 t_w=0.70 σ=6.69
Zona tesa: F=61.77 b_{eff}=13.20 t_w=0.70 σ=6.69
CC 31 SLV (Collegamento -376_-504)

Azioni sul collegamento: N=153.40 Ty=2.59 Tz=-51.76 Mx=0.55 Mz=3.24
Zona tesa: F=61.77 b_{eff}=13.20 t_w=0.70 σ=6.69
Zona tesa: F=61.77 b_{eff}=13.20 t_w=0.70 σ=6.69
CC 32 SLD (Collegamento -376_-504)
Azioni sul collegamento: N=144.27 Ty=1.42 Tz=-50.35 Mx=0.36 Mz=1.98
Zona tesa: F=58.10 b_{eff}=13.20 t_w=0.70 σ=6.29
Zona tesa: F=58.10 b_{eff}=13.20 t_w=0.70 σ=6.29
CC 32 SLD (Collegamento -376_-504)
Azioni sul collegamento: N=144.27 Ty=1.82 Tz=-50.35 Mx=0.42 Mz=2.41
Zona tesa: F=58.10 b_{eff}=13.20 t_w=0.70 σ=6.29
Zona tesa: F=58.10 b_{eff}=13.20 t_w=0.70 σ=6.29
CC 32 SLD (Collegamento -376_-504)
Azioni sul collegamento: N=144.27 Ty=1.42 Tz=-50.35 Mx=0.36 Mz=1.98
Zona tesa: F=58.10 b_{eff}=13.20 t_w=0.70 σ=6.29
Zona tesa: F=58.10 b_{eff}=13.20 t_w=0.70 σ=6.29
CC 32 SLD (Collegamento -376_-504)
Azioni sul collegamento: N=144.27 Ty=1.82 Tz=-50.35 Mx=0.42 Mz=2.41
Zona tesa: F=58.10 b_{eff}=13.20 t_w=0.70 σ=6.29
Zona tesa: F=58.10 b_{eff}=13.20 t_w=0.70 σ=6.29
CC 32 SLD (Collegamento -376_-504)
Azioni sul collegamento: N=149.29 Ty=1.42 Tz=-51.13 Mx=0.36 Mz=1.98
Zona tesa: F=60.12 b_{eff}=13.20 t_w=0.70 σ=6.51
Zona tesa: F=60.12 b_{eff}=13.20 t_w=0.70 σ=6.51
CC 32 SLD (Collegamento -376_-504)
Azioni sul collegamento: N=149.29 Ty=1.82 Tz=-51.13 Mx=0.42 Mz=2.41
Zona tesa: F=60.12 b_{eff}=13.20 t_w=0.70 σ=6.51
Zona tesa: F=60.12 b_{eff}=13.20 t_w=0.70 σ=6.51
CC 32 SLD (Collegamento -376_-504)
Azioni sul collegamento: N=149.29 Ty=1.42 Tz=-51.13 Mx=0.36 Mz=1.98
Zona tesa: F=60.12 b_{eff}=13.20 t_w=0.70 σ=6.51
Zona tesa: F=60.12 b_{eff}=13.20 t_w=0.70 σ=6.51
CC 32 SLD (Collegamento -376_-504)
Azioni sul collegamento: N=149.29 Ty=1.82 Tz=-51.13 Mx=0.42 Mz=2.41
Zona tesa: F=60.12 b_{eff}=13.20 t_w=0.70 σ=6.51
Zona tesa: F=60.12 b_{eff}=13.20 t_w=0.70 σ=6.51
CC 33 SLU (Collegamento -376_-504)
Azioni sul collegamento: N=371.78 Ty=3.15 Tz=-95.37 Mx=0.78 Mz=4.34
Zona tesa: F=149.71 b_{eff}=13.20 t_w=0.70 σ=16.20
Zona tesa: F=149.71 b_{eff}=13.20 t_w=0.70 σ=16.20
CC 34 SLU (Collegamento -376_-504)
Azioni sul collegamento: N=366.17 Ty=3.01 Tz=-94.50 Mx=0.75 Mz=4.14
Zona tesa: F=147.45 b_{eff}=13.20 t_w=0.70 σ=15.96
Zona tesa: F=147.45 b_{eff}=13.20 t_w=0.70 σ=15.96
CC 35 SLU (Collegamento -376_-504)
Azioni sul collegamento: N=369.00 Ty=3.13 Tz=-94.94 Mx=0.77 Mz=4.28
Zona tesa: F=148.59 b_{eff}=13.20 t_w=0.70 σ=16.08
Zona tesa: F=148.59 b_{eff}=13.20 t_w=0.70 σ=16.08
CC 36 SLU (Collegamento -376_-504)
Azioni sul collegamento: N=368.95 Ty=3.03 Tz=-94.93 Mx=0.76 Mz=4.20
Zona tesa: F=148.57 b_{eff}=13.20 t_w=0.70 σ=16.08
Zona tesa: F=148.57 b_{eff}=13.20 t_w=0.70 σ=16.08
CC 37 SLU (Collegamento -376_-504)
Azioni sul collegamento: N=304.32 Ty=3.00 Tz=-84.93 Mx=0.77 Mz=4.30
Zona tesa: F=122.55 b_{eff}=13.20 t_w=0.70 σ=13.26
Zona tesa: F=122.55 b_{eff}=13.20 t_w=0.70 σ=13.26
CC 38 SLU (Collegamento -376_-504)
Azioni sul collegamento: N=298.72 Ty=2.86 Tz=-84.06 Mx=0.74 Mz=4.10
Zona tesa: F=120.29 b_{eff}=13.20 t_w=0.70 σ=13.02
Zona tesa: F=120.29 b_{eff}=13.20 t_w=0.70 σ=13.02
CC 39 SLU (Collegamento -376_-504)
Azioni sul collegamento: N=301.54 Ty=2.98 Tz=-84.50 Mx=0.76 Mz=4.25
Zona tesa: F=121.43 b_{eff}=13.20 t_w=0.70 σ=13.14
Zona tesa: F=121.43 b_{eff}=13.20 t_w=0.70 σ=13.14
CC 40 SLU (Collegamento -376_-504)
Azioni sul collegamento: N=301.50 Ty=2.88 Tz=-84.49 Mx=0.75 Mz=4.16
Zona tesa: F=121.41 b_{eff}=13.20 t_w=0.70 σ=13.14
Zona tesa: F=121.41 b_{eff}=13.20 t_w=0.70 σ=13.14
CC 41 SLU (Collegamento -376_-504)
Azioni sul collegamento: N=335.80 Ty=-2.05 Tz=-89.80 Mx=-0.48 Mz=-2.83
Zona tesa: F=135.22 b_{eff}=13.20 t_w=0.70 σ=14.63
Zona tesa: F=135.22 b_{eff}=13.20 t_w=0.70 σ=14.63
CC 42 SLU (Collegamento -376_-504)
Azioni sul collegamento: N=330.19 Ty=-2.19 Tz=-88.93 Mx=-0.52 Mz=-3.03
Zona tesa: F=132.96 b_{eff}=13.20 t_w=0.70 σ=14.39
Zona tesa: F=132.96 b_{eff}=13.20 t_w=0.70 σ=14.39
CC 43 SLU (Collegamento -376_-504)
Azioni sul collegamento: N=333.02 Ty=-2.08 Tz=-89.37 Mx=-0.49 Mz=-2.89
Zona tesa: F=134.10 b_{eff}=13.20 t_w=0.70 σ=14.51

Zona tesa: F=134.10 b_{eff}=13.20 t_w=0.70 σ=14.51
CC 44 SLU (Collegamento -376_-504)
Azioni sul collegamento: N=332.97 Ty=-2.17 Tz=-89.36 Mx=-0.51 Mz=-2.97
Zona tesa: F=134.08 b_{eff}=13.20 t_w=0.70 σ=14.51
Zona tesa: F=134.08 b_{eff}=13.20 t_w=0.70 σ=14.51
CC 45 SLU (Collegamento -376_-504)
Azioni sul collegamento: N=319.15 Ty=3.14 Tz=-87.22 Mx=0.78 Mz=4.32
Zona tesa: F=128.52 b_{eff}=13.20 t_w=0.70 σ=13.91
Zona tesa: F=128.52 b_{eff}=13.20 t_w=0.70 σ=13.91
CC 46 SLU (Collegamento -376_-504)
Azioni sul collegamento: N=313.55 Ty=3.00 Tz=-86.35 Mx=0.74 Mz=4.12
Zona tesa: F=126.26 b_{eff}=13.20 t_w=0.70 σ=13.66
Zona tesa: F=126.26 b_{eff}=13.20 t_w=0.70 σ=13.66
CC 47 SLU (Collegamento -376_-504)
Azioni sul collegamento: N=316.37 Ty=3.12 Tz=-86.79 Mx=0.76 Mz=4.26
Zona tesa: F=127.40 b_{eff}=13.20 t_w=0.70 σ=13.79
Zona tesa: F=127.40 b_{eff}=13.20 t_w=0.70 σ=13.79
CC 48 SLU (Collegamento -376_-504)
Azioni sul collegamento: N=316.33 Ty=3.02 Tz=-86.79 Mx=0.75 Mz=4.17
Zona tesa: F=127.38 b_{eff}=13.20 t_w=0.70 σ=13.79
Zona tesa: F=127.38 b_{eff}=13.20 t_w=0.70 σ=13.79
CC 49 SLU (Collegamento -376_-504)
Azioni sul collegamento: N=268.69 Ty=3.03 Tz=-79.41 Mx=0.77 Mz=4.29
Zona tesa: F=108.20 b_{eff}=13.20 t_w=0.70 σ=11.71
Zona tesa: F=108.20 b_{eff}=13.20 t_w=0.70 σ=11.71
CC 50 SLU (Collegamento -376_-504)
Azioni sul collegamento: N=263.08 Ty=2.89 Tz=-78.54 Mx=0.73 Mz=4.09
Zona tesa: F=105.94 b_{eff}=13.20 t_w=0.70 σ=11.47
Zona tesa: F=105.94 b_{eff}=13.20 t_w=0.70 σ=11.47
CC 51 SLU (Collegamento -376_-504)
Azioni sul collegamento: N=265.90 Ty=3.00 Tz=-78.98 Mx=0.76 Mz=4.23
Zona tesa: F=107.08 b_{eff}=13.20 t_w=0.70 σ=11.59
Zona tesa: F=107.08 b_{eff}=13.20 t_w=0.70 σ=11.59
CC 52 SLU (Collegamento -376_-504)
Azioni sul collegamento: N=265.86 Ty=2.91 Tz=-78.97 Mx=0.74 Mz=4.15
Zona tesa: F=107.06 b_{eff}=13.20 t_w=0.70 σ=11.59
Zona tesa: F=107.06 b_{eff}=13.20 t_w=0.70 σ=11.59
CC 53 SLU (Collegamento -376_-504)
Azioni sul collegamento: N=292.23 Ty=-0.75 Tz=-83.06 Mx=-0.17 Mz=-1.05
Zona tesa: F=117.68 b_{eff}=13.20 t_w=0.70 σ=12.74
Zona tesa: F=117.68 b_{eff}=13.20 t_w=0.70 σ=12.74
CC 54 SLU (Collegamento -376_-504)
Azioni sul collegamento: N=286.63 Ty=-0.89 Tz=-82.19 Mx=-0.21 Mz=-1.25
Zona tesa: F=115.42 b_{eff}=13.20 t_w=0.70 σ=12.49
Zona tesa: F=115.42 b_{eff}=13.20 t_w=0.70 σ=12.49
CC 55 SLU (Collegamento -376_-504)
Azioni sul collegamento: N=289.45 Ty=-0.78 Tz=-82.63 Mx=-0.18 Mz=-1.11
Zona tesa: F=116.56 b_{eff}=13.20 t_w=0.70 σ=12.61
Zona tesa: F=116.56 b_{eff}=13.20 t_w=0.70 σ=12.61
CC 56 SLU (Collegamento -376_-504)
Azioni sul collegamento: N=289.41 Ty=-0.87 Tz=-82.62 Mx=-0.20 Mz=-1.19
Zona tesa: F=116.54 b_{eff}=13.20 t_w=0.70 σ=12.61
Zona tesa: F=116.54 b_{eff}=13.20 t_w=0.70 σ=12.61
CC 57 SLU (Collegamento -376_-504)
Azioni sul collegamento: N=303.76 Ty=2.83 Tz=-84.84 Mx=0.70 Mz=3.86
Zona tesa: F=122.32 b_{eff}=13.20 t_w=0.70 σ=13.24
Zona tesa: F=122.32 b_{eff}=13.20 t_w=0.70 σ=13.24
CC 58 SLU (Collegamento -376_-504)
Azioni sul collegamento: N=298.15 Ty=2.69 Tz=-83.97 Mx=0.66 Mz=3.66
Zona tesa: F=120.06 b_{eff}=13.20 t_w=0.70 σ=12.99
Zona tesa: F=120.06 b_{eff}=13.20 t_w=0.70 σ=12.99
CC 59 SLU (Collegamento -376_-504)
Azioni sul collegamento: N=300.98 Ty=2.80 Tz=-84.41 Mx=0.69 Mz=3.80
Zona tesa: F=121.20 b_{eff}=13.20 t_w=0.70 σ=13.12
Zona tesa: F=121.20 b_{eff}=13.20 t_w=0.70 σ=13.12
CC 60 SLU (Collegamento -376_-504)
Azioni sul collegamento: N=300.94 Ty=2.71 Tz=-84.40 Mx=0.67 Mz=3.72
Zona tesa: F=121.18 b_{eff}=13.20 t_w=0.70 σ=13.12
Zona tesa: F=121.18 b_{eff}=13.20 t_w=0.70 σ=13.12
CC 61 SLU (Collegamento -376_-504)
Azioni sul collegamento: N=253.29 Ty=2.72 Tz=-77.03 Mx=0.69 Mz=3.83
Zona tesa: F=102.00 b_{eff}=13.20 t_w=0.70 σ=11.04
Zona tesa: F=102.00 b_{eff}=13.20 t_w=0.70 σ=11.04
CC 62 SLU (Collegamento -376_-504)
Azioni sul collegamento: N=247.69 Ty=2.58 Tz=-76.16 Mx=0.65 Mz=3.63
Zona tesa: F=99.74 b_{eff}=13.20 t_w=0.70 σ=10.79
Zona tesa: F=99.74 b_{eff}=13.20 t_w=0.70 σ=10.79
CC 63 SLU (Collegamento -376_-504)

Azioni sul collegamento: N=250.51 Ty=2.69 Tz=-76.60 Mx=0.68 Mz=3.77
Zona tesa: F=100.88 b_{eff}=13.20 t_w=0.70 σ=10.92
Zona tesa: F=100.88 b_{eff}=13.20 t_w=0.70 σ=10.92
CC 64 SLU (Collegamento -376_-504)
Azioni sul collegamento: N=250.47 Ty=2.60 Tz=-76.59 Mx=0.66 Mz=3.69
Zona tesa: F=100.86 b_{eff}=13.20 t_w=0.70 σ=10.92
Zona tesa: F=100.86 b_{eff}=13.20 t_w=0.70 σ=10.92
CC 65 SLU (Collegamento -376_-504)
Azioni sul collegamento: N=276.84 Ty=-1.07 Tz=-80.67 Mx=-0.25 Mz=-1.51
Zona tesa: F=111.48 b_{eff}=13.20 t_w=0.70 σ=12.06
Zona tesa: F=111.48 b_{eff}=13.20 t_w=0.70 σ=12.06
CC 66 SLU (Collegamento -376_-504)
Azioni sul collegamento: N=271.24 Ty=-1.20 Tz=-79.81 Mx=-0.28 Mz=-1.71
Zona tesa: F=109.22 b_{eff}=13.20 t_w=0.70 σ=11.82
Zona tesa: F=109.22 b_{eff}=13.20 t_w=0.70 σ=11.82
CC 67 SLU (Collegamento -376_-504)
Azioni sul collegamento: N=274.06 Ty=-1.09 Tz=-80.24 Mx=-0.26 Mz=-1.56
Zona tesa: F=110.36 b_{eff}=13.20 t_w=0.70 σ=11.94
Zona tesa: F=110.36 b_{eff}=13.20 t_w=0.70 σ=11.94
CC 68 SLU (Collegamento -376_-504)
Azioni sul collegamento: N=274.02 Ty=-1.18 Tz=-80.24 Mx=-0.27 Mz=-1.65
Zona tesa: F=110.34 b_{eff}=13.20 t_w=0.70 σ=11.94
Zona tesa: F=110.34 b_{eff}=13.20 t_w=0.70 σ=11.94
CC 97 SLU (Collegamento -376_-504)
Azioni sul collegamento: N=317.17 Ty=-4.15 Tz=-77.11 Mx=0.57 Mz=2.29
Zona tesa: F=127.72 b_{eff}=13.20 t_w=0.70 σ=13.82
Zona tesa: F=127.72 b_{eff}=13.20 t_w=0.70 σ=13.82
CC 98 SLU (Collegamento -376_-504)
Azioni sul collegamento: N=311.56 Ty=-4.28 Tz=-76.24 Mx=0.54 Mz=2.09
Zona tesa: F=125.46 b_{eff}=13.20 t_w=0.70 σ=13.58
Zona tesa: F=125.46 b_{eff}=13.20 t_w=0.70 σ=13.58
CC 99 SLU (Collegamento -376_-504)
Azioni sul collegamento: N=314.39 Ty=-4.17 Tz=-76.68 Mx=0.56 Mz=2.23
Zona tesa: F=126.60 b_{eff}=13.20 t_w=0.70 σ=13.70
Zona tesa: F=126.60 b_{eff}=13.20 t_w=0.70 σ=13.70
CC 100 SLU (Collegamento -376_-504)
Azioni sul collegamento: N=314.35 Ty=-4.26 Tz=-76.67 Mx=0.55 Mz=2.14
Zona tesa: F=126.58 b_{eff}=13.20 t_w=0.70 σ=13.70
Zona tesa: F=126.58 b_{eff}=13.20 t_w=0.70 σ=13.70
CC 101 SLU (Collegamento -376_-504)
Azioni sul collegamento: N=141.43 Ty=1.27 Tz=-49.91 Mx=0.26 Mz=1.59
Zona tesa: F=56.95 b_{eff}=13.20 t_w=0.70 σ=6.16
Zona tesa: F=56.95 b_{eff}=13.20 t_w=0.70 σ=6.16
CC 102 SLU (Collegamento -376_-504)
Azioni sul collegamento: N=135.83 Ty=1.13 Tz=-49.04 Mx=0.23 Mz=1.39
Zona tesa: F=54.70 b_{eff}=13.20 t_w=0.70 σ=5.92
Zona tesa: F=54.70 b_{eff}=13.20 t_w=0.70 σ=5.92
CC 103 SLU (Collegamento -376_-504)
Azioni sul collegamento: N=138.65 Ty=1.25 Tz=-49.48 Mx=0.25 Mz=1.54
Zona tesa: F=55.83 b_{eff}=13.20 t_w=0.70 σ=6.04
Zona tesa: F=55.83 b_{eff}=13.20 t_w=0.70 σ=6.04
CC 104 SLU (Collegamento -376_-504)
Azioni sul collegamento: N=138.61 Ty=1.16 Tz=-49.47 Mx=0.24 Mz=1.45
Zona tesa: F=55.82 b_{eff}=13.20 t_w=0.70 σ=6.04
Zona tesa: F=55.82 b_{eff}=13.20 t_w=0.70 σ=6.04

Collegamento -377_-511

Saldatura a cordone d'angolo
Altezza di gola saldature: anima 7.07 - ala 7.07

Saldatura profilo-profilo

CC 102 SLU (Collegamento -377_-511)
Azioni sul collegamento: N=341.60 Ty=7.82 Tz=-90.70 Mx=1.00 Mz=6.82
Sollecitazioni agenti localmente: Tx_l=7.82 Ty_l=-90.70 N_l=341.60 My_l=-6.82 Mz_l=1.00
Azioni sul cordone: TP=-1.73 TO=7.46 NO=25.14
Tensioni nel cordone: τ_P=0.55 τ_O=2.37 σ_O=17.95 σ_{ID}=18.12 Σ_T=20.33
CC 128 SLU (Collegamento -377_-511)
Azioni sul collegamento: N=285.39 Ty=9.53 Tz=-82.00 Mx=1.27 Mz=8.53
Sollecitazioni agenti localmente: Tx_l=9.53 Ty_l=-82.00 N_l=285.39 My_l=-8.53 Mz_l=1.27
Azioni sul cordone: TP=-2.16 TO=7.03 NO=21.00
Tensioni nel cordone: τ_P=0.69 τ_O=2.24 σ_O=19.13 σ_{ID}=19.27 Σ_T=21.37

Verifica lato anima della colonna

CC 102 SLU (Collegamento -377_-511)
Azioni sul collegamento: N=341.60 Ty=7.82 Tz=-90.70 Mx=1.00 Mz=6.82
Zona tesa: F=137.56 b_{eff}=13.20 t_w=0.70 σ=14.89

Zona tesa: F=137.56 b_{eff}=13.20 t_w=0.70 σ=14.89

Collegamento -378_-512

Saldatura a cordone d'angolo
Altezza di gola saldature: anima 7.07 - ala 7.07

Saldatura profilo-profilo

CC 1 SLV (Collegamento -378_-512)
Azioni sul collegamento: N=160.81 Ty=1.85 Tz=-52.91 Mx=0.43 Mz=2.64
Sollecitazioni agenti localmente: Tx_l=1.85 Ty_l=-52.91 N_l=160.81 My_l=-2.64 Mz_l=0.43
Azioni sul cordone: TP=-0.63 TO=4.23 NO=11.83
Tensioni nel cordone: τ_P=0.20 τ_0=1.35 σ_0=7.62 σ_{ID}=7.74 Σ_T=8.97
CC 1 SLV (Collegamento -378_-512)
Azioni sul collegamento: N=160.81 Ty=0.00 Tz=-52.91 Mx=0.06 Mz=0.27
Sollecitazioni agenti localmente: Tx_l=0.00 Ty_l=-52.91 N_l=160.81 My_l=-0.27 Mz_l=0.06
Azioni sul cordone: TP=-0.07 TO=-3.94 NO=11.83
Tensioni nel cordone: τ_P= 0.02 τ_0=1.25 σ_0=4.16 σ_{ID}=4.34 Σ_T=5.41
CC 1 SLV (Collegamento -378_-512)
Azioni sul collegamento: N=160.81 Ty=1.85 Tz=-52.91 Mx=0.43 Mz=2.64
Sollecitazioni agenti localmente: Tx_l=1.85 Ty_l=-52.91 N_l=160.81 My_l=-2.64 Mz_l=0.43
Azioni sul cordone: TP=-0.63 TO=4.23 NO=11.83
Tensioni nel cordone: τ_P=0.20 τ_0=1.35 σ_0=7.62 σ_{ID}=7.74 Σ_T=8.97
CC 1 SLV (Collegamento -378_-512)
Azioni sul collegamento: N=160.81 Ty=0.00 Tz=-52.91 Mx=0.06 Mz=0.27
Sollecitazioni agenti localmente: Tx_l=0.00 Ty_l=-52.91 N_l=160.81 My_l=-0.27 Mz_l=0.06
Azioni sul cordone: TP=-0.07 TO=-3.94 NO=11.83
Tensioni nel cordone: τ_P= 0.02 τ_0=1.25 σ_0=4.16 σ_{ID}=4.34 Σ_T=5.41
CC 1 SLV (Collegamento -378_-512)
Azioni sul collegamento: N=118.50 Ty=1.85 Tz=-46.36 Mx=0.43 Mz=2.64
Sollecitazioni agenti localmente: Tx_l=1.85 Ty_l=-46.36 N_l=118.50 My_l=-2.64 Mz_l=0.43
Azioni sul cordone: TP=-0.63 TO=3.75 NO=8.72
Tensioni nel cordone: τ_P=0.20 τ_0=1.19 σ_0=6.63 σ_{ID}=6.74 Σ_T=7.82
CC 1 SLV (Collegamento -378_-512)
Azioni sul collegamento: N=118.50 Ty=0.00 Tz=-46.36 Mx=0.06 Mz=0.27
Sollecitazioni agenti localmente: Tx_l=0.00 Ty_l=-46.36 N_l=118.50 My_l=-0.27 Mz_l=0.06
Azioni sul cordone: TP=-0.07 TO=-3.46 NO=8.72
Tensioni nel cordone: τ_P= 0.02 τ_0=1.10 σ_0=3.17 σ_{ID}=3.35 Σ_T=4.27
CC 1 SLV (Collegamento -378_-512)
Azioni sul collegamento: N=118.50 Ty=1.85 Tz=-46.36 Mx=0.43 Mz=2.64
Sollecitazioni agenti localmente: Tx_l=1.85 Ty_l=-46.36 N_l=118.50 My_l=-2.64 Mz_l=0.43
Azioni sul cordone: TP=-0.63 TO=3.75 NO=8.72
Tensioni nel cordone: τ_P=0.20 τ_0=1.19 σ_0=6.63 σ_{ID}=6.74 Σ_T=7.82
CC 1 SLV (Collegamento -378_-512)
Azioni sul collegamento: N=118.50 Ty=0.00 Tz=-46.36 Mx=0.06 Mz=0.27
Sollecitazioni agenti localmente: Tx_l=0.00 Ty_l=-46.36 N_l=118.50 My_l=-0.27 Mz_l=0.06
Azioni sul cordone: TP=-0.07 TO=-3.46 NO=8.72
Tensioni nel cordone: τ_P= 0.02 τ_0=1.10 σ_0=3.17 σ_{ID}=3.35 Σ_T=4.27
CC 2 SLD (Collegamento -378_-512)
Azioni sul collegamento: N=146.00 Ty=1.67 Tz=-50.62 Mx=0.39 Mz=2.38
Sollecitazioni agenti localmente: Tx_l=1.67 Ty_l=-50.62 N_l=146.00 My_l=-2.38 Mz_l=0.39
Azioni sul cordone: TP=-0.57 TO=4.03 NO=10.74
Tensioni nel cordone: τ_P=0.18 τ_0=1.28 σ_0=6.89 σ_{ID}=7.01 Σ_T=8.18
CC 2 SLD (Collegamento -378_-512)
Azioni sul collegamento: N=146.00 Ty=1.11 Tz=-50.62 Mx=0.28 Mz=1.66
Sollecitazioni agenti localmente: Tx_l=1.11 Ty_l=-50.62 N_l=146.00 My_l=-1.66 Mz_l=0.28
Azioni sul cordone: TP=-0.40 TO=3.94 NO=10.74
Tensioni nel cordone: τ_P=0.13 τ_0=1.25 σ_0=5.84 σ_{ID}=5.97 Σ_T=7.09
CC 2 SLD (Collegamento -378_-512)
Azioni sul collegamento: N=146.00 Ty=1.67 Tz=-50.62 Mx=0.39 Mz=2.38
Sollecitazioni agenti localmente: Tx_l=1.67 Ty_l=-50.62 N_l=146.00 My_l=-2.38 Mz_l=0.39
Azioni sul cordone: TP=-0.57 TO=4.03 NO=10.74
Tensioni nel cordone: τ_P=0.18 τ_0=1.28 σ_0=6.89 σ_{ID}=7.01 Σ_T=8.18
CC 2 SLD (Collegamento -378_-512)
Azioni sul collegamento: N=146.00 Ty=1.11 Tz=-50.62 Mx=0.28 Mz=1.66
Sollecitazioni agenti localmente: Tx_l=1.11 Ty_l=-50.62 N_l=146.00 My_l=-1.66 Mz_l=0.28
Azioni sul cordone: TP=-0.40 TO=3.94 NO=10.74
Tensioni nel cordone: τ_P=0.13 τ_0=1.25 σ_0=5.84 σ_{ID}=5.97 Σ_T=7.09
CC 2 SLD (Collegamento -378_-512)
Azioni sul collegamento: N=133.10 Ty=1.67 Tz=-48.62 Mx=0.39 Mz=2.38
Sollecitazioni agenti localmente: Tx_l=1.67 Ty_l=-48.62 N_l=133.10 My_l=-2.38 Mz_l=0.39
Azioni sul cordone: TP=-0.57 TO=3.88 NO=9.79
Tensioni nel cordone: τ_P=0.18 τ_0=1.23 σ_0=6.59 σ_{ID}=6.71 Σ_T=7.83
CC 2 SLD (Collegamento -378_-512)
Azioni sul collegamento: N=133.10 Ty=1.11 Tz=-48.62 Mx=0.28 Mz=1.66
Sollecitazioni agenti localmente: Tx_l=1.11 Ty_l=-48.62 N_l=133.10 My_l=-1.66 Mz_l=0.28
Azioni sul cordone: TP=-0.40 TO=3.80 NO=9.79
Tensioni nel cordone: τ_P=0.13 τ_0=1.21 σ_0=5.54 σ_{ID}=5.67 Σ_T=6.74
CC 2 SLD (Collegamento -378_-512)
Azioni sul collegamento: N=133.10 Ty=1.67 Tz=-48.62 Mx=0.39 Mz=2.38

Sollecitazioni agenti localmente: Tx_l=1.67 Ty_l=-48.62 N_l=133.10 My_l=-2.38 Mz_l=0.39
Azioni sul cordone: TP=-0.57 TO=3.88 NO=9.79
Tensioni nel cordone: τ_P=0.18 τ_0=1.23 σ_0=6.59 σ_{ID}=6.71 Σ_T=7.83
CC 2 SLD (Collegamento -378_-512)
Azioni sul collegamento: N=133.10 Ty=1.11 Tz=-48.62 Mx=0.28 Mz=1.66
Sollecitazioni agenti localmente: Tx_l=1.11 Ty_l=-48.62 N_l=133.10 My_l=-1.66 Mz_l=0.28
Azioni sul cordone: TP=-0.40 TO=3.80 NO=9.79
Tensioni nel cordone: τ_P=0.13 τ_0=1.21 σ_0=5.54 σ_{ID}=5.67 Σ_T=6.74
CC 3 SLV (Collegamento -378_-512)
Azioni sul collegamento: N=160.63 Ty=1.31 Tz=-52.88 Mx=0.34 Mz=2.08
Sollecitazioni agenti localmente: Tx_l=1.31 Ty_l=-52.88 N_l=160.63 My_l=-2.08 Mz_l=0.34
Azioni sul cordone: TP=-0.49 TO=4.16 NO=11.82
Tensioni nel cordone: τ_P=0.16 τ_0=1.32 σ_0=6.80 σ_{ID}=6.93 Σ_T=8.12
CC 3 SLV (Collegamento -378_-512)
Azioni sul collegamento: N=160.63 Ty=0.54 Tz=-52.88 Mx=0.15 Mz=0.83
Sollecitazioni agenti localmente: Tx_l=0.54 Ty_l=-52.88 N_l=160.63 My_l=-0.83 Mz_l=0.15
Azioni sul cordone: TP=-0.21 TO=4.01 NO=11.82
Tensioni nel cordone: τ_P= 0.07 τ_0=1.27 σ_0=4.97 σ_{ID}=5.13 Σ_T=6.24
CC 3 SLV (Collegamento -378_-512)
Azioni sul collegamento: N=160.63 Ty=1.31 Tz=-52.88 Mx=0.34 Mz=2.08
Sollecitazioni agenti localmente: Tx_l=1.31 Ty_l=-52.88 N_l=160.63 My_l=-2.08 Mz_l=0.34
Azioni sul cordone: TP=-0.49 TO=4.16 NO=11.82
Tensioni nel cordone: τ_P=0.16 τ_0=1.32 σ_0=6.80 σ_{ID}=6.93 Σ_T=8.12
CC 3 SLV (Collegamento -378_-512)
Azioni sul collegamento: N=160.63 Ty=0.54 Tz=-52.88 Mx=0.15 Mz=0.83
Sollecitazioni agenti localmente: Tx_l=0.54 Ty_l=-52.88 N_l=160.63 My_l=-0.83 Mz_l=0.15
Azioni sul cordone: TP=-0.21 TO=4.01 NO=11.82
Tensioni nel cordone: τ_P= 0.07 τ_0=1.27 σ_0=4.97 σ_{ID}=5.13 Σ_T=6.24
CC 3 SLV (Collegamento -378_-512)
Azioni sul collegamento: N=118.67 Ty=1.31 Tz=-46.39 Mx=0.34 Mz=2.08
Sollecitazioni agenti localmente: Tx_l=1.31 Ty_l=-46.39 N_l=118.67 My_l=-2.08 Mz_l=0.34
Azioni sul cordone: TP=-0.49 TO=3.68 NO=8.73
Tensioni nel cordone: τ_P=0.16 τ_0=1.17 σ_0=5.82 σ_{ID}=5.94 Σ_T=6.99
CC 3 SLV (Collegamento -378_-512)
Azioni sul collegamento: N=118.67 Ty=0.54 Tz=-46.39 Mx=0.15 Mz=0.83
Sollecitazioni agenti localmente: Tx_l=0.54 Ty_l=-46.39 N_l=118.67 My_l=-0.83 Mz_l=0.15
Azioni sul cordone: TP=-0.21 TO=3.53 NO=8.73
Tensioni nel cordone: τ_P= 0.07 τ_0=1.12 σ_0=3.99 σ_{ID}=4.14 Σ_T=5.11
CC 3 SLV (Collegamento -378_-512)
Azioni sul collegamento: N=118.67 Ty=1.31 Tz=-46.39 Mx=0.34 Mz=2.08
Sollecitazioni agenti localmente: Tx_l=1.31 Ty_l=-46.39 N_l=118.67 My_l=-2.08 Mz_l=0.34
Azioni sul cordone: TP=-0.49 TO=3.68 NO=8.73
Tensioni nel cordone: τ_P=0.16 τ_0=1.17 σ_0=5.82 σ_{ID}=5.94 Σ_T=6.99
CC 3 SLV (Collegamento -378_-512)
Azioni sul collegamento: N=118.67 Ty=0.54 Tz=-46.39 Mx=0.15 Mz=0.83
Sollecitazioni agenti localmente: Tx_l=0.54 Ty_l=-46.39 N_l=118.67 My_l=-0.83 Mz_l=0.15
Azioni sul cordone: TP=-0.21 TO=3.53 NO=8.73
Tensioni nel cordone: τ_P= 0.07 τ_0=1.12 σ_0=3.99 σ_{ID}=4.14 Σ_T=5.11
CC 4 SLD (Collegamento -378_-512)
Azioni sul collegamento: N=145.94 Ty=1.51 Tz=-50.61 Mx=0.36 Mz=2.21
Sollecitazioni agenti localmente: Tx_l=1.51 Ty_l=-50.61 N_l=145.94 My_l=-2.21 Mz_l=0.36
Azioni sul cordone: TP=-0.53 TO=4.01 NO=10.74
Tensioni nel cordone: τ_P=0.17 τ_0=1.27 σ_0=6.64 σ_{ID}=6.77 Σ_T=7.92
CC 4 SLD (Collegamento -378_-512)
Azioni sul collegamento: N=145.94 Ty=1.27 Tz=-50.61 Mx=0.30 Mz=1.83
Sollecitazioni agenti localmente: Tx_l=1.27 Ty_l=-50.61 N_l=145.94 My_l=-1.83 Mz_l=0.30
Azioni sul cordone: TP=-0.44 TO=3.96 NO=10.74
Tensioni nel cordone: τ_P=0.14 τ_0=1.26 σ_0=6.09 σ_{ID}=6.22 Σ_T=7.35
CC 4 SLD (Collegamento -378_-512)
Azioni sul collegamento: N=145.94 Ty=1.51 Tz=-50.61 Mx=0.36 Mz=2.21
Sollecitazioni agenti localmente: Tx_l=1.51 Ty_l=-50.61 N_l=145.94 My_l=-2.21 Mz_l=0.36
Azioni sul cordone: TP=-0.53 TO=4.01 NO=10.74
Tensioni nel cordone: τ_P=0.17 τ_0=1.27 σ_0=6.64 σ_{ID}=6.77 Σ_T=7.92
CC 4 SLD (Collegamento -378_-512)
Azioni sul collegamento: N=145.94 Ty=1.27 Tz=-50.61 Mx=0.30 Mz=1.83
Sollecitazioni agenti localmente: Tx_l=1.27 Ty_l=-50.61 N_l=145.94 My_l=-1.83 Mz_l=0.30
Azioni sul cordone: TP=-0.44 TO=3.96 NO=10.74
Tensioni nel cordone: τ_P=0.14 τ_0=1.26 σ_0=6.09 σ_{ID}=6.22 Σ_T=7.35
CC 4 SLD (Collegamento -378_-512)
Azioni sul collegamento: N=133.15 Ty=1.51 Tz=-48.63 Mx=0.36 Mz=2.21
Sollecitazioni agenti localmente: Tx_l=1.51 Ty_l=-48.63 N_l=133.15 My_l=-2.21 Mz_l=0.36
Azioni sul cordone: TP=-0.53 TO=3.86 NO=9.80
Tensioni nel cordone: τ_P=0.17 τ_0=1.23 σ_0=6.34 σ_{ID}=6.46 Σ_T=7.57
CC 4 SLD (Collegamento -378_-512)
Azioni sul collegamento: N=133.15 Ty=1.27 Tz=-48.63 Mx=0.30 Mz=1.83
Sollecitazioni agenti localmente: Tx_l=1.27 Ty_l=-48.63 N_l=133.15 My_l=-1.83 Mz_l=0.30
Azioni sul cordone: TP=-0.44 TO=3.82 NO=9.80
Tensioni nel cordone: τ_P=0.14 τ_0=1.21 σ_0=5.79 σ_{ID}=5.91 Σ_T=7.00
CC 4 SLD (Collegamento -378_-512)
Azioni sul collegamento: N=133.15 Ty=1.51 Tz=-48.63 Mx=0.36 Mz=2.21
Sollecitazioni agenti localmente: Tx_l=1.51 Ty_l=-48.63 N_l=133.15 My_l=-2.21 Mz_l=0.36

Azioni sul cordone: TP=-0.53 TO=3.86 NO=9.80
Tensioni nel cordone: τ_P=0.17 τ_0=1.23 σ_0=6.34 σ_{ID}=6.46 Σ_T=7.57
CC 4 SLD (Collegamento -378_-512)
Azioni sul collegamento: N=133.15 Ty=1.27 Tz=-48.63 Mx=0.30 Mz=1.83
Sollecitazioni agenti localmente: Tx_l=1.27 Ty_l=-48.63 N_l=133.15 My_l=-1.83 Mz_l=0.30
Azioni sul cordone: TP=-0.44 TO=3.82 NO=9.80
Tensioni nel cordone: τ_P=0.14 τ_0=1.21 σ_0=5.79 σ_{ID}=5.91 Σ_T=7.00
CC 5 SLV (Collegamento -378_-512)
Azioni sul collegamento: N=118.67 Ty=0.54 Tz=-46.39 Mx=0.14 Mz=0.83
Sollecitazioni agenti localmente: Tx_l=0.54 Ty_l=-46.39 N_l=118.67 My_l=-0.83 Mz_l=0.14
Azioni sul cordone: TP=-0.20 TO=3.52 NO=8.73
Tensioni nel cordone: τ_P= 0.06 τ_0=1.12 σ_0=3.99 σ_{ID}=4.15 Σ_T=5.11
CC 5 SLV (Collegamento -378_-512)
Azioni sul collegamento: N=118.67 Ty=1.31 Tz=-46.39 Mx=0.33 Mz=2.08
Sollecitazioni agenti localmente: Tx_l=1.31 Ty_l=-46.39 N_l=118.67 My_l=-2.08 Mz_l=0.33
Azioni sul cordone: TP=-0.48 TO=3.67 NO=8.73
Tensioni nel cordone: τ_P=0.15 τ_0=1.17 σ_0=5.82 σ_{ID}=5.94 Σ_T=6.99
CC 5 SLV (Collegamento -378_-512)
Azioni sul collegamento: N=118.67 Ty=0.54 Tz=-46.39 Mx=0.14 Mz=0.83
Sollecitazioni agenti localmente: Tx_l=0.54 Ty_l=-46.39 N_l=118.67 My_l=-0.83 Mz_l=0.14
Azioni sul cordone: TP=-0.20 TO=3.52 NO=8.73
Tensioni nel cordone: τ_P= 0.06 τ_0=1.12 σ_0=3.99 σ_{ID}=4.15 Σ_T=5.11
CC 5 SLV (Collegamento -378_-512)
Azioni sul collegamento: N=118.67 Ty=1.31 Tz=-46.39 Mx=0.33 Mz=2.08
Sollecitazioni agenti localmente: Tx_l=1.31 Ty_l=-46.39 N_l=118.67 My_l=-2.08 Mz_l=0.33
Azioni sul cordone: TP=-0.48 TO=3.67 NO=8.73
Tensioni nel cordone: τ_P=0.15 τ_0=1.17 σ_0=5.82 σ_{ID}=5.94 Σ_T=6.99
CC 5 SLV (Collegamento -378_-512)
Azioni sul collegamento: N=160.63 Ty=0.54 Tz=-52.88 Mx=0.14 Mz=0.83
Sollecitazioni agenti localmente: Tx_l=0.54 Ty_l=-52.88 N_l=160.63 My_l=-0.83 Mz_l=0.14
Azioni sul cordone: TP=-0.20 TO=4.00 NO=11.82
Tensioni nel cordone: τ_P= 0.06 τ_0=1.27 σ_0=4.97 σ_{ID}=5.13 Σ_T=6.24
CC 5 SLV (Collegamento -378_-512)
Azioni sul collegamento: N=160.63 Ty=1.31 Tz=-52.88 Mx=0.33 Mz=2.08
Sollecitazioni agenti localmente: Tx_l=1.31 Ty_l=-52.88 N_l=160.63 My_l=-2.08 Mz_l=0.33
Azioni sul cordone: TP=-0.48 TO=4.15 NO=11.82
Tensioni nel cordone: τ_P=0.15 τ_0=1.32 σ_0=6.80 σ_{ID}=6.93 Σ_T=8.12
CC 5 SLV (Collegamento -378_-512)
Azioni sul collegamento: N=160.63 Ty=0.54 Tz=-52.88 Mx=0.14 Mz=0.83
Sollecitazioni agenti localmente: Tx_l=0.54 Ty_l=-52.88 N_l=160.63 My_l=-0.83 Mz_l=0.14
Azioni sul cordone: TP=-0.20 TO=4.00 NO=11.82
Tensioni nel cordone: τ_P= 0.06 τ_0=1.27 σ_0=4.97 σ_{ID}=5.13 Σ_T=6.24
CC 5 SLV (Collegamento -378_-512)
Azioni sul collegamento: N=160.63 Ty=1.31 Tz=-52.88 Mx=0.33 Mz=2.08
Sollecitazioni agenti localmente: Tx_l=1.31 Ty_l=-52.88 N_l=160.63 My_l=-2.08 Mz_l=0.33
Azioni sul cordone: TP=-0.48 TO=4.15 NO=11.82
Tensioni nel cordone: τ_P=0.15 τ_0=1.32 σ_0=6.80 σ_{ID}=6.93 Σ_T=8.12
CC 6 SLD (Collegamento -378_-512)
Azioni sul collegamento: N=133.15 Ty=1.27 Tz=-48.63 Mx=0.30 Mz=1.83
Sollecitazioni agenti localmente: Tx_l=1.27 Ty_l=-48.63 N_l=133.15 My_l=-1.83 Mz_l=0.30
Azioni sul cordone: TP=-0.44 TO=3.81 NO=9.80
Tensioni nel cordone: τ_P=0.14 τ_0=1.21 σ_0=5.79 σ_{ID}=5.91 Σ_T=7.00
CC 6 SLD (Collegamento -378_-512)
Azioni sul collegamento: N=133.15 Ty=1.51 Tz=-48.63 Mx=0.36 Mz=2.21
Sollecitazioni agenti localmente: Tx_l=1.51 Ty_l=-48.63 N_l=133.15 My_l=-2.21 Mz_l=0.36
Azioni sul cordone: TP=-0.52 TO=3.86 NO=9.80
Tensioni nel cordone: τ_P=0.17 τ_0=1.23 σ_0=6.34 σ_{ID}=6.46 Σ_T=7.57
CC 6 SLD (Collegamento -378_-512)
Azioni sul collegamento: N=133.15 Ty=1.27 Tz=-48.63 Mx=0.30 Mz=1.83
Sollecitazioni agenti localmente: Tx_l=1.27 Ty_l=-48.63 N_l=133.15 My_l=-1.83 Mz_l=0.30
Azioni sul cordone: TP=-0.44 TO=3.81 NO=9.80
Tensioni nel cordone: τ_P=0.14 τ_0=1.21 σ_0=5.79 σ_{ID}=5.91 Σ_T=7.00
CC 6 SLD (Collegamento -378_-512)
Azioni sul collegamento: N=133.15 Ty=1.51 Tz=-48.63 Mx=0.36 Mz=2.21
Sollecitazioni agenti localmente: Tx_l=1.51 Ty_l=-48.63 N_l=133.15 My_l=-2.21 Mz_l=0.36
Azioni sul cordone: TP=-0.52 TO=3.86 NO=9.80
Tensioni nel cordone: τ_P=0.17 τ_0=1.23 σ_0=6.34 σ_{ID}=6.46 Σ_T=7.57
CC 6 SLD (Collegamento -378_-512)
Azioni sul collegamento: N=145.94 Ty=1.27 Tz=-50.61 Mx=0.30 Mz=1.83
Sollecitazioni agenti localmente: Tx_l=1.27 Ty_l=-50.61 N_l=145.94 My_l=-1.83 Mz_l=0.30
Azioni sul cordone: TP=-0.44 TO=3.96 NO=10.74
Tensioni nel cordone: τ_P=0.14 τ_0=1.26 σ_0=6.09 σ_{ID}=6.22 Σ_T=7.34
CC 6 SLD (Collegamento -378_-512)
Azioni sul collegamento: N=145.94 Ty=1.51 Tz=-50.61 Mx=0.36 Mz=2.21
Sollecitazioni agenti localmente: Tx_l=1.51 Ty_l=-50.61 N_l=145.94 My_l=-2.21 Mz_l=0.36
Azioni sul cordone: TP=-0.52 TO=4.01 NO=10.74
Tensioni nel cordone: τ_P=0.17 τ_0=1.27 σ_0=6.64 σ_{ID}=6.77 Σ_T=7.92
CC 6 SLD (Collegamento -378_-512)
Azioni sul collegamento: N=145.94 Ty=1.27 Tz=-50.61 Mx=0.30 Mz=1.83
Sollecitazioni agenti localmente: Tx_l=1.27 Ty_l=-50.61 N_l=145.94 My_l=-1.83 Mz_l=0.30
Azioni sul cordone: TP=-0.44 TO=3.96 NO=10.74

Tensioni nel cordone: τ_P=0.14 τ_0=1.26 σ_0=6.09 σ_{ID}=6.22 Σ_T=7.34
CC 6 SLD (Collegamento -378_-512)
Azioni sul collegamento: N=145.94 Ty=1.51 Tz=-50.61 Mx=0.36 Mz=2.21
Sollecitazioni agenti localmente: Tx_l=1.51 Ty_l=-50.61 N_l=145.94 My_l=-2.21 Mz_l=0.36
Azioni sul cordone: TP=-0.52 TO=4.01 NO=10.74
Tensioni nel cordone: τ_P=0.17 τ_0=1.27 σ_0=6.64 σ_{ID}=6.77 Σ_T=7.92
CC 7 SLV (Collegamento -378_-512)
Azioni sul collegamento: N=118.50 Ty=0.00 Tz=-46.36 Mx=0.05 Mz=0.27
Sollecitazioni agenti localmente: Tx_l=0.00 Ty_l=-46.36 N_l=118.50 My_l=-0.27 Mz_l=0.05
Azioni sul cordone: TP=-0.05 TO=-3.45 NO=8.72
Tensioni nel cordone: τ_P= 0.02 τ_0=1.10 σ_0=3.17 σ_{ID}=3.35 Σ_T=4.27
CC 7 SLV (Collegamento -378_-512)
Azioni sul collegamento: N=118.50 Ty=1.85 Tz=-46.36 Mx=0.41 Mz=2.65
Sollecitazioni agenti localmente: Tx_l=1.85 Ty_l=-46.36 N_l=118.50 My_l=-2.65 Mz_l=0.41
Azioni sul cordone: TP=-0.61 TO=3.74 NO=8.72
Tensioni nel cordone: τ_P=0.20 τ_0=1.19 σ_0=6.64 σ_{ID}=6.74 Σ_T=7.82
CC 7 SLV (Collegamento -378_-512)
Azioni sul collegamento: N=118.50 Ty=0.00 Tz=-46.36 Mx=0.05 Mz=0.27
Sollecitazioni agenti localmente: Tx_l=0.00 Ty_l=-46.36 N_l=118.50 My_l=-0.27 Mz_l=0.05
Azioni sul cordone: TP=-0.05 TO=-3.45 NO=8.72
Tensioni nel cordone: τ_P= 0.02 τ_0=1.10 σ_0=3.17 σ_{ID}=3.35 Σ_T=4.27
CC 7 SLV (Collegamento -378_-512)
Azioni sul collegamento: N=118.50 Ty=1.85 Tz=-46.36 Mx=0.41 Mz=2.65
Sollecitazioni agenti localmente: Tx_l=1.85 Ty_l=-46.36 N_l=118.50 My_l=-2.65 Mz_l=0.41
Azioni sul cordone: TP=-0.61 TO=3.74 NO=8.72
Tensioni nel cordone: τ_P=0.20 τ_0=1.19 σ_0=6.64 σ_{ID}=6.74 Σ_T=7.82
CC 7 SLV (Collegamento -378_-512)
Azioni sul collegamento: N=160.81 Ty=0.00 Tz=-52.91 Mx=0.05 Mz=0.27
Sollecitazioni agenti localmente: Tx_l=0.00 Ty_l=-52.91 N_l=160.81 My_l=-0.27 Mz_l=0.05
Azioni sul cordone: TP=-0.05 TO=-3.93 NO=11.83
Tensioni nel cordone: τ_P= 0.02 τ_0=1.25 σ_0=4.16 σ_{ID}=4.34 Σ_T=5.41
CC 7 SLV (Collegamento -378_-512)
Azioni sul collegamento: N=160.81 Ty=1.85 Tz=-52.91 Mx=0.41 Mz=2.65
Sollecitazioni agenti localmente: Tx_l=1.85 Ty_l=-52.91 N_l=160.81 My_l=-2.65 Mz_l=0.41
Azioni sul cordone: TP=-0.61 TO=4.22 NO=11.83
Tensioni nel cordone: τ_P=0.20 τ_0=1.34 σ_0=7.63 σ_{ID}=7.74 Σ_T=8.97
CC 7 SLV (Collegamento -378_-512)
Azioni sul collegamento: N=160.81 Ty=0.00 Tz=-52.91 Mx=0.05 Mz=0.27
Sollecitazioni agenti localmente: Tx_l=0.00 Ty_l=-52.91 N_l=160.81 My_l=-0.27 Mz_l=0.05
Azioni sul cordone: TP=-0.05 TO=-3.93 NO=11.83
Tensioni nel cordone: τ_P= 0.02 τ_0=1.25 σ_0=4.16 σ_{ID}=4.34 Σ_T=5.41
CC 7 SLV (Collegamento -378_-512)
Azioni sul collegamento: N=160.81 Ty=1.85 Tz=-52.91 Mx=0.41 Mz=2.65
Sollecitazioni agenti localmente: Tx_l=1.85 Ty_l=-52.91 N_l=160.81 My_l=-2.65 Mz_l=0.41
Azioni sul cordone: TP=-0.61 TO=4.22 NO=11.83
Tensioni nel cordone: τ_P=0.20 τ_0=1.34 σ_0=7.63 σ_{ID}=7.74 Σ_T=8.97
CC 8 SLD (Collegamento -378_-512)
Azioni sul collegamento: N=133.10 Ty=1.11 Tz=-48.62 Mx=0.27 Mz=1.66
Sollecitazioni agenti localmente: Tx_l=1.11 Ty_l=-48.62 N_l=133.10 My_l=-1.66 Mz_l=0.27
Azioni sul cordone: TP=-0.39 TO=3.79 NO=9.79
Tensioni nel cordone: τ_P=0.13 τ_0=1.21 σ_0=5.54 σ_{ID}=5.67 Σ_T=6.74
CC 8 SLD (Collegamento -378_-512)
Azioni sul collegamento: N=133.10 Ty=1.67 Tz=-48.62 Mx=0.38 Mz=2.38
Sollecitazioni agenti localmente: Tx_l=1.67 Ty_l=-48.62 N_l=133.10 My_l=-2.38 Mz_l=0.38
Azioni sul cordone: TP=-0.57 TO=3.88 NO=9.79
Tensioni nel cordone: τ_P=0.18 τ_0=1.23 σ_0=6.59 σ_{ID}=6.71 Σ_T=7.83
CC 8 SLD (Collegamento -378_-512)
Azioni sul collegamento: N=133.10 Ty=1.11 Tz=-48.62 Mx=0.27 Mz=1.66
Sollecitazioni agenti localmente: Tx_l=1.11 Ty_l=-48.62 N_l=133.10 My_l=-1.66 Mz_l=0.27
Azioni sul cordone: TP=-0.39 TO=3.79 NO=9.79
Tensioni nel cordone: τ_P=0.13 τ_0=1.21 σ_0=5.54 σ_{ID}=5.67 Σ_T=6.74
CC 8 SLD (Collegamento -378_-512)
Azioni sul collegamento: N=133.10 Ty=1.67 Tz=-48.62 Mx=0.38 Mz=2.38
Sollecitazioni agenti localmente: Tx_l=1.67 Ty_l=-48.62 N_l=133.10 My_l=-2.38 Mz_l=0.38
Azioni sul cordone: TP=-0.57 TO=3.88 NO=9.79
Tensioni nel cordone: τ_P=0.18 τ_0=1.23 σ_0=6.59 σ_{ID}=6.71 Σ_T=7.83
CC 8 SLD (Collegamento -378_-512)
Azioni sul collegamento: N=146.00 Ty=1.11 Tz=-50.62 Mx=0.27 Mz=1.66
Sollecitazioni agenti localmente: Tx_l=1.11 Ty_l=-50.62 N_l=146.00 My_l=-1.66 Mz_l=0.27
Azioni sul cordone: TP=-0.39 TO=3.94 NO=10.74
Tensioni nel cordone: τ_P=0.13 τ_0=1.25 σ_0=5.84 σ_{ID}=5.97 Σ_T=7.09
CC 8 SLD (Collegamento -378_-512)
Azioni sul collegamento: N=146.00 Ty=1.67 Tz=-50.62 Mx=0.38 Mz=2.38
Sollecitazioni agenti localmente: Tx_l=1.67 Ty_l=-50.62 N_l=146.00 My_l=-2.38 Mz_l=0.38
Azioni sul cordone: TP=-0.57 TO=4.03 NO=10.74
Tensioni nel cordone: τ_P=0.18 τ_0=1.28 σ_0=6.90 σ_{ID}=7.02 Σ_T=8.18
CC 8 SLD (Collegamento -378_-512)
Azioni sul collegamento: N=146.00 Ty=1.11 Tz=-50.62 Mx=0.27 Mz=1.66
Sollecitazioni agenti localmente: Tx_l=1.11 Ty_l=-50.62 N_l=146.00 My_l=-1.66 Mz_l=0.27
Azioni sul cordone: TP=-0.39 TO=3.94 NO=10.74
Tensioni nel cordone: τ_P=0.13 τ_0=1.25 σ_0=5.84 σ_{ID}=5.97 Σ_T=7.09

CC 8 SLD (Collegamento -378_-512)
Azioni sul collegamento: N=146.00 Ty=1.67 Tz=-50.62 Mx=0.38 Mz=2.38
Sollecitazioni agenti localmente: Tx_l=1.67 Ty_l=-50.62 N_l=146.00 My_l=-2.38 Mz_l=0.38
Azioni sul cordone: TP=-0.57 TO=4.03 NO=10.74
Tensioni nel cordone: τ_P=0.18 τ_0=1.28 σ_0=6.90 σ_{ID}=7.02 Σ_T=8.18
CC 9 SLV (Collegamento -378_-512)
Azioni sul collegamento: N=146.26 Ty=2.01 Tz=-50.66 Mx=0.43 Mz=2.66
Sollecitazioni agenti localmente: Tx_l=2.01 Ty_l=-50.66 N_l=146.26 My_l=-2.66 Mz_l=0.43
Azioni sul cordone: TP=-0.65 TO=4.07 NO=10.76
Tensioni nel cordone: τ_P=0.21 τ_0=1.29 σ_0=7.31 σ_{ID}=7.43 Σ_T=8.60
CC 9 SLV (Collegamento -378_-512)
Azioni sul collegamento: N=146.26 Ty=-0.16 Tz=-50.66 Mx=0.06 Mz=0.25
Sollecitazioni agenti localmente: Tx_l=-0.16 Ty_l=-50.66 N_l=146.26 My_l=-0.25 Mz_l=0.06
Azioni sul cordone: TP=-0.08 TO=-3.77 NO=10.76
Tensioni nel cordone: τ_P= 0.03 τ_0=1.20 σ_0=3.79 σ_{ID}=3.97 Σ_T=4.99
CC 9 SLV (Collegamento -378_-512)
Azioni sul collegamento: N=146.26 Ty=2.01 Tz=-50.66 Mx=0.43 Mz=2.66
Sollecitazioni agenti localmente: Tx_l=2.01 Ty_l=-50.66 N_l=146.26 My_l=-2.66 Mz_l=0.43
Azioni sul cordone: TP=-0.65 TO=4.07 NO=10.76
Tensioni nel cordone: τ_P=0.21 τ_0=1.29 σ_0=7.31 σ_{ID}=7.43 Σ_T=8.60
CC 9 SLV (Collegamento -378_-512)
Azioni sul collegamento: N=146.26 Ty=-0.16 Tz=-50.66 Mx=0.06 Mz=0.25
Sollecitazioni agenti localmente: Tx_l=-0.16 Ty_l=-50.66 N_l=146.26 My_l=-0.25 Mz_l=0.06
Azioni sul cordone: TP=-0.08 TO=-3.77 NO=10.76
Tensioni nel cordone: τ_P= 0.03 τ_0=1.20 σ_0=3.79 σ_{ID}=3.97 Σ_T=4.99
CC 9 SLV (Collegamento -378_-512)
Azioni sul collegamento: N=133.05 Ty=2.01 Tz=-48.61 Mx=0.43 Mz=2.66
Sollecitazioni agenti localmente: Tx_l=2.01 Ty_l=-48.61 N_l=133.05 My_l=-2.66 Mz_l=0.43
Azioni sul cordone: TP=-0.65 TO=3.92 NO=9.79
Tensioni nel cordone: τ_P=0.21 τ_0=1.25 σ_0=7.00 σ_{ID}=7.11 Σ_T=8.25
CC 9 SLV (Collegamento -378_-512)
Azioni sul collegamento: N=133.05 Ty=-0.16 Tz=-48.61 Mx=0.06 Mz=0.25
Sollecitazioni agenti localmente: Tx_l=-0.16 Ty_l=-48.61 N_l=133.05 My_l=-0.25 Mz_l=0.06
Azioni sul cordone: TP=-0.08 TO=-3.62 NO=9.79
Tensioni nel cordone: τ_P= 0.03 τ_0=1.15 σ_0=3.48 σ_{ID}=3.66 Σ_T=4.63
CC 9 SLV (Collegamento -378_-512)
Azioni sul collegamento: N=133.05 Ty=2.01 Tz=-48.61 Mx=0.43 Mz=2.66
Sollecitazioni agenti localmente: Tx_l=2.01 Ty_l=-48.61 N_l=133.05 My_l=-2.66 Mz_l=0.43
Azioni sul cordone: TP=-0.65 TO=3.92 NO=9.79
Tensioni nel cordone: τ_P=0.21 τ_0=1.25 σ_0=7.00 σ_{ID}=7.11 Σ_T=8.25
CC 9 SLV (Collegamento -378_-512)
Azioni sul collegamento: N=133.05 Ty=-0.16 Tz=-48.61 Mx=0.06 Mz=0.25
Sollecitazioni agenti localmente: Tx_l=-0.16 Ty_l=-48.61 N_l=133.05 My_l=-0.25 Mz_l=0.06
Azioni sul cordone: TP=-0.08 TO=-3.62 NO=9.79
Tensioni nel cordone: τ_P= 0.03 τ_0=1.15 σ_0=3.48 σ_{ID}=3.66 Σ_T=4.63
CC 10 SLD (Collegamento -378_-512)
Azioni sul collegamento: N=141.56 Ty=1.72 Tz=-49.93 Mx=0.39 Mz=2.39
Sollecitazioni agenti localmente: Tx_l=1.72 Ty_l=-49.93 N_l=141.56 My_l=-2.39 Mz_l=0.39
Azioni sul cordone: TP=-0.57 TO=3.98 NO=10.42
Tensioni nel cordone: τ_P=0.18 τ_0=1.27 σ_0=6.80 σ_{ID}=6.92 Σ_T=8.06
CC 10 SLD (Collegamento -378_-512)
Azioni sul collegamento: N=141.56 Ty=1.06 Tz=-49.93 Mx=0.28 Mz=1.65
Sollecitazioni agenti localmente: Tx_l=1.06 Ty_l=-49.93 N_l=141.56 My_l=-1.65 Mz_l=0.28
Azioni sul cordone: TP=-0.40 TO=3.89 NO=10.42
Tensioni nel cordone: τ_P=0.13 τ_0=1.24 σ_0=5.72 σ_{ID}=5.86 Σ_T=6.96
CC 10 SLD (Collegamento -378_-512)
Azioni sul collegamento: N=141.56 Ty=1.72 Tz=-49.93 Mx=0.39 Mz=2.39
Sollecitazioni agenti localmente: Tx_l=1.72 Ty_l=-49.93 N_l=141.56 My_l=-2.39 Mz_l=0.39
Azioni sul cordone: TP=-0.57 TO=3.98 NO=10.42
Tensioni nel cordone: τ_P=0.18 τ_0=1.27 σ_0=6.80 σ_{ID}=6.92 Σ_T=8.06
CC 10 SLD (Collegamento -378_-512)
Azioni sul collegamento: N=141.56 Ty=1.06 Tz=-49.93 Mx=0.28 Mz=1.65
Sollecitazioni agenti localmente: Tx_l=1.06 Ty_l=-49.93 N_l=141.56 My_l=-1.65 Mz_l=0.28
Azioni sul cordone: TP=-0.40 TO=3.89 NO=10.42
Tensioni nel cordone: τ_P=0.13 τ_0=1.24 σ_0=5.72 σ_{ID}=5.86 Σ_T=6.96
CC 10 SLD (Collegamento -378_-512)
Azioni sul collegamento: N=137.53 Ty=1.72 Tz=-49.31 Mx=0.39 Mz=2.39
Sollecitazioni agenti localmente: Tx_l=1.72 Ty_l=-49.31 N_l=137.53 My_l=-2.39 Mz_l=0.39
Azioni sul cordone: TP=-0.57 TO=3.93 NO=10.12
Tensioni nel cordone: τ_P=0.18 τ_0=1.25 σ_0=6.70 σ_{ID}=6.82 Σ_T=7.96
CC 10 SLD (Collegamento -378_-512)
Azioni sul collegamento: N=137.53 Ty=1.06 Tz=-49.31 Mx=0.28 Mz=1.65
Sollecitazioni agenti localmente: Tx_l=1.06 Ty_l=-49.31 N_l=137.53 My_l=-1.65 Mz_l=0.28
Azioni sul cordone: TP=-0.40 TO=3.85 NO=10.12
Tensioni nel cordone: τ_P=0.13 τ_0=1.22 σ_0=5.63 σ_{ID}=5.76 Σ_T=6.85
CC 10 SLD (Collegamento -378_-512)
Azioni sul collegamento: N=137.53 Ty=1.72 Tz=-49.31 Mx=0.39 Mz=2.39
Sollecitazioni agenti localmente: Tx_l=1.72 Ty_l=-49.31 N_l=137.53 My_l=-2.39 Mz_l=0.39
Azioni sul cordone: TP=-0.57 TO=3.93 NO=10.12
Tensioni nel cordone: τ_P=0.18 τ_0=1.25 σ_0=6.70 σ_{ID}=6.82 Σ_T=7.96
CC 10 SLD (Collegamento -378_-512)

Azioni sul collegamento: N=137.53 Ty=1.06 Tz=-49.31 Mx=0.28 Mz=1.65
Sollecitazioni agenti localmente: Tx_l=1.06 Ty_l=-49.31 N_l=137.53 My_l=-1.65 Mz_l=0.28
Azioni sul cordone: TP=-0.40 TO=3.85 NO=10.12
Tensioni nel cordone: τ_P=0.13 τ_0=1.22 σ_0=5.63 σ_{ID}=5.76 Σ_T=6.85
CC 11 SLV (Collegamento -378_-512)
Azioni sul collegamento: N=133.62 Ty=1.62 Tz=-48.70 Mx=0.34 Mz=2.12
Sollecitazioni agenti localmente: Tx_l=1.62 Ty_l=-48.70 N_l=133.62 My_l=-2.12 Mz_l=0.34
Azioni sul cordone: TP=-0.52 TO=3.86 NO=9.83
Tensioni nel cordone: τ_P=0.16 τ_0=1.23 σ_0=6.22 σ_{ID}=6.34 Σ_T=7.45
CC 11 SLV (Collegamento -378_-512)
Azioni sul collegamento: N=133.62 Ty=0.23 Tz=-48.70 Mx=0.14 Mz=0.79
Sollecitazioni agenti localmente: Tx_l=0.23 Ty_l=-48.70 N_l=133.62 My_l=-0.79 Mz_l=0.14
Azioni sul cordone: TP=-0.18 TO=3.69 NO=9.83
Tensioni nel cordone: τ_P= 0.06 τ_0=1.17 σ_0=4.29 σ_{ID}=4.44 Σ_T=5.46
CC 11 SLV (Collegamento -378_-512)
Azioni sul collegamento: N=133.62 Ty=1.62 Tz=-48.70 Mx=0.34 Mz=2.12
Sollecitazioni agenti localmente: Tx_l=1.62 Ty_l=-48.70 N_l=133.62 My_l=-2.12 Mz_l=0.34
Azioni sul cordone: TP=-0.52 TO=3.86 NO=9.83
Tensioni nel cordone: τ_P=0.16 τ_0=1.23 σ_0=6.22 σ_{ID}=6.34 Σ_T=7.45
CC 11 SLV (Collegamento -378_-512)
Azioni sul collegamento: N=133.62 Ty=0.23 Tz=-48.70 Mx=0.14 Mz=0.79
Sollecitazioni agenti localmente: Tx_l=0.23 Ty_l=-48.70 N_l=133.62 My_l=-0.79 Mz_l=0.14
Azioni sul cordone: TP=-0.18 TO=3.69 NO=9.83
Tensioni nel cordone: τ_P= 0.06 τ_0=1.17 σ_0=4.29 σ_{ID}=4.44 Σ_T=5.46
CC 11 SLV (Collegamento -378_-512)
Azioni sul collegamento: N=145.69 Ty=1.62 Tz=-50.57 Mx=0.34 Mz=2.12
Sollecitazioni agenti localmente: Tx_l=1.62 Ty_l=-50.57 N_l=145.69 My_l=-2.12 Mz_l=0.34
Azioni sul cordone: TP=-0.52 TO=3.99 NO=10.72
Tensioni nel cordone: τ_P=0.16 τ_0=1.27 σ_0=6.50 σ_{ID}=6.63 Σ_T=7.77
CC 11 SLV (Collegamento -378_-512)
Azioni sul collegamento: N=145.69 Ty=0.23 Tz=-50.57 Mx=0.14 Mz=0.79
Sollecitazioni agenti localmente: Tx_l=0.23 Ty_l=-50.57 N_l=145.69 My_l=-0.79 Mz_l=0.14
Azioni sul cordone: TP=-0.18 TO=3.83 NO=10.72
Tensioni nel cordone: τ_P= 0.06 τ_0=1.22 σ_0=4.57 σ_{ID}=4.73 Σ_T=5.79
CC 11 SLV (Collegamento -378_-512)
Azioni sul collegamento: N=145.69 Ty=1.62 Tz=-50.57 Mx=0.34 Mz=2.12
Sollecitazioni agenti localmente: Tx_l=1.62 Ty_l=-50.57 N_l=145.69 My_l=-2.12 Mz_l=0.34
Azioni sul cordone: TP=-0.52 TO=3.99 NO=10.72
Tensioni nel cordone: τ_P=0.16 τ_0=1.27 σ_0=6.50 σ_{ID}=6.63 Σ_T=7.77
CC 11 SLV (Collegamento -378_-512)
Azioni sul collegamento: N=145.69 Ty=0.23 Tz=-50.57 Mx=0.14 Mz=0.79
Sollecitazioni agenti localmente: Tx_l=0.23 Ty_l=-50.57 N_l=145.69 My_l=-0.79 Mz_l=0.14
Azioni sul cordone: TP=-0.18 TO=3.83 NO=10.72
Tensioni nel cordone: τ_P= 0.06 τ_0=1.22 σ_0=4.57 σ_{ID}=4.73 Σ_T=5.79
CC 12 SLD (Collegamento -378_-512)
Azioni sul collegamento: N=137.71 Ty=1.60 Tz=-49.33 Mx=0.36 Mz=2.22
Sollecitazioni agenti localmente: Tx_l=1.60 Ty_l=-49.33 N_l=137.71 My_l=-2.22 Mz_l=0.36
Azioni sul cordone: TP=-0.54 TO=3.92 NO=10.13
Tensioni nel cordone: τ_P=0.17 τ_0=1.24 σ_0=6.47 σ_{ID}=6.59 Σ_T=7.71
CC 12 SLD (Collegamento -378_-512)
Azioni sul collegamento: N=137.71 Ty=1.18 Tz=-49.33 Mx=0.30 Mz=1.82
Sollecitazioni agenti localmente: Tx_l=1.18 Ty_l=-49.33 N_l=137.71 My_l=-1.82 Mz_l=0.30
Azioni sul cordone: TP=-0.43 TO=3.87 NO=10.13
Tensioni nel cordone: τ_P=0.14 τ_0=1.23 σ_0=5.88 σ_{ID}=6.01 Σ_T=7.11
CC 12 SLD (Collegamento -378_-512)
Azioni sul collegamento: N=137.71 Ty=1.60 Tz=-49.33 Mx=0.36 Mz=2.22
Sollecitazioni agenti localmente: Tx_l=1.60 Ty_l=-49.33 N_l=137.71 My_l=-2.22 Mz_l=0.36
Azioni sul cordone: TP=-0.54 TO=3.92 NO=10.13
Tensioni nel cordone: τ_P=0.17 τ_0=1.24 σ_0=6.47 σ_{ID}=6.59 Σ_T=7.71
CC 12 SLD (Collegamento -378_-512)
Azioni sul collegamento: N=137.71 Ty=1.18 Tz=-49.33 Mx=0.30 Mz=1.82
Sollecitazioni agenti localmente: Tx_l=1.18 Ty_l=-49.33 N_l=137.71 My_l=-1.82 Mz_l=0.30
Azioni sul cordone: TP=-0.43 TO=3.87 NO=10.13
Tensioni nel cordone: τ_P=0.14 τ_0=1.23 σ_0=5.88 σ_{ID}=6.01 Σ_T=7.11
CC 12 SLD (Collegamento -378_-512)
Azioni sul collegamento: N=141.39 Ty=1.60 Tz=-49.90 Mx=0.36 Mz=2.22
Sollecitazioni agenti localmente: Tx_l=1.60 Ty_l=-49.90 N_l=141.39 My_l=-2.22 Mz_l=0.36
Azioni sul cordone: TP=-0.54 TO=3.96 NO=10.40
Tensioni nel cordone: τ_P=0.17 τ_0=1.26 σ_0=6.55 σ_{ID}=6.67 Σ_T=7.81
CC 12 SLD (Collegamento -378_-512)
Azioni sul collegamento: N=141.39 Ty=1.18 Tz=-49.90 Mx=0.30 Mz=1.82
Sollecitazioni agenti localmente: Tx_l=1.18 Ty_l=-49.90 N_l=141.39 My_l=-1.82 Mz_l=0.30
Azioni sul cordone: TP=-0.43 TO=3.91 NO=10.40
Tensioni nel cordone: τ_P=0.14 τ_0=1.24 σ_0=5.96 σ_{ID}=6.09 Σ_T=7.21
CC 12 SLD (Collegamento -378_-512)
Azioni sul collegamento: N=141.39 Ty=1.60 Tz=-49.90 Mx=0.36 Mz=2.22
Sollecitazioni agenti localmente: Tx_l=1.60 Ty_l=-49.90 N_l=141.39 My_l=-2.22 Mz_l=0.36
Azioni sul cordone: TP=-0.54 TO=3.96 NO=10.40
Tensioni nel cordone: τ_P=0.17 τ_0=1.26 σ_0=6.55 σ_{ID}=6.67 Σ_T=7.81
CC 12 SLD (Collegamento -378_-512)
Azioni sul collegamento: N=141.39 Ty=1.18 Tz=-49.90 Mx=0.30 Mz=1.82

Sollecitazioni agenti localmente: Tx_l=1.18 Ty_l=-49.90 N_l=141.39 My_l=-1.82 Mz_l=0.30
Azioni sul cordone: TP=-0.43 TO=3.91 NO=10.40
Tensioni nel cordone: τ_P=0.14 τ_0=1.24 σ_0=5.96 σ_{ID}=6.09 Σ_T=7.21
CC 13 SLV (Collegamento -378_-512)
Azioni sul collegamento: N=145.69 Ty=0.23 Tz=-50.57 Mx=0.13 Mz=0.80
Sollecitazioni agenti localmente: Tx_l=0.23 Ty_l=-50.57 N_l=145.69 My_l=-0.80 Mz_l=0.13
Azioni sul cordone: TP=-0.17 TO=3.83 NO=10.72
Tensioni nel cordone: τ_P= 0.05 τ_0=1.22 σ_0=4.57 σ_{ID}=4.73 Σ_T=5.79
CC 13 SLV (Collegamento -378_-512)
Azioni sul collegamento: N=145.69 Ty=1.62 Tz=-50.57 Mx=0.34 Mz=2.12
Sollecitazioni agenti localmente: Tx_l=1.62 Ty_l=-50.57 N_l=145.69 My_l=-2.12 Mz_l=0.34
Azioni sul cordone: TP=-0.51 TO=3.99 NO=10.72
Tensioni nel cordone: τ_P=0.16 τ_0=1.27 σ_0=6.51 σ_{ID}=6.63 Σ_T=7.77
CC 13 SLV (Collegamento -378_-512)
Azioni sul collegamento: N=145.69 Ty=0.23 Tz=-50.57 Mx=0.13 Mz=0.80
Sollecitazioni agenti localmente: Tx_l=0.23 Ty_l=-50.57 N_l=145.69 My_l=-0.80 Mz_l=0.13
Azioni sul cordone: TP=-0.17 TO=3.83 NO=10.72
Tensioni nel cordone: τ_P= 0.05 τ_0=1.22 σ_0=4.57 σ_{ID}=4.73 Σ_T=5.79
CC 13 SLV (Collegamento -378_-512)
Azioni sul collegamento: N=145.69 Ty=1.62 Tz=-50.57 Mx=0.34 Mz=2.12
Sollecitazioni agenti localmente: Tx_l=1.62 Ty_l=-50.57 N_l=145.69 My_l=-2.12 Mz_l=0.34
Azioni sul cordone: TP=-0.51 TO=3.99 NO=10.72
Tensioni nel cordone: τ_P=0.16 τ_0=1.27 σ_0=6.51 σ_{ID}=6.63 Σ_T=7.77
CC 13 SLV (Collegamento -378_-512)
Azioni sul collegamento: N=133.62 Ty=0.23 Tz=-48.70 Mx=0.13 Mz=0.80
Sollecitazioni agenti localmente: Tx_l=0.23 Ty_l=-48.70 N_l=133.62 My_l=-0.80 Mz_l=0.13
Azioni sul cordone: TP=-0.17 TO=3.69 NO=9.83
Tensioni nel cordone: τ_P= 0.05 τ_0=1.17 σ_0=4.29 σ_{ID}=4.45 Σ_T=5.46
CC 13 SLV (Collegamento -378_-512)
Azioni sul collegamento: N=133.62 Ty=1.62 Tz=-48.70 Mx=0.34 Mz=2.12
Sollecitazioni agenti localmente: Tx_l=1.62 Ty_l=-48.70 N_l=133.62 My_l=-2.12 Mz_l=0.34
Azioni sul cordone: TP=-0.51 TO=3.85 NO=9.83
Tensioni nel cordone: τ_P=0.16 τ_0=1.22 σ_0=6.22 σ_{ID}=6.34 Σ_T=7.45
CC 13 SLV (Collegamento -378_-512)
Azioni sul collegamento: N=133.62 Ty=0.23 Tz=-48.70 Mx=0.13 Mz=0.80
Sollecitazioni agenti localmente: Tx_l=0.23 Ty_l=-48.70 N_l=133.62 My_l=-0.80 Mz_l=0.13
Azioni sul cordone: TP=-0.17 TO=3.69 NO=9.83
Tensioni nel cordone: τ_P= 0.05 τ_0=1.17 σ_0=4.29 σ_{ID}=4.45 Σ_T=5.46
CC 13 SLV (Collegamento -378_-512)
Azioni sul collegamento: N=133.62 Ty=1.62 Tz=-48.70 Mx=0.34 Mz=2.12
Sollecitazioni agenti localmente: Tx_l=1.62 Ty_l=-48.70 N_l=133.62 My_l=-2.12 Mz_l=0.34
Azioni sul cordone: TP=-0.51 TO=3.85 NO=9.83
Tensioni nel cordone: τ_P=0.16 τ_0=1.22 σ_0=6.22 σ_{ID}=6.34 Σ_T=7.45
CC 14 SLD (Collegamento -378_-512)
Azioni sul collegamento: N=141.39 Ty=1.18 Tz=-49.90 Mx=0.30 Mz=1.82
Sollecitazioni agenti localmente: Tx_l=1.18 Ty_l=-49.90 N_l=141.39 My_l=-1.82 Mz_l=0.30
Azioni sul cordone: TP=-0.43 TO=3.91 NO=10.40
Tensioni nel cordone: τ_P=0.14 τ_0=1.24 σ_0=5.96 σ_{ID}=6.09 Σ_T=7.21
CC 14 SLD (Collegamento -378_-512)
Azioni sul collegamento: N=141.39 Ty=1.60 Tz=-49.90 Mx=0.36 Mz=2.22
Sollecitazioni agenti localmente: Tx_l=1.60 Ty_l=-49.90 N_l=141.39 My_l=-2.22 Mz_l=0.36
Azioni sul cordone: TP=-0.53 TO=3.96 NO=10.40
Tensioni nel cordone: τ_P=0.17 τ_0=1.26 σ_0=6.55 σ_{ID}=6.68 Σ_T=7.81
CC 14 SLD (Collegamento -378_-512)
Azioni sul collegamento: N=141.39 Ty=1.18 Tz=-49.90 Mx=0.30 Mz=1.82
Sollecitazioni agenti localmente: Tx_l=1.18 Ty_l=-49.90 N_l=141.39 My_l=-1.82 Mz_l=0.30
Azioni sul cordone: TP=-0.43 TO=3.91 NO=10.40
Tensioni nel cordone: τ_P=0.14 τ_0=1.24 σ_0=5.96 σ_{ID}=6.09 Σ_T=7.21
CC 14 SLD (Collegamento -378_-512)
Azioni sul collegamento: N=141.39 Ty=1.60 Tz=-49.90 Mx=0.36 Mz=2.22
Sollecitazioni agenti localmente: Tx_l=1.60 Ty_l=-49.90 N_l=141.39 My_l=-2.22 Mz_l=0.36
Azioni sul cordone: TP=-0.53 TO=3.96 NO=10.40
Tensioni nel cordone: τ_P=0.17 τ_0=1.26 σ_0=6.55 σ_{ID}=6.68 Σ_T=7.81
CC 14 SLD (Collegamento -378_-512)
Azioni sul collegamento: N=137.71 Ty=1.18 Tz=-49.33 Mx=0.30 Mz=1.82
Sollecitazioni agenti localmente: Tx_l=1.18 Ty_l=-49.33 N_l=137.71 My_l=-1.82 Mz_l=0.30
Azioni sul cordone: TP=-0.43 TO=3.86 NO=10.13
Tensioni nel cordone: τ_P=0.14 τ_0=1.23 σ_0=5.88 σ_{ID}=6.01 Σ_T=7.11
CC 14 SLD (Collegamento -378_-512)
Azioni sul collegamento: N=137.71 Ty=1.60 Tz=-49.33 Mx=0.36 Mz=2.22
Sollecitazioni agenti localmente: Tx_l=1.60 Ty_l=-49.33 N_l=137.71 My_l=-2.22 Mz_l=0.36
Azioni sul cordone: TP=-0.53 TO=3.91 NO=10.13
Tensioni nel cordone: τ_P=0.17 τ_0=1.24 σ_0=6.47 σ_{ID}=6.59 Σ_T=7.71
CC 14 SLD (Collegamento -378_-512)
Azioni sul collegamento: N=137.71 Ty=1.18 Tz=-49.33 Mx=0.30 Mz=1.82
Sollecitazioni agenti localmente: Tx_l=1.18 Ty_l=-49.33 N_l=137.71 My_l=-1.82 Mz_l=0.30
Azioni sul cordone: TP=-0.43 TO=3.86 NO=10.13
Tensioni nel cordone: τ_P=0.14 τ_0=1.23 σ_0=5.88 σ_{ID}=6.01 Σ_T=7.11
CC 14 SLD (Collegamento -378_-512)
Azioni sul collegamento: N=137.71 Ty=1.60 Tz=-49.33 Mx=0.36 Mz=2.22
Sollecitazioni agenti localmente: Tx_l=1.60 Ty_l=-49.33 N_l=137.71 My_l=-2.22 Mz_l=0.36

Azioni sul cordone: TP=-0.53 TO=3.91 NO=10.13
Tensioni nel cordone: τ_P=0.17 τ_0=1.24 σ_0=6.47 σ_{ID}=6.59 Σ_T=7.71
CC 15 SLV (Collegamento -378_-512)
Azioni sul collegamento: N=133.05 Ty=-0.16 Tz=-48.61 Mx=0.05 Mz=0.25
Sollecitazioni agenti localmente: Tx_l=-0.16 Ty_l=-48.61 N_l=133.05 My_l=-0.25 Mz_l=0.05
Azioni sul cordone: TP=-0.06 TO=-3.61 NO=9.79
Tensioni nel cordone: τ_P= 0.02 τ_0=1.15 σ_0=3.48 σ_{ID}=3.67 Σ_T=4.63
CC 15 SLV (Collegamento -378_-512)
Azioni sul collegamento: N=133.05 Ty=2.01 Tz=-48.61 Mx=0.42 Mz=2.67
Sollecitazioni agenti localmente: Tx_l=2.01 Ty_l=-48.61 N_l=133.05 My_l=-2.67 Mz_l=0.42
Azioni sul cordone: TP=-0.63 TO=3.91 NO=9.79
Tensioni nel cordone: τ_P=0.20 τ_0=1.24 σ_0=7.00 σ_{ID}=7.12 Σ_T=8.25
CC 15 SLV (Collegamento -378_-512)
Azioni sul collegamento: N=133.05 Ty=-0.16 Tz=-48.61 Mx=0.05 Mz=0.25
Sollecitazioni agenti localmente: Tx_l=-0.16 Ty_l=-48.61 N_l=133.05 My_l=-0.25 Mz_l=0.05
Azioni sul cordone: TP=-0.06 TO=-3.61 NO=9.79
Tensioni nel cordone: τ_P= 0.02 τ_0=1.15 σ_0=3.48 σ_{ID}=3.67 Σ_T=4.63
CC 15 SLV (Collegamento -378_-512)
Azioni sul collegamento: N=133.05 Ty=2.01 Tz=-48.61 Mx=0.42 Mz=2.67
Sollecitazioni agenti localmente: Tx_l=2.01 Ty_l=-48.61 N_l=133.05 My_l=-2.67 Mz_l=0.42
Azioni sul cordone: TP=-0.63 TO=3.91 NO=9.79
Tensioni nel cordone: τ_P=0.20 τ_0=1.24 σ_0=7.00 σ_{ID}=7.12 Σ_T=8.25
CC 15 SLV (Collegamento -378_-512)
Azioni sul collegamento: N=146.26 Ty=-0.16 Tz=-50.66 Mx=0.05 Mz=0.25
Sollecitazioni agenti localmente: Tx_l=-0.16 Ty_l=-50.66 N_l=146.26 My_l=-0.25 Mz_l=0.05
Azioni sul cordone: TP=-0.06 TO=-3.76 NO=10.76
Tensioni nel cordone: τ_P= 0.02 τ_0=1.20 σ_0=3.79 σ_{ID}=3.97 Σ_T=4.99
CC 15 SLV (Collegamento -378_-512)
Azioni sul collegamento: N=146.26 Ty=2.01 Tz=-50.66 Mx=0.42 Mz=2.67
Sollecitazioni agenti localmente: Tx_l=2.01 Ty_l=-50.66 N_l=146.26 My_l=-2.67 Mz_l=0.42
Azioni sul cordone: TP=-0.63 TO=4.06 NO=10.76
Tensioni nel cordone: τ_P=0.20 τ_0=1.29 σ_0=7.31 σ_{ID}=7.43 Σ_T=8.60
CC 15 SLV (Collegamento -378_-512)
Azioni sul collegamento: N=146.26 Ty=-0.16 Tz=-50.66 Mx=0.05 Mz=0.25
Sollecitazioni agenti localmente: Tx_l=-0.16 Ty_l=-50.66 N_l=146.26 My_l=-0.25 Mz_l=0.05
Azioni sul cordone: TP=-0.06 TO=-3.76 NO=10.76
Tensioni nel cordone: τ_P= 0.02 τ_0=1.20 σ_0=3.79 σ_{ID}=3.97 Σ_T=4.99
CC 15 SLV (Collegamento -378_-512)
Azioni sul collegamento: N=146.26 Ty=2.01 Tz=-50.66 Mx=0.42 Mz=2.67
Sollecitazioni agenti localmente: Tx_l=2.01 Ty_l=-50.66 N_l=146.26 My_l=-2.67 Mz_l=0.42
Azioni sul cordone: TP=-0.63 TO=4.06 NO=10.76
Tensioni nel cordone: τ_P=0.20 τ_0=1.29 σ_0=7.31 σ_{ID}=7.43 Σ_T=8.60
CC 16 SLD (Collegamento -378_-512)
Azioni sul collegamento: N=137.53 Ty=1.06 Tz=-49.31 Mx=0.27 Mz=1.65
Sollecitazioni agenti localmente: Tx_l=1.06 Ty_l=-49.31 N_l=137.53 My_l=-1.65 Mz_l=0.27
Azioni sul cordone: TP=-0.39 TO=3.84 NO=10.12
Tensioni nel cordone: τ_P=0.12 τ_0=1.22 σ_0=5.63 σ_{ID}=5.76 Σ_T=6.85
CC 16 SLD (Collegamento -378_-512)
Azioni sul collegamento: N=137.53 Ty=1.72 Tz=-49.31 Mx=0.39 Mz=2.39
Sollecitazioni agenti localmente: Tx_l=1.72 Ty_l=-49.31 N_l=137.53 My_l=-2.39 Mz_l=0.39
Azioni sul cordone: TP=-0.57 TO=3.93 NO=10.12
Tensioni nel cordone: τ_P=0.18 τ_0=1.25 σ_0=6.71 σ_{ID}=6.82 Σ_T=7.96
CC 16 SLD (Collegamento -378_-512)
Azioni sul collegamento: N=137.53 Ty=1.06 Tz=-49.31 Mx=0.27 Mz=1.65
Sollecitazioni agenti localmente: Tx_l=1.06 Ty_l=-49.31 N_l=137.53 My_l=-1.65 Mz_l=0.27
Azioni sul cordone: TP=-0.39 TO=3.84 NO=10.12
Tensioni nel cordone: τ_P=0.12 τ_0=1.22 σ_0=5.63 σ_{ID}=5.76 Σ_T=6.85
CC 16 SLD (Collegamento -378_-512)
Azioni sul collegamento: N=137.53 Ty=1.72 Tz=-49.31 Mx=0.39 Mz=2.39
Sollecitazioni agenti localmente: Tx_l=1.72 Ty_l=-49.31 N_l=137.53 My_l=-2.39 Mz_l=0.39
Azioni sul cordone: TP=-0.57 TO=3.93 NO=10.12
Tensioni nel cordone: τ_P=0.18 τ_0=1.25 σ_0=6.71 σ_{ID}=6.82 Σ_T=7.96
CC 16 SLD (Collegamento -378_-512)
Azioni sul collegamento: N=141.56 Ty=1.06 Tz=-49.93 Mx=0.27 Mz=1.65
Sollecitazioni agenti localmente: Tx_l=1.06 Ty_l=-49.93 N_l=141.56 My_l=-1.65 Mz_l=0.27
Azioni sul cordone: TP=-0.39 TO=3.89 NO=10.42
Tensioni nel cordone: τ_P=0.12 τ_0=1.24 σ_0=5.73 σ_{ID}=5.86 Σ_T=6.96
CC 16 SLD (Collegamento -378_-512)
Azioni sul collegamento: N=141.56 Ty=1.72 Tz=-49.93 Mx=0.39 Mz=2.39
Sollecitazioni agenti localmente: Tx_l=1.72 Ty_l=-49.93 N_l=141.56 My_l=-2.39 Mz_l=0.39
Azioni sul cordone: TP=-0.57 TO=3.98 NO=10.42
Tensioni nel cordone: τ_P=0.18 τ_0=1.26 σ_0=6.80 σ_{ID}=6.92 Σ_T=8.06
CC 16 SLD (Collegamento -378_-512)
Azioni sul collegamento: N=141.56 Ty=1.06 Tz=-49.93 Mx=0.27 Mz=1.65
Sollecitazioni agenti localmente: Tx_l=1.06 Ty_l=-49.93 N_l=141.56 My_l=-1.65 Mz_l=0.27
Azioni sul cordone: TP=-0.39 TO=3.89 NO=10.42
Tensioni nel cordone: τ_P=0.12 τ_0=1.24 σ_0=5.73 σ_{ID}=5.86 Σ_T=6.96
CC 16 SLD (Collegamento -378_-512)
Azioni sul collegamento: N=141.56 Ty=1.72 Tz=-49.93 Mx=0.39 Mz=2.39
Sollecitazioni agenti localmente: Tx_l=1.72 Ty_l=-49.93 N_l=141.56 My_l=-2.39 Mz_l=0.39
Azioni sul cordone: TP=-0.57 TO=3.98 NO=10.42

Tensioni nel cordone: τ_P=0.18 τ_0=1.26 σ_0=6.80 σ_{ID}=6.92 Σ_T=8.06
CC 17 SLV (Collegamento -378_-512)
Azioni sul collegamento: N=160.50 Ty=3.19 Tz=-52.86 Mx=0.69 Mz=4.26
Sollecitazioni agenti localmente: Tx_l=3.19 Ty_l=-52.86 N_l=160.50 My_l=-4.26 Mz_l=0.69
Azioni sul cordone: TP=-1.03 TO=4.44 NO=11.81
Tensioni nel cordone: τ_P=0.33 τ_0=1.41 σ_0=9.98 σ_{ID}=10.08 Σ_T=11.39
CC 17 SLV (Collegamento -378_-512)
Azioni sul collegamento: N=160.50 Ty=1.35 Tz=-52.86 Mx=0.33 Mz=1.89
Sollecitazioni agenti localmente: Tx_l=1.35 Ty_l=-52.86 N_l=160.50 My_l=-1.89 Mz_l=0.33
Azioni sul cordone: TP=-0.47 TO=4.15 NO=11.81
Tensioni nel cordone: τ_P=0.15 τ_0=1.32 σ_0=6.51 σ_{ID}=6.65 Σ_T=7.83
CC 17 SLV (Collegamento -378_-512)
Azioni sul collegamento: N=160.50 Ty=3.19 Tz=-52.86 Mx=0.69 Mz=4.26
Sollecitazioni agenti localmente: Tx_l=3.19 Ty_l=-52.86 N_l=160.50 My_l=-4.26 Mz_l=0.69
Azioni sul cordone: TP=-1.03 TO=4.44 NO=11.81
Tensioni nel cordone: τ_P=0.33 τ_0=1.41 σ_0=9.98 σ_{ID}=10.08 Σ_T=11.39
CC 17 SLV (Collegamento -378_-512)
Azioni sul collegamento: N=160.50 Ty=1.35 Tz=-52.86 Mx=0.33 Mz=1.89
Sollecitazioni agenti localmente: Tx_l=1.35 Ty_l=-52.86 N_l=160.50 My_l=-1.89 Mz_l=0.33
Azioni sul cordone: TP=-0.47 TO=4.15 NO=11.81
Tensioni nel cordone: τ_P=0.15 τ_0=1.32 σ_0=6.51 σ_{ID}=6.65 Σ_T=7.83
CC 17 SLV (Collegamento -378_-512)
Azioni sul collegamento: N=118.19 Ty=3.19 Tz=-46.31 Mx=0.69 Mz=4.26
Sollecitazioni agenti localmente: Tx_l=3.19 Ty_l=-46.31 N_l=118.19 My_l=-4.26 Mz_l=0.69
Azioni sul cordone: TP=-1.03 TO=3.95 NO=8.70
Tensioni nel cordone: τ_P=0.33 τ_0=1.26 σ_0=8.99 σ_{ID}=9.08 Σ_T=10.25
CC 17 SLV (Collegamento -378_-512)
Azioni sul collegamento: N=118.19 Ty=1.35 Tz=-46.31 Mx=0.33 Mz=1.89
Sollecitazioni agenti localmente: Tx_l=1.35 Ty_l=-46.31 N_l=118.19 My_l=-1.89 Mz_l=0.33
Azioni sul cordone: TP=-0.47 TO=3.66 NO=8.70
Tensioni nel cordone: τ_P=0.15 τ_0=1.16 σ_0=5.52 σ_{ID}=5.65 Σ_T=6.69
CC 17 SLV (Collegamento -378_-512)
Azioni sul collegamento: N=118.19 Ty=3.19 Tz=-46.31 Mx=0.69 Mz=4.26
Sollecitazioni agenti localmente: Tx_l=3.19 Ty_l=-46.31 N_l=118.19 My_l=-4.26 Mz_l=0.69
Azioni sul cordone: TP=-1.03 TO=3.95 NO=8.70
Tensioni nel cordone: τ_P=0.33 τ_0=1.26 σ_0=8.99 σ_{ID}=9.08 Σ_T=10.25
CC 17 SLV (Collegamento -378_-512)
Azioni sul collegamento: N=118.19 Ty=1.35 Tz=-46.31 Mx=0.33 Mz=1.89
Sollecitazioni agenti localmente: Tx_l=1.35 Ty_l=-46.31 N_l=118.19 My_l=-1.89 Mz_l=0.33
Azioni sul cordone: TP=-0.47 TO=3.66 NO=8.70
Tensioni nel cordone: τ_P=0.15 τ_0=1.16 σ_0=5.52 σ_{ID}=5.65 Σ_T=6.69
CC 18 SLD (Collegamento -378_-512)
Azioni sul collegamento: N=145.90 Ty=2.08 Tz=-50.60 Mx=0.47 Mz=2.88
Sollecitazioni agenti localmente: Tx_l=2.08 Ty_l=-50.60 N_l=145.90 My_l=-2.88 Mz_l=0.47
Azioni sul cordone: TP=-0.69 TO=4.09 NO=10.74
Tensioni nel cordone: τ_P=0.22 τ_0=1.30 σ_0=7.61 σ_{ID}=7.73 Σ_T=8.91
CC 18 SLD (Collegamento -378_-512)
Azioni sul collegamento: N=145.90 Ty=1.52 Tz=-50.60 Mx=0.36 Mz=2.15
Sollecitazioni agenti localmente: Tx_l=1.52 Ty_l=-50.60 N_l=145.90 My_l=-2.15 Mz_l=0.36
Azioni sul cordone: TP=-0.52 TO=4.00 NO=10.74
Tensioni nel cordone: τ_P=0.17 τ_0=1.27 σ_0=6.56 σ_{ID}=6.68 Σ_T=7.83
CC 18 SLD (Collegamento -378_-512)
Azioni sul collegamento: N=145.90 Ty=2.08 Tz=-50.60 Mx=0.47 Mz=2.88
Sollecitazioni agenti localmente: Tx_l=2.08 Ty_l=-50.60 N_l=145.90 My_l=-2.88 Mz_l=0.47
Azioni sul cordone: TP=-0.69 TO=4.09 NO=10.74
Tensioni nel cordone: τ_P=0.22 τ_0=1.30 σ_0=7.61 σ_{ID}=7.73 Σ_T=8.91
CC 18 SLD (Collegamento -378_-512)
Azioni sul collegamento: N=145.90 Ty=1.52 Tz=-50.60 Mx=0.36 Mz=2.15
Sollecitazioni agenti localmente: Tx_l=1.52 Ty_l=-50.60 N_l=145.90 My_l=-2.15 Mz_l=0.36
Azioni sul cordone: TP=-0.52 TO=4.00 NO=10.74
Tensioni nel cordone: τ_P=0.17 τ_0=1.27 σ_0=6.56 σ_{ID}=6.68 Σ_T=7.83
CC 18 SLD (Collegamento -378_-512)
Azioni sul collegamento: N=133.00 Ty=2.08 Tz=-48.61 Mx=0.47 Mz=2.88
Sollecitazioni agenti localmente: Tx_l=2.08 Ty_l=-48.61 N_l=133.00 My_l=-2.88 Mz_l=0.47
Azioni sul cordone: TP=-0.69 TO=3.95 NO=9.79
Tensioni nel cordone: τ_P=0.22 τ_0=1.25 σ_0=7.31 σ_{ID}=7.42 Σ_T=8.57
CC 18 SLD (Collegamento -378_-512)
Azioni sul collegamento: N=133.00 Ty=1.52 Tz=-48.61 Mx=0.36 Mz=2.15
Sollecitazioni agenti localmente: Tx_l=1.52 Ty_l=-48.61 N_l=133.00 My_l=-2.15 Mz_l=0.36
Azioni sul cordone: TP=-0.52 TO=3.86 NO=9.79
Tensioni nel cordone: τ_P=0.17 τ_0=1.23 σ_0=6.25 σ_{ID}=6.38 Σ_T=7.48
CC 18 SLD (Collegamento -378_-512)
Azioni sul collegamento: N=133.00 Ty=2.08 Tz=-48.61 Mx=0.47 Mz=2.88
Sollecitazioni agenti localmente: Tx_l=2.08 Ty_l=-48.61 N_l=133.00 My_l=-2.88 Mz_l=0.47
Azioni sul cordone: TP=-0.69 TO=3.95 NO=9.79
Tensioni nel cordone: τ_P=0.22 τ_0=1.25 σ_0=7.31 σ_{ID}=7.42 Σ_T=8.57
CC 18 SLD (Collegamento -378_-512)
Azioni sul collegamento: N=133.00 Ty=1.52 Tz=-48.61 Mx=0.36 Mz=2.15
Sollecitazioni agenti localmente: Tx_l=1.52 Ty_l=-48.61 N_l=133.00 My_l=-2.15 Mz_l=0.36
Azioni sul cordone: TP=-0.52 TO=3.86 NO=9.79
Tensioni nel cordone: τ_P=0.17 τ_0=1.23 σ_0=6.25 σ_{ID}=6.38 Σ_T=7.48

CC 19 SLV (Collegamento -378_-512)
Azioni sul collegamento: N=160.33 Ty=2.66 Tz=-52.83 Mx=0.60 Mz=3.70
Sollecitazioni agenti localmente: Tx_l=2.66 Ty_l=-52.83 N_l=160.33 My_l=-3.70 Mz_l=0.60
Azioni sul cordone: TP=-0.89 TO=4.36 NO=11.80
Tensioni nel cordone: τ_P=0.28 τ_0=1.39 σ_0=9.16 σ_{ID}=9.27 Σ_T=10.54
CC 19 SLV (Collegamento -378_-512)
Azioni sul collegamento: N=160.33 Ty=1.88 Tz=-52.83 Mx=0.41 Mz=2.45
Sollecitazioni agenti localmente: Tx_l=1.88 Ty_l=-52.83 N_l=160.33 My_l=-2.45 Mz_l=0.41
Azioni sul cordone: TP=-0.61 TO=4.21 NO=11.80
Tensioni nel cordone: τ_P=0.19 τ_0=1.34 σ_0=7.33 σ_{ID}=7.45 Σ_T=8.67
CC 19 SLV (Collegamento -378_-512)
Azioni sul collegamento: N=160.33 Ty=2.66 Tz=-52.83 Mx=0.60 Mz=3.70
Sollecitazioni agenti localmente: Tx_l=2.66 Ty_l=-52.83 N_l=160.33 My_l=-3.70 Mz_l=0.60
Azioni sul cordone: TP=-0.89 TO=4.36 NO=11.80
Tensioni nel cordone: τ_P=0.28 τ_0=1.39 σ_0=9.16 σ_{ID}=9.27 Σ_T=10.54
CC 19 SLV (Collegamento -378_-512)
Azioni sul collegamento: N=160.33 Ty=1.88 Tz=-52.83 Mx=0.41 Mz=2.45
Sollecitazioni agenti localmente: Tx_l=1.88 Ty_l=-52.83 N_l=160.33 My_l=-2.45 Mz_l=0.41
Azioni sul cordone: TP=-0.61 TO=4.21 NO=11.80
Tensioni nel cordone: τ_P=0.19 τ_0=1.34 σ_0=7.33 σ_{ID}=7.45 Σ_T=8.67
CC 19 SLV (Collegamento -378_-512)
Azioni sul collegamento: N=118.37 Ty=2.66 Tz=-46.34 Mx=0.60 Mz=3.70
Sollecitazioni agenti localmente: Tx_l=2.66 Ty_l=-46.34 N_l=118.37 My_l=-3.70 Mz_l=0.60
Azioni sul cordone: TP=-0.89 TO=3.88 NO=8.71
Tensioni nel cordone: τ_P=0.28 τ_0=1.23 σ_0=8.18 σ_{ID}=8.27 Σ_T=9.41
CC 19 SLV (Collegamento -378_-512)
Azioni sul collegamento: N=118.37 Ty=1.88 Tz=-46.34 Mx=0.41 Mz=2.45
Sollecitazioni agenti localmente: Tx_l=1.88 Ty_l=-46.34 N_l=118.37 My_l=-2.45 Mz_l=0.41
Azioni sul cordone: TP=-0.61 TO=3.73 NO=8.71
Tensioni nel cordone: τ_P=0.19 τ_0=1.19 σ_0=6.35 σ_{ID}=6.46 Σ_T=7.53
CC 19 SLV (Collegamento -378_-512)
Azioni sul collegamento: N=118.37 Ty=2.66 Tz=-46.34 Mx=0.60 Mz=3.70
Sollecitazioni agenti localmente: Tx_l=2.66 Ty_l=-46.34 N_l=118.37 My_l=-3.70 Mz_l=0.60
Azioni sul cordone: TP=-0.89 TO=3.88 NO=8.71
Tensioni nel cordone: τ_P=0.28 τ_0=1.23 σ_0=8.18 σ_{ID}=8.27 Σ_T=9.41
CC 19 SLV (Collegamento -378_-512)
Azioni sul collegamento: N=118.37 Ty=1.88 Tz=-46.34 Mx=0.41 Mz=2.45
Sollecitazioni agenti localmente: Tx_l=1.88 Ty_l=-46.34 N_l=118.37 My_l=-2.45 Mz_l=0.41
Azioni sul cordone: TP=-0.61 TO=3.73 NO=8.71
Tensioni nel cordone: τ_P=0.19 τ_0=1.19 σ_0=6.35 σ_{ID}=6.46 Σ_T=7.53
CC 20 SLD (Collegamento -378_-512)
Azioni sul collegamento: N=145.85 Ty=1.92 Tz=-50.59 Mx=0.44 Mz=2.71
Sollecitazioni agenti localmente: Tx_l=1.92 Ty_l=-50.59 N_l=145.85 My_l=-2.71 Mz_l=0.44
Azioni sul cordone: TP=-0.65 TO=4.07 NO=10.73
Tensioni nel cordone: τ_P=0.21 τ_0=1.29 σ_0=7.36 σ_{ID}=7.48 Σ_T=8.66
CC 20 SLD (Collegamento -378_-512)
Azioni sul collegamento: N=145.85 Ty=1.68 Tz=-50.59 Mx=0.38 Mz=2.32
Sollecitazioni agenti localmente: Tx_l=1.68 Ty_l=-50.59 N_l=145.85 My_l=-2.32 Mz_l=0.38
Azioni sul cordone: TP=-0.56 TO=4.02 NO=10.73
Tensioni nel cordone: τ_P=0.18 τ_0=1.28 σ_0=6.80 σ_{ID}=6.93 Σ_T=8.08
CC 20 SLD (Collegamento -378_-512)
Azioni sul collegamento: N=145.85 Ty=1.92 Tz=-50.59 Mx=0.44 Mz=2.71
Sollecitazioni agenti localmente: Tx_l=1.92 Ty_l=-50.59 N_l=145.85 My_l=-2.71 Mz_l=0.44
Azioni sul cordone: TP=-0.65 TO=4.07 NO=10.73
Tensioni nel cordone: τ_P=0.21 τ_0=1.29 σ_0=7.36 σ_{ID}=7.48 Σ_T=8.66
CC 20 SLD (Collegamento -378_-512)
Azioni sul collegamento: N=145.85 Ty=1.68 Tz=-50.59 Mx=0.38 Mz=2.32
Sollecitazioni agenti localmente: Tx_l=1.68 Ty_l=-50.59 N_l=145.85 My_l=-2.32 Mz_l=0.38
Azioni sul cordone: TP=-0.56 TO=4.02 NO=10.73
Tensioni nel cordone: τ_P=0.18 τ_0=1.28 σ_0=6.80 σ_{ID}=6.93 Σ_T=8.08
CC 20 SLD (Collegamento -378_-512)
Azioni sul collegamento: N=133.06 Ty=1.92 Tz=-48.61 Mx=0.44 Mz=2.71
Sollecitazioni agenti localmente: Tx_l=1.92 Ty_l=-48.61 N_l=133.06 My_l=-2.71 Mz_l=0.44
Azioni sul cordone: TP=-0.65 TO=3.92 NO=9.79
Tensioni nel cordone: τ_P=0.21 τ_0=1.25 σ_0=7.06 σ_{ID}=7.18 Σ_T=8.31
CC 20 SLD (Collegamento -378_-512)
Azioni sul collegamento: N=133.06 Ty=1.68 Tz=-48.61 Mx=0.38 Mz=2.32
Sollecitazioni agenti localmente: Tx_l=1.68 Ty_l=-48.61 N_l=133.06 My_l=-2.32 Mz_l=0.38
Azioni sul cordone: TP=-0.56 TO=3.88 NO=9.79
Tensioni nel cordone: τ_P=0.18 τ_0=1.23 σ_0=6.51 σ_{ID}=6.62 Σ_T=7.74
CC 20 SLD (Collegamento -378_-512)
Azioni sul collegamento: N=133.06 Ty=1.92 Tz=-48.61 Mx=0.44 Mz=2.71
Sollecitazioni agenti localmente: Tx_l=1.92 Ty_l=-48.61 N_l=133.06 My_l=-2.71 Mz_l=0.44
Azioni sul cordone: TP=-0.65 TO=3.92 NO=9.79
Tensioni nel cordone: τ_P=0.21 τ_0=1.25 σ_0=7.06 σ_{ID}=7.18 Σ_T=8.31
CC 20 SLD (Collegamento -378_-512)
Azioni sul collegamento: N=133.06 Ty=1.68 Tz=-48.61 Mx=0.38 Mz=2.32
Sollecitazioni agenti localmente: Tx_l=1.68 Ty_l=-48.61 N_l=133.06 My_l=-2.32 Mz_l=0.38
Azioni sul cordone: TP=-0.56 TO=3.88 NO=9.79
Tensioni nel cordone: τ_P=0.18 τ_0=1.23 σ_0=6.51 σ_{ID}=6.62 Σ_T=7.74
CC 21 SLV (Collegamento -378_-512)

Azioni sul collegamento: N=118.37 Ty=1.88 Tz=-46.34 Mx=0.40 Mz=2.45
Sollecitazioni agenti localmente: Tx_l=1.88 Ty_l=-46.34 N_l=118.37 My_l=-2.45 Mz_l=0.40
Azioni sul cordone: TP=-0.60 TO=3.72 NO=8.71
Tensioni nel cordone: τ_P=0.19 τ_0=1.18 σ_0=6.35 σ_{ID}=6.46 Σ_T=7.53
CC 21 SLV (Collegamento -378_-512)
Azioni sul collegamento: N=118.37 Ty=2.66 Tz=-46.34 Mx=0.59 Mz=3.70
Sollecitazioni agenti localmente: Tx_l=2.66 Ty_l=-46.34 N_l=118.37 My_l=-3.70 Mz_l=0.59
Azioni sul cordone: TP=-0.88 TO=3.88 NO=8.71
Tensioni nel cordone: τ_P=0.28 τ_0=1.23 σ_0=8.18 σ_{ID}=8.28 Σ_T=9.41
CC 21 SLV (Collegamento -378_-512)
Azioni sul collegamento: N=118.37 Ty=1.88 Tz=-46.34 Mx=0.40 Mz=2.45
Sollecitazioni agenti localmente: Tx_l=1.88 Ty_l=-46.34 N_l=118.37 My_l=-2.45 Mz_l=0.40
Azioni sul cordone: TP=-0.60 TO=3.72 NO=8.71
Tensioni nel cordone: τ_P=0.19 τ_0=1.18 σ_0=6.35 σ_{ID}=6.46 Σ_T=7.53
CC 21 SLV (Collegamento -378_-512)
Azioni sul collegamento: N=118.37 Ty=2.66 Tz=-46.34 Mx=0.59 Mz=3.70
Sollecitazioni agenti localmente: Tx_l=2.66 Ty_l=-46.34 N_l=118.37 My_l=-3.70 Mz_l=0.59
Azioni sul cordone: TP=-0.88 TO=3.88 NO=8.71
Tensioni nel cordone: τ_P=0.28 τ_0=1.23 σ_0=8.18 σ_{ID}=8.28 Σ_T=9.41
CC 21 SLV (Collegamento -378_-512)
Azioni sul collegamento: N=160.33 Ty=1.88 Tz=-52.83 Mx=0.40 Mz=2.45
Sollecitazioni agenti localmente: Tx_l=1.88 Ty_l=-52.83 N_l=160.33 My_l=-2.45 Mz_l=0.40
Azioni sul cordone: TP=-0.60 TO=4.20 NO=11.80
Tensioni nel cordone: τ_P=0.19 τ_0=1.34 σ_0=7.33 σ_{ID}=7.45 Σ_T=8.67
CC 21 SLV (Collegamento -378_-512)
Azioni sul collegamento: N=160.33 Ty=2.66 Tz=-52.83 Mx=0.59 Mz=3.70
Sollecitazioni agenti localmente: Tx_l=2.66 Ty_l=-52.83 N_l=160.33 My_l=-3.70 Mz_l=0.59
Azioni sul cordone: TP=-0.88 TO=4.36 NO=11.80
Tensioni nel cordone: τ_P=0.28 τ_0=1.38 σ_0=9.16 σ_{ID}=9.27 Σ_T=10.54
CC 21 SLV (Collegamento -378_-512)
Azioni sul collegamento: N=160.33 Ty=1.88 Tz=-52.83 Mx=0.40 Mz=2.45
Sollecitazioni agenti localmente: Tx_l=1.88 Ty_l=-52.83 N_l=160.33 My_l=-2.45 Mz_l=0.40
Azioni sul cordone: TP=-0.60 TO=4.20 NO=11.80
Tensioni nel cordone: τ_P=0.19 τ_0=1.34 σ_0=7.33 σ_{ID}=7.45 Σ_T=8.67
CC 21 SLV (Collegamento -378_-512)
Azioni sul collegamento: N=160.33 Ty=2.66 Tz=-52.83 Mx=0.59 Mz=3.70
Sollecitazioni agenti localmente: Tx_l=2.66 Ty_l=-52.83 N_l=160.33 My_l=-3.70 Mz_l=0.59
Azioni sul cordone: TP=-0.88 TO=4.36 NO=11.80
Tensioni nel cordone: τ_P=0.28 τ_0=1.38 σ_0=9.16 σ_{ID}=9.27 Σ_T=10.54
CC 22 SLD (Collegamento -378_-512)
Azioni sul collegamento: N=133.06 Ty=1.68 Tz=-48.61 Mx=0.38 Mz=2.32
Sollecitazioni agenti localmente: Tx_l=1.68 Ty_l=-48.61 N_l=133.06 My_l=-2.32 Mz_l=0.38
Azioni sul cordone: TP=-0.56 TO=3.88 NO=9.79
Tensioni nel cordone: τ_P=0.18 τ_0=1.23 σ_0=6.51 σ_{ID}=6.62 Σ_T=7.74
CC 22 SLD (Collegamento -378_-512)
Azioni sul collegamento: N=133.06 Ty=1.92 Tz=-48.61 Mx=0.44 Mz=2.71
Sollecitazioni agenti localmente: Tx_l=1.92 Ty_l=-48.61 N_l=133.06 My_l=-2.71 Mz_l=0.44
Azioni sul cordone: TP=-0.65 TO=3.92 NO=9.79
Tensioni nel cordone: τ_P=0.21 τ_0=1.25 σ_0=7.06 σ_{ID}=7.18 Σ_T=8.31
CC 22 SLD (Collegamento -378_-512)
Azioni sul collegamento: N=133.06 Ty=1.68 Tz=-48.61 Mx=0.38 Mz=2.32
Sollecitazioni agenti localmente: Tx_l=1.68 Ty_l=-48.61 N_l=133.06 My_l=-2.32 Mz_l=0.38
Azioni sul cordone: TP=-0.56 TO=3.88 NO=9.79
Tensioni nel cordone: τ_P=0.18 τ_0=1.23 σ_0=6.51 σ_{ID}=6.62 Σ_T=7.74
CC 22 SLD (Collegamento -378_-512)
Azioni sul collegamento: N=133.06 Ty=1.92 Tz=-48.61 Mx=0.44 Mz=2.71
Sollecitazioni agenti localmente: Tx_l=1.92 Ty_l=-48.61 N_l=133.06 My_l=-2.71 Mz_l=0.44
Azioni sul cordone: TP=-0.65 TO=3.92 NO=9.79
Tensioni nel cordone: τ_P=0.21 τ_0=1.25 σ_0=7.06 σ_{ID}=7.18 Σ_T=8.31
CC 22 SLD (Collegamento -378_-512)
Azioni sul collegamento: N=145.85 Ty=1.68 Tz=-50.59 Mx=0.38 Mz=2.32
Sollecitazioni agenti localmente: Tx_l=1.68 Ty_l=-50.59 N_l=145.85 My_l=-2.32 Mz_l=0.38
Azioni sul cordone: TP=-0.56 TO=4.02 NO=10.73
Tensioni nel cordone: τ_P=0.18 τ_0=1.28 σ_0=6.81 σ_{ID}=6.93 Σ_T=8.08
CC 22 SLD (Collegamento -378_-512)
Azioni sul collegamento: N=145.85 Ty=1.92 Tz=-50.59 Mx=0.44 Mz=2.71
Sollecitazioni agenti localmente: Tx_l=1.92 Ty_l=-50.59 N_l=145.85 My_l=-2.71 Mz_l=0.44
Azioni sul cordone: TP=-0.65 TO=4.07 NO=10.73
Tensioni nel cordone: τ_P=0.21 τ_0=1.29 σ_0=7.36 σ_{ID}=7.48 Σ_T=8.66
CC 22 SLD (Collegamento -378_-512)
Azioni sul collegamento: N=145.85 Ty=1.68 Tz=-50.59 Mx=0.38 Mz=2.32
Sollecitazioni agenti localmente: Tx_l=1.68 Ty_l=-50.59 N_l=145.85 My_l=-2.32 Mz_l=0.38
Azioni sul cordone: TP=-0.56 TO=4.02 NO=10.73
Tensioni nel cordone: τ_P=0.18 τ_0=1.28 σ_0=6.81 σ_{ID}=6.93 Σ_T=8.08
CC 22 SLD (Collegamento -378_-512)
Azioni sul collegamento: N=145.85 Ty=1.92 Tz=-50.59 Mx=0.44 Mz=2.71
Sollecitazioni agenti localmente: Tx_l=1.92 Ty_l=-50.59 N_l=145.85 My_l=-2.71 Mz_l=0.44
Azioni sul cordone: TP=-0.65 TO=4.07 NO=10.73
Tensioni nel cordone: τ_P=0.21 τ_0=1.29 σ_0=7.36 σ_{ID}=7.48 Σ_T=8.66
CC 23 SLV (Collegamento -378_-512)
Azioni sul collegamento: N=118.19 Ty=1.35 Tz=-46.31 Mx=0.31 Mz=1.89

Sollecitazioni agenti localmente: Tx_l=1.35 Ty_l=-46.31 N_l=118.19 My_l=-1.89 Mz_l=0.31
Azioni sul cordone: TP=-0.46 TO=3.65 NO=8.70
Tensioni nel cordone: τ_P=0.14 τ_0=1.16 σ_0=5.53 σ_{ID}=5.65 Σ_T=6.69
CC 23 SLV (Collegamento -378_-512)
Azioni sul collegamento: N=118.19 Ty=3.19 Tz=-46.31 Mx=0.68 Mz=4.27
Sollecitazioni agenti localmente: Tx_l=3.19 Ty_l=-46.31 N_l=118.19 My_l=-4.27 Mz_l=0.68
Azioni sul cordone: TP=-1.01 TO=3.94 NO=8.70
Tensioni nel cordone: τ_P=0.32 τ_0=1.25 σ_0=8.99 σ_{ID}=9.09 Σ_T=10.25
CC 23 SLV (Collegamento -378_-512)
Azioni sul collegamento: N=118.19 Ty=1.35 Tz=-46.31 Mx=0.31 Mz=1.89
Sollecitazioni agenti localmente: Tx_l=1.35 Ty_l=-46.31 N_l=118.19 My_l=-1.89 Mz_l=0.31
Azioni sul cordone: TP=-0.46 TO=3.65 NO=8.70
Tensioni nel cordone: τ_P=0.14 τ_0=1.16 σ_0=5.53 σ_{ID}=5.65 Σ_T=6.69
CC 23 SLV (Collegamento -378_-512)
Azioni sul collegamento: N=118.19 Ty=3.19 Tz=-46.31 Mx=0.68 Mz=4.27
Sollecitazioni agenti localmente: Tx_l=3.19 Ty_l=-46.31 N_l=118.19 My_l=-4.27 Mz_l=0.68
Azioni sul cordone: TP=-1.01 TO=3.94 NO=8.70
Tensioni nel cordone: τ_P=0.32 τ_0=1.25 σ_0=8.99 σ_{ID}=9.09 Σ_T=10.25
CC 23 SLV (Collegamento -378_-512)
Azioni sul collegamento: N=160.50 Ty=1.35 Tz=-52.86 Mx=0.31 Mz=1.89
Sollecitazioni agenti localmente: Tx_l=1.35 Ty_l=-52.86 N_l=160.50 My_l=-1.89 Mz_l=0.31
Azioni sul cordone: TP=-0.46 TO=4.13 NO=11.81
Tensioni nel cordone: τ_P=0.14 τ_0=1.31 σ_0=6.52 σ_{ID}=6.65 Σ_T=7.83
CC 23 SLV (Collegamento -378_-512)
Azioni sul collegamento: N=160.50 Ty=3.19 Tz=-52.86 Mx=0.68 Mz=4.27
Sollecitazioni agenti localmente: Tx_l=3.19 Ty_l=-52.86 N_l=160.50 My_l=-4.27 Mz_l=0.68
Azioni sul cordone: TP=-1.01 TO=4.42 NO=11.81
Tensioni nel cordone: τ_P=0.32 τ_0=1.41 σ_0=9.98 σ_{ID}=10.09 Σ_T=11.39
CC 23 SLV (Collegamento -378_-512)
Azioni sul collegamento: N=160.50 Ty=1.35 Tz=-52.86 Mx=0.31 Mz=1.89
Sollecitazioni agenti localmente: Tx_l=1.35 Ty_l=-52.86 N_l=160.50 My_l=-1.89 Mz_l=0.31
Azioni sul cordone: TP=-0.46 TO=4.13 NO=11.81
Tensioni nel cordone: τ_P=0.14 τ_0=1.31 σ_0=6.52 σ_{ID}=6.65 Σ_T=7.83
CC 23 SLV (Collegamento -378_-512)
Azioni sul collegamento: N=160.50 Ty=3.19 Tz=-52.86 Mx=0.68 Mz=4.27
Sollecitazioni agenti localmente: Tx_l=3.19 Ty_l=-52.86 N_l=160.50 My_l=-4.27 Mz_l=0.68
Azioni sul cordone: TP=-1.01 TO=4.42 NO=11.81
Tensioni nel cordone: τ_P=0.32 τ_0=1.41 σ_0=9.98 σ_{ID}=10.09 Σ_T=11.39
CC 24 SLD (Collegamento -378_-512)
Azioni sul collegamento: N=133.00 Ty=1.52 Tz=-48.61 Mx=0.35 Mz=2.15
Sollecitazioni agenti localmente: Tx_l=1.52 Ty_l=-48.61 N_l=133.00 My_l=-2.15 Mz_l=0.35
Azioni sul cordone: TP=-0.52 TO=3.85 NO=9.79
Tensioni nel cordone: τ_P=0.16 τ_0=1.22 σ_0=6.26 σ_{ID}=6.38 Σ_T=7.48
CC 24 SLD (Collegamento -378_-512)
Azioni sul collegamento: N=133.00 Ty=2.08 Tz=-48.61 Mx=0.46 Mz=2.88
Sollecitazioni agenti localmente: Tx_l=2.08 Ty_l=-48.61 N_l=133.00 My_l=-2.88 Mz_l=0.46
Azioni sul cordone: TP=-0.69 TO=3.94 NO=9.79
Tensioni nel cordone: τ_P=0.22 τ_0=1.25 σ_0=7.31 σ_{ID}=7.42 Σ_T=8.57
CC 24 SLD (Collegamento -378_-512)
Azioni sul collegamento: N=133.00 Ty=1.52 Tz=-48.61 Mx=0.35 Mz=2.15
Sollecitazioni agenti localmente: Tx_l=1.52 Ty_l=-48.61 N_l=133.00 My_l=-2.15 Mz_l=0.35
Azioni sul cordone: TP=-0.52 TO=3.85 NO=9.79
Tensioni nel cordone: τ_P=0.16 τ_0=1.22 σ_0=6.26 σ_{ID}=6.38 Σ_T=7.48
CC 24 SLD (Collegamento -378_-512)
Azioni sul collegamento: N=133.00 Ty=2.08 Tz=-48.61 Mx=0.46 Mz=2.88
Sollecitazioni agenti localmente: Tx_l=2.08 Ty_l=-48.61 N_l=133.00 My_l=-2.88 Mz_l=0.46
Azioni sul cordone: TP=-0.69 TO=3.94 NO=9.79
Tensioni nel cordone: τ_P=0.22 τ_0=1.25 σ_0=7.31 σ_{ID}=7.42 Σ_T=8.57
CC 24 SLD (Collegamento -378_-512)
Azioni sul collegamento: N=145.90 Ty=1.52 Tz=-50.60 Mx=0.35 Mz=2.15
Sollecitazioni agenti localmente: Tx_l=1.52 Ty_l=-50.60 N_l=145.90 My_l=-2.15 Mz_l=0.35
Azioni sul cordone: TP=-0.52 TO=4.00 NO=10.74
Tensioni nel cordone: τ_P=0.16 τ_0=1.27 σ_0=6.56 σ_{ID}=6.68 Σ_T=7.83
CC 24 SLD (Collegamento -378_-512)
Azioni sul collegamento: N=145.90 Ty=2.08 Tz=-50.60 Mx=0.46 Mz=2.88
Sollecitazioni agenti localmente: Tx_l=2.08 Ty_l=-50.60 N_l=145.90 My_l=-2.88 Mz_l=0.46
Azioni sul cordone: TP=-0.69 TO=4.09 NO=10.74
Tensioni nel cordone: τ_P=0.22 τ_0=1.30 σ_0=7.61 σ_{ID}=7.73 Σ_T=8.91
CC 24 SLD (Collegamento -378_-512)
Azioni sul collegamento: N=145.90 Ty=1.52 Tz=-50.60 Mx=0.35 Mz=2.15
Sollecitazioni agenti localmente: Tx_l=1.52 Ty_l=-50.60 N_l=145.90 My_l=-2.15 Mz_l=0.35
Azioni sul cordone: TP=-0.52 TO=4.00 NO=10.74
Tensioni nel cordone: τ_P=0.16 τ_0=1.27 σ_0=6.56 σ_{ID}=6.68 Σ_T=7.83
CC 24 SLD (Collegamento -378_-512)
Azioni sul collegamento: N=145.90 Ty=2.08 Tz=-50.60 Mx=0.46 Mz=2.88
Sollecitazioni agenti localmente: Tx_l=2.08 Ty_l=-50.60 N_l=145.90 My_l=-2.88 Mz_l=0.46
Azioni sul cordone: TP=-0.69 TO=4.09 NO=10.74
Tensioni nel cordone: τ_P=0.22 τ_0=1.30 σ_0=7.61 σ_{ID}=7.73 Σ_T=8.91
CC 25 SLV (Collegamento -378_-512)
Azioni sul collegamento: N=145.95 Ty=3.35 Tz=-50.61 Mx=0.69 Mz=4.28
Sollecitazioni agenti localmente: Tx_l=3.35 Ty_l=-50.61 N_l=145.95 My_l=-4.28 Mz_l=0.69

Azioni sul cordone: TP=-1.05 TO=4.27 NO=10.74
Tensioni nel cordone: τ_P=0.33 τ_0=1.36 σ_0=9.67 σ_{ID}=9.77 Σ_T=11.03
CC 25 SLV (Collegamento -378_-512)
Azioni sul collegamento: N=145.95 Ty=1.18 Tz=-50.61 Mx=0.32 Mz=1.87
Sollecitazioni agenti localmente: Tx_l=1.18 Ty_l=-50.61 N_l=145.95 My_l=-1.87 Mz_l=0.32
Azioni sul cordone: TP=-0.46 TO=3.98 NO=10.74
Tensioni nel cordone: τ_P=0.15 τ_0=1.26 σ_0=6.14 σ_{ID}=6.28 Σ_T=7.41
CC 25 SLV (Collegamento -378_-512)
Azioni sul collegamento: N=145.95 Ty=3.35 Tz=-50.61 Mx=0.69 Mz=4.28
Sollecitazioni agenti localmente: Tx_l=3.35 Ty_l=-50.61 N_l=145.95 My_l=-4.28 Mz_l=0.69
Azioni sul cordone: TP=-1.05 TO=4.27 NO=10.74
Tensioni nel cordone: τ_P=0.33 τ_0=1.36 σ_0=9.67 σ_{ID}=9.77 Σ_T=11.03
CC 25 SLV (Collegamento -378_-512)
Azioni sul collegamento: N=145.95 Ty=1.18 Tz=-50.61 Mx=0.32 Mz=1.87
Sollecitazioni agenti localmente: Tx_l=1.18 Ty_l=-50.61 N_l=145.95 My_l=-1.87 Mz_l=0.32
Azioni sul cordone: TP=-0.46 TO=3.98 NO=10.74
Tensioni nel cordone: τ_P=0.15 τ_0=1.26 σ_0=6.14 σ_{ID}=6.28 Σ_T=7.41
CC 25 SLV (Collegamento -378_-512)
Azioni sul collegamento: N=132.74 Ty=3.35 Tz=-48.57 Mx=0.69 Mz=4.28
Sollecitazioni agenti localmente: Tx_l=3.35 Ty_l=-48.57 N_l=132.74 My_l=-4.28 Mz_l=0.69
Azioni sul cordone: TP=-1.05 TO=4.12 NO=9.77
Tensioni nel cordone: τ_P=0.33 τ_0=1.31 σ_0=9.36 σ_{ID}=9.46 Σ_T=10.67
CC 25 SLV (Collegamento -378_-512)
Azioni sul collegamento: N=132.74 Ty=1.18 Tz=-48.57 Mx=0.32 Mz=1.87
Sollecitazioni agenti localmente: Tx_l=1.18 Ty_l=-48.57 N_l=132.74 My_l=-1.87 Mz_l=0.32
Azioni sul cordone: TP=-0.46 TO=3.83 NO=9.77
Tensioni nel cordone: τ_P=0.15 τ_0=1.22 σ_0=5.84 σ_{ID}=5.96 Σ_T=7.05
CC 25 SLV (Collegamento -378_-512)
Azioni sul collegamento: N=132.74 Ty=3.35 Tz=-48.57 Mx=0.69 Mz=4.28
Sollecitazioni agenti localmente: Tx_l=3.35 Ty_l=-48.57 N_l=132.74 My_l=-4.28 Mz_l=0.69
Azioni sul cordone: TP=-1.05 TO=4.12 NO=9.77
Tensioni nel cordone: τ_P=0.33 τ_0=1.31 σ_0=9.36 σ_{ID}=9.46 Σ_T=10.67
CC 25 SLV (Collegamento -378_-512)
Azioni sul collegamento: N=132.74 Ty=1.18 Tz=-48.57 Mx=0.32 Mz=1.87
Sollecitazioni agenti localmente: Tx_l=1.18 Ty_l=-48.57 N_l=132.74 My_l=-1.87 Mz_l=0.32
Azioni sul cordone: TP=-0.46 TO=3.83 NO=9.77
Tensioni nel cordone: τ_P=0.15 τ_0=1.22 σ_0=5.84 σ_{ID}=5.96 Σ_T=7.05
CC 26 SLD (Collegamento -378_-512)
Azioni sul collegamento: N=141.47 Ty=2.13 Tz=-49.92 Mx=0.47 Mz=2.88
Sollecitazioni agenti localmente: Tx_l=2.13 Ty_l=-49.92 N_l=141.47 My_l=-2.88 Mz_l=0.47
Azioni sul cordone: TP=-0.70 TO=4.04 NO=10.41
Tensioni nel cordone: τ_P=0.22 τ_0=1.28 σ_0=7.52 σ_{ID}=7.63 Σ_T=8.80
CC 26 SLD (Collegamento -378_-512)
Azioni sul collegamento: N=141.47 Ty=1.47 Tz=-49.92 Mx=0.36 Mz=2.15
Sollecitazioni agenti localmente: Tx_l=1.47 Ty_l=-49.92 N_l=141.47 My_l=-2.15 Mz_l=0.36
Azioni sul cordone: TP=-0.52 TO=3.95 NO=10.41
Tensioni nel cordone: τ_P=0.16 τ_0=1.26 σ_0=6.44 σ_{ID}=6.57 Σ_T=7.70
CC 26 SLD (Collegamento -378_-512)
Azioni sul collegamento: N=141.47 Ty=2.13 Tz=-49.92 Mx=0.47 Mz=2.88
Sollecitazioni agenti localmente: Tx_l=2.13 Ty_l=-49.92 N_l=141.47 My_l=-2.88 Mz_l=0.47
Azioni sul cordone: TP=-0.70 TO=4.04 NO=10.41
Tensioni nel cordone: τ_P=0.22 τ_0=1.28 σ_0=7.52 σ_{ID}=7.63 Σ_T=8.80
CC 26 SLD (Collegamento -378_-512)
Azioni sul collegamento: N=141.47 Ty=1.47 Tz=-49.92 Mx=0.36 Mz=2.15
Sollecitazioni agenti localmente: Tx_l=1.47 Ty_l=-49.92 N_l=141.47 My_l=-2.15 Mz_l=0.36
Azioni sul cordone: TP=-0.52 TO=3.95 NO=10.41
Tensioni nel cordone: τ_P=0.16 τ_0=1.26 σ_0=6.44 σ_{ID}=6.57 Σ_T=7.70
CC 26 SLD (Collegamento -378_-512)
Azioni sul collegamento: N=137.44 Ty=2.13 Tz=-49.29 Mx=0.47 Mz=2.88
Sollecitazioni agenti localmente: Tx_l=2.13 Ty_l=-49.29 N_l=137.44 My_l=-2.88 Mz_l=0.47
Azioni sul cordone: TP=-0.70 TO=4.00 NO=10.11
Tensioni nel cordone: τ_P=0.22 τ_0=1.27 σ_0=7.42 σ_{ID}=7.54 Σ_T=8.69
CC 26 SLD (Collegamento -378_-512)
Azioni sul collegamento: N=137.44 Ty=1.47 Tz=-49.29 Mx=0.36 Mz=2.15
Sollecitazioni agenti localmente: Tx_l=1.47 Ty_l=-49.29 N_l=137.44 My_l=-2.15 Mz_l=0.36
Azioni sul cordone: TP=-0.52 TO=3.91 NO=10.11
Tensioni nel cordone: τ_P=0.16 τ_0=1.24 σ_0=6.35 σ_{ID}=6.47 Σ_T=7.59
CC 26 SLD (Collegamento -378_-512)
Azioni sul collegamento: N=137.44 Ty=2.13 Tz=-49.29 Mx=0.47 Mz=2.88
Sollecitazioni agenti localmente: Tx_l=2.13 Ty_l=-49.29 N_l=137.44 My_l=-2.88 Mz_l=0.47
Azioni sul cordone: TP=-0.70 TO=4.00 NO=10.11
Tensioni nel cordone: τ_P=0.22 τ_0=1.27 σ_0=7.42 σ_{ID}=7.54 Σ_T=8.69
CC 26 SLD (Collegamento -378_-512)
Azioni sul collegamento: N=137.44 Ty=1.47 Tz=-49.29 Mx=0.36 Mz=2.15
Sollecitazioni agenti localmente: Tx_l=1.47 Ty_l=-49.29 N_l=137.44 My_l=-2.15 Mz_l=0.36
Azioni sul cordone: TP=-0.52 TO=3.91 NO=10.11
Tensioni nel cordone: τ_P=0.16 τ_0=1.24 σ_0=6.35 σ_{ID}=6.47 Σ_T=7.59
CC 27 SLV (Collegamento -378_-512)
Azioni sul collegamento: N=133.31 Ty=2.96 Tz=-48.65 Mx=0.61 Mz=3.74
Sollecitazioni agenti localmente: Tx_l=2.96 Ty_l=-48.65 N_l=133.31 My_l=-3.74 Mz_l=0.61
Azioni sul cordone: TP=-0.92 TO=4.06 NO=9.81

Tensioni nel cordone: τ_P=0.29 τ_0=1.29 σ_0=8.58 σ_{ID}=8.68 Σ_T=9.87
CC 27 SLV (Collegamento -378_-512)
Azioni sul collegamento: N=133.31 Ty=1.58 Tz=-48.65 Mx=0.40 Mz=2.41
Sollecitazioni agenti localmente: Tx_l=1.58 Ty_l=-48.65 N_l=133.31 My_l=-2.41 Mz_l=0.40
Azioni sul cordone: TP=-0.58 TO=3.90 NO=9.81
Tensioni nel cordone: τ_P=0.18 τ_0=1.24 σ_0=6.64 σ_{ID}=6.76 Σ_T=7.88
CC 27 SLV (Collegamento -378_-512)
Azioni sul collegamento: N=133.31 Ty=2.96 Tz=-48.65 Mx=0.61 Mz=3.74
Sollecitazioni agenti localmente: Tx_l=2.96 Ty_l=-48.65 N_l=133.31 My_l=-3.74 Mz_l=0.61
Azioni sul cordone: TP=-0.92 TO=4.06 NO=9.81
Tensioni nel cordone: τ_P=0.29 τ_0=1.29 σ_0=8.58 σ_{ID}=8.68 Σ_T=9.87
CC 27 SLV (Collegamento -378_-512)
Azioni sul collegamento: N=133.31 Ty=1.58 Tz=-48.65 Mx=0.40 Mz=2.41
Sollecitazioni agenti localmente: Tx_l=1.58 Ty_l=-48.65 N_l=133.31 My_l=-2.41 Mz_l=0.40
Azioni sul cordone: TP=-0.58 TO=3.90 NO=9.81
Tensioni nel cordone: τ_P=0.18 τ_0=1.24 σ_0=6.64 σ_{ID}=6.76 Σ_T=7.88
CC 27 SLV (Collegamento -378_-512)
Azioni sul collegamento: N=145.38 Ty=2.96 Tz=-50.52 Mx=0.61 Mz=3.74
Sollecitazioni agenti localmente: Tx_l=2.96 Ty_l=-50.52 N_l=145.38 My_l=-3.74 Mz_l=0.61
Azioni sul cordone: TP=-0.92 TO=4.20 NO=10.70
Tensioni nel cordone: τ_P=0.29 τ_0=1.33 σ_0=8.86 σ_{ID}=8.97 Σ_T=10.20
CC 27 SLV (Collegamento -378_-512)
Azioni sul collegamento: N=145.38 Ty=1.58 Tz=-50.52 Mx=0.40 Mz=2.41
Sollecitazioni agenti localmente: Tx_l=1.58 Ty_l=-50.52 N_l=145.38 My_l=-2.41 Mz_l=0.40
Azioni sul cordone: TP=-0.58 TO=4.03 NO=10.70
Tensioni nel cordone: τ_P=0.18 τ_0=1.28 σ_0=6.93 σ_{ID}=7.05 Σ_T=8.21
CC 27 SLV (Collegamento -378_-512)
Azioni sul collegamento: N=145.38 Ty=2.96 Tz=-50.52 Mx=0.61 Mz=3.74
Sollecitazioni agenti localmente: Tx_l=2.96 Ty_l=-50.52 N_l=145.38 My_l=-3.74 Mz_l=0.61
Azioni sul cordone: TP=-0.92 TO=4.20 NO=10.70
Tensioni nel cordone: τ_P=0.29 τ_0=1.33 σ_0=8.86 σ_{ID}=8.97 Σ_T=10.20
CC 27 SLV (Collegamento -378_-512)
Azioni sul collegamento: N=145.38 Ty=1.58 Tz=-50.52 Mx=0.40 Mz=2.41
Sollecitazioni agenti localmente: Tx_l=1.58 Ty_l=-50.52 N_l=145.38 My_l=-2.41 Mz_l=0.40
Azioni sul cordone: TP=-0.58 TO=4.03 NO=10.70
Tensioni nel cordone: τ_P=0.18 τ_0=1.28 σ_0=6.93 σ_{ID}=7.05 Σ_T=8.21
CC 28 SLD (Collegamento -378_-512)
Azioni sul collegamento: N=137.61 Ty=2.01 Tz=-49.32 Mx=0.44 Mz=2.72
Sollecitazioni agenti localmente: Tx_l=2.01 Ty_l=-49.32 N_l=137.61 My_l=-2.72 Mz_l=0.44
Azioni sul cordone: TP=-0.66 TO=3.98 NO=10.13
Tensioni nel cordone: τ_P=0.21 τ_0=1.26 σ_0=7.19 σ_{ID}=7.30 Σ_T=8.45
CC 28 SLD (Collegamento -378_-512)
Azioni sul collegamento: N=137.61 Ty=1.59 Tz=-49.32 Mx=0.38 Mz=2.31
Sollecitazioni agenti localmente: Tx_l=1.59 Ty_l=-49.32 N_l=137.61 My_l=-2.31 Mz_l=0.38
Azioni sul cordone: TP=-0.55 TO=3.93 NO=10.13
Tensioni nel cordone: τ_P=0.18 τ_0=1.25 σ_0=6.60 σ_{ID}=6.72 Σ_T=7.84
CC 28 SLD (Collegamento -378_-512)
Azioni sul collegamento: N=137.61 Ty=2.01 Tz=-49.32 Mx=0.44 Mz=2.72
Sollecitazioni agenti localmente: Tx_l=2.01 Ty_l=-49.32 N_l=137.61 My_l=-2.72 Mz_l=0.44
Azioni sul cordone: TP=-0.66 TO=3.98 NO=10.13
Tensioni nel cordone: τ_P=0.21 τ_0=1.26 σ_0=7.19 σ_{ID}=7.30 Σ_T=8.45
CC 28 SLD (Collegamento -378_-512)
Azioni sul collegamento: N=137.61 Ty=1.59 Tz=-49.32 Mx=0.38 Mz=2.31
Sollecitazioni agenti localmente: Tx_l=1.59 Ty_l=-49.32 N_l=137.61 My_l=-2.31 Mz_l=0.38
Azioni sul cordone: TP=-0.55 TO=3.93 NO=10.13
Tensioni nel cordone: τ_P=0.18 τ_0=1.25 σ_0=6.60 σ_{ID}=6.72 Σ_T=7.84
CC 28 SLD (Collegamento -378_-512)
Azioni sul collegamento: N=141.29 Ty=2.01 Tz=-49.89 Mx=0.44 Mz=2.72
Sollecitazioni agenti localmente: Tx_l=2.01 Ty_l=-49.89 N_l=141.29 My_l=-2.72 Mz_l=0.44
Azioni sul cordone: TP=-0.66 TO=4.02 NO=10.40
Tensioni nel cordone: τ_P=0.21 τ_0=1.28 σ_0=7.27 σ_{ID}=7.39 Σ_T=8.55
CC 28 SLD (Collegamento -378_-512)
Azioni sul collegamento: N=141.29 Ty=1.59 Tz=-49.89 Mx=0.38 Mz=2.31
Sollecitazioni agenti localmente: Tx_l=1.59 Ty_l=-49.89 N_l=141.29 My_l=-2.31 Mz_l=0.38
Azioni sul cordone: TP=-0.55 TO=3.97 NO=10.40
Tensioni nel cordone: τ_P=0.18 τ_0=1.26 σ_0=6.68 σ_{ID}=6.80 Σ_T=7.94
CC 28 SLD (Collegamento -378_-512)
Azioni sul collegamento: N=141.29 Ty=2.01 Tz=-49.89 Mx=0.44 Mz=2.72
Sollecitazioni agenti localmente: Tx_l=2.01 Ty_l=-49.89 N_l=141.29 My_l=-2.72 Mz_l=0.44
Azioni sul cordone: TP=-0.66 TO=4.02 NO=10.40
Tensioni nel cordone: τ_P=0.21 τ_0=1.28 σ_0=7.27 σ_{ID}=7.39 Σ_T=8.55
CC 28 SLD (Collegamento -378_-512)
Azioni sul collegamento: N=141.29 Ty=1.59 Tz=-49.89 Mx=0.38 Mz=2.31
Sollecitazioni agenti localmente: Tx_l=1.59 Ty_l=-49.89 N_l=141.29 My_l=-2.31 Mz_l=0.38
Azioni sul cordone: TP=-0.55 TO=3.97 NO=10.40
Tensioni nel cordone: τ_P=0.18 τ_0=1.26 σ_0=6.68 σ_{ID}=6.80 Σ_T=7.94
CC 29 SLV (Collegamento -378_-512)
Azioni sul collegamento: N=145.38 Ty=1.58 Tz=-50.52 Mx=0.40 Mz=2.42
Sollecitazioni agenti localmente: Tx_l=1.58 Ty_l=-50.52 N_l=145.38 My_l=-2.42 Mz_l=0.40
Azioni sul cordone: TP=-0.57 TO=4.03 NO=10.70
Tensioni nel cordone: τ_P=0.18 τ_0=1.28 σ_0=6.93 σ_{ID}=7.05 Σ_T=8.21

CC 29 SLV (Collegamento -378_-512)
Azioni sul collegamento: N=145.38 Ty=2.96 Tz=-50.52 Mx=0.60 Mz=3.74
Sollecitazioni agenti localmente: Tx_l=2.96 Ty_l=-50.52 N_l=145.38 My_l=-3.74 Mz_l=0.60
Azioni sul cordone: TP=-0.91 TO=4.19 NO=10.70
Tensioni nel cordone: τ_P=0.29 τ_0=1.33 σ_0=8.86 σ_{ID}=8.97 Σ_T=10.20
CC 29 SLV (Collegamento -378_-512)
Azioni sul collegamento: N=145.38 Ty=1.58 Tz=-50.52 Mx=0.40 Mz=2.42
Sollecitazioni agenti localmente: Tx_l=1.58 Ty_l=-50.52 N_l=145.38 My_l=-2.42 Mz_l=0.40
Azioni sul cordone: TP=-0.57 TO=4.03 NO=10.70
Tensioni nel cordone: τ_P=0.18 τ_0=1.28 σ_0=6.93 σ_{ID}=7.05 Σ_T=8.21
CC 29 SLV (Collegamento -378_-512)
Azioni sul collegamento: N=145.38 Ty=2.96 Tz=-50.52 Mx=0.60 Mz=3.74
Sollecitazioni agenti localmente: Tx_l=2.96 Ty_l=-50.52 N_l=145.38 My_l=-3.74 Mz_l=0.60
Azioni sul cordone: TP=-0.91 TO=4.19 NO=10.70
Tensioni nel cordone: τ_P=0.29 τ_0=1.33 σ_0=8.86 σ_{ID}=8.97 Σ_T=10.20
CC 29 SLV (Collegamento -378_-512)
Azioni sul collegamento: N=133.31 Ty=1.58 Tz=-48.65 Mx=0.40 Mz=2.42
Sollecitazioni agenti localmente: Tx_l=1.58 Ty_l=-48.65 N_l=133.31 My_l=-2.42 Mz_l=0.40
Azioni sul cordone: TP=-0.57 TO=3.89 NO=9.81
Tensioni nel cordone: τ_P=0.18 τ_0=1.24 σ_0=6.65 σ_{ID}=6.76 Σ_T=7.88
CC 29 SLV (Collegamento -378_-512)
Azioni sul collegamento: N=133.31 Ty=2.96 Tz=-48.65 Mx=0.60 Mz=3.74
Sollecitazioni agenti localmente: Tx_l=2.96 Ty_l=-48.65 N_l=133.31 My_l=-3.74 Mz_l=0.60
Azioni sul cordone: TP=-0.91 TO=4.05 NO=9.81
Tensioni nel cordone: τ_P=0.29 τ_0=1.29 σ_0=8.58 σ_{ID}=8.68 Σ_T=9.87
CC 29 SLV (Collegamento -378_-512)
Azioni sul collegamento: N=133.31 Ty=1.58 Tz=-48.65 Mx=0.40 Mz=2.42
Sollecitazioni agenti localmente: Tx_l=1.58 Ty_l=-48.65 N_l=133.31 My_l=-2.42 Mz_l=0.40
Azioni sul cordone: TP=-0.57 TO=3.89 NO=9.81
Tensioni nel cordone: τ_P=0.18 τ_0=1.24 σ_0=6.65 σ_{ID}=6.76 Σ_T=7.88
CC 29 SLV (Collegamento -378_-512)
Azioni sul collegamento: N=133.31 Ty=2.96 Tz=-48.65 Mx=0.60 Mz=3.74
Sollecitazioni agenti localmente: Tx_l=2.96 Ty_l=-48.65 N_l=133.31 My_l=-3.74 Mz_l=0.60
Azioni sul cordone: TP=-0.91 TO=4.05 NO=9.81
Tensioni nel cordone: τ_P=0.29 τ_0=1.29 σ_0=8.58 σ_{ID}=8.68 Σ_T=9.87
CC 30 SLD (Collegamento -378_-512)
Azioni sul collegamento: N=141.29 Ty=1.59 Tz=-49.89 Mx=0.38 Mz=2.31
Sollecitazioni agenti localmente: Tx_l=1.59 Ty_l=-49.89 N_l=141.29 My_l=-2.31 Mz_l=0.38
Azioni sul cordone: TP=-0.55 TO=3.97 NO=10.40
Tensioni nel cordone: τ_P=0.18 τ_0=1.26 σ_0=6.68 σ_{ID}=6.80 Σ_T=7.94
CC 30 SLD (Collegamento -378_-512)
Azioni sul collegamento: N=141.29 Ty=2.01 Tz=-49.89 Mx=0.44 Mz=2.72
Sollecitazioni agenti localmente: Tx_l=2.01 Ty_l=-49.89 N_l=141.29 My_l=-2.72 Mz_l=0.44
Azioni sul cordone: TP=-0.66 TO=4.02 NO=10.40
Tensioni nel cordone: τ_P=0.21 τ_0=1.28 σ_0=7.27 σ_{ID}=7.39 Σ_T=8.55
CC 30 SLD (Collegamento -378_-512)
Azioni sul collegamento: N=141.29 Ty=1.59 Tz=-49.89 Mx=0.38 Mz=2.31
Sollecitazioni agenti localmente: Tx_l=1.59 Ty_l=-49.89 N_l=141.29 My_l=-2.31 Mz_l=0.38
Azioni sul cordone: TP=-0.55 TO=3.97 NO=10.40
Tensioni nel cordone: τ_P=0.18 τ_0=1.26 σ_0=6.68 σ_{ID}=6.80 Σ_T=7.94
CC 30 SLD (Collegamento -378_-512)
Azioni sul collegamento: N=141.29 Ty=2.01 Tz=-49.89 Mx=0.44 Mz=2.72
Sollecitazioni agenti localmente: Tx_l=2.01 Ty_l=-49.89 N_l=141.29 My_l=-2.72 Mz_l=0.44
Azioni sul cordone: TP=-0.66 TO=4.02 NO=10.40
Tensioni nel cordone: τ_P=0.21 τ_0=1.28 σ_0=7.27 σ_{ID}=7.39 Σ_T=8.55
CC 30 SLD (Collegamento -378_-512)
Azioni sul collegamento: N=137.61 Ty=1.59 Tz=-49.32 Mx=0.38 Mz=2.31
Sollecitazioni agenti localmente: Tx_l=1.59 Ty_l=-49.32 N_l=137.61 My_l=-2.31 Mz_l=0.38
Azioni sul cordone: TP=-0.55 TO=3.93 NO=10.13
Tensioni nel cordone: τ_P=0.18 τ_0=1.25 σ_0=6.60 σ_{ID}=6.72 Σ_T=7.84
CC 30 SLD (Collegamento -378_-512)
Azioni sul collegamento: N=137.61 Ty=2.01 Tz=-49.32 Mx=0.44 Mz=2.72
Sollecitazioni agenti localmente: Tx_l=2.01 Ty_l=-49.32 N_l=137.61 My_l=-2.72 Mz_l=0.44
Azioni sul cordone: TP=-0.66 TO=3.98 NO=10.13
Tensioni nel cordone: τ_P=0.21 τ_0=1.26 σ_0=7.19 σ_{ID}=7.30 Σ_T=8.45
CC 30 SLD (Collegamento -378_-512)
Azioni sul collegamento: N=137.61 Ty=1.59 Tz=-49.32 Mx=0.38 Mz=2.31
Sollecitazioni agenti localmente: Tx_l=1.59 Ty_l=-49.32 N_l=137.61 My_l=-2.31 Mz_l=0.38
Azioni sul cordone: TP=-0.55 TO=3.93 NO=10.13
Tensioni nel cordone: τ_P=0.18 τ_0=1.25 σ_0=6.60 σ_{ID}=6.72 Σ_T=7.84
CC 30 SLD (Collegamento -378_-512)
Azioni sul collegamento: N=137.61 Ty=2.01 Tz=-49.32 Mx=0.44 Mz=2.72
Sollecitazioni agenti localmente: Tx_l=2.01 Ty_l=-49.32 N_l=137.61 My_l=-2.72 Mz_l=0.44
Azioni sul cordone: TP=-0.66 TO=3.98 NO=10.13
Tensioni nel cordone: τ_P=0.21 τ_0=1.26 σ_0=7.19 σ_{ID}=7.30 Σ_T=8.45
CC 31 SLV (Collegamento -378_-512)
Azioni sul collegamento: N=132.74 Ty=1.18 Tz=-48.57 Mx=0.31 Mz=1.87
Sollecitazioni agenti localmente: Tx_l=1.18 Ty_l=-48.57 N_l=132.74 My_l=-1.87 Mz_l=0.31
Azioni sul cordone: TP=-0.44 TO=3.82 NO=9.77
Tensioni nel cordone: τ_P=0.14 τ_0=1.21 σ_0=5.84 σ_{ID}=5.97 Σ_T=7.05
CC 31 SLV (Collegamento -378_-512)

Azioni sul collegamento: N=132.74 Ty=3.35 Tz=-48.57 Mx=0.68 Mz=4.28
Sollecitazioni agenti localmente: Tx_l=3.35 Ty_l=-48.57 N_l=132.74 My_l=-4.28 Mz_l=0.68
Azioni sul cordone: TP=-1.03 TO=4.11 NO=9.77
Tensioni nel cordone: τ_P=0.33 τ_0=1.31 σ_0=9.36 σ_{ID}=9.46 Σ_T=10.67
CC 31 SLV (Collegamento -378_-512)
Azioni sul collegamento: N=132.74 Ty=1.18 Tz=-48.57 Mx=0.31 Mz=1.87
Sollecitazioni agenti localmente: Tx_l=1.18 Ty_l=-48.57 N_l=132.74 My_l=-1.87 Mz_l=0.31
Azioni sul cordone: TP=-0.44 TO=3.82 NO=9.77
Tensioni nel cordone: τ_P=0.14 τ_0=1.21 σ_0=5.84 σ_{ID}=5.97 Σ_T=7.05
CC 31 SLV (Collegamento -378_-512)
Azioni sul collegamento: N=132.74 Ty=3.35 Tz=-48.57 Mx=0.68 Mz=4.28
Sollecitazioni agenti localmente: Tx_l=3.35 Ty_l=-48.57 N_l=132.74 My_l=-4.28 Mz_l=0.68
Azioni sul cordone: TP=-1.03 TO=4.11 NO=9.77
Tensioni nel cordone: τ_P=0.33 τ_0=1.31 σ_0=9.36 σ_{ID}=9.46 Σ_T=10.67
CC 31 SLV (Collegamento -378_-512)
Azioni sul collegamento: N=145.95 Ty=1.18 Tz=-50.61 Mx=0.31 Mz=1.87
Sollecitazioni agenti localmente: Tx_l=1.18 Ty_l=-50.61 N_l=145.95 My_l=-1.87 Mz_l=0.31
Azioni sul cordone: TP=-0.44 TO=3.97 NO=10.74
Tensioni nel cordone: τ_P=0.14 τ_0=1.26 σ_0=6.15 σ_{ID}=6.28 Σ_T=7.41
CC 31 SLV (Collegamento -378_-512)
Azioni sul collegamento: N=145.95 Ty=3.35 Tz=-50.61 Mx=0.68 Mz=4.28
Sollecitazioni agenti localmente: Tx_l=3.35 Ty_l=-50.61 N_l=145.95 My_l=-4.28 Mz_l=0.68
Azioni sul cordone: TP=-1.03 TO=4.26 NO=10.74
Tensioni nel cordone: τ_P=0.33 τ_0=1.35 σ_0=9.67 σ_{ID}=9.77 Σ_T=11.03
CC 31 SLV (Collegamento -378_-512)
Azioni sul collegamento: N=145.95 Ty=1.18 Tz=-50.61 Mx=0.31 Mz=1.87
Sollecitazioni agenti localmente: Tx_l=1.18 Ty_l=-50.61 N_l=145.95 My_l=-1.87 Mz_l=0.31
Azioni sul cordone: TP=-0.44 TO=3.97 NO=10.74
Tensioni nel cordone: τ_P=0.14 τ_0=1.26 σ_0=6.15 σ_{ID}=6.28 Σ_T=7.41
CC 31 SLV (Collegamento -378_-512)
Azioni sul collegamento: N=145.95 Ty=3.35 Tz=-50.61 Mx=0.68 Mz=4.28
Sollecitazioni agenti localmente: Tx_l=3.35 Ty_l=-50.61 N_l=145.95 My_l=-4.28 Mz_l=0.68
Azioni sul cordone: TP=-1.03 TO=4.26 NO=10.74
Tensioni nel cordone: τ_P=0.33 τ_0=1.35 σ_0=9.67 σ_{ID}=9.77 Σ_T=11.03
CC 32 SLD (Collegamento -378_-512)
Azioni sul collegamento: N=137.44 Ty=1.47 Tz=-49.29 Mx=0.35 Mz=2.15
Sollecitazioni agenti localmente: Tx_l=1.47 Ty_l=-49.29 N_l=137.44 My_l=-2.15 Mz_l=0.35
Azioni sul cordone: TP=-0.51 TO=3.90 NO=10.11
Tensioni nel cordone: τ_P=0.16 τ_0=1.24 σ_0=6.35 σ_{ID}=6.47 Σ_T=7.59
CC 32 SLD (Collegamento -378_-512)
Azioni sul collegamento: N=137.44 Ty=2.13 Tz=-49.29 Mx=0.46 Mz=2.88
Sollecitazioni agenti localmente: Tx_l=2.13 Ty_l=-49.29 N_l=137.44 My_l=-2.88 Mz_l=0.46
Azioni sul cordone: TP=-0.69 TO=3.99 NO=10.11
Tensioni nel cordone: τ_P=0.22 τ_0=1.27 σ_0=7.42 σ_{ID}=7.54 Σ_T=8.69
CC 32 SLD (Collegamento -378_-512)
Azioni sul collegamento: N=137.44 Ty=1.47 Tz=-49.29 Mx=0.35 Mz=2.15
Sollecitazioni agenti localmente: Tx_l=1.47 Ty_l=-49.29 N_l=137.44 My_l=-2.15 Mz_l=0.35
Azioni sul cordone: TP=-0.51 TO=3.90 NO=10.11
Tensioni nel cordone: τ_P=0.16 τ_0=1.24 σ_0=6.35 σ_{ID}=6.47 Σ_T=7.59
CC 32 SLD (Collegamento -378_-512)
Azioni sul collegamento: N=137.44 Ty=2.13 Tz=-49.29 Mx=0.46 Mz=2.88
Sollecitazioni agenti localmente: Tx_l=2.13 Ty_l=-49.29 N_l=137.44 My_l=-2.88 Mz_l=0.46
Azioni sul cordone: TP=-0.69 TO=3.99 NO=10.11
Tensioni nel cordone: τ_P=0.22 τ_0=1.27 σ_0=7.42 σ_{ID}=7.54 Σ_T=8.69
CC 32 SLD (Collegamento -378_-512)
Azioni sul collegamento: N=141.47 Ty=1.47 Tz=-49.92 Mx=0.35 Mz=2.15
Sollecitazioni agenti localmente: Tx_l=1.47 Ty_l=-49.92 N_l=141.47 My_l=-2.15 Mz_l=0.35
Azioni sul cordone: TP=-0.51 TO=3.95 NO=10.41
Tensioni nel cordone: τ_P=0.16 τ_0=1.26 σ_0=6.44 σ_{ID}=6.57 Σ_T=7.70
CC 32 SLD (Collegamento -378_-512)
Azioni sul collegamento: N=141.47 Ty=2.13 Tz=-49.92 Mx=0.46 Mz=2.88
Sollecitazioni agenti localmente: Tx_l=2.13 Ty_l=-49.92 N_l=141.47 My_l=-2.88 Mz_l=0.46
Azioni sul cordone: TP=-0.69 TO=4.04 NO=10.41
Tensioni nel cordone: τ_P=0.22 τ_0=1.28 σ_0=7.52 σ_{ID}=7.63 Σ_T=8.80
CC 32 SLD (Collegamento -378_-512)
Azioni sul collegamento: N=141.47 Ty=1.47 Tz=-49.92 Mx=0.35 Mz=2.15
Sollecitazioni agenti localmente: Tx_l=1.47 Ty_l=-49.92 N_l=141.47 My_l=-2.15 Mz_l=0.35
Azioni sul cordone: TP=-0.51 TO=3.95 NO=10.41
Tensioni nel cordone: τ_P=0.16 τ_0=1.26 σ_0=6.44 σ_{ID}=6.57 Σ_T=7.70
CC 32 SLD (Collegamento -378_-512)
Azioni sul collegamento: N=141.47 Ty=2.13 Tz=-49.92 Mx=0.46 Mz=2.88
Sollecitazioni agenti localmente: Tx_l=2.13 Ty_l=-49.92 N_l=141.47 My_l=-2.88 Mz_l=0.46
Azioni sul cordone: TP=-0.69 TO=4.04 NO=10.41
Tensioni nel cordone: τ_P=0.22 τ_0=1.28 σ_0=7.52 σ_{ID}=7.63 Σ_T=8.80
CC 33 SLU (Collegamento -378_-512)
Azioni sul collegamento: N=353.36 Ty=2.81 Tz=-92.52 Mx=0.65 Mz=4.01
Sollecitazioni agenti localmente: Tx_l=2.81 Ty_l=-92.52 N_l=353.36 My_l=-4.01 Mz_l=0.65
Azioni sul cordone: TP=-0.96 TO=7.32 NO=26.00
Tensioni nel cordone: τ_P=0.30 τ_0=2.33 σ_0=14.12 σ_{ID}=14.32 Σ_T=16.45
CC 34 SLU (Collegamento -378_-512)
Azioni sul collegamento: N=348.98 Ty=2.67 Tz=-91.84 Mx=0.62 Mz=3.82

Sollecitazioni agenti localmente: Tx_l=2.67 Ty_l=-91.84 N_l=348.98 My_l=-3.82 Mz_l=0.62
Azioni sul cordone: TP=-0.91 TO=7.25 NO=25.68
Tensioni nel cordone: τ_P=0.29 τ_0=2.30 σ_0=13.74 σ_{ID}=13.94 Σ_T=16.04
CC 35 SLU (Collegamento -378_-512)
Azioni sul collegamento: N=351.14 Ty=2.83 Tz=-92.17 Mx=0.65 Mz=4.01
Sollecitazioni agenti localmente: Tx_l=2.83 Ty_l=-92.17 N_l=351.14 My_l=-4.01 Mz_l=0.65
Azioni sul cordone: TP=-0.96 TO=7.30 NO=25.84
Tensioni nel cordone: τ_P=0.30 τ_0=2.32 σ_0=14.07 σ_{ID}=14.26 Σ_T=16.39
CC 36 SLU (Collegamento -378_-512)
Azioni sul collegamento: N=351.20 Ty=2.65 Tz=-92.18 Mx=0.62 Mz=3.82
Sollecitazioni agenti localmente: Tx_l=2.65 Ty_l=-92.18 N_l=351.20 My_l=-3.82 Mz_l=0.62
Azioni sul cordone: TP=-0.91 TO=7.27 NO=25.84
Tensioni nel cordone: τ_P=0.29 τ_0=2.31 σ_0=13.79 σ_{ID}=13.99 Σ_T=16.10
CC 37 SLU (Collegamento -378_-512)
Azioni sul collegamento: N=284.39 Ty=3.06 Tz=-81.84 Mx=0.70 Mz=4.33
Sollecitazioni agenti localmente: Tx_l=3.06 Ty_l=-81.84 N_l=284.39 My_l=-4.33 Mz_l=0.70
Azioni sul cordone: TP=-1.04 TO=6.58 NO=20.93
Tensioni nel cordone: τ_P=0.33 τ_0=2.09 σ_0=12.98 σ_{ID}=13.15 Σ_T=15.07
CC 38 SLU (Collegamento -378_-512)
Azioni sul collegamento: N=280.01 Ty=2.92 Tz=-81.16 Mx=0.67 Mz=4.14
Sollecitazioni agenti localmente: Tx_l=2.92 Ty_l=-81.16 N_l=280.01 My_l=-4.14 Mz_l=0.67
Azioni sul cordone: TP=-0.99 TO=6.50 NO=20.60
Tensioni nel cordone: τ_P=0.31 τ_0=2.07 σ_0=12.60 σ_{ID}=12.77 Σ_T=14.67
CC 39 SLU (Collegamento -378_-512)
Azioni sul collegamento: N=282.17 Ty=3.08 Tz=-81.50 Mx=0.70 Mz=4.34
Sollecitazioni agenti localmente: Tx_l=3.08 Ty_l=-81.50 N_l=282.17 My_l=-4.34 Mz_l=0.70
Azioni sul cordone: TP=-1.04 TO=6.55 NO=20.76
Tensioni nel cordone: τ_P=0.33 τ_0=2.08 σ_0=12.93 σ_{ID}=13.10 Σ_T=15.01
CC 40 SLU (Collegamento -378_-512)
Azioni sul collegamento: N=282.23 Ty=2.90 Tz=-81.51 Mx=0.67 Mz=4.14
Sollecitazioni agenti localmente: Tx_l=2.90 Ty_l=-81.51 N_l=282.23 My_l=-4.14 Mz_l=0.67
Azioni sul cordone: TP=-0.99 TO=6.53 NO=20.77
Tensioni nel cordone: τ_P=0.31 τ_0=2.07 σ_0=12.65 σ_{ID}=12.82 Σ_T=14.73
CC 41 SLU (Collegamento -378_-512)
Azioni sul collegamento: N=346.10 Ty=0.73 Tz=-91.39 Mx=0.19 Mz=1.07
Sollecitazioni agenti localmente: Tx_l=0.73 Ty_l=-91.39 N_l=346.10 My_l=-1.07 Mz_l=0.19
Azioni sul cordone: TP=-0.28 TO=6.88 NO=25.47
Tensioni nel cordone: τ_P= 0.09 τ_0=2.19 σ_0=9.65 σ_{ID}=9.90 Σ_T=11.84
CC 42 SLU (Collegamento -378_-512)
Azioni sul collegamento: N=341.71 Ty=0.59 Tz=-90.71 Mx=0.16 Mz=0.88
Sollecitazioni agenti localmente: Tx_l=0.59 Ty_l=-90.71 N_l=341.71 My_l=-0.88 Mz_l=0.16
Azioni sul cordone: TP=-0.23 TO=6.80 NO=25.14
Tensioni nel cordone: τ_P= 0.07 τ_0=2.16 σ_0=9.27 σ_{ID}=9.52 Σ_T=11.43
CC 43 SLU (Collegamento -378_-512)
Azioni sul collegamento: N=343.87 Ty=0.75 Tz=-91.05 Mx=0.19 Mz=1.07
Sollecitazioni agenti localmente: Tx_l=0.75 Ty_l=-91.05 N_l=343.87 My_l=-1.07 Mz_l=0.19
Azioni sul cordone: TP=-0.28 TO=6.85 NO=25.30
Tensioni nel cordone: τ_P= 0.09 τ_0=2.18 σ_0=9.60 σ_{ID}=9.85 Σ_T=11.78
CC 44 SLU (Collegamento -378_-512)
Azioni sul collegamento: N=343.94 Ty=0.57 Tz=-91.06 Mx=0.16 Mz=0.87
Sollecitazioni agenti localmente: Tx_l=0.57 Ty_l=-91.06 N_l=343.94 My_l=-0.87 Mz_l=0.16
Azioni sul cordone: TP=-0.23 TO=6.83 NO=25.31
Tensioni nel cordone: τ_P= 0.07 τ_0=2.17 σ_0=9.32 σ_{ID}=9.57 Σ_T=11.49
CC 45 SLU (Collegamento -378_-512)
Azioni sul collegamento: N=300.34 Ty=2.91 Tz=-84.31 Mx=0.67 Mz=4.15
Sollecitazioni agenti localmente: Tx_l=2.91 Ty_l=-84.31 N_l=300.34 My_l=-4.15 Mz_l=0.67
Azioni sul cordone: TP=-0.99 TO=6.74 NO=22.10
Tensioni nel cordone: τ_P=0.31 τ_0=2.14 σ_0=13.08 σ_{ID}=13.26 Σ_T=15.22
CC 46 SLU (Collegamento -378_-512)
Azioni sul collegamento: N=295.96 Ty=2.77 Tz=-83.63 Mx=0.64 Mz=3.95
Sollecitazioni agenti localmente: Tx_l=2.77 Ty_l=-83.63 N_l=295.96 My_l=-3.95 Mz_l=0.64
Azioni sul cordone: TP=-0.94 TO=6.66 NO=21.78
Tensioni nel cordone: τ_P=0.30 τ_0=2.12 σ_0=12.70 σ_{ID}=12.88 Σ_T=14.81
CC 47 SLU (Collegamento -378_-512)
Azioni sul collegamento: N=298.12 Ty=2.93 Tz=-83.97 Mx=0.67 Mz=4.15
Sollecitazioni agenti localmente: Tx_l=2.93 Ty_l=-83.97 N_l=298.12 My_l=-4.15 Mz_l=0.67
Azioni sul cordone: TP=-0.99 TO=6.71 NO=21.94
Tensioni nel cordone: τ_P=0.32 τ_0=2.13 σ_0=13.03 σ_{ID}=13.21 Σ_T=15.16
CC 48 SLU (Collegamento -378_-512)
Azioni sul collegamento: N=298.18 Ty=2.75 Tz=-83.98 Mx=0.64 Mz=3.95
Sollecitazioni agenti localmente: Tx_l=2.75 Ty_l=-83.98 N_l=298.18 My_l=-3.95 Mz_l=0.64
Azioni sul cordone: TP=-0.94 TO=6.69 NO=21.94
Tensioni nel cordone: τ_P=0.30 τ_0=2.13 σ_0=12.75 σ_{ID}=12.93 Σ_T=14.87
CC 49 SLU (Collegamento -378_-512)
Azioni sul collegamento: N=248.74 Ty=3.10 Tz=-76.33 Mx=0.71 Mz=4.39
Sollecitazioni agenti localmente: Tx_l=3.10 Ty_l=-76.33 N_l=248.74 My_l=-4.39 Mz_l=0.71
Azioni sul cordone: TP=-1.05 TO=6.18 NO=18.30
Tensioni nel cordone: τ_P=0.33 τ_0=1.96 σ_0=12.23 σ_{ID}=12.39 Σ_T=14.19
CC 50 SLU (Collegamento -378_-512)
Azioni sul collegamento: N=244.36 Ty=2.96 Tz=-75.65 Mx=0.68 Mz=4.20
Sollecitazioni agenti localmente: Tx_l=2.96 Ty_l=-75.65 N_l=244.36 My_l=-4.20 Mz_l=0.68

Azioni sul cordone: TP=-1.00 TO=6.10 NO=17.98
Tensioni nel cordone: τ_P=0.32 τ_O=1.94 σ_O=11.84 σ_{ID}=12.01 Σ_T=13.78
CC 51 SLU (Collegamento -378_-512)
Azioni sul collegamento: N=246.52 Ty=3.12 Tz=-75.98 Mx=0.71 Mz=4.39
Sollecitazioni agenti localmente: Tx_l=3.12 Ty_l=-75.98 N_l=246.52 My_l=-4.39 Mz_l=0.71
Azioni sul cordone: TP=-1.05 TO=6.15 NO=18.14
Tensioni nel cordone: τ_P=0.33 τ_O=1.96 σ_O=12.17 σ_{ID}=12.34 Σ_T=14.13
CC 52 SLU (Collegamento -378_-512)
Azioni sul collegamento: N=246.58 Ty=2.94 Tz=-75.99 Mx=0.68 Mz=4.20
Sollecitazioni agenti localmente: Tx_l=2.94 Ty_l=-75.99 N_l=246.58 My_l=-4.20 Mz_l=0.68
Azioni sul cordone: TP=-1.00 TO=6.13 NO=18.14
Tensioni nel cordone: τ_P=0.32 τ_O=1.95 σ_O=11.89 σ_{ID}=12.06 Σ_T=13.84
CC 53 SLU (Collegamento -378_-512)
Azioni sul collegamento: N=294.91 Ty=1.35 Tz=-83.47 Mx=0.33 Mz=1.94
Sollecitazioni agenti localmente: Tx_l=1.35 Ty_l=-83.47 N_l=294.91 My_l=-1.94 Mz_l=0.33
Azioni sul cordone: TP=-0.48 TO=6.40 NO=21.70
Tensioni nel cordone: τ_P=0.15 τ_O=2.04 σ_O=9.73 σ_{ID}=9.95 Σ_T=11.77
CC 54 SLU (Collegamento -378_-512)
Azioni sul collegamento: N=290.52 Ty=1.21 Tz=-82.79 Mx=0.30 Mz=1.75
Sollecitazioni agenti localmente: Tx_l=1.21 Ty_l=-82.79 N_l=290.52 My_l=-1.75 Mz_l=0.30
Azioni sul cordone: TP=-0.44 TO=6.33 NO=21.38
Tensioni nel cordone: τ_P=0.14 τ_O=2.01 σ_O=9.35 σ_{ID}=9.57 Σ_T=11.36
CC 55 SLU (Collegamento -378_-512)
Azioni sul collegamento: N=292.68 Ty=1.37 Tz=-83.13 Mx=0.33 Mz=1.94
Sollecitazioni agenti localmente: Tx_l=1.37 Ty_l=-83.13 N_l=292.68 My_l=-1.94 Mz_l=0.33
Azioni sul cordone: TP=-0.48 TO=6.38 NO=21.54
Tensioni nel cordone: τ_P=0.15 τ_O=2.03 σ_O=9.68 σ_{ID}=9.89 Σ_T=11.71
CC 56 SLU (Collegamento -378_-512)
Azioni sul collegamento: N=292.75 Ty=1.19 Tz=-83.14 Mx=0.30 Mz=1.75
Sollecitazioni agenti localmente: Tx_l=1.19 Ty_l=-83.14 N_l=292.75 My_l=-1.75 Mz_l=0.30
Azioni sul cordone: TP=-0.43 TO=6.36 NO=21.54
Tensioni nel cordone: τ_P=0.14 τ_O=2.02 σ_O=9.40 σ_{ID}=9.62 Σ_T=11.42
CC 57 SLU (Collegamento -378_-512)
Azioni sul collegamento: N=287.70 Ty=2.61 Tz=-82.35 Mx=0.61 Mz=3.73
Sollecitazioni agenti localmente: Tx_l=2.61 Ty_l=-82.35 N_l=287.70 My_l=-3.73 Mz_l=0.61
Azioni sul cordone: TP=-0.89 TO=6.54 NO=21.17
Tensioni nel cordone: τ_P=0.28 τ_O=2.08 σ_O=12.17 σ_{ID}=12.35 Σ_T=14.25
CC 58 SLU (Collegamento -378_-512)
Azioni sul collegamento: N=283.32 Ty=2.47 Tz=-81.68 Mx=0.58 Mz=3.53
Sollecitazioni agenti localmente: Tx_l=2.47 Ty_l=-81.68 N_l=283.32 My_l=-3.53 Mz_l=0.58
Azioni sul cordone: TP=-0.84 TO=6.46 NO=20.85
Tensioni nel cordone: τ_P=0.27 τ_O=2.05 σ_O=11.79 σ_{ID}=11.97 Σ_T=13.84
CC 59 SLU (Collegamento -378_-512)
Azioni sul collegamento: N=285.48 Ty=2.63 Tz=-82.01 Mx=0.61 Mz=3.73
Sollecitazioni agenti localmente: Tx_l=2.63 Ty_l=-82.01 N_l=285.48 My_l=-3.73 Mz_l=0.61
Azioni sul cordone: TP=-0.89 TO=6.51 NO=21.01
Tensioni nel cordone: τ_P=0.28 τ_O=2.07 σ_O=12.12 σ_{ID}=12.30 Σ_T=14.19
CC 60 SLU (Collegamento -378_-512)
Azioni sul collegamento: N=285.54 Ty=2.45 Tz=-82.02 Mx=0.58 Mz=3.53
Sollecitazioni agenti localmente: Tx_l=2.45 Ty_l=-82.02 N_l=285.54 My_l=-3.53 Mz_l=0.58
Azioni sul cordone: TP=-0.84 TO=6.49 NO=21.01
Tensioni nel cordone: τ_P=0.27 τ_O=2.06 σ_O=11.84 σ_{ID}=12.02 Σ_T=13.90
CC 61 SLU (Collegamento -378_-512)
Azioni sul collegamento: N=236.10 Ty=2.79 Tz=-74.37 Mx=0.65 Mz=3.97
Sollecitazioni agenti localmente: Tx_l=2.79 Ty_l=-74.37 N_l=236.10 My_l=-3.97 Mz_l=0.65
Azioni sul cordone: TP=-0.95 TO=5.98 NO=17.37
Tensioni nel cordone: τ_P=0.30 τ_O=1.90 σ_O=11.32 σ_{ID}=11.48 Σ_T=13.22
CC 62 SLU (Collegamento -378_-512)
Azioni sul collegamento: N=231.72 Ty=2.65 Tz=-73.69 Mx=0.62 Mz=3.78
Sollecitazioni agenti localmente: Tx_l=2.65 Ty_l=-73.69 N_l=231.72 My_l=-3.78 Mz_l=0.62
Azioni sul cordone: TP=-0.90 TO=5.91 NO=17.05
Tensioni nel cordone: τ_P=0.29 τ_O=1.88 σ_O=10.94 σ_{ID}=11.10 Σ_T=12.81
CC 63 SLU (Collegamento -378_-512)
Azioni sul collegamento: N=233.88 Ty=2.82 Tz=-74.03 Mx=0.65 Mz=3.97
Sollecitazioni agenti localmente: Tx_l=2.82 Ty_l=-74.03 N_l=233.88 My_l=-3.97 Mz_l=0.65
Azioni sul cordone: TP=-0.95 TO=5.96 NO=17.21
Tensioni nel cordone: τ_P=0.30 τ_O=1.89 σ_O=11.27 σ_{ID}=11.43 Σ_T=13.16
CC 64 SLU (Collegamento -378_-512)
Azioni sul collegamento: N=233.94 Ty=2.63 Tz=-74.04 Mx=0.62 Mz=3.78
Sollecitazioni agenti localmente: Tx_l=2.63 Ty_l=-74.04 N_l=233.94 My_l=-3.78 Mz_l=0.62
Azioni sul cordone: TP=-0.90 TO=5.93 NO=17.21
Tensioni nel cordone: τ_P=0.29 τ_O=1.89 σ_O=10.99 σ_{ID}=11.15 Σ_T=12.87
CC 65 SLU (Collegamento -378_-512)
Azioni sul collegamento: N=282.26 Ty=1.05 Tz=-81.51 Mx=0.26 Mz=1.52
Sollecitazioni agenti localmente: Tx_l=1.05 Ty_l=-81.51 N_l=282.26 My_l=-1.52 Mz_l=0.26
Azioni sul cordone: TP=-0.38 TO=6.21 NO=20.77
Tensioni nel cordone: τ_P=0.12 τ_O=1.97 σ_O=8.83 σ_{ID}=9.05 Σ_T=10.80
CC 66 SLU (Collegamento -378_-512)
Azioni sul collegamento: N=277.88 Ty=0.91 Tz=-80.84 Mx=0.23 Mz=1.33
Sollecitazioni agenti localmente: Tx_l=0.91 Ty_l=-80.84 N_l=277.88 My_l=-1.33 Mz_l=0.23
Azioni sul cordone: TP=-0.34 TO=6.13 NO=20.45

Tensioni nel cordone: τ_P=0.11 τ_0=1.95 σ_0=8.44 σ_{ID}=8.67 Σ_T=10.39
CC 67 SLU (Collegamento -378_-512)
Azioni sul collegamento: N=280.04 Ty=1.07 Tz=-81.17 Mx=0.26 Mz=1.52
Sollecitazioni agenti localmente: Tx_l=1.07 Ty_l=-81.17 N_l=280.04 My_l=-1.52 Mz_l=0.26
Azioni sul cordone: TP=-0.38 TO=6.18 NO=20.61
Tensioni nel cordone: τ_P=0.12 τ_0=1.96 σ_0=8.78 σ_{ID}=8.99 Σ_T=10.74
CC 68 SLU (Collegamento -378_-512)
Azioni sul collegamento: N=280.11 Ty=0.89 Tz=-81.18 Mx=0.23 Mz=1.33
Sollecitazioni agenti localmente: Tx_l=0.89 Ty_l=-81.18 N_l=280.11 My_l=-1.33 Mz_l=0.23
Azioni sul cordone: TP=-0.33 TO=6.16 NO=20.61
Tensioni nel cordone: τ_P=0.11 τ_0=1.96 σ_0=8.50 σ_{ID}=8.72 Σ_T=10.45
CC 97 SLU (Collegamento -378_-512)
Azioni sul collegamento: N=233.77 Ty=-7.63 Tz=-64.20 Mx=-0.37 Mz=-3.01
Sollecitazioni agenti localmente: Tx_l=-7.63 Ty_l=-64.20 N_l=233.77 My_l=3.01 Mz_l=-0.37
Azioni sul cordone: TP=0.99 TO=5.02 NO=17.20
Tensioni nel cordone: τ_P=0.31 τ_0=1.59 σ_0=9.86 σ_{ID}=9.99 Σ_T=11.45
CC 98 SLU (Collegamento -378_-512)
Azioni sul collegamento: N=229.39 Ty=-7.77 Tz=-63.52 Mx=-0.40 Mz=-3.20
Sollecitazioni agenti localmente: Tx_l=-7.77 Ty_l=-63.52 N_l=229.39 My_l=3.20 Mz_l=-0.40
Azioni sul cordone: TP=1.03 TO=4.99 NO=16.88
Tensioni nel cordone: τ_P=0.33 τ_0=1.59 σ_0=10.03 σ_{ID}=10.16 Σ_T=11.62
CC 99 SLU (Collegamento -378_-512)
Azioni sul collegamento: N=231.55 Ty=-7.61 Tz=-63.86 Mx=-0.37 Mz=-3.00
Sollecitazioni agenti localmente: Tx_l=-7.61 Ty_l=-63.86 N_l=231.55 My_l=3.00 Mz_l=-0.37
Azioni sul cordone: TP=0.99 TO=4.99 NO=17.04
Tensioni nel cordone: τ_P=0.31 τ_0=1.59 σ_0=9.80 σ_{ID}=9.94 Σ_T=11.39
CC 100 SLU (Collegamento -378_-512)
Azioni sul collegamento: N=231.61 Ty=-7.79 Tz=-63.87 Mx=-0.40 Mz=-3.20
Sollecitazioni agenti localmente: Tx_l=-7.79 Ty_l=-63.87 N_l=231.61 My_l=3.20 Mz_l=-0.40
Azioni sul cordone: TP=1.03 TO=5.01 NO=17.04
Tensioni nel cordone: τ_P=0.33 τ_0=1.59 σ_0=10.09 σ_{ID}=10.22 Σ_T=11.68
CC 101 SLU (Collegamento -378_-512)
Azioni sul collegamento: N=140.94 Ty=2.83 Tz=-49.83 Mx=0.49 Mz=3.09
Sollecitazioni agenti localmente: Tx_l=2.83 Ty_l=-49.83 N_l=140.94 My_l=-3.09 Mz_l=0.49
Azioni sul cordone: TP=-0.77 TO=4.05 NO=10.37
Tensioni nel cordone: τ_P=0.25 τ_0=1.29 σ_0=7.80 σ_{ID}=7.91 Σ_T=9.09
CC 102 SLU (Collegamento -378_-512)
Azioni sul collegamento: N=136.56 Ty=2.69 Tz=-49.16 Mx=0.46 Mz=2.89
Sollecitazioni agenti localmente: Tx_l=2.69 Ty_l=-49.16 N_l=136.56 My_l=-2.89 Mz_l=0.46
Azioni sul cordone: TP=-0.73 TO=3.98 NO=10.05
Tensioni nel cordone: τ_P=0.23 τ_0=1.26 σ_0=7.42 σ_{ID}=7.53 Σ_T=8.69
CC 103 SLU (Collegamento -378_-512)
Azioni sul collegamento: N=138.72 Ty=2.85 Tz=-49.49 Mx=0.49 Mz=3.09
Sollecitazioni agenti localmente: Tx_l=2.85 Ty_l=-49.49 N_l=138.72 My_l=-3.09 Mz_l=0.49
Azioni sul cordone: TP=-0.77 TO=4.03 NO=10.21
Tensioni nel cordone: τ_P=0.25 τ_0=1.28 σ_0=7.75 σ_{ID}=7.86 Σ_T=9.03
CC 104 SLU (Collegamento -378_-512)
Azioni sul collegamento: N=138.78 Ty=2.67 Tz=-49.50 Mx=0.46 Mz=2.89
Sollecitazioni agenti localmente: Tx_l=2.67 Ty_l=-49.50 N_l=138.78 My_l=-2.89 Mz_l=0.46
Azioni sul cordone: TP=-0.73 TO=4.00 NO=10.21
Tensioni nel cordone: τ_P=0.23 τ_0=1.27 σ_0=7.47 σ_{ID}=7.58 Σ_T=8.75

Verifica lato anima della colonna

CC 1 SLV (Collegamento -378_-512)
Azioni sul collegamento: N=160.81 Ty=1.85 Tz=-52.91 Mx=0.43 Mz=2.64
Zona tesa: F=64.75 b_{eff}=13.20 t_w=0.70 σ=7.01
Zona tesa: F=64.75 b_{eff}=13.20 t_w=0.70 σ=7.01
CC 1 SLV (Collegamento -378_-512)
Azioni sul collegamento: N=160.81 Ty=0.00 Tz=-52.91 Mx=0.06 Mz=0.27
Zona tesa: F=64.75 b_{eff}=13.20 t_w=0.70 σ=7.01
Zona tesa: F=64.75 b_{eff}=13.20 t_w=0.70 σ=7.01
CC 1 SLV (Collegamento -378_-512)
Azioni sul collegamento: N=160.81 Ty=1.85 Tz=-52.91 Mx=0.43 Mz=2.64
Zona tesa: F=64.75 b_{eff}=13.20 t_w=0.70 σ=7.01
Zona tesa: F=64.75 b_{eff}=13.20 t_w=0.70 σ=7.01
CC 1 SLV (Collegamento -378_-512)
Azioni sul collegamento: N=160.81 Ty=0.00 Tz=-52.91 Mx=0.06 Mz=0.27
Zona tesa: F=64.75 b_{eff}=13.20 t_w=0.70 σ=7.01
Zona tesa: F=64.75 b_{eff}=13.20 t_w=0.70 σ=7.01
CC 1 SLV (Collegamento -378_-512)
Azioni sul collegamento: N=118.50 Ty=1.85 Tz=-46.36 Mx=0.43 Mz=2.64
Zona tesa: F=47.72 b_{eff}=13.20 t_w=0.70 σ=5.16
Zona tesa: F=47.72 b_{eff}=13.20 t_w=0.70 σ=5.16
CC 1 SLV (Collegamento -378_-512)
Azioni sul collegamento: N=118.50 Ty=0.00 Tz=-46.36 Mx=0.06 Mz=0.27
Zona tesa: F=47.72 b_{eff}=13.20 t_w=0.70 σ=5.16
Zona tesa: F=47.72 b_{eff}=13.20 t_w=0.70 σ=5.16
CC 1 SLV (Collegamento -378_-512)
Azioni sul collegamento: N=118.50 Ty=1.85 Tz=-46.36 Mx=0.43 Mz=2.64

Zona tesa: F=47.72 b_{eff}=13.20 t_w=0.70 σ=5.16
Zona tesa: F=47.72 b_{eff}=13.20 t_w=0.70 σ=5.16
CC 1 SLV (Collegamento -378_-512)
Azioni sul collegamento: N=118.50 Ty=0.00 Tz=-46.36 Mx=0.06 Mz=0.27
Zona tesa: F=47.72 b_{eff}=13.20 t_w=0.70 σ=5.16
Zona tesa: F=47.72 b_{eff}=13.20 t_w=0.70 σ=5.16
CC 2 SLD (Collegamento -378_-512)
Azioni sul collegamento: N=146.00 Ty=1.67 Tz=-50.62 Mx=0.39 Mz=2.38
Zona tesa: F=58.79 b_{eff}=13.20 t_w=0.70 σ=6.36
Zona tesa: F=58.79 b_{eff}=13.20 t_w=0.70 σ=6.36
CC 2 SLD (Collegamento -378_-512)
Azioni sul collegamento: N=146.00 Ty=1.11 Tz=-50.62 Mx=0.28 Mz=1.66
Zona tesa: F=58.79 b_{eff}=13.20 t_w=0.70 σ=6.36
Zona tesa: F=58.79 b_{eff}=13.20 t_w=0.70 σ=6.36
CC 2 SLD (Collegamento -378_-512)
Azioni sul collegamento: N=146.00 Ty=1.67 Tz=-50.62 Mx=0.39 Mz=2.38
Zona tesa: F=58.79 b_{eff}=13.20 t_w=0.70 σ=6.36
Zona tesa: F=58.79 b_{eff}=13.20 t_w=0.70 σ=6.36
CC 2 SLD (Collegamento -378_-512)
Azioni sul collegamento: N=146.00 Ty=1.11 Tz=-50.62 Mx=0.28 Mz=1.66
Zona tesa: F=58.79 b_{eff}=13.20 t_w=0.70 σ=6.36
Zona tesa: F=58.79 b_{eff}=13.20 t_w=0.70 σ=6.36
CC 2 SLD (Collegamento -378_-512)
Azioni sul collegamento: N=133.10 Ty=1.67 Tz=-48.62 Mx=0.39 Mz=2.38
Zona tesa: F=53.60 b_{eff}=13.20 t_w=0.70 σ=5.80
Zona tesa: F=53.60 b_{eff}=13.20 t_w=0.70 σ=5.80
CC 2 SLD (Collegamento -378_-512)
Azioni sul collegamento: N=133.10 Ty=1.11 Tz=-48.62 Mx=0.28 Mz=1.66
Zona tesa: F=53.60 b_{eff}=13.20 t_w=0.70 σ=5.80
Zona tesa: F=53.60 b_{eff}=13.20 t_w=0.70 σ=5.80
CC 2 SLD (Collegamento -378_-512)
Azioni sul collegamento: N=133.10 Ty=1.67 Tz=-48.62 Mx=0.39 Mz=2.38
Zona tesa: F=53.60 b_{eff}=13.20 t_w=0.70 σ=5.80
Zona tesa: F=53.60 b_{eff}=13.20 t_w=0.70 σ=5.80
CC 2 SLD (Collegamento -378_-512)
Azioni sul collegamento: N=133.10 Ty=1.11 Tz=-48.62 Mx=0.28 Mz=1.66
Zona tesa: F=53.60 b_{eff}=13.20 t_w=0.70 σ=5.80
Zona tesa: F=53.60 b_{eff}=13.20 t_w=0.70 σ=5.80
CC 3 SLV (Collegamento -378_-512)
Azioni sul collegamento: N=160.63 Ty=1.31 Tz=-52.88 Mx=0.34 Mz=2.08
Zona tesa: F=64.69 b_{eff}=13.20 t_w=0.70 σ=7.00
Zona tesa: F=64.69 b_{eff}=13.20 t_w=0.70 σ=7.00
CC 3 SLV (Collegamento -378_-512)
Azioni sul collegamento: N=160.63 Ty=0.54 Tz=-52.88 Mx=0.15 Mz=0.83
Zona tesa: F=64.69 b_{eff}=13.20 t_w=0.70 σ=7.00
Zona tesa: F=64.69 b_{eff}=13.20 t_w=0.70 σ=7.00
CC 3 SLV (Collegamento -378_-512)
Azioni sul collegamento: N=160.63 Ty=1.31 Tz=-52.88 Mx=0.34 Mz=2.08
Zona tesa: F=64.69 b_{eff}=13.20 t_w=0.70 σ=7.00
Zona tesa: F=64.69 b_{eff}=13.20 t_w=0.70 σ=7.00
CC 3 SLV (Collegamento -378_-512)
Azioni sul collegamento: N=160.63 Ty=0.54 Tz=-52.88 Mx=0.15 Mz=0.83
Zona tesa: F=64.69 b_{eff}=13.20 t_w=0.70 σ=7.00
Zona tesa: F=64.69 b_{eff}=13.20 t_w=0.70 σ=7.00
CC 3 SLV (Collegamento -378_-512)
Azioni sul collegamento: N=118.67 Ty=1.31 Tz=-46.39 Mx=0.34 Mz=2.08
Zona tesa: F=47.79 b_{eff}=13.20 t_w=0.70 σ=5.17
Zona tesa: F=47.79 b_{eff}=13.20 t_w=0.70 σ=5.17
CC 3 SLV (Collegamento -378_-512)
Azioni sul collegamento: N=118.67 Ty=0.54 Tz=-46.39 Mx=0.15 Mz=0.83
Zona tesa: F=47.79 b_{eff}=13.20 t_w=0.70 σ=5.17
Zona tesa: F=47.79 b_{eff}=13.20 t_w=0.70 σ=5.17
CC 3 SLV (Collegamento -378_-512)
Azioni sul collegamento: N=118.67 Ty=1.31 Tz=-46.39 Mx=0.34 Mz=2.08
Zona tesa: F=47.79 b_{eff}=13.20 t_w=0.70 σ=5.17
Zona tesa: F=47.79 b_{eff}=13.20 t_w=0.70 σ=5.17
CC 3 SLV (Collegamento -378_-512)
Azioni sul collegamento: N=118.67 Ty=0.54 Tz=-46.39 Mx=0.15 Mz=0.83
Zona tesa: F=47.79 b_{eff}=13.20 t_w=0.70 σ=5.17
Zona tesa: F=47.79 b_{eff}=13.20 t_w=0.70 σ=5.17
CC 4 SLD (Collegamento -378_-512)
Azioni sul collegamento: N=145.94 Ty=1.51 Tz=-50.61 Mx=0.36 Mz=2.21
Zona tesa: F=58.77 b_{eff}=13.20 t_w=0.70 σ=6.36
Zona tesa: F=58.77 b_{eff}=13.20 t_w=0.70 σ=6.36
CC 4 SLD (Collegamento -378_-512)
Azioni sul collegamento: N=145.94 Ty=1.27 Tz=-50.61 Mx=0.30 Mz=1.83
Zona tesa: F=58.77 b_{eff}=13.20 t_w=0.70 σ=6.36

Zona tesa: F=58.77 b_{eff}=13.20 t_w=0.70 σ=6.36
CC 4 SLD (Collegamento -378_-512)
Azioni sul collegamento: N=145.94 Ty=1.51 Tz=-50.61 Mx=0.36 Mz=2.21
Zona tesa: F=58.77 b_{eff}=13.20 t_w=0.70 σ=6.36
Zona tesa: F=58.77 b_{eff}=13.20 t_w=0.70 σ=6.36
CC 4 SLD (Collegamento -378_-512)
Azioni sul collegamento: N=145.94 Ty=1.27 Tz=-50.61 Mx=0.30 Mz=1.83
Zona tesa: F=58.77 b_{eff}=13.20 t_w=0.70 σ=6.36
Zona tesa: F=58.77 b_{eff}=13.20 t_w=0.70 σ=6.36
CC 4 SLD (Collegamento -378_-512)
Azioni sul collegamento: N=133.15 Ty=1.51 Tz=-48.63 Mx=0.36 Mz=2.21
Zona tesa: F=53.62 b_{eff}=13.20 t_w=0.70 σ=5.80
Zona tesa: F=53.62 b_{eff}=13.20 t_w=0.70 σ=5.80
CC 4 SLD (Collegamento -378_-512)
Azioni sul collegamento: N=133.15 Ty=1.27 Tz=-48.63 Mx=0.30 Mz=1.83
Zona tesa: F=53.62 b_{eff}=13.20 t_w=0.70 σ=5.80
Zona tesa: F=53.62 b_{eff}=13.20 t_w=0.70 σ=5.80
CC 4 SLD (Collegamento -378_-512)
Azioni sul collegamento: N=133.15 Ty=1.51 Tz=-48.63 Mx=0.36 Mz=2.21
Zona tesa: F=53.62 b_{eff}=13.20 t_w=0.70 σ=5.80
Zona tesa: F=53.62 b_{eff}=13.20 t_w=0.70 σ=5.80
CC 4 SLD (Collegamento -378_-512)
Azioni sul collegamento: N=133.15 Ty=1.27 Tz=-48.63 Mx=0.30 Mz=1.83
Zona tesa: F=53.62 b_{eff}=13.20 t_w=0.70 σ=5.80
Zona tesa: F=53.62 b_{eff}=13.20 t_w=0.70 σ=5.80
CC 5 SLV (Collegamento -378_-512)
Azioni sul collegamento: N=118.67 Ty=0.54 Tz=-46.39 Mx=0.14 Mz=0.83
Zona tesa: F=47.79 b_{eff}=13.20 t_w=0.70 σ=5.17
Zona tesa: F=47.79 b_{eff}=13.20 t_w=0.70 σ=5.17
CC 5 SLV (Collegamento -378_-512)
Azioni sul collegamento: N=118.67 Ty=1.31 Tz=-46.39 Mx=0.33 Mz=2.08
Zona tesa: F=47.79 b_{eff}=13.20 t_w=0.70 σ=5.17
Zona tesa: F=47.79 b_{eff}=13.20 t_w=0.70 σ=5.17
CC 5 SLV (Collegamento -378_-512)
Azioni sul collegamento: N=118.67 Ty=0.54 Tz=-46.39 Mx=0.14 Mz=0.83
Zona tesa: F=47.79 b_{eff}=13.20 t_w=0.70 σ=5.17
Zona tesa: F=47.79 b_{eff}=13.20 t_w=0.70 σ=5.17
CC 5 SLV (Collegamento -378_-512)
Azioni sul collegamento: N=118.67 Ty=1.31 Tz=-46.39 Mx=0.33 Mz=2.08
Zona tesa: F=47.79 b_{eff}=13.20 t_w=0.70 σ=5.17
Zona tesa: F=47.79 b_{eff}=13.20 t_w=0.70 σ=5.17
CC 5 SLV (Collegamento -378_-512)
Azioni sul collegamento: N=160.63 Ty=0.54 Tz=-52.88 Mx=0.14 Mz=0.83
Zona tesa: F=64.69 b_{eff}=13.20 t_w=0.70 σ=7.00
Zona tesa: F=64.69 b_{eff}=13.20 t_w=0.70 σ=7.00
CC 5 SLV (Collegamento -378_-512)
Azioni sul collegamento: N=160.63 Ty=1.31 Tz=-52.88 Mx=0.33 Mz=2.08
Zona tesa: F=64.69 b_{eff}=13.20 t_w=0.70 σ=7.00
Zona tesa: F=64.69 b_{eff}=13.20 t_w=0.70 σ=7.00
CC 5 SLV (Collegamento -378_-512)
Azioni sul collegamento: N=160.63 Ty=0.54 Tz=-52.88 Mx=0.14 Mz=0.83
Zona tesa: F=64.69 b_{eff}=13.20 t_w=0.70 σ=7.00
Zona tesa: F=64.69 b_{eff}=13.20 t_w=0.70 σ=7.00
CC 5 SLV (Collegamento -378_-512)
Azioni sul collegamento: N=160.63 Ty=1.31 Tz=-52.88 Mx=0.33 Mz=2.08
Zona tesa: F=64.69 b_{eff}=13.20 t_w=0.70 σ=7.00
Zona tesa: F=64.69 b_{eff}=13.20 t_w=0.70 σ=7.00
CC 6 SLD (Collegamento -378_-512)
Azioni sul collegamento: N=133.15 Ty=1.27 Tz=-48.63 Mx=0.30 Mz=1.83
Zona tesa: F=53.62 b_{eff}=13.20 t_w=0.70 σ=5.80
Zona tesa: F=53.62 b_{eff}=13.20 t_w=0.70 σ=5.80
CC 6 SLD (Collegamento -378_-512)
Azioni sul collegamento: N=133.15 Ty=1.51 Tz=-48.63 Mx=0.36 Mz=2.21
Zona tesa: F=53.62 b_{eff}=13.20 t_w=0.70 σ=5.80
Zona tesa: F=53.62 b_{eff}=13.20 t_w=0.70 σ=5.80
CC 6 SLD (Collegamento -378_-512)
Azioni sul collegamento: N=133.15 Ty=1.27 Tz=-48.63 Mx=0.30 Mz=1.83
Zona tesa: F=53.62 b_{eff}=13.20 t_w=0.70 σ=5.80
Zona tesa: F=53.62 b_{eff}=13.20 t_w=0.70 σ=5.80
CC 6 SLD (Collegamento -378_-512)
Azioni sul collegamento: N=133.15 Ty=1.51 Tz=-48.63 Mx=0.36 Mz=2.21
Zona tesa: F=53.62 b_{eff}=13.20 t_w=0.70 σ=5.80
Zona tesa: F=53.62 b_{eff}=13.20 t_w=0.70 σ=5.80
CC 6 SLD (Collegamento -378_-512)
Azioni sul collegamento: N=145.94 Ty=1.27 Tz=-50.61 Mx=0.30 Mz=1.83
Zona tesa: F=58.77 b_{eff}=13.20 t_w=0.70 σ=6.36
Zona tesa: F=58.77 b_{eff}=13.20 t_w=0.70 σ=6.36
CC 6 SLD (Collegamento -378_-512)

Azioni sul collegamento: N=145.94 Ty=1.51 Tz=-50.61 Mx=0.36 Mz=2.21
Zona tesa: F=58.77 b_{eff}=13.20 t_w=0.70 σ=6.36
Zona tesa: F=58.77 b_{eff}=13.20 t_w=0.70 σ=6.36
CC 6 SLD (Collegamento -378_-512)
Azioni sul collegamento: N=145.94 Ty=1.27 Tz=-50.61 Mx=0.30 Mz=1.83
Zona tesa: F=58.77 b_{eff}=13.20 t_w=0.70 σ=6.36
Zona tesa: F=58.77 b_{eff}=13.20 t_w=0.70 σ=6.36
CC 6 SLD (Collegamento -378_-512)
Azioni sul collegamento: N=145.94 Ty=1.51 Tz=-50.61 Mx=0.36 Mz=2.21
Zona tesa: F=58.77 b_{eff}=13.20 t_w=0.70 σ=6.36
Zona tesa: F=58.77 b_{eff}=13.20 t_w=0.70 σ=6.36
CC 7 SLV (Collegamento -378_-512)
Azioni sul collegamento: N=118.50 Ty=0.00 Tz=-46.36 Mx=0.05 Mz=0.27
Zona tesa: F=47.72 b_{eff}=13.20 t_w=0.70 σ=5.16
Zona tesa: F=47.72 b_{eff}=13.20 t_w=0.70 σ=5.16
CC 7 SLV (Collegamento -378_-512)
Azioni sul collegamento: N=118.50 Ty=1.85 Tz=-46.36 Mx=0.41 Mz=2.65
Zona tesa: F=47.72 b_{eff}=13.20 t_w=0.70 σ=5.16
Zona tesa: F=47.72 b_{eff}=13.20 t_w=0.70 σ=5.16
CC 7 SLV (Collegamento -378_-512)
Azioni sul collegamento: N=118.50 Ty=0.00 Tz=-46.36 Mx=0.05 Mz=0.27
Zona tesa: F=47.72 b_{eff}=13.20 t_w=0.70 σ=5.16
Zona tesa: F=47.72 b_{eff}=13.20 t_w=0.70 σ=5.16
CC 7 SLV (Collegamento -378_-512)
Azioni sul collegamento: N=118.50 Ty=1.85 Tz=-46.36 Mx=0.41 Mz=2.65
Zona tesa: F=47.72 b_{eff}=13.20 t_w=0.70 σ=5.16
Zona tesa: F=47.72 b_{eff}=13.20 t_w=0.70 σ=5.16
CC 7 SLV (Collegamento -378_-512)
Azioni sul collegamento: N=160.81 Ty=0.00 Tz=-52.91 Mx=0.05 Mz=0.27
Zona tesa: F=64.75 b_{eff}=13.20 t_w=0.70 σ=7.01
Zona tesa: F=64.75 b_{eff}=13.20 t_w=0.70 σ=7.01
CC 7 SLV (Collegamento -378_-512)
Azioni sul collegamento: N=160.81 Ty=1.85 Tz=-52.91 Mx=0.41 Mz=2.65
Zona tesa: F=64.75 b_{eff}=13.20 t_w=0.70 σ=7.01
Zona tesa: F=64.75 b_{eff}=13.20 t_w=0.70 σ=7.01
CC 7 SLV (Collegamento -378_-512)
Azioni sul collegamento: N=160.81 Ty=0.00 Tz=-52.91 Mx=0.05 Mz=0.27
Zona tesa: F=64.75 b_{eff}=13.20 t_w=0.70 σ=7.01
Zona tesa: F=64.75 b_{eff}=13.20 t_w=0.70 σ=7.01
CC 7 SLV (Collegamento -378_-512)
Azioni sul collegamento: N=160.81 Ty=1.85 Tz=-52.91 Mx=0.41 Mz=2.65
Zona tesa: F=64.75 b_{eff}=13.20 t_w=0.70 σ=7.01
Zona tesa: F=64.75 b_{eff}=13.20 t_w=0.70 σ=7.01
CC 8 SLD (Collegamento -378_-512)
Azioni sul collegamento: N=133.10 Ty=1.11 Tz=-48.62 Mx=0.27 Mz=1.66
Zona tesa: F=53.60 b_{eff}=13.20 t_w=0.70 σ=5.80
Zona tesa: F=53.60 b_{eff}=13.20 t_w=0.70 σ=5.80
CC 8 SLD (Collegamento -378_-512)
Azioni sul collegamento: N=133.10 Ty=1.67 Tz=-48.62 Mx=0.38 Mz=2.38
Zona tesa: F=53.60 b_{eff}=13.20 t_w=0.70 σ=5.80
Zona tesa: F=53.60 b_{eff}=13.20 t_w=0.70 σ=5.80
CC 8 SLD (Collegamento -378_-512)
Azioni sul collegamento: N=133.10 Ty=1.11 Tz=-48.62 Mx=0.27 Mz=1.66
Zona tesa: F=53.60 b_{eff}=13.20 t_w=0.70 σ=5.80
Zona tesa: F=53.60 b_{eff}=13.20 t_w=0.70 σ=5.80
CC 8 SLD (Collegamento -378_-512)
Azioni sul collegamento: N=133.10 Ty=1.67 Tz=-48.62 Mx=0.38 Mz=2.38
Zona tesa: F=53.60 b_{eff}=13.20 t_w=0.70 σ=5.80
Zona tesa: F=53.60 b_{eff}=13.20 t_w=0.70 σ=5.80
CC 8 SLD (Collegamento -378_-512)
Azioni sul collegamento: N=146.00 Ty=1.11 Tz=-50.62 Mx=0.27 Mz=1.66
Zona tesa: F=58.79 b_{eff}=13.20 t_w=0.70 σ=6.36
Zona tesa: F=58.79 b_{eff}=13.20 t_w=0.70 σ=6.36
CC 8 SLD (Collegamento -378_-512)
Azioni sul collegamento: N=146.00 Ty=1.67 Tz=-50.62 Mx=0.38 Mz=2.38
Zona tesa: F=58.79 b_{eff}=13.20 t_w=0.70 σ=6.36
Zona tesa: F=58.79 b_{eff}=13.20 t_w=0.70 σ=6.36
CC 8 SLD (Collegamento -378_-512)
Azioni sul collegamento: N=146.00 Ty=1.11 Tz=-50.62 Mx=0.27 Mz=1.66
Zona tesa: F=58.79 b_{eff}=13.20 t_w=0.70 σ=6.36
Zona tesa: F=58.79 b_{eff}=13.20 t_w=0.70 σ=6.36
CC 8 SLD (Collegamento -378_-512)
Azioni sul collegamento: N=146.00 Ty=1.67 Tz=-50.62 Mx=0.38 Mz=2.38
Zona tesa: F=58.79 b_{eff}=13.20 t_w=0.70 σ=6.36
Zona tesa: F=58.79 b_{eff}=13.20 t_w=0.70 σ=6.36
CC 9 SLV (Collegamento -378_-512)
Azioni sul collegamento: N=146.26 Ty=2.01 Tz=-50.66 Mx=0.43 Mz=2.66
Zona tesa: F=58.90 b_{eff}=13.20 t_w=0.70 σ=6.37

Zona tesa: F=58.90 b_{eff}=13.20 t_w=0.70 σ=6.37
CC 9 SLV (Collegamento -378_-512)
Azioni sul collegamento: N=146.26 Ty=-0.16 Tz=-50.66 Mx=0.06 Mz=0.25
Zona tesa: F=58.90 b_{eff}=13.20 t_w=0.70 σ=6.37
Zona tesa: F=58.90 b_{eff}=13.20 t_w=0.70 σ=6.37
CC 9 SLV (Collegamento -378_-512)
Azioni sul collegamento: N=146.26 Ty=2.01 Tz=-50.66 Mx=0.43 Mz=2.66
Zona tesa: F=58.90 b_{eff}=13.20 t_w=0.70 σ=6.37
Zona tesa: F=58.90 b_{eff}=13.20 t_w=0.70 σ=6.37
CC 9 SLV (Collegamento -378_-512)
Azioni sul collegamento: N=146.26 Ty=-0.16 Tz=-50.66 Mx=0.06 Mz=0.25
Zona tesa: F=58.90 b_{eff}=13.20 t_w=0.70 σ=6.37
Zona tesa: F=58.90 b_{eff}=13.20 t_w=0.70 σ=6.37
CC 9 SLV (Collegamento -378_-512)
Azioni sul collegamento: N=133.05 Ty=2.01 Tz=-48.61 Mx=0.43 Mz=2.66
Zona tesa: F=53.58 b_{eff}=13.20 t_w=0.70 σ=5.80
Zona tesa: F=53.58 b_{eff}=13.20 t_w=0.70 σ=5.80
CC 9 SLV (Collegamento -378_-512)
Azioni sul collegamento: N=133.05 Ty=-0.16 Tz=-48.61 Mx=0.06 Mz=0.25
Zona tesa: F=53.58 b_{eff}=13.20 t_w=0.70 σ=5.80
Zona tesa: F=53.58 b_{eff}=13.20 t_w=0.70 σ=5.80
CC 9 SLV (Collegamento -378_-512)
Azioni sul collegamento: N=133.05 Ty=2.01 Tz=-48.61 Mx=0.43 Mz=2.66
Zona tesa: F=53.58 b_{eff}=13.20 t_w=0.70 σ=5.80
Zona tesa: F=53.58 b_{eff}=13.20 t_w=0.70 σ=5.80
CC 9 SLV (Collegamento -378_-512)
Azioni sul collegamento: N=133.05 Ty=-0.16 Tz=-48.61 Mx=0.06 Mz=0.25
Zona tesa: F=53.58 b_{eff}=13.20 t_w=0.70 σ=5.80
Zona tesa: F=53.58 b_{eff}=13.20 t_w=0.70 σ=5.80
CC 10 SLD (Collegamento -378_-512)
Azioni sul collegamento: N=141.56 Ty=1.72 Tz=-49.93 Mx=0.39 Mz=2.39
Zona tesa: F=57.00 b_{eff}=13.20 t_w=0.70 σ=6.17
Zona tesa: F=57.00 b_{eff}=13.20 t_w=0.70 σ=6.17
CC 10 SLD (Collegamento -378_-512)
Azioni sul collegamento: N=141.56 Ty=1.06 Tz=-49.93 Mx=0.28 Mz=1.65
Zona tesa: F=57.00 b_{eff}=13.20 t_w=0.70 σ=6.17
Zona tesa: F=57.00 b_{eff}=13.20 t_w=0.70 σ=6.17
CC 10 SLD (Collegamento -378_-512)
Azioni sul collegamento: N=141.56 Ty=1.72 Tz=-49.93 Mx=0.39 Mz=2.39
Zona tesa: F=57.00 b_{eff}=13.20 t_w=0.70 σ=6.17
Zona tesa: F=57.00 b_{eff}=13.20 t_w=0.70 σ=6.17
CC 10 SLD (Collegamento -378_-512)
Azioni sul collegamento: N=141.56 Ty=1.06 Tz=-49.93 Mx=0.28 Mz=1.65
Zona tesa: F=57.00 b_{eff}=13.20 t_w=0.70 σ=6.17
Zona tesa: F=57.00 b_{eff}=13.20 t_w=0.70 σ=6.17
CC 10 SLD (Collegamento -378_-512)
Azioni sul collegamento: N=137.53 Ty=1.72 Tz=-49.31 Mx=0.39 Mz=2.39
Zona tesa: F=55.38 b_{eff}=13.20 t_w=0.70 σ=5.99
Zona tesa: F=55.38 b_{eff}=13.20 t_w=0.70 σ=5.99
CC 10 SLD (Collegamento -378_-512)
Azioni sul collegamento: N=137.53 Ty=1.06 Tz=-49.31 Mx=0.28 Mz=1.65
Zona tesa: F=55.38 b_{eff}=13.20 t_w=0.70 σ=5.99
Zona tesa: F=55.38 b_{eff}=13.20 t_w=0.70 σ=5.99
CC 10 SLD (Collegamento -378_-512)
Azioni sul collegamento: N=137.53 Ty=1.72 Tz=-49.31 Mx=0.39 Mz=2.39
Zona tesa: F=55.38 b_{eff}=13.20 t_w=0.70 σ=5.99
Zona tesa: F=55.38 b_{eff}=13.20 t_w=0.70 σ=5.99
CC 10 SLD (Collegamento -378_-512)
Azioni sul collegamento: N=137.53 Ty=1.06 Tz=-49.31 Mx=0.28 Mz=1.65
Zona tesa: F=55.38 b_{eff}=13.20 t_w=0.70 σ=5.99
Zona tesa: F=55.38 b_{eff}=13.20 t_w=0.70 σ=5.99
CC 11 SLV (Collegamento -378_-512)
Azioni sul collegamento: N=133.62 Ty=1.62 Tz=-48.70 Mx=0.34 Mz=2.12
Zona tesa: F=53.81 b_{eff}=13.20 t_w=0.70 σ=5.82
Zona tesa: F=53.81 b_{eff}=13.20 t_w=0.70 σ=5.82
CC 11 SLV (Collegamento -378_-512)
Azioni sul collegamento: N=133.62 Ty=0.23 Tz=-48.70 Mx=0.14 Mz=0.79
Zona tesa: F=53.81 b_{eff}=13.20 t_w=0.70 σ=5.82
Zona tesa: F=53.81 b_{eff}=13.20 t_w=0.70 σ=5.82
CC 11 SLV (Collegamento -378_-512)
Azioni sul collegamento: N=133.62 Ty=1.62 Tz=-48.70 Mx=0.34 Mz=2.12
Zona tesa: F=53.81 b_{eff}=13.20 t_w=0.70 σ=5.82
Zona tesa: F=53.81 b_{eff}=13.20 t_w=0.70 σ=5.82
CC 11 SLV (Collegamento -378_-512)
Azioni sul collegamento: N=133.62 Ty=0.23 Tz=-48.70 Mx=0.14 Mz=0.79
Zona tesa: F=53.81 b_{eff}=13.20 t_w=0.70 σ=5.82
Zona tesa: F=53.81 b_{eff}=13.20 t_w=0.70 σ=5.82
CC 11 SLV (Collegamento -378_-512)

Azioni sul collegamento: N=145.69 Ty=1.62 Tz=-50.57 Mx=0.34 Mz=2.12
Zona tesa: F=58.67 b_{eff}=13.20 t_w=0.70 σ=6.35
Zona tesa: F=58.67 b_{eff}=13.20 t_w=0.70 σ=6.35
CC 11 SLV (Collegamento -378_-512)
Azioni sul collegamento: N=145.69 Ty=0.23 Tz=-50.57 Mx=0.14 Mz=0.79
Zona tesa: F=58.67 b_{eff}=13.20 t_w=0.70 σ=6.35
Zona tesa: F=58.67 b_{eff}=13.20 t_w=0.70 σ=6.35
CC 11 SLV (Collegamento -378_-512)
Azioni sul collegamento: N=145.69 Ty=1.62 Tz=-50.57 Mx=0.34 Mz=2.12
Zona tesa: F=58.67 b_{eff}=13.20 t_w=0.70 σ=6.35
Zona tesa: F=58.67 b_{eff}=13.20 t_w=0.70 σ=6.35
CC 11 SLV (Collegamento -378_-512)
Azioni sul collegamento: N=145.69 Ty=0.23 Tz=-50.57 Mx=0.14 Mz=0.79
Zona tesa: F=58.67 b_{eff}=13.20 t_w=0.70 σ=6.35
Zona tesa: F=58.67 b_{eff}=13.20 t_w=0.70 σ=6.35
CC 12 SLD (Collegamento -378_-512)
Azioni sul collegamento: N=137.71 Ty=1.60 Tz=-49.33 Mx=0.36 Mz=2.22
Zona tesa: F=55.45 b_{eff}=13.20 t_w=0.70 σ=6.00
Zona tesa: F=55.45 b_{eff}=13.20 t_w=0.70 σ=6.00
CC 12 SLD (Collegamento -378_-512)
Azioni sul collegamento: N=137.71 Ty=1.18 Tz=-49.33 Mx=0.30 Mz=1.82
Zona tesa: F=55.45 b_{eff}=13.20 t_w=0.70 σ=6.00
Zona tesa: F=55.45 b_{eff}=13.20 t_w=0.70 σ=6.00
CC 12 SLD (Collegamento -378_-512)
Azioni sul collegamento: N=137.71 Ty=1.60 Tz=-49.33 Mx=0.36 Mz=2.22
Zona tesa: F=55.45 b_{eff}=13.20 t_w=0.70 σ=6.00
Zona tesa: F=55.45 b_{eff}=13.20 t_w=0.70 σ=6.00
CC 12 SLD (Collegamento -378_-512)
Azioni sul collegamento: N=137.71 Ty=1.18 Tz=-49.33 Mx=0.30 Mz=1.82
Zona tesa: F=55.45 b_{eff}=13.20 t_w=0.70 σ=6.00
Zona tesa: F=55.45 b_{eff}=13.20 t_w=0.70 σ=6.00
CC 12 SLD (Collegamento -378_-512)
Azioni sul collegamento: N=141.39 Ty=1.60 Tz=-49.90 Mx=0.36 Mz=2.22
Zona tesa: F=56.93 b_{eff}=13.20 t_w=0.70 σ=6.16
Zona tesa: F=56.93 b_{eff}=13.20 t_w=0.70 σ=6.16
CC 12 SLD (Collegamento -378_-512)
Azioni sul collegamento: N=141.39 Ty=1.18 Tz=-49.90 Mx=0.30 Mz=1.82
Zona tesa: F=56.93 b_{eff}=13.20 t_w=0.70 σ=6.16
Zona tesa: F=56.93 b_{eff}=13.20 t_w=0.70 σ=6.16
CC 12 SLD (Collegamento -378_-512)
Azioni sul collegamento: N=141.39 Ty=1.60 Tz=-49.90 Mx=0.36 Mz=2.22
Zona tesa: F=56.93 b_{eff}=13.20 t_w=0.70 σ=6.16
Zona tesa: F=56.93 b_{eff}=13.20 t_w=0.70 σ=6.16
CC 12 SLD (Collegamento -378_-512)
Azioni sul collegamento: N=141.39 Ty=1.18 Tz=-49.90 Mx=0.30 Mz=1.82
Zona tesa: F=56.93 b_{eff}=13.20 t_w=0.70 σ=6.16
Zona tesa: F=56.93 b_{eff}=13.20 t_w=0.70 σ=6.16
CC 13 SLV (Collegamento -378_-512)
Azioni sul collegamento: N=145.69 Ty=0.23 Tz=-50.57 Mx=0.13 Mz=0.80
Zona tesa: F=58.67 b_{eff}=13.20 t_w=0.70 σ=6.35
Zona tesa: F=58.67 b_{eff}=13.20 t_w=0.70 σ=6.35
CC 13 SLV (Collegamento -378_-512)
Azioni sul collegamento: N=145.69 Ty=1.62 Tz=-50.57 Mx=0.34 Mz=2.12
Zona tesa: F=58.67 b_{eff}=13.20 t_w=0.70 σ=6.35
Zona tesa: F=58.67 b_{eff}=13.20 t_w=0.70 σ=6.35
CC 13 SLV (Collegamento -378_-512)
Azioni sul collegamento: N=145.69 Ty=0.23 Tz=-50.57 Mx=0.13 Mz=0.80
Zona tesa: F=58.67 b_{eff}=13.20 t_w=0.70 σ=6.35
Zona tesa: F=58.67 b_{eff}=13.20 t_w=0.70 σ=6.35
CC 13 SLV (Collegamento -378_-512)
Azioni sul collegamento: N=145.69 Ty=1.62 Tz=-50.57 Mx=0.34 Mz=2.12
Zona tesa: F=58.67 b_{eff}=13.20 t_w=0.70 σ=6.35
Zona tesa: F=58.67 b_{eff}=13.20 t_w=0.70 σ=6.35
CC 13 SLV (Collegamento -378_-512)
Azioni sul collegamento: N=133.62 Ty=0.23 Tz=-48.70 Mx=0.13 Mz=0.80
Zona tesa: F=53.81 b_{eff}=13.20 t_w=0.70 σ=5.82
Zona tesa: F=53.81 b_{eff}=13.20 t_w=0.70 σ=5.82
CC 13 SLV (Collegamento -378_-512)
Azioni sul collegamento: N=133.62 Ty=1.62 Tz=-48.70 Mx=0.34 Mz=2.12
Zona tesa: F=53.81 b_{eff}=13.20 t_w=0.70 σ=5.82
Zona tesa: F=53.81 b_{eff}=13.20 t_w=0.70 σ=5.82
CC 13 SLV (Collegamento -378_-512)
Azioni sul collegamento: N=133.62 Ty=0.23 Tz=-48.70 Mx=0.13 Mz=0.80
Zona tesa: F=53.81 b_{eff}=13.20 t_w=0.70 σ=5.82
Zona tesa: F=53.81 b_{eff}=13.20 t_w=0.70 σ=5.82
CC 13 SLV (Collegamento -378_-512)
Azioni sul collegamento: N=133.62 Ty=1.62 Tz=-48.70 Mx=0.34 Mz=2.12
Zona tesa: F=53.81 b_{eff}=13.20 t_w=0.70 σ=5.82

Zona tesa: F=53.81 b_{eff}=13.20 t_w=0.70 σ=5.82
CC 14 SLD (Collegamento -378_-512)
Azioni sul collegamento: N=141.39 Ty=1.18 Tz=-49.90 Mx=0.30 Mz=1.82
Zona tesa: F=56.93 b_{eff}=13.20 t_w=0.70 σ=6.16
Zona tesa: F=56.93 b_{eff}=13.20 t_w=0.70 σ=6.16
CC 14 SLD (Collegamento -378_-512)
Azioni sul collegamento: N=141.39 Ty=1.60 Tz=-49.90 Mx=0.36 Mz=2.22
Zona tesa: F=56.93 b_{eff}=13.20 t_w=0.70 σ=6.16
Zona tesa: F=56.93 b_{eff}=13.20 t_w=0.70 σ=6.16
CC 14 SLD (Collegamento -378_-512)
Azioni sul collegamento: N=141.39 Ty=1.18 Tz=-49.90 Mx=0.30 Mz=1.82
Zona tesa: F=56.93 b_{eff}=13.20 t_w=0.70 σ=6.16
Zona tesa: F=56.93 b_{eff}=13.20 t_w=0.70 σ=6.16
CC 14 SLD (Collegamento -378_-512)
Azioni sul collegamento: N=141.39 Ty=1.60 Tz=-49.90 Mx=0.36 Mz=2.22
Zona tesa: F=56.93 b_{eff}=13.20 t_w=0.70 σ=6.16
Zona tesa: F=56.93 b_{eff}=13.20 t_w=0.70 σ=6.16
CC 14 SLD (Collegamento -378_-512)
Azioni sul collegamento: N=137.71 Ty=1.18 Tz=-49.33 Mx=0.30 Mz=1.82
Zona tesa: F=55.45 b_{eff}=13.20 t_w=0.70 σ=6.00
Zona tesa: F=55.45 b_{eff}=13.20 t_w=0.70 σ=6.00
CC 14 SLD (Collegamento -378_-512)
Azioni sul collegamento: N=137.71 Ty=1.60 Tz=-49.33 Mx=0.36 Mz=2.22
Zona tesa: F=55.45 b_{eff}=13.20 t_w=0.70 σ=6.00
Zona tesa: F=55.45 b_{eff}=13.20 t_w=0.70 σ=6.00
CC 14 SLD (Collegamento -378_-512)
Azioni sul collegamento: N=137.71 Ty=1.18 Tz=-49.33 Mx=0.30 Mz=1.82
Zona tesa: F=55.45 b_{eff}=13.20 t_w=0.70 σ=6.00
Zona tesa: F=55.45 b_{eff}=13.20 t_w=0.70 σ=6.00
CC 14 SLD (Collegamento -378_-512)
Azioni sul collegamento: N=137.71 Ty=1.60 Tz=-49.33 Mx=0.36 Mz=2.22
Zona tesa: F=55.45 b_{eff}=13.20 t_w=0.70 σ=6.00
Zona tesa: F=55.45 b_{eff}=13.20 t_w=0.70 σ=6.00
CC 15 SLV (Collegamento -378_-512)
Azioni sul collegamento: N=133.05 Ty=-0.16 Tz=-48.61 Mx=0.05 Mz=0.25
Zona tesa: F=53.58 b_{eff}=13.20 t_w=0.70 σ=5.80
Zona tesa: F=53.58 b_{eff}=13.20 t_w=0.70 σ=5.80
CC 15 SLV (Collegamento -378_-512)
Azioni sul collegamento: N=133.05 Ty=2.01 Tz=-48.61 Mx=0.42 Mz=2.67
Zona tesa: F=53.58 b_{eff}=13.20 t_w=0.70 σ=5.80
Zona tesa: F=53.58 b_{eff}=13.20 t_w=0.70 σ=5.80
CC 15 SLV (Collegamento -378_-512)
Azioni sul collegamento: N=133.05 Ty=-0.16 Tz=-48.61 Mx=0.05 Mz=0.25
Zona tesa: F=53.58 b_{eff}=13.20 t_w=0.70 σ=5.80
Zona tesa: F=53.58 b_{eff}=13.20 t_w=0.70 σ=5.80
CC 15 SLV (Collegamento -378_-512)
Azioni sul collegamento: N=133.05 Ty=2.01 Tz=-48.61 Mx=0.42 Mz=2.67
Zona tesa: F=53.58 b_{eff}=13.20 t_w=0.70 σ=5.80
Zona tesa: F=53.58 b_{eff}=13.20 t_w=0.70 σ=5.80
CC 15 SLV (Collegamento -378_-512)
Azioni sul collegamento: N=146.26 Ty=-0.16 Tz=-50.66 Mx=0.05 Mz=0.25
Zona tesa: F=58.90 b_{eff}=13.20 t_w=0.70 σ=6.37
Zona tesa: F=58.90 b_{eff}=13.20 t_w=0.70 σ=6.37
CC 15 SLV (Collegamento -378_-512)
Azioni sul collegamento: N=146.26 Ty=2.01 Tz=-50.66 Mx=0.42 Mz=2.67
Zona tesa: F=58.90 b_{eff}=13.20 t_w=0.70 σ=6.37
Zona tesa: F=58.90 b_{eff}=13.20 t_w=0.70 σ=6.37
CC 15 SLV (Collegamento -378_-512)
Azioni sul collegamento: N=146.26 Ty=-0.16 Tz=-50.66 Mx=0.05 Mz=0.25
Zona tesa: F=58.90 b_{eff}=13.20 t_w=0.70 σ=6.37
Zona tesa: F=58.90 b_{eff}=13.20 t_w=0.70 σ=6.37
CC 15 SLV (Collegamento -378_-512)
Azioni sul collegamento: N=146.26 Ty=2.01 Tz=-50.66 Mx=0.42 Mz=2.67
Zona tesa: F=58.90 b_{eff}=13.20 t_w=0.70 σ=6.37
Zona tesa: F=58.90 b_{eff}=13.20 t_w=0.70 σ=6.37
CC 16 SLD (Collegamento -378_-512)
Azioni sul collegamento: N=137.53 Ty=1.06 Tz=-49.31 Mx=0.27 Mz=1.65
Zona tesa: F=55.38 b_{eff}=13.20 t_w=0.70 σ=5.99
Zona tesa: F=55.38 b_{eff}=13.20 t_w=0.70 σ=5.99
CC 16 SLD (Collegamento -378_-512)
Azioni sul collegamento: N=137.53 Ty=1.72 Tz=-49.31 Mx=0.39 Mz=2.39
Zona tesa: F=55.38 b_{eff}=13.20 t_w=0.70 σ=5.99
Zona tesa: F=55.38 b_{eff}=13.20 t_w=0.70 σ=5.99
CC 16 SLD (Collegamento -378_-512)
Azioni sul collegamento: N=137.53 Ty=1.06 Tz=-49.31 Mx=0.27 Mz=1.65
Zona tesa: F=55.38 b_{eff}=13.20 t_w=0.70 σ=5.99
Zona tesa: F=55.38 b_{eff}=13.20 t_w=0.70 σ=5.99
CC 16 SLD (Collegamento -378_-512)

Azioni sul collegamento: N=137.53 Ty=1.72 Tz=-49.31 Mx=0.39 Mz=2.39
Zona tesa: F=55.38 b_{eff}=13.20 t_w=0.70 σ=5.99
Zona tesa: F=55.38 b_{eff}=13.20 t_w=0.70 σ=5.99
CC 16 SLD (Collegamento -378_-512)
Azioni sul collegamento: N=141.56 Ty=1.06 Tz=-49.93 Mx=0.27 Mz=1.65
Zona tesa: F=57.00 b_{eff}=13.20 t_w=0.70 σ=6.17
Zona tesa: F=57.00 b_{eff}=13.20 t_w=0.70 σ=6.17
CC 16 SLD (Collegamento -378_-512)
Azioni sul collegamento: N=141.56 Ty=1.72 Tz=-49.93 Mx=0.39 Mz=2.39
Zona tesa: F=57.00 b_{eff}=13.20 t_w=0.70 σ=6.17
Zona tesa: F=57.00 b_{eff}=13.20 t_w=0.70 σ=6.17
CC 16 SLD (Collegamento -378_-512)
Azioni sul collegamento: N=141.56 Ty=1.06 Tz=-49.93 Mx=0.27 Mz=1.65
Zona tesa: F=57.00 b_{eff}=13.20 t_w=0.70 σ=6.17
Zona tesa: F=57.00 b_{eff}=13.20 t_w=0.70 σ=6.17
CC 16 SLD (Collegamento -378_-512)
Azioni sul collegamento: N=141.56 Ty=1.72 Tz=-49.93 Mx=0.39 Mz=2.39
Zona tesa: F=57.00 b_{eff}=13.20 t_w=0.70 σ=6.17
Zona tesa: F=57.00 b_{eff}=13.20 t_w=0.70 σ=6.17
CC 17 SLV (Collegamento -378_-512)
Azioni sul collegamento: N=160.50 Ty=3.19 Tz=-52.86 Mx=0.69 Mz=4.26
Zona tesa: F=64.63 b_{eff}=13.20 t_w=0.70 σ=6.99
Zona tesa: F=64.63 b_{eff}=13.20 t_w=0.70 σ=6.99
CC 17 SLV (Collegamento -378_-512)
Azioni sul collegamento: N=160.50 Ty=1.35 Tz=-52.86 Mx=0.33 Mz=1.89
Zona tesa: F=64.63 b_{eff}=13.20 t_w=0.70 σ=6.99
Zona tesa: F=64.63 b_{eff}=13.20 t_w=0.70 σ=6.99
CC 17 SLV (Collegamento -378_-512)
Azioni sul collegamento: N=160.50 Ty=3.19 Tz=-52.86 Mx=0.69 Mz=4.26
Zona tesa: F=64.63 b_{eff}=13.20 t_w=0.70 σ=6.99
Zona tesa: F=64.63 b_{eff}=13.20 t_w=0.70 σ=6.99
CC 17 SLV (Collegamento -378_-512)
Azioni sul collegamento: N=160.50 Ty=1.35 Tz=-52.86 Mx=0.33 Mz=1.89
Zona tesa: F=64.63 b_{eff}=13.20 t_w=0.70 σ=6.99
Zona tesa: F=64.63 b_{eff}=13.20 t_w=0.70 σ=6.99
CC 17 SLV (Collegamento -378_-512)
Azioni sul collegamento: N=118.19 Ty=3.19 Tz=-46.31 Mx=0.69 Mz=4.26
Zona tesa: F=47.59 b_{eff}=13.20 t_w=0.70 σ=5.15
Zona tesa: F=47.59 b_{eff}=13.20 t_w=0.70 σ=5.15
CC 17 SLV (Collegamento -378_-512)
Azioni sul collegamento: N=118.19 Ty=1.35 Tz=-46.31 Mx=0.33 Mz=1.89
Zona tesa: F=47.59 b_{eff}=13.20 t_w=0.70 σ=5.15
Zona tesa: F=47.59 b_{eff}=13.20 t_w=0.70 σ=5.15
CC 17 SLV (Collegamento -378_-512)
Azioni sul collegamento: N=118.19 Ty=3.19 Tz=-46.31 Mx=0.69 Mz=4.26
Zona tesa: F=47.59 b_{eff}=13.20 t_w=0.70 σ=5.15
Zona tesa: F=47.59 b_{eff}=13.20 t_w=0.70 σ=5.15
CC 17 SLV (Collegamento -378_-512)
Azioni sul collegamento: N=118.19 Ty=1.35 Tz=-46.31 Mx=0.33 Mz=1.89
Zona tesa: F=47.59 b_{eff}=13.20 t_w=0.70 σ=5.15
Zona tesa: F=47.59 b_{eff}=13.20 t_w=0.70 σ=5.15
CC 18 SLD (Collegamento -378_-512)
Azioni sul collegamento: N=145.90 Ty=2.08 Tz=-50.60 Mx=0.47 Mz=2.88
Zona tesa: F=58.75 b_{eff}=13.20 t_w=0.70 σ=6.36
Zona tesa: F=58.75 b_{eff}=13.20 t_w=0.70 σ=6.36
CC 18 SLD (Collegamento -378_-512)
Azioni sul collegamento: N=145.90 Ty=1.52 Tz=-50.60 Mx=0.36 Mz=2.15
Zona tesa: F=58.75 b_{eff}=13.20 t_w=0.70 σ=6.36
Zona tesa: F=58.75 b_{eff}=13.20 t_w=0.70 σ=6.36
CC 18 SLD (Collegamento -378_-512)
Azioni sul collegamento: N=145.90 Ty=2.08 Tz=-50.60 Mx=0.47 Mz=2.88
Zona tesa: F=58.75 b_{eff}=13.20 t_w=0.70 σ=6.36
Zona tesa: F=58.75 b_{eff}=13.20 t_w=0.70 σ=6.36
CC 18 SLD (Collegamento -378_-512)
Azioni sul collegamento: N=145.90 Ty=1.52 Tz=-50.60 Mx=0.36 Mz=2.15
Zona tesa: F=58.75 b_{eff}=13.20 t_w=0.70 σ=6.36
Zona tesa: F=58.75 b_{eff}=13.20 t_w=0.70 σ=6.36
CC 18 SLD (Collegamento -378_-512)
Azioni sul collegamento: N=133.00 Ty=2.08 Tz=-48.61 Mx=0.47 Mz=2.88
Zona tesa: F=53.56 b_{eff}=13.20 t_w=0.70 σ=5.80
Zona tesa: F=53.56 b_{eff}=13.20 t_w=0.70 σ=5.80
CC 18 SLD (Collegamento -378_-512)
Azioni sul collegamento: N=133.00 Ty=1.52 Tz=-48.61 Mx=0.36 Mz=2.15
Zona tesa: F=53.56 b_{eff}=13.20 t_w=0.70 σ=5.80
Zona tesa: F=53.56 b_{eff}=13.20 t_w=0.70 σ=5.80
CC 18 SLD (Collegamento -378_-512)
Azioni sul collegamento: N=133.00 Ty=2.08 Tz=-48.61 Mx=0.47 Mz=2.88
Zona tesa: F=53.56 b_{eff}=13.20 t_w=0.70 σ=5.80

Zona tesa: F=53.56 b_{eff}=13.20 t_w=0.70 σ=5.80
CC 18 SLD (Collegamento -378_-512)
Azioni sul collegamento: N=133.00 Ty=1.52 Tz=-48.61 Mx=0.36 Mz=2.15
Zona tesa: F=53.56 b_{eff}=13.20 t_w=0.70 σ=5.80
Zona tesa: F=53.56 b_{eff}=13.20 t_w=0.70 σ=5.80
CC 19 SLV (Collegamento -378_-512)
Azioni sul collegamento: N=160.33 Ty=2.66 Tz=-52.83 Mx=0.60 Mz=3.70
Zona tesa: F=64.56 b_{eff}=13.20 t_w=0.70 σ=6.99
Zona tesa: F=64.56 b_{eff}=13.20 t_w=0.70 σ=6.99
CC 19 SLV (Collegamento -378_-512)
Azioni sul collegamento: N=160.33 Ty=1.88 Tz=-52.83 Mx=0.41 Mz=2.45
Zona tesa: F=64.56 b_{eff}=13.20 t_w=0.70 σ=6.99
Zona tesa: F=64.56 b_{eff}=13.20 t_w=0.70 σ=6.99
CC 19 SLV (Collegamento -378_-512)
Azioni sul collegamento: N=160.33 Ty=2.66 Tz=-52.83 Mx=0.60 Mz=3.70
Zona tesa: F=64.56 b_{eff}=13.20 t_w=0.70 σ=6.99
Zona tesa: F=64.56 b_{eff}=13.20 t_w=0.70 σ=6.99
CC 19 SLV (Collegamento -378_-512)
Azioni sul collegamento: N=160.33 Ty=1.88 Tz=-52.83 Mx=0.41 Mz=2.45
Zona tesa: F=64.56 b_{eff}=13.20 t_w=0.70 σ=6.99
Zona tesa: F=64.56 b_{eff}=13.20 t_w=0.70 σ=6.99
CC 19 SLV (Collegamento -378_-512)
Azioni sul collegamento: N=118.37 Ty=2.66 Tz=-46.34 Mx=0.60 Mz=3.70
Zona tesa: F=47.66 b_{eff}=13.20 t_w=0.70 σ=5.16
Zona tesa: F=47.66 b_{eff}=13.20 t_w=0.70 σ=5.16
CC 19 SLV (Collegamento -378_-512)
Azioni sul collegamento: N=118.37 Ty=1.88 Tz=-46.34 Mx=0.41 Mz=2.45
Zona tesa: F=47.66 b_{eff}=13.20 t_w=0.70 σ=5.16
Zona tesa: F=47.66 b_{eff}=13.20 t_w=0.70 σ=5.16
CC 19 SLV (Collegamento -378_-512)
Azioni sul collegamento: N=118.37 Ty=2.66 Tz=-46.34 Mx=0.60 Mz=3.70
Zona tesa: F=47.66 b_{eff}=13.20 t_w=0.70 σ=5.16
Zona tesa: F=47.66 b_{eff}=13.20 t_w=0.70 σ=5.16
CC 19 SLV (Collegamento -378_-512)
Azioni sul collegamento: N=118.37 Ty=1.88 Tz=-46.34 Mx=0.41 Mz=2.45
Zona tesa: F=47.66 b_{eff}=13.20 t_w=0.70 σ=5.16
Zona tesa: F=47.66 b_{eff}=13.20 t_w=0.70 σ=5.16
CC 20 SLD (Collegamento -378_-512)
Azioni sul collegamento: N=145.85 Ty=1.92 Tz=-50.59 Mx=0.44 Mz=2.71
Zona tesa: F=58.73 b_{eff}=13.20 t_w=0.70 σ=6.36
Zona tesa: F=58.73 b_{eff}=13.20 t_w=0.70 σ=6.36
CC 20 SLD (Collegamento -378_-512)
Azioni sul collegamento: N=145.85 Ty=1.68 Tz=-50.59 Mx=0.38 Mz=2.32
Zona tesa: F=58.73 b_{eff}=13.20 t_w=0.70 σ=6.36
Zona tesa: F=58.73 b_{eff}=13.20 t_w=0.70 σ=6.36
CC 20 SLD (Collegamento -378_-512)
Azioni sul collegamento: N=145.85 Ty=1.92 Tz=-50.59 Mx=0.44 Mz=2.71
Zona tesa: F=58.73 b_{eff}=13.20 t_w=0.70 σ=6.36
Zona tesa: F=58.73 b_{eff}=13.20 t_w=0.70 σ=6.36
CC 20 SLD (Collegamento -378_-512)
Azioni sul collegamento: N=145.85 Ty=1.68 Tz=-50.59 Mx=0.38 Mz=2.32
Zona tesa: F=58.73 b_{eff}=13.20 t_w=0.70 σ=6.36
Zona tesa: F=58.73 b_{eff}=13.20 t_w=0.70 σ=6.36
CC 20 SLD (Collegamento -378_-512)
Azioni sul collegamento: N=133.06 Ty=1.92 Tz=-48.61 Mx=0.44 Mz=2.71
Zona tesa: F=53.58 b_{eff}=13.20 t_w=0.70 σ=5.80
Zona tesa: F=53.58 b_{eff}=13.20 t_w=0.70 σ=5.80
CC 20 SLD (Collegamento -378_-512)
Azioni sul collegamento: N=133.06 Ty=1.68 Tz=-48.61 Mx=0.38 Mz=2.32
Zona tesa: F=53.58 b_{eff}=13.20 t_w=0.70 σ=5.80
Zona tesa: F=53.58 b_{eff}=13.20 t_w=0.70 σ=5.80
CC 20 SLD (Collegamento -378_-512)
Azioni sul collegamento: N=133.06 Ty=1.92 Tz=-48.61 Mx=0.44 Mz=2.71
Zona tesa: F=53.58 b_{eff}=13.20 t_w=0.70 σ=5.80
Zona tesa: F=53.58 b_{eff}=13.20 t_w=0.70 σ=5.80
CC 20 SLD (Collegamento -378_-512)
Azioni sul collegamento: N=133.06 Ty=1.68 Tz=-48.61 Mx=0.38 Mz=2.32
Zona tesa: F=53.58 b_{eff}=13.20 t_w=0.70 σ=5.80
Zona tesa: F=53.58 b_{eff}=13.20 t_w=0.70 σ=5.80
CC 21 SLV (Collegamento -378_-512)
Azioni sul collegamento: N=118.37 Ty=1.88 Tz=-46.34 Mx=0.40 Mz=2.45
Zona tesa: F=47.66 b_{eff}=13.20 t_w=0.70 σ=5.16
Zona tesa: F=47.66 b_{eff}=13.20 t_w=0.70 σ=5.16
CC 21 SLV (Collegamento -378_-512)
Azioni sul collegamento: N=118.37 Ty=2.66 Tz=-46.34 Mx=0.59 Mz=3.70
Zona tesa: F=47.66 b_{eff}=13.20 t_w=0.70 σ=5.16
Zona tesa: F=47.66 b_{eff}=13.20 t_w=0.70 σ=5.16
CC 21 SLV (Collegamento -378_-512)

Azioni sul collegamento: N=118.37 Ty=1.88 Tz=-46.34 Mx=0.40 Mz=2.45
Zona tesa: F=47.66 b_{eff}=13.20 t_w=0.70 σ=5.16
Zona tesa: F=47.66 b_{eff}=13.20 t_w=0.70 σ=5.16
CC 21 SLV (Collegamento -378_-512)
Azioni sul collegamento: N=118.37 Ty=2.66 Tz=-46.34 Mx=0.59 Mz=3.70
Zona tesa: F=47.66 b_{eff}=13.20 t_w=0.70 σ=5.16
Zona tesa: F=47.66 b_{eff}=13.20 t_w=0.70 σ=5.16
CC 21 SLV (Collegamento -378_-512)
Azioni sul collegamento: N=160.33 Ty=1.88 Tz=-52.83 Mx=0.40 Mz=2.45
Zona tesa: F=64.56 b_{eff}=13.20 t_w=0.70 σ=6.99
Zona tesa: F=64.56 b_{eff}=13.20 t_w=0.70 σ=6.99
CC 21 SLV (Collegamento -378_-512)
Azioni sul collegamento: N=160.33 Ty=2.66 Tz=-52.83 Mx=0.59 Mz=3.70
Zona tesa: F=64.56 b_{eff}=13.20 t_w=0.70 σ=6.99
Zona tesa: F=64.56 b_{eff}=13.20 t_w=0.70 σ=6.99
CC 21 SLV (Collegamento -378_-512)
Azioni sul collegamento: N=160.33 Ty=1.88 Tz=-52.83 Mx=0.40 Mz=2.45
Zona tesa: F=64.56 b_{eff}=13.20 t_w=0.70 σ=6.99
Zona tesa: F=64.56 b_{eff}=13.20 t_w=0.70 σ=6.99
CC 21 SLV (Collegamento -378_-512)
Azioni sul collegamento: N=160.33 Ty=2.66 Tz=-52.83 Mx=0.59 Mz=3.70
Zona tesa: F=64.56 b_{eff}=13.20 t_w=0.70 σ=6.99
Zona tesa: F=64.56 b_{eff}=13.20 t_w=0.70 σ=6.99
CC 22 SLD (Collegamento -378_-512)
Azioni sul collegamento: N=133.06 Ty=1.68 Tz=-48.61 Mx=0.38 Mz=2.32
Zona tesa: F=53.58 b_{eff}=13.20 t_w=0.70 σ=5.80
Zona tesa: F=53.58 b_{eff}=13.20 t_w=0.70 σ=5.80
CC 22 SLD (Collegamento -378_-512)
Azioni sul collegamento: N=133.06 Ty=1.92 Tz=-48.61 Mx=0.44 Mz=2.71
Zona tesa: F=53.58 b_{eff}=13.20 t_w=0.70 σ=5.80
Zona tesa: F=53.58 b_{eff}=13.20 t_w=0.70 σ=5.80
CC 22 SLD (Collegamento -378_-512)
Azioni sul collegamento: N=133.06 Ty=1.68 Tz=-48.61 Mx=0.38 Mz=2.32
Zona tesa: F=53.58 b_{eff}=13.20 t_w=0.70 σ=5.80
Zona tesa: F=53.58 b_{eff}=13.20 t_w=0.70 σ=5.80
CC 22 SLD (Collegamento -378_-512)
Azioni sul collegamento: N=133.06 Ty=1.92 Tz=-48.61 Mx=0.44 Mz=2.71
Zona tesa: F=53.58 b_{eff}=13.20 t_w=0.70 σ=5.80
Zona tesa: F=53.58 b_{eff}=13.20 t_w=0.70 σ=5.80
CC 22 SLD (Collegamento -378_-512)
Azioni sul collegamento: N=145.85 Ty=1.68 Tz=-50.59 Mx=0.38 Mz=2.32
Zona tesa: F=58.73 b_{eff}=13.20 t_w=0.70 σ=6.36
Zona tesa: F=58.73 b_{eff}=13.20 t_w=0.70 σ=6.36
CC 22 SLD (Collegamento -378_-512)
Azioni sul collegamento: N=145.85 Ty=1.92 Tz=-50.59 Mx=0.44 Mz=2.71
Zona tesa: F=58.73 b_{eff}=13.20 t_w=0.70 σ=6.36
Zona tesa: F=58.73 b_{eff}=13.20 t_w=0.70 σ=6.36
CC 22 SLD (Collegamento -378_-512)
Azioni sul collegamento: N=145.85 Ty=1.68 Tz=-50.59 Mx=0.38 Mz=2.32
Zona tesa: F=58.73 b_{eff}=13.20 t_w=0.70 σ=6.36
Zona tesa: F=58.73 b_{eff}=13.20 t_w=0.70 σ=6.36
CC 22 SLD (Collegamento -378_-512)
Azioni sul collegamento: N=145.85 Ty=1.92 Tz=-50.59 Mx=0.44 Mz=2.71
Zona tesa: F=58.73 b_{eff}=13.20 t_w=0.70 σ=6.36
Zona tesa: F=58.73 b_{eff}=13.20 t_w=0.70 σ=6.36
CC 23 SLV (Collegamento -378_-512)
Azioni sul collegamento: N=118.19 Ty=1.35 Tz=-46.31 Mx=0.31 Mz=1.89
Zona tesa: F=47.59 b_{eff}=13.20 t_w=0.70 σ=5.15
Zona tesa: F=47.59 b_{eff}=13.20 t_w=0.70 σ=5.15
CC 23 SLV (Collegamento -378_-512)
Azioni sul collegamento: N=118.19 Ty=3.19 Tz=-46.31 Mx=0.68 Mz=4.27
Zona tesa: F=47.59 b_{eff}=13.20 t_w=0.70 σ=5.15
Zona tesa: F=47.59 b_{eff}=13.20 t_w=0.70 σ=5.15
CC 23 SLV (Collegamento -378_-512)
Azioni sul collegamento: N=118.19 Ty=1.35 Tz=-46.31 Mx=0.31 Mz=1.89
Zona tesa: F=47.59 b_{eff}=13.20 t_w=0.70 σ=5.15
Zona tesa: F=47.59 b_{eff}=13.20 t_w=0.70 σ=5.15
CC 23 SLV (Collegamento -378_-512)
Azioni sul collegamento: N=118.19 Ty=3.19 Tz=-46.31 Mx=0.68 Mz=4.27
Zona tesa: F=47.59 b_{eff}=13.20 t_w=0.70 σ=5.15
Zona tesa: F=47.59 b_{eff}=13.20 t_w=0.70 σ=5.15
CC 23 SLV (Collegamento -378_-512)
Azioni sul collegamento: N=160.50 Ty=1.35 Tz=-52.86 Mx=0.31 Mz=1.89
Zona tesa: F=64.63 b_{eff}=13.20 t_w=0.70 σ=6.99
Zona tesa: F=64.63 b_{eff}=13.20 t_w=0.70 σ=6.99
CC 23 SLV (Collegamento -378_-512)
Azioni sul collegamento: N=160.50 Ty=3.19 Tz=-52.86 Mx=0.68 Mz=4.27
Zona tesa: F=64.63 b_{eff}=13.20 t_w=0.70 σ=6.99

Zona tesa: F=64.63 b_{eff}=13.20 t_w=0.70 σ=6.99
CC 23 SLV (Collegamento -378_-512)
Azioni sul collegamento: N=160.50 Ty=1.35 Tz=-52.86 Mx=0.31 Mz=1.89
Zona tesa: F=64.63 b_{eff}=13.20 t_w=0.70 σ=6.99
Zona tesa: F=64.63 b_{eff}=13.20 t_w=0.70 σ=6.99
CC 23 SLV (Collegamento -378_-512)
Azioni sul collegamento: N=160.50 Ty=3.19 Tz=-52.86 Mx=0.68 Mz=4.27
Zona tesa: F=64.63 b_{eff}=13.20 t_w=0.70 σ=6.99
Zona tesa: F=64.63 b_{eff}=13.20 t_w=0.70 σ=6.99
CC 24 SLD (Collegamento -378_-512)
Azioni sul collegamento: N=133.00 Ty=1.52 Tz=-48.61 Mx=0.35 Mz=2.15
Zona tesa: F=53.56 b_{eff}=13.20 t_w=0.70 σ=5.80
Zona tesa: F=53.56 b_{eff}=13.20 t_w=0.70 σ=5.80
CC 24 SLD (Collegamento -378_-512)
Azioni sul collegamento: N=133.00 Ty=2.08 Tz=-48.61 Mx=0.46 Mz=2.88
Zona tesa: F=53.56 b_{eff}=13.20 t_w=0.70 σ=5.80
Zona tesa: F=53.56 b_{eff}=13.20 t_w=0.70 σ=5.80
CC 24 SLD (Collegamento -378_-512)
Azioni sul collegamento: N=133.00 Ty=1.52 Tz=-48.61 Mx=0.35 Mz=2.15
Zona tesa: F=53.56 b_{eff}=13.20 t_w=0.70 σ=5.80
Zona tesa: F=53.56 b_{eff}=13.20 t_w=0.70 σ=5.80
CC 24 SLD (Collegamento -378_-512)
Azioni sul collegamento: N=133.00 Ty=2.08 Tz=-48.61 Mx=0.46 Mz=2.88
Zona tesa: F=53.56 b_{eff}=13.20 t_w=0.70 σ=5.80
Zona tesa: F=53.56 b_{eff}=13.20 t_w=0.70 σ=5.80
CC 24 SLD (Collegamento -378_-512)
Azioni sul collegamento: N=145.90 Ty=1.52 Tz=-50.60 Mx=0.35 Mz=2.15
Zona tesa: F=58.75 b_{eff}=13.20 t_w=0.70 σ=6.36
Zona tesa: F=58.75 b_{eff}=13.20 t_w=0.70 σ=6.36
CC 24 SLD (Collegamento -378_-512)
Azioni sul collegamento: N=145.90 Ty=2.08 Tz=-50.60 Mx=0.46 Mz=2.88
Zona tesa: F=58.75 b_{eff}=13.20 t_w=0.70 σ=6.36
Zona tesa: F=58.75 b_{eff}=13.20 t_w=0.70 σ=6.36
CC 24 SLD (Collegamento -378_-512)
Azioni sul collegamento: N=145.90 Ty=1.52 Tz=-50.60 Mx=0.35 Mz=2.15
Zona tesa: F=58.75 b_{eff}=13.20 t_w=0.70 σ=6.36
Zona tesa: F=58.75 b_{eff}=13.20 t_w=0.70 σ=6.36
CC 24 SLD (Collegamento -378_-512)
Azioni sul collegamento: N=145.90 Ty=2.08 Tz=-50.60 Mx=0.46 Mz=2.88
Zona tesa: F=58.75 b_{eff}=13.20 t_w=0.70 σ=6.36
Zona tesa: F=58.75 b_{eff}=13.20 t_w=0.70 σ=6.36
CC 25 SLV (Collegamento -378_-512)
Azioni sul collegamento: N=145.95 Ty=3.35 Tz=-50.61 Mx=0.69 Mz=4.28
Zona tesa: F=58.77 b_{eff}=13.20 t_w=0.70 σ=6.36
Zona tesa: F=58.77 b_{eff}=13.20 t_w=0.70 σ=6.36
CC 25 SLV (Collegamento -378_-512)
Azioni sul collegamento: N=145.95 Ty=1.18 Tz=-50.61 Mx=0.32 Mz=1.87
Zona tesa: F=58.77 b_{eff}=13.20 t_w=0.70 σ=6.36
Zona tesa: F=58.77 b_{eff}=13.20 t_w=0.70 σ=6.36
CC 25 SLV (Collegamento -378_-512)
Azioni sul collegamento: N=145.95 Ty=3.35 Tz=-50.61 Mx=0.69 Mz=4.28
Zona tesa: F=58.77 b_{eff}=13.20 t_w=0.70 σ=6.36
Zona tesa: F=58.77 b_{eff}=13.20 t_w=0.70 σ=6.36
CC 25 SLV (Collegamento -378_-512)
Azioni sul collegamento: N=145.95 Ty=1.18 Tz=-50.61 Mx=0.32 Mz=1.87
Zona tesa: F=58.77 b_{eff}=13.20 t_w=0.70 σ=6.36
Zona tesa: F=58.77 b_{eff}=13.20 t_w=0.70 σ=6.36
CC 25 SLV (Collegamento -378_-512)
Azioni sul collegamento: N=132.74 Ty=3.35 Tz=-48.57 Mx=0.69 Mz=4.28
Zona tesa: F=53.45 b_{eff}=13.20 t_w=0.70 σ=5.78
Zona tesa: F=53.45 b_{eff}=13.20 t_w=0.70 σ=5.78
CC 25 SLV (Collegamento -378_-512)
Azioni sul collegamento: N=132.74 Ty=1.18 Tz=-48.57 Mx=0.32 Mz=1.87
Zona tesa: F=53.45 b_{eff}=13.20 t_w=0.70 σ=5.78
Zona tesa: F=53.45 b_{eff}=13.20 t_w=0.70 σ=5.78
CC 25 SLV (Collegamento -378_-512)
Azioni sul collegamento: N=132.74 Ty=3.35 Tz=-48.57 Mx=0.69 Mz=4.28
Zona tesa: F=53.45 b_{eff}=13.20 t_w=0.70 σ=5.78
Zona tesa: F=53.45 b_{eff}=13.20 t_w=0.70 σ=5.78
CC 25 SLV (Collegamento -378_-512)
Azioni sul collegamento: N=132.74 Ty=1.18 Tz=-48.57 Mx=0.32 Mz=1.87
Zona tesa: F=53.45 b_{eff}=13.20 t_w=0.70 σ=5.78
Zona tesa: F=53.45 b_{eff}=13.20 t_w=0.70 σ=5.78
CC 26 SLD (Collegamento -378_-512)
Azioni sul collegamento: N=141.47 Ty=2.13 Tz=-49.92 Mx=0.47 Mz=2.88
Zona tesa: F=56.97 b_{eff}=13.20 t_w=0.70 σ=6.17
Zona tesa: F=56.97 b_{eff}=13.20 t_w=0.70 σ=6.17
CC 26 SLD (Collegamento -378_-512)

Azioni sul collegamento: N=141.47 Ty=1.47 Tz=-49.92 Mx=0.36 Mz=2.15
Zona tesa: F=56.97 b_{eff}=13.20 t_w=0.70 σ=6.17
Zona tesa: F=56.97 b_{eff}=13.20 t_w=0.70 σ=6.17
CC 26 SLD (Collegamento -378_-512)
Azioni sul collegamento: N=141.47 Ty=2.13 Tz=-49.92 Mx=0.47 Mz=2.88
Zona tesa: F=56.97 b_{eff}=13.20 t_w=0.70 σ=6.17
Zona tesa: F=56.97 b_{eff}=13.20 t_w=0.70 σ=6.17
CC 26 SLD (Collegamento -378_-512)
Azioni sul collegamento: N=141.47 Ty=1.47 Tz=-49.92 Mx=0.36 Mz=2.15
Zona tesa: F=56.97 b_{eff}=13.20 t_w=0.70 σ=6.17
Zona tesa: F=56.97 b_{eff}=13.20 t_w=0.70 σ=6.17
CC 26 SLD (Collegamento -378_-512)
Azioni sul collegamento: N=137.44 Ty=2.13 Tz=-49.29 Mx=0.47 Mz=2.88
Zona tesa: F=55.34 b_{eff}=13.20 t_w=0.70 σ=5.99
Zona tesa: F=55.34 b_{eff}=13.20 t_w=0.70 σ=5.99
CC 26 SLD (Collegamento -378_-512)
Azioni sul collegamento: N=137.44 Ty=1.47 Tz=-49.29 Mx=0.36 Mz=2.15
Zona tesa: F=55.34 b_{eff}=13.20 t_w=0.70 σ=5.99
Zona tesa: F=55.34 b_{eff}=13.20 t_w=0.70 σ=5.99
CC 26 SLD (Collegamento -378_-512)
Azioni sul collegamento: N=137.44 Ty=2.13 Tz=-49.29 Mx=0.47 Mz=2.88
Zona tesa: F=55.34 b_{eff}=13.20 t_w=0.70 σ=5.99
Zona tesa: F=55.34 b_{eff}=13.20 t_w=0.70 σ=5.99
CC 26 SLD (Collegamento -378_-512)
Azioni sul collegamento: N=137.44 Ty=1.47 Tz=-49.29 Mx=0.36 Mz=2.15
Zona tesa: F=55.34 b_{eff}=13.20 t_w=0.70 σ=5.99
Zona tesa: F=55.34 b_{eff}=13.20 t_w=0.70 σ=5.99
CC 27 SLV (Collegamento -378_-512)
Azioni sul collegamento: N=133.31 Ty=2.96 Tz=-48.65 Mx=0.61 Mz=3.74
Zona tesa: F=53.68 b_{eff}=13.20 t_w=0.70 σ=5.81
Zona tesa: F=53.68 b_{eff}=13.20 t_w=0.70 σ=5.81
CC 27 SLV (Collegamento -378_-512)
Azioni sul collegamento: N=133.31 Ty=1.58 Tz=-48.65 Mx=0.40 Mz=2.41
Zona tesa: F=53.68 b_{eff}=13.20 t_w=0.70 σ=5.81
Zona tesa: F=53.68 b_{eff}=13.20 t_w=0.70 σ=5.81
CC 27 SLV (Collegamento -378_-512)
Azioni sul collegamento: N=133.31 Ty=2.96 Tz=-48.65 Mx=0.61 Mz=3.74
Zona tesa: F=53.68 b_{eff}=13.20 t_w=0.70 σ=5.81
Zona tesa: F=53.68 b_{eff}=13.20 t_w=0.70 σ=5.81
CC 27 SLV (Collegamento -378_-512)
Azioni sul collegamento: N=133.31 Ty=1.58 Tz=-48.65 Mx=0.40 Mz=2.41
Zona tesa: F=53.68 b_{eff}=13.20 t_w=0.70 σ=5.81
Zona tesa: F=53.68 b_{eff}=13.20 t_w=0.70 σ=5.81
CC 27 SLV (Collegamento -378_-512)
Azioni sul collegamento: N=145.38 Ty=2.96 Tz=-50.52 Mx=0.61 Mz=3.74
Zona tesa: F=58.54 b_{eff}=13.20 t_w=0.70 σ=6.34
Zona tesa: F=58.54 b_{eff}=13.20 t_w=0.70 σ=6.34
CC 27 SLV (Collegamento -378_-512)
Azioni sul collegamento: N=145.38 Ty=1.58 Tz=-50.52 Mx=0.40 Mz=2.41
Zona tesa: F=58.54 b_{eff}=13.20 t_w=0.70 σ=6.34
Zona tesa: F=58.54 b_{eff}=13.20 t_w=0.70 σ=6.34
CC 27 SLV (Collegamento -378_-512)
Azioni sul collegamento: N=145.38 Ty=2.96 Tz=-50.52 Mx=0.61 Mz=3.74
Zona tesa: F=58.54 b_{eff}=13.20 t_w=0.70 σ=6.34
Zona tesa: F=58.54 b_{eff}=13.20 t_w=0.70 σ=6.34
CC 27 SLV (Collegamento -378_-512)
Azioni sul collegamento: N=145.38 Ty=1.58 Tz=-50.52 Mx=0.40 Mz=2.41
Zona tesa: F=58.54 b_{eff}=13.20 t_w=0.70 σ=6.34
Zona tesa: F=58.54 b_{eff}=13.20 t_w=0.70 σ=6.34
CC 28 SLD (Collegamento -378_-512)
Azioni sul collegamento: N=137.61 Ty=2.01 Tz=-49.32 Mx=0.44 Mz=2.72
Zona tesa: F=55.42 b_{eff}=13.20 t_w=0.70 σ=6.00
Zona tesa: F=55.42 b_{eff}=13.20 t_w=0.70 σ=6.00
CC 28 SLD (Collegamento -378_-512)
Azioni sul collegamento: N=137.61 Ty=1.59 Tz=-49.32 Mx=0.38 Mz=2.31
Zona tesa: F=55.42 b_{eff}=13.20 t_w=0.70 σ=6.00
Zona tesa: F=55.42 b_{eff}=13.20 t_w=0.70 σ=6.00
CC 28 SLD (Collegamento -378_-512)
Azioni sul collegamento: N=137.61 Ty=2.01 Tz=-49.32 Mx=0.44 Mz=2.72
Zona tesa: F=55.42 b_{eff}=13.20 t_w=0.70 σ=6.00
Zona tesa: F=55.42 b_{eff}=13.20 t_w=0.70 σ=6.00
CC 28 SLD (Collegamento -378_-512)
Azioni sul collegamento: N=137.61 Ty=1.59 Tz=-49.32 Mx=0.38 Mz=2.31
Zona tesa: F=55.42 b_{eff}=13.20 t_w=0.70 σ=6.00
Zona tesa: F=55.42 b_{eff}=13.20 t_w=0.70 σ=6.00
CC 28 SLD (Collegamento -378_-512)
Azioni sul collegamento: N=141.29 Ty=2.01 Tz=-49.89 Mx=0.44 Mz=2.72
Zona tesa: F=56.90 b_{eff}=13.20 t_w=0.70 σ=6.16

Zona tesa: F=56.90 b_{eff}=13.20 t_w=0.70 σ=6.16
CC 28 SLD (Collegamento -378_-512)
Azioni sul collegamento: N=141.29 Ty=1.59 Tz=-49.89 Mx=0.38 Mz=2.31
Zona tesa: F=56.90 b_{eff}=13.20 t_w=0.70 σ=6.16
Zona tesa: F=56.90 b_{eff}=13.20 t_w=0.70 σ=6.16
CC 28 SLD (Collegamento -378_-512)
Azioni sul collegamento: N=141.29 Ty=2.01 Tz=-49.89 Mx=0.44 Mz=2.72
Zona tesa: F=56.90 b_{eff}=13.20 t_w=0.70 σ=6.16
Zona tesa: F=56.90 b_{eff}=13.20 t_w=0.70 σ=6.16
CC 28 SLD (Collegamento -378_-512)
Azioni sul collegamento: N=141.29 Ty=1.59 Tz=-49.89 Mx=0.38 Mz=2.31
Zona tesa: F=56.90 b_{eff}=13.20 t_w=0.70 σ=6.16
Zona tesa: F=56.90 b_{eff}=13.20 t_w=0.70 σ=6.16
CC 29 SLV (Collegamento -378_-512)
Azioni sul collegamento: N=145.38 Ty=1.58 Tz=-50.52 Mx=0.40 Mz=2.42
Zona tesa: F=58.54 b_{eff}=13.20 t_w=0.70 σ=6.34
Zona tesa: F=58.54 b_{eff}=13.20 t_w=0.70 σ=6.34
CC 29 SLV (Collegamento -378_-512)
Azioni sul collegamento: N=145.38 Ty=2.96 Tz=-50.52 Mx=0.60 Mz=3.74
Zona tesa: F=58.54 b_{eff}=13.20 t_w=0.70 σ=6.34
Zona tesa: F=58.54 b_{eff}=13.20 t_w=0.70 σ=6.34
CC 29 SLV (Collegamento -378_-512)
Azioni sul collegamento: N=145.38 Ty=1.58 Tz=-50.52 Mx=0.40 Mz=2.42
Zona tesa: F=58.54 b_{eff}=13.20 t_w=0.70 σ=6.34
Zona tesa: F=58.54 b_{eff}=13.20 t_w=0.70 σ=6.34
CC 29 SLV (Collegamento -378_-512)
Azioni sul collegamento: N=145.38 Ty=2.96 Tz=-50.52 Mx=0.60 Mz=3.74
Zona tesa: F=58.54 b_{eff}=13.20 t_w=0.70 σ=6.34
Zona tesa: F=58.54 b_{eff}=13.20 t_w=0.70 σ=6.34
CC 29 SLV (Collegamento -378_-512)
Azioni sul collegamento: N=133.31 Ty=1.58 Tz=-48.65 Mx=0.40 Mz=2.42
Zona tesa: F=53.68 b_{eff}=13.20 t_w=0.70 σ=5.81
Zona tesa: F=53.68 b_{eff}=13.20 t_w=0.70 σ=5.81
CC 29 SLV (Collegamento -378_-512)
Azioni sul collegamento: N=133.31 Ty=2.96 Tz=-48.65 Mx=0.60 Mz=3.74
Zona tesa: F=53.68 b_{eff}=13.20 t_w=0.70 σ=5.81
Zona tesa: F=53.68 b_{eff}=13.20 t_w=0.70 σ=5.81
CC 29 SLV (Collegamento -378_-512)
Azioni sul collegamento: N=133.31 Ty=1.58 Tz=-48.65 Mx=0.40 Mz=2.42
Zona tesa: F=53.68 b_{eff}=13.20 t_w=0.70 σ=5.81
Zona tesa: F=53.68 b_{eff}=13.20 t_w=0.70 σ=5.81
CC 29 SLV (Collegamento -378_-512)
Azioni sul collegamento: N=133.31 Ty=2.96 Tz=-48.65 Mx=0.60 Mz=3.74
Zona tesa: F=53.68 b_{eff}=13.20 t_w=0.70 σ=5.81
Zona tesa: F=53.68 b_{eff}=13.20 t_w=0.70 σ=5.81
CC 30 SLD (Collegamento -378_-512)
Azioni sul collegamento: N=141.29 Ty=1.59 Tz=-49.89 Mx=0.38 Mz=2.31
Zona tesa: F=56.90 b_{eff}=13.20 t_w=0.70 σ=6.16
Zona tesa: F=56.90 b_{eff}=13.20 t_w=0.70 σ=6.16
CC 30 SLD (Collegamento -378_-512)
Azioni sul collegamento: N=141.29 Ty=2.01 Tz=-49.89 Mx=0.44 Mz=2.72
Zona tesa: F=56.90 b_{eff}=13.20 t_w=0.70 σ=6.16
Zona tesa: F=56.90 b_{eff}=13.20 t_w=0.70 σ=6.16
CC 30 SLD (Collegamento -378_-512)
Azioni sul collegamento: N=141.29 Ty=1.59 Tz=-49.89 Mx=0.38 Mz=2.31
Zona tesa: F=56.90 b_{eff}=13.20 t_w=0.70 σ=6.16
Zona tesa: F=56.90 b_{eff}=13.20 t_w=0.70 σ=6.16
CC 30 SLD (Collegamento -378_-512)
Azioni sul collegamento: N=141.29 Ty=2.01 Tz=-49.89 Mx=0.44 Mz=2.72
Zona tesa: F=56.90 b_{eff}=13.20 t_w=0.70 σ=6.16
Zona tesa: F=56.90 b_{eff}=13.20 t_w=0.70 σ=6.16
CC 30 SLD (Collegamento -378_-512)
Azioni sul collegamento: N=137.61 Ty=1.59 Tz=-49.32 Mx=0.38 Mz=2.31
Zona tesa: F=55.42 b_{eff}=13.20 t_w=0.70 σ=6.00
Zona tesa: F=55.42 b_{eff}=13.20 t_w=0.70 σ=6.00
CC 30 SLD (Collegamento -378_-512)
Azioni sul collegamento: N=137.61 Ty=2.01 Tz=-49.32 Mx=0.44 Mz=2.72
Zona tesa: F=55.42 b_{eff}=13.20 t_w=0.70 σ=6.00
Zona tesa: F=55.42 b_{eff}=13.20 t_w=0.70 σ=6.00
CC 30 SLD (Collegamento -378_-512)
Azioni sul collegamento: N=137.61 Ty=1.59 Tz=-49.32 Mx=0.38 Mz=2.31
Zona tesa: F=55.42 b_{eff}=13.20 t_w=0.70 σ=6.00
Zona tesa: F=55.42 b_{eff}=13.20 t_w=0.70 σ=6.00
CC 30 SLD (Collegamento -378_-512)
Azioni sul collegamento: N=137.61 Ty=2.01 Tz=-49.32 Mx=0.44 Mz=2.72
Zona tesa: F=55.42 b_{eff}=13.20 t_w=0.70 σ=6.00
Zona tesa: F=55.42 b_{eff}=13.20 t_w=0.70 σ=6.00
CC 31 SLV (Collegamento -378_-512)

Azioni sul collegamento: N=132.74 Ty=1.18 Tz=-48.57 Mx=0.31 Mz=1.87
Zona tesa: F=53.45 b_{eff}=13.20 t_w=0.70 σ=5.78
Zona tesa: F=53.45 b_{eff}=13.20 t_w=0.70 σ=5.78
CC 31 SLV (Collegamento -378_-512)
Azioni sul collegamento: N=132.74 Ty=3.35 Tz=-48.57 Mx=0.68 Mz=4.28
Zona tesa: F=53.45 b_{eff}=13.20 t_w=0.70 σ=5.78
Zona tesa: F=53.45 b_{eff}=13.20 t_w=0.70 σ=5.78
CC 31 SLV (Collegamento -378_-512)
Azioni sul collegamento: N=132.74 Ty=1.18 Tz=-48.57 Mx=0.31 Mz=1.87
Zona tesa: F=53.45 b_{eff}=13.20 t_w=0.70 σ=5.78
Zona tesa: F=53.45 b_{eff}=13.20 t_w=0.70 σ=5.78
CC 31 SLV (Collegamento -378_-512)
Azioni sul collegamento: N=132.74 Ty=3.35 Tz=-48.57 Mx=0.68 Mz=4.28
Zona tesa: F=53.45 b_{eff}=13.20 t_w=0.70 σ=5.78
Zona tesa: F=53.45 b_{eff}=13.20 t_w=0.70 σ=5.78
CC 31 SLV (Collegamento -378_-512)
Azioni sul collegamento: N=145.95 Ty=1.18 Tz=-50.61 Mx=0.31 Mz=1.87
Zona tesa: F=58.77 b_{eff}=13.20 t_w=0.70 σ=6.36
Zona tesa: F=58.77 b_{eff}=13.20 t_w=0.70 σ=6.36
CC 31 SLV (Collegamento -378_-512)
Azioni sul collegamento: N=145.95 Ty=3.35 Tz=-50.61 Mx=0.68 Mz=4.28
Zona tesa: F=58.77 b_{eff}=13.20 t_w=0.70 σ=6.36
Zona tesa: F=58.77 b_{eff}=13.20 t_w=0.70 σ=6.36
CC 31 SLV (Collegamento -378_-512)
Azioni sul collegamento: N=145.95 Ty=1.18 Tz=-50.61 Mx=0.31 Mz=1.87
Zona tesa: F=58.77 b_{eff}=13.20 t_w=0.70 σ=6.36
Zona tesa: F=58.77 b_{eff}=13.20 t_w=0.70 σ=6.36
CC 31 SLV (Collegamento -378_-512)
Azioni sul collegamento: N=145.95 Ty=3.35 Tz=-50.61 Mx=0.68 Mz=4.28
Zona tesa: F=58.77 b_{eff}=13.20 t_w=0.70 σ=6.36
Zona tesa: F=58.77 b_{eff}=13.20 t_w=0.70 σ=6.36
CC 32 SLD (Collegamento -378_-512)
Azioni sul collegamento: N=137.44 Ty=1.47 Tz=-49.29 Mx=0.35 Mz=2.15
Zona tesa: F=55.34 b_{eff}=13.20 t_w=0.70 σ=5.99
Zona tesa: F=55.34 b_{eff}=13.20 t_w=0.70 σ=5.99
CC 32 SLD (Collegamento -378_-512)
Azioni sul collegamento: N=137.44 Ty=2.13 Tz=-49.29 Mx=0.46 Mz=2.88
Zona tesa: F=55.34 b_{eff}=13.20 t_w=0.70 σ=5.99
Zona tesa: F=55.34 b_{eff}=13.20 t_w=0.70 σ=5.99
CC 32 SLD (Collegamento -378_-512)
Azioni sul collegamento: N=137.44 Ty=1.47 Tz=-49.29 Mx=0.35 Mz=2.15
Zona tesa: F=55.34 b_{eff}=13.20 t_w=0.70 σ=5.99
Zona tesa: F=55.34 b_{eff}=13.20 t_w=0.70 σ=5.99
CC 32 SLD (Collegamento -378_-512)
Azioni sul collegamento: N=137.44 Ty=2.13 Tz=-49.29 Mx=0.46 Mz=2.88
Zona tesa: F=55.34 b_{eff}=13.20 t_w=0.70 σ=5.99
Zona tesa: F=55.34 b_{eff}=13.20 t_w=0.70 σ=5.99
CC 32 SLD (Collegamento -378_-512)
Azioni sul collegamento: N=141.47 Ty=1.47 Tz=-49.92 Mx=0.35 Mz=2.15
Zona tesa: F=56.97 b_{eff}=13.20 t_w=0.70 σ=6.17
Zona tesa: F=56.97 b_{eff}=13.20 t_w=0.70 σ=6.17
CC 32 SLD (Collegamento -378_-512)
Azioni sul collegamento: N=141.47 Ty=2.13 Tz=-49.92 Mx=0.46 Mz=2.88
Zona tesa: F=56.97 b_{eff}=13.20 t_w=0.70 σ=6.17
Zona tesa: F=56.97 b_{eff}=13.20 t_w=0.70 σ=6.17
CC 32 SLD (Collegamento -378_-512)
Azioni sul collegamento: N=141.47 Ty=1.47 Tz=-49.92 Mx=0.35 Mz=2.15
Zona tesa: F=56.97 b_{eff}=13.20 t_w=0.70 σ=6.17
Zona tesa: F=56.97 b_{eff}=13.20 t_w=0.70 σ=6.17
CC 32 SLD (Collegamento -378_-512)
Azioni sul collegamento: N=141.47 Ty=2.13 Tz=-49.92 Mx=0.46 Mz=2.88
Zona tesa: F=56.97 b_{eff}=13.20 t_w=0.70 σ=6.17
Zona tesa: F=56.97 b_{eff}=13.20 t_w=0.70 σ=6.17
CC 33 SLU (Collegamento -378_-512)
Azioni sul collegamento: N=353.36 Ty=2.81 Tz=-92.52 Mx=0.65 Mz=4.01
Zona tesa: F=142.29 b_{eff}=13.20 t_w=0.70 σ=15.40
Zona tesa: F=142.29 b_{eff}=13.20 t_w=0.70 σ=15.40
CC 34 SLU (Collegamento -378_-512)
Azioni sul collegamento: N=348.98 Ty=2.67 Tz=-91.84 Mx=0.62 Mz=3.82
Zona tesa: F=140.53 b_{eff}=13.20 t_w=0.70 σ=15.21
Zona tesa: F=140.53 b_{eff}=13.20 t_w=0.70 σ=15.21
CC 35 SLU (Collegamento -378_-512)
Azioni sul collegamento: N=351.14 Ty=2.83 Tz=-92.17 Mx=0.65 Mz=4.01
Zona tesa: F=141.40 b_{eff}=13.20 t_w=0.70 σ=15.30
Zona tesa: F=141.40 b_{eff}=13.20 t_w=0.70 σ=15.30
CC 36 SLU (Collegamento -378_-512)
Azioni sul collegamento: N=351.20 Ty=2.65 Tz=-92.18 Mx=0.62 Mz=3.82
Zona tesa: F=141.42 b_{eff}=13.20 t_w=0.70 σ=15.31

Zona tesa: F=141.42 b_{eff}=13.20 t_w=0.70 σ=15.31
CC 37 SLU (Collegamento -378_-512)
Azioni sul collegamento: N=284.39 Ty=3.06 Tz=-81.84 Mx=0.70 Mz=4.33
Zona tesa: F=114.52 b_{eff}=13.20 t_w=0.70 σ=12.39
Zona tesa: F=114.52 b_{eff}=13.20 t_w=0.70 σ=12.39
CC 38 SLU (Collegamento -378_-512)
Azioni sul collegamento: N=280.01 Ty=2.92 Tz=-81.16 Mx=0.67 Mz=4.14
Zona tesa: F=112.76 b_{eff}=13.20 t_w=0.70 σ=12.20
Zona tesa: F=112.76 b_{eff}=13.20 t_w=0.70 σ=12.20
CC 39 SLU (Collegamento -378_-512)
Azioni sul collegamento: N=282.17 Ty=3.08 Tz=-81.50 Mx=0.70 Mz=4.34
Zona tesa: F=113.63 b_{eff}=13.20 t_w=0.70 σ=12.30
Zona tesa: F=113.63 b_{eff}=13.20 t_w=0.70 σ=12.30
CC 40 SLU (Collegamento -378_-512)
Azioni sul collegamento: N=282.23 Ty=2.90 Tz=-81.51 Mx=0.67 Mz=4.14
Zona tesa: F=113.65 b_{eff}=13.20 t_w=0.70 σ=12.30
Zona tesa: F=113.65 b_{eff}=13.20 t_w=0.70 σ=12.30
CC 41 SLU (Collegamento -378_-512)
Azioni sul collegamento: N=346.10 Ty=0.73 Tz=-91.39 Mx=0.19 Mz=1.07
Zona tesa: F=139.37 b_{eff}=13.20 t_w=0.70 σ=15.08
Zona tesa: F=139.37 b_{eff}=13.20 t_w=0.70 σ=15.08
CC 42 SLU (Collegamento -378_-512)
Azioni sul collegamento: N=341.71 Ty=0.59 Tz=-90.71 Mx=0.16 Mz=0.88
Zona tesa: F=137.60 b_{eff}=13.20 t_w=0.70 σ=14.89
Zona tesa: F=137.60 b_{eff}=13.20 t_w=0.70 σ=14.89
CC 43 SLU (Collegamento -378_-512)
Azioni sul collegamento: N=343.87 Ty=0.75 Tz=-91.05 Mx=0.19 Mz=1.07
Zona tesa: F=138.47 b_{eff}=13.20 t_w=0.70 σ=14.99
Zona tesa: F=138.47 b_{eff}=13.20 t_w=0.70 σ=14.99
CC 44 SLU (Collegamento -378_-512)
Azioni sul collegamento: N=343.94 Ty=0.57 Tz=-91.06 Mx=0.16 Mz=0.87
Zona tesa: F=138.50 b_{eff}=13.20 t_w=0.70 σ=14.99
Zona tesa: F=138.50 b_{eff}=13.20 t_w=0.70 σ=14.99
CC 45 SLU (Collegamento -378_-512)
Azioni sul collegamento: N=300.34 Ty=2.91 Tz=-84.31 Mx=0.67 Mz=4.15
Zona tesa: F=120.94 b_{eff}=13.20 t_w=0.70 σ=13.09
Zona tesa: F=120.94 b_{eff}=13.20 t_w=0.70 σ=13.09
CC 46 SLU (Collegamento -378_-512)
Azioni sul collegamento: N=295.96 Ty=2.77 Tz=-83.63 Mx=0.64 Mz=3.95
Zona tesa: F=119.18 b_{eff}=13.20 t_w=0.70 σ=12.90
Zona tesa: F=119.18 b_{eff}=13.20 t_w=0.70 σ=12.90
CC 47 SLU (Collegamento -378_-512)
Azioni sul collegamento: N=298.12 Ty=2.93 Tz=-83.97 Mx=0.67 Mz=4.15
Zona tesa: F=120.05 b_{eff}=13.20 t_w=0.70 σ=12.99
Zona tesa: F=120.05 b_{eff}=13.20 t_w=0.70 σ=12.99
CC 48 SLU (Collegamento -378_-512)
Azioni sul collegamento: N=298.18 Ty=2.75 Tz=-83.98 Mx=0.64 Mz=3.95
Zona tesa: F=120.07 b_{eff}=13.20 t_w=0.70 σ=12.99
Zona tesa: F=120.07 b_{eff}=13.20 t_w=0.70 σ=12.99
CC 49 SLU (Collegamento -378_-512)
Azioni sul collegamento: N=248.74 Ty=3.10 Tz=-76.33 Mx=0.71 Mz=4.39
Zona tesa: F=100.17 b_{eff}=13.20 t_w=0.70 σ=10.84
Zona tesa: F=100.17 b_{eff}=13.20 t_w=0.70 σ=10.84
CC 50 SLU (Collegamento -378_-512)
Azioni sul collegamento: N=244.36 Ty=2.96 Tz=-75.65 Mx=0.68 Mz=4.20
Zona tesa: F=98.40 b_{eff}=13.20 t_w=0.70 σ=10.65
Zona tesa: F=98.40 b_{eff}=13.20 t_w=0.70 σ=10.65
CC 51 SLU (Collegamento -378_-512)
Azioni sul collegamento: N=246.52 Ty=3.12 Tz=-75.98 Mx=0.71 Mz=4.39
Zona tesa: F=99.27 b_{eff}=13.20 t_w=0.70 σ=10.74
Zona tesa: F=99.27 b_{eff}=13.20 t_w=0.70 σ=10.74
CC 52 SLU (Collegamento -378_-512)
Azioni sul collegamento: N=246.58 Ty=2.94 Tz=-75.99 Mx=0.68 Mz=4.20
Zona tesa: F=99.30 b_{eff}=13.20 t_w=0.70 σ=10.75
Zona tesa: F=99.30 b_{eff}=13.20 t_w=0.70 σ=10.75
CC 53 SLU (Collegamento -378_-512)
Azioni sul collegamento: N=294.91 Ty=1.35 Tz=-83.47 Mx=0.33 Mz=1.94
Zona tesa: F=118.75 b_{eff}=13.20 t_w=0.70 σ=12.85
Zona tesa: F=118.75 b_{eff}=13.20 t_w=0.70 σ=12.85
CC 54 SLU (Collegamento -378_-512)
Azioni sul collegamento: N=290.52 Ty=1.21 Tz=-82.79 Mx=0.30 Mz=1.75
Zona tesa: F=116.99 b_{eff}=13.20 t_w=0.70 σ=12.66
Zona tesa: F=116.99 b_{eff}=13.20 t_w=0.70 σ=12.66
CC 55 SLU (Collegamento -378_-512)
Azioni sul collegamento: N=292.68 Ty=1.37 Tz=-83.13 Mx=0.33 Mz=1.94
Zona tesa: F=117.86 b_{eff}=13.20 t_w=0.70 σ=12.76
Zona tesa: F=117.86 b_{eff}=13.20 t_w=0.70 σ=12.76
CC 56 SLU (Collegamento -378_-512)

Azioni sul collegamento: N=292.75 Ty=1.19 Tz=-83.14 Mx=0.30 Mz=1.75
Zona tesa: F=117.89 b_{eff}=13.20 t_w=0.70 σ=12.76
Zona tesa: F=117.89 b_{eff}=13.20 t_w=0.70 σ=12.76
CC 57 SLU (Collegamento -378_-512)
Azioni sul collegamento: N=287.70 Ty=2.61 Tz=-82.35 Mx=0.61 Mz=3.73
Zona tesa: F=115.85 b_{eff}=13.20 t_w=0.70 σ=12.54
Zona tesa: F=115.85 b_{eff}=13.20 t_w=0.70 σ=12.54
CC 58 SLU (Collegamento -378_-512)
Azioni sul collegamento: N=283.32 Ty=2.47 Tz=-81.68 Mx=0.58 Mz=3.53
Zona tesa: F=114.09 b_{eff}=13.20 t_w=0.70 σ=12.35
Zona tesa: F=114.09 b_{eff}=13.20 t_w=0.70 σ=12.35
CC 59 SLU (Collegamento -378_-512)
Azioni sul collegamento: N=285.48 Ty=2.63 Tz=-82.01 Mx=0.61 Mz=3.73
Zona tesa: F=114.96 b_{eff}=13.20 t_w=0.70 σ=12.44
Zona tesa: F=114.96 b_{eff}=13.20 t_w=0.70 σ=12.44
CC 60 SLU (Collegamento -378_-512)
Azioni sul collegamento: N=285.54 Ty=2.45 Tz=-82.02 Mx=0.58 Mz=3.53
Zona tesa: F=114.98 b_{eff}=13.20 t_w=0.70 σ=12.44
Zona tesa: F=114.98 b_{eff}=13.20 t_w=0.70 σ=12.44
CC 61 SLU (Collegamento -378_-512)
Azioni sul collegamento: N=236.10 Ty=2.79 Tz=-74.37 Mx=0.65 Mz=3.97
Zona tesa: F=95.07 b_{eff}=13.20 t_w=0.70 σ=10.29
Zona tesa: F=95.07 b_{eff}=13.20 t_w=0.70 σ=10.29
CC 62 SLU (Collegamento -378_-512)
Azioni sul collegamento: N=231.72 Ty=2.65 Tz=-73.69 Mx=0.62 Mz=3.78
Zona tesa: F=93.31 b_{eff}=13.20 t_w=0.70 σ=10.10
Zona tesa: F=93.31 b_{eff}=13.20 t_w=0.70 σ=10.10
CC 63 SLU (Collegamento -378_-512)
Azioni sul collegamento: N=233.88 Ty=2.82 Tz=-74.03 Mx=0.65 Mz=3.97
Zona tesa: F=94.18 b_{eff}=13.20 t_w=0.70 σ=10.19
Zona tesa: F=94.18 b_{eff}=13.20 t_w=0.70 σ=10.19
CC 64 SLU (Collegamento -378_-512)
Azioni sul collegamento: N=233.94 Ty=2.63 Tz=-74.04 Mx=0.62 Mz=3.78
Zona tesa: F=94.20 b_{eff}=13.20 t_w=0.70 σ=10.20
Zona tesa: F=94.20 b_{eff}=13.20 t_w=0.70 σ=10.20
CC 65 SLU (Collegamento -378_-512)
Azioni sul collegamento: N=282.26 Ty=1.05 Tz=-81.51 Mx=0.26 Mz=1.52
Zona tesa: F=113.66 b_{eff}=13.20 t_w=0.70 σ=12.30
Zona tesa: F=113.66 b_{eff}=13.20 t_w=0.70 σ=12.30
CC 66 SLU (Collegamento -378_-512)
Azioni sul collegamento: N=277.88 Ty=0.91 Tz=-80.84 Mx=0.23 Mz=1.33
Zona tesa: F=111.90 b_{eff}=13.20 t_w=0.70 σ=12.11
Zona tesa: F=111.90 b_{eff}=13.20 t_w=0.70 σ=12.11
CC 67 SLU (Collegamento -378_-512)
Azioni sul collegamento: N=280.04 Ty=1.07 Tz=-81.17 Mx=0.26 Mz=1.52
Zona tesa: F=112.77 b_{eff}=13.20 t_w=0.70 σ=12.20
Zona tesa: F=112.77 b_{eff}=13.20 t_w=0.70 σ=12.20
CC 68 SLU (Collegamento -378_-512)
Azioni sul collegamento: N=280.11 Ty=0.89 Tz=-81.18 Mx=0.23 Mz=1.33
Zona tesa: F=112.79 b_{eff}=13.20 t_w=0.70 σ=12.21
Zona tesa: F=112.79 b_{eff}=13.20 t_w=0.70 σ=12.21
CC 97 SLU (Collegamento -378_-512)
Azioni sul collegamento: N=233.77 Ty=-7.63 Tz=-64.20 Mx=-0.37 Mz=-3.01
Zona tesa: F=94.14 b_{eff}=13.20 t_w=0.70 σ=10.19
Zona tesa: F=94.14 b_{eff}=13.20 t_w=0.70 σ=10.19
CC 98 SLU (Collegamento -378_-512)
Azioni sul collegamento: N=229.39 Ty=-7.77 Tz=-63.52 Mx=-0.40 Mz=-3.20
Zona tesa: F=92.37 b_{eff}=13.20 t_w=0.70 σ=****
Zona tesa: F=92.37 b_{eff}=13.20 t_w=0.70 σ=****
CC 99 SLU (Collegamento -378_-512)
Azioni sul collegamento: N=231.55 Ty=-7.61 Tz=-63.86 Mx=-0.37 Mz=-3.00
Zona tesa: F=93.24 b_{eff}=13.20 t_w=0.70 σ=10.09
Zona tesa: F=93.24 b_{eff}=13.20 t_w=0.70 σ=10.09
CC 100 SLU (Collegamento -378_-512)
Azioni sul collegamento: N=231.61 Ty=-7.79 Tz=-63.87 Mx=-0.40 Mz=-3.20
Zona tesa: F=93.27 b_{eff}=13.20 t_w=0.70 σ=10.09
Zona tesa: F=93.27 b_{eff}=13.20 t_w=0.70 σ=10.09
CC 101 SLU (Collegamento -378_-512)
Azioni sul collegamento: N=140.94 Ty=2.83 Tz=-49.83 Mx=0.49 Mz=3.09
Zona tesa: F=56.75 b_{eff}=13.20 t_w=0.70 σ=6.14
Zona tesa: F=56.75 b_{eff}=13.20 t_w=0.70 σ=6.14
CC 102 SLU (Collegamento -378_-512)
Azioni sul collegamento: N=136.56 Ty=2.69 Tz=-49.16 Mx=0.46 Mz=2.89
Zona tesa: F=54.99 b_{eff}=13.20 t_w=0.70 σ=5.95
Zona tesa: F=54.99 b_{eff}=13.20 t_w=0.70 σ=5.95
CC 103 SLU (Collegamento -378_-512)
Azioni sul collegamento: N=138.72 Ty=2.85 Tz=-49.49 Mx=0.49 Mz=3.09
Zona tesa: F=55.86 b_{eff}=13.20 t_w=0.70 σ=6.05

Zona tesa: F=55.86 b_{eff}=13.20 t_w=0.70 σ=6.05
CC 104 SLU (Collegamento -378_-512)
Azioni sul collegamento: N=138.78 Ty=2.67 Tz=-49.50 Mx=0.46 Mz=2.89
Zona tesa: F=55.88 b_{eff}=13.20 t_w=0.70 σ=6.05
Zona tesa: F=55.88 b_{eff}=13.20 t_w=0.70 σ=6.05

Collegamento -379_-515

Saldatura a cordone d'angolo
Altezza di gola saldature: anima 7.07 - ala 7.07

Saldatura profilo-profilo

CC 65 SLV (Collegamento -379_-515)
Azioni sul collegamento: N=139.37 Ty=5.53 Tz=-49.59 Mx=0.71 Mz=4.34
Sollecitazioni agenti localmente: Tx_l=5.53 Ty_l=-49.59 N_l=139.37 My_l=-4.34 Mz_l=0.71
Azioni sul cordone: TP=-1.22 TO=4.21 NO=10.25
Tensioni nel cordone: τ_P=0.39 τ_O=1.34 σ_O=9.60 σ_{ID}=9.70 Σ_T=10.93
CC 79 SLV (Collegamento -379_-515)
Azioni sul collegamento: N=139.37 Ty=5.53 Tz=-49.59 Mx=0.65 Mz=4.35
Sollecitazioni agenti localmente: Tx_l=5.53 Ty_l=-49.59 N_l=139.37 My_l=-4.35 Mz_l=0.65
Azioni sul cordone: TP=-1.15 TO=4.16 NO=10.25
Tensioni nel cordone: τ_P=0.37 τ_O=1.32 σ_O=9.61 σ_{ID}=9.71 Σ_T=10.93
CC 102 SLU (Collegamento -379_-515)
Azioni sul collegamento: N=334.53 Ty=0.02 Tz=-89.60 Mx=-0.00 Mz=-0.01
Sollecitazioni agenti localmente: Tx_l=0.02 Ty_l=-89.60 N_l=334.53 My_l=0.01 Mz_l=-0.00
Azioni sul cordone: TP=0.00 TO=-6.59 NO=24.62
Tensioni nel cordone: τ_P=8.61E-04 τ_O=2.10 σ_O=7.84 σ_{ID}=8.11 Σ_T=9.93

Verifica lato anima della colonna

CC 102 SLU (Collegamento -379_-515)
Azioni sul collegamento: N=334.53 Ty=0.02 Tz=-89.60 Mx=-0.00 Mz=-0.01
Zona tesa: F=134.71 b_{eff}=13.20 t_w=0.70 σ=14.58
Zona tesa: F=134.71 b_{eff}=13.20 t_w=0.70 σ=14.58

Collegamento -380_-516

Saldatura a cordone d'angolo
Altezza di gola saldature: anima 7.07 - ala 7.07

Saldatura profilo-profilo

CC 1 SLV (Collegamento -380_-516)
Azioni sul collegamento: N=146.87 Ty=-0.28 Tz=-50.75 Mx=-0.08 Mz=-0.44
Sollecitazioni agenti localmente: Tx_l=-0.28 Ty_l=-50.75 N_l=146.87 My_l=0.44 Mz_l=-0.08
Azioni sul cordone: TP=0.11 TO=3.79 NO=10.81
Tensioni nel cordone: τ_P= 0.03 τ_O=1.21 σ_O=4.08 σ_{ID}=4.25 Σ_T=5.29
CC 1 SLV (Collegamento -380_-516)
Azioni sul collegamento: N=146.87 Ty=-1.13 Tz=-50.75 Mx=-0.20 Mz=-1.22
Sollecitazioni agenti localmente: Tx_l=-1.13 Ty_l=-50.75 N_l=146.87 My_l=1.22 Mz_l=-0.20
Azioni sul cordone: TP=0.31 TO=3.89 NO=10.81
Tensioni nel cordone: τ_P= 0.10 τ_O=1.24 σ_O=5.21 σ_{ID}=5.36 Σ_T=6.45
CC 1 SLV (Collegamento -380_-516)
Azioni sul collegamento: N=146.87 Ty=-0.28 Tz=-50.75 Mx=-0.08 Mz=-0.44
Sollecitazioni agenti localmente: Tx_l=-0.28 Ty_l=-50.75 N_l=146.87 My_l=0.44 Mz_l=-0.08
Azioni sul cordone: TP=0.11 TO=3.79 NO=10.81
Tensioni nel cordone: τ_P= 0.03 τ_O=1.21 σ_O=4.08 σ_{ID}=4.25 Σ_T=5.29
CC 1 SLV (Collegamento -380_-516)
Azioni sul collegamento: N=146.87 Ty=-1.13 Tz=-50.75 Mx=-0.20 Mz=-1.22
Sollecitazioni agenti localmente: Tx_l=-1.13 Ty_l=-50.75 N_l=146.87 My_l=1.22 Mz_l=-0.20
Azioni sul cordone: TP=0.31 TO=3.89 NO=10.81
Tensioni nel cordone: τ_P= 0.10 τ_O=1.24 σ_O=5.21 σ_{ID}=5.36 Σ_T=6.45
CC 1 SLV (Collegamento -380_-516)
Azioni sul collegamento: N=110.50 Ty=-0.28 Tz=-45.12 Mx=-0.08 Mz=-0.44
Sollecitazioni agenti localmente: Tx_l=-0.28 Ty_l=-45.12 N_l=110.50 My_l=0.44 Mz_l=-0.08
Azioni sul cordone: TP=0.11 TO=3.38 NO=8.13
Tensioni nel cordone: τ_P= 0.03 τ_O=1.07 σ_O=3.23 σ_{ID}=3.40 Σ_T=4.30
CC 1 SLV (Collegamento -380_-516)
Azioni sul collegamento: N=110.50 Ty=-1.13 Tz=-45.12 Mx=-0.20 Mz=-1.22
Sollecitazioni agenti localmente: Tx_l=-1.13 Ty_l=-45.12 N_l=110.50 My_l=1.22 Mz_l=-0.20
Azioni sul cordone: TP=0.31 TO=3.48 NO=8.13
Tensioni nel cordone: τ_P= 0.10 τ_O=1.10 σ_O=4.36 σ_{ID}=4.50 Σ_T=5.47
CC 1 SLV (Collegamento -380_-516)
Azioni sul collegamento: N=110.50 Ty=-0.28 Tz=-45.12 Mx=-0.08 Mz=-0.44
Sollecitazioni agenti localmente: Tx_l=-0.28 Ty_l=-45.12 N_l=110.50 My_l=0.44 Mz_l=-0.08
Azioni sul cordone: TP=0.11 TO=3.38 NO=8.13
Tensioni nel cordone: τ_P= 0.03 τ_O=1.07 σ_O=3.23 σ_{ID}=3.40 Σ_T=4.30
CC 1 SLV (Collegamento -380_-516)
Azioni sul collegamento: N=110.50 Ty=-1.13 Tz=-45.12 Mx=-0.20 Mz=-1.22
Sollecitazioni agenti localmente: Tx_l=-1.13 Ty_l=-45.12 N_l=110.50 My_l=1.22 Mz_l=-0.20

Azioni sul cordone: TP=0.31 TO=3.48 NO=8.13
Tensioni nel cordone: τ_P= 0.10 τ_0=1.10 σ_0=4.36 σ_{ID}=4.50 Σ_T=5.47
CC 2 SLD (Collegamento -380_-516)
Azioni sul collegamento: N=134.22 Ty=-0.13 Tz=-48.79 Mx=-0.03 Mz=-0.17
Sollecitazioni agenti localmente: Tx_l=-0.13 Ty_l=-48.79 N_l=134.22 My_l=0.17 Mz_l=-0.03
Azioni sul cordone: TP=0.04 TO=3.61 NO=9.88
Tensioni nel cordone: τ_P= 0.01 τ_0=1.15 σ_0=3.39 σ_{ID}=3.58 Σ_T=4.54
CC 2 SLD (Collegamento -380_-516)
Azioni sul collegamento: N=134.22 Ty=-0.39 Tz=-48.79 Mx=-0.07 Mz=-0.41
Sollecitazioni agenti localmente: Tx_l=-0.39 Ty_l=-48.79 N_l=134.22 My_l=0.41 Mz_l=-0.07
Azioni sul cordone: TP=0.10 TO=3.64 NO=9.88
Tensioni nel cordone: τ_P= 0.03 τ_0=1.16 σ_0=3.73 σ_{ID}=3.91 Σ_T=4.89
CC 2 SLD (Collegamento -380_-516)
Azioni sul collegamento: N=134.22 Ty=-0.13 Tz=-48.79 Mx=-0.03 Mz=-0.17
Sollecitazioni agenti localmente: Tx_l=-0.13 Ty_l=-48.79 N_l=134.22 My_l=0.17 Mz_l=-0.03
Azioni sul cordone: TP=0.04 TO=3.61 NO=9.88
Tensioni nel cordone: τ_P= 0.01 τ_0=1.15 σ_0=3.39 σ_{ID}=3.58 Σ_T=4.54
CC 2 SLD (Collegamento -380_-516)
Azioni sul collegamento: N=134.22 Ty=-0.39 Tz=-48.79 Mx=-0.07 Mz=-0.41
Sollecitazioni agenti localmente: Tx_l=-0.39 Ty_l=-48.79 N_l=134.22 My_l=0.41 Mz_l=-0.07
Azioni sul cordone: TP=0.10 TO=3.64 NO=9.88
Tensioni nel cordone: τ_P= 0.03 τ_0=1.16 σ_0=3.73 σ_{ID}=3.91 Σ_T=4.89
CC 2 SLD (Collegamento -380_-516)
Azioni sul collegamento: N=123.13 Ty=-0.13 Tz=-47.08 Mx=-0.03 Mz=-0.17
Sollecitazioni agenti localmente: Tx_l=-0.13 Ty_l=-47.08 N_l=123.13 My_l=0.17 Mz_l=-0.03
Azioni sul cordone: TP=0.04 TO=3.49 NO=9.06
Tensioni nel cordone: τ_P= 0.01 τ_0=1.11 σ_0=3.13 σ_{ID}=3.32 Σ_T=4.24
CC 2 SLD (Collegamento -380_-516)
Azioni sul collegamento: N=123.13 Ty=-0.39 Tz=-47.08 Mx=-0.07 Mz=-0.41
Sollecitazioni agenti localmente: Tx_l=-0.39 Ty_l=-47.08 N_l=123.13 My_l=0.41 Mz_l=-0.07
Azioni sul cordone: TP=0.10 TO=3.52 NO=9.06
Tensioni nel cordone: τ_P= 0.03 τ_0=1.12 σ_0=3.47 σ_{ID}=3.65 Σ_T=4.59
CC 2 SLD (Collegamento -380_-516)
Azioni sul collegamento: N=123.13 Ty=-0.13 Tz=-47.08 Mx=-0.03 Mz=-0.17
Sollecitazioni agenti localmente: Tx_l=-0.13 Ty_l=-47.08 N_l=123.13 My_l=0.17 Mz_l=-0.03
Azioni sul cordone: TP=0.04 TO=3.49 NO=9.06
Tensioni nel cordone: τ_P= 0.01 τ_0=1.11 σ_0=3.13 σ_{ID}=3.32 Σ_T=4.24
CC 2 SLD (Collegamento -380_-516)
Azioni sul collegamento: N=123.13 Ty=-0.39 Tz=-47.08 Mx=-0.07 Mz=-0.41
Sollecitazioni agenti localmente: Tx_l=-0.39 Ty_l=-47.08 N_l=123.13 My_l=0.41 Mz_l=-0.07
Azioni sul cordone: TP=0.10 TO=3.52 NO=9.06
Tensioni nel cordone: τ_P= 0.03 τ_0=1.12 σ_0=3.47 σ_{ID}=3.65 Σ_T=4.59
CC 3 SLV (Collegamento -380_-516)
Azioni sul collegamento: N=146.85 Ty=-1.11 Tz=-50.75 Mx=-0.19 Mz=-1.20
Sollecitazioni agenti localmente: Tx_l=-1.11 Ty_l=-50.75 N_l=146.85 My_l=1.20 Mz_l=-0.19
Azioni sul cordone: TP=0.30 TO=3.88 NO=10.81
Tensioni nel cordone: τ_P= 0.09 τ_0=1.23 σ_0=5.18 σ_{ID}=5.33 Σ_T=6.42
CC 3 SLV (Collegamento -380_-516)
Azioni sul collegamento: N=146.85 Ty=-0.30 Tz=-50.75 Mx=-0.07 Mz=-0.46
Sollecitazioni agenti localmente: Tx_l=-0.30 Ty_l=-50.75 N_l=146.85 My_l=0.46 Mz_l=-0.07
Azioni sul cordone: TP=0.11 TO=3.79 NO=10.81
Tensioni nel cordone: τ_P= 0.03 τ_0=1.21 σ_0=4.11 σ_{ID}=4.29 Σ_T=5.32
CC 3 SLV (Collegamento -380_-516)
Azioni sul collegamento: N=146.85 Ty=-1.11 Tz=-50.75 Mx=-0.19 Mz=-1.20
Sollecitazioni agenti localmente: Tx_l=-1.11 Ty_l=-50.75 N_l=146.85 My_l=1.20 Mz_l=-0.19
Azioni sul cordone: TP=0.30 TO=3.88 NO=10.81
Tensioni nel cordone: τ_P= 0.09 τ_0=1.23 σ_0=5.18 σ_{ID}=5.33 Σ_T=6.42
CC 3 SLV (Collegamento -380_-516)
Azioni sul collegamento: N=146.85 Ty=-0.30 Tz=-50.75 Mx=-0.07 Mz=-0.46
Sollecitazioni agenti localmente: Tx_l=-0.30 Ty_l=-50.75 N_l=146.85 My_l=0.46 Mz_l=-0.07
Azioni sul cordone: TP=0.11 TO=3.79 NO=10.81
Tensioni nel cordone: τ_P= 0.03 τ_0=1.21 σ_0=4.11 σ_{ID}=4.29 Σ_T=5.32
CC 3 SLV (Collegamento -380_-516)
Azioni sul collegamento: N=110.52 Ty=-1.11 Tz=-45.13 Mx=-0.19 Mz=-1.20
Sollecitazioni agenti localmente: Tx_l=-1.11 Ty_l=-45.13 N_l=110.52 My_l=1.20 Mz_l=-0.19
Azioni sul cordone: TP=0.30 TO=3.47 NO=8.13
Tensioni nel cordone: τ_P= 0.09 τ_0=1.10 σ_0=4.33 σ_{ID}=4.47 Σ_T=5.43
CC 3 SLV (Collegamento -380_-516)
Azioni sul collegamento: N=110.52 Ty=-0.30 Tz=-45.13 Mx=-0.07 Mz=-0.46
Sollecitazioni agenti localmente: Tx_l=-0.30 Ty_l=-45.13 N_l=110.52 My_l=0.46 Mz_l=-0.07
Azioni sul cordone: TP=0.11 TO=3.38 NO=8.13
Tensioni nel cordone: τ_P= 0.03 τ_0=1.07 σ_0=3.26 σ_{ID}=3.43 Σ_T=4.34
CC 3 SLV (Collegamento -380_-516)
Azioni sul collegamento: N=110.52 Ty=-1.11 Tz=-45.13 Mx=-0.19 Mz=-1.20
Sollecitazioni agenti localmente: Tx_l=-1.11 Ty_l=-45.13 N_l=110.52 My_l=1.20 Mz_l=-0.19
Azioni sul cordone: TP=0.30 TO=3.47 NO=8.13
Tensioni nel cordone: τ_P= 0.09 τ_0=1.10 σ_0=4.33 σ_{ID}=4.47 Σ_T=5.43
CC 3 SLV (Collegamento -380_-516)
Azioni sul collegamento: N=110.52 Ty=-0.30 Tz=-45.13 Mx=-0.07 Mz=-0.46
Sollecitazioni agenti localmente: Tx_l=-0.30 Ty_l=-45.13 N_l=110.52 My_l=0.46 Mz_l=-0.07
Azioni sul cordone: TP=0.11 TO=3.38 NO=8.13

Tensioni nel cordone: τ_P= 0.03 τ_0=1.07 σ_0=3.26 σ_{ID}=3.43 Σ_T=4.34
CC 4 SLD (Collegamento -380_-516)
Azioni sul collegamento: N=134.21 Ty=-0.38 Tz=-48.79 Mx=-0.06 Mz=-0.40
Sollecitazioni agenti localmente: Tx_l=-0.38 Ty_l=-48.79 N_l=134.21 My_l=0.40 Mz_l=-0.06
Azioni sul cordone: TP=0.10 TO=3.64 NO=9.88
Tensioni nel cordone: τ_P= 0.03 τ_0=1.16 σ_0=3.72 σ_{ID}=3.90 Σ_T=4.88
CC 4 SLD (Collegamento -380_-516)
Azioni sul collegamento: N=134.21 Ty=-0.14 Tz=-48.79 Mx=-0.03 Mz=-0.18
Sollecitazioni agenti localmente: Tx_l=-0.14 Ty_l=-48.79 N_l=134.21 My_l=0.18 Mz_l=-0.03
Azioni sul cordone: TP=0.04 TO=3.61 NO=9.88
Tensioni nel cordone: τ_P= 0.01 τ_0=1.15 σ_0=3.40 σ_{ID}=3.59 Σ_T=4.54
CC 4 SLD (Collegamento -380_-516)
Azioni sul collegamento: N=134.21 Ty=-0.38 Tz=-48.79 Mx=-0.06 Mz=-0.40
Sollecitazioni agenti localmente: Tx_l=-0.38 Ty_l=-48.79 N_l=134.21 My_l=0.40 Mz_l=-0.06
Azioni sul cordone: TP=0.10 TO=3.64 NO=9.88
Tensioni nel cordone: τ_P= 0.03 τ_0=1.16 σ_0=3.72 σ_{ID}=3.90 Σ_T=4.88
CC 4 SLD (Collegamento -380_-516)
Azioni sul collegamento: N=134.21 Ty=-0.14 Tz=-48.79 Mx=-0.03 Mz=-0.18
Sollecitazioni agenti localmente: Tx_l=-0.14 Ty_l=-48.79 N_l=134.21 My_l=0.18 Mz_l=-0.03
Azioni sul cordone: TP=0.04 TO=3.61 NO=9.88
Tensioni nel cordone: τ_P= 0.01 τ_0=1.15 σ_0=3.40 σ_{ID}=3.59 Σ_T=4.54
CC 4 SLD (Collegamento -380_-516)
Azioni sul collegamento: N=123.13 Ty=-0.38 Tz=-47.08 Mx=-0.06 Mz=-0.40
Sollecitazioni agenti localmente: Tx_l=-0.38 Ty_l=-47.08 N_l=123.13 My_l=0.40 Mz_l=-0.06
Azioni sul cordone: TP=0.10 TO=3.51 NO=9.06
Tensioni nel cordone: τ_P= 0.03 τ_0=1.12 σ_0=3.46 σ_{ID}=3.64 Σ_T=4.58
CC 4 SLD (Collegamento -380_-516)
Azioni sul collegamento: N=123.13 Ty=-0.14 Tz=-47.08 Mx=-0.03 Mz=-0.18
Sollecitazioni agenti localmente: Tx_l=-0.14 Ty_l=-47.08 N_l=123.13 My_l=0.18 Mz_l=-0.03
Azioni sul cordone: TP=0.04 TO=3.49 NO=9.06
Tensioni nel cordone: τ_P= 0.01 τ_0=1.11 σ_0=3.14 σ_{ID}=3.33 Σ_T=4.25
CC 4 SLD (Collegamento -380_-516)
Azioni sul collegamento: N=123.13 Ty=-0.38 Tz=-47.08 Mx=-0.06 Mz=-0.40
Sollecitazioni agenti localmente: Tx_l=-0.38 Ty_l=-47.08 N_l=123.13 My_l=0.40 Mz_l=-0.06
Azioni sul cordone: TP=0.10 TO=3.51 NO=9.06
Tensioni nel cordone: τ_P= 0.03 τ_0=1.12 σ_0=3.46 σ_{ID}=3.64 Σ_T=4.58
CC 4 SLD (Collegamento -380_-516)
Azioni sul collegamento: N=123.13 Ty=-0.14 Tz=-47.08 Mx=-0.03 Mz=-0.18
Sollecitazioni agenti localmente: Tx_l=-0.14 Ty_l=-47.08 N_l=123.13 My_l=0.18 Mz_l=-0.03
Azioni sul cordone: TP=0.04 TO=3.49 NO=9.06
Tensioni nel cordone: τ_P= 0.01 τ_0=1.11 σ_0=3.14 σ_{ID}=3.33 Σ_T=4.25
CC 5 SLV (Collegamento -380_-516)
Azioni sul collegamento: N=110.52 Ty=-0.30 Tz=-45.13 Mx=-0.08 Mz=-0.46
Sollecitazioni agenti localmente: Tx_l=-0.30 Ty_l=-45.13 N_l=110.52 My_l=0.46 Mz_l=-0.08
Azioni sul cordone: TP=0.11 TO=3.38 NO=8.13
Tensioni nel cordone: τ_P= 0.04 τ_0=1.08 σ_0=3.26 σ_{ID}=3.43 Σ_T=4.34
CC 5 SLV (Collegamento -380_-516)
Azioni sul collegamento: N=110.52 Ty=-1.11 Tz=-45.13 Mx=-0.19 Mz=-1.20
Sollecitazioni agenti localmente: Tx_l=-1.11 Ty_l=-45.13 N_l=110.52 My_l=1.20 Mz_l=-0.19
Azioni sul cordone: TP=0.30 TO=3.47 NO=8.13
Tensioni nel cordone: τ_P= 0.10 τ_0=1.10 σ_0=4.33 σ_{ID}=4.47 Σ_T=5.43
CC 5 SLV (Collegamento -380_-516)
Azioni sul collegamento: N=110.52 Ty=-0.30 Tz=-45.13 Mx=-0.08 Mz=-0.46
Sollecitazioni agenti localmente: Tx_l=-0.30 Ty_l=-45.13 N_l=110.52 My_l=0.46 Mz_l=-0.08
Azioni sul cordone: TP=0.11 TO=3.38 NO=8.13
Tensioni nel cordone: τ_P= 0.04 τ_0=1.08 σ_0=3.26 σ_{ID}=3.43 Σ_T=4.34
CC 5 SLV (Collegamento -380_-516)
Azioni sul collegamento: N=110.52 Ty=-1.11 Tz=-45.13 Mx=-0.19 Mz=-1.20
Sollecitazioni agenti localmente: Tx_l=-1.11 Ty_l=-45.13 N_l=110.52 My_l=1.20 Mz_l=-0.19
Azioni sul cordone: TP=0.30 TO=3.47 NO=8.13
Tensioni nel cordone: τ_P= 0.10 τ_0=1.10 σ_0=4.33 σ_{ID}=4.47 Σ_T=5.43
CC 5 SLV (Collegamento -380_-516)
Azioni sul collegamento: N=146.85 Ty=-0.30 Tz=-50.75 Mx=-0.08 Mz=-0.46
Sollecitazioni agenti localmente: Tx_l=-0.30 Ty_l=-50.75 N_l=146.85 My_l=0.46 Mz_l=-0.08
Azioni sul cordone: TP=0.11 TO=3.80 NO=10.81
Tensioni nel cordone: τ_P= 0.04 τ_0=1.21 σ_0=4.11 σ_{ID}=4.28 Σ_T=5.32
CC 5 SLV (Collegamento -380_-516)
Azioni sul collegamento: N=146.85 Ty=-1.11 Tz=-50.75 Mx=-0.19 Mz=-1.20
Sollecitazioni agenti localmente: Tx_l=-1.11 Ty_l=-50.75 N_l=146.85 My_l=1.20 Mz_l=-0.19
Azioni sul cordone: TP=0.30 TO=3.89 NO=10.81
Tensioni nel cordone: τ_P= 0.10 τ_0=1.24 σ_0=5.18 σ_{ID}=5.33 Σ_T=6.42
CC 5 SLV (Collegamento -380_-516)
Azioni sul collegamento: N=146.85 Ty=-0.30 Tz=-50.75 Mx=-0.08 Mz=-0.46
Sollecitazioni agenti localmente: Tx_l=-0.30 Ty_l=-50.75 N_l=146.85 My_l=0.46 Mz_l=-0.08
Azioni sul cordone: TP=0.11 TO=3.80 NO=10.81
Tensioni nel cordone: τ_P= 0.04 τ_0=1.21 σ_0=4.11 σ_{ID}=4.28 Σ_T=5.32
CC 5 SLV (Collegamento -380_-516)
Azioni sul collegamento: N=146.85 Ty=-1.11 Tz=-50.75 Mx=-0.19 Mz=-1.20
Sollecitazioni agenti localmente: Tx_l=-1.11 Ty_l=-50.75 N_l=146.85 My_l=1.20 Mz_l=-0.19
Azioni sul cordone: TP=0.30 TO=3.89 NO=10.81
Tensioni nel cordone: τ_P= 0.10 τ_0=1.24 σ_0=5.18 σ_{ID}=5.33 Σ_T=6.42

CC 6 SLD (Collegamento -380_-516)
Azioni sul collegamento: N=123.13 Ty=-0.14 Tz=-47.08 Mx=-0.03 Mz=-0.18
Sollecitazioni agenti localmente: Tx_l=-0.14 Ty_l=-47.08 N_l=123.13 My_l=0.18 Mz_l=-0.03
Azioni sul cordone: TP=0.04 TO=3.49 NO=9.06
Tensioni nel cordone: τ_P= 0.01 τ_0=1.11 σ_0=3.14 σ_{ID}=3.33 Σ_T=4.25
CC 6 SLD (Collegamento -380_-516)
Azioni sul collegamento: N=123.13 Ty=-0.38 Tz=-47.08 Mx=-0.06 Mz=-0.40
Sollecitazioni agenti localmente: Tx_l=-0.38 Ty_l=-47.08 N_l=123.13 My_l=0.40 Mz_l=-0.06
Azioni sul cordone: TP=0.10 TO=3.51 NO=9.06
Tensioni nel cordone: τ_P= 0.03 τ_0=1.12 σ_0=3.46 σ_{ID}=3.64 Σ_T=4.58
CC 6 SLD (Collegamento -380_-516)
Azioni sul collegamento: N=123.13 Ty=-0.14 Tz=-47.08 Mx=-0.03 Mz=-0.18
Sollecitazioni agenti localmente: Tx_l=-0.14 Ty_l=-47.08 N_l=123.13 My_l=0.18 Mz_l=-0.03
Azioni sul cordone: TP=0.04 TO=3.49 NO=9.06
Tensioni nel cordone: τ_P= 0.01 τ_0=1.11 σ_0=3.14 σ_{ID}=3.33 Σ_T=4.25
CC 6 SLD (Collegamento -380_-516)
Azioni sul collegamento: N=123.13 Ty=-0.38 Tz=-47.08 Mx=-0.06 Mz=-0.40
Sollecitazioni agenti localmente: Tx_l=-0.38 Ty_l=-47.08 N_l=123.13 My_l=0.40 Mz_l=-0.06
Azioni sul cordone: TP=0.10 TO=3.51 NO=9.06
Tensioni nel cordone: τ_P= 0.03 τ_0=1.12 σ_0=3.46 σ_{ID}=3.64 Σ_T=4.58
CC 6 SLD (Collegamento -380_-516)
Azioni sul collegamento: N=134.21 Ty=-0.14 Tz=-48.79 Mx=-0.03 Mz=-0.18
Sollecitazioni agenti localmente: Tx_l=-0.14 Ty_l=-48.79 N_l=134.21 My_l=0.18 Mz_l=-0.03
Azioni sul cordone: TP=0.04 TO=3.61 NO=9.88
Tensioni nel cordone: τ_P= 0.01 τ_0=1.15 σ_0=3.40 σ_{ID}=3.59 Σ_T=4.54
CC 6 SLD (Collegamento -380_-516)
Azioni sul collegamento: N=134.21 Ty=-0.38 Tz=-48.79 Mx=-0.06 Mz=-0.40
Sollecitazioni agenti localmente: Tx_l=-0.38 Ty_l=-48.79 N_l=134.21 My_l=0.40 Mz_l=-0.06
Azioni sul cordone: TP=0.10 TO=3.64 NO=9.88
Tensioni nel cordone: τ_P= 0.03 τ_0=1.16 σ_0=3.72 σ_{ID}=3.90 Σ_T=4.88
CC 6 SLD (Collegamento -380_-516)
Azioni sul collegamento: N=134.21 Ty=-0.14 Tz=-48.79 Mx=-0.03 Mz=-0.18
Sollecitazioni agenti localmente: Tx_l=-0.14 Ty_l=-48.79 N_l=134.21 My_l=0.18 Mz_l=-0.03
Azioni sul cordone: TP=0.04 TO=3.61 NO=9.88
Tensioni nel cordone: τ_P= 0.01 τ_0=1.15 σ_0=3.40 σ_{ID}=3.59 Σ_T=4.54
CC 6 SLD (Collegamento -380_-516)
Azioni sul collegamento: N=134.21 Ty=-0.38 Tz=-48.79 Mx=-0.06 Mz=-0.40
Sollecitazioni agenti localmente: Tx_l=-0.38 Ty_l=-48.79 N_l=134.21 My_l=0.40 Mz_l=-0.06
Azioni sul cordone: TP=0.10 TO=3.64 NO=9.88
Tensioni nel cordone: τ_P= 0.03 τ_0=1.16 σ_0=3.72 σ_{ID}=3.90 Σ_T=4.88
CC 7 SLV (Collegamento -380_-516)
Azioni sul collegamento: N=110.50 Ty=-1.13 Tz=-45.12 Mx=-0.19 Mz=-1.22
Sollecitazioni agenti localmente: Tx_l=-1.13 Ty_l=-45.12 N_l=110.50 My_l=1.22 Mz_l=-0.19
Azioni sul cordone: TP=0.30 TO=3.47 NO=8.13
Tensioni nel cordone: τ_P= 0.10 τ_0=1.10 σ_0=4.36 σ_{ID}=4.50 Σ_T=5.47
CC 7 SLV (Collegamento -380_-516)
Azioni sul collegamento: N=110.50 Ty=-0.28 Tz=-45.12 Mx=-0.07 Mz=-0.44
Sollecitazioni agenti localmente: Tx_l=-0.28 Ty_l=-45.12 N_l=110.50 My_l=0.44 Mz_l=-0.07
Azioni sul cordone: TP=0.10 TO=3.38 NO=8.13
Tensioni nel cordone: τ_P= 0.03 τ_0=1.07 σ_0=3.23 σ_{ID}=3.40 Σ_T=4.30
CC 7 SLV (Collegamento -380_-516)
Azioni sul collegamento: N=110.50 Ty=-1.13 Tz=-45.12 Mx=-0.19 Mz=-1.22
Sollecitazioni agenti localmente: Tx_l=-1.13 Ty_l=-45.12 N_l=110.50 My_l=1.22 Mz_l=-0.19
Azioni sul cordone: TP=0.30 TO=3.47 NO=8.13
Tensioni nel cordone: τ_P= 0.10 τ_0=1.10 σ_0=4.36 σ_{ID}=4.50 Σ_T=5.47
CC 7 SLV (Collegamento -380_-516)
Azioni sul collegamento: N=110.50 Ty=-0.28 Tz=-45.12 Mx=-0.07 Mz=-0.44
Sollecitazioni agenti localmente: Tx_l=-0.28 Ty_l=-45.12 N_l=110.50 My_l=0.44 Mz_l=-0.07
Azioni sul cordone: TP=0.10 TO=3.38 NO=8.13
Tensioni nel cordone: τ_P= 0.03 τ_0=1.07 σ_0=3.23 σ_{ID}=3.40 Σ_T=4.30
CC 7 SLV (Collegamento -380_-516)
Azioni sul collegamento: N=146.87 Ty=-1.13 Tz=-50.75 Mx=-0.19 Mz=-1.22
Sollecitazioni agenti localmente: Tx_l=-1.13 Ty_l=-50.75 N_l=146.87 My_l=1.22 Mz_l=-0.19
Azioni sul cordone: TP=0.30 TO=3.89 NO=10.81
Tensioni nel cordone: τ_P= 0.10 τ_0=1.24 σ_0=5.21 σ_{ID}=5.36 Σ_T=6.45
CC 7 SLV (Collegamento -380_-516)
Azioni sul collegamento: N=146.87 Ty=-0.28 Tz=-50.75 Mx=-0.07 Mz=-0.44
Sollecitazioni agenti localmente: Tx_l=-0.28 Ty_l=-50.75 N_l=146.87 My_l=0.44 Mz_l=-0.07
Azioni sul cordone: TP=0.10 TO=3.79 NO=10.81
Tensioni nel cordone: τ_P= 0.03 τ_0=1.20 σ_0=4.08 σ_{ID}=4.26 Σ_T=5.29
CC 7 SLV (Collegamento -380_-516)
Azioni sul collegamento: N=146.87 Ty=-1.13 Tz=-50.75 Mx=-0.19 Mz=-1.22
Sollecitazioni agenti localmente: Tx_l=-1.13 Ty_l=-50.75 N_l=146.87 My_l=1.22 Mz_l=-0.19
Azioni sul cordone: TP=0.30 TO=3.89 NO=10.81
Tensioni nel cordone: τ_P= 0.10 τ_0=1.24 σ_0=5.21 σ_{ID}=5.36 Σ_T=6.45
CC 7 SLV (Collegamento -380_-516)
Azioni sul collegamento: N=146.87 Ty=-0.28 Tz=-50.75 Mx=-0.07 Mz=-0.44
Sollecitazioni agenti localmente: Tx_l=-0.28 Ty_l=-50.75 N_l=146.87 My_l=0.44 Mz_l=-0.07
Azioni sul cordone: TP=0.10 TO=3.79 NO=10.81
Tensioni nel cordone: τ_P= 0.03 τ_0=1.20 σ_0=4.08 σ_{ID}=4.26 Σ_T=5.29
CC 8 SLD (Collegamento -380_-516)

Azioni sul collegamento: N=123.13 Ty=-0.39 Tz=-47.08 Mx=-0.06 Mz=-0.41
Sollecitazioni agenti localmente: Tx_l=-0.39 Ty_l=-47.08 N_l=123.13 My_l=0.41 Mz_l=-0.06
Azioni sul cordone: TP=0.10 TO=3.51 NO=9.06
Tensioni nel cordone: τ_P= 0.03 τ_0=1.12 σ_0=3.47 σ_{ID}=3.65 Σ_T=4.59
CC 8 SLD (Collegamento -380_-516)
Azioni sul collegamento: N=123.13 Ty=-0.13 Tz=-47.08 Mx=-0.03 Mz=-0.17
Sollecitazioni agenti localmente: Tx_l=-0.13 Ty_l=-47.08 N_l=123.13 My_l=0.17 Mz_l=-0.03
Azioni sul cordone: TP=0.04 TO=3.49 NO=9.06
Tensioni nel cordone: τ_P= 0.01 τ_0=1.11 σ_0=3.13 σ_{ID}=3.32 Σ_T=4.24
CC 8 SLD (Collegamento -380_-516)
Azioni sul collegamento: N=123.13 Ty=-0.39 Tz=-47.08 Mx=-0.06 Mz=-0.41
Sollecitazioni agenti localmente: Tx_l=-0.39 Ty_l=-47.08 N_l=123.13 My_l=0.41 Mz_l=-0.06
Azioni sul cordone: TP=0.10 TO=3.51 NO=9.06
Tensioni nel cordone: τ_P= 0.03 τ_0=1.12 σ_0=3.47 σ_{ID}=3.65 Σ_T=4.59
CC 8 SLD (Collegamento -380_-516)
Azioni sul collegamento: N=123.13 Ty=-0.13 Tz=-47.08 Mx=-0.03 Mz=-0.17
Sollecitazioni agenti localmente: Tx_l=-0.13 Ty_l=-47.08 N_l=123.13 My_l=0.17 Mz_l=-0.03
Azioni sul cordone: TP=0.04 TO=3.49 NO=9.06
Tensioni nel cordone: τ_P= 0.01 τ_0=1.11 σ_0=3.13 σ_{ID}=3.32 Σ_T=4.24
CC 8 SLD (Collegamento -380_-516)
Azioni sul collegamento: N=134.22 Ty=-0.39 Tz=-48.79 Mx=-0.06 Mz=-0.41
Sollecitazioni agenti localmente: Tx_l=-0.39 Ty_l=-48.79 N_l=134.22 My_l=0.41 Mz_l=-0.06
Azioni sul cordone: TP=0.10 TO=3.64 NO=9.88
Tensioni nel cordone: τ_P= 0.03 τ_0=1.16 σ_0=3.73 σ_{ID}=3.91 Σ_T=4.89
CC 8 SLD (Collegamento -380_-516)
Azioni sul collegamento: N=134.22 Ty=-0.13 Tz=-48.79 Mx=-0.03 Mz=-0.17
Sollecitazioni agenti localmente: Tx_l=-0.13 Ty_l=-48.79 N_l=134.22 My_l=0.17 Mz_l=-0.03
Azioni sul cordone: TP=0.04 TO=3.61 NO=9.88
Tensioni nel cordone: τ_P= 0.01 τ_0=1.15 σ_0=3.39 σ_{ID}=3.58 Σ_T=4.54
CC 8 SLD (Collegamento -380_-516)
Azioni sul collegamento: N=134.22 Ty=-0.39 Tz=-48.79 Mx=-0.06 Mz=-0.41
Sollecitazioni agenti localmente: Tx_l=-0.39 Ty_l=-48.79 N_l=134.22 My_l=0.41 Mz_l=-0.06
Azioni sul cordone: TP=0.10 TO=3.64 NO=9.88
Tensioni nel cordone: τ_P= 0.03 τ_0=1.16 σ_0=3.73 σ_{ID}=3.91 Σ_T=4.89
CC 8 SLD (Collegamento -380_-516)
Azioni sul collegamento: N=134.22 Ty=-0.13 Tz=-48.79 Mx=-0.03 Mz=-0.17
Sollecitazioni agenti localmente: Tx_l=-0.13 Ty_l=-48.79 N_l=134.22 My_l=0.17 Mz_l=-0.03
Azioni sul cordone: TP=0.04 TO=3.61 NO=9.88
Tensioni nel cordone: τ_P= 0.01 τ_0=1.15 σ_0=3.39 σ_{ID}=3.58 Σ_T=4.54
CC 9 SLV (Collegamento -380_-516)
Azioni sul collegamento: N=134.17 Ty=0.68 Tz=-48.79 Mx=0.05 Mz=0.43
Sollecitazioni agenti localmente: Tx_l=0.68 Ty_l=-48.79 N_l=134.17 My_l=-0.43 Mz_l=0.05
Azioni sul cordone: TP=-0.11 TO=3.63 NO=9.87
Tensioni nel cordone: τ_P= 0.04 τ_0=1.15 σ_0=3.77 σ_{ID}=3.94 Σ_T=4.92
CC 9 SLV (Collegamento -380_-516)
Azioni sul collegamento: N=134.17 Ty=-2.08 Tz=-48.79 Mx=-0.34 Mz=-2.09
Sollecitazioni agenti localmente: Tx_l=-2.08 Ty_l=-48.79 N_l=134.17 My_l=2.09 Mz_l=-0.34
Azioni sul cordone: TP=0.54 TO=3.86 NO=9.87
Tensioni nel cordone: τ_P=0.17 τ_0=1.23 σ_0=6.19 σ_{ID}=6.31 Σ_T=7.41
CC 9 SLV (Collegamento -380_-516)
Azioni sul collegamento: N=134.17 Ty=0.68 Tz=-48.79 Mx=0.05 Mz=0.43
Sollecitazioni agenti localmente: Tx_l=0.68 Ty_l=-48.79 N_l=134.17 My_l=-0.43 Mz_l=0.05
Azioni sul cordone: TP=-0.11 TO=3.63 NO=9.87
Tensioni nel cordone: τ_P= 0.04 τ_0=1.15 σ_0=3.77 σ_{ID}=3.94 Σ_T=4.92
CC 9 SLV (Collegamento -380_-516)
Azioni sul collegamento: N=134.17 Ty=-2.08 Tz=-48.79 Mx=-0.34 Mz=-2.09
Sollecitazioni agenti localmente: Tx_l=-2.08 Ty_l=-48.79 N_l=134.17 My_l=2.09 Mz_l=-0.34
Azioni sul cordone: TP=0.54 TO=3.86 NO=9.87
Tensioni nel cordone: τ_P=0.17 τ_0=1.23 σ_0=6.19 σ_{ID}=6.31 Σ_T=7.41
CC 9 SLV (Collegamento -380_-516)
Azioni sul collegamento: N=123.20 Ty=0.68 Tz=-47.09 Mx=0.05 Mz=0.43
Sollecitazioni agenti localmente: Tx_l=0.68 Ty_l=-47.09 N_l=123.20 My_l=-0.43 Mz_l=0.05
Azioni sul cordone: TP=-0.11 TO=3.51 NO=9.07
Tensioni nel cordone: τ_P= 0.04 τ_0=1.11 σ_0=3.51 σ_{ID}=3.68 Σ_T=4.63
CC 9 SLV (Collegamento -380_-516)
Azioni sul collegamento: N=123.20 Ty=-2.08 Tz=-47.09 Mx=-0.34 Mz=-2.09
Sollecitazioni agenti localmente: Tx_l=-2.08 Ty_l=-47.09 N_l=123.20 My_l=2.09 Mz_l=-0.34
Azioni sul cordone: TP=0.54 TO=3.73 NO=9.07
Tensioni nel cordone: τ_P=0.17 τ_0=1.19 σ_0=5.93 σ_{ID}=6.05 Σ_T=7.12
CC 9 SLV (Collegamento -380_-516)
Azioni sul collegamento: N=123.20 Ty=0.68 Tz=-47.09 Mx=0.05 Mz=0.43
Sollecitazioni agenti localmente: Tx_l=0.68 Ty_l=-47.09 N_l=123.20 My_l=-0.43 Mz_l=0.05
Azioni sul cordone: TP=-0.11 TO=3.51 NO=9.07
Tensioni nel cordone: τ_P= 0.04 τ_0=1.11 σ_0=3.51 σ_{ID}=3.68 Σ_T=4.63
CC 9 SLV (Collegamento -380_-516)
Azioni sul collegamento: N=123.20 Ty=-2.08 Tz=-47.09 Mx=-0.34 Mz=-2.09
Sollecitazioni agenti localmente: Tx_l=-2.08 Ty_l=-47.09 N_l=123.20 My_l=2.09 Mz_l=-0.34
Azioni sul cordone: TP=0.54 TO=3.73 NO=9.07
Tensioni nel cordone: τ_P=0.17 τ_0=1.19 σ_0=5.93 σ_{ID}=6.05 Σ_T=7.12
CC 10 SLD (Collegamento -380_-516)
Azioni sul collegamento: N=130.35 Ty=0.16 Tz=-48.19 Mx=0.01 Mz=0.10

Sollecitazioni agenti localmente: Tx_l=0.16 Ty_l=-48.19 N_l=130.35 My_l=-0.10 Mz_l=0.01
Azioni sul cordone: TP=-0.02 TO=3.55 NO=9.59
Tensioni nel cordone: τ_P=7.75E-03 τ_0=1.13 σ_0=3.19 σ_{ID}=3.38 Σ_T=4.32
CC 10 SLD (Collegamento -380_-516)
Azioni sul collegamento: N=130.35 Ty=-0.68 Tz=-48.19 Mx=-0.11 Mz=-0.67
Sollecitazioni agenti localmente: Tx_l=-0.68 Ty_l=-48.19 N_l=130.35 My_l=0.67 Mz_l=-0.11
Azioni sul cordone: TP=0.17 TO=3.63 NO=9.59
Tensioni nel cordone: τ_P= 0.06 τ_0=1.15 σ_0=4.03 σ_{ID}=4.19 Σ_T=5.18
CC 10 SLD (Collegamento -380_-516)
Azioni sul collegamento: N=130.35 Ty=0.16 Tz=-48.19 Mx=0.01 Mz=0.10
Sollecitazioni agenti localmente: Tx_l=0.16 Ty_l=-48.19 N_l=130.35 My_l=-0.10 Mz_l=0.01
Azioni sul cordone: TP=-0.02 TO=3.55 NO=9.59
Tensioni nel cordone: τ_P=7.75E-03 τ_0=1.13 σ_0=3.19 σ_{ID}=3.38 Σ_T=4.32
CC 10 SLD (Collegamento -380_-516)
Azioni sul collegamento: N=130.35 Ty=-0.68 Tz=-48.19 Mx=-0.11 Mz=-0.67
Sollecitazioni agenti localmente: Tx_l=-0.68 Ty_l=-48.19 N_l=130.35 My_l=0.67 Mz_l=-0.11
Azioni sul cordone: TP=0.17 TO=3.63 NO=9.59
Tensioni nel cordone: τ_P= 0.06 τ_0=1.15 σ_0=4.03 σ_{ID}=4.19 Σ_T=5.18
CC 10 SLD (Collegamento -380_-516)
Azioni sul collegamento: N=127.00 Ty=0.16 Tz=-47.68 Mx=0.01 Mz=0.10
Sollecitazioni agenti localmente: Tx_l=0.16 Ty_l=-47.68 N_l=127.00 My_l=-0.10 Mz_l=0.01
Azioni sul cordone: TP=-0.02 TO=3.52 NO=9.35
Tensioni nel cordone: τ_P=7.75E-03 τ_0=1.12 σ_0=3.11 σ_{ID}=3.31 Σ_T=4.23
CC 10 SLD (Collegamento -380_-516)
Azioni sul collegamento: N=127.00 Ty=-0.68 Tz=-47.68 Mx=-0.11 Mz=-0.67
Sollecitazioni agenti localmente: Tx_l=-0.68 Ty_l=-47.68 N_l=127.00 My_l=0.67 Mz_l=-0.11
Azioni sul cordone: TP=0.17 TO=3.59 NO=9.35
Tensioni nel cordone: τ_P= 0.06 τ_0=1.14 σ_0=3.95 σ_{ID}=4.11 Σ_T=5.09
CC 10 SLD (Collegamento -380_-516)
Azioni sul collegamento: N=127.00 Ty=0.16 Tz=-47.68 Mx=0.01 Mz=0.10
Sollecitazioni agenti localmente: Tx_l=0.16 Ty_l=-47.68 N_l=127.00 My_l=-0.10 Mz_l=0.01
Azioni sul cordone: TP=-0.02 TO=3.52 NO=9.35
Tensioni nel cordone: τ_P=7.75E-03 τ_0=1.12 σ_0=3.11 σ_{ID}=3.31 Σ_T=4.23
CC 10 SLD (Collegamento -380_-516)
Azioni sul collegamento: N=127.00 Ty=-0.68 Tz=-47.68 Mx=-0.11 Mz=-0.67
Sollecitazioni agenti localmente: Tx_l=-0.68 Ty_l=-47.68 N_l=127.00 My_l=0.67 Mz_l=-0.11
Azioni sul cordone: TP=0.17 TO=3.59 NO=9.35
Tensioni nel cordone: τ_P= 0.06 τ_0=1.14 σ_0=3.95 σ_{ID}=4.11 Σ_T=5.09
CC 11 SLV (Collegamento -380_-516)
Azioni sul collegamento: N=123.27 Ty=0.67 Tz=-47.10 Mx=0.05 Mz=0.42
Sollecitazioni agenti localmente: Tx_l=0.67 Ty_l=-47.10 N_l=123.27 My_l=-0.42 Mz_l=0.05
Azioni sul cordone: TP=-0.11 TO=3.51 NO=9.07
Tensioni nel cordone: τ_P= 0.03 τ_0=1.11 σ_0=3.50 σ_{ID}=3.68 Σ_T=4.62
CC 11 SLV (Collegamento -380_-516)
Azioni sul collegamento: N=123.27 Ty=-2.08 Tz=-47.10 Mx=-0.34 Mz=-2.08
Sollecitazioni agenti localmente: Tx_l=-2.08 Ty_l=-47.10 N_l=123.27 My_l=2.08 Mz_l=-0.34
Azioni sul cordone: TP=0.54 TO=3.73 NO=9.07
Tensioni nel cordone: τ_P=0.17 τ_0=1.19 σ_0=5.92 σ_{ID}=6.04 Σ_T=7.11
CC 11 SLV (Collegamento -380_-516)
Azioni sul collegamento: N=123.27 Ty=0.67 Tz=-47.10 Mx=0.05 Mz=0.42
Sollecitazioni agenti localmente: Tx_l=0.67 Ty_l=-47.10 N_l=123.27 My_l=-0.42 Mz_l=0.05
Azioni sul cordone: TP=-0.11 TO=3.51 NO=9.07
Tensioni nel cordone: τ_P= 0.03 τ_0=1.11 σ_0=3.50 σ_{ID}=3.68 Σ_T=4.62
CC 11 SLV (Collegamento -380_-516)
Azioni sul collegamento: N=123.27 Ty=-2.08 Tz=-47.10 Mx=-0.34 Mz=-2.08
Sollecitazioni agenti localmente: Tx_l=-2.08 Ty_l=-47.10 N_l=123.27 My_l=2.08 Mz_l=-0.34
Azioni sul cordone: TP=0.54 TO=3.73 NO=9.07
Tensioni nel cordone: τ_P=0.17 τ_0=1.19 σ_0=5.92 σ_{ID}=6.04 Σ_T=7.11
CC 11 SLV (Collegamento -380_-516)
Azioni sul collegamento: N=134.11 Ty=0.67 Tz=-48.78 Mx=0.05 Mz=0.42
Sollecitazioni agenti localmente: Tx_l=0.67 Ty_l=-48.78 N_l=134.11 My_l=-0.42 Mz_l=0.05
Azioni sul cordone: TP=-0.11 TO=3.63 NO=9.87
Tensioni nel cordone: τ_P= 0.03 τ_0=1.15 σ_0=3.76 σ_{ID}=3.93 Σ_T=4.91
CC 11 SLV (Collegamento -380_-516)
Azioni sul collegamento: N=134.11 Ty=-2.08 Tz=-48.78 Mx=-0.34 Mz=-2.08
Sollecitazioni agenti localmente: Tx_l=-2.08 Ty_l=-48.78 N_l=134.11 My_l=2.08 Mz_l=-0.34
Azioni sul cordone: TP=0.54 TO=3.85 NO=9.87
Tensioni nel cordone: τ_P=0.17 τ_0=1.22 σ_0=6.18 σ_{ID}=6.30 Σ_T=7.40
CC 11 SLV (Collegamento -380_-516)
Azioni sul collegamento: N=134.11 Ty=0.67 Tz=-48.78 Mx=0.05 Mz=0.42
Sollecitazioni agenti localmente: Tx_l=0.67 Ty_l=-48.78 N_l=134.11 My_l=-0.42 Mz_l=0.05
Azioni sul cordone: TP=-0.11 TO=3.63 NO=9.87
Tensioni nel cordone: τ_P= 0.03 τ_0=1.15 σ_0=3.76 σ_{ID}=3.93 Σ_T=4.91
CC 11 SLV (Collegamento -380_-516)
Azioni sul collegamento: N=134.11 Ty=-2.08 Tz=-48.78 Mx=-0.34 Mz=-2.08
Sollecitazioni agenti localmente: Tx_l=-2.08 Ty_l=-48.78 N_l=134.11 My_l=2.08 Mz_l=-0.34
Azioni sul cordone: TP=0.54 TO=3.85 NO=9.87
Tensioni nel cordone: τ_P=0.17 τ_0=1.22 σ_0=6.18 σ_{ID}=6.30 Σ_T=7.40
CC 12 SLD (Collegamento -380_-516)
Azioni sul collegamento: N=127.02 Ty=0.16 Tz=-47.68 Mx=0.01 Mz=0.09
Sollecitazioni agenti localmente: Tx_l=0.16 Ty_l=-47.68 N_l=127.02 My_l=-0.09 Mz_l=0.01

Azioni sul cordone: TP=-0.02 TO=3.52 NO=9.35
Tensioni nel cordone: τ_P=7.60E-03 τ_0=1.12 σ_0=3.11 σ_{ID}=3.30 Σ_T=4.23
CC 12 SLD (Collegamento -380_-516)
Azioni sul collegamento: N=127.02 Ty=-0.68 Tz=-47.68 Mx=-0.11 Mz=-0.67
Sollecitazioni agenti localmente: Tx_l=-0.68 Ty_l=-47.68 N_l=127.02 My_l=0.67 Mz_l=-0.11
Azioni sul cordone: TP=0.17 TO=3.59 NO=9.35
Tensioni nel cordone: τ_P= 0.06 τ_0=1.14 σ_0=3.95 σ_{ID}=4.11 Σ_T=5.09
CC 12 SLD (Collegamento -380_-516)
Azioni sul collegamento: N=127.02 Ty=0.16 Tz=-47.68 Mx=0.01 Mz=0.09
Sollecitazioni agenti localmente: Tx_l=0.16 Ty_l=-47.68 N_l=127.02 My_l=-0.09 Mz_l=0.01
Azioni sul cordone: TP=-0.02 TO=3.52 NO=9.35
Tensioni nel cordone: τ_P=7.60E-03 τ_0=1.12 σ_0=3.11 σ_{ID}=3.30 Σ_T=4.23
CC 12 SLD (Collegamento -380_-516)
Azioni sul collegamento: N=127.02 Ty=-0.68 Tz=-47.68 Mx=-0.11 Mz=-0.67
Sollecitazioni agenti localmente: Tx_l=-0.68 Ty_l=-47.68 N_l=127.02 My_l=0.67 Mz_l=-0.11
Azioni sul cordone: TP=0.17 TO=3.59 NO=9.35
Tensioni nel cordone: τ_P= 0.06 τ_0=1.14 σ_0=3.95 σ_{ID}=4.11 Σ_T=5.09
CC 12 SLD (Collegamento -380_-516)
Azioni sul collegamento: N=130.33 Ty=0.16 Tz=-48.19 Mx=0.01 Mz=0.09
Sollecitazioni agenti localmente: Tx_l=0.16 Ty_l=-48.19 N_l=130.33 My_l=-0.09 Mz_l=0.01
Azioni sul cordone: TP=-0.02 TO=3.55 NO=9.59
Tensioni nel cordone: τ_P=7.60E-03 τ_0=1.13 σ_0=3.19 σ_{ID}=3.38 Σ_T=4.32
CC 12 SLD (Collegamento -380_-516)
Azioni sul collegamento: N=130.33 Ty=-0.68 Tz=-48.19 Mx=-0.11 Mz=-0.67
Sollecitazioni agenti localmente: Tx_l=-0.68 Ty_l=-48.19 N_l=130.33 My_l=0.67 Mz_l=-0.11
Azioni sul cordone: TP=0.17 TO=3.63 NO=9.59
Tensioni nel cordone: τ_P= 0.06 τ_0=1.15 σ_0=4.03 σ_{ID}=4.19 Σ_T=5.18
CC 12 SLD (Collegamento -380_-516)
Azioni sul collegamento: N=130.33 Ty=0.16 Tz=-48.19 Mx=0.01 Mz=0.09
Sollecitazioni agenti localmente: Tx_l=0.16 Ty_l=-48.19 N_l=130.33 My_l=-0.09 Mz_l=0.01
Azioni sul cordone: TP=-0.02 TO=3.55 NO=9.59
Tensioni nel cordone: τ_P=7.60E-03 τ_0=1.13 σ_0=3.19 σ_{ID}=3.38 Σ_T=4.32
CC 12 SLD (Collegamento -380_-516)
Azioni sul collegamento: N=130.33 Ty=-0.68 Tz=-48.19 Mx=-0.11 Mz=-0.67
Sollecitazioni agenti localmente: Tx_l=-0.68 Ty_l=-48.19 N_l=130.33 My_l=0.67 Mz_l=-0.11
Azioni sul cordone: TP=0.17 TO=3.63 NO=9.59
Tensioni nel cordone: τ_P= 0.06 τ_0=1.15 σ_0=4.03 σ_{ID}=4.19 Σ_T=5.18
CC 13 SLV (Collegamento -380_-516)
Azioni sul collegamento: N=134.11 Ty=-2.08 Tz=-48.78 Mx=-0.32 Mz=-2.08
Sollecitazioni agenti localmente: Tx_l=-2.08 Ty_l=-48.78 N_l=134.11 My_l=2.08 Mz_l=-0.32
Azioni sul cordone: TP=0.52 TO=3.84 NO=9.87
Tensioni nel cordone: τ_P=0.17 τ_0=1.22 σ_0=6.18 σ_{ID}=6.30 Σ_T=7.40
CC 13 SLV (Collegamento -380_-516)
Azioni sul collegamento: N=134.11 Ty=0.67 Tz=-48.78 Mx=0.07 Mz=0.42
Sollecitazioni agenti localmente: Tx_l=0.67 Ty_l=-48.78 N_l=134.11 My_l=-0.42 Mz_l=0.07
Azioni sul cordone: TP=-0.13 TO=3.64 NO=9.87
Tensioni nel cordone: τ_P= 0.04 τ_0=1.16 σ_0=3.75 σ_{ID}=3.93 Σ_T=4.91
CC 13 SLV (Collegamento -380_-516)
Azioni sul collegamento: N=134.11 Ty=-2.08 Tz=-48.78 Mx=-0.32 Mz=-2.08
Sollecitazioni agenti localmente: Tx_l=-2.08 Ty_l=-48.78 N_l=134.11 My_l=2.08 Mz_l=-0.32
Azioni sul cordone: TP=0.52 TO=3.84 NO=9.87
Tensioni nel cordone: τ_P=0.17 τ_0=1.22 σ_0=6.18 σ_{ID}=6.30 Σ_T=7.40
CC 13 SLV (Collegamento -380_-516)
Azioni sul collegamento: N=134.11 Ty=0.67 Tz=-48.78 Mx=0.07 Mz=0.42
Sollecitazioni agenti localmente: Tx_l=0.67 Ty_l=-48.78 N_l=134.11 My_l=-0.42 Mz_l=0.07
Azioni sul cordone: TP=-0.13 TO=3.64 NO=9.87
Tensioni nel cordone: τ_P= 0.04 τ_0=1.16 σ_0=3.75 σ_{ID}=3.93 Σ_T=4.91
CC 13 SLV (Collegamento -380_-516)
Azioni sul collegamento: N=123.27 Ty=-2.08 Tz=-47.10 Mx=-0.32 Mz=-2.08
Sollecitazioni agenti localmente: Tx_l=-2.08 Ty_l=-47.10 N_l=123.27 My_l=2.08 Mz_l=-0.32
Azioni sul cordone: TP=0.52 TO=3.72 NO=9.07
Tensioni nel cordone: τ_P=0.17 τ_0=1.18 σ_0=5.93 σ_{ID}=6.05 Σ_T=7.11
CC 13 SLV (Collegamento -380_-516)
Azioni sul collegamento: N=123.27 Ty=0.67 Tz=-47.10 Mx=0.07 Mz=0.42
Sollecitazioni agenti localmente: Tx_l=0.67 Ty_l=-47.10 N_l=123.27 My_l=-0.42 Mz_l=0.07
Azioni sul cordone: TP=-0.13 TO=3.52 NO=9.07
Tensioni nel cordone: τ_P= 0.04 τ_0=1.12 σ_0=3.50 σ_{ID}=3.67 Σ_T=4.62
CC 13 SLV (Collegamento -380_-516)
Azioni sul collegamento: N=123.27 Ty=-2.08 Tz=-47.10 Mx=-0.32 Mz=-2.08
Sollecitazioni agenti localmente: Tx_l=-2.08 Ty_l=-47.10 N_l=123.27 My_l=2.08 Mz_l=-0.32
Azioni sul cordone: TP=0.52 TO=3.72 NO=9.07
Tensioni nel cordone: τ_P=0.17 τ_0=1.18 σ_0=5.93 σ_{ID}=6.05 Σ_T=7.11
CC 13 SLV (Collegamento -380_-516)
Azioni sul collegamento: N=123.27 Ty=0.67 Tz=-47.10 Mx=0.07 Mz=0.42
Sollecitazioni agenti localmente: Tx_l=0.67 Ty_l=-47.10 N_l=123.27 My_l=-0.42 Mz_l=0.07
Azioni sul cordone: TP=-0.13 TO=3.52 NO=9.07
Tensioni nel cordone: τ_P= 0.04 τ_0=1.12 σ_0=3.50 σ_{ID}=3.67 Σ_T=4.62
CC 14 SLD (Collegamento -380_-516)
Azioni sul collegamento: N=130.33 Ty=-0.68 Tz=-48.19 Mx=-0.10 Mz=-0.67
Sollecitazioni agenti localmente: Tx_l=-0.68 Ty_l=-48.19 N_l=130.33 My_l=0.67 Mz_l=-0.10
Azioni sul cordone: TP=0.17 TO=3.63 NO=9.59

Tensioni nel cordone: τ_P= 0.05 τ_0=1.15 σ_0=4.03 σ_{ID}=4.19 Σ_T=5.18
CC 14 SLD (Collegamento -380_-516)
Azioni sul collegamento: N=130.33 Ty=0.16 Tz=-48.19 Mx=0.02 Mz=0.09
Sollecitazioni agenti localmente: Tx_l=0.16 Ty_l=-48.19 N_l=130.33 My_l=-0.09 Mz_l=0.02
Azioni sul cordone: TP=-0.03 TO=3.56 NO=9.59
Tensioni nel cordone: τ_P=9.36E-03 τ_0=1.13 σ_0=3.19 σ_{ID}=3.38 Σ_T=4.32
CC 14 SLD (Collegamento -380_-516)
Azioni sul collegamento: N=130.33 Ty=-0.68 Tz=-48.19 Mx=-0.10 Mz=-0.67
Sollecitazioni agenti localmente: Tx_l=-0.68 Ty_l=-48.19 N_l=130.33 My_l=0.67 Mz_l=-0.10
Azioni sul cordone: TP=0.17 TO=3.63 NO=9.59
Tensioni nel cordone: τ_P= 0.05 τ_0=1.15 σ_0=4.03 σ_{ID}=4.19 Σ_T=5.18
CC 14 SLD (Collegamento -380_-516)
Azioni sul collegamento: N=130.33 Ty=0.16 Tz=-48.19 Mx=0.02 Mz=0.09
Sollecitazioni agenti localmente: Tx_l=0.16 Ty_l=-48.19 N_l=130.33 My_l=-0.09 Mz_l=0.02
Azioni sul cordone: TP=-0.03 TO=3.56 NO=9.59
Tensioni nel cordone: τ_P=9.36E-03 τ_0=1.13 σ_0=3.19 σ_{ID}=3.38 Σ_T=4.32
CC 14 SLD (Collegamento -380_-516)
Azioni sul collegamento: N=127.02 Ty=-0.68 Tz=-47.68 Mx=-0.10 Mz=-0.67
Sollecitazioni agenti localmente: Tx_l=-0.68 Ty_l=-47.68 N_l=127.02 My_l=0.67 Mz_l=-0.10
Azioni sul cordone: TP=0.17 TO=3.59 NO=9.35
Tensioni nel cordone: τ_P= 0.05 τ_0=1.14 σ_0=3.95 σ_{ID}=4.11 Σ_T=5.09
CC 14 SLD (Collegamento -380_-516)
Azioni sul collegamento: N=127.02 Ty=0.16 Tz=-47.68 Mx=0.02 Mz=0.09
Sollecitazioni agenti localmente: Tx_l=0.16 Ty_l=-47.68 N_l=127.02 My_l=-0.09 Mz_l=0.02
Azioni sul cordone: TP=-0.03 TO=3.52 NO=9.35
Tensioni nel cordone: τ_P=9.36E-03 τ_0=1.12 σ_0=3.11 σ_{ID}=3.30 Σ_T=4.23
CC 14 SLD (Collegamento -380_-516)
Azioni sul collegamento: N=127.02 Ty=-0.68 Tz=-47.68 Mx=-0.10 Mz=-0.67
Sollecitazioni agenti localmente: Tx_l=-0.68 Ty_l=-47.68 N_l=127.02 My_l=0.67 Mz_l=-0.10
Azioni sul cordone: TP=0.17 TO=3.59 NO=9.35
Tensioni nel cordone: τ_P= 0.05 τ_0=1.14 σ_0=3.95 σ_{ID}=4.11 Σ_T=5.09
CC 14 SLD (Collegamento -380_-516)
Azioni sul collegamento: N=127.02 Ty=0.16 Tz=-47.68 Mx=0.02 Mz=0.09
Sollecitazioni agenti localmente: Tx_l=0.16 Ty_l=-47.68 N_l=127.02 My_l=-0.09 Mz_l=0.02
Azioni sul cordone: TP=-0.03 TO=3.52 NO=9.35
Tensioni nel cordone: τ_P=9.36E-03 τ_0=1.12 σ_0=3.11 σ_{ID}=3.30 Σ_T=4.23
CC 15 SLV (Collegamento -380_-516)
Azioni sul collegamento: N=123.20 Ty=-2.08 Tz=-47.09 Mx=-0.32 Mz=-2.09
Sollecitazioni agenti localmente: Tx_l=-2.08 Ty_l=-47.09 N_l=123.20 My_l=2.09 Mz_l=-0.32
Azioni sul cordone: TP=0.52 TO=3.72 NO=9.07
Tensioni nel cordone: τ_P=0.17 τ_0=1.18 σ_0=5.94 σ_{ID}=6.05 Σ_T=7.12
CC 15 SLV (Collegamento -380_-516)
Azioni sul collegamento: N=123.20 Ty=0.68 Tz=-47.09 Mx=0.07 Mz=0.43
Sollecitazioni agenti localmente: Tx_l=0.68 Ty_l=-47.09 N_l=123.20 My_l=-0.43 Mz_l=0.07
Azioni sul cordone: TP=-0.13 TO=3.52 NO=9.07
Tensioni nel cordone: τ_P= 0.04 τ_0=1.12 σ_0=3.51 σ_{ID}=3.68 Σ_T=4.63
CC 15 SLV (Collegamento -380_-516)
Azioni sul collegamento: N=123.20 Ty=-2.08 Tz=-47.09 Mx=-0.32 Mz=-2.09
Sollecitazioni agenti localmente: Tx_l=-2.08 Ty_l=-47.09 N_l=123.20 My_l=2.09 Mz_l=-0.32
Azioni sul cordone: TP=0.52 TO=3.72 NO=9.07
Tensioni nel cordone: τ_P=0.17 τ_0=1.18 σ_0=5.94 σ_{ID}=6.05 Σ_T=7.12
CC 15 SLV (Collegamento -380_-516)
Azioni sul collegamento: N=123.20 Ty=0.68 Tz=-47.09 Mx=0.07 Mz=0.43
Sollecitazioni agenti localmente: Tx_l=0.68 Ty_l=-47.09 N_l=123.20 My_l=-0.43 Mz_l=0.07
Azioni sul cordone: TP=-0.13 TO=3.52 NO=9.07
Tensioni nel cordone: τ_P= 0.04 τ_0=1.12 σ_0=3.51 σ_{ID}=3.68 Σ_T=4.63
CC 15 SLV (Collegamento -380_-516)
Azioni sul collegamento: N=134.17 Ty=-2.08 Tz=-48.79 Mx=-0.32 Mz=-2.09
Sollecitazioni agenti localmente: Tx_l=-2.08 Ty_l=-48.79 N_l=134.17 My_l=2.09 Mz_l=-0.32
Azioni sul cordone: TP=0.52 TO=3.84 NO=9.87
Tensioni nel cordone: τ_P=0.17 τ_0=1.22 σ_0=6.19 σ_{ID}=6.31 Σ_T=7.41
CC 15 SLV (Collegamento -380_-516)
Azioni sul collegamento: N=134.17 Ty=0.68 Tz=-48.79 Mx=0.07 Mz=0.43
Sollecitazioni agenti localmente: Tx_l=0.68 Ty_l=-48.79 N_l=134.17 My_l=-0.43 Mz_l=0.07
Azioni sul cordone: TP=-0.13 TO=3.64 NO=9.87
Tensioni nel cordone: τ_P= 0.04 τ_0=1.16 σ_0=3.76 σ_{ID}=3.94 Σ_T=4.92
CC 15 SLV (Collegamento -380_-516)
Azioni sul collegamento: N=134.17 Ty=-2.08 Tz=-48.79 Mx=-0.32 Mz=-2.09
Sollecitazioni agenti localmente: Tx_l=-2.08 Ty_l=-48.79 N_l=134.17 My_l=2.09 Mz_l=-0.32
Azioni sul cordone: TP=0.52 TO=3.84 NO=9.87
Tensioni nel cordone: τ_P=0.17 τ_0=1.22 σ_0=6.19 σ_{ID}=6.31 Σ_T=7.41
CC 15 SLV (Collegamento -380_-516)
Azioni sul collegamento: N=134.17 Ty=0.68 Tz=-48.79 Mx=0.07 Mz=0.43
Sollecitazioni agenti localmente: Tx_l=0.68 Ty_l=-48.79 N_l=134.17 My_l=-0.43 Mz_l=0.07
Azioni sul cordone: TP=-0.13 TO=3.64 NO=9.87
Tensioni nel cordone: τ_P= 0.04 τ_0=1.16 σ_0=3.76 σ_{ID}=3.94 Σ_T=4.92
CC 16 SLD (Collegamento -380_-516)
Azioni sul collegamento: N=127.00 Ty=-0.68 Tz=-47.68 Mx=-0.10 Mz=-0.67
Sollecitazioni agenti localmente: Tx_l=-0.68 Ty_l=-47.68 N_l=127.00 My_l=0.67 Mz_l=-0.10
Azioni sul cordone: TP=0.17 TO=3.59 NO=9.35
Tensioni nel cordone: τ_P= 0.05 τ_0=1.14 σ_0=3.95 σ_{ID}=4.11 Σ_T=5.09

CC 16 SLD (Collegamento -380_-516)
Azioni sul collegamento: N=127.00 Ty=0.16 Tz=-47.68 Mx=0.02 Mz=0.10
Sollecitazioni agenti localmente: Tx_l=0.16 Ty_l=-47.68 N_l=127.00 My_l=-0.10 Mz_l=0.02
Azioni sul cordone: TP=-0.03 TO=3.52 NO=9.35
Tensioni nel cordone: τ_P=9.51E-03 τ_0=1.12 σ_0=3.11 σ_{ID}=3.31 Σ_T=4.23
CC 16 SLD (Collegamento -380_-516)
Azioni sul collegamento: N=127.00 Ty=-0.68 Tz=-47.68 Mx=-0.10 Mz=-0.67
Sollecitazioni agenti localmente: Tx_l=-0.68 Ty_l=-47.68 N_l=127.00 My_l=0.67 Mz_l=-0.10
Azioni sul cordone: TP=0.17 TO=3.59 NO=9.35
Tensioni nel cordone: τ_P= 0.05 τ_0=1.14 σ_0=3.95 σ_{ID}=4.11 Σ_T=5.09
CC 16 SLD (Collegamento -380_-516)
Azioni sul collegamento: N=127.00 Ty=0.16 Tz=-47.68 Mx=0.02 Mz=0.10
Sollecitazioni agenti localmente: Tx_l=0.16 Ty_l=-47.68 N_l=127.00 My_l=-0.10 Mz_l=0.02
Azioni sul cordone: TP=-0.03 TO=3.52 NO=9.35
Tensioni nel cordone: τ_P=9.51E-03 τ_0=1.12 σ_0=3.11 σ_{ID}=3.31 Σ_T=4.23
CC 16 SLD (Collegamento -380_-516)
Azioni sul collegamento: N=130.35 Ty=-0.68 Tz=-48.19 Mx=-0.10 Mz=-0.67
Sollecitazioni agenti localmente: Tx_l=-0.68 Ty_l=-48.19 N_l=130.35 My_l=0.67 Mz_l=-0.10
Azioni sul cordone: TP=0.17 TO=3.63 NO=9.59
Tensioni nel cordone: τ_P= 0.05 τ_0=1.15 σ_0=4.03 σ_{ID}=4.19 Σ_T=5.18
CC 16 SLD (Collegamento -380_-516)
Azioni sul collegamento: N=130.35 Ty=0.16 Tz=-48.19 Mx=0.02 Mz=0.10
Sollecitazioni agenti localmente: Tx_l=0.16 Ty_l=-48.19 N_l=130.35 My_l=-0.10 Mz_l=0.02
Azioni sul cordone: TP=-0.03 TO=3.56 NO=9.59
Tensioni nel cordone: τ_P=9.51E-03 τ_0=1.13 σ_0=3.19 σ_{ID}=3.38 Σ_T=4.32
CC 16 SLD (Collegamento -380_-516)
Azioni sul collegamento: N=130.35 Ty=-0.68 Tz=-48.19 Mx=-0.10 Mz=-0.67
Sollecitazioni agenti localmente: Tx_l=-0.68 Ty_l=-48.19 N_l=130.35 My_l=0.67 Mz_l=-0.10
Azioni sul cordone: TP=0.17 TO=3.63 NO=9.59
Tensioni nel cordone: τ_P= 0.05 τ_0=1.15 σ_0=4.03 σ_{ID}=4.19 Σ_T=5.18
CC 16 SLD (Collegamento -380_-516)
Azioni sul collegamento: N=130.35 Ty=0.16 Tz=-48.19 Mx=0.02 Mz=0.10
Sollecitazioni agenti localmente: Tx_l=0.16 Ty_l=-48.19 N_l=130.35 My_l=-0.10 Mz_l=0.02
Azioni sul cordone: TP=-0.03 TO=3.56 NO=9.59
Tensioni nel cordone: τ_P=9.51E-03 τ_0=1.13 σ_0=3.19 σ_{ID}=3.38 Σ_T=4.32
CC 17 SLV (Collegamento -380_-516)
Azioni sul collegamento: N=146.84 Ty=0.99 Tz=-50.75 Mx=0.18 Mz=1.12
Sollecitazioni agenti localmente: Tx_l=0.99 Ty_l=-50.75 N_l=146.84 My_l=-1.12 Mz_l=0.18
Azioni sul cordone: TP=-0.28 TO=3.88 NO=10.80
Tensioni nel cordone: τ_P= 0.09 τ_0=1.23 σ_0=5.07 σ_{ID}=5.21 Σ_T=6.30
CC 17 SLV (Collegamento -380_-516)
Azioni sul collegamento: N=146.84 Ty=0.14 Tz=-50.75 Mx=0.06 Mz=0.34
Sollecitazioni agenti localmente: Tx_l=0.14 Ty_l=-50.75 N_l=146.84 My_l=-0.34 Mz_l=0.06
Azioni sul cordone: TP=-0.08 TO=3.78 NO=10.80
Tensioni nel cordone: τ_P= 0.03 τ_0=1.20 σ_0=3.93 σ_{ID}=4.11 Σ_T=5.14
CC 17 SLV (Collegamento -380_-516)
Azioni sul collegamento: N=146.84 Ty=0.99 Tz=-50.75 Mx=0.18 Mz=1.12
Sollecitazioni agenti localmente: Tx_l=0.99 Ty_l=-50.75 N_l=146.84 My_l=-1.12 Mz_l=0.18
Azioni sul cordone: TP=-0.28 TO=3.88 NO=10.80
Tensioni nel cordone: τ_P= 0.09 τ_0=1.23 σ_0=5.07 σ_{ID}=5.21 Σ_T=6.30
CC 17 SLV (Collegamento -380_-516)
Azioni sul collegamento: N=146.84 Ty=0.14 Tz=-50.75 Mx=0.06 Mz=0.34
Sollecitazioni agenti localmente: Tx_l=0.14 Ty_l=-50.75 N_l=146.84 My_l=-0.34 Mz_l=0.06
Azioni sul cordone: TP=-0.08 TO=3.78 NO=10.80
Tensioni nel cordone: τ_P= 0.03 τ_0=1.20 σ_0=3.93 σ_{ID}=4.11 Σ_T=5.14
CC 17 SLV (Collegamento -380_-516)
Azioni sul collegamento: N=110.46 Ty=0.99 Tz=-45.12 Mx=0.18 Mz=1.12
Sollecitazioni agenti localmente: Tx_l=0.99 Ty_l=-45.12 N_l=110.46 My_l=-1.12 Mz_l=0.18
Azioni sul cordone: TP=-0.28 TO=3.46 NO=8.13
Tensioni nel cordone: τ_P= 0.09 τ_0=1.10 σ_0=4.21 σ_{ID}=4.36 Σ_T=5.32
CC 17 SLV (Collegamento -380_-516)
Azioni sul collegamento: N=110.46 Ty=0.14 Tz=-45.12 Mx=0.06 Mz=0.34
Sollecitazioni agenti localmente: Tx_l=0.14 Ty_l=-45.12 N_l=110.46 My_l=-0.34 Mz_l=0.06
Azioni sul cordone: TP=-0.08 TO=3.37 NO=8.13
Tensioni nel cordone: τ_P= 0.03 τ_0=1.07 σ_0=3.08 σ_{ID}=3.26 Σ_T=4.15
CC 17 SLV (Collegamento -380_-516)
Azioni sul collegamento: N=110.46 Ty=0.99 Tz=-45.12 Mx=0.18 Mz=1.12
Sollecitazioni agenti localmente: Tx_l=0.99 Ty_l=-45.12 N_l=110.46 My_l=-1.12 Mz_l=0.18
Azioni sul cordone: TP=-0.28 TO=3.46 NO=8.13
Tensioni nel cordone: τ_P= 0.09 τ_0=1.10 σ_0=4.21 σ_{ID}=4.36 Σ_T=5.32
CC 17 SLV (Collegamento -380_-516)
Azioni sul collegamento: N=110.46 Ty=0.14 Tz=-45.12 Mx=0.06 Mz=0.34
Sollecitazioni agenti localmente: Tx_l=0.14 Ty_l=-45.12 N_l=110.46 My_l=-0.34 Mz_l=0.06
Azioni sul cordone: TP=-0.08 TO=3.37 NO=8.13
Tensioni nel cordone: τ_P= 0.03 τ_0=1.07 σ_0=3.08 σ_{ID}=3.26 Σ_T=4.15
CC 18 SLD (Collegamento -380_-516)
Azioni sul collegamento: N=134.21 Ty=0.25 Tz=-48.79 Mx=0.05 Mz=0.31
Sollecitazioni agenti localmente: Tx_l=0.25 Ty_l=-48.79 N_l=134.21 My_l=-0.31 Mz_l=0.05
Azioni sul cordone: TP=-0.08 TO=3.63 NO=9.88
Tensioni nel cordone: τ_P= 0.02 τ_0=1.15 σ_0=3.59 σ_{ID}=3.77 Σ_T=4.74
CC 18 SLD (Collegamento -380_-516)

Azioni sul collegamento: N=134.21 Ty=-0.00 Tz=-48.79 Mx=0.01 Mz=0.07
Sollecitazioni agenti localmente: Tx_l=-0.00 Ty_l=-48.79 N_l=134.21 My_l=-0.07 Mz_l=0.01
Azioni sul cordone: TP=-0.02 TO=-3.60 NO=9.88
Tensioni nel cordone: τ_P=4.98E-03 τ_O=1.14 σ_O=3.24 σ_{ID}=3.44 Σ_T=4.38
CC 18 SLD (Collegamento -380_-516)
Azioni sul collegamento: N=134.21 Ty=0.25 Tz=-48.79 Mx=0.05 Mz=0.31
Sollecitazioni agenti localmente: Tx_l=0.25 Ty_l=-48.79 N_l=134.21 My_l=-0.31 Mz_l=0.05
Azioni sul cordone: TP=-0.08 TO=3.63 NO=9.88
Tensioni nel cordone: τ_P= 0.02 τ_O=1.15 σ_O=3.59 σ_{ID}=3.77 Σ_T=4.74
CC 18 SLD (Collegamento -380_-516)
Azioni sul collegamento: N=134.21 Ty=-0.00 Tz=-48.79 Mx=0.01 Mz=0.07
Sollecitazioni agenti localmente: Tx_l=-0.00 Ty_l=-48.79 N_l=134.21 My_l=-0.07 Mz_l=0.01
Azioni sul cordone: TP=-0.02 TO=-3.60 NO=9.88
Tensioni nel cordone: τ_P=4.98E-03 τ_O=1.14 σ_O=3.24 σ_{ID}=3.44 Σ_T=4.38
CC 18 SLD (Collegamento -380_-516)
Azioni sul collegamento: N=123.12 Ty=0.25 Tz=-47.08 Mx=0.05 Mz=0.31
Sollecitazioni agenti localmente: Tx_l=0.25 Ty_l=-47.08 N_l=123.12 My_l=-0.31 Mz_l=0.05
Azioni sul cordone: TP=-0.08 TO=3.50 NO=9.06
Tensioni nel cordone: τ_P= 0.02 τ_O=1.11 σ_O=3.33 σ_{ID}=3.51 Σ_T=4.44
CC 18 SLD (Collegamento -380_-516)
Azioni sul collegamento: N=123.12 Ty=-0.00 Tz=-47.08 Mx=0.01 Mz=0.07
Sollecitazioni agenti localmente: Tx_l=-0.00 Ty_l=-47.08 N_l=123.12 My_l=-0.07 Mz_l=0.01
Azioni sul cordone: TP=-0.02 TO=-3.47 NO=9.06
Tensioni nel cordone: τ_P=4.98E-03 τ_O=1.10 σ_O=2.98 σ_{ID}=3.18 Σ_T=4.09
CC 18 SLD (Collegamento -380_-516)
Azioni sul collegamento: N=123.12 Ty=0.25 Tz=-47.08 Mx=0.05 Mz=0.31
Sollecitazioni agenti localmente: Tx_l=0.25 Ty_l=-47.08 N_l=123.12 My_l=-0.31 Mz_l=0.05
Azioni sul cordone: TP=-0.08 TO=3.50 NO=9.06
Tensioni nel cordone: τ_P= 0.02 τ_O=1.11 σ_O=3.33 σ_{ID}=3.51 Σ_T=4.44
CC 18 SLD (Collegamento -380_-516)
Azioni sul collegamento: N=123.12 Ty=-0.00 Tz=-47.08 Mx=0.01 Mz=0.07
Sollecitazioni agenti localmente: Tx_l=-0.00 Ty_l=-47.08 N_l=123.12 My_l=-0.07 Mz_l=0.01
Azioni sul cordone: TP=-0.02 TO=-3.47 NO=9.06
Tensioni nel cordone: τ_P=4.98E-03 τ_O=1.10 σ_O=2.98 σ_{ID}=3.18 Σ_T=4.09
CC 19 SLV (Collegamento -380_-516)
Azioni sul collegamento: N=146.82 Ty=0.16 Tz=-50.74 Mx=0.06 Mz=0.36
Sollecitazioni agenti localmente: Tx_l=0.16 Ty_l=-50.74 N_l=146.82 My_l=-0.36 Mz_l=0.06
Azioni sul cordone: TP=-0.08 TO=3.78 NO=10.80
Tensioni nel cordone: τ_P= 0.03 τ_O=1.20 σ_O=3.96 σ_{ID}=4.14 Σ_T=5.17
CC 19 SLV (Collegamento -380_-516)
Azioni sul collegamento: N=146.82 Ty=0.97 Tz=-50.74 Mx=0.17 Mz=1.10
Sollecitazioni agenti localmente: Tx_l=0.97 Ty_l=-50.74 N_l=146.82 My_l=-1.10 Mz_l=0.17
Azioni sul cordone: TP=-0.27 TO=3.87 NO=10.80
Tensioni nel cordone: τ_P= 0.09 τ_O=1.23 σ_O=5.03 σ_{ID}=5.18 Σ_T=6.26
CC 19 SLV (Collegamento -380_-516)
Azioni sul collegamento: N=146.82 Ty=0.16 Tz=-50.74 Mx=0.06 Mz=0.36
Sollecitazioni agenti localmente: Tx_l=0.16 Ty_l=-50.74 N_l=146.82 My_l=-0.36 Mz_l=0.06
Azioni sul cordone: TP=-0.08 TO=3.78 NO=10.80
Tensioni nel cordone: τ_P= 0.03 τ_O=1.20 σ_O=3.96 σ_{ID}=4.14 Σ_T=5.17
CC 19 SLV (Collegamento -380_-516)
Azioni sul collegamento: N=146.82 Ty=0.97 Tz=-50.74 Mx=0.17 Mz=1.10
Sollecitazioni agenti localmente: Tx_l=0.97 Ty_l=-50.74 N_l=146.82 My_l=-1.10 Mz_l=0.17
Azioni sul cordone: TP=-0.27 TO=3.87 NO=10.80
Tensioni nel cordone: τ_P= 0.09 τ_O=1.23 σ_O=5.03 σ_{ID}=5.18 Σ_T=6.26
CC 19 SLV (Collegamento -380_-516)
Azioni sul collegamento: N=110.48 Ty=0.16 Tz=-45.12 Mx=0.06 Mz=0.36
Sollecitazioni agenti localmente: Tx_l=0.16 Ty_l=-45.12 N_l=110.48 My_l=-0.36 Mz_l=0.06
Azioni sul cordone: TP=-0.08 TO=3.37 NO=8.13
Tensioni nel cordone: τ_P= 0.03 τ_O=1.07 σ_O=3.12 σ_{ID}=3.29 Σ_T=4.19
CC 19 SLV (Collegamento -380_-516)
Azioni sul collegamento: N=110.48 Ty=0.97 Tz=-45.12 Mx=0.17 Mz=1.10
Sollecitazioni agenti localmente: Tx_l=0.97 Ty_l=-45.12 N_l=110.48 My_l=-1.10 Mz_l=0.17
Azioni sul cordone: TP=-0.27 TO=3.46 NO=8.13
Tensioni nel cordone: τ_P= 0.09 τ_O=1.10 σ_O=4.18 σ_{ID}=4.33 Σ_T=5.28
CC 19 SLV (Collegamento -380_-516)
Azioni sul collegamento: N=110.48 Ty=0.16 Tz=-45.12 Mx=0.06 Mz=0.36
Sollecitazioni agenti localmente: Tx_l=0.16 Ty_l=-45.12 N_l=110.48 My_l=-0.36 Mz_l=0.06
Azioni sul cordone: TP=-0.08 TO=3.37 NO=8.13
Tensioni nel cordone: τ_P= 0.03 τ_O=1.07 σ_O=3.12 σ_{ID}=3.29 Σ_T=4.19
CC 19 SLV (Collegamento -380_-516)
Azioni sul collegamento: N=110.48 Ty=0.97 Tz=-45.12 Mx=0.17 Mz=1.10
Sollecitazioni agenti localmente: Tx_l=0.97 Ty_l=-45.12 N_l=110.48 My_l=-1.10 Mz_l=0.17
Azioni sul cordone: TP=-0.27 TO=3.46 NO=8.13
Tensioni nel cordone: τ_P= 0.09 τ_O=1.10 σ_O=4.18 σ_{ID}=4.33 Σ_T=5.28
CC 20 SLD (Collegamento -380_-516)
Azioni sul collegamento: N=134.20 Ty=0.00 Tz=-48.79 Mx=0.01 Mz=0.08
Sollecitazioni agenti localmente: Tx_l=0.00 Ty_l=-48.79 N_l=134.20 My_l=-0.08 Mz_l=0.01
Azioni sul cordone: TP=-0.01 TO=-3.60 NO=9.88
Tensioni nel cordone: τ_P=4.69E-03 τ_O=1.14 σ_O=3.25 σ_{ID}=3.45 Σ_T=4.39
CC 20 SLD (Collegamento -380_-516)
Azioni sul collegamento: N=134.20 Ty=0.25 Tz=-48.79 Mx=0.05 Mz=0.30

Sollecitazioni agenti localmente: Tx_l=0.25 Ty_l=-48.79 N_l=134.20 My_l=-0.30 Mz_l=0.05
Azioni sul cordone: TP=-0.07 TO=3.63 NO=9.88
Tensioni nel cordone: τ_P= 0.02 τ_O=1.15 σ_O=3.58 σ_{ID}=3.76 Σ_T=4.73
CC 20 SLD (Collegamento -380_-516)
Azioni sul collegamento: N=134.20 Ty=0.00 Tz=-48.79 Mx=0.01 Mz=0.08
Sollecitazioni agenti localmente: Tx_l=0.00 Ty_l=-48.79 N_l=134.20 My_l=-0.08 Mz_l=0.01
Azioni sul cordone: TP=-0.01 TO=-3.60 NO=9.88
Tensioni nel cordone: τ_P=4.69E-03 τ_O=1.14 σ_O=3.25 σ_{ID}=3.45 Σ_T=4.39
CC 20 SLD (Collegamento -380_-516)
Azioni sul collegamento: N=134.20 Ty=0.25 Tz=-48.79 Mx=0.05 Mz=0.30
Sollecitazioni agenti localmente: Tx_l=0.25 Ty_l=-48.79 N_l=134.20 My_l=-0.30 Mz_l=0.05
Azioni sul cordone: TP=-0.07 TO=3.63 NO=9.88
Tensioni nel cordone: τ_P= 0.02 τ_O=1.15 σ_O=3.58 σ_{ID}=3.76 Σ_T=4.73
CC 20 SLD (Collegamento -380_-516)
Azioni sul collegamento: N=123.12 Ty=0.00 Tz=-47.08 Mx=0.01 Mz=0.08
Sollecitazioni agenti localmente: Tx_l=0.00 Ty_l=-47.08 N_l=123.12 My_l=-0.08 Mz_l=0.01
Azioni sul cordone: TP=-0.01 TO=-3.47 NO=9.06
Tensioni nel cordone: τ_P=4.69E-03 τ_O=1.10 σ_O=2.99 σ_{ID}=3.19 Σ_T=4.09
CC 20 SLD (Collegamento -380_-516)
Azioni sul collegamento: N=123.12 Ty=0.25 Tz=-47.08 Mx=0.05 Mz=0.30
Sollecitazioni agenti localmente: Tx_l=0.25 Ty_l=-47.08 N_l=123.12 My_l=-0.30 Mz_l=0.05
Azioni sul cordone: TP=-0.07 TO=3.50 NO=9.06
Tensioni nel cordone: τ_P= 0.02 τ_O=1.11 σ_O=3.32 σ_{ID}=3.50 Σ_T=4.43
CC 20 SLD (Collegamento -380_-516)
Azioni sul collegamento: N=123.12 Ty=0.00 Tz=-47.08 Mx=0.01 Mz=0.08
Sollecitazioni agenti localmente: Tx_l=0.00 Ty_l=-47.08 N_l=123.12 My_l=-0.08 Mz_l=0.01
Azioni sul cordone: TP=-0.01 TO=-3.47 NO=9.06
Tensioni nel cordone: τ_P=4.69E-03 τ_O=1.10 σ_O=2.99 σ_{ID}=3.19 Σ_T=4.09
CC 20 SLD (Collegamento -380_-516)
Azioni sul collegamento: N=123.12 Ty=0.25 Tz=-47.08 Mx=0.05 Mz=0.30
Sollecitazioni agenti localmente: Tx_l=0.25 Ty_l=-47.08 N_l=123.12 My_l=-0.30 Mz_l=0.05
Azioni sul cordone: TP=-0.07 TO=3.50 NO=9.06
Tensioni nel cordone: τ_P= 0.02 τ_O=1.11 σ_O=3.32 σ_{ID}=3.50 Σ_T=4.43
CC 21 SLV (Collegamento -380_-516)
Azioni sul collegamento: N=110.48 Ty=0.97 Tz=-45.12 Mx=0.18 Mz=1.10
Sollecitazioni agenti localmente: Tx_l=0.97 Ty_l=-45.12 N_l=110.48 My_l=-1.10 Mz_l=0.18
Azioni sul cordone: TP=-0.28 TO=3.46 NO=8.13
Tensioni nel cordone: τ_P= 0.09 τ_O=1.10 σ_O=4.18 σ_{ID}=4.33 Σ_T=5.28
CC 21 SLV (Collegamento -380_-516)
Azioni sul collegamento: N=110.48 Ty=0.16 Tz=-45.12 Mx=0.06 Mz=0.36
Sollecitazioni agenti localmente: Tx_l=0.16 Ty_l=-45.12 N_l=110.48 My_l=-0.36 Mz_l=0.06
Azioni sul cordone: TP=-0.09 TO=3.37 NO=8.13
Tensioni nel cordone: τ_P= 0.03 τ_O=1.07 σ_O=3.11 σ_{ID}=3.29 Σ_T=4.19
CC 21 SLV (Collegamento -380_-516)
Azioni sul collegamento: N=110.48 Ty=0.97 Tz=-45.12 Mx=0.18 Mz=1.10
Sollecitazioni agenti localmente: Tx_l=0.97 Ty_l=-45.12 N_l=110.48 My_l=-1.10 Mz_l=0.18
Azioni sul cordone: TP=-0.28 TO=3.46 NO=8.13
Tensioni nel cordone: τ_P= 0.09 τ_O=1.10 σ_O=4.18 σ_{ID}=4.33 Σ_T=5.28
CC 21 SLV (Collegamento -380_-516)
Azioni sul collegamento: N=110.48 Ty=0.16 Tz=-45.12 Mx=0.06 Mz=0.36
Sollecitazioni agenti localmente: Tx_l=0.16 Ty_l=-45.12 N_l=110.48 My_l=-0.36 Mz_l=0.06
Azioni sul cordone: TP=-0.09 TO=3.37 NO=8.13
Tensioni nel cordone: τ_P= 0.03 τ_O=1.07 σ_O=3.11 σ_{ID}=3.29 Σ_T=4.19
CC 21 SLV (Collegamento -380_-516)
Azioni sul collegamento: N=146.82 Ty=0.97 Tz=-50.74 Mx=0.18 Mz=1.10
Sollecitazioni agenti localmente: Tx_l=0.97 Ty_l=-50.74 N_l=146.82 My_l=-1.10 Mz_l=0.18
Azioni sul cordone: TP=-0.28 TO=3.87 NO=10.80
Tensioni nel cordone: τ_P= 0.09 τ_O=1.23 σ_O=5.03 σ_{ID}=5.18 Σ_T=6.27
CC 21 SLV (Collegamento -380_-516)
Azioni sul collegamento: N=146.82 Ty=0.16 Tz=-50.74 Mx=0.06 Mz=0.36
Sollecitazioni agenti localmente: Tx_l=0.16 Ty_l=-50.74 N_l=146.82 My_l=-0.36 Mz_l=0.06
Azioni sul cordone: TP=-0.09 TO=3.78 NO=10.80
Tensioni nel cordone: τ_P= 0.03 τ_O=1.20 σ_O=3.96 σ_{ID}=4.14 Σ_T=5.17
CC 21 SLV (Collegamento -380_-516)
Azioni sul collegamento: N=146.82 Ty=0.97 Tz=-50.74 Mx=0.18 Mz=1.10
Sollecitazioni agenti localmente: Tx_l=0.97 Ty_l=-50.74 N_l=146.82 My_l=-1.10 Mz_l=0.18
Azioni sul cordone: TP=-0.28 TO=3.87 NO=10.80
Tensioni nel cordone: τ_P= 0.09 τ_O=1.23 σ_O=5.03 σ_{ID}=5.18 Σ_T=6.27
CC 21 SLV (Collegamento -380_-516)
Azioni sul collegamento: N=146.82 Ty=0.16 Tz=-50.74 Mx=0.06 Mz=0.36
Sollecitazioni agenti localmente: Tx_l=0.16 Ty_l=-50.74 N_l=146.82 My_l=-0.36 Mz_l=0.06
Azioni sul cordone: TP=-0.09 TO=3.78 NO=10.80
Tensioni nel cordone: τ_P= 0.03 τ_O=1.20 σ_O=3.96 σ_{ID}=4.14 Σ_T=5.17
CC 22 SLD (Collegamento -380_-516)
Azioni sul collegamento: N=123.12 Ty=0.25 Tz=-47.08 Mx=0.05 Mz=0.30
Sollecitazioni agenti localmente: Tx_l=0.25 Ty_l=-47.08 N_l=123.12 My_l=-0.30 Mz_l=0.05
Azioni sul cordone: TP=-0.07 TO=3.50 NO=9.06
Tensioni nel cordone: τ_P= 0.02 τ_O=1.11 σ_O=3.32 σ_{ID}=3.50 Σ_T=4.43
CC 22 SLD (Collegamento -380_-516)
Azioni sul collegamento: N=123.12 Ty=0.00 Tz=-47.08 Mx=0.01 Mz=0.08
Sollecitazioni agenti localmente: Tx_l=0.00 Ty_l=-47.08 N_l=123.12 My_l=-0.08 Mz_l=0.01

Azioni sul cordone: TP=-0.02 TO=-3.48 NO=9.06
Tensioni nel cordone: τ_P=5.21E-03 τ_0=1.10 σ_0=2.99 σ_{ID}=3.19 Σ_T=4.10
CC 22 SLD (Collegamento -380_-516)
Azioni sul collegamento: N=123.12 Ty=0.25 Tz=-47.08 Mx=0.05 Mz=0.30
Sollecitazioni agenti localmente: Tx_l=0.25 Ty_l=-47.08 N_l=123.12 My_l=-0.30 Mz_l=0.05
Azioni sul cordone: TP=-0.07 TO=3.50 NO=9.06
Tensioni nel cordone: τ_P= 0.02 τ_0=1.11 σ_0=3.32 σ_{ID}=3.50 Σ_T=4.43
CC 22 SLD (Collegamento -380_-516)
Azioni sul collegamento: N=123.12 Ty=0.00 Tz=-47.08 Mx=0.01 Mz=0.08
Sollecitazioni agenti localmente: Tx_l=0.00 Ty_l=-47.08 N_l=123.12 My_l=-0.08 Mz_l=0.01
Azioni sul cordone: TP=-0.02 TO=-3.48 NO=9.06
Tensioni nel cordone: τ_P=5.21E-03 τ_0=1.10 σ_0=2.99 σ_{ID}=3.19 Σ_T=4.10
CC 22 SLD (Collegamento -380_-516)
Azioni sul collegamento: N=134.20 Ty=0.25 Tz=-48.79 Mx=0.05 Mz=0.30
Sollecitazioni agenti localmente: Tx_l=0.25 Ty_l=-48.79 N_l=134.20 My_l=-0.30 Mz_l=0.05
Azioni sul cordone: TP=-0.07 TO=3.63 NO=9.88
Tensioni nel cordone: τ_P= 0.02 τ_0=1.15 σ_0=3.58 σ_{ID}=3.76 Σ_T=4.73
CC 22 SLD (Collegamento -380_-516)
Azioni sul collegamento: N=134.20 Ty=0.00 Tz=-48.79 Mx=0.01 Mz=0.08
Sollecitazioni agenti localmente: Tx_l=0.00 Ty_l=-48.79 N_l=134.20 My_l=-0.08 Mz_l=0.01
Azioni sul cordone: TP=-0.02 TO=-3.60 NO=9.88
Tensioni nel cordone: τ_P=5.21E-03 τ_0=1.14 σ_0=3.25 σ_{ID}=3.45 Σ_T=4.39
CC 22 SLD (Collegamento -380_-516)
Azioni sul collegamento: N=134.20 Ty=0.25 Tz=-48.79 Mx=0.05 Mz=0.30
Sollecitazioni agenti localmente: Tx_l=0.25 Ty_l=-48.79 N_l=134.20 My_l=-0.30 Mz_l=0.05
Azioni sul cordone: TP=-0.07 TO=3.63 NO=9.88
Tensioni nel cordone: τ_P= 0.02 τ_0=1.15 σ_0=3.58 σ_{ID}=3.76 Σ_T=4.73
CC 22 SLD (Collegamento -380_-516)
Azioni sul collegamento: N=134.20 Ty=0.00 Tz=-48.79 Mx=0.01 Mz=0.08
Sollecitazioni agenti localmente: Tx_l=0.00 Ty_l=-48.79 N_l=134.20 My_l=-0.08 Mz_l=0.01
Azioni sul cordone: TP=-0.02 TO=-3.60 NO=9.88
Tensioni nel cordone: τ_P=5.21E-03 τ_0=1.14 σ_0=3.25 σ_{ID}=3.45 Σ_T=4.39
CC 23 SLV (Collegamento -380_-516)
Azioni sul collegamento: N=110.46 Ty=0.14 Tz=-45.12 Mx=0.06 Mz=0.34
Sollecitazioni agenti localmente: Tx_l=0.14 Ty_l=-45.12 N_l=110.46 My_l=-0.34 Mz_l=0.06
Azioni sul cordone: TP=-0.08 TO=3.36 NO=8.13
Tensioni nel cordone: τ_P= 0.02 τ_0=1.07 σ_0=3.08 σ_{ID}=3.26 Σ_T=4.15
CC 23 SLV (Collegamento -380_-516)
Azioni sul collegamento: N=110.46 Ty=0.99 Tz=-45.12 Mx=0.18 Mz=1.12
Sollecitazioni agenti localmente: Tx_l=0.99 Ty_l=-45.12 N_l=110.46 My_l=-1.12 Mz_l=0.18
Azioni sul cordone: TP=-0.28 TO=3.46 NO=8.13
Tensioni nel cordone: τ_P= 0.09 τ_0=1.10 σ_0=4.22 σ_{ID}=4.36 Σ_T=5.32
CC 23 SLV (Collegamento -380_-516)
Azioni sul collegamento: N=110.46 Ty=0.14 Tz=-45.12 Mx=0.06 Mz=0.34
Sollecitazioni agenti localmente: Tx_l=0.14 Ty_l=-45.12 N_l=110.46 My_l=-0.34 Mz_l=0.06
Azioni sul cordone: TP=-0.08 TO=3.36 NO=8.13
Tensioni nel cordone: τ_P= 0.02 τ_0=1.07 σ_0=3.08 σ_{ID}=3.26 Σ_T=4.15
CC 23 SLV (Collegamento -380_-516)
Azioni sul collegamento: N=110.46 Ty=0.99 Tz=-45.12 Mx=0.18 Mz=1.12
Sollecitazioni agenti localmente: Tx_l=0.99 Ty_l=-45.12 N_l=110.46 My_l=-1.12 Mz_l=0.18
Azioni sul cordone: TP=-0.28 TO=3.46 NO=8.13
Tensioni nel cordone: τ_P= 0.09 τ_0=1.10 σ_0=4.22 σ_{ID}=4.36 Σ_T=5.32
CC 23 SLV (Collegamento -380_-516)
Azioni sul collegamento: N=146.84 Ty=0.14 Tz=-50.75 Mx=0.06 Mz=0.34
Sollecitazioni agenti localmente: Tx_l=0.14 Ty_l=-50.75 N_l=146.84 My_l=-0.34 Mz_l=0.06
Azioni sul cordone: TP=-0.08 TO=3.78 NO=10.80
Tensioni nel cordone: τ_P= 0.02 τ_0=1.20 σ_0=3.93 σ_{ID}=4.11 Σ_T=5.13
CC 23 SLV (Collegamento -380_-516)
Azioni sul collegamento: N=146.84 Ty=0.99 Tz=-50.75 Mx=0.18 Mz=1.12
Sollecitazioni agenti localmente: Tx_l=0.99 Ty_l=-50.75 N_l=146.84 My_l=-1.12 Mz_l=0.18
Azioni sul cordone: TP=-0.28 TO=3.87 NO=10.80
Tensioni nel cordone: τ_P= 0.09 τ_0=1.23 σ_0=5.07 σ_{ID}=5.21 Σ_T=6.30
CC 23 SLV (Collegamento -380_-516)
Azioni sul collegamento: N=146.84 Ty=0.14 Tz=-50.75 Mx=0.06 Mz=0.34
Sollecitazioni agenti localmente: Tx_l=0.14 Ty_l=-50.75 N_l=146.84 My_l=-0.34 Mz_l=0.06
Azioni sul cordone: TP=-0.08 TO=3.78 NO=10.80
Tensioni nel cordone: τ_P= 0.02 τ_0=1.20 σ_0=3.93 σ_{ID}=4.11 Σ_T=5.13
CC 23 SLV (Collegamento -380_-516)
Azioni sul collegamento: N=146.84 Ty=0.99 Tz=-50.75 Mx=0.18 Mz=1.12
Sollecitazioni agenti localmente: Tx_l=0.99 Ty_l=-50.75 N_l=146.84 My_l=-1.12 Mz_l=0.18
Azioni sul cordone: TP=-0.28 TO=3.87 NO=10.80
Tensioni nel cordone: τ_P= 0.09 τ_0=1.23 σ_0=5.07 σ_{ID}=5.21 Σ_T=6.30
CC 24 SLD (Collegamento -380_-516)
Azioni sul collegamento: N=123.12 Ty=-0.00 Tz=-47.08 Mx=0.01 Mz=0.07
Sollecitazioni agenti localmente: Tx_l=-0.00 Ty_l=-47.08 N_l=123.12 My_l=-0.07 Mz_l=0.01
Azioni sul cordone: TP=-0.01 TO=-3.47 NO=9.06
Tensioni nel cordone: τ_P=4.45E-03 τ_0=1.10 σ_0=2.98 σ_{ID}=3.18 Σ_T=4.08
CC 24 SLD (Collegamento -380_-516)
Azioni sul collegamento: N=123.12 Ty=0.25 Tz=-47.08 Mx=0.05 Mz=0.31
Sollecitazioni agenti localmente: Tx_l=0.25 Ty_l=-47.08 N_l=123.12 My_l=-0.31 Mz_l=0.05
Azioni sul cordone: TP=-0.07 TO=3.50 NO=9.06

Tensioni nel cordone: τ_P= 0.02 τ_0=1.11 σ_0=3.33 σ_{ID}=3.51 Σ_T=4.44
CC 24 SLD (Collegamento -380_-516)
Azioni sul collegamento: N=123.12 Ty=-0.00 Tz=-47.08 Mx=0.01 Mz=0.07
Sollecitazioni agenti localmente: Tx_l=-0.00 Ty_l=-47.08 N_l=123.12 My_l=-0.07 Mz_l=0.01
Azioni sul cordone: TP=-0.01 TO=-3.47 NO=9.06
Tensioni nel cordone: τ_P=4.45E-03 τ_0=1.10 σ_0=2.98 σ_{ID}=3.18 Σ_T=4.08
CC 24 SLD (Collegamento -380_-516)
Azioni sul collegamento: N=123.12 Ty=0.25 Tz=-47.08 Mx=0.05 Mz=0.31
Sollecitazioni agenti localmente: Tx_l=0.25 Ty_l=-47.08 N_l=123.12 My_l=-0.31 Mz_l=0.05
Azioni sul cordone: TP=-0.07 TO=3.50 NO=9.06
Tensioni nel cordone: τ_P= 0.02 τ_0=1.11 σ_0=3.33 σ_{ID}=3.51 Σ_T=4.44
CC 24 SLD (Collegamento -380_-516)
Azioni sul collegamento: N=134.21 Ty=-0.00 Tz=-48.79 Mx=0.01 Mz=0.07
Sollecitazioni agenti localmente: Tx_l=-0.00 Ty_l=-48.79 N_l=134.21 My_l=-0.07 Mz_l=0.01
Azioni sul cordone: TP=-0.01 TO=-3.60 NO=9.88
Tensioni nel cordone: τ_P=4.45E-03 τ_0=1.14 σ_0=3.24 σ_{ID}=3.44 Σ_T=4.38
CC 24 SLD (Collegamento -380_-516)
Azioni sul collegamento: N=134.21 Ty=0.25 Tz=-48.79 Mx=0.05 Mz=0.31
Sollecitazioni agenti localmente: Tx_l=0.25 Ty_l=-48.79 N_l=134.21 My_l=-0.31 Mz_l=0.05
Azioni sul cordone: TP=-0.07 TO=3.63 NO=9.88
Tensioni nel cordone: τ_P= 0.02 τ_0=1.15 σ_0=3.59 σ_{ID}=3.77 Σ_T=4.74
CC 24 SLD (Collegamento -380_-516)
Azioni sul collegamento: N=134.21 Ty=-0.00 Tz=-48.79 Mx=0.01 Mz=0.07
Sollecitazioni agenti localmente: Tx_l=-0.00 Ty_l=-48.79 N_l=134.21 My_l=-0.07 Mz_l=0.01
Azioni sul cordone: TP=-0.01 TO=-3.60 NO=9.88
Tensioni nel cordone: τ_P=4.45E-03 τ_0=1.14 σ_0=3.24 σ_{ID}=3.44 Σ_T=4.38
CC 24 SLD (Collegamento -380_-516)
Azioni sul collegamento: N=134.21 Ty=0.25 Tz=-48.79 Mx=0.05 Mz=0.31
Sollecitazioni agenti localmente: Tx_l=0.25 Ty_l=-48.79 N_l=134.21 My_l=-0.31 Mz_l=0.05
Azioni sul cordone: TP=-0.07 TO=3.63 NO=9.88
Tensioni nel cordone: τ_P= 0.02 τ_0=1.15 σ_0=3.59 σ_{ID}=3.77 Σ_T=4.74
CC 25 SLV (Collegamento -380_-516)
Azioni sul collegamento: N=134.13 Ty=1.95 Tz=-48.78 Mx=0.32 Mz=1.99
Sollecitazioni agenti localmente: Tx_l=1.95 Ty_l=-48.78 N_l=134.13 My_l=-1.99 Mz_l=0.32
Azioni sul cordone: TP=-0.51 TO=3.84 NO=9.87
Tensioni nel cordone: τ_P=0.16 τ_0=1.22 σ_0=6.04 σ_{ID}=6.17 Σ_T=7.26
CC 25 SLV (Collegamento -380_-516)
Azioni sul collegamento: N=134.13 Ty=-0.81 Tz=-48.78 Mx=-0.07 Mz=-0.53
Sollecitazioni agenti localmente: Tx_l=-0.81 Ty_l=-48.78 N_l=134.13 My_l=0.53 Mz_l=-0.07
Azioni sul cordone: TP=0.14 TO=3.64 NO=9.87
Tensioni nel cordone: τ_P= 0.04 τ_0=1.16 σ_0=3.91 σ_{ID}=4.08 Σ_T=5.07
CC 25 SLV (Collegamento -380_-516)
Azioni sul collegamento: N=134.13 Ty=1.95 Tz=-48.78 Mx=0.32 Mz=1.99
Sollecitazioni agenti localmente: Tx_l=1.95 Ty_l=-48.78 N_l=134.13 My_l=-1.99 Mz_l=0.32
Azioni sul cordone: TP=-0.51 TO=3.84 NO=9.87
Tensioni nel cordone: τ_P=0.16 τ_0=1.22 σ_0=6.04 σ_{ID}=6.17 Σ_T=7.26
CC 25 SLV (Collegamento -380_-516)
Azioni sul collegamento: N=134.13 Ty=-0.81 Tz=-48.78 Mx=-0.07 Mz=-0.53
Sollecitazioni agenti localmente: Tx_l=-0.81 Ty_l=-48.78 N_l=134.13 My_l=0.53 Mz_l=-0.07
Azioni sul cordone: TP=0.14 TO=3.64 NO=9.87
Tensioni nel cordone: τ_P= 0.04 τ_0=1.16 σ_0=3.91 σ_{ID}=4.08 Σ_T=5.07
CC 25 SLV (Collegamento -380_-516)
Azioni sul collegamento: N=123.17 Ty=1.95 Tz=-47.08 Mx=0.32 Mz=1.99
Sollecitazioni agenti localmente: Tx_l=1.95 Ty_l=-47.08 N_l=123.17 My_l=-1.99 Mz_l=0.32
Azioni sul cordone: TP=-0.51 TO=3.72 NO=9.06
Tensioni nel cordone: τ_P=0.16 τ_0=1.18 σ_0=5.78 σ_{ID}=5.91 Σ_T=6.97
CC 25 SLV (Collegamento -380_-516)
Azioni sul collegamento: N=123.17 Ty=-0.81 Tz=-47.08 Mx=-0.07 Mz=-0.53
Sollecitazioni agenti localmente: Tx_l=-0.81 Ty_l=-47.08 N_l=123.17 My_l=0.53 Mz_l=-0.07
Azioni sul cordone: TP=0.14 TO=3.52 NO=9.06
Tensioni nel cordone: τ_P= 0.04 τ_0=1.12 σ_0=3.66 σ_{ID}=3.82 Σ_T=4.78
CC 25 SLV (Collegamento -380_-516)
Azioni sul collegamento: N=123.17 Ty=1.95 Tz=-47.08 Mx=0.32 Mz=1.99
Sollecitazioni agenti localmente: Tx_l=1.95 Ty_l=-47.08 N_l=123.17 My_l=-1.99 Mz_l=0.32
Azioni sul cordone: TP=-0.51 TO=3.72 NO=9.06
Tensioni nel cordone: τ_P=0.16 τ_0=1.18 σ_0=5.78 σ_{ID}=5.91 Σ_T=6.97
CC 25 SLV (Collegamento -380_-516)
Azioni sul collegamento: N=123.17 Ty=-0.81 Tz=-47.08 Mx=-0.07 Mz=-0.53
Sollecitazioni agenti localmente: Tx_l=-0.81 Ty_l=-47.08 N_l=123.17 My_l=0.53 Mz_l=-0.07
Azioni sul cordone: TP=0.14 TO=3.52 NO=9.06
Tensioni nel cordone: τ_P= 0.04 τ_0=1.12 σ_0=3.66 σ_{ID}=3.82 Σ_T=4.78
CC 26 SLD (Collegamento -380_-516)
Azioni sul collegamento: N=130.34 Ty=0.55 Tz=-48.19 Mx=0.09 Mz=0.57
Sollecitazioni agenti localmente: Tx_l=0.55 Ty_l=-48.19 N_l=130.34 My_l=-0.57 Mz_l=0.09
Azioni sul cordone: TP=-0.15 TO=3.62 NO=9.59
Tensioni nel cordone: τ_P= 0.05 τ_0=1.15 σ_0=3.88 σ_{ID}=4.05 Σ_T=5.03
CC 26 SLD (Collegamento -380_-516)
Azioni sul collegamento: N=130.34 Ty=-0.30 Tz=-48.19 Mx=-0.03 Mz=-0.20
Sollecitazioni agenti localmente: Tx_l=-0.30 Ty_l=-48.19 N_l=130.34 My_l=0.20 Mz_l=-0.03
Azioni sul cordone: TP=0.05 TO=3.57 NO=9.59
Tensioni nel cordone: τ_P= 0.02 τ_0=1.13 σ_0=3.34 σ_{ID}=3.52 Σ_T=4.47

CC 26 SLD (Collegamento -380_-516)
Azioni sul collegamento: N=130.34 Ty=0.55 Tz=-48.19 Mx=0.09 Mz=0.57
Sollecitazioni agenti localmente: Tx_l=0.55 Ty_l=-48.19 N_l=130.34 My_l=-0.57 Mz_l=0.09
Azioni sul cordone: TP=-0.15 TO=3.62 NO=9.59
Tensioni nel cordone: τ_P= 0.05 τ_0=1.15 σ_0=3.88 σ_{ID}=4.05 Σ_T=5.03
CC 26 SLD (Collegamento -380_-516)
Azioni sul collegamento: N=130.34 Ty=-0.30 Tz=-48.19 Mx=-0.03 Mz=-0.20
Sollecitazioni agenti localmente: Tx_l=-0.30 Ty_l=-48.19 N_l=130.34 My_l=0.20 Mz_l=-0.03
Azioni sul cordone: TP=0.05 TO=3.57 NO=9.59
Tensioni nel cordone: τ_P= 0.02 τ_0=1.13 σ_0=3.34 σ_{ID}=3.52 Σ_T=4.47
CC 26 SLD (Collegamento -380_-516)
Azioni sul collegamento: N=126.99 Ty=0.55 Tz=-47.68 Mx=0.09 Mz=0.57
Sollecitazioni agenti localmente: Tx_l=0.55 Ty_l=-47.68 N_l=126.99 My_l=-0.57 Mz_l=0.09
Azioni sul cordone: TP=-0.15 TO=3.58 NO=9.34
Tensioni nel cordone: τ_P= 0.05 τ_0=1.14 σ_0=3.80 σ_{ID}=3.97 Σ_T=4.94
CC 26 SLD (Collegamento -380_-516)
Azioni sul collegamento: N=126.99 Ty=-0.30 Tz=-47.68 Mx=-0.03 Mz=-0.20
Sollecitazioni agenti localmente: Tx_l=-0.30 Ty_l=-47.68 N_l=126.99 My_l=0.20 Mz_l=-0.03
Azioni sul cordone: TP=0.05 TO=3.53 NO=9.34
Tensioni nel cordone: τ_P= 0.02 τ_0=1.12 σ_0=3.26 σ_{ID}=3.45 Σ_T=4.38
CC 26 SLD (Collegamento -380_-516)
Azioni sul collegamento: N=126.99 Ty=0.55 Tz=-47.68 Mx=0.09 Mz=0.57
Sollecitazioni agenti localmente: Tx_l=0.55 Ty_l=-47.68 N_l=126.99 My_l=-0.57 Mz_l=0.09
Azioni sul cordone: TP=-0.15 TO=3.58 NO=9.34
Tensioni nel cordone: τ_P= 0.05 τ_0=1.14 σ_0=3.80 σ_{ID}=3.97 Σ_T=4.94
CC 26 SLD (Collegamento -380_-516)
Azioni sul collegamento: N=126.99 Ty=-0.30 Tz=-47.68 Mx=-0.03 Mz=-0.20
Sollecitazioni agenti localmente: Tx_l=-0.30 Ty_l=-47.68 N_l=126.99 My_l=0.20 Mz_l=-0.03
Azioni sul cordone: TP=0.05 TO=3.53 NO=9.34
Tensioni nel cordone: τ_P= 0.02 τ_0=1.12 σ_0=3.26 σ_{ID}=3.45 Σ_T=4.38
CC 27 SLV (Collegamento -380_-516)
Azioni sul collegamento: N=123.23 Ty=1.94 Tz=-47.09 Mx=0.32 Mz=1.98
Sollecitazioni agenti localmente: Tx_l=1.94 Ty_l=-47.09 N_l=123.23 My_l=-1.98 Mz_l=0.32
Azioni sul cordone: TP=-0.51 TO=3.72 NO=9.07
Tensioni nel cordone: τ_P=0.16 τ_0=1.18 σ_0=5.78 σ_{ID}=5.90 Σ_T=6.96
CC 27 SLV (Collegamento -380_-516)
Azioni sul collegamento: N=123.23 Ty=-0.81 Tz=-47.09 Mx=-0.07 Mz=-0.53
Sollecitazioni agenti localmente: Tx_l=-0.81 Ty_l=-47.09 N_l=123.23 My_l=0.53 Mz_l=-0.07
Azioni sul cordone: TP=0.14 TO=3.52 NO=9.07
Tensioni nel cordone: τ_P= 0.04 τ_0=1.12 σ_0=3.65 σ_{ID}=3.82 Σ_T=4.77
CC 27 SLV (Collegamento -380_-516)
Azioni sul collegamento: N=123.23 Ty=1.94 Tz=-47.09 Mx=0.32 Mz=1.98
Sollecitazioni agenti localmente: Tx_l=1.94 Ty_l=-47.09 N_l=123.23 My_l=-1.98 Mz_l=0.32
Azioni sul cordone: TP=-0.51 TO=3.72 NO=9.07
Tensioni nel cordone: τ_P=0.16 τ_0=1.18 σ_0=5.78 σ_{ID}=5.90 Σ_T=6.96
CC 27 SLV (Collegamento -380_-516)
Azioni sul collegamento: N=123.23 Ty=-0.81 Tz=-47.09 Mx=-0.07 Mz=-0.53
Sollecitazioni agenti localmente: Tx_l=-0.81 Ty_l=-47.09 N_l=123.23 My_l=0.53 Mz_l=-0.07
Azioni sul cordone: TP=0.14 TO=3.52 NO=9.07
Tensioni nel cordone: τ_P= 0.04 τ_0=1.12 σ_0=3.65 σ_{ID}=3.82 Σ_T=4.77
CC 27 SLV (Collegamento -380_-516)
Azioni sul collegamento: N=134.07 Ty=1.94 Tz=-48.77 Mx=0.32 Mz=1.98
Sollecitazioni agenti localmente: Tx_l=1.94 Ty_l=-48.77 N_l=134.07 My_l=-1.98 Mz_l=0.32
Azioni sul cordone: TP=-0.51 TO=3.84 NO=9.87
Tensioni nel cordone: τ_P=0.16 τ_0=1.22 σ_0=6.03 σ_{ID}=6.15 Σ_T=7.25
CC 27 SLV (Collegamento -380_-516)
Azioni sul collegamento: N=134.07 Ty=-0.81 Tz=-48.77 Mx=-0.07 Mz=-0.53
Sollecitazioni agenti localmente: Tx_l=-0.81 Ty_l=-48.77 N_l=134.07 My_l=0.53 Mz_l=-0.07
Azioni sul cordone: TP=0.14 TO=3.64 NO=9.87
Tensioni nel cordone: τ_P= 0.04 τ_0=1.16 σ_0=3.90 σ_{ID}=4.07 Σ_T=5.06
CC 27 SLV (Collegamento -380_-516)
Azioni sul collegamento: N=134.07 Ty=1.94 Tz=-48.77 Mx=0.32 Mz=1.98
Sollecitazioni agenti localmente: Tx_l=1.94 Ty_l=-48.77 N_l=134.07 My_l=-1.98 Mz_l=0.32
Azioni sul cordone: TP=-0.51 TO=3.84 NO=9.87
Tensioni nel cordone: τ_P=0.16 τ_0=1.22 σ_0=6.03 σ_{ID}=6.15 Σ_T=7.25
CC 27 SLV (Collegamento -380_-516)
Azioni sul collegamento: N=134.07 Ty=-0.81 Tz=-48.77 Mx=-0.07 Mz=-0.53
Sollecitazioni agenti localmente: Tx_l=-0.81 Ty_l=-48.77 N_l=134.07 My_l=0.53 Mz_l=-0.07
Azioni sul cordone: TP=0.14 TO=3.64 NO=9.87
Tensioni nel cordone: τ_P= 0.04 τ_0=1.16 σ_0=3.90 σ_{ID}=4.07 Σ_T=5.06
CC 28 SLD (Collegamento -380_-516)
Azioni sul collegamento: N=127.01 Ty=0.55 Tz=-47.68 Mx=0.09 Mz=0.57
Sollecitazioni agenti localmente: Tx_l=0.55 Ty_l=-47.68 N_l=127.01 My_l=-0.57 Mz_l=0.09
Azioni sul cordone: TP=-0.15 TO=3.58 NO=9.35
Tensioni nel cordone: τ_P= 0.05 τ_0=1.14 σ_0=3.80 σ_{ID}=3.97 Σ_T=4.94
CC 28 SLD (Collegamento -380_-516)
Azioni sul collegamento: N=127.01 Ty=-0.29 Tz=-47.68 Mx=-0.03 Mz=-0.19
Sollecitazioni agenti localmente: Tx_l=-0.29 Ty_l=-47.68 N_l=127.01 My_l=0.19 Mz_l=-0.03
Azioni sul cordone: TP=0.05 TO=3.53 NO=9.35
Tensioni nel cordone: τ_P= 0.02 τ_0=1.12 σ_0=3.26 σ_{ID}=3.44 Σ_T=4.38
CC 28 SLD (Collegamento -380_-516)

Azioni sul collegamento: N=127.01 Ty=0.55 Tz=-47.68 Mx=0.09 Mz=0.57
Sollecitazioni agenti localmente: Tx_l=0.55 Ty_l=-47.68 N_l=127.01 My_l=-0.57 Mz_l=0.09
Azioni sul cordone: TP=-0.15 TO=3.58 NO=9.35
Tensioni nel cordone: τ_P= 0.05 τ_0=1.14 σ_0=3.80 σ_{ID}=3.97 Σ_T=4.94
CC 28 SLD (Collegamento -380_-516)
Azioni sul collegamento: N=127.01 Ty=-0.29 Tz=-47.68 Mx=-0.03 Mz=-0.19
Sollecitazioni agenti localmente: Tx_l=-0.29 Ty_l=-47.68 N_l=127.01 My_l=0.19 Mz_l=-0.03
Azioni sul cordone: TP=0.05 TO=3.53 NO=9.35
Tensioni nel cordone: τ_P= 0.02 τ_0=1.12 σ_0=3.26 σ_{ID}=3.44 Σ_T=4.38
CC 28 SLD (Collegamento -380_-516)
Azioni sul collegamento: N=130.32 Ty=0.55 Tz=-48.19 Mx=0.09 Mz=0.57
Sollecitazioni agenti localmente: Tx_l=0.55 Ty_l=-48.19 N_l=130.32 My_l=-0.57 Mz_l=0.09
Azioni sul cordone: TP=-0.15 TO=3.62 NO=9.59
Tensioni nel cordone: τ_P= 0.05 τ_0=1.15 σ_0=3.88 σ_{ID}=4.05 Σ_T=5.03
CC 28 SLD (Collegamento -380_-516)
Azioni sul collegamento: N=130.32 Ty=-0.29 Tz=-48.19 Mx=-0.03 Mz=-0.19
Sollecitazioni agenti localmente: Tx_l=-0.29 Ty_l=-48.19 N_l=130.32 My_l=0.19 Mz_l=-0.03
Azioni sul cordone: TP=0.05 TO=3.57 NO=9.59
Tensioni nel cordone: τ_P= 0.02 τ_0=1.13 σ_0=3.33 σ_{ID}=3.52 Σ_T=4.47
CC 28 SLD (Collegamento -380_-516)
Azioni sul collegamento: N=130.32 Ty=0.55 Tz=-48.19 Mx=0.09 Mz=0.57
Sollecitazioni agenti localmente: Tx_l=0.55 Ty_l=-48.19 N_l=130.32 My_l=-0.57 Mz_l=0.09
Azioni sul cordone: TP=-0.15 TO=3.62 NO=9.59
Tensioni nel cordone: τ_P= 0.05 τ_0=1.15 σ_0=3.88 σ_{ID}=4.05 Σ_T=5.03
CC 28 SLD (Collegamento -380_-516)
Azioni sul collegamento: N=130.32 Ty=-0.29 Tz=-48.19 Mx=-0.03 Mz=-0.19
Sollecitazioni agenti localmente: Tx_l=-0.29 Ty_l=-48.19 N_l=130.32 My_l=0.19 Mz_l=-0.03
Azioni sul cordone: TP=0.05 TO=3.57 NO=9.59
Tensioni nel cordone: τ_P= 0.02 τ_0=1.13 σ_0=3.33 σ_{ID}=3.52 Σ_T=4.47
CC 29 SLV (Collegamento -380_-516)
Azioni sul collegamento: N=134.07 Ty=-0.81 Tz=-48.77 Mx=-0.08 Mz=-0.52
Sollecitazioni agenti localmente: Tx_l=-0.81 Ty_l=-48.77 N_l=134.07 My_l=0.52 Mz_l=-0.08
Azioni sul cordone: TP=0.16 TO=3.65 NO=9.87
Tensioni nel cordone: τ_P= 0.05 τ_0=1.16 σ_0=3.90 σ_{ID}=4.07 Σ_T=5.06
CC 29 SLV (Collegamento -380_-516)
Azioni sul collegamento: N=134.07 Ty=1.94 Tz=-48.77 Mx=0.30 Mz=1.98
Sollecitazioni agenti localmente: Tx_l=1.94 Ty_l=-48.77 N_l=134.07 My_l=-1.98 Mz_l=0.30
Azioni sul cordone: TP=-0.49 TO=3.83 NO=9.87
Tensioni nel cordone: τ_P=0.16 τ_0=1.22 σ_0=6.03 σ_{ID}=6.16 Σ_T=7.25
CC 29 SLV (Collegamento -380_-516)
Azioni sul collegamento: N=134.07 Ty=-0.81 Tz=-48.77 Mx=-0.08 Mz=-0.52
Sollecitazioni agenti localmente: Tx_l=-0.81 Ty_l=-48.77 N_l=134.07 My_l=0.52 Mz_l=-0.08
Azioni sul cordone: TP=0.16 TO=3.65 NO=9.87
Tensioni nel cordone: τ_P= 0.05 τ_0=1.16 σ_0=3.90 σ_{ID}=4.07 Σ_T=5.06
CC 29 SLV (Collegamento -380_-516)
Azioni sul collegamento: N=134.07 Ty=1.94 Tz=-48.77 Mx=0.30 Mz=1.98
Sollecitazioni agenti localmente: Tx_l=1.94 Ty_l=-48.77 N_l=134.07 My_l=-1.98 Mz_l=0.30
Azioni sul cordone: TP=-0.49 TO=3.83 NO=9.87
Tensioni nel cordone: τ_P=0.16 τ_0=1.22 σ_0=6.03 σ_{ID}=6.16 Σ_T=7.25
CC 29 SLV (Collegamento -380_-516)
Azioni sul collegamento: N=123.23 Ty=-0.81 Tz=-47.09 Mx=-0.08 Mz=-0.52
Sollecitazioni agenti localmente: Tx_l=-0.81 Ty_l=-47.09 N_l=123.23 My_l=0.52 Mz_l=-0.08
Azioni sul cordone: TP=0.16 TO=3.53 NO=9.07
Tensioni nel cordone: τ_P= 0.05 τ_0=1.12 σ_0=3.65 σ_{ID}=3.81 Σ_T=4.77
CC 29 SLV (Collegamento -380_-516)
Azioni sul collegamento: N=123.23 Ty=1.94 Tz=-47.09 Mx=0.30 Mz=1.98
Sollecitazioni agenti localmente: Tx_l=1.94 Ty_l=-47.09 N_l=123.23 My_l=-1.98 Mz_l=0.30
Azioni sul cordone: TP=-0.49 TO=3.71 NO=9.07
Tensioni nel cordone: τ_P=0.16 τ_0=1.18 σ_0=5.78 σ_{ID}=5.90 Σ_T=6.96
CC 29 SLV (Collegamento -380_-516)
Azioni sul collegamento: N=123.23 Ty=-0.81 Tz=-47.09 Mx=-0.08 Mz=-0.52
Sollecitazioni agenti localmente: Tx_l=-0.81 Ty_l=-47.09 N_l=123.23 My_l=0.52 Mz_l=-0.08
Azioni sul cordone: TP=0.16 TO=3.53 NO=9.07
Tensioni nel cordone: τ_P= 0.05 τ_0=1.12 σ_0=3.65 σ_{ID}=3.81 Σ_T=4.77
CC 29 SLV (Collegamento -380_-516)
Azioni sul collegamento: N=123.23 Ty=1.94 Tz=-47.09 Mx=0.30 Mz=1.98
Sollecitazioni agenti localmente: Tx_l=1.94 Ty_l=-47.09 N_l=123.23 My_l=-1.98 Mz_l=0.30
Azioni sul cordone: TP=-0.49 TO=3.71 NO=9.07
Tensioni nel cordone: τ_P=0.16 τ_0=1.18 σ_0=5.78 σ_{ID}=5.90 Σ_T=6.96
CC 30 SLD (Collegamento -380_-516)
Azioni sul collegamento: N=130.32 Ty=-0.29 Tz=-48.19 Mx=-0.03 Mz=-0.19
Sollecitazioni agenti localmente: Tx_l=-0.29 Ty_l=-48.19 N_l=130.32 My_l=0.19 Mz_l=-0.03
Azioni sul cordone: TP=0.06 TO=3.57 NO=9.59
Tensioni nel cordone: τ_P= 0.02 τ_0=1.13 σ_0=3.33 σ_{ID}=3.52 Σ_T=4.47
CC 30 SLD (Collegamento -380_-516)
Azioni sul collegamento: N=130.32 Ty=0.55 Tz=-48.19 Mx=0.09 Mz=0.57
Sollecitazioni agenti localmente: Tx_l=0.55 Ty_l=-48.19 N_l=130.32 My_l=-0.57 Mz_l=0.09
Azioni sul cordone: TP=-0.14 TO=3.62 NO=9.59
Tensioni nel cordone: τ_P= 0.04 τ_0=1.15 σ_0=3.88 σ_{ID}=4.05 Σ_T=5.03
CC 30 SLD (Collegamento -380_-516)
Azioni sul collegamento: N=130.32 Ty=-0.29 Tz=-48.19 Mx=-0.03 Mz=-0.19

Sollecitazioni agenti localmente: Tx_l=-0.29 Ty_l=-48.19 N_l=130.32 My_l=0.19 Mz_l=-0.03
Azioni sul cordone: TP=0.06 TO=3.57 NO=9.59
Tensioni nel cordone: τ_P= 0.02 τ_0=1.13 σ_0=3.33 σ_{ID}=3.52 Σ_T=4.47
CC 30 SLD (Collegamento -380_-516)
Azioni sul collegamento: N=130.32 Ty=0.55 Tz=-48.19 Mx=0.09 Mz=0.57
Sollecitazioni agenti localmente: Tx_l=0.55 Ty_l=-48.19 N_l=130.32 My_l=-0.57 Mz_l=0.09
Azioni sul cordone: TP=-0.14 TO=3.62 NO=9.59
Tensioni nel cordone: τ_P= 0.04 τ_0=1.15 σ_0=3.88 σ_{ID}=4.05 Σ_T=5.03
CC 30 SLD (Collegamento -380_-516)
Azioni sul collegamento: N=127.01 Ty=-0.29 Tz=-47.68 Mx=-0.03 Mz=-0.19
Sollecitazioni agenti localmente: Tx_l=-0.29 Ty_l=-47.68 N_l=127.01 My_l=0.19 Mz_l=-0.03
Azioni sul cordone: TP=0.06 TO=3.53 NO=9.35
Tensioni nel cordone: τ_P= 0.02 τ_0=1.12 σ_0=3.25 σ_{ID}=3.44 Σ_T=4.38
CC 30 SLD (Collegamento -380_-516)
Azioni sul collegamento: N=127.01 Ty=0.55 Tz=-47.68 Mx=0.09 Mz=0.57
Sollecitazioni agenti localmente: Tx_l=0.55 Ty_l=-47.68 N_l=127.01 My_l=-0.57 Mz_l=0.09
Azioni sul cordone: TP=-0.14 TO=3.58 NO=9.35
Tensioni nel cordone: τ_P= 0.04 τ_0=1.14 σ_0=3.80 σ_{ID}=3.97 Σ_T=4.94
CC 30 SLD (Collegamento -380_-516)
Azioni sul collegamento: N=127.01 Ty=-0.29 Tz=-47.68 Mx=-0.03 Mz=-0.19
Sollecitazioni agenti localmente: Tx_l=-0.29 Ty_l=-47.68 N_l=127.01 My_l=0.19 Mz_l=-0.03
Azioni sul cordone: TP=0.06 TO=3.53 NO=9.35
Tensioni nel cordone: τ_P= 0.02 τ_0=1.12 σ_0=3.25 σ_{ID}=3.44 Σ_T=4.38
CC 30 SLD (Collegamento -380_-516)
Azioni sul collegamento: N=127.01 Ty=0.55 Tz=-47.68 Mx=0.09 Mz=0.57
Sollecitazioni agenti localmente: Tx_l=0.55 Ty_l=-47.68 N_l=127.01 My_l=-0.57 Mz_l=0.09
Azioni sul cordone: TP=-0.14 TO=3.58 NO=9.35
Tensioni nel cordone: τ_P= 0.04 τ_0=1.14 σ_0=3.80 σ_{ID}=3.97 Σ_T=4.94
CC 31 SLV (Collegamento -380_-516)
Azioni sul collegamento: N=123.17 Ty=-0.81 Tz=-47.08 Mx=-0.08 Mz=-0.53
Sollecitazioni agenti localmente: Tx_l=-0.81 Ty_l=-47.08 N_l=123.17 My_l=0.53 Mz_l=-0.08
Azioni sul cordone: TP=0.16 TO=3.53 NO=9.06
Tensioni nel cordone: τ_P= 0.05 τ_0=1.12 σ_0=3.65 σ_{ID}=3.82 Σ_T=4.78
CC 31 SLV (Collegamento -380_-516)
Azioni sul collegamento: N=123.17 Ty=1.95 Tz=-47.08 Mx=0.31 Mz=1.99
Sollecitazioni agenti localmente: Tx_l=1.95 Ty_l=-47.08 N_l=123.17 My_l=-1.99 Mz_l=0.31
Azioni sul cordone: TP=-0.50 TO=3.71 NO=9.06
Tensioni nel cordone: τ_P=0.16 τ_0=1.18 σ_0=5.79 σ_{ID}=5.91 Σ_T=6.97
CC 31 SLV (Collegamento -380_-516)
Azioni sul collegamento: N=123.17 Ty=-0.81 Tz=-47.08 Mx=-0.08 Mz=-0.53
Sollecitazioni agenti localmente: Tx_l=-0.81 Ty_l=-47.08 N_l=123.17 My_l=0.53 Mz_l=-0.08
Azioni sul cordone: TP=0.16 TO=3.53 NO=9.06
Tensioni nel cordone: τ_P= 0.05 τ_0=1.12 σ_0=3.65 σ_{ID}=3.82 Σ_T=4.78
CC 31 SLV (Collegamento -380_-516)
Azioni sul collegamento: N=123.17 Ty=1.95 Tz=-47.08 Mx=0.31 Mz=1.99
Sollecitazioni agenti localmente: Tx_l=1.95 Ty_l=-47.08 N_l=123.17 My_l=-1.99 Mz_l=0.31
Azioni sul cordone: TP=-0.50 TO=3.71 NO=9.06
Tensioni nel cordone: τ_P=0.16 τ_0=1.18 σ_0=5.79 σ_{ID}=5.91 Σ_T=6.97
CC 31 SLV (Collegamento -380_-516)
Azioni sul collegamento: N=134.13 Ty=-0.81 Tz=-48.78 Mx=-0.08 Mz=-0.53
Sollecitazioni agenti localmente: Tx_l=-0.81 Ty_l=-48.78 N_l=134.13 My_l=0.53 Mz_l=-0.08
Azioni sul cordone: TP=0.16 TO=3.66 NO=9.87
Tensioni nel cordone: τ_P= 0.05 τ_0=1.16 σ_0=3.91 σ_{ID}=4.08 Σ_T=5.07
CC 31 SLV (Collegamento -380_-516)
Azioni sul collegamento: N=134.13 Ty=1.95 Tz=-48.78 Mx=0.31 Mz=1.99
Sollecitazioni agenti localmente: Tx_l=1.95 Ty_l=-48.78 N_l=134.13 My_l=-1.99 Mz_l=0.31
Azioni sul cordone: TP=-0.50 TO=3.83 NO=9.87
Tensioni nel cordone: τ_P=0.16 τ_0=1.22 σ_0=6.04 σ_{ID}=6.17 Σ_T=7.26
CC 31 SLV (Collegamento -380_-516)
Azioni sul collegamento: N=134.13 Ty=-0.81 Tz=-48.78 Mx=-0.08 Mz=-0.53
Sollecitazioni agenti localmente: Tx_l=-0.81 Ty_l=-48.78 N_l=134.13 My_l=0.53 Mz_l=-0.08
Azioni sul cordone: TP=0.16 TO=3.66 NO=9.87
Tensioni nel cordone: τ_P= 0.05 τ_0=1.16 σ_0=3.91 σ_{ID}=4.08 Σ_T=5.07
CC 31 SLV (Collegamento -380_-516)
Azioni sul collegamento: N=134.13 Ty=1.95 Tz=-48.78 Mx=0.31 Mz=1.99
Sollecitazioni agenti localmente: Tx_l=1.95 Ty_l=-48.78 N_l=134.13 My_l=-1.99 Mz_l=0.31
Azioni sul cordone: TP=-0.50 TO=3.83 NO=9.87
Tensioni nel cordone: τ_P=0.16 τ_0=1.22 σ_0=6.04 σ_{ID}=6.17 Σ_T=7.26
CC 32 SLD (Collegamento -380_-516)
Azioni sul collegamento: N=126.99 Ty=-0.30 Tz=-47.68 Mx=-0.03 Mz=-0.20
Sollecitazioni agenti localmente: Tx_l=-0.30 Ty_l=-47.68 N_l=126.99 My_l=0.20 Mz_l=-0.03
Azioni sul cordone: TP=0.06 TO=3.53 NO=9.34
Tensioni nel cordone: τ_P= 0.02 τ_0=1.12 σ_0=3.26 σ_{ID}=3.44 Σ_T=4.38
CC 32 SLD (Collegamento -380_-516)
Azioni sul collegamento: N=126.99 Ty=0.55 Tz=-47.68 Mx=0.09 Mz=0.57
Sollecitazioni agenti localmente: Tx_l=0.55 Ty_l=-47.68 N_l=126.99 My_l=-0.57 Mz_l=0.09
Azioni sul cordone: TP=-0.14 TO=3.58 NO=9.34
Tensioni nel cordone: τ_P= 0.05 τ_0=1.14 σ_0=3.81 σ_{ID}=3.97 Σ_T=4.94
CC 32 SLD (Collegamento -380_-516)
Azioni sul collegamento: N=126.99 Ty=-0.30 Tz=-47.68 Mx=-0.03 Mz=-0.20
Sollecitazioni agenti localmente: Tx_l=-0.30 Ty_l=-47.68 N_l=126.99 My_l=0.20 Mz_l=-0.03

Azioni sul cordone: TP=0.06 TO=3.53 NO=9.34
Tensioni nel cordone: τ_P= 0.02 τ_O=1.12 σ_O=3.26 σ_{ID}=3.44 Σ_T=4.38
CC 32 SLD (Collegamento -380_-516)
Azioni sul collegamento: N=126.99 Ty=0.55 Tz=-47.68 Mx=0.09 Mz=0.57
Sollecitazioni agenti localmente: Tx_l=0.55 Ty_l=-47.68 N_l=126.99 My_l=-0.57 Mz_l=0.09
Azioni sul cordone: TP=-0.14 TO=3.58 NO=9.34
Tensioni nel cordone: τ_P= 0.05 τ_O=1.14 σ_O=3.81 σ_{ID}=3.97 Σ_T=4.94
CC 32 SLD (Collegamento -380_-516)
Azioni sul collegamento: N=130.34 Ty=-0.30 Tz=-48.19 Mx=-0.03 Mz=-0.20
Sollecitazioni agenti localmente: Tx_l=-0.30 Ty_l=-48.19 N_l=130.34 My_l=0.20 Mz_l=-0.03
Azioni sul cordone: TP=0.06 TO=3.57 NO=9.59
Tensioni nel cordone: τ_P= 0.02 τ_O=1.13 σ_O=3.33 σ_{ID}=3.52 Σ_T=4.47
CC 32 SLD (Collegamento -380_-516)
Azioni sul collegamento: N=130.34 Ty=0.55 Tz=-48.19 Mx=0.09 Mz=0.57
Sollecitazioni agenti localmente: Tx_l=0.55 Ty_l=-48.19 N_l=130.34 My_l=-0.57 Mz_l=0.09
Azioni sul cordone: TP=-0.14 TO=3.62 NO=9.59
Tensioni nel cordone: τ_P= 0.05 τ_O=1.15 σ_O=3.88 σ_{ID}=4.05 Σ_T=5.03
CC 32 SLD (Collegamento -380_-516)
Azioni sul collegamento: N=130.34 Ty=-0.30 Tz=-48.19 Mx=-0.03 Mz=-0.20
Sollecitazioni agenti localmente: Tx_l=-0.30 Ty_l=-48.19 N_l=130.34 My_l=0.20 Mz_l=-0.03
Azioni sul cordone: TP=0.06 TO=3.57 NO=9.59
Tensioni nel cordone: τ_P= 0.02 τ_O=1.13 σ_O=3.33 σ_{ID}=3.52 Σ_T=4.47
CC 32 SLD (Collegamento -380_-516)
Azioni sul collegamento: N=130.34 Ty=0.55 Tz=-48.19 Mx=0.09 Mz=0.57
Sollecitazioni agenti localmente: Tx_l=0.55 Ty_l=-48.19 N_l=130.34 My_l=-0.57 Mz_l=0.09
Azioni sul cordone: TP=-0.14 TO=3.62 NO=9.59
Tensioni nel cordone: τ_P= 0.05 τ_O=1.15 σ_O=3.88 σ_{ID}=4.05 Σ_T=5.03
CC 33 SLU (Collegamento -380_-516)
Azioni sul collegamento: N=333.98 Ty=-0.11 Tz=-89.52 Mx=-0.01 Mz=-0.07
Sollecitazioni agenti localmente: Tx_l=-0.11 Ty_l=-89.52 N_l=333.98 My_l=0.07 Mz_l=-0.01
Azioni sul cordone: TP=0.00 TO=-6.59 NO=24.57
Tensioni nel cordone: τ_P=1.22E-03 τ_O=2.10 σ_O=7.92 σ_{ID}=8.19 Σ_T=10.01
CC 34 SLU (Collegamento -380_-516)
Azioni sul collegamento: N=330.18 Ty=-0.11 Tz=-88.93 Mx=-0.01 Mz=-0.07
Sollecitazioni agenti localmente: Tx_l=-0.11 Ty_l=-88.93 N_l=330.18 My_l=0.07 Mz_l=-0.01
Azioni sul cordone: TP=0.00 TO=-6.55 NO=24.30
Tensioni nel cordone: τ_P=1.15E-03 τ_O=2.08 σ_O=7.82 σ_{ID}=8.10 Σ_T=9.91
CC 35 SLU (Collegamento -380_-516)
Azioni sul collegamento: N=332.07 Ty=0.03 Tz=-89.22 Mx=0.01 Mz=0.06
Sollecitazioni agenti localmente: Tx_l=0.03 Ty_l=-89.22 N_l=332.07 My_l=-0.06 Mz_l=0.01
Azioni sul cordone: TP=-0.01 TO=-6.57 NO=24.43
Tensioni nel cordone: τ_P=3.17E-03 τ_O=2.09 σ_O=7.85 σ_{ID}=8.13 Σ_T=9.94
CC 36 SLU (Collegamento -380_-516)
Azioni sul collegamento: N=332.08 Ty=-0.25 Tz=-89.22 Mx=-0.03 Mz=-0.20
Sollecitazioni agenti localmente: Tx_l=-0.25 Ty_l=-89.22 N_l=332.08 My_l=0.20 Mz_l=-0.03
Azioni sul cordone: TP=0.05 TO=6.59 NO=24.44
Tensioni nel cordone: τ_P= 0.02 τ_O=2.09 σ_O=8.06 σ_{ID}=8.33 Σ_T=10.16
CC 37 SLU (Collegamento -380_-516)
Azioni sul collegamento: N=265.40 Ty=-0.11 Tz=-78.90 Mx=-0.01 Mz=-0.08
Sollecitazioni agenti localmente: Tx_l=-0.11 Ty_l=-78.90 N_l=265.40 My_l=0.08 Mz_l=-0.01
Azioni sul cordone: TP=0.01 TO=-5.82 NO=19.53
Tensioni nel cordone: τ_P=1.76E-03 τ_O=1.85 σ_O=6.33 σ_{ID}=6.59 Σ_T=8.17
CC 38 SLU (Collegamento -380_-516)
Azioni sul collegamento: N=261.61 Ty=-0.11 Tz=-78.32 Mx=-0.01 Mz=-0.08
Sollecitazioni agenti localmente: Tx_l=-0.11 Ty_l=-78.32 N_l=261.61 My_l=0.08 Mz_l=-0.01
Azioni sul cordone: TP=0.01 TO=-5.77 NO=19.25
Tensioni nel cordone: τ_P=1.69E-03 τ_O=1.83 σ_O=6.23 σ_{ID}=6.50 Σ_T=8.07
CC 39 SLU (Collegamento -380_-516)
Azioni sul collegamento: N=263.50 Ty=0.03 Tz=-78.61 Mx=0.01 Mz=0.05
Sollecitazioni agenti localmente: Tx_l=0.03 Ty_l=-78.61 N_l=263.50 My_l=-0.05 Mz_l=0.01
Azioni sul cordone: TP=-0.01 TO=-5.79 NO=19.39
Tensioni nel cordone: τ_P=2.63E-03 τ_O=1.84 σ_O=6.24 σ_{ID}=6.50 Σ_T=8.08
CC 40 SLU (Collegamento -380_-516)
Azioni sul collegamento: N=263.50 Ty=-0.25 Tz=-78.61 Mx=-0.03 Mz=-0.21
Sollecitazioni agenti localmente: Tx_l=-0.25 Ty_l=-78.61 N_l=263.50 My_l=0.21 Mz_l=-0.03
Azioni sul cordone: TP=0.06 TO=5.81 NO=19.39
Tensioni nel cordone: τ_P= 0.02 τ_O=1.85 σ_O=6.47 σ_{ID}=6.73 Σ_T=8.32
CC 41 SLU (Collegamento -380_-516)
Azioni sul collegamento: N=344.53 Ty=-0.10 Tz=-91.15 Mx=-0.01 Mz=-0.07
Sollecitazioni agenti localmente: Tx_l=-0.10 Ty_l=-91.15 N_l=344.53 My_l=0.07 Mz_l=-0.01
Azioni sul cordone: TP=0.00 TO=-6.71 NO=25.35
Tensioni nel cordone: τ_P=1.31E-03 τ_O=2.13 σ_O=8.16 σ_{ID}=8.43 Σ_T=10.29
CC 42 SLU (Collegamento -380_-516)
Azioni sul collegamento: N=340.73 Ty=-0.10 Tz=-90.56 Mx=-0.01 Mz=-0.07
Sollecitazioni agenti localmente: Tx_l=-0.10 Ty_l=-90.56 N_l=340.73 My_l=0.07 Mz_l=-0.01
Azioni sul cordone: TP=0.00 TO=-6.67 NO=25.07
Tensioni nel cordone: τ_P=1.23E-03 τ_O=2.12 σ_O=8.07 σ_{ID}=8.34 Σ_T=10.19
CC 43 SLU (Collegamento -380_-516)
Azioni sul collegamento: N=342.63 Ty=0.04 Tz=-90.86 Mx=0.01 Mz=0.06
Sollecitazioni agenti localmente: Tx_l=0.04 Ty_l=-90.86 N_l=342.63 My_l=-0.06 Mz_l=0.01
Azioni sul cordone: TP=-0.01 TO=-6.69 NO=25.21

Tensioni nel cordone: τ_P=3.08E-03 τ_0=2.13 σ_0=8.11 σ_{ID}=8.38 Σ_T=10.23
CC 44 SLU (Collegamento -380_-516)
Azioni sul collegamento: N=342.63 Ty=-0.24 Tz=-90.86 Mx=-0.03 Mz=-0.20
Sollecitazioni agenti localmente: Tx_l=-0.24 Ty_l=-90.86 N_l=342.63 My_l=0.20 Mz_l=-0.03
Azioni sul cordone: TP=0.05 TO=6.71 NO=25.21
Tensioni nel cordone: τ_P= 0.02 τ_0=2.13 σ_0=8.30 σ_{ID}=8.57 Σ_T=10.43
CC 45 SLU (Collegamento -380_-516)
Azioni sul collegamento: N=280.60 Ty=-0.11 Tz=-81.26 Mx=-0.01 Mz=-0.08
Sollecitazioni agenti localmente: Tx_l=-0.11 Ty_l=-81.26 N_l=280.60 My_l=0.08 Mz_l=-0.01
Azioni sul cordone: TP=0.01 TO=-5.99 NO=20.65
Tensioni nel cordone: τ_P=1.60E-03 τ_0=1.90 σ_0=6.68 σ_{ID}=6.94 Σ_T=8.58
CC 46 SLU (Collegamento -380_-516)
Azioni sul collegamento: N=276.80 Ty=-0.11 Tz=-80.67 Mx=-0.01 Mz=-0.08
Sollecitazioni agenti localmente: Tx_l=-0.11 Ty_l=-80.67 N_l=276.80 My_l=0.08 Mz_l=-0.01
Azioni sul cordone: TP=0.00 TO=-5.94 NO=20.37
Tensioni nel cordone: τ_P=1.53E-03 τ_0=1.89 σ_0=6.59 σ_{ID}=6.85 Σ_T=8.47
CC 47 SLU (Collegamento -380_-516)
Azioni sul collegamento: N=278.70 Ty=0.03 Tz=-80.96 Mx=0.01 Mz=0.05
Sollecitazioni agenti localmente: Tx_l=0.03 Ty_l=-80.96 N_l=278.70 My_l=-0.05 Mz_l=0.01
Azioni sul cordone: TP=-0.01 TO=-5.96 NO=20.51
Tensioni nel cordone: τ_P=2.79E-03 τ_0=1.90 σ_0=6.60 σ_{ID}=6.86 Σ_T=8.49
CC 48 SLU (Collegamento -380_-516)
Azioni sul collegamento: N=278.70 Ty=-0.25 Tz=-80.96 Mx=-0.03 Mz=-0.21
Sollecitazioni agenti localmente: Tx_l=-0.25 Ty_l=-80.96 N_l=278.70 My_l=0.21 Mz_l=-0.03
Azioni sul cordone: TP=0.06 TO=5.98 NO=20.51
Tensioni nel cordone: τ_P= 0.02 τ_0=1.90 σ_0=6.82 σ_{ID}=7.08 Σ_T=8.72
CC 49 SLU (Collegamento -380_-516)
Azioni sul collegamento: N=229.29 Ty=-0.11 Tz=-73.32 Mx=-0.01 Mz=-0.09
Sollecitazioni agenti localmente: Tx_l=-0.11 Ty_l=-73.32 N_l=229.29 My_l=0.09 Mz_l=-0.01
Azioni sul cordone: TP=0.02 TO=5.40 NO=16.87
Tensioni nel cordone: τ_P=7.32E-03 τ_0=1.72 σ_0=5.49 σ_{ID}=5.75 Σ_T=7.20
CC 50 SLU (Collegamento -380_-516)
Azioni sul collegamento: N=225.50 Ty=-0.11 Tz=-72.73 Mx=-0.01 Mz=-0.08
Sollecitazioni agenti localmente: Tx_l=-0.11 Ty_l=-72.73 N_l=225.50 My_l=0.08 Mz_l=-0.01
Azioni sul cordone: TP=0.02 TO=5.36 NO=16.59
Tensioni nel cordone: τ_P=7.16E-03 τ_0=1.70 σ_0=5.40 σ_{ID}=5.66 Σ_T=7.10
CC 51 SLU (Collegamento -380_-516)
Azioni sul collegamento: N=227.39 Ty=0.03 Tz=-73.02 Mx=0.01 Mz=0.05
Sollecitazioni agenti localmente: Tx_l=0.03 Ty_l=-73.02 N_l=227.39 My_l=-0.05 Mz_l=0.01
Azioni sul cordone: TP=-0.01 TO=-5.38 NO=16.73
Tensioni nel cordone: τ_P=2.38E-03 τ_0=1.71 σ_0=5.39 σ_{ID}=5.65 Σ_T=7.10
CC 52 SLU (Collegamento -380_-516)
Azioni sul collegamento: N=227.40 Ty=-0.26 Tz=-73.02 Mx=-0.03 Mz=-0.21
Sollecitazioni agenti localmente: Tx_l=-0.26 Ty_l=-73.02 N_l=227.40 My_l=0.21 Mz_l=-0.03
Azioni sul cordone: TP=0.06 TO=5.40 NO=16.73
Tensioni nel cordone: τ_P= 0.02 τ_0=1.72 σ_0=5.63 σ_{ID}=5.89 Σ_T=7.35
CC 53 SLU (Collegamento -380_-516)
Azioni sul collegamento: N=288.49 Ty=-0.11 Tz=-82.48 Mx=-0.01 Mz=-0.08
Sollecitazioni agenti localmente: Tx_l=-0.11 Ty_l=-82.48 N_l=288.49 My_l=0.08 Mz_l=-0.01
Azioni sul cordone: TP=0.01 TO=-6.08 NO=21.23
Tensioni nel cordone: τ_P=1.67E-03 τ_0=1.93 σ_0=6.86 σ_{ID}=7.12 Σ_T=8.79
CC 54 SLU (Collegamento -380_-516)
Azioni sul collegamento: N=284.70 Ty=-0.10 Tz=-81.89 Mx=-0.01 Mz=-0.07
Sollecitazioni agenti localmente: Tx_l=-0.10 Ty_l=-81.89 N_l=284.70 My_l=0.07 Mz_l=-0.01
Azioni sul cordone: TP=0.01 TO=-6.03 NO=20.95
Tensioni nel cordone: τ_P=1.60E-03 τ_0=1.92 σ_0=6.77 σ_{ID}=7.03 Σ_T=8.68
CC 55 SLU (Collegamento -380_-516)
Azioni sul collegamento: N=286.59 Ty=0.04 Tz=-82.18 Mx=0.01 Mz=0.06
Sollecitazioni agenti localmente: Tx_l=0.04 Ty_l=-82.18 N_l=286.59 My_l=-0.06 Mz_l=0.01
Azioni sul cordone: TP=-0.01 TO=-6.06 NO=21.09
Tensioni nel cordone: τ_P=2.72E-03 τ_0=1.92 σ_0=6.78 σ_{ID}=7.05 Σ_T=8.71
CC 56 SLU (Collegamento -380_-516)
Azioni sul collegamento: N=286.60 Ty=-0.25 Tz=-82.18 Mx=-0.03 Mz=-0.21
Sollecitazioni agenti localmente: Tx_l=-0.25 Ty_l=-82.18 N_l=286.60 My_l=0.21 Mz_l=-0.03
Azioni sul cordone: TP=0.06 TO=6.07 NO=21.09
Tensioni nel cordone: τ_P= 0.02 τ_0=1.93 σ_0=7.00 σ_{ID}=7.26 Σ_T=8.93
CC 57 SLU (Collegamento -380_-516)
Azioni sul collegamento: N=269.35 Ty=-0.10 Tz=-79.52 Mx=-0.01 Mz=-0.07
Sollecitazioni agenti localmente: Tx_l=-0.10 Ty_l=-79.52 N_l=269.35 My_l=0.07 Mz_l=-0.01
Azioni sul cordone: TP=0.00 TO=-5.86 NO=19.82
Tensioni nel cordone: τ_P=1.46E-03 τ_0=1.86 σ_0=6.41 σ_{ID}=6.67 Σ_T=8.27
CC 58 SLU (Collegamento -380_-516)
Azioni sul collegamento: N=265.56 Ty=-0.10 Tz=-78.93 Mx=-0.01 Mz=-0.07
Sollecitazioni agenti localmente: Tx_l=-0.10 Ty_l=-78.93 N_l=265.56 My_l=0.07 Mz_l=-0.01
Azioni sul cordone: TP=0.00 TO=-5.82 NO=19.54
Tensioni nel cordone: τ_P=1.39E-03 τ_0=1.85 σ_0=6.31 σ_{ID}=6.58 Σ_T=8.16
CC 59 SLU (Collegamento -380_-516)
Azioni sul collegamento: N=267.45 Ty=0.04 Tz=-79.22 Mx=0.01 Mz=0.06
Sollecitazioni agenti localmente: Tx_l=0.04 Ty_l=-79.22 N_l=267.45 My_l=-0.06 Mz_l=0.01
Azioni sul cordone: TP=-0.01 TO=-5.84 NO=19.68
Tensioni nel cordone: τ_P=2.93E-03 τ_0=1.86 σ_0=6.34 σ_{ID}=6.61 Σ_T=8.20

CC 60 SLU (Collegamento -380_-516)
Azioni sul collegamento: N=267.46 Ty=-0.25 Tz=-79.22 Mx=-0.03 Mz=-0.20
Sollecitazioni agenti localmente: Tx_l=-0.25 Ty_l=-79.22 N_l=267.46 My_l=0.20 Mz_l=-0.03
Azioni sul cordone: TP=0.05 TO=5.85 NO=19.68
Tensioni nel cordone: τ_P= 0.02 τ_O=1.86 σ_O=6.55 σ_{ID}=6.81 Σ_T=8.41
CC 61 SLU (Collegamento -380_-516)
Azioni sul collegamento: N=218.05 Ty=-0.11 Tz=-71.58 Mx=-0.01 Mz=-0.08
Sollecitazioni agenti localmente: Tx_l=-0.11 Ty_l=-71.58 N_l=218.05 My_l=0.08 Mz_l=-0.01
Azioni sul cordone: TP=0.02 TO=5.28 NO=16.04
Tensioni nel cordone: τ_P=6.85E-03 τ_O=1.68 σ_O=5.22 σ_{ID}=5.48 Σ_T=6.89
CC 62 SLU (Collegamento -380_-516)
Azioni sul collegamento: N=214.25 Ty=-0.10 Tz=-70.99 Mx=-0.01 Mz=-0.08
Sollecitazioni agenti localmente: Tx_l=-0.10 Ty_l=-70.99 N_l=214.25 My_l=0.08 Mz_l=-0.01
Azioni sul cordone: TP=0.02 TO=5.23 NO=15.77
Tensioni nel cordone: τ_P=6.69E-03 τ_O=1.66 σ_O=5.12 σ_{ID}=5.39 Σ_T=6.79
CC 63 SLU (Collegamento -380_-516)
Azioni sul collegamento: N=216.15 Ty=0.04 Tz=-71.28 Mx=0.01 Mz=0.05
Sollecitazioni agenti localmente: Tx_l=0.04 Ty_l=-71.28 N_l=216.15 My_l=-0.05 Mz_l=0.01
Azioni sul cordone: TP=-0.01 TO=-5.25 NO=15.90
Tensioni nel cordone: τ_P=2.53E-03 τ_O=1.67 σ_O=5.13 σ_{ID}=5.40 Σ_T=6.80
CC 64 SLU (Collegamento -380_-516)
Azioni sul collegamento: N=216.16 Ty=-0.25 Tz=-71.28 Mx=-0.03 Mz=-0.21
Sollecitazioni agenti localmente: Tx_l=-0.25 Ty_l=-71.28 N_l=216.16 My_l=0.21 Mz_l=-0.03
Azioni sul cordone: TP=0.06 TO=5.27 NO=15.91
Tensioni nel cordone: τ_P= 0.02 τ_O=1.68 σ_O=5.36 σ_{ID}=5.62 Σ_T=7.04
CC 65 SLU (Collegamento -380_-516)
Azioni sul collegamento: N=277.25 Ty=-0.10 Tz=-80.74 Mx=-0.01 Mz=-0.07
Sollecitazioni agenti localmente: Tx_l=-0.10 Ty_l=-80.74 N_l=277.25 My_l=0.07 Mz_l=-0.01
Azioni sul cordone: TP=0.00 TO=-5.95 NO=20.40
Tensioni nel cordone: τ_P=1.52E-03 τ_O=1.89 σ_O=6.59 σ_{ID}=6.85 Σ_T=8.48
CC 66 SLU (Collegamento -380_-516)
Azioni sul collegamento: N=273.45 Ty=-0.10 Tz=-80.15 Mx=-0.01 Mz=-0.07
Sollecitazioni agenti localmente: Tx_l=-0.10 Ty_l=-80.15 N_l=273.45 My_l=0.07 Mz_l=-0.01
Azioni sul cordone: TP=0.00 TO=-5.91 NO=20.12
Tensioni nel cordone: τ_P=1.45E-03 τ_O=1.88 σ_O=6.49 σ_{ID}=6.76 Σ_T=8.37
CC 67 SLU (Collegamento -380_-516)
Azioni sul collegamento: N=275.35 Ty=0.05 Tz=-80.44 Mx=0.01 Mz=0.06
Sollecitazioni agenti localmente: Tx_l=0.05 Ty_l=-80.44 N_l=275.35 My_l=-0.06 Mz_l=0.01
Azioni sul cordone: TP=-0.01 TO=-5.93 NO=20.26
Tensioni nel cordone: τ_P=2.87E-03 τ_O=1.88 σ_O=6.53 σ_{ID}=6.80 Σ_T=8.41
CC 68 SLU (Collegamento -380_-516)
Azioni sul collegamento: N=275.36 Ty=-0.24 Tz=-80.44 Mx=-0.03 Mz=-0.20
Sollecitazioni agenti localmente: Tx_l=-0.24 Ty_l=-80.44 N_l=275.36 My_l=0.20 Mz_l=-0.03
Azioni sul cordone: TP=0.05 TO=5.94 NO=20.26
Tensioni nel cordone: τ_P= 0.02 τ_O=1.89 σ_O=6.73 σ_{ID}=6.99 Σ_T=8.62
CC 97 SLU (Collegamento -380_-516)
Azioni sul collegamento: N=182.32 Ty=-12.54 Tz=-56.24 Mx=-1.50 Mz=-9.93
Sollecitazioni agenti localmente: Tx_l=-12.54 Ty_l=-56.24 N_l=182.32 My_l=9.93 Mz_l=-1.50
Azioni sul cordone: TP=2.65 TO=5.32 NO=13.42
Tensioni nel cordone: τ_P=0.84 τ_O=1.69 σ_O=18.77 σ_{ID}=18.86 Σ_T=20.46
CC 98 SLU (Collegamento -380_-516)
Azioni sul collegamento: N=178.53 Ty=-12.54 Tz=-55.65 Mx=-1.50 Mz=-9.93
Sollecitazioni agenti localmente: Tx_l=-12.54 Ty_l=-55.65 N_l=178.53 My_l=9.93 Mz_l=-1.50
Azioni sul cordone: TP=2.65 TO=5.28 NO=13.14
Tensioni nel cordone: τ_P=0.84 τ_O=1.68 σ_O=18.67 σ_{ID}=18.77 Σ_T=20.35
CC 99 SLU (Collegamento -380_-516)
Azioni sul collegamento: N=180.42 Ty=-12.40 Tz=-55.94 Mx=-1.48 Mz=-9.80
Sollecitazioni agenti localmente: Tx_l=-12.40 Ty_l=-55.94 N_l=180.42 My_l=9.80 Mz_l=-1.48
Azioni sul cordone: TP=2.61 TO=5.28 NO=13.28
Tensioni nel cordone: τ_P=0.83 τ_O=1.68 σ_O=18.53 σ_{ID}=18.62 Σ_T=20.21
CC 100 SLU (Collegamento -380_-516)
Azioni sul collegamento: N=180.43 Ty=-12.68 Tz=-55.95 Mx=-1.52 Mz=-10.06
Sollecitazioni agenti localmente: Tx_l=-12.68 Ty_l=-55.95 N_l=180.43 My_l=10.06 Mz_l=-1.52
Azioni sul cordone: TP=2.68 TO=5.32 NO=13.28
Tensioni nel cordone: τ_P=0.85 τ_O=1.69 σ_O=18.91 σ_{ID}=19.01 Σ_T=20.60
CC 101 SLU (Collegamento -380_-516)
Azioni sul collegamento: N=134.06 Ty=1.86 Tz=-48.77 Mx=0.26 Mz=1.69
Sollecitazioni agenti localmente: Tx_l=1.86 Ty_l=-48.77 N_l=134.06 My_l=-1.69 Mz_l=0.26
Azioni sul cordone: TP=-0.44 TO=3.80 NO=9.86
Tensioni nel cordone: τ_P=0.14 τ_O=1.21 σ_O=5.60 σ_{ID}=5.73 Σ_T=6.81
CC 102 SLU (Collegamento -380_-516)
Azioni sul collegamento: N=130.26 Ty=1.86 Tz=-48.18 Mx=0.26 Mz=1.69
Sollecitazioni agenti localmente: Tx_l=1.86 Ty_l=-48.18 N_l=130.26 My_l=-1.69 Mz_l=0.26
Azioni sul cordone: TP=-0.44 TO=3.75 NO=9.58
Tensioni nel cordone: τ_P=0.14 τ_O=1.19 σ_O=5.52 σ_{ID}=5.65 Σ_T=6.71
CC 103 SLU (Collegamento -380_-516)
Azioni sul collegamento: N=132.16 Ty=2.00 Tz=-48.47 Mx=0.28 Mz=1.82
Sollecitazioni agenti localmente: Tx_l=2.00 Ty_l=-48.47 N_l=132.16 My_l=-1.82 Mz_l=0.28
Azioni sul cordone: TP=-0.47 TO=3.79 NO=9.72
Tensioni nel cordone: τ_P=0.15 τ_O=1.20 σ_O=5.75 σ_{ID}=5.88 Σ_T=6.96
CC 104 SLU (Collegamento -380_-516)

Azioni sul collegamento: N=132.16 Ty=1.72 Tz=-48.48 Mx=0.24 Mz=1.56
Sollecitazioni agenti localmente: Tx_l=1.72 Ty_l=-48.48 N_l=132.16 My_l=-1.56 Mz_l=0.24
Azioni sul cordone: TP=-0.40 TO=3.76 NO=9.72
Tensioni nel cordone: τ_P=0.13 τ_O=1.19 σ_O=5.37 σ_{ID}=5.50 Σ_T=6.56

Verifica lato anima della colonna

CC 1 SLV (Collegamento -380_-516)
Azioni sul collegamento: N=146.87 Ty=-0.28 Tz=-50.75 Mx=-0.08 Mz=-0.44
Zona tesa: F=59.14 b_{eff}=13.20 t_w=0.70 σ=6.40
Zona tesa: F=59.14 b_{eff}=13.20 t_w=0.70 σ=6.40
CC 1 SLV (Collegamento -380_-516)
Azioni sul collegamento: N=146.87 Ty=-1.13 Tz=-50.75 Mx=-0.20 Mz=-1.22
Zona tesa: F=59.14 b_{eff}=13.20 t_w=0.70 σ=6.40
Zona tesa: F=59.14 b_{eff}=13.20 t_w=0.70 σ=6.40
CC 1 SLV (Collegamento -380_-516)
Azioni sul collegamento: N=146.87 Ty=-0.28 Tz=-50.75 Mx=-0.08 Mz=-0.44
Zona tesa: F=59.14 b_{eff}=13.20 t_w=0.70 σ=6.40
Zona tesa: F=59.14 b_{eff}=13.20 t_w=0.70 σ=6.40
CC 1 SLV (Collegamento -380_-516)
Azioni sul collegamento: N=146.87 Ty=-1.13 Tz=-50.75 Mx=-0.20 Mz=-1.22
Zona tesa: F=59.14 b_{eff}=13.20 t_w=0.70 σ=6.40
Zona tesa: F=59.14 b_{eff}=13.20 t_w=0.70 σ=6.40
CC 1 SLV (Collegamento -380_-516)
Azioni sul collegamento: N=110.50 Ty=-0.28 Tz=-45.12 Mx=-0.08 Mz=-0.44
Zona tesa: F=44.50 b_{eff}=13.20 t_w=0.70 σ=4.82
Zona tesa: F=44.50 b_{eff}=13.20 t_w=0.70 σ=4.82
CC 1 SLV (Collegamento -380_-516)
Azioni sul collegamento: N=110.50 Ty=-1.13 Tz=-45.12 Mx=-0.20 Mz=-1.22
Zona tesa: F=44.50 b_{eff}=13.20 t_w=0.70 σ=4.82
Zona tesa: F=44.50 b_{eff}=13.20 t_w=0.70 σ=4.82
CC 1 SLV (Collegamento -380_-516)
Azioni sul collegamento: N=110.50 Ty=-0.28 Tz=-45.12 Mx=-0.08 Mz=-0.44
Zona tesa: F=44.50 b_{eff}=13.20 t_w=0.70 σ=4.82
Zona tesa: F=44.50 b_{eff}=13.20 t_w=0.70 σ=4.82
CC 1 SLV (Collegamento -380_-516)
Azioni sul collegamento: N=110.50 Ty=-1.13 Tz=-45.12 Mx=-0.20 Mz=-1.22
Zona tesa: F=44.50 b_{eff}=13.20 t_w=0.70 σ=4.82
Zona tesa: F=44.50 b_{eff}=13.20 t_w=0.70 σ=4.82
CC 2 SLD (Collegamento -380_-516)
Azioni sul collegamento: N=134.22 Ty=-0.13 Tz=-48.79 Mx=-0.03 Mz=-0.17
Zona tesa: F=54.05 b_{eff}=13.20 t_w=0.70 σ=5.85
Zona tesa: F=54.05 b_{eff}=13.20 t_w=0.70 σ=5.85
CC 2 SLD (Collegamento -380_-516)
Azioni sul collegamento: N=134.22 Ty=-0.39 Tz=-48.79 Mx=-0.07 Mz=-0.41
Zona tesa: F=54.05 b_{eff}=13.20 t_w=0.70 σ=5.85
Zona tesa: F=54.05 b_{eff}=13.20 t_w=0.70 σ=5.85
CC 2 SLD (Collegamento -380_-516)
Azioni sul collegamento: N=134.22 Ty=-0.13 Tz=-48.79 Mx=-0.03 Mz=-0.17
Zona tesa: F=54.05 b_{eff}=13.20 t_w=0.70 σ=5.85
Zona tesa: F=54.05 b_{eff}=13.20 t_w=0.70 σ=5.85
CC 2 SLD (Collegamento -380_-516)
Azioni sul collegamento: N=134.22 Ty=-0.39 Tz=-48.79 Mx=-0.07 Mz=-0.41
Zona tesa: F=54.05 b_{eff}=13.20 t_w=0.70 σ=5.85
Zona tesa: F=54.05 b_{eff}=13.20 t_w=0.70 σ=5.85
CC 2 SLD (Collegamento -380_-516)
Azioni sul collegamento: N=123.13 Ty=-0.13 Tz=-47.08 Mx=-0.03 Mz=-0.17
Zona tesa: F=49.58 b_{eff}=13.20 t_w=0.70 σ=5.37
Zona tesa: F=49.58 b_{eff}=13.20 t_w=0.70 σ=5.37
CC 2 SLD (Collegamento -380_-516)
Azioni sul collegamento: N=123.13 Ty=-0.39 Tz=-47.08 Mx=-0.07 Mz=-0.41
Zona tesa: F=49.58 b_{eff}=13.20 t_w=0.70 σ=5.37
Zona tesa: F=49.58 b_{eff}=13.20 t_w=0.70 σ=5.37
CC 2 SLD (Collegamento -380_-516)
Azioni sul collegamento: N=123.13 Ty=-0.13 Tz=-47.08 Mx=-0.03 Mz=-0.17
Zona tesa: F=49.58 b_{eff}=13.20 t_w=0.70 σ=5.37
Zona tesa: F=49.58 b_{eff}=13.20 t_w=0.70 σ=5.37
CC 2 SLD (Collegamento -380_-516)
Azioni sul collegamento: N=123.13 Ty=-0.39 Tz=-47.08 Mx=-0.07 Mz=-0.41
Zona tesa: F=49.58 b_{eff}=13.20 t_w=0.70 σ=5.37
Zona tesa: F=49.58 b_{eff}=13.20 t_w=0.70 σ=5.37
CC 3 SLV (Collegamento -380_-516)
Azioni sul collegamento: N=146.85 Ty=-1.11 Tz=-50.75 Mx=-0.19 Mz=-1.20
Zona tesa: F=59.14 b_{eff}=13.20 t_w=0.70 σ=6.40
Zona tesa: F=59.14 b_{eff}=13.20 t_w=0.70 σ=6.40
CC 3 SLV (Collegamento -380_-516)
Azioni sul collegamento: N=146.85 Ty=-0.30 Tz=-50.75 Mx=-0.07 Mz=-0.46
Zona tesa: F=59.14 b_{eff}=13.20 t_w=0.70 σ=6.40

Zona tesa: F=59.14 b_{eff}=13.20 t_w=0.70 σ=6.40
CC 3 SLV (Collegamento -380_-516)
Azioni sul collegamento: N=146.85 Ty=-1.11 Tz=-50.75 Mx=-0.19 Mz=-1.20
Zona tesa: F=59.14 b_{eff}=13.20 t_w=0.70 σ=6.40
Zona tesa: F=59.14 b_{eff}=13.20 t_w=0.70 σ=6.40
CC 3 SLV (Collegamento -380_-516)
Azioni sul collegamento: N=146.85 Ty=-0.30 Tz=-50.75 Mx=-0.07 Mz=-0.46
Zona tesa: F=59.14 b_{eff}=13.20 t_w=0.70 σ=6.40
Zona tesa: F=59.14 b_{eff}=13.20 t_w=0.70 σ=6.40
CC 3 SLV (Collegamento -380_-516)
Azioni sul collegamento: N=110.52 Ty=-1.11 Tz=-45.13 Mx=-0.19 Mz=-1.20
Zona tesa: F=44.50 b_{eff}=13.20 t_w=0.70 σ=4.82
Zona tesa: F=44.50 b_{eff}=13.20 t_w=0.70 σ=4.82
CC 3 SLV (Collegamento -380_-516)
Azioni sul collegamento: N=110.52 Ty=-0.30 Tz=-45.13 Mx=-0.07 Mz=-0.46
Zona tesa: F=44.50 b_{eff}=13.20 t_w=0.70 σ=4.82
Zona tesa: F=44.50 b_{eff}=13.20 t_w=0.70 σ=4.82
CC 3 SLV (Collegamento -380_-516)
Azioni sul collegamento: N=110.52 Ty=-1.11 Tz=-45.13 Mx=-0.19 Mz=-1.20
Zona tesa: F=44.50 b_{eff}=13.20 t_w=0.70 σ=4.82
Zona tesa: F=44.50 b_{eff}=13.20 t_w=0.70 σ=4.82
CC 3 SLV (Collegamento -380_-516)
Azioni sul collegamento: N=110.52 Ty=-0.30 Tz=-45.13 Mx=-0.07 Mz=-0.46
Zona tesa: F=44.50 b_{eff}=13.20 t_w=0.70 σ=4.82
Zona tesa: F=44.50 b_{eff}=13.20 t_w=0.70 σ=4.82
CC 4 SLD (Collegamento -380_-516)
Azioni sul collegamento: N=134.21 Ty=-0.38 Tz=-48.79 Mx=-0.06 Mz=-0.40
Zona tesa: F=54.05 b_{eff}=13.20 t_w=0.70 σ=5.85
Zona tesa: F=54.05 b_{eff}=13.20 t_w=0.70 σ=5.85
CC 4 SLD (Collegamento -380_-516)
Azioni sul collegamento: N=134.21 Ty=-0.14 Tz=-48.79 Mx=-0.03 Mz=-0.18
Zona tesa: F=54.05 b_{eff}=13.20 t_w=0.70 σ=5.85
Zona tesa: F=54.05 b_{eff}=13.20 t_w=0.70 σ=5.85
CC 4 SLD (Collegamento -380_-516)
Azioni sul collegamento: N=134.21 Ty=-0.38 Tz=-48.79 Mx=-0.06 Mz=-0.40
Zona tesa: F=54.05 b_{eff}=13.20 t_w=0.70 σ=5.85
Zona tesa: F=54.05 b_{eff}=13.20 t_w=0.70 σ=5.85
CC 4 SLD (Collegamento -380_-516)
Azioni sul collegamento: N=134.21 Ty=-0.14 Tz=-48.79 Mx=-0.03 Mz=-0.18
Zona tesa: F=54.05 b_{eff}=13.20 t_w=0.70 σ=5.85
Zona tesa: F=54.05 b_{eff}=13.20 t_w=0.70 σ=5.85
CC 4 SLD (Collegamento -380_-516)
Azioni sul collegamento: N=123.13 Ty=-0.38 Tz=-47.08 Mx=-0.06 Mz=-0.40
Zona tesa: F=49.58 b_{eff}=13.20 t_w=0.70 σ=5.37
Zona tesa: F=49.58 b_{eff}=13.20 t_w=0.70 σ=5.37
CC 4 SLD (Collegamento -380_-516)
Azioni sul collegamento: N=123.13 Ty=-0.14 Tz=-47.08 Mx=-0.03 Mz=-0.18
Zona tesa: F=49.58 b_{eff}=13.20 t_w=0.70 σ=5.37
Zona tesa: F=49.58 b_{eff}=13.20 t_w=0.70 σ=5.37
CC 4 SLD (Collegamento -380_-516)
Azioni sul collegamento: N=123.13 Ty=-0.38 Tz=-47.08 Mx=-0.06 Mz=-0.40
Zona tesa: F=49.58 b_{eff}=13.20 t_w=0.70 σ=5.37
Zona tesa: F=49.58 b_{eff}=13.20 t_w=0.70 σ=5.37
CC 4 SLD (Collegamento -380_-516)
Azioni sul collegamento: N=123.13 Ty=-0.14 Tz=-47.08 Mx=-0.03 Mz=-0.18
Zona tesa: F=49.58 b_{eff}=13.20 t_w=0.70 σ=5.37
Zona tesa: F=49.58 b_{eff}=13.20 t_w=0.70 σ=5.37
CC 5 SLV (Collegamento -380_-516)
Azioni sul collegamento: N=110.52 Ty=-0.30 Tz=-45.13 Mx=-0.08 Mz=-0.46
Zona tesa: F=44.50 b_{eff}=13.20 t_w=0.70 σ=4.82
Zona tesa: F=44.50 b_{eff}=13.20 t_w=0.70 σ=4.82
CC 5 SLV (Collegamento -380_-516)
Azioni sul collegamento: N=110.52 Ty=-1.11 Tz=-45.13 Mx=-0.19 Mz=-1.20
Zona tesa: F=44.50 b_{eff}=13.20 t_w=0.70 σ=4.82
Zona tesa: F=44.50 b_{eff}=13.20 t_w=0.70 σ=4.82
CC 5 SLV (Collegamento -380_-516)
Azioni sul collegamento: N=110.52 Ty=-0.30 Tz=-45.13 Mx=-0.08 Mz=-0.46
Zona tesa: F=44.50 b_{eff}=13.20 t_w=0.70 σ=4.82
Zona tesa: F=44.50 b_{eff}=13.20 t_w=0.70 σ=4.82
CC 5 SLV (Collegamento -380_-516)
Azioni sul collegamento: N=110.52 Ty=-1.11 Tz=-45.13 Mx=-0.19 Mz=-1.20
Zona tesa: F=44.50 b_{eff}=13.20 t_w=0.70 σ=4.82
Zona tesa: F=44.50 b_{eff}=13.20 t_w=0.70 σ=4.82
CC 5 SLV (Collegamento -380_-516)
Azioni sul collegamento: N=146.85 Ty=-0.30 Tz=-50.75 Mx=-0.08 Mz=-0.46
Zona tesa: F=59.14 b_{eff}=13.20 t_w=0.70 σ=6.40
Zona tesa: F=59.14 b_{eff}=13.20 t_w=0.70 σ=6.40
CC 5 SLV (Collegamento -380_-516)

Azioni sul collegamento: N=146.85 Ty=-1.11 Tz=-50.75 Mx=-0.19 Mz=-1.20
Zona tesa: F=59.14 b_{eff}=13.20 t_w=0.70 σ=6.40
Zona tesa: F=59.14 b_{eff}=13.20 t_w=0.70 σ=6.40
CC 5 SLV (Collegamento -380_-516)
Azioni sul collegamento: N=146.85 Ty=-0.30 Tz=-50.75 Mx=-0.08 Mz=-0.46
Zona tesa: F=59.14 b_{eff}=13.20 t_w=0.70 σ=6.40
Zona tesa: F=59.14 b_{eff}=13.20 t_w=0.70 σ=6.40
CC 5 SLV (Collegamento -380_-516)
Azioni sul collegamento: N=146.85 Ty=-1.11 Tz=-50.75 Mx=-0.19 Mz=-1.20
Zona tesa: F=59.14 b_{eff}=13.20 t_w=0.70 σ=6.40
Zona tesa: F=59.14 b_{eff}=13.20 t_w=0.70 σ=6.40
CC 6 SLD (Collegamento -380_-516)
Azioni sul collegamento: N=123.13 Ty=-0.14 Tz=-47.08 Mx=-0.03 Mz=-0.18
Zona tesa: F=49.58 b_{eff}=13.20 t_w=0.70 σ=5.37
Zona tesa: F=49.58 b_{eff}=13.20 t_w=0.70 σ=5.37
CC 6 SLD (Collegamento -380_-516)
Azioni sul collegamento: N=123.13 Ty=-0.38 Tz=-47.08 Mx=-0.06 Mz=-0.40
Zona tesa: F=49.58 b_{eff}=13.20 t_w=0.70 σ=5.37
Zona tesa: F=49.58 b_{eff}=13.20 t_w=0.70 σ=5.37
CC 6 SLD (Collegamento -380_-516)
Azioni sul collegamento: N=123.13 Ty=-0.14 Tz=-47.08 Mx=-0.03 Mz=-0.18
Zona tesa: F=49.58 b_{eff}=13.20 t_w=0.70 σ=5.37
Zona tesa: F=49.58 b_{eff}=13.20 t_w=0.70 σ=5.37
CC 6 SLD (Collegamento -380_-516)
Azioni sul collegamento: N=123.13 Ty=-0.38 Tz=-47.08 Mx=-0.06 Mz=-0.40
Zona tesa: F=49.58 b_{eff}=13.20 t_w=0.70 σ=5.37
Zona tesa: F=49.58 b_{eff}=13.20 t_w=0.70 σ=5.37
CC 6 SLD (Collegamento -380_-516)
Azioni sul collegamento: N=134.21 Ty=-0.14 Tz=-48.79 Mx=-0.03 Mz=-0.18
Zona tesa: F=54.05 b_{eff}=13.20 t_w=0.70 σ=5.85
Zona tesa: F=54.05 b_{eff}=13.20 t_w=0.70 σ=5.85
CC 6 SLD (Collegamento -380_-516)
Azioni sul collegamento: N=134.21 Ty=-0.38 Tz=-48.79 Mx=-0.06 Mz=-0.40
Zona tesa: F=54.05 b_{eff}=13.20 t_w=0.70 σ=5.85
Zona tesa: F=54.05 b_{eff}=13.20 t_w=0.70 σ=5.85
CC 6 SLD (Collegamento -380_-516)
Azioni sul collegamento: N=134.21 Ty=-0.14 Tz=-48.79 Mx=-0.03 Mz=-0.18
Zona tesa: F=54.05 b_{eff}=13.20 t_w=0.70 σ=5.85
Zona tesa: F=54.05 b_{eff}=13.20 t_w=0.70 σ=5.85
CC 6 SLD (Collegamento -380_-516)
Azioni sul collegamento: N=134.21 Ty=-0.38 Tz=-48.79 Mx=-0.06 Mz=-0.40
Zona tesa: F=54.05 b_{eff}=13.20 t_w=0.70 σ=5.85
Zona tesa: F=54.05 b_{eff}=13.20 t_w=0.70 σ=5.85
CC 7 SLV (Collegamento -380_-516)
Azioni sul collegamento: N=110.50 Ty=-1.13 Tz=-45.12 Mx=-0.19 Mz=-1.22
Zona tesa: F=44.50 b_{eff}=13.20 t_w=0.70 σ=4.82
Zona tesa: F=44.50 b_{eff}=13.20 t_w=0.70 σ=4.82
CC 7 SLV (Collegamento -380_-516)
Azioni sul collegamento: N=110.50 Ty=-0.28 Tz=-45.12 Mx=-0.07 Mz=-0.44
Zona tesa: F=44.50 b_{eff}=13.20 t_w=0.70 σ=4.82
Zona tesa: F=44.50 b_{eff}=13.20 t_w=0.70 σ=4.82
CC 7 SLV (Collegamento -380_-516)
Azioni sul collegamento: N=110.50 Ty=-1.13 Tz=-45.12 Mx=-0.19 Mz=-1.22
Zona tesa: F=44.50 b_{eff}=13.20 t_w=0.70 σ=4.82
Zona tesa: F=44.50 b_{eff}=13.20 t_w=0.70 σ=4.82
CC 7 SLV (Collegamento -380_-516)
Azioni sul collegamento: N=110.50 Ty=-0.28 Tz=-45.12 Mx=-0.07 Mz=-0.44
Zona tesa: F=44.50 b_{eff}=13.20 t_w=0.70 σ=4.82
Zona tesa: F=44.50 b_{eff}=13.20 t_w=0.70 σ=4.82
CC 7 SLV (Collegamento -380_-516)
Azioni sul collegamento: N=146.87 Ty=-1.13 Tz=-50.75 Mx=-0.19 Mz=-1.22
Zona tesa: F=59.14 b_{eff}=13.20 t_w=0.70 σ=6.40
Zona tesa: F=59.14 b_{eff}=13.20 t_w=0.70 σ=6.40
CC 7 SLV (Collegamento -380_-516)
Azioni sul collegamento: N=146.87 Ty=-0.28 Tz=-50.75 Mx=-0.07 Mz=-0.44
Zona tesa: F=59.14 b_{eff}=13.20 t_w=0.70 σ=6.40
Zona tesa: F=59.14 b_{eff}=13.20 t_w=0.70 σ=6.40
CC 7 SLV (Collegamento -380_-516)
Azioni sul collegamento: N=146.87 Ty=-1.13 Tz=-50.75 Mx=-0.19 Mz=-1.22
Zona tesa: F=59.14 b_{eff}=13.20 t_w=0.70 σ=6.40
Zona tesa: F=59.14 b_{eff}=13.20 t_w=0.70 σ=6.40
CC 7 SLV (Collegamento -380_-516)
Azioni sul collegamento: N=146.87 Ty=-0.28 Tz=-50.75 Mx=-0.07 Mz=-0.44
Zona tesa: F=59.14 b_{eff}=13.20 t_w=0.70 σ=6.40
Zona tesa: F=59.14 b_{eff}=13.20 t_w=0.70 σ=6.40
CC 8 SLD (Collegamento -380_-516)
Azioni sul collegamento: N=123.13 Ty=-0.39 Tz=-47.08 Mx=-0.06 Mz=-0.41
Zona tesa: F=49.58 b_{eff}=13.20 t_w=0.70 σ=5.37

Zona tesa: F=49.58 b_{eff}=13.20 t_w=0.70 σ=5.37
CC 8 SLD (Collegamento -380_-516)
Azioni sul collegamento: N=123.13 Ty=-0.13 Tz=-47.08 Mx=-0.03 Mz=-0.17
Zona tesa: F=49.58 b_{eff}=13.20 t_w=0.70 σ=5.37
Zona tesa: F=49.58 b_{eff}=13.20 t_w=0.70 σ=5.37
CC 8 SLD (Collegamento -380_-516)
Azioni sul collegamento: N=123.13 Ty=-0.39 Tz=-47.08 Mx=-0.06 Mz=-0.41
Zona tesa: F=49.58 b_{eff}=13.20 t_w=0.70 σ=5.37
Zona tesa: F=49.58 b_{eff}=13.20 t_w=0.70 σ=5.37
CC 8 SLD (Collegamento -380_-516)
Azioni sul collegamento: N=123.13 Ty=-0.13 Tz=-47.08 Mx=-0.03 Mz=-0.17
Zona tesa: F=49.58 b_{eff}=13.20 t_w=0.70 σ=5.37
Zona tesa: F=49.58 b_{eff}=13.20 t_w=0.70 σ=5.37
CC 8 SLD (Collegamento -380_-516)
Azioni sul collegamento: N=134.22 Ty=-0.39 Tz=-48.79 Mx=-0.06 Mz=-0.41
Zona tesa: F=54.05 b_{eff}=13.20 t_w=0.70 σ=5.85
Zona tesa: F=54.05 b_{eff}=13.20 t_w=0.70 σ=5.85
CC 8 SLD (Collegamento -380_-516)
Azioni sul collegamento: N=134.22 Ty=-0.13 Tz=-48.79 Mx=-0.03 Mz=-0.17
Zona tesa: F=54.05 b_{eff}=13.20 t_w=0.70 σ=5.85
Zona tesa: F=54.05 b_{eff}=13.20 t_w=0.70 σ=5.85
CC 8 SLD (Collegamento -380_-516)
Azioni sul collegamento: N=134.22 Ty=-0.39 Tz=-48.79 Mx=-0.06 Mz=-0.41
Zona tesa: F=54.05 b_{eff}=13.20 t_w=0.70 σ=5.85
Zona tesa: F=54.05 b_{eff}=13.20 t_w=0.70 σ=5.85
CC 8 SLD (Collegamento -380_-516)
Azioni sul collegamento: N=134.22 Ty=-0.13 Tz=-48.79 Mx=-0.03 Mz=-0.17
Zona tesa: F=54.05 b_{eff}=13.20 t_w=0.70 σ=5.85
Zona tesa: F=54.05 b_{eff}=13.20 t_w=0.70 σ=5.85
CC 9 SLV (Collegamento -380_-516)
Azioni sul collegamento: N=134.17 Ty=0.68 Tz=-48.79 Mx=0.05 Mz=0.43
Zona tesa: F=54.03 b_{eff}=13.20 t_w=0.70 σ=5.85
Zona tesa: F=54.03 b_{eff}=13.20 t_w=0.70 σ=5.85
CC 9 SLV (Collegamento -380_-516)
Azioni sul collegamento: N=134.17 Ty=-2.08 Tz=-48.79 Mx=-0.34 Mz=-2.09
Zona tesa: F=54.03 b_{eff}=13.20 t_w=0.70 σ=5.85
Zona tesa: F=54.03 b_{eff}=13.20 t_w=0.70 σ=5.85
CC 9 SLV (Collegamento -380_-516)
Azioni sul collegamento: N=134.17 Ty=0.68 Tz=-48.79 Mx=0.05 Mz=0.43
Zona tesa: F=54.03 b_{eff}=13.20 t_w=0.70 σ=5.85
Zona tesa: F=54.03 b_{eff}=13.20 t_w=0.70 σ=5.85
CC 9 SLV (Collegamento -380_-516)
Azioni sul collegamento: N=134.17 Ty=-2.08 Tz=-48.79 Mx=-0.34 Mz=-2.09
Zona tesa: F=54.03 b_{eff}=13.20 t_w=0.70 σ=5.85
Zona tesa: F=54.03 b_{eff}=13.20 t_w=0.70 σ=5.85
CC 9 SLV (Collegamento -380_-516)
Azioni sul collegamento: N=123.20 Ty=0.68 Tz=-47.09 Mx=0.05 Mz=0.43
Zona tesa: F=49.61 b_{eff}=13.20 t_w=0.70 σ=5.37
Zona tesa: F=49.61 b_{eff}=13.20 t_w=0.70 σ=5.37
CC 9 SLV (Collegamento -380_-516)
Azioni sul collegamento: N=123.20 Ty=-2.08 Tz=-47.09 Mx=-0.34 Mz=-2.09
Zona tesa: F=49.61 b_{eff}=13.20 t_w=0.70 σ=5.37
Zona tesa: F=49.61 b_{eff}=13.20 t_w=0.70 σ=5.37
CC 9 SLV (Collegamento -380_-516)
Azioni sul collegamento: N=123.20 Ty=0.68 Tz=-47.09 Mx=0.05 Mz=0.43
Zona tesa: F=49.61 b_{eff}=13.20 t_w=0.70 σ=5.37
Zona tesa: F=49.61 b_{eff}=13.20 t_w=0.70 σ=5.37
CC 9 SLV (Collegamento -380_-516)
Azioni sul collegamento: N=123.20 Ty=-2.08 Tz=-47.09 Mx=-0.34 Mz=-2.09
Zona tesa: F=49.61 b_{eff}=13.20 t_w=0.70 σ=5.37
Zona tesa: F=49.61 b_{eff}=13.20 t_w=0.70 σ=5.37
CC 10 SLD (Collegamento -380_-516)
Azioni sul collegamento: N=130.35 Ty=0.16 Tz=-48.19 Mx=0.01 Mz=0.10
Zona tesa: F=52.49 b_{eff}=13.20 t_w=0.70 σ=5.68
Zona tesa: F=52.49 b_{eff}=13.20 t_w=0.70 σ=5.68
CC 10 SLD (Collegamento -380_-516)
Azioni sul collegamento: N=130.35 Ty=-0.68 Tz=-48.19 Mx=-0.11 Mz=-0.67
Zona tesa: F=52.49 b_{eff}=13.20 t_w=0.70 σ=5.68
Zona tesa: F=52.49 b_{eff}=13.20 t_w=0.70 σ=5.68
CC 10 SLD (Collegamento -380_-516)
Azioni sul collegamento: N=130.35 Ty=0.16 Tz=-48.19 Mx=0.01 Mz=0.10
Zona tesa: F=52.49 b_{eff}=13.20 t_w=0.70 σ=5.68
Zona tesa: F=52.49 b_{eff}=13.20 t_w=0.70 σ=5.68
CC 10 SLD (Collegamento -380_-516)
Azioni sul collegamento: N=130.35 Ty=-0.68 Tz=-48.19 Mx=-0.11 Mz=-0.67
Zona tesa: F=52.49 b_{eff}=13.20 t_w=0.70 σ=5.68
Zona tesa: F=52.49 b_{eff}=13.20 t_w=0.70 σ=5.68
CC 10 SLD (Collegamento -380_-516)

Azioni sul collegamento: N=127.00 Ty=0.16 Tz=-47.68 Mx=0.01 Mz=0.10
Zona tesa: F=51.14 b_{eff}=13.20 t_w=0.70 σ=5.53
Zona tesa: F=51.14 b_{eff}=13.20 t_w=0.70 σ=5.53
CC 10 SLD (Collegamento -380_-516)
Azioni sul collegamento: N=127.00 Ty=-0.68 Tz=-47.68 Mx=-0.11 Mz=-0.67
Zona tesa: F=51.14 b_{eff}=13.20 t_w=0.70 σ=5.53
Zona tesa: F=51.14 b_{eff}=13.20 t_w=0.70 σ=5.53
CC 10 SLD (Collegamento -380_-516)
Azioni sul collegamento: N=127.00 Ty=0.16 Tz=-47.68 Mx=0.01 Mz=0.10
Zona tesa: F=51.14 b_{eff}=13.20 t_w=0.70 σ=5.53
Zona tesa: F=51.14 b_{eff}=13.20 t_w=0.70 σ=5.53
CC 10 SLD (Collegamento -380_-516)
Azioni sul collegamento: N=127.00 Ty=-0.68 Tz=-47.68 Mx=-0.11 Mz=-0.67
Zona tesa: F=51.14 b_{eff}=13.20 t_w=0.70 σ=5.53
Zona tesa: F=51.14 b_{eff}=13.20 t_w=0.70 σ=5.53
CC 11 SLV (Collegamento -380_-516)
Azioni sul collegamento: N=123.27 Ty=0.67 Tz=-47.10 Mx=0.05 Mz=0.42
Zona tesa: F=49.64 b_{eff}=13.20 t_w=0.70 σ=5.37
Zona tesa: F=49.64 b_{eff}=13.20 t_w=0.70 σ=5.37
CC 11 SLV (Collegamento -380_-516)
Azioni sul collegamento: N=123.27 Ty=-2.08 Tz=-47.10 Mx=-0.34 Mz=-2.08
Zona tesa: F=49.64 b_{eff}=13.20 t_w=0.70 σ=5.37
Zona tesa: F=49.64 b_{eff}=13.20 t_w=0.70 σ=5.37
CC 11 SLV (Collegamento -380_-516)
Azioni sul collegamento: N=123.27 Ty=0.67 Tz=-47.10 Mx=0.05 Mz=0.42
Zona tesa: F=49.64 b_{eff}=13.20 t_w=0.70 σ=5.37
Zona tesa: F=49.64 b_{eff}=13.20 t_w=0.70 σ=5.37
CC 11 SLV (Collegamento -380_-516)
Azioni sul collegamento: N=123.27 Ty=-2.08 Tz=-47.10 Mx=-0.34 Mz=-2.08
Zona tesa: F=49.64 b_{eff}=13.20 t_w=0.70 σ=5.37
Zona tesa: F=49.64 b_{eff}=13.20 t_w=0.70 σ=5.37
CC 11 SLV (Collegamento -380_-516)
Azioni sul collegamento: N=134.11 Ty=0.67 Tz=-48.78 Mx=0.05 Mz=0.42
Zona tesa: F=54.00 b_{eff}=13.20 t_w=0.70 σ=5.84
Zona tesa: F=54.00 b_{eff}=13.20 t_w=0.70 σ=5.84
CC 11 SLV (Collegamento -380_-516)
Azioni sul collegamento: N=134.11 Ty=-2.08 Tz=-48.78 Mx=-0.34 Mz=-2.08
Zona tesa: F=54.00 b_{eff}=13.20 t_w=0.70 σ=5.84
Zona tesa: F=54.00 b_{eff}=13.20 t_w=0.70 σ=5.84
CC 11 SLV (Collegamento -380_-516)
Azioni sul collegamento: N=134.11 Ty=0.67 Tz=-48.78 Mx=0.05 Mz=0.42
Zona tesa: F=54.00 b_{eff}=13.20 t_w=0.70 σ=5.84
Zona tesa: F=54.00 b_{eff}=13.20 t_w=0.70 σ=5.84
CC 11 SLV (Collegamento -380_-516)
Azioni sul collegamento: N=134.11 Ty=-2.08 Tz=-48.78 Mx=-0.34 Mz=-2.08
Zona tesa: F=54.00 b_{eff}=13.20 t_w=0.70 σ=5.84
Zona tesa: F=54.00 b_{eff}=13.20 t_w=0.70 σ=5.84
CC 12 SLD (Collegamento -380_-516)
Azioni sul collegamento: N=127.02 Ty=0.16 Tz=-47.68 Mx=0.01 Mz=0.09
Zona tesa: F=51.15 b_{eff}=13.20 t_w=0.70 σ=5.54
Zona tesa: F=51.15 b_{eff}=13.20 t_w=0.70 σ=5.54
CC 12 SLD (Collegamento -380_-516)
Azioni sul collegamento: N=127.02 Ty=-0.68 Tz=-47.68 Mx=-0.11 Mz=-0.67
Zona tesa: F=51.15 b_{eff}=13.20 t_w=0.70 σ=5.54
Zona tesa: F=51.15 b_{eff}=13.20 t_w=0.70 σ=5.54
CC 12 SLD (Collegamento -380_-516)
Azioni sul collegamento: N=127.02 Ty=0.16 Tz=-47.68 Mx=0.01 Mz=0.09
Zona tesa: F=51.15 b_{eff}=13.20 t_w=0.70 σ=5.54
Zona tesa: F=51.15 b_{eff}=13.20 t_w=0.70 σ=5.54
CC 12 SLD (Collegamento -380_-516)
Azioni sul collegamento: N=127.02 Ty=-0.68 Tz=-47.68 Mx=-0.11 Mz=-0.67
Zona tesa: F=51.15 b_{eff}=13.20 t_w=0.70 σ=5.54
Zona tesa: F=51.15 b_{eff}=13.20 t_w=0.70 σ=5.54
CC 12 SLD (Collegamento -380_-516)
Azioni sul collegamento: N=130.33 Ty=0.16 Tz=-48.19 Mx=0.01 Mz=0.09
Zona tesa: F=52.48 b_{eff}=13.20 t_w=0.70 σ=5.68
Zona tesa: F=52.48 b_{eff}=13.20 t_w=0.70 σ=5.68
CC 12 SLD (Collegamento -380_-516)
Azioni sul collegamento: N=130.33 Ty=-0.68 Tz=-48.19 Mx=-0.11 Mz=-0.67
Zona tesa: F=52.48 b_{eff}=13.20 t_w=0.70 σ=5.68
Zona tesa: F=52.48 b_{eff}=13.20 t_w=0.70 σ=5.68
CC 12 SLD (Collegamento -380_-516)
Azioni sul collegamento: N=130.33 Ty=0.16 Tz=-48.19 Mx=0.01 Mz=0.09
Zona tesa: F=52.48 b_{eff}=13.20 t_w=0.70 σ=5.68
Zona tesa: F=52.48 b_{eff}=13.20 t_w=0.70 σ=5.68
CC 12 SLD (Collegamento -380_-516)
Azioni sul collegamento: N=130.33 Ty=-0.68 Tz=-48.19 Mx=-0.11 Mz=-0.67
Zona tesa: F=52.48 b_{eff}=13.20 t_w=0.70 σ=5.68

Zona tesa: F=52.48 b_{eff}=13.20 t_w=0.70 σ=5.68
CC 13 SLV (Collegamento -380_-516)
Azioni sul collegamento: N=134.11 Ty=-2.08 Tz=-48.78 Mx=-0.32 Mz=-2.08
Zona tesa: F=54.00 b_{eff}=13.20 t_w=0.70 σ=5.84
Zona tesa: F=54.00 b_{eff}=13.20 t_w=0.70 σ=5.84
CC 13 SLV (Collegamento -380_-516)
Azioni sul collegamento: N=134.11 Ty=0.67 Tz=-48.78 Mx=0.07 Mz=0.42
Zona tesa: F=54.00 b_{eff}=13.20 t_w=0.70 σ=5.84
Zona tesa: F=54.00 b_{eff}=13.20 t_w=0.70 σ=5.84
CC 13 SLV (Collegamento -380_-516)
Azioni sul collegamento: N=134.11 Ty=-2.08 Tz=-48.78 Mx=-0.32 Mz=-2.08
Zona tesa: F=54.00 b_{eff}=13.20 t_w=0.70 σ=5.84
Zona tesa: F=54.00 b_{eff}=13.20 t_w=0.70 σ=5.84
CC 13 SLV (Collegamento -380_-516)
Azioni sul collegamento: N=134.11 Ty=0.67 Tz=-48.78 Mx=0.07 Mz=0.42
Zona tesa: F=54.00 b_{eff}=13.20 t_w=0.70 σ=5.84
Zona tesa: F=54.00 b_{eff}=13.20 t_w=0.70 σ=5.84
CC 13 SLV (Collegamento -380_-516)
Azioni sul collegamento: N=123.27 Ty=-2.08 Tz=-47.10 Mx=-0.32 Mz=-2.08
Zona tesa: F=49.64 b_{eff}=13.20 t_w=0.70 σ=5.37
Zona tesa: F=49.64 b_{eff}=13.20 t_w=0.70 σ=5.37
CC 13 SLV (Collegamento -380_-516)
Azioni sul collegamento: N=123.27 Ty=0.67 Tz=-47.10 Mx=0.07 Mz=0.42
Zona tesa: F=49.64 b_{eff}=13.20 t_w=0.70 σ=5.37
Zona tesa: F=49.64 b_{eff}=13.20 t_w=0.70 σ=5.37
CC 13 SLV (Collegamento -380_-516)
Azioni sul collegamento: N=123.27 Ty=-2.08 Tz=-47.10 Mx=-0.32 Mz=-2.08
Zona tesa: F=49.64 b_{eff}=13.20 t_w=0.70 σ=5.37
Zona tesa: F=49.64 b_{eff}=13.20 t_w=0.70 σ=5.37
CC 13 SLV (Collegamento -380_-516)
Azioni sul collegamento: N=123.27 Ty=0.67 Tz=-47.10 Mx=0.07 Mz=0.42
Zona tesa: F=49.64 b_{eff}=13.20 t_w=0.70 σ=5.37
Zona tesa: F=49.64 b_{eff}=13.20 t_w=0.70 σ=5.37
CC 14 SLD (Collegamento -380_-516)
Azioni sul collegamento: N=130.33 Ty=-0.68 Tz=-48.19 Mx=-0.10 Mz=-0.67
Zona tesa: F=52.48 b_{eff}=13.20 t_w=0.70 σ=5.68
Zona tesa: F=52.48 b_{eff}=13.20 t_w=0.70 σ=5.68
CC 14 SLD (Collegamento -380_-516)
Azioni sul collegamento: N=130.33 Ty=0.16 Tz=-48.19 Mx=0.02 Mz=0.09
Zona tesa: F=52.48 b_{eff}=13.20 t_w=0.70 σ=5.68
Zona tesa: F=52.48 b_{eff}=13.20 t_w=0.70 σ=5.68
CC 14 SLD (Collegamento -380_-516)
Azioni sul collegamento: N=130.33 Ty=-0.68 Tz=-48.19 Mx=-0.10 Mz=-0.67
Zona tesa: F=52.48 b_{eff}=13.20 t_w=0.70 σ=5.68
Zona tesa: F=52.48 b_{eff}=13.20 t_w=0.70 σ=5.68
CC 14 SLD (Collegamento -380_-516)
Azioni sul collegamento: N=130.33 Ty=0.16 Tz=-48.19 Mx=0.02 Mz=0.09
Zona tesa: F=52.48 b_{eff}=13.20 t_w=0.70 σ=5.68
Zona tesa: F=52.48 b_{eff}=13.20 t_w=0.70 σ=5.68
CC 14 SLD (Collegamento -380_-516)
Azioni sul collegamento: N=127.02 Ty=-0.68 Tz=-47.68 Mx=-0.10 Mz=-0.67
Zona tesa: F=51.15 b_{eff}=13.20 t_w=0.70 σ=5.54
Zona tesa: F=51.15 b_{eff}=13.20 t_w=0.70 σ=5.54
CC 14 SLD (Collegamento -380_-516)
Azioni sul collegamento: N=127.02 Ty=0.16 Tz=-47.68 Mx=0.02 Mz=0.09
Zona tesa: F=51.15 b_{eff}=13.20 t_w=0.70 σ=5.54
Zona tesa: F=51.15 b_{eff}=13.20 t_w=0.70 σ=5.54
CC 14 SLD (Collegamento -380_-516)
Azioni sul collegamento: N=127.02 Ty=-0.68 Tz=-47.68 Mx=-0.10 Mz=-0.67
Zona tesa: F=51.15 b_{eff}=13.20 t_w=0.70 σ=5.54
Zona tesa: F=51.15 b_{eff}=13.20 t_w=0.70 σ=5.54
CC 14 SLD (Collegamento -380_-516)
Azioni sul collegamento: N=127.02 Ty=0.16 Tz=-47.68 Mx=0.02 Mz=0.09
Zona tesa: F=51.15 b_{eff}=13.20 t_w=0.70 σ=5.54
Zona tesa: F=51.15 b_{eff}=13.20 t_w=0.70 σ=5.54
CC 15 SLV (Collegamento -380_-516)
Azioni sul collegamento: N=123.20 Ty=-2.08 Tz=-47.09 Mx=-0.32 Mz=-2.09
Zona tesa: F=49.61 b_{eff}=13.20 t_w=0.70 σ=5.37
Zona tesa: F=49.61 b_{eff}=13.20 t_w=0.70 σ=5.37
CC 15 SLV (Collegamento -380_-516)
Azioni sul collegamento: N=123.20 Ty=0.68 Tz=-47.09 Mx=0.07 Mz=0.43
Zona tesa: F=49.61 b_{eff}=13.20 t_w=0.70 σ=5.37
Zona tesa: F=49.61 b_{eff}=13.20 t_w=0.70 σ=5.37
CC 15 SLV (Collegamento -380_-516)
Azioni sul collegamento: N=123.20 Ty=-2.08 Tz=-47.09 Mx=-0.32 Mz=-2.09
Zona tesa: F=49.61 b_{eff}=13.20 t_w=0.70 σ=5.37
Zona tesa: F=49.61 b_{eff}=13.20 t_w=0.70 σ=5.37
CC 15 SLV (Collegamento -380_-516)

Azioni sul collegamento: N=123.20 Ty=0.68 Tz=-47.09 Mx=0.07 Mz=0.43
Zona tesa: F=49.61 b_{eff}=13.20 t_w=0.70 σ=5.37
Zona tesa: F=49.61 b_{eff}=13.20 t_w=0.70 σ=5.37
CC 15 SLV (Collegamento -380_-516)
Azioni sul collegamento: N=134.17 Ty=-2.08 Tz=-48.79 Mx=-0.32 Mz=-2.09
Zona tesa: F=54.03 b_{eff}=13.20 t_w=0.70 σ=5.85
Zona tesa: F=54.03 b_{eff}=13.20 t_w=0.70 σ=5.85
CC 15 SLV (Collegamento -380_-516)
Azioni sul collegamento: N=134.17 Ty=0.68 Tz=-48.79 Mx=0.07 Mz=0.43
Zona tesa: F=54.03 b_{eff}=13.20 t_w=0.70 σ=5.85
Zona tesa: F=54.03 b_{eff}=13.20 t_w=0.70 σ=5.85
CC 15 SLV (Collegamento -380_-516)
Azioni sul collegamento: N=134.17 Ty=-2.08 Tz=-48.79 Mx=-0.32 Mz=-2.09
Zona tesa: F=54.03 b_{eff}=13.20 t_w=0.70 σ=5.85
Zona tesa: F=54.03 b_{eff}=13.20 t_w=0.70 σ=5.85
CC 15 SLV (Collegamento -380_-516)
Azioni sul collegamento: N=134.17 Ty=0.68 Tz=-48.79 Mx=0.07 Mz=0.43
Zona tesa: F=54.03 b_{eff}=13.20 t_w=0.70 σ=5.85
Zona tesa: F=54.03 b_{eff}=13.20 t_w=0.70 σ=5.85
CC 16 SLD (Collegamento -380_-516)
Azioni sul collegamento: N=127.00 Ty=-0.68 Tz=-47.68 Mx=-0.10 Mz=-0.67
Zona tesa: F=51.14 b_{eff}=13.20 t_w=0.70 σ=5.53
Zona tesa: F=51.14 b_{eff}=13.20 t_w=0.70 σ=5.53
CC 16 SLD (Collegamento -380_-516)
Azioni sul collegamento: N=127.00 Ty=0.16 Tz=-47.68 Mx=0.02 Mz=0.10
Zona tesa: F=51.14 b_{eff}=13.20 t_w=0.70 σ=5.53
Zona tesa: F=51.14 b_{eff}=13.20 t_w=0.70 σ=5.53
CC 16 SLD (Collegamento -380_-516)
Azioni sul collegamento: N=127.00 Ty=-0.68 Tz=-47.68 Mx=-0.10 Mz=-0.67
Zona tesa: F=51.14 b_{eff}=13.20 t_w=0.70 σ=5.53
Zona tesa: F=51.14 b_{eff}=13.20 t_w=0.70 σ=5.53
CC 16 SLD (Collegamento -380_-516)
Azioni sul collegamento: N=127.00 Ty=0.16 Tz=-47.68 Mx=0.02 Mz=0.10
Zona tesa: F=51.14 b_{eff}=13.20 t_w=0.70 σ=5.53
Zona tesa: F=51.14 b_{eff}=13.20 t_w=0.70 σ=5.53
CC 16 SLD (Collegamento -380_-516)
Azioni sul collegamento: N=130.35 Ty=-0.68 Tz=-48.19 Mx=-0.10 Mz=-0.67
Zona tesa: F=52.49 b_{eff}=13.20 t_w=0.70 σ=5.68
Zona tesa: F=52.49 b_{eff}=13.20 t_w=0.70 σ=5.68
CC 16 SLD (Collegamento -380_-516)
Azioni sul collegamento: N=130.35 Ty=0.16 Tz=-48.19 Mx=0.02 Mz=0.10
Zona tesa: F=52.49 b_{eff}=13.20 t_w=0.70 σ=5.68
Zona tesa: F=52.49 b_{eff}=13.20 t_w=0.70 σ=5.68
CC 16 SLD (Collegamento -380_-516)
Azioni sul collegamento: N=130.35 Ty=-0.68 Tz=-48.19 Mx=-0.10 Mz=-0.67
Zona tesa: F=52.49 b_{eff}=13.20 t_w=0.70 σ=5.68
Zona tesa: F=52.49 b_{eff}=13.20 t_w=0.70 σ=5.68
CC 16 SLD (Collegamento -380_-516)
Azioni sul collegamento: N=130.35 Ty=0.16 Tz=-48.19 Mx=0.02 Mz=0.10
Zona tesa: F=52.49 b_{eff}=13.20 t_w=0.70 σ=5.68
Zona tesa: F=52.49 b_{eff}=13.20 t_w=0.70 σ=5.68
CC 17 SLV (Collegamento -380_-516)
Azioni sul collegamento: N=146.84 Ty=0.99 Tz=-50.75 Mx=0.18 Mz=1.12
Zona tesa: F=59.13 b_{eff}=13.20 t_w=0.70 σ=6.40
Zona tesa: F=59.13 b_{eff}=13.20 t_w=0.70 σ=6.40
CC 17 SLV (Collegamento -380_-516)
Azioni sul collegamento: N=146.84 Ty=0.14 Tz=-50.75 Mx=0.06 Mz=0.34
Zona tesa: F=59.13 b_{eff}=13.20 t_w=0.70 σ=6.40
Zona tesa: F=59.13 b_{eff}=13.20 t_w=0.70 σ=6.40
CC 17 SLV (Collegamento -380_-516)
Azioni sul collegamento: N=146.84 Ty=0.99 Tz=-50.75 Mx=0.18 Mz=1.12
Zona tesa: F=59.13 b_{eff}=13.20 t_w=0.70 σ=6.40
Zona tesa: F=59.13 b_{eff}=13.20 t_w=0.70 σ=6.40
CC 17 SLV (Collegamento -380_-516)
Azioni sul collegamento: N=146.84 Ty=0.14 Tz=-50.75 Mx=0.06 Mz=0.34
Zona tesa: F=59.13 b_{eff}=13.20 t_w=0.70 σ=6.40
Zona tesa: F=59.13 b_{eff}=13.20 t_w=0.70 σ=6.40
CC 17 SLV (Collegamento -380_-516)
Azioni sul collegamento: N=110.46 Ty=0.99 Tz=-45.12 Mx=0.18 Mz=1.12
Zona tesa: F=44.48 b_{eff}=13.20 t_w=0.70 σ=4.81
Zona tesa: F=44.48 b_{eff}=13.20 t_w=0.70 σ=4.81
CC 17 SLV (Collegamento -380_-516)
Azioni sul collegamento: N=110.46 Ty=0.14 Tz=-45.12 Mx=0.06 Mz=0.34
Zona tesa: F=44.48 b_{eff}=13.20 t_w=0.70 σ=4.81
Zona tesa: F=44.48 b_{eff}=13.20 t_w=0.70 σ=4.81
CC 17 SLV (Collegamento -380_-516)
Azioni sul collegamento: N=110.46 Ty=0.99 Tz=-45.12 Mx=0.18 Mz=1.12
Zona tesa: F=44.48 b_{eff}=13.20 t_w=0.70 σ=4.81

Zona tesa: F=44.48 b_{eff}=13.20 t_w=0.70 σ=4.81
CC 17 SLV (Collegamento -380_-516)
Azioni sul collegamento: N=110.46 Ty=0.14 Tz=-45.12 Mx=0.06 Mz=0.34
Zona tesa: F=44.48 b_{eff}=13.20 t_w=0.70 σ=4.81
Zona tesa: F=44.48 b_{eff}=13.20 t_w=0.70 σ=4.81
CC 18 SLD (Collegamento -380_-516)
Azioni sul collegamento: N=134.21 Ty=0.25 Tz=-48.79 Mx=0.05 Mz=0.31
Zona tesa: F=54.04 b_{eff}=13.20 t_w=0.70 σ=5.85
Zona tesa: F=54.04 b_{eff}=13.20 t_w=0.70 σ=5.85
CC 18 SLD (Collegamento -380_-516)
Azioni sul collegamento: N=134.21 Ty=-0.00 Tz=-48.79 Mx=0.01 Mz=0.07
Zona tesa: F=54.04 b_{eff}=13.20 t_w=0.70 σ=5.85
Zona tesa: F=54.04 b_{eff}=13.20 t_w=0.70 σ=5.85
CC 18 SLD (Collegamento -380_-516)
Azioni sul collegamento: N=134.21 Ty=0.25 Tz=-48.79 Mx=0.05 Mz=0.31
Zona tesa: F=54.04 b_{eff}=13.20 t_w=0.70 σ=5.85
Zona tesa: F=54.04 b_{eff}=13.20 t_w=0.70 σ=5.85
CC 18 SLD (Collegamento -380_-516)
Azioni sul collegamento: N=134.21 Ty=-0.00 Tz=-48.79 Mx=0.01 Mz=0.07
Zona tesa: F=54.04 b_{eff}=13.20 t_w=0.70 σ=5.85
Zona tesa: F=54.04 b_{eff}=13.20 t_w=0.70 σ=5.85
CC 18 SLD (Collegamento -380_-516)
Azioni sul collegamento: N=123.12 Ty=0.25 Tz=-47.08 Mx=0.05 Mz=0.31
Zona tesa: F=49.58 b_{eff}=13.20 t_w=0.70 σ=5.37
Zona tesa: F=49.58 b_{eff}=13.20 t_w=0.70 σ=5.37
CC 18 SLD (Collegamento -380_-516)
Azioni sul collegamento: N=123.12 Ty=-0.00 Tz=-47.08 Mx=0.01 Mz=0.07
Zona tesa: F=49.58 b_{eff}=13.20 t_w=0.70 σ=5.37
Zona tesa: F=49.58 b_{eff}=13.20 t_w=0.70 σ=5.37
CC 18 SLD (Collegamento -380_-516)
Azioni sul collegamento: N=123.12 Ty=0.25 Tz=-47.08 Mx=0.05 Mz=0.31
Zona tesa: F=49.58 b_{eff}=13.20 t_w=0.70 σ=5.37
Zona tesa: F=49.58 b_{eff}=13.20 t_w=0.70 σ=5.37
CC 18 SLD (Collegamento -380_-516)
Azioni sul collegamento: N=123.12 Ty=-0.00 Tz=-47.08 Mx=0.01 Mz=0.07
Zona tesa: F=49.58 b_{eff}=13.20 t_w=0.70 σ=5.37
Zona tesa: F=49.58 b_{eff}=13.20 t_w=0.70 σ=5.37
CC 19 SLV (Collegamento -380_-516)
Azioni sul collegamento: N=146.82 Ty=0.16 Tz=-50.74 Mx=0.06 Mz=0.36
Zona tesa: F=59.12 b_{eff}=13.20 t_w=0.70 σ=6.40
Zona tesa: F=59.12 b_{eff}=13.20 t_w=0.70 σ=6.40
CC 19 SLV (Collegamento -380_-516)
Azioni sul collegamento: N=146.82 Ty=0.97 Tz=-50.74 Mx=0.17 Mz=1.10
Zona tesa: F=59.12 b_{eff}=13.20 t_w=0.70 σ=6.40
Zona tesa: F=59.12 b_{eff}=13.20 t_w=0.70 σ=6.40
CC 19 SLV (Collegamento -380_-516)
Azioni sul collegamento: N=146.82 Ty=0.16 Tz=-50.74 Mx=0.06 Mz=0.36
Zona tesa: F=59.12 b_{eff}=13.20 t_w=0.70 σ=6.40
Zona tesa: F=59.12 b_{eff}=13.20 t_w=0.70 σ=6.40
CC 19 SLV (Collegamento -380_-516)
Azioni sul collegamento: N=146.82 Ty=0.97 Tz=-50.74 Mx=0.17 Mz=1.10
Zona tesa: F=59.12 b_{eff}=13.20 t_w=0.70 σ=6.40
Zona tesa: F=59.12 b_{eff}=13.20 t_w=0.70 σ=6.40
CC 19 SLV (Collegamento -380_-516)
Azioni sul collegamento: N=110.48 Ty=0.16 Tz=-45.12 Mx=0.06 Mz=0.36
Zona tesa: F=44.49 b_{eff}=13.20 t_w=0.70 σ=4.81
Zona tesa: F=44.49 b_{eff}=13.20 t_w=0.70 σ=4.81
CC 19 SLV (Collegamento -380_-516)
Azioni sul collegamento: N=110.48 Ty=0.97 Tz=-45.12 Mx=0.17 Mz=1.10
Zona tesa: F=44.49 b_{eff}=13.20 t_w=0.70 σ=4.81
Zona tesa: F=44.49 b_{eff}=13.20 t_w=0.70 σ=4.81
CC 19 SLV (Collegamento -380_-516)
Azioni sul collegamento: N=110.48 Ty=0.16 Tz=-45.12 Mx=0.06 Mz=0.36
Zona tesa: F=44.49 b_{eff}=13.20 t_w=0.70 σ=4.81
Zona tesa: F=44.49 b_{eff}=13.20 t_w=0.70 σ=4.81
CC 19 SLV (Collegamento -380_-516)
Azioni sul collegamento: N=110.48 Ty=0.97 Tz=-45.12 Mx=0.17 Mz=1.10
Zona tesa: F=44.49 b_{eff}=13.20 t_w=0.70 σ=4.81
Zona tesa: F=44.49 b_{eff}=13.20 t_w=0.70 σ=4.81
CC 20 SLD (Collegamento -380_-516)
Azioni sul collegamento: N=134.20 Ty=0.00 Tz=-48.79 Mx=0.01 Mz=0.08
Zona tesa: F=54.04 b_{eff}=13.20 t_w=0.70 σ=5.85
Zona tesa: F=54.04 b_{eff}=13.20 t_w=0.70 σ=5.85
CC 20 SLD (Collegamento -380_-516)
Azioni sul collegamento: N=134.20 Ty=0.25 Tz=-48.79 Mx=0.05 Mz=0.30
Zona tesa: F=54.04 b_{eff}=13.20 t_w=0.70 σ=5.85
Zona tesa: F=54.04 b_{eff}=13.20 t_w=0.70 σ=5.85
CC 20 SLD (Collegamento -380_-516)

Azioni sul collegamento: N=134.20 Ty=0.00 Tz=-48.79 Mx=0.01 Mz=0.08
Zona tesa: F=54.04 b_{eff}=13.20 t_w=0.70 σ=5.85
Zona tesa: F=54.04 b_{eff}=13.20 t_w=0.70 σ=5.85
CC 20 SLD (Collegamento -380_-516)
Azioni sul collegamento: N=134.20 Ty=0.25 Tz=-48.79 Mx=0.05 Mz=0.30
Zona tesa: F=54.04 b_{eff}=13.20 t_w=0.70 σ=5.85
Zona tesa: F=54.04 b_{eff}=13.20 t_w=0.70 σ=5.85
CC 20 SLD (Collegamento -380_-516)
Azioni sul collegamento: N=123.12 Ty=0.00 Tz=-47.08 Mx=0.01 Mz=0.08
Zona tesa: F=49.58 b_{eff}=13.20 t_w=0.70 σ=5.37
Zona tesa: F=49.58 b_{eff}=13.20 t_w=0.70 σ=5.37
CC 20 SLD (Collegamento -380_-516)
Azioni sul collegamento: N=123.12 Ty=0.25 Tz=-47.08 Mx=0.05 Mz=0.30
Zona tesa: F=49.58 b_{eff}=13.20 t_w=0.70 σ=5.37
Zona tesa: F=49.58 b_{eff}=13.20 t_w=0.70 σ=5.37
CC 20 SLD (Collegamento -380_-516)
Azioni sul collegamento: N=123.12 Ty=0.00 Tz=-47.08 Mx=0.01 Mz=0.08
Zona tesa: F=49.58 b_{eff}=13.20 t_w=0.70 σ=5.37
Zona tesa: F=49.58 b_{eff}=13.20 t_w=0.70 σ=5.37
CC 20 SLD (Collegamento -380_-516)
Azioni sul collegamento: N=123.12 Ty=0.25 Tz=-47.08 Mx=0.05 Mz=0.30
Zona tesa: F=49.58 b_{eff}=13.20 t_w=0.70 σ=5.37
Zona tesa: F=49.58 b_{eff}=13.20 t_w=0.70 σ=5.37
CC 21 SLV (Collegamento -380_-516)
Azioni sul collegamento: N=110.48 Ty=0.97 Tz=-45.12 Mx=0.18 Mz=1.10
Zona tesa: F=44.49 b_{eff}=13.20 t_w=0.70 σ=4.81
Zona tesa: F=44.49 b_{eff}=13.20 t_w=0.70 σ=4.81
CC 21 SLV (Collegamento -380_-516)
Azioni sul collegamento: N=110.48 Ty=0.16 Tz=-45.12 Mx=0.06 Mz=0.36
Zona tesa: F=44.49 b_{eff}=13.20 t_w=0.70 σ=4.81
Zona tesa: F=44.49 b_{eff}=13.20 t_w=0.70 σ=4.81
CC 21 SLV (Collegamento -380_-516)
Azioni sul collegamento: N=110.48 Ty=0.97 Tz=-45.12 Mx=0.18 Mz=1.10
Zona tesa: F=44.49 b_{eff}=13.20 t_w=0.70 σ=4.81
Zona tesa: F=44.49 b_{eff}=13.20 t_w=0.70 σ=4.81
CC 21 SLV (Collegamento -380_-516)
Azioni sul collegamento: N=110.48 Ty=0.16 Tz=-45.12 Mx=0.06 Mz=0.36
Zona tesa: F=44.49 b_{eff}=13.20 t_w=0.70 σ=4.81
Zona tesa: F=44.49 b_{eff}=13.20 t_w=0.70 σ=4.81
CC 21 SLV (Collegamento -380_-516)
Azioni sul collegamento: N=146.82 Ty=0.97 Tz=-50.74 Mx=0.18 Mz=1.10
Zona tesa: F=59.12 b_{eff}=13.20 t_w=0.70 σ=6.40
Zona tesa: F=59.12 b_{eff}=13.20 t_w=0.70 σ=6.40
CC 21 SLV (Collegamento -380_-516)
Azioni sul collegamento: N=146.82 Ty=0.16 Tz=-50.74 Mx=0.06 Mz=0.36
Zona tesa: F=59.12 b_{eff}=13.20 t_w=0.70 σ=6.40
Zona tesa: F=59.12 b_{eff}=13.20 t_w=0.70 σ=6.40
CC 21 SLV (Collegamento -380_-516)
Azioni sul collegamento: N=146.82 Ty=0.97 Tz=-50.74 Mx=0.18 Mz=1.10
Zona tesa: F=59.12 b_{eff}=13.20 t_w=0.70 σ=6.40
Zona tesa: F=59.12 b_{eff}=13.20 t_w=0.70 σ=6.40
CC 21 SLV (Collegamento -380_-516)
Azioni sul collegamento: N=146.82 Ty=0.16 Tz=-50.74 Mx=0.06 Mz=0.36
Zona tesa: F=59.12 b_{eff}=13.20 t_w=0.70 σ=6.40
Zona tesa: F=59.12 b_{eff}=13.20 t_w=0.70 σ=6.40
CC 22 SLD (Collegamento -380_-516)
Azioni sul collegamento: N=123.12 Ty=0.25 Tz=-47.08 Mx=0.05 Mz=0.30
Zona tesa: F=49.58 b_{eff}=13.20 t_w=0.70 σ=5.37
Zona tesa: F=49.58 b_{eff}=13.20 t_w=0.70 σ=5.37
CC 22 SLD (Collegamento -380_-516)
Azioni sul collegamento: N=123.12 Ty=0.00 Tz=-47.08 Mx=0.01 Mz=0.08
Zona tesa: F=49.58 b_{eff}=13.20 t_w=0.70 σ=5.37
Zona tesa: F=49.58 b_{eff}=13.20 t_w=0.70 σ=5.37
CC 22 SLD (Collegamento -380_-516)
Azioni sul collegamento: N=123.12 Ty=0.25 Tz=-47.08 Mx=0.05 Mz=0.30
Zona tesa: F=49.58 b_{eff}=13.20 t_w=0.70 σ=5.37
Zona tesa: F=49.58 b_{eff}=13.20 t_w=0.70 σ=5.37
CC 22 SLD (Collegamento -380_-516)
Azioni sul collegamento: N=123.12 Ty=0.00 Tz=-47.08 Mx=0.01 Mz=0.08
Zona tesa: F=49.58 b_{eff}=13.20 t_w=0.70 σ=5.37
Zona tesa: F=49.58 b_{eff}=13.20 t_w=0.70 σ=5.37
CC 22 SLD (Collegamento -380_-516)
Azioni sul collegamento: N=134.20 Ty=0.25 Tz=-48.79 Mx=0.05 Mz=0.30
Zona tesa: F=54.04 b_{eff}=13.20 t_w=0.70 σ=5.85
Zona tesa: F=54.04 b_{eff}=13.20 t_w=0.70 σ=5.85
CC 22 SLD (Collegamento -380_-516)
Azioni sul collegamento: N=134.20 Ty=0.00 Tz=-48.79 Mx=0.01 Mz=0.08
Zona tesa: F=54.04 b_{eff}=13.20 t_w=0.70 σ=5.85

Zona tesa: F=54.04 b_{eff}=13.20 t_w=0.70 σ=5.85
CC 22 SLD (Collegamento -380_-516)
Azioni sul collegamento: N=134.20 Ty=0.25 Tz=-48.79 Mx=0.05 Mz=0.30
Zona tesa: F=54.04 b_{eff}=13.20 t_w=0.70 σ=5.85
Zona tesa: F=54.04 b_{eff}=13.20 t_w=0.70 σ=5.85
CC 22 SLD (Collegamento -380_-516)
Azioni sul collegamento: N=134.20 Ty=0.00 Tz=-48.79 Mx=0.01 Mz=0.08
Zona tesa: F=54.04 b_{eff}=13.20 t_w=0.70 σ=5.85
Zona tesa: F=54.04 b_{eff}=13.20 t_w=0.70 σ=5.85
CC 23 SLV (Collegamento -380_-516)
Azioni sul collegamento: N=110.46 Ty=0.14 Tz=-45.12 Mx=0.06 Mz=0.34
Zona tesa: F=44.48 b_{eff}=13.20 t_w=0.70 σ=4.81
Zona tesa: F=44.48 b_{eff}=13.20 t_w=0.70 σ=4.81
CC 23 SLV (Collegamento -380_-516)
Azioni sul collegamento: N=110.46 Ty=0.99 Tz=-45.12 Mx=0.18 Mz=1.12
Zona tesa: F=44.48 b_{eff}=13.20 t_w=0.70 σ=4.81
Zona tesa: F=44.48 b_{eff}=13.20 t_w=0.70 σ=4.81
CC 23 SLV (Collegamento -380_-516)
Azioni sul collegamento: N=110.46 Ty=0.14 Tz=-45.12 Mx=0.06 Mz=0.34
Zona tesa: F=44.48 b_{eff}=13.20 t_w=0.70 σ=4.81
Zona tesa: F=44.48 b_{eff}=13.20 t_w=0.70 σ=4.81
CC 23 SLV (Collegamento -380_-516)
Azioni sul collegamento: N=110.46 Ty=0.99 Tz=-45.12 Mx=0.18 Mz=1.12
Zona tesa: F=44.48 b_{eff}=13.20 t_w=0.70 σ=4.81
Zona tesa: F=44.48 b_{eff}=13.20 t_w=0.70 σ=4.81
CC 23 SLV (Collegamento -380_-516)
Azioni sul collegamento: N=146.84 Ty=0.14 Tz=-50.75 Mx=0.06 Mz=0.34
Zona tesa: F=59.13 b_{eff}=13.20 t_w=0.70 σ=6.40
Zona tesa: F=59.13 b_{eff}=13.20 t_w=0.70 σ=6.40
CC 23 SLV (Collegamento -380_-516)
Azioni sul collegamento: N=146.84 Ty=0.99 Tz=-50.75 Mx=0.18 Mz=1.12
Zona tesa: F=59.13 b_{eff}=13.20 t_w=0.70 σ=6.40
Zona tesa: F=59.13 b_{eff}=13.20 t_w=0.70 σ=6.40
CC 23 SLV (Collegamento -380_-516)
Azioni sul collegamento: N=146.84 Ty=0.14 Tz=-50.75 Mx=0.06 Mz=0.34
Zona tesa: F=59.13 b_{eff}=13.20 t_w=0.70 σ=6.40
Zona tesa: F=59.13 b_{eff}=13.20 t_w=0.70 σ=6.40
CC 23 SLV (Collegamento -380_-516)
Azioni sul collegamento: N=146.84 Ty=0.99 Tz=-50.75 Mx=0.18 Mz=1.12
Zona tesa: F=59.13 b_{eff}=13.20 t_w=0.70 σ=6.40
Zona tesa: F=59.13 b_{eff}=13.20 t_w=0.70 σ=6.40
CC 24 SLD (Collegamento -380_-516)
Azioni sul collegamento: N=123.12 Ty=-0.00 Tz=-47.08 Mx=0.01 Mz=0.07
Zona tesa: F=49.58 b_{eff}=13.20 t_w=0.70 σ=5.37
Zona tesa: F=49.58 b_{eff}=13.20 t_w=0.70 σ=5.37
CC 24 SLD (Collegamento -380_-516)
Azioni sul collegamento: N=123.12 Ty=0.25 Tz=-47.08 Mx=0.05 Mz=0.31
Zona tesa: F=49.58 b_{eff}=13.20 t_w=0.70 σ=5.37
Zona tesa: F=49.58 b_{eff}=13.20 t_w=0.70 σ=5.37
CC 24 SLD (Collegamento -380_-516)
Azioni sul collegamento: N=123.12 Ty=-0.00 Tz=-47.08 Mx=0.01 Mz=0.07
Zona tesa: F=49.58 b_{eff}=13.20 t_w=0.70 σ=5.37
Zona tesa: F=49.58 b_{eff}=13.20 t_w=0.70 σ=5.37
CC 24 SLD (Collegamento -380_-516)
Azioni sul collegamento: N=123.12 Ty=0.25 Tz=-47.08 Mx=0.05 Mz=0.31
Zona tesa: F=49.58 b_{eff}=13.20 t_w=0.70 σ=5.37
Zona tesa: F=49.58 b_{eff}=13.20 t_w=0.70 σ=5.37
CC 24 SLD (Collegamento -380_-516)
Azioni sul collegamento: N=134.21 Ty=-0.00 Tz=-48.79 Mx=0.01 Mz=0.07
Zona tesa: F=54.04 b_{eff}=13.20 t_w=0.70 σ=5.85
Zona tesa: F=54.04 b_{eff}=13.20 t_w=0.70 σ=5.85
CC 24 SLD (Collegamento -380_-516)
Azioni sul collegamento: N=134.21 Ty=0.25 Tz=-48.79 Mx=0.05 Mz=0.31
Zona tesa: F=54.04 b_{eff}=13.20 t_w=0.70 σ=5.85
Zona tesa: F=54.04 b_{eff}=13.20 t_w=0.70 σ=5.85
CC 24 SLD (Collegamento -380_-516)
Azioni sul collegamento: N=134.21 Ty=-0.00 Tz=-48.79 Mx=0.01 Mz=0.07
Zona tesa: F=54.04 b_{eff}=13.20 t_w=0.70 σ=5.85
Zona tesa: F=54.04 b_{eff}=13.20 t_w=0.70 σ=5.85
CC 24 SLD (Collegamento -380_-516)
Azioni sul collegamento: N=134.21 Ty=0.25 Tz=-48.79 Mx=0.05 Mz=0.31
Zona tesa: F=54.04 b_{eff}=13.20 t_w=0.70 σ=5.85
Zona tesa: F=54.04 b_{eff}=13.20 t_w=0.70 σ=5.85
CC 25 SLV (Collegamento -380_-516)
Azioni sul collegamento: N=134.13 Ty=1.95 Tz=-48.78 Mx=0.32 Mz=1.99
Zona tesa: F=54.01 b_{eff}=13.20 t_w=0.70 σ=5.85
Zona tesa: F=54.01 b_{eff}=13.20 t_w=0.70 σ=5.85
CC 25 SLV (Collegamento -380_-516)

Azioni sul collegamento: N=134.13 Ty=-0.81 Tz=-48.78 Mx=-0.07 Mz=-0.53
Zona tesa: F=54.01 b_{eff}=13.20 t_w=0.70 σ=5.85
Zona tesa: F=54.01 b_{eff}=13.20 t_w=0.70 σ=5.85
CC 25 SLV (Collegamento -380_-516)
Azioni sul collegamento: N=134.13 Ty=1.95 Tz=-48.78 Mx=0.32 Mz=1.99
Zona tesa: F=54.01 b_{eff}=13.20 t_w=0.70 σ=5.85
Zona tesa: F=54.01 b_{eff}=13.20 t_w=0.70 σ=5.85
CC 25 SLV (Collegamento -380_-516)
Azioni sul collegamento: N=134.13 Ty=-0.81 Tz=-48.78 Mx=-0.07 Mz=-0.53
Zona tesa: F=54.01 b_{eff}=13.20 t_w=0.70 σ=5.85
Zona tesa: F=54.01 b_{eff}=13.20 t_w=0.70 σ=5.85
CC 25 SLV (Collegamento -380_-516)
Azioni sul collegamento: N=123.17 Ty=1.95 Tz=-47.08 Mx=0.32 Mz=1.99
Zona tesa: F=49.60 b_{eff}=13.20 t_w=0.70 σ=5.37
Zona tesa: F=49.60 b_{eff}=13.20 t_w=0.70 σ=5.37
CC 25 SLV (Collegamento -380_-516)
Azioni sul collegamento: N=123.17 Ty=-0.81 Tz=-47.08 Mx=-0.07 Mz=-0.53
Zona tesa: F=49.60 b_{eff}=13.20 t_w=0.70 σ=5.37
Zona tesa: F=49.60 b_{eff}=13.20 t_w=0.70 σ=5.37
CC 25 SLV (Collegamento -380_-516)
Azioni sul collegamento: N=123.17 Ty=1.95 Tz=-47.08 Mx=0.32 Mz=1.99
Zona tesa: F=49.60 b_{eff}=13.20 t_w=0.70 σ=5.37
Zona tesa: F=49.60 b_{eff}=13.20 t_w=0.70 σ=5.37
CC 25 SLV (Collegamento -380_-516)
Azioni sul collegamento: N=123.17 Ty=-0.81 Tz=-47.08 Mx=-0.07 Mz=-0.53
Zona tesa: F=49.60 b_{eff}=13.20 t_w=0.70 σ=5.37
Zona tesa: F=49.60 b_{eff}=13.20 t_w=0.70 σ=5.37
CC 26 SLD (Collegamento -380_-516)
Azioni sul collegamento: N=130.34 Ty=0.55 Tz=-48.19 Mx=0.09 Mz=0.57
Zona tesa: F=52.48 b_{eff}=13.20 t_w=0.70 σ=5.68
Zona tesa: F=52.48 b_{eff}=13.20 t_w=0.70 σ=5.68
CC 26 SLD (Collegamento -380_-516)
Azioni sul collegamento: N=130.34 Ty=-0.30 Tz=-48.19 Mx=-0.03 Mz=-0.20
Zona tesa: F=52.48 b_{eff}=13.20 t_w=0.70 σ=5.68
Zona tesa: F=52.48 b_{eff}=13.20 t_w=0.70 σ=5.68
CC 26 SLD (Collegamento -380_-516)
Azioni sul collegamento: N=130.34 Ty=0.55 Tz=-48.19 Mx=0.09 Mz=0.57
Zona tesa: F=52.48 b_{eff}=13.20 t_w=0.70 σ=5.68
Zona tesa: F=52.48 b_{eff}=13.20 t_w=0.70 σ=5.68
CC 26 SLD (Collegamento -380_-516)
Azioni sul collegamento: N=130.34 Ty=-0.30 Tz=-48.19 Mx=-0.03 Mz=-0.20
Zona tesa: F=52.48 b_{eff}=13.20 t_w=0.70 σ=5.68
Zona tesa: F=52.48 b_{eff}=13.20 t_w=0.70 σ=5.68
CC 26 SLD (Collegamento -380_-516)
Azioni sul collegamento: N=126.99 Ty=0.55 Tz=-47.68 Mx=0.09 Mz=0.57
Zona tesa: F=51.14 b_{eff}=13.20 t_w=0.70 σ=5.53
Zona tesa: F=51.14 b_{eff}=13.20 t_w=0.70 σ=5.53
CC 26 SLD (Collegamento -380_-516)
Azioni sul collegamento: N=126.99 Ty=-0.30 Tz=-47.68 Mx=-0.03 Mz=-0.20
Zona tesa: F=51.14 b_{eff}=13.20 t_w=0.70 σ=5.53
Zona tesa: F=51.14 b_{eff}=13.20 t_w=0.70 σ=5.53
CC 26 SLD (Collegamento -380_-516)
Azioni sul collegamento: N=126.99 Ty=0.55 Tz=-47.68 Mx=0.09 Mz=0.57
Zona tesa: F=51.14 b_{eff}=13.20 t_w=0.70 σ=5.53
Zona tesa: F=51.14 b_{eff}=13.20 t_w=0.70 σ=5.53
CC 26 SLD (Collegamento -380_-516)
Azioni sul collegamento: N=126.99 Ty=-0.30 Tz=-47.68 Mx=-0.03 Mz=-0.20
Zona tesa: F=51.14 b_{eff}=13.20 t_w=0.70 σ=5.53
Zona tesa: F=51.14 b_{eff}=13.20 t_w=0.70 σ=5.53
CC 27 SLV (Collegamento -380_-516)
Azioni sul collegamento: N=123.23 Ty=1.94 Tz=-47.09 Mx=0.32 Mz=1.98
Zona tesa: F=49.62 b_{eff}=13.20 t_w=0.70 σ=5.37
Zona tesa: F=49.62 b_{eff}=13.20 t_w=0.70 σ=5.37
CC 27 SLV (Collegamento -380_-516)
Azioni sul collegamento: N=123.23 Ty=-0.81 Tz=-47.09 Mx=-0.07 Mz=-0.53
Zona tesa: F=49.62 b_{eff}=13.20 t_w=0.70 σ=5.37
Zona tesa: F=49.62 b_{eff}=13.20 t_w=0.70 σ=5.37
CC 27 SLV (Collegamento -380_-516)
Azioni sul collegamento: N=123.23 Ty=1.94 Tz=-47.09 Mx=0.32 Mz=1.98
Zona tesa: F=49.62 b_{eff}=13.20 t_w=0.70 σ=5.37
Zona tesa: F=49.62 b_{eff}=13.20 t_w=0.70 σ=5.37
CC 27 SLV (Collegamento -380_-516)
Azioni sul collegamento: N=123.23 Ty=-0.81 Tz=-47.09 Mx=-0.07 Mz=-0.53
Zona tesa: F=49.62 b_{eff}=13.20 t_w=0.70 σ=5.37
Zona tesa: F=49.62 b_{eff}=13.20 t_w=0.70 σ=5.37
CC 27 SLV (Collegamento -380_-516)
Azioni sul collegamento: N=134.07 Ty=1.94 Tz=-48.77 Mx=0.32 Mz=1.98
Zona tesa: F=53.99 b_{eff}=13.20 t_w=0.70 σ=5.84

Zona tesa: F=53.99 b_{eff}=13.20 t_w=0.70 σ=5.84
CC 27 SLV (Collegamento -380_-516)
Azioni sul collegamento: N=134.07 Ty=-0.81 Tz=-48.77 Mx=-0.07 Mz=-0.53
Zona tesa: F=53.99 b_{eff}=13.20 t_w=0.70 σ=5.84
Zona tesa: F=53.99 b_{eff}=13.20 t_w=0.70 σ=5.84
CC 27 SLV (Collegamento -380_-516)
Azioni sul collegamento: N=134.07 Ty=1.94 Tz=-48.77 Mx=0.32 Mz=1.98
Zona tesa: F=53.99 b_{eff}=13.20 t_w=0.70 σ=5.84
Zona tesa: F=53.99 b_{eff}=13.20 t_w=0.70 σ=5.84
CC 27 SLV (Collegamento -380_-516)
Azioni sul collegamento: N=134.07 Ty=-0.81 Tz=-48.77 Mx=-0.07 Mz=-0.53
Zona tesa: F=53.99 b_{eff}=13.20 t_w=0.70 σ=5.84
Zona tesa: F=53.99 b_{eff}=13.20 t_w=0.70 σ=5.84
CC 28 SLD (Collegamento -380_-516)
Azioni sul collegamento: N=127.01 Ty=0.55 Tz=-47.68 Mx=0.09 Mz=0.57
Zona tesa: F=51.14 b_{eff}=13.20 t_w=0.70 σ=5.54
Zona tesa: F=51.14 b_{eff}=13.20 t_w=0.70 σ=5.54
CC 28 SLD (Collegamento -380_-516)
Azioni sul collegamento: N=127.01 Ty=-0.29 Tz=-47.68 Mx=-0.03 Mz=-0.19
Zona tesa: F=51.14 b_{eff}=13.20 t_w=0.70 σ=5.54
Zona tesa: F=51.14 b_{eff}=13.20 t_w=0.70 σ=5.54
CC 28 SLD (Collegamento -380_-516)
Azioni sul collegamento: N=127.01 Ty=0.55 Tz=-47.68 Mx=0.09 Mz=0.57
Zona tesa: F=51.14 b_{eff}=13.20 t_w=0.70 σ=5.54
Zona tesa: F=51.14 b_{eff}=13.20 t_w=0.70 σ=5.54
CC 28 SLD (Collegamento -380_-516)
Azioni sul collegamento: N=127.01 Ty=-0.29 Tz=-47.68 Mx=-0.03 Mz=-0.19
Zona tesa: F=51.14 b_{eff}=13.20 t_w=0.70 σ=5.54
Zona tesa: F=51.14 b_{eff}=13.20 t_w=0.70 σ=5.54
CC 28 SLD (Collegamento -380_-516)
Azioni sul collegamento: N=130.32 Ty=0.55 Tz=-48.19 Mx=0.09 Mz=0.57
Zona tesa: F=52.48 b_{eff}=13.20 t_w=0.70 σ=5.68
Zona tesa: F=52.48 b_{eff}=13.20 t_w=0.70 σ=5.68
CC 28 SLD (Collegamento -380_-516)
Azioni sul collegamento: N=130.32 Ty=-0.29 Tz=-48.19 Mx=-0.03 Mz=-0.19
Zona tesa: F=52.48 b_{eff}=13.20 t_w=0.70 σ=5.68
Zona tesa: F=52.48 b_{eff}=13.20 t_w=0.70 σ=5.68
CC 28 SLD (Collegamento -380_-516)
Azioni sul collegamento: N=130.32 Ty=0.55 Tz=-48.19 Mx=0.09 Mz=0.57
Zona tesa: F=52.48 b_{eff}=13.20 t_w=0.70 σ=5.68
Zona tesa: F=52.48 b_{eff}=13.20 t_w=0.70 σ=5.68
CC 28 SLD (Collegamento -380_-516)
Azioni sul collegamento: N=130.32 Ty=-0.29 Tz=-48.19 Mx=-0.03 Mz=-0.19
Zona tesa: F=52.48 b_{eff}=13.20 t_w=0.70 σ=5.68
Zona tesa: F=52.48 b_{eff}=13.20 t_w=0.70 σ=5.68
CC 29 SLV (Collegamento -380_-516)
Azioni sul collegamento: N=134.07 Ty=-0.81 Tz=-48.77 Mx=-0.08 Mz=-0.52
Zona tesa: F=53.99 b_{eff}=13.20 t_w=0.70 σ=5.84
Zona tesa: F=53.99 b_{eff}=13.20 t_w=0.70 σ=5.84
CC 29 SLV (Collegamento -380_-516)
Azioni sul collegamento: N=134.07 Ty=1.94 Tz=-48.77 Mx=0.30 Mz=1.98
Zona tesa: F=53.99 b_{eff}=13.20 t_w=0.70 σ=5.84
Zona tesa: F=53.99 b_{eff}=13.20 t_w=0.70 σ=5.84
CC 29 SLV (Collegamento -380_-516)
Azioni sul collegamento: N=134.07 Ty=-0.81 Tz=-48.77 Mx=-0.08 Mz=-0.52
Zona tesa: F=53.99 b_{eff}=13.20 t_w=0.70 σ=5.84
Zona tesa: F=53.99 b_{eff}=13.20 t_w=0.70 σ=5.84
CC 29 SLV (Collegamento -380_-516)
Azioni sul collegamento: N=134.07 Ty=1.94 Tz=-48.77 Mx=0.30 Mz=1.98
Zona tesa: F=53.99 b_{eff}=13.20 t_w=0.70 σ=5.84
Zona tesa: F=53.99 b_{eff}=13.20 t_w=0.70 σ=5.84
CC 29 SLV (Collegamento -380_-516)
Azioni sul collegamento: N=123.23 Ty=-0.81 Tz=-47.09 Mx=-0.08 Mz=-0.52
Zona tesa: F=49.62 b_{eff}=13.20 t_w=0.70 σ=5.37
Zona tesa: F=49.62 b_{eff}=13.20 t_w=0.70 σ=5.37
CC 29 SLV (Collegamento -380_-516)
Azioni sul collegamento: N=123.23 Ty=1.94 Tz=-47.09 Mx=0.30 Mz=1.98
Zona tesa: F=49.62 b_{eff}=13.20 t_w=0.70 σ=5.37
Zona tesa: F=49.62 b_{eff}=13.20 t_w=0.70 σ=5.37
CC 29 SLV (Collegamento -380_-516)
Azioni sul collegamento: N=123.23 Ty=-0.81 Tz=-47.09 Mx=-0.08 Mz=-0.52
Zona tesa: F=49.62 b_{eff}=13.20 t_w=0.70 σ=5.37
Zona tesa: F=49.62 b_{eff}=13.20 t_w=0.70 σ=5.37
CC 29 SLV (Collegamento -380_-516)
Azioni sul collegamento: N=123.23 Ty=1.94 Tz=-47.09 Mx=0.30 Mz=1.98
Zona tesa: F=49.62 b_{eff}=13.20 t_w=0.70 σ=5.37
Zona tesa: F=49.62 b_{eff}=13.20 t_w=0.70 σ=5.37
CC 30 SLD (Collegamento -380_-516)

Azioni sul collegamento: N=130.32 Ty=-0.29 Tz=-48.19 Mx=-0.03 Mz=-0.19
Zona tesa: F=52.48 b_{eff}=13.20 t_w=0.70 σ=5.68
Zona tesa: F=52.48 b_{eff}=13.20 t_w=0.70 σ=5.68
CC 30 SLD (Collegamento -380_-516)
Azioni sul collegamento: N=130.32 Ty=0.55 Tz=-48.19 Mx=0.09 Mz=0.57
Zona tesa: F=52.48 b_{eff}=13.20 t_w=0.70 σ=5.68
Zona tesa: F=52.48 b_{eff}=13.20 t_w=0.70 σ=5.68
CC 30 SLD (Collegamento -380_-516)
Azioni sul collegamento: N=130.32 Ty=-0.29 Tz=-48.19 Mx=-0.03 Mz=-0.19
Zona tesa: F=52.48 b_{eff}=13.20 t_w=0.70 σ=5.68
Zona tesa: F=52.48 b_{eff}=13.20 t_w=0.70 σ=5.68
CC 30 SLD (Collegamento -380_-516)
Azioni sul collegamento: N=130.32 Ty=0.55 Tz=-48.19 Mx=0.09 Mz=0.57
Zona tesa: F=52.48 b_{eff}=13.20 t_w=0.70 σ=5.68
Zona tesa: F=52.48 b_{eff}=13.20 t_w=0.70 σ=5.68
CC 30 SLD (Collegamento -380_-516)
Azioni sul collegamento: N=127.01 Ty=-0.29 Tz=-47.68 Mx=-0.03 Mz=-0.19
Zona tesa: F=51.14 b_{eff}=13.20 t_w=0.70 σ=5.54
Zona tesa: F=51.14 b_{eff}=13.20 t_w=0.70 σ=5.54
CC 30 SLD (Collegamento -380_-516)
Azioni sul collegamento: N=127.01 Ty=0.55 Tz=-47.68 Mx=0.09 Mz=0.57
Zona tesa: F=51.14 b_{eff}=13.20 t_w=0.70 σ=5.54
Zona tesa: F=51.14 b_{eff}=13.20 t_w=0.70 σ=5.54
CC 30 SLD (Collegamento -380_-516)
Azioni sul collegamento: N=127.01 Ty=-0.29 Tz=-47.68 Mx=-0.03 Mz=-0.19
Zona tesa: F=51.14 b_{eff}=13.20 t_w=0.70 σ=5.54
Zona tesa: F=51.14 b_{eff}=13.20 t_w=0.70 σ=5.54
CC 30 SLD (Collegamento -380_-516)
Azioni sul collegamento: N=127.01 Ty=0.55 Tz=-47.68 Mx=0.09 Mz=0.57
Zona tesa: F=51.14 b_{eff}=13.20 t_w=0.70 σ=5.54
Zona tesa: F=51.14 b_{eff}=13.20 t_w=0.70 σ=5.54
CC 31 SLV (Collegamento -380_-516)
Azioni sul collegamento: N=123.17 Ty=-0.81 Tz=-47.08 Mx=-0.08 Mz=-0.53
Zona tesa: F=49.60 b_{eff}=13.20 t_w=0.70 σ=5.37
Zona tesa: F=49.60 b_{eff}=13.20 t_w=0.70 σ=5.37
CC 31 SLV (Collegamento -380_-516)
Azioni sul collegamento: N=123.17 Ty=1.95 Tz=-47.08 Mx=0.31 Mz=1.99
Zona tesa: F=49.60 b_{eff}=13.20 t_w=0.70 σ=5.37
Zona tesa: F=49.60 b_{eff}=13.20 t_w=0.70 σ=5.37
CC 31 SLV (Collegamento -380_-516)
Azioni sul collegamento: N=123.17 Ty=-0.81 Tz=-47.08 Mx=-0.08 Mz=-0.53
Zona tesa: F=49.60 b_{eff}=13.20 t_w=0.70 σ=5.37
Zona tesa: F=49.60 b_{eff}=13.20 t_w=0.70 σ=5.37
CC 31 SLV (Collegamento -380_-516)
Azioni sul collegamento: N=123.17 Ty=1.95 Tz=-47.08 Mx=0.31 Mz=1.99
Zona tesa: F=49.60 b_{eff}=13.20 t_w=0.70 σ=5.37
Zona tesa: F=49.60 b_{eff}=13.20 t_w=0.70 σ=5.37
CC 31 SLV (Collegamento -380_-516)
Azioni sul collegamento: N=134.13 Ty=-0.81 Tz=-48.78 Mx=-0.08 Mz=-0.53
Zona tesa: F=54.01 b_{eff}=13.20 t_w=0.70 σ=5.85
Zona tesa: F=54.01 b_{eff}=13.20 t_w=0.70 σ=5.85
CC 31 SLV (Collegamento -380_-516)
Azioni sul collegamento: N=134.13 Ty=1.95 Tz=-48.78 Mx=0.31 Mz=1.99
Zona tesa: F=54.01 b_{eff}=13.20 t_w=0.70 σ=5.85
Zona tesa: F=54.01 b_{eff}=13.20 t_w=0.70 σ=5.85
CC 31 SLV (Collegamento -380_-516)
Azioni sul collegamento: N=134.13 Ty=-0.81 Tz=-48.78 Mx=-0.08 Mz=-0.53
Zona tesa: F=54.01 b_{eff}=13.20 t_w=0.70 σ=5.85
Zona tesa: F=54.01 b_{eff}=13.20 t_w=0.70 σ=5.85
CC 31 SLV (Collegamento -380_-516)
Azioni sul collegamento: N=134.13 Ty=1.95 Tz=-48.78 Mx=0.31 Mz=1.99
Zona tesa: F=54.01 b_{eff}=13.20 t_w=0.70 σ=5.85
Zona tesa: F=54.01 b_{eff}=13.20 t_w=0.70 σ=5.85
CC 32 SLD (Collegamento -380_-516)
Azioni sul collegamento: N=126.99 Ty=-0.30 Tz=-47.68 Mx=-0.03 Mz=-0.20
Zona tesa: F=51.14 b_{eff}=13.20 t_w=0.70 σ=5.53
Zona tesa: F=51.14 b_{eff}=13.20 t_w=0.70 σ=5.53
CC 32 SLD (Collegamento -380_-516)
Azioni sul collegamento: N=126.99 Ty=0.55 Tz=-47.68 Mx=0.09 Mz=0.57
Zona tesa: F=51.14 b_{eff}=13.20 t_w=0.70 σ=5.53
Zona tesa: F=51.14 b_{eff}=13.20 t_w=0.70 σ=5.53
CC 32 SLD (Collegamento -380_-516)
Azioni sul collegamento: N=126.99 Ty=-0.30 Tz=-47.68 Mx=-0.03 Mz=-0.20
Zona tesa: F=51.14 b_{eff}=13.20 t_w=0.70 σ=5.53
Zona tesa: F=51.14 b_{eff}=13.20 t_w=0.70 σ=5.53
CC 32 SLD (Collegamento -380_-516)
Azioni sul collegamento: N=126.99 Ty=0.55 Tz=-47.68 Mx=0.09 Mz=0.57
Zona tesa: F=51.14 b_{eff}=13.20 t_w=0.70 σ=5.53

Zona tesa: F=51.14 b_{eff}=13.20 t_w=0.70 σ=5.53
CC 32 SLD (Collegamento -380_-516)
Azioni sul collegamento: N=130.34 Ty=-0.30 Tz=-48.19 Mx=-0.03 Mz=-0.20
Zona tesa: F=52.48 b_{eff}=13.20 t_w=0.70 σ=5.68
Zona tesa: F=52.48 b_{eff}=13.20 t_w=0.70 σ=5.68
CC 32 SLD (Collegamento -380_-516)
Azioni sul collegamento: N=130.34 Ty=0.55 Tz=-48.19 Mx=0.09 Mz=0.57
Zona tesa: F=52.48 b_{eff}=13.20 t_w=0.70 σ=5.68
Zona tesa: F=52.48 b_{eff}=13.20 t_w=0.70 σ=5.68
CC 32 SLD (Collegamento -380_-516)
Azioni sul collegamento: N=130.34 Ty=-0.30 Tz=-48.19 Mx=-0.03 Mz=-0.20
Zona tesa: F=52.48 b_{eff}=13.20 t_w=0.70 σ=5.68
Zona tesa: F=52.48 b_{eff}=13.20 t_w=0.70 σ=5.68
CC 32 SLD (Collegamento -380_-516)
Azioni sul collegamento: N=130.34 Ty=0.55 Tz=-48.19 Mx=0.09 Mz=0.57
Zona tesa: F=52.48 b_{eff}=13.20 t_w=0.70 σ=5.68
Zona tesa: F=52.48 b_{eff}=13.20 t_w=0.70 σ=5.68
CC 33 SLU (Collegamento -380_-516)
Azioni sul collegamento: N=333.98 Ty=-0.11 Tz=-89.52 Mx=-0.01 Mz=-0.07
Zona tesa: F=134.49 b_{eff}=13.20 t_w=0.70 σ=14.55
Zona tesa: F=134.49 b_{eff}=13.20 t_w=0.70 σ=14.55
CC 34 SLU (Collegamento -380_-516)
Azioni sul collegamento: N=330.18 Ty=-0.11 Tz=-88.93 Mx=-0.01 Mz=-0.07
Zona tesa: F=132.96 b_{eff}=13.20 t_w=0.70 σ=14.39
Zona tesa: F=132.96 b_{eff}=13.20 t_w=0.70 σ=14.39
CC 35 SLU (Collegamento -380_-516)
Azioni sul collegamento: N=332.07 Ty=0.03 Tz=-89.22 Mx=0.01 Mz=0.06
Zona tesa: F=133.72 b_{eff}=13.20 t_w=0.70 σ=14.47
Zona tesa: F=133.72 b_{eff}=13.20 t_w=0.70 σ=14.47
CC 36 SLU (Collegamento -380_-516)
Azioni sul collegamento: N=332.08 Ty=-0.25 Tz=-89.22 Mx=-0.03 Mz=-0.20
Zona tesa: F=133.72 b_{eff}=13.20 t_w=0.70 σ=14.47
Zona tesa: F=133.72 b_{eff}=13.20 t_w=0.70 σ=14.47
CC 37 SLU (Collegamento -380_-516)
Azioni sul collegamento: N=265.40 Ty=-0.11 Tz=-78.90 Mx=-0.01 Mz=-0.08
Zona tesa: F=106.87 b_{eff}=13.20 t_w=0.70 σ=11.57
Zona tesa: F=106.87 b_{eff}=13.20 t_w=0.70 σ=11.57
CC 38 SLU (Collegamento -380_-516)
Azioni sul collegamento: N=261.61 Ty=-0.11 Tz=-78.32 Mx=-0.01 Mz=-0.08
Zona tesa: F=105.34 b_{eff}=13.20 t_w=0.70 σ=11.40
Zona tesa: F=105.34 b_{eff}=13.20 t_w=0.70 σ=11.40
CC 39 SLU (Collegamento -380_-516)
Azioni sul collegamento: N=263.50 Ty=0.03 Tz=-78.61 Mx=0.01 Mz=0.05
Zona tesa: F=106.11 b_{eff}=13.20 t_w=0.70 σ=11.48
Zona tesa: F=106.11 b_{eff}=13.20 t_w=0.70 σ=11.48
CC 40 SLU (Collegamento -380_-516)
Azioni sul collegamento: N=263.50 Ty=-0.25 Tz=-78.61 Mx=-0.03 Mz=-0.21
Zona tesa: F=106.11 b_{eff}=13.20 t_w=0.70 σ=11.48
Zona tesa: F=106.11 b_{eff}=13.20 t_w=0.70 σ=11.48
CC 41 SLU (Collegamento -380_-516)
Azioni sul collegamento: N=344.53 Ty=-0.10 Tz=-91.15 Mx=-0.01 Mz=-0.07
Zona tesa: F=138.74 b_{eff}=13.20 t_w=0.70 σ=15.01
Zona tesa: F=138.74 b_{eff}=13.20 t_w=0.70 σ=15.01
CC 42 SLU (Collegamento -380_-516)
Azioni sul collegamento: N=340.73 Ty=-0.10 Tz=-90.56 Mx=-0.01 Mz=-0.07
Zona tesa: F=137.21 b_{eff}=13.20 t_w=0.70 σ=14.85
Zona tesa: F=137.21 b_{eff}=13.20 t_w=0.70 σ=14.85
CC 43 SLU (Collegamento -380_-516)
Azioni sul collegamento: N=342.63 Ty=0.04 Tz=-90.86 Mx=0.01 Mz=0.06
Zona tesa: F=137.97 b_{eff}=13.20 t_w=0.70 σ=14.93
Zona tesa: F=137.97 b_{eff}=13.20 t_w=0.70 σ=14.93
CC 44 SLU (Collegamento -380_-516)
Azioni sul collegamento: N=342.63 Ty=-0.24 Tz=-90.86 Mx=-0.03 Mz=-0.20
Zona tesa: F=137.97 b_{eff}=13.20 t_w=0.70 σ=14.93
Zona tesa: F=137.97 b_{eff}=13.20 t_w=0.70 σ=14.93
CC 45 SLU (Collegamento -380_-516)
Azioni sul collegamento: N=280.60 Ty=-0.11 Tz=-81.26 Mx=-0.01 Mz=-0.08
Zona tesa: F=112.99 b_{eff}=13.20 t_w=0.70 σ=12.23
Zona tesa: F=112.99 b_{eff}=13.20 t_w=0.70 σ=12.23
CC 46 SLU (Collegamento -380_-516)
Azioni sul collegamento: N=276.80 Ty=-0.11 Tz=-80.67 Mx=-0.01 Mz=-0.08
Zona tesa: F=111.46 b_{eff}=13.20 t_w=0.70 σ=12.06
Zona tesa: F=111.46 b_{eff}=13.20 t_w=0.70 σ=12.06
CC 47 SLU (Collegamento -380_-516)
Azioni sul collegamento: N=278.70 Ty=0.03 Tz=-80.96 Mx=0.01 Mz=0.05
Zona tesa: F=112.23 b_{eff}=13.20 t_w=0.70 σ=12.15
Zona tesa: F=112.23 b_{eff}=13.20 t_w=0.70 σ=12.15
CC 48 SLU (Collegamento -380_-516)

Azioni sul collegamento: N=278.70 Ty=-0.25 Tz=-80.96 Mx=-0.03 Mz=-0.21
Zona tesa: F=112.23 b_{eff}=13.20 t_w=0.70 σ=12.15
Zona tesa: F=112.23 b_{eff}=13.20 t_w=0.70 σ=12.15
CC 49 SLU (Collegamento -380_-516)
Azioni sul collegamento: N=229.29 Ty=-0.11 Tz=-73.32 Mx=-0.01 Mz=-0.09
Zona tesa: F=92.33 b_{eff}=13.20 t_w=0.70 σ=9.99
Zona tesa: F=92.33 b_{eff}=13.20 t_w=0.70 σ=9.99
CC 50 SLU (Collegamento -380_-516)
Azioni sul collegamento: N=225.50 Ty=-0.11 Tz=-72.73 Mx=-0.01 Mz=-0.08
Zona tesa: F=90.80 b_{eff}=13.20 t_w=0.70 σ=9.83
Zona tesa: F=90.80 b_{eff}=13.20 t_w=0.70 σ=9.83
CC 51 SLU (Collegamento -380_-516)
Azioni sul collegamento: N=227.39 Ty=0.03 Tz=-73.02 Mx=0.01 Mz=0.05
Zona tesa: F=91.57 b_{eff}=13.20 t_w=0.70 σ=9.91
Zona tesa: F=91.57 b_{eff}=13.20 t_w=0.70 σ=9.91
CC 52 SLU (Collegamento -380_-516)
Azioni sul collegamento: N=227.40 Ty=-0.26 Tz=-73.02 Mx=-0.03 Mz=-0.21
Zona tesa: F=91.57 b_{eff}=13.20 t_w=0.70 σ=9.91
Zona tesa: F=91.57 b_{eff}=13.20 t_w=0.70 σ=9.91
CC 53 SLU (Collegamento -380_-516)
Azioni sul collegamento: N=288.49 Ty=-0.11 Tz=-82.48 Mx=-0.01 Mz=-0.08
Zona tesa: F=116.17 b_{eff}=13.20 t_w=0.70 σ=12.57
Zona tesa: F=116.17 b_{eff}=13.20 t_w=0.70 σ=12.57
CC 54 SLU (Collegamento -380_-516)
Azioni sul collegamento: N=284.70 Ty=-0.10 Tz=-81.89 Mx=-0.01 Mz=-0.07
Zona tesa: F=114.64 b_{eff}=13.20 t_w=0.70 σ=12.41
Zona tesa: F=114.64 b_{eff}=13.20 t_w=0.70 σ=12.41
CC 55 SLU (Collegamento -380_-516)
Azioni sul collegamento: N=286.59 Ty=0.04 Tz=-82.18 Mx=0.01 Mz=0.06
Zona tesa: F=115.41 b_{eff}=13.20 t_w=0.70 σ=12.49
Zona tesa: F=115.41 b_{eff}=13.20 t_w=0.70 σ=12.49
CC 56 SLU (Collegamento -380_-516)
Azioni sul collegamento: N=286.60 Ty=-0.25 Tz=-82.18 Mx=-0.03 Mz=-0.21
Zona tesa: F=115.41 b_{eff}=13.20 t_w=0.70 σ=12.49
Zona tesa: F=115.41 b_{eff}=13.20 t_w=0.70 σ=12.49
CC 57 SLU (Collegamento -380_-516)
Azioni sul collegamento: N=269.35 Ty=-0.10 Tz=-79.52 Mx=-0.01 Mz=-0.07
Zona tesa: F=108.47 b_{eff}=13.20 t_w=0.70 σ=11.74
Zona tesa: F=108.47 b_{eff}=13.20 t_w=0.70 σ=11.74
CC 58 SLU (Collegamento -380_-516)
Azioni sul collegamento: N=265.56 Ty=-0.10 Tz=-78.93 Mx=-0.01 Mz=-0.07
Zona tesa: F=106.94 b_{eff}=13.20 t_w=0.70 σ=11.57
Zona tesa: F=106.94 b_{eff}=13.20 t_w=0.70 σ=11.57
CC 59 SLU (Collegamento -380_-516)
Azioni sul collegamento: N=267.45 Ty=0.04 Tz=-79.22 Mx=0.01 Mz=0.06
Zona tesa: F=107.70 b_{eff}=13.20 t_w=0.70 σ=11.66
Zona tesa: F=107.70 b_{eff}=13.20 t_w=0.70 σ=11.66
CC 60 SLU (Collegamento -380_-516)
Azioni sul collegamento: N=267.46 Ty=-0.25 Tz=-79.22 Mx=-0.03 Mz=-0.20
Zona tesa: F=107.70 b_{eff}=13.20 t_w=0.70 σ=11.66
Zona tesa: F=107.70 b_{eff}=13.20 t_w=0.70 σ=11.66
CC 61 SLU (Collegamento -380_-516)
Azioni sul collegamento: N=218.05 Ty=-0.11 Tz=-71.58 Mx=-0.01 Mz=-0.08
Zona tesa: F=87.81 b_{eff}=13.20 t_w=0.70 σ=9.50
Zona tesa: F=87.81 b_{eff}=13.20 t_w=0.70 σ=9.50
CC 62 SLU (Collegamento -380_-516)
Azioni sul collegamento: N=214.25 Ty=-0.10 Tz=-70.99 Mx=-0.01 Mz=-0.08
Zona tesa: F=86.28 b_{eff}=13.20 t_w=0.70 σ=9.34
Zona tesa: F=86.28 b_{eff}=13.20 t_w=0.70 σ=9.34
CC 63 SLU (Collegamento -380_-516)
Azioni sul collegamento: N=216.15 Ty=0.04 Tz=-71.28 Mx=0.01 Mz=0.05
Zona tesa: F=87.04 b_{eff}=13.20 t_w=0.70 σ=9.42
Zona tesa: F=87.04 b_{eff}=13.20 t_w=0.70 σ=9.42
CC 64 SLU (Collegamento -380_-516)
Azioni sul collegamento: N=216.16 Ty=-0.25 Tz=-71.28 Mx=-0.03 Mz=-0.21
Zona tesa: F=87.04 b_{eff}=13.20 t_w=0.70 σ=9.42
Zona tesa: F=87.04 b_{eff}=13.20 t_w=0.70 σ=9.42
CC 65 SLU (Collegamento -380_-516)
Azioni sul collegamento: N=277.25 Ty=-0.10 Tz=-80.74 Mx=-0.01 Mz=-0.07
Zona tesa: F=111.64 b_{eff}=13.20 t_w=0.70 σ=12.08
Zona tesa: F=111.64 b_{eff}=13.20 t_w=0.70 σ=12.08
CC 66 SLU (Collegamento -380_-516)
Azioni sul collegamento: N=273.45 Ty=-0.10 Tz=-80.15 Mx=-0.01 Mz=-0.07
Zona tesa: F=110.12 b_{eff}=13.20 t_w=0.70 σ=11.92
Zona tesa: F=110.12 b_{eff}=13.20 t_w=0.70 σ=11.92
CC 67 SLU (Collegamento -380_-516)
Azioni sul collegamento: N=275.35 Ty=0.05 Tz=-80.44 Mx=0.01 Mz=0.06
Zona tesa: F=110.88 b_{eff}=13.20 t_w=0.70 σ=12.00

Zona tesa: F=110.88 b_{eff}=13.20 t_w=0.70 σ=12.00
CC 68 SLU (Collegamento -380_-516)
Azioni sul collegamento: N=275.36 Ty=-0.24 Tz=-80.44 Mx=-0.03 Mz=-0.20
Zona tesa: F=110.88 b_{eff}=13.20 t_w=0.70 σ=12.00
Zona tesa: F=110.88 b_{eff}=13.20 t_w=0.70 σ=12.00
CC 97 SLU (Collegamento -380_-516)
Azioni sul collegamento: N=182.32 Ty=-12.54 Tz=-56.24 Mx=-1.50 Mz=-9.93
Zona tesa: F=73.42 b_{eff}=13.20 t_w=0.70 σ=7.95
Zona tesa: F=73.42 b_{eff}=13.20 t_w=0.70 σ=7.95
CC 98 SLU (Collegamento -380_-516)
Azioni sul collegamento: N=178.53 Ty=-12.54 Tz=-55.65 Mx=-1.50 Mz=-9.93
Zona tesa: F=71.89 b_{eff}=13.20 t_w=0.70 σ=7.78
Zona tesa: F=71.89 b_{eff}=13.20 t_w=0.70 σ=7.78
CC 99 SLU (Collegamento -380_-516)
Azioni sul collegamento: N=180.42 Ty=-12.40 Tz=-55.94 Mx=-1.48 Mz=-9.80
Zona tesa: F=72.65 b_{eff}=13.20 t_w=0.70 σ=7.86
Zona tesa: F=72.65 b_{eff}=13.20 t_w=0.70 σ=7.86
CC 100 SLU (Collegamento -380_-516)
Azioni sul collegamento: N=180.43 Ty=-12.68 Tz=-55.95 Mx=-1.52 Mz=-10.06
Zona tesa: F=72.66 b_{eff}=13.20 t_w=0.70 σ=7.86
Zona tesa: F=72.66 b_{eff}=13.20 t_w=0.70 σ=7.86
CC 101 SLU (Collegamento -380_-516)
Azioni sul collegamento: N=134.06 Ty=1.86 Tz=-48.77 Mx=0.26 Mz=1.69
Zona tesa: F=53.98 b_{eff}=13.20 t_w=0.70 σ=5.84
Zona tesa: F=53.98 b_{eff}=13.20 t_w=0.70 σ=5.84
CC 102 SLU (Collegamento -380_-516)
Azioni sul collegamento: N=130.26 Ty=1.86 Tz=-48.18 Mx=0.26 Mz=1.69
Zona tesa: F=52.45 b_{eff}=13.20 t_w=0.70 σ=5.68
Zona tesa: F=52.45 b_{eff}=13.20 t_w=0.70 σ=5.68
CC 103 SLU (Collegamento -380_-516)
Azioni sul collegamento: N=132.16 Ty=2.00 Tz=-48.47 Mx=0.28 Mz=1.82
Zona tesa: F=53.22 b_{eff}=13.20 t_w=0.70 σ=5.76
Zona tesa: F=53.22 b_{eff}=13.20 t_w=0.70 σ=5.76
CC 104 SLU (Collegamento -380_-516)
Azioni sul collegamento: N=132.16 Ty=1.72 Tz=-48.48 Mx=0.24 Mz=1.56
Zona tesa: F=53.22 b_{eff}=13.20 t_w=0.70 σ=5.76
Zona tesa: F=53.22 b_{eff}=13.20 t_w=0.70 σ=5.76

Collegamento -381_-519

Saldatura a cordone d'angolo
Altezza di gola saldature: anima 7.07 - ala 7.07

Saldatura profilo-profilo

CC 102 SLU (Collegamento -381_-519)
Azioni sul collegamento: N=340.68 Ty=-7.75 Tz=-90.55 Mx=-1.00 Mz=-6.78
Sollecitazioni agenti localmente: Tx_l=-7.75 Ty_l=-90.55 N_l=340.68 My_l=6.78 Mz_l=-1.00
Azioni sul cordone: TP=1.72 TO=7.45 NO=25.07
Tensioni nel cordone: τ_P=0.55 τ_O=2.37 σ_O=17.87 σ_{ID}=18.04 Σ_T=20.24
CC 127 SLU (Collegamento -381_-519)
Azioni sul collegamento: N=284.64 Ty=-9.41 Tz=-81.88 Mx=-1.26 Mz=-8.45
Sollecitazioni agenti localmente: Tx_l=-9.41 Ty_l=-81.88 N_l=284.64 My_l=8.45 Mz_l=-1.26
Azioni sul cordone: TP=2.14 TO=7.02 NO=20.94
Tensioni nel cordone: τ_P=0.68 τ_O=2.23 σ_O=19.00 σ_{ID}=19.14 Σ_T=21.23

Verifica lato anima della colonna

CC 102 SLU (Collegamento -381_-519)
Azioni sul collegamento: N=340.68 Ty=-7.75 Tz=-90.55 Mx=-1.00 Mz=-6.78
Zona tesa: F=137.19 b_{eff}=13.20 t_w=0.70 σ=14.85
Zona tesa: F=137.19 b_{eff}=13.20 t_w=0.70 σ=14.85

Collegamento -382_-520

Saldatura a cordone d'angolo
Altezza di gola saldature: anima 7.07 - ala 7.07

Saldatura profilo-profilo

CC 1 SLV (Collegamento -382_-520)
Azioni sul collegamento: N=159.97 Ty=-1.47 Tz=-52.78 Mx=-0.34 Mz=-1.98
Sollecitazioni agenti localmente: Tx_l=-1.47 Ty_l=-52.78 N_l=159.97 My_l=1.98 Mz_l=-0.34
Azioni sul cordone: TP=0.50 TO=4.15 NO=11.77
Tensioni nel cordone: τ_P=0.16 τ_O=1.32 σ_O=6.64 σ_{ID}=6.77 Σ_T=7.96
CC 1 SLV (Collegamento -382_-520)
Azioni sul collegamento: N=159.97 Ty=-3.35 Tz=-52.78 Mx=-0.71 Mz=-4.39
Sollecitazioni agenti localmente: Tx_l=-3.35 Ty_l=-52.78 N_l=159.97 My_l=4.39 Mz_l=-0.71
Azioni sul cordone: TP=1.07 TO=4.44 NO=11.77

Tensioni nel cordone: τ_P=0.34 τ_0=1.41 σ_0=10.16 σ_{ID}=10.26 Σ_T=11.57
CC 1 SLV (Collegamento -382_-520)
Azioni sul collegamento: N=159.97 Ty=-1.47 Tz=-52.78 Mx=-0.34 Mz=-1.98
Sollecitazioni agenti localmente: Tx_l=-1.47 Ty_l=-52.78 N_l=159.97 My_l=1.98 Mz_l=-0.34
Azioni sul cordone: TP=0.50 TO=4.15 NO=11.77
Tensioni nel cordone: τ_P=0.16 τ_0=1.32 σ_0=6.64 σ_{ID}=6.77 Σ_T=7.96
CC 1 SLV (Collegamento -382_-520)
Azioni sul collegamento: N=159.97 Ty=-3.35 Tz=-52.78 Mx=-0.71 Mz=-4.39
Sollecitazioni agenti localmente: Tx_l=-3.35 Ty_l=-52.78 N_l=159.97 My_l=4.39 Mz_l=-0.71
Azioni sul cordone: TP=1.07 TO=4.44 NO=11.77
Tensioni nel cordone: τ_P=0.34 τ_0=1.41 σ_0=10.16 σ_{ID}=10.26 Σ_T=11.57
CC 1 SLV (Collegamento -382_-520)
Azioni sul collegamento: N=117.75 Ty=-1.47 Tz=-46.25 Mx=-0.34 Mz=-1.98
Sollecitazioni agenti localmente: Tx_l=-1.47 Ty_l=-46.25 N_l=117.75 My_l=1.98 Mz_l=-0.34
Azioni sul cordone: TP=0.50 TO=3.67 NO=8.66
Tensioni nel cordone: τ_P=0.16 τ_0=1.17 σ_0=5.65 σ_{ID}=5.77 Σ_T=6.82
CC 1 SLV (Collegamento -382_-520)
Azioni sul collegamento: N=117.75 Ty=-3.35 Tz=-46.25 Mx=-0.71 Mz=-4.39
Sollecitazioni agenti localmente: Tx_l=-3.35 Ty_l=-46.25 N_l=117.75 My_l=4.39 Mz_l=-0.71
Azioni sul cordone: TP=1.07 TO=3.96 NO=8.66
Tensioni nel cordone: τ_P=0.34 τ_0=1.26 σ_0=9.17 σ_{ID}=9.26 Σ_T=10.43
CC 1 SLV (Collegamento -382_-520)
Azioni sul collegamento: N=117.75 Ty=-1.47 Tz=-46.25 Mx=-0.34 Mz=-1.98
Sollecitazioni agenti localmente: Tx_l=-1.47 Ty_l=-46.25 N_l=117.75 My_l=1.98 Mz_l=-0.34
Azioni sul cordone: TP=0.50 TO=3.67 NO=8.66
Tensioni nel cordone: τ_P=0.16 τ_0=1.17 σ_0=5.65 σ_{ID}=5.77 Σ_T=6.82
CC 1 SLV (Collegamento -382_-520)
Azioni sul collegamento: N=117.75 Ty=-3.35 Tz=-46.25 Mx=-0.71 Mz=-4.39
Sollecitazioni agenti localmente: Tx_l=-3.35 Ty_l=-46.25 N_l=117.75 My_l=4.39 Mz_l=-0.71
Azioni sul cordone: TP=1.07 TO=3.96 NO=8.66
Tensioni nel cordone: τ_P=0.34 τ_0=1.26 σ_0=9.17 σ_{ID}=9.26 Σ_T=10.43
CC 2 SLD (Collegamento -382_-520)
Azioni sul collegamento: N=145.42 Ty=-1.66 Tz=-50.53 Mx=-0.37 Mz=-2.26
Sollecitazioni agenti localmente: Tx_l=-1.66 Ty_l=-50.53 N_l=145.42 My_l=2.26 Mz_l=-0.37
Azioni sul cordone: TP=0.55 TO=4.01 NO=10.70
Tensioni nel cordone: τ_P=0.17 τ_0=1.27 σ_0=6.70 σ_{ID}=6.82 Σ_T=7.97
CC 2 SLD (Collegamento -382_-520)
Azioni sul collegamento: N=145.42 Ty=-2.23 Tz=-50.53 Mx=-0.49 Mz=-2.99
Sollecitazioni agenti localmente: Tx_l=-2.23 Ty_l=-50.53 N_l=145.42 My_l=2.99 Mz_l=-0.49
Azioni sul cordone: TP=0.72 TO=4.10 NO=10.70
Tensioni nel cordone: τ_P=0.23 τ_0=1.30 σ_0=7.77 σ_{ID}=7.88 Σ_T=9.07
CC 2 SLD (Collegamento -382_-520)
Azioni sul collegamento: N=145.42 Ty=-1.66 Tz=-50.53 Mx=-0.37 Mz=-2.26
Sollecitazioni agenti localmente: Tx_l=-1.66 Ty_l=-50.53 N_l=145.42 My_l=2.26 Mz_l=-0.37
Azioni sul cordone: TP=0.55 TO=4.01 NO=10.70
Tensioni nel cordone: τ_P=0.17 τ_0=1.27 σ_0=6.70 σ_{ID}=6.82 Σ_T=7.97
CC 2 SLD (Collegamento -382_-520)
Azioni sul collegamento: N=145.42 Ty=-2.23 Tz=-50.53 Mx=-0.49 Mz=-2.99
Sollecitazioni agenti localmente: Tx_l=-2.23 Ty_l=-50.53 N_l=145.42 My_l=2.99 Mz_l=-0.49
Azioni sul cordone: TP=0.72 TO=4.10 NO=10.70
Tensioni nel cordone: τ_P=0.23 τ_0=1.30 σ_0=7.77 σ_{ID}=7.88 Σ_T=9.07
CC 2 SLD (Collegamento -382_-520)
Azioni sul collegamento: N=132.54 Ty=-1.66 Tz=-48.53 Mx=-0.37 Mz=-2.26
Sollecitazioni agenti localmente: Tx_l=-1.66 Ty_l=-48.53 N_l=132.54 My_l=2.26 Mz_l=-0.37
Azioni sul cordone: TP=0.55 TO=3.86 NO=9.75
Tensioni nel cordone: τ_P=0.17 τ_0=1.23 σ_0=6.40 σ_{ID}=6.52 Σ_T=7.63
CC 2 SLD (Collegamento -382_-520)
Azioni sul collegamento: N=132.54 Ty=-2.23 Tz=-48.53 Mx=-0.49 Mz=-2.99
Sollecitazioni agenti localmente: Tx_l=-2.23 Ty_l=-48.53 N_l=132.54 My_l=2.99 Mz_l=-0.49
Azioni sul cordone: TP=0.72 TO=3.95 NO=9.75
Tensioni nel cordone: τ_P=0.23 τ_0=1.26 σ_0=7.47 σ_{ID}=7.58 Σ_T=8.73
CC 2 SLD (Collegamento -382_-520)
Azioni sul collegamento: N=132.54 Ty=-1.66 Tz=-48.53 Mx=-0.37 Mz=-2.26
Sollecitazioni agenti localmente: Tx_l=-1.66 Ty_l=-48.53 N_l=132.54 My_l=2.26 Mz_l=-0.37
Azioni sul cordone: TP=0.55 TO=3.86 NO=9.75
Tensioni nel cordone: τ_P=0.17 τ_0=1.23 σ_0=6.40 σ_{ID}=6.52 Σ_T=7.63
CC 2 SLD (Collegamento -382_-520)
Azioni sul collegamento: N=132.54 Ty=-2.23 Tz=-48.53 Mx=-0.49 Mz=-2.99
Sollecitazioni agenti localmente: Tx_l=-2.23 Ty_l=-48.53 N_l=132.54 My_l=2.99 Mz_l=-0.49
Azioni sul cordone: TP=0.72 TO=3.95 NO=9.75
Tensioni nel cordone: τ_P=0.23 τ_0=1.26 σ_0=7.47 σ_{ID}=7.58 Σ_T=8.73
CC 3 SLV (Collegamento -382_-520)
Azioni sul collegamento: N=159.78 Ty=-2.01 Tz=-52.75 Mx=-0.42 Mz=-2.55
Sollecitazioni agenti localmente: Tx_l=-2.01 Ty_l=-52.75 N_l=159.78 My_l=2.55 Mz_l=-0.42
Azioni sul cordone: TP=0.64 TO=4.22 NO=11.76
Tensioni nel cordone: τ_P=0.20 τ_0=1.34 σ_0=7.46 σ_{ID}=7.58 Σ_T=8.80
CC 3 SLV (Collegamento -382_-520)
Azioni sul collegamento: N=159.78 Ty=-2.81 Tz=-52.75 Mx=-0.62 Mz=-3.83
Sollecitazioni agenti localmente: Tx_l=-2.81 Ty_l=-52.75 N_l=159.78 My_l=3.83 Mz_l=-0.62
Azioni sul cordone: TP=0.92 TO=4.37 NO=11.76
Tensioni nel cordone: τ_P=0.29 τ_0=1.39 σ_0=9.33 σ_{ID}=9.44 Σ_T=10.72

CC 3 SLV (Collegamento -382_-520)
Azioni sul collegamento: N=159.78 Ty=-2.01 Tz=-52.75 Mx=-0.42 Mz=-2.55
Sollecitazioni agenti localmente: Tx_l=-2.01 Ty_l=-52.75 N_l=159.78 My_l=2.55 Mz_l=-0.42
Azioni sul cordone: TP=0.64 TO=4.22 NO=11.76
Tensioni nel cordone: τ_P=0.20 τ_0=1.34 σ_0=7.46 σ_{ID}=7.58 Σ_T=8.80
CC 3 SLV (Collegamento -382_-520)
Azioni sul collegamento: N=159.78 Ty=-2.81 Tz=-52.75 Mx=-0.62 Mz=-3.83
Sollecitazioni agenti localmente: Tx_l=-2.81 Ty_l=-52.75 N_l=159.78 My_l=3.83 Mz_l=-0.62
Azioni sul cordone: TP=0.92 TO=4.37 NO=11.76
Tensioni nel cordone: τ_P=0.29 τ_0=1.39 σ_0=9.33 σ_{ID}=9.44 Σ_T=10.72
CC 3 SLV (Collegamento -382_-520)
Azioni sul collegamento: N=117.94 Ty=-2.01 Tz=-46.27 Mx=-0.42 Mz=-2.55
Sollecitazioni agenti localmente: Tx_l=-2.01 Ty_l=-46.27 N_l=117.94 My_l=2.55 Mz_l=-0.42
Azioni sul cordone: TP=0.64 TO=3.74 NO=8.68
Tensioni nel cordone: τ_P=0.20 τ_0=1.19 σ_0=6.48 σ_{ID}=6.59 Σ_T=7.67
CC 3 SLV (Collegamento -382_-520)
Azioni sul collegamento: N=117.94 Ty=-2.81 Tz=-46.27 Mx=-0.62 Mz=-3.83
Sollecitazioni agenti localmente: Tx_l=-2.81 Ty_l=-46.27 N_l=117.94 My_l=3.83 Mz_l=-0.62
Azioni sul cordone: TP=0.92 TO=3.90 NO=8.68
Tensioni nel cordone: τ_P=0.29 τ_0=1.24 σ_0=8.35 σ_{ID}=8.45 Σ_T=9.59
CC 3 SLV (Collegamento -382_-520)
Azioni sul collegamento: N=117.94 Ty=-2.01 Tz=-46.27 Mx=-0.42 Mz=-2.55
Sollecitazioni agenti localmente: Tx_l=-2.01 Ty_l=-46.27 N_l=117.94 My_l=2.55 Mz_l=-0.42
Azioni sul cordone: TP=0.64 TO=3.74 NO=8.68
Tensioni nel cordone: τ_P=0.20 τ_0=1.19 σ_0=6.48 σ_{ID}=6.59 Σ_T=7.67
CC 3 SLV (Collegamento -382_-520)
Azioni sul collegamento: N=117.94 Ty=-2.81 Tz=-46.27 Mx=-0.62 Mz=-3.83
Sollecitazioni agenti localmente: Tx_l=-2.81 Ty_l=-46.27 N_l=117.94 My_l=3.83 Mz_l=-0.62
Azioni sul cordone: TP=0.92 TO=3.90 NO=8.68
Tensioni nel cordone: τ_P=0.29 τ_0=1.24 σ_0=8.35 σ_{ID}=8.45 Σ_T=9.59
CC 4 SLD (Collegamento -382_-520)
Azioni sul collegamento: N=145.36 Ty=-1.82 Tz=-50.52 Mx=-0.40 Mz=-2.43
Sollecitazioni agenti localmente: Tx_l=-1.82 Ty_l=-50.52 N_l=145.36 My_l=2.43 Mz_l=-0.40
Azioni sul cordone: TP=0.59 TO=4.03 NO=10.70
Tensioni nel cordone: τ_P=0.19 τ_0=1.28 σ_0=6.95 σ_{ID}=7.07 Σ_T=8.23
CC 4 SLD (Collegamento -382_-520)
Azioni sul collegamento: N=145.36 Ty=-2.06 Tz=-50.52 Mx=-0.46 Mz=-2.82
Sollecitazioni agenti localmente: Tx_l=-2.06 Ty_l=-50.52 N_l=145.36 My_l=2.82 Mz_l=-0.46
Azioni sul cordone: TP=0.68 TO=4.08 NO=10.70
Tensioni nel cordone: τ_P=0.22 τ_0=1.30 σ_0=7.52 σ_{ID}=7.63 Σ_T=8.82
CC 4 SLD (Collegamento -382_-520)
Azioni sul collegamento: N=145.36 Ty=-1.82 Tz=-50.52 Mx=-0.40 Mz=-2.43
Sollecitazioni agenti localmente: Tx_l=-1.82 Ty_l=-50.52 N_l=145.36 My_l=2.43 Mz_l=-0.40
Azioni sul cordone: TP=0.59 TO=4.03 NO=10.70
Tensioni nel cordone: τ_P=0.19 τ_0=1.28 σ_0=6.95 σ_{ID}=7.07 Σ_T=8.23
CC 4 SLD (Collegamento -382_-520)
Azioni sul collegamento: N=145.36 Ty=-2.06 Tz=-50.52 Mx=-0.46 Mz=-2.82
Sollecitazioni agenti localmente: Tx_l=-2.06 Ty_l=-50.52 N_l=145.36 My_l=2.82 Mz_l=-0.46
Azioni sul cordone: TP=0.68 TO=4.08 NO=10.70
Tensioni nel cordone: τ_P=0.22 τ_0=1.30 σ_0=7.52 σ_{ID}=7.63 Σ_T=8.82
CC 4 SLD (Collegamento -382_-520)
Azioni sul collegamento: N=132.60 Ty=-1.82 Tz=-48.54 Mx=-0.40 Mz=-2.43
Sollecitazioni agenti localmente: Tx_l=-1.82 Ty_l=-48.54 N_l=132.60 My_l=2.43 Mz_l=-0.40
Azioni sul cordone: TP=0.59 TO=3.89 NO=9.76
Tensioni nel cordone: τ_P=0.19 τ_0=1.24 σ_0=6.65 σ_{ID}=6.77 Σ_T=7.88
CC 4 SLD (Collegamento -382_-520)
Azioni sul collegamento: N=132.60 Ty=-2.06 Tz=-48.54 Mx=-0.46 Mz=-2.82
Sollecitazioni agenti localmente: Tx_l=-2.06 Ty_l=-48.54 N_l=132.60 My_l=2.82 Mz_l=-0.46
Azioni sul cordone: TP=0.68 TO=3.93 NO=9.76
Tensioni nel cordone: τ_P=0.22 τ_0=1.25 σ_0=7.22 σ_{ID}=7.33 Σ_T=8.47
CC 4 SLD (Collegamento -382_-520)
Azioni sul collegamento: N=132.60 Ty=-1.82 Tz=-48.54 Mx=-0.40 Mz=-2.43
Sollecitazioni agenti localmente: Tx_l=-1.82 Ty_l=-48.54 N_l=132.60 My_l=2.43 Mz_l=-0.40
Azioni sul cordone: TP=0.59 TO=3.89 NO=9.76
Tensioni nel cordone: τ_P=0.19 τ_0=1.24 σ_0=6.65 σ_{ID}=6.77 Σ_T=7.88
CC 4 SLD (Collegamento -382_-520)
Azioni sul collegamento: N=132.60 Ty=-2.06 Tz=-48.54 Mx=-0.46 Mz=-2.82
Sollecitazioni agenti localmente: Tx_l=-2.06 Ty_l=-48.54 N_l=132.60 My_l=2.82 Mz_l=-0.46
Azioni sul cordone: TP=0.68 TO=3.93 NO=9.76
Tensioni nel cordone: τ_P=0.22 τ_0=1.25 σ_0=7.22 σ_{ID}=7.33 Σ_T=8.47
CC 5 SLV (Collegamento -382_-520)
Azioni sul collegamento: N=117.94 Ty=-2.81 Tz=-46.27 Mx=-0.61 Mz=-3.83
Sollecitazioni agenti localmente: Tx_l=-2.81 Ty_l=-46.27 N_l=117.94 My_l=3.83 Mz_l=-0.61
Azioni sul cordone: TP=0.91 TO=3.89 NO=8.68
Tensioni nel cordone: τ_P=0.29 τ_0=1.24 σ_0=8.36 σ_{ID}=8.45 Σ_T=9.59
CC 5 SLV (Collegamento -382_-520)
Azioni sul collegamento: N=117.94 Ty=-2.01 Tz=-46.27 Mx=-0.41 Mz=-2.55
Sollecitazioni agenti localmente: Tx_l=-2.01 Ty_l=-46.27 N_l=117.94 My_l=2.55 Mz_l=-0.41
Azioni sul cordone: TP=0.62 TO=3.73 NO=8.68
Tensioni nel cordone: τ_P=0.20 τ_0=1.19 σ_0=6.48 σ_{ID}=6.59 Σ_T=7.67
CC 5 SLV (Collegamento -382_-520)

Azioni sul collegamento: N=117.94 Ty=-2.81 Tz=-46.27 Mx=-0.61 Mz=-3.83
Sollecitazioni agenti localmente: Tx_l=-2.81 Ty_l=-46.27 N_l=117.94 My_l=3.83 Mz_l=-0.61
Azioni sul cordone: TP=0.91 TO=3.89 NO=8.68
Tensioni nel cordone: τ_P=0.29 τ_0=1.24 σ_0=8.36 σ_{ID}=8.45 Σ_T=9.59
CC 5 SLV (Collegamento -382_-520)
Azioni sul collegamento: N=117.94 Ty=-2.01 Tz=-46.27 Mx=-0.41 Mz=-2.55
Sollecitazioni agenti localmente: Tx_l=-2.01 Ty_l=-46.27 N_l=117.94 My_l=2.55 Mz_l=-0.41
Azioni sul cordone: TP=0.62 TO=3.73 NO=8.68
Tensioni nel cordone: τ_P=0.20 τ_0=1.19 σ_0=6.48 σ_{ID}=6.59 Σ_T=7.67
CC 5 SLV (Collegamento -382_-520)
Azioni sul collegamento: N=159.78 Ty=-2.81 Tz=-52.75 Mx=-0.61 Mz=-3.83
Sollecitazioni agenti localmente: Tx_l=-2.81 Ty_l=-52.75 N_l=159.78 My_l=3.83 Mz_l=-0.61
Azioni sul cordone: TP=0.91 TO=4.36 NO=11.76
Tensioni nel cordone: τ_P=0.29 τ_0=1.39 σ_0=9.34 σ_{ID}=9.44 Σ_T=10.72
CC 5 SLV (Collegamento -382_-520)
Azioni sul collegamento: N=159.78 Ty=-2.01 Tz=-52.75 Mx=-0.41 Mz=-2.55
Sollecitazioni agenti localmente: Tx_l=-2.01 Ty_l=-52.75 N_l=159.78 My_l=2.55 Mz_l=-0.41
Azioni sul cordone: TP=0.62 TO=4.21 NO=11.76
Tensioni nel cordone: τ_P=0.20 τ_0=1.34 σ_0=7.46 σ_{ID}=7.58 Σ_T=8.80
CC 5 SLV (Collegamento -382_-520)
Azioni sul collegamento: N=159.78 Ty=-2.81 Tz=-52.75 Mx=-0.61 Mz=-3.83
Sollecitazioni agenti localmente: Tx_l=-2.81 Ty_l=-52.75 N_l=159.78 My_l=3.83 Mz_l=-0.61
Azioni sul cordone: TP=0.91 TO=4.36 NO=11.76
Tensioni nel cordone: τ_P=0.29 τ_0=1.39 σ_0=9.34 σ_{ID}=9.44 Σ_T=10.72
CC 5 SLV (Collegamento -382_-520)
Azioni sul collegamento: N=159.78 Ty=-2.01 Tz=-52.75 Mx=-0.41 Mz=-2.55
Sollecitazioni agenti localmente: Tx_l=-2.01 Ty_l=-52.75 N_l=159.78 My_l=2.55 Mz_l=-0.41
Azioni sul cordone: TP=0.62 TO=4.21 NO=11.76
Tensioni nel cordone: τ_P=0.20 τ_0=1.34 σ_0=7.46 σ_{ID}=7.58 Σ_T=8.80
CC 6 SLD (Collegamento -382_-520)
Azioni sul collegamento: N=132.60 Ty=-2.06 Tz=-48.54 Mx=-0.46 Mz=-2.82
Sollecitazioni agenti localmente: Tx_l=-2.06 Ty_l=-48.54 N_l=132.60 My_l=2.82 Mz_l=-0.46
Azioni sul cordone: TP=0.68 TO=3.93 NO=9.76
Tensioni nel cordone: τ_P=0.21 τ_0=1.25 σ_0=7.22 σ_{ID}=7.33 Σ_T=8.47
CC 6 SLD (Collegamento -382_-520)
Azioni sul collegamento: N=132.60 Ty=-1.82 Tz=-48.54 Mx=-0.39 Mz=-2.43
Sollecitazioni agenti localmente: Tx_l=-1.82 Ty_l=-48.54 N_l=132.60 My_l=2.43 Mz_l=-0.39
Azioni sul cordone: TP=0.59 TO=3.88 NO=9.76
Tensioni nel cordone: τ_P=0.19 τ_0=1.23 σ_0=6.65 σ_{ID}=6.77 Σ_T=7.88
CC 6 SLD (Collegamento -382_-520)
Azioni sul collegamento: N=132.60 Ty=-2.06 Tz=-48.54 Mx=-0.46 Mz=-2.82
Sollecitazioni agenti localmente: Tx_l=-2.06 Ty_l=-48.54 N_l=132.60 My_l=2.82 Mz_l=-0.46
Azioni sul cordone: TP=0.68 TO=3.93 NO=9.76
Tensioni nel cordone: τ_P=0.21 τ_0=1.25 σ_0=7.22 σ_{ID}=7.33 Σ_T=8.47
CC 6 SLD (Collegamento -382_-520)
Azioni sul collegamento: N=132.60 Ty=-1.82 Tz=-48.54 Mx=-0.39 Mz=-2.43
Sollecitazioni agenti localmente: Tx_l=-1.82 Ty_l=-48.54 N_l=132.60 My_l=2.43 Mz_l=-0.39
Azioni sul cordone: TP=0.59 TO=3.88 NO=9.76
Tensioni nel cordone: τ_P=0.19 τ_0=1.23 σ_0=6.65 σ_{ID}=6.77 Σ_T=7.88
CC 6 SLD (Collegamento -382_-520)
Azioni sul collegamento: N=145.36 Ty=-2.06 Tz=-50.52 Mx=-0.46 Mz=-2.82
Sollecitazioni agenti localmente: Tx_l=-2.06 Ty_l=-50.52 N_l=145.36 My_l=2.82 Mz_l=-0.46
Azioni sul cordone: TP=0.68 TO=4.08 NO=10.70
Tensioni nel cordone: τ_P=0.21 τ_0=1.30 σ_0=7.52 σ_{ID}=7.63 Σ_T=8.82
CC 6 SLD (Collegamento -382_-520)
Azioni sul collegamento: N=145.36 Ty=-1.82 Tz=-50.52 Mx=-0.39 Mz=-2.43
Sollecitazioni agenti localmente: Tx_l=-1.82 Ty_l=-50.52 N_l=145.36 My_l=2.43 Mz_l=-0.39
Azioni sul cordone: TP=0.59 TO=4.03 NO=10.70
Tensioni nel cordone: τ_P=0.19 τ_0=1.28 σ_0=6.95 σ_{ID}=7.07 Σ_T=8.23
CC 6 SLD (Collegamento -382_-520)
Azioni sul collegamento: N=145.36 Ty=-2.06 Tz=-50.52 Mx=-0.46 Mz=-2.82
Sollecitazioni agenti localmente: Tx_l=-2.06 Ty_l=-50.52 N_l=145.36 My_l=2.82 Mz_l=-0.46
Azioni sul cordone: TP=0.68 TO=4.08 NO=10.70
Tensioni nel cordone: τ_P=0.21 τ_0=1.30 σ_0=7.52 σ_{ID}=7.63 Σ_T=8.82
CC 6 SLD (Collegamento -382_-520)
Azioni sul collegamento: N=145.36 Ty=-1.82 Tz=-50.52 Mx=-0.39 Mz=-2.43
Sollecitazioni agenti localmente: Tx_l=-1.82 Ty_l=-50.52 N_l=145.36 My_l=2.43 Mz_l=-0.39
Azioni sul cordone: TP=0.59 TO=4.03 NO=10.70
Tensioni nel cordone: τ_P=0.19 τ_0=1.28 σ_0=6.95 σ_{ID}=7.07 Σ_T=8.23
CC 7 SLV (Collegamento -382_-520)
Azioni sul collegamento: N=117.75 Ty=-3.35 Tz=-46.25 Mx=-0.70 Mz=-4.40
Sollecitazioni agenti localmente: Tx_l=-3.35 Ty_l=-46.25 N_l=117.75 My_l=4.40 Mz_l=-0.70
Azioni sul cordone: TP=1.05 TO=3.95 NO=8.66
Tensioni nel cordone: τ_P=0.33 τ_0=1.26 σ_0=9.17 σ_{ID}=9.27 Σ_T=10.43
CC 7 SLV (Collegamento -382_-520)
Azioni sul collegamento: N=117.75 Ty=-1.47 Tz=-46.25 Mx=-0.32 Mz=-1.99
Sollecitazioni agenti localmente: Tx_l=-1.47 Ty_l=-46.25 N_l=117.75 My_l=1.99 Mz_l=-0.32
Azioni sul cordone: TP=0.48 TO=3.66 NO=8.66
Tensioni nel cordone: τ_P=0.15 τ_0=1.16 σ_0=5.66 σ_{ID}=5.78 Σ_T=6.82
CC 7 SLV (Collegamento -382_-520)
Azioni sul collegamento: N=117.75 Ty=-3.35 Tz=-46.25 Mx=-0.70 Mz=-4.40

Sollecitazioni agenti localmente: Tx_l=-3.35 Ty_l=-46.25 N_l=117.75 My_l=4.40 Mz_l=-0.70
Azioni sul cordone: TP=1.05 TO=3.95 NO=8.66
Tensioni nel cordone: τ_P=0.33 τ_0=1.26 σ_0=9.17 σ_{ID}=9.27 Σ_T=10.43
CC 7 SLV (Collegamento -382_-520)
Azioni sul collegamento: N=117.75 Ty=-1.47 Tz=-46.25 Mx=-0.32 Mz=-1.99
Sollecitazioni agenti localmente: Tx_l=-1.47 Ty_l=-46.25 N_l=117.75 My_l=1.99 Mz_l=-0.32
Azioni sul cordone: TP=0.48 TO=3.66 NO=8.66
Tensioni nel cordone: τ_P=0.15 τ_0=1.16 σ_0=5.66 σ_{ID}=5.78 Σ_T=6.82
CC 7 SLV (Collegamento -382_-520)
Azioni sul collegamento: N=159.97 Ty=-3.35 Tz=-52.78 Mx=-0.70 Mz=-4.40
Sollecitazioni agenti localmente: Tx_l=-3.35 Ty_l=-52.78 N_l=159.97 My_l=4.40 Mz_l=-0.70
Azioni sul cordone: TP=1.05 TO=4.43 NO=11.77
Tensioni nel cordone: τ_P=0.33 τ_0=1.41 σ_0=10.16 σ_{ID}=10.26 Σ_T=11.57
CC 7 SLV (Collegamento -382_-520)
Azioni sul collegamento: N=159.97 Ty=-1.47 Tz=-52.78 Mx=-0.32 Mz=-1.99
Sollecitazioni agenti localmente: Tx_l=-1.47 Ty_l=-52.78 N_l=159.97 My_l=1.99 Mz_l=-0.32
Azioni sul cordone: TP=0.48 TO=4.14 NO=11.77
Tensioni nel cordone: τ_P=0.15 τ_0=1.32 σ_0=6.64 σ_{ID}=6.77 Σ_T=7.96
CC 7 SLV (Collegamento -382_-520)
Azioni sul collegamento: N=159.97 Ty=-3.35 Tz=-52.78 Mx=-0.70 Mz=-4.40
Sollecitazioni agenti localmente: Tx_l=-3.35 Ty_l=-52.78 N_l=159.97 My_l=4.40 Mz_l=-0.70
Azioni sul cordone: TP=1.05 TO=4.43 NO=11.77
Tensioni nel cordone: τ_P=0.33 τ_0=1.41 σ_0=10.16 σ_{ID}=10.26 Σ_T=11.57
CC 7 SLV (Collegamento -382_-520)
Azioni sul collegamento: N=159.97 Ty=-1.47 Tz=-52.78 Mx=-0.32 Mz=-1.99
Sollecitazioni agenti localmente: Tx_l=-1.47 Ty_l=-52.78 N_l=159.97 My_l=1.99 Mz_l=-0.32
Azioni sul cordone: TP=0.48 TO=4.14 NO=11.77
Tensioni nel cordone: τ_P=0.15 τ_0=1.32 σ_0=6.64 σ_{ID}=6.77 Σ_T=7.96
CC 8 SLD (Collegamento -382_-520)
Azioni sul collegamento: N=132.54 Ty=-2.23 Tz=-48.53 Mx=-0.48 Mz=-2.99
Sollecitazioni agenti localmente: Tx_l=-2.23 Ty_l=-48.53 N_l=132.54 My_l=2.99 Mz_l=-0.48
Azioni sul cordone: TP=0.72 TO=3.95 NO=9.75
Tensioni nel cordone: τ_P=0.23 τ_0=1.26 σ_0=7.47 σ_{ID}=7.58 Σ_T=8.73
CC 8 SLD (Collegamento -382_-520)
Azioni sul collegamento: N=132.54 Ty=-1.66 Tz=-48.53 Mx=-0.37 Mz=-2.26
Sollecitazioni agenti localmente: Tx_l=-1.66 Ty_l=-48.53 N_l=132.54 My_l=2.26 Mz_l=-0.37
Azioni sul cordone: TP=0.54 TO=3.86 NO=9.75
Tensioni nel cordone: τ_P=0.17 τ_0=1.23 σ_0=6.40 σ_{ID}=6.52 Σ_T=7.63
CC 8 SLD (Collegamento -382_-520)
Azioni sul collegamento: N=132.54 Ty=-2.23 Tz=-48.53 Mx=-0.48 Mz=-2.99
Sollecitazioni agenti localmente: Tx_l=-2.23 Ty_l=-48.53 N_l=132.54 My_l=2.99 Mz_l=-0.48
Azioni sul cordone: TP=0.72 TO=3.95 NO=9.75
Tensioni nel cordone: τ_P=0.23 τ_0=1.26 σ_0=7.47 σ_{ID}=7.58 Σ_T=8.73
CC 8 SLD (Collegamento -382_-520)
Azioni sul collegamento: N=132.54 Ty=-1.66 Tz=-48.53 Mx=-0.37 Mz=-2.26
Sollecitazioni agenti localmente: Tx_l=-1.66 Ty_l=-48.53 N_l=132.54 My_l=2.26 Mz_l=-0.37
Azioni sul cordone: TP=0.54 TO=3.86 NO=9.75
Tensioni nel cordone: τ_P=0.17 τ_0=1.23 σ_0=6.40 σ_{ID}=6.52 Σ_T=7.63
CC 8 SLD (Collegamento -382_-520)
Azioni sul collegamento: N=145.42 Ty=-2.23 Tz=-50.53 Mx=-0.48 Mz=-2.99
Sollecitazioni agenti localmente: Tx_l=-2.23 Ty_l=-50.53 N_l=145.42 My_l=2.99 Mz_l=-0.48
Azioni sul cordone: TP=0.72 TO=4.10 NO=10.70
Tensioni nel cordone: τ_P=0.23 τ_0=1.30 σ_0=7.77 σ_{ID}=7.88 Σ_T=9.07
CC 8 SLD (Collegamento -382_-520)
Azioni sul collegamento: N=145.42 Ty=-1.66 Tz=-50.53 Mx=-0.37 Mz=-2.26
Sollecitazioni agenti localmente: Tx_l=-1.66 Ty_l=-50.53 N_l=145.42 My_l=2.26 Mz_l=-0.37
Azioni sul cordone: TP=0.54 TO=4.01 NO=10.70
Tensioni nel cordone: τ_P=0.17 τ_0=1.27 σ_0=6.70 σ_{ID}=6.82 Σ_T=7.97
CC 8 SLD (Collegamento -382_-520)
Azioni sul collegamento: N=145.42 Ty=-2.23 Tz=-50.53 Mx=-0.48 Mz=-2.99
Sollecitazioni agenti localmente: Tx_l=-2.23 Ty_l=-50.53 N_l=145.42 My_l=2.99 Mz_l=-0.48
Azioni sul cordone: TP=0.72 TO=4.10 NO=10.70
Tensioni nel cordone: τ_P=0.23 τ_0=1.30 σ_0=7.77 σ_{ID}=7.88 Σ_T=9.07
CC 8 SLD (Collegamento -382_-520)
Azioni sul collegamento: N=145.42 Ty=-1.66 Tz=-50.53 Mx=-0.37 Mz=-2.26
Sollecitazioni agenti localmente: Tx_l=-1.66 Ty_l=-50.53 N_l=145.42 My_l=2.26 Mz_l=-0.37
Azioni sul cordone: TP=0.54 TO=4.01 NO=10.70
Tensioni nel cordone: τ_P=0.17 τ_0=1.27 σ_0=6.70 σ_{ID}=6.82 Σ_T=7.97
CC 9 SLV (Collegamento -382_-520)
Azioni sul collegamento: N=145.48 Ty=-1.32 Tz=-50.54 Mx=-0.34 Mz=-1.97
Sollecitazioni agenti localmente: Tx_l=-1.32 Ty_l=-50.54 N_l=145.48 My_l=1.97 Mz_l=-0.34
Azioni sul cordone: TP=0.49 TO=3.98 NO=10.70
Tensioni nel cordone: τ_P=0.15 τ_0=1.27 σ_0=6.29 σ_{ID}=6.42 Σ_T=7.55
CC 9 SLV (Collegamento -382_-520)
Azioni sul collegamento: N=145.48 Ty=-3.50 Tz=-50.54 Mx=-0.71 Mz=-4.40
Sollecitazioni agenti localmente: Tx_l=-3.50 Ty_l=-50.54 N_l=145.48 My_l=4.40 Mz_l=-0.71
Azioni sul cordone: TP=1.08 TO=4.28 NO=10.70
Tensioni nel cordone: τ_P=0.34 τ_0=1.36 σ_0=9.83 σ_{ID}=9.93 Σ_T=11.19
CC 9 SLV (Collegamento -382_-520)
Azioni sul collegamento: N=145.48 Ty=-1.32 Tz=-50.54 Mx=-0.34 Mz=-1.97
Sollecitazioni agenti localmente: Tx_l=-1.32 Ty_l=-50.54 N_l=145.48 My_l=1.97 Mz_l=-0.34

Azioni sul cordone: TP=0.49 TO=3.98 NO=10.70
Tensioni nel cordone: τ_P=0.15 τ_0=1.27 σ_0=6.29 σ_{ID}=6.42 Σ_T=7.55
CC 9 SLV (Collegamento -382_-520)
Azioni sul collegamento: N=145.48 Ty=-3.50 Tz=-50.54 Mx=-0.71 Mz=-4.40
Sollecitazioni agenti localmente: Tx_l=-3.50 Ty_l=-50.54 N_l=145.48 My_l=4.40 Mz_l=-0.71
Azioni sul cordone: TP=1.08 TO=4.28 NO=10.70
Tensioni nel cordone: τ_P=0.34 τ_0=1.36 σ_0=9.83 σ_{ID}=9.93 Σ_T=11.19
CC 9 SLV (Collegamento -382_-520)
Azioni sul collegamento: N=132.24 Ty=-1.32 Tz=-48.49 Mx=-0.34 Mz=-1.97
Sollecitazioni agenti localmente: Tx_l=-1.32 Ty_l=-48.49 N_l=132.24 My_l=1.97 Mz_l=-0.34
Azioni sul cordone: TP=0.49 TO=3.83 NO=9.73
Tensioni nel cordone: τ_P=0.15 τ_0=1.22 σ_0=5.98 σ_{ID}=6.10 Σ_T=7.20
CC 9 SLV (Collegamento -382_-520)
Azioni sul collegamento: N=132.24 Ty=-3.50 Tz=-48.49 Mx=-0.71 Mz=-4.40
Sollecitazioni agenti localmente: Tx_l=-3.50 Ty_l=-48.49 N_l=132.24 My_l=4.40 Mz_l=-0.71
Azioni sul cordone: TP=1.08 TO=4.13 NO=9.73
Tensioni nel cordone: τ_P=0.34 τ_0=1.31 σ_0=9.52 σ_{ID}=9.62 Σ_T=10.84
CC 9 SLV (Collegamento -382_-520)
Azioni sul collegamento: N=132.24 Ty=-1.32 Tz=-48.49 Mx=-0.34 Mz=-1.97
Sollecitazioni agenti localmente: Tx_l=-1.32 Ty_l=-48.49 N_l=132.24 My_l=1.97 Mz_l=-0.34
Azioni sul cordone: TP=0.49 TO=3.83 NO=9.73
Tensioni nel cordone: τ_P=0.15 τ_0=1.22 σ_0=5.98 σ_{ID}=6.10 Σ_T=7.20
CC 9 SLV (Collegamento -382_-520)
Azioni sul collegamento: N=132.24 Ty=-3.50 Tz=-48.49 Mx=-0.71 Mz=-4.40
Sollecitazioni agenti localmente: Tx_l=-3.50 Ty_l=-48.49 N_l=132.24 My_l=4.40 Mz_l=-0.71
Azioni sul cordone: TP=1.08 TO=4.13 NO=9.73
Tensioni nel cordone: τ_P=0.34 τ_0=1.31 σ_0=9.52 σ_{ID}=9.62 Σ_T=10.84
CC 10 SLD (Collegamento -382_-520)
Azioni sul collegamento: N=141.00 Ty=-1.61 Tz=-49.84 Mx=-0.37 Mz=-2.25
Sollecitazioni agenti localmente: Tx_l=-1.61 Ty_l=-49.84 N_l=141.00 My_l=2.25 Mz_l=-0.37
Azioni sul cordone: TP=0.55 TO=3.96 NO=10.38
Tensioni nel cordone: τ_P=0.17 τ_0=1.26 σ_0=6.59 σ_{ID}=6.71 Σ_T=7.85
CC 10 SLD (Collegamento -382_-520)
Azioni sul collegamento: N=141.00 Ty=-2.27 Tz=-49.84 Mx=-0.49 Mz=-3.00
Sollecitazioni agenti localmente: Tx_l=-2.27 Ty_l=-49.84 N_l=141.00 My_l=3.00 Mz_l=-0.49
Azioni sul cordone: TP=0.73 TO=4.05 NO=10.38
Tensioni nel cordone: τ_P=0.23 τ_0=1.29 σ_0=7.67 σ_{ID}=7.78 Σ_T=8.96
CC 10 SLD (Collegamento -382_-520)
Azioni sul collegamento: N=141.00 Ty=-1.61 Tz=-49.84 Mx=-0.37 Mz=-2.25
Sollecitazioni agenti localmente: Tx_l=-1.61 Ty_l=-49.84 N_l=141.00 My_l=2.25 Mz_l=-0.37
Azioni sul cordone: TP=0.55 TO=3.96 NO=10.38
Tensioni nel cordone: τ_P=0.17 τ_0=1.26 σ_0=6.59 σ_{ID}=6.71 Σ_T=7.85
CC 10 SLD (Collegamento -382_-520)
Azioni sul collegamento: N=141.00 Ty=-2.27 Tz=-49.84 Mx=-0.49 Mz=-3.00
Sollecitazioni agenti localmente: Tx_l=-2.27 Ty_l=-49.84 N_l=141.00 My_l=3.00 Mz_l=-0.49
Azioni sul cordone: TP=0.73 TO=4.05 NO=10.38
Tensioni nel cordone: τ_P=0.23 τ_0=1.29 σ_0=7.67 σ_{ID}=7.78 Σ_T=8.96
CC 10 SLD (Collegamento -382_-520)
Azioni sul collegamento: N=136.96 Ty=-1.61 Tz=-49.22 Mx=-0.37 Mz=-2.25
Sollecitazioni agenti localmente: Tx_l=-1.61 Ty_l=-49.22 N_l=136.96 My_l=2.25 Mz_l=-0.37
Azioni sul cordone: TP=0.55 TO=3.91 NO=10.08
Tensioni nel cordone: τ_P=0.17 τ_0=1.24 σ_0=6.50 σ_{ID}=6.62 Σ_T=7.74
CC 10 SLD (Collegamento -382_-520)
Azioni sul collegamento: N=136.96 Ty=-2.27 Tz=-49.22 Mx=-0.49 Mz=-3.00
Sollecitazioni agenti localmente: Tx_l=-2.27 Ty_l=-49.22 N_l=136.96 My_l=3.00 Mz_l=-0.49
Azioni sul cordone: TP=0.73 TO=4.00 NO=10.08
Tensioni nel cordone: τ_P=0.23 τ_0=1.27 σ_0=7.58 σ_{ID}=7.69 Σ_T=8.85
CC 10 SLD (Collegamento -382_-520)
Azioni sul collegamento: N=136.96 Ty=-1.61 Tz=-49.22 Mx=-0.37 Mz=-2.25
Sollecitazioni agenti localmente: Tx_l=-1.61 Ty_l=-49.22 N_l=136.96 My_l=2.25 Mz_l=-0.37
Azioni sul cordone: TP=0.55 TO=3.91 NO=10.08
Tensioni nel cordone: τ_P=0.17 τ_0=1.24 σ_0=6.50 σ_{ID}=6.62 Σ_T=7.74
CC 10 SLD (Collegamento -382_-520)
Azioni sul collegamento: N=136.96 Ty=-2.27 Tz=-49.22 Mx=-0.49 Mz=-3.00
Sollecitazioni agenti localmente: Tx_l=-2.27 Ty_l=-49.22 N_l=136.96 My_l=3.00 Mz_l=-0.49
Azioni sul cordone: TP=0.73 TO=4.00 NO=10.08
Tensioni nel cordone: τ_P=0.23 τ_0=1.27 σ_0=7.58 σ_{ID}=7.69 Σ_T=8.85
CC 11 SLV (Collegamento -382_-520)
Azioni sul collegamento: N=132.87 Ty=-1.72 Tz=-48.59 Mx=-0.42 Mz=-2.53
Sollecitazioni agenti localmente: Tx_l=-1.72 Ty_l=-48.59 N_l=132.87 My_l=2.53 Mz_l=-0.42
Azioni sul cordone: TP=0.61 TO=3.91 NO=9.78
Tensioni nel cordone: τ_P=0.19 τ_0=1.24 σ_0=6.80 σ_{ID}=6.92 Σ_T=8.04
CC 11 SLV (Collegamento -382_-520)
Azioni sul collegamento: N=132.87 Ty=-3.10 Tz=-48.59 Mx=-0.62 Mz=-3.85
Sollecitazioni agenti localmente: Tx_l=-3.10 Ty_l=-48.59 N_l=132.87 My_l=3.85 Mz_l=-0.62
Azioni sul cordone: TP=0.95 TO=4.07 NO=9.78
Tensioni nel cordone: τ_P=0.30 τ_0=1.29 σ_0=8.73 σ_{ID}=8.83 Σ_T=10.02
CC 11 SLV (Collegamento -382_-520)
Azioni sul collegamento: N=132.87 Ty=-1.72 Tz=-48.59 Mx=-0.42 Mz=-2.53
Sollecitazioni agenti localmente: Tx_l=-1.72 Ty_l=-48.59 N_l=132.87 My_l=2.53 Mz_l=-0.42
Azioni sul cordone: TP=0.61 TO=3.91 NO=9.78

Tensioni nel cordone: τ_P=0.19 τ_0=1.24 σ_0=6.80 σ_{ID}=6.92 Σ_T=8.04
CC 11 SLV (Collegamento -382_-520)
Azioni sul collegamento: N=132.87 Ty=-3.10 Tz=-48.59 Mx=-0.62 Mz=-3.85
Sollecitazioni agenti localmente: Tx_l=-3.10 Ty_l=-48.59 N_l=132.87 My_l=3.85 Mz_l=-0.62
Azioni sul cordone: TP=0.95 TO=4.07 NO=9.78
Tensioni nel cordone: τ_P=0.30 τ_0=1.29 σ_0=8.73 σ_{ID}=8.83 Σ_T=10.02
CC 11 SLV (Collegamento -382_-520)
Azioni sul collegamento: N=144.84 Ty=-1.72 Tz=-50.44 Mx=-0.42 Mz=-2.53
Sollecitazioni agenti localmente: Tx_l=-1.72 Ty_l=-50.44 N_l=144.84 My_l=2.53 Mz_l=-0.42
Azioni sul cordone: TP=0.61 TO=4.04 NO=10.66
Tensioni nel cordone: τ_P=0.19 τ_0=1.28 σ_0=7.08 σ_{ID}=7.20 Σ_T=8.37
CC 11 SLV (Collegamento -382_-520)
Azioni sul collegamento: N=144.84 Ty=-3.10 Tz=-50.44 Mx=-0.62 Mz=-3.85
Sollecitazioni agenti localmente: Tx_l=-3.10 Ty_l=-50.44 N_l=144.84 My_l=3.85 Mz_l=-0.62
Azioni sul cordone: TP=0.95 TO=4.20 NO=10.66
Tensioni nel cordone: τ_P=0.30 τ_0=1.34 σ_0=9.01 σ_{ID}=9.11 Σ_T=10.35
CC 11 SLV (Collegamento -382_-520)
Azioni sul collegamento: N=144.84 Ty=-1.72 Tz=-50.44 Mx=-0.42 Mz=-2.53
Sollecitazioni agenti localmente: Tx_l=-1.72 Ty_l=-50.44 N_l=144.84 My_l=2.53 Mz_l=-0.42
Azioni sul cordone: TP=0.61 TO=4.04 NO=10.66
Tensioni nel cordone: τ_P=0.19 τ_0=1.28 σ_0=7.08 σ_{ID}=7.20 Σ_T=8.37
CC 11 SLV (Collegamento -382_-520)
Azioni sul collegamento: N=144.84 Ty=-3.10 Tz=-50.44 Mx=-0.62 Mz=-3.85
Sollecitazioni agenti localmente: Tx_l=-3.10 Ty_l=-50.44 N_l=144.84 My_l=3.85 Mz_l=-0.62
Azioni sul cordone: TP=0.95 TO=4.20 NO=10.66
Tensioni nel cordone: τ_P=0.30 τ_0=1.34 σ_0=9.01 σ_{ID}=9.11 Σ_T=10.35
CC 12 SLD (Collegamento -382_-520)
Azioni sul collegamento: N=137.16 Ty=-1.73 Tz=-49.25 Mx=-0.40 Mz=-2.42
Sollecitazioni agenti localmente: Tx_l=-1.73 Ty_l=-49.25 N_l=137.16 My_l=2.42 Mz_l=-0.40
Azioni sul cordone: TP=0.58 TO=3.94 NO=10.09
Tensioni nel cordone: τ_P=0.19 τ_0=1.25 σ_0=6.75 σ_{ID}=6.87 Σ_T=8.00
CC 12 SLD (Collegamento -382_-520)
Azioni sul collegamento: N=137.16 Ty=-2.15 Tz=-49.25 Mx=-0.46 Mz=-2.83
Sollecitazioni agenti localmente: Tx_l=-2.15 Ty_l=-49.25 N_l=137.16 My_l=2.83 Mz_l=-0.46
Azioni sul cordone: TP=0.69 TO=3.99 NO=10.09
Tensioni nel cordone: τ_P=0.22 τ_0=1.27 σ_0=7.34 σ_{ID}=7.45 Σ_T=8.60
CC 12 SLD (Collegamento -382_-520)
Azioni sul collegamento: N=137.16 Ty=-1.73 Tz=-49.25 Mx=-0.40 Mz=-2.42
Sollecitazioni agenti localmente: Tx_l=-1.73 Ty_l=-49.25 N_l=137.16 My_l=2.42 Mz_l=-0.40
Azioni sul cordone: TP=0.58 TO=3.94 NO=10.09
Tensioni nel cordone: τ_P=0.19 τ_0=1.25 σ_0=6.75 σ_{ID}=6.87 Σ_T=8.00
CC 12 SLD (Collegamento -382_-520)
Azioni sul collegamento: N=137.16 Ty=-2.15 Tz=-49.25 Mx=-0.46 Mz=-2.83
Sollecitazioni agenti localmente: Tx_l=-2.15 Ty_l=-49.25 N_l=137.16 My_l=2.83 Mz_l=-0.46
Azioni sul cordone: TP=0.69 TO=3.99 NO=10.09
Tensioni nel cordone: τ_P=0.22 τ_0=1.27 σ_0=7.34 σ_{ID}=7.45 Σ_T=8.60
CC 12 SLD (Collegamento -382_-520)
Azioni sul collegamento: N=140.81 Ty=-1.73 Tz=-49.81 Mx=-0.40 Mz=-2.42
Sollecitazioni agenti localmente: Tx_l=-1.73 Ty_l=-49.81 N_l=140.81 My_l=2.42 Mz_l=-0.40
Azioni sul cordone: TP=0.58 TO=3.98 NO=10.36
Tensioni nel cordone: τ_P=0.19 τ_0=1.26 σ_0=6.83 σ_{ID}=6.95 Σ_T=8.10
CC 12 SLD (Collegamento -382_-520)
Azioni sul collegamento: N=140.81 Ty=-2.15 Tz=-49.81 Mx=-0.46 Mz=-2.83
Sollecitazioni agenti localmente: Tx_l=-2.15 Ty_l=-49.81 N_l=140.81 My_l=2.83 Mz_l=-0.46
Azioni sul cordone: TP=0.69 TO=4.03 NO=10.36
Tensioni nel cordone: τ_P=0.22 τ_0=1.28 σ_0=7.42 σ_{ID}=7.53 Σ_T=8.70
CC 12 SLD (Collegamento -382_-520)
Azioni sul collegamento: N=140.81 Ty=-1.73 Tz=-49.81 Mx=-0.40 Mz=-2.42
Sollecitazioni agenti localmente: Tx_l=-1.73 Ty_l=-49.81 N_l=140.81 My_l=2.42 Mz_l=-0.40
Azioni sul cordone: TP=0.58 TO=3.98 NO=10.36
Tensioni nel cordone: τ_P=0.19 τ_0=1.26 σ_0=6.83 σ_{ID}=6.95 Σ_T=8.10
CC 12 SLD (Collegamento -382_-520)
Azioni sul collegamento: N=140.81 Ty=-2.15 Tz=-49.81 Mx=-0.46 Mz=-2.83
Sollecitazioni agenti localmente: Tx_l=-2.15 Ty_l=-49.81 N_l=140.81 My_l=2.83 Mz_l=-0.46
Azioni sul cordone: TP=0.69 TO=4.03 NO=10.36
Tensioni nel cordone: τ_P=0.22 τ_0=1.28 σ_0=7.42 σ_{ID}=7.53 Σ_T=8.70
CC 13 SLV (Collegamento -382_-520)
Azioni sul collegamento: N=144.84 Ty=-3.10 Tz=-50.44 Mx=-0.62 Mz=-3.85
Sollecitazioni agenti localmente: Tx_l=-3.10 Ty_l=-50.44 N_l=144.84 My_l=3.85 Mz_l=-0.62
Azioni sul cordone: TP=0.94 TO=4.20 NO=10.66
Tensioni nel cordone: τ_P=0.30 τ_0=1.33 σ_0=9.01 σ_{ID}=9.11 Σ_T=10.35
CC 13 SLV (Collegamento -382_-520)
Azioni sul collegamento: N=144.84 Ty=-1.72 Tz=-50.44 Mx=-0.41 Mz=-2.53
Sollecitazioni agenti localmente: Tx_l=-1.72 Ty_l=-50.44 N_l=144.84 My_l=2.53 Mz_l=-0.41
Azioni sul cordone: TP=0.60 TO=4.04 NO=10.66
Tensioni nel cordone: τ_P=0.19 τ_0=1.28 σ_0=7.08 σ_{ID}=7.20 Σ_T=8.37
CC 13 SLV (Collegamento -382_-520)
Azioni sul collegamento: N=144.84 Ty=-3.10 Tz=-50.44 Mx=-0.62 Mz=-3.85
Sollecitazioni agenti localmente: Tx_l=-3.10 Ty_l=-50.44 N_l=144.84 My_l=3.85 Mz_l=-0.62
Azioni sul cordone: TP=0.94 TO=4.20 NO=10.66
Tensioni nel cordone: τ_P=0.30 τ_0=1.33 σ_0=9.01 σ_{ID}=9.11 Σ_T=10.35

CC 13 SLV (Collegamento -382_-520)
Azioni sul collegamento: N=144.84 Ty=-1.72 Tz=-50.44 Mx=-0.41 Mz=-2.53
Sollecitazioni agenti localmente: Tx_l=-1.72 Ty_l=-50.44 N_l=144.84 My_l=2.53 Mz_l=-0.41
Azioni sul cordone: TP=0.60 TO=4.04 NO=10.66
Tensioni nel cordone: τ_P=0.19 τ_0=1.28 σ_0=7.08 σ_{ID}=7.20 Σ_T=8.37
CC 13 SLV (Collegamento -382_-520)
Azioni sul collegamento: N=132.87 Ty=-3.10 Tz=-48.59 Mx=-0.62 Mz=-3.85
Sollecitazioni agenti localmente: Tx_l=-3.10 Ty_l=-48.59 N_l=132.87 My_l=3.85 Mz_l=-0.62
Azioni sul cordone: TP=0.94 TO=4.06 NO=9.78
Tensioni nel cordone: τ_P=0.30 τ_0=1.29 σ_0=8.73 σ_{ID}=8.83 Σ_T=10.02
CC 13 SLV (Collegamento -382_-520)
Azioni sul collegamento: N=132.87 Ty=-1.72 Tz=-48.59 Mx=-0.41 Mz=-2.53
Sollecitazioni agenti localmente: Tx_l=-1.72 Ty_l=-48.59 N_l=132.87 My_l=2.53 Mz_l=-0.41
Azioni sul cordone: TP=0.60 TO=3.90 NO=9.78
Tensioni nel cordone: τ_P=0.19 τ_0=1.24 σ_0=6.80 σ_{ID}=6.92 Σ_T=8.04
CC 13 SLV (Collegamento -382_-520)
Azioni sul collegamento: N=132.87 Ty=-3.10 Tz=-48.59 Mx=-0.62 Mz=-3.85
Sollecitazioni agenti localmente: Tx_l=-3.10 Ty_l=-48.59 N_l=132.87 My_l=3.85 Mz_l=-0.62
Azioni sul cordone: TP=0.94 TO=4.06 NO=9.78
Tensioni nel cordone: τ_P=0.30 τ_0=1.29 σ_0=8.73 σ_{ID}=8.83 Σ_T=10.02
CC 13 SLV (Collegamento -382_-520)
Azioni sul collegamento: N=132.87 Ty=-1.72 Tz=-48.59 Mx=-0.41 Mz=-2.53
Sollecitazioni agenti localmente: Tx_l=-1.72 Ty_l=-48.59 N_l=132.87 My_l=2.53 Mz_l=-0.41
Azioni sul cordone: TP=0.60 TO=3.90 NO=9.78
Tensioni nel cordone: τ_P=0.19 τ_0=1.24 σ_0=6.80 σ_{ID}=6.92 Σ_T=8.04
CC 14 SLD (Collegamento -382_-520)
Azioni sul collegamento: N=140.81 Ty=-2.15 Tz=-49.81 Mx=-0.46 Mz=-2.83
Sollecitazioni agenti localmente: Tx_l=-2.15 Ty_l=-49.81 N_l=140.81 My_l=2.83 Mz_l=-0.46
Azioni sul cordone: TP=0.68 TO=4.03 NO=10.36
Tensioni nel cordone: τ_P=0.22 τ_0=1.28 σ_0=7.42 σ_{ID}=7.53 Σ_T=8.70
CC 14 SLD (Collegamento -382_-520)
Azioni sul collegamento: N=140.81 Ty=-1.73 Tz=-49.81 Mx=-0.39 Mz=-2.42
Sollecitazioni agenti localmente: Tx_l=-1.73 Ty_l=-49.81 N_l=140.81 My_l=2.42 Mz_l=-0.39
Azioni sul cordone: TP=0.58 TO=3.98 NO=10.36
Tensioni nel cordone: τ_P=0.18 τ_0=1.26 σ_0=6.83 σ_{ID}=6.95 Σ_T=8.10
CC 14 SLD (Collegamento -382_-520)
Azioni sul collegamento: N=140.81 Ty=-2.15 Tz=-49.81 Mx=-0.46 Mz=-2.83
Sollecitazioni agenti localmente: Tx_l=-2.15 Ty_l=-49.81 N_l=140.81 My_l=2.83 Mz_l=-0.46
Azioni sul cordone: TP=0.68 TO=4.03 NO=10.36
Tensioni nel cordone: τ_P=0.22 τ_0=1.28 σ_0=7.42 σ_{ID}=7.53 Σ_T=8.70
CC 14 SLD (Collegamento -382_-520)
Azioni sul collegamento: N=140.81 Ty=-1.73 Tz=-49.81 Mx=-0.39 Mz=-2.42
Sollecitazioni agenti localmente: Tx_l=-1.73 Ty_l=-49.81 N_l=140.81 My_l=2.42 Mz_l=-0.39
Azioni sul cordone: TP=0.58 TO=3.98 NO=10.36
Tensioni nel cordone: τ_P=0.18 τ_0=1.26 σ_0=6.83 σ_{ID}=6.95 Σ_T=8.10
CC 14 SLD (Collegamento -382_-520)
Azioni sul collegamento: N=137.16 Ty=-2.15 Tz=-49.25 Mx=-0.46 Mz=-2.83
Sollecitazioni agenti localmente: Tx_l=-2.15 Ty_l=-49.25 N_l=137.16 My_l=2.83 Mz_l=-0.46
Azioni sul cordone: TP=0.68 TO=3.98 NO=10.09
Tensioni nel cordone: τ_P=0.22 τ_0=1.27 σ_0=7.34 σ_{ID}=7.45 Σ_T=8.60
CC 14 SLD (Collegamento -382_-520)
Azioni sul collegamento: N=137.16 Ty=-1.73 Tz=-49.25 Mx=-0.39 Mz=-2.42
Sollecitazioni agenti localmente: Tx_l=-1.73 Ty_l=-49.25 N_l=137.16 My_l=2.42 Mz_l=-0.39
Azioni sul cordone: TP=0.58 TO=3.93 NO=10.09
Tensioni nel cordone: τ_P=0.18 τ_0=1.25 σ_0=6.75 σ_{ID}=6.87 Σ_T=8.00
CC 14 SLD (Collegamento -382_-520)
Azioni sul collegamento: N=137.16 Ty=-2.15 Tz=-49.25 Mx=-0.46 Mz=-2.83
Sollecitazioni agenti localmente: Tx_l=-2.15 Ty_l=-49.25 N_l=137.16 My_l=2.83 Mz_l=-0.46
Azioni sul cordone: TP=0.68 TO=3.98 NO=10.09
Tensioni nel cordone: τ_P=0.22 τ_0=1.27 σ_0=7.34 σ_{ID}=7.45 Σ_T=8.60
CC 14 SLD (Collegamento -382_-520)
Azioni sul collegamento: N=137.16 Ty=-1.73 Tz=-49.25 Mx=-0.39 Mz=-2.42
Sollecitazioni agenti localmente: Tx_l=-1.73 Ty_l=-49.25 N_l=137.16 My_l=2.42 Mz_l=-0.39
Azioni sul cordone: TP=0.58 TO=3.93 NO=10.09
Tensioni nel cordone: τ_P=0.18 τ_0=1.25 σ_0=6.75 σ_{ID}=6.87 Σ_T=8.00
CC 15 SLV (Collegamento -382_-520)
Azioni sul collegamento: N=132.24 Ty=-3.50 Tz=-48.49 Mx=-0.70 Mz=-4.40
Sollecitazioni agenti localmente: Tx_l=-3.50 Ty_l=-48.49 N_l=132.24 My_l=4.40 Mz_l=-0.70
Azioni sul cordone: TP=1.06 TO=4.12 NO=9.73
Tensioni nel cordone: τ_P=0.34 τ_0=1.31 σ_0=9.53 σ_{ID}=9.62 Σ_T=10.84
CC 15 SLV (Collegamento -382_-520)
Azioni sul collegamento: N=132.24 Ty=-1.32 Tz=-48.49 Mx=-0.32 Mz=-1.98
Sollecitazioni agenti localmente: Tx_l=-1.32 Ty_l=-48.49 N_l=132.24 My_l=1.98 Mz_l=-0.32
Azioni sul cordone: TP=0.47 TO=3.82 NO=9.73
Tensioni nel cordone: τ_P=0.15 τ_0=1.22 σ_0=5.98 σ_{ID}=6.10 Σ_T=7.20
CC 15 SLV (Collegamento -382_-520)
Azioni sul collegamento: N=132.24 Ty=-3.50 Tz=-48.49 Mx=-0.70 Mz=-4.40
Sollecitazioni agenti localmente: Tx_l=-3.50 Ty_l=-48.49 N_l=132.24 My_l=4.40 Mz_l=-0.70
Azioni sul cordone: TP=1.06 TO=4.12 NO=9.73
Tensioni nel cordone: τ_P=0.34 τ_0=1.31 σ_0=9.53 σ_{ID}=9.62 Σ_T=10.84
CC 15 SLV (Collegamento -382_-520)

Azioni sul collegamento: N=132.24 Ty=-1.32 Tz=-48.49 Mx=-0.32 Mz=-1.98
Sollecitazioni agenti localmente: Tx_l=-1.32 Ty_l=-48.49 N_l=132.24 My_l=1.98 Mz_l=-0.32
Azioni sul cordone: TP=0.47 TO=3.82 NO=9.73
Tensioni nel cordone: τ_P=0.15 τ_0=1.22 σ_0=5.98 σ_{ID}=6.10 Σ_T=7.20
CC 15 SLV (Collegamento -382_-520)
Azioni sul collegamento: N=145.48 Ty=-3.50 Tz=-50.54 Mx=-0.70 Mz=-4.40
Sollecitazioni agenti localmente: Tx_l=-3.50 Ty_l=-50.54 N_l=145.48 My_l=4.40 Mz_l=-0.70
Azioni sul cordone: TP=1.06 TO=4.27 NO=10.70
Tensioni nel cordone: τ_P=0.34 τ_0=1.36 σ_0=9.84 σ_{ID}=9.94 Σ_T=11.19
CC 15 SLV (Collegamento -382_-520)
Azioni sul collegamento: N=145.48 Ty=-1.32 Tz=-50.54 Mx=-0.32 Mz=-1.98
Sollecitazioni agenti localmente: Tx_l=-1.32 Ty_l=-50.54 N_l=145.48 My_l=1.98 Mz_l=-0.32
Azioni sul cordone: TP=0.47 TO=3.97 NO=10.70
Tensioni nel cordone: τ_P=0.15 τ_0=1.26 σ_0=6.29 σ_{ID}=6.42 Σ_T=7.55
CC 15 SLV (Collegamento -382_-520)
Azioni sul collegamento: N=145.48 Ty=-3.50 Tz=-50.54 Mx=-0.70 Mz=-4.40
Sollecitazioni agenti localmente: Tx_l=-3.50 Ty_l=-50.54 N_l=145.48 My_l=4.40 Mz_l=-0.70
Azioni sul cordone: TP=1.06 TO=4.27 NO=10.70
Tensioni nel cordone: τ_P=0.34 τ_0=1.36 σ_0=9.84 σ_{ID}=9.94 Σ_T=11.19
CC 15 SLV (Collegamento -382_-520)
Azioni sul collegamento: N=145.48 Ty=-1.32 Tz=-50.54 Mx=-0.32 Mz=-1.98
Sollecitazioni agenti localmente: Tx_l=-1.32 Ty_l=-50.54 N_l=145.48 My_l=1.98 Mz_l=-0.32
Azioni sul cordone: TP=0.47 TO=3.97 NO=10.70
Tensioni nel cordone: τ_P=0.15 τ_0=1.26 σ_0=6.29 σ_{ID}=6.42 Σ_T=7.55
CC 16 SLD (Collegamento -382_-520)
Azioni sul collegamento: N=136.96 Ty=-2.27 Tz=-49.22 Mx=-0.48 Mz=-3.00
Sollecitazioni agenti localmente: Tx_l=-2.27 Ty_l=-49.22 N_l=136.96 My_l=3.00 Mz_l=-0.48
Azioni sul cordone: TP=0.72 TO=4.00 NO=10.08
Tensioni nel cordone: τ_P=0.23 τ_0=1.27 σ_0=7.58 σ_{ID}=7.69 Σ_T=8.85
CC 16 SLD (Collegamento -382_-520)
Azioni sul collegamento: N=136.96 Ty=-1.61 Tz=-49.22 Mx=-0.37 Mz=-2.26
Sollecitazioni agenti localmente: Tx_l=-1.61 Ty_l=-49.22 N_l=136.96 My_l=2.26 Mz_l=-0.37
Azioni sul cordone: TP=0.54 TO=3.91 NO=10.08
Tensioni nel cordone: τ_P=0.17 τ_0=1.24 σ_0=6.50 σ_{ID}=6.62 Σ_T=7.74
CC 16 SLD (Collegamento -382_-520)
Azioni sul collegamento: N=136.96 Ty=-2.27 Tz=-49.22 Mx=-0.48 Mz=-3.00
Sollecitazioni agenti localmente: Tx_l=-2.27 Ty_l=-49.22 N_l=136.96 My_l=3.00 Mz_l=-0.48
Azioni sul cordone: TP=0.72 TO=4.00 NO=10.08
Tensioni nel cordone: τ_P=0.23 τ_0=1.27 σ_0=7.58 σ_{ID}=7.69 Σ_T=8.85
CC 16 SLD (Collegamento -382_-520)
Azioni sul collegamento: N=136.96 Ty=-1.61 Tz=-49.22 Mx=-0.37 Mz=-2.26
Sollecitazioni agenti localmente: Tx_l=-1.61 Ty_l=-49.22 N_l=136.96 My_l=2.26 Mz_l=-0.37
Azioni sul cordone: TP=0.54 TO=3.91 NO=10.08
Tensioni nel cordone: τ_P=0.17 τ_0=1.24 σ_0=6.50 σ_{ID}=6.62 Σ_T=7.74
CC 16 SLD (Collegamento -382_-520)
Azioni sul collegamento: N=141.00 Ty=-2.27 Tz=-49.84 Mx=-0.48 Mz=-3.00
Sollecitazioni agenti localmente: Tx_l=-2.27 Ty_l=-49.84 N_l=141.00 My_l=3.00 Mz_l=-0.48
Azioni sul cordone: TP=0.72 TO=4.05 NO=10.38
Tensioni nel cordone: τ_P=0.23 τ_0=1.29 σ_0=7.67 σ_{ID}=7.78 Σ_T=8.96
CC 16 SLD (Collegamento -382_-520)
Azioni sul collegamento: N=141.00 Ty=-1.61 Tz=-49.84 Mx=-0.37 Mz=-2.26
Sollecitazioni agenti localmente: Tx_l=-1.61 Ty_l=-49.84 N_l=141.00 My_l=2.26 Mz_l=-0.37
Azioni sul cordone: TP=0.54 TO=3.96 NO=10.38
Tensioni nel cordone: τ_P=0.17 τ_0=1.26 σ_0=6.59 σ_{ID}=6.71 Σ_T=7.85
CC 16 SLD (Collegamento -382_-520)
Azioni sul collegamento: N=141.00 Ty=-2.27 Tz=-49.84 Mx=-0.48 Mz=-3.00
Sollecitazioni agenti localmente: Tx_l=-2.27 Ty_l=-49.84 N_l=141.00 My_l=3.00 Mz_l=-0.48
Azioni sul cordone: TP=0.72 TO=4.05 NO=10.38
Tensioni nel cordone: τ_P=0.23 τ_0=1.29 σ_0=7.67 σ_{ID}=7.78 Σ_T=8.96
CC 16 SLD (Collegamento -382_-520)
Azioni sul collegamento: N=141.00 Ty=-1.61 Tz=-49.84 Mx=-0.37 Mz=-2.26
Sollecitazioni agenti localmente: Tx_l=-1.61 Ty_l=-49.84 N_l=141.00 My_l=2.26 Mz_l=-0.37
Azioni sul cordone: TP=0.54 TO=3.96 NO=10.38
Tensioni nel cordone: τ_P=0.17 τ_0=1.26 σ_0=6.59 σ_{ID}=6.71 Σ_T=7.85
CC 17 SLV (Collegamento -382_-520)
Azioni sul collegamento: N=160.31 Ty=-0.12 Tz=-52.83 Mx=-0.08 Mz=-0.36
Sollecitazioni agenti localmente: Tx_l=-0.12 Ty_l=-52.83 N_l=160.31 My_l=0.36 Mz_l=-0.08
Azioni sul cordone: TP=0.10 TO=3.95 NO=11.80
Tensioni nel cordone: τ_P= 0.03 τ_0=1.25 σ_0=4.28 σ_{ID}=4.46 Σ_T=5.53
CC 17 SLV (Collegamento -382_-520)
Azioni sul collegamento: N=160.31 Ty=-2.00 Tz=-52.83 Mx=-0.45 Mz=-2.77
Sollecitazioni agenti localmente: Tx_l=-2.00 Ty_l=-52.83 N_l=160.31 My_l=2.77 Mz_l=-0.45
Azioni sul cordone: TP=0.66 TO=4.24 NO=11.80
Tensioni nel cordone: τ_P=0.21 τ_0=1.35 σ_0=7.79 σ_{ID}=7.91 Σ_T=9.14
CC 17 SLV (Collegamento -382_-520)
Azioni sul collegamento: N=160.31 Ty=-0.12 Tz=-52.83 Mx=-0.08 Mz=-0.36
Sollecitazioni agenti localmente: Tx_l=-0.12 Ty_l=-52.83 N_l=160.31 My_l=0.36 Mz_l=-0.08
Azioni sul cordone: TP=0.10 TO=3.95 NO=11.80
Tensioni nel cordone: τ_P= 0.03 τ_0=1.25 σ_0=4.28 σ_{ID}=4.46 Σ_T=5.53
CC 17 SLV (Collegamento -382_-520)
Azioni sul collegamento: N=160.31 Ty=-2.00 Tz=-52.83 Mx=-0.45 Mz=-2.77

Sollecitazioni agenti localmente: Tx_l=-2.00 Ty_l=-52.83 N_l=160.31 My_l=2.77 Mz_l=-0.45
Azioni sul cordone: TP=0.66 TO=4.24 NO=11.80
Tensioni nel cordone: τ_P=0.21 τ_0=1.35 σ_0=7.79 σ_{ID}=7.91 Σ_T=9.14
CC 17 SLV (Collegamento -382_-520)
Azioni sul collegamento: N=118.10 Ty=-0.12 Tz=-46.30 Mx=-0.08 Mz=-0.36
Sollecitazioni agenti localmente: Tx_l=-0.12 Ty_l=-46.30 N_l=118.10 My_l=0.36 Mz_l=-0.08
Azioni sul cordone: TP=0.10 TO=3.47 NO=8.69
Tensioni nel cordone: τ_P= 0.03 τ_0=1.10 σ_0=3.29 σ_{ID}=3.47 Σ_T=4.39
CC 17 SLV (Collegamento -382_-520)
Azioni sul collegamento: N=118.10 Ty=-2.00 Tz=-46.30 Mx=-0.45 Mz=-2.77
Sollecitazioni agenti localmente: Tx_l=-2.00 Ty_l=-46.30 N_l=118.10 My_l=2.77 Mz_l=-0.45
Azioni sul cordone: TP=0.66 TO=3.76 NO=8.69
Tensioni nel cordone: τ_P=0.21 τ_0=1.20 σ_0=6.81 σ_{ID}=6.91 Σ_T=8.00
CC 17 SLV (Collegamento -382_-520)
Azioni sul collegamento: N=118.10 Ty=-0.12 Tz=-46.30 Mx=-0.08 Mz=-0.36
Sollecitazioni agenti localmente: Tx_l=-0.12 Ty_l=-46.30 N_l=118.10 My_l=0.36 Mz_l=-0.08
Azioni sul cordone: TP=0.10 TO=3.47 NO=8.69
Tensioni nel cordone: τ_P= 0.03 τ_0=1.10 σ_0=3.29 σ_{ID}=3.47 Σ_T=4.39
CC 17 SLV (Collegamento -382_-520)
Azioni sul collegamento: N=118.10 Ty=-2.00 Tz=-46.30 Mx=-0.45 Mz=-2.77
Sollecitazioni agenti localmente: Tx_l=-2.00 Ty_l=-46.30 N_l=118.10 My_l=2.77 Mz_l=-0.45
Azioni sul cordone: TP=0.66 TO=3.76 NO=8.69
Tensioni nel cordone: τ_P=0.21 τ_0=1.20 σ_0=6.81 σ_{ID}=6.91 Σ_T=8.00
CC 18 SLD (Collegamento -382_-520)
Azioni sul collegamento: N=145.52 Ty=-1.24 Tz=-50.54 Mx=-0.29 Mz=-1.76
Sollecitazioni agenti localmente: Tx_l=-1.24 Ty_l=-50.54 N_l=145.52 My_l=1.76 Mz_l=-0.29
Azioni sul cordone: TP=0.43 TO=3.95 NO=10.71
Tensioni nel cordone: τ_P=0.14 τ_0=1.26 σ_0=5.98 σ_{ID}=6.11 Σ_T=7.23
CC 18 SLD (Collegamento -382_-520)
Azioni sul collegamento: N=145.52 Ty=-1.82 Tz=-50.54 Mx=-0.41 Mz=-2.50
Sollecitazioni agenti localmente: Tx_l=-1.82 Ty_l=-50.54 N_l=145.52 My_l=2.50 Mz_l=-0.41
Azioni sul cordone: TP=0.60 TO=4.04 NO=10.71
Tensioni nel cordone: τ_P=0.19 τ_0=1.28 σ_0=7.05 σ_{ID}=7.17 Σ_T=8.33
CC 18 SLD (Collegamento -382_-520)
Azioni sul collegamento: N=145.52 Ty=-1.24 Tz=-50.54 Mx=-0.29 Mz=-1.76
Sollecitazioni agenti localmente: Tx_l=-1.24 Ty_l=-50.54 N_l=145.52 My_l=1.76 Mz_l=-0.29
Azioni sul cordone: TP=0.43 TO=3.95 NO=10.71
Tensioni nel cordone: τ_P=0.14 τ_0=1.26 σ_0=5.98 σ_{ID}=6.11 Σ_T=7.23
CC 18 SLD (Collegamento -382_-520)
Azioni sul collegamento: N=145.52 Ty=-1.82 Tz=-50.54 Mx=-0.41 Mz=-2.50
Sollecitazioni agenti localmente: Tx_l=-1.82 Ty_l=-50.54 N_l=145.52 My_l=2.50 Mz_l=-0.41
Azioni sul cordone: TP=0.60 TO=4.04 NO=10.71
Tensioni nel cordone: τ_P=0.19 τ_0=1.28 σ_0=7.05 σ_{ID}=7.17 Σ_T=8.33
CC 18 SLD (Collegamento -382_-520)
Azioni sul collegamento: N=132.65 Ty=-1.24 Tz=-48.55 Mx=-0.29 Mz=-1.76
Sollecitazioni agenti localmente: Tx_l=-1.24 Ty_l=-48.55 N_l=132.65 My_l=1.76 Mz_l=-0.29
Azioni sul cordone: TP=0.43 TO=3.80 NO=9.76
Tensioni nel cordone: τ_P=0.14 τ_0=1.21 σ_0=5.68 σ_{ID}=5.81 Σ_T=6.89
CC 18 SLD (Collegamento -382_-520)
Azioni sul collegamento: N=132.65 Ty=-1.82 Tz=-48.55 Mx=-0.41 Mz=-2.50
Sollecitazioni agenti localmente: Tx_l=-1.82 Ty_l=-48.55 N_l=132.65 My_l=2.50 Mz_l=-0.41
Azioni sul cordone: TP=0.60 TO=3.89 NO=9.76
Tensioni nel cordone: τ_P=0.19 τ_0=1.24 σ_0=6.75 σ_{ID}=6.86 Σ_T=7.99
CC 18 SLD (Collegamento -382_-520)
Azioni sul collegamento: N=132.65 Ty=-1.24 Tz=-48.55 Mx=-0.29 Mz=-1.76
Sollecitazioni agenti localmente: Tx_l=-1.24 Ty_l=-48.55 N_l=132.65 My_l=1.76 Mz_l=-0.29
Azioni sul cordone: TP=0.43 TO=3.80 NO=9.76
Tensioni nel cordone: τ_P=0.14 τ_0=1.21 σ_0=5.68 σ_{ID}=5.81 Σ_T=6.89
CC 18 SLD (Collegamento -382_-520)
Azioni sul collegamento: N=132.65 Ty=-1.82 Tz=-48.55 Mx=-0.41 Mz=-2.50
Sollecitazioni agenti localmente: Tx_l=-1.82 Ty_l=-48.55 N_l=132.65 My_l=2.50 Mz_l=-0.41
Azioni sul cordone: TP=0.60 TO=3.89 NO=9.76
Tensioni nel cordone: τ_P=0.19 τ_0=1.24 σ_0=6.75 σ_{ID}=6.86 Σ_T=7.99
CC 19 SLV (Collegamento -382_-520)
Azioni sul collegamento: N=160.12 Ty=-0.66 Tz=-52.80 Mx=-0.16 Mz=-0.92
Sollecitazioni agenti localmente: Tx_l=-0.66 Ty_l=-52.80 N_l=160.12 My_l=0.92 Mz_l=-0.16
Azioni sul cordone: TP=0.23 TO=4.01 NO=11.78
Tensioni nel cordone: τ_P= 0.07 τ_0=1.28 σ_0=5.09 σ_{ID}=5.25 Σ_T=6.37
CC 19 SLV (Collegamento -382_-520)
Azioni sul collegamento: N=160.12 Ty=-1.47 Tz=-52.80 Mx=-0.36 Mz=-2.21
Sollecitazioni agenti localmente: Tx_l=-1.47 Ty_l=-52.80 N_l=160.12 My_l=2.21 Mz_l=-0.36
Azioni sul cordone: TP=0.52 TO=4.17 NO=11.78
Tensioni nel cordone: τ_P=0.17 τ_0=1.33 σ_0=6.97 σ_{ID}=7.10 Σ_T=8.29
CC 19 SLV (Collegamento -382_-520)
Azioni sul collegamento: N=160.12 Ty=-0.66 Tz=-52.80 Mx=-0.16 Mz=-0.92
Sollecitazioni agenti localmente: Tx_l=-0.66 Ty_l=-52.80 N_l=160.12 My_l=0.92 Mz_l=-0.16
Azioni sul cordone: TP=0.23 TO=4.01 NO=11.78
Tensioni nel cordone: τ_P= 0.07 τ_0=1.28 σ_0=5.09 σ_{ID}=5.25 Σ_T=6.37
CC 19 SLV (Collegamento -382_-520)
Azioni sul collegamento: N=160.12 Ty=-1.47 Tz=-52.80 Mx=-0.36 Mz=-2.21
Sollecitazioni agenti localmente: Tx_l=-1.47 Ty_l=-52.80 N_l=160.12 My_l=2.21 Mz_l=-0.36

Azioni sul cordone: TP=0.52 TO=4.17 NO=11.78
Tensioni nel cordone: τ_P=0.17 τ_0=1.33 σ_0=6.97 σ_{ID}=7.10 Σ_T=8.29
CC 19 SLV (Collegamento -382_-520)
Azioni sul collegamento: N=118.29 Ty=-0.66 Tz=-46.33 Mx=-0.16 Mz=-0.92
Sollecitazioni agenti localmente: Tx_l=-0.66 Ty_l=-46.33 N_l=118.29 My_l=0.92 Mz_l=-0.16
Azioni sul cordone: TP=0.23 TO=3.54 NO=8.70
Tensioni nel cordone: τ_P= 0.07 τ_0=1.12 σ_0=4.11 σ_{ID}=4.27 Σ_T=5.24
CC 19 SLV (Collegamento -382_-520)
Azioni sul collegamento: N=118.29 Ty=-1.47 Tz=-46.33 Mx=-0.36 Mz=-2.21
Sollecitazioni agenti localmente: Tx_l=-1.47 Ty_l=-46.33 N_l=118.29 My_l=2.21 Mz_l=-0.36
Azioni sul cordone: TP=0.52 TO=3.69 NO=8.70
Tensioni nel cordone: τ_P=0.17 τ_0=1.17 σ_0=5.99 σ_{ID}=6.11 Σ_T=7.16
CC 19 SLV (Collegamento -382_-520)
Azioni sul collegamento: N=118.29 Ty=-0.66 Tz=-46.33 Mx=-0.16 Mz=-0.92
Sollecitazioni agenti localmente: Tx_l=-0.66 Ty_l=-46.33 N_l=118.29 My_l=0.92 Mz_l=-0.16
Azioni sul cordone: TP=0.23 TO=3.54 NO=8.70
Tensioni nel cordone: τ_P= 0.07 τ_0=1.12 σ_0=4.11 σ_{ID}=4.27 Σ_T=5.24
CC 19 SLV (Collegamento -382_-520)
Azioni sul collegamento: N=118.29 Ty=-1.47 Tz=-46.33 Mx=-0.36 Mz=-2.21
Sollecitazioni agenti localmente: Tx_l=-1.47 Ty_l=-46.33 N_l=118.29 My_l=2.21 Mz_l=-0.36
Azioni sul cordone: TP=0.52 TO=3.69 NO=8.70
Tensioni nel cordone: τ_P=0.17 τ_0=1.17 σ_0=5.99 σ_{ID}=6.11 Σ_T=7.16
CC 20 SLD (Collegamento -382_-520)
Azioni sul collegamento: N=145.46 Ty=-1.41 Tz=-50.53 Mx=-0.32 Mz=-1.93
Sollecitazioni agenti localmente: Tx_l=-1.41 Ty_l=-50.53 N_l=145.46 My_l=1.93 Mz_l=-0.32
Azioni sul cordone: TP=0.47 TO=3.97 NO=10.70
Tensioni nel cordone: τ_P=0.15 τ_0=1.26 σ_0=6.23 σ_{ID}=6.36 Σ_T=7.49
CC 20 SLD (Collegamento -382_-520)
Azioni sul collegamento: N=145.46 Ty=-1.65 Tz=-50.53 Mx=-0.38 Mz=-2.33
Sollecitazioni agenti localmente: Tx_l=-1.65 Ty_l=-50.53 N_l=145.46 My_l=2.33 Mz_l=-0.38
Azioni sul cordone: TP=0.56 TO=4.02 NO=10.70
Tensioni nel cordone: τ_P=0.18 τ_0=1.28 σ_0=6.80 σ_{ID}=6.92 Σ_T=8.08
CC 20 SLD (Collegamento -382_-520)
Azioni sul collegamento: N=145.46 Ty=-1.41 Tz=-50.53 Mx=-0.32 Mz=-1.93
Sollecitazioni agenti localmente: Tx_l=-1.41 Ty_l=-50.53 N_l=145.46 My_l=1.93 Mz_l=-0.32
Azioni sul cordone: TP=0.47 TO=3.97 NO=10.70
Tensioni nel cordone: τ_P=0.15 τ_0=1.26 σ_0=6.23 σ_{ID}=6.36 Σ_T=7.49
CC 20 SLD (Collegamento -382_-520)
Azioni sul collegamento: N=145.46 Ty=-1.65 Tz=-50.53 Mx=-0.38 Mz=-2.33
Sollecitazioni agenti localmente: Tx_l=-1.65 Ty_l=-50.53 N_l=145.46 My_l=2.33 Mz_l=-0.38
Azioni sul cordone: TP=0.56 TO=4.02 NO=10.70
Tensioni nel cordone: τ_P=0.18 τ_0=1.28 σ_0=6.80 σ_{ID}=6.92 Σ_T=8.08
CC 20 SLD (Collegamento -382_-520)
Azioni sul collegamento: N=132.71 Ty=-1.41 Tz=-48.56 Mx=-0.32 Mz=-1.93
Sollecitazioni agenti localmente: Tx_l=-1.41 Ty_l=-48.56 N_l=132.71 My_l=1.93 Mz_l=-0.32
Azioni sul cordone: TP=0.47 TO=3.82 NO=9.77
Tensioni nel cordone: τ_P=0.15 τ_0=1.22 σ_0=5.93 σ_{ID}=6.05 Σ_T=7.14
CC 20 SLD (Collegamento -382_-520)
Azioni sul collegamento: N=132.71 Ty=-1.65 Tz=-48.56 Mx=-0.38 Mz=-2.33
Sollecitazioni agenti localmente: Tx_l=-1.65 Ty_l=-48.56 N_l=132.71 My_l=2.33 Mz_l=-0.38
Azioni sul cordone: TP=0.56 TO=3.87 NO=9.77
Tensioni nel cordone: τ_P=0.18 τ_0=1.23 σ_0=6.50 σ_{ID}=6.62 Σ_T=7.73
CC 20 SLD (Collegamento -382_-520)
Azioni sul collegamento: N=132.71 Ty=-1.41 Tz=-48.56 Mx=-0.32 Mz=-1.93
Sollecitazioni agenti localmente: Tx_l=-1.41 Ty_l=-48.56 N_l=132.71 My_l=1.93 Mz_l=-0.32
Azioni sul cordone: TP=0.47 TO=3.82 NO=9.77
Tensioni nel cordone: τ_P=0.15 τ_0=1.22 σ_0=5.93 σ_{ID}=6.05 Σ_T=7.14
CC 20 SLD (Collegamento -382_-520)
Azioni sul collegamento: N=132.71 Ty=-1.65 Tz=-48.56 Mx=-0.38 Mz=-2.33
Sollecitazioni agenti localmente: Tx_l=-1.65 Ty_l=-48.56 N_l=132.71 My_l=2.33 Mz_l=-0.38
Azioni sul cordone: TP=0.56 TO=3.87 NO=9.77
Tensioni nel cordone: τ_P=0.18 τ_0=1.23 σ_0=6.50 σ_{ID}=6.62 Σ_T=7.73
CC 21 SLV (Collegamento -382_-520)
Azioni sul collegamento: N=118.29 Ty=-1.47 Tz=-46.33 Mx=-0.35 Mz=-2.21
Sollecitazioni agenti localmente: Tx_l=-1.47 Ty_l=-46.33 N_l=118.29 My_l=2.21 Mz_l=-0.35
Azioni sul cordone: TP=0.51 TO=3.68 NO=8.70
Tensioni nel cordone: τ_P=0.16 τ_0=1.17 σ_0=5.99 σ_{ID}=6.11 Σ_T=7.16
CC 21 SLV (Collegamento -382_-520)
Azioni sul collegamento: N=118.29 Ty=-0.66 Tz=-46.33 Mx=-0.15 Mz=-0.92
Sollecitazioni agenti localmente: Tx_l=-0.66 Ty_l=-46.33 N_l=118.29 My_l=0.92 Mz_l=-0.15
Azioni sul cordone: TP=0.22 TO=3.53 NO=8.70
Tensioni nel cordone: τ_P= 0.07 τ_0=1.12 σ_0=4.12 σ_{ID}=4.27 Σ_T=5.24
CC 21 SLV (Collegamento -382_-520)
Azioni sul collegamento: N=118.29 Ty=-1.47 Tz=-46.33 Mx=-0.35 Mz=-2.21
Sollecitazioni agenti localmente: Tx_l=-1.47 Ty_l=-46.33 N_l=118.29 My_l=2.21 Mz_l=-0.35
Azioni sul cordone: TP=0.51 TO=3.68 NO=8.70
Tensioni nel cordone: τ_P=0.16 τ_0=1.17 σ_0=5.99 σ_{ID}=6.11 Σ_T=7.16
CC 21 SLV (Collegamento -382_-520)
Azioni sul collegamento: N=118.29 Ty=-0.66 Tz=-46.33 Mx=-0.15 Mz=-0.92
Sollecitazioni agenti localmente: Tx_l=-0.66 Ty_l=-46.33 N_l=118.29 My_l=0.92 Mz_l=-0.15
Azioni sul cordone: TP=0.22 TO=3.53 NO=8.70

Tensioni nel cordone: τ_P= 0.07 τ_0=1.12 σ_0=4.12 σ_{ID}=4.27 Σ_T=5.24
CC 21 SLV (Collegamento -382_-520)
Azioni sul collegamento: N=160.12 Ty=-1.47 Tz=-52.80 Mx=-0.35 Mz=-2.21
Sollecitazioni agenti localmente: Tx_l=-1.47 Ty_l=-52.80 N_l=160.12 My_l=2.21 Mz_l=-0.35
Azioni sul cordone: TP=0.51 TO=4.16 NO=11.78
Tensioni nel cordone: τ_P=0.16 τ_0=1.32 σ_0=6.97 σ_{ID}=7.10 Σ_T=8.29
CC 21 SLV (Collegamento -382_-520)
Azioni sul collegamento: N=160.12 Ty=-0.66 Tz=-52.80 Mx=-0.15 Mz=-0.92
Sollecitazioni agenti localmente: Tx_l=-0.66 Ty_l=-52.80 N_l=160.12 My_l=0.92 Mz_l=-0.15
Azioni sul cordone: TP=0.22 TO=4.00 NO=11.78
Tensioni nel cordone: τ_P= 0.07 τ_0=1.27 σ_0=5.09 σ_{ID}=5.25 Σ_T=6.37
CC 21 SLV (Collegamento -382_-520)
Azioni sul collegamento: N=160.12 Ty=-1.47 Tz=-52.80 Mx=-0.35 Mz=-2.21
Sollecitazioni agenti localmente: Tx_l=-1.47 Ty_l=-52.80 N_l=160.12 My_l=2.21 Mz_l=-0.35
Azioni sul cordone: TP=0.51 TO=4.16 NO=11.78
Tensioni nel cordone: τ_P=0.16 τ_0=1.32 σ_0=6.97 σ_{ID}=7.10 Σ_T=8.29
CC 21 SLV (Collegamento -382_-520)
Azioni sul collegamento: N=160.12 Ty=-0.66 Tz=-52.80 Mx=-0.15 Mz=-0.92
Sollecitazioni agenti localmente: Tx_l=-0.66 Ty_l=-52.80 N_l=160.12 My_l=0.92 Mz_l=-0.15
Azioni sul cordone: TP=0.22 TO=4.00 NO=11.78
Tensioni nel cordone: τ_P= 0.07 τ_0=1.27 σ_0=5.09 σ_{ID}=5.25 Σ_T=6.37
CC 22 SLD (Collegamento -382_-520)
Azioni sul collegamento: N=132.71 Ty=-1.65 Tz=-48.56 Mx=-0.38 Mz=-2.33
Sollecitazioni agenti localmente: Tx_l=-1.65 Ty_l=-48.56 N_l=132.71 My_l=2.33 Mz_l=-0.38
Azioni sul cordone: TP=0.55 TO=3.87 NO=9.77
Tensioni nel cordone: τ_P=0.18 τ_0=1.23 σ_0=6.50 σ_{ID}=6.62 Σ_T=7.73
CC 22 SLD (Collegamento -382_-520)
Azioni sul collegamento: N=132.71 Ty=-1.41 Tz=-48.56 Mx=-0.31 Mz=-1.93
Sollecitazioni agenti localmente: Tx_l=-1.41 Ty_l=-48.56 N_l=132.71 My_l=1.93 Mz_l=-0.31
Azioni sul cordone: TP=0.47 TO=3.82 NO=9.77
Tensioni nel cordone: τ_P=0.15 τ_0=1.21 σ_0=5.93 σ_{ID}=6.05 Σ_T=7.14
CC 22 SLD (Collegamento -382_-520)
Azioni sul collegamento: N=132.71 Ty=-1.65 Tz=-48.56 Mx=-0.38 Mz=-2.33
Sollecitazioni agenti localmente: Tx_l=-1.65 Ty_l=-48.56 N_l=132.71 My_l=2.33 Mz_l=-0.38
Azioni sul cordone: TP=0.55 TO=3.87 NO=9.77
Tensioni nel cordone: τ_P=0.18 τ_0=1.23 σ_0=6.50 σ_{ID}=6.62 Σ_T=7.73
CC 22 SLD (Collegamento -382_-520)
Azioni sul collegamento: N=132.71 Ty=-1.41 Tz=-48.56 Mx=-0.31 Mz=-1.93
Sollecitazioni agenti localmente: Tx_l=-1.41 Ty_l=-48.56 N_l=132.71 My_l=1.93 Mz_l=-0.31
Azioni sul cordone: TP=0.47 TO=3.82 NO=9.77
Tensioni nel cordone: τ_P=0.15 τ_0=1.21 σ_0=5.93 σ_{ID}=6.05 Σ_T=7.14
CC 22 SLD (Collegamento -382_-520)
Azioni sul collegamento: N=145.46 Ty=-1.65 Tz=-50.53 Mx=-0.38 Mz=-2.33
Sollecitazioni agenti localmente: Tx_l=-1.65 Ty_l=-50.53 N_l=145.46 My_l=2.33 Mz_l=-0.38
Azioni sul cordone: TP=0.55 TO=4.01 NO=10.70
Tensioni nel cordone: τ_P=0.18 τ_0=1.28 σ_0=6.80 σ_{ID}=6.92 Σ_T=8.08
CC 22 SLD (Collegamento -382_-520)
Azioni sul collegamento: N=145.46 Ty=-1.41 Tz=-50.53 Mx=-0.31 Mz=-1.93
Sollecitazioni agenti localmente: Tx_l=-1.41 Ty_l=-50.53 N_l=145.46 My_l=1.93 Mz_l=-0.31
Azioni sul cordone: TP=0.47 TO=3.97 NO=10.70
Tensioni nel cordone: τ_P=0.15 τ_0=1.26 σ_0=6.23 σ_{ID}=6.36 Σ_T=7.49
CC 22 SLD (Collegamento -382_-520)
Azioni sul collegamento: N=145.46 Ty=-1.65 Tz=-50.53 Mx=-0.38 Mz=-2.33
Sollecitazioni agenti localmente: Tx_l=-1.65 Ty_l=-50.53 N_l=145.46 My_l=2.33 Mz_l=-0.38
Azioni sul cordone: TP=0.55 TO=4.01 NO=10.70
Tensioni nel cordone: τ_P=0.18 τ_0=1.28 σ_0=6.80 σ_{ID}=6.92 Σ_T=8.08
CC 22 SLD (Collegamento -382_-520)
Azioni sul collegamento: N=145.46 Ty=-1.41 Tz=-50.53 Mx=-0.31 Mz=-1.93
Sollecitazioni agenti localmente: Tx_l=-1.41 Ty_l=-50.53 N_l=145.46 My_l=1.93 Mz_l=-0.31
Azioni sul cordone: TP=0.47 TO=3.97 NO=10.70
Tensioni nel cordone: τ_P=0.15 τ_0=1.26 σ_0=6.23 σ_{ID}=6.36 Σ_T=7.49
CC 23 SLV (Collegamento -382_-520)
Azioni sul collegamento: N=118.10 Ty=-2.00 Tz=-46.30 Mx=-0.43 Mz=-2.77
Sollecitazioni agenti localmente: Tx_l=-2.00 Ty_l=-46.30 N_l=118.10 My_l=2.77 Mz_l=-0.43
Azioni sul cordone: TP=0.65 TO=3.75 NO=8.69
Tensioni nel cordone: τ_P=0.21 τ_0=1.19 σ_0=6.81 σ_{ID}=6.92 Σ_T=8.00
CC 23 SLV (Collegamento -382_-520)
Azioni sul collegamento: N=118.10 Ty=-0.12 Tz=-46.30 Mx=-0.06 Mz=-0.36
Sollecitazioni agenti localmente: Tx_l=-0.12 Ty_l=-46.30 N_l=118.10 My_l=0.36 Mz_l=-0.06
Azioni sul cordone: TP=0.08 TO=3.45 NO=8.69
Tensioni nel cordone: τ_P= 0.03 τ_0=1.10 σ_0=3.29 σ_{ID}=3.47 Σ_T=4.39
CC 23 SLV (Collegamento -382_-520)
Azioni sul collegamento: N=118.10 Ty=-2.00 Tz=-46.30 Mx=-0.43 Mz=-2.77
Sollecitazioni agenti localmente: Tx_l=-2.00 Ty_l=-46.30 N_l=118.10 My_l=2.77 Mz_l=-0.43
Azioni sul cordone: TP=0.65 TO=3.75 NO=8.69
Tensioni nel cordone: τ_P=0.21 τ_0=1.19 σ_0=6.81 σ_{ID}=6.92 Σ_T=8.00
CC 23 SLV (Collegamento -382_-520)
Azioni sul collegamento: N=118.10 Ty=-0.12 Tz=-46.30 Mx=-0.06 Mz=-0.36
Sollecitazioni agenti localmente: Tx_l=-0.12 Ty_l=-46.30 N_l=118.10 My_l=0.36 Mz_l=-0.06
Azioni sul cordone: TP=0.08 TO=3.45 NO=8.69
Tensioni nel cordone: τ_P= 0.03 τ_0=1.10 σ_0=3.29 σ_{ID}=3.47 Σ_T=4.39

CC 23 SLV (Collegamento -382_-520)
Azioni sul collegamento: N=160.31 Ty=-2.00 Tz=-52.83 Mx=-0.43 Mz=-2.77
Sollecitazioni agenti localmente: Tx_l=-2.00 Ty_l=-52.83 N_l=160.31 My_l=2.77 Mz_l=-0.43
Azioni sul cordone: TP=0.65 TO=4.23 NO=11.80
Tensioni nel cordone: τ_P=0.21 τ_0=1.34 σ_0=7.80 σ_{ID}=7.91 Σ_T=9.14
CC 23 SLV (Collegamento -382_-520)
Azioni sul collegamento: N=160.31 Ty=-0.12 Tz=-52.83 Mx=-0.06 Mz=-0.36
Sollecitazioni agenti localmente: Tx_l=-0.12 Ty_l=-52.83 N_l=160.31 My_l=0.36 Mz_l=-0.06
Azioni sul cordone: TP=0.08 TO=3.94 NO=11.80
Tensioni nel cordone: τ_P= 0.03 τ_0=1.25 σ_0=4.28 σ_{ID}=4.46 Σ_T=5.53
CC 23 SLV (Collegamento -382_-520)
Azioni sul collegamento: N=160.31 Ty=-2.00 Tz=-52.83 Mx=-0.43 Mz=-2.77
Sollecitazioni agenti localmente: Tx_l=-2.00 Ty_l=-52.83 N_l=160.31 My_l=2.77 Mz_l=-0.43
Azioni sul cordone: TP=0.65 TO=4.23 NO=11.80
Tensioni nel cordone: τ_P=0.21 τ_0=1.34 σ_0=7.80 σ_{ID}=7.91 Σ_T=9.14
CC 23 SLV (Collegamento -382_-520)
Azioni sul collegamento: N=160.31 Ty=-0.12 Tz=-52.83 Mx=-0.06 Mz=-0.36
Sollecitazioni agenti localmente: Tx_l=-0.12 Ty_l=-52.83 N_l=160.31 My_l=0.36 Mz_l=-0.06
Azioni sul cordone: TP=0.08 TO=3.94 NO=11.80
Tensioni nel cordone: τ_P= 0.03 τ_0=1.25 σ_0=4.28 σ_{ID}=4.46 Σ_T=5.53
CC 24 SLD (Collegamento -382_-520)
Azioni sul collegamento: N=132.65 Ty=-1.82 Tz=-48.55 Mx=-0.40 Mz=-2.50
Sollecitazioni agenti localmente: Tx_l=-1.82 Ty_l=-48.55 N_l=132.65 My_l=2.50 Mz_l=-0.40
Azioni sul cordone: TP=0.60 TO=3.89 NO=9.76
Tensioni nel cordone: τ_P=0.19 τ_0=1.24 σ_0=6.75 σ_{ID}=6.87 Σ_T=7.99
CC 24 SLD (Collegamento -382_-520)
Azioni sul collegamento: N=132.65 Ty=-1.24 Tz=-48.55 Mx=-0.29 Mz=-1.76
Sollecitazioni agenti localmente: Tx_l=-1.24 Ty_l=-48.55 N_l=132.65 My_l=1.76 Mz_l=-0.29
Azioni sul cordone: TP=0.42 TO=3.80 NO=9.76
Tensioni nel cordone: τ_P=0.13 τ_0=1.21 σ_0=5.68 σ_{ID}=5.81 Σ_T=6.89
CC 24 SLD (Collegamento -382_-520)
Azioni sul collegamento: N=132.65 Ty=-1.82 Tz=-48.55 Mx=-0.40 Mz=-2.50
Sollecitazioni agenti localmente: Tx_l=-1.82 Ty_l=-48.55 N_l=132.65 My_l=2.50 Mz_l=-0.40
Azioni sul cordone: TP=0.60 TO=3.89 NO=9.76
Tensioni nel cordone: τ_P=0.19 τ_0=1.24 σ_0=6.75 σ_{ID}=6.87 Σ_T=7.99
CC 24 SLD (Collegamento -382_-520)
Azioni sul collegamento: N=132.65 Ty=-1.24 Tz=-48.55 Mx=-0.29 Mz=-1.76
Sollecitazioni agenti localmente: Tx_l=-1.24 Ty_l=-48.55 N_l=132.65 My_l=1.76 Mz_l=-0.29
Azioni sul cordone: TP=0.42 TO=3.80 NO=9.76
Tensioni nel cordone: τ_P=0.13 τ_0=1.21 σ_0=5.68 σ_{ID}=5.81 Σ_T=6.89
CC 24 SLD (Collegamento -382_-520)
Azioni sul collegamento: N=145.52 Ty=-1.82 Tz=-50.54 Mx=-0.40 Mz=-2.50
Sollecitazioni agenti localmente: Tx_l=-1.82 Ty_l=-50.54 N_l=145.52 My_l=2.50 Mz_l=-0.40
Azioni sul cordone: TP=0.60 TO=4.04 NO=10.71
Tensioni nel cordone: τ_P=0.19 τ_0=1.28 σ_0=7.05 σ_{ID}=7.17 Σ_T=8.33
CC 24 SLD (Collegamento -382_-520)
Azioni sul collegamento: N=145.52 Ty=-1.24 Tz=-50.54 Mx=-0.29 Mz=-1.76
Sollecitazioni agenti localmente: Tx_l=-1.24 Ty_l=-50.54 N_l=145.52 My_l=1.76 Mz_l=-0.29
Azioni sul cordone: TP=0.42 TO=3.95 NO=10.71
Tensioni nel cordone: τ_P=0.13 τ_0=1.25 σ_0=5.98 σ_{ID}=6.11 Σ_T=7.23
CC 24 SLD (Collegamento -382_-520)
Azioni sul collegamento: N=145.52 Ty=-1.82 Tz=-50.54 Mx=-0.40 Mz=-2.50
Sollecitazioni agenti localmente: Tx_l=-1.82 Ty_l=-50.54 N_l=145.52 My_l=2.50 Mz_l=-0.40
Azioni sul cordone: TP=0.60 TO=4.04 NO=10.71
Tensioni nel cordone: τ_P=0.19 τ_0=1.28 σ_0=7.05 σ_{ID}=7.17 Σ_T=8.33
CC 24 SLD (Collegamento -382_-520)
Azioni sul collegamento: N=145.52 Ty=-1.24 Tz=-50.54 Mx=-0.29 Mz=-1.76
Sollecitazioni agenti localmente: Tx_l=-1.24 Ty_l=-50.54 N_l=145.52 My_l=1.76 Mz_l=-0.29
Azioni sul cordone: TP=0.42 TO=3.95 NO=10.71
Tensioni nel cordone: τ_P=0.13 τ_0=1.25 σ_0=5.98 σ_{ID}=6.11 Σ_T=7.23
CC 25 SLV (Collegamento -382_-520)
Azioni sul collegamento: N=145.83 Ty=0.03 Tz=-50.59 Mx=-0.07 Mz=-0.35
Sollecitazioni agenti localmente: Tx_l=0.03 Ty_l=-50.59 N_l=145.83 My_l=0.35 Mz_l=-0.07
Azioni sul cordone: TP=0.09 TO=-3.78 NO=10.73
Tensioni nel cordone: τ_P= 0.03 τ_0=1.20 σ_0=3.92 σ_{ID}=4.10 Σ_T=5.12
CC 25 SLV (Collegamento -382_-520)
Azioni sul collegamento: N=145.83 Ty=-2.15 Tz=-50.59 Mx=-0.45 Mz=-2.78
Sollecitazioni agenti localmente: Tx_l=-2.15 Ty_l=-50.59 N_l=145.83 My_l=2.78 Mz_l=-0.45
Azioni sul cordone: TP=0.68 TO=4.08 NO=10.73
Tensioni nel cordone: τ_P=0.21 τ_0=1.30 σ_0=7.47 σ_{ID}=7.58 Σ_T=8.76
CC 25 SLV (Collegamento -382_-520)
Azioni sul collegamento: N=145.83 Ty=0.03 Tz=-50.59 Mx=-0.07 Mz=-0.35
Sollecitazioni agenti localmente: Tx_l=0.03 Ty_l=-50.59 N_l=145.83 My_l=0.35 Mz_l=-0.07
Azioni sul cordone: TP=0.09 TO=-3.78 NO=10.73
Tensioni nel cordone: τ_P= 0.03 τ_0=1.20 σ_0=3.92 σ_{ID}=4.10 Σ_T=5.12
CC 25 SLV (Collegamento -382_-520)
Azioni sul collegamento: N=145.83 Ty=-2.15 Tz=-50.59 Mx=-0.45 Mz=-2.78
Sollecitazioni agenti localmente: Tx_l=-2.15 Ty_l=-50.59 N_l=145.83 My_l=2.78 Mz_l=-0.45
Azioni sul cordone: TP=0.68 TO=4.08 NO=10.73
Tensioni nel cordone: τ_P=0.21 τ_0=1.30 σ_0=7.47 σ_{ID}=7.58 Σ_T=8.76
CC 25 SLV (Collegamento -382_-520)

Azioni sul collegamento: N=132.59 Ty=0.03 Tz=-48.54 Mx=-0.07 Mz=-0.35
Sollecitazioni agenti localmente: Tx_l=0.03 Ty_l=-48.54 N_l=132.59 My_l=0.35 Mz_l=-0.07
Azioni sul cordone: TP=0.09 TO=-3.63 NO=9.76
Tensioni nel cordone: τ_P= 0.03 τ_0=1.15 σ_0=3.61 σ_{ID}=3.79 Σ_T=4.77
CC 25 SLV (Collegamento -382_-520)
Azioni sul collegamento: N=132.59 Ty=-2.15 Tz=-48.54 Mx=-0.45 Mz=-2.78
Sollecitazioni agenti localmente: Tx_l=-2.15 Ty_l=-48.54 N_l=132.59 My_l=2.78 Mz_l=-0.45
Azioni sul cordone: TP=0.68 TO=3.93 NO=9.76
Tensioni nel cordone: τ_P=0.21 τ_0=1.25 σ_0=7.16 σ_{ID}=7.27 Σ_T=8.41
CC 25 SLV (Collegamento -382_-520)
Azioni sul collegamento: N=132.59 Ty=0.03 Tz=-48.54 Mx=-0.07 Mz=-0.35
Sollecitazioni agenti localmente: Tx_l=0.03 Ty_l=-48.54 N_l=132.59 My_l=0.35 Mz_l=-0.07
Azioni sul cordone: TP=0.09 TO=-3.63 NO=9.76
Tensioni nel cordone: τ_P= 0.03 τ_0=1.15 σ_0=3.61 σ_{ID}=3.79 Σ_T=4.77
CC 25 SLV (Collegamento -382_-520)
Azioni sul collegamento: N=132.59 Ty=-2.15 Tz=-48.54 Mx=-0.45 Mz=-2.78
Sollecitazioni agenti localmente: Tx_l=-2.15 Ty_l=-48.54 N_l=132.59 My_l=2.78 Mz_l=-0.45
Azioni sul cordone: TP=0.68 TO=3.93 NO=9.76
Tensioni nel cordone: τ_P=0.21 τ_0=1.25 σ_0=7.16 σ_{ID}=7.27 Σ_T=8.41
CC 26 SLD (Collegamento -382_-520)
Azioni sul collegamento: N=141.11 Ty=-1.20 Tz=-49.86 Mx=-0.29 Mz=-1.76
Sollecitazioni agenti localmente: Tx_l=-1.20 Ty_l=-49.86 N_l=141.11 My_l=1.76 Mz_l=-0.29
Azioni sul cordone: TP=0.42 TO=3.90 NO=10.38
Tensioni nel cordone: τ_P=0.13 τ_0=1.24 σ_0=5.87 σ_{ID}=6.00 Σ_T=7.11
CC 26 SLD (Collegamento -382_-520)
Azioni sul collegamento: N=141.11 Ty=-1.86 Tz=-49.86 Mx=-0.41 Mz=-2.50
Sollecitazioni agenti localmente: Tx_l=-1.86 Ty_l=-49.86 N_l=141.11 My_l=2.50 Mz_l=-0.41
Azioni sul cordone: TP=0.60 TO=3.99 NO=10.38
Tensioni nel cordone: τ_P=0.19 τ_0=1.27 σ_0=6.95 σ_{ID}=7.07 Σ_T=8.22
CC 26 SLD (Collegamento -382_-520)
Azioni sul collegamento: N=141.11 Ty=-1.20 Tz=-49.86 Mx=-0.29 Mz=-1.76
Sollecitazioni agenti localmente: Tx_l=-1.20 Ty_l=-49.86 N_l=141.11 My_l=1.76 Mz_l=-0.29
Azioni sul cordone: TP=0.42 TO=3.90 NO=10.38
Tensioni nel cordone: τ_P=0.13 τ_0=1.24 σ_0=5.87 σ_{ID}=6.00 Σ_T=7.11
CC 26 SLD (Collegamento -382_-520)
Azioni sul collegamento: N=141.11 Ty=-1.86 Tz=-49.86 Mx=-0.41 Mz=-2.50
Sollecitazioni agenti localmente: Tx_l=-1.86 Ty_l=-49.86 N_l=141.11 My_l=2.50 Mz_l=-0.41
Azioni sul cordone: TP=0.60 TO=3.99 NO=10.38
Tensioni nel cordone: τ_P=0.19 τ_0=1.27 σ_0=6.95 σ_{ID}=7.07 Σ_T=8.22
CC 26 SLD (Collegamento -382_-520)
Azioni sul collegamento: N=137.07 Ty=-1.20 Tz=-49.23 Mx=-0.29 Mz=-1.76
Sollecitazioni agenti localmente: Tx_l=-1.20 Ty_l=-49.23 N_l=137.07 My_l=1.76 Mz_l=-0.29
Azioni sul cordone: TP=0.42 TO=3.85 NO=10.09
Tensioni nel cordone: τ_P=0.13 τ_0=1.22 σ_0=5.78 σ_{ID}=5.91 Σ_T=7.00
CC 26 SLD (Collegamento -382_-520)
Azioni sul collegamento: N=137.07 Ty=-1.86 Tz=-49.23 Mx=-0.41 Mz=-2.50
Sollecitazioni agenti localmente: Tx_l=-1.86 Ty_l=-49.23 N_l=137.07 My_l=2.50 Mz_l=-0.41
Azioni sul cordone: TP=0.60 TO=3.94 NO=10.09
Tensioni nel cordone: τ_P=0.19 τ_0=1.25 σ_0=6.86 σ_{ID}=6.97 Σ_T=8.11
CC 26 SLD (Collegamento -382_-520)
Azioni sul collegamento: N=137.07 Ty=-1.20 Tz=-49.23 Mx=-0.29 Mz=-1.76
Sollecitazioni agenti localmente: Tx_l=-1.20 Ty_l=-49.23 N_l=137.07 My_l=1.76 Mz_l=-0.29
Azioni sul cordone: TP=0.42 TO=3.85 NO=10.09
Tensioni nel cordone: τ_P=0.13 τ_0=1.22 σ_0=5.78 σ_{ID}=5.91 Σ_T=7.00
CC 26 SLD (Collegamento -382_-520)
Azioni sul collegamento: N=137.07 Ty=-1.86 Tz=-49.23 Mx=-0.41 Mz=-2.50
Sollecitazioni agenti localmente: Tx_l=-1.86 Ty_l=-49.23 N_l=137.07 My_l=2.50 Mz_l=-0.41
Azioni sul cordone: TP=0.60 TO=3.94 NO=10.09
Tensioni nel cordone: τ_P=0.19 τ_0=1.25 σ_0=6.86 σ_{ID}=6.97 Σ_T=8.11
CC 27 SLV (Collegamento -382_-520)
Azioni sul collegamento: N=133.22 Ty=-0.37 Tz=-48.64 Mx=-0.16 Mz=-0.91
Sollecitazioni agenti localmente: Tx_l=-0.37 Ty_l=-48.64 N_l=133.22 My_l=0.91 Mz_l=-0.16
Azioni sul cordone: TP=0.21 TO=3.70 NO=9.80
Tensioni nel cordone: τ_P= 0.07 τ_0=1.18 σ_0=4.44 σ_{ID}=4.59 Σ_T=5.61
CC 27 SLV (Collegamento -382_-520)
Azioni sul collegamento: N=133.22 Ty=-1.75 Tz=-48.64 Mx=-0.36 Mz=-2.23
Sollecitazioni agenti localmente: Tx_l=-1.75 Ty_l=-48.64 N_l=133.22 My_l=2.23 Mz_l=-0.36
Azioni sul cordone: TP=0.54 TO=3.86 NO=9.80
Tensioni nel cordone: τ_P=0.17 τ_0=1.23 σ_0=6.37 σ_{ID}=6.49 Σ_T=7.59
CC 27 SLV (Collegamento -382_-520)
Azioni sul collegamento: N=133.22 Ty=-0.37 Tz=-48.64 Mx=-0.16 Mz=-0.91
Sollecitazioni agenti localmente: Tx_l=-0.37 Ty_l=-48.64 N_l=133.22 My_l=0.91 Mz_l=-0.16
Azioni sul cordone: TP=0.21 TO=3.70 NO=9.80
Tensioni nel cordone: τ_P= 0.07 τ_0=1.18 σ_0=4.44 σ_{ID}=4.59 Σ_T=5.61
CC 27 SLV (Collegamento -382_-520)
Azioni sul collegamento: N=133.22 Ty=-1.75 Tz=-48.64 Mx=-0.36 Mz=-2.23
Sollecitazioni agenti localmente: Tx_l=-1.75 Ty_l=-48.64 N_l=133.22 My_l=2.23 Mz_l=-0.36
Azioni sul cordone: TP=0.54 TO=3.86 NO=9.80
Tensioni nel cordone: τ_P=0.17 τ_0=1.23 σ_0=6.37 σ_{ID}=6.49 Σ_T=7.59
CC 27 SLV (Collegamento -382_-520)
Azioni sul collegamento: N=145.19 Ty=-0.37 Tz=-50.49 Mx=-0.16 Mz=-0.91

Sollecitazioni agenti localmente: Tx_l=-0.37 Ty_l=-50.49 N_l=145.19 My_l=0.91 Mz_l=-0.16
Azioni sul cordone: TP=0.21 TO=3.84 NO=10.68
Tensioni nel cordone: τ_P= 0.07 τ_0=1.22 σ_0=4.72 σ_{ID}=4.87 Σ_T=5.94
CC 27 SLV (Collegamento -382_-520)
Azioni sul collegamento: N=145.19 Ty=-1.75 Tz=-50.49 Mx=-0.36 Mz=-2.23
Sollecitazioni agenti localmente: Tx_l=-1.75 Ty_l=-50.49 N_l=145.19 My_l=2.23 Mz_l=-0.36
Azioni sul cordone: TP=0.54 TO=4.00 NO=10.68
Tensioni nel cordone: τ_P=0.17 τ_0=1.27 σ_0=6.65 σ_{ID}=6.77 Σ_T=7.92
CC 27 SLV (Collegamento -382_-520)
Azioni sul collegamento: N=145.19 Ty=-0.37 Tz=-50.49 Mx=-0.16 Mz=-0.91
Sollecitazioni agenti localmente: Tx_l=-0.37 Ty_l=-50.49 N_l=145.19 My_l=0.91 Mz_l=-0.16
Azioni sul cordone: TP=0.21 TO=3.84 NO=10.68
Tensioni nel cordone: τ_P= 0.07 τ_0=1.22 σ_0=4.72 σ_{ID}=4.87 Σ_T=5.94
CC 27 SLV (Collegamento -382_-520)
Azioni sul collegamento: N=145.19 Ty=-1.75 Tz=-50.49 Mx=-0.36 Mz=-2.23
Sollecitazioni agenti localmente: Tx_l=-1.75 Ty_l=-50.49 N_l=145.19 My_l=2.23 Mz_l=-0.36
Azioni sul cordone: TP=0.54 TO=4.00 NO=10.68
Tensioni nel cordone: τ_P=0.17 τ_0=1.27 σ_0=6.65 σ_{ID}=6.77 Σ_T=7.92
CC 28 SLD (Collegamento -382_-520)
Azioni sul collegamento: N=137.26 Ty=-1.32 Tz=-49.26 Mx=-0.32 Mz=-1.93
Sollecitazioni agenti localmente: Tx_l=-1.32 Ty_l=-49.26 N_l=137.26 My_l=1.93 Mz_l=-0.32
Azioni sul cordone: TP=0.46 TO=3.87 NO=10.10
Tensioni nel cordone: τ_P=0.15 τ_0=1.23 σ_0=6.03 σ_{ID}=6.15 Σ_T=7.26
CC 28 SLD (Collegamento -382_-520)
Azioni sul collegamento: N=137.26 Ty=-1.74 Tz=-49.26 Mx=-0.38 Mz=-2.33
Sollecitazioni agenti localmente: Tx_l=-1.74 Ty_l=-49.26 N_l=137.26 My_l=2.33 Mz_l=-0.38
Azioni sul cordone: TP=0.56 TO=3.92 NO=10.10
Tensioni nel cordone: τ_P=0.18 τ_0=1.25 σ_0=6.62 σ_{ID}=6.73 Σ_T=7.86
CC 28 SLD (Collegamento -382_-520)
Azioni sul collegamento: N=137.26 Ty=-1.32 Tz=-49.26 Mx=-0.32 Mz=-1.93
Sollecitazioni agenti localmente: Tx_l=-1.32 Ty_l=-49.26 N_l=137.26 My_l=1.93 Mz_l=-0.32
Azioni sul cordone: TP=0.46 TO=3.87 NO=10.10
Tensioni nel cordone: τ_P=0.15 τ_0=1.23 σ_0=6.03 σ_{ID}=6.15 Σ_T=7.26
CC 28 SLD (Collegamento -382_-520)
Azioni sul collegamento: N=137.26 Ty=-1.74 Tz=-49.26 Mx=-0.38 Mz=-2.33
Sollecitazioni agenti localmente: Tx_l=-1.74 Ty_l=-49.26 N_l=137.26 My_l=2.33 Mz_l=-0.38
Azioni sul cordone: TP=0.56 TO=3.92 NO=10.10
Tensioni nel cordone: τ_P=0.18 τ_0=1.25 σ_0=6.62 σ_{ID}=6.73 Σ_T=7.86
CC 28 SLD (Collegamento -382_-520)
Azioni sul collegamento: N=140.91 Ty=-1.32 Tz=-49.83 Mx=-0.32 Mz=-1.93
Sollecitazioni agenti localmente: Tx_l=-1.32 Ty_l=-49.83 N_l=140.91 My_l=1.93 Mz_l=-0.32
Azioni sul cordone: TP=0.46 TO=3.92 NO=10.37
Tensioni nel cordone: τ_P=0.15 τ_0=1.24 σ_0=6.11 σ_{ID}=6.24 Σ_T=7.36
CC 28 SLD (Collegamento -382_-520)
Azioni sul collegamento: N=140.91 Ty=-1.74 Tz=-49.83 Mx=-0.38 Mz=-2.33
Sollecitazioni agenti localmente: Tx_l=-1.74 Ty_l=-49.83 N_l=140.91 My_l=2.33 Mz_l=-0.38
Azioni sul cordone: TP=0.56 TO=3.96 NO=10.37
Tensioni nel cordone: τ_P=0.18 τ_0=1.26 σ_0=6.70 σ_{ID}=6.82 Σ_T=7.96
CC 28 SLD (Collegamento -382_-520)
Azioni sul collegamento: N=140.91 Ty=-1.32 Tz=-49.83 Mx=-0.32 Mz=-1.93
Sollecitazioni agenti localmente: Tx_l=-1.32 Ty_l=-49.83 N_l=140.91 My_l=1.93 Mz_l=-0.32
Azioni sul cordone: TP=0.46 TO=3.92 NO=10.37
Tensioni nel cordone: τ_P=0.15 τ_0=1.24 σ_0=6.11 σ_{ID}=6.24 Σ_T=7.36
CC 28 SLD (Collegamento -382_-520)
Azioni sul collegamento: N=140.91 Ty=-1.74 Tz=-49.83 Mx=-0.38 Mz=-2.33
Sollecitazioni agenti localmente: Tx_l=-1.74 Ty_l=-49.83 N_l=140.91 My_l=2.33 Mz_l=-0.38
Azioni sul cordone: TP=0.56 TO=3.96 NO=10.37
Tensioni nel cordone: τ_P=0.18 τ_0=1.26 σ_0=6.70 σ_{ID}=6.82 Σ_T=7.96
CC 29 SLV (Collegamento -382_-520)
Azioni sul collegamento: N=145.19 Ty=-1.75 Tz=-50.49 Mx=-0.35 Mz=-2.23
Sollecitazioni agenti localmente: Tx_l=-1.75 Ty_l=-50.49 N_l=145.19 My_l=2.23 Mz_l=-0.35
Azioni sul cordone: TP=0.54 TO=3.99 NO=10.68
Tensioni nel cordone: τ_P=0.17 τ_0=1.27 σ_0=6.65 σ_{ID}=6.77 Σ_T=7.92
CC 29 SLV (Collegamento -382_-520)
Azioni sul collegamento: N=145.19 Ty=-0.37 Tz=-50.49 Mx=-0.15 Mz=-0.91
Sollecitazioni agenti localmente: Tx_l=-0.37 Ty_l=-50.49 N_l=145.19 My_l=0.91 Mz_l=-0.15
Azioni sul cordone: TP=0.20 TO=3.83 NO=10.68
Tensioni nel cordone: τ_P= 0.06 τ_0=1.22 σ_0=4.72 σ_{ID}=4.87 Σ_T=5.94
CC 29 SLV (Collegamento -382_-520)
Azioni sul collegamento: N=145.19 Ty=-1.75 Tz=-50.49 Mx=-0.35 Mz=-2.23
Sollecitazioni agenti localmente: Tx_l=-1.75 Ty_l=-50.49 N_l=145.19 My_l=2.23 Mz_l=-0.35
Azioni sul cordone: TP=0.54 TO=3.99 NO=10.68
Tensioni nel cordone: τ_P=0.17 τ_0=1.27 σ_0=6.65 σ_{ID}=6.77 Σ_T=7.92
CC 29 SLV (Collegamento -382_-520)
Azioni sul collegamento: N=145.19 Ty=-0.37 Tz=-50.49 Mx=-0.15 Mz=-0.91
Sollecitazioni agenti localmente: Tx_l=-0.37 Ty_l=-50.49 N_l=145.19 My_l=0.91 Mz_l=-0.15
Azioni sul cordone: TP=0.20 TO=3.83 NO=10.68
Tensioni nel cordone: τ_P= 0.06 τ_0=1.22 σ_0=4.72 σ_{ID}=4.87 Σ_T=5.94
CC 29 SLV (Collegamento -382_-520)
Azioni sul collegamento: N=133.22 Ty=-1.75 Tz=-48.64 Mx=-0.35 Mz=-2.23
Sollecitazioni agenti localmente: Tx_l=-1.75 Ty_l=-48.64 N_l=133.22 My_l=2.23 Mz_l=-0.35

Azioni sul cordone: TP=0.54 TO=3.86 NO=9.80
Tensioni nel cordone: τ_P=0.17 τ_0=1.23 σ_0=6.37 σ_{ID}=6.49 Σ_T=7.59
CC 29 SLV (Collegamento -382_-520)
Azioni sul collegamento: N=133.22 Ty=-0.37 Tz=-48.64 Mx=-0.15 Mz=-0.91
Sollecitazioni agenti localmente: Tx_l=-0.37 Ty_l=-48.64 N_l=133.22 My_l=0.91 Mz_l=-0.15
Azioni sul cordone: TP=0.20 TO=3.70 NO=9.80
Tensioni nel cordone: τ_P= 0.06 τ_0=1.18 σ_0=4.44 σ_{ID}=4.59 Σ_T=5.61
CC 29 SLV (Collegamento -382_-520)
Azioni sul collegamento: N=133.22 Ty=-1.75 Tz=-48.64 Mx=-0.35 Mz=-2.23
Sollecitazioni agenti localmente: Tx_l=-1.75 Ty_l=-48.64 N_l=133.22 My_l=2.23 Mz_l=-0.35
Azioni sul cordone: TP=0.54 TO=3.86 NO=9.80
Tensioni nel cordone: τ_P=0.17 τ_0=1.23 σ_0=6.37 σ_{ID}=6.49 Σ_T=7.59
CC 29 SLV (Collegamento -382_-520)
Azioni sul collegamento: N=133.22 Ty=-0.37 Tz=-48.64 Mx=-0.15 Mz=-0.91
Sollecitazioni agenti localmente: Tx_l=-0.37 Ty_l=-48.64 N_l=133.22 My_l=0.91 Mz_l=-0.15
Azioni sul cordone: TP=0.20 TO=3.70 NO=9.80
Tensioni nel cordone: τ_P= 0.06 τ_0=1.18 σ_0=4.44 σ_{ID}=4.59 Σ_T=5.61
CC 30 SLD (Collegamento -382_-520)
Azioni sul collegamento: N=140.91 Ty=-1.74 Tz=-49.83 Mx=-0.38 Mz=-2.33
Sollecitazioni agenti localmente: Tx_l=-1.74 Ty_l=-49.83 N_l=140.91 My_l=2.33 Mz_l=-0.38
Azioni sul cordone: TP=0.56 TO=3.96 NO=10.37
Tensioni nel cordone: τ_P=0.18 τ_0=1.26 σ_0=6.70 σ_{ID}=6.82 Σ_T=7.96
CC 30 SLD (Collegamento -382_-520)
Azioni sul collegamento: N=140.91 Ty=-1.32 Tz=-49.83 Mx=-0.31 Mz=-1.93
Sollecitazioni agenti localmente: Tx_l=-1.32 Ty_l=-49.83 N_l=140.91 My_l=1.93 Mz_l=-0.31
Azioni sul cordone: TP=0.46 TO=3.91 NO=10.37
Tensioni nel cordone: τ_P=0.15 τ_0=1.24 σ_0=6.11 σ_{ID}=6.24 Σ_T=7.36
CC 30 SLD (Collegamento -382_-520)
Azioni sul collegamento: N=140.91 Ty=-1.74 Tz=-49.83 Mx=-0.38 Mz=-2.33
Sollecitazioni agenti localmente: Tx_l=-1.74 Ty_l=-49.83 N_l=140.91 My_l=2.33 Mz_l=-0.38
Azioni sul cordone: TP=0.56 TO=3.96 NO=10.37
Tensioni nel cordone: τ_P=0.18 τ_0=1.26 σ_0=6.70 σ_{ID}=6.82 Σ_T=7.96
CC 30 SLD (Collegamento -382_-520)
Azioni sul collegamento: N=140.91 Ty=-1.32 Tz=-49.83 Mx=-0.31 Mz=-1.93
Sollecitazioni agenti localmente: Tx_l=-1.32 Ty_l=-49.83 N_l=140.91 My_l=1.93 Mz_l=-0.31
Azioni sul cordone: TP=0.46 TO=3.91 NO=10.37
Tensioni nel cordone: τ_P=0.15 τ_0=1.24 σ_0=6.11 σ_{ID}=6.24 Σ_T=7.36
CC 30 SLD (Collegamento -382_-520)
Azioni sul collegamento: N=137.26 Ty=-1.74 Tz=-49.26 Mx=-0.38 Mz=-2.33
Sollecitazioni agenti localmente: Tx_l=-1.74 Ty_l=-49.26 N_l=137.26 My_l=2.33 Mz_l=-0.38
Azioni sul cordone: TP=0.56 TO=3.92 NO=10.10
Tensioni nel cordone: τ_P=0.18 τ_0=1.25 σ_0=6.62 σ_{ID}=6.73 Σ_T=7.86
CC 30 SLD (Collegamento -382_-520)
Azioni sul collegamento: N=137.26 Ty=-1.32 Tz=-49.26 Mx=-0.31 Mz=-1.93
Sollecitazioni agenti localmente: Tx_l=-1.32 Ty_l=-49.26 N_l=137.26 My_l=1.93 Mz_l=-0.31
Azioni sul cordone: TP=0.46 TO=3.87 NO=10.10
Tensioni nel cordone: τ_P=0.15 τ_0=1.23 σ_0=6.03 σ_{ID}=6.15 Σ_T=7.26
CC 30 SLD (Collegamento -382_-520)
Azioni sul collegamento: N=137.26 Ty=-1.74 Tz=-49.26 Mx=-0.38 Mz=-2.33
Sollecitazioni agenti localmente: Tx_l=-1.74 Ty_l=-49.26 N_l=137.26 My_l=2.33 Mz_l=-0.38
Azioni sul cordone: TP=0.56 TO=3.92 NO=10.10
Tensioni nel cordone: τ_P=0.18 τ_0=1.25 σ_0=6.62 σ_{ID}=6.73 Σ_T=7.86
CC 30 SLD (Collegamento -382_-520)
Azioni sul collegamento: N=137.26 Ty=-1.32 Tz=-49.26 Mx=-0.31 Mz=-1.93
Sollecitazioni agenti localmente: Tx_l=-1.32 Ty_l=-49.26 N_l=137.26 My_l=1.93 Mz_l=-0.31
Azioni sul cordone: TP=0.46 TO=3.87 NO=10.10
Tensioni nel cordone: τ_P=0.15 τ_0=1.23 σ_0=6.03 σ_{ID}=6.15 Σ_T=7.26
CC 31 SLV (Collegamento -382_-520)
Azioni sul collegamento: N=132.59 Ty=-2.15 Tz=-48.54 Mx=-0.44 Mz=-2.78
Sollecitazioni agenti localmente: Tx_l=-2.15 Ty_l=-48.54 N_l=132.59 My_l=2.78 Mz_l=-0.44
Azioni sul cordone: TP=0.66 TO=3.92 NO=9.76
Tensioni nel cordone: τ_P=0.21 τ_0=1.24 σ_0=7.16 σ_{ID}=7.27 Σ_T=8.41
CC 31 SLV (Collegamento -382_-520)
Azioni sul collegamento: N=132.59 Ty=0.03 Tz=-48.54 Mx=-0.06 Mz=-0.35
Sollecitazioni agenti localmente: Tx_l=0.03 Ty_l=-48.54 N_l=132.59 My_l=0.35 Mz_l=-0.06
Azioni sul cordone: TP=0.07 TO=-3.62 NO=9.76
Tensioni nel cordone: τ_P= 0.02 τ_0=1.15 σ_0=3.62 σ_{ID}=3.79 Σ_T=4.77
CC 31 SLV (Collegamento -382_-520)
Azioni sul collegamento: N=132.59 Ty=-2.15 Tz=-48.54 Mx=-0.44 Mz=-2.78
Sollecitazioni agenti localmente: Tx_l=-2.15 Ty_l=-48.54 N_l=132.59 My_l=2.78 Mz_l=-0.44
Azioni sul cordone: TP=0.66 TO=3.92 NO=9.76
Tensioni nel cordone: τ_P=0.21 τ_0=1.24 σ_0=7.16 σ_{ID}=7.27 Σ_T=8.41
CC 31 SLV (Collegamento -382_-520)
Azioni sul collegamento: N=132.59 Ty=0.03 Tz=-48.54 Mx=-0.06 Mz=-0.35
Sollecitazioni agenti localmente: Tx_l=0.03 Ty_l=-48.54 N_l=132.59 My_l=0.35 Mz_l=-0.06
Azioni sul cordone: TP=0.07 TO=-3.62 NO=9.76
Tensioni nel cordone: τ_P= 0.02 τ_0=1.15 σ_0=3.62 σ_{ID}=3.79 Σ_T=4.77
CC 31 SLV (Collegamento -382_-520)
Azioni sul collegamento: N=145.83 Ty=-2.15 Tz=-50.59 Mx=-0.44 Mz=-2.78
Sollecitazioni agenti localmente: Tx_l=-2.15 Ty_l=-50.59 N_l=145.83 My_l=2.78 Mz_l=-0.44
Azioni sul cordone: TP=0.66 TO=4.07 NO=10.73

Tensioni nel cordone: τ_P=0.21 τ_0=1.29 σ_0=7.47 σ_{ID}=7.59 Σ_T=8.76
CC 31 SLV (Collegamento -382_-520)
Azioni sul collegamento: N=145.83 Ty=0.03 Tz=-50.59 Mx=-0.06 Mz=-0.35
Sollecitazioni agenti localmente: Tx_l=0.03 Ty_l=-50.59 N_l=145.83 My_l=0.35 Mz_l=-0.06
Azioni sul cordone: TP=0.07 TO=-3.77 NO=10.73
Tensioni nel cordone: τ_P= 0.02 τ_0=1.20 σ_0=3.93 σ_{ID}=4.10 Σ_T=5.12
CC 31 SLV (Collegamento -382_-520)
Azioni sul collegamento: N=145.83 Ty=-2.15 Tz=-50.59 Mx=-0.44 Mz=-2.78
Sollecitazioni agenti localmente: Tx_l=-2.15 Ty_l=-50.59 N_l=145.83 My_l=2.78 Mz_l=-0.44
Azioni sul cordone: TP=0.66 TO=4.07 NO=10.73
Tensioni nel cordone: τ_P=0.21 τ_0=1.29 σ_0=7.47 σ_{ID}=7.59 Σ_T=8.76
CC 31 SLV (Collegamento -382_-520)
Azioni sul collegamento: N=145.83 Ty=0.03 Tz=-50.59 Mx=-0.06 Mz=-0.35
Sollecitazioni agenti localmente: Tx_l=0.03 Ty_l=-50.59 N_l=145.83 My_l=0.35 Mz_l=-0.06
Azioni sul cordone: TP=0.07 TO=-3.77 NO=10.73
Tensioni nel cordone: τ_P= 0.02 τ_0=1.20 σ_0=3.93 σ_{ID}=4.10 Σ_T=5.12
CC 32 SLD (Collegamento -382_-520)
Azioni sul collegamento: N=137.07 Ty=-1.86 Tz=-49.23 Mx=-0.40 Mz=-2.50
Sollecitazioni agenti localmente: Tx_l=-1.86 Ty_l=-49.23 N_l=137.07 My_l=2.50 Mz_l=-0.40
Azioni sul cordone: TP=0.60 TO=3.94 NO=10.09
Tensioni nel cordone: τ_P=0.19 τ_0=1.25 σ_0=6.86 σ_{ID}=6.97 Σ_T=8.11
CC 32 SLD (Collegamento -382_-520)
Azioni sul collegamento: N=137.07 Ty=-1.20 Tz=-49.23 Mx=-0.29 Mz=-1.76
Sollecitazioni agenti localmente: Tx_l=-1.20 Ty_l=-49.23 N_l=137.07 My_l=1.76 Mz_l=-0.29
Azioni sul cordone: TP=0.42 TO=3.85 NO=10.09
Tensioni nel cordone: τ_P=0.13 τ_0=1.22 σ_0=5.78 σ_{ID}=5.91 Σ_T=7.00
CC 32 SLD (Collegamento -382_-520)
Azioni sul collegamento: N=137.07 Ty=-1.86 Tz=-49.23 Mx=-0.40 Mz=-2.50
Sollecitazioni agenti localmente: Tx_l=-1.86 Ty_l=-49.23 N_l=137.07 My_l=2.50 Mz_l=-0.40
Azioni sul cordone: TP=0.60 TO=3.94 NO=10.09
Tensioni nel cordone: τ_P=0.19 τ_0=1.25 σ_0=6.86 σ_{ID}=6.97 Σ_T=8.11
CC 32 SLD (Collegamento -382_-520)
Azioni sul collegamento: N=137.07 Ty=-1.20 Tz=-49.23 Mx=-0.29 Mz=-1.76
Sollecitazioni agenti localmente: Tx_l=-1.20 Ty_l=-49.23 N_l=137.07 My_l=1.76 Mz_l=-0.29
Azioni sul cordone: TP=0.42 TO=3.85 NO=10.09
Tensioni nel cordone: τ_P=0.13 τ_0=1.22 σ_0=5.78 σ_{ID}=5.91 Σ_T=7.00
CC 32 SLD (Collegamento -382_-520)
Azioni sul collegamento: N=141.11 Ty=-1.86 Tz=-49.86 Mx=-0.40 Mz=-2.50
Sollecitazioni agenti localmente: Tx_l=-1.86 Ty_l=-49.86 N_l=141.11 My_l=2.50 Mz_l=-0.40
Azioni sul cordone: TP=0.60 TO=3.99 NO=10.38
Tensioni nel cordone: τ_P=0.19 τ_0=1.27 σ_0=6.95 σ_{ID}=7.07 Σ_T=8.22
CC 32 SLD (Collegamento -382_-520)
Azioni sul collegamento: N=141.11 Ty=-1.20 Tz=-49.86 Mx=-0.29 Mz=-1.76
Sollecitazioni agenti localmente: Tx_l=-1.20 Ty_l=-49.86 N_l=141.11 My_l=1.76 Mz_l=-0.29
Azioni sul cordone: TP=0.42 TO=3.90 NO=10.38
Tensioni nel cordone: τ_P=0.13 τ_0=1.24 σ_0=5.87 σ_{ID}=6.00 Σ_T=7.11
CC 32 SLD (Collegamento -382_-520)
Azioni sul collegamento: N=141.11 Ty=-1.86 Tz=-49.86 Mx=-0.40 Mz=-2.50
Sollecitazioni agenti localmente: Tx_l=-1.86 Ty_l=-49.86 N_l=141.11 My_l=2.50 Mz_l=-0.40
Azioni sul cordone: TP=0.60 TO=3.99 NO=10.38
Tensioni nel cordone: τ_P=0.19 τ_0=1.27 σ_0=6.95 σ_{ID}=7.07 Σ_T=8.22
CC 32 SLD (Collegamento -382_-520)
Azioni sul collegamento: N=141.11 Ty=-1.20 Tz=-49.86 Mx=-0.29 Mz=-1.76
Sollecitazioni agenti localmente: Tx_l=-1.20 Ty_l=-49.86 N_l=141.11 My_l=1.76 Mz_l=-0.29
Azioni sul cordone: TP=0.42 TO=3.90 NO=10.38
Tensioni nel cordone: τ_P=0.13 τ_0=1.24 σ_0=5.87 σ_{ID}=6.00 Σ_T=7.11
CC 33 SLU (Collegamento -382_-520)
Azioni sul collegamento: N=352.43 Ty=-3.05 Tz=-92.37 Mx=-0.68 Mz=-4.20
Sollecitazioni agenti localmente: Tx_l=-3.05 Ty_l=-92.37 N_l=352.43 My_l=4.20 Mz_l=-0.68
Azioni sul cordone: TP=1.01 TO=7.33 NO=25.93
Tensioni nel cordone: τ_P=0.32 τ_0=2.33 σ_0=14.38 σ_{ID}=14.57 Σ_T=16.71
CC 34 SLU (Collegamento -382_-520)
Azioni sul collegamento: N=348.06 Ty=-2.90 Tz=-91.70 Mx=-0.65 Mz=-4.01
Sollecitazioni agenti localmente: Tx_l=-2.90 Ty_l=-91.70 N_l=348.06 My_l=4.01 Mz_l=-0.65
Azioni sul cordone: TP=0.96 TO=7.26 NO=25.61
Tensioni nel cordone: τ_P=0.30 τ_0=2.31 σ_0=13.99 σ_{ID}=14.18 Σ_T=16.30
CC 35 SLU (Collegamento -382_-520)
Azioni sul collegamento: N=350.28 Ty=-2.88 Tz=-92.04 Mx=-0.65 Mz=-4.01
Sollecitazioni agenti localmente: Tx_l=-2.88 Ty_l=-92.04 N_l=350.28 My_l=4.01 Mz_l=-0.65
Azioni sul cordone: TP=0.96 TO=7.28 NO=25.77
Tensioni nel cordone: τ_P=0.30 τ_0=2.31 σ_0=14.04 σ_{ID}=14.24 Σ_T=16.36
CC 36 SLU (Collegamento -382_-520)
Azioni sul collegamento: N=350.21 Ty=-3.07 Tz=-92.03 Mx=-0.68 Mz=-4.20
Sollecitazioni agenti localmente: Tx_l=-3.07 Ty_l=-92.03 N_l=350.21 My_l=4.20 Mz_l=-0.68
Azioni sul cordone: TP=1.01 TO=7.31 NO=25.77
Tensioni nel cordone: τ_P=0.32 τ_0=2.32 σ_0=14.32 σ_{ID}=14.52 Σ_T=16.65
CC 37 SLU (Collegamento -382_-520)
Azioni sul collegamento: N=283.55 Ty=-3.29 Tz=-81.71 Mx=-0.73 Mz=-4.52
Sollecitazioni agenti localmente: Tx_l=-3.29 Ty_l=-81.71 N_l=283.55 My_l=4.52 Mz_l=-0.73
Azioni sul cordone: TP=1.08 TO=6.59 NO=20.86
Tensioni nel cordone: τ_P=0.34 τ_0=2.09 σ_0=13.23 σ_{ID}=13.40 Σ_T=15.32

CC 38 SLU (Collegamento -382_-520)
Azioni sul collegamento: N=279.18 Ty=-3.15 Tz=-81.04 Mx=-0.70 Mz=-4.32
Sollecitazioni agenti localmente: Tx_l=-3.15 Ty_l=-81.04 N_l=279.18 My_l=4.32 Mz_l=-0.70
Azioni sul cordone: TP=1.04 TO=6.51 NO=20.54
Tensioni nel cordone: τ_P=0.33 τ_0=2.07 σ_0=12.84 σ_{ID}=13.01 Σ_T=14.91
CC 39 SLU (Collegamento -382_-520)
Azioni sul collegamento: N=281.40 Ty=-3.13 Tz=-81.38 Mx=-0.70 Mz=-4.32
Sollecitazioni agenti localmente: Tx_l=-3.13 Ty_l=-81.38 N_l=281.40 My_l=4.32 Mz_l=-0.70
Azioni sul cordone: TP=1.04 TO=6.54 NO=20.71
Tensioni nel cordone: τ_P=0.33 τ_0=2.08 σ_0=12.90 σ_{ID}=13.07 Σ_T=14.98
CC 40 SLU (Collegamento -382_-520)
Azioni sul collegamento: N=281.33 Ty=-3.31 Tz=-81.37 Mx=-0.73 Mz=-4.52
Sollecitazioni agenti localmente: Tx_l=-3.31 Ty_l=-81.37 N_l=281.33 My_l=4.52 Mz_l=-0.73
Azioni sul cordone: TP=1.09 TO=6.56 NO=20.70
Tensioni nel cordone: τ_P=0.35 τ_0=2.09 σ_0=13.18 σ_{ID}=13.35 Σ_T=15.26
CC 41 SLU (Collegamento -382_-520)
Azioni sul collegamento: N=345.02 Ty=-0.94 Tz=-91.23 Mx=-0.22 Mz=-1.24
Sollecitazioni agenti localmente: Tx_l=-0.94 Ty_l=-91.23 N_l=345.02 My_l=1.24 Mz_l=-0.22
Azioni sul cordone: TP=0.32 TO=6.89 NO=25.39
Tensioni nel cordone: τ_P=0.10 τ_0=2.19 σ_0=9.88 σ_{ID}=10.12 Σ_T=12.07
CC 42 SLU (Collegamento -382_-520)
Azioni sul collegamento: N=340.65 Ty=-0.80 Tz=-90.55 Mx=-0.19 Mz=-1.04
Sollecitazioni agenti localmente: Tx_l=-0.80 Ty_l=-90.55 N_l=340.65 My_l=1.04 Mz_l=-0.19
Azioni sul cordone: TP=0.28 TO=6.81 NO=25.07
Tensioni nel cordone: τ_P= 0.09 τ_0=2.17 σ_0=9.49 σ_{ID}=9.73 Σ_T=11.66
CC 43 SLU (Collegamento -382_-520)
Azioni sul collegamento: N=342.87 Ty=-0.77 Tz=-90.89 Mx=-0.19 Mz=-1.04
Sollecitazioni agenti localmente: Tx_l=-0.77 Ty_l=-90.89 N_l=342.87 My_l=1.04 Mz_l=-0.19
Azioni sul cordone: TP=0.27 TO=6.84 NO=25.23
Tensioni nel cordone: τ_P= 0.09 τ_0=2.17 σ_0=9.54 σ_{ID}=9.79 Σ_T=11.72
CC 44 SLU (Collegamento -382_-520)
Azioni sul collegamento: N=342.80 Ty=-0.96 Tz=-90.88 Mx=-0.22 Mz=-1.24
Sollecitazioni agenti localmente: Tx_l=-0.96 Ty_l=-90.88 N_l=342.80 My_l=1.24 Mz_l=-0.22
Azioni sul cordone: TP=0.32 TO=6.86 NO=25.22
Tensioni nel cordone: τ_P=0.10 τ_0=2.18 σ_0=9.82 σ_{ID}=10.06 Σ_T=12.00
CC 45 SLU (Collegamento -382_-520)
Azioni sul collegamento: N=299.47 Ty=-3.14 Tz=-84.18 Mx=-0.70 Mz=-4.33
Sollecitazioni agenti localmente: Tx_l=-3.14 Ty_l=-84.18 N_l=299.47 My_l=4.33 Mz_l=-0.70
Azioni sul cordone: TP=1.04 TO=6.75 NO=22.04
Tensioni nel cordone: τ_P=0.33 τ_0=2.14 σ_0=13.33 σ_{ID}=13.51 Σ_T=15.47
CC 46 SLU (Collegamento -382_-520)
Azioni sul collegamento: N=295.10 Ty=-3.00 Tz=-83.50 Mx=-0.67 Mz=-4.14
Sollecitazioni agenti localmente: Tx_l=-3.00 Ty_l=-83.50 N_l=295.10 My_l=4.14 Mz_l=-0.67
Azioni sul cordone: TP=0.99 TO=6.67 NO=21.71
Tensioni nel cordone: τ_P=0.32 τ_0=2.12 σ_0=12.94 σ_{ID}=13.12 Σ_T=15.06
CC 47 SLU (Collegamento -382_-520)
Azioni sul collegamento: N=297.32 Ty=-2.98 Tz=-83.84 Mx=-0.67 Mz=-4.14
Sollecitazioni agenti localmente: Tx_l=-2.98 Ty_l=-83.84 N_l=297.32 My_l=4.14 Mz_l=-0.67
Azioni sul cordone: TP=0.99 TO=6.70 NO=21.88
Tensioni nel cordone: τ_P=0.32 τ_0=2.13 σ_0=13.00 σ_{ID}=13.17 Σ_T=15.13
CC 48 SLU (Collegamento -382_-520)
Azioni sul collegamento: N=297.25 Ty=-3.16 Tz=-83.83 Mx=-0.70 Mz=-4.33
Sollecitazioni agenti localmente: Tx_l=-3.16 Ty_l=-83.83 N_l=297.25 My_l=4.33 Mz_l=-0.70
Azioni sul cordone: TP=1.04 TO=6.72 NO=21.87
Tensioni nel cordone: τ_P=0.33 τ_0=2.14 σ_0=13.28 σ_{ID}=13.45 Σ_T=15.41
CC 49 SLU (Collegamento -382_-520)
Azioni sul collegamento: N=247.94 Ty=-3.32 Tz=-76.20 Mx=-0.74 Mz=-4.57
Sollecitazioni agenti localmente: Tx_l=-3.32 Ty_l=-76.20 N_l=247.94 My_l=4.57 Mz_l=-0.74
Azioni sul cordone: TP=1.10 TO=6.19 NO=18.24
Tensioni nel cordone: τ_P=0.35 τ_0=1.97 σ_0=12.47 σ_{ID}=12.63 Σ_T=14.44
CC 50 SLU (Collegamento -382_-520)
Azioni sul collegamento: N=243.57 Ty=-3.18 Tz=-75.52 Mx=-0.71 Mz=-4.37
Sollecitazioni agenti localmente: Tx_l=-3.18 Ty_l=-75.52 N_l=243.57 My_l=4.37 Mz_l=-0.71
Azioni sul cordone: TP=1.05 TO=6.12 NO=17.92
Tensioni nel cordone: τ_P=0.33 τ_0=1.94 σ_0=12.09 σ_{ID}=12.25 Σ_T=14.03
CC 51 SLU (Collegamento -382_-520)
Azioni sul collegamento: N=245.79 Ty=-3.16 Tz=-75.87 Mx=-0.71 Mz=-4.38
Sollecitazioni agenti localmente: Tx_l=-3.16 Ty_l=-75.87 N_l=245.79 My_l=4.38 Mz_l=-0.71
Azioni sul cordone: TP=1.05 TO=6.14 NO=18.09
Tensioni nel cordone: τ_P=0.33 τ_0=1.95 σ_0=12.14 σ_{ID}=12.30 Σ_T=14.09
CC 52 SLU (Collegamento -382_-520)
Azioni sul collegamento: N=245.72 Ty=-3.34 Tz=-75.86 Mx=-0.74 Mz=-4.57
Sollecitazioni agenti localmente: Tx_l=-3.34 Ty_l=-75.86 N_l=245.72 My_l=4.57 Mz_l=-0.74
Azioni sul cordone: TP=1.10 TO=6.17 NO=18.08
Tensioni nel cordone: τ_P=0.35 τ_0=1.96 σ_0=12.42 σ_{ID}=12.58 Σ_T=14.38
CC 53 SLU (Collegamento -382_-520)
Azioni sul collegamento: N=293.93 Ty=-1.56 Tz=-83.32 Mx=-0.36 Mz=-2.11
Sollecitazioni agenti localmente: Tx_l=-1.56 Ty_l=-83.32 N_l=293.93 My_l=2.11 Mz_l=-0.36
Azioni sul cordone: TP=0.53 TO=6.41 NO=21.63
Tensioni nel cordone: τ_P=0.17 τ_0=2.04 σ_0=9.96 σ_{ID}=10.17 Σ_T=12.00
CC 54 SLU (Collegamento -382_-520)

Azioni sul collegamento: N=289.56 Ty=-1.42 Tz=-82.64 Mx=-0.33 Mz=-1.92
Sollecitazioni agenti localmente: Tx_l=-1.42 Ty_l=-82.64 N_l=289.56 My_l=1.92 Mz_l=-0.33
Azioni sul cordone: TP=0.48 TO=6.34 NO=21.31
Tensioni nel cordone: τ_P=0.15 τ_0=2.01 σ_0=9.58 σ_{ID}=9.79 Σ_T=11.59
CC 55 SLU (Collegamento -382_-520)
Azioni sul collegamento: N=291.78 Ty=-1.40 Tz=-82.99 Mx=-0.33 Mz=-1.92
Sollecitazioni agenti localmente: Tx_l=-1.40 Ty_l=-82.99 N_l=291.78 My_l=1.92 Mz_l=-0.33
Azioni sul cordone: TP=0.48 TO=6.36 NO=21.47
Tensioni nel cordone: τ_P=0.15 τ_0=2.02 σ_0=9.63 σ_{ID}=9.84 Σ_T=11.65
CC 56 SLU (Collegamento -382_-520)
Azioni sul collegamento: N=291.71 Ty=-1.58 Tz=-82.98 Mx=-0.36 Mz=-2.11
Sollecitazioni agenti localmente: Tx_l=-1.58 Ty_l=-82.98 N_l=291.71 My_l=2.11 Mz_l=-0.36
Azioni sul cordone: TP=0.53 TO=6.39 NO=21.46
Tensioni nel cordone: τ_P=0.17 τ_0=2.03 σ_0=9.91 σ_{ID}=10.12 Σ_T=11.94
CC 57 SLU (Collegamento -382_-520)
Azioni sul collegamento: N=286.88 Ty=-2.83 Tz=-82.23 Mx=-0.63 Mz=-3.90
Sollecitazioni agenti localmente: Tx_l=-2.83 Ty_l=-82.23 N_l=286.88 My_l=3.90 Mz_l=-0.63
Azioni sul cordone: TP=0.94 TO=6.55 NO=21.11
Tensioni nel cordone: τ_P=0.30 τ_0=2.08 σ_0=12.41 σ_{ID}=12.59 Σ_T=14.49
CC 58 SLU (Collegamento -382_-520)
Azioni sul collegamento: N=282.51 Ty=-2.69 Tz=-81.55 Mx=-0.60 Mz=-3.71
Sollecitazioni agenti localmente: Tx_l=-2.69 Ty_l=-81.55 N_l=282.51 My_l=3.71 Mz_l=-0.60
Azioni sul cordone: TP=0.89 TO=6.47 NO=20.79
Tensioni nel cordone: τ_P=0.28 τ_0=2.06 σ_0=12.02 σ_{ID}=12.20 Σ_T=14.08
CC 59 SLU (Collegamento -382_-520)
Azioni sul collegamento: N=284.73 Ty=-2.67 Tz=-81.89 Mx=-0.60 Mz=-3.71
Sollecitazioni agenti localmente: Tx_l=-2.67 Ty_l=-81.89 N_l=284.73 My_l=3.71 Mz_l=-0.60
Azioni sul cordone: TP=0.89 TO=6.50 NO=20.95
Tensioni nel cordone: τ_P=0.28 τ_0=2.07 σ_0=12.08 σ_{ID}=12.26 Σ_T=14.14
CC 60 SLU (Collegamento -382_-520)
Azioni sul collegamento: N=284.66 Ty=-2.85 Tz=-81.88 Mx=-0.63 Mz=-3.90
Sollecitazioni agenti localmente: Tx_l=-2.85 Ty_l=-81.88 N_l=284.66 My_l=3.90 Mz_l=-0.63
Azioni sul cordone: TP=0.94 TO=6.52 NO=20.95
Tensioni nel cordone: τ_P=0.30 τ_0=2.07 σ_0=12.36 σ_{ID}=12.53 Σ_T=14.43
CC 61 SLU (Collegamento -382_-520)
Azioni sul collegamento: N=235.34 Ty=-3.01 Tz=-74.25 Mx=-0.67 Mz=-4.14
Sollecitazioni agenti localmente: Tx_l=-3.01 Ty_l=-74.25 N_l=235.34 My_l=4.14 Mz_l=-0.67
Azioni sul cordone: TP=1.00 TO=5.99 NO=17.32
Tensioni nel cordone: τ_P=0.32 τ_0=1.90 σ_0=11.55 σ_{ID}=11.71 Σ_T=13.46
CC 62 SLU (Collegamento -382_-520)
Azioni sul collegamento: N=230.97 Ty=-2.87 Tz=-73.58 Mx=-0.64 Mz=-3.95
Sollecitazioni agenti localmente: Tx_l=-2.87 Ty_l=-73.58 N_l=230.97 My_l=3.95 Mz_l=-0.64
Azioni sul cordone: TP=0.95 TO=5.92 NO=17.00
Tensioni nel cordone: τ_P=0.30 τ_0=1.88 σ_0=11.17 σ_{ID}=11.33 Σ_T=13.05
CC 63 SLU (Collegamento -382_-520)
Azioni sul collegamento: N=233.19 Ty=-2.85 Tz=-73.92 Mx=-0.64 Mz=-3.95
Sollecitazioni agenti localmente: Tx_l=-2.85 Ty_l=-73.92 N_l=233.19 My_l=3.95 Mz_l=-0.64
Azioni sul cordone: TP=0.95 TO=5.94 NO=17.16
Tensioni nel cordone: τ_P=0.30 τ_0=1.89 σ_0=11.22 σ_{ID}=11.38 Σ_T=13.11
CC 64 SLU (Collegamento -382_-520)
Azioni sul collegamento: N=233.13 Ty=-3.03 Tz=-73.91 Mx=-0.67 Mz=-4.14
Sollecitazioni agenti localmente: Tx_l=-3.03 Ty_l=-73.91 N_l=233.13 My_l=4.14 Mz_l=-0.67
Azioni sul cordone: TP=1.00 TO=5.97 NO=17.15
Tensioni nel cordone: τ_P=0.32 τ_0=1.90 σ_0=11.50 σ_{ID}=11.66 Σ_T=13.40
CC 65 SLU (Collegamento -382_-520)
Azioni sul collegamento: N=281.34 Ty=-1.25 Tz=-81.37 Mx=-0.29 Mz=-1.69
Sollecitazioni agenti localmente: Tx_l=-1.25 Ty_l=-81.37 N_l=281.34 My_l=1.69 Mz_l=-0.29
Azioni sul cordone: TP=0.43 TO=6.22 NO=20.70
Tensioni nel cordone: τ_P=0.14 τ_0=1.98 σ_0=9.04 σ_{ID}=9.26 Σ_T=11.02
CC 66 SLU (Collegamento -382_-520)
Azioni sul collegamento: N=276.97 Ty=-1.11 Tz=-80.69 Mx=-0.26 Mz=-1.49
Sollecitazioni agenti localmente: Tx_l=-1.11 Ty_l=-80.69 N_l=276.97 My_l=1.49 Mz_l=-0.26
Azioni sul cordone: TP=0.38 TO=6.14 NO=20.38
Tensioni nel cordone: τ_P=0.12 τ_0=1.95 σ_0=8.66 σ_{ID}=8.87 Σ_T=10.61
CC 67 SLU (Collegamento -382_-520)
Azioni sul collegamento: N=279.19 Ty=-1.09 Tz=-81.04 Mx=-0.26 Mz=-1.49
Sollecitazioni agenti localmente: Tx_l=-1.09 Ty_l=-81.04 N_l=279.19 My_l=1.49 Mz_l=-0.26
Azioni sul cordone: TP=0.38 TO=6.17 NO=20.54
Tensioni nel cordone: τ_P=0.12 τ_0=1.96 σ_0=8.71 σ_{ID}=8.93 Σ_T=10.67
CC 68 SLU (Collegamento -382_-520)
Azioni sul collegamento: N=279.12 Ty=-1.27 Tz=-81.03 Mx=-0.29 Mz=-1.69
Sollecitazioni agenti localmente: Tx_l=-1.27 Ty_l=-81.03 N_l=279.12 My_l=1.69 Mz_l=-0.29
Azioni sul cordone: TP=0.43 TO=6.19 NO=20.54
Tensioni nel cordone: τ_P=0.14 τ_0=1.97 σ_0=8.99 σ_{ID}=9.20 Σ_T=10.96
CC 97 SLU (Collegamento -382_-520)
Azioni sul collegamento: N=177.78 Ty=-15.09 Tz=-55.54 Mx=-2.10 Mz=-13.62
Sollecitazioni agenti localmente: Tx_l=-15.09 Ty_l=-55.54 N_l=177.78 My_l=13.62 Mz_l=-2.10
Azioni sul cordone: TP=3.53 TO=5.74 NO=13.08
Tensioni nel cordone: τ_P=1.12 τ_0=1.82 σ_0=24.06 σ_{ID}=24.15 Σ_T=25.88
CC 98 SLU (Collegamento -382_-520)
Azioni sul collegamento: N=173.41 Ty=-14.95 Tz=-54.86 Mx=-2.07 Mz=-13.43

Sollecitazioni agenti localmente: Tx_l=-14.95 Ty_l=-54.86 N_l=173.41 My_l=13.43 Mz_l=-2.07
Azioni sul cordone: TP=3.48 TO=5.67 NO=12.76
Tensioni nel cordone: τ_P=1.11 τ_O=1.80 σ_O=23.67 σ_{ID}=23.76 Σ_T=25.47
CC 99 SLU (Collegamento -382_-520)
Azioni sul collegamento: N=175.63 Ty=-14.93 Tz=-55.20 Mx=-2.07 Mz=-13.43
Sollecitazioni agenti localmente: Tx_l=-14.93 Ty_l=-55.20 N_l=175.63 My_l=13.43 Mz_l=-2.07
Azioni sul cordone: TP=3.48 TO=5.69 NO=12.92
Tensioni nel cordone: τ_P=1.11 τ_O=1.81 σ_O=23.72 σ_{ID}=23.82 Σ_T=25.53
CC 100 SLU (Collegamento -382_-520)
Azioni sul collegamento: N=175.56 Ty=-15.11 Tz=-55.19 Mx=-2.10 Mz=-13.62
Sollecitazioni agenti localmente: Tx_l=-15.11 Ty_l=-55.19 N_l=175.56 My_l=13.62 Mz_l=-2.10
Azioni sul cordone: TP=3.53 TO=5.71 NO=12.92
Tensioni nel cordone: τ_P=1.12 τ_O=1.82 σ_O=24.00 σ_{ID}=24.10 Σ_T=25.82
CC 101 SLU (Collegamento -382_-520)
Azioni sul collegamento: N=143.52 Ty=0.14 Tz=-50.23 Mx=-0.12 Mz=-0.65
Sollecitazioni agenti localmente: Tx_l=0.14 Ty_l=-50.23 N_l=143.52 My_l=0.65 Mz_l=-0.12
Azioni sul cordone: TP=0.15 TO=-3.79 NO=10.56
Tensioni nel cordone: τ_P= 0.05 τ_O=1.20 σ_O=4.30 σ_{ID}=4.47 Σ_T=5.51
CC 102 SLU (Collegamento -382_-520)
Azioni sul collegamento: N=139.15 Ty=0.28 Tz=-49.56 Mx=-0.09 Mz=-0.45
Sollecitazioni agenti localmente: Tx_l=0.28 Ty_l=-49.56 N_l=139.15 My_l=0.45 Mz_l=-0.09
Azioni sul cordone: TP=0.12 TO=-3.72 NO=10.24
Tensioni nel cordone: τ_P= 0.04 τ_O=1.18 σ_O=3.92 σ_{ID}=4.09 Σ_T=5.10
CC 103 SLU (Collegamento -382_-520)
Azioni sul collegamento: N=141.37 Ty=0.30 Tz=-49.90 Mx=-0.09 Mz=-0.46
Sollecitazioni agenti localmente: Tx_l=0.30 Ty_l=-49.90 N_l=141.37 My_l=0.46 Mz_l=-0.09
Azioni sul cordone: TP=0.12 TO=-3.74 NO=10.40
Tensioni nel cordone: τ_P= 0.04 τ_O=1.19 σ_O=3.97 σ_{ID}=4.15 Σ_T=5.16
CC 104 SLU (Collegamento -382_-520)
Azioni sul collegamento: N=141.30 Ty=0.12 Tz=-49.89 Mx=-0.12 Mz=-0.65
Sollecitazioni agenti localmente: Tx_l=0.12 Ty_l=-49.89 N_l=141.30 My_l=0.65 Mz_l=-0.12
Azioni sul cordone: TP=0.15 TO=-3.76 NO=10.40
Tensioni nel cordone: τ_P= 0.05 τ_O=1.20 σ_O=4.25 σ_{ID}=4.42 Σ_T=5.45

Verifica lato anima della colonna

CC 1 SLV (Collegamento -382_-520)
Azioni sul collegamento: N=159.97 Ty=-1.47 Tz=-52.78 Mx=-0.34 Mz=-1.98
Zona tesa: F=64.42 b_{eff}=13.20 t_w=0.70 σ=6.97
Zona tesa: F=64.42 b_{eff}=13.20 t_w=0.70 σ=6.97
CC 1 SLV (Collegamento -382_-520)
Azioni sul collegamento: N=159.97 Ty=-3.35 Tz=-52.78 Mx=-0.71 Mz=-4.39
Zona tesa: F=64.42 b_{eff}=13.20 t_w=0.70 σ=6.97
Zona tesa: F=64.42 b_{eff}=13.20 t_w=0.70 σ=6.97
CC 1 SLV (Collegamento -382_-520)
Azioni sul collegamento: N=159.97 Ty=-1.47 Tz=-52.78 Mx=-0.34 Mz=-1.98
Zona tesa: F=64.42 b_{eff}=13.20 t_w=0.70 σ=6.97
Zona tesa: F=64.42 b_{eff}=13.20 t_w=0.70 σ=6.97
CC 1 SLV (Collegamento -382_-520)
Azioni sul collegamento: N=159.97 Ty=-3.35 Tz=-52.78 Mx=-0.71 Mz=-4.39
Zona tesa: F=64.42 b_{eff}=13.20 t_w=0.70 σ=6.97
Zona tesa: F=64.42 b_{eff}=13.20 t_w=0.70 σ=6.97
CC 1 SLV (Collegamento -382_-520)
Azioni sul collegamento: N=117.75 Ty=-1.47 Tz=-46.25 Mx=-0.34 Mz=-1.98
Zona tesa: F=47.42 b_{eff}=13.20 t_w=0.70 σ=5.13
Zona tesa: F=47.42 b_{eff}=13.20 t_w=0.70 σ=5.13
CC 1 SLV (Collegamento -382_-520)
Azioni sul collegamento: N=117.75 Ty=-3.35 Tz=-46.25 Mx=-0.71 Mz=-4.39
Zona tesa: F=47.42 b_{eff}=13.20 t_w=0.70 σ=5.13
Zona tesa: F=47.42 b_{eff}=13.20 t_w=0.70 σ=5.13
CC 1 SLV (Collegamento -382_-520)
Azioni sul collegamento: N=117.75 Ty=-1.47 Tz=-46.25 Mx=-0.34 Mz=-1.98
Zona tesa: F=47.42 b_{eff}=13.20 t_w=0.70 σ=5.13
Zona tesa: F=47.42 b_{eff}=13.20 t_w=0.70 σ=5.13
CC 1 SLV (Collegamento -382_-520)
Azioni sul collegamento: N=117.75 Ty=-3.35 Tz=-46.25 Mx=-0.71 Mz=-4.39
Zona tesa: F=47.42 b_{eff}=13.20 t_w=0.70 σ=5.13
Zona tesa: F=47.42 b_{eff}=13.20 t_w=0.70 σ=5.13
CC 2 SLD (Collegamento -382_-520)
Azioni sul collegamento: N=145.42 Ty=-1.66 Tz=-50.53 Mx=-0.37 Mz=-2.26
Zona tesa: F=58.56 b_{eff}=13.20 t_w=0.70 σ=6.34
Zona tesa: F=58.56 b_{eff}=13.20 t_w=0.70 σ=6.34
CC 2 SLD (Collegamento -382_-520)
Azioni sul collegamento: N=145.42 Ty=-2.23 Tz=-50.53 Mx=-0.49 Mz=-2.99
Zona tesa: F=58.56 b_{eff}=13.20 t_w=0.70 σ=6.34
Zona tesa: F=58.56 b_{eff}=13.20 t_w=0.70 σ=6.34
CC 2 SLD (Collegamento -382_-520)
Azioni sul collegamento: N=145.42 Ty=-1.66 Tz=-50.53 Mx=-0.37 Mz=-2.26
Zona tesa: F=58.56 b_{eff}=13.20 t_w=0.70 σ=6.34

Zona tesa: F=58.56 b_{eff}=13.20 t_w=0.70 σ=6.34
CC 2 SLD (Collegamento -382_-520)
Azioni sul collegamento: N=145.42 Ty=-2.23 Tz=-50.53 Mx=-0.49 Mz=-2.99
Zona tesa: F=58.56 b_{eff}=13.20 t_w=0.70 σ=6.34
Zona tesa: F=58.56 b_{eff}=13.20 t_w=0.70 σ=6.34
CC 2 SLD (Collegamento -382_-520)
Azioni sul collegamento: N=132.54 Ty=-1.66 Tz=-48.53 Mx=-0.37 Mz=-2.26
Zona tesa: F=53.37 b_{eff}=13.20 t_w=0.70 σ=5.78
Zona tesa: F=53.37 b_{eff}=13.20 t_w=0.70 σ=5.78
CC 2 SLD (Collegamento -382_-520)
Azioni sul collegamento: N=132.54 Ty=-2.23 Tz=-48.53 Mx=-0.49 Mz=-2.99
Zona tesa: F=53.37 b_{eff}=13.20 t_w=0.70 σ=5.78
Zona tesa: F=53.37 b_{eff}=13.20 t_w=0.70 σ=5.78
CC 2 SLD (Collegamento -382_-520)
Azioni sul collegamento: N=132.54 Ty=-1.66 Tz=-48.53 Mx=-0.37 Mz=-2.26
Zona tesa: F=53.37 b_{eff}=13.20 t_w=0.70 σ=5.78
Zona tesa: F=53.37 b_{eff}=13.20 t_w=0.70 σ=5.78
CC 2 SLD (Collegamento -382_-520)
Azioni sul collegamento: N=132.54 Ty=-2.23 Tz=-48.53 Mx=-0.49 Mz=-2.99
Zona tesa: F=53.37 b_{eff}=13.20 t_w=0.70 σ=5.78
Zona tesa: F=53.37 b_{eff}=13.20 t_w=0.70 σ=5.78
CC 3 SLV (Collegamento -382_-520)
Azioni sul collegamento: N=159.78 Ty=-2.01 Tz=-52.75 Mx=-0.42 Mz=-2.55
Zona tesa: F=64.34 b_{eff}=13.20 t_w=0.70 σ=6.96
Zona tesa: F=64.34 b_{eff}=13.20 t_w=0.70 σ=6.96
CC 3 SLV (Collegamento -382_-520)
Azioni sul collegamento: N=159.78 Ty=-2.81 Tz=-52.75 Mx=-0.62 Mz=-3.83
Zona tesa: F=64.34 b_{eff}=13.20 t_w=0.70 σ=6.96
Zona tesa: F=64.34 b_{eff}=13.20 t_w=0.70 σ=6.96
CC 3 SLV (Collegamento -382_-520)
Azioni sul collegamento: N=159.78 Ty=-2.01 Tz=-52.75 Mx=-0.42 Mz=-2.55
Zona tesa: F=64.34 b_{eff}=13.20 t_w=0.70 σ=6.96
Zona tesa: F=64.34 b_{eff}=13.20 t_w=0.70 σ=6.96
CC 3 SLV (Collegamento -382_-520)
Azioni sul collegamento: N=159.78 Ty=-2.81 Tz=-52.75 Mx=-0.62 Mz=-3.83
Zona tesa: F=64.34 b_{eff}=13.20 t_w=0.70 σ=6.96
Zona tesa: F=64.34 b_{eff}=13.20 t_w=0.70 σ=6.96
CC 3 SLV (Collegamento -382_-520)
Azioni sul collegamento: N=117.94 Ty=-2.01 Tz=-46.27 Mx=-0.42 Mz=-2.55
Zona tesa: F=47.49 b_{eff}=13.20 t_w=0.70 σ=5.14
Zona tesa: F=47.49 b_{eff}=13.20 t_w=0.70 σ=5.14
CC 3 SLV (Collegamento -382_-520)
Azioni sul collegamento: N=117.94 Ty=-2.81 Tz=-46.27 Mx=-0.62 Mz=-3.83
Zona tesa: F=47.49 b_{eff}=13.20 t_w=0.70 σ=5.14
Zona tesa: F=47.49 b_{eff}=13.20 t_w=0.70 σ=5.14
CC 3 SLV (Collegamento -382_-520)
Azioni sul collegamento: N=117.94 Ty=-2.01 Tz=-46.27 Mx=-0.42 Mz=-2.55
Zona tesa: F=47.49 b_{eff}=13.20 t_w=0.70 σ=5.14
Zona tesa: F=47.49 b_{eff}=13.20 t_w=0.70 σ=5.14
CC 3 SLV (Collegamento -382_-520)
Azioni sul collegamento: N=117.94 Ty=-2.81 Tz=-46.27 Mx=-0.62 Mz=-3.83
Zona tesa: F=47.49 b_{eff}=13.20 t_w=0.70 σ=5.14
Zona tesa: F=47.49 b_{eff}=13.20 t_w=0.70 σ=5.14
CC 4 SLD (Collegamento -382_-520)
Azioni sul collegamento: N=145.36 Ty=-1.82 Tz=-50.52 Mx=-0.40 Mz=-2.43
Zona tesa: F=58.53 b_{eff}=13.20 t_w=0.70 σ=6.33
Zona tesa: F=58.53 b_{eff}=13.20 t_w=0.70 σ=6.33
CC 4 SLD (Collegamento -382_-520)
Azioni sul collegamento: N=145.36 Ty=-2.06 Tz=-50.52 Mx=-0.46 Mz=-2.82
Zona tesa: F=58.53 b_{eff}=13.20 t_w=0.70 σ=6.33
Zona tesa: F=58.53 b_{eff}=13.20 t_w=0.70 σ=6.33
CC 4 SLD (Collegamento -382_-520)
Azioni sul collegamento: N=145.36 Ty=-1.82 Tz=-50.52 Mx=-0.40 Mz=-2.43
Zona tesa: F=58.53 b_{eff}=13.20 t_w=0.70 σ=6.33
Zona tesa: F=58.53 b_{eff}=13.20 t_w=0.70 σ=6.33
CC 4 SLD (Collegamento -382_-520)
Azioni sul collegamento: N=145.36 Ty=-2.06 Tz=-50.52 Mx=-0.46 Mz=-2.82
Zona tesa: F=58.53 b_{eff}=13.20 t_w=0.70 σ=6.33
Zona tesa: F=58.53 b_{eff}=13.20 t_w=0.70 σ=6.33
CC 4 SLD (Collegamento -382_-520)
Azioni sul collegamento: N=132.60 Ty=-1.82 Tz=-48.54 Mx=-0.40 Mz=-2.43
Zona tesa: F=53.40 b_{eff}=13.20 t_w=0.70 σ=5.78
Zona tesa: F=53.40 b_{eff}=13.20 t_w=0.70 σ=5.78
CC 4 SLD (Collegamento -382_-520)
Azioni sul collegamento: N=132.60 Ty=-2.06 Tz=-48.54 Mx=-0.46 Mz=-2.82
Zona tesa: F=53.40 b_{eff}=13.20 t_w=0.70 σ=5.78
Zona tesa: F=53.40 b_{eff}=13.20 t_w=0.70 σ=5.78
CC 4 SLD (Collegamento -382_-520)

Azioni sul collegamento: N=132.60 Ty=-1.82 Tz=-48.54 Mx=-0.40 Mz=-2.43
Zona tesa: F=53.40 b_{eff}=13.20 t_w=0.70 σ=5.78
Zona tesa: F=53.40 b_{eff}=13.20 t_w=0.70 σ=5.78
CC 4 SLD (Collegamento -382_-520)
Azioni sul collegamento: N=132.60 Ty=-2.06 Tz=-48.54 Mx=-0.46 Mz=-2.82
Zona tesa: F=53.40 b_{eff}=13.20 t_w=0.70 σ=5.78
Zona tesa: F=53.40 b_{eff}=13.20 t_w=0.70 σ=5.78
CC 5 SLV (Collegamento -382_-520)
Azioni sul collegamento: N=117.94 Ty=-2.81 Tz=-46.27 Mx=-0.61 Mz=-3.83
Zona tesa: F=47.49 b_{eff}=13.20 t_w=0.70 σ=5.14
Zona tesa: F=47.49 b_{eff}=13.20 t_w=0.70 σ=5.14
CC 5 SLV (Collegamento -382_-520)
Azioni sul collegamento: N=117.94 Ty=-2.01 Tz=-46.27 Mx=-0.41 Mz=-2.55
Zona tesa: F=47.49 b_{eff}=13.20 t_w=0.70 σ=5.14
Zona tesa: F=47.49 b_{eff}=13.20 t_w=0.70 σ=5.14
CC 5 SLV (Collegamento -382_-520)
Azioni sul collegamento: N=117.94 Ty=-2.81 Tz=-46.27 Mx=-0.61 Mz=-3.83
Zona tesa: F=47.49 b_{eff}=13.20 t_w=0.70 σ=5.14
Zona tesa: F=47.49 b_{eff}=13.20 t_w=0.70 σ=5.14
CC 5 SLV (Collegamento -382_-520)
Azioni sul collegamento: N=117.94 Ty=-2.01 Tz=-46.27 Mx=-0.41 Mz=-2.55
Zona tesa: F=47.49 b_{eff}=13.20 t_w=0.70 σ=5.14
Zona tesa: F=47.49 b_{eff}=13.20 t_w=0.70 σ=5.14
CC 5 SLV (Collegamento -382_-520)
Azioni sul collegamento: N=159.78 Ty=-2.81 Tz=-52.75 Mx=-0.61 Mz=-3.83
Zona tesa: F=64.34 b_{eff}=13.20 t_w=0.70 σ=6.96
Zona tesa: F=64.34 b_{eff}=13.20 t_w=0.70 σ=6.96
CC 5 SLV (Collegamento -382_-520)
Azioni sul collegamento: N=159.78 Ty=-2.01 Tz=-52.75 Mx=-0.41 Mz=-2.55
Zona tesa: F=64.34 b_{eff}=13.20 t_w=0.70 σ=6.96
Zona tesa: F=64.34 b_{eff}=13.20 t_w=0.70 σ=6.96
CC 5 SLV (Collegamento -382_-520)
Azioni sul collegamento: N=159.78 Ty=-2.81 Tz=-52.75 Mx=-0.61 Mz=-3.83
Zona tesa: F=64.34 b_{eff}=13.20 t_w=0.70 σ=6.96
Zona tesa: F=64.34 b_{eff}=13.20 t_w=0.70 σ=6.96
CC 5 SLV (Collegamento -382_-520)
Azioni sul collegamento: N=159.78 Ty=-2.01 Tz=-52.75 Mx=-0.41 Mz=-2.55
Zona tesa: F=64.34 b_{eff}=13.20 t_w=0.70 σ=6.96
Zona tesa: F=64.34 b_{eff}=13.20 t_w=0.70 σ=6.96
CC 6 SLD (Collegamento -382_-520)
Azioni sul collegamento: N=132.60 Ty=-2.06 Tz=-48.54 Mx=-0.46 Mz=-2.82
Zona tesa: F=53.40 b_{eff}=13.20 t_w=0.70 σ=5.78
Zona tesa: F=53.40 b_{eff}=13.20 t_w=0.70 σ=5.78
CC 6 SLD (Collegamento -382_-520)
Azioni sul collegamento: N=132.60 Ty=-1.82 Tz=-48.54 Mx=-0.39 Mz=-2.43
Zona tesa: F=53.40 b_{eff}=13.20 t_w=0.70 σ=5.78
Zona tesa: F=53.40 b_{eff}=13.20 t_w=0.70 σ=5.78
CC 6 SLD (Collegamento -382_-520)
Azioni sul collegamento: N=132.60 Ty=-2.06 Tz=-48.54 Mx=-0.46 Mz=-2.82
Zona tesa: F=53.40 b_{eff}=13.20 t_w=0.70 σ=5.78
Zona tesa: F=53.40 b_{eff}=13.20 t_w=0.70 σ=5.78
CC 6 SLD (Collegamento -382_-520)
Azioni sul collegamento: N=132.60 Ty=-1.82 Tz=-48.54 Mx=-0.39 Mz=-2.43
Zona tesa: F=53.40 b_{eff}=13.20 t_w=0.70 σ=5.78
Zona tesa: F=53.40 b_{eff}=13.20 t_w=0.70 σ=5.78
CC 6 SLD (Collegamento -382_-520)
Azioni sul collegamento: N=145.36 Ty=-2.06 Tz=-50.52 Mx=-0.46 Mz=-2.82
Zona tesa: F=58.53 b_{eff}=13.20 t_w=0.70 σ=6.33
Zona tesa: F=58.53 b_{eff}=13.20 t_w=0.70 σ=6.33
CC 6 SLD (Collegamento -382_-520)
Azioni sul collegamento: N=145.36 Ty=-1.82 Tz=-50.52 Mx=-0.39 Mz=-2.43
Zona tesa: F=58.53 b_{eff}=13.20 t_w=0.70 σ=6.33
Zona tesa: F=58.53 b_{eff}=13.20 t_w=0.70 σ=6.33
CC 6 SLD (Collegamento -382_-520)
Azioni sul collegamento: N=145.36 Ty=-2.06 Tz=-50.52 Mx=-0.46 Mz=-2.82
Zona tesa: F=58.53 b_{eff}=13.20 t_w=0.70 σ=6.33
Zona tesa: F=58.53 b_{eff}=13.20 t_w=0.70 σ=6.33
CC 6 SLD (Collegamento -382_-520)
Azioni sul collegamento: N=145.36 Ty=-1.82 Tz=-50.52 Mx=-0.39 Mz=-2.43
Zona tesa: F=58.53 b_{eff}=13.20 t_w=0.70 σ=6.33
Zona tesa: F=58.53 b_{eff}=13.20 t_w=0.70 σ=6.33
CC 7 SLV (Collegamento -382_-520)
Azioni sul collegamento: N=117.75 Ty=-3.35 Tz=-46.25 Mx=-0.70 Mz=-4.40
Zona tesa: F=47.42 b_{eff}=13.20 t_w=0.70 σ=5.13
Zona tesa: F=47.42 b_{eff}=13.20 t_w=0.70 σ=5.13
CC 7 SLV (Collegamento -382_-520)
Azioni sul collegamento: N=117.75 Ty=-1.47 Tz=-46.25 Mx=-0.32 Mz=-1.99
Zona tesa: F=47.42 b_{eff}=13.20 t_w=0.70 σ=5.13

Zona tesa: F=47.42 b_{eff}=13.20 t_w=0.70 σ=5.13
CC 7 SLV (Collegamento -382_-520)
Azioni sul collegamento: N=117.75 Ty=-3.35 Tz=-46.25 Mx=-0.70 Mz=-4.40
Zona tesa: F=47.42 b_{eff}=13.20 t_w=0.70 σ=5.13
Zona tesa: F=47.42 b_{eff}=13.20 t_w=0.70 σ=5.13
CC 7 SLV (Collegamento -382_-520)
Azioni sul collegamento: N=117.75 Ty=-1.47 Tz=-46.25 Mx=-0.32 Mz=-1.99
Zona tesa: F=47.42 b_{eff}=13.20 t_w=0.70 σ=5.13
Zona tesa: F=47.42 b_{eff}=13.20 t_w=0.70 σ=5.13
CC 7 SLV (Collegamento -382_-520)
Azioni sul collegamento: N=159.97 Ty=-3.35 Tz=-52.78 Mx=-0.70 Mz=-4.40
Zona tesa: F=64.42 b_{eff}=13.20 t_w=0.70 σ=6.97
Zona tesa: F=64.42 b_{eff}=13.20 t_w=0.70 σ=6.97
CC 7 SLV (Collegamento -382_-520)
Azioni sul collegamento: N=159.97 Ty=-1.47 Tz=-52.78 Mx=-0.32 Mz=-1.99
Zona tesa: F=64.42 b_{eff}=13.20 t_w=0.70 σ=6.97
Zona tesa: F=64.42 b_{eff}=13.20 t_w=0.70 σ=6.97
CC 7 SLV (Collegamento -382_-520)
Azioni sul collegamento: N=159.97 Ty=-3.35 Tz=-52.78 Mx=-0.70 Mz=-4.40
Zona tesa: F=64.42 b_{eff}=13.20 t_w=0.70 σ=6.97
Zona tesa: F=64.42 b_{eff}=13.20 t_w=0.70 σ=6.97
CC 7 SLV (Collegamento -382_-520)
Azioni sul collegamento: N=159.97 Ty=-1.47 Tz=-52.78 Mx=-0.32 Mz=-1.99
Zona tesa: F=64.42 b_{eff}=13.20 t_w=0.70 σ=6.97
Zona tesa: F=64.42 b_{eff}=13.20 t_w=0.70 σ=6.97
CC 8 SLD (Collegamento -382_-520)
Azioni sul collegamento: N=132.54 Ty=-2.23 Tz=-48.53 Mx=-0.48 Mz=-2.99
Zona tesa: F=53.37 b_{eff}=13.20 t_w=0.70 σ=5.78
Zona tesa: F=53.37 b_{eff}=13.20 t_w=0.70 σ=5.78
CC 8 SLD (Collegamento -382_-520)
Azioni sul collegamento: N=132.54 Ty=-1.66 Tz=-48.53 Mx=-0.37 Mz=-2.26
Zona tesa: F=53.37 b_{eff}=13.20 t_w=0.70 σ=5.78
Zona tesa: F=53.37 b_{eff}=13.20 t_w=0.70 σ=5.78
CC 8 SLD (Collegamento -382_-520)
Azioni sul collegamento: N=132.54 Ty=-2.23 Tz=-48.53 Mx=-0.48 Mz=-2.99
Zona tesa: F=53.37 b_{eff}=13.20 t_w=0.70 σ=5.78
Zona tesa: F=53.37 b_{eff}=13.20 t_w=0.70 σ=5.78
CC 8 SLD (Collegamento -382_-520)
Azioni sul collegamento: N=132.54 Ty=-1.66 Tz=-48.53 Mx=-0.37 Mz=-2.26
Zona tesa: F=53.37 b_{eff}=13.20 t_w=0.70 σ=5.78
Zona tesa: F=53.37 b_{eff}=13.20 t_w=0.70 σ=5.78
CC 8 SLD (Collegamento -382_-520)
Azioni sul collegamento: N=145.42 Ty=-2.23 Tz=-50.53 Mx=-0.48 Mz=-2.99
Zona tesa: F=58.56 b_{eff}=13.20 t_w=0.70 σ=6.34
Zona tesa: F=58.56 b_{eff}=13.20 t_w=0.70 σ=6.34
CC 8 SLD (Collegamento -382_-520)
Azioni sul collegamento: N=145.42 Ty=-1.66 Tz=-50.53 Mx=-0.37 Mz=-2.26
Zona tesa: F=58.56 b_{eff}=13.20 t_w=0.70 σ=6.34
Zona tesa: F=58.56 b_{eff}=13.20 t_w=0.70 σ=6.34
CC 8 SLD (Collegamento -382_-520)
Azioni sul collegamento: N=145.42 Ty=-2.23 Tz=-50.53 Mx=-0.48 Mz=-2.99
Zona tesa: F=58.56 b_{eff}=13.20 t_w=0.70 σ=6.34
Zona tesa: F=58.56 b_{eff}=13.20 t_w=0.70 σ=6.34
CC 8 SLD (Collegamento -382_-520)
Azioni sul collegamento: N=145.42 Ty=-1.66 Tz=-50.53 Mx=-0.37 Mz=-2.26
Zona tesa: F=58.56 b_{eff}=13.20 t_w=0.70 σ=6.34
Zona tesa: F=58.56 b_{eff}=13.20 t_w=0.70 σ=6.34
CC 9 SLV (Collegamento -382_-520)
Azioni sul collegamento: N=145.48 Ty=-1.32 Tz=-50.54 Mx=-0.34 Mz=-1.97
Zona tesa: F=58.58 b_{eff}=13.20 t_w=0.70 σ=6.34
Zona tesa: F=58.58 b_{eff}=13.20 t_w=0.70 σ=6.34
CC 9 SLV (Collegamento -382_-520)
Azioni sul collegamento: N=145.48 Ty=-3.50 Tz=-50.54 Mx=-0.71 Mz=-4.40
Zona tesa: F=58.58 b_{eff}=13.20 t_w=0.70 σ=6.34
Zona tesa: F=58.58 b_{eff}=13.20 t_w=0.70 σ=6.34
CC 9 SLV (Collegamento -382_-520)
Azioni sul collegamento: N=145.48 Ty=-1.32 Tz=-50.54 Mx=-0.34 Mz=-1.97
Zona tesa: F=58.58 b_{eff}=13.20 t_w=0.70 σ=6.34
Zona tesa: F=58.58 b_{eff}=13.20 t_w=0.70 σ=6.34
CC 9 SLV (Collegamento -382_-520)
Azioni sul collegamento: N=145.48 Ty=-3.50 Tz=-50.54 Mx=-0.71 Mz=-4.40
Zona tesa: F=58.58 b_{eff}=13.20 t_w=0.70 σ=6.34
Zona tesa: F=58.58 b_{eff}=13.20 t_w=0.70 σ=6.34
CC 9 SLV (Collegamento -382_-520)
Azioni sul collegamento: N=132.24 Ty=-1.32 Tz=-48.49 Mx=-0.34 Mz=-1.97
Zona tesa: F=53.25 b_{eff}=13.20 t_w=0.70 σ=5.76
Zona tesa: F=53.25 b_{eff}=13.20 t_w=0.70 σ=5.76
CC 9 SLV (Collegamento -382_-520)

Azioni sul collegamento: N=132.24 Ty=-3.50 Tz=-48.49 Mx=-0.71 Mz=-4.40
Zona tesa: F=53.25 b_{eff}=13.20 t_w=0.70 σ=5.76
Zona tesa: F=53.25 b_{eff}=13.20 t_w=0.70 σ=5.76
CC 9 SLV (Collegamento -382_-520)
Azioni sul collegamento: N=132.24 Ty=-1.32 Tz=-48.49 Mx=-0.34 Mz=-1.97
Zona tesa: F=53.25 b_{eff}=13.20 t_w=0.70 σ=5.76
Zona tesa: F=53.25 b_{eff}=13.20 t_w=0.70 σ=5.76
CC 9 SLV (Collegamento -382_-520)
Azioni sul collegamento: N=132.24 Ty=-3.50 Tz=-48.49 Mx=-0.71 Mz=-4.40
Zona tesa: F=53.25 b_{eff}=13.20 t_w=0.70 σ=5.76
Zona tesa: F=53.25 b_{eff}=13.20 t_w=0.70 σ=5.76
CC 10 SLD (Collegamento -382_-520)
Azioni sul collegamento: N=141.00 Ty=-1.61 Tz=-49.84 Mx=-0.37 Mz=-2.25
Zona tesa: F=56.78 b_{eff}=13.20 t_w=0.70 σ=6.14
Zona tesa: F=56.78 b_{eff}=13.20 t_w=0.70 σ=6.14
CC 10 SLD (Collegamento -382_-520)
Azioni sul collegamento: N=141.00 Ty=-2.27 Tz=-49.84 Mx=-0.49 Mz=-3.00
Zona tesa: F=56.78 b_{eff}=13.20 t_w=0.70 σ=6.14
Zona tesa: F=56.78 b_{eff}=13.20 t_w=0.70 σ=6.14
CC 10 SLD (Collegamento -382_-520)
Azioni sul collegamento: N=141.00 Ty=-1.61 Tz=-49.84 Mx=-0.37 Mz=-2.25
Zona tesa: F=56.78 b_{eff}=13.20 t_w=0.70 σ=6.14
Zona tesa: F=56.78 b_{eff}=13.20 t_w=0.70 σ=6.14
CC 10 SLD (Collegamento -382_-520)
Azioni sul collegamento: N=141.00 Ty=-2.27 Tz=-49.84 Mx=-0.49 Mz=-3.00
Zona tesa: F=56.78 b_{eff}=13.20 t_w=0.70 σ=6.14
Zona tesa: F=56.78 b_{eff}=13.20 t_w=0.70 σ=6.14
CC 10 SLD (Collegamento -382_-520)
Azioni sul collegamento: N=136.96 Ty=-1.61 Tz=-49.22 Mx=-0.37 Mz=-2.25
Zona tesa: F=55.15 b_{eff}=13.20 t_w=0.70 σ=5.97
Zona tesa: F=55.15 b_{eff}=13.20 t_w=0.70 σ=5.97
CC 10 SLD (Collegamento -382_-520)
Azioni sul collegamento: N=136.96 Ty=-2.27 Tz=-49.22 Mx=-0.49 Mz=-3.00
Zona tesa: F=55.15 b_{eff}=13.20 t_w=0.70 σ=5.97
Zona tesa: F=55.15 b_{eff}=13.20 t_w=0.70 σ=5.97
CC 10 SLD (Collegamento -382_-520)
Azioni sul collegamento: N=136.96 Ty=-1.61 Tz=-49.22 Mx=-0.37 Mz=-2.25
Zona tesa: F=55.15 b_{eff}=13.20 t_w=0.70 σ=5.97
Zona tesa: F=55.15 b_{eff}=13.20 t_w=0.70 σ=5.97
CC 10 SLD (Collegamento -382_-520)
Azioni sul collegamento: N=136.96 Ty=-2.27 Tz=-49.22 Mx=-0.49 Mz=-3.00
Zona tesa: F=55.15 b_{eff}=13.20 t_w=0.70 σ=5.97
Zona tesa: F=55.15 b_{eff}=13.20 t_w=0.70 σ=5.97
CC 11 SLV (Collegamento -382_-520)
Azioni sul collegamento: N=132.87 Ty=-1.72 Tz=-48.59 Mx=-0.42 Mz=-2.53
Zona tesa: F=53.51 b_{eff}=13.20 t_w=0.70 σ=5.79
Zona tesa: F=53.51 b_{eff}=13.20 t_w=0.70 σ=5.79
CC 11 SLV (Collegamento -382_-520)
Azioni sul collegamento: N=132.87 Ty=-3.10 Tz=-48.59 Mx=-0.62 Mz=-3.85
Zona tesa: F=53.51 b_{eff}=13.20 t_w=0.70 σ=5.79
Zona tesa: F=53.51 b_{eff}=13.20 t_w=0.70 σ=5.79
CC 11 SLV (Collegamento -382_-520)
Azioni sul collegamento: N=132.87 Ty=-1.72 Tz=-48.59 Mx=-0.42 Mz=-2.53
Zona tesa: F=53.51 b_{eff}=13.20 t_w=0.70 σ=5.79
Zona tesa: F=53.51 b_{eff}=13.20 t_w=0.70 σ=5.79
CC 11 SLV (Collegamento -382_-520)
Azioni sul collegamento: N=132.87 Ty=-3.10 Tz=-48.59 Mx=-0.62 Mz=-3.85
Zona tesa: F=53.51 b_{eff}=13.20 t_w=0.70 σ=5.79
Zona tesa: F=53.51 b_{eff}=13.20 t_w=0.70 σ=5.79
CC 11 SLV (Collegamento -382_-520)
Azioni sul collegamento: N=144.84 Ty=-1.72 Tz=-50.44 Mx=-0.42 Mz=-2.53
Zona tesa: F=58.33 b_{eff}=13.20 t_w=0.70 σ=6.31
Zona tesa: F=58.33 b_{eff}=13.20 t_w=0.70 σ=6.31
CC 11 SLV (Collegamento -382_-520)
Azioni sul collegamento: N=144.84 Ty=-3.10 Tz=-50.44 Mx=-0.62 Mz=-3.85
Zona tesa: F=58.33 b_{eff}=13.20 t_w=0.70 σ=6.31
Zona tesa: F=58.33 b_{eff}=13.20 t_w=0.70 σ=6.31
CC 11 SLV (Collegamento -382_-520)
Azioni sul collegamento: N=144.84 Ty=-1.72 Tz=-50.44 Mx=-0.42 Mz=-2.53
Zona tesa: F=58.33 b_{eff}=13.20 t_w=0.70 σ=6.31
Zona tesa: F=58.33 b_{eff}=13.20 t_w=0.70 σ=6.31
CC 11 SLV (Collegamento -382_-520)
Azioni sul collegamento: N=144.84 Ty=-3.10 Tz=-50.44 Mx=-0.62 Mz=-3.85
Zona tesa: F=58.33 b_{eff}=13.20 t_w=0.70 σ=6.31
Zona tesa: F=58.33 b_{eff}=13.20 t_w=0.70 σ=6.31
CC 12 SLD (Collegamento -382_-520)
Azioni sul collegamento: N=137.16 Ty=-1.73 Tz=-49.25 Mx=-0.40 Mz=-2.42
Zona tesa: F=55.23 b_{eff}=13.20 t_w=0.70 σ=5.98

Zona tesa: F=55.23 b_{eff}=13.20 t_w=0.70 σ=5.98
CC 12 SLD (Collegamento -382_-520)
Azioni sul collegamento: N=137.16 Ty=-2.15 Tz=-49.25 Mx=-0.46 Mz=-2.83
Zona tesa: F=55.23 b_{eff}=13.20 t_w=0.70 σ=5.98
Zona tesa: F=55.23 b_{eff}=13.20 t_w=0.70 σ=5.98
CC 12 SLD (Collegamento -382_-520)
Azioni sul collegamento: N=137.16 Ty=-1.73 Tz=-49.25 Mx=-0.40 Mz=-2.42
Zona tesa: F=55.23 b_{eff}=13.20 t_w=0.70 σ=5.98
Zona tesa: F=55.23 b_{eff}=13.20 t_w=0.70 σ=5.98
CC 12 SLD (Collegamento -382_-520)
Azioni sul collegamento: N=137.16 Ty=-2.15 Tz=-49.25 Mx=-0.46 Mz=-2.83
Zona tesa: F=55.23 b_{eff}=13.20 t_w=0.70 σ=5.98
Zona tesa: F=55.23 b_{eff}=13.20 t_w=0.70 σ=5.98
CC 12 SLD (Collegamento -382_-520)
Azioni sul collegamento: N=140.81 Ty=-1.73 Tz=-49.81 Mx=-0.40 Mz=-2.42
Zona tesa: F=56.70 b_{eff}=13.20 t_w=0.70 σ=6.14
Zona tesa: F=56.70 b_{eff}=13.20 t_w=0.70 σ=6.14
CC 12 SLD (Collegamento -382_-520)
Azioni sul collegamento: N=140.81 Ty=-2.15 Tz=-49.81 Mx=-0.46 Mz=-2.83
Zona tesa: F=56.70 b_{eff}=13.20 t_w=0.70 σ=6.14
Zona tesa: F=56.70 b_{eff}=13.20 t_w=0.70 σ=6.14
CC 12 SLD (Collegamento -382_-520)
Azioni sul collegamento: N=140.81 Ty=-1.73 Tz=-49.81 Mx=-0.40 Mz=-2.42
Zona tesa: F=56.70 b_{eff}=13.20 t_w=0.70 σ=6.14
Zona tesa: F=56.70 b_{eff}=13.20 t_w=0.70 σ=6.14
CC 12 SLD (Collegamento -382_-520)
Azioni sul collegamento: N=140.81 Ty=-2.15 Tz=-49.81 Mx=-0.46 Mz=-2.83
Zona tesa: F=56.70 b_{eff}=13.20 t_w=0.70 σ=6.14
Zona tesa: F=56.70 b_{eff}=13.20 t_w=0.70 σ=6.14
CC 13 SLV (Collegamento -382_-520)
Azioni sul collegamento: N=144.84 Ty=-3.10 Tz=-50.44 Mx=-0.62 Mz=-3.85
Zona tesa: F=58.33 b_{eff}=13.20 t_w=0.70 σ=6.31
Zona tesa: F=58.33 b_{eff}=13.20 t_w=0.70 σ=6.31
CC 13 SLV (Collegamento -382_-520)
Azioni sul collegamento: N=144.84 Ty=-1.72 Tz=-50.44 Mx=-0.41 Mz=-2.53
Zona tesa: F=58.33 b_{eff}=13.20 t_w=0.70 σ=6.31
Zona tesa: F=58.33 b_{eff}=13.20 t_w=0.70 σ=6.31
CC 13 SLV (Collegamento -382_-520)
Azioni sul collegamento: N=144.84 Ty=-3.10 Tz=-50.44 Mx=-0.62 Mz=-3.85
Zona tesa: F=58.33 b_{eff}=13.20 t_w=0.70 σ=6.31
Zona tesa: F=58.33 b_{eff}=13.20 t_w=0.70 σ=6.31
CC 13 SLV (Collegamento -382_-520)
Azioni sul collegamento: N=144.84 Ty=-1.72 Tz=-50.44 Mx=-0.41 Mz=-2.53
Zona tesa: F=58.33 b_{eff}=13.20 t_w=0.70 σ=6.31
Zona tesa: F=58.33 b_{eff}=13.20 t_w=0.70 σ=6.31
CC 13 SLV (Collegamento -382_-520)
Azioni sul collegamento: N=132.87 Ty=-3.10 Tz=-48.59 Mx=-0.62 Mz=-3.85
Zona tesa: F=53.51 b_{eff}=13.20 t_w=0.70 σ=5.79
Zona tesa: F=53.51 b_{eff}=13.20 t_w=0.70 σ=5.79
CC 13 SLV (Collegamento -382_-520)
Azioni sul collegamento: N=132.87 Ty=-1.72 Tz=-48.59 Mx=-0.41 Mz=-2.53
Zona tesa: F=53.51 b_{eff}=13.20 t_w=0.70 σ=5.79
Zona tesa: F=53.51 b_{eff}=13.20 t_w=0.70 σ=5.79
CC 13 SLV (Collegamento -382_-520)
Azioni sul collegamento: N=132.87 Ty=-3.10 Tz=-48.59 Mx=-0.62 Mz=-3.85
Zona tesa: F=53.51 b_{eff}=13.20 t_w=0.70 σ=5.79
Zona tesa: F=53.51 b_{eff}=13.20 t_w=0.70 σ=5.79
CC 13 SLV (Collegamento -382_-520)
Azioni sul collegamento: N=132.87 Ty=-1.72 Tz=-48.59 Mx=-0.41 Mz=-2.53
Zona tesa: F=53.51 b_{eff}=13.20 t_w=0.70 σ=5.79
Zona tesa: F=53.51 b_{eff}=13.20 t_w=0.70 σ=5.79
CC 14 SLD (Collegamento -382_-520)
Azioni sul collegamento: N=140.81 Ty=-2.15 Tz=-49.81 Mx=-0.46 Mz=-2.83
Zona tesa: F=56.70 b_{eff}=13.20 t_w=0.70 σ=6.14
Zona tesa: F=56.70 b_{eff}=13.20 t_w=0.70 σ=6.14
CC 14 SLD (Collegamento -382_-520)
Azioni sul collegamento: N=140.81 Ty=-1.73 Tz=-49.81 Mx=-0.39 Mz=-2.42
Zona tesa: F=56.70 b_{eff}=13.20 t_w=0.70 σ=6.14
Zona tesa: F=56.70 b_{eff}=13.20 t_w=0.70 σ=6.14
CC 14 SLD (Collegamento -382_-520)
Azioni sul collegamento: N=140.81 Ty=-2.15 Tz=-49.81 Mx=-0.46 Mz=-2.83
Zona tesa: F=56.70 b_{eff}=13.20 t_w=0.70 σ=6.14
Zona tesa: F=56.70 b_{eff}=13.20 t_w=0.70 σ=6.14
CC 14 SLD (Collegamento -382_-520)
Azioni sul collegamento: N=140.81 Ty=-1.73 Tz=-49.81 Mx=-0.39 Mz=-2.42
Zona tesa: F=56.70 b_{eff}=13.20 t_w=0.70 σ=6.14
Zona tesa: F=56.70 b_{eff}=13.20 t_w=0.70 σ=6.14
CC 14 SLD (Collegamento -382_-520)

Azioni sul collegamento: N=137.16 Ty=-2.15 Tz=-49.25 Mx=-0.46 Mz=-2.83
Zona tesa: F=55.23 b_{eff}=13.20 t_w=0.70 σ=5.98
Zona tesa: F=55.23 b_{eff}=13.20 t_w=0.70 σ=5.98
CC 14 SLD (Collegamento -382_-520)
Azioni sul collegamento: N=137.16 Ty=-1.73 Tz=-49.25 Mx=-0.39 Mz=-2.42
Zona tesa: F=55.23 b_{eff}=13.20 t_w=0.70 σ=5.98
Zona tesa: F=55.23 b_{eff}=13.20 t_w=0.70 σ=5.98
CC 14 SLD (Collegamento -382_-520)
Azioni sul collegamento: N=137.16 Ty=-2.15 Tz=-49.25 Mx=-0.46 Mz=-2.83
Zona tesa: F=55.23 b_{eff}=13.20 t_w=0.70 σ=5.98
Zona tesa: F=55.23 b_{eff}=13.20 t_w=0.70 σ=5.98
CC 14 SLD (Collegamento -382_-520)
Azioni sul collegamento: N=137.16 Ty=-1.73 Tz=-49.25 Mx=-0.39 Mz=-2.42
Zona tesa: F=55.23 b_{eff}=13.20 t_w=0.70 σ=5.98
Zona tesa: F=55.23 b_{eff}=13.20 t_w=0.70 σ=5.98
CC 15 SLV (Collegamento -382_-520)
Azioni sul collegamento: N=132.24 Ty=-3.50 Tz=-48.49 Mx=-0.70 Mz=-4.40
Zona tesa: F=53.25 b_{eff}=13.20 t_w=0.70 σ=5.76
Zona tesa: F=53.25 b_{eff}=13.20 t_w=0.70 σ=5.76
CC 15 SLV (Collegamento -382_-520)
Azioni sul collegamento: N=132.24 Ty=-1.32 Tz=-48.49 Mx=-0.32 Mz=-1.98
Zona tesa: F=53.25 b_{eff}=13.20 t_w=0.70 σ=5.76
Zona tesa: F=53.25 b_{eff}=13.20 t_w=0.70 σ=5.76
CC 15 SLV (Collegamento -382_-520)
Azioni sul collegamento: N=132.24 Ty=-3.50 Tz=-48.49 Mx=-0.70 Mz=-4.40
Zona tesa: F=53.25 b_{eff}=13.20 t_w=0.70 σ=5.76
Zona tesa: F=53.25 b_{eff}=13.20 t_w=0.70 σ=5.76
CC 15 SLV (Collegamento -382_-520)
Azioni sul collegamento: N=132.24 Ty=-1.32 Tz=-48.49 Mx=-0.32 Mz=-1.98
Zona tesa: F=53.25 b_{eff}=13.20 t_w=0.70 σ=5.76
Zona tesa: F=53.25 b_{eff}=13.20 t_w=0.70 σ=5.76
CC 15 SLV (Collegamento -382_-520)
Azioni sul collegamento: N=145.48 Ty=-3.50 Tz=-50.54 Mx=-0.70 Mz=-4.40
Zona tesa: F=58.58 b_{eff}=13.20 t_w=0.70 σ=6.34
Zona tesa: F=58.58 b_{eff}=13.20 t_w=0.70 σ=6.34
CC 15 SLV (Collegamento -382_-520)
Azioni sul collegamento: N=145.48 Ty=-1.32 Tz=-50.54 Mx=-0.32 Mz=-1.98
Zona tesa: F=58.58 b_{eff}=13.20 t_w=0.70 σ=6.34
Zona tesa: F=58.58 b_{eff}=13.20 t_w=0.70 σ=6.34
CC 15 SLV (Collegamento -382_-520)
Azioni sul collegamento: N=145.48 Ty=-3.50 Tz=-50.54 Mx=-0.70 Mz=-4.40
Zona tesa: F=58.58 b_{eff}=13.20 t_w=0.70 σ=6.34
Zona tesa: F=58.58 b_{eff}=13.20 t_w=0.70 σ=6.34
CC 15 SLV (Collegamento -382_-520)
Azioni sul collegamento: N=145.48 Ty=-1.32 Tz=-50.54 Mx=-0.32 Mz=-1.98
Zona tesa: F=58.58 b_{eff}=13.20 t_w=0.70 σ=6.34
Zona tesa: F=58.58 b_{eff}=13.20 t_w=0.70 σ=6.34
CC 16 SLD (Collegamento -382_-520)
Azioni sul collegamento: N=136.96 Ty=-2.27 Tz=-49.22 Mx=-0.48 Mz=-3.00
Zona tesa: F=55.15 b_{eff}=13.20 t_w=0.70 σ=5.97
Zona tesa: F=55.15 b_{eff}=13.20 t_w=0.70 σ=5.97
CC 16 SLD (Collegamento -382_-520)
Azioni sul collegamento: N=136.96 Ty=-1.61 Tz=-49.22 Mx=-0.37 Mz=-2.26
Zona tesa: F=55.15 b_{eff}=13.20 t_w=0.70 σ=5.97
Zona tesa: F=55.15 b_{eff}=13.20 t_w=0.70 σ=5.97
CC 16 SLD (Collegamento -382_-520)
Azioni sul collegamento: N=136.96 Ty=-2.27 Tz=-49.22 Mx=-0.48 Mz=-3.00
Zona tesa: F=55.15 b_{eff}=13.20 t_w=0.70 σ=5.97
Zona tesa: F=55.15 b_{eff}=13.20 t_w=0.70 σ=5.97
CC 16 SLD (Collegamento -382_-520)
Azioni sul collegamento: N=136.96 Ty=-1.61 Tz=-49.22 Mx=-0.37 Mz=-2.26
Zona tesa: F=55.15 b_{eff}=13.20 t_w=0.70 σ=5.97
Zona tesa: F=55.15 b_{eff}=13.20 t_w=0.70 σ=5.97
CC 16 SLD (Collegamento -382_-520)
Azioni sul collegamento: N=141.00 Ty=-2.27 Tz=-49.84 Mx=-0.48 Mz=-3.00
Zona tesa: F=56.78 b_{eff}=13.20 t_w=0.70 σ=6.14
Zona tesa: F=56.78 b_{eff}=13.20 t_w=0.70 σ=6.14
CC 16 SLD (Collegamento -382_-520)
Azioni sul collegamento: N=141.00 Ty=-1.61 Tz=-49.84 Mx=-0.37 Mz=-2.26
Zona tesa: F=56.78 b_{eff}=13.20 t_w=0.70 σ=6.14
Zona tesa: F=56.78 b_{eff}=13.20 t_w=0.70 σ=6.14
CC 16 SLD (Collegamento -382_-520)
Azioni sul collegamento: N=141.00 Ty=-2.27 Tz=-49.84 Mx=-0.48 Mz=-3.00
Zona tesa: F=56.78 b_{eff}=13.20 t_w=0.70 σ=6.14
Zona tesa: F=56.78 b_{eff}=13.20 t_w=0.70 σ=6.14
CC 16 SLD (Collegamento -382_-520)
Azioni sul collegamento: N=141.00 Ty=-1.61 Tz=-49.84 Mx=-0.37 Mz=-2.26
Zona tesa: F=56.78 b_{eff}=13.20 t_w=0.70 σ=6.14

Zona tesa: F=56.78 b_{eff}=13.20 t_w=0.70 σ=6.14
CC 17 SLV (Collegamento -382_-520)
Azioni sul collegamento: N=160.31 Ty=-0.12 Tz=-52.83 Mx=-0.08 Mz=-0.36
Zona tesa: F=64.56 b_{eff}=13.20 t_w=0.70 σ=6.99
Zona tesa: F=64.56 b_{eff}=13.20 t_w=0.70 σ=6.99
CC 17 SLV (Collegamento -382_-520)
Azioni sul collegamento: N=160.31 Ty=-2.00 Tz=-52.83 Mx=-0.45 Mz=-2.77
Zona tesa: F=64.56 b_{eff}=13.20 t_w=0.70 σ=6.99
Zona tesa: F=64.56 b_{eff}=13.20 t_w=0.70 σ=6.99
CC 17 SLV (Collegamento -382_-520)
Azioni sul collegamento: N=160.31 Ty=-0.12 Tz=-52.83 Mx=-0.08 Mz=-0.36
Zona tesa: F=64.56 b_{eff}=13.20 t_w=0.70 σ=6.99
Zona tesa: F=64.56 b_{eff}=13.20 t_w=0.70 σ=6.99
CC 17 SLV (Collegamento -382_-520)
Azioni sul collegamento: N=160.31 Ty=-2.00 Tz=-52.83 Mx=-0.45 Mz=-2.77
Zona tesa: F=64.56 b_{eff}=13.20 t_w=0.70 σ=6.99
Zona tesa: F=64.56 b_{eff}=13.20 t_w=0.70 σ=6.99
CC 17 SLV (Collegamento -382_-520)
Azioni sul collegamento: N=118.10 Ty=-0.12 Tz=-46.30 Mx=-0.08 Mz=-0.36
Zona tesa: F=47.56 b_{eff}=13.20 t_w=0.70 σ=5.15
Zona tesa: F=47.56 b_{eff}=13.20 t_w=0.70 σ=5.15
CC 17 SLV (Collegamento -382_-520)
Azioni sul collegamento: N=118.10 Ty=-2.00 Tz=-46.30 Mx=-0.45 Mz=-2.77
Zona tesa: F=47.56 b_{eff}=13.20 t_w=0.70 σ=5.15
Zona tesa: F=47.56 b_{eff}=13.20 t_w=0.70 σ=5.15
CC 17 SLV (Collegamento -382_-520)
Azioni sul collegamento: N=118.10 Ty=-0.12 Tz=-46.30 Mx=-0.08 Mz=-0.36
Zona tesa: F=47.56 b_{eff}=13.20 t_w=0.70 σ=5.15
Zona tesa: F=47.56 b_{eff}=13.20 t_w=0.70 σ=5.15
CC 17 SLV (Collegamento -382_-520)
Azioni sul collegamento: N=118.10 Ty=-2.00 Tz=-46.30 Mx=-0.45 Mz=-2.77
Zona tesa: F=47.56 b_{eff}=13.20 t_w=0.70 σ=5.15
Zona tesa: F=47.56 b_{eff}=13.20 t_w=0.70 σ=5.15
CC 18 SLD (Collegamento -382_-520)
Azioni sul collegamento: N=145.52 Ty=-1.24 Tz=-50.54 Mx=-0.29 Mz=-1.76
Zona tesa: F=58.60 b_{eff}=13.20 t_w=0.70 σ=6.34
Zona tesa: F=58.60 b_{eff}=13.20 t_w=0.70 σ=6.34
CC 18 SLD (Collegamento -382_-520)
Azioni sul collegamento: N=145.52 Ty=-1.82 Tz=-50.54 Mx=-0.41 Mz=-2.50
Zona tesa: F=58.60 b_{eff}=13.20 t_w=0.70 σ=6.34
Zona tesa: F=58.60 b_{eff}=13.20 t_w=0.70 σ=6.34
CC 18 SLD (Collegamento -382_-520)
Azioni sul collegamento: N=145.52 Ty=-1.24 Tz=-50.54 Mx=-0.29 Mz=-1.76
Zona tesa: F=58.60 b_{eff}=13.20 t_w=0.70 σ=6.34
Zona tesa: F=58.60 b_{eff}=13.20 t_w=0.70 σ=6.34
CC 18 SLD (Collegamento -382_-520)
Azioni sul collegamento: N=145.52 Ty=-1.82 Tz=-50.54 Mx=-0.41 Mz=-2.50
Zona tesa: F=58.60 b_{eff}=13.20 t_w=0.70 σ=6.34
Zona tesa: F=58.60 b_{eff}=13.20 t_w=0.70 σ=6.34
CC 18 SLD (Collegamento -382_-520)
Azioni sul collegamento: N=132.65 Ty=-1.24 Tz=-48.55 Mx=-0.29 Mz=-1.76
Zona tesa: F=53.42 b_{eff}=13.20 t_w=0.70 σ=5.78
Zona tesa: F=53.42 b_{eff}=13.20 t_w=0.70 σ=5.78
CC 18 SLD (Collegamento -382_-520)
Azioni sul collegamento: N=132.65 Ty=-1.82 Tz=-48.55 Mx=-0.41 Mz=-2.50
Zona tesa: F=53.42 b_{eff}=13.20 t_w=0.70 σ=5.78
Zona tesa: F=53.42 b_{eff}=13.20 t_w=0.70 σ=5.78
CC 18 SLD (Collegamento -382_-520)
Azioni sul collegamento: N=132.65 Ty=-1.24 Tz=-48.55 Mx=-0.29 Mz=-1.76
Zona tesa: F=53.42 b_{eff}=13.20 t_w=0.70 σ=5.78
Zona tesa: F=53.42 b_{eff}=13.20 t_w=0.70 σ=5.78
CC 18 SLD (Collegamento -382_-520)
Azioni sul collegamento: N=132.65 Ty=-1.82 Tz=-48.55 Mx=-0.41 Mz=-2.50
Zona tesa: F=53.42 b_{eff}=13.20 t_w=0.70 σ=5.78
Zona tesa: F=53.42 b_{eff}=13.20 t_w=0.70 σ=5.78
CC 19 SLV (Collegamento -382_-520)
Azioni sul collegamento: N=160.12 Ty=-0.66 Tz=-52.80 Mx=-0.16 Mz=-0.92
Zona tesa: F=64.48 b_{eff}=13.20 t_w=0.70 σ=6.98
Zona tesa: F=64.48 b_{eff}=13.20 t_w=0.70 σ=6.98
CC 19 SLV (Collegamento -382_-520)
Azioni sul collegamento: N=160.12 Ty=-1.47 Tz=-52.80 Mx=-0.36 Mz=-2.21
Zona tesa: F=64.48 b_{eff}=13.20 t_w=0.70 σ=6.98
Zona tesa: F=64.48 b_{eff}=13.20 t_w=0.70 σ=6.98
CC 19 SLV (Collegamento -382_-520)
Azioni sul collegamento: N=160.12 Ty=-0.66 Tz=-52.80 Mx=-0.16 Mz=-0.92
Zona tesa: F=64.48 b_{eff}=13.20 t_w=0.70 σ=6.98
Zona tesa: F=64.48 b_{eff}=13.20 t_w=0.70 σ=6.98
CC 19 SLV (Collegamento -382_-520)

Azioni sul collegamento: N=160.12 Ty=-1.47 Tz=-52.80 Mx=-0.36 Mz=-2.21
Zona tesa: F=64.48 b_{eff}=13.20 t_w=0.70 σ=6.98
Zona tesa: F=64.48 b_{eff}=13.20 t_w=0.70 σ=6.98
CC 19 SLV (Collegamento -382_-520)
Azioni sul collegamento: N=118.29 Ty=-0.66 Tz=-46.33 Mx=-0.16 Mz=-0.92
Zona tesa: F=47.63 b_{eff}=13.20 t_w=0.70 σ=5.16
Zona tesa: F=47.63 b_{eff}=13.20 t_w=0.70 σ=5.16
CC 19 SLV (Collegamento -382_-520)
Azioni sul collegamento: N=118.29 Ty=-1.47 Tz=-46.33 Mx=-0.36 Mz=-2.21
Zona tesa: F=47.63 b_{eff}=13.20 t_w=0.70 σ=5.16
Zona tesa: F=47.63 b_{eff}=13.20 t_w=0.70 σ=5.16
CC 19 SLV (Collegamento -382_-520)
Azioni sul collegamento: N=118.29 Ty=-0.66 Tz=-46.33 Mx=-0.16 Mz=-0.92
Zona tesa: F=47.63 b_{eff}=13.20 t_w=0.70 σ=5.16
Zona tesa: F=47.63 b_{eff}=13.20 t_w=0.70 σ=5.16
CC 19 SLV (Collegamento -382_-520)
Azioni sul collegamento: N=118.29 Ty=-1.47 Tz=-46.33 Mx=-0.36 Mz=-2.21
Zona tesa: F=47.63 b_{eff}=13.20 t_w=0.70 σ=5.16
Zona tesa: F=47.63 b_{eff}=13.20 t_w=0.70 σ=5.16
CC 20 SLD (Collegamento -382_-520)
Azioni sul collegamento: N=145.46 Ty=-1.41 Tz=-50.53 Mx=-0.32 Mz=-1.93
Zona tesa: F=58.58 b_{eff}=13.20 t_w=0.70 σ=6.34
Zona tesa: F=58.58 b_{eff}=13.20 t_w=0.70 σ=6.34
CC 20 SLD (Collegamento -382_-520)
Azioni sul collegamento: N=145.46 Ty=-1.65 Tz=-50.53 Mx=-0.38 Mz=-2.33
Zona tesa: F=58.58 b_{eff}=13.20 t_w=0.70 σ=6.34
Zona tesa: F=58.58 b_{eff}=13.20 t_w=0.70 σ=6.34
CC 20 SLD (Collegamento -382_-520)
Azioni sul collegamento: N=145.46 Ty=-1.41 Tz=-50.53 Mx=-0.32 Mz=-1.93
Zona tesa: F=58.58 b_{eff}=13.20 t_w=0.70 σ=6.34
Zona tesa: F=58.58 b_{eff}=13.20 t_w=0.70 σ=6.34
CC 20 SLD (Collegamento -382_-520)
Azioni sul collegamento: N=145.46 Ty=-1.65 Tz=-50.53 Mx=-0.38 Mz=-2.33
Zona tesa: F=58.58 b_{eff}=13.20 t_w=0.70 σ=6.34
Zona tesa: F=58.58 b_{eff}=13.20 t_w=0.70 σ=6.34
CC 20 SLD (Collegamento -382_-520)
Azioni sul collegamento: N=132.71 Ty=-1.41 Tz=-48.56 Mx=-0.32 Mz=-1.93
Zona tesa: F=53.44 b_{eff}=13.20 t_w=0.70 σ=5.78
Zona tesa: F=53.44 b_{eff}=13.20 t_w=0.70 σ=5.78
CC 20 SLD (Collegamento -382_-520)
Azioni sul collegamento: N=132.71 Ty=-1.65 Tz=-48.56 Mx=-0.38 Mz=-2.33
Zona tesa: F=53.44 b_{eff}=13.20 t_w=0.70 σ=5.78
Zona tesa: F=53.44 b_{eff}=13.20 t_w=0.70 σ=5.78
CC 20 SLD (Collegamento -382_-520)
Azioni sul collegamento: N=132.71 Ty=-1.41 Tz=-48.56 Mx=-0.32 Mz=-1.93
Zona tesa: F=53.44 b_{eff}=13.20 t_w=0.70 σ=5.78
Zona tesa: F=53.44 b_{eff}=13.20 t_w=0.70 σ=5.78
CC 20 SLD (Collegamento -382_-520)
Azioni sul collegamento: N=132.71 Ty=-1.65 Tz=-48.56 Mx=-0.38 Mz=-2.33
Zona tesa: F=53.44 b_{eff}=13.20 t_w=0.70 σ=5.78
Zona tesa: F=53.44 b_{eff}=13.20 t_w=0.70 σ=5.78
CC 21 SLV (Collegamento -382_-520)
Azioni sul collegamento: N=118.29 Ty=-1.47 Tz=-46.33 Mx=-0.35 Mz=-2.21
Zona tesa: F=47.63 b_{eff}=13.20 t_w=0.70 σ=5.16
Zona tesa: F=47.63 b_{eff}=13.20 t_w=0.70 σ=5.16
CC 21 SLV (Collegamento -382_-520)
Azioni sul collegamento: N=118.29 Ty=-0.66 Tz=-46.33 Mx=-0.15 Mz=-0.92
Zona tesa: F=47.63 b_{eff}=13.20 t_w=0.70 σ=5.16
Zona tesa: F=47.63 b_{eff}=13.20 t_w=0.70 σ=5.16
CC 21 SLV (Collegamento -382_-520)
Azioni sul collegamento: N=118.29 Ty=-1.47 Tz=-46.33 Mx=-0.35 Mz=-2.21
Zona tesa: F=47.63 b_{eff}=13.20 t_w=0.70 σ=5.16
Zona tesa: F=47.63 b_{eff}=13.20 t_w=0.70 σ=5.16
CC 21 SLV (Collegamento -382_-520)
Azioni sul collegamento: N=118.29 Ty=-0.66 Tz=-46.33 Mx=-0.15 Mz=-0.92
Zona tesa: F=47.63 b_{eff}=13.20 t_w=0.70 σ=5.16
Zona tesa: F=47.63 b_{eff}=13.20 t_w=0.70 σ=5.16
CC 21 SLV (Collegamento -382_-520)
Azioni sul collegamento: N=160.12 Ty=-1.47 Tz=-52.80 Mx=-0.35 Mz=-2.21
Zona tesa: F=64.48 b_{eff}=13.20 t_w=0.70 σ=6.98
Zona tesa: F=64.48 b_{eff}=13.20 t_w=0.70 σ=6.98
CC 21 SLV (Collegamento -382_-520)
Azioni sul collegamento: N=160.12 Ty=-0.66 Tz=-52.80 Mx=-0.15 Mz=-0.92
Zona tesa: F=64.48 b_{eff}=13.20 t_w=0.70 σ=6.98
Zona tesa: F=64.48 b_{eff}=13.20 t_w=0.70 σ=6.98
CC 21 SLV (Collegamento -382_-520)
Azioni sul collegamento: N=160.12 Ty=-1.47 Tz=-52.80 Mx=-0.35 Mz=-2.21
Zona tesa: F=64.48 b_{eff}=13.20 t_w=0.70 σ=6.98

Zona tesa: F=64.48 b_{eff}=13.20 t_w=0.70 σ=6.98
CC 21 SLV (Collegamento -382_-520)
Azioni sul collegamento: N=160.12 Ty=-0.66 Tz=-52.80 Mx=-0.15 Mz=-0.92
Zona tesa: F=64.48 b_{eff}=13.20 t_w=0.70 σ=6.98
Zona tesa: F=64.48 b_{eff}=13.20 t_w=0.70 σ=6.98
CC 22 SLD (Collegamento -382_-520)
Azioni sul collegamento: N=132.71 Ty=-1.65 Tz=-48.56 Mx=-0.38 Mz=-2.33
Zona tesa: F=53.44 b_{eff}=13.20 t_w=0.70 σ=5.78
Zona tesa: F=53.44 b_{eff}=13.20 t_w=0.70 σ=5.78
CC 22 SLD (Collegamento -382_-520)
Azioni sul collegamento: N=132.71 Ty=-1.41 Tz=-48.56 Mx=-0.31 Mz=-1.93
Zona tesa: F=53.44 b_{eff}=13.20 t_w=0.70 σ=5.78
Zona tesa: F=53.44 b_{eff}=13.20 t_w=0.70 σ=5.78
CC 22 SLD (Collegamento -382_-520)
Azioni sul collegamento: N=132.71 Ty=-1.65 Tz=-48.56 Mx=-0.38 Mz=-2.33
Zona tesa: F=53.44 b_{eff}=13.20 t_w=0.70 σ=5.78
Zona tesa: F=53.44 b_{eff}=13.20 t_w=0.70 σ=5.78
CC 22 SLD (Collegamento -382_-520)
Azioni sul collegamento: N=132.71 Ty=-1.41 Tz=-48.56 Mx=-0.31 Mz=-1.93
Zona tesa: F=53.44 b_{eff}=13.20 t_w=0.70 σ=5.78
Zona tesa: F=53.44 b_{eff}=13.20 t_w=0.70 σ=5.78
CC 22 SLD (Collegamento -382_-520)
Azioni sul collegamento: N=145.46 Ty=-1.65 Tz=-50.53 Mx=-0.38 Mz=-2.33
Zona tesa: F=58.58 b_{eff}=13.20 t_w=0.70 σ=6.34
Zona tesa: F=58.58 b_{eff}=13.20 t_w=0.70 σ=6.34
CC 22 SLD (Collegamento -382_-520)
Azioni sul collegamento: N=145.46 Ty=-1.41 Tz=-50.53 Mx=-0.31 Mz=-1.93
Zona tesa: F=58.58 b_{eff}=13.20 t_w=0.70 σ=6.34
Zona tesa: F=58.58 b_{eff}=13.20 t_w=0.70 σ=6.34
CC 22 SLD (Collegamento -382_-520)
Azioni sul collegamento: N=145.46 Ty=-1.65 Tz=-50.53 Mx=-0.38 Mz=-2.33
Zona tesa: F=58.58 b_{eff}=13.20 t_w=0.70 σ=6.34
Zona tesa: F=58.58 b_{eff}=13.20 t_w=0.70 σ=6.34
CC 22 SLD (Collegamento -382_-520)
Azioni sul collegamento: N=145.46 Ty=-1.41 Tz=-50.53 Mx=-0.31 Mz=-1.93
Zona tesa: F=58.58 b_{eff}=13.20 t_w=0.70 σ=6.34
Zona tesa: F=58.58 b_{eff}=13.20 t_w=0.70 σ=6.34
CC 23 SLV (Collegamento -382_-520)
Azioni sul collegamento: N=118.10 Ty=-2.00 Tz=-46.30 Mx=-0.43 Mz=-2.77
Zona tesa: F=47.56 b_{eff}=13.20 t_w=0.70 σ=5.15
Zona tesa: F=47.56 b_{eff}=13.20 t_w=0.70 σ=5.15
CC 23 SLV (Collegamento -382_-520)
Azioni sul collegamento: N=118.10 Ty=-0.12 Tz=-46.30 Mx=-0.06 Mz=-0.36
Zona tesa: F=47.56 b_{eff}=13.20 t_w=0.70 σ=5.15
Zona tesa: F=47.56 b_{eff}=13.20 t_w=0.70 σ=5.15
CC 23 SLV (Collegamento -382_-520)
Azioni sul collegamento: N=118.10 Ty=-2.00 Tz=-46.30 Mx=-0.43 Mz=-2.77
Zona tesa: F=47.56 b_{eff}=13.20 t_w=0.70 σ=5.15
Zona tesa: F=47.56 b_{eff}=13.20 t_w=0.70 σ=5.15
CC 23 SLV (Collegamento -382_-520)
Azioni sul collegamento: N=118.10 Ty=-0.12 Tz=-46.30 Mx=-0.06 Mz=-0.36
Zona tesa: F=47.56 b_{eff}=13.20 t_w=0.70 σ=5.15
Zona tesa: F=47.56 b_{eff}=13.20 t_w=0.70 σ=5.15
CC 23 SLV (Collegamento -382_-520)
Azioni sul collegamento: N=160.31 Ty=-2.00 Tz=-52.83 Mx=-0.43 Mz=-2.77
Zona tesa: F=64.56 b_{eff}=13.20 t_w=0.70 σ=6.99
Zona tesa: F=64.56 b_{eff}=13.20 t_w=0.70 σ=6.99
CC 23 SLV (Collegamento -382_-520)
Azioni sul collegamento: N=160.31 Ty=-0.12 Tz=-52.83 Mx=-0.06 Mz=-0.36
Zona tesa: F=64.56 b_{eff}=13.20 t_w=0.70 σ=6.99
Zona tesa: F=64.56 b_{eff}=13.20 t_w=0.70 σ=6.99
CC 23 SLV (Collegamento -382_-520)
Azioni sul collegamento: N=160.31 Ty=-2.00 Tz=-52.83 Mx=-0.43 Mz=-2.77
Zona tesa: F=64.56 b_{eff}=13.20 t_w=0.70 σ=6.99
Zona tesa: F=64.56 b_{eff}=13.20 t_w=0.70 σ=6.99
CC 23 SLV (Collegamento -382_-520)
Azioni sul collegamento: N=160.31 Ty=-0.12 Tz=-52.83 Mx=-0.06 Mz=-0.36
Zona tesa: F=64.56 b_{eff}=13.20 t_w=0.70 σ=6.99
Zona tesa: F=64.56 b_{eff}=13.20 t_w=0.70 σ=6.99
CC 24 SLD (Collegamento -382_-520)
Azioni sul collegamento: N=132.65 Ty=-1.82 Tz=-48.55 Mx=-0.40 Mz=-2.50
Zona tesa: F=53.42 b_{eff}=13.20 t_w=0.70 σ=5.78
Zona tesa: F=53.42 b_{eff}=13.20 t_w=0.70 σ=5.78
CC 24 SLD (Collegamento -382_-520)
Azioni sul collegamento: N=132.65 Ty=-1.24 Tz=-48.55 Mx=-0.29 Mz=-1.76
Zona tesa: F=53.42 b_{eff}=13.20 t_w=0.70 σ=5.78
Zona tesa: F=53.42 b_{eff}=13.20 t_w=0.70 σ=5.78
CC 24 SLD (Collegamento -382_-520)

Azioni sul collegamento: N=132.65 Ty=-1.82 Tz=-48.55 Mx=-0.40 Mz=-2.50
Zona tesa: F=53.42 b_{eff}=13.20 t_w=0.70 σ=5.78
Zona tesa: F=53.42 b_{eff}=13.20 t_w=0.70 σ=5.78
CC 24 SLD (Collegamento -382_-520)
Azioni sul collegamento: N=132.65 Ty=-1.24 Tz=-48.55 Mx=-0.29 Mz=-1.76
Zona tesa: F=53.42 b_{eff}=13.20 t_w=0.70 σ=5.78
Zona tesa: F=53.42 b_{eff}=13.20 t_w=0.70 σ=5.78
CC 24 SLD (Collegamento -382_-520)
Azioni sul collegamento: N=145.52 Ty=-1.82 Tz=-50.54 Mx=-0.40 Mz=-2.50
Zona tesa: F=58.60 b_{eff}=13.20 t_w=0.70 σ=6.34
Zona tesa: F=58.60 b_{eff}=13.20 t_w=0.70 σ=6.34
CC 24 SLD (Collegamento -382_-520)
Azioni sul collegamento: N=145.52 Ty=-1.24 Tz=-50.54 Mx=-0.29 Mz=-1.76
Zona tesa: F=58.60 b_{eff}=13.20 t_w=0.70 σ=6.34
Zona tesa: F=58.60 b_{eff}=13.20 t_w=0.70 σ=6.34
CC 24 SLD (Collegamento -382_-520)
Azioni sul collegamento: N=145.52 Ty=-1.82 Tz=-50.54 Mx=-0.40 Mz=-2.50
Zona tesa: F=58.60 b_{eff}=13.20 t_w=0.70 σ=6.34
Zona tesa: F=58.60 b_{eff}=13.20 t_w=0.70 σ=6.34
CC 24 SLD (Collegamento -382_-520)
Azioni sul collegamento: N=145.52 Ty=-1.24 Tz=-50.54 Mx=-0.29 Mz=-1.76
Zona tesa: F=58.60 b_{eff}=13.20 t_w=0.70 σ=6.34
Zona tesa: F=58.60 b_{eff}=13.20 t_w=0.70 σ=6.34
CC 25 SLV (Collegamento -382_-520)
Azioni sul collegamento: N=145.83 Ty=0.03 Tz=-50.59 Mx=-0.07 Mz=-0.35
Zona tesa: F=58.72 b_{eff}=13.20 t_w=0.70 σ=6.36
Zona tesa: F=58.72 b_{eff}=13.20 t_w=0.70 σ=6.36
CC 25 SLV (Collegamento -382_-520)
Azioni sul collegamento: N=145.83 Ty=-2.15 Tz=-50.59 Mx=-0.45 Mz=-2.78
Zona tesa: F=58.72 b_{eff}=13.20 t_w=0.70 σ=6.36
Zona tesa: F=58.72 b_{eff}=13.20 t_w=0.70 σ=6.36
CC 25 SLV (Collegamento -382_-520)
Azioni sul collegamento: N=145.83 Ty=0.03 Tz=-50.59 Mx=-0.07 Mz=-0.35
Zona tesa: F=58.72 b_{eff}=13.20 t_w=0.70 σ=6.36
Zona tesa: F=58.72 b_{eff}=13.20 t_w=0.70 σ=6.36
CC 25 SLV (Collegamento -382_-520)
Azioni sul collegamento: N=145.83 Ty=-2.15 Tz=-50.59 Mx=-0.45 Mz=-2.78
Zona tesa: F=58.72 b_{eff}=13.20 t_w=0.70 σ=6.36
Zona tesa: F=58.72 b_{eff}=13.20 t_w=0.70 σ=6.36
CC 25 SLV (Collegamento -382_-520)
Azioni sul collegamento: N=132.59 Ty=0.03 Tz=-48.54 Mx=-0.07 Mz=-0.35
Zona tesa: F=53.39 b_{eff}=13.20 t_w=0.70 σ=5.78
Zona tesa: F=53.39 b_{eff}=13.20 t_w=0.70 σ=5.78
CC 25 SLV (Collegamento -382_-520)
Azioni sul collegamento: N=132.59 Ty=-2.15 Tz=-48.54 Mx=-0.45 Mz=-2.78
Zona tesa: F=53.39 b_{eff}=13.20 t_w=0.70 σ=5.78
Zona tesa: F=53.39 b_{eff}=13.20 t_w=0.70 σ=5.78
CC 25 SLV (Collegamento -382_-520)
Azioni sul collegamento: N=132.59 Ty=0.03 Tz=-48.54 Mx=-0.07 Mz=-0.35
Zona tesa: F=53.39 b_{eff}=13.20 t_w=0.70 σ=5.78
Zona tesa: F=53.39 b_{eff}=13.20 t_w=0.70 σ=5.78
CC 25 SLV (Collegamento -382_-520)
Azioni sul collegamento: N=132.59 Ty=-2.15 Tz=-48.54 Mx=-0.45 Mz=-2.78
Zona tesa: F=53.39 b_{eff}=13.20 t_w=0.70 σ=5.78
Zona tesa: F=53.39 b_{eff}=13.20 t_w=0.70 σ=5.78
CC 26 SLD (Collegamento -382_-520)
Azioni sul collegamento: N=141.11 Ty=-1.20 Tz=-49.86 Mx=-0.29 Mz=-1.76
Zona tesa: F=56.82 b_{eff}=13.20 t_w=0.70 σ=6.15
Zona tesa: F=56.82 b_{eff}=13.20 t_w=0.70 σ=6.15
CC 26 SLD (Collegamento -382_-520)
Azioni sul collegamento: N=141.11 Ty=-1.86 Tz=-49.86 Mx=-0.41 Mz=-2.50
Zona tesa: F=56.82 b_{eff}=13.20 t_w=0.70 σ=6.15
Zona tesa: F=56.82 b_{eff}=13.20 t_w=0.70 σ=6.15
CC 26 SLD (Collegamento -382_-520)
Azioni sul collegamento: N=141.11 Ty=-1.20 Tz=-49.86 Mx=-0.29 Mz=-1.76
Zona tesa: F=56.82 b_{eff}=13.20 t_w=0.70 σ=6.15
Zona tesa: F=56.82 b_{eff}=13.20 t_w=0.70 σ=6.15
CC 26 SLD (Collegamento -382_-520)
Azioni sul collegamento: N=141.11 Ty=-1.86 Tz=-49.86 Mx=-0.41 Mz=-2.50
Zona tesa: F=56.82 b_{eff}=13.20 t_w=0.70 σ=6.15
Zona tesa: F=56.82 b_{eff}=13.20 t_w=0.70 σ=6.15
CC 26 SLD (Collegamento -382_-520)
Azioni sul collegamento: N=137.07 Ty=-1.20 Tz=-49.23 Mx=-0.29 Mz=-1.76
Zona tesa: F=55.19 b_{eff}=13.20 t_w=0.70 σ=5.97
Zona tesa: F=55.19 b_{eff}=13.20 t_w=0.70 σ=5.97
CC 26 SLD (Collegamento -382_-520)
Azioni sul collegamento: N=137.07 Ty=-1.86 Tz=-49.23 Mx=-0.41 Mz=-2.50
Zona tesa: F=55.19 b_{eff}=13.20 t_w=0.70 σ=5.97

Zona tesa: F=55.19 b_{eff}=13.20 t_w=0.70 σ=5.97
CC 26 SLD (Collegamento -382_-520)
Azioni sul collegamento: N=137.07 Ty=-1.20 Tz=-49.23 Mx=-0.29 Mz=-1.76
Zona tesa: F=55.19 b_{eff}=13.20 t_w=0.70 σ=5.97
Zona tesa: F=55.19 b_{eff}=13.20 t_w=0.70 σ=5.97
CC 26 SLD (Collegamento -382_-520)
Azioni sul collegamento: N=137.07 Ty=-1.86 Tz=-49.23 Mx=-0.41 Mz=-2.50
Zona tesa: F=55.19 b_{eff}=13.20 t_w=0.70 σ=5.97
Zona tesa: F=55.19 b_{eff}=13.20 t_w=0.70 σ=5.97
CC 27 SLV (Collegamento -382_-520)
Azioni sul collegamento: N=133.22 Ty=-0.37 Tz=-48.64 Mx=-0.16 Mz=-0.91
Zona tesa: F=53.65 b_{eff}=13.20 t_w=0.70 σ=5.81
Zona tesa: F=53.65 b_{eff}=13.20 t_w=0.70 σ=5.81
CC 27 SLV (Collegamento -382_-520)
Azioni sul collegamento: N=133.22 Ty=-1.75 Tz=-48.64 Mx=-0.36 Mz=-2.23
Zona tesa: F=53.65 b_{eff}=13.20 t_w=0.70 σ=5.81
Zona tesa: F=53.65 b_{eff}=13.20 t_w=0.70 σ=5.81
CC 27 SLV (Collegamento -382_-520)
Azioni sul collegamento: N=133.22 Ty=-0.37 Tz=-48.64 Mx=-0.16 Mz=-0.91
Zona tesa: F=53.65 b_{eff}=13.20 t_w=0.70 σ=5.81
Zona tesa: F=53.65 b_{eff}=13.20 t_w=0.70 σ=5.81
CC 27 SLV (Collegamento -382_-520)
Azioni sul collegamento: N=133.22 Ty=-1.75 Tz=-48.64 Mx=-0.36 Mz=-2.23
Zona tesa: F=53.65 b_{eff}=13.20 t_w=0.70 σ=5.81
Zona tesa: F=53.65 b_{eff}=13.20 t_w=0.70 σ=5.81
CC 27 SLV (Collegamento -382_-520)
Azioni sul collegamento: N=145.19 Ty=-0.37 Tz=-50.49 Mx=-0.16 Mz=-0.91
Zona tesa: F=58.47 b_{eff}=13.20 t_w=0.70 σ=6.33
Zona tesa: F=58.47 b_{eff}=13.20 t_w=0.70 σ=6.33
CC 27 SLV (Collegamento -382_-520)
Azioni sul collegamento: N=145.19 Ty=-1.75 Tz=-50.49 Mx=-0.36 Mz=-2.23
Zona tesa: F=58.47 b_{eff}=13.20 t_w=0.70 σ=6.33
Zona tesa: F=58.47 b_{eff}=13.20 t_w=0.70 σ=6.33
CC 27 SLV (Collegamento -382_-520)
Azioni sul collegamento: N=145.19 Ty=-0.37 Tz=-50.49 Mx=-0.16 Mz=-0.91
Zona tesa: F=58.47 b_{eff}=13.20 t_w=0.70 σ=6.33
Zona tesa: F=58.47 b_{eff}=13.20 t_w=0.70 σ=6.33
CC 27 SLV (Collegamento -382_-520)
Azioni sul collegamento: N=145.19 Ty=-1.75 Tz=-50.49 Mx=-0.36 Mz=-2.23
Zona tesa: F=58.47 b_{eff}=13.20 t_w=0.70 σ=6.33
Zona tesa: F=58.47 b_{eff}=13.20 t_w=0.70 σ=6.33
CC 28 SLD (Collegamento -382_-520)
Azioni sul collegamento: N=137.26 Ty=-1.32 Tz=-49.26 Mx=-0.32 Mz=-1.93
Zona tesa: F=55.27 b_{eff}=13.20 t_w=0.70 σ=5.98
Zona tesa: F=55.27 b_{eff}=13.20 t_w=0.70 σ=5.98
CC 28 SLD (Collegamento -382_-520)
Azioni sul collegamento: N=137.26 Ty=-1.74 Tz=-49.26 Mx=-0.38 Mz=-2.33
Zona tesa: F=55.27 b_{eff}=13.20 t_w=0.70 σ=5.98
Zona tesa: F=55.27 b_{eff}=13.20 t_w=0.70 σ=5.98
CC 28 SLD (Collegamento -382_-520)
Azioni sul collegamento: N=137.26 Ty=-1.32 Tz=-49.26 Mx=-0.32 Mz=-1.93
Zona tesa: F=55.27 b_{eff}=13.20 t_w=0.70 σ=5.98
Zona tesa: F=55.27 b_{eff}=13.20 t_w=0.70 σ=5.98
CC 28 SLD (Collegamento -382_-520)
Azioni sul collegamento: N=137.26 Ty=-1.74 Tz=-49.26 Mx=-0.38 Mz=-2.33
Zona tesa: F=55.27 b_{eff}=13.20 t_w=0.70 σ=5.98
Zona tesa: F=55.27 b_{eff}=13.20 t_w=0.70 σ=5.98
CC 28 SLD (Collegamento -382_-520)
Azioni sul collegamento: N=140.91 Ty=-1.32 Tz=-49.83 Mx=-0.32 Mz=-1.93
Zona tesa: F=56.74 b_{eff}=13.20 t_w=0.70 σ=6.14
Zona tesa: F=56.74 b_{eff}=13.20 t_w=0.70 σ=6.14
CC 28 SLD (Collegamento -382_-520)
Azioni sul collegamento: N=140.91 Ty=-1.74 Tz=-49.83 Mx=-0.38 Mz=-2.33
Zona tesa: F=56.74 b_{eff}=13.20 t_w=0.70 σ=6.14
Zona tesa: F=56.74 b_{eff}=13.20 t_w=0.70 σ=6.14
CC 28 SLD (Collegamento -382_-520)
Azioni sul collegamento: N=140.91 Ty=-1.32 Tz=-49.83 Mx=-0.32 Mz=-1.93
Zona tesa: F=56.74 b_{eff}=13.20 t_w=0.70 σ=6.14
Zona tesa: F=56.74 b_{eff}=13.20 t_w=0.70 σ=6.14
CC 28 SLD (Collegamento -382_-520)
Azioni sul collegamento: N=140.91 Ty=-1.74 Tz=-49.83 Mx=-0.38 Mz=-2.33
Zona tesa: F=56.74 b_{eff}=13.20 t_w=0.70 σ=6.14
Zona tesa: F=56.74 b_{eff}=13.20 t_w=0.70 σ=6.14
CC 29 SLV (Collegamento -382_-520)
Azioni sul collegamento: N=145.19 Ty=-1.75 Tz=-50.49 Mx=-0.35 Mz=-2.23
Zona tesa: F=58.47 b_{eff}=13.20 t_w=0.70 σ=6.33
Zona tesa: F=58.47 b_{eff}=13.20 t_w=0.70 σ=6.33
CC 29 SLV (Collegamento -382_-520)

Azioni sul collegamento: N=145.19 Ty=-0.37 Tz=-50.49 Mx=-0.15 Mz=-0.91
Zona tesa: F=58.47 b_{eff}=13.20 t_w=0.70 σ=6.33
Zona tesa: F=58.47 b_{eff}=13.20 t_w=0.70 σ=6.33
CC 29 SLV (Collegamento -382_-520)
Azioni sul collegamento: N=145.19 Ty=-1.75 Tz=-50.49 Mx=-0.35 Mz=-2.23
Zona tesa: F=58.47 b_{eff}=13.20 t_w=0.70 σ=6.33
Zona tesa: F=58.47 b_{eff}=13.20 t_w=0.70 σ=6.33
CC 29 SLV (Collegamento -382_-520)
Azioni sul collegamento: N=145.19 Ty=-0.37 Tz=-50.49 Mx=-0.15 Mz=-0.91
Zona tesa: F=58.47 b_{eff}=13.20 t_w=0.70 σ=6.33
Zona tesa: F=58.47 b_{eff}=13.20 t_w=0.70 σ=6.33
CC 29 SLV (Collegamento -382_-520)
Azioni sul collegamento: N=133.22 Ty=-1.75 Tz=-48.64 Mx=-0.35 Mz=-2.23
Zona tesa: F=53.65 b_{eff}=13.20 t_w=0.70 σ=5.81
Zona tesa: F=53.65 b_{eff}=13.20 t_w=0.70 σ=5.81
CC 29 SLV (Collegamento -382_-520)
Azioni sul collegamento: N=133.22 Ty=-0.37 Tz=-48.64 Mx=-0.15 Mz=-0.91
Zona tesa: F=53.65 b_{eff}=13.20 t_w=0.70 σ=5.81
Zona tesa: F=53.65 b_{eff}=13.20 t_w=0.70 σ=5.81
CC 29 SLV (Collegamento -382_-520)
Azioni sul collegamento: N=133.22 Ty=-1.75 Tz=-48.64 Mx=-0.35 Mz=-2.23
Zona tesa: F=53.65 b_{eff}=13.20 t_w=0.70 σ=5.81
Zona tesa: F=53.65 b_{eff}=13.20 t_w=0.70 σ=5.81
CC 29 SLV (Collegamento -382_-520)
Azioni sul collegamento: N=133.22 Ty=-0.37 Tz=-48.64 Mx=-0.15 Mz=-0.91
Zona tesa: F=53.65 b_{eff}=13.20 t_w=0.70 σ=5.81
Zona tesa: F=53.65 b_{eff}=13.20 t_w=0.70 σ=5.81
CC 30 SLD (Collegamento -382_-520)
Azioni sul collegamento: N=140.91 Ty=-1.74 Tz=-49.83 Mx=-0.38 Mz=-2.33
Zona tesa: F=56.74 b_{eff}=13.20 t_w=0.70 σ=6.14
Zona tesa: F=56.74 b_{eff}=13.20 t_w=0.70 σ=6.14
CC 30 SLD (Collegamento -382_-520)
Azioni sul collegamento: N=140.91 Ty=-1.32 Tz=-49.83 Mx=-0.31 Mz=-1.93
Zona tesa: F=56.74 b_{eff}=13.20 t_w=0.70 σ=6.14
Zona tesa: F=56.74 b_{eff}=13.20 t_w=0.70 σ=6.14
CC 30 SLD (Collegamento -382_-520)
Azioni sul collegamento: N=140.91 Ty=-1.74 Tz=-49.83 Mx=-0.38 Mz=-2.33
Zona tesa: F=56.74 b_{eff}=13.20 t_w=0.70 σ=6.14
Zona tesa: F=56.74 b_{eff}=13.20 t_w=0.70 σ=6.14
CC 30 SLD (Collegamento -382_-520)
Azioni sul collegamento: N=140.91 Ty=-1.32 Tz=-49.83 Mx=-0.31 Mz=-1.93
Zona tesa: F=56.74 b_{eff}=13.20 t_w=0.70 σ=6.14
Zona tesa: F=56.74 b_{eff}=13.20 t_w=0.70 σ=6.14
CC 30 SLD (Collegamento -382_-520)
Azioni sul collegamento: N=137.26 Ty=-1.74 Tz=-49.26 Mx=-0.38 Mz=-2.33
Zona tesa: F=55.27 b_{eff}=13.20 t_w=0.70 σ=5.98
Zona tesa: F=55.27 b_{eff}=13.20 t_w=0.70 σ=5.98
CC 30 SLD (Collegamento -382_-520)
Azioni sul collegamento: N=137.26 Ty=-1.32 Tz=-49.26 Mx=-0.31 Mz=-1.93
Zona tesa: F=55.27 b_{eff}=13.20 t_w=0.70 σ=5.98
Zona tesa: F=55.27 b_{eff}=13.20 t_w=0.70 σ=5.98
CC 30 SLD (Collegamento -382_-520)
Azioni sul collegamento: N=137.26 Ty=-1.74 Tz=-49.26 Mx=-0.38 Mz=-2.33
Zona tesa: F=55.27 b_{eff}=13.20 t_w=0.70 σ=5.98
Zona tesa: F=55.27 b_{eff}=13.20 t_w=0.70 σ=5.98
CC 30 SLD (Collegamento -382_-520)
Azioni sul collegamento: N=137.26 Ty=-1.32 Tz=-49.26 Mx=-0.31 Mz=-1.93
Zona tesa: F=55.27 b_{eff}=13.20 t_w=0.70 σ=5.98
Zona tesa: F=55.27 b_{eff}=13.20 t_w=0.70 σ=5.98
CC 31 SLV (Collegamento -382_-520)
Azioni sul collegamento: N=132.59 Ty=-2.15 Tz=-48.54 Mx=-0.44 Mz=-2.78
Zona tesa: F=53.39 b_{eff}=13.20 t_w=0.70 σ=5.78
Zona tesa: F=53.39 b_{eff}=13.20 t_w=0.70 σ=5.78
CC 31 SLV (Collegamento -382_-520)
Azioni sul collegamento: N=132.59 Ty=0.03 Tz=-48.54 Mx=-0.06 Mz=-0.35
Zona tesa: F=53.39 b_{eff}=13.20 t_w=0.70 σ=5.78
Zona tesa: F=53.39 b_{eff}=13.20 t_w=0.70 σ=5.78
CC 31 SLV (Collegamento -382_-520)
Azioni sul collegamento: N=132.59 Ty=-2.15 Tz=-48.54 Mx=-0.44 Mz=-2.78
Zona tesa: F=53.39 b_{eff}=13.20 t_w=0.70 σ=5.78
Zona tesa: F=53.39 b_{eff}=13.20 t_w=0.70 σ=5.78
CC 31 SLV (Collegamento -382_-520)
Azioni sul collegamento: N=132.59 Ty=0.03 Tz=-48.54 Mx=-0.06 Mz=-0.35
Zona tesa: F=53.39 b_{eff}=13.20 t_w=0.70 σ=5.78
Zona tesa: F=53.39 b_{eff}=13.20 t_w=0.70 σ=5.78
CC 31 SLV (Collegamento -382_-520)
Azioni sul collegamento: N=145.83 Ty=-2.15 Tz=-50.59 Mx=-0.44 Mz=-2.78
Zona tesa: F=58.72 b_{eff}=13.20 t_w=0.70 σ=6.36

Zona tesa: F=58.72 b_{eff}=13.20 t_w=0.70 σ=6.36
CC 31 SLV (Collegamento -382_-520)
Azioni sul collegamento: N=145.83 Ty=0.03 Tz=-50.59 Mx=-0.06 Mz=-0.35
Zona tesa: F=58.72 b_{eff}=13.20 t_w=0.70 σ=6.36
Zona tesa: F=58.72 b_{eff}=13.20 t_w=0.70 σ=6.36
CC 31 SLV (Collegamento -382_-520)
Azioni sul collegamento: N=145.83 Ty=-2.15 Tz=-50.59 Mx=-0.44 Mz=-2.78
Zona tesa: F=58.72 b_{eff}=13.20 t_w=0.70 σ=6.36
Zona tesa: F=58.72 b_{eff}=13.20 t_w=0.70 σ=6.36
CC 31 SLV (Collegamento -382_-520)
Azioni sul collegamento: N=145.83 Ty=0.03 Tz=-50.59 Mx=-0.06 Mz=-0.35
Zona tesa: F=58.72 b_{eff}=13.20 t_w=0.70 σ=6.36
Zona tesa: F=58.72 b_{eff}=13.20 t_w=0.70 σ=6.36
CC 32 SLD (Collegamento -382_-520)
Azioni sul collegamento: N=137.07 Ty=-1.86 Tz=-49.23 Mx=-0.40 Mz=-2.50
Zona tesa: F=55.19 b_{eff}=13.20 t_w=0.70 σ=5.97
Zona tesa: F=55.19 b_{eff}=13.20 t_w=0.70 σ=5.97
CC 32 SLD (Collegamento -382_-520)
Azioni sul collegamento: N=137.07 Ty=-1.20 Tz=-49.23 Mx=-0.29 Mz=-1.76
Zona tesa: F=55.19 b_{eff}=13.20 t_w=0.70 σ=5.97
Zona tesa: F=55.19 b_{eff}=13.20 t_w=0.70 σ=5.97
CC 32 SLD (Collegamento -382_-520)
Azioni sul collegamento: N=137.07 Ty=-1.86 Tz=-49.23 Mx=-0.40 Mz=-2.50
Zona tesa: F=55.19 b_{eff}=13.20 t_w=0.70 σ=5.97
Zona tesa: F=55.19 b_{eff}=13.20 t_w=0.70 σ=5.97
CC 32 SLD (Collegamento -382_-520)
Azioni sul collegamento: N=137.07 Ty=-1.20 Tz=-49.23 Mx=-0.29 Mz=-1.76
Zona tesa: F=55.19 b_{eff}=13.20 t_w=0.70 σ=5.97
Zona tesa: F=55.19 b_{eff}=13.20 t_w=0.70 σ=5.97
CC 32 SLD (Collegamento -382_-520)
Azioni sul collegamento: N=141.11 Ty=-1.86 Tz=-49.86 Mx=-0.40 Mz=-2.50
Zona tesa: F=56.82 b_{eff}=13.20 t_w=0.70 σ=6.15
Zona tesa: F=56.82 b_{eff}=13.20 t_w=0.70 σ=6.15
CC 32 SLD (Collegamento -382_-520)
Azioni sul collegamento: N=141.11 Ty=-1.20 Tz=-49.86 Mx=-0.29 Mz=-1.76
Zona tesa: F=56.82 b_{eff}=13.20 t_w=0.70 σ=6.15
Zona tesa: F=56.82 b_{eff}=13.20 t_w=0.70 σ=6.15
CC 32 SLD (Collegamento -382_-520)
Azioni sul collegamento: N=141.11 Ty=-1.86 Tz=-49.86 Mx=-0.40 Mz=-2.50
Zona tesa: F=56.82 b_{eff}=13.20 t_w=0.70 σ=6.15
Zona tesa: F=56.82 b_{eff}=13.20 t_w=0.70 σ=6.15
CC 32 SLD (Collegamento -382_-520)
Azioni sul collegamento: N=141.11 Ty=-1.20 Tz=-49.86 Mx=-0.29 Mz=-1.76
Zona tesa: F=56.82 b_{eff}=13.20 t_w=0.70 σ=6.15
Zona tesa: F=56.82 b_{eff}=13.20 t_w=0.70 σ=6.15
CC 33 SLU (Collegamento -382_-520)
Azioni sul collegamento: N=352.43 Ty=-3.05 Tz=-92.37 Mx=-0.68 Mz=-4.20
Zona tesa: F=141.92 b_{eff}=13.20 t_w=0.70 σ=15.36
Zona tesa: F=141.92 b_{eff}=13.20 t_w=0.70 σ=15.36
CC 34 SLU (Collegamento -382_-520)
Azioni sul collegamento: N=348.06 Ty=-2.90 Tz=-91.70 Mx=-0.65 Mz=-4.01
Zona tesa: F=140.16 b_{eff}=13.20 t_w=0.70 σ=15.17
Zona tesa: F=140.16 b_{eff}=13.20 t_w=0.70 σ=15.17
CC 35 SLU (Collegamento -382_-520)
Azioni sul collegamento: N=350.28 Ty=-2.88 Tz=-92.04 Mx=-0.65 Mz=-4.01
Zona tesa: F=141.05 b_{eff}=13.20 t_w=0.70 σ=15.27
Zona tesa: F=141.05 b_{eff}=13.20 t_w=0.70 σ=15.27
CC 36 SLU (Collegamento -382_-520)
Azioni sul collegamento: N=350.21 Ty=-3.07 Tz=-92.03 Mx=-0.68 Mz=-4.20
Zona tesa: F=141.02 b_{eff}=13.20 t_w=0.70 σ=15.26
Zona tesa: F=141.02 b_{eff}=13.20 t_w=0.70 σ=15.26
CC 37 SLU (Collegamento -382_-520)
Azioni sul collegamento: N=283.55 Ty=-3.29 Tz=-81.71 Mx=-0.73 Mz=-4.52
Zona tesa: F=114.18 b_{eff}=13.20 t_w=0.70 σ=12.36
Zona tesa: F=114.18 b_{eff}=13.20 t_w=0.70 σ=12.36
CC 38 SLU (Collegamento -382_-520)
Azioni sul collegamento: N=279.18 Ty=-3.15 Tz=-81.04 Mx=-0.70 Mz=-4.32
Zona tesa: F=112.42 b_{eff}=13.20 t_w=0.70 σ=12.17
Zona tesa: F=112.42 b_{eff}=13.20 t_w=0.70 σ=12.17
CC 39 SLU (Collegamento -382_-520)
Azioni sul collegamento: N=281.40 Ty=-3.13 Tz=-81.38 Mx=-0.70 Mz=-4.32
Zona tesa: F=113.31 b_{eff}=13.20 t_w=0.70 σ=12.26
Zona tesa: F=113.31 b_{eff}=13.20 t_w=0.70 σ=12.26
CC 40 SLU (Collegamento -382_-520)
Azioni sul collegamento: N=281.33 Ty=-3.31 Tz=-81.37 Mx=-0.73 Mz=-4.52
Zona tesa: F=113.29 b_{eff}=13.20 t_w=0.70 σ=12.26
Zona tesa: F=113.29 b_{eff}=13.20 t_w=0.70 σ=12.26
CC 41 SLU (Collegamento -382_-520)

Azioni sul collegamento: N=345.02 Ty=-0.94 Tz=-91.23 Mx=-0.22 Mz=-1.24
Zona tesa: F=138.93 b_{eff}=13.20 t_w=0.70 σ=15.04
Zona tesa: F=138.93 b_{eff}=13.20 t_w=0.70 σ=15.04
CC 42 SLU (Collegamento -382_-520)
Azioni sul collegamento: N=340.65 Ty=-0.80 Tz=-90.55 Mx=-0.19 Mz=-1.04
Zona tesa: F=137.18 b_{eff}=13.20 t_w=0.70 σ=14.85
Zona tesa: F=137.18 b_{eff}=13.20 t_w=0.70 σ=14.85
CC 43 SLU (Collegamento -382_-520)
Azioni sul collegamento: N=342.87 Ty=-0.77 Tz=-90.89 Mx=-0.19 Mz=-1.04
Zona tesa: F=138.07 b_{eff}=13.20 t_w=0.70 σ=14.94
Zona tesa: F=138.07 b_{eff}=13.20 t_w=0.70 σ=14.94
CC 44 SLU (Collegamento -382_-520)
Azioni sul collegamento: N=342.80 Ty=-0.96 Tz=-90.88 Mx=-0.22 Mz=-1.24
Zona tesa: F=138.04 b_{eff}=13.20 t_w=0.70 σ=14.94
Zona tesa: F=138.04 b_{eff}=13.20 t_w=0.70 σ=14.94
CC 45 SLU (Collegamento -382_-520)
Azioni sul collegamento: N=299.47 Ty=-3.14 Tz=-84.18 Mx=-0.70 Mz=-4.33
Zona tesa: F=120.59 b_{eff}=13.20 t_w=0.70 σ=13.05
Zona tesa: F=120.59 b_{eff}=13.20 t_w=0.70 σ=13.05
CC 46 SLU (Collegamento -382_-520)
Azioni sul collegamento: N=295.10 Ty=-3.00 Tz=-83.50 Mx=-0.67 Mz=-4.14
Zona tesa: F=118.83 b_{eff}=13.20 t_w=0.70 σ=12.86
Zona tesa: F=118.83 b_{eff}=13.20 t_w=0.70 σ=12.86
CC 47 SLU (Collegamento -382_-520)
Azioni sul collegamento: N=297.32 Ty=-2.98 Tz=-83.84 Mx=-0.67 Mz=-4.14
Zona tesa: F=119.73 b_{eff}=13.20 t_w=0.70 σ=12.96
Zona tesa: F=119.73 b_{eff}=13.20 t_w=0.70 σ=12.96
CC 48 SLU (Collegamento -382_-520)
Azioni sul collegamento: N=297.25 Ty=-3.16 Tz=-83.83 Mx=-0.70 Mz=-4.33
Zona tesa: F=119.70 b_{eff}=13.20 t_w=0.70 σ=12.95
Zona tesa: F=119.70 b_{eff}=13.20 t_w=0.70 σ=12.95
CC 49 SLU (Collegamento -382_-520)
Azioni sul collegamento: N=247.94 Ty=-3.32 Tz=-76.20 Mx=-0.74 Mz=-4.57
Zona tesa: F=99.84 b_{eff}=13.20 t_w=0.70 σ=10.81
Zona tesa: F=99.84 b_{eff}=13.20 t_w=0.70 σ=10.81
CC 50 SLU (Collegamento -382_-520)
Azioni sul collegamento: N=243.57 Ty=-3.18 Tz=-75.52 Mx=-0.71 Mz=-4.37
Zona tesa: F=98.08 b_{eff}=13.20 t_w=0.70 σ=10.61
Zona tesa: F=98.08 b_{eff}=13.20 t_w=0.70 σ=10.61
CC 51 SLU (Collegamento -382_-520)
Azioni sul collegamento: N=245.79 Ty=-3.16 Tz=-75.87 Mx=-0.71 Mz=-4.38
Zona tesa: F=98.97 b_{eff}=13.20 t_w=0.70 σ=10.71
Zona tesa: F=98.97 b_{eff}=13.20 t_w=0.70 σ=10.71
CC 52 SLU (Collegamento -382_-520)
Azioni sul collegamento: N=245.72 Ty=-3.34 Tz=-75.86 Mx=-0.74 Mz=-4.57
Zona tesa: F=98.95 b_{eff}=13.20 t_w=0.70 σ=10.71
Zona tesa: F=98.95 b_{eff}=13.20 t_w=0.70 σ=10.71
CC 53 SLU (Collegamento -382_-520)
Azioni sul collegamento: N=293.93 Ty=-1.56 Tz=-83.32 Mx=-0.36 Mz=-2.11
Zona tesa: F=118.36 b_{eff}=13.20 t_w=0.70 σ=12.81
Zona tesa: F=118.36 b_{eff}=13.20 t_w=0.70 σ=12.81
CC 54 SLU (Collegamento -382_-520)
Azioni sul collegamento: N=289.56 Ty=-1.42 Tz=-82.64 Mx=-0.33 Mz=-1.92
Zona tesa: F=116.60 b_{eff}=13.20 t_w=0.70 σ=12.62
Zona tesa: F=116.60 b_{eff}=13.20 t_w=0.70 σ=12.62
CC 55 SLU (Collegamento -382_-520)
Azioni sul collegamento: N=291.78 Ty=-1.40 Tz=-82.99 Mx=-0.33 Mz=-1.92
Zona tesa: F=117.50 b_{eff}=13.20 t_w=0.70 σ=12.72
Zona tesa: F=117.50 b_{eff}=13.20 t_w=0.70 σ=12.72
CC 56 SLU (Collegamento -382_-520)
Azioni sul collegamento: N=291.71 Ty=-1.58 Tz=-82.98 Mx=-0.36 Mz=-2.11
Zona tesa: F=117.47 b_{eff}=13.20 t_w=0.70 σ=12.71
Zona tesa: F=117.47 b_{eff}=13.20 t_w=0.70 σ=12.71
CC 57 SLU (Collegamento -382_-520)
Azioni sul collegamento: N=286.88 Ty=-2.83 Tz=-82.23 Mx=-0.63 Mz=-3.90
Zona tesa: F=115.52 b_{eff}=13.20 t_w=0.70 σ=12.50
Zona tesa: F=115.52 b_{eff}=13.20 t_w=0.70 σ=12.50
CC 58 SLU (Collegamento -382_-520)
Azioni sul collegamento: N=282.51 Ty=-2.69 Tz=-81.55 Mx=-0.60 Mz=-3.71
Zona tesa: F=113.76 b_{eff}=13.20 t_w=0.70 σ=12.31
Zona tesa: F=113.76 b_{eff}=13.20 t_w=0.70 σ=12.31
CC 59 SLU (Collegamento -382_-520)
Azioni sul collegamento: N=284.73 Ty=-2.67 Tz=-81.89 Mx=-0.60 Mz=-3.71
Zona tesa: F=114.66 b_{eff}=13.20 t_w=0.70 σ=12.41
Zona tesa: F=114.66 b_{eff}=13.20 t_w=0.70 σ=12.41
CC 60 SLU (Collegamento -382_-520)
Azioni sul collegamento: N=284.66 Ty=-2.85 Tz=-81.88 Mx=-0.63 Mz=-3.90
Zona tesa: F=114.63 b_{eff}=13.20 t_w=0.70 σ=12.41

Zona tesa: F=114.63 b_{eff}=13.20 t_w=0.70 σ=12.41
CC 61 SLU (Collegamento -382_-520)
Azioni sul collegamento: N=235.34 Ty=-3.01 Tz=-74.25 Mx=-0.67 Mz=-4.14
Zona tesa: F=94.77 b_{eff}=13.20 t_w=0.70 σ=10.26
Zona tesa: F=94.77 b_{eff}=13.20 t_w=0.70 σ=10.26
CC 62 SLU (Collegamento -382_-520)
Azioni sul collegamento: N=230.97 Ty=-2.87 Tz=-73.58 Mx=-0.64 Mz=-3.95
Zona tesa: F=93.01 b_{eff}=13.20 t_w=0.70 σ=10.07
Zona tesa: F=93.01 b_{eff}=13.20 t_w=0.70 σ=10.07
CC 63 SLU (Collegamento -382_-520)
Azioni sul collegamento: N=233.19 Ty=-2.85 Tz=-73.92 Mx=-0.64 Mz=-3.95
Zona tesa: F=93.90 b_{eff}=13.20 t_w=0.70 σ=10.16
Zona tesa: F=93.90 b_{eff}=13.20 t_w=0.70 σ=10.16
CC 64 SLU (Collegamento -382_-520)
Azioni sul collegamento: N=233.13 Ty=-3.03 Tz=-73.91 Mx=-0.67 Mz=-4.14
Zona tesa: F=93.88 b_{eff}=13.20 t_w=0.70 σ=10.16
Zona tesa: F=93.88 b_{eff}=13.20 t_w=0.70 σ=10.16
CC 65 SLU (Collegamento -382_-520)
Azioni sul collegamento: N=281.34 Ty=-1.25 Tz=-81.37 Mx=-0.29 Mz=-1.69
Zona tesa: F=113.29 b_{eff}=13.20 t_w=0.70 σ=12.26
Zona tesa: F=113.29 b_{eff}=13.20 t_w=0.70 σ=12.26
CC 66 SLU (Collegamento -382_-520)
Azioni sul collegamento: N=276.97 Ty=-1.11 Tz=-80.69 Mx=-0.26 Mz=-1.49
Zona tesa: F=111.53 b_{eff}=13.20 t_w=0.70 σ=12.07
Zona tesa: F=111.53 b_{eff}=13.20 t_w=0.70 σ=12.07
CC 67 SLU (Collegamento -382_-520)
Azioni sul collegamento: N=279.19 Ty=-1.09 Tz=-81.04 Mx=-0.26 Mz=-1.49
Zona tesa: F=112.42 b_{eff}=13.20 t_w=0.70 σ=12.17
Zona tesa: F=112.42 b_{eff}=13.20 t_w=0.70 σ=12.17
CC 68 SLU (Collegamento -382_-520)
Azioni sul collegamento: N=279.12 Ty=-1.27 Tz=-81.03 Mx=-0.29 Mz=-1.69
Zona tesa: F=112.40 b_{eff}=13.20 t_w=0.70 σ=12.16
Zona tesa: F=112.40 b_{eff}=13.20 t_w=0.70 σ=12.16
CC 97 SLU (Collegamento -382_-520)
Azioni sul collegamento: N=177.78 Ty=-15.09 Tz=-55.54 Mx=-2.10 Mz=-13.62
Zona tesa: F=71.59 b_{eff}=13.20 t_w=0.70 σ=7.75
Zona tesa: F=71.59 b_{eff}=13.20 t_w=0.70 σ=7.75
CC 98 SLU (Collegamento -382_-520)
Azioni sul collegamento: N=173.41 Ty=-14.95 Tz=-54.86 Mx=-2.07 Mz=-13.43
Zona tesa: F=69.83 b_{eff}=13.20 t_w=0.70 σ=7.56
Zona tesa: F=69.83 b_{eff}=13.20 t_w=0.70 σ=7.56
CC 99 SLU (Collegamento -382_-520)
Azioni sul collegamento: N=175.63 Ty=-14.93 Tz=-55.20 Mx=-2.07 Mz=-13.43
Zona tesa: F=70.72 b_{eff}=13.20 t_w=0.70 σ=7.65
Zona tesa: F=70.72 b_{eff}=13.20 t_w=0.70 σ=7.65
CC 100 SLU (Collegamento -382_-520)
Azioni sul collegamento: N=175.56 Ty=-15.11 Tz=-55.19 Mx=-2.10 Mz=-13.62
Zona tesa: F=70.70 b_{eff}=13.20 t_w=0.70 σ=7.65
Zona tesa: F=70.70 b_{eff}=13.20 t_w=0.70 σ=7.65
CC 101 SLU (Collegamento -382_-520)
Azioni sul collegamento: N=143.52 Ty=0.14 Tz=-50.23 Mx=-0.12 Mz=-0.65
Zona tesa: F=57.79 b_{eff}=13.20 t_w=0.70 σ=6.25
Zona tesa: F=57.79 b_{eff}=13.20 t_w=0.70 σ=6.25
CC 102 SLU (Collegamento -382_-520)
Azioni sul collegamento: N=139.15 Ty=0.28 Tz=-49.56 Mx=-0.09 Mz=-0.45
Zona tesa: F=56.03 b_{eff}=13.20 t_w=0.70 σ=6.06
Zona tesa: F=56.03 b_{eff}=13.20 t_w=0.70 σ=6.06
CC 103 SLU (Collegamento -382_-520)
Azioni sul collegamento: N=141.37 Ty=0.30 Tz=-49.90 Mx=-0.09 Mz=-0.46
Zona tesa: F=56.93 b_{eff}=13.20 t_w=0.70 σ=6.16
Zona tesa: F=56.93 b_{eff}=13.20 t_w=0.70 σ=6.16
CC 104 SLU (Collegamento -382_-520)
Azioni sul collegamento: N=141.30 Ty=0.12 Tz=-49.89 Mx=-0.12 Mz=-0.65
Zona tesa: F=56.90 b_{eff}=13.20 t_w=0.70 σ=6.16
Zona tesa: F=56.90 b_{eff}=13.20 t_w=0.70 σ=6.16

Collegamento -383_-527

Saldatura a cordone d'angolo
Altezza di gola saldature: anima 7.07 - ala 7.07

Saldatura profilo-profilo

CC 102 SLU (Collegamento -383_-527)
Azioni sul collegamento: N=353.64 Ty=-10.37 Tz=-92.56 Mx=-1.47 Mz=-9.35
Sollecitazioni agenti localmente: Tx_l=-10.37 Ty_l=-92.56 N_l=353.64 My_l=9.35 Mz_l=-1.47
Azioni sul cordone: TP=2.45 TO=7.97 NO=26.02
Tensioni nel cordone: τ_P=0.78 τ_O=2.53 σ_O=21.93 σ_{ID}=22.09 Σ_T=24.46

CC 127 SLU (Collegamento -383_-527)
Azioni sul collegamento: N=312.27 Ty=-13.55 Tz=-86.16 Mx=-1.65 Mz=-10.68
Sollecitazioni agenti localmente: Tx_l=-13.55 Ty_l=-86.16 N_l=312.27 My_l=10.68 Mz_l=-1.65
Azioni sul cordone: TP=2.89 TO=7.64 NO=22.98
Tensioni nel cordone: τ_P=0.92 τ_0=2.43 σ_0=22.91 σ_{ID}=23.06 Σ_T=25.34

Verifica lato anima della colonna

CC 98 SLU (Collegamento -383_-527)
Azioni sul collegamento: N=364.04 Ty=-3.28 Tz=-94.17 Mx=0.00 Mz=-0.84
Zona tesa: F=146.59 b_{eff}=13.20 t_w=0.70 σ=15.86
Zona tesa: F=146.59 b_{eff}=13.20 t_w=0.70 σ=15.86

Collegamento -384_-528

Saldatura a cordone d'angolo
Altezza di gola saldature: anima 7.07 - ala 7.07

Saldatura profilo-profilo

CC 1 SLV (Collegamento -384_-528)
Azioni sul collegamento: N=171.09 Ty=-1.22 Tz=-54.50 Mx=-0.31 Mz=-1.48
Sollecitazioni agenti localmente: Tx_l=-1.22 Ty_l=-54.50 N_l=171.09 My_l=1.48 Mz_l=-0.31
Azioni sul cordone: TP=0.44 TO=4.25 NO=12.59
Tensioni nel cordone: τ_P=0.14 τ_0=1.35 σ_0=6.16 σ_{ID}=6.31 Σ_T=7.52
CC 1 SLV (Collegamento -384_-528)
Azioni sul collegamento: N=171.09 Ty=-2.83 Tz=-54.50 Mx=-0.64 Mz=-3.66
Sollecitazioni agenti localmente: Tx_l=-2.83 Ty_l=-54.50 N_l=171.09 My_l=3.66 Mz_l=-0.64
Azioni sul cordone: TP=0.95 TO=4.52 NO=12.59
Tensioni nel cordone: τ_P=0.30 τ_0=1.44 σ_0=9.34 σ_{ID}=9.46 Σ_T=10.78
CC 1 SLV (Collegamento -384_-528)
Azioni sul collegamento: N=171.09 Ty=-1.22 Tz=-54.50 Mx=-0.31 Mz=-1.48
Sollecitazioni agenti localmente: Tx_l=-1.22 Ty_l=-54.50 N_l=171.09 My_l=1.48 Mz_l=-0.31
Azioni sul cordone: TP=0.44 TO=4.25 NO=12.59
Tensioni nel cordone: τ_P=0.14 τ_0=1.35 σ_0=6.16 σ_{ID}=6.31 Σ_T=7.52
CC 1 SLV (Collegamento -384_-528)
Azioni sul collegamento: N=171.09 Ty=-2.83 Tz=-54.50 Mx=-0.64 Mz=-3.66
Sollecitazioni agenti localmente: Tx_l=-2.83 Ty_l=-54.50 N_l=171.09 My_l=3.66 Mz_l=-0.64
Azioni sul cordone: TP=0.95 TO=4.52 NO=12.59
Tensioni nel cordone: τ_P=0.30 τ_0=1.44 σ_0=9.34 σ_{ID}=9.46 Σ_T=10.78
CC 1 SLV (Collegamento -384_-528)
Azioni sul collegamento: N=117.30 Ty=-1.22 Tz=-46.18 Mx=-0.31 Mz=-1.48
Sollecitazioni agenti localmente: Tx_l=-1.22 Ty_l=-46.18 N_l=117.30 My_l=1.48 Mz_l=-0.31
Azioni sul cordone: TP=0.44 TO=3.64 NO=8.63
Tensioni nel cordone: τ_P=0.14 τ_0=1.16 σ_0=4.91 σ_{ID}=5.04 Σ_T=6.06
CC 1 SLV (Collegamento -384_-528)
Azioni sul collegamento: N=117.30 Ty=-2.83 Tz=-46.18 Mx=-0.64 Mz=-3.66
Sollecitazioni agenti localmente: Tx_l=-2.83 Ty_l=-46.18 N_l=117.30 My_l=3.66 Mz_l=-0.64
Azioni sul cordone: TP=0.95 TO=3.90 NO=8.63
Tensioni nel cordone: τ_P=0.30 τ_0=1.24 σ_0=8.09 σ_{ID}=8.19 Σ_T=9.33
CC 1 SLV (Collegamento -384_-528)
Azioni sul collegamento: N=117.30 Ty=-1.22 Tz=-46.18 Mx=-0.31 Mz=-1.48
Sollecitazioni agenti localmente: Tx_l=-1.22 Ty_l=-46.18 N_l=117.30 My_l=1.48 Mz_l=-0.31
Azioni sul cordone: TP=0.44 TO=3.64 NO=8.63
Tensioni nel cordone: τ_P=0.14 τ_0=1.16 σ_0=4.91 σ_{ID}=5.04 Σ_T=6.06
CC 1 SLV (Collegamento -384_-528)
Azioni sul collegamento: N=117.30 Ty=-2.83 Tz=-46.18 Mx=-0.64 Mz=-3.66
Sollecitazioni agenti localmente: Tx_l=-2.83 Ty_l=-46.18 N_l=117.30 My_l=3.66 Mz_l=-0.64
Azioni sul cordone: TP=0.95 TO=3.90 NO=8.63
Tensioni nel cordone: τ_P=0.30 τ_0=1.24 σ_0=8.09 σ_{ID}=8.19 Σ_T=9.33
CC 2 SLD (Collegamento -384_-528)
Azioni sul collegamento: N=154.01 Ty=-1.46 Tz=-51.86 Mx=-0.35 Mz=-1.90
Sollecitazioni agenti localmente: Tx_l=-1.46 Ty_l=-51.86 N_l=154.01 My_l=1.90 Mz_l=-0.35
Azioni sul cordone: TP=0.51 TO=4.09 NO=11.33
Tensioni nel cordone: τ_P=0.16 τ_0=1.30 σ_0=6.37 σ_{ID}=6.51 Σ_T=7.67
CC 2 SLD (Collegamento -384_-528)
Azioni sul collegamento: N=154.01 Ty=-1.95 Tz=-51.86 Mx=-0.46 Mz=-2.56
Sollecitazioni agenti localmente: Tx_l=-1.95 Ty_l=-51.86 N_l=154.01 My_l=2.56 Mz_l=-0.46
Azioni sul cordone: TP=0.67 TO=4.17 NO=11.33
Tensioni nel cordone: τ_P=0.21 τ_0=1.33 σ_0=7.34 σ_{ID}=7.46 Σ_T=8.67
CC 2 SLD (Collegamento -384_-528)
Azioni sul collegamento: N=154.01 Ty=-1.46 Tz=-51.86 Mx=-0.35 Mz=-1.90
Sollecitazioni agenti localmente: Tx_l=-1.46 Ty_l=-51.86 N_l=154.01 My_l=1.90 Mz_l=-0.35
Azioni sul cordone: TP=0.51 TO=4.09 NO=11.33
Tensioni nel cordone: τ_P=0.16 τ_0=1.30 σ_0=6.37 σ_{ID}=6.51 Σ_T=7.67
CC 2 SLD (Collegamento -384_-528)
Azioni sul collegamento: N=154.01 Ty=-1.95 Tz=-51.86 Mx=-0.46 Mz=-2.56
Sollecitazioni agenti localmente: Tx_l=-1.95 Ty_l=-51.86 N_l=154.01 My_l=2.56 Mz_l=-0.46
Azioni sul cordone: TP=0.67 TO=4.17 NO=11.33
Tensioni nel cordone: τ_P=0.21 τ_0=1.33 σ_0=7.34 σ_{ID}=7.46 Σ_T=8.67
CC 2 SLD (Collegamento -384_-528)

Azioni sul collegamento: N=137.61 Ty=-1.46 Tz=-49.32 Mx=-0.35 Mz=-1.90
Sollecitazioni agenti localmente: Tx_l=-1.46 Ty_l=-49.32 N_l=137.61 My_l=1.90 Mz_l=-0.35
Azioni sul cordone: TP=0.51 TO=3.91 NO=10.13
Tensioni nel cordone: τ_P=0.16 τ_0=1.24 σ_0=5.99 σ_{ID}=6.12 Σ_T=7.23
CC 2 SLD (Collegamento -384_-528)
Azioni sul collegamento: N=137.61 Ty=-1.95 Tz=-49.32 Mx=-0.46 Mz=-2.56
Sollecitazioni agenti localmente: Tx_l=-1.95 Ty_l=-49.32 N_l=137.61 My_l=2.56 Mz_l=-0.46
Azioni sul cordone: TP=0.67 TO=3.99 NO=10.13
Tensioni nel cordone: τ_P=0.21 τ_0=1.27 σ_0=6.96 σ_{ID}=7.08 Σ_T=8.23
CC 2 SLD (Collegamento -384_-528)
Azioni sul collegamento: N=137.61 Ty=-1.46 Tz=-49.32 Mx=-0.35 Mz=-1.90
Sollecitazioni agenti localmente: Tx_l=-1.46 Ty_l=-49.32 N_l=137.61 My_l=1.90 Mz_l=-0.35
Azioni sul cordone: TP=0.51 TO=3.91 NO=10.13
Tensioni nel cordone: τ_P=0.16 τ_0=1.24 σ_0=5.99 σ_{ID}=6.12 Σ_T=7.23
CC 2 SLD (Collegamento -384_-528)
Azioni sul collegamento: N=137.61 Ty=-1.95 Tz=-49.32 Mx=-0.46 Mz=-2.56
Sollecitazioni agenti localmente: Tx_l=-1.95 Ty_l=-49.32 N_l=137.61 My_l=2.56 Mz_l=-0.46
Azioni sul cordone: TP=0.67 TO=3.99 NO=10.13
Tensioni nel cordone: τ_P=0.21 τ_0=1.27 σ_0=6.96 σ_{ID}=7.08 Σ_T=8.23
CC 3 SLV (Collegamento -384_-528)
Azioni sul collegamento: N=171.00 Ty=-1.50 Tz=-54.49 Mx=-0.34 Mz=-1.73
Sollecitazioni agenti localmente: Tx_l=-1.50 Ty_l=-54.49 N_l=171.00 My_l=1.73 Mz_l=-0.34
Azioni sul cordone: TP=0.50 TO=4.28 NO=12.58
Tensioni nel cordone: τ_P=0.16 τ_0=1.36 σ_0=6.52 σ_{ID}=6.66 Σ_T=7.88
CC 3 SLV (Collegamento -384_-528)
Azioni sul collegamento: N=171.00 Ty=-2.56 Tz=-54.49 Mx=-0.60 Mz=-3.41
Sollecitazioni agenti localmente: Tx_l=-2.56 Ty_l=-54.49 N_l=171.00 My_l=3.41 Mz_l=-0.60
Azioni sul cordone: TP=0.88 TO=4.48 NO=12.58
Tensioni nel cordone: τ_P=0.28 τ_0=1.43 σ_0=8.98 σ_{ID}=9.10 Σ_T=10.41
CC 3 SLV (Collegamento -384_-528)
Azioni sul collegamento: N=171.00 Ty=-1.50 Tz=-54.49 Mx=-0.34 Mz=-1.73
Sollecitazioni agenti localmente: Tx_l=-1.50 Ty_l=-54.49 N_l=171.00 My_l=1.73 Mz_l=-0.34
Azioni sul cordone: TP=0.50 TO=4.28 NO=12.58
Tensioni nel cordone: τ_P=0.16 τ_0=1.36 σ_0=6.52 σ_{ID}=6.66 Σ_T=7.88
CC 3 SLV (Collegamento -384_-528)
Azioni sul collegamento: N=171.00 Ty=-2.56 Tz=-54.49 Mx=-0.60 Mz=-3.41
Sollecitazioni agenti localmente: Tx_l=-2.56 Ty_l=-54.49 N_l=171.00 My_l=3.41 Mz_l=-0.60
Azioni sul cordone: TP=0.88 TO=4.48 NO=12.58
Tensioni nel cordone: τ_P=0.28 τ_0=1.43 σ_0=8.98 σ_{ID}=9.10 Σ_T=10.41
CC 3 SLV (Collegamento -384_-528)
Azioni sul collegamento: N=117.40 Ty=-1.50 Tz=-46.19 Mx=-0.34 Mz=-1.73
Sollecitazioni agenti localmente: Tx_l=-1.50 Ty_l=-46.19 N_l=117.40 My_l=1.73 Mz_l=-0.34
Azioni sul cordone: TP=0.50 TO=3.67 NO=8.64
Tensioni nel cordone: τ_P=0.16 τ_0=1.17 σ_0=5.27 σ_{ID}=5.40 Σ_T=6.43
CC 3 SLV (Collegamento -384_-528)
Azioni sul collegamento: N=117.40 Ty=-2.56 Tz=-46.19 Mx=-0.60 Mz=-3.41
Sollecitazioni agenti localmente: Tx_l=-2.56 Ty_l=-46.19 N_l=117.40 My_l=3.41 Mz_l=-0.60
Azioni sul cordone: TP=0.88 TO=3.87 NO=8.64
Tensioni nel cordone: τ_P=0.28 τ_0=1.23 σ_0=7.73 σ_{ID}=7.83 Σ_T=8.96
CC 3 SLV (Collegamento -384_-528)
Azioni sul collegamento: N=117.40 Ty=-1.50 Tz=-46.19 Mx=-0.34 Mz=-1.73
Sollecitazioni agenti localmente: Tx_l=-1.50 Ty_l=-46.19 N_l=117.40 My_l=1.73 Mz_l=-0.34
Azioni sul cordone: TP=0.50 TO=3.67 NO=8.64
Tensioni nel cordone: τ_P=0.16 τ_0=1.17 σ_0=5.27 σ_{ID}=5.40 Σ_T=6.43
CC 3 SLV (Collegamento -384_-528)
Azioni sul collegamento: N=117.40 Ty=-2.56 Tz=-46.19 Mx=-0.60 Mz=-3.41
Sollecitazioni agenti localmente: Tx_l=-2.56 Ty_l=-46.19 N_l=117.40 My_l=3.41 Mz_l=-0.60
Azioni sul cordone: TP=0.88 TO=3.87 NO=8.64
Tensioni nel cordone: τ_P=0.28 τ_0=1.23 σ_0=7.73 σ_{ID}=7.83 Σ_T=8.96
CC 4 SLD (Collegamento -384_-528)
Azioni sul collegamento: N=153.99 Ty=-1.54 Tz=-51.85 Mx=-0.36 Mz=-1.97
Sollecitazioni agenti localmente: Tx_l=-1.54 Ty_l=-51.85 N_l=153.99 My_l=1.97 Mz_l=-0.36
Azioni sul cordone: TP=0.53 TO=4.10 NO=11.33
Tensioni nel cordone: τ_P=0.17 τ_0=1.30 σ_0=6.48 σ_{ID}=6.61 Σ_T=7.79
CC 4 SLD (Collegamento -384_-528)
Azioni sul collegamento: N=153.99 Ty=-1.87 Tz=-51.85 Mx=-0.44 Mz=-2.49
Sollecitazioni agenti localmente: Tx_l=-1.87 Ty_l=-51.85 N_l=153.99 My_l=2.49 Mz_l=-0.44
Azioni sul cordone: TP=0.65 TO=4.16 NO=11.33
Tensioni nel cordone: τ_P=0.21 τ_0=1.32 σ_0=7.23 σ_{ID}=7.36 Σ_T=8.56
CC 4 SLD (Collegamento -384_-528)
Azioni sul collegamento: N=153.99 Ty=-1.54 Tz=-51.85 Mx=-0.36 Mz=-1.97
Sollecitazioni agenti localmente: Tx_l=-1.54 Ty_l=-51.85 N_l=153.99 My_l=1.97 Mz_l=-0.36
Azioni sul cordone: TP=0.53 TO=4.10 NO=11.33
Tensioni nel cordone: τ_P=0.17 τ_0=1.30 σ_0=6.48 σ_{ID}=6.61 Σ_T=7.79
CC 4 SLD (Collegamento -384_-528)
Azioni sul collegamento: N=153.99 Ty=-1.87 Tz=-51.85 Mx=-0.44 Mz=-2.49
Sollecitazioni agenti localmente: Tx_l=-1.87 Ty_l=-51.85 N_l=153.99 My_l=2.49 Mz_l=-0.44
Azioni sul cordone: TP=0.65 TO=4.16 NO=11.33
Tensioni nel cordone: τ_P=0.21 τ_0=1.32 σ_0=7.23 σ_{ID}=7.36 Σ_T=8.56
CC 4 SLD (Collegamento -384_-528)
Azioni sul collegamento: N=137.64 Ty=-1.54 Tz=-49.32 Mx=-0.36 Mz=-1.97

Sollecitazioni agenti localmente: Tx_l=-1.54 Ty_l=-49.32 N_l=137.64 My_l=1.97 Mz_l=-0.36
Azioni sul cordone: TP=0.53 TO=3.92 NO=10.13
Tensioni nel cordone: τ_P=0.17 τ_0=1.24 σ_0=6.10 σ_{ID}=6.23 Σ_T=7.34
CC 4 SLD (Collegamento -384_-528)
Azioni sul collegamento: N=137.64 Ty=-1.87 Tz=-49.32 Mx=-0.44 Mz=-2.49
Sollecitazioni agenti localmente: Tx_l=-1.87 Ty_l=-49.32 N_l=137.64 My_l=2.49 Mz_l=-0.44
Azioni sul cordone: TP=0.65 TO=3.98 NO=10.13
Tensioni nel cordone: τ_P=0.21 τ_0=1.26 σ_0=6.85 σ_{ID}=6.97 Σ_T=8.11
CC 4 SLD (Collegamento -384_-528)
Azioni sul collegamento: N=137.64 Ty=-1.54 Tz=-49.32 Mx=-0.36 Mz=-1.97
Sollecitazioni agenti localmente: Tx_l=-1.54 Ty_l=-49.32 N_l=137.64 My_l=1.97 Mz_l=-0.36
Azioni sul cordone: TP=0.53 TO=3.92 NO=10.13
Tensioni nel cordone: τ_P=0.17 τ_0=1.24 σ_0=6.10 σ_{ID}=6.23 Σ_T=7.34
CC 4 SLD (Collegamento -384_-528)
Azioni sul collegamento: N=137.64 Ty=-1.87 Tz=-49.32 Mx=-0.44 Mz=-2.49
Sollecitazioni agenti localmente: Tx_l=-1.87 Ty_l=-49.32 N_l=137.64 My_l=2.49 Mz_l=-0.44
Azioni sul cordone: TP=0.65 TO=3.98 NO=10.13
Tensioni nel cordone: τ_P=0.21 τ_0=1.26 σ_0=6.85 σ_{ID}=6.97 Σ_T=8.11
CC 5 SLV (Collegamento -384_-528)
Azioni sul collegamento: N=117.40 Ty=-2.56 Tz=-46.19 Mx=-0.57 Mz=-3.42
Sollecitazioni agenti localmente: Tx_l=-2.56 Ty_l=-46.19 N_l=117.40 My_l=3.42 Mz_l=-0.57
Azioni sul cordone: TP=0.84 TO=3.85 NO=8.64
Tensioni nel cordone: τ_P=0.27 τ_0=1.22 σ_0=7.74 σ_{ID}=7.84 Σ_T=8.96
CC 5 SLV (Collegamento -384_-528)
Azioni sul collegamento: N=117.40 Ty=-1.50 Tz=-46.19 Mx=-0.31 Mz=-1.73
Sollecitazioni agenti localmente: Tx_l=-1.50 Ty_l=-46.19 N_l=117.40 My_l=1.73 Mz_l=-0.31
Azioni sul cordone: TP=0.47 TO=3.64 NO=8.64
Tensioni nel cordone: τ_P=0.15 τ_0=1.16 σ_0=5.28 σ_{ID}=5.40 Σ_T=6.43
CC 5 SLV (Collegamento -384_-528)
Azioni sul collegamento: N=117.40 Ty=-2.56 Tz=-46.19 Mx=-0.57 Mz=-3.42
Sollecitazioni agenti localmente: Tx_l=-2.56 Ty_l=-46.19 N_l=117.40 My_l=3.42 Mz_l=-0.57
Azioni sul cordone: TP=0.84 TO=3.85 NO=8.64
Tensioni nel cordone: τ_P=0.27 τ_0=1.22 σ_0=7.74 σ_{ID}=7.84 Σ_T=8.96
CC 5 SLV (Collegamento -384_-528)
Azioni sul collegamento: N=117.40 Ty=-1.50 Tz=-46.19 Mx=-0.31 Mz=-1.73
Sollecitazioni agenti localmente: Tx_l=-1.50 Ty_l=-46.19 N_l=117.40 My_l=1.73 Mz_l=-0.31
Azioni sul cordone: TP=0.47 TO=3.64 NO=8.64
Tensioni nel cordone: τ_P=0.15 τ_0=1.16 σ_0=5.28 σ_{ID}=5.40 Σ_T=6.43
CC 5 SLV (Collegamento -384_-528)
Azioni sul collegamento: N=171.00 Ty=-2.56 Tz=-54.49 Mx=-0.57 Mz=-3.42
Sollecitazioni agenti localmente: Tx_l=-2.56 Ty_l=-54.49 N_l=171.00 My_l=3.42 Mz_l=-0.57
Azioni sul cordone: TP=0.84 TO=4.46 NO=12.58
Tensioni nel cordone: τ_P=0.27 τ_0=1.42 σ_0=8.99 σ_{ID}=9.10 Σ_T=10.41
CC 5 SLV (Collegamento -384_-528)
Azioni sul collegamento: N=171.00 Ty=-1.50 Tz=-54.49 Mx=-0.31 Mz=-1.73
Sollecitazioni agenti localmente: Tx_l=-1.50 Ty_l=-54.49 N_l=171.00 My_l=1.73 Mz_l=-0.31
Azioni sul cordone: TP=0.47 TO=4.25 NO=12.58
Tensioni nel cordone: τ_P=0.15 τ_0=1.35 σ_0=6.53 σ_{ID}=6.67 Σ_T=7.88
CC 5 SLV (Collegamento -384_-528)
Azioni sul collegamento: N=171.00 Ty=-2.56 Tz=-54.49 Mx=-0.57 Mz=-3.42
Sollecitazioni agenti localmente: Tx_l=-2.56 Ty_l=-54.49 N_l=171.00 My_l=3.42 Mz_l=-0.57
Azioni sul cordone: TP=0.84 TO=4.46 NO=12.58
Tensioni nel cordone: τ_P=0.27 τ_0=1.42 σ_0=8.99 σ_{ID}=9.10 Σ_T=10.41
CC 5 SLV (Collegamento -384_-528)
Azioni sul collegamento: N=171.00 Ty=-1.50 Tz=-54.49 Mx=-0.31 Mz=-1.73
Sollecitazioni agenti localmente: Tx_l=-1.50 Ty_l=-54.49 N_l=171.00 My_l=1.73 Mz_l=-0.31
Azioni sul cordone: TP=0.47 TO=4.25 NO=12.58
Tensioni nel cordone: τ_P=0.15 τ_0=1.35 σ_0=6.53 σ_{ID}=6.67 Σ_T=7.88
CC 6 SLD (Collegamento -384_-528)
Azioni sul collegamento: N=137.64 Ty=-1.87 Tz=-49.32 Mx=-0.43 Mz=-2.49
Sollecitazioni agenti localmente: Tx_l=-1.87 Ty_l=-49.32 N_l=137.64 My_l=2.49 Mz_l=-0.43
Azioni sul cordone: TP=0.64 TO=3.97 NO=10.13
Tensioni nel cordone: τ_P=0.20 τ_0=1.26 σ_0=6.85 σ_{ID}=6.97 Σ_T=8.11
CC 6 SLD (Collegamento -384_-528)
Azioni sul collegamento: N=137.64 Ty=-1.54 Tz=-49.32 Mx=-0.35 Mz=-1.97
Sollecitazioni agenti localmente: Tx_l=-1.54 Ty_l=-49.32 N_l=137.64 My_l=1.97 Mz_l=-0.35
Azioni sul cordone: TP=0.52 TO=3.91 NO=10.13
Tensioni nel cordone: τ_P=0.17 τ_0=1.24 σ_0=6.10 σ_{ID}=6.23 Σ_T=7.34
CC 6 SLD (Collegamento -384_-528)
Azioni sul collegamento: N=137.64 Ty=-1.87 Tz=-49.32 Mx=-0.43 Mz=-2.49
Sollecitazioni agenti localmente: Tx_l=-1.87 Ty_l=-49.32 N_l=137.64 My_l=2.49 Mz_l=-0.43
Azioni sul cordone: TP=0.64 TO=3.97 NO=10.13
Tensioni nel cordone: τ_P=0.20 τ_0=1.26 σ_0=6.85 σ_{ID}=6.97 Σ_T=8.11
CC 6 SLD (Collegamento -384_-528)
Azioni sul collegamento: N=137.64 Ty=-1.54 Tz=-49.32 Mx=-0.35 Mz=-1.97
Sollecitazioni agenti localmente: Tx_l=-1.54 Ty_l=-49.32 N_l=137.64 My_l=1.97 Mz_l=-0.35
Azioni sul cordone: TP=0.52 TO=3.91 NO=10.13
Tensioni nel cordone: τ_P=0.17 τ_0=1.24 σ_0=6.10 σ_{ID}=6.23 Σ_T=7.34
CC 6 SLD (Collegamento -384_-528)
Azioni sul collegamento: N=153.99 Ty=-1.87 Tz=-51.85 Mx=-0.43 Mz=-2.49
Sollecitazioni agenti localmente: Tx_l=-1.87 Ty_l=-51.85 N_l=153.99 My_l=2.49 Mz_l=-0.43

Azioni sul cordone: TP=0.64 TO=4.16 NO=11.33
Tensioni nel cordone: τ_P=0.20 τ_0=1.32 σ_0=7.23 σ_{ID}=7.36 Σ_T=8.56
CC 6 SLD (Collegamento -384_-528)
Azioni sul collegamento: N=153.99 Ty=-1.54 Tz=-51.85 Mx=-0.35 Mz=-1.97
Sollecitazioni agenti localmente: Tx_l=-1.54 Ty_l=-51.85 N_l=153.99 My_l=1.97 Mz_l=-0.35
Azioni sul cordone: TP=0.52 TO=4.09 NO=11.33
Tensioni nel cordone: τ_P=0.17 τ_0=1.30 σ_0=6.48 σ_{ID}=6.62 Σ_T=7.79
CC 6 SLD (Collegamento -384_-528)
Azioni sul collegamento: N=153.99 Ty=-1.87 Tz=-51.85 Mx=-0.43 Mz=-2.49
Sollecitazioni agenti localmente: Tx_l=-1.87 Ty_l=-51.85 N_l=153.99 My_l=2.49 Mz_l=-0.43
Azioni sul cordone: TP=0.64 TO=4.16 NO=11.33
Tensioni nel cordone: τ_P=0.20 τ_0=1.32 σ_0=7.23 σ_{ID}=7.36 Σ_T=8.56
CC 6 SLD (Collegamento -384_-528)
Azioni sul collegamento: N=153.99 Ty=-1.54 Tz=-51.85 Mx=-0.35 Mz=-1.97
Sollecitazioni agenti localmente: Tx_l=-1.54 Ty_l=-51.85 N_l=153.99 My_l=1.97 Mz_l=-0.35
Azioni sul cordone: TP=0.52 TO=4.09 NO=11.33
Tensioni nel cordone: τ_P=0.17 τ_0=1.30 σ_0=6.48 σ_{ID}=6.62 Σ_T=7.79
CC 7 SLV (Collegamento -384_-528)
Azioni sul collegamento: N=117.30 Ty=-2.83 Tz=-46.18 Mx=-0.60 Mz=-3.66
Sollecitazioni agenti localmente: Tx_l=-2.83 Ty_l=-46.18 N_l=117.30 My_l=3.66 Mz_l=-0.60
Azioni sul cordone: TP=0.90 TO=3.87 NO=8.63
Tensioni nel cordone: τ_P=0.29 τ_0=1.23 σ_0=8.09 σ_{ID}=8.19 Σ_T=9.33
CC 7 SLV (Collegamento -384_-528)
Azioni sul collegamento: N=117.30 Ty=-1.22 Tz=-46.18 Mx=-0.27 Mz=-1.49
Sollecitazioni agenti localmente: Tx_l=-1.22 Ty_l=-46.18 N_l=117.30 My_l=1.49 Mz_l=-0.27
Azioni sul cordone: TP=0.40 TO=3.61 NO=8.63
Tensioni nel cordone: τ_P=0.13 τ_0=1.15 σ_0=4.91 σ_{ID}=5.05 Σ_T=6.06
CC 7 SLV (Collegamento -384_-528)
Azioni sul collegamento: N=117.30 Ty=-2.83 Tz=-46.18 Mx=-0.60 Mz=-3.66
Sollecitazioni agenti localmente: Tx_l=-2.83 Ty_l=-46.18 N_l=117.30 My_l=3.66 Mz_l=-0.60
Azioni sul cordone: TP=0.90 TO=3.87 NO=8.63
Tensioni nel cordone: τ_P=0.29 τ_0=1.23 σ_0=8.09 σ_{ID}=8.19 Σ_T=9.33
CC 7 SLV (Collegamento -384_-528)
Azioni sul collegamento: N=117.30 Ty=-1.22 Tz=-46.18 Mx=-0.27 Mz=-1.49
Sollecitazioni agenti localmente: Tx_l=-1.22 Ty_l=-46.18 N_l=117.30 My_l=1.49 Mz_l=-0.27
Azioni sul cordone: TP=0.40 TO=3.61 NO=8.63
Tensioni nel cordone: τ_P=0.13 τ_0=1.15 σ_0=4.91 σ_{ID}=5.05 Σ_T=6.06
CC 7 SLV (Collegamento -384_-528)
Azioni sul collegamento: N=171.09 Ty=-2.83 Tz=-54.50 Mx=-0.60 Mz=-3.66
Sollecitazioni agenti localmente: Tx_l=-2.83 Ty_l=-54.50 N_l=171.09 My_l=3.66 Mz_l=-0.60
Azioni sul cordone: TP=0.90 TO=4.49 NO=12.59
Tensioni nel cordone: τ_P=0.29 τ_0=1.43 σ_0=9.35 σ_{ID}=9.46 Σ_T=10.78
CC 7 SLV (Collegamento -384_-528)
Azioni sul collegamento: N=171.09 Ty=-1.22 Tz=-54.50 Mx=-0.27 Mz=-1.49
Sollecitazioni agenti localmente: Tx_l=-1.22 Ty_l=-54.50 N_l=171.09 My_l=1.49 Mz_l=-0.27
Azioni sul cordone: TP=0.40 TO=4.22 NO=12.59
Tensioni nel cordone: τ_P=0.13 τ_0=1.34 σ_0=6.17 σ_{ID}=6.32 Σ_T=7.51
CC 7 SLV (Collegamento -384_-528)
Azioni sul collegamento: N=171.09 Ty=-2.83 Tz=-54.50 Mx=-0.60 Mz=-3.66
Sollecitazioni agenti localmente: Tx_l=-2.83 Ty_l=-54.50 N_l=171.09 My_l=3.66 Mz_l=-0.60
Azioni sul cordone: TP=0.90 TO=4.49 NO=12.59
Tensioni nel cordone: τ_P=0.29 τ_0=1.43 σ_0=9.35 σ_{ID}=9.46 Σ_T=10.78
CC 7 SLV (Collegamento -384_-528)
Azioni sul collegamento: N=171.09 Ty=-1.22 Tz=-54.50 Mx=-0.27 Mz=-1.49
Sollecitazioni agenti localmente: Tx_l=-1.22 Ty_l=-54.50 N_l=171.09 My_l=1.49 Mz_l=-0.27
Azioni sul cordone: TP=0.40 TO=4.22 NO=12.59
Tensioni nel cordone: τ_P=0.13 τ_0=1.34 σ_0=6.17 σ_{ID}=6.32 Σ_T=7.51
CC 8 SLD (Collegamento -384_-528)
Azioni sul collegamento: N=137.61 Ty=-1.95 Tz=-49.32 Mx=-0.44 Mz=-2.56
Sollecitazioni agenti localmente: Tx_l=-1.95 Ty_l=-49.32 N_l=137.61 My_l=2.56 Mz_l=-0.44
Azioni sul cordone: TP=0.65 TO=3.98 NO=10.13
Tensioni nel cordone: τ_P=0.21 τ_0=1.26 σ_0=6.96 σ_{ID}=7.08 Σ_T=8.23
CC 8 SLD (Collegamento -384_-528)
Azioni sul collegamento: N=137.61 Ty=-1.46 Tz=-49.32 Mx=-0.34 Mz=-1.90
Sollecitazioni agenti localmente: Tx_l=-1.46 Ty_l=-49.32 N_l=137.61 My_l=1.90 Mz_l=-0.34
Azioni sul cordone: TP=0.50 TO=3.90 NO=10.13
Tensioni nel cordone: τ_P=0.16 τ_0=1.24 σ_0=5.99 σ_{ID}=6.12 Σ_T=7.23
CC 8 SLD (Collegamento -384_-528)
Azioni sul collegamento: N=137.61 Ty=-1.95 Tz=-49.32 Mx=-0.44 Mz=-2.56
Sollecitazioni agenti localmente: Tx_l=-1.95 Ty_l=-49.32 N_l=137.61 My_l=2.56 Mz_l=-0.44
Azioni sul cordone: TP=0.65 TO=3.98 NO=10.13
Tensioni nel cordone: τ_P=0.21 τ_0=1.26 σ_0=6.96 σ_{ID}=7.08 Σ_T=8.23
CC 8 SLD (Collegamento -384_-528)
Azioni sul collegamento: N=137.61 Ty=-1.46 Tz=-49.32 Mx=-0.34 Mz=-1.90
Sollecitazioni agenti localmente: Tx_l=-1.46 Ty_l=-49.32 N_l=137.61 My_l=1.90 Mz_l=-0.34
Azioni sul cordone: TP=0.50 TO=3.90 NO=10.13
Tensioni nel cordone: τ_P=0.16 τ_0=1.24 σ_0=5.99 σ_{ID}=6.12 Σ_T=7.23
CC 8 SLD (Collegamento -384_-528)
Azioni sul collegamento: N=154.01 Ty=-1.95 Tz=-51.86 Mx=-0.44 Mz=-2.56
Sollecitazioni agenti localmente: Tx_l=-1.95 Ty_l=-51.86 N_l=154.01 My_l=2.56 Mz_l=-0.44
Azioni sul cordone: TP=0.65 TO=4.17 NO=11.33

Tensioni nel cordone: τ_P=0.21 τ_0=1.32 σ_0=7.35 σ_{ID}=7.47 Σ_T=8.67
CC 8 SLD (Collegamento -384_-528)
Azioni sul collegamento: N=154.01 Ty=-1.46 Tz=-51.86 Mx=-0.34 Mz=-1.90
Sollecitazioni agenti localmente: Tx_l=-1.46 Ty_l=-51.86 N_l=154.01 My_l=1.90 Mz_l=-0.34
Azioni sul cordone: TP=0.50 TO=4.08 NO=11.33
Tensioni nel cordone: τ_P=0.16 τ_0=1.30 σ_0=6.38 σ_{ID}=6.51 Σ_T=7.67
CC 8 SLD (Collegamento -384_-528)
Azioni sul collegamento: N=154.01 Ty=-1.95 Tz=-51.86 Mx=-0.44 Mz=-2.56
Sollecitazioni agenti localmente: Tx_l=-1.95 Ty_l=-51.86 N_l=154.01 My_l=2.56 Mz_l=-0.44
Azioni sul cordone: TP=0.65 TO=4.17 NO=11.33
Tensioni nel cordone: τ_P=0.21 τ_0=1.32 σ_0=7.35 σ_{ID}=7.47 Σ_T=8.67
CC 8 SLD (Collegamento -384_-528)
Azioni sul collegamento: N=154.01 Ty=-1.46 Tz=-51.86 Mx=-0.34 Mz=-1.90
Sollecitazioni agenti localmente: Tx_l=-1.46 Ty_l=-51.86 N_l=154.01 My_l=1.90 Mz_l=-0.34
Azioni sul cordone: TP=0.50 TO=4.08 NO=11.33
Tensioni nel cordone: τ_P=0.16 τ_0=1.30 σ_0=6.38 σ_{ID}=6.51 Σ_T=7.67
CC 9 SLV (Collegamento -384_-528)
Azioni sul collegamento: N=152.41 Ty=-1.37 Tz=-51.61 Mx=-0.36 Mz=-1.87
Sollecitazioni agenti localmente: Tx_l=-1.37 Ty_l=-51.61 N_l=152.41 My_l=1.87 Mz_l=-0.36
Azioni sul cordone: TP=0.51 TO=4.08 NO=11.21
Tensioni nel cordone: τ_P=0.16 τ_0=1.30 σ_0=6.30 σ_{ID}=6.43 Σ_T=7.59
CC 9 SLV (Collegamento -384_-528)
Azioni sul collegamento: N=152.41 Ty=-2.68 Tz=-51.61 Mx=-0.57 Mz=-3.27
Sollecitazioni agenti localmente: Tx_l=-2.68 Ty_l=-51.61 N_l=152.41 My_l=3.27 Mz_l=-0.57
Azioni sul cordone: TP=0.86 TO=4.25 NO=11.21
Tensioni nel cordone: τ_P=0.27 τ_0=1.35 σ_0=8.34 σ_{ID}=8.45 Σ_T=9.69
CC 9 SLV (Collegamento -384_-528)
Azioni sul collegamento: N=152.41 Ty=-1.37 Tz=-51.61 Mx=-0.36 Mz=-1.87
Sollecitazioni agenti localmente: Tx_l=-1.37 Ty_l=-51.61 N_l=152.41 My_l=1.87 Mz_l=-0.36
Azioni sul cordone: TP=0.51 TO=4.08 NO=11.21
Tensioni nel cordone: τ_P=0.16 τ_0=1.30 σ_0=6.30 σ_{ID}=6.43 Σ_T=7.59
CC 9 SLV (Collegamento -384_-528)
Azioni sul collegamento: N=152.41 Ty=-2.68 Tz=-51.61 Mx=-0.57 Mz=-3.27
Sollecitazioni agenti localmente: Tx_l=-2.68 Ty_l=-51.61 N_l=152.41 My_l=3.27 Mz_l=-0.57
Azioni sul cordone: TP=0.86 TO=4.25 NO=11.21
Tensioni nel cordone: τ_P=0.27 τ_0=1.35 σ_0=8.34 σ_{ID}=8.45 Σ_T=9.69
CC 9 SLV (Collegamento -384_-528)
Azioni sul collegamento: N=135.99 Ty=-1.37 Tz=-49.07 Mx=-0.36 Mz=-1.87
Sollecitazioni agenti localmente: Tx_l=-1.37 Ty_l=-49.07 N_l=135.99 My_l=1.87 Mz_l=-0.36
Azioni sul cordone: TP=0.51 TO=3.89 NO=10.01
Tensioni nel cordone: τ_P=0.16 τ_0=1.24 σ_0=5.91 σ_{ID}=6.04 Σ_T=7.15
CC 9 SLV (Collegamento -384_-528)
Azioni sul collegamento: N=135.99 Ty=-2.68 Tz=-49.07 Mx=-0.57 Mz=-3.27
Sollecitazioni agenti localmente: Tx_l=-2.68 Ty_l=-49.07 N_l=135.99 My_l=3.27 Mz_l=-0.57
Azioni sul cordone: TP=0.86 TO=4.06 NO=10.01
Tensioni nel cordone: τ_P=0.27 τ_0=1.29 σ_0=7.96 σ_{ID}=8.07 Σ_T=9.25
CC 9 SLV (Collegamento -384_-528)
Azioni sul collegamento: N=135.99 Ty=-1.37 Tz=-49.07 Mx=-0.36 Mz=-1.87
Sollecitazioni agenti localmente: Tx_l=-1.37 Ty_l=-49.07 N_l=135.99 My_l=1.87 Mz_l=-0.36
Azioni sul cordone: TP=0.51 TO=3.89 NO=10.01
Tensioni nel cordone: τ_P=0.16 τ_0=1.24 σ_0=5.91 σ_{ID}=6.04 Σ_T=7.15
CC 9 SLV (Collegamento -384_-528)
Azioni sul collegamento: N=135.99 Ty=-2.68 Tz=-49.07 Mx=-0.57 Mz=-3.27
Sollecitazioni agenti localmente: Tx_l=-2.68 Ty_l=-49.07 N_l=135.99 My_l=3.27 Mz_l=-0.57
Azioni sul cordone: TP=0.86 TO=4.06 NO=10.01
Tensioni nel cordone: τ_P=0.27 τ_0=1.29 σ_0=7.96 σ_{ID}=8.07 Σ_T=9.25
CC 10 SLD (Collegamento -384_-528)
Azioni sul collegamento: N=148.32 Ty=-1.51 Tz=-50.98 Mx=-0.37 Mz=-2.02
Sollecitazioni agenti localmente: Tx_l=-1.51 Ty_l=-50.98 N_l=148.32 My_l=2.02 Mz_l=-0.37
Azioni sul cordone: TP=0.54 TO=4.04 NO=10.91
Tensioni nel cordone: τ_P=0.17 τ_0=1.28 σ_0=6.41 σ_{ID}=6.54 Σ_T=7.70
CC 10 SLD (Collegamento -384_-528)
Azioni sul collegamento: N=148.32 Ty=-1.91 Tz=-50.98 Mx=-0.43 Mz=-2.44
Sollecitazioni agenti localmente: Tx_l=-1.91 Ty_l=-50.98 N_l=148.32 My_l=2.44 Mz_l=-0.43
Azioni sul cordone: TP=0.64 TO=4.09 NO=10.91
Tensioni nel cordone: τ_P=0.20 τ_0=1.30 σ_0=7.04 σ_{ID}=7.16 Σ_T=8.34
CC 10 SLD (Collegamento -384_-528)
Azioni sul collegamento: N=148.32 Ty=-1.51 Tz=-50.98 Mx=-0.37 Mz=-2.02
Sollecitazioni agenti localmente: Tx_l=-1.51 Ty_l=-50.98 N_l=148.32 My_l=2.02 Mz_l=-0.37
Azioni sul cordone: TP=0.54 TO=4.04 NO=10.91
Tensioni nel cordone: τ_P=0.17 τ_0=1.28 σ_0=6.41 σ_{ID}=6.54 Σ_T=7.70
CC 10 SLD (Collegamento -384_-528)
Azioni sul collegamento: N=148.32 Ty=-1.91 Tz=-50.98 Mx=-0.43 Mz=-2.44
Sollecitazioni agenti localmente: Tx_l=-1.91 Ty_l=-50.98 N_l=148.32 My_l=2.44 Mz_l=-0.43
Azioni sul cordone: TP=0.64 TO=4.09 NO=10.91
Tensioni nel cordone: τ_P=0.20 τ_0=1.30 σ_0=7.04 σ_{ID}=7.16 Σ_T=8.34
CC 10 SLD (Collegamento -384_-528)
Azioni sul collegamento: N=143.31 Ty=-1.51 Tz=-50.20 Mx=-0.37 Mz=-2.02
Sollecitazioni agenti localmente: Tx_l=-1.51 Ty_l=-50.20 N_l=143.31 My_l=2.02 Mz_l=-0.37
Azioni sul cordone: TP=0.54 TO=3.98 NO=10.55
Tensioni nel cordone: τ_P=0.17 τ_0=1.27 σ_0=6.30 σ_{ID}=6.42 Σ_T=7.56

CC 10 SLD (Collegamento -384_-528)
Azioni sul collegamento: N=143.31 Ty=-1.91 Tz=-50.20 Mx=-0.43 Mz=-2.44
Sollecitazioni agenti localmente: Tx_l=-1.91 Ty_l=-50.20 N_l=143.31 My_l=2.44 Mz_l=-0.43
Azioni sul cordone: TP=0.64 TO=4.04 NO=10.55
Tensioni nel cordone: τ_P=0.20 τ_0=1.28 σ_0=6.92 σ_{ID}=7.04 Σ_T=8.20
CC 10 SLD (Collegamento -384_-528)
Azioni sul collegamento: N=143.31 Ty=-1.51 Tz=-50.20 Mx=-0.37 Mz=-2.02
Sollecitazioni agenti localmente: Tx_l=-1.51 Ty_l=-50.20 N_l=143.31 My_l=2.02 Mz_l=-0.37
Azioni sul cordone: TP=0.54 TO=3.98 NO=10.55
Tensioni nel cordone: τ_P=0.17 τ_0=1.27 σ_0=6.30 σ_{ID}=6.42 Σ_T=7.56
CC 10 SLD (Collegamento -384_-528)
Azioni sul collegamento: N=143.31 Ty=-1.91 Tz=-50.20 Mx=-0.43 Mz=-2.44
Sollecitazioni agenti localmente: Tx_l=-1.91 Ty_l=-50.20 N_l=143.31 My_l=2.44 Mz_l=-0.43
Azioni sul cordone: TP=0.64 TO=4.04 NO=10.55
Tensioni nel cordone: τ_P=0.20 τ_0=1.28 σ_0=6.92 σ_{ID}=7.04 Σ_T=8.20
CC 11 SLV (Collegamento -384_-528)
Azioni sul collegamento: N=136.30 Ty=-1.77 Tz=-49.12 Mx=-0.44 Mz=-2.45
Sollecitazioni agenti localmente: Tx_l=-1.77 Ty_l=-49.12 N_l=136.30 My_l=2.45 Mz_l=-0.44
Azioni sul cordone: TP=0.63 TO=3.96 NO=10.03
Tensioni nel cordone: τ_P=0.20 τ_0=1.26 σ_0=6.77 σ_{ID}=6.89 Σ_T=8.03
CC 11 SLV (Collegamento -384_-528)
Azioni sul collegamento: N=136.30 Ty=-2.28 Tz=-49.12 Mx=-0.47 Mz=-2.69
Sollecitazioni agenti localmente: Tx_l=-2.28 Ty_l=-49.12 N_l=136.30 My_l=2.69 Mz_l=-0.47
Azioni sul cordone: TP=0.71 TO=3.99 NO=10.03
Tensioni nel cordone: τ_P=0.23 τ_0=1.27 σ_0=7.12 σ_{ID}=7.24 Σ_T=8.39
CC 11 SLV (Collegamento -384_-528)
Azioni sul collegamento: N=136.30 Ty=-1.77 Tz=-49.12 Mx=-0.44 Mz=-2.45
Sollecitazioni agenti localmente: Tx_l=-1.77 Ty_l=-49.12 N_l=136.30 My_l=2.45 Mz_l=-0.44
Azioni sul cordone: TP=0.63 TO=3.96 NO=10.03
Tensioni nel cordone: τ_P=0.20 τ_0=1.26 σ_0=6.77 σ_{ID}=6.89 Σ_T=8.03
CC 11 SLV (Collegamento -384_-528)
Azioni sul collegamento: N=136.30 Ty=-2.28 Tz=-49.12 Mx=-0.47 Mz=-2.69
Sollecitazioni agenti localmente: Tx_l=-2.28 Ty_l=-49.12 N_l=136.30 My_l=2.69 Mz_l=-0.47
Azioni sul cordone: TP=0.71 TO=3.99 NO=10.03
Tensioni nel cordone: τ_P=0.23 τ_0=1.27 σ_0=7.12 σ_{ID}=7.24 Σ_T=8.39
CC 11 SLV (Collegamento -384_-528)
Azioni sul collegamento: N=152.10 Ty=-1.77 Tz=-51.56 Mx=-0.44 Mz=-2.45
Sollecitazioni agenti localmente: Tx_l=-1.77 Ty_l=-51.56 N_l=152.10 My_l=2.45 Mz_l=-0.44
Azioni sul cordone: TP=0.63 TO=4.14 NO=11.19
Tensioni nel cordone: τ_P=0.20 τ_0=1.31 σ_0=7.14 σ_{ID}=7.26 Σ_T=8.45
CC 11 SLV (Collegamento -384_-528)
Azioni sul collegamento: N=152.10 Ty=-2.28 Tz=-51.56 Mx=-0.47 Mz=-2.69
Sollecitazioni agenti localmente: Tx_l=-2.28 Ty_l=-51.56 N_l=152.10 My_l=2.69 Mz_l=-0.47
Azioni sul cordone: TP=0.71 TO=4.17 NO=11.19
Tensioni nel cordone: τ_P=0.23 τ_0=1.32 σ_0=7.49 σ_{ID}=7.61 Σ_T=8.81
CC 11 SLV (Collegamento -384_-528)
Azioni sul collegamento: N=152.10 Ty=-1.77 Tz=-51.56 Mx=-0.44 Mz=-2.45
Sollecitazioni agenti localmente: Tx_l=-1.77 Ty_l=-51.56 N_l=152.10 My_l=2.45 Mz_l=-0.44
Azioni sul cordone: TP=0.63 TO=4.14 NO=11.19
Tensioni nel cordone: τ_P=0.20 τ_0=1.31 σ_0=7.14 σ_{ID}=7.26 Σ_T=8.45
CC 11 SLV (Collegamento -384_-528)
Azioni sul collegamento: N=152.10 Ty=-2.28 Tz=-51.56 Mx=-0.47 Mz=-2.69
Sollecitazioni agenti localmente: Tx_l=-2.28 Ty_l=-51.56 N_l=152.10 My_l=2.69 Mz_l=-0.47
Azioni sul cordone: TP=0.71 TO=4.17 NO=11.19
Tensioni nel cordone: τ_P=0.23 τ_0=1.32 σ_0=7.49 σ_{ID}=7.61 Σ_T=8.81
CC 12 SLD (Collegamento -384_-528)
Azioni sul collegamento: N=143.41 Ty=-1.63 Tz=-50.22 Mx=-0.39 Mz=-2.19
Sollecitazioni agenti localmente: Tx_l=-1.63 Ty_l=-50.22 N_l=143.41 My_l=2.19 Mz_l=-0.39
Azioni sul cordone: TP=0.57 TO=4.00 NO=10.55
Tensioni nel cordone: τ_P=0.18 τ_0=1.27 σ_0=6.56 σ_{ID}=6.68 Σ_T=7.83
CC 12 SLD (Collegamento -384_-528)
Azioni sul collegamento: N=143.41 Ty=-1.78 Tz=-50.22 Mx=-0.40 Mz=-2.27
Sollecitazioni agenti localmente: Tx_l=-1.78 Ty_l=-50.22 N_l=143.41 My_l=2.27 Mz_l=-0.40
Azioni sul cordone: TP=0.60 TO=4.01 NO=10.55
Tensioni nel cordone: τ_P=0.19 τ_0=1.28 σ_0=6.66 σ_{ID}=6.79 Σ_T=7.94
CC 12 SLD (Collegamento -384_-528)
Azioni sul collegamento: N=143.41 Ty=-1.63 Tz=-50.22 Mx=-0.39 Mz=-2.19
Sollecitazioni agenti localmente: Tx_l=-1.63 Ty_l=-50.22 N_l=143.41 My_l=2.19 Mz_l=-0.39
Azioni sul cordone: TP=0.57 TO=4.00 NO=10.55
Tensioni nel cordone: τ_P=0.18 τ_0=1.27 σ_0=6.56 σ_{ID}=6.68 Σ_T=7.83
CC 12 SLD (Collegamento -384_-528)
Azioni sul collegamento: N=143.41 Ty=-1.78 Tz=-50.22 Mx=-0.40 Mz=-2.27
Sollecitazioni agenti localmente: Tx_l=-1.78 Ty_l=-50.22 N_l=143.41 My_l=2.27 Mz_l=-0.40
Azioni sul cordone: TP=0.60 TO=4.01 NO=10.55
Tensioni nel cordone: τ_P=0.19 τ_0=1.28 σ_0=6.66 σ_{ID}=6.79 Σ_T=7.94
CC 12 SLD (Collegamento -384_-528)
Azioni sul collegamento: N=148.22 Ty=-1.63 Tz=-50.96 Mx=-0.39 Mz=-2.19
Sollecitazioni agenti localmente: Tx_l=-1.63 Ty_l=-50.96 N_l=148.22 My_l=2.19 Mz_l=-0.39
Azioni sul cordone: TP=0.57 TO=4.06 NO=10.91
Tensioni nel cordone: τ_P=0.18 τ_0=1.29 σ_0=6.67 σ_{ID}=6.80 Σ_T=7.96
CC 12 SLD (Collegamento -384_-528)

Azioni sul collegamento: N=148.22 Ty=-1.78 Tz=-50.96 Mx=-0.40 Mz=-2.27
Sollecitazioni agenti localmente: Tx_l=-1.78 Ty_l=-50.96 N_l=148.22 My_l=2.27 Mz_l=-0.40
Azioni sul cordone: TP=0.60 TO=4.07 NO=10.91
Tensioni nel cordone: τ_P=0.19 τ_0=1.29 σ_0=6.78 σ_{ID}=6.90 Σ_T=8.07
CC 12 SLD (Collegamento -384_-528)
Azioni sul collegamento: N=148.22 Ty=-1.63 Tz=-50.96 Mx=-0.39 Mz=-2.19
Sollecitazioni agenti localmente: Tx_l=-1.63 Ty_l=-50.96 N_l=148.22 My_l=2.19 Mz_l=-0.39
Azioni sul cordone: TP=0.57 TO=4.06 NO=10.91
Tensioni nel cordone: τ_P=0.18 τ_0=1.29 σ_0=6.67 σ_{ID}=6.80 Σ_T=7.96
CC 12 SLD (Collegamento -384_-528)
Azioni sul collegamento: N=148.22 Ty=-1.78 Tz=-50.96 Mx=-0.40 Mz=-2.27
Sollecitazioni agenti localmente: Tx_l=-1.78 Ty_l=-50.96 N_l=148.22 My_l=2.27 Mz_l=-0.40
Azioni sul cordone: TP=0.60 TO=4.07 NO=10.91
Tensioni nel cordone: τ_P=0.19 τ_0=1.29 σ_0=6.78 σ_{ID}=6.90 Σ_T=8.07
CC 13 SLV (Collegamento -384_-528)
Azioni sul collegamento: N=152.10 Ty=-2.28 Tz=-51.56 Mx=-0.48 Mz=-2.69
Sollecitazioni agenti localmente: Tx_l=-2.28 Ty_l=-51.56 N_l=152.10 My_l=2.69 Mz_l=-0.48
Azioni sul cordone: TP=0.71 TO=4.17 NO=11.19
Tensioni nel cordone: τ_P=0.23 τ_0=1.32 σ_0=7.49 σ_{ID}=7.61 Σ_T=8.81
CC 13 SLV (Collegamento -384_-528)
Azioni sul collegamento: N=152.10 Ty=-1.77 Tz=-51.56 Mx=-0.44 Mz=-2.45
Sollecitazioni agenti localmente: Tx_l=-1.77 Ty_l=-51.56 N_l=152.10 My_l=2.45 Mz_l=-0.44
Azioni sul cordone: TP=0.63 TO=4.14 NO=11.19
Tensioni nel cordone: τ_P=0.20 τ_0=1.32 σ_0=7.14 σ_{ID}=7.26 Σ_T=8.45
CC 13 SLV (Collegamento -384_-528)
Azioni sul collegamento: N=152.10 Ty=-2.28 Tz=-51.56 Mx=-0.48 Mz=-2.69
Sollecitazioni agenti localmente: Tx_l=-2.28 Ty_l=-51.56 N_l=152.10 My_l=2.69 Mz_l=-0.48
Azioni sul cordone: TP=0.71 TO=4.17 NO=11.19
Tensioni nel cordone: τ_P=0.23 τ_0=1.32 σ_0=7.49 σ_{ID}=7.61 Σ_T=8.81
CC 13 SLV (Collegamento -384_-528)
Azioni sul collegamento: N=152.10 Ty=-1.77 Tz=-51.56 Mx=-0.44 Mz=-2.45
Sollecitazioni agenti localmente: Tx_l=-1.77 Ty_l=-51.56 N_l=152.10 My_l=2.45 Mz_l=-0.44
Azioni sul cordone: TP=0.63 TO=4.14 NO=11.19
Tensioni nel cordone: τ_P=0.20 τ_0=1.32 σ_0=7.14 σ_{ID}=7.26 Σ_T=8.45
CC 13 SLV (Collegamento -384_-528)
Azioni sul collegamento: N=136.30 Ty=-2.28 Tz=-49.12 Mx=-0.48 Mz=-2.69
Sollecitazioni agenti localmente: Tx_l=-2.28 Ty_l=-49.12 N_l=136.30 My_l=2.69 Mz_l=-0.48
Azioni sul cordone: TP=0.71 TO=3.99 NO=10.03
Tensioni nel cordone: τ_P=0.23 τ_0=1.27 σ_0=7.12 σ_{ID}=7.24 Σ_T=8.39
CC 13 SLV (Collegamento -384_-528)
Azioni sul collegamento: N=136.30 Ty=-1.77 Tz=-49.12 Mx=-0.44 Mz=-2.45
Sollecitazioni agenti localmente: Tx_l=-1.77 Ty_l=-49.12 N_l=136.30 My_l=2.45 Mz_l=-0.44
Azioni sul cordone: TP=0.63 TO=3.96 NO=10.03
Tensioni nel cordone: τ_P=0.20 τ_0=1.26 σ_0=6.77 σ_{ID}=6.89 Σ_T=8.03
CC 13 SLV (Collegamento -384_-528)
Azioni sul collegamento: N=136.30 Ty=-2.28 Tz=-49.12 Mx=-0.48 Mz=-2.69
Sollecitazioni agenti localmente: Tx_l=-2.28 Ty_l=-49.12 N_l=136.30 My_l=2.69 Mz_l=-0.48
Azioni sul cordone: TP=0.71 TO=3.99 NO=10.03
Tensioni nel cordone: τ_P=0.23 τ_0=1.27 σ_0=7.12 σ_{ID}=7.24 Σ_T=8.39
CC 13 SLV (Collegamento -384_-528)
Azioni sul collegamento: N=136.30 Ty=-1.77 Tz=-49.12 Mx=-0.44 Mz=-2.45
Sollecitazioni agenti localmente: Tx_l=-1.77 Ty_l=-49.12 N_l=136.30 My_l=2.45 Mz_l=-0.44
Azioni sul cordone: TP=0.63 TO=3.96 NO=10.03
Tensioni nel cordone: τ_P=0.20 τ_0=1.26 σ_0=6.77 σ_{ID}=6.89 Σ_T=8.03
CC 14 SLD (Collegamento -384_-528)
Azioni sul collegamento: N=148.22 Ty=-1.78 Tz=-50.96 Mx=-0.40 Mz=-2.27
Sollecitazioni agenti localmente: Tx_l=-1.78 Ty_l=-50.96 N_l=148.22 My_l=2.27 Mz_l=-0.40
Azioni sul cordone: TP=0.60 TO=4.07 NO=10.91
Tensioni nel cordone: τ_P=0.19 τ_0=1.29 σ_0=6.78 σ_{ID}=6.90 Σ_T=8.07
CC 14 SLD (Collegamento -384_-528)
Azioni sul collegamento: N=148.22 Ty=-1.63 Tz=-50.96 Mx=-0.39 Mz=-2.19
Sollecitazioni agenti localmente: Tx_l=-1.63 Ty_l=-50.96 N_l=148.22 My_l=2.19 Mz_l=-0.39
Azioni sul cordone: TP=0.57 TO=4.06 NO=10.91
Tensioni nel cordone: τ_P=0.18 τ_0=1.29 σ_0=6.67 σ_{ID}=6.80 Σ_T=7.96
CC 14 SLD (Collegamento -384_-528)
Azioni sul collegamento: N=148.22 Ty=-1.78 Tz=-50.96 Mx=-0.40 Mz=-2.27
Sollecitazioni agenti localmente: Tx_l=-1.78 Ty_l=-50.96 N_l=148.22 My_l=2.27 Mz_l=-0.40
Azioni sul cordone: TP=0.60 TO=4.07 NO=10.91
Tensioni nel cordone: τ_P=0.19 τ_0=1.29 σ_0=6.78 σ_{ID}=6.90 Σ_T=8.07
CC 14 SLD (Collegamento -384_-528)
Azioni sul collegamento: N=148.22 Ty=-1.63 Tz=-50.96 Mx=-0.39 Mz=-2.19
Sollecitazioni agenti localmente: Tx_l=-1.63 Ty_l=-50.96 N_l=148.22 My_l=2.19 Mz_l=-0.39
Azioni sul cordone: TP=0.57 TO=4.06 NO=10.91
Tensioni nel cordone: τ_P=0.18 τ_0=1.29 σ_0=6.67 σ_{ID}=6.80 Σ_T=7.96
CC 14 SLD (Collegamento -384_-528)
Azioni sul collegamento: N=143.41 Ty=-1.78 Tz=-50.22 Mx=-0.40 Mz=-2.27
Sollecitazioni agenti localmente: Tx_l=-1.78 Ty_l=-50.22 N_l=143.41 My_l=2.27 Mz_l=-0.40
Azioni sul cordone: TP=0.60 TO=4.01 NO=10.55
Tensioni nel cordone: τ_P=0.19 τ_0=1.28 σ_0=6.66 σ_{ID}=6.79 Σ_T=7.94
CC 14 SLD (Collegamento -384_-528)
Azioni sul collegamento: N=143.41 Ty=-1.63 Tz=-50.22 Mx=-0.39 Mz=-2.19

Sollecitazioni agenti localmente: Tx_l=-1.63 Ty_l=-50.22 N_l=143.41 My_l=2.19 Mz_l=-0.39
Azioni sul cordone: TP=0.57 TO=4.00 NO=10.55
Tensioni nel cordone: τ_P=0.18 τ_0=1.27 σ_0=6.56 σ_{ID}=6.68 Σ_T=7.83
CC 14 SLD (Collegamento -384_-528)
Azioni sul collegamento: N=143.41 Ty=-1.78 Tz=-50.22 Mx=-0.40 Mz=-2.27
Sollecitazioni agenti localmente: Tx_l=-1.78 Ty_l=-50.22 N_l=143.41 My_l=2.27 Mz_l=-0.40
Azioni sul cordone: TP=0.60 TO=4.01 NO=10.55
Tensioni nel cordone: τ_P=0.19 τ_0=1.28 σ_0=6.66 σ_{ID}=6.79 Σ_T=7.94
CC 14 SLD (Collegamento -384_-528)
Azioni sul collegamento: N=143.41 Ty=-1.63 Tz=-50.22 Mx=-0.39 Mz=-2.19
Sollecitazioni agenti localmente: Tx_l=-1.63 Ty_l=-50.22 N_l=143.41 My_l=2.19 Mz_l=-0.39
Azioni sul cordone: TP=0.57 TO=4.00 NO=10.55
Tensioni nel cordone: τ_P=0.18 τ_0=1.27 σ_0=6.56 σ_{ID}=6.68 Σ_T=7.83
CC 15 SLV (Collegamento -384_-528)
Azioni sul collegamento: N=135.99 Ty=-2.68 Tz=-49.07 Mx=-0.55 Mz=-3.27
Sollecitazioni agenti localmente: Tx_l=-2.68 Ty_l=-49.07 N_l=135.99 My_l=3.27 Mz_l=-0.55
Azioni sul cordone: TP=0.84 TO=4.05 NO=10.01
Tensioni nel cordone: τ_P=0.27 τ_0=1.29 σ_0=7.96 σ_{ID}=8.07 Σ_T=9.25
CC 15 SLV (Collegamento -384_-528)
Azioni sul collegamento: N=135.99 Ty=-1.37 Tz=-49.07 Mx=-0.34 Mz=-1.87
Sollecitazioni agenti localmente: Tx_l=-1.37 Ty_l=-49.07 N_l=135.99 My_l=1.87 Mz_l=-0.34
Azioni sul cordone: TP=0.49 TO=3.88 NO=10.01
Tensioni nel cordone: τ_P=0.16 τ_0=1.23 σ_0=5.92 σ_{ID}=6.05 Σ_T=7.15
CC 15 SLV (Collegamento -384_-528)
Azioni sul collegamento: N=135.99 Ty=-2.68 Tz=-49.07 Mx=-0.55 Mz=-3.27
Sollecitazioni agenti localmente: Tx_l=-2.68 Ty_l=-49.07 N_l=135.99 My_l=3.27 Mz_l=-0.55
Azioni sul cordone: TP=0.84 TO=4.05 NO=10.01
Tensioni nel cordone: τ_P=0.27 τ_0=1.29 σ_0=7.96 σ_{ID}=8.07 Σ_T=9.25
CC 15 SLV (Collegamento -384_-528)
Azioni sul collegamento: N=135.99 Ty=-1.37 Tz=-49.07 Mx=-0.34 Mz=-1.87
Sollecitazioni agenti localmente: Tx_l=-1.37 Ty_l=-49.07 N_l=135.99 My_l=1.87 Mz_l=-0.34
Azioni sul cordone: TP=0.49 TO=3.88 NO=10.01
Tensioni nel cordone: τ_P=0.16 τ_0=1.23 σ_0=5.92 σ_{ID}=6.05 Σ_T=7.15
CC 15 SLV (Collegamento -384_-528)
Azioni sul collegamento: N=152.41 Ty=-2.68 Tz=-51.61 Mx=-0.55 Mz=-3.27
Sollecitazioni agenti localmente: Tx_l=-2.68 Ty_l=-51.61 N_l=152.41 My_l=3.27 Mz_l=-0.55
Azioni sul cordone: TP=0.84 TO=4.23 NO=11.21
Tensioni nel cordone: τ_P=0.27 τ_0=1.35 σ_0=8.35 σ_{ID}=8.46 Σ_T=9.69
CC 15 SLV (Collegamento -384_-528)
Azioni sul collegamento: N=152.41 Ty=-1.37 Tz=-51.61 Mx=-0.34 Mz=-1.87
Sollecitazioni agenti localmente: Tx_l=-1.37 Ty_l=-51.61 N_l=152.41 My_l=1.87 Mz_l=-0.34
Azioni sul cordone: TP=0.49 TO=4.06 NO=11.21
Tensioni nel cordone: τ_P=0.16 τ_0=1.29 σ_0=6.30 σ_{ID}=6.43 Σ_T=7.59
CC 15 SLV (Collegamento -384_-528)
Azioni sul collegamento: N=152.41 Ty=-2.68 Tz=-51.61 Mx=-0.55 Mz=-3.27
Sollecitazioni agenti localmente: Tx_l=-2.68 Ty_l=-51.61 N_l=152.41 My_l=3.27 Mz_l=-0.55
Azioni sul cordone: TP=0.84 TO=4.23 NO=11.21
Tensioni nel cordone: τ_P=0.27 τ_0=1.35 σ_0=8.35 σ_{ID}=8.46 Σ_T=9.69
CC 15 SLV (Collegamento -384_-528)
Azioni sul collegamento: N=152.41 Ty=-1.37 Tz=-51.61 Mx=-0.34 Mz=-1.87
Sollecitazioni agenti localmente: Tx_l=-1.37 Ty_l=-51.61 N_l=152.41 My_l=1.87 Mz_l=-0.34
Azioni sul cordone: TP=0.49 TO=4.06 NO=11.21
Tensioni nel cordone: τ_P=0.16 τ_0=1.29 σ_0=6.30 σ_{ID}=6.43 Σ_T=7.59
CC 16 SLD (Collegamento -384_-528)
Azioni sul collegamento: N=143.31 Ty=-1.91 Tz=-50.20 Mx=-0.43 Mz=-2.44
Sollecitazioni agenti localmente: Tx_l=-1.91 Ty_l=-50.20 N_l=143.31 My_l=2.44 Mz_l=-0.43
Azioni sul cordone: TP=0.63 TO=4.03 NO=10.55
Tensioni nel cordone: τ_P=0.20 τ_0=1.28 σ_0=6.92 σ_{ID}=7.04 Σ_T=8.20
CC 16 SLD (Collegamento -384_-528)
Azioni sul collegamento: N=143.31 Ty=-1.51 Tz=-50.20 Mx=-0.36 Mz=-2.02
Sollecitazioni agenti localmente: Tx_l=-1.51 Ty_l=-50.20 N_l=143.31 My_l=2.02 Mz_l=-0.36
Azioni sul cordone: TP=0.53 TO=3.98 NO=10.55
Tensioni nel cordone: τ_P=0.17 τ_0=1.26 σ_0=6.30 σ_{ID}=6.43 Σ_T=7.56
CC 16 SLD (Collegamento -384_-528)
Azioni sul collegamento: N=143.31 Ty=-1.91 Tz=-50.20 Mx=-0.43 Mz=-2.44
Sollecitazioni agenti localmente: Tx_l=-1.91 Ty_l=-50.20 N_l=143.31 My_l=2.44 Mz_l=-0.43
Azioni sul cordone: TP=0.63 TO=4.03 NO=10.55
Tensioni nel cordone: τ_P=0.20 τ_0=1.28 σ_0=6.92 σ_{ID}=7.04 Σ_T=8.20
CC 16 SLD (Collegamento -384_-528)
Azioni sul collegamento: N=143.31 Ty=-1.51 Tz=-50.20 Mx=-0.36 Mz=-2.02
Sollecitazioni agenti localmente: Tx_l=-1.51 Ty_l=-50.20 N_l=143.31 My_l=2.02 Mz_l=-0.36
Azioni sul cordone: TP=0.53 TO=3.98 NO=10.55
Tensioni nel cordone: τ_P=0.17 τ_0=1.26 σ_0=6.30 σ_{ID}=6.43 Σ_T=7.56
CC 16 SLD (Collegamento -384_-528)
Azioni sul collegamento: N=148.32 Ty=-1.91 Tz=-50.98 Mx=-0.43 Mz=-2.44
Sollecitazioni agenti localmente: Tx_l=-1.91 Ty_l=-50.98 N_l=148.32 My_l=2.44 Mz_l=-0.43
Azioni sul cordone: TP=0.63 TO=4.09 NO=10.91
Tensioni nel cordone: τ_P=0.20 τ_0=1.30 σ_0=7.04 σ_{ID}=7.16 Σ_T=8.34
CC 16 SLD (Collegamento -384_-528)
Azioni sul collegamento: N=148.32 Ty=-1.51 Tz=-50.98 Mx=-0.36 Mz=-2.02
Sollecitazioni agenti localmente: Tx_l=-1.51 Ty_l=-50.98 N_l=148.32 My_l=2.02 Mz_l=-0.36

Azioni sul cordone: TP=0.53 TO=4.04 NO=10.91
Tensioni nel cordone: τ_P=0.17 τ_0=1.28 σ_0=6.41 σ_{ID}=6.54 Σ_T=7.70
CC 16 SLD (Collegamento -384_-528)
Azioni sul collegamento: N=148.32 Ty=-1.91 Tz=-50.98 Mx=-0.43 Mz=-2.44
Sollecitazioni agenti localmente: Tx_l=-1.91 Ty_l=-50.98 N_l=148.32 My_l=2.44 Mz_l=-0.43
Azioni sul cordone: TP=0.63 TO=4.09 NO=10.91
Tensioni nel cordone: τ_P=0.20 τ_0=1.30 σ_0=7.04 σ_{ID}=7.16 Σ_T=8.34
CC 16 SLD (Collegamento -384_-528)
Azioni sul collegamento: N=148.32 Ty=-1.51 Tz=-50.98 Mx=-0.36 Mz=-2.02
Sollecitazioni agenti localmente: Tx_l=-1.51 Ty_l=-50.98 N_l=148.32 My_l=2.02 Mz_l=-0.36
Azioni sul cordone: TP=0.53 TO=4.04 NO=10.91
Tensioni nel cordone: τ_P=0.17 τ_0=1.28 σ_0=6.41 σ_{ID}=6.54 Σ_T=7.70
CC 17 SLV (Collegamento -384_-528)
Azioni sul collegamento: N=175.74 Ty=-0.30 Tz=-55.22 Mx=-0.14 Mz=-0.50
Sollecitazioni agenti localmente: Tx_l=-0.30 Ty_l=-55.22 N_l=175.74 My_l=0.50 Mz_l=-0.14
Azioni sul cordone: TP=0.19 TO=4.18 NO=12.93
Tensioni nel cordone: τ_P= 0.06 τ_0=1.33 σ_0=4.84 σ_{ID}=5.02 Σ_T=6.16
CC 17 SLV (Collegamento -384_-528)
Azioni sul collegamento: N=175.74 Ty=-1.91 Tz=-55.22 Mx=-0.48 Mz=-2.67
Sollecitazioni agenti localmente: Tx_l=-1.91 Ty_l=-55.22 N_l=175.74 My_l=2.67 Mz_l=-0.48
Azioni sul cordone: TP=0.69 TO=4.44 NO=12.93
Tensioni nel cordone: τ_P=0.22 τ_0=1.41 σ_0=8.02 σ_{ID}=8.14 Σ_T=9.43
CC 17 SLV (Collegamento -384_-528)
Azioni sul collegamento: N=175.74 Ty=-0.30 Tz=-55.22 Mx=-0.14 Mz=-0.50
Sollecitazioni agenti localmente: Tx_l=-0.30 Ty_l=-55.22 N_l=175.74 My_l=0.50 Mz_l=-0.14
Azioni sul cordone: TP=0.19 TO=4.18 NO=12.93
Tensioni nel cordone: τ_P= 0.06 τ_0=1.33 σ_0=4.84 σ_{ID}=5.02 Σ_T=6.16
CC 17 SLV (Collegamento -384_-528)
Azioni sul collegamento: N=175.74 Ty=-1.91 Tz=-55.22 Mx=-0.48 Mz=-2.67
Sollecitazioni agenti localmente: Tx_l=-1.91 Ty_l=-55.22 N_l=175.74 My_l=2.67 Mz_l=-0.48
Azioni sul cordone: TP=0.69 TO=4.44 NO=12.93
Tensioni nel cordone: τ_P=0.22 τ_0=1.41 σ_0=8.02 σ_{ID}=8.14 Σ_T=9.43
CC 17 SLV (Collegamento -384_-528)
Azioni sul collegamento: N=121.95 Ty=-0.30 Tz=-46.90 Mx=-0.14 Mz=-0.50
Sollecitazioni agenti localmente: Tx_l=-0.30 Ty_l=-46.90 N_l=121.95 My_l=0.50 Mz_l=-0.14
Azioni sul cordone: TP=0.19 TO=3.56 NO=8.97
Tensioni nel cordone: τ_P= 0.06 τ_0=1.13 σ_0=3.58 σ_{ID}=3.75 Σ_T=4.71
CC 17 SLV (Collegamento -384_-528)
Azioni sul collegamento: N=121.95 Ty=-1.91 Tz=-46.90 Mx=-0.48 Mz=-2.67
Sollecitazioni agenti localmente: Tx_l=-1.91 Ty_l=-46.90 N_l=121.95 My_l=2.67 Mz_l=-0.48
Azioni sul cordone: TP=0.69 TO=3.83 NO=8.97
Tensioni nel cordone: τ_P=0.22 τ_0=1.22 σ_0=6.76 σ_{ID}=6.87 Σ_T=7.97
CC 17 SLV (Collegamento -384_-528)
Azioni sul collegamento: N=121.95 Ty=-0.30 Tz=-46.90 Mx=-0.14 Mz=-0.50
Sollecitazioni agenti localmente: Tx_l=-0.30 Ty_l=-46.90 N_l=121.95 My_l=0.50 Mz_l=-0.14
Azioni sul cordone: TP=0.19 TO=3.56 NO=8.97
Tensioni nel cordone: τ_P= 0.06 τ_0=1.13 σ_0=3.58 σ_{ID}=3.75 Σ_T=4.71
CC 17 SLV (Collegamento -384_-528)
Azioni sul collegamento: N=121.95 Ty=-1.91 Tz=-46.90 Mx=-0.48 Mz=-2.67
Sollecitazioni agenti localmente: Tx_l=-1.91 Ty_l=-46.90 N_l=121.95 My_l=2.67 Mz_l=-0.48
Azioni sul cordone: TP=0.69 TO=3.83 NO=8.97
Tensioni nel cordone: τ_P=0.22 τ_0=1.22 σ_0=6.76 σ_{ID}=6.87 Σ_T=7.97
CC 18 SLD (Collegamento -384_-528)
Azioni sul collegamento: N=155.43 Ty=-1.18 Tz=-52.08 Mx=-0.30 Mz=-1.60
Sollecitazioni agenti localmente: Tx_l=-1.18 Ty_l=-52.08 N_l=155.43 My_l=1.60 Mz_l=-0.30
Azioni sul cordone: TP=0.44 TO=4.07 NO=11.44
Tensioni nel cordone: τ_P=0.14 τ_0=1.29 σ_0=5.97 σ_{ID}=6.11 Σ_T=7.26
CC 18 SLD (Collegamento -384_-528)
Azioni sul collegamento: N=155.43 Ty=-1.67 Tz=-52.08 Mx=-0.41 Mz=-2.26
Sollecitazioni agenti localmente: Tx_l=-1.67 Ty_l=-52.08 N_l=155.43 My_l=2.26 Mz_l=-0.41
Azioni sul cordone: TP=0.59 TO=4.15 NO=11.44
Tensioni nel cordone: τ_P=0.19 τ_0=1.32 σ_0=6.94 σ_{ID}=7.06 Σ_T=8.26
CC 18 SLD (Collegamento -384_-528)
Azioni sul collegamento: N=155.43 Ty=-1.18 Tz=-52.08 Mx=-0.30 Mz=-1.60
Sollecitazioni agenti localmente: Tx_l=-1.18 Ty_l=-52.08 N_l=155.43 My_l=1.60 Mz_l=-0.30
Azioni sul cordone: TP=0.44 TO=4.07 NO=11.44
Tensioni nel cordone: τ_P=0.14 τ_0=1.29 σ_0=5.97 σ_{ID}=6.11 Σ_T=7.26
CC 18 SLD (Collegamento -384_-528)
Azioni sul collegamento: N=155.43 Ty=-1.67 Tz=-52.08 Mx=-0.41 Mz=-2.26
Sollecitazioni agenti localmente: Tx_l=-1.67 Ty_l=-52.08 N_l=155.43 My_l=2.26 Mz_l=-0.41
Azioni sul cordone: TP=0.59 TO=4.15 NO=11.44
Tensioni nel cordone: τ_P=0.19 τ_0=1.32 σ_0=6.94 σ_{ID}=7.06 Σ_T=8.26
CC 18 SLD (Collegamento -384_-528)
Azioni sul collegamento: N=139.03 Ty=-1.18 Tz=-49.54 Mx=-0.30 Mz=-1.60
Sollecitazioni agenti localmente: Tx_l=-1.18 Ty_l=-49.54 N_l=139.03 My_l=1.60 Mz_l=-0.30
Azioni sul cordone: TP=0.44 TO=3.88 NO=10.23
Tensioni nel cordone: τ_P=0.14 τ_0=1.23 σ_0=5.58 σ_{ID}=5.72 Σ_T=6.82
CC 18 SLD (Collegamento -384_-528)
Azioni sul collegamento: N=139.03 Ty=-1.67 Tz=-49.54 Mx=-0.41 Mz=-2.26
Sollecitazioni agenti localmente: Tx_l=-1.67 Ty_l=-49.54 N_l=139.03 My_l=2.26 Mz_l=-0.41
Azioni sul cordone: TP=0.59 TO=3.97 NO=10.23

Tensioni nel cordone: τ_P=0.19 τ_0=1.26 σ_0=6.55 σ_{ID}=6.68 Σ_T=7.81
CC 18 SLD (Collegamento -384_-528)
Azioni sul collegamento: N=139.03 Ty=-1.18 Tz=-49.54 Mx=-0.30 Mz=-1.60
Sollecitazioni agenti localmente: Tx_l=-1.18 Ty_l=-49.54 N_l=139.03 My_l=1.60 Mz_l=-0.30
Azioni sul cordone: TP=0.44 TO=3.88 NO=10.23
Tensioni nel cordone: τ_P=0.14 τ_0=1.23 σ_0=5.58 σ_{ID}=5.72 Σ_T=6.82
CC 18 SLD (Collegamento -384_-528)
Azioni sul collegamento: N=139.03 Ty=-1.67 Tz=-49.54 Mx=-0.41 Mz=-2.26
Sollecitazioni agenti localmente: Tx_l=-1.67 Ty_l=-49.54 N_l=139.03 My_l=2.26 Mz_l=-0.41
Azioni sul cordone: TP=0.59 TO=3.97 NO=10.23
Tensioni nel cordone: τ_P=0.19 τ_0=1.26 σ_0=6.55 σ_{ID}=6.68 Σ_T=7.81
CC 19 SLV (Collegamento -384_-528)
Azioni sul collegamento: N=175.65 Ty=-0.58 Tz=-55.21 Mx=-0.18 Mz=-0.74
Sollecitazioni agenti localmente: Tx_l=-0.58 Ty_l=-55.21 N_l=175.65 My_l=0.74 Mz_l=-0.18
Azioni sul cordone: TP=0.25 TO=4.20 NO=12.92
Tensioni nel cordone: τ_P= 0.08 τ_0=1.34 σ_0=5.19 σ_{ID}=5.36 Σ_T=6.53
CC 19 SLV (Collegamento -384_-528)
Azioni sul collegamento: N=175.65 Ty=-1.64 Tz=-55.21 Mx=-0.44 Mz=-2.43
Sollecitazioni agenti localmente: Tx_l=-1.64 Ty_l=-55.21 N_l=175.65 My_l=2.43 Mz_l=-0.44
Azioni sul cordone: TP=0.63 TO=4.41 NO=12.92
Tensioni nel cordone: τ_P=0.20 τ_0=1.40 σ_0=7.65 σ_{ID}=7.78 Σ_T=9.06
CC 19 SLV (Collegamento -384_-528)
Azioni sul collegamento: N=175.65 Ty=-0.58 Tz=-55.21 Mx=-0.18 Mz=-0.74
Sollecitazioni agenti localmente: Tx_l=-0.58 Ty_l=-55.21 N_l=175.65 My_l=0.74 Mz_l=-0.18
Azioni sul cordone: TP=0.25 TO=4.20 NO=12.92
Tensioni nel cordone: τ_P= 0.08 τ_0=1.34 σ_0=5.19 σ_{ID}=5.36 Σ_T=6.53
CC 19 SLV (Collegamento -384_-528)
Azioni sul collegamento: N=175.65 Ty=-1.64 Tz=-55.21 Mx=-0.44 Mz=-2.43
Sollecitazioni agenti localmente: Tx_l=-1.64 Ty_l=-55.21 N_l=175.65 My_l=2.43 Mz_l=-0.44
Azioni sul cordone: TP=0.63 TO=4.41 NO=12.92
Tensioni nel cordone: τ_P=0.20 τ_0=1.40 σ_0=7.65 σ_{ID}=7.78 Σ_T=9.06
CC 19 SLV (Collegamento -384_-528)
Azioni sul collegamento: N=122.04 Ty=-0.58 Tz=-46.91 Mx=-0.18 Mz=-0.74
Sollecitazioni agenti localmente: Tx_l=-0.58 Ty_l=-46.91 N_l=122.04 My_l=0.74 Mz_l=-0.18
Azioni sul cordone: TP=0.25 TO=3.59 NO=8.98
Tensioni nel cordone: τ_P= 0.08 τ_0=1.14 σ_0=3.94 σ_{ID}=4.10 Σ_T=5.08
CC 19 SLV (Collegamento -384_-528)
Azioni sul collegamento: N=122.04 Ty=-1.64 Tz=-46.91 Mx=-0.44 Mz=-2.43
Sollecitazioni agenti localmente: Tx_l=-1.64 Ty_l=-46.91 N_l=122.04 My_l=2.43 Mz_l=-0.44
Azioni sul cordone: TP=0.63 TO=3.80 NO=8.98
Tensioni nel cordone: τ_P=0.20 τ_0=1.21 σ_0=6.40 σ_{ID}=6.52 Σ_T=7.61
CC 19 SLV (Collegamento -384_-528)
Azioni sul collegamento: N=122.04 Ty=-0.58 Tz=-46.91 Mx=-0.18 Mz=-0.74
Sollecitazioni agenti localmente: Tx_l=-0.58 Ty_l=-46.91 N_l=122.04 My_l=0.74 Mz_l=-0.18
Azioni sul cordone: TP=0.25 TO=3.59 NO=8.98
Tensioni nel cordone: τ_P= 0.08 τ_0=1.14 σ_0=3.94 σ_{ID}=4.10 Σ_T=5.08
CC 19 SLV (Collegamento -384_-528)
Azioni sul collegamento: N=122.04 Ty=-1.64 Tz=-46.91 Mx=-0.44 Mz=-2.43
Sollecitazioni agenti localmente: Tx_l=-1.64 Ty_l=-46.91 N_l=122.04 My_l=2.43 Mz_l=-0.44
Azioni sul cordone: TP=0.63 TO=3.80 NO=8.98
Tensioni nel cordone: τ_P=0.20 τ_0=1.21 σ_0=6.40 σ_{ID}=6.52 Σ_T=7.61
CC 20 SLD (Collegamento -384_-528)
Azioni sul collegamento: N=155.40 Ty=-1.26 Tz=-52.07 Mx=-0.31 Mz=-1.67
Sollecitazioni agenti localmente: Tx_l=-1.26 Ty_l=-52.07 N_l=155.40 My_l=1.67 Mz_l=-0.31
Azioni sul cordone: TP=0.45 TO=4.08 NO=11.44
Tensioni nel cordone: τ_P=0.14 τ_0=1.30 σ_0=6.08 σ_{ID}=6.22 Σ_T=7.37
CC 20 SLD (Collegamento -384_-528)
Azioni sul collegamento: N=155.40 Ty=-1.59 Tz=-52.07 Mx=-0.39 Mz=-2.19
Sollecitazioni agenti localmente: Tx_l=-1.59 Ty_l=-52.07 N_l=155.40 My_l=2.19 Mz_l=-0.39
Azioni sul cordone: TP=0.57 TO=4.14 NO=11.44
Tensioni nel cordone: τ_P=0.18 τ_0=1.32 σ_0=6.83 σ_{ID}=6.96 Σ_T=8.14
CC 20 SLD (Collegamento -384_-528)
Azioni sul collegamento: N=155.40 Ty=-1.26 Tz=-52.07 Mx=-0.31 Mz=-1.67
Sollecitazioni agenti localmente: Tx_l=-1.26 Ty_l=-52.07 N_l=155.40 My_l=1.67 Mz_l=-0.31
Azioni sul cordone: TP=0.45 TO=4.08 NO=11.44
Tensioni nel cordone: τ_P=0.14 τ_0=1.30 σ_0=6.08 σ_{ID}=6.22 Σ_T=7.37
CC 20 SLD (Collegamento -384_-528)
Azioni sul collegamento: N=155.40 Ty=-1.59 Tz=-52.07 Mx=-0.39 Mz=-2.19
Sollecitazioni agenti localmente: Tx_l=-1.59 Ty_l=-52.07 N_l=155.40 My_l=2.19 Mz_l=-0.39
Azioni sul cordone: TP=0.57 TO=4.14 NO=11.44
Tensioni nel cordone: τ_P=0.18 τ_0=1.32 σ_0=6.83 σ_{ID}=6.96 Σ_T=8.14
CC 20 SLD (Collegamento -384_-528)
Azioni sul collegamento: N=139.06 Ty=-1.26 Tz=-49.54 Mx=-0.31 Mz=-1.67
Sollecitazioni agenti localmente: Tx_l=-1.26 Ty_l=-49.54 N_l=139.06 My_l=1.67 Mz_l=-0.31
Azioni sul cordone: TP=0.45 TO=3.89 NO=10.23
Tensioni nel cordone: τ_P=0.14 τ_0=1.24 σ_0=5.70 σ_{ID}=5.83 Σ_T=6.93
CC 20 SLD (Collegamento -384_-528)
Azioni sul collegamento: N=139.06 Ty=-1.59 Tz=-49.54 Mx=-0.39 Mz=-2.19
Sollecitazioni agenti localmente: Tx_l=-1.59 Ty_l=-49.54 N_l=139.06 My_l=2.19 Mz_l=-0.39
Azioni sul cordone: TP=0.57 TO=3.96 NO=10.23
Tensioni nel cordone: τ_P=0.18 τ_0=1.26 σ_0=6.45 σ_{ID}=6.57 Σ_T=7.70

CC 20 SLD (Collegamento -384_-528)
Azioni sul collegamento: N=139.06 Ty=-1.26 Tz=-49.54 Mx=-0.31 Mz=-1.67
Sollecitazioni agenti localmente: Tx_l=-1.26 Ty_l=-49.54 N_l=139.06 My_l=1.67 Mz_l=-0.31
Azioni sul cordone: TP=0.45 TO=3.89 NO=10.23
Tensioni nel cordone: τ_P=0.14 τ_0=1.24 σ_0=5.70 σ_{ID}=5.83 Σ_T=6.93
CC 20 SLD (Collegamento -384_-528)
Azioni sul collegamento: N=139.06 Ty=-1.59 Tz=-49.54 Mx=-0.39 Mz=-2.19
Sollecitazioni agenti localmente: Tx_l=-1.59 Ty_l=-49.54 N_l=139.06 My_l=2.19 Mz_l=-0.39
Azioni sul cordone: TP=0.57 TO=3.96 NO=10.23
Tensioni nel cordone: τ_P=0.18 τ_0=1.26 σ_0=6.45 σ_{ID}=6.57 Σ_T=7.70
CC 21 SLV (Collegamento -384_-528)
Azioni sul collegamento: N=122.04 Ty=-1.64 Tz=-46.91 Mx=-0.41 Mz=-2.43
Sollecitazioni agenti localmente: Tx_l=-1.64 Ty_l=-46.91 N_l=122.04 My_l=2.43 Mz_l=-0.41
Azioni sul cordone: TP=0.59 TO=3.77 NO=8.98
Tensioni nel cordone: τ_P=0.19 τ_0=1.20 σ_0=6.41 σ_{ID}=6.52 Σ_T=7.61
CC 21 SLV (Collegamento -384_-528)
Azioni sul collegamento: N=122.04 Ty=-0.58 Tz=-46.91 Mx=-0.15 Mz=-0.75
Sollecitazioni agenti localmente: Tx_l=-0.58 Ty_l=-46.91 N_l=122.04 My_l=0.75 Mz_l=-0.15
Azioni sul cordone: TP=0.21 TO=3.57 NO=8.98
Tensioni nel cordone: τ_P= 0.07 τ_0=1.13 σ_0=3.95 σ_{ID}=4.11 Σ_T=5.08
CC 21 SLV (Collegamento -384_-528)
Azioni sul collegamento: N=122.04 Ty=-1.64 Tz=-46.91 Mx=-0.41 Mz=-2.43
Sollecitazioni agenti localmente: Tx_l=-1.64 Ty_l=-46.91 N_l=122.04 My_l=2.43 Mz_l=-0.41
Azioni sul cordone: TP=0.59 TO=3.77 NO=8.98
Tensioni nel cordone: τ_P=0.19 τ_0=1.20 σ_0=6.41 σ_{ID}=6.52 Σ_T=7.61
CC 21 SLV (Collegamento -384_-528)
Azioni sul collegamento: N=122.04 Ty=-0.58 Tz=-46.91 Mx=-0.15 Mz=-0.75
Sollecitazioni agenti localmente: Tx_l=-0.58 Ty_l=-46.91 N_l=122.04 My_l=0.75 Mz_l=-0.15
Azioni sul cordone: TP=0.21 TO=3.57 NO=8.98
Tensioni nel cordone: τ_P= 0.07 τ_0=1.13 σ_0=3.95 σ_{ID}=4.11 Σ_T=5.08
CC 21 SLV (Collegamento -384_-528)
Azioni sul collegamento: N=175.65 Ty=-1.64 Tz=-55.21 Mx=-0.41 Mz=-2.43
Sollecitazioni agenti localmente: Tx_l=-1.64 Ty_l=-55.21 N_l=175.65 My_l=2.43 Mz_l=-0.41
Azioni sul cordone: TP=0.59 TO=4.38 NO=12.92
Tensioni nel cordone: τ_P=0.19 τ_0=1.39 σ_0=7.66 σ_{ID}=7.79 Σ_T=9.05
CC 21 SLV (Collegamento -384_-528)
Azioni sul collegamento: N=175.65 Ty=-0.58 Tz=-55.21 Mx=-0.15 Mz=-0.75
Sollecitazioni agenti localmente: Tx_l=-0.58 Ty_l=-55.21 N_l=175.65 My_l=0.75 Mz_l=-0.15
Azioni sul cordone: TP=0.21 TO=4.18 NO=12.92
Tensioni nel cordone: τ_P= 0.07 τ_0=1.33 σ_0=5.20 σ_{ID}=5.37 Σ_T=6.53
CC 21 SLV (Collegamento -384_-528)
Azioni sul collegamento: N=175.65 Ty=-1.64 Tz=-55.21 Mx=-0.41 Mz=-2.43
Sollecitazioni agenti localmente: Tx_l=-1.64 Ty_l=-55.21 N_l=175.65 My_l=2.43 Mz_l=-0.41
Azioni sul cordone: TP=0.59 TO=4.38 NO=12.92
Tensioni nel cordone: τ_P=0.19 τ_0=1.39 σ_0=7.66 σ_{ID}=7.79 Σ_T=9.05
CC 21 SLV (Collegamento -384_-528)
Azioni sul collegamento: N=175.65 Ty=-0.58 Tz=-55.21 Mx=-0.15 Mz=-0.75
Sollecitazioni agenti localmente: Tx_l=-0.58 Ty_l=-55.21 N_l=175.65 My_l=0.75 Mz_l=-0.15
Azioni sul cordone: TP=0.21 TO=4.18 NO=12.92
Tensioni nel cordone: τ_P= 0.07 τ_0=1.33 σ_0=5.20 σ_{ID}=5.37 Σ_T=6.53
CC 22 SLD (Collegamento -384_-528)
Azioni sul collegamento: N=139.06 Ty=-1.59 Tz=-49.54 Mx=-0.38 Mz=-2.19
Sollecitazioni agenti localmente: Tx_l=-1.59 Ty_l=-49.54 N_l=139.06 My_l=2.19 Mz_l=-0.38
Azioni sul cordone: TP=0.56 TO=3.95 NO=10.23
Tensioni nel cordone: τ_P=0.18 τ_0=1.25 σ_0=6.45 σ_{ID}=6.57 Σ_T=7.70
CC 22 SLD (Collegamento -384_-528)
Azioni sul collegamento: N=139.06 Ty=-1.26 Tz=-49.54 Mx=-0.30 Mz=-1.67
Sollecitazioni agenti localmente: Tx_l=-1.26 Ty_l=-49.54 N_l=139.06 My_l=1.67 Mz_l=-0.30
Azioni sul cordone: TP=0.44 TO=3.89 NO=10.23
Tensioni nel cordone: τ_P=0.14 τ_0=1.23 σ_0=5.70 σ_{ID}=5.83 Σ_T=6.93
CC 22 SLD (Collegamento -384_-528)
Azioni sul collegamento: N=139.06 Ty=-1.59 Tz=-49.54 Mx=-0.38 Mz=-2.19
Sollecitazioni agenti localmente: Tx_l=-1.59 Ty_l=-49.54 N_l=139.06 My_l=2.19 Mz_l=-0.38
Azioni sul cordone: TP=0.56 TO=3.95 NO=10.23
Tensioni nel cordone: τ_P=0.18 τ_0=1.25 σ_0=6.45 σ_{ID}=6.57 Σ_T=7.70
CC 22 SLD (Collegamento -384_-528)
Azioni sul collegamento: N=139.06 Ty=-1.26 Tz=-49.54 Mx=-0.30 Mz=-1.67
Sollecitazioni agenti localmente: Tx_l=-1.26 Ty_l=-49.54 N_l=139.06 My_l=1.67 Mz_l=-0.30
Azioni sul cordone: TP=0.44 TO=3.89 NO=10.23
Tensioni nel cordone: τ_P=0.14 τ_0=1.23 σ_0=5.70 σ_{ID}=5.83 Σ_T=6.93
CC 22 SLD (Collegamento -384_-528)
Azioni sul collegamento: N=155.40 Ty=-1.59 Tz=-52.07 Mx=-0.38 Mz=-2.19
Sollecitazioni agenti localmente: Tx_l=-1.59 Ty_l=-52.07 N_l=155.40 My_l=2.19 Mz_l=-0.38
Azioni sul cordone: TP=0.56 TO=4.13 NO=11.44
Tensioni nel cordone: τ_P=0.18 τ_0=1.31 σ_0=6.83 σ_{ID}=6.96 Σ_T=8.14
CC 22 SLD (Collegamento -384_-528)
Azioni sul collegamento: N=155.40 Ty=-1.26 Tz=-52.07 Mx=-0.30 Mz=-1.67
Sollecitazioni agenti localmente: Tx_l=-1.26 Ty_l=-52.07 N_l=155.40 My_l=1.67 Mz_l=-0.30
Azioni sul cordone: TP=0.44 TO=4.07 NO=11.44
Tensioni nel cordone: τ_P=0.14 τ_0=1.29 σ_0=6.08 σ_{ID}=6.22 Σ_T=7.37
CC 22 SLD (Collegamento -384_-528)

Azioni sul collegamento: N=155.40 Ty=-1.59 Tz=-52.07 Mx=-0.38 Mz=-2.19
Sollecitazioni agenti localmente: Tx_l=-1.59 Ty_l=-52.07 N_l=155.40 My_l=2.19 Mz_l=-0.38
Azioni sul cordone: TP=0.56 TO=4.13 NO=11.44
Tensioni nel cordone: τ_P=0.18 τ_0=1.31 σ_0=6.83 σ_{ID}=6.96 Σ_T=8.14
CC 22 SLD (Collegamento -384_-528)
Azioni sul collegamento: N=155.40 Ty=-1.26 Tz=-52.07 Mx=-0.30 Mz=-1.67
Sollecitazioni agenti localmente: Tx_l=-1.26 Ty_l=-52.07 N_l=155.40 My_l=1.67 Mz_l=-0.30
Azioni sul cordone: TP=0.44 TO=4.07 NO=11.44
Tensioni nel cordone: τ_P=0.14 τ_0=1.29 σ_0=6.08 σ_{ID}=6.22 Σ_T=7.37
CC 23 SLV (Collegamento -384_-528)
Azioni sul collegamento: N=121.95 Ty=-1.91 Tz=-46.90 Mx=-0.44 Mz=-2.68
Sollecitazioni agenti localmente: Tx_l=-1.91 Ty_l=-46.90 N_l=121.95 My_l=2.68 Mz_l=-0.44
Azioni sul cordone: TP=0.65 TO=3.80 NO=8.97
Tensioni nel cordone: τ_P=0.21 τ_0=1.21 σ_0=6.77 σ_{ID}=6.88 Σ_T=7.97
CC 23 SLV (Collegamento -384_-528)
Azioni sul collegamento: N=121.95 Ty=-0.30 Tz=-46.90 Mx=-0.10 Mz=-0.50
Sollecitazioni agenti localmente: Tx_l=-0.30 Ty_l=-46.90 N_l=121.95 My_l=0.50 Mz_l=-0.10
Azioni sul cordone: TP=0.14 TO=3.53 NO=8.97
Tensioni nel cordone: τ_P= 0.05 τ_0=1.12 σ_0=3.59 σ_{ID}=3.76 Σ_T=4.71
CC 23 SLV (Collegamento -384_-528)
Azioni sul collegamento: N=121.95 Ty=-1.91 Tz=-46.90 Mx=-0.44 Mz=-2.68
Sollecitazioni agenti localmente: Tx_l=-1.91 Ty_l=-46.90 N_l=121.95 My_l=2.68 Mz_l=-0.44
Azioni sul cordone: TP=0.65 TO=3.80 NO=8.97
Tensioni nel cordone: τ_P=0.21 τ_0=1.21 σ_0=6.77 σ_{ID}=6.88 Σ_T=7.97
CC 23 SLV (Collegamento -384_-528)
Azioni sul collegamento: N=121.95 Ty=-0.30 Tz=-46.90 Mx=-0.10 Mz=-0.50
Sollecitazioni agenti localmente: Tx_l=-0.30 Ty_l=-46.90 N_l=121.95 My_l=0.50 Mz_l=-0.10
Azioni sul cordone: TP=0.14 TO=3.53 NO=8.97
Tensioni nel cordone: τ_P= 0.05 τ_0=1.12 σ_0=3.59 σ_{ID}=3.76 Σ_T=4.71
CC 23 SLV (Collegamento -384_-528)
Azioni sul collegamento: N=175.74 Ty=-1.91 Tz=-55.22 Mx=-0.44 Mz=-2.68
Sollecitazioni agenti localmente: Tx_l=-1.91 Ty_l=-55.22 N_l=175.74 My_l=2.68 Mz_l=-0.44
Azioni sul cordone: TP=0.65 TO=4.41 NO=12.93
Tensioni nel cordone: τ_P=0.21 τ_0=1.40 σ_0=8.02 σ_{ID}=8.15 Σ_T=9.43
CC 23 SLV (Collegamento -384_-528)
Azioni sul collegamento: N=175.74 Ty=-0.30 Tz=-55.22 Mx=-0.10 Mz=-0.50
Sollecitazioni agenti localmente: Tx_l=-0.30 Ty_l=-55.22 N_l=175.74 My_l=0.50 Mz_l=-0.10
Azioni sul cordone: TP=0.14 TO=4.15 NO=12.93
Tensioni nel cordone: τ_P= 0.05 τ_0=1.32 σ_0=4.84 σ_{ID}=5.02 Σ_T=6.16
CC 23 SLV (Collegamento -384_-528)
Azioni sul collegamento: N=175.74 Ty=-1.91 Tz=-55.22 Mx=-0.44 Mz=-2.68
Sollecitazioni agenti localmente: Tx_l=-1.91 Ty_l=-55.22 N_l=175.74 My_l=2.68 Mz_l=-0.44
Azioni sul cordone: TP=0.65 TO=4.41 NO=12.93
Tensioni nel cordone: τ_P=0.21 τ_0=1.40 σ_0=8.02 σ_{ID}=8.15 Σ_T=9.43
CC 23 SLV (Collegamento -384_-528)
Azioni sul collegamento: N=175.74 Ty=-0.30 Tz=-55.22 Mx=-0.10 Mz=-0.50
Sollecitazioni agenti localmente: Tx_l=-0.30 Ty_l=-55.22 N_l=175.74 My_l=0.50 Mz_l=-0.10
Azioni sul cordone: TP=0.14 TO=4.15 NO=12.93
Tensioni nel cordone: τ_P= 0.05 τ_0=1.32 σ_0=4.84 σ_{ID}=5.02 Σ_T=6.16
CC 24 SLD (Collegamento -384_-528)
Azioni sul collegamento: N=139.03 Ty=-1.67 Tz=-49.54 Mx=-0.39 Mz=-2.26
Sollecitazioni agenti localmente: Tx_l=-1.67 Ty_l=-49.54 N_l=139.03 My_l=2.26 Mz_l=-0.39
Azioni sul cordone: TP=0.58 TO=3.96 NO=10.23
Tensioni nel cordone: τ_P=0.18 τ_0=1.26 σ_0=6.56 σ_{ID}=6.68 Σ_T=7.81
CC 24 SLD (Collegamento -384_-528)
Azioni sul collegamento: N=139.03 Ty=-1.18 Tz=-49.54 Mx=-0.29 Mz=-1.60
Sollecitazioni agenti localmente: Tx_l=-1.18 Ty_l=-49.54 N_l=139.03 My_l=1.60 Mz_l=-0.29
Azioni sul cordone: TP=0.42 TO=3.88 NO=10.23
Tensioni nel cordone: τ_P=0.13 τ_0=1.23 σ_0=5.59 σ_{ID}=5.72 Σ_T=6.82
CC 24 SLD (Collegamento -384_-528)
Azioni sul collegamento: N=139.03 Ty=-1.67 Tz=-49.54 Mx=-0.39 Mz=-2.26
Sollecitazioni agenti localmente: Tx_l=-1.67 Ty_l=-49.54 N_l=139.03 My_l=2.26 Mz_l=-0.39
Azioni sul cordone: TP=0.58 TO=3.96 NO=10.23
Tensioni nel cordone: τ_P=0.18 τ_0=1.26 σ_0=6.56 σ_{ID}=6.68 Σ_T=7.81
CC 24 SLD (Collegamento -384_-528)
Azioni sul collegamento: N=139.03 Ty=-1.18 Tz=-49.54 Mx=-0.29 Mz=-1.60
Sollecitazioni agenti localmente: Tx_l=-1.18 Ty_l=-49.54 N_l=139.03 My_l=1.60 Mz_l=-0.29
Azioni sul cordone: TP=0.42 TO=3.88 NO=10.23
Tensioni nel cordone: τ_P=0.13 τ_0=1.23 σ_0=5.59 σ_{ID}=5.72 Σ_T=6.82
CC 24 SLD (Collegamento -384_-528)
Azioni sul collegamento: N=155.43 Ty=-1.67 Tz=-52.08 Mx=-0.39 Mz=-2.26
Sollecitazioni agenti localmente: Tx_l=-1.67 Ty_l=-52.08 N_l=155.43 My_l=2.26 Mz_l=-0.39
Azioni sul cordone: TP=0.58 TO=4.14 NO=11.44
Tensioni nel cordone: τ_P=0.18 τ_0=1.32 σ_0=6.94 σ_{ID}=7.07 Σ_T=8.26
CC 24 SLD (Collegamento -384_-528)
Azioni sul collegamento: N=155.43 Ty=-1.18 Tz=-52.08 Mx=-0.29 Mz=-1.60
Sollecitazioni agenti localmente: Tx_l=-1.18 Ty_l=-52.08 N_l=155.43 My_l=1.60 Mz_l=-0.29
Azioni sul cordone: TP=0.42 TO=4.06 NO=11.44
Tensioni nel cordone: τ_P=0.13 τ_0=1.29 σ_0=5.97 σ_{ID}=6.11 Σ_T=7.26
CC 24 SLD (Collegamento -384_-528)
Azioni sul collegamento: N=155.43 Ty=-1.67 Tz=-52.08 Mx=-0.39 Mz=-2.26

Sollecitazioni agenti localmente: Tx_l=-1.67 Ty_l=-52.08 N_l=155.43 My_l=2.26 Mz_l=-0.39
Azioni sul cordone: TP=0.58 TO=4.14 NO=11.44
Tensioni nel cordone: τ_P=0.18 τ_0=1.32 σ_0=6.94 σ_{ID}=7.07 Σ_T=8.26
CC 24 SLD (Collegamento -384_-528)
Azioni sul collegamento: N=155.43 Ty=-1.18 Tz=-52.08 Mx=-0.29 Mz=-1.60
Sollecitazioni agenti localmente: Tx_l=-1.18 Ty_l=-52.08 N_l=155.43 My_l=1.60 Mz_l=-0.29
Azioni sul cordone: TP=0.42 TO=4.06 NO=11.44
Tensioni nel cordone: τ_P=0.13 τ_0=1.29 σ_0=5.97 σ_{ID}=6.11 Σ_T=7.26
CC 25 SLV (Collegamento -384_-528)
Azioni sul collegamento: N=157.06 Ty=-0.45 Tz=-52.33 Mx=-0.19 Mz=-0.89
Sollecitazioni agenti localmente: Tx_l=-0.45 Ty_l=-52.33 N_l=157.06 My_l=0.89 Mz_l=-0.19
Azioni sul cordone: TP=0.26 TO=4.00 NO=11.56
Tensioni nel cordone: τ_P= 0.08 τ_0=1.27 σ_0=4.97 σ_{ID}=5.13 Σ_T=6.24
CC 25 SLV (Collegamento -384_-528)
Azioni sul collegamento: N=157.06 Ty=-1.76 Tz=-52.33 Mx=-0.41 Mz=-2.29
Sollecitazioni agenti localmente: Tx_l=-1.76 Ty_l=-52.33 N_l=157.06 My_l=2.29 Mz_l=-0.41
Azioni sul cordone: TP=0.60 TO=4.17 NO=11.56
Tensioni nel cordone: τ_P=0.19 τ_0=1.33 σ_0=7.01 σ_{ID}=7.14 Σ_T=8.34
CC 25 SLV (Collegamento -384_-528)
Azioni sul collegamento: N=157.06 Ty=-0.45 Tz=-52.33 Mx=-0.19 Mz=-0.89
Sollecitazioni agenti localmente: Tx_l=-0.45 Ty_l=-52.33 N_l=157.06 My_l=0.89 Mz_l=-0.19
Azioni sul cordone: TP=0.26 TO=4.00 NO=11.56
Tensioni nel cordone: τ_P= 0.08 τ_0=1.27 σ_0=4.97 σ_{ID}=5.13 Σ_T=6.24
CC 25 SLV (Collegamento -384_-528)
Azioni sul collegamento: N=157.06 Ty=-1.76 Tz=-52.33 Mx=-0.41 Mz=-2.29
Sollecitazioni agenti localmente: Tx_l=-1.76 Ty_l=-52.33 N_l=157.06 My_l=2.29 Mz_l=-0.41
Azioni sul cordone: TP=0.60 TO=4.17 NO=11.56
Tensioni nel cordone: τ_P=0.19 τ_0=1.33 σ_0=7.01 σ_{ID}=7.14 Σ_T=8.34
CC 25 SLV (Collegamento -384_-528)
Azioni sul collegamento: N=140.63 Ty=-0.45 Tz=-49.79 Mx=-0.19 Mz=-0.89
Sollecitazioni agenti localmente: Tx_l=-0.45 Ty_l=-49.79 N_l=140.63 My_l=0.89 Mz_l=-0.19
Azioni sul cordone: TP=0.26 TO=3.82 NO=10.35
Tensioni nel cordone: τ_P= 0.08 τ_0=1.21 σ_0=4.58 σ_{ID}=4.74 Σ_T=5.80
CC 25 SLV (Collegamento -384_-528)
Azioni sul collegamento: N=140.63 Ty=-1.76 Tz=-49.79 Mx=-0.41 Mz=-2.29
Sollecitazioni agenti localmente: Tx_l=-1.76 Ty_l=-49.79 N_l=140.63 My_l=2.29 Mz_l=-0.41
Azioni sul cordone: TP=0.60 TO=3.99 NO=10.35
Tensioni nel cordone: τ_P=0.19 τ_0=1.27 σ_0=6.63 σ_{ID}=6.75 Σ_T=7.90
CC 25 SLV (Collegamento -384_-528)
Azioni sul collegamento: N=140.63 Ty=-0.45 Tz=-49.79 Mx=-0.19 Mz=-0.89
Sollecitazioni agenti localmente: Tx_l=-0.45 Ty_l=-49.79 N_l=140.63 My_l=0.89 Mz_l=-0.19
Azioni sul cordone: TP=0.26 TO=3.82 NO=10.35
Tensioni nel cordone: τ_P= 0.08 τ_0=1.21 σ_0=4.58 σ_{ID}=4.74 Σ_T=5.80
CC 25 SLV (Collegamento -384_-528)
Azioni sul collegamento: N=140.63 Ty=-1.76 Tz=-49.79 Mx=-0.41 Mz=-2.29
Sollecitazioni agenti localmente: Tx_l=-1.76 Ty_l=-49.79 N_l=140.63 My_l=2.29 Mz_l=-0.41
Azioni sul cordone: TP=0.60 TO=3.99 NO=10.35
Tensioni nel cordone: τ_P=0.19 τ_0=1.27 σ_0=6.63 σ_{ID}=6.75 Σ_T=7.90
CC 26 SLD (Collegamento -384_-528)
Azioni sul collegamento: N=149.73 Ty=-1.23 Tz=-51.20 Mx=-0.32 Mz=-1.72
Sollecitazioni agenti localmente: Tx_l=-1.23 Ty_l=-51.20 N_l=149.73 My_l=1.72 Mz_l=-0.32
Azioni sul cordone: TP=0.46 TO=4.02 NO=11.02
Tensioni nel cordone: τ_P=0.15 τ_0=1.28 σ_0=6.01 σ_{ID}=6.14 Σ_T=7.29
CC 26 SLD (Collegamento -384_-528)
Azioni sul collegamento: N=149.73 Ty=-1.63 Tz=-51.20 Mx=-0.38 Mz=-2.14
Sollecitazioni agenti localmente: Tx_l=-1.63 Ty_l=-51.20 N_l=149.73 My_l=2.14 Mz_l=-0.38
Azioni sul cordone: TP=0.56 TO=4.07 NO=11.02
Tensioni nel cordone: τ_P=0.18 τ_0=1.29 σ_0=6.63 σ_{ID}=6.76 Σ_T=7.93
CC 26 SLD (Collegamento -384_-528)
Azioni sul collegamento: N=149.73 Ty=-1.23 Tz=-51.20 Mx=-0.32 Mz=-1.72
Sollecitazioni agenti localmente: Tx_l=-1.23 Ty_l=-51.20 N_l=149.73 My_l=1.72 Mz_l=-0.32
Azioni sul cordone: TP=0.46 TO=4.02 NO=11.02
Tensioni nel cordone: τ_P=0.15 τ_0=1.28 σ_0=6.01 σ_{ID}=6.14 Σ_T=7.29
CC 26 SLD (Collegamento -384_-528)
Azioni sul collegamento: N=149.73 Ty=-1.63 Tz=-51.20 Mx=-0.38 Mz=-2.14
Sollecitazioni agenti localmente: Tx_l=-1.63 Ty_l=-51.20 N_l=149.73 My_l=2.14 Mz_l=-0.38
Azioni sul cordone: TP=0.56 TO=4.07 NO=11.02
Tensioni nel cordone: τ_P=0.18 τ_0=1.29 σ_0=6.63 σ_{ID}=6.76 Σ_T=7.93
CC 26 SLD (Collegamento -384_-528)
Azioni sul collegamento: N=144.73 Ty=-1.23 Tz=-50.42 Mx=-0.32 Mz=-1.72
Sollecitazioni agenti localmente: Tx_l=-1.23 Ty_l=-50.42 N_l=144.73 My_l=1.72 Mz_l=-0.32
Azioni sul cordone: TP=0.46 TO=3.96 NO=10.65
Tensioni nel cordone: τ_P=0.15 τ_0=1.26 σ_0=5.89 σ_{ID}=6.03 Σ_T=7.15
CC 26 SLD (Collegamento -384_-528)
Azioni sul collegamento: N=144.73 Ty=-1.63 Tz=-50.42 Mx=-0.38 Mz=-2.14
Sollecitazioni agenti localmente: Tx_l=-1.63 Ty_l=-50.42 N_l=144.73 My_l=2.14 Mz_l=-0.38
Azioni sul cordone: TP=0.56 TO=4.01 NO=10.65
Tensioni nel cordone: τ_P=0.18 τ_0=1.28 σ_0=6.52 σ_{ID}=6.64 Σ_T=7.79
CC 26 SLD (Collegamento -384_-528)
Azioni sul collegamento: N=144.73 Ty=-1.23 Tz=-50.42 Mx=-0.32 Mz=-1.72
Sollecitazioni agenti localmente: Tx_l=-1.23 Ty_l=-50.42 N_l=144.73 My_l=1.72 Mz_l=-0.32

Azioni sul cordone: TP=0.46 TO=3.96 NO=10.65
Tensioni nel cordone: τ_P=0.15 τ_0=1.26 σ_0=5.89 σ_{ID}=6.03 Σ_T=7.15
CC 26 SLD (Collegamento -384_-528)
Azioni sul collegamento: N=144.73 Ty=-1.63 Tz=-50.42 Mx=-0.38 Mz=-2.14
Sollecitazioni agenti localmente: Tx_l=-1.63 Ty_l=-50.42 N_l=144.73 My_l=2.14 Mz_l=-0.38
Azioni sul cordone: TP=0.56 TO=4.01 NO=10.65
Tensioni nel cordone: τ_P=0.18 τ_0=1.28 σ_0=6.52 σ_{ID}=6.64 Σ_T=7.79
CC 27 SLV (Collegamento -384_-528)
Azioni sul collegamento: N=140.95 Ty=-0.85 Tz=-49.84 Mx=-0.27 Mz=-1.47
Sollecitazioni agenti localmente: Tx_l=-0.85 Ty_l=-49.84 N_l=140.95 My_l=1.47 Mz_l=-0.27
Azioni sul cordone: TP=0.38 TO=3.88 NO=10.37
Tensioni nel cordone: τ_P=0.12 τ_0=1.23 σ_0=5.44 σ_{ID}=5.58 Σ_T=6.67
CC 27 SLV (Collegamento -384_-528)
Azioni sul collegamento: N=140.95 Ty=-1.36 Tz=-49.84 Mx=-0.31 Mz=-1.71
Sollecitazioni agenti localmente: Tx_l=-1.36 Ty_l=-49.84 N_l=140.95 My_l=1.71 Mz_l=-0.31
Azioni sul cordone: TP=0.46 TO=3.91 NO=10.37
Tensioni nel cordone: τ_P=0.15 τ_0=1.24 σ_0=5.79 σ_{ID}=5.93 Σ_T=7.04
CC 27 SLV (Collegamento -384_-528)
Azioni sul collegamento: N=140.95 Ty=-0.85 Tz=-49.84 Mx=-0.27 Mz=-1.47
Sollecitazioni agenti localmente: Tx_l=-0.85 Ty_l=-49.84 N_l=140.95 My_l=1.47 Mz_l=-0.27
Azioni sul cordone: TP=0.38 TO=3.88 NO=10.37
Tensioni nel cordone: τ_P=0.12 τ_0=1.23 σ_0=5.44 σ_{ID}=5.58 Σ_T=6.67
CC 27 SLV (Collegamento -384_-528)
Azioni sul collegamento: N=140.95 Ty=-1.36 Tz=-49.84 Mx=-0.31 Mz=-1.71
Sollecitazioni agenti localmente: Tx_l=-1.36 Ty_l=-49.84 N_l=140.95 My_l=1.71 Mz_l=-0.31
Azioni sul cordone: TP=0.46 TO=3.91 NO=10.37
Tensioni nel cordone: τ_P=0.15 τ_0=1.24 σ_0=5.79 σ_{ID}=5.93 Σ_T=7.04
CC 27 SLV (Collegamento -384_-528)
Azioni sul collegamento: N=156.74 Ty=-0.85 Tz=-52.28 Mx=-0.27 Mz=-1.47
Sollecitazioni agenti localmente: Tx_l=-0.85 Ty_l=-52.28 N_l=156.74 My_l=1.47 Mz_l=-0.27
Azioni sul cordone: TP=0.38 TO=4.06 NO=11.53
Tensioni nel cordone: τ_P=0.12 τ_0=1.29 σ_0=5.81 σ_{ID}=5.95 Σ_T=7.10
CC 27 SLV (Collegamento -384_-528)
Azioni sul collegamento: N=156.74 Ty=-1.36 Tz=-52.28 Mx=-0.31 Mz=-1.71
Sollecitazioni agenti localmente: Tx_l=-1.36 Ty_l=-52.28 N_l=156.74 My_l=1.71 Mz_l=-0.31
Azioni sul cordone: TP=0.46 TO=4.09 NO=11.53
Tensioni nel cordone: τ_P=0.15 τ_0=1.30 σ_0=6.16 σ_{ID}=6.30 Σ_T=7.46
CC 27 SLV (Collegamento -384_-528)
Azioni sul collegamento: N=156.74 Ty=-0.85 Tz=-52.28 Mx=-0.27 Mz=-1.47
Sollecitazioni agenti localmente: Tx_l=-0.85 Ty_l=-52.28 N_l=156.74 My_l=1.47 Mz_l=-0.27
Azioni sul cordone: TP=0.38 TO=4.06 NO=11.53
Tensioni nel cordone: τ_P=0.12 τ_0=1.29 σ_0=5.81 σ_{ID}=5.95 Σ_T=7.10
CC 27 SLV (Collegamento -384_-528)
Azioni sul collegamento: N=156.74 Ty=-1.36 Tz=-52.28 Mx=-0.31 Mz=-1.71
Sollecitazioni agenti localmente: Tx_l=-1.36 Ty_l=-52.28 N_l=156.74 My_l=1.71 Mz_l=-0.31
Azioni sul cordone: TP=0.46 TO=4.09 NO=11.53
Tensioni nel cordone: τ_P=0.15 τ_0=1.30 σ_0=6.16 σ_{ID}=6.30 Σ_T=7.46
CC 28 SLD (Collegamento -384_-528)
Azioni sul collegamento: N=144.82 Ty=-1.35 Tz=-50.44 Mx=-0.34 Mz=-1.89
Sollecitazioni agenti localmente: Tx_l=-1.35 Ty_l=-50.44 N_l=144.82 My_l=1.89 Mz_l=-0.34
Azioni sul cordone: TP=0.49 TO=3.98 NO=10.66
Tensioni nel cordone: τ_P=0.16 τ_0=1.27 σ_0=6.15 σ_{ID}=6.28 Σ_T=7.42
CC 28 SLD (Collegamento -384_-528)
Azioni sul collegamento: N=144.82 Ty=-1.50 Tz=-50.44 Mx=-0.35 Mz=-1.97
Sollecitazioni agenti localmente: Tx_l=-1.50 Ty_l=-50.44 N_l=144.82 My_l=1.97 Mz_l=-0.35
Azioni sul cordone: TP=0.52 TO=3.99 NO=10.66
Tensioni nel cordone: τ_P=0.16 τ_0=1.27 σ_0=6.26 σ_{ID}=6.39 Σ_T=7.53
CC 28 SLD (Collegamento -384_-528)
Azioni sul collegamento: N=144.82 Ty=-1.35 Tz=-50.44 Mx=-0.34 Mz=-1.89
Sollecitazioni agenti localmente: Tx_l=-1.35 Ty_l=-50.44 N_l=144.82 My_l=1.89 Mz_l=-0.34
Azioni sul cordone: TP=0.49 TO=3.98 NO=10.66
Tensioni nel cordone: τ_P=0.16 τ_0=1.27 σ_0=6.15 σ_{ID}=6.28 Σ_T=7.42
CC 28 SLD (Collegamento -384_-528)
Azioni sul collegamento: N=144.82 Ty=-1.50 Tz=-50.44 Mx=-0.35 Mz=-1.97
Sollecitazioni agenti localmente: Tx_l=-1.50 Ty_l=-50.44 N_l=144.82 My_l=1.97 Mz_l=-0.35
Azioni sul cordone: TP=0.52 TO=3.99 NO=10.66
Tensioni nel cordone: τ_P=0.16 τ_0=1.27 σ_0=6.26 σ_{ID}=6.39 Σ_T=7.53
CC 28 SLD (Collegamento -384_-528)
Azioni sul collegamento: N=149.64 Ty=-1.35 Tz=-51.18 Mx=-0.34 Mz=-1.89
Sollecitazioni agenti localmente: Tx_l=-1.35 Ty_l=-51.18 N_l=149.64 My_l=1.89 Mz_l=-0.34
Azioni sul cordone: TP=0.49 TO=4.04 NO=11.01
Tensioni nel cordone: τ_P=0.16 τ_0=1.28 σ_0=6.27 σ_{ID}=6.40 Σ_T=7.55
CC 28 SLD (Collegamento -384_-528)
Azioni sul collegamento: N=149.64 Ty=-1.50 Tz=-51.18 Mx=-0.35 Mz=-1.97
Sollecitazioni agenti localmente: Tx_l=-1.50 Ty_l=-51.18 N_l=149.64 My_l=1.97 Mz_l=-0.35
Azioni sul cordone: TP=0.52 TO=4.05 NO=11.01
Tensioni nel cordone: τ_P=0.16 τ_0=1.29 σ_0=6.37 σ_{ID}=6.50 Σ_T=7.66
CC 28 SLD (Collegamento -384_-528)
Azioni sul collegamento: N=149.64 Ty=-1.35 Tz=-51.18 Mx=-0.34 Mz=-1.89
Sollecitazioni agenti localmente: Tx_l=-1.35 Ty_l=-51.18 N_l=149.64 My_l=1.89 Mz_l=-0.34
Azioni sul cordone: TP=0.49 TO=4.04 NO=11.01

Tensioni nel cordone: τ_P=0.16 τ_0=1.28 σ_0=6.27 σ_{ID}=6.40 Σ_T=7.55
CC 28 SLD (Collegamento -384_-528)
Azioni sul collegamento: N=149.64 Ty=-1.50 Tz=-51.18 Mx=-0.35 Mz=-1.97
Sollecitazioni agenti localmente: Tx_l=-1.50 Ty_l=-51.18 N_l=149.64 My_l=1.97 Mz_l=-0.35
Azioni sul cordone: TP=0.52 TO=4.05 NO=11.01
Tensioni nel cordone: τ_P=0.16 τ_0=1.29 σ_0=6.37 σ_{ID}=6.50 Σ_T=7.66
CC 29 SLV (Collegamento -384_-528)
Azioni sul collegamento: N=156.74 Ty=-1.36 Tz=-52.28 Mx=-0.31 Mz=-1.71
Sollecitazioni agenti localmente: Tx_l=-1.36 Ty_l=-52.28 N_l=156.74 My_l=1.71 Mz_l=-0.31
Azioni sul cordone: TP=0.46 TO=4.09 NO=11.53
Tensioni nel cordone: τ_P=0.15 τ_0=1.30 σ_0=6.16 σ_{ID}=6.30 Σ_T=7.46
CC 29 SLV (Collegamento -384_-528)
Azioni sul collegamento: N=156.74 Ty=-0.85 Tz=-52.28 Mx=-0.27 Mz=-1.47
Sollecitazioni agenti localmente: Tx_l=-0.85 Ty_l=-52.28 N_l=156.74 My_l=1.47 Mz_l=-0.27
Azioni sul cordone: TP=0.38 TO=4.06 NO=11.53
Tensioni nel cordone: τ_P=0.12 τ_0=1.29 σ_0=5.81 σ_{ID}=5.95 Σ_T=7.10
CC 29 SLV (Collegamento -384_-528)
Azioni sul collegamento: N=156.74 Ty=-1.36 Tz=-52.28 Mx=-0.31 Mz=-1.71
Sollecitazioni agenti localmente: Tx_l=-1.36 Ty_l=-52.28 N_l=156.74 My_l=1.71 Mz_l=-0.31
Azioni sul cordone: TP=0.46 TO=4.09 NO=11.53
Tensioni nel cordone: τ_P=0.15 τ_0=1.30 σ_0=6.16 σ_{ID}=6.30 Σ_T=7.46
CC 29 SLV (Collegamento -384_-528)
Azioni sul collegamento: N=156.74 Ty=-0.85 Tz=-52.28 Mx=-0.27 Mz=-1.47
Sollecitazioni agenti localmente: Tx_l=-0.85 Ty_l=-52.28 N_l=156.74 My_l=1.47 Mz_l=-0.27
Azioni sul cordone: TP=0.38 TO=4.06 NO=11.53
Tensioni nel cordone: τ_P=0.12 τ_0=1.29 σ_0=5.81 σ_{ID}=5.95 Σ_T=7.10
CC 29 SLV (Collegamento -384_-528)
Azioni sul collegamento: N=140.95 Ty=-1.36 Tz=-49.84 Mx=-0.31 Mz=-1.71
Sollecitazioni agenti localmente: Tx_l=-1.36 Ty_l=-49.84 N_l=140.95 My_l=1.71 Mz_l=-0.31
Azioni sul cordone: TP=0.46 TO=3.91 NO=10.37
Tensioni nel cordone: τ_P=0.15 τ_0=1.24 σ_0=5.79 σ_{ID}=5.93 Σ_T=7.04
CC 29 SLV (Collegamento -384_-528)
Azioni sul collegamento: N=140.95 Ty=-0.85 Tz=-49.84 Mx=-0.27 Mz=-1.47
Sollecitazioni agenti localmente: Tx_l=-0.85 Ty_l=-49.84 N_l=140.95 My_l=1.47 Mz_l=-0.27
Azioni sul cordone: TP=0.38 TO=3.88 NO=10.37
Tensioni nel cordone: τ_P=0.12 τ_0=1.23 σ_0=5.44 σ_{ID}=5.58 Σ_T=6.67
CC 29 SLV (Collegamento -384_-528)
Azioni sul collegamento: N=140.95 Ty=-1.36 Tz=-49.84 Mx=-0.31 Mz=-1.71
Sollecitazioni agenti localmente: Tx_l=-1.36 Ty_l=-49.84 N_l=140.95 My_l=1.71 Mz_l=-0.31
Azioni sul cordone: TP=0.46 TO=3.91 NO=10.37
Tensioni nel cordone: τ_P=0.15 τ_0=1.24 σ_0=5.79 σ_{ID}=5.93 Σ_T=7.04
CC 29 SLV (Collegamento -384_-528)
Azioni sul collegamento: N=140.95 Ty=-0.85 Tz=-49.84 Mx=-0.27 Mz=-1.47
Sollecitazioni agenti localmente: Tx_l=-0.85 Ty_l=-49.84 N_l=140.95 My_l=1.47 Mz_l=-0.27
Azioni sul cordone: TP=0.38 TO=3.88 NO=10.37
Tensioni nel cordone: τ_P=0.12 τ_0=1.23 σ_0=5.44 σ_{ID}=5.58 Σ_T=6.67
CC 30 SLD (Collegamento -384_-528)
Azioni sul collegamento: N=149.64 Ty=-1.50 Tz=-51.18 Mx=-0.36 Mz=-1.97
Sollecitazioni agenti localmente: Tx_l=-1.50 Ty_l=-51.18 N_l=149.64 My_l=1.97 Mz_l=-0.36
Azioni sul cordone: TP=0.52 TO=4.05 NO=11.01
Tensioni nel cordone: τ_P=0.17 τ_0=1.29 σ_0=6.37 σ_{ID}=6.50 Σ_T=7.66
CC 30 SLD (Collegamento -384_-528)
Azioni sul collegamento: N=149.64 Ty=-1.35 Tz=-51.18 Mx=-0.34 Mz=-1.89
Sollecitazioni agenti localmente: Tx_l=-1.35 Ty_l=-51.18 N_l=149.64 My_l=1.89 Mz_l=-0.34
Azioni sul cordone: TP=0.49 TO=4.04 NO=11.01
Tensioni nel cordone: τ_P=0.16 τ_0=1.28 σ_0=6.26 σ_{ID}=6.40 Σ_T=7.55
CC 30 SLD (Collegamento -384_-528)
Azioni sul collegamento: N=149.64 Ty=-1.50 Tz=-51.18 Mx=-0.36 Mz=-1.97
Sollecitazioni agenti localmente: Tx_l=-1.50 Ty_l=-51.18 N_l=149.64 My_l=1.97 Mz_l=-0.36
Azioni sul cordone: TP=0.52 TO=4.05 NO=11.01
Tensioni nel cordone: τ_P=0.17 τ_0=1.29 σ_0=6.37 σ_{ID}=6.50 Σ_T=7.66
CC 30 SLD (Collegamento -384_-528)
Azioni sul collegamento: N=149.64 Ty=-1.35 Tz=-51.18 Mx=-0.34 Mz=-1.89
Sollecitazioni agenti localmente: Tx_l=-1.35 Ty_l=-51.18 N_l=149.64 My_l=1.89 Mz_l=-0.34
Azioni sul cordone: TP=0.49 TO=4.04 NO=11.01
Tensioni nel cordone: τ_P=0.16 τ_0=1.28 σ_0=6.26 σ_{ID}=6.40 Σ_T=7.55
CC 30 SLD (Collegamento -384_-528)
Azioni sul collegamento: N=144.82 Ty=-1.50 Tz=-50.44 Mx=-0.36 Mz=-1.97
Sollecitazioni agenti localmente: Tx_l=-1.50 Ty_l=-50.44 N_l=144.82 My_l=1.97 Mz_l=-0.36
Azioni sul cordone: TP=0.52 TO=3.99 NO=10.66
Tensioni nel cordone: τ_P=0.17 τ_0=1.27 σ_0=6.26 σ_{ID}=6.39 Σ_T=7.53
CC 30 SLD (Collegamento -384_-528)
Azioni sul collegamento: N=144.82 Ty=-1.35 Tz=-50.44 Mx=-0.34 Mz=-1.89
Sollecitazioni agenti localmente: Tx_l=-1.35 Ty_l=-50.44 N_l=144.82 My_l=1.89 Mz_l=-0.34
Azioni sul cordone: TP=0.49 TO=3.98 NO=10.66
Tensioni nel cordone: τ_P=0.16 τ_0=1.27 σ_0=6.15 σ_{ID}=6.28 Σ_T=7.42
CC 30 SLD (Collegamento -384_-528)
Azioni sul collegamento: N=144.82 Ty=-1.50 Tz=-50.44 Mx=-0.36 Mz=-1.97
Sollecitazioni agenti localmente: Tx_l=-1.50 Ty_l=-50.44 N_l=144.82 My_l=1.97 Mz_l=-0.36
Azioni sul cordone: TP=0.52 TO=3.99 NO=10.66
Tensioni nel cordone: τ_P=0.17 τ_0=1.27 σ_0=6.26 σ_{ID}=6.39 Σ_T=7.53

CC 30 SLD (Collegamento -384_-528)
Azioni sul collegamento: N=144.82 Ty=-1.35 Tz=-50.44 Mx=-0.34 Mz=-1.89
Sollecitazioni agenti localmente: Tx_l=-1.35 Ty_l=-50.44 N_l=144.82 My_l=1.89 Mz_l=-0.34
Azioni sul cordone: TP=0.49 TO=3.98 NO=10.66
Tensioni nel cordone: τ_P=0.16 τ_0=1.27 σ_0=6.15 σ_{ID}=6.28 Σ_T=7.42
CC 31 SLV (Collegamento -384_-528)
Azioni sul collegamento: N=140.63 Ty=-1.76 Tz=-49.79 Mx=-0.39 Mz=-2.29
Sollecitazioni agenti localmente: Tx_l=-1.76 Ty_l=-49.79 N_l=140.63 My_l=2.29 Mz_l=-0.39
Azioni sul cordone: TP=0.58 TO=3.97 NO=10.35
Tensioni nel cordone: τ_P=0.18 τ_0=1.26 σ_0=6.63 σ_{ID}=6.76 Σ_T=7.90
CC 31 SLV (Collegamento -384_-528)
Azioni sul collegamento: N=140.63 Ty=-0.45 Tz=-49.79 Mx=-0.17 Mz=-0.89
Sollecitazioni agenti localmente: Tx_l=-0.45 Ty_l=-49.79 N_l=140.63 My_l=0.89 Mz_l=-0.17
Azioni sul cordone: TP=0.23 TO=3.80 NO=10.35
Tensioni nel cordone: τ_P= 0.07 τ_0=1.21 σ_0=4.59 σ_{ID}=4.75 Σ_T=5.80
CC 31 SLV (Collegamento -384_-528)
Azioni sul collegamento: N=140.63 Ty=-1.76 Tz=-49.79 Mx=-0.39 Mz=-2.29
Sollecitazioni agenti localmente: Tx_l=-1.76 Ty_l=-49.79 N_l=140.63 My_l=2.29 Mz_l=-0.39
Azioni sul cordone: TP=0.58 TO=3.97 NO=10.35
Tensioni nel cordone: τ_P=0.18 τ_0=1.26 σ_0=6.63 σ_{ID}=6.76 Σ_T=7.90
CC 31 SLV (Collegamento -384_-528)
Azioni sul collegamento: N=140.63 Ty=-0.45 Tz=-49.79 Mx=-0.17 Mz=-0.89
Sollecitazioni agenti localmente: Tx_l=-0.45 Ty_l=-49.79 N_l=140.63 My_l=0.89 Mz_l=-0.17
Azioni sul cordone: TP=0.23 TO=3.80 NO=10.35
Tensioni nel cordone: τ_P= 0.07 τ_0=1.21 σ_0=4.59 σ_{ID}=4.75 Σ_T=5.80
CC 31 SLV (Collegamento -384_-528)
Azioni sul collegamento: N=157.06 Ty=-1.76 Tz=-52.33 Mx=-0.39 Mz=-2.29
Sollecitazioni agenti localmente: Tx_l=-1.76 Ty_l=-52.33 N_l=157.06 My_l=2.29 Mz_l=-0.39
Azioni sul cordone: TP=0.58 TO=4.16 NO=11.56
Tensioni nel cordone: τ_P=0.18 τ_0=1.32 σ_0=7.02 σ_{ID}=7.14 Σ_T=8.34
CC 31 SLV (Collegamento -384_-528)
Azioni sul collegamento: N=157.06 Ty=-0.45 Tz=-52.33 Mx=-0.17 Mz=-0.89
Sollecitazioni agenti localmente: Tx_l=-0.45 Ty_l=-52.33 N_l=157.06 My_l=0.89 Mz_l=-0.17
Azioni sul cordone: TP=0.23 TO=3.99 NO=11.56
Tensioni nel cordone: τ_P= 0.07 τ_0=1.27 σ_0=4.97 σ_{ID}=5.13 Σ_T=6.24
CC 31 SLV (Collegamento -384_-528)
Azioni sul collegamento: N=157.06 Ty=-1.76 Tz=-52.33 Mx=-0.39 Mz=-2.29
Sollecitazioni agenti localmente: Tx_l=-1.76 Ty_l=-52.33 N_l=157.06 My_l=2.29 Mz_l=-0.39
Azioni sul cordone: TP=0.58 TO=4.16 NO=11.56
Tensioni nel cordone: τ_P=0.18 τ_0=1.32 σ_0=7.02 σ_{ID}=7.14 Σ_T=8.34
CC 31 SLV (Collegamento -384_-528)
Azioni sul collegamento: N=157.06 Ty=-0.45 Tz=-52.33 Mx=-0.17 Mz=-0.89
Sollecitazioni agenti localmente: Tx_l=-0.45 Ty_l=-52.33 N_l=157.06 My_l=0.89 Mz_l=-0.17
Azioni sul cordone: TP=0.23 TO=3.99 NO=11.56
Tensioni nel cordone: τ_P= 0.07 τ_0=1.27 σ_0=4.97 σ_{ID}=5.13 Σ_T=6.24
CC 32 SLD (Collegamento -384_-528)
Azioni sul collegamento: N=144.73 Ty=-1.63 Tz=-50.42 Mx=-0.38 Mz=-2.14
Sollecitazioni agenti localmente: Tx_l=-1.63 Ty_l=-50.42 N_l=144.73 My_l=2.14 Mz_l=-0.38
Azioni sul cordone: TP=0.56 TO=4.01 NO=10.65
Tensioni nel cordone: τ_P=0.18 τ_0=1.27 σ_0=6.52 σ_{ID}=6.64 Σ_T=7.79
CC 32 SLD (Collegamento -384_-528)
Azioni sul collegamento: N=144.73 Ty=-1.23 Tz=-50.42 Mx=-0.31 Mz=-1.72
Sollecitazioni agenti localmente: Tx_l=-1.23 Ty_l=-50.42 N_l=144.73 My_l=1.72 Mz_l=-0.31
Azioni sul cordone: TP=0.45 TO=3.96 NO=10.65
Tensioni nel cordone: τ_P=0.14 τ_0=1.26 σ_0=5.89 σ_{ID}=6.03 Σ_T=7.15
CC 32 SLD (Collegamento -384_-528)
Azioni sul collegamento: N=144.73 Ty=-1.63 Tz=-50.42 Mx=-0.38 Mz=-2.14
Sollecitazioni agenti localmente: Tx_l=-1.63 Ty_l=-50.42 N_l=144.73 My_l=2.14 Mz_l=-0.38
Azioni sul cordone: TP=0.56 TO=4.01 NO=10.65
Tensioni nel cordone: τ_P=0.18 τ_0=1.27 σ_0=6.52 σ_{ID}=6.64 Σ_T=7.79
CC 32 SLD (Collegamento -384_-528)
Azioni sul collegamento: N=144.73 Ty=-1.23 Tz=-50.42 Mx=-0.31 Mz=-1.72
Sollecitazioni agenti localmente: Tx_l=-1.23 Ty_l=-50.42 N_l=144.73 My_l=1.72 Mz_l=-0.31
Azioni sul cordone: TP=0.45 TO=3.96 NO=10.65
Tensioni nel cordone: τ_P=0.14 τ_0=1.26 σ_0=5.89 σ_{ID}=6.03 Σ_T=7.15
CC 32 SLD (Collegamento -384_-528)
Azioni sul collegamento: N=149.73 Ty=-1.63 Tz=-51.20 Mx=-0.38 Mz=-2.14
Sollecitazioni agenti localmente: Tx_l=-1.63 Ty_l=-51.20 N_l=149.73 My_l=2.14 Mz_l=-0.38
Azioni sul cordone: TP=0.56 TO=4.07 NO=11.02
Tensioni nel cordone: τ_P=0.18 τ_0=1.29 σ_0=6.63 σ_{ID}=6.76 Σ_T=7.93
CC 32 SLD (Collegamento -384_-528)
Azioni sul collegamento: N=149.73 Ty=-1.23 Tz=-51.20 Mx=-0.31 Mz=-1.72
Sollecitazioni agenti localmente: Tx_l=-1.23 Ty_l=-51.20 N_l=149.73 My_l=1.72 Mz_l=-0.31
Azioni sul cordone: TP=0.45 TO=4.01 NO=11.02
Tensioni nel cordone: τ_P=0.14 τ_0=1.28 σ_0=6.01 σ_{ID}=6.15 Σ_T=7.29
CC 32 SLD (Collegamento -384_-528)
Azioni sul collegamento: N=149.73 Ty=-1.63 Tz=-51.20 Mx=-0.38 Mz=-2.14
Sollecitazioni agenti localmente: Tx_l=-1.63 Ty_l=-51.20 N_l=149.73 My_l=2.14 Mz_l=-0.38
Azioni sul cordone: TP=0.56 TO=4.07 NO=11.02
Tensioni nel cordone: τ_P=0.18 τ_0=1.29 σ_0=6.63 σ_{ID}=6.76 Σ_T=7.93
CC 32 SLD (Collegamento -384_-528)

Azioni sul collegamento: N=149.73 Ty=-1.23 Tz=-51.20 Mx=-0.31 Mz=-1.72
Sollecitazioni agenti localmente: Tx_l=-1.23 Ty_l=-51.20 N_l=149.73 My_l=1.72 Mz_l=-0.31
Azioni sul cordone: TP=0.45 TO=4.01 NO=11.02
Tensioni nel cordone: τ_P=0.14 τ_0=1.28 σ_0=6.01 σ_{ID}=6.15 Σ_T=7.29
CC 33 SLU (Collegamento -384_-528)
Azioni sul collegamento: N=369.96 Ty=-3.32 Tz=-95.09 Mx=-0.79 Mz=-4.42
Sollecitazioni agenti localmente: Tx_l=-3.32 Ty_l=-95.09 N_l=369.96 My_l=4.42 Mz_l=-0.79
Azioni sul cordone: TP=1.16 TO=7.62 NO=27.22
Tensioni nel cordone: τ_P=0.37 τ_0=2.42 σ_0=15.11 σ_{ID}=15.31 Σ_T=17.53
CC 34 SLU (Collegamento -384_-528)
Azioni sul collegamento: N=364.37 Ty=-3.18 Tz=-94.22 Mx=-0.76 Mz=-4.22
Sollecitazioni agenti localmente: Tx_l=-3.18 Ty_l=-94.22 N_l=364.37 My_l=4.22 Mz_l=-0.76
Azioni sul cordone: TP=1.11 TO=7.53 NO=26.81
Tensioni nel cordone: τ_P=0.35 τ_0=2.39 σ_0=14.68 σ_{ID}=14.88 Σ_T=17.08
CC 35 SLU (Collegamento -384_-528)
Azioni sul collegamento: N=367.15 Ty=-3.20 Tz=-94.65 Mx=-0.77 Mz=-4.28
Sollecitazioni agenti localmente: Tx_l=-3.20 Ty_l=-94.65 N_l=367.15 My_l=4.28 Mz_l=-0.77
Azioni sul cordone: TP=1.12 TO=7.57 NO=27.02
Tensioni nel cordone: τ_P=0.36 τ_0=2.41 σ_0=14.84 σ_{ID}=15.03 Σ_T=17.24
CC 36 SLU (Collegamento -384_-528)
Azioni sul collegamento: N=367.19 Ty=-3.29 Tz=-94.66 Mx=-0.78 Mz=-4.36
Sollecitazioni agenti localmente: Tx_l=-3.29 Ty_l=-94.66 N_l=367.19 My_l=4.36 Mz_l=-0.78
Azioni sul cordone: TP=1.14 TO=7.58 NO=27.02
Tensioni nel cordone: τ_P=0.36 τ_0=2.41 σ_0=14.96 σ_{ID}=15.16 Σ_T=17.37
CC 37 SLU (Collegamento -384_-528)
Azioni sul collegamento: N=302.66 Ty=-3.15 Tz=-84.67 Mx=-0.78 Mz=-4.37
Sollecitazioni agenti localmente: Tx_l=-3.15 Ty_l=-84.67 N_l=302.66 My_l=4.37 Mz_l=-0.78
Azioni sul cordone: TP=1.13 TO=6.84 NO=22.27
Tensioni nel cordone: τ_P=0.36 τ_0=2.18 σ_0=13.46 σ_{ID}=13.64 Σ_T=15.64
CC 38 SLU (Collegamento -384_-528)
Azioni sul collegamento: N=297.07 Ty=-3.01 Tz=-83.81 Mx=-0.74 Mz=-4.17
Sollecitazioni agenti localmente: Tx_l=-3.01 Ty_l=-83.81 N_l=297.07 My_l=4.17 Mz_l=-0.74
Azioni sul cordone: TP=1.08 TO=6.75 NO=21.86
Tensioni nel cordone: τ_P=0.34 τ_0=2.15 σ_0=13.04 σ_{ID}=13.22 Σ_T=15.18
CC 39 SLU (Collegamento -384_-528)
Azioni sul collegamento: N=299.85 Ty=-3.03 Tz=-84.23 Mx=-0.76 Mz=-4.23
Sollecitazioni agenti localmente: Tx_l=-3.03 Ty_l=-84.23 N_l=299.85 My_l=4.23 Mz_l=-0.76
Azioni sul cordone: TP=1.09 TO=6.79 NO=22.06
Tensioni nel cordone: τ_P=0.35 τ_0=2.16 σ_0=13.19 σ_{ID}=13.37 Σ_T=15.35
CC 40 SLU (Collegamento -384_-528)
Azioni sul collegamento: N=299.89 Ty=-3.13 Tz=-84.24 Mx=-0.77 Mz=-4.31
Sollecitazioni agenti localmente: Tx_l=-3.13 Ty_l=-84.24 N_l=299.89 My_l=4.31 Mz_l=-0.77
Azioni sul cordone: TP=1.12 TO=6.80 NO=22.07
Tensioni nel cordone: τ_P=0.35 τ_0=2.16 σ_0=13.31 σ_{ID}=13.49 Σ_T=15.47
CC 41 SLU (Collegamento -384_-528)
Azioni sul collegamento: N=334.14 Ty=1.91 Tz=-89.54 Mx=0.47 Mz=2.77
Sollecitazioni agenti localmente: Tx_l=1.91 Ty_l=-89.54 N_l=334.14 My_l=-2.77 Mz_l=0.47
Azioni sul cordone: TP=-0.69 TO=6.96 NO=24.59
Tensioni nel cordone: τ_P=0.22 τ_0=2.21 σ_0=11.86 σ_{ID}=12.07 Σ_T=14.07
CC 42 SLU (Collegamento -384_-528)
Azioni sul collegamento: N=328.55 Ty=2.05 Tz=-88.68 Mx=0.51 Mz=2.97
Sollecitazioni agenti localmente: Tx_l=2.05 Ty_l=-88.68 N_l=328.55 My_l=-2.97 Mz_l=0.51
Azioni sul cordone: TP=-0.74 TO=6.93 NO=24.18
Tensioni nel cordone: τ_P=0.23 τ_0=2.20 σ_0=12.02 σ_{ID}=12.22 Σ_T=14.22
CC 43 SLU (Collegamento -384_-528)
Azioni sul collegamento: N=331.32 Ty=2.03 Tz=-89.11 Mx=0.50 Mz=2.91
Sollecitazioni agenti localmente: Tx_l=2.03 Ty_l=-89.11 N_l=331.32 My_l=-2.91 Mz_l=0.50
Azioni sul cordone: TP=-0.72 TO=6.95 NO=24.38
Tensioni nel cordone: τ_P=0.23 τ_0=2.21 σ_0=12.00 σ_{ID}=12.20 Σ_T=14.21
CC 44 SLU (Collegamento -384_-528)
Azioni sul collegamento: N=331.37 Ty=1.94 Tz=-89.11 Mx=0.48 Mz=2.83
Sollecitazioni agenti localmente: Tx_l=1.94 Ty_l=-89.11 N_l=331.37 My_l=-2.83 Mz_l=0.48
Azioni sul cordone: TP=-0.70 TO=6.94 NO=24.38
Tensioni nel cordone: τ_P=0.22 τ_0=2.21 σ_0=11.88 σ_{ID}=12.08 Σ_T=14.09
CC 45 SLU (Collegamento -384_-528)
Azioni sul collegamento: N=317.41 Ty=-3.30 Tz=-86.95 Mx=-0.78 Mz=-4.39
Sollecitazioni agenti localmente: Tx_l=-3.30 Ty_l=-86.95 N_l=317.41 My_l=4.39 Mz_l=-0.78
Azioni sul cordone: TP=1.15 TO=7.02 NO=23.36
Tensioni nel cordone: τ_P=0.36 τ_0=2.23 σ_0=13.83 σ_{ID}=14.01 Σ_T=16.06
CC 46 SLU (Collegamento -384_-528)
Azioni sul collegamento: N=311.82 Ty=-3.16 Tz=-86.09 Mx=-0.75 Mz=-4.19
Sollecitazioni agenti localmente: Tx_l=-3.16 Ty_l=-86.09 N_l=311.82 My_l=4.19 Mz_l=-0.75
Azioni sul cordone: TP=1.10 TO=6.93 NO=22.94
Tensioni nel cordone: τ_P=0.35 τ_0=2.20 σ_0=13.41 σ_{ID}=13.59 Σ_T=15.61
CC 47 SLU (Collegamento -384_-528)
Azioni sul collegamento: N=314.59 Ty=-3.18 Tz=-86.52 Mx=-0.76 Mz=-4.24
Sollecitazioni agenti localmente: Tx_l=-3.18 Ty_l=-86.52 N_l=314.59 My_l=4.24 Mz_l=-0.76
Azioni sul cordone: TP=1.11 TO=6.96 NO=23.15
Tensioni nel cordone: τ_P=0.35 τ_0=2.21 σ_0=13.56 σ_{ID}=13.74 Σ_T=15.77
CC 48 SLU (Collegamento -384_-528)
Azioni sul collegamento: N=314.64 Ty=-3.28 Tz=-86.52 Mx=-0.77 Mz=-4.33

Sollecitazioni agenti localmente: Tx_l=-3.28 Ty_l=-86.52 N_l=314.64 My_l=4.33 Mz_l=-0.77
Azioni sul cordone: TP=1.13 TO=6.98 NO=23.15
Tensioni nel cordone: τ_P=0.36 τ_0=2.22 σ_0=13.68 σ_{ID}=13.86 Σ_T=15.90
CC 49 SLU (Collegamento -384_-528)
Azioni sul collegamento: N=267.06 Ty=-3.17 Tz=-79.16 Mx=-0.77 Mz=-4.35
Sollecitazioni agenti localmente: Tx_l=-3.17 Ty_l=-79.16 N_l=267.06 My_l=4.35 Mz_l=-0.77
Azioni sul cordone: TP=1.12 TO=6.43 NO=19.65
Tensioni nel cordone: τ_P=0.36 τ_0=2.05 σ_0=12.60 σ_{ID}=12.77 Σ_T=14.64
CC 50 SLU (Collegamento -384_-528)
Azioni sul collegamento: N=261.47 Ty=-3.03 Tz=-78.30 Mx=-0.74 Mz=-4.15
Sollecitazioni agenti localmente: Tx_l=-3.03 Ty_l=-78.30 N_l=261.47 My_l=4.15 Mz_l=-0.74
Azioni sul cordone: TP=1.07 TO=6.34 NO=19.24
Tensioni nel cordone: τ_P=0.34 τ_0=2.02 σ_0=12.17 σ_{ID}=12.34 Σ_T=14.19
CC 51 SLU (Collegamento -384_-528)
Azioni sul collegamento: N=264.24 Ty=-3.06 Tz=-78.72 Mx=-0.75 Mz=-4.21
Sollecitazioni agenti localmente: Tx_l=-3.06 Ty_l=-78.72 N_l=264.24 My_l=4.21 Mz_l=-0.75
Azioni sul cordone: TP=1.09 TO=6.38 NO=19.44
Tensioni nel cordone: τ_P=0.35 τ_0=2.03 σ_0=12.33 σ_{ID}=12.50 Σ_T=14.35
CC 52 SLU (Collegamento -384_-528)
Azioni sul collegamento: N=264.29 Ty=-3.15 Tz=-78.73 Mx=-0.76 Mz=-4.29
Sollecitazioni agenti localmente: Tx_l=-3.15 Ty_l=-78.73 N_l=264.29 My_l=4.29 Mz_l=-0.76
Azioni sul cordone: TP=1.11 TO=6.39 NO=19.45
Tensioni nel cordone: τ_P=0.35 τ_0=2.03 σ_0=12.45 σ_{ID}=12.62 Σ_T=14.48
CC 53 SLU (Collegamento -384_-528)
Azioni sul collegamento: N=290.61 Ty=0.61 Tz=-82.80 Mx=0.16 Mz=0.99
Sollecitazioni agenti localmente: Tx_l=0.61 Ty_l=-82.80 N_l=290.61 My_l=-0.99 Mz_l=0.16
Azioni sul cordone: TP=-0.23 TO=6.22 NO=21.38
Tensioni nel cordone: τ_P= 0.07 τ_0=1.98 σ_0=8.25 σ_{ID}=8.48 Σ_T=10.22
CC 54 SLU (Collegamento -384_-528)
Azioni sul collegamento: N=285.02 Ty=0.75 Tz=-81.94 Mx=0.20 Mz=1.19
Sollecitazioni agenti localmente: Tx_l=0.75 Ty_l=-81.94 N_l=285.02 My_l=-1.19 Mz_l=0.20
Azioni sul cordone: TP=-0.28 TO=6.19 NO=20.97
Tensioni nel cordone: τ_P= 0.09 τ_0=1.97 σ_0=8.41 σ_{ID}=8.64 Σ_T=10.37
CC 55 SLU (Collegamento -384_-528)
Azioni sul collegamento: N=287.79 Ty=0.73 Tz=-82.37 Mx=0.19 Mz=1.13
Sollecitazioni agenti localmente: Tx_l=0.73 Ty_l=-82.37 N_l=287.79 My_l=-1.13 Mz_l=0.19
Azioni sul cordone: TP=-0.27 TO=6.21 NO=21.18
Tensioni nel cordone: τ_P= 0.09 τ_0=1.97 σ_0=8.39 σ_{ID}=8.62 Σ_T=10.36
CC 56 SLU (Collegamento -384_-528)
Azioni sul collegamento: N=287.83 Ty=0.64 Tz=-82.38 Mx=0.17 Mz=1.05
Sollecitazioni agenti localmente: Tx_l=0.64 Ty_l=-82.38 N_l=287.83 My_l=-1.05 Mz_l=0.17
Azioni sul cordone: TP=-0.25 TO=6.20 NO=21.18
Tensioni nel cordone: τ_P= 0.08 τ_0=1.97 σ_0=8.27 σ_{ID}=8.50 Σ_T=10.24
CC 57 SLU (Collegamento -384_-528)
Azioni sul collegamento: N=302.11 Ty=-2.98 Tz=-84.58 Mx=-0.70 Mz=-3.93
Sollecitazioni agenti localmente: Tx_l=-2.98 Ty_l=-84.58 N_l=302.11 My_l=3.93 Mz_l=-0.70
Azioni sul cordone: TP=1.03 TO=6.78 NO=22.23
Tensioni nel cordone: τ_P=0.33 τ_0=2.15 σ_0=12.80 σ_{ID}=12.99 Σ_T=14.96
CC 58 SLU (Collegamento -384_-528)
Azioni sul collegamento: N=296.52 Ty=-2.84 Tz=-83.72 Mx=-0.67 Mz=-3.73
Sollecitazioni agenti localmente: Tx_l=-2.84 Ty_l=-83.72 N_l=296.52 My_l=3.73 Mz_l=-0.67
Azioni sul cordone: TP=0.98 TO=6.69 NO=21.82
Tensioni nel cordone: τ_P=0.31 τ_0=2.13 σ_0=12.38 σ_{ID}=12.56 Σ_T=14.50
CC 59 SLU (Collegamento -384_-528)
Azioni sul collegamento: N=299.29 Ty=-2.86 Tz=-84.15 Mx=-0.68 Mz=-3.79
Sollecitazioni agenti localmente: Tx_l=-2.86 Ty_l=-84.15 N_l=299.29 My_l=3.79 Mz_l=-0.68
Azioni sul cordone: TP=0.99 TO=6.73 NO=22.02
Tensioni nel cordone: τ_P=0.32 τ_0=2.14 σ_0=12.53 σ_{ID}=12.71 Σ_T=14.67
CC 60 SLU (Collegamento -384_-528)
Azioni sul collegamento: N=299.34 Ty=-2.96 Tz=-84.16 Mx=-0.69 Mz=-3.87
Sollecitazioni agenti localmente: Tx_l=-2.96 Ty_l=-84.16 N_l=299.34 My_l=3.87 Mz_l=-0.69
Azioni sul cordone: TP=1.02 TO=6.74 NO=22.03
Tensioni nel cordone: τ_P=0.32 τ_0=2.14 σ_0=12.65 σ_{ID}=12.84 Σ_T=14.79
CC 61 SLU (Collegamento -384_-528)
Azioni sul collegamento: N=251.76 Ty=-2.85 Tz=-76.79 Mx=-0.69 Mz=-3.89
Sollecitazioni agenti localmente: Tx_l=-2.85 Ty_l=-76.79 N_l=251.76 My_l=3.89 Mz_l=-0.69
Azioni sul cordone: TP=1.01 TO=6.20 NO=18.53
Tensioni nel cordone: τ_P=0.32 τ_0=1.97 σ_0=11.57 σ_{ID}=11.74 Σ_T=13.54
CC 62 SLU (Collegamento -384_-528)
Azioni sul collegamento: N=246.17 Ty=-2.71 Tz=-75.93 Mx=-0.66 Mz=-3.69
Sollecitazioni agenti localmente: Tx_l=-2.71 Ty_l=-75.93 N_l=246.17 My_l=3.69 Mz_l=-0.66
Azioni sul cordone: TP=0.96 TO=6.11 NO=18.11
Tensioni nel cordone: τ_P=0.30 τ_0=1.94 σ_0=11.15 σ_{ID}=11.32 Σ_T=13.09
CC 63 SLU (Collegamento -384_-528)
Azioni sul collegamento: N=248.94 Ty=-2.74 Tz=-76.36 Mx=-0.67 Mz=-3.75
Sollecitazioni agenti localmente: Tx_l=-2.74 Ty_l=-76.36 N_l=248.94 My_l=3.75 Mz_l=-0.67
Azioni sul cordone: TP=0.97 TO=6.15 NO=18.32
Tensioni nel cordone: τ_P=0.31 τ_0=1.95 σ_0=11.30 σ_{ID}=11.47 Σ_T=13.25
CC 64 SLU (Collegamento -384_-528)
Azioni sul collegamento: N=248.99 Ty=-2.83 Tz=-76.36 Mx=-0.68 Mz=-3.83
Sollecitazioni agenti localmente: Tx_l=-2.83 Ty_l=-76.36 N_l=248.99 My_l=3.83 Mz_l=-0.68

Azioni sul cordone: TP=1.00 TO=6.16 NO=18.32
Tensioni nel cordone: τ_P=0.32 τ_0=1.96 σ_0=11.42 σ_{ID}=11.59 Σ_T=13.38
CC 65 SLU (Collegamento -384_-528)
Azioni sul collegamento: N=275.31 Ty=0.93 Tz=-80.44 Mx=0.24 Mz=1.45
Sollecitazioni agenti localmente: Tx_l=0.93 Ty_l=-80.44 N_l=275.31 My_l=-1.45 Mz_l=0.24
Azioni sul cordone: TP=-0.35 TO=6.11 NO=20.26
Tensioni nel cordone: τ_P=0.11 τ_0=1.94 σ_0=8.56 σ_{ID}=8.78 Σ_T=10.50
CC 66 SLU (Collegamento -384_-528)
Azioni sul collegamento: N=269.72 Ty=1.07 Tz=-79.57 Mx=0.28 Mz=1.65
Sollecitazioni agenti localmente: Tx_l=1.07 Ty_l=-79.57 N_l=269.72 My_l=-1.65 Mz_l=0.28
Azioni sul cordone: TP=-0.40 TO=6.07 NO=19.85
Tensioni nel cordone: τ_P=0.13 τ_0=1.93 σ_0=8.72 σ_{ID}=8.93 Σ_T=10.65
CC 67 SLU (Collegamento -384_-528)
Azioni sul collegamento: N=272.49 Ty=1.05 Tz=-80.00 Mx=0.27 Mz=1.59
Sollecitazioni agenti localmente: Tx_l=1.05 Ty_l=-80.00 N_l=272.49 My_l=-1.59 Mz_l=0.27
Azioni sul cordone: TP=-0.39 TO=6.10 NO=20.05
Tensioni nel cordone: τ_P=0.12 τ_0=1.94 σ_0=8.70 σ_{ID}=8.91 Σ_T=10.64
CC 68 SLU (Collegamento -384_-528)
Azioni sul collegamento: N=272.54 Ty=0.96 Tz=-80.01 Mx=0.25 Mz=1.51
Sollecitazioni agenti localmente: Tx_l=0.96 Ty_l=-80.01 N_l=272.54 My_l=-1.51 Mz_l=0.25
Azioni sul cordone: TP=-0.36 TO=6.09 NO=20.05
Tensioni nel cordone: τ_P=0.12 τ_0=1.93 σ_0=8.58 σ_{ID}=8.79 Σ_T=10.51
CC 97 SLU (Collegamento -384_-528)
Azioni sul collegamento: N=150.79 Ty=-11.89 Tz=-51.36 Mx=-1.38 Mz=-8.76
Sollecitazioni agenti localmente: Tx_l=-11.89 Ty_l=-51.36 N_l=150.79 My_l=8.76 Mz_l=-1.38
Azioni sul cordone: TP=2.46 TO=4.86 NO=11.10
Tensioni nel cordone: τ_P=0.78 τ_0=1.55 σ_0=16.32 σ_{ID}=16.42 Σ_T=17.87
CC 98 SLU (Collegamento -384_-528)
Azioni sul collegamento: N=145.20 Ty=-11.75 Tz=-50.49 Mx=-1.34 Mz=-8.56
Sollecitazioni agenti localmente: Tx_l=-11.75 Ty_l=-50.49 N_l=145.20 My_l=8.56 Mz_l=-1.34
Azioni sul cordone: TP=2.41 TO=4.77 NO=10.68
Tensioni nel cordone: τ_P=0.77 τ_0=1.52 σ_0=15.90 σ_{ID}=15.99 Σ_T=17.42
CC 99 SLU (Collegamento -384_-528)
Azioni sul collegamento: N=147.97 Ty=-11.78 Tz=-50.92 Mx=-1.35 Mz=-8.62
Sollecitazioni agenti localmente: Tx_l=-11.78 Ty_l=-50.92 N_l=147.97 My_l=8.62 Mz_l=-1.35
Azioni sul cordone: TP=2.42 TO=4.81 NO=10.89
Tensioni nel cordone: τ_P=0.77 τ_0=1.53 σ_0=16.05 σ_{ID}=16.14 Σ_T=17.58
CC 100 SLU (Collegamento -384_-528)
Azioni sul collegamento: N=148.01 Ty=-11.87 Tz=-50.93 Mx=-1.37 Mz=-8.70
Sollecitazioni agenti localmente: Tx_l=-11.87 Ty_l=-50.93 N_l=148.01 My_l=8.70 Mz_l=-1.37
Azioni sul cordone: TP=2.45 TO=4.82 NO=10.89
Tensioni nel cordone: τ_P=0.78 τ_0=1.53 σ_0=16.17 σ_{ID}=16.26 Σ_T=17.71
CC 101 SLU (Collegamento -384_-528)
Azioni sul collegamento: N=153.59 Ty=-0.22 Tz=-51.79 Mx=-0.23 Mz=-1.11
Sollecitazioni agenti localmente: Tx_l=-0.22 Ty_l=-51.79 N_l=153.59 My_l=1.11 Mz_l=-0.23
Azioni sul cordone: TP=0.28 TO=3.99 NO=11.30
Tensioni nel cordone: τ_P= 0.09 τ_0=1.27 σ_0=5.21 σ_{ID}=5.36 Σ_T=6.48
CC 102 SLU (Collegamento -384_-528)
Azioni sul collegamento: N=148.00 Ty=-0.08 Tz=-50.93 Mx=-0.19 Mz=-0.91
Sollecitazioni agenti localmente: Tx_l=-0.08 Ty_l=-50.93 N_l=148.00 My_l=0.91 Mz_l=-0.19
Azioni sul cordone: TP=0.22 TO=3.90 NO=10.89
Tensioni nel cordone: τ_P= 0.07 τ_0=1.24 σ_0=4.79 σ_{ID}=4.94 Σ_T=6.03
CC 103 SLU (Collegamento -384_-528)
Azioni sul collegamento: N=150.77 Ty=-0.10 Tz=-51.36 Mx=-0.20 Mz=-0.97
Sollecitazioni agenti localmente: Tx_l=-0.10 Ty_l=-51.36 N_l=150.77 My_l=0.97 Mz_l=-0.20
Azioni sul cordone: TP=0.24 TO=3.94 NO=11.09
Tensioni nel cordone: τ_P= 0.08 τ_0=1.25 σ_0=4.94 σ_{ID}=5.09 Σ_T=6.19
CC 104 SLU (Collegamento -384_-528)
Azioni sul collegamento: N=150.82 Ty=-0.19 Tz=-51.36 Mx=-0.21 Mz=-1.05
Sollecitazioni agenti localmente: Tx_l=-0.19 Ty_l=-51.36 N_l=150.82 My_l=1.05 Mz_l=-0.21
Azioni sul cordone: TP=0.26 TO=3.95 NO=11.10
Tensioni nel cordone: τ_P= 0.08 τ_0=1.26 σ_0=5.06 σ_{ID}=5.21 Σ_T=6.32

Verifica lato anima della colonna

CC 1 SLV (Collegamento -384_-528)
Azioni sul collegamento: N=171.09 Ty=-1.22 Tz=-54.50 Mx=-0.31 Mz=-1.48
Zona tesa: F=68.90 b_{eff}=13.20 t_w=0.70 σ=7.46
Zona tesa: F=68.90 b_{eff}=13.20 t_w=0.70 σ=7.46
CC 1 SLV (Collegamento -384_-528)
Azioni sul collegamento: N=171.09 Ty=-2.83 Tz=-54.50 Mx=-0.64 Mz=-3.66
Zona tesa: F=68.90 b_{eff}=13.20 t_w=0.70 σ=7.46
Zona tesa: F=68.90 b_{eff}=13.20 t_w=0.70 σ=7.46
CC 1 SLV (Collegamento -384_-528)
Azioni sul collegamento: N=171.09 Ty=-1.22 Tz=-54.50 Mx=-0.31 Mz=-1.48
Zona tesa: F=68.90 b_{eff}=13.20 t_w=0.70 σ=7.46
Zona tesa: F=68.90 b_{eff}=13.20 t_w=0.70 σ=7.46
CC 1 SLV (Collegamento -384_-528)
Azioni sul collegamento: N=171.09 Ty=-2.83 Tz=-54.50 Mx=-0.64 Mz=-3.66
Zona tesa: F=68.90 b_{eff}=13.20 t_w=0.70 σ=7.46

Zona tesa: F=68.90 b_{eff}=13.20 t_w=0.70 σ=7.46
CC 1 SLV (Collegamento -384_-528)
Azioni sul collegamento: N=117.30 Ty=-1.22 Tz=-46.18 Mx=-0.31 Mz=-1.48
Zona tesa: F=47.24 b_{eff}=13.20 t_w=0.70 σ=5.11
Zona tesa: F=47.24 b_{eff}=13.20 t_w=0.70 σ=5.11
CC 1 SLV (Collegamento -384_-528)
Azioni sul collegamento: N=117.30 Ty=-2.83 Tz=-46.18 Mx=-0.64 Mz=-3.66
Zona tesa: F=47.24 b_{eff}=13.20 t_w=0.70 σ=5.11
Zona tesa: F=47.24 b_{eff}=13.20 t_w=0.70 σ=5.11
CC 1 SLV (Collegamento -384_-528)
Azioni sul collegamento: N=117.30 Ty=-1.22 Tz=-46.18 Mx=-0.31 Mz=-1.48
Zona tesa: F=47.24 b_{eff}=13.20 t_w=0.70 σ=5.11
Zona tesa: F=47.24 b_{eff}=13.20 t_w=0.70 σ=5.11
CC 1 SLV (Collegamento -384_-528)
Azioni sul collegamento: N=117.30 Ty=-2.83 Tz=-46.18 Mx=-0.64 Mz=-3.66
Zona tesa: F=47.24 b_{eff}=13.20 t_w=0.70 σ=5.11
Zona tesa: F=47.24 b_{eff}=13.20 t_w=0.70 σ=5.11
CC 2 SLD (Collegamento -384_-528)
Azioni sul collegamento: N=154.01 Ty=-1.46 Tz=-51.86 Mx=-0.35 Mz=-1.90
Zona tesa: F=62.02 b_{eff}=13.20 t_w=0.70 σ=6.71
Zona tesa: F=62.02 b_{eff}=13.20 t_w=0.70 σ=6.71
CC 2 SLD (Collegamento -384_-528)
Azioni sul collegamento: N=154.01 Ty=-1.95 Tz=-51.86 Mx=-0.46 Mz=-2.56
Zona tesa: F=62.02 b_{eff}=13.20 t_w=0.70 σ=6.71
Zona tesa: F=62.02 b_{eff}=13.20 t_w=0.70 σ=6.71
CC 2 SLD (Collegamento -384_-528)
Azioni sul collegamento: N=154.01 Ty=-1.46 Tz=-51.86 Mx=-0.35 Mz=-1.90
Zona tesa: F=62.02 b_{eff}=13.20 t_w=0.70 σ=6.71
Zona tesa: F=62.02 b_{eff}=13.20 t_w=0.70 σ=6.71
CC 2 SLD (Collegamento -384_-528)
Azioni sul collegamento: N=154.01 Ty=-1.95 Tz=-51.86 Mx=-0.46 Mz=-2.56
Zona tesa: F=62.02 b_{eff}=13.20 t_w=0.70 σ=6.71
Zona tesa: F=62.02 b_{eff}=13.20 t_w=0.70 σ=6.71
CC 2 SLD (Collegamento -384_-528)
Azioni sul collegamento: N=137.61 Ty=-1.46 Tz=-49.32 Mx=-0.35 Mz=-1.90
Zona tesa: F=55.41 b_{eff}=13.20 t_w=0.70 σ=6.00
Zona tesa: F=55.41 b_{eff}=13.20 t_w=0.70 σ=6.00
CC 2 SLD (Collegamento -384_-528)
Azioni sul collegamento: N=137.61 Ty=-1.95 Tz=-49.32 Mx=-0.46 Mz=-2.56
Zona tesa: F=55.41 b_{eff}=13.20 t_w=0.70 σ=6.00
Zona tesa: F=55.41 b_{eff}=13.20 t_w=0.70 σ=6.00
CC 2 SLD (Collegamento -384_-528)
Azioni sul collegamento: N=137.61 Ty=-1.46 Tz=-49.32 Mx=-0.35 Mz=-1.90
Zona tesa: F=55.41 b_{eff}=13.20 t_w=0.70 σ=6.00
Zona tesa: F=55.41 b_{eff}=13.20 t_w=0.70 σ=6.00
CC 2 SLD (Collegamento -384_-528)
Azioni sul collegamento: N=137.61 Ty=-1.95 Tz=-49.32 Mx=-0.46 Mz=-2.56
Zona tesa: F=55.41 b_{eff}=13.20 t_w=0.70 σ=6.00
Zona tesa: F=55.41 b_{eff}=13.20 t_w=0.70 σ=6.00
CC 3 SLV (Collegamento -384_-528)
Azioni sul collegamento: N=171.00 Ty=-1.50 Tz=-54.49 Mx=-0.34 Mz=-1.73
Zona tesa: F=68.86 b_{eff}=13.20 t_w=0.70 σ=7.45
Zona tesa: F=68.86 b_{eff}=13.20 t_w=0.70 σ=7.45
CC 3 SLV (Collegamento -384_-528)
Azioni sul collegamento: N=171.00 Ty=-2.56 Tz=-54.49 Mx=-0.60 Mz=-3.41
Zona tesa: F=68.86 b_{eff}=13.20 t_w=0.70 σ=7.45
Zona tesa: F=68.86 b_{eff}=13.20 t_w=0.70 σ=7.45
CC 3 SLV (Collegamento -384_-528)
Azioni sul collegamento: N=171.00 Ty=-1.50 Tz=-54.49 Mx=-0.34 Mz=-1.73
Zona tesa: F=68.86 b_{eff}=13.20 t_w=0.70 σ=7.45
Zona tesa: F=68.86 b_{eff}=13.20 t_w=0.70 σ=7.45
CC 3 SLV (Collegamento -384_-528)
Azioni sul collegamento: N=171.00 Ty=-2.56 Tz=-54.49 Mx=-0.60 Mz=-3.41
Zona tesa: F=68.86 b_{eff}=13.20 t_w=0.70 σ=7.45
Zona tesa: F=68.86 b_{eff}=13.20 t_w=0.70 σ=7.45
CC 3 SLV (Collegamento -384_-528)
Azioni sul collegamento: N=117.40 Ty=-1.50 Tz=-46.19 Mx=-0.34 Mz=-1.73
Zona tesa: F=47.27 b_{eff}=13.20 t_w=0.70 σ=5.12
Zona tesa: F=47.27 b_{eff}=13.20 t_w=0.70 σ=5.12
CC 3 SLV (Collegamento -384_-528)
Azioni sul collegamento: N=117.40 Ty=-2.56 Tz=-46.19 Mx=-0.60 Mz=-3.41
Zona tesa: F=47.27 b_{eff}=13.20 t_w=0.70 σ=5.12
Zona tesa: F=47.27 b_{eff}=13.20 t_w=0.70 σ=5.12
CC 3 SLV (Collegamento -384_-528)
Azioni sul collegamento: N=117.40 Ty=-1.50 Tz=-46.19 Mx=-0.34 Mz=-1.73
Zona tesa: F=47.27 b_{eff}=13.20 t_w=0.70 σ=5.12
Zona tesa: F=47.27 b_{eff}=13.20 t_w=0.70 σ=5.12
CC 3 SLV (Collegamento -384_-528)

Azioni sul collegamento: N=117.40 Ty=-2.56 Tz=-46.19 Mx=-0.60 Mz=-3.41
Zona tesa: F=47.27 b_{eff}=13.20 t_w=0.70 σ=5.12
Zona tesa: F=47.27 b_{eff}=13.20 t_w=0.70 σ=5.12
CC 4 SLD (Collegamento -384_-528)
Azioni sul collegamento: N=153.99 Ty=-1.54 Tz=-51.85 Mx=-0.36 Mz=-1.97
Zona tesa: F=62.01 b_{eff}=13.20 t_w=0.70 σ=6.71
Zona tesa: F=62.01 b_{eff}=13.20 t_w=0.70 σ=6.71
CC 4 SLD (Collegamento -384_-528)
Azioni sul collegamento: N=153.99 Ty=-1.87 Tz=-51.85 Mx=-0.44 Mz=-2.49
Zona tesa: F=62.01 b_{eff}=13.20 t_w=0.70 σ=6.71
Zona tesa: F=62.01 b_{eff}=13.20 t_w=0.70 σ=6.71
CC 4 SLD (Collegamento -384_-528)
Azioni sul collegamento: N=153.99 Ty=-1.54 Tz=-51.85 Mx=-0.36 Mz=-1.97
Zona tesa: F=62.01 b_{eff}=13.20 t_w=0.70 σ=6.71
Zona tesa: F=62.01 b_{eff}=13.20 t_w=0.70 σ=6.71
CC 4 SLD (Collegamento -384_-528)
Azioni sul collegamento: N=153.99 Ty=-1.87 Tz=-51.85 Mx=-0.44 Mz=-2.49
Zona tesa: F=62.01 b_{eff}=13.20 t_w=0.70 σ=6.71
Zona tesa: F=62.01 b_{eff}=13.20 t_w=0.70 σ=6.71
CC 4 SLD (Collegamento -384_-528)
Azioni sul collegamento: N=137.64 Ty=-1.54 Tz=-49.32 Mx=-0.36 Mz=-1.97
Zona tesa: F=55.43 b_{eff}=13.20 t_w=0.70 σ=6.00
Zona tesa: F=55.43 b_{eff}=13.20 t_w=0.70 σ=6.00
CC 4 SLD (Collegamento -384_-528)
Azioni sul collegamento: N=137.64 Ty=-1.87 Tz=-49.32 Mx=-0.44 Mz=-2.49
Zona tesa: F=55.43 b_{eff}=13.20 t_w=0.70 σ=6.00
Zona tesa: F=55.43 b_{eff}=13.20 t_w=0.70 σ=6.00
CC 4 SLD (Collegamento -384_-528)
Azioni sul collegamento: N=137.64 Ty=-1.54 Tz=-49.32 Mx=-0.36 Mz=-1.97
Zona tesa: F=55.43 b_{eff}=13.20 t_w=0.70 σ=6.00
Zona tesa: F=55.43 b_{eff}=13.20 t_w=0.70 σ=6.00
CC 4 SLD (Collegamento -384_-528)
Azioni sul collegamento: N=137.64 Ty=-1.87 Tz=-49.32 Mx=-0.44 Mz=-2.49
Zona tesa: F=55.43 b_{eff}=13.20 t_w=0.70 σ=6.00
Zona tesa: F=55.43 b_{eff}=13.20 t_w=0.70 σ=6.00
CC 5 SLV (Collegamento -384_-528)
Azioni sul collegamento: N=117.40 Ty=-2.56 Tz=-46.19 Mx=-0.57 Mz=-3.42
Zona tesa: F=47.27 b_{eff}=13.20 t_w=0.70 σ=5.12
Zona tesa: F=47.27 b_{eff}=13.20 t_w=0.70 σ=5.12
CC 5 SLV (Collegamento -384_-528)
Azioni sul collegamento: N=117.40 Ty=-1.50 Tz=-46.19 Mx=-0.31 Mz=-1.73
Zona tesa: F=47.27 b_{eff}=13.20 t_w=0.70 σ=5.12
Zona tesa: F=47.27 b_{eff}=13.20 t_w=0.70 σ=5.12
CC 5 SLV (Collegamento -384_-528)
Azioni sul collegamento: N=117.40 Ty=-2.56 Tz=-46.19 Mx=-0.57 Mz=-3.42
Zona tesa: F=47.27 b_{eff}=13.20 t_w=0.70 σ=5.12
Zona tesa: F=47.27 b_{eff}=13.20 t_w=0.70 σ=5.12
CC 5 SLV (Collegamento -384_-528)
Azioni sul collegamento: N=117.40 Ty=-1.50 Tz=-46.19 Mx=-0.31 Mz=-1.73
Zona tesa: F=47.27 b_{eff}=13.20 t_w=0.70 σ=5.12
Zona tesa: F=47.27 b_{eff}=13.20 t_w=0.70 σ=5.12
CC 5 SLV (Collegamento -384_-528)
Azioni sul collegamento: N=171.00 Ty=-2.56 Tz=-54.49 Mx=-0.57 Mz=-3.42
Zona tesa: F=68.86 b_{eff}=13.20 t_w=0.70 σ=7.45
Zona tesa: F=68.86 b_{eff}=13.20 t_w=0.70 σ=7.45
CC 5 SLV (Collegamento -384_-528)
Azioni sul collegamento: N=171.00 Ty=-1.50 Tz=-54.49 Mx=-0.31 Mz=-1.73
Zona tesa: F=68.86 b_{eff}=13.20 t_w=0.70 σ=7.45
Zona tesa: F=68.86 b_{eff}=13.20 t_w=0.70 σ=7.45
CC 5 SLV (Collegamento -384_-528)
Azioni sul collegamento: N=171.00 Ty=-2.56 Tz=-54.49 Mx=-0.57 Mz=-3.42
Zona tesa: F=68.86 b_{eff}=13.20 t_w=0.70 σ=7.45
Zona tesa: F=68.86 b_{eff}=13.20 t_w=0.70 σ=7.45
CC 5 SLV (Collegamento -384_-528)
Azioni sul collegamento: N=171.00 Ty=-1.50 Tz=-54.49 Mx=-0.31 Mz=-1.73
Zona tesa: F=68.86 b_{eff}=13.20 t_w=0.70 σ=7.45
Zona tesa: F=68.86 b_{eff}=13.20 t_w=0.70 σ=7.45
CC 6 SLD (Collegamento -384_-528)
Azioni sul collegamento: N=137.64 Ty=-1.87 Tz=-49.32 Mx=-0.43 Mz=-2.49
Zona tesa: F=55.43 b_{eff}=13.20 t_w=0.70 σ=6.00
Zona tesa: F=55.43 b_{eff}=13.20 t_w=0.70 σ=6.00
CC 6 SLD (Collegamento -384_-528)
Azioni sul collegamento: N=137.64 Ty=-1.54 Tz=-49.32 Mx=-0.35 Mz=-1.97
Zona tesa: F=55.43 b_{eff}=13.20 t_w=0.70 σ=6.00
Zona tesa: F=55.43 b_{eff}=13.20 t_w=0.70 σ=6.00
CC 6 SLD (Collegamento -384_-528)
Azioni sul collegamento: N=137.64 Ty=-1.87 Tz=-49.32 Mx=-0.43 Mz=-2.49
Zona tesa: F=55.43 b_{eff}=13.20 t_w=0.70 σ=6.00

Zona tesa: F=55.43 b_{eff}=13.20 t_w=0.70 σ=6.00
CC 6 SLD (Collegamento -384_-528)
Azioni sul collegamento: N=137.64 Ty=-1.54 Tz=-49.32 Mx=-0.35 Mz=-1.97
Zona tesa: F=55.43 b_{eff}=13.20 t_w=0.70 σ=6.00
Zona tesa: F=55.43 b_{eff}=13.20 t_w=0.70 σ=6.00
CC 6 SLD (Collegamento -384_-528)
Azioni sul collegamento: N=153.99 Ty=-1.87 Tz=-51.85 Mx=-0.43 Mz=-2.49
Zona tesa: F=62.01 b_{eff}=13.20 t_w=0.70 σ=6.71
Zona tesa: F=62.01 b_{eff}=13.20 t_w=0.70 σ=6.71
CC 6 SLD (Collegamento -384_-528)
Azioni sul collegamento: N=153.99 Ty=-1.54 Tz=-51.85 Mx=-0.35 Mz=-1.97
Zona tesa: F=62.01 b_{eff}=13.20 t_w=0.70 σ=6.71
Zona tesa: F=62.01 b_{eff}=13.20 t_w=0.70 σ=6.71
CC 6 SLD (Collegamento -384_-528)
Azioni sul collegamento: N=153.99 Ty=-1.87 Tz=-51.85 Mx=-0.43 Mz=-2.49
Zona tesa: F=62.01 b_{eff}=13.20 t_w=0.70 σ=6.71
Zona tesa: F=62.01 b_{eff}=13.20 t_w=0.70 σ=6.71
CC 6 SLD (Collegamento -384_-528)
Azioni sul collegamento: N=153.99 Ty=-1.54 Tz=-51.85 Mx=-0.35 Mz=-1.97
Zona tesa: F=62.01 b_{eff}=13.20 t_w=0.70 σ=6.71
Zona tesa: F=62.01 b_{eff}=13.20 t_w=0.70 σ=6.71
CC 7 SLV (Collegamento -384_-528)
Azioni sul collegamento: N=117.30 Ty=-2.83 Tz=-46.18 Mx=-0.60 Mz=-3.66
Zona tesa: F=47.24 b_{eff}=13.20 t_w=0.70 σ=5.11
Zona tesa: F=47.24 b_{eff}=13.20 t_w=0.70 σ=5.11
CC 7 SLV (Collegamento -384_-528)
Azioni sul collegamento: N=117.30 Ty=-1.22 Tz=-46.18 Mx=-0.27 Mz=-1.49
Zona tesa: F=47.24 b_{eff}=13.20 t_w=0.70 σ=5.11
Zona tesa: F=47.24 b_{eff}=13.20 t_w=0.70 σ=5.11
CC 7 SLV (Collegamento -384_-528)
Azioni sul collegamento: N=117.30 Ty=-2.83 Tz=-46.18 Mx=-0.60 Mz=-3.66
Zona tesa: F=47.24 b_{eff}=13.20 t_w=0.70 σ=5.11
Zona tesa: F=47.24 b_{eff}=13.20 t_w=0.70 σ=5.11
CC 7 SLV (Collegamento -384_-528)
Azioni sul collegamento: N=117.30 Ty=-1.22 Tz=-46.18 Mx=-0.27 Mz=-1.49
Zona tesa: F=47.24 b_{eff}=13.20 t_w=0.70 σ=5.11
Zona tesa: F=47.24 b_{eff}=13.20 t_w=0.70 σ=5.11
CC 7 SLV (Collegamento -384_-528)
Azioni sul collegamento: N=171.09 Ty=-2.83 Tz=-54.50 Mx=-0.60 Mz=-3.66
Zona tesa: F=68.90 b_{eff}=13.20 t_w=0.70 σ=7.46
Zona tesa: F=68.90 b_{eff}=13.20 t_w=0.70 σ=7.46
CC 7 SLV (Collegamento -384_-528)
Azioni sul collegamento: N=171.09 Ty=-1.22 Tz=-54.50 Mx=-0.27 Mz=-1.49
Zona tesa: F=68.90 b_{eff}=13.20 t_w=0.70 σ=7.46
Zona tesa: F=68.90 b_{eff}=13.20 t_w=0.70 σ=7.46
CC 7 SLV (Collegamento -384_-528)
Azioni sul collegamento: N=171.09 Ty=-2.83 Tz=-54.50 Mx=-0.60 Mz=-3.66
Zona tesa: F=68.90 b_{eff}=13.20 t_w=0.70 σ=7.46
Zona tesa: F=68.90 b_{eff}=13.20 t_w=0.70 σ=7.46
CC 7 SLV (Collegamento -384_-528)
Azioni sul collegamento: N=171.09 Ty=-1.22 Tz=-54.50 Mx=-0.27 Mz=-1.49
Zona tesa: F=68.90 b_{eff}=13.20 t_w=0.70 σ=7.46
Zona tesa: F=68.90 b_{eff}=13.20 t_w=0.70 σ=7.46
CC 8 SLD (Collegamento -384_-528)
Azioni sul collegamento: N=137.61 Ty=-1.95 Tz=-49.32 Mx=-0.44 Mz=-2.56
Zona tesa: F=55.41 b_{eff}=13.20 t_w=0.70 σ=6.00
Zona tesa: F=55.41 b_{eff}=13.20 t_w=0.70 σ=6.00
CC 8 SLD (Collegamento -384_-528)
Azioni sul collegamento: N=137.61 Ty=-1.46 Tz=-49.32 Mx=-0.34 Mz=-1.90
Zona tesa: F=55.41 b_{eff}=13.20 t_w=0.70 σ=6.00
Zona tesa: F=55.41 b_{eff}=13.20 t_w=0.70 σ=6.00
CC 8 SLD (Collegamento -384_-528)
Azioni sul collegamento: N=137.61 Ty=-1.95 Tz=-49.32 Mx=-0.44 Mz=-2.56
Zona tesa: F=55.41 b_{eff}=13.20 t_w=0.70 σ=6.00
Zona tesa: F=55.41 b_{eff}=13.20 t_w=0.70 σ=6.00
CC 8 SLD (Collegamento -384_-528)
Azioni sul collegamento: N=137.61 Ty=-1.46 Tz=-49.32 Mx=-0.34 Mz=-1.90
Zona tesa: F=55.41 b_{eff}=13.20 t_w=0.70 σ=6.00
Zona tesa: F=55.41 b_{eff}=13.20 t_w=0.70 σ=6.00
CC 8 SLD (Collegamento -384_-528)
Azioni sul collegamento: N=154.01 Ty=-1.95 Tz=-51.86 Mx=-0.44 Mz=-2.56
Zona tesa: F=62.02 b_{eff}=13.20 t_w=0.70 σ=6.71
Zona tesa: F=62.02 b_{eff}=13.20 t_w=0.70 σ=6.71
CC 8 SLD (Collegamento -384_-528)
Azioni sul collegamento: N=154.01 Ty=-1.46 Tz=-51.86 Mx=-0.34 Mz=-1.90
Zona tesa: F=62.02 b_{eff}=13.20 t_w=0.70 σ=6.71
Zona tesa: F=62.02 b_{eff}=13.20 t_w=0.70 σ=6.71
CC 8 SLD (Collegamento -384_-528)

Azioni sul collegamento: N=154.01 Ty=-1.95 Tz=-51.86 Mx=-0.44 Mz=-2.56
Zona tesa: F=62.02 b_{eff}=13.20 t_w=0.70 σ=6.71
Zona tesa: F=62.02 b_{eff}=13.20 t_w=0.70 σ=6.71
CC 8 SLD (Collegamento -384_-528)
Azioni sul collegamento: N=154.01 Ty=-1.46 Tz=-51.86 Mx=-0.34 Mz=-1.90
Zona tesa: F=62.02 b_{eff}=13.20 t_w=0.70 σ=6.71
Zona tesa: F=62.02 b_{eff}=13.20 t_w=0.70 σ=6.71
CC 9 SLV (Collegamento -384_-528)
Azioni sul collegamento: N=152.41 Ty=-1.37 Tz=-51.61 Mx=-0.36 Mz=-1.87
Zona tesa: F=61.37 b_{eff}=13.20 t_w=0.70 σ=6.64
Zona tesa: F=61.37 b_{eff}=13.20 t_w=0.70 σ=6.64
CC 9 SLV (Collegamento -384_-528)
Azioni sul collegamento: N=152.41 Ty=-2.68 Tz=-51.61 Mx=-0.57 Mz=-3.27
Zona tesa: F=61.37 b_{eff}=13.20 t_w=0.70 σ=6.64
Zona tesa: F=61.37 b_{eff}=13.20 t_w=0.70 σ=6.64
CC 9 SLV (Collegamento -384_-528)
Azioni sul collegamento: N=152.41 Ty=-1.37 Tz=-51.61 Mx=-0.36 Mz=-1.87
Zona tesa: F=61.37 b_{eff}=13.20 t_w=0.70 σ=6.64
Zona tesa: F=61.37 b_{eff}=13.20 t_w=0.70 σ=6.64
CC 9 SLV (Collegamento -384_-528)
Azioni sul collegamento: N=152.41 Ty=-2.68 Tz=-51.61 Mx=-0.57 Mz=-3.27
Zona tesa: F=61.37 b_{eff}=13.20 t_w=0.70 σ=6.64
Zona tesa: F=61.37 b_{eff}=13.20 t_w=0.70 σ=6.64
CC 9 SLV (Collegamento -384_-528)
Azioni sul collegamento: N=135.99 Ty=-1.37 Tz=-49.07 Mx=-0.36 Mz=-1.87
Zona tesa: F=54.76 b_{eff}=13.20 t_w=0.70 σ=5.93
Zona tesa: F=54.76 b_{eff}=13.20 t_w=0.70 σ=5.93
CC 9 SLV (Collegamento -384_-528)
Azioni sul collegamento: N=135.99 Ty=-2.68 Tz=-49.07 Mx=-0.57 Mz=-3.27
Zona tesa: F=54.76 b_{eff}=13.20 t_w=0.70 σ=5.93
Zona tesa: F=54.76 b_{eff}=13.20 t_w=0.70 σ=5.93
CC 9 SLV (Collegamento -384_-528)
Azioni sul collegamento: N=135.99 Ty=-1.37 Tz=-49.07 Mx=-0.36 Mz=-1.87
Zona tesa: F=54.76 b_{eff}=13.20 t_w=0.70 σ=5.93
Zona tesa: F=54.76 b_{eff}=13.20 t_w=0.70 σ=5.93
CC 9 SLV (Collegamento -384_-528)
Azioni sul collegamento: N=135.99 Ty=-2.68 Tz=-49.07 Mx=-0.57 Mz=-3.27
Zona tesa: F=54.76 b_{eff}=13.20 t_w=0.70 σ=5.93
Zona tesa: F=54.76 b_{eff}=13.20 t_w=0.70 σ=5.93
CC 10 SLD (Collegamento -384_-528)
Azioni sul collegamento: N=148.32 Ty=-1.51 Tz=-50.98 Mx=-0.37 Mz=-2.02
Zona tesa: F=59.73 b_{eff}=13.20 t_w=0.70 σ=6.46
Zona tesa: F=59.73 b_{eff}=13.20 t_w=0.70 σ=6.46
CC 10 SLD (Collegamento -384_-528)
Azioni sul collegamento: N=148.32 Ty=-1.91 Tz=-50.98 Mx=-0.43 Mz=-2.44
Zona tesa: F=59.73 b_{eff}=13.20 t_w=0.70 σ=6.46
Zona tesa: F=59.73 b_{eff}=13.20 t_w=0.70 σ=6.46
CC 10 SLD (Collegamento -384_-528)
Azioni sul collegamento: N=148.32 Ty=-1.51 Tz=-50.98 Mx=-0.37 Mz=-2.02
Zona tesa: F=59.73 b_{eff}=13.20 t_w=0.70 σ=6.46
Zona tesa: F=59.73 b_{eff}=13.20 t_w=0.70 σ=6.46
CC 10 SLD (Collegamento -384_-528)
Azioni sul collegamento: N=148.32 Ty=-1.91 Tz=-50.98 Mx=-0.43 Mz=-2.44
Zona tesa: F=59.73 b_{eff}=13.20 t_w=0.70 σ=6.46
Zona tesa: F=59.73 b_{eff}=13.20 t_w=0.70 σ=6.46
CC 10 SLD (Collegamento -384_-528)
Azioni sul collegamento: N=143.31 Ty=-1.51 Tz=-50.20 Mx=-0.37 Mz=-2.02
Zona tesa: F=57.71 b_{eff}=13.20 t_w=0.70 σ=6.25
Zona tesa: F=57.71 b_{eff}=13.20 t_w=0.70 σ=6.25
CC 10 SLD (Collegamento -384_-528)
Azioni sul collegamento: N=143.31 Ty=-1.91 Tz=-50.20 Mx=-0.43 Mz=-2.44
Zona tesa: F=57.71 b_{eff}=13.20 t_w=0.70 σ=6.25
Zona tesa: F=57.71 b_{eff}=13.20 t_w=0.70 σ=6.25
CC 10 SLD (Collegamento -384_-528)
Azioni sul collegamento: N=143.31 Ty=-1.51 Tz=-50.20 Mx=-0.37 Mz=-2.02
Zona tesa: F=57.71 b_{eff}=13.20 t_w=0.70 σ=6.25
Zona tesa: F=57.71 b_{eff}=13.20 t_w=0.70 σ=6.25
CC 10 SLD (Collegamento -384_-528)
Azioni sul collegamento: N=143.31 Ty=-1.91 Tz=-50.20 Mx=-0.43 Mz=-2.44
Zona tesa: F=57.71 b_{eff}=13.20 t_w=0.70 σ=6.25
Zona tesa: F=57.71 b_{eff}=13.20 t_w=0.70 σ=6.25
CC 11 SLV (Collegamento -384_-528)
Azioni sul collegamento: N=136.30 Ty=-1.77 Tz=-49.12 Mx=-0.44 Mz=-2.45
Zona tesa: F=54.89 b_{eff}=13.20 t_w=0.70 σ=5.94
Zona tesa: F=54.89 b_{eff}=13.20 t_w=0.70 σ=5.94
CC 11 SLV (Collegamento -384_-528)
Azioni sul collegamento: N=136.30 Ty=-2.28 Tz=-49.12 Mx=-0.47 Mz=-2.69
Zona tesa: F=54.89 b_{eff}=13.20 t_w=0.70 σ=5.94

Zona tesa: F=54.89 b_{eff}=13.20 t_w=0.70 σ=5.94
CC 11 SLV (Collegamento -384_-528)
Azioni sul collegamento: N=136.30 Ty=-1.77 Tz=-49.12 Mx=-0.44 Mz=-2.45
Zona tesa: F=54.89 b_{eff}=13.20 t_w=0.70 σ=5.94
Zona tesa: F=54.89 b_{eff}=13.20 t_w=0.70 σ=5.94
CC 11 SLV (Collegamento -384_-528)
Azioni sul collegamento: N=136.30 Ty=-2.28 Tz=-49.12 Mx=-0.47 Mz=-2.69
Zona tesa: F=54.89 b_{eff}=13.20 t_w=0.70 σ=5.94
Zona tesa: F=54.89 b_{eff}=13.20 t_w=0.70 σ=5.94
CC 11 SLV (Collegamento -384_-528)
Azioni sul collegamento: N=152.10 Ty=-1.77 Tz=-51.56 Mx=-0.44 Mz=-2.45
Zona tesa: F=61.25 b_{eff}=13.20 t_w=0.70 σ=6.63
Zona tesa: F=61.25 b_{eff}=13.20 t_w=0.70 σ=6.63
CC 11 SLV (Collegamento -384_-528)
Azioni sul collegamento: N=152.10 Ty=-2.28 Tz=-51.56 Mx=-0.47 Mz=-2.69
Zona tesa: F=61.25 b_{eff}=13.20 t_w=0.70 σ=6.63
Zona tesa: F=61.25 b_{eff}=13.20 t_w=0.70 σ=6.63
CC 11 SLV (Collegamento -384_-528)
Azioni sul collegamento: N=152.10 Ty=-1.77 Tz=-51.56 Mx=-0.44 Mz=-2.45
Zona tesa: F=61.25 b_{eff}=13.20 t_w=0.70 σ=6.63
Zona tesa: F=61.25 b_{eff}=13.20 t_w=0.70 σ=6.63
CC 11 SLV (Collegamento -384_-528)
Azioni sul collegamento: N=152.10 Ty=-2.28 Tz=-51.56 Mx=-0.47 Mz=-2.69
Zona tesa: F=61.25 b_{eff}=13.20 t_w=0.70 σ=6.63
Zona tesa: F=61.25 b_{eff}=13.20 t_w=0.70 σ=6.63
CC 12 SLD (Collegamento -384_-528)
Azioni sul collegamento: N=143.41 Ty=-1.63 Tz=-50.22 Mx=-0.39 Mz=-2.19
Zona tesa: F=57.75 b_{eff}=13.20 t_w=0.70 σ=6.25
Zona tesa: F=57.75 b_{eff}=13.20 t_w=0.70 σ=6.25
CC 12 SLD (Collegamento -384_-528)
Azioni sul collegamento: N=143.41 Ty=-1.78 Tz=-50.22 Mx=-0.40 Mz=-2.27
Zona tesa: F=57.75 b_{eff}=13.20 t_w=0.70 σ=6.25
Zona tesa: F=57.75 b_{eff}=13.20 t_w=0.70 σ=6.25
CC 12 SLD (Collegamento -384_-528)
Azioni sul collegamento: N=143.41 Ty=-1.63 Tz=-50.22 Mx=-0.39 Mz=-2.19
Zona tesa: F=57.75 b_{eff}=13.20 t_w=0.70 σ=6.25
Zona tesa: F=57.75 b_{eff}=13.20 t_w=0.70 σ=6.25
CC 12 SLD (Collegamento -384_-528)
Azioni sul collegamento: N=143.41 Ty=-1.78 Tz=-50.22 Mx=-0.40 Mz=-2.27
Zona tesa: F=57.75 b_{eff}=13.20 t_w=0.70 σ=6.25
Zona tesa: F=57.75 b_{eff}=13.20 t_w=0.70 σ=6.25
CC 12 SLD (Collegamento -384_-528)
Azioni sul collegamento: N=148.22 Ty=-1.63 Tz=-50.96 Mx=-0.39 Mz=-2.19
Zona tesa: F=59.69 b_{eff}=13.20 t_w=0.70 σ=6.46
Zona tesa: F=59.69 b_{eff}=13.20 t_w=0.70 σ=6.46
CC 12 SLD (Collegamento -384_-528)
Azioni sul collegamento: N=148.22 Ty=-1.78 Tz=-50.96 Mx=-0.40 Mz=-2.27
Zona tesa: F=59.69 b_{eff}=13.20 t_w=0.70 σ=6.46
Zona tesa: F=59.69 b_{eff}=13.20 t_w=0.70 σ=6.46
CC 12 SLD (Collegamento -384_-528)
Azioni sul collegamento: N=148.22 Ty=-1.63 Tz=-50.96 Mx=-0.39 Mz=-2.19
Zona tesa: F=59.69 b_{eff}=13.20 t_w=0.70 σ=6.46
Zona tesa: F=59.69 b_{eff}=13.20 t_w=0.70 σ=6.46
CC 12 SLD (Collegamento -384_-528)
Azioni sul collegamento: N=148.22 Ty=-1.78 Tz=-50.96 Mx=-0.40 Mz=-2.27
Zona tesa: F=59.69 b_{eff}=13.20 t_w=0.70 σ=6.46
Zona tesa: F=59.69 b_{eff}=13.20 t_w=0.70 σ=6.46
CC 13 SLV (Collegamento -384_-528)
Azioni sul collegamento: N=152.10 Ty=-2.28 Tz=-51.56 Mx=-0.48 Mz=-2.69
Zona tesa: F=61.25 b_{eff}=13.20 t_w=0.70 σ=6.63
Zona tesa: F=61.25 b_{eff}=13.20 t_w=0.70 σ=6.63
CC 13 SLV (Collegamento -384_-528)
Azioni sul collegamento: N=152.10 Ty=-1.77 Tz=-51.56 Mx=-0.44 Mz=-2.45
Zona tesa: F=61.25 b_{eff}=13.20 t_w=0.70 σ=6.63
Zona tesa: F=61.25 b_{eff}=13.20 t_w=0.70 σ=6.63
CC 13 SLV (Collegamento -384_-528)
Azioni sul collegamento: N=152.10 Ty=-2.28 Tz=-51.56 Mx=-0.48 Mz=-2.69
Zona tesa: F=61.25 b_{eff}=13.20 t_w=0.70 σ=6.63
Zona tesa: F=61.25 b_{eff}=13.20 t_w=0.70 σ=6.63
CC 13 SLV (Collegamento -384_-528)
Azioni sul collegamento: N=152.10 Ty=-1.77 Tz=-51.56 Mx=-0.44 Mz=-2.45
Zona tesa: F=61.25 b_{eff}=13.20 t_w=0.70 σ=6.63
Zona tesa: F=61.25 b_{eff}=13.20 t_w=0.70 σ=6.63
CC 13 SLV (Collegamento -384_-528)
Azioni sul collegamento: N=136.30 Ty=-2.28 Tz=-49.12 Mx=-0.48 Mz=-2.69
Zona tesa: F=54.89 b_{eff}=13.20 t_w=0.70 σ=5.94
Zona tesa: F=54.89 b_{eff}=13.20 t_w=0.70 σ=5.94
CC 13 SLV (Collegamento -384_-528)

Azioni sul collegamento: N=136.30 Ty=-1.77 Tz=-49.12 Mx=-0.44 Mz=-2.45
Zona tesa: F=54.89 b_{eff}=13.20 t_w=0.70 σ=5.94
Zona tesa: F=54.89 b_{eff}=13.20 t_w=0.70 σ=5.94
CC 13 SLV (Collegamento -384_-528)
Azioni sul collegamento: N=136.30 Ty=-2.28 Tz=-49.12 Mx=-0.48 Mz=-2.69
Zona tesa: F=54.89 b_{eff}=13.20 t_w=0.70 σ=5.94
Zona tesa: F=54.89 b_{eff}=13.20 t_w=0.70 σ=5.94
CC 13 SLV (Collegamento -384_-528)
Azioni sul collegamento: N=136.30 Ty=-1.77 Tz=-49.12 Mx=-0.44 Mz=-2.45
Zona tesa: F=54.89 b_{eff}=13.20 t_w=0.70 σ=5.94
Zona tesa: F=54.89 b_{eff}=13.20 t_w=0.70 σ=5.94
CC 14 SLD (Collegamento -384_-528)
Azioni sul collegamento: N=148.22 Ty=-1.78 Tz=-50.96 Mx=-0.40 Mz=-2.27
Zona tesa: F=59.69 b_{eff}=13.20 t_w=0.70 σ=6.46
Zona tesa: F=59.69 b_{eff}=13.20 t_w=0.70 σ=6.46
CC 14 SLD (Collegamento -384_-528)
Azioni sul collegamento: N=148.22 Ty=-1.63 Tz=-50.96 Mx=-0.39 Mz=-2.19
Zona tesa: F=59.69 b_{eff}=13.20 t_w=0.70 σ=6.46
Zona tesa: F=59.69 b_{eff}=13.20 t_w=0.70 σ=6.46
CC 14 SLD (Collegamento -384_-528)
Azioni sul collegamento: N=148.22 Ty=-1.78 Tz=-50.96 Mx=-0.40 Mz=-2.27
Zona tesa: F=59.69 b_{eff}=13.20 t_w=0.70 σ=6.46
Zona tesa: F=59.69 b_{eff}=13.20 t_w=0.70 σ=6.46
CC 14 SLD (Collegamento -384_-528)
Azioni sul collegamento: N=148.22 Ty=-1.63 Tz=-50.96 Mx=-0.39 Mz=-2.19
Zona tesa: F=59.69 b_{eff}=13.20 t_w=0.70 σ=6.46
Zona tesa: F=59.69 b_{eff}=13.20 t_w=0.70 σ=6.46
CC 14 SLD (Collegamento -384_-528)
Azioni sul collegamento: N=143.41 Ty=-1.78 Tz=-50.22 Mx=-0.40 Mz=-2.27
Zona tesa: F=57.75 b_{eff}=13.20 t_w=0.70 σ=6.25
Zona tesa: F=57.75 b_{eff}=13.20 t_w=0.70 σ=6.25
CC 14 SLD (Collegamento -384_-528)
Azioni sul collegamento: N=143.41 Ty=-1.63 Tz=-50.22 Mx=-0.39 Mz=-2.19
Zona tesa: F=57.75 b_{eff}=13.20 t_w=0.70 σ=6.25
Zona tesa: F=57.75 b_{eff}=13.20 t_w=0.70 σ=6.25
CC 14 SLD (Collegamento -384_-528)
Azioni sul collegamento: N=143.41 Ty=-1.78 Tz=-50.22 Mx=-0.40 Mz=-2.27
Zona tesa: F=57.75 b_{eff}=13.20 t_w=0.70 σ=6.25
Zona tesa: F=57.75 b_{eff}=13.20 t_w=0.70 σ=6.25
CC 14 SLD (Collegamento -384_-528)
Azioni sul collegamento: N=143.41 Ty=-1.63 Tz=-50.22 Mx=-0.39 Mz=-2.19
Zona tesa: F=57.75 b_{eff}=13.20 t_w=0.70 σ=6.25
Zona tesa: F=57.75 b_{eff}=13.20 t_w=0.70 σ=6.25
CC 15 SLV (Collegamento -384_-528)
Azioni sul collegamento: N=135.99 Ty=-2.68 Tz=-49.07 Mx=-0.55 Mz=-3.27
Zona tesa: F=54.76 b_{eff}=13.20 t_w=0.70 σ=5.93
Zona tesa: F=54.76 b_{eff}=13.20 t_w=0.70 σ=5.93
CC 15 SLV (Collegamento -384_-528)
Azioni sul collegamento: N=135.99 Ty=-1.37 Tz=-49.07 Mx=-0.34 Mz=-1.87
Zona tesa: F=54.76 b_{eff}=13.20 t_w=0.70 σ=5.93
Zona tesa: F=54.76 b_{eff}=13.20 t_w=0.70 σ=5.93
CC 15 SLV (Collegamento -384_-528)
Azioni sul collegamento: N=135.99 Ty=-2.68 Tz=-49.07 Mx=-0.55 Mz=-3.27
Zona tesa: F=54.76 b_{eff}=13.20 t_w=0.70 σ=5.93
Zona tesa: F=54.76 b_{eff}=13.20 t_w=0.70 σ=5.93
CC 15 SLV (Collegamento -384_-528)
Azioni sul collegamento: N=135.99 Ty=-1.37 Tz=-49.07 Mx=-0.34 Mz=-1.87
Zona tesa: F=54.76 b_{eff}=13.20 t_w=0.70 σ=5.93
Zona tesa: F=54.76 b_{eff}=13.20 t_w=0.70 σ=5.93
CC 15 SLV (Collegamento -384_-528)
Azioni sul collegamento: N=152.41 Ty=-2.68 Tz=-51.61 Mx=-0.55 Mz=-3.27
Zona tesa: F=61.37 b_{eff}=13.20 t_w=0.70 σ=6.64
Zona tesa: F=61.37 b_{eff}=13.20 t_w=0.70 σ=6.64
CC 15 SLV (Collegamento -384_-528)
Azioni sul collegamento: N=152.41 Ty=-1.37 Tz=-51.61 Mx=-0.34 Mz=-1.87
Zona tesa: F=61.37 b_{eff}=13.20 t_w=0.70 σ=6.64
Zona tesa: F=61.37 b_{eff}=13.20 t_w=0.70 σ=6.64
CC 15 SLV (Collegamento -384_-528)
Azioni sul collegamento: N=152.41 Ty=-2.68 Tz=-51.61 Mx=-0.55 Mz=-3.27
Zona tesa: F=61.37 b_{eff}=13.20 t_w=0.70 σ=6.64
Zona tesa: F=61.37 b_{eff}=13.20 t_w=0.70 σ=6.64
CC 15 SLV (Collegamento -384_-528)
Azioni sul collegamento: N=152.41 Ty=-1.37 Tz=-51.61 Mx=-0.34 Mz=-1.87
Zona tesa: F=61.37 b_{eff}=13.20 t_w=0.70 σ=6.64
Zona tesa: F=61.37 b_{eff}=13.20 t_w=0.70 σ=6.64
CC 16 SLD (Collegamento -384_-528)
Azioni sul collegamento: N=143.31 Ty=-1.91 Tz=-50.20 Mx=-0.43 Mz=-2.44
Zona tesa: F=57.71 b_{eff}=13.20 t_w=0.70 σ=6.25

Zona tesa: F=57.71 b_{eff}=13.20 t_w=0.70 σ=6.25
CC 16 SLD (Collegamento -384_-528)
Azioni sul collegamento: N=143.31 Ty=-1.51 Tz=-50.20 Mx=-0.36 Mz=-2.02
Zona tesa: F=57.71 b_{eff}=13.20 t_w=0.70 σ=6.25
Zona tesa: F=57.71 b_{eff}=13.20 t_w=0.70 σ=6.25
CC 16 SLD (Collegamento -384_-528)
Azioni sul collegamento: N=143.31 Ty=-1.91 Tz=-50.20 Mx=-0.43 Mz=-2.44
Zona tesa: F=57.71 b_{eff}=13.20 t_w=0.70 σ=6.25
Zona tesa: F=57.71 b_{eff}=13.20 t_w=0.70 σ=6.25
CC 16 SLD (Collegamento -384_-528)
Azioni sul collegamento: N=143.31 Ty=-1.51 Tz=-50.20 Mx=-0.36 Mz=-2.02
Zona tesa: F=57.71 b_{eff}=13.20 t_w=0.70 σ=6.25
Zona tesa: F=57.71 b_{eff}=13.20 t_w=0.70 σ=6.25
CC 16 SLD (Collegamento -384_-528)
Azioni sul collegamento: N=148.32 Ty=-1.91 Tz=-50.98 Mx=-0.43 Mz=-2.44
Zona tesa: F=59.73 b_{eff}=13.20 t_w=0.70 σ=6.46
Zona tesa: F=59.73 b_{eff}=13.20 t_w=0.70 σ=6.46
CC 16 SLD (Collegamento -384_-528)
Azioni sul collegamento: N=148.32 Ty=-1.51 Tz=-50.98 Mx=-0.36 Mz=-2.02
Zona tesa: F=59.73 b_{eff}=13.20 t_w=0.70 σ=6.46
Zona tesa: F=59.73 b_{eff}=13.20 t_w=0.70 σ=6.46
CC 16 SLD (Collegamento -384_-528)
Azioni sul collegamento: N=148.32 Ty=-1.91 Tz=-50.98 Mx=-0.43 Mz=-2.44
Zona tesa: F=59.73 b_{eff}=13.20 t_w=0.70 σ=6.46
Zona tesa: F=59.73 b_{eff}=13.20 t_w=0.70 σ=6.46
CC 16 SLD (Collegamento -384_-528)
Azioni sul collegamento: N=148.32 Ty=-1.51 Tz=-50.98 Mx=-0.36 Mz=-2.02
Zona tesa: F=59.73 b_{eff}=13.20 t_w=0.70 σ=6.46
Zona tesa: F=59.73 b_{eff}=13.20 t_w=0.70 σ=6.46
CC 17 SLV (Collegamento -384_-528)
Azioni sul collegamento: N=175.74 Ty=-0.30 Tz=-55.22 Mx=-0.14 Mz=-0.50
Zona tesa: F=70.77 b_{eff}=13.20 t_w=0.70 σ=7.66
Zona tesa: F=70.77 b_{eff}=13.20 t_w=0.70 σ=7.66
CC 17 SLV (Collegamento -384_-528)
Azioni sul collegamento: N=175.74 Ty=-1.91 Tz=-55.22 Mx=-0.48 Mz=-2.67
Zona tesa: F=70.77 b_{eff}=13.20 t_w=0.70 σ=7.66
Zona tesa: F=70.77 b_{eff}=13.20 t_w=0.70 σ=7.66
CC 17 SLV (Collegamento -384_-528)
Azioni sul collegamento: N=175.74 Ty=-0.30 Tz=-55.22 Mx=-0.14 Mz=-0.50
Zona tesa: F=70.77 b_{eff}=13.20 t_w=0.70 σ=7.66
Zona tesa: F=70.77 b_{eff}=13.20 t_w=0.70 σ=7.66
CC 17 SLV (Collegamento -384_-528)
Azioni sul collegamento: N=175.74 Ty=-1.91 Tz=-55.22 Mx=-0.48 Mz=-2.67
Zona tesa: F=70.77 b_{eff}=13.20 t_w=0.70 σ=7.66
Zona tesa: F=70.77 b_{eff}=13.20 t_w=0.70 σ=7.66
CC 17 SLV (Collegamento -384_-528)
Azioni sul collegamento: N=121.95 Ty=-0.30 Tz=-46.90 Mx=-0.14 Mz=-0.50
Zona tesa: F=49.11 b_{eff}=13.20 t_w=0.70 σ=5.31
Zona tesa: F=49.11 b_{eff}=13.20 t_w=0.70 σ=5.31
CC 17 SLV (Collegamento -384_-528)
Azioni sul collegamento: N=121.95 Ty=-1.91 Tz=-46.90 Mx=-0.48 Mz=-2.67
Zona tesa: F=49.11 b_{eff}=13.20 t_w=0.70 σ=5.31
Zona tesa: F=49.11 b_{eff}=13.20 t_w=0.70 σ=5.31
CC 17 SLV (Collegamento -384_-528)
Azioni sul collegamento: N=121.95 Ty=-0.30 Tz=-46.90 Mx=-0.14 Mz=-0.50
Zona tesa: F=49.11 b_{eff}=13.20 t_w=0.70 σ=5.31
Zona tesa: F=49.11 b_{eff}=13.20 t_w=0.70 σ=5.31
CC 17 SLV (Collegamento -384_-528)
Azioni sul collegamento: N=121.95 Ty=-1.91 Tz=-46.90 Mx=-0.48 Mz=-2.67
Zona tesa: F=49.11 b_{eff}=13.20 t_w=0.70 σ=5.31
Zona tesa: F=49.11 b_{eff}=13.20 t_w=0.70 σ=5.31
CC 18 SLD (Collegamento -384_-528)
Azioni sul collegamento: N=155.43 Ty=-1.18 Tz=-52.08 Mx=-0.30 Mz=-1.60
Zona tesa: F=62.59 b_{eff}=13.20 t_w=0.70 σ=6.77
Zona tesa: F=62.59 b_{eff}=13.20 t_w=0.70 σ=6.77
CC 18 SLD (Collegamento -384_-528)
Azioni sul collegamento: N=155.43 Ty=-1.67 Tz=-52.08 Mx=-0.41 Mz=-2.26
Zona tesa: F=62.59 b_{eff}=13.20 t_w=0.70 σ=6.77
Zona tesa: F=62.59 b_{eff}=13.20 t_w=0.70 σ=6.77
CC 18 SLD (Collegamento -384_-528)
Azioni sul collegamento: N=155.43 Ty=-1.18 Tz=-52.08 Mx=-0.30 Mz=-1.60
Zona tesa: F=62.59 b_{eff}=13.20 t_w=0.70 σ=6.77
Zona tesa: F=62.59 b_{eff}=13.20 t_w=0.70 σ=6.77
CC 18 SLD (Collegamento -384_-528)
Azioni sul collegamento: N=155.43 Ty=-1.67 Tz=-52.08 Mx=-0.41 Mz=-2.26
Zona tesa: F=62.59 b_{eff}=13.20 t_w=0.70 σ=6.77
Zona tesa: F=62.59 b_{eff}=13.20 t_w=0.70 σ=6.77
CC 18 SLD (Collegamento -384_-528)

Azioni sul collegamento: N=139.03 Ty=-1.18 Tz=-49.54 Mx=-0.30 Mz=-1.60
Zona tesa: F=55.98 b_{eff}=13.20 t_w=0.70 σ=6.06
Zona tesa: F=55.98 b_{eff}=13.20 t_w=0.70 σ=6.06
CC 18 SLD (Collegamento -384_-528)
Azioni sul collegamento: N=139.03 Ty=-1.67 Tz=-49.54 Mx=-0.41 Mz=-2.26
Zona tesa: F=55.98 b_{eff}=13.20 t_w=0.70 σ=6.06
Zona tesa: F=55.98 b_{eff}=13.20 t_w=0.70 σ=6.06
CC 18 SLD (Collegamento -384_-528)
Azioni sul collegamento: N=139.03 Ty=-1.18 Tz=-49.54 Mx=-0.30 Mz=-1.60
Zona tesa: F=55.98 b_{eff}=13.20 t_w=0.70 σ=6.06
Zona tesa: F=55.98 b_{eff}=13.20 t_w=0.70 σ=6.06
CC 18 SLD (Collegamento -384_-528)
Azioni sul collegamento: N=139.03 Ty=-1.67 Tz=-49.54 Mx=-0.41 Mz=-2.26
Zona tesa: F=55.98 b_{eff}=13.20 t_w=0.70 σ=6.06
Zona tesa: F=55.98 b_{eff}=13.20 t_w=0.70 σ=6.06
CC 19 SLV (Collegamento -384_-528)
Azioni sul collegamento: N=175.65 Ty=-0.58 Tz=-55.21 Mx=-0.18 Mz=-0.74
Zona tesa: F=70.73 b_{eff}=13.20 t_w=0.70 σ=7.65
Zona tesa: F=70.73 b_{eff}=13.20 t_w=0.70 σ=7.65
CC 19 SLV (Collegamento -384_-528)
Azioni sul collegamento: N=175.65 Ty=-1.64 Tz=-55.21 Mx=-0.44 Mz=-2.43
Zona tesa: F=70.73 b_{eff}=13.20 t_w=0.70 σ=7.65
Zona tesa: F=70.73 b_{eff}=13.20 t_w=0.70 σ=7.65
CC 19 SLV (Collegamento -384_-528)
Azioni sul collegamento: N=175.65 Ty=-0.58 Tz=-55.21 Mx=-0.18 Mz=-0.74
Zona tesa: F=70.73 b_{eff}=13.20 t_w=0.70 σ=7.65
Zona tesa: F=70.73 b_{eff}=13.20 t_w=0.70 σ=7.65
CC 19 SLV (Collegamento -384_-528)
Azioni sul collegamento: N=175.65 Ty=-1.64 Tz=-55.21 Mx=-0.44 Mz=-2.43
Zona tesa: F=70.73 b_{eff}=13.20 t_w=0.70 σ=7.65
Zona tesa: F=70.73 b_{eff}=13.20 t_w=0.70 σ=7.65
CC 19 SLV (Collegamento -384_-528)
Azioni sul collegamento: N=122.04 Ty=-0.58 Tz=-46.91 Mx=-0.18 Mz=-0.74
Zona tesa: F=49.14 b_{eff}=13.20 t_w=0.70 σ=5.32
Zona tesa: F=49.14 b_{eff}=13.20 t_w=0.70 σ=5.32
CC 19 SLV (Collegamento -384_-528)
Azioni sul collegamento: N=122.04 Ty=-1.64 Tz=-46.91 Mx=-0.44 Mz=-2.43
Zona tesa: F=49.14 b_{eff}=13.20 t_w=0.70 σ=5.32
Zona tesa: F=49.14 b_{eff}=13.20 t_w=0.70 σ=5.32
CC 19 SLV (Collegamento -384_-528)
Azioni sul collegamento: N=122.04 Ty=-0.58 Tz=-46.91 Mx=-0.18 Mz=-0.74
Zona tesa: F=49.14 b_{eff}=13.20 t_w=0.70 σ=5.32
Zona tesa: F=49.14 b_{eff}=13.20 t_w=0.70 σ=5.32
CC 19 SLV (Collegamento -384_-528)
Azioni sul collegamento: N=122.04 Ty=-1.64 Tz=-46.91 Mx=-0.44 Mz=-2.43
Zona tesa: F=49.14 b_{eff}=13.20 t_w=0.70 σ=5.32
Zona tesa: F=49.14 b_{eff}=13.20 t_w=0.70 σ=5.32
CC 20 SLD (Collegamento -384_-528)
Azioni sul collegamento: N=155.40 Ty=-1.26 Tz=-52.07 Mx=-0.31 Mz=-1.67
Zona tesa: F=62.58 b_{eff}=13.20 t_w=0.70 σ=6.77
Zona tesa: F=62.58 b_{eff}=13.20 t_w=0.70 σ=6.77
CC 20 SLD (Collegamento -384_-528)
Azioni sul collegamento: N=155.40 Ty=-1.59 Tz=-52.07 Mx=-0.39 Mz=-2.19
Zona tesa: F=62.58 b_{eff}=13.20 t_w=0.70 σ=6.77
Zona tesa: F=62.58 b_{eff}=13.20 t_w=0.70 σ=6.77
CC 20 SLD (Collegamento -384_-528)
Azioni sul collegamento: N=155.40 Ty=-1.26 Tz=-52.07 Mx=-0.31 Mz=-1.67
Zona tesa: F=62.58 b_{eff}=13.20 t_w=0.70 σ=6.77
Zona tesa: F=62.58 b_{eff}=13.20 t_w=0.70 σ=6.77
CC 20 SLD (Collegamento -384_-528)
Azioni sul collegamento: N=155.40 Ty=-1.59 Tz=-52.07 Mx=-0.39 Mz=-2.19
Zona tesa: F=62.58 b_{eff}=13.20 t_w=0.70 σ=6.77
Zona tesa: F=62.58 b_{eff}=13.20 t_w=0.70 σ=6.77
CC 20 SLD (Collegamento -384_-528)
Azioni sul collegamento: N=139.06 Ty=-1.26 Tz=-49.54 Mx=-0.31 Mz=-1.67
Zona tesa: F=56.00 b_{eff}=13.20 t_w=0.70 σ=6.06
Zona tesa: F=56.00 b_{eff}=13.20 t_w=0.70 σ=6.06
CC 20 SLD (Collegamento -384_-528)
Azioni sul collegamento: N=139.06 Ty=-1.59 Tz=-49.54 Mx=-0.39 Mz=-2.19
Zona tesa: F=56.00 b_{eff}=13.20 t_w=0.70 σ=6.06
Zona tesa: F=56.00 b_{eff}=13.20 t_w=0.70 σ=6.06
CC 20 SLD (Collegamento -384_-528)
Azioni sul collegamento: N=139.06 Ty=-1.26 Tz=-49.54 Mx=-0.31 Mz=-1.67
Zona tesa: F=56.00 b_{eff}=13.20 t_w=0.70 σ=6.06
Zona tesa: F=56.00 b_{eff}=13.20 t_w=0.70 σ=6.06
CC 20 SLD (Collegamento -384_-528)
Azioni sul collegamento: N=139.06 Ty=-1.59 Tz=-49.54 Mx=-0.39 Mz=-2.19
Zona tesa: F=56.00 b_{eff}=13.20 t_w=0.70 σ=6.06

Zona tesa: F=56.00 b_{eff}=13.20 t_w=0.70 σ=6.06
CC 21 SLV (Collegamento -384_-528)
Azioni sul collegamento: N=122.04 Ty=-1.64 Tz=-46.91 Mx=-0.41 Mz=-2.43
Zona tesa: F=49.14 b_{eff}=13.20 t_w=0.70 σ=5.32
Zona tesa: F=49.14 b_{eff}=13.20 t_w=0.70 σ=5.32
CC 21 SLV (Collegamento -384_-528)
Azioni sul collegamento: N=122.04 Ty=-0.58 Tz=-46.91 Mx=-0.15 Mz=-0.75
Zona tesa: F=49.14 b_{eff}=13.20 t_w=0.70 σ=5.32
Zona tesa: F=49.14 b_{eff}=13.20 t_w=0.70 σ=5.32
CC 21 SLV (Collegamento -384_-528)
Azioni sul collegamento: N=122.04 Ty=-1.64 Tz=-46.91 Mx=-0.41 Mz=-2.43
Zona tesa: F=49.14 b_{eff}=13.20 t_w=0.70 σ=5.32
Zona tesa: F=49.14 b_{eff}=13.20 t_w=0.70 σ=5.32
CC 21 SLV (Collegamento -384_-528)
Azioni sul collegamento: N=122.04 Ty=-0.58 Tz=-46.91 Mx=-0.15 Mz=-0.75
Zona tesa: F=49.14 b_{eff}=13.20 t_w=0.70 σ=5.32
Zona tesa: F=49.14 b_{eff}=13.20 t_w=0.70 σ=5.32
CC 21 SLV (Collegamento -384_-528)
Azioni sul collegamento: N=175.65 Ty=-1.64 Tz=-55.21 Mx=-0.41 Mz=-2.43
Zona tesa: F=70.73 b_{eff}=13.20 t_w=0.70 σ=7.65
Zona tesa: F=70.73 b_{eff}=13.20 t_w=0.70 σ=7.65
CC 21 SLV (Collegamento -384_-528)
Azioni sul collegamento: N=175.65 Ty=-0.58 Tz=-55.21 Mx=-0.15 Mz=-0.75
Zona tesa: F=70.73 b_{eff}=13.20 t_w=0.70 σ=7.65
Zona tesa: F=70.73 b_{eff}=13.20 t_w=0.70 σ=7.65
CC 21 SLV (Collegamento -384_-528)
Azioni sul collegamento: N=175.65 Ty=-1.64 Tz=-55.21 Mx=-0.41 Mz=-2.43
Zona tesa: F=70.73 b_{eff}=13.20 t_w=0.70 σ=7.65
Zona tesa: F=70.73 b_{eff}=13.20 t_w=0.70 σ=7.65
CC 21 SLV (Collegamento -384_-528)
Azioni sul collegamento: N=175.65 Ty=-0.58 Tz=-55.21 Mx=-0.15 Mz=-0.75
Zona tesa: F=70.73 b_{eff}=13.20 t_w=0.70 σ=7.65
Zona tesa: F=70.73 b_{eff}=13.20 t_w=0.70 σ=7.65
CC 22 SLD (Collegamento -384_-528)
Azioni sul collegamento: N=139.06 Ty=-1.59 Tz=-49.54 Mx=-0.38 Mz=-2.19
Zona tesa: F=56.00 b_{eff}=13.20 t_w=0.70 σ=6.06
Zona tesa: F=56.00 b_{eff}=13.20 t_w=0.70 σ=6.06
CC 22 SLD (Collegamento -384_-528)
Azioni sul collegamento: N=139.06 Ty=-1.26 Tz=-49.54 Mx=-0.30 Mz=-1.67
Zona tesa: F=56.00 b_{eff}=13.20 t_w=0.70 σ=6.06
Zona tesa: F=56.00 b_{eff}=13.20 t_w=0.70 σ=6.06
CC 22 SLD (Collegamento -384_-528)
Azioni sul collegamento: N=139.06 Ty=-1.59 Tz=-49.54 Mx=-0.38 Mz=-2.19
Zona tesa: F=56.00 b_{eff}=13.20 t_w=0.70 σ=6.06
Zona tesa: F=56.00 b_{eff}=13.20 t_w=0.70 σ=6.06
CC 22 SLD (Collegamento -384_-528)
Azioni sul collegamento: N=139.06 Ty=-1.26 Tz=-49.54 Mx=-0.30 Mz=-1.67
Zona tesa: F=56.00 b_{eff}=13.20 t_w=0.70 σ=6.06
Zona tesa: F=56.00 b_{eff}=13.20 t_w=0.70 σ=6.06
CC 22 SLD (Collegamento -384_-528)
Azioni sul collegamento: N=155.40 Ty=-1.59 Tz=-52.07 Mx=-0.38 Mz=-2.19
Zona tesa: F=62.58 b_{eff}=13.20 t_w=0.70 σ=6.77
Zona tesa: F=62.58 b_{eff}=13.20 t_w=0.70 σ=6.77
CC 22 SLD (Collegamento -384_-528)
Azioni sul collegamento: N=155.40 Ty=-1.26 Tz=-52.07 Mx=-0.30 Mz=-1.67
Zona tesa: F=62.58 b_{eff}=13.20 t_w=0.70 σ=6.77
Zona tesa: F=62.58 b_{eff}=13.20 t_w=0.70 σ=6.77
CC 22 SLD (Collegamento -384_-528)
Azioni sul collegamento: N=155.40 Ty=-1.59 Tz=-52.07 Mx=-0.38 Mz=-2.19
Zona tesa: F=62.58 b_{eff}=13.20 t_w=0.70 σ=6.77
Zona tesa: F=62.58 b_{eff}=13.20 t_w=0.70 σ=6.77
CC 22 SLD (Collegamento -384_-528)
Azioni sul collegamento: N=155.40 Ty=-1.26 Tz=-52.07 Mx=-0.30 Mz=-1.67
Zona tesa: F=62.58 b_{eff}=13.20 t_w=0.70 σ=6.77
Zona tesa: F=62.58 b_{eff}=13.20 t_w=0.70 σ=6.77
CC 23 SLV (Collegamento -384_-528)
Azioni sul collegamento: N=121.95 Ty=-1.91 Tz=-46.90 Mx=-0.44 Mz=-2.68
Zona tesa: F=49.11 b_{eff}=13.20 t_w=0.70 σ=5.31
Zona tesa: F=49.11 b_{eff}=13.20 t_w=0.70 σ=5.31
CC 23 SLV (Collegamento -384_-528)
Azioni sul collegamento: N=121.95 Ty=-0.30 Tz=-46.90 Mx=-0.10 Mz=-0.50
Zona tesa: F=49.11 b_{eff}=13.20 t_w=0.70 σ=5.31
Zona tesa: F=49.11 b_{eff}=13.20 t_w=0.70 σ=5.31
CC 23 SLV (Collegamento -384_-528)
Azioni sul collegamento: N=121.95 Ty=-1.91 Tz=-46.90 Mx=-0.44 Mz=-2.68
Zona tesa: F=49.11 b_{eff}=13.20 t_w=0.70 σ=5.31
Zona tesa: F=49.11 b_{eff}=13.20 t_w=0.70 σ=5.31
CC 23 SLV (Collegamento -384_-528)

Azioni sul collegamento: N=121.95 Ty=-0.30 Tz=-46.90 Mx=-0.10 Mz=-0.50
Zona tesa: F=49.11 b_{eff}=13.20 t_w=0.70 σ=5.31
Zona tesa: F=49.11 b_{eff}=13.20 t_w=0.70 σ=5.31
CC 23 SLV (Collegamento -384_-528)
Azioni sul collegamento: N=175.74 Ty=-1.91 Tz=-55.22 Mx=-0.44 Mz=-2.68
Zona tesa: F=70.77 b_{eff}=13.20 t_w=0.70 σ=7.66
Zona tesa: F=70.77 b_{eff}=13.20 t_w=0.70 σ=7.66
CC 23 SLV (Collegamento -384_-528)
Azioni sul collegamento: N=175.74 Ty=-0.30 Tz=-55.22 Mx=-0.10 Mz=-0.50
Zona tesa: F=70.77 b_{eff}=13.20 t_w=0.70 σ=7.66
Zona tesa: F=70.77 b_{eff}=13.20 t_w=0.70 σ=7.66
CC 23 SLV (Collegamento -384_-528)
Azioni sul collegamento: N=175.74 Ty=-1.91 Tz=-55.22 Mx=-0.44 Mz=-2.68
Zona tesa: F=70.77 b_{eff}=13.20 t_w=0.70 σ=7.66
Zona tesa: F=70.77 b_{eff}=13.20 t_w=0.70 σ=7.66
CC 23 SLV (Collegamento -384_-528)
Azioni sul collegamento: N=175.74 Ty=-0.30 Tz=-55.22 Mx=-0.10 Mz=-0.50
Zona tesa: F=70.77 b_{eff}=13.20 t_w=0.70 σ=7.66
Zona tesa: F=70.77 b_{eff}=13.20 t_w=0.70 σ=7.66
CC 24 SLD (Collegamento -384_-528)
Azioni sul collegamento: N=139.03 Ty=-1.67 Tz=-49.54 Mx=-0.39 Mz=-2.26
Zona tesa: F=55.98 b_{eff}=13.20 t_w=0.70 σ=6.06
Zona tesa: F=55.98 b_{eff}=13.20 t_w=0.70 σ=6.06
CC 24 SLD (Collegamento -384_-528)
Azioni sul collegamento: N=139.03 Ty=-1.18 Tz=-49.54 Mx=-0.29 Mz=-1.60
Zona tesa: F=55.98 b_{eff}=13.20 t_w=0.70 σ=6.06
Zona tesa: F=55.98 b_{eff}=13.20 t_w=0.70 σ=6.06
CC 24 SLD (Collegamento -384_-528)
Azioni sul collegamento: N=139.03 Ty=-1.67 Tz=-49.54 Mx=-0.39 Mz=-2.26
Zona tesa: F=55.98 b_{eff}=13.20 t_w=0.70 σ=6.06
Zona tesa: F=55.98 b_{eff}=13.20 t_w=0.70 σ=6.06
CC 24 SLD (Collegamento -384_-528)
Azioni sul collegamento: N=139.03 Ty=-1.18 Tz=-49.54 Mx=-0.29 Mz=-1.60
Zona tesa: F=55.98 b_{eff}=13.20 t_w=0.70 σ=6.06
Zona tesa: F=55.98 b_{eff}=13.20 t_w=0.70 σ=6.06
CC 24 SLD (Collegamento -384_-528)
Azioni sul collegamento: N=155.43 Ty=-1.67 Tz=-52.08 Mx=-0.39 Mz=-2.26
Zona tesa: F=62.59 b_{eff}=13.20 t_w=0.70 σ=6.77
Zona tesa: F=62.59 b_{eff}=13.20 t_w=0.70 σ=6.77
CC 24 SLD (Collegamento -384_-528)
Azioni sul collegamento: N=155.43 Ty=-1.18 Tz=-52.08 Mx=-0.29 Mz=-1.60
Zona tesa: F=62.59 b_{eff}=13.20 t_w=0.70 σ=6.77
Zona tesa: F=62.59 b_{eff}=13.20 t_w=0.70 σ=6.77
CC 24 SLD (Collegamento -384_-528)
Azioni sul collegamento: N=155.43 Ty=-1.67 Tz=-52.08 Mx=-0.39 Mz=-2.26
Zona tesa: F=62.59 b_{eff}=13.20 t_w=0.70 σ=6.77
Zona tesa: F=62.59 b_{eff}=13.20 t_w=0.70 σ=6.77
CC 24 SLD (Collegamento -384_-528)
Azioni sul collegamento: N=155.43 Ty=-1.18 Tz=-52.08 Mx=-0.29 Mz=-1.60
Zona tesa: F=62.59 b_{eff}=13.20 t_w=0.70 σ=6.77
Zona tesa: F=62.59 b_{eff}=13.20 t_w=0.70 σ=6.77
CC 25 SLV (Collegamento -384_-528)
Azioni sul collegamento: N=157.06 Ty=-0.45 Tz=-52.33 Mx=-0.19 Mz=-0.89
Zona tesa: F=63.24 b_{eff}=13.20 t_w=0.70 σ=6.84
Zona tesa: F=63.24 b_{eff}=13.20 t_w=0.70 σ=6.84
CC 25 SLV (Collegamento -384_-528)
Azioni sul collegamento: N=157.06 Ty=-1.76 Tz=-52.33 Mx=-0.41 Mz=-2.29
Zona tesa: F=63.24 b_{eff}=13.20 t_w=0.70 σ=6.84
Zona tesa: F=63.24 b_{eff}=13.20 t_w=0.70 σ=6.84
CC 25 SLV (Collegamento -384_-528)
Azioni sul collegamento: N=157.06 Ty=-0.45 Tz=-52.33 Mx=-0.19 Mz=-0.89
Zona tesa: F=63.24 b_{eff}=13.20 t_w=0.70 σ=6.84
Zona tesa: F=63.24 b_{eff}=13.20 t_w=0.70 σ=6.84
CC 25 SLV (Collegamento -384_-528)
Azioni sul collegamento: N=157.06 Ty=-1.76 Tz=-52.33 Mx=-0.41 Mz=-2.29
Zona tesa: F=63.24 b_{eff}=13.20 t_w=0.70 σ=6.84
Zona tesa: F=63.24 b_{eff}=13.20 t_w=0.70 σ=6.84
CC 25 SLV (Collegamento -384_-528)
Azioni sul collegamento: N=140.63 Ty=-0.45 Tz=-49.79 Mx=-0.19 Mz=-0.89
Zona tesa: F=56.63 b_{eff}=13.20 t_w=0.70 σ=6.13
Zona tesa: F=56.63 b_{eff}=13.20 t_w=0.70 σ=6.13
CC 25 SLV (Collegamento -384_-528)
Azioni sul collegamento: N=140.63 Ty=-1.76 Tz=-49.79 Mx=-0.41 Mz=-2.29
Zona tesa: F=56.63 b_{eff}=13.20 t_w=0.70 σ=6.13
Zona tesa: F=56.63 b_{eff}=13.20 t_w=0.70 σ=6.13
CC 25 SLV (Collegamento -384_-528)
Azioni sul collegamento: N=140.63 Ty=-0.45 Tz=-49.79 Mx=-0.19 Mz=-0.89
Zona tesa: F=56.63 b_{eff}=13.20 t_w=0.70 σ=6.13

Zona tesa: F=56.63 b_{eff}=13.20 t_w=0.70 σ=6.13
CC 25 SLV (Collegamento -384_-528)
Azioni sul collegamento: N=140.63 Ty=-1.76 Tz=-49.79 Mx=-0.41 Mz=-2.29
Zona tesa: F=56.63 b_{eff}=13.20 t_w=0.70 σ=6.13
Zona tesa: F=56.63 b_{eff}=13.20 t_w=0.70 σ=6.13
CC 26 SLD (Collegamento -384_-528)
Azioni sul collegamento: N=149.73 Ty=-1.23 Tz=-51.20 Mx=-0.32 Mz=-1.72
Zona tesa: F=60.30 b_{eff}=13.20 t_w=0.70 σ=6.53
Zona tesa: F=60.30 b_{eff}=13.20 t_w=0.70 σ=6.53
CC 26 SLD (Collegamento -384_-528)
Azioni sul collegamento: N=149.73 Ty=-1.63 Tz=-51.20 Mx=-0.38 Mz=-2.14
Zona tesa: F=60.30 b_{eff}=13.20 t_w=0.70 σ=6.53
Zona tesa: F=60.30 b_{eff}=13.20 t_w=0.70 σ=6.53
CC 26 SLD (Collegamento -384_-528)
Azioni sul collegamento: N=149.73 Ty=-1.23 Tz=-51.20 Mx=-0.32 Mz=-1.72
Zona tesa: F=60.30 b_{eff}=13.20 t_w=0.70 σ=6.53
Zona tesa: F=60.30 b_{eff}=13.20 t_w=0.70 σ=6.53
CC 26 SLD (Collegamento -384_-528)
Azioni sul collegamento: N=149.73 Ty=-1.63 Tz=-51.20 Mx=-0.38 Mz=-2.14
Zona tesa: F=60.30 b_{eff}=13.20 t_w=0.70 σ=6.53
Zona tesa: F=60.30 b_{eff}=13.20 t_w=0.70 σ=6.53
CC 26 SLD (Collegamento -384_-528)
Azioni sul collegamento: N=144.73 Ty=-1.23 Tz=-50.42 Mx=-0.32 Mz=-1.72
Zona tesa: F=58.28 b_{eff}=13.20 t_w=0.70 σ=6.31
Zona tesa: F=58.28 b_{eff}=13.20 t_w=0.70 σ=6.31
CC 26 SLD (Collegamento -384_-528)
Azioni sul collegamento: N=144.73 Ty=-1.63 Tz=-50.42 Mx=-0.38 Mz=-2.14
Zona tesa: F=58.28 b_{eff}=13.20 t_w=0.70 σ=6.31
Zona tesa: F=58.28 b_{eff}=13.20 t_w=0.70 σ=6.31
CC 26 SLD (Collegamento -384_-528)
Azioni sul collegamento: N=144.73 Ty=-1.23 Tz=-50.42 Mx=-0.32 Mz=-1.72
Zona tesa: F=58.28 b_{eff}=13.20 t_w=0.70 σ=6.31
Zona tesa: F=58.28 b_{eff}=13.20 t_w=0.70 σ=6.31
CC 26 SLD (Collegamento -384_-528)
Azioni sul collegamento: N=144.73 Ty=-1.63 Tz=-50.42 Mx=-0.38 Mz=-2.14
Zona tesa: F=58.28 b_{eff}=13.20 t_w=0.70 σ=6.31
Zona tesa: F=58.28 b_{eff}=13.20 t_w=0.70 σ=6.31
CC 27 SLV (Collegamento -384_-528)
Azioni sul collegamento: N=140.95 Ty=-0.85 Tz=-49.84 Mx=-0.27 Mz=-1.47
Zona tesa: F=56.76 b_{eff}=13.20 t_w=0.70 σ=6.14
Zona tesa: F=56.76 b_{eff}=13.20 t_w=0.70 σ=6.14
CC 27 SLV (Collegamento -384_-528)
Azioni sul collegamento: N=140.95 Ty=-1.36 Tz=-49.84 Mx=-0.31 Mz=-1.71
Zona tesa: F=56.76 b_{eff}=13.20 t_w=0.70 σ=6.14
Zona tesa: F=56.76 b_{eff}=13.20 t_w=0.70 σ=6.14
CC 27 SLV (Collegamento -384_-528)
Azioni sul collegamento: N=140.95 Ty=-0.85 Tz=-49.84 Mx=-0.27 Mz=-1.47
Zona tesa: F=56.76 b_{eff}=13.20 t_w=0.70 σ=6.14
Zona tesa: F=56.76 b_{eff}=13.20 t_w=0.70 σ=6.14
CC 27 SLV (Collegamento -384_-528)
Azioni sul collegamento: N=140.95 Ty=-1.36 Tz=-49.84 Mx=-0.31 Mz=-1.71
Zona tesa: F=56.76 b_{eff}=13.20 t_w=0.70 σ=6.14
Zona tesa: F=56.76 b_{eff}=13.20 t_w=0.70 σ=6.14
CC 27 SLV (Collegamento -384_-528)
Azioni sul collegamento: N=156.74 Ty=-0.85 Tz=-52.28 Mx=-0.27 Mz=-1.47
Zona tesa: F=63.12 b_{eff}=13.20 t_w=0.70 σ=6.83
Zona tesa: F=63.12 b_{eff}=13.20 t_w=0.70 σ=6.83
CC 27 SLV (Collegamento -384_-528)
Azioni sul collegamento: N=156.74 Ty=-1.36 Tz=-52.28 Mx=-0.31 Mz=-1.71
Zona tesa: F=63.12 b_{eff}=13.20 t_w=0.70 σ=6.83
Zona tesa: F=63.12 b_{eff}=13.20 t_w=0.70 σ=6.83
CC 27 SLV (Collegamento -384_-528)
Azioni sul collegamento: N=156.74 Ty=-0.85 Tz=-52.28 Mx=-0.27 Mz=-1.47
Zona tesa: F=63.12 b_{eff}=13.20 t_w=0.70 σ=6.83
Zona tesa: F=63.12 b_{eff}=13.20 t_w=0.70 σ=6.83
CC 27 SLV (Collegamento -384_-528)
Azioni sul collegamento: N=156.74 Ty=-1.36 Tz=-52.28 Mx=-0.31 Mz=-1.71
Zona tesa: F=63.12 b_{eff}=13.20 t_w=0.70 σ=6.83
Zona tesa: F=63.12 b_{eff}=13.20 t_w=0.70 σ=6.83
CC 28 SLD (Collegamento -384_-528)
Azioni sul collegamento: N=144.82 Ty=-1.35 Tz=-50.44 Mx=-0.34 Mz=-1.89
Zona tesa: F=58.32 b_{eff}=13.20 t_w=0.70 σ=6.31
Zona tesa: F=58.32 b_{eff}=13.20 t_w=0.70 σ=6.31
CC 28 SLD (Collegamento -384_-528)
Azioni sul collegamento: N=144.82 Ty=-1.50 Tz=-50.44 Mx=-0.35 Mz=-1.97
Zona tesa: F=58.32 b_{eff}=13.20 t_w=0.70 σ=6.31
Zona tesa: F=58.32 b_{eff}=13.20 t_w=0.70 σ=6.31
CC 28 SLD (Collegamento -384_-528)

Azioni sul collegamento: N=144.82 Ty=-1.35 Tz=-50.44 Mx=-0.34 Mz=-1.89
Zona tesa: F=58.32 b_{eff}=13.20 t_w=0.70 σ=6.31
Zona tesa: F=58.32 b_{eff}=13.20 t_w=0.70 σ=6.31
CC 28 SLD (Collegamento -384_-528)
Azioni sul collegamento: N=144.82 Ty=-1.50 Tz=-50.44 Mx=-0.35 Mz=-1.97
Zona tesa: F=58.32 b_{eff}=13.20 t_w=0.70 σ=6.31
Zona tesa: F=58.32 b_{eff}=13.20 t_w=0.70 σ=6.31
CC 28 SLD (Collegamento -384_-528)
Azioni sul collegamento: N=149.64 Ty=-1.35 Tz=-51.18 Mx=-0.34 Mz=-1.89
Zona tesa: F=60.26 b_{eff}=13.20 t_w=0.70 σ=6.52
Zona tesa: F=60.26 b_{eff}=13.20 t_w=0.70 σ=6.52
CC 28 SLD (Collegamento -384_-528)
Azioni sul collegamento: N=149.64 Ty=-1.50 Tz=-51.18 Mx=-0.35 Mz=-1.97
Zona tesa: F=60.26 b_{eff}=13.20 t_w=0.70 σ=6.52
Zona tesa: F=60.26 b_{eff}=13.20 t_w=0.70 σ=6.52
CC 28 SLD (Collegamento -384_-528)
Azioni sul collegamento: N=149.64 Ty=-1.35 Tz=-51.18 Mx=-0.34 Mz=-1.89
Zona tesa: F=60.26 b_{eff}=13.20 t_w=0.70 σ=6.52
Zona tesa: F=60.26 b_{eff}=13.20 t_w=0.70 σ=6.52
CC 28 SLD (Collegamento -384_-528)
Azioni sul collegamento: N=149.64 Ty=-1.50 Tz=-51.18 Mx=-0.35 Mz=-1.97
Zona tesa: F=60.26 b_{eff}=13.20 t_w=0.70 σ=6.52
Zona tesa: F=60.26 b_{eff}=13.20 t_w=0.70 σ=6.52
CC 29 SLV (Collegamento -384_-528)
Azioni sul collegamento: N=156.74 Ty=-1.36 Tz=-52.28 Mx=-0.31 Mz=-1.71
Zona tesa: F=63.12 b_{eff}=13.20 t_w=0.70 σ=6.83
Zona tesa: F=63.12 b_{eff}=13.20 t_w=0.70 σ=6.83
CC 29 SLV (Collegamento -384_-528)
Azioni sul collegamento: N=156.74 Ty=-0.85 Tz=-52.28 Mx=-0.27 Mz=-1.47
Zona tesa: F=63.12 b_{eff}=13.20 t_w=0.70 σ=6.83
Zona tesa: F=63.12 b_{eff}=13.20 t_w=0.70 σ=6.83
CC 29 SLV (Collegamento -384_-528)
Azioni sul collegamento: N=156.74 Ty=-1.36 Tz=-52.28 Mx=-0.31 Mz=-1.71
Zona tesa: F=63.12 b_{eff}=13.20 t_w=0.70 σ=6.83
Zona tesa: F=63.12 b_{eff}=13.20 t_w=0.70 σ=6.83
CC 29 SLV (Collegamento -384_-528)
Azioni sul collegamento: N=156.74 Ty=-0.85 Tz=-52.28 Mx=-0.27 Mz=-1.47
Zona tesa: F=63.12 b_{eff}=13.20 t_w=0.70 σ=6.83
Zona tesa: F=63.12 b_{eff}=13.20 t_w=0.70 σ=6.83
CC 29 SLV (Collegamento -384_-528)
Azioni sul collegamento: N=140.95 Ty=-1.36 Tz=-49.84 Mx=-0.31 Mz=-1.71
Zona tesa: F=56.76 b_{eff}=13.20 t_w=0.70 σ=6.14
Zona tesa: F=56.76 b_{eff}=13.20 t_w=0.70 σ=6.14
CC 29 SLV (Collegamento -384_-528)
Azioni sul collegamento: N=140.95 Ty=-0.85 Tz=-49.84 Mx=-0.27 Mz=-1.47
Zona tesa: F=56.76 b_{eff}=13.20 t_w=0.70 σ=6.14
Zona tesa: F=56.76 b_{eff}=13.20 t_w=0.70 σ=6.14
CC 29 SLV (Collegamento -384_-528)
Azioni sul collegamento: N=140.95 Ty=-1.36 Tz=-49.84 Mx=-0.31 Mz=-1.71
Zona tesa: F=56.76 b_{eff}=13.20 t_w=0.70 σ=6.14
Zona tesa: F=56.76 b_{eff}=13.20 t_w=0.70 σ=6.14
CC 29 SLV (Collegamento -384_-528)
Azioni sul collegamento: N=140.95 Ty=-0.85 Tz=-49.84 Mx=-0.27 Mz=-1.47
Zona tesa: F=56.76 b_{eff}=13.20 t_w=0.70 σ=6.14
Zona tesa: F=56.76 b_{eff}=13.20 t_w=0.70 σ=6.14
CC 30 SLD (Collegamento -384_-528)
Azioni sul collegamento: N=149.64 Ty=-1.50 Tz=-51.18 Mx=-0.36 Mz=-1.97
Zona tesa: F=60.26 b_{eff}=13.20 t_w=0.70 σ=6.52
Zona tesa: F=60.26 b_{eff}=13.20 t_w=0.70 σ=6.52
CC 30 SLD (Collegamento -384_-528)
Azioni sul collegamento: N=149.64 Ty=-1.35 Tz=-51.18 Mx=-0.34 Mz=-1.89
Zona tesa: F=60.26 b_{eff}=13.20 t_w=0.70 σ=6.52
Zona tesa: F=60.26 b_{eff}=13.20 t_w=0.70 σ=6.52
CC 30 SLD (Collegamento -384_-528)
Azioni sul collegamento: N=149.64 Ty=-1.50 Tz=-51.18 Mx=-0.36 Mz=-1.97
Zona tesa: F=60.26 b_{eff}=13.20 t_w=0.70 σ=6.52
Zona tesa: F=60.26 b_{eff}=13.20 t_w=0.70 σ=6.52
CC 30 SLD (Collegamento -384_-528)
Azioni sul collegamento: N=149.64 Ty=-1.35 Tz=-51.18 Mx=-0.34 Mz=-1.89
Zona tesa: F=60.26 b_{eff}=13.20 t_w=0.70 σ=6.52
Zona tesa: F=60.26 b_{eff}=13.20 t_w=0.70 σ=6.52
CC 30 SLD (Collegamento -384_-528)
Azioni sul collegamento: N=144.82 Ty=-1.50 Tz=-50.44 Mx=-0.36 Mz=-1.97
Zona tesa: F=58.32 b_{eff}=13.20 t_w=0.70 σ=6.31
Zona tesa: F=58.32 b_{eff}=13.20 t_w=0.70 σ=6.31
CC 30 SLD (Collegamento -384_-528)
Azioni sul collegamento: N=144.82 Ty=-1.35 Tz=-50.44 Mx=-0.34 Mz=-1.89
Zona tesa: F=58.32 b_{eff}=13.20 t_w=0.70 σ=6.31

Zona tesa: F=58.32 b_{eff}=13.20 t_w=0.70 σ=6.31
CC 30 SLD (Collegamento -384_-528)
Azioni sul collegamento: N=144.82 Ty=-1.50 Tz=-50.44 Mx=-0.36 Mz=-1.97
Zona tesa: F=58.32 b_{eff}=13.20 t_w=0.70 σ=6.31
Zona tesa: F=58.32 b_{eff}=13.20 t_w=0.70 σ=6.31
CC 30 SLD (Collegamento -384_-528)
Azioni sul collegamento: N=144.82 Ty=-1.35 Tz=-50.44 Mx=-0.34 Mz=-1.89
Zona tesa: F=58.32 b_{eff}=13.20 t_w=0.70 σ=6.31
Zona tesa: F=58.32 b_{eff}=13.20 t_w=0.70 σ=6.31
CC 31 SLV (Collegamento -384_-528)
Azioni sul collegamento: N=140.63 Ty=-1.76 Tz=-49.79 Mx=-0.39 Mz=-2.29
Zona tesa: F=56.63 b_{eff}=13.20 t_w=0.70 σ=6.13
Zona tesa: F=56.63 b_{eff}=13.20 t_w=0.70 σ=6.13
CC 31 SLV (Collegamento -384_-528)
Azioni sul collegamento: N=140.63 Ty=-0.45 Tz=-49.79 Mx=-0.17 Mz=-0.89
Zona tesa: F=56.63 b_{eff}=13.20 t_w=0.70 σ=6.13
Zona tesa: F=56.63 b_{eff}=13.20 t_w=0.70 σ=6.13
CC 31 SLV (Collegamento -384_-528)
Azioni sul collegamento: N=140.63 Ty=-1.76 Tz=-49.79 Mx=-0.39 Mz=-2.29
Zona tesa: F=56.63 b_{eff}=13.20 t_w=0.70 σ=6.13
Zona tesa: F=56.63 b_{eff}=13.20 t_w=0.70 σ=6.13
CC 31 SLV (Collegamento -384_-528)
Azioni sul collegamento: N=140.63 Ty=-0.45 Tz=-49.79 Mx=-0.17 Mz=-0.89
Zona tesa: F=56.63 b_{eff}=13.20 t_w=0.70 σ=6.13
Zona tesa: F=56.63 b_{eff}=13.20 t_w=0.70 σ=6.13
CC 31 SLV (Collegamento -384_-528)
Azioni sul collegamento: N=157.06 Ty=-1.76 Tz=-52.33 Mx=-0.39 Mz=-2.29
Zona tesa: F=63.24 b_{eff}=13.20 t_w=0.70 σ=6.84
Zona tesa: F=63.24 b_{eff}=13.20 t_w=0.70 σ=6.84
CC 31 SLV (Collegamento -384_-528)
Azioni sul collegamento: N=157.06 Ty=-0.45 Tz=-52.33 Mx=-0.17 Mz=-0.89
Zona tesa: F=63.24 b_{eff}=13.20 t_w=0.70 σ=6.84
Zona tesa: F=63.24 b_{eff}=13.20 t_w=0.70 σ=6.84
CC 31 SLV (Collegamento -384_-528)
Azioni sul collegamento: N=157.06 Ty=-1.76 Tz=-52.33 Mx=-0.39 Mz=-2.29
Zona tesa: F=63.24 b_{eff}=13.20 t_w=0.70 σ=6.84
Zona tesa: F=63.24 b_{eff}=13.20 t_w=0.70 σ=6.84
CC 31 SLV (Collegamento -384_-528)
Azioni sul collegamento: N=157.06 Ty=-0.45 Tz=-52.33 Mx=-0.17 Mz=-0.89
Zona tesa: F=63.24 b_{eff}=13.20 t_w=0.70 σ=6.84
Zona tesa: F=63.24 b_{eff}=13.20 t_w=0.70 σ=6.84
CC 32 SLD (Collegamento -384_-528)
Azioni sul collegamento: N=144.73 Ty=-1.63 Tz=-50.42 Mx=-0.38 Mz=-2.14
Zona tesa: F=58.28 b_{eff}=13.20 t_w=0.70 σ=6.31
Zona tesa: F=58.28 b_{eff}=13.20 t_w=0.70 σ=6.31
CC 32 SLD (Collegamento -384_-528)
Azioni sul collegamento: N=144.73 Ty=-1.23 Tz=-50.42 Mx=-0.31 Mz=-1.72
Zona tesa: F=58.28 b_{eff}=13.20 t_w=0.70 σ=6.31
Zona tesa: F=58.28 b_{eff}=13.20 t_w=0.70 σ=6.31
CC 32 SLD (Collegamento -384_-528)
Azioni sul collegamento: N=144.73 Ty=-1.63 Tz=-50.42 Mx=-0.38 Mz=-2.14
Zona tesa: F=58.28 b_{eff}=13.20 t_w=0.70 σ=6.31
Zona tesa: F=58.28 b_{eff}=13.20 t_w=0.70 σ=6.31
CC 32 SLD (Collegamento -384_-528)
Azioni sul collegamento: N=144.73 Ty=-1.23 Tz=-50.42 Mx=-0.31 Mz=-1.72
Zona tesa: F=58.28 b_{eff}=13.20 t_w=0.70 σ=6.31
Zona tesa: F=58.28 b_{eff}=13.20 t_w=0.70 σ=6.31
CC 32 SLD (Collegamento -384_-528)
Azioni sul collegamento: N=149.73 Ty=-1.63 Tz=-51.20 Mx=-0.38 Mz=-2.14
Zona tesa: F=60.30 b_{eff}=13.20 t_w=0.70 σ=6.53
Zona tesa: F=60.30 b_{eff}=13.20 t_w=0.70 σ=6.53
CC 32 SLD (Collegamento -384_-528)
Azioni sul collegamento: N=149.73 Ty=-1.23 Tz=-51.20 Mx=-0.31 Mz=-1.72
Zona tesa: F=60.30 b_{eff}=13.20 t_w=0.70 σ=6.53
Zona tesa: F=60.30 b_{eff}=13.20 t_w=0.70 σ=6.53
CC 32 SLD (Collegamento -384_-528)
Azioni sul collegamento: N=149.73 Ty=-1.63 Tz=-51.20 Mx=-0.38 Mz=-2.14
Zona tesa: F=60.30 b_{eff}=13.20 t_w=0.70 σ=6.53
Zona tesa: F=60.30 b_{eff}=13.20 t_w=0.70 σ=6.53
CC 32 SLD (Collegamento -384_-528)
Azioni sul collegamento: N=149.73 Ty=-1.23 Tz=-51.20 Mx=-0.31 Mz=-1.72
Zona tesa: F=60.30 b_{eff}=13.20 t_w=0.70 σ=6.53
Zona tesa: F=60.30 b_{eff}=13.20 t_w=0.70 σ=6.53
CC 33 SLU (Collegamento -384_-528)
Azioni sul collegamento: N=369.96 Ty=-3.32 Tz=-95.09 Mx=-0.79 Mz=-4.42
Zona tesa: F=148.98 b_{eff}=13.20 t_w=0.70 σ=16.12
Zona tesa: F=148.98 b_{eff}=13.20 t_w=0.70 σ=16.12
CC 34 SLU (Collegamento -384_-528)

Azioni sul collegamento: N=364.37 Ty=-3.18 Tz=-94.22 Mx=-0.76 Mz=-4.22
Zona tesa: F=146.73 b_{eff}=13.20 t_w=0.70 σ=15.88
Zona tesa: F=146.73 b_{eff}=13.20 t_w=0.70 σ=15.88
CC 35 SLU (Collegamento -384_-528)
Azioni sul collegamento: N=367.15 Ty=-3.20 Tz=-94.65 Mx=-0.77 Mz=-4.28
Zona tesa: F=147.84 b_{eff}=13.20 t_w=0.70 σ=16.00
Zona tesa: F=147.84 b_{eff}=13.20 t_w=0.70 σ=16.00
CC 36 SLU (Collegamento -384_-528)
Azioni sul collegamento: N=367.19 Ty=-3.29 Tz=-94.66 Mx=-0.78 Mz=-4.36
Zona tesa: F=147.86 b_{eff}=13.20 t_w=0.70 σ=16.00
Zona tesa: F=147.86 b_{eff}=13.20 t_w=0.70 σ=16.00
CC 37 SLU (Collegamento -384_-528)
Azioni sul collegamento: N=302.66 Ty=-3.15 Tz=-84.67 Mx=-0.78 Mz=-4.37
Zona tesa: F=121.88 b_{eff}=13.20 t_w=0.70 σ=13.19
Zona tesa: F=121.88 b_{eff}=13.20 t_w=0.70 σ=13.19
CC 38 SLU (Collegamento -384_-528)
Azioni sul collegamento: N=297.07 Ty=-3.01 Tz=-83.81 Mx=-0.74 Mz=-4.17
Zona tesa: F=119.63 b_{eff}=13.20 t_w=0.70 σ=12.95
Zona tesa: F=119.63 b_{eff}=13.20 t_w=0.70 σ=12.95
CC 39 SLU (Collegamento -384_-528)
Azioni sul collegamento: N=299.85 Ty=-3.03 Tz=-84.23 Mx=-0.76 Mz=-4.23
Zona tesa: F=120.74 b_{eff}=13.20 t_w=0.70 σ=13.07
Zona tesa: F=120.74 b_{eff}=13.20 t_w=0.70 σ=13.07
CC 40 SLU (Collegamento -384_-528)
Azioni sul collegamento: N=299.89 Ty=-3.13 Tz=-84.24 Mx=-0.77 Mz=-4.31
Zona tesa: F=120.76 b_{eff}=13.20 t_w=0.70 σ=13.07
Zona tesa: F=120.76 b_{eff}=13.20 t_w=0.70 σ=13.07
CC 41 SLU (Collegamento -384_-528)
Azioni sul collegamento: N=334.14 Ty=1.91 Tz=-89.54 Mx=0.47 Mz=2.77
Zona tesa: F=134.55 b_{eff}=13.20 t_w=0.70 σ=14.56
Zona tesa: F=134.55 b_{eff}=13.20 t_w=0.70 σ=14.56
CC 42 SLU (Collegamento -384_-528)
Azioni sul collegamento: N=328.55 Ty=2.05 Tz=-88.68 Mx=0.51 Mz=2.97
Zona tesa: F=132.30 b_{eff}=13.20 t_w=0.70 σ=14.32
Zona tesa: F=132.30 b_{eff}=13.20 t_w=0.70 σ=14.32
CC 43 SLU (Collegamento -384_-528)
Azioni sul collegamento: N=331.32 Ty=2.03 Tz=-89.11 Mx=0.50 Mz=2.91
Zona tesa: F=133.42 b_{eff}=13.20 t_w=0.70 σ=14.44
Zona tesa: F=133.42 b_{eff}=13.20 t_w=0.70 σ=14.44
CC 44 SLU (Collegamento -384_-528)
Azioni sul collegamento: N=331.37 Ty=1.94 Tz=-89.11 Mx=0.48 Mz=2.83
Zona tesa: F=133.44 b_{eff}=13.20 t_w=0.70 σ=14.44
Zona tesa: F=133.44 b_{eff}=13.20 t_w=0.70 σ=14.44
CC 45 SLU (Collegamento -384_-528)
Azioni sul collegamento: N=317.41 Ty=-3.30 Tz=-86.95 Mx=-0.78 Mz=-4.39
Zona tesa: F=127.82 b_{eff}=13.20 t_w=0.70 σ=13.83
Zona tesa: F=127.82 b_{eff}=13.20 t_w=0.70 σ=13.83
CC 46 SLU (Collegamento -384_-528)
Azioni sul collegamento: N=311.82 Ty=-3.16 Tz=-86.09 Mx=-0.75 Mz=-4.19
Zona tesa: F=125.56 b_{eff}=13.20 t_w=0.70 σ=13.59
Zona tesa: F=125.56 b_{eff}=13.20 t_w=0.70 σ=13.59
CC 47 SLU (Collegamento -384_-528)
Azioni sul collegamento: N=314.59 Ty=-3.18 Tz=-86.52 Mx=-0.76 Mz=-4.24
Zona tesa: F=126.68 b_{eff}=13.20 t_w=0.70 σ=13.71
Zona tesa: F=126.68 b_{eff}=13.20 t_w=0.70 σ=13.71
CC 48 SLU (Collegamento -384_-528)
Azioni sul collegamento: N=314.64 Ty=-3.28 Tz=-86.52 Mx=-0.77 Mz=-4.33
Zona tesa: F=126.70 b_{eff}=13.20 t_w=0.70 σ=13.71
Zona tesa: F=126.70 b_{eff}=13.20 t_w=0.70 σ=13.71
CC 49 SLU (Collegamento -384_-528)
Azioni sul collegamento: N=267.06 Ty=-3.17 Tz=-79.16 Mx=-0.77 Mz=-4.35
Zona tesa: F=107.54 b_{eff}=13.20 t_w=0.70 σ=11.64
Zona tesa: F=107.54 b_{eff}=13.20 t_w=0.70 σ=11.64
CC 50 SLU (Collegamento -384_-528)
Azioni sul collegamento: N=261.47 Ty=-3.03 Tz=-78.30 Mx=-0.74 Mz=-4.15
Zona tesa: F=105.29 b_{eff}=13.20 t_w=0.70 σ=11.39
Zona tesa: F=105.29 b_{eff}=13.20 t_w=0.70 σ=11.39
CC 51 SLU (Collegamento -384_-528)
Azioni sul collegamento: N=264.24 Ty=-3.06 Tz=-78.72 Mx=-0.75 Mz=-4.21
Zona tesa: F=106.41 b_{eff}=13.20 t_w=0.70 σ=11.52
Zona tesa: F=106.41 b_{eff}=13.20 t_w=0.70 σ=11.52
CC 52 SLU (Collegamento -384_-528)
Azioni sul collegamento: N=264.29 Ty=-3.15 Tz=-78.73 Mx=-0.76 Mz=-4.29
Zona tesa: F=106.42 b_{eff}=13.20 t_w=0.70 σ=11.52
Zona tesa: F=106.42 b_{eff}=13.20 t_w=0.70 σ=11.52
CC 53 SLU (Collegamento -384_-528)
Azioni sul collegamento: N=290.61 Ty=0.61 Tz=-82.80 Mx=0.16 Mz=0.99
Zona tesa: F=117.02 b_{eff}=13.20 t_w=0.70 σ=12.66

Zona tesa: F=117.02 b_{eff}=13.20 t_w=0.70 σ=12.66
CC 54 SLU (Collegamento -384_-528)
Azioni sul collegamento: N=285.02 Ty=0.75 Tz=-81.94 Mx=0.20 Mz=1.19
Zona tesa: F=114.77 b_{eff}=13.20 t_w=0.70 σ=12.42
Zona tesa: F=114.77 b_{eff}=13.20 t_w=0.70 σ=12.42
CC 55 SLU (Collegamento -384_-528)
Azioni sul collegamento: N=287.79 Ty=0.73 Tz=-82.37 Mx=0.19 Mz=1.13
Zona tesa: F=115.89 b_{eff}=13.20 t_w=0.70 σ=12.54
Zona tesa: F=115.89 b_{eff}=13.20 t_w=0.70 σ=12.54
CC 56 SLU (Collegamento -384_-528)
Azioni sul collegamento: N=287.83 Ty=0.64 Tz=-82.38 Mx=0.17 Mz=1.05
Zona tesa: F=115.91 b_{eff}=13.20 t_w=0.70 σ=12.54
Zona tesa: F=115.91 b_{eff}=13.20 t_w=0.70 σ=12.54
CC 57 SLU (Collegamento -384_-528)
Azioni sul collegamento: N=302.11 Ty=-2.98 Tz=-84.58 Mx=-0.70 Mz=-3.93
Zona tesa: F=121.66 b_{eff}=13.20 t_w=0.70 σ=13.17
Zona tesa: F=121.66 b_{eff}=13.20 t_w=0.70 σ=13.17
CC 58 SLU (Collegamento -384_-528)
Azioni sul collegamento: N=296.52 Ty=-2.84 Tz=-83.72 Mx=-0.67 Mz=-3.73
Zona tesa: F=119.40 b_{eff}=13.20 t_w=0.70 σ=12.92
Zona tesa: F=119.40 b_{eff}=13.20 t_w=0.70 σ=12.92
CC 59 SLU (Collegamento -384_-528)
Azioni sul collegamento: N=299.29 Ty=-2.86 Tz=-84.15 Mx=-0.68 Mz=-3.79
Zona tesa: F=120.52 b_{eff}=13.20 t_w=0.70 σ=13.04
Zona tesa: F=120.52 b_{eff}=13.20 t_w=0.70 σ=13.04
CC 60 SLU (Collegamento -384_-528)
Azioni sul collegamento: N=299.34 Ty=-2.96 Tz=-84.16 Mx=-0.69 Mz=-3.87
Zona tesa: F=120.54 b_{eff}=13.20 t_w=0.70 σ=13.05
Zona tesa: F=120.54 b_{eff}=13.20 t_w=0.70 σ=13.05
CC 61 SLU (Collegamento -384_-528)
Azioni sul collegamento: N=251.76 Ty=-2.85 Tz=-76.79 Mx=-0.69 Mz=-3.89
Zona tesa: F=101.38 b_{eff}=13.20 t_w=0.70 σ=10.97
Zona tesa: F=101.38 b_{eff}=13.20 t_w=0.70 σ=10.97
CC 62 SLU (Collegamento -384_-528)
Azioni sul collegamento: N=246.17 Ty=-2.71 Tz=-75.93 Mx=-0.66 Mz=-3.69
Zona tesa: F=99.13 b_{eff}=13.20 t_w=0.70 σ=10.73
Zona tesa: F=99.13 b_{eff}=13.20 t_w=0.70 σ=10.73
CC 63 SLU (Collegamento -384_-528)
Azioni sul collegamento: N=248.94 Ty=-2.74 Tz=-76.36 Mx=-0.67 Mz=-3.75
Zona tesa: F=100.25 b_{eff}=13.20 t_w=0.70 σ=10.85
Zona tesa: F=100.25 b_{eff}=13.20 t_w=0.70 σ=10.85
CC 64 SLU (Collegamento -384_-528)
Azioni sul collegamento: N=248.99 Ty=-2.83 Tz=-76.36 Mx=-0.68 Mz=-3.83
Zona tesa: F=100.26 b_{eff}=13.20 t_w=0.70 σ=10.85
Zona tesa: F=100.26 b_{eff}=13.20 t_w=0.70 σ=10.85
CC 65 SLU (Collegamento -384_-528)
Azioni sul collegamento: N=275.31 Ty=0.93 Tz=-80.44 Mx=0.24 Mz=1.45
Zona tesa: F=110.86 b_{eff}=13.20 t_w=0.70 σ=12.00
Zona tesa: F=110.86 b_{eff}=13.20 t_w=0.70 σ=12.00
CC 66 SLU (Collegamento -384_-528)
Azioni sul collegamento: N=269.72 Ty=1.07 Tz=-79.57 Mx=0.28 Mz=1.65
Zona tesa: F=108.61 b_{eff}=13.20 t_w=0.70 σ=11.75
Zona tesa: F=108.61 b_{eff}=13.20 t_w=0.70 σ=11.75
CC 67 SLU (Collegamento -384_-528)
Azioni sul collegamento: N=272.49 Ty=1.05 Tz=-80.00 Mx=0.27 Mz=1.59
Zona tesa: F=109.73 b_{eff}=13.20 t_w=0.70 σ=11.88
Zona tesa: F=109.73 b_{eff}=13.20 t_w=0.70 σ=11.88
CC 68 SLU (Collegamento -384_-528)
Azioni sul collegamento: N=272.54 Ty=0.96 Tz=-80.01 Mx=0.25 Mz=1.51
Zona tesa: F=109.75 b_{eff}=13.20 t_w=0.70 σ=11.88
Zona tesa: F=109.75 b_{eff}=13.20 t_w=0.70 σ=11.88
CC 97 SLU (Collegamento -384_-528)
Azioni sul collegamento: N=150.79 Ty=-11.89 Tz=-51.36 Mx=-1.38 Mz=-8.76
Zona tesa: F=60.72 b_{eff}=13.20 t_w=0.70 σ=6.57
Zona tesa: F=60.72 b_{eff}=13.20 t_w=0.70 σ=6.57
CC 98 SLU (Collegamento -384_-528)
Azioni sul collegamento: N=145.20 Ty=-11.75 Tz=-50.49 Mx=-1.34 Mz=-8.56
Zona tesa: F=58.47 b_{eff}=13.20 t_w=0.70 σ=6.33
Zona tesa: F=58.47 b_{eff}=13.20 t_w=0.70 σ=6.33
CC 99 SLU (Collegamento -384_-528)
Azioni sul collegamento: N=147.97 Ty=-11.78 Tz=-50.92 Mx=-1.35 Mz=-8.62
Zona tesa: F=59.59 b_{eff}=13.20 t_w=0.70 σ=6.45
Zona tesa: F=59.59 b_{eff}=13.20 t_w=0.70 σ=6.45
CC 100 SLU (Collegamento -384_-528)
Azioni sul collegamento: N=148.01 Ty=-11.87 Tz=-50.93 Mx=-1.37 Mz=-8.70
Zona tesa: F=59.60 b_{eff}=13.20 t_w=0.70 σ=6.45
Zona tesa: F=59.60 b_{eff}=13.20 t_w=0.70 σ=6.45
CC 101 SLU (Collegamento -384_-528)

Azioni sul collegamento: N=153.59 Ty=-0.22 Tz=-51.79 Mx=-0.23 Mz=-1.11
Zona tesa: F=61.85 b_{eff}=13.20 t_w=0.70 σ=6.69
Zona tesa: F=61.85 b_{eff}=13.20 t_w=0.70 σ=6.69
CC 102 SLU (Collegamento -384_-528)
Azioni sul collegamento: N=148.00 Ty=-0.08 Tz=-50.93 Mx=-0.19 Mz=-0.91
Zona tesa: F=59.60 b_{eff}=13.20 t_w=0.70 σ=6.45
Zona tesa: F=59.60 b_{eff}=13.20 t_w=0.70 σ=6.45
CC 103 SLU (Collegamento -384_-528)
Azioni sul collegamento: N=150.77 Ty=-0.10 Tz=-51.36 Mx=-0.20 Mz=-0.97
Zona tesa: F=60.71 b_{eff}=13.20 t_w=0.70 σ=6.57
Zona tesa: F=60.71 b_{eff}=13.20 t_w=0.70 σ=6.57
CC 104 SLU (Collegamento -384_-528)
Azioni sul collegamento: N=150.82 Ty=-0.19 Tz=-51.36 Mx=-0.21 Mz=-1.05
Zona tesa: F=60.73 b_{eff}=13.20 t_w=0.70 σ=6.57
Zona tesa: F=60.73 b_{eff}=13.20 t_w=0.70 σ=6.57

Collegamento -503_0010

Piastra 400.00 x 340.00 s=20.00 - 12 Tirafondi ϕ 22 - Profondità di infissione: 300.00
4 righe ad interasse 94.00
4 colonne ad interasse variabile
Altezza di gola saldature: anima 7.07 - ala 7.07
Irrigidimenti:
Laterali parallele all'anima s=10.00
Trasversali s=10.00

Tirafondi e calcestruzzo

CC 98 SLU (Collegamento -503_0010)
Azioni sul collegamento: N=26183.60 Ty=-17.97 Tz=-79.67 Mx=0.41 Mz=-10.72
Sollecitazioni agenti localmente: Tx_l=-17.97 Ty_l=-79.67 N_l=26183.60 Mx_l=0.00 My_l=-10.72 Mz_l=0.41
Taglio nei bulloni: Fv,Ed=6.99 Fv,Rd=14597.10
Rifollamento lato piastra: Fb,Ed,p=6.99 Fb,Rd,p=11865.80
Trazione nei bulloni: Ft,Ed=2188.85 Ft,Rd=17452.80
Azione di punzonamento di progetto lato piastra: Bp,Ed,p=2188.85 Bb,Rd,p=57061.40
Int. V-T=0.09
Tirafondi:LT=0.41 (0.25) σ_{cR}=123.53 σ_{fR}=143.09
Compressione nel calcestruzzo: σ_c=0.00
CC 114 SLU (Collegamento -503_0010)
Azioni sul collegamento: N=18853.30 Ty=6.64 Tz=-79.67 Mx=-0.08 Mz=10.75
Sollecitazioni agenti localmente: Tx_l=6.64 Ty_l=-79.67 N_l=18853.30 Mx_l=0.00 My_l=10.75 Mz_l=-0.08
Taglio nei bulloni: Fv,Ed=6.70 Fv,Rd=14597.10
Rifollamento lato piastra: Fb,Ed,p=6.70 Fb,Rd,p=11051.70
Trazione nei bulloni: Ft,Ed=1578.01 Ft,Rd=17452.80
Azione di punzonamento di progetto lato piastra: Bp,Ed,p=1578.01 Bb,Rd,p=57061.40
Int. V-T=0.07
Tirafondi:LT=0.41 (0.25) σ_{cR}=89.06 σ_{fR}=103.16
Compressione nel calcestruzzo: σ_c=0.00

Saldatura profilo-piastra

CC 98 SLU (Collegamento -503_0010)
Azioni sul collegamento: N=26183.60 Ty=-17.97 Tz=-79.67 Mx=0.41 Mz=-10.72
Sollecitazioni agenti localmente: Tx_l=-17.97 Ty_l=-79.67 N_l=26183.60 My_l=10.72 Mz_l=0.41
Azioni sul cordone: TP=5.32 TO=15.88 NO=5219.31
Tensioni nel cordone: τ_P=0.63 τ_O=1.87 σ_O=630.86 σ_{ID}=630.87 Σ_T=632.73

Flessione attacco superiore piastra

Bnetta=20.00 Hnetta=400.00 irrigidita (W=54.53)
CC 98 SLU (Collegamento -503_0010)
Azioni sul collegamento: N=26183.60 Ty=-17.97 Tz=-79.67 Mx=0.41 Mz=-10.72
Sollecitazioni agenti localmente: Ty_l=8727.86 Mx_l=619.68
Tensioni nella sezione: σ=1136.38 τ=545.49

Flessione attacco inferiore piastra

Bnetta=20.00 Hnetta=400.00 irrigidita (W=54.53)
CC 98 SLU (Collegamento -503_0010)
Azioni sul collegamento: N=26183.60 Ty=-17.97 Tz=-79.67 Mx=0.41 Mz=-10.72
Sollecitazioni agenti localmente: Ty_l=8727.86 Mx_l=619.68
Tensioni nella sezione: σ=1136.38 τ=545.49

Flessione attacco destro piastra

Bnetta=20.00 Hnetta=340.00 irrigidita (W=53.66)
CC 98 SLU (Collegamento -503_0010)
Azioni sul collegamento: N=26183.60 Ty=-17.97 Tz=-79.67 Mx=0.41 Mz=-10.72
Sollecitazioni agenti localmente: Ty_l=13126.60 My_l=971.72
Tensioni nella sezione: σ=1810.99 τ=820.41

Flessione attacco sinistro piastra

Bnetta=20.00 Hnetta=340.00 irrigidita (W=53.66)
CC 98 SLU (Collegamento -503_0010)
Azioni sul collegamento: N=26183.60 Ty=-17.97 Tz=-79.67 Mx=0.41 Mz=-10.72
Sollecitazioni agenti localmente: Ty_l=13057.00 My_l=965.87
Tensioni nella sezione: σ=1800.08 τ=816.06

Flessione locale sinistra

Bullone in x=-171.00 y=-47.00
Bnetta=26.00 Hnetta=20.00
CC 98 SLU (Collegamento -503_0010)
Azioni sul collegamento: N=26183.60 Ty=-17.97 Tz=-79.67 Mx=0.41 Mz=-10.72
Sollecitazioni agenti localmente: Mx_l=28.28
Tensioni nella sezione: σ=1631.31 τ=0.00

Flessione locale destra

Bullone in x=171.00 y=-47.00
Bnetta=26.00 Hnetta=20.00
CC 98 SLU (Collegamento -503_0010)
Azioni sul collegamento: N=26183.60 Ty=-17.97 Tz=-79.67 Mx=0.41 Mz=-10.72
Sollecitazioni agenti localmente: Mx_l=28.45
Tensioni nella sezione: σ=1641.64 τ=0.00

Flessione locale angolo superiore sinistro

Bullone in x=-90.00 y=141.00
Bnetta=20.00 Hnetta=20.00
CC 98 SLU (Collegamento -503_0010)
Azioni sul collegamento: N=26183.60 Ty=-17.97 Tz=-79.67 Mx=0.41 Mz=-10.72
Sollecitazioni agenti localmente: My_l=21.78
Tensioni nella sezione: σ=1633.75 τ=0.00

Flessione locale angolo superiore destro

Bullone in x=90.00 y=141.00
Bnetta=20.00 Hnetta=20.00
CC 98 SLU (Collegamento -503_0010)
Azioni sul collegamento: N=26183.60 Ty=-17.97 Tz=-79.67 Mx=0.41 Mz=-10.72
Sollecitazioni agenti localmente: My_l=21.86
Tensioni nella sezione: σ=1639.19 τ=0.00

Flessione locale angolo inferiore sinistro

Bullone in x=-90.00 y=-141.00
Bnetta=20.00 Hnetta=20.00
CC 98 SLU (Collegamento -503_0010)
Azioni sul collegamento: N=26183.60 Ty=-17.97 Tz=-79.67 Mx=0.41 Mz=-10.72
Sollecitazioni agenti localmente: My_l=21.78
Tensioni nella sezione: σ=1633.75 τ=0.00

Flessione locale angolo inferiore destro

Bullone in x=90.00 y=-141.00
Bnetta=20.00 Hnetta=20.00
CC 98 SLU (Collegamento -503_0010)
Azioni sul collegamento: N=26183.60 Ty=-17.97 Tz=-79.67 Mx=0.41 Mz=-10.72
Sollecitazioni agenti localmente: My_l=21.86
Tensioni nella sezione: σ=1639.19 τ=0.00

Collegamento -504_0011

Piastra 400.00 x 340.00 s=20.00 - 12 Tirafondi ϕ 22 - Profondità di infissione: 300.00
4 righe ad interasse 94.00
4 colonne ad interasse variabile
Altezza di gola saldature: anima 7.07 - ala 7.07
Irrigidimenti:
Laterali parallele all'anima s=10.00
Trasversali s=10.00

Tirafondi e calcestruzzo

CC 97 SLU (Collegamento -504_0011)
Azioni sul collegamento: N=26183.60 Ty=17.97 Tz=-79.67 Mx=-0.41 Mz=10.72
Sollecitazioni agenti localmente: Tx_l=17.97 Ty_l=-79.67 N_l=26183.60 Mx_l=0.00 My_l=10.72 Mz_l=-0.41
Taglio nei bulloni: Fv,Ed=6.99 Fv,Rd=14597.10
Rifollamento lato piastra: Fb,Ed,p=6.99 Fb,Rd,p=11865.80
Trazione nei bulloni: Ft,Ed=2188.85 Ft,Rd=17452.80
Azione di punzonamento di progetto lato piastra: Bp,Ed,p=2188.85 Bb,Rd,p=57061.40
Int. V-T=0.09

Tirafondi:LT=0.41 (0.25) σ_{cR}=123.53 σ_{fR}=143.09
Compressione nel calcestruzzo: σ_c=0.00
CC 121 SLU (Collegamento -504_0011)
Azioni sul collegamento: N=19932.10 Ty=23.42 Tz=-79.67 Mx=-0.45 Mz=21.48
Sollecitazioni agenti localmente: Tx_l=23.42 Ty_l=-79.67 N_l=19932.10 Mx_l=0.00 My_l=21.48 Mz_l=-0.45
Taglio nei bulloni: Fv,Ed=7.13 Fv,Rd=14597.10
Rifollamento lato piastra: Fb,Ed,p=7.13 Fb,Rd,p=12477.40
Trazione nei bulloni: Ft,Ed=1674.80 Ft,Rd=17452.80
Azione di punzonamento di progetto lato piastra: Bp,Ed,p=1674.80 Bb,Rd,p=57061.40
Int. V-T=0.07
Tirafondi:LT=0.41 (0.25) σ_{cR}=94.52 σ_{fR}=109.49
Compressione nel calcestruzzo: σ_c=0.00
CC 130 SLU (Collegamento -504_0011)
Azioni sul collegamento: N=17393.30 Ty=-1.81 Tz=-79.67 Mx=0.04 Mz=-1.76
Sollecitazioni agenti localmente: Tx_l=-1.81 Ty_l=-79.67 N_l=17393.30 Mx_l=0.00 My_l=-1.76 Mz_l=0.04
Taglio nei bulloni: Fv,Ed=6.66 Fv,Rd=14597.10
Rifollamento lato piastra: Fb,Ed,p=6.66 Fb,Rd,p=10938.80
Trazione nei bulloni: Ft,Ed=1450.58 Ft,Rd=17452.80
Azione di punzonamento di progetto lato piastra: Bp,Ed,p=1450.58 Bb,Rd,p=57061.40
Int. V-T=0.06
Tirafondi:LT=0.41 (0.25) σ_{cR}=81.87 σ_{fR}=94.83
Compressione nel calcestruzzo: σ_c=0.00

Saldatura profilo-piastra

CC 97 SLU (Collegamento -504_0011)
Azioni sul collegamento: N=26183.60 Ty=17.97 Tz=-79.67 Mx=-0.41 Mz=10.72
Sollecitazioni agenti localmente: Tx_l=17.97 Ty_l=-79.67 N_l=26183.60 My_l=-10.72 Mz_l=-0.41
Azioni sul cordone: TP=-5.32 TO=15.88 NO=5219.31
Tensioni nel cordone: τ_P=0.63 τ_O=1.87 σ_O=630.86 σ_{ID}=630.87 Σ_T=632.73
CC 121 SLU (Collegamento -504_0011)
Azioni sul collegamento: N=19932.10 Ty=23.42 Tz=-79.67 Mx=-0.45 Mz=21.48
Sollecitazioni agenti localmente: Tx_l=23.42 Ty_l=-79.67 N_l=19932.10 My_l=-21.48 Mz_l=-0.45
Azioni sul cordone: TP=-6.59 TO=15.88 NO=3973.17
Tensioni nel cordone: τ_P=0.78 τ_O=1.87 σ_O=499.69 σ_{ID}=499.69 Σ_T=501.56

Flessione attacco superiore piastra

Bnetta=20.00 Hnetta=400.00 irrigidita (W=54.53)
CC 97 SLU (Collegamento -504_0011)
Azioni sul collegamento: N=26183.60 Ty=17.97 Tz=-79.67 Mx=-0.41 Mz=10.72
Sollecitazioni agenti localmente: Ty_l=8727.85 Mx_l=619.68
Tensioni nella sezione: σ=1136.38 τ=545.49

Flessione attacco inferiore piastra

Bnetta=20.00 Hnetta=400.00 irrigidita (W=54.53)
CC 97 SLU (Collegamento -504_0011)
Azioni sul collegamento: N=26183.60 Ty=17.97 Tz=-79.67 Mx=-0.41 Mz=10.72
Sollecitazioni agenti localmente: Ty_l=8727.85 Mx_l=619.68
Tensioni nella sezione: σ=1136.38 τ=545.49

Flessione attacco destro piastra

Bnetta=20.00 Hnetta=340.00 irrigidita (W=53.66)
CC 97 SLU (Collegamento -504_0011)
Azioni sul collegamento: N=26183.60 Ty=17.97 Tz=-79.67 Mx=-0.41 Mz=10.72
Sollecitazioni agenti localmente: Ty_l=13057.00 My_l=965.87
Tensioni nella sezione: σ=1800.08 τ=816.06

Flessione attacco sinistro piastra

Bnetta=20.00 Hnetta=340.00 irrigidita (W=53.66)
CC 97 SLU (Collegamento -504_0011)
Azioni sul collegamento: N=26183.60 Ty=17.97 Tz=-79.67 Mx=-0.41 Mz=10.72
Sollecitazioni agenti localmente: Ty_l=13126.60 My_l=971.72
Tensioni nella sezione: σ=1810.99 τ=820.41

Flessione locale sinistra

Bullone in x=-171.00 y=-47.00
Bnetta=26.00 Hnetta=20.00
CC 97 SLU (Collegamento -504_0011)
Azioni sul collegamento: N=26183.60 Ty=17.97 Tz=-79.67 Mx=-0.41 Mz=10.72
Sollecitazioni agenti localmente: Mx_l=28.45
Tensioni nella sezione: σ=1641.64 τ=0.00

Flessione locale destra

Bullone in x=171.00 y=-47.00
Bnetta=26.00 Hnetta=20.00

CC 97 SLU (Collegamento -504_0011)
Azioni sul collegamento: N=26183.60 Ty=17.97 Tz=-79.67 Mx=-0.41 Mz=10.72
Sollecitazioni agenti localmente: Mx_l=28.28
Tensioni nella sezione: σ=1631.31 τ=0.00

Flessione locale angolo superiore sinistro

Bullone in x=-90.00 y=141.00
Bnetta=20.00 Hnetta=20.00
CC 97 SLU (Collegamento -504_0011)
Azioni sul collegamento: N=26183.60 Ty=17.97 Tz=-79.67 Mx=-0.41 Mz=10.72
Sollecitazioni agenti localmente: My_l=21.86
Tensioni nella sezione: σ=1639.19 τ=0.00

Flessione locale angolo superiore destro

Bullone in x=90.00 y=141.00
Bnetta=20.00 Hnetta=20.00
CC 97 SLU (Collegamento -504_0011)
Azioni sul collegamento: N=26183.60 Ty=17.97 Tz=-79.67 Mx=-0.41 Mz=10.72
Sollecitazioni agenti localmente: My_l=21.78
Tensioni nella sezione: σ=1633.75 τ=0.00

Flessione locale angolo inferiore sinistro

Bullone in x=-90.00 y=-141.00
Bnetta=20.00 Hnetta=20.00
CC 97 SLU (Collegamento -504_0011)
Azioni sul collegamento: N=26183.60 Ty=17.97 Tz=-79.67 Mx=-0.41 Mz=10.72
Sollecitazioni agenti localmente: My_l=21.86
Tensioni nella sezione: σ=1639.19 τ=0.00

Flessione locale angolo inferiore destro

Bullone in x=90.00 y=-141.00
Bnetta=20.00 Hnetta=20.00
CC 97 SLU (Collegamento -504_0011)
Azioni sul collegamento: N=26183.60 Ty=17.97 Tz=-79.67 Mx=-0.41 Mz=10.72
Sollecitazioni agenti localmente: My_l=21.78
Tensioni nella sezione: σ=1633.75 τ=0.00

Collegamento -511_0012

Piastra 400.00 x 340.00 s=20.00 - 12 Tirafondi ϕ 22 - Profondità di infissione: 300.00
4 righe ad interasse 94.00
4 colonne ad interasse variabile
Altezza di gola saldature: anima 7.07 - ala 7.07
Irrigidimenti:
Laterali parallele all'anima s=10.00
Trasversali s=10.00

Tirafondi e calcestruzzo

CC 102 SLU (Collegamento -511_0012)
Azioni sul collegamento: N=25286.40 Ty=-2.98 Tz=-79.67 Mx=0.11 Mz=1.66
Sollecitazioni agenti localmente: Tx_l=-2.98 Ty_l=-79.67 N_l=25286.40 Mx_l=0.00 My_l=1.66 Mz_l=0.11
Taglio nei bulloni: Fv,Ed=6.69 Fv,Rd=14597.10
Rifollamento lato piastra: Fb,Ed,p=6.69 Fb,Rd,p=10958.30
Trazione nei bulloni: Ft,Ed=2108.26 Ft,Rd=17452.80
Azione di punzonamento di progetto lato piastra: Bp,Ed,p=2108.26 Bb,Rd,p=57061.40
Int. V-T=0.09
Tirafondi:LT=0.41 (0.25) σ_{cR}=118.99 σ_{fR}=137.83
Compressione nel calcestruzzo: σ_c=0.00
CC 118 SLU (Collegamento -511_0012)
Azioni sul collegamento: N=12298.80 Ty=-5.70 Tz=-79.67 Mx=0.13 Mz=-2.97
Sollecitazioni agenti localmente: Tx_l=-5.70 Ty_l=-79.67 N_l=12298.80 Mx_l=0.00 My_l=-2.97 Mz_l=0.13
Taglio nei bulloni: Fv,Ed=6.71 Fv,Rd=14597.10
Rifollamento lato piastra: Fb,Ed,p=6.71 Fb,Rd,p=11026.20
Trazione nei bulloni: Ft,Ed=1026.80 Ft,Rd=17452.80
Azione di punzonamento di progetto lato piastra: Bp,Ed,p=1026.80 Bb,Rd,p=57061.40
Int. V-T=0.04
Tirafondi:LT=0.41 (0.25) σ_{cR}=57.95 σ_{fR}=67.13
Compressione nel calcestruzzo: σ_c=0.00
CC 126 SLU (Collegamento -511_0012)
Azioni sul collegamento: N=19822.50 Ty=-1.64 Tz=-79.67 Mx=0.09 Mz=3.74
Sollecitazioni agenti localmente: Tx_l=-1.64 Ty_l=-79.67 N_l=19822.50 Mx_l=0.00 My_l=3.74 Mz_l=0.09
Taglio nei bulloni: Fv,Ed=6.68 Fv,Rd=14597.10
Rifollamento lato piastra: Fb,Ed,p=6.68 Fb,Rd,p=10939.00
Trazione nei bulloni: Ft,Ed=1654.28 Ft,Rd=17452.80
Azione di punzonamento di progetto lato piastra: Bp,Ed,p=1654.28 Bb,Rd,p=57061.40
Int. V-T=0.07
Tirafondi:LT=0.41 (0.25) σ_{cR}=93.36 σ_{fR}=108.15

Compressione nel calcestruzzo: σ_c=0.00

Saldatura profilo-piastra

CC 17 SLV (Collegamento -511_0012)
Azioni sul collegamento: N=6127.95 Ty=-6.08 Tz=-59.01 Mx=0.18 Mz=-2.66
Sollecitazioni agenti localmente: Tx_l=-6.08 Ty_l=-59.01 N_l=6127.95 My_l=2.66 Mz_l=0.18
Azioni sul cordone: TP=1.95 TO=11.76 NO=1221.52
Tensioni nel cordone: τ_P=0.23 τ_0=1.39 σ_0=147.87 σ_{ID}=147.87 Σ_T=149.25
CC 102 SLU (Collegamento -511_0012)
Azioni sul collegamento: N=25286.40 Ty=-2.98 Tz=-79.67 Mx=0.11 Mz=1.66
Sollecitazioni agenti localmente: Tx_l=-2.98 Ty_l=-79.67 N_l=25286.40 My_l=-1.66 Mz_l=0.11
Azioni sul cordone: TP=-0.35 TO=-5.98 NO=1869.18
Tensioni nel cordone: τ_P=0.11 τ_0=1.90 σ_0=596.54 σ_{ID}=596.54 Σ_T=598.44

Flessione attacco superiore piastra

Bnetta=20.00 Hnetta=400.00 irrigidita (W=54.53)
CC 102 SLU (Collegamento -511_0012)
Azioni sul collegamento: N=25286.40 Ty=-2.98 Tz=-79.67 Mx=0.11 Mz=1.66
Sollecitazioni agenti localmente: Ty_l=8428.80 Mx_l=598.45
Tensioni nella sezione: σ=1097.45 τ=526.80

Flessione attacco inferiore piastra

Bnetta=20.00 Hnetta=400.00 irrigidita (W=54.53)
CC 102 SLU (Collegamento -511_0012)
Azioni sul collegamento: N=25286.40 Ty=-2.98 Tz=-79.67 Mx=0.11 Mz=1.66
Sollecitazioni agenti localmente: Ty_l=8428.80 Mx_l=598.45
Tensioni nella sezione: σ=1097.45 τ=526.80

Flessione attacco destro piastra

Bnetta=20.00 Hnetta=340.00 irrigidita (W=53.66)
CC 102 SLU (Collegamento -511_0012)
Azioni sul collegamento: N=25286.40 Ty=-2.98 Tz=-79.67 Mx=0.11 Mz=1.66
Sollecitazioni agenti localmente: Ty_l=12637.80 My_l=935.14
Tensioni nella sezione: σ=1742.82 τ=789.86

Flessione attacco sinistro piastra

Bnetta=20.00 Hnetta=340.00 irrigidita (W=53.66)
CC 102 SLU (Collegamento -511_0012)
Azioni sul collegamento: N=25286.40 Ty=-2.98 Tz=-79.67 Mx=0.11 Mz=1.66
Sollecitazioni agenti localmente: Ty_l=12648.60 My_l=936.05
Tensioni nella sezione: σ=1744.51 τ=790.54

Flessione locale sinistra

Bullone in x=-171.00 y=-47.00
Bnetta=26.00 Hnetta=20.00
CC 102 SLU (Collegamento -511_0012)
Azioni sul collegamento: N=25286.40 Ty=-2.98 Tz=-79.67 Mx=0.11 Mz=1.66
Sollecitazioni agenti localmente: Mx_l=27.41
Tensioni nella sezione: σ=1581.20 τ=0.00

Flessione locale destra

Bullone in x=171.00 y=-47.00
Bnetta=26.00 Hnetta=20.00
CC 102 SLU (Collegamento -511_0012)
Azioni sul collegamento: N=25286.40 Ty=-2.98 Tz=-79.67 Mx=0.11 Mz=1.66
Sollecitazioni agenti localmente: Mx_l=27.38
Tensioni nella sezione: σ=1579.60 τ=0.00

Flessione locale angolo superiore sinistro

Bullone in x=-90.00 y=141.00
Bnetta=20.00 Hnetta=20.00
CC 102 SLU (Collegamento -511_0012)
Azioni sul collegamento: N=25286.40 Ty=-2.98 Tz=-79.67 Mx=0.11 Mz=1.66
Sollecitazioni agenti localmente: My_l=21.08
Tensioni nella sezione: σ=1580.82 τ=0.00

Flessione locale angolo superiore destro

Bullone in x=90.00 y=141.00
Bnetta=20.00 Hnetta=20.00
CC 102 SLU (Collegamento -511_0012)
Azioni sul collegamento: N=25286.40 Ty=-2.98 Tz=-79.67 Mx=0.11 Mz=1.66
Sollecitazioni agenti localmente: My_l=21.07
Tensioni nella sezione: σ=1579.98 τ=0.00

Flessione locale angolo inferiore sinistro

Bullone in x=-90.00 y=-141.00
Bnetta=20.00 Hnetta=20.00
CC 102 SLU (Collegamento -511_0012)
Azioni sul collegamento: N=25286.40 Ty=-2.98 Tz=-79.67 Mx=0.11 Mz=1.66
Sollecitazioni agenti localmente: My_l=21.08
Tensioni nella sezione: σ=1580.82 τ=0.00

Flessione locale angolo inferiore destro

Bullone in x=90.00 y=-141.00
Bnetta=20.00 Hnetta=20.00
CC 102 SLU (Collegamento -511_0012)
Azioni sul collegamento: N=25286.40 Ty=-2.98 Tz=-79.67 Mx=0.11 Mz=1.66
Sollecitazioni agenti localmente: My_l=21.07
Tensioni nella sezione: σ=1579.98 τ=0.00

Collegamento -512_0013

Piastra 400.00 x 340.00 s=20.00 - 12 Tirafondi ϕ 22 - Profondità di infissione: 300.00
4 righe ad interasse 94.00
4 colonne ad interasse variabile
Altezza di gola saldature: anima 7.07 - ala 7.07
Irrigidimenti:
Laterali parallele all'anima s=10.00
Trasversali s=10.00

Tirafondi e calcestruzzo

CC 105 SLU (Collegamento -512_0013)
Azioni sul collegamento: N=25285.60 Ty=2.98 Tz=-79.67 Mx=-0.11 Mz=-1.66
Sollecitazioni agenti localmente: Tx_l=2.98 Ty_l=-79.67 N_l=25285.60 Mx_l=0.00 My_l=-1.66 Mz_l=-0.11
Taglio nei bulloni: Fv,Ed=6.69 Fv,Rd=14597.10
Rifollamento lato piastra: Fb,Ed,p=6.69 Fb,Rd,p=10958.30
Trazione nei bulloni: Ft,Ed=2108.20 Ft,Rd=17452.80
Azione di punzonamento di progetto lato piastra: Bp,Ed,p=2108.20 Bb,Rd,p=57061.40
Int. V-T=0.09
Tirafondi:LT=0.41 (0.25) σ_{cR}=118.98 σ_{fR}=137.82
Compressione nel calcestruzzo: σ_c=0.00
CC 125 SLU (Collegamento -512_0013)
Azioni sul collegamento: N=10758.50 Ty=8.12 Tz=-79.67 Mx=-0.16 Mz=7.32
Sollecitazioni agenti localmente: Tx_l=8.12 Ty_l=-79.67 N_l=10758.50 Mx_l=0.00 My_l=7.32 Mz_l=-0.16
Taglio nei bulloni: Fv,Ed=6.74 Fv,Rd=14597.10
Rifollamento lato piastra: Fb,Ed,p=6.74 Fb,Rd,p=11120.40
Trazione nei bulloni: Ft,Ed=901.24 Ft,Rd=17452.80
Azione di punzonamento di progetto lato piastra: Bp,Ed,p=901.24 Bb,Rd,p=57061.40
Int. V-T=0.04
Tirafondi:LT=0.41 (0.25) σ_{cR}=50.86 σ_{fR}=58.92
Compressione nel calcestruzzo: σ_c=0.00

Saldatura profilo-piastra

CC 105 SLU (Collegamento -512_0013)
Azioni sul collegamento: N=25285.60 Ty=2.98 Tz=-79.67 Mx=-0.11 Mz=-1.66
Sollecitazioni agenti localmente: Tx_l=2.98 Ty_l=-79.67 N_l=25285.60 My_l=1.66 Mz_l=-0.11
Azioni sul cordone: TP=0.35 TO=-5.98 NO=1869.12
Tensioni nel cordone: τ_P=0.11 τ_O=1.90 σ_O=596.52 σ_{ID}=596.52 Σ_T=598.42
CC 125 SLU (Collegamento -512_0013)
Azioni sul collegamento: N=10758.50 Ty=8.12 Tz=-79.67 Mx=-0.16 Mz=7.32
Sollecitazioni agenti localmente: Tx_l=8.12 Ty_l=-79.67 N_l=10758.50 My_l=-7.32 Mz_l=-0.16
Azioni sul cordone: TP=-2.29 TO=15.88 NO=2144.55
Tensioni nel cordone: τ_P=0.27 τ_O=1.87 σ_O=263.47 σ_{ID}=263.48 Σ_T=265.34

Flessione attacco superiore piastra

Bnetta=20.00 Hnetta=400.00 irrigidita (W=54.53)
CC 105 SLU (Collegamento -512_0013)
Azioni sul collegamento: N=25285.60 Ty=2.98 Tz=-79.67 Mx=-0.11 Mz=-1.66
Sollecitazioni agenti localmente: Ty_l=8428.54 Mx_l=598.43
Tensioni nella sezione: σ=1097.41 τ=526.78

Flessione attacco inferiore piastra

Bnetta=20.00 Hnetta=400.00 irrigidita (W=54.53)
CC 105 SLU (Collegamento -512_0013)
Azioni sul collegamento: N=25285.60 Ty=2.98 Tz=-79.67 Mx=-0.11 Mz=-1.66
Sollecitazioni agenti localmente: Ty_l=8428.54 Mx_l=598.43
Tensioni nella sezione: σ=1097.41 τ=526.78

Flessione attacco destro piastra

Bnetta=20.00 Hnetta=340.00 irrigidita (W=53.66)
CC 105 SLU (Collegamento -512_0013)
Azioni sul collegamento: N=25285.60 Ty=2.98 Tz=-79.67 Mx=-0.11 Mz=-1.66
Sollecitazioni agenti localmente: Ty_l=12648.20 My_l=936.02
Tensioni nella sezione: σ=1744.46 τ=790.51

Flessione attacco sinistro piastra

Bnetta=20.00 Hnetta=340.00 irrigidita (W=53.66)
CC 105 SLU (Collegamento -512_0013)
Azioni sul collegamento: N=25285.60 Ty=2.98 Tz=-79.67 Mx=-0.11 Mz=-1.66
Sollecitazioni agenti localmente: Ty_l=12637.40 My_l=935.12
Tensioni nella sezione: σ=1742.77 τ=789.84

Flessione locale sinistra

Bullone in x=-171.00 y=-47.00
Bnetta=26.00 Hnetta=20.00
CC 105 SLU (Collegamento -512_0013)
Azioni sul collegamento: N=25285.60 Ty=2.98 Tz=-79.67 Mx=-0.11 Mz=-1.66
Sollecitazioni agenti localmente: Mx_l=27.38
Tensioni nella sezione: σ=1579.55 τ=0.00

Flessione locale destra

Bullone in x=171.00 y=-47.00
Bnetta=26.00 Hnetta=20.00
CC 105 SLU (Collegamento -512_0013)
Azioni sul collegamento: N=25285.60 Ty=2.98 Tz=-79.67 Mx=-0.11 Mz=-1.66
Sollecitazioni agenti localmente: Mx_l=27.41
Tensioni nella sezione: σ=1581.15 τ=0.00

Flessione locale angolo superiore sinistro

Bullone in x=-90.00 y=141.00
Bnetta=20.00 Hnetta=20.00
CC 105 SLU (Collegamento -512_0013)
Azioni sul collegamento: N=25285.60 Ty=2.98 Tz=-79.67 Mx=-0.11 Mz=-1.66
Sollecitazioni agenti localmente: My_l=21.07
Tensioni nella sezione: σ=1579.93 τ=0.00

Flessione locale angolo superiore destro

Bullone in x=90.00 y=141.00
Bnetta=20.00 Hnetta=20.00
CC 105 SLU (Collegamento -512_0013)
Azioni sul collegamento: N=25285.60 Ty=2.98 Tz=-79.67 Mx=-0.11 Mz=-1.66
Sollecitazioni agenti localmente: My_l=21.08
Tensioni nella sezione: σ=1580.77 τ=0.00

Flessione locale angolo inferiore sinistro

Bullone in x=-90.00 y=-141.00
Bnetta=20.00 Hnetta=20.00
CC 105 SLU (Collegamento -512_0013)
Azioni sul collegamento: N=25285.60 Ty=2.98 Tz=-79.67 Mx=-0.11 Mz=-1.66
Sollecitazioni agenti localmente: My_l=21.07
Tensioni nella sezione: σ=1579.93 τ=0.00

Flessione locale angolo inferiore destro

Bullone in x=90.00 y=-141.00
Bnetta=20.00 Hnetta=20.00
CC 105 SLU (Collegamento -512_0013)
Azioni sul collegamento: N=25285.60 Ty=2.98 Tz=-79.67 Mx=-0.11 Mz=-1.66
Sollecitazioni agenti localmente: My_l=21.08
Tensioni nella sezione: σ=1580.77 τ=0.00

Collegamento -515_0014

Piastra 400.00 x 340.00 s=20.00 - 12 Tirafondi ϕ 22 - Profondità di infissione: 300.00
4 righe ad interasse 94.00
4 colonne ad interasse variabile
Altezza di gola saldature: anima 7.07 - ala 7.07
Irrigidimenti:
Laterali parallele all'anima s=10.00
Trasversali s=10.00

Tirafondi e calcestruzzo

CC 100 SLU (Collegamento -515_0014)

Azioni sul collegamento: N=21187.80 Ty=-0.05 Tz=-79.67 Mx=0.00 Mz=-0.07
Sollecitazioni agenti localmente: Tx_l=-0.05 Ty_l=-79.67 N_l=21187.80 Mx_l=0.00 My_l=-0.07 Mz_l=0.00
Taglio nei bulloni: Fv,Ed=6.64 Fv,Rd=14597.10
Rifollamento lato piastra: Fb,Ed,p=6.64 Fb,Rd,p=10928.90
Trazione nei bulloni: Ft,Ed=1765.69 Ft,Rd=17452.80
Azione di punzonamento di progetto lato piastra: Bp,Ed,p=1765.69 Bb,Rd,p=57061.40
Int. V-T=0.07
Tirafondi:LT=0.41 (0.25) σ_{cR}=99.65 σ_{fR}=115.43
Compressione nel calcestruzzo: σ_c=0.00
CC 102 SLU (Collegamento -515_0014)
Azioni sul collegamento: N=22532.20 Ty=-0.01 Tz=-79.67 Mx=0.00 Mz=-0.03
Sollecitazioni agenti localmente: Tx_l=-0.01 Ty_l=-79.67 N_l=22532.20 Mx_l=0.00 My_l=-0.03 Mz_l=0.00
Taglio nei bulloni: Fv,Ed=6.64 Fv,Rd=14597.10
Rifollamento lato piastra: Fb,Ed,p=6.64 Fb,Rd,p=10928.90
Trazione nei bulloni: Ft,Ed=1877.70 Ft,Rd=17452.80
Azione di punzonamento di progetto lato piastra: Bp,Ed,p=1877.70 Bb,Rd,p=57061.40
Int. V-T=0.08
Tirafondi:LT=0.41 (0.25) σ_{cR}=105.97 σ_{fR}=122.75
Compressione nel calcestruzzo: σ_c=0.00

Saldatura profilo-piastra

CC 79 SLV (Collegamento -515_0014)
Azioni sul collegamento: N=4041.90 Ty=1.46 Tz=-59.01 Mx=0.06 Mz=-1.14
Sollecitazioni agenti localmente: Tx_l=1.46 Ty_l=-59.01 N_l=4041.90 My_l=1.14 Mz_l=0.06
Azioni sul cordone: TP=0.56 TO=-11.76 NO=805.69
Tensioni nel cordone: τ_P= 0.07 τ_O=1.39 σ_O=96.63 σ_{ID}=96.64 Σ_T=98.02
CC 102 SLU (Collegamento -515_0014)
Azioni sul collegamento: N=22532.20 Ty=-0.01 Tz=-79.67 Mx=0.00 Mz=-0.03
Sollecitazioni agenti localmente: Tx_l=-0.01 Ty_l=-79.67 N_l=22532.20 My_l=0.03 Mz_l=0.00
Azioni sul cordone: TP=-0.00 TO=-5.89 NO=1665.59
Tensioni nel cordone: τ_P=4.52E-04 τ_O=1.87 σ_O=529.44 σ_{ID}=529.45 Σ_T=531.31
CC 108 SLU (Collegamento -515_0014)
Azioni sul collegamento: N=14902.70 Ty=-0.01 Tz=-79.67 Mx=0.00 Mz=0.00
Sollecitazioni agenti localmente: Tx_l=-0.01 Ty_l=-79.67 N_l=14902.70 My_l=-0.00 Mz_l=0.00
Azioni sul cordone: TP=-0.00 TO=-5.89 NO=1101.61
Tensioni nel cordone: τ_P=7.68E-04 τ_O=1.87 σ_O=350.15 σ_{ID}=350.15 Σ_T=352.02

Flessione attacco superiore piastra

Bnetta=20.00 Hnetta=400.00 irrigidita (W=54.53)
CC 102 SLU (Collegamento -515_0014)
Azioni sul collegamento: N=22532.20 Ty=-0.01 Tz=-79.67 Mx=0.00 Mz=-0.03
Sollecitazioni agenti localmente: Ty_l=7510.73 Mx_l=533.26
Tensioni nella sezione: σ=977.91 τ=469.42

Flessione attacco inferiore piastra

Bnetta=20.00 Hnetta=400.00 irrigidita (W=54.53)
CC 102 SLU (Collegamento -515_0014)
Azioni sul collegamento: N=22532.20 Ty=-0.01 Tz=-79.67 Mx=0.00 Mz=-0.03
Sollecitazioni agenti localmente: Ty_l=7510.73 Mx_l=533.26
Tensioni nella sezione: σ=977.91 τ=469.42

Flessione attacco destro piastra

Bnetta=20.00 Hnetta=340.00 irrigidita (W=53.66)
CC 102 SLU (Collegamento -515_0014)
Azioni sul collegamento: N=22532.20 Ty=-0.01 Tz=-79.67 Mx=0.00 Mz=-0.03
Sollecitazioni agenti localmente: Ty_l=11266.20 My_l=833.70
Tensioni nella sezione: σ=1553.76 τ=704.14

Flessione attacco sinistro piastra

Bnetta=20.00 Hnetta=340.00 irrigidita (W=53.66)
CC 102 SLU (Collegamento -515_0014)
Azioni sul collegamento: N=22532.20 Ty=-0.01 Tz=-79.67 Mx=0.00 Mz=-0.03
Sollecitazioni agenti localmente: Ty_l=11266.00 My_l=833.68
Tensioni nella sezione: σ=1553.73 τ=704.13

Flessione locale sinistra

Bullone in x=-171.00 y=-47.00
Bnetta=26.00 Hnetta=20.00
CC 102 SLU (Collegamento -515_0014)
Azioni sul collegamento: N=22532.20 Ty=-0.01 Tz=-79.67 Mx=0.00 Mz=-0.03
Sollecitazioni agenti localmente: Mx_l=24.41
Tensioni nella sezione: σ=1408.25 τ=0.00

Flessione locale destra

Bullone in x=171.00 y=-47.00

Bnetta=26.00 Hnetta=20.00
CC 102 SLU (Collegamento -515_0014)
Azioni sul collegamento: N=22532.20 Ty=-0.01 Tz=-79.67 Mx=0.00 Mz=-0.03
Sollecitazioni agenti localmente: Mx_l=24.41
Tensioni nella sezione: σ=1408.27 τ=0.00

Flessione locale angolo superiore sinistro

Bullone in x=-90.00 y=141.00
Bnetta=20.00 Hnetta=20.00
CC 102 SLU (Collegamento -515_0014)
Azioni sul collegamento: N=22532.20 Ty=-0.01 Tz=-79.67 Mx=0.00 Mz=-0.03
Sollecitazioni agenti localmente: My_l=18.78
Tensioni nella sezione: σ=1408.26 τ=0.00

Flessione locale angolo superiore destro

Bullone in x=90.00 y=141.00
Bnetta=20.00 Hnetta=20.00
CC 102 SLU (Collegamento -515_0014)
Azioni sul collegamento: N=22532.20 Ty=-0.01 Tz=-79.67 Mx=0.00 Mz=-0.03
Sollecitazioni agenti localmente: My_l=18.78
Tensioni nella sezione: σ=1408.27 τ=0.00

Flessione locale angolo inferiore sinistro

Bullone in x=-90.00 y=-141.00
Bnetta=20.00 Hnetta=20.00
CC 102 SLU (Collegamento -515_0014)
Azioni sul collegamento: N=22532.20 Ty=-0.01 Tz=-79.67 Mx=0.00 Mz=-0.03
Sollecitazioni agenti localmente: My_l=18.78
Tensioni nella sezione: σ=1408.26 τ=0.00

Flessione locale angolo inferiore destro

Bullone in x=90.00 y=-141.00
Bnetta=20.00 Hnetta=20.00
CC 102 SLU (Collegamento -515_0014)
Azioni sul collegamento: N=22532.20 Ty=-0.01 Tz=-79.67 Mx=0.00 Mz=-0.03
Sollecitazioni agenti localmente: My_l=18.78
Tensioni nella sezione: σ=1408.27 τ=0.00

Collegamento -516_0015

Piastra 400.00 x 340.00 s=20.00 - 12 Tirafondi ϕ 22 - Profondità di infissione: 300.00
4 righe ad interasse 94.00
4 colonne ad interasse variabile
Altezza di gola saldature: anima 7.07 - ala 7.07
Irrigidimenti:
Laterali parallele all'anima s=10.00
Trasversali s=10.00

Tirafondi e calcestruzzo

CC 100 SLU (Collegamento -516_0015)
Azioni sul collegamento: N=21187.80 Ty=0.05 Tz=-79.67 Mx=-0.00 Mz=0.07
Sollecitazioni agenti localmente: Tx_l=0.05 Ty_l=-79.67 N_l=21187.80 Mx_l=0.00 My_l=0.07 Mz_l=-0.00
Taglio nei bulloni: Fv,Ed=6.64 Fv,Rd=14597.10
Rifollamento lato piastra: Fb,Ed,p=6.64 Fb,Rd,p=10928.90
Trazione nei bulloni: Ft,Ed=1765.69 Ft,Rd=17452.80
Azione di punzonamento di progetto lato piastra: Bp,Ed,p=1765.69 Bb,Rd,p=57061.40
Int. V-T=0.07
Tirafondi:LT=0.41 (0.25) σ_{cR}=99.65 σ_{fR}=115.43
Compressione nel calcestruzzo: σ_c=0.00
CC 105 SLU (Collegamento -516_0015)
Azioni sul collegamento: N=22531.60 Ty=0.01 Tz=-79.67 Mx=-0.00 Mz=0.03
Sollecitazioni agenti localmente: Tx_l=0.01 Ty_l=-79.67 N_l=22531.60 Mx_l=0.00 My_l=0.03 Mz_l=-0.00
Taglio nei bulloni: Fv,Ed=6.64 Fv,Rd=14597.10
Rifollamento lato piastra: Fb,Ed,p=6.64 Fb,Rd,p=10928.90
Trazione nei bulloni: Ft,Ed=1877.65 Ft,Rd=17452.80
Azione di punzonamento di progetto lato piastra: Bp,Ed,p=1877.65 Bb,Rd,p=57061.40
Int. V-T=0.08
Tirafondi:LT=0.41 (0.25) σ_{cR}=105.97 σ_{fR}=122.75
Compressione nel calcestruzzo: σ_c=0.00

Saldatura profilo-piastra

CC 31 SLV (Collegamento -516_0015)
Azioni sul collegamento: N=4041.90 Ty=-1.46 Tz=-59.01 Mx=-0.06 Mz=1.14
Sollecitazioni agenti localmente: Tx_l=-1.46 Ty_l=-59.01 N_l=4041.90 My_l=-1.14 Mz_l=-0.06
Azioni sul cordone: TP=-0.56 TO=-11.76 NO=805.69
Tensioni nel cordone: τ_P= 0.07 τ_O=1.39 σ_O=96.63 σ_{ID}=96.64 Σ_T=98.01

CC 104 SLU (Collegamento -516_0015)
Azioni sul collegamento: N=14902.90 Ty=0.01 Tz=-79.67 Mx=-0.00 Mz=-0.00
Sollecitazioni agenti localmente: Tx_l=0.01 Ty_l=-79.67 N_l=14902.90 My_l=0.00 Mz_l=-0.00
Azioni sul cordone: TP=0.00 TO=-5.89 NO=1101.62
Tensioni nel cordone: τ_P=7.68E-04 τ_O=1.87 σ_O=350.15 σ_{ID}=350.16 Σ_T=352.02
CC 105 SLU (Collegamento -516_0015)
Azioni sul collegamento: N=22531.60 Ty=0.01 Tz=-79.67 Mx=-0.00 Mz=0.03
Sollecitazioni agenti localmente: Tx_l=0.01 Ty_l=-79.67 N_l=22531.60 My_l=-0.03 Mz_l=-0.00
Azioni sul cordone: TP=0.00 TO=-5.89 NO=1665.54
Tensioni nel cordone: τ_P=4.52E-04 τ_O=1.87 σ_O=529.43 σ_{ID}=529.43 Σ_T=531.30

Flessione attacco superiore piastra

Bnetta=20.00 Hnetta=400.00 irrigidita (W=54.53)
CC 105 SLU (Collegamento -516_0015)
Azioni sul collegamento: N=22531.60 Ty=0.01 Tz=-79.67 Mx=-0.00 Mz=0.03
Sollecitazioni agenti localmente: Ty_l=7510.53 Mx_l=533.25
Tensioni nella sezione: σ=977.89 τ=469.41

Flessione attacco inferiore piastra

Bnetta=20.00 Hnetta=400.00 irrigidita (W=54.53)
CC 105 SLU (Collegamento -516_0015)
Azioni sul collegamento: N=22531.60 Ty=0.01 Tz=-79.67 Mx=-0.00 Mz=0.03
Sollecitazioni agenti localmente: Ty_l=7510.53 Mx_l=533.25
Tensioni nella sezione: σ=977.89 τ=469.41

Flessione attacco destro piastra

Bnetta=20.00 Hnetta=340.00 irrigidita (W=53.66)
CC 105 SLU (Collegamento -516_0015)
Azioni sul collegamento: N=22531.60 Ty=0.01 Tz=-79.67 Mx=-0.00 Mz=0.03
Sollecitazioni agenti localmente: Ty_l=11265.70 My_l=833.66
Tensioni nella sezione: σ=1553.69 τ=704.11

Flessione attacco sinistro piastra

Bnetta=20.00 Hnetta=340.00 irrigidita (W=53.66)
CC 105 SLU (Collegamento -516_0015)
Azioni sul collegamento: N=22531.60 Ty=0.01 Tz=-79.67 Mx=-0.00 Mz=0.03
Sollecitazioni agenti localmente: Ty_l=11265.90 My_l=833.67
Tensioni nella sezione: σ=1553.72 τ=704.12

Flessione locale sinistra

Bullone in x=-171.00 y=-47.00
Bnetta=26.00 Hnetta=20.00
CC 105 SLU (Collegamento -516_0015)
Azioni sul collegamento: N=22531.60 Ty=0.01 Tz=-79.67 Mx=-0.00 Mz=0.03
Sollecitazioni agenti localmente: Mx_l=24.41
Tensioni nella sezione: σ=1408.24 τ=0.00

Flessione locale destra

Bullone in x=171.00 y=-47.00
Bnetta=26.00 Hnetta=20.00
CC 105 SLU (Collegamento -516_0015)
Azioni sul collegamento: N=22531.60 Ty=0.01 Tz=-79.67 Mx=-0.00 Mz=0.03
Sollecitazioni agenti localmente: Mx_l=24.41
Tensioni nella sezione: σ=1408.21 τ=0.00

Flessione locale angolo superiore sinistro

Bullone in x=-90.00 y=141.00
Bnetta=20.00 Hnetta=20.00
CC 105 SLU (Collegamento -516_0015)
Azioni sul collegamento: N=22531.60 Ty=0.01 Tz=-79.67 Mx=-0.00 Mz=0.03
Sollecitazioni agenti localmente: My_l=18.78
Tensioni nella sezione: σ=1408.23 τ=0.00

Flessione locale angolo superiore destro

Bullone in x=90.00 y=141.00
Bnetta=20.00 Hnetta=20.00
CC 105 SLU (Collegamento -516_0015)
Azioni sul collegamento: N=22531.60 Ty=0.01 Tz=-79.67 Mx=-0.00 Mz=0.03
Sollecitazioni agenti localmente: My_l=18.78
Tensioni nella sezione: σ=1408.22 τ=0.00

Flessione locale angolo inferiore sinistro

Bullone in x=-90.00 y=-141.00

Bnetta=20.00 Hnetta=20.00
CC 105 SLU (Collegamento -516_0015)
Azioni sul collegamento: N=22531.60 Ty=0.01 Tz=-79.67 Mx=-0.00 Mz=0.03
Sollecitazioni agenti localmente: My_l=18.78
Tensioni nella sezione: σ=1408.23 τ=0.00

Flessione locale angolo inferiore destro

Bullone in x=90.00 y=-141.00
Bnetta=20.00 Hnetta=20.00
CC 105 SLU (Collegamento -516_0015)
Azioni sul collegamento: N=22531.60 Ty=0.01 Tz=-79.67 Mx=-0.00 Mz=0.03
Sollecitazioni agenti localmente: My_l=18.78
Tensioni nella sezione: σ=1408.22 τ=0.00

Collegamento -519_0016

Piastra 400.00 x 340.00 s=20.00 - 12 Tirafondi ϕ 22 - Profondità di infissione: 300.00
4 righe ad interasse 94.00
4 colonne ad interasse variabile
Altezza di gola saldature: anima 7.07 - ala 7.07
Irrigidimenti:
Laterali parallele all'anima s=10.00
Trasversali s=10.00

Tirafondi e calcestruzzo

CC 102 SLU (Collegamento -519_0016)
Azioni sul collegamento: N=25201.90 Ty=2.88 Tz=-79.67 Mx=-0.11 Mz=-1.80
Sollecitazioni agenti localmente: Tx_l=2.88 Ty_l=-79.67 N_l=25201.90 Mx_l=0.00 My_l=-1.80 Mz_l=-0.11
Taglio nei bulloni: Fv,Ed=6.69 Fv,Rd=14597.10
Rifollamento lato piastra: Fb,Ed,p=6.69 Fb,Rd,p=10956.30
Trazione nei bulloni: Ft,Ed=2101.31 Ft,Rd=17452.80
Azione di punzonamento di progetto lato piastra: Bp,Ed,p=2101.31 Bb,Rd,p=57061.40
Int. V-T=0.09
Tirafondi:LT=0.41 (0.25) σ_{cR}=118.59 σ_{fR}=137.37
Compressione nel calcestruzzo: σ_c=0.00
CC 118 SLU (Collegamento -519_0016)
Azioni sul collegamento: N=12246.40 Ty=5.61 Tz=-79.67 Mx=-0.13 Mz=2.92
Sollecitazioni agenti localmente: Tx_l=5.61 Ty_l=-79.67 N_l=12246.40 Mx_l=0.00 My_l=2.92 Mz_l=-0.13
Taglio nei bulloni: Fv,Ed=6.71 Fv,Rd=14597.10
Rifollamento lato piastra: Fb,Ed,p=6.71 Fb,Rd,p=11023.00
Trazione nei bulloni: Ft,Ed=1022.41 Ft,Rd=17452.80
Azione di punzonamento di progetto lato piastra: Bp,Ed,p=1022.41 Bb,Rd,p=57061.40
Int. V-T=0.04
Tirafondi:LT=0.41 (0.25) σ_{cR}=57.70 σ_{fR}=66.84
Compressione nel calcestruzzo: σ_c=0.00
CC 126 SLU (Collegamento -519_0016)
Azioni sul collegamento: N=19751.80 Ty=1.56 Tz=-79.67 Mx=-0.09 Mz=-3.81
Sollecitazioni agenti localmente: Tx_l=1.56 Ty_l=-79.67 N_l=19751.80 Mx_l=0.00 My_l=-3.81 Mz_l=-0.09
Taglio nei bulloni: Fv,Ed=6.68 Fv,Rd=14597.10
Rifollamento lato piastra: Fb,Ed,p=6.68 Fb,Rd,p=10938.00
Trazione nei bulloni: Ft,Ed=1648.43 Ft,Rd=17452.80
Azione di punzonamento di progetto lato piastra: Bp,Ed,p=1648.43 Bb,Rd,p=57061.40
Int. V-T=0.07
Tirafondi:LT=0.41 (0.25) σ_{cR}=93.03 σ_{fR}=107.77
Compressione nel calcestruzzo: σ_c=0.00

Saldatura profilo-piastra

CC 65 SLV (Collegamento -519_0016)
Azioni sul collegamento: N=3561.66 Ty=6.01 Tz=-59.01 Mx=-0.17 Mz=2.61
Sollecitazioni agenti localmente: Tx_l=6.01 Ty_l=-59.01 N_l=3561.66 My_l=-2.61 Mz_l=-0.17
Azioni sul cordone: TP=-1.93 TO=11.76 NO=709.97
Tensioni nel cordone: τ_P=0.23 τ_O=1.39 σ_O=87.49 σ_{ID}=87.50 Σ_T=88.88
CC 102 SLU (Collegamento -519_0016)
Azioni sul collegamento: N=25201.90 Ty=2.88 Tz=-79.67 Mx=-0.11 Mz=-1.80
Sollecitazioni agenti localmente: Tx_l=2.88 Ty_l=-79.67 N_l=25201.90 My_l=1.80 Mz_l=-0.11
Azioni sul cordone: TP=0.34 TO=-5.98 NO=1862.93
Tensioni nel cordone: τ_P=0.11 τ_O=1.90 σ_O=594.76 σ_{ID}=594.76 Σ_T=596.65

Flessione attacco superiore piastra

Bnetta=20.00 Hnetta=400.00 irrigidita (W=54.53)
CC 102 SLU (Collegamento -519_0016)
Azioni sul collegamento: N=25201.90 Ty=2.88 Tz=-79.67 Mx=-0.11 Mz=-1.80
Sollecitazioni agenti localmente: Ty_l=8400.62 Mx_l=596.44
Tensioni nella sezione: σ=1093.78 τ=525.04

Flessione attacco inferiore piastra

Bnetta=20.00 Hnetta=400.00 irrigidita (W=54.53)
CC 102 SLU (Collegamento -519_0016)
Azioni sul collegamento: N=25201.90 Ty=2.88 Tz=-79.67 Mx=-0.11 Mz=-1.80
Sollecitazioni agenti localmente: Ty_l=8400.62 Mx_l=596.44
Tensioni nella sezione: σ=1093.78 τ=525.04

Flessione attacco destro piastra

Bnetta=20.00 Hnetta=340.00 irrigidita (W=53.66)
CC 102 SLU (Collegamento -519_0016)
Azioni sul collegamento: N=25201.90 Ty=2.88 Tz=-79.67 Mx=-0.11 Mz=-1.80
Sollecitazioni agenti localmente: Ty_l=12606.80 My_l=932.96
Tensioni nella sezione: σ=1738.75 τ=787.92

Flessione attacco sinistro piastra

Bnetta=20.00 Hnetta=340.00 irrigidita (W=53.66)
CC 102 SLU (Collegamento -519_0016)
Azioni sul collegamento: N=25201.90 Ty=2.88 Tz=-79.67 Mx=-0.11 Mz=-1.80
Sollecitazioni agenti localmente: Ty_l=12595.10 My_l=931.98
Tensioni nella sezione: σ=1736.92 τ=787.19

Flessione locale sinistra

Bullone in x=-171.00 y=-47.00
Bnetta=26.00 Hnetta=20.00
CC 102 SLU (Collegamento -519_0016)
Azioni sul collegamento: N=25201.90 Ty=2.88 Tz=-79.67 Mx=-0.11 Mz=-1.80
Sollecitazioni agenti localmente: Mx_l=27.29
Tensioni nella sezione: σ=1574.25 τ=0.00

Flessione locale destra

Bullone in x=171.00 y=-47.00
Bnetta=26.00 Hnetta=20.00
CC 102 SLU (Collegamento -519_0016)
Azioni sul collegamento: N=25201.90 Ty=2.88 Tz=-79.67 Mx=-0.11 Mz=-1.80
Sollecitazioni agenti localmente: Mx_l=27.32
Tensioni nella sezione: σ=1575.98 τ=0.00

Flessione locale angolo superiore sinistro

Bullone in x=-90.00 y=141.00
Bnetta=20.00 Hnetta=20.00
CC 102 SLU (Collegamento -519_0016)
Azioni sul collegamento: N=25201.90 Ty=2.88 Tz=-79.67 Mx=-0.11 Mz=-1.80
Sollecitazioni agenti localmente: My_l=21.00
Tensioni nella sezione: σ=1574.66 τ=0.00

Flessione locale angolo superiore destro

Bullone in x=90.00 y=141.00
Bnetta=20.00 Hnetta=20.00
CC 102 SLU (Collegamento -519_0016)
Azioni sul collegamento: N=25201.90 Ty=2.88 Tz=-79.67 Mx=-0.11 Mz=-1.80
Sollecitazioni agenti localmente: My_l=21.01
Tensioni nella sezione: σ=1575.57 τ=0.00

Flessione locale angolo inferiore sinistro

Bullone in x=-90.00 y=-141.00
Bnetta=20.00 Hnetta=20.00
CC 102 SLU (Collegamento -519_0016)
Azioni sul collegamento: N=25201.90 Ty=2.88 Tz=-79.67 Mx=-0.11 Mz=-1.80
Sollecitazioni agenti localmente: My_l=21.00
Tensioni nella sezione: σ=1574.66 τ=0.00

Flessione locale angolo inferiore destro

Bullone in x=90.00 y=-141.00
Bnetta=20.00 Hnetta=20.00
CC 102 SLU (Collegamento -519_0016)
Azioni sul collegamento: N=25201.90 Ty=2.88 Tz=-79.67 Mx=-0.11 Mz=-1.80
Sollecitazioni agenti localmente: My_l=21.01
Tensioni nella sezione: σ=1575.57 τ=0.00

Collegamento -520_0017

Piastra 400.00 x 340.00 s=20.00 - 12 Tirafondi ϕ 22 - Profondità di infissione: 300.00
4 righe ad interasse 94.00
4 colonne ad interasse variabile
Altezza di gola saldature: anima 7.07 - ala 7.07

Irrigidimenti:
Laterali parallele all'anima s=10.00
Trasversali s=10.00

Tirafondi e calcestruzzo

CC 105 SLU (Collegamento -520_0017)
Azioni sul collegamento: N=25201.10 Ty=-2.88 Tz=-79.67 Mx=0.11 Mz=1.80
Sollecitazioni agenti localmente: Tx_l=-2.88 Ty_l=-79.67 N_l=25201.10 Mx_l=0.00 My_l=1.80 Mz_l=0.11
Taglio nei bulloni: Fv,Ed=6.69 Fv,Rd=14597.10
Rifollamento lato piastra: Fb,Ed,p=6.69 Fb,Rd,p=10956.30
Trazione nei bulloni: Ft,Ed=2101.24 Ft,Rd=17452.80
Azione di punzonamento di progetto lato piastra: Bp,Ed,p=2101.24 Bb,Rd,p=57061.40
Int. V-T=0.09
Tirafondi:LT=0.41 (0.25) σ_{cR}=118.59 σ_{fR}=137.37
Compressione nel calcestruzzo: σ_c=0.00
CC 125 SLU (Collegamento -520_0017)
Azioni sul collegamento: N=10711.50 Ty=-8.03 Tz=-79.67 Mx=0.15 Mz=-7.26
Sollecitazioni agenti localmente: Tx_l=-8.03 Ty_l=-79.67 N_l=10711.50 Mx_l=0.00 My_l=-7.26 Mz_l=0.15
Taglio nei bulloni: Fv,Ed=6.74 Fv,Rd=14597.10
Rifollamento lato piastra: Fb,Ed,p=6.74 Fb,Rd,p=11116.00
Trazione nei bulloni: Ft,Ed=897.29 Ft,Rd=17452.80
Azione di punzonamento di progetto lato piastra: Bp,Ed,p=897.29 Bb,Rd,p=57061.40
Int. V-T=0.04
Tirafondi:LT=0.41 (0.25) σ_{cR}=50.64 σ_{fR}=58.66
Compressione nel calcestruzzo: σ_c=0.00

Saldatura profilo-piastra

CC 105 SLU (Collegamento -520_0017)
Azioni sul collegamento: N=25201.10 Ty=-2.88 Tz=-79.67 Mx=0.11 Mz=1.80
Sollecitazioni agenti localmente: Tx_l=-2.88 Ty_l=-79.67 N_l=25201.10 My_l=-1.80 Mz_l=0.11
Azioni sul cordone: TP=-0.34 TO=-5.98 NO=1862.87
Tensioni nel cordone: τ_P=0.11 τ_0=1.90 σ_0=594.74 σ_{ID}=594.74 Σ_T=596.64
CC 125 SLU (Collegamento -520_0017)
Azioni sul collegamento: N=10711.50 Ty=-8.03 Tz=-79.67 Mx=0.15 Mz=-7.26
Sollecitazioni agenti localmente: Tx_l=-8.03 Ty_l=-79.67 N_l=10711.50 My_l=7.26 Mz_l=0.15
Azioni sul cordone: TP=2.25 TO=15.88 NO=2135.18
Tensioni nel cordone: τ_P=0.27 τ_0=1.87 σ_0=262.28 σ_{ID}=262.29 Σ_T=264.16

Flessione attacco superiore piastra

Bnetta=20.00 Hnetta=400.00 irrigidita (W=54.53)
CC 105 SLU (Collegamento -520_0017)
Azioni sul collegamento: N=25201.10 Ty=-2.88 Tz=-79.67 Mx=0.11 Mz=1.80
Sollecitazioni agenti localmente: Ty_l=8400.36 Mx_l=596.42
Tensioni nella sezione: σ=1093.74 τ=525.02

Flessione attacco inferiore piastra

Bnetta=20.00 Hnetta=400.00 irrigidita (W=54.53)
CC 105 SLU (Collegamento -520_0017)
Azioni sul collegamento: N=25201.10 Ty=-2.88 Tz=-79.67 Mx=0.11 Mz=1.80
Sollecitazioni agenti localmente: Ty_l=8400.36 Mx_l=596.42
Tensioni nella sezione: σ=1093.74 τ=525.02

Flessione attacco destro piastra

Bnetta=20.00 Hnetta=340.00 irrigidita (W=53.66)
CC 105 SLU (Collegamento -520_0017)
Azioni sul collegamento: N=25201.10 Ty=-2.88 Tz=-79.67 Mx=0.11 Mz=1.80
Sollecitazioni agenti localmente: Ty_l=12594.70 My_l=931.95
Tensioni nella sezione: σ=1736.87 τ=787.17

Flessione attacco sinistro piastra

Bnetta=20.00 Hnetta=340.00 irrigidita (W=53.66)
CC 105 SLU (Collegamento -520_0017)
Azioni sul collegamento: N=25201.10 Ty=-2.88 Tz=-79.67 Mx=0.11 Mz=1.80
Sollecitazioni agenti localmente: Ty_l=12606.40 My_l=932.93
Tensioni nella sezione: σ=1738.70 τ=787.90

Flessione locale sinistra

Bullone in x=-171.00 y=-47.00
Bnetta=26.00 Hnetta=20.00
CC 105 SLU (Collegamento -520_0017)
Azioni sul collegamento: N=25201.10 Ty=-2.88 Tz=-79.67 Mx=0.11 Mz=1.80
Sollecitazioni agenti localmente: Mx_l=27.32
Tensioni nella sezione: σ=1575.93 τ=0.00

Flessione locale destra

Bullone in x=171.00 y=-47.00
Bnetta=26.00 Hnetta=20.00
CC 105 SLU (Collegamento -520_0017)
Azioni sul collegamento: N=25201.10 Ty=-2.88 Tz=-79.67 Mx=0.11 Mz=1.80
Sollecitazioni agenti localmente: Mx_l=27.29
Tensioni nella sezione: σ=1574.20 τ=0.00

Flessione locale angolo superiore sinistro

Bullone in x=-90.00 y=141.00
Bnetta=20.00 Hnetta=20.00
CC 105 SLU (Collegamento -520_0017)
Azioni sul collegamento: N=25201.10 Ty=-2.88 Tz=-79.67 Mx=0.11 Mz=1.80
Sollecitazioni agenti localmente: My_l=21.01
Tensioni nella sezione: σ=1575.52 τ=0.00

Flessione locale angolo superiore destro

Bullone in x=90.00 y=141.00
Bnetta=20.00 Hnetta=20.00
CC 105 SLU (Collegamento -520_0017)
Azioni sul collegamento: N=25201.10 Ty=-2.88 Tz=-79.67 Mx=0.11 Mz=1.80
Sollecitazioni agenti localmente: My_l=20.99
Tensioni nella sezione: σ=1574.61 τ=0.00

Flessione locale angolo inferiore sinistro

Bullone in x=-90.00 y=-141.00
Bnetta=20.00 Hnetta=20.00
CC 105 SLU (Collegamento -520_0017)
Azioni sul collegamento: N=25201.10 Ty=-2.88 Tz=-79.67 Mx=0.11 Mz=1.80
Sollecitazioni agenti localmente: My_l=21.01
Tensioni nella sezione: σ=1575.52 τ=0.00

Flessione locale angolo inferiore destro

Bullone in x=90.00 y=-141.00
Bnetta=20.00 Hnetta=20.00
CC 105 SLU (Collegamento -520_0017)
Azioni sul collegamento: N=25201.10 Ty=-2.88 Tz=-79.67 Mx=0.11 Mz=1.80
Sollecitazioni agenti localmente: My_l=20.99
Tensioni nella sezione: σ=1574.61 τ=0.00

Collegamento -527_0018

Piastra 400.00 x 340.00 s=20.00 - 12 Tirafondi ϕ 22 - Profondità di infissione: 300.00
4 righe ad interasse 94.00
4 colonne ad interasse variabile
Altezza di gola saldature: anima 7.07 - ala 7.07
Irrigidimenti:
Laterali parallele all'anima s=10.00
Trasversali s=10.00

Tirafondi e calcestruzzo

CC 98 SLU (Collegamento -527_0018)
Azioni sul collegamento: N=26058.40 Ty=17.78 Tz=-79.67 Mx=-0.41 Mz=10.52
Sollecitazioni agenti localmente: Tx_l=17.78 Ty_l=-79.67 N_l=26058.40 Mx_l=0.00 My_l=10.52 Mz_l=-0.41
Taglio nei bulloni: Fv,Ed=6.99 Fv,Rd=14597.10
Rifollamento lato piastra: Fb,Ed,p=6.99 Fb,Rd,p=11846.10
Trazione nei bulloni: Ft,Ed=2178.29 Ft,Rd=17452.80
Azione di punzonamento di progetto lato piastra: Bp,Ed,p=2178.29 Bb,Rd,p=57061.40
Int. V-T=0.09
Tirafondi:LT=0.41 (0.25) σ_{cR}=122.94 σ_{fR}=142.40
Compressione nel calcestruzzo: σ_c=0.00
CC 114 SLU (Collegamento -527_0018)
Azioni sul collegamento: N=18733.30 Ty=-6.86 Tz=-79.67 Mx=0.09 Mz=-10.95
Sollecitazioni agenti localmente: Tx_l=-6.86 Ty_l=-79.67 N_l=18733.30 Mx_l=0.00 My_l=-10.95 Mz_l=0.09
Taglio nei bulloni: Fv,Ed=6.70 Fv,Rd=14597.10
Rifollamento lato piastra: Fb,Ed,p=6.70 Fb,Rd,p=11060.30
Trazione nei bulloni: Ft,Ed=1568.14 Ft,Rd=17452.80
Azione di punzonamento di progetto lato piastra: Bp,Ed,p=1568.14 Bb,Rd,p=57061.40
Int. V-T=0.06
Tirafondi:LT=0.41 (0.25) σ_{cR}=88.50 σ_{fR}=102.52
Compressione nel calcestruzzo: σ_c=0.00

Saldatura profilo-piastra

CC 98 SLU (Collegamento -527_0018)
Azioni sul collegamento: N=26058.40 Ty=17.78 Tz=-79.67 Mx=-0.41 Mz=10.52
Sollecitazioni agenti localmente: Tx_l=17.78 Ty_l=-79.67 N_l=26058.40 My_l=-10.52 Mz_l=-0.41

Azioni sul cordone: TP=-5.26 TO=15.88 NO=5194.37
Tensioni nel cordone: τ_P=0.62 τ_O=1.87 σ_O=627.63 σ_{ID}=627.63 Σ_T=629.50

Flessione attacco superiore piastra

Bnetta=20.00 Hnetta=400.00 irrigidita (W=54.53)
CC 98 SLU (Collegamento -527_0018)
Azioni sul collegamento: N=26058.40 Ty=17.78 Tz=-79.67 Mx=-0.41 Mz=10.52
Sollecitazioni agenti localmente: Ty_l=8686.13 Mx_l=616.72
Tensioni nella sezione: σ=1130.95 τ=542.88

Flessione attacco inferiore piastra

Bnetta=20.00 Hnetta=400.00 irrigidita (W=54.53)
CC 98 SLU (Collegamento -527_0018)
Azioni sul collegamento: N=26058.40 Ty=17.78 Tz=-79.67 Mx=-0.41 Mz=10.52
Sollecitazioni agenti localmente: Ty_l=8686.13 Mx_l=616.72
Tensioni nella sezione: σ=1130.95 τ=542.88

Flessione attacco destro piastra

Bnetta=20.00 Hnetta=340.00 irrigidita (W=53.66)
CC 98 SLU (Collegamento -527_0018)
Azioni sul collegamento: N=26058.40 Ty=17.78 Tz=-79.67 Mx=-0.41 Mz=10.52
Sollecitazioni agenti localmente: Ty_l=12995.10 My_l=961.29
Tensioni nella sezione: σ=1791.55 τ=812.19

Flessione attacco sinistro piastra

Bnetta=20.00 Hnetta=340.00 irrigidita (W=53.66)
CC 98 SLU (Collegamento -527_0018)
Azioni sul collegamento: N=26058.40 Ty=17.78 Tz=-79.67 Mx=-0.41 Mz=10.52
Sollecitazioni agenti localmente: Ty_l=13063.30 My_l=967.03
Tensioni nella sezione: σ=1802.26 τ=816.46

Flessione locale sinistra

Bullone in x=-171.00 y=-47.00
Bnetta=26.00 Hnetta=20.00
CC 98 SLU (Collegamento -527_0018)
Azioni sul collegamento: N=26058.40 Ty=17.78 Tz=-79.67 Mx=-0.41 Mz=10.52
Sollecitazioni agenti localmente: Mx_l=28.32
Tensioni nella sezione: σ=1633.72 τ=0.00

Flessione locale destra

Bullone in x=171.00 y=-47.00
Bnetta=26.00 Hnetta=20.00
CC 98 SLU (Collegamento -527_0018)
Azioni sul collegamento: N=26058.40 Ty=17.78 Tz=-79.67 Mx=-0.41 Mz=10.52
Sollecitazioni agenti localmente: Mx_l=28.14
Tensioni nella sezione: σ=1623.58 τ=0.00

Flessione locale angolo superiore sinistro

Bullone in x=-90.00 y=141.00
Bnetta=20.00 Hnetta=20.00
CC 98 SLU (Collegamento -527_0018)
Azioni sul collegamento: N=26058.40 Ty=17.78 Tz=-79.67 Mx=-0.41 Mz=10.52
Sollecitazioni agenti localmente: My_l=21.75
Tensioni nella sezione: σ=1631.32 τ=0.00

Flessione locale angolo superiore destro

Bullone in x=90.00 y=141.00
Bnetta=20.00 Hnetta=20.00
CC 98 SLU (Collegamento -527_0018)
Azioni sul collegamento: N=26058.40 Ty=17.78 Tz=-79.67 Mx=-0.41 Mz=10.52
Sollecitazioni agenti localmente: My_l=21.68
Tensioni nella sezione: σ=1625.98 τ=0.00

Flessione locale angolo inferiore sinistro

Bullone in x=-90.00 y=-141.00
Bnetta=20.00 Hnetta=20.00
CC 98 SLU (Collegamento -527_0018)
Azioni sul collegamento: N=26058.40 Ty=17.78 Tz=-79.67 Mx=-0.41 Mz=10.52
Sollecitazioni agenti localmente: My_l=21.75
Tensioni nella sezione: σ=1631.32 τ=0.00

Flessione locale angolo inferiore destro

Bullone in x=90.00 y=-141.00
Bnetta=20.00 Hnetta=20.00
CC 98 SLU (Collegamento -527_0018)
Azioni sul collegamento: N=26058.40 Ty=17.78 Tz=-79.67 Mx=-0.41 Mz=10.52
Sollecitazioni agenti localmente: My_l=21.68
Tensioni nella sezione: σ=1625.98 τ=0.00

Collegamento -528_0019

Piastra 400.00 x 340.00 s=20.00 - 12 Tirafondi ϕ 22 - Profondità di infissione: 300.00
4 righe ad interasse 94.00
4 colonne ad interasse variabile
Altezza di gola saldature: anima 7.07 - ala 7.07
Irrigidimenti:
Laterali parallele all'anima s=10.00
Trasversali s=10.00

Tirafondi e calcestruzzo

CC 97 SLU (Collegamento -528_0019)
Azioni sul collegamento: N=26058.40 Ty=-17.78 Tz=-79.67 Mx=0.41 Mz=-10.52
Sollecitazioni agenti localmente: Tx_l=-17.78 Ty_l=-79.67 N_l=26058.40 Mx_l=0.00 My_l=-10.52 Mz_l=0.41
Taglio nei bulloni: Fv,Ed=6.99 Fv,Rd=14597.10
Rifollamento lato piastra: Fb,Ed,p=6.99 Fb,Rd,p=11846.10
Trazione nei bulloni: Ft,Ed=2178.29 Ft,Rd=17452.80
Azione di punzonamento di progetto lato piastra: Bp,Ed,p=2178.29 Bb,Rd,p=57061.40
Int. V-T=0.09
Tirafondi:LT=0.41 (0.25) σ_{cR}=122.94 σ_{fR}=142.40
Compressione nel calcestruzzo: σ_c=0.00
CC 121 SLU (Collegamento -528_0019)
Azioni sul collegamento: N=19819.00 Ty=-23.21 Tz=-79.67 Mx=0.45 Mz=-21.27
Sollecitazioni agenti localmente: Tx_l=-23.21 Ty_l=-79.67 N_l=19819.00 Mx_l=0.00 My_l=-21.27 Mz_l=0.45
Taglio nei bulloni: Fv,Ed=7.13 Fv,Rd=14597.10
Rifollamento lato piastra: Fb,Ed,p=7.13 Fb,Rd,p=12450.00
Trazione nei bulloni: Ft,Ed=1665.24 Ft,Rd=17452.80
Azione di punzonamento di progetto lato piastra: Bp,Ed,p=1665.24 Bb,Rd,p=57061.40
Int. V-T=0.07
Tirafondi:LT=0.41 (0.25) σ_{cR}=93.98 σ_{fR}=108.86
Compressione nel calcestruzzo: σ_c=0.00
CC 130 SLU (Collegamento -528_0019)
Azioni sul collegamento: N=17284.50 Ty=2.02 Tz=-79.67 Mx=-0.05 Mz=1.98
Sollecitazioni agenti localmente: Tx_l=2.02 Ty_l=-79.67 N_l=17284.50 Mx_l=0.00 My_l=1.98 Mz_l=-0.05
Taglio nei bulloni: Fv,Ed=6.66 Fv,Rd=14597.10
Rifollamento lato piastra: Fb,Ed,p=6.66 Fb,Rd,p=10941.20
Trazione nei bulloni: Ft,Ed=1441.65 Ft,Rd=17452.80
Azione di punzonamento di progetto lato piastra: Bp,Ed,p=1441.65 Bb,Rd,p=57061.40
Int. V-T=0.06
Tirafondi:LT=0.41 (0.25) σ_{cR}=81.36 σ_{fR}=94.25
Compressione nel calcestruzzo: σ_c=0.00

Saldatura profilo-piastra

CC 97 SLU (Collegamento -528_0019)
Azioni sul collegamento: N=26058.40 Ty=-17.78 Tz=-79.67 Mx=0.41 Mz=-10.52
Sollecitazioni agenti localmente: Tx_l=-17.78 Ty_l=-79.67 N_l=26058.40 My_l=10.52 Mz_l=0.41
Azioni sul cordone: TP=5.26 TO=15.88 NO=5194.37
Tensioni nel cordone: τ_P=0.62 τ_O=1.87 σ_O=627.63 σ_{ID}=627.63 Σ_T=629.50
CC 121 SLU (Collegamento -528_0019)
Azioni sul collegamento: N=19819.00 Ty=-23.21 Tz=-79.67 Mx=0.45 Mz=-21.27
Sollecitazioni agenti localmente: Tx_l=-23.21 Ty_l=-79.67 N_l=19819.00 My_l=21.27 Mz_l=0.45
Azioni sul cordone: TP=6.52 TO=15.88 NO=3950.63
Tensioni nel cordone: τ_P=0.77 τ_O=1.87 σ_O=496.73 σ_{ID}=496.73 Σ_T=498.60

Flessione attacco superiore piastra

Bnetta=20.00 Hnetta=400.00 irrigidita (W=54.53)
CC 97 SLU (Collegamento -528_0019)
Azioni sul collegamento: N=26058.40 Ty=-17.78 Tz=-79.67 Mx=0.41 Mz=-10.52
Sollecitazioni agenti localmente: Ty_l=8686.14 Mx_l=616.72
Tensioni nella sezione: σ=1130.95 τ=542.88

Flessione attacco inferiore piastra

Bnetta=20.00 Hnetta=400.00 irrigidita (W=54.53)
CC 97 SLU (Collegamento -528_0019)
Azioni sul collegamento: N=26058.40 Ty=-17.78 Tz=-79.67 Mx=0.41 Mz=-10.52
Sollecitazioni agenti localmente: Ty_l=8686.14 Mx_l=616.72
Tensioni nella sezione: σ=1130.95 τ=542.88

Flessione attacco destro piastra

Bnetta=20.00 Hnetta=340.00 irrigidita (W=53.66)
CC 97 SLU (Collegamento -528_0019)
Azioni sul collegamento: N=26058.40 Ty=-17.78 Tz=-79.67 Mx=0.41 Mz=-10.52
Sollecitazioni agenti localmente: Ty_l=13063.30 My_l=967.03
Tensioni nella sezione: σ=1802.25 τ=816.46

Flessione attacco sinistro piastra

Bnetta=20.00 Hnetta=340.00 irrigidita (W=53.66)
CC 97 SLU (Collegamento -528_0019)
Azioni sul collegamento: N=26058.40 Ty=-17.78 Tz=-79.67 Mx=0.41 Mz=-10.52
Sollecitazioni agenti localmente: Ty_l=12995.10 My_l=961.29
Tensioni nella sezione: σ=1791.55 τ=812.19

Flessione locale sinistra

Bullone in x=-171.00 y=-47.00
Bnetta=26.00 Hnetta=20.00
CC 97 SLU (Collegamento -528_0019)
Azioni sul collegamento: N=26058.40 Ty=-17.78 Tz=-79.67 Mx=0.41 Mz=-10.52
Sollecitazioni agenti localmente: Mx_l=28.14
Tensioni nella sezione: σ=1623.58 τ=0.00

Flessione locale destra

Bullone in x=171.00 y=-47.00
Bnetta=26.00 Hnetta=20.00
CC 97 SLU (Collegamento -528_0019)
Azioni sul collegamento: N=26058.40 Ty=-17.78 Tz=-79.67 Mx=0.41 Mz=-10.52
Sollecitazioni agenti localmente: Mx_l=28.32
Tensioni nella sezione: σ=1633.72 τ=0.00

Flessione locale angolo superiore sinistro

Bullone in x=-90.00 y=141.00
Bnetta=20.00 Hnetta=20.00
CC 97 SLU (Collegamento -528_0019)
Azioni sul collegamento: N=26058.40 Ty=-17.78 Tz=-79.67 Mx=0.41 Mz=-10.52
Sollecitazioni agenti localmente: My_l=21.68
Tensioni nella sezione: σ=1625.98 τ=0.00

Flessione locale angolo superiore destro

Bullone in x=90.00 y=141.00
Bnetta=20.00 Hnetta=20.00
CC 97 SLU (Collegamento -528_0019)
Azioni sul collegamento: N=26058.40 Ty=-17.78 Tz=-79.67 Mx=0.41 Mz=-10.52
Sollecitazioni agenti localmente: My_l=21.75
Tensioni nella sezione: σ=1631.32 τ=0.00

Flessione locale angolo inferiore sinistro

Bullone in x=-90.00 y=-141.00
Bnetta=20.00 Hnetta=20.00
CC 97 SLU (Collegamento -528_0019)
Azioni sul collegamento: N=26058.40 Ty=-17.78 Tz=-79.67 Mx=0.41 Mz=-10.52
Sollecitazioni agenti localmente: My_l=21.68
Tensioni nella sezione: σ=1625.98 τ=0.00

Flessione locale angolo inferiore destro

Bullone in x=90.00 y=-141.00
Bnetta=20.00 Hnetta=20.00
CC 97 SLU (Collegamento -528_0019)
Azioni sul collegamento: N=26058.40 Ty=-17.78 Tz=-79.67 Mx=0.41 Mz=-10.52
Sollecitazioni agenti localmente: My_l=21.75
Tensioni nella sezione: σ=1631.32 τ=0.00

Collegamento -594_-595

Piastre anima 300.00 x 186.00 s= 12.00 - 8+8 bulloni ϕ 16
2 righe ad interasse 79.00
4 colonne ad interasse variabile
Piastre ala 650.00 x 120.00 s= 12.00 - 10+10 bulloni ϕ 16
5 righe ad interasse 67.00
2 colonne ad interasse 78.00
Piastre inferiori ala 650.00 x 41.00 s= 12.00

Bullonatura sull'anima

CC 97 SLU (Collegamento -594_-595)
Azioni sul collegamento: N=4907.33 Ty=-12.41 Tz=-4365.86 My=631.69 Mz=-13.34

Sollecitazioni agenti localmente: Tx_l=1803.36 Ty_l=-4365.86 Mz_l=437.95
Taglio nei bulloni: Fv,Ed=782.23 Fv,Rd=6028.80
Azione di rifollamento di progetto lato asta: Fb,Ed,a=1131.85 Fb,Rd,a=5234.70
Rifollamento lato piastra: Fb,Ed,p=782.23 Fb,Rd,p=10772.50

Piastra di anima

Bnetta=24.00 Hnetta=186.00
CC 97 SLU (Collegamento -594_-595)
Azioni sul collegamento: N=4907.33 Ty=-12.41 Tz=-4365.86 My=631.69 Mz=-13.34
Sollecitazioni agenti localmente: Tx_l=1803.36 Ty_l=-4365.86 Mz_l=437.95
Tensioni nella sezione: σ=356.88 τ=97.80
CC 98 SLU (Collegamento -594_-595)
Azioni sul collegamento: N=4707.93 Ty=-12.57 Tz=-4428.38 My=568.05 Mz=-13.68
Sollecitazioni agenti localmente: Tx_l=1730.09 Ty_l=-4428.38 Mz_l=433.27
Tensioni nella sezione: σ=351.85 τ=99.20

Verifica a taglio anima forata

Bnetta=6.20 Hnetta=152.40
CC 98 SLU (Collegamento -594_-595)
Azioni sul collegamento: N=4707.93 Ty=-12.57 Tz=-4428.38 My=568.05 Mz=-13.68
Sollecitazioni agenti localmente: Ty_l=-2214.19
Tensioni nella sezione: σ=0.00 τ=234.34

Bullonatura ali superiori

CC 49 SLV (Collegamento -594_-595)
Azioni sul collegamento: N=2425.19 Ty=-4.37 Tz=-276.35 My=-293.56 Mz=-5.65
Sollecitazioni agenti localmente: Tx_l=1849.95 Ty_l=-2.19 Mz_l=-3.19
Taglio nei bulloni: Fv,Ed=93.11 Fv,Rd=6028.80
Azione di rifollamento di progetto lato asta: Fb,Ed,a=186.23 Fb,Rd,a=6143.44
Rifollamento lato piastra: Fb,Ed,p=93.11 Fb,Rd,p=5014.29
CC 101 SLU
Azioni sul collegamento: N=4657.00 Ty=4.14 Tz=-1391.01 My=1443.95 Mz=9.59
Sollecitazioni agenti localmente: Tx_l=-3854.12 Ty_l=2.07 Mz_l=5.14
Taglio nei bulloni: Fv,Ed=193.69 Fv,Rd=6028.80
Azione di rifollamento di progetto lato asta: Fb,Ed,a=387.32 Fb,Rd,a=9486.96
Rifollamento lato piastra: Fb,Ed,p=193.66 Fb,Rd,p=11616.70

Bullonatura ali inferiori

CC 101 SLU
Azioni sul collegamento: N=4657.00 Ty=4.14 Tz=-1391.01 My=1443.95 Mz=9.59
Sollecitazioni agenti localmente: Tx_l=6799.75 Ty_l=2.07 Mz_l=5.14
Taglio nei bulloni: Fv,Ed=340.96 Fv,Rd=6028.80
Azione di rifollamento di progetto lato asta: Fb,Ed,a=681.92 Fb,Rd,a=6139.51
Rifollamento lato piastra: Fb,Ed,p=340.96 Fb,Rd,p=5011.76

Piastre esterne sulle ali

Bnetta=12.00 Hnetta=120.00
CC 122 SLU (Collegamento -594_-595)
Azioni sul collegamento: N=2635.01 Ty=-13.55 Tz=-3031.47 My=148.46 Mz=-11.75
Sollecitazioni agenti localmente: Tx_l=169.69 Ty_l=-4.02 Mz_l=-5.88
Tensioni nella sezione: σ=32.19 τ=0.28
CC 101 SLU
Azioni sul collegamento: N=4657.00 Ty=4.14 Tz=-1391.01 My=1443.95 Mz=9.59
Sollecitazioni agenti localmente: Tx_l=4039.46 Ty_l=1.23 Mz_l=4.80
Tensioni nella sezione: σ=297.17 τ= 0.09

Piastre interne sulle ali

Bnetta=12.00 Hnetta=41.00
CC 122 SLU (Collegamento -594_-595)
Azioni sul collegamento: N=2635.01 Ty=-13.55 Tz=-3031.47 My=148.46 Mz=-11.75
Sollecitazioni agenti localmente: Tx_l=57.98 Ty_l=-1.37
Tensioni nella sezione: σ=11.78 τ=0.28
CC 101 SLU
Azioni sul collegamento: N=4657.00 Ty=4.14 Tz=-1391.01 My=1443.95 Mz=9.59
Sollecitazioni agenti localmente: Tx_l=1380.15 Ty_l=0.42
Tensioni nella sezione: σ=280.52 τ= 0.09

Collegamento -605_-604

Piastre anima 300.00 x 186.00 s= 12.00 - 8+8 bulloni ϕ 16
2 righe ad interasse 79.00
4 colonne ad interasse variabile
Piastre ala 650.00 x 120.00 s= 12.00 - 10+10 bulloni ϕ 16
5 righe ad interasse 67.00
2 colonne ad interasse 78.00
Piastre inferiori ala 650.00 x 41.00 s= 12.00

Bullonatura sull'anima

CC 98 SLU (Collegamento -605_-604)
Azioni sul collegamento: N=4907.32 Ty=12.41 Tz=-4365.86 My=631.69 Mz=13.34
Sollecitazioni agenti localmente: Tx_l=1803.36 Ty_l=-4365.86 Mz_l=437.95
Taglio nei bulloni: Fv,Ed=782.23 Fv,Rd=6028.80
Azione di rifollamento di progetto lato asta: Fb,Ed,a=1131.85 Fb,Rd,a=5234.70
Rifollamento lato piastra: Fb,Ed,p=782.23 Fb,Rd,p=10772.50

Piastra di anima

Bnetta=24.00 Hnetta=186.00
CC 97 SLU (Collegamento -605_-604)
Azioni sul collegamento: N=4707.93 Ty=12.57 Tz=-4428.38 My=568.06 Mz=13.68
Sollecitazioni agenti localmente: Tx_l=1730.08 Ty_l=-4428.38 Mz_l=433.27
Tensioni nella sezione: σ=351.85 τ=99.20
CC 98 SLU (Collegamento -605_-604)
Azioni sul collegamento: N=4907.32 Ty=12.41 Tz=-4365.86 My=631.69 Mz=13.34
Sollecitazioni agenti localmente: Tx_l=1803.36 Ty_l=-4365.86 Mz_l=437.95
Tensioni nella sezione: σ=356.88 τ=97.80

Verifica a taglio anima forata

Bnetta=6.20 Hnetta=152.40
CC 97 SLU (Collegamento -605_-604)
Azioni sul collegamento: N=4707.93 Ty=12.57 Tz=-4428.38 My=568.06 Mz=13.68
Sollecitazioni agenti localmente: Ty_l=-2214.19
Tensioni nella sezione: σ=0.00 τ=234.34

Bullonatura ali superiori

CC 1 SLV (Collegamento -605_-604)
Azioni sul collegamento: N=2425.19 Ty=4.37 Tz=-276.35 My=-293.56 Mz=5.65
Sollecitazioni agenti localmente: Tx_l=1849.95 Ty_l=2.19 Mz_l=3.19
Taglio nei bulloni: Fv,Ed=93.11 Fv,Rd=6028.80
Azione di rifollamento di progetto lato asta: Fb,Ed,a=186.23 Fb,Rd,a=6143.45
Rifollamento lato piastra: Fb,Ed,p=93.11 Fb,Rd,p=5014.29
CC 106 SLU
Azioni sul collegamento: N=4656.85 Ty=-4.14 Tz=-1391.05 My=1443.91 Mz=-9.59
Sollecitazioni agenti localmente: Tx_l=-3854.03 Ty_l=-2.07 Mz_l=-5.14
Taglio nei bulloni: Fv,Ed=193.69 Fv,Rd=6028.80
Azione di rifollamento di progetto lato asta: Fb,Ed,a=387.31 Fb,Rd,a=9486.96
Rifollamento lato piastra: Fb,Ed,p=193.66 Fb,Rd,p=11616.70

Bullonatura ali inferiori

CC 106 SLU
Azioni sul collegamento: N=4656.85 Ty=-4.14 Tz=-1391.05 My=1443.91 Mz=-9.59
Sollecitazioni agenti localmente: Tx_l=6799.57 Ty_l=-2.07 Mz_l=-5.14
Taglio nei bulloni: Fv,Ed=340.95 Fv,Rd=6028.80
Azione di rifollamento di progetto lato asta: Fb,Ed,a=681.90 Fb,Rd,a=6139.51
Rifollamento lato piastra: Fb,Ed,p=340.95 Fb,Rd,p=5011.76

Piastre esterne sulle ali

Bnetta=12.00 Hnetta=120.00
CC 97 SLU (Collegamento -605_-604)
Azioni sul collegamento: N=4707.93 Ty=12.57 Tz=-4428.38 My=568.06 Mz=13.68
Sollecitazioni agenti localmente: Tx_l=-360.43 Ty_l=3.73 Mz_l=6.84
Tensioni nella sezione: σ=48.78 τ=0.26
CC 106 SLU
Azioni sul collegamento: N=4656.85 Ty=-4.14 Tz=-1391.05 My=1443.91 Mz=-9.59
Sollecitazioni agenti localmente: Tx_l=4039.35 Ty_l=-1.23 Mz_l=-4.80
Tensioni nella sezione: σ=297.17 τ= 0.09

Piastre interne sulle ali

Bnetta=12.00 Hnetta=41.00
CC 97 SLU (Collegamento -605_-604)
Azioni sul collegamento: N=4707.93 Ty=12.57 Tz=-4428.38 My=568.06 Mz=13.68
Sollecitazioni agenti localmente: Tx_l=-123.15 Ty_l=1.28
Tensioni nella sezione: σ=25.03 τ=0.26
CC 106 SLU
Azioni sul collegamento: N=4656.85 Ty=-4.14 Tz=-1391.05 My=1443.91 Mz=-9.59
Sollecitazioni agenti localmente: Tx_l=1380.11 Ty_l=-0.42
Tensioni nella sezione: σ=280.51 τ= 0.09

Collegamento -632_-631

Piastre anima 300.00 x 186.00 s= 12.00 - 8+8 bulloni ϕ 16
2 righe ad interasse 79.00

4 colonne ad interasse variabile
Piastre ala 650.00 x 120.00 s= 12.00 - 10+10 bulloni ϕ 16
5 righe ad interasse 67.00
2 colonne ad interasse 78.00
Piastre inferiori ala 650.00 x 41.00 s= 12.00

Bullonatura sull'anima

CC 97 SLU (Collegamento -632_-631)
Azioni sul collegamento: N=3447.72 Ty=-10.22 Tz=3588.62 My=714.47 Mz=11.45
Sollecitazioni agenti localmente: Tx_l=1266.98 Ty_l=3588.62 Mz_l=389.42
Taglio nei bulloni: Fv,Ed=667.67 Fv,Rd=6028.80
Azione di rifollamento di progetto lato asta: Fb,Ed,a=1335.34 Fb,Rd,a=6845.03
Rifollamento lato piastra: Fb,Ed,p=482.33 Fb,Rd,p=7796.17

Piastra di anima

Bnetta=24.00 Hnetta=186.00
CC 97 SLU (Collegamento -632_-631)
Azioni sul collegamento: N=3447.72 Ty=-10.22 Tz=3588.62 My=714.47 Mz=11.45
Sollecitazioni agenti localmente: Tx_l=1266.98 Ty_l=3588.62 Mz_l=389.42
Tensioni nella sezione: σ=309.79 τ=80.39
CC 98 SLU (Collegamento -632_-631)
Azioni sul collegamento: N=3226.45 Ty=-10.33 Tz=3631.15 My=653.16 Mz=11.78
Sollecitazioni agenti localmente: Tx_l=1185.67 Ty_l=3631.15 Mz_l=383.52
Tensioni nella sezione: σ=303.70 τ=81.34

Verifica a taglio anima forata

Bnetta=6.20 Hnetta=152.40
CC 98 SLU (Collegamento -632_-631)
Azioni sul collegamento: N=3226.45 Ty=-10.33 Tz=3631.15 My=653.16 Mz=11.78
Sollecitazioni agenti localmente: Ty_l=1815.57
Tensioni nella sezione: σ=0.00 τ=192.15

Bullonatura ali superiori

CC 101 SLU (Collegamento -632_-631)
Azioni sul collegamento: N=4786.12 Ty=8.29 Tz=795.33 My=1530.84 Mz=-8.72
Sollecitazioni agenti localmente: Tx_l=-4133.83 Ty_l=4.15 Mz_l=-3.67
Taglio nei bulloni: Fv,Ed=207.39 Fv,Rd=6028.80
Azione di rifollamento di progetto lato asta: Fb,Ed,a=414.75 Fb,Rd,a=9486.96
Rifollamento lato piastra: Fb,Ed,p=207.37 Fb,Rd,p=11616.70

Bullonatura ali inferiori

CC 101 SLU (Collegamento -632_-631)
Azioni sul collegamento: N=4786.12 Ty=8.29 Tz=795.33 My=1530.84 Mz=-8.72
Sollecitazioni agenti localmente: Tx_l=7161.13 Ty_l=4.15 Mz_l=-3.67
Taglio nei bulloni: Fv,Ed=358.75 Fv,Rd=6028.80
Azione di rifollamento di progetto lato asta: Fb,Ed,a=717.49 Fb,Rd,a=6138.94
Rifollamento lato piastra: Fb,Ed,p=358.75 Fb,Rd,p=5011.49

Piastre esterne sulle ali

Bnetta=12.00 Hnetta=120.00
CC 101 SLU (Collegamento -632_-631)
Azioni sul collegamento: N=4786.12 Ty=8.29 Tz=795.33 My=1530.84 Mz=-8.72
Sollecitazioni agenti localmente: Tx_l=4254.14 Ty_l=2.46 Mz_l=-4.36
Tensioni nella sezione: σ=310.57 τ=0.17
CC 98 SLU
Azioni sul collegamento: N=4902.88 Ty=-14.40 Tz=3274.16 My=467.38 Mz=13.19
Sollecitazioni agenti localmente: Tx_l=-103.17 Ty_l=-4.28 Mz_l=6.59
Tensioni nella sezione: σ=30.06 τ=0.30

Piastre interne sulle ali

Bnetta=12.00 Hnetta=41.00
CC 101 SLU (Collegamento -632_-631)
Azioni sul collegamento: N=4786.12 Ty=8.29 Tz=795.33 My=1530.84 Mz=-8.72
Sollecitazioni agenti localmente: Tx_l=1453.50 Ty_l=0.84
Tensioni nella sezione: σ=295.43 τ=0.17
CC 98 SLU
Azioni sul collegamento: N=4902.88 Ty=-14.40 Tz=3274.16 My=467.38 Mz=13.19
Sollecitazioni agenti localmente: Tx_l=-35.25 Ty_l=-1.46
Tensioni nella sezione: σ=7.16 τ=0.30

Collegamento -632_-633

Piastre anima 300.00 x 186.00 s= 12.00 - 8+8 bulloni ϕ 16
2 righe ad interasse 79.00
4 colonne ad interasse variabile

Piastre ala 650.00 x 120.00 s= 12.00 - 10+10 bulloni ϕ 16
5 righe ad interasse 67.00
2 colonne ad interasse 78.00
Piastre inferiori ala 650.00 x 41.00 s= 12.00

Bullonatura sull'anima

CC 97 SLU
Azioni sul collegamento: N=3941.45 Ty=-2.70 Tz=-3134.30 My=594.54 Mz=-6.10
Sollecitazioni agenti localmente: Tx_l=1448.42 Ty_l=-3134.30 Mz_l=335.68
Taglio nei bulloni: Fv,Ed=593.53 Fv,Rd=6028.80
Azione di rifollamento di progetto lato asta: Fb,Ed,a=875.93 Fb,Rd,a=5235.52
Rifollamento lato piastra: Fb,Ed,p=593.53 Fb,Rd,p=10563.50

Piastra di anima

Bnetta=24.00 Hnetta=186.00
CC 97 SLU
Azioni sul collegamento: N=3941.45 Ty=-2.70 Tz=-3134.30 My=594.54 Mz=-6.10
Sollecitazioni agenti localmente: Tx_l=1448.42 Ty_l=-3134.30 Mz_l=335.68
Tensioni nella sezione: σ=275.01 τ=70.21
CC 98 SLU
Azioni sul collegamento: N=3717.33 Ty=-2.74 Tz=-3173.35 My=536.16 Mz=-6.24
Sollecitazioni agenti localmente: Tx_l=1366.06 Ty_l=-3173.35 Mz_l=329.94
Tensioni nella sezione: σ=269.02 τ=71.09

Verifica a taglio anima forata

Bnetta=6.20 Hnetta=152.40
CC 98 SLU
Azioni sul collegamento: N=3717.33 Ty=-2.74 Tz=-3173.35 My=536.16 Mz=-6.24
Sollecitazioni agenti localmente: Ty_l=-1586.67
Tensioni nella sezione: σ=0.00 τ=167.92

Bullonatura ali superiori

CC 130 SLU (Collegamento -632_-633)
Azioni sul collegamento: N=-850.51 Ty=-4.08 Tz=-1281.31 My=-584.39 Mz=-3.91
Sollecitazioni agenti localmente: Tx_l=1886.92 Ty_l=-2.04 Mz_l=-2.30
Taglio nei bulloni: Fv,Ed=94.79 Fv,Rd=6028.80
Azione di rifollamento di progetto lato asta: Fb,Ed,a=189.57 Fb,Rd,a=6141.10
Rifollamento lato piastra: Fb,Ed,p=94.78 Fb,Rd,p=5012.65
CC 101 SLU
Azioni sul collegamento: N=5090.04 Ty=4.86 Tz=-688.56 My=1358.34 Mz=3.58
Sollecitazioni agenti localmente: Tx_l=-3401.34 Ty_l=2.43 Mz_l=2.20
Taglio nei bulloni: Fv,Ed=170.48 Fv,Rd=6028.80
Azione di rifollamento di progetto lato asta: Fb,Ed,a=340.95 Fb,Rd,a=9486.96
Rifollamento lato piastra: Fb,Ed,p=170.47 Fb,Rd,p=11616.70

Bullonatura ali inferiori

CC 101 SLU
Azioni sul collegamento: N=5090.04 Ty=4.86 Tz=-688.56 My=1358.34 Mz=3.58
Sollecitazioni agenti localmente: Tx_l=6620.87 Ty_l=2.43 Mz_l=2.20
Taglio nei bulloni: Fv,Ed=331.45 Fv,Rd=6028.80
Azione di rifollamento di progetto lato asta: Fb,Ed,a=662.91 Fb,Rd,a=6138.81
Rifollamento lato piastra: Fb,Ed,p=331.45 Fb,Rd,p=5011.22

Piastre esterne sulle ali

Bnetta=12.00 Hnetta=120.00
CC 98 SLU (Collegamento -632_-633)
Azioni sul collegamento: N=5251.93 Ty=-5.41 Tz=-2863.24 My=366.18 Mz=-6.76
Sollecitazioni agenti localmente: Tx_l=184.21 Ty_l=-1.61 Mz_l=-3.38
Tensioni nella sezione: σ=24.52 τ=0.11
CC 101 SLU
Azioni sul collegamento: N=5090.04 Ty=4.86 Tz=-688.56 My=1358.34 Mz=3.58
Sollecitazioni agenti localmente: Tx_l=3933.19 Ty_l=1.44 Mz_l=1.79
Tensioni nella sezione: σ=279.35 τ=0.10

Piastre interne sulle ali

Bnetta=12.00 Hnetta=41.00
CC 98 SLU (Collegamento -632_-633)
Azioni sul collegamento: N=5251.93 Ty=-5.41 Tz=-2863.24 My=366.18 Mz=-6.76
Sollecitazioni agenti localmente: Tx_l=62.94 Ty_l=-0.55
Tensioni nella sezione: σ=12.79 τ=0.11
CC 101 SLU
Azioni sul collegamento: N=5090.04 Ty=4.86 Tz=-688.56 My=1358.34 Mz=3.58
Sollecitazioni agenti localmente: Tx_l=1343.84 Ty_l=0.49
Tensioni nella sezione: σ=273.14 τ=0.10

Collegamento -646_-645

Piastre anima 300.00 x 186.00 s= 12.00 - 8+8 bulloni ϕ 16
2 righe ad interasse 79.00
4 colonne ad interasse variabile
Piastre ala 650.00 x 120.00 s= 12.00 - 10+10 bulloni ϕ 16
5 righe ad interasse 67.00
2 colonne ad interasse 78.00
Piastre inferiori ala 650.00 x 41.00 s= 12.00

Bullonatura sull'anima

CC 98 SLU
Azioni sul collegamento: N=3447.71 Ty=10.22 Tz=-3588.62 My=714.47 Mz=11.45
Sollecitazioni agenti localmente: Tx_l=1266.98 Ty_l=-3588.62 Mz_l=389.42
Taglio nei bulloni: Fv,Ed=667.67 Fv,Rd=6028.80
Azione di rifollamento di progetto lato asta: Fb,Ed,a=964.67 Fb,Rd,a=5236.42
Rifollamento lato piastra: Fb,Ed,p=667.67 Fb,Rd,p=10791.80

Piastra di anima

Bnetta=24.00 Hnetta=186.00
CC 97 SLU
Azioni sul collegamento: N=3226.44 Ty=10.33 Tz=-3631.14 My=653.16 Mz=11.78
Sollecitazioni agenti localmente: Tx_l=1185.66 Ty_l=-3631.14 Mz_l=383.52
Tensioni nella sezione: σ=303.70 τ=81.34
CC 98 SLU
Azioni sul collegamento: N=3447.71 Ty=10.22 Tz=-3588.62 My=714.47 Mz=11.45
Sollecitazioni agenti localmente: Tx_l=1266.98 Ty_l=-3588.62 Mz_l=389.42
Tensioni nella sezione: σ=309.79 τ=80.39

Verifica a taglio anima forata

Bnetta=6.20 Hnetta=152.40
CC 97 SLU
Azioni sul collegamento: N=3226.44 Ty=10.33 Tz=-3631.14 My=653.16 Mz=11.78
Sollecitazioni agenti localmente: Ty_l=-1815.57
Tensioni nella sezione: σ=0.00 τ=192.15

Bullonatura ali superiori

CC 106 SLU
Azioni sul collegamento: N=4785.96 Ty=-8.29 Tz=-795.36 My=1530.81 Mz=-8.72
Sollecitazioni agenti localmente: Tx_l=-4133.78 Ty_l=-4.15 Mz_l=-5.05
Taglio nei bulloni: Fv,Ed=207.66 Fv,Rd=6028.80
Azione di rifollamento di progetto lato asta: Fb,Ed,a=415.25 Fb,Rd,a=9486.96
Rifollamento lato piastra: Fb,Ed,p=207.63 Fb,Rd,p=11616.70

Bullonatura ali inferiori

CC 106 SLU
Azioni sul collegamento: N=4785.96 Ty=-8.29 Tz=-795.36 My=1530.81 Mz=-8.72
Sollecitazioni agenti localmente: Tx_l=7160.97 Ty_l=-4.15 Mz_l=-5.05
Taglio nei bulloni: Fv,Ed=359.00 Fv,Rd=6028.80
Azione di rifollamento di progetto lato asta: Fb,Ed,a=718.01 Fb,Rd,a=6139.45
Rifollamento lato piastra: Fb,Ed,p=359.00 Fb,Rd,p=5011.64

Piastre esterne sulle ali

Bnetta=12.00 Hnetta=120.00
CC 97 SLU (Collegamento -646_-645)
Azioni sul collegamento: N=4902.88 Ty=14.40 Tz=-3274.16 My=467.38 Mz=13.19
Sollecitazioni agenti localmente: Tx_l=-103.17 Ty_l=4.28 Mz_l=6.59
Tensioni nella sezione: σ=30.06 τ=0.30
CC 106 SLU
Azioni sul collegamento: N=4785.96 Ty=-8.29 Tz=-795.36 My=1530.81 Mz=-8.72
Sollecitazioni agenti localmente: Tx_l=4254.04 Ty_l=-2.46 Mz_l=-4.36
Tensioni nella sezione: σ=310.56 τ=0.17

Piastre interne sulle ali

Bnetta=12.00 Hnetta=41.00
CC 97 SLU (Collegamento -646_-645)
Azioni sul collegamento: N=4902.88 Ty=14.40 Tz=-3274.16 My=467.38 Mz=13.19
Sollecitazioni agenti localmente: Tx_l=-35.25 Ty_l=1.46
Tensioni nella sezione: σ=7.16 τ=0.30
CC 106 SLU
Azioni sul collegamento: N=4785.96 Ty=-8.29 Tz=-795.36 My=1530.81 Mz=-8.72
Sollecitazioni agenti localmente: Tx_l=1453.46 Ty_l=-0.84
Tensioni nella sezione: σ=295.42 τ=0.17

Collegamento -719_-718

Piastre anima 300.00 x 186.00 s= 12.00 - 8+8 bulloni ϕ 16
2 righe ad interasse 79.00
4 colonne ad interasse variabile
Piastre ala 650.00 x 120.00 s= 12.00 - 10+10 bulloni ϕ 16
5 righe ad interasse 67.00
2 colonne ad interasse 78.00
Piastre inferiori ala 650.00 x 41.00 s= 12.00

Bullonatura sull'anima

CC 97 SLU (Collegamento -719_-718)
Azioni sul collegamento: N=3483.61 Ty=-8.78 Tz=3605.66 My=513.86 Mz=6.73
Sollecitazioni agenti localmente: Tx_l=1280.17 Ty_l=3605.66 Mz_l=360.51
Taglio nei bulloni: Fv,Ed=635.25 Fv,Rd=6028.80
Azione di rifollamento di progetto lato asta: Fb,Ed,a=1270.51 Fb,Rd,a=6845.03
Rifollamento lato piastra: Fb,Ed,p=453.10 Fb,Rd,p=7793.77

Piastra di anima

Bnetta=24.00 Hnetta=186.00
CC 97 SLU (Collegamento -719_-718)
Azioni sul collegamento: N=3483.61 Ty=-8.78 Tz=3605.66 My=513.86 Mz=6.73
Sollecitazioni agenti localmente: Tx_l=1280.17 Ty_l=3605.66 Mz_l=360.51
Tensioni nella sezione: σ=289.19 τ=80.77
CC 98 SLU (Collegamento -719_-718)
Azioni sul collegamento: N=3256.86 Ty=-8.83 Tz=3649.12 My=448.95 Mz=6.98
Sollecitazioni agenti localmente: Tx_l=1196.84 Ty_l=3649.12 Mz_l=354.14
Tensioni nella sezione: σ=282.72 τ=81.75

Verifica a taglio anima forata

Bnetta=6.20 Hnetta=152.40
CC 98 SLU (Collegamento -719_-718)
Azioni sul collegamento: N=3256.86 Ty=-8.83 Tz=3649.12 My=448.95 Mz=6.98
Sollecitazioni agenti localmente: Ty_l=1824.56
Tensioni nella sezione: σ=0.00 τ=193.10

Bullonatura ali superiori

CC 101 SLU (Collegamento -719_-718)
Azioni sul collegamento: N=4944.34 Ty=4.87 Tz=628.28 My=1418.17 Mz=-4.87
Sollecitazioni agenti localmente: Tx_l=-3668.13 Ty_l=2.43 Mz_l=-2.03
Taglio nei bulloni: Fv,Ed=183.79 Fv,Rd=6028.80
Azione di rifollamento di progetto lato asta: Fb,Ed,a=367.57 Fb,Rd,a=9486.95
Rifollamento lato piastra: Fb,Ed,p=183.78 Fb,Rd,p=11616.70
CC 130 SLU
Azioni sul collegamento: N=-1145.42 Ty=-5.94 Tz=1507.82 My=-630.40 Mz=6.52
Sollecitazioni agenti localmente: Tx_l=1963.37 Ty_l=-2.97 Mz_l=2.76
Taglio nei bulloni: Fv,Ed=98.70 Fv,Rd=6028.80
Azione di rifollamento di progetto lato asta: Fb,Ed,a=197.39 Fb,Rd,a=6141.05
Rifollamento lato piastra: Fb,Ed,p=98.70 Fb,Rd,p=5013.90

Bullonatura ali inferiori

CC 101 SLU (Collegamento -719_-718)
Azioni sul collegamento: N=4944.34 Ty=4.87 Tz=628.28 My=1418.17 Mz=-4.87
Sollecitazioni agenti localmente: Tx_l=6795.51 Ty_l=2.43 Mz_l=-2.03
Taglio nei bulloni: Fv,Ed=340.15 Fv,Rd=6028.80
Azione di rifollamento di progetto lato asta: Fb,Ed,a=680.31 Fb,Rd,a=6138.72
Rifollamento lato piastra: Fb,Ed,p=340.15 Fb,Rd,p=5011.24

Piastre esterne sulle ali

Bnetta=12.00 Hnetta=120.00
CC 101 SLU (Collegamento -719_-718)
Azioni sul collegamento: N=4944.34 Ty=4.87 Tz=628.28 My=1418.17 Mz=-4.87
Sollecitazioni agenti localmente: Tx_l=4036.93 Ty_l=1.45 Mz_l=-2.43
Tensioni nella sezione: σ=288.80 τ=0.10
CC 98 SLU
Azioni sul collegamento: N=5039.79 Ty=-11.75 Tz=3270.86 My=251.17 Mz=8.13
Sollecitazioni agenti localmente: Tx_l=396.41 Ty_l=-3.49 Mz_l=4.07
Tensioni nella sezione: σ=41.65 τ=0.24

Piastre interne sulle ali

Bnetta=12.00 Hnetta=41.00
CC 101 SLU (Collegamento -719_-718)
Azioni sul collegamento: N=4944.34 Ty=4.87 Tz=628.28 My=1418.17 Mz=-4.87
Sollecitazioni agenti localmente: Tx_l=1379.29 Ty_l=0.49
Tensioni nella sezione: σ=280.34 τ=0.10
CC 98 SLU

Azioni sul collegamento: N=5039.79 Ty=-11.75 Tz=3270.86 My=251.17 Mz=8.13
Sollecitazioni agenti localmente: Tx_l=135.44 Ty_l=-1.19
Tensioni nella sezione: σ=27.53 τ=0.24

Collegamento -733_-732

Piastre anima 300.00 x 186.00 s= 12.00 - 8+8 bulloni ϕ 16
2 righe ad interasse 79.00
4 colonne ad interasse variabile
Piastre ala 650.00 x 120.00 s= 12.00 - 10+10 bulloni ϕ 16
5 righe ad interasse 67.00
2 colonne ad interasse 78.00
Piastre inferiori ala 650.00 x 41.00 s= 12.00

Bullonatura sull'anima

CC 98 SLU
Azioni sul collegamento: N=3483.60 Ty=8.78 Tz=-3605.66 My=513.86 Mz=6.73
Sollecitazioni agenti localmente: Tx_l=1280.17 Ty_l=-3605.66 Mz_l=360.51
Taglio nei bulloni: Fv,Ed=635.25 Fv,Rd=6028.80
Azione di rifollamento di progetto lato asta: Fb,Ed,a=906.19 Fb,Rd,a=5234.81
Rifollamento lato piastra: Fb,Ed,p=635.25 Fb,Rd,p=10927.10

Piastra di anima

Bnetta=24.00 Hnetta=186.00
CC 97 SLU
Azioni sul collegamento: N=3256.85 Ty=8.83 Tz=-3649.12 My=448.95 Mz=6.98
Sollecitazioni agenti localmente: Tx_l=1196.84 Ty_l=-3649.12 Mz_l=354.14
Tensioni nella sezione: σ=282.72 τ=81.75
CC 98 SLU
Azioni sul collegamento: N=3483.60 Ty=8.78 Tz=-3605.66 My=513.86 Mz=6.73
Sollecitazioni agenti localmente: Tx_l=1280.17 Ty_l=-3605.66 Mz_l=360.51
Tensioni nella sezione: σ=289.19 τ=80.77

Verifica a taglio anima forata

Bnetta=6.20 Hnetta=152.40
CC 97 SLU
Azioni sul collegamento: N=3256.85 Ty=8.83 Tz=-3649.12 My=448.95 Mz=6.98
Sollecitazioni agenti localmente: Ty_l=-1824.56
Tensioni nella sezione: σ=0.00 τ=193.10

Bullonatura ali superiori

CC 1 SLV (Collegamento -733_-732)
Azioni sul collegamento: N=2202.72 Ty=3.71 Tz=-271.29 My=-300.87 Mz=3.82
Sollecitazioni agenti localmente: Tx_l=1806.58 Ty_l=1.85 Mz_l=2.22
Taglio nei bulloni: Fv,Ed=90.75 Fv,Rd=6028.80
Azione di rifollamento di progetto lato asta: Fb,Ed,a=181.51 Fb,Rd,a=6141.13
Rifollamento lato piastra: Fb,Ed,p=90.75 Fb,Rd,p=5012.70
CC 106 SLU
Azioni sul collegamento: N=4944.17 Ty=-4.87 Tz=-628.30 My=1418.14 Mz=-4.87
Sollecitazioni agenti localmente: Tx_l=-3668.09 Ty_l=-2.43 Mz_l=-2.84
Taglio nei bulloni: Fv,Ed=183.94 Fv,Rd=6028.80
Azione di rifollamento di progetto lato asta: Fb,Ed,a=367.86 Fb,Rd,a=9486.96
Rifollamento lato piastra: Fb,Ed,p=183.93 Fb,Rd,p=11616.70

Bullonatura ali inferiori

CC 106 SLU
Azioni sul collegamento: N=4944.17 Ty=-4.87 Tz=-628.30 My=1418.14 Mz=-4.87
Sollecitazioni agenti localmente: Tx_l=6795.36 Ty_l=-2.43 Mz_l=-2.84
Taglio nei bulloni: Fv,Ed=340.30 Fv,Rd=6028.80
Azione di rifollamento di progetto lato asta: Fb,Ed,a=680.60 Fb,Rd,a=6138.91
Rifollamento lato piastra: Fb,Ed,p=340.30 Fb,Rd,p=5011.30

Piastre esterne sulle ali

Bnetta=12.00 Hnetta=120.00
CC 97 SLU (Collegamento -733_-732)
Azioni sul collegamento: N=5039.78 Ty=11.75 Tz=-3270.86 My=251.17 Mz=8.13
Sollecitazioni agenti localmente: Tx_l=396.40 Ty_l=3.49 Mz_l=4.07
Tensioni nella sezione: σ=41.64 τ=0.24
CC 106 SLU
Azioni sul collegamento: N=4944.17 Ty=-4.87 Tz=-628.30 My=1418.14 Mz=-4.87
Sollecitazioni agenti localmente: Tx_l=4036.85 Ty_l=-1.45 Mz_l=-2.43
Tensioni nella sezione: σ=288.79 τ=0.10

Piastre interne sulle ali

Bnetta=12.00 Hnetta=41.00

CC 97 SLU (Collegamento -733_-732)
Azioni sul collegamento: N=5039.78 Ty=11.75 Tz=-3270.86 My=251.17 Mz=8.13
Sollecitazioni agenti localmente: Tx_l=135.44 Ty_l=1.19
Tensioni nella sezione: σ=27.53 τ=0.24
CC 106 SLU
Azioni sul collegamento: N=4944.17 Ty=-4.87 Tz=-628.30 My=1418.14 Mz=-4.87
Sollecitazioni agenti localmente: Tx_l=1379.26 Ty_l=-0.49
Tensioni nella sezione: σ=280.34 τ=0.10

Collegamento -808_-809

Piastre anima 300.00 x 186.00 s= 12.00 - 8+8 bulloni ϕ 16
2 righe ad interasse 79.00
4 colonne ad interasse variabile
Piastre ala 650.00 x 120.00 s= 12.00 - 10+10 bulloni ϕ 16
5 righe ad interasse 67.00
2 colonne ad interasse 78.00
Piastre inferiori ala 650.00 x 41.00 s= 12.00

Bullonatura sull'anima

CC 97 SLU
Azioni sul collegamento: N=3541.44 Ty=-9.64 Tz=-3583.70 My=478.08 Mz=1.16
Sollecitazioni agenti localmente: Tx_l=1301.42 Ty_l=-3583.70 Mz_l=353.40
Taglio nei bulloni: Fv,Ed=626.94 Fv,Rd=6028.80
Azione di rifollamento di progetto lato asta: Fb,Ed,a=894.21 Fb,Rd,a=5235.36
Rifollamento lato piastra: Fb,Ed,p=626.94 Fb,Rd,p=10929.80

Piastra di anima

Bnetta=24.00 Hnetta=186.00
CC 97 SLU
Azioni sul collegamento: N=3541.44 Ty=-9.64 Tz=-3583.70 My=478.08 Mz=1.16
Sollecitazioni agenti localmente: Tx_l=1301.42 Ty_l=-3583.70 Mz_l=353.40
Tensioni nella sezione: σ=284.53 τ=80.28
CC 98 SLU
Azioni sul collegamento: N=3310.76 Ty=-9.65 Tz=-3624.98 My=410.56 Mz=1.00
Sollecitazioni agenti localmente: Tx_l=1216.65 Ty_l=-3624.98 Mz_l=346.46
Tensioni nella sezione: σ=277.62 τ=81.20

Verifica a taglio anima forata

Bnetta=6.20 Hnetta=152.40
CC 98 SLU
Azioni sul collegamento: N=3310.76 Ty=-9.65 Tz=-3624.98 My=410.56 Mz=1.00
Sollecitazioni agenti localmente: Ty_l=-1812.49
Tensioni nella sezione: σ=0.00 τ=191.82

Bullonatura ali superiori

CC 130 SLU (Collegamento -808_-809)
Azioni sul collegamento: N=-1232.38 Ty=-2.93 Tz=-1546.24 My=-696.36 Mz=-4.10
Sollecitazioni agenti localmente: Tx_l=2179.22 Ty_l=-1.46 Mz_l=-2.29
Taglio nei bulloni: Fv,Ed=109.40 Fv,Rd=6028.80
Azione di rifollamento di progetto lato asta: Fb,Ed,a=218.79 Fb,Rd,a=6140.41
Rifollamento lato piastra: Fb,Ed,p=109.39 Fb,Rd,p=5012.31
CC 101 SLU
Azioni sul collegamento: N=5020.20 Ty=-12.20 Tz=-532.36 My=1487.61 Mz=-0.09
Sollecitazioni agenti localmente: Tx_l=-3900.31 Ty_l=-6.10 Mz_l=-1.06
Taglio nei bulloni: Fv,Ed=195.22 Fv,Rd=6028.80
Azione di rifollamento di progetto lato asta: Fb,Ed,a=390.43 Fb,Rd,a=9486.95
Rifollamento lato piastra: Fb,Ed,p=195.21 Fb,Rd,p=11616.70

Bullonatura ali inferiori

CC 101 SLU
Azioni sul collegamento: N=5020.20 Ty=-12.20 Tz=-532.36 My=1487.61 Mz=-0.09
Sollecitazioni agenti localmente: Tx_l=7075.66 Ty_l=-6.10 Mz_l=-1.06
Taglio nei bulloni: Fv,Ed=353.98 Fv,Rd=6028.80
Azione di rifollamento di progetto lato asta: Fb,Ed,a=707.96 Fb,Rd,a=6138.68
Rifollamento lato piastra: Fb,Ed,p=353.98 Fb,Rd,p=5011.12

Piastre esterne sulle ali

Bnetta=12.00 Hnetta=120.00
CC 101 SLU
Azioni sul collegamento: N=5020.20 Ty=-12.20 Tz=-532.36 My=1487.61 Mz=-0.09
Sollecitazioni agenti localmente: Tx_l=4203.36 Ty_l=-3.62 Mz_l=-0.04
Tensioni nella sezione: σ=292.06 τ=0.25
CC 102 SLU
Azioni sul collegamento: N=4789.52 Ty=-12.20 Tz=-573.64 My=1420.09 Mz=-0.25
Sollecitazioni agenti localmente: Tx_l=-2212.39 Ty_l=-3.63 Mz_l=-0.12

Tensioni nella sezione: σ=154.07 τ=0.25

Piastre interne sulle ali

Bnetta=12.00 Hnetta=41.00
CC 101 SLU
Azioni sul collegamento: N=5020.20 Ty=-12.20 Tz=-532.36 My=1487.61 Mz=-0.09
Sollecitazioni agenti localmente: Tx_l=1436.15 Ty_l=-1.24
Tensioni nella sezione: σ=291.90 τ=0.25
CC 102 SLU
Azioni sul collegamento: N=4789.52 Ty=-12.20 Tz=-573.64 My=1420.09 Mz=-0.25
Sollecitazioni agenti localmente: Tx_l=-755.90 Ty_l=-1.24
Tensioni nella sezione: σ=153.64 τ=0.25

Collegamento -822_-823

Piastre anima 300.00 x 186.00 s= 12.00 - 8+8 bulloni ϕ 16
2 righe ad interasse 79.00
4 colonne ad interasse variabile
Piastre ala 650.00 x 120.00 s= 12.00 - 10+10 bulloni ϕ 16
5 righe ad interasse 67.00
2 colonne ad interasse 78.00
Piastre inferiori ala 650.00 x 41.00 s= 12.00

Bullonatura sull'anima

CC 98 SLU (Collegamento -822_-823)
Azioni sul collegamento: N=3541.43 Ty=9.64 Tz=3583.70 My=478.08 Mz=1.16
Sollecitazioni agenti localmente: Tx_l=1301.42 Ty_l=3583.70 Mz_l=353.40
Taglio nei bulloni: Fv,Ed=626.94 Fv,Rd=6028.80
Azione di rifollamento di progetto lato asta: Fb,Ed,a=1253.89 Fb,Rd,a=6845.03
Rifollamento lato piastra: Fb,Ed,p=447.11 Fb,Rd,p=7794.58

Piastra di anima

Bnetta=24.00 Hnetta=186.00
CC 97 SLU (Collegamento -822_-823)
Azioni sul collegamento: N=3310.75 Ty=9.65 Tz=3624.98 My=410.57 Mz=1.00
Sollecitazioni agenti localmente: Tx_l=1216.65 Ty_l=3624.98 Mz_l=346.46
Tensioni nella sezione: σ=277.62 τ=81.20
CC 98 SLU (Collegamento -822_-823)
Azioni sul collegamento: N=3541.43 Ty=9.64 Tz=3583.70 My=478.08 Mz=1.16
Sollecitazioni agenti localmente: Tx_l=1301.42 Ty_l=3583.70 Mz_l=353.40
Tensioni nella sezione: σ=284.53 τ=80.28

Verifica a taglio anima forata

Bnetta=6.20 Hnetta=152.40
CC 97 SLU (Collegamento -822_-823)
Azioni sul collegamento: N=3310.75 Ty=9.65 Tz=3624.98 My=410.57 Mz=1.00
Sollecitazioni agenti localmente: Ty_l=1812.49
Tensioni nella sezione: σ=0.00 τ=191.82

Bullonatura ali superiori

CC 106 SLU (Collegamento -822_-823)
Azioni sul collegamento: N=5020.02 Ty=12.19 Tz=532.38 My=1487.58 Mz=-0.09
Sollecitazioni agenti localmente: Tx_l=-3900.26 Ty_l=6.10 Mz_l=0.97
Taglio nei bulloni: Fv,Ed=195.20 Fv,Rd=6028.80
Azione di rifollamento di progetto lato asta: Fb,Ed,a=390.39 Fb,Rd,a=9486.95
Rifollamento lato piastra: Fb,Ed,p=195.19 Fb,Rd,p=11616.70
CC 101 SLU
Azioni sul collegamento: N=-153.63 Ty=3.71 Tz=1824.10 My=-513.55 Mz=-3.95
Sollecitazioni agenti localmente: Tx_l=1845.96 Ty_l=1.85 Mz_l=-1.66
Taglio nei bulloni: Fv,Ed=92.61 Fv,Rd=6028.80
Azione di rifollamento di progetto lato asta: Fb,Ed,a=185.22 Fb,Rd,a=6139.61
Rifollamento lato piastra: Fb,Ed,p=92.61 Fb,Rd,p=5012.27

Bullonatura ali inferiori

CC 106 SLU (Collegamento -822_-823)
Azioni sul collegamento: N=5020.02 Ty=12.19 Tz=532.38 My=1487.58 Mz=-0.09
Sollecitazioni agenti localmente: Tx_l=7075.50 Ty_l=6.10 Mz_l=0.97
Taglio nei bulloni: Fv,Ed=353.96 Fv,Rd=6028.80
Azione di rifollamento di progetto lato asta: Fb,Ed,a=707.91 Fb,Rd,a=6138.68
Rifollamento lato piastra: Fb,Ed,p=353.96 Fb,Rd,p=5011.12

Piastre esterne sulle ali

Bnetta=12.00 Hnetta=120.00
CC 105 SLU (Collegamento -822_-823)
Azioni sul collegamento: N=4789.34 Ty=12.20 Tz=573.66 My=1420.06 Mz=-0.25

Sollecitazioni agenti localmente: Tx_l=-2212.36 Ty_l=3.63 Mz_l=-0.12
Tensioni nella sezione: σ=154.07 τ=0.25
CC 106 SLU (Collegamento -822_-823)
Azioni sul collegamento: N=5020.02 Ty=12.19 Tz=532.38 My=1487.58 Mz=-0.09
Sollecitazioni agenti localmente: Tx_l=4203.27 Ty_l=3.62 Mz_l=-0.04
Tensioni nella sezione: σ=292.05 τ=0.25

Piastre interne sulle ali

Bnetta=12.00 Hnetta=41.00
CC 105 SLU (Collegamento -822_-823)
Azioni sul collegamento: N=4789.34 Ty=12.20 Tz=573.66 My=1420.06 Mz=-0.25
Sollecitazioni agenti localmente: Tx_l=-755.89 Ty_l=1.24
Tensioni nella sezione: σ=153.64 τ=0.25
CC 106 SLU (Collegamento -822_-823)
Azioni sul collegamento: N=5020.02 Ty=12.19 Tz=532.38 My=1487.58 Mz=-0.09
Sollecitazioni agenti localmente: Tx_l=1436.12 Ty_l=1.24
Tensioni nella sezione: σ=291.89 τ=0.25

Collegamento -852_-853

Piastre anima 300.00 x 186.00 s= 12.00 - 8+8 bulloni ϕ 16
2 righe ad interasse 79.00
4 colonne ad interasse variabile
Piastre ala 650.00 x 120.00 s= 12.00 - 10+10 bulloni ϕ 16
5 righe ad interasse 67.00
2 colonne ad interasse 78.00
Piastre inferiori ala 650.00 x 41.00 s= 12.00

Bullonatura sull'anima

CC 97 SLU
Azioni sul collegamento: N=3596.34 Ty=-5.73 Tz=-3885.13 My=502.81 Mz=3.15
Sollecitazioni agenti localmente: Tx_l=1321.60 Ty_l=-3885.13 Mz_l=380.79
Taglio nei bulloni: Fv,Ed=672.99 Fv,Rd=6028.80
Azione di rifollamento di progetto lato asta: Fb,Ed,a=954.84 Fb,Rd,a=5227.45
Rifollamento lato piastra: Fb,Ed,p=672.99 Fb,Rd,p=11003.80

Piastra di anima

Bnetta=24.00 Hnetta=186.00
CC 97 SLU
Azioni sul collegamento: N=3596.34 Ty=-5.73 Tz=-3885.13 My=502.81 Mz=3.15
Sollecitazioni agenti localmente: Tx_l=1321.60 Ty_l=-3885.13 Mz_l=380.79
Tensioni nella sezione: σ=304.77 τ=87.03
CC 98 SLU
Azioni sul collegamento: N=3363.25 Ty=-5.72 Tz=-3927.65 My=433.36 Mz=3.07
Sollecitazioni agenti localmente: Tx_l=1235.94 Ty_l=-3927.65 Mz_l=373.65
Tensioni nella sezione: σ=297.70 τ=87.98

Verifica a taglio anima forata

Bnetta=6.20 Hnetta=152.40
CC 98 SLU
Azioni sul collegamento: N=3363.25 Ty=-5.72 Tz=-3927.65 My=433.36 Mz=3.07
Sollecitazioni agenti localmente: Ty_l=-1963.82
Tensioni nella sezione: σ=0.00 τ=207.84

Bullonatura ali superiori

CC 130 SLU (Collegamento -852_-853)
Azioni sul collegamento: N=-1278.92 Ty=-0.92 Tz=-1596.62 My=-755.51 Mz=-1.89
Sollecitazioni agenti localmente: Tx_l=2382.72 Ty_l=-0.46 Mz_l=-1.02
Taglio nei bulloni: Fv,Ed=119.33 Fv,Rd=6028.80
Azione di rifollamento di progetto lato asta: Fb,Ed,a=238.66 Fb,Rd,a=6138.90
Rifollamento lato piastra: Fb,Ed,p=119.33 Fb,Rd,p=5011.32
CC 101 SLU
Azioni sul collegamento: N=5017.37 Ty=-12.15 Tz=-1045.73 My=1649.03 Mz=-2.30
Sollecitazioni agenti localmente: Tx_l=-4496.72 Ty_l=-6.07 Mz_l=-2.16
Taglio nei bulloni: Fv,Ed=225.24 Fv,Rd=6028.80
Azione di rifollamento di progetto lato asta: Fb,Ed,a=450.48 Fb,Rd,a=9486.97
Rifollamento lato piastra: Fb,Ed,p=225.24 Fb,Rd,p=11616.70

Bullonatura ali inferiori

CC 101 SLU
Azioni sul collegamento: N=5017.37 Ty=-12.15 Tz=-1045.73 My=1649.03 Mz=-2.30
Sollecitazioni agenti localmente: Tx_l=7670.29 Ty_l=-6.07 Mz_l=-2.16
Taglio nei bulloni: Fv,Ed=383.92 Fv,Rd=6028.80
Azione di rifollamento di progetto lato asta: Fb,Ed,a=767.84 Fb,Rd,a=6138.79
Rifollamento lato piastra: Fb,Ed,p=383.92 Fb,Rd,p=5011.17

Piastre esterne sulle ali

Bnetta=12.00 Hnetta=120.00
CC 101 SLU
Azioni sul collegamento: N=5017.37 Ty=-12.15 Tz=-1045.73 My=1649.03 Mz=-2.30
Sollecitazioni agenti localmente: Tx_l=-2671.32 Ty_l=-3.61 Mz_l=-1.15
Tensioni nella sezione: σ=189.50 τ=0.25
CC 101 SLU
Azioni sul collegamento: N=5017.37 Ty=-12.15 Tz=-1045.73 My=1649.03 Mz=-2.30
Sollecitazioni agenti localmente: Tx_l=4556.60 Ty_l=-3.61 Mz_l=-1.15
Tensioni nella sezione: σ=320.42 τ=0.25

Piastre interne sulle ali

Bnetta=12.00 Hnetta=41.00
CC 101 SLU
Azioni sul collegamento: N=5017.37 Ty=-12.15 Tz=-1045.73 My=1649.03 Mz=-2.30
Sollecitazioni agenti localmente: Tx_l=-912.70 Ty_l=-1.23
Tensioni nella sezione: σ=185.51 τ=0.25
CC 101 SLU
Azioni sul collegamento: N=5017.37 Ty=-12.15 Tz=-1045.73 My=1649.03 Mz=-2.30
Sollecitazioni agenti localmente: Tx_l=1556.84 Ty_l=-1.23
Tensioni nella sezione: σ=316.43 τ=0.25

Collegamento -866_-867

Piastre anima 300.00 x 186.00 s= 12.00 - 8+8 bulloni ϕ 16
2 righe ad interasse 79.00
4 colonne ad interasse variabile
Piastre ala 650.00 x 120.00 s= 12.00 - 10+10 bulloni ϕ 16
5 righe ad interasse 67.00
2 colonne ad interasse 78.00
Piastre inferiori ala 650.00 x 41.00 s= 12.00

Bullonatura sull'anima

CC 98 SLU (Collegamento -866_-867)
Azioni sul collegamento: N=3596.33 Ty=5.73 Tz=3885.13 My=502.81 Mz=3.15
Sollecitazioni agenti localmente: Tx_l=1321.59 Ty_l=3885.13 Mz_l=380.79
Taglio nei bulloni: Fv,Ed=672.99 Fv,Rd=6028.80
Azione di rifollamento di progetto lato asta: Fb,Ed,a=1345.98 Fb,Rd,a=6845.03
Rifollamento lato piastra: Fb,Ed,p=476.75 Fb,Rd,p=7795.11

Piastra di anima

Bnetta=24.00 Hnetta=186.00
CC 97 SLU (Collegamento -866_-867)
Azioni sul collegamento: N=3363.24 Ty=5.72 Tz=3927.65 My=433.36 Mz=3.07
Sollecitazioni agenti localmente: Tx_l=1235.93 Ty_l=3927.65 Mz_l=373.65
Tensioni nella sezione: σ=297.70 τ=87.98
CC 98 SLU (Collegamento -866_-867)
Azioni sul collegamento: N=3596.33 Ty=5.73 Tz=3885.13 My=502.81 Mz=3.15
Sollecitazioni agenti localmente: Tx_l=1321.59 Ty_l=3885.13 Mz_l=380.79
Tensioni nella sezione: σ=304.77 τ=87.03

Verifica a taglio anima forata

Bnetta=6.20 Hnetta=152.40
CC 97 SLU (Collegamento -866_-867)
Azioni sul collegamento: N=3363.24 Ty=5.72 Tz=3927.65 My=433.36 Mz=3.07
Sollecitazioni agenti localmente: Ty_l=1963.82
Tensioni nella sezione: σ=0.00 τ=207.84

Bullonatura ali superiori

CC 106 SLU (Collegamento -866_-867)
Azioni sul collegamento: N=5017.19 Ty=12.15 Tz=1045.76 My=1649.00 Mz=-2.30
Sollecitazioni agenti localmente: Tx_l=-4496.65 Ty_l=6.07 Mz_l=-0.14
Taglio nei bulloni: Fv,Ed=224.86 Fv,Rd=6028.80
Azione di rifollamento di progetto lato asta: Fb,Ed,a=449.71 Fb,Rd,a=9486.96
Rifollamento lato piastra: Fb,Ed,p=224.86 Fb,Rd,p=11616.70
CC 101 SLU
Azioni sul collegamento: N=-181.24 Ty=1.31 Tz=1885.96 My=-568.07 Mz=-1.78
Sollecitazioni agenti localmente: Tx_l=2038.39 Ty_l=0.65 Mz_l=-0.78
Taglio nei bulloni: Fv,Ed=102.07 Fv,Rd=6028.80
Azione di rifollamento di progetto lato asta: Fb,Ed,a=204.13 Fb,Rd,a=6138.80
Rifollamento lato piastra: Fb,Ed,p=102.07 Fb,Rd,p=5011.32

Bullonatura ali inferiori

CC 106 SLU (Collegamento -866_-867)
Azioni sul collegamento: N=5017.19 Ty=12.15 Tz=1045.76 My=1649.00 Mz=-2.30

Sollecitazioni agenti localmente: Tx_l=7670.10 Ty_l=6.07 Mz_l=-0.14
Taglio nei bulloni: Fv,Ed=383.53 Fv,Rd=6028.80
Azione di rifollamento di progetto lato asta: Fb,Ed,a=767.06 Fb,Rd,a=6138.62
Rifollamento lato piastra: Fb,Ed,p=383.53 Fb,Rd,p=5011.12

Piastre esterne sulle ali

Bnetta=12.00 Hnetta=120.00
CC 106 SLU (Collegamento -866_-867)
Azioni sul collegamento: N=5017.19 Ty=12.15 Tz=1045.76 My=1649.00 Mz=-2.30
Sollecitazioni agenti localmente: Tx_l=-2671.27 Ty_l=3.61 Mz_l=-1.15
Tensioni nella sezione: σ=189.50 τ=0.25
CC 106 SLU (Collegamento -866_-867)
Azioni sul collegamento: N=5017.19 Ty=12.15 Tz=1045.76 My=1649.00 Mz=-2.30
Sollecitazioni agenti localmente: Tx_l=4556.49 Ty_l=3.61 Mz_l=-1.15
Tensioni nella sezione: σ=320.42 τ=0.25

Piastre interne sulle ali

Bnetta=12.00 Hnetta=41.00
CC 106 SLU (Collegamento -866_-867)
Azioni sul collegamento: N=5017.19 Ty=12.15 Tz=1045.76 My=1649.00 Mz=-2.30
Sollecitazioni agenti localmente: Tx_l=-912.68 Ty_l=1.23
Tensioni nella sezione: σ=185.50 τ=0.25
CC 106 SLU (Collegamento -866_-867)
Azioni sul collegamento: N=5017.19 Ty=12.15 Tz=1045.76 My=1649.00 Mz=-2.30
Sollecitazioni agenti localmente: Tx_l=1556.80 Ty_l=1.23
Tensioni nella sezione: σ=316.42 τ=0.25

Collegamento -896_-897

Piastre anima 300.00 x 186.00 s= 12.00 - 8+8 bulloni ϕ 16
2 righe ad interasse 79.00
4 colonne ad interasse variabile
Piastre ala 650.00 x 120.00 s= 12.00 - 10+10 bulloni ϕ 16
5 righe ad interasse 67.00
2 colonne ad interasse 78.00
Piastre inferiori ala 650.00 x 41.00 s= 12.00

Bullonatura sull'anima

CC 97 SLU (Collegamento -896_-897)
Azioni sul collegamento: N=5506.71 Ty=0.06 Tz=-3717.14 My=332.82 Mz=-0.03
Sollecitazioni agenti localmente: Tx_l=2023.63 Ty_l=-3717.14 Mz_l=341.97
Taglio nei bulloni: Fv,Ed=652.04 Fv,Rd=6028.80
Azione di rifollamento di progetto lato asta: Fb,Ed,a=961.86 Fb,Rd,a=5240.80
Rifollamento lato piastra: Fb,Ed,p=652.04 Fb,Rd,p=10578.90
CC 97 SLU
Azioni sul collegamento: N=3620.59 Ty=0.06 Tz=-3848.48 My=541.87 Mz=-0.03
Sollecitazioni agenti localmente: Tx_l=1330.51 Ty_l=-3848.48 Mz_l=383.80
Taglio nei bulloni: Fv,Ed=675.28 Fv,Rd=6028.80
Azione di rifollamento di progetto lato asta: Fb,Ed,a=960.69 Fb,Rd,a=5234.90
Rifollamento lato piastra: Fb,Ed,p=675.28 Fb,Rd,p=10956.80

Piastra di anima

Bnetta=24.00 Hnetta=186.00
CC 97 SLU
Azioni sul collegamento: N=3620.59 Ty=0.06 Tz=-3848.48 My=541.87 Mz=-0.03
Sollecitazioni agenti localmente: Tx_l=1330.51 Ty_l=-3848.48 Mz_l=383.80
Tensioni nella sezione: σ=307.15 τ=86.21
CC 98 SLU
Azioni sul collegamento: N=3386.93 Ty=0.06 Tz=-3889.46 My=471.89 Mz=-0.03
Sollecitazioni agenti localmente: Tx_l=1244.64 Ty_l=-3889.46 Mz_l=376.46
Tensioni nella sezione: σ=299.93 τ=87.13

Verifica a taglio anima forata

Bnetta=6.20 Hnetta=152.40
CC 98 SLU
Azioni sul collegamento: N=3386.93 Ty=0.06 Tz=-3889.46 My=471.89 Mz=-0.03
Sollecitazioni agenti localmente: Ty_l=-1944.73
Tensioni nella sezione: σ=0.00 τ=205.82

Bullonatura ali superiori

CC 101 SLU
Azioni sul collegamento: N=5002.41 Ty=0.12 Tz=-1137.43 My=1727.69 Mz=0.00
Sollecitazioni agenti localmente: Tx_l=-4791.62 Ty_l=0.06 Mz_l=0.01
Taglio nei bulloni: Fv,Ed=239.58 Fv,Rd=6028.80
Azione di rifollamento di progetto lato asta: Fb,Ed,a=479.17 Fb,Rd,a=9486.95
Rifollamento lato piastra: Fb,Ed,p=239.58 Fb,Rd,p=11616.70

Bullonatura ali inferiori

CC 101 SLU
Azioni sul collegamento: N=5002.41 Ty=0.12 Tz=-1137.43 My=1727.69 Mz=0.00
Sollecitazioni agenti localmente: Tx_l=7955.73 Ty_l=0.06 Mz_l=0.01
Taglio nei bulloni: Fv,Ed=397.79 Fv,Rd=6028.80
Azione di rifollamento di progetto lato asta: Fb,Ed,a=795.58 Fb,Rd,a=6138.61
Rifollamento lato piastra: Fb,Ed,p=397.79 Fb,Rd,p=11616.70
CC 103 SLU
Azioni sul collegamento: N=4885.58 Ty=0.12 Tz=-1157.92 My=1692.70 Mz=0.00
Sollecitazioni agenti localmente: Tx_l=7789.71 Ty_l=0.06 Mz_l=0.01
Taglio nei bulloni: Fv,Ed=389.49 Fv,Rd=6028.80
Azione di rifollamento di progetto lato asta: Fb,Ed,a=778.98 Fb,Rd,a=6138.61
Rifollamento lato piastra: Fb,Ed,p=389.49 Fb,Rd,p=5011.11

Piastre esterne sulle ali

Bnetta=12.00 Hnetta=120.00
CC 65 SLV
Azioni sul collegamento: N=983.92 Ty=6.58 Tz=-717.21 My=301.70 Mz=0.62
Sollecitazioni agenti localmente: Tx_l=-476.34 Ty_l=1.95 Mz_l=0.31
Tensioni nella sezione: σ=34.16 τ=0.14
CC 101 SLU
Azioni sul collegamento: N=5002.41 Ty=0.12 Tz=-1137.43 My=1727.69 Mz=0.00
Sollecitazioni agenti localmente: Tx_l=4726.18 Ty_l=0.03 Mz_l=0.00
Tensioni nella sezione: σ=328.21 τ=2.41E-03

Piastre interne sulle ali

Bnetta=12.00 Hnetta=41.00
CC 65 SLV
Azioni sul collegamento: N=983.92 Ty=6.58 Tz=-717.21 My=301.70 Mz=0.62
Sollecitazioni agenti localmente: Tx_l=-162.75 Ty_l=0.67
Tensioni nella sezione: σ=33.08 τ=0.14
CC 101 SLU
Azioni sul collegamento: N=5002.41 Ty=0.12 Tz=-1137.43 My=1727.69 Mz=0.00
Sollecitazioni agenti localmente: Tx_l=1614.78 Ty_l=0.01
Tensioni nella sezione: σ=328.21 τ=2.41E-03

Collegamento -910_-911

Piastre anima 300.00 x 186.00 s= 12.00 - 8+8 bulloni ϕ 16
2 righe ad interasse 79.00
4 colonne ad interasse variabile
Piastre ala 650.00 x 120.00 s= 12.00 - 10+10 bulloni ϕ 16
5 righe ad interasse 67.00
2 colonne ad interasse 78.00
Piastre inferiori ala 650.00 x 41.00 s= 12.00

Bullonatura sull'anima

CC 98 SLU (Collegamento -910_-911)
Azioni sul collegamento: N=3620.58 Ty=-0.06 Tz=3848.48 My=541.87 Mz=-0.03
Sollecitazioni agenti localmente: Tx_l=1330.50 Ty_l=3848.48 Mz_l=383.80
Taglio nei bulloni: Fv,Ed=675.28 Fv,Rd=6028.80
Azione di rifollamento di progetto lato asta: Fb,Ed,a=1350.56 Fb,Rd,a=6845.03
Rifollamento lato piastra: Fb,Ed,p=480.35 Fb,Rd,p=7793.90
CC 98 SLU
Azioni sul collegamento: N=5506.71 Ty=-0.06 Tz=3717.14 My=332.83 Mz=-0.03
Sollecitazioni agenti localmente: Tx_l=2023.62 Ty_l=3717.14 Mz_l=341.97
Taglio nei bulloni: Fv,Ed=652.04 Fv,Rd=6028.80
Azione di rifollamento di progetto lato asta: Fb,Ed,a=1304.09 Fb,Rd,a=6845.03
Rifollamento lato piastra: Fb,Ed,p=480.93 Fb,Rd,p=7802.69

Piastra di anima

Bnetta=24.00 Hnetta=186.00
CC 97 SLU (Collegamento -910_-911)
Azioni sul collegamento: N=3386.92 Ty=-0.06 Tz=3889.46 My=471.90 Mz=-0.03
Sollecitazioni agenti localmente: Tx_l=1244.64 Ty_l=3889.46 Mz_l=376.47
Tensioni nella sezione: σ=299.93 τ=87.13
CC 98 SLU (Collegamento -910_-911)
Azioni sul collegamento: N=3620.58 Ty=-0.06 Tz=3848.48 My=541.87 Mz=-0.03
Sollecitazioni agenti localmente: Tx_l=1330.50 Ty_l=3848.48 Mz_l=383.80
Tensioni nella sezione: σ=307.15 τ=86.21

Verifica a taglio anima forata

Bnetta=6.20 Hnetta=152.40
CC 97 SLU (Collegamento -910_-911)
Azioni sul collegamento: N=3386.92 Ty=-0.06 Tz=3889.46 My=471.90 Mz=-0.03

Sollecitazioni agenti localmente: Ty_l=1944.73
Tensioni nella sezione: σ=0.00 τ=205.82

Bullonatura ali superiori

CC 106 SLU (Collegamento -910_-911)
Azioni sul collegamento: N=5002.23 Ty=-0.12 Tz=1137.46 My=1727.65 Mz=0.00
Sollecitazioni agenti localmente: Tx_l=-4791.54 Ty_l=-0.06 Mz_l=-0.01
Taglio nei bulloni: Fv,Ed=239.58 Fv,Rd=6028.80
Azione di rifollamento di progetto lato asta: Fb,Ed,a=479.16 Fb,Rd,a=9486.95
Rifollamento lato piastra: Fb,Ed,p=239.58 Fb,Rd,p=11616.70

Bullonatura ali inferiori

CC 106 SLU (Collegamento -910_-911)
Azioni sul collegamento: N=5002.23 Ty=-0.12 Tz=1137.46 My=1727.65 Mz=0.00
Sollecitazioni agenti localmente: Tx_l=7955.53 Ty_l=-0.06 Mz_l=-0.01
Taglio nei bulloni: Fv,Ed=397.78 Fv,Rd=6028.80
Azione di rifollamento di progetto lato asta: Fb,Ed,a=795.56 Fb,Rd,a=6138.61
Rifollamento lato piastra: Fb,Ed,p=397.78 Fb,Rd,p=5011.11

Piastre esterne sulle ali

Bnetta=12.00 Hnetta=120.00
CC 17 SLV (Collegamento -910_-911)
Azioni sul collegamento: N=983.92 Ty=-6.58 Tz=717.21 My=301.70 Mz=0.62
Sollecitazioni agenti localmente: Tx_l=-476.34 Ty_l=-1.95 Mz_l=0.31
Tensioni nella sezione: σ=34.16 τ=0.14
CC 106 SLU (Collegamento -910_-911)
Azioni sul collegamento: N=5002.23 Ty=-0.12 Tz=1137.46 My=1727.65 Mz=0.00
Sollecitazioni agenti localmente: Tx_l=4726.06 Ty_l=-0.03 Mz_l=0.00
Tensioni nella sezione: σ=328.20 τ=2.41E-03

Piastre interne sulle ali

Bnetta=12.00 Hnetta=41.00
CC 17 SLV (Collegamento -910_-911)
Azioni sul collegamento: N=983.92 Ty=-6.58 Tz=717.21 My=301.70 Mz=0.62
Sollecitazioni agenti localmente: Tx_l=-162.75 Ty_l=-0.67
Tensioni nella sezione: σ=33.08 τ=0.14
CC 106 SLU (Collegamento -910_-911)
Azioni sul collegamento: N=5002.23 Ty=-0.12 Tz=1137.46 My=1727.65 Mz=0.00
Sollecitazioni agenti localmente: Tx_l=1614.74 Ty_l=-0.01
Tensioni nella sezione: σ=328.20 τ=2.41E-03

Collegamento -940_-941

Piastre anima 300.00 x 186.00 s= 12.00 - 8+8 bulloni ϕ 16
2 righe ad interasse 79.00
4 colonne ad interasse variabile
Piastre ala 650.00 x 120.00 s= 12.00 - 10+10 bulloni ϕ 16
5 righe ad interasse 67.00
2 colonne ad interasse 78.00
Piastre inferiori ala 650.00 x 41.00 s= 12.00

Bullonatura sull'anima

CC 97 SLU
Azioni sul collegamento: N=3590.81 Ty=5.77 Tz=-3883.15 My=503.62 Mz=-3.16
Sollecitazioni agenti localmente: Tx_l=1319.56 Ty_l=-3883.15 Mz_l=380.75
Taglio nei bulloni: Fv,Ed=672.77 Fv,Rd=6028.80
Azione di rifollamento di progetto lato asta: Fb,Ed,a=954.58 Fb,Rd,a=5227.45
Rifollamento lato piastra: Fb,Ed,p=672.77 Fb,Rd,p=11004.00

Piastra di anima

Bnetta=24.00 Hnetta=186.00
CC 97 SLU
Azioni sul collegamento: N=3590.81 Ty=5.77 Tz=-3883.15 My=503.62 Mz=-3.16
Sollecitazioni agenti localmente: Tx_l=1319.56 Ty_l=-3883.15 Mz_l=380.75
Tensioni nella sezione: σ=304.70 τ=86.99
CC 98 SLU
Azioni sul collegamento: N=3357.80 Ty=5.76 Tz=-3925.66 My=434.17 Mz=-3.08
Sollecitazioni agenti localmente: Tx_l=1233.94 Ty_l=-3925.66 Mz_l=373.62
Tensioni nella sezione: σ=297.63 τ=87.94

Verifica a taglio anima forata

Bnetta=6.20 Hnetta=152.40
CC 98 SLU
Azioni sul collegamento: N=3357.80 Ty=5.76 Tz=-3925.66 My=434.17 Mz=-3.08
Sollecitazioni agenti localmente: Ty_l=-1962.83

Tensioni nella sezione: σ=0.00 τ=207.73

Bullonatura ali superiori

CC 130 SLU (Collegamento -940_-941)
Azioni sul collegamento: N=-1281.88 Ty=1.00 Tz=-1594.73 My=-755.43 Mz=1.89
Sollecitazioni agenti localmente: Tx_l=2381.48 Ty_l=0.50 Mz_l=1.03
Taglio nei bulloni: Fv,Ed=119.27 Fv,Rd=6028.80
Azione di rifollamento di progetto lato asta: Fb,Ed,a=238.53 Fb,Rd,a=6138.91
Rifollamento lato piastra: Fb,Ed,p=119.27 Fb,Rd,p=5011.32
CC 101 SLU
Azioni sul collegamento: N=5011.73 Ty=12.18 Tz=-1044.24 My=1649.61 Mz=2.27
Sollecitazioni agenti localmente: Tx_l=-4500.64 Ty_l=6.09 Mz_l=2.15
Taglio nei bulloni: Fv,Ed=225.44 Fv,Rd=6028.80
Azione di rifollamento di progetto lato asta: Fb,Ed,a=450.86 Fb,Rd,a=9486.96
Rifollamento lato piastra: Fb,Ed,p=225.43 Fb,Rd,p=11616.70

Bullonatura ali inferiori

CC 101 SLU
Azioni sul collegamento: N=5011.73 Ty=12.18 Tz=-1044.24 My=1649.61 Mz=2.27
Sollecitazioni agenti localmente: Tx_l=7670.64 Ty_l=6.09 Mz_l=2.15
Taglio nei bulloni: Fv,Ed=383.94 Fv,Rd=6028.80
Azione di rifollamento di progetto lato asta: Fb,Ed,a=767.87 Fb,Rd,a=6138.79
Rifollamento lato piastra: Fb,Ed,p=383.93 Fb,Rd,p=5011.17

Piastre esterne sulle ali

Bnetta=12.00 Hnetta=120.00
CC 101 SLU
Azioni sul collegamento: N=5011.73 Ty=12.18 Tz=-1044.24 My=1649.61 Mz=2.27
Sollecitazioni agenti localmente: Tx_l=-2673.64 Ty_l=3.62 Mz_l=1.14
Tensioni nella sezione: σ=189.61 τ=0.25
CC 101 SLU
Azioni sul collegamento: N=5011.73 Ty=12.18 Tz=-1044.24 My=1649.61 Mz=2.27
Sollecitazioni agenti localmente: Tx_l=4556.81 Ty_l=3.62 Mz_l=1.14
Tensioni nella sezione: σ=320.39 τ=0.25

Piastre interne sulle ali

Bnetta=12.00 Hnetta=41.00
CC 101 SLU
Azioni sul collegamento: N=5011.73 Ty=12.18 Tz=-1044.24 My=1649.61 Mz=2.27
Sollecitazioni agenti localmente: Tx_l=-913.50 Ty_l=1.24
Tensioni nella sezione: σ=185.67 τ=0.25
CC 101 SLU
Azioni sul collegamento: N=5011.73 Ty=12.18 Tz=-1044.24 My=1649.61 Mz=2.27
Sollecitazioni agenti localmente: Tx_l=1556.91 Ty_l=1.24
Tensioni nella sezione: σ=316.44 τ=0.25

Collegamento -954_-955

Piastre anima 300.00 x 186.00 s= 12.00 - 8+8 bulloni ϕ 16
2 righe ad interasse 79.00
4 colonne ad interasse variabile
Piastre ala 650.00 x 120.00 s= 12.00 - 10+10 bulloni ϕ 16
5 righe ad interasse 67.00
2 colonne ad interasse 78.00
Piastre inferiori ala 650.00 x 41.00 s= 12.00

Bullonatura sull'anima

CC 98 SLU (Collegamento -954_-955)
Azioni sul collegamento: N=3590.80 Ty=-5.77 Tz=3883.15 My=503.62 Mz=-3.16
Sollecitazioni agenti localmente: Tx_l=1319.56 Ty_l=3883.15 Mz_l=380.75
Taglio nei bulloni: Fv,Ed=672.77 Fv,Rd=6028.80
Azione di rifollamento di progetto lato asta: Fb,Ed,a=1345.55 Fb,Rd,a=6845.03
Rifollamento lato piastra: Fb,Ed,p=476.58 Fb,Rd,p=7795.07

Piastra di anima

Bnetta=24.00 Hnetta=186.00
CC 97 SLU (Collegamento -954_-955)
Azioni sul collegamento: N=3357.79 Ty=-5.76 Tz=3925.66 My=434.17 Mz=-3.08
Sollecitazioni agenti localmente: Tx_l=1233.93 Ty_l=3925.66 Mz_l=373.62
Tensioni nella sezione: σ=297.63 τ=87.94
CC 98 SLU (Collegamento -954_-955)
Azioni sul collegamento: N=3590.80 Ty=-5.77 Tz=3883.15 My=503.62 Mz=-3.16
Sollecitazioni agenti localmente: Tx_l=1319.56 Ty_l=3883.15 Mz_l=380.75
Tensioni nella sezione: σ=304.70 τ=86.99

Verifica a taglio anima forata

Bnetta=6.20 Hnetta=152.40
CC 97 SLU (Collegamento -954_-955)
Azioni sul collegamento: N=3357.79 Ty=-5.76 Tz=3925.66 My=434.17 Mz=-3.08
Sollecitazioni agenti localmente: Ty_l=1962.83
Tensioni nella sezione: σ=0.00 τ=207.73

Bullonatura ali superiori

CC 106 SLU (Collegamento -954_-955)
Azioni sul collegamento: N=5011.55 Ty=-12.18 Tz=1044.26 My=1649.57 Mz=2.27
Sollecitazioni agenti localmente: Tx_l=-4500.56 Ty_l=-6.09 Mz_l=0.12
Taglio nei bulloni: Fv,Ed=225.05 Fv,Rd=6028.80
Azione di rifollamento di progetto lato asta: Fb,Ed,a=450.10 Fb,Rd,a=9486.96
Rifollamento lato piastra: Fb,Ed,p=225.05 Fb,Rd,p=11616.70
CC 101 SLU
Azioni sul collegamento: N=-184.55 Ty=-1.37 Tz=1883.96 My=-567.83 Mz=1.78
Sollecitazioni agenti localmente: Tx_l=2036.45 Ty_l=-0.69 Mz_l=0.77
Taglio nei bulloni: Fv,Ed=101.97 Fv,Rd=6028.80
Azione di rifollamento di progetto lato asta: Fb,Ed,a=203.94 Fb,Rd,a=6138.80
Rifollamento lato piastra: Fb,Ed,p=101.97 Fb,Rd,p=5011.31

Bullonatura ali inferiori

CC 106 SLU (Collegamento -954_-955)
Azioni sul collegamento: N=5011.55 Ty=-12.18 Tz=1044.26 My=1649.57 Mz=2.27
Sollecitazioni agenti localmente: Tx_l=7670.45 Ty_l=-6.09 Mz_l=0.12
Taglio nei bulloni: Fv,Ed=383.55 Fv,Rd=6028.80
Azione di rifollamento di progetto lato asta: Fb,Ed,a=767.09 Fb,Rd,a=6138.62
Rifollamento lato piastra: Fb,Ed,p=383.55 Fb,Rd,p=5011.12

Piastre esterne sulle ali

Bnetta=12.00 Hnetta=120.00
CC 106 SLU (Collegamento -954_-955)
Azioni sul collegamento: N=5011.55 Ty=-12.18 Tz=1044.26 My=1649.57 Mz=2.27
Sollecitazioni agenti localmente: Tx_l=-2673.60 Ty_l=-3.62 Mz_l=1.14
Tensioni nella sezione: σ=189.61 τ=0.25
CC 106 SLU (Collegamento -954_-955)
Azioni sul collegamento: N=5011.55 Ty=-12.18 Tz=1044.26 My=1649.57 Mz=2.27
Sollecitazioni agenti localmente: Tx_l=4556.70 Ty_l=-3.62 Mz_l=1.14
Tensioni nella sezione: σ=320.38 τ=0.25

Piastre interne sulle ali

Bnetta=12.00 Hnetta=41.00
CC 106 SLU (Collegamento -954_-955)
Azioni sul collegamento: N=5011.55 Ty=-12.18 Tz=1044.26 My=1649.57 Mz=2.27
Sollecitazioni agenti localmente: Tx_l=-913.48 Ty_l=-1.24
Tensioni nella sezione: σ=185.67 τ=0.25
CC 106 SLU (Collegamento -954_-955)
Azioni sul collegamento: N=5011.55 Ty=-12.18 Tz=1044.26 My=1649.57 Mz=2.27
Sollecitazioni agenti localmente: Tx_l=1556.87 Ty_l=-1.24
Tensioni nella sezione: σ=316.44 τ=0.25

Collegamento -984_-985

Piastre anima 300.00 x 186.00 s= 12.00 - 8+8 bulloni ϕ 16
2 righe ad interasse 79.00
4 colonne ad interasse variabile
Piastre ala 650.00 x 120.00 s= 12.00 - 10+10 bulloni ϕ 16
5 righe ad interasse 67.00
2 colonne ad interasse 78.00
Piastre inferiori ala 650.00 x 41.00 s= 12.00

Bullonatura sull'anima

CC 97 SLU
Azioni sul collegamento: N=3529.80 Ty=9.74 Tz=-3581.83 My=477.82 Mz=-1.17
Sollecitazioni agenti localmente: Tx_l=1297.14 Ty_l=-3581.83 Mz_l=353.21
Taglio nei bulloni: Fv,Ed=626.45 Fv,Rd=6028.80
Azione di rifollamento di progetto lato asta: Fb,Ed,a=893.29 Fb,Rd,a=5235.36
Rifollamento lato piastra: Fb,Ed,p=626.45 Fb,Rd,p=10932.50

Piastra di anima

Bnetta=24.00 Hnetta=186.00
CC 97 SLU
Azioni sul collegamento: N=3529.80 Ty=9.74 Tz=-3581.83 My=477.82 Mz=-1.17
Sollecitazioni agenti localmente: Tx_l=1297.14 Ty_l=-3581.83 Mz_l=353.21
Tensioni nella sezione: σ=284.30 τ=80.24
CC 98 SLU

Azioni sul collegamento: N=3299.26 Ty=9.75 Tz=-3623.12 My=410.30 Mz=-1.01
Sollecitazioni agenti localmente: Tx_l=1212.42 Ty_l=-3623.12 Mz_l=346.27
Tensioni nella sezione: σ=277.38 τ=81.16

Verifica a taglio anima forata

Bnetta=6.20 Hnetta=152.40
CC 98 SLU
Azioni sul collegamento: N=3299.26 Ty=9.75 Tz=-3623.12 My=410.30 Mz=-1.01
Sollecitazioni agenti localmente: Ty_l=-1811.56
Tensioni nella sezione: σ=0.00 τ=191.72

Bullonatura ali superiori

CC 130 SLU (Collegamento -984_-985)
Azioni sul collegamento: N=-1238.70 Ty=3.01 Tz=-1543.75 My=-697.05 Mz=4.09
Sollecitazioni agenti localmente: Tx_l=2179.75 Ty_l=1.51 Mz_l=2.30
Taglio nei bulloni: Fv,Ed=109.42 Fv,Rd=6028.80
Azione di rifollamento di progetto lato asta: Fb,Ed,a=218.85 Fb,Rd,a=6140.42
Rifollamento lato piastra: Fb,Ed,p=109.42 Fb,Rd,p=5012.31
CC 101 SLU
Azioni sul collegamento: N=5009.69 Ty=12.32 Tz=-531.28 My=1487.06 Mz=0.10
Sollecitazioni agenti localmente: Tx_l=-3901.60 Ty_l=6.16 Mz_l=1.08
Taglio nei bulloni: Fv,Ed=195.28 Fv,Rd=6028.80
Azione di rifollamento di progetto lato asta: Fb,Ed,a=390.56 Fb,Rd,a=9486.95
Rifollamento lato piastra: Fb,Ed,p=195.28 Fb,Rd,p=11616.70

Bullonatura ali inferiori

CC 101 SLU
Azioni sul collegamento: N=5009.69 Ty=12.32 Tz=-531.28 My=1487.06 Mz=0.10
Sollecitazioni agenti localmente: Tx_l=7070.31 Ty_l=6.16 Mz_l=1.08
Taglio nei bulloni: Fv,Ed=353.72 Fv,Rd=6028.80
Azione di rifollamento di progetto lato asta: Fb,Ed,a=707.43 Fb,Rd,a=6138.69
Rifollamento lato piastra: Fb,Ed,p=353.72 Fb,Rd,p=5011.12

Piastre esterne sulle ali

Bnetta=12.00 Hnetta=120.00
CC 101 SLU
Azioni sul collegamento: N=5009.69 Ty=12.32 Tz=-531.28 My=1487.06 Mz=0.10
Sollecitazioni agenti localmente: Tx_l=4200.18 Ty_l=3.66 Mz_l=0.05
Tensioni nella sezione: σ=291.85 τ=0.25
CC 102 SLU
Azioni sul collegamento: N=4779.15 Ty=12.33 Tz=-572.56 My=1419.54 Mz=0.25
Sollecitazioni agenti localmente: Tx_l=-2213.12 Ty_l=3.66 Mz_l=0.13
Tensioni nella sezione: σ=154.13 τ=0.25

Piastre interne sulle ali

Bnetta=12.00 Hnetta=41.00
CC 101 SLU
Azioni sul collegamento: N=5009.69 Ty=12.32 Tz=-531.28 My=1487.06 Mz=0.10
Sollecitazioni agenti localmente: Tx_l=1435.06 Ty_l=1.25
Tensioni nella sezione: σ=291.68 τ=0.25
CC 102 SLU
Azioni sul collegamento: N=4779.15 Ty=12.33 Tz=-572.56 My=1419.54 Mz=0.25
Sollecitazioni agenti localmente: Tx_l=-756.15 Ty_l=1.25
Tensioni nella sezione: σ=153.69 τ=0.25

Collegamento -998_-999

Piastre anima 300.00 x 186.00 s= 12.00 - 8+8 bulloni ϕ 16
2 righe ad interasse 79.00
4 colonne ad interasse variabile
Piastre ala 650.00 x 120.00 s= 12.00 - 10+10 bulloni ϕ 16
5 righe ad interasse 67.00
2 colonne ad interasse 78.00
Piastre inferiori ala 650.00 x 41.00 s= 12.00

Bullonatura sull'anima

CC 98 SLU (Collegamento -998_-999)
Azioni sul collegamento: N=3529.78 Ty=-9.74 Tz=3581.83 My=477.82 Mz=-1.17
Sollecitazioni agenti localmente: Tx_l=1297.14 Ty_l=3581.83 Mz_l=353.21
Taglio nei bulloni: Fv,Ed=626.45 Fv,Rd=6028.80
Azione di rifollamento di progetto lato asta: Fb,Ed,a=1252.91 Fb,Rd,a=6845.03
Rifollamento lato piastra: Fb,Ed,p=446.64 Fb,Rd,p=7794.58

Piastra di anima

Bnetta=24.00 Hnetta=186.00

CC 97 SLU (Collegamento -998_-999)
Azioni sul collegamento: N=3299.24 Ty=-9.75 Tz=3623.11 My=410.31 Mz=-1.01
Sollecitazioni agenti localmente: Tx_l=1212.42 Ty_l=3623.11 Mz_l=346.27
Tensioni nella sezione: σ=277.39 τ=81.16
CC 98 SLU (Collegamento -998_-999)
Azioni sul collegamento: N=3529.78 Ty=-9.74 Tz=3581.83 My=477.82 Mz=-1.17
Sollecitazioni agenti localmente: Tx_l=1297.14 Ty_l=3581.83 Mz_l=353.21
Tensioni nella sezione: σ=284.30 τ=80.24

Verifica a taglio anima forata

Bnetta=6.20 Hnetta=152.40
CC 97 SLU (Collegamento -998_-999)
Azioni sul collegamento: N=3299.24 Ty=-9.75 Tz=3623.11 My=410.31 Mz=-1.01
Sollecitazioni agenti localmente: Ty_l=1811.56
Tensioni nella sezione: σ=0.00 τ=191.72

Bullonatura ali superiori

CC 106 SLU (Collegamento -998_-999)
Azioni sul collegamento: N=5009.51 Ty=-12.32 Tz=531.30 My=1487.03 Mz=0.10
Sollecitazioni agenti localmente: Tx_l=-3901.55 Ty_l=-6.16 Mz_l=-0.98
Taglio nei bulloni: Fv,Ed=195.26 Fv,Rd=6028.80
Azione di rifollamento di progetto lato asta: Fb,Ed,a=390.52 Fb,Rd,a=9486.95
Rifollamento lato piastra: Fb,Ed,p=195.26 Fb,Rd,p=11616.70
CC 101 SLU
Azioni sul collegamento: N=-160.72 Ty=-3.79 Tz=1821.67 My=-514.13 Mz=3.94
Sollecitazioni agenti localmente: Tx_l=1845.86 Ty_l=-1.89 Mz_l=1.65
Taglio nei bulloni: Fv,Ed=92.61 Fv,Rd=6028.80
Azione di rifollamento di progetto lato asta: Fb,Ed,a=185.21 Fb,Rd,a=6139.59
Rifollamento lato piastra: Fb,Ed,p=92.61 Fb,Rd,p=5012.26

Bullonatura ali inferiori

CC 106 SLU (Collegamento -998_-999)
Azioni sul collegamento: N=5009.51 Ty=-12.32 Tz=531.30 My=1487.03 Mz=0.10
Sollecitazioni agenti localmente: Tx_l=7070.15 Ty_l=-6.16 Mz_l=-0.98
Taglio nei bulloni: Fv,Ed=353.69 Fv,Rd=6028.80
Azione di rifollamento di progetto lato asta: Fb,Ed,a=707.38 Fb,Rd,a=6138.68
Rifollamento lato piastra: Fb,Ed,p=353.69 Fb,Rd,p=5011.12

Piastre esterne sulle ali

Bnetta=12.00 Hnetta=120.00
CC 105 SLU (Collegamento -998_-999)
Azioni sul collegamento: N=4778.97 Ty=-12.33 Tz=572.58 My=1419.51 Mz=0.25
Sollecitazioni agenti localmente: Tx_l=-2213.09 Ty_l=-3.66 Mz_l=0.13
Tensioni nella sezione: σ=154.13 τ=0.25
CC 106 SLU (Collegamento -998_-999)
Azioni sul collegamento: N=5009.51 Ty=-12.32 Tz=531.30 My=1487.03 Mz=0.10
Sollecitazioni agenti localmente: Tx_l=4200.09 Ty_l=-3.66 Mz_l=0.05
Tensioni nella sezione: σ=291.84 τ=0.25

Piastre interne sulle ali

Bnetta=12.00 Hnetta=41.00
CC 105 SLU (Collegamento -998_-999)
Azioni sul collegamento: N=4778.97 Ty=-12.33 Tz=572.58 My=1419.51 Mz=0.25
Sollecitazioni agenti localmente: Tx_l=-756.14 Ty_l=-1.25
Tensioni nella sezione: σ=153.69 τ=0.25
CC 106 SLU (Collegamento -998_-999)
Azioni sul collegamento: N=5009.51 Ty=-12.32 Tz=531.30 My=1487.03 Mz=0.10
Sollecitazioni agenti localmente: Tx_l=1435.03 Ty_l=-1.25
Tensioni nella sezione: σ=291.67 τ=0.25

Collegamento 0010_-503

Saldatura a cordone d'angolo
Altezza di gola saldature: anima 7.07 - ala 7.07

Verifica lato anima della colonna: F=46200.00
F_{co}=39205.80 A_{co}=11.40 FR_{co}=31350.00
F_{cd}=69203.50 A_{cd}=11.40 FR_{cd}=31350.00

Saldatura profilo-profilo

CC 1 SLV (Collegamento 0010_-503)
Azioni sul collegamento: N=10342.50 Ty=-7.67 Tz=-59.01 Mx=0.32 Mz=-19.74
Sollecitazioni agenti localmente: Tx_l=-7.67 Ty_l=-59.01 N_l=10342.50 My_l=19.74 Mz_l=0.32
Azioni sul cordone: TP=2.89 TO=11.76 NO=2061.64
Tensioni nel cordone: τ_P=0.34 τ_O=1.39 σ_O=271.85 σ_{ID}=271.85 Σ_T=273.23
CC 1 SLV (Collegamento 0010_-503)

Azioni sul collegamento: N=10342.50 Ty=-16.11 Tz=-59.01 Mx=0.32 Mz=-41.29
Sollecitazioni agenti localmente: Tx_l=-16.11 Ty_l=-59.01 N_l=10342.50 My_l=41.29 Mz_l=0.32
Azioni sul cordone: TP=4.57 TO=11.76 NO=2061.64
Tensioni nel cordone: τ_P=0.54 τ_0=1.39 σ_0=303.33 σ_{ID}=303.33 Σ_T=304.71
CC 1 SLV (Collegamento 0010_-503)
Azioni sul collegamento: N=10342.50 Ty=-7.67 Tz=-59.01 Mx=0.32 Mz=-19.74
Sollecitazioni agenti localmente: Tx_l=-7.67 Ty_l=-59.01 N_l=10342.50 My_l=19.74 Mz_l=0.32
Azioni sul cordone: TP=2.89 TO=11.76 NO=2061.64
Tensioni nel cordone: τ_P=0.34 τ_0=1.39 σ_0=271.85 σ_{ID}=271.85 Σ_T=273.23
CC 1 SLV (Collegamento 0010_-503)
Azioni sul collegamento: N=10342.50 Ty=-16.11 Tz=-59.01 Mx=0.32 Mz=-41.29
Sollecitazioni agenti localmente: Tx_l=-16.11 Ty_l=-59.01 N_l=10342.50 My_l=41.29 Mz_l=0.32
Azioni sul cordone: TP=4.57 TO=11.76 NO=2061.64
Tensioni nel cordone: τ_P=0.54 τ_0=1.39 σ_0=303.33 σ_{ID}=303.33 Σ_T=304.71
CC 1 SLV (Collegamento 0010_-503)
Azioni sul collegamento: N=4412.89 Ty=-7.67 Tz=-59.01 Mx=0.32 Mz=-19.74
Sollecitazioni agenti localmente: Tx_l=-7.67 Ty_l=-59.01 N_l=4412.89 My_l=19.74 Mz_l=0.32
Azioni sul cordone: TP=2.89 TO=11.76 NO=879.65
Tensioni nel cordone: τ_P=0.34 τ_0=1.39 σ_0=132.53 σ_{ID}=132.54 Σ_T=133.91
CC 1 SLV (Collegamento 0010_-503)
Azioni sul collegamento: N=4412.89 Ty=-16.11 Tz=-59.01 Mx=0.32 Mz=-41.29
Sollecitazioni agenti localmente: Tx_l=-16.11 Ty_l=-59.01 N_l=4412.89 My_l=41.29 Mz_l=0.32
Azioni sul cordone: TP=4.57 TO=11.76 NO=879.65
Tensioni nel cordone: τ_P=0.54 τ_0=1.39 σ_0=164.01 σ_{ID}=164.01 Σ_T=165.39
CC 1 SLV (Collegamento 0010_-503)
Azioni sul collegamento: N=4412.89 Ty=-7.67 Tz=-59.01 Mx=0.32 Mz=-19.74
Sollecitazioni agenti localmente: Tx_l=-7.67 Ty_l=-59.01 N_l=4412.89 My_l=19.74 Mz_l=0.32
Azioni sul cordone: TP=2.89 TO=11.76 NO=879.65
Tensioni nel cordone: τ_P=0.34 τ_0=1.39 σ_0=132.53 σ_{ID}=132.54 Σ_T=133.91
CC 1 SLV (Collegamento 0010_-503)
Azioni sul collegamento: N=4412.89 Ty=-16.11 Tz=-59.01 Mx=0.32 Mz=-41.29
Sollecitazioni agenti localmente: Tx_l=-16.11 Ty_l=-59.01 N_l=4412.89 My_l=41.29 Mz_l=0.32
Azioni sul cordone: TP=4.57 TO=11.76 NO=879.65
Tensioni nel cordone: τ_P=0.54 τ_0=1.39 σ_0=164.01 σ_{ID}=164.01 Σ_T=165.39
CC 2 SLD (Collegamento 0010_-503)
Azioni sul collegamento: N=8355.44 Ty=-10.46 Tz=-59.01 Mx=0.26 Mz=-26.76
Sollecitazioni agenti localmente: Tx_l=-10.46 Ty_l=-59.01 N_l=8355.44 My_l=26.76 Mz_l=0.26
Azioni sul cordone: TP=3.18 TO=11.76 NO=1665.53
Tensioni nel cordone: τ_P=0.38 τ_0=1.39 σ_0=235.41 σ_{ID}=235.42 Σ_T=236.80
CC 2 SLD (Collegamento 0010_-503)
Azioni sul collegamento: N=8355.44 Ty=-13.03 Tz=-59.01 Mx=0.26 Mz=-33.33
Sollecitazioni agenti localmente: Tx_l=-13.03 Ty_l=-59.01 N_l=8355.44 My_l=33.33 Mz_l=0.26
Azioni sul cordone: TP=3.70 TO=11.76 NO=1665.53
Tensioni nel cordone: τ_P=0.44 τ_0=1.39 σ_0=245.01 σ_{ID}=245.02 Σ_T=246.40
CC 2 SLD (Collegamento 0010_-503)
Azioni sul collegamento: N=8355.44 Ty=-10.46 Tz=-59.01 Mx=0.26 Mz=-26.76
Sollecitazioni agenti localmente: Tx_l=-10.46 Ty_l=-59.01 N_l=8355.44 My_l=26.76 Mz_l=0.26
Azioni sul cordone: TP=3.18 TO=11.76 NO=1665.53
Tensioni nel cordone: τ_P=0.38 τ_0=1.39 σ_0=235.41 σ_{ID}=235.42 Σ_T=236.80
CC 2 SLD (Collegamento 0010_-503)
Azioni sul collegamento: N=8355.44 Ty=-13.03 Tz=-59.01 Mx=0.26 Mz=-33.33
Sollecitazioni agenti localmente: Tx_l=-13.03 Ty_l=-59.01 N_l=8355.44 My_l=33.33 Mz_l=0.26
Azioni sul cordone: TP=3.70 TO=11.76 NO=1665.53
Tensioni nel cordone: τ_P=0.44 τ_0=1.39 σ_0=245.01 σ_{ID}=245.02 Σ_T=246.40
CC 2 SLD (Collegamento 0010_-503)
Azioni sul collegamento: N=6547.30 Ty=-10.46 Tz=-59.01 Mx=0.26 Mz=-26.76
Sollecitazioni agenti localmente: Tx_l=-10.46 Ty_l=-59.01 N_l=6547.30 My_l=26.76 Mz_l=0.26
Azioni sul cordone: TP=3.18 TO=11.76 NO=1305.11
Tensioni nel cordone: τ_P=0.38 τ_0=1.39 σ_0=192.93 σ_{ID}=192.94 Σ_T=194.32
CC 2 SLD (Collegamento 0010_-503)
Azioni sul collegamento: N=6547.30 Ty=-13.03 Tz=-59.01 Mx=0.26 Mz=-33.33
Sollecitazioni agenti localmente: Tx_l=-13.03 Ty_l=-59.01 N_l=6547.30 My_l=33.33 Mz_l=0.26
Azioni sul cordone: TP=3.70 TO=11.76 NO=1305.11
Tensioni nel cordone: τ_P=0.44 τ_0=1.39 σ_0=202.53 σ_{ID}=202.53 Σ_T=203.91
CC 2 SLD (Collegamento 0010_-503)
Azioni sul collegamento: N=6547.30 Ty=-10.46 Tz=-59.01 Mx=0.26 Mz=-26.76
Sollecitazioni agenti localmente: Tx_l=-10.46 Ty_l=-59.01 N_l=6547.30 My_l=26.76 Mz_l=0.26
Azioni sul cordone: TP=3.18 TO=11.76 NO=1305.11
Tensioni nel cordone: τ_P=0.38 τ_0=1.39 σ_0=192.93 σ_{ID}=192.94 Σ_T=194.32
CC 2 SLD (Collegamento 0010_-503)
Azioni sul collegamento: N=6547.30 Ty=-13.03 Tz=-59.01 Mx=0.26 Mz=-33.33
Sollecitazioni agenti localmente: Tx_l=-13.03 Ty_l=-59.01 N_l=6547.30 My_l=33.33 Mz_l=0.26
Azioni sul cordone: TP=3.70 TO=11.76 NO=1305.11
Tensioni nel cordone: τ_P=0.44 τ_0=1.39 σ_0=202.53 σ_{ID}=202.53 Σ_T=203.91
CC 3 SLV (Collegamento 0010_-503)
Azioni sul collegamento: N=10338.60 Ty=-7.76 Tz=-59.01 Mx=0.32 Mz=-19.99
Sollecitazioni agenti localmente: Tx_l=-7.76 Ty_l=-59.01 N_l=10338.60 My_l=19.99 Mz_l=0.32
Azioni sul cordone: TP=2.90 TO=11.76 NO=2060.85
Tensioni nel cordone: τ_P=0.34 τ_0=1.39 σ_0=272.11 σ_{ID}=272.11 Σ_T=273.50
CC 3 SLV (Collegamento 0010_-503)
Azioni sul collegamento: N=10338.60 Ty=-16.02 Tz=-59.01 Mx=0.32 Mz=-41.05

Sollecitazioni agenti localmente: Tx_l=-16.02 Ty_l=-59.01 N_l=10338.60 My_l=41.05 Mz_l=0.32
Azioni sul cordone: TP=4.55 TO=11.76 NO=2060.85
Tensioni nel cordone: τ_P=0.54 τ_0=1.39 σ_0=302.88 σ_{ID}=302.88 Σ_T=304.27
CC 3 SLV (Collegamento 0010_-503)
Azioni sul collegamento: N=10338.60 Ty=-7.76 Tz=-59.01 Mx=0.32 Mz=-19.99
Sollecitazioni agenti localmente: Tx_l=-7.76 Ty_l=-59.01 N_l=10338.60 My_l=19.99 Mz_l=0.32
Azioni sul cordone: TP=2.90 TO=11.76 NO=2060.85
Tensioni nel cordone: τ_P=0.34 τ_0=1.39 σ_0=272.11 σ_{ID}=272.11 Σ_T=273.50
CC 3 SLV (Collegamento 0010_-503)
Azioni sul collegamento: N=10338.60 Ty=-16.02 Tz=-59.01 Mx=0.32 Mz=-41.05
Sollecitazioni agenti localmente: Tx_l=-16.02 Ty_l=-59.01 N_l=10338.60 My_l=41.05 Mz_l=0.32
Azioni sul cordone: TP=4.55 TO=11.76 NO=2060.85
Tensioni nel cordone: τ_P=0.54 τ_0=1.39 σ_0=302.88 σ_{ID}=302.88 Σ_T=304.27
CC 3 SLV (Collegamento 0010_-503)
Azioni sul collegamento: N=4416.83 Ty=-7.76 Tz=-59.01 Mx=0.32 Mz=-19.99
Sollecitazioni agenti localmente: Tx_l=-7.76 Ty_l=-59.01 N_l=4416.83 My_l=19.99 Mz_l=0.32
Azioni sul cordone: TP=2.90 TO=11.76 NO=880.43
Tensioni nel cordone: τ_P=0.34 τ_0=1.39 σ_0=132.97 σ_{ID}=132.98 Σ_T=134.36
CC 3 SLV (Collegamento 0010_-503)
Azioni sul collegamento: N=4416.83 Ty=-16.02 Tz=-59.01 Mx=0.32 Mz=-41.05
Sollecitazioni agenti localmente: Tx_l=-16.02 Ty_l=-59.01 N_l=4416.83 My_l=41.05 Mz_l=0.32
Azioni sul cordone: TP=4.55 TO=11.76 NO=880.43
Tensioni nel cordone: τ_P=0.54 τ_0=1.39 σ_0=163.74 σ_{ID}=163.75 Σ_T=165.13
CC 3 SLV (Collegamento 0010_-503)
Azioni sul collegamento: N=4416.83 Ty=-7.76 Tz=-59.01 Mx=0.32 Mz=-19.99
Sollecitazioni agenti localmente: Tx_l=-7.76 Ty_l=-59.01 N_l=4416.83 My_l=19.99 Mz_l=0.32
Azioni sul cordone: TP=2.90 TO=11.76 NO=880.43
Tensioni nel cordone: τ_P=0.34 τ_0=1.39 σ_0=132.97 σ_{ID}=132.98 Σ_T=134.36
CC 3 SLV (Collegamento 0010_-503)
Azioni sul collegamento: N=4416.83 Ty=-16.02 Tz=-59.01 Mx=0.32 Mz=-41.05
Sollecitazioni agenti localmente: Tx_l=-16.02 Ty_l=-59.01 N_l=4416.83 My_l=41.05 Mz_l=0.32
Azioni sul cordone: TP=4.55 TO=11.76 NO=880.43
Tensioni nel cordone: τ_P=0.54 τ_0=1.39 σ_0=163.74 σ_{ID}=163.75 Σ_T=165.13
CC 4 SLD (Collegamento 0010_-503)
Azioni sul collegamento: N=8354.23 Ty=-10.49 Tz=-59.01 Mx=0.26 Mz=-26.84
Sollecitazioni agenti localmente: Tx_l=-10.49 Ty_l=-59.01 N_l=8354.23 My_l=26.84 Mz_l=0.26
Azioni sul cordone: TP=3.19 TO=11.76 NO=1665.30
Tensioni nel cordone: τ_P=0.38 τ_0=1.39 σ_0=235.49 σ_{ID}=235.50 Σ_T=236.88
CC 4 SLD (Collegamento 0010_-503)
Azioni sul collegamento: N=8354.23 Ty=-13.00 Tz=-59.01 Mx=0.26 Mz=-33.26
Sollecitazioni agenti localmente: Tx_l=-13.00 Ty_l=-59.01 N_l=8354.23 My_l=33.26 Mz_l=0.26
Azioni sul cordone: TP=3.69 TO=11.76 NO=1665.30
Tensioni nel cordone: τ_P=0.43 τ_0=1.39 σ_0=244.88 σ_{ID}=244.88 Σ_T=246.26
CC 4 SLD (Collegamento 0010_-503)
Azioni sul collegamento: N=8354.23 Ty=-10.49 Tz=-59.01 Mx=0.26 Mz=-26.84
Sollecitazioni agenti localmente: Tx_l=-10.49 Ty_l=-59.01 N_l=8354.23 My_l=26.84 Mz_l=0.26
Azioni sul cordone: TP=3.19 TO=11.76 NO=1665.30
Tensioni nel cordone: τ_P=0.38 τ_0=1.39 σ_0=235.49 σ_{ID}=235.50 Σ_T=236.88
CC 4 SLD (Collegamento 0010_-503)
Azioni sul collegamento: N=8354.23 Ty=-13.00 Tz=-59.01 Mx=0.26 Mz=-33.26
Sollecitazioni agenti localmente: Tx_l=-13.00 Ty_l=-59.01 N_l=8354.23 My_l=33.26 Mz_l=0.26
Azioni sul cordone: TP=3.69 TO=11.76 NO=1665.30
Tensioni nel cordone: τ_P=0.43 τ_0=1.39 σ_0=244.88 σ_{ID}=244.88 Σ_T=246.26
CC 4 SLD (Collegamento 0010_-503)
Azioni sul collegamento: N=6548.50 Ty=-10.49 Tz=-59.01 Mx=0.26 Mz=-26.84
Sollecitazioni agenti localmente: Tx_l=-10.49 Ty_l=-59.01 N_l=6548.50 My_l=26.84 Mz_l=0.26
Azioni sul cordone: TP=3.19 TO=11.76 NO=1305.35
Tensioni nel cordone: τ_P=0.38 τ_0=1.39 σ_0=193.07 σ_{ID}=193.07 Σ_T=194.45
CC 4 SLD (Collegamento 0010_-503)
Azioni sul collegamento: N=6548.50 Ty=-13.00 Tz=-59.01 Mx=0.26 Mz=-33.26
Sollecitazioni agenti localmente: Tx_l=-13.00 Ty_l=-59.01 N_l=6548.50 My_l=33.26 Mz_l=0.26
Azioni sul cordone: TP=3.69 TO=11.76 NO=1305.35
Tensioni nel cordone: τ_P=0.43 τ_0=1.39 σ_0=202.45 σ_{ID}=202.45 Σ_T=203.84
CC 4 SLD (Collegamento 0010_-503)
Azioni sul collegamento: N=6548.50 Ty=-10.49 Tz=-59.01 Mx=0.26 Mz=-26.84
Sollecitazioni agenti localmente: Tx_l=-10.49 Ty_l=-59.01 N_l=6548.50 My_l=26.84 Mz_l=0.26
Azioni sul cordone: TP=3.19 TO=11.76 NO=1305.35
Tensioni nel cordone: τ_P=0.38 τ_0=1.39 σ_0=193.07 σ_{ID}=193.07 Σ_T=194.45
CC 4 SLD (Collegamento 0010_-503)
Azioni sul collegamento: N=6548.50 Ty=-13.00 Tz=-59.01 Mx=0.26 Mz=-33.26
Sollecitazioni agenti localmente: Tx_l=-13.00 Ty_l=-59.01 N_l=6548.50 My_l=33.26 Mz_l=0.26
Azioni sul cordone: TP=3.69 TO=11.76 NO=1305.35
Tensioni nel cordone: τ_P=0.43 τ_0=1.39 σ_0=202.45 σ_{ID}=202.45 Σ_T=203.84
CC 5 SLV (Collegamento 0010_-503)
Azioni sul collegamento: N=4416.83 Ty=-16.02 Tz=-59.01 Mx=0.15 Mz=-41.05
Sollecitazioni agenti localmente: Tx_l=-16.02 Ty_l=-59.01 N_l=4416.83 My_l=41.05 Mz_l=0.15
Azioni sul cordone: TP=3.85 TO=11.76 NO=880.43
Tensioni nel cordone: τ_P=0.45 τ_0=1.39 σ_0=163.74 σ_{ID}=163.75 Σ_T=165.13
CC 5 SLV (Collegamento 0010_-503)
Azioni sul collegamento: N=4416.83 Ty=-7.76 Tz=-59.01 Mx=0.15 Mz=-19.99
Sollecitazioni agenti localmente: Tx_l=-7.76 Ty_l=-59.01 N_l=4416.83 My_l=19.99 Mz_l=0.15

Azioni sul cordone: TP=2.20 TO=11.76 NO=880.43
Tensioni nel cordone: τ_P=0.26 τ_0=1.39 σ_0=132.97 σ_{ID}=132.98 Σ_T=134.36
CC 5 SLV (Collegamento 0010_-503)
Azioni sul collegamento: N=4416.83 Ty=-16.02 Tz=-59.01 Mx=0.15 Mz=-41.05
Sollecitazioni agenti localmente: Tx_l=-16.02 Ty_l=-59.01 N_l=4416.83 My_l=41.05 Mz_l=0.15
Azioni sul cordone: TP=3.85 TO=11.76 NO=880.43
Tensioni nel cordone: τ_P=0.45 τ_0=1.39 σ_0=163.74 σ_{ID}=163.75 Σ_T=165.13
CC 5 SLV (Collegamento 0010_-503)
Azioni sul collegamento: N=4416.83 Ty=-7.76 Tz=-59.01 Mx=0.15 Mz=-19.99
Sollecitazioni agenti localmente: Tx_l=-7.76 Ty_l=-59.01 N_l=4416.83 My_l=19.99 Mz_l=0.15
Azioni sul cordone: TP=2.20 TO=11.76 NO=880.43
Tensioni nel cordone: τ_P=0.26 τ_0=1.39 σ_0=132.97 σ_{ID}=132.98 Σ_T=134.36
CC 5 SLV (Collegamento 0010_-503)
Azioni sul collegamento: N=10338.60 Ty=-16.02 Tz=-59.01 Mx=0.15 Mz=-41.05
Sollecitazioni agenti localmente: Tx_l=-16.02 Ty_l=-59.01 N_l=10338.60 My_l=41.05 Mz_l=0.15
Azioni sul cordone: TP=3.85 TO=11.76 NO=2060.85
Tensioni nel cordone: τ_P=0.45 τ_0=1.39 σ_0=302.88 σ_{ID}=302.88 Σ_T=304.27
CC 5 SLV (Collegamento 0010_-503)
Azioni sul collegamento: N=10338.60 Ty=-7.76 Tz=-59.01 Mx=0.15 Mz=-19.99
Sollecitazioni agenti localmente: Tx_l=-7.76 Ty_l=-59.01 N_l=10338.60 My_l=19.99 Mz_l=0.15
Azioni sul cordone: TP=2.20 TO=11.76 NO=2060.85
Tensioni nel cordone: τ_P=0.26 τ_0=1.39 σ_0=272.11 σ_{ID}=272.11 Σ_T=273.50
CC 5 SLV (Collegamento 0010_-503)
Azioni sul collegamento: N=10338.60 Ty=-16.02 Tz=-59.01 Mx=0.15 Mz=-41.05
Sollecitazioni agenti localmente: Tx_l=-16.02 Ty_l=-59.01 N_l=10338.60 My_l=41.05 Mz_l=0.15
Azioni sul cordone: TP=3.85 TO=11.76 NO=2060.85
Tensioni nel cordone: τ_P=0.45 τ_0=1.39 σ_0=302.88 σ_{ID}=302.88 Σ_T=304.27
CC 5 SLV (Collegamento 0010_-503)
Azioni sul collegamento: N=10338.60 Ty=-7.76 Tz=-59.01 Mx=0.15 Mz=-19.99
Sollecitazioni agenti localmente: Tx_l=-7.76 Ty_l=-59.01 N_l=10338.60 My_l=19.99 Mz_l=0.15
Azioni sul cordone: TP=2.20 TO=11.76 NO=2060.85
Tensioni nel cordone: τ_P=0.26 τ_0=1.39 σ_0=272.11 σ_{ID}=272.11 Σ_T=273.50
CC 6 SLD (Collegamento 0010_-503)
Azioni sul collegamento: N=6548.50 Ty=-13.00 Tz=-59.01 Mx=0.21 Mz=-33.26
Sollecitazioni agenti localmente: Tx_l=-13.00 Ty_l=-59.01 N_l=6548.50 My_l=33.26 Mz_l=0.21
Azioni sul cordone: TP=3.48 TO=11.76 NO=1305.35
Tensioni nel cordone: τ_P=0.41 τ_0=1.39 σ_0=202.45 σ_{ID}=202.45 Σ_T=203.84
CC 6 SLD (Collegamento 0010_-503)
Azioni sul collegamento: N=6548.50 Ty=-10.49 Tz=-59.01 Mx=0.21 Mz=-26.84
Sollecitazioni agenti localmente: Tx_l=-10.49 Ty_l=-59.01 N_l=6548.50 My_l=26.84 Mz_l=0.21
Azioni sul cordone: TP=2.97 TO=11.76 NO=1305.35
Tensioni nel cordone: τ_P=0.35 τ_0=1.39 σ_0=193.07 σ_{ID}=193.07 Σ_T=194.45
CC 6 SLD (Collegamento 0010_-503)
Azioni sul collegamento: N=6548.50 Ty=-13.00 Tz=-59.01 Mx=0.21 Mz=-33.26
Sollecitazioni agenti localmente: Tx_l=-13.00 Ty_l=-59.01 N_l=6548.50 My_l=33.26 Mz_l=0.21
Azioni sul cordone: TP=3.48 TO=11.76 NO=1305.35
Tensioni nel cordone: τ_P=0.41 τ_0=1.39 σ_0=202.45 σ_{ID}=202.45 Σ_T=203.84
CC 6 SLD (Collegamento 0010_-503)
Azioni sul collegamento: N=6548.50 Ty=-10.49 Tz=-59.01 Mx=0.21 Mz=-26.84
Sollecitazioni agenti localmente: Tx_l=-10.49 Ty_l=-59.01 N_l=6548.50 My_l=26.84 Mz_l=0.21
Azioni sul cordone: TP=2.97 TO=11.76 NO=1305.35
Tensioni nel cordone: τ_P=0.35 τ_0=1.39 σ_0=193.07 σ_{ID}=193.07 Σ_T=194.45
CC 6 SLD (Collegamento 0010_-503)
Azioni sul collegamento: N=8354.23 Ty=-13.00 Tz=-59.01 Mx=0.21 Mz=-33.26
Sollecitazioni agenti localmente: Tx_l=-13.00 Ty_l=-59.01 N_l=8354.23 My_l=33.26 Mz_l=0.21
Azioni sul cordone: TP=3.48 TO=11.76 NO=1665.30
Tensioni nel cordone: τ_P=0.41 τ_0=1.39 σ_0=244.88 σ_{ID}=244.88 Σ_T=246.26
CC 6 SLD (Collegamento 0010_-503)
Azioni sul collegamento: N=8354.23 Ty=-10.49 Tz=-59.01 Mx=0.21 Mz=-26.84
Sollecitazioni agenti localmente: Tx_l=-10.49 Ty_l=-59.01 N_l=8354.23 My_l=26.84 Mz_l=0.21
Azioni sul cordone: TP=2.97 TO=11.76 NO=1665.30
Tensioni nel cordone: τ_P=0.35 τ_0=1.39 σ_0=235.49 σ_{ID}=235.50 Σ_T=236.88
CC 6 SLD (Collegamento 0010_-503)
Azioni sul collegamento: N=8354.23 Ty=-13.00 Tz=-59.01 Mx=0.21 Mz=-33.26
Sollecitazioni agenti localmente: Tx_l=-13.00 Ty_l=-59.01 N_l=8354.23 My_l=33.26 Mz_l=0.21
Azioni sul cordone: TP=3.48 TO=11.76 NO=1665.30
Tensioni nel cordone: τ_P=0.41 τ_0=1.39 σ_0=244.88 σ_{ID}=244.88 Σ_T=246.26
CC 6 SLD (Collegamento 0010_-503)
Azioni sul collegamento: N=8354.23 Ty=-10.49 Tz=-59.01 Mx=0.21 Mz=-26.84
Sollecitazioni agenti localmente: Tx_l=-10.49 Ty_l=-59.01 N_l=8354.23 My_l=26.84 Mz_l=0.21
Azioni sul cordone: TP=2.97 TO=11.76 NO=1665.30
Tensioni nel cordone: τ_P=0.35 τ_0=1.39 σ_0=235.49 σ_{ID}=235.50 Σ_T=236.88
CC 7 SLV (Collegamento 0010_-503)
Azioni sul collegamento: N=4412.89 Ty=-16.11 Tz=-59.01 Mx=0.15 Mz=-41.29
Sollecitazioni agenti localmente: Tx_l=-16.11 Ty_l=-59.01 N_l=4412.89 My_l=41.29 Mz_l=0.15
Azioni sul cordone: TP=3.86 TO=11.76 NO=879.65
Tensioni nel cordone: τ_P=0.45 τ_0=1.39 σ_0=164.01 σ_{ID}=164.01 Σ_T=165.39
CC 7 SLV (Collegamento 0010_-503)
Azioni sul collegamento: N=4412.89 Ty=-7.67 Tz=-59.01 Mx=0.15 Mz=-19.74
Sollecitazioni agenti localmente: Tx_l=-7.67 Ty_l=-59.01 N_l=4412.89 My_l=19.74 Mz_l=0.15
Azioni sul cordone: TP=2.18 TO=11.76 NO=879.65

Tensioni nel cordone: τ_P=0.26 τ_0=1.39 σ_0=132.53 σ_{ID}=132.54 Σ_T=133.91
CC 7 SLV (Collegamento 0010_-503)
Azioni sul collegamento: N=4412.89 Ty=-16.11 Tz=-59.01 Mx=0.15 Mz=-41.29
Sollecitazioni agenti localmente: Tx_l=-16.11 Ty_l=-59.01 N_l=4412.89 My_l=41.29 Mz_l=0.15
Azioni sul cordone: TP=3.86 TO=11.76 NO=879.65
Tensioni nel cordone: τ_P=0.45 τ_0=1.39 σ_0=164.01 σ_{ID}=164.01 Σ_T=165.39
CC 7 SLV (Collegamento 0010_-503)
Azioni sul collegamento: N=4412.89 Ty=-7.67 Tz=-59.01 Mx=0.15 Mz=-19.74
Sollecitazioni agenti localmente: Tx_l=-7.67 Ty_l=-59.01 N_l=4412.89 My_l=19.74 Mz_l=0.15
Azioni sul cordone: TP=2.18 TO=11.76 NO=879.65
Tensioni nel cordone: τ_P=0.26 τ_0=1.39 σ_0=132.53 σ_{ID}=132.54 Σ_T=133.91
CC 7 SLV (Collegamento 0010_-503)
Azioni sul collegamento: N=10342.50 Ty=-16.11 Tz=-59.01 Mx=0.15 Mz=-41.29
Sollecitazioni agenti localmente: Tx_l=-16.11 Ty_l=-59.01 N_l=10342.50 My_l=41.29 Mz_l=0.15
Azioni sul cordone: TP=3.86 TO=11.76 NO=2061.64
Tensioni nel cordone: τ_P=0.45 τ_0=1.39 σ_0=303.33 σ_{ID}=303.33 Σ_T=304.71
CC 7 SLV (Collegamento 0010_-503)
Azioni sul collegamento: N=10342.50 Ty=-7.67 Tz=-59.01 Mx=0.15 Mz=-19.74
Sollecitazioni agenti localmente: Tx_l=-7.67 Ty_l=-59.01 N_l=10342.50 My_l=19.74 Mz_l=0.15
Azioni sul cordone: TP=2.18 TO=11.76 NO=2061.64
Tensioni nel cordone: τ_P=0.26 τ_0=1.39 σ_0=271.85 σ_{ID}=271.85 Σ_T=273.23
CC 7 SLV (Collegamento 0010_-503)
Azioni sul collegamento: N=10342.50 Ty=-16.11 Tz=-59.01 Mx=0.15 Mz=-41.29
Sollecitazioni agenti localmente: Tx_l=-16.11 Ty_l=-59.01 N_l=10342.50 My_l=41.29 Mz_l=0.15
Azioni sul cordone: TP=3.86 TO=11.76 NO=2061.64
Tensioni nel cordone: τ_P=0.45 τ_0=1.39 σ_0=303.33 σ_{ID}=303.33 Σ_T=304.71
CC 7 SLV (Collegamento 0010_-503)
Azioni sul collegamento: N=10342.50 Ty=-7.67 Tz=-59.01 Mx=0.15 Mz=-19.74
Sollecitazioni agenti localmente: Tx_l=-7.67 Ty_l=-59.01 N_l=10342.50 My_l=19.74 Mz_l=0.15
Azioni sul cordone: TP=2.18 TO=11.76 NO=2061.64
Tensioni nel cordone: τ_P=0.26 τ_0=1.39 σ_0=271.85 σ_{ID}=271.85 Σ_T=273.23
CC 8 SLD (Collegamento 0010_-503)
Azioni sul collegamento: N=6547.30 Ty=-13.03 Tz=-59.01 Mx=0.21 Mz=-33.33
Sollecitazioni agenti localmente: Tx_l=-13.03 Ty_l=-59.01 N_l=6547.30 My_l=33.33 Mz_l=0.21
Azioni sul cordone: TP=3.48 TO=11.76 NO=1305.11
Tensioni nel cordone: τ_P=0.41 τ_0=1.39 σ_0=202.53 σ_{ID}=202.53 Σ_T=203.91
CC 8 SLD (Collegamento 0010_-503)
Azioni sul collegamento: N=6547.30 Ty=-10.46 Tz=-59.01 Mx=0.21 Mz=-26.76
Sollecitazioni agenti localmente: Tx_l=-10.46 Ty_l=-59.01 N_l=6547.30 My_l=26.76 Mz_l=0.21
Azioni sul cordone: TP=2.97 TO=11.76 NO=1305.11
Tensioni nel cordone: τ_P=0.35 τ_0=1.39 σ_0=192.93 σ_{ID}=192.94 Σ_T=194.32
CC 8 SLD (Collegamento 0010_-503)
Azioni sul collegamento: N=6547.30 Ty=-13.03 Tz=-59.01 Mx=0.21 Mz=-33.33
Sollecitazioni agenti localmente: Tx_l=-13.03 Ty_l=-59.01 N_l=6547.30 My_l=33.33 Mz_l=0.21
Azioni sul cordone: TP=3.48 TO=11.76 NO=1305.11
Tensioni nel cordone: τ_P=0.41 τ_0=1.39 σ_0=202.53 σ_{ID}=202.53 Σ_T=203.91
CC 8 SLD (Collegamento 0010_-503)
Azioni sul collegamento: N=6547.30 Ty=-10.46 Tz=-59.01 Mx=0.21 Mz=-26.76
Sollecitazioni agenti localmente: Tx_l=-10.46 Ty_l=-59.01 N_l=6547.30 My_l=26.76 Mz_l=0.21
Azioni sul cordone: TP=2.97 TO=11.76 NO=1305.11
Tensioni nel cordone: τ_P=0.35 τ_0=1.39 σ_0=192.93 σ_{ID}=192.94 Σ_T=194.32
CC 8 SLD (Collegamento 0010_-503)
Azioni sul collegamento: N=8355.44 Ty=-13.03 Tz=-59.01 Mx=0.21 Mz=-33.33
Sollecitazioni agenti localmente: Tx_l=-13.03 Ty_l=-59.01 N_l=8355.44 My_l=33.33 Mz_l=0.21
Azioni sul cordone: TP=3.48 TO=11.76 NO=1665.53
Tensioni nel cordone: τ_P=0.41 τ_0=1.39 σ_0=245.01 σ_{ID}=245.02 Σ_T=246.40
CC 8 SLD (Collegamento 0010_-503)
Azioni sul collegamento: N=8355.44 Ty=-10.46 Tz=-59.01 Mx=0.21 Mz=-26.76
Sollecitazioni agenti localmente: Tx_l=-10.46 Ty_l=-59.01 N_l=8355.44 My_l=26.76 Mz_l=0.21
Azioni sul cordone: TP=2.97 TO=11.76 NO=1665.53
Tensioni nel cordone: τ_P=0.35 τ_0=1.39 σ_0=235.41 σ_{ID}=235.42 Σ_T=236.80
CC 8 SLD (Collegamento 0010_-503)
Azioni sul collegamento: N=8355.44 Ty=-13.03 Tz=-59.01 Mx=0.21 Mz=-33.33
Sollecitazioni agenti localmente: Tx_l=-13.03 Ty_l=-59.01 N_l=8355.44 My_l=33.33 Mz_l=0.21
Azioni sul cordone: TP=3.48 TO=11.76 NO=1665.53
Tensioni nel cordone: τ_P=0.41 τ_0=1.39 σ_0=245.01 σ_{ID}=245.02 Σ_T=246.40
CC 8 SLD (Collegamento 0010_-503)
Azioni sul collegamento: N=8355.44 Ty=-10.46 Tz=-59.01 Mx=0.21 Mz=-26.76
Sollecitazioni agenti localmente: Tx_l=-10.46 Ty_l=-59.01 N_l=8355.44 My_l=26.76 Mz_l=0.21
Azioni sul cordone: TP=2.97 TO=11.76 NO=1665.53
Tensioni nel cordone: τ_P=0.35 τ_0=1.39 σ_0=235.41 σ_{ID}=235.42 Σ_T=236.80
CC 9 SLV (Collegamento 0010_-503)
Azioni sul collegamento: N=8273.14 Ty=-10.48 Tz=-59.01 Mx=0.26 Mz=-26.92
Sollecitazioni agenti localmente: Tx_l=-10.48 Ty_l=-59.01 N_l=8273.14 My_l=26.92 Mz_l=0.26
Azioni sul cordone: TP=3.21 TO=11.76 NO=1649.13
Tensioni nel cordone: τ_P=0.38 τ_0=1.39 σ_0=233.71 σ_{ID}=233.71 Σ_T=235.09
CC 9 SLV (Collegamento 0010_-503)
Azioni sul collegamento: N=8273.14 Ty=-13.30 Tz=-59.01 Mx=0.26 Mz=-34.12
Sollecitazioni agenti localmente: Tx_l=-13.30 Ty_l=-59.01 N_l=8273.14 My_l=34.12 Mz_l=0.26
Azioni sul cordone: TP=3.77 TO=11.76 NO=1649.13
Tensioni nel cordone: τ_P=0.44 τ_0=1.39 σ_0=244.22 σ_{ID}=244.23 Σ_T=245.61

CC 9 SLV (Collegamento 0010_-503)
Azioni sul collegamento: N=8273.14 Ty=-10.48 Tz=-59.01 Mx=0.26 Mz=-26.92
Sollecitazioni agenti localmente: Tx_l=-10.48 Ty_l=-59.01 N_l=8273.14 My_l=26.92 Mz_l=0.26
Azioni sul cordone: TP=3.21 TO=11.76 NO=1649.13
Tensioni nel cordone: τ_P=0.38 τ_0=1.39 σ_0=233.71 σ_{ID}=233.71 Σ_T=235.09
CC 9 SLV (Collegamento 0010_-503)
Azioni sul collegamento: N=8273.14 Ty=-13.30 Tz=-59.01 Mx=0.26 Mz=-34.12
Sollecitazioni agenti localmente: Tx_l=-13.30 Ty_l=-59.01 N_l=8273.14 My_l=34.12 Mz_l=0.26
Azioni sul cordone: TP=3.77 TO=11.76 NO=1649.13
Tensioni nel cordone: τ_P=0.44 τ_0=1.39 σ_0=244.22 σ_{ID}=244.23 Σ_T=245.61
CC 9 SLV (Collegamento 0010_-503)
Azioni sul collegamento: N=6482.30 Ty=-10.48 Tz=-59.01 Mx=0.26 Mz=-26.92
Sollecitazioni agenti localmente: Tx_l=-10.48 Ty_l=-59.01 N_l=6482.30 My_l=26.92 Mz_l=0.26
Azioni sul cordone: TP=3.21 TO=11.76 NO=1292.15
Tensioni nel cordone: τ_P=0.38 τ_0=1.39 σ_0=191.63 σ_{ID}=191.63 Σ_T=193.02
CC 9 SLV (Collegamento 0010_-503)
Azioni sul collegamento: N=6482.30 Ty=-13.30 Tz=-59.01 Mx=0.26 Mz=-34.12
Sollecitazioni agenti localmente: Tx_l=-13.30 Ty_l=-59.01 N_l=6482.30 My_l=34.12 Mz_l=0.26
Azioni sul cordone: TP=3.77 TO=11.76 NO=1292.15
Tensioni nel cordone: τ_P=0.44 τ_0=1.39 σ_0=202.15 σ_{ID}=202.15 Σ_T=203.53
CC 9 SLV (Collegamento 0010_-503)
Azioni sul collegamento: N=6482.30 Ty=-10.48 Tz=-59.01 Mx=0.26 Mz=-26.92
Sollecitazioni agenti localmente: Tx_l=-10.48 Ty_l=-59.01 N_l=6482.30 My_l=26.92 Mz_l=0.26
Azioni sul cordone: TP=3.21 TO=11.76 NO=1292.15
Tensioni nel cordone: τ_P=0.38 τ_0=1.39 σ_0=191.63 σ_{ID}=191.63 Σ_T=193.02
CC 9 SLV (Collegamento 0010_-503)
Azioni sul collegamento: N=6482.30 Ty=-13.30 Tz=-59.01 Mx=0.26 Mz=-34.12
Sollecitazioni agenti localmente: Tx_l=-13.30 Ty_l=-59.01 N_l=6482.30 My_l=34.12 Mz_l=0.26
Azioni sul cordone: TP=3.77 TO=11.76 NO=1292.15
Tensioni nel cordone: τ_P=0.44 τ_0=1.39 σ_0=202.15 σ_{ID}=202.15 Σ_T=203.53
CC 10 SLD (Collegamento 0010_-503)
Azioni sul collegamento: N=7724.41 Ty=-11.32 Tz=-59.01 Mx=0.24 Mz=-28.95
Sollecitazioni agenti localmente: Tx_l=-11.32 Ty_l=-59.01 N_l=7724.41 My_l=28.95 Mz_l=0.24
Azioni sul cordone: TP=3.28 TO=11.76 NO=1539.75
Tensioni nel cordone: τ_P=0.39 τ_0=1.39 σ_0=223.78 σ_{ID}=223.79 Σ_T=225.17
CC 10 SLD (Collegamento 0010_-503)
Azioni sul collegamento: N=7724.41 Ty=-12.17 Tz=-59.01 Mx=0.24 Mz=-31.15
Sollecitazioni agenti localmente: Tx_l=-12.17 Ty_l=-59.01 N_l=7724.41 My_l=31.15 Mz_l=0.24
Azioni sul cordone: TP=3.45 TO=11.76 NO=1539.75
Tensioni nel cordone: τ_P=0.41 τ_0=1.39 σ_0=226.99 σ_{ID}=227.00 Σ_T=228.38
CC 10 SLD (Collegamento 0010_-503)
Azioni sul collegamento: N=7724.41 Ty=-11.32 Tz=-59.01 Mx=0.24 Mz=-28.95
Sollecitazioni agenti localmente: Tx_l=-11.32 Ty_l=-59.01 N_l=7724.41 My_l=28.95 Mz_l=0.24
Azioni sul cordone: TP=3.28 TO=11.76 NO=1539.75
Tensioni nel cordone: τ_P=0.39 τ_0=1.39 σ_0=223.78 σ_{ID}=223.79 Σ_T=225.17
CC 10 SLD (Collegamento 0010_-503)
Azioni sul collegamento: N=7724.41 Ty=-12.17 Tz=-59.01 Mx=0.24 Mz=-31.15
Sollecitazioni agenti localmente: Tx_l=-12.17 Ty_l=-59.01 N_l=7724.41 My_l=31.15 Mz_l=0.24
Azioni sul cordone: TP=3.45 TO=11.76 NO=1539.75
Tensioni nel cordone: τ_P=0.41 τ_0=1.39 σ_0=226.99 σ_{ID}=227.00 Σ_T=228.38
CC 10 SLD (Collegamento 0010_-503)
Azioni sul collegamento: N=7178.32 Ty=-11.32 Tz=-59.01 Mx=0.24 Mz=-28.95
Sollecitazioni agenti localmente: Tx_l=-11.32 Ty_l=-59.01 N_l=7178.32 My_l=28.95 Mz_l=0.24
Azioni sul cordone: TP=3.28 TO=11.76 NO=1430.89
Tensioni nel cordone: τ_P=0.39 τ_0=1.39 σ_0=210.95 σ_{ID}=210.96 Σ_T=212.34
CC 10 SLD (Collegamento 0010_-503)
Azioni sul collegamento: N=7178.32 Ty=-12.17 Tz=-59.01 Mx=0.24 Mz=-31.15
Sollecitazioni agenti localmente: Tx_l=-12.17 Ty_l=-59.01 N_l=7178.32 My_l=31.15 Mz_l=0.24
Azioni sul cordone: TP=3.45 TO=11.76 NO=1430.89
Tensioni nel cordone: τ_P=0.41 τ_0=1.39 σ_0=214.16 σ_{ID}=214.16 Σ_T=215.55
CC 10 SLD (Collegamento 0010_-503)
Azioni sul collegamento: N=7178.32 Ty=-11.32 Tz=-59.01 Mx=0.24 Mz=-28.95
Sollecitazioni agenti localmente: Tx_l=-11.32 Ty_l=-59.01 N_l=7178.32 My_l=28.95 Mz_l=0.24
Azioni sul cordone: TP=3.28 TO=11.76 NO=1430.89
Tensioni nel cordone: τ_P=0.39 τ_0=1.39 σ_0=210.95 σ_{ID}=210.96 Σ_T=212.34
CC 10 SLD (Collegamento 0010_-503)
Azioni sul collegamento: N=7178.32 Ty=-12.17 Tz=-59.01 Mx=0.24 Mz=-31.15
Sollecitazioni agenti localmente: Tx_l=-12.17 Ty_l=-59.01 N_l=7178.32 My_l=31.15 Mz_l=0.24
Azioni sul cordone: TP=3.45 TO=11.76 NO=1430.89
Tensioni nel cordone: τ_P=0.41 τ_0=1.39 σ_0=214.16 σ_{ID}=214.16 Σ_T=215.55
CC 11 SLV (Collegamento 0010_-503)
Azioni sul collegamento: N=6495.42 Ty=-12.99 Tz=-59.01 Mx=0.21 Mz=-33.31
Sollecitazioni agenti localmente: Tx_l=-12.99 Ty_l=-59.01 N_l=6495.42 My_l=33.31 Mz_l=0.21
Azioni sul cordone: TP=3.50 TO=11.76 NO=1294.77
Tensioni nel cordone: τ_P=0.41 τ_0=1.39 σ_0=201.28 σ_{ID}=201.28 Σ_T=202.66
CC 11 SLV (Collegamento 0010_-503)
Azioni sul collegamento: N=6495.42 Ty=-10.79 Tz=-59.01 Mx=0.21 Mz=-27.73
Sollecitazioni agenti localmente: Tx_l=-10.79 Ty_l=-59.01 N_l=6495.42 My_l=27.73 Mz_l=0.21
Azioni sul cordone: TP=3.06 TO=11.76 NO=1294.77
Tensioni nel cordone: τ_P=0.36 τ_0=1.39 σ_0=193.12 σ_{ID}=193.13 Σ_T=194.51
CC 11 SLV (Collegamento 0010_-503)

Azioni sul collegamento: N=6495.42 Ty=-12.99 Tz=-59.01 Mx=0.21 Mz=-33.31
Sollecitazioni agenti localmente: Tx_l=-12.99 Ty_l=-59.01 N_l=6495.42 My_l=33.31 Mz_l=0.21
Azioni sul cordone: TP=3.50 TO=11.76 NO=1294.77
Tensioni nel cordone: τ_P=0.41 τ_0=1.39 σ_0=201.28 σ_{ID}=201.28 Σ_T=202.66
CC 11 SLV (Collegamento 0010_-503)
Azioni sul collegamento: N=6495.42 Ty=-10.79 Tz=-59.01 Mx=0.21 Mz=-27.73
Sollecitazioni agenti localmente: Tx_l=-10.79 Ty_l=-59.01 N_l=6495.42 My_l=27.73 Mz_l=0.21
Azioni sul cordone: TP=3.06 TO=11.76 NO=1294.77
Tensioni nel cordone: τ_P=0.36 τ_0=1.39 σ_0=193.12 σ_{ID}=193.13 Σ_T=194.51
CC 11 SLV (Collegamento 0010_-503)
Azioni sul collegamento: N=8260.01 Ty=-12.99 Tz=-59.01 Mx=0.21 Mz=-33.31
Sollecitazioni agenti localmente: Tx_l=-12.99 Ty_l=-59.01 N_l=8260.01 My_l=33.31 Mz_l=0.21
Azioni sul cordone: TP=3.50 TO=11.76 NO=1646.51
Tensioni nel cordone: τ_P=0.41 τ_0=1.39 σ_0=242.74 σ_{ID}=242.74 Σ_T=244.12
CC 11 SLV (Collegamento 0010_-503)
Azioni sul collegamento: N=8260.01 Ty=-10.79 Tz=-59.01 Mx=0.21 Mz=-27.73
Sollecitazioni agenti localmente: Tx_l=-10.79 Ty_l=-59.01 N_l=8260.01 My_l=27.73 Mz_l=0.21
Azioni sul cordone: TP=3.06 TO=11.76 NO=1646.51
Tensioni nel cordone: τ_P=0.36 τ_0=1.39 σ_0=234.58 σ_{ID}=234.58 Σ_T=235.97
CC 11 SLV (Collegamento 0010_-503)
Azioni sul collegamento: N=8260.01 Ty=-12.99 Tz=-59.01 Mx=0.21 Mz=-33.31
Sollecitazioni agenti localmente: Tx_l=-12.99 Ty_l=-59.01 N_l=8260.01 My_l=33.31 Mz_l=0.21
Azioni sul cordone: TP=3.50 TO=11.76 NO=1646.51
Tensioni nel cordone: τ_P=0.41 τ_0=1.39 σ_0=242.74 σ_{ID}=242.74 Σ_T=244.12
CC 11 SLV (Collegamento 0010_-503)
Azioni sul collegamento: N=8260.01 Ty=-10.79 Tz=-59.01 Mx=0.21 Mz=-27.73
Sollecitazioni agenti localmente: Tx_l=-10.79 Ty_l=-59.01 N_l=8260.01 My_l=27.73 Mz_l=0.21
Azioni sul cordone: TP=3.06 TO=11.76 NO=1646.51
Tensioni nel cordone: τ_P=0.36 τ_0=1.39 σ_0=234.58 σ_{ID}=234.58 Σ_T=235.97
CC 12 SLD (Collegamento 0010_-503)
Azioni sul collegamento: N=7182.33 Ty=-12.08 Tz=-59.01 Mx=0.23 Mz=-30.90
Sollecitazioni agenti localmente: Tx_l=-12.08 Ty_l=-59.01 N_l=7182.33 My_l=30.90 Mz_l=0.23
Azioni sul cordone: TP=3.37 TO=11.76 NO=1431.69
Tensioni nel cordone: τ_P=0.40 τ_0=1.39 σ_0=213.89 σ_{ID}=213.90 Σ_T=215.28
CC 12 SLD (Collegamento 0010_-503)
Azioni sul collegamento: N=7182.33 Ty=-11.41 Tz=-59.01 Mx=0.23 Mz=-29.20
Sollecitazioni agenti localmente: Tx_l=-11.41 Ty_l=-59.01 N_l=7182.33 My_l=29.20 Mz_l=0.23
Azioni sul cordone: TP=3.24 TO=11.76 NO=1431.69
Tensioni nel cordone: τ_P=0.38 τ_0=1.39 σ_0=211.41 σ_{ID}=211.41 Σ_T=212.79
CC 12 SLD (Collegamento 0010_-503)
Azioni sul collegamento: N=7182.33 Ty=-12.08 Tz=-59.01 Mx=0.23 Mz=-30.90
Sollecitazioni agenti localmente: Tx_l=-12.08 Ty_l=-59.01 N_l=7182.33 My_l=30.90 Mz_l=0.23
Azioni sul cordone: TP=3.37 TO=11.76 NO=1431.69
Tensioni nel cordone: τ_P=0.40 τ_0=1.39 σ_0=213.89 σ_{ID}=213.90 Σ_T=215.28
CC 12 SLD (Collegamento 0010_-503)
Azioni sul collegamento: N=7182.33 Ty=-11.41 Tz=-59.01 Mx=0.23 Mz=-29.20
Sollecitazioni agenti localmente: Tx_l=-11.41 Ty_l=-59.01 N_l=7182.33 My_l=29.20 Mz_l=0.23
Azioni sul cordone: TP=3.24 TO=11.76 NO=1431.69
Tensioni nel cordone: τ_P=0.38 τ_0=1.39 σ_0=211.41 σ_{ID}=211.41 Σ_T=212.79
CC 12 SLD (Collegamento 0010_-503)
Azioni sul collegamento: N=7720.41 Ty=-12.08 Tz=-59.01 Mx=0.23 Mz=-30.90
Sollecitazioni agenti localmente: Tx_l=-12.08 Ty_l=-59.01 N_l=7720.41 My_l=30.90 Mz_l=0.23
Azioni sul cordone: TP=3.37 TO=11.76 NO=1538.95
Tensioni nel cordone: τ_P=0.40 τ_0=1.39 σ_0=226.54 σ_{ID}=226.54 Σ_T=227.92
CC 12 SLD (Collegamento 0010_-503)
Azioni sul collegamento: N=7720.41 Ty=-11.41 Tz=-59.01 Mx=0.23 Mz=-29.20
Sollecitazioni agenti localmente: Tx_l=-11.41 Ty_l=-59.01 N_l=7720.41 My_l=29.20 Mz_l=0.23
Azioni sul cordone: TP=3.24 TO=11.76 NO=1538.95
Tensioni nel cordone: τ_P=0.38 τ_0=1.39 σ_0=224.05 σ_{ID}=224.05 Σ_T=225.44
CC 12 SLD (Collegamento 0010_-503)
Azioni sul collegamento: N=7720.41 Ty=-12.08 Tz=-59.01 Mx=0.23 Mz=-30.90
Sollecitazioni agenti localmente: Tx_l=-12.08 Ty_l=-59.01 N_l=7720.41 My_l=30.90 Mz_l=0.23
Azioni sul cordone: TP=3.37 TO=11.76 NO=1538.95
Tensioni nel cordone: τ_P=0.40 τ_0=1.39 σ_0=226.54 σ_{ID}=226.54 Σ_T=227.92
CC 12 SLD (Collegamento 0010_-503)
Azioni sul collegamento: N=7720.41 Ty=-11.41 Tz=-59.01 Mx=0.23 Mz=-29.20
Sollecitazioni agenti localmente: Tx_l=-11.41 Ty_l=-59.01 N_l=7720.41 My_l=29.20 Mz_l=0.23
Azioni sul cordone: TP=3.24 TO=11.76 NO=1538.95
Tensioni nel cordone: τ_P=0.38 τ_0=1.39 σ_0=224.05 σ_{ID}=224.05 Σ_T=225.44
CC 13 SLV (Collegamento 0010_-503)
Azioni sul collegamento: N=8260.01 Ty=-10.79 Tz=-59.01 Mx=0.26 Mz=-27.73
Sollecitazioni agenti localmente: Tx_l=-10.79 Ty_l=-59.01 N_l=8260.01 My_l=27.73 Mz_l=0.26
Azioni sul cordone: TP=3.25 TO=11.76 NO=1646.51
Tensioni nel cordone: τ_P=0.38 τ_0=1.39 σ_0=234.58 σ_{ID}=234.58 Σ_T=235.97
CC 13 SLV (Collegamento 0010_-503)
Azioni sul collegamento: N=8260.01 Ty=-12.99 Tz=-59.01 Mx=0.26 Mz=-33.31
Sollecitazioni agenti localmente: Tx_l=-12.99 Ty_l=-59.01 N_l=8260.01 My_l=33.31 Mz_l=0.26
Azioni sul cordone: TP=3.69 TO=11.76 NO=1646.51
Tensioni nel cordone: τ_P=0.43 τ_0=1.39 σ_0=242.74 σ_{ID}=242.74 Σ_T=244.12
CC 13 SLV (Collegamento 0010_-503)
Azioni sul collegamento: N=8260.01 Ty=-10.79 Tz=-59.01 Mx=0.26 Mz=-27.73

Sollecitazioni agenti localmente: Tx_l=-10.79 Ty_l=-59.01 N_l=8260.01 My_l=27.73 Mz_l=0.26
Azioni sul cordone: TP=3.25 TO=11.76 NO=1646.51
Tensioni nel cordone: τ_P=0.38 τ_0=1.39 σ_0=234.58 σ_{ID}=234.58 Σ_T=235.97
CC 13 SLV (Collegamento 0010_-503)
Azioni sul collegamento: N=8260.01 Ty=-12.99 Tz=-59.01 Mx=0.26 Mz=-33.31
Sollecitazioni agenti localmente: Tx_l=-12.99 Ty_l=-59.01 N_l=8260.01 My_l=33.31 Mz_l=0.26
Azioni sul cordone: TP=3.69 TO=11.76 NO=1646.51
Tensioni nel cordone: τ_P=0.43 τ_0=1.39 σ_0=242.74 σ_{ID}=242.74 Σ_T=244.12
CC 13 SLV (Collegamento 0010_-503)
Azioni sul collegamento: N=6495.42 Ty=-10.79 Tz=-59.01 Mx=0.26 Mz=-27.73
Sollecitazioni agenti localmente: Tx_l=-10.79 Ty_l=-59.01 N_l=6495.42 My_l=27.73 Mz_l=0.26
Azioni sul cordone: TP=3.25 TO=11.76 NO=1294.77
Tensioni nel cordone: τ_P=0.38 τ_0=1.39 σ_0=193.12 σ_{ID}=193.13 Σ_T=194.51
CC 13 SLV (Collegamento 0010_-503)
Azioni sul collegamento: N=6495.42 Ty=-12.99 Tz=-59.01 Mx=0.26 Mz=-33.31
Sollecitazioni agenti localmente: Tx_l=-12.99 Ty_l=-59.01 N_l=6495.42 My_l=33.31 Mz_l=0.26
Azioni sul cordone: TP=3.69 TO=11.76 NO=1294.77
Tensioni nel cordone: τ_P=0.43 τ_0=1.39 σ_0=201.28 σ_{ID}=201.28 Σ_T=202.66
CC 13 SLV (Collegamento 0010_-503)
Azioni sul collegamento: N=6495.42 Ty=-10.79 Tz=-59.01 Mx=0.26 Mz=-27.73
Sollecitazioni agenti localmente: Tx_l=-10.79 Ty_l=-59.01 N_l=6495.42 My_l=27.73 Mz_l=0.26
Azioni sul cordone: TP=3.25 TO=11.76 NO=1294.77
Tensioni nel cordone: τ_P=0.38 τ_0=1.39 σ_0=193.12 σ_{ID}=193.13 Σ_T=194.51
CC 13 SLV (Collegamento 0010_-503)
Azioni sul collegamento: N=6495.42 Ty=-12.99 Tz=-59.01 Mx=0.26 Mz=-33.31
Sollecitazioni agenti localmente: Tx_l=-12.99 Ty_l=-59.01 N_l=6495.42 My_l=33.31 Mz_l=0.26
Azioni sul cordone: TP=3.69 TO=11.76 NO=1294.77
Tensioni nel cordone: τ_P=0.43 τ_0=1.39 σ_0=201.28 σ_{ID}=201.28 Σ_T=202.66
CC 14 SLD (Collegamento 0010_-503)
Azioni sul collegamento: N=7720.41 Ty=-11.41 Tz=-59.01 Mx=0.24 Mz=-29.20
Sollecitazioni agenti localmente: Tx_l=-11.41 Ty_l=-59.01 N_l=7720.41 My_l=29.20 Mz_l=0.24
Azioni sul cordone: TP=3.29 TO=11.76 NO=1538.95
Tensioni nel cordone: τ_P=0.39 τ_0=1.39 σ_0=224.05 σ_{ID}=224.05 Σ_T=225.44
CC 14 SLD (Collegamento 0010_-503)
Azioni sul collegamento: N=7720.41 Ty=-12.08 Tz=-59.01 Mx=0.24 Mz=-30.90
Sollecitazioni agenti localmente: Tx_l=-12.08 Ty_l=-59.01 N_l=7720.41 My_l=30.90 Mz_l=0.24
Azioni sul cordone: TP=3.43 TO=11.76 NO=1538.95
Tensioni nel cordone: τ_P=0.40 τ_0=1.39 σ_0=226.54 σ_{ID}=226.54 Σ_T=227.92
CC 14 SLD (Collegamento 0010_-503)
Azioni sul collegamento: N=7720.41 Ty=-11.41 Tz=-59.01 Mx=0.24 Mz=-29.20
Sollecitazioni agenti localmente: Tx_l=-11.41 Ty_l=-59.01 N_l=7720.41 My_l=29.20 Mz_l=0.24
Azioni sul cordone: TP=3.29 TO=11.76 NO=1538.95
Tensioni nel cordone: τ_P=0.39 τ_0=1.39 σ_0=224.05 σ_{ID}=224.05 Σ_T=225.44
CC 14 SLD (Collegamento 0010_-503)
Azioni sul collegamento: N=7720.41 Ty=-12.08 Tz=-59.01 Mx=0.24 Mz=-30.90
Sollecitazioni agenti localmente: Tx_l=-12.08 Ty_l=-59.01 N_l=7720.41 My_l=30.90 Mz_l=0.24
Azioni sul cordone: TP=3.43 TO=11.76 NO=1538.95
Tensioni nel cordone: τ_P=0.40 τ_0=1.39 σ_0=226.54 σ_{ID}=226.54 Σ_T=227.92
CC 14 SLD (Collegamento 0010_-503)
Azioni sul collegamento: N=7182.33 Ty=-11.41 Tz=-59.01 Mx=0.24 Mz=-29.20
Sollecitazioni agenti localmente: Tx_l=-11.41 Ty_l=-59.01 N_l=7182.33 My_l=29.20 Mz_l=0.24
Azioni sul cordone: TP=3.29 TO=11.76 NO=1431.69
Tensioni nel cordone: τ_P=0.39 τ_0=1.39 σ_0=211.41 σ_{ID}=211.41 Σ_T=212.79
CC 14 SLD (Collegamento 0010_-503)
Azioni sul collegamento: N=7182.33 Ty=-12.08 Tz=-59.01 Mx=0.24 Mz=-30.90
Sollecitazioni agenti localmente: Tx_l=-12.08 Ty_l=-59.01 N_l=7182.33 My_l=30.90 Mz_l=0.24
Azioni sul cordone: TP=3.43 TO=11.76 NO=1431.69
Tensioni nel cordone: τ_P=0.40 τ_0=1.39 σ_0=213.89 σ_{ID}=213.90 Σ_T=215.28
CC 14 SLD (Collegamento 0010_-503)
Azioni sul collegamento: N=7182.33 Ty=-11.41 Tz=-59.01 Mx=0.24 Mz=-29.20
Sollecitazioni agenti localmente: Tx_l=-11.41 Ty_l=-59.01 N_l=7182.33 My_l=29.20 Mz_l=0.24
Azioni sul cordone: TP=3.29 TO=11.76 NO=1431.69
Tensioni nel cordone: τ_P=0.39 τ_0=1.39 σ_0=211.41 σ_{ID}=211.41 Σ_T=212.79
CC 14 SLD (Collegamento 0010_-503)
Azioni sul collegamento: N=7182.33 Ty=-12.08 Tz=-59.01 Mx=0.24 Mz=-30.90
Sollecitazioni agenti localmente: Tx_l=-12.08 Ty_l=-59.01 N_l=7182.33 My_l=30.90 Mz_l=0.24
Azioni sul cordone: TP=3.43 TO=11.76 NO=1431.69
Tensioni nel cordone: τ_P=0.40 τ_0=1.39 σ_0=213.89 σ_{ID}=213.90 Σ_T=215.28
CC 15 SLV (Collegamento 0010_-503)
Azioni sul collegamento: N=6482.30 Ty=-13.30 Tz=-59.01 Mx=0.21 Mz=-34.12
Sollecitazioni agenti localmente: Tx_l=-13.30 Ty_l=-59.01 N_l=6482.30 My_l=34.12 Mz_l=0.21
Azioni sul cordone: TP=3.54 TO=11.76 NO=1292.15
Tensioni nel cordone: τ_P=0.42 τ_0=1.39 σ_0=202.15 σ_{ID}=202.15 Σ_T=203.53
CC 15 SLV (Collegamento 0010_-503)
Azioni sul collegamento: N=6482.30 Ty=-10.48 Tz=-59.01 Mx=0.21 Mz=-26.92
Sollecitazioni agenti localmente: Tx_l=-10.48 Ty_l=-59.01 N_l=6482.30 My_l=26.92 Mz_l=0.21
Azioni sul cordone: TP=2.98 TO=11.76 NO=1292.15
Tensioni nel cordone: τ_P=0.35 τ_0=1.39 σ_0=191.63 σ_{ID}=191.63 Σ_T=193.02
CC 15 SLV (Collegamento 0010_-503)
Azioni sul collegamento: N=6482.30 Ty=-13.30 Tz=-59.01 Mx=0.21 Mz=-34.12
Sollecitazioni agenti localmente: Tx_l=-13.30 Ty_l=-59.01 N_l=6482.30 My_l=34.12 Mz_l=0.21

Azioni sul cordone: TP=3.54 TO=11.76 NO=1292.15
Tensioni nel cordone: τ_P=0.42 τ_0=1.39 σ_0=202.15 σ_{ID}=202.15 Σ_T=203.53
CC 15 SLV (Collegamento 0010_-503)
Azioni sul collegamento: N=6482.30 Ty=-10.48 Tz=-59.01 Mx=0.21 Mz=-26.92
Sollecitazioni agenti localmente: Tx_l=-10.48 Ty_l=-59.01 N_l=6482.30 My_l=26.92 Mz_l=0.21
Azioni sul cordone: TP=2.98 TO=11.76 NO=1292.15
Tensioni nel cordone: τ_P=0.35 τ_0=1.39 σ_0=191.63 σ_{ID}=191.63 Σ_T=193.02
CC 15 SLV (Collegamento 0010_-503)
Azioni sul collegamento: N=8273.14 Ty=-13.30 Tz=-59.01 Mx=0.21 Mz=-34.12
Sollecitazioni agenti localmente: Tx_l=-13.30 Ty_l=-59.01 N_l=8273.14 My_l=34.12 Mz_l=0.21
Azioni sul cordone: TP=3.54 TO=11.76 NO=1649.13
Tensioni nel cordone: τ_P=0.42 τ_0=1.39 σ_0=244.22 σ_{ID}=244.23 Σ_T=245.61
CC 15 SLV (Collegamento 0010_-503)
Azioni sul collegamento: N=8273.14 Ty=-10.48 Tz=-59.01 Mx=0.21 Mz=-26.92
Sollecitazioni agenti localmente: Tx_l=-10.48 Ty_l=-59.01 N_l=8273.14 My_l=26.92 Mz_l=0.21
Azioni sul cordone: TP=2.98 TO=11.76 NO=1649.13
Tensioni nel cordone: τ_P=0.35 τ_0=1.39 σ_0=233.71 σ_{ID}=233.71 Σ_T=235.09
CC 15 SLV (Collegamento 0010_-503)
Azioni sul collegamento: N=8273.14 Ty=-13.30 Tz=-59.01 Mx=0.21 Mz=-34.12
Sollecitazioni agenti localmente: Tx_l=-13.30 Ty_l=-59.01 N_l=8273.14 My_l=34.12 Mz_l=0.21
Azioni sul cordone: TP=3.54 TO=11.76 NO=1649.13
Tensioni nel cordone: τ_P=0.42 τ_0=1.39 σ_0=244.22 σ_{ID}=244.23 Σ_T=245.61
CC 15 SLV (Collegamento 0010_-503)
Azioni sul collegamento: N=8273.14 Ty=-10.48 Tz=-59.01 Mx=0.21 Mz=-26.92
Sollecitazioni agenti localmente: Tx_l=-10.48 Ty_l=-59.01 N_l=8273.14 My_l=26.92 Mz_l=0.21
Azioni sul cordone: TP=2.98 TO=11.76 NO=1649.13
Tensioni nel cordone: τ_P=0.35 τ_0=1.39 σ_0=233.71 σ_{ID}=233.71 Σ_T=235.09
CC 16 SLD (Collegamento 0010_-503)
Azioni sul collegamento: N=7178.32 Ty=-12.17 Tz=-59.01 Mx=0.23 Mz=-31.15
Sollecitazioni agenti localmente: Tx_l=-12.17 Ty_l=-59.01 N_l=7178.32 My_l=31.15 Mz_l=0.23
Azioni sul cordone: TP=3.38 TO=11.76 NO=1430.89
Tensioni nel cordone: τ_P=0.40 τ_0=1.39 σ_0=214.16 σ_{ID}=214.16 Σ_T=215.55
CC 16 SLD (Collegamento 0010_-503)
Azioni sul collegamento: N=7178.32 Ty=-11.32 Tz=-59.01 Mx=0.23 Mz=-28.95
Sollecitazioni agenti localmente: Tx_l=-11.32 Ty_l=-59.01 N_l=7178.32 My_l=28.95 Mz_l=0.23
Azioni sul cordone: TP=3.21 TO=11.76 NO=1430.89
Tensioni nel cordone: τ_P=0.38 τ_0=1.39 σ_0=210.95 σ_{ID}=210.96 Σ_T=212.34
CC 16 SLD (Collegamento 0010_-503)
Azioni sul collegamento: N=7178.32 Ty=-12.17 Tz=-59.01 Mx=0.23 Mz=-31.15
Sollecitazioni agenti localmente: Tx_l=-12.17 Ty_l=-59.01 N_l=7178.32 My_l=31.15 Mz_l=0.23
Azioni sul cordone: TP=3.38 TO=11.76 NO=1430.89
Tensioni nel cordone: τ_P=0.40 τ_0=1.39 σ_0=214.16 σ_{ID}=214.16 Σ_T=215.55
CC 16 SLD (Collegamento 0010_-503)
Azioni sul collegamento: N=7178.32 Ty=-11.32 Tz=-59.01 Mx=0.23 Mz=-28.95
Sollecitazioni agenti localmente: Tx_l=-11.32 Ty_l=-59.01 N_l=7178.32 My_l=28.95 Mz_l=0.23
Azioni sul cordone: TP=3.21 TO=11.76 NO=1430.89
Tensioni nel cordone: τ_P=0.38 τ_0=1.39 σ_0=210.95 σ_{ID}=210.96 Σ_T=212.34
CC 16 SLD (Collegamento 0010_-503)
Azioni sul collegamento: N=7724.41 Ty=-12.17 Tz=-59.01 Mx=0.23 Mz=-31.15
Sollecitazioni agenti localmente: Tx_l=-12.17 Ty_l=-59.01 N_l=7724.41 My_l=31.15 Mz_l=0.23
Azioni sul cordone: TP=3.38 TO=11.76 NO=1539.75
Tensioni nel cordone: τ_P=0.40 τ_0=1.39 σ_0=226.99 σ_{ID}=227.00 Σ_T=228.38
CC 16 SLD (Collegamento 0010_-503)
Azioni sul collegamento: N=7724.41 Ty=-11.32 Tz=-59.01 Mx=0.23 Mz=-28.95
Sollecitazioni agenti localmente: Tx_l=-11.32 Ty_l=-59.01 N_l=7724.41 My_l=28.95 Mz_l=0.23
Azioni sul cordone: TP=3.21 TO=11.76 NO=1539.75
Tensioni nel cordone: τ_P=0.38 τ_0=1.39 σ_0=223.78 σ_{ID}=223.79 Σ_T=225.17
CC 16 SLD (Collegamento 0010_-503)
Azioni sul collegamento: N=7724.41 Ty=-12.17 Tz=-59.01 Mx=0.23 Mz=-31.15
Sollecitazioni agenti localmente: Tx_l=-12.17 Ty_l=-59.01 N_l=7724.41 My_l=31.15 Mz_l=0.23
Azioni sul cordone: TP=3.38 TO=11.76 NO=1539.75
Tensioni nel cordone: τ_P=0.40 τ_0=1.39 σ_0=226.99 σ_{ID}=227.00 Σ_T=228.38
CC 16 SLD (Collegamento 0010_-503)
Azioni sul collegamento: N=7724.41 Ty=-11.32 Tz=-59.01 Mx=0.23 Mz=-28.95
Sollecitazioni agenti localmente: Tx_l=-11.32 Ty_l=-59.01 N_l=7724.41 My_l=28.95 Mz_l=0.23
Azioni sul cordone: TP=3.21 TO=11.76 NO=1539.75
Tensioni nel cordone: τ_P=0.38 τ_0=1.39 σ_0=223.78 σ_{ID}=223.79 Σ_T=225.17
CC 17 SLV (Collegamento 0010_-503)
Azioni sul collegamento: N=10554.50 Ty=-7.25 Tz=-59.01 Mx=0.31 Mz=-18.39
Sollecitazioni agenti localmente: Tx_l=-7.25 Ty_l=-59.01 N_l=10554.50 My_l=18.39 Mz_l=0.31
Azioni sul cordone: TP=2.77 TO=11.76 NO=2103.88
Tensioni nel cordone: τ_P=0.33 τ_0=1.39 σ_0=274.85 σ_{ID}=274.86 Σ_T=276.24
CC 17 SLV (Collegamento 0010_-503)
Azioni sul collegamento: N=10554.50 Ty=-15.69 Tz=-59.01 Mx=0.31 Mz=-39.94
Sollecitazioni agenti localmente: Tx_l=-15.69 Ty_l=-59.01 N_l=10554.50 My_l=39.94 Mz_l=0.31
Azioni sul cordone: TP=4.45 TO=11.76 NO=2103.88
Tensioni nel cordone: τ_P=0.52 τ_0=1.39 σ_0=306.33 σ_{ID}=306.33 Σ_T=307.72
CC 17 SLV (Collegamento 0010_-503)
Azioni sul collegamento: N=10554.50 Ty=-7.25 Tz=-59.01 Mx=0.31 Mz=-18.39
Sollecitazioni agenti localmente: Tx_l=-7.25 Ty_l=-59.01 N_l=10554.50 My_l=18.39 Mz_l=0.31
Azioni sul cordone: TP=2.77 TO=11.76 NO=2103.88

Tensioni nel cordone: τ_P=0.33 τ_0=1.39 σ_0=274.85 σ_{ID}=274.86 Σ_T=276.24
CC 17 SLV (Collegamento 0010_-503)
Azioni sul collegamento: N=10554.50 Ty=-15.69 Tz=-59.01 Mx=0.31 Mz=-39.94
Sollecitazioni agenti localmente: Tx_l=-15.69 Ty_l=-59.01 N_l=10554.50 My_l=39.94 Mz_l=0.31
Azioni sul cordone: TP=4.45 TO=11.76 NO=2103.88
Tensioni nel cordone: τ_P=0.52 τ_0=1.39 σ_0=306.33 σ_{ID}=306.33 Σ_T=307.72
CC 17 SLV (Collegamento 0010_-503)
Azioni sul collegamento: N=4624.81 Ty=-7.25 Tz=-59.01 Mx=0.31 Mz=-18.39
Sollecitazioni agenti localmente: Tx_l=-7.25 Ty_l=-59.01 N_l=4624.81 My_l=18.39 Mz_l=0.31
Azioni sul cordone: TP=2.77 TO=11.76 NO=921.89
Tensioni nel cordone: τ_P=0.33 τ_0=1.39 σ_0=135.53 σ_{ID}=135.54 Σ_T=136.92
CC 17 SLV (Collegamento 0010_-503)
Azioni sul collegamento: N=4624.81 Ty=-15.69 Tz=-59.01 Mx=0.31 Mz=-39.94
Sollecitazioni agenti localmente: Tx_l=-15.69 Ty_l=-59.01 N_l=4624.81 My_l=39.94 Mz_l=0.31
Azioni sul cordone: TP=4.45 TO=11.76 NO=921.89
Tensioni nel cordone: τ_P=0.52 τ_0=1.39 σ_0=167.01 σ_{ID}=167.02 Σ_T=168.40
CC 17 SLV (Collegamento 0010_-503)
Azioni sul collegamento: N=4624.81 Ty=-7.25 Tz=-59.01 Mx=0.31 Mz=-18.39
Sollecitazioni agenti localmente: Tx_l=-7.25 Ty_l=-59.01 N_l=4624.81 My_l=18.39 Mz_l=0.31
Azioni sul cordone: TP=2.77 TO=11.76 NO=921.89
Tensioni nel cordone: τ_P=0.33 τ_0=1.39 σ_0=135.53 σ_{ID}=135.54 Σ_T=136.92
CC 17 SLV (Collegamento 0010_-503)
Azioni sul collegamento: N=4624.81 Ty=-15.69 Tz=-59.01 Mx=0.31 Mz=-39.94
Sollecitazioni agenti localmente: Tx_l=-15.69 Ty_l=-59.01 N_l=4624.81 My_l=39.94 Mz_l=0.31
Azioni sul cordone: TP=4.45 TO=11.76 NO=921.89
Tensioni nel cordone: τ_P=0.52 τ_0=1.39 σ_0=167.01 σ_{ID}=167.02 Σ_T=168.40
CC 18 SLD (Collegamento 0010_-503)
Azioni sul collegamento: N=8420.06 Ty=-10.33 Tz=-59.01 Mx=0.26 Mz=-26.35
Sollecitazioni agenti localmente: Tx_l=-10.33 Ty_l=-59.01 N_l=8420.06 My_l=26.35 Mz_l=0.26
Azioni sul cordone: TP=3.15 TO=11.76 NO=1678.42
Tensioni nel cordone: τ_P=0.37 τ_0=1.39 σ_0=236.33 σ_{ID}=236.33 Σ_T=237.72
CC 18 SLD (Collegamento 0010_-503)
Azioni sul collegamento: N=8420.06 Ty=-12.90 Tz=-59.01 Mx=0.26 Mz=-32.92
Sollecitazioni agenti localmente: Tx_l=-12.90 Ty_l=-59.01 N_l=8420.06 My_l=32.92 Mz_l=0.26
Azioni sul cordone: TP=3.66 TO=11.76 NO=1678.42
Tensioni nel cordone: τ_P=0.43 τ_0=1.39 σ_0=245.93 σ_{ID}=245.93 Σ_T=247.31
CC 18 SLD (Collegamento 0010_-503)
Azioni sul collegamento: N=8420.06 Ty=-10.33 Tz=-59.01 Mx=0.26 Mz=-26.35
Sollecitazioni agenti localmente: Tx_l=-10.33 Ty_l=-59.01 N_l=8420.06 My_l=26.35 Mz_l=0.26
Azioni sul cordone: TP=3.15 TO=11.76 NO=1678.42
Tensioni nel cordone: τ_P=0.37 τ_0=1.39 σ_0=236.33 σ_{ID}=236.33 Σ_T=237.72
CC 18 SLD (Collegamento 0010_-503)
Azioni sul collegamento: N=8420.06 Ty=-12.90 Tz=-59.01 Mx=0.26 Mz=-32.92
Sollecitazioni agenti localmente: Tx_l=-12.90 Ty_l=-59.01 N_l=8420.06 My_l=32.92 Mz_l=0.26
Azioni sul cordone: TP=3.66 TO=11.76 NO=1678.42
Tensioni nel cordone: τ_P=0.43 τ_0=1.39 σ_0=245.93 σ_{ID}=245.93 Σ_T=247.31
CC 18 SLD (Collegamento 0010_-503)
Azioni sul collegamento: N=6611.92 Ty=-10.33 Tz=-59.01 Mx=0.26 Mz=-26.35
Sollecitazioni agenti localmente: Tx_l=-10.33 Ty_l=-59.01 N_l=6611.92 My_l=26.35 Mz_l=0.26
Azioni sul cordone: TP=3.15 TO=11.76 NO=1317.99
Tensioni nel cordone: τ_P=0.37 τ_0=1.39 σ_0=193.85 σ_{ID}=193.85 Σ_T=195.23
CC 18 SLD (Collegamento 0010_-503)
Azioni sul collegamento: N=6611.92 Ty=-12.90 Tz=-59.01 Mx=0.26 Mz=-32.92
Sollecitazioni agenti localmente: Tx_l=-12.90 Ty_l=-59.01 N_l=6611.92 My_l=32.92 Mz_l=0.26
Azioni sul cordone: TP=3.66 TO=11.76 NO=1317.99
Tensioni nel cordone: τ_P=0.43 τ_0=1.39 σ_0=203.44 σ_{ID}=203.45 Σ_T=204.83
CC 18 SLD (Collegamento 0010_-503)
Azioni sul collegamento: N=6611.92 Ty=-10.33 Tz=-59.01 Mx=0.26 Mz=-26.35
Sollecitazioni agenti localmente: Tx_l=-10.33 Ty_l=-59.01 N_l=6611.92 My_l=26.35 Mz_l=0.26
Azioni sul cordone: TP=3.15 TO=11.76 NO=1317.99
Tensioni nel cordone: τ_P=0.37 τ_0=1.39 σ_0=193.85 σ_{ID}=193.85 Σ_T=195.23
CC 18 SLD (Collegamento 0010_-503)
Azioni sul collegamento: N=6611.92 Ty=-12.90 Tz=-59.01 Mx=0.26 Mz=-32.92
Sollecitazioni agenti localmente: Tx_l=-12.90 Ty_l=-59.01 N_l=6611.92 My_l=32.92 Mz_l=0.26
Azioni sul cordone: TP=3.66 TO=11.76 NO=1317.99
Tensioni nel cordone: τ_P=0.43 τ_0=1.39 σ_0=203.44 σ_{ID}=203.45 Σ_T=204.83
CC 19 SLV (Collegamento 0010_-503)
Azioni sul collegamento: N=10550.50 Ty=-7.34 Tz=-59.01 Mx=0.31 Mz=-18.64
Sollecitazioni agenti localmente: Tx_l=-7.34 Ty_l=-59.01 N_l=10550.50 My_l=18.64 Mz_l=0.31
Azioni sul cordone: TP=2.78 TO=11.76 NO=2103.09
Tensioni nel cordone: τ_P=0.33 τ_0=1.39 σ_0=275.11 σ_{ID}=275.12 Σ_T=276.50
CC 19 SLV (Collegamento 0010_-503)
Azioni sul collegamento: N=10550.50 Ty=-15.60 Tz=-59.01 Mx=0.31 Mz=-39.70
Sollecitazioni agenti localmente: Tx_l=-15.60 Ty_l=-59.01 N_l=10550.50 My_l=39.70 Mz_l=0.31
Azioni sul cordone: TP=4.43 TO=11.76 NO=2103.09
Tensioni nel cordone: τ_P=0.52 τ_0=1.39 σ_0=305.88 σ_{ID}=305.89 Σ_T=307.27
CC 19 SLV (Collegamento 0010_-503)
Azioni sul collegamento: N=10550.50 Ty=-7.34 Tz=-59.01 Mx=0.31 Mz=-18.64
Sollecitazioni agenti localmente: Tx_l=-7.34 Ty_l=-59.01 N_l=10550.50 My_l=18.64 Mz_l=0.31
Azioni sul cordone: TP=2.78 TO=11.76 NO=2103.09
Tensioni nel cordone: τ_P=0.33 τ_0=1.39 σ_0=275.11 σ_{ID}=275.12 Σ_T=276.50

CC 19 SLV (Collegamento 0010_-503)
Azioni sul collegamento: N=10550.50 Ty=-15.60 Tz=-59.01 Mx=0.31 Mz=-39.70
Sollecitazioni agenti localmente: Tx_l=-15.60 Ty_l=-59.01 N_l=10550.50 My_l=39.70 Mz_l=0.31
Azioni sul cordone: TP=4.43 TO=11.76 NO=2103.09
Tensioni nel cordone: τ_P=0.52 τ_0=1.39 σ_0=305.88 σ_{ID}=305.89 Σ_T=307.27
CC 19 SLV (Collegamento 0010_-503)
Azioni sul collegamento: N=4628.75 Ty=-7.34 Tz=-59.01 Mx=0.31 Mz=-18.64
Sollecitazioni agenti localmente: Tx_l=-7.34 Ty_l=-59.01 N_l=4628.75 My_l=18.64 Mz_l=0.31
Azioni sul cordone: TP=2.78 TO=11.76 NO=922.67
Tensioni nel cordone: τ_P=0.33 τ_0=1.39 σ_0=135.98 σ_{ID}=135.99 Σ_T=137.37
CC 19 SLV (Collegamento 0010_-503)
Azioni sul collegamento: N=4628.75 Ty=-15.60 Tz=-59.01 Mx=0.31 Mz=-39.70
Sollecitazioni agenti localmente: Tx_l=-15.60 Ty_l=-59.01 N_l=4628.75 My_l=39.70 Mz_l=0.31
Azioni sul cordone: TP=4.43 TO=11.76 NO=922.67
Tensioni nel cordone: τ_P=0.52 τ_0=1.39 σ_0=166.75 σ_{ID}=166.75 Σ_T=168.13
CC 19 SLV (Collegamento 0010_-503)
Azioni sul collegamento: N=4628.75 Ty=-7.34 Tz=-59.01 Mx=0.31 Mz=-18.64
Sollecitazioni agenti localmente: Tx_l=-7.34 Ty_l=-59.01 N_l=4628.75 My_l=18.64 Mz_l=0.31
Azioni sul cordone: TP=2.78 TO=11.76 NO=922.67
Tensioni nel cordone: τ_P=0.33 τ_0=1.39 σ_0=135.98 σ_{ID}=135.99 Σ_T=137.37
CC 19 SLV (Collegamento 0010_-503)
Azioni sul collegamento: N=4628.75 Ty=-15.60 Tz=-59.01 Mx=0.31 Mz=-39.70
Sollecitazioni agenti localmente: Tx_l=-15.60 Ty_l=-59.01 N_l=4628.75 My_l=39.70 Mz_l=0.31
Azioni sul cordone: TP=4.43 TO=11.76 NO=922.67
Tensioni nel cordone: τ_P=0.52 τ_0=1.39 σ_0=166.75 σ_{ID}=166.75 Σ_T=168.13
CC 20 SLD (Collegamento 0010_-503)
Azioni sul collegamento: N=8418.85 Ty=-10.36 Tz=-59.01 Mx=0.26 Mz=-26.42
Sollecitazioni agenti localmente: Tx_l=-10.36 Ty_l=-59.01 N_l=8418.85 My_l=26.42 Mz_l=0.26
Azioni sul cordone: TP=3.15 TO=11.76 NO=1678.18
Tensioni nel cordone: τ_P=0.37 τ_0=1.39 σ_0=236.41 σ_{ID}=236.41 Σ_T=237.80
CC 20 SLD (Collegamento 0010_-503)
Azioni sul collegamento: N=8418.85 Ty=-12.87 Tz=-59.01 Mx=0.26 Mz=-32.85
Sollecitazioni agenti localmente: Tx_l=-12.87 Ty_l=-59.01 N_l=8418.85 My_l=32.85 Mz_l=0.26
Azioni sul cordone: TP=3.65 TO=11.76 NO=1678.18
Tensioni nel cordone: τ_P=0.43 τ_0=1.39 σ_0=245.79 σ_{ID}=245.80 Σ_T=247.18
CC 20 SLD (Collegamento 0010_-503)
Azioni sul collegamento: N=8418.85 Ty=-10.36 Tz=-59.01 Mx=0.26 Mz=-26.42
Sollecitazioni agenti localmente: Tx_l=-10.36 Ty_l=-59.01 N_l=8418.85 My_l=26.42 Mz_l=0.26
Azioni sul cordone: TP=3.15 TO=11.76 NO=1678.18
Tensioni nel cordone: τ_P=0.37 τ_0=1.39 σ_0=236.41 σ_{ID}=236.41 Σ_T=237.80
CC 20 SLD (Collegamento 0010_-503)
Azioni sul collegamento: N=8418.85 Ty=-12.87 Tz=-59.01 Mx=0.26 Mz=-32.85
Sollecitazioni agenti localmente: Tx_l=-12.87 Ty_l=-59.01 N_l=8418.85 My_l=32.85 Mz_l=0.26
Azioni sul cordone: TP=3.65 TO=11.76 NO=1678.18
Tensioni nel cordone: τ_P=0.43 τ_0=1.39 σ_0=245.79 σ_{ID}=245.80 Σ_T=247.18
CC 20 SLD (Collegamento 0010_-503)
Azioni sul collegamento: N=6613.12 Ty=-10.36 Tz=-59.01 Mx=0.26 Mz=-26.42
Sollecitazioni agenti localmente: Tx_l=-10.36 Ty_l=-59.01 N_l=6613.12 My_l=26.42 Mz_l=0.26
Azioni sul cordone: TP=3.15 TO=11.76 NO=1318.23
Tensioni nel cordone: τ_P=0.37 τ_0=1.39 σ_0=193.98 σ_{ID}=193.99 Σ_T=195.37
CC 20 SLD (Collegamento 0010_-503)
Azioni sul collegamento: N=6613.12 Ty=-12.87 Tz=-59.01 Mx=0.26 Mz=-32.85
Sollecitazioni agenti localmente: Tx_l=-12.87 Ty_l=-59.01 N_l=6613.12 My_l=32.85 Mz_l=0.26
Azioni sul cordone: TP=3.65 TO=11.76 NO=1318.23
Tensioni nel cordone: τ_P=0.43 τ_0=1.39 σ_0=203.37 σ_{ID}=203.37 Σ_T=204.75
CC 20 SLD (Collegamento 0010_-503)
Azioni sul collegamento: N=6613.12 Ty=-10.36 Tz=-59.01 Mx=0.26 Mz=-26.42
Sollecitazioni agenti localmente: Tx_l=-10.36 Ty_l=-59.01 N_l=6613.12 My_l=26.42 Mz_l=0.26
Azioni sul cordone: TP=3.15 TO=11.76 NO=1318.23
Tensioni nel cordone: τ_P=0.37 τ_0=1.39 σ_0=193.98 σ_{ID}=193.99 Σ_T=195.37
CC 20 SLD (Collegamento 0010_-503)
Azioni sul collegamento: N=6613.12 Ty=-12.87 Tz=-59.01 Mx=0.26 Mz=-32.85
Sollecitazioni agenti localmente: Tx_l=-12.87 Ty_l=-59.01 N_l=6613.12 My_l=32.85 Mz_l=0.26
Azioni sul cordone: TP=3.65 TO=11.76 NO=1318.23
Tensioni nel cordone: τ_P=0.43 τ_0=1.39 σ_0=203.37 σ_{ID}=203.37 Σ_T=204.75
CC 21 SLV (Collegamento 0010_-503)
Azioni sul collegamento: N=4628.75 Ty=-15.60 Tz=-59.01 Mx=0.15 Mz=-39.70
Sollecitazioni agenti localmente: Tx_l=-15.60 Ty_l=-59.01 N_l=4628.75 My_l=39.70 Mz_l=0.15
Azioni sul cordone: TP=3.73 TO=11.76 NO=922.67
Tensioni nel cordone: τ_P=0.44 τ_0=1.39 σ_0=166.75 σ_{ID}=166.75 Σ_T=168.13
CC 21 SLV (Collegamento 0010_-503)
Azioni sul collegamento: N=4628.75 Ty=-7.34 Tz=-59.01 Mx=0.15 Mz=-18.64
Sollecitazioni agenti localmente: Tx_l=-7.34 Ty_l=-59.01 N_l=4628.75 My_l=18.64 Mz_l=0.15
Azioni sul cordone: TP=2.08 TO=11.76 NO=922.67
Tensioni nel cordone: τ_P=0.25 τ_0=1.39 σ_0=135.98 σ_{ID}=135.99 Σ_T=137.37
CC 21 SLV (Collegamento 0010_-503)
Azioni sul collegamento: N=4628.75 Ty=-15.60 Tz=-59.01 Mx=0.15 Mz=-39.70
Sollecitazioni agenti localmente: Tx_l=-15.60 Ty_l=-59.01 N_l=4628.75 My_l=39.70 Mz_l=0.15
Azioni sul cordone: TP=3.73 TO=11.76 NO=922.67
Tensioni nel cordone: τ_P=0.44 τ_0=1.39 σ_0=166.75 σ_{ID}=166.75 Σ_T=168.13
CC 21 SLV (Collegamento 0010_-503)

Azioni sul collegamento: N=4628.75 Ty=-7.34 Tz=-59.01 Mx=0.15 Mz=-18.64
Sollecitazioni agenti localmente: Tx_l=-7.34 Ty_l=-59.01 N_l=4628.75 My_l=18.64 Mz_l=0.15
Azioni sul cordone: TP=2.08 TO=11.76 NO=922.67
Tensioni nel cordone: τ_P=0.25 τ_0=1.39 σ_0=135.98 σ_{ID}=135.99 Σ_T=137.37
CC 21 SLV (Collegamento 0010_-503)
Azioni sul collegamento: N=10550.50 Ty=-15.60 Tz=-59.01 Mx=0.15 Mz=-39.70
Sollecitazioni agenti localmente: Tx_l=-15.60 Ty_l=-59.01 N_l=10550.50 My_l=39.70 Mz_l=0.15
Azioni sul cordone: TP=-1.32 TO=-4.24 NO=779.90
Tensioni nel cordone: τ_P=0.42 τ_0=1.35 σ_0=305.88 σ_{ID}=305.89 Σ_T=307.23
CC 21 SLV (Collegamento 0010_-503)
Azioni sul collegamento: N=10550.50 Ty=-7.34 Tz=-59.01 Mx=0.15 Mz=-18.64
Sollecitazioni agenti localmente: Tx_l=-7.34 Ty_l=-59.01 N_l=10550.50 My_l=18.64 Mz_l=0.15
Azioni sul cordone: TP=2.08 TO=11.76 NO=2103.09
Tensioni nel cordone: τ_P=0.25 τ_0=1.39 σ_0=275.11 σ_{ID}=275.12 Σ_T=276.50
CC 21 SLV (Collegamento 0010_-503)
Azioni sul collegamento: N=10550.50 Ty=-15.60 Tz=-59.01 Mx=0.15 Mz=-39.70
Sollecitazioni agenti localmente: Tx_l=-15.60 Ty_l=-59.01 N_l=10550.50 My_l=39.70 Mz_l=0.15
Azioni sul cordone: TP=-1.32 TO=-4.24 NO=779.90
Tensioni nel cordone: τ_P=0.42 τ_0=1.35 σ_0=305.88 σ_{ID}=305.89 Σ_T=307.23
CC 21 SLV (Collegamento 0010_-503)
Azioni sul collegamento: N=10550.50 Ty=-7.34 Tz=-59.01 Mx=0.15 Mz=-18.64
Sollecitazioni agenti localmente: Tx_l=-7.34 Ty_l=-59.01 N_l=10550.50 My_l=18.64 Mz_l=0.15
Azioni sul cordone: TP=2.08 TO=11.76 NO=2103.09
Tensioni nel cordone: τ_P=0.25 τ_0=1.39 σ_0=275.11 σ_{ID}=275.12 Σ_T=276.50
CC 22 SLD (Collegamento 0010_-503)
Azioni sul collegamento: N=6613.12 Ty=-12.87 Tz=-59.01 Mx=0.21 Mz=-32.85
Sollecitazioni agenti localmente: Tx_l=-12.87 Ty_l=-59.01 N_l=6613.12 My_l=32.85 Mz_l=0.21
Azioni sul cordone: TP=3.44 TO=11.76 NO=1318.23
Tensioni nel cordone: τ_P=0.41 τ_0=1.39 σ_0=203.37 σ_{ID}=203.37 Σ_T=204.75
CC 22 SLD (Collegamento 0010_-503)
Azioni sul collegamento: N=6613.12 Ty=-10.36 Tz=-59.01 Mx=0.21 Mz=-26.42
Sollecitazioni agenti localmente: Tx_l=-10.36 Ty_l=-59.01 N_l=6613.12 My_l=26.42 Mz_l=0.21
Azioni sul cordone: TP=2.94 TO=11.76 NO=1318.23
Tensioni nel cordone: τ_P=0.35 τ_0=1.39 σ_0=193.98 σ_{ID}=193.99 Σ_T=195.37
CC 22 SLD (Collegamento 0010_-503)
Azioni sul collegamento: N=6613.12 Ty=-12.87 Tz=-59.01 Mx=0.21 Mz=-32.85
Sollecitazioni agenti localmente: Tx_l=-12.87 Ty_l=-59.01 N_l=6613.12 My_l=32.85 Mz_l=0.21
Azioni sul cordone: TP=3.44 TO=11.76 NO=1318.23
Tensioni nel cordone: τ_P=0.41 τ_0=1.39 σ_0=203.37 σ_{ID}=203.37 Σ_T=204.75
CC 22 SLD (Collegamento 0010_-503)
Azioni sul collegamento: N=6613.12 Ty=-10.36 Tz=-59.01 Mx=0.21 Mz=-26.42
Sollecitazioni agenti localmente: Tx_l=-10.36 Ty_l=-59.01 N_l=6613.12 My_l=26.42 Mz_l=0.21
Azioni sul cordone: TP=2.94 TO=11.76 NO=1318.23
Tensioni nel cordone: τ_P=0.35 τ_0=1.39 σ_0=193.98 σ_{ID}=193.99 Σ_T=195.37
CC 22 SLD (Collegamento 0010_-503)
Azioni sul collegamento: N=8418.85 Ty=-12.87 Tz=-59.01 Mx=0.21 Mz=-32.85
Sollecitazioni agenti localmente: Tx_l=-12.87 Ty_l=-59.01 N_l=8418.85 My_l=32.85 Mz_l=0.21
Azioni sul cordone: TP=3.44 TO=11.76 NO=1678.18
Tensioni nel cordone: τ_P=0.41 τ_0=1.39 σ_0=245.79 σ_{ID}=245.80 Σ_T=247.18
CC 22 SLD (Collegamento 0010_-503)
Azioni sul collegamento: N=8418.85 Ty=-10.36 Tz=-59.01 Mx=0.21 Mz=-26.42
Sollecitazioni agenti localmente: Tx_l=-10.36 Ty_l=-59.01 N_l=8418.85 My_l=26.42 Mz_l=0.21
Azioni sul cordone: TP=2.94 TO=11.76 NO=1678.18
Tensioni nel cordone: τ_P=0.35 τ_0=1.39 σ_0=236.41 σ_{ID}=236.41 Σ_T=237.80
CC 22 SLD (Collegamento 0010_-503)
Azioni sul collegamento: N=8418.85 Ty=-12.87 Tz=-59.01 Mx=0.21 Mz=-32.85
Sollecitazioni agenti localmente: Tx_l=-12.87 Ty_l=-59.01 N_l=8418.85 My_l=32.85 Mz_l=0.21
Azioni sul cordone: TP=3.44 TO=11.76 NO=1678.18
Tensioni nel cordone: τ_P=0.41 τ_0=1.39 σ_0=245.79 σ_{ID}=245.80 Σ_T=247.18
CC 22 SLD (Collegamento 0010_-503)
Azioni sul collegamento: N=8418.85 Ty=-10.36 Tz=-59.01 Mx=0.21 Mz=-26.42
Sollecitazioni agenti localmente: Tx_l=-10.36 Ty_l=-59.01 N_l=8418.85 My_l=26.42 Mz_l=0.21
Azioni sul cordone: TP=2.94 TO=11.76 NO=1678.18
Tensioni nel cordone: τ_P=0.35 τ_0=1.39 σ_0=236.41 σ_{ID}=236.41 Σ_T=237.80
CC 23 SLV (Collegamento 0010_-503)
Azioni sul collegamento: N=4624.81 Ty=-15.69 Tz=-59.01 Mx=0.14 Mz=-39.94
Sollecitazioni agenti localmente: Tx_l=-15.69 Ty_l=-59.01 N_l=4624.81 My_l=39.94 Mz_l=0.14
Azioni sul cordone: TP=3.74 TO=11.76 NO=921.89
Tensioni nel cordone: τ_P=0.44 τ_0=1.39 σ_0=167.01 σ_{ID}=167.02 Σ_T=168.40
CC 23 SLV (Collegamento 0010_-503)
Azioni sul collegamento: N=4624.81 Ty=-7.25 Tz=-59.01 Mx=0.14 Mz=-18.39
Sollecitazioni agenti localmente: Tx_l=-7.25 Ty_l=-59.01 N_l=4624.81 My_l=18.39 Mz_l=0.14
Azioni sul cordone: TP=2.06 TO=11.76 NO=921.89
Tensioni nel cordone: τ_P=0.24 τ_0=1.39 σ_0=135.53 σ_{ID}=135.54 Σ_T=136.92
CC 23 SLV (Collegamento 0010_-503)
Azioni sul collegamento: N=4624.81 Ty=-15.69 Tz=-59.01 Mx=0.14 Mz=-39.94
Sollecitazioni agenti localmente: Tx_l=-15.69 Ty_l=-59.01 N_l=4624.81 My_l=39.94 Mz_l=0.14
Azioni sul cordone: TP=3.74 TO=11.76 NO=921.89
Tensioni nel cordone: τ_P=0.44 τ_0=1.39 σ_0=167.01 σ_{ID}=167.02 Σ_T=168.40
CC 23 SLV (Collegamento 0010_-503)
Azioni sul collegamento: N=4624.81 Ty=-7.25 Tz=-59.01 Mx=0.14 Mz=-18.39

Sollecitazioni agenti localmente: Tx_l=-7.25 Ty_l=-59.01 N_l=4624.81 My_l=18.39 Mz_l=0.14
Azioni sul cordone: TP=2.06 TO=11.76 NO=921.89
Tensioni nel cordone: τ_P=0.24 τ_0=1.39 σ_0=135.53 σ_{ID}=135.54 Σ_T=136.92
CC 23 SLV (Collegamento 0010_-503)
Azioni sul collegamento: N=10554.50 Ty=-15.69 Tz=-59.01 Mx=0.14 Mz=-39.94
Sollecitazioni agenti localmente: Tx_l=-15.69 Ty_l=-59.01 N_l=10554.50 My_l=39.94 Mz_l=0.14
Azioni sul cordone: TP=-1.33 TO=-4.25 NO=780.19
Tensioni nel cordone: τ_P=0.42 τ_0=1.35 σ_0=306.33 σ_{ID}=306.33 Σ_T=307.68
CC 23 SLV (Collegamento 0010_-503)
Azioni sul collegamento: N=10554.50 Ty=-7.25 Tz=-59.01 Mx=0.14 Mz=-18.39
Sollecitazioni agenti localmente: Tx_l=-7.25 Ty_l=-59.01 N_l=10554.50 My_l=18.39 Mz_l=0.14
Azioni sul cordone: TP=2.06 TO=11.76 NO=2103.88
Tensioni nel cordone: τ_P=0.24 τ_0=1.39 σ_0=274.85 σ_{ID}=274.86 Σ_T=276.24
CC 23 SLV (Collegamento 0010_-503)
Azioni sul collegamento: N=10554.50 Ty=-15.69 Tz=-59.01 Mx=0.14 Mz=-39.94
Sollecitazioni agenti localmente: Tx_l=-15.69 Ty_l=-59.01 N_l=10554.50 My_l=39.94 Mz_l=0.14
Azioni sul cordone: TP=-1.33 TO=-4.25 NO=780.19
Tensioni nel cordone: τ_P=0.42 τ_0=1.35 σ_0=306.33 σ_{ID}=306.33 Σ_T=307.68
CC 23 SLV (Collegamento 0010_-503)
Azioni sul collegamento: N=10554.50 Ty=-7.25 Tz=-59.01 Mx=0.14 Mz=-18.39
Sollecitazioni agenti localmente: Tx_l=-7.25 Ty_l=-59.01 N_l=10554.50 My_l=18.39 Mz_l=0.14
Azioni sul cordone: TP=2.06 TO=11.76 NO=2103.88
Tensioni nel cordone: τ_P=0.24 τ_0=1.39 σ_0=274.85 σ_{ID}=274.86 Σ_T=276.24
CC 24 SLD (Collegamento 0010_-503)
Azioni sul collegamento: N=6611.92 Ty=-12.90 Tz=-59.01 Mx=0.21 Mz=-32.92
Sollecitazioni agenti localmente: Tx_l=-12.90 Ty_l=-59.01 N_l=6611.92 My_l=32.92 Mz_l=0.21
Azioni sul cordone: TP=3.44 TO=11.76 NO=1317.99
Tensioni nel cordone: τ_P=0.41 τ_0=1.39 σ_0=203.44 σ_{ID}=203.45 Σ_T=204.83
CC 24 SLD (Collegamento 0010_-503)
Azioni sul collegamento: N=6611.92 Ty=-10.33 Tz=-59.01 Mx=0.21 Mz=-26.35
Sollecitazioni agenti localmente: Tx_l=-10.33 Ty_l=-59.01 N_l=6611.92 My_l=26.35 Mz_l=0.21
Azioni sul cordone: TP=2.93 TO=11.76 NO=1317.99
Tensioni nel cordone: τ_P=0.35 τ_0=1.39 σ_0=193.85 σ_{ID}=193.85 Σ_T=195.23
CC 24 SLD (Collegamento 0010_-503)
Azioni sul collegamento: N=6611.92 Ty=-12.90 Tz=-59.01 Mx=0.21 Mz=-32.92
Sollecitazioni agenti localmente: Tx_l=-12.90 Ty_l=-59.01 N_l=6611.92 My_l=32.92 Mz_l=0.21
Azioni sul cordone: TP=3.44 TO=11.76 NO=1317.99
Tensioni nel cordone: τ_P=0.41 τ_0=1.39 σ_0=203.44 σ_{ID}=203.45 Σ_T=204.83
CC 24 SLD (Collegamento 0010_-503)
Azioni sul collegamento: N=6611.92 Ty=-10.33 Tz=-59.01 Mx=0.21 Mz=-26.35
Sollecitazioni agenti localmente: Tx_l=-10.33 Ty_l=-59.01 N_l=6611.92 My_l=26.35 Mz_l=0.21
Azioni sul cordone: TP=2.93 TO=11.76 NO=1317.99
Tensioni nel cordone: τ_P=0.35 τ_0=1.39 σ_0=193.85 σ_{ID}=193.85 Σ_T=195.23
CC 24 SLD (Collegamento 0010_-503)
Azioni sul collegamento: N=8420.06 Ty=-12.90 Tz=-59.01 Mx=0.21 Mz=-32.92
Sollecitazioni agenti localmente: Tx_l=-12.90 Ty_l=-59.01 N_l=8420.06 My_l=32.92 Mz_l=0.21
Azioni sul cordone: TP=3.44 TO=11.76 NO=1678.42
Tensioni nel cordone: τ_P=0.41 τ_0=1.39 σ_0=245.93 σ_{ID}=245.93 Σ_T=247.31
CC 24 SLD (Collegamento 0010_-503)
Azioni sul collegamento: N=8420.06 Ty=-10.33 Tz=-59.01 Mx=0.21 Mz=-26.35
Sollecitazioni agenti localmente: Tx_l=-10.33 Ty_l=-59.01 N_l=8420.06 My_l=26.35 Mz_l=0.21
Azioni sul cordone: TP=2.93 TO=11.76 NO=1678.42
Tensioni nel cordone: τ_P=0.35 τ_0=1.39 σ_0=236.33 σ_{ID}=236.33 Σ_T=237.72
CC 24 SLD (Collegamento 0010_-503)
Azioni sul collegamento: N=8420.06 Ty=-12.90 Tz=-59.01 Mx=0.21 Mz=-32.92
Sollecitazioni agenti localmente: Tx_l=-12.90 Ty_l=-59.01 N_l=8420.06 My_l=32.92 Mz_l=0.21
Azioni sul cordone: TP=3.44 TO=11.76 NO=1678.42
Tensioni nel cordone: τ_P=0.41 τ_0=1.39 σ_0=245.93 σ_{ID}=245.93 Σ_T=247.31
CC 24 SLD (Collegamento 0010_-503)
Azioni sul collegamento: N=8420.06 Ty=-10.33 Tz=-59.01 Mx=0.21 Mz=-26.35
Sollecitazioni agenti localmente: Tx_l=-10.33 Ty_l=-59.01 N_l=8420.06 My_l=26.35 Mz_l=0.21
Azioni sul cordone: TP=2.93 TO=11.76 NO=1678.42
Tensioni nel cordone: τ_P=0.35 τ_0=1.39 σ_0=236.33 σ_{ID}=236.33 Σ_T=237.72
CC 25 SLV (Collegamento 0010_-503)
Azioni sul collegamento: N=8485.05 Ty=-10.06 Tz=-59.01 Mx=0.26 Mz=-25.57
Sollecitazioni agenti localmente: Tx_l=-10.06 Ty_l=-59.01 N_l=8485.05 My_l=25.57 Mz_l=0.26
Azioni sul cordone: TP=3.09 TO=11.76 NO=1691.37
Tensioni nel cordone: τ_P=0.36 τ_0=1.39 σ_0=236.71 σ_{ID}=236.71 Σ_T=238.10
CC 25 SLV (Collegamento 0010_-503)
Azioni sul collegamento: N=8485.05 Ty=-12.88 Tz=-59.01 Mx=0.26 Mz=-32.77
Sollecitazioni agenti localmente: Tx_l=-12.88 Ty_l=-59.01 N_l=8485.05 My_l=32.77 Mz_l=0.26
Azioni sul cordone: TP=3.65 TO=11.76 NO=1691.37
Tensioni nel cordone: τ_P=0.43 τ_0=1.39 σ_0=247.23 σ_{ID}=247.23 Σ_T=248.62
CC 25 SLV (Collegamento 0010_-503)
Azioni sul collegamento: N=8485.05 Ty=-10.06 Tz=-59.01 Mx=0.26 Mz=-25.57
Sollecitazioni agenti localmente: Tx_l=-10.06 Ty_l=-59.01 N_l=8485.05 My_l=25.57 Mz_l=0.26
Azioni sul cordone: TP=3.09 TO=11.76 NO=1691.37
Tensioni nel cordone: τ_P=0.36 τ_0=1.39 σ_0=236.71 σ_{ID}=236.71 Σ_T=238.10
CC 25 SLV (Collegamento 0010_-503)
Azioni sul collegamento: N=8485.05 Ty=-12.88 Tz=-59.01 Mx=0.26 Mz=-32.77
Sollecitazioni agenti localmente: Tx_l=-12.88 Ty_l=-59.01 N_l=8485.05 My_l=32.77 Mz_l=0.26

Azioni sul cordone: TP=3.65 TO=11.76 NO=1691.37
Tensioni nel cordone: τ_P=0.43 τ_0=1.39 σ_0=247.23 σ_{ID}=247.23 Σ_T=248.62
CC 25 SLV (Collegamento 0010_-503)
Azioni sul collegamento: N=6694.21 Ty=-10.06 Tz=-59.01 Mx=0.26 Mz=-25.57
Sollecitazioni agenti localmente: Tx_l=-10.06 Ty_l=-59.01 N_l=6694.21 My_l=25.57 Mz_l=0.26
Azioni sul cordone: TP=3.09 TO=11.76 NO=1334.39
Tensioni nel cordone: τ_P=0.36 τ_0=1.39 σ_0=194.63 σ_{ID}=194.64 Σ_T=196.02
CC 25 SLV (Collegamento 0010_-503)
Azioni sul collegamento: N=6694.21 Ty=-12.88 Tz=-59.01 Mx=0.26 Mz=-32.77
Sollecitazioni agenti localmente: Tx_l=-12.88 Ty_l=-59.01 N_l=6694.21 My_l=32.77 Mz_l=0.26
Azioni sul cordone: TP=3.65 TO=11.76 NO=1334.39
Tensioni nel cordone: τ_P=0.43 τ_0=1.39 σ_0=205.15 σ_{ID}=205.16 Σ_T=206.54
CC 25 SLV (Collegamento 0010_-503)
Azioni sul collegamento: N=6694.21 Ty=-10.06 Tz=-59.01 Mx=0.26 Mz=-25.57
Sollecitazioni agenti localmente: Tx_l=-10.06 Ty_l=-59.01 N_l=6694.21 My_l=25.57 Mz_l=0.26
Azioni sul cordone: TP=3.09 TO=11.76 NO=1334.39
Tensioni nel cordone: τ_P=0.36 τ_0=1.39 σ_0=194.63 σ_{ID}=194.64 Σ_T=196.02
CC 25 SLV (Collegamento 0010_-503)
Azioni sul collegamento: N=6694.21 Ty=-12.88 Tz=-59.01 Mx=0.26 Mz=-32.77
Sollecitazioni agenti localmente: Tx_l=-12.88 Ty_l=-59.01 N_l=6694.21 My_l=32.77 Mz_l=0.26
Azioni sul cordone: TP=3.65 TO=11.76 NO=1334.39
Tensioni nel cordone: τ_P=0.43 τ_0=1.39 σ_0=205.15 σ_{ID}=205.16 Σ_T=206.54
CC 26 SLD (Collegamento 0010_-503)
Azioni sul collegamento: N=7789.03 Ty=-11.19 Tz=-59.01 Mx=0.24 Mz=-28.54
Sollecitazioni agenti localmente: Tx_l=-11.19 Ty_l=-59.01 N_l=7789.03 My_l=28.54 Mz_l=0.24
Azioni sul cordone: TP=3.25 TO=11.76 NO=1552.63
Tensioni nel cordone: τ_P=0.38 τ_0=1.39 σ_0=224.70 σ_{ID}=224.70 Σ_T=226.09
CC 26 SLD (Collegamento 0010_-503)
Azioni sul collegamento: N=7789.03 Ty=-12.04 Tz=-59.01 Mx=0.24 Mz=-30.73
Sollecitazioni agenti localmente: Tx_l=-12.04 Ty_l=-59.01 N_l=7789.03 My_l=30.73 Mz_l=0.24
Azioni sul cordone: TP=3.42 TO=11.76 NO=1552.63
Tensioni nel cordone: τ_P=0.40 τ_0=1.39 σ_0=227.91 σ_{ID}=227.91 Σ_T=229.29
CC 26 SLD (Collegamento 0010_-503)
Azioni sul collegamento: N=7789.03 Ty=-11.19 Tz=-59.01 Mx=0.24 Mz=-28.54
Sollecitazioni agenti localmente: Tx_l=-11.19 Ty_l=-59.01 N_l=7789.03 My_l=28.54 Mz_l=0.24
Azioni sul cordone: TP=3.25 TO=11.76 NO=1552.63
Tensioni nel cordone: τ_P=0.38 τ_0=1.39 σ_0=224.70 σ_{ID}=224.70 Σ_T=226.09
CC 26 SLD (Collegamento 0010_-503)
Azioni sul collegamento: N=7789.03 Ty=-12.04 Tz=-59.01 Mx=0.24 Mz=-30.73
Sollecitazioni agenti localmente: Tx_l=-12.04 Ty_l=-59.01 N_l=7789.03 My_l=30.73 Mz_l=0.24
Azioni sul cordone: TP=3.42 TO=11.76 NO=1552.63
Tensioni nel cordone: τ_P=0.40 τ_0=1.39 σ_0=227.91 σ_{ID}=227.91 Σ_T=229.29
CC 26 SLD (Collegamento 0010_-503)
Azioni sul collegamento: N=7242.94 Ty=-11.19 Tz=-59.01 Mx=0.24 Mz=-28.54
Sollecitazioni agenti localmente: Tx_l=-11.19 Ty_l=-59.01 N_l=7242.94 My_l=28.54 Mz_l=0.24
Azioni sul cordone: TP=3.25 TO=11.76 NO=1443.78
Tensioni nel cordone: τ_P=0.38 τ_0=1.39 σ_0=211.87 σ_{ID}=211.87 Σ_T=213.25
CC 26 SLD (Collegamento 0010_-503)
Azioni sul collegamento: N=7242.94 Ty=-12.04 Tz=-59.01 Mx=0.24 Mz=-30.73
Sollecitazioni agenti localmente: Tx_l=-12.04 Ty_l=-59.01 N_l=7242.94 My_l=30.73 Mz_l=0.24
Azioni sul cordone: TP=3.42 TO=11.76 NO=1443.78
Tensioni nel cordone: τ_P=0.40 τ_0=1.39 σ_0=215.08 σ_{ID}=215.08 Σ_T=216.46
CC 26 SLD (Collegamento 0010_-503)
Azioni sul collegamento: N=7242.94 Ty=-11.19 Tz=-59.01 Mx=0.24 Mz=-28.54
Sollecitazioni agenti localmente: Tx_l=-11.19 Ty_l=-59.01 N_l=7242.94 My_l=28.54 Mz_l=0.24
Azioni sul cordone: TP=3.25 TO=11.76 NO=1443.78
Tensioni nel cordone: τ_P=0.38 τ_0=1.39 σ_0=211.87 σ_{ID}=211.87 Σ_T=213.25
CC 26 SLD (Collegamento 0010_-503)
Azioni sul collegamento: N=7242.94 Ty=-12.04 Tz=-59.01 Mx=0.24 Mz=-30.73
Sollecitazioni agenti localmente: Tx_l=-12.04 Ty_l=-59.01 N_l=7242.94 My_l=30.73 Mz_l=0.24
Azioni sul cordone: TP=3.42 TO=11.76 NO=1443.78
Tensioni nel cordone: τ_P=0.40 τ_0=1.39 σ_0=215.08 σ_{ID}=215.08 Σ_T=216.46
CC 27 SLV (Collegamento 0010_-503)
Azioni sul collegamento: N=6707.34 Ty=-12.57 Tz=-59.01 Mx=0.21 Mz=-31.96
Sollecitazioni agenti localmente: Tx_l=-12.57 Ty_l=-59.01 N_l=6707.34 My_l=31.96 Mz_l=0.21
Azioni sul cordone: TP=3.38 TO=11.76 NO=1337.01
Tensioni nel cordone: τ_P=0.40 τ_0=1.39 σ_0=204.28 σ_{ID}=204.28 Σ_T=205.66
CC 27 SLV (Collegamento 0010_-503)
Azioni sul collegamento: N=6707.34 Ty=-10.37 Tz=-59.01 Mx=0.21 Mz=-26.37
Sollecitazioni agenti localmente: Tx_l=-10.37 Ty_l=-59.01 N_l=6707.34 My_l=26.37 Mz_l=0.21
Azioni sul cordone: TP=2.94 TO=11.76 NO=1337.01
Tensioni nel cordone: τ_P=0.35 τ_0=1.39 σ_0=196.12 σ_{ID}=196.13 Σ_T=197.51
CC 27 SLV (Collegamento 0010_-503)
Azioni sul collegamento: N=6707.34 Ty=-12.57 Tz=-59.01 Mx=0.21 Mz=-31.96
Sollecitazioni agenti localmente: Tx_l=-12.57 Ty_l=-59.01 N_l=6707.34 My_l=31.96 Mz_l=0.21
Azioni sul cordone: TP=3.38 TO=11.76 NO=1337.01
Tensioni nel cordone: τ_P=0.40 τ_0=1.39 σ_0=204.28 σ_{ID}=204.28 Σ_T=205.66
CC 27 SLV (Collegamento 0010_-503)
Azioni sul collegamento: N=6707.34 Ty=-10.37 Tz=-59.01 Mx=0.21 Mz=-26.37
Sollecitazioni agenti localmente: Tx_l=-10.37 Ty_l=-59.01 N_l=6707.34 My_l=26.37 Mz_l=0.21
Azioni sul cordone: TP=2.94 TO=11.76 NO=1337.01

Tensioni nel cordone: τ_P=0.35 τ_0=1.39 σ_0=196.12 σ_{ID}=196.13 Σ_T=197.51
CC 27 SLV (Collegamento 0010_-503)
Azioni sul collegamento: N=8471.93 Ty=-12.57 Tz=-59.01 Mx=0.21 Mz=-31.96
Sollecitazioni agenti localmente: Tx_l=-12.57 Ty_l=-59.01 N_l=8471.93 My_l=31.96 Mz_l=0.21
Azioni sul cordone: TP=3.38 TO=11.76 NO=1688.76
Tensioni nel cordone: τ_P=0.40 τ_0=1.39 σ_0=245.74 σ_{ID}=245.74 Σ_T=247.13
CC 27 SLV (Collegamento 0010_-503)
Azioni sul collegamento: N=8471.93 Ty=-10.37 Tz=-59.01 Mx=0.21 Mz=-26.37
Sollecitazioni agenti localmente: Tx_l=-10.37 Ty_l=-59.01 N_l=8471.93 My_l=26.37 Mz_l=0.21
Azioni sul cordone: TP=2.94 TO=11.76 NO=1688.76
Tensioni nel cordone: τ_P=0.35 τ_0=1.39 σ_0=237.58 σ_{ID}=237.59 Σ_T=238.97
CC 27 SLV (Collegamento 0010_-503)
Azioni sul collegamento: N=8471.93 Ty=-12.57 Tz=-59.01 Mx=0.21 Mz=-31.96
Sollecitazioni agenti localmente: Tx_l=-12.57 Ty_l=-59.01 N_l=8471.93 My_l=31.96 Mz_l=0.21
Azioni sul cordone: TP=3.38 TO=11.76 NO=1688.76
Tensioni nel cordone: τ_P=0.40 τ_0=1.39 σ_0=245.74 σ_{ID}=245.74 Σ_T=247.13
CC 27 SLV (Collegamento 0010_-503)
Azioni sul collegamento: N=8471.93 Ty=-10.37 Tz=-59.01 Mx=0.21 Mz=-26.37
Sollecitazioni agenti localmente: Tx_l=-10.37 Ty_l=-59.01 N_l=8471.93 My_l=26.37 Mz_l=0.21
Azioni sul cordone: TP=2.94 TO=11.76 NO=1688.76
Tensioni nel cordone: τ_P=0.35 τ_0=1.39 σ_0=237.58 σ_{ID}=237.59 Σ_T=238.97
CC 28 SLD (Collegamento 0010_-503)
Azioni sul collegamento: N=7246.95 Ty=-11.95 Tz=-59.01 Mx=0.23 Mz=-30.49
Sollecitazioni agenti localmente: Tx_l=-11.95 Ty_l=-59.01 N_l=7246.95 My_l=30.49 Mz_l=0.23
Azioni sul cordone: TP=3.33 TO=11.76 NO=1444.57
Tensioni nel cordone: τ_P=0.39 τ_0=1.39 σ_0=214.81 σ_{ID}=214.81 Σ_T=216.20
CC 28 SLD (Collegamento 0010_-503)
Azioni sul collegamento: N=7246.95 Ty=-11.28 Tz=-59.01 Mx=0.23 Mz=-28.78
Sollecitazioni agenti localmente: Tx_l=-11.28 Ty_l=-59.01 N_l=7246.95 My_l=28.78 Mz_l=0.23
Azioni sul cordone: TP=3.20 TO=11.76 NO=1444.57
Tensioni nel cordone: τ_P=0.38 τ_0=1.39 σ_0=212.32 σ_{ID}=212.33 Σ_T=213.71
CC 28 SLD (Collegamento 0010_-503)
Azioni sul collegamento: N=7246.95 Ty=-11.95 Tz=-59.01 Mx=0.23 Mz=-30.49
Sollecitazioni agenti localmente: Tx_l=-11.95 Ty_l=-59.01 N_l=7246.95 My_l=30.49 Mz_l=0.23
Azioni sul cordone: TP=3.33 TO=11.76 NO=1444.57
Tensioni nel cordone: τ_P=0.39 τ_0=1.39 σ_0=214.81 σ_{ID}=214.81 Σ_T=216.20
CC 28 SLD (Collegamento 0010_-503)
Azioni sul collegamento: N=7246.95 Ty=-11.28 Tz=-59.01 Mx=0.23 Mz=-28.78
Sollecitazioni agenti localmente: Tx_l=-11.28 Ty_l=-59.01 N_l=7246.95 My_l=28.78 Mz_l=0.23
Azioni sul cordone: TP=3.20 TO=11.76 NO=1444.57
Tensioni nel cordone: τ_P=0.38 τ_0=1.39 σ_0=212.32 σ_{ID}=212.33 Σ_T=213.71
CC 28 SLD (Collegamento 0010_-503)
Azioni sul collegamento: N=7785.03 Ty=-11.95 Tz=-59.01 Mx=0.23 Mz=-30.49
Sollecitazioni agenti localmente: Tx_l=-11.95 Ty_l=-59.01 N_l=7785.03 My_l=30.49 Mz_l=0.23
Azioni sul cordone: TP=3.33 TO=11.76 NO=1551.83
Tensioni nel cordone: τ_P=0.39 τ_0=1.39 σ_0=227.45 σ_{ID}=227.46 Σ_T=228.84
CC 28 SLD (Collegamento 0010_-503)
Azioni sul collegamento: N=7785.03 Ty=-11.28 Tz=-59.01 Mx=0.23 Mz=-28.78
Sollecitazioni agenti localmente: Tx_l=-11.28 Ty_l=-59.01 N_l=7785.03 My_l=28.78 Mz_l=0.23
Azioni sul cordone: TP=3.20 TO=11.76 NO=1551.83
Tensioni nel cordone: τ_P=0.38 τ_0=1.39 σ_0=224.97 σ_{ID}=224.97 Σ_T=226.35
CC 28 SLD (Collegamento 0010_-503)
Azioni sul collegamento: N=7785.03 Ty=-11.95 Tz=-59.01 Mx=0.23 Mz=-30.49
Sollecitazioni agenti localmente: Tx_l=-11.95 Ty_l=-59.01 N_l=7785.03 My_l=30.49 Mz_l=0.23
Azioni sul cordone: TP=3.33 TO=11.76 NO=1551.83
Tensioni nel cordone: τ_P=0.39 τ_0=1.39 σ_0=227.45 σ_{ID}=227.46 Σ_T=228.84
CC 28 SLD (Collegamento 0010_-503)
Azioni sul collegamento: N=7785.03 Ty=-11.28 Tz=-59.01 Mx=0.23 Mz=-28.78
Sollecitazioni agenti localmente: Tx_l=-11.28 Ty_l=-59.01 N_l=7785.03 My_l=28.78 Mz_l=0.23
Azioni sul cordone: TP=3.20 TO=11.76 NO=1551.83
Tensioni nel cordone: τ_P=0.38 τ_0=1.39 σ_0=224.97 σ_{ID}=224.97 Σ_T=226.35
CC 29 SLV (Collegamento 0010_-503)
Azioni sul collegamento: N=8471.93 Ty=-10.37 Tz=-59.01 Mx=0.25 Mz=-26.37
Sollecitazioni agenti localmente: Tx_l=-10.37 Ty_l=-59.01 N_l=8471.93 My_l=26.37 Mz_l=0.25
Azioni sul cordone: TP=3.13 TO=11.76 NO=1688.76
Tensioni nel cordone: τ_P=0.37 τ_0=1.39 σ_0=237.58 σ_{ID}=237.59 Σ_T=238.97
CC 29 SLV (Collegamento 0010_-503)
Azioni sul collegamento: N=8471.93 Ty=-12.57 Tz=-59.01 Mx=0.25 Mz=-31.96
Sollecitazioni agenti localmente: Tx_l=-12.57 Ty_l=-59.01 N_l=8471.93 My_l=31.96 Mz_l=0.25
Azioni sul cordone: TP=3.57 TO=11.76 NO=1688.76
Tensioni nel cordone: τ_P=0.42 τ_0=1.39 σ_0=245.74 σ_{ID}=245.74 Σ_T=247.13
CC 29 SLV (Collegamento 0010_-503)
Azioni sul collegamento: N=8471.93 Ty=-10.37 Tz=-59.01 Mx=0.25 Mz=-26.37
Sollecitazioni agenti localmente: Tx_l=-10.37 Ty_l=-59.01 N_l=8471.93 My_l=26.37 Mz_l=0.25
Azioni sul cordone: TP=3.13 TO=11.76 NO=1688.76
Tensioni nel cordone: τ_P=0.37 τ_0=1.39 σ_0=237.58 σ_{ID}=237.59 Σ_T=238.97
CC 29 SLV (Collegamento 0010_-503)
Azioni sul collegamento: N=8471.93 Ty=-12.57 Tz=-59.01 Mx=0.25 Mz=-31.96
Sollecitazioni agenti localmente: Tx_l=-12.57 Ty_l=-59.01 N_l=8471.93 My_l=31.96 Mz_l=0.25
Azioni sul cordone: TP=3.57 TO=11.76 NO=1688.76
Tensioni nel cordone: τ_P=0.42 τ_0=1.39 σ_0=245.74 σ_{ID}=245.74 Σ_T=247.13

CC 29 SLV (Collegamento 0010_-503)
Azioni sul collegamento: N=6707.34 Ty=-10.37 Tz=-59.01 Mx=0.25 Mz=-26.37
Sollecitazioni agenti localmente: Tx_l=-10.37 Ty_l=-59.01 N_l=6707.34 My_l=26.37 Mz_l=0.25
Azioni sul cordone: TP=3.13 TO=11.76 NO=1337.01
Tensioni nel cordone: τ_P=0.37 τ_0=1.39 σ_0=196.12 σ_{ID}=196.13 Σ_T=197.51
CC 29 SLV (Collegamento 0010_-503)
Azioni sul collegamento: N=6707.34 Ty=-12.57 Tz=-59.01 Mx=0.25 Mz=-31.96
Sollecitazioni agenti localmente: Tx_l=-12.57 Ty_l=-59.01 N_l=6707.34 My_l=31.96 Mz_l=0.25
Azioni sul cordone: TP=3.57 TO=11.76 NO=1337.01
Tensioni nel cordone: τ_P=0.42 τ_0=1.39 σ_0=204.28 σ_{ID}=204.28 Σ_T=205.66
CC 29 SLV (Collegamento 0010_-503)
Azioni sul collegamento: N=6707.34 Ty=-10.37 Tz=-59.01 Mx=0.25 Mz=-26.37
Sollecitazioni agenti localmente: Tx_l=-10.37 Ty_l=-59.01 N_l=6707.34 My_l=26.37 Mz_l=0.25
Azioni sul cordone: TP=3.13 TO=11.76 NO=1337.01
Tensioni nel cordone: τ_P=0.37 τ_0=1.39 σ_0=196.12 σ_{ID}=196.13 Σ_T=197.51
CC 29 SLV (Collegamento 0010_-503)
Azioni sul collegamento: N=6707.34 Ty=-12.57 Tz=-59.01 Mx=0.25 Mz=-31.96
Sollecitazioni agenti localmente: Tx_l=-12.57 Ty_l=-59.01 N_l=6707.34 My_l=31.96 Mz_l=0.25
Azioni sul cordone: TP=3.57 TO=11.76 NO=1337.01
Tensioni nel cordone: τ_P=0.42 τ_0=1.39 σ_0=204.28 σ_{ID}=204.28 Σ_T=205.66
CC 30 SLD (Collegamento 0010_-503)
Azioni sul collegamento: N=7785.03 Ty=-11.28 Tz=-59.01 Mx=0.24 Mz=-28.78
Sollecitazioni agenti localmente: Tx_l=-11.28 Ty_l=-59.01 N_l=7785.03 My_l=28.78 Mz_l=0.24
Azioni sul cordone: TP=3.26 TO=11.76 NO=1551.83
Tensioni nel cordone: τ_P=0.38 τ_0=1.39 σ_0=224.97 σ_{ID}=224.97 Σ_T=226.35
CC 30 SLD (Collegamento 0010_-503)
Azioni sul collegamento: N=7785.03 Ty=-11.95 Tz=-59.01 Mx=0.24 Mz=-30.49
Sollecitazioni agenti localmente: Tx_l=-11.95 Ty_l=-59.01 N_l=7785.03 My_l=30.49 Mz_l=0.24
Azioni sul cordone: TP=3.39 TO=11.76 NO=1551.83
Tensioni nel cordone: τ_P=0.40 τ_0=1.39 σ_0=227.45 σ_{ID}=227.46 Σ_T=228.84
CC 30 SLD (Collegamento 0010_-503)
Azioni sul collegamento: N=7785.03 Ty=-11.28 Tz=-59.01 Mx=0.24 Mz=-28.78
Sollecitazioni agenti localmente: Tx_l=-11.28 Ty_l=-59.01 N_l=7785.03 My_l=28.78 Mz_l=0.24
Azioni sul cordone: TP=3.26 TO=11.76 NO=1551.83
Tensioni nel cordone: τ_P=0.38 τ_0=1.39 σ_0=224.97 σ_{ID}=224.97 Σ_T=226.35
CC 30 SLD (Collegamento 0010_-503)
Azioni sul collegamento: N=7785.03 Ty=-11.95 Tz=-59.01 Mx=0.24 Mz=-30.49
Sollecitazioni agenti localmente: Tx_l=-11.95 Ty_l=-59.01 N_l=7785.03 My_l=30.49 Mz_l=0.24
Azioni sul cordone: TP=3.39 TO=11.76 NO=1551.83
Tensioni nel cordone: τ_P=0.40 τ_0=1.39 σ_0=227.45 σ_{ID}=227.46 Σ_T=228.84
CC 30 SLD (Collegamento 0010_-503)
Azioni sul collegamento: N=7246.95 Ty=-11.28 Tz=-59.01 Mx=0.24 Mz=-28.78
Sollecitazioni agenti localmente: Tx_l=-11.28 Ty_l=-59.01 N_l=7246.95 My_l=28.78 Mz_l=0.24
Azioni sul cordone: TP=3.26 TO=11.76 NO=1444.57
Tensioni nel cordone: τ_P=0.38 τ_0=1.39 σ_0=212.32 σ_{ID}=212.33 Σ_T=213.71
CC 30 SLD (Collegamento 0010_-503)
Azioni sul collegamento: N=7246.95 Ty=-11.95 Tz=-59.01 Mx=0.24 Mz=-30.49
Sollecitazioni agenti localmente: Tx_l=-11.95 Ty_l=-59.01 N_l=7246.95 My_l=30.49 Mz_l=0.24
Azioni sul cordone: TP=3.39 TO=11.76 NO=1444.57
Tensioni nel cordone: τ_P=0.40 τ_0=1.39 σ_0=214.81 σ_{ID}=214.81 Σ_T=216.20
CC 30 SLD (Collegamento 0010_-503)
Azioni sul collegamento: N=7246.95 Ty=-11.28 Tz=-59.01 Mx=0.24 Mz=-28.78
Sollecitazioni agenti localmente: Tx_l=-11.28 Ty_l=-59.01 N_l=7246.95 My_l=28.78 Mz_l=0.24
Azioni sul cordone: TP=3.26 TO=11.76 NO=1444.57
Tensioni nel cordone: τ_P=0.38 τ_0=1.39 σ_0=212.32 σ_{ID}=212.33 Σ_T=213.71
CC 30 SLD (Collegamento 0010_-503)
Azioni sul collegamento: N=7246.95 Ty=-11.95 Tz=-59.01 Mx=0.24 Mz=-30.49
Sollecitazioni agenti localmente: Tx_l=-11.95 Ty_l=-59.01 N_l=7246.95 My_l=30.49 Mz_l=0.24
Azioni sul cordone: TP=3.39 TO=11.76 NO=1444.57
Tensioni nel cordone: τ_P=0.40 τ_0=1.39 σ_0=214.81 σ_{ID}=214.81 Σ_T=216.20
CC 31 SLV (Collegamento 0010_-503)
Azioni sul collegamento: N=6694.21 Ty=-12.88 Tz=-59.01 Mx=0.20 Mz=-32.77
Sollecitazioni agenti localmente: Tx_l=-12.88 Ty_l=-59.01 N_l=6694.21 My_l=32.77 Mz_l=0.20
Azioni sul cordone: TP=3.42 TO=11.76 NO=1334.39
Tensioni nel cordone: τ_P=0.40 τ_0=1.39 σ_0=205.15 σ_{ID}=205.16 Σ_T=206.54
CC 31 SLV (Collegamento 0010_-503)
Azioni sul collegamento: N=6694.21 Ty=-10.06 Tz=-59.01 Mx=0.20 Mz=-25.57
Sollecitazioni agenti localmente: Tx_l=-10.06 Ty_l=-59.01 N_l=6694.21 My_l=25.57 Mz_l=0.20
Azioni sul cordone: TP=2.86 TO=11.76 NO=1334.39
Tensioni nel cordone: τ_P=0.34 τ_0=1.39 σ_0=194.63 σ_{ID}=194.64 Σ_T=196.02
CC 31 SLV (Collegamento 0010_-503)
Azioni sul collegamento: N=6694.21 Ty=-12.88 Tz=-59.01 Mx=0.20 Mz=-32.77
Sollecitazioni agenti localmente: Tx_l=-12.88 Ty_l=-59.01 N_l=6694.21 My_l=32.77 Mz_l=0.20
Azioni sul cordone: TP=3.42 TO=11.76 NO=1334.39
Tensioni nel cordone: τ_P=0.40 τ_0=1.39 σ_0=205.15 σ_{ID}=205.16 Σ_T=206.54
CC 31 SLV (Collegamento 0010_-503)
Azioni sul collegamento: N=6694.21 Ty=-10.06 Tz=-59.01 Mx=0.20 Mz=-25.57
Sollecitazioni agenti localmente: Tx_l=-10.06 Ty_l=-59.01 N_l=6694.21 My_l=25.57 Mz_l=0.20
Azioni sul cordone: TP=2.86 TO=11.76 NO=1334.39
Tensioni nel cordone: τ_P=0.34 τ_0=1.39 σ_0=194.63 σ_{ID}=194.64 Σ_T=196.02
CC 31 SLV (Collegamento 0010_-503)

Azioni sul collegamento: N=8485.05 Ty=-12.88 Tz=-59.01 Mx=0.20 Mz=-32.77
Sollecitazioni agenti localmente: Tx_l=-12.88 Ty_l=-59.01 N_l=8485.05 My_l=32.77 Mz_l=0.20
Azioni sul cordone: TP=3.42 TO=11.76 NO=1691.37
Tensioni nel cordone: τ_P=0.40 τ_0=1.39 σ_0=247.23 σ_{ID}=247.23 Σ_T=248.62
CC 31 SLV (Collegamento 0010_-503)
Azioni sul collegamento: N=8485.05 Ty=-10.06 Tz=-59.01 Mx=0.20 Mz=-25.57
Sollecitazioni agenti localmente: Tx_l=-10.06 Ty_l=-59.01 N_l=8485.05 My_l=25.57 Mz_l=0.20
Azioni sul cordone: TP=2.86 TO=11.76 NO=1691.37
Tensioni nel cordone: τ_P=0.34 τ_0=1.39 σ_0=236.71 σ_{ID}=236.71 Σ_T=238.10
CC 31 SLV (Collegamento 0010_-503)
Azioni sul collegamento: N=8485.05 Ty=-12.88 Tz=-59.01 Mx=0.20 Mz=-32.77
Sollecitazioni agenti localmente: Tx_l=-12.88 Ty_l=-59.01 N_l=8485.05 My_l=32.77 Mz_l=0.20
Azioni sul cordone: TP=3.42 TO=11.76 NO=1691.37
Tensioni nel cordone: τ_P=0.40 τ_0=1.39 σ_0=247.23 σ_{ID}=247.23 Σ_T=248.62
CC 31 SLV (Collegamento 0010_-503)
Azioni sul collegamento: N=8485.05 Ty=-10.06 Tz=-59.01 Mx=0.20 Mz=-25.57
Sollecitazioni agenti localmente: Tx_l=-10.06 Ty_l=-59.01 N_l=8485.05 My_l=25.57 Mz_l=0.20
Azioni sul cordone: TP=2.86 TO=11.76 NO=1691.37
Tensioni nel cordone: τ_P=0.34 τ_0=1.39 σ_0=236.71 σ_{ID}=236.71 Σ_T=238.10
CC 32 SLD (Collegamento 0010_-503)
Azioni sul collegamento: N=7242.94 Ty=-12.04 Tz=-59.01 Mx=0.22 Mz=-30.73
Sollecitazioni agenti localmente: Tx_l=-12.04 Ty_l=-59.01 N_l=7242.94 My_l=30.73 Mz_l=0.22
Azioni sul cordone: TP=3.35 TO=11.76 NO=1443.78
Tensioni nel cordone: τ_P=0.39 τ_0=1.39 σ_0=215.08 σ_{ID}=215.08 Σ_T=216.46
CC 32 SLD (Collegamento 0010_-503)
Azioni sul collegamento: N=7242.94 Ty=-11.19 Tz=-59.01 Mx=0.22 Mz=-28.54
Sollecitazioni agenti localmente: Tx_l=-11.19 Ty_l=-59.01 N_l=7242.94 My_l=28.54 Mz_l=0.22
Azioni sul cordone: TP=3.17 TO=11.76 NO=1443.78
Tensioni nel cordone: τ_P=0.37 τ_0=1.39 σ_0=211.87 σ_{ID}=211.87 Σ_T=213.25
CC 32 SLD (Collegamento 0010_-503)
Azioni sul collegamento: N=7242.94 Ty=-12.04 Tz=-59.01 Mx=0.22 Mz=-30.73
Sollecitazioni agenti localmente: Tx_l=-12.04 Ty_l=-59.01 N_l=7242.94 My_l=30.73 Mz_l=0.22
Azioni sul cordone: TP=3.35 TO=11.76 NO=1443.78
Tensioni nel cordone: τ_P=0.39 τ_0=1.39 σ_0=215.08 σ_{ID}=215.08 Σ_T=216.46
CC 32 SLD (Collegamento 0010_-503)
Azioni sul collegamento: N=7242.94 Ty=-11.19 Tz=-59.01 Mx=0.22 Mz=-28.54
Sollecitazioni agenti localmente: Tx_l=-11.19 Ty_l=-59.01 N_l=7242.94 My_l=28.54 Mz_l=0.22
Azioni sul cordone: TP=3.17 TO=11.76 NO=1443.78
Tensioni nel cordone: τ_P=0.37 τ_0=1.39 σ_0=211.87 σ_{ID}=211.87 Σ_T=213.25
CC 32 SLD (Collegamento 0010_-503)
Azioni sul collegamento: N=7789.03 Ty=-12.04 Tz=-59.01 Mx=0.22 Mz=-30.73
Sollecitazioni agenti localmente: Tx_l=-12.04 Ty_l=-59.01 N_l=7789.03 My_l=30.73 Mz_l=0.22
Azioni sul cordone: TP=3.35 TO=11.76 NO=1552.63
Tensioni nel cordone: τ_P=0.39 τ_0=1.39 σ_0=227.91 σ_{ID}=227.91 Σ_T=229.29
CC 32 SLD (Collegamento 0010_-503)
Azioni sul collegamento: N=7789.03 Ty=-11.19 Tz=-59.01 Mx=0.22 Mz=-28.54
Sollecitazioni agenti localmente: Tx_l=-11.19 Ty_l=-59.01 N_l=7789.03 My_l=28.54 Mz_l=0.22
Azioni sul cordone: TP=3.17 TO=11.76 NO=1552.63
Tensioni nel cordone: τ_P=0.37 τ_0=1.39 σ_0=224.70 σ_{ID}=224.70 Σ_T=226.09
CC 32 SLD (Collegamento 0010_-503)
Azioni sul collegamento: N=7789.03 Ty=-12.04 Tz=-59.01 Mx=0.22 Mz=-30.73
Sollecitazioni agenti localmente: Tx_l=-12.04 Ty_l=-59.01 N_l=7789.03 My_l=30.73 Mz_l=0.22
Azioni sul cordone: TP=3.35 TO=11.76 NO=1552.63
Tensioni nel cordone: τ_P=0.39 τ_0=1.39 σ_0=227.91 σ_{ID}=227.91 Σ_T=229.29
CC 32 SLD (Collegamento 0010_-503)
Azioni sul collegamento: N=7789.03 Ty=-11.19 Tz=-59.01 Mx=0.22 Mz=-28.54
Sollecitazioni agenti localmente: Tx_l=-11.19 Ty_l=-59.01 N_l=7789.03 My_l=28.54 Mz_l=0.22
Azioni sul cordone: TP=3.17 TO=11.76 NO=1552.63
Tensioni nel cordone: τ_P=0.37 τ_0=1.39 σ_0=224.70 σ_{ID}=224.70 Σ_T=226.09
CC 33 SLU (Collegamento 0010_-503)
Azioni sul collegamento: N=27571.30 Ty=-23.30 Tz=-79.67 Mx=0.47 Mz=-59.64
Sollecitazioni agenti localmente: Tx_l=-23.30 Ty_l=-79.67 N_l=27571.30 My_l=59.64 Mz_l=0.47
Azioni sul cordone: TP=-2.26 TO=-5.51 NO=2038.08
Tensioni nel cordone: τ_P=0.72 τ_0=1.75 σ_0=734.93 σ_{ID}=734.93 Σ_T=736.68
CC 34 SLU (Collegamento 0010_-503)
Azioni sul collegamento: N=28188.30 Ty=-24.17 Tz=-79.67 Mx=0.48 Mz=-61.86
Sollecitazioni agenti localmente: Tx_l=-24.17 Ty_l=-79.67 N_l=28188.30 My_l=61.86 Mz_l=0.48
Azioni sul cordone: TP=-2.35 TO=-5.50 NO=2083.69
Tensioni nel cordone: τ_P=0.75 τ_0=1.75 σ_0=752.67 σ_{ID}=752.67 Σ_T=754.42
CC 35 SLU (Collegamento 0010_-503)
Azioni sul collegamento: N=27879.10 Ty=-23.75 Tz=-79.67 Mx=0.47 Mz=-60.79
Sollecitazioni agenti localmente: Tx_l=-23.75 Ty_l=-79.67 N_l=27879.10 My_l=60.79 Mz_l=0.47
Azioni sul cordone: TP=-2.31 TO=-5.51 NO=2060.83
Tensioni nel cordone: τ_P=0.73 τ_0=1.75 σ_0=743.85 σ_{ID}=743.85 Σ_T=745.60
CC 36 SLU (Collegamento 0010_-503)
Azioni sul collegamento: N=27880.50 Ty=-23.72 Tz=-79.67 Mx=0.47 Mz=-60.71
Sollecitazioni agenti localmente: Tx_l=-23.72 Ty_l=-79.67 N_l=27880.50 My_l=60.71 Mz_l=0.47
Azioni sul cordone: TP=-2.30 TO=-5.51 NO=2060.94
Tensioni nel cordone: τ_P=0.73 τ_0=1.75 σ_0=743.75 σ_{ID}=743.76 Σ_T=745.50
CC 37 SLU (Collegamento 0010_-503)
Azioni sul collegamento: N=22442.50 Ty=11.55 Tz=-79.67 Mx=-0.23 Mz=29.35

Sollecitazioni agenti localmente: Tx_l=11.55 Ty_l=-79.67 N_l=22442.50 My_l=-29.35 Mz_l=-0.23
Azioni sul cordone: TP=1.12 TO=-5.71 NO=1658.96
Tensioni nel cordone: τ_P=0.36 τ_0=1.81 σ_0=570.17 σ_{ID}=570.17 Σ_T=571.98
CC 38 SLU (Collegamento 0010_-503)
Azioni sul collegamento: N=23059.40 Ty=10.68 Tz=-79.67 Mx=-0.21 Mz=27.13
Sollecitazioni agenti localmente: Tx_l=10.68 Ty_l=-79.67 N_l=23059.40 My_l=-27.13 Mz_l=-0.21
Azioni sul cordone: TP=1.03 TO=-5.72 NO=1704.56
Tensioni nel cordone: τ_P=0.33 τ_0=1.82 σ_0=581.42 σ_{ID}=581.42 Σ_T=583.24
CC 39 SLU (Collegamento 0010_-503)
Azioni sul collegamento: N=22750.30 Ty=11.10 Tz=-79.67 Mx=-0.22 Mz=28.19
Sollecitazioni agenti localmente: Tx_l=11.10 Ty_l=-79.67 N_l=22750.30 My_l=-28.19 Mz_l=-0.22
Azioni sul cordone: TP=1.08 TO=-5.71 NO=1681.71
Tensioni nel cordone: τ_P=0.34 τ_0=1.82 σ_0=575.72 σ_{ID}=575.72 Σ_T=577.53
CC 40 SLU (Collegamento 0010_-503)
Azioni sul collegamento: N=22751.70 Ty=11.13 Tz=-79.67 Mx=-0.22 Mz=28.28
Sollecitazioni agenti localmente: Tx_l=11.13 Ty_l=-79.67 N_l=22751.70 My_l=-28.28 Mz_l=-0.22
Azioni sul cordone: TP=1.08 TO=-5.71 NO=1681.81
Tensioni nel cordone: τ_P=0.34 τ_0=1.82 σ_0=575.87 σ_{ID}=575.88 Σ_T=577.69
CC 41 SLU (Collegamento 0010_-503)
Azioni sul collegamento: N=20629.10 Ty=-22.50 Tz=-79.67 Mx=0.45 Mz=-57.50
Sollecitazioni agenti localmente: Tx_l=-22.50 Ty_l=-79.67 N_l=20629.10 My_l=57.50 Mz_l=0.45
Azioni sul cordone: TP=6.39 TO=15.88 NO=4112.11
Tensioni nel cordone: τ_P=0.75 τ_0=1.87 σ_0=568.70 σ_{ID}=568.70 Σ_T=570.57
CC 42 SLU (Collegamento 0010_-503)
Azioni sul collegamento: N=21246.00 Ty=-23.37 Tz=-79.67 Mx=0.47 Mz=-59.72
Sollecitazioni agenti localmente: Tx_l=-23.37 Ty_l=-79.67 N_l=21246.00 My_l=59.72 Mz_l=0.47
Azioni sul cordone: TP=6.63 TO=15.88 NO=4235.09
Tensioni nel cordone: τ_P=0.78 τ_0=1.87 σ_0=586.43 σ_{ID}=586.44 Σ_T=588.31
CC 43 SLU (Collegamento 0010_-503)
Azioni sul collegamento: N=20936.90 Ty=-22.95 Tz=-79.67 Mx=0.46 Mz=-58.65
Sollecitazioni agenti localmente: Tx_l=-22.95 Ty_l=-79.67 N_l=20936.90 My_l=58.65 Mz_l=0.46
Azioni sul cordone: TP=6.51 TO=15.88 NO=4173.46
Tensioni nel cordone: τ_P=0.77 τ_0=1.87 σ_0=577.61 σ_{ID}=577.61 Σ_T=579.48
CC 44 SLU (Collegamento 0010_-503)
Azioni sul collegamento: N=20938.30 Ty=-22.92 Tz=-79.67 Mx=0.46 Mz=-58.57
Sollecitazioni agenti localmente: Tx_l=-22.92 Ty_l=-79.67 N_l=20938.30 My_l=58.57 Mz_l=0.46
Azioni sul cordone: TP=6.51 TO=15.88 NO=4173.74
Tensioni nel cordone: τ_P=0.77 τ_0=1.87 σ_0=577.52 σ_{ID}=577.52 Σ_T=579.39
CC 45 SLU (Collegamento 0010_-503)
Azioni sul collegamento: N=22155.70 Ty=-22.60 Tz=-79.67 Mx=0.45 Mz=-57.80
Sollecitazioni agenti localmente: Tx_l=-22.60 Ty_l=-79.67 N_l=22155.70 My_l=57.80 Mz_l=0.45
Azioni sul cordone: TP=-2.19 TO=-5.53 NO=1637.76
Tensioni nel cordone: τ_P=0.70 τ_0=1.76 σ_0=605.00 σ_{ID}=605.00 Σ_T=606.75
CC 46 SLU (Collegamento 0010_-503)
Azioni sul collegamento: N=22772.60 Ty=-23.47 Tz=-79.67 Mx=0.47 Mz=-60.02
Sollecitazioni agenti localmente: Tx_l=-23.47 Ty_l=-79.67 N_l=22772.60 My_l=60.02 Mz_l=0.47
Azioni sul cordone: TP=6.66 TO=15.88 NO=4539.39
Tensioni nel cordone: τ_P=0.78 τ_0=1.87 σ_0=622.74 σ_{ID}=622.74 Σ_T=624.61
CC 47 SLU (Collegamento 0010_-503)
Azioni sul collegamento: N=22463.40 Ty=-23.05 Tz=-79.67 Mx=0.46 Mz=-58.95
Sollecitazioni agenti localmente: Tx_l=-23.05 Ty_l=-79.67 N_l=22463.40 My_l=58.95 Mz_l=0.46
Azioni sul cordone: TP=6.54 TO=15.88 NO=4477.76
Tensioni nel cordone: τ_P=0.77 τ_0=1.87 σ_0=613.91 σ_{ID}=613.92 Σ_T=615.78
CC 48 SLU (Collegamento 0010_-503)
Azioni sul collegamento: N=22464.90 Ty=-23.02 Tz=-79.67 Mx=0.46 Mz=-58.87
Sollecitazioni agenti localmente: Tx_l=-23.02 Ty_l=-79.67 N_l=22464.90 My_l=58.87 Mz_l=0.46
Azioni sul cordone: TP=6.53 TO=15.88 NO=4478.05
Tensioni nel cordone: τ_P=0.77 τ_0=1.87 σ_0=613.82 σ_{ID}=613.83 Σ_T=615.69
CC 49 SLU (Collegamento 0010_-503)
Azioni sul collegamento: N=18318.60 Ty=3.48 Tz=-79.67 Mx=-0.07 Mz=8.78
Sollecitazioni agenti localmente: Tx_l=3.48 Ty_l=-79.67 N_l=18318.60 My_l=-8.78 Mz_l=-0.07
Azioni sul cordone: TP=0.34 TO=-5.83 NO=1354.11
Tensioni nel cordone: τ_P=0.11 τ_0=1.85 σ_0=443.22 σ_{ID}=443.23 Σ_T=445.08
CC 50 SLU (Collegamento 0010_-503)
Azioni sul collegamento: N=18935.50 Ty=2.61 Tz=-79.67 Mx=-0.05 Mz=6.55
Sollecitazioni agenti localmente: Tx_l=2.61 Ty_l=-79.67 N_l=18935.50 My_l=-6.55 Mz_l=-0.05
Azioni sul cordone: TP=0.25 TO=-5.85 NO=1399.72
Tensioni nel cordone: τ_P= 0.08 τ_0=1.86 σ_0=454.47 σ_{ID}=454.48 Σ_T=456.33
CC 51 SLU (Collegamento 0010_-503)
Azioni sul collegamento: N=18626.30 Ty=3.03 Tz=-79.67 Mx=-0.06 Mz=7.62
Sollecitazioni agenti localmente: Tx_l=3.03 Ty_l=-79.67 N_l=18626.30 My_l=-7.62 Mz_l=-0.06
Azioni sul cordone: TP=0.29 TO=-5.84 NO=1376.86
Tensioni nel cordone: τ_P= 0.09 τ_0=1.86 σ_0=448.77 σ_{ID}=448.77 Σ_T=450.63
CC 52 SLU (Collegamento 0010_-503)
Azioni sul collegamento: N=18627.70 Ty=3.06 Tz=-79.67 Mx=-0.06 Mz=7.71
Sollecitazioni agenti localmente: Tx_l=3.06 Ty_l=-79.67 N_l=18627.70 My_l=-7.71 Mz_l=-0.06
Azioni sul cordone: TP=0.30 TO=-5.84 NO=1376.97
Tensioni nel cordone: τ_P= 0.09 τ_0=1.86 σ_0=448.93 σ_{ID}=448.93 Σ_T=450.79
CC 53 SLU (Collegamento 0010_-503)
Azioni sul collegamento: N=16961.90 Ty=-21.99 Tz=-79.67 Mx=0.44 Mz=-56.20
Sollecitazioni agenti localmente: Tx_l=-21.99 Ty_l=-79.67 N_l=16961.90 My_l=56.20 Mz_l=0.44

Azioni sul cordone: TP=6.24 TO=15.88 NO=3381.10
Tensioni nel cordone: τ_P=0.74 τ_0=1.87 σ_0=480.63 σ_{ID}=480.63 Σ_T=482.50
CC 54 SLU (Collegamento 0010_-503)
Azioni sul collegamento: N=17578.80 Ty=-22.86 Tz=-79.67 Mx=0.46 Mz=-58.42
Sollecitazioni agenti localmente: Tx_l=-22.86 Ty_l=-79.67 N_l=17578.80 My_l=58.42 Mz_l=0.46
Azioni sul cordone: TP=6.49 TO=15.88 NO=3504.08
Tensioni nel cordone: τ_P=0.76 τ_0=1.87 σ_0=498.37 σ_{ID}=498.37 Σ_T=500.24
CC 55 SLU (Collegamento 0010_-503)
Azioni sul collegamento: N=17269.60 Ty=-22.45 Tz=-79.67 Mx=0.45 Mz=-57.35
Sollecitazioni agenti localmente: Tx_l=-22.45 Ty_l=-79.67 N_l=17269.60 My_l=57.35 Mz_l=0.45
Azioni sul cordone: TP=6.37 TO=15.88 NO=3442.45
Tensioni nel cordone: τ_P=0.75 τ_0=1.87 σ_0=489.55 σ_{ID}=489.55 Σ_T=491.42
CC 56 SLU (Collegamento 0010_-503)
Azioni sul collegamento: N=17271.00 Ty=-22.41 Tz=-79.67 Mx=0.45 Mz=-57.27
Sollecitazioni agenti localmente: Tx_l=-22.41 Ty_l=-79.67 N_l=17271.00 My_l=57.27 Mz_l=0.45
Azioni sul cordone: TP=6.36 TO=15.88 NO=3442.73
Tensioni nel cordone: τ_P=0.75 τ_0=1.87 σ_0=489.45 σ_{ID}=489.46 Σ_T=491.33
CC 57 SLU (Collegamento 0010_-503)
Azioni sul collegamento: N=22716.80 Ty=-23.73 Tz=-79.67 Mx=0.47 Mz=-60.70
Sollecitazioni agenti localmente: Tx_l=-23.73 Ty_l=-79.67 N_l=22716.80 My_l=60.70 Mz_l=0.47
Azioni sul cordone: TP=6.73 TO=15.88 NO=4528.27
Tensioni nel cordone: τ_P=0.79 τ_0=1.87 σ_0=622.41 σ_{ID}=622.42 Σ_T=624.29
CC 58 SLU (Collegamento 0010_-503)
Azioni sul collegamento: N=23333.80 Ty=-24.60 Tz=-79.67 Mx=0.49 Mz=-62.92
Sollecitazioni agenti localmente: Tx_l=-24.60 Ty_l=-79.67 N_l=23333.80 My_l=62.92 Mz_l=0.49
Azioni sul cordone: TP=6.98 TO=15.88 NO=4651.25
Tensioni nel cordone: τ_P=0.82 τ_0=1.87 σ_0=640.15 σ_{ID}=640.16 Σ_T=642.03
CC 59 SLU (Collegamento 0010_-503)
Azioni sul collegamento: N=23024.60 Ty=-24.18 Tz=-79.67 Mx=0.48 Mz=-61.85
Sollecitazioni agenti localmente: Tx_l=-24.18 Ty_l=-79.67 N_l=23024.60 My_l=61.85 Mz_l=0.48
Azioni sul cordone: TP=6.86 TO=15.88 NO=4589.62
Tensioni nel cordone: τ_P=0.81 τ_0=1.87 σ_0=631.33 σ_{ID}=631.33 Σ_T=633.20
CC 60 SLU (Collegamento 0010_-503)
Azioni sul collegamento: N=23026.00 Ty=-24.15 Tz=-79.67 Mx=0.48 Mz=-61.76
Sollecitazioni agenti localmente: Tx_l=-24.15 Ty_l=-79.67 N_l=23026.00 My_l=61.76 Mz_l=0.48
Azioni sul cordone: TP=6.85 TO=15.88 NO=4589.90
Tensioni nel cordone: τ_P=0.81 τ_0=1.87 σ_0=631.24 σ_{ID}=631.24 Σ_T=633.11
CC 61 SLU (Collegamento 0010_-503)
Azioni sul collegamento: N=18879.70 Ty=2.34 Tz=-79.67 Mx=-0.05 Mz=5.88
Sollecitazioni agenti localmente: Tx_l=2.34 Ty_l=-79.67 N_l=18879.70 My_l=-5.88 Mz_l=-0.05
Azioni sul cordone: TP=0.23 TO=-5.85 NO=1395.59
Tensioni nel cordone: τ_P= 0.07 τ_0=1.86 σ_0=452.18 σ_{ID}=452.18 Σ_T=454.04
CC 62 SLU (Collegamento 0010_-503)
Azioni sul collegamento: N=19496.60 Ty=1.47 Tz=-79.67 Mx=-0.03 Mz=3.66
Sollecitazioni agenti localmente: Tx_l=1.47 Ty_l=-79.67 N_l=19496.60 My_l=-3.66 Mz_l=-0.03
Azioni sul cordone: TP=0.14 TO=-5.87 NO=1441.20
Tensioni nel cordone: τ_P= 0.04 τ_0=1.86 σ_0=463.43 σ_{ID}=463.43 Σ_T=465.29
CC 63 SLU (Collegamento 0010_-503)
Azioni sul collegamento: N=19187.50 Ty=1.89 Tz=-79.67 Mx=-0.04 Mz=4.73
Sollecitazioni agenti localmente: Tx_l=1.89 Ty_l=-79.67 N_l=19187.50 My_l=-4.73 Mz_l=-0.04
Azioni sul cordone: TP=0.18 TO=-5.86 NO=1418.34
Tensioni nel cordone: τ_P= 0.06 τ_0=1.86 σ_0=457.72 σ_{ID}=457.73 Σ_T=459.58
CC 64 SLU (Collegamento 0010_-503)
Azioni sul collegamento: N=19188.90 Ty=1.92 Tz=-79.67 Mx=-0.04 Mz=4.81
Sollecitazioni agenti localmente: Tx_l=1.92 Ty_l=-79.67 N_l=19188.90 My_l=-4.81 Mz_l=-0.04
Azioni sul cordone: TP=0.18 TO=-5.86 NO=1418.45
Tensioni nel cordone: τ_P= 0.06 τ_0=1.86 σ_0=457.88 σ_{ID}=457.88 Σ_T=459.74
CC 65 SLU (Collegamento 0010_-503)
Azioni sul collegamento: N=17523.00 Ty=-23.13 Tz=-79.67 Mx=0.46 Mz=-59.10
Sollecitazioni agenti localmente: Tx_l=-23.13 Ty_l=-79.67 N_l=17523.00 My_l=59.10 Mz_l=0.46
Azioni sul cordone: TP=6.56 TO=15.88 NO=3492.96
Tensioni nel cordone: τ_P=0.77 τ_0=1.87 σ_0=498.05 σ_{ID}=498.05 Σ_T=499.92
CC 66 SLU (Collegamento 0010_-503)
Azioni sul collegamento: N=18139.90 Ty=-24.00 Tz=-79.67 Mx=0.48 Mz=-61.32
Sollecitazioni agenti localmente: Tx_l=-24.00 Ty_l=-79.67 N_l=18139.90 My_l=61.32 Mz_l=0.48
Azioni sul cordone: TP=6.81 TO=15.88 NO=3615.94
Tensioni nel cordone: τ_P=0.80 τ_0=1.87 σ_0=515.79 σ_{ID}=515.79 Σ_T=517.66
CC 67 SLU (Collegamento 0010_-503)
Azioni sul collegamento: N=17830.80 Ty=-23.58 Tz=-79.67 Mx=0.47 Mz=-60.25
Sollecitazioni agenti localmente: Tx_l=-23.58 Ty_l=-79.67 N_l=17830.80 My_l=60.25 Mz_l=0.47
Azioni sul cordone: TP=6.69 TO=15.88 NO=3554.31
Tensioni nel cordone: τ_P=0.79 τ_0=1.87 σ_0=506.96 σ_{ID}=506.97 Σ_T=508.83
CC 68 SLU (Collegamento 0010_-503)
Azioni sul collegamento: N=17832.20 Ty=-23.55 Tz=-79.67 Mx=0.47 Mz=-60.16
Sollecitazioni agenti localmente: Tx_l=-23.55 Ty_l=-79.67 N_l=17832.20 My_l=60.16 Mz_l=0.47
Azioni sul cordone: TP=6.68 TO=15.88 NO=3554.59
Tensioni nel cordone: τ_P=0.79 τ_0=1.87 σ_0=506.87 σ_{ID}=506.88 Σ_T=508.74
CC 97 SLU (Collegamento 0010_-503)
Azioni sul collegamento: N=23402.50 Ty=-44.00 Tz=-59.01 Mx=0.97 Mz=-113.14
Sollecitazioni agenti localmente: Tx_l=-44.00 Ty_l=-59.01 N_l=23402.50 My_l=113.14 Mz_l=0.97
Azioni sul cordone: TP=12.85 TO=11.76 NO=4664.96

Tensioni nel cordone: τ_P=1.51 τ_0=1.39 σ_0=715.13 σ_{ID}=715.14 Σ_T=716.52
CC 98 SLU (Collegamento 0010_-503)
Azioni sul collegamento: N=24019.50 Ty=-44.87 Tz=-59.01 Mx=0.98 Mz=-115.36
Sollecitazioni agenti localmente: Tx_l=-44.87 Ty_l=-59.01 N_l=24019.50 My_l=115.36 Mz_l=0.98
Azioni sul cordone: TP=13.10 TO=11.76 NO=4787.93
Tensioni nel cordone: τ_P=1.54 τ_0=1.39 σ_0=732.88 σ_{ID}=732.88 Σ_T=734.26
CC 99 SLU (Collegamento 0010_-503)
Azioni sul collegamento: N=23710.30 Ty=-44.45 Tz=-59.01 Mx=0.97 Mz=-114.29
Sollecitazioni agenti localmente: Tx_l=-44.45 Ty_l=-59.01 N_l=23710.30 My_l=114.29 Mz_l=0.97
Azioni sul cordone: TP=12.98 TO=11.76 NO=4726.30
Tensioni nel cordone: τ_P=1.53 τ_0=1.39 σ_0=724.05 σ_{ID}=724.05 Σ_T=725.44
CC 100 SLU (Collegamento 0010_-503)
Azioni sul collegamento: N=23711.70 Ty=-44.41 Tz=-59.01 Mx=0.97 Mz=-114.20
Sollecitazioni agenti localmente: Tx_l=-44.41 Ty_l=-59.01 N_l=23711.70 My_l=114.20 Mz_l=0.97
Azioni sul cordone: TP=12.97 TO=11.76 NO=4726.59
Tensioni nel cordone: τ_P=1.53 τ_0=1.39 σ_0=723.96 σ_{ID}=723.96 Σ_T=725.35
CC 101 SLU (Collegamento 0010_-503)
Azioni sul collegamento: N=6173.84 Ty=-4.41 Tz=-59.01 Mx=0.08 Mz=-11.20
Sollecitazioni agenti localmente: Tx_l=-4.41 Ty_l=-59.01 N_l=6173.84 My_l=11.20 Mz_l=0.08
Azioni sul cordone: TP=1.23 TO=11.76 NO=1230.66
Tensioni nel cordone: τ_P=0.14 τ_0=1.39 σ_0=161.42 σ_{ID}=161.43 Σ_T=162.81
CC 102 SLU (Collegamento 0010_-503)
Azioni sul collegamento: N=6790.76 Ty=-5.28 Tz=-59.01 Mx=0.10 Mz=-13.42
Sollecitazioni agenti localmente: Tx_l=-5.28 Ty_l=-59.01 N_l=6790.76 My_l=13.42 Mz_l=0.10
Azioni sul cordone: TP=1.48 TO=11.76 NO=1353.64
Tensioni nel cordone: τ_P=0.17 τ_0=1.39 σ_0=179.16 σ_{ID}=179.17 Σ_T=180.55
CC 103 SLU (Collegamento 0010_-503)
Azioni sul collegamento: N=6481.58 Ty=-4.86 Tz=-59.01 Mx=0.09 Mz=-12.35
Sollecitazioni agenti localmente: Tx_l=-4.86 Ty_l=-59.01 N_l=6481.58 My_l=12.35 Mz_l=0.09
Azioni sul cordone: TP=1.36 TO=11.76 NO=1292.01
Tensioni nel cordone: τ_P=0.16 τ_0=1.39 σ_0=170.34 σ_{ID}=170.34 Σ_T=171.72
CC 104 SLU (Collegamento 0010_-503)
Azioni sul collegamento: N=6483.01 Ty=-4.83 Tz=-59.01 Mx=0.09 Mz=-12.27
Sollecitazioni agenti localmente: Tx_l=-4.83 Ty_l=-59.01 N_l=6483.01 My_l=12.27 Mz_l=0.09
Azioni sul cordone: TP=1.35 TO=11.76 NO=1292.29
Tensioni nel cordone: τ_P=0.16 τ_0=1.39 σ_0=170.25 σ_{ID}=170.25 Σ_T=171.63

Collegamento 0020_-377

Piastra 220.00 x 220.00 s=15.00 - 6 Tirafondi ϕ 16 - Profondità di infissione: 350.00
3 righe ad interasse 89.00
2 colonne ad interasse 178.00
Altezza di gola saldature: anima 7.07 - ala 7.07

Tirafondi e calcestruzzo

CC 1 SLV (Collegamento 0020_-377)
Azioni sul collegamento: N=-3875.57 Ty=-4.02 Tz=-9.21 Mx=0.02 Mz=2.16
Sollecitazioni agenti localmente: Tx_l=-4.02 Ty_l=-9.21 N_l=-3875.57 Mx_l=-0.00 My_l=2.16 Mz_l=0.02
Taglio nei bulloni: Fv,Ed=1.71 Fv,Rd=7720.78
Rifollamento lato piastra: Fb,Ed,p=1.71 Fb,Rd,p=7758.79
Tirafondi:LT=0.45 (0.31) σ_{cR}=0.00 σ_{fR}=0.00
Compressione nel calcestruzzo: σ_c=8.13
CC 1 SLV (Collegamento 0020_-377)
Azioni sul collegamento: N=-3875.57 Ty=-0.64 Tz=-9.21 Mx=0.02 Mz=-1.09
Sollecitazioni agenti localmente: Tx_l=-0.64 Ty_l=-9.21 N_l=-3875.57 Mx_l=-0.00 My_l=-1.09 Mz_l=0.02
Taglio nei bulloni: Fv,Ed=1.56 Fv,Rd=7720.78
Rifollamento lato piastra: Fb,Ed,p=1.56 Fb,Rd,p=6040.85
Tirafondi:LT=0.45 (0.31) σ_{cR}=0.00 σ_{fR}=0.00
Compressione nel calcestruzzo: σ_c=8.07
CC 1 SLV (Collegamento 0020_-377)
Azioni sul collegamento: N=-3875.57 Ty=-4.02 Tz=10.50 Mx=0.02 Mz=2.16
Sollecitazioni agenti localmente: Tx_l=-4.02 Ty_l=10.50 N_l=-3875.57 Mx_l=-0.00 My_l=2.16 Mz_l=0.02
Taglio nei bulloni: Fv,Ed=1.90 Fv,Rd=7720.78
Rifollamento lato piastra: Fb,Ed,p=1.89 Fb,Rd,p=7168.83
Tirafondi:LT=0.45 (0.31) σ_{cR}=0.00 σ_{fR}=0.00
Compressione nel calcestruzzo: σ_c=8.13
CC 1 SLV (Collegamento 0020_-377)
Azioni sul collegamento: N=-3875.57 Ty=-0.64 Tz=10.50 Mx=0.02 Mz=-1.09
Sollecitazioni agenti localmente: Tx_l=-0.64 Ty_l=10.50 N_l=-3875.57 Mx_l=-0.00 My_l=-1.09 Mz_l=0.02
Taglio nei bulloni: Fv,Ed=1.78 Fv,Rd=7720.78
Rifollamento lato piastra: Fb,Ed,p=1.78 Fb,Rd,p=5998.64
Tirafondi:LT=0.45 (0.31) σ_{cR}=0.00 σ_{fR}=0.00
Compressione nel calcestruzzo: σ_c=8.07
CC 1 SLV (Collegamento 0020_-377)
Azioni sul collegamento: N=-9172.38 Ty=-4.02 Tz=-9.21 Mx=0.02 Mz=2.16
Sollecitazioni agenti localmente: Tx_l=-4.02 Ty_l=-9.21 N_l=-9172.38 Mx_l=-0.00 My_l=2.16 Mz_l=0.02
Taglio nei bulloni: Fv,Ed=1.71 Fv,Rd=7720.78
Rifollamento lato piastra: Fb,Ed,p=1.71 Fb,Rd,p=7758.90
Tirafondi:LT=0.45 (0.31) σ_{cR}=0.00 σ_{fR}=0.00

Compressione nel calcestruzzo: σ_c=19.07
CC 1 SLV (Collegamento 0020_-377)
Azioni sul collegamento: N=-9172.38 Ty=-0.64 Tz=-9.21 Mx=0.02 Mz=-1.09
Sollecitazioni agenti localmente: Tx_l=-0.64 Ty_l=-9.21 N_l=-9172.38 Mx_l=-0.00 My_l=-1.09 Mz_l=0.02
Taglio nei bulloni: Fv,Ed=1.56 Fv,Rd=7720.78
Rifollamento lato piastra: Fb,Ed,p=1.56 Fb,Rd,p=6040.85
Tirafondi:LT=0.45 (0.31) σ_{cR}=0.00 σ_{fR}=0.00
Compressione nel calcestruzzo: σ_c=19.01
CC 1 SLV (Collegamento 0020_-377)
Azioni sul collegamento: N=-9172.38 Ty=-4.02 Tz=10.50 Mx=0.02 Mz=2.16
Sollecitazioni agenti localmente: Tx_l=-4.02 Ty_l=10.50 N_l=-9172.38 Mx_l=-0.00 My_l=2.16 Mz_l=0.02
Taglio nei bulloni: Fv,Ed=1.90 Fv,Rd=7720.78
Rifollamento lato piastra: Fb,Ed,p=1.89 Fb,Rd,p=7168.81
Tirafondi:LT=0.45 (0.31) σ_{cR}=0.00 σ_{fR}=0.00
Compressione nel calcestruzzo: σ_c=19.07
CC 1 SLV (Collegamento 0020_-377)
Azioni sul collegamento: N=-9172.38 Ty=-0.64 Tz=10.50 Mx=0.02 Mz=-1.09
Sollecitazioni agenti localmente: Tx_l=-0.64 Ty_l=10.50 N_l=-9172.38 Mx_l=-0.00 My_l=-1.09 Mz_l=0.02
Taglio nei bulloni: Fv,Ed=1.78 Fv,Rd=7720.78
Rifollamento lato piastra: Fb,Ed,p=1.78 Fb,Rd,p=5998.64
Tirafondi:LT=0.45 (0.31) σ_{cR}=0.00 σ_{fR}=0.00
Compressione nel calcestruzzo: σ_c=19.01
CC 2 SLD (Collegamento 0020_-377)
Azioni sul collegamento: N=-5748.85 Ty=-2.66 Tz=-2.23 Mx=0.01 Mz=-1.05
Sollecitazioni agenti localmente: Tx_l=-2.66 Ty_l=-2.23 N_l=-5748.85 Mx_l=-0.00 My_l=-1.05 Mz_l=0.01
Taglio nei bulloni: Fv,Ed=0.59 Fv,Rd=9650.97
Rifollamento lato piastra: Fb,Ed,p=0.58 Fb,Rd,p=13600.60
Tirafondi:LT=0.45 (0.31) σ_{cR}=0.00 σ_{fR}=0.00
Compressione nel calcestruzzo: σ_c=11.94
CC 2 SLD (Collegamento 0020_-377)
Azioni sul collegamento: N=-5748.85 Ty=-3.69 Tz=-2.23 Mx=0.01 Mz=-2.04
Sollecitazioni agenti localmente: Tx_l=-3.69 Ty_l=-2.23 N_l=-5748.85 Mx_l=-0.00 My_l=-2.04 Mz_l=0.01
Taglio nei bulloni: Fv,Ed=0.73 Fv,Rd=9650.97
Rifollamento lato piastra: Fb,Ed,p=0.72 Fb,Rd,p=11286.20
Tirafondi:LT=0.45 (0.31) σ_{cR}=0.00 σ_{fR}=0.00
Compressione nel calcestruzzo: σ_c=11.99
CC 2 SLD (Collegamento 0020_-377)
Azioni sul collegamento: N=-5748.85 Ty=-2.66 Tz=3.78 Mx=0.01 Mz=-1.05
Sollecitazioni agenti localmente: Tx_l=-2.66 Ty_l=3.78 N_l=-5748.85 Mx_l=-0.00 My_l=-1.05 Mz_l=0.01
Taglio nei bulloni: Fv,Ed=0.78 Fv,Rd=9650.97
Rifollamento lato piastra: Fb,Ed,p=0.77 Fb,Rd,p=12706.00
Tirafondi:LT=0.45 (0.31) σ_{cR}=0.00 σ_{fR}=0.00
Compressione nel calcestruzzo: σ_c=11.94
CC 2 SLD (Collegamento 0020_-377)
Azioni sul collegamento: N=-5748.85 Ty=-3.69 Tz=3.78 Mx=0.01 Mz=-2.04
Sollecitazioni agenti localmente: Tx_l=-3.69 Ty_l=3.78 N_l=-5748.85 Mx_l=-0.00 My_l=-2.04 Mz_l=0.01
Taglio nei bulloni: Fv,Ed=0.89 Fv,Rd=9650.97
Rifollamento lato piastra: Fb,Ed,p=0.88 Fb,Rd,p=14617.90
Tirafondi:LT=0.45 (0.31) σ_{cR}=0.00 σ_{fR}=0.00
Compressione nel calcestruzzo: σ_c=11.99
CC 2 SLD (Collegamento 0020_-377)
Azioni sul collegamento: N=-7364.01 Ty=-2.66 Tz=-2.23 Mx=0.01 Mz=-1.05
Sollecitazioni agenti localmente: Tx_l=-2.66 Ty_l=-2.23 N_l=-7364.01 Mx_l=-0.00 My_l=-1.05 Mz_l=0.01
Taglio nei bulloni: Fv,Ed=0.59 Fv,Rd=9650.97
Rifollamento lato piastra: Fb,Ed,p=0.58 Fb,Rd,p=13600.50
Tirafondi:LT=0.45 (0.31) σ_{cR}=0.00 σ_{fR}=0.00
Compressione nel calcestruzzo: σ_c=15.27
CC 2 SLD (Collegamento 0020_-377)
Azioni sul collegamento: N=-7364.01 Ty=-3.69 Tz=-2.23 Mx=0.01 Mz=-2.04
Sollecitazioni agenti localmente: Tx_l=-3.69 Ty_l=-2.23 N_l=-7364.01 Mx_l=-0.00 My_l=-2.04 Mz_l=0.01
Taglio nei bulloni: Fv,Ed=0.73 Fv,Rd=9650.97
Rifollamento lato piastra: Fb,Ed,p=0.72 Fb,Rd,p=11286.10
Tirafondi:LT=0.45 (0.31) σ_{cR}=0.00 σ_{fR}=0.00
Compressione nel calcestruzzo: σ_c=15.33
CC 2 SLD (Collegamento 0020_-377)
Azioni sul collegamento: N=-7364.01 Ty=-2.66 Tz=3.78 Mx=0.01 Mz=-1.05
Sollecitazioni agenti localmente: Tx_l=-2.66 Ty_l=3.78 N_l=-7364.01 Mx_l=-0.00 My_l=-1.05 Mz_l=0.01
Taglio nei bulloni: Fv,Ed=0.78 Fv,Rd=9650.97
Rifollamento lato piastra: Fb,Ed,p=0.77 Fb,Rd,p=12705.00
Tirafondi:LT=0.45 (0.31) σ_{cR}=0.00 σ_{fR}=0.00
Compressione nel calcestruzzo: σ_c=15.27
CC 2 SLD (Collegamento 0020_-377)
Azioni sul collegamento: N=-7364.01 Ty=-3.69 Tz=3.78 Mx=0.01 Mz=-2.04
Sollecitazioni agenti localmente: Tx_l=-3.69 Ty_l=3.78 N_l=-7364.01 Mx_l=-0.00 My_l=-2.04 Mz_l=0.01
Taglio nei bulloni: Fv,Ed=0.89 Fv,Rd=9650.97
Rifollamento lato piastra: Fb,Ed,p=0.88 Fb,Rd,p=14617.30
Tirafondi:LT=0.45 (0.31) σ_{cR}=0.00 σ_{fR}=0.00
Compressione nel calcestruzzo: σ_c=15.33
CC 3 SLV (Collegamento 0020_-377)
Azioni sul collegamento: N=-3881.26 Ty=-3.39 Tz=-9.09 Mx=0.02 Mz=0.91

Sollecitazioni agenti localmente: T_{x_l}=-3.39 T_{y_l}=-9.09 N_l=-3881.26 M_{x_l}=-0.00 M_{y_l}=0.91 M_{z_l}=0.02
Taglio nei bulloni: Fv,Ed=1.64 Fv,Rd=7720.78
Rifollamento lato piastra: Fb,Ed,p=1.64 Fb,Rd,p=7274.04
Tirafondi:LT=0.45 (0.31) σ_{cR}=0.00 σ_{fR}=0.00
Compressione nel calcestruzzo: σ_c=8.07
CC 3 SLV (Collegamento 0020_-377)
Azioni sul collegamento: N=-3881.26 Ty=-1.27 Tz=-9.09 Mx=0.02 Mz=0.17
Sollecitazioni agenti localmente: T_{x_l}=-1.27 T_{y_l}=-9.09 N_l=-3881.26 M_{x_l}=-0.00 M_{y_l}=0.17 M_{z_l}=0.02
Taglio nei bulloni: Fv,Ed=1.55 Fv,Rd=7720.78
Rifollamento lato piastra: Fb,Ed,p=1.55 Fb,Rd,p=6179.84
Tirafondi:LT=0.45 (0.31) σ_{cR}=0.00 σ_{fR}=0.00
Compressione nel calcestruzzo: σ_c=8.03
CC 3 SLV (Collegamento 0020_-377)
Azioni sul collegamento: N=-3881.26 Ty=-3.39 Tz=10.37 Mx=0.02 Mz=0.91
Sollecitazioni agenti localmente: T_{x_l}=-3.39 T_{y_l}=10.37 N_l=-3881.26 M_{x_l}=-0.00 M_{y_l}=0.91 M_{z_l}=0.02
Taglio nei bulloni: Fv,Ed=1.84 Fv,Rd=7720.78
Rifollamento lato piastra: Fb,Ed,p=1.83 Fb,Rd,p=6852.26
Tirafondi:LT=0.45 (0.31) σ_{cR}=0.00 σ_{fR}=0.00
Compressione nel calcestruzzo: σ_c=8.07
CC 3 SLV (Collegamento 0020_-377)
Azioni sul collegamento: N=-3881.26 Ty=-1.27 Tz=10.37 Mx=0.02 Mz=0.17
Sollecitazioni agenti localmente: T_{x_l}=-1.27 T_{y_l}=10.37 N_l=-3881.26 M_{x_l}=-0.00 M_{y_l}=0.17 M_{z_l}=0.02
Taglio nei bulloni: Fv,Ed=1.76 Fv,Rd=7720.78
Rifollamento lato piastra: Fb,Ed,p=1.76 Fb,Rd,p=6088.73
Tirafondi:LT=0.45 (0.31) σ_{cR}=0.00 σ_{fR}=0.00
Compressione nel calcestruzzo: σ_c=8.03
CC 3 SLV (Collegamento 0020_-377)
Azioni sul collegamento: N=-9166.69 Ty=-3.39 Tz=-9.09 Mx=0.02 Mz=0.91
Sollecitazioni agenti localmente: T_{x_l}=-3.39 T_{y_l}=-9.09 N_l=-9166.69 M_{x_l}=-0.00 M_{y_l}=0.91 M_{z_l}=0.02
Taglio nei bulloni: Fv,Ed=1.64 Fv,Rd=7720.78
Rifollamento lato piastra: Fb,Ed,p=1.64 Fb,Rd,p=7274.04
Tirafondi:LT=0.45 (0.31) σ_{cR}=0.00 σ_{fR}=0.00
Compressione nel calcestruzzo: σ_c=18.99
CC 3 SLV (Collegamento 0020_-377)
Azioni sul collegamento: N=-9166.69 Ty=-1.27 Tz=-9.09 Mx=0.02 Mz=0.17
Sollecitazioni agenti localmente: T_{x_l}=-1.27 T_{y_l}=-9.09 N_l=-9166.69 M_{x_l}=-0.00 M_{y_l}=0.17 M_{z_l}=0.02
Taglio nei bulloni: Fv,Ed=1.55 Fv,Rd=7720.78
Rifollamento lato piastra: Fb,Ed,p=1.55 Fb,Rd,p=6179.84
Tirafondi:LT=0.45 (0.31) σ_{cR}=0.00 σ_{fR}=0.00
Compressione nel calcestruzzo: σ_c=18.95
CC 3 SLV (Collegamento 0020_-377)
Azioni sul collegamento: N=-9166.69 Ty=-3.39 Tz=10.38 Mx=0.02 Mz=0.91
Sollecitazioni agenti localmente: T_{x_l}=-3.39 T_{y_l}=10.38 N_l=-9166.69 M_{x_l}=-0.00 M_{y_l}=0.91 M_{z_l}=0.02
Taglio nei bulloni: Fv,Ed=1.84 Fv,Rd=7720.78
Rifollamento lato piastra: Fb,Ed,p=1.83 Fb,Rd,p=6852.21
Tirafondi:LT=0.45 (0.31) σ_{cR}=0.00 σ_{fR}=0.00
Compressione nel calcestruzzo: σ_c=18.99
CC 3 SLV (Collegamento 0020_-377)
Azioni sul collegamento: N=-9166.69 Ty=-1.27 Tz=10.38 Mx=0.02 Mz=0.17
Sollecitazioni agenti localmente: T_{x_l}=-1.27 T_{y_l}=10.38 N_l=-9166.69 M_{x_l}=-0.00 M_{y_l}=0.17 M_{z_l}=0.02
Taglio nei bulloni: Fv,Ed=1.76 Fv,Rd=7720.78
Rifollamento lato piastra: Fb,Ed,p=1.76 Fb,Rd,p=6088.73
Tirafondi:LT=0.45 (0.31) σ_{cR}=0.00 σ_{fR}=0.00
Compressione nel calcestruzzo: σ_c=18.95
CC 4 SLD (Collegamento 0020_-377)
Azioni sul collegamento: N=-5750.58 Ty=-2.85 Tz=-2.19 Mx=0.01 Mz=-1.43
Sollecitazioni agenti localmente: T_{x_l}=-2.85 T_{y_l}=-2.19 N_l=-5750.58 M_{x_l}=-0.00 M_{y_l}=-1.43 M_{z_l}=0.01
Taglio nei bulloni: Fv,Ed=0.61 Fv,Rd=9650.97
Rifollamento lato piastra: Fb,Ed,p=0.60 Fb,Rd,p=13207.60
Tirafondi:LT=0.45 (0.31) σ_{cR}=0.00 σ_{fR}=0.00
Compressione nel calcestruzzo: σ_c=11.96
CC 4 SLD (Collegamento 0020_-377)
Azioni sul collegamento: N=-5750.58 Ty=-3.50 Tz=-2.19 Mx=0.01 Mz=-1.66
Sollecitazioni agenti localmente: T_{x_l}=-3.50 T_{y_l}=-2.19 N_l=-5750.58 M_{x_l}=-0.00 M_{y_l}=-1.66 M_{z_l}=0.01
Taglio nei bulloni: Fv,Ed=0.70 Fv,Rd=9650.97
Rifollamento lato piastra: Fb,Ed,p=0.69 Fb,Rd,p=11627.80
Tirafondi:LT=0.45 (0.31) σ_{cR}=0.00 σ_{fR}=0.00
Compressione nel calcestruzzo: σ_c=11.97
CC 4 SLD (Collegamento 0020_-377)
Azioni sul collegamento: N=-5750.58 Ty=-2.85 Tz=3.74 Mx=0.01 Mz=-1.43
Sollecitazioni agenti localmente: T_{x_l}=-2.85 T_{y_l}=3.74 N_l=-5750.58 M_{x_l}=-0.00 M_{y_l}=-1.43 M_{z_l}=0.01
Taglio nei bulloni: Fv,Ed=0.80 Fv,Rd=9650.97
Rifollamento lato piastra: Fb,Ed,p=0.79 Fb,Rd,p=13209.60
Tirafondi:LT=0.45 (0.31) σ_{cR}=0.00 σ_{fR}=0.00
Compressione nel calcestruzzo: σ_c=11.96
CC 4 SLD (Collegamento 0020_-377)
Azioni sul collegamento: N=-5750.58 Ty=-3.50 Tz=3.74 Mx=0.01 Mz=-1.66
Sollecitazioni agenti localmente: T_{x_l}=-3.50 T_{y_l}=3.74 N_l=-5750.58 M_{x_l}=-0.00 M_{y_l}=-1.66 M_{z_l}=0.01
Taglio nei bulloni: Fv,Ed=0.87 Fv,Rd=9650.97
Rifollamento lato piastra: Fb,Ed,p=0.85 Fb,Rd,p=14356.20

Tirafondi:LT=0.45 (0.31) σ_{cR}=0.00 σ_{fR}=0.00
Compressione nel calcestruzzo: σ_c=11.97
CC 4 SLD (Collegamento 0020_-377)
Azioni sul collegamento: N=-7362.28 Ty=-2.85 Tz=-2.19 Mx=0.01 Mz=-1.43
Sollecitazioni agenti localmente: Tx_l=-2.85 Ty_l=-2.19 N_l=-7362.28 Mx_l=-0.00 My_l=-1.43 Mz_l=0.01
Taglio nei bulloni: Fv,Ed=0.61 Fv,Rd=9650.97
Rifollamento lato piastra: Fb,Ed,p=0.60 Fb,Rd,p=13208.30
Tirafondi:LT=0.45 (0.31) σ_{cR}=0.00 σ_{fR}=0.00
Compressione nel calcestruzzo: σ_c=15.29
CC 4 SLD (Collegamento 0020_-377)
Azioni sul collegamento: N=-7362.28 Ty=-3.50 Tz=-2.19 Mx=0.01 Mz=-1.66
Sollecitazioni agenti localmente: Tx_l=-3.50 Ty_l=-2.19 N_l=-7362.28 Mx_l=-0.00 My_l=-1.66 Mz_l=0.01
Taglio nei bulloni: Fv,Ed=0.70 Fv,Rd=9650.97
Rifollamento lato piastra: Fb,Ed,p=0.69 Fb,Rd,p=11629.00
Tirafondi:LT=0.45 (0.31) σ_{cR}=0.00 σ_{fR}=0.00
Compressione nel calcestruzzo: σ_c=15.30
CC 4 SLD (Collegamento 0020_-377)
Azioni sul collegamento: N=-7362.28 Ty=-2.85 Tz=3.74 Mx=0.01 Mz=-1.43
Sollecitazioni agenti localmente: Tx_l=-2.85 Ty_l=3.74 N_l=-7362.28 Mx_l=-0.00 My_l=-1.43 Mz_l=0.01
Taglio nei bulloni: Fv,Ed=0.80 Fv,Rd=9650.97
Rifollamento lato piastra: Fb,Ed,p=0.79 Fb,Rd,p=13209.60
Tirafondi:LT=0.45 (0.31) σ_{cR}=0.00 σ_{fR}=0.00
Compressione nel calcestruzzo: σ_c=15.29
CC 4 SLD (Collegamento 0020_-377)
Azioni sul collegamento: N=-7362.28 Ty=-3.50 Tz=3.74 Mx=0.01 Mz=-1.66
Sollecitazioni agenti localmente: Tx_l=-3.50 Ty_l=3.74 N_l=-7362.28 Mx_l=-0.00 My_l=-1.66 Mz_l=0.01
Taglio nei bulloni: Fv,Ed=0.87 Fv,Rd=9650.97
Rifollamento lato piastra: Fb,Ed,p=0.85 Fb,Rd,p=14356.10
Tirafondi:LT=0.45 (0.31) σ_{cR}=0.00 σ_{fR}=0.00
Compressione nel calcestruzzo: σ_c=15.30
CC 5 SLV (Collegamento 0020_-377)
Azioni sul collegamento: N=-9166.69 Ty=-1.27 Tz=10.38 Mx=0.02 Mz=0.17
Sollecitazioni agenti localmente: Tx_l=-1.27 Ty_l=10.38 N_l=-9166.69 Mx_l=-0.00 My_l=0.17 Mz_l=0.02
Taglio nei bulloni: Fv,Ed=1.76 Fv,Rd=7720.78
Rifollamento lato piastra: Fb,Ed,p=1.76 Fb,Rd,p=6086.02
Tirafondi:LT=0.45 (0.31) σ_{cR}=0.00 σ_{fR}=0.00
Compressione nel calcestruzzo: σ_c=18.95
CC 5 SLV (Collegamento 0020_-377)
Azioni sul collegamento: N=-9166.69 Ty=-3.39 Tz=10.38 Mx=0.02 Mz=0.91
Sollecitazioni agenti localmente: Tx_l=-3.39 Ty_l=10.38 N_l=-9166.69 Mx_l=-0.00 My_l=0.91 Mz_l=0.02
Taglio nei bulloni: Fv,Ed=1.84 Fv,Rd=7720.78
Rifollamento lato piastra: Fb,Ed,p=1.83 Fb,Rd,p=6843.07
Tirafondi:LT=0.45 (0.31) σ_{cR}=0.00 σ_{fR}=0.00
Compressione nel calcestruzzo: σ_c=18.99
CC 5 SLV (Collegamento 0020_-377)
Azioni sul collegamento: N=-9166.69 Ty=-1.27 Tz=-9.09 Mx=0.02 Mz=0.17
Sollecitazioni agenti localmente: Tx_l=-1.27 Ty_l=-9.09 N_l=-9166.69 Mx_l=-0.00 My_l=0.17 Mz_l=0.02
Taglio nei bulloni: Fv,Ed=1.55 Fv,Rd=7720.78
Rifollamento lato piastra: Fb,Ed,p=1.55 Fb,Rd,p=6183.07
Tirafondi:LT=0.45 (0.31) σ_{cR}=0.00 σ_{fR}=0.00
Compressione nel calcestruzzo: σ_c=18.95
CC 5 SLV (Collegamento 0020_-377)
Azioni sul collegamento: N=-9166.69 Ty=-3.39 Tz=-9.09 Mx=0.02 Mz=0.91
Sollecitazioni agenti localmente: Tx_l=-3.39 Ty_l=-9.09 N_l=-9166.69 Mx_l=-0.00 My_l=0.91 Mz_l=0.02
Taglio nei bulloni: Fv,Ed=1.64 Fv,Rd=7720.78
Rifollamento lato piastra: Fb,Ed,p=1.64 Fb,Rd,p=7280.08
Tirafondi:LT=0.45 (0.31) σ_{cR}=0.00 σ_{fR}=0.00
Compressione nel calcestruzzo: σ_c=18.99
CC 5 SLV (Collegamento 0020_-377)
Azioni sul collegamento: N=-3881.26 Ty=-1.27 Tz=10.37 Mx=0.02 Mz=0.17
Sollecitazioni agenti localmente: Tx_l=-1.27 Ty_l=10.37 N_l=-3881.26 Mx_l=-0.00 My_l=0.17 Mz_l=0.02
Taglio nei bulloni: Fv,Ed=1.76 Fv,Rd=7720.78
Rifollamento lato piastra: Fb,Ed,p=1.76 Fb,Rd,p=6086.03
Tirafondi:LT=0.45 (0.31) σ_{cR}=0.00 σ_{fR}=0.00
Compressione nel calcestruzzo: σ_c=8.03
CC 5 SLV (Collegamento 0020_-377)
Azioni sul collegamento: N=-3881.26 Ty=-3.39 Tz=10.37 Mx=0.02 Mz=0.91
Sollecitazioni agenti localmente: Tx_l=-3.39 Ty_l=10.37 N_l=-3881.26 Mx_l=-0.00 My_l=0.91 Mz_l=0.02
Taglio nei bulloni: Fv,Ed=1.84 Fv,Rd=7720.78
Rifollamento lato piastra: Fb,Ed,p=1.83 Fb,Rd,p=6843.12
Tirafondi:LT=0.45 (0.31) σ_{cR}=0.00 σ_{fR}=0.00
Compressione nel calcestruzzo: σ_c=8.07
CC 5 SLV (Collegamento 0020_-377)
Azioni sul collegamento: N=-3881.26 Ty=-1.27 Tz=-9.09 Mx=0.02 Mz=0.17
Sollecitazioni agenti localmente: Tx_l=-1.27 Ty_l=-9.09 N_l=-3881.26 Mx_l=-0.00 My_l=0.17 Mz_l=0.02
Taglio nei bulloni: Fv,Ed=1.55 Fv,Rd=7720.78
Rifollamento lato piastra: Fb,Ed,p=1.55 Fb,Rd,p=6183.07
Tirafondi:LT=0.45 (0.31) σ_{cR}=0.00 σ_{fR}=0.00
Compressione nel calcestruzzo: σ_c=8.03
CC 5 SLV (Collegamento 0020_-377)

Azioni sul collegamento: N=-3881.26 Ty=-3.39 Tz=-9.09 Mx=0.02 Mz=0.91
Sollecitazioni agenti localmente: Tx_l=-3.39 Ty_l=-9.09 N_l=-3881.26 Mx_l=-0.00 My_l=0.91 Mz_l=0.02
Taglio nei bulloni: Fv,Ed=1.64 Fv,Rd=7720.78
Rifollamento lato piastra: Fb,Ed,p=1.64 Fb,Rd,p=7280.09
Tirafondi:LT=0.45 (0.31) σ_{cR}=0.00 σ_{fR}=0.00
Compressione nel calcestruzzo: σ_c=8.07
CC 6 SLD (Collegamento 0020_-377)
Azioni sul collegamento: N=-7362.28 Ty=-3.50 Tz=3.74 Mx=0.01 Mz=-1.66
Sollecitazioni agenti localmente: Tx_l=-3.50 Ty_l=3.74 N_l=-7362.28 Mx_l=-0.00 My_l=-1.66 Mz_l=0.01
Taglio nei bulloni: Fv,Ed=0.87 Fv,Rd=9650.97
Rifollamento lato piastra: Fb,Ed,p=0.85 Fb,Rd,p=14341.90
Tirafondi:LT=0.45 (0.31) σ_{cR}=0.00 σ_{fR}=0.00
Compressione nel calcestruzzo: σ_c=15.30
CC 6 SLD (Collegamento 0020_-377)
Azioni sul collegamento: N=-7362.28 Ty=-2.85 Tz=3.74 Mx=0.01 Mz=-1.43
Sollecitazioni agenti localmente: Tx_l=-2.85 Ty_l=3.74 N_l=-7362.28 Mx_l=-0.00 My_l=-1.43 Mz_l=0.01
Taglio nei bulloni: Fv,Ed=0.80 Fv,Rd=9650.97
Rifollamento lato piastra: Fb,Ed,p=0.79 Fb,Rd,p=13198.10
Tirafondi:LT=0.45 (0.31) σ_{cR}=0.00 σ_{fR}=0.00
Compressione nel calcestruzzo: σ_c=15.29
CC 6 SLD (Collegamento 0020_-377)
Azioni sul collegamento: N=-7362.28 Ty=-3.50 Tz=-2.19 Mx=0.01 Mz=-1.66
Sollecitazioni agenti localmente: Tx_l=-3.50 Ty_l=-2.19 N_l=-7362.28 Mx_l=-0.00 My_l=-1.66 Mz_l=0.01
Taglio nei bulloni: Fv,Ed=0.70 Fv,Rd=9650.97
Rifollamento lato piastra: Fb,Ed,p=0.69 Fb,Rd,p=11603.80
Tirafondi:LT=0.45 (0.31) σ_{cR}=0.00 σ_{fR}=0.00
Compressione nel calcestruzzo: σ_c=15.30
CC 6 SLD (Collegamento 0020_-377)
Azioni sul collegamento: N=-7362.28 Ty=-2.85 Tz=-2.19 Mx=0.01 Mz=-1.43
Sollecitazioni agenti localmente: Tx_l=-2.85 Ty_l=-2.19 N_l=-7362.28 Mx_l=-0.00 My_l=-1.43 Mz_l=0.01
Taglio nei bulloni: Fv,Ed=0.61 Fv,Rd=9650.97
Rifollamento lato piastra: Fb,Ed,p=0.60 Fb,Rd,p=13193.30
Tirafondi:LT=0.45 (0.31) σ_{cR}=0.00 σ_{fR}=0.00
Compressione nel calcestruzzo: σ_c=15.29
CC 6 SLD (Collegamento 0020_-377)
Azioni sul collegamento: N=-5750.58 Ty=-3.50 Tz=3.74 Mx=0.01 Mz=-1.66
Sollecitazioni agenti localmente: Tx_l=-3.50 Ty_l=3.74 N_l=-5750.58 Mx_l=-0.00 My_l=-1.66 Mz_l=0.01
Taglio nei bulloni: Fv,Ed=0.87 Fv,Rd=9650.97
Rifollamento lato piastra: Fb,Ed,p=0.85 Fb,Rd,p=14341.90
Tirafondi:LT=0.45 (0.31) σ_{cR}=0.00 σ_{fR}=0.00
Compressione nel calcestruzzo: σ_c=11.97
CC 6 SLD (Collegamento 0020_-377)
Azioni sul collegamento: N=-5750.58 Ty=-2.85 Tz=3.74 Mx=0.01 Mz=-1.43
Sollecitazioni agenti localmente: Tx_l=-2.85 Ty_l=3.74 N_l=-5750.58 Mx_l=-0.00 My_l=-1.43 Mz_l=0.01
Taglio nei bulloni: Fv,Ed=0.80 Fv,Rd=9650.97
Rifollamento lato piastra: Fb,Ed,p=0.79 Fb,Rd,p=13198.20
Tirafondi:LT=0.45 (0.31) σ_{cR}=0.00 σ_{fR}=0.00
Compressione nel calcestruzzo: σ_c=11.96
CC 6 SLD (Collegamento 0020_-377)
Azioni sul collegamento: N=-5750.58 Ty=-3.50 Tz=-2.19 Mx=0.01 Mz=-1.66
Sollecitazioni agenti localmente: Tx_l=-3.50 Ty_l=-2.19 N_l=-5750.58 Mx_l=-0.00 My_l=-1.66 Mz_l=0.01
Taglio nei bulloni: Fv,Ed=0.70 Fv,Rd=9650.97
Rifollamento lato piastra: Fb,Ed,p=0.69 Fb,Rd,p=11602.70
Tirafondi:LT=0.45 (0.31) σ_{cR}=0.00 σ_{fR}=0.00
Compressione nel calcestruzzo: σ_c=11.97
CC 6 SLD (Collegamento 0020_-377)
Azioni sul collegamento: N=-5750.58 Ty=-2.85 Tz=-2.19 Mx=0.01 Mz=-1.43
Sollecitazioni agenti localmente: Tx_l=-2.85 Ty_l=-2.19 N_l=-5750.58 Mx_l=-0.00 My_l=-1.43 Mz_l=0.01
Taglio nei bulloni: Fv,Ed=0.61 Fv,Rd=9650.97
Rifollamento lato piastra: Fb,Ed,p=0.60 Fb,Rd,p=13192.60
Tirafondi:LT=0.45 (0.31) σ_{cR}=0.00 σ_{fR}=0.00
Compressione nel calcestruzzo: σ_c=11.96
CC 7 SLV (Collegamento 0020_-377)
Azioni sul collegamento: N=-9172.38 Ty=-0.64 Tz=10.50 Mx=0.01 Mz=-1.09
Sollecitazioni agenti localmente: Tx_l=-0.64 Ty_l=10.50 N_l=-9172.38 Mx_l=-0.00 My_l=-1.09 Mz_l=0.01
Taglio nei bulloni: Fv,Ed=1.77 Fv,Rd=7720.78
Rifollamento lato piastra: Fb,Ed,p=1.77 Fb,Rd,p=6003.06
Tirafondi:LT=0.45 (0.31) σ_{cR}=0.00 σ_{fR}=0.00
Compressione nel calcestruzzo: σ_c=19.01
CC 7 SLV (Collegamento 0020_-377)
Azioni sul collegamento: N=-9172.38 Ty=-4.02 Tz=10.50 Mx=0.01 Mz=2.16
Sollecitazioni agenti localmente: Tx_l=-4.02 Ty_l=10.50 N_l=-9172.38 Mx_l=-0.00 My_l=2.16 Mz_l=0.01
Taglio nei bulloni: Fv,Ed=1.89 Fv,Rd=7720.78
Rifollamento lato piastra: Fb,Ed,p=1.88 Fb,Rd,p=7212.56
Tirafondi:LT=0.45 (0.31) σ_{cR}=0.00 σ_{fR}=0.00
Compressione nel calcestruzzo: σ_c=19.07
CC 7 SLV (Collegamento 0020_-377)
Azioni sul collegamento: N=-9172.38 Ty=-0.64 Tz=-9.21 Mx=0.01 Mz=-1.09
Sollecitazioni agenti localmente: Tx_l=-0.64 Ty_l=-9.21 N_l=-9172.38 Mx_l=-0.00 My_l=-1.09 Mz_l=0.01
Taglio nei bulloni: Fv,Ed=1.56 Fv,Rd=7720.78

Rifollamento lato piastra: Fb,Ed,p=1.56 Fb,Rd,p=6033.62
Tirafondi:LT=0.45 (0.31) σ_{cR}=0.00 σ_{fR}=0.00
Compressione nel calcestruzzo: σ_c=19.01
CC 7 SLV (Collegamento 0020_-377)
Azioni sul collegamento: N=-9172.38 Ty=-4.02 Tz=-9.21 Mx=0.01 Mz=2.16
Sollecitazioni agenti localmente: Tx_l=-4.02 Ty_l=-9.21 N_l=-9172.38 Mx_l=-0.00 My_l=2.16 Mz_l=0.01
Taglio nei bulloni: Fv,Ed=1.70 Fv,Rd=7720.78
Rifollamento lato piastra: Fb,Ed,p=1.70 Fb,Rd,p=7734.27
Tirafondi:LT=0.45 (0.31) σ_{cR}=0.00 σ_{fR}=0.00
Compressione nel calcestruzzo: σ_c=19.07
CC 7 SLV (Collegamento 0020_-377)
Azioni sul collegamento: N=-3875.57 Ty=-0.64 Tz=10.50 Mx=0.01 Mz=-1.09
Sollecitazioni agenti localmente: Tx_l=-0.64 Ty_l=10.50 N_l=-3875.57 Mx_l=-0.00 My_l=-1.09 Mz_l=0.01
Taglio nei bulloni: Fv,Ed=1.77 Fv,Rd=7720.78
Rifollamento lato piastra: Fb,Ed,p=1.77 Fb,Rd,p=6003.06
Tirafondi:LT=0.45 (0.31) σ_{cR}=0.00 σ_{fR}=0.00
Compressione nel calcestruzzo: σ_c=8.07
CC 7 SLV (Collegamento 0020_-377)
Azioni sul collegamento: N=-3875.57 Ty=-4.02 Tz=10.50 Mx=0.01 Mz=2.16
Sollecitazioni agenti localmente: Tx_l=-4.02 Ty_l=10.50 N_l=-3875.57 Mx_l=-0.00 My_l=2.16 Mz_l=0.01
Taglio nei bulloni: Fv,Ed=1.89 Fv,Rd=7720.78
Rifollamento lato piastra: Fb,Ed,p=1.88 Fb,Rd,p=7212.58
Tirafondi:LT=0.45 (0.31) σ_{cR}=0.00 σ_{fR}=0.00
Compressione nel calcestruzzo: σ_c=8.13
CC 7 SLV (Collegamento 0020_-377)
Azioni sul collegamento: N=-3875.57 Ty=-0.64 Tz=-9.21 Mx=0.01 Mz=-1.09
Sollecitazioni agenti localmente: Tx_l=-0.64 Ty_l=-9.21 N_l=-3875.57 Mx_l=-0.00 My_l=-1.09 Mz_l=0.01
Taglio nei bulloni: Fv,Ed=1.56 Fv,Rd=7720.78
Rifollamento lato piastra: Fb,Ed,p=1.56 Fb,Rd,p=6033.63
Tirafondi:LT=0.45 (0.31) σ_{cR}=0.00 σ_{fR}=0.00
Compressione nel calcestruzzo: σ_c=8.07
CC 7 SLV (Collegamento 0020_-377)
Azioni sul collegamento: N=-3875.57 Ty=-4.02 Tz=-9.21 Mx=0.01 Mz=2.16
Sollecitazioni agenti localmente: Tx_l=-4.02 Ty_l=-9.21 N_l=-3875.57 Mx_l=-0.00 My_l=2.16 Mz_l=0.01
Taglio nei bulloni: Fv,Ed=1.70 Fv,Rd=7720.78
Rifollamento lato piastra: Fb,Ed,p=1.70 Fb,Rd,p=7734.17
Tirafondi:LT=0.45 (0.31) σ_{cR}=0.00 σ_{fR}=0.00
Compressione nel calcestruzzo: σ_c=8.13
CC 8 SLD (Collegamento 0020_-377)
Azioni sul collegamento: N=-7364.01 Ty=-3.69 Tz=3.78 Mx=0.01 Mz=-2.04
Sollecitazioni agenti localmente: Tx_l=-3.69 Ty_l=3.78 N_l=-7364.01 Mx_l=-0.00 My_l=-2.04 Mz_l=0.01
Taglio nei bulloni: Fv,Ed=0.89 Fv,Rd=9650.97
Rifollamento lato piastra: Fb,Ed,p=0.88 Fb,Rd,p=14675.20
Tirafondi:LT=0.45 (0.31) σ_{cR}=0.00 σ_{fR}=0.00
Compressione nel calcestruzzo: σ_c=15.33
CC 8 SLD (Collegamento 0020_-377)
Azioni sul collegamento: N=-7364.01 Ty=-2.66 Tz=3.78 Mx=0.01 Mz=-1.05
Sollecitazioni agenti localmente: Tx_l=-2.66 Ty_l=3.78 N_l=-7364.01 Mx_l=-0.00 My_l=-1.05 Mz_l=0.01
Taglio nei bulloni: Fv,Ed=0.78 Fv,Rd=9650.97
Rifollamento lato piastra: Fb,Ed,p=0.77 Fb,Rd,p=12813.70
Tirafondi:LT=0.45 (0.31) σ_{cR}=0.00 σ_{fR}=0.00
Compressione nel calcestruzzo: σ_c=15.27
CC 8 SLD (Collegamento 0020_-377)
Azioni sul collegamento: N=-7364.01 Ty=-3.69 Tz=-2.23 Mx=0.01 Mz=-2.04
Sollecitazioni agenti localmente: Tx_l=-3.69 Ty_l=-2.23 N_l=-7364.01 Mx_l=-0.00 My_l=-2.04 Mz_l=0.01
Taglio nei bulloni: Fv,Ed=0.73 Fv,Rd=9650.97
Rifollamento lato piastra: Fb,Ed,p=0.72 Fb,Rd,p=11375.00
Tirafondi:LT=0.45 (0.31) σ_{cR}=0.00 σ_{fR}=0.00
Compressione nel calcestruzzo: σ_c=15.33
CC 8 SLD (Collegamento 0020_-377)
Azioni sul collegamento: N=-7364.01 Ty=-2.66 Tz=-2.23 Mx=0.01 Mz=-1.05
Sollecitazioni agenti localmente: Tx_l=-2.66 Ty_l=-2.23 N_l=-7364.01 Mx_l=-0.00 My_l=-1.05 Mz_l=0.01
Taglio nei bulloni: Fv,Ed=0.59 Fv,Rd=9650.97
Rifollamento lato piastra: Fb,Ed,p=0.58 Fb,Rd,p=13669.50
Tirafondi:LT=0.45 (0.31) σ_{cR}=0.00 σ_{fR}=0.00
Compressione nel calcestruzzo: σ_c=15.27
CC 8 SLD (Collegamento 0020_-377)
Azioni sul collegamento: N=-5748.85 Ty=-3.69 Tz=3.78 Mx=0.01 Mz=-2.04
Sollecitazioni agenti localmente: Tx_l=-3.69 Ty_l=3.78 N_l=-5748.85 Mx_l=-0.00 My_l=-2.04 Mz_l=0.01
Taglio nei bulloni: Fv,Ed=0.89 Fv,Rd=9650.97
Rifollamento lato piastra: Fb,Ed,p=0.88 Fb,Rd,p=14675.90
Tirafondi:LT=0.45 (0.31) σ_{cR}=0.00 σ_{fR}=0.00
Compressione nel calcestruzzo: σ_c=11.99
CC 8 SLD (Collegamento 0020_-377)
Azioni sul collegamento: N=-5748.85 Ty=-2.66 Tz=3.78 Mx=0.01 Mz=-1.05
Sollecitazioni agenti localmente: Tx_l=-2.66 Ty_l=3.78 N_l=-5748.85 Mx_l=-0.00 My_l=-1.05 Mz_l=0.01
Taglio nei bulloni: Fv,Ed=0.78 Fv,Rd=9650.97
Rifollamento lato piastra: Fb,Ed,p=0.77 Fb,Rd,p=12814.80
Tirafondi:LT=0.45 (0.31) σ_{cR}=0.00 σ_{fR}=0.00
Compressione nel calcestruzzo: σ_c=11.94

CC 8 SLD (Collegamento 0020_-377)
Azioni sul collegamento: N=-5748.85 Ty=-3.69 Tz=-2.23 Mx=0.01 Mz=-2.04
Sollecitazioni agenti localmente: Tx_l=-3.69 Ty_l=-2.23 N_l=-5748.85 Mx_l=-0.00 My_l=-2.04 Mz_l=0.01
Taglio nei bulloni: Fv,Ed=0.73 Fv,Rd=9650.97
Rifollamento lato piastra: Fb,Ed,p=0.72 Fb,Rd,p=11375.20
Tirafondi:LT=0.45 (0.31) σ_{cR}=0.00 σ_{fR}=0.00
Compressione nel calcestruzzo: σ_c=11.99
CC 8 SLD (Collegamento 0020_-377)
Azioni sul collegamento: N=-5748.85 Ty=-2.66 Tz=-2.23 Mx=0.01 Mz=-1.05
Sollecitazioni agenti localmente: Tx_l=-2.66 Ty_l=-2.23 N_l=-5748.85 Mx_l=-0.00 My_l=-1.05 Mz_l=0.01
Taglio nei bulloni: Fv,Ed=0.59 Fv,Rd=9650.97
Rifollamento lato piastra: Fb,Ed,p=0.58 Fb,Rd,p=13669.70
Tirafondi:LT=0.45 (0.31) σ_{cR}=0.00 σ_{fR}=0.00
Compressione nel calcestruzzo: σ_c=11.94
CC 9 SLV (Collegamento 0020_-377)
Azioni sul collegamento: N=-5720.83 Ty=-3.80 Tz=-2.51 Mx=0.03 Mz=2.93
Sollecitazioni agenti localmente: Tx_l=-3.80 Ty_l=-2.51 N_l=-5720.83 Mx_l=-0.00 My_l=2.93 Mz_l=0.03
Taglio nei bulloni: Fv,Ed=0.80 Fv,Rd=7720.78
Rifollamento lato piastra: Fb,Ed,p=0.77 Fb,Rd,p=9125.65
Tirafondi:LT=0.45 (0.31) σ_{cR}=0.00 σ_{fR}=0.00
Compressione nel calcestruzzo: σ_c=11.98
CC 9 SLV (Collegamento 0020_-377)
Azioni sul collegamento: N=-5720.83 Ty=-0.86 Tz=-2.51 Mx=0.03 Mz=-1.85
Sollecitazioni agenti localmente: Tx_l=-0.86 Ty_l=-2.51 N_l=-5720.83 Mx_l=-0.00 My_l=-1.85 Mz_l=0.03
Taglio nei bulloni: Fv,Ed=0.48 Fv,Rd=7720.78
Rifollamento lato piastra: Fb,Ed,p=0.48 Fb,Rd,p=7310.91
Tirafondi:LT=0.45 (0.31) σ_{cR}=0.00 σ_{fR}=0.00
Compressione nel calcestruzzo: σ_c=11.92
CC 9 SLV (Collegamento 0020_-377)
Azioni sul collegamento: N=-5720.83 Ty=-3.80 Tz=3.80 Mx=0.03 Mz=2.93
Sollecitazioni agenti localmente: Tx_l=-3.80 Ty_l=3.80 N_l=-5720.83 Mx_l=-0.00 My_l=2.93 Mz_l=0.03
Taglio nei bulloni: Fv,Ed=0.94 Fv,Rd=7720.78
Rifollamento lato piastra: Fb,Ed,p=0.94 Fb,Rd,p=12018.30
Tirafondi:LT=0.45 (0.31) σ_{cR}=0.00 σ_{fR}=0.00
Compressione nel calcestruzzo: σ_c=11.98
CC 9 SLV (Collegamento 0020_-377)
Azioni sul collegamento: N=-5720.83 Ty=-0.86 Tz=3.80 Mx=0.03 Mz=-1.85
Sollecitazioni agenti localmente: Tx_l=-0.86 Ty_l=3.80 N_l=-5720.83 Mx_l=-0.00 My_l=-1.85 Mz_l=0.03
Taglio nei bulloni: Fv,Ed=0.68 Fv,Rd=7720.78
Rifollamento lato piastra: Fb,Ed,p=0.67 Fb,Rd,p=6247.57
Tirafondi:LT=0.45 (0.31) σ_{cR}=0.00 σ_{fR}=0.00
Compressione nel calcestruzzo: σ_c=11.92
CC 9 SLV (Collegamento 0020_-377)
Azioni sul collegamento: N=-7327.12 Ty=-3.80 Tz=-2.51 Mx=0.03 Mz=2.93
Sollecitazioni agenti localmente: Tx_l=-3.80 Ty_l=-2.51 N_l=-7327.12 Mx_l=-0.00 My_l=2.93 Mz_l=0.03
Taglio nei bulloni: Fv,Ed=0.80 Fv,Rd=7720.78
Rifollamento lato piastra: Fb,Ed,p=0.77 Fb,Rd,p=9126.39
Tirafondi:LT=0.45 (0.31) σ_{cR}=0.00 σ_{fR}=0.00
Compressione nel calcestruzzo: σ_c=15.30
CC 9 SLV (Collegamento 0020_-377)
Azioni sul collegamento: N=-7327.12 Ty=-0.86 Tz=-2.51 Mx=0.03 Mz=-1.85
Sollecitazioni agenti localmente: Tx_l=-0.86 Ty_l=-2.51 N_l=-7327.12 Mx_l=-0.00 My_l=-1.85 Mz_l=0.03
Taglio nei bulloni: Fv,Ed=0.48 Fv,Rd=7720.78
Rifollamento lato piastra: Fb,Ed,p=0.48 Fb,Rd,p=7310.63
Tirafondi:LT=0.45 (0.31) σ_{cR}=0.00 σ_{fR}=0.00
Compressione nel calcestruzzo: σ_c=15.24
CC 9 SLV (Collegamento 0020_-377)
Azioni sul collegamento: N=-7327.12 Ty=-3.80 Tz=3.80 Mx=0.03 Mz=2.93
Sollecitazioni agenti localmente: Tx_l=-3.80 Ty_l=3.80 N_l=-7327.12 Mx_l=-0.00 My_l=2.93 Mz_l=0.03
Taglio nei bulloni: Fv,Ed=0.94 Fv,Rd=7720.78
Rifollamento lato piastra: Fb,Ed,p=0.94 Fb,Rd,p=12018.40
Tirafondi:LT=0.45 (0.31) σ_{cR}=0.00 σ_{fR}=0.00
Compressione nel calcestruzzo: σ_c=15.30
CC 9 SLV (Collegamento 0020_-377)
Azioni sul collegamento: N=-7327.12 Ty=-0.86 Tz=3.80 Mx=0.03 Mz=-1.85
Sollecitazioni agenti localmente: Tx_l=-0.86 Ty_l=3.80 N_l=-7327.12 Mx_l=-0.00 My_l=-1.85 Mz_l=0.03
Taglio nei bulloni: Fv,Ed=0.68 Fv,Rd=7720.78
Rifollamento lato piastra: Fb,Ed,p=0.67 Fb,Rd,p=6247.56
Tirafondi:LT=0.45 (0.31) σ_{cR}=0.00 σ_{fR}=0.00
Compressione nel calcestruzzo: σ_c=15.24
CC 10 SLD (Collegamento 0020_-377)
Azioni sul collegamento: N=-6311.52 Ty=-2.73 Tz=-0.19 Mx=0.01 Mz=-0.81
Sollecitazioni agenti localmente: Tx_l=-2.73 Ty_l=-0.19 N_l=-6311.52 Mx_l=-0.00 My_l=-0.81 Mz_l=0.01
Taglio nei bulloni: Fv,Ed=0.47 Fv,Rd=9650.97
Rifollamento lato piastra: Fb,Ed,p=0.47 Fb,Rd,p=7494.02
Tirafondi:LT=0.45 (0.31) σ_{cR}=0.00 σ_{fR}=0.00
Compressione nel calcestruzzo: σ_c=13.09
CC 10 SLD (Collegamento 0020_-377)
Azioni sul collegamento: N=-6311.52 Ty=-3.62 Tz=-0.19 Mx=0.01 Mz=-2.27
Sollecitazioni agenti localmente: Tx_l=-3.62 Ty_l=-0.19 N_l=-6311.52 Mx_l=-0.00 My_l=-2.27 Mz_l=0.01

Taglio nei bulloni: Fv,Ed=0.62 Fv,Rd=9650.97
Rifollamento lato piastra: Fb,Ed,p=0.62 Fb,Rd,p=7485.46
Tirafondi:LT=0.45 (0.31) σ_{cR}=0.00 σ_{fR}=0.00
Compressione nel calcestruzzo: σ_c=13.17
CC 10 SLD (Collegamento 0020_-377)
Azioni sul collegamento: N=-6311.52 Ty=-2.73 Tz=1.73 Mx=0.01 Mz=-0.81
Sollecitazioni agenti localmente: Tx_l=-2.73 Ty_l=1.73 N_l=-6311.52 Mx_l=-0.00 My_l=-0.81 Mz_l=0.01
Taglio nei bulloni: Fv,Ed=0.55 Fv,Rd=9650.97
Rifollamento lato piastra: Fb,Ed,p=0.55 Fb,Rd,p=12219.30
Tirafondi:LT=0.45 (0.31) σ_{cR}=0.00 σ_{fR}=0.00
Compressione nel calcestruzzo: σ_c=13.09
CC 10 SLD (Collegamento 0020_-377)
Azioni sul collegamento: N=-6311.52 Ty=-3.62 Tz=1.73 Mx=0.01 Mz=-2.27
Sollecitazioni agenti localmente: Tx_l=-3.62 Ty_l=1.73 N_l=-6311.52 Mx_l=-0.00 My_l=-2.27 Mz_l=0.01
Taglio nei bulloni: Fv,Ed=0.68 Fv,Rd=9650.97
Rifollamento lato piastra: Fb,Ed,p=0.68 Fb,Rd,p=10167.30
Tirafondi:LT=0.45 (0.31) σ_{cR}=0.00 σ_{fR}=0.00
Compressione nel calcestruzzo: σ_c=13.17
CC 10 SLD (Collegamento 0020_-377)
Azioni sul collegamento: N=-6801.33 Ty=-2.73 Tz=-0.19 Mx=0.01 Mz=-0.81
Sollecitazioni agenti localmente: Tx_l=-2.73 Ty_l=-0.19 N_l=-6801.33 Mx_l=-0.00 My_l=-0.81 Mz_l=0.01
Taglio nei bulloni: Fv,Ed=0.47 Fv,Rd=9650.97
Rifollamento lato piastra: Fb,Ed,p=0.47 Fb,Rd,p=7494.01
Tirafondi:LT=0.45 (0.31) σ_{cR}=0.00 σ_{fR}=0.00
Compressione nel calcestruzzo: σ_c=14.10
CC 10 SLD (Collegamento 0020_-377)
Azioni sul collegamento: N=-6801.33 Ty=-3.62 Tz=-0.19 Mx=0.01 Mz=-2.27
Sollecitazioni agenti localmente: Tx_l=-3.62 Ty_l=-0.19 N_l=-6801.33 Mx_l=-0.00 My_l=-2.27 Mz_l=0.01
Taglio nei bulloni: Fv,Ed=0.62 Fv,Rd=9650.97
Rifollamento lato piastra: Fb,Ed,p=0.62 Fb,Rd,p=7485.46
Tirafondi:LT=0.45 (0.31) σ_{cR}=0.00 σ_{fR}=0.00
Compressione nel calcestruzzo: σ_c=14.18
CC 10 SLD (Collegamento 0020_-377)
Azioni sul collegamento: N=-6801.33 Ty=-2.73 Tz=1.73 Mx=0.01 Mz=-0.81
Sollecitazioni agenti localmente: Tx_l=-2.73 Ty_l=1.73 N_l=-6801.33 Mx_l=-0.00 My_l=-0.81 Mz_l=0.01
Taglio nei bulloni: Fv,Ed=0.55 Fv,Rd=9650.97
Rifollamento lato piastra: Fb,Ed,p=0.55 Fb,Rd,p=12219.30
Tirafondi:LT=0.45 (0.31) σ_{cR}=0.00 σ_{fR}=0.00
Compressione nel calcestruzzo: σ_c=14.10
CC 10 SLD (Collegamento 0020_-377)
Azioni sul collegamento: N=-6801.33 Ty=-3.62 Tz=1.73 Mx=0.01 Mz=-2.27
Sollecitazioni agenti localmente: Tx_l=-3.62 Ty_l=1.73 N_l=-6801.33 Mx_l=-0.00 My_l=-2.27 Mz_l=0.01
Taglio nei bulloni: Fv,Ed=0.68 Fv,Rd=9650.97
Rifollamento lato piastra: Fb,Ed,p=0.68 Fb,Rd,p=10167.30
Tirafondi:LT=0.45 (0.31) σ_{cR}=0.00 σ_{fR}=0.00
Compressione nel calcestruzzo: σ_c=14.18
CC 11 SLV (Collegamento 0020_-377)
Azioni sul collegamento: N=-7308.16 Ty=-2.97 Tz=3.37 Mx=0.02 Mz=2.33
Sollecitazioni agenti localmente: Tx_l=-2.97 Ty_l=3.37 N_l=-7308.16 Mx_l=-0.00 My_l=2.33 Mz_l=0.02
Taglio nei bulloni: Fv,Ed=0.79 Fv,Rd=7720.78
Rifollamento lato piastra: Fb,Ed,p=0.75 Fb,Rd,p=10854.20
Tirafondi:LT=0.45 (0.31) σ_{cR}=0.00 σ_{fR}=0.00
Compressione nel calcestruzzo: σ_c=15.23
CC 11 SLV (Collegamento 0020_-377)
Azioni sul collegamento: N=-7308.16 Ty=-1.68 Tz=3.37 Mx=0.02 Mz=-1.26
Sollecitazioni agenti localmente: Tx_l=-1.68 Ty_l=3.37 N_l=-7308.16 Mx_l=-0.00 My_l=-1.26 Mz_l=0.02
Taglio nei bulloni: Fv,Ed=0.67 Fv,Rd=7720.78
Rifollamento lato piastra: Fb,Ed,p=0.64 Fb,Rd,p=7639.48
Tirafondi:LT=0.45 (0.31) σ_{cR}=0.00 σ_{fR}=0.00
Compressione nel calcestruzzo: σ_c=15.17
CC 11 SLV (Collegamento 0020_-377)
Azioni sul collegamento: N=-7308.16 Ty=-2.97 Tz=-2.08 Mx=0.02 Mz=2.33
Sollecitazioni agenti localmente: Tx_l=-2.97 Ty_l=-2.08 N_l=-7308.16 Mx_l=-0.00 My_l=2.33 Mz_l=0.02
Taglio nei bulloni: Fv,Ed=0.64 Fv,Rd=7720.78
Rifollamento lato piastra: Fb,Ed,p=0.61 Fb,Rd,p=9360.60
Tirafondi:LT=0.45 (0.31) σ_{cR}=0.00 σ_{fR}=0.00
Compressione nel calcestruzzo: σ_c=15.23
CC 11 SLV (Collegamento 0020_-377)
Azioni sul collegamento: N=-7308.16 Ty=-1.68 Tz=-2.08 Mx=0.02 Mz=-1.26
Sollecitazioni agenti localmente: Tx_l=-1.68 Ty_l=-2.08 N_l=-7308.16 Mx_l=-0.00 My_l=-1.26 Mz_l=0.02
Taglio nei bulloni: Fv,Ed=0.48 Fv,Rd=7720.78
Rifollamento lato piastra: Fb,Ed,p=0.48 Fb,Rd,p=11012.70
Tirafondi:LT=0.45 (0.31) σ_{cR}=0.00 σ_{fR}=0.00
Compressione nel calcestruzzo: σ_c=15.17
CC 11 SLV (Collegamento 0020_-377)
Azioni sul collegamento: N=-5739.79 Ty=-2.97 Tz=3.37 Mx=0.02 Mz=2.33
Sollecitazioni agenti localmente: Tx_l=-2.97 Ty_l=3.37 N_l=-5739.79 Mx_l=-0.00 My_l=2.33 Mz_l=0.02
Taglio nei bulloni: Fv,Ed=0.79 Fv,Rd=7720.78
Rifollamento lato piastra: Fb,Ed,p=0.75 Fb,Rd,p=10854.10
Tirafondi:LT=0.45 (0.31) σ_{cR}=0.00 σ_{fR}=0.00

Compressione nel calcestruzzo: σ_c=11.99
CC 11 SLV (Collegamento 0020_-377)
Azioni sul collegamento: N=-5739.79 Ty=-1.68 Tz=3.37 Mx=0.02 Mz=-1.26
Sollecitazioni agenti localmente: Tx_l=-1.68 Ty_l=3.37 N_l=-5739.79 Mx_l=-0.00 My_l=-1.26 Mz_l=0.02
Taglio nei bulloni: Fv,Ed=0.67 Fv,Rd=7720.78
Rifollamento lato piastra: Fb,Ed,p=0.64 Fb,Rd,p=7639.44
Tirafondi:LT=0.45 (0.31) σ_{cR}=0.00 σ_{fR}=0.00
Compressione nel calcestruzzo: σ_c=11.93
CC 11 SLV (Collegamento 0020_-377)
Azioni sul collegamento: N=-5739.79 Ty=-2.97 Tz=-2.08 Mx=0.02 Mz=2.33
Sollecitazioni agenti localmente: Tx_l=-2.97 Ty_l=-2.08 N_l=-5739.79 Mx_l=-0.00 My_l=2.33 Mz_l=0.02
Taglio nei bulloni: Fv,Ed=0.64 Fv,Rd=7720.78
Rifollamento lato piastra: Fb,Ed,p=0.61 Fb,Rd,p=9359.83
Tirafondi:LT=0.45 (0.31) σ_{cR}=0.00 σ_{fR}=0.00
Compressione nel calcestruzzo: σ_c=11.99
CC 11 SLV (Collegamento 0020_-377)
Azioni sul collegamento: N=-5739.79 Ty=-1.68 Tz=-2.08 Mx=0.02 Mz=-1.26
Sollecitazioni agenti localmente: Tx_l=-1.68 Ty_l=-2.08 N_l=-5739.79 Mx_l=-0.00 My_l=-1.26 Mz_l=0.02
Taglio nei bulloni: Fv,Ed=0.48 Fv,Rd=7720.78
Rifollamento lato piastra: Fb,Ed,p=0.48 Fb,Rd,p=11013.10
Tirafondi:LT=0.45 (0.31) σ_{cR}=0.00 σ_{fR}=0.00
Compressione nel calcestruzzo: σ_c=11.93
CC 12 SLD (Collegamento 0020_-377)
Azioni sul collegamento: N=-6795.55 Ty=-2.98 Tz=1.60 Mx=0.01 Mz=-1.00
Sollecitazioni agenti localmente: Tx_l=-2.98 Ty_l=1.60 N_l=-6795.55 Mx_l=-0.00 My_l=-1.00 Mz_l=0.01
Taglio nei bulloni: Fv,Ed=0.58 Fv,Rd=9650.97
Rifollamento lato piastra: Fb,Ed,p=0.58 Fb,Rd,p=10884.40
Tirafondi:LT=0.45 (0.31) σ_{cR}=0.00 σ_{fR}=0.00
Compressione nel calcestruzzo: σ_c=14.10
CC 12 SLD (Collegamento 0020_-377)
Azioni sul collegamento: N=-6795.55 Ty=-3.37 Tz=1.60 Mx=0.01 Mz=-2.09
Sollecitazioni agenti localmente: Tx_l=-3.37 Ty_l=1.60 N_l=-6795.55 Mx_l=-0.00 My_l=-2.09 Mz_l=0.01
Taglio nei bulloni: Fv,Ed=0.64 Fv,Rd=9650.97
Rifollamento lato piastra: Fb,Ed,p=0.64 Fb,Rd,p=10138.20
Tirafondi:LT=0.45 (0.31) σ_{cR}=0.00 σ_{fR}=0.00
Compressione nel calcestruzzo: σ_c=14.16
CC 12 SLD (Collegamento 0020_-377)
Azioni sul collegamento: N=-6795.55 Ty=-2.98 Tz=-0.06 Mx=0.01 Mz=-1.00
Sollecitazioni agenti localmente: Tx_l=-2.98 Ty_l=-0.06 N_l=-6795.55 Mx_l=-0.00 My_l=-1.00 Mz_l=0.01
Taglio nei bulloni: Fv,Ed=0.51 Fv,Rd=9650.97
Rifollamento lato piastra: Fb,Ed,p=0.51 Fb,Rd,p=7474.08
Tirafondi:LT=0.45 (0.31) σ_{cR}=0.00 σ_{fR}=0.00
Compressione nel calcestruzzo: σ_c=14.10
CC 12 SLD (Collegamento 0020_-377)
Azioni sul collegamento: N=-6795.55 Ty=-3.37 Tz=-0.06 Mx=0.01 Mz=-2.09
Sollecitazioni agenti localmente: Tx_l=-3.37 Ty_l=-0.06 N_l=-6795.55 Mx_l=-0.00 My_l=-2.09 Mz_l=0.01
Taglio nei bulloni: Fv,Ed=0.57 Fv,Rd=9650.97
Rifollamento lato piastra: Fb,Ed,p=0.57 Fb,Rd,p=7474.05
Tirafondi:LT=0.45 (0.31) σ_{cR}=0.00 σ_{fR}=0.00
Compressione nel calcestruzzo: σ_c=14.16
CC 12 SLD (Collegamento 0020_-377)
Azioni sul collegamento: N=-6317.31 Ty=-2.98 Tz=1.60 Mx=0.01 Mz=-1.00
Sollecitazioni agenti localmente: Tx_l=-2.98 Ty_l=1.60 N_l=-6317.31 Mx_l=-0.00 My_l=-1.00 Mz_l=0.01
Taglio nei bulloni: Fv,Ed=0.58 Fv,Rd=9650.97
Rifollamento lato piastra: Fb,Ed,p=0.58 Fb,Rd,p=10885.10
Tirafondi:LT=0.45 (0.31) σ_{cR}=0.00 σ_{fR}=0.00
Compressione nel calcestruzzo: σ_c=13.11
CC 12 SLD (Collegamento 0020_-377)
Azioni sul collegamento: N=-6317.31 Ty=-3.37 Tz=1.60 Mx=0.01 Mz=-2.09
Sollecitazioni agenti localmente: Tx_l=-3.37 Ty_l=1.60 N_l=-6317.31 Mx_l=-0.00 My_l=-2.09 Mz_l=0.01
Taglio nei bulloni: Fv,Ed=0.64 Fv,Rd=9650.97
Rifollamento lato piastra: Fb,Ed,p=0.64 Fb,Rd,p=10138.80
Tirafondi:LT=0.45 (0.31) σ_{cR}=0.00 σ_{fR}=0.00
Compressione nel calcestruzzo: σ_c=13.17
CC 12 SLD (Collegamento 0020_-377)
Azioni sul collegamento: N=-6317.31 Ty=-2.98 Tz=-0.06 Mx=0.01 Mz=-1.00
Sollecitazioni agenti localmente: Tx_l=-2.98 Ty_l=-0.06 N_l=-6317.31 Mx_l=-0.00 My_l=-1.00 Mz_l=0.01
Taglio nei bulloni: Fv,Ed=0.51 Fv,Rd=9650.97
Rifollamento lato piastra: Fb,Ed,p=0.51 Fb,Rd,p=7474.07
Tirafondi:LT=0.45 (0.31) σ_{cR}=0.00 σ_{fR}=0.00
Compressione nel calcestruzzo: σ_c=13.11
CC 12 SLD (Collegamento 0020_-377)
Azioni sul collegamento: N=-6317.31 Ty=-3.37 Tz=-0.06 Mx=0.01 Mz=-2.09
Sollecitazioni agenti localmente: Tx_l=-3.37 Ty_l=-0.06 N_l=-6317.31 Mx_l=-0.00 My_l=-2.09 Mz_l=0.01
Taglio nei bulloni: Fv,Ed=0.57 Fv,Rd=9650.97
Rifollamento lato piastra: Fb,Ed,p=0.57 Fb,Rd,p=7474.05
Tirafondi:LT=0.45 (0.31) σ_{cR}=0.00 σ_{fR}=0.00
Compressione nel calcestruzzo: σ_c=13.17
CC 13 SLV (Collegamento 0020_-377)
Azioni sul collegamento: N=-5739.79 Ty=-1.68 Tz=-2.08 Mx=0.01 Mz=-1.26

Sollecitazioni agenti localmente: Tx_l=-1.68 Ty_l=-2.08 N_l=-5739.79 Mx_l=-0.00 My_l=-1.26 Mz_l=0.01
Taglio nei bulloni: Fv,Ed=0.46 Fv,Rd=7720.78
Rifollamento lato piastra: Fb,Ed,p=0.46 Fb,Rd,p=10968.40
Tirafondi:LT=0.45 (0.31) σ_{cR}=0.00 σ_{fR}=0.00
Compressione nel calcestruzzo: σ_c=11.93
CC 13 SLV (Collegamento 0020_-377)
Azioni sul collegamento: N=-5739.79 Ty=-2.97 Tz=-2.08 Mx=0.01 Mz=2.33
Sollecitazioni agenti localmente: Tx_l=-2.97 Ty_l=-2.08 N_l=-5739.79 Mx_l=-0.00 My_l=2.33 Mz_l=0.01
Taglio nei bulloni: Fv,Ed=0.62 Fv,Rd=7720.78
Rifollamento lato piastra: Fb,Ed,p=0.61 Fb,Rd,p=9995.25
Tirafondi:LT=0.45 (0.31) σ_{cR}=0.00 σ_{fR}=0.00
Compressione nel calcestruzzo: σ_c=11.99
CC 13 SLV (Collegamento 0020_-377)
Azioni sul collegamento: N=-5739.79 Ty=-1.68 Tz=3.37 Mx=0.01 Mz=-1.26
Sollecitazioni agenti localmente: Tx_l=-1.68 Ty_l=3.37 N_l=-5739.79 Mx_l=-0.00 My_l=-1.26 Mz_l=0.01
Taglio nei bulloni: Fv,Ed=0.64 Fv,Rd=7720.78
Rifollamento lato piastra: Fb,Ed,p=0.63 Fb,Rd,p=7985.71
Tirafondi:LT=0.45 (0.31) σ_{cR}=0.00 σ_{fR}=0.00
Compressione nel calcestruzzo: σ_c=11.93
CC 13 SLV (Collegamento 0020_-377)
Azioni sul collegamento: N=-5739.79 Ty=-2.97 Tz=3.37 Mx=0.01 Mz=2.33
Sollecitazioni agenti localmente: Tx_l=-2.97 Ty_l=3.37 N_l=-5739.79 Mx_l=-0.00 My_l=2.33 Mz_l=0.01
Taglio nei bulloni: Fv,Ed=0.76 Fv,Rd=7720.78
Rifollamento lato piastra: Fb,Ed,p=0.75 Fb,Rd,p=11139.00
Tirafondi:LT=0.45 (0.31) σ_{cR}=0.00 σ_{fR}=0.00
Compressione nel calcestruzzo: σ_c=11.99
CC 13 SLV (Collegamento 0020_-377)
Azioni sul collegamento: N=-7308.16 Ty=-1.68 Tz=-2.08 Mx=0.01 Mz=-1.26
Sollecitazioni agenti localmente: Tx_l=-1.68 Ty_l=-2.08 N_l=-7308.16 Mx_l=-0.00 My_l=-1.26 Mz_l=0.01
Taglio nei bulloni: Fv,Ed=0.46 Fv,Rd=7720.78
Rifollamento lato piastra: Fb,Ed,p=0.46 Fb,Rd,p=10968.00
Tirafondi:LT=0.45 (0.31) σ_{cR}=0.00 σ_{fR}=0.00
Compressione nel calcestruzzo: σ_c=15.17
CC 13 SLV (Collegamento 0020_-377)
Azioni sul collegamento: N=-7308.16 Ty=-2.97 Tz=-2.08 Mx=0.01 Mz=2.33
Sollecitazioni agenti localmente: Tx_l=-2.97 Ty_l=-2.08 N_l=-7308.16 Mx_l=-0.00 My_l=2.33 Mz_l=0.01
Taglio nei bulloni: Fv,Ed=0.62 Fv,Rd=7720.78
Rifollamento lato piastra: Fb,Ed,p=0.61 Fb,Rd,p=9996.13
Tirafondi:LT=0.45 (0.31) σ_{cR}=0.00 σ_{fR}=0.00
Compressione nel calcestruzzo: σ_c=15.23
CC 13 SLV (Collegamento 0020_-377)
Azioni sul collegamento: N=-7308.16 Ty=-1.68 Tz=3.37 Mx=0.01 Mz=-1.26
Sollecitazioni agenti localmente: Tx_l=-1.68 Ty_l=3.37 N_l=-7308.16 Mx_l=-0.00 My_l=-1.26 Mz_l=0.01
Taglio nei bulloni: Fv,Ed=0.64 Fv,Rd=7720.78
Rifollamento lato piastra: Fb,Ed,p=0.63 Fb,Rd,p=7985.74
Tirafondi:LT=0.45 (0.31) σ_{cR}=0.00 σ_{fR}=0.00
Compressione nel calcestruzzo: σ_c=15.17
CC 13 SLV (Collegamento 0020_-377)
Azioni sul collegamento: N=-7308.16 Ty=-2.97 Tz=3.37 Mx=0.01 Mz=2.33
Sollecitazioni agenti localmente: Tx_l=-2.97 Ty_l=3.37 N_l=-7308.16 Mx_l=-0.00 My_l=2.33 Mz_l=0.01
Taglio nei bulloni: Fv,Ed=0.76 Fv,Rd=7720.78
Rifollamento lato piastra: Fb,Ed,p=0.75 Fb,Rd,p=11139.00
Tirafondi:LT=0.45 (0.31) σ_{cR}=0.00 σ_{fR}=0.00
Compressione nel calcestruzzo: σ_c=15.23
CC 14 SLD (Collegamento 0020_-377)
Azioni sul collegamento: N=-6317.31 Ty=-3.37 Tz=-0.06 Mx=0.01 Mz=-2.09
Sollecitazioni agenti localmente: Tx_l=-3.37 Ty_l=-0.06 N_l=-6317.31 Mx_l=-0.00 My_l=-2.09 Mz_l=0.01
Taglio nei bulloni: Fv,Ed=0.57 Fv,Rd=9650.97
Rifollamento lato piastra: Fb,Ed,p=0.57 Fb,Rd,p=7474.38
Tirafondi:LT=0.45 (0.31) σ_{cR}=0.00 σ_{fR}=0.00
Compressione nel calcestruzzo: σ_c=13.17
CC 14 SLD (Collegamento 0020_-377)
Azioni sul collegamento: N=-6317.31 Ty=-2.98 Tz=-0.06 Mx=0.01 Mz=-1.00
Sollecitazioni agenti localmente: Tx_l=-2.98 Ty_l=-0.06 N_l=-6317.31 Mx_l=-0.00 My_l=-1.00 Mz_l=0.01
Taglio nei bulloni: Fv,Ed=0.50 Fv,Rd=9650.97
Rifollamento lato piastra: Fb,Ed,p=0.50 Fb,Rd,p=7474.49
Tirafondi:LT=0.45 (0.31) σ_{cR}=0.00 σ_{fR}=0.00
Compressione nel calcestruzzo: σ_c=13.11
CC 14 SLD (Collegamento 0020_-377)
Azioni sul collegamento: N=-6317.31 Ty=-3.37 Tz=1.60 Mx=0.01 Mz=-2.09
Sollecitazioni agenti localmente: Tx_l=-3.37 Ty_l=1.60 N_l=-6317.31 Mx_l=-0.00 My_l=-2.09 Mz_l=0.01
Taglio nei bulloni: Fv,Ed=0.63 Fv,Rd=9650.97
Rifollamento lato piastra: Fb,Ed,p=0.63 Fb,Rd,p=10087.30
Tirafondi:LT=0.45 (0.31) σ_{cR}=0.00 σ_{fR}=0.00
Compressione nel calcestruzzo: σ_c=13.17
CC 14 SLD (Collegamento 0020_-377)
Azioni sul collegamento: N=-6317.31 Ty=-2.98 Tz=1.60 Mx=0.01 Mz=-1.00
Sollecitazioni agenti localmente: Tx_l=-2.98 Ty_l=1.60 N_l=-6317.31 Mx_l=-0.00 My_l=-1.00 Mz_l=0.01
Taglio nei bulloni: Fv,Ed=0.57 Fv,Rd=9650.97
Rifollamento lato piastra: Fb,Ed,p=0.57 Fb,Rd,p=10826.90

Tirafondi:LT=0.45 (0.31) σ_{cR}=0.00 σ_{fR}=0.00
Compressione nel calcestruzzo: σ_c=13.11
CC 14 SLD (Collegamento 0020_-377)
Azioni sul collegamento: N=-6795.55 Ty=-3.37 Tz=-0.06 Mx=0.01 Mz=-2.09
Sollecitazioni agenti localmente: Tx_l=-3.37 Ty_l=-0.06 N_l=-6795.55 Mx_l=-0.00 My_l=-2.09 Mz_l=0.01
Taglio nei bulloni: Fv,Ed=0.57 Fv,Rd=9650.97
Rifollamento lato piastra: Fb,Ed,p=0.57 Fb,Rd,p=7474.38
Tirafondi:LT=0.45 (0.31) σ_{cR}=0.00 σ_{fR}=0.00
Compressione nel calcestruzzo: σ_c=14.16
CC 14 SLD (Collegamento 0020_-377)
Azioni sul collegamento: N=-6795.55 Ty=-2.98 Tz=-0.06 Mx=0.01 Mz=-1.00
Sollecitazioni agenti localmente: Tx_l=-2.98 Ty_l=-0.06 N_l=-6795.55 Mx_l=-0.00 My_l=-1.00 Mz_l=0.01
Taglio nei bulloni: Fv,Ed=0.50 Fv,Rd=9650.97
Rifollamento lato piastra: Fb,Ed,p=0.50 Fb,Rd,p=7474.49
Tirafondi:LT=0.45 (0.31) σ_{cR}=0.00 σ_{fR}=0.00
Compressione nel calcestruzzo: σ_c=14.10
CC 14 SLD (Collegamento 0020_-377)
Azioni sul collegamento: N=-6795.55 Ty=-3.37 Tz=1.60 Mx=0.01 Mz=-2.09
Sollecitazioni agenti localmente: Tx_l=-3.37 Ty_l=1.60 N_l=-6795.55 Mx_l=-0.00 My_l=-2.09 Mz_l=0.01
Taglio nei bulloni: Fv,Ed=0.63 Fv,Rd=9650.97
Rifollamento lato piastra: Fb,Ed,p=0.63 Fb,Rd,p=10086.70
Tirafondi:LT=0.45 (0.31) σ_{cR}=0.00 σ_{fR}=0.00
Compressione nel calcestruzzo: σ_c=14.16
CC 14 SLD (Collegamento 0020_-377)
Azioni sul collegamento: N=-6795.55 Ty=-2.98 Tz=1.60 Mx=0.01 Mz=-1.00
Sollecitazioni agenti localmente: Tx_l=-2.98 Ty_l=1.60 N_l=-6795.55 Mx_l=-0.00 My_l=-1.00 Mz_l=0.01
Taglio nei bulloni: Fv,Ed=0.57 Fv,Rd=9650.97
Rifollamento lato piastra: Fb,Ed,p=0.57 Fb,Rd,p=10826.20
Tirafondi:LT=0.45 (0.31) σ_{cR}=0.00 σ_{fR}=0.00
Compressione nel calcestruzzo: σ_c=14.10
CC 15 SLV (Collegamento 0020_-377)
Azioni sul collegamento: N=-7327.12 Ty=-0.86 Tz=3.80 Mx=0.01 Mz=-1.85
Sollecitazioni agenti localmente: Tx_l=-0.86 Ty_l=3.80 N_l=-7327.12 Mx_l=-0.00 My_l=-1.85 Mz_l=0.01
Taglio nei bulloni: Fv,Ed=0.66 Fv,Rd=7720.78
Rifollamento lato piastra: Fb,Ed,p=0.66 Fb,Rd,p=6364.18
Tirafondi:LT=0.45 (0.31) σ_{cR}=0.00 σ_{fR}=0.00
Compressione nel calcestruzzo: σ_c=15.24
CC 15 SLV (Collegamento 0020_-377)
Azioni sul collegamento: N=-7327.12 Ty=-3.80 Tz=3.80 Mx=0.01 Mz=2.93
Sollecitazioni agenti localmente: Tx_l=-3.80 Ty_l=3.80 N_l=-7327.12 Mx_l=-0.00 My_l=2.93 Mz_l=0.01
Taglio nei bulloni: Fv,Ed=0.91 Fv,Rd=7720.78
Rifollamento lato piastra: Fb,Ed,p=0.91 Fb,Rd,p=12018.40
Tirafondi:LT=0.45 (0.31) σ_{cR}=0.00 σ_{fR}=0.00
Compressione nel calcestruzzo: σ_c=15.30
CC 15 SLV (Collegamento 0020_-377)
Azioni sul collegamento: N=-7327.12 Ty=-0.86 Tz=-2.51 Mx=0.01 Mz=-1.85
Sollecitazioni agenti localmente: Tx_l=-0.86 Ty_l=-2.51 N_l=-7327.12 Mx_l=-0.00 My_l=-1.85 Mz_l=0.01
Taglio nei bulloni: Fv,Ed=0.45 Fv,Rd=7720.78
Rifollamento lato piastra: Fb,Ed,p=0.45 Fb,Rd,p=7129.27
Tirafondi:LT=0.45 (0.31) σ_{cR}=0.00 σ_{fR}=0.00
Compressione nel calcestruzzo: σ_c=15.24
CC 15 SLV (Collegamento 0020_-377)
Azioni sul collegamento: N=-7327.12 Ty=-3.80 Tz=-2.51 Mx=0.01 Mz=2.93
Sollecitazioni agenti localmente: Tx_l=-3.80 Ty_l=-2.51 N_l=-7327.12 Mx_l=-0.00 My_l=2.93 Mz_l=0.01
Taglio nei bulloni: Fv,Ed=0.77 Fv,Rd=7720.78
Rifollamento lato piastra: Fb,Ed,p=0.76 Fb,Rd,p=9653.47
Tirafondi:LT=0.45 (0.31) σ_{cR}=0.00 σ_{fR}=0.00
Compressione nel calcestruzzo: σ_c=15.30
CC 15 SLV (Collegamento 0020_-377)
Azioni sul collegamento: N=-5720.83 Ty=-0.86 Tz=3.80 Mx=0.01 Mz=-1.85
Sollecitazioni agenti localmente: Tx_l=-0.86 Ty_l=3.80 N_l=-5720.83 Mx_l=-0.00 My_l=-1.85 Mz_l=0.01
Taglio nei bulloni: Fv,Ed=0.66 Fv,Rd=7720.78
Rifollamento lato piastra: Fb,Ed,p=0.66 Fb,Rd,p=6364.21
Tirafondi:LT=0.45 (0.31) σ_{cR}=0.00 σ_{fR}=0.00
Compressione nel calcestruzzo: σ_c=11.92
CC 15 SLV (Collegamento 0020_-377)
Azioni sul collegamento: N=-5720.83 Ty=-3.80 Tz=3.80 Mx=0.01 Mz=2.93
Sollecitazioni agenti localmente: Tx_l=-3.80 Ty_l=3.80 N_l=-5720.83 Mx_l=-0.00 My_l=2.93 Mz_l=0.01
Taglio nei bulloni: Fv,Ed=0.91 Fv,Rd=7720.78
Rifollamento lato piastra: Fb,Ed,p=0.91 Fb,Rd,p=12018.20
Tirafondi:LT=0.45 (0.31) σ_{cR}=0.00 σ_{fR}=0.00
Compressione nel calcestruzzo: σ_c=11.98
CC 15 SLV (Collegamento 0020_-377)
Azioni sul collegamento: N=-5720.83 Ty=-0.86 Tz=-2.51 Mx=0.01 Mz=-1.85
Sollecitazioni agenti localmente: Tx_l=-0.86 Ty_l=-2.51 N_l=-5720.83 Mx_l=-0.00 My_l=-1.85 Mz_l=0.01
Taglio nei bulloni: Fv,Ed=0.45 Fv,Rd=7720.78
Rifollamento lato piastra: Fb,Ed,p=0.45 Fb,Rd,p=7129.51
Tirafondi:LT=0.45 (0.31) σ_{cR}=0.00 σ_{fR}=0.00
Compressione nel calcestruzzo: σ_c=11.92
CC 15 SLV (Collegamento 0020_-377)

Azioni sul collegamento: N=-5720.83 Ty=-3.80 Tz=-2.51 Mx=0.01 Mz=2.93
Sollecitazioni agenti localmente: Tx_l=-3.80 Ty_l=-2.51 N_l=-5720.83 Mx_l=-0.00 My_l=2.93 Mz_l=0.01
Taglio nei bulloni: Fv,Ed=0.77 Fv,Rd=7720.78
Rifollamento lato piastra: Fb,Ed,p=0.76 Fb,Rd,p=9652.64
Tirafondi:LT=0.45 (0.31) σ_{cR}=0.00 σ_{fR}=0.00
Compressione nel calcestruzzo: σ_c=11.98
CC 16 SLD (Collegamento 0020_-377)
Azioni sul collegamento: N=-6801.33 Ty=-3.62 Tz=1.73 Mx=0.01 Mz=-2.27
Sollecitazioni agenti localmente: Tx_l=-3.62 Ty_l=1.73 N_l=-6801.33 Mx_l=-0.00 My_l=-2.27 Mz_l=0.01
Taglio nei bulloni: Fv,Ed=0.68 Fv,Rd=9650.97
Rifollamento lato piastra: Fb,Ed,p=0.68 Fb,Rd,p=10113.80
Tirafondi:LT=0.45 (0.31) σ_{cR}=0.00 σ_{fR}=0.00
Compressione nel calcestruzzo: σ_c=14.18
CC 16 SLD (Collegamento 0020_-377)
Azioni sul collegamento: N=-6801.33 Ty=-2.73 Tz=1.73 Mx=0.01 Mz=-0.81
Sollecitazioni agenti localmente: Tx_l=-2.73 Ty_l=1.73 N_l=-6801.33 Mx_l=-0.00 My_l=-0.81 Mz_l=0.01
Taglio nei bulloni: Fv,Ed=0.55 Fv,Rd=9650.97
Rifollamento lato piastra: Fb,Ed,p=0.55 Fb,Rd,p=12153.20
Tirafondi:LT=0.45 (0.31) σ_{cR}=0.00 σ_{fR}=0.00
Compressione nel calcestruzzo: σ_c=14.10
CC 16 SLD (Collegamento 0020_-377)
Azioni sul collegamento: N=-6801.33 Ty=-3.62 Tz=-0.19 Mx=0.01 Mz=-2.27
Sollecitazioni agenti localmente: Tx_l=-3.62 Ty_l=-0.19 N_l=-6801.33 Mx_l=-0.00 My_l=-2.27 Mz_l=0.01
Taglio nei bulloni: Fv,Ed=0.61 Fv,Rd=9650.97
Rifollamento lato piastra: Fb,Ed,p=0.61 Fb,Rd,p=7493.42
Tirafondi:LT=0.45 (0.31) σ_{cR}=0.00 σ_{fR}=0.00
Compressione nel calcestruzzo: σ_c=14.18
CC 16 SLD (Collegamento 0020_-377)
Azioni sul collegamento: N=-6801.33 Ty=-2.73 Tz=-0.19 Mx=0.01 Mz=-0.81
Sollecitazioni agenti localmente: Tx_l=-2.73 Ty_l=-0.19 N_l=-6801.33 Mx_l=-0.00 My_l=-0.81 Mz_l=0.01
Taglio nei bulloni: Fv,Ed=0.46 Fv,Rd=9650.97
Rifollamento lato piastra: Fb,Ed,p=0.46 Fb,Rd,p=7508.08
Tirafondi:LT=0.45 (0.31) σ_{cR}=0.00 σ_{fR}=0.00
Compressione nel calcestruzzo: σ_c=14.10
CC 16 SLD (Collegamento 0020_-377)
Azioni sul collegamento: N=-6311.52 Ty=-3.62 Tz=1.73 Mx=0.01 Mz=-2.27
Sollecitazioni agenti localmente: Tx_l=-3.62 Ty_l=1.73 N_l=-6311.52 Mx_l=-0.00 My_l=-2.27 Mz_l=0.01
Taglio nei bulloni: Fv,Ed=0.68 Fv,Rd=9650.97
Rifollamento lato piastra: Fb,Ed,p=0.68 Fb,Rd,p=10113.90
Tirafondi:LT=0.45 (0.31) σ_{cR}=0.00 σ_{fR}=0.00
Compressione nel calcestruzzo: σ_c=13.17
CC 16 SLD (Collegamento 0020_-377)
Azioni sul collegamento: N=-6311.52 Ty=-2.73 Tz=1.73 Mx=0.01 Mz=-0.81
Sollecitazioni agenti localmente: Tx_l=-2.73 Ty_l=1.73 N_l=-6311.52 Mx_l=-0.00 My_l=-0.81 Mz_l=0.01
Taglio nei bulloni: Fv,Ed=0.55 Fv,Rd=9650.97
Rifollamento lato piastra: Fb,Ed,p=0.55 Fb,Rd,p=12153.20
Tirafondi:LT=0.45 (0.31) σ_{cR}=0.00 σ_{fR}=0.00
Compressione nel calcestruzzo: σ_c=13.09
CC 16 SLD (Collegamento 0020_-377)
Azioni sul collegamento: N=-6311.52 Ty=-3.62 Tz=-0.19 Mx=0.01 Mz=-2.27
Sollecitazioni agenti localmente: Tx_l=-3.62 Ty_l=-0.19 N_l=-6311.52 Mx_l=-0.00 My_l=-2.27 Mz_l=0.01
Taglio nei bulloni: Fv,Ed=0.61 Fv,Rd=9650.97
Rifollamento lato piastra: Fb,Ed,p=0.61 Fb,Rd,p=7493.42
Tirafondi:LT=0.45 (0.31) σ_{cR}=0.00 σ_{fR}=0.00
Compressione nel calcestruzzo: σ_c=13.17
CC 16 SLD (Collegamento 0020_-377)
Azioni sul collegamento: N=-6311.52 Ty=-2.73 Tz=-0.19 Mx=0.01 Mz=-0.81
Sollecitazioni agenti localmente: Tx_l=-2.73 Ty_l=-0.19 N_l=-6311.52 Mx_l=-0.00 My_l=-0.81 Mz_l=0.01
Taglio nei bulloni: Fv,Ed=0.46 Fv,Rd=9650.97
Rifollamento lato piastra: Fb,Ed,p=0.46 Fb,Rd,p=7508.10
Tirafondi:LT=0.45 (0.31) σ_{cR}=0.00 σ_{fR}=0.00
Compressione nel calcestruzzo: σ_c=13.09
CC 17 SLV (Collegamento 0020_-377)
Azioni sul collegamento: N=-3968.96 Ty=-3.07 Tz=-8.85 Mx=-0.01 Mz=-3.83
Sollecitazioni agenti localmente: Tx_l=-3.07 Ty_l=-8.85 N_l=-3968.96 Mx_l=-0.00 My_l=-3.83 Mz_l=-0.01
Taglio nei bulloni: Fv,Ed=1.58 Fv,Rd=7720.78
Rifollamento lato piastra: Fb,Ed,p=1.57 Fb,Rd,p=6972.70
Tirafondi:LT=0.45 (0.31) σ_{cR}=0.00 σ_{fR}=0.00
Compressione nel calcestruzzo: σ_c=8.42
CC 17 SLV (Collegamento 0020_-377)
Azioni sul collegamento: N=-3968.96 Ty=-6.45 Tz=-8.85 Mx=-0.01 Mz=-7.08
Sollecitazioni agenti localmente: Tx_l=-6.45 Ty_l=-8.85 N_l=-3968.96 Mx_l=-0.00 My_l=-7.08 Mz_l=-0.01
Taglio nei bulloni: Fv,Ed=1.85 Fv,Rd=7720.78
Rifollamento lato piastra: Fb,Ed,p=1.83 Fb,Rd,p=10430.50
Tirafondi:LT=0.45 (0.31) σ_{cR}=0.00 σ_{fR}=0.00
Compressione nel calcestruzzo: σ_c=8.60
CC 17 SLV (Collegamento 0020_-377)
Azioni sul collegamento: N=-3968.96 Ty=-3.07 Tz=10.87 Mx=-0.01 Mz=-3.83
Sollecitazioni agenti localmente: Tx_l=-3.07 Ty_l=10.87 N_l=-3968.96 Mx_l=-0.00 My_l=-3.83 Mz_l=-0.01
Taglio nei bulloni: Fv,Ed=1.90 Fv,Rd=7720.78

Rifollamento lato piastra: Fb,Ed,p=1.90 Fb,Rd,p=6720.63
Tirafondi:LT=0.45 (0.31) σ_{cR}=0.00 σ_{fR}=0.00
Compressione nel calcestruzzo: σ_c=8.42
CC 17 SLV (Collegamento 0020_-377)
Azioni sul collegamento: N=-3968.96 Ty=-6.45 Tz=10.87 Mx=-0.01 Mz=-7.08
Sollecitazioni agenti localmente: Tx_l=-6.45 Ty_l=10.87 N_l=-3968.96 Mx_l=-0.00 My_l=-7.08 Mz_l=-0.01
Taglio nei bulloni: Fv,Ed=2.13 Fv,Rd=7720.78
Rifollamento lato piastra: Fb,Ed,p=2.13 Fb,Rd,p=9213.70
Tirafondi:LT=0.45 (0.31) σ_{cR}=0.00 σ_{fR}=0.00
Compressione nel calcestruzzo: σ_c=8.60
CC 17 SLV (Collegamento 0020_-377)
Azioni sul collegamento: N=-9265.76 Ty=-3.07 Tz=-8.85 Mx=-0.01 Mz=-3.83
Sollecitazioni agenti localmente: Tx_l=-3.07 Ty_l=-8.85 N_l=-9265.76 Mx_l=-0.00 My_l=-3.83 Mz_l=-0.01
Taglio nei bulloni: Fv,Ed=1.58 Fv,Rd=7720.78
Rifollamento lato piastra: Fb,Ed,p=1.57 Fb,Rd,p=6972.72
Tirafondi:LT=0.45 (0.31) σ_{cR}=0.00 σ_{fR}=0.00
Compressione nel calcestruzzo: σ_c=19.36
CC 17 SLV (Collegamento 0020_-377)
Azioni sul collegamento: N=-9265.76 Ty=-6.45 Tz=-8.85 Mx=-0.01 Mz=-7.08
Sollecitazioni agenti localmente: Tx_l=-6.45 Ty_l=-8.85 N_l=-9265.76 Mx_l=-0.00 My_l=-7.08 Mz_l=-0.01
Taglio nei bulloni: Fv,Ed=1.85 Fv,Rd=7720.78
Rifollamento lato piastra: Fb,Ed,p=1.83 Fb,Rd,p=10430.50
Tirafondi:LT=0.45 (0.31) σ_{cR}=0.00 σ_{fR}=0.00
Compressione nel calcestruzzo: σ_c=19.54
CC 17 SLV (Collegamento 0020_-377)
Azioni sul collegamento: N=-9265.76 Ty=-3.07 Tz=10.87 Mx=-0.01 Mz=-3.83
Sollecitazioni agenti localmente: Tx_l=-3.07 Ty_l=10.87 N_l=-9265.76 Mx_l=-0.00 My_l=-3.83 Mz_l=-0.01
Taglio nei bulloni: Fv,Ed=1.90 Fv,Rd=7720.78
Rifollamento lato piastra: Fb,Ed,p=1.90 Fb,Rd,p=6720.59
Tirafondi:LT=0.45 (0.31) σ_{cR}=0.00 σ_{fR}=0.00
Compressione nel calcestruzzo: σ_c=19.36
CC 17 SLV (Collegamento 0020_-377)
Azioni sul collegamento: N=-9265.76 Ty=-6.45 Tz=10.87 Mx=-0.01 Mz=-7.08
Sollecitazioni agenti localmente: Tx_l=-6.45 Ty_l=10.87 N_l=-9265.76 Mx_l=-0.00 My_l=-7.08 Mz_l=-0.01
Taglio nei bulloni: Fv,Ed=2.13 Fv,Rd=7720.78
Rifollamento lato piastra: Fb,Ed,p=2.13 Fb,Rd,p=9213.54
Tirafondi:LT=0.45 (0.31) σ_{cR}=0.00 σ_{fR}=0.00
Compressione nel calcestruzzo: σ_c=19.54
CC 18 SLD (Collegamento 0020_-377)
Azioni sul collegamento: N=-5777.32 Ty=-3.40 Tz=-2.12 Mx=-0.00 Mz=-2.87
Sollecitazioni agenti localmente: Tx_l=-3.40 Ty_l=-2.12 N_l=-5777.32 Mx_l=-0.00 My_l=-2.87 Mz_l=-0.00
Taglio nei bulloni: Fv,Ed=0.67 Fv,Rd=9650.97
Rifollamento lato piastra: Fb,Ed,p=0.67 Fb,Rd,p=11924.50
Tirafondi:LT=0.45 (0.31) σ_{cR}=0.00 σ_{fR}=0.00
Compressione nel calcestruzzo: σ_c=12.10
CC 18 SLD (Collegamento 0020_-377)
Azioni sul collegamento: N=-5777.32 Ty=-4.43 Tz=-2.12 Mx=-0.00 Mz=-3.87
Sollecitazioni agenti localmente: Tx_l=-4.43 Ty_l=-2.12 N_l=-5777.32 Mx_l=-0.00 My_l=-3.87 Mz_l=-0.00
Taglio nei bulloni: Fv,Ed=0.82 Fv,Rd=9650.97
Rifollamento lato piastra: Fb,Ed,p=0.82 Fb,Rd,p=10072.60
Tirafondi:LT=0.45 (0.31) σ_{cR}=0.00 σ_{fR}=0.00
Compressione nel calcestruzzo: σ_c=12.15
CC 18 SLD (Collegamento 0020_-377)
Azioni sul collegamento: N=-5777.32 Ty=-3.40 Tz=3.89 Mx=-0.00 Mz=-2.87
Sollecitazioni agenti localmente: Tx_l=-3.40 Ty_l=3.89 N_l=-5777.32 Mx_l=-0.00 My_l=-2.87 Mz_l=-0.00
Taglio nei bulloni: Fv,Ed=0.86 Fv,Rd=9650.97
Rifollamento lato piastra: Fb,Ed,p=0.86 Fb,Rd,p=14109.10
Tirafondi:LT=0.45 (0.31) σ_{cR}=0.00 σ_{fR}=0.00
Compressione nel calcestruzzo: σ_c=12.10
CC 18 SLD (Collegamento 0020_-377)
Azioni sul collegamento: N=-5777.32 Ty=-4.43 Tz=3.89 Mx=-0.00 Mz=-3.87
Sollecitazioni agenti localmente: Tx_l=-4.43 Ty_l=3.89 N_l=-5777.32 Mx_l=-0.00 My_l=-3.87 Mz_l=-0.00
Taglio nei bulloni: Fv,Ed=0.98 Fv,Rd=9650.97
Rifollamento lato piastra: Fb,Ed,p=0.98 Fb,Rd,p=14109.50
Tirafondi:LT=0.45 (0.31) σ_{cR}=0.00 σ_{fR}=0.00
Compressione nel calcestruzzo: σ_c=12.15
CC 18 SLD (Collegamento 0020_-377)
Azioni sul collegamento: N=-7392.49 Ty=-3.40 Tz=-2.12 Mx=-0.00 Mz=-2.87
Sollecitazioni agenti localmente: Tx_l=-3.40 Ty_l=-2.12 N_l=-7392.49 Mx_l=-0.00 My_l=-2.87 Mz_l=-0.00
Taglio nei bulloni: Fv,Ed=0.67 Fv,Rd=9650.97
Rifollamento lato piastra: Fb,Ed,p=0.67 Fb,Rd,p=11924.30
Tirafondi:LT=0.45 (0.31) σ_{cR}=0.00 σ_{fR}=0.00
Compressione nel calcestruzzo: σ_c=15.44
CC 18 SLD (Collegamento 0020_-377)
Azioni sul collegamento: N=-7392.49 Ty=-4.43 Tz=-2.12 Mx=-0.00 Mz=-3.87
Sollecitazioni agenti localmente: Tx_l=-4.43 Ty_l=-2.12 N_l=-7392.49 Mx_l=-0.00 My_l=-3.87 Mz_l=-0.00
Taglio nei bulloni: Fv,Ed=0.82 Fv,Rd=9650.97
Rifollamento lato piastra: Fb,Ed,p=0.82 Fb,Rd,p=10072.50
Tirafondi:LT=0.45 (0.31) σ_{cR}=0.00 σ_{fR}=0.00
Compressione nel calcestruzzo: σ_c=15.49

CC 18 SLD (Collegamento 0020_-377)
Azioni sul collegamento: N=-7392.49 Ty=-3.40 Tz=3.89 Mx=-0.00 Mz=-2.87
Sollecitazioni agenti localmente: Tx_l=-3.40 Ty_l=3.89 N_l=-7392.49 Mx_l=-0.00 My_l=-2.87 Mz_l=-0.00
Taglio nei bulloni: Fv,Ed=0.86 Fv,Rd=9650.97
Rifollamento lato piastra: Fb,Ed,p=0.86 Fb,Rd,p=14108.50
Tirafondi:LT=0.45 (0.31) σ_{cR}=0.00 σ_{fR}=0.00
Compressione nel calcestruzzo: σ_c=15.44
CC 18 SLD (Collegamento 0020_-377)
Azioni sul collegamento: N=-7392.49 Ty=-4.43 Tz=3.89 Mx=-0.00 Mz=-3.87
Sollecitazioni agenti localmente: Tx_l=-4.43 Ty_l=3.89 N_l=-7392.49 Mx_l=-0.00 My_l=-3.87 Mz_l=-0.00
Taglio nei bulloni: Fv,Ed=0.99 Fv,Rd=9650.97
Rifollamento lato piastra: Fb,Ed,p=0.98 Fb,Rd,p=14110.10
Tirafondi:LT=0.45 (0.31) σ_{cR}=0.00 σ_{fR}=0.00
Compressione nel calcestruzzo: σ_c=15.49
CC 19 SLV (Collegamento 0020_-377)
Azioni sul collegamento: N=-3974.65 Ty=-3.70 Tz=-8.72 Mx=-0.01 Mz=-5.08
Sollecitazioni agenti localmente: Tx_l=-3.70 Ty_l=-8.72 N_l=-3974.65 Mx_l=-0.00 My_l=-5.08 Mz_l=-0.01
Taglio nei bulloni: Fv,Ed=1.59 Fv,Rd=7720.78
Rifollamento lato piastra: Fb,Ed,p=1.58 Fb,Rd,p=7528.19
Tirafondi:LT=0.45 (0.31) σ_{cR}=0.00 σ_{fR}=0.00
Compressione nel calcestruzzo: σ_c=8.50
CC 19 SLV (Collegamento 0020_-377)
Azioni sul collegamento: N=-3974.65 Ty=-5.81 Tz=-8.72 Mx=-0.01 Mz=-5.82
Sollecitazioni agenti localmente: Tx_l=-5.81 Ty_l=-8.72 N_l=-3974.65 Mx_l=-0.00 My_l=-5.82 Mz_l=-0.01
Taglio nei bulloni: Fv,Ed=1.76 Fv,Rd=7720.78
Rifollamento lato piastra: Fb,Ed,p=1.75 Fb,Rd,p=9905.65
Tirafondi:LT=0.45 (0.31) σ_{cR}=0.00 σ_{fR}=0.00
Compressione nel calcestruzzo: σ_c=8.54
CC 19 SLV (Collegamento 0020_-377)
Azioni sul collegamento: N=-3974.65 Ty=-3.70 Tz=10.74 Mx=-0.01 Mz=-5.08
Sollecitazioni agenti localmente: Tx_l=-3.70 Ty_l=10.74 N_l=-3974.65 Mx_l=-0.00 My_l=-5.08 Mz_l=-0.01
Taglio nei bulloni: Fv,Ed=1.91 Fv,Rd=7720.78
Rifollamento lato piastra: Fb,Ed,p=1.91 Fb,Rd,p=7064.53
Tirafondi:LT=0.45 (0.31) σ_{cR}=0.00 σ_{fR}=0.00
Compressione nel calcestruzzo: σ_c=8.50
CC 19 SLV (Collegamento 0020_-377)
Azioni sul collegamento: N=-3974.65 Ty=-5.81 Tz=10.74 Mx=-0.01 Mz=-5.82
Sollecitazioni agenti localmente: Tx_l=-5.81 Ty_l=10.74 N_l=-3974.65 Mx_l=-0.00 My_l=-5.82 Mz_l=-0.01
Taglio nei bulloni: Fv,Ed=2.05 Fv,Rd=7720.78
Rifollamento lato piastra: Fb,Ed,p=2.05 Fb,Rd,p=8656.83
Tirafondi:LT=0.45 (0.31) σ_{cR}=0.00 σ_{fR}=0.00
Compressione nel calcestruzzo: σ_c=8.54
CC 19 SLV (Collegamento 0020_-377)
Azioni sul collegamento: N=-9260.08 Ty=-3.70 Tz=-8.72 Mx=-0.01 Mz=-5.08
Sollecitazioni agenti localmente: Tx_l=-3.70 Ty_l=-8.72 N_l=-9260.08 Mx_l=-0.00 My_l=-5.08 Mz_l=-0.01
Taglio nei bulloni: Fv,Ed=1.59 Fv,Rd=7720.78
Rifollamento lato piastra: Fb,Ed,p=1.58 Fb,Rd,p=7528.33
Tirafondi:LT=0.45 (0.31) σ_{cR}=0.00 σ_{fR}=0.00
Compressione nel calcestruzzo: σ_c=19.42
CC 19 SLV (Collegamento 0020_-377)
Azioni sul collegamento: N=-9260.08 Ty=-5.81 Tz=-8.72 Mx=-0.01 Mz=-5.82
Sollecitazioni agenti localmente: Tx_l=-5.81 Ty_l=-8.72 N_l=-9260.08 Mx_l=-0.00 My_l=-5.82 Mz_l=-0.01
Taglio nei bulloni: Fv,Ed=1.76 Fv,Rd=7720.78
Rifollamento lato piastra: Fb,Ed,p=1.75 Fb,Rd,p=9906.01
Tirafondi:LT=0.45 (0.31) σ_{cR}=0.00 σ_{fR}=0.00
Compressione nel calcestruzzo: σ_c=19.46
CC 19 SLV (Collegamento 0020_-377)
Azioni sul collegamento: N=-9260.08 Ty=-3.70 Tz=10.74 Mx=-0.01 Mz=-5.08
Sollecitazioni agenti localmente: Tx_l=-3.70 Ty_l=10.74 N_l=-9260.08 Mx_l=-0.00 My_l=-5.08 Mz_l=-0.01
Taglio nei bulloni: Fv,Ed=1.91 Fv,Rd=7720.78
Rifollamento lato piastra: Fb,Ed,p=1.91 Fb,Rd,p=7064.48
Tirafondi:LT=0.45 (0.31) σ_{cR}=0.00 σ_{fR}=0.00
Compressione nel calcestruzzo: σ_c=19.42
CC 19 SLV (Collegamento 0020_-377)
Azioni sul collegamento: N=-9260.08 Ty=-5.81 Tz=10.74 Mx=-0.01 Mz=-5.82
Sollecitazioni agenti localmente: Tx_l=-5.81 Ty_l=10.74 N_l=-9260.08 Mx_l=-0.00 My_l=-5.82 Mz_l=-0.01
Taglio nei bulloni: Fv,Ed=2.05 Fv,Rd=7720.78
Rifollamento lato piastra: Fb,Ed,p=2.05 Fb,Rd,p=8656.71
Tirafondi:LT=0.45 (0.31) σ_{cR}=0.00 σ_{fR}=0.00
Compressione nel calcestruzzo: σ_c=19.46
CC 20 SLD (Collegamento 0020_-377)
Azioni sul collegamento: N=-5779.06 Ty=-3.59 Tz=-2.08 Mx=-0.00 Mz=-3.26
Sollecitazioni agenti localmente: Tx_l=-3.59 Ty_l=-2.08 N_l=-5779.06 Mx_l=-0.00 My_l=-3.26 Mz_l=-0.00
Taglio nei bulloni: Fv,Ed=0.69 Fv,Rd=9650.97
Rifollamento lato piastra: Fb,Ed,p=0.69 Fb,Rd,p=11287.20
Tirafondi:LT=0.45 (0.31) σ_{cR}=0.00 σ_{fR}=0.00
Compressione nel calcestruzzo: σ_c=12.12
CC 20 SLD (Collegamento 0020_-377)
Azioni sul collegamento: N=-5779.06 Ty=-4.24 Tz=-2.08 Mx=-0.00 Mz=-3.48
Sollecitazioni agenti localmente: Tx_l=-4.24 Ty_l=-2.08 N_l=-5779.06 Mx_l=-0.00 My_l=-3.48 Mz_l=-0.00

Taglio nei bulloni: Fv,Ed=0.79 Fv,Rd=9650.97
Rifollamento lato piastra: Fb,Ed,p=0.79 Fb,Rd,p=10200.00
Tirafondi:LT=0.45 (0.31) σ_{cR}=0.00 σ_{fR}=0.00
Compressione nel calcestruzzo: σ_c=12.14
CC 20 SLD (Collegamento 0020_-377)
Azioni sul collegamento: N=-5779.06 Ty=-3.59 Tz=3.85 Mx=-0.00 Mz=-3.26
Sollecitazioni agenti localmente: Tx_l=-3.59 Ty_l=3.85 N_l=-5779.06 Mx_l=-0.00 My_l=-3.26 Mz_l=-0.00
Taglio nei bulloni: Fv,Ed=0.88 Fv,Rd=9650.97
Rifollamento lato piastra: Fb,Ed,p=0.88 Fb,Rd,p=14527.20
Tirafondi:LT=0.45 (0.31) σ_{cR}=0.00 σ_{fR}=0.00
Compressione nel calcestruzzo: σ_c=12.12
CC 20 SLD (Collegamento 0020_-377)
Azioni sul collegamento: N=-5779.06 Ty=-4.24 Tz=3.85 Mx=-0.00 Mz=-3.48
Sollecitazioni agenti localmente: Tx_l=-4.24 Ty_l=3.85 N_l=-5779.06 Mx_l=-0.00 My_l=-3.48 Mz_l=-0.00
Taglio nei bulloni: Fv,Ed=0.95 Fv,Rd=9650.97
Rifollamento lato piastra: Fb,Ed,p=0.95 Fb,Rd,p=14356.80
Tirafondi:LT=0.45 (0.31) σ_{cR}=0.00 σ_{fR}=0.00
Compressione nel calcestruzzo: σ_c=12.14
CC 20 SLD (Collegamento 0020_-377)
Azioni sul collegamento: N=-7390.75 Ty=-3.59 Tz=-2.08 Mx=-0.00 Mz=-3.26
Sollecitazioni agenti localmente: Tx_l=-3.59 Ty_l=-2.08 N_l=-7390.75 Mx_l=-0.00 My_l=-3.26 Mz_l=-0.00
Taglio nei bulloni: Fv,Ed=0.69 Fv,Rd=9650.97
Rifollamento lato piastra: Fb,Ed,p=0.69 Fb,Rd,p=11287.10
Tirafondi:LT=0.45 (0.31) σ_{cR}=0.00 σ_{fR}=0.00
Compressione nel calcestruzzo: σ_c=15.45
CC 20 SLD (Collegamento 0020_-377)
Azioni sul collegamento: N=-7390.75 Ty=-4.24 Tz=-2.08 Mx=-0.00 Mz=-3.48
Sollecitazioni agenti localmente: Tx_l=-4.24 Ty_l=-2.08 N_l=-7390.75 Mx_l=-0.00 My_l=-3.48 Mz_l=-0.00
Taglio nei bulloni: Fv,Ed=0.79 Fv,Rd=9650.97
Rifollamento lato piastra: Fb,Ed,p=0.79 Fb,Rd,p=10200.00
Tirafondi:LT=0.45 (0.31) σ_{cR}=0.00 σ_{fR}=0.00
Compressione nel calcestruzzo: σ_c=15.47
CC 20 SLD (Collegamento 0020_-377)
Azioni sul collegamento: N=-7390.75 Ty=-3.59 Tz=3.85 Mx=-0.00 Mz=-3.26
Sollecitazioni agenti localmente: Tx_l=-3.59 Ty_l=3.85 N_l=-7390.75 Mx_l=-0.00 My_l=-3.26 Mz_l=-0.00
Taglio nei bulloni: Fv,Ed=0.88 Fv,Rd=9650.97
Rifollamento lato piastra: Fb,Ed,p=0.88 Fb,Rd,p=14527.20
Tirafondi:LT=0.45 (0.31) σ_{cR}=0.00 σ_{fR}=0.00
Compressione nel calcestruzzo: σ_c=15.45
CC 20 SLD (Collegamento 0020_-377)
Azioni sul collegamento: N=-7390.75 Ty=-4.24 Tz=3.85 Mx=-0.00 Mz=-3.48
Sollecitazioni agenti localmente: Tx_l=-4.24 Ty_l=3.85 N_l=-7390.75 Mx_l=-0.00 My_l=-3.48 Mz_l=-0.00
Taglio nei bulloni: Fv,Ed=0.95 Fv,Rd=9650.97
Rifollamento lato piastra: Fb,Ed,p=0.95 Fb,Rd,p=14356.80
Tirafondi:LT=0.45 (0.31) σ_{cR}=0.00 σ_{fR}=0.00
Compressione nel calcestruzzo: σ_c=15.47
CC 21 SLV (Collegamento 0020_-377)
Azioni sul collegamento: N=-9260.08 Ty=-5.81 Tz=10.74 Mx=-0.01 Mz=-5.82
Sollecitazioni agenti localmente: Tx_l=-5.81 Ty_l=10.74 N_l=-9260.08 Mx_l=-0.00 My_l=-5.82 Mz_l=-0.01
Taglio nei bulloni: Fv,Ed=2.05 Fv,Rd=7720.78
Rifollamento lato piastra: Fb,Ed,p=2.05 Fb,Rd,p=8662.22
Tirafondi:LT=0.45 (0.31) σ_{cR}=0.00 σ_{fR}=0.00
Compressione nel calcestruzzo: σ_c=19.46
CC 21 SLV (Collegamento 0020_-377)
Azioni sul collegamento: N=-9260.08 Ty=-3.70 Tz=10.74 Mx=-0.01 Mz=-5.08
Sollecitazioni agenti localmente: Tx_l=-3.70 Ty_l=10.74 N_l=-9260.08 Mx_l=-0.00 My_l=-5.08 Mz_l=-0.01
Taglio nei bulloni: Fv,Ed=1.91 Fv,Rd=7720.78
Rifollamento lato piastra: Fb,Ed,p=1.91 Fb,Rd,p=7069.42
Tirafondi:LT=0.45 (0.31) σ_{cR}=0.00 σ_{fR}=0.00
Compressione nel calcestruzzo: σ_c=19.42
CC 21 SLV (Collegamento 0020_-377)
Azioni sul collegamento: N=-9260.08 Ty=-5.81 Tz=-8.72 Mx=-0.01 Mz=-5.82
Sollecitazioni agenti localmente: Tx_l=-5.81 Ty_l=-8.72 N_l=-9260.08 Mx_l=-0.00 My_l=-5.82 Mz_l=-0.01
Taglio nei bulloni: Fv,Ed=1.76 Fv,Rd=7720.78
Rifollamento lato piastra: Fb,Ed,p=1.75 Fb,Rd,p=9876.00
Tirafondi:LT=0.45 (0.31) σ_{cR}=0.00 σ_{fR}=0.00
Compressione nel calcestruzzo: σ_c=19.46
CC 21 SLV (Collegamento 0020_-377)
Azioni sul collegamento: N=-9260.08 Ty=-3.70 Tz=-8.72 Mx=-0.01 Mz=-5.08
Sollecitazioni agenti localmente: Tx_l=-3.70 Ty_l=-8.72 N_l=-9260.08 Mx_l=-0.00 My_l=-5.08 Mz_l=-0.01
Taglio nei bulloni: Fv,Ed=1.59 Fv,Rd=7720.78
Rifollamento lato piastra: Fb,Ed,p=1.58 Fb,Rd,p=7512.54
Tirafondi:LT=0.45 (0.31) σ_{cR}=0.00 σ_{fR}=0.00
Compressione nel calcestruzzo: σ_c=19.42
CC 21 SLV (Collegamento 0020_-377)
Azioni sul collegamento: N=-3974.65 Ty=-5.81 Tz=10.74 Mx=-0.01 Mz=-5.82
Sollecitazioni agenti localmente: Tx_l=-5.81 Ty_l=10.74 N_l=-3974.65 Mx_l=-0.00 My_l=-5.82 Mz_l=-0.01
Taglio nei bulloni: Fv,Ed=2.05 Fv,Rd=7720.78
Rifollamento lato piastra: Fb,Ed,p=2.05 Fb,Rd,p=8662.34
Tirafondi:LT=0.45 (0.31) σ_{cR}=0.00 σ_{fR}=0.00

Compressione nel calcestruzzo: σ_c=8.54
CC 21 SLV (Collegamento 0020_-377)
Azioni sul collegamento: N=-3974.65 Ty=-3.70 Tz=10.74 Mx=-0.01 Mz=-5.08
Sollecitazioni agenti localmente: Tx_l=-3.70 Ty_l=10.74 N_l=-3974.65 Mx_l=-0.00 My_l=-5.08 Mz_l=-0.01
Taglio nei bulloni: Fv,Ed=1.91 Fv,Rd=7720.78
Rifollamento lato piastra: Fb,Ed,p=1.91 Fb,Rd,p=7069.47
Tirafondi:LT=0.45 (0.31) σ_{cR}=0.00 σ_{fR}=0.00
Compressione nel calcestruzzo: σ_c=8.50
CC 21 SLV (Collegamento 0020_-377)
Azioni sul collegamento: N=-3974.65 Ty=-5.81 Tz=-8.72 Mx=-0.01 Mz=-5.82
Sollecitazioni agenti localmente: Tx_l=-5.81 Ty_l=-8.72 N_l=-3974.65 Mx_l=-0.00 My_l=-5.82 Mz_l=-0.01
Taglio nei bulloni: Fv,Ed=1.76 Fv,Rd=7720.78
Rifollamento lato piastra: Fb,Ed,p=1.75 Fb,Rd,p=9875.63
Tirafondi:LT=0.45 (0.31) σ_{cR}=0.00 σ_{fR}=0.00
Compressione nel calcestruzzo: σ_c=8.54
CC 21 SLV (Collegamento 0020_-377)
Azioni sul collegamento: N=-3974.65 Ty=-3.70 Tz=-8.72 Mx=-0.01 Mz=-5.08
Sollecitazioni agenti localmente: Tx_l=-3.70 Ty_l=-8.72 N_l=-3974.65 Mx_l=-0.00 My_l=-5.08 Mz_l=-0.01
Taglio nei bulloni: Fv,Ed=1.59 Fv,Rd=7720.78
Rifollamento lato piastra: Fb,Ed,p=1.58 Fb,Rd,p=7512.40
Tirafondi:LT=0.45 (0.31) σ_{cR}=0.00 σ_{fR}=0.00
Compressione nel calcestruzzo: σ_c=8.50
CC 22 SLD (Collegamento 0020_-377)
Azioni sul collegamento: N=-7390.75 Ty=-4.24 Tz=3.85 Mx=-0.00 Mz=-3.48
Sollecitazioni agenti localmente: Tx_l=-4.24 Ty_l=3.85 N_l=-7390.75 Mx_l=-0.00 My_l=-3.48 Mz_l=-0.00
Taglio nei bulloni: Fv,Ed=0.96 Fv,Rd=9650.97
Rifollamento lato piastra: Fb,Ed,p=0.95 Fb,Rd,p=14344.10
Tirafondi:LT=0.45 (0.31) σ_{cR}=0.00 σ_{fR}=0.00
Compressione nel calcestruzzo: σ_c=15.47
CC 22 SLD (Collegamento 0020_-377)
Azioni sul collegamento: N=-7390.75 Ty=-3.59 Tz=3.85 Mx=-0.00 Mz=-3.26
Sollecitazioni agenti localmente: Tx_l=-3.59 Ty_l=3.85 N_l=-7390.75 Mx_l=-0.00 My_l=-3.26 Mz_l=-0.00
Taglio nei bulloni: Fv,Ed=0.88 Fv,Rd=9650.97
Rifollamento lato piastra: Fb,Ed,p=0.88 Fb,Rd,p=14527.70
Tirafondi:LT=0.45 (0.31) σ_{cR}=0.00 σ_{fR}=0.00
Compressione nel calcestruzzo: σ_c=15.45
CC 22 SLD (Collegamento 0020_-377)
Azioni sul collegamento: N=-7390.75 Ty=-4.24 Tz=-2.08 Mx=-0.00 Mz=-3.48
Sollecitazioni agenti localmente: Tx_l=-4.24 Ty_l=-2.08 N_l=-7390.75 Mx_l=-0.00 My_l=-3.48 Mz_l=-0.00
Taglio nei bulloni: Fv,Ed=0.79 Fv,Rd=9650.97
Rifollamento lato piastra: Fb,Ed,p=0.79 Fb,Rd,p=10205.30
Tirafondi:LT=0.45 (0.31) σ_{cR}=0.00 σ_{fR}=0.00
Compressione nel calcestruzzo: σ_c=15.47
CC 22 SLD (Collegamento 0020_-377)
Azioni sul collegamento: N=-7390.75 Ty=-3.59 Tz=-2.08 Mx=-0.00 Mz=-3.26
Sollecitazioni agenti localmente: Tx_l=-3.59 Ty_l=-2.08 N_l=-7390.75 Mx_l=-0.00 My_l=-3.26 Mz_l=-0.00
Taglio nei bulloni: Fv,Ed=0.69 Fv,Rd=9650.97
Rifollamento lato piastra: Fb,Ed,p=0.69 Fb,Rd,p=11293.40
Tirafondi:LT=0.45 (0.31) σ_{cR}=0.00 σ_{fR}=0.00
Compressione nel calcestruzzo: σ_c=15.45
CC 22 SLD (Collegamento 0020_-377)
Azioni sul collegamento: N=-5779.06 Ty=-4.24 Tz=3.85 Mx=-0.00 Mz=-3.48
Sollecitazioni agenti localmente: Tx_l=-4.24 Ty_l=3.85 N_l=-5779.06 Mx_l=-0.00 My_l=-3.48 Mz_l=-0.00
Taglio nei bulloni: Fv,Ed=0.96 Fv,Rd=9650.97
Rifollamento lato piastra: Fb,Ed,p=0.95 Fb,Rd,p=14344.00
Tirafondi:LT=0.45 (0.31) σ_{cR}=0.00 σ_{fR}=0.00
Compressione nel calcestruzzo: σ_c=12.14
CC 22 SLD (Collegamento 0020_-377)
Azioni sul collegamento: N=-5779.06 Ty=-3.59 Tz=3.85 Mx=-0.00 Mz=-3.26
Sollecitazioni agenti localmente: Tx_l=-3.59 Ty_l=3.85 N_l=-5779.06 Mx_l=-0.00 My_l=-3.26 Mz_l=-0.00
Taglio nei bulloni: Fv,Ed=0.88 Fv,Rd=9650.97
Rifollamento lato piastra: Fb,Ed,p=0.88 Fb,Rd,p=14527.70
Tirafondi:LT=0.45 (0.31) σ_{cR}=0.00 σ_{fR}=0.00
Compressione nel calcestruzzo: σ_c=12.12
CC 22 SLD (Collegamento 0020_-377)
Azioni sul collegamento: N=-5779.06 Ty=-4.24 Tz=-2.08 Mx=-0.00 Mz=-3.48
Sollecitazioni agenti localmente: Tx_l=-4.24 Ty_l=-2.08 N_l=-5779.06 Mx_l=-0.00 My_l=-3.48 Mz_l=-0.00
Taglio nei bulloni: Fv,Ed=0.79 Fv,Rd=9650.97
Rifollamento lato piastra: Fb,Ed,p=0.79 Fb,Rd,p=10205.40
Tirafondi:LT=0.45 (0.31) σ_{cR}=0.00 σ_{fR}=0.00
Compressione nel calcestruzzo: σ_c=12.14
CC 22 SLD (Collegamento 0020_-377)
Azioni sul collegamento: N=-5779.06 Ty=-3.59 Tz=-2.08 Mx=-0.00 Mz=-3.26
Sollecitazioni agenti localmente: Tx_l=-3.59 Ty_l=-2.08 N_l=-5779.06 Mx_l=-0.00 My_l=-3.26 Mz_l=-0.00
Taglio nei bulloni: Fv,Ed=0.69 Fv,Rd=9650.97
Rifollamento lato piastra: Fb,Ed,p=0.69 Fb,Rd,p=11293.50
Tirafondi:LT=0.45 (0.31) σ_{cR}=0.00 σ_{fR}=0.00
Compressione nel calcestruzzo: σ_c=12.12
CC 23 SLV (Collegamento 0020_-377)
Azioni sul collegamento: N=-9265.76 Ty=-6.45 Tz=10.87 Mx=-0.01 Mz=-7.08

Sollecitazioni agenti localmente: Tx_l=-6.45 Ty_l=10.87 N_l=-9265.76 Mx_l=-0.00 My_l=-7.08 Mz_l=-0.01
Taglio nei bulloni: Fv,Ed=2.12 Fv,Rd=7720.78
Rifollamento lato piastra: Fb,Ed,p=2.12 Fb,Rd,p=9192.68
Tirafondi:LT=0.45 (0.31) σ_{cR}=0.00 σ_{fR}=0.00
Compressione nel calcestruzzo: σ_c=19.54
CC 23 SLV (Collegamento 0020_-377)
Azioni sul collegamento: N=-9265.76 Ty=-3.07 Tz=10.87 Mx=-0.01 Mz=-3.83
Sollecitazioni agenti localmente: Tx_l=-3.07 Ty_l=10.87 N_l=-9265.76 Mx_l=-0.00 My_l=-3.83 Mz_l=-0.01
Taglio nei bulloni: Fv,Ed=1.89 Fv,Rd=7720.78
Rifollamento lato piastra: Fb,Ed,p=1.89 Fb,Rd,p=6703.44
Tirafondi:LT=0.45 (0.31) σ_{cR}=0.00 σ_{fR}=0.00
Compressione nel calcestruzzo: σ_c=19.36
CC 23 SLV (Collegamento 0020_-377)
Azioni sul collegamento: N=-9265.76 Ty=-6.45 Tz=-8.85 Mx=-0.01 Mz=-7.08
Sollecitazioni agenti localmente: Tx_l=-6.45 Ty_l=-8.85 N_l=-9265.76 Mx_l=-0.00 My_l=-7.08 Mz_l=-0.01
Taglio nei bulloni: Fv,Ed=1.83 Fv,Rd=7720.78
Rifollamento lato piastra: Fb,Ed,p=1.83 Fb,Rd,p=10479.20
Tirafondi:LT=0.45 (0.31) σ_{cR}=0.00 σ_{fR}=0.00
Compressione nel calcestruzzo: σ_c=19.54
CC 23 SLV (Collegamento 0020_-377)
Azioni sul collegamento: N=-9265.76 Ty=-3.07 Tz=-8.85 Mx=-0.01 Mz=-3.83
Sollecitazioni agenti localmente: Tx_l=-3.07 Ty_l=-8.85 N_l=-9265.76 Mx_l=-0.00 My_l=-3.83 Mz_l=-0.01
Taglio nei bulloni: Fv,Ed=1.57 Fv,Rd=7720.78
Rifollamento lato piastra: Fb,Ed,p=1.56 Fb,Rd,p=7019.31
Tirafondi:LT=0.45 (0.31) σ_{cR}=0.00 σ_{fR}=0.00
Compressione nel calcestruzzo: σ_c=19.36
CC 23 SLV (Collegamento 0020_-377)
Azioni sul collegamento: N=-3968.96 Ty=-6.45 Tz=10.87 Mx=-0.01 Mz=-7.08
Sollecitazioni agenti localmente: Tx_l=-6.45 Ty_l=10.87 N_l=-3968.96 Mx_l=-0.00 My_l=-7.08 Mz_l=-0.01
Taglio nei bulloni: Fv,Ed=2.12 Fv,Rd=7720.78
Rifollamento lato piastra: Fb,Ed,p=2.12 Fb,Rd,p=9192.84
Tirafondi:LT=0.45 (0.31) σ_{cR}=0.00 σ_{fR}=0.00
Compressione nel calcestruzzo: σ_c=8.60
CC 23 SLV (Collegamento 0020_-377)
Azioni sul collegamento: N=-3968.96 Ty=-3.07 Tz=10.87 Mx=-0.01 Mz=-3.83
Sollecitazioni agenti localmente: Tx_l=-3.07 Ty_l=10.87 N_l=-3968.96 Mx_l=-0.00 My_l=-3.83 Mz_l=-0.01
Taglio nei bulloni: Fv,Ed=1.89 Fv,Rd=7720.78
Rifollamento lato piastra: Fb,Ed,p=1.89 Fb,Rd,p=6703.48
Tirafondi:LT=0.45 (0.31) σ_{cR}=0.00 σ_{fR}=0.00
Compressione nel calcestruzzo: σ_c=8.42
CC 23 SLV (Collegamento 0020_-377)
Azioni sul collegamento: N=-3968.96 Ty=-6.45 Tz=-8.85 Mx=-0.01 Mz=-7.08
Sollecitazioni agenti localmente: Tx_l=-6.45 Ty_l=-8.85 N_l=-3968.96 Mx_l=-0.00 My_l=-7.08 Mz_l=-0.01
Taglio nei bulloni: Fv,Ed=1.83 Fv,Rd=7720.78
Rifollamento lato piastra: Fb,Ed,p=1.83 Fb,Rd,p=10479.10
Tirafondi:LT=0.45 (0.31) σ_{cR}=0.00 σ_{fR}=0.00
Compressione nel calcestruzzo: σ_c=8.60
CC 23 SLV (Collegamento 0020_-377)
Azioni sul collegamento: N=-3968.96 Ty=-3.07 Tz=-8.85 Mx=-0.01 Mz=-3.83
Sollecitazioni agenti localmente: Tx_l=-3.07 Ty_l=-8.85 N_l=-3968.96 Mx_l=-0.00 My_l=-3.83 Mz_l=-0.01
Taglio nei bulloni: Fv,Ed=1.57 Fv,Rd=7720.78
Rifollamento lato piastra: Fb,Ed,p=1.56 Fb,Rd,p=7019.29
Tirafondi:LT=0.45 (0.31) σ_{cR}=0.00 σ_{fR}=0.00
Compressione nel calcestruzzo: σ_c=8.42
CC 24 SLD (Collegamento 0020_-377)
Azioni sul collegamento: N=-7392.49 Ty=-4.43 Tz=3.89 Mx=0.00 Mz=-3.87
Sollecitazioni agenti localmente: Tx_l=-4.43 Ty_l=3.89 N_l=-7392.49 Mx_l=-0.00 My_l=-3.87 Mz_l=0.00
Taglio nei bulloni: Fv,Ed=0.98 Fv,Rd=9650.97
Rifollamento lato piastra: Fb,Ed,p=0.98 Fb,Rd,p=14141.00
Tirafondi:LT=0.45 (0.31) σ_{cR}=0.00 σ_{fR}=0.00
Compressione nel calcestruzzo: σ_c=15.49
CC 24 SLD (Collegamento 0020_-377)
Azioni sul collegamento: N=-7392.49 Ty=-3.40 Tz=3.89 Mx=0.00 Mz=-2.87
Sollecitazioni agenti localmente: Tx_l=-3.40 Ty_l=3.89 N_l=-7392.49 Mx_l=-0.00 My_l=-2.87 Mz_l=0.00
Taglio nei bulloni: Fv,Ed=0.86 Fv,Rd=9650.97
Rifollamento lato piastra: Fb,Ed,p=0.86 Fb,Rd,p=14087.70
Tirafondi:LT=0.45 (0.31) σ_{cR}=0.00 σ_{fR}=0.00
Compressione nel calcestruzzo: σ_c=15.44
CC 24 SLD (Collegamento 0020_-377)
Azioni sul collegamento: N=-7392.49 Ty=-4.43 Tz=-2.12 Mx=0.00 Mz=-3.87
Sollecitazioni agenti localmente: Tx_l=-4.43 Ty_l=-2.12 N_l=-7392.49 Mx_l=-0.00 My_l=-3.87 Mz_l=0.00
Taglio nei bulloni: Fv,Ed=0.82 Fv,Rd=9650.97
Rifollamento lato piastra: Fb,Ed,p=0.82 Fb,Rd,p=10039.50
Tirafondi:LT=0.45 (0.31) σ_{cR}=0.00 σ_{fR}=0.00
Compressione nel calcestruzzo: σ_c=15.49
CC 24 SLD (Collegamento 0020_-377)
Azioni sul collegamento: N=-7392.49 Ty=-3.40 Tz=-2.12 Mx=0.00 Mz=-2.87
Sollecitazioni agenti localmente: Tx_l=-3.40 Ty_l=-2.12 N_l=-7392.49 Mx_l=-0.00 My_l=-2.87 Mz_l=0.00
Taglio nei bulloni: Fv,Ed=0.67 Fv,Rd=9650.97
Rifollamento lato piastra: Fb,Ed,p=0.67 Fb,Rd,p=11870.10

Tirafondi:LT=0.45 (0.31) σ_{cR}=0.00 σ_{fR}=0.00
Compressione nel calcestruzzo: σ_c=15.44
CC 24 SLD (Collegamento 0020_-377)
Azioni sul collegamento: N=-5777.32 Ty=-4.43 Tz=3.89 Mx=0.00 Mz=-3.87
Sollecitazioni agenti localmente: Tx_l=-4.43 Ty_l=3.89 N_l=-5777.32 Mx_l=-0.00 My_l=-3.87 Mz_l=0.00
Taglio nei bulloni: Fv,Ed=0.98 Fv,Rd=9650.97
Rifollamento lato piastra: Fb,Ed,p=0.98 Fb,Rd,p=14140.40
Tirafondi:LT=0.45 (0.31) σ_{cR}=0.00 σ_{fR}=0.00
Compressione nel calcestruzzo: σ_c=12.15
CC 24 SLD (Collegamento 0020_-377)
Azioni sul collegamento: N=-5777.32 Ty=-3.40 Tz=3.89 Mx=0.00 Mz=-2.87
Sollecitazioni agenti localmente: Tx_l=-3.40 Ty_l=3.89 N_l=-5777.32 Mx_l=-0.00 My_l=-2.87 Mz_l=0.00
Taglio nei bulloni: Fv,Ed=0.86 Fv,Rd=9650.97
Rifollamento lato piastra: Fb,Ed,p=0.86 Fb,Rd,p=14088.30
Tirafondi:LT=0.45 (0.31) σ_{cR}=0.00 σ_{fR}=0.00
Compressione nel calcestruzzo: σ_c=12.10
CC 24 SLD (Collegamento 0020_-377)
Azioni sul collegamento: N=-5777.32 Ty=-4.43 Tz=-2.12 Mx=0.00 Mz=-3.87
Sollecitazioni agenti localmente: Tx_l=-4.43 Ty_l=-2.12 N_l=-5777.32 Mx_l=-0.00 My_l=-3.87 Mz_l=0.00
Taglio nei bulloni: Fv,Ed=0.82 Fv,Rd=9650.97
Rifollamento lato piastra: Fb,Ed,p=0.82 Fb,Rd,p=10039.60
Tirafondi:LT=0.45 (0.31) σ_{cR}=0.00 σ_{fR}=0.00
Compressione nel calcestruzzo: σ_c=12.15
CC 24 SLD (Collegamento 0020_-377)
Azioni sul collegamento: N=-5777.32 Ty=-3.40 Tz=-2.12 Mx=0.00 Mz=-2.87
Sollecitazioni agenti localmente: Tx_l=-3.40 Ty_l=-2.12 N_l=-5777.32 Mx_l=-0.00 My_l=-2.87 Mz_l=0.00
Taglio nei bulloni: Fv,Ed=0.67 Fv,Rd=9650.97
Rifollamento lato piastra: Fb,Ed,p=0.67 Fb,Rd,p=11870.30
Tirafondi:LT=0.45 (0.31) σ_{cR}=0.00 σ_{fR}=0.00
Compressione nel calcestruzzo: σ_c=12.10
CC 25 SLV (Collegamento 0020_-377)
Azioni sul collegamento: N=-5814.21 Ty=-3.29 Tz=-2.14 Mx=-0.02 Mz=-3.06
Sollecitazioni agenti localmente: Tx_l=-3.29 Ty_l=-2.14 N_l=-5814.21 Mx_l=-0.00 My_l=-3.06 Mz_l=-0.02
Taglio nei bulloni: Fv,Ed=0.68 Fv,Rd=7720.78
Rifollamento lato piastra: Fb,Ed,p=0.68 Fb,Rd,p=9989.68
Tirafondi:LT=0.45 (0.31) σ_{cR}=0.00 σ_{fR}=0.00
Compressione nel calcestruzzo: σ_c=12.19
CC 25 SLV (Collegamento 0020_-377)
Azioni sul collegamento: N=-5814.21 Ty=-6.23 Tz=-2.14 Mx=-0.02 Mz=-7.84
Sollecitazioni agenti localmente: Tx_l=-6.23 Ty_l=-2.14 N_l=-5814.21 Mx_l=-0.00 My_l=-7.84 Mz_l=-0.02
Taglio nei bulloni: Fv,Ed=1.12 Fv,Rd=7720.78
Rifollamento lato piastra: Fb,Ed,p=1.12 Fb,Rd,p=7114.96
Tirafondi:LT=0.45 (0.31) σ_{cR}=0.00 σ_{fR}=0.00
Compressione nel calcestruzzo: σ_c=12.45
CC 25 SLV (Collegamento 0020_-377)
Azioni sul collegamento: N=-5814.21 Ty=-3.29 Tz=4.16 Mx=-0.02 Mz=-3.06
Sollecitazioni agenti localmente: Tx_l=-3.29 Ty_l=4.16 N_l=-5814.21 Mx_l=-0.00 My_l=-3.06 Mz_l=-0.02
Taglio nei bulloni: Fv,Ed=0.91 Fv,Rd=7720.78
Rifollamento lato piastra: Fb,Ed,p=0.91 Fb,Rd,p=10862.80
Tirafondi:LT=0.45 (0.31) σ_{cR}=0.00 σ_{fR}=0.00
Compressione nel calcestruzzo: σ_c=12.19
CC 25 SLV (Collegamento 0020_-377)
Azioni sul collegamento: N=-5814.21 Ty=-6.23 Tz=4.16 Mx=-0.02 Mz=-7.84
Sollecitazioni agenti localmente: Tx_l=-6.23 Ty_l=4.16 N_l=-5814.21 Mx_l=-0.00 My_l=-7.84 Mz_l=-0.02
Taglio nei bulloni: Fv,Ed=1.28 Fv,Rd=7720.78
Rifollamento lato piastra: Fb,Ed,p=1.25 Fb,Rd,p=9676.63
Tirafondi:LT=0.45 (0.31) σ_{cR}=0.00 σ_{fR}=0.00
Compressione nel calcestruzzo: σ_c=12.45
CC 25 SLV (Collegamento 0020_-377)
Azioni sul collegamento: N=-7420.51 Ty=-3.29 Tz=-2.14 Mx=-0.02 Mz=-3.06
Sollecitazioni agenti localmente: Tx_l=-3.29 Ty_l=-2.14 N_l=-7420.51 Mx_l=-0.00 My_l=-3.06 Mz_l=-0.02
Taglio nei bulloni: Fv,Ed=0.68 Fv,Rd=7720.78
Rifollamento lato piastra: Fb,Ed,p=0.68 Fb,Rd,p=9990.65
Tirafondi:LT=0.45 (0.31) σ_{cR}=0.00 σ_{fR}=0.00
Compressione nel calcestruzzo: σ_c=15.50
CC 25 SLV (Collegamento 0020_-377)
Azioni sul collegamento: N=-7420.51 Ty=-6.23 Tz=-2.14 Mx=-0.02 Mz=-7.84
Sollecitazioni agenti localmente: Tx_l=-6.23 Ty_l=-2.14 N_l=-7420.51 Mx_l=-0.00 My_l=-7.84 Mz_l=-0.02
Taglio nei bulloni: Fv,Ed=1.12 Fv,Rd=7720.78
Rifollamento lato piastra: Fb,Ed,p=1.12 Fb,Rd,p=7115.23
Tirafondi:LT=0.45 (0.31) σ_{cR}=0.00 σ_{fR}=0.00
Compressione nel calcestruzzo: σ_c=15.77
CC 25 SLV (Collegamento 0020_-377)
Azioni sul collegamento: N=-7420.51 Ty=-3.29 Tz=4.16 Mx=-0.02 Mz=-3.06
Sollecitazioni agenti localmente: Tx_l=-3.29 Ty_l=4.16 N_l=-7420.51 Mx_l=-0.00 My_l=-3.06 Mz_l=-0.02
Taglio nei bulloni: Fv,Ed=0.91 Fv,Rd=7720.78
Rifollamento lato piastra: Fb,Ed,p=0.91 Fb,Rd,p=10862.30
Tirafondi:LT=0.45 (0.31) σ_{cR}=0.00 σ_{fR}=0.00
Compressione nel calcestruzzo: σ_c=15.50
CC 25 SLV (Collegamento 0020_-377)

Azioni sul collegamento: N=-7420.51 Ty=-6.23 Tz=4.16 Mx=-0.02 Mz=-7.84
Sollecitazioni agenti localmente: Tx_l=-6.23 Ty_l=4.16 N_l=-7420.51 Mx_l=-0.00 My_l=-7.84 Mz_l=-0.02
Taglio nei bulloni: Fv,Ed=1.28 Fv,Rd=7720.78
Rifollamento lato piastra: Fb,Ed,p=1.25 Fb,Rd,p=9677.42
Tirafondi:LT=0.45 (0.31) σ_{cR}=0.00 σ_{fR}=0.00
Compressione nel calcestruzzo: σ_c=15.77
CC 26 SLD (Collegamento 0020_-377)
Azioni sul collegamento: N=-6340.00 Ty=-3.47 Tz=-0.08 Mx=-0.00 Mz=-2.64
Sollecitazioni agenti localmente: Tx_l=-3.47 Ty_l=-0.08 N_l=-6340.00 Mx_l=-0.00 My_l=-2.64 Mz_l=-0.00
Taglio nei bulloni: Fv,Ed=0.58 Fv,Rd=9650.97
Rifollamento lato piastra: Fb,Ed,p=0.58 Fb,Rd,p=7482.40
Tirafondi:LT=0.45 (0.31) σ_{cR}=0.00 σ_{fR}=0.00
Compressione nel calcestruzzo: σ_c=13.25
CC 26 SLD (Collegamento 0020_-377)
Azioni sul collegamento: N=-6340.00 Ty=-4.36 Tz=-0.08 Mx=-0.00 Mz=-4.10
Sollecitazioni agenti localmente: Tx_l=-4.36 Ty_l=-0.08 N_l=-6340.00 Mx_l=-0.00 My_l=-4.10 Mz_l=-0.00
Taglio nei bulloni: Fv,Ed=0.73 Fv,Rd=9650.97
Rifollamento lato piastra: Fb,Ed,p=0.73 Fb,Rd,p=7479.30
Tirafondi:LT=0.45 (0.31) σ_{cR}=0.00 σ_{fR}=0.00
Compressione nel calcestruzzo: σ_c=13.33
CC 26 SLD (Collegamento 0020_-377)
Azioni sul collegamento: N=-6340.00 Ty=-3.47 Tz=1.85 Mx=-0.00 Mz=-2.64
Sollecitazioni agenti localmente: Tx_l=-3.47 Ty_l=1.85 N_l=-6340.00 Mx_l=-0.00 My_l=-2.64 Mz_l=-0.00
Taglio nei bulloni: Fv,Ed=0.66 Fv,Rd=9650.97
Rifollamento lato piastra: Fb,Ed,p=0.66 Fb,Rd,p=10577.30
Tirafondi:LT=0.45 (0.31) σ_{cR}=0.00 σ_{fR}=0.00
Compressione nel calcestruzzo: σ_c=13.25
CC 26 SLD (Collegamento 0020_-377)
Azioni sul collegamento: N=-6340.00 Ty=-4.36 Tz=1.85 Mx=-0.00 Mz=-4.10
Sollecitazioni agenti localmente: Tx_l=-4.36 Ty_l=1.85 N_l=-6340.00 Mx_l=-0.00 My_l=-4.10 Mz_l=-0.00
Taglio nei bulloni: Fv,Ed=0.79 Fv,Rd=9650.97
Rifollamento lato piastra: Fb,Ed,p=0.79 Fb,Rd,p=9425.47
Tirafondi:LT=0.45 (0.31) σ_{cR}=0.00 σ_{fR}=0.00
Compressione nel calcestruzzo: σ_c=13.33
CC 26 SLD (Collegamento 0020_-377)
Azioni sul collegamento: N=-6829.81 Ty=-3.47 Tz=-0.08 Mx=-0.00 Mz=-2.64
Sollecitazioni agenti localmente: Tx_l=-3.47 Ty_l=-0.08 N_l=-6829.81 Mx_l=-0.00 My_l=-2.64 Mz_l=-0.00
Taglio nei bulloni: Fv,Ed=0.58 Fv,Rd=9650.97
Rifollamento lato piastra: Fb,Ed,p=0.58 Fb,Rd,p=7482.34
Tirafondi:LT=0.45 (0.31) σ_{cR}=0.00 σ_{fR}=0.00
Compressione nel calcestruzzo: σ_c=14.26
CC 26 SLD (Collegamento 0020_-377)
Azioni sul collegamento: N=-6829.81 Ty=-4.36 Tz=-0.08 Mx=-0.00 Mz=-4.10
Sollecitazioni agenti localmente: Tx_l=-4.36 Ty_l=-0.08 N_l=-6829.81 Mx_l=-0.00 My_l=-4.10 Mz_l=-0.00
Taglio nei bulloni: Fv,Ed=0.73 Fv,Rd=9650.97
Rifollamento lato piastra: Fb,Ed,p=0.73 Fb,Rd,p=7479.26
Tirafondi:LT=0.45 (0.31) σ_{cR}=0.00 σ_{fR}=0.00
Compressione nel calcestruzzo: σ_c=14.34
CC 26 SLD (Collegamento 0020_-377)
Azioni sul collegamento: N=-6829.81 Ty=-3.47 Tz=1.85 Mx=-0.00 Mz=-2.64
Sollecitazioni agenti localmente: Tx_l=-3.47 Ty_l=1.85 N_l=-6829.81 Mx_l=-0.00 My_l=-2.64 Mz_l=-0.00
Taglio nei bulloni: Fv,Ed=0.66 Fv,Rd=9650.97
Rifollamento lato piastra: Fb,Ed,p=0.66 Fb,Rd,p=10577.20
Tirafondi:LT=0.45 (0.31) σ_{cR}=0.00 σ_{fR}=0.00
Compressione nel calcestruzzo: σ_c=14.26
CC 26 SLD (Collegamento 0020_-377)
Azioni sul collegamento: N=-6829.81 Ty=-4.36 Tz=1.85 Mx=-0.00 Mz=-4.10
Sollecitazioni agenti localmente: Tx_l=-4.36 Ty_l=1.85 N_l=-6829.81 Mx_l=-0.00 My_l=-4.10 Mz_l=-0.00
Taglio nei bulloni: Fv,Ed=0.79 Fv,Rd=9650.97
Rifollamento lato piastra: Fb,Ed,p=0.79 Fb,Rd,p=9425.46
Tirafondi:LT=0.45 (0.31) σ_{cR}=0.00 σ_{fR}=0.00
Compressione nel calcestruzzo: σ_c=14.34
CC 27 SLV (Collegamento 0020_-377)
Azioni sul collegamento: N=-7401.55 Ty=-4.11 Tz=3.74 Mx=-0.02 Mz=-3.66
Sollecitazioni agenti localmente: Tx_l=-4.11 Ty_l=3.74 N_l=-7401.55 Mx_l=-0.00 My_l=-3.66 Mz_l=-0.02
Taglio nei bulloni: Fv,Ed=0.95 Fv,Rd=7720.78
Rifollamento lato piastra: Fb,Ed,p=0.93 Fb,Rd,p=11188.50
Tirafondi:LT=0.45 (0.31) σ_{cR}=0.00 σ_{fR}=0.00
Compressione nel calcestruzzo: σ_c=15.50
CC 27 SLV (Collegamento 0020_-377)
Azioni sul collegamento: N=-7401.55 Ty=-5.40 Tz=3.74 Mx=-0.02 Mz=-7.25
Sollecitazioni agenti localmente: Tx_l=-5.40 Ty_l=3.74 N_l=-7401.55 Mx_l=-0.00 My_l=-7.25 Mz_l=-0.02
Taglio nei bulloni: Fv,Ed=1.12 Fv,Rd=7720.78
Rifollamento lato piastra: Fb,Ed,p=1.10 Fb,Rd,p=9909.17
Tirafondi:LT=0.45 (0.31) σ_{cR}=0.00 σ_{fR}=0.00
Compressione nel calcestruzzo: σ_c=15.70
CC 27 SLV (Collegamento 0020_-377)
Azioni sul collegamento: N=-7401.55 Ty=-4.11 Tz=-1.71 Mx=-0.02 Mz=-3.66
Sollecitazioni agenti localmente: Tx_l=-4.11 Ty_l=-1.71 N_l=-7401.55 Mx_l=-0.00 My_l=-3.66 Mz_l=-0.02
Taglio nei bulloni: Fv,Ed=0.77 Fv,Rd=7720.78

Rifollamento lato piastra: Fb,Ed,p=0.77 Fb,Rd,p=7658.03
Tirafondi:LT=0.45 (0.31) σ_{cR}=0.00 σ_{fR}=0.00
Compressione nel calcestruzzo: σ_c=15.50
CC 27 SLV (Collegamento 0020_-377)
Azioni sul collegamento: N=-7401.55 Ty=-5.40 Tz=-1.71 Mx=-0.02 Mz=-7.25
Sollecitazioni agenti localmente: Tx_l=-5.40 Ty_l=-1.71 N_l=-7401.55 Mx_l=-0.00 My_l=-7.25 Mz_l=-0.02
Taglio nei bulloni: Fv,Ed=0.97 Fv,Rd=7720.78
Rifollamento lato piastra: Fb,Ed,p=0.97 Fb,Rd,p=6959.97
Tirafondi:LT=0.45 (0.31) σ_{cR}=0.00 σ_{fR}=0.00
Compressione nel calcestruzzo: σ_c=15.70
CC 27 SLV (Collegamento 0020_-377)
Azioni sul collegamento: N=-5833.17 Ty=-4.11 Tz=3.74 Mx=-0.02 Mz=-3.66
Sollecitazioni agenti localmente: Tx_l=-4.11 Ty_l=3.74 N_l=-5833.17 Mx_l=-0.00 My_l=-3.66 Mz_l=-0.02
Taglio nei bulloni: Fv,Ed=0.95 Fv,Rd=7720.78
Rifollamento lato piastra: Fb,Ed,p=0.93 Fb,Rd,p=11188.50
Tirafondi:LT=0.45 (0.31) σ_{cR}=0.00 σ_{fR}=0.00
Compressione nel calcestruzzo: σ_c=12.26
CC 27 SLV (Collegamento 0020_-377)
Azioni sul collegamento: N=-5833.17 Ty=-5.40 Tz=3.74 Mx=-0.02 Mz=-7.25
Sollecitazioni agenti localmente: Tx_l=-5.40 Ty_l=3.74 N_l=-5833.17 Mx_l=-0.00 My_l=-7.25 Mz_l=-0.02
Taglio nei bulloni: Fv,Ed=1.12 Fv,Rd=7720.78
Rifollamento lato piastra: Fb,Ed,p=1.10 Fb,Rd,p=9909.23
Tirafondi:LT=0.45 (0.31) σ_{cR}=0.00 σ_{fR}=0.00
Compressione nel calcestruzzo: σ_c=12.46
CC 27 SLV (Collegamento 0020_-377)
Azioni sul collegamento: N=-5833.17 Ty=-4.11 Tz=-1.71 Mx=-0.02 Mz=-3.66
Sollecitazioni agenti localmente: Tx_l=-4.11 Ty_l=-1.71 N_l=-5833.17 Mx_l=-0.00 My_l=-3.66 Mz_l=-0.02
Taglio nei bulloni: Fv,Ed=0.77 Fv,Rd=7720.78
Rifollamento lato piastra: Fb,Ed,p=0.77 Fb,Rd,p=7657.98
Tirafondi:LT=0.45 (0.31) σ_{cR}=0.00 σ_{fR}=0.00
Compressione nel calcestruzzo: σ_c=12.26
CC 27 SLV (Collegamento 0020_-377)
Azioni sul collegamento: N=-5833.17 Ty=-5.40 Tz=-1.71 Mx=-0.02 Mz=-7.25
Sollecitazioni agenti localmente: Tx_l=-5.40 Ty_l=-1.71 N_l=-5833.17 Mx_l=-0.00 My_l=-7.25 Mz_l=-0.02
Taglio nei bulloni: Fv,Ed=0.97 Fv,Rd=7720.78
Rifollamento lato piastra: Fb,Ed,p=0.97 Fb,Rd,p=6959.94
Tirafondi:LT=0.45 (0.31) σ_{cR}=0.00 σ_{fR}=0.00
Compressione nel calcestruzzo: σ_c=12.46
CC 28 SLD (Collegamento 0020_-377)
Azioni sul collegamento: N=-6824.03 Ty=-3.72 Tz=1.72 Mx=-0.00 Mz=-2.82
Sollecitazioni agenti localmente: Tx_l=-3.72 Ty_l=1.72 N_l=-6824.03 Mx_l=-0.00 My_l=-2.82 Mz_l=-0.00
Taglio nei bulloni: Fv,Ed=0.69 Fv,Rd=9650.97
Rifollamento lato piastra: Fb,Ed,p=0.68 Fb,Rd,p=9797.89
Tirafondi:LT=0.45 (0.31) σ_{cR}=0.00 σ_{fR}=0.00
Compressione nel calcestruzzo: σ_c=14.26
CC 28 SLD (Collegamento 0020_-377)
Azioni sul collegamento: N=-6824.03 Ty=-4.11 Tz=1.72 Mx=-0.00 Mz=-3.92
Sollecitazioni agenti localmente: Tx_l=-4.11 Ty_l=1.72 N_l=-6824.03 Mx_l=-0.00 My_l=-3.92 Mz_l=-0.00
Taglio nei bulloni: Fv,Ed=0.75 Fv,Rd=9650.97
Rifollamento lato piastra: Fb,Ed,p=0.74 Fb,Rd,p=9371.61
Tirafondi:LT=0.45 (0.31) σ_{cR}=0.00 σ_{fR}=0.00
Compressione nel calcestruzzo: σ_c=14.32
CC 28 SLD (Collegamento 0020_-377)
Azioni sul collegamento: N=-6824.03 Ty=-3.72 Tz=0.05 Mx=-0.00 Mz=-2.82
Sollecitazioni agenti localmente: Tx_l=-3.72 Ty_l=0.05 N_l=-6824.03 Mx_l=-0.00 My_l=-2.82 Mz_l=-0.00
Taglio nei bulloni: Fv,Ed=0.62 Fv,Rd=9650.97
Rifollamento lato piastra: Fb,Ed,p=0.62 Fb,Rd,p=7475.01
Tirafondi:LT=0.45 (0.31) σ_{cR}=0.00 σ_{fR}=0.00
Compressione nel calcestruzzo: σ_c=14.26
CC 28 SLD (Collegamento 0020_-377)
Azioni sul collegamento: N=-6824.03 Ty=-4.11 Tz=0.05 Mx=-0.00 Mz=-3.92
Sollecitazioni agenti localmente: Tx_l=-4.11 Ty_l=0.05 N_l=-6824.03 Mx_l=-0.00 My_l=-3.92 Mz_l=-0.00
Taglio nei bulloni: Fv,Ed=0.69 Fv,Rd=9650.97
Rifollamento lato piastra: Fb,Ed,p=0.69 Fb,Rd,p=7474.82
Tirafondi:LT=0.45 (0.31) σ_{cR}=0.00 σ_{fR}=0.00
Compressione nel calcestruzzo: σ_c=14.32
CC 28 SLD (Collegamento 0020_-377)
Azioni sul collegamento: N=-6345.78 Ty=-3.72 Tz=1.72 Mx=-0.00 Mz=-2.82
Sollecitazioni agenti localmente: Tx_l=-3.72 Ty_l=1.72 N_l=-6345.78 Mx_l=-0.00 My_l=-2.82 Mz_l=-0.00
Taglio nei bulloni: Fv,Ed=0.69 Fv,Rd=9650.97
Rifollamento lato piastra: Fb,Ed,p=0.68 Fb,Rd,p=9798.36
Tirafondi:LT=0.45 (0.31) σ_{cR}=0.00 σ_{fR}=0.00
Compressione nel calcestruzzo: σ_c=13.27
CC 28 SLD (Collegamento 0020_-377)
Azioni sul collegamento: N=-6345.78 Ty=-4.11 Tz=1.72 Mx=-0.00 Mz=-3.92
Sollecitazioni agenti localmente: Tx_l=-4.11 Ty_l=1.72 N_l=-6345.78 Mx_l=-0.00 My_l=-3.92 Mz_l=-0.00
Taglio nei bulloni: Fv,Ed=0.75 Fv,Rd=9650.97
Rifollamento lato piastra: Fb,Ed,p=0.74 Fb,Rd,p=9372.00
Tirafondi:LT=0.45 (0.31) σ_{cR}=0.00 σ_{fR}=0.00
Compressione nel calcestruzzo: σ_c=13.33

CC 28 SLD (Collegamento 0020_-377)
Azioni sul collegamento: N=-6345.78 Ty=-3.72 Tz=0.05 Mx=-0.00 Mz=-2.82
Sollecitazioni agenti localmente: Tx_l=-3.72 Ty_l=0.05 N_l=-6345.78 Mx_l=-0.00 My_l=-2.82 Mz_l=-0.00
Taglio nei bulloni: Fv,Ed=0.62 Fv,Rd=9650.97
Rifollamento lato piastra: Fb,Ed,p=0.62 Fb,Rd,p=7475.00
Tirafondi:LT=0.45 (0.31) σ_{cR}=0.00 σ_{fR}=0.00
Compressione nel calcestruzzo: σ_c=13.27
CC 28 SLD (Collegamento 0020_-377)
Azioni sul collegamento: N=-6345.78 Ty=-4.11 Tz=0.05 Mx=-0.00 Mz=-3.92
Sollecitazioni agenti localmente: Tx_l=-4.11 Ty_l=0.05 N_l=-6345.78 Mx_l=-0.00 My_l=-3.92 Mz_l=-0.00
Taglio nei bulloni: Fv,Ed=0.69 Fv,Rd=9650.97
Rifollamento lato piastra: Fb,Ed,p=0.69 Fb,Rd,p=7474.81
Tirafondi:LT=0.45 (0.31) σ_{cR}=0.00 σ_{fR}=0.00
Compressione nel calcestruzzo: σ_c=13.33
CC 29 SLV (Collegamento 0020_-377)
Azioni sul collegamento: N=-5833.17 Ty=-5.40 Tz=-1.71 Mx=-0.00 Mz=-7.25
Sollecitazioni agenti localmente: Tx_l=-5.40 Ty_l=-1.71 N_l=-5833.17 Mx_l=-0.00 My_l=-7.25 Mz_l=-0.00
Taglio nei bulloni: Fv,Ed=0.95 Fv,Rd=7720.78
Rifollamento lato piastra: Fb,Ed,p=0.95 Fb,Rd,p=6886.86
Tirafondi:LT=0.45 (0.31) σ_{cR}=0.00 σ_{fR}=0.00
Compressione nel calcestruzzo: σ_c=12.46
CC 29 SLV (Collegamento 0020_-377)
Azioni sul collegamento: N=-5833.17 Ty=-4.11 Tz=-1.71 Mx=-0.00 Mz=-3.66
Sollecitazioni agenti localmente: Tx_l=-4.11 Ty_l=-1.71 N_l=-5833.17 Mx_l=-0.00 My_l=-3.66 Mz_l=-0.00
Taglio nei bulloni: Fv,Ed=0.75 Fv,Rd=7720.78
Rifollamento lato piastra: Fb,Ed,p=0.75 Fb,Rd,p=7550.38
Tirafondi:LT=0.45 (0.31) σ_{cR}=0.00 σ_{fR}=0.00
Compressione nel calcestruzzo: σ_c=12.26
CC 29 SLV (Collegamento 0020_-377)
Azioni sul collegamento: N=-5833.17 Ty=-5.40 Tz=3.74 Mx=-0.00 Mz=-7.25
Sollecitazioni agenti localmente: Tx_l=-5.40 Ty_l=3.74 N_l=-5833.17 Mx_l=-0.00 My_l=-7.25 Mz_l=-0.00
Taglio nei bulloni: Fv,Ed=1.10 Fv,Rd=7720.78
Rifollamento lato piastra: Fb,Ed,p=1.10 Fb,Rd,p=10297.90
Tirafondi:LT=0.45 (0.31) σ_{cR}=0.00 σ_{fR}=0.00
Compressione nel calcestruzzo: σ_c=12.46
CC 29 SLV (Collegamento 0020_-377)
Azioni sul collegamento: N=-5833.17 Ty=-4.11 Tz=3.74 Mx=-0.00 Mz=-3.66
Sollecitazioni agenti localmente: Tx_l=-4.11 Ty_l=3.74 N_l=-5833.17 Mx_l=-0.00 My_l=-3.66 Mz_l=-0.00
Taglio nei bulloni: Fv,Ed=0.93 Fv,Rd=7720.78
Rifollamento lato piastra: Fb,Ed,p=0.93 Fb,Rd,p=11443.60
Tirafondi:LT=0.45 (0.31) σ_{cR}=0.00 σ_{fR}=0.00
Compressione nel calcestruzzo: σ_c=12.26
CC 29 SLV (Collegamento 0020_-377)
Azioni sul collegamento: N=-7401.55 Ty=-5.40 Tz=-1.71 Mx=-0.00 Mz=-7.25
Sollecitazioni agenti localmente: Tx_l=-5.40 Ty_l=-1.71 N_l=-7401.55 Mx_l=-0.00 My_l=-7.25 Mz_l=-0.00
Taglio nei bulloni: Fv,Ed=0.95 Fv,Rd=7720.78
Rifollamento lato piastra: Fb,Ed,p=0.95 Fb,Rd,p=6886.88
Tirafondi:LT=0.45 (0.31) σ_{cR}=0.00 σ_{fR}=0.00
Compressione nel calcestruzzo: σ_c=15.70
CC 29 SLV (Collegamento 0020_-377)
Azioni sul collegamento: N=-7401.55 Ty=-4.11 Tz=-1.71 Mx=-0.00 Mz=-3.66
Sollecitazioni agenti localmente: Tx_l=-4.11 Ty_l=-1.71 N_l=-7401.55 Mx_l=-0.00 My_l=-3.66 Mz_l=-0.00
Taglio nei bulloni: Fv,Ed=0.75 Fv,Rd=7720.78
Rifollamento lato piastra: Fb,Ed,p=0.75 Fb,Rd,p=7550.43
Tirafondi:LT=0.45 (0.31) σ_{cR}=0.00 σ_{fR}=0.00
Compressione nel calcestruzzo: σ_c=15.50
CC 29 SLV (Collegamento 0020_-377)
Azioni sul collegamento: N=-7401.55 Ty=-5.40 Tz=3.74 Mx=-0.00 Mz=-7.25
Sollecitazioni agenti localmente: Tx_l=-5.40 Ty_l=3.74 N_l=-7401.55 Mx_l=-0.00 My_l=-7.25 Mz_l=-0.00
Taglio nei bulloni: Fv,Ed=1.10 Fv,Rd=7720.78
Rifollamento lato piastra: Fb,Ed,p=1.10 Fb,Rd,p=10297.80
Tirafondi:LT=0.45 (0.31) σ_{cR}=0.00 σ_{fR}=0.00
Compressione nel calcestruzzo: σ_c=15.70
CC 29 SLV (Collegamento 0020_-377)
Azioni sul collegamento: N=-7401.55 Ty=-4.11 Tz=3.74 Mx=-0.00 Mz=-3.66
Sollecitazioni agenti localmente: Tx_l=-4.11 Ty_l=3.74 N_l=-7401.55 Mx_l=-0.00 My_l=-3.66 Mz_l=-0.00
Taglio nei bulloni: Fv,Ed=0.93 Fv,Rd=7720.78
Rifollamento lato piastra: Fb,Ed,p=0.93 Fb,Rd,p=11443.50
Tirafondi:LT=0.45 (0.31) σ_{cR}=0.00 σ_{fR}=0.00
Compressione nel calcestruzzo: σ_c=15.50
CC 30 SLD (Collegamento 0020_-377)
Azioni sul collegamento: N=-6345.78 Ty=-4.11 Tz=0.05 Mx=0.00 Mz=-3.92
Sollecitazioni agenti localmente: Tx_l=-4.11 Ty_l=0.05 N_l=-6345.78 Mx_l=-0.00 My_l=-3.92 Mz_l=0.00
Taglio nei bulloni: Fv,Ed=0.69 Fv,Rd=9650.97
Rifollamento lato piastra: Fb,Ed,p=0.69 Fb,Rd,p=7476.88
Tirafondi:LT=0.45 (0.31) σ_{cR}=0.00 σ_{fR}=0.00
Compressione nel calcestruzzo: σ_c=13.33
CC 30 SLD (Collegamento 0020_-377)
Azioni sul collegamento: N=-6345.78 Ty=-3.72 Tz=0.05 Mx=0.00 Mz=-2.82
Sollecitazioni agenti localmente: Tx_l=-3.72 Ty_l=0.05 N_l=-6345.78 Mx_l=-0.00 My_l=-2.82 Mz_l=0.00

Taglio nei bulloni: Fv,Ed=0.62 Fv,Rd=9650.97
Rifollamento lato piastra: Fb,Ed,p=0.62 Fb,Rd,p=7477.53
Tirafondi:LT=0.45 (0.31) σ_{cR}=0.00 σ_{fR}=0.00
Compressione nel calcestruzzo: σ_c=13.27
CC 30 SLD (Collegamento 0020_-377)
Azioni sul collegamento: N=-6345.78 Ty=-4.11 Tz=1.72 Mx=0.00 Mz=-3.92
Sollecitazioni agenti localmente: Tx_l=-4.11 Ty_l=1.72 N_l=-6345.78 Mx_l=-0.00 My_l=-3.92 Mz_l=0.00
Taglio nei bulloni: Fv,Ed=0.75 Fv,Rd=9650.97
Rifollamento lato piastra: Fb,Ed,p=0.75 Fb,Rd,p=9446.78
Tirafondi:LT=0.45 (0.31) σ_{cR}=0.00 σ_{fR}=0.00
Compressione nel calcestruzzo: σ_c=13.33
CC 30 SLD (Collegamento 0020_-377)
Azioni sul collegamento: N=-6345.78 Ty=-3.72 Tz=1.72 Mx=0.00 Mz=-2.82
Sollecitazioni agenti localmente: Tx_l=-3.72 Ty_l=1.72 N_l=-6345.78 Mx_l=-0.00 My_l=-2.82 Mz_l=0.00
Taglio nei bulloni: Fv,Ed=0.69 Fv,Rd=9650.97
Rifollamento lato piastra: Fb,Ed,p=0.69 Fb,Rd,p=9890.72
Tirafondi:LT=0.45 (0.31) σ_{cR}=0.00 σ_{fR}=0.00
Compressione nel calcestruzzo: σ_c=13.27
CC 30 SLD (Collegamento 0020_-377)
Azioni sul collegamento: N=-6824.03 Ty=-4.11 Tz=0.05 Mx=0.00 Mz=-3.92
Sollecitazioni agenti localmente: Tx_l=-4.11 Ty_l=0.05 N_l=-6824.03 Mx_l=-0.00 My_l=-3.92 Mz_l=0.00
Taglio nei bulloni: Fv,Ed=0.69 Fv,Rd=9650.97
Rifollamento lato piastra: Fb,Ed,p=0.69 Fb,Rd,p=7476.89
Tirafondi:LT=0.45 (0.31) σ_{cR}=0.00 σ_{fR}=0.00
Compressione nel calcestruzzo: σ_c=14.32
CC 30 SLD (Collegamento 0020_-377)
Azioni sul collegamento: N=-6824.03 Ty=-3.72 Tz=0.05 Mx=0.00 Mz=-2.82
Sollecitazioni agenti localmente: Tx_l=-3.72 Ty_l=0.05 N_l=-6824.03 Mx_l=-0.00 My_l=-2.82 Mz_l=0.00
Taglio nei bulloni: Fv,Ed=0.62 Fv,Rd=9650.97
Rifollamento lato piastra: Fb,Ed,p=0.62 Fb,Rd,p=7477.54
Tirafondi:LT=0.45 (0.31) σ_{cR}=0.00 σ_{fR}=0.00
Compressione nel calcestruzzo: σ_c=14.26
CC 30 SLD (Collegamento 0020_-377)
Azioni sul collegamento: N=-6824.03 Ty=-4.11 Tz=1.72 Mx=0.00 Mz=-3.92
Sollecitazioni agenti localmente: Tx_l=-4.11 Ty_l=1.72 N_l=-6824.03 Mx_l=-0.00 My_l=-3.92 Mz_l=0.00
Taglio nei bulloni: Fv,Ed=0.75 Fv,Rd=9650.97
Rifollamento lato piastra: Fb,Ed,p=0.75 Fb,Rd,p=9446.40
Tirafondi:LT=0.45 (0.31) σ_{cR}=0.00 σ_{fR}=0.00
Compressione nel calcestruzzo: σ_c=14.32
CC 30 SLD (Collegamento 0020_-377)
Azioni sul collegamento: N=-6824.03 Ty=-3.72 Tz=1.72 Mx=0.00 Mz=-2.82
Sollecitazioni agenti localmente: Tx_l=-3.72 Ty_l=1.72 N_l=-6824.03 Mx_l=-0.00 My_l=-2.82 Mz_l=0.00
Taglio nei bulloni: Fv,Ed=0.69 Fv,Rd=9650.97
Rifollamento lato piastra: Fb,Ed,p=0.69 Fb,Rd,p=9890.25
Tirafondi:LT=0.45 (0.31) σ_{cR}=0.00 σ_{fR}=0.00
Compressione nel calcestruzzo: σ_c=14.26
CC 31 SLV (Collegamento 0020_-377)
Azioni sul collegamento: N=-7420.51 Ty=-6.23 Tz=4.16 Mx=-0.00 Mz=-7.84
Sollecitazioni agenti localmente: Tx_l=-6.23 Ty_l=4.16 N_l=-7420.51 Mx_l=-0.00 My_l=-7.84 Mz_l=-0.00
Taglio nei bulloni: Fv,Ed=1.25 Fv,Rd=7720.78
Rifollamento lato piastra: Fb,Ed,p=1.25 Fb,Rd,p=10036.90
Tirafondi:LT=0.45 (0.31) σ_{cR}=0.00 σ_{fR}=0.00
Compressione nel calcestruzzo: σ_c=15.77
CC 31 SLV (Collegamento 0020_-377)
Azioni sul collegamento: N=-7420.51 Ty=-3.29 Tz=4.16 Mx=-0.00 Mz=-3.06
Sollecitazioni agenti localmente: Tx_l=-3.29 Ty_l=4.16 N_l=-7420.51 Mx_l=-0.00 My_l=-3.06 Mz_l=-0.00
Taglio nei bulloni: Fv,Ed=0.89 Fv,Rd=7720.78
Rifollamento lato piastra: Fb,Ed,p=0.89 Fb,Rd,p=10833.30
Tirafondi:LT=0.45 (0.31) σ_{cR}=0.00 σ_{fR}=0.00
Compressione nel calcestruzzo: σ_c=15.50
CC 31 SLV (Collegamento 0020_-377)
Azioni sul collegamento: N=-7420.51 Ty=-6.23 Tz=-2.14 Mx=-0.00 Mz=-7.84
Sollecitazioni agenti localmente: Tx_l=-6.23 Ty_l=-2.14 N_l=-7420.51 Mx_l=-0.00 My_l=-7.84 Mz_l=-0.00
Taglio nei bulloni: Fv,Ed=1.10 Fv,Rd=7720.78
Rifollamento lato piastra: Fb,Ed,p=1.10 Fb,Rd,p=7041.72
Tirafondi:LT=0.45 (0.31) σ_{cR}=0.00 σ_{fR}=0.00
Compressione nel calcestruzzo: σ_c=15.77
CC 31 SLV (Collegamento 0020_-377)
Azioni sul collegamento: N=-7420.51 Ty=-3.29 Tz=-2.14 Mx=-0.00 Mz=-3.06
Sollecitazioni agenti localmente: Tx_l=-3.29 Ty_l=-2.14 N_l=-7420.51 Mx_l=-0.00 My_l=-3.06 Mz_l=-0.00
Taglio nei bulloni: Fv,Ed=0.66 Fv,Rd=7720.78
Rifollamento lato piastra: Fb,Ed,p=0.66 Fb,Rd,p=9849.45
Tirafondi:LT=0.45 (0.31) σ_{cR}=0.00 σ_{fR}=0.00
Compressione nel calcestruzzo: σ_c=15.50
CC 31 SLV (Collegamento 0020_-377)
Azioni sul collegamento: N=-5814.21 Ty=-6.23 Tz=4.16 Mx=-0.00 Mz=-7.84
Sollecitazioni agenti localmente: Tx_l=-6.23 Ty_l=4.16 N_l=-5814.21 Mx_l=-0.00 My_l=-7.84 Mz_l=-0.00
Taglio nei bulloni: Fv,Ed=1.25 Fv,Rd=7720.78
Rifollamento lato piastra: Fb,Ed,p=1.25 Fb,Rd,p=10036.10
Tirafondi:LT=0.45 (0.31) σ_{cR}=0.00 σ_{fR}=0.00

Compressione nel calcestruzzo: σ_c=12.45
CC 31 SLV (Collegamento 0020_-377)
Azioni sul collegamento: N=-5814.21 Ty=-3.29 Tz=4.16 Mx=-0.00 Mz=-3.06
Sollecitazioni agenti localmente: Tx_l=-3.29 Ty_l=4.16 N_l=-5814.21 Mx_l=-0.00 My_l=-3.06 Mz_l=-0.00
Taglio nei bulloni: Fv,Ed=0.89 Fv,Rd=7720.78
Rifollamento lato piastra: Fb,Ed,p=0.89 Fb,Rd,p=10833.70
Tirafondi:LT=0.45 (0.31) σ_{cR}=0.00 σ_{fR}=0.00
Compressione nel calcestruzzo: σ_c=12.19
CC 31 SLV (Collegamento 0020_-377)
Azioni sul collegamento: N=-5814.21 Ty=-6.23 Tz=-2.14 Mx=-0.00 Mz=-7.84
Sollecitazioni agenti localmente: Tx_l=-6.23 Ty_l=-2.14 N_l=-5814.21 Mx_l=-0.00 My_l=-7.84 Mz_l=-0.00
Taglio nei bulloni: Fv,Ed=1.10 Fv,Rd=7720.78
Rifollamento lato piastra: Fb,Ed,p=1.10 Fb,Rd,p=7041.45
Tirafondi:LT=0.45 (0.31) σ_{cR}=0.00 σ_{fR}=0.00
Compressione nel calcestruzzo: σ_c=12.45
CC 31 SLV (Collegamento 0020_-377)
Azioni sul collegamento: N=-5814.21 Ty=-3.29 Tz=-2.14 Mx=-0.00 Mz=-3.06
Sollecitazioni agenti localmente: Tx_l=-3.29 Ty_l=-2.14 N_l=-5814.21 Mx_l=-0.00 My_l=-3.06 Mz_l=-0.00
Taglio nei bulloni: Fv,Ed=0.66 Fv,Rd=7720.78
Rifollamento lato piastra: Fb,Ed,p=0.66 Fb,Rd,p=9848.45
Tirafondi:LT=0.45 (0.31) σ_{cR}=0.00 σ_{fR}=0.00
Compressione nel calcestruzzo: σ_c=12.19
CC 32 SLD (Collegamento 0020_-377)
Azioni sul collegamento: N=-6829.81 Ty=-4.36 Tz=1.85 Mx=0.00 Mz=-4.10
Sollecitazioni agenti localmente: Tx_l=-4.36 Ty_l=1.85 N_l=-6829.81 Mx_l=-0.00 My_l=-4.10 Mz_l=0.00
Taglio nei bulloni: Fv,Ed=0.79 Fv,Rd=9650.97
Rifollamento lato piastra: Fb,Ed,p=0.79 Fb,Rd,p=9504.63
Tirafondi:LT=0.45 (0.31) σ_{cR}=0.00 σ_{fR}=0.00
Compressione nel calcestruzzo: σ_c=14.34
CC 32 SLD (Collegamento 0020_-377)
Azioni sul collegamento: N=-6829.81 Ty=-3.47 Tz=1.85 Mx=0.00 Mz=-2.64
Sollecitazioni agenti localmente: Tx_l=-3.47 Ty_l=1.85 N_l=-6829.81 Mx_l=-0.00 My_l=-2.64 Mz_l=0.00
Taglio nei bulloni: Fv,Ed=0.66 Fv,Rd=9650.97
Rifollamento lato piastra: Fb,Ed,p=0.66 Fb,Rd,p=10705.60
Tirafondi:LT=0.45 (0.31) σ_{cR}=0.00 σ_{fR}=0.00
Compressione nel calcestruzzo: σ_c=14.26
CC 32 SLD (Collegamento 0020_-377)
Azioni sul collegamento: N=-6829.81 Ty=-4.36 Tz=-0.08 Mx=0.00 Mz=-4.10
Sollecitazioni agenti localmente: Tx_l=-4.36 Ty_l=-0.08 N_l=-6829.81 Mx_l=-0.00 My_l=-4.10 Mz_l=0.00
Taglio nei bulloni: Fv,Ed=0.73 Fv,Rd=9650.97
Rifollamento lato piastra: Fb,Ed,p=0.73 Fb,Rd,p=7476.14
Tirafondi:LT=0.45 (0.31) σ_{cR}=0.00 σ_{fR}=0.00
Compressione nel calcestruzzo: σ_c=14.34
CC 32 SLD (Collegamento 0020_-377)
Azioni sul collegamento: N=-6829.81 Ty=-3.47 Tz=-0.08 Mx=0.00 Mz=-2.64
Sollecitazioni agenti localmente: Tx_l=-3.47 Ty_l=-0.08 N_l=-6829.81 Mx_l=-0.00 My_l=-2.64 Mz_l=0.00
Taglio nei bulloni: Fv,Ed=0.58 Fv,Rd=9650.97
Rifollamento lato piastra: Fb,Ed,p=0.58 Fb,Rd,p=7477.41
Tirafondi:LT=0.45 (0.31) σ_{cR}=0.00 σ_{fR}=0.00
Compressione nel calcestruzzo: σ_c=14.26
CC 32 SLD (Collegamento 0020_-377)
Azioni sul collegamento: N=-6340.00 Ty=-4.36 Tz=1.85 Mx=0.00 Mz=-4.10
Sollecitazioni agenti localmente: Tx_l=-4.36 Ty_l=1.85 N_l=-6340.00 Mx_l=-0.00 My_l=-4.10 Mz_l=0.00
Taglio nei bulloni: Fv,Ed=0.79 Fv,Rd=9650.97
Rifollamento lato piastra: Fb,Ed,p=0.79 Fb,Rd,p=9504.64
Tirafondi:LT=0.45 (0.31) σ_{cR}=0.00 σ_{fR}=0.00
Compressione nel calcestruzzo: σ_c=13.33
CC 32 SLD (Collegamento 0020_-377)
Azioni sul collegamento: N=-6340.00 Ty=-3.47 Tz=1.85 Mx=0.00 Mz=-2.64
Sollecitazioni agenti localmente: Tx_l=-3.47 Ty_l=1.85 N_l=-6340.00 Mx_l=-0.00 My_l=-2.64 Mz_l=0.00
Taglio nei bulloni: Fv,Ed=0.66 Fv,Rd=9650.97
Rifollamento lato piastra: Fb,Ed,p=0.66 Fb,Rd,p=10705.60
Tirafondi:LT=0.45 (0.31) σ_{cR}=0.00 σ_{fR}=0.00
Compressione nel calcestruzzo: σ_c=13.25
CC 32 SLD (Collegamento 0020_-377)
Azioni sul collegamento: N=-6340.00 Ty=-4.36 Tz=-0.08 Mx=0.00 Mz=-4.10
Sollecitazioni agenti localmente: Tx_l=-4.36 Ty_l=-0.08 N_l=-6340.00 Mx_l=-0.00 My_l=-4.10 Mz_l=0.00
Taglio nei bulloni: Fv,Ed=0.73 Fv,Rd=9650.97
Rifollamento lato piastra: Fb,Ed,p=0.73 Fb,Rd,p=7476.17
Tirafondi:LT=0.45 (0.31) σ_{cR}=0.00 σ_{fR}=0.00
Compressione nel calcestruzzo: σ_c=13.33
CC 32 SLD (Collegamento 0020_-377)
Azioni sul collegamento: N=-6340.00 Ty=-3.47 Tz=-0.08 Mx=0.00 Mz=-2.64
Sollecitazioni agenti localmente: Tx_l=-3.47 Ty_l=-0.08 N_l=-6340.00 Mx_l=-0.00 My_l=-2.64 Mz_l=0.00
Taglio nei bulloni: Fv,Ed=0.58 Fv,Rd=9650.97
Rifollamento lato piastra: Fb,Ed,p=0.58 Fb,Rd,p=7477.45
Tirafondi:LT=0.45 (0.31) σ_{cR}=0.00 σ_{fR}=0.00
Compressione nel calcestruzzo: σ_c=13.25
CC 33 SLU (Collegamento 0020_-377)
Azioni sul collegamento: N=-30337.70 Ty=-5.16 Tz=79.98 Mx=0.01 Mz=-3.50

Sollecitazioni agenti localmente: Tx_l=-5.16 Ty_l=79.98 N_l=-30337.70 Mx_l=-0.00 My_l=-3.50 Mz_l=0.01
Taglio nei bulloni: Fv,Ed=13.37 Fv,Rd=7720.78
Rifollamento lato piastra: Fb,Ed,p=13.36 Fb,Rd,p=6015.33
Tirafondi:LT=0.45 (0.31) σ_{cR}=0.00 σ_{fR}=0.00
Compressione nel calcestruzzo: σ_c=62.88
CC 34 SLU (Collegamento 0020_-377)
Azioni sul collegamento: N=-30888.30 Ty=-5.44 Tz=82.02 Mx=0.01 Mz=-3.71
Sollecitazioni agenti localmente: Tx_l=-5.44 Ty_l=82.02 N_l=-30888.30 Mx_l=-0.00 My_l=-3.71 Mz_l=0.01
Taglio nei bulloni: Fv,Ed=13.71 Fv,Rd=7720.78
Rifollamento lato piastra: Fb,Ed,p=13.71 Fb,Rd,p=6017.49
Tirafondi:LT=0.45 (0.31) σ_{cR}=0.00 σ_{fR}=0.00
Compressione nel calcestruzzo: σ_c=64.03
CC 35 SLU (Collegamento 0020_-377)
Azioni sul collegamento: N=-30612.00 Ty=-5.19 Tz=81.02 Mx=0.01 Mz=-3.39
Sollecitazioni agenti localmente: Tx_l=-5.19 Ty_l=81.02 N_l=-30612.00 Mx_l=-0.00 My_l=-3.39 Mz_l=0.01
Taglio nei bulloni: Fv,Ed=13.54 Fv,Rd=7720.78
Rifollamento lato piastra: Fb,Ed,p=13.54 Fb,Rd,p=6014.95
Tirafondi:LT=0.45 (0.31) σ_{cR}=0.00 σ_{fR}=0.00
Compressione nel calcestruzzo: σ_c=63.44
CC 36 SLU (Collegamento 0020_-377)
Azioni sul collegamento: N=-30614.00 Ty=-5.41 Tz=80.97 Mx=0.01 Mz=-3.82
Sollecitazioni agenti localmente: Tx_l=-5.41 Ty_l=80.97 N_l=-30614.00 Mx_l=-0.00 My_l=-3.82 Mz_l=0.01
Taglio nei bulloni: Fv,Ed=13.54 Fv,Rd=7720.78
Rifollamento lato piastra: Fb,Ed,p=13.53 Fb,Rd,p=6017.92
Tirafondi:LT=0.45 (0.31) σ_{cR}=0.00 σ_{fR}=0.00
Compressione nel calcestruzzo: σ_c=63.47
CC 37 SLU (Collegamento 0020_-377)
Azioni sul collegamento: N=-32266.80 Ty=-5.04 Tz=86.42 Mx=-0.00 Mz=-3.56
Sollecitazioni agenti localmente: Tx_l=-5.04 Ty_l=86.42 N_l=-32266.80 Mx_l=-0.00 My_l=-3.56 Mz_l=-0.00
Taglio nei bulloni: Fv,Ed=14.43 Fv,Rd=7720.78
Rifollamento lato piastra: Fb,Ed,p=14.43 Fb,Rd,p=6009.56
Tirafondi:LT=0.45 (0.31) σ_{cR}=0.00 σ_{fR}=0.00
Compressione nel calcestruzzo: σ_c=66.87
CC 38 SLU (Collegamento 0020_-377)
Azioni sul collegamento: N=-32817.30 Ty=-5.33 Tz=88.46 Mx=-0.00 Mz=-3.76
Sollecitazioni agenti localmente: Tx_l=-5.33 Ty_l=88.46 N_l=-32817.30 Mx_l=-0.00 My_l=-3.76 Mz_l=-0.00
Taglio nei bulloni: Fv,Ed=14.77 Fv,Rd=7720.78
Rifollamento lato piastra: Fb,Ed,p=14.77 Fb,Rd,p=6011.53
Tirafondi:LT=0.45 (0.31) σ_{cR}=0.00 σ_{fR}=0.00
Compressione nel calcestruzzo: σ_c=68.02
CC 39 SLU (Collegamento 0020_-377)
Azioni sul collegamento: N=-32541.00 Ty=-5.08 Tz=87.47 Mx=-0.00 Mz=-3.44
Sollecitazioni agenti localmente: Tx_l=-5.08 Ty_l=87.47 N_l=-32541.00 Mx_l=-0.00 My_l=-3.44 Mz_l=-0.00
Taglio nei bulloni: Fv,Ed=14.61 Fv,Rd=7720.78
Rifollamento lato piastra: Fb,Ed,p=14.61 Fb,Rd,p=6009.29
Tirafondi:LT=0.45 (0.31) σ_{cR}=0.00 σ_{fR}=0.00
Compressione nel calcestruzzo: σ_c=67.43
CC 40 SLU (Collegamento 0020_-377)
Azioni sul collegamento: N=-32543.00 Ty=-5.30 Tz=87.42 Mx=-0.00 Mz=-3.88
Sollecitazioni agenti localmente: Tx_l=-5.30 Ty_l=87.42 N_l=-32543.00 Mx_l=-0.00 My_l=-3.88 Mz_l=-0.00
Taglio nei bulloni: Fv,Ed=14.60 Fv,Rd=7720.78
Rifollamento lato piastra: Fb,Ed,p=14.60 Fb,Rd,p=6011.83
Tirafondi:LT=0.45 (0.31) σ_{cR}=0.00 σ_{fR}=0.00
Compressione nel calcestruzzo: σ_c=67.46
CC 41 SLU (Collegamento 0020_-377)
Azioni sul collegamento: N=-21046.60 Ty=-6.03 Tz=45.82 Mx=0.01 Mz=-4.13
Sollecitazioni agenti localmente: Tx_l=-6.03 Ty_l=45.82 N_l=-21046.60 Mx_l=-0.00 My_l=-4.13 Mz_l=0.01
Taglio nei bulloni: Fv,Ed=7.71 Fv,Rd=7720.78
Rifollamento lato piastra: Fb,Ed,p=7.71 Fb,Rd,p=6130.52
Tirafondi:LT=0.45 (0.31) σ_{cR}=0.00 σ_{fR}=0.00
Compressione nel calcestruzzo: σ_c=43.72
CC 42 SLU (Collegamento 0020_-377)
Azioni sul collegamento: N=-21597.10 Ty=-6.32 Tz=47.86 Mx=0.01 Mz=-4.34
Sollecitazioni agenti localmente: Tx_l=-6.32 Ty_l=47.86 N_l=-21597.10 Mx_l=-0.00 My_l=-4.34 Mz_l=0.01
Taglio nei bulloni: Fv,Ed=8.06 Fv,Rd=7720.78
Rifollamento lato piastra: Fb,Ed,p=8.05 Fb,Rd,p=6131.38
Tirafondi:LT=0.45 (0.31) σ_{cR}=0.00 σ_{fR}=0.00
Compressione nel calcestruzzo: σ_c=44.87
CC 43 SLU (Collegamento 0020_-377)
Azioni sul collegamento: N=-21320.90 Ty=-6.07 Tz=46.87 Mx=0.01 Mz=-4.02
Sollecitazioni agenti localmente: Tx_l=-6.07 Ty_l=46.87 N_l=-21320.90 Mx_l=-0.00 My_l=-4.02 Mz_l=0.01
Taglio nei bulloni: Fv,Ed=7.88 Fv,Rd=7720.78
Rifollamento lato piastra: Fb,Ed,p=7.88 Fb,Rd,p=6125.75
Tirafondi:LT=0.45 (0.31) σ_{cR}=0.00 σ_{fR}=0.00
Compressione nel calcestruzzo: σ_c=44.28
CC 44 SLU (Collegamento 0020_-377)
Azioni sul collegamento: N=-21322.80 Ty=-6.29 Tz=46.82 Mx=0.01 Mz=-4.45
Sollecitazioni agenti localmente: Tx_l=-6.29 Ty_l=46.82 N_l=-21322.80 Mx_l=-0.00 My_l=-4.45 Mz_l=0.01
Taglio nei bulloni: Fv,Ed=7.88 Fv,Rd=7720.78
Rifollamento lato piastra: Fb,Ed,p=7.88 Fb,Rd,p=6136.27

Tirafondi:LT=0.45 (0.31) σ_{cR}=0.00 σ_{fR}=0.00
Compressione nel calcestruzzo: σ_c=44.31
CC 45 SLU (Collegamento 0020_-377)
Azioni sul collegamento: N=-23139.00 Ty=-5.73 Tz=53.57 Mx=0.01 Mz=-3.96
Sollecitazioni agenti localmente: Tx_l=-5.73 Ty_l=53.57 N_l=-23139.00 Mx_l=-0.00 My_l=-3.96 Mz_l=0.01
Taglio nei bulloni: Fv,Ed=8.99 Fv,Rd=7720.78
Rifollamento lato piastra: Fb,Ed,p=8.99 Fb,Rd,p=6078.77
Tirafondi:LT=0.45 (0.31) σ_{cR}=0.00 σ_{fR}=0.00
Compressione nel calcestruzzo: σ_c=48.03
CC 46 SLU (Collegamento 0020_-377)
Azioni sul collegamento: N=-23689.50 Ty=-6.01 Tz=55.60 Mx=0.01 Mz=-4.17
Sollecitazioni agenti localmente: Tx_l=-6.01 Ty_l=55.60 N_l=-23689.50 Mx_l=-0.00 My_l=-4.17 Mz_l=0.01
Taglio nei bulloni: Fv,Ed=9.33 Fv,Rd=7720.78
Rifollamento lato piastra: Fb,Ed,p=9.33 Fb,Rd,p=6081.09
Tirafondi:LT=0.45 (0.31) σ_{cR}=0.00 σ_{fR}=0.00
Compressione nel calcestruzzo: σ_c=49.18
CC 47 SLU (Collegamento 0020_-377)
Azioni sul collegamento: N=-23413.30 Ty=-5.76 Tz=54.61 Mx=0.01 Mz=-3.84
Sollecitazioni agenti localmente: Tx_l=-5.76 Ty_l=54.61 N_l=-23413.30 Mx_l=-0.00 My_l=-3.84 Mz_l=0.01
Taglio nei bulloni: Fv,Ed=9.16 Fv,Rd=7720.78
Rifollamento lato piastra: Fb,Ed,p=9.16 Fb,Rd,p=6076.32
Tirafondi:LT=0.45 (0.31) σ_{cR}=0.00 σ_{fR}=0.00
Compressione nel calcestruzzo: σ_c=48.59
CC 48 SLU (Collegamento 0020_-377)
Azioni sul collegamento: N=-23415.20 Ty=-5.98 Tz=54.56 Mx=0.01 Mz=-4.28
Sollecitazioni agenti localmente: Tx_l=-5.98 Ty_l=54.56 N_l=-23415.20 Mx_l=-0.00 My_l=-4.28 Mz_l=0.01
Taglio nei bulloni: Fv,Ed=9.16 Fv,Rd=7720.78
Rifollamento lato piastra: Fb,Ed,p=9.16 Fb,Rd,p=6083.64
Tirafondi:LT=0.45 (0.31) σ_{cR}=0.00 σ_{fR}=0.00
Compressione nel calcestruzzo: σ_c=48.62
CC 49 SLU (Collegamento 0020_-377)
Azioni sul collegamento: N=-24582.20 Ty=-5.64 Tz=58.39 Mx=0.00 Mz=-4.00
Sollecitazioni agenti localmente: Tx_l=-5.64 Ty_l=58.39 N_l=-24582.20 Mx_l=-0.00 My_l=-4.00 Mz_l=0.00
Taglio nei bulloni: Fv,Ed=9.78 Fv,Rd=7720.78
Rifollamento lato piastra: Fb,Ed,p=9.78 Fb,Rd,p=6062.03
Tirafondi:LT=0.45 (0.31) σ_{cR}=0.00 σ_{fR}=0.00
Compressione nel calcestruzzo: σ_c=51.02
CC 50 SLU (Collegamento 0020_-377)
Azioni sul collegamento: N=-25132.70 Ty=-5.93 Tz=60.42 Mx=0.00 Mz=-4.21
Sollecitazioni agenti localmente: Tx_l=-5.93 Ty_l=60.42 N_l=-25132.70 Mx_l=-0.00 My_l=-4.21 Mz_l=0.00
Taglio nei bulloni: Fv,Ed=10.12 Fv,Rd=7720.78
Rifollamento lato piastra: Fb,Ed,p=10.12 Fb,Rd,p=6064.52
Tirafondi:LT=0.45 (0.31) σ_{cR}=0.00 σ_{fR}=0.00
Compressione nel calcestruzzo: σ_c=52.16
CC 51 SLU (Collegamento 0020_-377)
Azioni sul collegamento: N=-24856.40 Ty=-5.68 Tz=59.43 Mx=-0.00 Mz=-3.89
Sollecitazioni agenti localmente: Tx_l=-5.68 Ty_l=59.43 N_l=-24856.40 Mx_l=-0.00 My_l=-3.89 Mz_l=-0.00
Taglio nei bulloni: Fv,Ed=9.95 Fv,Rd=7720.78
Rifollamento lato piastra: Fb,Ed,p=9.95 Fb,Rd,p=6060.23
Tirafondi:LT=0.45 (0.31) σ_{cR}=0.00 σ_{fR}=0.00
Compressione nel calcestruzzo: σ_c=51.58
CC 52 SLU (Collegamento 0020_-377)
Azioni sul collegamento: N=-24858.40 Ty=-5.89 Tz=59.38 Mx=0.00 Mz=-4.32
Sollecitazioni agenti localmente: Tx_l=-5.89 Ty_l=59.38 N_l=-24858.40 Mx_l=-0.00 My_l=-4.32 Mz_l=0.00
Taglio nei bulloni: Fv,Ed=9.95 Fv,Rd=7720.78
Rifollamento lato piastra: Fb,Ed,p=9.95 Fb,Rd,p=6066.40
Tirafondi:LT=0.45 (0.31) σ_{cR}=0.00 σ_{fR}=0.00
Compressione nel calcestruzzo: σ_c=51.60
CC 53 SLU (Collegamento 0020_-377)
Azioni sul collegamento: N=-16187.80 Ty=-6.38 Tz=28.01 Mx=0.01 Mz=-4.43
Sollecitazioni agenti localmente: Tx_l=-6.38 Ty_l=28.01 N_l=-16187.80 Mx_l=-0.00 My_l=-4.43 Mz_l=0.01
Taglio nei bulloni: Fv,Ed=4.80 Fv,Rd=7720.78
Rifollamento lato piastra: Fb,Ed,p=4.79 Fb,Rd,p=6433.27
Tirafondi:LT=0.45 (0.31) σ_{cR}=0.00 σ_{fR}=0.00
Compressione nel calcestruzzo: σ_c=33.70
CC 54 SLU (Collegamento 0020_-377)
Azioni sul collegamento: N=-16738.30 Ty=-6.67 Tz=30.05 Mx=0.01 Mz=-4.64
Sollecitazioni agenti localmente: Tx_l=-6.67 Ty_l=30.05 N_l=-16738.30 Mx_l=-0.00 My_l=-4.64 Mz_l=0.01
Taglio nei bulloni: Fv,Ed=5.14 Fv,Rd=7720.78
Rifollamento lato piastra: Fb,Ed,p=5.14 Fb,Rd,p=6409.88
Tirafondi:LT=0.45 (0.31) σ_{cR}=0.00 σ_{fR}=0.00
Compressione nel calcestruzzo: σ_c=34.84
CC 55 SLU (Collegamento 0020_-377)
Azioni sul collegamento: N=-16462.10 Ty=-6.42 Tz=29.05 Mx=0.01 Mz=-4.32
Sollecitazioni agenti localmente: Tx_l=-6.42 Ty_l=29.05 N_l=-16462.10 Mx_l=-0.00 My_l=-4.32 Mz_l=0.01
Taglio nei bulloni: Fv,Ed=4.97 Fv,Rd=7720.78
Rifollamento lato piastra: Fb,Ed,p=4.96 Fb,Rd,p=6406.47
Tirafondi:LT=0.45 (0.31) σ_{cR}=0.00 σ_{fR}=0.00
Compressione nel calcestruzzo: σ_c=34.26
CC 56 SLU (Collegamento 0020_-377)

Azioni sul collegamento: N=-16464.10 Ty=-6.64 Tz=29.01 Mx=0.01 Mz=-4.75
Sollecitazioni agenti localmente: Tx_l=-6.64 Ty_l=29.01 N_l=-16464.10 Mx_l=-0.00 My_l=-4.75 Mz_l=0.01
Taglio nei bulloni: Fv,Ed=4.97 Fv,Rd=7720.78
Rifollamento lato piastra: Fb,Ed,p=4.97 Fb,Rd,p=6435.96
Tirafondi:LT=0.45 (0.31) σ_{cR}=0.00 σ_{fR}=0.00
Compressione nel calcestruzzo: σ_c=34.28
CC 57 SLU (Collegamento 0020_-377)
Azioni sul collegamento: N=-23519.50 Ty=-6.15 Tz=55.00 Mx=0.01 Mz=-4.26
Sollecitazioni agenti localmente: Tx_l=-6.15 Ty_l=55.00 N_l=-23519.50 Mx_l=-0.00 My_l=-4.26 Mz_l=0.01
Taglio nei bulloni: Fv,Ed=9.23 Fv,Rd=7720.78
Rifollamento lato piastra: Fb,Ed,p=9.23 Fb,Rd,p=6088.01
Tirafondi:LT=0.45 (0.31) σ_{cR}=0.00 σ_{fR}=0.00
Compressione nel calcestruzzo: σ_c=48.83
CC 58 SLU (Collegamento 0020_-377)
Azioni sul collegamento: N=-24070.10 Ty=-6.43 Tz=57.04 Mx=0.01 Mz=-4.47
Sollecitazioni agenti localmente: Tx_l=-6.43 Ty_l=57.04 N_l=-24070.10 Mx_l=-0.00 My_l=-4.47 Mz_l=0.01
Taglio nei bulloni: Fv,Ed=9.58 Fv,Rd=7720.78
Rifollamento lato piastra: Fb,Ed,p=9.58 Fb,Rd,p=6090.03
Tirafondi:LT=0.45 (0.31) σ_{cR}=0.00 σ_{fR}=0.00
Compressione nel calcestruzzo: σ_c=49.98
CC 59 SLU (Collegamento 0020_-377)
Azioni sul collegamento: N=-23793.80 Ty=-6.18 Tz=56.05 Mx=0.01 Mz=-4.15
Sollecitazioni agenti localmente: Tx_l=-6.18 Ty_l=56.05 N_l=-23793.80 Mx_l=-0.00 My_l=-4.15 Mz_l=0.01
Taglio nei bulloni: Fv,Ed=9.41 Fv,Rd=7720.78
Rifollamento lato piastra: Fb,Ed,p=9.40 Fb,Rd,p=6085.34
Tirafondi:LT=0.45 (0.31) σ_{cR}=0.00 σ_{fR}=0.00
Compressione nel calcestruzzo: σ_c=49.39
CC 60 SLU (Collegamento 0020_-377)
Azioni sul collegamento: N=-23795.80 Ty=-6.40 Tz=56.00 Mx=0.01 Mz=-4.58
Sollecitazioni agenti localmente: Tx_l=-6.40 Ty_l=56.00 N_l=-23795.80 Mx_l=-0.00 My_l=-4.58 Mz_l=0.01
Taglio nei bulloni: Fv,Ed=9.41 Fv,Rd=7720.78
Rifollamento lato piastra: Fb,Ed,p=9.40 Fb,Rd,p=6092.80
Tirafondi:LT=0.45 (0.31) σ_{cR}=0.00 σ_{fR}=0.00
Compressione nel calcestruzzo: σ_c=49.42
CC 61 SLU (Collegamento 0020_-377)
Azioni sul collegamento: N=-24962.70 Ty=-6.06 Tz=59.83 Mx=0.00 Mz=-4.30
Sollecitazioni agenti localmente: Tx_l=-6.06 Ty_l=59.83 N_l=-24962.70 Mx_l=-0.00 My_l=-4.30 Mz_l=0.00
Taglio nei bulloni: Fv,Ed=10.02 Fv,Rd=7720.78
Rifollamento lato piastra: Fb,Ed,p=10.02 Fb,Rd,p=6070.19
Tirafondi:LT=0.45 (0.31) σ_{cR}=0.00 σ_{fR}=0.00
Compressione nel calcestruzzo: σ_c=51.82
CC 62 SLU (Collegamento 0020_-377)
Azioni sul collegamento: N=-25513.20 Ty=-6.35 Tz=61.87 Mx=0.00 Mz=-4.51
Sollecitazioni agenti localmente: Tx_l=-6.35 Ty_l=61.87 N_l=-25513.20 Mx_l=-0.00 My_l=-4.51 Mz_l=0.00
Taglio nei bulloni: Fv,Ed=10.37 Fv,Rd=7720.78
Rifollamento lato piastra: Fb,Ed,p=10.37 Fb,Rd,p=6072.46
Tirafondi:LT=0.45 (0.31) σ_{cR}=0.00 σ_{fR}=0.00
Compressione nel calcestruzzo: σ_c=52.97
CC 63 SLU (Collegamento 0020_-377)
Azioni sul collegamento: N=-25237.00 Ty=-6.10 Tz=60.87 Mx=-0.00 Mz=-4.19
Sollecitazioni agenti localmente: Tx_l=-6.10 Ty_l=60.87 N_l=-25237.00 Mx_l=-0.00 My_l=-4.19 Mz_l=-0.00
Taglio nei bulloni: Fv,Ed=10.20 Fv,Rd=7720.78
Rifollamento lato piastra: Fb,Ed,p=10.20 Fb,Rd,p=6068.22
Tirafondi:LT=0.45 (0.31) σ_{cR}=0.00 σ_{fR}=0.00
Compressione nel calcestruzzo: σ_c=52.38
CC 64 SLU (Collegamento 0020_-377)
Azioni sul collegamento: N=-25238.90 Ty=-6.31 Tz=60.82 Mx=0.00 Mz=-4.62
Sollecitazioni agenti localmente: Tx_l=-6.31 Ty_l=60.82 N_l=-25238.90 Mx_l=-0.00 My_l=-4.62 Mz_l=0.00
Taglio nei bulloni: Fv,Ed=10.19 Fv,Rd=7720.78
Rifollamento lato piastra: Fb,Ed,p=10.19 Fb,Rd,p=6074.51
Tirafondi:LT=0.45 (0.31) σ_{cR}=0.00 σ_{fR}=0.00
Compressione nel calcestruzzo: σ_c=52.41
CC 65 SLU (Collegamento 0020_-377)
Azioni sul collegamento: N=-16568.40 Ty=-6.80 Tz=29.45 Mx=0.01 Mz=-4.74
Sollecitazioni agenti localmente: Tx_l=-6.80 Ty_l=29.45 N_l=-16568.40 Mx_l=-0.00 My_l=-4.74 Mz_l=0.01
Taglio nei bulloni: Fv,Ed=5.05 Fv,Rd=7720.78
Rifollamento lato piastra: Fb,Ed,p=5.04 Fb,Rd,p=6445.83
Tirafondi:LT=0.45 (0.31) σ_{cR}=0.00 σ_{fR}=0.00
Compressione nel calcestruzzo: σ_c=34.50
CC 66 SLU (Collegamento 0020_-377)
Azioni sul collegamento: N=-17118.90 Ty=-7.09 Tz=31.49 Mx=0.01 Mz=-4.94
Sollecitazioni agenti localmente: Tx_l=-7.09 Ty_l=31.49 N_l=-17118.90 Mx_l=-0.00 My_l=-4.94 Mz_l=0.01
Taglio nei bulloni: Fv,Ed=5.39 Fv,Rd=7720.78
Rifollamento lato piastra: Fb,Ed,p=5.39 Fb,Rd,p=6422.38
Tirafondi:LT=0.45 (0.31) σ_{cR}=0.00 σ_{fR}=0.00
Compressione nel calcestruzzo: σ_c=35.65
CC 67 SLU (Collegamento 0020_-377)
Azioni sul collegamento: N=-16842.60 Ty=-6.84 Tz=30.49 Mx=0.01 Mz=-4.62
Sollecitazioni agenti localmente: Tx_l=-6.84 Ty_l=30.49 N_l=-16842.60 Mx_l=-0.00 My_l=-4.62 Mz_l=0.01
Taglio nei bulloni: Fv,Ed=5.22 Fv,Rd=7720.78

Rifollamento lato piastra: Fb,Ed,p=5.21 Fb,Rd,p=6419.52
Tirafondi:LT=0.45 (0.31) σ_{cR}=0.00 σ_{fR}=0.00
Compressione nel calcestruzzo: σ_c=35.06
CC 68 SLU (Collegamento 0020_-377)
Azioni sul collegamento: N=-16844.60 Ty=-7.06 Tz=30.45 Mx=0.01 Mz=-5.06
Sollecitazioni agenti localmente: Tx_l=-7.06 Ty_l=30.45 N_l=-16844.60 Mx_l=-0.00 My_l=-5.06 Mz_l=0.01
Taglio nei bulloni: Fv,Ed=5.22 Fv,Rd=7720.78
Rifollamento lato piastra: Fb,Ed,p=5.22 Fb,Rd,p=6448.02
Tirafondi:LT=0.45 (0.31) σ_{cR}=0.00 σ_{fR}=0.00
Compressione nel calcestruzzo: σ_c=35.09
CC 97 SLU (Collegamento 0020_-377)
Azioni sul collegamento: N=-16826.20 Ty=-0.37 Tz=38.55 Mx=0.05 Mz=7.28
Sollecitazioni agenti localmente: Tx_l=-0.37 Ty_l=38.55 N_l=-16826.20 Mx_l=-0.00 My_l=7.28 Mz_l=0.05
Taglio nei bulloni: Fv,Ed=6.48 Fv,Rd=7720.78
Rifollamento lato piastra: Fb,Ed,p=6.48 Fb,Rd,p=5979.18
Tirafondi:LT=0.45 (0.31) σ_{cR}=0.00 σ_{fR}=0.00
Compressione nel calcestruzzo: σ_c=35.17
CC 98 SLU (Collegamento 0020_-377)
Azioni sul collegamento: N=-17376.70 Ty=-0.65 Tz=40.58 Mx=0.05 Mz=7.07
Sollecitazioni agenti localmente: Tx_l=-0.65 Ty_l=40.58 N_l=-17376.70 Mx_l=-0.00 My_l=7.07 Mz_l=0.05
Taglio nei bulloni: Fv,Ed=6.82 Fv,Rd=7720.78
Rifollamento lato piastra: Fb,Ed,p=6.82 Fb,Rd,p=5979.75
Tirafondi:LT=0.45 (0.31) σ_{cR}=0.00 σ_{fR}=0.00
Compressione nel calcestruzzo: σ_c=36.30
CC 99 SLU (Collegamento 0020_-377)
Azioni sul collegamento: N=-17100.50 Ty=-0.40 Tz=39.59 Mx=0.05 Mz=7.39
Sollecitazioni agenti localmente: Tx_l=-0.40 Ty_l=39.59 N_l=-17100.50 Mx_l=-0.00 My_l=7.39 Mz_l=0.05
Taglio nei bulloni: Fv,Ed=6.65 Fv,Rd=7720.78
Rifollamento lato piastra: Fb,Ed,p=6.65 Fb,Rd,p=5979.21
Tirafondi:LT=0.45 (0.31) σ_{cR}=0.00 σ_{fR}=0.00
Compressione nel calcestruzzo: σ_c=35.75
CC 100 SLU (Collegamento 0020_-377)
Azioni sul collegamento: N=-17102.50 Ty=-0.62 Tz=39.54 Mx=0.05 Mz=6.96
Sollecitazioni agenti localmente: Tx_l=-0.62 Ty_l=39.54 N_l=-17102.50 Mx_l=-0.00 My_l=6.96 Mz_l=0.05
Taglio nei bulloni: Fv,Ed=6.65 Fv,Rd=7720.78
Rifollamento lato piastra: Fb,Ed,p=6.65 Fb,Rd,p=5979.64
Tirafondi:LT=0.45 (0.31) σ_{cR}=0.00 σ_{fR}=0.00
Compressione nel calcestruzzo: σ_c=35.73
CC 101 SLU (Collegamento 0020_-377)
Azioni sul collegamento: N=-6585.90 Ty=-4.08 Tz=0.92 Mx=-0.00 Mz=-3.64
Sollecitazioni agenti localmente: Tx_l=-4.08 Ty_l=0.92 N_l=-6585.90 Mx_l=-0.00 My_l=-3.64 Mz_l=-0.00
Taglio nei bulloni: Fv,Ed=0.70 Fv,Rd=7720.78
Rifollamento lato piastra: Fb,Ed,p=0.70 Fb,Rd,p=6402.40
Tirafondi:LT=0.45 (0.31) σ_{cR}=0.00 σ_{fR}=0.00
Compressione nel calcestruzzo: σ_c=13.81
CC 102 SLU (Collegamento 0020_-377)
Azioni sul collegamento: N=-7136.43 Ty=-4.37 Tz=2.96 Mx=-0.00 Mz=-3.85
Sollecitazioni agenti localmente: Tx_l=-4.37 Ty_l=2.96 N_l=-7136.43 Mx_l=-0.00 My_l=-3.85 Mz_l=-0.00
Taglio nei bulloni: Fv,Ed=0.88 Fv,Rd=7720.78
Rifollamento lato piastra: Fb,Ed,p=0.88 Fb,Rd,p=10065.60
Tirafondi:LT=0.45 (0.31) σ_{cR}=0.00 σ_{fR}=0.00
Compressione nel calcestruzzo: σ_c=14.96
CC 103 SLU (Collegamento 0020_-377)
Azioni sul collegamento: N=-6860.18 Ty=-4.11 Tz=1.96 Mx=-0.00 Mz=-3.53
Sollecitazioni agenti localmente: Tx_l=-4.11 Ty_l=1.96 N_l=-6860.18 Mx_l=-0.00 My_l=-3.53 Mz_l=-0.00
Taglio nei bulloni: Fv,Ed=0.77 Fv,Rd=7720.78
Rifollamento lato piastra: Fb,Ed,p=0.76 Fb,Rd,p=7939.55
Tirafondi:LT=0.45 (0.31) σ_{cR}=0.00 σ_{fR}=0.00
Compressione nel calcestruzzo: σ_c=14.37
CC 104 SLU (Collegamento 0020_-377)
Azioni sul collegamento: N=-6862.15 Ty=-4.33 Tz=1.92 Mx=-0.00 Mz=-3.96
Sollecitazioni agenti localmente: Tx_l=-4.33 Ty_l=1.92 N_l=-6862.15 Mx_l=-0.00 My_l=-3.96 Mz_l=-0.00
Taglio nei bulloni: Fv,Ed=0.79 Fv,Rd=7720.78
Rifollamento lato piastra: Fb,Ed,p=0.79 Fb,Rd,p=7691.03
Tirafondi:LT=0.45 (0.31) σ_{cR}=0.00 σ_{fR}=0.00
Compressione nel calcestruzzo: σ_c=14.40

Saldatura profilo-piastra

CC 1 SLV (Collegamento 0020_-377)
Azioni sul collegamento: N=-3875.57 Ty=-4.02 Tz=-9.21 Mx=0.02 Mz=2.16
Sollecitazioni agenti localmente: Tx_l=-4.02 Ty_l=-9.21 N_l=-3875.57 My_l=-2.16 Mz_l=0.02
Azioni sul cordone: TP=-0.32 TO=-0.66 NO=-286.48
Tensioni nel cordone: τ_P=0.10 τ_O=0.21 σ_O=94.22 σ_{ID}=94.22 Σ_T=94.43
CC 1 SLV (Collegamento 0020_-377)
Azioni sul collegamento: N=-3875.57 Ty=-0.64 Tz=-9.21 Mx=0.02 Mz=-1.09
Sollecitazioni agenti localmente: Tx_l=-0.64 Ty_l=-9.21 N_l=-3875.57 My_l=1.09 Mz_l=0.02
Azioni sul cordone: TP=-0.07 TO=-0.70 NO=-286.48
Tensioni nel cordone: τ_P= 0.02 τ_O=0.22 σ_O=92.64 σ_{ID}=92.64 Σ_T=92.87
CC 1 SLV (Collegamento 0020_-377)

Azioni sul collegamento: N=-3875.57 Ty=-4.02 Tz=10.50 Mx=0.02 Mz=2.16
Sollecitazioni agenti localmente: Tx_l=-4.02 Ty_l=10.50 N_l=-3875.57 My_l=-2.16 Mz_l=0.02
Azioni sul cordone: TP=-0.32 TO=0.79 NO=-286.48
Tensioni nel cordone: τ_P=0.10 τ_0=0.25 σ_0=94.22 σ_{ID}=94.22 Σ_T=94.47
CC 1 SLV (Collegamento 0020_-377)
Azioni sul collegamento: N=-3875.57 Ty=-0.64 Tz=10.50 Mx=0.02 Mz=-1.09
Sollecitazioni agenti localmente: Tx_l=-0.64 Ty_l=10.50 N_l=-3875.57 My_l=1.09 Mz_l=0.02
Azioni sul cordone: TP=-0.07 TO=0.76 NO=-286.48
Tensioni nel cordone: τ_P= 0.02 τ_0=0.24 σ_0=92.64 σ_{ID}=92.64 Σ_T=92.89
CC 1 SLV (Collegamento 0020_-377)
Azioni sul collegamento: N=-9172.38 Ty=-4.02 Tz=-9.21 Mx=0.02 Mz=2.16
Sollecitazioni agenti localmente: Tx_l=-4.02 Ty_l=-9.21 N_l=-9172.38 My_l=-2.16 Mz_l=0.02
Azioni sul cordone: TP=-0.32 TO=-0.66 NO=-678.02
Tensioni nel cordone: τ_P=0.10 τ_0=0.21 σ_0=218.67 σ_{ID}=218.67 Σ_T=218.88
CC 1 SLV (Collegamento 0020_-377)
Azioni sul collegamento: N=-9172.38 Ty=-0.64 Tz=-9.21 Mx=0.02 Mz=-1.09
Sollecitazioni agenti localmente: Tx_l=-0.64 Ty_l=-9.21 N_l=-9172.38 My_l=1.09 Mz_l=0.02
Azioni sul cordone: TP=-0.07 TO=-0.70 NO=-678.02
Tensioni nel cordone: τ_P= 0.02 τ_0=0.22 σ_0=217.09 σ_{ID}=217.09 Σ_T=217.32
CC 1 SLV (Collegamento 0020_-377)
Azioni sul collegamento: N=-9172.38 Ty=-4.02 Tz=10.50 Mx=0.02 Mz=2.16
Sollecitazioni agenti localmente: Tx_l=-4.02 Ty_l=10.50 N_l=-9172.38 My_l=-2.16 Mz_l=0.02
Azioni sul cordone: TP=-0.32 TO=0.79 NO=-678.02
Tensioni nel cordone: τ_P=0.10 τ_0=0.25 σ_0=218.67 σ_{ID}=218.67 Σ_T=218.92
CC 1 SLV (Collegamento 0020_-377)
Azioni sul collegamento: N=-9172.38 Ty=-0.64 Tz=10.50 Mx=0.02 Mz=-1.09
Sollecitazioni agenti localmente: Tx_l=-0.64 Ty_l=10.50 N_l=-9172.38 My_l=1.09 Mz_l=0.02
Azioni sul cordone: TP=-0.07 TO=0.76 NO=-678.02
Tensioni nel cordone: τ_P= 0.02 τ_0=0.24 σ_0=217.09 σ_{ID}=217.09 Σ_T=217.34
CC 2 SLD (Collegamento 0020_-377)
Azioni sul collegamento: N=-5748.85 Ty=-2.66 Tz=-2.23 Mx=0.01 Mz=-1.05
Sollecitazioni agenti localmente: Tx_l=-2.66 Ty_l=-2.23 N_l=-5748.85 My_l=1.05 Mz_l=0.01
Azioni sul cordone: TP=-0.21 TO=-0.17 NO=-424.96
Tensioni nel cordone: τ_P= 0.07 τ_0= 0.05 σ_0=136.60 σ_{ID}=136.60 Σ_T=136.66
CC 2 SLD (Collegamento 0020_-377)
Azioni sul collegamento: N=-5748.85 Ty=-3.69 Tz=-2.23 Mx=0.01 Mz=-2.04
Sollecitazioni agenti localmente: Tx_l=-3.69 Ty_l=-2.23 N_l=-5748.85 My_l=2.04 Mz_l=0.01
Azioni sul cordone: TP=-0.28 TO=-0.17 NO=-424.96
Tensioni nel cordone: τ_P= 0.09 τ_0= 0.05 σ_0=138.05 σ_{ID}=138.05 Σ_T=138.10
CC 2 SLD (Collegamento 0020_-377)
Azioni sul collegamento: N=-5748.85 Ty=-2.66 Tz=3.78 Mx=0.01 Mz=-1.05
Sollecitazioni agenti localmente: Tx_l=-2.66 Ty_l=3.78 N_l=-5748.85 My_l=1.05 Mz_l=0.01
Azioni sul cordone: TP=-0.21 TO=0.27 NO=-424.96
Tensioni nel cordone: τ_P= 0.07 τ_0= 0.09 σ_0=136.60 σ_{ID}=136.60 Σ_T=136.69
CC 2 SLD (Collegamento 0020_-377)
Azioni sul collegamento: N=-5748.85 Ty=-3.69 Tz=3.78 Mx=0.01 Mz=-2.04
Sollecitazioni agenti localmente: Tx_l=-3.69 Ty_l=3.78 N_l=-5748.85 My_l=2.04 Mz_l=0.01
Azioni sul cordone: TP=-0.28 TO=0.27 NO=-424.96
Tensioni nel cordone: τ_P= 0.09 τ_0= 0.09 σ_0=138.05 σ_{ID}=138.05 Σ_T=138.14
CC 2 SLD (Collegamento 0020_-377)
Azioni sul collegamento: N=-7364.01 Ty=-2.66 Tz=-2.23 Mx=0.01 Mz=-1.05
Sollecitazioni agenti localmente: Tx_l=-2.66 Ty_l=-2.23 N_l=-7364.01 My_l=1.05 Mz_l=0.01
Azioni sul cordone: TP=-0.21 TO=-0.17 NO=-544.35
Tensioni nel cordone: τ_P= 0.07 τ_0= 0.05 σ_0=174.55 σ_{ID}=174.55 Σ_T=174.61
CC 2 SLD (Collegamento 0020_-377)
Azioni sul collegamento: N=-7364.01 Ty=-3.69 Tz=-2.23 Mx=0.01 Mz=-2.04
Sollecitazioni agenti localmente: Tx_l=-3.69 Ty_l=-2.23 N_l=-7364.01 My_l=2.04 Mz_l=0.01
Azioni sul cordone: TP=-0.28 TO=-0.17 NO=-544.35
Tensioni nel cordone: τ_P= 0.09 τ_0= 0.05 σ_0=176.00 σ_{ID}=176.00 Σ_T=176.05
CC 2 SLD (Collegamento 0020_-377)
Azioni sul collegamento: N=-7364.01 Ty=-2.66 Tz=3.78 Mx=0.01 Mz=-1.05
Sollecitazioni agenti localmente: Tx_l=-2.66 Ty_l=3.78 N_l=-7364.01 My_l=1.05 Mz_l=0.01
Azioni sul cordone: TP=-0.21 TO=0.27 NO=-544.35
Tensioni nel cordone: τ_P= 0.07 τ_0= 0.09 σ_0=174.55 σ_{ID}=174.55 Σ_T=174.64
CC 2 SLD (Collegamento 0020_-377)
Azioni sul collegamento: N=-7364.01 Ty=-3.69 Tz=3.78 Mx=0.01 Mz=-2.04
Sollecitazioni agenti localmente: Tx_l=-3.69 Ty_l=3.78 N_l=-7364.01 My_l=2.04 Mz_l=0.01
Azioni sul cordone: TP=-0.28 TO=0.27 NO=-544.35
Tensioni nel cordone: τ_P= 0.09 τ_0= 0.09 σ_0=176.00 σ_{ID}=176.00 Σ_T=176.09
CC 3 SLV (Collegamento 0020_-377)
Azioni sul collegamento: N=-3881.26 Ty=-3.39 Tz=-9.09 Mx=0.02 Mz=0.91
Sollecitazioni agenti localmente: Tx_l=-3.39 Ty_l=-9.09 N_l=-3881.26 My_l=-0.91 Mz_l=0.02
Azioni sul cordone: TP=-0.27 TO=-0.66 NO=-286.90
Tensioni nel cordone: τ_P= 0.09 τ_0=0.21 σ_0=92.52 σ_{ID}=92.52 Σ_T=92.73
CC 3 SLV (Collegamento 0020_-377)
Azioni sul collegamento: N=-3881.26 Ty=-1.27 Tz=-9.09 Mx=0.02 Mz=0.17
Sollecitazioni agenti localmente: Tx_l=-1.27 Ty_l=-9.09 N_l=-3881.26 My_l=-0.17 Mz_l=0.02
Azioni sul cordone: TP=-0.11 TO=-0.66 NO=-286.90
Tensioni nel cordone: τ_P= 0.04 τ_0=0.21 σ_0=91.44 σ_{ID}=91.44 Σ_T=91.65
CC 3 SLV (Collegamento 0020_-377)
Azioni sul collegamento: N=-3881.26 Ty=-3.39 Tz=10.37 Mx=0.02 Mz=0.91

Sollecitazioni agenti localmente: Tx_l=-3.39 Ty_l=10.37 N_l=-3881.26 My_l=-0.91 Mz_l=0.02
Azioni sul cordone: TP=-0.27 TO=0.78 NO=-286.90
Tensioni nel cordone: τ_P= 0.09 τ_O=0.25 σ_O=92.52 σ_{ID}=92.52 Σ_T=92.76
CC 3 SLV (Collegamento 0020_-377)
Azioni sul collegamento: N=-3881.26 Ty=-1.27 Tz=10.37 Mx=0.02 Mz=0.17
Sollecitazioni agenti localmente: Tx_l=-1.27 Ty_l=10.37 N_l=-3881.26 My_l=-0.17 Mz_l=0.02
Azioni sul cordone: TP=-0.11 TO=0.78 NO=-286.90
Tensioni nel cordone: τ_P= 0.04 τ_O=0.25 σ_O=91.44 σ_{ID}=91.44 Σ_T=91.69
CC 3 SLV (Collegamento 0020_-377)
Azioni sul collegamento: N=-9166.69 Ty=-3.39 Tz=-9.09 Mx=0.02 Mz=0.91
Sollecitazioni agenti localmente: Tx_l=-3.39 Ty_l=-9.09 N_l=-9166.69 My_l=-0.91 Mz_l=0.02
Azioni sul cordone: TP=-0.27 TO=-0.66 NO=-677.60
Tensioni nel cordone: τ_P= 0.09 τ_O=0.21 σ_O=216.70 σ_{ID}=216.70 Σ_T=216.91
CC 3 SLV (Collegamento 0020_-377)
Azioni sul collegamento: N=-9166.69 Ty=-1.27 Tz=-9.09 Mx=0.02 Mz=0.17
Sollecitazioni agenti localmente: Tx_l=-1.27 Ty_l=-9.09 N_l=-9166.69 My_l=-0.17 Mz_l=0.02
Azioni sul cordone: TP=-0.11 TO=-0.66 NO=-677.60
Tensioni nel cordone: τ_P= 0.04 τ_O=0.21 σ_O=215.63 σ_{ID}=215.63 Σ_T=215.84
CC 3 SLV (Collegamento 0020_-377)
Azioni sul collegamento: N=-9166.69 Ty=-3.39 Tz=10.38 Mx=0.02 Mz=0.91
Sollecitazioni agenti localmente: Tx_l=-3.39 Ty_l=10.38 N_l=-9166.69 My_l=-0.91 Mz_l=0.02
Azioni sul cordone: TP=-0.27 TO=0.78 NO=-677.60
Tensioni nel cordone: τ_P= 0.09 τ_O=0.25 σ_O=216.70 σ_{ID}=216.70 Σ_T=216.95
CC 3 SLV (Collegamento 0020_-377)
Azioni sul collegamento: N=-9166.69 Ty=-1.27 Tz=10.38 Mx=0.02 Mz=0.17
Sollecitazioni agenti localmente: Tx_l=-1.27 Ty_l=10.38 N_l=-9166.69 My_l=-0.17 Mz_l=0.02
Azioni sul cordone: TP=-0.11 TO=0.78 NO=-677.60
Tensioni nel cordone: τ_P= 0.04 τ_O=0.25 σ_O=215.63 σ_{ID}=215.63 Σ_T=215.87
CC 4 SLD (Collegamento 0020_-377)
Azioni sul collegamento: N=-5750.58 Ty=-2.85 Tz=-2.19 Mx=0.01 Mz=-1.43
Sollecitazioni agenti localmente: Tx_l=-2.85 Ty_l=-2.19 N_l=-5750.58 My_l=1.43 Mz_l=0.01
Azioni sul cordone: TP=-0.22 TO=-0.17 NO=-425.08
Tensioni nel cordone: τ_P= 0.07 τ_O= 0.05 σ_O=137.20 σ_{ID}=137.20 Σ_T=137.26
CC 4 SLD (Collegamento 0020_-377)
Azioni sul collegamento: N=-5750.58 Ty=-3.50 Tz=-2.19 Mx=0.01 Mz=-1.66
Sollecitazioni agenti localmente: Tx_l=-3.50 Ty_l=-2.19 N_l=-5750.58 My_l=1.66 Mz_l=0.01
Azioni sul cordone: TP=-0.27 TO=-0.17 NO=-425.08
Tensioni nel cordone: τ_P= 0.08 τ_O= 0.05 σ_O=137.53 σ_{ID}=137.53 Σ_T=137.59
CC 4 SLD (Collegamento 0020_-377)
Azioni sul collegamento: N=-5750.58 Ty=-2.85 Tz=3.74 Mx=0.01 Mz=-1.43
Sollecitazioni agenti localmente: Tx_l=-2.85 Ty_l=3.74 N_l=-5750.58 My_l=1.43 Mz_l=0.01
Azioni sul cordone: TP=-0.22 TO=0.27 NO=-425.08
Tensioni nel cordone: τ_P= 0.07 τ_O= 0.09 σ_O=137.20 σ_{ID}=137.20 Σ_T=137.29
CC 4 SLD (Collegamento 0020_-377)
Azioni sul collegamento: N=-5750.58 Ty=-3.50 Tz=3.74 Mx=0.01 Mz=-1.66
Sollecitazioni agenti localmente: Tx_l=-3.50 Ty_l=3.74 N_l=-5750.58 My_l=1.66 Mz_l=0.01
Azioni sul cordone: TP=-0.27 TO=0.27 NO=-425.08
Tensioni nel cordone: τ_P= 0.08 τ_O= 0.09 σ_O=137.53 σ_{ID}=137.53 Σ_T=137.62
CC 4 SLD (Collegamento 0020_-377)
Azioni sul collegamento: N=-7362.28 Ty=-2.85 Tz=-2.19 Mx=0.01 Mz=-1.43
Sollecitazioni agenti localmente: Tx_l=-2.85 Ty_l=-2.19 N_l=-7362.28 My_l=1.43 Mz_l=0.01
Azioni sul cordone: TP=-0.22 TO=-0.17 NO=-544.22
Tensioni nel cordone: τ_P= 0.07 τ_O= 0.05 σ_O=175.07 σ_{ID}=175.07 Σ_T=175.13
CC 4 SLD (Collegamento 0020_-377)
Azioni sul collegamento: N=-7362.28 Ty=-3.50 Tz=-2.19 Mx=0.01 Mz=-1.66
Sollecitazioni agenti localmente: Tx_l=-3.50 Ty_l=-2.19 N_l=-7362.28 My_l=1.66 Mz_l=0.01
Azioni sul cordone: TP=-0.27 TO=-0.17 NO=-544.22
Tensioni nel cordone: τ_P= 0.08 τ_O= 0.05 σ_O=175.40 σ_{ID}=175.40 Σ_T=175.45
CC 4 SLD (Collegamento 0020_-377)
Azioni sul collegamento: N=-7362.28 Ty=-2.85 Tz=3.74 Mx=0.01 Mz=-1.43
Sollecitazioni agenti localmente: Tx_l=-2.85 Ty_l=3.74 N_l=-7362.28 My_l=1.43 Mz_l=0.01
Azioni sul cordone: TP=-0.22 TO=0.27 NO=-544.22
Tensioni nel cordone: τ_P= 0.07 τ_O= 0.09 σ_O=175.07 σ_{ID}=175.07 Σ_T=175.16
CC 4 SLD (Collegamento 0020_-377)
Azioni sul collegamento: N=-7362.28 Ty=-3.50 Tz=3.74 Mx=0.01 Mz=-1.66
Sollecitazioni agenti localmente: Tx_l=-3.50 Ty_l=3.74 N_l=-7362.28 My_l=1.66 Mz_l=0.01
Azioni sul cordone: TP=-0.27 TO=0.27 NO=-544.22
Tensioni nel cordone: τ_P= 0.08 τ_O= 0.09 σ_O=175.40 σ_{ID}=175.40 Σ_T=175.49
CC 5 SLV (Collegamento 0020_-377)
Azioni sul collegamento: N=-9166.69 Ty=-1.27 Tz=10.38 Mx=0.02 Mz=0.17
Sollecitazioni agenti localmente: Tx_l=-1.27 Ty_l=10.38 N_l=-9166.69 My_l=-0.17 Mz_l=0.02
Azioni sul cordone: TP=-0.12 TO=0.78 NO=-677.60
Tensioni nel cordone: τ_P= 0.04 τ_O=0.25 σ_O=215.63 σ_{ID}=215.63 Σ_T=215.87
CC 5 SLV (Collegamento 0020_-377)
Azioni sul collegamento: N=-9166.69 Ty=-3.39 Tz=10.38 Mx=0.02 Mz=0.91
Sollecitazioni agenti localmente: Tx_l=-3.39 Ty_l=10.38 N_l=-9166.69 My_l=-0.91 Mz_l=0.02
Azioni sul cordone: TP=-0.27 TO=0.78 NO=-677.60
Tensioni nel cordone: τ_P= 0.09 τ_O=0.25 σ_O=216.70 σ_{ID}=216.70 Σ_T=216.95
CC 5 SLV (Collegamento 0020_-377)
Azioni sul collegamento: N=-9166.69 Ty=-1.27 Tz=-9.09 Mx=0.02 Mz=0.17
Sollecitazioni agenti localmente: Tx_l=-1.27 Ty_l=-9.09 N_l=-9166.69 My_l=-0.17 Mz_l=0.02

Azioni sul cordone: TP=-0.12 TO=-0.66 NO=-677.60
Tensioni nel cordone: τ_P= 0.04 τ_0=0.21 σ_0=215.63 σ_{ID}=215.63 Σ_T=215.83
CC 5 SLV (Collegamento 0020_-377)
Azioni sul collegamento: N=-9166.69 Ty=-3.39 Tz=-9.09 Mx=0.02 Mz=0.91
Sollecitazioni agenti localmente: Tx_l=-3.39 Ty_l=-9.09 N_l=-9166.69 My_l=-0.91 Mz_l=0.02
Azioni sul cordone: TP=-0.27 TO=-0.66 NO=-677.60
Tensioni nel cordone: τ_P= 0.09 τ_0=0.21 σ_0=216.70 σ_{ID}=216.70 Σ_T=216.91
CC 5 SLV (Collegamento 0020_-377)
Azioni sul collegamento: N=-3881.26 Ty=-1.27 Tz=10.37 Mx=0.02 Mz=0.17
Sollecitazioni agenti localmente: Tx_l=-1.27 Ty_l=10.37 N_l=-3881.26 My_l=-0.17 Mz_l=0.02
Azioni sul cordone: TP=-0.12 TO=0.78 NO=-286.90
Tensioni nel cordone: τ_P= 0.04 τ_0=0.25 σ_0=91.44 σ_{ID}=91.44 Σ_T=91.69
CC 5 SLV (Collegamento 0020_-377)
Azioni sul collegamento: N=-3881.26 Ty=-3.39 Tz=10.37 Mx=0.02 Mz=0.91
Sollecitazioni agenti localmente: Tx_l=-3.39 Ty_l=10.37 N_l=-3881.26 My_l=-0.91 Mz_l=0.02
Azioni sul cordone: TP=-0.27 TO=0.78 NO=-286.90
Tensioni nel cordone: τ_P= 0.09 τ_0=0.25 σ_0=92.52 σ_{ID}=92.52 Σ_T=92.76
CC 5 SLV (Collegamento 0020_-377)
Azioni sul collegamento: N=-3881.26 Ty=-1.27 Tz=-9.09 Mx=0.02 Mz=0.17
Sollecitazioni agenti localmente: Tx_l=-1.27 Ty_l=-9.09 N_l=-3881.26 My_l=-0.17 Mz_l=0.02
Azioni sul cordone: TP=-0.12 TO=-0.66 NO=-286.90
Tensioni nel cordone: τ_P= 0.04 τ_0=0.21 σ_0=91.44 σ_{ID}=91.44 Σ_T=91.65
CC 5 SLV (Collegamento 0020_-377)
Azioni sul collegamento: N=-3881.26 Ty=-3.39 Tz=-9.09 Mx=0.02 Mz=0.91
Sollecitazioni agenti localmente: Tx_l=-3.39 Ty_l=-9.09 N_l=-3881.26 My_l=-0.91 Mz_l=0.02
Azioni sul cordone: TP=-0.27 TO=-0.66 NO=-286.90
Tensioni nel cordone: τ_P= 0.09 τ_0=0.21 σ_0=92.52 σ_{ID}=92.52 Σ_T=92.72
CC 6 SLD (Collegamento 0020_-377)
Azioni sul collegamento: N=-7362.28 Ty=-3.50 Tz=3.74 Mx=0.01 Mz=-1.66
Sollecitazioni agenti localmente: Tx_l=-3.50 Ty_l=3.74 N_l=-7362.28 My_l=1.66 Mz_l=0.01
Azioni sul cordone: TP=-0.27 TO=0.27 NO=-544.22
Tensioni nel cordone: τ_P= 0.09 τ_0= 0.09 σ_0=175.40 σ_{ID}=175.40 Σ_T=175.49
CC 6 SLD (Collegamento 0020_-377)
Azioni sul collegamento: N=-7362.28 Ty=-2.85 Tz=3.74 Mx=0.01 Mz=-1.43
Sollecitazioni agenti localmente: Tx_l=-2.85 Ty_l=3.74 N_l=-7362.28 My_l=1.43 Mz_l=0.01
Azioni sul cordone: TP=-0.22 TO=0.27 NO=-544.22
Tensioni nel cordone: τ_P= 0.07 τ_0= 0.09 σ_0=175.07 σ_{ID}=175.07 Σ_T=175.16
CC 6 SLD (Collegamento 0020_-377)
Azioni sul collegamento: N=-7362.28 Ty=-3.50 Tz=-2.19 Mx=0.01 Mz=-1.66
Sollecitazioni agenti localmente: Tx_l=-3.50 Ty_l=-2.19 N_l=-7362.28 My_l=1.66 Mz_l=0.01
Azioni sul cordone: TP=-0.27 TO=-0.17 NO=-544.22
Tensioni nel cordone: τ_P= 0.09 τ_0= 0.05 σ_0=175.40 σ_{ID}=175.40 Σ_T=175.45
CC 6 SLD (Collegamento 0020_-377)
Azioni sul collegamento: N=-7362.28 Ty=-2.85 Tz=-2.19 Mx=0.01 Mz=-1.43
Sollecitazioni agenti localmente: Tx_l=-2.85 Ty_l=-2.19 N_l=-7362.28 My_l=1.43 Mz_l=0.01
Azioni sul cordone: TP=-0.22 TO=-0.17 NO=-544.22
Tensioni nel cordone: τ_P= 0.07 τ_0= 0.05 σ_0=175.07 σ_{ID}=175.07 Σ_T=175.13
CC 6 SLD (Collegamento 0020_-377)
Azioni sul collegamento: N=-5750.58 Ty=-3.50 Tz=3.74 Mx=0.01 Mz=-1.66
Sollecitazioni agenti localmente: Tx_l=-3.50 Ty_l=3.74 N_l=-5750.58 My_l=1.66 Mz_l=0.01
Azioni sul cordone: TP=-0.27 TO=0.27 NO=-425.08
Tensioni nel cordone: τ_P= 0.09 τ_0= 0.09 σ_0=137.53 σ_{ID}=137.53 Σ_T=137.62
CC 6 SLD (Collegamento 0020_-377)
Azioni sul collegamento: N=-5750.58 Ty=-2.85 Tz=3.74 Mx=0.01 Mz=-1.43
Sollecitazioni agenti localmente: Tx_l=-2.85 Ty_l=3.74 N_l=-5750.58 My_l=1.43 Mz_l=0.01
Azioni sul cordone: TP=-0.22 TO=0.27 NO=-425.08
Tensioni nel cordone: τ_P= 0.07 τ_0= 0.09 σ_0=137.20 σ_{ID}=137.20 Σ_T=137.29
CC 6 SLD (Collegamento 0020_-377)
Azioni sul collegamento: N=-5750.58 Ty=-3.50 Tz=-2.19 Mx=0.01 Mz=-1.66
Sollecitazioni agenti localmente: Tx_l=-3.50 Ty_l=-2.19 N_l=-5750.58 My_l=1.66 Mz_l=0.01
Azioni sul cordone: TP=-0.27 TO=-0.17 NO=-425.08
Tensioni nel cordone: τ_P= 0.09 τ_0= 0.05 σ_0=137.53 σ_{ID}=137.53 Σ_T=137.59
CC 6 SLD (Collegamento 0020_-377)
Azioni sul collegamento: N=-5750.58 Ty=-2.85 Tz=-2.19 Mx=0.01 Mz=-1.43
Sollecitazioni agenti localmente: Tx_l=-2.85 Ty_l=-2.19 N_l=-5750.58 My_l=1.43 Mz_l=0.01
Azioni sul cordone: TP=-0.22 TO=-0.17 NO=-425.08
Tensioni nel cordone: τ_P= 0.07 τ_0= 0.05 σ_0=137.20 σ_{ID}=137.20 Σ_T=137.26
CC 7 SLV (Collegamento 0020_-377)
Azioni sul collegamento: N=-9172.38 Ty=-0.64 Tz=10.50 Mx=0.01 Mz=-1.09
Sollecitazioni agenti localmente: Tx_l=-0.64 Ty_l=10.50 N_l=-9172.38 My_l=1.09 Mz_l=0.01
Azioni sul cordone: TP=-0.06 TO=0.77 NO=-678.02
Tensioni nel cordone: τ_P= 0.02 τ_0=0.24 σ_0=217.09 σ_{ID}=217.09 Σ_T=217.34
CC 7 SLV (Collegamento 0020_-377)
Azioni sul collegamento: N=-9172.38 Ty=-4.02 Tz=10.50 Mx=0.01 Mz=2.16
Sollecitazioni agenti localmente: Tx_l=-4.02 Ty_l=10.50 N_l=-9172.38 My_l=-2.16 Mz_l=0.01
Azioni sul cordone: TP=-0.31 TO=0.79 NO=-678.02
Tensioni nel cordone: τ_P= 0.10 τ_0=0.25 σ_0=218.67 σ_{ID}=218.67 Σ_T=218.92
CC 7 SLV (Collegamento 0020_-377)
Azioni sul collegamento: N=-9172.38 Ty=-0.64 Tz=-9.21 Mx=0.01 Mz=-1.09
Sollecitazioni agenti localmente: Tx_l=-0.64 Ty_l=-9.21 N_l=-9172.38 My_l=1.09 Mz_l=0.01
Azioni sul cordone: TP=-0.06 TO=-0.69 NO=-678.02

Tensioni nel cordone: τ_P= 0.02 τ_0=0.22 σ_0=217.09 σ_{ID}=217.09 Σ_T=217.31
CC 7 SLV (Collegamento 0020_-377)
Azioni sul collegamento: N=-9172.38 Ty=-4.02 Tz=-9.21 Mx=0.01 Mz=2.16
Sollecitazioni agenti localmente: Tx_l=-4.02 Ty_l=-9.21 N_l=-9172.38 My_l=-2.16 Mz_l=0.01
Azioni sul cordone: TP=-0.31 TO=-0.67 NO=-678.02
Tensioni nel cordone: τ_P= 0.10 τ_0=0.21 σ_0=218.67 σ_{ID}=218.67 Σ_T=218.88
CC 7 SLV (Collegamento 0020_-377)
Azioni sul collegamento: N=-3875.57 Ty=-0.64 Tz=10.50 Mx=0.01 Mz=-1.09
Sollecitazioni agenti localmente: Tx_l=-0.64 Ty_l=10.50 N_l=-3875.57 My_l=1.09 Mz_l=0.01
Azioni sul cordone: TP=-0.06 TO=0.77 NO=-286.48
Tensioni nel cordone: τ_P= 0.02 τ_0=0.24 σ_0=92.64 σ_{ID}=92.64 Σ_T=92.89
CC 7 SLV (Collegamento 0020_-377)
Azioni sul collegamento: N=-3875.57 Ty=-4.02 Tz=10.50 Mx=0.01 Mz=2.16
Sollecitazioni agenti localmente: Tx_l=-4.02 Ty_l=10.50 N_l=-3875.57 My_l=-2.16 Mz_l=0.01
Azioni sul cordone: TP=-0.31 TO=0.79 NO=-286.48
Tensioni nel cordone: τ_P= 0.10 τ_0=0.25 σ_0=94.22 σ_{ID}=94.22 Σ_T=94.47
CC 7 SLV (Collegamento 0020_-377)
Azioni sul collegamento: N=-3875.57 Ty=-0.64 Tz=-9.21 Mx=0.01 Mz=-1.09
Sollecitazioni agenti localmente: Tx_l=-0.64 Ty_l=-9.21 N_l=-3875.57 My_l=1.09 Mz_l=0.01
Azioni sul cordone: TP=-0.06 TO=-0.69 NO=-286.48
Tensioni nel cordone: τ_P= 0.02 τ_0=0.22 σ_0=92.64 σ_{ID}=92.64 Σ_T=92.86
CC 7 SLV (Collegamento 0020_-377)
Azioni sul collegamento: N=-3875.57 Ty=-4.02 Tz=-9.21 Mx=0.01 Mz=2.16
Sollecitazioni agenti localmente: Tx_l=-4.02 Ty_l=-9.21 N_l=-3875.57 My_l=-2.16 Mz_l=0.01
Azioni sul cordone: TP=-0.31 TO=-0.67 NO=-286.48
Tensioni nel cordone: τ_P= 0.10 τ_0=0.21 σ_0=94.22 σ_{ID}=94.22 Σ_T=94.43
CC 8 SLD (Collegamento 0020_-377)
Azioni sul collegamento: N=-7364.01 Ty=-3.69 Tz=3.78 Mx=0.01 Mz=-2.04
Sollecitazioni agenti localmente: Tx_l=-3.69 Ty_l=3.78 N_l=-7364.01 My_l=2.04 Mz_l=0.01
Azioni sul cordone: TP=-0.28 TO=0.27 NO=-544.35
Tensioni nel cordone: τ_P= 0.09 τ_0= 0.09 σ_0=176.00 σ_{ID}=176.00 Σ_T=176.09
CC 8 SLD (Collegamento 0020_-377)
Azioni sul collegamento: N=-7364.01 Ty=-2.66 Tz=3.78 Mx=0.01 Mz=-1.05
Sollecitazioni agenti localmente: Tx_l=-2.66 Ty_l=3.78 N_l=-7364.01 My_l=1.05 Mz_l=0.01
Azioni sul cordone: TP=-0.20 TO=0.27 NO=-544.35
Tensioni nel cordone: τ_P= 0.06 τ_0= 0.09 σ_0=174.55 σ_{ID}=174.55 Σ_T=174.64
CC 8 SLD (Collegamento 0020_-377)
Azioni sul collegamento: N=-7364.01 Ty=-3.69 Tz=-2.23 Mx=0.01 Mz=-2.04
Sollecitazioni agenti localmente: Tx_l=-3.69 Ty_l=-2.23 N_l=-7364.01 My_l=2.04 Mz_l=0.01
Azioni sul cordone: TP=-0.28 TO=-0.17 NO=-544.35
Tensioni nel cordone: τ_P= 0.09 τ_0= 0.05 σ_0=176.00 σ_{ID}=176.00 Σ_T=176.05
CC 8 SLD (Collegamento 0020_-377)
Azioni sul collegamento: N=-7364.01 Ty=-2.66 Tz=-2.23 Mx=0.01 Mz=-1.05
Sollecitazioni agenti localmente: Tx_l=-2.66 Ty_l=-2.23 N_l=-7364.01 My_l=1.05 Mz_l=0.01
Azioni sul cordone: TP=-0.20 TO=-0.17 NO=-544.35
Tensioni nel cordone: τ_P= 0.06 τ_0= 0.05 σ_0=174.55 σ_{ID}=174.55 Σ_T=174.61
CC 8 SLD (Collegamento 0020_-377)
Azioni sul collegamento: N=-5748.85 Ty=-3.69 Tz=3.78 Mx=0.01 Mz=-2.04
Sollecitazioni agenti localmente: Tx_l=-3.69 Ty_l=3.78 N_l=-5748.85 My_l=2.04 Mz_l=0.01
Azioni sul cordone: TP=-0.28 TO=0.27 NO=-424.96
Tensioni nel cordone: τ_P= 0.09 τ_0= 0.09 σ_0=138.05 σ_{ID}=138.05 Σ_T=138.14
CC 8 SLD (Collegamento 0020_-377)
Azioni sul collegamento: N=-5748.85 Ty=-2.66 Tz=3.78 Mx=0.01 Mz=-1.05
Sollecitazioni agenti localmente: Tx_l=-2.66 Ty_l=3.78 N_l=-5748.85 My_l=1.05 Mz_l=0.01
Azioni sul cordone: TP=-0.20 TO=0.27 NO=-424.96
Tensioni nel cordone: τ_P= 0.06 τ_0= 0.09 σ_0=136.60 σ_{ID}=136.60 Σ_T=136.69
CC 8 SLD (Collegamento 0020_-377)
Azioni sul collegamento: N=-5748.85 Ty=-3.69 Tz=-2.23 Mx=0.01 Mz=-2.04
Sollecitazioni agenti localmente: Tx_l=-3.69 Ty_l=-2.23 N_l=-5748.85 My_l=2.04 Mz_l=0.01
Azioni sul cordone: TP=-0.28 TO=-0.17 NO=-424.96
Tensioni nel cordone: τ_P= 0.09 τ_0= 0.05 σ_0=138.05 σ_{ID}=138.05 Σ_T=138.10
CC 8 SLD (Collegamento 0020_-377)
Azioni sul collegamento: N=-5748.85 Ty=-2.66 Tz=-2.23 Mx=0.01 Mz=-1.05
Sollecitazioni agenti localmente: Tx_l=-2.66 Ty_l=-2.23 N_l=-5748.85 My_l=1.05 Mz_l=0.01
Azioni sul cordone: TP=-0.20 TO=-0.17 NO=-424.96
Tensioni nel cordone: τ_P= 0.06 τ_0= 0.05 σ_0=136.60 σ_{ID}=136.60 Σ_T=136.66
CC 9 SLV (Collegamento 0020_-377)
Azioni sul collegamento: N=-5720.83 Ty=-3.80 Tz=-2.51 Mx=0.03 Mz=2.93
Sollecitazioni agenti localmente: Tx_l=-3.80 Ty_l=-2.51 N_l=-5720.83 My_l=-2.93 Mz_l=0.03
Azioni sul cordone: TP=-0.31 TO=-0.16 NO=-422.88
Tensioni nel cordone: τ_P= 0.10 τ_0= 0.05 σ_0=138.69 σ_{ID}=138.69 Σ_T=138.75
CC 9 SLV (Collegamento 0020_-377)
Azioni sul collegamento: N=-5720.83 Ty=-0.86 Tz=-2.51 Mx=0.03 Mz=-1.85
Sollecitazioni agenti localmente: Tx_l=-0.86 Ty_l=-2.51 N_l=-5720.83 My_l=1.85 Mz_l=0.03
Azioni sul cordone: TP=-0.09 TO=-0.21 NO=-422.88
Tensioni nel cordone: τ_P= 0.03 τ_0= 0.07 σ_0=137.12 σ_{ID}=137.12 Σ_T=137.19
CC 9 SLV (Collegamento 0020_-377)
Azioni sul collegamento: N=-5720.83 Ty=-3.80 Tz=3.80 Mx=0.03 Mz=2.93
Sollecitazioni agenti localmente: Tx_l=-3.80 Ty_l=3.80 N_l=-5720.83 My_l=-2.93 Mz_l=0.03
Azioni sul cordone: TP=-0.31 TO=0.30 NO=-422.88
Tensioni nel cordone: τ_P= 0.10 τ_0= 0.10 σ_0=138.69 σ_{ID}=138.69 Σ_T=138.79

CC 9 SLV (Collegamento 0020_-377)
Azioni sul collegamento: N=-5720.83 Ty=-0.86 Tz=3.80 Mx=0.03 Mz=-1.85
Sollecitazioni agenti localmente: Tx_l=-0.86 Ty_l=3.80 N_l=-5720.83 My_l=1.85 Mz_l=0.03
Azioni sul cordone: TP=-0.09 TO=0.26 NO=-422.88
Tensioni nel cordone: τ_P= 0.03 τ_0= 0.08 σ_0=137.12 σ_{ID}=137.12 Σ_T=137.20
CC 9 SLV (Collegamento 0020_-377)
Azioni sul collegamento: N=-7327.12 Ty=-3.80 Tz=-2.51 Mx=0.03 Mz=2.93
Sollecitazioni agenti localmente: Tx_l=-3.80 Ty_l=-2.51 N_l=-7327.12 My_l=-2.93 Mz_l=0.03
Azioni sul cordone: TP=-0.31 TO=-0.16 NO=-541.62
Tensioni nel cordone: τ_P= 0.10 τ_0= 0.05 σ_0=176.44 σ_{ID}=176.44 Σ_T=176.49
CC 9 SLV (Collegamento 0020_-377)
Azioni sul collegamento: N=-7327.12 Ty=-0.86 Tz=-2.51 Mx=0.03 Mz=-1.85
Sollecitazioni agenti localmente: Tx_l=-0.86 Ty_l=-2.51 N_l=-7327.12 My_l=1.85 Mz_l=0.03
Azioni sul cordone: TP=-0.09 TO=-0.21 NO=-541.62
Tensioni nel cordone: τ_P= 0.03 τ_0= 0.07 σ_0=174.86 σ_{ID}=174.86 Σ_T=174.93
CC 9 SLV (Collegamento 0020_-377)
Azioni sul collegamento: N=-7327.12 Ty=-3.80 Tz=3.80 Mx=0.03 Mz=2.93
Sollecitazioni agenti localmente: Tx_l=-3.80 Ty_l=3.80 N_l=-7327.12 My_l=-2.93 Mz_l=0.03
Azioni sul cordone: TP=-0.31 TO=0.30 NO=-541.62
Tensioni nel cordone: τ_P= 0.10 τ_0= 0.10 σ_0=176.44 σ_{ID}=176.44 Σ_T=176.53
CC 9 SLV (Collegamento 0020_-377)
Azioni sul collegamento: N=-7327.12 Ty=-0.86 Tz=3.80 Mx=0.03 Mz=-1.85
Sollecitazioni agenti localmente: Tx_l=-0.86 Ty_l=3.80 N_l=-7327.12 My_l=1.85 Mz_l=0.03
Azioni sul cordone: TP=-0.09 TO=0.26 NO=-541.62
Tensioni nel cordone: τ_P= 0.03 τ_0= 0.08 σ_0=174.86 σ_{ID}=174.86 Σ_T=174.94
CC 10 SLD (Collegamento 0020_-377)
Azioni sul collegamento: N=-6311.52 Ty=-2.73 Tz=-0.19 Mx=0.01 Mz=-0.81
Sollecitazioni agenti localmente: Tx_l=-2.73 Ty_l=-0.19 N_l=-6311.52 My_l=0.81 Mz_l=0.01
Azioni sul cordone: TP=-0.21 TO=-0.02 NO=-466.55
Tensioni nel cordone: τ_P= 0.07 τ_0=7.08E-03 σ_0=149.48 σ_{ID}=149.48 Σ_T=149.49
CC 10 SLD (Collegamento 0020_-377)
Azioni sul collegamento: N=-6311.52 Ty=-3.62 Tz=-0.19 Mx=0.01 Mz=-2.27
Sollecitazioni agenti localmente: Tx_l=-3.62 Ty_l=-0.19 N_l=-6311.52 My_l=2.27 Mz_l=0.01
Azioni sul cordone: TP=-0.28 TO=-0.02 NO=-466.55
Tensioni nel cordone: τ_P= 0.09 τ_0=7.08E-03 σ_0=151.61 σ_{ID}=151.61 Σ_T=151.62
CC 10 SLD (Collegamento 0020_-377)
Azioni sul collegamento: N=-6311.52 Ty=-2.73 Tz=1.73 Mx=0.01 Mz=-0.81
Sollecitazioni agenti localmente: Tx_l=-2.73 Ty_l=1.73 N_l=-6311.52 My_l=0.81 Mz_l=0.01
Azioni sul cordone: TP=-0.21 TO=0.12 NO=-466.55
Tensioni nel cordone: τ_P= 0.07 τ_0= 0.04 σ_0=149.48 σ_{ID}=149.48 Σ_T=149.52
CC 10 SLD (Collegamento 0020_-377)
Azioni sul collegamento: N=-6311.52 Ty=-3.62 Tz=1.73 Mx=0.01 Mz=-2.27
Sollecitazioni agenti localmente: Tx_l=-3.62 Ty_l=1.73 N_l=-6311.52 My_l=2.27 Mz_l=0.01
Azioni sul cordone: TP=-0.28 TO=0.12 NO=-466.55
Tensioni nel cordone: τ_P= 0.09 τ_0= 0.04 σ_0=151.61 σ_{ID}=151.61 Σ_T=151.65
CC 10 SLD (Collegamento 0020_-377)
Azioni sul collegamento: N=-6801.33 Ty=-2.73 Tz=-0.19 Mx=0.01 Mz=-0.81
Sollecitazioni agenti localmente: Tx_l=-2.73 Ty_l=-0.19 N_l=-6801.33 My_l=0.81 Mz_l=0.01
Azioni sul cordone: TP=-0.21 TO=-0.02 NO=-502.76
Tensioni nel cordone: τ_P= 0.07 τ_0=7.08E-03 σ_0=160.99 σ_{ID}=160.99 Σ_T=161.00
CC 10 SLD (Collegamento 0020_-377)
Azioni sul collegamento: N=-6801.33 Ty=-3.62 Tz=-0.19 Mx=0.01 Mz=-2.27
Sollecitazioni agenti localmente: Tx_l=-3.62 Ty_l=-0.19 N_l=-6801.33 My_l=2.27 Mz_l=0.01
Azioni sul cordone: TP=-0.28 TO=-0.02 NO=-502.76
Tensioni nel cordone: τ_P= 0.09 τ_0=7.08E-03 σ_0=163.12 σ_{ID}=163.12 Σ_T=163.13
CC 10 SLD (Collegamento 0020_-377)
Azioni sul collegamento: N=-6801.33 Ty=-2.73 Tz=1.73 Mx=0.01 Mz=-0.81
Sollecitazioni agenti localmente: Tx_l=-2.73 Ty_l=1.73 N_l=-6801.33 My_l=0.81 Mz_l=0.01
Azioni sul cordone: TP=-0.21 TO=0.12 NO=-502.76
Tensioni nel cordone: τ_P= 0.07 τ_0= 0.04 σ_0=160.99 σ_{ID}=160.99 Σ_T=161.03
CC 10 SLD (Collegamento 0020_-377)
Azioni sul collegamento: N=-6801.33 Ty=-3.62 Tz=1.73 Mx=0.01 Mz=-2.27
Sollecitazioni agenti localmente: Tx_l=-3.62 Ty_l=1.73 N_l=-6801.33 My_l=2.27 Mz_l=0.01
Azioni sul cordone: TP=-0.28 TO=0.12 NO=-502.76
Tensioni nel cordone: τ_P= 0.09 τ_0= 0.04 σ_0=163.12 σ_{ID}=163.12 Σ_T=163.16
CC 11 SLV (Collegamento 0020_-377)
Azioni sul collegamento: N=-7308.16 Ty=-2.97 Tz=3.37 Mx=0.02 Mz=2.33
Sollecitazioni agenti localmente: Tx_l=-2.97 Ty_l=3.37 N_l=-7308.16 My_l=-2.33 Mz_l=0.02
Azioni sul cordone: TP=-0.25 TO=0.27 NO=-540.22
Tensioni nel cordone: τ_P= 0.08 τ_0= 0.09 σ_0=175.12 σ_{ID}=175.12 Σ_T=175.20
CC 11 SLV (Collegamento 0020_-377)
Azioni sul collegamento: N=-7308.16 Ty=-1.68 Tz=3.37 Mx=0.02 Mz=-1.26
Sollecitazioni agenti localmente: Tx_l=-1.68 Ty_l=3.37 N_l=-7308.16 My_l=1.26 Mz_l=0.02
Azioni sul cordone: TP=-0.15 TO=0.23 NO=-540.22
Tensioni nel cordone: τ_P= 0.05 τ_0= 0.07 σ_0=173.54 σ_{ID}=173.54 Σ_T=173.62
CC 11 SLV (Collegamento 0020_-377)
Azioni sul collegamento: N=-7308.16 Ty=-2.97 Tz=-2.08 Mx=0.02 Mz=2.33
Sollecitazioni agenti localmente: Tx_l=-2.97 Ty_l=-2.08 N_l=-7308.16 My_l=-2.33 Mz_l=0.02
Azioni sul cordone: TP=-0.25 TO=-0.13 NO=-540.22
Tensioni nel cordone: τ_P= 0.08 τ_0= 0.04 σ_0=175.12 σ_{ID}=175.12 Σ_T=175.16
CC 11 SLV (Collegamento 0020_-377)

Azioni sul collegamento: N=-7308.16 Ty=-1.68 Tz=-2.08 Mx=0.02 Mz=-1.26
Sollecitazioni agenti localmente: Tx_l=-1.68 Ty_l=-2.08 N_l=-7308.16 My_l=1.26 Mz_l=0.02
Azioni sul cordone: TP=-0.15 TO=-0.17 NO=-540.22
Tensioni nel cordone: τ_P= 0.05 τ_0= 0.06 σ_0=173.54 σ_{ID}=173.54 Σ_T=173.60
CC 11 SLV (Collegamento 0020_-377)
Azioni sul collegamento: N=-5739.79 Ty=-2.97 Tz=3.37 Mx=0.02 Mz=2.33
Sollecitazioni agenti localmente: Tx_l=-2.97 Ty_l=3.37 N_l=-5739.79 My_l=-2.33 Mz_l=0.02
Azioni sul cordone: TP=-0.25 TO=0.27 NO=-424.29
Tensioni nel cordone: τ_P= 0.08 τ_0= 0.09 σ_0=138.27 σ_{ID}=138.27 Σ_T=138.35
CC 11 SLV (Collegamento 0020_-377)
Azioni sul collegamento: N=-5739.79 Ty=-1.68 Tz=3.37 Mx=0.02 Mz=-1.26
Sollecitazioni agenti localmente: Tx_l=-1.68 Ty_l=3.37 N_l=-5739.79 My_l=1.26 Mz_l=0.02
Azioni sul cordone: TP=-0.15 TO=0.23 NO=-424.29
Tensioni nel cordone: τ_P= 0.05 τ_0= 0.07 σ_0=136.69 σ_{ID}=136.69 Σ_T=136.77
CC 11 SLV (Collegamento 0020_-377)
Azioni sul collegamento: N=-5739.79 Ty=-2.97 Tz=-2.08 Mx=0.02 Mz=2.33
Sollecitazioni agenti localmente: Tx_l=-2.97 Ty_l=-2.08 N_l=-5739.79 My_l=-2.33 Mz_l=0.02
Azioni sul cordone: TP=-0.25 TO=-0.13 NO=-424.29
Tensioni nel cordone: τ_P= 0.08 τ_0= 0.04 σ_0=138.27 σ_{ID}=138.27 Σ_T=138.31
CC 11 SLV (Collegamento 0020_-377)
Azioni sul collegamento: N=-5739.79 Ty=-1.68 Tz=-2.08 Mx=0.02 Mz=-1.26
Sollecitazioni agenti localmente: Tx_l=-1.68 Ty_l=-2.08 N_l=-5739.79 My_l=1.26 Mz_l=0.02
Azioni sul cordone: TP=-0.15 TO=-0.17 NO=-424.29
Tensioni nel cordone: τ_P= 0.05 τ_0= 0.06 σ_0=136.69 σ_{ID}=136.69 Σ_T=136.75
CC 12 SLD (Collegamento 0020_-377)
Azioni sul collegamento: N=-6795.55 Ty=-2.98 Tz=1.60 Mx=0.01 Mz=-1.00
Sollecitazioni agenti localmente: Tx_l=-2.98 Ty_l=1.60 N_l=-6795.55 My_l=1.00 Mz_l=0.01
Azioni sul cordone: TP=-0.23 TO=0.11 NO=-502.33
Tensioni nel cordone: τ_P= 0.07 τ_0= 0.04 σ_0=161.12 σ_{ID}=161.12 Σ_T=161.16
CC 12 SLD (Collegamento 0020_-377)
Azioni sul collegamento: N=-6795.55 Ty=-3.37 Tz=1.60 Mx=0.01 Mz=-2.09
Sollecitazioni agenti localmente: Tx_l=-3.37 Ty_l=1.60 N_l=-6795.55 My_l=2.09 Mz_l=0.01
Azioni sul cordone: TP=-0.26 TO=0.11 NO=-502.33
Tensioni nel cordone: τ_P= 0.08 τ_0= 0.04 σ_0=162.72 σ_{ID}=162.72 Σ_T=162.75
CC 12 SLD (Collegamento 0020_-377)
Azioni sul collegamento: N=-6795.55 Ty=-2.98 Tz=-0.06 Mx=0.01 Mz=-1.00
Sollecitazioni agenti localmente: Tx_l=-2.98 Ty_l=-0.06 N_l=-6795.55 My_l=1.00 Mz_l=0.01
Azioni sul cordone: TP=-0.23 TO=-0.01 NO=-502.33
Tensioni nel cordone: τ_P= 0.07 τ_0=3.94E-03 σ_0=161.12 σ_{ID}=161.12 Σ_T=161.12
CC 12 SLD (Collegamento 0020_-377)
Azioni sul collegamento: N=-6795.55 Ty=-3.37 Tz=-0.06 Mx=0.01 Mz=-2.09
Sollecitazioni agenti localmente: Tx_l=-3.37 Ty_l=-0.06 N_l=-6795.55 My_l=2.09 Mz_l=0.01
Azioni sul cordone: TP=-0.26 TO=-0.01 NO=-502.33
Tensioni nel cordone: τ_P= 0.08 τ_0=3.94E-03 σ_0=162.72 σ_{ID}=162.72 Σ_T=162.72
CC 12 SLD (Collegamento 0020_-377)
Azioni sul collegamento: N=-6317.31 Ty=-2.98 Tz=1.60 Mx=0.01 Mz=-1.00
Sollecitazioni agenti localmente: Tx_l=-2.98 Ty_l=1.60 N_l=-6317.31 My_l=1.00 Mz_l=0.01
Azioni sul cordone: TP=-0.23 TO=0.11 NO=-466.98
Tensioni nel cordone: τ_P= 0.07 τ_0= 0.04 σ_0=149.88 σ_{ID}=149.88 Σ_T=149.92
CC 12 SLD (Collegamento 0020_-377)
Azioni sul collegamento: N=-6317.31 Ty=-3.37 Tz=1.60 Mx=0.01 Mz=-2.09
Sollecitazioni agenti localmente: Tx_l=-3.37 Ty_l=1.60 N_l=-6317.31 My_l=2.09 Mz_l=0.01
Azioni sul cordone: TP=-0.26 TO=0.11 NO=-466.98
Tensioni nel cordone: τ_P= 0.08 τ_0= 0.04 σ_0=151.48 σ_{ID}=151.48 Σ_T=151.52
CC 12 SLD (Collegamento 0020_-377)
Azioni sul collegamento: N=-6317.31 Ty=-2.98 Tz=-0.06 Mx=0.01 Mz=-1.00
Sollecitazioni agenti localmente: Tx_l=-2.98 Ty_l=-0.06 N_l=-6317.31 My_l=1.00 Mz_l=0.01
Azioni sul cordone: TP=-0.23 TO=-0.01 NO=-466.98
Tensioni nel cordone: τ_P= 0.07 τ_0=3.94E-03 σ_0=149.88 σ_{ID}=149.88 Σ_T=149.89
CC 12 SLD (Collegamento 0020_-377)
Azioni sul collegamento: N=-6317.31 Ty=-3.37 Tz=-0.06 Mx=0.01 Mz=-2.09
Sollecitazioni agenti localmente: Tx_l=-3.37 Ty_l=-0.06 N_l=-6317.31 My_l=2.09 Mz_l=0.01
Azioni sul cordone: TP=-0.26 TO=-0.01 NO=-466.98
Tensioni nel cordone: τ_P= 0.08 τ_0=3.94E-03 σ_0=151.48 σ_{ID}=151.48 Σ_T=151.49
CC 13 SLV (Collegamento 0020_-377)
Azioni sul collegamento: N=-5739.79 Ty=-1.68 Tz=-2.08 Mx=0.01 Mz=-1.26
Sollecitazioni agenti localmente: Tx_l=-1.68 Ty_l=-2.08 N_l=-5739.79 My_l=1.26 Mz_l=0.01
Azioni sul cordone: TP=-0.14 TO=-0.16 NO=-424.29
Tensioni nel cordone: τ_P= 0.04 τ_0= 0.05 σ_0=136.69 σ_{ID}=136.69 Σ_T=136.75
CC 13 SLV (Collegamento 0020_-377)
Azioni sul collegamento: N=-5739.79 Ty=-2.97 Tz=-2.08 Mx=0.01 Mz=2.33
Sollecitazioni agenti localmente: Tx_l=-2.97 Ty_l=-2.08 N_l=-5739.79 My_l=-2.33 Mz_l=0.01
Azioni sul cordone: TP=-0.23 TO=-0.15 NO=-424.29
Tensioni nel cordone: τ_P= 0.07 τ_0= 0.05 σ_0=138.27 σ_{ID}=138.27 Σ_T=138.31
CC 13 SLV (Collegamento 0020_-377)
Azioni sul collegamento: N=-5739.79 Ty=-1.68 Tz=3.37 Mx=0.01 Mz=-1.26
Sollecitazioni agenti localmente: Tx_l=-1.68 Ty_l=3.37 N_l=-5739.79 My_l=1.26 Mz_l=0.01
Azioni sul cordone: TP=-0.14 TO=0.24 NO=-424.29
Tensioni nel cordone: τ_P= 0.04 τ_0= 0.08 σ_0=136.69 σ_{ID}=136.69 Σ_T=136.77
CC 13 SLV (Collegamento 0020_-377)
Azioni sul collegamento: N=-5739.79 Ty=-2.97 Tz=3.37 Mx=0.01 Mz=2.33

Sollecitazioni agenti localmente: Tx_l=-2.97 Ty_l=3.37 N_l=-5739.79 My_l=-2.33 Mz_l=0.01
Azioni sul cordone: TP=-0.23 TO=0.26 NO=-424.29
Tensioni nel cordone: τ_P= 0.07 τ_O= 0.08 σ_O=138.27 σ_{ID}=138.27 Σ_T=138.35
CC 13 SLV (Collegamento 0020_-377)
Azioni sul collegamento: N=-7308.16 Ty=-1.68 Tz=-2.08 Mx=0.01 Mz=-1.26
Sollecitazioni agenti localmente: Tx_l=-1.68 Ty_l=-2.08 N_l=-7308.16 My_l=1.26 Mz_l=0.01
Azioni sul cordone: TP=-0.14 TO=-0.16 NO=-540.22
Tensioni nel cordone: τ_P= 0.04 τ_O= 0.05 σ_O=173.54 σ_{ID}=173.54 Σ_T=173.59
CC 13 SLV (Collegamento 0020_-377)
Azioni sul collegamento: N=-7308.16 Ty=-2.97 Tz=-2.08 Mx=0.01 Mz=2.33
Sollecitazioni agenti localmente: Tx_l=-2.97 Ty_l=-2.08 N_l=-7308.16 My_l=-2.33 Mz_l=0.01
Azioni sul cordone: TP=-0.23 TO=-0.15 NO=-540.22
Tensioni nel cordone: τ_P= 0.07 τ_O= 0.05 σ_O=175.12 σ_{ID}=175.12 Σ_T=175.16
CC 13 SLV (Collegamento 0020_-377)
Azioni sul collegamento: N=-7308.16 Ty=-1.68 Tz=3.37 Mx=0.01 Mz=-1.26
Sollecitazioni agenti localmente: Tx_l=-1.68 Ty_l=3.37 N_l=-7308.16 My_l=1.26 Mz_l=0.01
Azioni sul cordone: TP=-0.14 TO=0.24 NO=-540.22
Tensioni nel cordone: τ_P= 0.04 τ_O= 0.08 σ_O=173.54 σ_{ID}=173.54 Σ_T=173.62
CC 13 SLV (Collegamento 0020_-377)
Azioni sul collegamento: N=-7308.16 Ty=-2.97 Tz=3.37 Mx=0.01 Mz=2.33
Sollecitazioni agenti localmente: Tx_l=-2.97 Ty_l=3.37 N_l=-7308.16 My_l=-2.33 Mz_l=0.01
Azioni sul cordone: TP=-0.23 TO=0.26 NO=-540.22
Tensioni nel cordone: τ_P= 0.07 τ_O= 0.08 σ_O=175.12 σ_{ID}=175.12 Σ_T=175.20
CC 14 SLD (Collegamento 0020_-377)
Azioni sul collegamento: N=-6317.31 Ty=-3.37 Tz=-0.06 Mx=0.01 Mz=-2.09
Sollecitazioni agenti localmente: Tx_l=-3.37 Ty_l=-0.06 N_l=-6317.31 My_l=2.09 Mz_l=0.01
Azioni sul cordone: TP=-0.26 TO=-0.01 NO=-466.98
Tensioni nel cordone: τ_P= 0.08 τ_O=2.78E-03 σ_O=151.48 σ_{ID}=151.48 Σ_T=151.49
CC 14 SLD (Collegamento 0020_-377)
Azioni sul collegamento: N=-6317.31 Ty=-2.98 Tz=-0.06 Mx=0.01 Mz=-1.00
Sollecitazioni agenti localmente: Tx_l=-2.98 Ty_l=-0.06 N_l=-6317.31 My_l=1.00 Mz_l=0.01
Azioni sul cordone: TP=-0.23 TO=-0.01 NO=-466.98
Tensioni nel cordone: τ_P= 0.07 τ_O=2.78E-03 σ_O=149.88 σ_{ID}=149.88 Σ_T=149.89
CC 14 SLD (Collegamento 0020_-377)
Azioni sul collegamento: N=-6317.31 Ty=-3.37 Tz=1.60 Mx=0.01 Mz=-2.09
Sollecitazioni agenti localmente: Tx_l=-3.37 Ty_l=1.60 N_l=-6317.31 My_l=2.09 Mz_l=0.01
Azioni sul cordone: TP=-0.26 TO=0.11 NO=-466.98
Tensioni nel cordone: τ_P= 0.08 τ_O= 0.04 σ_O=151.48 σ_{ID}=151.48 Σ_T=151.52
CC 14 SLD (Collegamento 0020_-377)
Azioni sul collegamento: N=-6317.31 Ty=-2.98 Tz=1.60 Mx=0.01 Mz=-1.00
Sollecitazioni agenti localmente: Tx_l=-2.98 Ty_l=1.60 N_l=-6317.31 My_l=1.00 Mz_l=0.01
Azioni sul cordone: TP=-0.23 TO=0.11 NO=-466.98
Tensioni nel cordone: τ_P= 0.07 τ_O= 0.04 σ_O=149.88 σ_{ID}=149.88 Σ_T=149.92
CC 14 SLD (Collegamento 0020_-377)
Azioni sul collegamento: N=-6795.55 Ty=-3.37 Tz=-0.06 Mx=0.01 Mz=-2.09
Sollecitazioni agenti localmente: Tx_l=-3.37 Ty_l=-0.06 N_l=-6795.55 My_l=2.09 Mz_l=0.01
Azioni sul cordone: TP=-0.26 TO=-0.01 NO=-502.33
Tensioni nel cordone: τ_P= 0.08 τ_O=2.77E-03 σ_O=162.72 σ_{ID}=162.72 Σ_T=162.72
CC 14 SLD (Collegamento 0020_-377)
Azioni sul collegamento: N=-6795.55 Ty=-2.98 Tz=-0.06 Mx=0.01 Mz=-1.00
Sollecitazioni agenti localmente: Tx_l=-2.98 Ty_l=-0.06 N_l=-6795.55 My_l=1.00 Mz_l=0.01
Azioni sul cordone: TP=-0.23 TO=-0.01 NO=-502.33
Tensioni nel cordone: τ_P= 0.07 τ_O=2.77E-03 σ_O=161.12 σ_{ID}=161.12 Σ_T=161.12
CC 14 SLD (Collegamento 0020_-377)
Azioni sul collegamento: N=-6795.55 Ty=-3.37 Tz=1.60 Mx=0.01 Mz=-2.09
Sollecitazioni agenti localmente: Tx_l=-3.37 Ty_l=1.60 N_l=-6795.55 My_l=2.09 Mz_l=0.01
Azioni sul cordone: TP=-0.26 TO=0.11 NO=-502.33
Tensioni nel cordone: τ_P= 0.08 τ_O= 0.04 σ_O=162.72 σ_{ID}=162.72 Σ_T=162.75
CC 14 SLD (Collegamento 0020_-377)
Azioni sul collegamento: N=-6795.55 Ty=-2.98 Tz=1.60 Mx=0.01 Mz=-1.00
Sollecitazioni agenti localmente: Tx_l=-2.98 Ty_l=1.60 N_l=-6795.55 My_l=1.00 Mz_l=0.01
Azioni sul cordone: TP=-0.23 TO=0.11 NO=-502.33
Tensioni nel cordone: τ_P= 0.07 τ_O= 0.04 σ_O=161.12 σ_{ID}=161.12 Σ_T=161.16
CC 15 SLV (Collegamento 0020_-377)
Azioni sul collegamento: N=-7327.12 Ty=-0.86 Tz=3.80 Mx=0.01 Mz=-1.85
Sollecitazioni agenti localmente: Tx_l=-0.86 Ty_l=3.80 N_l=-7327.12 My_l=1.85 Mz_l=0.01
Azioni sul cordone: TP=-0.07 TO=0.27 NO=-541.62
Tensioni nel cordone: τ_P= 0.02 τ_O= 0.09 σ_O=174.86 σ_{ID}=174.86 Σ_T=174.95
CC 15 SLV (Collegamento 0020_-377)
Azioni sul collegamento: N=-7327.12 Ty=-3.80 Tz=3.80 Mx=0.01 Mz=2.93
Sollecitazioni agenti localmente: Tx_l=-3.80 Ty_l=3.80 N_l=-7327.12 My_l=-2.93 Mz_l=0.01
Azioni sul cordone: TP=-0.29 TO=0.29 NO=-541.62
Tensioni nel cordone: τ_P= 0.09 τ_O= 0.09 σ_O=176.44 σ_{ID}=176.44 Σ_T=176.53
CC 15 SLV (Collegamento 0020_-377)
Azioni sul collegamento: N=-7327.12 Ty=-0.86 Tz=-2.51 Mx=0.01 Mz=-1.85
Sollecitazioni agenti localmente: Tx_l=-0.86 Ty_l=-2.51 N_l=-7327.12 My_l=1.85 Mz_l=0.01
Azioni sul cordone: TP=-0.07 TO=-0.19 NO=-541.62
Tensioni nel cordone: τ_P= 0.02 τ_O= 0.06 σ_O=174.86 σ_{ID}=174.86 Σ_T=174.92
CC 15 SLV (Collegamento 0020_-377)
Azioni sul collegamento: N=-7327.12 Ty=-3.80 Tz=-2.51 Mx=0.01 Mz=2.93
Sollecitazioni agenti localmente: Tx_l=-3.80 Ty_l=-2.51 N_l=-7327.12 My_l=-2.93 Mz_l=0.01

Azioni sul cordone: TP=-0.29 TO=-0.18 NO=-541.62
Tensioni nel cordone: τ_P= 0.09 τ_O= 0.06 σ_O=176.44 σ_{ID}=176.44 Σ_T=176.49
CC 15 SLV (Collegamento 0020_-377)
Azioni sul collegamento: N=-5720.83 Ty=-0.86 Tz=3.80 Mx=0.01 Mz=-1.85
Sollecitazioni agenti localmente: Tx_l=-0.86 Ty_l=3.80 N_l=-5720.83 My_l=1.85 Mz_l=0.01
Azioni sul cordone: TP=-0.07 TO=0.27 NO=-422.88
Tensioni nel cordone: τ_P= 0.02 τ_O= 0.09 σ_O=137.12 σ_{ID}=137.12 Σ_T=137.21
CC 15 SLV (Collegamento 0020_-377)
Azioni sul collegamento: N=-5720.83 Ty=-3.80 Tz=3.80 Mx=0.01 Mz=2.93
Sollecitazioni agenti localmente: Tx_l=-3.80 Ty_l=3.80 N_l=-5720.83 My_l=-2.93 Mz_l=0.01
Azioni sul cordone: TP=-0.29 TO=0.29 NO=-422.88
Tensioni nel cordone: τ_P= 0.09 τ_O= 0.09 σ_O=138.69 σ_{ID}=138.69 Σ_T=138.79
CC 15 SLV (Collegamento 0020_-377)
Azioni sul collegamento: N=-5720.83 Ty=-0.86 Tz=-2.51 Mx=0.01 Mz=-1.85
Sollecitazioni agenti localmente: Tx_l=-0.86 Ty_l=-2.51 N_l=-5720.83 My_l=1.85 Mz_l=0.01
Azioni sul cordone: TP=-0.07 TO=-0.19 NO=-422.88
Tensioni nel cordone: τ_P= 0.02 τ_O= 0.06 σ_O=137.12 σ_{ID}=137.12 Σ_T=137.18
CC 15 SLV (Collegamento 0020_-377)
Azioni sul collegamento: N=-5720.83 Ty=-3.80 Tz=-2.51 Mx=0.01 Mz=2.93
Sollecitazioni agenti localmente: Tx_l=-3.80 Ty_l=-2.51 N_l=-5720.83 My_l=-2.93 Mz_l=0.01
Azioni sul cordone: TP=-0.29 TO=-0.18 NO=-422.88
Tensioni nel cordone: τ_P= 0.09 τ_O= 0.06 σ_O=138.69 σ_{ID}=138.69 Σ_T=138.75
CC 16 SLD (Collegamento 0020_-377)
Azioni sul collegamento: N=-6801.33 Ty=-3.62 Tz=1.73 Mx=0.01 Mz=-2.27
Sollecitazioni agenti localmente: Tx_l=-3.62 Ty_l=1.73 N_l=-6801.33 My_l=2.27 Mz_l=0.01
Azioni sul cordone: TP=-0.27 TO=0.12 NO=-502.76
Tensioni nel cordone: τ_P= 0.09 τ_O= 0.04 σ_O=163.12 σ_{ID}=163.12 Σ_T=163.16
CC 16 SLD (Collegamento 0020_-377)
Azioni sul collegamento: N=-6801.33 Ty=-2.73 Tz=1.73 Mx=0.01 Mz=-0.81
Sollecitazioni agenti localmente: Tx_l=-2.73 Ty_l=1.73 N_l=-6801.33 My_l=0.81 Mz_l=0.01
Azioni sul cordone: TP=-0.21 TO=0.12 NO=-502.76
Tensioni nel cordone: τ_P= 0.07 τ_O= 0.04 σ_O=160.99 σ_{ID}=160.99 Σ_T=161.03
CC 16 SLD (Collegamento 0020_-377)
Azioni sul collegamento: N=-6801.33 Ty=-3.62 Tz=-0.19 Mx=0.01 Mz=-2.27
Sollecitazioni agenti localmente: Tx_l=-3.62 Ty_l=-0.19 N_l=-6801.33 My_l=2.27 Mz_l=0.01
Azioni sul cordone: TP=-0.27 TO=-0.02 NO=-502.76
Tensioni nel cordone: τ_P= 0.09 τ_O=5.77E-03 σ_O=163.12 σ_{ID}=163.12 Σ_T=163.13
CC 16 SLD (Collegamento 0020_-377)
Azioni sul collegamento: N=-6801.33 Ty=-2.73 Tz=-0.19 Mx=0.01 Mz=-0.81
Sollecitazioni agenti localmente: Tx_l=-2.73 Ty_l=-0.19 N_l=-6801.33 My_l=0.81 Mz_l=0.01
Azioni sul cordone: TP=-0.21 TO=-0.02 NO=-502.76
Tensioni nel cordone: τ_P= 0.07 τ_O=5.77E-03 σ_O=160.99 σ_{ID}=160.99 Σ_T=161.00
CC 16 SLD (Collegamento 0020_-377)
Azioni sul collegamento: N=-6311.52 Ty=-3.62 Tz=1.73 Mx=0.01 Mz=-2.27
Sollecitazioni agenti localmente: Tx_l=-3.62 Ty_l=1.73 N_l=-6311.52 My_l=2.27 Mz_l=0.01
Azioni sul cordone: TP=-0.27 TO=0.12 NO=-466.55
Tensioni nel cordone: τ_P= 0.09 τ_O= 0.04 σ_O=151.61 σ_{ID}=151.61 Σ_T=151.65
CC 16 SLD (Collegamento 0020_-377)
Azioni sul collegamento: N=-6311.52 Ty=-2.73 Tz=1.73 Mx=0.01 Mz=-0.81
Sollecitazioni agenti localmente: Tx_l=-2.73 Ty_l=1.73 N_l=-6311.52 My_l=0.81 Mz_l=0.01
Azioni sul cordone: TP=-0.21 TO=0.12 NO=-466.55
Tensioni nel cordone: τ_P= 0.07 τ_O= 0.04 σ_O=149.48 σ_{ID}=149.48 Σ_T=149.52
CC 16 SLD (Collegamento 0020_-377)
Azioni sul collegamento: N=-6311.52 Ty=-3.62 Tz=-0.19 Mx=0.01 Mz=-2.27
Sollecitazioni agenti localmente: Tx_l=-3.62 Ty_l=-0.19 N_l=-6311.52 My_l=2.27 Mz_l=0.01
Azioni sul cordone: TP=-0.27 TO=-0.02 NO=-466.55
Tensioni nel cordone: τ_P= 0.09 τ_O=5.78E-03 σ_O=151.61 σ_{ID}=151.61 Σ_T=151.62
CC 16 SLD (Collegamento 0020_-377)
Azioni sul collegamento: N=-6311.52 Ty=-2.73 Tz=-0.19 Mx=0.01 Mz=-0.81
Sollecitazioni agenti localmente: Tx_l=-2.73 Ty_l=-0.19 N_l=-6311.52 My_l=0.81 Mz_l=0.01
Azioni sul cordone: TP=-0.21 TO=-0.02 NO=-466.55
Tensioni nel cordone: τ_P= 0.07 τ_O=5.78E-03 σ_O=149.48 σ_{ID}=149.48 Σ_T=149.49
CC 17 SLV (Collegamento 0020_-377)
Azioni sul collegamento: N=-3968.96 Ty=-3.07 Tz=-8.85 Mx=-0.01 Mz=-3.83
Sollecitazioni agenti localmente: Tx_l=-3.07 Ty_l=-8.85 N_l=-3968.96 My_l=3.83 Mz_l=-0.01
Azioni sul cordone: TP=-0.21 TO=-0.64 NO=-293.39
Tensioni nel cordone: τ_P= 0.07 τ_O=0.20 σ_O=98.85 σ_{ID}=98.85 Σ_T=99.05
CC 17 SLV (Collegamento 0020_-377)
Azioni sul collegamento: N=-3968.96 Ty=-6.45 Tz=-8.85 Mx=-0.01 Mz=-7.08
Sollecitazioni agenti localmente: Tx_l=-6.45 Ty_l=-8.85 N_l=-3968.96 My_l=7.08 Mz_l=-0.01
Azioni sul cordone: TP=-0.46 TO=-0.64 NO=-293.39
Tensioni nel cordone: τ_P=0.15 τ_O=0.20 σ_O=103.59 σ_{ID}=103.59 Σ_T=103.79
CC 17 SLV (Collegamento 0020_-377)
Azioni sul collegamento: N=-3968.96 Ty=-3.07 Tz=10.87 Mx=-0.01 Mz=-3.83
Sollecitazioni agenti localmente: Tx_l=-3.07 Ty_l=10.87 N_l=-3968.96 My_l=3.83 Mz_l=-0.01
Azioni sul cordone: TP=-0.21 TO=0.81 NO=-293.39
Tensioni nel cordone: τ_P= 0.07 τ_O=0.26 σ_O=98.85 σ_{ID}=98.85 Σ_T=99.10
CC 17 SLV (Collegamento 0020_-377)
Azioni sul collegamento: N=-3968.96 Ty=-6.45 Tz=10.87 Mx=-0.01 Mz=-7.08
Sollecitazioni agenti localmente: Tx_l=-6.45 Ty_l=10.87 N_l=-3968.96 My_l=7.08 Mz_l=-0.01
Azioni sul cordone: TP=-0.46 TO=0.81 NO=-293.39

Tensioni nel cordone: τ_P=0.15 τ_0=0.26 σ_0=103.59 σ_{ID}=103.59 Σ_T=103.85
CC 17 SLV (Collegamento 0020_-377)
Azioni sul collegamento: N=-9265.76 Ty=-3.07 Tz=-8.85 Mx=-0.01 Mz=-3.83
Sollecitazioni agenti localmente: Tx_l=-3.07 Ty_l=-8.85 N_l=-9265.76 My_l=3.83 Mz_l=-0.01
Azioni sul cordone: TP=-0.21 TO=-0.64 NO=-684.93
Tensioni nel cordone: τ_P= 0.07 τ_0=0.20 σ_0=223.30 σ_{ID}=223.30 Σ_T=223.50
CC 17 SLV (Collegamento 0020_-377)
Azioni sul collegamento: N=-9265.76 Ty=-6.45 Tz=-8.85 Mx=-0.01 Mz=-7.08
Sollecitazioni agenti localmente: Tx_l=-6.45 Ty_l=-8.85 N_l=-9265.76 My_l=7.08 Mz_l=-0.01
Azioni sul cordone: TP=-0.46 TO=-0.64 NO=-684.93
Tensioni nel cordone: τ_P=0.15 τ_0=0.20 σ_0=228.04 σ_{ID}=228.04 Σ_T=228.25
CC 17 SLV (Collegamento 0020_-377)
Azioni sul collegamento: N=-9265.76 Ty=-3.07 Tz=10.87 Mx=-0.01 Mz=-3.83
Sollecitazioni agenti localmente: Tx_l=-3.07 Ty_l=10.87 N_l=-9265.76 My_l=3.83 Mz_l=-0.01
Azioni sul cordone: TP=-0.21 TO=0.81 NO=-684.93
Tensioni nel cordone: τ_P= 0.07 τ_0=0.26 σ_0=223.30 σ_{ID}=223.30 Σ_T=223.56
CC 17 SLV (Collegamento 0020_-377)
Azioni sul collegamento: N=-9265.76 Ty=-6.45 Tz=10.87 Mx=-0.01 Mz=-7.08
Sollecitazioni agenti localmente: Tx_l=-6.45 Ty_l=10.87 N_l=-9265.76 My_l=7.08 Mz_l=-0.01
Azioni sul cordone: TP=-0.46 TO=0.81 NO=-684.93
Tensioni nel cordone: τ_P=0.15 τ_0=0.26 σ_0=228.04 σ_{ID}=228.04 Σ_T=228.30
CC 18 SLD (Collegamento 0020_-377)
Azioni sul collegamento: N=-5777.32 Ty=-3.40 Tz=-2.12 Mx=-0.00 Mz=-2.87
Sollecitazioni agenti localmente: Tx_l=-3.40 Ty_l=-2.12 N_l=-5777.32 My_l=2.87 Mz_l=-0.00
Azioni sul cordone: TP=-0.25 TO=-0.16 NO=-427.06
Tensioni nel cordone: τ_P= 0.08 τ_0= 0.05 σ_0=139.94 σ_{ID}=139.94 Σ_T=139.99
CC 18 SLD (Collegamento 0020_-377)
Azioni sul collegamento: N=-5777.32 Ty=-4.43 Tz=-2.12 Mx=-0.00 Mz=-3.87
Sollecitazioni agenti localmente: Tx_l=-4.43 Ty_l=-2.12 N_l=-5777.32 My_l=3.87 Mz_l=-0.00
Azioni sul cordone: TP=-0.33 TO=-0.16 NO=-427.06
Tensioni nel cordone: τ_P=0.10 τ_0= 0.05 σ_0=141.39 σ_{ID}=141.39 Σ_T=141.44
CC 18 SLD (Collegamento 0020_-377)
Azioni sul collegamento: N=-5777.32 Ty=-3.40 Tz=3.89 Mx=-0.00 Mz=-2.87
Sollecitazioni agenti localmente: Tx_l=-3.40 Ty_l=3.89 N_l=-5777.32 My_l=2.87 Mz_l=-0.00
Azioni sul cordone: TP=-0.25 TO=0.29 NO=-427.06
Tensioni nel cordone: τ_P= 0.08 τ_0= 0.09 σ_0=139.94 σ_{ID}=139.94 Σ_T=140.03
CC 18 SLD (Collegamento 0020_-377)
Azioni sul collegamento: N=-5777.32 Ty=-4.43 Tz=3.89 Mx=-0.00 Mz=-3.87
Sollecitazioni agenti localmente: Tx_l=-4.43 Ty_l=3.89 N_l=-5777.32 My_l=3.87 Mz_l=-0.00
Azioni sul cordone: TP=-0.33 TO=0.29 NO=-427.06
Tensioni nel cordone: τ_P=0.10 τ_0= 0.09 σ_0=141.39 σ_{ID}=141.39 Σ_T=141.48
CC 18 SLD (Collegamento 0020_-377)
Azioni sul collegamento: N=-7392.49 Ty=-3.40 Tz=-2.12 Mx=-0.00 Mz=-2.87
Sollecitazioni agenti localmente: Tx_l=-3.40 Ty_l=-2.12 N_l=-7392.49 My_l=2.87 Mz_l=-0.00
Azioni sul cordone: TP=-0.25 TO=-0.16 NO=-546.46
Tensioni nel cordone: τ_P= 0.08 τ_0= 0.05 σ_0=177.89 σ_{ID}=177.89 Σ_T=177.94
CC 18 SLD (Collegamento 0020_-377)
Azioni sul collegamento: N=-7392.49 Ty=-4.43 Tz=-2.12 Mx=-0.00 Mz=-3.87
Sollecitazioni agenti localmente: Tx_l=-4.43 Ty_l=-2.12 N_l=-7392.49 My_l=3.87 Mz_l=-0.00
Azioni sul cordone: TP=-0.33 TO=-0.16 NO=-546.46
Tensioni nel cordone: τ_P=0.10 τ_0= 0.05 σ_0=179.34 σ_{ID}=179.34 Σ_T=179.39
CC 18 SLD (Collegamento 0020_-377)
Azioni sul collegamento: N=-7392.49 Ty=-3.40 Tz=3.89 Mx=-0.00 Mz=-2.87
Sollecitazioni agenti localmente: Tx_l=-3.40 Ty_l=3.89 N_l=-7392.49 My_l=2.87 Mz_l=-0.00
Azioni sul cordone: TP=-0.25 TO=0.29 NO=-546.46
Tensioni nel cordone: τ_P= 0.08 τ_0= 0.09 σ_0=177.89 σ_{ID}=177.89 Σ_T=177.98
CC 18 SLD (Collegamento 0020_-377)
Azioni sul collegamento: N=-7392.49 Ty=-4.43 Tz=3.89 Mx=-0.00 Mz=-3.87
Sollecitazioni agenti localmente: Tx_l=-4.43 Ty_l=3.89 N_l=-7392.49 My_l=3.87 Mz_l=-0.00
Azioni sul cordone: TP=-0.33 TO=0.29 NO=-546.46
Tensioni nel cordone: τ_P=0.10 τ_0= 0.09 σ_0=179.34 σ_{ID}=179.34 Σ_T=179.43
CC 19 SLV (Collegamento 0020_-377)
Azioni sul collegamento: N=-3974.65 Ty=-3.70 Tz=-8.72 Mx=-0.01 Mz=-5.08
Sollecitazioni agenti localmente: Tx_l=-3.70 Ty_l=-8.72 N_l=-3974.65 My_l=5.08 Mz_l=-0.01
Azioni sul cordone: TP=-0.26 TO=-0.64 NO=-293.81
Tensioni nel cordone: τ_P= 0.08 τ_0=0.20 σ_0=100.81 σ_{ID}=100.81 Σ_T=101.02
CC 19 SLV (Collegamento 0020_-377)
Azioni sul collegamento: N=-3974.65 Ty=-5.81 Tz=-8.72 Mx=-0.01 Mz=-5.82
Sollecitazioni agenti localmente: Tx_l=-5.81 Ty_l=-8.72 N_l=-3974.65 My_l=5.82 Mz_l=-0.01
Azioni sul cordone: TP=-0.42 TO=-0.64 NO=-293.81
Tensioni nel cordone: τ_P=0.13 τ_0=0.20 σ_0=101.89 σ_{ID}=101.89 Σ_T=102.09
CC 19 SLV (Collegamento 0020_-377)
Azioni sul collegamento: N=-3974.65 Ty=-3.70 Tz=10.74 Mx=-0.01 Mz=-5.08
Sollecitazioni agenti localmente: Tx_l=-3.70 Ty_l=10.74 N_l=-3974.65 My_l=5.08 Mz_l=-0.01
Azioni sul cordone: TP=-0.26 TO=0.80 NO=-293.81
Tensioni nel cordone: τ_P= 0.08 τ_0=0.25 σ_0=100.81 σ_{ID}=100.81 Σ_T=101.07
CC 19 SLV (Collegamento 0020_-377)
Azioni sul collegamento: N=-3974.65 Ty=-5.81 Tz=10.74 Mx=-0.01 Mz=-5.82
Sollecitazioni agenti localmente: Tx_l=-5.81 Ty_l=10.74 N_l=-3974.65 My_l=5.82 Mz_l=-0.01
Azioni sul cordone: TP=-0.42 TO=0.80 NO=-293.81
Tensioni nel cordone: τ_P=0.13 τ_0=0.25 σ_0=101.89 σ_{ID}=101.89 Σ_T=102.14

CC 19 SLV (Collegamento 0020_-377)
Azioni sul collegamento: N=-9260.08 Ty=-3.70 Tz=-8.72 Mx=-0.01 Mz=-5.08
Sollecitazioni agenti localmente: Tx_l=-3.70 Ty_l=-8.72 N_l=-9260.08 My_l=5.08 Mz_l=-0.01
Azioni sul cordone: TP=-0.26 TO=-0.64 NO=-684.51
Tensioni nel cordone: τ_P= 0.08 τ_0=0.20 σ_0=225.00 σ_{ID}=225.00 Σ_T=225.20
CC 19 SLV (Collegamento 0020_-377)
Azioni sul collegamento: N=-9260.08 Ty=-5.81 Tz=-8.72 Mx=-0.01 Mz=-5.82
Sollecitazioni agenti localmente: Tx_l=-5.81 Ty_l=-8.72 N_l=-9260.08 My_l=5.82 Mz_l=-0.01
Azioni sul cordone: TP=-0.42 TO=-0.64 NO=-684.51
Tensioni nel cordone: τ_P=0.13 τ_0=0.20 σ_0=226.07 σ_{ID}=226.07 Σ_T=226.28
CC 19 SLV (Collegamento 0020_-377)
Azioni sul collegamento: N=-9260.08 Ty=-3.70 Tz=10.74 Mx=-0.01 Mz=-5.08
Sollecitazioni agenti localmente: Tx_l=-3.70 Ty_l=10.74 N_l=-9260.08 My_l=5.08 Mz_l=-0.01
Azioni sul cordone: TP=-0.26 TO=0.80 NO=-684.51
Tensioni nel cordone: τ_P= 0.08 τ_0=0.25 σ_0=225.00 σ_{ID}=225.00 Σ_T=225.25
CC 19 SLV (Collegamento 0020_-377)
Azioni sul collegamento: N=-9260.08 Ty=-5.81 Tz=10.74 Mx=-0.01 Mz=-5.82
Sollecitazioni agenti localmente: Tx_l=-5.81 Ty_l=10.74 N_l=-9260.08 My_l=5.82 Mz_l=-0.01
Azioni sul cordone: TP=-0.42 TO=0.80 NO=-684.51
Tensioni nel cordone: τ_P=0.13 τ_0=0.25 σ_0=226.07 σ_{ID}=226.07 Σ_T=226.33
CC 20 SLD (Collegamento 0020_-377)
Azioni sul collegamento: N=-5779.06 Ty=-3.59 Tz=-2.08 Mx=-0.00 Mz=-3.26
Sollecitazioni agenti localmente: Tx_l=-3.59 Ty_l=-2.08 N_l=-5779.06 My_l=3.26 Mz_l=-0.00
Azioni sul cordone: TP=-0.27 TO=-0.15 NO=-427.19
Tensioni nel cordone: τ_P= 0.08 τ_0= 0.05 σ_0=140.54 σ_{ID}=140.54 Σ_T=140.59
CC 20 SLD (Collegamento 0020_-377)
Azioni sul collegamento: N=-5779.06 Ty=-4.24 Tz=-2.08 Mx=-0.00 Mz=-3.48
Sollecitazioni agenti localmente: Tx_l=-4.24 Ty_l=-2.08 N_l=-5779.06 My_l=3.48 Mz_l=-0.00
Azioni sul cordone: TP=-0.31 TO=-0.15 NO=-427.19
Tensioni nel cordone: τ_P= 0.10 τ_0= 0.05 σ_0=140.87 σ_{ID}=140.87 Σ_T=140.92
CC 20 SLD (Collegamento 0020_-377)
Azioni sul collegamento: N=-5779.06 Ty=-3.59 Tz=3.85 Mx=-0.00 Mz=-3.26
Sollecitazioni agenti localmente: Tx_l=-3.59 Ty_l=3.85 N_l=-5779.06 My_l=3.26 Mz_l=-0.00
Azioni sul cordone: TP=-0.27 TO=0.28 NO=-427.19
Tensioni nel cordone: τ_P= 0.08 τ_0= 0.09 σ_0=140.54 σ_{ID}=140.54 Σ_T=140.63
CC 20 SLD (Collegamento 0020_-377)
Azioni sul collegamento: N=-5779.06 Ty=-4.24 Tz=3.85 Mx=-0.00 Mz=-3.48
Sollecitazioni agenti localmente: Tx_l=-4.24 Ty_l=3.85 N_l=-5779.06 My_l=3.48 Mz_l=-0.00
Azioni sul cordone: TP=-0.31 TO=0.28 NO=-427.19
Tensioni nel cordone: τ_P= 0.10 τ_0= 0.09 σ_0=140.87 σ_{ID}=140.87 Σ_T=140.96
CC 20 SLD (Collegamento 0020_-377)
Azioni sul collegamento: N=-7390.75 Ty=-3.59 Tz=-2.08 Mx=-0.00 Mz=-3.26
Sollecitazioni agenti localmente: Tx_l=-3.59 Ty_l=-2.08 N_l=-7390.75 My_l=3.26 Mz_l=-0.00
Azioni sul cordone: TP=-0.27 TO=-0.15 NO=-546.33
Tensioni nel cordone: τ_P= 0.08 τ_0= 0.05 σ_0=178.41 σ_{ID}=178.41 Σ_T=178.46
CC 20 SLD (Collegamento 0020_-377)
Azioni sul collegamento: N=-7390.75 Ty=-4.24 Tz=-2.08 Mx=-0.00 Mz=-3.48
Sollecitazioni agenti localmente: Tx_l=-4.24 Ty_l=-2.08 N_l=-7390.75 My_l=3.48 Mz_l=-0.00
Azioni sul cordone: TP=-0.31 TO=-0.15 NO=-546.33
Tensioni nel cordone: τ_P= 0.10 τ_0= 0.05 σ_0=178.74 σ_{ID}=178.74 Σ_T=178.78
CC 20 SLD (Collegamento 0020_-377)
Azioni sul collegamento: N=-7390.75 Ty=-3.59 Tz=3.85 Mx=-0.00 Mz=-3.26
Sollecitazioni agenti localmente: Tx_l=-3.59 Ty_l=3.85 N_l=-7390.75 My_l=3.26 Mz_l=-0.00
Azioni sul cordone: TP=-0.27 TO=0.28 NO=-546.33
Tensioni nel cordone: τ_P= 0.08 τ_0= 0.09 σ_0=178.41 σ_{ID}=178.41 Σ_T=178.50
CC 20 SLD (Collegamento 0020_-377)
Azioni sul collegamento: N=-7390.75 Ty=-4.24 Tz=3.85 Mx=-0.00 Mz=-3.48
Sollecitazioni agenti localmente: Tx_l=-4.24 Ty_l=3.85 N_l=-7390.75 My_l=3.48 Mz_l=-0.00
Azioni sul cordone: TP=-0.31 TO=0.28 NO=-546.33
Tensioni nel cordone: τ_P= 0.10 τ_0= 0.09 σ_0=178.74 σ_{ID}=178.74 Σ_T=178.83
CC 21 SLV (Collegamento 0020_-377)
Azioni sul collegamento: N=-9260.08 Ty=-5.81 Tz=10.74 Mx=-0.01 Mz=-5.82
Sollecitazioni agenti localmente: Tx_l=-5.81 Ty_l=10.74 N_l=-9260.08 My_l=5.82 Mz_l=-0.01
Azioni sul cordone: TP=-0.42 TO=0.80 NO=-684.51
Tensioni nel cordone: τ_P=0.13 τ_0=0.26 σ_0=226.07 σ_{ID}=226.07 Σ_T=226.33
CC 21 SLV (Collegamento 0020_-377)
Azioni sul collegamento: N=-9260.08 Ty=-3.70 Tz=10.74 Mx=-0.01 Mz=-5.08
Sollecitazioni agenti localmente: Tx_l=-3.70 Ty_l=10.74 N_l=-9260.08 My_l=5.08 Mz_l=-0.01
Azioni sul cordone: TP=-0.26 TO=0.80 NO=-684.51
Tensioni nel cordone: τ_P= 0.08 τ_0=0.26 σ_0=225.00 σ_{ID}=225.00 Σ_T=225.25
CC 21 SLV (Collegamento 0020_-377)
Azioni sul collegamento: N=-9260.08 Ty=-5.81 Tz=-8.72 Mx=-0.01 Mz=-5.82
Sollecitazioni agenti localmente: Tx_l=-5.81 Ty_l=-8.72 N_l=-9260.08 My_l=5.82 Mz_l=-0.01
Azioni sul cordone: TP=-0.42 TO=-0.64 NO=-684.51
Tensioni nel cordone: τ_P=0.13 τ_0=0.20 σ_0=226.07 σ_{ID}=226.07 Σ_T=226.27
CC 21 SLV (Collegamento 0020_-377)
Azioni sul collegamento: N=-9260.08 Ty=-3.70 Tz=-8.72 Mx=-0.01 Mz=-5.08
Sollecitazioni agenti localmente: Tx_l=-3.70 Ty_l=-8.72 N_l=-9260.08 My_l=5.08 Mz_l=-0.01
Azioni sul cordone: TP=-0.26 TO=-0.64 NO=-684.51
Tensioni nel cordone: τ_P= 0.08 τ_0=0.20 σ_0=225.00 σ_{ID}=225.00 Σ_T=225.20
CC 21 SLV (Collegamento 0020_-377)

Azioni sul collegamento: N=-3974.65 Ty=-5.81 Tz=10.74 Mx=-0.01 Mz=-5.82
Sollecitazioni agenti localmente: Tx_l=-5.81 Ty_l=10.74 N_l=-3974.65 My_l=5.82 Mz_l=-0.01
Azioni sul cordone: TP=-0.42 TO=0.80 NO=-293.81
Tensioni nel cordone: τ_P=0.13 τ_0=0.26 σ_0=101.89 σ_{ID}=101.89 Σ_T=102.14
CC 21 SLV (Collegamento 0020_-377)
Azioni sul collegamento: N=-3974.65 Ty=-3.70 Tz=10.74 Mx=-0.01 Mz=-5.08
Sollecitazioni agenti localmente: Tx_l=-3.70 Ty_l=10.74 N_l=-3974.65 My_l=5.08 Mz_l=-0.01
Azioni sul cordone: TP=-0.26 TO=0.80 NO=-293.81
Tensioni nel cordone: τ_P= 0.08 τ_0=0.26 σ_0=100.81 σ_{ID}=100.81 Σ_T=101.07
CC 21 SLV (Collegamento 0020_-377)
Azioni sul collegamento: N=-3974.65 Ty=-5.81 Tz=-8.72 Mx=-0.01 Mz=-5.82
Sollecitazioni agenti localmente: Tx_l=-5.81 Ty_l=-8.72 N_l=-3974.65 My_l=5.82 Mz_l=-0.01
Azioni sul cordone: TP=-0.42 TO=-0.64 NO=-293.81
Tensioni nel cordone: τ_P=0.13 τ_0=0.20 σ_0=101.89 σ_{ID}=101.89 Σ_T=102.09
CC 21 SLV (Collegamento 0020_-377)
Azioni sul collegamento: N=-3974.65 Ty=-3.70 Tz=-8.72 Mx=-0.01 Mz=-5.08
Sollecitazioni agenti localmente: Tx_l=-3.70 Ty_l=-8.72 N_l=-3974.65 My_l=5.08 Mz_l=-0.01
Azioni sul cordone: TP=-0.26 TO=-0.64 NO=-293.81
Tensioni nel cordone: τ_P= 0.08 τ_0=0.20 σ_0=100.81 σ_{ID}=100.81 Σ_T=101.02
CC 22 SLD (Collegamento 0020_-377)
Azioni sul collegamento: N=-7390.75 Ty=-4.24 Tz=3.85 Mx=-0.00 Mz=-3.48
Sollecitazioni agenti localmente: Tx_l=-4.24 Ty_l=3.85 N_l=-7390.75 My_l=3.48 Mz_l=-0.00
Azioni sul cordone: TP=-0.31 TO=0.29 NO=-546.33
Tensioni nel cordone: τ_P= 0.10 τ_0= 0.09 σ_0=178.74 σ_{ID}=178.74 Σ_T=178.83
CC 22 SLD (Collegamento 0020_-377)
Azioni sul collegamento: N=-7390.75 Ty=-3.59 Tz=3.85 Mx=-0.00 Mz=-3.26
Sollecitazioni agenti localmente: Tx_l=-3.59 Ty_l=3.85 N_l=-7390.75 My_l=3.26 Mz_l=-0.00
Azioni sul cordone: TP=-0.26 TO=0.29 NO=-546.33
Tensioni nel cordone: τ_P= 0.08 τ_0= 0.09 σ_0=178.41 σ_{ID}=178.41 Σ_T=178.50
CC 22 SLD (Collegamento 0020_-377)
Azioni sul collegamento: N=-7390.75 Ty=-4.24 Tz=-2.08 Mx=-0.00 Mz=-3.48
Sollecitazioni agenti localmente: Tx_l=-4.24 Ty_l=-2.08 N_l=-7390.75 My_l=3.48 Mz_l=-0.00
Azioni sul cordone: TP=-0.31 TO=-0.15 NO=-546.33
Tensioni nel cordone: τ_P= 0.10 τ_0= 0.05 σ_0=178.74 σ_{ID}=178.74 Σ_T=178.78
CC 22 SLD (Collegamento 0020_-377)
Azioni sul collegamento: N=-7390.75 Ty=-3.59 Tz=-2.08 Mx=-0.00 Mz=-3.26
Sollecitazioni agenti localmente: Tx_l=-3.59 Ty_l=-2.08 N_l=-7390.75 My_l=3.26 Mz_l=-0.00
Azioni sul cordone: TP=-0.26 TO=-0.15 NO=-546.33
Tensioni nel cordone: τ_P= 0.08 τ_0= 0.05 σ_0=178.41 σ_{ID}=178.41 Σ_T=178.46
CC 22 SLD (Collegamento 0020_-377)
Azioni sul collegamento: N=-5779.06 Ty=-4.24 Tz=3.85 Mx=-0.00 Mz=-3.48
Sollecitazioni agenti localmente: Tx_l=-4.24 Ty_l=3.85 N_l=-5779.06 My_l=3.48 Mz_l=-0.00
Azioni sul cordone: TP=-0.31 TO=0.29 NO=-427.19
Tensioni nel cordone: τ_P= 0.10 τ_0= 0.09 σ_0=140.87 σ_{ID}=140.87 Σ_T=140.96
CC 22 SLD (Collegamento 0020_-377)
Azioni sul collegamento: N=-5779.06 Ty=-3.59 Tz=3.85 Mx=-0.00 Mz=-3.26
Sollecitazioni agenti localmente: Tx_l=-3.59 Ty_l=3.85 N_l=-5779.06 My_l=3.26 Mz_l=-0.00
Azioni sul cordone: TP=-0.26 TO=0.29 NO=-427.19
Tensioni nel cordone: τ_P= 0.08 τ_0= 0.09 σ_0=140.54 σ_{ID}=140.54 Σ_T=140.63
CC 22 SLD (Collegamento 0020_-377)
Azioni sul collegamento: N=-5779.06 Ty=-4.24 Tz=-2.08 Mx=-0.00 Mz=-3.48
Sollecitazioni agenti localmente: Tx_l=-4.24 Ty_l=-2.08 N_l=-5779.06 My_l=3.48 Mz_l=-0.00
Azioni sul cordone: TP=-0.31 TO=-0.15 NO=-427.19
Tensioni nel cordone: τ_P= 0.10 τ_0= 0.05 σ_0=140.87 σ_{ID}=140.87 Σ_T=140.92
CC 22 SLD (Collegamento 0020_-377)
Azioni sul collegamento: N=-5779.06 Ty=-3.59 Tz=-2.08 Mx=-0.00 Mz=-3.26
Sollecitazioni agenti localmente: Tx_l=-3.59 Ty_l=-2.08 N_l=-5779.06 My_l=3.26 Mz_l=-0.00
Azioni sul cordone: TP=-0.26 TO=-0.15 NO=-427.19
Tensioni nel cordone: τ_P= 0.08 τ_0= 0.05 σ_0=140.54 σ_{ID}=140.54 Σ_T=140.59
CC 23 SLV (Collegamento 0020_-377)
Azioni sul collegamento: N=-9265.76 Ty=-6.45 Tz=10.87 Mx=-0.01 Mz=-7.08
Sollecitazioni agenti localmente: Tx_l=-6.45 Ty_l=10.87 N_l=-9265.76 My_l=7.08 Mz_l=-0.01
Azioni sul cordone: TP=-0.47 TO=0.81 NO=-684.93
Tensioni nel cordone: τ_P=0.15 τ_0=0.26 σ_0=228.04 σ_{ID}=228.04 Σ_T=228.30
CC 23 SLV (Collegamento 0020_-377)
Azioni sul collegamento: N=-9265.76 Ty=-3.07 Tz=10.87 Mx=-0.01 Mz=-3.83
Sollecitazioni agenti localmente: Tx_l=-3.07 Ty_l=10.87 N_l=-9265.76 My_l=3.83 Mz_l=-0.01
Azioni sul cordone: TP=-0.22 TO=0.81 NO=-684.93
Tensioni nel cordone: τ_P= 0.07 τ_0=0.26 σ_0=223.30 σ_{ID}=223.30 Σ_T=223.55
CC 23 SLV (Collegamento 0020_-377)
Azioni sul collegamento: N=-9265.76 Ty=-6.45 Tz=-8.85 Mx=-0.01 Mz=-7.08
Sollecitazioni agenti localmente: Tx_l=-6.45 Ty_l=-8.85 N_l=-9265.76 My_l=7.08 Mz_l=-0.01
Azioni sul cordone: TP=-0.47 TO=-0.65 NO=-684.93
Tensioni nel cordone: τ_P=0.15 τ_0=0.21 σ_0=228.04 σ_{ID}=228.04 Σ_T=228.25
CC 23 SLV (Collegamento 0020_-377)
Azioni sul collegamento: N=-9265.76 Ty=-3.07 Tz=-8.85 Mx=-0.01 Mz=-3.83
Sollecitazioni agenti localmente: Tx_l=-3.07 Ty_l=-8.85 N_l=-9265.76 My_l=3.83 Mz_l=-0.01
Azioni sul cordone: TP=-0.22 TO=-0.65 NO=-684.93
Tensioni nel cordone: τ_P= 0.07 τ_0=0.21 σ_0=223.30 σ_{ID}=223.30 Σ_T=223.50
CC 23 SLV (Collegamento 0020_-377)
Azioni sul collegamento: N=-3968.96 Ty=-6.45 Tz=10.87 Mx=-0.01 Mz=-7.08

Sollecitazioni agenti localmente: Tx_l=-6.45 Ty_l=10.87 N_l=-3968.96 My_l=7.08 Mz_l=-0.01
Azioni sul cordone: TP=-0.47 TO=0.81 NO=-293.39
Tensioni nel cordone: τ_P=0.15 τ_0=0.26 σ_0=103.59 σ_{ID}=103.59 Σ_T=103.85
CC 23 SLV (Collegamento 0020_-377)
Azioni sul collegamento: N=-3968.96 Ty=-3.07 Tz=10.87 Mx=-0.01 Mz=-3.83
Sollecitazioni agenti localmente: Tx_l=-3.07 Ty_l=10.87 N_l=-3968.96 My_l=3.83 Mz_l=-0.01
Azioni sul cordone: TP=-0.22 TO=0.81 NO=-293.39
Tensioni nel cordone: τ_P= 0.07 τ_0=0.26 σ_0=98.85 σ_{ID}=98.85 Σ_T=99.10
CC 23 SLV (Collegamento 0020_-377)
Azioni sul collegamento: N=-3968.96 Ty=-6.45 Tz=-8.85 Mx=-0.01 Mz=-7.08
Sollecitazioni agenti localmente: Tx_l=-6.45 Ty_l=-8.85 N_l=-3968.96 My_l=7.08 Mz_l=-0.01
Azioni sul cordone: TP=-0.47 TO=-0.65 NO=-293.39
Tensioni nel cordone: τ_P=0.15 τ_0=0.21 σ_0=103.59 σ_{ID}=103.59 Σ_T=103.80
CC 23 SLV (Collegamento 0020_-377)
Azioni sul collegamento: N=-3968.96 Ty=-3.07 Tz=-8.85 Mx=-0.01 Mz=-3.83
Sollecitazioni agenti localmente: Tx_l=-3.07 Ty_l=-8.85 N_l=-3968.96 My_l=3.83 Mz_l=-0.01
Azioni sul cordone: TP=-0.22 TO=-0.65 NO=-293.39
Tensioni nel cordone: τ_P= 0.07 τ_0=0.21 σ_0=98.85 σ_{ID}=98.85 Σ_T=99.05
CC 24 SLD (Collegamento 0020_-377)
Azioni sul collegamento: N=-7392.49 Ty=-4.43 Tz=3.89 Mx=0.00 Mz=-3.87
Sollecitazioni agenti localmente: Tx_l=-4.43 Ty_l=3.89 N_l=-7392.49 My_l=3.87 Mz_l=0.00
Azioni sul cordone: TP=-0.33 TO=0.29 NO=-546.46
Tensioni nel cordone: τ_P=0.10 τ_0= 0.09 σ_0=179.34 σ_{ID}=179.34 Σ_T=179.43
CC 24 SLD (Collegamento 0020_-377)
Azioni sul collegamento: N=-7392.49 Ty=-3.40 Tz=3.89 Mx=0.00 Mz=-2.87
Sollecitazioni agenti localmente: Tx_l=-3.40 Ty_l=3.89 N_l=-7392.49 My_l=2.87 Mz_l=0.00
Azioni sul cordone: TP=-0.25 TO=0.29 NO=-546.46
Tensioni nel cordone: τ_P= 0.08 τ_0= 0.09 σ_0=177.89 σ_{ID}=177.89 Σ_T=177.98
CC 24 SLD (Collegamento 0020_-377)
Azioni sul collegamento: N=-7392.49 Ty=-4.43 Tz=-2.12 Mx=0.00 Mz=-3.87
Sollecitazioni agenti localmente: Tx_l=-4.43 Ty_l=-2.12 N_l=-7392.49 My_l=3.87 Mz_l=0.00
Azioni sul cordone: TP=-0.33 TO=-0.16 NO=-546.46
Tensioni nel cordone: τ_P=0.10 τ_0= 0.05 σ_0=179.34 σ_{ID}=179.34 Σ_T=179.39
CC 24 SLD (Collegamento 0020_-377)
Azioni sul collegamento: N=-7392.49 Ty=-3.40 Tz=-2.12 Mx=0.00 Mz=-2.87
Sollecitazioni agenti localmente: Tx_l=-3.40 Ty_l=-2.12 N_l=-7392.49 My_l=2.87 Mz_l=0.00
Azioni sul cordone: TP=-0.25 TO=-0.16 NO=-546.46
Tensioni nel cordone: τ_P= 0.08 τ_0= 0.05 σ_0=177.89 σ_{ID}=177.89 Σ_T=177.94
CC 24 SLD (Collegamento 0020_-377)
Azioni sul collegamento: N=-5777.32 Ty=-4.43 Tz=3.89 Mx=0.00 Mz=-3.87
Sollecitazioni agenti localmente: Tx_l=-4.43 Ty_l=3.89 N_l=-5777.32 My_l=3.87 Mz_l=0.00
Azioni sul cordone: TP=-0.33 TO=0.29 NO=-427.06
Tensioni nel cordone: τ_P=0.10 τ_0= 0.09 σ_0=141.39 σ_{ID}=141.39 Σ_T=141.48
CC 24 SLD (Collegamento 0020_-377)
Azioni sul collegamento: N=-5777.32 Ty=-3.40 Tz=3.89 Mx=0.00 Mz=-2.87
Sollecitazioni agenti localmente: Tx_l=-3.40 Ty_l=3.89 N_l=-5777.32 My_l=2.87 Mz_l=0.00
Azioni sul cordone: TP=-0.25 TO=0.29 NO=-427.06
Tensioni nel cordone: τ_P= 0.08 τ_0= 0.09 σ_0=139.94 σ_{ID}=139.94 Σ_T=140.03
CC 24 SLD (Collegamento 0020_-377)
Azioni sul collegamento: N=-5777.32 Ty=-4.43 Tz=-2.12 Mx=0.00 Mz=-3.87
Sollecitazioni agenti localmente: Tx_l=-4.43 Ty_l=-2.12 N_l=-5777.32 My_l=3.87 Mz_l=0.00
Azioni sul cordone: TP=-0.33 TO=-0.16 NO=-427.06
Tensioni nel cordone: τ_P=0.10 τ_0= 0.05 σ_0=141.39 σ_{ID}=141.39 Σ_T=141.44
CC 24 SLD (Collegamento 0020_-377)
Azioni sul collegamento: N=-5777.32 Ty=-3.40 Tz=-2.12 Mx=0.00 Mz=-2.87
Sollecitazioni agenti localmente: Tx_l=-3.40 Ty_l=-2.12 N_l=-5777.32 My_l=2.87 Mz_l=0.00
Azioni sul cordone: TP=-0.25 TO=-0.16 NO=-427.06
Tensioni nel cordone: τ_P= 0.08 τ_0= 0.05 σ_0=139.94 σ_{ID}=139.94 Σ_T=139.99
CC 25 SLV (Collegamento 0020_-377)
Azioni sul collegamento: N=-5814.21 Ty=-3.29 Tz=-2.14 Mx=-0.02 Mz=-3.06
Sollecitazioni agenti localmente: Tx_l=-3.29 Ty_l=-2.14 N_l=-5814.21 My_l=3.06 Mz_l=-0.02
Azioni sul cordone: TP=-0.22 TO=-0.14 NO=-429.79
Tensioni nel cordone: τ_P= 0.07 τ_0= 0.05 σ_0=141.08 σ_{ID}=141.08 Σ_T=141.12
CC 25 SLV (Collegamento 0020_-377)
Azioni sul collegamento: N=-5814.21 Ty=-6.23 Tz=-2.14 Mx=-0.02 Mz=-7.84
Sollecitazioni agenti localmente: Tx_l=-6.23 Ty_l=-2.14 N_l=-5814.21 My_l=7.84 Mz_l=-0.02
Azioni sul cordone: TP=-0.44 TO=-0.14 NO=-429.79
Tensioni nel cordone: τ_P=0.14 τ_0= 0.05 σ_0=148.07 σ_{ID}=148.07 Σ_T=148.11
CC 25 SLV (Collegamento 0020_-377)
Azioni sul collegamento: N=-5814.21 Ty=-3.29 Tz=4.16 Mx=-0.02 Mz=-3.06
Sollecitazioni agenti localmente: Tx_l=-3.29 Ty_l=4.16 N_l=-5814.21 My_l=3.06 Mz_l=-0.02
Azioni sul cordone: TP=-0.22 TO=0.32 NO=-429.79
Tensioni nel cordone: τ_P= 0.07 τ_0=0.10 σ_0=141.08 σ_{ID}=141.08 Σ_T=141.18
CC 25 SLV (Collegamento 0020_-377)
Azioni sul collegamento: N=-5814.21 Ty=-6.23 Tz=4.16 Mx=-0.02 Mz=-7.84
Sollecitazioni agenti localmente: Tx_l=-6.23 Ty_l=4.16 N_l=-5814.21 My_l=7.84 Mz_l=-0.02
Azioni sul cordone: TP=-0.44 TO=0.32 NO=-429.79
Tensioni nel cordone: τ_P=0.14 τ_0=0.10 σ_0=148.07 σ_{ID}=148.07 Σ_T=148.17
CC 25 SLV (Collegamento 0020_-377)
Azioni sul collegamento: N=-7420.51 Ty=-3.29 Tz=-2.14 Mx=-0.02 Mz=-3.06
Sollecitazioni agenti localmente: Tx_l=-3.29 Ty_l=-2.14 N_l=-7420.51 My_l=3.06 Mz_l=-0.02

Azioni sul cordone: TP=-0.22 TO=-0.14 NO=-548.53
Tensioni nel cordone: τ_P= 0.07 τ_0= 0.05 σ_0=178.82 σ_{ID}=178.82 Σ_T=178.86
CC 25 SLV (Collegamento 0020_-377)
Azioni sul collegamento: N=-7420.51 Ty=-6.23 Tz=-2.14 Mx=-0.02 Mz=-7.84
Sollecitazioni agenti localmente: Tx_l=-6.23 Ty_l=-2.14 N_l=-7420.51 My_l=7.84 Mz_l=-0.02
Azioni sul cordone: TP=-0.44 TO=-0.14 NO=-548.53
Tensioni nel cordone: τ_P=0.14 τ_0= 0.05 σ_0=185.81 σ_{ID}=185.81 Σ_T=185.85
CC 25 SLV (Collegamento 0020_-377)
Azioni sul collegamento: N=-7420.51 Ty=-3.29 Tz=4.16 Mx=-0.02 Mz=-3.06
Sollecitazioni agenti localmente: Tx_l=-3.29 Ty_l=4.16 N_l=-7420.51 My_l=3.06 Mz_l=-0.02
Azioni sul cordone: TP=-0.22 TO=0.32 NO=-548.53
Tensioni nel cordone: τ_P= 0.07 τ_0=0.10 σ_0=178.82 σ_{ID}=178.82 Σ_T=178.92
CC 25 SLV (Collegamento 0020_-377)
Azioni sul collegamento: N=-7420.51 Ty=-6.23 Tz=4.16 Mx=-0.02 Mz=-7.84
Sollecitazioni agenti localmente: Tx_l=-6.23 Ty_l=4.16 N_l=-7420.51 My_l=7.84 Mz_l=-0.02
Azioni sul cordone: TP=-0.44 TO=0.32 NO=-548.53
Tensioni nel cordone: τ_P=0.14 τ_0=0.10 σ_0=185.81 σ_{ID}=185.81 Σ_T=185.91
CC 26 SLD (Collegamento 0020_-377)
Azioni sul collegamento: N=-6340.00 Ty=-3.47 Tz=-0.08 Mx=-0.00 Mz=-2.64
Sollecitazioni agenti localmente: Tx_l=-3.47 Ty_l=-0.08 N_l=-6340.00 My_l=2.64 Mz_l=-0.00
Azioni sul cordone: TP=-0.25 TO=-0.00 NO=-468.65
Tensioni nel cordone: τ_P= 0.08 τ_0=1.06E-03 σ_0=152.82 σ_{ID}=152.82 Σ_T=152.82
CC 26 SLD (Collegamento 0020_-377)
Azioni sul collegamento: N=-6340.00 Ty=-4.36 Tz=-0.08 Mx=-0.00 Mz=-4.10
Sollecitazioni agenti localmente: Tx_l=-4.36 Ty_l=-0.08 N_l=-6340.00 My_l=4.10 Mz_l=-0.00
Azioni sul cordone: TP=-0.32 TO=-0.00 NO=-468.65
Tensioni nel cordone: τ_P=0.10 τ_0=1.06E-03 σ_0=154.95 σ_{ID}=154.95 Σ_T=154.95
CC 26 SLD (Collegamento 0020_-377)
Azioni sul collegamento: N=-6340.00 Ty=-3.47 Tz=1.85 Mx=-0.00 Mz=-2.64
Sollecitazioni agenti localmente: Tx_l=-3.47 Ty_l=1.85 N_l=-6340.00 My_l=2.64 Mz_l=-0.00
Azioni sul cordone: TP=-0.25 TO=0.14 NO=-468.65
Tensioni nel cordone: τ_P= 0.08 τ_0= 0.04 σ_0=152.82 σ_{ID}=152.82 Σ_T=152.86
CC 26 SLD (Collegamento 0020_-377)
Azioni sul collegamento: N=-6340.00 Ty=-4.36 Tz=1.85 Mx=-0.00 Mz=-4.10
Sollecitazioni agenti localmente: Tx_l=-4.36 Ty_l=1.85 N_l=-6340.00 My_l=4.10 Mz_l=-0.00
Azioni sul cordone: TP=-0.32 TO=0.14 NO=-468.65
Tensioni nel cordone: τ_P=0.10 τ_0= 0.04 σ_0=154.95 σ_{ID}=154.95 Σ_T=155.00
CC 26 SLD (Collegamento 0020_-377)
Azioni sul collegamento: N=-6829.81 Ty=-3.47 Tz=-0.08 Mx=-0.00 Mz=-2.64
Sollecitazioni agenti localmente: Tx_l=-3.47 Ty_l=-0.08 N_l=-6829.81 My_l=2.64 Mz_l=-0.00
Azioni sul cordone: TP=-0.25 TO=-0.00 NO=-504.86
Tensioni nel cordone: τ_P= 0.08 τ_0=1.06E-03 σ_0=164.33 σ_{ID}=164.33 Σ_T=164.33
CC 26 SLD (Collegamento 0020_-377)
Azioni sul collegamento: N=-6829.81 Ty=-4.36 Tz=-0.08 Mx=-0.00 Mz=-4.10
Sollecitazioni agenti localmente: Tx_l=-4.36 Ty_l=-0.08 N_l=-6829.81 My_l=4.10 Mz_l=-0.00
Azioni sul cordone: TP=-0.32 TO=-0.00 NO=-504.86
Tensioni nel cordone: τ_P=0.10 τ_0=1.06E-03 σ_0=166.46 σ_{ID}=166.46 Σ_T=166.46
CC 26 SLD (Collegamento 0020_-377)
Azioni sul collegamento: N=-6829.81 Ty=-3.47 Tz=1.85 Mx=-0.00 Mz=-2.64
Sollecitazioni agenti localmente: Tx_l=-3.47 Ty_l=1.85 N_l=-6829.81 My_l=2.64 Mz_l=-0.00
Azioni sul cordone: TP=-0.25 TO=0.14 NO=-504.86
Tensioni nel cordone: τ_P= 0.08 τ_0= 0.04 σ_0=164.33 σ_{ID}=164.33 Σ_T=164.37
CC 26 SLD (Collegamento 0020_-377)
Azioni sul collegamento: N=-6829.81 Ty=-4.36 Tz=1.85 Mx=-0.00 Mz=-4.10
Sollecitazioni agenti localmente: Tx_l=-4.36 Ty_l=1.85 N_l=-6829.81 My_l=4.10 Mz_l=-0.00
Azioni sul cordone: TP=-0.32 TO=0.14 NO=-504.86
Tensioni nel cordone: τ_P=0.10 τ_0= 0.04 σ_0=166.46 σ_{ID}=166.46 Σ_T=166.50
CC 27 SLV (Collegamento 0020_-377)
Azioni sul collegamento: N=-7401.55 Ty=-4.11 Tz=3.74 Mx=-0.02 Mz=-3.66
Sollecitazioni agenti localmente: Tx_l=-4.11 Ty_l=3.74 N_l=-7401.55 My_l=3.66 Mz_l=-0.02
Azioni sul cordone: TP=-0.28 TO=0.29 NO=-547.13
Tensioni nel cordone: τ_P= 0.09 τ_0= 0.09 σ_0=179.25 σ_{ID}=179.25 Σ_T=179.34
CC 27 SLV (Collegamento 0020_-377)
Azioni sul collegamento: N=-7401.55 Ty=-5.40 Tz=3.74 Mx=-0.02 Mz=-7.25
Sollecitazioni agenti localmente: Tx_l=-5.40 Ty_l=3.74 N_l=-7401.55 My_l=7.25 Mz_l=-0.02
Azioni sul cordone: TP=-0.38 TO=0.29 NO=-547.13
Tensioni nel cordone: τ_P=0.12 τ_0= 0.09 σ_0=184.49 σ_{ID}=184.49 Σ_T=184.58
CC 27 SLV (Collegamento 0020_-377)
Azioni sul collegamento: N=-7401.55 Ty=-4.11 Tz=-1.71 Mx=-0.02 Mz=-3.66
Sollecitazioni agenti localmente: Tx_l=-4.11 Ty_l=-1.71 N_l=-7401.55 My_l=3.66 Mz_l=-0.02
Azioni sul cordone: TP=-0.28 TO=-0.11 NO=-547.13
Tensioni nel cordone: τ_P= 0.09 τ_0= 0.04 σ_0=179.25 σ_{ID}=179.25 Σ_T=179.28
CC 27 SLV (Collegamento 0020_-377)
Azioni sul collegamento: N=-7401.55 Ty=-5.40 Tz=-1.71 Mx=-0.02 Mz=-7.25
Sollecitazioni agenti localmente: Tx_l=-5.40 Ty_l=-1.71 N_l=-7401.55 My_l=7.25 Mz_l=-0.02
Azioni sul cordone: TP=-0.38 TO=-0.11 NO=-547.13
Tensioni nel cordone: τ_P=0.12 τ_0= 0.04 σ_0=184.49 σ_{ID}=184.49 Σ_T=184.53
CC 27 SLV (Collegamento 0020_-377)
Azioni sul collegamento: N=-5833.17 Ty=-4.11 Tz=3.74 Mx=-0.02 Mz=-3.66
Sollecitazioni agenti localmente: Tx_l=-4.11 Ty_l=3.74 N_l=-5833.17 My_l=3.66 Mz_l=-0.02
Azioni sul cordone: TP=-0.28 TO=0.29 NO=-431.19

Tensioni nel cordone: τ_P= 0.09 τ_0= 0.09 σ_0=142.40 σ_{ID}=142.40 Σ_T=142.49
CC 27 SLV (Collegamento 0020_-377)
Azioni sul collegamento: N=-5833.17 Ty=-5.40 Tz=3.74 Mx=-0.02 Mz=-7.25
Sollecitazioni agenti localmente: Tx_l=-5.40 Ty_l=3.74 N_l=-5833.17 My_l=7.25 Mz_l=-0.02
Azioni sul cordone: TP=-0.38 TO=0.29 NO=-431.19
Tensioni nel cordone: τ_P=0.12 τ_0= 0.09 σ_0=147.64 σ_{ID}=147.64 Σ_T=147.73
CC 27 SLV (Collegamento 0020_-377)
Azioni sul collegamento: N=-5833.17 Ty=-4.11 Tz=-1.71 Mx=-0.02 Mz=-3.66
Sollecitazioni agenti localmente: Tx_l=-4.11 Ty_l=-1.71 N_l=-5833.17 My_l=3.66 Mz_l=-0.02
Azioni sul cordone: TP=-0.28 TO=-0.11 NO=-431.19
Tensioni nel cordone: τ_P= 0.09 τ_0= 0.04 σ_0=142.40 σ_{ID}=142.40 Σ_T=142.43
CC 27 SLV (Collegamento 0020_-377)
Azioni sul collegamento: N=-5833.17 Ty=-5.40 Tz=-1.71 Mx=-0.02 Mz=-7.25
Sollecitazioni agenti localmente: Tx_l=-5.40 Ty_l=-1.71 N_l=-5833.17 My_l=7.25 Mz_l=-0.02
Azioni sul cordone: TP=-0.38 TO=-0.11 NO=-431.19
Tensioni nel cordone: τ_P=0.12 τ_0= 0.04 σ_0=147.64 σ_{ID}=147.64 Σ_T=147.68
CC 28 SLD (Collegamento 0020_-377)
Azioni sul collegamento: N=-6824.03 Ty=-3.72 Tz=1.72 Mx=-0.00 Mz=-2.82
Sollecitazioni agenti localmente: Tx_l=-3.72 Ty_l=1.72 N_l=-6824.03 My_l=2.82 Mz_l=-0.00
Azioni sul cordone: TP=-0.27 TO=0.13 NO=-504.43
Tensioni nel cordone: τ_P= 0.09 τ_0= 0.04 σ_0=164.46 σ_{ID}=164.46 Σ_T=164.50
CC 28 SLD (Collegamento 0020_-377)
Azioni sul collegamento: N=-6824.03 Ty=-4.11 Tz=1.72 Mx=-0.00 Mz=-3.92
Sollecitazioni agenti localmente: Tx_l=-4.11 Ty_l=1.72 N_l=-6824.03 My_l=3.92 Mz_l=-0.00
Azioni sul cordone: TP=-0.30 TO=0.13 NO=-504.43
Tensioni nel cordone: τ_P= 0.10 τ_0= 0.04 σ_0=166.06 σ_{ID}=166.06 Σ_T=166.10
CC 28 SLD (Collegamento 0020_-377)
Azioni sul collegamento: N=-6824.03 Ty=-3.72 Tz=0.05 Mx=-0.00 Mz=-2.82
Sollecitazioni agenti localmente: Tx_l=-3.72 Ty_l=0.05 N_l=-6824.03 My_l=2.82 Mz_l=-0.00
Azioni sul cordone: TP=-0.27 TO=0.01 NO=-504.43
Tensioni nel cordone: τ_P= 0.09 τ_0=1.94E-03 σ_0=164.46 σ_{ID}=164.46 Σ_T=164.46
CC 28 SLD (Collegamento 0020_-377)
Azioni sul collegamento: N=-6824.03 Ty=-4.11 Tz=0.05 Mx=-0.00 Mz=-3.92
Sollecitazioni agenti localmente: Tx_l=-4.11 Ty_l=0.05 N_l=-6824.03 My_l=3.92 Mz_l=-0.00
Azioni sul cordone: TP=-0.30 TO=0.01 NO=-504.43
Tensioni nel cordone: τ_P= 0.10 τ_0=1.94E-03 σ_0=166.06 σ_{ID}=166.06 Σ_T=166.06
CC 28 SLD (Collegamento 0020_-377)
Azioni sul collegamento: N=-6345.78 Ty=-3.72 Tz=1.72 Mx=-0.00 Mz=-2.82
Sollecitazioni agenti localmente: Tx_l=-3.72 Ty_l=1.72 N_l=-6345.78 My_l=2.82 Mz_l=-0.00
Azioni sul cordone: TP=-0.27 TO=0.13 NO=-469.08
Tensioni nel cordone: τ_P= 0.09 τ_0= 0.04 σ_0=153.22 σ_{ID}=153.22 Σ_T=153.26
CC 28 SLD (Collegamento 0020_-377)
Azioni sul collegamento: N=-6345.78 Ty=-4.11 Tz=1.72 Mx=-0.00 Mz=-3.92
Sollecitazioni agenti localmente: Tx_l=-4.11 Ty_l=1.72 N_l=-6345.78 My_l=3.92 Mz_l=-0.00
Azioni sul cordone: TP=-0.30 TO=0.13 NO=-469.08
Tensioni nel cordone: τ_P= 0.10 τ_0= 0.04 σ_0=154.82 σ_{ID}=154.82 Σ_T=154.86
CC 28 SLD (Collegamento 0020_-377)
Azioni sul collegamento: N=-6345.78 Ty=-3.72 Tz=0.05 Mx=-0.00 Mz=-2.82
Sollecitazioni agenti localmente: Tx_l=-3.72 Ty_l=0.05 N_l=-6345.78 My_l=2.82 Mz_l=-0.00
Azioni sul cordone: TP=-0.27 TO=0.01 NO=-469.08
Tensioni nel cordone: τ_P= 0.09 τ_0=1.94E-03 σ_0=153.22 σ_{ID}=153.22 Σ_T=153.22
CC 28 SLD (Collegamento 0020_-377)
Azioni sul collegamento: N=-6345.78 Ty=-4.11 Tz=0.05 Mx=-0.00 Mz=-3.92
Sollecitazioni agenti localmente: Tx_l=-4.11 Ty_l=0.05 N_l=-6345.78 My_l=3.92 Mz_l=-0.00
Azioni sul cordone: TP=-0.30 TO=0.01 NO=-469.08
Tensioni nel cordone: τ_P= 0.10 τ_0=1.94E-03 σ_0=154.82 σ_{ID}=154.82 Σ_T=154.82
CC 29 SLV (Collegamento 0020_-377)
Azioni sul collegamento: N=-5833.17 Ty=-5.40 Tz=-1.71 Mx=-0.00 Mz=-7.25
Sollecitazioni agenti localmente: Tx_l=-5.40 Ty_l=-1.71 N_l=-5833.17 My_l=7.25 Mz_l=-0.00
Azioni sul cordone: TP=-0.40 TO=-0.12 NO=-431.19
Tensioni nel cordone: τ_P=0.13 τ_0= 0.04 σ_0=147.64 σ_{ID}=147.64 Σ_T=147.68
CC 29 SLV (Collegamento 0020_-377)
Azioni sul collegamento: N=-5833.17 Ty=-4.11 Tz=-1.71 Mx=-0.00 Mz=-3.66
Sollecitazioni agenti localmente: Tx_l=-4.11 Ty_l=-1.71 N_l=-5833.17 My_l=3.66 Mz_l=-0.00
Azioni sul cordone: TP=-0.30 TO=-0.12 NO=-431.19
Tensioni nel cordone: τ_P= 0.10 τ_0= 0.04 σ_0=142.40 σ_{ID}=142.40 Σ_T=142.44
CC 29 SLV (Collegamento 0020_-377)
Azioni sul collegamento: N=-5833.17 Ty=-5.40 Tz=3.74 Mx=-0.00 Mz=-7.25
Sollecitazioni agenti localmente: Tx_l=-5.40 Ty_l=3.74 N_l=-5833.17 My_l=7.25 Mz_l=-0.00
Azioni sul cordone: TP=-0.40 TO=0.28 NO=-431.19
Tensioni nel cordone: τ_P=0.13 τ_0= 0.09 σ_0=147.64 σ_{ID}=147.64 Σ_T=147.73
CC 29 SLV (Collegamento 0020_-377)
Azioni sul collegamento: N=-5833.17 Ty=-4.11 Tz=3.74 Mx=-0.00 Mz=-3.66
Sollecitazioni agenti localmente: Tx_l=-4.11 Ty_l=3.74 N_l=-5833.17 My_l=3.66 Mz_l=-0.00
Azioni sul cordone: TP=-0.30 TO=0.28 NO=-431.19
Tensioni nel cordone: τ_P= 0.10 τ_0= 0.09 σ_0=142.40 σ_{ID}=142.40 Σ_T=142.49
CC 29 SLV (Collegamento 0020_-377)
Azioni sul collegamento: N=-7401.55 Ty=-5.40 Tz=-1.71 Mx=-0.00 Mz=-7.25
Sollecitazioni agenti localmente: Tx_l=-5.40 Ty_l=-1.71 N_l=-7401.55 My_l=7.25 Mz_l=-0.00
Azioni sul cordone: TP=-0.40 TO=-0.12 NO=-547.13
Tensioni nel cordone: τ_P=0.13 τ_0= 0.04 σ_0=184.49 σ_{ID}=184.49 Σ_T=184.53

CC 29 SLV (Collegamento 0020_-377)
Azioni sul collegamento: N=-7401.55 Ty=-4.11 Tz=-1.71 Mx=-0.00 Mz=-3.66
Sollecitazioni agenti localmente: Tx_l=-4.11 Ty_l=-1.71 N_l=-7401.55 My_l=3.66 Mz_l=-0.00
Azioni sul cordone: TP=-0.30 TO=-0.12 NO=-547.13
Tensioni nel cordone: τ_P= 0.10 τ_0= 0.04 σ_0=179.25 σ_{ID}=179.25 Σ_T=179.29
CC 29 SLV (Collegamento 0020_-377)
Azioni sul collegamento: N=-7401.55 Ty=-5.40 Tz=3.74 Mx=-0.00 Mz=-7.25
Sollecitazioni agenti localmente: Tx_l=-5.40 Ty_l=3.74 N_l=-7401.55 My_l=7.25 Mz_l=-0.00
Azioni sul cordone: TP=-0.40 TO=0.28 NO=-547.13
Tensioni nel cordone: τ_P=0.13 τ_0= 0.09 σ_0=184.49 σ_{ID}=184.49 Σ_T=184.58
CC 29 SLV (Collegamento 0020_-377)
Azioni sul collegamento: N=-7401.55 Ty=-4.11 Tz=3.74 Mx=-0.00 Mz=-3.66
Sollecitazioni agenti localmente: Tx_l=-4.11 Ty_l=3.74 N_l=-7401.55 My_l=3.66 Mz_l=-0.00
Azioni sul cordone: TP=-0.30 TO=0.28 NO=-547.13
Tensioni nel cordone: τ_P= 0.10 τ_0= 0.09 σ_0=179.25 σ_{ID}=179.25 Σ_T=179.33
CC 30 SLD (Collegamento 0020_-377)
Azioni sul collegamento: N=-6345.78 Ty=-4.11 Tz=0.05 Mx=0.00 Mz=-3.92
Sollecitazioni agenti localmente: Tx_l=-4.11 Ty_l=0.05 N_l=-6345.78 My_l=3.92 Mz_l=0.00
Azioni sul cordone: TP=-0.31 TO=0.00 NO=-469.08
Tensioni nel cordone: τ_P= 0.10 τ_0=7.66E-04 σ_0=154.82 σ_{ID}=154.82 Σ_T=154.82
CC 30 SLD (Collegamento 0020_-377)
Azioni sul collegamento: N=-6345.78 Ty=-3.72 Tz=0.05 Mx=0.00 Mz=-2.82
Sollecitazioni agenti localmente: Tx_l=-3.72 Ty_l=0.05 N_l=-6345.78 My_l=2.82 Mz_l=0.00
Azioni sul cordone: TP=-0.28 TO=0.00 NO=-469.08
Tensioni nel cordone: τ_P= 0.09 τ_0=7.66E-04 σ_0=153.22 σ_{ID}=153.22 Σ_T=153.22
CC 30 SLD (Collegamento 0020_-377)
Azioni sul collegamento: N=-6345.78 Ty=-4.11 Tz=1.72 Mx=0.00 Mz=-3.92
Sollecitazioni agenti localmente: Tx_l=-4.11 Ty_l=1.72 N_l=-6345.78 My_l=3.92 Mz_l=0.00
Azioni sul cordone: TP=-0.31 TO=0.13 NO=-469.08
Tensioni nel cordone: τ_P= 0.10 τ_0= 0.04 σ_0=154.82 σ_{ID}=154.82 Σ_T=154.86
CC 30 SLD (Collegamento 0020_-377)
Azioni sul collegamento: N=-6345.78 Ty=-3.72 Tz=1.72 Mx=0.00 Mz=-2.82
Sollecitazioni agenti localmente: Tx_l=-3.72 Ty_l=1.72 N_l=-6345.78 My_l=2.82 Mz_l=0.00
Azioni sul cordone: TP=-0.28 TO=0.13 NO=-469.08
Tensioni nel cordone: τ_P= 0.09 τ_0= 0.04 σ_0=153.22 σ_{ID}=153.22 Σ_T=153.26
CC 30 SLD (Collegamento 0020_-377)
Azioni sul collegamento: N=-6824.03 Ty=-4.11 Tz=0.05 Mx=0.00 Mz=-3.92
Sollecitazioni agenti localmente: Tx_l=-4.11 Ty_l=0.05 N_l=-6824.03 My_l=3.92 Mz_l=0.00
Azioni sul cordone: TP=-0.31 TO=0.00 NO=-504.43
Tensioni nel cordone: τ_P= 0.10 τ_0=7.70E-04 σ_0=166.06 σ_{ID}=166.06 Σ_T=166.06
CC 30 SLD (Collegamento 0020_-377)
Azioni sul collegamento: N=-6824.03 Ty=-3.72 Tz=0.05 Mx=0.00 Mz=-2.82
Sollecitazioni agenti localmente: Tx_l=-3.72 Ty_l=0.05 N_l=-6824.03 My_l=2.82 Mz_l=0.00
Azioni sul cordone: TP=-0.28 TO=0.00 NO=-504.43
Tensioni nel cordone: τ_P= 0.09 τ_0=7.70E-04 σ_0=164.46 σ_{ID}=164.46 Σ_T=164.46
CC 30 SLD (Collegamento 0020_-377)
Azioni sul collegamento: N=-6824.03 Ty=-4.11 Tz=1.72 Mx=0.00 Mz=-3.92
Sollecitazioni agenti localmente: Tx_l=-4.11 Ty_l=1.72 N_l=-6824.03 My_l=3.92 Mz_l=0.00
Azioni sul cordone: TP=-0.31 TO=0.13 NO=-504.43
Tensioni nel cordone: τ_P= 0.10 τ_0= 0.04 σ_0=166.06 σ_{ID}=166.06 Σ_T=166.10
CC 30 SLD (Collegamento 0020_-377)
Azioni sul collegamento: N=-6824.03 Ty=-3.72 Tz=1.72 Mx=0.00 Mz=-2.82
Sollecitazioni agenti localmente: Tx_l=-3.72 Ty_l=1.72 N_l=-6824.03 My_l=2.82 Mz_l=0.00
Azioni sul cordone: TP=-0.28 TO=0.13 NO=-504.43
Tensioni nel cordone: τ_P= 0.09 τ_0= 0.04 σ_0=164.46 σ_{ID}=164.46 Σ_T=164.50
CC 31 SLV (Collegamento 0020_-377)
Azioni sul collegamento: N=-7420.51 Ty=-6.23 Tz=4.16 Mx=-0.00 Mz=-7.84
Sollecitazioni agenti localmente: Tx_l=-6.23 Ty_l=4.16 N_l=-7420.51 My_l=7.84 Mz_l=-0.00
Azioni sul cordone: TP=-0.46 TO=0.31 NO=-548.53
Tensioni nel cordone: τ_P=0.15 τ_0= 0.10 σ_0=185.81 σ_{ID}=185.81 Σ_T=185.91
CC 31 SLV (Collegamento 0020_-377)
Azioni sul collegamento: N=-7420.51 Ty=-3.29 Tz=4.16 Mx=-0.00 Mz=-3.06
Sollecitazioni agenti localmente: Tx_l=-3.29 Ty_l=4.16 N_l=-7420.51 My_l=3.06 Mz_l=-0.00
Azioni sul cordone: TP=-0.24 TO=0.31 NO=-548.53
Tensioni nel cordone: τ_P= 0.08 τ_0= 0.10 σ_0=178.82 σ_{ID}=178.82 Σ_T=178.92
CC 31 SLV (Collegamento 0020_-377)
Azioni sul collegamento: N=-7420.51 Ty=-6.23 Tz=-2.14 Mx=-0.00 Mz=-7.84
Sollecitazioni agenti localmente: Tx_l=-6.23 Ty_l=-2.14 N_l=-7420.51 My_l=7.84 Mz_l=-0.00
Azioni sul cordone: TP=-0.46 TO=-0.16 NO=-548.53
Tensioni nel cordone: τ_P=0.15 τ_0= 0.05 σ_0=185.81 σ_{ID}=185.81 Σ_T=185.86
CC 31 SLV (Collegamento 0020_-377)
Azioni sul collegamento: N=-7420.51 Ty=-3.29 Tz=-2.14 Mx=-0.00 Mz=-3.06
Sollecitazioni agenti localmente: Tx_l=-3.29 Ty_l=-2.14 N_l=-7420.51 My_l=3.06 Mz_l=-0.00
Azioni sul cordone: TP=-0.24 TO=-0.16 NO=-548.53
Tensioni nel cordone: τ_P= 0.08 τ_0= 0.05 σ_0=178.82 σ_{ID}=178.82 Σ_T=178.87
CC 31 SLV (Collegamento 0020_-377)
Azioni sul collegamento: N=-5814.21 Ty=-6.23 Tz=4.16 Mx=-0.00 Mz=-7.84
Sollecitazioni agenti localmente: Tx_l=-6.23 Ty_l=4.16 N_l=-5814.21 My_l=7.84 Mz_l=-0.00
Azioni sul cordone: TP=-0.46 TO=0.31 NO=-429.79
Tensioni nel cordone: τ_P=0.15 τ_0= 0.10 σ_0=148.07 σ_{ID}=148.07 Σ_T=148.16
CC 31 SLV (Collegamento 0020_-377)

Azioni sul collegamento: N=-5814.21 Ty=-3.29 Tz=4.16 Mx=-0.00 Mz=-3.06
Sollecitazioni agenti localmente: Tx_l=-3.29 Ty_l=4.16 N_l=-5814.21 My_l=3.06 Mz_l=-0.00
Azioni sul cordone: TP=-0.24 TO=0.31 NO=-429.79
Tensioni nel cordone: τ_P= 0.08 τ_0= 0.10 σ_0=141.08 σ_{ID}=141.08 Σ_T=141.18
CC 31 SLV (Collegamento 0020_-377)
Azioni sul collegamento: N=-5814.21 Ty=-6.23 Tz=-2.14 Mx=-0.00 Mz=-7.84
Sollecitazioni agenti localmente: Tx_l=-6.23 Ty_l=-2.14 N_l=-5814.21 My_l=7.84 Mz_l=-0.00
Azioni sul cordone: TP=-0.46 TO=-0.16 NO=-429.79
Tensioni nel cordone: τ_P=0.15 τ_0= 0.05 σ_0=148.07 σ_{ID}=148.07 Σ_T=148.12
CC 31 SLV (Collegamento 0020_-377)
Azioni sul collegamento: N=-5814.21 Ty=-3.29 Tz=-2.14 Mx=-0.00 Mz=-3.06
Sollecitazioni agenti localmente: Tx_l=-3.29 Ty_l=-2.14 N_l=-5814.21 My_l=3.06 Mz_l=-0.00
Azioni sul cordone: TP=-0.24 TO=-0.16 NO=-429.79
Tensioni nel cordone: τ_P= 0.08 τ_0= 0.05 σ_0=141.08 σ_{ID}=141.08 Σ_T=141.13
CC 32 SLD (Collegamento 0020_-377)
Azioni sul collegamento: N=-6829.81 Ty=-4.36 Tz=1.85 Mx=0.00 Mz=-4.10
Sollecitazioni agenti localmente: Tx_l=-4.36 Ty_l=1.85 N_l=-6829.81 My_l=4.10 Mz_l=0.00
Azioni sul cordone: TP=-0.33 TO=0.13 NO=-504.86
Tensioni nel cordone: τ_P=0.10 τ_0= 0.04 σ_0=166.46 σ_{ID}=166.46 Σ_T=166.50
CC 32 SLD (Collegamento 0020_-377)
Azioni sul collegamento: N=-6829.81 Ty=-3.47 Tz=1.85 Mx=0.00 Mz=-2.64
Sollecitazioni agenti localmente: Tx_l=-3.47 Ty_l=1.85 N_l=-6829.81 My_l=2.64 Mz_l=0.00
Azioni sul cordone: TP=-0.26 TO=0.13 NO=-504.86
Tensioni nel cordone: τ_P= 0.08 τ_0= 0.04 σ_0=164.33 σ_{ID}=164.33 Σ_T=164.37
CC 32 SLD (Collegamento 0020_-377)
Azioni sul collegamento: N=-6829.81 Ty=-4.36 Tz=-0.08 Mx=0.00 Mz=-4.10
Sollecitazioni agenti localmente: Tx_l=-4.36 Ty_l=-0.08 N_l=-6829.81 My_l=4.10 Mz_l=0.00
Azioni sul cordone: TP=-0.33 TO=-0.01 NO=-504.86
Tensioni nel cordone: τ_P=0.10 τ_0=2.36E-03 σ_0=166.46 σ_{ID}=166.46 Σ_T=166.46
CC 32 SLD (Collegamento 0020_-377)
Azioni sul collegamento: N=-6829.81 Ty=-3.47 Tz=-0.08 Mx=0.00 Mz=-2.64
Sollecitazioni agenti localmente: Tx_l=-3.47 Ty_l=-0.08 N_l=-6829.81 My_l=2.64 Mz_l=0.00
Azioni sul cordone: TP=-0.26 TO=-0.01 NO=-504.86
Tensioni nel cordone: τ_P= 0.08 τ_0=2.36E-03 σ_0=164.33 σ_{ID}=164.33 Σ_T=164.33
CC 32 SLD (Collegamento 0020_-377)
Azioni sul collegamento: N=-6340.00 Ty=-4.36 Tz=1.85 Mx=0.00 Mz=-4.10
Sollecitazioni agenti localmente: Tx_l=-4.36 Ty_l=1.85 N_l=-6340.00 My_l=4.10 Mz_l=0.00
Azioni sul cordone: TP=-0.33 TO=0.13 NO=-468.65
Tensioni nel cordone: τ_P=0.10 τ_0= 0.04 σ_0=154.95 σ_{ID}=154.95 Σ_T=154.99
CC 32 SLD (Collegamento 0020_-377)
Azioni sul collegamento: N=-6340.00 Ty=-3.47 Tz=1.85 Mx=0.00 Mz=-2.64
Sollecitazioni agenti localmente: Tx_l=-3.47 Ty_l=1.85 N_l=-6340.00 My_l=2.64 Mz_l=0.00
Azioni sul cordone: TP=-0.26 TO=0.13 NO=-468.65
Tensioni nel cordone: τ_P= 0.08 τ_0= 0.04 σ_0=152.82 σ_{ID}=152.82 Σ_T=152.86
CC 32 SLD (Collegamento 0020_-377)
Azioni sul collegamento: N=-6340.00 Ty=-4.36 Tz=-0.08 Mx=0.00 Mz=-4.10
Sollecitazioni agenti localmente: Tx_l=-4.36 Ty_l=-0.08 N_l=-6340.00 My_l=4.10 Mz_l=0.00
Azioni sul cordone: TP=-0.33 TO=-0.01 NO=-468.65
Tensioni nel cordone: τ_P=0.10 τ_0=2.37E-03 σ_0=154.95 σ_{ID}=154.95 Σ_T=154.95
CC 32 SLD (Collegamento 0020_-377)
Azioni sul collegamento: N=-6340.00 Ty=-3.47 Tz=-0.08 Mx=0.00 Mz=-2.64
Sollecitazioni agenti localmente: Tx_l=-3.47 Ty_l=-0.08 N_l=-6340.00 My_l=2.64 Mz_l=0.00
Azioni sul cordone: TP=-0.26 TO=-0.01 NO=-468.65
Tensioni nel cordone: τ_P= 0.08 τ_0=2.37E-03 σ_0=152.82 σ_{ID}=152.82 Σ_T=152.82
CC 33 SLU (Collegamento 0020_-377)
Azioni sul collegamento: N=-30337.70 Ty=-5.16 Tz=79.98 Mx=0.01 Mz=-3.50
Sollecitazioni agenti localmente: Tx_l=-5.16 Ty_l=79.98 N_l=-30337.70 My_l=3.50 Mz_l=0.01
Azioni sul cordone: TP=-0.39 TO=5.91 NO=-2242.58
Tensioni nel cordone: τ_P=0.12 τ_0=1.88 σ_0=717.91 σ_{ID}=717.92 Σ_T=719.79
CC 34 SLU (Collegamento 0020_-377)
Azioni sul collegamento: N=-30888.30 Ty=-5.44 Tz=82.02 Mx=0.01 Mz=-3.71
Sollecitazioni agenti localmente: Tx_l=-5.44 Ty_l=82.02 N_l=-30888.30 My_l=3.71 Mz_l=0.01
Azioni sul cordone: TP=-0.41 TO=6.06 NO=-2283.27
Tensioni nel cordone: τ_P=0.13 τ_0=1.93 σ_0=731.15 σ_{ID}=731.15 Σ_T=733.08
CC 35 SLU (Collegamento 0020_-377)
Azioni sul collegamento: N=-30612.00 Ty=-5.19 Tz=81.02 Mx=0.01 Mz=-3.39
Sollecitazioni agenti localmente: Tx_l=-5.19 Ty_l=81.02 N_l=-30612.00 My_l=3.39 Mz_l=0.01
Azioni sul cordone: TP=-0.39 TO=5.98 NO=-2262.85
Tensioni nel cordone: τ_P=0.12 τ_0=1.90 σ_0=724.19 σ_{ID}=724.20 Σ_T=726.09
CC 36 SLU (Collegamento 0020_-377)
Azioni sul collegamento: N=-30614.00 Ty=-5.41 Tz=80.97 Mx=0.01 Mz=-3.82
Sollecitazioni agenti localmente: Tx_l=-5.41 Ty_l=80.97 N_l=-30614.00 My_l=3.82 Mz_l=0.01
Azioni sul cordone: TP=-0.41 TO=5.98 NO=-2263.00
Tensioni nel cordone: τ_P=0.13 τ_0=1.90 σ_0=724.88 σ_{ID}=724.88 Σ_T=726.77
CC 37 SLU (Collegamento 0020_-377)
Azioni sul collegamento: N=-32266.80 Ty=-5.04 Tz=86.42 Mx=-0.00 Mz=-3.56
Sollecitazioni agenti localmente: Tx_l=-5.04 Ty_l=86.42 N_l=-32266.80 My_l=3.56 Mz_l=-0.00
Azioni sul cordone: TP=-0.37 TO=6.39 NO=-2385.17
Tensioni nel cordone: τ_P=0.12 τ_0=2.03 σ_0=763.32 σ_{ID}=763.32 Σ_T=765.35
CC 38 SLU (Collegamento 0020_-377)
Azioni sul collegamento: N=-32817.30 Ty=-5.33 Tz=88.46 Mx=-0.00 Mz=-3.76

Sollecitazioni agenti localmente: Tx_l=-5.33 Ty_l=88.46 N_l=-32817.30 My_l=3.76 Mz_l=-0.00
Azioni sul cordone: TP=-0.39 TO=6.54 NO=-2425.86
Tensioni nel cordone: τ_P=0.12 τ_0=2.08 σ_0=776.55 σ_{ID}=776.56 Σ_T=778.63
CC 39 SLU (Collegamento 0020_-377)
Azioni sul collegamento: N=-32541.00 Ty=-5.08 Tz=87.47 Mx=-0.00 Mz=-3.44
Sollecitazioni agenti localmente: Tx_l=-5.08 Ty_l=87.47 N_l=-32541.00 My_l=3.44 Mz_l=-0.00
Azioni sul cordone: TP=-0.37 TO=6.47 NO=-2405.44
Tensioni nel cordone: τ_P=0.12 τ_0=2.06 σ_0=769.60 σ_{ID}=769.60 Σ_T=771.65
CC 40 SLU (Collegamento 0020_-377)
Azioni sul collegamento: N=-32543.00 Ty=-5.30 Tz=87.42 Mx=-0.00 Mz=-3.88
Sollecitazioni agenti localmente: Tx_l=-5.30 Ty_l=87.42 N_l=-32543.00 My_l=3.88 Mz_l=-0.00
Azioni sul cordone: TP=-0.39 TO=6.46 NO=-2405.59
Tensioni nel cordone: τ_P=0.12 τ_0=2.05 σ_0=770.28 σ_{ID}=770.28 Σ_T=772.33
CC 41 SLU (Collegamento 0020_-377)
Azioni sul collegamento: N=-21046.60 Ty=-6.03 Tz=45.82 Mx=0.01 Mz=-4.13
Sollecitazioni agenti localmente: Tx_l=-6.03 Ty_l=45.82 N_l=-21046.60 My_l=4.13 Mz_l=0.01
Azioni sul cordone: TP=-0.45 TO=3.38 NO=-1555.77
Tensioni nel cordone: τ_P=0.14 τ_0=1.07 σ_0=500.54 σ_{ID}=500.54 Σ_T=501.61
CC 42 SLU (Collegamento 0020_-377)
Azioni sul collegamento: N=-21597.10 Ty=-6.32 Tz=47.86 Mx=0.01 Mz=-4.34
Sollecitazioni agenti localmente: Tx_l=-6.32 Ty_l=47.86 N_l=-21597.10 My_l=4.34 Mz_l=0.01
Azioni sul cordone: TP=-0.48 TO=3.53 NO=-1596.47
Tensioni nel cordone: τ_P=0.15 τ_0=1.12 σ_0=513.78 σ_{ID}=513.78 Σ_T=514.90
CC 43 SLU (Collegamento 0020_-377)
Azioni sul collegamento: N=-21320.90 Ty=-6.07 Tz=46.87 Mx=0.01 Mz=-4.02
Sollecitazioni agenti localmente: Tx_l=-6.07 Ty_l=46.87 N_l=-21320.90 My_l=4.02 Mz_l=0.01
Azioni sul cordone: TP=-0.46 TO=3.46 NO=-1576.05
Tensioni nel cordone: τ_P=0.14 τ_0=1.10 σ_0=506.82 σ_{ID}=506.82 Σ_T=507.92
CC 44 SLU (Collegamento 0020_-377)
Azioni sul collegamento: N=-21322.80 Ty=-6.29 Tz=46.82 Mx=0.01 Mz=-4.45
Sollecitazioni agenti localmente: Tx_l=-6.29 Ty_l=46.82 N_l=-21322.80 My_l=4.45 Mz_l=0.01
Azioni sul cordone: TP=-0.47 TO=3.45 NO=-1576.19
Tensioni nel cordone: τ_P=0.15 τ_0=1.10 σ_0=507.50 σ_{ID}=507.50 Σ_T=508.60
CC 45 SLU (Collegamento 0020_-377)
Azioni sul collegamento: N=-23139.00 Ty=-5.73 Tz=53.57 Mx=0.01 Mz=-3.96
Sollecitazioni agenti localmente: Tx_l=-5.73 Ty_l=53.57 N_l=-23139.00 My_l=3.96 Mz_l=0.01
Azioni sul cordone: TP=-0.43 TO=3.95 NO=-1710.44
Tensioni nel cordone: τ_P=0.14 τ_0=1.26 σ_0=549.44 σ_{ID}=549.45 Σ_T=550.70
CC 46 SLU (Collegamento 0020_-377)
Azioni sul collegamento: N=-23689.50 Ty=-6.01 Tz=55.60 Mx=0.01 Mz=-4.17
Sollecitazioni agenti localmente: Tx_l=-6.01 Ty_l=55.60 N_l=-23689.50 My_l=4.17 Mz_l=0.01
Azioni sul cordone: TP=-0.45 TO=4.10 NO=-1751.14
Tensioni nel cordone: τ_P=0.14 τ_0=1.30 σ_0=562.68 σ_{ID}=562.68 Σ_T=563.99
CC 47 SLU (Collegamento 0020_-377)
Azioni sul collegamento: N=-23413.30 Ty=-5.76 Tz=54.61 Mx=0.01 Mz=-3.84
Sollecitazioni agenti localmente: Tx_l=-5.76 Ty_l=54.61 N_l=-23413.30 My_l=3.84 Mz_l=0.01
Azioni sul cordone: TP=-0.43 TO=4.03 NO=-1730.71
Tensioni nel cordone: τ_P=0.14 τ_0=1.28 σ_0=555.72 σ_{ID}=555.72 Σ_T=557.00
CC 48 SLU (Collegamento 0020_-377)
Azioni sul collegamento: N=-23415.20 Ty=-5.98 Tz=54.56 Mx=0.01 Mz=-4.28
Sollecitazioni agenti localmente: Tx_l=-5.98 Ty_l=54.56 N_l=-23415.20 My_l=4.28 Mz_l=0.01
Azioni sul cordone: TP=-0.45 TO=4.03 NO=-1730.86
Tensioni nel cordone: τ_P=0.14 τ_0=1.28 σ_0=556.40 σ_{ID}=556.41 Σ_T=557.68
CC 49 SLU (Collegamento 0020_-377)
Azioni sul collegamento: N=-24582.20 Ty=-5.64 Tz=58.39 Mx=0.00 Mz=-4.00
Sollecitazioni agenti localmente: Tx_l=-5.64 Ty_l=58.39 N_l=-24582.20 My_l=4.00 Mz_l=0.00
Azioni sul cordone: TP=-0.42 TO=4.32 NO=-1817.12
Tensioni nel cordone: τ_P=0.13 τ_0=1.37 σ_0=583.41 σ_{ID}=583.41 Σ_T=584.78
CC 50 SLU (Collegamento 0020_-377)
Azioni sul collegamento: N=-25132.70 Ty=-5.93 Tz=60.42 Mx=0.00 Mz=-4.21
Sollecitazioni agenti localmente: Tx_l=-5.93 Ty_l=60.42 N_l=-25132.70 My_l=4.21 Mz_l=0.00
Azioni sul cordone: TP=-0.44 TO=4.47 NO=-1857.82
Tensioni nel cordone: τ_P=0.14 τ_0=1.42 σ_0=596.65 σ_{ID}=596.65 Σ_T=598.07
CC 51 SLU (Collegamento 0020_-377)
Azioni sul collegamento: N=-24856.40 Ty=-5.68 Tz=59.43 Mx=-0.00 Mz=-3.89
Sollecitazioni agenti localmente: Tx_l=-5.68 Ty_l=59.43 N_l=-24856.40 My_l=3.89 Mz_l=-0.00
Azioni sul cordone: TP=-0.42 TO=4.39 NO=-1837.40
Tensioni nel cordone: τ_P=0.13 τ_0=1.40 σ_0=589.69 σ_{ID}=589.69 Σ_T=591.09
CC 52 SLU (Collegamento 0020_-377)
Azioni sul collegamento: N=-24858.40 Ty=-5.89 Tz=59.38 Mx=0.00 Mz=-4.32
Sollecitazioni agenti localmente: Tx_l=-5.89 Ty_l=59.38 N_l=-24858.40 My_l=4.32 Mz_l=0.00
Azioni sul cordone: TP=-0.44 TO=4.39 NO=-1837.54
Tensioni nel cordone: τ_P=0.14 τ_0=1.39 σ_0=590.37 σ_{ID}=590.37 Σ_T=591.77
CC 53 SLU (Collegamento 0020_-377)
Azioni sul collegamento: N=-16187.80 Ty=-6.38 Tz=28.01 Mx=0.01 Mz=-4.43
Sollecitazioni agenti localmente: Tx_l=-6.38 Ty_l=28.01 N_l=-16187.80 My_l=4.43 Mz_l=0.01
Azioni sul cordone: TP=-0.48 TO=2.07 NO=-1196.61
Tensioni nel cordone: τ_P=0.15 τ_0=0.66 σ_0=386.81 σ_{ID}=386.81 Σ_T=387.47
CC 54 SLU (Collegamento 0020_-377)
Azioni sul collegamento: N=-16738.30 Ty=-6.67 Tz=30.05 Mx=0.01 Mz=-4.64
Sollecitazioni agenti localmente: Tx_l=-6.67 Ty_l=30.05 N_l=-16738.30 My_l=4.64 Mz_l=0.01

Azioni sul cordone: TP=-0.50 TO=2.22 NO=-1237.30
Tensioni nel cordone: τ_P=0.16 τ_0=0.70 σ_0=400.05 σ_{ID}=400.05 Σ_T=400.76
CC 55 SLU (Collegamento 0020_-377)
Azioni sul collegamento: N=-16462.10 Ty=-6.42 Tz=29.05 Mx=0.01 Mz=-4.32
Sollecitazioni agenti localmente: Tx_l=-6.42 Ty_l=29.05 N_l=-16462.10 My_l=4.32 Mz_l=0.01
Azioni sul cordone: TP=-0.48 TO=2.14 NO=-1216.88
Tensioni nel cordone: τ_P=0.15 τ_0=0.68 σ_0=393.09 σ_{ID}=393.09 Σ_T=393.77
CC 56 SLU (Collegamento 0020_-377)
Azioni sul collegamento: N=-16464.10 Ty=-6.64 Tz=29.01 Mx=0.01 Mz=-4.75
Sollecitazioni agenti localmente: Tx_l=-6.64 Ty_l=29.01 N_l=-16464.10 My_l=4.75 Mz_l=0.01
Azioni sul cordone: TP=-0.50 TO=2.14 NO=-1217.03
Tensioni nel cordone: τ_P=0.16 τ_0=0.68 σ_0=393.77 σ_{ID}=393.77 Σ_T=394.45
CC 57 SLU (Collegamento 0020_-377)
Azioni sul collegamento: N=-23519.50 Ty=-6.15 Tz=55.00 Mx=0.01 Mz=-4.26
Sollecitazioni agenti localmente: Tx_l=-6.15 Ty_l=55.00 N_l=-23519.50 My_l=4.26 Mz_l=0.01
Azioni sul cordone: TP=-0.46 TO=4.06 NO=-1738.57
Tensioni nel cordone: τ_P=0.15 τ_0=1.29 σ_0=558.83 σ_{ID}=558.83 Σ_T=560.12
CC 58 SLU (Collegamento 0020_-377)
Azioni sul collegamento: N=-24070.10 Ty=-6.43 Tz=57.04 Mx=0.01 Mz=-4.47
Sollecitazioni agenti localmente: Tx_l=-6.43 Ty_l=57.04 N_l=-24070.10 My_l=4.47 Mz_l=0.01
Azioni sul cordone: TP=-0.48 TO=4.21 NO=-1779.27
Tensioni nel cordone: τ_P=0.15 τ_0=1.34 σ_0=572.07 σ_{ID}=572.07 Σ_T=573.40
CC 59 SLU (Collegamento 0020_-377)
Azioni sul collegamento: N=-23793.80 Ty=-6.18 Tz=56.05 Mx=0.01 Mz=-4.15
Sollecitazioni agenti localmente: Tx_l=-6.18 Ty_l=56.05 N_l=-23793.80 My_l=4.15 Mz_l=0.01
Azioni sul cordone: TP=-0.46 TO=4.14 NO=-1758.85
Tensioni nel cordone: τ_P=0.15 τ_0=1.32 σ_0=565.11 σ_{ID}=565.11 Σ_T=566.42
CC 60 SLU (Collegamento 0020_-377)
Azioni sul collegamento: N=-23795.80 Ty=-6.40 Tz=56.00 Mx=0.01 Mz=-4.58
Sollecitazioni agenti localmente: Tx_l=-6.40 Ty_l=56.00 N_l=-23795.80 My_l=4.58 Mz_l=0.01
Azioni sul cordone: TP=-0.48 TO=4.13 NO=-1758.99
Tensioni nel cordone: τ_P=0.15 τ_0=1.31 σ_0=565.79 σ_{ID}=565.79 Σ_T=567.10
CC 61 SLU (Collegamento 0020_-377)
Azioni sul collegamento: N=-24962.70 Ty=-6.06 Tz=59.83 Mx=0.00 Mz=-4.30
Sollecitazioni agenti localmente: Tx_l=-6.06 Ty_l=59.83 N_l=-24962.70 My_l=4.30 Mz_l=0.00
Azioni sul cordone: TP=-0.45 TO=4.42 NO=-1845.25
Tensioni nel cordone: τ_P=0.14 τ_0=1.41 σ_0=592.80 σ_{ID}=592.80 Σ_T=594.20
CC 62 SLU (Collegamento 0020_-377)
Azioni sul collegamento: N=-25513.20 Ty=-6.35 Tz=61.87 Mx=0.00 Mz=-4.51
Sollecitazioni agenti localmente: Tx_l=-6.35 Ty_l=61.87 N_l=-25513.20 My_l=4.51 Mz_l=0.00
Azioni sul cordone: TP=-0.47 TO=4.57 NO=-1885.95
Tensioni nel cordone: τ_P=0.15 τ_0=1.45 σ_0=606.03 σ_{ID}=606.04 Σ_T=607.49
CC 63 SLU (Collegamento 0020_-377)
Azioni sul collegamento: N=-25237.00 Ty=-6.10 Tz=60.87 Mx=-0.00 Mz=-4.19
Sollecitazioni agenti localmente: Tx_l=-6.10 Ty_l=60.87 N_l=-25237.00 My_l=4.19 Mz_l=-0.00
Azioni sul cordone: TP=-0.45 TO=4.50 NO=-1865.53
Tensioni nel cordone: τ_P=0.14 τ_0=1.43 σ_0=599.08 σ_{ID}=599.08 Σ_T=600.50
CC 64 SLU (Collegamento 0020_-377)
Azioni sul collegamento: N=-25238.90 Ty=-6.31 Tz=60.82 Mx=0.00 Mz=-4.62
Sollecitazioni agenti localmente: Tx_l=-6.31 Ty_l=60.82 N_l=-25238.90 My_l=4.62 Mz_l=0.00
Azioni sul cordone: TP=-0.47 TO=4.49 NO=-1865.67
Tensioni nel cordone: τ_P=0.15 τ_0=1.43 σ_0=599.76 σ_{ID}=599.76 Σ_T=601.19
CC 65 SLU (Collegamento 0020_-377)
Azioni sul collegamento: N=-16568.40 Ty=-6.80 Tz=29.45 Mx=0.01 Mz=-4.74
Sollecitazioni agenti localmente: Tx_l=-6.80 Ty_l=29.45 N_l=-16568.40 My_l=4.74 Mz_l=0.01
Azioni sul cordone: TP=-0.51 TO=2.17 NO=-1224.74
Tensioni nel cordone: τ_P=0.16 τ_0=0.69 σ_0=396.20 σ_{ID}=396.20 Σ_T=396.89
CC 66 SLU (Collegamento 0020_-377)
Azioni sul collegamento: N=-17118.90 Ty=-7.09 Tz=31.49 Mx=0.01 Mz=-4.94
Sollecitazioni agenti localmente: Tx_l=-7.09 Ty_l=31.49 N_l=-17118.90 My_l=4.94 Mz_l=0.01
Azioni sul cordone: TP=-0.53 TO=2.32 NO=-1265.43
Tensioni nel cordone: τ_P=0.17 τ_0=0.74 σ_0=409.44 σ_{ID}=409.44 Σ_T=410.18
CC 67 SLU (Collegamento 0020_-377)
Azioni sul collegamento: N=-16842.60 Ty=-6.84 Tz=30.49 Mx=0.01 Mz=-4.62
Sollecitazioni agenti localmente: Tx_l=-6.84 Ty_l=30.49 N_l=-16842.60 My_l=4.62 Mz_l=0.01
Azioni sul cordone: TP=-0.51 TO=2.25 NO=-1245.01
Tensioni nel cordone: τ_P=0.16 τ_0=0.71 σ_0=402.48 σ_{ID}=402.48 Σ_T=403.19
CC 68 SLU (Collegamento 0020_-377)
Azioni sul collegamento: N=-16844.60 Ty=-7.06 Tz=30.45 Mx=0.01 Mz=-5.06
Sollecitazioni agenti localmente: Tx_l=-7.06 Ty_l=30.45 N_l=-16844.60 My_l=5.06 Mz_l=0.01
Azioni sul cordone: TP=-0.53 TO=2.24 NO=-1245.16
Tensioni nel cordone: τ_P=0.17 τ_0=0.71 σ_0=403.16 σ_{ID}=403.16 Σ_T=403.87
CC 97 SLU (Collegamento 0020_-377)
Azioni sul collegamento: N=-16826.20 Ty=-0.37 Tz=38.55 Mx=0.05 Mz=7.28
Sollecitazioni agenti localmente: Tx_l=-0.37 Ty_l=38.55 N_l=-16826.20 My_l=-7.28 Mz_l=0.05
Azioni sul cordone: TP=-0.08 TO=2.89 NO=-1243.80
Tensioni nel cordone: τ_P= 0.03 τ_0=0.92 σ_0=405.97 σ_{ID}=405.97 Σ_T=406.89
CC 98 SLU (Collegamento 0020_-377)
Azioni sul collegamento: N=-17376.70 Ty=-0.65 Tz=40.58 Mx=0.05 Mz=7.07
Sollecitazioni agenti localmente: Tx_l=-0.65 Ty_l=40.58 N_l=-17376.70 My_l=-7.07 Mz_l=0.05
Azioni sul cordone: TP=-0.10 TO=3.04 NO=-1284.49

Tensioni nel cordone: τ_P= 0.03 τ_O=0.97 σ_O=418.60 σ_{ID}=418.61 Σ_T=419.57
CC 99 SLU (Collegamento 0020_-377)
Azioni sul collegamento: N=-17100.50 Ty=-0.40 Tz=39.59 Mx=0.05 Mz=7.39
Sollecitazioni agenti localmente: Tx_l=-0.40 Ty_l=39.59 N_l=-17100.50 My_l=-7.39 Mz_l=0.05
Azioni sul cordone: TP=-0.08 TO=2.96 NO=-1264.07
Tensioni nel cordone: τ_P= 0.03 τ_O=0.94 σ_O=412.58 σ_{ID}=412.58 Σ_T=413.52
CC 100 SLU (Collegamento 0020_-377)
Azioni sul collegamento: N=-17102.50 Ty=-0.62 Tz=39.54 Mx=0.05 Mz=6.96
Sollecitazioni agenti localmente: Tx_l=-0.62 Ty_l=39.54 N_l=-17102.50 My_l=-6.96 Mz_l=0.05
Azioni sul cordone: TP=-0.10 TO=2.96 NO=-1264.22
Tensioni nel cordone: τ_P= 0.03 τ_O=0.94 σ_O=411.99 σ_{ID}=411.99 Σ_T=412.93
CC 101 SLU (Collegamento 0020_-377)
Azioni sul collegamento: N=-6585.90 Ty=-4.08 Tz=0.92 Mx=-0.00 Mz=-3.64
Sollecitazioni agenti localmente: Tx_l=-4.08 Ty_l=0.92 N_l=-6585.90 My_l=3.64 Mz_l=-0.00
Azioni sul cordone: TP=-0.30 TO=0.07 NO=-486.83
Tensioni nel cordone: τ_P= 0.09 τ_O= 0.02 σ_O=160.06 σ_{ID}=160.06 Σ_T=160.08
CC 102 SLU (Collegamento 0020_-377)
Azioni sul collegamento: N=-7136.43 Ty=-4.37 Tz=2.96 Mx=-0.00 Mz=-3.85
Sollecitazioni agenti localmente: Tx_l=-4.37 Ty_l=2.96 N_l=-7136.43 My_l=3.85 Mz_l=-0.00
Azioni sul cordone: TP=-0.32 TO=0.22 NO=-527.53
Tensioni nel cordone: τ_P=0.10 τ_O= 0.07 σ_O=173.30 σ_{ID}=173.30 Σ_T=173.37
CC 103 SLU (Collegamento 0020_-377)
Azioni sul collegamento: N=-6860.18 Ty=-4.11 Tz=1.96 Mx=-0.00 Mz=-3.53
Sollecitazioni agenti localmente: Tx_l=-4.11 Ty_l=1.96 N_l=-6860.18 My_l=3.53 Mz_l=-0.00
Azioni sul cordone: TP=-0.30 TO=0.15 NO=-507.11
Tensioni nel cordone: τ_P= 0.10 τ_O= 0.05 σ_O=166.34 σ_{ID}=166.34 Σ_T=166.38
CC 104 SLU (Collegamento 0020_-377)
Azioni sul collegamento: N=-6862.15 Ty=-4.33 Tz=1.92 Mx=-0.00 Mz=-3.96
Sollecitazioni agenti localmente: Tx_l=-4.33 Ty_l=1.92 N_l=-6862.15 My_l=3.96 Mz_l=-0.00
Azioni sul cordone: TP=-0.32 TO=0.14 NO=-507.25
Tensioni nel cordone: τ_P=0.10 τ_O= 0.05 σ_O=167.02 σ_{ID}=167.02 Σ_T=167.06

Flessione attacco superiore piastra

Bnetta=220.00 Hnetta=15.00
CC 1 SLV (Collegamento 0020_-377)
Azioni sul collegamento: N=-3875.57 Ty=-4.02 Tz=-9.21 Mx=0.02 Mz=2.16
Sollecitazioni agenti localmente: Ty_l=-704.65 Mx_l=-14.09
Tensioni nella sezione: σ=170.82 τ=21.35
CC 1 SLV (Collegamento 0020_-377)
Azioni sul collegamento: N=-3875.57 Ty=-0.64 Tz=-9.21 Mx=0.02 Mz=-1.09
Sollecitazioni agenti localmente: Ty_l=-704.65 Mx_l=-14.09
Tensioni nella sezione: σ=170.82 τ=21.35
CC 1 SLV (Collegamento 0020_-377)
Azioni sul collegamento: N=-3875.57 Ty=-4.02 Tz=10.50 Mx=0.02 Mz=2.16
Sollecitazioni agenti localmente: Ty_l=-704.65 Mx_l=-14.09
Tensioni nella sezione: σ=170.82 τ=21.35
CC 1 SLV (Collegamento 0020_-377)
Azioni sul collegamento: N=-3875.57 Ty=-0.64 Tz=10.50 Mx=0.02 Mz=-1.09
Sollecitazioni agenti localmente: Ty_l=-704.65 Mx_l=-14.09
Tensioni nella sezione: σ=170.82 τ=21.35
CC 1 SLV (Collegamento 0020_-377)
Azioni sul collegamento: N=-9172.38 Ty=-4.02 Tz=-9.21 Mx=0.02 Mz=2.16
Sollecitazioni agenti localmente: Ty_l=-1667.70 Mx_l=-33.35
Tensioni nella sezione: σ=404.29 τ=50.54
CC 1 SLV (Collegamento 0020_-377)
Azioni sul collegamento: N=-9172.38 Ty=-0.64 Tz=-9.21 Mx=0.02 Mz=-1.09
Sollecitazioni agenti localmente: Ty_l=-1667.70 Mx_l=-33.35
Tensioni nella sezione: σ=404.29 τ=50.54
CC 1 SLV (Collegamento 0020_-377)
Azioni sul collegamento: N=-9172.38 Ty=-4.02 Tz=10.50 Mx=0.02 Mz=2.16
Sollecitazioni agenti localmente: Ty_l=-1667.70 Mx_l=-33.35
Tensioni nella sezione: σ=404.29 τ=50.54
CC 1 SLV (Collegamento 0020_-377)
Azioni sul collegamento: N=-9172.38 Ty=-0.64 Tz=10.50 Mx=0.02 Mz=-1.09
Sollecitazioni agenti localmente: Ty_l=-1667.70 Mx_l=-33.35
Tensioni nella sezione: σ=404.29 τ=50.54
CC 2 SLD (Collegamento 0020_-377)
Azioni sul collegamento: N=-5748.85 Ty=-2.66 Tz=-2.23 Mx=0.01 Mz=-1.05
Sollecitazioni agenti localmente: Ty_l=-1045.24 Mx_l=-20.90
Tensioni nella sezione: σ=253.39 τ=31.67
CC 2 SLD (Collegamento 0020_-377)
Azioni sul collegamento: N=-5748.85 Ty=-3.69 Tz=-2.23 Mx=0.01 Mz=-2.04
Sollecitazioni agenti localmente: Ty_l=-1045.24 Mx_l=-20.90
Tensioni nella sezione: σ=253.39 τ=31.67
CC 2 SLD (Collegamento 0020_-377)
Azioni sul collegamento: N=-5748.85 Ty=-2.66 Tz=3.78 Mx=0.01 Mz=-1.05
Sollecitazioni agenti localmente: Ty_l=-1045.24 Mx_l=-20.90
Tensioni nella sezione: σ=253.39 τ=31.67
CC 2 SLD (Collegamento 0020_-377)
Azioni sul collegamento: N=-5748.85 Ty=-3.69 Tz=3.78 Mx=0.01 Mz=-2.04

Sollecitazioni agenti localmente: Ty_l=-1045.24 Mx_l=-20.90
Tensioni nella sezione: σ=253.39 τ=31.67
CC 2 SLD (Collegamento 0020_-377)
Azioni sul collegamento: N=-7364.01 Ty=-2.66 Tz=-2.23 Mx=0.01 Mz=-1.05
Sollecitazioni agenti localmente: Ty_l=-1338.91 Mx_l=-26.78
Tensioni nella sezione: σ=324.58 τ=40.57
CC 2 SLD (Collegamento 0020_-377)
Azioni sul collegamento: N=-7364.01 Ty=-3.69 Tz=-2.23 Mx=0.01 Mz=-2.04
Sollecitazioni agenti localmente: Ty_l=-1338.91 Mx_l=-26.78
Tensioni nella sezione: σ=324.58 τ=40.57
CC 2 SLD (Collegamento 0020_-377)
Azioni sul collegamento: N=-7364.01 Ty=-2.66 Tz=3.78 Mx=0.01 Mz=-1.05
Sollecitazioni agenti localmente: Ty_l=-1338.91 Mx_l=-26.78
Tensioni nella sezione: σ=324.58 τ=40.57
CC 2 SLD (Collegamento 0020_-377)
Azioni sul collegamento: N=-7364.01 Ty=-3.69 Tz=3.78 Mx=0.01 Mz=-2.04
Sollecitazioni agenti localmente: Ty_l=-1338.91 Mx_l=-26.78
Tensioni nella sezione: σ=324.58 τ=40.57
CC 3 SLV (Collegamento 0020_-377)
Azioni sul collegamento: N=-3881.26 Ty=-3.39 Tz=-9.09 Mx=0.02 Mz=0.91
Sollecitazioni agenti localmente: Ty_l=-705.68 Mx_l=-14.11
Tensioni nella sezione: σ=171.07 τ=21.38
CC 3 SLV (Collegamento 0020_-377)
Azioni sul collegamento: N=-3881.26 Ty=-1.27 Tz=-9.09 Mx=0.02 Mz=0.17
Sollecitazioni agenti localmente: Ty_l=-705.68 Mx_l=-14.11
Tensioni nella sezione: σ=171.07 τ=21.38
CC 3 SLV (Collegamento 0020_-377)
Azioni sul collegamento: N=-3881.26 Ty=-3.39 Tz=10.37 Mx=0.02 Mz=0.91
Sollecitazioni agenti localmente: Ty_l=-705.68 Mx_l=-14.11
Tensioni nella sezione: σ=171.07 τ=21.38
CC 3 SLV (Collegamento 0020_-377)
Azioni sul collegamento: N=-3881.26 Ty=-1.27 Tz=10.37 Mx=0.02 Mz=0.17
Sollecitazioni agenti localmente: Ty_l=-705.68 Mx_l=-14.11
Tensioni nella sezione: σ=171.07 τ=21.38
CC 3 SLV (Collegamento 0020_-377)
Azioni sul collegamento: N=-9166.69 Ty=-3.39 Tz=-9.09 Mx=0.02 Mz=0.91
Sollecitazioni agenti localmente: Ty_l=-1666.67 Mx_l=-33.33
Tensioni nella sezione: σ=404.04 τ=50.51
CC 3 SLV (Collegamento 0020_-377)
Azioni sul collegamento: N=-9166.69 Ty=-1.27 Tz=-9.09 Mx=0.02 Mz=0.17
Sollecitazioni agenti localmente: Ty_l=-1666.67 Mx_l=-33.33
Tensioni nella sezione: σ=404.04 τ=50.51
CC 3 SLV (Collegamento 0020_-377)
Azioni sul collegamento: N=-9166.69 Ty=-3.39 Tz=10.38 Mx=0.02 Mz=0.91
Sollecitazioni agenti localmente: Ty_l=-1666.67 Mx_l=-33.33
Tensioni nella sezione: σ=404.04 τ=50.51
CC 3 SLV (Collegamento 0020_-377)
Azioni sul collegamento: N=-9166.69 Ty=-1.27 Tz=10.38 Mx=0.02 Mz=0.17
Sollecitazioni agenti localmente: Ty_l=-1666.67 Mx_l=-33.33
Tensioni nella sezione: σ=404.04 τ=50.51
CC 4 SLD (Collegamento 0020_-377)
Azioni sul collegamento: N=-5750.58 Ty=-2.85 Tz=-2.19 Mx=0.01 Mz=-1.43
Sollecitazioni agenti localmente: Ty_l=-1045.56 Mx_l=-20.91
Tensioni nella sezione: σ=253.47 τ=31.68
CC 4 SLD (Collegamento 0020_-377)
Azioni sul collegamento: N=-5750.58 Ty=-3.50 Tz=-2.19 Mx=0.01 Mz=-1.66
Sollecitazioni agenti localmente: Ty_l=-1045.56 Mx_l=-20.91
Tensioni nella sezione: σ=253.47 τ=31.68
CC 4 SLD (Collegamento 0020_-377)
Azioni sul collegamento: N=-5750.58 Ty=-2.85 Tz=3.74 Mx=0.01 Mz=-1.43
Sollecitazioni agenti localmente: Ty_l=-1045.56 Mx_l=-20.91
Tensioni nella sezione: σ=253.47 τ=31.68
CC 4 SLD (Collegamento 0020_-377)
Azioni sul collegamento: N=-5750.58 Ty=-3.50 Tz=3.74 Mx=0.01 Mz=-1.66
Sollecitazioni agenti localmente: Ty_l=-1045.56 Mx_l=-20.91
Tensioni nella sezione: σ=253.47 τ=31.68
CC 4 SLD (Collegamento 0020_-377)
Azioni sul collegamento: N=-7362.28 Ty=-2.85 Tz=-2.19 Mx=0.01 Mz=-1.43
Sollecitazioni agenti localmente: Ty_l=-1338.60 Mx_l=-26.77
Tensioni nella sezione: σ=324.51 τ=40.56
CC 4 SLD (Collegamento 0020_-377)
Azioni sul collegamento: N=-7362.28 Ty=-3.50 Tz=-2.19 Mx=0.01 Mz=-1.66
Sollecitazioni agenti localmente: Ty_l=-1338.60 Mx_l=-26.77
Tensioni nella sezione: σ=324.51 τ=40.56
CC 4 SLD (Collegamento 0020_-377)
Azioni sul collegamento: N=-7362.28 Ty=-2.85 Tz=3.74 Mx=0.01 Mz=-1.43
Sollecitazioni agenti localmente: Ty_l=-1338.60 Mx_l=-26.77
Tensioni nella sezione: σ=324.51 τ=40.56
CC 4 SLD (Collegamento 0020_-377)
Azioni sul collegamento: N=-7362.28 Ty=-3.50 Tz=3.74 Mx=0.01 Mz=-1.66

Sollecitazioni agenti localmente: Ty_l=-1338.60 Mx_l=-26.77
Tensioni nella sezione: σ=324.51 τ=40.56
CC 5 SLV (Collegamento 0020_-377)
Azioni sul collegamento: N=-9166.69 Ty=-1.27 Tz=10.38 Mx=0.02 Mz=0.17
Sollecitazioni agenti localmente: Ty_l=-1666.67 Mx_l=-33.33
Tensioni nella sezione: σ=404.04 τ=50.51
CC 5 SLV (Collegamento 0020_-377)
Azioni sul collegamento: N=-9166.69 Ty=-3.39 Tz=10.38 Mx=0.02 Mz=0.91
Sollecitazioni agenti localmente: Ty_l=-1666.67 Mx_l=-33.33
Tensioni nella sezione: σ=404.04 τ=50.51
CC 5 SLV (Collegamento 0020_-377)
Azioni sul collegamento: N=-9166.69 Ty=-1.27 Tz=-9.09 Mx=0.02 Mz=0.17
Sollecitazioni agenti localmente: Ty_l=-1666.67 Mx_l=-33.33
Tensioni nella sezione: σ=404.04 τ=50.51
CC 5 SLV (Collegamento 0020_-377)
Azioni sul collegamento: N=-9166.69 Ty=-3.39 Tz=-9.09 Mx=0.02 Mz=0.91
Sollecitazioni agenti localmente: Ty_l=-1666.67 Mx_l=-33.33
Tensioni nella sezione: σ=404.04 τ=50.51
CC 5 SLV (Collegamento 0020_-377)
Azioni sul collegamento: N=-3881.26 Ty=-1.27 Tz=10.37 Mx=0.02 Mz=0.17
Sollecitazioni agenti localmente: Ty_l=-705.68 Mx_l=-14.11
Tensioni nella sezione: σ=171.07 τ=21.38
CC 5 SLV (Collegamento 0020_-377)
Azioni sul collegamento: N=-3881.26 Ty=-3.39 Tz=10.37 Mx=0.02 Mz=0.91
Sollecitazioni agenti localmente: Ty_l=-705.68 Mx_l=-14.11
Tensioni nella sezione: σ=171.07 τ=21.38
CC 5 SLV (Collegamento 0020_-377)
Azioni sul collegamento: N=-3881.26 Ty=-1.27 Tz=-9.09 Mx=0.02 Mz=0.17
Sollecitazioni agenti localmente: Ty_l=-705.68 Mx_l=-14.11
Tensioni nella sezione: σ=171.07 τ=21.38
CC 5 SLV (Collegamento 0020_-377)
Azioni sul collegamento: N=-3881.26 Ty=-3.39 Tz=-9.09 Mx=0.02 Mz=0.91
Sollecitazioni agenti localmente: Ty_l=-705.68 Mx_l=-14.11
Tensioni nella sezione: σ=171.07 τ=21.38
CC 6 SLD (Collegamento 0020_-377)
Azioni sul collegamento: N=-7362.28 Ty=-3.50 Tz=3.74 Mx=0.01 Mz=-1.66
Sollecitazioni agenti localmente: Ty_l=-1338.60 Mx_l=-26.77
Tensioni nella sezione: σ=324.51 τ=40.56
CC 6 SLD (Collegamento 0020_-377)
Azioni sul collegamento: N=-7362.28 Ty=-2.85 Tz=3.74 Mx=0.01 Mz=-1.43
Sollecitazioni agenti localmente: Ty_l=-1338.60 Mx_l=-26.77
Tensioni nella sezione: σ=324.51 τ=40.56
CC 6 SLD (Collegamento 0020_-377)
Azioni sul collegamento: N=-7362.28 Ty=-3.50 Tz=-2.19 Mx=0.01 Mz=-1.66
Sollecitazioni agenti localmente: Ty_l=-1338.60 Mx_l=-26.77
Tensioni nella sezione: σ=324.51 τ=40.56
CC 6 SLD (Collegamento 0020_-377)
Azioni sul collegamento: N=-7362.28 Ty=-2.85 Tz=-2.19 Mx=0.01 Mz=-1.43
Sollecitazioni agenti localmente: Ty_l=-1338.60 Mx_l=-26.77
Tensioni nella sezione: σ=324.51 τ=40.56
CC 6 SLD (Collegamento 0020_-377)
Azioni sul collegamento: N=-5750.58 Ty=-3.50 Tz=3.74 Mx=0.01 Mz=-1.66
Sollecitazioni agenti localmente: Ty_l=-1045.56 Mx_l=-20.91
Tensioni nella sezione: σ=253.47 τ=31.68
CC 6 SLD (Collegamento 0020_-377)
Azioni sul collegamento: N=-5750.58 Ty=-2.85 Tz=3.74 Mx=0.01 Mz=-1.43
Sollecitazioni agenti localmente: Ty_l=-1045.56 Mx_l=-20.91
Tensioni nella sezione: σ=253.47 τ=31.68
CC 6 SLD (Collegamento 0020_-377)
Azioni sul collegamento: N=-5750.58 Ty=-3.50 Tz=-2.19 Mx=0.01 Mz=-1.66
Sollecitazioni agenti localmente: Ty_l=-1045.56 Mx_l=-20.91
Tensioni nella sezione: σ=253.47 τ=31.68
CC 6 SLD (Collegamento 0020_-377)
Azioni sul collegamento: N=-5750.58 Ty=-2.85 Tz=-2.19 Mx=0.01 Mz=-1.43
Sollecitazioni agenti localmente: Ty_l=-1045.56 Mx_l=-20.91
Tensioni nella sezione: σ=253.47 τ=31.68
CC 7 SLV (Collegamento 0020_-377)
Azioni sul collegamento: N=-9172.38 Ty=-0.64 Tz=10.50 Mx=0.01 Mz=-1.09
Sollecitazioni agenti localmente: Ty_l=-1667.70 Mx_l=-33.35
Tensioni nella sezione: σ=404.29 τ=50.54
CC 7 SLV (Collegamento 0020_-377)
Azioni sul collegamento: N=-9172.38 Ty=-4.02 Tz=10.50 Mx=0.01 Mz=2.16
Sollecitazioni agenti localmente: Ty_l=-1667.70 Mx_l=-33.35
Tensioni nella sezione: σ=404.29 τ=50.54
CC 7 SLV (Collegamento 0020_-377)
Azioni sul collegamento: N=-9172.38 Ty=-0.64 Tz=-9.21 Mx=0.01 Mz=-1.09
Sollecitazioni agenti localmente: Ty_l=-1667.70 Mx_l=-33.35
Tensioni nella sezione: σ=404.29 τ=50.54
CC 7 SLV (Collegamento 0020_-377)
Azioni sul collegamento: N=-9172.38 Ty=-4.02 Tz=-9.21 Mx=0.01 Mz=2.16

Sollecitazioni agenti localmente: Ty_l=-1667.70 Mx_l=-33.35
Tensioni nella sezione: σ=404.29 τ=50.54
CC 7 SLV (Collegamento 0020_-377)
Azioni sul collegamento: N=-3875.57 Ty=-0.64 Tz=10.50 Mx=0.01 Mz=-1.09
Sollecitazioni agenti localmente: Ty_l=-704.65 Mx_l=-14.09
Tensioni nella sezione: σ=170.82 τ=21.35
CC 7 SLV (Collegamento 0020_-377)
Azioni sul collegamento: N=-3875.57 Ty=-4.02 Tz=10.50 Mx=0.01 Mz=2.16
Sollecitazioni agenti localmente: Ty_l=-704.65 Mx_l=-14.09
Tensioni nella sezione: σ=170.82 τ=21.35
CC 7 SLV (Collegamento 0020_-377)
Azioni sul collegamento: N=-3875.57 Ty=-0.64 Tz=-9.21 Mx=0.01 Mz=-1.09
Sollecitazioni agenti localmente: Ty_l=-704.65 Mx_l=-14.09
Tensioni nella sezione: σ=170.82 τ=21.35
CC 7 SLV (Collegamento 0020_-377)
Azioni sul collegamento: N=-3875.57 Ty=-4.02 Tz=-9.21 Mx=0.01 Mz=2.16
Sollecitazioni agenti localmente: Ty_l=-704.65 Mx_l=-14.09
Tensioni nella sezione: σ=170.82 τ=21.35
CC 8 SLD (Collegamento 0020_-377)
Azioni sul collegamento: N=-7364.01 Ty=-3.69 Tz=3.78 Mx=0.01 Mz=-2.04
Sollecitazioni agenti localmente: Ty_l=-1338.91 Mx_l=-26.78
Tensioni nella sezione: σ=324.58 τ=40.57
CC 8 SLD (Collegamento 0020_-377)
Azioni sul collegamento: N=-7364.01 Ty=-2.66 Tz=3.78 Mx=0.01 Mz=-1.05
Sollecitazioni agenti localmente: Ty_l=-1338.91 Mx_l=-26.78
Tensioni nella sezione: σ=324.58 τ=40.57
CC 8 SLD (Collegamento 0020_-377)
Azioni sul collegamento: N=-7364.01 Ty=-3.69 Tz=-2.23 Mx=0.01 Mz=-2.04
Sollecitazioni agenti localmente: Ty_l=-1338.91 Mx_l=-26.78
Tensioni nella sezione: σ=324.58 τ=40.57
CC 8 SLD (Collegamento 0020_-377)
Azioni sul collegamento: N=-7364.01 Ty=-2.66 Tz=-2.23 Mx=0.01 Mz=-1.05
Sollecitazioni agenti localmente: Ty_l=-1338.91 Mx_l=-26.78
Tensioni nella sezione: σ=324.58 τ=40.57
CC 8 SLD (Collegamento 0020_-377)
Azioni sul collegamento: N=-5748.85 Ty=-3.69 Tz=3.78 Mx=0.01 Mz=-2.04
Sollecitazioni agenti localmente: Ty_l=-1045.24 Mx_l=-20.90
Tensioni nella sezione: σ=253.39 τ=31.67
CC 8 SLD (Collegamento 0020_-377)
Azioni sul collegamento: N=-5748.85 Ty=-2.66 Tz=3.78 Mx=0.01 Mz=-1.05
Sollecitazioni agenti localmente: Ty_l=-1045.24 Mx_l=-20.90
Tensioni nella sezione: σ=253.39 τ=31.67
CC 8 SLD (Collegamento 0020_-377)
Azioni sul collegamento: N=-5748.85 Ty=-3.69 Tz=-2.23 Mx=0.01 Mz=-2.04
Sollecitazioni agenti localmente: Ty_l=-1045.24 Mx_l=-20.90
Tensioni nella sezione: σ=253.39 τ=31.67
CC 8 SLD (Collegamento 0020_-377)
Azioni sul collegamento: N=-5748.85 Ty=-2.66 Tz=-2.23 Mx=0.01 Mz=-1.05
Sollecitazioni agenti localmente: Ty_l=-1045.24 Mx_l=-20.90
Tensioni nella sezione: σ=253.39 τ=31.67
CC 9 SLV (Collegamento 0020_-377)
Azioni sul collegamento: N=-5720.83 Ty=-3.80 Tz=-2.51 Mx=0.03 Mz=2.93
Sollecitazioni agenti localmente: Ty_l=-1040.15 Mx_l=-20.80
Tensioni nella sezione: σ=252.16 τ=31.52
CC 9 SLV (Collegamento 0020_-377)
Azioni sul collegamento: N=-5720.83 Ty=-0.86 Tz=-2.51 Mx=0.03 Mz=-1.85
Sollecitazioni agenti localmente: Ty_l=-1040.15 Mx_l=-20.80
Tensioni nella sezione: σ=252.16 τ=31.52
CC 9 SLV (Collegamento 0020_-377)
Azioni sul collegamento: N=-5720.83 Ty=-3.80 Tz=3.80 Mx=0.03 Mz=2.93
Sollecitazioni agenti localmente: Ty_l=-1040.15 Mx_l=-20.80
Tensioni nella sezione: σ=252.16 τ=31.52
CC 9 SLV (Collegamento 0020_-377)
Azioni sul collegamento: N=-5720.83 Ty=-0.86 Tz=3.80 Mx=0.03 Mz=-1.85
Sollecitazioni agenti localmente: Ty_l=-1040.15 Mx_l=-20.80
Tensioni nella sezione: σ=252.16 τ=31.52
CC 9 SLV (Collegamento 0020_-377)
Azioni sul collegamento: N=-7327.12 Ty=-3.80 Tz=-2.51 Mx=0.03 Mz=2.93
Sollecitazioni agenti localmente: Ty_l=-1332.20 Mx_l=-26.64
Tensioni nella sezione: σ=322.96 τ=40.37
CC 9 SLV (Collegamento 0020_-377)
Azioni sul collegamento: N=-7327.12 Ty=-0.86 Tz=-2.51 Mx=0.03 Mz=-1.85
Sollecitazioni agenti localmente: Ty_l=-1332.20 Mx_l=-26.64
Tensioni nella sezione: σ=322.96 τ=40.37
CC 9 SLV (Collegamento 0020_-377)
Azioni sul collegamento: N=-7327.12 Ty=-3.80 Tz=3.80 Mx=0.03 Mz=2.93
Sollecitazioni agenti localmente: Ty_l=-1332.20 Mx_l=-26.64
Tensioni nella sezione: σ=322.96 τ=40.37
CC 9 SLV (Collegamento 0020_-377)
Azioni sul collegamento: N=-7327.12 Ty=-0.86 Tz=3.80 Mx=0.03 Mz=-1.85

Sollecitazioni agenti localmente: Ty_l=-1332.20 Mx_l=-26.64
Tensioni nella sezione: σ=322.96 τ=40.37
CC 10 SLD (Collegamento 0020_-377)
Azioni sul collegamento: N=-6311.52 Ty=-2.73 Tz=-0.19 Mx=0.01 Mz=-0.81
Sollecitazioni agenti localmente: Ty_l=-1147.55 Mx_l=-22.95
Tensioni nella sezione: σ=278.19 τ=34.77
CC 10 SLD (Collegamento 0020_-377)
Azioni sul collegamento: N=-6311.52 Ty=-3.62 Tz=-0.19 Mx=0.01 Mz=-2.27
Sollecitazioni agenti localmente: Ty_l=-1147.55 Mx_l=-22.95
Tensioni nella sezione: σ=278.19 τ=34.77
CC 10 SLD (Collegamento 0020_-377)
Azioni sul collegamento: N=-6311.52 Ty=-2.73 Tz=1.73 Mx=0.01 Mz=-0.81
Sollecitazioni agenti localmente: Ty_l=-1147.55 Mx_l=-22.95
Tensioni nella sezione: σ=278.19 τ=34.77
CC 10 SLD (Collegamento 0020_-377)
Azioni sul collegamento: N=-6311.52 Ty=-3.62 Tz=1.73 Mx=0.01 Mz=-2.27
Sollecitazioni agenti localmente: Ty_l=-1147.55 Mx_l=-22.95
Tensioni nella sezione: σ=278.19 τ=34.77
CC 10 SLD (Collegamento 0020_-377)
Azioni sul collegamento: N=-6801.33 Ty=-2.73 Tz=-0.19 Mx=0.01 Mz=-0.81
Sollecitazioni agenti localmente: Ty_l=-1236.61 Mx_l=-24.73
Tensioni nella sezione: σ=299.78 τ=37.47
CC 10 SLD (Collegamento 0020_-377)
Azioni sul collegamento: N=-6801.33 Ty=-3.62 Tz=-0.19 Mx=0.01 Mz=-2.27
Sollecitazioni agenti localmente: Ty_l=-1236.61 Mx_l=-24.73
Tensioni nella sezione: σ=299.78 τ=37.47
CC 10 SLD (Collegamento 0020_-377)
Azioni sul collegamento: N=-6801.33 Ty=-2.73 Tz=1.73 Mx=0.01 Mz=-0.81
Sollecitazioni agenti localmente: Ty_l=-1236.61 Mx_l=-24.73
Tensioni nella sezione: σ=299.78 τ=37.47
CC 10 SLD (Collegamento 0020_-377)
Azioni sul collegamento: N=-6801.33 Ty=-3.62 Tz=1.73 Mx=0.01 Mz=-2.27
Sollecitazioni agenti localmente: Ty_l=-1236.61 Mx_l=-24.73
Tensioni nella sezione: σ=299.78 τ=37.47
CC 11 SLV (Collegamento 0020_-377)
Azioni sul collegamento: N=-7308.16 Ty=-2.97 Tz=3.37 Mx=0.02 Mz=2.33
Sollecitazioni agenti localmente: Ty_l=-1328.76 Mx_l=-26.58
Tensioni nella sezione: σ=322.12 τ=40.27
CC 11 SLV (Collegamento 0020_-377)
Azioni sul collegamento: N=-7308.16 Ty=-1.68 Tz=3.37 Mx=0.02 Mz=-1.26
Sollecitazioni agenti localmente: Ty_l=-1328.76 Mx_l=-26.58
Tensioni nella sezione: σ=322.12 τ=40.27
CC 11 SLV (Collegamento 0020_-377)
Azioni sul collegamento: N=-7308.16 Ty=-2.97 Tz=-2.08 Mx=0.02 Mz=2.33
Sollecitazioni agenti localmente: Ty_l=-1328.76 Mx_l=-26.58
Tensioni nella sezione: σ=322.12 τ=40.27
CC 11 SLV (Collegamento 0020_-377)
Azioni sul collegamento: N=-7308.16 Ty=-1.68 Tz=-2.08 Mx=0.02 Mz=-1.26
Sollecitazioni agenti localmente: Ty_l=-1328.76 Mx_l=-26.58
Tensioni nella sezione: σ=322.12 τ=40.27
CC 11 SLV (Collegamento 0020_-377)
Azioni sul collegamento: N=-5739.79 Ty=-2.97 Tz=3.37 Mx=0.02 Mz=2.33
Sollecitazioni agenti localmente: Ty_l=-1043.60 Mx_l=-20.87
Tensioni nella sezione: σ=252.99 τ=31.62
CC 11 SLV (Collegamento 0020_-377)
Azioni sul collegamento: N=-5739.79 Ty=-1.68 Tz=3.37 Mx=0.02 Mz=-1.26
Sollecitazioni agenti localmente: Ty_l=-1043.60 Mx_l=-20.87
Tensioni nella sezione: σ=252.99 τ=31.62
CC 11 SLV (Collegamento 0020_-377)
Azioni sul collegamento: N=-5739.79 Ty=-2.97 Tz=-2.08 Mx=0.02 Mz=2.33
Sollecitazioni agenti localmente: Ty_l=-1043.60 Mx_l=-20.87
Tensioni nella sezione: σ=252.99 τ=31.62
CC 11 SLV (Collegamento 0020_-377)
Azioni sul collegamento: N=-5739.79 Ty=-1.68 Tz=-2.08 Mx=0.02 Mz=-1.26
Sollecitazioni agenti localmente: Ty_l=-1043.60 Mx_l=-20.87
Tensioni nella sezione: σ=252.99 τ=31.62
CC 12 SLD (Collegamento 0020_-377)
Azioni sul collegamento: N=-6795.55 Ty=-2.98 Tz=1.60 Mx=0.01 Mz=-1.00
Sollecitazioni agenti localmente: Ty_l=-1235.55 Mx_l=-24.71
Tensioni nella sezione: σ=299.53 τ=37.44
CC 12 SLD (Collegamento 0020_-377)
Azioni sul collegamento: N=-6795.55 Ty=-3.37 Tz=1.60 Mx=0.01 Mz=-2.09
Sollecitazioni agenti localmente: Ty_l=-1235.55 Mx_l=-24.71
Tensioni nella sezione: σ=299.53 τ=37.44
CC 12 SLD (Collegamento 0020_-377)
Azioni sul collegamento: N=-6795.55 Ty=-2.98 Tz=-0.06 Mx=0.01 Mz=-1.00
Sollecitazioni agenti localmente: Ty_l=-1235.55 Mx_l=-24.71
Tensioni nella sezione: σ=299.53 τ=37.44
CC 12 SLD (Collegamento 0020_-377)
Azioni sul collegamento: N=-6795.55 Ty=-3.37 Tz=-0.06 Mx=0.01 Mz=-2.09

Sollecitazioni agenti localmente: Ty_l=-1235.55 Mx_l=-24.71
Tensioni nella sezione: σ=299.53 τ=37.44
CC 12 SLD (Collegamento 0020_-377)
Azioni sul collegamento: N=-6317.31 Ty=-2.98 Tz=1.60 Mx=0.01 Mz=-1.00
Sollecitazioni agenti localmente: Ty_l=-1148.60 Mx_l=-22.97
Tensioni nella sezione: σ=278.45 τ=34.81
CC 12 SLD (Collegamento 0020_-377)
Azioni sul collegamento: N=-6317.31 Ty=-3.37 Tz=1.60 Mx=0.01 Mz=-2.09
Sollecitazioni agenti localmente: Ty_l=-1148.60 Mx_l=-22.97
Tensioni nella sezione: σ=278.45 τ=34.81
CC 12 SLD (Collegamento 0020_-377)
Azioni sul collegamento: N=-6317.31 Ty=-2.98 Tz=-0.06 Mx=0.01 Mz=-1.00
Sollecitazioni agenti localmente: Ty_l=-1148.60 Mx_l=-22.97
Tensioni nella sezione: σ=278.45 τ=34.81
CC 12 SLD (Collegamento 0020_-377)
Azioni sul collegamento: N=-6317.31 Ty=-3.37 Tz=-0.06 Mx=0.01 Mz=-2.09
Sollecitazioni agenti localmente: Ty_l=-1148.60 Mx_l=-22.97
Tensioni nella sezione: σ=278.45 τ=34.81
CC 13 SLV (Collegamento 0020_-377)
Azioni sul collegamento: N=-5739.79 Ty=-1.68 Tz=-2.08 Mx=0.01 Mz=-1.26
Sollecitazioni agenti localmente: Ty_l=-1043.60 Mx_l=-20.87
Tensioni nella sezione: σ=252.99 τ=31.62
CC 13 SLV (Collegamento 0020_-377)
Azioni sul collegamento: N=-5739.79 Ty=-2.97 Tz=-2.08 Mx=0.01 Mz=2.33
Sollecitazioni agenti localmente: Ty_l=-1043.60 Mx_l=-20.87
Tensioni nella sezione: σ=252.99 τ=31.62
CC 13 SLV (Collegamento 0020_-377)
Azioni sul collegamento: N=-5739.79 Ty=-1.68 Tz=3.37 Mx=0.01 Mz=-1.26
Sollecitazioni agenti localmente: Ty_l=-1043.60 Mx_l=-20.87
Tensioni nella sezione: σ=252.99 τ=31.62
CC 13 SLV (Collegamento 0020_-377)
Azioni sul collegamento: N=-5739.79 Ty=-2.97 Tz=3.37 Mx=0.01 Mz=2.33
Sollecitazioni agenti localmente: Ty_l=-1043.60 Mx_l=-20.87
Tensioni nella sezione: σ=252.99 τ=31.62
CC 13 SLV (Collegamento 0020_-377)
Azioni sul collegamento: N=-7308.16 Ty=-1.68 Tz=-2.08 Mx=0.01 Mz=-1.26
Sollecitazioni agenti localmente: Ty_l=-1328.76 Mx_l=-26.58
Tensioni nella sezione: σ=322.12 τ=40.27
CC 13 SLV (Collegamento 0020_-377)
Azioni sul collegamento: N=-7308.16 Ty=-2.97 Tz=-2.08 Mx=0.01 Mz=2.33
Sollecitazioni agenti localmente: Ty_l=-1328.76 Mx_l=-26.58
Tensioni nella sezione: σ=322.12 τ=40.27
CC 13 SLV (Collegamento 0020_-377)
Azioni sul collegamento: N=-7308.16 Ty=-1.68 Tz=3.37 Mx=0.01 Mz=-1.26
Sollecitazioni agenti localmente: Ty_l=-1328.76 Mx_l=-26.58
Tensioni nella sezione: σ=322.12 τ=40.27
CC 13 SLV (Collegamento 0020_-377)
Azioni sul collegamento: N=-7308.16 Ty=-2.97 Tz=3.37 Mx=0.01 Mz=2.33
Sollecitazioni agenti localmente: Ty_l=-1328.76 Mx_l=-26.58
Tensioni nella sezione: σ=322.12 τ=40.27
CC 14 SLD (Collegamento 0020_-377)
Azioni sul collegamento: N=-6317.31 Ty=-3.37 Tz=-0.06 Mx=0.01 Mz=-2.09
Sollecitazioni agenti localmente: Ty_l=-1148.60 Mx_l=-22.97
Tensioni nella sezione: σ=278.45 τ=34.81
CC 14 SLD (Collegamento 0020_-377)
Azioni sul collegamento: N=-6317.31 Ty=-2.98 Tz=-0.06 Mx=0.01 Mz=-1.00
Sollecitazioni agenti localmente: Ty_l=-1148.60 Mx_l=-22.97
Tensioni nella sezione: σ=278.45 τ=34.81
CC 14 SLD (Collegamento 0020_-377)
Azioni sul collegamento: N=-6317.31 Ty=-3.37 Tz=1.60 Mx=0.01 Mz=-2.09
Sollecitazioni agenti localmente: Ty_l=-1148.60 Mx_l=-22.97
Tensioni nella sezione: σ=278.45 τ=34.81
CC 14 SLD (Collegamento 0020_-377)
Azioni sul collegamento: N=-6317.31 Ty=-2.98 Tz=1.60 Mx=0.01 Mz=-1.00
Sollecitazioni agenti localmente: Ty_l=-1148.60 Mx_l=-22.97
Tensioni nella sezione: σ=278.45 τ=34.81
CC 14 SLD (Collegamento 0020_-377)
Azioni sul collegamento: N=-6795.55 Ty=-3.37 Tz=-0.06 Mx=0.01 Mz=-2.09
Sollecitazioni agenti localmente: Ty_l=-1235.55 Mx_l=-24.71
Tensioni nella sezione: σ=299.53 τ=37.44
CC 14 SLD (Collegamento 0020_-377)
Azioni sul collegamento: N=-6795.55 Ty=-2.98 Tz=-0.06 Mx=0.01 Mz=-1.00
Sollecitazioni agenti localmente: Ty_l=-1235.55 Mx_l=-24.71
Tensioni nella sezione: σ=299.53 τ=37.44
CC 14 SLD (Collegamento 0020_-377)
Azioni sul collegamento: N=-6795.55 Ty=-3.37 Tz=1.60 Mx=0.01 Mz=-2.09
Sollecitazioni agenti localmente: Ty_l=-1235.55 Mx_l=-24.71
Tensioni nella sezione: σ=299.53 τ=37.44
CC 14 SLD (Collegamento 0020_-377)
Azioni sul collegamento: N=-6795.55 Ty=-2.98 Tz=1.60 Mx=0.01 Mz=-1.00

Sollecitazioni agenti localmente: Ty_l=-1235.55 Mx_l=-24.71
Tensioni nella sezione: σ=299.53 τ=37.44
CC 15 SLV (Collegamento 0020_-377)
Azioni sul collegamento: N=-7327.12 Ty=-0.86 Tz=3.80 Mx=0.01 Mz=-1.85
Sollecitazioni agenti localmente: Ty_l=-1332.20 Mx_l=-26.64
Tensioni nella sezione: σ=322.96 τ=40.37
CC 15 SLV (Collegamento 0020_-377)
Azioni sul collegamento: N=-7327.12 Ty=-3.80 Tz=3.80 Mx=0.01 Mz=2.93
Sollecitazioni agenti localmente: Ty_l=-1332.20 Mx_l=-26.64
Tensioni nella sezione: σ=322.96 τ=40.37
CC 15 SLV (Collegamento 0020_-377)
Azioni sul collegamento: N=-7327.12 Ty=-0.86 Tz=-2.51 Mx=0.01 Mz=-1.85
Sollecitazioni agenti localmente: Ty_l=-1332.20 Mx_l=-26.64
Tensioni nella sezione: σ=322.96 τ=40.37
CC 15 SLV (Collegamento 0020_-377)
Azioni sul collegamento: N=-7327.12 Ty=-3.80 Tz=-2.51 Mx=0.01 Mz=2.93
Sollecitazioni agenti localmente: Ty_l=-1332.20 Mx_l=-26.64
Tensioni nella sezione: σ=322.96 τ=40.37
CC 15 SLV (Collegamento 0020_-377)
Azioni sul collegamento: N=-5720.83 Ty=-0.86 Tz=3.80 Mx=0.01 Mz=-1.85
Sollecitazioni agenti localmente: Ty_l=-1040.15 Mx_l=-20.80
Tensioni nella sezione: σ=252.16 τ=31.52
CC 15 SLV (Collegamento 0020_-377)
Azioni sul collegamento: N=-5720.83 Ty=-3.80 Tz=3.80 Mx=0.01 Mz=2.93
Sollecitazioni agenti localmente: Ty_l=-1040.15 Mx_l=-20.80
Tensioni nella sezione: σ=252.16 τ=31.52
CC 15 SLV (Collegamento 0020_-377)
Azioni sul collegamento: N=-5720.83 Ty=-0.86 Tz=-2.51 Mx=0.01 Mz=-1.85
Sollecitazioni agenti localmente: Ty_l=-1040.15 Mx_l=-20.80
Tensioni nella sezione: σ=252.16 τ=31.52
CC 15 SLV (Collegamento 0020_-377)
Azioni sul collegamento: N=-5720.83 Ty=-3.80 Tz=-2.51 Mx=0.01 Mz=2.93
Sollecitazioni agenti localmente: Ty_l=-1040.15 Mx_l=-20.80
Tensioni nella sezione: σ=252.16 τ=31.52
CC 16 SLD (Collegamento 0020_-377)
Azioni sul collegamento: N=-6801.33 Ty=-3.62 Tz=1.73 Mx=0.01 Mz=-2.27
Sollecitazioni agenti localmente: Ty_l=-1236.61 Mx_l=-24.73
Tensioni nella sezione: σ=299.78 τ=37.47
CC 16 SLD (Collegamento 0020_-377)
Azioni sul collegamento: N=-6801.33 Ty=-2.73 Tz=1.73 Mx=0.01 Mz=-0.81
Sollecitazioni agenti localmente: Ty_l=-1236.61 Mx_l=-24.73
Tensioni nella sezione: σ=299.78 τ=37.47
CC 16 SLD (Collegamento 0020_-377)
Azioni sul collegamento: N=-6801.33 Ty=-3.62 Tz=-0.19 Mx=0.01 Mz=-2.27
Sollecitazioni agenti localmente: Ty_l=-1236.61 Mx_l=-24.73
Tensioni nella sezione: σ=299.78 τ=37.47
CC 16 SLD (Collegamento 0020_-377)
Azioni sul collegamento: N=-6801.33 Ty=-2.73 Tz=-0.19 Mx=0.01 Mz=-0.81
Sollecitazioni agenti localmente: Ty_l=-1236.61 Mx_l=-24.73
Tensioni nella sezione: σ=299.78 τ=37.47
CC 16 SLD (Collegamento 0020_-377)
Azioni sul collegamento: N=-6311.52 Ty=-3.62 Tz=1.73 Mx=0.01 Mz=-2.27
Sollecitazioni agenti localmente: Ty_l=-1147.55 Mx_l=-22.95
Tensioni nella sezione: σ=278.19 τ=34.77
CC 16 SLD (Collegamento 0020_-377)
Azioni sul collegamento: N=-6311.52 Ty=-2.73 Tz=1.73 Mx=0.01 Mz=-0.81
Sollecitazioni agenti localmente: Ty_l=-1147.55 Mx_l=-22.95
Tensioni nella sezione: σ=278.19 τ=34.77
CC 16 SLD (Collegamento 0020_-377)
Azioni sul collegamento: N=-6311.52 Ty=-3.62 Tz=-0.19 Mx=0.01 Mz=-2.27
Sollecitazioni agenti localmente: Ty_l=-1147.55 Mx_l=-22.95
Tensioni nella sezione: σ=278.19 τ=34.77
CC 16 SLD (Collegamento 0020_-377)
Azioni sul collegamento: N=-6311.52 Ty=-2.73 Tz=-0.19 Mx=0.01 Mz=-0.81
Sollecitazioni agenti localmente: Ty_l=-1147.55 Mx_l=-22.95
Tensioni nella sezione: σ=278.19 τ=34.77
CC 17 SLV (Collegamento 0020_-377)
Azioni sul collegamento: N=-3968.96 Ty=-3.07 Tz=-8.85 Mx=-0.01 Mz=-3.83
Sollecitazioni agenti localmente: Ty_l=-721.63 Mx_l=-14.43
Tensioni nella sezione: σ=174.94 τ=21.87
CC 17 SLV (Collegamento 0020_-377)
Azioni sul collegamento: N=-3968.96 Ty=-6.45 Tz=-8.85 Mx=-0.01 Mz=-7.08
Sollecitazioni agenti localmente: Ty_l=-721.63 Mx_l=-14.43
Tensioni nella sezione: σ=174.94 τ=21.87
CC 17 SLV (Collegamento 0020_-377)
Azioni sul collegamento: N=-3968.96 Ty=-3.07 Tz=10.87 Mx=-0.01 Mz=-3.83
Sollecitazioni agenti localmente: Ty_l=-721.63 Mx_l=-14.43
Tensioni nella sezione: σ=174.94 τ=21.87
CC 17 SLV (Collegamento 0020_-377)
Azioni sul collegamento: N=-3968.96 Ty=-6.45 Tz=10.87 Mx=-0.01 Mz=-7.08

Sollecitazioni agenti localmente: Ty_l=-721.63 Mx_l=-14.43
Tensioni nella sezione: σ=174.94 τ=21.87
CC 17 SLV (Collegamento 0020_-377)
Azioni sul collegamento: N=-9265.76 Ty=-3.07 Tz=-8.85 Mx=-0.01 Mz=-3.83
Sollecitazioni agenti localmente: Ty_l=-1684.68 Mx_l=-33.69
Tensioni nella sezione: σ=408.41 τ=51.05
CC 17 SLV (Collegamento 0020_-377)
Azioni sul collegamento: N=-9265.76 Ty=-6.45 Tz=-8.85 Mx=-0.01 Mz=-7.08
Sollecitazioni agenti localmente: Ty_l=-1684.68 Mx_l=-33.69
Tensioni nella sezione: σ=408.41 τ=51.05
CC 17 SLV (Collegamento 0020_-377)
Azioni sul collegamento: N=-9265.76 Ty=-3.07 Tz=10.87 Mx=-0.01 Mz=-3.83
Sollecitazioni agenti localmente: Ty_l=-1684.68 Mx_l=-33.69
Tensioni nella sezione: σ=408.41 τ=51.05
CC 17 SLV (Collegamento 0020_-377)
Azioni sul collegamento: N=-9265.76 Ty=-6.45 Tz=10.87 Mx=-0.01 Mz=-7.08
Sollecitazioni agenti localmente: Ty_l=-1684.68 Mx_l=-33.69
Tensioni nella sezione: σ=408.41 τ=51.05
CC 18 SLD (Collegamento 0020_-377)
Azioni sul collegamento: N=-5777.32 Ty=-3.40 Tz=-2.12 Mx=-0.00 Mz=-2.87
Sollecitazioni agenti localmente: Ty_l=-1050.42 Mx_l=-21.01
Tensioni nella sezione: σ=254.65 τ=31.83
CC 18 SLD (Collegamento 0020_-377)
Azioni sul collegamento: N=-5777.32 Ty=-4.43 Tz=-2.12 Mx=-0.00 Mz=-3.87
Sollecitazioni agenti localmente: Ty_l=-1050.42 Mx_l=-21.01
Tensioni nella sezione: σ=254.65 τ=31.83
CC 18 SLD (Collegamento 0020_-377)
Azioni sul collegamento: N=-5777.32 Ty=-3.40 Tz=3.89 Mx=-0.00 Mz=-2.87
Sollecitazioni agenti localmente: Ty_l=-1050.42 Mx_l=-21.01
Tensioni nella sezione: σ=254.65 τ=31.83
CC 18 SLD (Collegamento 0020_-377)
Azioni sul collegamento: N=-5777.32 Ty=-4.43 Tz=3.89 Mx=-0.00 Mz=-3.87
Sollecitazioni agenti localmente: Ty_l=-1050.42 Mx_l=-21.01
Tensioni nella sezione: σ=254.65 τ=31.83
CC 18 SLD (Collegamento 0020_-377)
Azioni sul collegamento: N=-7392.49 Ty=-3.40 Tz=-2.12 Mx=-0.00 Mz=-2.87
Sollecitazioni agenti localmente: Ty_l=-1344.09 Mx_l=-26.88
Tensioni nella sezione: σ=325.84 τ=40.73
CC 18 SLD (Collegamento 0020_-377)
Azioni sul collegamento: N=-7392.49 Ty=-4.43 Tz=-2.12 Mx=-0.00 Mz=-3.87
Sollecitazioni agenti localmente: Ty_l=-1344.09 Mx_l=-26.88
Tensioni nella sezione: σ=325.84 τ=40.73
CC 18 SLD (Collegamento 0020_-377)
Azioni sul collegamento: N=-7392.49 Ty=-3.40 Tz=3.89 Mx=-0.00 Mz=-2.87
Sollecitazioni agenti localmente: Ty_l=-1344.09 Mx_l=-26.88
Tensioni nella sezione: σ=325.84 τ=40.73
CC 18 SLD (Collegamento 0020_-377)
Azioni sul collegamento: N=-7392.49 Ty=-4.43 Tz=3.89 Mx=-0.00 Mz=-3.87
Sollecitazioni agenti localmente: Ty_l=-1344.09 Mx_l=-26.88
Tensioni nella sezione: σ=325.84 τ=40.73
CC 19 SLV (Collegamento 0020_-377)
Azioni sul collegamento: N=-3974.65 Ty=-3.70 Tz=-8.72 Mx=-0.01 Mz=-5.08
Sollecitazioni agenti localmente: Ty_l=-722.66 Mx_l=-14.45
Tensioni nella sezione: σ=175.19 τ=21.90
CC 19 SLV (Collegamento 0020_-377)
Azioni sul collegamento: N=-3974.65 Ty=-5.81 Tz=-8.72 Mx=-0.01 Mz=-5.82
Sollecitazioni agenti localmente: Ty_l=-722.66 Mx_l=-14.45
Tensioni nella sezione: σ=175.19 τ=21.90
CC 19 SLV (Collegamento 0020_-377)
Azioni sul collegamento: N=-3974.65 Ty=-3.70 Tz=10.74 Mx=-0.01 Mz=-5.08
Sollecitazioni agenti localmente: Ty_l=-722.66 Mx_l=-14.45
Tensioni nella sezione: σ=175.19 τ=21.90
CC 19 SLV (Collegamento 0020_-377)
Azioni sul collegamento: N=-3974.65 Ty=-5.81 Tz=10.74 Mx=-0.01 Mz=-5.82
Sollecitazioni agenti localmente: Ty_l=-722.66 Mx_l=-14.45
Tensioni nella sezione: σ=175.19 τ=21.90
CC 19 SLV (Collegamento 0020_-377)
Azioni sul collegamento: N=-9260.08 Ty=-3.70 Tz=-8.72 Mx=-0.01 Mz=-5.08
Sollecitazioni agenti localmente: Ty_l=-1683.65 Mx_l=-33.67
Tensioni nella sezione: σ=408.16 τ=51.02
CC 19 SLV (Collegamento 0020_-377)
Azioni sul collegamento: N=-9260.08 Ty=-5.81 Tz=-8.72 Mx=-0.01 Mz=-5.82
Sollecitazioni agenti localmente: Ty_l=-1683.65 Mx_l=-33.67
Tensioni nella sezione: σ=408.16 τ=51.02
CC 19 SLV (Collegamento 0020_-377)
Azioni sul collegamento: N=-9260.08 Ty=-3.70 Tz=10.74 Mx=-0.01 Mz=-5.08
Sollecitazioni agenti localmente: Ty_l=-1683.65 Mx_l=-33.67
Tensioni nella sezione: σ=408.16 τ=51.02
CC 19 SLV (Collegamento 0020_-377)
Azioni sul collegamento: N=-9260.08 Ty=-5.81 Tz=10.74 Mx=-0.01 Mz=-5.82

Sollecitazioni agenti localmente: Ty_l=-1683.65 Mx_l=-33.67
Tensioni nella sezione: σ=408.16 τ=51.02
CC 20 SLD (Collegamento 0020_-377)
Azioni sul collegamento: N=-5779.06 Ty=-3.59 Tz=-2.08 Mx=-0.00 Mz=-3.26
Sollecitazioni agenti localmente: Ty_l=-1050.74 Mx_l=-21.01
Tensioni nella sezione: σ=254.72 τ=31.84
CC 20 SLD (Collegamento 0020_-377)
Azioni sul collegamento: N=-5779.06 Ty=-4.24 Tz=-2.08 Mx=-0.00 Mz=-3.48
Sollecitazioni agenti localmente: Ty_l=-1050.74 Mx_l=-21.01
Tensioni nella sezione: σ=254.72 τ=31.84
CC 20 SLD (Collegamento 0020_-377)
Azioni sul collegamento: N=-5779.06 Ty=-3.59 Tz=3.85 Mx=-0.00 Mz=-3.26
Sollecitazioni agenti localmente: Ty_l=-1050.74 Mx_l=-21.01
Tensioni nella sezione: σ=254.72 τ=31.84
CC 20 SLD (Collegamento 0020_-377)
Azioni sul collegamento: N=-5779.06 Ty=-4.24 Tz=3.85 Mx=-0.00 Mz=-3.48
Sollecitazioni agenti localmente: Ty_l=-1050.74 Mx_l=-21.01
Tensioni nella sezione: σ=254.72 τ=31.84
CC 20 SLD (Collegamento 0020_-377)
Azioni sul collegamento: N=-7390.75 Ty=-3.59 Tz=-2.08 Mx=-0.00 Mz=-3.26
Sollecitazioni agenti localmente: Ty_l=-1343.77 Mx_l=-26.88
Tensioni nella sezione: σ=325.76 τ=40.72
CC 20 SLD (Collegamento 0020_-377)
Azioni sul collegamento: N=-7390.75 Ty=-4.24 Tz=-2.08 Mx=-0.00 Mz=-3.48
Sollecitazioni agenti localmente: Ty_l=-1343.77 Mx_l=-26.88
Tensioni nella sezione: σ=325.76 τ=40.72
CC 20 SLD (Collegamento 0020_-377)
Azioni sul collegamento: N=-7390.75 Ty=-3.59 Tz=3.85 Mx=-0.00 Mz=-3.26
Sollecitazioni agenti localmente: Ty_l=-1343.77 Mx_l=-26.88
Tensioni nella sezione: σ=325.76 τ=40.72
CC 20 SLD (Collegamento 0020_-377)
Azioni sul collegamento: N=-7390.75 Ty=-4.24 Tz=3.85 Mx=-0.00 Mz=-3.48
Sollecitazioni agenti localmente: Ty_l=-1343.77 Mx_l=-26.88
Tensioni nella sezione: σ=325.76 τ=40.72
CC 21 SLV (Collegamento 0020_-377)
Azioni sul collegamento: N=-9260.08 Ty=-5.81 Tz=10.74 Mx=-0.01 Mz=-5.82
Sollecitazioni agenti localmente: Ty_l=-1683.65 Mx_l=-33.67
Tensioni nella sezione: σ=408.16 τ=51.02
CC 21 SLV (Collegamento 0020_-377)
Azioni sul collegamento: N=-9260.08 Ty=-3.70 Tz=10.74 Mx=-0.01 Mz=-5.08
Sollecitazioni agenti localmente: Ty_l=-1683.65 Mx_l=-33.67
Tensioni nella sezione: σ=408.16 τ=51.02
CC 21 SLV (Collegamento 0020_-377)
Azioni sul collegamento: N=-9260.08 Ty=-5.81 Tz=-8.72 Mx=-0.01 Mz=-5.82
Sollecitazioni agenti localmente: Ty_l=-1683.65 Mx_l=-33.67
Tensioni nella sezione: σ=408.16 τ=51.02
CC 21 SLV (Collegamento 0020_-377)
Azioni sul collegamento: N=-9260.08 Ty=-3.70 Tz=-8.72 Mx=-0.01 Mz=-5.08
Sollecitazioni agenti localmente: Ty_l=-1683.65 Mx_l=-33.67
Tensioni nella sezione: σ=408.16 τ=51.02
CC 21 SLV (Collegamento 0020_-377)
Azioni sul collegamento: N=-3974.65 Ty=-5.81 Tz=10.74 Mx=-0.01 Mz=-5.82
Sollecitazioni agenti localmente: Ty_l=-722.66 Mx_l=-14.45
Tensioni nella sezione: σ=175.19 τ=21.90
CC 21 SLV (Collegamento 0020_-377)
Azioni sul collegamento: N=-3974.65 Ty=-3.70 Tz=10.74 Mx=-0.01 Mz=-5.08
Sollecitazioni agenti localmente: Ty_l=-722.66 Mx_l=-14.45
Tensioni nella sezione: σ=175.19 τ=21.90
CC 21 SLV (Collegamento 0020_-377)
Azioni sul collegamento: N=-3974.65 Ty=-5.81 Tz=-8.72 Mx=-0.01 Mz=-5.82
Sollecitazioni agenti localmente: Ty_l=-722.66 Mx_l=-14.45
Tensioni nella sezione: σ=175.19 τ=21.90
CC 21 SLV (Collegamento 0020_-377)
Azioni sul collegamento: N=-3974.65 Ty=-3.70 Tz=-8.72 Mx=-0.01 Mz=-5.08
Sollecitazioni agenti localmente: Ty_l=-722.66 Mx_l=-14.45
Tensioni nella sezione: σ=175.19 τ=21.90
CC 22 SLD (Collegamento 0020_-377)
Azioni sul collegamento: N=-7390.75 Ty=-4.24 Tz=3.85 Mx=-0.00 Mz=-3.48
Sollecitazioni agenti localmente: Ty_l=-1343.77 Mx_l=-26.88
Tensioni nella sezione: σ=325.76 τ=40.72
CC 22 SLD (Collegamento 0020_-377)
Azioni sul collegamento: N=-7390.75 Ty=-3.59 Tz=3.85 Mx=-0.00 Mz=-3.26
Sollecitazioni agenti localmente: Ty_l=-1343.77 Mx_l=-26.88
Tensioni nella sezione: σ=325.76 τ=40.72
CC 22 SLD (Collegamento 0020_-377)
Azioni sul collegamento: N=-7390.75 Ty=-4.24 Tz=-2.08 Mx=-0.00 Mz=-3.48
Sollecitazioni agenti localmente: Ty_l=-1343.77 Mx_l=-26.88
Tensioni nella sezione: σ=325.76 τ=40.72
CC 22 SLD (Collegamento 0020_-377)
Azioni sul collegamento: N=-7390.75 Ty=-3.59 Tz=-2.08 Mx=-0.00 Mz=-3.26

Sollecitazioni agenti localmente: Ty_l=-1343.77 Mx_l=-26.88
Tensioni nella sezione: σ=325.76 τ=40.72
CC 22 SLD (Collegamento 0020_-377)
Azioni sul collegamento: N=-5779.06 Ty=-4.24 Tz=3.85 Mx=-0.00 Mz=-3.48
Sollecitazioni agenti localmente: Ty_l=-1050.74 Mx_l=-21.01
Tensioni nella sezione: σ=254.72 τ=31.84
CC 22 SLD (Collegamento 0020_-377)
Azioni sul collegamento: N=-5779.06 Ty=-3.59 Tz=3.85 Mx=-0.00 Mz=-3.26
Sollecitazioni agenti localmente: Ty_l=-1050.74 Mx_l=-21.01
Tensioni nella sezione: σ=254.72 τ=31.84
CC 22 SLD (Collegamento 0020_-377)
Azioni sul collegamento: N=-5779.06 Ty=-4.24 Tz=-2.08 Mx=-0.00 Mz=-3.48
Sollecitazioni agenti localmente: Ty_l=-1050.74 Mx_l=-21.01
Tensioni nella sezione: σ=254.72 τ=31.84
CC 22 SLD (Collegamento 0020_-377)
Azioni sul collegamento: N=-5779.06 Ty=-3.59 Tz=-2.08 Mx=-0.00 Mz=-3.26
Sollecitazioni agenti localmente: Ty_l=-1050.74 Mx_l=-21.01
Tensioni nella sezione: σ=254.72 τ=31.84
CC 23 SLV (Collegamento 0020_-377)
Azioni sul collegamento: N=-9265.76 Ty=-6.45 Tz=10.87 Mx=-0.01 Mz=-7.08
Sollecitazioni agenti localmente: Ty_l=-1684.68 Mx_l=-33.69
Tensioni nella sezione: σ=408.41 τ=51.05
CC 23 SLV (Collegamento 0020_-377)
Azioni sul collegamento: N=-9265.76 Ty=-3.07 Tz=10.87 Mx=-0.01 Mz=-3.83
Sollecitazioni agenti localmente: Ty_l=-1684.68 Mx_l=-33.69
Tensioni nella sezione: σ=408.41 τ=51.05
CC 23 SLV (Collegamento 0020_-377)
Azioni sul collegamento: N=-9265.76 Ty=-6.45 Tz=-8.85 Mx=-0.01 Mz=-7.08
Sollecitazioni agenti localmente: Ty_l=-1684.68 Mx_l=-33.69
Tensioni nella sezione: σ=408.41 τ=51.05
CC 23 SLV (Collegamento 0020_-377)
Azioni sul collegamento: N=-9265.76 Ty=-3.07 Tz=-8.85 Mx=-0.01 Mz=-3.83
Sollecitazioni agenti localmente: Ty_l=-1684.68 Mx_l=-33.69
Tensioni nella sezione: σ=408.41 τ=51.05
CC 23 SLV (Collegamento 0020_-377)
Azioni sul collegamento: N=-3968.96 Ty=-6.45 Tz=10.87 Mx=-0.01 Mz=-7.08
Sollecitazioni agenti localmente: Ty_l=-721.63 Mx_l=-14.43
Tensioni nella sezione: σ=174.94 τ=21.87
CC 23 SLV (Collegamento 0020_-377)
Azioni sul collegamento: N=-3968.96 Ty=-3.07 Tz=10.87 Mx=-0.01 Mz=-3.83
Sollecitazioni agenti localmente: Ty_l=-721.63 Mx_l=-14.43
Tensioni nella sezione: σ=174.94 τ=21.87
CC 23 SLV (Collegamento 0020_-377)
Azioni sul collegamento: N=-3968.96 Ty=-6.45 Tz=-8.85 Mx=-0.01 Mz=-7.08
Sollecitazioni agenti localmente: Ty_l=-721.63 Mx_l=-14.43
Tensioni nella sezione: σ=174.94 τ=21.87
CC 23 SLV (Collegamento 0020_-377)
Azioni sul collegamento: N=-3968.96 Ty=-3.07 Tz=-8.85 Mx=-0.01 Mz=-3.83
Sollecitazioni agenti localmente: Ty_l=-721.63 Mx_l=-14.43
Tensioni nella sezione: σ=174.94 τ=21.87
CC 24 SLD (Collegamento 0020_-377)
Azioni sul collegamento: N=-7392.49 Ty=-4.43 Tz=3.89 Mx=0.00 Mz=-3.87
Sollecitazioni agenti localmente: Ty_l=-1344.09 Mx_l=-26.88
Tensioni nella sezione: σ=325.84 τ=40.73
CC 24 SLD (Collegamento 0020_-377)
Azioni sul collegamento: N=-7392.49 Ty=-3.40 Tz=3.89 Mx=0.00 Mz=-2.87
Sollecitazioni agenti localmente: Ty_l=-1344.09 Mx_l=-26.88
Tensioni nella sezione: σ=325.84 τ=40.73
CC 24 SLD (Collegamento 0020_-377)
Azioni sul collegamento: N=-7392.49 Ty=-4.43 Tz=-2.12 Mx=0.00 Mz=-3.87
Sollecitazioni agenti localmente: Ty_l=-1344.09 Mx_l=-26.88
Tensioni nella sezione: σ=325.84 τ=40.73
CC 24 SLD (Collegamento 0020_-377)
Azioni sul collegamento: N=-7392.49 Ty=-3.40 Tz=-2.12 Mx=0.00 Mz=-2.87
Sollecitazioni agenti localmente: Ty_l=-1344.09 Mx_l=-26.88
Tensioni nella sezione: σ=325.84 τ=40.73
CC 24 SLD (Collegamento 0020_-377)
Azioni sul collegamento: N=-5777.32 Ty=-4.43 Tz=3.89 Mx=0.00 Mz=-3.87
Sollecitazioni agenti localmente: Ty_l=-1050.42 Mx_l=-21.01
Tensioni nella sezione: σ=254.65 τ=31.83
CC 24 SLD (Collegamento 0020_-377)
Azioni sul collegamento: N=-5777.32 Ty=-3.40 Tz=3.89 Mx=0.00 Mz=-2.87
Sollecitazioni agenti localmente: Ty_l=-1050.42 Mx_l=-21.01
Tensioni nella sezione: σ=254.65 τ=31.83
CC 24 SLD (Collegamento 0020_-377)
Azioni sul collegamento: N=-5777.32 Ty=-4.43 Tz=-2.12 Mx=0.00 Mz=-3.87
Sollecitazioni agenti localmente: Ty_l=-1050.42 Mx_l=-21.01
Tensioni nella sezione: σ=254.65 τ=31.83
CC 24 SLD (Collegamento 0020_-377)
Azioni sul collegamento: N=-5777.32 Ty=-3.40 Tz=-2.12 Mx=0.00 Mz=-2.87

Sollecitazioni agenti localmente: Ty_l=-1050.42 Mx_l=-21.01
Tensioni nella sezione: σ=254.65 τ=31.83
CC 25 SLV (Collegamento 0020_-377)
Azioni sul collegamento: N=-5814.21 Ty=-3.29 Tz=-2.14 Mx=-0.02 Mz=-3.06
Sollecitazioni agenti localmente: Ty_l=-1057.13 Mx_l=-21.14
Tensioni nella sezione: σ=256.27 τ=32.03
CC 25 SLV (Collegamento 0020_-377)
Azioni sul collegamento: N=-5814.21 Ty=-6.23 Tz=-2.14 Mx=-0.02 Mz=-7.84
Sollecitazioni agenti localmente: Ty_l=-1057.13 Mx_l=-21.14
Tensioni nella sezione: σ=256.27 τ=32.03
CC 25 SLV (Collegamento 0020_-377)
Azioni sul collegamento: N=-5814.21 Ty=-3.29 Tz=4.16 Mx=-0.02 Mz=-3.06
Sollecitazioni agenti localmente: Ty_l=-1057.13 Mx_l=-21.14
Tensioni nella sezione: σ=256.27 τ=32.03
CC 25 SLV (Collegamento 0020_-377)
Azioni sul collegamento: N=-5814.21 Ty=-6.23 Tz=4.16 Mx=-0.02 Mz=-7.84
Sollecitazioni agenti localmente: Ty_l=-1057.13 Mx_l=-21.14
Tensioni nella sezione: σ=256.27 τ=32.03
CC 25 SLV (Collegamento 0020_-377)
Azioni sul collegamento: N=-7420.51 Ty=-3.29 Tz=-2.14 Mx=-0.02 Mz=-3.06
Sollecitazioni agenti localmente: Ty_l=-1349.18 Mx_l=-26.98
Tensioni nella sezione: σ=327.07 τ=40.88
CC 25 SLV (Collegamento 0020_-377)
Azioni sul collegamento: N=-7420.51 Ty=-6.23 Tz=-2.14 Mx=-0.02 Mz=-7.84
Sollecitazioni agenti localmente: Ty_l=-1349.18 Mx_l=-26.98
Tensioni nella sezione: σ=327.07 τ=40.88
CC 25 SLV (Collegamento 0020_-377)
Azioni sul collegamento: N=-7420.51 Ty=-3.29 Tz=4.16 Mx=-0.02 Mz=-3.06
Sollecitazioni agenti localmente: Ty_l=-1349.18 Mx_l=-26.98
Tensioni nella sezione: σ=327.07 τ=40.88
CC 25 SLV (Collegamento 0020_-377)
Azioni sul collegamento: N=-7420.51 Ty=-6.23 Tz=4.16 Mx=-0.02 Mz=-7.84
Sollecitazioni agenti localmente: Ty_l=-1349.18 Mx_l=-26.98
Tensioni nella sezione: σ=327.07 τ=40.88
CC 26 SLD (Collegamento 0020_-377)
Azioni sul collegamento: N=-6340.00 Ty=-3.47 Tz=-0.08 Mx=-0.00 Mz=-2.64
Sollecitazioni agenti localmente: Ty_l=-1152.73 Mx_l=-23.05
Tensioni nella sezione: σ=279.45 τ=34.93
CC 26 SLD (Collegamento 0020_-377)
Azioni sul collegamento: N=-6340.00 Ty=-4.36 Tz=-0.08 Mx=-0.00 Mz=-4.10
Sollecitazioni agenti localmente: Ty_l=-1152.73 Mx_l=-23.05
Tensioni nella sezione: σ=279.45 τ=34.93
CC 26 SLD (Collegamento 0020_-377)
Azioni sul collegamento: N=-6340.00 Ty=-3.47 Tz=1.85 Mx=-0.00 Mz=-2.64
Sollecitazioni agenti localmente: Ty_l=-1152.73 Mx_l=-23.05
Tensioni nella sezione: σ=279.45 τ=34.93
CC 26 SLD (Collegamento 0020_-377)
Azioni sul collegamento: N=-6340.00 Ty=-4.36 Tz=1.85 Mx=-0.00 Mz=-4.10
Sollecitazioni agenti localmente: Ty_l=-1152.73 Mx_l=-23.05
Tensioni nella sezione: σ=279.45 τ=34.93
CC 26 SLD (Collegamento 0020_-377)
Azioni sul collegamento: N=-6829.81 Ty=-3.47 Tz=-0.08 Mx=-0.00 Mz=-2.64
Sollecitazioni agenti localmente: Ty_l=-1241.78 Mx_l=-24.84
Tensioni nella sezione: σ=301.04 τ=37.63
CC 26 SLD (Collegamento 0020_-377)
Azioni sul collegamento: N=-6829.81 Ty=-4.36 Tz=-0.08 Mx=-0.00 Mz=-4.10
Sollecitazioni agenti localmente: Ty_l=-1241.78 Mx_l=-24.84
Tensioni nella sezione: σ=301.04 τ=37.63
CC 26 SLD (Collegamento 0020_-377)
Azioni sul collegamento: N=-6829.81 Ty=-3.47 Tz=1.85 Mx=-0.00 Mz=-2.64
Sollecitazioni agenti localmente: Ty_l=-1241.78 Mx_l=-24.84
Tensioni nella sezione: σ=301.04 τ=37.63
CC 26 SLD (Collegamento 0020_-377)
Azioni sul collegamento: N=-6829.81 Ty=-4.36 Tz=1.85 Mx=-0.00 Mz=-4.10
Sollecitazioni agenti localmente: Ty_l=-1241.78 Mx_l=-24.84
Tensioni nella sezione: σ=301.04 τ=37.63
CC 27 SLV (Collegamento 0020_-377)
Azioni sul collegamento: N=-7401.55 Ty=-4.11 Tz=3.74 Mx=-0.02 Mz=-3.66
Sollecitazioni agenti localmente: Ty_l=-1345.74 Mx_l=-26.91
Tensioni nella sezione: σ=326.24 τ=40.78
CC 27 SLV (Collegamento 0020_-377)
Azioni sul collegamento: N=-7401.55 Ty=-5.40 Tz=3.74 Mx=-0.02 Mz=-7.25
Sollecitazioni agenti localmente: Ty_l=-1345.74 Mx_l=-26.91
Tensioni nella sezione: σ=326.24 τ=40.78
CC 27 SLV (Collegamento 0020_-377)
Azioni sul collegamento: N=-7401.55 Ty=-4.11 Tz=-1.71 Mx=-0.02 Mz=-3.66
Sollecitazioni agenti localmente: Ty_l=-1345.74 Mx_l=-26.91
Tensioni nella sezione: σ=326.24 τ=40.78
CC 27 SLV (Collegamento 0020_-377)
Azioni sul collegamento: N=-7401.55 Ty=-5.40 Tz=-1.71 Mx=-0.02 Mz=-7.25

Sollecitazioni agenti localmente: Ty_l=-1345.74 Mx_l=-26.91
Tensioni nella sezione: σ=326.24 τ=40.78
CC 27 SLV (Collegamento 0020_-377)
Azioni sul collegamento: N=-5833.17 Ty=-4.11 Tz=3.74 Mx=-0.02 Mz=-3.66
Sollecitazioni agenti localmente: Ty_l=-1060.58 Mx_l=-21.21
Tensioni nella sezione: σ=257.11 τ=32.14
CC 27 SLV (Collegamento 0020_-377)
Azioni sul collegamento: N=-5833.17 Ty=-5.40 Tz=3.74 Mx=-0.02 Mz=-7.25
Sollecitazioni agenti localmente: Ty_l=-1060.58 Mx_l=-21.21
Tensioni nella sezione: σ=257.11 τ=32.14
CC 27 SLV (Collegamento 0020_-377)
Azioni sul collegamento: N=-5833.17 Ty=-4.11 Tz=-1.71 Mx=-0.02 Mz=-3.66
Sollecitazioni agenti localmente: Ty_l=-1060.58 Mx_l=-21.21
Tensioni nella sezione: σ=257.11 τ=32.14
CC 27 SLV (Collegamento 0020_-377)
Azioni sul collegamento: N=-5833.17 Ty=-5.40 Tz=-1.71 Mx=-0.02 Mz=-7.25
Sollecitazioni agenti localmente: Ty_l=-1060.58 Mx_l=-21.21
Tensioni nella sezione: σ=257.11 τ=32.14
CC 28 SLD (Collegamento 0020_-377)
Azioni sul collegamento: N=-6824.03 Ty=-3.72 Tz=1.72 Mx=-0.00 Mz=-2.82
Sollecitazioni agenti localmente: Ty_l=-1240.73 Mx_l=-24.81
Tensioni nella sezione: σ=300.78 τ=37.60
CC 28 SLD (Collegamento 0020_-377)
Azioni sul collegamento: N=-6824.03 Ty=-4.11 Tz=1.72 Mx=-0.00 Mz=-3.92
Sollecitazioni agenti localmente: Ty_l=-1240.73 Mx_l=-24.81
Tensioni nella sezione: σ=300.78 τ=37.60
CC 28 SLD (Collegamento 0020_-377)
Azioni sul collegamento: N=-6824.03 Ty=-3.72 Tz=0.05 Mx=-0.00 Mz=-2.82
Sollecitazioni agenti localmente: Ty_l=-1240.73 Mx_l=-24.81
Tensioni nella sezione: σ=300.78 τ=37.60
CC 28 SLD (Collegamento 0020_-377)
Azioni sul collegamento: N=-6824.03 Ty=-4.11 Tz=0.05 Mx=-0.00 Mz=-3.92
Sollecitazioni agenti localmente: Ty_l=-1240.73 Mx_l=-24.81
Tensioni nella sezione: σ=300.78 τ=37.60
CC 28 SLD (Collegamento 0020_-377)
Azioni sul collegamento: N=-6345.78 Ty=-3.72 Tz=1.72 Mx=-0.00 Mz=-2.82
Sollecitazioni agenti localmente: Ty_l=-1153.78 Mx_l=-23.08
Tensioni nella sezione: σ=279.70 τ=34.96
CC 28 SLD (Collegamento 0020_-377)
Azioni sul collegamento: N=-6345.78 Ty=-4.11 Tz=1.72 Mx=-0.00 Mz=-3.92
Sollecitazioni agenti localmente: Ty_l=-1153.78 Mx_l=-23.08
Tensioni nella sezione: σ=279.70 τ=34.96
CC 28 SLD (Collegamento 0020_-377)
Azioni sul collegamento: N=-6345.78 Ty=-3.72 Tz=0.05 Mx=-0.00 Mz=-2.82
Sollecitazioni agenti localmente: Ty_l=-1153.78 Mx_l=-23.08
Tensioni nella sezione: σ=279.70 τ=34.96
CC 28 SLD (Collegamento 0020_-377)
Azioni sul collegamento: N=-6345.78 Ty=-4.11 Tz=0.05 Mx=-0.00 Mz=-3.92
Sollecitazioni agenti localmente: Ty_l=-1153.78 Mx_l=-23.08
Tensioni nella sezione: σ=279.70 τ=34.96
CC 29 SLV (Collegamento 0020_-377)
Azioni sul collegamento: N=-5833.17 Ty=-5.40 Tz=-1.71 Mx=-0.00 Mz=-7.25
Sollecitazioni agenti localmente: Ty_l=-1060.58 Mx_l=-21.21
Tensioni nella sezione: σ=257.11 τ=32.14
CC 29 SLV (Collegamento 0020_-377)
Azioni sul collegamento: N=-5833.17 Ty=-4.11 Tz=-1.71 Mx=-0.00 Mz=-3.66
Sollecitazioni agenti localmente: Ty_l=-1060.58 Mx_l=-21.21
Tensioni nella sezione: σ=257.11 τ=32.14
CC 29 SLV (Collegamento 0020_-377)
Azioni sul collegamento: N=-5833.17 Ty=-5.40 Tz=3.74 Mx=-0.00 Mz=-7.25
Sollecitazioni agenti localmente: Ty_l=-1060.58 Mx_l=-21.21
Tensioni nella sezione: σ=257.11 τ=32.14
CC 29 SLV (Collegamento 0020_-377)
Azioni sul collegamento: N=-5833.17 Ty=-4.11 Tz=3.74 Mx=-0.00 Mz=-3.66
Sollecitazioni agenti localmente: Ty_l=-1060.58 Mx_l=-21.21
Tensioni nella sezione: σ=257.11 τ=32.14
CC 29 SLV (Collegamento 0020_-377)
Azioni sul collegamento: N=-7401.55 Ty=-5.40 Tz=-1.71 Mx=-0.00 Mz=-7.25
Sollecitazioni agenti localmente: Ty_l=-1345.74 Mx_l=-26.91
Tensioni nella sezione: σ=326.24 τ=40.78
CC 29 SLV (Collegamento 0020_-377)
Azioni sul collegamento: N=-7401.55 Ty=-4.11 Tz=-1.71 Mx=-0.00 Mz=-3.66
Sollecitazioni agenti localmente: Ty_l=-1345.74 Mx_l=-26.91
Tensioni nella sezione: σ=326.24 τ=40.78
CC 29 SLV (Collegamento 0020_-377)
Azioni sul collegamento: N=-7401.55 Ty=-5.40 Tz=3.74 Mx=-0.00 Mz=-7.25
Sollecitazioni agenti localmente: Ty_l=-1345.74 Mx_l=-26.91
Tensioni nella sezione: σ=326.24 τ=40.78
CC 29 SLV (Collegamento 0020_-377)
Azioni sul collegamento: N=-7401.55 Ty=-4.11 Tz=3.74 Mx=-0.00 Mz=-3.66

Sollecitazioni agenti localmente: Ty_l=-1345.74 Mx_l=-26.91
Tensioni nella sezione: σ=326.24 τ=40.78
CC 30 SLD (Collegamento 0020_-377)
Azioni sul collegamento: N=-6345.78 Ty=-4.11 Tz=0.05 Mx=0.00 Mz=-3.92
Sollecitazioni agenti localmente: Ty_l=-1153.78 Mx_l=-23.08
Tensioni nella sezione: σ=279.70 τ=34.96
CC 30 SLD (Collegamento 0020_-377)
Azioni sul collegamento: N=-6345.78 Ty=-3.72 Tz=0.05 Mx=0.00 Mz=-2.82
Sollecitazioni agenti localmente: Ty_l=-1153.78 Mx_l=-23.08
Tensioni nella sezione: σ=279.70 τ=34.96
CC 30 SLD (Collegamento 0020_-377)
Azioni sul collegamento: N=-6345.78 Ty=-4.11 Tz=1.72 Mx=0.00 Mz=-3.92
Sollecitazioni agenti localmente: Ty_l=-1153.78 Mx_l=-23.08
Tensioni nella sezione: σ=279.70 τ=34.96
CC 30 SLD (Collegamento 0020_-377)
Azioni sul collegamento: N=-6345.78 Ty=-3.72 Tz=1.72 Mx=0.00 Mz=-2.82
Sollecitazioni agenti localmente: Ty_l=-1153.78 Mx_l=-23.08
Tensioni nella sezione: σ=279.70 τ=34.96
CC 30 SLD (Collegamento 0020_-377)
Azioni sul collegamento: N=-6824.03 Ty=-4.11 Tz=0.05 Mx=0.00 Mz=-3.92
Sollecitazioni agenti localmente: Ty_l=-1240.73 Mx_l=-24.81
Tensioni nella sezione: σ=300.78 τ=37.60
CC 30 SLD (Collegamento 0020_-377)
Azioni sul collegamento: N=-6824.03 Ty=-3.72 Tz=0.05 Mx=0.00 Mz=-2.82
Sollecitazioni agenti localmente: Ty_l=-1240.73 Mx_l=-24.81
Tensioni nella sezione: σ=300.78 τ=37.60
CC 30 SLD (Collegamento 0020_-377)
Azioni sul collegamento: N=-6824.03 Ty=-4.11 Tz=1.72 Mx=0.00 Mz=-3.92
Sollecitazioni agenti localmente: Ty_l=-1240.73 Mx_l=-24.81
Tensioni nella sezione: σ=300.78 τ=37.60
CC 30 SLD (Collegamento 0020_-377)
Azioni sul collegamento: N=-6824.03 Ty=-3.72 Tz=1.72 Mx=0.00 Mz=-2.82
Sollecitazioni agenti localmente: Ty_l=-1240.73 Mx_l=-24.81
Tensioni nella sezione: σ=300.78 τ=37.60
CC 31 SLV (Collegamento 0020_-377)
Azioni sul collegamento: N=-7420.51 Ty=-6.23 Tz=4.16 Mx=-0.00 Mz=-7.84
Sollecitazioni agenti localmente: Ty_l=-1349.18 Mx_l=-26.98
Tensioni nella sezione: σ=327.07 τ=40.88
CC 31 SLV (Collegamento 0020_-377)
Azioni sul collegamento: N=-7420.51 Ty=-3.29 Tz=4.16 Mx=-0.00 Mz=-3.06
Sollecitazioni agenti localmente: Ty_l=-1349.18 Mx_l=-26.98
Tensioni nella sezione: σ=327.07 τ=40.88
CC 31 SLV (Collegamento 0020_-377)
Azioni sul collegamento: N=-7420.51 Ty=-6.23 Tz=-2.14 Mx=-0.00 Mz=-7.84
Sollecitazioni agenti localmente: Ty_l=-1349.18 Mx_l=-26.98
Tensioni nella sezione: σ=327.07 τ=40.88
CC 31 SLV (Collegamento 0020_-377)
Azioni sul collegamento: N=-7420.51 Ty=-3.29 Tz=-2.14 Mx=-0.00 Mz=-3.06
Sollecitazioni agenti localmente: Ty_l=-1349.18 Mx_l=-26.98
Tensioni nella sezione: σ=327.07 τ=40.88
CC 31 SLV (Collegamento 0020_-377)
Azioni sul collegamento: N=-5814.21 Ty=-6.23 Tz=4.16 Mx=-0.00 Mz=-7.84
Sollecitazioni agenti localmente: Ty_l=-1057.13 Mx_l=-21.14
Tensioni nella sezione: σ=256.27 τ=32.03
CC 31 SLV (Collegamento 0020_-377)
Azioni sul collegamento: N=-5814.21 Ty=-3.29 Tz=4.16 Mx=-0.00 Mz=-3.06
Sollecitazioni agenti localmente: Ty_l=-1057.13 Mx_l=-21.14
Tensioni nella sezione: σ=256.27 τ=32.03
CC 31 SLV (Collegamento 0020_-377)
Azioni sul collegamento: N=-5814.21 Ty=-6.23 Tz=-2.14 Mx=-0.00 Mz=-7.84
Sollecitazioni agenti localmente: Ty_l=-1057.13 Mx_l=-21.14
Tensioni nella sezione: σ=256.27 τ=32.03
CC 31 SLV (Collegamento 0020_-377)
Azioni sul collegamento: N=-5814.21 Ty=-3.29 Tz=-2.14 Mx=-0.00 Mz=-3.06
Sollecitazioni agenti localmente: Ty_l=-1057.13 Mx_l=-21.14
Tensioni nella sezione: σ=256.27 τ=32.03
CC 32 SLD (Collegamento 0020_-377)
Azioni sul collegamento: N=-6829.81 Ty=-4.36 Tz=1.85 Mx=0.00 Mz=-4.10
Sollecitazioni agenti localmente: Ty_l=-1241.78 Mx_l=-24.84
Tensioni nella sezione: σ=301.04 τ=37.63
CC 32 SLD (Collegamento 0020_-377)
Azioni sul collegamento: N=-6829.81 Ty=-3.47 Tz=1.85 Mx=0.00 Mz=-2.64
Sollecitazioni agenti localmente: Ty_l=-1241.78 Mx_l=-24.84
Tensioni nella sezione: σ=301.04 τ=37.63
CC 32 SLD (Collegamento 0020_-377)
Azioni sul collegamento: N=-6829.81 Ty=-4.36 Tz=-0.08 Mx=0.00 Mz=-4.10
Sollecitazioni agenti localmente: Ty_l=-1241.78 Mx_l=-24.84
Tensioni nella sezione: σ=301.04 τ=37.63
CC 32 SLD (Collegamento 0020_-377)
Azioni sul collegamento: N=-6829.81 Ty=-3.47 Tz=-0.08 Mx=0.00 Mz=-2.64

Sollecitazioni agenti localmente: Ty_l=-1241.78 Mx_l=-24.84
Tensioni nella sezione: σ=301.04 τ=37.63
CC 32 SLD (Collegamento 0020_-377)
Azioni sul collegamento: N=-6340.00 Ty=-4.36 Tz=1.85 Mx=0.00 Mz=-4.10
Sollecitazioni agenti localmente: Ty_l=-1152.73 Mx_l=-23.05
Tensioni nella sezione: σ=279.45 τ=34.93
CC 32 SLD (Collegamento 0020_-377)
Azioni sul collegamento: N=-6340.00 Ty=-3.47 Tz=1.85 Mx=0.00 Mz=-2.64
Sollecitazioni agenti localmente: Ty_l=-1152.73 Mx_l=-23.05
Tensioni nella sezione: σ=279.45 τ=34.93
CC 32 SLD (Collegamento 0020_-377)
Azioni sul collegamento: N=-6340.00 Ty=-4.36 Tz=-0.08 Mx=0.00 Mz=-4.10
Sollecitazioni agenti localmente: Ty_l=-1152.73 Mx_l=-23.05
Tensioni nella sezione: σ=279.45 τ=34.93
CC 32 SLD (Collegamento 0020_-377)
Azioni sul collegamento: N=-6340.00 Ty=-3.47 Tz=-0.08 Mx=0.00 Mz=-2.64
Sollecitazioni agenti localmente: Ty_l=-1152.73 Mx_l=-23.05
Tensioni nella sezione: σ=279.45 τ=34.93
CC 33 SLU (Collegamento 0020_-377)
Azioni sul collegamento: N=-30337.70 Ty=-5.16 Tz=79.98 Mx=0.01 Mz=-3.50
Sollecitazioni agenti localmente: Ty_l=-5515.96 Mx_l=-110.32
Tensioni nella sezione: σ=1337.20 τ=167.15
CC 34 SLU (Collegamento 0020_-377)
Azioni sul collegamento: N=-30888.30 Ty=-5.44 Tz=82.02 Mx=0.01 Mz=-3.71
Sollecitazioni agenti localmente: Ty_l=-5616.05 Mx_l=-112.32
Tensioni nella sezione: σ=1361.46 τ=170.18
CC 35 SLU (Collegamento 0020_-377)
Azioni sul collegamento: N=-30612.00 Ty=-5.19 Tz=81.02 Mx=0.01 Mz=-3.39
Sollecitazioni agenti localmente: Ty_l=-5565.82 Mx_l=-111.32
Tensioni nella sezione: σ=1349.29 τ=168.66
CC 36 SLU (Collegamento 0020_-377)
Azioni sul collegamento: N=-30614.00 Ty=-5.41 Tz=80.97 Mx=0.01 Mz=-3.82
Sollecitazioni agenti localmente: Ty_l=-5566.18 Mx_l=-111.32
Tensioni nella sezione: σ=1349.37 τ=168.67
CC 37 SLU (Collegamento 0020_-377)
Azioni sul collegamento: N=-32266.80 Ty=-5.04 Tz=86.42 Mx=-0.00 Mz=-3.56
Sollecitazioni agenti localmente: Ty_l=-5866.68 Mx_l=-117.33
Tensioni nella sezione: σ=1422.22 τ=177.78
CC 38 SLU (Collegamento 0020_-377)
Azioni sul collegamento: N=-32817.30 Ty=-5.33 Tz=88.46 Mx=-0.00 Mz=-3.76
Sollecitazioni agenti localmente: Ty_l=-5966.78 Mx_l=-119.33
Tensioni nella sezione: σ=1446.49 τ=180.81
CC 39 SLU (Collegamento 0020_-377)
Azioni sul collegamento: N=-32541.00 Ty=-5.08 Tz=87.47 Mx=-0.00 Mz=-3.44
Sollecitazioni agenti localmente: Ty_l=-5916.55 Mx_l=-118.33
Tensioni nella sezione: σ=1434.31 τ=179.29
CC 40 SLU (Collegamento 0020_-377)
Azioni sul collegamento: N=-32543.00 Ty=-5.30 Tz=87.42 Mx=-0.00 Mz=-3.88
Sollecitazioni agenti localmente: Ty_l=-5916.91 Mx_l=-118.34
Tensioni nella sezione: σ=1434.40 τ=179.30
CC 41 SLU (Collegamento 0020_-377)
Azioni sul collegamento: N=-21046.60 Ty=-6.03 Tz=45.82 Mx=0.01 Mz=-4.13
Sollecitazioni agenti localmente: Ty_l=-3826.65 Mx_l=-76.53
Tensioni nella sezione: σ=927.67 τ=115.96
CC 42 SLU (Collegamento 0020_-377)
Azioni sul collegamento: N=-21597.10 Ty=-6.32 Tz=47.86 Mx=0.01 Mz=-4.34
Sollecitazioni agenti localmente: Ty_l=-3926.75 Mx_l=-78.53
Tensioni nella sezione: σ=951.94 τ=118.99
CC 43 SLU (Collegamento 0020_-377)
Azioni sul collegamento: N=-21320.90 Ty=-6.07 Tz=46.87 Mx=0.01 Mz=-4.02
Sollecitazioni agenti localmente: Ty_l=-3876.52 Mx_l=-77.53
Tensioni nella sezione: σ=939.76 τ=117.47
CC 44 SLU (Collegamento 0020_-377)
Azioni sul collegamento: N=-21322.80 Ty=-6.29 Tz=46.82 Mx=0.01 Mz=-4.45
Sollecitazioni agenti localmente: Ty_l=-3876.88 Mx_l=-77.54
Tensioni nella sezione: σ=939.85 τ=117.48
CC 45 SLU (Collegamento 0020_-377)
Azioni sul collegamento: N=-23139.00 Ty=-5.73 Tz=53.57 Mx=0.01 Mz=-3.96
Sollecitazioni agenti localmente: Ty_l=-4207.09 Mx_l=-84.14
Tensioni nella sezione: σ=1019.90 τ=127.49
CC 46 SLU (Collegamento 0020_-377)
Azioni sul collegamento: N=-23689.50 Ty=-6.01 Tz=55.60 Mx=0.01 Mz=-4.17
Sollecitazioni agenti localmente: Ty_l=-4307.18 Mx_l=-86.14
Tensioni nella sezione: σ=1044.16 τ=130.52
CC 47 SLU (Collegamento 0020_-377)
Azioni sul collegamento: N=-23413.30 Ty=-5.76 Tz=54.61 Mx=0.01 Mz=-3.84
Sollecitazioni agenti localmente: Ty_l=-4256.95 Mx_l=-85.14
Tensioni nella sezione: σ=1031.99 τ=129.00
CC 48 SLU (Collegamento 0020_-377)
Azioni sul collegamento: N=-23415.20 Ty=-5.98 Tz=54.56 Mx=0.01 Mz=-4.28

Sollecitazioni agenti localmente: Ty_l=-4257.31 Mx_l=-85.15
Tensioni nella sezione: σ=1032.07 τ=129.01
CC 49 SLU (Collegamento 0020_-377)
Azioni sul collegamento: N=-24582.20 Ty=-5.64 Tz=58.39 Mx=0.00 Mz=-4.00
Sollecitazioni agenti localmente: Ty_l=-4469.48 Mx_l=-89.39
Tensioni nella sezione: σ=1083.51 τ=135.44
CC 50 SLU (Collegamento 0020_-377)
Azioni sul collegamento: N=-25132.70 Ty=-5.93 Tz=60.42 Mx=0.00 Mz=-4.21
Sollecitazioni agenti localmente: Ty_l=-4569.58 Mx_l=-91.39
Tensioni nella sezione: σ=1107.77 τ=138.47
CC 51 SLU (Collegamento 0020_-377)
Azioni sul collegamento: N=-24856.40 Ty=-5.68 Tz=59.43 Mx=-0.00 Mz=-3.89
Sollecitazioni agenti localmente: Ty_l=-4519.35 Mx_l=-90.39
Tensioni nella sezione: σ=1095.60 τ=136.95
CC 52 SLU (Collegamento 0020_-377)
Azioni sul collegamento: N=-24858.40 Ty=-5.89 Tz=59.38 Mx=0.00 Mz=-4.32
Sollecitazioni agenti localmente: Ty_l=-4519.71 Mx_l=-90.39
Tensioni nella sezione: σ=1095.68 τ=136.96
CC 53 SLU (Collegamento 0020_-377)
Azioni sul collegamento: N=-16187.80 Ty=-6.38 Tz=28.01 Mx=0.01 Mz=-4.43
Sollecitazioni agenti localmente: Ty_l=-2943.24 Mx_l=-58.86
Tensioni nella sezione: σ=713.51 τ=89.19
CC 54 SLU (Collegamento 0020_-377)
Azioni sul collegamento: N=-16738.30 Ty=-6.67 Tz=30.05 Mx=0.01 Mz=-4.64
Sollecitazioni agenti localmente: Ty_l=-3043.34 Mx_l=-60.87
Tensioni nella sezione: σ=737.78 τ=92.22
CC 55 SLU (Collegamento 0020_-377)
Azioni sul collegamento: N=-16462.10 Ty=-6.42 Tz=29.05 Mx=0.01 Mz=-4.32
Sollecitazioni agenti localmente: Ty_l=-2993.11 Mx_l=-59.86
Tensioni nella sezione: σ=725.60 τ=90.70
CC 56 SLU (Collegamento 0020_-377)
Azioni sul collegamento: N=-16464.10 Ty=-6.64 Tz=29.01 Mx=0.01 Mz=-4.75
Sollecitazioni agenti localmente: Ty_l=-2993.47 Mx_l=-59.87
Tensioni nella sezione: σ=725.69 τ=90.71
CC 57 SLU (Collegamento 0020_-377)
Azioni sul collegamento: N=-23519.50 Ty=-6.15 Tz=55.00 Mx=0.01 Mz=-4.26
Sollecitazioni agenti localmente: Ty_l=-4276.28 Mx_l=-85.53
Tensioni nella sezione: σ=1036.67 τ=129.58
CC 58 SLU (Collegamento 0020_-377)
Azioni sul collegamento: N=-24070.10 Ty=-6.43 Tz=57.04 Mx=0.01 Mz=-4.47
Sollecitazioni agenti localmente: Ty_l=-4376.37 Mx_l=-87.53
Tensioni nella sezione: σ=1060.94 τ=132.62
CC 59 SLU (Collegamento 0020_-377)
Azioni sul collegamento: N=-23793.80 Ty=-6.18 Tz=56.05 Mx=0.01 Mz=-4.15
Sollecitazioni agenti localmente: Ty_l=-4326.14 Mx_l=-86.52
Tensioni nella sezione: σ=1048.76 τ=131.09
CC 60 SLU (Collegamento 0020_-377)
Azioni sul collegamento: N=-23795.80 Ty=-6.40 Tz=56.00 Mx=0.01 Mz=-4.58
Sollecitazioni agenti localmente: Ty_l=-4326.50 Mx_l=-86.53
Tensioni nella sezione: σ=1048.85 τ=131.11
CC 61 SLU (Collegamento 0020_-377)
Azioni sul collegamento: N=-24962.70 Ty=-6.06 Tz=59.83 Mx=0.00 Mz=-4.30
Sollecitazioni agenti localmente: Ty_l=-4538.67 Mx_l=-90.77
Tensioni nella sezione: σ=1100.28 τ=137.54
CC 62 SLU (Collegamento 0020_-377)
Azioni sul collegamento: N=-25513.20 Ty=-6.35 Tz=61.87 Mx=0.00 Mz=-4.51
Sollecitazioni agenti localmente: Ty_l=-4638.77 Mx_l=-92.78
Tensioni nella sezione: σ=1124.55 τ=140.57
CC 63 SLU (Collegamento 0020_-377)
Azioni sul collegamento: N=-25237.00 Ty=-6.10 Tz=60.87 Mx=-0.00 Mz=-4.19
Sollecitazioni agenti localmente: Ty_l=-4588.54 Mx_l=-91.77
Tensioni nella sezione: σ=1112.37 τ=139.05
CC 64 SLU (Collegamento 0020_-377)
Azioni sul collegamento: N=-25238.90 Ty=-6.31 Tz=60.82 Mx=0.00 Mz=-4.62
Sollecitazioni agenti localmente: Ty_l=-4588.90 Mx_l=-91.78
Tensioni nella sezione: σ=1112.46 τ=139.06
CC 65 SLU (Collegamento 0020_-377)
Azioni sul collegamento: N=-16568.40 Ty=-6.80 Tz=29.45 Mx=0.01 Mz=-4.74
Sollecitazioni agenti localmente: Ty_l=-3012.43 Mx_l=-60.25
Tensioni nella sezione: σ=730.28 τ=91.29
CC 66 SLU (Collegamento 0020_-377)
Azioni sul collegamento: N=-17118.90 Ty=-7.09 Tz=31.49 Mx=0.01 Mz=-4.94
Sollecitazioni agenti localmente: Ty_l=-3112.53 Mx_l=-62.25
Tensioni nella sezione: σ=754.55 τ=94.32
CC 67 SLU (Collegamento 0020_-377)
Azioni sul collegamento: N=-16842.60 Ty=-6.84 Tz=30.49 Mx=0.01 Mz=-4.62
Sollecitazioni agenti localmente: Ty_l=-3062.30 Mx_l=-61.25
Tensioni nella sezione: σ=742.37 τ=92.80
CC 68 SLU (Collegamento 0020_-377)
Azioni sul collegamento: N=-16844.60 Ty=-7.06 Tz=30.45 Mx=0.01 Mz=-5.06

Sollecitazioni agenti localmente: Ty_l=-3062.66 Mx_l=-61.25
Tensioni nella sezione: σ=742.46 τ=92.81
CC 97 SLU (Collegamento 0020_-377)
Azioni sul collegamento: N=-16826.20 Ty=-0.37 Tz=38.55 Mx=0.05 Mz=7.28
Sollecitazioni agenti localmente: Ty_l=-3059.31 Mx_l=-61.19
Tensioni nella sezione: σ=741.65 τ=92.71
CC 98 SLU (Collegamento 0020_-377)
Azioni sul collegamento: N=-17376.70 Ty=-0.65 Tz=40.58 Mx=0.05 Mz=7.07
Sollecitazioni agenti localmente: Ty_l=-3159.41 Mx_l=-63.19
Tensioni nella sezione: σ=765.91 τ=95.74
CC 99 SLU (Collegamento 0020_-377)
Azioni sul collegamento: N=-17100.50 Ty=-0.40 Tz=39.59 Mx=0.05 Mz=7.39
Sollecitazioni agenti localmente: Ty_l=-3109.18 Mx_l=-62.18
Tensioni nella sezione: σ=753.74 τ=94.22
CC 100 SLU (Collegamento 0020_-377)
Azioni sul collegamento: N=-17102.50 Ty=-0.62 Tz=39.54 Mx=0.05 Mz=6.96
Sollecitazioni agenti localmente: Ty_l=-3109.54 Mx_l=-62.19
Tensioni nella sezione: σ=753.83 τ=94.23
CC 101 SLU (Collegamento 0020_-377)
Azioni sul collegamento: N=-6585.90 Ty=-4.08 Tz=0.92 Mx=-0.00 Mz=-3.64
Sollecitazioni agenti localmente: Ty_l=-1197.44 Mx_l=-23.95
Tensioni nella sezione: σ=290.29 τ=36.29
CC 102 SLU (Collegamento 0020_-377)
Azioni sul collegamento: N=-7136.43 Ty=-4.37 Tz=2.96 Mx=-0.00 Mz=-3.85
Sollecitazioni agenti localmente: Ty_l=-1297.53 Mx_l=-25.95
Tensioni nella sezione: σ=314.55 τ=39.32
CC 103 SLU (Collegamento 0020_-377)
Azioni sul collegamento: N=-6860.18 Ty=-4.11 Tz=1.96 Mx=-0.00 Mz=-3.53
Sollecitazioni agenti localmente: Ty_l=-1247.31 Mx_l=-24.95
Tensioni nella sezione: σ=302.38 τ=37.80
CC 104 SLU (Collegamento 0020_-377)
Azioni sul collegamento: N=-6862.15 Ty=-4.33 Tz=1.92 Mx=-0.00 Mz=-3.96
Sollecitazioni agenti localmente: Ty_l=-1247.66 Mx_l=-24.95
Tensioni nella sezione: σ=302.46 τ=37.81

Flessione attacco inferiore piastra

Bnetta=220.00 Hnetta=15.00
CC 1 SLV (Collegamento 0020_-377)
Azioni sul collegamento: N=-3875.57 Ty=-4.02 Tz=-9.21 Mx=0.02 Mz=2.16
Sollecitazioni agenti localmente: Ty_l=-704.65 Mx_l=-14.09
Tensioni nella sezione: σ=170.82 τ=21.35
CC 1 SLV (Collegamento 0020_-377)
Azioni sul collegamento: N=-3875.57 Ty=-0.64 Tz=-9.21 Mx=0.02 Mz=-1.09
Sollecitazioni agenti localmente: Ty_l=-704.65 Mx_l=-14.09
Tensioni nella sezione: σ=170.82 τ=21.35
CC 1 SLV (Collegamento 0020_-377)
Azioni sul collegamento: N=-3875.57 Ty=-4.02 Tz=10.50 Mx=0.02 Mz=2.16
Sollecitazioni agenti localmente: Ty_l=-704.65 Mx_l=-14.09
Tensioni nella sezione: σ=170.82 τ=21.35
CC 1 SLV (Collegamento 0020_-377)
Azioni sul collegamento: N=-3875.57 Ty=-0.64 Tz=10.50 Mx=0.02 Mz=-1.09
Sollecitazioni agenti localmente: Ty_l=-704.65 Mx_l=-14.09
Tensioni nella sezione: σ=170.82 τ=21.35
CC 1 SLV (Collegamento 0020_-377)
Azioni sul collegamento: N=-9172.38 Ty=-4.02 Tz=-9.21 Mx=0.02 Mz=2.16
Sollecitazioni agenti localmente: Ty_l=-1667.71 Mx_l=-33.35
Tensioni nella sezione: σ=404.29 τ=50.54
CC 1 SLV (Collegamento 0020_-377)
Azioni sul collegamento: N=-9172.38 Ty=-0.64 Tz=-9.21 Mx=0.02 Mz=-1.09
Sollecitazioni agenti localmente: Ty_l=-1667.71 Mx_l=-33.35
Tensioni nella sezione: σ=404.29 τ=50.54
CC 1 SLV (Collegamento 0020_-377)
Azioni sul collegamento: N=-9172.38 Ty=-4.02 Tz=10.50 Mx=0.02 Mz=2.16
Sollecitazioni agenti localmente: Ty_l=-1667.71 Mx_l=-33.35
Tensioni nella sezione: σ=404.29 τ=50.54
CC 1 SLV (Collegamento 0020_-377)
Azioni sul collegamento: N=-9172.38 Ty=-0.64 Tz=10.50 Mx=0.02 Mz=-1.09
Sollecitazioni agenti localmente: Ty_l=-1667.71 Mx_l=-33.35
Tensioni nella sezione: σ=404.29 τ=50.54
CC 2 SLD (Collegamento 0020_-377)
Azioni sul collegamento: N=-5748.85 Ty=-2.66 Tz=-2.23 Mx=0.01 Mz=-1.05
Sollecitazioni agenti localmente: Ty_l=-1045.24 Mx_l=-20.90
Tensioni nella sezione: σ=253.39 τ=31.67
CC 2 SLD (Collegamento 0020_-377)
Azioni sul collegamento: N=-5748.85 Ty=-3.69 Tz=-2.23 Mx=0.01 Mz=-2.04
Sollecitazioni agenti localmente: Ty_l=-1045.24 Mx_l=-20.90
Tensioni nella sezione: σ=253.39 τ=31.67
CC 2 SLD (Collegamento 0020_-377)
Azioni sul collegamento: N=-5748.85 Ty=-2.66 Tz=3.78 Mx=0.01 Mz=-1.05
Sollecitazioni agenti localmente: Ty_l=-1045.24 Mx_l=-20.90

Tensioni nella sezione: σ=253.39 τ=31.67
CC 2 SLD (Collegamento 0020_-377)
Azioni sul collegamento: N=-5748.85 Ty=-3.69 Tz=3.78 Mx=0.01 Mz=-2.04
Sollecitazioni agenti localmente: Ty_l=-1045.24 Mx_l=-20.90
Tensioni nella sezione: σ=253.39 τ=31.67
CC 2 SLD (Collegamento 0020_-377)
Azioni sul collegamento: N=-7364.01 Ty=-2.66 Tz=-2.23 Mx=0.01 Mz=-1.05
Sollecitazioni agenti localmente: Ty_l=-1338.91 Mx_l=-26.78
Tensioni nella sezione: σ=324.58 τ=40.57
CC 2 SLD (Collegamento 0020_-377)
Azioni sul collegamento: N=-7364.01 Ty=-3.69 Tz=-2.23 Mx=0.01 Mz=-2.04
Sollecitazioni agenti localmente: Ty_l=-1338.91 Mx_l=-26.78
Tensioni nella sezione: σ=324.58 τ=40.57
CC 2 SLD (Collegamento 0020_-377)
Azioni sul collegamento: N=-7364.01 Ty=-2.66 Tz=3.78 Mx=0.01 Mz=-1.05
Sollecitazioni agenti localmente: Ty_l=-1338.91 Mx_l=-26.78
Tensioni nella sezione: σ=324.58 τ=40.57
CC 2 SLD (Collegamento 0020_-377)
Azioni sul collegamento: N=-7364.01 Ty=-3.69 Tz=3.78 Mx=0.01 Mz=-2.04
Sollecitazioni agenti localmente: Ty_l=-1338.91 Mx_l=-26.78
Tensioni nella sezione: σ=324.58 τ=40.57
CC 3 SLV (Collegamento 0020_-377)
Azioni sul collegamento: N=-3881.26 Ty=-3.39 Tz=-9.09 Mx=0.02 Mz=0.91
Sollecitazioni agenti localmente: Ty_l=-705.68 Mx_l=-14.11
Tensioni nella sezione: σ=171.07 τ=21.38
CC 3 SLV (Collegamento 0020_-377)
Azioni sul collegamento: N=-3881.26 Ty=-1.27 Tz=-9.09 Mx=0.02 Mz=0.17
Sollecitazioni agenti localmente: Ty_l=-705.68 Mx_l=-14.11
Tensioni nella sezione: σ=171.07 τ=21.38
CC 3 SLV (Collegamento 0020_-377)
Azioni sul collegamento: N=-3881.26 Ty=-3.39 Tz=10.37 Mx=0.02 Mz=0.91
Sollecitazioni agenti localmente: Ty_l=-705.68 Mx_l=-14.11
Tensioni nella sezione: σ=171.07 τ=21.38
CC 3 SLV (Collegamento 0020_-377)
Azioni sul collegamento: N=-3881.26 Ty=-1.27 Tz=10.37 Mx=0.02 Mz=0.17
Sollecitazioni agenti localmente: Ty_l=-705.68 Mx_l=-14.11
Tensioni nella sezione: σ=171.07 τ=21.38
CC 3 SLV (Collegamento 0020_-377)
Azioni sul collegamento: N=-9166.69 Ty=-3.39 Tz=-9.09 Mx=0.02 Mz=0.91
Sollecitazioni agenti localmente: Ty_l=-1666.67 Mx_l=-33.33
Tensioni nella sezione: σ=404.04 τ=50.51
CC 3 SLV (Collegamento 0020_-377)
Azioni sul collegamento: N=-9166.69 Ty=-1.27 Tz=-9.09 Mx=0.02 Mz=0.17
Sollecitazioni agenti localmente: Ty_l=-1666.67 Mx_l=-33.33
Tensioni nella sezione: σ=404.04 τ=50.51
CC 3 SLV (Collegamento 0020_-377)
Azioni sul collegamento: N=-9166.69 Ty=-3.39 Tz=10.38 Mx=0.02 Mz=0.91
Sollecitazioni agenti localmente: Ty_l=-1666.67 Mx_l=-33.33
Tensioni nella sezione: σ=404.04 τ=50.51
CC 3 SLV (Collegamento 0020_-377)
Azioni sul collegamento: N=-9166.69 Ty=-1.27 Tz=10.38 Mx=0.02 Mz=0.17
Sollecitazioni agenti localmente: Ty_l=-1666.67 Mx_l=-33.33
Tensioni nella sezione: σ=404.04 τ=50.51
CC 4 SLD (Collegamento 0020_-377)
Azioni sul collegamento: N=-5750.58 Ty=-2.85 Tz=-2.19 Mx=0.01 Mz=-1.43
Sollecitazioni agenti localmente: Ty_l=-1045.56 Mx_l=-20.91
Tensioni nella sezione: σ=253.47 τ=31.68
CC 4 SLD (Collegamento 0020_-377)
Azioni sul collegamento: N=-5750.58 Ty=-3.50 Tz=-2.19 Mx=0.01 Mz=-1.66
Sollecitazioni agenti localmente: Ty_l=-1045.56 Mx_l=-20.91
Tensioni nella sezione: σ=253.47 τ=31.68
CC 4 SLD (Collegamento 0020_-377)
Azioni sul collegamento: N=-5750.58 Ty=-2.85 Tz=3.74 Mx=0.01 Mz=-1.43
Sollecitazioni agenti localmente: Ty_l=-1045.56 Mx_l=-20.91
Tensioni nella sezione: σ=253.47 τ=31.68
CC 4 SLD (Collegamento 0020_-377)
Azioni sul collegamento: N=-5750.58 Ty=-3.50 Tz=3.74 Mx=0.01 Mz=-1.66
Sollecitazioni agenti localmente: Ty_l=-1045.56 Mx_l=-20.91
Tensioni nella sezione: σ=253.47 τ=31.68
CC 4 SLD (Collegamento 0020_-377)
Azioni sul collegamento: N=-7362.28 Ty=-2.85 Tz=-2.19 Mx=0.01 Mz=-1.43
Sollecitazioni agenti localmente: Ty_l=-1338.60 Mx_l=-26.77
Tensioni nella sezione: σ=324.51 τ=40.56
CC 4 SLD (Collegamento 0020_-377)
Azioni sul collegamento: N=-7362.28 Ty=-3.50 Tz=-2.19 Mx=0.01 Mz=-1.66
Sollecitazioni agenti localmente: Ty_l=-1338.60 Mx_l=-26.77
Tensioni nella sezione: σ=324.51 τ=40.56
CC 4 SLD (Collegamento 0020_-377)
Azioni sul collegamento: N=-7362.28 Ty=-2.85 Tz=3.74 Mx=0.01 Mz=-1.43
Sollecitazioni agenti localmente: Ty_l=-1338.60 Mx_l=-26.77

Tensioni nella sezione: σ=324.51 τ=40.56
CC 4 SLD (Collegamento 0020_-377)
Azioni sul collegamento: N=-7362.28 Ty=-3.50 Tz=3.74 Mx=0.01 Mz=-1.66
Sollecitazioni agenti localmente: Ty_l=-1338.60 Mx_l=-26.77
Tensioni nella sezione: σ=324.51 τ=40.56
CC 5 SLV (Collegamento 0020_-377)
Azioni sul collegamento: N=-9166.69 Ty=-1.27 Tz=10.38 Mx=0.02 Mz=0.17
Sollecitazioni agenti localmente: Ty_l=-1666.67 Mx_l=-33.33
Tensioni nella sezione: σ=404.04 τ=50.51
CC 5 SLV (Collegamento 0020_-377)
Azioni sul collegamento: N=-9166.69 Ty=-3.39 Tz=10.38 Mx=0.02 Mz=0.91
Sollecitazioni agenti localmente: Ty_l=-1666.67 Mx_l=-33.33
Tensioni nella sezione: σ=404.04 τ=50.51
CC 5 SLV (Collegamento 0020_-377)
Azioni sul collegamento: N=-9166.69 Ty=-1.27 Tz=-9.09 Mx=0.02 Mz=0.17
Sollecitazioni agenti localmente: Ty_l=-1666.67 Mx_l=-33.33
Tensioni nella sezione: σ=404.04 τ=50.51
CC 5 SLV (Collegamento 0020_-377)
Azioni sul collegamento: N=-9166.69 Ty=-3.39 Tz=-9.09 Mx=0.02 Mz=0.91
Sollecitazioni agenti localmente: Ty_l=-1666.67 Mx_l=-33.33
Tensioni nella sezione: σ=404.04 τ=50.51
CC 5 SLV (Collegamento 0020_-377)
Azioni sul collegamento: N=-3881.26 Ty=-1.27 Tz=10.37 Mx=0.02 Mz=0.17
Sollecitazioni agenti localmente: Ty_l=-705.68 Mx_l=-14.11
Tensioni nella sezione: σ=171.07 τ=21.38
CC 5 SLV (Collegamento 0020_-377)
Azioni sul collegamento: N=-3881.26 Ty=-3.39 Tz=10.37 Mx=0.02 Mz=0.91
Sollecitazioni agenti localmente: Ty_l=-705.68 Mx_l=-14.11
Tensioni nella sezione: σ=171.07 τ=21.38
CC 5 SLV (Collegamento 0020_-377)
Azioni sul collegamento: N=-3881.26 Ty=-1.27 Tz=-9.09 Mx=0.02 Mz=0.17
Sollecitazioni agenti localmente: Ty_l=-705.68 Mx_l=-14.11
Tensioni nella sezione: σ=171.07 τ=21.38
CC 5 SLV (Collegamento 0020_-377)
Azioni sul collegamento: N=-3881.26 Ty=-3.39 Tz=-9.09 Mx=0.02 Mz=0.91
Sollecitazioni agenti localmente: Ty_l=-705.68 Mx_l=-14.11
Tensioni nella sezione: σ=171.07 τ=21.38
CC 6 SLD (Collegamento 0020_-377)
Azioni sul collegamento: N=-7362.28 Ty=-3.50 Tz=3.74 Mx=0.01 Mz=-1.66
Sollecitazioni agenti localmente: Ty_l=-1338.60 Mx_l=-26.77
Tensioni nella sezione: σ=324.51 τ=40.56
CC 6 SLD (Collegamento 0020_-377)
Azioni sul collegamento: N=-7362.28 Ty=-2.85 Tz=3.74 Mx=0.01 Mz=-1.43
Sollecitazioni agenti localmente: Ty_l=-1338.60 Mx_l=-26.77
Tensioni nella sezione: σ=324.51 τ=40.56
CC 6 SLD (Collegamento 0020_-377)
Azioni sul collegamento: N=-7362.28 Ty=-3.50 Tz=-2.19 Mx=0.01 Mz=-1.66
Sollecitazioni agenti localmente: Ty_l=-1338.60 Mx_l=-26.77
Tensioni nella sezione: σ=324.51 τ=40.56
CC 6 SLD (Collegamento 0020_-377)
Azioni sul collegamento: N=-7362.28 Ty=-2.85 Tz=-2.19 Mx=0.01 Mz=-1.43
Sollecitazioni agenti localmente: Ty_l=-1338.60 Mx_l=-26.77
Tensioni nella sezione: σ=324.51 τ=40.56
CC 6 SLD (Collegamento 0020_-377)
Azioni sul collegamento: N=-5750.58 Ty=-3.50 Tz=3.74 Mx=0.01 Mz=-1.66
Sollecitazioni agenti localmente: Ty_l=-1045.56 Mx_l=-20.91
Tensioni nella sezione: σ=253.47 τ=31.68
CC 6 SLD (Collegamento 0020_-377)
Azioni sul collegamento: N=-5750.58 Ty=-2.85 Tz=3.74 Mx=0.01 Mz=-1.43
Sollecitazioni agenti localmente: Ty_l=-1045.56 Mx_l=-20.91
Tensioni nella sezione: σ=253.47 τ=31.68
CC 6 SLD (Collegamento 0020_-377)
Azioni sul collegamento: N=-5750.58 Ty=-3.50 Tz=-2.19 Mx=0.01 Mz=-1.66
Sollecitazioni agenti localmente: Ty_l=-1045.56 Mx_l=-20.91
Tensioni nella sezione: σ=253.47 τ=31.68
CC 6 SLD (Collegamento 0020_-377)
Azioni sul collegamento: N=-5750.58 Ty=-2.85 Tz=-2.19 Mx=0.01 Mz=-1.43
Sollecitazioni agenti localmente: Ty_l=-1045.56 Mx_l=-20.91
Tensioni nella sezione: σ=253.47 τ=31.68
CC 7 SLV (Collegamento 0020_-377)
Azioni sul collegamento: N=-9172.38 Ty=-0.64 Tz=10.50 Mx=0.01 Mz=-1.09
Sollecitazioni agenti localmente: Ty_l=-1667.71 Mx_l=-33.35
Tensioni nella sezione: σ=404.29 τ=50.54
CC 7 SLV (Collegamento 0020_-377)
Azioni sul collegamento: N=-9172.38 Ty=-4.02 Tz=10.50 Mx=0.01 Mz=2.16
Sollecitazioni agenti localmente: Ty_l=-1667.71 Mx_l=-33.35
Tensioni nella sezione: σ=404.29 τ=50.54
CC 7 SLV (Collegamento 0020_-377)
Azioni sul collegamento: N=-9172.38 Ty=-0.64 Tz=-9.21 Mx=0.01 Mz=-1.09
Sollecitazioni agenti localmente: Ty_l=-1667.71 Mx_l=-33.35

Tensioni nella sezione: σ=404.29 τ=50.54
CC 7 SLV (Collegamento 0020_-377)
Azioni sul collegamento: N=-9172.38 Ty=-4.02 Tz=-9.21 Mx=0.01 Mz=2.16
Sollecitazioni agenti localmente: Ty_l=-1667.71 Mx_l=-33.35
Tensioni nella sezione: σ=404.29 τ=50.54
CC 7 SLV (Collegamento 0020_-377)
Azioni sul collegamento: N=-3875.57 Ty=-0.64 Tz=10.50 Mx=0.01 Mz=-1.09
Sollecitazioni agenti localmente: Ty_l=-704.65 Mx_l=-14.09
Tensioni nella sezione: σ=170.82 τ=21.35
CC 7 SLV (Collegamento 0020_-377)
Azioni sul collegamento: N=-3875.57 Ty=-4.02 Tz=10.50 Mx=0.01 Mz=2.16
Sollecitazioni agenti localmente: Ty_l=-704.65 Mx_l=-14.09
Tensioni nella sezione: σ=170.82 τ=21.35
CC 7 SLV (Collegamento 0020_-377)
Azioni sul collegamento: N=-3875.57 Ty=-0.64 Tz=-9.21 Mx=0.01 Mz=-1.09
Sollecitazioni agenti localmente: Ty_l=-704.65 Mx_l=-14.09
Tensioni nella sezione: σ=170.82 τ=21.35
CC 7 SLV (Collegamento 0020_-377)
Azioni sul collegamento: N=-3875.57 Ty=-4.02 Tz=-9.21 Mx=0.01 Mz=2.16
Sollecitazioni agenti localmente: Ty_l=-704.65 Mx_l=-14.09
Tensioni nella sezione: σ=170.82 τ=21.35
CC 8 SLD (Collegamento 0020_-377)
Azioni sul collegamento: N=-7364.01 Ty=-3.69 Tz=3.78 Mx=0.01 Mz=-2.04
Sollecitazioni agenti localmente: Ty_l=-1338.91 Mx_l=-26.78
Tensioni nella sezione: σ=324.58 τ=40.57
CC 8 SLD (Collegamento 0020_-377)
Azioni sul collegamento: N=-7364.01 Ty=-2.66 Tz=3.78 Mx=0.01 Mz=-1.05
Sollecitazioni agenti localmente: Ty_l=-1338.91 Mx_l=-26.78
Tensioni nella sezione: σ=324.58 τ=40.57
CC 8 SLD (Collegamento 0020_-377)
Azioni sul collegamento: N=-7364.01 Ty=-3.69 Tz=-2.23 Mx=0.01 Mz=-2.04
Sollecitazioni agenti localmente: Ty_l=-1338.91 Mx_l=-26.78
Tensioni nella sezione: σ=324.58 τ=40.57
CC 8 SLD (Collegamento 0020_-377)
Azioni sul collegamento: N=-7364.01 Ty=-2.66 Tz=-2.23 Mx=0.01 Mz=-1.05
Sollecitazioni agenti localmente: Ty_l=-1338.91 Mx_l=-26.78
Tensioni nella sezione: σ=324.58 τ=40.57
CC 8 SLD (Collegamento 0020_-377)
Azioni sul collegamento: N=-5748.85 Ty=-3.69 Tz=3.78 Mx=0.01 Mz=-2.04
Sollecitazioni agenti localmente: Ty_l=-1045.24 Mx_l=-20.90
Tensioni nella sezione: σ=253.39 τ=31.67
CC 8 SLD (Collegamento 0020_-377)
Azioni sul collegamento: N=-5748.85 Ty=-2.66 Tz=3.78 Mx=0.01 Mz=-1.05
Sollecitazioni agenti localmente: Ty_l=-1045.24 Mx_l=-20.90
Tensioni nella sezione: σ=253.39 τ=31.67
CC 8 SLD (Collegamento 0020_-377)
Azioni sul collegamento: N=-5748.85 Ty=-3.69 Tz=-2.23 Mx=0.01 Mz=-2.04
Sollecitazioni agenti localmente: Ty_l=-1045.24 Mx_l=-20.90
Tensioni nella sezione: σ=253.39 τ=31.67
CC 8 SLD (Collegamento 0020_-377)
Azioni sul collegamento: N=-5748.85 Ty=-2.66 Tz=-2.23 Mx=0.01 Mz=-1.05
Sollecitazioni agenti localmente: Ty_l=-1045.24 Mx_l=-20.90
Tensioni nella sezione: σ=253.39 τ=31.67
CC 9 SLV (Collegamento 0020_-377)
Azioni sul collegamento: N=-5720.83 Ty=-3.80 Tz=-2.51 Mx=0.03 Mz=2.93
Sollecitazioni agenti localmente: Ty_l=-1040.15 Mx_l=-20.80
Tensioni nella sezione: σ=252.16 τ=31.52
CC 9 SLV (Collegamento 0020_-377)
Azioni sul collegamento: N=-5720.83 Ty=-0.86 Tz=-2.51 Mx=0.03 Mz=-1.85
Sollecitazioni agenti localmente: Ty_l=-1040.15 Mx_l=-20.80
Tensioni nella sezione: σ=252.16 τ=31.52
CC 9 SLV (Collegamento 0020_-377)
Azioni sul collegamento: N=-5720.83 Ty=-3.80 Tz=3.80 Mx=0.03 Mz=2.93
Sollecitazioni agenti localmente: Ty_l=-1040.15 Mx_l=-20.80
Tensioni nella sezione: σ=252.16 τ=31.52
CC 9 SLV (Collegamento 0020_-377)
Azioni sul collegamento: N=-5720.83 Ty=-0.86 Tz=3.80 Mx=0.03 Mz=-1.85
Sollecitazioni agenti localmente: Ty_l=-1040.15 Mx_l=-20.80
Tensioni nella sezione: σ=252.16 τ=31.52
CC 9 SLV (Collegamento 0020_-377)
Azioni sul collegamento: N=-7327.12 Ty=-3.80 Tz=-2.51 Mx=0.03 Mz=2.93
Sollecitazioni agenti localmente: Ty_l=-1332.20 Mx_l=-26.64
Tensioni nella sezione: σ=322.96 τ=40.37
CC 9 SLV (Collegamento 0020_-377)
Azioni sul collegamento: N=-7327.12 Ty=-0.86 Tz=-2.51 Mx=0.03 Mz=-1.85
Sollecitazioni agenti localmente: Ty_l=-1332.20 Mx_l=-26.64
Tensioni nella sezione: σ=322.96 τ=40.37
CC 9 SLV (Collegamento 0020_-377)
Azioni sul collegamento: N=-7327.12 Ty=-3.80 Tz=3.80 Mx=0.03 Mz=2.93
Sollecitazioni agenti localmente: Ty_l=-1332.20 Mx_l=-26.64

Tensioni nella sezione: σ=322.96 τ=40.37
CC 9 SLV (Collegamento 0020_-377)
Azioni sul collegamento: N=-7327.12 Ty=-0.86 Tz=3.80 Mx=0.03 Mz=-1.85
Sollecitazioni agenti localmente: Ty_l=-1332.20 Mx_l=-26.64
Tensioni nella sezione: σ=322.96 τ=40.37
CC 10 SLD (Collegamento 0020_-377)
Azioni sul collegamento: N=-6311.52 Ty=-2.73 Tz=-0.19 Mx=0.01 Mz=-0.81
Sollecitazioni agenti localmente: Ty_l=-1147.55 Mx_l=-22.95
Tensioni nella sezione: σ=278.19 τ=34.77
CC 10 SLD (Collegamento 0020_-377)
Azioni sul collegamento: N=-6311.52 Ty=-3.62 Tz=-0.19 Mx=0.01 Mz=-2.27
Sollecitazioni agenti localmente: Ty_l=-1147.55 Mx_l=-22.95
Tensioni nella sezione: σ=278.19 τ=34.77
CC 10 SLD (Collegamento 0020_-377)
Azioni sul collegamento: N=-6311.52 Ty=-2.73 Tz=1.73 Mx=0.01 Mz=-0.81
Sollecitazioni agenti localmente: Ty_l=-1147.55 Mx_l=-22.95
Tensioni nella sezione: σ=278.19 τ=34.77
CC 10 SLD (Collegamento 0020_-377)
Azioni sul collegamento: N=-6311.52 Ty=-3.62 Tz=1.73 Mx=0.01 Mz=-2.27
Sollecitazioni agenti localmente: Ty_l=-1147.55 Mx_l=-22.95
Tensioni nella sezione: σ=278.19 τ=34.77
CC 10 SLD (Collegamento 0020_-377)
Azioni sul collegamento: N=-6801.33 Ty=-2.73 Tz=-0.19 Mx=0.01 Mz=-0.81
Sollecitazioni agenti localmente: Ty_l=-1236.61 Mx_l=-24.73
Tensioni nella sezione: σ=299.78 τ=37.47
CC 10 SLD (Collegamento 0020_-377)
Azioni sul collegamento: N=-6801.33 Ty=-3.62 Tz=-0.19 Mx=0.01 Mz=-2.27
Sollecitazioni agenti localmente: Ty_l=-1236.61 Mx_l=-24.73
Tensioni nella sezione: σ=299.78 τ=37.47
CC 10 SLD (Collegamento 0020_-377)
Azioni sul collegamento: N=-6801.33 Ty=-2.73 Tz=1.73 Mx=0.01 Mz=-0.81
Sollecitazioni agenti localmente: Ty_l=-1236.61 Mx_l=-24.73
Tensioni nella sezione: σ=299.78 τ=37.47
CC 10 SLD (Collegamento 0020_-377)
Azioni sul collegamento: N=-6801.33 Ty=-3.62 Tz=1.73 Mx=0.01 Mz=-2.27
Sollecitazioni agenti localmente: Ty_l=-1236.61 Mx_l=-24.73
Tensioni nella sezione: σ=299.78 τ=37.47
CC 11 SLV (Collegamento 0020_-377)
Azioni sul collegamento: N=-7308.16 Ty=-2.97 Tz=3.37 Mx=0.02 Mz=2.33
Sollecitazioni agenti localmente: Ty_l=-1328.76 Mx_l=-26.58
Tensioni nella sezione: σ=322.12 τ=40.27
CC 11 SLV (Collegamento 0020_-377)
Azioni sul collegamento: N=-7308.16 Ty=-1.68 Tz=3.37 Mx=0.02 Mz=-1.26
Sollecitazioni agenti localmente: Ty_l=-1328.76 Mx_l=-26.58
Tensioni nella sezione: σ=322.12 τ=40.27
CC 11 SLV (Collegamento 0020_-377)
Azioni sul collegamento: N=-7308.16 Ty=-2.97 Tz=-2.08 Mx=0.02 Mz=2.33
Sollecitazioni agenti localmente: Ty_l=-1328.76 Mx_l=-26.58
Tensioni nella sezione: σ=322.12 τ=40.27
CC 11 SLV (Collegamento 0020_-377)
Azioni sul collegamento: N=-7308.16 Ty=-1.68 Tz=-2.08 Mx=0.02 Mz=-1.26
Sollecitazioni agenti localmente: Ty_l=-1328.76 Mx_l=-26.58
Tensioni nella sezione: σ=322.12 τ=40.27
CC 11 SLV (Collegamento 0020_-377)
Azioni sul collegamento: N=-5739.79 Ty=-2.97 Tz=3.37 Mx=0.02 Mz=2.33
Sollecitazioni agenti localmente: Ty_l=-1043.60 Mx_l=-20.87
Tensioni nella sezione: σ=252.99 τ=31.62
CC 11 SLV (Collegamento 0020_-377)
Azioni sul collegamento: N=-5739.79 Ty=-1.68 Tz=3.37 Mx=0.02 Mz=-1.26
Sollecitazioni agenti localmente: Ty_l=-1043.60 Mx_l=-20.87
Tensioni nella sezione: σ=252.99 τ=31.62
CC 11 SLV (Collegamento 0020_-377)
Azioni sul collegamento: N=-5739.79 Ty=-2.97 Tz=-2.08 Mx=0.02 Mz=2.33
Sollecitazioni agenti localmente: Ty_l=-1043.60 Mx_l=-20.87
Tensioni nella sezione: σ=252.99 τ=31.62
CC 11 SLV (Collegamento 0020_-377)
Azioni sul collegamento: N=-5739.79 Ty=-1.68 Tz=-2.08 Mx=0.02 Mz=-1.26
Sollecitazioni agenti localmente: Ty_l=-1043.60 Mx_l=-20.87
Tensioni nella sezione: σ=252.99 τ=31.62
CC 12 SLD (Collegamento 0020_-377)
Azioni sul collegamento: N=-6795.55 Ty=-2.98 Tz=1.60 Mx=0.01 Mz=-1.00
Sollecitazioni agenti localmente: Ty_l=-1235.56 Mx_l=-24.71
Tensioni nella sezione: σ=299.53 τ=37.44
CC 12 SLD (Collegamento 0020_-377)
Azioni sul collegamento: N=-6795.55 Ty=-3.37 Tz=1.60 Mx=0.01 Mz=-2.09
Sollecitazioni agenti localmente: Ty_l=-1235.56 Mx_l=-24.71
Tensioni nella sezione: σ=299.53 τ=37.44
CC 12 SLD (Collegamento 0020_-377)
Azioni sul collegamento: N=-6795.55 Ty=-2.98 Tz=-0.06 Mx=0.01 Mz=-1.00
Sollecitazioni agenti localmente: Ty_l=-1235.56 Mx_l=-24.71

Tensioni nella sezione: σ=299.53 τ=37.44
CC 12 SLD (Collegamento 0020_-377)
Azioni sul collegamento: N=-6795.55 Ty=-3.37 Tz=-0.06 Mx=0.01 Mz=-2.09
Sollecitazioni agenti localmente: Ty_l=-1235.56 Mx_l=-24.71
Tensioni nella sezione: σ=299.53 τ=37.44
CC 12 SLD (Collegamento 0020_-377)
Azioni sul collegamento: N=-6317.31 Ty=-2.98 Tz=1.60 Mx=0.01 Mz=-1.00
Sollecitazioni agenti localmente: Ty_l=-1148.60 Mx_l=-22.97
Tensioni nella sezione: σ=278.45 τ=34.81
CC 12 SLD (Collegamento 0020_-377)
Azioni sul collegamento: N=-6317.31 Ty=-3.37 Tz=1.60 Mx=0.01 Mz=-2.09
Sollecitazioni agenti localmente: Ty_l=-1148.60 Mx_l=-22.97
Tensioni nella sezione: σ=278.45 τ=34.81
CC 12 SLD (Collegamento 0020_-377)
Azioni sul collegamento: N=-6317.31 Ty=-2.98 Tz=-0.06 Mx=0.01 Mz=-1.00
Sollecitazioni agenti localmente: Ty_l=-1148.60 Mx_l=-22.97
Tensioni nella sezione: σ=278.45 τ=34.81
CC 12 SLD (Collegamento 0020_-377)
Azioni sul collegamento: N=-6317.31 Ty=-3.37 Tz=-0.06 Mx=0.01 Mz=-2.09
Sollecitazioni agenti localmente: Ty_l=-1148.60 Mx_l=-22.97
Tensioni nella sezione: σ=278.45 τ=34.81
CC 13 SLV (Collegamento 0020_-377)
Azioni sul collegamento: N=-5739.79 Ty=-1.68 Tz=-2.08 Mx=0.01 Mz=-1.26
Sollecitazioni agenti localmente: Ty_l=-1043.60 Mx_l=-20.87
Tensioni nella sezione: σ=252.99 τ=31.62
CC 13 SLV (Collegamento 0020_-377)
Azioni sul collegamento: N=-5739.79 Ty=-2.97 Tz=-2.08 Mx=0.01 Mz=2.33
Sollecitazioni agenti localmente: Ty_l=-1043.60 Mx_l=-20.87
Tensioni nella sezione: σ=252.99 τ=31.62
CC 13 SLV (Collegamento 0020_-377)
Azioni sul collegamento: N=-5739.79 Ty=-1.68 Tz=3.37 Mx=0.01 Mz=-1.26
Sollecitazioni agenti localmente: Ty_l=-1043.60 Mx_l=-20.87
Tensioni nella sezione: σ=252.99 τ=31.62
CC 13 SLV (Collegamento 0020_-377)
Azioni sul collegamento: N=-5739.79 Ty=-2.97 Tz=3.37 Mx=0.01 Mz=2.33
Sollecitazioni agenti localmente: Ty_l=-1043.60 Mx_l=-20.87
Tensioni nella sezione: σ=252.99 τ=31.62
CC 13 SLV (Collegamento 0020_-377)
Azioni sul collegamento: N=-7308.16 Ty=-1.68 Tz=-2.08 Mx=0.01 Mz=-1.26
Sollecitazioni agenti localmente: Ty_l=-1328.76 Mx_l=-26.58
Tensioni nella sezione: σ=322.12 τ=40.27
CC 13 SLV (Collegamento 0020_-377)
Azioni sul collegamento: N=-7308.16 Ty=-2.97 Tz=-2.08 Mx=0.01 Mz=2.33
Sollecitazioni agenti localmente: Ty_l=-1328.76 Mx_l=-26.58
Tensioni nella sezione: σ=322.12 τ=40.27
CC 13 SLV (Collegamento 0020_-377)
Azioni sul collegamento: N=-7308.16 Ty=-1.68 Tz=3.37 Mx=0.01 Mz=-1.26
Sollecitazioni agenti localmente: Ty_l=-1328.76 Mx_l=-26.58
Tensioni nella sezione: σ=322.12 τ=40.27
CC 13 SLV (Collegamento 0020_-377)
Azioni sul collegamento: N=-7308.16 Ty=-2.97 Tz=3.37 Mx=0.01 Mz=2.33
Sollecitazioni agenti localmente: Ty_l=-1328.76 Mx_l=-26.58
Tensioni nella sezione: σ=322.12 τ=40.27
CC 14 SLD (Collegamento 0020_-377)
Azioni sul collegamento: N=-6317.31 Ty=-3.37 Tz=-0.06 Mx=0.01 Mz=-2.09
Sollecitazioni agenti localmente: Ty_l=-1148.60 Mx_l=-22.97
Tensioni nella sezione: σ=278.45 τ=34.81
CC 14 SLD (Collegamento 0020_-377)
Azioni sul collegamento: N=-6317.31 Ty=-2.98 Tz=-0.06 Mx=0.01 Mz=-1.00
Sollecitazioni agenti localmente: Ty_l=-1148.60 Mx_l=-22.97
Tensioni nella sezione: σ=278.45 τ=34.81
CC 14 SLD (Collegamento 0020_-377)
Azioni sul collegamento: N=-6317.31 Ty=-3.37 Tz=1.60 Mx=0.01 Mz=-2.09
Sollecitazioni agenti localmente: Ty_l=-1148.60 Mx_l=-22.97
Tensioni nella sezione: σ=278.45 τ=34.81
CC 14 SLD (Collegamento 0020_-377)
Azioni sul collegamento: N=-6317.31 Ty=-2.98 Tz=1.60 Mx=0.01 Mz=-1.00
Sollecitazioni agenti localmente: Ty_l=-1148.60 Mx_l=-22.97
Tensioni nella sezione: σ=278.45 τ=34.81
CC 14 SLD (Collegamento 0020_-377)
Azioni sul collegamento: N=-6795.55 Ty=-3.37 Tz=-0.06 Mx=0.01 Mz=-2.09
Sollecitazioni agenti localmente: Ty_l=-1235.56 Mx_l=-24.71
Tensioni nella sezione: σ=299.53 τ=37.44
CC 14 SLD (Collegamento 0020_-377)
Azioni sul collegamento: N=-6795.55 Ty=-2.98 Tz=-0.06 Mx=0.01 Mz=-1.00
Sollecitazioni agenti localmente: Ty_l=-1235.56 Mx_l=-24.71
Tensioni nella sezione: σ=299.53 τ=37.44
CC 14 SLD (Collegamento 0020_-377)
Azioni sul collegamento: N=-6795.55 Ty=-3.37 Tz=1.60 Mx=0.01 Mz=-2.09
Sollecitazioni agenti localmente: Ty_l=-1235.56 Mx_l=-24.71

Tensioni nella sezione: σ=299.53 τ=37.44
CC 14 SLD (Collegamento 0020_-377)
Azioni sul collegamento: N=-6795.55 Ty=-2.98 Tz=1.60 Mx=0.01 Mz=-1.00
Sollecitazioni agenti localmente: Ty_l=-1235.56 Mx_l=-24.71
Tensioni nella sezione: σ=299.53 τ=37.44
CC 15 SLV (Collegamento 0020_-377)
Azioni sul collegamento: N=-7327.12 Ty=-0.86 Tz=3.80 Mx=0.01 Mz=-1.85
Sollecitazioni agenti localmente: Ty_l=-1332.20 Mx_l=-26.64
Tensioni nella sezione: σ=322.96 τ=40.37
CC 15 SLV (Collegamento 0020_-377)
Azioni sul collegamento: N=-7327.12 Ty=-3.80 Tz=3.80 Mx=0.01 Mz=2.93
Sollecitazioni agenti localmente: Ty_l=-1332.20 Mx_l=-26.64
Tensioni nella sezione: σ=322.96 τ=40.37
CC 15 SLV (Collegamento 0020_-377)
Azioni sul collegamento: N=-7327.12 Ty=-0.86 Tz=-2.51 Mx=0.01 Mz=-1.85
Sollecitazioni agenti localmente: Ty_l=-1332.20 Mx_l=-26.64
Tensioni nella sezione: σ=322.96 τ=40.37
CC 15 SLV (Collegamento 0020_-377)
Azioni sul collegamento: N=-7327.12 Ty=-3.80 Tz=-2.51 Mx=0.01 Mz=2.93
Sollecitazioni agenti localmente: Ty_l=-1332.20 Mx_l=-26.64
Tensioni nella sezione: σ=322.96 τ=40.37
CC 15 SLV (Collegamento 0020_-377)
Azioni sul collegamento: N=-5720.83 Ty=-0.86 Tz=3.80 Mx=0.01 Mz=-1.85
Sollecitazioni agenti localmente: Ty_l=-1040.15 Mx_l=-20.80
Tensioni nella sezione: σ=252.16 τ=31.52
CC 15 SLV (Collegamento 0020_-377)
Azioni sul collegamento: N=-5720.83 Ty=-3.80 Tz=3.80 Mx=0.01 Mz=2.93
Sollecitazioni agenti localmente: Ty_l=-1040.15 Mx_l=-20.80
Tensioni nella sezione: σ=252.16 τ=31.52
CC 15 SLV (Collegamento 0020_-377)
Azioni sul collegamento: N=-5720.83 Ty=-0.86 Tz=-2.51 Mx=0.01 Mz=-1.85
Sollecitazioni agenti localmente: Ty_l=-1040.15 Mx_l=-20.80
Tensioni nella sezione: σ=252.16 τ=31.52
CC 15 SLV (Collegamento 0020_-377)
Azioni sul collegamento: N=-5720.83 Ty=-3.80 Tz=-2.51 Mx=0.01 Mz=2.93
Sollecitazioni agenti localmente: Ty_l=-1040.15 Mx_l=-20.80
Tensioni nella sezione: σ=252.16 τ=31.52
CC 16 SLD (Collegamento 0020_-377)
Azioni sul collegamento: N=-6801.33 Ty=-3.62 Tz=1.73 Mx=0.01 Mz=-2.27
Sollecitazioni agenti localmente: Ty_l=-1236.61 Mx_l=-24.73
Tensioni nella sezione: σ=299.78 τ=37.47
CC 16 SLD (Collegamento 0020_-377)
Azioni sul collegamento: N=-6801.33 Ty=-2.73 Tz=1.73 Mx=0.01 Mz=-0.81
Sollecitazioni agenti localmente: Ty_l=-1236.61 Mx_l=-24.73
Tensioni nella sezione: σ=299.78 τ=37.47
CC 16 SLD (Collegamento 0020_-377)
Azioni sul collegamento: N=-6801.33 Ty=-3.62 Tz=-0.19 Mx=0.01 Mz=-2.27
Sollecitazioni agenti localmente: Ty_l=-1236.61 Mx_l=-24.73
Tensioni nella sezione: σ=299.78 τ=37.47
CC 16 SLD (Collegamento 0020_-377)
Azioni sul collegamento: N=-6801.33 Ty=-2.73 Tz=-0.19 Mx=0.01 Mz=-0.81
Sollecitazioni agenti localmente: Ty_l=-1236.61 Mx_l=-24.73
Tensioni nella sezione: σ=299.78 τ=37.47
CC 16 SLD (Collegamento 0020_-377)
Azioni sul collegamento: N=-6311.52 Ty=-3.62 Tz=1.73 Mx=0.01 Mz=-2.27
Sollecitazioni agenti localmente: Ty_l=-1147.55 Mx_l=-22.95
Tensioni nella sezione: σ=278.19 τ=34.77
CC 16 SLD (Collegamento 0020_-377)
Azioni sul collegamento: N=-6311.52 Ty=-2.73 Tz=1.73 Mx=0.01 Mz=-0.81
Sollecitazioni agenti localmente: Ty_l=-1147.55 Mx_l=-22.95
Tensioni nella sezione: σ=278.19 τ=34.77
CC 16 SLD (Collegamento 0020_-377)
Azioni sul collegamento: N=-6311.52 Ty=-3.62 Tz=-0.19 Mx=0.01 Mz=-2.27
Sollecitazioni agenti localmente: Ty_l=-1147.55 Mx_l=-22.95
Tensioni nella sezione: σ=278.19 τ=34.77
CC 16 SLD (Collegamento 0020_-377)
Azioni sul collegamento: N=-6311.52 Ty=-2.73 Tz=-0.19 Mx=0.01 Mz=-0.81
Sollecitazioni agenti localmente: Ty_l=-1147.55 Mx_l=-22.95
Tensioni nella sezione: σ=278.19 τ=34.77
CC 17 SLV (Collegamento 0020_-377)
Azioni sul collegamento: N=-3968.96 Ty=-3.07 Tz=-8.85 Mx=-0.01 Mz=-3.83
Sollecitazioni agenti localmente: Ty_l=-721.63 Mx_l=-14.43
Tensioni nella sezione: σ=174.94 τ=21.87
CC 17 SLV (Collegamento 0020_-377)
Azioni sul collegamento: N=-3968.96 Ty=-6.45 Tz=-8.85 Mx=-0.01 Mz=-7.08
Sollecitazioni agenti localmente: Ty_l=-721.63 Mx_l=-14.43
Tensioni nella sezione: σ=174.94 τ=21.87
CC 17 SLV (Collegamento 0020_-377)
Azioni sul collegamento: N=-3968.96 Ty=-3.07 Tz=10.87 Mx=-0.01 Mz=-3.83
Sollecitazioni agenti localmente: Ty_l=-721.63 Mx_l=-14.43

Tensioni nella sezione: σ=174.94 τ=21.87
CC 17 SLV (Collegamento 0020_-377)
Azioni sul collegamento: N=-3968.96 Ty=-6.45 Tz=10.87 Mx=-0.01 Mz=-7.08
Sollecitazioni agenti localmente: Ty_l=-721.63 Mx_l=-14.43
Tensioni nella sezione: σ=174.94 τ=21.87
CC 17 SLV (Collegamento 0020_-377)
Azioni sul collegamento: N=-9265.76 Ty=-3.07 Tz=-8.85 Mx=-0.01 Mz=-3.83
Sollecitazioni agenti localmente: Ty_l=-1684.68 Mx_l=-33.69
Tensioni nella sezione: σ=408.41 τ=51.05
CC 17 SLV (Collegamento 0020_-377)
Azioni sul collegamento: N=-9265.76 Ty=-6.45 Tz=-8.85 Mx=-0.01 Mz=-7.08
Sollecitazioni agenti localmente: Ty_l=-1684.68 Mx_l=-33.69
Tensioni nella sezione: σ=408.41 τ=51.05
CC 17 SLV (Collegamento 0020_-377)
Azioni sul collegamento: N=-9265.76 Ty=-3.07 Tz=10.87 Mx=-0.01 Mz=-3.83
Sollecitazioni agenti localmente: Ty_l=-1684.68 Mx_l=-33.69
Tensioni nella sezione: σ=408.41 τ=51.05
CC 17 SLV (Collegamento 0020_-377)
Azioni sul collegamento: N=-9265.76 Ty=-6.45 Tz=10.87 Mx=-0.01 Mz=-7.08
Sollecitazioni agenti localmente: Ty_l=-1684.68 Mx_l=-33.69
Tensioni nella sezione: σ=408.41 τ=51.05
CC 18 SLD (Collegamento 0020_-377)
Azioni sul collegamento: N=-5777.32 Ty=-3.40 Tz=-2.12 Mx=-0.00 Mz=-2.87
Sollecitazioni agenti localmente: Ty_l=-1050.42 Mx_l=-21.01
Tensioni nella sezione: σ=254.65 τ=31.83
CC 18 SLD (Collegamento 0020_-377)
Azioni sul collegamento: N=-5777.32 Ty=-4.43 Tz=-2.12 Mx=-0.00 Mz=-3.87
Sollecitazioni agenti localmente: Ty_l=-1050.42 Mx_l=-21.01
Tensioni nella sezione: σ=254.65 τ=31.83
CC 18 SLD (Collegamento 0020_-377)
Azioni sul collegamento: N=-5777.32 Ty=-3.40 Tz=3.89 Mx=-0.00 Mz=-2.87
Sollecitazioni agenti localmente: Ty_l=-1050.42 Mx_l=-21.01
Tensioni nella sezione: σ=254.65 τ=31.83
CC 18 SLD (Collegamento 0020_-377)
Azioni sul collegamento: N=-5777.32 Ty=-4.43 Tz=3.89 Mx=-0.00 Mz=-3.87
Sollecitazioni agenti localmente: Ty_l=-1050.42 Mx_l=-21.01
Tensioni nella sezione: σ=254.65 τ=31.83
CC 18 SLD (Collegamento 0020_-377)
Azioni sul collegamento: N=-7392.49 Ty=-3.40 Tz=-2.12 Mx=-0.00 Mz=-2.87
Sollecitazioni agenti localmente: Ty_l=-1344.09 Mx_l=-26.88
Tensioni nella sezione: σ=325.84 τ=40.73
CC 18 SLD (Collegamento 0020_-377)
Azioni sul collegamento: N=-7392.49 Ty=-4.43 Tz=-2.12 Mx=-0.00 Mz=-3.87
Sollecitazioni agenti localmente: Ty_l=-1344.09 Mx_l=-26.88
Tensioni nella sezione: σ=325.84 τ=40.73
CC 18 SLD (Collegamento 0020_-377)
Azioni sul collegamento: N=-7392.49 Ty=-3.40 Tz=3.89 Mx=-0.00 Mz=-2.87
Sollecitazioni agenti localmente: Ty_l=-1344.09 Mx_l=-26.88
Tensioni nella sezione: σ=325.84 τ=40.73
CC 18 SLD (Collegamento 0020_-377)
Azioni sul collegamento: N=-7392.49 Ty=-4.43 Tz=3.89 Mx=-0.00 Mz=-3.87
Sollecitazioni agenti localmente: Ty_l=-1344.09 Mx_l=-26.88
Tensioni nella sezione: σ=325.84 τ=40.73
CC 19 SLV (Collegamento 0020_-377)
Azioni sul collegamento: N=-3974.65 Ty=-3.70 Tz=-8.72 Mx=-0.01 Mz=-5.08
Sollecitazioni agenti localmente: Ty_l=-722.66 Mx_l=-14.45
Tensioni nella sezione: σ=175.19 τ=21.90
CC 19 SLV (Collegamento 0020_-377)
Azioni sul collegamento: N=-3974.65 Ty=-5.81 Tz=-8.72 Mx=-0.01 Mz=-5.82
Sollecitazioni agenti localmente: Ty_l=-722.66 Mx_l=-14.45
Tensioni nella sezione: σ=175.19 τ=21.90
CC 19 SLV (Collegamento 0020_-377)
Azioni sul collegamento: N=-3974.65 Ty=-3.70 Tz=10.74 Mx=-0.01 Mz=-5.08
Sollecitazioni agenti localmente: Ty_l=-722.66 Mx_l=-14.45
Tensioni nella sezione: σ=175.19 τ=21.90
CC 19 SLV (Collegamento 0020_-377)
Azioni sul collegamento: N=-3974.65 Ty=-5.81 Tz=10.74 Mx=-0.01 Mz=-5.82
Sollecitazioni agenti localmente: Ty_l=-722.66 Mx_l=-14.45
Tensioni nella sezione: σ=175.19 τ=21.90
CC 19 SLV (Collegamento 0020_-377)
Azioni sul collegamento: N=-9260.08 Ty=-3.70 Tz=-8.72 Mx=-0.01 Mz=-5.08
Sollecitazioni agenti localmente: Ty_l=-1683.65 Mx_l=-33.67
Tensioni nella sezione: σ=408.16 τ=51.02
CC 19 SLV (Collegamento 0020_-377)
Azioni sul collegamento: N=-9260.08 Ty=-5.81 Tz=-8.72 Mx=-0.01 Mz=-5.82
Sollecitazioni agenti localmente: Ty_l=-1683.65 Mx_l=-33.67
Tensioni nella sezione: σ=408.16 τ=51.02
CC 19 SLV (Collegamento 0020_-377)
Azioni sul collegamento: N=-9260.08 Ty=-3.70 Tz=10.74 Mx=-0.01 Mz=-5.08
Sollecitazioni agenti localmente: Ty_l=-1683.65 Mx_l=-33.67

Tensioni nella sezione: σ=408.16 τ=51.02
CC 19 SLV (Collegamento 0020_-377)
Azioni sul collegamento: N=-9260.08 Ty=-5.81 Tz=10.74 Mx=-0.01 Mz=-5.82
Sollecitazioni agenti localmente: Ty_l=-1683.65 Mx_l=-33.67
Tensioni nella sezione: σ=408.16 τ=51.02
CC 20 SLD (Collegamento 0020_-377)
Azioni sul collegamento: N=-5779.06 Ty=-3.59 Tz=-2.08 Mx=-0.00 Mz=-3.26
Sollecitazioni agenti localmente: Ty_l=-1050.74 Mx_l=-21.01
Tensioni nella sezione: σ=254.72 τ=31.84
CC 20 SLD (Collegamento 0020_-377)
Azioni sul collegamento: N=-5779.06 Ty=-4.24 Tz=-2.08 Mx=-0.00 Mz=-3.48
Sollecitazioni agenti localmente: Ty_l=-1050.74 Mx_l=-21.01
Tensioni nella sezione: σ=254.72 τ=31.84
CC 20 SLD (Collegamento 0020_-377)
Azioni sul collegamento: N=-5779.06 Ty=-3.59 Tz=3.85 Mx=-0.00 Mz=-3.26
Sollecitazioni agenti localmente: Ty_l=-1050.74 Mx_l=-21.01
Tensioni nella sezione: σ=254.72 τ=31.84
CC 20 SLD (Collegamento 0020_-377)
Azioni sul collegamento: N=-5779.06 Ty=-4.24 Tz=3.85 Mx=-0.00 Mz=-3.48
Sollecitazioni agenti localmente: Ty_l=-1050.74 Mx_l=-21.01
Tensioni nella sezione: σ=254.72 τ=31.84
CC 20 SLD (Collegamento 0020_-377)
Azioni sul collegamento: N=-7390.75 Ty=-3.59 Tz=-2.08 Mx=-0.00 Mz=-3.26
Sollecitazioni agenti localmente: Ty_l=-1343.77 Mx_l=-26.88
Tensioni nella sezione: σ=325.76 τ=40.72
CC 20 SLD (Collegamento 0020_-377)
Azioni sul collegamento: N=-7390.75 Ty=-4.24 Tz=-2.08 Mx=-0.00 Mz=-3.48
Sollecitazioni agenti localmente: Ty_l=-1343.77 Mx_l=-26.88
Tensioni nella sezione: σ=325.76 τ=40.72
CC 20 SLD (Collegamento 0020_-377)
Azioni sul collegamento: N=-7390.75 Ty=-3.59 Tz=3.85 Mx=-0.00 Mz=-3.26
Sollecitazioni agenti localmente: Ty_l=-1343.77 Mx_l=-26.88
Tensioni nella sezione: σ=325.76 τ=40.72
CC 20 SLD (Collegamento 0020_-377)
Azioni sul collegamento: N=-7390.75 Ty=-4.24 Tz=3.85 Mx=-0.00 Mz=-3.48
Sollecitazioni agenti localmente: Ty_l=-1343.77 Mx_l=-26.88
Tensioni nella sezione: σ=325.76 τ=40.72
CC 21 SLV (Collegamento 0020_-377)
Azioni sul collegamento: N=-9260.08 Ty=-5.81 Tz=10.74 Mx=-0.01 Mz=-5.82
Sollecitazioni agenti localmente: Ty_l=-1683.65 Mx_l=-33.67
Tensioni nella sezione: σ=408.16 τ=51.02
CC 21 SLV (Collegamento 0020_-377)
Azioni sul collegamento: N=-9260.08 Ty=-3.70 Tz=10.74 Mx=-0.01 Mz=-5.08
Sollecitazioni agenti localmente: Ty_l=-1683.65 Mx_l=-33.67
Tensioni nella sezione: σ=408.16 τ=51.02
CC 21 SLV (Collegamento 0020_-377)
Azioni sul collegamento: N=-9260.08 Ty=-5.81 Tz=-8.72 Mx=-0.01 Mz=-5.82
Sollecitazioni agenti localmente: Ty_l=-1683.65 Mx_l=-33.67
Tensioni nella sezione: σ=408.16 τ=51.02
CC 21 SLV (Collegamento 0020_-377)
Azioni sul collegamento: N=-9260.08 Ty=-3.70 Tz=-8.72 Mx=-0.01 Mz=-5.08
Sollecitazioni agenti localmente: Ty_l=-1683.65 Mx_l=-33.67
Tensioni nella sezione: σ=408.16 τ=51.02
CC 21 SLV (Collegamento 0020_-377)
Azioni sul collegamento: N=-3974.65 Ty=-5.81 Tz=10.74 Mx=-0.01 Mz=-5.82
Sollecitazioni agenti localmente: Ty_l=-722.66 Mx_l=-14.45
Tensioni nella sezione: σ=175.19 τ=21.90
CC 21 SLV (Collegamento 0020_-377)
Azioni sul collegamento: N=-3974.65 Ty=-3.70 Tz=10.74 Mx=-0.01 Mz=-5.08
Sollecitazioni agenti localmente: Ty_l=-722.66 Mx_l=-14.45
Tensioni nella sezione: σ=175.19 τ=21.90
CC 21 SLV (Collegamento 0020_-377)
Azioni sul collegamento: N=-3974.65 Ty=-5.81 Tz=-8.72 Mx=-0.01 Mz=-5.82
Sollecitazioni agenti localmente: Ty_l=-722.66 Mx_l=-14.45
Tensioni nella sezione: σ=175.19 τ=21.90
CC 21 SLV (Collegamento 0020_-377)
Azioni sul collegamento: N=-3974.65 Ty=-3.70 Tz=-8.72 Mx=-0.01 Mz=-5.08
Sollecitazioni agenti localmente: Ty_l=-722.66 Mx_l=-14.45
Tensioni nella sezione: σ=175.19 τ=21.90
CC 22 SLD (Collegamento 0020_-377)
Azioni sul collegamento: N=-7390.75 Ty=-4.24 Tz=3.85 Mx=-0.00 Mz=-3.48
Sollecitazioni agenti localmente: Ty_l=-1343.77 Mx_l=-26.88
Tensioni nella sezione: σ=325.76 τ=40.72
CC 22 SLD (Collegamento 0020_-377)
Azioni sul collegamento: N=-7390.75 Ty=-3.59 Tz=3.85 Mx=-0.00 Mz=-3.26
Sollecitazioni agenti localmente: Ty_l=-1343.77 Mx_l=-26.88
Tensioni nella sezione: σ=325.76 τ=40.72
CC 22 SLD (Collegamento 0020_-377)
Azioni sul collegamento: N=-7390.75 Ty=-4.24 Tz=-2.08 Mx=-0.00 Mz=-3.48
Sollecitazioni agenti localmente: Ty_l=-1343.77 Mx_l=-26.88

Tensioni nella sezione: σ=325.76 τ=40.72
CC 22 SLD (Collegamento 0020_-377)
Azioni sul collegamento: N=-7390.75 Ty=-3.59 Tz=-2.08 Mx=-0.00 Mz=-3.26
Sollecitazioni agenti localmente: Ty_l=-1343.77 Mx_l=-26.88
Tensioni nella sezione: σ=325.76 τ=40.72
CC 22 SLD (Collegamento 0020_-377)
Azioni sul collegamento: N=-5779.06 Ty=-4.24 Tz=3.85 Mx=-0.00 Mz=-3.48
Sollecitazioni agenti localmente: Ty_l=-1050.74 Mx_l=-21.01
Tensioni nella sezione: σ=254.72 τ=31.84
CC 22 SLD (Collegamento 0020_-377)
Azioni sul collegamento: N=-5779.06 Ty=-3.59 Tz=3.85 Mx=-0.00 Mz=-3.26
Sollecitazioni agenti localmente: Ty_l=-1050.74 Mx_l=-21.01
Tensioni nella sezione: σ=254.72 τ=31.84
CC 22 SLD (Collegamento 0020_-377)
Azioni sul collegamento: N=-5779.06 Ty=-4.24 Tz=-2.08 Mx=-0.00 Mz=-3.48
Sollecitazioni agenti localmente: Ty_l=-1050.74 Mx_l=-21.01
Tensioni nella sezione: σ=254.72 τ=31.84
CC 22 SLD (Collegamento 0020_-377)
Azioni sul collegamento: N=-5779.06 Ty=-3.59 Tz=-2.08 Mx=-0.00 Mz=-3.26
Sollecitazioni agenti localmente: Ty_l=-1050.74 Mx_l=-21.01
Tensioni nella sezione: σ=254.72 τ=31.84
CC 23 SLV (Collegamento 0020_-377)
Azioni sul collegamento: N=-9265.76 Ty=-6.45 Tz=10.87 Mx=-0.01 Mz=-7.08
Sollecitazioni agenti localmente: Ty_l=-1684.68 Mx_l=-33.69
Tensioni nella sezione: σ=408.41 τ=51.05
CC 23 SLV (Collegamento 0020_-377)
Azioni sul collegamento: N=-9265.76 Ty=-3.07 Tz=10.87 Mx=-0.01 Mz=-3.83
Sollecitazioni agenti localmente: Ty_l=-1684.68 Mx_l=-33.69
Tensioni nella sezione: σ=408.41 τ=51.05
CC 23 SLV (Collegamento 0020_-377)
Azioni sul collegamento: N=-9265.76 Ty=-6.45 Tz=-8.85 Mx=-0.01 Mz=-7.08
Sollecitazioni agenti localmente: Ty_l=-1684.68 Mx_l=-33.69
Tensioni nella sezione: σ=408.41 τ=51.05
CC 23 SLV (Collegamento 0020_-377)
Azioni sul collegamento: N=-9265.76 Ty=-3.07 Tz=-8.85 Mx=-0.01 Mz=-3.83
Sollecitazioni agenti localmente: Ty_l=-1684.68 Mx_l=-33.69
Tensioni nella sezione: σ=408.41 τ=51.05
CC 23 SLV (Collegamento 0020_-377)
Azioni sul collegamento: N=-3968.96 Ty=-6.45 Tz=10.87 Mx=-0.01 Mz=-7.08
Sollecitazioni agenti localmente: Ty_l=-721.63 Mx_l=-14.43
Tensioni nella sezione: σ=174.94 τ=21.87
CC 23 SLV (Collegamento 0020_-377)
Azioni sul collegamento: N=-3968.96 Ty=-3.07 Tz=10.87 Mx=-0.01 Mz=-3.83
Sollecitazioni agenti localmente: Ty_l=-721.63 Mx_l=-14.43
Tensioni nella sezione: σ=174.94 τ=21.87
CC 23 SLV (Collegamento 0020_-377)
Azioni sul collegamento: N=-3968.96 Ty=-6.45 Tz=-8.85 Mx=-0.01 Mz=-7.08
Sollecitazioni agenti localmente: Ty_l=-721.63 Mx_l=-14.43
Tensioni nella sezione: σ=174.94 τ=21.87
CC 23 SLV (Collegamento 0020_-377)
Azioni sul collegamento: N=-3968.96 Ty=-3.07 Tz=-8.85 Mx=-0.01 Mz=-3.83
Sollecitazioni agenti localmente: Ty_l=-721.63 Mx_l=-14.43
Tensioni nella sezione: σ=174.94 τ=21.87
CC 24 SLD (Collegamento 0020_-377)
Azioni sul collegamento: N=-7392.49 Ty=-4.43 Tz=3.89 Mx=0.00 Mz=-3.87
Sollecitazioni agenti localmente: Ty_l=-1344.09 Mx_l=-26.88
Tensioni nella sezione: σ=325.84 τ=40.73
CC 24 SLD (Collegamento 0020_-377)
Azioni sul collegamento: N=-7392.49 Ty=-3.40 Tz=3.89 Mx=0.00 Mz=-2.87
Sollecitazioni agenti localmente: Ty_l=-1344.09 Mx_l=-26.88
Tensioni nella sezione: σ=325.84 τ=40.73
CC 24 SLD (Collegamento 0020_-377)
Azioni sul collegamento: N=-7392.49 Ty=-4.43 Tz=-2.12 Mx=0.00 Mz=-3.87
Sollecitazioni agenti localmente: Ty_l=-1344.09 Mx_l=-26.88
Tensioni nella sezione: σ=325.84 τ=40.73
CC 24 SLD (Collegamento 0020_-377)
Azioni sul collegamento: N=-7392.49 Ty=-3.40 Tz=-2.12 Mx=0.00 Mz=-2.87
Sollecitazioni agenti localmente: Ty_l=-1344.09 Mx_l=-26.88
Tensioni nella sezione: σ=325.84 τ=40.73
CC 24 SLD (Collegamento 0020_-377)
Azioni sul collegamento: N=-5777.32 Ty=-4.43 Tz=3.89 Mx=0.00 Mz=-3.87
Sollecitazioni agenti localmente: Ty_l=-1050.42 Mx_l=-21.01
Tensioni nella sezione: σ=254.65 τ=31.83
CC 24 SLD (Collegamento 0020_-377)
Azioni sul collegamento: N=-5777.32 Ty=-3.40 Tz=3.89 Mx=0.00 Mz=-2.87
Sollecitazioni agenti localmente: Ty_l=-1050.42 Mx_l=-21.01
Tensioni nella sezione: σ=254.65 τ=31.83
CC 24 SLD (Collegamento 0020_-377)
Azioni sul collegamento: N=-5777.32 Ty=-4.43 Tz=-2.12 Mx=0.00 Mz=-3.87
Sollecitazioni agenti localmente: Ty_l=-1050.42 Mx_l=-21.01

Tensioni nella sezione: σ=254.65 τ=31.83
CC 24 SLD (Collegamento 0020_-377)
Azioni sul collegamento: N=-5777.32 Ty=-3.40 Tz=-2.12 Mx=0.00 Mz=-2.87
Sollecitazioni agenti localmente: Ty_l=-1050.42 Mx_l=-21.01
Tensioni nella sezione: σ=254.65 τ=31.83
CC 25 SLV (Collegamento 0020_-377)
Azioni sul collegamento: N=-5814.21 Ty=-3.29 Tz=-2.14 Mx=-0.02 Mz=-3.06
Sollecitazioni agenti localmente: Ty_l=-1057.13 Mx_l=-21.14
Tensioni nella sezione: σ=256.27 τ=32.03
CC 25 SLV (Collegamento 0020_-377)
Azioni sul collegamento: N=-5814.21 Ty=-6.23 Tz=-2.14 Mx=-0.02 Mz=-7.84
Sollecitazioni agenti localmente: Ty_l=-1057.13 Mx_l=-21.14
Tensioni nella sezione: σ=256.27 τ=32.03
CC 25 SLV (Collegamento 0020_-377)
Azioni sul collegamento: N=-5814.21 Ty=-3.29 Tz=4.16 Mx=-0.02 Mz=-3.06
Sollecitazioni agenti localmente: Ty_l=-1057.13 Mx_l=-21.14
Tensioni nella sezione: σ=256.27 τ=32.03
CC 25 SLV (Collegamento 0020_-377)
Azioni sul collegamento: N=-5814.21 Ty=-6.23 Tz=4.16 Mx=-0.02 Mz=-7.84
Sollecitazioni agenti localmente: Ty_l=-1057.13 Mx_l=-21.14
Tensioni nella sezione: σ=256.27 τ=32.03
CC 25 SLV (Collegamento 0020_-377)
Azioni sul collegamento: N=-7420.51 Ty=-3.29 Tz=-2.14 Mx=-0.02 Mz=-3.06
Sollecitazioni agenti localmente: Ty_l=-1349.18 Mx_l=-26.98
Tensioni nella sezione: σ=327.07 τ=40.88
CC 25 SLV (Collegamento 0020_-377)
Azioni sul collegamento: N=-7420.51 Ty=-6.23 Tz=-2.14 Mx=-0.02 Mz=-7.84
Sollecitazioni agenti localmente: Ty_l=-1349.18 Mx_l=-26.98
Tensioni nella sezione: σ=327.07 τ=40.88
CC 25 SLV (Collegamento 0020_-377)
Azioni sul collegamento: N=-7420.51 Ty=-3.29 Tz=4.16 Mx=-0.02 Mz=-3.06
Sollecitazioni agenti localmente: Ty_l=-1349.18 Mx_l=-26.98
Tensioni nella sezione: σ=327.07 τ=40.88
CC 25 SLV (Collegamento 0020_-377)
Azioni sul collegamento: N=-7420.51 Ty=-6.23 Tz=4.16 Mx=-0.02 Mz=-7.84
Sollecitazioni agenti localmente: Ty_l=-1349.18 Mx_l=-26.98
Tensioni nella sezione: σ=327.07 τ=40.88
CC 26 SLD (Collegamento 0020_-377)
Azioni sul collegamento: N=-6340.00 Ty=-3.47 Tz=-0.08 Mx=-0.00 Mz=-2.64
Sollecitazioni agenti localmente: Ty_l=-1152.73 Mx_l=-23.05
Tensioni nella sezione: σ=279.45 τ=34.93
CC 26 SLD (Collegamento 0020_-377)
Azioni sul collegamento: N=-6340.00 Ty=-4.36 Tz=-0.08 Mx=-0.00 Mz=-4.10
Sollecitazioni agenti localmente: Ty_l=-1152.73 Mx_l=-23.05
Tensioni nella sezione: σ=279.45 τ=34.93
CC 26 SLD (Collegamento 0020_-377)
Azioni sul collegamento: N=-6340.00 Ty=-3.47 Tz=1.85 Mx=-0.00 Mz=-2.64
Sollecitazioni agenti localmente: Ty_l=-1152.73 Mx_l=-23.05
Tensioni nella sezione: σ=279.45 τ=34.93
CC 26 SLD (Collegamento 0020_-377)
Azioni sul collegamento: N=-6340.00 Ty=-4.36 Tz=1.85 Mx=-0.00 Mz=-4.10
Sollecitazioni agenti localmente: Ty_l=-1152.73 Mx_l=-23.05
Tensioni nella sezione: σ=279.45 τ=34.93
CC 26 SLD (Collegamento 0020_-377)
Azioni sul collegamento: N=-6829.81 Ty=-3.47 Tz=-0.08 Mx=-0.00 Mz=-2.64
Sollecitazioni agenti localmente: Ty_l=-1241.78 Mx_l=-24.84
Tensioni nella sezione: σ=301.04 τ=37.63
CC 26 SLD (Collegamento 0020_-377)
Azioni sul collegamento: N=-6829.81 Ty=-4.36 Tz=-0.08 Mx=-0.00 Mz=-4.10
Sollecitazioni agenti localmente: Ty_l=-1241.78 Mx_l=-24.84
Tensioni nella sezione: σ=301.04 τ=37.63
CC 26 SLD (Collegamento 0020_-377)
Azioni sul collegamento: N=-6829.81 Ty=-3.47 Tz=1.85 Mx=-0.00 Mz=-2.64
Sollecitazioni agenti localmente: Ty_l=-1241.78 Mx_l=-24.84
Tensioni nella sezione: σ=301.04 τ=37.63
CC 26 SLD (Collegamento 0020_-377)
Azioni sul collegamento: N=-6829.81 Ty=-4.36 Tz=1.85 Mx=-0.00 Mz=-4.10
Sollecitazioni agenti localmente: Ty_l=-1241.78 Mx_l=-24.84
Tensioni nella sezione: σ=301.04 τ=37.63
CC 27 SLV (Collegamento 0020_-377)
Azioni sul collegamento: N=-7401.55 Ty=-4.11 Tz=3.74 Mx=-0.02 Mz=-3.66
Sollecitazioni agenti localmente: Ty_l=-1345.74 Mx_l=-26.91
Tensioni nella sezione: σ=326.24 τ=40.78
CC 27 SLV (Collegamento 0020_-377)
Azioni sul collegamento: N=-7401.55 Ty=-5.40 Tz=3.74 Mx=-0.02 Mz=-7.25
Sollecitazioni agenti localmente: Ty_l=-1345.74 Mx_l=-26.91
Tensioni nella sezione: σ=326.24 τ=40.78
CC 27 SLV (Collegamento 0020_-377)
Azioni sul collegamento: N=-7401.55 Ty=-4.11 Tz=-1.71 Mx=-0.02 Mz=-3.66
Sollecitazioni agenti localmente: Ty_l=-1345.74 Mx_l=-26.91

Tensioni nella sezione: σ=326.24 τ=40.78
CC 27 SLV (Collegamento 0020_-377)
Azioni sul collegamento: N=-7401.55 Ty=-5.40 Tz=-1.71 Mx=-0.02 Mz=-7.25
Sollecitazioni agenti localmente: Ty_l=-1345.74 Mx_l=-26.91
Tensioni nella sezione: σ=326.24 τ=40.78
CC 27 SLV (Collegamento 0020_-377)
Azioni sul collegamento: N=-5833.17 Ty=-4.11 Tz=3.74 Mx=-0.02 Mz=-3.66
Sollecitazioni agenti localmente: Ty_l=-1060.58 Mx_l=-21.21
Tensioni nella sezione: σ=257.11 τ=32.14
CC 27 SLV (Collegamento 0020_-377)
Azioni sul collegamento: N=-5833.17 Ty=-5.40 Tz=3.74 Mx=-0.02 Mz=-7.25
Sollecitazioni agenti localmente: Ty_l=-1060.58 Mx_l=-21.21
Tensioni nella sezione: σ=257.11 τ=32.14
CC 27 SLV (Collegamento 0020_-377)
Azioni sul collegamento: N=-5833.17 Ty=-4.11 Tz=-1.71 Mx=-0.02 Mz=-3.66
Sollecitazioni agenti localmente: Ty_l=-1060.58 Mx_l=-21.21
Tensioni nella sezione: σ=257.11 τ=32.14
CC 27 SLV (Collegamento 0020_-377)
Azioni sul collegamento: N=-5833.17 Ty=-5.40 Tz=-1.71 Mx=-0.02 Mz=-7.25
Sollecitazioni agenti localmente: Ty_l=-1060.58 Mx_l=-21.21
Tensioni nella sezione: σ=257.11 τ=32.14
CC 28 SLD (Collegamento 0020_-377)
Azioni sul collegamento: N=-6824.03 Ty=-3.72 Tz=1.72 Mx=-0.00 Mz=-2.82
Sollecitazioni agenti localmente: Ty_l=-1240.73 Mx_l=-24.81
Tensioni nella sezione: σ=300.78 τ=37.60
CC 28 SLD (Collegamento 0020_-377)
Azioni sul collegamento: N=-6824.03 Ty=-4.11 Tz=1.72 Mx=-0.00 Mz=-3.92
Sollecitazioni agenti localmente: Ty_l=-1240.73 Mx_l=-24.81
Tensioni nella sezione: σ=300.78 τ=37.60
CC 28 SLD (Collegamento 0020_-377)
Azioni sul collegamento: N=-6824.03 Ty=-3.72 Tz=0.05 Mx=-0.00 Mz=-2.82
Sollecitazioni agenti localmente: Ty_l=-1240.73 Mx_l=-24.81
Tensioni nella sezione: σ=300.78 τ=37.60
CC 28 SLD (Collegamento 0020_-377)
Azioni sul collegamento: N=-6824.03 Ty=-4.11 Tz=0.05 Mx=-0.00 Mz=-3.92
Sollecitazioni agenti localmente: Ty_l=-1240.73 Mx_l=-24.81
Tensioni nella sezione: σ=300.78 τ=37.60
CC 28 SLD (Collegamento 0020_-377)
Azioni sul collegamento: N=-6345.78 Ty=-3.72 Tz=1.72 Mx=-0.00 Mz=-2.82
Sollecitazioni agenti localmente: Ty_l=-1153.78 Mx_l=-23.08
Tensioni nella sezione: σ=279.70 τ=34.96
CC 28 SLD (Collegamento 0020_-377)
Azioni sul collegamento: N=-6345.78 Ty=-4.11 Tz=1.72 Mx=-0.00 Mz=-3.92
Sollecitazioni agenti localmente: Ty_l=-1153.78 Mx_l=-23.08
Tensioni nella sezione: σ=279.70 τ=34.96
CC 28 SLD (Collegamento 0020_-377)
Azioni sul collegamento: N=-6345.78 Ty=-3.72 Tz=0.05 Mx=-0.00 Mz=-2.82
Sollecitazioni agenti localmente: Ty_l=-1153.78 Mx_l=-23.08
Tensioni nella sezione: σ=279.70 τ=34.96
CC 28 SLD (Collegamento 0020_-377)
Azioni sul collegamento: N=-6345.78 Ty=-4.11 Tz=0.05 Mx=-0.00 Mz=-3.92
Sollecitazioni agenti localmente: Ty_l=-1153.78 Mx_l=-23.08
Tensioni nella sezione: σ=279.70 τ=34.96
CC 29 SLV (Collegamento 0020_-377)
Azioni sul collegamento: N=-5833.17 Ty=-5.40 Tz=-1.71 Mx=-0.00 Mz=-7.25
Sollecitazioni agenti localmente: Ty_l=-1060.58 Mx_l=-21.21
Tensioni nella sezione: σ=257.11 τ=32.14
CC 29 SLV (Collegamento 0020_-377)
Azioni sul collegamento: N=-5833.17 Ty=-4.11 Tz=-1.71 Mx=-0.00 Mz=-3.66
Sollecitazioni agenti localmente: Ty_l=-1060.58 Mx_l=-21.21
Tensioni nella sezione: σ=257.11 τ=32.14
CC 29 SLV (Collegamento 0020_-377)
Azioni sul collegamento: N=-5833.17 Ty=-5.40 Tz=3.74 Mx=-0.00 Mz=-7.25
Sollecitazioni agenti localmente: Ty_l=-1060.58 Mx_l=-21.21
Tensioni nella sezione: σ=257.11 τ=32.14
CC 29 SLV (Collegamento 0020_-377)
Azioni sul collegamento: N=-5833.17 Ty=-4.11 Tz=3.74 Mx=-0.00 Mz=-3.66
Sollecitazioni agenti localmente: Ty_l=-1060.58 Mx_l=-21.21
Tensioni nella sezione: σ=257.11 τ=32.14
CC 29 SLV (Collegamento 0020_-377)
Azioni sul collegamento: N=-7401.55 Ty=-5.40 Tz=-1.71 Mx=-0.00 Mz=-7.25
Sollecitazioni agenti localmente: Ty_l=-1345.74 Mx_l=-26.91
Tensioni nella sezione: σ=326.24 τ=40.78
CC 29 SLV (Collegamento 0020_-377)
Azioni sul collegamento: N=-7401.55 Ty=-4.11 Tz=-1.71 Mx=-0.00 Mz=-3.66
Sollecitazioni agenti localmente: Ty_l=-1345.74 Mx_l=-26.91
Tensioni nella sezione: σ=326.24 τ=40.78
CC 29 SLV (Collegamento 0020_-377)
Azioni sul collegamento: N=-7401.55 Ty=-5.40 Tz=3.74 Mx=-0.00 Mz=-7.25
Sollecitazioni agenti localmente: Ty_l=-1345.74 Mx_l=-26.91

Tensioni nella sezione: σ=326.24 τ=40.78
CC 29 SLV (Collegamento 0020_-377)
Azioni sul collegamento: N=-7401.55 Ty=-4.11 Tz=3.74 Mx=-0.00 Mz=-3.66
Sollecitazioni agenti localmente: Ty_l=-1345.74 Mx_l=-26.91
Tensioni nella sezione: σ=326.24 τ=40.78
CC 30 SLD (Collegamento 0020_-377)
Azioni sul collegamento: N=-6345.78 Ty=-4.11 Tz=0.05 Mx=0.00 Mz=-3.92
Sollecitazioni agenti localmente: Ty_l=-1153.78 Mx_l=-23.08
Tensioni nella sezione: σ=279.70 τ=34.96
CC 30 SLD (Collegamento 0020_-377)
Azioni sul collegamento: N=-6345.78 Ty=-3.72 Tz=0.05 Mx=0.00 Mz=-2.82
Sollecitazioni agenti localmente: Ty_l=-1153.78 Mx_l=-23.08
Tensioni nella sezione: σ=279.70 τ=34.96
CC 30 SLD (Collegamento 0020_-377)
Azioni sul collegamento: N=-6345.78 Ty=-4.11 Tz=1.72 Mx=0.00 Mz=-3.92
Sollecitazioni agenti localmente: Ty_l=-1153.78 Mx_l=-23.08
Tensioni nella sezione: σ=279.70 τ=34.96
CC 30 SLD (Collegamento 0020_-377)
Azioni sul collegamento: N=-6345.78 Ty=-3.72 Tz=1.72 Mx=0.00 Mz=-2.82
Sollecitazioni agenti localmente: Ty_l=-1153.78 Mx_l=-23.08
Tensioni nella sezione: σ=279.70 τ=34.96
CC 30 SLD (Collegamento 0020_-377)
Azioni sul collegamento: N=-6824.03 Ty=-4.11 Tz=0.05 Mx=0.00 Mz=-3.92
Sollecitazioni agenti localmente: Ty_l=-1240.73 Mx_l=-24.81
Tensioni nella sezione: σ=300.78 τ=37.60
CC 30 SLD (Collegamento 0020_-377)
Azioni sul collegamento: N=-6824.03 Ty=-3.72 Tz=0.05 Mx=0.00 Mz=-2.82
Sollecitazioni agenti localmente: Ty_l=-1240.73 Mx_l=-24.81
Tensioni nella sezione: σ=300.78 τ=37.60
CC 30 SLD (Collegamento 0020_-377)
Azioni sul collegamento: N=-6824.03 Ty=-4.11 Tz=1.72 Mx=0.00 Mz=-3.92
Sollecitazioni agenti localmente: Ty_l=-1240.73 Mx_l=-24.81
Tensioni nella sezione: σ=300.78 τ=37.60
CC 30 SLD (Collegamento 0020_-377)
Azioni sul collegamento: N=-6824.03 Ty=-3.72 Tz=1.72 Mx=0.00 Mz=-2.82
Sollecitazioni agenti localmente: Ty_l=-1240.73 Mx_l=-24.81
Tensioni nella sezione: σ=300.78 τ=37.60
CC 31 SLV (Collegamento 0020_-377)
Azioni sul collegamento: N=-7420.51 Ty=-6.23 Tz=4.16 Mx=-0.00 Mz=-7.84
Sollecitazioni agenti localmente: Ty_l=-1349.18 Mx_l=-26.98
Tensioni nella sezione: σ=327.07 τ=40.88
CC 31 SLV (Collegamento 0020_-377)
Azioni sul collegamento: N=-7420.51 Ty=-3.29 Tz=4.16 Mx=-0.00 Mz=-3.06
Sollecitazioni agenti localmente: Ty_l=-1349.18 Mx_l=-26.98
Tensioni nella sezione: σ=327.07 τ=40.88
CC 31 SLV (Collegamento 0020_-377)
Azioni sul collegamento: N=-7420.51 Ty=-6.23 Tz=-2.14 Mx=-0.00 Mz=-7.84
Sollecitazioni agenti localmente: Ty_l=-1349.18 Mx_l=-26.98
Tensioni nella sezione: σ=327.07 τ=40.88
CC 31 SLV (Collegamento 0020_-377)
Azioni sul collegamento: N=-7420.51 Ty=-3.29 Tz=-2.14 Mx=-0.00 Mz=-3.06
Sollecitazioni agenti localmente: Ty_l=-1349.18 Mx_l=-26.98
Tensioni nella sezione: σ=327.07 τ=40.88
CC 31 SLV (Collegamento 0020_-377)
Azioni sul collegamento: N=-5814.21 Ty=-6.23 Tz=4.16 Mx=-0.00 Mz=-7.84
Sollecitazioni agenti localmente: Ty_l=-1057.13 Mx_l=-21.14
Tensioni nella sezione: σ=256.27 τ=32.03
CC 31 SLV (Collegamento 0020_-377)
Azioni sul collegamento: N=-5814.21 Ty=-3.29 Tz=4.16 Mx=-0.00 Mz=-3.06
Sollecitazioni agenti localmente: Ty_l=-1057.13 Mx_l=-21.14
Tensioni nella sezione: σ=256.27 τ=32.03
CC 31 SLV (Collegamento 0020_-377)
Azioni sul collegamento: N=-5814.21 Ty=-6.23 Tz=-2.14 Mx=-0.00 Mz=-7.84
Sollecitazioni agenti localmente: Ty_l=-1057.13 Mx_l=-21.14
Tensioni nella sezione: σ=256.27 τ=32.03
CC 31 SLV (Collegamento 0020_-377)
Azioni sul collegamento: N=-5814.21 Ty=-3.29 Tz=-2.14 Mx=-0.00 Mz=-3.06
Sollecitazioni agenti localmente: Ty_l=-1057.13 Mx_l=-21.14
Tensioni nella sezione: σ=256.27 τ=32.03
CC 32 SLD (Collegamento 0020_-377)
Azioni sul collegamento: N=-6829.81 Ty=-4.36 Tz=1.85 Mx=0.00 Mz=-4.10
Sollecitazioni agenti localmente: Ty_l=-1241.78 Mx_l=-24.84
Tensioni nella sezione: σ=301.04 τ=37.63
CC 32 SLD (Collegamento 0020_-377)
Azioni sul collegamento: N=-6829.81 Ty=-3.47 Tz=1.85 Mx=0.00 Mz=-2.64
Sollecitazioni agenti localmente: Ty_l=-1241.78 Mx_l=-24.84
Tensioni nella sezione: σ=301.04 τ=37.63
CC 32 SLD (Collegamento 0020_-377)
Azioni sul collegamento: N=-6829.81 Ty=-4.36 Tz=-0.08 Mx=0.00 Mz=-4.10
Sollecitazioni agenti localmente: Ty_l=-1241.78 Mx_l=-24.84

Tensioni nella sezione: σ=301.04 τ=37.63
CC 32 SLD (Collegamento 0020_-377)
Azioni sul collegamento: N=-6829.81 Ty=-3.47 Tz=-0.08 Mx=0.00 Mz=-2.64
Sollecitazioni agenti localmente: Ty_l=-1241.78 Mx_l=-24.84
Tensioni nella sezione: σ=301.04 τ=37.63
CC 32 SLD (Collegamento 0020_-377)
Azioni sul collegamento: N=-6340.00 Ty=-4.36 Tz=1.85 Mx=0.00 Mz=-4.10
Sollecitazioni agenti localmente: Ty_l=-1152.73 Mx_l=-23.05
Tensioni nella sezione: σ=279.45 τ=34.93
CC 32 SLD (Collegamento 0020_-377)
Azioni sul collegamento: N=-6340.00 Ty=-3.47 Tz=1.85 Mx=0.00 Mz=-2.64
Sollecitazioni agenti localmente: Ty_l=-1152.73 Mx_l=-23.05
Tensioni nella sezione: σ=279.45 τ=34.93
CC 32 SLD (Collegamento 0020_-377)
Azioni sul collegamento: N=-6340.00 Ty=-4.36 Tz=-0.08 Mx=0.00 Mz=-4.10
Sollecitazioni agenti localmente: Ty_l=-1152.73 Mx_l=-23.05
Tensioni nella sezione: σ=279.45 τ=34.93
CC 32 SLD (Collegamento 0020_-377)
Azioni sul collegamento: N=-6340.00 Ty=-3.47 Tz=-0.08 Mx=0.00 Mz=-2.64
Sollecitazioni agenti localmente: Ty_l=-1152.73 Mx_l=-23.05
Tensioni nella sezione: σ=279.45 τ=34.93
CC 33 SLU (Collegamento 0020_-377)
Azioni sul collegamento: N=-30337.70 Ty=-5.16 Tz=79.98 Mx=0.01 Mz=-3.50
Sollecitazioni agenti localmente: Ty_l=-5515.96 Mx_l=-110.32
Tensioni nella sezione: σ=1337.20 τ=167.15
CC 34 SLU (Collegamento 0020_-377)
Azioni sul collegamento: N=-30888.30 Ty=-5.44 Tz=82.02 Mx=0.01 Mz=-3.71
Sollecitazioni agenti localmente: Ty_l=-5616.05 Mx_l=-112.32
Tensioni nella sezione: σ=1361.46 τ=170.18
CC 35 SLU (Collegamento 0020_-377)
Azioni sul collegamento: N=-30612.00 Ty=-5.19 Tz=81.02 Mx=0.01 Mz=-3.39
Sollecitazioni agenti localmente: Ty_l=-5565.82 Mx_l=-111.32
Tensioni nella sezione: σ=1349.29 τ=168.66
CC 36 SLU (Collegamento 0020_-377)
Azioni sul collegamento: N=-30614.00 Ty=-5.41 Tz=80.97 Mx=0.01 Mz=-3.82
Sollecitazioni agenti localmente: Ty_l=-5566.18 Mx_l=-111.32
Tensioni nella sezione: σ=1349.37 τ=168.67
CC 37 SLU (Collegamento 0020_-377)
Azioni sul collegamento: N=-32266.80 Ty=-5.04 Tz=86.42 Mx=-0.00 Mz=-3.56
Sollecitazioni agenti localmente: Ty_l=-5866.68 Mx_l=-117.33
Tensioni nella sezione: σ=1422.22 τ=177.78
CC 38 SLU (Collegamento 0020_-377)
Azioni sul collegamento: N=-32817.30 Ty=-5.33 Tz=88.46 Mx=-0.00 Mz=-3.76
Sollecitazioni agenti localmente: Ty_l=-5966.78 Mx_l=-119.33
Tensioni nella sezione: σ=1446.49 τ=180.81
CC 39 SLU (Collegamento 0020_-377)
Azioni sul collegamento: N=-32541.00 Ty=-5.08 Tz=87.47 Mx=-0.00 Mz=-3.44
Sollecitazioni agenti localmente: Ty_l=-5916.55 Mx_l=-118.33
Tensioni nella sezione: σ=1434.31 τ=179.29
CC 40 SLU (Collegamento 0020_-377)
Azioni sul collegamento: N=-32543.00 Ty=-5.30 Tz=87.42 Mx=-0.00 Mz=-3.88
Sollecitazioni agenti localmente: Ty_l=-5916.91 Mx_l=-118.34
Tensioni nella sezione: σ=1434.40 τ=179.30
CC 41 SLU (Collegamento 0020_-377)
Azioni sul collegamento: N=-21046.60 Ty=-6.03 Tz=45.82 Mx=0.01 Mz=-4.13
Sollecitazioni agenti localmente: Ty_l=-3826.65 Mx_l=-76.53
Tensioni nella sezione: σ=927.67 τ=115.96
CC 42 SLU (Collegamento 0020_-377)
Azioni sul collegamento: N=-21597.10 Ty=-6.32 Tz=47.86 Mx=0.01 Mz=-4.34
Sollecitazioni agenti localmente: Ty_l=-3926.75 Mx_l=-78.53
Tensioni nella sezione: σ=951.94 τ=118.99
CC 43 SLU (Collegamento 0020_-377)
Azioni sul collegamento: N=-21320.90 Ty=-6.07 Tz=46.87 Mx=0.01 Mz=-4.02
Sollecitazioni agenti localmente: Ty_l=-3876.52 Mx_l=-77.53
Tensioni nella sezione: σ=939.76 τ=117.47
CC 44 SLU (Collegamento 0020_-377)
Azioni sul collegamento: N=-21322.80 Ty=-6.29 Tz=46.82 Mx=0.01 Mz=-4.45
Sollecitazioni agenti localmente: Ty_l=-3876.88 Mx_l=-77.54
Tensioni nella sezione: σ=939.85 τ=117.48
CC 45 SLU (Collegamento 0020_-377)
Azioni sul collegamento: N=-23139.00 Ty=-5.73 Tz=53.57 Mx=0.01 Mz=-3.96
Sollecitazioni agenti localmente: Ty_l=-4207.09 Mx_l=-84.14
Tensioni nella sezione: σ=1019.90 τ=127.49
CC 46 SLU (Collegamento 0020_-377)
Azioni sul collegamento: N=-23689.50 Ty=-6.01 Tz=55.60 Mx=0.01 Mz=-4.17
Sollecitazioni agenti localmente: Ty_l=-4307.19 Mx_l=-86.14
Tensioni nella sezione: σ=1044.16 τ=130.52
CC 47 SLU (Collegamento 0020_-377)
Azioni sul collegamento: N=-23413.30 Ty=-5.76 Tz=54.61 Mx=0.01 Mz=-3.84
Sollecitazioni agenti localmente: Ty_l=-4256.96 Mx_l=-85.14

Tensioni nella sezione: σ=1031.99 τ=129.00
CC 48 SLU (Collegamento 0020_-377)
Azioni sul collegamento: N=-23415.20 Ty=-5.98 Tz=54.56 Mx=0.01 Mz=-4.28
Sollecitazioni agenti localmente: Ty_l=-4257.31 Mx_l=-85.15
Tensioni nella sezione: σ=1032.07 τ=129.01
CC 49 SLU (Collegamento 0020_-377)
Azioni sul collegamento: N=-24582.20 Ty=-5.64 Tz=58.39 Mx=0.00 Mz=-4.00
Sollecitazioni agenti localmente: Ty_l=-4469.48 Mx_l=-89.39
Tensioni nella sezione: σ=1083.51 τ=135.44
CC 50 SLU (Collegamento 0020_-377)
Azioni sul collegamento: N=-25132.70 Ty=-5.93 Tz=60.42 Mx=0.00 Mz=-4.21
Sollecitazioni agenti localmente: Ty_l=-4569.58 Mx_l=-91.39
Tensioni nella sezione: σ=1107.77 τ=138.47
CC 51 SLU (Collegamento 0020_-377)
Azioni sul collegamento: N=-24856.40 Ty=-5.68 Tz=59.43 Mx=-0.00 Mz=-3.89
Sollecitazioni agenti localmente: Ty_l=-4519.35 Mx_l=-90.39
Tensioni nella sezione: σ=1095.60 τ=136.95
CC 52 SLU (Collegamento 0020_-377)
Azioni sul collegamento: N=-24858.40 Ty=-5.89 Tz=59.38 Mx=0.00 Mz=-4.32
Sollecitazioni agenti localmente: Ty_l=-4519.71 Mx_l=-90.39
Tensioni nella sezione: σ=1095.69 τ=136.96
CC 53 SLU (Collegamento 0020_-377)
Azioni sul collegamento: N=-16187.80 Ty=-6.38 Tz=28.01 Mx=0.01 Mz=-4.43
Sollecitazioni agenti localmente: Ty_l=-2943.24 Mx_l=-58.86
Tensioni nella sezione: σ=713.51 τ=89.19
CC 54 SLU (Collegamento 0020_-377)
Azioni sul collegamento: N=-16738.30 Ty=-6.67 Tz=30.05 Mx=0.01 Mz=-4.64
Sollecitazioni agenti localmente: Ty_l=-3043.34 Mx_l=-60.87
Tensioni nella sezione: σ=737.78 τ=92.22
CC 55 SLU (Collegamento 0020_-377)
Azioni sul collegamento: N=-16462.10 Ty=-6.42 Tz=29.05 Mx=0.01 Mz=-4.32
Sollecitazioni agenti localmente: Ty_l=-2993.11 Mx_l=-59.86
Tensioni nella sezione: σ=725.60 τ=90.70
CC 56 SLU (Collegamento 0020_-377)
Azioni sul collegamento: N=-16464.10 Ty=-6.64 Tz=29.01 Mx=0.01 Mz=-4.75
Sollecitazioni agenti localmente: Ty_l=-2993.47 Mx_l=-59.87
Tensioni nella sezione: σ=725.69 τ=90.71
CC 57 SLU (Collegamento 0020_-377)
Azioni sul collegamento: N=-23519.50 Ty=-6.15 Tz=55.00 Mx=0.01 Mz=-4.26
Sollecitazioni agenti localmente: Ty_l=-4276.28 Mx_l=-85.53
Tensioni nella sezione: σ=1036.67 τ=129.58
CC 58 SLU (Collegamento 0020_-377)
Azioni sul collegamento: N=-24070.10 Ty=-6.43 Tz=57.04 Mx=0.01 Mz=-4.47
Sollecitazioni agenti localmente: Ty_l=-4376.37 Mx_l=-87.53
Tensioni nella sezione: σ=1060.94 τ=132.62
CC 59 SLU (Collegamento 0020_-377)
Azioni sul collegamento: N=-23793.80 Ty=-6.18 Tz=56.05 Mx=0.01 Mz=-4.15
Sollecitazioni agenti localmente: Ty_l=-4326.15 Mx_l=-86.52
Tensioni nella sezione: σ=1048.76 τ=131.09
CC 60 SLU (Collegamento 0020_-377)
Azioni sul collegamento: N=-23795.80 Ty=-6.40 Tz=56.00 Mx=0.01 Mz=-4.58
Sollecitazioni agenti localmente: Ty_l=-4326.50 Mx_l=-86.53
Tensioni nella sezione: σ=1048.85 τ=131.11
CC 61 SLU (Collegamento 0020_-377)
Azioni sul collegamento: N=-24962.70 Ty=-6.06 Tz=59.83 Mx=0.00 Mz=-4.30
Sollecitazioni agenti localmente: Ty_l=-4538.67 Mx_l=-90.77
Tensioni nella sezione: σ=1100.28 τ=137.54
CC 62 SLU (Collegamento 0020_-377)
Azioni sul collegamento: N=-25513.20 Ty=-6.35 Tz=61.87 Mx=0.00 Mz=-4.51
Sollecitazioni agenti localmente: Ty_l=-4638.77 Mx_l=-92.78
Tensioni nella sezione: σ=1124.55 τ=140.57
CC 63 SLU (Collegamento 0020_-377)
Azioni sul collegamento: N=-25237.00 Ty=-6.10 Tz=60.87 Mx=-0.00 Mz=-4.19
Sollecitazioni agenti localmente: Ty_l=-4588.54 Mx_l=-91.77
Tensioni nella sezione: σ=1112.37 τ=139.05
CC 64 SLU (Collegamento 0020_-377)
Azioni sul collegamento: N=-25238.90 Ty=-6.31 Tz=60.82 Mx=0.00 Mz=-4.62
Sollecitazioni agenti localmente: Ty_l=-4588.90 Mx_l=-91.78
Tensioni nella sezione: σ=1112.46 τ=139.06
CC 65 SLU (Collegamento 0020_-377)
Azioni sul collegamento: N=-16568.40 Ty=-6.80 Tz=29.45 Mx=0.01 Mz=-4.74
Sollecitazioni agenti localmente: Ty_l=-3012.43 Mx_l=-60.25
Tensioni nella sezione: σ=730.28 τ=91.29
CC 66 SLU (Collegamento 0020_-377)
Azioni sul collegamento: N=-17118.90 Ty=-7.09 Tz=31.49 Mx=0.01 Mz=-4.94
Sollecitazioni agenti localmente: Ty_l=-3112.53 Mx_l=-62.25
Tensioni nella sezione: σ=754.55 τ=94.32
CC 67 SLU (Collegamento 0020_-377)
Azioni sul collegamento: N=-16842.60 Ty=-6.84 Tz=30.49 Mx=0.01 Mz=-4.62
Sollecitazioni agenti localmente: Ty_l=-3062.30 Mx_l=-61.25

Tensioni nella sezione: σ=742.37 τ=92.80
CC 68 SLU (Collegamento 0020_-377)
Azioni sul collegamento: N=-16844.60 Ty=-7.06 Tz=30.45 Mx=0.01 Mz=-5.06
Sollecitazioni agenti localmente: Ty_l=-3062.66 Mx_l=-61.25
Tensioni nella sezione: σ=742.46 τ=92.81
CC 97 SLU (Collegamento 0020_-377)
Azioni sul collegamento: N=-16826.20 Ty=-0.37 Tz=38.55 Mx=0.05 Mz=7.28
Sollecitazioni agenti localmente: Ty_l=-3059.31 Mx_l=-61.19
Tensioni nella sezione: σ=741.65 τ=92.71
CC 98 SLU (Collegamento 0020_-377)
Azioni sul collegamento: N=-17376.70 Ty=-0.65 Tz=40.58 Mx=0.05 Mz=7.07
Sollecitazioni agenti localmente: Ty_l=-3159.41 Mx_l=-63.19
Tensioni nella sezione: σ=765.92 τ=95.74
CC 99 SLU (Collegamento 0020_-377)
Azioni sul collegamento: N=-17100.50 Ty=-0.40 Tz=39.59 Mx=0.05 Mz=7.39
Sollecitazioni agenti localmente: Ty_l=-3109.18 Mx_l=-62.18
Tensioni nella sezione: σ=753.74 τ=94.22
CC 100 SLU (Collegamento 0020_-377)
Azioni sul collegamento: N=-17102.50 Ty=-0.62 Tz=39.54 Mx=0.05 Mz=6.96
Sollecitazioni agenti localmente: Ty_l=-3109.54 Mx_l=-62.19
Tensioni nella sezione: σ=753.83 τ=94.23
CC 101 SLU (Collegamento 0020_-377)
Azioni sul collegamento: N=-6585.90 Ty=-4.08 Tz=0.92 Mx=-0.00 Mz=-3.64
Sollecitazioni agenti localmente: Ty_l=-1197.44 Mx_l=-23.95
Tensioni nella sezione: σ=290.29 τ=36.29
CC 102 SLU (Collegamento 0020_-377)
Azioni sul collegamento: N=-7136.43 Ty=-4.37 Tz=2.96 Mx=-0.00 Mz=-3.85
Sollecitazioni agenti localmente: Ty_l=-1297.53 Mx_l=-25.95
Tensioni nella sezione: σ=314.55 τ=39.32
CC 103 SLU (Collegamento 0020_-377)
Azioni sul collegamento: N=-6860.18 Ty=-4.11 Tz=1.96 Mx=-0.00 Mz=-3.53
Sollecitazioni agenti localmente: Ty_l=-1247.31 Mx_l=-24.95
Tensioni nella sezione: σ=302.38 τ=37.80
CC 104 SLU (Collegamento 0020_-377)
Azioni sul collegamento: N=-6862.15 Ty=-4.33 Tz=1.92 Mx=-0.00 Mz=-3.96
Sollecitazioni agenti localmente: Ty_l=-1247.66 Mx_l=-24.95
Tensioni nella sezione: σ=302.46 τ=37.81

Flessione attacco destro piastra

Bnetta=220.00 Hnetta=15.00
CC 1 SLV (Collegamento 0020_-377)
Azioni sul collegamento: N=-3875.57 Ty=-4.02 Tz=-9.21 Mx=0.02 Mz=2.16
Sollecitazioni agenti localmente: Ty_l=-695.63 My_l=-14.27
Tensioni nella sezione: σ=173.00 τ=21.08
CC 1 SLV (Collegamento 0020_-377)
Azioni sul collegamento: N=-3875.57 Ty=-0.64 Tz=-9.21 Mx=0.02 Mz=-1.09
Sollecitazioni agenti localmente: Ty_l=-682.72 My_l=-13.99
Tensioni nella sezione: σ=169.57 τ=20.69
CC 1 SLV (Collegamento 0020_-377)
Azioni sul collegamento: N=-3875.57 Ty=-4.02 Tz=10.50 Mx=0.02 Mz=2.16
Sollecitazioni agenti localmente: Ty_l=-695.63 My_l=-14.27
Tensioni nella sezione: σ=173.00 τ=21.08
CC 1 SLV (Collegamento 0020_-377)
Azioni sul collegamento: N=-3875.57 Ty=-0.64 Tz=10.50 Mx=0.02 Mz=-1.09
Sollecitazioni agenti localmente: Ty_l=-682.72 My_l=-13.99
Tensioni nella sezione: σ=169.57 τ=20.69
CC 1 SLV (Collegamento 0020_-377)
Azioni sul collegamento: N=-9172.38 Ty=-4.02 Tz=-9.21 Mx=0.02 Mz=2.16
Sollecitazioni agenti localmente: Ty_l=-1634.61 My_l=-33.52
Tensioni nella sezione: σ=406.32 τ=49.53
CC 1 SLV (Collegamento 0020_-377)
Azioni sul collegamento: N=-9172.38 Ty=-0.64 Tz=-9.21 Mx=0.02 Mz=-1.09
Sollecitazioni agenti localmente: Ty_l=-1621.70 My_l=-33.24
Tensioni nella sezione: σ=402.89 τ=49.14
CC 1 SLV (Collegamento 0020_-377)
Azioni sul collegamento: N=-9172.38 Ty=-4.02 Tz=10.50 Mx=0.02 Mz=2.16
Sollecitazioni agenti localmente: Ty_l=-1634.61 My_l=-33.52
Tensioni nella sezione: σ=406.32 τ=49.53
CC 1 SLV (Collegamento 0020_-377)
Azioni sul collegamento: N=-9172.38 Ty=-0.64 Tz=10.50 Mx=0.02 Mz=-1.09
Sollecitazioni agenti localmente: Ty_l=-1621.70 My_l=-33.24
Tensioni nella sezione: σ=402.89 τ=49.14
CC 2 SLD (Collegamento 0020_-377)
Azioni sul collegamento: N=-5748.85 Ty=-2.66 Tz=-2.23 Mx=0.01 Mz=-1.05
Sollecitazioni agenti localmente: Ty_l=-1014.94 My_l=-20.80
Tensioni nella sezione: σ=252.13 τ=30.76
CC 2 SLD (Collegamento 0020_-377)
Azioni sul collegamento: N=-5748.85 Ty=-3.69 Tz=-2.23 Mx=0.01 Mz=-2.04
Sollecitazioni agenti localmente: Ty_l=-1011.01 My_l=-20.71

Tensioni nella sezione: σ=251.08 τ=30.64
CC 2 SLD (Collegamento 0020_-377)
Azioni sul collegamento: N=-5748.85 Ty=-2.66 Tz=3.78 Mx=0.01 Mz=-1.05
Sollecitazioni agenti localmente: Ty_l=-1014.94 My_l=-20.80
Tensioni nella sezione: σ=252.13 τ=30.76
CC 2 SLD (Collegamento 0020_-377)
Azioni sul collegamento: N=-5748.85 Ty=-3.69 Tz=3.78 Mx=0.01 Mz=-2.04
Sollecitazioni agenti localmente: Ty_l=-1011.01 My_l=-20.71
Tensioni nella sezione: σ=251.08 τ=30.64
CC 2 SLD (Collegamento 0020_-377)
Azioni sul collegamento: N=-7364.01 Ty=-2.66 Tz=-2.23 Mx=0.01 Mz=-1.05
Sollecitazioni agenti localmente: Ty_l=-1301.27 My_l=-26.67
Tensioni nella sezione: σ=323.27 τ=39.43
CC 2 SLD (Collegamento 0020_-377)
Azioni sul collegamento: N=-7364.01 Ty=-3.69 Tz=-2.23 Mx=0.01 Mz=-2.04
Sollecitazioni agenti localmente: Ty_l=-1297.33 My_l=-26.58
Tensioni nella sezione: σ=322.23 τ=39.31
CC 2 SLD (Collegamento 0020_-377)
Azioni sul collegamento: N=-7364.01 Ty=-2.66 Tz=3.78 Mx=0.01 Mz=-1.05
Sollecitazioni agenti localmente: Ty_l=-1301.27 My_l=-26.67
Tensioni nella sezione: σ=323.27 τ=39.43
CC 2 SLD (Collegamento 0020_-377)
Azioni sul collegamento: N=-7364.01 Ty=-3.69 Tz=3.78 Mx=0.01 Mz=-2.04
Sollecitazioni agenti localmente: Ty_l=-1297.33 My_l=-26.58
Tensioni nella sezione: σ=322.23 τ=39.31
CC 3 SLV (Collegamento 0020_-377)
Azioni sul collegamento: N=-3881.26 Ty=-3.39 Tz=-9.09 Mx=0.02 Mz=0.91
Sollecitazioni agenti localmente: Ty_l=-691.65 My_l=-14.18
Tensioni nella sezione: σ=171.93 τ=20.96
CC 3 SLV (Collegamento 0020_-377)
Azioni sul collegamento: N=-3881.26 Ty=-1.27 Tz=-9.09 Mx=0.02 Mz=0.17
Sollecitazioni agenti localmente: Ty_l=-688.72 My_l=-14.12
Tensioni nella sezione: σ=171.15 τ=20.87
CC 3 SLV (Collegamento 0020_-377)
Azioni sul collegamento: N=-3881.26 Ty=-3.39 Tz=10.37 Mx=0.02 Mz=0.91
Sollecitazioni agenti localmente: Ty_l=-691.65 My_l=-14.18
Tensioni nella sezione: σ=171.93 τ=20.96
CC 3 SLV (Collegamento 0020_-377)
Azioni sul collegamento: N=-3881.26 Ty=-1.27 Tz=10.37 Mx=0.02 Mz=0.17
Sollecitazioni agenti localmente: Ty_l=-688.72 My_l=-14.12
Tensioni nella sezione: σ=171.15 τ=20.87
CC 3 SLV (Collegamento 0020_-377)
Azioni sul collegamento: N=-9166.69 Ty=-3.39 Tz=-9.09 Mx=0.02 Mz=0.91
Sollecitazioni agenti localmente: Ty_l=-1628.61 My_l=-33.39
Tensioni nella sezione: σ=404.75 τ=49.35
CC 3 SLV (Collegamento 0020_-377)
Azioni sul collegamento: N=-9166.69 Ty=-1.27 Tz=-9.09 Mx=0.02 Mz=0.17
Sollecitazioni agenti localmente: Ty_l=-1625.68 My_l=-33.33
Tensioni nella sezione: σ=403.97 τ=49.26
CC 3 SLV (Collegamento 0020_-377)
Azioni sul collegamento: N=-9166.69 Ty=-3.39 Tz=10.38 Mx=0.02 Mz=0.91
Sollecitazioni agenti localmente: Ty_l=-1628.61 My_l=-33.39
Tensioni nella sezione: σ=404.75 τ=49.35
CC 3 SLV (Collegamento 0020_-377)
Azioni sul collegamento: N=-9166.69 Ty=-1.27 Tz=10.38 Mx=0.02 Mz=0.17
Sollecitazioni agenti localmente: Ty_l=-1625.68 My_l=-33.33
Tensioni nella sezione: σ=403.97 τ=49.26
CC 4 SLD (Collegamento 0020_-377)
Azioni sul collegamento: N=-5750.58 Ty=-2.85 Tz=-2.19 Mx=0.01 Mz=-1.43
Sollecitazioni agenti localmente: Ty_l=-1013.73 My_l=-20.77
Tensioni nella sezione: σ=251.80 τ=30.72
CC 4 SLD (Collegamento 0020_-377)
Azioni sul collegamento: N=-5750.58 Ty=-3.50 Tz=-2.19 Mx=0.01 Mz=-1.66
Sollecitazioni agenti localmente: Ty_l=-1012.84 My_l=-20.75
Tensioni nella sezione: σ=251.56 τ=30.69
CC 4 SLD (Collegamento 0020_-377)
Azioni sul collegamento: N=-5750.58 Ty=-2.85 Tz=3.74 Mx=0.01 Mz=-1.43
Sollecitazioni agenti localmente: Ty_l=-1013.73 My_l=-20.77
Tensioni nella sezione: σ=251.80 τ=30.72
CC 4 SLD (Collegamento 0020_-377)
Azioni sul collegamento: N=-5750.58 Ty=-3.50 Tz=3.74 Mx=0.01 Mz=-1.66
Sollecitazioni agenti localmente: Ty_l=-1012.84 My_l=-20.75
Tensioni nella sezione: σ=251.56 τ=30.69
CC 4 SLD (Collegamento 0020_-377)
Azioni sul collegamento: N=-7362.28 Ty=-2.85 Tz=-2.19 Mx=0.01 Mz=-1.43
Sollecitazioni agenti localmente: Ty_l=-1299.44 My_l=-26.63
Tensioni nella sezione: σ=322.79 τ=39.38
CC 4 SLD (Collegamento 0020_-377)
Azioni sul collegamento: N=-7362.28 Ty=-3.50 Tz=-2.19 Mx=0.01 Mz=-1.66
Sollecitazioni agenti localmente: Ty_l=-1298.55 My_l=-26.61

Tensioni nella sezione: σ=322.56 τ=39.35
CC 4 SLD (Collegamento 0020_-377)
Azioni sul collegamento: N=-7362.28 Ty=-2.85 Tz=3.74 Mx=0.01 Mz=-1.43
Sollecitazioni agenti localmente: Ty_l=-1299.44 My_l=-26.63
Tensioni nella sezione: σ=322.79 τ=39.38
CC 4 SLD (Collegamento 0020_-377)
Azioni sul collegamento: N=-7362.28 Ty=-3.50 Tz=3.74 Mx=0.01 Mz=-1.66
Sollecitazioni agenti localmente: Ty_l=-1298.55 My_l=-26.61
Tensioni nella sezione: σ=322.56 τ=39.35
CC 5 SLV (Collegamento 0020_-377)
Azioni sul collegamento: N=-9166.69 Ty=-1.27 Tz=10.38 Mx=0.02 Mz=0.17
Sollecitazioni agenti localmente: Ty_l=-1625.68 My_l=-33.33
Tensioni nella sezione: σ=403.97 τ=49.26
CC 5 SLV (Collegamento 0020_-377)
Azioni sul collegamento: N=-9166.69 Ty=-3.39 Tz=10.38 Mx=0.02 Mz=0.91
Sollecitazioni agenti localmente: Ty_l=-1628.61 My_l=-33.39
Tensioni nella sezione: σ=404.75 τ=49.35
CC 5 SLV (Collegamento 0020_-377)
Azioni sul collegamento: N=-9166.69 Ty=-1.27 Tz=-9.09 Mx=0.02 Mz=0.17
Sollecitazioni agenti localmente: Ty_l=-1625.68 My_l=-33.33
Tensioni nella sezione: σ=403.97 τ=49.26
CC 5 SLV (Collegamento 0020_-377)
Azioni sul collegamento: N=-9166.69 Ty=-3.39 Tz=-9.09 Mx=0.02 Mz=0.91
Sollecitazioni agenti localmente: Ty_l=-1628.61 My_l=-33.39
Tensioni nella sezione: σ=404.75 τ=49.35
CC 5 SLV (Collegamento 0020_-377)
Azioni sul collegamento: N=-3881.26 Ty=-1.27 Tz=10.37 Mx=0.02 Mz=0.17
Sollecitazioni agenti localmente: Ty_l=-688.72 My_l=-14.12
Tensioni nella sezione: σ=171.15 τ=20.87
CC 5 SLV (Collegamento 0020_-377)
Azioni sul collegamento: N=-3881.26 Ty=-3.39 Tz=10.37 Mx=0.02 Mz=0.91
Sollecitazioni agenti localmente: Ty_l=-691.65 My_l=-14.18
Tensioni nella sezione: σ=171.93 τ=20.96
CC 5 SLV (Collegamento 0020_-377)
Azioni sul collegamento: N=-3881.26 Ty=-1.27 Tz=-9.09 Mx=0.02 Mz=0.17
Sollecitazioni agenti localmente: Ty_l=-688.72 My_l=-14.12
Tensioni nella sezione: σ=171.15 τ=20.87
CC 5 SLV (Collegamento 0020_-377)
Azioni sul collegamento: N=-3881.26 Ty=-3.39 Tz=-9.09 Mx=0.02 Mz=0.91
Sollecitazioni agenti localmente: Ty_l=-691.65 My_l=-14.18
Tensioni nella sezione: σ=171.93 τ=20.96
CC 6 SLD (Collegamento 0020_-377)
Azioni sul collegamento: N=-7362.28 Ty=-3.50 Tz=3.74 Mx=0.01 Mz=-1.66
Sollecitazioni agenti localmente: Ty_l=-1298.55 My_l=-26.61
Tensioni nella sezione: σ=322.56 τ=39.35
CC 6 SLD (Collegamento 0020_-377)
Azioni sul collegamento: N=-7362.28 Ty=-2.85 Tz=3.74 Mx=0.01 Mz=-1.43
Sollecitazioni agenti localmente: Ty_l=-1299.44 My_l=-26.63
Tensioni nella sezione: σ=322.79 τ=39.38
CC 6 SLD (Collegamento 0020_-377)
Azioni sul collegamento: N=-7362.28 Ty=-3.50 Tz=-2.19 Mx=0.01 Mz=-1.66
Sollecitazioni agenti localmente: Ty_l=-1298.55 My_l=-26.61
Tensioni nella sezione: σ=322.56 τ=39.35
CC 6 SLD (Collegamento 0020_-377)
Azioni sul collegamento: N=-7362.28 Ty=-2.85 Tz=-2.19 Mx=0.01 Mz=-1.43
Sollecitazioni agenti localmente: Ty_l=-1299.44 My_l=-26.63
Tensioni nella sezione: σ=322.79 τ=39.38
CC 6 SLD (Collegamento 0020_-377)
Azioni sul collegamento: N=-5750.58 Ty=-3.50 Tz=3.74 Mx=0.01 Mz=-1.66
Sollecitazioni agenti localmente: Ty_l=-1012.84 My_l=-20.75
Tensioni nella sezione: σ=251.56 τ=30.69
CC 6 SLD (Collegamento 0020_-377)
Azioni sul collegamento: N=-5750.58 Ty=-2.85 Tz=3.74 Mx=0.01 Mz=-1.43
Sollecitazioni agenti localmente: Ty_l=-1013.73 My_l=-20.77
Tensioni nella sezione: σ=251.80 τ=30.72
CC 6 SLD (Collegamento 0020_-377)
Azioni sul collegamento: N=-5750.58 Ty=-3.50 Tz=-2.19 Mx=0.01 Mz=-1.66
Sollecitazioni agenti localmente: Ty_l=-1012.84 My_l=-20.75
Tensioni nella sezione: σ=251.56 τ=30.69
CC 6 SLD (Collegamento 0020_-377)
Azioni sul collegamento: N=-5750.58 Ty=-2.85 Tz=-2.19 Mx=0.01 Mz=-1.43
Sollecitazioni agenti localmente: Ty_l=-1013.73 My_l=-20.77
Tensioni nella sezione: σ=251.80 τ=30.72
CC 7 SLV (Collegamento 0020_-377)
Azioni sul collegamento: N=-9172.38 Ty=-0.64 Tz=10.50 Mx=0.01 Mz=-1.09
Sollecitazioni agenti localmente: Ty_l=-1621.70 My_l=-33.24
Tensioni nella sezione: σ=402.89 τ=49.14
CC 7 SLV (Collegamento 0020_-377)
Azioni sul collegamento: N=-9172.38 Ty=-4.02 Tz=10.50 Mx=0.01 Mz=2.16
Sollecitazioni agenti localmente: Ty_l=-1634.61 My_l=-33.52

Tensioni nella sezione: σ=406.32 τ=49.53
CC 7 SLV (Collegamento 0020_-377)
Azioni sul collegamento: N=-9172.38 Ty=-0.64 Tz=-9.21 Mx=0.01 Mz=-1.09
Sollecitazioni agenti localmente: Ty_l=-1621.70 My_l=-33.24
Tensioni nella sezione: σ=402.89 τ=49.14
CC 7 SLV (Collegamento 0020_-377)
Azioni sul collegamento: N=-9172.38 Ty=-4.02 Tz=-9.21 Mx=0.01 Mz=2.16
Sollecitazioni agenti localmente: Ty_l=-1634.61 My_l=-33.52
Tensioni nella sezione: σ=406.32 τ=49.53
CC 7 SLV (Collegamento 0020_-377)
Azioni sul collegamento: N=-3875.57 Ty=-0.64 Tz=10.50 Mx=0.01 Mz=-1.09
Sollecitazioni agenti localmente: Ty_l=-682.72 My_l=-13.99
Tensioni nella sezione: σ=169.57 τ=20.69
CC 7 SLV (Collegamento 0020_-377)
Azioni sul collegamento: N=-3875.57 Ty=-4.02 Tz=10.50 Mx=0.01 Mz=2.16
Sollecitazioni agenti localmente: Ty_l=-695.63 My_l=-14.27
Tensioni nella sezione: σ=173.00 τ=21.08
CC 7 SLV (Collegamento 0020_-377)
Azioni sul collegamento: N=-3875.57 Ty=-0.64 Tz=-9.21 Mx=0.01 Mz=-1.09
Sollecitazioni agenti localmente: Ty_l=-682.72 My_l=-13.99
Tensioni nella sezione: σ=169.57 τ=20.69
CC 7 SLV (Collegamento 0020_-377)
Azioni sul collegamento: N=-3875.57 Ty=-4.02 Tz=-9.21 Mx=0.01 Mz=2.16
Sollecitazioni agenti localmente: Ty_l=-695.63 My_l=-14.27
Tensioni nella sezione: σ=173.00 τ=21.08
CC 8 SLD (Collegamento 0020_-377)
Azioni sul collegamento: N=-7364.01 Ty=-3.69 Tz=3.78 Mx=0.01 Mz=-2.04
Sollecitazioni agenti localmente: Ty_l=-1297.33 My_l=-26.58
Tensioni nella sezione: σ=322.23 τ=39.31
CC 8 SLD (Collegamento 0020_-377)
Azioni sul collegamento: N=-7364.01 Ty=-2.66 Tz=3.78 Mx=0.01 Mz=-1.05
Sollecitazioni agenti localmente: Ty_l=-1301.27 My_l=-26.67
Tensioni nella sezione: σ=323.27 τ=39.43
CC 8 SLD (Collegamento 0020_-377)
Azioni sul collegamento: N=-7364.01 Ty=-3.69 Tz=-2.23 Mx=0.01 Mz=-2.04
Sollecitazioni agenti localmente: Ty_l=-1297.33 My_l=-26.58
Tensioni nella sezione: σ=322.23 τ=39.31
CC 8 SLD (Collegamento 0020_-377)
Azioni sul collegamento: N=-7364.01 Ty=-2.66 Tz=-2.23 Mx=0.01 Mz=-1.05
Sollecitazioni agenti localmente: Ty_l=-1301.27 My_l=-26.67
Tensioni nella sezione: σ=323.27 τ=39.43
CC 8 SLD (Collegamento 0020_-377)
Azioni sul collegamento: N=-5748.85 Ty=-3.69 Tz=3.78 Mx=0.01 Mz=-2.04
Sollecitazioni agenti localmente: Ty_l=-1011.01 My_l=-20.71
Tensioni nella sezione: σ=251.08 τ=30.64
CC 8 SLD (Collegamento 0020_-377)
Azioni sul collegamento: N=-5748.85 Ty=-2.66 Tz=3.78 Mx=0.01 Mz=-1.05
Sollecitazioni agenti localmente: Ty_l=-1014.94 My_l=-20.80
Tensioni nella sezione: σ=252.13 τ=30.76
CC 8 SLD (Collegamento 0020_-377)
Azioni sul collegamento: N=-5748.85 Ty=-3.69 Tz=-2.23 Mx=0.01 Mz=-2.04
Sollecitazioni agenti localmente: Ty_l=-1011.01 My_l=-20.71
Tensioni nella sezione: σ=251.08 τ=30.64
CC 8 SLD (Collegamento 0020_-377)
Azioni sul collegamento: N=-5748.85 Ty=-2.66 Tz=-2.23 Mx=0.01 Mz=-1.05
Sollecitazioni agenti localmente: Ty_l=-1014.94 My_l=-20.80
Tensioni nella sezione: σ=252.13 τ=30.76
CC 9 SLV (Collegamento 0020_-377)
Azioni sul collegamento: N=-5720.83 Ty=-3.80 Tz=-2.51 Mx=0.03 Mz=2.93
Sollecitazioni agenti localmente: Ty_l=-1025.80 My_l=-21.05
Tensioni nella sezione: σ=255.09 τ=31.09
CC 9 SLV (Collegamento 0020_-377)
Azioni sul collegamento: N=-5720.83 Ty=-0.86 Tz=-2.51 Mx=0.03 Mz=-1.85
Sollecitazioni agenti localmente: Ty_l=-1006.77 My_l=-20.63
Tensioni nella sezione: σ=250.04 τ=30.51
CC 9 SLV (Collegamento 0020_-377)
Azioni sul collegamento: N=-5720.83 Ty=-3.80 Tz=3.80 Mx=0.03 Mz=2.93
Sollecitazioni agenti localmente: Ty_l=-1025.80 My_l=-21.05
Tensioni nella sezione: σ=255.09 τ=31.09
CC 9 SLV (Collegamento 0020_-377)
Azioni sul collegamento: N=-5720.83 Ty=-0.86 Tz=3.80 Mx=0.03 Mz=-1.85
Sollecitazioni agenti localmente: Ty_l=-1006.77 My_l=-20.63
Tensioni nella sezione: σ=250.04 τ=30.51
CC 9 SLV (Collegamento 0020_-377)
Azioni sul collegamento: N=-7327.12 Ty=-3.80 Tz=-2.51 Mx=0.03 Mz=2.93
Sollecitazioni agenti localmente: Ty_l=-1310.56 My_l=-26.88
Tensioni nella sezione: σ=325.85 τ=39.71
CC 9 SLV (Collegamento 0020_-377)
Azioni sul collegamento: N=-7327.12 Ty=-0.86 Tz=-2.51 Mx=0.03 Mz=-1.85
Sollecitazioni agenti localmente: Ty_l=-1291.53 My_l=-26.47

Tensioni nella sezione: σ=320.80 τ=39.14
CC 9 SLV (Collegamento 0020_-377)
Azioni sul collegamento: N=-7327.12 Ty=-3.80 Tz=3.80 Mx=0.03 Mz=2.93
Sollecitazioni agenti localmente: Ty_l=-1310.56 My_l=-26.88
Tensioni nella sezione: σ=325.85 τ=39.71
CC 9 SLV (Collegamento 0020_-377)
Azioni sul collegamento: N=-7327.12 Ty=-0.86 Tz=3.80 Mx=0.03 Mz=-1.85
Sollecitazioni agenti localmente: Ty_l=-1291.53 My_l=-26.47
Tensioni nella sezione: σ=320.80 τ=39.14
CC 10 SLD (Collegamento 0020_-377)
Azioni sul collegamento: N=-6311.52 Ty=-2.73 Tz=-0.19 Mx=0.01 Mz=-0.81
Sollecitazioni agenti localmente: Ty_l=-1115.62 My_l=-22.87
Tensioni nella sezione: σ=277.16 τ=33.81
CC 10 SLD (Collegamento 0020_-377)
Azioni sul collegamento: N=-6311.52 Ty=-3.62 Tz=-0.19 Mx=0.01 Mz=-2.27
Sollecitazioni agenti localmente: Ty_l=-1109.82 My_l=-22.74
Tensioni nella sezione: σ=275.62 τ=33.63
CC 10 SLD (Collegamento 0020_-377)
Azioni sul collegamento: N=-6311.52 Ty=-2.73 Tz=1.73 Mx=0.01 Mz=-0.81
Sollecitazioni agenti localmente: Ty_l=-1115.62 My_l=-22.87
Tensioni nella sezione: σ=277.16 τ=33.81
CC 10 SLD (Collegamento 0020_-377)
Azioni sul collegamento: N=-6311.52 Ty=-3.62 Tz=1.73 Mx=0.01 Mz=-2.27
Sollecitazioni agenti localmente: Ty_l=-1109.82 My_l=-22.74
Tensioni nella sezione: σ=275.62 τ=33.63
CC 10 SLD (Collegamento 0020_-377)
Azioni sul collegamento: N=-6801.33 Ty=-2.73 Tz=-0.19 Mx=0.01 Mz=-0.81
Sollecitazioni agenti localmente: Ty_l=-1202.45 My_l=-24.65
Tensioni nella sezione: σ=298.74 τ=36.44
CC 10 SLD (Collegamento 0020_-377)
Azioni sul collegamento: N=-6801.33 Ty=-3.62 Tz=-0.19 Mx=0.01 Mz=-2.27
Sollecitazioni agenti localmente: Ty_l=-1196.65 My_l=-24.52
Tensioni nella sezione: σ=297.20 τ=36.26
CC 10 SLD (Collegamento 0020_-377)
Azioni sul collegamento: N=-6801.33 Ty=-2.73 Tz=1.73 Mx=0.01 Mz=-0.81
Sollecitazioni agenti localmente: Ty_l=-1202.45 My_l=-24.65
Tensioni nella sezione: σ=298.74 τ=36.44
CC 10 SLD (Collegamento 0020_-377)
Azioni sul collegamento: N=-6801.33 Ty=-3.62 Tz=1.73 Mx=0.01 Mz=-2.27
Sollecitazioni agenti localmente: Ty_l=-1196.65 My_l=-24.52
Tensioni nella sezione: σ=297.20 τ=36.26
CC 11 SLV (Collegamento 0020_-377)
Azioni sul collegamento: N=-7308.16 Ty=-2.97 Tz=3.37 Mx=0.02 Mz=2.33
Sollecitazioni agenti localmente: Ty_l=-1304.82 My_l=-26.76
Tensioni nella sezione: σ=324.38 τ=39.54
CC 11 SLV (Collegamento 0020_-377)
Azioni sul collegamento: N=-7308.16 Ty=-1.68 Tz=3.37 Mx=0.02 Mz=-1.26
Sollecitazioni agenti localmente: Ty_l=-1290.54 My_l=-26.45
Tensioni nella sezione: σ=320.60 τ=39.11
CC 11 SLV (Collegamento 0020_-377)
Azioni sul collegamento: N=-7308.16 Ty=-2.97 Tz=-2.08 Mx=0.02 Mz=2.33
Sollecitazioni agenti localmente: Ty_l=-1304.82 My_l=-26.76
Tensioni nella sezione: σ=324.38 τ=39.54
CC 11 SLV (Collegamento 0020_-377)
Azioni sul collegamento: N=-7308.16 Ty=-1.68 Tz=-2.08 Mx=0.02 Mz=-1.26
Sollecitazioni agenti localmente: Ty_l=-1290.54 My_l=-26.45
Tensioni nella sezione: σ=320.60 τ=39.11
CC 11 SLV (Collegamento 0020_-377)
Azioni sul collegamento: N=-5739.79 Ty=-2.97 Tz=3.37 Mx=0.02 Mz=2.33
Sollecitazioni agenti localmente: Ty_l=-1026.79 My_l=-21.06
Tensioni nella sezione: σ=255.30 τ=31.11
CC 11 SLV (Collegamento 0020_-377)
Azioni sul collegamento: N=-5739.79 Ty=-1.68 Tz=3.37 Mx=0.02 Mz=-1.26
Sollecitazioni agenti localmente: Ty_l=-1012.51 My_l=-20.75
Tensioni nella sezione: σ=251.51 τ=30.68
CC 11 SLV (Collegamento 0020_-377)
Azioni sul collegamento: N=-5739.79 Ty=-2.97 Tz=-2.08 Mx=0.02 Mz=2.33
Sollecitazioni agenti localmente: Ty_l=-1026.79 My_l=-21.06
Tensioni nella sezione: σ=255.30 τ=31.11
CC 11 SLV (Collegamento 0020_-377)
Azioni sul collegamento: N=-5739.79 Ty=-1.68 Tz=-2.08 Mx=0.02 Mz=-1.26
Sollecitazioni agenti localmente: Ty_l=-1012.51 My_l=-20.75
Tensioni nella sezione: σ=251.51 τ=30.68
CC 12 SLD (Collegamento 0020_-377)
Azioni sul collegamento: N=-6795.55 Ty=-2.98 Tz=1.60 Mx=0.01 Mz=-1.00
Sollecitazioni agenti localmente: Ty_l=-1200.70 My_l=-24.61
Tensioni nella sezione: σ=298.29 τ=36.38
CC 12 SLD (Collegamento 0020_-377)
Azioni sul collegamento: N=-6795.55 Ty=-3.37 Tz=1.60 Mx=0.01 Mz=-2.09
Sollecitazioni agenti localmente: Ty_l=-1196.35 My_l=-24.51

Tensioni nella sezione: σ=297.13 τ=36.25
CC 12 SLD (Collegamento 0020_-377)
Azioni sul collegamento: N=-6795.55 Ty=-2.98 Tz=-0.06 Mx=0.01 Mz=-1.00
Sollecitazioni agenti localmente: Ty_l=-1200.70 My_l=-24.61
Tensioni nella sezione: σ=298.29 τ=36.38
CC 12 SLD (Collegamento 0020_-377)
Azioni sul collegamento: N=-6795.55 Ty=-3.37 Tz=-0.06 Mx=0.01 Mz=-2.09
Sollecitazioni agenti localmente: Ty_l=-1196.35 My_l=-24.51
Tensioni nella sezione: σ=297.13 τ=36.25
CC 12 SLD (Collegamento 0020_-377)
Azioni sul collegamento: N=-6317.31 Ty=-2.98 Tz=1.60 Mx=0.01 Mz=-1.00
Sollecitazioni agenti localmente: Ty_l=-1115.92 My_l=-22.87
Tensioni nella sezione: σ=277.22 τ=33.82
CC 12 SLD (Collegamento 0020_-377)
Azioni sul collegamento: N=-6317.31 Ty=-3.37 Tz=1.60 Mx=0.01 Mz=-2.09
Sollecitazioni agenti localmente: Ty_l=-1111.57 My_l=-22.78
Tensioni nella sezione: σ=276.07 τ=33.68
CC 12 SLD (Collegamento 0020_-377)
Azioni sul collegamento: N=-6317.31 Ty=-2.98 Tz=-0.06 Mx=0.01 Mz=-1.00
Sollecitazioni agenti localmente: Ty_l=-1115.92 My_l=-22.87
Tensioni nella sezione: σ=277.22 τ=33.82
CC 12 SLD (Collegamento 0020_-377)
Azioni sul collegamento: N=-6317.31 Ty=-3.37 Tz=-0.06 Mx=0.01 Mz=-2.09
Sollecitazioni agenti localmente: Ty_l=-1111.57 My_l=-22.78
Tensioni nella sezione: σ=276.07 τ=33.68
CC 13 SLV (Collegamento 0020_-377)
Azioni sul collegamento: N=-5739.79 Ty=-1.68 Tz=-2.08 Mx=0.01 Mz=-1.26
Sollecitazioni agenti localmente: Ty_l=-1012.51 My_l=-20.75
Tensioni nella sezione: σ=251.51 τ=30.68
CC 13 SLV (Collegamento 0020_-377)
Azioni sul collegamento: N=-5739.79 Ty=-2.97 Tz=-2.08 Mx=0.01 Mz=2.33
Sollecitazioni agenti localmente: Ty_l=-1026.79 My_l=-21.06
Tensioni nella sezione: σ=255.30 τ=31.11
CC 13 SLV (Collegamento 0020_-377)
Azioni sul collegamento: N=-5739.79 Ty=-1.68 Tz=3.37 Mx=0.01 Mz=-1.26
Sollecitazioni agenti localmente: Ty_l=-1012.51 My_l=-20.75
Tensioni nella sezione: σ=251.51 τ=30.68
CC 13 SLV (Collegamento 0020_-377)
Azioni sul collegamento: N=-5739.79 Ty=-2.97 Tz=3.37 Mx=0.01 Mz=2.33
Sollecitazioni agenti localmente: Ty_l=-1026.79 My_l=-21.06
Tensioni nella sezione: σ=255.30 τ=31.11
CC 13 SLV (Collegamento 0020_-377)
Azioni sul collegamento: N=-7308.16 Ty=-1.68 Tz=-2.08 Mx=0.01 Mz=-1.26
Sollecitazioni agenti localmente: Ty_l=-1290.54 My_l=-26.45
Tensioni nella sezione: σ=320.60 τ=39.11
CC 13 SLV (Collegamento 0020_-377)
Azioni sul collegamento: N=-7308.16 Ty=-2.97 Tz=-2.08 Mx=0.01 Mz=2.33
Sollecitazioni agenti localmente: Ty_l=-1304.82 My_l=-26.76
Tensioni nella sezione: σ=324.38 τ=39.54
CC 13 SLV (Collegamento 0020_-377)
Azioni sul collegamento: N=-7308.16 Ty=-1.68 Tz=3.37 Mx=0.01 Mz=-1.26
Sollecitazioni agenti localmente: Ty_l=-1290.54 My_l=-26.45
Tensioni nella sezione: σ=320.60 τ=39.11
CC 13 SLV (Collegamento 0020_-377)
Azioni sul collegamento: N=-7308.16 Ty=-2.97 Tz=3.37 Mx=0.01 Mz=2.33
Sollecitazioni agenti localmente: Ty_l=-1304.82 My_l=-26.76
Tensioni nella sezione: σ=324.38 τ=39.54
CC 14 SLD (Collegamento 0020_-377)
Azioni sul collegamento: N=-6317.31 Ty=-3.37 Tz=-0.06 Mx=0.01 Mz=-2.09
Sollecitazioni agenti localmente: Ty_l=-1111.57 My_l=-22.78
Tensioni nella sezione: σ=276.07 τ=33.68
CC 14 SLD (Collegamento 0020_-377)
Azioni sul collegamento: N=-6317.31 Ty=-2.98 Tz=-0.06 Mx=0.01 Mz=-1.00
Sollecitazioni agenti localmente: Ty_l=-1115.92 My_l=-22.87
Tensioni nella sezione: σ=277.22 τ=33.82
CC 14 SLD (Collegamento 0020_-377)
Azioni sul collegamento: N=-6317.31 Ty=-3.37 Tz=1.60 Mx=0.01 Mz=-2.09
Sollecitazioni agenti localmente: Ty_l=-1111.57 My_l=-22.78
Tensioni nella sezione: σ=276.07 τ=33.68
CC 14 SLD (Collegamento 0020_-377)
Azioni sul collegamento: N=-6317.31 Ty=-2.98 Tz=1.60 Mx=0.01 Mz=-1.00
Sollecitazioni agenti localmente: Ty_l=-1115.92 My_l=-22.87
Tensioni nella sezione: σ=277.22 τ=33.82
CC 14 SLD (Collegamento 0020_-377)
Azioni sul collegamento: N=-6795.55 Ty=-3.37 Tz=-0.06 Mx=0.01 Mz=-2.09
Sollecitazioni agenti localmente: Ty_l=-1196.35 My_l=-24.51
Tensioni nella sezione: σ=297.13 τ=36.25
CC 14 SLD (Collegamento 0020_-377)
Azioni sul collegamento: N=-6795.55 Ty=-2.98 Tz=-0.06 Mx=0.01 Mz=-1.00
Sollecitazioni agenti localmente: Ty_l=-1200.70 My_l=-24.61

Tensioni nella sezione: σ=298.29 τ=36.38
CC 14 SLD (Collegamento 0020_-377)
Azioni sul collegamento: N=-6795.55 Ty=-3.37 Tz=1.60 Mx=0.01 Mz=-2.09
Sollecitazioni agenti localmente: Ty_l=-1196.35 My_l=-24.51
Tensioni nella sezione: σ=297.13 τ=36.25
CC 14 SLD (Collegamento 0020_-377)
Azioni sul collegamento: N=-6795.55 Ty=-2.98 Tz=1.60 Mx=0.01 Mz=-1.00
Sollecitazioni agenti localmente: Ty_l=-1200.70 My_l=-24.61
Tensioni nella sezione: σ=298.29 τ=36.38
CC 15 SLV (Collegamento 0020_-377)
Azioni sul collegamento: N=-7327.12 Ty=-0.86 Tz=3.80 Mx=0.01 Mz=-1.85
Sollecitazioni agenti localmente: Ty_l=-1291.53 My_l=-26.47
Tensioni nella sezione: σ=320.80 τ=39.14
CC 15 SLV (Collegamento 0020_-377)
Azioni sul collegamento: N=-7327.12 Ty=-3.80 Tz=3.80 Mx=0.01 Mz=2.93
Sollecitazioni agenti localmente: Ty_l=-1310.56 My_l=-26.88
Tensioni nella sezione: σ=325.85 τ=39.71
CC 15 SLV (Collegamento 0020_-377)
Azioni sul collegamento: N=-7327.12 Ty=-0.86 Tz=-2.51 Mx=0.01 Mz=-1.85
Sollecitazioni agenti localmente: Ty_l=-1291.53 My_l=-26.47
Tensioni nella sezione: σ=320.80 τ=39.14
CC 15 SLV (Collegamento 0020_-377)
Azioni sul collegamento: N=-7327.12 Ty=-3.80 Tz=-2.51 Mx=0.01 Mz=2.93
Sollecitazioni agenti localmente: Ty_l=-1310.56 My_l=-26.88
Tensioni nella sezione: σ=325.85 τ=39.71
CC 15 SLV (Collegamento 0020_-377)
Azioni sul collegamento: N=-5720.83 Ty=-0.86 Tz=3.80 Mx=0.01 Mz=-1.85
Sollecitazioni agenti localmente: Ty_l=-1006.77 My_l=-20.63
Tensioni nella sezione: σ=250.04 τ=30.51
CC 15 SLV (Collegamento 0020_-377)
Azioni sul collegamento: N=-5720.83 Ty=-3.80 Tz=3.80 Mx=0.01 Mz=2.93
Sollecitazioni agenti localmente: Ty_l=-1025.80 My_l=-21.05
Tensioni nella sezione: σ=255.09 τ=31.09
CC 15 SLV (Collegamento 0020_-377)
Azioni sul collegamento: N=-5720.83 Ty=-0.86 Tz=-2.51 Mx=0.01 Mz=-1.85
Sollecitazioni agenti localmente: Ty_l=-1006.77 My_l=-20.63
Tensioni nella sezione: σ=250.04 τ=30.51
CC 15 SLV (Collegamento 0020_-377)
Azioni sul collegamento: N=-5720.83 Ty=-3.80 Tz=-2.51 Mx=0.01 Mz=2.93
Sollecitazioni agenti localmente: Ty_l=-1025.80 My_l=-21.05
Tensioni nella sezione: σ=255.09 τ=31.09
CC 16 SLD (Collegamento 0020_-377)
Azioni sul collegamento: N=-6801.33 Ty=-3.62 Tz=1.73 Mx=0.01 Mz=-2.27
Sollecitazioni agenti localmente: Ty_l=-1196.65 My_l=-24.52
Tensioni nella sezione: σ=297.20 τ=36.26
CC 16 SLD (Collegamento 0020_-377)
Azioni sul collegamento: N=-6801.33 Ty=-2.73 Tz=1.73 Mx=0.01 Mz=-0.81
Sollecitazioni agenti localmente: Ty_l=-1202.45 My_l=-24.65
Tensioni nella sezione: σ=298.74 τ=36.44
CC 16 SLD (Collegamento 0020_-377)
Azioni sul collegamento: N=-6801.33 Ty=-3.62 Tz=-0.19 Mx=0.01 Mz=-2.27
Sollecitazioni agenti localmente: Ty_l=-1196.65 My_l=-24.52
Tensioni nella sezione: σ=297.20 τ=36.26
CC 16 SLD (Collegamento 0020_-377)
Azioni sul collegamento: N=-6801.33 Ty=-2.73 Tz=-0.19 Mx=0.01 Mz=-0.81
Sollecitazioni agenti localmente: Ty_l=-1202.45 My_l=-24.65
Tensioni nella sezione: σ=298.74 τ=36.44
CC 16 SLD (Collegamento 0020_-377)
Azioni sul collegamento: N=-6311.52 Ty=-3.62 Tz=1.73 Mx=0.01 Mz=-2.27
Sollecitazioni agenti localmente: Ty_l=-1109.82 My_l=-22.74
Tensioni nella sezione: σ=275.62 τ=33.63
CC 16 SLD (Collegamento 0020_-377)
Azioni sul collegamento: N=-6311.52 Ty=-2.73 Tz=1.73 Mx=0.01 Mz=-0.81
Sollecitazioni agenti localmente: Ty_l=-1115.62 My_l=-22.87
Tensioni nella sezione: σ=277.16 τ=33.81
CC 16 SLD (Collegamento 0020_-377)
Azioni sul collegamento: N=-6311.52 Ty=-3.62 Tz=-0.19 Mx=0.01 Mz=-2.27
Sollecitazioni agenti localmente: Ty_l=-1109.82 My_l=-22.74
Tensioni nella sezione: σ=275.62 τ=33.63
CC 16 SLD (Collegamento 0020_-377)
Azioni sul collegamento: N=-6311.52 Ty=-2.73 Tz=-0.19 Mx=0.01 Mz=-0.81
Sollecitazioni agenti localmente: Ty_l=-1115.62 My_l=-22.87
Tensioni nella sezione: σ=277.16 τ=33.81
CC 17 SLV (Collegamento 0020_-377)
Azioni sul collegamento: N=-3968.96 Ty=-3.07 Tz=-8.85 Mx=-0.01 Mz=-3.83
Sollecitazioni agenti localmente: Ty_l=-688.36 My_l=-14.09
Tensioni nella sezione: σ=170.79 τ=20.86
CC 17 SLV (Collegamento 0020_-377)
Azioni sul collegamento: N=-3968.96 Ty=-6.45 Tz=-8.85 Mx=-0.01 Mz=-7.08
Sollecitazioni agenti localmente: Ty_l=-675.44 My_l=-13.81

Tensioni nella sezione: σ=167.36 τ=20.47
CC 17 SLV (Collegamento 0020_-377)
Azioni sul collegamento: N=-3968.96 Ty=-3.07 Tz=10.87 Mx=-0.01 Mz=-3.83
Sollecitazioni agenti localmente: Ty_l=-688.36 My_l=-14.09
Tensioni nella sezione: σ=170.79 τ=20.86
CC 17 SLV (Collegamento 0020_-377)
Azioni sul collegamento: N=-3968.96 Ty=-6.45 Tz=10.87 Mx=-0.01 Mz=-7.08
Sollecitazioni agenti localmente: Ty_l=-675.44 My_l=-13.81
Tensioni nella sezione: σ=167.36 τ=20.47
CC 17 SLV (Collegamento 0020_-377)
Azioni sul collegamento: N=-9265.76 Ty=-3.07 Tz=-8.85 Mx=-0.01 Mz=-3.83
Sollecitazioni agenti localmente: Ty_l=-1627.34 My_l=-33.34
Tensioni nella sezione: σ=404.11 τ=49.31
CC 17 SLV (Collegamento 0020_-377)
Azioni sul collegamento: N=-9265.76 Ty=-6.45 Tz=-8.85 Mx=-0.01 Mz=-7.08
Sollecitazioni agenti localmente: Ty_l=-1614.42 My_l=-33.06
Tensioni nella sezione: σ=400.68 τ=48.92
CC 17 SLV (Collegamento 0020_-377)
Azioni sul collegamento: N=-9265.76 Ty=-3.07 Tz=10.87 Mx=-0.01 Mz=-3.83
Sollecitazioni agenti localmente: Ty_l=-1627.34 My_l=-33.34
Tensioni nella sezione: σ=404.11 τ=49.31
CC 17 SLV (Collegamento 0020_-377)
Azioni sul collegamento: N=-9265.76 Ty=-6.45 Tz=10.87 Mx=-0.01 Mz=-7.08
Sollecitazioni agenti localmente: Ty_l=-1614.42 My_l=-33.06
Tensioni nella sezione: σ=400.68 τ=48.92
CC 18 SLD (Collegamento 0020_-377)
Azioni sul collegamento: N=-5777.32 Ty=-3.40 Tz=-2.12 Mx=-0.00 Mz=-2.87
Sollecitazioni agenti localmente: Ty_l=-1012.73 My_l=-20.74
Tensioni nella sezione: σ=251.45 τ=30.69
CC 18 SLD (Collegamento 0020_-377)
Azioni sul collegamento: N=-5777.32 Ty=-4.43 Tz=-2.12 Mx=-0.00 Mz=-3.87
Sollecitazioni agenti localmente: Ty_l=-1008.79 My_l=-20.66
Tensioni nella sezione: σ=250.41 τ=30.57
CC 18 SLD (Collegamento 0020_-377)
Azioni sul collegamento: N=-5777.32 Ty=-3.40 Tz=3.89 Mx=-0.00 Mz=-2.87
Sollecitazioni agenti localmente: Ty_l=-1012.73 My_l=-20.74
Tensioni nella sezione: σ=251.45 τ=30.69
CC 18 SLD (Collegamento 0020_-377)
Azioni sul collegamento: N=-5777.32 Ty=-4.43 Tz=3.89 Mx=-0.00 Mz=-3.87
Sollecitazioni agenti localmente: Ty_l=-1008.79 My_l=-20.66
Tensioni nella sezione: σ=250.41 τ=30.57
CC 18 SLD (Collegamento 0020_-377)
Azioni sul collegamento: N=-7392.49 Ty=-3.40 Tz=-2.12 Mx=-0.00 Mz=-2.87
Sollecitazioni agenti localmente: Ty_l=-1299.05 My_l=-26.61
Tensioni nella sezione: σ=322.60 τ=39.37
CC 18 SLD (Collegamento 0020_-377)
Azioni sul collegamento: N=-7392.49 Ty=-4.43 Tz=-2.12 Mx=-0.00 Mz=-3.87
Sollecitazioni agenti localmente: Ty_l=-1295.11 My_l=-26.53
Tensioni nella sezione: σ=321.56 τ=39.25
CC 18 SLD (Collegamento 0020_-377)
Azioni sul collegamento: N=-7392.49 Ty=-3.40 Tz=3.89 Mx=-0.00 Mz=-2.87
Sollecitazioni agenti localmente: Ty_l=-1299.05 My_l=-26.61
Tensioni nella sezione: σ=322.60 τ=39.37
CC 18 SLD (Collegamento 0020_-377)
Azioni sul collegamento: N=-7392.49 Ty=-4.43 Tz=3.89 Mx=-0.00 Mz=-3.87
Sollecitazioni agenti localmente: Ty_l=-1295.11 My_l=-26.53
Tensioni nella sezione: σ=321.56 τ=39.25
CC 19 SLV (Collegamento 0020_-377)
Azioni sul collegamento: N=-3974.65 Ty=-3.70 Tz=-8.72 Mx=-0.01 Mz=-5.08
Sollecitazioni agenti localmente: Ty_l=-684.37 My_l=-14.00
Tensioni nella sezione: σ=169.71 τ=20.74
CC 19 SLV (Collegamento 0020_-377)
Azioni sul collegamento: N=-3974.65 Ty=-5.81 Tz=-8.72 Mx=-0.01 Mz=-5.82
Sollecitazioni agenti localmente: Ty_l=-681.45 My_l=-13.94
Tensioni nella sezione: σ=168.94 τ=20.65
CC 19 SLV (Collegamento 0020_-377)
Azioni sul collegamento: N=-3974.65 Ty=-3.70 Tz=10.74 Mx=-0.01 Mz=-5.08
Sollecitazioni agenti localmente: Ty_l=-684.37 My_l=-14.00
Tensioni nella sezione: σ=169.71 τ=20.74
CC 19 SLV (Collegamento 0020_-377)
Azioni sul collegamento: N=-3974.65 Ty=-5.81 Tz=10.74 Mx=-0.01 Mz=-5.82
Sollecitazioni agenti localmente: Ty_l=-681.45 My_l=-13.94
Tensioni nella sezione: σ=168.94 τ=20.65
CC 19 SLV (Collegamento 0020_-377)
Azioni sul collegamento: N=-9260.08 Ty=-3.70 Tz=-8.72 Mx=-0.01 Mz=-5.08
Sollecitazioni agenti localmente: Ty_l=-1621.34 My_l=-33.21
Tensioni nella sezione: σ=402.53 τ=49.13
CC 19 SLV (Collegamento 0020_-377)
Azioni sul collegamento: N=-9260.08 Ty=-5.81 Tz=-8.72 Mx=-0.01 Mz=-5.82
Sollecitazioni agenti localmente: Ty_l=-1618.41 My_l=-33.15

Tensioni nella sezione: σ=401.76 τ=49.04
CC 19 SLV (Collegamento 0020_-377)
Azioni sul collegamento: N=-9260.08 Ty=-3.70 Tz=10.74 Mx=-0.01 Mz=-5.08
Sollecitazioni agenti localmente: Ty_l=-1621.34 My_l=-33.21
Tensioni nella sezione: σ=402.53 τ=49.13
CC 19 SLV (Collegamento 0020_-377)
Azioni sul collegamento: N=-9260.08 Ty=-5.81 Tz=10.74 Mx=-0.01 Mz=-5.82
Sollecitazioni agenti localmente: Ty_l=-1618.41 My_l=-33.15
Tensioni nella sezione: σ=401.76 τ=49.04
CC 20 SLD (Collegamento 0020_-377)
Azioni sul collegamento: N=-5779.06 Ty=-3.59 Tz=-2.08 Mx=-0.00 Mz=-3.26
Sollecitazioni agenti localmente: Ty_l=-1011.51 My_l=-20.72
Tensioni nella sezione: σ=251.13 τ=30.65
CC 20 SLD (Collegamento 0020_-377)
Azioni sul collegamento: N=-5779.06 Ty=-4.24 Tz=-2.08 Mx=-0.00 Mz=-3.48
Sollecitazioni agenti localmente: Ty_l=-1010.62 My_l=-20.70
Tensioni nella sezione: σ=250.89 τ=30.62
CC 20 SLD (Collegamento 0020_-377)
Azioni sul collegamento: N=-5779.06 Ty=-3.59 Tz=3.85 Mx=-0.00 Mz=-3.26
Sollecitazioni agenti localmente: Ty_l=-1011.51 My_l=-20.72
Tensioni nella sezione: σ=251.13 τ=30.65
CC 20 SLD (Collegamento 0020_-377)
Azioni sul collegamento: N=-5779.06 Ty=-4.24 Tz=3.85 Mx=-0.00 Mz=-3.48
Sollecitazioni agenti localmente: Ty_l=-1010.62 My_l=-20.70
Tensioni nella sezione: σ=250.89 τ=30.62
CC 20 SLD (Collegamento 0020_-377)
Azioni sul collegamento: N=-7390.75 Ty=-3.59 Tz=-2.08 Mx=-0.00 Mz=-3.26
Sollecitazioni agenti localmente: Ty_l=-1297.22 My_l=-26.57
Tensioni nella sezione: σ=322.12 τ=39.31
CC 20 SLD (Collegamento 0020_-377)
Azioni sul collegamento: N=-7390.75 Ty=-4.24 Tz=-2.08 Mx=-0.00 Mz=-3.48
Sollecitazioni agenti localmente: Ty_l=-1296.33 My_l=-26.56
Tensioni nella sezione: σ=321.88 τ=39.28
CC 20 SLD (Collegamento 0020_-377)
Azioni sul collegamento: N=-7390.75 Ty=-3.59 Tz=3.85 Mx=-0.00 Mz=-3.26
Sollecitazioni agenti localmente: Ty_l=-1297.22 My_l=-26.57
Tensioni nella sezione: σ=322.12 τ=39.31
CC 20 SLD (Collegamento 0020_-377)
Azioni sul collegamento: N=-7390.75 Ty=-4.24 Tz=3.85 Mx=-0.00 Mz=-3.48
Sollecitazioni agenti localmente: Ty_l=-1296.33 My_l=-26.56
Tensioni nella sezione: σ=321.88 τ=39.28
CC 21 SLV (Collegamento 0020_-377)
Azioni sul collegamento: N=-9260.08 Ty=-5.81 Tz=10.74 Mx=-0.01 Mz=-5.82
Sollecitazioni agenti localmente: Ty_l=-1618.41 My_l=-33.15
Tensioni nella sezione: σ=401.76 τ=49.04
CC 21 SLV (Collegamento 0020_-377)
Azioni sul collegamento: N=-9260.08 Ty=-3.70 Tz=10.74 Mx=-0.01 Mz=-5.08
Sollecitazioni agenti localmente: Ty_l=-1621.34 My_l=-33.21
Tensioni nella sezione: σ=402.53 τ=49.13
CC 21 SLV (Collegamento 0020_-377)
Azioni sul collegamento: N=-9260.08 Ty=-5.81 Tz=-8.72 Mx=-0.01 Mz=-5.82
Sollecitazioni agenti localmente: Ty_l=-1618.41 My_l=-33.15
Tensioni nella sezione: σ=401.76 τ=49.04
CC 21 SLV (Collegamento 0020_-377)
Azioni sul collegamento: N=-9260.08 Ty=-3.70 Tz=-8.72 Mx=-0.01 Mz=-5.08
Sollecitazioni agenti localmente: Ty_l=-1621.34 My_l=-33.21
Tensioni nella sezione: σ=402.53 τ=49.13
CC 21 SLV (Collegamento 0020_-377)
Azioni sul collegamento: N=-3974.65 Ty=-5.81 Tz=10.74 Mx=-0.01 Mz=-5.82
Sollecitazioni agenti localmente: Ty_l=-681.45 My_l=-13.94
Tensioni nella sezione: σ=168.94 τ=20.65
CC 21 SLV (Collegamento 0020_-377)
Azioni sul collegamento: N=-3974.65 Ty=-3.70 Tz=10.74 Mx=-0.01 Mz=-5.08
Sollecitazioni agenti localmente: Ty_l=-684.37 My_l=-14.00
Tensioni nella sezione: σ=169.71 τ=20.74
CC 21 SLV (Collegamento 0020_-377)
Azioni sul collegamento: N=-3974.65 Ty=-5.81 Tz=-8.72 Mx=-0.01 Mz=-5.82
Sollecitazioni agenti localmente: Ty_l=-681.45 My_l=-13.94
Tensioni nella sezione: σ=168.94 τ=20.65
CC 21 SLV (Collegamento 0020_-377)
Azioni sul collegamento: N=-3974.65 Ty=-3.70 Tz=-8.72 Mx=-0.01 Mz=-5.08
Sollecitazioni agenti localmente: Ty_l=-684.37 My_l=-14.00
Tensioni nella sezione: σ=169.71 τ=20.74
CC 22 SLD (Collegamento 0020_-377)
Azioni sul collegamento: N=-7390.75 Ty=-4.24 Tz=3.85 Mx=-0.00 Mz=-3.48
Sollecitazioni agenti localmente: Ty_l=-1296.33 My_l=-26.56
Tensioni nella sezione: σ=321.88 τ=39.28
CC 22 SLD (Collegamento 0020_-377)
Azioni sul collegamento: N=-7390.75 Ty=-3.59 Tz=3.85 Mx=-0.00 Mz=-3.26
Sollecitazioni agenti localmente: Ty_l=-1297.22 My_l=-26.57

Tensioni nella sezione: σ=322.12 τ=39.31
CC 22 SLD (Collegamento 0020_-377)
Azioni sul collegamento: N=-7390.75 Ty=-4.24 Tz=-2.08 Mx=-0.00 Mz=-3.48
Sollecitazioni agenti localmente: Ty_l=-1296.33 My_l=-26.56
Tensioni nella sezione: σ=321.88 τ=39.28
CC 22 SLD (Collegamento 0020_-377)
Azioni sul collegamento: N=-7390.75 Ty=-3.59 Tz=-2.08 Mx=-0.00 Mz=-3.26
Sollecitazioni agenti localmente: Ty_l=-1297.22 My_l=-26.57
Tensioni nella sezione: σ=322.12 τ=39.31
CC 22 SLD (Collegamento 0020_-377)
Azioni sul collegamento: N=-5779.06 Ty=-4.24 Tz=3.85 Mx=-0.00 Mz=-3.48
Sollecitazioni agenti localmente: Ty_l=-1010.62 My_l=-20.70
Tensioni nella sezione: σ=250.89 τ=30.62
CC 22 SLD (Collegamento 0020_-377)
Azioni sul collegamento: N=-5779.06 Ty=-3.59 Tz=3.85 Mx=-0.00 Mz=-3.26
Sollecitazioni agenti localmente: Ty_l=-1011.51 My_l=-20.72
Tensioni nella sezione: σ=251.13 τ=30.65
CC 22 SLD (Collegamento 0020_-377)
Azioni sul collegamento: N=-5779.06 Ty=-4.24 Tz=-2.08 Mx=-0.00 Mz=-3.48
Sollecitazioni agenti localmente: Ty_l=-1010.62 My_l=-20.70
Tensioni nella sezione: σ=250.89 τ=30.62
CC 22 SLD (Collegamento 0020_-377)
Azioni sul collegamento: N=-5779.06 Ty=-3.59 Tz=-2.08 Mx=-0.00 Mz=-3.26
Sollecitazioni agenti localmente: Ty_l=-1011.51 My_l=-20.72
Tensioni nella sezione: σ=251.13 τ=30.65
CC 23 SLV (Collegamento 0020_-377)
Azioni sul collegamento: N=-9265.76 Ty=-6.45 Tz=10.87 Mx=-0.01 Mz=-7.08
Sollecitazioni agenti localmente: Ty_l=-1614.42 My_l=-33.06
Tensioni nella sezione: σ=400.68 τ=48.92
CC 23 SLV (Collegamento 0020_-377)
Azioni sul collegamento: N=-9265.76 Ty=-3.07 Tz=10.87 Mx=-0.01 Mz=-3.83
Sollecitazioni agenti localmente: Ty_l=-1627.34 My_l=-33.34
Tensioni nella sezione: σ=404.11 τ=49.31
CC 23 SLV (Collegamento 0020_-377)
Azioni sul collegamento: N=-9265.76 Ty=-6.45 Tz=-8.85 Mx=-0.01 Mz=-7.08
Sollecitazioni agenti localmente: Ty_l=-1614.42 My_l=-33.06
Tensioni nella sezione: σ=400.68 τ=48.92
CC 23 SLV (Collegamento 0020_-377)
Azioni sul collegamento: N=-9265.76 Ty=-3.07 Tz=-8.85 Mx=-0.01 Mz=-3.83
Sollecitazioni agenti localmente: Ty_l=-1627.34 My_l=-33.34
Tensioni nella sezione: σ=404.11 τ=49.31
CC 23 SLV (Collegamento 0020_-377)
Azioni sul collegamento: N=-3968.96 Ty=-6.45 Tz=10.87 Mx=-0.01 Mz=-7.08
Sollecitazioni agenti localmente: Ty_l=-675.44 My_l=-13.81
Tensioni nella sezione: σ=167.36 τ=20.47
CC 23 SLV (Collegamento 0020_-377)
Azioni sul collegamento: N=-3968.96 Ty=-3.07 Tz=10.87 Mx=-0.01 Mz=-3.83
Sollecitazioni agenti localmente: Ty_l=-688.36 My_l=-14.09
Tensioni nella sezione: σ=170.79 τ=20.86
CC 23 SLV (Collegamento 0020_-377)
Azioni sul collegamento: N=-3968.96 Ty=-6.45 Tz=-8.85 Mx=-0.01 Mz=-7.08
Sollecitazioni agenti localmente: Ty_l=-675.44 My_l=-13.81
Tensioni nella sezione: σ=167.36 τ=20.47
CC 23 SLV (Collegamento 0020_-377)
Azioni sul collegamento: N=-3968.96 Ty=-3.07 Tz=-8.85 Mx=-0.01 Mz=-3.83
Sollecitazioni agenti localmente: Ty_l=-688.36 My_l=-14.09
Tensioni nella sezione: σ=170.79 τ=20.86
CC 24 SLD (Collegamento 0020_-377)
Azioni sul collegamento: N=-7392.49 Ty=-4.43 Tz=3.89 Mx=0.00 Mz=-3.87
Sollecitazioni agenti localmente: Ty_l=-1295.11 My_l=-26.53
Tensioni nella sezione: σ=321.56 τ=39.25
CC 24 SLD (Collegamento 0020_-377)
Azioni sul collegamento: N=-7392.49 Ty=-3.40 Tz=3.89 Mx=0.00 Mz=-2.87
Sollecitazioni agenti localmente: Ty_l=-1299.05 My_l=-26.61
Tensioni nella sezione: σ=322.60 τ=39.37
CC 24 SLD (Collegamento 0020_-377)
Azioni sul collegamento: N=-7392.49 Ty=-4.43 Tz=-2.12 Mx=0.00 Mz=-3.87
Sollecitazioni agenti localmente: Ty_l=-1295.11 My_l=-26.53
Tensioni nella sezione: σ=321.56 τ=39.25
CC 24 SLD (Collegamento 0020_-377)
Azioni sul collegamento: N=-7392.49 Ty=-3.40 Tz=-2.12 Mx=0.00 Mz=-2.87
Sollecitazioni agenti localmente: Ty_l=-1299.05 My_l=-26.61
Tensioni nella sezione: σ=322.60 τ=39.37
CC 24 SLD (Collegamento 0020_-377)
Azioni sul collegamento: N=-5777.32 Ty=-4.43 Tz=3.89 Mx=0.00 Mz=-3.87
Sollecitazioni agenti localmente: Ty_l=-1008.79 My_l=-20.66
Tensioni nella sezione: σ=250.41 τ=30.57
CC 24 SLD (Collegamento 0020_-377)
Azioni sul collegamento: N=-5777.32 Ty=-3.40 Tz=3.89 Mx=0.00 Mz=-2.87
Sollecitazioni agenti localmente: Ty_l=-1012.73 My_l=-20.74

Tensioni nella sezione: σ=251.45 τ=30.69
CC 24 SLD (Collegamento 0020_-377)
Azioni sul collegamento: N=-5777.32 Ty=-4.43 Tz=-2.12 Mx=0.00 Mz=-3.87
Sollecitazioni agenti localmente: Ty_l=-1008.79 My_l=-20.66
Tensioni nella sezione: σ=250.41 τ=30.57
CC 24 SLD (Collegamento 0020_-377)
Azioni sul collegamento: N=-5777.32 Ty=-3.40 Tz=-2.12 Mx=0.00 Mz=-2.87
Sollecitazioni agenti localmente: Ty_l=-1012.73 My_l=-20.74
Tensioni nella sezione: σ=251.45 τ=30.69
CC 25 SLV (Collegamento 0020_-377)
Azioni sul collegamento: N=-5814.21 Ty=-3.29 Tz=-2.14 Mx=-0.02 Mz=-3.06
Sollecitazioni agenti localmente: Ty_l=-1018.53 My_l=-20.86
Tensioni nella sezione: σ=252.88 τ=30.86
CC 25 SLV (Collegamento 0020_-377)
Azioni sul collegamento: N=-5814.21 Ty=-6.23 Tz=-2.14 Mx=-0.02 Mz=-7.84
Sollecitazioni agenti localmente: Ty_l=-999.50 My_l=-20.45
Tensioni nella sezione: σ=247.83 τ=30.29
CC 25 SLV (Collegamento 0020_-377)
Azioni sul collegamento: N=-5814.21 Ty=-3.29 Tz=4.16 Mx=-0.02 Mz=-3.06
Sollecitazioni agenti localmente: Ty_l=-1018.53 My_l=-20.86
Tensioni nella sezione: σ=252.88 τ=30.86
CC 25 SLV (Collegamento 0020_-377)
Azioni sul collegamento: N=-5814.21 Ty=-6.23 Tz=4.16 Mx=-0.02 Mz=-7.84
Sollecitazioni agenti localmente: Ty_l=-999.50 My_l=-20.45
Tensioni nella sezione: σ=247.83 τ=30.29
CC 25 SLV (Collegamento 0020_-377)
Azioni sul collegamento: N=-7420.51 Ty=-3.29 Tz=-2.14 Mx=-0.02 Mz=-3.06
Sollecitazioni agenti localmente: Ty_l=-1303.28 My_l=-26.70
Tensioni nella sezione: σ=323.64 τ=39.49
CC 25 SLV (Collegamento 0020_-377)
Azioni sul collegamento: N=-7420.51 Ty=-6.23 Tz=-2.14 Mx=-0.02 Mz=-7.84
Sollecitazioni agenti localmente: Ty_l=-1284.25 My_l=-26.28
Tensioni nella sezione: σ=318.59 τ=38.92
CC 25 SLV (Collegamento 0020_-377)
Azioni sul collegamento: N=-7420.51 Ty=-3.29 Tz=4.16 Mx=-0.02 Mz=-3.06
Sollecitazioni agenti localmente: Ty_l=-1303.28 My_l=-26.70
Tensioni nella sezione: σ=323.64 τ=39.49
CC 25 SLV (Collegamento 0020_-377)
Azioni sul collegamento: N=-7420.51 Ty=-6.23 Tz=4.16 Mx=-0.02 Mz=-7.84
Sollecitazioni agenti localmente: Ty_l=-1284.25 My_l=-26.28
Tensioni nella sezione: σ=318.59 τ=38.92
CC 26 SLD (Collegamento 0020_-377)
Azioni sul collegamento: N=-6340.00 Ty=-3.47 Tz=-0.08 Mx=-0.00 Mz=-2.64
Sollecitazioni agenti localmente: Ty_l=-1113.41 My_l=-22.81
Tensioni nella sezione: σ=276.49 τ=33.74
CC 26 SLD (Collegamento 0020_-377)
Azioni sul collegamento: N=-6340.00 Ty=-4.36 Tz=-0.08 Mx=-0.00 Mz=-4.10
Sollecitazioni agenti localmente: Ty_l=-1107.60 My_l=-22.68
Tensioni nella sezione: σ=274.95 τ=33.56
CC 26 SLD (Collegamento 0020_-377)
Azioni sul collegamento: N=-6340.00 Ty=-3.47 Tz=1.85 Mx=-0.00 Mz=-2.64
Sollecitazioni agenti localmente: Ty_l=-1113.41 My_l=-22.81
Tensioni nella sezione: σ=276.49 τ=33.74
CC 26 SLD (Collegamento 0020_-377)
Azioni sul collegamento: N=-6340.00 Ty=-4.36 Tz=1.85 Mx=-0.00 Mz=-4.10
Sollecitazioni agenti localmente: Ty_l=-1107.60 My_l=-22.68
Tensioni nella sezione: σ=274.95 τ=33.56
CC 26 SLD (Collegamento 0020_-377)
Azioni sul collegamento: N=-6829.81 Ty=-3.47 Tz=-0.08 Mx=-0.00 Mz=-2.64
Sollecitazioni agenti localmente: Ty_l=-1200.24 My_l=-24.59
Tensioni nella sezione: σ=298.06 τ=36.37
CC 26 SLD (Collegamento 0020_-377)
Azioni sul collegamento: N=-6829.81 Ty=-4.36 Tz=-0.08 Mx=-0.00 Mz=-4.10
Sollecitazioni agenti localmente: Ty_l=-1194.43 My_l=-24.46
Tensioni nella sezione: σ=296.52 τ=36.19
CC 26 SLD (Collegamento 0020_-377)
Azioni sul collegamento: N=-6829.81 Ty=-3.47 Tz=1.85 Mx=-0.00 Mz=-2.64
Sollecitazioni agenti localmente: Ty_l=-1200.24 My_l=-24.59
Tensioni nella sezione: σ=298.06 τ=36.37
CC 26 SLD (Collegamento 0020_-377)
Azioni sul collegamento: N=-6829.81 Ty=-4.36 Tz=1.85 Mx=-0.00 Mz=-4.10
Sollecitazioni agenti localmente: Ty_l=-1194.43 My_l=-24.46
Tensioni nella sezione: σ=296.52 τ=36.19
CC 27 SLV (Collegamento 0020_-377)
Azioni sul collegamento: N=-7401.55 Ty=-4.11 Tz=3.74 Mx=-0.02 Mz=-3.66
Sollecitazioni agenti localmente: Ty_l=-1297.54 My_l=-26.58
Tensioni nella sezione: σ=322.17 τ=39.32
CC 27 SLV (Collegamento 0020_-377)
Azioni sul collegamento: N=-7401.55 Ty=-5.40 Tz=3.74 Mx=-0.02 Mz=-7.25
Sollecitazioni agenti localmente: Ty_l=-1283.27 My_l=-26.27

Tensioni nella sezione: σ=318.38 τ=38.89
CC 27 SLV (Collegamento 0020_-377)
Azioni sul collegamento: N=-7401.55 Ty=-4.11 Tz=-1.71 Mx=-0.02 Mz=-3.66
Sollecitazioni agenti localmente: Ty_l=-1297.54 My_l=-26.58
Tensioni nella sezione: σ=322.17 τ=39.32
CC 27 SLV (Collegamento 0020_-377)
Azioni sul collegamento: N=-7401.55 Ty=-5.40 Tz=-1.71 Mx=-0.02 Mz=-7.25
Sollecitazioni agenti localmente: Ty_l=-1283.27 My_l=-26.27
Tensioni nella sezione: σ=318.38 τ=38.89
CC 27 SLV (Collegamento 0020_-377)
Azioni sul collegamento: N=-5833.17 Ty=-4.11 Tz=3.74 Mx=-0.02 Mz=-3.66
Sollecitazioni agenti localmente: Ty_l=-1019.51 My_l=-20.88
Tensioni nella sezione: σ=253.09 τ=30.89
CC 27 SLV (Collegamento 0020_-377)
Azioni sul collegamento: N=-5833.17 Ty=-5.40 Tz=3.74 Mx=-0.02 Mz=-7.25
Sollecitazioni agenti localmente: Ty_l=-1005.24 My_l=-20.57
Tensioni nella sezione: σ=249.30 τ=30.46
CC 27 SLV (Collegamento 0020_-377)
Azioni sul collegamento: N=-5833.17 Ty=-4.11 Tz=-1.71 Mx=-0.02 Mz=-3.66
Sollecitazioni agenti localmente: Ty_l=-1019.51 My_l=-20.88
Tensioni nella sezione: σ=253.09 τ=30.89
CC 27 SLV (Collegamento 0020_-377)
Azioni sul collegamento: N=-5833.17 Ty=-5.40 Tz=-1.71 Mx=-0.02 Mz=-7.25
Sollecitazioni agenti localmente: Ty_l=-1005.24 My_l=-20.57
Tensioni nella sezione: σ=249.30 τ=30.46
CC 28 SLD (Collegamento 0020_-377)
Azioni sul collegamento: N=-6824.03 Ty=-3.72 Tz=1.72 Mx=-0.00 Mz=-2.82
Sollecitazioni agenti localmente: Ty_l=-1198.49 My_l=-24.55
Tensioni nella sezione: σ=297.62 τ=36.32
CC 28 SLD (Collegamento 0020_-377)
Azioni sul collegamento: N=-6824.03 Ty=-4.11 Tz=1.72 Mx=-0.00 Mz=-3.92
Sollecitazioni agenti localmente: Ty_l=-1194.13 My_l=-24.46
Tensioni nella sezione: σ=296.46 τ=36.19
CC 28 SLD (Collegamento 0020_-377)
Azioni sul collegamento: N=-6824.03 Ty=-3.72 Tz=0.05 Mx=-0.00 Mz=-2.82
Sollecitazioni agenti localmente: Ty_l=-1198.49 My_l=-24.55
Tensioni nella sezione: σ=297.62 τ=36.32
CC 28 SLD (Collegamento 0020_-377)
Azioni sul collegamento: N=-6824.03 Ty=-4.11 Tz=0.05 Mx=-0.00 Mz=-3.92
Sollecitazioni agenti localmente: Ty_l=-1194.13 My_l=-24.46
Tensioni nella sezione: σ=296.46 τ=36.19
CC 28 SLD (Collegamento 0020_-377)
Azioni sul collegamento: N=-6345.78 Ty=-3.72 Tz=1.72 Mx=-0.00 Mz=-2.82
Sollecitazioni agenti localmente: Ty_l=-1113.71 My_l=-22.82
Tensioni nella sezione: σ=276.55 τ=33.75
CC 28 SLD (Collegamento 0020_-377)
Azioni sul collegamento: N=-6345.78 Ty=-4.11 Tz=1.72 Mx=-0.00 Mz=-3.92
Sollecitazioni agenti localmente: Ty_l=-1109.35 My_l=-22.72
Tensioni nella sezione: σ=275.39 τ=33.62
CC 28 SLD (Collegamento 0020_-377)
Azioni sul collegamento: N=-6345.78 Ty=-3.72 Tz=0.05 Mx=-0.00 Mz=-2.82
Sollecitazioni agenti localmente: Ty_l=-1113.71 My_l=-22.82
Tensioni nella sezione: σ=276.55 τ=33.75
CC 28 SLD (Collegamento 0020_-377)
Azioni sul collegamento: N=-6345.78 Ty=-4.11 Tz=0.05 Mx=-0.00 Mz=-3.92
Sollecitazioni agenti localmente: Ty_l=-1109.35 My_l=-22.72
Tensioni nella sezione: σ=275.39 τ=33.62
CC 29 SLV (Collegamento 0020_-377)
Azioni sul collegamento: N=-5833.17 Ty=-5.40 Tz=-1.71 Mx=-0.00 Mz=-7.25
Sollecitazioni agenti localmente: Ty_l=-1005.24 My_l=-20.57
Tensioni nella sezione: σ=249.30 τ=30.46
CC 29 SLV (Collegamento 0020_-377)
Azioni sul collegamento: N=-5833.17 Ty=-4.11 Tz=-1.71 Mx=-0.00 Mz=-3.66
Sollecitazioni agenti localmente: Ty_l=-1019.51 My_l=-20.88
Tensioni nella sezione: σ=253.09 τ=30.89
CC 29 SLV (Collegamento 0020_-377)
Azioni sul collegamento: N=-5833.17 Ty=-5.40 Tz=3.74 Mx=-0.00 Mz=-7.25
Sollecitazioni agenti localmente: Ty_l=-1005.24 My_l=-20.57
Tensioni nella sezione: σ=249.30 τ=30.46
CC 29 SLV (Collegamento 0020_-377)
Azioni sul collegamento: N=-5833.17 Ty=-4.11 Tz=3.74 Mx=-0.00 Mz=-3.66
Sollecitazioni agenti localmente: Ty_l=-1019.51 My_l=-20.88
Tensioni nella sezione: σ=253.09 τ=30.89
CC 29 SLV (Collegamento 0020_-377)
Azioni sul collegamento: N=-7401.55 Ty=-5.40 Tz=-1.71 Mx=-0.00 Mz=-7.25
Sollecitazioni agenti localmente: Ty_l=-1283.27 My_l=-26.27
Tensioni nella sezione: σ=318.38 τ=38.89
CC 29 SLV (Collegamento 0020_-377)
Azioni sul collegamento: N=-7401.55 Ty=-4.11 Tz=-1.71 Mx=-0.00 Mz=-3.66
Sollecitazioni agenti localmente: Ty_l=-1297.54 My_l=-26.58

Tensioni nella sezione: σ=322.17 τ=39.32
CC 29 SLV (Collegamento 0020_-377)
Azioni sul collegamento: N=-7401.55 Ty=-5.40 Tz=3.74 Mx=-0.00 Mz=-7.25
Sollecitazioni agenti localmente: Ty_l=-1283.27 My_l=-26.27
Tensioni nella sezione: σ=318.38 τ=38.89
CC 29 SLV (Collegamento 0020_-377)
Azioni sul collegamento: N=-7401.55 Ty=-4.11 Tz=3.74 Mx=-0.00 Mz=-3.66
Sollecitazioni agenti localmente: Ty_l=-1297.54 My_l=-26.58
Tensioni nella sezione: σ=322.17 τ=39.32
CC 30 SLD (Collegamento 0020_-377)
Azioni sul collegamento: N=-6345.78 Ty=-4.11 Tz=0.05 Mx=0.00 Mz=-3.92
Sollecitazioni agenti localmente: Ty_l=-1109.35 My_l=-22.72
Tensioni nella sezione: σ=275.39 τ=33.62
CC 30 SLD (Collegamento 0020_-377)
Azioni sul collegamento: N=-6345.78 Ty=-3.72 Tz=0.05 Mx=0.00 Mz=-2.82
Sollecitazioni agenti localmente: Ty_l=-1113.71 My_l=-22.82
Tensioni nella sezione: σ=276.55 τ=33.75
CC 30 SLD (Collegamento 0020_-377)
Azioni sul collegamento: N=-6345.78 Ty=-4.11 Tz=1.72 Mx=0.00 Mz=-3.92
Sollecitazioni agenti localmente: Ty_l=-1109.35 My_l=-22.72
Tensioni nella sezione: σ=275.39 τ=33.62
CC 30 SLD (Collegamento 0020_-377)
Azioni sul collegamento: N=-6345.78 Ty=-3.72 Tz=1.72 Mx=0.00 Mz=-2.82
Sollecitazioni agenti localmente: Ty_l=-1113.71 My_l=-22.82
Tensioni nella sezione: σ=276.55 τ=33.75
CC 30 SLD (Collegamento 0020_-377)
Azioni sul collegamento: N=-6824.03 Ty=-4.11 Tz=0.05 Mx=0.00 Mz=-3.92
Sollecitazioni agenti localmente: Ty_l=-1194.13 My_l=-24.46
Tensioni nella sezione: σ=296.46 τ=36.19
CC 30 SLD (Collegamento 0020_-377)
Azioni sul collegamento: N=-6824.03 Ty=-3.72 Tz=0.05 Mx=0.00 Mz=-2.82
Sollecitazioni agenti localmente: Ty_l=-1198.49 My_l=-24.55
Tensioni nella sezione: σ=297.62 τ=36.32
CC 30 SLD (Collegamento 0020_-377)
Azioni sul collegamento: N=-6824.03 Ty=-4.11 Tz=1.72 Mx=0.00 Mz=-3.92
Sollecitazioni agenti localmente: Ty_l=-1194.13 My_l=-24.46
Tensioni nella sezione: σ=296.46 τ=36.19
CC 30 SLD (Collegamento 0020_-377)
Azioni sul collegamento: N=-6824.03 Ty=-3.72 Tz=1.72 Mx=0.00 Mz=-2.82
Sollecitazioni agenti localmente: Ty_l=-1198.49 My_l=-24.55
Tensioni nella sezione: σ=297.62 τ=36.32
CC 31 SLV (Collegamento 0020_-377)
Azioni sul collegamento: N=-7420.51 Ty=-6.23 Tz=4.16 Mx=-0.00 Mz=-7.84
Sollecitazioni agenti localmente: Ty_l=-1284.25 My_l=-26.28
Tensioni nella sezione: σ=318.59 τ=38.92
CC 31 SLV (Collegamento 0020_-377)
Azioni sul collegamento: N=-7420.51 Ty=-3.29 Tz=4.16 Mx=-0.00 Mz=-3.06
Sollecitazioni agenti localmente: Ty_l=-1303.28 My_l=-26.70
Tensioni nella sezione: σ=323.64 τ=39.49
CC 31 SLV (Collegamento 0020_-377)
Azioni sul collegamento: N=-7420.51 Ty=-6.23 Tz=-2.14 Mx=-0.00 Mz=-7.84
Sollecitazioni agenti localmente: Ty_l=-1284.25 My_l=-26.28
Tensioni nella sezione: σ=318.59 τ=38.92
CC 31 SLV (Collegamento 0020_-377)
Azioni sul collegamento: N=-7420.51 Ty=-3.29 Tz=-2.14 Mx=-0.00 Mz=-3.06
Sollecitazioni agenti localmente: Ty_l=-1303.28 My_l=-26.70
Tensioni nella sezione: σ=323.64 τ=39.49
CC 31 SLV (Collegamento 0020_-377)
Azioni sul collegamento: N=-5814.21 Ty=-6.23 Tz=4.16 Mx=-0.00 Mz=-7.84
Sollecitazioni agenti localmente: Ty_l=-999.50 My_l=-20.45
Tensioni nella sezione: σ=247.83 τ=30.29
CC 31 SLV (Collegamento 0020_-377)
Azioni sul collegamento: N=-5814.21 Ty=-3.29 Tz=4.16 Mx=-0.00 Mz=-3.06
Sollecitazioni agenti localmente: Ty_l=-1018.53 My_l=-20.86
Tensioni nella sezione: σ=252.88 τ=30.86
CC 31 SLV (Collegamento 0020_-377)
Azioni sul collegamento: N=-5814.21 Ty=-6.23 Tz=-2.14 Mx=-0.00 Mz=-7.84
Sollecitazioni agenti localmente: Ty_l=-999.50 My_l=-20.45
Tensioni nella sezione: σ=247.83 τ=30.29
CC 31 SLV (Collegamento 0020_-377)
Azioni sul collegamento: N=-5814.21 Ty=-3.29 Tz=-2.14 Mx=-0.00 Mz=-3.06
Sollecitazioni agenti localmente: Ty_l=-1018.53 My_l=-20.86
Tensioni nella sezione: σ=252.88 τ=30.86
CC 32 SLD (Collegamento 0020_-377)
Azioni sul collegamento: N=-6829.81 Ty=-4.36 Tz=1.85 Mx=0.00 Mz=-4.10
Sollecitazioni agenti localmente: Ty_l=-1194.43 My_l=-24.46
Tensioni nella sezione: σ=296.52 τ=36.19
CC 32 SLD (Collegamento 0020_-377)
Azioni sul collegamento: N=-6829.81 Ty=-3.47 Tz=1.85 Mx=0.00 Mz=-2.64
Sollecitazioni agenti localmente: Ty_l=-1200.24 My_l=-24.59

Tensioni nella sezione: σ=298.06 τ=36.37
CC 32 SLD (Collegamento 0020_-377)
Azioni sul collegamento: N=-6829.81 Ty=-4.36 Tz=-0.08 Mx=0.00 Mz=-4.10
Sollecitazioni agenti localmente: Ty_l=-1194.43 My_l=-24.46
Tensioni nella sezione: σ=296.52 τ=36.19
CC 32 SLD (Collegamento 0020_-377)
Azioni sul collegamento: N=-6829.81 Ty=-3.47 Tz=-0.08 Mx=0.00 Mz=-2.64
Sollecitazioni agenti localmente: Ty_l=-1200.24 My_l=-24.59
Tensioni nella sezione: σ=298.06 τ=36.37
CC 32 SLD (Collegamento 0020_-377)
Azioni sul collegamento: N=-6340.00 Ty=-4.36 Tz=1.85 Mx=0.00 Mz=-4.10
Sollecitazioni agenti localmente: Ty_l=-1107.60 My_l=-22.68
Tensioni nella sezione: σ=274.95 τ=33.56
CC 32 SLD (Collegamento 0020_-377)
Azioni sul collegamento: N=-6340.00 Ty=-3.47 Tz=1.85 Mx=0.00 Mz=-2.64
Sollecitazioni agenti localmente: Ty_l=-1113.41 My_l=-22.81
Tensioni nella sezione: σ=276.49 τ=33.74
CC 32 SLD (Collegamento 0020_-377)
Azioni sul collegamento: N=-6340.00 Ty=-4.36 Tz=-0.08 Mx=0.00 Mz=-4.10
Sollecitazioni agenti localmente: Ty_l=-1107.60 My_l=-22.68
Tensioni nella sezione: σ=274.95 τ=33.56
CC 32 SLD (Collegamento 0020_-377)
Azioni sul collegamento: N=-6340.00 Ty=-3.47 Tz=-0.08 Mx=0.00 Mz=-2.64
Sollecitazioni agenti localmente: Ty_l=-1113.41 My_l=-22.81
Tensioni nella sezione: σ=276.49 τ=33.74
CC 33 SLU (Collegamento 0020_-377)
Azioni sul collegamento: N=-30337.70 Ty=-5.16 Tz=79.98 Mx=0.01 Mz=-3.50
Sollecitazioni agenti localmente: Ty_l=-5364.13 My_l=-109.94
Tensioni nella sezione: σ=1332.67 τ=162.55
CC 34 SLU (Collegamento 0020_-377)
Azioni sul collegamento: N=-30888.30 Ty=-5.44 Tz=82.02 Mx=0.01 Mz=-3.71
Sollecitazioni agenti localmente: Ty_l=-5460.90 My_l=-111.93
Tensioni nella sezione: σ=1356.70 τ=165.48
CC 35 SLU (Collegamento 0020_-377)
Azioni sul collegamento: N=-30612.00 Ty=-5.19 Tz=81.02 Mx=0.01 Mz=-3.39
Sollecitazioni agenti localmente: Ty_l=-5413.21 My_l=-110.95
Tensioni nella sezione: σ=1344.87 τ=164.04
CC 36 SLU (Collegamento 0020_-377)
Azioni sul collegamento: N=-30614.00 Ty=-5.41 Tz=80.97 Mx=0.01 Mz=-3.82
Sollecitazioni agenti localmente: Ty_l=-5411.82 My_l=-110.92
Tensioni nella sezione: σ=1344.50 τ=164.00
CC 37 SLU (Collegamento 0020_-377)
Azioni sul collegamento: N=-32266.80 Ty=-5.04 Tz=86.42 Mx=-0.00 Mz=-3.56
Sollecitazioni agenti localmente: Ty_l=-5705.87 My_l=-116.95
Tensioni nella sezione: σ=1417.58 τ=172.91
CC 38 SLU (Collegamento 0020_-377)
Azioni sul collegamento: N=-32817.30 Ty=-5.33 Tz=88.46 Mx=-0.00 Mz=-3.76
Sollecitazioni agenti localmente: Ty_l=-5802.64 My_l=-118.93
Tensioni nella sezione: σ=1441.61 τ=175.84
CC 39 SLU (Collegamento 0020_-377)
Azioni sul collegamento: N=-32541.00 Ty=-5.08 Tz=87.47 Mx=-0.00 Mz=-3.44
Sollecitazioni agenti localmente: Ty_l=-5754.95 My_l=-117.96
Tensioni nella sezione: σ=1429.78 τ=174.39
CC 40 SLU (Collegamento 0020_-377)
Azioni sul collegamento: N=-32543.00 Ty=-5.30 Tz=87.42 Mx=-0.00 Mz=-3.88
Sollecitazioni agenti localmente: Ty_l=-5753.56 My_l=-117.93
Tensioni nella sezione: σ=1429.41 τ=174.35
CC 41 SLU (Collegamento 0020_-377)
Azioni sul collegamento: N=-21046.60 Ty=-6.03 Tz=45.82 Mx=0.01 Mz=-4.13
Sollecitazioni agenti localmente: Ty_l=-3714.55 My_l=-76.13
Tensioni nella sezione: σ=922.73 τ=112.56
CC 42 SLU (Collegamento 0020_-377)
Azioni sul collegamento: N=-21597.10 Ty=-6.32 Tz=47.86 Mx=0.01 Mz=-4.34
Sollecitazioni agenti localmente: Ty_l=-3811.32 My_l=-78.11
Tensioni nella sezione: σ=946.76 τ=115.49
CC 43 SLU (Collegamento 0020_-377)
Azioni sul collegamento: N=-21320.90 Ty=-6.07 Tz=46.87 Mx=0.01 Mz=-4.02
Sollecitazioni agenti localmente: Ty_l=-3763.62 My_l=-77.13
Tensioni nella sezione: σ=934.93 τ=114.05
CC 44 SLU (Collegamento 0020_-377)
Azioni sul collegamento: N=-21322.80 Ty=-6.29 Tz=46.82 Mx=0.01 Mz=-4.45
Sollecitazioni agenti localmente: Ty_l=-3762.24 My_l=-77.10
Tensioni nella sezione: σ=934.56 τ=114.01
CC 45 SLU (Collegamento 0020_-377)
Azioni sul collegamento: N=-23139.00 Ty=-5.73 Tz=53.57 Mx=0.01 Mz=-3.96
Sollecitazioni agenti localmente: Ty_l=-4086.16 My_l=-83.74
Tensioni nella sezione: σ=1015.08 τ=123.82
CC 46 SLU (Collegamento 0020_-377)
Azioni sul collegamento: N=-23689.50 Ty=-6.01 Tz=55.60 Mx=0.01 Mz=-4.17
Sollecitazioni agenti localmente: Ty_l=-4182.93 My_l=-85.73

Tensioni nella sezione: σ=1039.11 τ=126.76
CC 47 SLU (Collegamento 0020_-377)
Azioni sul collegamento: N=-23413.30 Ty=-5.76 Tz=54.61 Mx=0.01 Mz=-3.84
Sollecitazioni agenti localmente: Ty_l=-4135.24 My_l=-84.75
Tensioni nella sezione: σ=1027.29 τ=125.31
CC 48 SLU (Collegamento 0020_-377)
Azioni sul collegamento: N=-23415.20 Ty=-5.98 Tz=54.56 Mx=0.01 Mz=-4.28
Sollecitazioni agenti localmente: Ty_l=-4133.86 My_l=-84.72
Tensioni nella sezione: σ=1026.91 τ=125.27
CC 49 SLU (Collegamento 0020_-377)
Azioni sul collegamento: N=-24582.20 Ty=-5.64 Tz=58.39 Mx=0.00 Mz=-4.00
Sollecitazioni agenti localmente: Ty_l=-4341.84 My_l=-88.99
Tensioni nella sezione: σ=1078.61 τ=131.57
CC 50 SLU (Collegamento 0020_-377)
Azioni sul collegamento: N=-25132.70 Ty=-5.93 Tz=60.42 Mx=0.00 Mz=-4.21
Sollecitazioni agenti localmente: Ty_l=-4438.61 My_l=-90.97
Tensioni nella sezione: σ=1102.64 τ=134.50
CC 51 SLU (Collegamento 0020_-377)
Azioni sul collegamento: N=-24856.40 Ty=-5.68 Tz=59.43 Mx=-0.00 Mz=-3.89
Sollecitazioni agenti localmente: Ty_l=-4390.91 My_l=-89.99
Tensioni nella sezione: σ=1090.81 τ=133.06
CC 52 SLU (Collegamento 0020_-377)
Azioni sul collegamento: N=-24858.40 Ty=-5.89 Tz=59.38 Mx=0.00 Mz=-4.32
Sollecitazioni agenti localmente: Ty_l=-4389.53 My_l=-89.96
Tensioni nella sezione: σ=1090.44 τ=133.02
CC 53 SLU (Collegamento 0020_-377)
Azioni sul collegamento: N=-16187.80 Ty=-6.38 Tz=28.01 Mx=0.01 Mz=-4.43
Sollecitazioni agenti localmente: Ty_l=-2852.03 My_l=-58.44
Tensioni nella sezione: σ=708.39 τ=86.43
CC 54 SLU (Collegamento 0020_-377)
Azioni sul collegamento: N=-16738.30 Ty=-6.67 Tz=30.05 Mx=0.01 Mz=-4.64
Sollecitazioni agenti localmente: Ty_l=-2948.80 My_l=-60.42
Tensioni nella sezione: σ=732.42 τ=89.36
CC 55 SLU (Collegamento 0020_-377)
Azioni sul collegamento: N=-16462.10 Ty=-6.42 Tz=29.05 Mx=0.01 Mz=-4.32
Sollecitazioni agenti localmente: Ty_l=-2901.11 My_l=-59.45
Tensioni nella sezione: σ=720.59 τ=87.91
CC 56 SLU (Collegamento 0020_-377)
Azioni sul collegamento: N=-16464.10 Ty=-6.64 Tz=29.01 Mx=0.01 Mz=-4.75
Sollecitazioni agenti localmente: Ty_l=-2899.72 My_l=-59.42
Tensioni nella sezione: σ=720.22 τ=87.87
CC 57 SLU (Collegamento 0020_-377)
Azioni sul collegamento: N=-23519.50 Ty=-6.15 Tz=55.00 Mx=0.01 Mz=-4.26
Sollecitazioni agenti localmente: Ty_l=-4152.42 My_l=-85.10
Tensioni nella sezione: σ=1031.52 τ=125.83
CC 58 SLU (Collegamento 0020_-377)
Azioni sul collegamento: N=-24070.10 Ty=-6.43 Tz=57.04 Mx=0.01 Mz=-4.47
Sollecitazioni agenti localmente: Ty_l=-4249.19 My_l=-87.08
Tensioni nella sezione: σ=1055.56 τ=128.76
CC 59 SLU (Collegamento 0020_-377)
Azioni sul collegamento: N=-23793.80 Ty=-6.18 Tz=56.05 Mx=0.01 Mz=-4.15
Sollecitazioni agenti localmente: Ty_l=-4201.49 My_l=-86.11
Tensioni nella sezione: σ=1043.73 τ=127.32
CC 60 SLU (Collegamento 0020_-377)
Azioni sul collegamento: N=-23795.80 Ty=-6.40 Tz=56.00 Mx=0.01 Mz=-4.58
Sollecitazioni agenti localmente: Ty_l=-4200.11 My_l=-86.08
Tensioni nella sezione: σ=1043.35 τ=127.28
CC 61 SLU (Collegamento 0020_-377)
Azioni sul collegamento: N=-24962.70 Ty=-6.06 Tz=59.83 Mx=0.00 Mz=-4.30
Sollecitazioni agenti localmente: Ty_l=-4408.09 My_l=-90.34
Tensioni nella sezione: σ=1095.05 τ=133.58
CC 62 SLU (Collegamento 0020_-377)
Azioni sul collegamento: N=-25513.20 Ty=-6.35 Tz=61.87 Mx=0.00 Mz=-4.51
Sollecitazioni agenti localmente: Ty_l=-4504.86 My_l=-92.32
Tensioni nella sezione: σ=1119.08 τ=136.51
CC 63 SLU (Collegamento 0020_-377)
Azioni sul collegamento: N=-25237.00 Ty=-6.10 Tz=60.87 Mx=-0.00 Mz=-4.19
Sollecitazioni agenti localmente: Ty_l=-4457.17 My_l=-91.35
Tensioni nella sezione: σ=1107.26 τ=135.07
CC 64 SLU (Collegamento 0020_-377)
Azioni sul collegamento: N=-25238.90 Ty=-6.31 Tz=60.82 Mx=0.00 Mz=-4.62
Sollecitazioni agenti localmente: Ty_l=-4455.78 My_l=-91.32
Tensioni nella sezione: σ=1106.88 τ=135.02
CC 65 SLU (Collegamento 0020_-377)
Azioni sul collegamento: N=-16568.40 Ty=-6.80 Tz=29.45 Mx=0.01 Mz=-4.74
Sollecitazioni agenti localmente: Ty_l=-2918.28 My_l=-59.80
Tensioni nella sezione: σ=724.83 τ=88.43
CC 66 SLU (Collegamento 0020_-377)
Azioni sul collegamento: N=-17118.90 Ty=-7.09 Tz=31.49 Mx=0.01 Mz=-4.94
Sollecitazioni agenti localmente: Ty_l=-3015.05 My_l=-61.78

Tensioni nella sezione: σ=748.86 τ=91.37
CC 67 SLU (Collegamento 0020_-377)
Azioni sul collegamento: N=-16842.60 Ty=-6.84 Tz=30.49 Mx=0.01 Mz=-4.62
Sollecitazioni agenti localmente: Ty_l=-2967.36 My_l=-60.81
Tensioni nella sezione: σ=737.03 τ=89.92
CC 68 SLU (Collegamento 0020_-377)
Azioni sul collegamento: N=-16844.60 Ty=-7.06 Tz=30.45 Mx=0.01 Mz=-5.06
Sollecitazioni agenti localmente: Ty_l=-2965.98 My_l=-60.77
Tensioni nella sezione: σ=736.66 τ=89.88
CC 97 SLU (Collegamento 0020_-377)
Azioni sul collegamento: N=-16826.20 Ty=-0.37 Tz=38.55 Mx=0.05 Mz=7.28
Sollecitazioni agenti localmente: Ty_l=-3011.77 My_l=-61.78
Tensioni nella sezione: σ=748.87 τ=91.27
CC 98 SLU (Collegamento 0020_-377)
Azioni sul collegamento: N=-17376.70 Ty=-0.65 Tz=40.58 Mx=0.05 Mz=7.07
Sollecitazioni agenti localmente: Ty_l=-3108.55 My_l=-63.76
Tensioni nella sezione: σ=772.90 τ=94.20
CC 99 SLU (Collegamento 0020_-377)
Azioni sul collegamento: N=-17100.50 Ty=-0.40 Tz=39.59 Mx=0.05 Mz=7.39
Sollecitazioni agenti localmente: Ty_l=-3060.85 My_l=-62.79
Tensioni nella sezione: σ=761.07 τ=92.75
CC 100 SLU (Collegamento 0020_-377)
Azioni sul collegamento: N=-17102.50 Ty=-0.62 Tz=39.54 Mx=0.05 Mz=6.96
Sollecitazioni agenti localmente: Ty_l=-3059.47 My_l=-62.76
Tensioni nella sezione: σ=760.70 τ=92.71
CC 101 SLU (Collegamento 0020_-377)
Azioni sul collegamento: N=-6585.90 Ty=-4.08 Tz=0.92 Mx=-0.00 Mz=-3.64
Sollecitazioni agenti localmente: Ty_l=-1153.02 My_l=-23.62
Tensioni nella sezione: σ=286.26 τ=34.94
CC 102 SLU (Collegamento 0020_-377)
Azioni sul collegamento: N=-7136.43 Ty=-4.37 Tz=2.96 Mx=-0.00 Mz=-3.85
Sollecitazioni agenti localmente: Ty_l=-1249.79 My_l=-25.60
Tensioni nella sezione: σ=310.29 τ=37.87
CC 103 SLU (Collegamento 0020_-377)
Azioni sul collegamento: N=-6860.18 Ty=-4.11 Tz=1.96 Mx=-0.00 Mz=-3.53
Sollecitazioni agenti localmente: Ty_l=-1202.09 My_l=-24.62
Tensioni nella sezione: σ=298.46 τ=36.43
CC 104 SLU (Collegamento 0020_-377)
Azioni sul collegamento: N=-6862.15 Ty=-4.33 Tz=1.92 Mx=-0.00 Mz=-3.96
Sollecitazioni agenti localmente: Ty_l=-1200.71 My_l=-24.59
Tensioni nella sezione: σ=298.09 τ=36.39

Flessione attacco sinistro piastra

Bnetta=220.00 Hnetta=15.00
CC 1 SLV (Collegamento 0020_-377)
Azioni sul collegamento: N=-3875.57 Ty=-4.02 Tz=-9.21 Mx=0.02 Mz=2.16
Sollecitazioni agenti localmente: Ty_l=-678.43 My_l=-13.90
Tensioni nella sezione: σ=168.43 τ=20.56
CC 1 SLV (Collegamento 0020_-377)
Azioni sul collegamento: N=-3875.57 Ty=-0.64 Tz=-9.21 Mx=0.02 Mz=-1.09
Sollecitazioni agenti localmente: Ty_l=-691.35 My_l=-14.18
Tensioni nella sezione: σ=171.86 τ=20.95
CC 1 SLV (Collegamento 0020_-377)
Azioni sul collegamento: N=-3875.57 Ty=-4.02 Tz=10.50 Mx=0.02 Mz=2.16
Sollecitazioni agenti localmente: Ty_l=-678.43 My_l=-13.90
Tensioni nella sezione: σ=168.43 τ=20.56
CC 1 SLV (Collegamento 0020_-377)
Azioni sul collegamento: N=-3875.57 Ty=-0.64 Tz=10.50 Mx=0.02 Mz=-1.09
Sollecitazioni agenti localmente: Ty_l=-691.35 My_l=-14.18
Tensioni nella sezione: σ=171.86 τ=20.95
CC 1 SLV (Collegamento 0020_-377)
Azioni sul collegamento: N=-9172.38 Ty=-4.02 Tz=-9.21 Mx=0.02 Mz=2.16
Sollecitazioni agenti localmente: Ty_l=-1617.41 My_l=-33.14
Tensioni nella sezione: σ=401.76 τ=49.01
CC 1 SLV (Collegamento 0020_-377)
Azioni sul collegamento: N=-9172.38 Ty=-0.64 Tz=-9.21 Mx=0.02 Mz=-1.09
Sollecitazioni agenti localmente: Ty_l=-1630.33 My_l=-33.43
Tensioni nella sezione: σ=405.19 τ=49.40
CC 1 SLV (Collegamento 0020_-377)
Azioni sul collegamento: N=-9172.38 Ty=-4.02 Tz=10.50 Mx=0.02 Mz=2.16
Sollecitazioni agenti localmente: Ty_l=-1617.41 My_l=-33.14
Tensioni nella sezione: σ=401.76 τ=49.01
CC 1 SLV (Collegamento 0020_-377)
Azioni sul collegamento: N=-9172.38 Ty=-0.64 Tz=10.50 Mx=0.02 Mz=-1.09
Sollecitazioni agenti localmente: Ty_l=-1630.33 My_l=-33.43
Tensioni nella sezione: σ=405.19 τ=49.40
CC 2 SLD (Collegamento 0020_-377)
Azioni sul collegamento: N=-5748.85 Ty=-2.66 Tz=-2.23 Mx=0.01 Mz=-1.05
Sollecitazioni agenti localmente: Ty_l=-1023.28 My_l=-20.98

Tensioni nella sezione: σ=254.34 τ=31.01
CC 2 SLD (Collegamento 0020_-377)
Azioni sul collegamento: N=-5748.85 Ty=-3.69 Tz=-2.23 Mx=0.01 Mz=-2.04
Sollecitazioni agenti localmente: Ty_l=-1027.22 My_l=-21.07
Tensioni nella sezione: σ=255.39 τ=31.13
CC 2 SLD (Collegamento 0020_-377)
Azioni sul collegamento: N=-5748.85 Ty=-2.66 Tz=3.78 Mx=0.01 Mz=-1.05
Sollecitazioni agenti localmente: Ty_l=-1023.28 My_l=-20.98
Tensioni nella sezione: σ=254.34 τ=31.01
CC 2 SLD (Collegamento 0020_-377)
Azioni sul collegamento: N=-5748.85 Ty=-3.69 Tz=3.78 Mx=0.01 Mz=-2.04
Sollecitazioni agenti localmente: Ty_l=-1027.22 My_l=-21.07
Tensioni nella sezione: σ=255.39 τ=31.13
CC 2 SLD (Collegamento 0020_-377)
Azioni sul collegamento: N=-7364.01 Ty=-2.66 Tz=-2.23 Mx=0.01 Mz=-1.05
Sollecitazioni agenti localmente: Ty_l=-1309.61 My_l=-26.85
Tensioni nella sezione: σ=325.49 τ=39.69
CC 2 SLD (Collegamento 0020_-377)
Azioni sul collegamento: N=-7364.01 Ty=-3.69 Tz=-2.23 Mx=0.01 Mz=-2.04
Sollecitazioni agenti localmente: Ty_l=-1313.55 My_l=-26.94
Tensioni nella sezione: σ=326.53 τ=39.80
CC 2 SLD (Collegamento 0020_-377)
Azioni sul collegamento: N=-7364.01 Ty=-2.66 Tz=3.78 Mx=0.01 Mz=-1.05
Sollecitazioni agenti localmente: Ty_l=-1309.61 My_l=-26.85
Tensioni nella sezione: σ=325.49 τ=39.69
CC 2 SLD (Collegamento 0020_-377)
Azioni sul collegamento: N=-7364.01 Ty=-3.69 Tz=3.78 Mx=0.01 Mz=-2.04
Sollecitazioni agenti localmente: Ty_l=-1313.55 My_l=-26.94
Tensioni nella sezione: σ=326.53 τ=39.80
CC 3 SLV (Collegamento 0020_-377)
Azioni sul collegamento: N=-3881.26 Ty=-3.39 Tz=-9.09 Mx=0.02 Mz=0.91
Sollecitazioni agenti localmente: Ty_l=-684.44 My_l=-14.03
Tensioni nella sezione: σ=170.01 τ=20.74
CC 3 SLV (Collegamento 0020_-377)
Azioni sul collegamento: N=-3881.26 Ty=-1.27 Tz=-9.09 Mx=0.02 Mz=0.17
Sollecitazioni agenti localmente: Ty_l=-687.36 My_l=-14.09
Tensioni nella sezione: σ=170.79 τ=20.83
CC 3 SLV (Collegamento 0020_-377)
Azioni sul collegamento: N=-3881.26 Ty=-3.39 Tz=10.37 Mx=0.02 Mz=0.91
Sollecitazioni agenti localmente: Ty_l=-684.44 My_l=-14.03
Tensioni nella sezione: σ=170.01 τ=20.74
CC 3 SLV (Collegamento 0020_-377)
Azioni sul collegamento: N=-3881.26 Ty=-1.27 Tz=10.37 Mx=0.02 Mz=0.17
Sollecitazioni agenti localmente: Ty_l=-687.36 My_l=-14.09
Tensioni nella sezione: σ=170.79 τ=20.83
CC 3 SLV (Collegamento 0020_-377)
Azioni sul collegamento: N=-9166.69 Ty=-3.39 Tz=-9.09 Mx=0.02 Mz=0.91
Sollecitazioni agenti localmente: Ty_l=-1621.40 My_l=-33.23
Tensioni nella sezione: σ=402.83 τ=49.13
CC 3 SLV (Collegamento 0020_-377)
Azioni sul collegamento: N=-9166.69 Ty=-1.27 Tz=-9.09 Mx=0.02 Mz=0.17
Sollecitazioni agenti localmente: Ty_l=-1624.32 My_l=-33.30
Tensioni nella sezione: σ=403.61 τ=49.22
CC 3 SLV (Collegamento 0020_-377)
Azioni sul collegamento: N=-9166.69 Ty=-3.39 Tz=10.38 Mx=0.02 Mz=0.91
Sollecitazioni agenti localmente: Ty_l=-1621.40 My_l=-33.23
Tensioni nella sezione: σ=402.83 τ=49.13
CC 3 SLV (Collegamento 0020_-377)
Azioni sul collegamento: N=-9166.69 Ty=-1.27 Tz=10.38 Mx=0.02 Mz=0.17
Sollecitazioni agenti localmente: Ty_l=-1624.32 My_l=-33.30
Tensioni nella sezione: σ=403.61 τ=49.22
CC 4 SLD (Collegamento 0020_-377)
Azioni sul collegamento: N=-5750.58 Ty=-2.85 Tz=-2.19 Mx=0.01 Mz=-1.43
Sollecitazioni agenti localmente: Ty_l=-1025.11 My_l=-21.02
Tensioni nella sezione: σ=254.82 τ=31.06
CC 4 SLD (Collegamento 0020_-377)
Azioni sul collegamento: N=-5750.58 Ty=-3.50 Tz=-2.19 Mx=0.01 Mz=-1.66
Sollecitazioni agenti localmente: Ty_l=-1026.01 My_l=-21.04
Tensioni nella sezione: σ=255.06 τ=31.09
CC 4 SLD (Collegamento 0020_-377)
Azioni sul collegamento: N=-5750.58 Ty=-2.85 Tz=3.74 Mx=0.01 Mz=-1.43
Sollecitazioni agenti localmente: Ty_l=-1025.11 My_l=-21.02
Tensioni nella sezione: σ=254.82 τ=31.06
CC 4 SLD (Collegamento 0020_-377)
Azioni sul collegamento: N=-5750.58 Ty=-3.50 Tz=3.74 Mx=0.01 Mz=-1.66
Sollecitazioni agenti localmente: Ty_l=-1026.01 My_l=-21.04
Tensioni nella sezione: σ=255.06 τ=31.09
CC 4 SLD (Collegamento 0020_-377)
Azioni sul collegamento: N=-7362.28 Ty=-2.85 Tz=-2.19 Mx=0.01 Mz=-1.43
Sollecitazioni agenti localmente: Ty_l=-1310.82 My_l=-26.88

Tensioni nella sezione: σ=325.82 τ=39.72
CC 4 SLD (Collegamento 0020_-377)
Azioni sul collegamento: N=-7362.28 Ty=-3.50 Tz=-2.19 Mx=0.01 Mz=-1.66
Sollecitazioni agenti localmente: Ty_l=-1311.72 My_l=-26.90
Tensioni nella sezione: σ=326.05 τ=39.75
CC 4 SLD (Collegamento 0020_-377)
Azioni sul collegamento: N=-7362.28 Ty=-2.85 Tz=3.74 Mx=0.01 Mz=-1.43
Sollecitazioni agenti localmente: Ty_l=-1310.82 My_l=-26.88
Tensioni nella sezione: σ=325.82 τ=39.72
CC 4 SLD (Collegamento 0020_-377)
Azioni sul collegamento: N=-7362.28 Ty=-3.50 Tz=3.74 Mx=0.01 Mz=-1.66
Sollecitazioni agenti localmente: Ty_l=-1311.72 My_l=-26.90
Tensioni nella sezione: σ=326.05 τ=39.75
CC 5 SLV (Collegamento 0020_-377)
Azioni sul collegamento: N=-9166.69 Ty=-1.27 Tz=10.38 Mx=0.02 Mz=0.17
Sollecitazioni agenti localmente: Ty_l=-1624.32 My_l=-33.30
Tensioni nella sezione: σ=403.61 τ=49.22
CC 5 SLV (Collegamento 0020_-377)
Azioni sul collegamento: N=-9166.69 Ty=-3.39 Tz=10.38 Mx=0.02 Mz=0.91
Sollecitazioni agenti localmente: Ty_l=-1621.40 My_l=-33.23
Tensioni nella sezione: σ=402.83 τ=49.13
CC 5 SLV (Collegamento 0020_-377)
Azioni sul collegamento: N=-9166.69 Ty=-1.27 Tz=-9.09 Mx=0.02 Mz=0.17
Sollecitazioni agenti localmente: Ty_l=-1624.32 My_l=-33.30
Tensioni nella sezione: σ=403.61 τ=49.22
CC 5 SLV (Collegamento 0020_-377)
Azioni sul collegamento: N=-9166.69 Ty=-3.39 Tz=-9.09 Mx=0.02 Mz=0.91
Sollecitazioni agenti localmente: Ty_l=-1621.40 My_l=-33.23
Tensioni nella sezione: σ=402.83 τ=49.13
CC 5 SLV (Collegamento 0020_-377)
Azioni sul collegamento: N=-3881.26 Ty=-1.27 Tz=10.37 Mx=0.02 Mz=0.17
Sollecitazioni agenti localmente: Ty_l=-687.36 My_l=-14.09
Tensioni nella sezione: σ=170.79 τ=20.83
CC 5 SLV (Collegamento 0020_-377)
Azioni sul collegamento: N=-3881.26 Ty=-3.39 Tz=10.37 Mx=0.02 Mz=0.91
Sollecitazioni agenti localmente: Ty_l=-684.44 My_l=-14.03
Tensioni nella sezione: σ=170.01 τ=20.74
CC 5 SLV (Collegamento 0020_-377)
Azioni sul collegamento: N=-3881.26 Ty=-1.27 Tz=-9.09 Mx=0.02 Mz=0.17
Sollecitazioni agenti localmente: Ty_l=-687.36 My_l=-14.09
Tensioni nella sezione: σ=170.79 τ=20.83
CC 5 SLV (Collegamento 0020_-377)
Azioni sul collegamento: N=-3881.26 Ty=-3.39 Tz=-9.09 Mx=0.02 Mz=0.91
Sollecitazioni agenti localmente: Ty_l=-684.44 My_l=-14.03
Tensioni nella sezione: σ=170.01 τ=20.74
CC 6 SLD (Collegamento 0020_-377)
Azioni sul collegamento: N=-7362.28 Ty=-3.50 Tz=3.74 Mx=0.01 Mz=-1.66
Sollecitazioni agenti localmente: Ty_l=-1311.72 My_l=-26.90
Tensioni nella sezione: σ=326.05 τ=39.75
CC 6 SLD (Collegamento 0020_-377)
Azioni sul collegamento: N=-7362.28 Ty=-2.85 Tz=3.74 Mx=0.01 Mz=-1.43
Sollecitazioni agenti localmente: Ty_l=-1310.82 My_l=-26.88
Tensioni nella sezione: σ=325.82 τ=39.72
CC 6 SLD (Collegamento 0020_-377)
Azioni sul collegamento: N=-7362.28 Ty=-3.50 Tz=-2.19 Mx=0.01 Mz=-1.66
Sollecitazioni agenti localmente: Ty_l=-1311.72 My_l=-26.90
Tensioni nella sezione: σ=326.05 τ=39.75
CC 6 SLD (Collegamento 0020_-377)
Azioni sul collegamento: N=-7362.28 Ty=-2.85 Tz=-2.19 Mx=0.01 Mz=-1.43
Sollecitazioni agenti localmente: Ty_l=-1310.82 My_l=-26.88
Tensioni nella sezione: σ=325.82 τ=39.72
CC 6 SLD (Collegamento 0020_-377)
Azioni sul collegamento: N=-5750.58 Ty=-3.50 Tz=3.74 Mx=0.01 Mz=-1.66
Sollecitazioni agenti localmente: Ty_l=-1026.01 My_l=-21.04
Tensioni nella sezione: σ=255.06 τ=31.09
CC 6 SLD (Collegamento 0020_-377)
Azioni sul collegamento: N=-5750.58 Ty=-2.85 Tz=3.74 Mx=0.01 Mz=-1.43
Sollecitazioni agenti localmente: Ty_l=-1025.11 My_l=-21.02
Tensioni nella sezione: σ=254.82 τ=31.06
CC 6 SLD (Collegamento 0020_-377)
Azioni sul collegamento: N=-5750.58 Ty=-3.50 Tz=-2.19 Mx=0.01 Mz=-1.66
Sollecitazioni agenti localmente: Ty_l=-1026.01 My_l=-21.04
Tensioni nella sezione: σ=255.06 τ=31.09
CC 6 SLD (Collegamento 0020_-377)
Azioni sul collegamento: N=-5750.58 Ty=-2.85 Tz=-2.19 Mx=0.01 Mz=-1.43
Sollecitazioni agenti localmente: Ty_l=-1025.11 My_l=-21.02
Tensioni nella sezione: σ=254.82 τ=31.06
CC 7 SLV (Collegamento 0020_-377)
Azioni sul collegamento: N=-9172.38 Ty=-0.64 Tz=10.50 Mx=0.01 Mz=-1.09
Sollecitazioni agenti localmente: Ty_l=-1630.33 My_l=-33.43

Tensioni nella sezione: σ=405.19 τ=49.40
CC 7 SLV (Collegamento 0020_-377)
Azioni sul collegamento: N=-9172.38 Ty=-4.02 Tz=10.50 Mx=0.01 Mz=2.16
Sollecitazioni agenti localmente: Ty_l=-1617.41 My_l=-33.14
Tensioni nella sezione: σ=401.76 τ=49.01
CC 7 SLV (Collegamento 0020_-377)
Azioni sul collegamento: N=-9172.38 Ty=-0.64 Tz=-9.21 Mx=0.01 Mz=-1.09
Sollecitazioni agenti localmente: Ty_l=-1630.33 My_l=-33.43
Tensioni nella sezione: σ=405.19 τ=49.40
CC 7 SLV (Collegamento 0020_-377)
Azioni sul collegamento: N=-9172.38 Ty=-4.02 Tz=-9.21 Mx=0.01 Mz=2.16
Sollecitazioni agenti localmente: Ty_l=-1617.41 My_l=-33.14
Tensioni nella sezione: σ=401.76 τ=49.01
CC 7 SLV (Collegamento 0020_-377)
Azioni sul collegamento: N=-3875.57 Ty=-0.64 Tz=10.50 Mx=0.01 Mz=-1.09
Sollecitazioni agenti localmente: Ty_l=-691.35 My_l=-14.18
Tensioni nella sezione: σ=171.86 τ=20.95
CC 7 SLV (Collegamento 0020_-377)
Azioni sul collegamento: N=-3875.57 Ty=-4.02 Tz=10.50 Mx=0.01 Mz=2.16
Sollecitazioni agenti localmente: Ty_l=-678.43 My_l=-13.90
Tensioni nella sezione: σ=168.43 τ=20.56
CC 7 SLV (Collegamento 0020_-377)
Azioni sul collegamento: N=-3875.57 Ty=-0.64 Tz=-9.21 Mx=0.01 Mz=-1.09
Sollecitazioni agenti localmente: Ty_l=-691.35 My_l=-14.18
Tensioni nella sezione: σ=171.86 τ=20.95
CC 7 SLV (Collegamento 0020_-377)
Azioni sul collegamento: N=-3875.57 Ty=-4.02 Tz=-9.21 Mx=0.01 Mz=2.16
Sollecitazioni agenti localmente: Ty_l=-678.43 My_l=-13.90
Tensioni nella sezione: σ=168.43 τ=20.56
CC 8 SLD (Collegamento 0020_-377)
Azioni sul collegamento: N=-7364.01 Ty=-3.69 Tz=3.78 Mx=0.01 Mz=-2.04
Sollecitazioni agenti localmente: Ty_l=-1313.55 My_l=-26.94
Tensioni nella sezione: σ=326.53 τ=39.80
CC 8 SLD (Collegamento 0020_-377)
Azioni sul collegamento: N=-7364.01 Ty=-2.66 Tz=3.78 Mx=0.01 Mz=-1.05
Sollecitazioni agenti localmente: Ty_l=-1309.61 My_l=-26.85
Tensioni nella sezione: σ=325.49 τ=39.69
CC 8 SLD (Collegamento 0020_-377)
Azioni sul collegamento: N=-7364.01 Ty=-3.69 Tz=-2.23 Mx=0.01 Mz=-2.04
Sollecitazioni agenti localmente: Ty_l=-1313.55 My_l=-26.94
Tensioni nella sezione: σ=326.53 τ=39.80
CC 8 SLD (Collegamento 0020_-377)
Azioni sul collegamento: N=-7364.01 Ty=-2.66 Tz=-2.23 Mx=0.01 Mz=-1.05
Sollecitazioni agenti localmente: Ty_l=-1309.61 My_l=-26.85
Tensioni nella sezione: σ=325.49 τ=39.69
CC 8 SLD (Collegamento 0020_-377)
Azioni sul collegamento: N=-5748.85 Ty=-3.69 Tz=3.78 Mx=0.01 Mz=-2.04
Sollecitazioni agenti localmente: Ty_l=-1027.22 My_l=-21.07
Tensioni nella sezione: σ=255.39 τ=31.13
CC 8 SLD (Collegamento 0020_-377)
Azioni sul collegamento: N=-5748.85 Ty=-2.66 Tz=3.78 Mx=0.01 Mz=-1.05
Sollecitazioni agenti localmente: Ty_l=-1023.28 My_l=-20.98
Tensioni nella sezione: σ=254.34 τ=31.01
CC 8 SLD (Collegamento 0020_-377)
Azioni sul collegamento: N=-5748.85 Ty=-3.69 Tz=-2.23 Mx=0.01 Mz=-2.04
Sollecitazioni agenti localmente: Ty_l=-1027.22 My_l=-21.07
Tensioni nella sezione: σ=255.39 τ=31.13
CC 8 SLD (Collegamento 0020_-377)
Azioni sul collegamento: N=-5748.85 Ty=-2.66 Tz=-2.23 Mx=0.01 Mz=-1.05
Sollecitazioni agenti localmente: Ty_l=-1023.28 My_l=-20.98
Tensioni nella sezione: σ=254.34 τ=31.01
CC 9 SLV (Collegamento 0020_-377)
Azioni sul collegamento: N=-5720.83 Ty=-3.80 Tz=-2.51 Mx=0.03 Mz=2.93
Sollecitazioni agenti localmente: Ty_l=-1002.49 My_l=-20.53
Tensioni nella sezione: σ=248.91 τ=30.38
CC 9 SLV (Collegamento 0020_-377)
Azioni sul collegamento: N=-5720.83 Ty=-0.86 Tz=-2.51 Mx=0.03 Mz=-1.85
Sollecitazioni agenti localmente: Ty_l=-1021.52 My_l=-20.95
Tensioni nella sezione: σ=253.96 τ=30.96
CC 9 SLV (Collegamento 0020_-377)
Azioni sul collegamento: N=-5720.83 Ty=-3.80 Tz=3.80 Mx=0.03 Mz=2.93
Sollecitazioni agenti localmente: Ty_l=-1002.49 My_l=-20.53
Tensioni nella sezione: σ=248.91 τ=30.38
CC 9 SLV (Collegamento 0020_-377)
Azioni sul collegamento: N=-5720.83 Ty=-0.86 Tz=3.80 Mx=0.03 Mz=-1.85
Sollecitazioni agenti localmente: Ty_l=-1021.52 My_l=-20.95
Tensioni nella sezione: σ=253.96 τ=30.96
CC 9 SLV (Collegamento 0020_-377)
Azioni sul collegamento: N=-7327.12 Ty=-3.80 Tz=-2.51 Mx=0.03 Mz=2.93
Sollecitazioni agenti localmente: Ty_l=-1287.24 My_l=-26.37

Tensioni nella sezione: σ=319.66 τ=39.01
CC 9 SLV (Collegamento 0020_-377)
Azioni sul collegamento: N=-7327.12 Ty=-0.86 Tz=-2.51 Mx=0.03 Mz=-1.85
Sollecitazioni agenti localmente: Ty_l=-1306.27 My_l=-26.79
Tensioni nella sezione: σ=324.71 τ=39.58
CC 9 SLV (Collegamento 0020_-377)
Azioni sul collegamento: N=-7327.12 Ty=-3.80 Tz=3.80 Mx=0.03 Mz=2.93
Sollecitazioni agenti localmente: Ty_l=-1287.24 My_l=-26.37
Tensioni nella sezione: σ=319.66 τ=39.01
CC 9 SLV (Collegamento 0020_-377)
Azioni sul collegamento: N=-7327.12 Ty=-0.86 Tz=3.80 Mx=0.03 Mz=-1.85
Sollecitazioni agenti localmente: Ty_l=-1306.27 My_l=-26.79
Tensioni nella sezione: σ=324.71 τ=39.58
CC 10 SLD (Collegamento 0020_-377)
Azioni sul collegamento: N=-6311.52 Ty=-2.73 Tz=-0.19 Mx=0.01 Mz=-0.81
Sollecitazioni agenti localmente: Ty_l=-1122.10 My_l=-23.01
Tensioni nella sezione: σ=278.88 τ=34.00
CC 10 SLD (Collegamento 0020_-377)
Azioni sul collegamento: N=-6311.52 Ty=-3.62 Tz=-0.19 Mx=0.01 Mz=-2.27
Sollecitazioni agenti localmente: Ty_l=-1127.90 My_l=-23.13
Tensioni nella sezione: σ=280.42 τ=34.18
CC 10 SLD (Collegamento 0020_-377)
Azioni sul collegamento: N=-6311.52 Ty=-2.73 Tz=1.73 Mx=0.01 Mz=-0.81
Sollecitazioni agenti localmente: Ty_l=-1122.10 My_l=-23.01
Tensioni nella sezione: σ=278.88 τ=34.00
CC 10 SLD (Collegamento 0020_-377)
Azioni sul collegamento: N=-6311.52 Ty=-3.62 Tz=1.73 Mx=0.01 Mz=-2.27
Sollecitazioni agenti localmente: Ty_l=-1127.90 My_l=-23.13
Tensioni nella sezione: σ=280.42 τ=34.18
CC 10 SLD (Collegamento 0020_-377)
Azioni sul collegamento: N=-6801.33 Ty=-2.73 Tz=-0.19 Mx=0.01 Mz=-0.81
Sollecitazioni agenti localmente: Ty_l=-1208.93 My_l=-24.79
Tensioni nella sezione: σ=300.45 τ=36.63
CC 10 SLD (Collegamento 0020_-377)
Azioni sul collegamento: N=-6801.33 Ty=-3.62 Tz=-0.19 Mx=0.01 Mz=-2.27
Sollecitazioni agenti localmente: Ty_l=-1214.73 My_l=-24.91
Tensioni nella sezione: σ=302.00 τ=36.81
CC 10 SLD (Collegamento 0020_-377)
Azioni sul collegamento: N=-6801.33 Ty=-2.73 Tz=1.73 Mx=0.01 Mz=-0.81
Sollecitazioni agenti localmente: Ty_l=-1208.93 My_l=-24.79
Tensioni nella sezione: σ=300.45 τ=36.63
CC 10 SLD (Collegamento 0020_-377)
Azioni sul collegamento: N=-6801.33 Ty=-3.62 Tz=1.73 Mx=0.01 Mz=-2.27
Sollecitazioni agenti localmente: Ty_l=-1214.73 My_l=-24.91
Tensioni nella sezione: σ=302.00 τ=36.81
CC 11 SLV (Collegamento 0020_-377)
Azioni sul collegamento: N=-7308.16 Ty=-2.97 Tz=3.37 Mx=0.02 Mz=2.33
Sollecitazioni agenti localmente: Ty_l=-1286.26 My_l=-26.36
Tensioni nella sezione: σ=319.46 τ=38.98
CC 11 SLV (Collegamento 0020_-377)
Azioni sul collegamento: N=-7308.16 Ty=-1.68 Tz=3.37 Mx=0.02 Mz=-1.26
Sollecitazioni agenti localmente: Ty_l=-1300.53 My_l=-26.67
Tensioni nella sezione: σ=323.25 τ=39.41
CC 11 SLV (Collegamento 0020_-377)
Azioni sul collegamento: N=-7308.16 Ty=-2.97 Tz=-2.08 Mx=0.02 Mz=2.33
Sollecitazioni agenti localmente: Ty_l=-1286.26 My_l=-26.36
Tensioni nella sezione: σ=319.46 τ=38.98
CC 11 SLV (Collegamento 0020_-377)
Azioni sul collegamento: N=-7308.16 Ty=-1.68 Tz=-2.08 Mx=0.02 Mz=-1.26
Sollecitazioni agenti localmente: Ty_l=-1300.53 My_l=-26.67
Tensioni nella sezione: σ=323.25 τ=39.41
CC 11 SLV (Collegamento 0020_-377)
Azioni sul collegamento: N=-5739.79 Ty=-2.97 Tz=3.37 Mx=0.02 Mz=2.33
Sollecitazioni agenti localmente: Ty_l=-1008.23 My_l=-20.66
Tensioni nella sezione: σ=250.37 τ=30.55
CC 11 SLV (Collegamento 0020_-377)
Azioni sul collegamento: N=-5739.79 Ty=-1.68 Tz=3.37 Mx=0.02 Mz=-1.26
Sollecitazioni agenti localmente: Ty_l=-1022.50 My_l=-20.97
Tensioni nella sezione: σ=254.16 τ=30.98
CC 11 SLV (Collegamento 0020_-377)
Azioni sul collegamento: N=-5739.79 Ty=-2.97 Tz=-2.08 Mx=0.02 Mz=2.33
Sollecitazioni agenti localmente: Ty_l=-1008.23 My_l=-20.66
Tensioni nella sezione: σ=250.37 τ=30.55
CC 11 SLV (Collegamento 0020_-377)
Azioni sul collegamento: N=-5739.79 Ty=-1.68 Tz=-2.08 Mx=0.02 Mz=-1.26
Sollecitazioni agenti localmente: Ty_l=-1022.50 My_l=-20.97
Tensioni nella sezione: σ=254.16 τ=30.98
CC 12 SLD (Collegamento 0020_-377)
Azioni sul collegamento: N=-6795.55 Ty=-2.98 Tz=1.60 Mx=0.01 Mz=-1.00
Sollecitazioni agenti localmente: Ty_l=-1208.63 My_l=-24.78

Tensioni nella sezione: σ=300.39 τ=36.63
CC 12 SLD (Collegamento 0020_-377)
Azioni sul collegamento: N=-6795.55 Ty=-3.37 Tz=1.60 Mx=0.01 Mz=-2.09
Sollecitazioni agenti localmente: Ty_l=-1212.98 My_l=-24.88
Tensioni nella sezione: σ=301.55 τ=36.76
CC 12 SLD (Collegamento 0020_-377)
Azioni sul collegamento: N=-6795.55 Ty=-2.98 Tz=-0.06 Mx=0.01 Mz=-1.00
Sollecitazioni agenti localmente: Ty_l=-1208.63 My_l=-24.78
Tensioni nella sezione: σ=300.39 τ=36.63
CC 12 SLD (Collegamento 0020_-377)
Azioni sul collegamento: N=-6795.55 Ty=-3.37 Tz=-0.06 Mx=0.01 Mz=-2.09
Sollecitazioni agenti localmente: Ty_l=-1212.98 My_l=-24.88
Tensioni nella sezione: σ=301.55 τ=36.76
CC 12 SLD (Collegamento 0020_-377)
Azioni sul collegamento: N=-6317.31 Ty=-2.98 Tz=1.60 Mx=0.01 Mz=-1.00
Sollecitazioni agenti localmente: Ty_l=-1123.85 My_l=-23.04
Tensioni nella sezione: σ=279.33 τ=34.06
CC 12 SLD (Collegamento 0020_-377)
Azioni sul collegamento: N=-6317.31 Ty=-3.37 Tz=1.60 Mx=0.01 Mz=-2.09
Sollecitazioni agenti localmente: Ty_l=-1128.20 My_l=-23.14
Tensioni nella sezione: σ=280.48 τ=34.19
CC 12 SLD (Collegamento 0020_-377)
Azioni sul collegamento: N=-6317.31 Ty=-2.98 Tz=-0.06 Mx=0.01 Mz=-1.00
Sollecitazioni agenti localmente: Ty_l=-1123.85 My_l=-23.04
Tensioni nella sezione: σ=279.33 τ=34.06
CC 12 SLD (Collegamento 0020_-377)
Azioni sul collegamento: N=-6317.31 Ty=-3.37 Tz=-0.06 Mx=0.01 Mz=-2.09
Sollecitazioni agenti localmente: Ty_l=-1128.20 My_l=-23.14
Tensioni nella sezione: σ=280.48 τ=34.19
CC 13 SLV (Collegamento 0020_-377)
Azioni sul collegamento: N=-5739.79 Ty=-1.68 Tz=-2.08 Mx=0.01 Mz=-1.26
Sollecitazioni agenti localmente: Ty_l=-1022.50 My_l=-20.97
Tensioni nella sezione: σ=254.16 τ=30.98
CC 13 SLV (Collegamento 0020_-377)
Azioni sul collegamento: N=-5739.79 Ty=-2.97 Tz=-2.08 Mx=0.01 Mz=2.33
Sollecitazioni agenti localmente: Ty_l=-1008.23 My_l=-20.66
Tensioni nella sezione: σ=250.37 τ=30.55
CC 13 SLV (Collegamento 0020_-377)
Azioni sul collegamento: N=-5739.79 Ty=-1.68 Tz=3.37 Mx=0.01 Mz=-1.26
Sollecitazioni agenti localmente: Ty_l=-1022.50 My_l=-20.97
Tensioni nella sezione: σ=254.16 τ=30.98
CC 13 SLV (Collegamento 0020_-377)
Azioni sul collegamento: N=-5739.79 Ty=-2.97 Tz=3.37 Mx=0.01 Mz=2.33
Sollecitazioni agenti localmente: Ty_l=-1008.23 My_l=-20.66
Tensioni nella sezione: σ=250.37 τ=30.55
CC 13 SLV (Collegamento 0020_-377)
Azioni sul collegamento: N=-7308.16 Ty=-1.68 Tz=-2.08 Mx=0.01 Mz=-1.26
Sollecitazioni agenti localmente: Ty_l=-1300.53 My_l=-26.67
Tensioni nella sezione: σ=323.25 τ=39.41
CC 13 SLV (Collegamento 0020_-377)
Azioni sul collegamento: N=-7308.16 Ty=-2.97 Tz=-2.08 Mx=0.01 Mz=2.33
Sollecitazioni agenti localmente: Ty_l=-1286.26 My_l=-26.36
Tensioni nella sezione: σ=319.46 τ=38.98
CC 13 SLV (Collegamento 0020_-377)
Azioni sul collegamento: N=-7308.16 Ty=-1.68 Tz=3.37 Mx=0.01 Mz=-1.26
Sollecitazioni agenti localmente: Ty_l=-1300.53 My_l=-26.67
Tensioni nella sezione: σ=323.25 τ=39.41
CC 13 SLV (Collegamento 0020_-377)
Azioni sul collegamento: N=-7308.16 Ty=-2.97 Tz=3.37 Mx=0.01 Mz=2.33
Sollecitazioni agenti localmente: Ty_l=-1286.26 My_l=-26.36
Tensioni nella sezione: σ=319.46 τ=38.98
CC 14 SLD (Collegamento 0020_-377)
Azioni sul collegamento: N=-6317.31 Ty=-3.37 Tz=-0.06 Mx=0.01 Mz=-2.09
Sollecitazioni agenti localmente: Ty_l=-1128.20 My_l=-23.14
Tensioni nella sezione: σ=280.48 τ=34.19
CC 14 SLD (Collegamento 0020_-377)
Azioni sul collegamento: N=-6317.31 Ty=-2.98 Tz=-0.06 Mx=0.01 Mz=-1.00
Sollecitazioni agenti localmente: Ty_l=-1123.85 My_l=-23.04
Tensioni nella sezione: σ=279.33 τ=34.06
CC 14 SLD (Collegamento 0020_-377)
Azioni sul collegamento: N=-6317.31 Ty=-3.37 Tz=1.60 Mx=0.01 Mz=-2.09
Sollecitazioni agenti localmente: Ty_l=-1128.20 My_l=-23.14
Tensioni nella sezione: σ=280.48 τ=34.19
CC 14 SLD (Collegamento 0020_-377)
Azioni sul collegamento: N=-6317.31 Ty=-2.98 Tz=1.60 Mx=0.01 Mz=-1.00
Sollecitazioni agenti localmente: Ty_l=-1123.85 My_l=-23.04
Tensioni nella sezione: σ=279.33 τ=34.06
CC 14 SLD (Collegamento 0020_-377)
Azioni sul collegamento: N=-6795.55 Ty=-3.37 Tz=-0.06 Mx=0.01 Mz=-2.09
Sollecitazioni agenti localmente: Ty_l=-1212.98 My_l=-24.88

Tensioni nella sezione: σ=301.55 τ=36.76
CC 14 SLD (Collegamento 0020_-377)
Azioni sul collegamento: N=-6795.55 Ty=-2.98 Tz=-0.06 Mx=0.01 Mz=-1.00
Sollecitazioni agenti localmente: Ty_l=-1208.63 My_l=-24.78
Tensioni nella sezione: σ=300.39 τ=36.63
CC 14 SLD (Collegamento 0020_-377)
Azioni sul collegamento: N=-6795.55 Ty=-3.37 Tz=1.60 Mx=0.01 Mz=-2.09
Sollecitazioni agenti localmente: Ty_l=-1212.98 My_l=-24.88
Tensioni nella sezione: σ=301.55 τ=36.76
CC 14 SLD (Collegamento 0020_-377)
Azioni sul collegamento: N=-6795.55 Ty=-2.98 Tz=1.60 Mx=0.01 Mz=-1.00
Sollecitazioni agenti localmente: Ty_l=-1208.63 My_l=-24.78
Tensioni nella sezione: σ=300.39 τ=36.63
CC 15 SLV (Collegamento 0020_-377)
Azioni sul collegamento: N=-7327.12 Ty=-0.86 Tz=3.80 Mx=0.01 Mz=-1.85
Sollecitazioni agenti localmente: Ty_l=-1306.27 My_l=-26.79
Tensioni nella sezione: σ=324.71 τ=39.58
CC 15 SLV (Collegamento 0020_-377)
Azioni sul collegamento: N=-7327.12 Ty=-3.80 Tz=3.80 Mx=0.01 Mz=2.93
Sollecitazioni agenti localmente: Ty_l=-1287.24 My_l=-26.37
Tensioni nella sezione: σ=319.66 τ=39.01
CC 15 SLV (Collegamento 0020_-377)
Azioni sul collegamento: N=-7327.12 Ty=-0.86 Tz=-2.51 Mx=0.01 Mz=-1.85
Sollecitazioni agenti localmente: Ty_l=-1306.27 My_l=-26.79
Tensioni nella sezione: σ=324.71 τ=39.58
CC 15 SLV (Collegamento 0020_-377)
Azioni sul collegamento: N=-7327.12 Ty=-3.80 Tz=-2.51 Mx=0.01 Mz=2.93
Sollecitazioni agenti localmente: Ty_l=-1287.24 My_l=-26.37
Tensioni nella sezione: σ=319.66 τ=39.01
CC 15 SLV (Collegamento 0020_-377)
Azioni sul collegamento: N=-5720.83 Ty=-0.86 Tz=3.80 Mx=0.01 Mz=-1.85
Sollecitazioni agenti localmente: Ty_l=-1021.52 My_l=-20.95
Tensioni nella sezione: σ=253.96 τ=30.96
CC 15 SLV (Collegamento 0020_-377)
Azioni sul collegamento: N=-5720.83 Ty=-3.80 Tz=3.80 Mx=0.01 Mz=2.93
Sollecitazioni agenti localmente: Ty_l=-1002.49 My_l=-20.53
Tensioni nella sezione: σ=248.91 τ=30.38
CC 15 SLV (Collegamento 0020_-377)
Azioni sul collegamento: N=-5720.83 Ty=-0.86 Tz=-2.51 Mx=0.01 Mz=-1.85
Sollecitazioni agenti localmente: Ty_l=-1021.52 My_l=-20.95
Tensioni nella sezione: σ=253.96 τ=30.96
CC 15 SLV (Collegamento 0020_-377)
Azioni sul collegamento: N=-5720.83 Ty=-3.80 Tz=-2.51 Mx=0.01 Mz=2.93
Sollecitazioni agenti localmente: Ty_l=-1002.49 My_l=-20.53
Tensioni nella sezione: σ=248.91 τ=30.38
CC 16 SLD (Collegamento 0020_-377)
Azioni sul collegamento: N=-6801.33 Ty=-3.62 Tz=1.73 Mx=0.01 Mz=-2.27
Sollecitazioni agenti localmente: Ty_l=-1214.73 My_l=-24.91
Tensioni nella sezione: σ=302.00 τ=36.81
CC 16 SLD (Collegamento 0020_-377)
Azioni sul collegamento: N=-6801.33 Ty=-2.73 Tz=1.73 Mx=0.01 Mz=-0.81
Sollecitazioni agenti localmente: Ty_l=-1208.93 My_l=-24.79
Tensioni nella sezione: σ=300.45 τ=36.63
CC 16 SLD (Collegamento 0020_-377)
Azioni sul collegamento: N=-6801.33 Ty=-3.62 Tz=-0.19 Mx=0.01 Mz=-2.27
Sollecitazioni agenti localmente: Ty_l=-1214.73 My_l=-24.91
Tensioni nella sezione: σ=302.00 τ=36.81
CC 16 SLD (Collegamento 0020_-377)
Azioni sul collegamento: N=-6801.33 Ty=-2.73 Tz=-0.19 Mx=0.01 Mz=-0.81
Sollecitazioni agenti localmente: Ty_l=-1208.93 My_l=-24.79
Tensioni nella sezione: σ=300.45 τ=36.63
CC 16 SLD (Collegamento 0020_-377)
Azioni sul collegamento: N=-6311.52 Ty=-3.62 Tz=1.73 Mx=0.01 Mz=-2.27
Sollecitazioni agenti localmente: Ty_l=-1127.90 My_l=-23.13
Tensioni nella sezione: σ=280.42 τ=34.18
CC 16 SLD (Collegamento 0020_-377)
Azioni sul collegamento: N=-6311.52 Ty=-2.73 Tz=1.73 Mx=0.01 Mz=-0.81
Sollecitazioni agenti localmente: Ty_l=-1122.10 My_l=-23.01
Tensioni nella sezione: σ=278.88 τ=34.00
CC 16 SLD (Collegamento 0020_-377)
Azioni sul collegamento: N=-6311.52 Ty=-3.62 Tz=-0.19 Mx=0.01 Mz=-2.27
Sollecitazioni agenti localmente: Ty_l=-1127.90 My_l=-23.13
Tensioni nella sezione: σ=280.42 τ=34.18
CC 16 SLD (Collegamento 0020_-377)
Azioni sul collegamento: N=-6311.52 Ty=-2.73 Tz=-0.19 Mx=0.01 Mz=-0.81
Sollecitazioni agenti localmente: Ty_l=-1122.10 My_l=-23.01
Tensioni nella sezione: σ=278.88 τ=34.00
CC 17 SLV (Collegamento 0020_-377)
Azioni sul collegamento: N=-3968.96 Ty=-3.07 Tz=-8.85 Mx=-0.01 Mz=-3.83
Sollecitazioni agenti localmente: Ty_l=-718.82 My_l=-14.76

Tensioni nella sezione: σ=178.87 τ=21.78
CC 17 SLV (Collegamento 0020_-377)
Azioni sul collegamento: N=-3968.96 Ty=-6.45 Tz=-8.85 Mx=-0.01 Mz=-7.08
Sollecitazioni agenti localmente: Ty_l=-731.73 My_l=-15.04
Tensioni nella sezione: σ=182.30 τ=22.17
CC 17 SLV (Collegamento 0020_-377)
Azioni sul collegamento: N=-3968.96 Ty=-3.07 Tz=10.87 Mx=-0.01 Mz=-3.83
Sollecitazioni agenti localmente: Ty_l=-718.82 My_l=-14.76
Tensioni nella sezione: σ=178.87 τ=21.78
CC 17 SLV (Collegamento 0020_-377)
Azioni sul collegamento: N=-3968.96 Ty=-6.45 Tz=10.87 Mx=-0.01 Mz=-7.08
Sollecitazioni agenti localmente: Ty_l=-731.73 My_l=-15.04
Tensioni nella sezione: σ=182.30 τ=22.17
CC 17 SLV (Collegamento 0020_-377)
Azioni sul collegamento: N=-9265.76 Ty=-3.07 Tz=-8.85 Mx=-0.01 Mz=-3.83
Sollecitazioni agenti localmente: Ty_l=-1657.79 My_l=-34.01
Tensioni nella sezione: σ=412.19 τ=50.24
CC 17 SLV (Collegamento 0020_-377)
Azioni sul collegamento: N=-9265.76 Ty=-6.45 Tz=-8.85 Mx=-0.01 Mz=-7.08
Sollecitazioni agenti localmente: Ty_l=-1670.71 My_l=-34.29
Tensioni nella sezione: σ=415.62 τ=50.63
CC 17 SLV (Collegamento 0020_-377)
Azioni sul collegamento: N=-9265.76 Ty=-3.07 Tz=10.87 Mx=-0.01 Mz=-3.83
Sollecitazioni agenti localmente: Ty_l=-1657.79 My_l=-34.01
Tensioni nella sezione: σ=412.19 τ=50.24
CC 17 SLV (Collegamento 0020_-377)
Azioni sul collegamento: N=-9265.76 Ty=-6.45 Tz=10.87 Mx=-0.01 Mz=-7.08
Sollecitazioni agenti localmente: Ty_l=-1670.71 My_l=-34.29
Tensioni nella sezione: σ=415.62 τ=50.63
CC 18 SLD (Collegamento 0020_-377)
Azioni sul collegamento: N=-5777.32 Ty=-3.40 Tz=-2.12 Mx=-0.00 Mz=-2.87
Sollecitazioni agenti localmente: Ty_l=-1035.60 My_l=-21.25
Tensioni nella sezione: σ=257.52 τ=31.38
CC 18 SLD (Collegamento 0020_-377)
Azioni sul collegamento: N=-5777.32 Ty=-4.43 Tz=-2.12 Mx=-0.00 Mz=-3.87
Sollecitazioni agenti localmente: Ty_l=-1039.54 My_l=-21.33
Tensioni nella sezione: σ=258.57 τ=31.50
CC 18 SLD (Collegamento 0020_-377)
Azioni sul collegamento: N=-5777.32 Ty=-3.40 Tz=3.89 Mx=-0.00 Mz=-2.87
Sollecitazioni agenti localmente: Ty_l=-1035.60 My_l=-21.25
Tensioni nella sezione: σ=257.52 τ=31.38
CC 18 SLD (Collegamento 0020_-377)
Azioni sul collegamento: N=-5777.32 Ty=-4.43 Tz=3.89 Mx=-0.00 Mz=-3.87
Sollecitazioni agenti localmente: Ty_l=-1039.54 My_l=-21.33
Tensioni nella sezione: σ=258.57 τ=31.50
CC 18 SLD (Collegamento 0020_-377)
Azioni sul collegamento: N=-7392.49 Ty=-3.40 Tz=-2.12 Mx=-0.00 Mz=-2.87
Sollecitazioni agenti localmente: Ty_l=-1321.92 My_l=-27.12
Tensioni nella sezione: σ=328.67 τ=40.06
CC 18 SLD (Collegamento 0020_-377)
Azioni sul collegamento: N=-7392.49 Ty=-4.43 Tz=-2.12 Mx=-0.00 Mz=-3.87
Sollecitazioni agenti localmente: Ty_l=-1325.86 My_l=-27.20
Tensioni nella sezione: σ=329.72 τ=40.18
CC 18 SLD (Collegamento 0020_-377)
Azioni sul collegamento: N=-7392.49 Ty=-3.40 Tz=3.89 Mx=-0.00 Mz=-2.87
Sollecitazioni agenti localmente: Ty_l=-1321.92 My_l=-27.12
Tensioni nella sezione: σ=328.67 τ=40.06
CC 18 SLD (Collegamento 0020_-377)
Azioni sul collegamento: N=-7392.49 Ty=-4.43 Tz=3.89 Mx=-0.00 Mz=-3.87
Sollecitazioni agenti localmente: Ty_l=-1325.86 My_l=-27.20
Tensioni nella sezione: σ=329.72 τ=40.18
CC 19 SLV (Collegamento 0020_-377)
Azioni sul collegamento: N=-3974.65 Ty=-3.70 Tz=-8.72 Mx=-0.01 Mz=-5.08
Sollecitazioni agenti localmente: Ty_l=-724.82 My_l=-14.89
Tensioni nella sezione: σ=180.45 τ=21.96
CC 19 SLV (Collegamento 0020_-377)
Azioni sul collegamento: N=-3974.65 Ty=-5.81 Tz=-8.72 Mx=-0.01 Mz=-5.82
Sollecitazioni agenti localmente: Ty_l=-727.75 My_l=-14.95
Tensioni nella sezione: σ=181.23 τ=22.05
CC 19 SLV (Collegamento 0020_-377)
Azioni sul collegamento: N=-3974.65 Ty=-3.70 Tz=10.74 Mx=-0.01 Mz=-5.08
Sollecitazioni agenti localmente: Ty_l=-724.82 My_l=-14.89
Tensioni nella sezione: σ=180.45 τ=21.96
CC 19 SLV (Collegamento 0020_-377)
Azioni sul collegamento: N=-3974.65 Ty=-5.81 Tz=10.74 Mx=-0.01 Mz=-5.82
Sollecitazioni agenti localmente: Ty_l=-727.75 My_l=-14.95
Tensioni nella sezione: σ=181.23 τ=22.05
CC 19 SLV (Collegamento 0020_-377)
Azioni sul collegamento: N=-9260.08 Ty=-3.70 Tz=-8.72 Mx=-0.01 Mz=-5.08
Sollecitazioni agenti localmente: Ty_l=-1661.78 My_l=-34.09

Tensioni nella sezione: σ=413.27 τ=50.36
CC 19 SLV (Collegamento 0020_-377)
Azioni sul collegamento: N=-9260.08 Ty=-5.81 Tz=-8.72 Mx=-0.01 Mz=-5.82
Sollecitazioni agenti localmente: Ty_l=-1664.71 My_l=-34.16
Tensioni nella sezione: σ=414.05 τ=50.45
CC 19 SLV (Collegamento 0020_-377)
Azioni sul collegamento: N=-9260.08 Ty=-3.70 Tz=10.74 Mx=-0.01 Mz=-5.08
Sollecitazioni agenti localmente: Ty_l=-1661.78 My_l=-34.09
Tensioni nella sezione: σ=413.27 τ=50.36
CC 19 SLV (Collegamento 0020_-377)
Azioni sul collegamento: N=-9260.08 Ty=-5.81 Tz=10.74 Mx=-0.01 Mz=-5.82
Sollecitazioni agenti localmente: Ty_l=-1664.71 My_l=-34.16
Tensioni nella sezione: σ=414.05 τ=50.45
CC 20 SLD (Collegamento 0020_-377)
Azioni sul collegamento: N=-5779.06 Ty=-3.59 Tz=-2.08 Mx=-0.00 Mz=-3.26
Sollecitazioni agenti localmente: Ty_l=-1037.43 My_l=-21.29
Tensioni nella sezione: σ=258.00 τ=31.44
CC 20 SLD (Collegamento 0020_-377)
Azioni sul collegamento: N=-5779.06 Ty=-4.24 Tz=-2.08 Mx=-0.00 Mz=-3.48
Sollecitazioni agenti localmente: Ty_l=-1038.32 My_l=-21.30
Tensioni nella sezione: σ=258.24 τ=31.46
CC 20 SLD (Collegamento 0020_-377)
Azioni sul collegamento: N=-5779.06 Ty=-3.59 Tz=3.85 Mx=-0.00 Mz=-3.26
Sollecitazioni agenti localmente: Ty_l=-1037.43 My_l=-21.29
Tensioni nella sezione: σ=258.00 τ=31.44
CC 20 SLD (Collegamento 0020_-377)
Azioni sul collegamento: N=-5779.06 Ty=-4.24 Tz=3.85 Mx=-0.00 Mz=-3.48
Sollecitazioni agenti localmente: Ty_l=-1038.32 My_l=-21.30
Tensioni nella sezione: σ=258.24 τ=31.46
CC 20 SLD (Collegamento 0020_-377)
Azioni sul collegamento: N=-7390.75 Ty=-3.59 Tz=-2.08 Mx=-0.00 Mz=-3.26
Sollecitazioni agenti localmente: Ty_l=-1323.14 My_l=-27.14
Tensioni nella sezione: σ=329.00 τ=40.10
CC 20 SLD (Collegamento 0020_-377)
Azioni sul collegamento: N=-7390.75 Ty=-4.24 Tz=-2.08 Mx=-0.00 Mz=-3.48
Sollecitazioni agenti localmente: Ty_l=-1324.03 My_l=-27.16
Tensioni nella sezione: σ=329.24 τ=40.12
CC 20 SLD (Collegamento 0020_-377)
Azioni sul collegamento: N=-7390.75 Ty=-3.59 Tz=3.85 Mx=-0.00 Mz=-3.26
Sollecitazioni agenti localmente: Ty_l=-1323.14 My_l=-27.14
Tensioni nella sezione: σ=329.00 τ=40.10
CC 20 SLD (Collegamento 0020_-377)
Azioni sul collegamento: N=-7390.75 Ty=-4.24 Tz=3.85 Mx=-0.00 Mz=-3.48
Sollecitazioni agenti localmente: Ty_l=-1324.03 My_l=-27.16
Tensioni nella sezione: σ=329.24 τ=40.12
CC 21 SLV (Collegamento 0020_-377)
Azioni sul collegamento: N=-9260.08 Ty=-5.81 Tz=10.74 Mx=-0.01 Mz=-5.82
Sollecitazioni agenti localmente: Ty_l=-1664.71 My_l=-34.16
Tensioni nella sezione: σ=414.05 τ=50.45
CC 21 SLV (Collegamento 0020_-377)
Azioni sul collegamento: N=-9260.08 Ty=-3.70 Tz=10.74 Mx=-0.01 Mz=-5.08
Sollecitazioni agenti localmente: Ty_l=-1661.78 My_l=-34.09
Tensioni nella sezione: σ=413.27 τ=50.36
CC 21 SLV (Collegamento 0020_-377)
Azioni sul collegamento: N=-9260.08 Ty=-5.81 Tz=-8.72 Mx=-0.01 Mz=-5.82
Sollecitazioni agenti localmente: Ty_l=-1664.71 My_l=-34.16
Tensioni nella sezione: σ=414.05 τ=50.45
CC 21 SLV (Collegamento 0020_-377)
Azioni sul collegamento: N=-9260.08 Ty=-3.70 Tz=-8.72 Mx=-0.01 Mz=-5.08
Sollecitazioni agenti localmente: Ty_l=-1661.78 My_l=-34.09
Tensioni nella sezione: σ=413.27 τ=50.36
CC 21 SLV (Collegamento 0020_-377)
Azioni sul collegamento: N=-3974.65 Ty=-5.81 Tz=10.74 Mx=-0.01 Mz=-5.82
Sollecitazioni agenti localmente: Ty_l=-727.75 My_l=-14.95
Tensioni nella sezione: σ=181.23 τ=22.05
CC 21 SLV (Collegamento 0020_-377)
Azioni sul collegamento: N=-3974.65 Ty=-3.70 Tz=10.74 Mx=-0.01 Mz=-5.08
Sollecitazioni agenti localmente: Ty_l=-724.82 My_l=-14.89
Tensioni nella sezione: σ=180.45 τ=21.96
CC 21 SLV (Collegamento 0020_-377)
Azioni sul collegamento: N=-3974.65 Ty=-5.81 Tz=-8.72 Mx=-0.01 Mz=-5.82
Sollecitazioni agenti localmente: Ty_l=-727.75 My_l=-14.95
Tensioni nella sezione: σ=181.23 τ=22.05
CC 21 SLV (Collegamento 0020_-377)
Azioni sul collegamento: N=-3974.65 Ty=-3.70 Tz=-8.72 Mx=-0.01 Mz=-5.08
Sollecitazioni agenti localmente: Ty_l=-724.82 My_l=-14.89
Tensioni nella sezione: σ=180.45 τ=21.96
CC 22 SLD (Collegamento 0020_-377)
Azioni sul collegamento: N=-7390.75 Ty=-4.24 Tz=3.85 Mx=-0.00 Mz=-3.48
Sollecitazioni agenti localmente: Ty_l=-1324.03 My_l=-27.16

Tensioni nella sezione: σ=329.24 τ=40.12
CC 22 SLD (Collegamento 0020_-377)
Azioni sul collegamento: N=-7390.75 Ty=-3.59 Tz=3.85 Mx=-0.00 Mz=-3.26
Sollecitazioni agenti localmente: Ty_l=-1323.14 My_l=-27.14
Tensioni nella sezione: σ=329.00 τ=40.10
CC 22 SLD (Collegamento 0020_-377)
Azioni sul collegamento: N=-7390.75 Ty=-4.24 Tz=-2.08 Mx=-0.00 Mz=-3.48
Sollecitazioni agenti localmente: Ty_l=-1324.03 My_l=-27.16
Tensioni nella sezione: σ=329.24 τ=40.12
CC 22 SLD (Collegamento 0020_-377)
Azioni sul collegamento: N=-7390.75 Ty=-3.59 Tz=-2.08 Mx=-0.00 Mz=-3.26
Sollecitazioni agenti localmente: Ty_l=-1323.14 My_l=-27.14
Tensioni nella sezione: σ=329.00 τ=40.10
CC 22 SLD (Collegamento 0020_-377)
Azioni sul collegamento: N=-5779.06 Ty=-4.24 Tz=3.85 Mx=-0.00 Mz=-3.48
Sollecitazioni agenti localmente: Ty_l=-1038.32 My_l=-21.30
Tensioni nella sezione: σ=258.24 τ=31.46
CC 22 SLD (Collegamento 0020_-377)
Azioni sul collegamento: N=-5779.06 Ty=-3.59 Tz=3.85 Mx=-0.00 Mz=-3.26
Sollecitazioni agenti localmente: Ty_l=-1037.43 My_l=-21.29
Tensioni nella sezione: σ=258.00 τ=31.44
CC 22 SLD (Collegamento 0020_-377)
Azioni sul collegamento: N=-5779.06 Ty=-4.24 Tz=-2.08 Mx=-0.00 Mz=-3.48
Sollecitazioni agenti localmente: Ty_l=-1038.32 My_l=-21.30
Tensioni nella sezione: σ=258.24 τ=31.46
CC 22 SLD (Collegamento 0020_-377)
Azioni sul collegamento: N=-5779.06 Ty=-3.59 Tz=-2.08 Mx=-0.00 Mz=-3.26
Sollecitazioni agenti localmente: Ty_l=-1037.43 My_l=-21.29
Tensioni nella sezione: σ=258.00 τ=31.44
CC 23 SLV (Collegamento 0020_-377)
Azioni sul collegamento: N=-9265.76 Ty=-6.45 Tz=10.87 Mx=-0.01 Mz=-7.08
Sollecitazioni agenti localmente: Ty_l=-1670.71 My_l=-34.29
Tensioni nella sezione: σ=415.62 τ=50.63
CC 23 SLV (Collegamento 0020_-377)
Azioni sul collegamento: N=-9265.76 Ty=-3.07 Tz=10.87 Mx=-0.01 Mz=-3.83
Sollecitazioni agenti localmente: Ty_l=-1657.79 My_l=-34.01
Tensioni nella sezione: σ=412.19 τ=50.24
CC 23 SLV (Collegamento 0020_-377)
Azioni sul collegamento: N=-9265.76 Ty=-6.45 Tz=-8.85 Mx=-0.01 Mz=-7.08
Sollecitazioni agenti localmente: Ty_l=-1670.71 My_l=-34.29
Tensioni nella sezione: σ=415.62 τ=50.63
CC 23 SLV (Collegamento 0020_-377)
Azioni sul collegamento: N=-9265.76 Ty=-3.07 Tz=-8.85 Mx=-0.01 Mz=-3.83
Sollecitazioni agenti localmente: Ty_l=-1657.79 My_l=-34.01
Tensioni nella sezione: σ=412.19 τ=50.24
CC 23 SLV (Collegamento 0020_-377)
Azioni sul collegamento: N=-3968.96 Ty=-6.45 Tz=10.87 Mx=-0.01 Mz=-7.08
Sollecitazioni agenti localmente: Ty_l=-731.73 My_l=-15.04
Tensioni nella sezione: σ=182.30 τ=22.17
CC 23 SLV (Collegamento 0020_-377)
Azioni sul collegamento: N=-3968.96 Ty=-3.07 Tz=10.87 Mx=-0.01 Mz=-3.83
Sollecitazioni agenti localmente: Ty_l=-718.82 My_l=-14.76
Tensioni nella sezione: σ=178.87 τ=21.78
CC 23 SLV (Collegamento 0020_-377)
Azioni sul collegamento: N=-3968.96 Ty=-6.45 Tz=-8.85 Mx=-0.01 Mz=-7.08
Sollecitazioni agenti localmente: Ty_l=-731.73 My_l=-15.04
Tensioni nella sezione: σ=182.30 τ=22.17
CC 23 SLV (Collegamento 0020_-377)
Azioni sul collegamento: N=-3968.96 Ty=-3.07 Tz=-8.85 Mx=-0.01 Mz=-3.83
Sollecitazioni agenti localmente: Ty_l=-718.82 My_l=-14.76
Tensioni nella sezione: σ=178.87 τ=21.78
CC 24 SLD (Collegamento 0020_-377)
Azioni sul collegamento: N=-7392.49 Ty=-4.43 Tz=3.89 Mx=0.00 Mz=-3.87
Sollecitazioni agenti localmente: Ty_l=-1325.86 My_l=-27.20
Tensioni nella sezione: σ=329.72 τ=40.18
CC 24 SLD (Collegamento 0020_-377)
Azioni sul collegamento: N=-7392.49 Ty=-3.40 Tz=3.89 Mx=0.00 Mz=-2.87
Sollecitazioni agenti localmente: Ty_l=-1321.92 My_l=-27.12
Tensioni nella sezione: σ=328.67 τ=40.06
CC 24 SLD (Collegamento 0020_-377)
Azioni sul collegamento: N=-7392.49 Ty=-4.43 Tz=-2.12 Mx=0.00 Mz=-3.87
Sollecitazioni agenti localmente: Ty_l=-1325.86 My_l=-27.20
Tensioni nella sezione: σ=329.72 τ=40.18
CC 24 SLD (Collegamento 0020_-377)
Azioni sul collegamento: N=-7392.49 Ty=-3.40 Tz=-2.12 Mx=0.00 Mz=-2.87
Sollecitazioni agenti localmente: Ty_l=-1321.92 My_l=-27.12
Tensioni nella sezione: σ=328.67 τ=40.06
CC 24 SLD (Collegamento 0020_-377)
Azioni sul collegamento: N=-5777.32 Ty=-4.43 Tz=3.89 Mx=0.00 Mz=-3.87
Sollecitazioni agenti localmente: Ty_l=-1039.54 My_l=-21.33

Tensioni nella sezione: σ=258.57 τ=31.50
CC 24 SLD (Collegamento 0020_-377)
Azioni sul collegamento: N=-5777.32 Ty=-3.40 Tz=3.89 Mx=0.00 Mz=-2.87
Sollecitazioni agenti localmente: Ty_l=-1035.60 My_l=-21.25
Tensioni nella sezione: σ=257.52 τ=31.38
CC 24 SLD (Collegamento 0020_-377)
Azioni sul collegamento: N=-5777.32 Ty=-4.43 Tz=-2.12 Mx=0.00 Mz=-3.87
Sollecitazioni agenti localmente: Ty_l=-1039.54 My_l=-21.33
Tensioni nella sezione: σ=258.57 τ=31.50
CC 24 SLD (Collegamento 0020_-377)
Azioni sul collegamento: N=-5777.32 Ty=-3.40 Tz=-2.12 Mx=0.00 Mz=-2.87
Sollecitazioni agenti localmente: Ty_l=-1035.60 My_l=-21.25
Tensioni nella sezione: σ=257.52 τ=31.38
CC 25 SLV (Collegamento 0020_-377)
Azioni sul collegamento: N=-5814.21 Ty=-3.29 Tz=-2.14 Mx=-0.02 Mz=-3.06
Sollecitazioni agenti localmente: Ty_l=-1042.87 My_l=-21.40
Tensioni nella sezione: σ=259.35 τ=31.60
CC 25 SLV (Collegamento 0020_-377)
Azioni sul collegamento: N=-5814.21 Ty=-6.23 Tz=-2.14 Mx=-0.02 Mz=-7.84
Sollecitazioni agenti localmente: Ty_l=-1061.90 My_l=-21.81
Tensioni nella sezione: σ=264.40 τ=32.18
CC 25 SLV (Collegamento 0020_-377)
Azioni sul collegamento: N=-5814.21 Ty=-3.29 Tz=4.16 Mx=-0.02 Mz=-3.06
Sollecitazioni agenti localmente: Ty_l=-1042.87 My_l=-21.40
Tensioni nella sezione: σ=259.35 τ=31.60
CC 25 SLV (Collegamento 0020_-377)
Azioni sul collegamento: N=-5814.21 Ty=-6.23 Tz=4.16 Mx=-0.02 Mz=-7.84
Sollecitazioni agenti localmente: Ty_l=-1061.90 My_l=-21.81
Tensioni nella sezione: σ=264.40 τ=32.18
CC 25 SLV (Collegamento 0020_-377)
Azioni sul collegamento: N=-7420.51 Ty=-3.29 Tz=-2.14 Mx=-0.02 Mz=-3.06
Sollecitazioni agenti localmente: Ty_l=-1327.63 My_l=-27.23
Tensioni nella sezione: σ=330.10 τ=40.23
CC 25 SLV (Collegamento 0020_-377)
Azioni sul collegamento: N=-7420.51 Ty=-6.23 Tz=-2.14 Mx=-0.02 Mz=-7.84
Sollecitazioni agenti localmente: Ty_l=-1346.65 My_l=-27.65
Tensioni nella sezione: σ=335.15 τ=40.81
CC 25 SLV (Collegamento 0020_-377)
Azioni sul collegamento: N=-7420.51 Ty=-3.29 Tz=4.16 Mx=-0.02 Mz=-3.06
Sollecitazioni agenti localmente: Ty_l=-1327.63 My_l=-27.23
Tensioni nella sezione: σ=330.10 τ=40.23
CC 25 SLV (Collegamento 0020_-377)
Azioni sul collegamento: N=-7420.51 Ty=-6.23 Tz=4.16 Mx=-0.02 Mz=-7.84
Sollecitazioni agenti localmente: Ty_l=-1346.65 My_l=-27.65
Tensioni nella sezione: σ=335.15 τ=40.81
CC 26 SLD (Collegamento 0020_-377)
Azioni sul collegamento: N=-6340.00 Ty=-3.47 Tz=-0.08 Mx=-0.00 Mz=-2.64
Sollecitazioni agenti localmente: Ty_l=-1134.41 My_l=-23.27
Tensioni nella sezione: σ=282.06 τ=34.38
CC 26 SLD (Collegamento 0020_-377)
Azioni sul collegamento: N=-6340.00 Ty=-4.36 Tz=-0.08 Mx=-0.00 Mz=-4.10
Sollecitazioni agenti localmente: Ty_l=-1140.22 My_l=-23.40
Tensioni nella sezione: σ=283.60 τ=34.55
CC 26 SLD (Collegamento 0020_-377)
Azioni sul collegamento: N=-6340.00 Ty=-3.47 Tz=1.85 Mx=-0.00 Mz=-2.64
Sollecitazioni agenti localmente: Ty_l=-1134.41 My_l=-23.27
Tensioni nella sezione: σ=282.06 τ=34.38
CC 26 SLD (Collegamento 0020_-377)
Azioni sul collegamento: N=-6340.00 Ty=-4.36 Tz=1.85 Mx=-0.00 Mz=-4.10
Sollecitazioni agenti localmente: Ty_l=-1140.22 My_l=-23.40
Tensioni nella sezione: σ=283.60 τ=34.55
CC 26 SLD (Collegamento 0020_-377)
Azioni sul collegamento: N=-6829.81 Ty=-3.47 Tz=-0.08 Mx=-0.00 Mz=-2.64
Sollecitazioni agenti localmente: Ty_l=-1221.24 My_l=-25.05
Tensioni nella sezione: σ=303.64 τ=37.01
CC 26 SLD (Collegamento 0020_-377)
Azioni sul collegamento: N=-6829.81 Ty=-4.36 Tz=-0.08 Mx=-0.00 Mz=-4.10
Sollecitazioni agenti localmente: Ty_l=-1227.05 My_l=-25.18
Tensioni nella sezione: σ=305.18 τ=37.18
CC 26 SLD (Collegamento 0020_-377)
Azioni sul collegamento: N=-6829.81 Ty=-3.47 Tz=1.85 Mx=-0.00 Mz=-2.64
Sollecitazioni agenti localmente: Ty_l=-1221.24 My_l=-25.05
Tensioni nella sezione: σ=303.64 τ=37.01
CC 26 SLD (Collegamento 0020_-377)
Azioni sul collegamento: N=-6829.81 Ty=-4.36 Tz=1.85 Mx=-0.00 Mz=-4.10
Sollecitazioni agenti localmente: Ty_l=-1227.05 My_l=-25.18
Tensioni nella sezione: σ=305.18 τ=37.18
CC 27 SLV (Collegamento 0020_-377)
Azioni sul collegamento: N=-7401.55 Ty=-4.11 Tz=3.74 Mx=-0.02 Mz=-3.66
Sollecitazioni agenti localmente: Ty_l=-1326.64 My_l=-27.22

Tensioni nella sezione: σ=329.90 τ=40.20
CC 27 SLV (Collegamento 0020_-377)
Azioni sul collegamento: N=-7401.55 Ty=-5.40 Tz=3.74 Mx=-0.02 Mz=-7.25
Sollecitazioni agenti localmente: Ty_l=-1340.92 My_l=-27.53
Tensioni nella sezione: σ=333.69 τ=40.63
CC 27 SLV (Collegamento 0020_-377)
Azioni sul collegamento: N=-7401.55 Ty=-4.11 Tz=-1.71 Mx=-0.02 Mz=-3.66
Sollecitazioni agenti localmente: Ty_l=-1326.64 My_l=-27.22
Tensioni nella sezione: σ=329.90 τ=40.20
CC 27 SLV (Collegamento 0020_-377)
Azioni sul collegamento: N=-7401.55 Ty=-5.40 Tz=-1.71 Mx=-0.02 Mz=-7.25
Sollecitazioni agenti localmente: Ty_l=-1340.92 My_l=-27.53
Tensioni nella sezione: σ=333.69 τ=40.63
CC 27 SLV (Collegamento 0020_-377)
Azioni sul collegamento: N=-5833.17 Ty=-4.11 Tz=3.74 Mx=-0.02 Mz=-3.66
Sollecitazioni agenti localmente: Ty_l=-1048.61 My_l=-21.52
Tensioni nella sezione: σ=260.81 τ=31.78
CC 27 SLV (Collegamento 0020_-377)
Azioni sul collegamento: N=-5833.17 Ty=-5.40 Tz=3.74 Mx=-0.02 Mz=-7.25
Sollecitazioni agenti localmente: Ty_l=-1062.89 My_l=-21.83
Tensioni nella sezione: σ=264.60 τ=32.21
CC 27 SLV (Collegamento 0020_-377)
Azioni sul collegamento: N=-5833.17 Ty=-4.11 Tz=-1.71 Mx=-0.02 Mz=-3.66
Sollecitazioni agenti localmente: Ty_l=-1048.61 My_l=-21.52
Tensioni nella sezione: σ=260.81 τ=31.78
CC 27 SLV (Collegamento 0020_-377)
Azioni sul collegamento: N=-5833.17 Ty=-5.40 Tz=-1.71 Mx=-0.02 Mz=-7.25
Sollecitazioni agenti localmente: Ty_l=-1062.89 My_l=-21.83
Tensioni nella sezione: σ=264.60 τ=32.21
CC 28 SLD (Collegamento 0020_-377)
Azioni sul collegamento: N=-6824.03 Ty=-3.72 Tz=1.72 Mx=-0.00 Mz=-2.82
Sollecitazioni agenti localmente: Ty_l=-1220.94 My_l=-25.05
Tensioni nella sezione: σ=303.58 τ=37.00
CC 28 SLD (Collegamento 0020_-377)
Azioni sul collegamento: N=-6824.03 Ty=-4.11 Tz=1.72 Mx=-0.00 Mz=-3.92
Sollecitazioni agenti localmente: Ty_l=-1225.30 My_l=-25.14
Tensioni nella sezione: σ=304.73 τ=37.13
CC 28 SLD (Collegamento 0020_-377)
Azioni sul collegamento: N=-6824.03 Ty=-3.72 Tz=0.05 Mx=-0.00 Mz=-2.82
Sollecitazioni agenti localmente: Ty_l=-1220.94 My_l=-25.05
Tensioni nella sezione: σ=303.58 τ=37.00
CC 28 SLD (Collegamento 0020_-377)
Azioni sul collegamento: N=-6824.03 Ty=-4.11 Tz=0.05 Mx=-0.00 Mz=-3.92
Sollecitazioni agenti localmente: Ty_l=-1225.30 My_l=-25.14
Tensioni nella sezione: σ=304.73 τ=37.13
CC 28 SLD (Collegamento 0020_-377)
Azioni sul collegamento: N=-6345.78 Ty=-3.72 Tz=1.72 Mx=-0.00 Mz=-2.82
Sollecitazioni agenti localmente: Ty_l=-1136.16 My_l=-23.31
Tensioni nella sezione: σ=282.51 τ=34.43
CC 28 SLD (Collegamento 0020_-377)
Azioni sul collegamento: N=-6345.78 Ty=-4.11 Tz=1.72 Mx=-0.00 Mz=-3.92
Sollecitazioni agenti localmente: Ty_l=-1140.52 My_l=-23.40
Tensioni nella sezione: σ=283.67 τ=34.56
CC 28 SLD (Collegamento 0020_-377)
Azioni sul collegamento: N=-6345.78 Ty=-3.72 Tz=0.05 Mx=-0.00 Mz=-2.82
Sollecitazioni agenti localmente: Ty_l=-1136.16 My_l=-23.31
Tensioni nella sezione: σ=282.51 τ=34.43
CC 28 SLD (Collegamento 0020_-377)
Azioni sul collegamento: N=-6345.78 Ty=-4.11 Tz=0.05 Mx=-0.00 Mz=-3.92
Sollecitazioni agenti localmente: Ty_l=-1140.52 My_l=-23.40
Tensioni nella sezione: σ=283.67 τ=34.56
CC 29 SLV (Collegamento 0020_-377)
Azioni sul collegamento: N=-5833.17 Ty=-5.40 Tz=-1.71 Mx=-0.00 Mz=-7.25
Sollecitazioni agenti localmente: Ty_l=-1062.89 My_l=-21.83
Tensioni nella sezione: σ=264.60 τ=32.21
CC 29 SLV (Collegamento 0020_-377)
Azioni sul collegamento: N=-5833.17 Ty=-4.11 Tz=-1.71 Mx=-0.00 Mz=-3.66
Sollecitazioni agenti localmente: Ty_l=-1048.61 My_l=-21.52
Tensioni nella sezione: σ=260.81 τ=31.78
CC 29 SLV (Collegamento 0020_-377)
Azioni sul collegamento: N=-5833.17 Ty=-5.40 Tz=3.74 Mx=-0.00 Mz=-7.25
Sollecitazioni agenti localmente: Ty_l=-1062.89 My_l=-21.83
Tensioni nella sezione: σ=264.60 τ=32.21
CC 29 SLV (Collegamento 0020_-377)
Azioni sul collegamento: N=-5833.17 Ty=-4.11 Tz=3.74 Mx=-0.00 Mz=-3.66
Sollecitazioni agenti localmente: Ty_l=-1048.61 My_l=-21.52
Tensioni nella sezione: σ=260.81 τ=31.78
CC 29 SLV (Collegamento 0020_-377)
Azioni sul collegamento: N=-7401.55 Ty=-5.40 Tz=-1.71 Mx=-0.00 Mz=-7.25
Sollecitazioni agenti localmente: Ty_l=-1340.92 My_l=-27.53

Tensioni nella sezione: σ=333.69 τ=40.63
CC 29 SLV (Collegamento 0020_-377)
Azioni sul collegamento: N=-7401.55 Ty=-4.11 Tz=-1.71 Mx=-0.00 Mz=-3.66
Sollecitazioni agenti localmente: Ty_l=-1326.64 My_l=-27.22
Tensioni nella sezione: σ=329.90 τ=40.20
CC 29 SLV (Collegamento 0020_-377)
Azioni sul collegamento: N=-7401.55 Ty=-5.40 Tz=3.74 Mx=-0.00 Mz=-7.25
Sollecitazioni agenti localmente: Ty_l=-1340.92 My_l=-27.53
Tensioni nella sezione: σ=333.69 τ=40.63
CC 29 SLV (Collegamento 0020_-377)
Azioni sul collegamento: N=-7401.55 Ty=-4.11 Tz=3.74 Mx=-0.00 Mz=-3.66
Sollecitazioni agenti localmente: Ty_l=-1326.64 My_l=-27.22
Tensioni nella sezione: σ=329.90 τ=40.20
CC 30 SLD (Collegamento 0020_-377)
Azioni sul collegamento: N=-6345.78 Ty=-4.11 Tz=0.05 Mx=0.00 Mz=-3.92
Sollecitazioni agenti localmente: Ty_l=-1140.52 My_l=-23.40
Tensioni nella sezione: σ=283.67 τ=34.56
CC 30 SLD (Collegamento 0020_-377)
Azioni sul collegamento: N=-6345.78 Ty=-3.72 Tz=0.05 Mx=0.00 Mz=-2.82
Sollecitazioni agenti localmente: Ty_l=-1136.16 My_l=-23.31
Tensioni nella sezione: σ=282.51 τ=34.43
CC 30 SLD (Collegamento 0020_-377)
Azioni sul collegamento: N=-6345.78 Ty=-4.11 Tz=1.72 Mx=0.00 Mz=-3.92
Sollecitazioni agenti localmente: Ty_l=-1140.52 My_l=-23.40
Tensioni nella sezione: σ=283.67 τ=34.56
CC 30 SLD (Collegamento 0020_-377)
Azioni sul collegamento: N=-6345.78 Ty=-3.72 Tz=1.72 Mx=0.00 Mz=-2.82
Sollecitazioni agenti localmente: Ty_l=-1136.16 My_l=-23.31
Tensioni nella sezione: σ=282.51 τ=34.43
CC 30 SLD (Collegamento 0020_-377)
Azioni sul collegamento: N=-6824.03 Ty=-4.11 Tz=0.05 Mx=0.00 Mz=-3.92
Sollecitazioni agenti localmente: Ty_l=-1225.30 My_l=-25.14
Tensioni nella sezione: σ=304.73 τ=37.13
CC 30 SLD (Collegamento 0020_-377)
Azioni sul collegamento: N=-6824.03 Ty=-3.72 Tz=0.05 Mx=0.00 Mz=-2.82
Sollecitazioni agenti localmente: Ty_l=-1220.94 My_l=-25.05
Tensioni nella sezione: σ=303.58 τ=37.00
CC 30 SLD (Collegamento 0020_-377)
Azioni sul collegamento: N=-6824.03 Ty=-4.11 Tz=1.72 Mx=0.00 Mz=-3.92
Sollecitazioni agenti localmente: Ty_l=-1225.30 My_l=-25.14
Tensioni nella sezione: σ=304.73 τ=37.13
CC 30 SLD (Collegamento 0020_-377)
Azioni sul collegamento: N=-6824.03 Ty=-3.72 Tz=1.72 Mx=0.00 Mz=-2.82
Sollecitazioni agenti localmente: Ty_l=-1220.94 My_l=-25.05
Tensioni nella sezione: σ=303.58 τ=37.00
CC 31 SLV (Collegamento 0020_-377)
Azioni sul collegamento: N=-7420.51 Ty=-6.23 Tz=4.16 Mx=-0.00 Mz=-7.84
Sollecitazioni agenti localmente: Ty_l=-1346.65 My_l=-27.65
Tensioni nella sezione: σ=335.15 τ=40.81
CC 31 SLV (Collegamento 0020_-377)
Azioni sul collegamento: N=-7420.51 Ty=-3.29 Tz=4.16 Mx=-0.00 Mz=-3.06
Sollecitazioni agenti localmente: Ty_l=-1327.63 My_l=-27.23
Tensioni nella sezione: σ=330.10 τ=40.23
CC 31 SLV (Collegamento 0020_-377)
Azioni sul collegamento: N=-7420.51 Ty=-6.23 Tz=-2.14 Mx=-0.00 Mz=-7.84
Sollecitazioni agenti localmente: Ty_l=-1346.65 My_l=-27.65
Tensioni nella sezione: σ=335.15 τ=40.81
CC 31 SLV (Collegamento 0020_-377)
Azioni sul collegamento: N=-7420.51 Ty=-3.29 Tz=-2.14 Mx=-0.00 Mz=-3.06
Sollecitazioni agenti localmente: Ty_l=-1327.63 My_l=-27.23
Tensioni nella sezione: σ=330.10 τ=40.23
CC 31 SLV (Collegamento 0020_-377)
Azioni sul collegamento: N=-5814.21 Ty=-6.23 Tz=4.16 Mx=-0.00 Mz=-7.84
Sollecitazioni agenti localmente: Ty_l=-1061.90 My_l=-21.81
Tensioni nella sezione: σ=264.40 τ=32.18
CC 31 SLV (Collegamento 0020_-377)
Azioni sul collegamento: N=-5814.21 Ty=-3.29 Tz=4.16 Mx=-0.00 Mz=-3.06
Sollecitazioni agenti localmente: Ty_l=-1042.87 My_l=-21.40
Tensioni nella sezione: σ=259.35 τ=31.60
CC 31 SLV (Collegamento 0020_-377)
Azioni sul collegamento: N=-5814.21 Ty=-6.23 Tz=-2.14 Mx=-0.00 Mz=-7.84
Sollecitazioni agenti localmente: Ty_l=-1061.90 My_l=-21.81
Tensioni nella sezione: σ=264.40 τ=32.18
CC 31 SLV (Collegamento 0020_-377)
Azioni sul collegamento: N=-5814.21 Ty=-3.29 Tz=-2.14 Mx=-0.00 Mz=-3.06
Sollecitazioni agenti localmente: Ty_l=-1042.87 My_l=-21.40
Tensioni nella sezione: σ=259.35 τ=31.60
CC 32 SLD (Collegamento 0020_-377)
Azioni sul collegamento: N=-6829.81 Ty=-4.36 Tz=1.85 Mx=0.00 Mz=-4.10
Sollecitazioni agenti localmente: Ty_l=-1227.05 My_l=-25.18

Tensioni nella sezione: σ=305.18 τ=37.18
CC 32 SLD (Collegamento 0020_-377)
Azioni sul collegamento: N=-6829.81 Ty=-3.47 Tz=1.85 Mx=0.00 Mz=-2.64
Sollecitazioni agenti localmente: Ty_l=-1221.24 My_l=-25.05
Tensioni nella sezione: σ=303.64 τ=37.01
CC 32 SLD (Collegamento 0020_-377)
Azioni sul collegamento: N=-6829.81 Ty=-4.36 Tz=-0.08 Mx=0.00 Mz=-4.10
Sollecitazioni agenti localmente: Ty_l=-1227.05 My_l=-25.18
Tensioni nella sezione: σ=305.18 τ=37.18
CC 32 SLD (Collegamento 0020_-377)
Azioni sul collegamento: N=-6829.81 Ty=-3.47 Tz=-0.08 Mx=0.00 Mz=-2.64
Sollecitazioni agenti localmente: Ty_l=-1221.24 My_l=-25.05
Tensioni nella sezione: σ=303.64 τ=37.01
CC 32 SLD (Collegamento 0020_-377)
Azioni sul collegamento: N=-6340.00 Ty=-4.36 Tz=1.85 Mx=0.00 Mz=-4.10
Sollecitazioni agenti localmente: Ty_l=-1140.22 My_l=-23.40
Tensioni nella sezione: σ=283.60 τ=34.55
CC 32 SLD (Collegamento 0020_-377)
Azioni sul collegamento: N=-6340.00 Ty=-3.47 Tz=1.85 Mx=0.00 Mz=-2.64
Sollecitazioni agenti localmente: Ty_l=-1134.41 My_l=-23.27
Tensioni nella sezione: σ=282.06 τ=34.38
CC 32 SLD (Collegamento 0020_-377)
Azioni sul collegamento: N=-6340.00 Ty=-4.36 Tz=-0.08 Mx=0.00 Mz=-4.10
Sollecitazioni agenti localmente: Ty_l=-1140.22 My_l=-23.40
Tensioni nella sezione: σ=283.60 τ=34.55
CC 32 SLD (Collegamento 0020_-377)
Azioni sul collegamento: N=-6340.00 Ty=-3.47 Tz=-0.08 Mx=0.00 Mz=-2.64
Sollecitazioni agenti localmente: Ty_l=-1134.41 My_l=-23.27
Tensioni nella sezione: σ=282.06 τ=34.38
CC 33 SLU (Collegamento 0020_-377)
Azioni sul collegamento: N=-30337.70 Ty=-5.16 Tz=79.98 Mx=0.01 Mz=-3.50
Sollecitazioni agenti localmente: Ty_l=-5391.98 My_l=-110.56
Tensioni nella sezione: σ=1340.06 τ=163.39
CC 34 SLU (Collegamento 0020_-377)
Azioni sul collegamento: N=-30888.30 Ty=-5.44 Tz=82.02 Mx=0.01 Mz=-3.71
Sollecitazioni agenti localmente: Ty_l=-5490.40 My_l=-112.57
Tensioni nella sezione: σ=1364.53 τ=166.38
CC 35 SLU (Collegamento 0020_-377)
Azioni sul collegamento: N=-30612.00 Ty=-5.19 Tz=81.02 Mx=0.01 Mz=-3.39
Sollecitazioni agenti localmente: Ty_l=-5440.15 My_l=-111.54
Tensioni nella sezione: σ=1352.02 τ=164.85
CC 36 SLU (Collegamento 0020_-377)
Azioni sul collegamento: N=-30614.00 Ty=-5.41 Tz=80.97 Mx=0.01 Mz=-3.82
Sollecitazioni agenti localmente: Ty_l=-5442.23 My_l=-111.59
Tensioni nella sezione: σ=1352.57 τ=164.92
CC 37 SLU (Collegamento 0020_-377)
Azioni sul collegamento: N=-32266.80 Ty=-5.04 Tz=86.42 Mx=-0.00 Mz=-3.56
Sollecitazioni agenti localmente: Ty_l=-5734.16 My_l=-117.57
Tensioni nella sezione: σ=1425.09 τ=173.76
CC 38 SLU (Collegamento 0020_-377)
Azioni sul collegamento: N=-32817.30 Ty=-5.33 Tz=88.46 Mx=-0.00 Mz=-3.76
Sollecitazioni agenti localmente: Ty_l=-5832.58 My_l=-119.59
Tensioni nella sezione: σ=1449.56 τ=176.75
CC 39 SLU (Collegamento 0020_-377)
Azioni sul collegamento: N=-32541.00 Ty=-5.08 Tz=87.47 Mx=-0.00 Mz=-3.44
Sollecitazioni agenti localmente: Ty_l=-5782.33 My_l=-118.56
Tensioni nella sezione: σ=1437.05 τ=175.22
CC 40 SLU (Collegamento 0020_-377)
Azioni sul collegamento: N=-32543.00 Ty=-5.30 Tz=87.42 Mx=-0.00 Mz=-3.88
Sollecitazioni agenti localmente: Ty_l=-5784.41 My_l=-118.60
Tensioni nella sezione: σ=1437.60 τ=175.28
CC 41 SLU (Collegamento 0020_-377)
Azioni sul collegamento: N=-21046.60 Ty=-6.03 Tz=45.82 Mx=0.01 Mz=-4.13
Sollecitazioni agenti localmente: Ty_l=-3747.43 My_l=-76.85
Tensioni nella sezione: σ=931.46 τ=113.56
CC 42 SLU (Collegamento 0020_-377)
Azioni sul collegamento: N=-21597.10 Ty=-6.32 Tz=47.86 Mx=0.01 Mz=-4.34
Sollecitazioni agenti localmente: Ty_l=-3845.85 My_l=-78.86
Tensioni nella sezione: σ=955.93 τ=116.54
CC 43 SLU (Collegamento 0020_-377)
Azioni sul collegamento: N=-21320.90 Ty=-6.07 Tz=46.87 Mx=0.01 Mz=-4.02
Sollecitazioni agenti localmente: Ty_l=-3795.60 My_l=-77.83
Tensioni nella sezione: σ=943.42 τ=115.02
CC 44 SLU (Collegamento 0020_-377)
Azioni sul collegamento: N=-21322.80 Ty=-6.29 Tz=46.82 Mx=0.01 Mz=-4.45
Sollecitazioni agenti localmente: Ty_l=-3797.68 My_l=-77.88
Tensioni nella sezione: σ=943.97 τ=115.08
CC 45 SLU (Collegamento 0020_-377)
Azioni sul collegamento: N=-23139.00 Ty=-5.73 Tz=53.57 Mx=0.01 Mz=-3.96
Sollecitazioni agenti localmente: Ty_l=-4117.65 My_l=-84.43

Tensioni nella sezione: σ=1023.44 τ=124.78
CC 46 SLU (Collegamento 0020_-377)
Azioni sul collegamento: N=-23689.50 Ty=-6.01 Tz=55.60 Mx=0.01 Mz=-4.17
Sollecitazioni agenti localmente: Ty_l=-4216.07 My_l=-86.45
Tensioni nella sezione: σ=1047.91 τ=127.76
CC 47 SLU (Collegamento 0020_-377)
Azioni sul collegamento: N=-23413.30 Ty=-5.76 Tz=54.61 Mx=0.01 Mz=-3.84
Sollecitazioni agenti localmente: Ty_l=-4165.82 My_l=-85.42
Tensioni nella sezione: σ=1035.40 τ=126.24
CC 48 SLU (Collegamento 0020_-377)
Azioni sul collegamento: N=-23415.20 Ty=-5.98 Tz=54.56 Mx=0.01 Mz=-4.28
Sollecitazioni agenti localmente: Ty_l=-4167.90 My_l=-85.47
Tensioni nella sezione: σ=1035.95 τ=126.30
CC 49 SLU (Collegamento 0020_-377)
Azioni sul collegamento: N=-24582.20 Ty=-5.64 Tz=58.39 Mx=0.00 Mz=-4.00
Sollecitazioni agenti localmente: Ty_l=-4373.65 My_l=-89.68
Tensioni nella sezione: σ=1087.06 τ=132.53
CC 50 SLU (Collegamento 0020_-377)
Azioni sul collegamento: N=-25132.70 Ty=-5.93 Tz=60.42 Mx=0.00 Mz=-4.21
Sollecitazioni agenti localmente: Ty_l=-4472.07 My_l=-91.70
Tensioni nella sezione: σ=1111.53 τ=135.52
CC 51 SLU (Collegamento 0020_-377)
Azioni sul collegamento: N=-24856.40 Ty=-5.68 Tz=59.43 Mx=-0.00 Mz=-3.89
Sollecitazioni agenti localmente: Ty_l=-4421.82 My_l=-90.67
Tensioni nella sezione: σ=1099.02 τ=134.00
CC 52 SLU (Collegamento 0020_-377)
Azioni sul collegamento: N=-24858.40 Ty=-5.89 Tz=59.38 Mx=0.00 Mz=-4.32
Sollecitazioni agenti localmente: Ty_l=-4423.90 My_l=-90.71
Tensioni nella sezione: σ=1099.56 τ=134.06
CC 53 SLU (Collegamento 0020_-377)
Azioni sul collegamento: N=-16187.80 Ty=-6.38 Tz=28.01 Mx=0.01 Mz=-4.43
Sollecitazioni agenti localmente: Ty_l=-2887.29 My_l=-59.21
Tensioni nella sezione: σ=717.75 τ=87.49
CC 54 SLU (Collegamento 0020_-377)
Azioni sul collegamento: N=-16738.30 Ty=-6.67 Tz=30.05 Mx=0.01 Mz=-4.64
Sollecitazioni agenti localmente: Ty_l=-2985.70 My_l=-61.23
Tensioni nella sezione: σ=742.22 τ=90.48
CC 55 SLU (Collegamento 0020_-377)
Azioni sul collegamento: N=-16462.10 Ty=-6.42 Tz=29.05 Mx=0.01 Mz=-4.32
Sollecitazioni agenti localmente: Ty_l=-2935.45 My_l=-60.20
Tensioni nella sezione: σ=729.71 τ=88.95
CC 56 SLU (Collegamento 0020_-377)
Azioni sul collegamento: N=-16464.10 Ty=-6.64 Tz=29.01 Mx=0.01 Mz=-4.75
Sollecitazioni agenti localmente: Ty_l=-2937.53 My_l=-60.25
Tensioni nella sezione: σ=730.25 τ=89.02
CC 57 SLU (Collegamento 0020_-377)
Azioni sul collegamento: N=-23519.50 Ty=-6.15 Tz=55.00 Mx=0.01 Mz=-4.26
Sollecitazioni agenti localmente: Ty_l=-4186.32 My_l=-85.84
Tensioni nella sezione: σ=1040.53 τ=126.86
CC 58 SLU (Collegamento 0020_-377)
Azioni sul collegamento: N=-24070.10 Ty=-6.43 Tz=57.04 Mx=0.01 Mz=-4.47
Sollecitazioni agenti localmente: Ty_l=-4284.74 My_l=-87.86
Tensioni nella sezione: σ=1064.99 τ=129.84
CC 59 SLU (Collegamento 0020_-377)
Azioni sul collegamento: N=-23793.80 Ty=-6.18 Tz=56.05 Mx=0.01 Mz=-4.15
Sollecitazioni agenti localmente: Ty_l=-4234.49 My_l=-86.83
Tensioni nella sezione: σ=1052.49 τ=128.32
CC 60 SLU (Collegamento 0020_-377)
Azioni sul collegamento: N=-23795.80 Ty=-6.40 Tz=56.00 Mx=0.01 Mz=-4.58
Sollecitazioni agenti localmente: Ty_l=-4236.57 My_l=-86.88
Tensioni nella sezione: σ=1053.03 τ=128.38
CC 61 SLU (Collegamento 0020_-377)
Azioni sul collegamento: N=-24962.70 Ty=-6.06 Tz=59.83 Mx=0.00 Mz=-4.30
Sollecitazioni agenti localmente: Ty_l=-4442.32 My_l=-91.09
Tensioni nella sezione: σ=1104.14 τ=134.62
CC 62 SLU (Collegamento 0020_-377)
Azioni sul collegamento: N=-25513.20 Ty=-6.35 Tz=61.87 Mx=0.00 Mz=-4.51
Sollecitazioni agenti localmente: Ty_l=-4540.74 My_l=-93.11
Tensioni nella sezione: σ=1128.61 τ=137.60
CC 63 SLU (Collegamento 0020_-377)
Azioni sul collegamento: N=-25237.00 Ty=-6.10 Tz=60.87 Mx=-0.00 Mz=-4.19
Sollecitazioni agenti localmente: Ty_l=-4490.49 My_l=-92.08
Tensioni nella sezione: σ=1116.10 τ=136.07
CC 64 SLU (Collegamento 0020_-377)
Azioni sul collegamento: N=-25238.90 Ty=-6.31 Tz=60.82 Mx=0.00 Mz=-4.62
Sollecitazioni agenti localmente: Ty_l=-4492.57 My_l=-92.12
Tensioni nella sezione: σ=1116.65 τ=136.14
CC 65 SLU (Collegamento 0020_-377)
Azioni sul collegamento: N=-16568.40 Ty=-6.80 Tz=29.45 Mx=0.01 Mz=-4.74
Sollecitazioni agenti localmente: Ty_l=-2955.95 My_l=-60.62

Tensioni nella sezione: σ=734.83 τ=89.57
CC 66 SLU (Collegamento 0020_-377)
Azioni sul collegamento: N=-17118.90 Ty=-7.09 Tz=31.49 Mx=0.01 Mz=-4.94
Sollecitazioni agenti localmente: Ty_l=-3054.37 My_l=-62.64
Tensioni nella sezione: σ=759.30 τ=92.56
CC 67 SLU (Collegamento 0020_-377)
Azioni sul collegamento: N=-16842.60 Ty=-6.84 Tz=30.49 Mx=0.01 Mz=-4.62
Sollecitazioni agenti localmente: Ty_l=-3004.12 My_l=-61.61
Tensioni nella sezione: σ=746.79 τ=91.03
CC 68 SLU (Collegamento 0020_-377)
Azioni sul collegamento: N=-16844.60 Ty=-7.06 Tz=30.45 Mx=0.01 Mz=-5.06
Sollecitazioni agenti localmente: Ty_l=-3006.20 My_l=-61.66
Tensioni nella sezione: σ=747.34 τ=91.10
CC 97 SLU (Collegamento 0020_-377)
Azioni sul collegamento: N=-16826.20 Ty=-0.37 Tz=38.55 Mx=0.05 Mz=7.28
Sollecitazioni agenti localmente: Ty_l=-2953.88 My_l=-60.51
Tensioni nella sezione: σ=733.50 τ=89.51
CC 98 SLU (Collegamento 0020_-377)
Azioni sul collegamento: N=-17376.70 Ty=-0.65 Tz=40.58 Mx=0.05 Mz=7.07
Sollecitazioni agenti localmente: Ty_l=-3052.30 My_l=-62.53
Tensioni nella sezione: σ=757.97 τ=92.49
CC 99 SLU (Collegamento 0020_-377)
Azioni sul collegamento: N=-17100.50 Ty=-0.40 Tz=39.59 Mx=0.05 Mz=7.39
Sollecitazioni agenti localmente: Ty_l=-3002.05 My_l=-61.50
Tensioni nella sezione: σ=745.47 τ=90.97
CC 100 SLU (Collegamento 0020_-377)
Azioni sul collegamento: N=-17102.50 Ty=-0.62 Tz=39.54 Mx=0.05 Mz=6.96
Sollecitazioni agenti localmente: Ty_l=-3004.13 My_l=-61.55
Tensioni nella sezione: σ=746.01 τ=91.03
CC 101 SLU (Collegamento 0020_-377)
Azioni sul collegamento: N=-6585.90 Ty=-4.08 Tz=0.92 Mx=-0.00 Mz=-3.64
Sollecitazioni agenti localmente: Ty_l=-1181.98 My_l=-24.25
Tensioni nella sezione: σ=293.95 τ=35.82
CC 102 SLU (Collegamento 0020_-377)
Azioni sul collegamento: N=-7136.43 Ty=-4.37 Tz=2.96 Mx=-0.00 Mz=-3.85
Sollecitazioni agenti localmente: Ty_l=-1280.40 My_l=-26.27
Tensioni nella sezione: σ=318.42 τ=38.80
CC 103 SLU (Collegamento 0020_-377)
Azioni sul collegamento: N=-6860.18 Ty=-4.11 Tz=1.96 Mx=-0.00 Mz=-3.53
Sollecitazioni agenti localmente: Ty_l=-1230.15 My_l=-25.24
Tensioni nella sezione: σ=305.91 τ=37.28
CC 104 SLU (Collegamento 0020_-377)
Azioni sul collegamento: N=-6862.15 Ty=-4.33 Tz=1.92 Mx=-0.00 Mz=-3.96
Sollecitazioni agenti localmente: Ty_l=-1232.23 My_l=-25.28
Tensioni nella sezione: σ=306.46 τ=37.34

Collegamento 0021_-378

Piastra 220.00 x 220.00 s=15.00 - 6 Tirafondi ϕ 16 - Profondità di infissione: 350.00
3 righe ad interasse 89.00
2 colonne ad interasse 178.00
Altezza di gola saldature: anima 7.07 - ala 7.07

Tirafondi e calcestruzzo

CC 1 SLV (Collegamento 0021_-378)
Azioni sul collegamento: N=-3968.96 Ty=6.45 Tz=-8.85 Mx=0.01 Mz=7.08
Sollecitazioni agenti localmente: Tx_l=6.45 Ty_l=-8.85 N_l=-3968.96 Mx_l=-0.00 My_l=7.08 Mz_l=0.01
Taglio nei bulloni: Fv,Ed=1.85 Fv,Rd=7720.78
Rifollamento lato piastra: Fb,Ed,p=1.83 Fb,Rd,p=10430.40
Tirafondi:LT=0.45 (0.31) σ_{cR}=0.00 σ_{fR}=0.00
Compressione nel calcestruzzo: σ_c=8.60
CC 1 SLV (Collegamento 0021_-378)
Azioni sul collegamento: N=-3968.96 Ty=3.07 Tz=-8.85 Mx=0.01 Mz=3.83
Sollecitazioni agenti localmente: Tx_l=3.07 Ty_l=-8.85 N_l=-3968.96 Mx_l=-0.00 My_l=3.83 Mz_l=0.01
Taglio nei bulloni: Fv,Ed=1.58 Fv,Rd=7720.78
Rifollamento lato piastra: Fb,Ed,p=1.57 Fb,Rd,p=6972.73
Tirafondi:LT=0.45 (0.31) σ_{cR}=0.00 σ_{fR}=0.00
Compressione nel calcestruzzo: σ_c=8.42
CC 1 SLV (Collegamento 0021_-378)
Azioni sul collegamento: N=-3968.96 Ty=6.45 Tz=10.87 Mx=0.01 Mz=7.08
Sollecitazioni agenti localmente: Tx_l=6.45 Ty_l=10.87 N_l=-3968.96 Mx_l=-0.00 My_l=7.08 Mz_l=0.01
Taglio nei bulloni: Fv,Ed=2.13 Fv,Rd=7720.78
Rifollamento lato piastra: Fb,Ed,p=2.13 Fb,Rd,p=9213.55
Tirafondi:LT=0.45 (0.31) σ_{cR}=0.00 σ_{fR}=0.00
Compressione nel calcestruzzo: σ_c=8.60
CC 1 SLV (Collegamento 0021_-378)
Azioni sul collegamento: N=-3968.96 Ty=3.07 Tz=10.87 Mx=0.01 Mz=3.83
Sollecitazioni agenti localmente: Tx_l=3.07 Ty_l=10.87 N_l=-3968.96 Mx_l=-0.00 My_l=3.83 Mz_l=0.01
Taglio nei bulloni: Fv,Ed=1.90 Fv,Rd=7720.78

Rifollamento lato piastra: Fb,Ed,p=1.90 Fb,Rd,p=6720.62
Tirafondi:LT=0.45 (0.31) σ_{cR}=0.00 σ_{fR}=0.00
Compressione nel calcestruzzo: σ_c=8.42
CC 1 SLV (Collegamento 0021_-378)
Azioni sul collegamento: N=-9265.76 Ty=6.45 Tz=-8.85 Mx=0.01 Mz=7.08
Sollecitazioni agenti localmente: Tx_l=6.45 Ty_l=-8.85 N_l=-9265.76 Mx_l=-0.00 My_l=7.08 Mz_l=0.01
Taglio nei bulloni: Fv,Ed=1.85 Fv,Rd=7720.78
Rifollamento lato piastra: Fb,Ed,p=1.83 Fb,Rd,p=10430.40
Tirafondi:LT=0.45 (0.31) σ_{cR}=0.00 σ_{fR}=0.00
Compressione nel calcestruzzo: σ_c=19.54
CC 1 SLV (Collegamento 0021_-378)
Azioni sul collegamento: N=-9265.76 Ty=3.07 Tz=-8.85 Mx=0.01 Mz=3.83
Sollecitazioni agenti localmente: Tx_l=3.07 Ty_l=-8.85 N_l=-9265.76 Mx_l=-0.00 My_l=3.83 Mz_l=0.01
Taglio nei bulloni: Fv,Ed=1.58 Fv,Rd=7720.78
Rifollamento lato piastra: Fb,Ed,p=1.57 Fb,Rd,p=6972.70
Tirafondi:LT=0.45 (0.31) σ_{cR}=0.00 σ_{fR}=0.00
Compressione nel calcestruzzo: σ_c=19.36
CC 1 SLV (Collegamento 0021_-378)
Azioni sul collegamento: N=-9265.76 Ty=6.45 Tz=10.87 Mx=0.01 Mz=7.08
Sollecitazioni agenti localmente: Tx_l=6.45 Ty_l=10.87 N_l=-9265.76 Mx_l=-0.00 My_l=7.08 Mz_l=0.01
Taglio nei bulloni: Fv,Ed=2.13 Fv,Rd=7720.78
Rifollamento lato piastra: Fb,Ed,p=2.13 Fb,Rd,p=9213.40
Tirafondi:LT=0.45 (0.31) σ_{cR}=0.00 σ_{fR}=0.00
Compressione nel calcestruzzo: σ_c=19.54
CC 1 SLV (Collegamento 0021_-378)
Azioni sul collegamento: N=-9265.76 Ty=3.07 Tz=10.87 Mx=0.01 Mz=3.83
Sollecitazioni agenti localmente: Tx_l=3.07 Ty_l=10.87 N_l=-9265.76 Mx_l=-0.00 My_l=3.83 Mz_l=0.01
Taglio nei bulloni: Fv,Ed=1.90 Fv,Rd=7720.78
Rifollamento lato piastra: Fb,Ed,p=1.90 Fb,Rd,p=6720.59
Tirafondi:LT=0.45 (0.31) σ_{cR}=0.00 σ_{fR}=0.00
Compressione nel calcestruzzo: σ_c=19.36
CC 2 SLD (Collegamento 0021_-378)
Azioni sul collegamento: N=-5777.33 Ty=4.43 Tz=-2.12 Mx=0.00 Mz=3.87
Sollecitazioni agenti localmente: Tx_l=4.43 Ty_l=-2.12 N_l=-5777.33 Mx_l=-0.00 My_l=3.87 Mz_l=0.00
Taglio nei bulloni: Fv,Ed=0.82 Fv,Rd=9650.97
Rifollamento lato piastra: Fb,Ed,p=0.82 Fb,Rd,p=10072.30
Tirafondi:LT=0.45 (0.31) σ_{cR}=0.00 σ_{fR}=0.00
Compressione nel calcestruzzo: σ_c=12.15
CC 2 SLD (Collegamento 0021_-378)
Azioni sul collegamento: N=-5777.33 Ty=3.40 Tz=-2.12 Mx=0.00 Mz=2.88
Sollecitazioni agenti localmente: Tx_l=3.40 Ty_l=-2.12 N_l=-5777.33 Mx_l=-0.00 My_l=2.88 Mz_l=0.00
Taglio nei bulloni: Fv,Ed=0.67 Fv,Rd=9650.97
Rifollamento lato piastra: Fb,Ed,p=0.67 Fb,Rd,p=11923.90
Tirafondi:LT=0.45 (0.31) σ_{cR}=0.00 σ_{fR}=0.00
Compressione nel calcestruzzo: σ_c=12.10
CC 2 SLD (Collegamento 0021_-378)
Azioni sul collegamento: N=-5777.32 Ty=4.43 Tz=3.89 Mx=0.00 Mz=3.87
Sollecitazioni agenti localmente: Tx_l=4.43 Ty_l=3.89 N_l=-5777.32 Mx_l=-0.00 My_l=3.87 Mz_l=0.00
Taglio nei bulloni: Fv,Ed=0.98 Fv,Rd=9650.97
Rifollamento lato piastra: Fb,Ed,p=0.98 Fb,Rd,p=14109.70
Tirafondi:LT=0.45 (0.31) σ_{cR}=0.00 σ_{fR}=0.00
Compressione nel calcestruzzo: σ_c=12.15
CC 2 SLD (Collegamento 0021_-378)
Azioni sul collegamento: N=-5777.32 Ty=3.40 Tz=3.89 Mx=0.00 Mz=2.88
Sollecitazioni agenti localmente: Tx_l=3.40 Ty_l=3.89 N_l=-5777.32 Mx_l=-0.00 My_l=2.88 Mz_l=0.00
Taglio nei bulloni: Fv,Ed=0.86 Fv,Rd=9650.97
Rifollamento lato piastra: Fb,Ed,p=0.86 Fb,Rd,p=14108.90
Tirafondi:LT=0.45 (0.31) σ_{cR}=0.00 σ_{fR}=0.00
Compressione nel calcestruzzo: σ_c=12.10
CC 2 SLD (Collegamento 0021_-378)
Azioni sul collegamento: N=-7392.49 Ty=4.43 Tz=-2.12 Mx=0.00 Mz=3.87
Sollecitazioni agenti localmente: Tx_l=4.43 Ty_l=-2.12 N_l=-7392.49 Mx_l=-0.00 My_l=3.87 Mz_l=0.00
Taglio nei bulloni: Fv,Ed=0.82 Fv,Rd=9650.97
Rifollamento lato piastra: Fb,Ed,p=0.82 Fb,Rd,p=10072.50
Tirafondi:LT=0.45 (0.31) σ_{cR}=0.00 σ_{fR}=0.00
Compressione nel calcestruzzo: σ_c=15.49
CC 2 SLD (Collegamento 0021_-378)
Azioni sul collegamento: N=-7392.49 Ty=3.40 Tz=-2.12 Mx=0.00 Mz=2.88
Sollecitazioni agenti localmente: Tx_l=3.40 Ty_l=-2.12 N_l=-7392.49 Mx_l=-0.00 My_l=2.88 Mz_l=0.00
Taglio nei bulloni: Fv,Ed=0.67 Fv,Rd=9650.97
Rifollamento lato piastra: Fb,Ed,p=0.67 Fb,Rd,p=11924.30
Tirafondi:LT=0.45 (0.31) σ_{cR}=0.00 σ_{fR}=0.00
Compressione nel calcestruzzo: σ_c=15.44
CC 2 SLD (Collegamento 0021_-378)
Azioni sul collegamento: N=-7392.49 Ty=4.43 Tz=3.89 Mx=0.00 Mz=3.87
Sollecitazioni agenti localmente: Tx_l=4.43 Ty_l=3.89 N_l=-7392.49 Mx_l=-0.00 My_l=3.87 Mz_l=0.00
Taglio nei bulloni: Fv,Ed=0.98 Fv,Rd=9650.97
Rifollamento lato piastra: Fb,Ed,p=0.98 Fb,Rd,p=14109.60
Tirafondi:LT=0.45 (0.31) σ_{cR}=0.00 σ_{fR}=0.00
Compressione nel calcestruzzo: σ_c=15.49

CC 2 SLD (Collegamento 0021_-378)
Azioni sul collegamento: N=-7392.49 Ty=3.40 Tz=3.89 Mx=0.00 Mz=2.88
Sollecitazioni agenti localmente: Tx_l=3.40 Ty_l=3.89 N_l=-7392.49 Mx_l=-0.00 My_l=2.88 Mz_l=0.00
Taglio nei bulloni: Fv,Ed=0.86 Fv,Rd=9650.97
Rifollamento lato piastra: Fb,Ed,p=0.86 Fb,Rd,p=14109.00
Tirafondi:LT=0.45 (0.31) σ_{cR}=0.00 σ_{fR}=0.00
Compressione nel calcestruzzo: σ_c=15.44
CC 3 SLV (Collegamento 0021_-378)
Azioni sul collegamento: N=-3974.64 Ty=5.81 Tz=-8.72 Mx=0.01 Mz=5.82
Sollecitazioni agenti localmente: Tx_l=5.81 Ty_l=-8.72 N_l=-3974.64 Mx_l=-0.00 My_l=5.82 Mz_l=0.01
Taglio nei bulloni: Fv,Ed=1.76 Fv,Rd=7720.78
Rifollamento lato piastra: Fb,Ed,p=1.75 Fb,Rd,p=9905.71
Tirafondi:LT=0.45 (0.31) σ_{cR}=0.00 σ_{fR}=0.00
Compressione nel calcestruzzo: σ_c=8.54
CC 3 SLV (Collegamento 0021_-378)
Azioni sul collegamento: N=-3974.64 Ty=3.70 Tz=-8.72 Mx=0.01 Mz=5.08
Sollecitazioni agenti localmente: Tx_l=3.70 Ty_l=-8.72 N_l=-3974.64 Mx_l=-0.00 My_l=5.08 Mz_l=0.01
Taglio nei bulloni: Fv,Ed=1.59 Fv,Rd=7720.78
Rifollamento lato piastra: Fb,Ed,p=1.58 Fb,Rd,p=7528.15
Tirafondi:LT=0.45 (0.31) σ_{cR}=0.00 σ_{fR}=0.00
Compressione nel calcestruzzo: σ_c=8.50
CC 3 SLV (Collegamento 0021_-378)
Azioni sul collegamento: N=-3974.64 Ty=5.81 Tz=10.74 Mx=0.01 Mz=5.82
Sollecitazioni agenti localmente: Tx_l=5.81 Ty_l=10.74 N_l=-3974.64 Mx_l=-0.00 My_l=5.82 Mz_l=0.01
Taglio nei bulloni: Fv,Ed=2.05 Fv,Rd=7720.78
Rifollamento lato piastra: Fb,Ed,p=2.05 Fb,Rd,p=8656.88
Tirafondi:LT=0.45 (0.31) σ_{cR}=0.00 σ_{fR}=0.00
Compressione nel calcestruzzo: σ_c=8.54
CC 3 SLV (Collegamento 0021_-378)
Azioni sul collegamento: N=-3974.64 Ty=3.70 Tz=10.74 Mx=0.01 Mz=5.08
Sollecitazioni agenti localmente: Tx_l=3.70 Ty_l=10.74 N_l=-3974.64 Mx_l=-0.00 My_l=5.08 Mz_l=0.01
Taglio nei bulloni: Fv,Ed=1.91 Fv,Rd=7720.78
Rifollamento lato piastra: Fb,Ed,p=1.91 Fb,Rd,p=7064.50
Tirafondi:LT=0.45 (0.31) σ_{cR}=0.00 σ_{fR}=0.00
Compressione nel calcestruzzo: σ_c=8.50
CC 3 SLV (Collegamento 0021_-378)
Azioni sul collegamento: N=-9260.08 Ty=5.81 Tz=-8.72 Mx=0.01 Mz=5.82
Sollecitazioni agenti localmente: Tx_l=5.81 Ty_l=-8.72 N_l=-9260.08 Mx_l=-0.00 My_l=5.82 Mz_l=0.01
Taglio nei bulloni: Fv,Ed=1.76 Fv,Rd=7720.78
Rifollamento lato piastra: Fb,Ed,p=1.75 Fb,Rd,p=9905.94
Tirafondi:LT=0.45 (0.31) σ_{cR}=0.00 σ_{fR}=0.00
Compressione nel calcestruzzo: σ_c=19.46
CC 3 SLV (Collegamento 0021_-378)
Azioni sul collegamento: N=-9260.08 Ty=3.70 Tz=-8.72 Mx=0.01 Mz=5.08
Sollecitazioni agenti localmente: Tx_l=3.70 Ty_l=-8.72 N_l=-9260.08 Mx_l=-0.00 My_l=5.08 Mz_l=0.01
Taglio nei bulloni: Fv,Ed=1.59 Fv,Rd=7720.78
Rifollamento lato piastra: Fb,Ed,p=1.58 Fb,Rd,p=7528.23
Tirafondi:LT=0.45 (0.31) σ_{cR}=0.00 σ_{fR}=0.00
Compressione nel calcestruzzo: σ_c=19.42
CC 3 SLV (Collegamento 0021_-378)
Azioni sul collegamento: N=-9260.08 Ty=5.81 Tz=10.74 Mx=0.01 Mz=5.82
Sollecitazioni agenti localmente: Tx_l=5.81 Ty_l=10.74 N_l=-9260.08 Mx_l=-0.00 My_l=5.82 Mz_l=0.01
Taglio nei bulloni: Fv,Ed=2.05 Fv,Rd=7720.78
Rifollamento lato piastra: Fb,Ed,p=2.05 Fb,Rd,p=8656.84
Tirafondi:LT=0.45 (0.31) σ_{cR}=0.00 σ_{fR}=0.00
Compressione nel calcestruzzo: σ_c=19.46
CC 3 SLV (Collegamento 0021_-378)
Azioni sul collegamento: N=-9260.08 Ty=3.70 Tz=10.74 Mx=0.01 Mz=5.08
Sollecitazioni agenti localmente: Tx_l=3.70 Ty_l=10.74 N_l=-9260.08 Mx_l=-0.00 My_l=5.08 Mz_l=0.01
Taglio nei bulloni: Fv,Ed=1.91 Fv,Rd=7720.78
Rifollamento lato piastra: Fb,Ed,p=1.91 Fb,Rd,p=7064.48
Tirafondi:LT=0.45 (0.31) σ_{cR}=0.00 σ_{fR}=0.00
Compressione nel calcestruzzo: σ_c=19.42
CC 4 SLD (Collegamento 0021_-378)
Azioni sul collegamento: N=-5779.06 Ty=4.24 Tz=-2.08 Mx=0.00 Mz=3.48
Sollecitazioni agenti localmente: Tx_l=4.24 Ty_l=-2.08 N_l=-5779.06 Mx_l=-0.00 My_l=3.48 Mz_l=0.00
Taglio nei bulloni: Fv,Ed=0.79 Fv,Rd=9650.97
Rifollamento lato piastra: Fb,Ed,p=0.79 Fb,Rd,p=10200.70
Tirafondi:LT=0.45 (0.31) σ_{cR}=0.00 σ_{fR}=0.00
Compressione nel calcestruzzo: σ_c=12.14
CC 4 SLD (Collegamento 0021_-378)
Azioni sul collegamento: N=-5779.06 Ty=3.59 Tz=-2.08 Mx=0.00 Mz=3.26
Sollecitazioni agenti localmente: Tx_l=3.59 Ty_l=-2.08 N_l=-5779.06 Mx_l=-0.00 My_l=3.26 Mz_l=0.00
Taglio nei bulloni: Fv,Ed=0.69 Fv,Rd=9650.97
Rifollamento lato piastra: Fb,Ed,p=0.69 Fb,Rd,p=11288.20
Tirafondi:LT=0.45 (0.31) σ_{cR}=0.00 σ_{fR}=0.00
Compressione nel calcestruzzo: σ_c=12.12
CC 4 SLD (Collegamento 0021_-378)
Azioni sul collegamento: N=-5779.06 Ty=4.24 Tz=3.85 Mx=0.00 Mz=3.48
Sollecitazioni agenti localmente: Tx_l=4.24 Ty_l=3.85 N_l=-5779.06 Mx_l=-0.00 My_l=3.48 Mz_l=0.00

Taglio nei bulloni: Fv,Ed=0.95 Fv,Rd=9650.97
Rifollamento lato piastra: Fb,Ed,p=0.95 Fb,Rd,p=14357.20
Tirafondi:LT=0.45 (0.31) σ_{cR}=0.00 σ_{fR}=0.00
Compressione nel calcestruzzo: σ_c=12.14
CC 4 SLD (Collegamento 0021_-378)
Azioni sul collegamento: N=-5779.06 Ty=3.59 Tz=3.85 Mx=0.00 Mz=3.26
Sollecitazioni agenti localmente: Tx_l=3.59 Ty_l=3.85 N_l=-5779.06 Mx_l=-0.00 My_l=3.26 Mz_l=0.00
Taglio nei bulloni: Fv,Ed=0.88 Fv,Rd=9650.97
Rifollamento lato piastra: Fb,Ed,p=0.88 Fb,Rd,p=14526.80
Tirafondi:LT=0.45 (0.31) σ_{cR}=0.00 σ_{fR}=0.00
Compressione nel calcestruzzo: σ_c=12.12
CC 4 SLD (Collegamento 0021_-378)
Azioni sul collegamento: N=-7390.75 Ty=4.24 Tz=-2.08 Mx=0.00 Mz=3.48
Sollecitazioni agenti localmente: Tx_l=4.24 Ty_l=-2.08 N_l=-7390.75 Mx_l=-0.00 My_l=3.48 Mz_l=0.00
Taglio nei bulloni: Fv,Ed=0.79 Fv,Rd=9650.97
Rifollamento lato piastra: Fb,Ed,p=0.79 Fb,Rd,p=10200.10
Tirafondi:LT=0.45 (0.31) σ_{cR}=0.00 σ_{fR}=0.00
Compressione nel calcestruzzo: σ_c=15.47
CC 4 SLD (Collegamento 0021_-378)
Azioni sul collegamento: N=-7390.75 Ty=3.59 Tz=-2.08 Mx=0.00 Mz=3.26
Sollecitazioni agenti localmente: Tx_l=3.59 Ty_l=-2.08 N_l=-7390.75 Mx_l=-0.00 My_l=3.26 Mz_l=0.00
Taglio nei bulloni: Fv,Ed=0.69 Fv,Rd=9650.97
Rifollamento lato piastra: Fb,Ed,p=0.69 Fb,Rd,p=11287.40
Tirafondi:LT=0.45 (0.31) σ_{cR}=0.00 σ_{fR}=0.00
Compressione nel calcestruzzo: σ_c=15.45
CC 4 SLD (Collegamento 0021_-378)
Azioni sul collegamento: N=-7390.75 Ty=4.24 Tz=3.85 Mx=0.00 Mz=3.48
Sollecitazioni agenti localmente: Tx_l=4.24 Ty_l=3.85 N_l=-7390.75 Mx_l=-0.00 My_l=3.48 Mz_l=0.00
Taglio nei bulloni: Fv,Ed=0.95 Fv,Rd=9650.97
Rifollamento lato piastra: Fb,Ed,p=0.95 Fb,Rd,p=14356.70
Tirafondi:LT=0.45 (0.31) σ_{cR}=0.00 σ_{fR}=0.00
Compressione nel calcestruzzo: σ_c=15.47
CC 4 SLD (Collegamento 0021_-378)
Azioni sul collegamento: N=-7390.75 Ty=3.59 Tz=3.85 Mx=0.00 Mz=3.26
Sollecitazioni agenti localmente: Tx_l=3.59 Ty_l=3.85 N_l=-7390.75 Mx_l=-0.00 My_l=3.26 Mz_l=0.00
Taglio nei bulloni: Fv,Ed=0.88 Fv,Rd=9650.97
Rifollamento lato piastra: Fb,Ed,p=0.88 Fb,Rd,p=14527.20
Tirafondi:LT=0.45 (0.31) σ_{cR}=0.00 σ_{fR}=0.00
Compressione nel calcestruzzo: σ_c=15.45
CC 5 SLV (Collegamento 0021_-378)
Azioni sul collegamento: N=-9260.08 Ty=3.70 Tz=10.74 Mx=0.01 Mz=5.08
Sollecitazioni agenti localmente: Tx_l=3.70 Ty_l=10.74 N_l=-9260.08 Mx_l=-0.00 My_l=5.08 Mz_l=0.01
Taglio nei bulloni: Fv,Ed=1.91 Fv,Rd=7720.78
Rifollamento lato piastra: Fb,Ed,p=1.91 Fb,Rd,p=7069.42
Tirafondi:LT=0.45 (0.31) σ_{cR}=0.00 σ_{fR}=0.00
Compressione nel calcestruzzo: σ_c=19.42
CC 5 SLV (Collegamento 0021_-378)
Azioni sul collegamento: N=-9260.08 Ty=5.81 Tz=10.74 Mx=0.01 Mz=5.82
Sollecitazioni agenti localmente: Tx_l=5.81 Ty_l=10.74 N_l=-9260.08 Mx_l=-0.00 My_l=5.82 Mz_l=0.01
Taglio nei bulloni: Fv,Ed=2.05 Fv,Rd=7720.78
Rifollamento lato piastra: Fb,Ed,p=2.05 Fb,Rd,p=8662.35
Tirafondi:LT=0.45 (0.31) σ_{cR}=0.00 σ_{fR}=0.00
Compressione nel calcestruzzo: σ_c=19.46
CC 5 SLV (Collegamento 0021_-378)
Azioni sul collegamento: N=-9260.08 Ty=3.70 Tz=-8.72 Mx=0.01 Mz=5.08
Sollecitazioni agenti localmente: Tx_l=3.70 Ty_l=-8.72 N_l=-9260.08 Mx_l=-0.00 My_l=5.08 Mz_l=0.01
Taglio nei bulloni: Fv,Ed=1.59 Fv,Rd=7720.78
Rifollamento lato piastra: Fb,Ed,p=1.58 Fb,Rd,p=7512.44
Tirafondi:LT=0.45 (0.31) σ_{cR}=0.00 σ_{fR}=0.00
Compressione nel calcestruzzo: σ_c=19.42
CC 5 SLV (Collegamento 0021_-378)
Azioni sul collegamento: N=-9260.08 Ty=5.81 Tz=-8.72 Mx=0.01 Mz=5.82
Sollecitazioni agenti localmente: Tx_l=5.81 Ty_l=-8.72 N_l=-9260.08 Mx_l=-0.00 My_l=5.82 Mz_l=0.01
Taglio nei bulloni: Fv,Ed=1.76 Fv,Rd=7720.78
Rifollamento lato piastra: Fb,Ed,p=1.75 Fb,Rd,p=9875.93
Tirafondi:LT=0.45 (0.31) σ_{cR}=0.00 σ_{fR}=0.00
Compressione nel calcestruzzo: σ_c=19.46
CC 5 SLV (Collegamento 0021_-378)
Azioni sul collegamento: N=-3974.64 Ty=3.70 Tz=10.74 Mx=0.01 Mz=5.08
Sollecitazioni agenti localmente: Tx_l=3.70 Ty_l=10.74 N_l=-3974.64 Mx_l=-0.00 My_l=5.08 Mz_l=0.01
Taglio nei bulloni: Fv,Ed=1.91 Fv,Rd=7720.78
Rifollamento lato piastra: Fb,Ed,p=1.91 Fb,Rd,p=7069.44
Tirafondi:LT=0.45 (0.31) σ_{cR}=0.00 σ_{fR}=0.00
Compressione nel calcestruzzo: σ_c=8.50
CC 5 SLV (Collegamento 0021_-378)
Azioni sul collegamento: N=-3974.64 Ty=5.81 Tz=10.74 Mx=0.01 Mz=5.82
Sollecitazioni agenti localmente: Tx_l=5.81 Ty_l=10.74 N_l=-3974.64 Mx_l=-0.00 My_l=5.82 Mz_l=0.01
Taglio nei bulloni: Fv,Ed=2.05 Fv,Rd=7720.78
Rifollamento lato piastra: Fb,Ed,p=2.05 Fb,Rd,p=8662.40
Tirafondi:LT=0.45 (0.31) σ_{cR}=0.00 σ_{fR}=0.00

Compressione nel calcestruzzo: σ_c=8.54
CC 5 SLV (Collegamento 0021_-378)
Azioni sul collegamento: N=-3974.64 Ty=3.70 Tz=-8.72 Mx=0.01 Mz=5.08
Sollecitazioni agenti localmente: Tx_l=3.70 Ty_l=-8.72 N_l=-3974.64 Mx_l=-0.00 My_l=5.08 Mz_l=0.01
Taglio nei bulloni: Fv,Ed=1.59 Fv,Rd=7720.78
Rifollamento lato piastra: Fb,Ed,p=1.58 Fb,Rd,p=7512.36
Tirafondi:LT=0.45 (0.31) σ_{cR}=0.00 σ_{fR}=0.00
Compressione nel calcestruzzo: σ_c=8.50
CC 5 SLV (Collegamento 0021_-378)
Azioni sul collegamento: N=-3974.64 Ty=5.81 Tz=-8.72 Mx=0.01 Mz=5.82
Sollecitazioni agenti localmente: Tx_l=5.81 Ty_l=-8.72 N_l=-3974.64 Mx_l=-0.00 My_l=5.82 Mz_l=0.01
Taglio nei bulloni: Fv,Ed=1.76 Fv,Rd=7720.78
Rifollamento lato piastra: Fb,Ed,p=1.75 Fb,Rd,p=9875.70
Tirafondi:LT=0.45 (0.31) σ_{cR}=0.00 σ_{fR}=0.00
Compressione nel calcestruzzo: σ_c=8.54
CC 6 SLD (Collegamento 0021_-378)
Azioni sul collegamento: N=-7390.75 Ty=3.59 Tz=3.85 Mx=0.00 Mz=3.26
Sollecitazioni agenti localmente: Tx_l=3.59 Ty_l=3.85 N_l=-7390.75 Mx_l=-0.00 My_l=3.26 Mz_l=0.00
Taglio nei bulloni: Fv,Ed=0.88 Fv,Rd=9650.97
Rifollamento lato piastra: Fb,Ed,p=0.88 Fb,Rd,p=14527.70
Tirafondi:LT=0.45 (0.31) σ_{cR}=0.00 σ_{fR}=0.00
Compressione nel calcestruzzo: σ_c=15.45
CC 6 SLD (Collegamento 0021_-378)
Azioni sul collegamento: N=-7390.75 Ty=4.24 Tz=3.85 Mx=0.00 Mz=3.48
Sollecitazioni agenti localmente: Tx_l=4.24 Ty_l=3.85 N_l=-7390.75 Mx_l=-0.00 My_l=3.48 Mz_l=0.00
Taglio nei bulloni: Fv,Ed=0.96 Fv,Rd=9650.97
Rifollamento lato piastra: Fb,Ed,p=0.95 Fb,Rd,p=14344.00
Tirafondi:LT=0.45 (0.31) σ_{cR}=0.00 σ_{fR}=0.00
Compressione nel calcestruzzo: σ_c=15.47
CC 6 SLD (Collegamento 0021_-378)
Azioni sul collegamento: N=-7390.75 Ty=3.59 Tz=-2.08 Mx=0.00 Mz=3.26
Sollecitazioni agenti localmente: Tx_l=3.59 Ty_l=-2.08 N_l=-7390.75 Mx_l=-0.00 My_l=3.26 Mz_l=0.00
Taglio nei bulloni: Fv,Ed=0.69 Fv,Rd=9650.97
Rifollamento lato piastra: Fb,Ed,p=0.69 Fb,Rd,p=11293.60
Tirafondi:LT=0.45 (0.31) σ_{cR}=0.00 σ_{fR}=0.00
Compressione nel calcestruzzo: σ_c=15.45
CC 6 SLD (Collegamento 0021_-378)
Azioni sul collegamento: N=-7390.75 Ty=4.24 Tz=-2.08 Mx=0.00 Mz=3.48
Sollecitazioni agenti localmente: Tx_l=4.24 Ty_l=-2.08 N_l=-7390.75 Mx_l=-0.00 My_l=3.48 Mz_l=0.00
Taglio nei bulloni: Fv,Ed=0.79 Fv,Rd=9650.97
Rifollamento lato piastra: Fb,Ed,p=0.79 Fb,Rd,p=10205.40
Tirafondi:LT=0.45 (0.31) σ_{cR}=0.00 σ_{fR}=0.00
Compressione nel calcestruzzo: σ_c=15.47
CC 6 SLD (Collegamento 0021_-378)
Azioni sul collegamento: N=-5779.06 Ty=3.59 Tz=3.85 Mx=0.00 Mz=3.26
Sollecitazioni agenti localmente: Tx_l=3.59 Ty_l=3.85 N_l=-5779.06 Mx_l=-0.00 My_l=3.26 Mz_l=0.00
Taglio nei bulloni: Fv,Ed=0.88 Fv,Rd=9650.97
Rifollamento lato piastra: Fb,Ed,p=0.88 Fb,Rd,p=14527.30
Tirafondi:LT=0.45 (0.31) σ_{cR}=0.00 σ_{fR}=0.00
Compressione nel calcestruzzo: σ_c=12.12
CC 6 SLD (Collegamento 0021_-378)
Azioni sul collegamento: N=-5779.06 Ty=4.24 Tz=3.85 Mx=0.00 Mz=3.48
Sollecitazioni agenti localmente: Tx_l=4.24 Ty_l=3.85 N_l=-5779.06 Mx_l=-0.00 My_l=3.48 Mz_l=0.00
Taglio nei bulloni: Fv,Ed=0.96 Fv,Rd=9650.97
Rifollamento lato piastra: Fb,Ed,p=0.95 Fb,Rd,p=14344.40
Tirafondi:LT=0.45 (0.31) σ_{cR}=0.00 σ_{fR}=0.00
Compressione nel calcestruzzo: σ_c=12.14
CC 6 SLD (Collegamento 0021_-378)
Azioni sul collegamento: N=-5779.06 Ty=3.59 Tz=-2.08 Mx=0.00 Mz=3.26
Sollecitazioni agenti localmente: Tx_l=3.59 Ty_l=-2.08 N_l=-5779.06 Mx_l=-0.00 My_l=3.26 Mz_l=0.00
Taglio nei bulloni: Fv,Ed=0.69 Fv,Rd=9650.97
Rifollamento lato piastra: Fb,Ed,p=0.69 Fb,Rd,p=11294.50
Tirafondi:LT=0.45 (0.31) σ_{cR}=0.00 σ_{fR}=0.00
Compressione nel calcestruzzo: σ_c=12.12
CC 6 SLD (Collegamento 0021_-378)
Azioni sul collegamento: N=-5779.06 Ty=4.24 Tz=-2.08 Mx=0.00 Mz=3.48
Sollecitazioni agenti localmente: Tx_l=4.24 Ty_l=-2.08 N_l=-5779.06 Mx_l=-0.00 My_l=3.48 Mz_l=0.00
Taglio nei bulloni: Fv,Ed=0.79 Fv,Rd=9650.97
Rifollamento lato piastra: Fb,Ed,p=0.79 Fb,Rd,p=10206.10
Tirafondi:LT=0.45 (0.31) σ_{cR}=0.00 σ_{fR}=0.00
Compressione nel calcestruzzo: σ_c=12.14
CC 7 SLV (Collegamento 0021_-378)
Azioni sul collegamento: N=-9265.76 Ty=3.07 Tz=10.87 Mx=0.01 Mz=3.83
Sollecitazioni agenti localmente: Tx_l=3.07 Ty_l=10.87 N_l=-9265.76 Mx_l=-0.00 My_l=3.83 Mz_l=0.01
Taglio nei bulloni: Fv,Ed=1.89 Fv,Rd=7720.78
Rifollamento lato piastra: Fb,Ed,p=1.89 Fb,Rd,p=6703.44
Tirafondi:LT=0.45 (0.31) σ_{cR}=0.00 σ_{fR}=0.00
Compressione nel calcestruzzo: σ_c=19.36
CC 7 SLV (Collegamento 0021_-378)
Azioni sul collegamento: N=-9265.76 Ty=6.45 Tz=10.87 Mx=0.01 Mz=7.08

Sollecitazioni agenti localmente: Tx_l=6.45 Ty_l=10.87 N_l=-9265.76 Mx_l=-0.00 My_l=7.08 Mz_l=0.01
Taglio nei bulloni: Fv,Ed=2.12 Fv,Rd=7720.78
Rifollamento lato piastra: Fb,Ed,p=2.12 Fb,Rd,p=9192.53
Tirafondi:LT=0.45 (0.31) σ_{cR}=0.00 σ_{fR}=0.00
Compressione nel calcestruzzo: σ_c=19.54
CC 7 SLV (Collegamento 0021_-378)
Azioni sul collegamento: N=-9265.76 Ty=3.07 Tz=-8.85 Mx=0.01 Mz=3.83
Sollecitazioni agenti localmente: Tx_l=3.07 Ty_l=-8.85 N_l=-9265.76 Mx_l=-0.00 My_l=3.83 Mz_l=0.01
Taglio nei bulloni: Fv,Ed=1.57 Fv,Rd=7720.78
Rifollamento lato piastra: Fb,Ed,p=1.56 Fb,Rd,p=7019.31
Tirafondi:LT=0.45 (0.31) σ_{cR}=0.00 σ_{fR}=0.00
Compressione nel calcestruzzo: σ_c=19.36
CC 7 SLV (Collegamento 0021_-378)
Azioni sul collegamento: N=-9265.76 Ty=6.45 Tz=-8.85 Mx=0.01 Mz=7.08
Sollecitazioni agenti localmente: Tx_l=6.45 Ty_l=-8.85 N_l=-9265.76 Mx_l=-0.00 My_l=7.08 Mz_l=0.01
Taglio nei bulloni: Fv,Ed=1.83 Fv,Rd=7720.78
Rifollamento lato piastra: Fb,Ed,p=1.83 Fb,Rd,p=10479.10
Tirafondi:LT=0.45 (0.31) σ_{cR}=0.00 σ_{fR}=0.00
Compressione nel calcestruzzo: σ_c=19.54
CC 7 SLV (Collegamento 0021_-378)
Azioni sul collegamento: N=-3968.96 Ty=3.07 Tz=10.87 Mx=0.01 Mz=3.83
Sollecitazioni agenti localmente: Tx_l=3.07 Ty_l=10.87 N_l=-3968.96 Mx_l=-0.00 My_l=3.83 Mz_l=0.01
Taglio nei bulloni: Fv,Ed=1.89 Fv,Rd=7720.78
Rifollamento lato piastra: Fb,Ed,p=1.89 Fb,Rd,p=6703.48
Tirafondi:LT=0.45 (0.31) σ_{cR}=0.00 σ_{fR}=0.00
Compressione nel calcestruzzo: σ_c=8.42
CC 7 SLV (Collegamento 0021_-378)
Azioni sul collegamento: N=-3968.96 Ty=6.45 Tz=10.87 Mx=0.01 Mz=7.08
Sollecitazioni agenti localmente: Tx_l=6.45 Ty_l=10.87 N_l=-3968.96 Mx_l=-0.00 My_l=7.08 Mz_l=0.01
Taglio nei bulloni: Fv,Ed=2.12 Fv,Rd=7720.78
Rifollamento lato piastra: Fb,Ed,p=2.12 Fb,Rd,p=9192.68
Tirafondi:LT=0.45 (0.31) σ_{cR}=0.00 σ_{fR}=0.00
Compressione nel calcestruzzo: σ_c=8.60
CC 7 SLV (Collegamento 0021_-378)
Azioni sul collegamento: N=-3968.96 Ty=3.07 Tz=-8.85 Mx=0.01 Mz=3.83
Sollecitazioni agenti localmente: Tx_l=3.07 Ty_l=-8.85 N_l=-3968.96 Mx_l=-0.00 My_l=3.83 Mz_l=0.01
Taglio nei bulloni: Fv,Ed=1.57 Fv,Rd=7720.78
Rifollamento lato piastra: Fb,Ed,p=1.56 Fb,Rd,p=7019.33
Tirafondi:LT=0.45 (0.31) σ_{cR}=0.00 σ_{fR}=0.00
Compressione nel calcestruzzo: σ_c=8.42
CC 7 SLV (Collegamento 0021_-378)
Azioni sul collegamento: N=-3968.96 Ty=6.45 Tz=-8.85 Mx=0.01 Mz=7.08
Sollecitazioni agenti localmente: Tx_l=6.45 Ty_l=-8.85 N_l=-3968.96 Mx_l=-0.00 My_l=7.08 Mz_l=0.01
Taglio nei bulloni: Fv,Ed=1.83 Fv,Rd=7720.78
Rifollamento lato piastra: Fb,Ed,p=1.83 Fb,Rd,p=10479.10
Tirafondi:LT=0.45 (0.31) σ_{cR}=0.00 σ_{fR}=0.00
Compressione nel calcestruzzo: σ_c=8.60
CC 8 SLD (Collegamento 0021_-378)
Azioni sul collegamento: N=-7392.49 Ty=3.40 Tz=3.89 Mx=-0.00 Mz=2.88
Sollecitazioni agenti localmente: Tx_l=3.40 Ty_l=3.89 N_l=-7392.49 Mx_l=-0.00 My_l=2.88 Mz_l=-0.00
Taglio nei bulloni: Fv,Ed=0.86 Fv,Rd=9650.97
Rifollamento lato piastra: Fb,Ed,p=0.86 Fb,Rd,p=14088.20
Tirafondi:LT=0.45 (0.31) σ_{cR}=0.00 σ_{fR}=0.00
Compressione nel calcestruzzo: σ_c=15.44
CC 8 SLD (Collegamento 0021_-378)
Azioni sul collegamento: N=-7392.49 Ty=4.43 Tz=3.89 Mx=-0.00 Mz=3.87
Sollecitazioni agenti localmente: Tx_l=4.43 Ty_l=3.89 N_l=-7392.49 Mx_l=-0.00 My_l=3.87 Mz_l=-0.00
Taglio nei bulloni: Fv,Ed=0.98 Fv,Rd=9650.97
Rifollamento lato piastra: Fb,Ed,p=0.98 Fb,Rd,p=14140.50
Tirafondi:LT=0.45 (0.31) σ_{cR}=0.00 σ_{fR}=0.00
Compressione nel calcestruzzo: σ_c=15.49
CC 8 SLD (Collegamento 0021_-378)
Azioni sul collegamento: N=-7392.49 Ty=3.40 Tz=-2.12 Mx=-0.00 Mz=2.88
Sollecitazioni agenti localmente: Tx_l=3.40 Ty_l=-2.12 N_l=-7392.49 Mx_l=-0.00 My_l=2.88 Mz_l=-0.00
Taglio nei bulloni: Fv,Ed=0.67 Fv,Rd=9650.97
Rifollamento lato piastra: Fb,Ed,p=0.67 Fb,Rd,p=11870.10
Tirafondi:LT=0.45 (0.31) σ_{cR}=0.00 σ_{fR}=0.00
Compressione nel calcestruzzo: σ_c=15.44
CC 8 SLD (Collegamento 0021_-378)
Azioni sul collegamento: N=-7392.49 Ty=4.43 Tz=-2.12 Mx=-0.00 Mz=3.87
Sollecitazioni agenti localmente: Tx_l=4.43 Ty_l=-2.12 N_l=-7392.49 Mx_l=-0.00 My_l=3.87 Mz_l=-0.00
Taglio nei bulloni: Fv,Ed=0.82 Fv,Rd=9650.97
Rifollamento lato piastra: Fb,Ed,p=0.82 Fb,Rd,p=10039.50
Tirafondi:LT=0.45 (0.31) σ_{cR}=0.00 σ_{fR}=0.00
Compressione nel calcestruzzo: σ_c=15.49
CC 8 SLD (Collegamento 0021_-378)
Azioni sul collegamento: N=-5777.32 Ty=3.40 Tz=3.89 Mx=-0.00 Mz=2.88
Sollecitazioni agenti localmente: Tx_l=3.40 Ty_l=3.89 N_l=-5777.32 Mx_l=-0.00 My_l=2.88 Mz_l=-0.00
Taglio nei bulloni: Fv,Ed=0.86 Fv,Rd=9650.97
Rifollamento lato piastra: Fb,Ed,p=0.86 Fb,Rd,p=14088.10

Tirafondi:LT=0.45 (0.31) σ_{cR}=0.00 σ_{fR}=0.00
Compressione nel calcestruzzo: σ_c=12.10
CC 8 SLD (Collegamento 0021_-378)
Azioni sul collegamento: N=-5777.32 Ty=4.43 Tz=3.89 Mx=-0.00 Mz=3.87
Sollecitazioni agenti localmente: Tx_l=4.43 Ty_l=3.89 N_l=-5777.32 Mx_l=-0.00 My_l=3.87 Mz_l=-0.00
Taglio nei bulloni: Fv,Ed=0.98 Fv,Rd=9650.97
Rifollamento lato piastra: Fb,Ed,p=0.98 Fb,Rd,p=14140.60
Tirafondi:LT=0.45 (0.31) σ_{cR}=0.00 σ_{fR}=0.00
Compressione nel calcestruzzo: σ_c=12.15
CC 8 SLD (Collegamento 0021_-378)
Azioni sul collegamento: N=-5777.33 Ty=3.40 Tz=-2.12 Mx=-0.00 Mz=2.88
Sollecitazioni agenti localmente: Tx_l=3.40 Ty_l=-2.12 N_l=-5777.33 Mx_l=-0.00 My_l=2.88 Mz_l=-0.00
Taglio nei bulloni: Fv,Ed=0.67 Fv,Rd=9650.97
Rifollamento lato piastra: Fb,Ed,p=0.67 Fb,Rd,p=11869.70
Tirafondi:LT=0.45 (0.31) σ_{cR}=0.00 σ_{fR}=0.00
Compressione nel calcestruzzo: σ_c=12.10
CC 8 SLD (Collegamento 0021_-378)
Azioni sul collegamento: N=-5777.33 Ty=4.43 Tz=-2.12 Mx=-0.00 Mz=3.87
Sollecitazioni agenti localmente: Tx_l=4.43 Ty_l=-2.12 N_l=-5777.33 Mx_l=-0.00 My_l=3.87 Mz_l=-0.00
Taglio nei bulloni: Fv,Ed=0.82 Fv,Rd=9650.97
Rifollamento lato piastra: Fb,Ed,p=0.82 Fb,Rd,p=10039.30
Tirafondi:LT=0.45 (0.31) σ_{cR}=0.00 σ_{fR}=0.00
Compressione nel calcestruzzo: σ_c=12.15
CC 9 SLV (Collegamento 0021_-378)
Azioni sul collegamento: N=-5814.22 Ty=6.23 Tz=-2.14 Mx=0.02 Mz=7.84
Sollecitazioni agenti localmente: Tx_l=6.23 Ty_l=-2.14 N_l=-5814.22 Mx_l=-0.00 My_l=7.84 Mz_l=0.02
Taglio nei bulloni: Fv,Ed=1.12 Fv,Rd=7720.78
Rifollamento lato piastra: Fb,Ed,p=1.12 Fb,Rd,p=7115.19
Tirafondi:LT=0.45 (0.31) σ_{cR}=0.00 σ_{fR}=0.00
Compressione nel calcestruzzo: σ_c=12.45
CC 9 SLV (Collegamento 0021_-378)
Azioni sul collegamento: N=-5814.22 Ty=3.29 Tz=-2.14 Mx=0.02 Mz=3.06
Sollecitazioni agenti localmente: Tx_l=3.29 Ty_l=-2.14 N_l=-5814.22 Mx_l=-0.00 My_l=3.06 Mz_l=0.02
Taglio nei bulloni: Fv,Ed=0.68 Fv,Rd=7720.78
Rifollamento lato piastra: Fb,Ed,p=0.68 Fb,Rd,p=9989.85
Tirafondi:LT=0.45 (0.31) σ_{cR}=0.00 σ_{fR}=0.00
Compressione nel calcestruzzo: σ_c=12.19
CC 9 SLV (Collegamento 0021_-378)
Azioni sul collegamento: N=-5814.22 Ty=6.23 Tz=4.16 Mx=0.02 Mz=7.84
Sollecitazioni agenti localmente: Tx_l=6.23 Ty_l=4.16 N_l=-5814.22 Mx_l=-0.00 My_l=7.84 Mz_l=0.02
Taglio nei bulloni: Fv,Ed=1.28 Fv,Rd=7720.78
Rifollamento lato piastra: Fb,Ed,p=1.25 Fb,Rd,p=9677.09
Tirafondi:LT=0.45 (0.31) σ_{cR}=0.00 σ_{fR}=0.00
Compressione nel calcestruzzo: σ_c=12.45
CC 9 SLV (Collegamento 0021_-378)
Azioni sul collegamento: N=-5814.22 Ty=3.29 Tz=4.16 Mx=0.02 Mz=3.06
Sollecitazioni agenti localmente: Tx_l=3.29 Ty_l=4.16 N_l=-5814.22 Mx_l=-0.00 My_l=3.06 Mz_l=0.02
Taglio nei bulloni: Fv,Ed=0.91 Fv,Rd=7720.78
Rifollamento lato piastra: Fb,Ed,p=0.91 Fb,Rd,p=10862.80
Tirafondi:LT=0.45 (0.31) σ_{cR}=0.00 σ_{fR}=0.00
Compressione nel calcestruzzo: σ_c=12.19
CC 9 SLV (Collegamento 0021_-378)
Azioni sul collegamento: N=-7420.50 Ty=6.23 Tz=-2.14 Mx=0.02 Mz=7.84
Sollecitazioni agenti localmente: Tx_l=6.23 Ty_l=-2.14 N_l=-7420.50 Mx_l=-0.00 My_l=7.84 Mz_l=0.02
Taglio nei bulloni: Fv,Ed=1.12 Fv,Rd=7720.78
Rifollamento lato piastra: Fb,Ed,p=1.12 Fb,Rd,p=7115.09
Tirafondi:LT=0.45 (0.31) σ_{cR}=0.00 σ_{fR}=0.00
Compressione nel calcestruzzo: σ_c=15.77
CC 9 SLV (Collegamento 0021_-378)
Azioni sul collegamento: N=-7420.50 Ty=3.29 Tz=-2.14 Mx=0.02 Mz=3.06
Sollecitazioni agenti localmente: Tx_l=3.29 Ty_l=-2.14 N_l=-7420.50 Mx_l=-0.00 My_l=3.06 Mz_l=0.02
Taglio nei bulloni: Fv,Ed=0.68 Fv,Rd=7720.78
Rifollamento lato piastra: Fb,Ed,p=0.68 Fb,Rd,p=9989.48
Tirafondi:LT=0.45 (0.31) σ_{cR}=0.00 σ_{fR}=0.00
Compressione nel calcestruzzo: σ_c=15.50
CC 9 SLV (Collegamento 0021_-378)
Azioni sul collegamento: N=-7420.50 Ty=6.23 Tz=4.16 Mx=0.02 Mz=7.84
Sollecitazioni agenti localmente: Tx_l=6.23 Ty_l=4.16 N_l=-7420.50 Mx_l=-0.00 My_l=7.84 Mz_l=0.02
Taglio nei bulloni: Fv,Ed=1.28 Fv,Rd=7720.78
Rifollamento lato piastra: Fb,Ed,p=1.25 Fb,Rd,p=9677.28
Tirafondi:LT=0.45 (0.31) σ_{cR}=0.00 σ_{fR}=0.00
Compressione nel calcestruzzo: σ_c=15.77
CC 9 SLV (Collegamento 0021_-378)
Azioni sul collegamento: N=-7420.50 Ty=3.29 Tz=4.16 Mx=0.02 Mz=3.06
Sollecitazioni agenti localmente: Tx_l=3.29 Ty_l=4.16 N_l=-7420.50 Mx_l=-0.00 My_l=3.06 Mz_l=0.02
Taglio nei bulloni: Fv,Ed=0.91 Fv,Rd=7720.78
Rifollamento lato piastra: Fb,Ed,p=0.91 Fb,Rd,p=10862.70
Tirafondi:LT=0.45 (0.31) σ_{cR}=0.00 σ_{fR}=0.00
Compressione nel calcestruzzo: σ_c=15.50
CC 10 SLD (Collegamento 0021_-378)

Azioni sul collegamento: N=-6340.00 Ty=4.36 Tz=-0.08 Mx=0.00 Mz=4.10
Sollecitazioni agenti localmente: Tx_l=4.36 Ty_l=-0.08 N_l=-6340.00 Mx_l=-0.00 My_l=4.10 Mz_l=0.00
Taglio nei bulloni: Fv,Ed=0.73 Fv,Rd=9650.97
Rifollamento lato piastra: Fb,Ed,p=0.73 Fb,Rd,p=7479.28
Tirafondi:LT=0.45 (0.31) σ_{cR}=0.00 σ_{fR}=0.00
Compressione nel calcestruzzo: σ_c=13.33
CC 10 SLD (Collegamento 0021_-378)
Azioni sul collegamento: N=-6340.00 Ty=3.47 Tz=-0.08 Mx=0.00 Mz=2.64
Sollecitazioni agenti localmente: Tx_l=3.47 Ty_l=-0.08 N_l=-6340.00 Mx_l=-0.00 My_l=2.64 Mz_l=0.00
Taglio nei bulloni: Fv,Ed=0.58 Fv,Rd=9650.97
Rifollamento lato piastra: Fb,Ed,p=0.58 Fb,Rd,p=7482.36
Tirafondi:LT=0.45 (0.31) σ_{cR}=0.00 σ_{fR}=0.00
Compressione nel calcestruzzo: σ_c=13.25
CC 10 SLD (Collegamento 0021_-378)
Azioni sul collegamento: N=-6340.00 Ty=4.36 Tz=1.85 Mx=0.00 Mz=4.10
Sollecitazioni agenti localmente: Tx_l=4.36 Ty_l=1.85 N_l=-6340.00 Mx_l=-0.00 My_l=4.10 Mz_l=0.00
Taglio nei bulloni: Fv,Ed=0.79 Fv,Rd=9650.97
Rifollamento lato piastra: Fb,Ed,p=0.79 Fb,Rd,p=9425.15
Tirafondi:LT=0.45 (0.31) σ_{cR}=0.00 σ_{fR}=0.00
Compressione nel calcestruzzo: σ_c=13.33
CC 10 SLD (Collegamento 0021_-378)
Azioni sul collegamento: N=-6340.00 Ty=3.47 Tz=1.85 Mx=0.00 Mz=2.64
Sollecitazioni agenti localmente: Tx_l=3.47 Ty_l=1.85 N_l=-6340.00 Mx_l=-0.00 My_l=2.64 Mz_l=0.00
Taglio nei bulloni: Fv,Ed=0.66 Fv,Rd=9650.97
Rifollamento lato piastra: Fb,Ed,p=0.66 Fb,Rd,p=10576.60
Tirafondi:LT=0.45 (0.31) σ_{cR}=0.00 σ_{fR}=0.00
Compressione nel calcestruzzo: σ_c=13.25
CC 10 SLD (Collegamento 0021_-378)
Azioni sul collegamento: N=-6829.81 Ty=4.36 Tz=-0.08 Mx=0.00 Mz=4.10
Sollecitazioni agenti localmente: Tx_l=4.36 Ty_l=-0.08 N_l=-6829.81 Mx_l=-0.00 My_l=4.10 Mz_l=0.00
Taglio nei bulloni: Fv,Ed=0.73 Fv,Rd=9650.97
Rifollamento lato piastra: Fb,Ed,p=0.73 Fb,Rd,p=7479.32
Tirafondi:LT=0.45 (0.31) σ_{cR}=0.00 σ_{fR}=0.00
Compressione nel calcestruzzo: σ_c=14.34
CC 10 SLD (Collegamento 0021_-378)
Azioni sul collegamento: N=-6829.81 Ty=3.47 Tz=-0.08 Mx=0.00 Mz=2.64
Sollecitazioni agenti localmente: Tx_l=3.47 Ty_l=-0.08 N_l=-6829.81 Mx_l=-0.00 My_l=2.64 Mz_l=0.00
Taglio nei bulloni: Fv,Ed=0.58 Fv,Rd=9650.97
Rifollamento lato piastra: Fb,Ed,p=0.58 Fb,Rd,p=7482.43
Tirafondi:LT=0.45 (0.31) σ_{cR}=0.00 σ_{fR}=0.00
Compressione nel calcestruzzo: σ_c=14.26
CC 10 SLD (Collegamento 0021_-378)
Azioni sul collegamento: N=-6829.81 Ty=4.36 Tz=1.85 Mx=0.00 Mz=4.10
Sollecitazioni agenti localmente: Tx_l=4.36 Ty_l=1.85 N_l=-6829.81 Mx_l=-0.00 My_l=4.10 Mz_l=0.00
Taglio nei bulloni: Fv,Ed=0.79 Fv,Rd=9650.97
Rifollamento lato piastra: Fb,Ed,p=0.79 Fb,Rd,p=9425.82
Tirafondi:LT=0.45 (0.31) σ_{cR}=0.00 σ_{fR}=0.00
Compressione nel calcestruzzo: σ_c=14.34
CC 10 SLD (Collegamento 0021_-378)
Azioni sul collegamento: N=-6829.81 Ty=3.47 Tz=1.85 Mx=0.00 Mz=2.64
Sollecitazioni agenti localmente: Tx_l=3.47 Ty_l=1.85 N_l=-6829.81 Mx_l=-0.00 My_l=2.64 Mz_l=0.00
Taglio nei bulloni: Fv,Ed=0.66 Fv,Rd=9650.97
Rifollamento lato piastra: Fb,Ed,p=0.66 Fb,Rd,p=10577.70
Tirafondi:LT=0.45 (0.31) σ_{cR}=0.00 σ_{fR}=0.00
Compressione nel calcestruzzo: σ_c=14.26
CC 11 SLV (Collegamento 0021_-378)
Azioni sul collegamento: N=-7401.56 Ty=5.40 Tz=3.74 Mx=0.02 Mz=7.25
Sollecitazioni agenti localmente: Tx_l=5.40 Ty_l=3.74 N_l=-7401.56 Mx_l=-0.00 My_l=7.25 Mz_l=0.02
Taglio nei bulloni: Fv,Ed=1.12 Fv,Rd=7720.78
Rifollamento lato piastra: Fb,Ed,p=1.10 Fb,Rd,p=9909.74
Tirafondi:LT=0.45 (0.31) σ_{cR}=0.00 σ_{fR}=0.00
Compressione nel calcestruzzo: σ_c=15.70
CC 11 SLV (Collegamento 0021_-378)
Azioni sul collegamento: N=-7401.56 Ty=4.11 Tz=3.74 Mx=0.02 Mz=3.66
Sollecitazioni agenti localmente: Tx_l=4.11 Ty_l=3.74 N_l=-7401.56 Mx_l=-0.00 My_l=3.66 Mz_l=0.02
Taglio nei bulloni: Fv,Ed=0.95 Fv,Rd=7720.78
Rifollamento lato piastra: Fb,Ed,p=0.93 Fb,Rd,p=11188.50
Tirafondi:LT=0.45 (0.31) σ_{cR}=0.00 σ_{fR}=0.00
Compressione nel calcestruzzo: σ_c=15.50
CC 11 SLV (Collegamento 0021_-378)
Azioni sul collegamento: N=-7401.56 Ty=5.40 Tz=-1.71 Mx=0.02 Mz=7.25
Sollecitazioni agenti localmente: Tx_l=5.40 Ty_l=-1.71 N_l=-7401.56 Mx_l=-0.00 My_l=7.25 Mz_l=0.02
Taglio nei bulloni: Fv,Ed=0.97 Fv,Rd=7720.78
Rifollamento lato piastra: Fb,Ed,p=0.97 Fb,Rd,p=6959.87
Tirafondi:LT=0.45 (0.31) σ_{cR}=0.00 σ_{fR}=0.00
Compressione nel calcestruzzo: σ_c=15.70
CC 11 SLV (Collegamento 0021_-378)
Azioni sul collegamento: N=-7401.56 Ty=4.11 Tz=-1.71 Mx=0.02 Mz=3.66
Sollecitazioni agenti localmente: Tx_l=4.11 Ty_l=-1.71 N_l=-7401.56 Mx_l=-0.00 My_l=3.66 Mz_l=0.02
Taglio nei bulloni: Fv,Ed=0.77 Fv,Rd=7720.78

Rifollamento lato piastra: Fb,Ed,p=0.77 Fb,Rd,p=7657.61
Tirafondi:LT=0.45 (0.31) σ_{cR}=0.00 σ_{fR}=0.00
Compressione nel calcestruzzo: σ_c=15.50
CC 11 SLV (Collegamento 0021_-378)
Azioni sul collegamento: N=-5833.17 Ty=5.40 Tz=3.74 Mx=0.02 Mz=7.25
Sollecitazioni agenti localmente: Tx_l=5.40 Ty_l=3.74 N_l=-5833.17 Mx_l=-0.00 My_l=7.25 Mz_l=0.02
Taglio nei bulloni: Fv,Ed=1.12 Fv,Rd=7720.78
Rifollamento lato piastra: Fb,Ed,p=1.10 Fb,Rd,p=9909.80
Tirafondi:LT=0.45 (0.31) σ_{cR}=0.00 σ_{fR}=0.00
Compressione nel calcestruzzo: σ_c=12.46
CC 11 SLV (Collegamento 0021_-378)
Azioni sul collegamento: N=-5833.17 Ty=4.11 Tz=3.74 Mx=0.02 Mz=3.66
Sollecitazioni agenti localmente: Tx_l=4.11 Ty_l=3.74 N_l=-5833.17 Mx_l=-0.00 My_l=3.66 Mz_l=0.02
Taglio nei bulloni: Fv,Ed=0.95 Fv,Rd=7720.78
Rifollamento lato piastra: Fb,Ed,p=0.93 Fb,Rd,p=11188.50
Tirafondi:LT=0.45 (0.31) σ_{cR}=0.00 σ_{fR}=0.00
Compressione nel calcestruzzo: σ_c=12.26
CC 11 SLV (Collegamento 0021_-378)
Azioni sul collegamento: N=-5833.17 Ty=5.40 Tz=-1.71 Mx=0.02 Mz=7.25
Sollecitazioni agenti localmente: Tx_l=5.40 Ty_l=-1.71 N_l=-5833.17 Mx_l=-0.00 My_l=7.25 Mz_l=0.02
Taglio nei bulloni: Fv,Ed=0.97 Fv,Rd=7720.78
Rifollamento lato piastra: Fb,Ed,p=0.97 Fb,Rd,p=6959.97
Tirafondi:LT=0.45 (0.31) σ_{cR}=0.00 σ_{fR}=0.00
Compressione nel calcestruzzo: σ_c=12.46
CC 11 SLV (Collegamento 0021_-378)
Azioni sul collegamento: N=-5833.17 Ty=4.11 Tz=-1.71 Mx=0.02 Mz=3.66
Sollecitazioni agenti localmente: Tx_l=4.11 Ty_l=-1.71 N_l=-5833.17 Mx_l=-0.00 My_l=3.66 Mz_l=0.02
Taglio nei bulloni: Fv,Ed=0.77 Fv,Rd=7720.78
Rifollamento lato piastra: Fb,Ed,p=0.77 Fb,Rd,p=7657.80
Tirafondi:LT=0.45 (0.31) σ_{cR}=0.00 σ_{fR}=0.00
Compressione nel calcestruzzo: σ_c=12.26
CC 12 SLD (Collegamento 0021_-378)
Azioni sul collegamento: N=-6824.03 Ty=4.11 Tz=1.72 Mx=0.00 Mz=3.92
Sollecitazioni agenti localmente: Tx_l=4.11 Ty_l=1.72 N_l=-6824.03 Mx_l=-0.00 My_l=3.92 Mz_l=0.00
Taglio nei bulloni: Fv,Ed=0.75 Fv,Rd=9650.97
Rifollamento lato piastra: Fb,Ed,p=0.74 Fb,Rd,p=9372.12
Tirafondi:LT=0.45 (0.31) σ_{cR}=0.00 σ_{fR}=0.00
Compressione nel calcestruzzo: σ_c=14.32
CC 12 SLD (Collegamento 0021_-378)
Azioni sul collegamento: N=-6824.03 Ty=3.72 Tz=1.72 Mx=0.00 Mz=2.82
Sollecitazioni agenti localmente: Tx_l=3.72 Ty_l=1.72 N_l=-6824.03 Mx_l=-0.00 My_l=2.82 Mz_l=0.00
Taglio nei bulloni: Fv,Ed=0.69 Fv,Rd=9650.97
Rifollamento lato piastra: Fb,Ed,p=0.68 Fb,Rd,p=9798.39
Tirafondi:LT=0.45 (0.31) σ_{cR}=0.00 σ_{fR}=0.00
Compressione nel calcestruzzo: σ_c=14.26
CC 12 SLD (Collegamento 0021_-378)
Azioni sul collegamento: N=-6824.03 Ty=4.11 Tz=0.05 Mx=0.00 Mz=3.92
Sollecitazioni agenti localmente: Tx_l=4.11 Ty_l=0.05 N_l=-6824.03 Mx_l=-0.00 My_l=3.92 Mz_l=0.00
Taglio nei bulloni: Fv,Ed=0.69 Fv,Rd=9650.97
Rifollamento lato piastra: Fb,Ed,p=0.69 Fb,Rd,p=7474.82
Tirafondi:LT=0.45 (0.31) σ_{cR}=0.00 σ_{fR}=0.00
Compressione nel calcestruzzo: σ_c=14.32
CC 12 SLD (Collegamento 0021_-378)
Azioni sul collegamento: N=-6824.03 Ty=3.72 Tz=0.05 Mx=0.00 Mz=2.82
Sollecitazioni agenti localmente: Tx_l=3.72 Ty_l=0.05 N_l=-6824.03 Mx_l=-0.00 My_l=2.82 Mz_l=0.00
Taglio nei bulloni: Fv,Ed=0.62 Fv,Rd=9650.97
Rifollamento lato piastra: Fb,Ed,p=0.62 Fb,Rd,p=7475.00
Tirafondi:LT=0.45 (0.31) σ_{cR}=0.00 σ_{fR}=0.00
Compressione nel calcestruzzo: σ_c=14.26
CC 12 SLD (Collegamento 0021_-378)
Azioni sul collegamento: N=-6345.78 Ty=4.11 Tz=1.72 Mx=0.00 Mz=3.92
Sollecitazioni agenti localmente: Tx_l=4.11 Ty_l=1.72 N_l=-6345.78 Mx_l=-0.00 My_l=3.92 Mz_l=0.00
Taglio nei bulloni: Fv,Ed=0.75 Fv,Rd=9650.97
Rifollamento lato piastra: Fb,Ed,p=0.74 Fb,Rd,p=9372.39
Tirafondi:LT=0.45 (0.31) σ_{cR}=0.00 σ_{fR}=0.00
Compressione nel calcestruzzo: σ_c=13.33
CC 12 SLD (Collegamento 0021_-378)
Azioni sul collegamento: N=-6345.78 Ty=3.72 Tz=1.72 Mx=0.00 Mz=2.82
Sollecitazioni agenti localmente: Tx_l=3.72 Ty_l=1.72 N_l=-6345.78 Mx_l=-0.00 My_l=2.82 Mz_l=0.00
Taglio nei bulloni: Fv,Ed=0.69 Fv,Rd=9650.97
Rifollamento lato piastra: Fb,Ed,p=0.68 Fb,Rd,p=9798.70
Tirafondi:LT=0.45 (0.31) σ_{cR}=0.00 σ_{fR}=0.00
Compressione nel calcestruzzo: σ_c=13.27
CC 12 SLD (Collegamento 0021_-378)
Azioni sul collegamento: N=-6345.78 Ty=4.11 Tz=0.05 Mx=0.00 Mz=3.92
Sollecitazioni agenti localmente: Tx_l=4.11 Ty_l=0.05 N_l=-6345.78 Mx_l=-0.00 My_l=3.92 Mz_l=0.00
Taglio nei bulloni: Fv,Ed=0.69 Fv,Rd=9650.97
Rifollamento lato piastra: Fb,Ed,p=0.69 Fb,Rd,p=7474.81
Tirafondi:LT=0.45 (0.31) σ_{cR}=0.00 σ_{fR}=0.00
Compressione nel calcestruzzo: σ_c=13.33

CC 12 SLD (Collegamento 0021_-378)
Azioni sul collegamento: N=-6345.78 Ty=3.72 Tz=0.05 Mx=0.00 Mz=2.82
Sollecitazioni agenti localmente: Tx_l=3.72 Ty_l=0.05 N_l=-6345.78 Mx_l=-0.00 My_l=2.82 Mz_l=0.00
Taglio nei bulloni: Fv,Ed=0.62 Fv,Rd=9650.97
Rifollamento lato piastra: Fb,Ed,p=0.62 Fb,Rd,p=7474.99
Tirafondi:LT=0.45 (0.31) σ_{cR}=0.00 σ_{fR}=0.00
Compressione nel calcestruzzo: σ_c=13.27
CC 13 SLV (Collegamento 0021_-378)
Azioni sul collegamento: N=-5833.17 Ty=4.11 Tz=-1.71 Mx=0.00 Mz=3.66
Sollecitazioni agenti localmente: Tx_l=4.11 Ty_l=-1.71 N_l=-5833.17 Mx_l=-0.00 My_l=3.66 Mz_l=0.00
Taglio nei bulloni: Fv,Ed=0.75 Fv,Rd=7720.78
Rifollamento lato piastra: Fb,Ed,p=0.75 Fb,Rd,p=7550.17
Tirafondi:LT=0.45 (0.31) σ_{cR}=0.00 σ_{fR}=0.00
Compressione nel calcestruzzo: σ_c=12.26
CC 13 SLV (Collegamento 0021_-378)
Azioni sul collegamento: N=-5833.17 Ty=5.40 Tz=-1.71 Mx=0.00 Mz=7.25
Sollecitazioni agenti localmente: Tx_l=5.40 Ty_l=-1.71 N_l=-5833.17 Mx_l=-0.00 My_l=7.25 Mz_l=0.00
Taglio nei bulloni: Fv,Ed=0.95 Fv,Rd=7720.78
Rifollamento lato piastra: Fb,Ed,p=0.95 Fb,Rd,p=6886.87
Tirafondi:LT=0.45 (0.31) σ_{cR}=0.00 σ_{fR}=0.00
Compressione nel calcestruzzo: σ_c=12.46
CC 13 SLV (Collegamento 0021_-378)
Azioni sul collegamento: N=-5833.17 Ty=4.11 Tz=3.74 Mx=0.00 Mz=3.66
Sollecitazioni agenti localmente: Tx_l=4.11 Ty_l=3.74 N_l=-5833.17 Mx_l=-0.00 My_l=3.66 Mz_l=0.00
Taglio nei bulloni: Fv,Ed=0.93 Fv,Rd=7720.78
Rifollamento lato piastra: Fb,Ed,p=0.93 Fb,Rd,p=11443.60
Tirafondi:LT=0.45 (0.31) σ_{cR}=0.00 σ_{fR}=0.00
Compressione nel calcestruzzo: σ_c=12.26
CC 13 SLV (Collegamento 0021_-378)
Azioni sul collegamento: N=-5833.17 Ty=5.40 Tz=3.74 Mx=0.00 Mz=7.25
Sollecitazioni agenti localmente: Tx_l=5.40 Ty_l=3.74 N_l=-5833.17 Mx_l=-0.00 My_l=7.25 Mz_l=0.00
Taglio nei bulloni: Fv,Ed=1.10 Fv,Rd=7720.78
Rifollamento lato piastra: Fb,Ed,p=1.10 Fb,Rd,p=10298.60
Tirafondi:LT=0.45 (0.31) σ_{cR}=0.00 σ_{fR}=0.00
Compressione nel calcestruzzo: σ_c=12.46
CC 13 SLV (Collegamento 0021_-378)
Azioni sul collegamento: N=-7401.56 Ty=4.11 Tz=-1.71 Mx=0.00 Mz=3.66
Sollecitazioni agenti localmente: Tx_l=4.11 Ty_l=-1.71 N_l=-7401.56 Mx_l=-0.00 My_l=3.66 Mz_l=0.00
Taglio nei bulloni: Fv,Ed=0.75 Fv,Rd=7720.78
Rifollamento lato piastra: Fb,Ed,p=0.75 Fb,Rd,p=7549.98
Tirafondi:LT=0.45 (0.31) σ_{cR}=0.00 σ_{fR}=0.00
Compressione nel calcestruzzo: σ_c=15.50
CC 13 SLV (Collegamento 0021_-378)
Azioni sul collegamento: N=-7401.56 Ty=5.40 Tz=-1.71 Mx=0.00 Mz=7.25
Sollecitazioni agenti localmente: Tx_l=5.40 Ty_l=-1.71 N_l=-7401.56 Mx_l=-0.00 My_l=7.25 Mz_l=0.00
Taglio nei bulloni: Fv,Ed=0.95 Fv,Rd=7720.78
Rifollamento lato piastra: Fb,Ed,p=0.95 Fb,Rd,p=6886.76
Tirafondi:LT=0.45 (0.31) σ_{cR}=0.00 σ_{fR}=0.00
Compressione nel calcestruzzo: σ_c=15.70
CC 13 SLV (Collegamento 0021_-378)
Azioni sul collegamento: N=-7401.56 Ty=4.11 Tz=3.74 Mx=0.00 Mz=3.66
Sollecitazioni agenti localmente: Tx_l=4.11 Ty_l=3.74 N_l=-7401.56 Mx_l=-0.00 My_l=3.66 Mz_l=0.00
Taglio nei bulloni: Fv,Ed=0.93 Fv,Rd=7720.78
Rifollamento lato piastra: Fb,Ed,p=0.93 Fb,Rd,p=11443.60
Tirafondi:LT=0.45 (0.31) σ_{cR}=0.00 σ_{fR}=0.00
Compressione nel calcestruzzo: σ_c=15.50
CC 13 SLV (Collegamento 0021_-378)
Azioni sul collegamento: N=-7401.56 Ty=5.40 Tz=3.74 Mx=0.00 Mz=7.25
Sollecitazioni agenti localmente: Tx_l=5.40 Ty_l=3.74 N_l=-7401.56 Mx_l=-0.00 My_l=7.25 Mz_l=0.00
Taglio nei bulloni: Fv,Ed=1.10 Fv,Rd=7720.78
Rifollamento lato piastra: Fb,Ed,p=1.10 Fb,Rd,p=10298.50
Tirafondi:LT=0.45 (0.31) σ_{cR}=0.00 σ_{fR}=0.00
Compressione nel calcestruzzo: σ_c=15.70
CC 14 SLD (Collegamento 0021_-378)
Azioni sul collegamento: N=-6345.78 Ty=3.72 Tz=0.05 Mx=-0.00 Mz=2.82
Sollecitazioni agenti localmente: Tx_l=3.72 Ty_l=0.05 N_l=-6345.78 Mx_l=-0.00 My_l=2.82 Mz_l=-0.00
Taglio nei bulloni: Fv,Ed=0.62 Fv,Rd=9650.97
Rifollamento lato piastra: Fb,Ed,p=0.62 Fb,Rd,p=7477.50
Tirafondi:LT=0.45 (0.31) σ_{cR}=0.00 σ_{fR}=0.00
Compressione nel calcestruzzo: σ_c=13.27
CC 14 SLD (Collegamento 0021_-378)
Azioni sul collegamento: N=-6345.78 Ty=4.11 Tz=0.05 Mx=-0.00 Mz=3.92
Sollecitazioni agenti localmente: Tx_l=4.11 Ty_l=0.05 N_l=-6345.78 Mx_l=-0.00 My_l=3.92 Mz_l=-0.00
Taglio nei bulloni: Fv,Ed=0.69 Fv,Rd=9650.97
Rifollamento lato piastra: Fb,Ed,p=0.69 Fb,Rd,p=7476.86
Tirafondi:LT=0.45 (0.31) σ_{cR}=0.00 σ_{fR}=0.00
Compressione nel calcestruzzo: σ_c=13.33
CC 14 SLD (Collegamento 0021_-378)
Azioni sul collegamento: N=-6345.78 Ty=3.72 Tz=1.72 Mx=-0.00 Mz=2.82
Sollecitazioni agenti localmente: Tx_l=3.72 Ty_l=1.72 N_l=-6345.78 Mx_l=-0.00 My_l=2.82 Mz_l=-0.00

Taglio nei bulloni: Fv,Ed=0.69 Fv,Rd=9650.97
Rifollamento lato piastra: Fb,Ed,p=0.69 Fb,Rd,p=9891.11
Tirafondi:LT=0.45 (0.31) σ_{cR}=0.00 σ_{fR}=0.00
Compressione nel calcestruzzo: σ_c=13.27
CC 14 SLD (Collegamento 0021_-378)
Azioni sul collegamento: N=-6345.78 Ty=4.11 Tz=1.72 Mx=-0.00 Mz=3.92
Sollecitazioni agenti localmente: Tx_l=4.11 Ty_l=1.72 N_l=-6345.78 Mx_l=-0.00 My_l=3.92 Mz_l=-0.00
Taglio nei bulloni: Fv,Ed=0.75 Fv,Rd=9650.97
Rifollamento lato piastra: Fb,Ed,p=0.75 Fb,Rd,p=9447.22
Tirafondi:LT=0.45 (0.31) σ_{cR}=0.00 σ_{fR}=0.00
Compressione nel calcestruzzo: σ_c=13.33
CC 14 SLD (Collegamento 0021_-378)
Azioni sul collegamento: N=-6824.03 Ty=3.72 Tz=0.05 Mx=-0.00 Mz=2.82
Sollecitazioni agenti localmente: Tx_l=3.72 Ty_l=0.05 N_l=-6824.03 Mx_l=-0.00 My_l=2.82 Mz_l=-0.00
Taglio nei bulloni: Fv,Ed=0.62 Fv,Rd=9650.97
Rifollamento lato piastra: Fb,Ed,p=0.62 Fb,Rd,p=7477.53
Tirafondi:LT=0.45 (0.31) σ_{cR}=0.00 σ_{fR}=0.00
Compressione nel calcestruzzo: σ_c=14.26
CC 14 SLD (Collegamento 0021_-378)
Azioni sul collegamento: N=-6824.03 Ty=4.11 Tz=0.05 Mx=-0.00 Mz=3.92
Sollecitazioni agenti localmente: Tx_l=4.11 Ty_l=0.05 N_l=-6824.03 Mx_l=-0.00 My_l=3.92 Mz_l=-0.00
Taglio nei bulloni: Fv,Ed=0.69 Fv,Rd=9650.97
Rifollamento lato piastra: Fb,Ed,p=0.69 Fb,Rd,p=7476.88
Tirafondi:LT=0.45 (0.31) σ_{cR}=0.00 σ_{fR}=0.00
Compressione nel calcestruzzo: σ_c=14.32
CC 14 SLD (Collegamento 0021_-378)
Azioni sul collegamento: N=-6824.03 Ty=3.72 Tz=1.72 Mx=-0.00 Mz=2.82
Sollecitazioni agenti localmente: Tx_l=3.72 Ty_l=1.72 N_l=-6824.03 Mx_l=-0.00 My_l=2.82 Mz_l=-0.00
Taglio nei bulloni: Fv,Ed=0.69 Fv,Rd=9650.97
Rifollamento lato piastra: Fb,Ed,p=0.69 Fb,Rd,p=9890.78
Tirafondi:LT=0.45 (0.31) σ_{cR}=0.00 σ_{fR}=0.00
Compressione nel calcestruzzo: σ_c=14.26
CC 14 SLD (Collegamento 0021_-378)
Azioni sul collegamento: N=-6824.03 Ty=4.11 Tz=1.72 Mx=-0.00 Mz=3.92
Sollecitazioni agenti localmente: Tx_l=4.11 Ty_l=1.72 N_l=-6824.03 Mx_l=-0.00 My_l=3.92 Mz_l=-0.00
Taglio nei bulloni: Fv,Ed=0.75 Fv,Rd=9650.97
Rifollamento lato piastra: Fb,Ed,p=0.75 Fb,Rd,p=9446.95
Tirafondi:LT=0.45 (0.31) σ_{cR}=0.00 σ_{fR}=0.00
Compressione nel calcestruzzo: σ_c=14.32
CC 15 SLV (Collegamento 0021_-378)
Azioni sul collegamento: N=-7420.50 Ty=3.29 Tz=4.16 Mx=0.00 Mz=3.06
Sollecitazioni agenti localmente: Tx_l=3.29 Ty_l=4.16 N_l=-7420.50 Mx_l=-0.00 My_l=3.06 Mz_l=0.00
Taglio nei bulloni: Fv,Ed=0.89 Fv,Rd=7720.78
Rifollamento lato piastra: Fb,Ed,p=0.89 Fb,Rd,p=10833.70
Tirafondi:LT=0.45 (0.31) σ_{cR}=0.00 σ_{fR}=0.00
Compressione nel calcestruzzo: σ_c=15.50
CC 15 SLV (Collegamento 0021_-378)
Azioni sul collegamento: N=-7420.50 Ty=6.23 Tz=4.16 Mx=0.00 Mz=7.84
Sollecitazioni agenti localmente: Tx_l=6.23 Ty_l=4.16 N_l=-7420.50 Mx_l=-0.00 My_l=7.84 Mz_l=0.00
Taglio nei bulloni: Fv,Ed=1.25 Fv,Rd=7720.78
Rifollamento lato piastra: Fb,Ed,p=1.25 Fb,Rd,p=10036.90
Tirafondi:LT=0.45 (0.31) σ_{cR}=0.00 σ_{fR}=0.00
Compressione nel calcestruzzo: σ_c=15.77
CC 15 SLV (Collegamento 0021_-378)
Azioni sul collegamento: N=-7420.50 Ty=3.29 Tz=-2.14 Mx=0.00 Mz=3.06
Sollecitazioni agenti localmente: Tx_l=3.29 Ty_l=-2.14 N_l=-7420.50 Mx_l=-0.00 My_l=3.06 Mz_l=0.00
Taglio nei bulloni: Fv,Ed=0.66 Fv,Rd=7720.78
Rifollamento lato piastra: Fb,Ed,p=0.66 Fb,Rd,p=9848.24
Tirafondi:LT=0.45 (0.31) σ_{cR}=0.00 σ_{fR}=0.00
Compressione nel calcestruzzo: σ_c=15.50
CC 15 SLV (Collegamento 0021_-378)
Azioni sul collegamento: N=-7420.50 Ty=6.23 Tz=-2.14 Mx=0.00 Mz=7.84
Sollecitazioni agenti localmente: Tx_l=6.23 Ty_l=-2.14 N_l=-7420.50 Mx_l=-0.00 My_l=7.84 Mz_l=0.00
Taglio nei bulloni: Fv,Ed=1.10 Fv,Rd=7720.78
Rifollamento lato piastra: Fb,Ed,p=1.10 Fb,Rd,p=7041.55
Tirafondi:LT=0.45 (0.31) σ_{cR}=0.00 σ_{fR}=0.00
Compressione nel calcestruzzo: σ_c=15.77
CC 15 SLV (Collegamento 0021_-378)
Azioni sul collegamento: N=-5814.22 Ty=3.29 Tz=4.16 Mx=0.00 Mz=3.06
Sollecitazioni agenti localmente: Tx_l=3.29 Ty_l=4.16 N_l=-5814.22 Mx_l=-0.00 My_l=3.06 Mz_l=0.00
Taglio nei bulloni: Fv,Ed=0.89 Fv,Rd=7720.78
Rifollamento lato piastra: Fb,Ed,p=0.89 Fb,Rd,p=10833.80
Tirafondi:LT=0.45 (0.31) σ_{cR}=0.00 σ_{fR}=0.00
Compressione nel calcestruzzo: σ_c=12.19
CC 15 SLV (Collegamento 0021_-378)
Azioni sul collegamento: N=-5814.22 Ty=6.23 Tz=4.16 Mx=0.00 Mz=7.84
Sollecitazioni agenti localmente: Tx_l=6.23 Ty_l=4.16 N_l=-5814.22 Mx_l=-0.00 My_l=7.84 Mz_l=0.00
Taglio nei bulloni: Fv,Ed=1.25 Fv,Rd=7720.78
Rifollamento lato piastra: Fb,Ed,p=1.25 Fb,Rd,p=10036.70
Tirafondi:LT=0.45 (0.31) σ_{cR}=0.00 σ_{fR}=0.00

Compressione nel calcestruzzo: σ_c=12.45
CC 15 SLV (Collegamento 0021_-378)
Azioni sul collegamento: N=-5814.22 Ty=3.29 Tz=-2.14 Mx=0.00 Mz=3.06
Sollecitazioni agenti localmente: Tx_l=3.29 Ty_l=-2.14 N_l=-5814.22 Mx_l=-0.00 My_l=3.06 Mz_l=0.00
Taglio nei bulloni: Fv,Ed=0.66 Fv,Rd=7720.78
Rifollamento lato piastra: Fb,Ed,p=0.66 Fb,Rd,p=9848.61
Tirafondi:LT=0.45 (0.31) σ_{cR}=0.00 σ_{fR}=0.00
Compressione nel calcestruzzo: σ_c=12.19
CC 15 SLV (Collegamento 0021_-378)
Azioni sul collegamento: N=-5814.22 Ty=6.23 Tz=-2.14 Mx=0.00 Mz=7.84
Sollecitazioni agenti localmente: Tx_l=6.23 Ty_l=-2.14 N_l=-5814.22 Mx_l=-0.00 My_l=7.84 Mz_l=0.00
Taglio nei bulloni: Fv,Ed=1.10 Fv,Rd=7720.78
Rifollamento lato piastra: Fb,Ed,p=1.10 Fb,Rd,p=7041.65
Tirafondi:LT=0.45 (0.31) σ_{cR}=0.00 σ_{fR}=0.00
Compressione nel calcestruzzo: σ_c=12.45
CC 16 SLD (Collegamento 0021_-378)
Azioni sul collegamento: N=-6829.81 Ty=3.47 Tz=1.85 Mx=-0.00 Mz=2.64
Sollecitazioni agenti localmente: Tx_l=3.47 Ty_l=1.85 N_l=-6829.81 Mx_l=-0.00 My_l=2.64 Mz_l=-0.00
Taglio nei bulloni: Fv,Ed=0.66 Fv,Rd=9650.97
Rifollamento lato piastra: Fb,Ed,p=0.66 Fb,Rd,p=10706.00
Tirafondi:LT=0.45 (0.31) σ_{cR}=0.00 σ_{fR}=0.00
Compressione nel calcestruzzo: σ_c=14.26
CC 16 SLD (Collegamento 0021_-378)
Azioni sul collegamento: N=-6829.81 Ty=4.36 Tz=1.85 Mx=-0.00 Mz=4.10
Sollecitazioni agenti localmente: Tx_l=4.36 Ty_l=1.85 N_l=-6829.81 Mx_l=-0.00 My_l=4.10 Mz_l=-0.00
Taglio nei bulloni: Fv,Ed=0.79 Fv,Rd=9650.97
Rifollamento lato piastra: Fb,Ed,p=0.79 Fb,Rd,p=9505.04
Tirafondi:LT=0.45 (0.31) σ_{cR}=0.00 σ_{fR}=0.00
Compressione nel calcestruzzo: σ_c=14.34
CC 16 SLD (Collegamento 0021_-378)
Azioni sul collegamento: N=-6829.81 Ty=3.47 Tz=-0.08 Mx=-0.00 Mz=2.64
Sollecitazioni agenti localmente: Tx_l=3.47 Ty_l=-0.08 N_l=-6829.81 Mx_l=-0.00 My_l=2.64 Mz_l=-0.00
Taglio nei bulloni: Fv,Ed=0.58 Fv,Rd=9650.97
Rifollamento lato piastra: Fb,Ed,p=0.58 Fb,Rd,p=7477.47
Tirafondi:LT=0.45 (0.31) σ_{cR}=0.00 σ_{fR}=0.00
Compressione nel calcestruzzo: σ_c=14.26
CC 16 SLD (Collegamento 0021_-378)
Azioni sul collegamento: N=-6829.81 Ty=4.36 Tz=-0.08 Mx=-0.00 Mz=4.10
Sollecitazioni agenti localmente: Tx_l=4.36 Ty_l=-0.08 N_l=-6829.81 Mx_l=-0.00 My_l=4.10 Mz_l=-0.00
Taglio nei bulloni: Fv,Ed=0.73 Fv,Rd=9650.97
Rifollamento lato piastra: Fb,Ed,p=0.73 Fb,Rd,p=7476.18
Tirafondi:LT=0.45 (0.31) σ_{cR}=0.00 σ_{fR}=0.00
Compressione nel calcestruzzo: σ_c=14.34
CC 16 SLD (Collegamento 0021_-378)
Azioni sul collegamento: N=-6340.00 Ty=3.47 Tz=1.85 Mx=-0.00 Mz=2.64
Sollecitazioni agenti localmente: Tx_l=3.47 Ty_l=1.85 N_l=-6340.00 Mx_l=-0.00 My_l=2.64 Mz_l=-0.00
Taglio nei bulloni: Fv,Ed=0.66 Fv,Rd=9650.97
Rifollamento lato piastra: Fb,Ed,p=0.66 Fb,Rd,p=10704.90
Tirafondi:LT=0.45 (0.31) σ_{cR}=0.00 σ_{fR}=0.00
Compressione nel calcestruzzo: σ_c=13.25
CC 16 SLD (Collegamento 0021_-378)
Azioni sul collegamento: N=-6340.00 Ty=4.36 Tz=1.85 Mx=-0.00 Mz=4.10
Sollecitazioni agenti localmente: Tx_l=4.36 Ty_l=1.85 N_l=-6340.00 Mx_l=-0.00 My_l=4.10 Mz_l=-0.00
Taglio nei bulloni: Fv,Ed=0.79 Fv,Rd=9650.97
Rifollamento lato piastra: Fb,Ed,p=0.79 Fb,Rd,p=9504.35
Tirafondi:LT=0.45 (0.31) σ_{cR}=0.00 σ_{fR}=0.00
Compressione nel calcestruzzo: σ_c=13.33
CC 16 SLD (Collegamento 0021_-378)
Azioni sul collegamento: N=-6340.00 Ty=3.47 Tz=-0.08 Mx=-0.00 Mz=2.64
Sollecitazioni agenti localmente: Tx_l=3.47 Ty_l=-0.08 N_l=-6340.00 Mx_l=-0.00 My_l=2.64 Mz_l=-0.00
Taglio nei bulloni: Fv,Ed=0.58 Fv,Rd=9650.97
Rifollamento lato piastra: Fb,Ed,p=0.58 Fb,Rd,p=7477.43
Tirafondi:LT=0.45 (0.31) σ_{cR}=0.00 σ_{fR}=0.00
Compressione nel calcestruzzo: σ_c=13.25
CC 16 SLD (Collegamento 0021_-378)
Azioni sul collegamento: N=-6340.00 Ty=4.36 Tz=-0.08 Mx=-0.00 Mz=4.10
Sollecitazioni agenti localmente: Tx_l=4.36 Ty_l=-0.08 N_l=-6340.00 Mx_l=-0.00 My_l=4.10 Mz_l=-0.00
Taglio nei bulloni: Fv,Ed=0.73 Fv,Rd=9650.97
Rifollamento lato piastra: Fb,Ed,p=0.73 Fb,Rd,p=7476.15
Tirafondi:LT=0.45 (0.31) σ_{cR}=0.00 σ_{fR}=0.00
Compressione nel calcestruzzo: σ_c=13.33
CC 17 SLV (Collegamento 0021_-378)
Azioni sul collegamento: N=-3875.57 Ty=0.64 Tz=-9.21 Mx=-0.02 Mz=1.09
Sollecitazioni agenti localmente: Tx_l=0.64 Ty_l=-9.21 N_l=-3875.57 Mx_l=-0.00 My_l=1.09 Mz_l=-0.02
Taglio nei bulloni: Fv,Ed=1.56 Fv,Rd=7720.78
Rifollamento lato piastra: Fb,Ed,p=1.56 Fb,Rd,p=6040.86
Tirafondi:LT=0.45 (0.31) σ_{cR}=0.00 σ_{fR}=0.00
Compressione nel calcestruzzo: σ_c=8.07
CC 17 SLV (Collegamento 0021_-378)
Azioni sul collegamento: N=-3875.57 Ty=4.02 Tz=-9.21 Mx=-0.02 Mz=-2.16

Sollecitazioni agenti localmente: Tx_l=4.02 Ty_l=-9.21 N_l=-3875.57 Mx_l=-0.00 My_l=-2.16 Mz_l=-0.02
Taglio nei bulloni: Fv,Ed=1.71 Fv,Rd=7720.78
Rifollamento lato piastra: Fb,Ed,p=1.71 Fb,Rd,p=7758.75
Tirafondi:LT=0.45 (0.31) σ_{cR}=0.00 σ_{fR}=0.00
Compressione nel calcestruzzo: σ_c=8.13
CC 17 SLV (Collegamento 0021_-378)
Azioni sul collegamento: N=-3875.57 Ty=0.64 Tz=10.50 Mx=-0.02 Mz=1.09
Sollecitazioni agenti localmente: Tx_l=0.64 Ty_l=10.50 N_l=-3875.57 Mx_l=-0.00 My_l=1.09 Mz_l=-0.02
Taglio nei bulloni: Fv,Ed=1.78 Fv,Rd=7720.78
Rifollamento lato piastra: Fb,Ed,p=1.78 Fb,Rd,p=5998.65
Tirafondi:LT=0.45 (0.31) σ_{cR}=0.00 σ_{fR}=0.00
Compressione nel calcestruzzo: σ_c=8.07
CC 17 SLV (Collegamento 0021_-378)
Azioni sul collegamento: N=-3875.57 Ty=4.02 Tz=10.50 Mx=-0.02 Mz=-2.16
Sollecitazioni agenti localmente: Tx_l=4.02 Ty_l=10.50 N_l=-3875.57 Mx_l=-0.00 My_l=-2.16 Mz_l=-0.02
Taglio nei bulloni: Fv,Ed=1.90 Fv,Rd=7720.78
Rifollamento lato piastra: Fb,Ed,p=1.89 Fb,Rd,p=7168.80
Tirafondi:LT=0.45 (0.31) σ_{cR}=0.00 σ_{fR}=0.00
Compressione nel calcestruzzo: σ_c=8.13
CC 17 SLV (Collegamento 0021_-378)
Azioni sul collegamento: N=-9172.38 Ty=0.64 Tz=-9.21 Mx=-0.02 Mz=1.09
Sollecitazioni agenti localmente: Tx_l=0.64 Ty_l=-9.21 N_l=-9172.38 Mx_l=-0.00 My_l=1.09 Mz_l=-0.02
Taglio nei bulloni: Fv,Ed=1.56 Fv,Rd=7720.78
Rifollamento lato piastra: Fb,Ed,p=1.56 Fb,Rd,p=6040.86
Tirafondi:LT=0.45 (0.31) σ_{cR}=0.00 σ_{fR}=0.00
Compressione nel calcestruzzo: σ_c=19.01
CC 17 SLV (Collegamento 0021_-378)
Azioni sul collegamento: N=-9172.38 Ty=4.02 Tz=-9.21 Mx=-0.02 Mz=-2.16
Sollecitazioni agenti localmente: Tx_l=4.02 Ty_l=-9.21 N_l=-9172.38 Mx_l=-0.00 My_l=-2.16 Mz_l=-0.02
Taglio nei bulloni: Fv,Ed=1.71 Fv,Rd=7720.78
Rifollamento lato piastra: Fb,Ed,p=1.71 Fb,Rd,p=7758.92
Tirafondi:LT=0.45 (0.31) σ_{cR}=0.00 σ_{fR}=0.00
Compressione nel calcestruzzo: σ_c=19.07
CC 17 SLV (Collegamento 0021_-378)
Azioni sul collegamento: N=-9172.38 Ty=0.64 Tz=10.50 Mx=-0.02 Mz=1.09
Sollecitazioni agenti localmente: Tx_l=0.64 Ty_l=10.50 N_l=-9172.38 Mx_l=-0.00 My_l=1.09 Mz_l=-0.02
Taglio nei bulloni: Fv,Ed=1.78 Fv,Rd=7720.78
Rifollamento lato piastra: Fb,Ed,p=1.78 Fb,Rd,p=5998.64
Tirafondi:LT=0.45 (0.31) σ_{cR}=0.00 σ_{fR}=0.00
Compressione nel calcestruzzo: σ_c=19.01
CC 17 SLV (Collegamento 0021_-378)
Azioni sul collegamento: N=-9172.38 Ty=4.02 Tz=10.50 Mx=-0.02 Mz=-2.16
Sollecitazioni agenti localmente: Tx_l=4.02 Ty_l=10.50 N_l=-9172.38 Mx_l=-0.00 My_l=-2.16 Mz_l=-0.02
Taglio nei bulloni: Fv,Ed=1.90 Fv,Rd=7720.78
Rifollamento lato piastra: Fb,Ed,p=1.89 Fb,Rd,p=7168.75
Tirafondi:LT=0.45 (0.31) σ_{cR}=0.00 σ_{fR}=0.00
Compressione nel calcestruzzo: σ_c=19.07
CC 18 SLD (Collegamento 0021_-378)
Azioni sul collegamento: N=-5748.85 Ty=3.69 Tz=-2.23 Mx=-0.01 Mz=2.04
Sollecitazioni agenti localmente: Tx_l=3.69 Ty_l=-2.23 N_l=-5748.85 Mx_l=-0.00 My_l=2.04 Mz_l=-0.01
Taglio nei bulloni: Fv,Ed=0.73 Fv,Rd=9650.97
Rifollamento lato piastra: Fb,Ed,p=0.72 Fb,Rd,p=11287.00
Tirafondi:LT=0.45 (0.31) σ_{cR}=0.00 σ_{fR}=0.00
Compressione nel calcestruzzo: σ_c=11.99
CC 18 SLD (Collegamento 0021_-378)
Azioni sul collegamento: N=-5748.85 Ty=2.66 Tz=-2.23 Mx=-0.01 Mz=1.05
Sollecitazioni agenti localmente: Tx_l=2.66 Ty_l=-2.23 N_l=-5748.85 Mx_l=-0.00 My_l=1.05 Mz_l=-0.01
Taglio nei bulloni: Fv,Ed=0.59 Fv,Rd=9650.97
Rifollamento lato piastra: Fb,Ed,p=0.58 Fb,Rd,p=13601.00
Tirafondi:LT=0.45 (0.31) σ_{cR}=0.00 σ_{fR}=0.00
Compressione nel calcestruzzo: σ_c=11.94
CC 18 SLD (Collegamento 0021_-378)
Azioni sul collegamento: N=-5748.85 Ty=3.69 Tz=3.78 Mx=-0.01 Mz=2.04
Sollecitazioni agenti localmente: Tx_l=3.69 Ty_l=3.78 N_l=-5748.85 Mx_l=-0.00 My_l=2.04 Mz_l=-0.01
Taglio nei bulloni: Fv,Ed=0.89 Fv,Rd=9650.97
Rifollamento lato piastra: Fb,Ed,p=0.88 Fb,Rd,p=14617.70
Tirafondi:LT=0.45 (0.31) σ_{cR}=0.00 σ_{fR}=0.00
Compressione nel calcestruzzo: σ_c=11.99
CC 18 SLD (Collegamento 0021_-378)
Azioni sul collegamento: N=-5748.85 Ty=2.66 Tz=3.78 Mx=-0.01 Mz=1.05
Sollecitazioni agenti localmente: Tx_l=2.66 Ty_l=3.78 N_l=-5748.85 Mx_l=-0.00 My_l=1.05 Mz_l=-0.01
Taglio nei bulloni: Fv,Ed=0.78 Fv,Rd=9650.97
Rifollamento lato piastra: Fb,Ed,p=0.77 Fb,Rd,p=12705.70
Tirafondi:LT=0.45 (0.31) σ_{cR}=0.00 σ_{fR}=0.00
Compressione nel calcestruzzo: σ_c=11.94
CC 18 SLD (Collegamento 0021_-378)
Azioni sul collegamento: N=-7364.01 Ty=3.69 Tz=-2.23 Mx=-0.01 Mz=2.04
Sollecitazioni agenti localmente: Tx_l=3.69 Ty_l=-2.23 N_l=-7364.01 Mx_l=-0.00 My_l=2.04 Mz_l=-0.01
Taglio nei bulloni: Fv,Ed=0.73 Fv,Rd=9650.97
Rifollamento lato piastra: Fb,Ed,p=0.72 Fb,Rd,p=11287.30

Tirafondi:LT=0.45 (0.31) σ_{cR}=0.00 σ_{fR}=0.00
Compressione nel calcestruzzo: σ_c=15.33
CC 18 SLD (Collegamento 0021_-378)
Azioni sul collegamento: N=-7364.01 Ty=2.66 Tz=-2.23 Mx=-0.01 Mz=1.05
Sollecitazioni agenti localmente: Tx_l=2.66 Ty_l=-2.23 N_l=-7364.01 Mx_l=-0.00 My_l=1.05 Mz_l=-0.01
Taglio nei bulloni: Fv,Ed=0.59 Fv,Rd=9650.97
Rifollamento lato piastra: Fb,Ed,p=0.58 Fb,Rd,p=13601.20
Tirafondi:LT=0.45 (0.31) σ_{cR}=0.00 σ_{fR}=0.00
Compressione nel calcestruzzo: σ_c=15.27
CC 18 SLD (Collegamento 0021_-378)
Azioni sul collegamento: N=-7364.01 Ty=3.69 Tz=3.78 Mx=-0.01 Mz=2.04
Sollecitazioni agenti localmente: Tx_l=3.69 Ty_l=3.78 N_l=-7364.01 Mx_l=-0.00 My_l=2.04 Mz_l=-0.01
Taglio nei bulloni: Fv,Ed=0.89 Fv,Rd=9650.97
Rifollamento lato piastra: Fb,Ed,p=0.88 Fb,Rd,p=14617.80
Tirafondi:LT=0.45 (0.31) σ_{cR}=0.00 σ_{fR}=0.00
Compressione nel calcestruzzo: σ_c=15.33
CC 18 SLD (Collegamento 0021_-378)
Azioni sul collegamento: N=-7364.01 Ty=2.66 Tz=3.78 Mx=-0.01 Mz=1.05
Sollecitazioni agenti localmente: Tx_l=2.66 Ty_l=3.78 N_l=-7364.01 Mx_l=-0.00 My_l=1.05 Mz_l=-0.01
Taglio nei bulloni: Fv,Ed=0.78 Fv,Rd=9650.97
Rifollamento lato piastra: Fb,Ed,p=0.77 Fb,Rd,p=12705.90
Tirafondi:LT=0.45 (0.31) σ_{cR}=0.00 σ_{fR}=0.00
Compressione nel calcestruzzo: σ_c=15.27
CC 19 SLV (Collegamento 0021_-378)
Azioni sul collegamento: N=-3881.26 Ty=1.27 Tz=-9.09 Mx=-0.02 Mz=-0.17
Sollecitazioni agenti localmente: Tx_l=1.27 Ty_l=-9.09 N_l=-3881.26 Mx_l=-0.00 My_l=-0.17 Mz_l=-0.02
Taglio nei bulloni: Fv,Ed=1.55 Fv,Rd=7720.78
Rifollamento lato piastra: Fb,Ed,p=1.55 Fb,Rd,p=6179.83
Tirafondi:LT=0.45 (0.31) σ_{cR}=0.00 σ_{fR}=0.00
Compressione nel calcestruzzo: σ_c=8.03
CC 19 SLV (Collegamento 0021_-378)
Azioni sul collegamento: N=-3881.26 Ty=3.39 Tz=-9.09 Mx=-0.02 Mz=-0.91
Sollecitazioni agenti localmente: Tx_l=3.39 Ty_l=-9.09 N_l=-3881.26 Mx_l=-0.00 My_l=-0.91 Mz_l=-0.02
Taglio nei bulloni: Fv,Ed=1.64 Fv,Rd=7720.78
Rifollamento lato piastra: Fb,Ed,p=1.64 Fb,Rd,p=7274.08
Tirafondi:LT=0.45 (0.31) σ_{cR}=0.00 σ_{fR}=0.00
Compressione nel calcestruzzo: σ_c=8.07
CC 19 SLV (Collegamento 0021_-378)
Azioni sul collegamento: N=-3881.26 Ty=1.27 Tz=10.37 Mx=-0.02 Mz=-0.17
Sollecitazioni agenti localmente: Tx_l=1.27 Ty_l=10.37 N_l=-3881.26 Mx_l=-0.00 My_l=-0.17 Mz_l=-0.02
Taglio nei bulloni: Fv,Ed=1.76 Fv,Rd=7720.78
Rifollamento lato piastra: Fb,Ed,p=1.76 Fb,Rd,p=6088.72
Tirafondi:LT=0.45 (0.31) σ_{cR}=0.00 σ_{fR}=0.00
Compressione nel calcestruzzo: σ_c=8.03
CC 19 SLV (Collegamento 0021_-378)
Azioni sul collegamento: N=-3881.26 Ty=3.39 Tz=10.37 Mx=-0.02 Mz=-0.91
Sollecitazioni agenti localmente: Tx_l=3.39 Ty_l=10.37 N_l=-3881.26 Mx_l=-0.00 My_l=-0.91 Mz_l=-0.02
Taglio nei bulloni: Fv,Ed=1.84 Fv,Rd=7720.78
Rifollamento lato piastra: Fb,Ed,p=1.83 Fb,Rd,p=6852.27
Tirafondi:LT=0.45 (0.31) σ_{cR}=0.00 σ_{fR}=0.00
Compressione nel calcestruzzo: σ_c=8.07
CC 19 SLV (Collegamento 0021_-378)
Azioni sul collegamento: N=-9166.69 Ty=1.27 Tz=-9.09 Mx=-0.02 Mz=-0.17
Sollecitazioni agenti localmente: Tx_l=1.27 Ty_l=-9.09 N_l=-9166.69 Mx_l=-0.00 My_l=-0.17 Mz_l=-0.02
Taglio nei bulloni: Fv,Ed=1.55 Fv,Rd=7720.78
Rifollamento lato piastra: Fb,Ed,p=1.55 Fb,Rd,p=6179.83
Tirafondi:LT=0.45 (0.31) σ_{cR}=0.00 σ_{fR}=0.00
Compressione nel calcestruzzo: σ_c=18.95
CC 19 SLV (Collegamento 0021_-378)
Azioni sul collegamento: N=-9166.69 Ty=3.39 Tz=-9.09 Mx=-0.02 Mz=-0.91
Sollecitazioni agenti localmente: Tx_l=3.39 Ty_l=-9.09 N_l=-9166.69 Mx_l=-0.00 My_l=-0.91 Mz_l=-0.02
Taglio nei bulloni: Fv,Ed=1.64 Fv,Rd=7720.78
Rifollamento lato piastra: Fb,Ed,p=1.64 Fb,Rd,p=7274.11
Tirafondi:LT=0.45 (0.31) σ_{cR}=0.00 σ_{fR}=0.00
Compressione nel calcestruzzo: σ_c=18.99
CC 19 SLV (Collegamento 0021_-378)
Azioni sul collegamento: N=-9166.69 Ty=1.27 Tz=10.37 Mx=-0.02 Mz=-0.17
Sollecitazioni agenti localmente: Tx_l=1.27 Ty_l=10.37 N_l=-9166.69 Mx_l=-0.00 My_l=-0.17 Mz_l=-0.02
Taglio nei bulloni: Fv,Ed=1.76 Fv,Rd=7720.78
Rifollamento lato piastra: Fb,Ed,p=1.76 Fb,Rd,p=6088.72
Tirafondi:LT=0.45 (0.31) σ_{cR}=0.00 σ_{fR}=0.00
Compressione nel calcestruzzo: σ_c=18.95
CC 19 SLV (Collegamento 0021_-378)
Azioni sul collegamento: N=-9166.69 Ty=3.39 Tz=10.37 Mx=-0.02 Mz=-0.91
Sollecitazioni agenti localmente: Tx_l=3.39 Ty_l=10.37 N_l=-9166.69 Mx_l=-0.00 My_l=-0.91 Mz_l=-0.02
Taglio nei bulloni: Fv,Ed=1.84 Fv,Rd=7720.78
Rifollamento lato piastra: Fb,Ed,p=1.83 Fb,Rd,p=6852.28
Tirafondi:LT=0.45 (0.31) σ_{cR}=0.00 σ_{fR}=0.00
Compressione nel calcestruzzo: σ_c=18.99
CC 20 SLD (Collegamento 0021_-378)

Azioni sul collegamento: N=-5750.58 Ty=3.50 Tz=-2.19 Mx=-0.01 Mz=1.66
Sollecitazioni agenti localmente: Tx_l=3.50 Ty_l=-2.19 N_l=-5750.58 Mx_l=-0.00 My_l=1.66 Mz_l=-0.01
Taglio nei bulloni: Fv,Ed=0.70 Fv,Rd=9650.97
Rifollamento lato piastra: Fb,Ed,p=0.69 Fb,Rd,p=11628.80
Tirafondi:LT=0.45 (0.31) σ_{cR}=0.00 σ_{fR}=0.00
Compressione nel calcestruzzo: σ_c=11.97
CC 20 SLD (Collegamento 0021_-378)
Azioni sul collegamento: N=-5750.58 Ty=2.85 Tz=-2.19 Mx=-0.01 Mz=1.43
Sollecitazioni agenti localmente: Tx_l=2.85 Ty_l=-2.19 N_l=-5750.58 Mx_l=-0.00 My_l=1.43 Mz_l=-0.01
Taglio nei bulloni: Fv,Ed=0.61 Fv,Rd=9650.97
Rifollamento lato piastra: Fb,Ed,p=0.60 Fb,Rd,p=13208.20
Tirafondi:LT=0.45 (0.31) σ_{cR}=0.00 σ_{fR}=0.00
Compressione nel calcestruzzo: σ_c=11.96
CC 20 SLD (Collegamento 0021_-378)
Azioni sul collegamento: N=-5750.58 Ty=3.50 Tz=3.74 Mx=-0.01 Mz=1.66
Sollecitazioni agenti localmente: Tx_l=3.50 Ty_l=3.74 N_l=-5750.58 Mx_l=-0.00 My_l=1.66 Mz_l=-0.01
Taglio nei bulloni: Fv,Ed=0.87 Fv,Rd=9650.97
Rifollamento lato piastra: Fb,Ed,p=0.85 Fb,Rd,p=14356.40
Tirafondi:LT=0.45 (0.31) σ_{cR}=0.00 σ_{fR}=0.00
Compressione nel calcestruzzo: σ_c=11.97
CC 20 SLD (Collegamento 0021_-378)
Azioni sul collegamento: N=-5750.58 Ty=2.85 Tz=3.74 Mx=-0.01 Mz=1.43
Sollecitazioni agenti localmente: Tx_l=2.85 Ty_l=3.74 N_l=-5750.58 Mx_l=-0.00 My_l=1.43 Mz_l=-0.01
Taglio nei bulloni: Fv,Ed=0.80 Fv,Rd=9650.97
Rifollamento lato piastra: Fb,Ed,p=0.79 Fb,Rd,p=13209.70
Tirafondi:LT=0.45 (0.31) σ_{cR}=0.00 σ_{fR}=0.00
Compressione nel calcestruzzo: σ_c=11.96
CC 20 SLD (Collegamento 0021_-378)
Azioni sul collegamento: N=-7362.28 Ty=3.50 Tz=-2.19 Mx=-0.01 Mz=1.66
Sollecitazioni agenti localmente: Tx_l=3.50 Ty_l=-2.19 N_l=-7362.28 Mx_l=-0.00 My_l=1.66 Mz_l=-0.01
Taglio nei bulloni: Fv,Ed=0.70 Fv,Rd=9650.97
Rifollamento lato piastra: Fb,Ed,p=0.69 Fb,Rd,p=11627.90
Tirafondi:LT=0.45 (0.31) σ_{cR}=0.00 σ_{fR}=0.00
Compressione nel calcestruzzo: σ_c=15.30
CC 20 SLD (Collegamento 0021_-378)
Azioni sul collegamento: N=-7362.28 Ty=2.85 Tz=-2.19 Mx=-0.01 Mz=1.43
Sollecitazioni agenti localmente: Tx_l=2.85 Ty_l=-2.19 N_l=-7362.28 Mx_l=-0.00 My_l=1.43 Mz_l=-0.01
Taglio nei bulloni: Fv,Ed=0.61 Fv,Rd=9650.97
Rifollamento lato piastra: Fb,Ed,p=0.60 Fb,Rd,p=13207.70
Tirafondi:LT=0.45 (0.31) σ_{cR}=0.00 σ_{fR}=0.00
Compressione nel calcestruzzo: σ_c=15.29
CC 20 SLD (Collegamento 0021_-378)
Azioni sul collegamento: N=-7362.28 Ty=3.50 Tz=3.74 Mx=-0.01 Mz=1.66
Sollecitazioni agenti localmente: Tx_l=3.50 Ty_l=3.74 N_l=-7362.28 Mx_l=-0.00 My_l=1.66 Mz_l=-0.01
Taglio nei bulloni: Fv,Ed=0.87 Fv,Rd=9650.97
Rifollamento lato piastra: Fb,Ed,p=0.85 Fb,Rd,p=14356.30
Tirafondi:LT=0.45 (0.31) σ_{cR}=0.00 σ_{fR}=0.00
Compressione nel calcestruzzo: σ_c=15.30
CC 20 SLD (Collegamento 0021_-378)
Azioni sul collegamento: N=-7362.28 Ty=2.85 Tz=3.74 Mx=-0.01 Mz=1.43
Sollecitazioni agenti localmente: Tx_l=2.85 Ty_l=3.74 N_l=-7362.28 Mx_l=-0.00 My_l=1.43 Mz_l=-0.01
Taglio nei bulloni: Fv,Ed=0.80 Fv,Rd=9650.97
Rifollamento lato piastra: Fb,Ed,p=0.79 Fb,Rd,p=13209.60
Tirafondi:LT=0.45 (0.31) σ_{cR}=0.00 σ_{fR}=0.00
Compressione nel calcestruzzo: σ_c=15.29
CC 21 SLV (Collegamento 0021_-378)
Azioni sul collegamento: N=-9166.69 Ty=3.39 Tz=10.37 Mx=-0.02 Mz=-0.91
Sollecitazioni agenti localmente: Tx_l=3.39 Ty_l=10.37 N_l=-9166.69 Mx_l=-0.00 My_l=-0.91 Mz_l=-0.02
Taglio nei bulloni: Fv,Ed=1.84 Fv,Rd=7720.78
Rifollamento lato piastra: Fb,Ed,p=1.83 Fb,Rd,p=6843.13
Tirafondi:LT=0.45 (0.31) σ_{cR}=0.00 σ_{fR}=0.00
Compressione nel calcestruzzo: σ_c=18.99
CC 21 SLV (Collegamento 0021_-378)
Azioni sul collegamento: N=-9166.69 Ty=1.27 Tz=10.37 Mx=-0.02 Mz=-0.17
Sollecitazioni agenti localmente: Tx_l=1.27 Ty_l=10.37 N_l=-9166.69 Mx_l=-0.00 My_l=-0.17 Mz_l=-0.02
Taglio nei bulloni: Fv,Ed=1.76 Fv,Rd=7720.78
Rifollamento lato piastra: Fb,Ed,p=1.76 Fb,Rd,p=6086.02
Tirafondi:LT=0.45 (0.31) σ_{cR}=0.00 σ_{fR}=0.00
Compressione nel calcestruzzo: σ_c=18.95
CC 21 SLV (Collegamento 0021_-378)
Azioni sul collegamento: N=-9166.69 Ty=3.39 Tz=-9.09 Mx=-0.02 Mz=-0.91
Sollecitazioni agenti localmente: Tx_l=3.39 Ty_l=-9.09 N_l=-9166.69 Mx_l=-0.00 My_l=-0.91 Mz_l=-0.02
Taglio nei bulloni: Fv,Ed=1.64 Fv,Rd=7720.78
Rifollamento lato piastra: Fb,Ed,p=1.64 Fb,Rd,p=7280.16
Tirafondi:LT=0.45 (0.31) σ_{cR}=0.00 σ_{fR}=0.00
Compressione nel calcestruzzo: σ_c=18.99
CC 21 SLV (Collegamento 0021_-378)
Azioni sul collegamento: N=-9166.69 Ty=1.27 Tz=-9.09 Mx=-0.02 Mz=-0.17
Sollecitazioni agenti localmente: Tx_l=1.27 Ty_l=-9.09 N_l=-9166.69 Mx_l=-0.00 My_l=-0.17 Mz_l=-0.02
Taglio nei bulloni: Fv,Ed=1.55 Fv,Rd=7720.78

Rifollamento lato piastra: Fb,Ed,p=1.55 Fb,Rd,p=6183.06
Tirafondi:LT=0.45 (0.31) σ_{cR}=0.00 σ_{fR}=0.00
Compressione nel calcestruzzo: σ_c=18.95
CC 21 SLV (Collegamento 0021_-378)
Azioni sul collegamento: N=-3881.26 Ty=3.39 Tz=10.37 Mx=-0.02 Mz=-0.91
Sollecitazioni agenti localmente: Tx_l=3.39 Ty_l=10.37 N_l=-3881.26 Mx_l=-0.00 My_l=-0.91 Mz_l=-0.02
Taglio nei bulloni: Fv,Ed=1.84 Fv,Rd=7720.78
Rifollamento lato piastra: Fb,Ed,p=1.83 Fb,Rd,p=6843.12
Tirafondi:LT=0.45 (0.31) σ_{cR}=0.00 σ_{fR}=0.00
Compressione nel calcestruzzo: σ_c=8.07
CC 21 SLV (Collegamento 0021_-378)
Azioni sul collegamento: N=-3881.26 Ty=1.27 Tz=10.37 Mx=-0.02 Mz=-0.17
Sollecitazioni agenti localmente: Tx_l=1.27 Ty_l=10.37 N_l=-3881.26 Mx_l=-0.00 My_l=-0.17 Mz_l=-0.02
Taglio nei bulloni: Fv,Ed=1.76 Fv,Rd=7720.78
Rifollamento lato piastra: Fb,Ed,p=1.76 Fb,Rd,p=6086.01
Tirafondi:LT=0.45 (0.31) σ_{cR}=0.00 σ_{fR}=0.00
Compressione nel calcestruzzo: σ_c=8.03
CC 21 SLV (Collegamento 0021_-378)
Azioni sul collegamento: N=-3881.26 Ty=3.39 Tz=-9.09 Mx=-0.02 Mz=-0.91
Sollecitazioni agenti localmente: Tx_l=3.39 Ty_l=-9.09 N_l=-3881.26 Mx_l=-0.00 My_l=-0.91 Mz_l=-0.02
Taglio nei bulloni: Fv,Ed=1.64 Fv,Rd=7720.78
Rifollamento lato piastra: Fb,Ed,p=1.64 Fb,Rd,p=7280.13
Tirafondi:LT=0.45 (0.31) σ_{cR}=0.00 σ_{fR}=0.00
Compressione nel calcestruzzo: σ_c=8.07
CC 21 SLV (Collegamento 0021_-378)
Azioni sul collegamento: N=-3881.26 Ty=1.27 Tz=-9.09 Mx=-0.02 Mz=-0.17
Sollecitazioni agenti localmente: Tx_l=1.27 Ty_l=-9.09 N_l=-3881.26 Mx_l=-0.00 My_l=-0.17 Mz_l=-0.02
Taglio nei bulloni: Fv,Ed=1.55 Fv,Rd=7720.78
Rifollamento lato piastra: Fb,Ed,p=1.55 Fb,Rd,p=6183.06
Tirafondi:LT=0.45 (0.31) σ_{cR}=0.00 σ_{fR}=0.00
Compressione nel calcestruzzo: σ_c=8.03
CC 22 SLD (Collegamento 0021_-378)
Azioni sul collegamento: N=-7362.28 Ty=2.85 Tz=3.74 Mx=-0.01 Mz=1.43
Sollecitazioni agenti localmente: Tx_l=2.85 Ty_l=3.74 N_l=-7362.28 Mx_l=-0.00 My_l=1.43 Mz_l=-0.01
Taglio nei bulloni: Fv,Ed=0.80 Fv,Rd=9650.97
Rifollamento lato piastra: Fb,Ed,p=0.79 Fb,Rd,p=13198.20
Tirafondi:LT=0.45 (0.31) σ_{cR}=0.00 σ_{fR}=0.00
Compressione nel calcestruzzo: σ_c=15.29
CC 22 SLD (Collegamento 0021_-378)
Azioni sul collegamento: N=-7362.28 Ty=3.50 Tz=3.74 Mx=-0.01 Mz=1.66
Sollecitazioni agenti localmente: Tx_l=3.50 Ty_l=3.74 N_l=-7362.28 Mx_l=-0.00 My_l=1.66 Mz_l=-0.01
Taglio nei bulloni: Fv,Ed=0.87 Fv,Rd=9650.97
Rifollamento lato piastra: Fb,Ed,p=0.85 Fb,Rd,p=14342.00
Tirafondi:LT=0.45 (0.31) σ_{cR}=0.00 σ_{fR}=0.00
Compressione nel calcestruzzo: σ_c=15.30
CC 22 SLD (Collegamento 0021_-378)
Azioni sul collegamento: N=-7362.28 Ty=2.85 Tz=-2.19 Mx=-0.01 Mz=1.43
Sollecitazioni agenti localmente: Tx_l=2.85 Ty_l=-2.19 N_l=-7362.28 Mx_l=-0.00 My_l=1.43 Mz_l=-0.01
Taglio nei bulloni: Fv,Ed=0.61 Fv,Rd=9650.97
Rifollamento lato piastra: Fb,Ed,p=0.60 Fb,Rd,p=13192.70
Tirafondi:LT=0.45 (0.31) σ_{cR}=0.00 σ_{fR}=0.00
Compressione nel calcestruzzo: σ_c=15.29
CC 22 SLD (Collegamento 0021_-378)
Azioni sul collegamento: N=-7362.28 Ty=3.50 Tz=-2.19 Mx=-0.01 Mz=1.66
Sollecitazioni agenti localmente: Tx_l=3.50 Ty_l=-2.19 N_l=-7362.28 Mx_l=-0.00 My_l=1.66 Mz_l=-0.01
Taglio nei bulloni: Fv,Ed=0.70 Fv,Rd=9650.97
Rifollamento lato piastra: Fb,Ed,p=0.69 Fb,Rd,p=11602.70
Tirafondi:LT=0.45 (0.31) σ_{cR}=0.00 σ_{fR}=0.00
Compressione nel calcestruzzo: σ_c=15.30
CC 22 SLD (Collegamento 0021_-378)
Azioni sul collegamento: N=-5750.58 Ty=2.85 Tz=3.74 Mx=-0.01 Mz=1.43
Sollecitazioni agenti localmente: Tx_l=2.85 Ty_l=3.74 N_l=-5750.58 Mx_l=-0.00 My_l=1.43 Mz_l=-0.01
Taglio nei bulloni: Fv,Ed=0.80 Fv,Rd=9650.97
Rifollamento lato piastra: Fb,Ed,p=0.79 Fb,Rd,p=13198.20
Tirafondi:LT=0.45 (0.31) σ_{cR}=0.00 σ_{fR}=0.00
Compressione nel calcestruzzo: σ_c=11.96
CC 22 SLD (Collegamento 0021_-378)
Azioni sul collegamento: N=-5750.58 Ty=3.50 Tz=3.74 Mx=-0.01 Mz=1.66
Sollecitazioni agenti localmente: Tx_l=3.50 Ty_l=3.74 N_l=-5750.58 Mx_l=-0.00 My_l=1.66 Mz_l=-0.01
Taglio nei bulloni: Fv,Ed=0.87 Fv,Rd=9650.97
Rifollamento lato piastra: Fb,Ed,p=0.85 Fb,Rd,p=14342.10
Tirafondi:LT=0.45 (0.31) σ_{cR}=0.00 σ_{fR}=0.00
Compressione nel calcestruzzo: σ_c=11.97
CC 22 SLD (Collegamento 0021_-378)
Azioni sul collegamento: N=-5750.58 Ty=2.85 Tz=-2.19 Mx=-0.01 Mz=1.43
Sollecitazioni agenti localmente: Tx_l=2.85 Ty_l=-2.19 N_l=-5750.58 Mx_l=-0.00 My_l=1.43 Mz_l=-0.01
Taglio nei bulloni: Fv,Ed=0.61 Fv,Rd=9650.97
Rifollamento lato piastra: Fb,Ed,p=0.60 Fb,Rd,p=13193.20
Tirafondi:LT=0.45 (0.31) σ_{cR}=0.00 σ_{fR}=0.00
Compressione nel calcestruzzo: σ_c=11.96

CC 22 SLD (Collegamento 0021_-378)
Azioni sul collegamento: N=-5750.58 Ty=3.50 Tz=-2.19 Mx=-0.01 Mz=1.66
Sollecitazioni agenti localmente: Tx_l=3.50 Ty_l=-2.19 N_l=-5750.58 Mx_l=-0.00 My_l=1.66 Mz_l=-0.01
Taglio nei bulloni: Fv,Ed=0.70 Fv,Rd=9650.97
Rifollamento lato piastra: Fb,Ed,p=0.69 Fb,Rd,p=11603.60
Tirafondi:LT=0.45 (0.31) σ_{cR}=0.00 σ_{fR}=0.00
Compressione nel calcestruzzo: σ_c=11.97
CC 23 SLV (Collegamento 0021_-378)
Azioni sul collegamento: N=-9172.38 Ty=4.02 Tz=10.50 Mx=-0.01 Mz=-2.16
Sollecitazioni agenti localmente: Tx_l=4.02 Ty_l=10.50 N_l=-9172.38 Mx_l=-0.00 My_l=-2.16 Mz_l=-0.01
Taglio nei bulloni: Fv,Ed=1.89 Fv,Rd=7720.78
Rifollamento lato piastra: Fb,Ed,p=1.88 Fb,Rd,p=7212.50
Tirafondi:LT=0.45 (0.31) σ_{cR}=0.00 σ_{fR}=0.00
Compressione nel calcestruzzo: σ_c=19.07
CC 23 SLV (Collegamento 0021_-378)
Azioni sul collegamento: N=-9172.38 Ty=0.64 Tz=10.50 Mx=-0.01 Mz=1.09
Sollecitazioni agenti localmente: Tx_l=0.64 Ty_l=10.50 N_l=-9172.38 Mx_l=-0.00 My_l=1.09 Mz_l=-0.01
Taglio nei bulloni: Fv,Ed=1.77 Fv,Rd=7720.78
Rifollamento lato piastra: Fb,Ed,p=1.77 Fb,Rd,p=6003.07
Tirafondi:LT=0.45 (0.31) σ_{cR}=0.00 σ_{fR}=0.00
Compressione nel calcestruzzo: σ_c=19.01
CC 23 SLV (Collegamento 0021_-378)
Azioni sul collegamento: N=-9172.38 Ty=4.02 Tz=-9.21 Mx=-0.01 Mz=-2.16
Sollecitazioni agenti localmente: Tx_l=4.02 Ty_l=-9.21 N_l=-9172.38 Mx_l=-0.00 My_l=-2.16 Mz_l=-0.01
Taglio nei bulloni: Fv,Ed=1.69 Fv,Rd=7720.78
Rifollamento lato piastra: Fb,Ed,p=1.69 Fb,Rd,p=7734.29
Tirafondi:LT=0.45 (0.31) σ_{cR}=0.00 σ_{fR}=0.00
Compressione nel calcestruzzo: σ_c=19.07
CC 23 SLV (Collegamento 0021_-378)
Azioni sul collegamento: N=-9172.38 Ty=0.64 Tz=-9.21 Mx=-0.01 Mz=1.09
Sollecitazioni agenti localmente: Tx_l=0.64 Ty_l=-9.21 N_l=-9172.38 Mx_l=-0.00 My_l=1.09 Mz_l=-0.01
Taglio nei bulloni: Fv,Ed=1.56 Fv,Rd=7720.78
Rifollamento lato piastra: Fb,Ed,p=1.56 Fb,Rd,p=6033.64
Tirafondi:LT=0.45 (0.31) σ_{cR}=0.00 σ_{fR}=0.00
Compressione nel calcestruzzo: σ_c=19.01
CC 23 SLV (Collegamento 0021_-378)
Azioni sul collegamento: N=-3875.57 Ty=4.02 Tz=10.50 Mx=-0.01 Mz=-2.16
Sollecitazioni agenti localmente: Tx_l=4.02 Ty_l=10.50 N_l=-3875.57 Mx_l=-0.00 My_l=-2.16 Mz_l=-0.01
Taglio nei bulloni: Fv,Ed=1.89 Fv,Rd=7720.78
Rifollamento lato piastra: Fb,Ed,p=1.88 Fb,Rd,p=7212.55
Tirafondi:LT=0.45 (0.31) σ_{cR}=0.00 σ_{fR}=0.00
Compressione nel calcestruzzo: σ_c=8.13
CC 23 SLV (Collegamento 0021_-378)
Azioni sul collegamento: N=-3875.57 Ty=0.64 Tz=10.50 Mx=-0.01 Mz=1.09
Sollecitazioni agenti localmente: Tx_l=0.64 Ty_l=10.50 N_l=-3875.57 Mx_l=-0.00 My_l=1.09 Mz_l=-0.01
Taglio nei bulloni: Fv,Ed=1.77 Fv,Rd=7720.78
Rifollamento lato piastra: Fb,Ed,p=1.77 Fb,Rd,p=6003.07
Tirafondi:LT=0.45 (0.31) σ_{cR}=0.00 σ_{fR}=0.00
Compressione nel calcestruzzo: σ_c=8.07
CC 23 SLV (Collegamento 0021_-378)
Azioni sul collegamento: N=-3875.57 Ty=4.02 Tz=-9.21 Mx=-0.01 Mz=-2.16
Sollecitazioni agenti localmente: Tx_l=4.02 Ty_l=-9.21 N_l=-3875.57 Mx_l=-0.00 My_l=-2.16 Mz_l=-0.01
Taglio nei bulloni: Fv,Ed=1.70 Fv,Rd=7720.78
Rifollamento lato piastra: Fb,Ed,p=1.70 Fb,Rd,p=7734.12
Tirafondi:LT=0.45 (0.31) σ_{cR}=0.00 σ_{fR}=0.00
Compressione nel calcestruzzo: σ_c=8.13
CC 23 SLV (Collegamento 0021_-378)
Azioni sul collegamento: N=-3875.57 Ty=0.64 Tz=-9.21 Mx=-0.01 Mz=1.09
Sollecitazioni agenti localmente: Tx_l=0.64 Ty_l=-9.21 N_l=-3875.57 Mx_l=-0.00 My_l=1.09 Mz_l=-0.01
Taglio nei bulloni: Fv,Ed=1.56 Fv,Rd=7720.78
Rifollamento lato piastra: Fb,Ed,p=1.56 Fb,Rd,p=6033.63
Tirafondi:LT=0.45 (0.31) σ_{cR}=0.00 σ_{fR}=0.00
Compressione nel calcestruzzo: σ_c=8.07
CC 24 SLD (Collegamento 0021_-378)
Azioni sul collegamento: N=-7364.01 Ty=2.66 Tz=3.78 Mx=-0.01 Mz=1.05
Sollecitazioni agenti localmente: Tx_l=2.66 Ty_l=3.78 N_l=-7364.01 Mx_l=-0.00 My_l=1.05 Mz_l=-0.01
Taglio nei bulloni: Fv,Ed=0.78 Fv,Rd=9650.97
Rifollamento lato piastra: Fb,Ed,p=0.77 Fb,Rd,p=12814.80
Tirafondi:LT=0.45 (0.31) σ_{cR}=0.00 σ_{fR}=0.00
Compressione nel calcestruzzo: σ_c=15.27
CC 24 SLD (Collegamento 0021_-378)
Azioni sul collegamento: N=-7364.01 Ty=3.69 Tz=3.78 Mx=-0.01 Mz=2.04
Sollecitazioni agenti localmente: Tx_l=3.69 Ty_l=3.78 N_l=-7364.01 Mx_l=-0.00 My_l=2.04 Mz_l=-0.01
Taglio nei bulloni: Fv,Ed=0.89 Fv,Rd=9650.97
Rifollamento lato piastra: Fb,Ed,p=0.88 Fb,Rd,p=14675.70
Tirafondi:LT=0.45 (0.31) σ_{cR}=0.00 σ_{fR}=0.00
Compressione nel calcestruzzo: σ_c=15.33
CC 24 SLD (Collegamento 0021_-378)
Azioni sul collegamento: N=-7364.01 Ty=2.66 Tz=-2.23 Mx=-0.01 Mz=1.05
Sollecitazioni agenti localmente: Tx_l=2.66 Ty_l=-2.23 N_l=-7364.01 Mx_l=-0.00 My_l=1.05 Mz_l=-0.01

Taglio nei bulloni: Fv,Ed=0.59 Fv,Rd=9650.97
Rifollamento lato piastra: Fb,Ed,p=0.58 Fb,Rd,p=13670.30
Tirafondi:LT=0.45 (0.31) σ_{cR}=0.00 σ_{fR}=0.00
Compressione nel calcestruzzo: σ_c=15.27
CC 24 SLD (Collegamento 0021_-378)
Azioni sul collegamento: N=-7364.01 Ty=3.69 Tz=-2.23 Mx=-0.01 Mz=2.04
Sollecitazioni agenti localmente: Tx_l=3.69 Ty_l=-2.23 N_l=-7364.01 Mx_l=-0.00 My_l=2.04 Mz_l=-0.01
Taglio nei bulloni: Fv,Ed=0.73 Fv,Rd=9650.97
Rifollamento lato piastra: Fb,Ed,p=0.72 Fb,Rd,p=11376.20
Tirafondi:LT=0.45 (0.31) σ_{cR}=0.00 σ_{fR}=0.00
Compressione nel calcestruzzo: σ_c=15.33
CC 24 SLD (Collegamento 0021_-378)
Azioni sul collegamento: N=-5748.85 Ty=2.66 Tz=3.78 Mx=-0.01 Mz=1.05
Sollecitazioni agenti localmente: Tx_l=2.66 Ty_l=3.78 N_l=-5748.85 Mx_l=-0.00 My_l=1.05 Mz_l=-0.01
Taglio nei bulloni: Fv,Ed=0.78 Fv,Rd=9650.97
Rifollamento lato piastra: Fb,Ed,p=0.77 Fb,Rd,p=12814.50
Tirafondi:LT=0.45 (0.31) σ_{cR}=0.00 σ_{fR}=0.00
Compressione nel calcestruzzo: σ_c=11.94
CC 24 SLD (Collegamento 0021_-378)
Azioni sul collegamento: N=-5748.85 Ty=3.69 Tz=3.78 Mx=-0.01 Mz=2.04
Sollecitazioni agenti localmente: Tx_l=3.69 Ty_l=3.78 N_l=-5748.85 Mx_l=-0.00 My_l=2.04 Mz_l=-0.01
Taglio nei bulloni: Fv,Ed=0.89 Fv,Rd=9650.97
Rifollamento lato piastra: Fb,Ed,p=0.88 Fb,Rd,p=14675.60
Tirafondi:LT=0.45 (0.31) σ_{cR}=0.00 σ_{fR}=0.00
Compressione nel calcestruzzo: σ_c=11.99
CC 24 SLD (Collegamento 0021_-378)
Azioni sul collegamento: N=-5748.85 Ty=2.66 Tz=-2.23 Mx=-0.01 Mz=1.05
Sollecitazioni agenti localmente: Tx_l=2.66 Ty_l=-2.23 N_l=-5748.85 Mx_l=-0.00 My_l=1.05 Mz_l=-0.01
Taglio nei bulloni: Fv,Ed=0.59 Fv,Rd=9650.97
Rifollamento lato piastra: Fb,Ed,p=0.58 Fb,Rd,p=13670.10
Tirafondi:LT=0.45 (0.31) σ_{cR}=0.00 σ_{fR}=0.00
Compressione nel calcestruzzo: σ_c=11.94
CC 24 SLD (Collegamento 0021_-378)
Azioni sul collegamento: N=-5748.85 Ty=3.69 Tz=-2.23 Mx=-0.01 Mz=2.04
Sollecitazioni agenti localmente: Tx_l=3.69 Ty_l=-2.23 N_l=-5748.85 Mx_l=-0.00 My_l=2.04 Mz_l=-0.01
Taglio nei bulloni: Fv,Ed=0.73 Fv,Rd=9650.97
Rifollamento lato piastra: Fb,Ed,p=0.72 Fb,Rd,p=11375.80
Tirafondi:LT=0.45 (0.31) σ_{cR}=0.00 σ_{fR}=0.00
Compressione nel calcestruzzo: σ_c=11.99
CC 25 SLV (Collegamento 0021_-378)
Azioni sul collegamento: N=-5720.83 Ty=0.86 Tz=-2.51 Mx=-0.03 Mz=1.85
Sollecitazioni agenti localmente: Tx_l=0.86 Ty_l=-2.51 N_l=-5720.83 Mx_l=-0.00 My_l=1.85 Mz_l=-0.03
Taglio nei bulloni: Fv,Ed=0.48 Fv,Rd=7720.78
Rifollamento lato piastra: Fb,Ed,p=0.48 Fb,Rd,p=7311.54
Tirafondi:LT=0.45 (0.31) σ_{cR}=0.00 σ_{fR}=0.00
Compressione nel calcestruzzo: σ_c=11.92
CC 25 SLV (Collegamento 0021_-378)
Azioni sul collegamento: N=-5720.83 Ty=3.80 Tz=-2.51 Mx=-0.03 Mz=-2.93
Sollecitazioni agenti localmente: Tx_l=3.80 Ty_l=-2.51 N_l=-5720.83 Mx_l=-0.00 My_l=-2.93 Mz_l=-0.03
Taglio nei bulloni: Fv,Ed=0.80 Fv,Rd=7720.78
Rifollamento lato piastra: Fb,Ed,p=0.77 Fb,Rd,p=9125.42
Tirafondi:LT=0.45 (0.31) σ_{cR}=0.00 σ_{fR}=0.00
Compressione nel calcestruzzo: σ_c=11.98
CC 25 SLV (Collegamento 0021_-378)
Azioni sul collegamento: N=-5720.83 Ty=0.86 Tz=3.80 Mx=-0.03 Mz=1.85
Sollecitazioni agenti localmente: Tx_l=0.86 Ty_l=3.80 N_l=-5720.83 Mx_l=-0.00 My_l=1.85 Mz_l=-0.03
Taglio nei bulloni: Fv,Ed=0.68 Fv,Rd=7720.78
Rifollamento lato piastra: Fb,Ed,p=0.67 Fb,Rd,p=6247.73
Tirafondi:LT=0.45 (0.31) σ_{cR}=0.00 σ_{fR}=0.00
Compressione nel calcestruzzo: σ_c=11.92
CC 25 SLV (Collegamento 0021_-378)
Azioni sul collegamento: N=-5720.83 Ty=3.80 Tz=3.80 Mx=-0.03 Mz=-2.93
Sollecitazioni agenti localmente: Tx_l=3.80 Ty_l=3.80 N_l=-5720.83 Mx_l=-0.00 My_l=-2.93 Mz_l=-0.03
Taglio nei bulloni: Fv,Ed=0.94 Fv,Rd=7720.78
Rifollamento lato piastra: Fb,Ed,p=0.94 Fb,Rd,p=12018.30
Tirafondi:LT=0.45 (0.31) σ_{cR}=0.00 σ_{fR}=0.00
Compressione nel calcestruzzo: σ_c=11.98
CC 25 SLV (Collegamento 0021_-378)
Azioni sul collegamento: N=-7327.12 Ty=0.86 Tz=-2.51 Mx=-0.03 Mz=1.85
Sollecitazioni agenti localmente: Tx_l=0.86 Ty_l=-2.51 N_l=-7327.12 Mx_l=-0.00 My_l=1.85 Mz_l=-0.03
Taglio nei bulloni: Fv,Ed=0.48 Fv,Rd=7720.78
Rifollamento lato piastra: Fb,Ed,p=0.48 Fb,Rd,p=7311.64
Tirafondi:LT=0.45 (0.31) σ_{cR}=0.00 σ_{fR}=0.00
Compressione nel calcestruzzo: σ_c=15.24
CC 25 SLV (Collegamento 0021_-378)
Azioni sul collegamento: N=-7327.12 Ty=3.80 Tz=-2.51 Mx=-0.03 Mz=-2.93
Sollecitazioni agenti localmente: Tx_l=3.80 Ty_l=-2.51 N_l=-7327.12 Mx_l=-0.00 My_l=-2.93 Mz_l=-0.03
Taglio nei bulloni: Fv,Ed=0.80 Fv,Rd=7720.78
Rifollamento lato piastra: Fb,Ed,p=0.77 Fb,Rd,p=9125.14
Tirafondi:LT=0.45 (0.31) σ_{cR}=0.00 σ_{fR}=0.00

Compressione nel calcestruzzo: σ_c=15.30
CC 25 SLV (Collegamento 0021_-378)
Azioni sul collegamento: N=-7327.12 Ty=0.86 Tz=3.80 Mx=-0.03 Mz=1.85
Sollecitazioni agenti localmente: Tx_l=0.86 Ty_l=3.80 N_l=-7327.12 Mx_l=-0.00 My_l=1.85 Mz_l=-0.03
Taglio nei bulloni: Fv,Ed=0.68 Fv,Rd=7720.78
Rifollamento lato piastra: Fb,Ed,p=0.67 Fb,Rd,p=6247.71
Tirafondi:LT=0.45 (0.31) σ_{cR}=0.00 σ_{fR}=0.00
Compressione nel calcestruzzo: σ_c=15.24
CC 25 SLV (Collegamento 0021_-378)
Azioni sul collegamento: N=-7327.12 Ty=3.80 Tz=3.80 Mx=-0.03 Mz=-2.93
Sollecitazioni agenti localmente: Tx_l=3.80 Ty_l=3.80 N_l=-7327.12 Mx_l=-0.00 My_l=-2.93 Mz_l=-0.03
Taglio nei bulloni: Fv,Ed=0.94 Fv,Rd=7720.78
Rifollamento lato piastra: Fb,Ed,p=0.94 Fb,Rd,p=12018.40
Tirafondi:LT=0.45 (0.31) σ_{cR}=0.00 σ_{fR}=0.00
Compressione nel calcestruzzo: σ_c=15.30
CC 26 SLD (Collegamento 0021_-378)
Azioni sul collegamento: N=-6311.53 Ty=3.62 Tz=-0.19 Mx=-0.01 Mz=2.27
Sollecitazioni agenti localmente: Tx_l=3.62 Ty_l=-0.19 N_l=-6311.53 Mx_l=-0.00 My_l=2.27 Mz_l=-0.01
Taglio nei bulloni: Fv,Ed=0.62 Fv,Rd=9650.97
Rifollamento lato piastra: Fb,Ed,p=0.62 Fb,Rd,p=7485.42
Tirafondi:LT=0.45 (0.31) σ_{cR}=0.00 σ_{fR}=0.00
Compressione nel calcestruzzo: σ_c=13.17
CC 26 SLD (Collegamento 0021_-378)
Azioni sul collegamento: N=-6311.53 Ty=2.73 Tz=-0.19 Mx=-0.01 Mz=0.81
Sollecitazioni agenti localmente: Tx_l=2.73 Ty_l=-0.19 N_l=-6311.53 Mx_l=-0.00 My_l=0.81 Mz_l=-0.01
Taglio nei bulloni: Fv,Ed=0.47 Fv,Rd=9650.97
Rifollamento lato piastra: Fb,Ed,p=0.47 Fb,Rd,p=7493.95
Tirafondi:LT=0.45 (0.31) σ_{cR}=0.00 σ_{fR}=0.00
Compressione nel calcestruzzo: σ_c=13.09
CC 26 SLD (Collegamento 0021_-378)
Azioni sul collegamento: N=-6311.53 Ty=3.62 Tz=1.73 Mx=-0.01 Mz=2.27
Sollecitazioni agenti localmente: Tx_l=3.62 Ty_l=1.73 N_l=-6311.53 Mx_l=-0.00 My_l=2.27 Mz_l=-0.01
Taglio nei bulloni: Fv,Ed=0.68 Fv,Rd=9650.97
Rifollamento lato piastra: Fb,Ed,p=0.68 Fb,Rd,p=10166.90
Tirafondi:LT=0.45 (0.31) σ_{cR}=0.00 σ_{fR}=0.00
Compressione nel calcestruzzo: σ_c=13.17
CC 26 SLD (Collegamento 0021_-378)
Azioni sul collegamento: N=-6311.53 Ty=2.73 Tz=1.73 Mx=-0.01 Mz=0.81
Sollecitazioni agenti localmente: Tx_l=2.73 Ty_l=1.73 N_l=-6311.53 Mx_l=-0.00 My_l=0.81 Mz_l=-0.01
Taglio nei bulloni: Fv,Ed=0.55 Fv,Rd=9650.97
Rifollamento lato piastra: Fb,Ed,p=0.55 Fb,Rd,p=12218.30
Tirafondi:LT=0.45 (0.31) σ_{cR}=0.00 σ_{fR}=0.00
Compressione nel calcestruzzo: σ_c=13.09
CC 26 SLD (Collegamento 0021_-378)
Azioni sul collegamento: N=-6801.33 Ty=3.62 Tz=-0.19 Mx=-0.01 Mz=2.27
Sollecitazioni agenti localmente: Tx_l=3.62 Ty_l=-0.19 N_l=-6801.33 Mx_l=-0.00 My_l=2.27 Mz_l=-0.01
Taglio nei bulloni: Fv,Ed=0.62 Fv,Rd=9650.97
Rifollamento lato piastra: Fb,Ed,p=0.62 Fb,Rd,p=7485.50
Tirafondi:LT=0.45 (0.31) σ_{cR}=0.00 σ_{fR}=0.00
Compressione nel calcestruzzo: σ_c=14.18
CC 26 SLD (Collegamento 0021_-378)
Azioni sul collegamento: N=-6801.33 Ty=2.73 Tz=-0.19 Mx=-0.01 Mz=0.81
Sollecitazioni agenti localmente: Tx_l=2.73 Ty_l=-0.19 N_l=-6801.33 Mx_l=-0.00 My_l=0.81 Mz_l=-0.01
Taglio nei bulloni: Fv,Ed=0.47 Fv,Rd=9650.97
Rifollamento lato piastra: Fb,Ed,p=0.47 Fb,Rd,p=7494.08
Tirafondi:LT=0.45 (0.31) σ_{cR}=0.00 σ_{fR}=0.00
Compressione nel calcestruzzo: σ_c=14.10
CC 26 SLD (Collegamento 0021_-378)
Azioni sul collegamento: N=-6801.33 Ty=3.62 Tz=1.73 Mx=-0.01 Mz=2.27
Sollecitazioni agenti localmente: Tx_l=3.62 Ty_l=1.73 N_l=-6801.33 Mx_l=-0.00 My_l=2.27 Mz_l=-0.01
Taglio nei bulloni: Fv,Ed=0.68 Fv,Rd=9650.97
Rifollamento lato piastra: Fb,Ed,p=0.68 Fb,Rd,p=10166.70
Tirafondi:LT=0.45 (0.31) σ_{cR}=0.00 σ_{fR}=0.00
Compressione nel calcestruzzo: σ_c=14.18
CC 26 SLD (Collegamento 0021_-378)
Azioni sul collegamento: N=-6801.33 Ty=2.73 Tz=1.73 Mx=-0.01 Mz=0.81
Sollecitazioni agenti localmente: Tx_l=2.73 Ty_l=1.73 N_l=-6801.33 Mx_l=-0.00 My_l=0.81 Mz_l=-0.01
Taglio nei bulloni: Fv,Ed=0.55 Fv,Rd=9650.97
Rifollamento lato piastra: Fb,Ed,p=0.55 Fb,Rd,p=12217.90
Tirafondi:LT=0.45 (0.31) σ_{cR}=0.00 σ_{fR}=0.00
Compressione nel calcestruzzo: σ_c=14.10
CC 27 SLV (Collegamento 0021_-378)
Azioni sul collegamento: N=-7308.17 Ty=1.68 Tz=3.37 Mx=-0.02 Mz=1.26
Sollecitazioni agenti localmente: Tx_l=1.68 Ty_l=3.37 N_l=-7308.17 Mx_l=-0.00 My_l=1.26 Mz_l=-0.02
Taglio nei bulloni: Fv,Ed=0.66 Fv,Rd=7720.78
Rifollamento lato piastra: Fb,Ed,p=0.64 Fb,Rd,p=7639.98
Tirafondi:LT=0.45 (0.31) σ_{cR}=0.00 σ_{fR}=0.00
Compressione nel calcestruzzo: σ_c=15.17
CC 27 SLV (Collegamento 0021_-378)
Azioni sul collegamento: N=-7308.17 Ty=2.97 Tz=3.37 Mx=-0.02 Mz=-2.33

Sollecitazioni agenti localmente: Tx_l=2.97 Ty_l=3.37 N_l=-7308.17 Mx_l=-0.00 My_l=-2.33 Mz_l=-0.02
Taglio nei bulloni: Fv,Ed=0.79 Fv,Rd=7720.78
Rifollamento lato piastra: Fb,Ed,p=0.75 Fb,Rd,p=10854.00
Tirafondi:LT=0.45 (0.31) σ_{cR}=0.00 σ_{fR}=0.00
Compressione nel calcestruzzo: σ_c=15.23
CC 27 SLV (Collegamento 0021_-378)
Azioni sul collegamento: N=-7308.17 Ty=1.68 Tz=-2.08 Mx=-0.02 Mz=1.26
Sollecitazioni agenti localmente: Tx_l=1.68 Ty_l=-2.08 N_l=-7308.17 Mx_l=-0.00 My_l=1.26 Mz_l=-0.02
Taglio nei bulloni: Fv,Ed=0.48 Fv,Rd=7720.78
Rifollamento lato piastra: Fb,Ed,p=0.48 Fb,Rd,p=11013.50
Tirafondi:LT=0.45 (0.31) σ_{cR}=0.00 σ_{fR}=0.00
Compressione nel calcestruzzo: σ_c=15.17
CC 27 SLV (Collegamento 0021_-378)
Azioni sul collegamento: N=-7308.17 Ty=2.97 Tz=-2.08 Mx=-0.02 Mz=-2.33
Sollecitazioni agenti localmente: Tx_l=2.97 Ty_l=-2.08 N_l=-7308.17 Mx_l=-0.00 My_l=-2.33 Mz_l=-0.02
Taglio nei bulloni: Fv,Ed=0.64 Fv,Rd=7720.78
Rifollamento lato piastra: Fb,Ed,p=0.61 Fb,Rd,p=9360.30
Tirafondi:LT=0.45 (0.31) σ_{cR}=0.00 σ_{fR}=0.00
Compressione nel calcestruzzo: σ_c=15.23
CC 27 SLV (Collegamento 0021_-378)
Azioni sul collegamento: N=-5739.78 Ty=1.68 Tz=3.37 Mx=-0.02 Mz=1.26
Sollecitazioni agenti localmente: Tx_l=1.68 Ty_l=3.37 N_l=-5739.78 Mx_l=-0.00 My_l=1.26 Mz_l=-0.02
Taglio nei bulloni: Fv,Ed=0.67 Fv,Rd=7720.78
Rifollamento lato piastra: Fb,Ed,p=0.64 Fb,Rd,p=7639.95
Tirafondi:LT=0.45 (0.31) σ_{cR}=0.00 σ_{fR}=0.00
Compressione nel calcestruzzo: σ_c=11.93
CC 27 SLV (Collegamento 0021_-378)
Azioni sul collegamento: N=-5739.78 Ty=2.97 Tz=3.37 Mx=-0.02 Mz=-2.33
Sollecitazioni agenti localmente: Tx_l=2.97 Ty_l=3.37 N_l=-5739.78 Mx_l=-0.00 My_l=-2.33 Mz_l=-0.02
Taglio nei bulloni: Fv,Ed=0.79 Fv,Rd=7720.78
Rifollamento lato piastra: Fb,Ed,p=0.75 Fb,Rd,p=10854.00
Tirafondi:LT=0.45 (0.31) σ_{cR}=0.00 σ_{fR}=0.00
Compressione nel calcestruzzo: σ_c=11.99
CC 27 SLV (Collegamento 0021_-378)
Azioni sul collegamento: N=-5739.78 Ty=1.68 Tz=-2.08 Mx=-0.02 Mz=1.26
Sollecitazioni agenti localmente: Tx_l=1.68 Ty_l=-2.08 N_l=-5739.78 Mx_l=-0.00 My_l=1.26 Mz_l=-0.02
Taglio nei bulloni: Fv,Ed=0.48 Fv,Rd=7720.78
Rifollamento lato piastra: Fb,Ed,p=0.48 Fb,Rd,p=11013.90
Tirafondi:LT=0.45 (0.31) σ_{cR}=0.00 σ_{fR}=0.00
Compressione nel calcestruzzo: σ_c=11.93
CC 27 SLV (Collegamento 0021_-378)
Azioni sul collegamento: N=-5739.78 Ty=2.97 Tz=-2.08 Mx=-0.02 Mz=-2.33
Sollecitazioni agenti localmente: Tx_l=2.97 Ty_l=-2.08 N_l=-5739.78 Mx_l=-0.00 My_l=-2.33 Mz_l=-0.02
Taglio nei bulloni: Fv,Ed=0.64 Fv,Rd=7720.78
Rifollamento lato piastra: Fb,Ed,p=0.61 Fb,Rd,p=9359.51
Tirafondi:LT=0.45 (0.31) σ_{cR}=0.00 σ_{fR}=0.00
Compressione nel calcestruzzo: σ_c=11.99
CC 28 SLD (Collegamento 0021_-378)
Azioni sul collegamento: N=-6795.56 Ty=3.37 Tz=1.60 Mx=-0.01 Mz=2.09
Sollecitazioni agenti localmente: Tx_l=3.37 Ty_l=1.60 N_l=-6795.56 Mx_l=-0.00 My_l=2.09 Mz_l=-0.01
Taglio nei bulloni: Fv,Ed=0.64 Fv,Rd=9650.97
Rifollamento lato piastra: Fb,Ed,p=0.64 Fb,Rd,p=10139.00
Tirafondi:LT=0.45 (0.31) σ_{cR}=0.00 σ_{fR}=0.00
Compressione nel calcestruzzo: σ_c=14.16
CC 28 SLD (Collegamento 0021_-378)
Azioni sul collegamento: N=-6795.56 Ty=2.98 Tz=1.60 Mx=-0.01 Mz=1.00
Sollecitazioni agenti localmente: Tx_l=2.98 Ty_l=1.60 N_l=-6795.56 Mx_l=-0.00 My_l=1.00 Mz_l=-0.01
Taglio nei bulloni: Fv,Ed=0.58 Fv,Rd=9650.97
Rifollamento lato piastra: Fb,Ed,p=0.58 Fb,Rd,p=10885.20
Tirafondi:LT=0.45 (0.31) σ_{cR}=0.00 σ_{fR}=0.00
Compressione nel calcestruzzo: σ_c=14.10
CC 28 SLD (Collegamento 0021_-378)
Azioni sul collegamento: N=-6795.56 Ty=3.37 Tz=-0.06 Mx=-0.01 Mz=2.09
Sollecitazioni agenti localmente: Tx_l=3.37 Ty_l=-0.06 N_l=-6795.56 Mx_l=-0.00 My_l=2.09 Mz_l=-0.01
Taglio nei bulloni: Fv,Ed=0.57 Fv,Rd=9650.97
Rifollamento lato piastra: Fb,Ed,p=0.57 Fb,Rd,p=7474.04
Tirafondi:LT=0.45 (0.31) σ_{cR}=0.00 σ_{fR}=0.00
Compressione nel calcestruzzo: σ_c=14.16
CC 28 SLD (Collegamento 0021_-378)
Azioni sul collegamento: N=-6795.56 Ty=2.98 Tz=-0.06 Mx=-0.01 Mz=1.00
Sollecitazioni agenti localmente: Tx_l=2.98 Ty_l=-0.06 N_l=-6795.56 Mx_l=-0.00 My_l=1.00 Mz_l=-0.01
Taglio nei bulloni: Fv,Ed=0.51 Fv,Rd=9650.97
Rifollamento lato piastra: Fb,Ed,p=0.51 Fb,Rd,p=7474.08
Tirafondi:LT=0.45 (0.31) σ_{cR}=0.00 σ_{fR}=0.00
Compressione nel calcestruzzo: σ_c=14.10
CC 28 SLD (Collegamento 0021_-378)
Azioni sul collegamento: N=-6317.30 Ty=3.37 Tz=1.60 Mx=-0.01 Mz=2.09
Sollecitazioni agenti localmente: Tx_l=3.37 Ty_l=1.60 N_l=-6317.30 Mx_l=-0.00 My_l=2.09 Mz_l=-0.01
Taglio nei bulloni: Fv,Ed=0.64 Fv,Rd=9650.97
Rifollamento lato piastra: Fb,Ed,p=0.64 Fb,Rd,p=10139.40

Tirafondi:LT=0.45 (0.31) σ_{cR}=0.00 σ_{fR}=0.00
Compressione nel calcestruzzo: σ_c=13.17
CC 28 SLD (Collegamento 0021_-378)
Azioni sul collegamento: N=-6317.30 Ty=2.98 Tz=1.60 Mx=-0.01 Mz=1.00
Sollecitazioni agenti localmente: Tx_l=2.98 Ty_l=1.60 N_l=-6317.30 Mx_l=-0.00 My_l=1.00 Mz_l=-0.01
Taglio nei bulloni: Fv,Ed=0.58 Fv,Rd=9650.97
Rifollamento lato piastra: Fb,Ed,p=0.58 Fb,Rd,p=10885.60
Tirafondi:LT=0.45 (0.31) σ_{cR}=0.00 σ_{fR}=0.00
Compressione nel calcestruzzo: σ_c=13.11
CC 28 SLD (Collegamento 0021_-378)
Azioni sul collegamento: N=-6317.30 Ty=3.37 Tz=-0.06 Mx=-0.01 Mz=2.09
Sollecitazioni agenti localmente: Tx_l=3.37 Ty_l=-0.06 N_l=-6317.30 Mx_l=-0.00 My_l=2.09 Mz_l=-0.01
Taglio nei bulloni: Fv,Ed=0.57 Fv,Rd=9650.97
Rifollamento lato piastra: Fb,Ed,p=0.57 Fb,Rd,p=7474.04
Tirafondi:LT=0.45 (0.31) σ_{cR}=0.00 σ_{fR}=0.00
Compressione nel calcestruzzo: σ_c=13.17
CC 28 SLD (Collegamento 0021_-378)
Azioni sul collegamento: N=-6317.30 Ty=2.98 Tz=-0.06 Mx=-0.01 Mz=1.00
Sollecitazioni agenti localmente: Tx_l=2.98 Ty_l=-0.06 N_l=-6317.30 Mx_l=-0.00 My_l=1.00 Mz_l=-0.01
Taglio nei bulloni: Fv,Ed=0.51 Fv,Rd=9650.97
Rifollamento lato piastra: Fb,Ed,p=0.51 Fb,Rd,p=7474.07
Tirafondi:LT=0.45 (0.31) σ_{cR}=0.00 σ_{fR}=0.00
Compressione nel calcestruzzo: σ_c=13.11
CC 29 SLV (Collegamento 0021_-378)
Azioni sul collegamento: N=-5739.78 Ty=2.97 Tz=-2.08 Mx=-0.01 Mz=-2.33
Sollecitazioni agenti localmente: Tx_l=2.97 Ty_l=-2.08 N_l=-5739.78 Mx_l=-0.00 My_l=-2.33 Mz_l=-0.01
Taglio nei bulloni: Fv,Ed=0.62 Fv,Rd=7720.78
Rifollamento lato piastra: Fb,Ed,p=0.61 Fb,Rd,p=9995.14
Tirafondi:LT=0.45 (0.31) σ_{cR}=0.00 σ_{fR}=0.00
Compressione nel calcestruzzo: σ_c=11.99
CC 29 SLV (Collegamento 0021_-378)
Azioni sul collegamento: N=-5739.78 Ty=1.68 Tz=-2.08 Mx=-0.01 Mz=1.26
Sollecitazioni agenti localmente: Tx_l=1.68 Ty_l=-2.08 N_l=-5739.78 Mx_l=-0.00 My_l=1.26 Mz_l=-0.01
Taglio nei bulloni: Fv,Ed=0.46 Fv,Rd=7720.78
Rifollamento lato piastra: Fb,Ed,p=0.46 Fb,Rd,p=10969.20
Tirafondi:LT=0.45 (0.31) σ_{cR}=0.00 σ_{fR}=0.00
Compressione nel calcestruzzo: σ_c=11.93
CC 29 SLV (Collegamento 0021_-378)
Azioni sul collegamento: N=-5739.78 Ty=2.97 Tz=3.37 Mx=-0.01 Mz=-2.33
Sollecitazioni agenti localmente: Tx_l=2.97 Ty_l=3.37 N_l=-5739.78 Mx_l=-0.00 My_l=-2.33 Mz_l=-0.01
Taglio nei bulloni: Fv,Ed=0.76 Fv,Rd=7720.78
Rifollamento lato piastra: Fb,Ed,p=0.75 Fb,Rd,p=11138.90
Tirafondi:LT=0.45 (0.31) σ_{cR}=0.00 σ_{fR}=0.00
Compressione nel calcestruzzo: σ_c=11.99
CC 29 SLV (Collegamento 0021_-378)
Azioni sul collegamento: N=-5739.78 Ty=1.68 Tz=3.37 Mx=-0.01 Mz=1.26
Sollecitazioni agenti localmente: Tx_l=1.68 Ty_l=3.37 N_l=-5739.78 Mx_l=-0.00 My_l=1.26 Mz_l=-0.01
Taglio nei bulloni: Fv,Ed=0.64 Fv,Rd=7720.78
Rifollamento lato piastra: Fb,Ed,p=0.63 Fb,Rd,p=7986.38
Tirafondi:LT=0.45 (0.31) σ_{cR}=0.00 σ_{fR}=0.00
Compressione nel calcestruzzo: σ_c=11.93
CC 29 SLV (Collegamento 0021_-378)
Azioni sul collegamento: N=-7308.17 Ty=2.97 Tz=-2.08 Mx=-0.01 Mz=-2.33
Sollecitazioni agenti localmente: Tx_l=2.97 Ty_l=-2.08 N_l=-7308.17 Mx_l=-0.00 My_l=-2.33 Mz_l=-0.01
Taglio nei bulloni: Fv,Ed=0.62 Fv,Rd=7720.78
Rifollamento lato piastra: Fb,Ed,p=0.61 Fb,Rd,p=9996.02
Tirafondi:LT=0.45 (0.31) σ_{cR}=0.00 σ_{fR}=0.00
Compressione nel calcestruzzo: σ_c=15.23
CC 29 SLV (Collegamento 0021_-378)
Azioni sul collegamento: N=-7308.17 Ty=1.68 Tz=-2.08 Mx=-0.01 Mz=1.26
Sollecitazioni agenti localmente: Tx_l=1.68 Ty_l=-2.08 N_l=-7308.17 Mx_l=-0.00 My_l=1.26 Mz_l=-0.01
Taglio nei bulloni: Fv,Ed=0.46 Fv,Rd=7720.78
Rifollamento lato piastra: Fb,Ed,p=0.46 Fb,Rd,p=10968.80
Tirafondi:LT=0.45 (0.31) σ_{cR}=0.00 σ_{fR}=0.00
Compressione nel calcestruzzo: σ_c=15.17
CC 29 SLV (Collegamento 0021_-378)
Azioni sul collegamento: N=-7308.17 Ty=2.97 Tz=3.37 Mx=-0.01 Mz=-2.33
Sollecitazioni agenti localmente: Tx_l=2.97 Ty_l=3.37 N_l=-7308.17 Mx_l=-0.00 My_l=-2.33 Mz_l=-0.01
Taglio nei bulloni: Fv,Ed=0.76 Fv,Rd=7720.78
Rifollamento lato piastra: Fb,Ed,p=0.75 Fb,Rd,p=11139.00
Tirafondi:LT=0.45 (0.31) σ_{cR}=0.00 σ_{fR}=0.00
Compressione nel calcestruzzo: σ_c=15.23
CC 29 SLV (Collegamento 0021_-378)
Azioni sul collegamento: N=-7308.17 Ty=1.68 Tz=3.37 Mx=-0.01 Mz=1.26
Sollecitazioni agenti localmente: Tx_l=1.68 Ty_l=3.37 N_l=-7308.17 Mx_l=-0.00 My_l=1.26 Mz_l=-0.01
Taglio nei bulloni: Fv,Ed=0.64 Fv,Rd=7720.78
Rifollamento lato piastra: Fb,Ed,p=0.63 Fb,Rd,p=7986.42
Tirafondi:LT=0.45 (0.31) σ_{cR}=0.00 σ_{fR}=0.00
Compressione nel calcestruzzo: σ_c=15.17
CC 30 SLD (Collegamento 0021_-378)

Azioni sul collegamento: N=-6317.30 Ty=2.98 Tz=-0.06 Mx=-0.01 Mz=1.00
Sollecitazioni agenti localmente: Tx_l=2.98 Ty_l=-0.06 N_l=-6317.30 Mx_l=-0.00 My_l=1.00 Mz_l=-0.01
Taglio nei bulloni: Fv,Ed=0.50 Fv,Rd=9650.97
Rifollamento lato piastra: Fb,Ed,p=0.50 Fb,Rd,p=7474.51
Tirafondi:LT=0.45 (0.31) σ_{cR}=0.00 σ_{fR}=0.00
Compressione nel calcestruzzo: σ_c=13.11
CC 30 SLD (Collegamento 0021_-378)
Azioni sul collegamento: N=-6317.30 Ty=3.37 Tz=-0.06 Mx=-0.01 Mz=2.09
Sollecitazioni agenti localmente: Tx_l=3.37 Ty_l=-0.06 N_l=-6317.30 Mx_l=-0.00 My_l=2.09 Mz_l=-0.01
Taglio nei bulloni: Fv,Ed=0.57 Fv,Rd=9650.97
Rifollamento lato piastra: Fb,Ed,p=0.57 Fb,Rd,p=7474.39
Tirafondi:LT=0.45 (0.31) σ_{cR}=0.00 σ_{fR}=0.00
Compressione nel calcestruzzo: σ_c=13.17
CC 30 SLD (Collegamento 0021_-378)
Azioni sul collegamento: N=-6317.30 Ty=2.98 Tz=1.60 Mx=-0.01 Mz=1.00
Sollecitazioni agenti localmente: Tx_l=2.98 Ty_l=1.60 N_l=-6317.30 Mx_l=-0.00 My_l=1.00 Mz_l=-0.01
Taglio nei bulloni: Fv,Ed=0.57 Fv,Rd=9650.97
Rifollamento lato piastra: Fb,Ed,p=0.57 Fb,Rd,p=10827.50
Tirafondi:LT=0.45 (0.31) σ_{cR}=0.00 σ_{fR}=0.00
Compressione nel calcestruzzo: σ_c=13.11
CC 30 SLD (Collegamento 0021_-378)
Azioni sul collegamento: N=-6317.30 Ty=3.37 Tz=1.60 Mx=-0.01 Mz=2.09
Sollecitazioni agenti localmente: Tx_l=3.37 Ty_l=1.60 N_l=-6317.30 Mx_l=-0.00 My_l=2.09 Mz_l=-0.01
Taglio nei bulloni: Fv,Ed=0.63 Fv,Rd=9650.97
Rifollamento lato piastra: Fb,Ed,p=0.63 Fb,Rd,p=10087.90
Tirafondi:LT=0.45 (0.31) σ_{cR}=0.00 σ_{fR}=0.00
Compressione nel calcestruzzo: σ_c=13.17
CC 30 SLD (Collegamento 0021_-378)
Azioni sul collegamento: N=-6795.56 Ty=2.98 Tz=-0.06 Mx=-0.01 Mz=1.00
Sollecitazioni agenti localmente: Tx_l=2.98 Ty_l=-0.06 N_l=-6795.56 Mx_l=-0.00 My_l=1.00 Mz_l=-0.01
Taglio nei bulloni: Fv,Ed=0.50 Fv,Rd=9650.97
Rifollamento lato piastra: Fb,Ed,p=0.50 Fb,Rd,p=7474.49
Tirafondi:LT=0.45 (0.31) σ_{cR}=0.00 σ_{fR}=0.00
Compressione nel calcestruzzo: σ_c=14.10
CC 30 SLD (Collegamento 0021_-378)
Azioni sul collegamento: N=-6795.56 Ty=3.37 Tz=-0.06 Mx=-0.01 Mz=2.09
Sollecitazioni agenti localmente: Tx_l=3.37 Ty_l=-0.06 N_l=-6795.56 Mx_l=-0.00 My_l=2.09 Mz_l=-0.01
Taglio nei bulloni: Fv,Ed=0.57 Fv,Rd=9650.97
Rifollamento lato piastra: Fb,Ed,p=0.57 Fb,Rd,p=7474.38
Tirafondi:LT=0.45 (0.31) σ_{cR}=0.00 σ_{fR}=0.00
Compressione nel calcestruzzo: σ_c=14.16
CC 30 SLD (Collegamento 0021_-378)
Azioni sul collegamento: N=-6795.56 Ty=2.98 Tz=1.60 Mx=-0.01 Mz=1.00
Sollecitazioni agenti localmente: Tx_l=2.98 Ty_l=1.60 N_l=-6795.56 Mx_l=-0.00 My_l=1.00 Mz_l=-0.01
Taglio nei bulloni: Fv,Ed=0.57 Fv,Rd=9650.97
Rifollamento lato piastra: Fb,Ed,p=0.57 Fb,Rd,p=10827.00
Tirafondi:LT=0.45 (0.31) σ_{cR}=0.00 σ_{fR}=0.00
Compressione nel calcestruzzo: σ_c=14.10
CC 30 SLD (Collegamento 0021_-378)
Azioni sul collegamento: N=-6795.56 Ty=3.37 Tz=1.60 Mx=-0.01 Mz=2.09
Sollecitazioni agenti localmente: Tx_l=3.37 Ty_l=1.60 N_l=-6795.56 Mx_l=-0.00 My_l=2.09 Mz_l=-0.01
Taglio nei bulloni: Fv,Ed=0.63 Fv,Rd=9650.97
Rifollamento lato piastra: Fb,Ed,p=0.63 Fb,Rd,p=10087.50
Tirafondi:LT=0.45 (0.31) σ_{cR}=0.00 σ_{fR}=0.00
Compressione nel calcestruzzo: σ_c=14.16
CC 31 SLV (Collegamento 0021_-378)
Azioni sul collegamento: N=-7327.12 Ty=3.80 Tz=3.80 Mx=-0.01 Mz=-2.93
Sollecitazioni agenti localmente: Tx_l=3.80 Ty_l=3.80 N_l=-7327.12 Mx_l=-0.00 My_l=-2.93 Mz_l=-0.01
Taglio nei bulloni: Fv,Ed=0.91 Fv,Rd=7720.78
Rifollamento lato piastra: Fb,Ed,p=0.91 Fb,Rd,p=12018.40
Tirafondi:LT=0.45 (0.31) σ_{cR}=0.00 σ_{fR}=0.00
Compressione nel calcestruzzo: σ_c=15.30
CC 31 SLV (Collegamento 0021_-378)
Azioni sul collegamento: N=-7327.12 Ty=0.86 Tz=3.80 Mx=-0.01 Mz=1.85
Sollecitazioni agenti localmente: Tx_l=0.86 Ty_l=3.80 N_l=-7327.12 Mx_l=-0.00 My_l=1.85 Mz_l=-0.01
Taglio nei bulloni: Fv,Ed=0.66 Fv,Rd=7720.78
Rifollamento lato piastra: Fb,Ed,p=0.66 Fb,Rd,p=6364.41
Tirafondi:LT=0.45 (0.31) σ_{cR}=0.00 σ_{fR}=0.00
Compressione nel calcestruzzo: σ_c=15.24
CC 31 SLV (Collegamento 0021_-378)
Azioni sul collegamento: N=-7327.12 Ty=3.80 Tz=-2.51 Mx=-0.01 Mz=-2.93
Sollecitazioni agenti localmente: Tx_l=3.80 Ty_l=-2.51 N_l=-7327.12 Mx_l=-0.00 My_l=-2.93 Mz_l=-0.01
Taglio nei bulloni: Fv,Ed=0.77 Fv,Rd=7720.78
Rifollamento lato piastra: Fb,Ed,p=0.76 Fb,Rd,p=9652.21
Tirafondi:LT=0.45 (0.31) σ_{cR}=0.00 σ_{fR}=0.00
Compressione nel calcestruzzo: σ_c=15.30
CC 31 SLV (Collegamento 0021_-378)
Azioni sul collegamento: N=-7327.12 Ty=0.86 Tz=-2.51 Mx=-0.01 Mz=1.85
Sollecitazioni agenti localmente: Tx_l=0.86 Ty_l=-2.51 N_l=-7327.12 Mx_l=-0.00 My_l=1.85 Mz_l=-0.01
Taglio nei bulloni: Fv,Ed=0.45 Fv,Rd=7720.78

Rifollamento lato piastra: Fb,Ed,p=0.45 Fb,Rd,p=7130.17
Tirafondi:LT=0.45 (0.31) σ_{cR}=0.00 σ_{fR}=0.00
Compressione nel calcestruzzo: σ_c=15.24
CC 31 SLV (Collegamento 0021_-378)
Azioni sul collegamento: N=-5720.83 Ty=3.80 Tz=3.80 Mx=-0.01 Mz=-2.93
Sollecitazioni agenti localmente: Tx_l=3.80 Ty_l=3.80 N_l=-5720.83 Mx_l=-0.00 My_l=-2.93 Mz_l=-0.01
Taglio nei bulloni: Fv,Ed=0.91 Fv,Rd=7720.78
Rifollamento lato piastra: Fb,Ed,p=0.91 Fb,Rd,p=12018.20
Tirafondi:LT=0.45 (0.31) σ_{cR}=0.00 σ_{fR}=0.00
Compressione nel calcestruzzo: σ_c=11.98
CC 31 SLV (Collegamento 0021_-378)
Azioni sul collegamento: N=-5720.83 Ty=0.86 Tz=3.80 Mx=-0.01 Mz=1.85
Sollecitazioni agenti localmente: Tx_l=0.86 Ty_l=3.80 N_l=-5720.83 Mx_l=-0.00 My_l=1.85 Mz_l=-0.01
Taglio nei bulloni: Fv,Ed=0.66 Fv,Rd=7720.78
Rifollamento lato piastra: Fb,Ed,p=0.66 Fb,Rd,p=6364.43
Tirafondi:LT=0.45 (0.31) σ_{cR}=0.00 σ_{fR}=0.00
Compressione nel calcestruzzo: σ_c=11.92
CC 31 SLV (Collegamento 0021_-378)
Azioni sul collegamento: N=-5720.83 Ty=3.80 Tz=-2.51 Mx=-0.01 Mz=-2.93
Sollecitazioni agenti localmente: Tx_l=3.80 Ty_l=-2.51 N_l=-5720.83 Mx_l=-0.00 My_l=-2.93 Mz_l=-0.01
Taglio nei bulloni: Fv,Ed=0.77 Fv,Rd=7720.78
Rifollamento lato piastra: Fb,Ed,p=0.76 Fb,Rd,p=9652.53
Tirafondi:LT=0.45 (0.31) σ_{cR}=0.00 σ_{fR}=0.00
Compressione nel calcestruzzo: σ_c=11.98
CC 31 SLV (Collegamento 0021_-378)
Azioni sul collegamento: N=-5720.83 Ty=0.86 Tz=-2.51 Mx=-0.01 Mz=1.85
Sollecitazioni agenti localmente: Tx_l=0.86 Ty_l=-2.51 N_l=-5720.83 Mx_l=-0.00 My_l=1.85 Mz_l=-0.01
Taglio nei bulloni: Fv,Ed=0.45 Fv,Rd=7720.78
Rifollamento lato piastra: Fb,Ed,p=0.45 Fb,Rd,p=7130.07
Tirafondi:LT=0.45 (0.31) σ_{cR}=0.00 σ_{fR}=0.00
Compressione nel calcestruzzo: σ_c=11.92
CC 32 SLD (Collegamento 0021_-378)
Azioni sul collegamento: N=-6801.33 Ty=2.73 Tz=1.73 Mx=-0.01 Mz=0.81
Sollecitazioni agenti localmente: Tx_l=2.73 Ty_l=1.73 N_l=-6801.33 Mx_l=-0.00 My_l=0.81 Mz_l=-0.01
Taglio nei bulloni: Fv,Ed=0.55 Fv,Rd=9650.97
Rifollamento lato piastra: Fb,Ed,p=0.55 Fb,Rd,p=12151.80
Tirafondi:LT=0.45 (0.31) σ_{cR}=0.00 σ_{fR}=0.00
Compressione nel calcestruzzo: σ_c=14.10
CC 32 SLD (Collegamento 0021_-378)
Azioni sul collegamento: N=-6801.33 Ty=3.62 Tz=1.73 Mx=-0.01 Mz=2.27
Sollecitazioni agenti localmente: Tx_l=3.62 Ty_l=1.73 N_l=-6801.33 Mx_l=-0.00 My_l=2.27 Mz_l=-0.01
Taglio nei bulloni: Fv,Ed=0.68 Fv,Rd=9650.97
Rifollamento lato piastra: Fb,Ed,p=0.68 Fb,Rd,p=10113.30
Tirafondi:LT=0.45 (0.31) σ_{cR}=0.00 σ_{fR}=0.00
Compressione nel calcestruzzo: σ_c=14.18
CC 32 SLD (Collegamento 0021_-378)
Azioni sul collegamento: N=-6801.33 Ty=2.73 Tz=-0.19 Mx=-0.01 Mz=0.81
Sollecitazioni agenti localmente: Tx_l=2.73 Ty_l=-0.19 N_l=-6801.33 Mx_l=-0.00 My_l=0.81 Mz_l=-0.01
Taglio nei bulloni: Fv,Ed=0.46 Fv,Rd=9650.97
Rifollamento lato piastra: Fb,Ed,p=0.46 Fb,Rd,p=7508.18
Tirafondi:LT=0.45 (0.31) σ_{cR}=0.00 σ_{fR}=0.00
Compressione nel calcestruzzo: σ_c=14.10
CC 32 SLD (Collegamento 0021_-378)
Azioni sul collegamento: N=-6801.33 Ty=3.62 Tz=-0.19 Mx=-0.01 Mz=2.27
Sollecitazioni agenti localmente: Tx_l=3.62 Ty_l=-0.19 N_l=-6801.33 Mx_l=-0.00 My_l=2.27 Mz_l=-0.01
Taglio nei bulloni: Fv,Ed=0.61 Fv,Rd=9650.97
Rifollamento lato piastra: Fb,Ed,p=0.61 Fb,Rd,p=7493.47
Tirafondi:LT=0.45 (0.31) σ_{cR}=0.00 σ_{fR}=0.00
Compressione nel calcestruzzo: σ_c=14.18
CC 32 SLD (Collegamento 0021_-378)
Azioni sul collegamento: N=-6311.53 Ty=2.73 Tz=1.73 Mx=-0.01 Mz=0.81
Sollecitazioni agenti localmente: Tx_l=2.73 Ty_l=1.73 N_l=-6311.53 Mx_l=-0.00 My_l=0.81 Mz_l=-0.01
Taglio nei bulloni: Fv,Ed=0.55 Fv,Rd=9650.97
Rifollamento lato piastra: Fb,Ed,p=0.55 Fb,Rd,p=12152.20
Tirafondi:LT=0.45 (0.31) σ_{cR}=0.00 σ_{fR}=0.00
Compressione nel calcestruzzo: σ_c=13.09
CC 32 SLD (Collegamento 0021_-378)
Azioni sul collegamento: N=-6311.53 Ty=3.62 Tz=1.73 Mx=-0.01 Mz=2.27
Sollecitazioni agenti localmente: Tx_l=3.62 Ty_l=1.73 N_l=-6311.53 Mx_l=-0.00 My_l=2.27 Mz_l=-0.01
Taglio nei bulloni: Fv,Ed=0.68 Fv,Rd=9650.97
Rifollamento lato piastra: Fb,Ed,p=0.68 Fb,Rd,p=10113.50
Tirafondi:LT=0.45 (0.31) σ_{cR}=0.00 σ_{fR}=0.00
Compressione nel calcestruzzo: σ_c=13.17
CC 32 SLD (Collegamento 0021_-378)
Azioni sul collegamento: N=-6311.53 Ty=2.73 Tz=-0.19 Mx=-0.01 Mz=0.81
Sollecitazioni agenti localmente: Tx_l=2.73 Ty_l=-0.19 N_l=-6311.53 Mx_l=-0.00 My_l=0.81 Mz_l=-0.01
Taglio nei bulloni: Fv,Ed=0.46 Fv,Rd=9650.97
Rifollamento lato piastra: Fb,Ed,p=0.46 Fb,Rd,p=7508.01
Tirafondi:LT=0.45 (0.31) σ_{cR}=0.00 σ_{fR}=0.00
Compressione nel calcestruzzo: σ_c=13.09

CC 32 SLD (Collegamento 0021_-378)
Azioni sul collegamento: N=-6311.53 Ty=3.62 Tz=-0.19 Mx=-0.01 Mz=2.27
Sollecitazioni agenti localmente: Tx_l=3.62 Ty_l=-0.19 N_l=-6311.53 Mx_l=-0.00 My_l=2.27 Mz_l=-0.01
Taglio nei bulloni: Fv,Ed=0.61 Fv,Rd=9650.97
Rifollamento lato piastra: Fb,Ed,p=0.61 Fb,Rd,p=7493.37
Tirafondi:LT=0.45 (0.31) σ_{cR}=0.00 σ_{fR}=0.00
Compressione nel calcestruzzo: σ_c=13.17
CC 33 SLU (Collegamento 0021_-378)
Azioni sul collegamento: N=-30888.30 Ty=5.44 Tz=82.02 Mx=-0.01 Mz=3.71
Sollecitazioni agenti localmente: Tx_l=5.44 Ty_l=82.02 N_l=-30888.30 Mx_l=-0.00 My_l=3.71 Mz_l=-0.01
Taglio nei bulloni: Fv,Ed=13.71 Fv,Rd=7720.78
Rifollamento lato piastra: Fb,Ed,p=13.71 Fb,Rd,p=6017.49
Tirafondi:LT=0.45 (0.31) σ_{cR}=0.00 σ_{fR}=0.00
Compressione nel calcestruzzo: σ_c=64.03
CC 34 SLU (Collegamento 0021_-378)
Azioni sul collegamento: N=-30337.70 Ty=5.16 Tz=79.98 Mx=-0.01 Mz=3.50
Sollecitazioni agenti localmente: Tx_l=5.16 Ty_l=79.98 N_l=-30337.70 Mx_l=-0.00 My_l=3.50 Mz_l=-0.01
Taglio nei bulloni: Fv,Ed=13.37 Fv,Rd=7720.78
Rifollamento lato piastra: Fb,Ed,p=13.36 Fb,Rd,p=6015.33
Tirafondi:LT=0.45 (0.31) σ_{cR}=0.00 σ_{fR}=0.00
Compressione nel calcestruzzo: σ_c=62.88
CC 35 SLU (Collegamento 0021_-378)
Azioni sul collegamento: N=-30612.00 Ty=5.19 Tz=81.02 Mx=-0.01 Mz=3.39
Sollecitazioni agenti localmente: Tx_l=5.19 Ty_l=81.02 N_l=-30612.00 Mx_l=-0.00 My_l=3.39 Mz_l=-0.01
Taglio nei bulloni: Fv,Ed=13.54 Fv,Rd=7720.78
Rifollamento lato piastra: Fb,Ed,p=13.54 Fb,Rd,p=6014.95
Tirafondi:LT=0.45 (0.31) σ_{cR}=0.00 σ_{fR}=0.00
Compressione nel calcestruzzo: σ_c=63.44
CC 36 SLU (Collegamento 0021_-378)
Azioni sul collegamento: N=-30614.00 Ty=5.41 Tz=80.97 Mx=-0.01 Mz=3.82
Sollecitazioni agenti localmente: Tx_l=5.41 Ty_l=80.97 N_l=-30614.00 Mx_l=-0.00 My_l=3.82 Mz_l=-0.01
Taglio nei bulloni: Fv,Ed=13.54 Fv,Rd=7720.78
Rifollamento lato piastra: Fb,Ed,p=13.53 Fb,Rd,p=6017.92
Tirafondi:LT=0.45 (0.31) σ_{cR}=0.00 σ_{fR}=0.00
Compressione nel calcestruzzo: σ_c=63.47
CC 37 SLU (Collegamento 0021_-378)
Azioni sul collegamento: N=-21597.10 Ty=6.32 Tz=47.86 Mx=-0.01 Mz=4.34
Sollecitazioni agenti localmente: Tx_l=6.32 Ty_l=47.86 N_l=-21597.10 Mx_l=-0.00 My_l=4.34 Mz_l=-0.01
Taglio nei bulloni: Fv,Ed=8.06 Fv,Rd=7720.78
Rifollamento lato piastra: Fb,Ed,p=8.05 Fb,Rd,p=6131.38
Tirafondi:LT=0.45 (0.31) σ_{cR}=0.00 σ_{fR}=0.00
Compressione nel calcestruzzo: σ_c=44.87
CC 38 SLU (Collegamento 0021_-378)
Azioni sul collegamento: N=-21046.60 Ty=6.03 Tz=45.82 Mx=-0.01 Mz=4.13
Sollecitazioni agenti localmente: Tx_l=6.03 Ty_l=45.82 N_l=-21046.60 Mx_l=-0.00 My_l=4.13 Mz_l=-0.01
Taglio nei bulloni: Fv,Ed=7.71 Fv,Rd=7720.78
Rifollamento lato piastra: Fb,Ed,p=7.71 Fb,Rd,p=6130.52
Tirafondi:LT=0.45 (0.31) σ_{cR}=0.00 σ_{fR}=0.00
Compressione nel calcestruzzo: σ_c=43.72
CC 39 SLU (Collegamento 0021_-378)
Azioni sul collegamento: N=-21320.90 Ty=6.07 Tz=46.87 Mx=-0.01 Mz=4.02
Sollecitazioni agenti localmente: Tx_l=6.07 Ty_l=46.87 N_l=-21320.90 Mx_l=-0.00 My_l=4.02 Mz_l=-0.01
Taglio nei bulloni: Fv,Ed=7.88 Fv,Rd=7720.78
Rifollamento lato piastra: Fb,Ed,p=7.88 Fb,Rd,p=6125.75
Tirafondi:LT=0.45 (0.31) σ_{cR}=0.00 σ_{fR}=0.00
Compressione nel calcestruzzo: σ_c=44.28
CC 40 SLU (Collegamento 0021_-378)
Azioni sul collegamento: N=-21322.80 Ty=6.29 Tz=46.82 Mx=-0.01 Mz=4.45
Sollecitazioni agenti localmente: Tx_l=6.29 Ty_l=46.82 N_l=-21322.80 Mx_l=-0.00 My_l=4.45 Mz_l=-0.01
Taglio nei bulloni: Fv,Ed=7.88 Fv,Rd=7720.78
Rifollamento lato piastra: Fb,Ed,p=7.88 Fb,Rd,p=6136.27
Tirafondi:LT=0.45 (0.31) σ_{cR}=0.00 σ_{fR}=0.00
Compressione nel calcestruzzo: σ_c=44.31
CC 41 SLU (Collegamento 0021_-378)
Azioni sul collegamento: N=-32817.40 Ty=5.33 Tz=88.46 Mx=0.00 Mz=3.76
Sollecitazioni agenti localmente: Tx_l=5.33 Ty_l=88.46 N_l=-32817.40 Mx_l=-0.00 My_l=3.76 Mz_l=0.00
Taglio nei bulloni: Fv,Ed=14.77 Fv,Rd=7720.78
Rifollamento lato piastra: Fb,Ed,p=14.77 Fb,Rd,p=6011.53
Tirafondi:LT=0.45 (0.31) σ_{cR}=0.00 σ_{fR}=0.00
Compressione nel calcestruzzo: σ_c=68.02
CC 42 SLU (Collegamento 0021_-378)
Azioni sul collegamento: N=-32266.90 Ty=5.04 Tz=86.42 Mx=0.00 Mz=3.56
Sollecitazioni agenti localmente: Tx_l=5.04 Ty_l=86.42 N_l=-32266.90 Mx_l=-0.00 My_l=3.56 Mz_l=0.00
Taglio nei bulloni: Fv,Ed=14.43 Fv,Rd=7720.78
Rifollamento lato piastra: Fb,Ed,p=14.43 Fb,Rd,p=6009.56
Tirafondi:LT=0.45 (0.31) σ_{cR}=0.00 σ_{fR}=0.00
Compressione nel calcestruzzo: σ_c=66.87
CC 43 SLU (Collegamento 0021_-378)
Azioni sul collegamento: N=-32541.20 Ty=5.08 Tz=87.47 Mx=0.00 Mz=3.44
Sollecitazioni agenti localmente: Tx_l=5.08 Ty_l=87.47 N_l=-32541.20 Mx_l=-0.00 My_l=3.44 Mz_l=0.00

Taglio nei bulloni: Fv,Ed=14.61 Fv,Rd=7720.78
Rifollamento lato piastra: Fb,Ed,p=14.61 Fb,Rd,p=6009.29
Tirafondi:LT=0.45 (0.31) σ_{cR}=0.00 σ_{fR}=0.00
Compressione nel calcestruzzo: σ_c=67.43
CC 44 SLU (Collegamento 0021_-378)
Azioni sul collegamento: N=-32543.10 Ty=5.30 Tz=87.42 Mx=0.00 Mz=3.88
Sollecitazioni agenti localmente: Tx_l=5.30 Ty_l=87.42 N_l=-32543.10 Mx_l=-0.00 My_l=3.88 Mz_l=0.00
Taglio nei bulloni: Fv,Ed=14.60 Fv,Rd=7720.78
Rifollamento lato piastra: Fb,Ed,p=14.60 Fb,Rd,p=6011.84
Tirafondi:LT=0.45 (0.31) σ_{cR}=0.00 σ_{fR}=0.00
Compressione nel calcestruzzo: σ_c=67.46
CC 45 SLU (Collegamento 0021_-378)
Azioni sul collegamento: N=-23689.50 Ty=6.01 Tz=55.60 Mx=-0.01 Mz=4.17
Sollecitazioni agenti localmente: Tx_l=6.01 Ty_l=55.60 N_l=-23689.50 Mx_l=-0.00 My_l=4.17 Mz_l=-0.01
Taglio nei bulloni: Fv,Ed=9.33 Fv,Rd=7720.78
Rifollamento lato piastra: Fb,Ed,p=9.33 Fb,Rd,p=6081.09
Tirafondi:LT=0.45 (0.31) σ_{cR}=0.00 σ_{fR}=0.00
Compressione nel calcestruzzo: σ_c=49.18
CC 46 SLU (Collegamento 0021_-378)
Azioni sul collegamento: N=-23139.00 Ty=5.73 Tz=53.57 Mx=-0.01 Mz=3.96
Sollecitazioni agenti localmente: Tx_l=5.73 Ty_l=53.57 N_l=-23139.00 Mx_l=-0.00 My_l=3.96 Mz_l=-0.01
Taglio nei bulloni: Fv,Ed=8.99 Fv,Rd=7720.78
Rifollamento lato piastra: Fb,Ed,p=8.99 Fb,Rd,p=6078.77
Tirafondi:LT=0.45 (0.31) σ_{cR}=0.00 σ_{fR}=0.00
Compressione nel calcestruzzo: σ_c=48.03
CC 47 SLU (Collegamento 0021_-378)
Azioni sul collegamento: N=-23413.30 Ty=5.76 Tz=54.61 Mx=-0.01 Mz=3.84
Sollecitazioni agenti localmente: Tx_l=5.76 Ty_l=54.61 N_l=-23413.30 Mx_l=-0.00 My_l=3.84 Mz_l=-0.01
Taglio nei bulloni: Fv,Ed=9.16 Fv,Rd=7720.78
Rifollamento lato piastra: Fb,Ed,p=9.16 Fb,Rd,p=6076.32
Tirafondi:LT=0.45 (0.31) σ_{cR}=0.00 σ_{fR}=0.00
Compressione nel calcestruzzo: σ_c=48.59
CC 48 SLU (Collegamento 0021_-378)
Azioni sul collegamento: N=-23415.20 Ty=5.98 Tz=54.56 Mx=-0.01 Mz=4.28
Sollecitazioni agenti localmente: Tx_l=5.98 Ty_l=54.56 N_l=-23415.20 Mx_l=-0.00 My_l=4.28 Mz_l=-0.01
Taglio nei bulloni: Fv,Ed=9.16 Fv,Rd=7720.78
Rifollamento lato piastra: Fb,Ed,p=9.16 Fb,Rd,p=6083.64
Tirafondi:LT=0.45 (0.31) σ_{cR}=0.00 σ_{fR}=0.00
Compressione nel calcestruzzo: σ_c=48.62
CC 49 SLU (Collegamento 0021_-378)
Azioni sul collegamento: N=-16738.30 Ty=6.67 Tz=30.05 Mx=-0.01 Mz=4.64
Sollecitazioni agenti localmente: Tx_l=6.67 Ty_l=30.05 N_l=-16738.30 Mx_l=-0.00 My_l=4.64 Mz_l=-0.01
Taglio nei bulloni: Fv,Ed=5.14 Fv,Rd=7720.78
Rifollamento lato piastra: Fb,Ed,p=5.14 Fb,Rd,p=6409.88
Tirafondi:LT=0.45 (0.31) σ_{cR}=0.00 σ_{fR}=0.00
Compressione nel calcestruzzo: σ_c=34.84
CC 50 SLU (Collegamento 0021_-378)
Azioni sul collegamento: N=-16187.80 Ty=6.38 Tz=28.01 Mx=-0.01 Mz=4.43
Sollecitazioni agenti localmente: Tx_l=6.38 Ty_l=28.01 N_l=-16187.80 Mx_l=-0.00 My_l=4.43 Mz_l=-0.01
Taglio nei bulloni: Fv,Ed=4.80 Fv,Rd=7720.78
Rifollamento lato piastra: Fb,Ed,p=4.79 Fb,Rd,p=6433.25
Tirafondi:LT=0.45 (0.31) σ_{cR}=0.00 σ_{fR}=0.00
Compressione nel calcestruzzo: σ_c=33.70
CC 51 SLU (Collegamento 0021_-378)
Azioni sul collegamento: N=-16462.10 Ty=6.42 Tz=29.05 Mx=-0.01 Mz=4.32
Sollecitazioni agenti localmente: Tx_l=6.42 Ty_l=29.05 N_l=-16462.10 Mx_l=-0.00 My_l=4.32 Mz_l=-0.01
Taglio nei bulloni: Fv,Ed=4.97 Fv,Rd=7720.78
Rifollamento lato piastra: Fb,Ed,p=4.96 Fb,Rd,p=6406.48
Tirafondi:LT=0.45 (0.31) σ_{cR}=0.00 σ_{fR}=0.00
Compressione nel calcestruzzo: σ_c=34.26
CC 52 SLU (Collegamento 0021_-378)
Azioni sul collegamento: N=-16464.00 Ty=6.64 Tz=29.01 Mx=-0.01 Mz=4.75
Sollecitazioni agenti localmente: Tx_l=6.64 Ty_l=29.01 N_l=-16464.00 Mx_l=-0.00 My_l=4.75 Mz_l=-0.01
Taglio nei bulloni: Fv,Ed=4.97 Fv,Rd=7720.78
Rifollamento lato piastra: Fb,Ed,p=4.97 Fb,Rd,p=6435.97
Tirafondi:LT=0.45 (0.31) σ_{cR}=0.00 σ_{fR}=0.00
Compressione nel calcestruzzo: σ_c=34.28
CC 53 SLU (Collegamento 0021_-378)
Azioni sul collegamento: N=-25132.80 Ty=5.93 Tz=60.42 Mx=-0.00 Mz=4.21
Sollecitazioni agenti localmente: Tx_l=5.93 Ty_l=60.42 N_l=-25132.80 Mx_l=-0.00 My_l=4.21 Mz_l=-0.00
Taglio nei bulloni: Fv,Ed=10.12 Fv,Rd=7720.78
Rifollamento lato piastra: Fb,Ed,p=10.12 Fb,Rd,p=6064.53
Tirafondi:LT=0.45 (0.31) σ_{cR}=0.00 σ_{fR}=0.00
Compressione nel calcestruzzo: σ_c=52.16
CC 54 SLU (Collegamento 0021_-378)
Azioni sul collegamento: N=-24582.20 Ty=5.64 Tz=58.39 Mx=-0.00 Mz=4.00
Sollecitazioni agenti localmente: Tx_l=5.64 Ty_l=58.39 N_l=-24582.20 Mx_l=-0.00 My_l=4.00 Mz_l=-0.00
Taglio nei bulloni: Fv,Ed=9.78 Fv,Rd=7720.78
Rifollamento lato piastra: Fb,Ed,p=9.78 Fb,Rd,p=6062.04
Tirafondi:LT=0.45 (0.31) σ_{cR}=0.00 σ_{fR}=0.00

Compressione nel calcestruzzo: σ_c=51.02
CC 55 SLU (Collegamento 0021_-378)
Azioni sul collegamento: N=-24856.50 Ty=5.68 Tz=59.43 Mx=0.00 Mz=3.89
Sollecitazioni agenti localmente: Tx_l=5.68 Ty_l=59.43 N_l=-24856.50 Mx_l=-0.00 My_l=3.89 Mz_l=0.00
Taglio nei bulloni: Fv,Ed=9.95 Fv,Rd=7720.78
Rifollamento lato piastra: Fb,Ed,p=9.95 Fb,Rd,p=6060.23
Tirafondi:LT=0.45 (0.31) σ_{cR}=0.00 σ_{fR}=0.00
Compressione nel calcestruzzo: σ_c=51.58
CC 56 SLU (Collegamento 0021_-378)
Azioni sul collegamento: N=-24858.50 Ty=5.89 Tz=59.38 Mx=-0.00 Mz=4.32
Sollecitazioni agenti localmente: Tx_l=5.89 Ty_l=59.38 N_l=-24858.50 Mx_l=-0.00 My_l=4.32 Mz_l=-0.00
Taglio nei bulloni: Fv,Ed=9.95 Fv,Rd=7720.78
Rifollamento lato piastra: Fb,Ed,p=9.95 Fb,Rd,p=6066.40
Tirafondi:LT=0.45 (0.31) σ_{cR}=0.00 σ_{fR}=0.00
Compressione nel calcestruzzo: σ_c=51.60
CC 57 SLU (Collegamento 0021_-378)
Azioni sul collegamento: N=-22071.60 Ty=5.40 Tz=49.65 Mx=-0.01 Mz=3.73
Sollecitazioni agenti localmente: Tx_l=5.40 Ty_l=49.65 N_l=-22071.60 Mx_l=-0.00 My_l=3.73 Mz_l=-0.01
Taglio nei bulloni: Fv,Ed=8.33 Fv,Rd=7720.78
Rifollamento lato piastra: Fb,Ed,p=8.33 Fb,Rd,p=6082.25
Tirafondi:LT=0.45 (0.31) σ_{cR}=0.00 σ_{fR}=0.00
Compressione nel calcestruzzo: σ_c=45.81
CC 58 SLU (Collegamento 0021_-378)
Azioni sul collegamento: N=-21521.10 Ty=5.11 Tz=47.61 Mx=-0.01 Mz=3.53
Sollecitazioni agenti localmente: Tx_l=5.11 Ty_l=47.61 N_l=-21521.10 Mx_l=-0.00 My_l=3.53 Mz_l=-0.01
Taglio nei bulloni: Fv,Ed=7.99 Fv,Rd=7720.78
Rifollamento lato piastra: Fb,Ed,p=7.99 Fb,Rd,p=6079.68
Tirafondi:LT=0.45 (0.31) σ_{cR}=0.00 σ_{fR}=0.00
Compressione nel calcestruzzo: σ_c=44.66
CC 59 SLU (Collegamento 0021_-378)
Azioni sul collegamento: N=-21795.30 Ty=5.15 Tz=48.65 Mx=-0.01 Mz=3.41
Sollecitazioni agenti localmente: Tx_l=5.15 Ty_l=48.65 N_l=-21795.30 Mx_l=-0.00 My_l=3.41 Mz_l=-0.01
Taglio nei bulloni: Fv,Ed=8.16 Fv,Rd=7720.78
Rifollamento lato piastra: Fb,Ed,p=8.16 Fb,Rd,p=6076.89
Tirafondi:LT=0.45 (0.31) σ_{cR}=0.00 σ_{fR}=0.00
Compressione nel calcestruzzo: σ_c=45.22
CC 60 SLU (Collegamento 0021_-378)
Azioni sul collegamento: N=-21797.30 Ty=5.37 Tz=48.60 Mx=-0.01 Mz=3.85
Sollecitazioni agenti localmente: Tx_l=5.37 Ty_l=48.60 N_l=-21797.30 Mx_l=-0.00 My_l=3.85 Mz_l=-0.01
Taglio nei bulloni: Fv,Ed=8.16 Fv,Rd=7720.78
Rifollamento lato piastra: Fb,Ed,p=8.16 Fb,Rd,p=6085.16
Tirafondi:LT=0.45 (0.31) σ_{cR}=0.00 σ_{fR}=0.00
Compressione nel calcestruzzo: σ_c=45.25
CC 61 SLU (Collegamento 0021_-378)
Azioni sul collegamento: N=-15120.40 Ty=6.06 Tz=24.09 Mx=-0.01 Mz=4.21
Sollecitazioni agenti localmente: Tx_l=6.06 Ty_l=24.09 N_l=-15120.40 Mx_l=-0.00 My_l=4.21 Mz_l=-0.01
Taglio nei bulloni: Fv,Ed=4.15 Fv,Rd=7720.78
Rifollamento lato piastra: Fb,Ed,p=4.15 Fb,Rd,p=6532.04
Tirafondi:LT=0.45 (0.31) σ_{cR}=0.00 σ_{fR}=0.00
Compressione nel calcestruzzo: σ_c=31.48
CC 62 SLU (Collegamento 0021_-378)
Azioni sul collegamento: N=-14569.90 Ty=5.77 Tz=22.06 Mx=-0.01 Mz=4.00
Sollecitazioni agenti localmente: Tx_l=5.77 Ty_l=22.06 N_l=-14569.90 Mx_l=-0.00 My_l=4.00 Mz_l=-0.01
Taglio nei bulloni: Fv,Ed=3.81 Fv,Rd=7720.78
Rifollamento lato piastra: Fb,Ed,p=3.80 Fb,Rd,p=6578.19
Tirafondi:LT=0.45 (0.31) σ_{cR}=0.00 σ_{fR}=0.00
Compressione nel calcestruzzo: σ_c=30.33
CC 63 SLU (Collegamento 0021_-378)
Azioni sul collegamento: N=-14844.20 Ty=5.80 Tz=23.10 Mx=-0.01 Mz=3.88
Sollecitazioni agenti localmente: Tx_l=5.80 Ty_l=23.10 N_l=-14844.20 Mx_l=-0.00 My_l=3.88 Mz_l=-0.01
Taglio nei bulloni: Fv,Ed=3.98 Fv,Rd=7720.78
Rifollamento lato piastra: Fb,Ed,p=3.97 Fb,Rd,p=6532.80
Tirafondi:LT=0.45 (0.31) σ_{cR}=0.00 σ_{fR}=0.00
Compressione nel calcestruzzo: σ_c=30.89
CC 64 SLU (Collegamento 0021_-378)
Azioni sul collegamento: N=-14846.10 Ty=6.02 Tz=23.05 Mx=-0.01 Mz=4.32
Sollecitazioni agenti localmente: Tx_l=6.02 Ty_l=23.05 N_l=-14846.10 Mx_l=-0.00 My_l=4.32 Mz_l=-0.01
Taglio nei bulloni: Fv,Ed=3.98 Fv,Rd=7720.78
Rifollamento lato piastra: Fb,Ed,p=3.98 Fb,Rd,p=6575.35
Tirafondi:LT=0.45 (0.31) σ_{cR}=0.00 σ_{fR}=0.00
Compressione nel calcestruzzo: σ_c=30.92
CC 65 SLU (Collegamento 0021_-378)
Azioni sul collegamento: N=-23514.90 Ty=5.31 Tz=54.47 Mx=0.00 Mz=3.77
Sollecitazioni agenti localmente: Tx_l=5.31 Ty_l=54.47 N_l=-23514.90 Mx_l=-0.00 My_l=3.77 Mz_l=0.00
Taglio nei bulloni: Fv,Ed=9.12 Fv,Rd=7720.78
Rifollamento lato piastra: Fb,Ed,p=9.12 Fb,Rd,p=6063.75
Tirafondi:LT=0.45 (0.31) σ_{cR}=0.00 σ_{fR}=0.00
Compressione nel calcestruzzo: σ_c=48.80
CC 66 SLU (Collegamento 0021_-378)
Azioni sul collegamento: N=-22964.30 Ty=5.03 Tz=52.43 Mx=0.00 Mz=3.57

Sollecitazioni agenti localmente: T_{x_l}=5.03 T_{y_l}=52.43 N_l=-22964.30 M_{x_l}=-0.00 M_{y_l}=3.57 M_{z_l}=0.00
Taglio nei bulloni: Fv,Ed=8.78 Fv,Rd=7720.78
Rifollamento lato piastra: Fb,Ed,p=8.78 Fb,Rd,p=6060.95
Tirafondi:LT=0.45 (0.31) σ_{cR}=0.00 σ_{fR}=0.00
Compressione nel calcestruzzo: σ_c=47.65
CC 67 SLU (Collegamento 0021_-378)
Azioni sul collegamento: N=-23238.60 Ty=5.06 Tz=53.47 Mx=0.00 Mz=3.45
Sollecitazioni agenti localmente: T_{x_l}=5.06 T_{y_l}=53.47 N_l=-23238.60 M_{x_l}=-0.00 M_{y_l}=3.45 M_{z_l}=0.00
Taglio nei bulloni: Fv,Ed=8.95 Fv,Rd=7720.78
Rifollamento lato piastra: Fb,Ed,p=8.95 Fb,Rd,p=6058.98
Tirafondi:LT=0.45 (0.31) σ_{cR}=0.00 σ_{fR}=0.00
Compressione nel calcestruzzo: σ_c=48.21
CC 68 SLU (Collegamento 0021_-378)
Azioni sul collegamento: N=-23240.60 Ty=5.28 Tz=53.43 Mx=-0.00 Mz=3.89
Sollecitazioni agenti localmente: T_{x_l}=5.28 T_{y_l}=53.43 N_l=-23240.60 M_{x_l}=-0.00 M_{y_l}=3.89 M_{z_l}=-0.00
Taglio nei bulloni: Fv,Ed=8.95 Fv,Rd=7720.78
Rifollamento lato piastra: Fb,Ed,p=8.95 Fb,Rd,p=6065.82
Tirafondi:LT=0.45 (0.31) σ_{cR}=0.00 σ_{fR}=0.00
Compressione nel calcestruzzo: σ_c=48.24
CC 97 SLU (Collegamento 0021_-378)
Azioni sul collegamento: N=-18052.20 Ty=-0.34 Tz=43.06 Mx=-0.05 Mz=-8.83
Sollecitazioni agenti localmente: T_{x_l}=-0.34 T_{y_l}=43.06 N_l=-18052.20 M_{x_l}=-0.00 M_{y_l}=-8.83 M_{z_l}=-0.05
Taglio nei bulloni: Fv,Ed=7.24 Fv,Rd=7720.78
Rifollamento lato piastra: Fb,Ed,p=7.24 Fb,Rd,p=5981.51
Tirafondi:LT=0.45 (0.31) σ_{cR}=0.00 σ_{fR}=0.00
Compressione nel calcestruzzo: σ_c=37.80
CC 98 SLU (Collegamento 0021_-378)
Azioni sul collegamento: N=-17501.60 Ty=-0.63 Tz=41.02 Mx=-0.05 Mz=-9.04
Sollecitazioni agenti localmente: T_{x_l}=-0.63 T_{y_l}=41.02 N_l=-17501.60 M_{x_l}=-0.00 M_{y_l}=-9.04 M_{z_l}=-0.05
Taglio nei bulloni: Fv,Ed=6.90 Fv,Rd=7720.78
Rifollamento lato piastra: Fb,Ed,p=6.90 Fb,Rd,p=5984.24
Tirafondi:LT=0.45 (0.31) σ_{cR}=0.00 σ_{fR}=0.00
Compressione nel calcestruzzo: σ_c=36.67
CC 99 SLU (Collegamento 0021_-378)
Azioni sul collegamento: N=-17775.90 Ty=-0.60 Tz=42.06 Mx=-0.05 Mz=-9.15
Sollecitazioni agenti localmente: T_{x_l}=-0.60 T_{y_l}=42.06 N_l=-17775.90 M_{x_l}=-0.00 M_{y_l}=-9.15 M_{z_l}=-0.05
Taglio nei bulloni: Fv,Ed=7.07 Fv,Rd=7720.78
Rifollamento lato piastra: Fb,Ed,p=7.07 Fb,Rd,p=5983.62
Tirafondi:LT=0.45 (0.31) σ_{cR}=0.00 σ_{fR}=0.00
Compressione nel calcestruzzo: σ_c=37.24
CC 100 SLU (Collegamento 0021_-378)
Azioni sul collegamento: N=-17777.90 Ty=-0.38 Tz=42.01 Mx=-0.05 Mz=-8.71
Sollecitazioni agenti localmente: T_{x_l}=-0.38 T_{y_l}=42.01 N_l=-17777.90 M_{x_l}=-0.00 M_{y_l}=-8.71 M_{z_l}=-0.05
Taglio nei bulloni: Fv,Ed=7.06 Fv,Rd=7720.78
Rifollamento lato piastra: Fb,Ed,p=7.06 Fb,Rd,p=5981.90
Tirafondi:LT=0.45 (0.31) σ_{cR}=0.00 σ_{fR}=0.00
Compressione nel calcestruzzo: σ_c=37.22
CC 101 SLU (Collegamento 0021_-378)
Azioni sul collegamento: N=-7136.43 Ty=4.37 Tz=2.96 Mx=0.00 Mz=3.85
Sollecitazioni agenti localmente: T_{x_l}=4.37 T_{y_l}=2.96 N_l=-7136.43 M_{x_l}=-0.00 M_{y_l}=3.85 M_{z_l}=0.00
Taglio nei bulloni: Fv,Ed=0.88 Fv,Rd=7720.78
Rifollamento lato piastra: Fb,Ed,p=0.88 Fb,Rd,p=10065.50
Tirafondi:LT=0.45 (0.31) σ_{cR}=0.00 σ_{fR}=0.00
Compressione nel calcestruzzo: σ_c=14.96
CC 102 SLU (Collegamento 0021_-378)
Azioni sul collegamento: N=-6585.90 Ty=4.08 Tz=0.92 Mx=0.00 Mz=3.64
Sollecitazioni agenti localmente: T_{x_l}=4.08 T_{y_l}=0.92 N_l=-6585.90 M_{x_l}=-0.00 M_{y_l}=3.64 M_{z_l}=0.00
Taglio nei bulloni: Fv,Ed=0.70 Fv,Rd=7720.78
Rifollamento lato piastra: Fb,Ed,p=0.70 Fb,Rd,p=6402.37
Tirafondi:LT=0.45 (0.31) σ_{cR}=0.00 σ_{fR}=0.00
Compressione nel calcestruzzo: σ_c=13.81
CC 103 SLU (Collegamento 0021_-378)
Azioni sul collegamento: N=-6860.19 Ty=4.11 Tz=1.96 Mx=0.00 Mz=3.53
Sollecitazioni agenti localmente: T_{x_l}=4.11 T_{y_l}=1.96 N_l=-6860.19 M_{x_l}=-0.00 M_{y_l}=3.53 M_{z_l}=0.00
Taglio nei bulloni: Fv,Ed=0.77 Fv,Rd=7720.78
Rifollamento lato piastra: Fb,Ed,p=0.76 Fb,Rd,p=7939.33
Tirafondi:LT=0.45 (0.31) σ_{cR}=0.00 σ_{fR}=0.00
Compressione nel calcestruzzo: σ_c=14.37
CC 104 SLU (Collegamento 0021_-378)
Azioni sul collegamento: N=-6862.15 Ty=4.33 Tz=1.92 Mx=0.00 Mz=3.96
Sollecitazioni agenti localmente: T_{x_l}=4.33 T_{y_l}=1.92 N_l=-6862.15 M_{x_l}=-0.00 M_{y_l}=3.96 M_{z_l}=0.00
Taglio nei bulloni: Fv,Ed=0.79 Fv,Rd=7720.78
Rifollamento lato piastra: Fb,Ed,p=0.79 Fb,Rd,p=7691.06
Tirafondi:LT=0.45 (0.31) σ_{cR}=0.00 σ_{fR}=0.00
Compressione nel calcestruzzo: σ_c=14.40

Saldatura profilo-piastra

CC 1 SLV (Collegamento 0021_-378)
Azioni sul collegamento: N=-3968.96 Ty=6.45 Tz=-8.85 Mx=0.01 Mz=7.08

Sollecitazioni agenti localmente: Tx_l=6.45 Ty_l=-8.85 N_l=-3968.96 My_l=-7.08 Mz_l=0.01
Azioni sul cordone: TP=0.46 TO=-0.64 NO=-293.39
Tensioni nel cordone: τ_P=0.15 τ_0=0.20 σ_0=103.59 σ_{ID}=103.59 Σ_T=103.79
CC 1 SLV (Collegamento 0021_-378)
Azioni sul collegamento: N=-3968.96 Ty=3.07 Tz=-8.85 Mx=0.01 Mz=3.83
Sollecitazioni agenti localmente: Tx_l=3.07 Ty_l=-8.85 N_l=-3968.96 My_l=-3.83 Mz_l=0.01
Azioni sul cordone: TP=0.21 TO=-0.64 NO=-293.39
Tensioni nel cordone: τ_P= 0.07 τ_0=0.20 σ_0=98.85 σ_{ID}=98.85 Σ_T=99.05
CC 1 SLV (Collegamento 0021_-378)
Azioni sul collegamento: N=-3968.96 Ty=6.45 Tz=10.87 Mx=0.01 Mz=7.08
Sollecitazioni agenti localmente: Tx_l=6.45 Ty_l=10.87 N_l=-3968.96 My_l=-7.08 Mz_l=0.01
Azioni sul cordone: TP=0.46 TO=0.81 NO=-293.39
Tensioni nel cordone: τ_P=0.15 τ_0=0.26 σ_0=103.59 σ_{ID}=103.59 Σ_T=103.85
CC 1 SLV (Collegamento 0021_-378)
Azioni sul collegamento: N=-3968.96 Ty=3.07 Tz=10.87 Mx=0.01 Mz=3.83
Sollecitazioni agenti localmente: Tx_l=3.07 Ty_l=10.87 N_l=-3968.96 My_l=-3.83 Mz_l=0.01
Azioni sul cordone: TP=0.21 TO=0.81 NO=-293.39
Tensioni nel cordone: τ_P= 0.07 τ_0=0.26 σ_0=98.85 σ_{ID}=98.85 Σ_T=99.10
CC 1 SLV (Collegamento 0021_-378)
Azioni sul collegamento: N=-9265.76 Ty=6.45 Tz=-8.85 Mx=0.01 Mz=7.08
Sollecitazioni agenti localmente: Tx_l=6.45 Ty_l=-8.85 N_l=-9265.76 My_l=-7.08 Mz_l=0.01
Azioni sul cordone: TP=0.46 TO=-0.64 NO=-684.93
Tensioni nel cordone: τ_P=0.15 τ_0=0.20 σ_0=228.04 σ_{ID}=228.04 Σ_T=228.25
CC 1 SLV (Collegamento 0021_-378)
Azioni sul collegamento: N=-9265.76 Ty=3.07 Tz=-8.85 Mx=0.01 Mz=3.83
Sollecitazioni agenti localmente: Tx_l=3.07 Ty_l=-8.85 N_l=-9265.76 My_l=-3.83 Mz_l=0.01
Azioni sul cordone: TP=0.21 TO=-0.64 NO=-684.93
Tensioni nel cordone: τ_P= 0.07 τ_0=0.20 σ_0=223.30 σ_{ID}=223.30 Σ_T=223.50
CC 1 SLV (Collegamento 0021_-378)
Azioni sul collegamento: N=-9265.76 Ty=6.45 Tz=10.87 Mx=0.01 Mz=7.08
Sollecitazioni agenti localmente: Tx_l=6.45 Ty_l=10.87 N_l=-9265.76 My_l=-7.08 Mz_l=0.01
Azioni sul cordone: TP=0.46 TO=0.81 NO=-684.93
Tensioni nel cordone: τ_P=0.15 τ_0=0.26 σ_0=228.04 σ_{ID}=228.04 Σ_T=228.30
CC 1 SLV (Collegamento 0021_-378)
Azioni sul collegamento: N=-9265.76 Ty=3.07 Tz=10.87 Mx=0.01 Mz=3.83
Sollecitazioni agenti localmente: Tx_l=3.07 Ty_l=10.87 N_l=-9265.76 My_l=-3.83 Mz_l=0.01
Azioni sul cordone: TP=0.21 TO=0.81 NO=-684.93
Tensioni nel cordone: τ_P= 0.07 τ_0=0.26 σ_0=223.30 σ_{ID}=223.30 Σ_T=223.56
CC 2 SLD (Collegamento 0021_-378)
Azioni sul collegamento: N=-5777.33 Ty=4.43 Tz=-2.12 Mx=0.00 Mz=3.87
Sollecitazioni agenti localmente: Tx_l=4.43 Ty_l=-2.12 N_l=-5777.33 My_l=-3.87 Mz_l=0.00
Azioni sul cordone: TP=0.33 TO=-0.16 NO=-427.06
Tensioni nel cordone: τ_P=0.10 τ_0= 0.05 σ_0=141.39 σ_{ID}=141.39 Σ_T=141.44
CC 2 SLD (Collegamento 0021_-378)
Azioni sul collegamento: N=-5777.33 Ty=3.40 Tz=-2.12 Mx=0.00 Mz=2.88
Sollecitazioni agenti localmente: Tx_l=3.40 Ty_l=-2.12 N_l=-5777.33 My_l=-2.88 Mz_l=0.00
Azioni sul cordone: TP=0.25 TO=-0.16 NO=-427.06
Tensioni nel cordone: τ_P= 0.08 τ_0= 0.05 σ_0=139.94 σ_{ID}=139.94 Σ_T=139.99
CC 2 SLD (Collegamento 0021_-378)
Azioni sul collegamento: N=-5777.32 Ty=4.43 Tz=3.89 Mx=0.00 Mz=3.87
Sollecitazioni agenti localmente: Tx_l=4.43 Ty_l=3.89 N_l=-5777.32 My_l=-3.87 Mz_l=0.00
Azioni sul cordone: TP=0.33 TO=0.29 NO=-427.06
Tensioni nel cordone: τ_P=0.10 τ_0= 0.09 σ_0=141.39 σ_{ID}=141.39 Σ_T=141.48
CC 2 SLD (Collegamento 0021_-378)
Azioni sul collegamento: N=-5777.32 Ty=3.40 Tz=3.89 Mx=0.00 Mz=2.88
Sollecitazioni agenti localmente: Tx_l=3.40 Ty_l=3.89 N_l=-5777.32 My_l=-2.88 Mz_l=0.00
Azioni sul cordone: TP=0.25 TO=0.29 NO=-427.06
Tensioni nel cordone: τ_P= 0.08 τ_0= 0.09 σ_0=139.94 σ_{ID}=139.94 Σ_T=140.03
CC 2 SLD (Collegamento 0021_-378)
Azioni sul collegamento: N=-7392.49 Ty=4.43 Tz=-2.12 Mx=0.00 Mz=3.87
Sollecitazioni agenti localmente: Tx_l=4.43 Ty_l=-2.12 N_l=-7392.49 My_l=-3.87 Mz_l=0.00
Azioni sul cordone: TP=0.33 TO=-0.16 NO=-546.46
Tensioni nel cordone: τ_P=0.10 τ_0= 0.05 σ_0=179.34 σ_{ID}=179.34 Σ_T=179.39
CC 2 SLD (Collegamento 0021_-378)
Azioni sul collegamento: N=-7392.49 Ty=3.40 Tz=-2.12 Mx=0.00 Mz=2.88
Sollecitazioni agenti localmente: Tx_l=3.40 Ty_l=-2.12 N_l=-7392.49 My_l=-2.88 Mz_l=0.00
Azioni sul cordone: TP=0.25 TO=-0.16 NO=-546.46
Tensioni nel cordone: τ_P= 0.08 τ_0= 0.05 σ_0=177.89 σ_{ID}=177.89 Σ_T=177.94
CC 2 SLD (Collegamento 0021_-378)
Azioni sul collegamento: N=-7392.49 Ty=4.43 Tz=3.89 Mx=0.00 Mz=3.87
Sollecitazioni agenti localmente: Tx_l=4.43 Ty_l=3.89 N_l=-7392.49 My_l=-3.87 Mz_l=0.00
Azioni sul cordone: TP=0.33 TO=0.29 NO=-546.46
Tensioni nel cordone: τ_P=0.10 τ_0= 0.09 σ_0=179.34 σ_{ID}=179.34 Σ_T=179.43
CC 2 SLD (Collegamento 0021_-378)
Azioni sul collegamento: N=-7392.49 Ty=3.40 Tz=3.89 Mx=0.00 Mz=2.88
Sollecitazioni agenti localmente: Tx_l=3.40 Ty_l=3.89 N_l=-7392.49 My_l=-2.88 Mz_l=0.00
Azioni sul cordone: TP=0.25 TO=0.29 NO=-546.46
Tensioni nel cordone: τ_P= 0.08 τ_0= 0.09 σ_0=177.89 σ_{ID}=177.89 Σ_T=177.98
CC 3 SLV (Collegamento 0021_-378)
Azioni sul collegamento: N=-3974.64 Ty=5.81 Tz=-8.72 Mx=0.01 Mz=5.82
Sollecitazioni agenti localmente: Tx_l=5.81 Ty_l=-8.72 N_l=-3974.64 My_l=-5.82 Mz_l=0.01

Azioni sul cordone: TP=0.42 TO=-0.64 NO=-293.81
Tensioni nel cordone: τ_P=0.13 τ_O=0.20 σ_O=101.89 σ_{ID}=101.89 Σ_T=102.09
CC 3 SLV (Collegamento 0021_-378)
Azioni sul collegamento: N=-3974.64 Ty=3.70 Tz=-8.72 Mx=0.01 Mz=5.08
Sollecitazioni agenti localmente: Tx_l=3.70 Ty_l=-8.72 N_l=-3974.64 My_l=-5.08 Mz_l=0.01
Azioni sul cordone: TP=0.26 TO=-0.64 NO=-293.81
Tensioni nel cordone: τ_P= 0.08 τ_O=0.20 σ_O=100.81 σ_{ID}=100.81 Σ_T=101.02
CC 3 SLV (Collegamento 0021_-378)
Azioni sul collegamento: N=-3974.64 Ty=5.81 Tz=10.74 Mx=0.01 Mz=5.82
Sollecitazioni agenti localmente: Tx_l=5.81 Ty_l=10.74 N_l=-3974.64 My_l=-5.82 Mz_l=0.01
Azioni sul cordone: TP=0.42 TO=0.80 NO=-293.81
Tensioni nel cordone: τ_P=0.13 τ_O=0.25 σ_O=101.89 σ_{ID}=101.89 Σ_T=102.14
CC 3 SLV (Collegamento 0021_-378)
Azioni sul collegamento: N=-3974.64 Ty=3.70 Tz=10.74 Mx=0.01 Mz=5.08
Sollecitazioni agenti localmente: Tx_l=3.70 Ty_l=10.74 N_l=-3974.64 My_l=-5.08 Mz_l=0.01
Azioni sul cordone: TP=0.26 TO=0.80 NO=-293.81
Tensioni nel cordone: τ_P= 0.08 τ_O=0.25 σ_O=100.81 σ_{ID}=100.81 Σ_T=101.07
CC 3 SLV (Collegamento 0021_-378)
Azioni sul collegamento: N=-9260.08 Ty=5.81 Tz=-8.72 Mx=0.01 Mz=5.82
Sollecitazioni agenti localmente: Tx_l=5.81 Ty_l=-8.72 N_l=-9260.08 My_l=-5.82 Mz_l=0.01
Azioni sul cordone: TP=0.42 TO=-0.64 NO=-684.51
Tensioni nel cordone: τ_P=0.13 τ_O=0.20 σ_O=226.07 σ_{ID}=226.07 Σ_T=226.28
CC 3 SLV (Collegamento 0021_-378)
Azioni sul collegamento: N=-9260.08 Ty=3.70 Tz=-8.72 Mx=0.01 Mz=5.08
Sollecitazioni agenti localmente: Tx_l=3.70 Ty_l=-8.72 N_l=-9260.08 My_l=-5.08 Mz_l=0.01
Azioni sul cordone: TP=0.26 TO=-0.64 NO=-684.51
Tensioni nel cordone: τ_P= 0.08 τ_O=0.20 σ_O=225.00 σ_{ID}=225.00 Σ_T=225.20
CC 3 SLV (Collegamento 0021_-378)
Azioni sul collegamento: N=-9260.08 Ty=5.81 Tz=10.74 Mx=0.01 Mz=5.82
Sollecitazioni agenti localmente: Tx_l=5.81 Ty_l=10.74 N_l=-9260.08 My_l=-5.82 Mz_l=0.01
Azioni sul cordone: TP=0.42 TO=0.80 NO=-684.51
Tensioni nel cordone: τ_P=0.13 τ_O=0.25 σ_O=226.07 σ_{ID}=226.07 Σ_T=226.33
CC 3 SLV (Collegamento 0021_-378)
Azioni sul collegamento: N=-9260.08 Ty=3.70 Tz=10.74 Mx=0.01 Mz=5.08
Sollecitazioni agenti localmente: Tx_l=3.70 Ty_l=10.74 N_l=-9260.08 My_l=-5.08 Mz_l=0.01
Azioni sul cordone: TP=0.26 TO=0.80 NO=-684.51
Tensioni nel cordone: τ_P= 0.08 τ_O=0.25 σ_O=225.00 σ_{ID}=225.00 Σ_T=225.25
CC 4 SLD (Collegamento 0021_-378)
Azioni sul collegamento: N=-5779.06 Ty=4.24 Tz=-2.08 Mx=0.00 Mz=3.48
Sollecitazioni agenti localmente: Tx_l=4.24 Ty_l=-2.08 N_l=-5779.06 My_l=-3.48 Mz_l=0.00
Azioni sul cordone: TP=0.31 TO=-0.15 NO=-427.19
Tensioni nel cordone: τ_P= 0.10 τ_O= 0.05 σ_O=140.87 σ_{ID}=140.87 Σ_T=140.92
CC 4 SLD (Collegamento 0021_-378)
Azioni sul collegamento: N=-5779.06 Ty=3.59 Tz=-2.08 Mx=0.00 Mz=3.26
Sollecitazioni agenti localmente: Tx_l=3.59 Ty_l=-2.08 N_l=-5779.06 My_l=-3.26 Mz_l=0.00
Azioni sul cordone: TP=0.27 TO=-0.15 NO=-427.19
Tensioni nel cordone: τ_P= 0.08 τ_O= 0.05 σ_O=140.54 σ_{ID}=140.54 Σ_T=140.59
CC 4 SLD (Collegamento 0021_-378)
Azioni sul collegamento: N=-5779.06 Ty=4.24 Tz=3.85 Mx=0.00 Mz=3.48
Sollecitazioni agenti localmente: Tx_l=4.24 Ty_l=3.85 N_l=-5779.06 My_l=-3.48 Mz_l=0.00
Azioni sul cordone: TP=0.31 TO=0.28 NO=-427.19
Tensioni nel cordone: τ_P= 0.10 τ_O= 0.09 σ_O=140.87 σ_{ID}=140.87 Σ_T=140.96
CC 4 SLD (Collegamento 0021_-378)
Azioni sul collegamento: N=-5779.06 Ty=3.59 Tz=3.85 Mx=0.00 Mz=3.26
Sollecitazioni agenti localmente: Tx_l=3.59 Ty_l=3.85 N_l=-5779.06 My_l=-3.26 Mz_l=0.00
Azioni sul cordone: TP=0.27 TO=0.28 NO=-427.19
Tensioni nel cordone: τ_P= 0.08 τ_O= 0.09 σ_O=140.54 σ_{ID}=140.54 Σ_T=140.63
CC 4 SLD (Collegamento 0021_-378)
Azioni sul collegamento: N=-7390.75 Ty=4.24 Tz=-2.08 Mx=0.00 Mz=3.48
Sollecitazioni agenti localmente: Tx_l=4.24 Ty_l=-2.08 N_l=-7390.75 My_l=-3.48 Mz_l=0.00
Azioni sul cordone: TP=0.31 TO=-0.15 NO=-546.33
Tensioni nel cordone: τ_P= 0.10 τ_O= 0.05 σ_O=178.74 σ_{ID}=178.74 Σ_T=178.79
CC 4 SLD (Collegamento 0021_-378)
Azioni sul collegamento: N=-7390.75 Ty=3.59 Tz=-2.08 Mx=0.00 Mz=3.26
Sollecitazioni agenti localmente: Tx_l=3.59 Ty_l=-2.08 N_l=-7390.75 My_l=-3.26 Mz_l=0.00
Azioni sul cordone: TP=0.27 TO=-0.15 NO=-546.33
Tensioni nel cordone: τ_P= 0.08 τ_O= 0.05 σ_O=178.41 σ_{ID}=178.41 Σ_T=178.46
CC 4 SLD (Collegamento 0021_-378)
Azioni sul collegamento: N=-7390.75 Ty=4.24 Tz=3.85 Mx=0.00 Mz=3.48
Sollecitazioni agenti localmente: Tx_l=4.24 Ty_l=3.85 N_l=-7390.75 My_l=-3.48 Mz_l=0.00
Azioni sul cordone: TP=0.31 TO=0.28 NO=-546.33
Tensioni nel cordone: τ_P= 0.10 τ_O= 0.09 σ_O=178.74 σ_{ID}=178.74 Σ_T=178.83
CC 4 SLD (Collegamento 0021_-378)
Azioni sul collegamento: N=-7390.75 Ty=3.59 Tz=3.85 Mx=0.00 Mz=3.26
Sollecitazioni agenti localmente: Tx_l=3.59 Ty_l=3.85 N_l=-7390.75 My_l=-3.26 Mz_l=0.00
Azioni sul cordone: TP=0.27 TO=0.28 NO=-546.33
Tensioni nel cordone: τ_P= 0.08 τ_O= 0.09 σ_O=178.41 σ_{ID}=178.41 Σ_T=178.50
CC 5 SLV (Collegamento 0021_-378)
Azioni sul collegamento: N=-9260.08 Ty=3.70 Tz=10.74 Mx=0.01 Mz=5.08
Sollecitazioni agenti localmente: Tx_l=3.70 Ty_l=10.74 N_l=-9260.08 My_l=-5.08 Mz_l=0.01
Azioni sul cordone: TP=0.26 TO=0.80 NO=-684.51

Tensioni nel cordone: τ_P= 0.08 τ_0=0.26 σ_0=225.00 σ_{ID}=225.00 Σ_T=225.25
CC 5 SLV (Collegamento 0021_-378)
Azioni sul collegamento: N=-9260.08 Ty=5.81 Tz=10.74 Mx=0.01 Mz=5.82
Sollecitazioni agenti localmente: Tx_l=5.81 Ty_l=10.74 N_l=-9260.08 My_l=-5.82 Mz_l=0.01
Azioni sul cordone: TP=0.42 TO=0.80 NO=-684.51
Tensioni nel cordone: τ_P=0.13 τ_0=0.26 σ_0=226.07 σ_{ID}=226.07 Σ_T=226.33
CC 5 SLV (Collegamento 0021_-378)
Azioni sul collegamento: N=-9260.08 Ty=3.70 Tz=-8.72 Mx=0.01 Mz=5.08
Sollecitazioni agenti localmente: Tx_l=3.70 Ty_l=-8.72 N_l=-9260.08 My_l=-5.08 Mz_l=0.01
Azioni sul cordone: TP=0.26 TO=-0.64 NO=-684.51
Tensioni nel cordone: τ_P= 0.08 τ_0=0.20 σ_0=225.00 σ_{ID}=225.00 Σ_T=225.20
CC 5 SLV (Collegamento 0021_-378)
Azioni sul collegamento: N=-9260.08 Ty=5.81 Tz=-8.72 Mx=0.01 Mz=5.82
Sollecitazioni agenti localmente: Tx_l=5.81 Ty_l=-8.72 N_l=-9260.08 My_l=-5.82 Mz_l=0.01
Azioni sul cordone: TP=0.42 TO=-0.64 NO=-684.51
Tensioni nel cordone: τ_P=0.13 τ_0=0.20 σ_0=226.07 σ_{ID}=226.07 Σ_T=226.27
CC 5 SLV (Collegamento 0021_-378)
Azioni sul collegamento: N=-3974.64 Ty=3.70 Tz=10.74 Mx=0.01 Mz=5.08
Sollecitazioni agenti localmente: Tx_l=3.70 Ty_l=10.74 N_l=-3974.64 My_l=-5.08 Mz_l=0.01
Azioni sul cordone: TP=0.26 TO=0.80 NO=-293.81
Tensioni nel cordone: τ_P= 0.08 τ_0=0.26 σ_0=100.81 σ_{ID}=100.81 Σ_T=101.07
CC 5 SLV (Collegamento 0021_-378)
Azioni sul collegamento: N=-3974.64 Ty=5.81 Tz=10.74 Mx=0.01 Mz=5.82
Sollecitazioni agenti localmente: Tx_l=5.81 Ty_l=10.74 N_l=-3974.64 My_l=-5.82 Mz_l=0.01
Azioni sul cordone: TP=0.42 TO=0.80 NO=-293.81
Tensioni nel cordone: τ_P=0.13 τ_0=0.26 σ_0=101.89 σ_{ID}=101.89 Σ_T=102.14
CC 5 SLV (Collegamento 0021_-378)
Azioni sul collegamento: N=-3974.64 Ty=3.70 Tz=-8.72 Mx=0.01 Mz=5.08
Sollecitazioni agenti localmente: Tx_l=3.70 Ty_l=-8.72 N_l=-3974.64 My_l=-5.08 Mz_l=0.01
Azioni sul cordone: TP=0.26 TO=-0.64 NO=-293.81
Tensioni nel cordone: τ_P= 0.08 τ_0=0.20 σ_0=100.81 σ_{ID}=100.81 Σ_T=101.02
CC 5 SLV (Collegamento 0021_-378)
Azioni sul collegamento: N=-3974.64 Ty=5.81 Tz=-8.72 Mx=0.01 Mz=5.82
Sollecitazioni agenti localmente: Tx_l=5.81 Ty_l=-8.72 N_l=-3974.64 My_l=-5.82 Mz_l=0.01
Azioni sul cordone: TP=0.42 TO=-0.64 NO=-293.81
Tensioni nel cordone: τ_P=0.13 τ_0=0.20 σ_0=101.89 σ_{ID}=101.89 Σ_T=102.09
CC 6 SLD (Collegamento 0021_-378)
Azioni sul collegamento: N=-7390.75 Ty=3.59 Tz=3.85 Mx=0.00 Mz=3.26
Sollecitazioni agenti localmente: Tx_l=3.59 Ty_l=3.85 N_l=-7390.75 My_l=-3.26 Mz_l=0.00
Azioni sul cordone: TP=0.26 TO=0.29 NO=-546.33
Tensioni nel cordone: τ_P= 0.08 τ_0= 0.09 σ_0=178.41 σ_{ID}=178.41 Σ_T=178.50
CC 6 SLD (Collegamento 0021_-378)
Azioni sul collegamento: N=-7390.75 Ty=4.24 Tz=3.85 Mx=0.00 Mz=3.48
Sollecitazioni agenti localmente: Tx_l=4.24 Ty_l=3.85 N_l=-7390.75 My_l=-3.48 Mz_l=0.00
Azioni sul cordone: TP=0.31 TO=0.29 NO=-546.33
Tensioni nel cordone: τ_P= 0.10 τ_0= 0.09 σ_0=178.74 σ_{ID}=178.74 Σ_T=178.83
CC 6 SLD (Collegamento 0021_-378)
Azioni sul collegamento: N=-7390.75 Ty=3.59 Tz=-2.08 Mx=0.00 Mz=3.26
Sollecitazioni agenti localmente: Tx_l=3.59 Ty_l=-2.08 N_l=-7390.75 My_l=-3.26 Mz_l=0.00
Azioni sul cordone: TP=0.26 TO=-0.15 NO=-546.33
Tensioni nel cordone: τ_P= 0.08 τ_0= 0.05 σ_0=178.41 σ_{ID}=178.41 Σ_T=178.46
CC 6 SLD (Collegamento 0021_-378)
Azioni sul collegamento: N=-7390.75 Ty=4.24 Tz=-2.08 Mx=0.00 Mz=3.48
Sollecitazioni agenti localmente: Tx_l=4.24 Ty_l=-2.08 N_l=-7390.75 My_l=-3.48 Mz_l=0.00
Azioni sul cordone: TP=0.31 TO=-0.15 NO=-546.33
Tensioni nel cordone: τ_P= 0.10 τ_0= 0.05 σ_0=178.74 σ_{ID}=178.74 Σ_T=178.78
CC 6 SLD (Collegamento 0021_-378)
Azioni sul collegamento: N=-5779.06 Ty=3.59 Tz=3.85 Mx=0.00 Mz=3.26
Sollecitazioni agenti localmente: Tx_l=3.59 Ty_l=3.85 N_l=-5779.06 My_l=-3.26 Mz_l=0.00
Azioni sul cordone: TP=0.26 TO=0.29 NO=-427.19
Tensioni nel cordone: τ_P= 0.08 τ_0= 0.09 σ_0=140.54 σ_{ID}=140.54 Σ_T=140.63
CC 6 SLD (Collegamento 0021_-378)
Azioni sul collegamento: N=-5779.06 Ty=4.24 Tz=3.85 Mx=0.00 Mz=3.48
Sollecitazioni agenti localmente: Tx_l=4.24 Ty_l=3.85 N_l=-5779.06 My_l=-3.48 Mz_l=0.00
Azioni sul cordone: TP=0.31 TO=0.29 NO=-427.19
Tensioni nel cordone: τ_P= 0.10 τ_0= 0.09 σ_0=140.87 σ_{ID}=140.87 Σ_T=140.96
CC 6 SLD (Collegamento 0021_-378)
Azioni sul collegamento: N=-5779.06 Ty=3.59 Tz=-2.08 Mx=0.00 Mz=3.26
Sollecitazioni agenti localmente: Tx_l=3.59 Ty_l=-2.08 N_l=-5779.06 My_l=-3.26 Mz_l=0.00
Azioni sul cordone: TP=0.26 TO=-0.15 NO=-427.19
Tensioni nel cordone: τ_P= 0.08 τ_0= 0.05 σ_0=140.54 σ_{ID}=140.54 Σ_T=140.59
CC 6 SLD (Collegamento 0021_-378)
Azioni sul collegamento: N=-5779.06 Ty=4.24 Tz=-2.08 Mx=0.00 Mz=3.48
Sollecitazioni agenti localmente: Tx_l=4.24 Ty_l=-2.08 N_l=-5779.06 My_l=-3.48 Mz_l=0.00
Azioni sul cordone: TP=0.31 TO=-0.15 NO=-427.19
Tensioni nel cordone: τ_P= 0.10 τ_0= 0.05 σ_0=140.87 σ_{ID}=140.87 Σ_T=140.92
CC 7 SLV (Collegamento 0021_-378)
Azioni sul collegamento: N=-9265.76 Ty=3.07 Tz=10.87 Mx=0.01 Mz=3.83
Sollecitazioni agenti localmente: Tx_l=3.07 Ty_l=10.87 N_l=-9265.76 My_l=-3.83 Mz_l=0.01
Azioni sul cordone: TP=0.22 TO=0.81 NO=-684.93
Tensioni nel cordone: τ_P= 0.07 τ_0=0.26 σ_0=223.30 σ_{ID}=223.30 Σ_T=223.55

CC 7 SLV (Collegamento 0021_-378)
Azioni sul collegamento: N=-9265.76 Ty=6.45 Tz=10.87 Mx=0.01 Mz=7.08
Sollecitazioni agenti localmente: Tx_l=6.45 Ty_l=10.87 N_l=-9265.76 My_l=-7.08 Mz_l=0.01
Azioni sul cordone: TP=0.47 TO=0.81 NO=-684.93
Tensioni nel cordone: τ_P=0.15 τ_0=0.26 σ_0=228.04 σ_{ID}=228.04 Σ_T=228.30
CC 7 SLV (Collegamento 0021_-378)
Azioni sul collegamento: N=-9265.76 Ty=3.07 Tz=-8.85 Mx=0.01 Mz=3.83
Sollecitazioni agenti localmente: Tx_l=3.07 Ty_l=-8.85 N_l=-9265.76 My_l=-3.83 Mz_l=0.01
Azioni sul cordone: TP=0.22 TO=-0.65 NO=-684.93
Tensioni nel cordone: τ_P= 0.07 τ_0=0.21 σ_0=223.30 σ_{ID}=223.30 Σ_T=223.50
CC 7 SLV (Collegamento 0021_-378)
Azioni sul collegamento: N=-9265.76 Ty=6.45 Tz=-8.85 Mx=0.01 Mz=7.08
Sollecitazioni agenti localmente: Tx_l=6.45 Ty_l=-8.85 N_l=-9265.76 My_l=-7.08 Mz_l=0.01
Azioni sul cordone: TP=0.47 TO=-0.65 NO=-684.93
Tensioni nel cordone: τ_P=0.15 τ_0=0.21 σ_0=228.04 σ_{ID}=228.04 Σ_T=228.25
CC 7 SLV (Collegamento 0021_-378)
Azioni sul collegamento: N=-3968.96 Ty=3.07 Tz=10.87 Mx=0.01 Mz=3.83
Sollecitazioni agenti localmente: Tx_l=3.07 Ty_l=10.87 N_l=-3968.96 My_l=-3.83 Mz_l=0.01
Azioni sul cordone: TP=0.22 TO=0.81 NO=-293.39
Tensioni nel cordone: τ_P= 0.07 τ_0=0.26 σ_0=98.85 σ_{ID}=98.85 Σ_T=99.10
CC 7 SLV (Collegamento 0021_-378)
Azioni sul collegamento: N=-3968.96 Ty=6.45 Tz=10.87 Mx=0.01 Mz=7.08
Sollecitazioni agenti localmente: Tx_l=6.45 Ty_l=10.87 N_l=-3968.96 My_l=-7.08 Mz_l=0.01
Azioni sul cordone: TP=0.47 TO=0.81 NO=-293.39
Tensioni nel cordone: τ_P=0.15 τ_0=0.26 σ_0=103.59 σ_{ID}=103.59 Σ_T=103.85
CC 7 SLV (Collegamento 0021_-378)
Azioni sul collegamento: N=-3968.96 Ty=3.07 Tz=-8.85 Mx=0.01 Mz=3.83
Sollecitazioni agenti localmente: Tx_l=3.07 Ty_l=-8.85 N_l=-3968.96 My_l=-3.83 Mz_l=0.01
Azioni sul cordone: TP=0.22 TO=-0.65 NO=-293.39
Tensioni nel cordone: τ_P= 0.07 τ_0=0.21 σ_0=98.85 σ_{ID}=98.85 Σ_T=99.05
CC 7 SLV (Collegamento 0021_-378)
Azioni sul collegamento: N=-3968.96 Ty=6.45 Tz=-8.85 Mx=0.01 Mz=7.08
Sollecitazioni agenti localmente: Tx_l=6.45 Ty_l=-8.85 N_l=-3968.96 My_l=-7.08 Mz_l=0.01
Azioni sul cordone: TP=0.47 TO=-0.65 NO=-293.39
Tensioni nel cordone: τ_P=0.15 τ_0=0.21 σ_0=103.59 σ_{ID}=103.59 Σ_T=103.80
CC 8 SLD (Collegamento 0021_-378)
Azioni sul collegamento: N=-7392.49 Ty=3.40 Tz=3.89 Mx=-0.00 Mz=2.88
Sollecitazioni agenti localmente: Tx_l=3.40 Ty_l=3.89 N_l=-7392.49 My_l=-2.88 Mz_l=-0.00
Azioni sul cordone: TP=0.25 TO=0.29 NO=-546.46
Tensioni nel cordone: τ_P= 0.08 τ_0= 0.09 σ_0=177.89 σ_{ID}=177.89 Σ_T=177.98
CC 8 SLD (Collegamento 0021_-378)
Azioni sul collegamento: N=-7392.49 Ty=4.43 Tz=3.89 Mx=-0.00 Mz=3.87
Sollecitazioni agenti localmente: Tx_l=4.43 Ty_l=3.89 N_l=-7392.49 My_l=-3.87 Mz_l=-0.00
Azioni sul cordone: TP=0.33 TO=0.29 NO=-546.46
Tensioni nel cordone: τ_P=0.10 τ_0= 0.09 σ_0=179.34 σ_{ID}=179.34 Σ_T=179.43
CC 8 SLD (Collegamento 0021_-378)
Azioni sul collegamento: N=-7392.49 Ty=3.40 Tz=-2.12 Mx=-0.00 Mz=2.88
Sollecitazioni agenti localmente: Tx_l=3.40 Ty_l=-2.12 N_l=-7392.49 My_l=-2.88 Mz_l=-0.00
Azioni sul cordone: TP=0.25 TO=-0.16 NO=-546.46
Tensioni nel cordone: τ_P= 0.08 τ_0= 0.05 σ_0=177.89 σ_{ID}=177.89 Σ_T=177.94
CC 8 SLD (Collegamento 0021_-378)
Azioni sul collegamento: N=-7392.49 Ty=4.43 Tz=-2.12 Mx=-0.00 Mz=3.87
Sollecitazioni agenti localmente: Tx_l=4.43 Ty_l=-2.12 N_l=-7392.49 My_l=-3.87 Mz_l=-0.00
Azioni sul cordone: TP=0.33 TO=-0.16 NO=-546.46
Tensioni nel cordone: τ_P=0.10 τ_0= 0.05 σ_0=179.34 σ_{ID}=179.34 Σ_T=179.39
CC 8 SLD (Collegamento 0021_-378)
Azioni sul collegamento: N=-5777.32 Ty=3.40 Tz=3.89 Mx=-0.00 Mz=2.88
Sollecitazioni agenti localmente: Tx_l=3.40 Ty_l=3.89 N_l=-5777.32 My_l=-2.88 Mz_l=-0.00
Azioni sul cordone: TP=0.25 TO=0.29 NO=-427.06
Tensioni nel cordone: τ_P= 0.08 τ_0= 0.09 σ_0=139.94 σ_{ID}=139.94 Σ_T=140.03
CC 8 SLD (Collegamento 0021_-378)
Azioni sul collegamento: N=-5777.32 Ty=4.43 Tz=3.89 Mx=-0.00 Mz=3.87
Sollecitazioni agenti localmente: Tx_l=4.43 Ty_l=3.89 N_l=-5777.32 My_l=-3.87 Mz_l=-0.00
Azioni sul cordone: TP=0.33 TO=0.29 NO=-427.06
Tensioni nel cordone: τ_P=0.10 τ_0= 0.09 σ_0=141.39 σ_{ID}=141.39 Σ_T=141.48
CC 8 SLD (Collegamento 0021_-378)
Azioni sul collegamento: N=-5777.33 Ty=3.40 Tz=-2.12 Mx=-0.00 Mz=2.88
Sollecitazioni agenti localmente: Tx_l=3.40 Ty_l=-2.12 N_l=-5777.33 My_l=-2.88 Mz_l=-0.00
Azioni sul cordone: TP=0.25 TO=-0.16 NO=-427.06
Tensioni nel cordone: τ_P= 0.08 τ_0= 0.05 σ_0=139.94 σ_{ID}=139.94 Σ_T=139.99
CC 8 SLD (Collegamento 0021_-378)
Azioni sul collegamento: N=-5777.33 Ty=4.43 Tz=-2.12 Mx=-0.00 Mz=3.87
Sollecitazioni agenti localmente: Tx_l=4.43 Ty_l=-2.12 N_l=-5777.33 My_l=-3.87 Mz_l=-0.00
Azioni sul cordone: TP=0.33 TO=-0.16 NO=-427.06
Tensioni nel cordone: τ_P=0.10 τ_0= 0.05 σ_0=141.39 σ_{ID}=141.39 Σ_T=141.44
CC 9 SLV (Collegamento 0021_-378)
Azioni sul collegamento: N=-5814.22 Ty=6.23 Tz=-2.14 Mx=0.02 Mz=7.84
Sollecitazioni agenti localmente: Tx_l=6.23 Ty_l=-2.14 N_l=-5814.22 My_l=-7.84 Mz_l=0.02
Azioni sul cordone: TP=0.44 TO=-0.14 NO=-429.79
Tensioni nel cordone: τ_P=0.14 τ_0= 0.05 σ_0=148.07 σ_{ID}=148.07 Σ_T=148.11
CC 9 SLV (Collegamento 0021_-378)

Azioni sul collegamento: N=-5814.22 Ty=3.29 Tz=-2.14 Mx=0.02 Mz=3.06
Sollecitazioni agenti localmente: Tx_l=3.29 Ty_l=-2.14 N_l=-5814.22 My_l=-3.06 Mz_l=0.02
Azioni sul cordone: TP=0.22 TO=-0.14 NO=-429.79
Tensioni nel cordone: τ_P= 0.07 τ_0= 0.05 σ_0=141.08 σ_{ID}=141.08 Σ_T=141.12
CC 9 SLV (Collegamento 0021_-378)
Azioni sul collegamento: N=-5814.22 Ty=6.23 Tz=4.16 Mx=0.02 Mz=7.84
Sollecitazioni agenti localmente: Tx_l=6.23 Ty_l=4.16 N_l=-5814.22 My_l=-7.84 Mz_l=0.02
Azioni sul cordone: TP=0.44 TO=0.32 NO=-429.79
Tensioni nel cordone: τ_P=0.14 τ_0=0.10 σ_0=148.07 σ_{ID}=148.07 Σ_T=148.17
CC 9 SLV (Collegamento 0021_-378)
Azioni sul collegamento: N=-5814.22 Ty=3.29 Tz=4.16 Mx=0.02 Mz=3.06
Sollecitazioni agenti localmente: Tx_l=3.29 Ty_l=4.16 N_l=-5814.22 My_l=-3.06 Mz_l=0.02
Azioni sul cordone: TP=0.22 TO=0.32 NO=-429.79
Tensioni nel cordone: τ_P= 0.07 τ_0=0.10 σ_0=141.08 σ_{ID}=141.08 Σ_T=141.18
CC 9 SLV (Collegamento 0021_-378)
Azioni sul collegamento: N=-7420.50 Ty=6.23 Tz=-2.14 Mx=0.02 Mz=7.84
Sollecitazioni agenti localmente: Tx_l=6.23 Ty_l=-2.14 N_l=-7420.50 My_l=-7.84 Mz_l=0.02
Azioni sul cordone: TP=0.44 TO=-0.14 NO=-548.53
Tensioni nel cordone: τ_P=0.14 τ_0= 0.05 σ_0=185.81 σ_{ID}=185.81 Σ_T=185.85
CC 9 SLV (Collegamento 0021_-378)
Azioni sul collegamento: N=-7420.50 Ty=3.29 Tz=-2.14 Mx=0.02 Mz=3.06
Sollecitazioni agenti localmente: Tx_l=3.29 Ty_l=-2.14 N_l=-7420.50 My_l=-3.06 Mz_l=0.02
Azioni sul cordone: TP=0.22 TO=-0.14 NO=-548.53
Tensioni nel cordone: τ_P= 0.07 τ_0= 0.05 σ_0=178.82 σ_{ID}=178.82 Σ_T=178.87
CC 9 SLV (Collegamento 0021_-378)
Azioni sul collegamento: N=-7420.50 Ty=6.23 Tz=4.16 Mx=0.02 Mz=7.84
Sollecitazioni agenti localmente: Tx_l=6.23 Ty_l=4.16 N_l=-7420.50 My_l=-7.84 Mz_l=0.02
Azioni sul cordone: TP=0.44 TO=0.32 NO=-548.53
Tensioni nel cordone: τ_P=0.14 τ_0=0.10 σ_0=185.81 σ_{ID}=185.81 Σ_T=185.91
CC 9 SLV (Collegamento 0021_-378)
Azioni sul collegamento: N=-7420.50 Ty=3.29 Tz=4.16 Mx=0.02 Mz=3.06
Sollecitazioni agenti localmente: Tx_l=3.29 Ty_l=4.16 N_l=-7420.50 My_l=-3.06 Mz_l=0.02
Azioni sul cordone: TP=0.22 TO=0.32 NO=-548.53
Tensioni nel cordone: τ_P= 0.07 τ_0=0.10 σ_0=178.82 σ_{ID}=178.82 Σ_T=178.92
CC 10 SLD (Collegamento 0021_-378)
Azioni sul collegamento: N=-6340.00 Ty=4.36 Tz=-0.08 Mx=0.00 Mz=4.10
Sollecitazioni agenti localmente: Tx_l=4.36 Ty_l=-0.08 N_l=-6340.00 My_l=-4.10 Mz_l=0.00
Azioni sul cordone: TP=0.32 TO=-0.00 NO=-468.65
Tensioni nel cordone: τ_P=0.10 τ_0=1.06E-03 σ_0=154.95 σ_{ID}=154.95 Σ_T=154.95
CC 10 SLD (Collegamento 0021_-378)
Azioni sul collegamento: N=-6340.00 Ty=3.47 Tz=-0.08 Mx=0.00 Mz=2.64
Sollecitazioni agenti localmente: Tx_l=3.47 Ty_l=-0.08 N_l=-6340.00 My_l=-2.64 Mz_l=0.00
Azioni sul cordone: TP=0.25 TO=-0.00 NO=-468.65
Tensioni nel cordone: τ_P= 0.08 τ_0=1.06E-03 σ_0=152.82 σ_{ID}=152.82 Σ_T=152.82
CC 10 SLD (Collegamento 0021_-378)
Azioni sul collegamento: N=-6340.00 Ty=4.36 Tz=1.85 Mx=0.00 Mz=4.10
Sollecitazioni agenti localmente: Tx_l=4.36 Ty_l=1.85 N_l=-6340.00 My_l=-4.10 Mz_l=0.00
Azioni sul cordone: TP=0.32 TO=0.14 NO=-468.65
Tensioni nel cordone: τ_P=0.10 τ_0= 0.04 σ_0=154.95 σ_{ID}=154.95 Σ_T=154.99
CC 10 SLD (Collegamento 0021_-378)
Azioni sul collegamento: N=-6340.00 Ty=3.47 Tz=1.85 Mx=0.00 Mz=2.64
Sollecitazioni agenti localmente: Tx_l=3.47 Ty_l=1.85 N_l=-6340.00 My_l=-2.64 Mz_l=0.00
Azioni sul cordone: TP=0.25 TO=0.14 NO=-468.65
Tensioni nel cordone: τ_P= 0.08 τ_0= 0.04 σ_0=152.82 σ_{ID}=152.82 Σ_T=152.86
CC 10 SLD (Collegamento 0021_-378)
Azioni sul collegamento: N=-6829.81 Ty=4.36 Tz=-0.08 Mx=0.00 Mz=4.10
Sollecitazioni agenti localmente: Tx_l=4.36 Ty_l=-0.08 N_l=-6829.81 My_l=-4.10 Mz_l=0.00
Azioni sul cordone: TP=0.32 TO=-0.00 NO=-504.86
Tensioni nel cordone: τ_P=0.10 τ_0=1.07E-03 σ_0=166.46 σ_{ID}=166.46 Σ_T=166.46
CC 10 SLD (Collegamento 0021_-378)
Azioni sul collegamento: N=-6829.81 Ty=3.47 Tz=-0.08 Mx=0.00 Mz=2.64
Sollecitazioni agenti localmente: Tx_l=3.47 Ty_l=-0.08 N_l=-6829.81 My_l=-2.64 Mz_l=0.00
Azioni sul cordone: TP=0.25 TO=-0.00 NO=-504.86
Tensioni nel cordone: τ_P= 0.08 τ_0=1.07E-03 σ_0=164.33 σ_{ID}=164.33 Σ_T=164.33
CC 10 SLD (Collegamento 0021_-378)
Azioni sul collegamento: N=-6829.81 Ty=4.36 Tz=1.85 Mx=0.00 Mz=4.10
Sollecitazioni agenti localmente: Tx_l=4.36 Ty_l=1.85 N_l=-6829.81 My_l=-4.10 Mz_l=0.00
Azioni sul cordone: TP=0.32 TO=0.14 NO=-504.86
Tensioni nel cordone: τ_P=0.10 τ_0= 0.04 σ_0=166.46 σ_{ID}=166.46 Σ_T=166.50
CC 10 SLD (Collegamento 0021_-378)
Azioni sul collegamento: N=-6829.81 Ty=3.47 Tz=1.85 Mx=0.00 Mz=2.64
Sollecitazioni agenti localmente: Tx_l=3.47 Ty_l=1.85 N_l=-6829.81 My_l=-2.64 Mz_l=0.00
Azioni sul cordone: TP=0.25 TO=0.14 NO=-504.86
Tensioni nel cordone: τ_P= 0.08 τ_0= 0.04 σ_0=164.33 σ_{ID}=164.33 Σ_T=164.37
CC 11 SLV (Collegamento 0021_-378)
Azioni sul collegamento: N=-7401.56 Ty=5.40 Tz=3.74 Mx=0.02 Mz=7.25
Sollecitazioni agenti localmente: Tx_l=5.40 Ty_l=3.74 N_l=-7401.56 My_l=-7.25 Mz_l=0.02
Azioni sul cordone: TP=0.38 TO=0.29 NO=-547.13
Tensioni nel cordone: τ_P=0.12 τ_0= 0.09 σ_0=184.49 σ_{ID}=184.49 Σ_T=184.58
CC 11 SLV (Collegamento 0021_-378)
Azioni sul collegamento: N=-7401.56 Ty=4.11 Tz=3.74 Mx=0.02 Mz=3.66

Sollecitazioni agenti localmente: Tx_l=4.11 Ty_l=3.74 N_l=-7401.56 My_l=-3.66 Mz_l=0.02
Azioni sul cordone: TP=0.28 TO=0.29 NO=-547.13
Tensioni nel cordone: τ_P= 0.09 τ_O= 0.09 σ_O=179.25 σ_{ID}=179.25 Σ_T=179.34
CC 11 SLV (Collegamento 0021_-378)
Azioni sul collegamento: N=-7401.56 Ty=5.40 Tz=-1.71 Mx=0.02 Mz=7.25
Sollecitazioni agenti localmente: Tx_l=5.40 Ty_l=-1.71 N_l=-7401.56 My_l=-7.25 Mz_l=0.02
Azioni sul cordone: TP=0.38 TO=-0.11 NO=-547.13
Tensioni nel cordone: τ_P=0.12 τ_O= 0.04 σ_O=184.49 σ_{ID}=184.49 Σ_T=184.53
CC 11 SLV (Collegamento 0021_-378)
Azioni sul collegamento: N=-7401.56 Ty=4.11 Tz=-1.71 Mx=0.02 Mz=3.66
Sollecitazioni agenti localmente: Tx_l=4.11 Ty_l=-1.71 N_l=-7401.56 My_l=-3.66 Mz_l=0.02
Azioni sul cordone: TP=0.28 TO=-0.11 NO=-547.13
Tensioni nel cordone: τ_P= 0.09 τ_O= 0.04 σ_O=179.25 σ_{ID}=179.25 Σ_T=179.28
CC 11 SLV (Collegamento 0021_-378)
Azioni sul collegamento: N=-5833.17 Ty=5.40 Tz=3.74 Mx=0.02 Mz=7.25
Sollecitazioni agenti localmente: Tx_l=5.40 Ty_l=3.74 N_l=-5833.17 My_l=-7.25 Mz_l=0.02
Azioni sul cordone: TP=0.38 TO=0.29 NO=-431.19
Tensioni nel cordone: τ_P=0.12 τ_O= 0.09 σ_O=147.64 σ_{ID}=147.64 Σ_T=147.73
CC 11 SLV (Collegamento 0021_-378)
Azioni sul collegamento: N=-5833.17 Ty=4.11 Tz=3.74 Mx=0.02 Mz=3.66
Sollecitazioni agenti localmente: Tx_l=4.11 Ty_l=3.74 N_l=-5833.17 My_l=-3.66 Mz_l=0.02
Azioni sul cordone: TP=0.28 TO=0.29 NO=-431.19
Tensioni nel cordone: τ_P= 0.09 τ_O= 0.09 σ_O=142.40 σ_{ID}=142.40 Σ_T=142.49
CC 11 SLV (Collegamento 0021_-378)
Azioni sul collegamento: N=-5833.17 Ty=5.40 Tz=-1.71 Mx=0.02 Mz=7.25
Sollecitazioni agenti localmente: Tx_l=5.40 Ty_l=-1.71 N_l=-5833.17 My_l=-7.25 Mz_l=0.02
Azioni sul cordone: TP=0.38 TO=-0.11 NO=-431.19
Tensioni nel cordone: τ_P=0.12 τ_O= 0.04 σ_O=147.64 σ_{ID}=147.64 Σ_T=147.68
CC 11 SLV (Collegamento 0021_-378)
Azioni sul collegamento: N=-5833.17 Ty=4.11 Tz=-1.71 Mx=0.02 Mz=3.66
Sollecitazioni agenti localmente: Tx_l=4.11 Ty_l=-1.71 N_l=-5833.17 My_l=-3.66 Mz_l=0.02
Azioni sul cordone: TP=0.28 TO=-0.11 NO=-431.19
Tensioni nel cordone: τ_P= 0.09 τ_O= 0.04 σ_O=142.40 σ_{ID}=142.40 Σ_T=142.43
CC 12 SLD (Collegamento 0021_-378)
Azioni sul collegamento: N=-6824.03 Ty=4.11 Tz=1.72 Mx=0.00 Mz=3.92
Sollecitazioni agenti localmente: Tx_l=4.11 Ty_l=1.72 N_l=-6824.03 My_l=-3.92 Mz_l=0.00
Azioni sul cordone: TP=0.30 TO=0.13 NO=-504.43
Tensioni nel cordone: τ_P= 0.10 τ_O= 0.04 σ_O=166.06 σ_{ID}=166.06 Σ_T=166.10
CC 12 SLD (Collegamento 0021_-378)
Azioni sul collegamento: N=-6824.03 Ty=3.72 Tz=1.72 Mx=0.00 Mz=2.82
Sollecitazioni agenti localmente: Tx_l=3.72 Ty_l=1.72 N_l=-6824.03 My_l=-2.82 Mz_l=0.00
Azioni sul cordone: TP=0.27 TO=0.13 NO=-504.43
Tensioni nel cordone: τ_P= 0.09 τ_O= 0.04 σ_O=164.46 σ_{ID}=164.46 Σ_T=164.50
CC 12 SLD (Collegamento 0021_-378)
Azioni sul collegamento: N=-6824.03 Ty=4.11 Tz=0.05 Mx=0.00 Mz=3.92
Sollecitazioni agenti localmente: Tx_l=4.11 Ty_l=0.05 N_l=-6824.03 My_l=-3.92 Mz_l=0.00
Azioni sul cordone: TP=0.30 TO=0.01 NO=-504.43
Tensioni nel cordone: τ_P= 0.10 τ_O=1.94E-03 σ_O=166.06 σ_{ID}=166.06 Σ_T=166.06
CC 12 SLD (Collegamento 0021_-378)
Azioni sul collegamento: N=-6824.03 Ty=3.72 Tz=0.05 Mx=0.00 Mz=2.82
Sollecitazioni agenti localmente: Tx_l=3.72 Ty_l=0.05 N_l=-6824.03 My_l=-2.82 Mz_l=0.00
Azioni sul cordone: TP=0.27 TO=0.01 NO=-504.43
Tensioni nel cordone: τ_P= 0.09 τ_O=1.94E-03 σ_O=164.46 σ_{ID}=164.46 Σ_T=164.46
CC 12 SLD (Collegamento 0021_-378)
Azioni sul collegamento: N=-6345.78 Ty=4.11 Tz=1.72 Mx=0.00 Mz=3.92
Sollecitazioni agenti localmente: Tx_l=4.11 Ty_l=1.72 N_l=-6345.78 My_l=-3.92 Mz_l=0.00
Azioni sul cordone: TP=0.30 TO=0.13 NO=-469.08
Tensioni nel cordone: τ_P= 0.10 τ_O= 0.04 σ_O=154.82 σ_{ID}=154.82 Σ_T=154.86
CC 12 SLD (Collegamento 0021_-378)
Azioni sul collegamento: N=-6345.78 Ty=3.72 Tz=1.72 Mx=0.00 Mz=2.82
Sollecitazioni agenti localmente: Tx_l=3.72 Ty_l=1.72 N_l=-6345.78 My_l=-2.82 Mz_l=0.00
Azioni sul cordone: TP=0.27 TO=0.13 NO=-469.08
Tensioni nel cordone: τ_P= 0.09 τ_O= 0.04 σ_O=153.22 σ_{ID}=153.22 Σ_T=153.26
CC 12 SLD (Collegamento 0021_-378)
Azioni sul collegamento: N=-6345.78 Ty=4.11 Tz=0.05 Mx=0.00 Mz=3.92
Sollecitazioni agenti localmente: Tx_l=4.11 Ty_l=0.05 N_l=-6345.78 My_l=-3.92 Mz_l=0.00
Azioni sul cordone: TP=0.30 TO=0.01 NO=-469.08
Tensioni nel cordone: τ_P= 0.10 τ_O=1.93E-03 σ_O=154.82 σ_{ID}=154.82 Σ_T=154.82
CC 12 SLD (Collegamento 0021_-378)
Azioni sul collegamento: N=-6345.78 Ty=3.72 Tz=0.05 Mx=0.00 Mz=2.82
Sollecitazioni agenti localmente: Tx_l=3.72 Ty_l=0.05 N_l=-6345.78 My_l=-2.82 Mz_l=0.00
Azioni sul cordone: TP=0.27 TO=0.01 NO=-469.08
Tensioni nel cordone: τ_P= 0.09 τ_O=1.93E-03 σ_O=153.22 σ_{ID}=153.22 Σ_T=153.22
CC 13 SLV (Collegamento 0021_-378)
Azioni sul collegamento: N=-5833.17 Ty=4.11 Tz=-1.71 Mx=0.00 Mz=3.66
Sollecitazioni agenti localmente: Tx_l=4.11 Ty_l=-1.71 N_l=-5833.17 My_l=-3.66 Mz_l=0.00
Azioni sul cordone: TP=0.30 TO=-0.12 NO=-431.19
Tensioni nel cordone: τ_P= 0.10 τ_O= 0.04 σ_O=142.40 σ_{ID}=142.40 Σ_T=142.44
CC 13 SLV (Collegamento 0021_-378)
Azioni sul collegamento: N=-5833.17 Ty=5.40 Tz=-1.71 Mx=0.00 Mz=7.25
Sollecitazioni agenti localmente: Tx_l=5.40 Ty_l=-1.71 N_l=-5833.17 My_l=-7.25 Mz_l=0.00

Azioni sul cordone: TP=0.40 TO=-0.12 NO=-431.19
Tensioni nel cordone: τ_P=0.13 τ_O= 0.04 σ_O=147.64 σ_{ID}=147.64 Σ_T=147.68
CC 13 SLV (Collegamento 0021_-378)
Azioni sul collegamento: N=-5833.17 Ty=4.11 Tz=3.74 Mx=0.00 Mz=3.66
Sollecitazioni agenti localmente: Tx_l=4.11 Ty_l=3.74 N_l=-5833.17 My_l=-3.66 Mz_l=0.00
Azioni sul cordone: TP=0.30 TO=0.28 NO=-431.19
Tensioni nel cordone: τ_P= 0.10 τ_O= 0.09 σ_O=142.40 σ_{ID}=142.40 Σ_T=142.49
CC 13 SLV (Collegamento 0021_-378)
Azioni sul collegamento: N=-5833.17 Ty=5.40 Tz=3.74 Mx=0.00 Mz=7.25
Sollecitazioni agenti localmente: Tx_l=5.40 Ty_l=3.74 N_l=-5833.17 My_l=-7.25 Mz_l=0.00
Azioni sul cordone: TP=0.40 TO=0.28 NO=-431.19
Tensioni nel cordone: τ_P=0.13 τ_O= 0.09 σ_O=147.64 σ_{ID}=147.64 Σ_T=147.73
CC 13 SLV (Collegamento 0021_-378)
Azioni sul collegamento: N=-7401.56 Ty=4.11 Tz=-1.71 Mx=0.00 Mz=3.66
Sollecitazioni agenti localmente: Tx_l=4.11 Ty_l=-1.71 N_l=-7401.56 My_l=-3.66 Mz_l=0.00
Azioni sul cordone: TP=0.30 TO=-0.12 NO=-547.13
Tensioni nel cordone: τ_P= 0.10 τ_O= 0.04 σ_O=179.25 σ_{ID}=179.25 Σ_T=179.29
CC 13 SLV (Collegamento 0021_-378)
Azioni sul collegamento: N=-7401.56 Ty=5.40 Tz=-1.71 Mx=0.00 Mz=7.25
Sollecitazioni agenti localmente: Tx_l=5.40 Ty_l=-1.71 N_l=-7401.56 My_l=-7.25 Mz_l=0.00
Azioni sul cordone: TP=0.40 TO=-0.12 NO=-547.13
Tensioni nel cordone: τ_P=0.13 τ_O= 0.04 σ_O=184.49 σ_{ID}=184.49 Σ_T=184.53
CC 13 SLV (Collegamento 0021_-378)
Azioni sul collegamento: N=-7401.56 Ty=4.11 Tz=3.74 Mx=0.00 Mz=3.66
Sollecitazioni agenti localmente: Tx_l=4.11 Ty_l=3.74 N_l=-7401.56 My_l=-3.66 Mz_l=0.00
Azioni sul cordone: TP=0.30 TO=0.28 NO=-547.13
Tensioni nel cordone: τ_P= 0.10 τ_O= 0.09 σ_O=179.25 σ_{ID}=179.25 Σ_T=179.34
CC 13 SLV (Collegamento 0021_-378)
Azioni sul collegamento: N=-7401.56 Ty=5.40 Tz=3.74 Mx=0.00 Mz=7.25
Sollecitazioni agenti localmente: Tx_l=5.40 Ty_l=3.74 N_l=-7401.56 My_l=-7.25 Mz_l=0.00
Azioni sul cordone: TP=0.40 TO=0.28 NO=-547.13
Tensioni nel cordone: τ_P=0.13 τ_O= 0.09 σ_O=184.49 σ_{ID}=184.49 Σ_T=184.58
CC 14 SLD (Collegamento 0021_-378)
Azioni sul collegamento: N=-6345.78 Ty=3.72 Tz=0.05 Mx=-0.00 Mz=2.82
Sollecitazioni agenti localmente: Tx_l=3.72 Ty_l=0.05 N_l=-6345.78 My_l=-2.82 Mz_l=-0.00
Azioni sul cordone: TP=0.28 TO=0.00 NO=-469.08
Tensioni nel cordone: τ_P= 0.09 τ_O=7.61E-04 σ_O=153.22 σ_{ID}=153.22 Σ_T=153.22
CC 14 SLD (Collegamento 0021_-378)
Azioni sul collegamento: N=-6345.78 Ty=4.11 Tz=0.05 Mx=-0.00 Mz=3.92
Sollecitazioni agenti localmente: Tx_l=4.11 Ty_l=0.05 N_l=-6345.78 My_l=-3.92 Mz_l=-0.00
Azioni sul cordone: TP=0.31 TO=0.00 NO=-469.08
Tensioni nel cordone: τ_P= 0.10 τ_O=7.61E-04 σ_O=154.82 σ_{ID}=154.82 Σ_T=154.82
CC 14 SLD (Collegamento 0021_-378)
Azioni sul collegamento: N=-6345.78 Ty=3.72 Tz=1.72 Mx=-0.00 Mz=2.82
Sollecitazioni agenti localmente: Tx_l=3.72 Ty_l=1.72 N_l=-6345.78 My_l=-2.82 Mz_l=-0.00
Azioni sul cordone: TP=0.28 TO=0.13 NO=-469.08
Tensioni nel cordone: τ_P= 0.09 τ_O= 0.04 σ_O=153.22 σ_{ID}=153.22 Σ_T=153.26
CC 14 SLD (Collegamento 0021_-378)
Azioni sul collegamento: N=-6345.78 Ty=4.11 Tz=1.72 Mx=-0.00 Mz=3.92
Sollecitazioni agenti localmente: Tx_l=4.11 Ty_l=1.72 N_l=-6345.78 My_l=-3.92 Mz_l=-0.00
Azioni sul cordone: TP=0.31 TO=0.13 NO=-469.08
Tensioni nel cordone: τ_P= 0.10 τ_O= 0.04 σ_O=154.82 σ_{ID}=154.82 Σ_T=154.86
CC 14 SLD (Collegamento 0021_-378)
Azioni sul collegamento: N=-6824.03 Ty=3.72 Tz=0.05 Mx=-0.00 Mz=2.82
Sollecitazioni agenti localmente: Tx_l=3.72 Ty_l=0.05 N_l=-6824.03 My_l=-2.82 Mz_l=-0.00
Azioni sul cordone: TP=0.28 TO=0.00 NO=-504.43
Tensioni nel cordone: τ_P= 0.09 τ_O=7.66E-04 σ_O=164.46 σ_{ID}=164.46 Σ_T=164.46
CC 14 SLD (Collegamento 0021_-378)
Azioni sul collegamento: N=-6824.03 Ty=4.11 Tz=0.05 Mx=-0.00 Mz=3.92
Sollecitazioni agenti localmente: Tx_l=4.11 Ty_l=0.05 N_l=-6824.03 My_l=-3.92 Mz_l=-0.00
Azioni sul cordone: TP=0.31 TO=0.00 NO=-504.43
Tensioni nel cordone: τ_P= 0.10 τ_O=7.66E-04 σ_O=166.06 σ_{ID}=166.06 Σ_T=166.06
CC 14 SLD (Collegamento 0021_-378)
Azioni sul collegamento: N=-6824.03 Ty=3.72 Tz=1.72 Mx=-0.00 Mz=2.82
Sollecitazioni agenti localmente: Tx_l=3.72 Ty_l=1.72 N_l=-6824.03 My_l=-2.82 Mz_l=-0.00
Azioni sul cordone: TP=0.28 TO=0.13 NO=-504.43
Tensioni nel cordone: τ_P= 0.09 τ_O= 0.04 σ_O=164.46 σ_{ID}=164.46 Σ_T=164.50
CC 14 SLD (Collegamento 0021_-378)
Azioni sul collegamento: N=-6824.03 Ty=4.11 Tz=1.72 Mx=-0.00 Mz=3.92
Sollecitazioni agenti localmente: Tx_l=4.11 Ty_l=1.72 N_l=-6824.03 My_l=-3.92 Mz_l=-0.00
Azioni sul cordone: TP=0.31 TO=0.13 NO=-504.43
Tensioni nel cordone: τ_P= 0.10 τ_O= 0.04 σ_O=166.06 σ_{ID}=166.06 Σ_T=166.10
CC 15 SLV (Collegamento 0021_-378)
Azioni sul collegamento: N=-7420.50 Ty=3.29 Tz=4.16 Mx=0.00 Mz=3.06
Sollecitazioni agenti localmente: Tx_l=3.29 Ty_l=4.16 N_l=-7420.50 My_l=-3.06 Mz_l=0.00
Azioni sul cordone: TP=0.24 TO=0.31 NO=-548.53
Tensioni nel cordone: τ_P= 0.08 τ_O= 0.10 σ_O=178.82 σ_{ID}=178.82 Σ_T=178.92
CC 15 SLV (Collegamento 0021_-378)
Azioni sul collegamento: N=-7420.50 Ty=6.23 Tz=4.16 Mx=0.00 Mz=7.84
Sollecitazioni agenti localmente: Tx_l=6.23 Ty_l=4.16 N_l=-7420.50 My_l=-7.84 Mz_l=0.00
Azioni sul cordone: TP=0.46 TO=0.31 NO=-548.53

Tensioni nel cordone: τ_P=0.15 τ_0= 0.10 σ_0=185.81 σ_{ID}=185.81 Σ_T=185.91
CC 15 SLV (Collegamento 0021_-378)
Azioni sul collegamento: N=-7420.50 Ty=3.29 Tz=-2.14 Mx=0.00 Mz=3.06
Sollecitazioni agenti localmente: Tx_l=3.29 Ty_l=-2.14 N_l=-7420.50 My_l=-3.06 Mz_l=0.00
Azioni sul cordone: TP=0.24 TO=-0.16 NO=-548.53
Tensioni nel cordone: τ_P= 0.08 τ_0= 0.05 σ_0=178.82 σ_{ID}=178.82 Σ_T=178.87
CC 15 SLV (Collegamento 0021_-378)
Azioni sul collegamento: N=-7420.50 Ty=6.23 Tz=-2.14 Mx=0.00 Mz=7.84
Sollecitazioni agenti localmente: Tx_l=6.23 Ty_l=-2.14 N_l=-7420.50 My_l=-7.84 Mz_l=0.00
Azioni sul cordone: TP=0.46 TO=-0.16 NO=-548.53
Tensioni nel cordone: τ_P=0.15 τ_0= 0.05 σ_0=185.81 σ_{ID}=185.81 Σ_T=185.86
CC 15 SLV (Collegamento 0021_-378)
Azioni sul collegamento: N=-5814.22 Ty=3.29 Tz=4.16 Mx=0.00 Mz=3.06
Sollecitazioni agenti localmente: Tx_l=3.29 Ty_l=4.16 N_l=-5814.22 My_l=-3.06 Mz_l=0.00
Azioni sul cordone: TP=0.24 TO=0.31 NO=-429.79
Tensioni nel cordone: τ_P= 0.08 τ_0= 0.10 σ_0=141.08 σ_{ID}=141.08 Σ_T=141.18
CC 15 SLV (Collegamento 0021_-378)
Azioni sul collegamento: N=-5814.22 Ty=6.23 Tz=4.16 Mx=0.00 Mz=7.84
Sollecitazioni agenti localmente: Tx_l=6.23 Ty_l=4.16 N_l=-5814.22 My_l=-7.84 Mz_l=0.00
Azioni sul cordone: TP=0.46 TO=0.31 NO=-429.79
Tensioni nel cordone: τ_P=0.15 τ_0= 0.10 σ_0=148.07 σ_{ID}=148.07 Σ_T=148.16
CC 15 SLV (Collegamento 0021_-378)
Azioni sul collegamento: N=-5814.22 Ty=3.29 Tz=-2.14 Mx=0.00 Mz=3.06
Sollecitazioni agenti localmente: Tx_l=3.29 Ty_l=-2.14 N_l=-5814.22 My_l=-3.06 Mz_l=0.00
Azioni sul cordone: TP=0.24 TO=-0.16 NO=-429.79
Tensioni nel cordone: τ_P= 0.08 τ_0= 0.05 σ_0=141.08 σ_{ID}=141.08 Σ_T=141.13
CC 15 SLV (Collegamento 0021_-378)
Azioni sul collegamento: N=-5814.22 Ty=6.23 Tz=-2.14 Mx=0.00 Mz=7.84
Sollecitazioni agenti localmente: Tx_l=6.23 Ty_l=-2.14 N_l=-5814.22 My_l=-7.84 Mz_l=0.00
Azioni sul cordone: TP=0.46 TO=-0.16 NO=-429.79
Tensioni nel cordone: τ_P=0.15 τ_0= 0.05 σ_0=148.07 σ_{ID}=148.07 Σ_T=148.12
CC 16 SLD (Collegamento 0021_-378)
Azioni sul collegamento: N=-6829.81 Ty=3.47 Tz=1.85 Mx=-0.00 Mz=2.64
Sollecitazioni agenti localmente: Tx_l=3.47 Ty_l=1.85 N_l=-6829.81 My_l=-2.64 Mz_l=-0.00
Azioni sul cordone: TP=0.26 TO=0.13 NO=-504.86
Tensioni nel cordone: τ_P= 0.08 τ_0= 0.04 σ_0=164.33 σ_{ID}=164.33 Σ_T=164.37
CC 16 SLD (Collegamento 0021_-378)
Azioni sul collegamento: N=-6829.81 Ty=4.36 Tz=1.85 Mx=-0.00 Mz=4.10
Sollecitazioni agenti localmente: Tx_l=4.36 Ty_l=1.85 N_l=-6829.81 My_l=-4.10 Mz_l=-0.00
Azioni sul cordone: TP=0.33 TO=0.13 NO=-504.86
Tensioni nel cordone: τ_P=0.10 τ_0= 0.04 σ_0=166.46 σ_{ID}=166.46 Σ_T=166.50
CC 16 SLD (Collegamento 0021_-378)
Azioni sul collegamento: N=-6829.81 Ty=3.47 Tz=-0.08 Mx=-0.00 Mz=2.64
Sollecitazioni agenti localmente: Tx_l=3.47 Ty_l=-0.08 N_l=-6829.81 My_l=-2.64 Mz_l=-0.00
Azioni sul cordone: TP=0.26 TO=-0.01 NO=-504.86
Tensioni nel cordone: τ_P= 0.08 τ_0=2.37E-03 σ_0=164.33 σ_{ID}=164.33 Σ_T=164.33
CC 16 SLD (Collegamento 0021_-378)
Azioni sul collegamento: N=-6829.81 Ty=4.36 Tz=-0.08 Mx=-0.00 Mz=4.10
Sollecitazioni agenti localmente: Tx_l=4.36 Ty_l=-0.08 N_l=-6829.81 My_l=-4.10 Mz_l=-0.00
Azioni sul cordone: TP=0.33 TO=-0.01 NO=-504.86
Tensioni nel cordone: τ_P=0.10 τ_0=2.37E-03 σ_0=166.46 σ_{ID}=166.46 Σ_T=166.46
CC 16 SLD (Collegamento 0021_-378)
Azioni sul collegamento: N=-6340.00 Ty=3.47 Tz=1.85 Mx=-0.00 Mz=2.64
Sollecitazioni agenti localmente: Tx_l=3.47 Ty_l=1.85 N_l=-6340.00 My_l=-2.64 Mz_l=-0.00
Azioni sul cordone: TP=0.26 TO=0.13 NO=-468.65
Tensioni nel cordone: τ_P= 0.08 τ_0= 0.04 σ_0=152.82 σ_{ID}=152.82 Σ_T=152.86
CC 16 SLD (Collegamento 0021_-378)
Azioni sul collegamento: N=-6340.00 Ty=4.36 Tz=1.85 Mx=-0.00 Mz=4.10
Sollecitazioni agenti localmente: Tx_l=4.36 Ty_l=1.85 N_l=-6340.00 My_l=-4.10 Mz_l=-0.00
Azioni sul cordone: TP=0.33 TO=0.13 NO=-468.65
Tensioni nel cordone: τ_P=0.10 τ_0= 0.04 σ_0=154.95 σ_{ID}=154.95 Σ_T=154.99
CC 16 SLD (Collegamento 0021_-378)
Azioni sul collegamento: N=-6340.00 Ty=3.47 Tz=-0.08 Mx=-0.00 Mz=2.64
Sollecitazioni agenti localmente: Tx_l=3.47 Ty_l=-0.08 N_l=-6340.00 My_l=-2.64 Mz_l=-0.00
Azioni sul cordone: TP=0.26 TO=-0.01 NO=-468.65
Tensioni nel cordone: τ_P= 0.08 τ_0=2.36E-03 σ_0=152.82 σ_{ID}=152.82 Σ_T=152.82
CC 16 SLD (Collegamento 0021_-378)
Azioni sul collegamento: N=-6340.00 Ty=4.36 Tz=-0.08 Mx=-0.00 Mz=4.10
Sollecitazioni agenti localmente: Tx_l=4.36 Ty_l=-0.08 N_l=-6340.00 My_l=-4.10 Mz_l=-0.00
Azioni sul cordone: TP=0.33 TO=-0.01 NO=-468.65
Tensioni nel cordone: τ_P=0.10 τ_0=2.36E-03 σ_0=154.95 σ_{ID}=154.95 Σ_T=154.95
CC 17 SLV (Collegamento 0021_-378)
Azioni sul collegamento: N=-3875.57 Ty=0.64 Tz=-9.21 Mx=-0.02 Mz=1.09
Sollecitazioni agenti localmente: Tx_l=0.64 Ty_l=-9.21 N_l=-3875.57 My_l=-1.09 Mz_l=-0.02
Azioni sul cordone: TP=0.07 TO=-0.70 NO=-286.48
Tensioni nel cordone: τ_P= 0.02 τ_0=0.22 σ_0=92.64 σ_{ID}=92.64 Σ_T=92.87
CC 17 SLV (Collegamento 0021_-378)
Azioni sul collegamento: N=-3875.57 Ty=4.02 Tz=-9.21 Mx=-0.02 Mz=-2.16
Sollecitazioni agenti localmente: Tx_l=4.02 Ty_l=-9.21 N_l=-3875.57 My_l=2.16 Mz_l=-0.02
Azioni sul cordone: TP=0.32 TO=-0.66 NO=-286.48
Tensioni nel cordone: τ_P=0.10 τ_0=0.21 σ_0=94.22 σ_{ID}=94.22 Σ_T=94.43

CC 17 SLV (Collegamento 0021_-378)
Azioni sul collegamento: N=-3875.57 Ty=0.64 Tz=10.50 Mx=-0.02 Mz=1.09
Sollecitazioni agenti localmente: Tx_l=0.64 Ty_l=10.50 N_l=-3875.57 My_l=-1.09 Mz_l=-0.02
Azioni sul cordone: TP=0.07 TO=0.76 NO=-286.48
Tensioni nel cordone: τ_P= 0.02 τ_0=0.24 σ_0=92.64 σ_{ID}=92.64 Σ_T=92.89
CC 17 SLV (Collegamento 0021_-378)
Azioni sul collegamento: N=-3875.57 Ty=4.02 Tz=10.50 Mx=-0.02 Mz=-2.16
Sollecitazioni agenti localmente: Tx_l=4.02 Ty_l=10.50 N_l=-3875.57 My_l=2.16 Mz_l=-0.02
Azioni sul cordone: TP=0.32 TO=0.79 NO=-286.48
Tensioni nel cordone: τ_P=0.10 τ_0=0.25 σ_0=94.22 σ_{ID}=94.22 Σ_T=94.47
CC 17 SLV (Collegamento 0021_-378)
Azioni sul collegamento: N=-9172.38 Ty=0.64 Tz=-9.21 Mx=-0.02 Mz=1.09
Sollecitazioni agenti localmente: Tx_l=0.64 Ty_l=-9.21 N_l=-9172.38 My_l=-1.09 Mz_l=-0.02
Azioni sul cordone: TP=0.07 TO=-0.70 NO=-678.02
Tensioni nel cordone: τ_P= 0.02 τ_0=0.22 σ_0=217.09 σ_{ID}=217.09 Σ_T=217.32
CC 17 SLV (Collegamento 0021_-378)
Azioni sul collegamento: N=-9172.38 Ty=4.02 Tz=-9.21 Mx=-0.02 Mz=-2.16
Sollecitazioni agenti localmente: Tx_l=4.02 Ty_l=-9.21 N_l=-9172.38 My_l=2.16 Mz_l=-0.02
Azioni sul cordone: TP=0.32 TO=-0.66 NO=-678.02
Tensioni nel cordone: τ_P=0.10 τ_0=0.21 σ_0=218.67 σ_{ID}=218.67 Σ_T=218.88
CC 17 SLV (Collegamento 0021_-378)
Azioni sul collegamento: N=-9172.38 Ty=0.64 Tz=10.50 Mx=-0.02 Mz=1.09
Sollecitazioni agenti localmente: Tx_l=0.64 Ty_l=10.50 N_l=-9172.38 My_l=-1.09 Mz_l=-0.02
Azioni sul cordone: TP=0.07 TO=0.76 NO=-678.02
Tensioni nel cordone: τ_P= 0.02 τ_0=0.24 σ_0=217.09 σ_{ID}=217.09 Σ_T=217.34
CC 17 SLV (Collegamento 0021_-378)
Azioni sul collegamento: N=-9172.38 Ty=4.02 Tz=10.50 Mx=-0.02 Mz=-2.16
Sollecitazioni agenti localmente: Tx_l=4.02 Ty_l=10.50 N_l=-9172.38 My_l=2.16 Mz_l=-0.02
Azioni sul cordone: TP=0.32 TO=0.79 NO=-678.02
Tensioni nel cordone: τ_P=0.10 τ_0=0.25 σ_0=218.67 σ_{ID}=218.67 Σ_T=218.92
CC 18 SLD (Collegamento 0021_-378)
Azioni sul collegamento: N=-5748.85 Ty=3.69 Tz=-2.23 Mx=-0.01 Mz=2.04
Sollecitazioni agenti localmente: Tx_l=3.69 Ty_l=-2.23 N_l=-5748.85 My_l=-2.04 Mz_l=-0.01
Azioni sul cordone: TP=0.28 TO=-0.17 NO=-424.96
Tensioni nel cordone: τ_P= 0.09 τ_0= 0.05 σ_0=138.05 σ_{ID}=138.05 Σ_T=138.10
CC 18 SLD (Collegamento 0021_-378)
Azioni sul collegamento: N=-5748.85 Ty=2.66 Tz=-2.23 Mx=-0.01 Mz=1.05
Sollecitazioni agenti localmente: Tx_l=2.66 Ty_l=-2.23 N_l=-5748.85 My_l=-1.05 Mz_l=-0.01
Azioni sul cordone: TP=0.21 TO=-0.17 NO=-424.96
Tensioni nel cordone: τ_P= 0.07 τ_0= 0.05 σ_0=136.60 σ_{ID}=136.60 Σ_T=136.66
CC 18 SLD (Collegamento 0021_-378)
Azioni sul collegamento: N=-5748.85 Ty=3.69 Tz=3.78 Mx=-0.01 Mz=2.04
Sollecitazioni agenti localmente: Tx_l=3.69 Ty_l=3.78 N_l=-5748.85 My_l=-2.04 Mz_l=-0.01
Azioni sul cordone: TP=0.28 TO=0.27 NO=-424.96
Tensioni nel cordone: τ_P= 0.09 τ_0= 0.09 σ_0=138.05 σ_{ID}=138.05 Σ_T=138.14
CC 18 SLD (Collegamento 0021_-378)
Azioni sul collegamento: N=-5748.85 Ty=2.66 Tz=3.78 Mx=-0.01 Mz=1.05
Sollecitazioni agenti localmente: Tx_l=2.66 Ty_l=3.78 N_l=-5748.85 My_l=-1.05 Mz_l=-0.01
Azioni sul cordone: TP=0.21 TO=0.27 NO=-424.96
Tensioni nel cordone: τ_P= 0.07 τ_0= 0.09 σ_0=136.60 σ_{ID}=136.60 Σ_T=136.69
CC 18 SLD (Collegamento 0021_-378)
Azioni sul collegamento: N=-7364.01 Ty=3.69 Tz=-2.23 Mx=-0.01 Mz=2.04
Sollecitazioni agenti localmente: Tx_l=3.69 Ty_l=-2.23 N_l=-7364.01 My_l=-2.04 Mz_l=-0.01
Azioni sul cordone: TP=0.28 TO=-0.17 NO=-544.35
Tensioni nel cordone: τ_P= 0.09 τ_0= 0.05 σ_0=176.00 σ_{ID}=176.00 Σ_T=176.05
CC 18 SLD (Collegamento 0021_-378)
Azioni sul collegamento: N=-7364.01 Ty=2.66 Tz=-2.23 Mx=-0.01 Mz=1.05
Sollecitazioni agenti localmente: Tx_l=2.66 Ty_l=-2.23 N_l=-7364.01 My_l=-1.05 Mz_l=-0.01
Azioni sul cordone: TP=0.21 TO=-0.17 NO=-544.35
Tensioni nel cordone: τ_P= 0.07 τ_0= 0.05 σ_0=174.55 σ_{ID}=174.55 Σ_T=174.61
CC 18 SLD (Collegamento 0021_-378)
Azioni sul collegamento: N=-7364.01 Ty=3.69 Tz=3.78 Mx=-0.01 Mz=2.04
Sollecitazioni agenti localmente: Tx_l=3.69 Ty_l=3.78 N_l=-7364.01 My_l=-2.04 Mz_l=-0.01
Azioni sul cordone: TP=0.28 TO=0.27 NO=-544.35
Tensioni nel cordone: τ_P= 0.09 τ_0= 0.09 σ_0=176.00 σ_{ID}=176.00 Σ_T=176.09
CC 18 SLD (Collegamento 0021_-378)
Azioni sul collegamento: N=-7364.01 Ty=2.66 Tz=3.78 Mx=-0.01 Mz=1.05
Sollecitazioni agenti localmente: Tx_l=2.66 Ty_l=3.78 N_l=-7364.01 My_l=-1.05 Mz_l=-0.01
Azioni sul cordone: TP=0.21 TO=0.27 NO=-544.35
Tensioni nel cordone: τ_P= 0.07 τ_0= 0.09 σ_0=174.55 σ_{ID}=174.55 Σ_T=174.64
CC 19 SLV (Collegamento 0021_-378)
Azioni sul collegamento: N=-3881.26 Ty=1.27 Tz=-9.09 Mx=-0.02 Mz=-0.17
Sollecitazioni agenti localmente: Tx_l=1.27 Ty_l=-9.09 N_l=-3881.26 My_l=0.17 Mz_l=-0.02
Azioni sul cordone: TP=0.11 TO=-0.66 NO=-286.90
Tensioni nel cordone: τ_P= 0.04 τ_0=0.21 σ_0=91.44 σ_{ID}=91.44 Σ_T=91.65
CC 19 SLV (Collegamento 0021_-378)
Azioni sul collegamento: N=-3881.26 Ty=3.39 Tz=-9.09 Mx=-0.02 Mz=-0.91
Sollecitazioni agenti localmente: Tx_l=3.39 Ty_l=-9.09 N_l=-3881.26 My_l=0.91 Mz_l=-0.02
Azioni sul cordone: TP=0.27 TO=-0.66 NO=-286.90
Tensioni nel cordone: τ_P= 0.09 τ_0=0.21 σ_0=92.52 σ_{ID}=92.52 Σ_T=92.73
CC 19 SLV (Collegamento 0021_-378)

Azioni sul collegamento: N=-3881.26 Ty=1.27 Tz=10.37 Mx=-0.02 Mz=-0.17
Sollecitazioni agenti localmente: Tx_l=1.27 Ty_l=10.37 N_l=-3881.26 My_l=0.17 Mz_l=-0.02
Azioni sul cordone: TP=0.11 TO=0.78 NO=-286.90
Tensioni nel cordone: τ_P= 0.04 τ_O=0.25 σ_O=91.44 σ_{ID}=91.44 Σ_T=91.69
CC 19 SLV (Collegamento 0021_-378)
Azioni sul collegamento: N=-3881.26 Ty=3.39 Tz=10.37 Mx=-0.02 Mz=-0.91
Sollecitazioni agenti localmente: Tx_l=3.39 Ty_l=10.37 N_l=-3881.26 My_l=0.91 Mz_l=-0.02
Azioni sul cordone: TP=0.27 TO=0.78 NO=-286.90
Tensioni nel cordone: τ_P= 0.09 τ_O=0.25 σ_O=92.52 σ_{ID}=92.52 Σ_T=92.76
CC 19 SLV (Collegamento 0021_-378)
Azioni sul collegamento: N=-9166.69 Ty=1.27 Tz=-9.09 Mx=-0.02 Mz=-0.17
Sollecitazioni agenti localmente: Tx_l=1.27 Ty_l=-9.09 N_l=-9166.69 My_l=0.17 Mz_l=-0.02
Azioni sul cordone: TP=0.11 TO=-0.66 NO=-677.61
Tensioni nel cordone: τ_P= 0.04 τ_O=0.21 σ_O=215.63 σ_{ID}=215.63 Σ_T=215.83
CC 19 SLV (Collegamento 0021_-378)
Azioni sul collegamento: N=-9166.69 Ty=3.39 Tz=-9.09 Mx=-0.02 Mz=-0.91
Sollecitazioni agenti localmente: Tx_l=3.39 Ty_l=-9.09 N_l=-9166.69 My_l=0.91 Mz_l=-0.02
Azioni sul cordone: TP=0.27 TO=-0.66 NO=-677.61
Tensioni nel cordone: τ_P= 0.09 τ_O=0.21 σ_O=216.70 σ_{ID}=216.70 Σ_T=216.91
CC 19 SLV (Collegamento 0021_-378)
Azioni sul collegamento: N=-9166.69 Ty=1.27 Tz=10.37 Mx=-0.02 Mz=-0.17
Sollecitazioni agenti localmente: Tx_l=1.27 Ty_l=10.37 N_l=-9166.69 My_l=0.17 Mz_l=-0.02
Azioni sul cordone: TP=0.11 TO=0.78 NO=-677.61
Tensioni nel cordone: τ_P= 0.04 τ_O=0.25 σ_O=215.63 σ_{ID}=215.63 Σ_T=215.87
CC 19 SLV (Collegamento 0021_-378)
Azioni sul collegamento: N=-9166.69 Ty=3.39 Tz=10.37 Mx=-0.02 Mz=-0.91
Sollecitazioni agenti localmente: Tx_l=3.39 Ty_l=10.37 N_l=-9166.69 My_l=0.91 Mz_l=-0.02
Azioni sul cordone: TP=0.27 TO=0.78 NO=-677.61
Tensioni nel cordone: τ_P= 0.09 τ_O=0.25 σ_O=216.70 σ_{ID}=216.70 Σ_T=216.95
CC 20 SLD (Collegamento 0021_-378)
Azioni sul collegamento: N=-5750.58 Ty=3.50 Tz=-2.19 Mx=-0.01 Mz=1.66
Sollecitazioni agenti localmente: Tx_l=3.50 Ty_l=-2.19 N_l=-5750.58 My_l=-1.66 Mz_l=-0.01
Azioni sul cordone: TP=0.27 TO=-0.17 NO=-425.08
Tensioni nel cordone: τ_P= 0.08 τ_O= 0.05 σ_O=137.53 σ_{ID}=137.53 Σ_T=137.59
CC 20 SLD (Collegamento 0021_-378)
Azioni sul collegamento: N=-5750.58 Ty=2.85 Tz=-2.19 Mx=-0.01 Mz=1.43
Sollecitazioni agenti localmente: Tx_l=2.85 Ty_l=-2.19 N_l=-5750.58 My_l=-1.43 Mz_l=-0.01
Azioni sul cordone: TP=0.22 TO=-0.17 NO=-425.08
Tensioni nel cordone: τ_P= 0.07 τ_O= 0.05 σ_O=137.20 σ_{ID}=137.20 Σ_T=137.26
CC 20 SLD (Collegamento 0021_-378)
Azioni sul collegamento: N=-5750.58 Ty=3.50 Tz=3.74 Mx=-0.01 Mz=1.66
Sollecitazioni agenti localmente: Tx_l=3.50 Ty_l=3.74 N_l=-5750.58 My_l=-1.66 Mz_l=-0.01
Azioni sul cordone: TP=0.27 TO=0.27 NO=-425.08
Tensioni nel cordone: τ_P= 0.08 τ_O= 0.09 σ_O=137.53 σ_{ID}=137.53 Σ_T=137.62
CC 20 SLD (Collegamento 0021_-378)
Azioni sul collegamento: N=-5750.58 Ty=2.85 Tz=3.74 Mx=-0.01 Mz=1.43
Sollecitazioni agenti localmente: Tx_l=2.85 Ty_l=3.74 N_l=-5750.58 My_l=-1.43 Mz_l=-0.01
Azioni sul cordone: TP=0.22 TO=0.27 NO=-425.08
Tensioni nel cordone: τ_P= 0.07 τ_O= 0.09 σ_O=137.20 σ_{ID}=137.20 Σ_T=137.29
CC 20 SLD (Collegamento 0021_-378)
Azioni sul collegamento: N=-7362.28 Ty=3.50 Tz=-2.19 Mx=-0.01 Mz=1.66
Sollecitazioni agenti localmente: Tx_l=3.50 Ty_l=-2.19 N_l=-7362.28 My_l=-1.66 Mz_l=-0.01
Azioni sul cordone: TP=0.27 TO=-0.17 NO=-544.22
Tensioni nel cordone: τ_P= 0.08 τ_O= 0.05 σ_O=175.40 σ_{ID}=175.40 Σ_T=175.45
CC 20 SLD (Collegamento 0021_-378)
Azioni sul collegamento: N=-7362.28 Ty=2.85 Tz=-2.19 Mx=-0.01 Mz=1.43
Sollecitazioni agenti localmente: Tx_l=2.85 Ty_l=-2.19 N_l=-7362.28 My_l=-1.43 Mz_l=-0.01
Azioni sul cordone: TP=0.22 TO=-0.17 NO=-544.22
Tensioni nel cordone: τ_P= 0.07 τ_O= 0.05 σ_O=175.07 σ_{ID}=175.07 Σ_T=175.13
CC 20 SLD (Collegamento 0021_-378)
Azioni sul collegamento: N=-7362.28 Ty=3.50 Tz=3.74 Mx=-0.01 Mz=1.66
Sollecitazioni agenti localmente: Tx_l=3.50 Ty_l=3.74 N_l=-7362.28 My_l=-1.66 Mz_l=-0.01
Azioni sul cordone: TP=0.27 TO=0.27 NO=-544.22
Tensioni nel cordone: τ_P= 0.08 τ_O= 0.09 σ_O=175.40 σ_{ID}=175.40 Σ_T=175.49
CC 20 SLD (Collegamento 0021_-378)
Azioni sul collegamento: N=-7362.28 Ty=2.85 Tz=3.74 Mx=-0.01 Mz=1.43
Sollecitazioni agenti localmente: Tx_l=2.85 Ty_l=3.74 N_l=-7362.28 My_l=-1.43 Mz_l=-0.01
Azioni sul cordone: TP=0.22 TO=0.27 NO=-544.22
Tensioni nel cordone: τ_P= 0.07 τ_O= 0.09 σ_O=175.07 σ_{ID}=175.07 Σ_T=175.16
CC 21 SLV (Collegamento 0021_-378)
Azioni sul collegamento: N=-9166.69 Ty=3.39 Tz=10.37 Mx=-0.02 Mz=-0.91
Sollecitazioni agenti localmente: Tx_l=3.39 Ty_l=10.37 N_l=-9166.69 My_l=0.91 Mz_l=-0.02
Azioni sul cordone: TP=0.27 TO=0.78 NO=-677.61
Tensioni nel cordone: τ_P= 0.09 τ_O=0.25 σ_O=216.70 σ_{ID}=216.70 Σ_T=216.95
CC 21 SLV (Collegamento 0021_-378)
Azioni sul collegamento: N=-9166.69 Ty=1.27 Tz=10.37 Mx=-0.02 Mz=-0.17
Sollecitazioni agenti localmente: Tx_l=1.27 Ty_l=10.37 N_l=-9166.69 My_l=0.17 Mz_l=-0.02
Azioni sul cordone: TP=0.12 TO=0.78 NO=-677.61
Tensioni nel cordone: τ_P= 0.04 τ_O=0.25 σ_O=215.63 σ_{ID}=215.63 Σ_T=215.87
CC 21 SLV (Collegamento 0021_-378)
Azioni sul collegamento: N=-9166.69 Ty=3.39 Tz=-9.09 Mx=-0.02 Mz=-0.91

Sollecitazioni agenti localmente: Tx_l=3.39 Ty_l=-9.09 N_l=-9166.69 My_l=0.91 Mz_l=-0.02
Azioni sul cordone: TP=0.27 TO=-0.66 NO=-677.61
Tensioni nel cordone: τ_P= 0.09 τ_O=0.21 σ_O=216.70 σ_{ID}=216.70 Σ_T=216.91
CC 21 SLV (Collegamento 0021_-378)
Azioni sul collegamento: N=-9166.69 Ty=1.27 Tz=-9.09 Mx=-0.02 Mz=-0.17
Sollecitazioni agenti localmente: Tx_l=1.27 Ty_l=-9.09 N_l=-9166.69 My_l=0.17 Mz_l=-0.02
Azioni sul cordone: TP=0.12 TO=-0.66 NO=-677.61
Tensioni nel cordone: τ_P= 0.04 τ_O=0.21 σ_O=215.63 σ_{ID}=215.63 Σ_T=215.83
CC 21 SLV (Collegamento 0021_-378)
Azioni sul collegamento: N=-3881.26 Ty=3.39 Tz=10.37 Mx=-0.02 Mz=-0.91
Sollecitazioni agenti localmente: Tx_l=3.39 Ty_l=10.37 N_l=-3881.26 My_l=0.91 Mz_l=-0.02
Azioni sul cordone: TP=0.27 TO=0.78 NO=-286.90
Tensioni nel cordone: τ_P= 0.09 τ_O=0.25 σ_O=92.52 σ_{ID}=92.52 Σ_T=92.76
CC 21 SLV (Collegamento 0021_-378)
Azioni sul collegamento: N=-3881.26 Ty=1.27 Tz=10.37 Mx=-0.02 Mz=-0.17
Sollecitazioni agenti localmente: Tx_l=1.27 Ty_l=10.37 N_l=-3881.26 My_l=0.17 Mz_l=-0.02
Azioni sul cordone: TP=0.12 TO=0.78 NO=-286.90
Tensioni nel cordone: τ_P= 0.04 τ_O=0.25 σ_O=91.44 σ_{ID}=91.44 Σ_T=91.69
CC 21 SLV (Collegamento 0021_-378)
Azioni sul collegamento: N=-3881.26 Ty=3.39 Tz=-9.09 Mx=-0.02 Mz=-0.91
Sollecitazioni agenti localmente: Tx_l=3.39 Ty_l=-9.09 N_l=-3881.26 My_l=0.91 Mz_l=-0.02
Azioni sul cordone: TP=0.27 TO=-0.66 NO=-286.90
Tensioni nel cordone: τ_P= 0.09 τ_O=0.21 σ_O=92.52 σ_{ID}=92.52 Σ_T=92.72
CC 21 SLV (Collegamento 0021_-378)
Azioni sul collegamento: N=-3881.26 Ty=1.27 Tz=-9.09 Mx=-0.02 Mz=-0.17
Sollecitazioni agenti localmente: Tx_l=1.27 Ty_l=-9.09 N_l=-3881.26 My_l=0.17 Mz_l=-0.02
Azioni sul cordone: TP=0.12 TO=-0.66 NO=-286.90
Tensioni nel cordone: τ_P= 0.04 τ_O=0.21 σ_O=91.44 σ_{ID}=91.44 Σ_T=91.65
CC 22 SLD (Collegamento 0021_-378)
Azioni sul collegamento: N=-7362.28 Ty=2.85 Tz=3.74 Mx=-0.01 Mz=1.43
Sollecitazioni agenti localmente: Tx_l=2.85 Ty_l=3.74 N_l=-7362.28 My_l=-1.43 Mz_l=-0.01
Azioni sul cordone: TP=0.22 TO=0.27 NO=-544.22
Tensioni nel cordone: τ_P= 0.07 τ_O= 0.09 σ_O=175.07 σ_{ID}=175.07 Σ_T=175.16
CC 22 SLD (Collegamento 0021_-378)
Azioni sul collegamento: N=-7362.28 Ty=3.50 Tz=3.74 Mx=-0.01 Mz=1.66
Sollecitazioni agenti localmente: Tx_l=3.50 Ty_l=3.74 N_l=-7362.28 My_l=-1.66 Mz_l=-0.01
Azioni sul cordone: TP=0.27 TO=0.27 NO=-544.22
Tensioni nel cordone: τ_P= 0.09 τ_O= 0.09 σ_O=175.40 σ_{ID}=175.40 Σ_T=175.49
CC 22 SLD (Collegamento 0021_-378)
Azioni sul collegamento: N=-7362.28 Ty=2.85 Tz=-2.19 Mx=-0.01 Mz=1.43
Sollecitazioni agenti localmente: Tx_l=2.85 Ty_l=-2.19 N_l=-7362.28 My_l=-1.43 Mz_l=-0.01
Azioni sul cordone: TP=0.22 TO=-0.17 NO=-544.22
Tensioni nel cordone: τ_P= 0.07 τ_O= 0.05 σ_O=175.07 σ_{ID}=175.07 Σ_T=175.13
CC 22 SLD (Collegamento 0021_-378)
Azioni sul collegamento: N=-7362.28 Ty=3.50 Tz=-2.19 Mx=-0.01 Mz=1.66
Sollecitazioni agenti localmente: Tx_l=3.50 Ty_l=-2.19 N_l=-7362.28 My_l=-1.66 Mz_l=-0.01
Azioni sul cordone: TP=0.27 TO=-0.17 NO=-544.22
Tensioni nel cordone: τ_P= 0.09 τ_O= 0.05 σ_O=175.40 σ_{ID}=175.40 Σ_T=175.45
CC 22 SLD (Collegamento 0021_-378)
Azioni sul collegamento: N=-5750.58 Ty=2.85 Tz=3.74 Mx=-0.01 Mz=1.43
Sollecitazioni agenti localmente: Tx_l=2.85 Ty_l=3.74 N_l=-5750.58 My_l=-1.43 Mz_l=-0.01
Azioni sul cordone: TP=0.22 TO=0.27 NO=-425.08
Tensioni nel cordone: τ_P= 0.07 τ_O= 0.09 σ_O=137.20 σ_{ID}=137.20 Σ_T=137.29
CC 22 SLD (Collegamento 0021_-378)
Azioni sul collegamento: N=-5750.58 Ty=3.50 Tz=3.74 Mx=-0.01 Mz=1.66
Sollecitazioni agenti localmente: Tx_l=3.50 Ty_l=3.74 N_l=-5750.58 My_l=-1.66 Mz_l=-0.01
Azioni sul cordone: TP=0.27 TO=0.27 NO=-425.08
Tensioni nel cordone: τ_P= 0.09 τ_O= 0.09 σ_O=137.53 σ_{ID}=137.53 Σ_T=137.62
CC 22 SLD (Collegamento 0021_-378)
Azioni sul collegamento: N=-5750.58 Ty=2.85 Tz=-2.19 Mx=-0.01 Mz=1.43
Sollecitazioni agenti localmente: Tx_l=2.85 Ty_l=-2.19 N_l=-5750.58 My_l=-1.43 Mz_l=-0.01
Azioni sul cordone: TP=0.22 TO=-0.17 NO=-425.08
Tensioni nel cordone: τ_P= 0.07 τ_O= 0.05 σ_O=137.20 σ_{ID}=137.20 Σ_T=137.26
CC 22 SLD (Collegamento 0021_-378)
Azioni sul collegamento: N=-5750.58 Ty=3.50 Tz=-2.19 Mx=-0.01 Mz=1.66
Sollecitazioni agenti localmente: Tx_l=3.50 Ty_l=-2.19 N_l=-5750.58 My_l=-1.66 Mz_l=-0.01
Azioni sul cordone: TP=0.27 TO=-0.17 NO=-425.08
Tensioni nel cordone: τ_P= 0.09 τ_O= 0.05 σ_O=137.53 σ_{ID}=137.53 Σ_T=137.59
CC 23 SLV (Collegamento 0021_-378)
Azioni sul collegamento: N=-9172.38 Ty=4.02 Tz=10.50 Mx=-0.01 Mz=-2.16
Sollecitazioni agenti localmente: Tx_l=4.02 Ty_l=10.50 N_l=-9172.38 My_l=2.16 Mz_l=-0.01
Azioni sul cordone: TP=0.31 TO=0.79 NO=-678.02
Tensioni nel cordone: τ_P= 0.10 τ_O=0.25 σ_O=218.67 σ_{ID}=218.67 Σ_T=218.92
CC 23 SLV (Collegamento 0021_-378)
Azioni sul collegamento: N=-9172.38 Ty=0.64 Tz=10.50 Mx=-0.01 Mz=1.09
Sollecitazioni agenti localmente: Tx_l=0.64 Ty_l=10.50 N_l=-9172.38 My_l=-1.09 Mz_l=-0.01
Azioni sul cordone: TP=0.06 TO=0.77 NO=-678.02
Tensioni nel cordone: τ_P= 0.02 τ_O=0.24 σ_O=217.09 σ_{ID}=217.09 Σ_T=217.34
CC 23 SLV (Collegamento 0021_-378)
Azioni sul collegamento: N=-9172.38 Ty=4.02 Tz=-9.21 Mx=-0.01 Mz=-2.16
Sollecitazioni agenti localmente: Tx_l=4.02 Ty_l=-9.21 N_l=-9172.38 My_l=2.16 Mz_l=-0.01

Azioni sul cordone: TP=0.31 TO=-0.67 NO=-678.02
Tensioni nel cordone: τ_P= 0.10 τ_0=0.21 σ_0=218.67 σ_{ID}=218.67 Σ_T=218.88
CC 23 SLV (Collegamento 0021_-378)
Azioni sul collegamento: N=-9172.38 Ty=0.64 Tz=-9.21 Mx=-0.01 Mz=1.09
Sollecitazioni agenti localmente: Tx_l=0.64 Ty_l=-9.21 N_l=-9172.38 My_l=-1.09 Mz_l=-0.01
Azioni sul cordone: TP=0.06 TO=-0.69 NO=-678.02
Tensioni nel cordone: τ_P= 0.02 τ_0=0.22 σ_0=217.09 σ_{ID}=217.09 Σ_T=217.31
CC 23 SLV (Collegamento 0021_-378)
Azioni sul collegamento: N=-3875.57 Ty=4.02 Tz=10.50 Mx=-0.01 Mz=-2.16
Sollecitazioni agenti localmente: Tx_l=4.02 Ty_l=10.50 N_l=-3875.57 My_l=2.16 Mz_l=-0.01
Azioni sul cordone: TP=0.31 TO=0.79 NO=-286.48
Tensioni nel cordone: τ_P= 0.10 τ_0=0.25 σ_0=94.22 σ_{ID}=94.22 Σ_T=94.47
CC 23 SLV (Collegamento 0021_-378)
Azioni sul collegamento: N=-3875.57 Ty=0.64 Tz=10.50 Mx=-0.01 Mz=1.09
Sollecitazioni agenti localmente: Tx_l=0.64 Ty_l=10.50 N_l=-3875.57 My_l=-1.09 Mz_l=-0.01
Azioni sul cordone: TP=0.06 TO=0.77 NO=-286.48
Tensioni nel cordone: τ_P= 0.02 τ_0=0.24 σ_0=92.64 σ_{ID}=92.64 Σ_T=92.89
CC 23 SLV (Collegamento 0021_-378)
Azioni sul collegamento: N=-3875.57 Ty=4.02 Tz=-9.21 Mx=-0.01 Mz=-2.16
Sollecitazioni agenti localmente: Tx_l=4.02 Ty_l=-9.21 N_l=-3875.57 My_l=2.16 Mz_l=-0.01
Azioni sul cordone: TP=0.31 TO=-0.67 NO=-286.48
Tensioni nel cordone: τ_P= 0.10 τ_0=0.21 σ_0=94.22 σ_{ID}=94.22 Σ_T=94.43
CC 23 SLV (Collegamento 0021_-378)
Azioni sul collegamento: N=-3875.57 Ty=0.64 Tz=-9.21 Mx=-0.01 Mz=1.09
Sollecitazioni agenti localmente: Tx_l=0.64 Ty_l=-9.21 N_l=-3875.57 My_l=-1.09 Mz_l=-0.01
Azioni sul cordone: TP=0.06 TO=-0.69 NO=-286.48
Tensioni nel cordone: τ_P= 0.02 τ_0=0.22 σ_0=92.64 σ_{ID}=92.64 Σ_T=92.86
CC 24 SLD (Collegamento 0021_-378)
Azioni sul collegamento: N=-7364.01 Ty=2.66 Tz=3.78 Mx=-0.01 Mz=1.05
Sollecitazioni agenti localmente: Tx_l=2.66 Ty_l=3.78 N_l=-7364.01 My_l=-1.05 Mz_l=-0.01
Azioni sul cordone: TP=0.20 TO=0.27 NO=-544.35
Tensioni nel cordone: τ_P= 0.06 τ_0= 0.09 σ_0=174.55 σ_{ID}=174.55 Σ_T=174.64
CC 24 SLD (Collegamento 0021_-378)
Azioni sul collegamento: N=-7364.01 Ty=3.69 Tz=3.78 Mx=-0.01 Mz=2.04
Sollecitazioni agenti localmente: Tx_l=3.69 Ty_l=3.78 N_l=-7364.01 My_l=-2.04 Mz_l=-0.01
Azioni sul cordone: TP=0.28 TO=0.27 NO=-544.35
Tensioni nel cordone: τ_P= 0.09 τ_0= 0.09 σ_0=176.00 σ_{ID}=176.00 Σ_T=176.09
CC 24 SLD (Collegamento 0021_-378)
Azioni sul collegamento: N=-7364.01 Ty=2.66 Tz=-2.23 Mx=-0.01 Mz=1.05
Sollecitazioni agenti localmente: Tx_l=2.66 Ty_l=-2.23 N_l=-7364.01 My_l=-1.05 Mz_l=-0.01
Azioni sul cordone: TP=0.20 TO=-0.17 NO=-544.35
Tensioni nel cordone: τ_P= 0.06 τ_0= 0.05 σ_0=174.55 σ_{ID}=174.55 Σ_T=174.61
CC 24 SLD (Collegamento 0021_-378)
Azioni sul collegamento: N=-7364.01 Ty=3.69 Tz=-2.23 Mx=-0.01 Mz=2.04
Sollecitazioni agenti localmente: Tx_l=3.69 Ty_l=-2.23 N_l=-7364.01 My_l=-2.04 Mz_l=-0.01
Azioni sul cordone: TP=0.28 TO=-0.17 NO=-544.35
Tensioni nel cordone: τ_P= 0.09 τ_0= 0.05 σ_0=176.00 σ_{ID}=176.00 Σ_T=176.05
CC 24 SLD (Collegamento 0021_-378)
Azioni sul collegamento: N=-5748.85 Ty=2.66 Tz=3.78 Mx=-0.01 Mz=1.05
Sollecitazioni agenti localmente: Tx_l=2.66 Ty_l=3.78 N_l=-5748.85 My_l=-1.05 Mz_l=-0.01
Azioni sul cordone: TP=0.20 TO=0.27 NO=-424.96
Tensioni nel cordone: τ_P= 0.06 τ_0= 0.09 σ_0=136.60 σ_{ID}=136.60 Σ_T=136.69
CC 24 SLD (Collegamento 0021_-378)
Azioni sul collegamento: N=-5748.85 Ty=3.69 Tz=3.78 Mx=-0.01 Mz=2.04
Sollecitazioni agenti localmente: Tx_l=3.69 Ty_l=3.78 N_l=-5748.85 My_l=-2.04 Mz_l=-0.01
Azioni sul cordone: TP=0.28 TO=0.27 NO=-424.96
Tensioni nel cordone: τ_P= 0.09 τ_0= 0.09 σ_0=138.05 σ_{ID}=138.05 Σ_T=138.14
CC 24 SLD (Collegamento 0021_-378)
Azioni sul collegamento: N=-5748.85 Ty=2.66 Tz=-2.23 Mx=-0.01 Mz=1.05
Sollecitazioni agenti localmente: Tx_l=2.66 Ty_l=-2.23 N_l=-5748.85 My_l=-1.05 Mz_l=-0.01
Azioni sul cordone: TP=0.20 TO=-0.17 NO=-424.96
Tensioni nel cordone: τ_P= 0.06 τ_0= 0.05 σ_0=136.60 σ_{ID}=136.60 Σ_T=136.66
CC 24 SLD (Collegamento 0021_-378)
Azioni sul collegamento: N=-5748.85 Ty=3.69 Tz=-2.23 Mx=-0.01 Mz=2.04
Sollecitazioni agenti localmente: Tx_l=3.69 Ty_l=-2.23 N_l=-5748.85 My_l=-2.04 Mz_l=-0.01
Azioni sul cordone: TP=0.28 TO=-0.17 NO=-424.96
Tensioni nel cordone: τ_P= 0.09 τ_0= 0.05 σ_0=138.05 σ_{ID}=138.05 Σ_T=138.10
CC 25 SLV (Collegamento 0021_-378)
Azioni sul collegamento: N=-5720.83 Ty=0.86 Tz=-2.51 Mx=-0.03 Mz=1.85
Sollecitazioni agenti localmente: Tx_l=0.86 Ty_l=-2.51 N_l=-5720.83 My_l=-1.85 Mz_l=-0.03
Azioni sul cordone: TP=0.09 TO=-0.21 NO=-422.89
Tensioni nel cordone: τ_P= 0.03 τ_0= 0.07 σ_0=137.12 σ_{ID}=137.12 Σ_T=137.19
CC 25 SLV (Collegamento 0021_-378)
Azioni sul collegamento: N=-5720.83 Ty=3.80 Tz=-2.51 Mx=-0.03 Mz=-2.93
Sollecitazioni agenti localmente: Tx_l=3.80 Ty_l=-2.51 N_l=-5720.83 My_l=2.93 Mz_l=-0.03
Azioni sul cordone: TP=0.31 TO=-0.16 NO=-422.89
Tensioni nel cordone: τ_P= 0.10 τ_0= 0.05 σ_0=138.69 σ_{ID}=138.69 Σ_T=138.75
CC 25 SLV (Collegamento 0021_-378)
Azioni sul collegamento: N=-5720.83 Ty=0.86 Tz=3.80 Mx=-0.03 Mz=1.85
Sollecitazioni agenti localmente: Tx_l=0.86 Ty_l=3.80 N_l=-5720.83 My_l=-1.85 Mz_l=-0.03
Azioni sul cordone: TP=0.09 TO=0.26 NO=-422.89

Tensioni nel cordone: τ_P= 0.03 τ_0= 0.08 σ_0=137.12 σ_{ID}=137.12 Σ_T=137.20
CC 25 SLV (Collegamento 0021_-378)
Azioni sul collegamento: N=-5720.83 Ty=3.80 Tz=3.80 Mx=-0.03 Mz=-2.93
Sollecitazioni agenti localmente: Tx_l=3.80 Ty_l=3.80 N_l=-5720.83 My_l=2.93 Mz_l=-0.03
Azioni sul cordone: TP=0.31 TO=0.30 NO=-422.89
Tensioni nel cordone: τ_P= 0.10 τ_0= 0.10 σ_0=138.69 σ_{ID}=138.69 Σ_T=138.79
CC 25 SLV (Collegamento 0021_-378)
Azioni sul collegamento: N=-7327.12 Ty=0.86 Tz=-2.51 Mx=-0.03 Mz=1.85
Sollecitazioni agenti localmente: Tx_l=0.86 Ty_l=-2.51 N_l=-7327.12 My_l=-1.85 Mz_l=-0.03
Azioni sul cordone: TP=0.09 TO=-0.21 NO=-541.62
Tensioni nel cordone: τ_P= 0.03 τ_0= 0.07 σ_0=174.86 σ_{ID}=174.86 Σ_T=174.93
CC 25 SLV (Collegamento 0021_-378)
Azioni sul collegamento: N=-7327.12 Ty=3.80 Tz=-2.51 Mx=-0.03 Mz=-2.93
Sollecitazioni agenti localmente: Tx_l=3.80 Ty_l=-2.51 N_l=-7327.12 My_l=2.93 Mz_l=-0.03
Azioni sul cordone: TP=0.31 TO=-0.16 NO=-541.62
Tensioni nel cordone: τ_P= 0.10 τ_0= 0.05 σ_0=176.44 σ_{ID}=176.44 Σ_T=176.49
CC 25 SLV (Collegamento 0021_-378)
Azioni sul collegamento: N=-7327.12 Ty=0.86 Tz=3.80 Mx=-0.03 Mz=1.85
Sollecitazioni agenti localmente: Tx_l=0.86 Ty_l=3.80 N_l=-7327.12 My_l=-1.85 Mz_l=-0.03
Azioni sul cordone: TP=0.09 TO=0.26 NO=-541.62
Tensioni nel cordone: τ_P= 0.03 τ_0= 0.08 σ_0=174.86 σ_{ID}=174.86 Σ_T=174.94
CC 25 SLV (Collegamento 0021_-378)
Azioni sul collegamento: N=-7327.12 Ty=3.80 Tz=3.80 Mx=-0.03 Mz=-2.93
Sollecitazioni agenti localmente: Tx_l=3.80 Ty_l=3.80 N_l=-7327.12 My_l=2.93 Mz_l=-0.03
Azioni sul cordone: TP=0.31 TO=0.30 NO=-541.62
Tensioni nel cordone: τ_P= 0.10 τ_0= 0.10 σ_0=176.44 σ_{ID}=176.44 Σ_T=176.53
CC 26 SLD (Collegamento 0021_-378)
Azioni sul collegamento: N=-6311.53 Ty=3.62 Tz=-0.19 Mx=-0.01 Mz=2.27
Sollecitazioni agenti localmente: Tx_l=3.62 Ty_l=-0.19 N_l=-6311.53 My_l=-2.27 Mz_l=-0.01
Azioni sul cordone: TP=0.28 TO=-0.02 NO=-466.55
Tensioni nel cordone: τ_P= 0.09 τ_0=7.07E-03 σ_0=151.61 σ_{ID}=151.61 Σ_T=151.62
CC 26 SLD (Collegamento 0021_-378)
Azioni sul collegamento: N=-6311.53 Ty=2.73 Tz=-0.19 Mx=-0.01 Mz=0.81
Sollecitazioni agenti localmente: Tx_l=2.73 Ty_l=-0.19 N_l=-6311.53 My_l=-0.81 Mz_l=-0.01
Azioni sul cordone: TP=0.21 TO=-0.02 NO=-466.55
Tensioni nel cordone: τ_P= 0.07 τ_0=7.07E-03 σ_0=149.48 σ_{ID}=149.48 Σ_T=149.49
CC 26 SLD (Collegamento 0021_-378)
Azioni sul collegamento: N=-6311.53 Ty=3.62 Tz=1.73 Mx=-0.01 Mz=2.27
Sollecitazioni agenti localmente: Tx_l=3.62 Ty_l=1.73 N_l=-6311.53 My_l=-2.27 Mz_l=-0.01
Azioni sul cordone: TP=0.28 TO=0.12 NO=-466.55
Tensioni nel cordone: τ_P= 0.09 τ_0= 0.04 σ_0=151.61 σ_{ID}=151.61 Σ_T=151.65
CC 26 SLD (Collegamento 0021_-378)
Azioni sul collegamento: N=-6311.53 Ty=2.73 Tz=1.73 Mx=-0.01 Mz=0.81
Sollecitazioni agenti localmente: Tx_l=2.73 Ty_l=1.73 N_l=-6311.53 My_l=-0.81 Mz_l=-0.01
Azioni sul cordone: TP=0.21 TO=0.12 NO=-466.55
Tensioni nel cordone: τ_P= 0.07 τ_0= 0.04 σ_0=149.48 σ_{ID}=149.48 Σ_T=149.52
CC 26 SLD (Collegamento 0021_-378)
Azioni sul collegamento: N=-6801.33 Ty=3.62 Tz=-0.19 Mx=-0.01 Mz=2.27
Sollecitazioni agenti localmente: Tx_l=3.62 Ty_l=-0.19 N_l=-6801.33 My_l=-2.27 Mz_l=-0.01
Azioni sul cordone: TP=0.28 TO=-0.02 NO=-502.76
Tensioni nel cordone: τ_P= 0.09 τ_0=7.08E-03 σ_0=163.12 σ_{ID}=163.12 Σ_T=163.13
CC 26 SLD (Collegamento 0021_-378)
Azioni sul collegamento: N=-6801.33 Ty=2.73 Tz=-0.19 Mx=-0.01 Mz=0.81
Sollecitazioni agenti localmente: Tx_l=2.73 Ty_l=-0.19 N_l=-6801.33 My_l=-0.81 Mz_l=-0.01
Azioni sul cordone: TP=0.21 TO=-0.02 NO=-502.76
Tensioni nel cordone: τ_P= 0.07 τ_0=7.08E-03 σ_0=160.99 σ_{ID}=160.99 Σ_T=161.00
CC 26 SLD (Collegamento 0021_-378)
Azioni sul collegamento: N=-6801.33 Ty=3.62 Tz=1.73 Mx=-0.01 Mz=2.27
Sollecitazioni agenti localmente: Tx_l=3.62 Ty_l=1.73 N_l=-6801.33 My_l=-2.27 Mz_l=-0.01
Azioni sul cordone: TP=0.28 TO=0.12 NO=-502.76
Tensioni nel cordone: τ_P= 0.09 τ_0= 0.04 σ_0=163.12 σ_{ID}=163.12 Σ_T=163.16
CC 26 SLD (Collegamento 0021_-378)
Azioni sul collegamento: N=-6801.33 Ty=2.73 Tz=1.73 Mx=-0.01 Mz=0.81
Sollecitazioni agenti localmente: Tx_l=2.73 Ty_l=1.73 N_l=-6801.33 My_l=-0.81 Mz_l=-0.01
Azioni sul cordone: TP=0.21 TO=0.12 NO=-502.76
Tensioni nel cordone: τ_P= 0.07 τ_0= 0.04 σ_0=160.99 σ_{ID}=160.99 Σ_T=161.03
CC 27 SLV (Collegamento 0021_-378)
Azioni sul collegamento: N=-7308.17 Ty=1.68 Tz=3.37 Mx=-0.02 Mz=1.26
Sollecitazioni agenti localmente: Tx_l=1.68 Ty_l=3.37 N_l=-7308.17 My_l=-1.26 Mz_l=-0.02
Azioni sul cordone: TP=0.15 TO=0.23 NO=-540.22
Tensioni nel cordone: τ_P= 0.05 τ_0= 0.07 σ_0=173.54 σ_{ID}=173.54 Σ_T=173.62
CC 27 SLV (Collegamento 0021_-378)
Azioni sul collegamento: N=-7308.17 Ty=2.97 Tz=3.37 Mx=-0.02 Mz=-2.33
Sollecitazioni agenti localmente: Tx_l=2.97 Ty_l=3.37 N_l=-7308.17 My_l=2.33 Mz_l=-0.02
Azioni sul cordone: TP=0.25 TO=0.27 NO=-540.22
Tensioni nel cordone: τ_P= 0.08 τ_0= 0.09 σ_0=175.12 σ_{ID}=175.12 Σ_T=175.20
CC 27 SLV (Collegamento 0021_-378)
Azioni sul collegamento: N=-7308.17 Ty=1.68 Tz=-2.08 Mx=-0.02 Mz=1.26
Sollecitazioni agenti localmente: Tx_l=1.68 Ty_l=-2.08 N_l=-7308.17 My_l=-1.26 Mz_l=-0.02
Azioni sul cordone: TP=0.15 TO=-0.17 NO=-540.22
Tensioni nel cordone: τ_P= 0.05 τ_0= 0.06 σ_0=173.54 σ_{ID}=173.54 Σ_T=173.60

CC 27 SLV (Collegamento 0021_-378)
Azioni sul collegamento: N=-7308.17 Ty=2.97 Tz=-2.08 Mx=-0.02 Mz=-2.33
Sollecitazioni agenti localmente: Tx_l=2.97 Ty_l=-2.08 N_l=-7308.17 My_l=2.33 Mz_l=-0.02
Azioni sul cordone: TP=0.25 TO=-0.13 NO=-540.22
Tensioni nel cordone: τ_P= 0.08 τ_0= 0.04 σ_0=175.12 σ_{ID}=175.12 Σ_T=175.16
CC 27 SLV (Collegamento 0021_-378)
Azioni sul collegamento: N=-5739.78 Ty=1.68 Tz=3.37 Mx=-0.02 Mz=1.26
Sollecitazioni agenti localmente: Tx_l=1.68 Ty_l=3.37 N_l=-5739.78 My_l=-1.26 Mz_l=-0.02
Azioni sul cordone: TP=0.15 TO=0.23 NO=-424.29
Tensioni nel cordone: τ_P= 0.05 τ_0= 0.07 σ_0=136.69 σ_{ID}=136.69 Σ_T=136.77
CC 27 SLV (Collegamento 0021_-378)
Azioni sul collegamento: N=-5739.78 Ty=2.97 Tz=3.37 Mx=-0.02 Mz=-2.33
Sollecitazioni agenti localmente: Tx_l=2.97 Ty_l=3.37 N_l=-5739.78 My_l=2.33 Mz_l=-0.02
Azioni sul cordone: TP=0.25 TO=0.27 NO=-424.29
Tensioni nel cordone: τ_P= 0.08 τ_0= 0.09 σ_0=138.27 σ_{ID}=138.27 Σ_T=138.35
CC 27 SLV (Collegamento 0021_-378)
Azioni sul collegamento: N=-5739.78 Ty=1.68 Tz=-2.08 Mx=-0.02 Mz=1.26
Sollecitazioni agenti localmente: Tx_l=1.68 Ty_l=-2.08 N_l=-5739.78 My_l=-1.26 Mz_l=-0.02
Azioni sul cordone: TP=0.15 TO=-0.17 NO=-424.29
Tensioni nel cordone: τ_P= 0.05 τ_0= 0.06 σ_0=136.69 σ_{ID}=136.69 Σ_T=136.75
CC 27 SLV (Collegamento 0021_-378)
Azioni sul collegamento: N=-5739.78 Ty=2.97 Tz=-2.08 Mx=-0.02 Mz=-2.33
Sollecitazioni agenti localmente: Tx_l=2.97 Ty_l=-2.08 N_l=-5739.78 My_l=2.33 Mz_l=-0.02
Azioni sul cordone: TP=0.25 TO=-0.13 NO=-424.29
Tensioni nel cordone: τ_P= 0.08 τ_0= 0.04 σ_0=138.27 σ_{ID}=138.27 Σ_T=138.31
CC 28 SLD (Collegamento 0021_-378)
Azioni sul collegamento: N=-6795.56 Ty=3.37 Tz=1.60 Mx=-0.01 Mz=2.09
Sollecitazioni agenti localmente: Tx_l=3.37 Ty_l=1.60 N_l=-6795.56 My_l=-2.09 Mz_l=-0.01
Azioni sul cordone: TP=0.26 TO=0.11 NO=-502.33
Tensioni nel cordone: τ_P= 0.08 τ_0= 0.04 σ_0=162.72 σ_{ID}=162.72 Σ_T=162.75
CC 28 SLD (Collegamento 0021_-378)
Azioni sul collegamento: N=-6795.56 Ty=2.98 Tz=1.60 Mx=-0.01 Mz=1.00
Sollecitazioni agenti localmente: Tx_l=2.98 Ty_l=1.60 N_l=-6795.56 My_l=-1.00 Mz_l=-0.01
Azioni sul cordone: TP=0.23 TO=0.11 NO=-502.33
Tensioni nel cordone: τ_P= 0.07 τ_0= 0.04 σ_0=161.12 σ_{ID}=161.12 Σ_T=161.16
CC 28 SLD (Collegamento 0021_-378)
Azioni sul collegamento: N=-6795.56 Ty=3.37 Tz=-0.06 Mx=-0.01 Mz=2.09
Sollecitazioni agenti localmente: Tx_l=3.37 Ty_l=-0.06 N_l=-6795.56 My_l=-2.09 Mz_l=-0.01
Azioni sul cordone: TP=0.26 TO=-0.01 NO=-502.33
Tensioni nel cordone: τ_P= 0.08 τ_0=3.94E-03 σ_0=162.72 σ_{ID}=162.72 Σ_T=162.72
CC 28 SLD (Collegamento 0021_-378)
Azioni sul collegamento: N=-6795.56 Ty=2.98 Tz=-0.06 Mx=-0.01 Mz=1.00
Sollecitazioni agenti localmente: Tx_l=2.98 Ty_l=-0.06 N_l=-6795.56 My_l=-1.00 Mz_l=-0.01
Azioni sul cordone: TP=0.23 TO=-0.01 NO=-502.33
Tensioni nel cordone: τ_P= 0.07 τ_0=3.94E-03 σ_0=161.12 σ_{ID}=161.12 Σ_T=161.12
CC 28 SLD (Collegamento 0021_-378)
Azioni sul collegamento: N=-6317.30 Ty=3.37 Tz=1.60 Mx=-0.01 Mz=2.09
Sollecitazioni agenti localmente: Tx_l=3.37 Ty_l=1.60 N_l=-6317.30 My_l=-2.09 Mz_l=-0.01
Azioni sul cordone: TP=0.26 TO=0.11 NO=-466.98
Tensioni nel cordone: τ_P= 0.08 τ_0= 0.04 σ_0=151.48 σ_{ID}=151.48 Σ_T=151.52
CC 28 SLD (Collegamento 0021_-378)
Azioni sul collegamento: N=-6317.30 Ty=2.98 Tz=1.60 Mx=-0.01 Mz=1.00
Sollecitazioni agenti localmente: Tx_l=2.98 Ty_l=1.60 N_l=-6317.30 My_l=-1.00 Mz_l=-0.01
Azioni sul cordone: TP=0.23 TO=0.11 NO=-466.98
Tensioni nel cordone: τ_P= 0.07 τ_0= 0.04 σ_0=149.88 σ_{ID}=149.88 Σ_T=149.92
CC 28 SLD (Collegamento 0021_-378)
Azioni sul collegamento: N=-6317.30 Ty=3.37 Tz=-0.06 Mx=-0.01 Mz=2.09
Sollecitazioni agenti localmente: Tx_l=3.37 Ty_l=-0.06 N_l=-6317.30 My_l=-2.09 Mz_l=-0.01
Azioni sul cordone: TP=0.26 TO=-0.01 NO=-466.98
Tensioni nel cordone: τ_P= 0.08 τ_0=3.95E-03 σ_0=151.48 σ_{ID}=151.48 Σ_T=151.49
CC 28 SLD (Collegamento 0021_-378)
Azioni sul collegamento: N=-6317.30 Ty=2.98 Tz=-0.06 Mx=-0.01 Mz=1.00
Sollecitazioni agenti localmente: Tx_l=2.98 Ty_l=-0.06 N_l=-6317.30 My_l=-1.00 Mz_l=-0.01
Azioni sul cordone: TP=0.23 TO=-0.01 NO=-466.98
Tensioni nel cordone: τ_P= 0.07 τ_0=3.95E-03 σ_0=149.88 σ_{ID}=149.88 Σ_T=149.89
CC 29 SLV (Collegamento 0021_-378)
Azioni sul collegamento: N=-5739.78 Ty=2.97 Tz=-2.08 Mx=-0.01 Mz=-2.33
Sollecitazioni agenti localmente: Tx_l=2.97 Ty_l=-2.08 N_l=-5739.78 My_l=2.33 Mz_l=-0.01
Azioni sul cordone: TP=0.23 TO=-0.15 NO=-424.29
Tensioni nel cordone: τ_P= 0.07 τ_0= 0.05 σ_0=138.27 σ_{ID}=138.27 Σ_T=138.31
CC 29 SLV (Collegamento 0021_-378)
Azioni sul collegamento: N=-5739.78 Ty=1.68 Tz=-2.08 Mx=-0.01 Mz=1.26
Sollecitazioni agenti localmente: Tx_l=1.68 Ty_l=-2.08 N_l=-5739.78 My_l=-1.26 Mz_l=-0.01
Azioni sul cordone: TP=0.14 TO=-0.16 NO=-424.29
Tensioni nel cordone: τ_P= 0.04 τ_0= 0.05 σ_0=136.69 σ_{ID}=136.69 Σ_T=136.75
CC 29 SLV (Collegamento 0021_-378)
Azioni sul collegamento: N=-5739.78 Ty=2.97 Tz=3.37 Mx=-0.01 Mz=-2.33
Sollecitazioni agenti localmente: Tx_l=2.97 Ty_l=3.37 N_l=-5739.78 My_l=2.33 Mz_l=-0.01
Azioni sul cordone: TP=0.23 TO=0.26 NO=-424.29
Tensioni nel cordone: τ_P= 0.07 τ_0= 0.08 σ_0=138.27 σ_{ID}=138.27 Σ_T=138.35
CC 29 SLV (Collegamento 0021_-378)

Azioni sul collegamento: N=-5739.78 Ty=1.68 Tz=3.37 Mx=-0.01 Mz=1.26
Sollecitazioni agenti localmente: Tx_l=1.68 Ty_l=3.37 N_l=-5739.78 My_l=-1.26 Mz_l=-0.01
Azioni sul cordone: TP=0.14 TO=0.24 NO=-424.29
Tensioni nel cordone: τ_P= 0.04 τ_0= 0.08 σ_0=136.69 σ_{ID}=136.69 Σ_T=136.77
CC 29 SLV (Collegamento 0021_-378)
Azioni sul collegamento: N=-7308.17 Ty=2.97 Tz=-2.08 Mx=-0.01 Mz=-2.33
Sollecitazioni agenti localmente: Tx_l=2.97 Ty_l=-2.08 N_l=-7308.17 My_l=2.33 Mz_l=-0.01
Azioni sul cordone: TP=0.23 TO=-0.15 NO=-540.22
Tensioni nel cordone: τ_P= 0.07 τ_0= 0.05 σ_0=175.12 σ_{ID}=175.12 Σ_T=175.16
CC 29 SLV (Collegamento 0021_-378)
Azioni sul collegamento: N=-7308.17 Ty=1.68 Tz=-2.08 Mx=-0.01 Mz=1.26
Sollecitazioni agenti localmente: Tx_l=1.68 Ty_l=-2.08 N_l=-7308.17 My_l=-1.26 Mz_l=-0.01
Azioni sul cordone: TP=0.14 TO=-0.16 NO=-540.22
Tensioni nel cordone: τ_P= 0.04 τ_0= 0.05 σ_0=173.54 σ_{ID}=173.54 Σ_T=173.59
CC 29 SLV (Collegamento 0021_-378)
Azioni sul collegamento: N=-7308.17 Ty=2.97 Tz=3.37 Mx=-0.01 Mz=-2.33
Sollecitazioni agenti localmente: Tx_l=2.97 Ty_l=3.37 N_l=-7308.17 My_l=2.33 Mz_l=-0.01
Azioni sul cordone: TP=0.23 TO=0.26 NO=-540.22
Tensioni nel cordone: τ_P= 0.07 τ_0= 0.08 σ_0=175.12 σ_{ID}=175.12 Σ_T=175.20
CC 29 SLV (Collegamento 0021_-378)
Azioni sul collegamento: N=-7308.17 Ty=1.68 Tz=3.37 Mx=-0.01 Mz=1.26
Sollecitazioni agenti localmente: Tx_l=1.68 Ty_l=3.37 N_l=-7308.17 My_l=-1.26 Mz_l=-0.01
Azioni sul cordone: TP=0.14 TO=0.24 NO=-540.22
Tensioni nel cordone: τ_P= 0.04 τ_0= 0.08 σ_0=173.54 σ_{ID}=173.54 Σ_T=173.62
CC 30 SLD (Collegamento 0021_-378)
Azioni sul collegamento: N=-6317.30 Ty=2.98 Tz=-0.06 Mx=-0.01 Mz=1.00
Sollecitazioni agenti localmente: Tx_l=2.98 Ty_l=-0.06 N_l=-6317.30 My_l=-1.00 Mz_l=-0.01
Azioni sul cordone: TP=0.23 TO=-0.01 NO=-466.98
Tensioni nel cordone: τ_P= 0.07 τ_0=2.78E-03 σ_0=149.88 σ_{ID}=149.88 Σ_T=149.89
CC 30 SLD (Collegamento 0021_-378)
Azioni sul collegamento: N=-6317.30 Ty=3.37 Tz=-0.06 Mx=-0.01 Mz=2.09
Sollecitazioni agenti localmente: Tx_l=3.37 Ty_l=-0.06 N_l=-6317.30 My_l=-2.09 Mz_l=-0.01
Azioni sul cordone: TP=0.26 TO=-0.01 NO=-466.98
Tensioni nel cordone: τ_P= 0.08 τ_0=2.78E-03 σ_0=151.48 σ_{ID}=151.48 Σ_T=151.49
CC 30 SLD (Collegamento 0021_-378)
Azioni sul collegamento: N=-6317.30 Ty=2.98 Tz=1.60 Mx=-0.01 Mz=1.00
Sollecitazioni agenti localmente: Tx_l=2.98 Ty_l=1.60 N_l=-6317.30 My_l=-1.00 Mz_l=-0.01
Azioni sul cordone: TP=0.23 TO=0.11 NO=-466.98
Tensioni nel cordone: τ_P= 0.07 τ_0= 0.04 σ_0=149.88 σ_{ID}=149.88 Σ_T=149.92
CC 30 SLD (Collegamento 0021_-378)
Azioni sul collegamento: N=-6317.30 Ty=3.37 Tz=1.60 Mx=-0.01 Mz=2.09
Sollecitazioni agenti localmente: Tx_l=3.37 Ty_l=1.60 N_l=-6317.30 My_l=-2.09 Mz_l=-0.01
Azioni sul cordone: TP=0.26 TO=0.11 NO=-466.98
Tensioni nel cordone: τ_P= 0.08 τ_0= 0.04 σ_0=151.48 σ_{ID}=151.48 Σ_T=151.52
CC 30 SLD (Collegamento 0021_-378)
Azioni sul collegamento: N=-6795.56 Ty=2.98 Tz=-0.06 Mx=-0.01 Mz=1.00
Sollecitazioni agenti localmente: Tx_l=2.98 Ty_l=-0.06 N_l=-6795.56 My_l=-1.00 Mz_l=-0.01
Azioni sul cordone: TP=0.23 TO=-0.01 NO=-502.33
Tensioni nel cordone: τ_P= 0.07 τ_0=2.78E-03 σ_0=161.12 σ_{ID}=161.12 Σ_T=161.12
CC 30 SLD (Collegamento 0021_-378)
Azioni sul collegamento: N=-6795.56 Ty=3.37 Tz=-0.06 Mx=-0.01 Mz=2.09
Sollecitazioni agenti localmente: Tx_l=3.37 Ty_l=-0.06 N_l=-6795.56 My_l=-2.09 Mz_l=-0.01
Azioni sul cordone: TP=0.26 TO=-0.01 NO=-502.33
Tensioni nel cordone: τ_P= 0.08 τ_0=2.78E-03 σ_0=162.72 σ_{ID}=162.72 Σ_T=162.72
CC 30 SLD (Collegamento 0021_-378)
Azioni sul collegamento: N=-6795.56 Ty=2.98 Tz=1.60 Mx=-0.01 Mz=1.00
Sollecitazioni agenti localmente: Tx_l=2.98 Ty_l=1.60 N_l=-6795.56 My_l=-1.00 Mz_l=-0.01
Azioni sul cordone: TP=0.23 TO=0.11 NO=-502.33
Tensioni nel cordone: τ_P= 0.07 τ_0= 0.04 σ_0=161.12 σ_{ID}=161.12 Σ_T=161.16
CC 30 SLD (Collegamento 0021_-378)
Azioni sul collegamento: N=-6795.56 Ty=3.37 Tz=1.60 Mx=-0.01 Mz=2.09
Sollecitazioni agenti localmente: Tx_l=3.37 Ty_l=1.60 N_l=-6795.56 My_l=-2.09 Mz_l=-0.01
Azioni sul cordone: TP=0.26 TO=0.11 NO=-502.33
Tensioni nel cordone: τ_P= 0.08 τ_0= 0.04 σ_0=162.72 σ_{ID}=162.72 Σ_T=162.75
CC 31 SLV (Collegamento 0021_-378)
Azioni sul collegamento: N=-7327.12 Ty=3.80 Tz=3.80 Mx=-0.01 Mz=-2.93
Sollecitazioni agenti localmente: Tx_l=3.80 Ty_l=3.80 N_l=-7327.12 My_l=2.93 Mz_l=-0.01
Azioni sul cordone: TP=0.29 TO=0.29 NO=-541.62
Tensioni nel cordone: τ_P= 0.09 τ_0= 0.09 σ_0=176.44 σ_{ID}=176.44 Σ_T=176.53
CC 31 SLV (Collegamento 0021_-378)
Azioni sul collegamento: N=-7327.12 Ty=0.86 Tz=3.80 Mx=-0.01 Mz=1.85
Sollecitazioni agenti localmente: Tx_l=0.86 Ty_l=3.80 N_l=-7327.12 My_l=-1.85 Mz_l=-0.01
Azioni sul cordone: TP=0.07 TO=0.27 NO=-541.62
Tensioni nel cordone: τ_P= 0.02 τ_0= 0.09 σ_0=174.86 σ_{ID}=174.86 Σ_T=174.95
CC 31 SLV (Collegamento 0021_-378)
Azioni sul collegamento: N=-7327.12 Ty=3.80 Tz=-2.51 Mx=-0.01 Mz=-2.93
Sollecitazioni agenti localmente: Tx_l=3.80 Ty_l=-2.51 N_l=-7327.12 My_l=2.93 Mz_l=-0.01
Azioni sul cordone: TP=0.29 TO=-0.18 NO=-541.62
Tensioni nel cordone: τ_P= 0.09 τ_0= 0.06 σ_0=176.44 σ_{ID}=176.44 Σ_T=176.49
CC 31 SLV (Collegamento 0021_-378)
Azioni sul collegamento: N=-7327.12 Ty=0.86 Tz=-2.51 Mx=-0.01 Mz=1.85

Sollecitazioni agenti localmente: Tx_l=0.86 Ty_l=-2.51 N_l=-7327.12 My_l=-1.85 Mz_l=-0.01
Azioni sul cordone: TP=0.07 TO=-0.19 NO=-541.62
Tensioni nel cordone: τ_P= 0.02 τ_O= 0.06 σ_O=174.86 σ_{ID}=174.86 Σ_T=174.92
CC 31 SLV (Collegamento 0021_-378)
Azioni sul collegamento: N=-5720.83 Ty=3.80 Tz=3.80 Mx=-0.01 Mz=-2.93
Sollecitazioni agenti localmente: Tx_l=3.80 Ty_l=3.80 N_l=-5720.83 My_l=2.93 Mz_l=-0.01
Azioni sul cordone: TP=0.29 TO=0.29 NO=-422.89
Tensioni nel cordone: τ_P= 0.09 τ_O= 0.09 σ_O=138.69 σ_{ID}=138.69 Σ_T=138.79
CC 31 SLV (Collegamento 0021_-378)
Azioni sul collegamento: N=-5720.83 Ty=0.86 Tz=3.80 Mx=-0.01 Mz=1.85
Sollecitazioni agenti localmente: Tx_l=0.86 Ty_l=3.80 N_l=-5720.83 My_l=-1.85 Mz_l=-0.01
Azioni sul cordone: TP=0.07 TO=0.27 NO=-422.89
Tensioni nel cordone: τ_P= 0.02 τ_O= 0.09 σ_O=137.12 σ_{ID}=137.12 Σ_T=137.21
CC 31 SLV (Collegamento 0021_-378)
Azioni sul collegamento: N=-5720.83 Ty=3.80 Tz=-2.51 Mx=-0.01 Mz=-2.93
Sollecitazioni agenti localmente: Tx_l=3.80 Ty_l=-2.51 N_l=-5720.83 My_l=2.93 Mz_l=-0.01
Azioni sul cordone: TP=0.29 TO=-0.18 NO=-422.89
Tensioni nel cordone: τ_P= 0.09 τ_O= 0.06 σ_O=138.69 σ_{ID}=138.69 Σ_T=138.75
CC 31 SLV (Collegamento 0021_-378)
Azioni sul collegamento: N=-5720.83 Ty=0.86 Tz=-2.51 Mx=-0.01 Mz=1.85
Sollecitazioni agenti localmente: Tx_l=0.86 Ty_l=-2.51 N_l=-5720.83 My_l=-1.85 Mz_l=-0.01
Azioni sul cordone: TP=0.07 TO=-0.19 NO=-422.89
Tensioni nel cordone: τ_P= 0.02 τ_O= 0.06 σ_O=137.12 σ_{ID}=137.12 Σ_T=137.18
CC 32 SLD (Collegamento 0021_-378)
Azioni sul collegamento: N=-6801.33 Ty=2.73 Tz=1.73 Mx=-0.01 Mz=0.81
Sollecitazioni agenti localmente: Tx_l=2.73 Ty_l=1.73 N_l=-6801.33 My_l=-0.81 Mz_l=-0.01
Azioni sul cordone: TP=0.21 TO=0.12 NO=-502.76
Tensioni nel cordone: τ_P= 0.07 τ_O= 0.04 σ_O=160.99 σ_{ID}=160.99 Σ_T=161.03
CC 32 SLD (Collegamento 0021_-378)
Azioni sul collegamento: N=-6801.33 Ty=3.62 Tz=1.73 Mx=-0.01 Mz=2.27
Sollecitazioni agenti localmente: Tx_l=3.62 Ty_l=1.73 N_l=-6801.33 My_l=-2.27 Mz_l=-0.01
Azioni sul cordone: TP=0.27 TO=0.12 NO=-502.76
Tensioni nel cordone: τ_P= 0.09 τ_O= 0.04 σ_O=163.12 σ_{ID}=163.12 Σ_T=163.16
CC 32 SLD (Collegamento 0021_-378)
Azioni sul collegamento: N=-6801.33 Ty=2.73 Tz=-0.19 Mx=-0.01 Mz=0.81
Sollecitazioni agenti localmente: Tx_l=2.73 Ty_l=-0.19 N_l=-6801.33 My_l=-0.81 Mz_l=-0.01
Azioni sul cordone: TP=0.21 TO=-0.02 NO=-502.76
Tensioni nel cordone: τ_P= 0.07 τ_O=5.78E-03 σ_O=160.99 σ_{ID}=160.99 Σ_T=161.00
CC 32 SLD (Collegamento 0021_-378)
Azioni sul collegamento: N=-6801.33 Ty=3.62 Tz=-0.19 Mx=-0.01 Mz=2.27
Sollecitazioni agenti localmente: Tx_l=3.62 Ty_l=-0.19 N_l=-6801.33 My_l=-2.27 Mz_l=-0.01
Azioni sul cordone: TP=0.27 TO=-0.02 NO=-502.76
Tensioni nel cordone: τ_P= 0.09 τ_O=5.78E-03 σ_O=163.12 σ_{ID}=163.12 Σ_T=163.13
CC 32 SLD (Collegamento 0021_-378)
Azioni sul collegamento: N=-6311.53 Ty=2.73 Tz=1.73 Mx=-0.01 Mz=0.81
Sollecitazioni agenti localmente: Tx_l=2.73 Ty_l=1.73 N_l=-6311.53 My_l=-0.81 Mz_l=-0.01
Azioni sul cordone: TP=0.21 TO=0.12 NO=-466.55
Tensioni nel cordone: τ_P= 0.07 τ_O= 0.04 σ_O=149.48 σ_{ID}=149.48 Σ_T=149.52
CC 32 SLD (Collegamento 0021_-378)
Azioni sul collegamento: N=-6311.53 Ty=3.62 Tz=1.73 Mx=-0.01 Mz=2.27
Sollecitazioni agenti localmente: Tx_l=3.62 Ty_l=1.73 N_l=-6311.53 My_l=-2.27 Mz_l=-0.01
Azioni sul cordone: TP=0.27 TO=0.12 NO=-466.55
Tensioni nel cordone: τ_P= 0.09 τ_O= 0.04 σ_O=151.61 σ_{ID}=151.61 Σ_T=151.65
CC 32 SLD (Collegamento 0021_-378)
Azioni sul collegamento: N=-6311.53 Ty=2.73 Tz=-0.19 Mx=-0.01 Mz=0.81
Sollecitazioni agenti localmente: Tx_l=2.73 Ty_l=-0.19 N_l=-6311.53 My_l=-0.81 Mz_l=-0.01
Azioni sul cordone: TP=0.21 TO=-0.02 NO=-466.55
Tensioni nel cordone: τ_P= 0.07 τ_O=5.77E-03 σ_O=149.48 σ_{ID}=149.48 Σ_T=149.49
CC 32 SLD (Collegamento 0021_-378)
Azioni sul collegamento: N=-6311.53 Ty=3.62 Tz=-0.19 Mx=-0.01 Mz=2.27
Sollecitazioni agenti localmente: Tx_l=3.62 Ty_l=-0.19 N_l=-6311.53 My_l=-2.27 Mz_l=-0.01
Azioni sul cordone: TP=0.27 TO=-0.02 NO=-466.55
Tensioni nel cordone: τ_P= 0.09 τ_O=5.77E-03 σ_O=151.61 σ_{ID}=151.61 Σ_T=151.62
CC 33 SLU (Collegamento 0021_-378)
Azioni sul collegamento: N=-30888.30 Ty=5.44 Tz=82.02 Mx=-0.01 Mz=3.71
Sollecitazioni agenti localmente: Tx_l=5.44 Ty_l=82.02 N_l=-30888.30 My_l=-3.71 Mz_l=-0.01
Azioni sul cordone: TP=0.41 TO=6.06 NO=-2283.27
Tensioni nel cordone: τ_P=0.13 τ_O=1.93 σ_O=731.15 σ_{ID}=731.15 Σ_T=733.08
CC 34 SLU (Collegamento 0021_-378)
Azioni sul collegamento: N=-30337.70 Ty=5.16 Tz=79.98 Mx=-0.01 Mz=3.50
Sollecitazioni agenti localmente: Tx_l=5.16 Ty_l=79.98 N_l=-30337.70 My_l=-3.50 Mz_l=-0.01
Azioni sul cordone: TP=0.39 TO=5.91 NO=-2242.58
Tensioni nel cordone: τ_P=0.12 τ_O=1.88 σ_O=717.91 σ_{ID}=717.92 Σ_T=719.79
CC 35 SLU (Collegamento 0021_-378)
Azioni sul collegamento: N=-30612.00 Ty=5.19 Tz=81.02 Mx=-0.01 Mz=3.39
Sollecitazioni agenti localmente: Tx_l=5.19 Ty_l=81.02 N_l=-30612.00 My_l=-3.39 Mz_l=-0.01
Azioni sul cordone: TP=0.39 TO=5.98 NO=-2262.85
Tensioni nel cordone: τ_P=0.12 τ_O=1.90 σ_O=724.19 σ_{ID}=724.20 Σ_T=726.09
CC 36 SLU (Collegamento 0021_-378)
Azioni sul collegamento: N=-30614.00 Ty=5.41 Tz=80.97 Mx=-0.01 Mz=3.82
Sollecitazioni agenti localmente: Tx_l=5.41 Ty_l=80.97 N_l=-30614.00 My_l=-3.82 Mz_l=-0.01

Azioni sul cordone: TP=0.41 TO=5.98 NO=-2263.00
Tensioni nel cordone: τ_P=0.13 τ_0=1.90 σ_0=724.88 σ_{ID}=724.88 Σ_T=726.77
CC 37 SLU (Collegamento 0021_-378)
Azioni sul collegamento: N=-21597.10 Ty=6.32 Tz=47.86 Mx=-0.01 Mz=4.34
Sollecitazioni agenti localmente: Tx_l=6.32 Ty_l=47.86 N_l=-21597.10 My_l=-4.34 Mz_l=-0.01
Azioni sul cordone: TP=0.48 TO=3.53 NO=-1596.46
Tensioni nel cordone: τ_P=0.15 τ_0=1.12 σ_0=513.77 σ_{ID}=513.78 Σ_T=514.90
CC 38 SLU (Collegamento 0021_-378)
Azioni sul collegamento: N=-21046.60 Ty=6.03 Tz=45.82 Mx=-0.01 Mz=4.13
Sollecitazioni agenti localmente: Tx_l=6.03 Ty_l=45.82 N_l=-21046.60 My_l=-4.13 Mz_l=-0.01
Azioni sul cordone: TP=0.45 TO=3.38 NO=-1555.77
Tensioni nel cordone: τ_P=0.14 τ_0=1.07 σ_0=500.54 σ_{ID}=500.54 Σ_T=501.61
CC 39 SLU (Collegamento 0021_-378)
Azioni sul collegamento: N=-21320.90 Ty=6.07 Tz=46.87 Mx=-0.01 Mz=4.02
Sollecitazioni agenti localmente: Tx_l=6.07 Ty_l=46.87 N_l=-21320.90 My_l=-4.02 Mz_l=-0.01
Azioni sul cordone: TP=0.46 TO=3.46 NO=-1576.04
Tensioni nel cordone: τ_P=0.14 τ_0=1.10 σ_0=506.81 σ_{ID}=506.82 Σ_T=507.92
CC 40 SLU (Collegamento 0021_-378)
Azioni sul collegamento: N=-21322.80 Ty=6.29 Tz=46.82 Mx=-0.01 Mz=4.45
Sollecitazioni agenti localmente: Tx_l=6.29 Ty_l=46.82 N_l=-21322.80 My_l=-4.45 Mz_l=-0.01
Azioni sul cordone: TP=0.47 TO=3.45 NO=-1576.19
Tensioni nel cordone: τ_P=0.15 τ_0=1.10 σ_0=507.50 σ_{ID}=507.50 Σ_T=508.60
CC 41 SLU (Collegamento 0021_-378)
Azioni sul collegamento: N=-32817.40 Ty=5.33 Tz=88.46 Mx=0.00 Mz=3.76
Sollecitazioni agenti localmente: Tx_l=5.33 Ty_l=88.46 N_l=-32817.40 My_l=-3.76 Mz_l=0.00
Azioni sul cordone: TP=0.39 TO=6.54 NO=-2425.87
Tensioni nel cordone: τ_P=0.12 τ_0=2.08 σ_0=776.56 σ_{ID}=776.56 Σ_T=778.64
CC 42 SLU (Collegamento 0021_-378)
Azioni sul collegamento: N=-32266.90 Ty=5.04 Tz=86.42 Mx=0.00 Mz=3.56
Sollecitazioni agenti localmente: Tx_l=5.04 Ty_l=86.42 N_l=-32266.90 My_l=-3.56 Mz_l=0.00
Azioni sul cordone: TP=0.37 TO=6.39 NO=-2385.18
Tensioni nel cordone: τ_P=0.12 τ_0=2.03 σ_0=763.32 σ_{ID}=763.32 Σ_T=765.35
CC 43 SLU (Collegamento 0021_-378)
Azioni sul collegamento: N=-32541.20 Ty=5.08 Tz=87.47 Mx=0.00 Mz=3.44
Sollecitazioni agenti localmente: Tx_l=5.08 Ty_l=87.47 N_l=-32541.20 My_l=-3.44 Mz_l=0.00
Azioni sul cordone: TP=0.37 TO=6.47 NO=-2405.45
Tensioni nel cordone: τ_P=0.12 τ_0=2.06 σ_0=769.60 σ_{ID}=769.60 Σ_T=771.65
CC 44 SLU (Collegamento 0021_-378)
Azioni sul collegamento: N=-32543.10 Ty=5.30 Tz=87.42 Mx=0.00 Mz=3.88
Sollecitazioni agenti localmente: Tx_l=5.30 Ty_l=87.42 N_l=-32543.10 My_l=-3.88 Mz_l=0.00
Azioni sul cordone: TP=0.39 TO=6.46 NO=-2405.60
Tensioni nel cordone: τ_P=0.12 τ_0=2.05 σ_0=770.28 σ_{ID}=770.28 Σ_T=772.34
CC 45 SLU (Collegamento 0021_-378)
Azioni sul collegamento: N=-23689.50 Ty=6.01 Tz=55.60 Mx=-0.01 Mz=4.17
Sollecitazioni agenti localmente: Tx_l=6.01 Ty_l=55.60 N_l=-23689.50 My_l=-4.17 Mz_l=-0.01
Azioni sul cordone: TP=0.45 TO=4.10 NO=-1751.14
Tensioni nel cordone: τ_P=0.14 τ_0=1.30 σ_0=562.68 σ_{ID}=562.68 Σ_T=563.99
CC 46 SLU (Collegamento 0021_-378)
Azioni sul collegamento: N=-23139.00 Ty=5.73 Tz=53.57 Mx=-0.01 Mz=3.96
Sollecitazioni agenti localmente: Tx_l=5.73 Ty_l=53.57 N_l=-23139.00 My_l=-3.96 Mz_l=-0.01
Azioni sul cordone: TP=0.43 TO=3.95 NO=-1710.44
Tensioni nel cordone: τ_P=0.14 τ_0=1.26 σ_0=549.44 σ_{ID}=549.45 Σ_T=550.70
CC 47 SLU (Collegamento 0021_-378)
Azioni sul collegamento: N=-23413.30 Ty=5.76 Tz=54.61 Mx=-0.01 Mz=3.84
Sollecitazioni agenti localmente: Tx_l=5.76 Ty_l=54.61 N_l=-23413.30 My_l=-3.84 Mz_l=-0.01
Azioni sul cordone: TP=0.43 TO=4.03 NO=-1730.71
Tensioni nel cordone: τ_P=0.14 τ_0=1.28 σ_0=555.72 σ_{ID}=555.72 Σ_T=557.00
CC 48 SLU (Collegamento 0021_-378)
Azioni sul collegamento: N=-23415.20 Ty=5.98 Tz=54.56 Mx=-0.01 Mz=4.28
Sollecitazioni agenti localmente: Tx_l=5.98 Ty_l=54.56 N_l=-23415.20 My_l=-4.28 Mz_l=-0.01
Azioni sul cordone: TP=0.45 TO=4.03 NO=-1730.86
Tensioni nel cordone: τ_P=0.14 τ_0=1.28 σ_0=556.40 σ_{ID}=556.41 Σ_T=557.68
CC 49 SLU (Collegamento 0021_-378)
Azioni sul collegamento: N=-16738.30 Ty=6.67 Tz=30.05 Mx=-0.01 Mz=4.64
Sollecitazioni agenti localmente: Tx_l=6.67 Ty_l=30.05 N_l=-16738.30 My_l=-4.64 Mz_l=-0.01
Azioni sul cordone: TP=0.50 TO=2.22 NO=-1237.30
Tensioni nel cordone: τ_P=0.16 τ_0=0.70 σ_0=400.05 σ_{ID}=400.05 Σ_T=400.76
CC 50 SLU (Collegamento 0021_-378)
Azioni sul collegamento: N=-16187.80 Ty=6.38 Tz=28.01 Mx=-0.01 Mz=4.43
Sollecitazioni agenti localmente: Tx_l=6.38 Ty_l=28.01 N_l=-16187.80 My_l=-4.43 Mz_l=-0.01
Azioni sul cordone: TP=0.48 TO=2.07 NO=-1196.61
Tensioni nel cordone: τ_P=0.15 τ_0=0.66 σ_0=386.81 σ_{ID}=386.81 Σ_T=387.47
CC 51 SLU (Collegamento 0021_-378)
Azioni sul collegamento: N=-16462.10 Ty=6.42 Tz=29.05 Mx=-0.01 Mz=4.32
Sollecitazioni agenti localmente: Tx_l=6.42 Ty_l=29.05 N_l=-16462.10 My_l=-4.32 Mz_l=-0.01
Azioni sul cordone: TP=0.48 TO=2.14 NO=-1216.88
Tensioni nel cordone: τ_P=0.15 τ_0=0.68 σ_0=393.09 σ_{ID}=393.09 Σ_T=393.77
CC 52 SLU (Collegamento 0021_-378)
Azioni sul collegamento: N=-16464.00 Ty=6.64 Tz=29.01 Mx=-0.01 Mz=4.75
Sollecitazioni agenti localmente: Tx_l=6.64 Ty_l=29.01 N_l=-16464.00 My_l=-4.75 Mz_l=-0.01
Azioni sul cordone: TP=0.50 TO=2.14 NO=-1217.03

Tensioni nel cordone: τ_P=0.16 τ_0=0.68 σ_0=393.77 σ_{ID}=393.77 Σ_T=394.45
CC 53 SLU (Collegamento 0021_-378)
Azioni sul collegamento: N=-25132.80 Ty=5.93 Tz=60.42 Mx=-0.00 Mz=4.21
Sollecitazioni agenti localmente: Tx_l=5.93 Ty_l=60.42 N_l=-25132.80 My_l=-4.21 Mz_l=-0.00
Azioni sul cordone: TP=0.44 TO=4.47 NO=-1857.82
Tensioni nel cordone: τ_P=0.14 τ_0=1.42 σ_0=596.65 σ_{ID}=596.65 Σ_T=598.07
CC 54 SLU (Collegamento 0021_-378)
Azioni sul collegamento: N=-24582.20 Ty=5.64 Tz=58.39 Mx=-0.00 Mz=4.00
Sollecitazioni agenti localmente: Tx_l=5.64 Ty_l=58.39 N_l=-24582.20 My_l=-4.00 Mz_l=-0.00
Azioni sul cordone: TP=0.42 TO=4.32 NO=-1817.13
Tensioni nel cordone: τ_P=0.13 τ_0=1.37 σ_0=583.41 σ_{ID}=583.42 Σ_T=584.79
CC 55 SLU (Collegamento 0021_-378)
Azioni sul collegamento: N=-24856.50 Ty=5.68 Tz=59.43 Mx=0.00 Mz=3.89
Sollecitazioni agenti localmente: Tx_l=5.68 Ty_l=59.43 N_l=-24856.50 My_l=-3.89 Mz_l=0.00
Azioni sul cordone: TP=0.42 TO=4.39 NO=-1837.40
Tensioni nel cordone: τ_P=0.13 τ_0=1.40 σ_0=589.69 σ_{ID}=589.69 Σ_T=591.09
CC 56 SLU (Collegamento 0021_-378)
Azioni sul collegamento: N=-24858.50 Ty=5.89 Tz=59.38 Mx=-0.00 Mz=4.32
Sollecitazioni agenti localmente: Tx_l=5.89 Ty_l=59.38 N_l=-24858.50 My_l=-4.32 Mz_l=-0.00
Azioni sul cordone: TP=0.44 TO=4.39 NO=-1837.55
Tensioni nel cordone: τ_P=0.14 τ_0=1.39 σ_0=590.38 σ_{ID}=590.38 Σ_T=591.77
CC 57 SLU (Collegamento 0021_-378)
Azioni sul collegamento: N=-22071.60 Ty=5.40 Tz=49.65 Mx=-0.01 Mz=3.73
Sollecitazioni agenti localmente: Tx_l=5.40 Ty_l=49.65 N_l=-22071.60 My_l=-3.73 Mz_l=-0.01
Azioni sul cordone: TP=0.41 TO=3.66 NO=-1631.54
Tensioni nel cordone: τ_P=0.13 τ_0=1.16 σ_0=524.03 σ_{ID}=524.04 Σ_T=525.20
CC 58 SLU (Collegamento 0021_-378)
Azioni sul collegamento: N=-21521.10 Ty=5.11 Tz=47.61 Mx=-0.01 Mz=3.53
Sollecitazioni agenti localmente: Tx_l=5.11 Ty_l=47.61 N_l=-21521.10 My_l=-3.53 Mz_l=-0.01
Azioni sul cordone: TP=0.39 TO=3.51 NO=-1590.84
Tensioni nel cordone: τ_P=0.12 τ_0=1.12 σ_0=510.80 σ_{ID}=510.80 Σ_T=511.92
CC 59 SLU (Collegamento 0021_-378)
Azioni sul collegamento: N=-21795.30 Ty=5.15 Tz=48.65 Mx=-0.01 Mz=3.41
Sollecitazioni agenti localmente: Tx_l=5.15 Ty_l=48.65 N_l=-21795.30 My_l=-3.41 Mz_l=-0.01
Azioni sul cordone: TP=0.39 TO=3.59 NO=-1611.12
Tensioni nel cordone: τ_P=0.12 τ_0=1.14 σ_0=517.08 σ_{ID}=517.08 Σ_T=518.22
CC 60 SLU (Collegamento 0021_-378)
Azioni sul collegamento: N=-21797.30 Ty=5.37 Tz=48.60 Mx=-0.01 Mz=3.85
Sollecitazioni agenti localmente: Tx_l=5.37 Ty_l=48.60 N_l=-21797.30 My_l=-3.85 Mz_l=-0.01
Azioni sul cordone: TP=0.41 TO=3.59 NO=-1611.26
Tensioni nel cordone: τ_P=0.13 τ_0=1.14 σ_0=517.76 σ_{ID}=517.76 Σ_T=518.90
CC 61 SLU (Collegamento 0021_-378)
Azioni sul collegamento: N=-15120.40 Ty=6.06 Tz=24.09 Mx=-0.01 Mz=4.21
Sollecitazioni agenti localmente: Tx_l=6.06 Ty_l=24.09 N_l=-15120.40 My_l=-4.21 Mz_l=-0.01
Azioni sul cordone: TP=0.46 TO=1.78 NO=-1117.71
Tensioni nel cordone: τ_P=0.14 τ_0=0.56 σ_0=361.40 σ_{ID}=361.41 Σ_T=361.97
CC 62 SLU (Collegamento 0021_-378)
Azioni sul collegamento: N=-14569.90 Ty=5.77 Tz=22.06 Mx=-0.01 Mz=4.00
Sollecitazioni agenti localmente: Tx_l=5.77 Ty_l=22.06 N_l=-14569.90 My_l=-4.00 Mz_l=-0.01
Azioni sul cordone: TP=0.43 TO=1.63 NO=-1077.01
Tensioni nel cordone: τ_P=0.14 τ_0=0.52 σ_0=348.17 σ_{ID}=348.17 Σ_T=348.69
CC 63 SLU (Collegamento 0021_-378)
Azioni sul collegamento: N=-14844.20 Ty=5.80 Tz=23.10 Mx=-0.01 Mz=3.88
Sollecitazioni agenti localmente: Tx_l=5.80 Ty_l=23.10 N_l=-14844.20 My_l=-3.88 Mz_l=-0.01
Azioni sul cordone: TP=0.44 TO=1.70 NO=-1097.29
Tensioni nel cordone: τ_P=0.14 τ_0=0.54 σ_0=354.44 σ_{ID}=354.45 Σ_T=354.99
CC 64 SLU (Collegamento 0021_-378)
Azioni sul collegamento: N=-14846.10 Ty=6.02 Tz=23.05 Mx=-0.01 Mz=4.32
Sollecitazioni agenti localmente: Tx_l=6.02 Ty_l=23.05 N_l=-14846.10 My_l=-4.32 Mz_l=-0.01
Azioni sul cordone: TP=0.45 TO=1.70 NO=-1097.43
Tensioni nel cordone: τ_P=0.14 τ_0=0.54 σ_0=355.13 σ_{ID}=355.13 Σ_T=355.67
CC 65 SLU (Collegamento 0021_-378)
Azioni sul collegamento: N=-23514.90 Ty=5.31 Tz=54.47 Mx=0.00 Mz=3.77
Sollecitazioni agenti localmente: Tx_l=5.31 Ty_l=54.47 N_l=-23514.90 My_l=-3.77 Mz_l=0.00
Azioni sul cordone: TP=0.39 TO=4.03 NO=-1738.23
Tensioni nel cordone: τ_P=0.12 τ_0=1.28 σ_0=558.01 σ_{ID}=558.01 Σ_T=559.29
CC 66 SLU (Collegamento 0021_-378)
Azioni sul collegamento: N=-22964.30 Ty=5.03 Tz=52.43 Mx=0.00 Mz=3.57
Sollecitazioni agenti localmente: Tx_l=5.03 Ty_l=52.43 N_l=-22964.30 My_l=-3.57 Mz_l=0.00
Azioni sul cordone: TP=0.37 TO=3.88 NO=-1697.53
Tensioni nel cordone: τ_P=0.12 τ_0=1.23 σ_0=544.77 σ_{ID}=544.77 Σ_T=546.00
CC 67 SLU (Collegamento 0021_-378)
Azioni sul collegamento: N=-23238.60 Ty=5.06 Tz=53.47 Mx=0.00 Mz=3.45
Sollecitazioni agenti localmente: Tx_l=5.06 Ty_l=53.47 N_l=-23238.60 My_l=-3.45 Mz_l=0.00
Azioni sul cordone: TP=0.37 TO=3.95 NO=-1717.81
Tensioni nel cordone: τ_P=0.12 τ_0=1.26 σ_0=551.05 σ_{ID}=551.05 Σ_T=552.30
CC 68 SLU (Collegamento 0021_-378)
Azioni sul collegamento: N=-23240.60 Ty=5.28 Tz=53.43 Mx=-0.00 Mz=3.89
Sollecitazioni agenti localmente: Tx_l=5.28 Ty_l=53.43 N_l=-23240.60 My_l=-3.89 Mz_l=-0.00
Azioni sul cordone: TP=0.39 TO=3.95 NO=-1717.95
Tensioni nel cordone: τ_P=0.12 τ_0=1.26 σ_0=551.73 σ_{ID}=551.73 Σ_T=552.98

CC 97 SLU (Collegamento 0021_-378)
Azioni sul collegamento: N=-18052.20 Ty=-0.34 Tz=43.06 Mx=-0.05 Mz=-8.83
Sollecitazioni agenti localmente: Tx_l=-0.34 Ty_l=43.06 N_l=-18052.20 My_l=8.83 Mz_l=-0.05
Azioni sul cordone: TP=0.04 TO=3.23 NO=-1334.42
Tensioni nel cordone: τ_P= 0.01 τ_0=1.03 σ_0=437.04 σ_{ID}=437.04 Σ_T=438.07
CC 98 SLU (Collegamento 0021_-378)
Azioni sul collegamento: N=-17501.60 Ty=-0.63 Tz=41.02 Mx=-0.05 Mz=-9.04
Sollecitazioni agenti localmente: Tx_l=-0.63 Ty_l=41.02 N_l=-17501.60 My_l=9.04 Mz_l=-0.05
Azioni sul cordone: TP=0.02 TO=3.07 NO=-1293.73
Tensioni nel cordone: τ_P=4.78E-03 τ_0=0.98 σ_0=424.41 σ_{ID}=424.41 Σ_T=425.39
CC 99 SLU (Collegamento 0021_-378)
Azioni sul collegamento: N=-17775.90 Ty=-0.60 Tz=42.06 Mx=-0.05 Mz=-9.15
Sollecitazioni agenti localmente: Tx_l=-0.60 Ty_l=42.06 N_l=-17775.90 My_l=9.15 Mz_l=-0.05
Azioni sul cordone: TP=0.02 TO=3.15 NO=-1314.00
Tensioni nel cordone: τ_P=5.32E-03 τ_0=1.00 σ_0=431.02 σ_{ID}=431.02 Σ_T=432.02
CC 100 SLU (Collegamento 0021_-378)
Azioni sul collegamento: N=-17777.90 Ty=-0.38 Tz=42.01 Mx=-0.05 Mz=-8.71
Sollecitazioni agenti localmente: Tx_l=-0.38 Ty_l=42.01 N_l=-17777.90 My_l=8.71 Mz_l=-0.05
Azioni sul cordone: TP=0.03 TO=3.15 NO=-1314.15
Tensioni nel cordone: τ_P= 0.01 τ_0=1.00 σ_0=430.43 σ_{ID}=430.43 Σ_T=431.43
CC 101 SLU (Collegamento 0021_-378)
Azioni sul collegamento: N=-7136.43 Ty=4.37 Tz=2.96 Mx=0.00 Mz=3.85
Sollecitazioni agenti localmente: Tx_l=4.37 Ty_l=2.96 N_l=-7136.43 My_l=-3.85 Mz_l=0.00
Azioni sul cordone: TP=0.32 TO=0.22 NO=-527.53
Tensioni nel cordone: τ_P=0.10 τ_0= 0.07 σ_0=173.30 σ_{ID}=173.30 Σ_T=173.37
CC 102 SLU (Collegamento 0021_-378)
Azioni sul collegamento: N=-6585.90 Ty=4.08 Tz=0.92 Mx=0.00 Mz=3.64
Sollecitazioni agenti localmente: Tx_l=4.08 Ty_l=0.92 N_l=-6585.90 My_l=-3.64 Mz_l=0.00
Azioni sul cordone: TP=0.30 TO=0.07 NO=-486.83
Tensioni nel cordone: τ_P= 0.09 τ_0= 0.02 σ_0=160.06 σ_{ID}=160.06 Σ_T=160.08
CC 103 SLU (Collegamento 0021_-378)
Azioni sul collegamento: N=-6860.19 Ty=4.11 Tz=1.96 Mx=0.00 Mz=3.53
Sollecitazioni agenti localmente: Tx_l=4.11 Ty_l=1.96 N_l=-6860.19 My_l=-3.53 Mz_l=0.00
Azioni sul cordone: TP=0.30 TO=0.15 NO=-507.11
Tensioni nel cordone: τ_P= 0.10 τ_0= 0.05 σ_0=166.34 σ_{ID}=166.34 Σ_T=166.38
CC 104 SLU (Collegamento 0021_-378)
Azioni sul collegamento: N=-6862.15 Ty=4.33 Tz=1.92 Mx=0.00 Mz=3.96
Sollecitazioni agenti localmente: Tx_l=4.33 Ty_l=1.92 N_l=-6862.15 My_l=-3.96 Mz_l=0.00
Azioni sul cordone: TP=0.32 TO=0.14 NO=-507.25
Tensioni nel cordone: τ_P=0.10 τ_0= 0.05 σ_0=167.02 σ_{ID}=167.02 Σ_T=167.06

Flessione attacco superiore piastra

Bnetta=220.00 Hnetta=15.00
CC 1 SLV (Collegamento 0021_-378)
Azioni sul collegamento: N=-3968.96 Ty=6.45 Tz=-8.85 Mx=0.01 Mz=7.08
Sollecitazioni agenti localmente: Ty_l=-721.63 Mx_l=-14.43
Tensioni nella sezione: σ=174.94 τ=21.87
CC 1 SLV (Collegamento 0021_-378)
Azioni sul collegamento: N=-3968.96 Ty=3.07 Tz=-8.85 Mx=0.01 Mz=3.83
Sollecitazioni agenti localmente: Ty_l=-721.63 Mx_l=-14.43
Tensioni nella sezione: σ=174.94 τ=21.87
CC 1 SLV (Collegamento 0021_-378)
Azioni sul collegamento: N=-3968.96 Ty=6.45 Tz=10.87 Mx=0.01 Mz=7.08
Sollecitazioni agenti localmente: Ty_l=-721.63 Mx_l=-14.43
Tensioni nella sezione: σ=174.94 τ=21.87
CC 1 SLV (Collegamento 0021_-378)
Azioni sul collegamento: N=-3968.96 Ty=3.07 Tz=10.87 Mx=0.01 Mz=3.83
Sollecitazioni agenti localmente: Ty_l=-721.63 Mx_l=-14.43
Tensioni nella sezione: σ=174.94 τ=21.87
CC 1 SLV (Collegamento 0021_-378)
Azioni sul collegamento: N=-9265.76 Ty=6.45 Tz=-8.85 Mx=0.01 Mz=7.08
Sollecitazioni agenti localmente: Ty_l=-1684.68 Mx_l=-33.69
Tensioni nella sezione: σ=408.41 τ=51.05
CC 1 SLV (Collegamento 0021_-378)
Azioni sul collegamento: N=-9265.76 Ty=3.07 Tz=-8.85 Mx=0.01 Mz=3.83
Sollecitazioni agenti localmente: Ty_l=-1684.68 Mx_l=-33.69
Tensioni nella sezione: σ=408.41 τ=51.05
CC 1 SLV (Collegamento 0021_-378)
Azioni sul collegamento: N=-9265.76 Ty=6.45 Tz=10.87 Mx=0.01 Mz=7.08
Sollecitazioni agenti localmente: Ty_l=-1684.68 Mx_l=-33.69
Tensioni nella sezione: σ=408.41 τ=51.05
CC 1 SLV (Collegamento 0021_-378)
Azioni sul collegamento: N=-9265.76 Ty=3.07 Tz=10.87 Mx=0.01 Mz=3.83
Sollecitazioni agenti localmente: Ty_l=-1684.68 Mx_l=-33.69
Tensioni nella sezione: σ=408.41 τ=51.05
CC 2 SLD (Collegamento 0021_-378)
Azioni sul collegamento: N=-5777.33 Ty=4.43 Tz=-2.12 Mx=0.00 Mz=3.87
Sollecitazioni agenti localmente: Ty_l=-1050.42 Mx_l=-21.01
Tensioni nella sezione: σ=254.65 τ=31.83
CC 2 SLD (Collegamento 0021_-378)

Azioni sul collegamento: N=-5777.33 Ty=3.40 Tz=-2.12 Mx=0.00 Mz=2.88
Sollecitazioni agenti localmente: Ty_l=-1050.42 Mx_l=-21.01
Tensioni nella sezione: σ=254.65 τ=31.83
CC 2 SLD (Collegamento 0021_-378)
Azioni sul collegamento: N=-5777.32 Ty=4.43 Tz=3.89 Mx=0.00 Mz=3.87
Sollecitazioni agenti localmente: Ty_l=-1050.42 Mx_l=-21.01
Tensioni nella sezione: σ=254.65 τ=31.83
CC 2 SLD (Collegamento 0021_-378)
Azioni sul collegamento: N=-5777.32 Ty=3.40 Tz=3.89 Mx=0.00 Mz=2.88
Sollecitazioni agenti localmente: Ty_l=-1050.42 Mx_l=-21.01
Tensioni nella sezione: σ=254.65 τ=31.83
CC 2 SLD (Collegamento 0021_-378)
Azioni sul collegamento: N=-7392.49 Ty=4.43 Tz=-2.12 Mx=0.00 Mz=3.87
Sollecitazioni agenti localmente: Ty_l=-1344.09 Mx_l=-26.88
Tensioni nella sezione: σ=325.84 τ=40.73
CC 2 SLD (Collegamento 0021_-378)
Azioni sul collegamento: N=-7392.49 Ty=3.40 Tz=-2.12 Mx=0.00 Mz=2.88
Sollecitazioni agenti localmente: Ty_l=-1344.09 Mx_l=-26.88
Tensioni nella sezione: σ=325.84 τ=40.73
CC 2 SLD (Collegamento 0021_-378)
Azioni sul collegamento: N=-7392.49 Ty=4.43 Tz=3.89 Mx=0.00 Mz=3.87
Sollecitazioni agenti localmente: Ty_l=-1344.09 Mx_l=-26.88
Tensioni nella sezione: σ=325.84 τ=40.73
CC 2 SLD (Collegamento 0021_-378)
Azioni sul collegamento: N=-7392.49 Ty=3.40 Tz=3.89 Mx=0.00 Mz=2.88
Sollecitazioni agenti localmente: Ty_l=-1344.09 Mx_l=-26.88
Tensioni nella sezione: σ=325.84 τ=40.73
CC 3 SLV (Collegamento 0021_-378)
Azioni sul collegamento: N=-3974.64 Ty=5.81 Tz=-8.72 Mx=0.01 Mz=5.82
Sollecitazioni agenti localmente: Ty_l=-722.66 Mx_l=-14.45
Tensioni nella sezione: σ=175.19 τ=21.90
CC 3 SLV (Collegamento 0021_-378)
Azioni sul collegamento: N=-3974.64 Ty=3.70 Tz=-8.72 Mx=0.01 Mz=5.08
Sollecitazioni agenti localmente: Ty_l=-722.66 Mx_l=-14.45
Tensioni nella sezione: σ=175.19 τ=21.90
CC 3 SLV (Collegamento 0021_-378)
Azioni sul collegamento: N=-3974.64 Ty=5.81 Tz=10.74 Mx=0.01 Mz=5.82
Sollecitazioni agenti localmente: Ty_l=-722.66 Mx_l=-14.45
Tensioni nella sezione: σ=175.19 τ=21.90
CC 3 SLV (Collegamento 0021_-378)
Azioni sul collegamento: N=-3974.64 Ty=3.70 Tz=10.74 Mx=0.01 Mz=5.08
Sollecitazioni agenti localmente: Ty_l=-722.66 Mx_l=-14.45
Tensioni nella sezione: σ=175.19 τ=21.90
CC 3 SLV (Collegamento 0021_-378)
Azioni sul collegamento: N=-9260.08 Ty=5.81 Tz=-8.72 Mx=0.01 Mz=5.82
Sollecitazioni agenti localmente: Ty_l=-1683.65 Mx_l=-33.67
Tensioni nella sezione: σ=408.16 τ=51.02
CC 3 SLV (Collegamento 0021_-378)
Azioni sul collegamento: N=-9260.08 Ty=3.70 Tz=-8.72 Mx=0.01 Mz=5.08
Sollecitazioni agenti localmente: Ty_l=-1683.65 Mx_l=-33.67
Tensioni nella sezione: σ=408.16 τ=51.02
CC 3 SLV (Collegamento 0021_-378)
Azioni sul collegamento: N=-9260.08 Ty=5.81 Tz=10.74 Mx=0.01 Mz=5.82
Sollecitazioni agenti localmente: Ty_l=-1683.65 Mx_l=-33.67
Tensioni nella sezione: σ=408.16 τ=51.02
CC 3 SLV (Collegamento 0021_-378)
Azioni sul collegamento: N=-9260.08 Ty=3.70 Tz=10.74 Mx=0.01 Mz=5.08
Sollecitazioni agenti localmente: Ty_l=-1683.65 Mx_l=-33.67
Tensioni nella sezione: σ=408.16 τ=51.02
CC 4 SLD (Collegamento 0021_-378)
Azioni sul collegamento: N=-5779.06 Ty=4.24 Tz=-2.08 Mx=0.00 Mz=3.48
Sollecitazioni agenti localmente: Ty_l=-1050.74 Mx_l=-21.01
Tensioni nella sezione: σ=254.72 τ=31.84
CC 4 SLD (Collegamento 0021_-378)
Azioni sul collegamento: N=-5779.06 Ty=3.59 Tz=-2.08 Mx=0.00 Mz=3.26
Sollecitazioni agenti localmente: Ty_l=-1050.74 Mx_l=-21.01
Tensioni nella sezione: σ=254.72 τ=31.84
CC 4 SLD (Collegamento 0021_-378)
Azioni sul collegamento: N=-5779.06 Ty=4.24 Tz=3.85 Mx=0.00 Mz=3.48
Sollecitazioni agenti localmente: Ty_l=-1050.74 Mx_l=-21.01
Tensioni nella sezione: σ=254.72 τ=31.84
CC 4 SLD (Collegamento 0021_-378)
Azioni sul collegamento: N=-5779.06 Ty=3.59 Tz=3.85 Mx=0.00 Mz=3.26
Sollecitazioni agenti localmente: Ty_l=-1050.74 Mx_l=-21.01
Tensioni nella sezione: σ=254.72 τ=31.84
CC 4 SLD (Collegamento 0021_-378)
Azioni sul collegamento: N=-7390.75 Ty=4.24 Tz=-2.08 Mx=0.00 Mz=3.48
Sollecitazioni agenti localmente: Ty_l=-1343.77 Mx_l=-26.88
Tensioni nella sezione: σ=325.76 τ=40.72
CC 4 SLD (Collegamento 0021_-378)

Azioni sul collegamento: N=-7390.75 Ty=3.59 Tz=-2.08 Mx=0.00 Mz=3.26
Sollecitazioni agenti localmente: Ty_l=-1343.77 Mx_l=-26.88
Tensioni nella sezione: σ=325.76 τ=40.72
CC 4 SLD (Collegamento 0021_-378)
Azioni sul collegamento: N=-7390.75 Ty=4.24 Tz=3.85 Mx=0.00 Mz=3.48
Sollecitazioni agenti localmente: Ty_l=-1343.77 Mx_l=-26.88
Tensioni nella sezione: σ=325.76 τ=40.72
CC 4 SLD (Collegamento 0021_-378)
Azioni sul collegamento: N=-7390.75 Ty=3.59 Tz=3.85 Mx=0.00 Mz=3.26
Sollecitazioni agenti localmente: Ty_l=-1343.77 Mx_l=-26.88
Tensioni nella sezione: σ=325.76 τ=40.72
CC 5 SLV (Collegamento 0021_-378)
Azioni sul collegamento: N=-9260.08 Ty=3.70 Tz=10.74 Mx=0.01 Mz=5.08
Sollecitazioni agenti localmente: Ty_l=-1683.65 Mx_l=-33.67
Tensioni nella sezione: σ=408.16 τ=51.02
CC 5 SLV (Collegamento 0021_-378)
Azioni sul collegamento: N=-9260.08 Ty=5.81 Tz=10.74 Mx=0.01 Mz=5.82
Sollecitazioni agenti localmente: Ty_l=-1683.65 Mx_l=-33.67
Tensioni nella sezione: σ=408.16 τ=51.02
CC 5 SLV (Collegamento 0021_-378)
Azioni sul collegamento: N=-9260.08 Ty=3.70 Tz=-8.72 Mx=0.01 Mz=5.08
Sollecitazioni agenti localmente: Ty_l=-1683.65 Mx_l=-33.67
Tensioni nella sezione: σ=408.16 τ=51.02
CC 5 SLV (Collegamento 0021_-378)
Azioni sul collegamento: N=-9260.08 Ty=5.81 Tz=-8.72 Mx=0.01 Mz=5.82
Sollecitazioni agenti localmente: Ty_l=-1683.65 Mx_l=-33.67
Tensioni nella sezione: σ=408.16 τ=51.02
CC 5 SLV (Collegamento 0021_-378)
Azioni sul collegamento: N=-3974.64 Ty=3.70 Tz=10.74 Mx=0.01 Mz=5.08
Sollecitazioni agenti localmente: Ty_l=-722.66 Mx_l=-14.45
Tensioni nella sezione: σ=175.19 τ=21.90
CC 5 SLV (Collegamento 0021_-378)
Azioni sul collegamento: N=-3974.64 Ty=5.81 Tz=10.74 Mx=0.01 Mz=5.82
Sollecitazioni agenti localmente: Ty_l=-722.66 Mx_l=-14.45
Tensioni nella sezione: σ=175.19 τ=21.90
CC 5 SLV (Collegamento 0021_-378)
Azioni sul collegamento: N=-3974.64 Ty=3.70 Tz=-8.72 Mx=0.01 Mz=5.08
Sollecitazioni agenti localmente: Ty_l=-722.66 Mx_l=-14.45
Tensioni nella sezione: σ=175.19 τ=21.90
CC 5 SLV (Collegamento 0021_-378)
Azioni sul collegamento: N=-3974.64 Ty=5.81 Tz=-8.72 Mx=0.01 Mz=5.82
Sollecitazioni agenti localmente: Ty_l=-722.66 Mx_l=-14.45
Tensioni nella sezione: σ=175.19 τ=21.90
CC 6 SLD (Collegamento 0021_-378)
Azioni sul collegamento: N=-7390.75 Ty=3.59 Tz=3.85 Mx=0.00 Mz=3.26
Sollecitazioni agenti localmente: Ty_l=-1343.77 Mx_l=-26.88
Tensioni nella sezione: σ=325.76 τ=40.72
CC 6 SLD (Collegamento 0021_-378)
Azioni sul collegamento: N=-7390.75 Ty=4.24 Tz=3.85 Mx=0.00 Mz=3.48
Sollecitazioni agenti localmente: Ty_l=-1343.77 Mx_l=-26.88
Tensioni nella sezione: σ=325.76 τ=40.72
CC 6 SLD (Collegamento 0021_-378)
Azioni sul collegamento: N=-7390.75 Ty=3.59 Tz=-2.08 Mx=0.00 Mz=3.26
Sollecitazioni agenti localmente: Ty_l=-1343.77 Mx_l=-26.88
Tensioni nella sezione: σ=325.76 τ=40.72
CC 6 SLD (Collegamento 0021_-378)
Azioni sul collegamento: N=-7390.75 Ty=4.24 Tz=-2.08 Mx=0.00 Mz=3.48
Sollecitazioni agenti localmente: Ty_l=-1343.77 Mx_l=-26.88
Tensioni nella sezione: σ=325.76 τ=40.72
CC 6 SLD (Collegamento 0021_-378)
Azioni sul collegamento: N=-5779.06 Ty=3.59 Tz=3.85 Mx=0.00 Mz=3.26
Sollecitazioni agenti localmente: Ty_l=-1050.74 Mx_l=-21.01
Tensioni nella sezione: σ=254.72 τ=31.84
CC 6 SLD (Collegamento 0021_-378)
Azioni sul collegamento: N=-5779.06 Ty=4.24 Tz=3.85 Mx=0.00 Mz=3.48
Sollecitazioni agenti localmente: Ty_l=-1050.74 Mx_l=-21.01
Tensioni nella sezione: σ=254.72 τ=31.84
CC 6 SLD (Collegamento 0021_-378)
Azioni sul collegamento: N=-5779.06 Ty=3.59 Tz=-2.08 Mx=0.00 Mz=3.26
Sollecitazioni agenti localmente: Ty_l=-1050.74 Mx_l=-21.01
Tensioni nella sezione: σ=254.72 τ=31.84
CC 6 SLD (Collegamento 0021_-378)
Azioni sul collegamento: N=-5779.06 Ty=4.24 Tz=-2.08 Mx=0.00 Mz=3.48
Sollecitazioni agenti localmente: Ty_l=-1050.74 Mx_l=-21.01
Tensioni nella sezione: σ=254.72 τ=31.84
CC 7 SLV (Collegamento 0021_-378)
Azioni sul collegamento: N=-9265.76 Ty=3.07 Tz=10.87 Mx=0.01 Mz=3.83
Sollecitazioni agenti localmente: Ty_l=-1684.68 Mx_l=-33.69
Tensioni nella sezione: σ=408.41 τ=51.05
CC 7 SLV (Collegamento 0021_-378)

Azioni sul collegamento: N=-9265.76 Ty=6.45 Tz=10.87 Mx=0.01 Mz=7.08
Sollecitazioni agenti localmente: Ty_l=-1684.68 Mx_l=-33.69
Tensioni nella sezione: σ=408.41 τ=51.05
CC 7 SLV (Collegamento 0021_-378)
Azioni sul collegamento: N=-9265.76 Ty=3.07 Tz=-8.85 Mx=0.01 Mz=3.83
Sollecitazioni agenti localmente: Ty_l=-1684.68 Mx_l=-33.69
Tensioni nella sezione: σ=408.41 τ=51.05
CC 7 SLV (Collegamento 0021_-378)
Azioni sul collegamento: N=-9265.76 Ty=6.45 Tz=-8.85 Mx=0.01 Mz=7.08
Sollecitazioni agenti localmente: Ty_l=-1684.68 Mx_l=-33.69
Tensioni nella sezione: σ=408.41 τ=51.05
CC 7 SLV (Collegamento 0021_-378)
Azioni sul collegamento: N=-3968.96 Ty=3.07 Tz=10.87 Mx=0.01 Mz=3.83
Sollecitazioni agenti localmente: Ty_l=-721.63 Mx_l=-14.43
Tensioni nella sezione: σ=174.94 τ=21.87
CC 7 SLV (Collegamento 0021_-378)
Azioni sul collegamento: N=-3968.96 Ty=6.45 Tz=10.87 Mx=0.01 Mz=7.08
Sollecitazioni agenti localmente: Ty_l=-721.63 Mx_l=-14.43
Tensioni nella sezione: σ=174.94 τ=21.87
CC 7 SLV (Collegamento 0021_-378)
Azioni sul collegamento: N=-3968.96 Ty=3.07 Tz=-8.85 Mx=0.01 Mz=3.83
Sollecitazioni agenti localmente: Ty_l=-721.63 Mx_l=-14.43
Tensioni nella sezione: σ=174.94 τ=21.87
CC 7 SLV (Collegamento 0021_-378)
Azioni sul collegamento: N=-3968.96 Ty=6.45 Tz=-8.85 Mx=0.01 Mz=7.08
Sollecitazioni agenti localmente: Ty_l=-721.63 Mx_l=-14.43
Tensioni nella sezione: σ=174.94 τ=21.87
CC 8 SLD (Collegamento 0021_-378)
Azioni sul collegamento: N=-7392.49 Ty=3.40 Tz=3.89 Mx=-0.00 Mz=2.88
Sollecitazioni agenti localmente: Ty_l=-1344.09 Mx_l=-26.88
Tensioni nella sezione: σ=325.84 τ=40.73
CC 8 SLD (Collegamento 0021_-378)
Azioni sul collegamento: N=-7392.49 Ty=4.43 Tz=3.89 Mx=-0.00 Mz=3.87
Sollecitazioni agenti localmente: Ty_l=-1344.09 Mx_l=-26.88
Tensioni nella sezione: σ=325.84 τ=40.73
CC 8 SLD (Collegamento 0021_-378)
Azioni sul collegamento: N=-7392.49 Ty=3.40 Tz=-2.12 Mx=-0.00 Mz=2.88
Sollecitazioni agenti localmente: Ty_l=-1344.09 Mx_l=-26.88
Tensioni nella sezione: σ=325.84 τ=40.73
CC 8 SLD (Collegamento 0021_-378)
Azioni sul collegamento: N=-7392.49 Ty=4.43 Tz=-2.12 Mx=-0.00 Mz=3.87
Sollecitazioni agenti localmente: Ty_l=-1344.09 Mx_l=-26.88
Tensioni nella sezione: σ=325.84 τ=40.73
CC 8 SLD (Collegamento 0021_-378)
Azioni sul collegamento: N=-5777.32 Ty=3.40 Tz=3.89 Mx=-0.00 Mz=2.88
Sollecitazioni agenti localmente: Ty_l=-1050.42 Mx_l=-21.01
Tensioni nella sezione: σ=254.65 τ=31.83
CC 8 SLD (Collegamento 0021_-378)
Azioni sul collegamento: N=-5777.32 Ty=4.43 Tz=3.89 Mx=-0.00 Mz=3.87
Sollecitazioni agenti localmente: Ty_l=-1050.42 Mx_l=-21.01
Tensioni nella sezione: σ=254.65 τ=31.83
CC 8 SLD (Collegamento 0021_-378)
Azioni sul collegamento: N=-5777.33 Ty=3.40 Tz=-2.12 Mx=-0.00 Mz=2.88
Sollecitazioni agenti localmente: Ty_l=-1050.42 Mx_l=-21.01
Tensioni nella sezione: σ=254.65 τ=31.83
CC 8 SLD (Collegamento 0021_-378)
Azioni sul collegamento: N=-5777.33 Ty=4.43 Tz=-2.12 Mx=-0.00 Mz=3.87
Sollecitazioni agenti localmente: Ty_l=-1050.42 Mx_l=-21.01
Tensioni nella sezione: σ=254.65 τ=31.83
CC 9 SLV (Collegamento 0021_-378)
Azioni sul collegamento: N=-5814.22 Ty=6.23 Tz=-2.14 Mx=0.02 Mz=7.84
Sollecitazioni agenti localmente: Ty_l=-1057.13 Mx_l=-21.14
Tensioni nella sezione: σ=256.27 τ=32.03
CC 9 SLV (Collegamento 0021_-378)
Azioni sul collegamento: N=-5814.22 Ty=3.29 Tz=-2.14 Mx=0.02 Mz=3.06
Sollecitazioni agenti localmente: Ty_l=-1057.13 Mx_l=-21.14
Tensioni nella sezione: σ=256.27 τ=32.03
CC 9 SLV (Collegamento 0021_-378)
Azioni sul collegamento: N=-5814.22 Ty=6.23 Tz=4.16 Mx=0.02 Mz=7.84
Sollecitazioni agenti localmente: Ty_l=-1057.13 Mx_l=-21.14
Tensioni nella sezione: σ=256.27 τ=32.03
CC 9 SLV (Collegamento 0021_-378)
Azioni sul collegamento: N=-5814.22 Ty=3.29 Tz=4.16 Mx=0.02 Mz=3.06
Sollecitazioni agenti localmente: Ty_l=-1057.13 Mx_l=-21.14
Tensioni nella sezione: σ=256.27 τ=32.03
CC 9 SLV (Collegamento 0021_-378)
Azioni sul collegamento: N=-7420.50 Ty=6.23 Tz=-2.14 Mx=0.02 Mz=7.84
Sollecitazioni agenti localmente: Ty_l=-1349.18 Mx_l=-26.98
Tensioni nella sezione: σ=327.07 τ=40.88
CC 9 SLV (Collegamento 0021_-378)

Azioni sul collegamento: N=-7420.50 Ty=3.29 Tz=-2.14 Mx=0.02 Mz=3.06
Sollecitazioni agenti localmente: Ty_l=-1349.18 Mx_l=-26.98
Tensioni nella sezione: σ=327.07 τ=40.88
CC 9 SLV (Collegamento 0021_-378)
Azioni sul collegamento: N=-7420.50 Ty=6.23 Tz=4.16 Mx=0.02 Mz=7.84
Sollecitazioni agenti localmente: Ty_l=-1349.18 Mx_l=-26.98
Tensioni nella sezione: σ=327.07 τ=40.88
CC 9 SLV (Collegamento 0021_-378)
Azioni sul collegamento: N=-7420.50 Ty=3.29 Tz=4.16 Mx=0.02 Mz=3.06
Sollecitazioni agenti localmente: Ty_l=-1349.18 Mx_l=-26.98
Tensioni nella sezione: σ=327.07 τ=40.88
CC 10 SLD (Collegamento 0021_-378)
Azioni sul collegamento: N=-6340.00 Ty=4.36 Tz=-0.08 Mx=0.00 Mz=4.10
Sollecitazioni agenti localmente: Ty_l=-1152.73 Mx_l=-23.05
Tensioni nella sezione: σ=279.45 τ=34.93
CC 10 SLD (Collegamento 0021_-378)
Azioni sul collegamento: N=-6340.00 Ty=3.47 Tz=-0.08 Mx=0.00 Mz=2.64
Sollecitazioni agenti localmente: Ty_l=-1152.73 Mx_l=-23.05
Tensioni nella sezione: σ=279.45 τ=34.93
CC 10 SLD (Collegamento 0021_-378)
Azioni sul collegamento: N=-6340.00 Ty=4.36 Tz=1.85 Mx=0.00 Mz=4.10
Sollecitazioni agenti localmente: Ty_l=-1152.73 Mx_l=-23.05
Tensioni nella sezione: σ=279.45 τ=34.93
CC 10 SLD (Collegamento 0021_-378)
Azioni sul collegamento: N=-6340.00 Ty=3.47 Tz=1.85 Mx=0.00 Mz=2.64
Sollecitazioni agenti localmente: Ty_l=-1152.73 Mx_l=-23.05
Tensioni nella sezione: σ=279.45 τ=34.93
CC 10 SLD (Collegamento 0021_-378)
Azioni sul collegamento: N=-6829.81 Ty=4.36 Tz=-0.08 Mx=0.00 Mz=4.10
Sollecitazioni agenti localmente: Ty_l=-1241.78 Mx_l=-24.84
Tensioni nella sezione: σ=301.04 τ=37.63
CC 10 SLD (Collegamento 0021_-378)
Azioni sul collegamento: N=-6829.81 Ty=3.47 Tz=-0.08 Mx=0.00 Mz=2.64
Sollecitazioni agenti localmente: Ty_l=-1241.78 Mx_l=-24.84
Tensioni nella sezione: σ=301.04 τ=37.63
CC 10 SLD (Collegamento 0021_-378)
Azioni sul collegamento: N=-6829.81 Ty=4.36 Tz=1.85 Mx=0.00 Mz=4.10
Sollecitazioni agenti localmente: Ty_l=-1241.78 Mx_l=-24.84
Tensioni nella sezione: σ=301.04 τ=37.63
CC 10 SLD (Collegamento 0021_-378)
Azioni sul collegamento: N=-6829.81 Ty=3.47 Tz=1.85 Mx=0.00 Mz=2.64
Sollecitazioni agenti localmente: Ty_l=-1241.78 Mx_l=-24.84
Tensioni nella sezione: σ=301.04 τ=37.63
CC 11 SLV (Collegamento 0021_-378)
Azioni sul collegamento: N=-7401.56 Ty=5.40 Tz=3.74 Mx=0.02 Mz=7.25
Sollecitazioni agenti localmente: Ty_l=-1345.74 Mx_l=-26.91
Tensioni nella sezione: σ=326.24 τ=40.78
CC 11 SLV (Collegamento 0021_-378)
Azioni sul collegamento: N=-7401.56 Ty=4.11 Tz=3.74 Mx=0.02 Mz=3.66
Sollecitazioni agenti localmente: Ty_l=-1345.74 Mx_l=-26.91
Tensioni nella sezione: σ=326.24 τ=40.78
CC 11 SLV (Collegamento 0021_-378)
Azioni sul collegamento: N=-7401.56 Ty=5.40 Tz=-1.71 Mx=0.02 Mz=7.25
Sollecitazioni agenti localmente: Ty_l=-1345.74 Mx_l=-26.91
Tensioni nella sezione: σ=326.24 τ=40.78
CC 11 SLV (Collegamento 0021_-378)
Azioni sul collegamento: N=-7401.56 Ty=4.11 Tz=-1.71 Mx=0.02 Mz=3.66
Sollecitazioni agenti localmente: Ty_l=-1345.74 Mx_l=-26.91
Tensioni nella sezione: σ=326.24 τ=40.78
CC 11 SLV (Collegamento 0021_-378)
Azioni sul collegamento: N=-5833.17 Ty=5.40 Tz=3.74 Mx=0.02 Mz=7.25
Sollecitazioni agenti localmente: Ty_l=-1060.58 Mx_l=-21.21
Tensioni nella sezione: σ=257.11 τ=32.14
CC 11 SLV (Collegamento 0021_-378)
Azioni sul collegamento: N=-5833.17 Ty=4.11 Tz=3.74 Mx=0.02 Mz=3.66
Sollecitazioni agenti localmente: Ty_l=-1060.58 Mx_l=-21.21
Tensioni nella sezione: σ=257.11 τ=32.14
CC 11 SLV (Collegamento 0021_-378)
Azioni sul collegamento: N=-5833.17 Ty=5.40 Tz=-1.71 Mx=0.02 Mz=7.25
Sollecitazioni agenti localmente: Ty_l=-1060.58 Mx_l=-21.21
Tensioni nella sezione: σ=257.11 τ=32.14
CC 11 SLV (Collegamento 0021_-378)
Azioni sul collegamento: N=-5833.17 Ty=4.11 Tz=-1.71 Mx=0.02 Mz=3.66
Sollecitazioni agenti localmente: Ty_l=-1060.58 Mx_l=-21.21
Tensioni nella sezione: σ=257.11 τ=32.14
CC 12 SLD (Collegamento 0021_-378)
Azioni sul collegamento: N=-6824.03 Ty=4.11 Tz=1.72 Mx=0.00 Mz=3.92
Sollecitazioni agenti localmente: Ty_l=-1240.73 Mx_l=-24.81
Tensioni nella sezione: σ=300.78 τ=37.60
CC 12 SLD (Collegamento 0021_-378)

Azioni sul collegamento: N=-6824.03 Ty=3.72 Tz=1.72 Mx=0.00 Mz=2.82
Sollecitazioni agenti localmente: Ty_l=-1240.73 Mx_l=-24.81
Tensioni nella sezione: σ=300.78 τ=37.60
CC 12 SLD (Collegamento 0021_-378)
Azioni sul collegamento: N=-6824.03 Ty=4.11 Tz=0.05 Mx=0.00 Mz=3.92
Sollecitazioni agenti localmente: Ty_l=-1240.73 Mx_l=-24.81
Tensioni nella sezione: σ=300.78 τ=37.60
CC 12 SLD (Collegamento 0021_-378)
Azioni sul collegamento: N=-6824.03 Ty=3.72 Tz=0.05 Mx=0.00 Mz=2.82
Sollecitazioni agenti localmente: Ty_l=-1240.73 Mx_l=-24.81
Tensioni nella sezione: σ=300.78 τ=37.60
CC 12 SLD (Collegamento 0021_-378)
Azioni sul collegamento: N=-6345.78 Ty=4.11 Tz=1.72 Mx=0.00 Mz=3.92
Sollecitazioni agenti localmente: Ty_l=-1153.78 Mx_l=-23.08
Tensioni nella sezione: σ=279.70 τ=34.96
CC 12 SLD (Collegamento 0021_-378)
Azioni sul collegamento: N=-6345.78 Ty=3.72 Tz=1.72 Mx=0.00 Mz=2.82
Sollecitazioni agenti localmente: Ty_l=-1153.78 Mx_l=-23.08
Tensioni nella sezione: σ=279.70 τ=34.96
CC 12 SLD (Collegamento 0021_-378)
Azioni sul collegamento: N=-6345.78 Ty=4.11 Tz=0.05 Mx=0.00 Mz=3.92
Sollecitazioni agenti localmente: Ty_l=-1153.78 Mx_l=-23.08
Tensioni nella sezione: σ=279.70 τ=34.96
CC 12 SLD (Collegamento 0021_-378)
Azioni sul collegamento: N=-6345.78 Ty=3.72 Tz=0.05 Mx=0.00 Mz=2.82
Sollecitazioni agenti localmente: Ty_l=-1153.78 Mx_l=-23.08
Tensioni nella sezione: σ=279.70 τ=34.96
CC 13 SLV (Collegamento 0021_-378)
Azioni sul collegamento: N=-5833.17 Ty=4.11 Tz=-1.71 Mx=0.00 Mz=3.66
Sollecitazioni agenti localmente: Ty_l=-1060.58 Mx_l=-21.21
Tensioni nella sezione: σ=257.11 τ=32.14
CC 13 SLV (Collegamento 0021_-378)
Azioni sul collegamento: N=-5833.17 Ty=5.40 Tz=-1.71 Mx=0.00 Mz=7.25
Sollecitazioni agenti localmente: Ty_l=-1060.58 Mx_l=-21.21
Tensioni nella sezione: σ=257.11 τ=32.14
CC 13 SLV (Collegamento 0021_-378)
Azioni sul collegamento: N=-5833.17 Ty=4.11 Tz=3.74 Mx=0.00 Mz=3.66
Sollecitazioni agenti localmente: Ty_l=-1060.58 Mx_l=-21.21
Tensioni nella sezione: σ=257.11 τ=32.14
CC 13 SLV (Collegamento 0021_-378)
Azioni sul collegamento: N=-5833.17 Ty=5.40 Tz=3.74 Mx=0.00 Mz=7.25
Sollecitazioni agenti localmente: Ty_l=-1060.58 Mx_l=-21.21
Tensioni nella sezione: σ=257.11 τ=32.14
CC 13 SLV (Collegamento 0021_-378)
Azioni sul collegamento: N=-7401.56 Ty=4.11 Tz=-1.71 Mx=0.00 Mz=3.66
Sollecitazioni agenti localmente: Ty_l=-1345.74 Mx_l=-26.91
Tensioni nella sezione: σ=326.24 τ=40.78
CC 13 SLV (Collegamento 0021_-378)
Azioni sul collegamento: N=-7401.56 Ty=5.40 Tz=-1.71 Mx=0.00 Mz=7.25
Sollecitazioni agenti localmente: Ty_l=-1345.74 Mx_l=-26.91
Tensioni nella sezione: σ=326.24 τ=40.78
CC 13 SLV (Collegamento 0021_-378)
Azioni sul collegamento: N=-7401.56 Ty=4.11 Tz=3.74 Mx=0.00 Mz=3.66
Sollecitazioni agenti localmente: Ty_l=-1345.74 Mx_l=-26.91
Tensioni nella sezione: σ=326.24 τ=40.78
CC 13 SLV (Collegamento 0021_-378)
Azioni sul collegamento: N=-7401.56 Ty=5.40 Tz=3.74 Mx=0.00 Mz=7.25
Sollecitazioni agenti localmente: Ty_l=-1345.74 Mx_l=-26.91
Tensioni nella sezione: σ=326.24 τ=40.78
CC 14 SLD (Collegamento 0021_-378)
Azioni sul collegamento: N=-6345.78 Ty=3.72 Tz=0.05 Mx=-0.00 Mz=2.82
Sollecitazioni agenti localmente: Ty_l=-1153.78 Mx_l=-23.08
Tensioni nella sezione: σ=279.70 τ=34.96
CC 14 SLD (Collegamento 0021_-378)
Azioni sul collegamento: N=-6345.78 Ty=4.11 Tz=0.05 Mx=-0.00 Mz=3.92
Sollecitazioni agenti localmente: Ty_l=-1153.78 Mx_l=-23.08
Tensioni nella sezione: σ=279.70 τ=34.96
CC 14 SLD (Collegamento 0021_-378)
Azioni sul collegamento: N=-6345.78 Ty=3.72 Tz=1.72 Mx=-0.00 Mz=2.82
Sollecitazioni agenti localmente: Ty_l=-1153.78 Mx_l=-23.08
Tensioni nella sezione: σ=279.70 τ=34.96
CC 14 SLD (Collegamento 0021_-378)
Azioni sul collegamento: N=-6345.78 Ty=4.11 Tz=1.72 Mx=-0.00 Mz=3.92
Sollecitazioni agenti localmente: Ty_l=-1153.78 Mx_l=-23.08
Tensioni nella sezione: σ=279.70 τ=34.96
CC 14 SLD (Collegamento 0021_-378)
Azioni sul collegamento: N=-6824.03 Ty=3.72 Tz=0.05 Mx=-0.00 Mz=2.82
Sollecitazioni agenti localmente: Ty_l=-1240.73 Mx_l=-24.81
Tensioni nella sezione: σ=300.78 τ=37.60
CC 14 SLD (Collegamento 0021_-378)

Azioni sul collegamento: N=-6824.03 Ty=4.11 Tz=0.05 Mx=-0.00 Mz=3.92
Sollecitazioni agenti localmente: Ty_l=-1240.73 Mx_l=-24.81
Tensioni nella sezione: σ=300.78 τ=37.60
CC 14 SLD (Collegamento 0021_-378)
Azioni sul collegamento: N=-6824.03 Ty=3.72 Tz=1.72 Mx=-0.00 Mz=2.82
Sollecitazioni agenti localmente: Ty_l=-1240.73 Mx_l=-24.81
Tensioni nella sezione: σ=300.78 τ=37.60
CC 14 SLD (Collegamento 0021_-378)
Azioni sul collegamento: N=-6824.03 Ty=4.11 Tz=1.72 Mx=-0.00 Mz=3.92
Sollecitazioni agenti localmente: Ty_l=-1240.73 Mx_l=-24.81
Tensioni nella sezione: σ=300.78 τ=37.60
CC 15 SLV (Collegamento 0021_-378)
Azioni sul collegamento: N=-7420.50 Ty=3.29 Tz=4.16 Mx=0.00 Mz=3.06
Sollecitazioni agenti localmente: Ty_l=-1349.18 Mx_l=-26.98
Tensioni nella sezione: σ=327.07 τ=40.88
CC 15 SLV (Collegamento 0021_-378)
Azioni sul collegamento: N=-7420.50 Ty=6.23 Tz=4.16 Mx=0.00 Mz=7.84
Sollecitazioni agenti localmente: Ty_l=-1349.18 Mx_l=-26.98
Tensioni nella sezione: σ=327.07 τ=40.88
CC 15 SLV (Collegamento 0021_-378)
Azioni sul collegamento: N=-7420.50 Ty=3.29 Tz=-2.14 Mx=0.00 Mz=3.06
Sollecitazioni agenti localmente: Ty_l=-1349.18 Mx_l=-26.98
Tensioni nella sezione: σ=327.07 τ=40.88
CC 15 SLV (Collegamento 0021_-378)
Azioni sul collegamento: N=-7420.50 Ty=6.23 Tz=-2.14 Mx=0.00 Mz=7.84
Sollecitazioni agenti localmente: Ty_l=-1349.18 Mx_l=-26.98
Tensioni nella sezione: σ=327.07 τ=40.88
CC 15 SLV (Collegamento 0021_-378)
Azioni sul collegamento: N=-5814.22 Ty=3.29 Tz=4.16 Mx=0.00 Mz=3.06
Sollecitazioni agenti localmente: Ty_l=-1057.13 Mx_l=-21.14
Tensioni nella sezione: σ=256.27 τ=32.03
CC 15 SLV (Collegamento 0021_-378)
Azioni sul collegamento: N=-5814.22 Ty=6.23 Tz=4.16 Mx=0.00 Mz=7.84
Sollecitazioni agenti localmente: Ty_l=-1057.13 Mx_l=-21.14
Tensioni nella sezione: σ=256.27 τ=32.03
CC 15 SLV (Collegamento 0021_-378)
Azioni sul collegamento: N=-5814.22 Ty=3.29 Tz=-2.14 Mx=0.00 Mz=3.06
Sollecitazioni agenti localmente: Ty_l=-1057.13 Mx_l=-21.14
Tensioni nella sezione: σ=256.27 τ=32.03
CC 15 SLV (Collegamento 0021_-378)
Azioni sul collegamento: N=-5814.22 Ty=6.23 Tz=-2.14 Mx=0.00 Mz=7.84
Sollecitazioni agenti localmente: Ty_l=-1057.13 Mx_l=-21.14
Tensioni nella sezione: σ=256.27 τ=32.03
CC 16 SLD (Collegamento 0021_-378)
Azioni sul collegamento: N=-6829.81 Ty=3.47 Tz=1.85 Mx=-0.00 Mz=2.64
Sollecitazioni agenti localmente: Ty_l=-1241.78 Mx_l=-24.84
Tensioni nella sezione: σ=301.04 τ=37.63
CC 16 SLD (Collegamento 0021_-378)
Azioni sul collegamento: N=-6829.81 Ty=4.36 Tz=1.85 Mx=-0.00 Mz=4.10
Sollecitazioni agenti localmente: Ty_l=-1241.78 Mx_l=-24.84
Tensioni nella sezione: σ=301.04 τ=37.63
CC 16 SLD (Collegamento 0021_-378)
Azioni sul collegamento: N=-6829.81 Ty=3.47 Tz=-0.08 Mx=-0.00 Mz=2.64
Sollecitazioni agenti localmente: Ty_l=-1241.78 Mx_l=-24.84
Tensioni nella sezione: σ=301.04 τ=37.63
CC 16 SLD (Collegamento 0021_-378)
Azioni sul collegamento: N=-6829.81 Ty=4.36 Tz=-0.08 Mx=-0.00 Mz=4.10
Sollecitazioni agenti localmente: Ty_l=-1241.78 Mx_l=-24.84
Tensioni nella sezione: σ=301.04 τ=37.63
CC 16 SLD (Collegamento 0021_-378)
Azioni sul collegamento: N=-6340.00 Ty=3.47 Tz=1.85 Mx=-0.00 Mz=2.64
Sollecitazioni agenti localmente: Ty_l=-1152.73 Mx_l=-23.05
Tensioni nella sezione: σ=279.45 τ=34.93
CC 16 SLD (Collegamento 0021_-378)
Azioni sul collegamento: N=-6340.00 Ty=4.36 Tz=1.85 Mx=-0.00 Mz=4.10
Sollecitazioni agenti localmente: Ty_l=-1152.73 Mx_l=-23.05
Tensioni nella sezione: σ=279.45 τ=34.93
CC 16 SLD (Collegamento 0021_-378)
Azioni sul collegamento: N=-6340.00 Ty=3.47 Tz=-0.08 Mx=-0.00 Mz=2.64
Sollecitazioni agenti localmente: Ty_l=-1152.73 Mx_l=-23.05
Tensioni nella sezione: σ=279.45 τ=34.93
CC 16 SLD (Collegamento 0021_-378)
Azioni sul collegamento: N=-6340.00 Ty=4.36 Tz=-0.08 Mx=-0.00 Mz=4.10
Sollecitazioni agenti localmente: Ty_l=-1152.73 Mx_l=-23.05
Tensioni nella sezione: σ=279.45 τ=34.93
CC 17 SLV (Collegamento 0021_-378)
Azioni sul collegamento: N=-3875.57 Ty=0.64 Tz=-9.21 Mx=-0.02 Mz=1.09
Sollecitazioni agenti localmente: Ty_l=-704.65 Mx_l=-14.09
Tensioni nella sezione: σ=170.82 τ=21.35
CC 17 SLV (Collegamento 0021_-378)

Azioni sul collegamento: N=-3875.57 Ty=4.02 Tz=-9.21 Mx=-0.02 Mz=-2.16
Sollecitazioni agenti localmente: Ty_l=-704.65 Mx_l=-14.09
Tensioni nella sezione: σ=170.82 τ=21.35
CC 17 SLV (Collegamento 0021_-378)
Azioni sul collegamento: N=-3875.57 Ty=0.64 Tz=10.50 Mx=-0.02 Mz=1.09
Sollecitazioni agenti localmente: Ty_l=-704.65 Mx_l=-14.09
Tensioni nella sezione: σ=170.82 τ=21.35
CC 17 SLV (Collegamento 0021_-378)
Azioni sul collegamento: N=-3875.57 Ty=4.02 Tz=10.50 Mx=-0.02 Mz=-2.16
Sollecitazioni agenti localmente: Ty_l=-704.65 Mx_l=-14.09
Tensioni nella sezione: σ=170.82 τ=21.35
CC 17 SLV (Collegamento 0021_-378)
Azioni sul collegamento: N=-9172.38 Ty=0.64 Tz=-9.21 Mx=-0.02 Mz=1.09
Sollecitazioni agenti localmente: Ty_l=-1667.70 Mx_l=-33.35
Tensioni nella sezione: σ=404.29 τ=50.54
CC 17 SLV (Collegamento 0021_-378)
Azioni sul collegamento: N=-9172.38 Ty=4.02 Tz=-9.21 Mx=-0.02 Mz=-2.16
Sollecitazioni agenti localmente: Ty_l=-1667.70 Mx_l=-33.35
Tensioni nella sezione: σ=404.29 τ=50.54
CC 17 SLV (Collegamento 0021_-378)
Azioni sul collegamento: N=-9172.38 Ty=0.64 Tz=10.50 Mx=-0.02 Mz=1.09
Sollecitazioni agenti localmente: Ty_l=-1667.70 Mx_l=-33.35
Tensioni nella sezione: σ=404.29 τ=50.54
CC 17 SLV (Collegamento 0021_-378)
Azioni sul collegamento: N=-9172.38 Ty=4.02 Tz=10.50 Mx=-0.02 Mz=-2.16
Sollecitazioni agenti localmente: Ty_l=-1667.70 Mx_l=-33.35
Tensioni nella sezione: σ=404.29 τ=50.54
CC 18 SLD (Collegamento 0021_-378)
Azioni sul collegamento: N=-5748.85 Ty=3.69 Tz=-2.23 Mx=-0.01 Mz=2.04
Sollecitazioni agenti localmente: Ty_l=-1045.24 Mx_l=-20.90
Tensioni nella sezione: σ=253.39 τ=31.67
CC 18 SLD (Collegamento 0021_-378)
Azioni sul collegamento: N=-5748.85 Ty=2.66 Tz=-2.23 Mx=-0.01 Mz=1.05
Sollecitazioni agenti localmente: Ty_l=-1045.24 Mx_l=-20.90
Tensioni nella sezione: σ=253.39 τ=31.67
CC 18 SLD (Collegamento 0021_-378)
Azioni sul collegamento: N=-5748.85 Ty=3.69 Tz=3.78 Mx=-0.01 Mz=2.04
Sollecitazioni agenti localmente: Ty_l=-1045.24 Mx_l=-20.90
Tensioni nella sezione: σ=253.39 τ=31.67
CC 18 SLD (Collegamento 0021_-378)
Azioni sul collegamento: N=-5748.85 Ty=2.66 Tz=3.78 Mx=-0.01 Mz=1.05
Sollecitazioni agenti localmente: Ty_l=-1045.24 Mx_l=-20.90
Tensioni nella sezione: σ=253.39 τ=31.67
CC 18 SLD (Collegamento 0021_-378)
Azioni sul collegamento: N=-7364.01 Ty=3.69 Tz=-2.23 Mx=-0.01 Mz=2.04
Sollecitazioni agenti localmente: Ty_l=-1338.91 Mx_l=-26.78
Tensioni nella sezione: σ=324.58 τ=40.57
CC 18 SLD (Collegamento 0021_-378)
Azioni sul collegamento: N=-7364.01 Ty=2.66 Tz=-2.23 Mx=-0.01 Mz=1.05
Sollecitazioni agenti localmente: Ty_l=-1338.91 Mx_l=-26.78
Tensioni nella sezione: σ=324.58 τ=40.57
CC 18 SLD (Collegamento 0021_-378)
Azioni sul collegamento: N=-7364.01 Ty=3.69 Tz=3.78 Mx=-0.01 Mz=2.04
Sollecitazioni agenti localmente: Ty_l=-1338.91 Mx_l=-26.78
Tensioni nella sezione: σ=324.58 τ=40.57
CC 18 SLD (Collegamento 0021_-378)
Azioni sul collegamento: N=-7364.01 Ty=2.66 Tz=3.78 Mx=-0.01 Mz=1.05
Sollecitazioni agenti localmente: Ty_l=-1338.91 Mx_l=-26.78
Tensioni nella sezione: σ=324.58 τ=40.57
CC 19 SLV (Collegamento 0021_-378)
Azioni sul collegamento: N=-3881.26 Ty=1.27 Tz=-9.09 Mx=-0.02 Mz=-0.17
Sollecitazioni agenti localmente: Ty_l=-705.68 Mx_l=-14.11
Tensioni nella sezione: σ=171.07 τ=21.38
CC 19 SLV (Collegamento 0021_-378)
Azioni sul collegamento: N=-3881.26 Ty=3.39 Tz=-9.09 Mx=-0.02 Mz=-0.91
Sollecitazioni agenti localmente: Ty_l=-705.68 Mx_l=-14.11
Tensioni nella sezione: σ=171.07 τ=21.38
CC 19 SLV (Collegamento 0021_-378)
Azioni sul collegamento: N=-3881.26 Ty=1.27 Tz=10.37 Mx=-0.02 Mz=-0.17
Sollecitazioni agenti localmente: Ty_l=-705.68 Mx_l=-14.11
Tensioni nella sezione: σ=171.07 τ=21.38
CC 19 SLV (Collegamento 0021_-378)
Azioni sul collegamento: N=-3881.26 Ty=3.39 Tz=10.37 Mx=-0.02 Mz=-0.91
Sollecitazioni agenti localmente: Ty_l=-705.68 Mx_l=-14.11
Tensioni nella sezione: σ=171.07 τ=21.38
CC 19 SLV (Collegamento 0021_-378)
Azioni sul collegamento: N=-9166.69 Ty=1.27 Tz=-9.09 Mx=-0.02 Mz=-0.17
Sollecitazioni agenti localmente: Ty_l=-1666.67 Mx_l=-33.33
Tensioni nella sezione: σ=404.04 τ=50.51
CC 19 SLV (Collegamento 0021_-378)

Azioni sul collegamento: N=-9166.69 Ty=3.39 Tz=-9.09 Mx=-0.02 Mz=-0.91
Sollecitazioni agenti localmente: Ty_l=-1666.67 Mx_l=-33.33
Tensioni nella sezione: σ=404.04 τ=50.51
CC 19 SLV (Collegamento 0021_-378)
Azioni sul collegamento: N=-9166.69 Ty=1.27 Tz=10.37 Mx=-0.02 Mz=-0.17
Sollecitazioni agenti localmente: Ty_l=-1666.67 Mx_l=-33.33
Tensioni nella sezione: σ=404.04 τ=50.51
CC 19 SLV (Collegamento 0021_-378)
Azioni sul collegamento: N=-9166.69 Ty=3.39 Tz=10.37 Mx=-0.02 Mz=-0.91
Sollecitazioni agenti localmente: Ty_l=-1666.67 Mx_l=-33.33
Tensioni nella sezione: σ=404.04 τ=50.51
CC 20 SLD (Collegamento 0021_-378)
Azioni sul collegamento: N=-5750.58 Ty=3.50 Tz=-2.19 Mx=-0.01 Mz=1.66
Sollecitazioni agenti localmente: Ty_l=-1045.56 Mx_l=-20.91
Tensioni nella sezione: σ=253.47 τ=31.68
CC 20 SLD (Collegamento 0021_-378)
Azioni sul collegamento: N=-5750.58 Ty=2.85 Tz=-2.19 Mx=-0.01 Mz=1.43
Sollecitazioni agenti localmente: Ty_l=-1045.56 Mx_l=-20.91
Tensioni nella sezione: σ=253.47 τ=31.68
CC 20 SLD (Collegamento 0021_-378)
Azioni sul collegamento: N=-5750.58 Ty=3.50 Tz=3.74 Mx=-0.01 Mz=1.66
Sollecitazioni agenti localmente: Ty_l=-1045.56 Mx_l=-20.91
Tensioni nella sezione: σ=253.47 τ=31.68
CC 20 SLD (Collegamento 0021_-378)
Azioni sul collegamento: N=-5750.58 Ty=2.85 Tz=3.74 Mx=-0.01 Mz=1.43
Sollecitazioni agenti localmente: Ty_l=-1045.56 Mx_l=-20.91
Tensioni nella sezione: σ=253.47 τ=31.68
CC 20 SLD (Collegamento 0021_-378)
Azioni sul collegamento: N=-7362.28 Ty=3.50 Tz=-2.19 Mx=-0.01 Mz=1.66
Sollecitazioni agenti localmente: Ty_l=-1338.60 Mx_l=-26.77
Tensioni nella sezione: σ=324.51 τ=40.56
CC 20 SLD (Collegamento 0021_-378)
Azioni sul collegamento: N=-7362.28 Ty=2.85 Tz=-2.19 Mx=-0.01 Mz=1.43
Sollecitazioni agenti localmente: Ty_l=-1338.60 Mx_l=-26.77
Tensioni nella sezione: σ=324.51 τ=40.56
CC 20 SLD (Collegamento 0021_-378)
Azioni sul collegamento: N=-7362.28 Ty=3.50 Tz=3.74 Mx=-0.01 Mz=1.66
Sollecitazioni agenti localmente: Ty_l=-1338.60 Mx_l=-26.77
Tensioni nella sezione: σ=324.51 τ=40.56
CC 20 SLD (Collegamento 0021_-378)
Azioni sul collegamento: N=-7362.28 Ty=2.85 Tz=3.74 Mx=-0.01 Mz=1.43
Sollecitazioni agenti localmente: Ty_l=-1338.60 Mx_l=-26.77
Tensioni nella sezione: σ=324.51 τ=40.56
CC 21 SLV (Collegamento 0021_-378)
Azioni sul collegamento: N=-9166.69 Ty=3.39 Tz=10.37 Mx=-0.02 Mz=-0.91
Sollecitazioni agenti localmente: Ty_l=-1666.67 Mx_l=-33.33
Tensioni nella sezione: σ=404.04 τ=50.51
CC 21 SLV (Collegamento 0021_-378)
Azioni sul collegamento: N=-9166.69 Ty=1.27 Tz=10.37 Mx=-0.02 Mz=-0.17
Sollecitazioni agenti localmente: Ty_l=-1666.67 Mx_l=-33.33
Tensioni nella sezione: σ=404.04 τ=50.51
CC 21 SLV (Collegamento 0021_-378)
Azioni sul collegamento: N=-9166.69 Ty=3.39 Tz=-9.09 Mx=-0.02 Mz=-0.91
Sollecitazioni agenti localmente: Ty_l=-1666.67 Mx_l=-33.33
Tensioni nella sezione: σ=404.04 τ=50.51
CC 21 SLV (Collegamento 0021_-378)
Azioni sul collegamento: N=-9166.69 Ty=1.27 Tz=-9.09 Mx=-0.02 Mz=-0.17
Sollecitazioni agenti localmente: Ty_l=-1666.67 Mx_l=-33.33
Tensioni nella sezione: σ=404.04 τ=50.51
CC 21 SLV (Collegamento 0021_-378)
Azioni sul collegamento: N=-3881.26 Ty=3.39 Tz=10.37 Mx=-0.02 Mz=-0.91
Sollecitazioni agenti localmente: Ty_l=-705.68 Mx_l=-14.11
Tensioni nella sezione: σ=171.07 τ=21.38
CC 21 SLV (Collegamento 0021_-378)
Azioni sul collegamento: N=-3881.26 Ty=1.27 Tz=10.37 Mx=-0.02 Mz=-0.17
Sollecitazioni agenti localmente: Ty_l=-705.68 Mx_l=-14.11
Tensioni nella sezione: σ=171.07 τ=21.38
CC 21 SLV (Collegamento 0021_-378)
Azioni sul collegamento: N=-3881.26 Ty=3.39 Tz=-9.09 Mx=-0.02 Mz=-0.91
Sollecitazioni agenti localmente: Ty_l=-705.68 Mx_l=-14.11
Tensioni nella sezione: σ=171.07 τ=21.38
CC 21 SLV (Collegamento 0021_-378)
Azioni sul collegamento: N=-3881.26 Ty=1.27 Tz=-9.09 Mx=-0.02 Mz=-0.17
Sollecitazioni agenti localmente: Ty_l=-705.68 Mx_l=-14.11
Tensioni nella sezione: σ=171.07 τ=21.38
CC 22 SLD (Collegamento 0021_-378)
Azioni sul collegamento: N=-7362.28 Ty=2.85 Tz=3.74 Mx=-0.01 Mz=1.43
Sollecitazioni agenti localmente: Ty_l=-1338.60 Mx_l=-26.77
Tensioni nella sezione: σ=324.51 τ=40.56
CC 22 SLD (Collegamento 0021_-378)

Azioni sul collegamento: N=-7362.28 Ty=3.50 Tz=3.74 Mx=-0.01 Mz=1.66
Sollecitazioni agenti localmente: Ty_l=-1338.60 Mx_l=-26.77
Tensioni nella sezione: σ=324.51 τ=40.56
CC 22 SLD (Collegamento 0021_-378)
Azioni sul collegamento: N=-7362.28 Ty=2.85 Tz=-2.19 Mx=-0.01 Mz=1.43
Sollecitazioni agenti localmente: Ty_l=-1338.60 Mx_l=-26.77
Tensioni nella sezione: σ=324.51 τ=40.56
CC 22 SLD (Collegamento 0021_-378)
Azioni sul collegamento: N=-7362.28 Ty=3.50 Tz=-2.19 Mx=-0.01 Mz=1.66
Sollecitazioni agenti localmente: Ty_l=-1338.60 Mx_l=-26.77
Tensioni nella sezione: σ=324.51 τ=40.56
CC 22 SLD (Collegamento 0021_-378)
Azioni sul collegamento: N=-5750.58 Ty=2.85 Tz=3.74 Mx=-0.01 Mz=1.43
Sollecitazioni agenti localmente: Ty_l=-1045.56 Mx_l=-20.91
Tensioni nella sezione: σ=253.47 τ=31.68
CC 22 SLD (Collegamento 0021_-378)
Azioni sul collegamento: N=-5750.58 Ty=3.50 Tz=3.74 Mx=-0.01 Mz=1.66
Sollecitazioni agenti localmente: Ty_l=-1045.56 Mx_l=-20.91
Tensioni nella sezione: σ=253.47 τ=31.68
CC 22 SLD (Collegamento 0021_-378)
Azioni sul collegamento: N=-5750.58 Ty=2.85 Tz=-2.19 Mx=-0.01 Mz=1.43
Sollecitazioni agenti localmente: Ty_l=-1045.56 Mx_l=-20.91
Tensioni nella sezione: σ=253.47 τ=31.68
CC 22 SLD (Collegamento 0021_-378)
Azioni sul collegamento: N=-5750.58 Ty=3.50 Tz=-2.19 Mx=-0.01 Mz=1.66
Sollecitazioni agenti localmente: Ty_l=-1045.56 Mx_l=-20.91
Tensioni nella sezione: σ=253.47 τ=31.68
CC 23 SLV (Collegamento 0021_-378)
Azioni sul collegamento: N=-9172.38 Ty=4.02 Tz=10.50 Mx=-0.01 Mz=-2.16
Sollecitazioni agenti localmente: Ty_l=-1667.70 Mx_l=-33.35
Tensioni nella sezione: σ=404.29 τ=50.54
CC 23 SLV (Collegamento 0021_-378)
Azioni sul collegamento: N=-9172.38 Ty=0.64 Tz=10.50 Mx=-0.01 Mz=1.09
Sollecitazioni agenti localmente: Ty_l=-1667.70 Mx_l=-33.35
Tensioni nella sezione: σ=404.29 τ=50.54
CC 23 SLV (Collegamento 0021_-378)
Azioni sul collegamento: N=-9172.38 Ty=4.02 Tz=-9.21 Mx=-0.01 Mz=-2.16
Sollecitazioni agenti localmente: Ty_l=-1667.70 Mx_l=-33.35
Tensioni nella sezione: σ=404.29 τ=50.54
CC 23 SLV (Collegamento 0021_-378)
Azioni sul collegamento: N=-9172.38 Ty=0.64 Tz=-9.21 Mx=-0.01 Mz=1.09
Sollecitazioni agenti localmente: Ty_l=-1667.70 Mx_l=-33.35
Tensioni nella sezione: σ=404.29 τ=50.54
CC 23 SLV (Collegamento 0021_-378)
Azioni sul collegamento: N=-3875.57 Ty=4.02 Tz=10.50 Mx=-0.01 Mz=-2.16
Sollecitazioni agenti localmente: Ty_l=-704.65 Mx_l=-14.09
Tensioni nella sezione: σ=170.82 τ=21.35
CC 23 SLV (Collegamento 0021_-378)
Azioni sul collegamento: N=-3875.57 Ty=0.64 Tz=10.50 Mx=-0.01 Mz=1.09
Sollecitazioni agenti localmente: Ty_l=-704.65 Mx_l=-14.09
Tensioni nella sezione: σ=170.82 τ=21.35
CC 23 SLV (Collegamento 0021_-378)
Azioni sul collegamento: N=-3875.57 Ty=4.02 Tz=-9.21 Mx=-0.01 Mz=-2.16
Sollecitazioni agenti localmente: Ty_l=-704.65 Mx_l=-14.09
Tensioni nella sezione: σ=170.82 τ=21.35
CC 23 SLV (Collegamento 0021_-378)
Azioni sul collegamento: N=-3875.57 Ty=0.64 Tz=-9.21 Mx=-0.01 Mz=1.09
Sollecitazioni agenti localmente: Ty_l=-704.65 Mx_l=-14.09
Tensioni nella sezione: σ=170.82 τ=21.35
CC 24 SLD (Collegamento 0021_-378)
Azioni sul collegamento: N=-7364.01 Ty=2.66 Tz=3.78 Mx=-0.01 Mz=1.05
Sollecitazioni agenti localmente: Ty_l=-1338.91 Mx_l=-26.78
Tensioni nella sezione: σ=324.58 τ=40.57
CC 24 SLD (Collegamento 0021_-378)
Azioni sul collegamento: N=-7364.01 Ty=3.69 Tz=3.78 Mx=-0.01 Mz=2.04
Sollecitazioni agenti localmente: Ty_l=-1338.91 Mx_l=-26.78
Tensioni nella sezione: σ=324.58 τ=40.57
CC 24 SLD (Collegamento 0021_-378)
Azioni sul collegamento: N=-7364.01 Ty=2.66 Tz=-2.23 Mx=-0.01 Mz=1.05
Sollecitazioni agenti localmente: Ty_l=-1338.91 Mx_l=-26.78
Tensioni nella sezione: σ=324.58 τ=40.57
CC 24 SLD (Collegamento 0021_-378)
Azioni sul collegamento: N=-7364.01 Ty=3.69 Tz=-2.23 Mx=-0.01 Mz=2.04
Sollecitazioni agenti localmente: Ty_l=-1338.91 Mx_l=-26.78
Tensioni nella sezione: σ=324.58 τ=40.57
CC 24 SLD (Collegamento 0021_-378)
Azioni sul collegamento: N=-5748.85 Ty=2.66 Tz=3.78 Mx=-0.01 Mz=1.05
Sollecitazioni agenti localmente: Ty_l=-1045.24 Mx_l=-20.90
Tensioni nella sezione: σ=253.39 τ=31.67
CC 24 SLD (Collegamento 0021_-378)

Azioni sul collegamento: N=-5748.85 Ty=3.69 Tz=3.78 Mx=-0.01 Mz=2.04
Sollecitazioni agenti localmente: Ty_l=-1045.24 Mx_l=-20.90
Tensioni nella sezione: σ=253.39 τ=31.67
CC 24 SLD (Collegamento 0021_-378)
Azioni sul collegamento: N=-5748.85 Ty=2.66 Tz=-2.23 Mx=-0.01 Mz=1.05
Sollecitazioni agenti localmente: Ty_l=-1045.24 Mx_l=-20.90
Tensioni nella sezione: σ=253.39 τ=31.67
CC 24 SLD (Collegamento 0021_-378)
Azioni sul collegamento: N=-5748.85 Ty=3.69 Tz=-2.23 Mx=-0.01 Mz=2.04
Sollecitazioni agenti localmente: Ty_l=-1045.24 Mx_l=-20.90
Tensioni nella sezione: σ=253.39 τ=31.67
CC 25 SLV (Collegamento 0021_-378)
Azioni sul collegamento: N=-5720.83 Ty=0.86 Tz=-2.51 Mx=-0.03 Mz=1.85
Sollecitazioni agenti localmente: Ty_l=-1040.15 Mx_l=-20.80
Tensioni nella sezione: σ=252.16 τ=31.52
CC 25 SLV (Collegamento 0021_-378)
Azioni sul collegamento: N=-5720.83 Ty=3.80 Tz=-2.51 Mx=-0.03 Mz=-2.93
Sollecitazioni agenti localmente: Ty_l=-1040.15 Mx_l=-20.80
Tensioni nella sezione: σ=252.16 τ=31.52
CC 25 SLV (Collegamento 0021_-378)
Azioni sul collegamento: N=-5720.83 Ty=0.86 Tz=3.80 Mx=-0.03 Mz=1.85
Sollecitazioni agenti localmente: Ty_l=-1040.15 Mx_l=-20.80
Tensioni nella sezione: σ=252.16 τ=31.52
CC 25 SLV (Collegamento 0021_-378)
Azioni sul collegamento: N=-5720.83 Ty=3.80 Tz=3.80 Mx=-0.03 Mz=-2.93
Sollecitazioni agenti localmente: Ty_l=-1040.15 Mx_l=-20.80
Tensioni nella sezione: σ=252.16 τ=31.52
CC 25 SLV (Collegamento 0021_-378)
Azioni sul collegamento: N=-7327.12 Ty=0.86 Tz=-2.51 Mx=-0.03 Mz=1.85
Sollecitazioni agenti localmente: Ty_l=-1332.20 Mx_l=-26.64
Tensioni nella sezione: σ=322.96 τ=40.37
CC 25 SLV (Collegamento 0021_-378)
Azioni sul collegamento: N=-7327.12 Ty=3.80 Tz=-2.51 Mx=-0.03 Mz=-2.93
Sollecitazioni agenti localmente: Ty_l=-1332.20 Mx_l=-26.64
Tensioni nella sezione: σ=322.96 τ=40.37
CC 25 SLV (Collegamento 0021_-378)
Azioni sul collegamento: N=-7327.12 Ty=0.86 Tz=3.80 Mx=-0.03 Mz=1.85
Sollecitazioni agenti localmente: Ty_l=-1332.20 Mx_l=-26.64
Tensioni nella sezione: σ=322.96 τ=40.37
CC 25 SLV (Collegamento 0021_-378)
Azioni sul collegamento: N=-7327.12 Ty=3.80 Tz=3.80 Mx=-0.03 Mz=-2.93
Sollecitazioni agenti localmente: Ty_l=-1332.20 Mx_l=-26.64
Tensioni nella sezione: σ=322.96 τ=40.37
CC 26 SLD (Collegamento 0021_-378)
Azioni sul collegamento: N=-6311.53 Ty=3.62 Tz=-0.19 Mx=-0.01 Mz=2.27
Sollecitazioni agenti localmente: Ty_l=-1147.55 Mx_l=-22.95
Tensioni nella sezione: σ=278.19 τ=34.77
CC 26 SLD (Collegamento 0021_-378)
Azioni sul collegamento: N=-6311.53 Ty=2.73 Tz=-0.19 Mx=-0.01 Mz=0.81
Sollecitazioni agenti localmente: Ty_l=-1147.55 Mx_l=-22.95
Tensioni nella sezione: σ=278.19 τ=34.77
CC 26 SLD (Collegamento 0021_-378)
Azioni sul collegamento: N=-6311.53 Ty=3.62 Tz=1.73 Mx=-0.01 Mz=2.27
Sollecitazioni agenti localmente: Ty_l=-1147.55 Mx_l=-22.95
Tensioni nella sezione: σ=278.19 τ=34.77
CC 26 SLD (Collegamento 0021_-378)
Azioni sul collegamento: N=-6311.53 Ty=2.73 Tz=1.73 Mx=-0.01 Mz=0.81
Sollecitazioni agenti localmente: Ty_l=-1147.55 Mx_l=-22.95
Tensioni nella sezione: σ=278.19 τ=34.77
CC 26 SLD (Collegamento 0021_-378)
Azioni sul collegamento: N=-6801.33 Ty=3.62 Tz=-0.19 Mx=-0.01 Mz=2.27
Sollecitazioni agenti localmente: Ty_l=-1236.61 Mx_l=-24.73
Tensioni nella sezione: σ=299.78 τ=37.47
CC 26 SLD (Collegamento 0021_-378)
Azioni sul collegamento: N=-6801.33 Ty=2.73 Tz=-0.19 Mx=-0.01 Mz=0.81
Sollecitazioni agenti localmente: Ty_l=-1236.61 Mx_l=-24.73
Tensioni nella sezione: σ=299.78 τ=37.47
CC 26 SLD (Collegamento 0021_-378)
Azioni sul collegamento: N=-6801.33 Ty=3.62 Tz=1.73 Mx=-0.01 Mz=2.27
Sollecitazioni agenti localmente: Ty_l=-1236.61 Mx_l=-24.73
Tensioni nella sezione: σ=299.78 τ=37.47
CC 26 SLD (Collegamento 0021_-378)
Azioni sul collegamento: N=-6801.33 Ty=2.73 Tz=1.73 Mx=-0.01 Mz=0.81
Sollecitazioni agenti localmente: Ty_l=-1236.61 Mx_l=-24.73
Tensioni nella sezione: σ=299.78 τ=37.47
CC 27 SLV (Collegamento 0021_-378)
Azioni sul collegamento: N=-7308.17 Ty=1.68 Tz=3.37 Mx=-0.02 Mz=1.26
Sollecitazioni agenti localmente: Ty_l=-1328.76 Mx_l=-26.58
Tensioni nella sezione: σ=322.12 τ=40.27
CC 27 SLV (Collegamento 0021_-378)

Azioni sul collegamento: N=-7308.17 Ty=2.97 Tz=3.37 Mx=-0.02 Mz=-2.33
Sollecitazioni agenti localmente: Ty_l=-1328.76 Mx_l=-26.58
Tensioni nella sezione: σ=322.12 τ=40.27
CC 27 SLV (Collegamento 0021_-378)
Azioni sul collegamento: N=-7308.17 Ty=1.68 Tz=-2.08 Mx=-0.02 Mz=1.26
Sollecitazioni agenti localmente: Ty_l=-1328.76 Mx_l=-26.58
Tensioni nella sezione: σ=322.12 τ=40.27
CC 27 SLV (Collegamento 0021_-378)
Azioni sul collegamento: N=-7308.17 Ty=2.97 Tz=-2.08 Mx=-0.02 Mz=-2.33
Sollecitazioni agenti localmente: Ty_l=-1328.76 Mx_l=-26.58
Tensioni nella sezione: σ=322.12 τ=40.27
CC 27 SLV (Collegamento 0021_-378)
Azioni sul collegamento: N=-5739.78 Ty=1.68 Tz=3.37 Mx=-0.02 Mz=1.26
Sollecitazioni agenti localmente: Ty_l=-1043.60 Mx_l=-20.87
Tensioni nella sezione: σ=252.99 τ=31.62
CC 27 SLV (Collegamento 0021_-378)
Azioni sul collegamento: N=-5739.78 Ty=2.97 Tz=3.37 Mx=-0.02 Mz=-2.33
Sollecitazioni agenti localmente: Ty_l=-1043.60 Mx_l=-20.87
Tensioni nella sezione: σ=252.99 τ=31.62
CC 27 SLV (Collegamento 0021_-378)
Azioni sul collegamento: N=-5739.78 Ty=1.68 Tz=-2.08 Mx=-0.02 Mz=1.26
Sollecitazioni agenti localmente: Ty_l=-1043.60 Mx_l=-20.87
Tensioni nella sezione: σ=252.99 τ=31.62
CC 27 SLV (Collegamento 0021_-378)
Azioni sul collegamento: N=-5739.78 Ty=2.97 Tz=-2.08 Mx=-0.02 Mz=-2.33
Sollecitazioni agenti localmente: Ty_l=-1043.60 Mx_l=-20.87
Tensioni nella sezione: σ=252.99 τ=31.62
CC 28 SLD (Collegamento 0021_-378)
Azioni sul collegamento: N=-6795.56 Ty=3.37 Tz=1.60 Mx=-0.01 Mz=2.09
Sollecitazioni agenti localmente: Ty_l=-1235.56 Mx_l=-24.71
Tensioni nella sezione: σ=299.53 τ=37.44
CC 28 SLD (Collegamento 0021_-378)
Azioni sul collegamento: N=-6795.56 Ty=2.98 Tz=1.60 Mx=-0.01 Mz=1.00
Sollecitazioni agenti localmente: Ty_l=-1235.56 Mx_l=-24.71
Tensioni nella sezione: σ=299.53 τ=37.44
CC 28 SLD (Collegamento 0021_-378)
Azioni sul collegamento: N=-6795.56 Ty=3.37 Tz=-0.06 Mx=-0.01 Mz=2.09
Sollecitazioni agenti localmente: Ty_l=-1235.56 Mx_l=-24.71
Tensioni nella sezione: σ=299.53 τ=37.44
CC 28 SLD (Collegamento 0021_-378)
Azioni sul collegamento: N=-6795.56 Ty=2.98 Tz=-0.06 Mx=-0.01 Mz=1.00
Sollecitazioni agenti localmente: Ty_l=-1235.56 Mx_l=-24.71
Tensioni nella sezione: σ=299.53 τ=37.44
CC 28 SLD (Collegamento 0021_-378)
Azioni sul collegamento: N=-6317.30 Ty=3.37 Tz=1.60 Mx=-0.01 Mz=2.09
Sollecitazioni agenti localmente: Ty_l=-1148.60 Mx_l=-22.97
Tensioni nella sezione: σ=278.45 τ=34.81
CC 28 SLD (Collegamento 0021_-378)
Azioni sul collegamento: N=-6317.30 Ty=2.98 Tz=1.60 Mx=-0.01 Mz=1.00
Sollecitazioni agenti localmente: Ty_l=-1148.60 Mx_l=-22.97
Tensioni nella sezione: σ=278.45 τ=34.81
CC 28 SLD (Collegamento 0021_-378)
Azioni sul collegamento: N=-6317.30 Ty=3.37 Tz=-0.06 Mx=-0.01 Mz=2.09
Sollecitazioni agenti localmente: Ty_l=-1148.60 Mx_l=-22.97
Tensioni nella sezione: σ=278.45 τ=34.81
CC 28 SLD (Collegamento 0021_-378)
Azioni sul collegamento: N=-6317.30 Ty=2.98 Tz=-0.06 Mx=-0.01 Mz=1.00
Sollecitazioni agenti localmente: Ty_l=-1148.60 Mx_l=-22.97
Tensioni nella sezione: σ=278.45 τ=34.81
CC 29 SLV (Collegamento 0021_-378)
Azioni sul collegamento: N=-5739.78 Ty=2.97 Tz=-2.08 Mx=-0.01 Mz=-2.33
Sollecitazioni agenti localmente: Ty_l=-1043.60 Mx_l=-20.87
Tensioni nella sezione: σ=252.99 τ=31.62
CC 29 SLV (Collegamento 0021_-378)
Azioni sul collegamento: N=-5739.78 Ty=1.68 Tz=-2.08 Mx=-0.01 Mz=1.26
Sollecitazioni agenti localmente: Ty_l=-1043.60 Mx_l=-20.87
Tensioni nella sezione: σ=252.99 τ=31.62
CC 29 SLV (Collegamento 0021_-378)
Azioni sul collegamento: N=-5739.78 Ty=2.97 Tz=3.37 Mx=-0.01 Mz=-2.33
Sollecitazioni agenti localmente: Ty_l=-1043.60 Mx_l=-20.87
Tensioni nella sezione: σ=252.99 τ=31.62
CC 29 SLV (Collegamento 0021_-378)
Azioni sul collegamento: N=-5739.78 Ty=1.68 Tz=3.37 Mx=-0.01 Mz=1.26
Sollecitazioni agenti localmente: Ty_l=-1043.60 Mx_l=-20.87
Tensioni nella sezione: σ=252.99 τ=31.62
CC 29 SLV (Collegamento 0021_-378)
Azioni sul collegamento: N=-7308.17 Ty=2.97 Tz=-2.08 Mx=-0.01 Mz=-2.33
Sollecitazioni agenti localmente: Ty_l=-1328.76 Mx_l=-26.58
Tensioni nella sezione: σ=322.12 τ=40.27
CC 29 SLV (Collegamento 0021_-378)

Azioni sul collegamento: N=-7308.17 Ty=1.68 Tz=-2.08 Mx=-0.01 Mz=1.26
Sollecitazioni agenti localmente: Ty_l=-1328.76 Mx_l=-26.58
Tensioni nella sezione: σ=322.12 τ=40.27
CC 29 SLV (Collegamento 0021_-378)
Azioni sul collegamento: N=-7308.17 Ty=2.97 Tz=3.37 Mx=-0.01 Mz=-2.33
Sollecitazioni agenti localmente: Ty_l=-1328.76 Mx_l=-26.58
Tensioni nella sezione: σ=322.12 τ=40.27
CC 29 SLV (Collegamento 0021_-378)
Azioni sul collegamento: N=-7308.17 Ty=1.68 Tz=3.37 Mx=-0.01 Mz=1.26
Sollecitazioni agenti localmente: Ty_l=-1328.76 Mx_l=-26.58
Tensioni nella sezione: σ=322.12 τ=40.27
CC 30 SLD (Collegamento 0021_-378)
Azioni sul collegamento: N=-6317.30 Ty=2.98 Tz=-0.06 Mx=-0.01 Mz=1.00
Sollecitazioni agenti localmente: Ty_l=-1148.60 Mx_l=-22.97
Tensioni nella sezione: σ=278.45 τ=34.81
CC 30 SLD (Collegamento 0021_-378)
Azioni sul collegamento: N=-6317.30 Ty=3.37 Tz=-0.06 Mx=-0.01 Mz=2.09
Sollecitazioni agenti localmente: Ty_l=-1148.60 Mx_l=-22.97
Tensioni nella sezione: σ=278.45 τ=34.81
CC 30 SLD (Collegamento 0021_-378)
Azioni sul collegamento: N=-6317.30 Ty=2.98 Tz=1.60 Mx=-0.01 Mz=1.00
Sollecitazioni agenti localmente: Ty_l=-1148.60 Mx_l=-22.97
Tensioni nella sezione: σ=278.45 τ=34.81
CC 30 SLD (Collegamento 0021_-378)
Azioni sul collegamento: N=-6317.30 Ty=3.37 Tz=1.60 Mx=-0.01 Mz=2.09
Sollecitazioni agenti localmente: Ty_l=-1148.60 Mx_l=-22.97
Tensioni nella sezione: σ=278.45 τ=34.81
CC 30 SLD (Collegamento 0021_-378)
Azioni sul collegamento: N=-6795.56 Ty=2.98 Tz=-0.06 Mx=-0.01 Mz=1.00
Sollecitazioni agenti localmente: Ty_l=-1235.56 Mx_l=-24.71
Tensioni nella sezione: σ=299.53 τ=37.44
CC 30 SLD (Collegamento 0021_-378)
Azioni sul collegamento: N=-6795.56 Ty=3.37 Tz=-0.06 Mx=-0.01 Mz=2.09
Sollecitazioni agenti localmente: Ty_l=-1235.56 Mx_l=-24.71
Tensioni nella sezione: σ=299.53 τ=37.44
CC 30 SLD (Collegamento 0021_-378)
Azioni sul collegamento: N=-6795.56 Ty=2.98 Tz=1.60 Mx=-0.01 Mz=1.00
Sollecitazioni agenti localmente: Ty_l=-1235.56 Mx_l=-24.71
Tensioni nella sezione: σ=299.53 τ=37.44
CC 30 SLD (Collegamento 0021_-378)
Azioni sul collegamento: N=-6795.56 Ty=3.37 Tz=1.60 Mx=-0.01 Mz=2.09
Sollecitazioni agenti localmente: Ty_l=-1235.56 Mx_l=-24.71
Tensioni nella sezione: σ=299.53 τ=37.44
CC 31 SLV (Collegamento 0021_-378)
Azioni sul collegamento: N=-7327.12 Ty=3.80 Tz=3.80 Mx=-0.01 Mz=-2.93
Sollecitazioni agenti localmente: Ty_l=-1332.20 Mx_l=-26.64
Tensioni nella sezione: σ=322.96 τ=40.37
CC 31 SLV (Collegamento 0021_-378)
Azioni sul collegamento: N=-7327.12 Ty=0.86 Tz=3.80 Mx=-0.01 Mz=1.85
Sollecitazioni agenti localmente: Ty_l=-1332.20 Mx_l=-26.64
Tensioni nella sezione: σ=322.96 τ=40.37
CC 31 SLV (Collegamento 0021_-378)
Azioni sul collegamento: N=-7327.12 Ty=3.80 Tz=-2.51 Mx=-0.01 Mz=-2.93
Sollecitazioni agenti localmente: Ty_l=-1332.20 Mx_l=-26.64
Tensioni nella sezione: σ=322.96 τ=40.37
CC 31 SLV (Collegamento 0021_-378)
Azioni sul collegamento: N=-7327.12 Ty=0.86 Tz=-2.51 Mx=-0.01 Mz=1.85
Sollecitazioni agenti localmente: Ty_l=-1332.20 Mx_l=-26.64
Tensioni nella sezione: σ=322.96 τ=40.37
CC 31 SLV (Collegamento 0021_-378)
Azioni sul collegamento: N=-5720.83 Ty=3.80 Tz=3.80 Mx=-0.01 Mz=-2.93
Sollecitazioni agenti localmente: Ty_l=-1040.15 Mx_l=-20.80
Tensioni nella sezione: σ=252.16 τ=31.52
CC 31 SLV (Collegamento 0021_-378)
Azioni sul collegamento: N=-5720.83 Ty=0.86 Tz=3.80 Mx=-0.01 Mz=1.85
Sollecitazioni agenti localmente: Ty_l=-1040.15 Mx_l=-20.80
Tensioni nella sezione: σ=252.16 τ=31.52
CC 31 SLV (Collegamento 0021_-378)
Azioni sul collegamento: N=-5720.83 Ty=3.80 Tz=-2.51 Mx=-0.01 Mz=-2.93
Sollecitazioni agenti localmente: Ty_l=-1040.15 Mx_l=-20.80
Tensioni nella sezione: σ=252.16 τ=31.52
CC 31 SLV (Collegamento 0021_-378)
Azioni sul collegamento: N=-5720.83 Ty=0.86 Tz=-2.51 Mx=-0.01 Mz=1.85
Sollecitazioni agenti localmente: Ty_l=-1040.15 Mx_l=-20.80
Tensioni nella sezione: σ=252.16 τ=31.52
CC 32 SLD (Collegamento 0021_-378)
Azioni sul collegamento: N=-6801.33 Ty=2.73 Tz=1.73 Mx=-0.01 Mz=0.81
Sollecitazioni agenti localmente: Ty_l=-1236.61 Mx_l=-24.73
Tensioni nella sezione: σ=299.78 τ=37.47
CC 32 SLD (Collegamento 0021_-378)

Azioni sul collegamento: N=-6801.33 Ty=3.62 Tz=1.73 Mx=-0.01 Mz=2.27
Sollecitazioni agenti localmente: Ty_l=-1236.61 Mx_l=-24.73
Tensioni nella sezione: σ=299.78 τ=37.47
CC 32 SLD (Collegamento 0021_-378)
Azioni sul collegamento: N=-6801.33 Ty=2.73 Tz=-0.19 Mx=-0.01 Mz=0.81
Sollecitazioni agenti localmente: Ty_l=-1236.61 Mx_l=-24.73
Tensioni nella sezione: σ=299.78 τ=37.47
CC 32 SLD (Collegamento 0021_-378)
Azioni sul collegamento: N=-6801.33 Ty=3.62 Tz=-0.19 Mx=-0.01 Mz=2.27
Sollecitazioni agenti localmente: Ty_l=-1236.61 Mx_l=-24.73
Tensioni nella sezione: σ=299.78 τ=37.47
CC 32 SLD (Collegamento 0021_-378)
Azioni sul collegamento: N=-6311.53 Ty=2.73 Tz=1.73 Mx=-0.01 Mz=0.81
Sollecitazioni agenti localmente: Ty_l=-1147.55 Mx_l=-22.95
Tensioni nella sezione: σ=278.19 τ=34.77
CC 32 SLD (Collegamento 0021_-378)
Azioni sul collegamento: N=-6311.53 Ty=3.62 Tz=1.73 Mx=-0.01 Mz=2.27
Sollecitazioni agenti localmente: Ty_l=-1147.55 Mx_l=-22.95
Tensioni nella sezione: σ=278.19 τ=34.77
CC 32 SLD (Collegamento 0021_-378)
Azioni sul collegamento: N=-6311.53 Ty=2.73 Tz=-0.19 Mx=-0.01 Mz=0.81
Sollecitazioni agenti localmente: Ty_l=-1147.55 Mx_l=-22.95
Tensioni nella sezione: σ=278.19 τ=34.77
CC 32 SLD (Collegamento 0021_-378)
Azioni sul collegamento: N=-6311.53 Ty=3.62 Tz=-0.19 Mx=-0.01 Mz=2.27
Sollecitazioni agenti localmente: Ty_l=-1147.55 Mx_l=-22.95
Tensioni nella sezione: σ=278.19 τ=34.77
CC 33 SLU (Collegamento 0021_-378)
Azioni sul collegamento: N=-30888.30 Ty=5.44 Tz=82.02 Mx=-0.01 Mz=3.71
Sollecitazioni agenti localmente: Ty_l=-5616.05 Mx_l=-112.32
Tensioni nella sezione: σ=1361.46 τ=170.18
CC 34 SLU (Collegamento 0021_-378)
Azioni sul collegamento: N=-30337.70 Ty=5.16 Tz=79.98 Mx=-0.01 Mz=3.50
Sollecitazioni agenti localmente: Ty_l=-5515.96 Mx_l=-110.32
Tensioni nella sezione: σ=1337.20 τ=167.15
CC 35 SLU (Collegamento 0021_-378)
Azioni sul collegamento: N=-30612.00 Ty=5.19 Tz=81.02 Mx=-0.01 Mz=3.39
Sollecitazioni agenti localmente: Ty_l=-5565.82 Mx_l=-111.32
Tensioni nella sezione: σ=1349.29 τ=168.66
CC 36 SLU (Collegamento 0021_-378)
Azioni sul collegamento: N=-30614.00 Ty=5.41 Tz=80.97 Mx=-0.01 Mz=3.82
Sollecitazioni agenti localmente: Ty_l=-5566.18 Mx_l=-111.32
Tensioni nella sezione: σ=1349.37 τ=168.67
CC 37 SLU (Collegamento 0021_-378)
Azioni sul collegamento: N=-21597.10 Ty=6.32 Tz=47.86 Mx=-0.01 Mz=4.34
Sollecitazioni agenti localmente: Ty_l=-3926.75 Mx_l=-78.53
Tensioni nella sezione: σ=951.94 τ=118.99
CC 38 SLU (Collegamento 0021_-378)
Azioni sul collegamento: N=-21046.60 Ty=6.03 Tz=45.82 Mx=-0.01 Mz=4.13
Sollecitazioni agenti localmente: Ty_l=-3826.65 Mx_l=-76.53
Tensioni nella sezione: σ=927.67 τ=115.96
CC 39 SLU (Collegamento 0021_-378)
Azioni sul collegamento: N=-21320.90 Ty=6.07 Tz=46.87 Mx=-0.01 Mz=4.02
Sollecitazioni agenti localmente: Ty_l=-3876.52 Mx_l=-77.53
Tensioni nella sezione: σ=939.76 τ=117.47
CC 40 SLU (Collegamento 0021_-378)
Azioni sul collegamento: N=-21322.80 Ty=6.29 Tz=46.82 Mx=-0.01 Mz=4.45
Sollecitazioni agenti localmente: Ty_l=-3876.88 Mx_l=-77.54
Tensioni nella sezione: σ=939.85 τ=117.48
CC 41 SLU (Collegamento 0021_-378)
Azioni sul collegamento: N=-32817.40 Ty=5.33 Tz=88.46 Mx=0.00 Mz=3.76
Sollecitazioni agenti localmente: Ty_l=-5966.80 Mx_l=-119.34
Tensioni nella sezione: σ=1446.49 τ=180.81
CC 42 SLU (Collegamento 0021_-378)
Azioni sul collegamento: N=-32266.90 Ty=5.04 Tz=86.42 Mx=0.00 Mz=3.56
Sollecitazioni agenti localmente: Ty_l=-5866.70 Mx_l=-117.33
Tensioni nella sezione: σ=1422.23 τ=177.78
CC 43 SLU (Collegamento 0021_-378)
Azioni sul collegamento: N=-32541.20 Ty=5.08 Tz=87.47 Mx=0.00 Mz=3.44
Sollecitazioni agenti localmente: Ty_l=-5916.58 Mx_l=-118.33
Tensioni nella sezione: σ=1434.32 τ=179.29
CC 44 SLU (Collegamento 0021_-378)
Azioni sul collegamento: N=-32543.10 Ty=5.30 Tz=87.42 Mx=0.00 Mz=3.88
Sollecitazioni agenti localmente: Ty_l=-5916.93 Mx_l=-118.34
Tensioni nella sezione: σ=1434.40 τ=179.30
CC 45 SLU (Collegamento 0021_-378)
Azioni sul collegamento: N=-23689.50 Ty=6.01 Tz=55.60 Mx=-0.01 Mz=4.17
Sollecitazioni agenti localmente: Ty_l=-4307.18 Mx_l=-86.14
Tensioni nella sezione: σ=1044.16 τ=130.52
CC 46 SLU (Collegamento 0021_-378)

Azioni sul collegamento: N=-23139.00 Ty=5.73 Tz=53.57 Mx=-0.01 Mz=3.96
Sollecitazioni agenti localmente: Ty_l=-4207.09 Mx_l=-84.14
Tensioni nella sezione: σ=1019.90 τ=127.49
CC 47 SLU (Collegamento 0021_-378)
Azioni sul collegamento: N=-23413.30 Ty=5.76 Tz=54.61 Mx=-0.01 Mz=3.84
Sollecitazioni agenti localmente: Ty_l=-4256.95 Mx_l=-85.14
Tensioni nella sezione: σ=1031.99 τ=129.00
CC 48 SLU (Collegamento 0021_-378)
Azioni sul collegamento: N=-23415.20 Ty=5.98 Tz=54.56 Mx=-0.01 Mz=4.28
Sollecitazioni agenti localmente: Ty_l=-4257.31 Mx_l=-85.15
Tensioni nella sezione: σ=1032.07 τ=129.01
CC 49 SLU (Collegamento 0021_-378)
Azioni sul collegamento: N=-16738.30 Ty=6.67 Tz=30.05 Mx=-0.01 Mz=4.64
Sollecitazioni agenti localmente: Ty_l=-3043.33 Mx_l=-60.87
Tensioni nella sezione: σ=737.78 τ=92.22
CC 50 SLU (Collegamento 0021_-378)
Azioni sul collegamento: N=-16187.80 Ty=6.38 Tz=28.01 Mx=-0.01 Mz=4.43
Sollecitazioni agenti localmente: Ty_l=-2943.24 Mx_l=-58.86
Tensioni nella sezione: σ=713.51 τ=89.19
CC 51 SLU (Collegamento 0021_-378)
Azioni sul collegamento: N=-16462.10 Ty=6.42 Tz=29.05 Mx=-0.01 Mz=4.32
Sollecitazioni agenti localmente: Ty_l=-2993.11 Mx_l=-59.86
Tensioni nella sezione: σ=725.60 τ=90.70
CC 52 SLU (Collegamento 0021_-378)
Azioni sul collegamento: N=-16464.00 Ty=6.64 Tz=29.01 Mx=-0.01 Mz=4.75
Sollecitazioni agenti localmente: Ty_l=-2993.46 Mx_l=-59.87
Tensioni nella sezione: σ=725.69 τ=90.71
CC 53 SLU (Collegamento 0021_-378)
Azioni sul collegamento: N=-25132.80 Ty=5.93 Tz=60.42 Mx=-0.00 Mz=4.21
Sollecitazioni agenti localmente: Ty_l=-4569.59 Mx_l=-91.39
Tensioni nella sezione: σ=1107.78 τ=138.47
CC 54 SLU (Collegamento 0021_-378)
Azioni sul collegamento: N=-24582.20 Ty=5.64 Tz=58.39 Mx=-0.00 Mz=4.00
Sollecitazioni agenti localmente: Ty_l=-4469.50 Mx_l=-89.39
Tensioni nella sezione: σ=1083.51 τ=135.44
CC 55 SLU (Collegamento 0021_-378)
Azioni sul collegamento: N=-24856.50 Ty=5.68 Tz=59.43 Mx=0.00 Mz=3.89
Sollecitazioni agenti localmente: Ty_l=-4519.37 Mx_l=-90.39
Tensioni nella sezione: σ=1095.60 τ=136.95
CC 56 SLU (Collegamento 0021_-378)
Azioni sul collegamento: N=-24858.50 Ty=5.89 Tz=59.38 Mx=-0.00 Mz=4.32
Sollecitazioni agenti localmente: Ty_l=-4519.73 Mx_l=-90.39
Tensioni nella sezione: σ=1095.69 τ=136.96
CC 57 SLU (Collegamento 0021_-378)
Azioni sul collegamento: N=-22071.60 Ty=5.40 Tz=49.65 Mx=-0.01 Mz=3.73
Sollecitazioni agenti localmente: Ty_l=-4013.02 Mx_l=-80.26
Tensioni nella sezione: σ=972.85 τ=121.61
CC 58 SLU (Collegamento 0021_-378)
Azioni sul collegamento: N=-21521.10 Ty=5.11 Tz=47.61 Mx=-0.01 Mz=3.53
Sollecitazioni agenti localmente: Ty_l=-3912.92 Mx_l=-78.26
Tensioni nella sezione: σ=948.59 τ=118.57
CC 59 SLU (Collegamento 0021_-378)
Azioni sul collegamento: N=-21795.30 Ty=5.15 Tz=48.65 Mx=-0.01 Mz=3.41
Sollecitazioni agenti localmente: Ty_l=-3962.79 Mx_l=-79.26
Tensioni nella sezione: σ=960.67 τ=120.08
CC 60 SLU (Collegamento 0021_-378)
Azioni sul collegamento: N=-21797.30 Ty=5.37 Tz=48.60 Mx=-0.01 Mz=3.85
Sollecitazioni agenti localmente: Ty_l=-3963.15 Mx_l=-79.26
Tensioni nella sezione: σ=960.76 τ=120.09
CC 61 SLU (Collegamento 0021_-378)
Azioni sul collegamento: N=-15120.40 Ty=6.06 Tz=24.09 Mx=-0.01 Mz=4.21
Sollecitazioni agenti localmente: Ty_l=-2749.17 Mx_l=-54.98
Tensioni nella sezione: σ=666.46 τ=83.31
CC 62 SLU (Collegamento 0021_-378)
Azioni sul collegamento: N=-14569.90 Ty=5.77 Tz=22.06 Mx=-0.01 Mz=4.00
Sollecitazioni agenti localmente: Ty_l=-2649.07 Mx_l=-52.98
Tensioni nella sezione: σ=642.20 τ=80.27
CC 63 SLU (Collegamento 0021_-378)
Azioni sul collegamento: N=-14844.20 Ty=5.80 Tz=23.10 Mx=-0.01 Mz=3.88
Sollecitazioni agenti localmente: Ty_l=-2698.94 Mx_l=-53.98
Tensioni nella sezione: σ=654.29 τ=81.79
CC 64 SLU (Collegamento 0021_-378)
Azioni sul collegamento: N=-14846.10 Ty=6.02 Tz=23.05 Mx=-0.01 Mz=4.32
Sollecitazioni agenti localmente: Ty_l=-2699.30 Mx_l=-53.99
Tensioni nella sezione: σ=654.37 τ=81.80
CC 65 SLU (Collegamento 0021_-378)
Azioni sul collegamento: N=-23514.90 Ty=5.31 Tz=54.47 Mx=0.00 Mz=3.77
Sollecitazioni agenti localmente: Ty_l=-4275.43 Mx_l=-85.51
Tensioni nella sezione: σ=1036.47 τ=129.56
CC 66 SLU (Collegamento 0021_-378)

Azioni sul collegamento: N=-22964.30 Ty=5.03 Tz=52.43 Mx=0.00 Mz=3.57
Sollecitazioni agenti localmente: Ty_l=-4175.33 Mx_l=-83.51
Tensioni nella sezione: σ=1012.20 τ=126.53
CC 67 SLU (Collegamento 0021_-378)
Azioni sul collegamento: N=-23238.60 Ty=5.06 Tz=53.47 Mx=0.00 Mz=3.45
Sollecitazioni agenti localmente: Ty_l=-4225.20 Mx_l=-84.50
Tensioni nella sezione: σ=1024.29 τ=128.04
CC 68 SLU (Collegamento 0021_-378)
Azioni sul collegamento: N=-23240.60 Ty=5.28 Tz=53.43 Mx=-0.00 Mz=3.89
Sollecitazioni agenti localmente: Ty_l=-4225.56 Mx_l=-84.51
Tensioni nella sezione: σ=1024.38 τ=128.05
CC 97 SLU (Collegamento 0021_-378)
Azioni sul collegamento: N=-18052.20 Ty=-0.34 Tz=43.06 Mx=-0.05 Mz=-8.83
Sollecitazioni agenti localmente: Ty_l=-3282.21 Mx_l=-65.64
Tensioni nella sezione: σ=795.69 τ=99.46
CC 98 SLU (Collegamento 0021_-378)
Azioni sul collegamento: N=-17501.60 Ty=-0.63 Tz=41.02 Mx=-0.05 Mz=-9.04
Sollecitazioni agenti localmente: Ty_l=-3182.12 Mx_l=-63.64
Tensioni nella sezione: σ=771.42 τ=96.43
CC 99 SLU (Collegamento 0021_-378)
Azioni sul collegamento: N=-17775.90 Ty=-0.60 Tz=42.06 Mx=-0.05 Mz=-9.15
Sollecitazioni agenti localmente: Ty_l=-3231.98 Mx_l=-64.64
Tensioni nella sezione: σ=783.51 τ=97.94
CC 100 SLU (Collegamento 0021_-378)
Azioni sul collegamento: N=-17777.90 Ty=-0.38 Tz=42.01 Mx=-0.05 Mz=-8.71
Sollecitazioni agenti localmente: Ty_l=-3232.34 Mx_l=-64.65
Tensioni nella sezione: σ=783.60 τ=97.95
CC 101 SLU (Collegamento 0021_-378)
Azioni sul collegamento: N=-7136.43 Ty=4.37 Tz=2.96 Mx=0.00 Mz=3.85
Sollecitazioni agenti localmente: Ty_l=-1297.53 Mx_l=-25.95
Tensioni nella sezione: σ=314.55 τ=39.32
CC 102 SLU (Collegamento 0021_-378)
Azioni sul collegamento: N=-6585.90 Ty=4.08 Tz=0.92 Mx=0.00 Mz=3.64
Sollecitazioni agenti localmente: Ty_l=-1197.44 Mx_l=-23.95
Tensioni nella sezione: σ=290.29 τ=36.29
CC 103 SLU (Collegamento 0021_-378)
Azioni sul collegamento: N=-6860.19 Ty=4.11 Tz=1.96 Mx=0.00 Mz=3.53
Sollecitazioni agenti localmente: Ty_l=-1247.31 Mx_l=-24.95
Tensioni nella sezione: σ=302.38 τ=37.80
CC 104 SLU (Collegamento 0021_-378)
Azioni sul collegamento: N=-6862.15 Ty=4.33 Tz=1.92 Mx=0.00 Mz=3.96
Sollecitazioni agenti localmente: Ty_l=-1247.66 Mx_l=-24.95
Tensioni nella sezione: σ=302.46 τ=37.81

Flessione attacco inferiore piastra

Bnetta=220.00 Hnetta=15.00
CC 1 SLV (Collegamento 0021_-378)
Azioni sul collegamento: N=-3968.96 Ty=6.45 Tz=-8.85 Mx=0.01 Mz=7.08
Sollecitazioni agenti localmente: Ty_l=-721.63 Mx_l=-14.43
Tensioni nella sezione: σ=174.94 τ=21.87
CC 1 SLV (Collegamento 0021_-378)
Azioni sul collegamento: N=-3968.96 Ty=3.07 Tz=-8.85 Mx=0.01 Mz=3.83
Sollecitazioni agenti localmente: Ty_l=-721.63 Mx_l=-14.43
Tensioni nella sezione: σ=174.94 τ=21.87
CC 1 SLV (Collegamento 0021_-378)
Azioni sul collegamento: N=-3968.96 Ty=6.45 Tz=10.87 Mx=0.01 Mz=7.08
Sollecitazioni agenti localmente: Ty_l=-721.63 Mx_l=-14.43
Tensioni nella sezione: σ=174.94 τ=21.87
CC 1 SLV (Collegamento 0021_-378)
Azioni sul collegamento: N=-3968.96 Ty=3.07 Tz=10.87 Mx=0.01 Mz=3.83
Sollecitazioni agenti localmente: Ty_l=-721.63 Mx_l=-14.43
Tensioni nella sezione: σ=174.94 τ=21.87
CC 1 SLV (Collegamento 0021_-378)
Azioni sul collegamento: N=-9265.76 Ty=6.45 Tz=-8.85 Mx=0.01 Mz=7.08
Sollecitazioni agenti localmente: Ty_l=-1684.68 Mx_l=-33.69
Tensioni nella sezione: σ=408.41 τ=51.05
CC 1 SLV (Collegamento 0021_-378)
Azioni sul collegamento: N=-9265.76 Ty=3.07 Tz=-8.85 Mx=0.01 Mz=3.83
Sollecitazioni agenti localmente: Ty_l=-1684.68 Mx_l=-33.69
Tensioni nella sezione: σ=408.41 τ=51.05
CC 1 SLV (Collegamento 0021_-378)
Azioni sul collegamento: N=-9265.76 Ty=6.45 Tz=10.87 Mx=0.01 Mz=7.08
Sollecitazioni agenti localmente: Ty_l=-1684.68 Mx_l=-33.69
Tensioni nella sezione: σ=408.41 τ=51.05
CC 1 SLV (Collegamento 0021_-378)
Azioni sul collegamento: N=-9265.76 Ty=3.07 Tz=10.87 Mx=0.01 Mz=3.83
Sollecitazioni agenti localmente: Ty_l=-1684.68 Mx_l=-33.69
Tensioni nella sezione: σ=408.41 τ=51.05
CC 2 SLD (Collegamento 0021_-378)
Azioni sul collegamento: N=-5777.33 Ty=4.43 Tz=-2.12 Mx=0.00 Mz=3.87

Sollecitazioni agenti localmente: Ty_l=-1050.42 Mx_l=-21.01
Tensioni nella sezione: σ=254.65 τ=31.83
CC 2 SLD (Collegamento 0021_-378)
Azioni sul collegamento: N=-5777.33 Ty=3.40 Tz=-2.12 Mx=0.00 Mz=2.88
Sollecitazioni agenti localmente: Ty_l=-1050.42 Mx_l=-21.01
Tensioni nella sezione: σ=254.65 τ=31.83
CC 2 SLD (Collegamento 0021_-378)
Azioni sul collegamento: N=-5777.32 Ty=4.43 Tz=3.89 Mx=0.00 Mz=3.87
Sollecitazioni agenti localmente: Ty_l=-1050.42 Mx_l=-21.01
Tensioni nella sezione: σ=254.65 τ=31.83
CC 2 SLD (Collegamento 0021_-378)
Azioni sul collegamento: N=-5777.32 Ty=3.40 Tz=3.89 Mx=0.00 Mz=2.88
Sollecitazioni agenti localmente: Ty_l=-1050.42 Mx_l=-21.01
Tensioni nella sezione: σ=254.65 τ=31.83
CC 2 SLD (Collegamento 0021_-378)
Azioni sul collegamento: N=-7392.49 Ty=4.43 Tz=-2.12 Mx=0.00 Mz=3.87
Sollecitazioni agenti localmente: Ty_l=-1344.09 Mx_l=-26.88
Tensioni nella sezione: σ=325.84 τ=40.73
CC 2 SLD (Collegamento 0021_-378)
Azioni sul collegamento: N=-7392.49 Ty=3.40 Tz=-2.12 Mx=0.00 Mz=2.88
Sollecitazioni agenti localmente: Ty_l=-1344.09 Mx_l=-26.88
Tensioni nella sezione: σ=325.84 τ=40.73
CC 2 SLD (Collegamento 0021_-378)
Azioni sul collegamento: N=-7392.49 Ty=4.43 Tz=3.89 Mx=0.00 Mz=3.87
Sollecitazioni agenti localmente: Ty_l=-1344.09 Mx_l=-26.88
Tensioni nella sezione: σ=325.84 τ=40.73
CC 2 SLD (Collegamento 0021_-378)
Azioni sul collegamento: N=-7392.49 Ty=3.40 Tz=3.89 Mx=0.00 Mz=2.88
Sollecitazioni agenti localmente: Ty_l=-1344.09 Mx_l=-26.88
Tensioni nella sezione: σ=325.84 τ=40.73
CC 3 SLV (Collegamento 0021_-378)
Azioni sul collegamento: N=-3974.64 Ty=5.81 Tz=-8.72 Mx=0.01 Mz=5.82
Sollecitazioni agenti localmente: Ty_l=-722.66 Mx_l=-14.45
Tensioni nella sezione: σ=175.19 τ=21.90
CC 3 SLV (Collegamento 0021_-378)
Azioni sul collegamento: N=-3974.64 Ty=3.70 Tz=-8.72 Mx=0.01 Mz=5.08
Sollecitazioni agenti localmente: Ty_l=-722.66 Mx_l=-14.45
Tensioni nella sezione: σ=175.19 τ=21.90
CC 3 SLV (Collegamento 0021_-378)
Azioni sul collegamento: N=-3974.64 Ty=5.81 Tz=10.74 Mx=0.01 Mz=5.82
Sollecitazioni agenti localmente: Ty_l=-722.66 Mx_l=-14.45
Tensioni nella sezione: σ=175.19 τ=21.90
CC 3 SLV (Collegamento 0021_-378)
Azioni sul collegamento: N=-3974.64 Ty=3.70 Tz=10.74 Mx=0.01 Mz=5.08
Sollecitazioni agenti localmente: Ty_l=-722.66 Mx_l=-14.45
Tensioni nella sezione: σ=175.19 τ=21.90
CC 3 SLV (Collegamento 0021_-378)
Azioni sul collegamento: N=-9260.08 Ty=5.81 Tz=-8.72 Mx=0.01 Mz=5.82
Sollecitazioni agenti localmente: Ty_l=-1683.65 Mx_l=-33.67
Tensioni nella sezione: σ=408.16 τ=51.02
CC 3 SLV (Collegamento 0021_-378)
Azioni sul collegamento: N=-9260.08 Ty=3.70 Tz=-8.72 Mx=0.01 Mz=5.08
Sollecitazioni agenti localmente: Ty_l=-1683.65 Mx_l=-33.67
Tensioni nella sezione: σ=408.16 τ=51.02
CC 3 SLV (Collegamento 0021_-378)
Azioni sul collegamento: N=-9260.08 Ty=5.81 Tz=10.74 Mx=0.01 Mz=5.82
Sollecitazioni agenti localmente: Ty_l=-1683.65 Mx_l=-33.67
Tensioni nella sezione: σ=408.16 τ=51.02
CC 3 SLV (Collegamento 0021_-378)
Azioni sul collegamento: N=-9260.08 Ty=3.70 Tz=10.74 Mx=0.01 Mz=5.08
Sollecitazioni agenti localmente: Ty_l=-1683.65 Mx_l=-33.67
Tensioni nella sezione: σ=408.16 τ=51.02
CC 4 SLD (Collegamento 0021_-378)
Azioni sul collegamento: N=-5779.06 Ty=4.24 Tz=-2.08 Mx=0.00 Mz=3.48
Sollecitazioni agenti localmente: Ty_l=-1050.74 Mx_l=-21.01
Tensioni nella sezione: σ=254.72 τ=31.84
CC 4 SLD (Collegamento 0021_-378)
Azioni sul collegamento: N=-5779.06 Ty=3.59 Tz=-2.08 Mx=0.00 Mz=3.26
Sollecitazioni agenti localmente: Ty_l=-1050.74 Mx_l=-21.01
Tensioni nella sezione: σ=254.72 τ=31.84
CC 4 SLD (Collegamento 0021_-378)
Azioni sul collegamento: N=-5779.06 Ty=4.24 Tz=3.85 Mx=0.00 Mz=3.48
Sollecitazioni agenti localmente: Ty_l=-1050.74 Mx_l=-21.01
Tensioni nella sezione: σ=254.72 τ=31.84
CC 4 SLD (Collegamento 0021_-378)
Azioni sul collegamento: N=-5779.06 Ty=3.59 Tz=3.85 Mx=0.00 Mz=3.26
Sollecitazioni agenti localmente: Ty_l=-1050.74 Mx_l=-21.01
Tensioni nella sezione: σ=254.72 τ=31.84
CC 4 SLD (Collegamento 0021_-378)
Azioni sul collegamento: N=-7390.75 Ty=4.24 Tz=-2.08 Mx=0.00 Mz=3.48

Sollecitazioni agenti localmente: Ty_l=-1343.77 Mx_l=-26.88
Tensioni nella sezione: σ=325.76 τ=40.72
CC 4 SLD (Collegamento 0021_-378)
Azioni sul collegamento: N=-7390.75 Ty=3.59 Tz=-2.08 Mx=0.00 Mz=3.26
Sollecitazioni agenti localmente: Ty_l=-1343.77 Mx_l=-26.88
Tensioni nella sezione: σ=325.76 τ=40.72
CC 4 SLD (Collegamento 0021_-378)
Azioni sul collegamento: N=-7390.75 Ty=4.24 Tz=3.85 Mx=0.00 Mz=3.48
Sollecitazioni agenti localmente: Ty_l=-1343.77 Mx_l=-26.88
Tensioni nella sezione: σ=325.76 τ=40.72
CC 4 SLD (Collegamento 0021_-378)
Azioni sul collegamento: N=-7390.75 Ty=3.59 Tz=3.85 Mx=0.00 Mz=3.26
Sollecitazioni agenti localmente: Ty_l=-1343.77 Mx_l=-26.88
Tensioni nella sezione: σ=325.76 τ=40.72
CC 5 SLV (Collegamento 0021_-378)
Azioni sul collegamento: N=-9260.08 Ty=3.70 Tz=10.74 Mx=0.01 Mz=5.08
Sollecitazioni agenti localmente: Ty_l=-1683.65 Mx_l=-33.67
Tensioni nella sezione: σ=408.16 τ=51.02
CC 5 SLV (Collegamento 0021_-378)
Azioni sul collegamento: N=-9260.08 Ty=5.81 Tz=10.74 Mx=0.01 Mz=5.82
Sollecitazioni agenti localmente: Ty_l=-1683.65 Mx_l=-33.67
Tensioni nella sezione: σ=408.16 τ=51.02
CC 5 SLV (Collegamento 0021_-378)
Azioni sul collegamento: N=-9260.08 Ty=3.70 Tz=-8.72 Mx=0.01 Mz=5.08
Sollecitazioni agenti localmente: Ty_l=-1683.65 Mx_l=-33.67
Tensioni nella sezione: σ=408.16 τ=51.02
CC 5 SLV (Collegamento 0021_-378)
Azioni sul collegamento: N=-9260.08 Ty=5.81 Tz=-8.72 Mx=0.01 Mz=5.82
Sollecitazioni agenti localmente: Ty_l=-1683.65 Mx_l=-33.67
Tensioni nella sezione: σ=408.16 τ=51.02
CC 5 SLV (Collegamento 0021_-378)
Azioni sul collegamento: N=-3974.64 Ty=3.70 Tz=10.74 Mx=0.01 Mz=5.08
Sollecitazioni agenti localmente: Ty_l=-722.66 Mx_l=-14.45
Tensioni nella sezione: σ=175.19 τ=21.90
CC 5 SLV (Collegamento 0021_-378)
Azioni sul collegamento: N=-3974.64 Ty=5.81 Tz=10.74 Mx=0.01 Mz=5.82
Sollecitazioni agenti localmente: Ty_l=-722.66 Mx_l=-14.45
Tensioni nella sezione: σ=175.19 τ=21.90
CC 5 SLV (Collegamento 0021_-378)
Azioni sul collegamento: N=-3974.64 Ty=3.70 Tz=-8.72 Mx=0.01 Mz=5.08
Sollecitazioni agenti localmente: Ty_l=-722.66 Mx_l=-14.45
Tensioni nella sezione: σ=175.19 τ=21.90
CC 5 SLV (Collegamento 0021_-378)
Azioni sul collegamento: N=-3974.64 Ty=5.81 Tz=-8.72 Mx=0.01 Mz=5.82
Sollecitazioni agenti localmente: Ty_l=-722.66 Mx_l=-14.45
Tensioni nella sezione: σ=175.19 τ=21.90
CC 6 SLD (Collegamento 0021_-378)
Azioni sul collegamento: N=-7390.75 Ty=3.59 Tz=3.85 Mx=0.00 Mz=3.26
Sollecitazioni agenti localmente: Ty_l=-1343.77 Mx_l=-26.88
Tensioni nella sezione: σ=325.76 τ=40.72
CC 6 SLD (Collegamento 0021_-378)
Azioni sul collegamento: N=-7390.75 Ty=4.24 Tz=3.85 Mx=0.00 Mz=3.48
Sollecitazioni agenti localmente: Ty_l=-1343.77 Mx_l=-26.88
Tensioni nella sezione: σ=325.76 τ=40.72
CC 6 SLD (Collegamento 0021_-378)
Azioni sul collegamento: N=-7390.75 Ty=3.59 Tz=-2.08 Mx=0.00 Mz=3.26
Sollecitazioni agenti localmente: Ty_l=-1343.77 Mx_l=-26.88
Tensioni nella sezione: σ=325.76 τ=40.72
CC 6 SLD (Collegamento 0021_-378)
Azioni sul collegamento: N=-7390.75 Ty=4.24 Tz=-2.08 Mx=0.00 Mz=3.48
Sollecitazioni agenti localmente: Ty_l=-1343.77 Mx_l=-26.88
Tensioni nella sezione: σ=325.76 τ=40.72
CC 6 SLD (Collegamento 0021_-378)
Azioni sul collegamento: N=-5779.06 Ty=3.59 Tz=3.85 Mx=0.00 Mz=3.26
Sollecitazioni agenti localmente: Ty_l=-1050.74 Mx_l=-21.01
Tensioni nella sezione: σ=254.72 τ=31.84
CC 6 SLD (Collegamento 0021_-378)
Azioni sul collegamento: N=-5779.06 Ty=4.24 Tz=3.85 Mx=0.00 Mz=3.48
Sollecitazioni agenti localmente: Ty_l=-1050.74 Mx_l=-21.01
Tensioni nella sezione: σ=254.72 τ=31.84
CC 6 SLD (Collegamento 0021_-378)
Azioni sul collegamento: N=-5779.06 Ty=3.59 Tz=-2.08 Mx=0.00 Mz=3.26
Sollecitazioni agenti localmente: Ty_l=-1050.74 Mx_l=-21.01
Tensioni nella sezione: σ=254.72 τ=31.84
CC 6 SLD (Collegamento 0021_-378)
Azioni sul collegamento: N=-5779.06 Ty=4.24 Tz=-2.08 Mx=0.00 Mz=3.48
Sollecitazioni agenti localmente: Ty_l=-1050.74 Mx_l=-21.01
Tensioni nella sezione: σ=254.72 τ=31.84
CC 7 SLV (Collegamento 0021_-378)
Azioni sul collegamento: N=-9265.76 Ty=3.07 Tz=10.87 Mx=0.01 Mz=3.83

Sollecitazioni agenti localmente: Ty_l=-1684.68 Mx_l=-33.69
Tensioni nella sezione: σ=408.41 τ=51.05
CC 7 SLV (Collegamento 0021_-378)
Azioni sul collegamento: N=-9265.76 Ty=6.45 Tz=10.87 Mx=0.01 Mz=7.08
Sollecitazioni agenti localmente: Ty_l=-1684.68 Mx_l=-33.69
Tensioni nella sezione: σ=408.41 τ=51.05
CC 7 SLV (Collegamento 0021_-378)
Azioni sul collegamento: N=-9265.76 Ty=3.07 Tz=-8.85 Mx=0.01 Mz=3.83
Sollecitazioni agenti localmente: Ty_l=-1684.68 Mx_l=-33.69
Tensioni nella sezione: σ=408.41 τ=51.05
CC 7 SLV (Collegamento 0021_-378)
Azioni sul collegamento: N=-9265.76 Ty=6.45 Tz=-8.85 Mx=0.01 Mz=7.08
Sollecitazioni agenti localmente: Ty_l=-1684.68 Mx_l=-33.69
Tensioni nella sezione: σ=408.41 τ=51.05
CC 7 SLV (Collegamento 0021_-378)
Azioni sul collegamento: N=-3968.96 Ty=3.07 Tz=10.87 Mx=0.01 Mz=3.83
Sollecitazioni agenti localmente: Ty_l=-721.63 Mx_l=-14.43
Tensioni nella sezione: σ=174.94 τ=21.87
CC 7 SLV (Collegamento 0021_-378)
Azioni sul collegamento: N=-3968.96 Ty=6.45 Tz=10.87 Mx=0.01 Mz=7.08
Sollecitazioni agenti localmente: Ty_l=-721.63 Mx_l=-14.43
Tensioni nella sezione: σ=174.94 τ=21.87
CC 7 SLV (Collegamento 0021_-378)
Azioni sul collegamento: N=-3968.96 Ty=3.07 Tz=-8.85 Mx=0.01 Mz=3.83
Sollecitazioni agenti localmente: Ty_l=-721.63 Mx_l=-14.43
Tensioni nella sezione: σ=174.94 τ=21.87
CC 7 SLV (Collegamento 0021_-378)
Azioni sul collegamento: N=-3968.96 Ty=6.45 Tz=-8.85 Mx=0.01 Mz=7.08
Sollecitazioni agenti localmente: Ty_l=-721.63 Mx_l=-14.43
Tensioni nella sezione: σ=174.94 τ=21.87
CC 8 SLD (Collegamento 0021_-378)
Azioni sul collegamento: N=-7392.49 Ty=3.40 Tz=3.89 Mx=-0.00 Mz=2.88
Sollecitazioni agenti localmente: Ty_l=-1344.09 Mx_l=-26.88
Tensioni nella sezione: σ=325.84 τ=40.73
CC 8 SLD (Collegamento 0021_-378)
Azioni sul collegamento: N=-7392.49 Ty=4.43 Tz=3.89 Mx=-0.00 Mz=3.87
Sollecitazioni agenti localmente: Ty_l=-1344.09 Mx_l=-26.88
Tensioni nella sezione: σ=325.84 τ=40.73
CC 8 SLD (Collegamento 0021_-378)
Azioni sul collegamento: N=-7392.49 Ty=3.40 Tz=-2.12 Mx=-0.00 Mz=2.88
Sollecitazioni agenti localmente: Ty_l=-1344.09 Mx_l=-26.88
Tensioni nella sezione: σ=325.84 τ=40.73
CC 8 SLD (Collegamento 0021_-378)
Azioni sul collegamento: N=-7392.49 Ty=4.43 Tz=-2.12 Mx=-0.00 Mz=3.87
Sollecitazioni agenti localmente: Ty_l=-1344.09 Mx_l=-26.88
Tensioni nella sezione: σ=325.84 τ=40.73
CC 8 SLD (Collegamento 0021_-378)
Azioni sul collegamento: N=-5777.32 Ty=3.40 Tz=3.89 Mx=-0.00 Mz=2.88
Sollecitazioni agenti localmente: Ty_l=-1050.42 Mx_l=-21.01
Tensioni nella sezione: σ=254.65 τ=31.83
CC 8 SLD (Collegamento 0021_-378)
Azioni sul collegamento: N=-5777.32 Ty=4.43 Tz=3.89 Mx=-0.00 Mz=3.87
Sollecitazioni agenti localmente: Ty_l=-1050.42 Mx_l=-21.01
Tensioni nella sezione: σ=254.65 τ=31.83
CC 8 SLD (Collegamento 0021_-378)
Azioni sul collegamento: N=-5777.33 Ty=3.40 Tz=-2.12 Mx=-0.00 Mz=2.88
Sollecitazioni agenti localmente: Ty_l=-1050.42 Mx_l=-21.01
Tensioni nella sezione: σ=254.65 τ=31.83
CC 8 SLD (Collegamento 0021_-378)
Azioni sul collegamento: N=-5777.33 Ty=4.43 Tz=-2.12 Mx=-0.00 Mz=3.87
Sollecitazioni agenti localmente: Ty_l=-1050.42 Mx_l=-21.01
Tensioni nella sezione: σ=254.65 τ=31.83
CC 9 SLV (Collegamento 0021_-378)
Azioni sul collegamento: N=-5814.22 Ty=6.23 Tz=-2.14 Mx=0.02 Mz=7.84
Sollecitazioni agenti localmente: Ty_l=-1057.13 Mx_l=-21.14
Tensioni nella sezione: σ=256.27 τ=32.03
CC 9 SLV (Collegamento 0021_-378)
Azioni sul collegamento: N=-5814.22 Ty=3.29 Tz=-2.14 Mx=0.02 Mz=3.06
Sollecitazioni agenti localmente: Ty_l=-1057.13 Mx_l=-21.14
Tensioni nella sezione: σ=256.27 τ=32.03
CC 9 SLV (Collegamento 0021_-378)
Azioni sul collegamento: N=-5814.22 Ty=6.23 Tz=4.16 Mx=0.02 Mz=7.84
Sollecitazioni agenti localmente: Ty_l=-1057.13 Mx_l=-21.14
Tensioni nella sezione: σ=256.27 τ=32.03
CC 9 SLV (Collegamento 0021_-378)
Azioni sul collegamento: N=-5814.22 Ty=3.29 Tz=4.16 Mx=0.02 Mz=3.06
Sollecitazioni agenti localmente: Ty_l=-1057.13 Mx_l=-21.14
Tensioni nella sezione: σ=256.27 τ=32.03
CC 9 SLV (Collegamento 0021_-378)
Azioni sul collegamento: N=-7420.50 Ty=6.23 Tz=-2.14 Mx=0.02 Mz=7.84

Sollecitazioni agenti localmente: Ty_l=-1349.18 Mx_l=-26.98
Tensioni nella sezione: σ=327.07 τ=40.88
CC 9 SLV (Collegamento 0021_-378)
Azioni sul collegamento: N=-7420.50 Ty=3.29 Tz=-2.14 Mx=0.02 Mz=3.06
Sollecitazioni agenti localmente: Ty_l=-1349.18 Mx_l=-26.98
Tensioni nella sezione: σ=327.07 τ=40.88
CC 9 SLV (Collegamento 0021_-378)
Azioni sul collegamento: N=-7420.50 Ty=6.23 Tz=4.16 Mx=0.02 Mz=7.84
Sollecitazioni agenti localmente: Ty_l=-1349.18 Mx_l=-26.98
Tensioni nella sezione: σ=327.07 τ=40.88
CC 9 SLV (Collegamento 0021_-378)
Azioni sul collegamento: N=-7420.50 Ty=3.29 Tz=4.16 Mx=0.02 Mz=3.06
Sollecitazioni agenti localmente: Ty_l=-1349.18 Mx_l=-26.98
Tensioni nella sezione: σ=327.07 τ=40.88
CC 10 SLD (Collegamento 0021_-378)
Azioni sul collegamento: N=-6340.00 Ty=4.36 Tz=-0.08 Mx=0.00 Mz=4.10
Sollecitazioni agenti localmente: Ty_l=-1152.73 Mx_l=-23.05
Tensioni nella sezione: σ=279.45 τ=34.93
CC 10 SLD (Collegamento 0021_-378)
Azioni sul collegamento: N=-6340.00 Ty=3.47 Tz=-0.08 Mx=0.00 Mz=2.64
Sollecitazioni agenti localmente: Ty_l=-1152.73 Mx_l=-23.05
Tensioni nella sezione: σ=279.45 τ=34.93
CC 10 SLD (Collegamento 0021_-378)
Azioni sul collegamento: N=-6340.00 Ty=4.36 Tz=1.85 Mx=0.00 Mz=4.10
Sollecitazioni agenti localmente: Ty_l=-1152.73 Mx_l=-23.05
Tensioni nella sezione: σ=279.45 τ=34.93
CC 10 SLD (Collegamento 0021_-378)
Azioni sul collegamento: N=-6340.00 Ty=3.47 Tz=1.85 Mx=0.00 Mz=2.64
Sollecitazioni agenti localmente: Ty_l=-1152.73 Mx_l=-23.05
Tensioni nella sezione: σ=279.45 τ=34.93
CC 10 SLD (Collegamento 0021_-378)
Azioni sul collegamento: N=-6829.81 Ty=4.36 Tz=-0.08 Mx=0.00 Mz=4.10
Sollecitazioni agenti localmente: Ty_l=-1241.78 Mx_l=-24.84
Tensioni nella sezione: σ=301.04 τ=37.63
CC 10 SLD (Collegamento 0021_-378)
Azioni sul collegamento: N=-6829.81 Ty=3.47 Tz=-0.08 Mx=0.00 Mz=2.64
Sollecitazioni agenti localmente: Ty_l=-1241.78 Mx_l=-24.84
Tensioni nella sezione: σ=301.04 τ=37.63
CC 10 SLD (Collegamento 0021_-378)
Azioni sul collegamento: N=-6829.81 Ty=4.36 Tz=1.85 Mx=0.00 Mz=4.10
Sollecitazioni agenti localmente: Ty_l=-1241.78 Mx_l=-24.84
Tensioni nella sezione: σ=301.04 τ=37.63
CC 10 SLD (Collegamento 0021_-378)
Azioni sul collegamento: N=-6829.81 Ty=3.47 Tz=1.85 Mx=0.00 Mz=2.64
Sollecitazioni agenti localmente: Ty_l=-1241.78 Mx_l=-24.84
Tensioni nella sezione: σ=301.04 τ=37.63
CC 11 SLV (Collegamento 0021_-378)
Azioni sul collegamento: N=-7401.56 Ty=5.40 Tz=3.74 Mx=0.02 Mz=7.25
Sollecitazioni agenti localmente: Ty_l=-1345.74 Mx_l=-26.91
Tensioni nella sezione: σ=326.24 τ=40.78
CC 11 SLV (Collegamento 0021_-378)
Azioni sul collegamento: N=-7401.56 Ty=4.11 Tz=3.74 Mx=0.02 Mz=3.66
Sollecitazioni agenti localmente: Ty_l=-1345.74 Mx_l=-26.91
Tensioni nella sezione: σ=326.24 τ=40.78
CC 11 SLV (Collegamento 0021_-378)
Azioni sul collegamento: N=-7401.56 Ty=5.40 Tz=-1.71 Mx=0.02 Mz=7.25
Sollecitazioni agenti localmente: Ty_l=-1345.74 Mx_l=-26.91
Tensioni nella sezione: σ=326.24 τ=40.78
CC 11 SLV (Collegamento 0021_-378)
Azioni sul collegamento: N=-7401.56 Ty=4.11 Tz=-1.71 Mx=0.02 Mz=3.66
Sollecitazioni agenti localmente: Ty_l=-1345.74 Mx_l=-26.91
Tensioni nella sezione: σ=326.24 τ=40.78
CC 11 SLV (Collegamento 0021_-378)
Azioni sul collegamento: N=-5833.17 Ty=5.40 Tz=3.74 Mx=0.02 Mz=7.25
Sollecitazioni agenti localmente: Ty_l=-1060.58 Mx_l=-21.21
Tensioni nella sezione: σ=257.11 τ=32.14
CC 11 SLV (Collegamento 0021_-378)
Azioni sul collegamento: N=-5833.17 Ty=4.11 Tz=3.74 Mx=0.02 Mz=3.66
Sollecitazioni agenti localmente: Ty_l=-1060.58 Mx_l=-21.21
Tensioni nella sezione: σ=257.11 τ=32.14
CC 11 SLV (Collegamento 0021_-378)
Azioni sul collegamento: N=-5833.17 Ty=5.40 Tz=-1.71 Mx=0.02 Mz=7.25
Sollecitazioni agenti localmente: Ty_l=-1060.58 Mx_l=-21.21
Tensioni nella sezione: σ=257.11 τ=32.14
CC 11 SLV (Collegamento 0021_-378)
Azioni sul collegamento: N=-5833.17 Ty=4.11 Tz=-1.71 Mx=0.02 Mz=3.66
Sollecitazioni agenti localmente: Ty_l=-1060.58 Mx_l=-21.21
Tensioni nella sezione: σ=257.11 τ=32.14
CC 12 SLD (Collegamento 0021_-378)
Azioni sul collegamento: N=-6824.03 Ty=4.11 Tz=1.72 Mx=0.00 Mz=3.92

Sollecitazioni agenti localmente: Ty_l=-1240.73 Mx_l=-24.81
Tensioni nella sezione: σ=300.78 τ=37.60
CC 12 SLD (Collegamento 0021_-378)
Azioni sul collegamento: N=-6824.03 Ty=3.72 Tz=1.72 Mx=0.00 Mz=2.82
Sollecitazioni agenti localmente: Ty_l=-1240.73 Mx_l=-24.81
Tensioni nella sezione: σ=300.78 τ=37.60
CC 12 SLD (Collegamento 0021_-378)
Azioni sul collegamento: N=-6824.03 Ty=4.11 Tz=0.05 Mx=0.00 Mz=3.92
Sollecitazioni agenti localmente: Ty_l=-1240.73 Mx_l=-24.81
Tensioni nella sezione: σ=300.78 τ=37.60
CC 12 SLD (Collegamento 0021_-378)
Azioni sul collegamento: N=-6824.03 Ty=3.72 Tz=0.05 Mx=0.00 Mz=2.82
Sollecitazioni agenti localmente: Ty_l=-1240.73 Mx_l=-24.81
Tensioni nella sezione: σ=300.78 τ=37.60
CC 12 SLD (Collegamento 0021_-378)
Azioni sul collegamento: N=-6345.78 Ty=4.11 Tz=1.72 Mx=0.00 Mz=3.92
Sollecitazioni agenti localmente: Ty_l=-1153.78 Mx_l=-23.08
Tensioni nella sezione: σ=279.70 τ=34.96
CC 12 SLD (Collegamento 0021_-378)
Azioni sul collegamento: N=-6345.78 Ty=3.72 Tz=1.72 Mx=0.00 Mz=2.82
Sollecitazioni agenti localmente: Ty_l=-1153.78 Mx_l=-23.08
Tensioni nella sezione: σ=279.70 τ=34.96
CC 12 SLD (Collegamento 0021_-378)
Azioni sul collegamento: N=-6345.78 Ty=4.11 Tz=0.05 Mx=0.00 Mz=3.92
Sollecitazioni agenti localmente: Ty_l=-1153.78 Mx_l=-23.08
Tensioni nella sezione: σ=279.70 τ=34.96
CC 12 SLD (Collegamento 0021_-378)
Azioni sul collegamento: N=-6345.78 Ty=3.72 Tz=0.05 Mx=0.00 Mz=2.82
Sollecitazioni agenti localmente: Ty_l=-1153.78 Mx_l=-23.08
Tensioni nella sezione: σ=279.70 τ=34.96
CC 13 SLV (Collegamento 0021_-378)
Azioni sul collegamento: N=-5833.17 Ty=4.11 Tz=-1.71 Mx=0.00 Mz=3.66
Sollecitazioni agenti localmente: Ty_l=-1060.58 Mx_l=-21.21
Tensioni nella sezione: σ=257.11 τ=32.14
CC 13 SLV (Collegamento 0021_-378)
Azioni sul collegamento: N=-5833.17 Ty=5.40 Tz=-1.71 Mx=0.00 Mz=7.25
Sollecitazioni agenti localmente: Ty_l=-1060.58 Mx_l=-21.21
Tensioni nella sezione: σ=257.11 τ=32.14
CC 13 SLV (Collegamento 0021_-378)
Azioni sul collegamento: N=-5833.17 Ty=4.11 Tz=3.74 Mx=0.00 Mz=3.66
Sollecitazioni agenti localmente: Ty_l=-1060.58 Mx_l=-21.21
Tensioni nella sezione: σ=257.11 τ=32.14
CC 13 SLV (Collegamento 0021_-378)
Azioni sul collegamento: N=-5833.17 Ty=5.40 Tz=3.74 Mx=0.00 Mz=7.25
Sollecitazioni agenti localmente: Ty_l=-1060.58 Mx_l=-21.21
Tensioni nella sezione: σ=257.11 τ=32.14
CC 13 SLV (Collegamento 0021_-378)
Azioni sul collegamento: N=-7401.56 Ty=4.11 Tz=-1.71 Mx=0.00 Mz=3.66
Sollecitazioni agenti localmente: Ty_l=-1345.74 Mx_l=-26.91
Tensioni nella sezione: σ=326.24 τ=40.78
CC 13 SLV (Collegamento 0021_-378)
Azioni sul collegamento: N=-7401.56 Ty=5.40 Tz=-1.71 Mx=0.00 Mz=7.25
Sollecitazioni agenti localmente: Ty_l=-1345.74 Mx_l=-26.91
Tensioni nella sezione: σ=326.24 τ=40.78
CC 13 SLV (Collegamento 0021_-378)
Azioni sul collegamento: N=-7401.56 Ty=4.11 Tz=3.74 Mx=0.00 Mz=3.66
Sollecitazioni agenti localmente: Ty_l=-1345.74 Mx_l=-26.91
Tensioni nella sezione: σ=326.24 τ=40.78
CC 13 SLV (Collegamento 0021_-378)
Azioni sul collegamento: N=-7401.56 Ty=5.40 Tz=3.74 Mx=0.00 Mz=7.25
Sollecitazioni agenti localmente: Ty_l=-1345.74 Mx_l=-26.91
Tensioni nella sezione: σ=326.24 τ=40.78
CC 14 SLD (Collegamento 0021_-378)
Azioni sul collegamento: N=-6345.78 Ty=3.72 Tz=0.05 Mx=-0.00 Mz=2.82
Sollecitazioni agenti localmente: Ty_l=-1153.78 Mx_l=-23.08
Tensioni nella sezione: σ=279.70 τ=34.96
CC 14 SLD (Collegamento 0021_-378)
Azioni sul collegamento: N=-6345.78 Ty=4.11 Tz=0.05 Mx=-0.00 Mz=3.92
Sollecitazioni agenti localmente: Ty_l=-1153.78 Mx_l=-23.08
Tensioni nella sezione: σ=279.70 τ=34.96
CC 14 SLD (Collegamento 0021_-378)
Azioni sul collegamento: N=-6345.78 Ty=3.72 Tz=1.72 Mx=-0.00 Mz=2.82
Sollecitazioni agenti localmente: Ty_l=-1153.78 Mx_l=-23.08
Tensioni nella sezione: σ=279.70 τ=34.96
CC 14 SLD (Collegamento 0021_-378)
Azioni sul collegamento: N=-6345.78 Ty=4.11 Tz=1.72 Mx=-0.00 Mz=3.92
Sollecitazioni agenti localmente: Ty_l=-1153.78 Mx_l=-23.08
Tensioni nella sezione: σ=279.70 τ=34.96
CC 14 SLD (Collegamento 0021_-378)
Azioni sul collegamento: N=-6824.03 Ty=3.72 Tz=0.05 Mx=-0.00 Mz=2.82

Sollecitazioni agenti localmente: Ty_l=-1240.73 Mx_l=-24.81
Tensioni nella sezione: σ=300.78 τ=37.60
CC 14 SLD (Collegamento 0021_-378)
Azioni sul collegamento: N=-6824.03 Ty=4.11 Tz=0.05 Mx=-0.00 Mz=3.92
Sollecitazioni agenti localmente: Ty_l=-1240.73 Mx_l=-24.81
Tensioni nella sezione: σ=300.78 τ=37.60
CC 14 SLD (Collegamento 0021_-378)
Azioni sul collegamento: N=-6824.03 Ty=3.72 Tz=1.72 Mx=-0.00 Mz=2.82
Sollecitazioni agenti localmente: Ty_l=-1240.73 Mx_l=-24.81
Tensioni nella sezione: σ=300.78 τ=37.60
CC 14 SLD (Collegamento 0021_-378)
Azioni sul collegamento: N=-6824.03 Ty=4.11 Tz=1.72 Mx=-0.00 Mz=3.92
Sollecitazioni agenti localmente: Ty_l=-1240.73 Mx_l=-24.81
Tensioni nella sezione: σ=300.78 τ=37.60
CC 15 SLV (Collegamento 0021_-378)
Azioni sul collegamento: N=-7420.50 Ty=3.29 Tz=4.16 Mx=0.00 Mz=3.06
Sollecitazioni agenti localmente: Ty_l=-1349.18 Mx_l=-26.98
Tensioni nella sezione: σ=327.07 τ=40.88
CC 15 SLV (Collegamento 0021_-378)
Azioni sul collegamento: N=-7420.50 Ty=6.23 Tz=4.16 Mx=0.00 Mz=7.84
Sollecitazioni agenti localmente: Ty_l=-1349.18 Mx_l=-26.98
Tensioni nella sezione: σ=327.07 τ=40.88
CC 15 SLV (Collegamento 0021_-378)
Azioni sul collegamento: N=-7420.50 Ty=3.29 Tz=-2.14 Mx=0.00 Mz=3.06
Sollecitazioni agenti localmente: Ty_l=-1349.18 Mx_l=-26.98
Tensioni nella sezione: σ=327.07 τ=40.88
CC 15 SLV (Collegamento 0021_-378)
Azioni sul collegamento: N=-7420.50 Ty=6.23 Tz=-2.14 Mx=0.00 Mz=7.84
Sollecitazioni agenti localmente: Ty_l=-1349.18 Mx_l=-26.98
Tensioni nella sezione: σ=327.07 τ=40.88
CC 15 SLV (Collegamento 0021_-378)
Azioni sul collegamento: N=-5814.22 Ty=3.29 Tz=4.16 Mx=0.00 Mz=3.06
Sollecitazioni agenti localmente: Ty_l=-1057.13 Mx_l=-21.14
Tensioni nella sezione: σ=256.27 τ=32.03
CC 15 SLV (Collegamento 0021_-378)
Azioni sul collegamento: N=-5814.22 Ty=6.23 Tz=4.16 Mx=0.00 Mz=7.84
Sollecitazioni agenti localmente: Ty_l=-1057.13 Mx_l=-21.14
Tensioni nella sezione: σ=256.27 τ=32.03
CC 15 SLV (Collegamento 0021_-378)
Azioni sul collegamento: N=-5814.22 Ty=3.29 Tz=-2.14 Mx=0.00 Mz=3.06
Sollecitazioni agenti localmente: Ty_l=-1057.13 Mx_l=-21.14
Tensioni nella sezione: σ=256.27 τ=32.03
CC 15 SLV (Collegamento 0021_-378)
Azioni sul collegamento: N=-5814.22 Ty=6.23 Tz=-2.14 Mx=0.00 Mz=7.84
Sollecitazioni agenti localmente: Ty_l=-1057.13 Mx_l=-21.14
Tensioni nella sezione: σ=256.27 τ=32.03
CC 16 SLD (Collegamento 0021_-378)
Azioni sul collegamento: N=-6829.81 Ty=3.47 Tz=1.85 Mx=-0.00 Mz=2.64
Sollecitazioni agenti localmente: Ty_l=-1241.78 Mx_l=-24.84
Tensioni nella sezione: σ=301.04 τ=37.63
CC 16 SLD (Collegamento 0021_-378)
Azioni sul collegamento: N=-6829.81 Ty=4.36 Tz=1.85 Mx=-0.00 Mz=4.10
Sollecitazioni agenti localmente: Ty_l=-1241.78 Mx_l=-24.84
Tensioni nella sezione: σ=301.04 τ=37.63
CC 16 SLD (Collegamento 0021_-378)
Azioni sul collegamento: N=-6829.81 Ty=3.47 Tz=-0.08 Mx=-0.00 Mz=2.64
Sollecitazioni agenti localmente: Ty_l=-1241.78 Mx_l=-24.84
Tensioni nella sezione: σ=301.04 τ=37.63
CC 16 SLD (Collegamento 0021_-378)
Azioni sul collegamento: N=-6829.81 Ty=4.36 Tz=-0.08 Mx=-0.00 Mz=4.10
Sollecitazioni agenti localmente: Ty_l=-1241.78 Mx_l=-24.84
Tensioni nella sezione: σ=301.04 τ=37.63
CC 16 SLD (Collegamento 0021_-378)
Azioni sul collegamento: N=-6340.00 Ty=3.47 Tz=1.85 Mx=-0.00 Mz=2.64
Sollecitazioni agenti localmente: Ty_l=-1152.73 Mx_l=-23.05
Tensioni nella sezione: σ=279.45 τ=34.93
CC 16 SLD (Collegamento 0021_-378)
Azioni sul collegamento: N=-6340.00 Ty=4.36 Tz=1.85 Mx=-0.00 Mz=4.10
Sollecitazioni agenti localmente: Ty_l=-1152.73 Mx_l=-23.05
Tensioni nella sezione: σ=279.45 τ=34.93
CC 16 SLD (Collegamento 0021_-378)
Azioni sul collegamento: N=-6340.00 Ty=3.47 Tz=-0.08 Mx=-0.00 Mz=2.64
Sollecitazioni agenti localmente: Ty_l=-1152.73 Mx_l=-23.05
Tensioni nella sezione: σ=279.45 τ=34.93
CC 16 SLD (Collegamento 0021_-378)
Azioni sul collegamento: N=-6340.00 Ty=4.36 Tz=-0.08 Mx=-0.00 Mz=4.10
Sollecitazioni agenti localmente: Ty_l=-1152.73 Mx_l=-23.05
Tensioni nella sezione: σ=279.45 τ=34.93
CC 17 SLV (Collegamento 0021_-378)
Azioni sul collegamento: N=-3875.57 Ty=0.64 Tz=-9.21 Mx=-0.02 Mz=1.09

Sollecitazioni agenti localmente: Ty_l=-704.65 Mx_l=-14.09
Tensioni nella sezione: σ=170.82 τ=21.35
CC 17 SLV (Collegamento 0021_-378)
Azioni sul collegamento: N=-3875.57 Ty=4.02 Tz=-9.21 Mx=-0.02 Mz=-2.16
Sollecitazioni agenti localmente: Ty_l=-704.65 Mx_l=-14.09
Tensioni nella sezione: σ=170.82 τ=21.35
CC 17 SLV (Collegamento 0021_-378)
Azioni sul collegamento: N=-3875.57 Ty=0.64 Tz=10.50 Mx=-0.02 Mz=1.09
Sollecitazioni agenti localmente: Ty_l=-704.65 Mx_l=-14.09
Tensioni nella sezione: σ=170.82 τ=21.35
CC 17 SLV (Collegamento 0021_-378)
Azioni sul collegamento: N=-3875.57 Ty=4.02 Tz=10.50 Mx=-0.02 Mz=-2.16
Sollecitazioni agenti localmente: Ty_l=-704.65 Mx_l=-14.09
Tensioni nella sezione: σ=170.82 τ=21.35
CC 17 SLV (Collegamento 0021_-378)
Azioni sul collegamento: N=-9172.38 Ty=0.64 Tz=-9.21 Mx=-0.02 Mz=1.09
Sollecitazioni agenti localmente: Ty_l=-1667.70 Mx_l=-33.35
Tensioni nella sezione: σ=404.29 τ=50.54
CC 17 SLV (Collegamento 0021_-378)
Azioni sul collegamento: N=-9172.38 Ty=4.02 Tz=-9.21 Mx=-0.02 Mz=-2.16
Sollecitazioni agenti localmente: Ty_l=-1667.70 Mx_l=-33.35
Tensioni nella sezione: σ=404.29 τ=50.54
CC 17 SLV (Collegamento 0021_-378)
Azioni sul collegamento: N=-9172.38 Ty=0.64 Tz=10.50 Mx=-0.02 Mz=1.09
Sollecitazioni agenti localmente: Ty_l=-1667.70 Mx_l=-33.35
Tensioni nella sezione: σ=404.29 τ=50.54
CC 17 SLV (Collegamento 0021_-378)
Azioni sul collegamento: N=-9172.38 Ty=4.02 Tz=10.50 Mx=-0.02 Mz=-2.16
Sollecitazioni agenti localmente: Ty_l=-1667.70 Mx_l=-33.35
Tensioni nella sezione: σ=404.29 τ=50.54
CC 18 SLD (Collegamento 0021_-378)
Azioni sul collegamento: N=-5748.85 Ty=3.69 Tz=-2.23 Mx=-0.01 Mz=2.04
Sollecitazioni agenti localmente: Ty_l=-1045.24 Mx_l=-20.90
Tensioni nella sezione: σ=253.39 τ=31.67
CC 18 SLD (Collegamento 0021_-378)
Azioni sul collegamento: N=-5748.85 Ty=2.66 Tz=-2.23 Mx=-0.01 Mz=1.05
Sollecitazioni agenti localmente: Ty_l=-1045.24 Mx_l=-20.90
Tensioni nella sezione: σ=253.39 τ=31.67
CC 18 SLD (Collegamento 0021_-378)
Azioni sul collegamento: N=-5748.85 Ty=3.69 Tz=3.78 Mx=-0.01 Mz=2.04
Sollecitazioni agenti localmente: Ty_l=-1045.24 Mx_l=-20.90
Tensioni nella sezione: σ=253.39 τ=31.67
CC 18 SLD (Collegamento 0021_-378)
Azioni sul collegamento: N=-5748.85 Ty=2.66 Tz=3.78 Mx=-0.01 Mz=1.05
Sollecitazioni agenti localmente: Ty_l=-1045.24 Mx_l=-20.90
Tensioni nella sezione: σ=253.39 τ=31.67
CC 18 SLD (Collegamento 0021_-378)
Azioni sul collegamento: N=-7364.01 Ty=3.69 Tz=-2.23 Mx=-0.01 Mz=2.04
Sollecitazioni agenti localmente: Ty_l=-1338.91 Mx_l=-26.78
Tensioni nella sezione: σ=324.58 τ=40.57
CC 18 SLD (Collegamento 0021_-378)
Azioni sul collegamento: N=-7364.01 Ty=2.66 Tz=-2.23 Mx=-0.01 Mz=1.05
Sollecitazioni agenti localmente: Ty_l=-1338.91 Mx_l=-26.78
Tensioni nella sezione: σ=324.58 τ=40.57
CC 18 SLD (Collegamento 0021_-378)
Azioni sul collegamento: N=-7364.01 Ty=3.69 Tz=3.78 Mx=-0.01 Mz=2.04
Sollecitazioni agenti localmente: Ty_l=-1338.91 Mx_l=-26.78
Tensioni nella sezione: σ=324.58 τ=40.57
CC 18 SLD (Collegamento 0021_-378)
Azioni sul collegamento: N=-7364.01 Ty=2.66 Tz=3.78 Mx=-0.01 Mz=1.05
Sollecitazioni agenti localmente: Ty_l=-1338.91 Mx_l=-26.78
Tensioni nella sezione: σ=324.58 τ=40.57
CC 19 SLV (Collegamento 0021_-378)
Azioni sul collegamento: N=-3881.26 Ty=1.27 Tz=-9.09 Mx=-0.02 Mz=-0.17
Sollecitazioni agenti localmente: Ty_l=-705.68 Mx_l=-14.11
Tensioni nella sezione: σ=171.07 τ=21.38
CC 19 SLV (Collegamento 0021_-378)
Azioni sul collegamento: N=-3881.26 Ty=3.39 Tz=-9.09 Mx=-0.02 Mz=-0.91
Sollecitazioni agenti localmente: Ty_l=-705.68 Mx_l=-14.11
Tensioni nella sezione: σ=171.07 τ=21.38
CC 19 SLV (Collegamento 0021_-378)
Azioni sul collegamento: N=-3881.26 Ty=1.27 Tz=10.37 Mx=-0.02 Mz=-0.17
Sollecitazioni agenti localmente: Ty_l=-705.68 Mx_l=-14.11
Tensioni nella sezione: σ=171.07 τ=21.38
CC 19 SLV (Collegamento 0021_-378)
Azioni sul collegamento: N=-3881.26 Ty=3.39 Tz=10.37 Mx=-0.02 Mz=-0.91
Sollecitazioni agenti localmente: Ty_l=-705.68 Mx_l=-14.11
Tensioni nella sezione: σ=171.07 τ=21.38
CC 19 SLV (Collegamento 0021_-378)
Azioni sul collegamento: N=-9166.69 Ty=1.27 Tz=-9.09 Mx=-0.02 Mz=-0.17

Sollecitazioni agenti localmente: Ty_l=-1666.67 Mx_l=-33.33
Tensioni nella sezione: σ=404.04 τ=50.51
CC 19 SLV (Collegamento 0021_-378)
Azioni sul collegamento: N=-9166.69 Ty=3.39 Tz=-9.09 Mx=-0.02 Mz=-0.91
Sollecitazioni agenti localmente: Ty_l=-1666.67 Mx_l=-33.33
Tensioni nella sezione: σ=404.04 τ=50.51
CC 19 SLV (Collegamento 0021_-378)
Azioni sul collegamento: N=-9166.69 Ty=1.27 Tz=10.37 Mx=-0.02 Mz=-0.17
Sollecitazioni agenti localmente: Ty_l=-1666.67 Mx_l=-33.33
Tensioni nella sezione: σ=404.04 τ=50.51
CC 19 SLV (Collegamento 0021_-378)
Azioni sul collegamento: N=-9166.69 Ty=3.39 Tz=10.37 Mx=-0.02 Mz=-0.91
Sollecitazioni agenti localmente: Ty_l=-1666.67 Mx_l=-33.33
Tensioni nella sezione: σ=404.04 τ=50.51
CC 20 SLD (Collegamento 0021_-378)
Azioni sul collegamento: N=-5750.58 Ty=3.50 Tz=-2.19 Mx=-0.01 Mz=1.66
Sollecitazioni agenti localmente: Ty_l=-1045.56 Mx_l=-20.91
Tensioni nella sezione: σ=253.47 τ=31.68
CC 20 SLD (Collegamento 0021_-378)
Azioni sul collegamento: N=-5750.58 Ty=2.85 Tz=-2.19 Mx=-0.01 Mz=1.43
Sollecitazioni agenti localmente: Ty_l=-1045.56 Mx_l=-20.91
Tensioni nella sezione: σ=253.47 τ=31.68
CC 20 SLD (Collegamento 0021_-378)
Azioni sul collegamento: N=-5750.58 Ty=3.50 Tz=3.74 Mx=-0.01 Mz=1.66
Sollecitazioni agenti localmente: Ty_l=-1045.56 Mx_l=-20.91
Tensioni nella sezione: σ=253.47 τ=31.68
CC 20 SLD (Collegamento 0021_-378)
Azioni sul collegamento: N=-5750.58 Ty=2.85 Tz=3.74 Mx=-0.01 Mz=1.43
Sollecitazioni agenti localmente: Ty_l=-1045.56 Mx_l=-20.91
Tensioni nella sezione: σ=253.47 τ=31.68
CC 20 SLD (Collegamento 0021_-378)
Azioni sul collegamento: N=-7362.28 Ty=3.50 Tz=-2.19 Mx=-0.01 Mz=1.66
Sollecitazioni agenti localmente: Ty_l=-1338.60 Mx_l=-26.77
Tensioni nella sezione: σ=324.51 τ=40.56
CC 20 SLD (Collegamento 0021_-378)
Azioni sul collegamento: N=-7362.28 Ty=2.85 Tz=-2.19 Mx=-0.01 Mz=1.43
Sollecitazioni agenti localmente: Ty_l=-1338.60 Mx_l=-26.77
Tensioni nella sezione: σ=324.51 τ=40.56
CC 20 SLD (Collegamento 0021_-378)
Azioni sul collegamento: N=-7362.28 Ty=3.50 Tz=3.74 Mx=-0.01 Mz=1.66
Sollecitazioni agenti localmente: Ty_l=-1338.60 Mx_l=-26.77
Tensioni nella sezione: σ=324.51 τ=40.56
CC 20 SLD (Collegamento 0021_-378)
Azioni sul collegamento: N=-7362.28 Ty=2.85 Tz=3.74 Mx=-0.01 Mz=1.43
Sollecitazioni agenti localmente: Ty_l=-1338.60 Mx_l=-26.77
Tensioni nella sezione: σ=324.51 τ=40.56
CC 21 SLV (Collegamento 0021_-378)
Azioni sul collegamento: N=-9166.69 Ty=3.39 Tz=10.37 Mx=-0.02 Mz=-0.91
Sollecitazioni agenti localmente: Ty_l=-1666.67 Mx_l=-33.33
Tensioni nella sezione: σ=404.04 τ=50.51
CC 21 SLV (Collegamento 0021_-378)
Azioni sul collegamento: N=-9166.69 Ty=1.27 Tz=10.37 Mx=-0.02 Mz=-0.17
Sollecitazioni agenti localmente: Ty_l=-1666.67 Mx_l=-33.33
Tensioni nella sezione: σ=404.04 τ=50.51
CC 21 SLV (Collegamento 0021_-378)
Azioni sul collegamento: N=-9166.69 Ty=3.39 Tz=-9.09 Mx=-0.02 Mz=-0.91
Sollecitazioni agenti localmente: Ty_l=-1666.67 Mx_l=-33.33
Tensioni nella sezione: σ=404.04 τ=50.51
CC 21 SLV (Collegamento 0021_-378)
Azioni sul collegamento: N=-9166.69 Ty=1.27 Tz=-9.09 Mx=-0.02 Mz=-0.17
Sollecitazioni agenti localmente: Ty_l=-1666.67 Mx_l=-33.33
Tensioni nella sezione: σ=404.04 τ=50.51
CC 21 SLV (Collegamento 0021_-378)
Azioni sul collegamento: N=-3881.26 Ty=3.39 Tz=10.37 Mx=-0.02 Mz=-0.91
Sollecitazioni agenti localmente: Ty_l=-705.68 Mx_l=-14.11
Tensioni nella sezione: σ=171.07 τ=21.38
CC 21 SLV (Collegamento 0021_-378)
Azioni sul collegamento: N=-3881.26 Ty=1.27 Tz=10.37 Mx=-0.02 Mz=-0.17
Sollecitazioni agenti localmente: Ty_l=-705.68 Mx_l=-14.11
Tensioni nella sezione: σ=171.07 τ=21.38
CC 21 SLV (Collegamento 0021_-378)
Azioni sul collegamento: N=-3881.26 Ty=3.39 Tz=-9.09 Mx=-0.02 Mz=-0.91
Sollecitazioni agenti localmente: Ty_l=-705.68 Mx_l=-14.11
Tensioni nella sezione: σ=171.07 τ=21.38
CC 21 SLV (Collegamento 0021_-378)
Azioni sul collegamento: N=-3881.26 Ty=1.27 Tz=-9.09 Mx=-0.02 Mz=-0.17
Sollecitazioni agenti localmente: Ty_l=-705.68 Mx_l=-14.11
Tensioni nella sezione: σ=171.07 τ=21.38
CC 22 SLD (Collegamento 0021_-378)
Azioni sul collegamento: N=-7362.28 Ty=2.85 Tz=3.74 Mx=-0.01 Mz=1.43

Sollecitazioni agenti localmente: Ty_l=-1338.60 Mx_l=-26.77
Tensioni nella sezione: σ=324.51 τ=40.56
CC 22 SLD (Collegamento 0021_-378)
Azioni sul collegamento: N=-7362.28 Ty=3.50 Tz=3.74 Mx=-0.01 Mz=1.66
Sollecitazioni agenti localmente: Ty_l=-1338.60 Mx_l=-26.77
Tensioni nella sezione: σ=324.51 τ=40.56
CC 22 SLD (Collegamento 0021_-378)
Azioni sul collegamento: N=-7362.28 Ty=2.85 Tz=-2.19 Mx=-0.01 Mz=1.43
Sollecitazioni agenti localmente: Ty_l=-1338.60 Mx_l=-26.77
Tensioni nella sezione: σ=324.51 τ=40.56
CC 22 SLD (Collegamento 0021_-378)
Azioni sul collegamento: N=-7362.28 Ty=3.50 Tz=-2.19 Mx=-0.01 Mz=1.66
Sollecitazioni agenti localmente: Ty_l=-1338.60 Mx_l=-26.77
Tensioni nella sezione: σ=324.51 τ=40.56
CC 22 SLD (Collegamento 0021_-378)
Azioni sul collegamento: N=-5750.58 Ty=2.85 Tz=3.74 Mx=-0.01 Mz=1.43
Sollecitazioni agenti localmente: Ty_l=-1045.56 Mx_l=-20.91
Tensioni nella sezione: σ=253.47 τ=31.68
CC 22 SLD (Collegamento 0021_-378)
Azioni sul collegamento: N=-5750.58 Ty=3.50 Tz=3.74 Mx=-0.01 Mz=1.66
Sollecitazioni agenti localmente: Ty_l=-1045.56 Mx_l=-20.91
Tensioni nella sezione: σ=253.47 τ=31.68
CC 22 SLD (Collegamento 0021_-378)
Azioni sul collegamento: N=-5750.58 Ty=2.85 Tz=-2.19 Mx=-0.01 Mz=1.43
Sollecitazioni agenti localmente: Ty_l=-1045.56 Mx_l=-20.91
Tensioni nella sezione: σ=253.47 τ=31.68
CC 22 SLD (Collegamento 0021_-378)
Azioni sul collegamento: N=-5750.58 Ty=3.50 Tz=-2.19 Mx=-0.01 Mz=1.66
Sollecitazioni agenti localmente: Ty_l=-1045.56 Mx_l=-20.91
Tensioni nella sezione: σ=253.47 τ=31.68
CC 23 SLV (Collegamento 0021_-378)
Azioni sul collegamento: N=-9172.38 Ty=4.02 Tz=10.50 Mx=-0.01 Mz=-2.16
Sollecitazioni agenti localmente: Ty_l=-1667.70 Mx_l=-33.35
Tensioni nella sezione: σ=404.29 τ=50.54
CC 23 SLV (Collegamento 0021_-378)
Azioni sul collegamento: N=-9172.38 Ty=0.64 Tz=10.50 Mx=-0.01 Mz=1.09
Sollecitazioni agenti localmente: Ty_l=-1667.70 Mx_l=-33.35
Tensioni nella sezione: σ=404.29 τ=50.54
CC 23 SLV (Collegamento 0021_-378)
Azioni sul collegamento: N=-9172.38 Ty=4.02 Tz=-9.21 Mx=-0.01 Mz=-2.16
Sollecitazioni agenti localmente: Ty_l=-1667.70 Mx_l=-33.35
Tensioni nella sezione: σ=404.29 τ=50.54
CC 23 SLV (Collegamento 0021_-378)
Azioni sul collegamento: N=-9172.38 Ty=0.64 Tz=-9.21 Mx=-0.01 Mz=1.09
Sollecitazioni agenti localmente: Ty_l=-1667.70 Mx_l=-33.35
Tensioni nella sezione: σ=404.29 τ=50.54
CC 23 SLV (Collegamento 0021_-378)
Azioni sul collegamento: N=-3875.57 Ty=4.02 Tz=10.50 Mx=-0.01 Mz=-2.16
Sollecitazioni agenti localmente: Ty_l=-704.65 Mx_l=-14.09
Tensioni nella sezione: σ=170.82 τ=21.35
CC 23 SLV (Collegamento 0021_-378)
Azioni sul collegamento: N=-3875.57 Ty=0.64 Tz=10.50 Mx=-0.01 Mz=1.09
Sollecitazioni agenti localmente: Ty_l=-704.65 Mx_l=-14.09
Tensioni nella sezione: σ=170.82 τ=21.35
CC 23 SLV (Collegamento 0021_-378)
Azioni sul collegamento: N=-3875.57 Ty=4.02 Tz=-9.21 Mx=-0.01 Mz=-2.16
Sollecitazioni agenti localmente: Ty_l=-704.65 Mx_l=-14.09
Tensioni nella sezione: σ=170.82 τ=21.35
CC 23 SLV (Collegamento 0021_-378)
Azioni sul collegamento: N=-3875.57 Ty=0.64 Tz=-9.21 Mx=-0.01 Mz=1.09
Sollecitazioni agenti localmente: Ty_l=-704.65 Mx_l=-14.09
Tensioni nella sezione: σ=170.82 τ=21.35
CC 24 SLD (Collegamento 0021_-378)
Azioni sul collegamento: N=-7364.01 Ty=2.66 Tz=3.78 Mx=-0.01 Mz=1.05
Sollecitazioni agenti localmente: Ty_l=-1338.91 Mx_l=-26.78
Tensioni nella sezione: σ=324.58 τ=40.57
CC 24 SLD (Collegamento 0021_-378)
Azioni sul collegamento: N=-7364.01 Ty=3.69 Tz=3.78 Mx=-0.01 Mz=2.04
Sollecitazioni agenti localmente: Ty_l=-1338.91 Mx_l=-26.78
Tensioni nella sezione: σ=324.58 τ=40.57
CC 24 SLD (Collegamento 0021_-378)
Azioni sul collegamento: N=-7364.01 Ty=2.66 Tz=-2.23 Mx=-0.01 Mz=1.05
Sollecitazioni agenti localmente: Ty_l=-1338.91 Mx_l=-26.78
Tensioni nella sezione: σ=324.58 τ=40.57
CC 24 SLD (Collegamento 0021_-378)
Azioni sul collegamento: N=-7364.01 Ty=3.69 Tz=-2.23 Mx=-0.01 Mz=2.04
Sollecitazioni agenti localmente: Ty_l=-1338.91 Mx_l=-26.78
Tensioni nella sezione: σ=324.58 τ=40.57
CC 24 SLD (Collegamento 0021_-378)
Azioni sul collegamento: N=-5748.85 Ty=2.66 Tz=3.78 Mx=-0.01 Mz=1.05

Sollecitazioni agenti localmente: Ty_l=-1045.24 Mx_l=-20.90
Tensioni nella sezione: σ=253.39 τ=31.67
CC 24 SLD (Collegamento 0021_-378)
Azioni sul collegamento: N=-5748.85 Ty=3.69 Tz=3.78 Mx=-0.01 Mz=2.04
Sollecitazioni agenti localmente: Ty_l=-1045.24 Mx_l=-20.90
Tensioni nella sezione: σ=253.39 τ=31.67
CC 24 SLD (Collegamento 0021_-378)
Azioni sul collegamento: N=-5748.85 Ty=2.66 Tz=-2.23 Mx=-0.01 Mz=1.05
Sollecitazioni agenti localmente: Ty_l=-1045.24 Mx_l=-20.90
Tensioni nella sezione: σ=253.39 τ=31.67
CC 24 SLD (Collegamento 0021_-378)
Azioni sul collegamento: N=-5748.85 Ty=3.69 Tz=-2.23 Mx=-0.01 Mz=2.04
Sollecitazioni agenti localmente: Ty_l=-1045.24 Mx_l=-20.90
Tensioni nella sezione: σ=253.39 τ=31.67
CC 25 SLV (Collegamento 0021_-378)
Azioni sul collegamento: N=-5720.83 Ty=0.86 Tz=-2.51 Mx=-0.03 Mz=1.85
Sollecitazioni agenti localmente: Ty_l=-1040.15 Mx_l=-20.80
Tensioni nella sezione: σ=252.16 τ=31.52
CC 25 SLV (Collegamento 0021_-378)
Azioni sul collegamento: N=-5720.83 Ty=3.80 Tz=-2.51 Mx=-0.03 Mz=-2.93
Sollecitazioni agenti localmente: Ty_l=-1040.15 Mx_l=-20.80
Tensioni nella sezione: σ=252.16 τ=31.52
CC 25 SLV (Collegamento 0021_-378)
Azioni sul collegamento: N=-5720.83 Ty=0.86 Tz=3.80 Mx=-0.03 Mz=1.85
Sollecitazioni agenti localmente: Ty_l=-1040.15 Mx_l=-20.80
Tensioni nella sezione: σ=252.16 τ=31.52
CC 25 SLV (Collegamento 0021_-378)
Azioni sul collegamento: N=-5720.83 Ty=3.80 Tz=3.80 Mx=-0.03 Mz=-2.93
Sollecitazioni agenti localmente: Ty_l=-1040.15 Mx_l=-20.80
Tensioni nella sezione: σ=252.16 τ=31.52
CC 25 SLV (Collegamento 0021_-378)
Azioni sul collegamento: N=-7327.12 Ty=0.86 Tz=-2.51 Mx=-0.03 Mz=1.85
Sollecitazioni agenti localmente: Ty_l=-1332.20 Mx_l=-26.64
Tensioni nella sezione: σ=322.96 τ=40.37
CC 25 SLV (Collegamento 0021_-378)
Azioni sul collegamento: N=-7327.12 Ty=3.80 Tz=-2.51 Mx=-0.03 Mz=-2.93
Sollecitazioni agenti localmente: Ty_l=-1332.20 Mx_l=-26.64
Tensioni nella sezione: σ=322.96 τ=40.37
CC 25 SLV (Collegamento 0021_-378)
Azioni sul collegamento: N=-7327.12 Ty=0.86 Tz=3.80 Mx=-0.03 Mz=1.85
Sollecitazioni agenti localmente: Ty_l=-1332.20 Mx_l=-26.64
Tensioni nella sezione: σ=322.96 τ=40.37
CC 25 SLV (Collegamento 0021_-378)
Azioni sul collegamento: N=-7327.12 Ty=3.80 Tz=3.80 Mx=-0.03 Mz=-2.93
Sollecitazioni agenti localmente: Ty_l=-1332.20 Mx_l=-26.64
Tensioni nella sezione: σ=322.96 τ=40.37
CC 26 SLD (Collegamento 0021_-378)
Azioni sul collegamento: N=-6311.53 Ty=3.62 Tz=-0.19 Mx=-0.01 Mz=2.27
Sollecitazioni agenti localmente: Ty_l=-1147.55 Mx_l=-22.95
Tensioni nella sezione: σ=278.19 τ=34.77
CC 26 SLD (Collegamento 0021_-378)
Azioni sul collegamento: N=-6311.53 Ty=2.73 Tz=-0.19 Mx=-0.01 Mz=0.81
Sollecitazioni agenti localmente: Ty_l=-1147.55 Mx_l=-22.95
Tensioni nella sezione: σ=278.19 τ=34.77
CC 26 SLD (Collegamento 0021_-378)
Azioni sul collegamento: N=-6311.53 Ty=3.62 Tz=1.73 Mx=-0.01 Mz=2.27
Sollecitazioni agenti localmente: Ty_l=-1147.55 Mx_l=-22.95
Tensioni nella sezione: σ=278.19 τ=34.77
CC 26 SLD (Collegamento 0021_-378)
Azioni sul collegamento: N=-6311.53 Ty=2.73 Tz=1.73 Mx=-0.01 Mz=0.81
Sollecitazioni agenti localmente: Ty_l=-1147.55 Mx_l=-22.95
Tensioni nella sezione: σ=278.19 τ=34.77
CC 26 SLD (Collegamento 0021_-378)
Azioni sul collegamento: N=-6801.33 Ty=3.62 Tz=-0.19 Mx=-0.01 Mz=2.27
Sollecitazioni agenti localmente: Ty_l=-1236.61 Mx_l=-24.73
Tensioni nella sezione: σ=299.78 τ=37.47
CC 26 SLD (Collegamento 0021_-378)
Azioni sul collegamento: N=-6801.33 Ty=2.73 Tz=-0.19 Mx=-0.01 Mz=0.81
Sollecitazioni agenti localmente: Ty_l=-1236.61 Mx_l=-24.73
Tensioni nella sezione: σ=299.78 τ=37.47
CC 26 SLD (Collegamento 0021_-378)
Azioni sul collegamento: N=-6801.33 Ty=3.62 Tz=1.73 Mx=-0.01 Mz=2.27
Sollecitazioni agenti localmente: Ty_l=-1236.61 Mx_l=-24.73
Tensioni nella sezione: σ=299.78 τ=37.47
CC 26 SLD (Collegamento 0021_-378)
Azioni sul collegamento: N=-6801.33 Ty=2.73 Tz=1.73 Mx=-0.01 Mz=0.81
Sollecitazioni agenti localmente: Ty_l=-1236.61 Mx_l=-24.73
Tensioni nella sezione: σ=299.78 τ=37.47
CC 27 SLV (Collegamento 0021_-378)
Azioni sul collegamento: N=-7308.17 Ty=1.68 Tz=3.37 Mx=-0.02 Mz=1.26

Sollecitazioni agenti localmente: Ty_l=-1328.76 Mx_l=-26.58
Tensioni nella sezione: σ=322.12 τ=40.27
CC 27 SLV (Collegamento 0021_-378)
Azioni sul collegamento: N=-7308.17 Ty=2.97 Tz=3.37 Mx=-0.02 Mz=-2.33
Sollecitazioni agenti localmente: Ty_l=-1328.76 Mx_l=-26.58
Tensioni nella sezione: σ=322.12 τ=40.27
CC 27 SLV (Collegamento 0021_-378)
Azioni sul collegamento: N=-7308.17 Ty=1.68 Tz=-2.08 Mx=-0.02 Mz=1.26
Sollecitazioni agenti localmente: Ty_l=-1328.76 Mx_l=-26.58
Tensioni nella sezione: σ=322.12 τ=40.27
CC 27 SLV (Collegamento 0021_-378)
Azioni sul collegamento: N=-7308.17 Ty=2.97 Tz=-2.08 Mx=-0.02 Mz=-2.33
Sollecitazioni agenti localmente: Ty_l=-1328.76 Mx_l=-26.58
Tensioni nella sezione: σ=322.12 τ=40.27
CC 27 SLV (Collegamento 0021_-378)
Azioni sul collegamento: N=-5739.78 Ty=1.68 Tz=3.37 Mx=-0.02 Mz=1.26
Sollecitazioni agenti localmente: Ty_l=-1043.60 Mx_l=-20.87
Tensioni nella sezione: σ=252.99 τ=31.62
CC 27 SLV (Collegamento 0021_-378)
Azioni sul collegamento: N=-5739.78 Ty=2.97 Tz=3.37 Mx=-0.02 Mz=-2.33
Sollecitazioni agenti localmente: Ty_l=-1043.60 Mx_l=-20.87
Tensioni nella sezione: σ=252.99 τ=31.62
CC 27 SLV (Collegamento 0021_-378)
Azioni sul collegamento: N=-5739.78 Ty=1.68 Tz=-2.08 Mx=-0.02 Mz=1.26
Sollecitazioni agenti localmente: Ty_l=-1043.60 Mx_l=-20.87
Tensioni nella sezione: σ=252.99 τ=31.62
CC 27 SLV (Collegamento 0021_-378)
Azioni sul collegamento: N=-5739.78 Ty=2.97 Tz=-2.08 Mx=-0.02 Mz=-2.33
Sollecitazioni agenti localmente: Ty_l=-1043.60 Mx_l=-20.87
Tensioni nella sezione: σ=252.99 τ=31.62
CC 28 SLD (Collegamento 0021_-378)
Azioni sul collegamento: N=-6795.56 Ty=3.37 Tz=1.60 Mx=-0.01 Mz=2.09
Sollecitazioni agenti localmente: Ty_l=-1235.56 Mx_l=-24.71
Tensioni nella sezione: σ=299.53 τ=37.44
CC 28 SLD (Collegamento 0021_-378)
Azioni sul collegamento: N=-6795.56 Ty=2.98 Tz=1.60 Mx=-0.01 Mz=1.00
Sollecitazioni agenti localmente: Ty_l=-1235.56 Mx_l=-24.71
Tensioni nella sezione: σ=299.53 τ=37.44
CC 28 SLD (Collegamento 0021_-378)
Azioni sul collegamento: N=-6795.56 Ty=3.37 Tz=-0.06 Mx=-0.01 Mz=2.09
Sollecitazioni agenti localmente: Ty_l=-1235.56 Mx_l=-24.71
Tensioni nella sezione: σ=299.53 τ=37.44
CC 28 SLD (Collegamento 0021_-378)
Azioni sul collegamento: N=-6795.56 Ty=2.98 Tz=-0.06 Mx=-0.01 Mz=1.00
Sollecitazioni agenti localmente: Ty_l=-1235.56 Mx_l=-24.71
Tensioni nella sezione: σ=299.53 τ=37.44
CC 28 SLD (Collegamento 0021_-378)
Azioni sul collegamento: N=-6317.30 Ty=3.37 Tz=1.60 Mx=-0.01 Mz=2.09
Sollecitazioni agenti localmente: Ty_l=-1148.60 Mx_l=-22.97
Tensioni nella sezione: σ=278.45 τ=34.81
CC 28 SLD (Collegamento 0021_-378)
Azioni sul collegamento: N=-6317.30 Ty=2.98 Tz=1.60 Mx=-0.01 Mz=1.00
Sollecitazioni agenti localmente: Ty_l=-1148.60 Mx_l=-22.97
Tensioni nella sezione: σ=278.45 τ=34.81
CC 28 SLD (Collegamento 0021_-378)
Azioni sul collegamento: N=-6317.30 Ty=3.37 Tz=-0.06 Mx=-0.01 Mz=2.09
Sollecitazioni agenti localmente: Ty_l=-1148.60 Mx_l=-22.97
Tensioni nella sezione: σ=278.45 τ=34.81
CC 28 SLD (Collegamento 0021_-378)
Azioni sul collegamento: N=-6317.30 Ty=2.98 Tz=-0.06 Mx=-0.01 Mz=1.00
Sollecitazioni agenti localmente: Ty_l=-1148.60 Mx_l=-22.97
Tensioni nella sezione: σ=278.45 τ=34.81
CC 29 SLV (Collegamento 0021_-378)
Azioni sul collegamento: N=-5739.78 Ty=2.97 Tz=-2.08 Mx=-0.01 Mz=-2.33
Sollecitazioni agenti localmente: Ty_l=-1043.60 Mx_l=-20.87
Tensioni nella sezione: σ=252.99 τ=31.62
CC 29 SLV (Collegamento 0021_-378)
Azioni sul collegamento: N=-5739.78 Ty=1.68 Tz=-2.08 Mx=-0.01 Mz=1.26
Sollecitazioni agenti localmente: Ty_l=-1043.60 Mx_l=-20.87
Tensioni nella sezione: σ=252.99 τ=31.62
CC 29 SLV (Collegamento 0021_-378)
Azioni sul collegamento: N=-5739.78 Ty=2.97 Tz=3.37 Mx=-0.01 Mz=-2.33
Sollecitazioni agenti localmente: Ty_l=-1043.60 Mx_l=-20.87
Tensioni nella sezione: σ=252.99 τ=31.62
CC 29 SLV (Collegamento 0021_-378)
Azioni sul collegamento: N=-5739.78 Ty=1.68 Tz=3.37 Mx=-0.01 Mz=1.26
Sollecitazioni agenti localmente: Ty_l=-1043.60 Mx_l=-20.87
Tensioni nella sezione: σ=252.99 τ=31.62
CC 29 SLV (Collegamento 0021_-378)
Azioni sul collegamento: N=-7308.17 Ty=2.97 Tz=-2.08 Mx=-0.01 Mz=-2.33

Sollecitazioni agenti localmente: Ty_l=-1328.76 Mx_l=-26.58
Tensioni nella sezione: σ=322.12 τ=40.27
CC 29 SLV (Collegamento 0021_-378)
Azioni sul collegamento: N=-7308.17 Ty=1.68 Tz=-2.08 Mx=-0.01 Mz=1.26
Sollecitazioni agenti localmente: Ty_l=-1328.76 Mx_l=-26.58
Tensioni nella sezione: σ=322.12 τ=40.27
CC 29 SLV (Collegamento 0021_-378)
Azioni sul collegamento: N=-7308.17 Ty=2.97 Tz=3.37 Mx=-0.01 Mz=-2.33
Sollecitazioni agenti localmente: Ty_l=-1328.76 Mx_l=-26.58
Tensioni nella sezione: σ=322.12 τ=40.27
CC 29 SLV (Collegamento 0021_-378)
Azioni sul collegamento: N=-7308.17 Ty=1.68 Tz=3.37 Mx=-0.01 Mz=1.26
Sollecitazioni agenti localmente: Ty_l=-1328.76 Mx_l=-26.58
Tensioni nella sezione: σ=322.12 τ=40.27
CC 30 SLD (Collegamento 0021_-378)
Azioni sul collegamento: N=-6317.30 Ty=2.98 Tz=-0.06 Mx=-0.01 Mz=1.00
Sollecitazioni agenti localmente: Ty_l=-1148.60 Mx_l=-22.97
Tensioni nella sezione: σ=278.45 τ=34.81
CC 30 SLD (Collegamento 0021_-378)
Azioni sul collegamento: N=-6317.30 Ty=3.37 Tz=-0.06 Mx=-0.01 Mz=2.09
Sollecitazioni agenti localmente: Ty_l=-1148.60 Mx_l=-22.97
Tensioni nella sezione: σ=278.45 τ=34.81
CC 30 SLD (Collegamento 0021_-378)
Azioni sul collegamento: N=-6317.30 Ty=2.98 Tz=1.60 Mx=-0.01 Mz=1.00
Sollecitazioni agenti localmente: Ty_l=-1148.60 Mx_l=-22.97
Tensioni nella sezione: σ=278.45 τ=34.81
CC 30 SLD (Collegamento 0021_-378)
Azioni sul collegamento: N=-6317.30 Ty=3.37 Tz=1.60 Mx=-0.01 Mz=2.09
Sollecitazioni agenti localmente: Ty_l=-1148.60 Mx_l=-22.97
Tensioni nella sezione: σ=278.45 τ=34.81
CC 30 SLD (Collegamento 0021_-378)
Azioni sul collegamento: N=-6795.56 Ty=2.98 Tz=-0.06 Mx=-0.01 Mz=1.00
Sollecitazioni agenti localmente: Ty_l=-1235.56 Mx_l=-24.71
Tensioni nella sezione: σ=299.53 τ=37.44
CC 30 SLD (Collegamento 0021_-378)
Azioni sul collegamento: N=-6795.56 Ty=3.37 Tz=-0.06 Mx=-0.01 Mz=2.09
Sollecitazioni agenti localmente: Ty_l=-1235.56 Mx_l=-24.71
Tensioni nella sezione: σ=299.53 τ=37.44
CC 30 SLD (Collegamento 0021_-378)
Azioni sul collegamento: N=-6795.56 Ty=2.98 Tz=1.60 Mx=-0.01 Mz=1.00
Sollecitazioni agenti localmente: Ty_l=-1235.56 Mx_l=-24.71
Tensioni nella sezione: σ=299.53 τ=37.44
CC 30 SLD (Collegamento 0021_-378)
Azioni sul collegamento: N=-6795.56 Ty=3.37 Tz=1.60 Mx=-0.01 Mz=2.09
Sollecitazioni agenti localmente: Ty_l=-1235.56 Mx_l=-24.71
Tensioni nella sezione: σ=299.53 τ=37.44
CC 31 SLV (Collegamento 0021_-378)
Azioni sul collegamento: N=-7327.12 Ty=3.80 Tz=3.80 Mx=-0.01 Mz=-2.93
Sollecitazioni agenti localmente: Ty_l=-1332.20 Mx_l=-26.64
Tensioni nella sezione: σ=322.96 τ=40.37
CC 31 SLV (Collegamento 0021_-378)
Azioni sul collegamento: N=-7327.12 Ty=0.86 Tz=3.80 Mx=-0.01 Mz=1.85
Sollecitazioni agenti localmente: Ty_l=-1332.20 Mx_l=-26.64
Tensioni nella sezione: σ=322.96 τ=40.37
CC 31 SLV (Collegamento 0021_-378)
Azioni sul collegamento: N=-7327.12 Ty=3.80 Tz=-2.51 Mx=-0.01 Mz=-2.93
Sollecitazioni agenti localmente: Ty_l=-1332.20 Mx_l=-26.64
Tensioni nella sezione: σ=322.96 τ=40.37
CC 31 SLV (Collegamento 0021_-378)
Azioni sul collegamento: N=-7327.12 Ty=0.86 Tz=-2.51 Mx=-0.01 Mz=1.85
Sollecitazioni agenti localmente: Ty_l=-1332.20 Mx_l=-26.64
Tensioni nella sezione: σ=322.96 τ=40.37
CC 31 SLV (Collegamento 0021_-378)
Azioni sul collegamento: N=-5720.83 Ty=3.80 Tz=3.80 Mx=-0.01 Mz=-2.93
Sollecitazioni agenti localmente: Ty_l=-1040.15 Mx_l=-20.80
Tensioni nella sezione: σ=252.16 τ=31.52
CC 31 SLV (Collegamento 0021_-378)
Azioni sul collegamento: N=-5720.83 Ty=0.86 Tz=3.80 Mx=-0.01 Mz=1.85
Sollecitazioni agenti localmente: Ty_l=-1040.15 Mx_l=-20.80
Tensioni nella sezione: σ=252.16 τ=31.52
CC 31 SLV (Collegamento 0021_-378)
Azioni sul collegamento: N=-5720.83 Ty=3.80 Tz=-2.51 Mx=-0.01 Mz=-2.93
Sollecitazioni agenti localmente: Ty_l=-1040.15 Mx_l=-20.80
Tensioni nella sezione: σ=252.16 τ=31.52
CC 31 SLV (Collegamento 0021_-378)
Azioni sul collegamento: N=-5720.83 Ty=0.86 Tz=-2.51 Mx=-0.01 Mz=1.85
Sollecitazioni agenti localmente: Ty_l=-1040.15 Mx_l=-20.80
Tensioni nella sezione: σ=252.16 τ=31.52
CC 32 SLD (Collegamento 0021_-378)
Azioni sul collegamento: N=-6801.33 Ty=2.73 Tz=1.73 Mx=-0.01 Mz=0.81

Sollecitazioni agenti localmente: Ty_l=-1236.61 Mx_l=-24.73
Tensioni nella sezione: σ=299.78 τ=37.47
CC 32 SLD (Collegamento 0021_-378)
Azioni sul collegamento: N=-6801.33 Ty=3.62 Tz=1.73 Mx=-0.01 Mz=2.27
Sollecitazioni agenti localmente: Ty_l=-1236.61 Mx_l=-24.73
Tensioni nella sezione: σ=299.78 τ=37.47
CC 32 SLD (Collegamento 0021_-378)
Azioni sul collegamento: N=-6801.33 Ty=2.73 Tz=-0.19 Mx=-0.01 Mz=0.81
Sollecitazioni agenti localmente: Ty_l=-1236.61 Mx_l=-24.73
Tensioni nella sezione: σ=299.78 τ=37.47
CC 32 SLD (Collegamento 0021_-378)
Azioni sul collegamento: N=-6801.33 Ty=3.62 Tz=-0.19 Mx=-0.01 Mz=2.27
Sollecitazioni agenti localmente: Ty_l=-1236.61 Mx_l=-24.73
Tensioni nella sezione: σ=299.78 τ=37.47
CC 32 SLD (Collegamento 0021_-378)
Azioni sul collegamento: N=-6311.53 Ty=2.73 Tz=1.73 Mx=-0.01 Mz=0.81
Sollecitazioni agenti localmente: Ty_l=-1147.55 Mx_l=-22.95
Tensioni nella sezione: σ=278.19 τ=34.77
CC 32 SLD (Collegamento 0021_-378)
Azioni sul collegamento: N=-6311.53 Ty=3.62 Tz=1.73 Mx=-0.01 Mz=2.27
Sollecitazioni agenti localmente: Ty_l=-1147.55 Mx_l=-22.95
Tensioni nella sezione: σ=278.19 τ=34.77
CC 32 SLD (Collegamento 0021_-378)
Azioni sul collegamento: N=-6311.53 Ty=2.73 Tz=-0.19 Mx=-0.01 Mz=0.81
Sollecitazioni agenti localmente: Ty_l=-1147.55 Mx_l=-22.95
Tensioni nella sezione: σ=278.19 τ=34.77
CC 32 SLD (Collegamento 0021_-378)
Azioni sul collegamento: N=-6311.53 Ty=3.62 Tz=-0.19 Mx=-0.01 Mz=2.27
Sollecitazioni agenti localmente: Ty_l=-1147.55 Mx_l=-22.95
Tensioni nella sezione: σ=278.19 τ=34.77
CC 33 SLU (Collegamento 0021_-378)
Azioni sul collegamento: N=-30888.30 Ty=5.44 Tz=82.02 Mx=-0.01 Mz=3.71
Sollecitazioni agenti localmente: Ty_l=-5616.05 Mx_l=-112.32
Tensioni nella sezione: σ=1361.46 τ=170.18
CC 34 SLU (Collegamento 0021_-378)
Azioni sul collegamento: N=-30337.70 Ty=5.16 Tz=79.98 Mx=-0.01 Mz=3.50
Sollecitazioni agenti localmente: Ty_l=-5515.96 Mx_l=-110.32
Tensioni nella sezione: σ=1337.20 τ=167.15
CC 35 SLU (Collegamento 0021_-378)
Azioni sul collegamento: N=-30612.00 Ty=5.19 Tz=81.02 Mx=-0.01 Mz=3.39
Sollecitazioni agenti localmente: Ty_l=-5565.82 Mx_l=-111.32
Tensioni nella sezione: σ=1349.29 τ=168.66
CC 36 SLU (Collegamento 0021_-378)
Azioni sul collegamento: N=-30614.00 Ty=5.41 Tz=80.97 Mx=-0.01 Mz=3.82
Sollecitazioni agenti localmente: Ty_l=-5566.18 Mx_l=-111.32
Tensioni nella sezione: σ=1349.37 τ=168.67
CC 37 SLU (Collegamento 0021_-378)
Azioni sul collegamento: N=-21597.10 Ty=6.32 Tz=47.86 Mx=-0.01 Mz=4.34
Sollecitazioni agenti localmente: Ty_l=-3926.75 Mx_l=-78.53
Tensioni nella sezione: σ=951.94 τ=118.99
CC 38 SLU (Collegamento 0021_-378)
Azioni sul collegamento: N=-21046.60 Ty=6.03 Tz=45.82 Mx=-0.01 Mz=4.13
Sollecitazioni agenti localmente: Ty_l=-3826.65 Mx_l=-76.53
Tensioni nella sezione: σ=927.67 τ=115.96
CC 39 SLU (Collegamento 0021_-378)
Azioni sul collegamento: N=-21320.90 Ty=6.07 Tz=46.87 Mx=-0.01 Mz=4.02
Sollecitazioni agenti localmente: Ty_l=-3876.52 Mx_l=-77.53
Tensioni nella sezione: σ=939.76 τ=117.47
CC 40 SLU (Collegamento 0021_-378)
Azioni sul collegamento: N=-21322.80 Ty=6.29 Tz=46.82 Mx=-0.01 Mz=4.45
Sollecitazioni agenti localmente: Ty_l=-3876.88 Mx_l=-77.54
Tensioni nella sezione: σ=939.85 τ=117.48
CC 41 SLU (Collegamento 0021_-378)
Azioni sul collegamento: N=-32817.40 Ty=5.33 Tz=88.46 Mx=0.00 Mz=3.76
Sollecitazioni agenti localmente: Ty_l=-5966.80 Mx_l=-119.34
Tensioni nella sezione: σ=1446.49 τ=180.81
CC 42 SLU (Collegamento 0021_-378)
Azioni sul collegamento: N=-32266.90 Ty=5.04 Tz=86.42 Mx=0.00 Mz=3.56
Sollecitazioni agenti localmente: Ty_l=-5866.70 Mx_l=-117.33
Tensioni nella sezione: σ=1422.23 τ=177.78
CC 43 SLU (Collegamento 0021_-378)
Azioni sul collegamento: N=-32541.20 Ty=5.08 Tz=87.47 Mx=0.00 Mz=3.44
Sollecitazioni agenti localmente: Ty_l=-5916.58 Mx_l=-118.33
Tensioni nella sezione: σ=1434.32 τ=179.29
CC 44 SLU (Collegamento 0021_-378)
Azioni sul collegamento: N=-32543.10 Ty=5.30 Tz=87.42 Mx=0.00 Mz=3.88
Sollecitazioni agenti localmente: Ty_l=-5916.93 Mx_l=-118.34
Tensioni nella sezione: σ=1434.41 τ=179.30
CC 45 SLU (Collegamento 0021_-378)
Azioni sul collegamento: N=-23689.50 Ty=6.01 Tz=55.60 Mx=-0.01 Mz=4.17

Sollecitazioni agenti localmente: Ty_l=-4307.19 Mx_l=-86.14
Tensioni nella sezione: σ=1044.16 τ=130.52
CC 46 SLU (Collegamento 0021_-378)
Azioni sul collegamento: N=-23139.00 Ty=5.73 Tz=53.57 Mx=-0.01 Mz=3.96
Sollecitazioni agenti localmente: Ty_l=-4207.09 Mx_l=-84.14
Tensioni nella sezione: σ=1019.90 τ=127.49
CC 47 SLU (Collegamento 0021_-378)
Azioni sul collegamento: N=-23413.30 Ty=5.76 Tz=54.61 Mx=-0.01 Mz=3.84
Sollecitazioni agenti localmente: Ty_l=-4256.96 Mx_l=-85.14
Tensioni nella sezione: σ=1031.99 τ=129.00
CC 48 SLU (Collegamento 0021_-378)
Azioni sul collegamento: N=-23415.20 Ty=5.98 Tz=54.56 Mx=-0.01 Mz=4.28
Sollecitazioni agenti localmente: Ty_l=-4257.31 Mx_l=-85.15
Tensioni nella sezione: σ=1032.07 τ=129.01
CC 49 SLU (Collegamento 0021_-378)
Azioni sul collegamento: N=-16738.30 Ty=6.67 Tz=30.05 Mx=-0.01 Mz=4.64
Sollecitazioni agenti localmente: Ty_l=-3043.33 Mx_l=-60.87
Tensioni nella sezione: σ=737.78 τ=92.22
CC 50 SLU (Collegamento 0021_-378)
Azioni sul collegamento: N=-16187.80 Ty=6.38 Tz=28.01 Mx=-0.01 Mz=4.43
Sollecitazioni agenti localmente: Ty_l=-2943.24 Mx_l=-58.86
Tensioni nella sezione: σ=713.51 τ=89.19
CC 51 SLU (Collegamento 0021_-378)
Azioni sul collegamento: N=-16462.10 Ty=6.42 Tz=29.05 Mx=-0.01 Mz=4.32
Sollecitazioni agenti localmente: Ty_l=-2993.11 Mx_l=-59.86
Tensioni nella sezione: σ=725.60 τ=90.70
CC 52 SLU (Collegamento 0021_-378)
Azioni sul collegamento: N=-16464.00 Ty=6.64 Tz=29.01 Mx=-0.01 Mz=4.75
Sollecitazioni agenti localmente: Ty_l=-2993.46 Mx_l=-59.87
Tensioni nella sezione: σ=725.69 τ=90.71
CC 53 SLU (Collegamento 0021_-378)
Azioni sul collegamento: N=-25132.80 Ty=5.93 Tz=60.42 Mx=-0.00 Mz=4.21
Sollecitazioni agenti localmente: Ty_l=-4569.60 Mx_l=-91.39
Tensioni nella sezione: σ=1107.78 τ=138.47
CC 54 SLU (Collegamento 0021_-378)
Azioni sul collegamento: N=-24582.20 Ty=5.64 Tz=58.39 Mx=-0.00 Mz=4.00
Sollecitazioni agenti localmente: Ty_l=-4469.50 Mx_l=-89.39
Tensioni nella sezione: σ=1083.51 τ=135.44
CC 55 SLU (Collegamento 0021_-378)
Azioni sul collegamento: N=-24856.50 Ty=5.68 Tz=59.43 Mx=0.00 Mz=3.89
Sollecitazioni agenti localmente: Ty_l=-4519.37 Mx_l=-90.39
Tensioni nella sezione: σ=1095.60 τ=136.95
CC 56 SLU (Collegamento 0021_-378)
Azioni sul collegamento: N=-24858.50 Ty=5.89 Tz=59.38 Mx=-0.00 Mz=4.32
Sollecitazioni agenti localmente: Ty_l=-4519.73 Mx_l=-90.39
Tensioni nella sezione: σ=1095.69 τ=136.96
CC 57 SLU (Collegamento 0021_-378)
Azioni sul collegamento: N=-22071.60 Ty=5.40 Tz=49.65 Mx=-0.01 Mz=3.73
Sollecitazioni agenti localmente: Ty_l=-4013.02 Mx_l=-80.26
Tensioni nella sezione: σ=972.85 τ=121.61
CC 58 SLU (Collegamento 0021_-378)
Azioni sul collegamento: N=-21521.10 Ty=5.11 Tz=47.61 Mx=-0.01 Mz=3.53
Sollecitazioni agenti localmente: Ty_l=-3912.92 Mx_l=-78.26
Tensioni nella sezione: σ=948.59 τ=118.57
CC 59 SLU (Collegamento 0021_-378)
Azioni sul collegamento: N=-21795.30 Ty=5.15 Tz=48.65 Mx=-0.01 Mz=3.41
Sollecitazioni agenti localmente: Ty_l=-3962.79 Mx_l=-79.26
Tensioni nella sezione: σ=960.67 τ=120.08
CC 60 SLU (Collegamento 0021_-378)
Azioni sul collegamento: N=-21797.30 Ty=5.37 Tz=48.60 Mx=-0.01 Mz=3.85
Sollecitazioni agenti localmente: Ty_l=-3963.15 Mx_l=-79.26
Tensioni nella sezione: σ=960.76 τ=120.09
CC 61 SLU (Collegamento 0021_-378)
Azioni sul collegamento: N=-15120.40 Ty=6.06 Tz=24.09 Mx=-0.01 Mz=4.21
Sollecitazioni agenti localmente: Ty_l=-2749.17 Mx_l=-54.98
Tensioni nella sezione: σ=666.46 τ=83.31
CC 62 SLU (Collegamento 0021_-378)
Azioni sul collegamento: N=-14569.90 Ty=5.77 Tz=22.06 Mx=-0.01 Mz=4.00
Sollecitazioni agenti localmente: Ty_l=-2649.07 Mx_l=-52.98
Tensioni nella sezione: σ=642.20 τ=80.27
CC 63 SLU (Collegamento 0021_-378)
Azioni sul collegamento: N=-14844.20 Ty=5.80 Tz=23.10 Mx=-0.01 Mz=3.88
Sollecitazioni agenti localmente: Ty_l=-2698.94 Mx_l=-53.98
Tensioni nella sezione: σ=654.29 τ=81.79
CC 64 SLU (Collegamento 0021_-378)
Azioni sul collegamento: N=-14846.10 Ty=6.02 Tz=23.05 Mx=-0.01 Mz=4.32
Sollecitazioni agenti localmente: Ty_l=-2699.30 Mx_l=-53.99
Tensioni nella sezione: σ=654.37 τ=81.80
CC 65 SLU (Collegamento 0021_-378)
Azioni sul collegamento: N=-23514.90 Ty=5.31 Tz=54.47 Mx=0.00 Mz=3.77

Sollecitazioni agenti localmente: Ty_l=-4275.43 Mx_l=-85.51
Tensioni nella sezione: σ=1036.47 τ=129.56
CC 66 SLU (Collegamento 0021_-378)
Azioni sul collegamento: N=-22964.30 Ty=5.03 Tz=52.43 Mx=0.00 Mz=3.57
Sollecitazioni agenti localmente: Ty_l=-4175.33 Mx_l=-83.51
Tensioni nella sezione: σ=1012.20 τ=126.53
CC 67 SLU (Collegamento 0021_-378)
Azioni sul collegamento: N=-23238.60 Ty=5.06 Tz=53.47 Mx=0.00 Mz=3.45
Sollecitazioni agenti localmente: Ty_l=-4225.20 Mx_l=-84.50
Tensioni nella sezione: σ=1024.29 τ=128.04
CC 68 SLU (Collegamento 0021_-378)
Azioni sul collegamento: N=-23240.60 Ty=5.28 Tz=53.43 Mx=-0.00 Mz=3.89
Sollecitazioni agenti localmente: Ty_l=-4225.56 Mx_l=-84.51
Tensioni nella sezione: σ=1024.38 τ=128.05
CC 97 SLU (Collegamento 0021_-378)
Azioni sul collegamento: N=-18052.20 Ty=-0.34 Tz=43.06 Mx=-0.05 Mz=-8.83
Sollecitazioni agenti localmente: Ty_l=-3282.21 Mx_l=-65.64
Tensioni nella sezione: σ=795.69 τ=99.46
CC 98 SLU (Collegamento 0021_-378)
Azioni sul collegamento: N=-17501.60 Ty=-0.63 Tz=41.02 Mx=-0.05 Mz=-9.04
Sollecitazioni agenti localmente: Ty_l=-3182.12 Mx_l=-63.64
Tensioni nella sezione: σ=771.42 τ=96.43
CC 99 SLU (Collegamento 0021_-378)
Azioni sul collegamento: N=-17775.90 Ty=-0.60 Tz=42.06 Mx=-0.05 Mz=-9.15
Sollecitazioni agenti localmente: Ty_l=-3231.99 Mx_l=-64.64
Tensioni nella sezione: σ=783.51 τ=97.94
CC 100 SLU (Collegamento 0021_-378)
Azioni sul collegamento: N=-17777.90 Ty=-0.38 Tz=42.01 Mx=-0.05 Mz=-8.71
Sollecitazioni agenti localmente: Ty_l=-3232.34 Mx_l=-64.65
Tensioni nella sezione: σ=783.60 τ=97.95
CC 101 SLU (Collegamento 0021_-378)
Azioni sul collegamento: N=-7136.43 Ty=4.37 Tz=2.96 Mx=0.00 Mz=3.85
Sollecitazioni agenti localmente: Ty_l=-1297.53 Mx_l=-25.95
Tensioni nella sezione: σ=314.55 τ=39.32
CC 102 SLU (Collegamento 0021_-378)
Azioni sul collegamento: N=-6585.90 Ty=4.08 Tz=0.92 Mx=0.00 Mz=3.64
Sollecitazioni agenti localmente: Ty_l=-1197.44 Mx_l=-23.95
Tensioni nella sezione: σ=290.29 τ=36.29
CC 103 SLU (Collegamento 0021_-378)
Azioni sul collegamento: N=-6860.19 Ty=4.11 Tz=1.96 Mx=0.00 Mz=3.53
Sollecitazioni agenti localmente: Ty_l=-1247.31 Mx_l=-24.95
Tensioni nella sezione: σ=302.38 τ=37.80
CC 104 SLU (Collegamento 0021_-378)
Azioni sul collegamento: N=-6862.15 Ty=4.33 Tz=1.92 Mx=0.00 Mz=3.96
Sollecitazioni agenti localmente: Ty_l=-1247.66 Mx_l=-24.95
Tensioni nella sezione: σ=302.46 τ=37.81

Flessione attacco destro piastra

Bnetta=220.00 Hnetta=15.00
CC 1 SLV (Collegamento 0021_-378)
Azioni sul collegamento: N=-3968.96 Ty=6.45 Tz=-8.85 Mx=0.01 Mz=7.08
Sollecitazioni agenti localmente: Ty_l=-731.73 My_l=-15.04
Tensioni nella sezione: σ=182.30 τ=22.17
CC 1 SLV (Collegamento 0021_-378)
Azioni sul collegamento: N=-3968.96 Ty=3.07 Tz=-8.85 Mx=0.01 Mz=3.83
Sollecitazioni agenti localmente: Ty_l=-718.82 My_l=-14.76
Tensioni nella sezione: σ=178.87 τ=21.78
CC 1 SLV (Collegamento 0021_-378)
Azioni sul collegamento: N=-3968.96 Ty=6.45 Tz=10.87 Mx=0.01 Mz=7.08
Sollecitazioni agenti localmente: Ty_l=-731.73 My_l=-15.04
Tensioni nella sezione: σ=182.30 τ=22.17
CC 1 SLV (Collegamento 0021_-378)
Azioni sul collegamento: N=-3968.96 Ty=3.07 Tz=10.87 Mx=0.01 Mz=3.83
Sollecitazioni agenti localmente: Ty_l=-718.82 My_l=-14.76
Tensioni nella sezione: σ=178.87 τ=21.78
CC 1 SLV (Collegamento 0021_-378)
Azioni sul collegamento: N=-9265.76 Ty=6.45 Tz=-8.85 Mx=0.01 Mz=7.08
Sollecitazioni agenti localmente: Ty_l=-1670.71 My_l=-34.29
Tensioni nella sezione: σ=415.62 τ=50.63
CC 1 SLV (Collegamento 0021_-378)
Azioni sul collegamento: N=-9265.76 Ty=3.07 Tz=-8.85 Mx=0.01 Mz=3.83
Sollecitazioni agenti localmente: Ty_l=-1657.79 My_l=-34.01
Tensioni nella sezione: σ=412.19 τ=50.24
CC 1 SLV (Collegamento 0021_-378)
Azioni sul collegamento: N=-9265.76 Ty=6.45 Tz=10.87 Mx=0.01 Mz=7.08
Sollecitazioni agenti localmente: Ty_l=-1670.71 My_l=-34.29
Tensioni nella sezione: σ=415.62 τ=50.63
CC 1 SLV (Collegamento 0021_-378)
Azioni sul collegamento: N=-9265.76 Ty=3.07 Tz=10.87 Mx=0.01 Mz=3.83
Sollecitazioni agenti localmente: Ty_l=-1657.79 My_l=-34.01

Tensioni nella sezione: σ=412.19 τ=50.24
CC 2 SLD (Collegamento 0021_-378)
Azioni sul collegamento: N=-5777.33 Ty=4.43 Tz=-2.12 Mx=0.00 Mz=3.87
Sollecitazioni agenti localmente: Ty_l=-1039.54 My_l=-21.33
Tensioni nella sezione: σ=258.57 τ=31.50
CC 2 SLD (Collegamento 0021_-378)
Azioni sul collegamento: N=-5777.33 Ty=3.40 Tz=-2.12 Mx=0.00 Mz=2.88
Sollecitazioni agenti localmente: Ty_l=-1035.60 My_l=-21.25
Tensioni nella sezione: σ=257.52 τ=31.38
CC 2 SLD (Collegamento 0021_-378)
Azioni sul collegamento: N=-5777.32 Ty=4.43 Tz=3.89 Mx=0.00 Mz=3.87
Sollecitazioni agenti localmente: Ty_l=-1039.54 My_l=-21.33
Tensioni nella sezione: σ=258.57 τ=31.50
CC 2 SLD (Collegamento 0021_-378)
Azioni sul collegamento: N=-5777.32 Ty=3.40 Tz=3.89 Mx=0.00 Mz=2.88
Sollecitazioni agenti localmente: Ty_l=-1035.60 My_l=-21.25
Tensioni nella sezione: σ=257.52 τ=31.38
CC 2 SLD (Collegamento 0021_-378)
Azioni sul collegamento: N=-7392.49 Ty=4.43 Tz=-2.12 Mx=0.00 Mz=3.87
Sollecitazioni agenti localmente: Ty_l=-1325.86 My_l=-27.20
Tensioni nella sezione: σ=329.72 τ=40.18
CC 2 SLD (Collegamento 0021_-378)
Azioni sul collegamento: N=-7392.49 Ty=3.40 Tz=-2.12 Mx=0.00 Mz=2.88
Sollecitazioni agenti localmente: Ty_l=-1321.92 My_l=-27.12
Tensioni nella sezione: σ=328.67 τ=40.06
CC 2 SLD (Collegamento 0021_-378)
Azioni sul collegamento: N=-7392.49 Ty=4.43 Tz=3.89 Mx=0.00 Mz=3.87
Sollecitazioni agenti localmente: Ty_l=-1325.86 My_l=-27.20
Tensioni nella sezione: σ=329.72 τ=40.18
CC 2 SLD (Collegamento 0021_-378)
Azioni sul collegamento: N=-7392.49 Ty=3.40 Tz=3.89 Mx=0.00 Mz=2.88
Sollecitazioni agenti localmente: Ty_l=-1321.92 My_l=-27.12
Tensioni nella sezione: σ=328.67 τ=40.06
CC 3 SLV (Collegamento 0021_-378)
Azioni sul collegamento: N=-3974.64 Ty=5.81 Tz=-8.72 Mx=0.01 Mz=5.82
Sollecitazioni agenti localmente: Ty_l=-727.75 My_l=-14.95
Tensioni nella sezione: σ=181.23 τ=22.05
CC 3 SLV (Collegamento 0021_-378)
Azioni sul collegamento: N=-3974.64 Ty=3.70 Tz=-8.72 Mx=0.01 Mz=5.08
Sollecitazioni agenti localmente: Ty_l=-724.82 My_l=-14.89
Tensioni nella sezione: σ=180.45 τ=21.96
CC 3 SLV (Collegamento 0021_-378)
Azioni sul collegamento: N=-3974.64 Ty=5.81 Tz=10.74 Mx=0.01 Mz=5.82
Sollecitazioni agenti localmente: Ty_l=-727.75 My_l=-14.95
Tensioni nella sezione: σ=181.23 τ=22.05
CC 3 SLV (Collegamento 0021_-378)
Azioni sul collegamento: N=-3974.64 Ty=3.70 Tz=10.74 Mx=0.01 Mz=5.08
Sollecitazioni agenti localmente: Ty_l=-724.82 My_l=-14.89
Tensioni nella sezione: σ=180.45 τ=21.96
CC 3 SLV (Collegamento 0021_-378)
Azioni sul collegamento: N=-9260.08 Ty=5.81 Tz=-8.72 Mx=0.01 Mz=5.82
Sollecitazioni agenti localmente: Ty_l=-1664.71 My_l=-34.16
Tensioni nella sezione: σ=414.05 τ=50.45
CC 3 SLV (Collegamento 0021_-378)
Azioni sul collegamento: N=-9260.08 Ty=3.70 Tz=-8.72 Mx=0.01 Mz=5.08
Sollecitazioni agenti localmente: Ty_l=-1661.78 My_l=-34.09
Tensioni nella sezione: σ=413.27 τ=50.36
CC 3 SLV (Collegamento 0021_-378)
Azioni sul collegamento: N=-9260.08 Ty=5.81 Tz=10.74 Mx=0.01 Mz=5.82
Sollecitazioni agenti localmente: Ty_l=-1664.71 My_l=-34.16
Tensioni nella sezione: σ=414.05 τ=50.45
CC 3 SLV (Collegamento 0021_-378)
Azioni sul collegamento: N=-9260.08 Ty=3.70 Tz=10.74 Mx=0.01 Mz=5.08
Sollecitazioni agenti localmente: Ty_l=-1661.78 My_l=-34.09
Tensioni nella sezione: σ=413.27 τ=50.36
CC 4 SLD (Collegamento 0021_-378)
Azioni sul collegamento: N=-5779.06 Ty=4.24 Tz=-2.08 Mx=0.00 Mz=3.48
Sollecitazioni agenti localmente: Ty_l=-1038.32 My_l=-21.30
Tensioni nella sezione: σ=258.24 τ=31.46
CC 4 SLD (Collegamento 0021_-378)
Azioni sul collegamento: N=-5779.06 Ty=3.59 Tz=-2.08 Mx=0.00 Mz=3.26
Sollecitazioni agenti localmente: Ty_l=-1037.43 My_l=-21.29
Tensioni nella sezione: σ=258.00 τ=31.44
CC 4 SLD (Collegamento 0021_-378)
Azioni sul collegamento: N=-5779.06 Ty=4.24 Tz=3.85 Mx=0.00 Mz=3.48
Sollecitazioni agenti localmente: Ty_l=-1038.32 My_l=-21.30
Tensioni nella sezione: σ=258.24 τ=31.46
CC 4 SLD (Collegamento 0021_-378)
Azioni sul collegamento: N=-5779.06 Ty=3.59 Tz=3.85 Mx=0.00 Mz=3.26
Sollecitazioni agenti localmente: Ty_l=-1037.43 My_l=-21.29

Tensioni nella sezione: σ=258.00 τ=31.44
CC 4 SLD (Collegamento 0021_-378)
Azioni sul collegamento: N=-7390.75 Ty=4.24 Tz=-2.08 Mx=0.00 Mz=3.48
Sollecitazioni agenti localmente: Ty_l=-1324.03 My_l=-27.16
Tensioni nella sezione: σ=329.24 τ=40.12
CC 4 SLD (Collegamento 0021_-378)
Azioni sul collegamento: N=-7390.75 Ty=3.59 Tz=-2.08 Mx=0.00 Mz=3.26
Sollecitazioni agenti localmente: Ty_l=-1323.14 My_l=-27.14
Tensioni nella sezione: σ=329.00 τ=40.10
CC 4 SLD (Collegamento 0021_-378)
Azioni sul collegamento: N=-7390.75 Ty=4.24 Tz=3.85 Mx=0.00 Mz=3.48
Sollecitazioni agenti localmente: Ty_l=-1324.03 My_l=-27.16
Tensioni nella sezione: σ=329.24 τ=40.12
CC 4 SLD (Collegamento 0021_-378)
Azioni sul collegamento: N=-7390.75 Ty=3.59 Tz=3.85 Mx=0.00 Mz=3.26
Sollecitazioni agenti localmente: Ty_l=-1323.14 My_l=-27.14
Tensioni nella sezione: σ=329.00 τ=40.10
CC 5 SLV (Collegamento 0021_-378)
Azioni sul collegamento: N=-9260.08 Ty=3.70 Tz=10.74 Mx=0.01 Mz=5.08
Sollecitazioni agenti localmente: Ty_l=-1661.78 My_l=-34.09
Tensioni nella sezione: σ=413.27 τ=50.36
CC 5 SLV (Collegamento 0021_-378)
Azioni sul collegamento: N=-9260.08 Ty=5.81 Tz=10.74 Mx=0.01 Mz=5.82
Sollecitazioni agenti localmente: Ty_l=-1664.71 My_l=-34.16
Tensioni nella sezione: σ=414.05 τ=50.45
CC 5 SLV (Collegamento 0021_-378)
Azioni sul collegamento: N=-9260.08 Ty=3.70 Tz=-8.72 Mx=0.01 Mz=5.08
Sollecitazioni agenti localmente: Ty_l=-1661.78 My_l=-34.09
Tensioni nella sezione: σ=413.27 τ=50.36
CC 5 SLV (Collegamento 0021_-378)
Azioni sul collegamento: N=-9260.08 Ty=5.81 Tz=-8.72 Mx=0.01 Mz=5.82
Sollecitazioni agenti localmente: Ty_l=-1664.71 My_l=-34.16
Tensioni nella sezione: σ=414.05 τ=50.45
CC 5 SLV (Collegamento 0021_-378)
Azioni sul collegamento: N=-3974.64 Ty=3.70 Tz=10.74 Mx=0.01 Mz=5.08
Sollecitazioni agenti localmente: Ty_l=-724.82 My_l=-14.89
Tensioni nella sezione: σ=180.45 τ=21.96
CC 5 SLV (Collegamento 0021_-378)
Azioni sul collegamento: N=-3974.64 Ty=5.81 Tz=10.74 Mx=0.01 Mz=5.82
Sollecitazioni agenti localmente: Ty_l=-727.75 My_l=-14.95
Tensioni nella sezione: σ=181.23 τ=22.05
CC 5 SLV (Collegamento 0021_-378)
Azioni sul collegamento: N=-3974.64 Ty=3.70 Tz=-8.72 Mx=0.01 Mz=5.08
Sollecitazioni agenti localmente: Ty_l=-724.82 My_l=-14.89
Tensioni nella sezione: σ=180.45 τ=21.96
CC 5 SLV (Collegamento 0021_-378)
Azioni sul collegamento: N=-3974.64 Ty=5.81 Tz=-8.72 Mx=0.01 Mz=5.82
Sollecitazioni agenti localmente: Ty_l=-727.75 My_l=-14.95
Tensioni nella sezione: σ=181.23 τ=22.05
CC 6 SLD (Collegamento 0021_-378)
Azioni sul collegamento: N=-7390.75 Ty=3.59 Tz=3.85 Mx=0.00 Mz=3.26
Sollecitazioni agenti localmente: Ty_l=-1323.14 My_l=-27.14
Tensioni nella sezione: σ=329.00 τ=40.10
CC 6 SLD (Collegamento 0021_-378)
Azioni sul collegamento: N=-7390.75 Ty=4.24 Tz=3.85 Mx=0.00 Mz=3.48
Sollecitazioni agenti localmente: Ty_l=-1324.03 My_l=-27.16
Tensioni nella sezione: σ=329.24 τ=40.12
CC 6 SLD (Collegamento 0021_-378)
Azioni sul collegamento: N=-7390.75 Ty=3.59 Tz=-2.08 Mx=0.00 Mz=3.26
Sollecitazioni agenti localmente: Ty_l=-1323.14 My_l=-27.14
Tensioni nella sezione: σ=329.00 τ=40.10
CC 6 SLD (Collegamento 0021_-378)
Azioni sul collegamento: N=-7390.75 Ty=4.24 Tz=-2.08 Mx=0.00 Mz=3.48
Sollecitazioni agenti localmente: Ty_l=-1324.03 My_l=-27.16
Tensioni nella sezione: σ=329.24 τ=40.12
CC 6 SLD (Collegamento 0021_-378)
Azioni sul collegamento: N=-5779.06 Ty=3.59 Tz=3.85 Mx=0.00 Mz=3.26
Sollecitazioni agenti localmente: Ty_l=-1037.43 My_l=-21.29
Tensioni nella sezione: σ=258.00 τ=31.44
CC 6 SLD (Collegamento 0021_-378)
Azioni sul collegamento: N=-5779.06 Ty=4.24 Tz=3.85 Mx=0.00 Mz=3.48
Sollecitazioni agenti localmente: Ty_l=-1038.32 My_l=-21.30
Tensioni nella sezione: σ=258.24 τ=31.46
CC 6 SLD (Collegamento 0021_-378)
Azioni sul collegamento: N=-5779.06 Ty=3.59 Tz=-2.08 Mx=0.00 Mz=3.26
Sollecitazioni agenti localmente: Ty_l=-1037.43 My_l=-21.29
Tensioni nella sezione: σ=258.00 τ=31.44
CC 6 SLD (Collegamento 0021_-378)
Azioni sul collegamento: N=-5779.06 Ty=4.24 Tz=-2.08 Mx=0.00 Mz=3.48
Sollecitazioni agenti localmente: Ty_l=-1038.32 My_l=-21.30

Tensioni nella sezione: σ=258.24 τ=31.46
CC 7 SLV (Collegamento 0021_-378)
Azioni sul collegamento: N=-9265.76 Ty=3.07 Tz=10.87 Mx=0.01 Mz=3.83
Sollecitazioni agenti localmente: Ty_l=-1657.79 My_l=-34.01
Tensioni nella sezione: σ=412.19 τ=50.24
CC 7 SLV (Collegamento 0021_-378)
Azioni sul collegamento: N=-9265.76 Ty=6.45 Tz=10.87 Mx=0.01 Mz=7.08
Sollecitazioni agenti localmente: Ty_l=-1670.71 My_l=-34.29
Tensioni nella sezione: σ=415.62 τ=50.63
CC 7 SLV (Collegamento 0021_-378)
Azioni sul collegamento: N=-9265.76 Ty=3.07 Tz=-8.85 Mx=0.01 Mz=3.83
Sollecitazioni agenti localmente: Ty_l=-1657.79 My_l=-34.01
Tensioni nella sezione: σ=412.19 τ=50.24
CC 7 SLV (Collegamento 0021_-378)
Azioni sul collegamento: N=-9265.76 Ty=6.45 Tz=-8.85 Mx=0.01 Mz=7.08
Sollecitazioni agenti localmente: Ty_l=-1670.71 My_l=-34.29
Tensioni nella sezione: σ=415.62 τ=50.63
CC 7 SLV (Collegamento 0021_-378)
Azioni sul collegamento: N=-3968.96 Ty=3.07 Tz=10.87 Mx=0.01 Mz=3.83
Sollecitazioni agenti localmente: Ty_l=-718.82 My_l=-14.76
Tensioni nella sezione: σ=178.87 τ=21.78
CC 7 SLV (Collegamento 0021_-378)
Azioni sul collegamento: N=-3968.96 Ty=6.45 Tz=10.87 Mx=0.01 Mz=7.08
Sollecitazioni agenti localmente: Ty_l=-731.73 My_l=-15.04
Tensioni nella sezione: σ=182.30 τ=22.17
CC 7 SLV (Collegamento 0021_-378)
Azioni sul collegamento: N=-3968.96 Ty=3.07 Tz=-8.85 Mx=0.01 Mz=3.83
Sollecitazioni agenti localmente: Ty_l=-718.82 My_l=-14.76
Tensioni nella sezione: σ=178.87 τ=21.78
CC 7 SLV (Collegamento 0021_-378)
Azioni sul collegamento: N=-3968.96 Ty=6.45 Tz=-8.85 Mx=0.01 Mz=7.08
Sollecitazioni agenti localmente: Ty_l=-731.73 My_l=-15.04
Tensioni nella sezione: σ=182.30 τ=22.17
CC 8 SLD (Collegamento 0021_-378)
Azioni sul collegamento: N=-7392.49 Ty=3.40 Tz=3.89 Mx=-0.00 Mz=2.88
Sollecitazioni agenti localmente: Ty_l=-1321.92 My_l=-27.12
Tensioni nella sezione: σ=328.67 τ=40.06
CC 8 SLD (Collegamento 0021_-378)
Azioni sul collegamento: N=-7392.49 Ty=4.43 Tz=3.89 Mx=-0.00 Mz=3.87
Sollecitazioni agenti localmente: Ty_l=-1325.86 My_l=-27.20
Tensioni nella sezione: σ=329.72 τ=40.18
CC 8 SLD (Collegamento 0021_-378)
Azioni sul collegamento: N=-7392.49 Ty=3.40 Tz=-2.12 Mx=-0.00 Mz=2.88
Sollecitazioni agenti localmente: Ty_l=-1321.92 My_l=-27.12
Tensioni nella sezione: σ=328.67 τ=40.06
CC 8 SLD (Collegamento 0021_-378)
Azioni sul collegamento: N=-7392.49 Ty=4.43 Tz=-2.12 Mx=-0.00 Mz=3.87
Sollecitazioni agenti localmente: Ty_l=-1325.86 My_l=-27.20
Tensioni nella sezione: σ=329.72 τ=40.18
CC 8 SLD (Collegamento 0021_-378)
Azioni sul collegamento: N=-5777.32 Ty=3.40 Tz=3.89 Mx=-0.00 Mz=2.88
Sollecitazioni agenti localmente: Ty_l=-1035.60 My_l=-21.25
Tensioni nella sezione: σ=257.52 τ=31.38
CC 8 SLD (Collegamento 0021_-378)
Azioni sul collegamento: N=-5777.32 Ty=4.43 Tz=3.89 Mx=-0.00 Mz=3.87
Sollecitazioni agenti localmente: Ty_l=-1039.54 My_l=-21.33
Tensioni nella sezione: σ=258.57 τ=31.50
CC 8 SLD (Collegamento 0021_-378)
Azioni sul collegamento: N=-5777.33 Ty=3.40 Tz=-2.12 Mx=-0.00 Mz=2.88
Sollecitazioni agenti localmente: Ty_l=-1035.60 My_l=-21.25
Tensioni nella sezione: σ=257.52 τ=31.38
CC 8 SLD (Collegamento 0021_-378)
Azioni sul collegamento: N=-5777.33 Ty=4.43 Tz=-2.12 Mx=-0.00 Mz=3.87
Sollecitazioni agenti localmente: Ty_l=-1039.54 My_l=-21.33
Tensioni nella sezione: σ=258.57 τ=31.50
CC 9 SLV (Collegamento 0021_-378)
Azioni sul collegamento: N=-5814.22 Ty=6.23 Tz=-2.14 Mx=0.02 Mz=7.84
Sollecitazioni agenti localmente: Ty_l=-1061.90 My_l=-21.81
Tensioni nella sezione: σ=264.40 τ=32.18
CC 9 SLV (Collegamento 0021_-378)
Azioni sul collegamento: N=-5814.22 Ty=3.29 Tz=-2.14 Mx=0.02 Mz=3.06
Sollecitazioni agenti localmente: Ty_l=-1042.88 My_l=-21.40
Tensioni nella sezione: σ=259.35 τ=31.60
CC 9 SLV (Collegamento 0021_-378)
Azioni sul collegamento: N=-5814.22 Ty=6.23 Tz=4.16 Mx=0.02 Mz=7.84
Sollecitazioni agenti localmente: Ty_l=-1061.90 My_l=-21.81
Tensioni nella sezione: σ=264.40 τ=32.18
CC 9 SLV (Collegamento 0021_-378)
Azioni sul collegamento: N=-5814.22 Ty=3.29 Tz=4.16 Mx=0.02 Mz=3.06
Sollecitazioni agenti localmente: Ty_l=-1042.88 My_l=-21.40

Tensioni nella sezione: σ=259.35 τ=31.60
CC 9 SLV (Collegamento 0021_-378)
Azioni sul collegamento: N=-7420.50 Ty=6.23 Tz=-2.14 Mx=0.02 Mz=7.84
Sollecitazioni agenti localmente: Ty_l=-1346.65 My_l=-27.65
Tensioni nella sezione: σ=335.15 τ=40.81
CC 9 SLV (Collegamento 0021_-378)
Azioni sul collegamento: N=-7420.50 Ty=3.29 Tz=-2.14 Mx=0.02 Mz=3.06
Sollecitazioni agenti localmente: Ty_l=-1327.63 My_l=-27.23
Tensioni nella sezione: σ=330.10 τ=40.23
CC 9 SLV (Collegamento 0021_-378)
Azioni sul collegamento: N=-7420.50 Ty=6.23 Tz=4.16 Mx=0.02 Mz=7.84
Sollecitazioni agenti localmente: Ty_l=-1346.65 My_l=-27.65
Tensioni nella sezione: σ=335.15 τ=40.81
CC 9 SLV (Collegamento 0021_-378)
Azioni sul collegamento: N=-7420.50 Ty=3.29 Tz=4.16 Mx=0.02 Mz=3.06
Sollecitazioni agenti localmente: Ty_l=-1327.63 My_l=-27.23
Tensioni nella sezione: σ=330.10 τ=40.23
CC 10 SLD (Collegamento 0021_-378)
Azioni sul collegamento: N=-6340.00 Ty=4.36 Tz=-0.08 Mx=0.00 Mz=4.10
Sollecitazioni agenti localmente: Ty_l=-1140.22 My_l=-23.40
Tensioni nella sezione: σ=283.60 τ=34.55
CC 10 SLD (Collegamento 0021_-378)
Azioni sul collegamento: N=-6340.00 Ty=3.47 Tz=-0.08 Mx=0.00 Mz=2.64
Sollecitazioni agenti localmente: Ty_l=-1134.41 My_l=-23.27
Tensioni nella sezione: σ=282.06 τ=34.38
CC 10 SLD (Collegamento 0021_-378)
Azioni sul collegamento: N=-6340.00 Ty=4.36 Tz=1.85 Mx=0.00 Mz=4.10
Sollecitazioni agenti localmente: Ty_l=-1140.22 My_l=-23.40
Tensioni nella sezione: σ=283.60 τ=34.55
CC 10 SLD (Collegamento 0021_-378)
Azioni sul collegamento: N=-6340.00 Ty=3.47 Tz=1.85 Mx=0.00 Mz=2.64
Sollecitazioni agenti localmente: Ty_l=-1134.41 My_l=-23.27
Tensioni nella sezione: σ=282.06 τ=34.38
CC 10 SLD (Collegamento 0021_-378)
Azioni sul collegamento: N=-6829.81 Ty=4.36 Tz=-0.08 Mx=0.00 Mz=4.10
Sollecitazioni agenti localmente: Ty_l=-1227.04 My_l=-25.18
Tensioni nella sezione: σ=305.18 τ=37.18
CC 10 SLD (Collegamento 0021_-378)
Azioni sul collegamento: N=-6829.81 Ty=3.47 Tz=-0.08 Mx=0.00 Mz=2.64
Sollecitazioni agenti localmente: Ty_l=-1221.24 My_l=-25.05
Tensioni nella sezione: σ=303.64 τ=37.01
CC 10 SLD (Collegamento 0021_-378)
Azioni sul collegamento: N=-6829.81 Ty=4.36 Tz=1.85 Mx=0.00 Mz=4.10
Sollecitazioni agenti localmente: Ty_l=-1227.04 My_l=-25.18
Tensioni nella sezione: σ=305.18 τ=37.18
CC 10 SLD (Collegamento 0021_-378)
Azioni sul collegamento: N=-6829.81 Ty=3.47 Tz=1.85 Mx=0.00 Mz=2.64
Sollecitazioni agenti localmente: Ty_l=-1221.24 My_l=-25.05
Tensioni nella sezione: σ=303.64 τ=37.01
CC 11 SLV (Collegamento 0021_-378)
Azioni sul collegamento: N=-7401.56 Ty=5.40 Tz=3.74 Mx=0.02 Mz=7.25
Sollecitazioni agenti localmente: Ty_l=-1340.92 My_l=-27.53
Tensioni nella sezione: σ=333.69 τ=40.63
CC 11 SLV (Collegamento 0021_-378)
Azioni sul collegamento: N=-7401.56 Ty=4.11 Tz=3.74 Mx=0.02 Mz=3.66
Sollecitazioni agenti localmente: Ty_l=-1326.64 My_l=-27.22
Tensioni nella sezione: σ=329.90 τ=40.20
CC 11 SLV (Collegamento 0021_-378)
Azioni sul collegamento: N=-7401.56 Ty=5.40 Tz=-1.71 Mx=0.02 Mz=7.25
Sollecitazioni agenti localmente: Ty_l=-1340.92 My_l=-27.53
Tensioni nella sezione: σ=333.69 τ=40.63
CC 11 SLV (Collegamento 0021_-378)
Azioni sul collegamento: N=-7401.56 Ty=4.11 Tz=-1.71 Mx=0.02 Mz=3.66
Sollecitazioni agenti localmente: Ty_l=-1326.64 My_l=-27.22
Tensioni nella sezione: σ=329.90 τ=40.20
CC 11 SLV (Collegamento 0021_-378)
Azioni sul collegamento: N=-5833.17 Ty=5.40 Tz=3.74 Mx=0.02 Mz=7.25
Sollecitazioni agenti localmente: Ty_l=-1062.88 My_l=-21.83
Tensioni nella sezione: σ=264.60 τ=32.21
CC 11 SLV (Collegamento 0021_-378)
Azioni sul collegamento: N=-5833.17 Ty=4.11 Tz=3.74 Mx=0.02 Mz=3.66
Sollecitazioni agenti localmente: Ty_l=-1048.61 My_l=-21.52
Tensioni nella sezione: σ=260.81 τ=31.78
CC 11 SLV (Collegamento 0021_-378)
Azioni sul collegamento: N=-5833.17 Ty=5.40 Tz=-1.71 Mx=0.02 Mz=7.25
Sollecitazioni agenti localmente: Ty_l=-1062.88 My_l=-21.83
Tensioni nella sezione: σ=264.60 τ=32.21
CC 11 SLV (Collegamento 0021_-378)
Azioni sul collegamento: N=-5833.17 Ty=4.11 Tz=-1.71 Mx=0.02 Mz=3.66
Sollecitazioni agenti localmente: Ty_l=-1048.61 My_l=-21.52

Tensioni nella sezione: σ=260.81 τ=31.78
CC 12 SLD (Collegamento 0021_-378)
Azioni sul collegamento: N=-6824.03 Ty=4.11 Tz=1.72 Mx=0.00 Mz=3.92
Sollecitazioni agenti localmente: Ty_l=-1225.30 My_l=-25.14
Tensioni nella sezione: σ=304.73 τ=37.13
CC 12 SLD (Collegamento 0021_-378)
Azioni sul collegamento: N=-6824.03 Ty=3.72 Tz=1.72 Mx=0.00 Mz=2.82
Sollecitazioni agenti localmente: Ty_l=-1220.94 My_l=-25.05
Tensioni nella sezione: σ=303.58 τ=37.00
CC 12 SLD (Collegamento 0021_-378)
Azioni sul collegamento: N=-6824.03 Ty=4.11 Tz=0.05 Mx=0.00 Mz=3.92
Sollecitazioni agenti localmente: Ty_l=-1225.30 My_l=-25.14
Tensioni nella sezione: σ=304.73 τ=37.13
CC 12 SLD (Collegamento 0021_-378)
Azioni sul collegamento: N=-6824.03 Ty=3.72 Tz=0.05 Mx=0.00 Mz=2.82
Sollecitazioni agenti localmente: Ty_l=-1220.94 My_l=-25.05
Tensioni nella sezione: σ=303.58 τ=37.00
CC 12 SLD (Collegamento 0021_-378)
Azioni sul collegamento: N=-6345.78 Ty=4.11 Tz=1.72 Mx=0.00 Mz=3.92
Sollecitazioni agenti localmente: Ty_l=-1140.52 My_l=-23.40
Tensioni nella sezione: σ=283.67 τ=34.56
CC 12 SLD (Collegamento 0021_-378)
Azioni sul collegamento: N=-6345.78 Ty=3.72 Tz=1.72 Mx=0.00 Mz=2.82
Sollecitazioni agenti localmente: Ty_l=-1136.16 My_l=-23.31
Tensioni nella sezione: σ=282.51 τ=34.43
CC 12 SLD (Collegamento 0021_-378)
Azioni sul collegamento: N=-6345.78 Ty=4.11 Tz=0.05 Mx=0.00 Mz=3.92
Sollecitazioni agenti localmente: Ty_l=-1140.52 My_l=-23.40
Tensioni nella sezione: σ=283.67 τ=34.56
CC 12 SLD (Collegamento 0021_-378)
Azioni sul collegamento: N=-6345.78 Ty=3.72 Tz=0.05 Mx=0.00 Mz=2.82
Sollecitazioni agenti localmente: Ty_l=-1136.16 My_l=-23.31
Tensioni nella sezione: σ=282.51 τ=34.43
CC 13 SLV (Collegamento 0021_-378)
Azioni sul collegamento: N=-5833.17 Ty=4.11 Tz=-1.71 Mx=0.00 Mz=3.66
Sollecitazioni agenti localmente: Ty_l=-1048.61 My_l=-21.52
Tensioni nella sezione: σ=260.81 τ=31.78
CC 13 SLV (Collegamento 0021_-378)
Azioni sul collegamento: N=-5833.17 Ty=5.40 Tz=-1.71 Mx=0.00 Mz=7.25
Sollecitazioni agenti localmente: Ty_l=-1062.88 My_l=-21.83
Tensioni nella sezione: σ=264.60 τ=32.21
CC 13 SLV (Collegamento 0021_-378)
Azioni sul collegamento: N=-5833.17 Ty=4.11 Tz=3.74 Mx=0.00 Mz=3.66
Sollecitazioni agenti localmente: Ty_l=-1048.61 My_l=-21.52
Tensioni nella sezione: σ=260.81 τ=31.78
CC 13 SLV (Collegamento 0021_-378)
Azioni sul collegamento: N=-5833.17 Ty=5.40 Tz=3.74 Mx=0.00 Mz=7.25
Sollecitazioni agenti localmente: Ty_l=-1062.88 My_l=-21.83
Tensioni nella sezione: σ=264.60 τ=32.21
CC 13 SLV (Collegamento 0021_-378)
Azioni sul collegamento: N=-7401.56 Ty=4.11 Tz=-1.71 Mx=0.00 Mz=3.66
Sollecitazioni agenti localmente: Ty_l=-1326.64 My_l=-27.22
Tensioni nella sezione: σ=329.90 τ=40.20
CC 13 SLV (Collegamento 0021_-378)
Azioni sul collegamento: N=-7401.56 Ty=5.40 Tz=-1.71 Mx=0.00 Mz=7.25
Sollecitazioni agenti localmente: Ty_l=-1340.92 My_l=-27.53
Tensioni nella sezione: σ=333.69 τ=40.63
CC 13 SLV (Collegamento 0021_-378)
Azioni sul collegamento: N=-7401.56 Ty=4.11 Tz=3.74 Mx=0.00 Mz=3.66
Sollecitazioni agenti localmente: Ty_l=-1326.64 My_l=-27.22
Tensioni nella sezione: σ=329.90 τ=40.20
CC 13 SLV (Collegamento 0021_-378)
Azioni sul collegamento: N=-7401.56 Ty=5.40 Tz=3.74 Mx=0.00 Mz=7.25
Sollecitazioni agenti localmente: Ty_l=-1340.92 My_l=-27.53
Tensioni nella sezione: σ=333.69 τ=40.63
CC 14 SLD (Collegamento 0021_-378)
Azioni sul collegamento: N=-6345.78 Ty=3.72 Tz=0.05 Mx=-0.00 Mz=2.82
Sollecitazioni agenti localmente: Ty_l=-1136.16 My_l=-23.31
Tensioni nella sezione: σ=282.51 τ=34.43
CC 14 SLD (Collegamento 0021_-378)
Azioni sul collegamento: N=-6345.78 Ty=4.11 Tz=0.05 Mx=-0.00 Mz=3.92
Sollecitazioni agenti localmente: Ty_l=-1140.52 My_l=-23.40
Tensioni nella sezione: σ=283.67 τ=34.56
CC 14 SLD (Collegamento 0021_-378)
Azioni sul collegamento: N=-6345.78 Ty=3.72 Tz=1.72 Mx=-0.00 Mz=2.82
Sollecitazioni agenti localmente: Ty_l=-1136.16 My_l=-23.31
Tensioni nella sezione: σ=282.51 τ=34.43
CC 14 SLD (Collegamento 0021_-378)
Azioni sul collegamento: N=-6345.78 Ty=4.11 Tz=1.72 Mx=-0.00 Mz=3.92
Sollecitazioni agenti localmente: Ty_l=-1140.52 My_l=-23.40

Tensioni nella sezione: σ=283.67 τ=34.56
CC 14 SLD (Collegamento 0021_-378)
Azioni sul collegamento: N=-6824.03 Ty=3.72 Tz=0.05 Mx=-0.00 Mz=2.82
Sollecitazioni agenti localmente: Ty_l=-1220.94 My_l=-25.05
Tensioni nella sezione: σ=303.58 τ=37.00
CC 14 SLD (Collegamento 0021_-378)
Azioni sul collegamento: N=-6824.03 Ty=4.11 Tz=0.05 Mx=-0.00 Mz=3.92
Sollecitazioni agenti localmente: Ty_l=-1225.30 My_l=-25.14
Tensioni nella sezione: σ=304.73 τ=37.13
CC 14 SLD (Collegamento 0021_-378)
Azioni sul collegamento: N=-6824.03 Ty=3.72 Tz=1.72 Mx=-0.00 Mz=2.82
Sollecitazioni agenti localmente: Ty_l=-1220.94 My_l=-25.05
Tensioni nella sezione: σ=303.58 τ=37.00
CC 14 SLD (Collegamento 0021_-378)
Azioni sul collegamento: N=-6824.03 Ty=4.11 Tz=1.72 Mx=-0.00 Mz=3.92
Sollecitazioni agenti localmente: Ty_l=-1225.30 My_l=-25.14
Tensioni nella sezione: σ=304.73 τ=37.13
CC 15 SLV (Collegamento 0021_-378)
Azioni sul collegamento: N=-7420.50 Ty=3.29 Tz=4.16 Mx=0.00 Mz=3.06
Sollecitazioni agenti localmente: Ty_l=-1327.63 My_l=-27.23
Tensioni nella sezione: σ=330.10 τ=40.23
CC 15 SLV (Collegamento 0021_-378)
Azioni sul collegamento: N=-7420.50 Ty=6.23 Tz=4.16 Mx=0.00 Mz=7.84
Sollecitazioni agenti localmente: Ty_l=-1346.65 My_l=-27.65
Tensioni nella sezione: σ=335.15 τ=40.81
CC 15 SLV (Collegamento 0021_-378)
Azioni sul collegamento: N=-7420.50 Ty=3.29 Tz=-2.14 Mx=0.00 Mz=3.06
Sollecitazioni agenti localmente: Ty_l=-1327.63 My_l=-27.23
Tensioni nella sezione: σ=330.10 τ=40.23
CC 15 SLV (Collegamento 0021_-378)
Azioni sul collegamento: N=-7420.50 Ty=6.23 Tz=-2.14 Mx=0.00 Mz=7.84
Sollecitazioni agenti localmente: Ty_l=-1346.65 My_l=-27.65
Tensioni nella sezione: σ=335.15 τ=40.81
CC 15 SLV (Collegamento 0021_-378)
Azioni sul collegamento: N=-5814.22 Ty=3.29 Tz=4.16 Mx=0.00 Mz=3.06
Sollecitazioni agenti localmente: Ty_l=-1042.88 My_l=-21.40
Tensioni nella sezione: σ=259.35 τ=31.60
CC 15 SLV (Collegamento 0021_-378)
Azioni sul collegamento: N=-5814.22 Ty=6.23 Tz=4.16 Mx=0.00 Mz=7.84
Sollecitazioni agenti localmente: Ty_l=-1061.90 My_l=-21.81
Tensioni nella sezione: σ=264.40 τ=32.18
CC 15 SLV (Collegamento 0021_-378)
Azioni sul collegamento: N=-5814.22 Ty=3.29 Tz=-2.14 Mx=0.00 Mz=3.06
Sollecitazioni agenti localmente: Ty_l=-1042.88 My_l=-21.40
Tensioni nella sezione: σ=259.35 τ=31.60
CC 15 SLV (Collegamento 0021_-378)
Azioni sul collegamento: N=-5814.22 Ty=6.23 Tz=-2.14 Mx=0.00 Mz=7.84
Sollecitazioni agenti localmente: Ty_l=-1061.90 My_l=-21.81
Tensioni nella sezione: σ=264.40 τ=32.18
CC 16 SLD (Collegamento 0021_-378)
Azioni sul collegamento: N=-6829.81 Ty=3.47 Tz=1.85 Mx=-0.00 Mz=2.64
Sollecitazioni agenti localmente: Ty_l=-1221.24 My_l=-25.05
Tensioni nella sezione: σ=303.64 τ=37.01
CC 16 SLD (Collegamento 0021_-378)
Azioni sul collegamento: N=-6829.81 Ty=4.36 Tz=1.85 Mx=-0.00 Mz=4.10
Sollecitazioni agenti localmente: Ty_l=-1227.04 My_l=-25.18
Tensioni nella sezione: σ=305.18 τ=37.18
CC 16 SLD (Collegamento 0021_-378)
Azioni sul collegamento: N=-6829.81 Ty=3.47 Tz=-0.08 Mx=-0.00 Mz=2.64
Sollecitazioni agenti localmente: Ty_l=-1221.24 My_l=-25.05
Tensioni nella sezione: σ=303.64 τ=37.01
CC 16 SLD (Collegamento 0021_-378)
Azioni sul collegamento: N=-6829.81 Ty=4.36 Tz=-0.08 Mx=-0.00 Mz=4.10
Sollecitazioni agenti localmente: Ty_l=-1227.04 My_l=-25.18
Tensioni nella sezione: σ=305.18 τ=37.18
CC 16 SLD (Collegamento 0021_-378)
Azioni sul collegamento: N=-6340.00 Ty=3.47 Tz=1.85 Mx=-0.00 Mz=2.64
Sollecitazioni agenti localmente: Ty_l=-1134.41 My_l=-23.27
Tensioni nella sezione: σ=282.06 τ=34.38
CC 16 SLD (Collegamento 0021_-378)
Azioni sul collegamento: N=-6340.00 Ty=4.36 Tz=1.85 Mx=-0.00 Mz=4.10
Sollecitazioni agenti localmente: Ty_l=-1140.22 My_l=-23.40
Tensioni nella sezione: σ=283.60 τ=34.55
CC 16 SLD (Collegamento 0021_-378)
Azioni sul collegamento: N=-6340.00 Ty=3.47 Tz=-0.08 Mx=-0.00 Mz=2.64
Sollecitazioni agenti localmente: Ty_l=-1134.41 My_l=-23.27
Tensioni nella sezione: σ=282.06 τ=34.38
CC 16 SLD (Collegamento 0021_-378)
Azioni sul collegamento: N=-6340.00 Ty=4.36 Tz=-0.08 Mx=-0.00 Mz=4.10
Sollecitazioni agenti localmente: Ty_l=-1140.22 My_l=-23.40

Tensioni nella sezione: σ=283.60 τ=34.55
CC 17 SLV (Collegamento 0021_-378)
Azioni sul collegamento: N=-3875.57 Ty=0.64 Tz=-9.21 Mx=-0.02 Mz=1.09
Sollecitazioni agenti localmente: Ty_l=-691.35 My_l=-14.18
Tensioni nella sezione: σ=171.86 τ=20.95
CC 17 SLV (Collegamento 0021_-378)
Azioni sul collegamento: N=-3875.57 Ty=4.02 Tz=-9.21 Mx=-0.02 Mz=-2.16
Sollecitazioni agenti localmente: Ty_l=-678.43 My_l=-13.90
Tensioni nella sezione: σ=168.44 τ=20.56
CC 17 SLV (Collegamento 0021_-378)
Azioni sul collegamento: N=-3875.57 Ty=0.64 Tz=10.50 Mx=-0.02 Mz=1.09
Sollecitazioni agenti localmente: Ty_l=-691.35 My_l=-14.18
Tensioni nella sezione: σ=171.86 τ=20.95
CC 17 SLV (Collegamento 0021_-378)
Azioni sul collegamento: N=-3875.57 Ty=4.02 Tz=10.50 Mx=-0.02 Mz=-2.16
Sollecitazioni agenti localmente: Ty_l=-678.43 My_l=-13.90
Tensioni nella sezione: σ=168.44 τ=20.56
CC 17 SLV (Collegamento 0021_-378)
Azioni sul collegamento: N=-9172.38 Ty=0.64 Tz=-9.21 Mx=-0.02 Mz=1.09
Sollecitazioni agenti localmente: Ty_l=-1630.33 My_l=-33.43
Tensioni nella sezione: σ=405.19 τ=49.40
CC 17 SLV (Collegamento 0021_-378)
Azioni sul collegamento: N=-9172.38 Ty=4.02 Tz=-9.21 Mx=-0.02 Mz=-2.16
Sollecitazioni agenti localmente: Ty_l=-1617.41 My_l=-33.14
Tensioni nella sezione: σ=401.76 τ=49.01
CC 17 SLV (Collegamento 0021_-378)
Azioni sul collegamento: N=-9172.38 Ty=0.64 Tz=10.50 Mx=-0.02 Mz=1.09
Sollecitazioni agenti localmente: Ty_l=-1630.33 My_l=-33.43
Tensioni nella sezione: σ=405.19 τ=49.40
CC 17 SLV (Collegamento 0021_-378)
Azioni sul collegamento: N=-9172.38 Ty=4.02 Tz=10.50 Mx=-0.02 Mz=-2.16
Sollecitazioni agenti localmente: Ty_l=-1617.41 My_l=-33.14
Tensioni nella sezione: σ=401.76 τ=49.01
CC 18 SLD (Collegamento 0021_-378)
Azioni sul collegamento: N=-5748.85 Ty=3.69 Tz=-2.23 Mx=-0.01 Mz=2.04
Sollecitazioni agenti localmente: Ty_l=-1027.22 My_l=-21.07
Tensioni nella sezione: σ=255.39 τ=31.13
CC 18 SLD (Collegamento 0021_-378)
Azioni sul collegamento: N=-5748.85 Ty=2.66 Tz=-2.23 Mx=-0.01 Mz=1.05
Sollecitazioni agenti localmente: Ty_l=-1023.28 My_l=-20.98
Tensioni nella sezione: σ=254.34 τ=31.01
CC 18 SLD (Collegamento 0021_-378)
Azioni sul collegamento: N=-5748.85 Ty=3.69 Tz=3.78 Mx=-0.01 Mz=2.04
Sollecitazioni agenti localmente: Ty_l=-1027.22 My_l=-21.07
Tensioni nella sezione: σ=255.39 τ=31.13
CC 18 SLD (Collegamento 0021_-378)
Azioni sul collegamento: N=-5748.85 Ty=2.66 Tz=3.78 Mx=-0.01 Mz=1.05
Sollecitazioni agenti localmente: Ty_l=-1023.28 My_l=-20.98
Tensioni nella sezione: σ=254.34 τ=31.01
CC 18 SLD (Collegamento 0021_-378)
Azioni sul collegamento: N=-7364.01 Ty=3.69 Tz=-2.23 Mx=-0.01 Mz=2.04
Sollecitazioni agenti localmente: Ty_l=-1313.55 My_l=-26.94
Tensioni nella sezione: σ=326.53 τ=39.80
CC 18 SLD (Collegamento 0021_-378)
Azioni sul collegamento: N=-7364.01 Ty=2.66 Tz=-2.23 Mx=-0.01 Mz=1.05
Sollecitazioni agenti localmente: Ty_l=-1309.61 My_l=-26.85
Tensioni nella sezione: σ=325.49 τ=39.69
CC 18 SLD (Collegamento 0021_-378)
Azioni sul collegamento: N=-7364.01 Ty=3.69 Tz=3.78 Mx=-0.01 Mz=2.04
Sollecitazioni agenti localmente: Ty_l=-1313.55 My_l=-26.94
Tensioni nella sezione: σ=326.53 τ=39.80
CC 18 SLD (Collegamento 0021_-378)
Azioni sul collegamento: N=-7364.01 Ty=2.66 Tz=3.78 Mx=-0.01 Mz=1.05
Sollecitazioni agenti localmente: Ty_l=-1309.61 My_l=-26.85
Tensioni nella sezione: σ=325.49 τ=39.69
CC 19 SLV (Collegamento 0021_-378)
Azioni sul collegamento: N=-3881.26 Ty=1.27 Tz=-9.09 Mx=-0.02 Mz=-0.17
Sollecitazioni agenti localmente: Ty_l=-687.36 My_l=-14.09
Tensioni nella sezione: σ=170.79 τ=20.83
CC 19 SLV (Collegamento 0021_-378)
Azioni sul collegamento: N=-3881.26 Ty=3.39 Tz=-9.09 Mx=-0.02 Mz=-0.91
Sollecitazioni agenti localmente: Ty_l=-684.44 My_l=-14.03
Tensioni nella sezione: σ=170.01 τ=20.74
CC 19 SLV (Collegamento 0021_-378)
Azioni sul collegamento: N=-3881.26 Ty=1.27 Tz=10.37 Mx=-0.02 Mz=-0.17
Sollecitazioni agenti localmente: Ty_l=-687.36 My_l=-14.09
Tensioni nella sezione: σ=170.79 τ=20.83
CC 19 SLV (Collegamento 0021_-378)
Azioni sul collegamento: N=-3881.26 Ty=3.39 Tz=10.37 Mx=-0.02 Mz=-0.91
Sollecitazioni agenti localmente: Ty_l=-684.44 My_l=-14.03

Tensioni nella sezione: σ=170.01 τ=20.74
CC 19 SLV (Collegamento 0021_-378)
Azioni sul collegamento: N=-9166.69 Ty=1.27 Tz=-9.09 Mx=-0.02 Mz=-0.17
Sollecitazioni agenti localmente: Ty_l=-1624.33 My_l=-33.30
Tensioni nella sezione: σ=403.61 τ=49.22
CC 19 SLV (Collegamento 0021_-378)
Azioni sul collegamento: N=-9166.69 Ty=3.39 Tz=-9.09 Mx=-0.02 Mz=-0.91
Sollecitazioni agenti localmente: Ty_l=-1621.40 My_l=-33.23
Tensioni nella sezione: σ=402.83 τ=49.13
CC 19 SLV (Collegamento 0021_-378)
Azioni sul collegamento: N=-9166.69 Ty=1.27 Tz=10.37 Mx=-0.02 Mz=-0.17
Sollecitazioni agenti localmente: Ty_l=-1624.33 My_l=-33.30
Tensioni nella sezione: σ=403.61 τ=49.22
CC 19 SLV (Collegamento 0021_-378)
Azioni sul collegamento: N=-9166.69 Ty=3.39 Tz=10.37 Mx=-0.02 Mz=-0.91
Sollecitazioni agenti localmente: Ty_l=-1621.40 My_l=-33.23
Tensioni nella sezione: σ=402.83 τ=49.13
CC 20 SLD (Collegamento 0021_-378)
Azioni sul collegamento: N=-5750.58 Ty=3.50 Tz=-2.19 Mx=-0.01 Mz=1.66
Sollecitazioni agenti localmente: Ty_l=-1026.01 My_l=-21.04
Tensioni nella sezione: σ=255.06 τ=31.09
CC 20 SLD (Collegamento 0021_-378)
Azioni sul collegamento: N=-5750.58 Ty=2.85 Tz=-2.19 Mx=-0.01 Mz=1.43
Sollecitazioni agenti localmente: Ty_l=-1025.11 My_l=-21.02
Tensioni nella sezione: σ=254.82 τ=31.06
CC 20 SLD (Collegamento 0021_-378)
Azioni sul collegamento: N=-5750.58 Ty=3.50 Tz=3.74 Mx=-0.01 Mz=1.66
Sollecitazioni agenti localmente: Ty_l=-1026.01 My_l=-21.04
Tensioni nella sezione: σ=255.06 τ=31.09
CC 20 SLD (Collegamento 0021_-378)
Azioni sul collegamento: N=-5750.58 Ty=2.85 Tz=3.74 Mx=-0.01 Mz=1.43
Sollecitazioni agenti localmente: Ty_l=-1025.11 My_l=-21.02
Tensioni nella sezione: σ=254.82 τ=31.06
CC 20 SLD (Collegamento 0021_-378)
Azioni sul collegamento: N=-7362.28 Ty=3.50 Tz=-2.19 Mx=-0.01 Mz=1.66
Sollecitazioni agenti localmente: Ty_l=-1311.72 My_l=-26.90
Tensioni nella sezione: σ=326.05 τ=39.75
CC 20 SLD (Collegamento 0021_-378)
Azioni sul collegamento: N=-7362.28 Ty=2.85 Tz=-2.19 Mx=-0.01 Mz=1.43
Sollecitazioni agenti localmente: Ty_l=-1310.82 My_l=-26.88
Tensioni nella sezione: σ=325.82 τ=39.72
CC 20 SLD (Collegamento 0021_-378)
Azioni sul collegamento: N=-7362.28 Ty=3.50 Tz=3.74 Mx=-0.01 Mz=1.66
Sollecitazioni agenti localmente: Ty_l=-1311.72 My_l=-26.90
Tensioni nella sezione: σ=326.05 τ=39.75
CC 20 SLD (Collegamento 0021_-378)
Azioni sul collegamento: N=-7362.28 Ty=2.85 Tz=3.74 Mx=-0.01 Mz=1.43
Sollecitazioni agenti localmente: Ty_l=-1310.82 My_l=-26.88
Tensioni nella sezione: σ=325.82 τ=39.72
CC 21 SLV (Collegamento 0021_-378)
Azioni sul collegamento: N=-9166.69 Ty=3.39 Tz=10.37 Mx=-0.02 Mz=-0.91
Sollecitazioni agenti localmente: Ty_l=-1621.40 My_l=-33.23
Tensioni nella sezione: σ=402.83 τ=49.13
CC 21 SLV (Collegamento 0021_-378)
Azioni sul collegamento: N=-9166.69 Ty=1.27 Tz=10.37 Mx=-0.02 Mz=-0.17
Sollecitazioni agenti localmente: Ty_l=-1624.33 My_l=-33.30
Tensioni nella sezione: σ=403.61 τ=49.22
CC 21 SLV (Collegamento 0021_-378)
Azioni sul collegamento: N=-9166.69 Ty=3.39 Tz=-9.09 Mx=-0.02 Mz=-0.91
Sollecitazioni agenti localmente: Ty_l=-1621.40 My_l=-33.23
Tensioni nella sezione: σ=402.83 τ=49.13
CC 21 SLV (Collegamento 0021_-378)
Azioni sul collegamento: N=-9166.69 Ty=1.27 Tz=-9.09 Mx=-0.02 Mz=-0.17
Sollecitazioni agenti localmente: Ty_l=-1624.33 My_l=-33.30
Tensioni nella sezione: σ=403.61 τ=49.22
CC 21 SLV (Collegamento 0021_-378)
Azioni sul collegamento: N=-3881.26 Ty=3.39 Tz=10.37 Mx=-0.02 Mz=-0.91
Sollecitazioni agenti localmente: Ty_l=-684.44 My_l=-14.03
Tensioni nella sezione: σ=170.01 τ=20.74
CC 21 SLV (Collegamento 0021_-378)
Azioni sul collegamento: N=-3881.26 Ty=1.27 Tz=10.37 Mx=-0.02 Mz=-0.17
Sollecitazioni agenti localmente: Ty_l=-687.36 My_l=-14.09
Tensioni nella sezione: σ=170.79 τ=20.83
CC 21 SLV (Collegamento 0021_-378)
Azioni sul collegamento: N=-3881.26 Ty=3.39 Tz=-9.09 Mx=-0.02 Mz=-0.91
Sollecitazioni agenti localmente: Ty_l=-684.44 My_l=-14.03
Tensioni nella sezione: σ=170.01 τ=20.74
CC 21 SLV (Collegamento 0021_-378)
Azioni sul collegamento: N=-3881.26 Ty=1.27 Tz=-9.09 Mx=-0.02 Mz=-0.17
Sollecitazioni agenti localmente: Ty_l=-687.36 My_l=-14.09

Tensioni nella sezione: σ=170.79 τ=20.83
CC 22 SLD (Collegamento 0021_-378)
Azioni sul collegamento: N=-7362.28 Ty=2.85 Tz=3.74 Mx=-0.01 Mz=1.43
Sollecitazioni agenti localmente: Ty_l=-1310.82 My_l=-26.88
Tensioni nella sezione: σ=325.82 τ=39.72
CC 22 SLD (Collegamento 0021_-378)
Azioni sul collegamento: N=-7362.28 Ty=3.50 Tz=3.74 Mx=-0.01 Mz=1.66
Sollecitazioni agenti localmente: Ty_l=-1311.72 My_l=-26.90
Tensioni nella sezione: σ=326.05 τ=39.75
CC 22 SLD (Collegamento 0021_-378)
Azioni sul collegamento: N=-7362.28 Ty=2.85 Tz=-2.19 Mx=-0.01 Mz=1.43
Sollecitazioni agenti localmente: Ty_l=-1310.82 My_l=-26.88
Tensioni nella sezione: σ=325.82 τ=39.72
CC 22 SLD (Collegamento 0021_-378)
Azioni sul collegamento: N=-7362.28 Ty=3.50 Tz=-2.19 Mx=-0.01 Mz=1.66
Sollecitazioni agenti localmente: Ty_l=-1311.72 My_l=-26.90
Tensioni nella sezione: σ=326.05 τ=39.75
CC 22 SLD (Collegamento 0021_-378)
Azioni sul collegamento: N=-5750.58 Ty=2.85 Tz=3.74 Mx=-0.01 Mz=1.43
Sollecitazioni agenti localmente: Ty_l=-1025.11 My_l=-21.02
Tensioni nella sezione: σ=254.82 τ=31.06
CC 22 SLD (Collegamento 0021_-378)
Azioni sul collegamento: N=-5750.58 Ty=3.50 Tz=3.74 Mx=-0.01 Mz=1.66
Sollecitazioni agenti localmente: Ty_l=-1026.01 My_l=-21.04
Tensioni nella sezione: σ=255.06 τ=31.09
CC 22 SLD (Collegamento 0021_-378)
Azioni sul collegamento: N=-5750.58 Ty=2.85 Tz=-2.19 Mx=-0.01 Mz=1.43
Sollecitazioni agenti localmente: Ty_l=-1025.11 My_l=-21.02
Tensioni nella sezione: σ=254.82 τ=31.06
CC 22 SLD (Collegamento 0021_-378)
Azioni sul collegamento: N=-5750.58 Ty=3.50 Tz=-2.19 Mx=-0.01 Mz=1.66
Sollecitazioni agenti localmente: Ty_l=-1026.01 My_l=-21.04
Tensioni nella sezione: σ=255.06 τ=31.09
CC 23 SLV (Collegamento 0021_-378)
Azioni sul collegamento: N=-9172.38 Ty=4.02 Tz=10.50 Mx=-0.01 Mz=-2.16
Sollecitazioni agenti localmente: Ty_l=-1617.41 My_l=-33.14
Tensioni nella sezione: σ=401.76 τ=49.01
CC 23 SLV (Collegamento 0021_-378)
Azioni sul collegamento: N=-9172.38 Ty=0.64 Tz=10.50 Mx=-0.01 Mz=1.09
Sollecitazioni agenti localmente: Ty_l=-1630.33 My_l=-33.43
Tensioni nella sezione: σ=405.19 τ=49.40
CC 23 SLV (Collegamento 0021_-378)
Azioni sul collegamento: N=-9172.38 Ty=4.02 Tz=-9.21 Mx=-0.01 Mz=-2.16
Sollecitazioni agenti localmente: Ty_l=-1617.41 My_l=-33.14
Tensioni nella sezione: σ=401.76 τ=49.01
CC 23 SLV (Collegamento 0021_-378)
Azioni sul collegamento: N=-9172.38 Ty=0.64 Tz=-9.21 Mx=-0.01 Mz=1.09
Sollecitazioni agenti localmente: Ty_l=-1630.33 My_l=-33.43
Tensioni nella sezione: σ=405.19 τ=49.40
CC 23 SLV (Collegamento 0021_-378)
Azioni sul collegamento: N=-3875.57 Ty=4.02 Tz=10.50 Mx=-0.01 Mz=-2.16
Sollecitazioni agenti localmente: Ty_l=-678.43 My_l=-13.90
Tensioni nella sezione: σ=168.44 τ=20.56
CC 23 SLV (Collegamento 0021_-378)
Azioni sul collegamento: N=-3875.57 Ty=0.64 Tz=10.50 Mx=-0.01 Mz=1.09
Sollecitazioni agenti localmente: Ty_l=-691.35 My_l=-14.18
Tensioni nella sezione: σ=171.86 τ=20.95
CC 23 SLV (Collegamento 0021_-378)
Azioni sul collegamento: N=-3875.57 Ty=4.02 Tz=-9.21 Mx=-0.01 Mz=-2.16
Sollecitazioni agenti localmente: Ty_l=-678.43 My_l=-13.90
Tensioni nella sezione: σ=168.44 τ=20.56
CC 23 SLV (Collegamento 0021_-378)
Azioni sul collegamento: N=-3875.57 Ty=0.64 Tz=-9.21 Mx=-0.01 Mz=1.09
Sollecitazioni agenti localmente: Ty_l=-691.35 My_l=-14.18
Tensioni nella sezione: σ=171.86 τ=20.95
CC 24 SLD (Collegamento 0021_-378)
Azioni sul collegamento: N=-7364.01 Ty=2.66 Tz=3.78 Mx=-0.01 Mz=1.05
Sollecitazioni agenti localmente: Ty_l=-1309.61 My_l=-26.85
Tensioni nella sezione: σ=325.49 τ=39.69
CC 24 SLD (Collegamento 0021_-378)
Azioni sul collegamento: N=-7364.01 Ty=3.69 Tz=3.78 Mx=-0.01 Mz=2.04
Sollecitazioni agenti localmente: Ty_l=-1313.55 My_l=-26.94
Tensioni nella sezione: σ=326.53 τ=39.80
CC 24 SLD (Collegamento 0021_-378)
Azioni sul collegamento: N=-7364.01 Ty=2.66 Tz=-2.23 Mx=-0.01 Mz=1.05
Sollecitazioni agenti localmente: Ty_l=-1309.61 My_l=-26.85
Tensioni nella sezione: σ=325.49 τ=39.69
CC 24 SLD (Collegamento 0021_-378)
Azioni sul collegamento: N=-7364.01 Ty=3.69 Tz=-2.23 Mx=-0.01 Mz=2.04
Sollecitazioni agenti localmente: Ty_l=-1313.55 My_l=-26.94

Tensioni nella sezione: σ=326.53 τ=39.80
CC 24 SLD (Collegamento 0021_-378)
Azioni sul collegamento: N=-5748.85 Ty=2.66 Tz=3.78 Mx=-0.01 Mz=1.05
Sollecitazioni agenti localmente: Ty_l=-1023.28 My_l=-20.98
Tensioni nella sezione: σ=254.34 τ=31.01
CC 24 SLD (Collegamento 0021_-378)
Azioni sul collegamento: N=-5748.85 Ty=3.69 Tz=3.78 Mx=-0.01 Mz=2.04
Sollecitazioni agenti localmente: Ty_l=-1027.22 My_l=-21.07
Tensioni nella sezione: σ=255.39 τ=31.13
CC 24 SLD (Collegamento 0021_-378)
Azioni sul collegamento: N=-5748.85 Ty=2.66 Tz=-2.23 Mx=-0.01 Mz=1.05
Sollecitazioni agenti localmente: Ty_l=-1023.28 My_l=-20.98
Tensioni nella sezione: σ=254.34 τ=31.01
CC 24 SLD (Collegamento 0021_-378)
Azioni sul collegamento: N=-5748.85 Ty=3.69 Tz=-2.23 Mx=-0.01 Mz=2.04
Sollecitazioni agenti localmente: Ty_l=-1027.22 My_l=-21.07
Tensioni nella sezione: σ=255.39 τ=31.13
CC 25 SLV (Collegamento 0021_-378)
Azioni sul collegamento: N=-5720.83 Ty=0.86 Tz=-2.51 Mx=-0.03 Mz=1.85
Sollecitazioni agenti localmente: Ty_l=-1021.52 My_l=-20.95
Tensioni nella sezione: σ=253.96 τ=30.96
CC 25 SLV (Collegamento 0021_-378)
Azioni sul collegamento: N=-5720.83 Ty=3.80 Tz=-2.51 Mx=-0.03 Mz=-2.93
Sollecitazioni agenti localmente: Ty_l=-1002.49 My_l=-20.53
Tensioni nella sezione: σ=248.91 τ=30.38
CC 25 SLV (Collegamento 0021_-378)
Azioni sul collegamento: N=-5720.83 Ty=0.86 Tz=3.80 Mx=-0.03 Mz=1.85
Sollecitazioni agenti localmente: Ty_l=-1021.52 My_l=-20.95
Tensioni nella sezione: σ=253.96 τ=30.96
CC 25 SLV (Collegamento 0021_-378)
Azioni sul collegamento: N=-5720.83 Ty=3.80 Tz=3.80 Mx=-0.03 Mz=-2.93
Sollecitazioni agenti localmente: Ty_l=-1002.49 My_l=-20.53
Tensioni nella sezione: σ=248.91 τ=30.38
CC 25 SLV (Collegamento 0021_-378)
Azioni sul collegamento: N=-7327.12 Ty=0.86 Tz=-2.51 Mx=-0.03 Mz=1.85
Sollecitazioni agenti localmente: Ty_l=-1306.27 My_l=-26.79
Tensioni nella sezione: σ=324.71 τ=39.58
CC 25 SLV (Collegamento 0021_-378)
Azioni sul collegamento: N=-7327.12 Ty=3.80 Tz=-2.51 Mx=-0.03 Mz=-2.93
Sollecitazioni agenti localmente: Ty_l=-1287.24 My_l=-26.37
Tensioni nella sezione: σ=319.66 τ=39.01
CC 25 SLV (Collegamento 0021_-378)
Azioni sul collegamento: N=-7327.12 Ty=0.86 Tz=3.80 Mx=-0.03 Mz=1.85
Sollecitazioni agenti localmente: Ty_l=-1306.27 My_l=-26.79
Tensioni nella sezione: σ=324.71 τ=39.58
CC 25 SLV (Collegamento 0021_-378)
Azioni sul collegamento: N=-7327.12 Ty=3.80 Tz=3.80 Mx=-0.03 Mz=-2.93
Sollecitazioni agenti localmente: Ty_l=-1287.24 My_l=-26.37
Tensioni nella sezione: σ=319.66 τ=39.01
CC 26 SLD (Collegamento 0021_-378)
Azioni sul collegamento: N=-6311.53 Ty=3.62 Tz=-0.19 Mx=-0.01 Mz=2.27
Sollecitazioni agenti localmente: Ty_l=-1127.90 My_l=-23.13
Tensioni nella sezione: σ=280.42 τ=34.18
CC 26 SLD (Collegamento 0021_-378)
Azioni sul collegamento: N=-6311.53 Ty=2.73 Tz=-0.19 Mx=-0.01 Mz=0.81
Sollecitazioni agenti localmente: Ty_l=-1122.10 My_l=-23.01
Tensioni nella sezione: σ=278.88 τ=34.00
CC 26 SLD (Collegamento 0021_-378)
Azioni sul collegamento: N=-6311.53 Ty=3.62 Tz=1.73 Mx=-0.01 Mz=2.27
Sollecitazioni agenti localmente: Ty_l=-1127.90 My_l=-23.13
Tensioni nella sezione: σ=280.42 τ=34.18
CC 26 SLD (Collegamento 0021_-378)
Azioni sul collegamento: N=-6311.53 Ty=2.73 Tz=1.73 Mx=-0.01 Mz=0.81
Sollecitazioni agenti localmente: Ty_l=-1122.10 My_l=-23.01
Tensioni nella sezione: σ=278.88 τ=34.00
CC 26 SLD (Collegamento 0021_-378)
Azioni sul collegamento: N=-6801.33 Ty=3.62 Tz=-0.19 Mx=-0.01 Mz=2.27
Sollecitazioni agenti localmente: Ty_l=-1214.73 My_l=-24.91
Tensioni nella sezione: σ=302.00 τ=36.81
CC 26 SLD (Collegamento 0021_-378)
Azioni sul collegamento: N=-6801.33 Ty=2.73 Tz=-0.19 Mx=-0.01 Mz=0.81
Sollecitazioni agenti localmente: Ty_l=-1208.93 My_l=-24.79
Tensioni nella sezione: σ=300.45 τ=36.63
CC 26 SLD (Collegamento 0021_-378)
Azioni sul collegamento: N=-6801.33 Ty=3.62 Tz=1.73 Mx=-0.01 Mz=2.27
Sollecitazioni agenti localmente: Ty_l=-1214.73 My_l=-24.91
Tensioni nella sezione: σ=302.00 τ=36.81
CC 26 SLD (Collegamento 0021_-378)
Azioni sul collegamento: N=-6801.33 Ty=2.73 Tz=1.73 Mx=-0.01 Mz=0.81
Sollecitazioni agenti localmente: Ty_l=-1208.93 My_l=-24.79

Tensioni nella sezione: σ=300.46 τ=36.63
CC 27 SLV (Collegamento 0021_-378)
Azioni sul collegamento: N=-7308.17 Ty=1.68 Tz=3.37 Mx=-0.02 Mz=1.26
Sollecitazioni agenti localmente: Ty_l=-1300.53 My_l=-26.67
Tensioni nella sezione: σ=323.25 τ=39.41
CC 27 SLV (Collegamento 0021_-378)
Azioni sul collegamento: N=-7308.17 Ty=2.97 Tz=3.37 Mx=-0.02 Mz=-2.33
Sollecitazioni agenti localmente: Ty_l=-1286.26 My_l=-26.36
Tensioni nella sezione: σ=319.46 τ=38.98
CC 27 SLV (Collegamento 0021_-378)
Azioni sul collegamento: N=-7308.17 Ty=1.68 Tz=-2.08 Mx=-0.02 Mz=1.26
Sollecitazioni agenti localmente: Ty_l=-1300.53 My_l=-26.67
Tensioni nella sezione: σ=323.25 τ=39.41
CC 27 SLV (Collegamento 0021_-378)
Azioni sul collegamento: N=-7308.17 Ty=2.97 Tz=-2.08 Mx=-0.02 Mz=-2.33
Sollecitazioni agenti localmente: Ty_l=-1286.26 My_l=-26.36
Tensioni nella sezione: σ=319.46 τ=38.98
CC 27 SLV (Collegamento 0021_-378)
Azioni sul collegamento: N=-5739.78 Ty=1.68 Tz=3.37 Mx=-0.02 Mz=1.26
Sollecitazioni agenti localmente: Ty_l=-1022.50 My_l=-20.97
Tensioni nella sezione: σ=254.16 τ=30.98
CC 27 SLV (Collegamento 0021_-378)
Azioni sul collegamento: N=-5739.78 Ty=2.97 Tz=3.37 Mx=-0.02 Mz=-2.33
Sollecitazioni agenti localmente: Ty_l=-1008.23 My_l=-20.66
Tensioni nella sezione: σ=250.37 τ=30.55
CC 27 SLV (Collegamento 0021_-378)
Azioni sul collegamento: N=-5739.78 Ty=1.68 Tz=-2.08 Mx=-0.02 Mz=1.26
Sollecitazioni agenti localmente: Ty_l=-1022.50 My_l=-20.97
Tensioni nella sezione: σ=254.16 τ=30.98
CC 27 SLV (Collegamento 0021_-378)
Azioni sul collegamento: N=-5739.78 Ty=2.97 Tz=-2.08 Mx=-0.02 Mz=-2.33
Sollecitazioni agenti localmente: Ty_l=-1008.23 My_l=-20.66
Tensioni nella sezione: σ=250.37 τ=30.55
CC 28 SLD (Collegamento 0021_-378)
Azioni sul collegamento: N=-6795.56 Ty=3.37 Tz=1.60 Mx=-0.01 Mz=2.09
Sollecitazioni agenti localmente: Ty_l=-1212.98 My_l=-24.88
Tensioni nella sezione: σ=301.55 τ=36.76
CC 28 SLD (Collegamento 0021_-378)
Azioni sul collegamento: N=-6795.56 Ty=2.98 Tz=1.60 Mx=-0.01 Mz=1.00
Sollecitazioni agenti localmente: Ty_l=-1208.63 My_l=-24.78
Tensioni nella sezione: σ=300.39 τ=36.63
CC 28 SLD (Collegamento 0021_-378)
Azioni sul collegamento: N=-6795.56 Ty=3.37 Tz=-0.06 Mx=-0.01 Mz=2.09
Sollecitazioni agenti localmente: Ty_l=-1212.98 My_l=-24.88
Tensioni nella sezione: σ=301.55 τ=36.76
CC 28 SLD (Collegamento 0021_-378)
Azioni sul collegamento: N=-6795.56 Ty=2.98 Tz=-0.06 Mx=-0.01 Mz=1.00
Sollecitazioni agenti localmente: Ty_l=-1208.63 My_l=-24.78
Tensioni nella sezione: σ=300.39 τ=36.63
CC 28 SLD (Collegamento 0021_-378)
Azioni sul collegamento: N=-6317.30 Ty=3.37 Tz=1.60 Mx=-0.01 Mz=2.09
Sollecitazioni agenti localmente: Ty_l=-1128.20 My_l=-23.14
Tensioni nella sezione: σ=280.48 τ=34.19
CC 28 SLD (Collegamento 0021_-378)
Azioni sul collegamento: N=-6317.30 Ty=2.98 Tz=1.60 Mx=-0.01 Mz=1.00
Sollecitazioni agenti localmente: Ty_l=-1123.85 My_l=-23.04
Tensioni nella sezione: σ=279.33 τ=34.06
CC 28 SLD (Collegamento 0021_-378)
Azioni sul collegamento: N=-6317.30 Ty=3.37 Tz=-0.06 Mx=-0.01 Mz=2.09
Sollecitazioni agenti localmente: Ty_l=-1128.20 My_l=-23.14
Tensioni nella sezione: σ=280.48 τ=34.19
CC 28 SLD (Collegamento 0021_-378)
Azioni sul collegamento: N=-6317.30 Ty=2.98 Tz=-0.06 Mx=-0.01 Mz=1.00
Sollecitazioni agenti localmente: Ty_l=-1123.85 My_l=-23.04
Tensioni nella sezione: σ=279.33 τ=34.06
CC 29 SLV (Collegamento 0021_-378)
Azioni sul collegamento: N=-5739.78 Ty=2.97 Tz=-2.08 Mx=-0.01 Mz=-2.33
Sollecitazioni agenti localmente: Ty_l=-1008.23 My_l=-20.66
Tensioni nella sezione: σ=250.37 τ=30.55
CC 29 SLV (Collegamento 0021_-378)
Azioni sul collegamento: N=-5739.78 Ty=1.68 Tz=-2.08 Mx=-0.01 Mz=1.26
Sollecitazioni agenti localmente: Ty_l=-1022.50 My_l=-20.97
Tensioni nella sezione: σ=254.16 τ=30.98
CC 29 SLV (Collegamento 0021_-378)
Azioni sul collegamento: N=-5739.78 Ty=2.97 Tz=3.37 Mx=-0.01 Mz=-2.33
Sollecitazioni agenti localmente: Ty_l=-1008.23 My_l=-20.66
Tensioni nella sezione: σ=250.37 τ=30.55
CC 29 SLV (Collegamento 0021_-378)
Azioni sul collegamento: N=-5739.78 Ty=1.68 Tz=3.37 Mx=-0.01 Mz=1.26
Sollecitazioni agenti localmente: Ty_l=-1022.50 My_l=-20.97

Tensioni nella sezione: σ=254.16 τ=30.98
CC 29 SLV (Collegamento 0021_-378)
Azioni sul collegamento: N=-7308.17 Ty=2.97 Tz=-2.08 Mx=-0.01 Mz=-2.33
Sollecitazioni agenti localmente: Ty_l=-1286.26 My_l=-26.36
Tensioni nella sezione: σ=319.46 τ=38.98
CC 29 SLV (Collegamento 0021_-378)
Azioni sul collegamento: N=-7308.17 Ty=1.68 Tz=-2.08 Mx=-0.01 Mz=1.26
Sollecitazioni agenti localmente: Ty_l=-1300.53 My_l=-26.67
Tensioni nella sezione: σ=323.25 τ=39.41
CC 29 SLV (Collegamento 0021_-378)
Azioni sul collegamento: N=-7308.17 Ty=2.97 Tz=3.37 Mx=-0.01 Mz=-2.33
Sollecitazioni agenti localmente: Ty_l=-1286.26 My_l=-26.36
Tensioni nella sezione: σ=319.46 τ=38.98
CC 29 SLV (Collegamento 0021_-378)
Azioni sul collegamento: N=-7308.17 Ty=1.68 Tz=3.37 Mx=-0.01 Mz=1.26
Sollecitazioni agenti localmente: Ty_l=-1300.53 My_l=-26.67
Tensioni nella sezione: σ=323.25 τ=39.41
CC 30 SLD (Collegamento 0021_-378)
Azioni sul collegamento: N=-6317.30 Ty=2.98 Tz=-0.06 Mx=-0.01 Mz=1.00
Sollecitazioni agenti localmente: Ty_l=-1123.85 My_l=-23.04
Tensioni nella sezione: σ=279.33 τ=34.06
CC 30 SLD (Collegamento 0021_-378)
Azioni sul collegamento: N=-6317.30 Ty=3.37 Tz=-0.06 Mx=-0.01 Mz=2.09
Sollecitazioni agenti localmente: Ty_l=-1128.20 My_l=-23.14
Tensioni nella sezione: σ=280.48 τ=34.19
CC 30 SLD (Collegamento 0021_-378)
Azioni sul collegamento: N=-6317.30 Ty=2.98 Tz=1.60 Mx=-0.01 Mz=1.00
Sollecitazioni agenti localmente: Ty_l=-1123.85 My_l=-23.04
Tensioni nella sezione: σ=279.33 τ=34.06
CC 30 SLD (Collegamento 0021_-378)
Azioni sul collegamento: N=-6317.30 Ty=3.37 Tz=1.60 Mx=-0.01 Mz=2.09
Sollecitazioni agenti localmente: Ty_l=-1128.20 My_l=-23.14
Tensioni nella sezione: σ=280.48 τ=34.19
CC 30 SLD (Collegamento 0021_-378)
Azioni sul collegamento: N=-6795.56 Ty=2.98 Tz=-0.06 Mx=-0.01 Mz=1.00
Sollecitazioni agenti localmente: Ty_l=-1208.63 My_l=-24.78
Tensioni nella sezione: σ=300.39 τ=36.63
CC 30 SLD (Collegamento 0021_-378)
Azioni sul collegamento: N=-6795.56 Ty=3.37 Tz=-0.06 Mx=-0.01 Mz=2.09
Sollecitazioni agenti localmente: Ty_l=-1212.98 My_l=-24.88
Tensioni nella sezione: σ=301.55 τ=36.76
CC 30 SLD (Collegamento 0021_-378)
Azioni sul collegamento: N=-6795.56 Ty=2.98 Tz=1.60 Mx=-0.01 Mz=1.00
Sollecitazioni agenti localmente: Ty_l=-1208.63 My_l=-24.78
Tensioni nella sezione: σ=300.39 τ=36.63
CC 30 SLD (Collegamento 0021_-378)
Azioni sul collegamento: N=-6795.56 Ty=3.37 Tz=1.60 Mx=-0.01 Mz=2.09
Sollecitazioni agenti localmente: Ty_l=-1212.98 My_l=-24.88
Tensioni nella sezione: σ=301.55 τ=36.76
CC 31 SLV (Collegamento 0021_-378)
Azioni sul collegamento: N=-7327.12 Ty=3.80 Tz=3.80 Mx=-0.01 Mz=-2.93
Sollecitazioni agenti localmente: Ty_l=-1287.24 My_l=-26.37
Tensioni nella sezione: σ=319.66 τ=39.01
CC 31 SLV (Collegamento 0021_-378)
Azioni sul collegamento: N=-7327.12 Ty=0.86 Tz=3.80 Mx=-0.01 Mz=1.85
Sollecitazioni agenti localmente: Ty_l=-1306.27 My_l=-26.79
Tensioni nella sezione: σ=324.71 τ=39.58
CC 31 SLV (Collegamento 0021_-378)
Azioni sul collegamento: N=-7327.12 Ty=3.80 Tz=-2.51 Mx=-0.01 Mz=-2.93
Sollecitazioni agenti localmente: Ty_l=-1287.24 My_l=-26.37
Tensioni nella sezione: σ=319.66 τ=39.01
CC 31 SLV (Collegamento 0021_-378)
Azioni sul collegamento: N=-7327.12 Ty=0.86 Tz=-2.51 Mx=-0.01 Mz=1.85
Sollecitazioni agenti localmente: Ty_l=-1306.27 My_l=-26.79
Tensioni nella sezione: σ=324.71 τ=39.58
CC 31 SLV (Collegamento 0021_-378)
Azioni sul collegamento: N=-5720.83 Ty=3.80 Tz=3.80 Mx=-0.01 Mz=-2.93
Sollecitazioni agenti localmente: Ty_l=-1002.49 My_l=-20.53
Tensioni nella sezione: σ=248.91 τ=30.38
CC 31 SLV (Collegamento 0021_-378)
Azioni sul collegamento: N=-5720.83 Ty=0.86 Tz=3.80 Mx=-0.01 Mz=1.85
Sollecitazioni agenti localmente: Ty_l=-1021.52 My_l=-20.95
Tensioni nella sezione: σ=253.96 τ=30.96
CC 31 SLV (Collegamento 0021_-378)
Azioni sul collegamento: N=-5720.83 Ty=3.80 Tz=-2.51 Mx=-0.01 Mz=-2.93
Sollecitazioni agenti localmente: Ty_l=-1002.49 My_l=-20.53
Tensioni nella sezione: σ=248.91 τ=30.38
CC 31 SLV (Collegamento 0021_-378)
Azioni sul collegamento: N=-5720.83 Ty=0.86 Tz=-2.51 Mx=-0.01 Mz=1.85
Sollecitazioni agenti localmente: Ty_l=-1021.52 My_l=-20.95

Tensioni nella sezione: σ=253.96 τ=30.96
CC 32 SLD (Collegamento 0021_-378)
Azioni sul collegamento: N=-6801.33 Ty=2.73 Tz=1.73 Mx=-0.01 Mz=0.81
Sollecitazioni agenti localmente: Ty_l=-1208.93 My_l=-24.79
Tensioni nella sezione: σ=300.46 τ=36.63
CC 32 SLD (Collegamento 0021_-378)
Azioni sul collegamento: N=-6801.33 Ty=3.62 Tz=1.73 Mx=-0.01 Mz=2.27
Sollecitazioni agenti localmente: Ty_l=-1214.73 My_l=-24.91
Tensioni nella sezione: σ=302.00 τ=36.81
CC 32 SLD (Collegamento 0021_-378)
Azioni sul collegamento: N=-6801.33 Ty=2.73 Tz=-0.19 Mx=-0.01 Mz=0.81
Sollecitazioni agenti localmente: Ty_l=-1208.93 My_l=-24.79
Tensioni nella sezione: σ=300.45 τ=36.63
CC 32 SLD (Collegamento 0021_-378)
Azioni sul collegamento: N=-6801.33 Ty=3.62 Tz=-0.19 Mx=-0.01 Mz=2.27
Sollecitazioni agenti localmente: Ty_l=-1214.73 My_l=-24.91
Tensioni nella sezione: σ=302.00 τ=36.81
CC 32 SLD (Collegamento 0021_-378)
Azioni sul collegamento: N=-6311.53 Ty=2.73 Tz=1.73 Mx=-0.01 Mz=0.81
Sollecitazioni agenti localmente: Ty_l=-1122.10 My_l=-23.01
Tensioni nella sezione: σ=278.88 τ=34.00
CC 32 SLD (Collegamento 0021_-378)
Azioni sul collegamento: N=-6311.53 Ty=3.62 Tz=1.73 Mx=-0.01 Mz=2.27
Sollecitazioni agenti localmente: Ty_l=-1127.90 My_l=-23.13
Tensioni nella sezione: σ=280.42 τ=34.18
CC 32 SLD (Collegamento 0021_-378)
Azioni sul collegamento: N=-6311.53 Ty=2.73 Tz=-0.19 Mx=-0.01 Mz=0.81
Sollecitazioni agenti localmente: Ty_l=-1122.10 My_l=-23.01
Tensioni nella sezione: σ=278.88 τ=34.00
CC 32 SLD (Collegamento 0021_-378)
Azioni sul collegamento: N=-6311.53 Ty=3.62 Tz=-0.19 Mx=-0.01 Mz=2.27
Sollecitazioni agenti localmente: Ty_l=-1127.90 My_l=-23.13
Tensioni nella sezione: σ=280.42 τ=34.18
CC 33 SLU (Collegamento 0021_-378)
Azioni sul collegamento: N=-30888.30 Ty=5.44 Tz=82.02 Mx=-0.01 Mz=3.71
Sollecitazioni agenti localmente: Ty_l=-5490.40 My_l=-112.57
Tensioni nella sezione: σ=1364.53 τ=166.38
CC 34 SLU (Collegamento 0021_-378)
Azioni sul collegamento: N=-30337.70 Ty=5.16 Tz=79.98 Mx=-0.01 Mz=3.50
Sollecitazioni agenti localmente: Ty_l=-5391.98 My_l=-110.56
Tensioni nella sezione: σ=1340.06 τ=163.39
CC 35 SLU (Collegamento 0021_-378)
Azioni sul collegamento: N=-30612.00 Ty=5.19 Tz=81.02 Mx=-0.01 Mz=3.39
Sollecitazioni agenti localmente: Ty_l=-5440.15 My_l=-111.54
Tensioni nella sezione: σ=1352.02 τ=164.85
CC 36 SLU (Collegamento 0021_-378)
Azioni sul collegamento: N=-30614.00 Ty=5.41 Tz=80.97 Mx=-0.01 Mz=3.82
Sollecitazioni agenti localmente: Ty_l=-5442.23 My_l=-111.59
Tensioni nella sezione: σ=1352.57 τ=164.92
CC 37 SLU (Collegamento 0021_-378)
Azioni sul collegamento: N=-21597.10 Ty=6.32 Tz=47.86 Mx=-0.01 Mz=4.34
Sollecitazioni agenti localmente: Ty_l=-3845.84 My_l=-78.86
Tensioni nella sezione: σ=955.93 τ=116.54
CC 38 SLU (Collegamento 0021_-378)
Azioni sul collegamento: N=-21046.60 Ty=6.03 Tz=45.82 Mx=-0.01 Mz=4.13
Sollecitazioni agenti localmente: Ty_l=-3747.42 My_l=-76.85
Tensioni nella sezione: σ=931.46 τ=113.56
CC 39 SLU (Collegamento 0021_-378)
Azioni sul collegamento: N=-21320.90 Ty=6.07 Tz=46.87 Mx=-0.01 Mz=4.02
Sollecitazioni agenti localmente: Ty_l=-3795.59 My_l=-77.83
Tensioni nella sezione: σ=943.42 τ=115.02
CC 40 SLU (Collegamento 0021_-378)
Azioni sul collegamento: N=-21322.80 Ty=6.29 Tz=46.82 Mx=-0.01 Mz=4.45
Sollecitazioni agenti localmente: Ty_l=-3797.67 My_l=-77.88
Tensioni nella sezione: σ=943.97 τ=115.08
CC 41 SLU (Collegamento 0021_-378)
Azioni sul collegamento: N=-32817.40 Ty=5.33 Tz=88.46 Mx=0.00 Mz=3.76
Sollecitazioni agenti localmente: Ty_l=-5832.60 My_l=-119.59
Tensioni nella sezione: σ=1449.57 τ=176.75
CC 42 SLU (Collegamento 0021_-378)
Azioni sul collegamento: N=-32266.90 Ty=5.04 Tz=86.42 Mx=0.00 Mz=3.56
Sollecitazioni agenti localmente: Ty_l=-5734.18 My_l=-117.57
Tensioni nella sezione: σ=1425.10 τ=173.76
CC 43 SLU (Collegamento 0021_-378)
Azioni sul collegamento: N=-32541.20 Ty=5.08 Tz=87.47 Mx=0.00 Mz=3.44
Sollecitazioni agenti localmente: Ty_l=-5782.35 My_l=-118.56
Tensioni nella sezione: σ=1437.06 τ=175.22
CC 44 SLU (Collegamento 0021_-378)
Azioni sul collegamento: N=-32543.10 Ty=5.30 Tz=87.42 Mx=0.00 Mz=3.88
Sollecitazioni agenti localmente: Ty_l=-5784.43 My_l=-118.60

Tensioni nella sezione: σ=1437.61 τ=175.29
CC 45 SLU (Collegamento 0021_-378)
Azioni sul collegamento: N=-23689.50 Ty=6.01 Tz=55.60 Mx=-0.01 Mz=4.17
Sollecitazioni agenti localmente: Ty_l=-4216.07 My_l=-86.45
Tensioni nella sezione: σ=1047.91 τ=127.76
CC 46 SLU (Collegamento 0021_-378)
Azioni sul collegamento: N=-23139.00 Ty=5.73 Tz=53.57 Mx=-0.01 Mz=3.96
Sollecitazioni agenti localmente: Ty_l=-4117.66 My_l=-84.43
Tensioni nella sezione: σ=1023.44 τ=124.78
CC 47 SLU (Collegamento 0021_-378)
Azioni sul collegamento: N=-23413.30 Ty=5.76 Tz=54.61 Mx=-0.01 Mz=3.84
Sollecitazioni agenti localmente: Ty_l=-4165.82 My_l=-85.42
Tensioni nella sezione: σ=1035.40 τ=126.24
CC 48 SLU (Collegamento 0021_-378)
Azioni sul collegamento: N=-23415.20 Ty=5.98 Tz=54.56 Mx=-0.01 Mz=4.28
Sollecitazioni agenti localmente: Ty_l=-4167.90 My_l=-85.47
Tensioni nella sezione: σ=1035.95 τ=126.30
CC 49 SLU (Collegamento 0021_-378)
Azioni sul collegamento: N=-16738.30 Ty=6.67 Tz=30.05 Mx=-0.01 Mz=4.64
Sollecitazioni agenti localmente: Ty_l=-2985.70 My_l=-61.23
Tensioni nella sezione: σ=742.21 τ=90.48
CC 50 SLU (Collegamento 0021_-378)
Azioni sul collegamento: N=-16187.80 Ty=6.38 Tz=28.01 Mx=-0.01 Mz=4.43
Sollecitazioni agenti localmente: Ty_l=-2887.28 My_l=-59.21
Tensioni nella sezione: σ=717.75 τ=87.49
CC 51 SLU (Collegamento 0021_-378)
Azioni sul collegamento: N=-16462.10 Ty=6.42 Tz=29.05 Mx=-0.01 Mz=4.32
Sollecitazioni agenti localmente: Ty_l=-2935.45 My_l=-60.20
Tensioni nella sezione: σ=729.71 τ=88.95
CC 52 SLU (Collegamento 0021_-378)
Azioni sul collegamento: N=-16464.00 Ty=6.64 Tz=29.01 Mx=-0.01 Mz=4.75
Sollecitazioni agenti localmente: Ty_l=-2937.53 My_l=-60.25
Tensioni nella sezione: σ=730.25 τ=89.02
CC 53 SLU (Collegamento 0021_-378)
Azioni sul collegamento: N=-25132.80 Ty=5.93 Tz=60.42 Mx=-0.00 Mz=4.21
Sollecitazioni agenti localmente: Ty_l=-4472.09 My_l=-91.70
Tensioni nella sezione: σ=1111.53 τ=135.52
CC 54 SLU (Collegamento 0021_-378)
Azioni sul collegamento: N=-24582.20 Ty=5.64 Tz=58.39 Mx=-0.00 Mz=4.00
Sollecitazioni agenti localmente: Ty_l=-4373.67 My_l=-89.68
Tensioni nella sezione: σ=1087.06 τ=132.54
CC 55 SLU (Collegamento 0021_-378)
Azioni sul collegamento: N=-24856.50 Ty=5.68 Tz=59.43 Mx=0.00 Mz=3.89
Sollecitazioni agenti localmente: Ty_l=-4421.84 My_l=-90.67
Tensioni nella sezione: σ=1099.02 τ=134.00
CC 56 SLU (Collegamento 0021_-378)
Azioni sul collegamento: N=-24858.50 Ty=5.89 Tz=59.38 Mx=-0.00 Mz=4.32
Sollecitazioni agenti localmente: Ty_l=-4423.92 My_l=-90.71
Tensioni nella sezione: σ=1099.57 τ=134.06
CC 57 SLU (Collegamento 0021_-378)
Azioni sul collegamento: N=-22071.60 Ty=5.40 Tz=49.65 Mx=-0.01 Mz=3.73
Sollecitazioni agenti localmente: Ty_l=-3927.54 My_l=-80.54
Tensioni nella sezione: σ=976.19 τ=119.02
CC 58 SLU (Collegamento 0021_-378)
Azioni sul collegamento: N=-21521.10 Ty=5.11 Tz=47.61 Mx=-0.01 Mz=3.53
Sollecitazioni agenti localmente: Ty_l=-3829.12 My_l=-78.52
Tensioni nella sezione: σ=951.72 τ=116.03
CC 59 SLU (Collegamento 0021_-378)
Azioni sul collegamento: N=-21795.30 Ty=5.15 Tz=48.65 Mx=-0.01 Mz=3.41
Sollecitazioni agenti localmente: Ty_l=-3877.29 My_l=-79.50
Tensioni nella sezione: σ=963.68 τ=117.49
CC 60 SLU (Collegamento 0021_-378)
Azioni sul collegamento: N=-21797.30 Ty=5.37 Tz=48.60 Mx=-0.01 Mz=3.85
Sollecitazioni agenti localmente: Ty_l=-3879.37 My_l=-79.55
Tensioni nella sezione: σ=964.22 τ=117.56
CC 61 SLU (Collegamento 0021_-378)
Azioni sul collegamento: N=-15120.40 Ty=6.06 Tz=24.09 Mx=-0.01 Mz=4.21
Sollecitazioni agenti localmente: Ty_l=-2697.17 My_l=-55.32
Tensioni nella sezione: σ=670.49 τ=81.73
CC 62 SLU (Collegamento 0021_-378)
Azioni sul collegamento: N=-14569.90 Ty=5.77 Tz=22.06 Mx=-0.01 Mz=4.00
Sollecitazioni agenti localmente: Ty_l=-2598.75 My_l=-53.30
Tensioni nella sezione: σ=646.02 τ=78.75
CC 63 SLU (Collegamento 0021_-378)
Azioni sul collegamento: N=-14844.20 Ty=5.80 Tz=23.10 Mx=-0.01 Mz=3.88
Sollecitazioni agenti localmente: Ty_l=-2646.92 My_l=-54.28
Tensioni nella sezione: σ=657.98 τ=80.21
CC 64 SLU (Collegamento 0021_-378)
Azioni sul collegamento: N=-14846.10 Ty=6.02 Tz=23.05 Mx=-0.01 Mz=4.32
Sollecitazioni agenti localmente: Ty_l=-2649.00 My_l=-54.33

Tensioni nella sezione: σ=658.53 τ=80.27
CC 65 SLU (Collegamento 0021_-378)
Azioni sul collegamento: N=-23514.90 Ty=5.31 Tz=54.47 Mx=0.00 Mz=3.77
Sollecitazioni agenti localmente: Ty_l=-4183.55 My_l=-85.78
Tensioni nella sezione: σ=1039.80 τ=126.77
CC 66 SLU (Collegamento 0021_-378)
Azioni sul collegamento: N=-22964.30 Ty=5.03 Tz=52.43 Mx=0.00 Mz=3.57
Sollecitazioni agenti localmente: Ty_l=-4085.14 My_l=-83.77
Tensioni nella sezione: σ=1015.34 τ=123.79
CC 67 SLU (Collegamento 0021_-378)
Azioni sul collegamento: N=-23238.60 Ty=5.06 Tz=53.47 Mx=0.00 Mz=3.45
Sollecitazioni agenti localmente: Ty_l=-4133.31 My_l=-84.75
Tensioni nella sezione: σ=1027.30 τ=125.25
CC 68 SLU (Collegamento 0021_-378)
Azioni sul collegamento: N=-23240.60 Ty=5.28 Tz=53.43 Mx=-0.00 Mz=3.89
Sollecitazioni agenti localmente: Ty_l=-4135.39 My_l=-84.80
Tensioni nella sezione: σ=1027.84 τ=125.31
CC 97 SLU (Collegamento 0021_-378)
Azioni sul collegamento: N=-18052.20 Ty=-0.34 Tz=43.06 Mx=-0.05 Mz=-8.83
Sollecitazioni agenti localmente: Ty_l=-3165.04 My_l=-64.83
Tensioni nella sezione: σ=785.87 τ=95.91
CC 98 SLU (Collegamento 0021_-378)
Azioni sul collegamento: N=-17501.60 Ty=-0.63 Tz=41.02 Mx=-0.05 Mz=-9.04
Sollecitazioni agenti localmente: Ty_l=-3066.62 My_l=-62.82
Tensioni nella sezione: σ=761.40 τ=92.93
CC 99 SLU (Collegamento 0021_-378)
Azioni sul collegamento: N=-17775.90 Ty=-0.60 Tz=42.06 Mx=-0.05 Mz=-9.15
Sollecitazioni agenti localmente: Ty_l=-3114.79 My_l=-63.80
Tensioni nella sezione: σ=773.36 τ=94.39
CC 100 SLU (Collegamento 0021_-378)
Azioni sul collegamento: N=-17777.90 Ty=-0.38 Tz=42.01 Mx=-0.05 Mz=-8.71
Sollecitazioni agenti localmente: Ty_l=-3116.87 My_l=-63.85
Tensioni nella sezione: σ=773.91 τ=94.45
CC 101 SLU (Collegamento 0021_-378)
Azioni sul collegamento: N=-7136.43 Ty=4.37 Tz=2.96 Mx=0.00 Mz=3.85
Sollecitazioni agenti localmente: Ty_l=-1280.40 My_l=-26.27
Tensioni nella sezione: σ=318.42 τ=38.80
CC 102 SLU (Collegamento 0021_-378)
Azioni sul collegamento: N=-6585.90 Ty=4.08 Tz=0.92 Mx=0.00 Mz=3.64
Sollecitazioni agenti localmente: Ty_l=-1181.98 My_l=-24.25
Tensioni nella sezione: σ=293.95 τ=35.82
CC 103 SLU (Collegamento 0021_-378)
Azioni sul collegamento: N=-6860.19 Ty=4.11 Tz=1.96 Mx=0.00 Mz=3.53
Sollecitazioni agenti localmente: Ty_l=-1230.15 My_l=-25.24
Tensioni nella sezione: σ=305.91 τ=37.28
CC 104 SLU (Collegamento 0021_-378)
Azioni sul collegamento: N=-6862.15 Ty=4.33 Tz=1.92 Mx=0.00 Mz=3.96
Sollecitazioni agenti localmente: Ty_l=-1232.23 My_l=-25.28
Tensioni nella sezione: σ=306.46 τ=37.34

Flessione attacco sinistro piastra

Bnetta=220.00 Hnetta=15.00
CC 1 SLV (Collegamento 0021_-378)
Azioni sul collegamento: N=-3968.96 Ty=6.45 Tz=-8.85 Mx=0.01 Mz=7.08
Sollecitazioni agenti localmente: Ty_l=-675.44 My_l=-13.81
Tensioni nella sezione: σ=167.36 τ=20.47
CC 1 SLV (Collegamento 0021_-378)
Azioni sul collegamento: N=-3968.96 Ty=3.07 Tz=-8.85 Mx=0.01 Mz=3.83
Sollecitazioni agenti localmente: Ty_l=-688.36 My_l=-14.09
Tensioni nella sezione: σ=170.79 τ=20.86
CC 1 SLV (Collegamento 0021_-378)
Azioni sul collegamento: N=-3968.96 Ty=6.45 Tz=10.87 Mx=0.01 Mz=7.08
Sollecitazioni agenti localmente: Ty_l=-675.44 My_l=-13.81
Tensioni nella sezione: σ=167.36 τ=20.47
CC 1 SLV (Collegamento 0021_-378)
Azioni sul collegamento: N=-3968.96 Ty=3.07 Tz=10.87 Mx=0.01 Mz=3.83
Sollecitazioni agenti localmente: Ty_l=-688.36 My_l=-14.09
Tensioni nella sezione: σ=170.79 τ=20.86
CC 1 SLV (Collegamento 0021_-378)
Azioni sul collegamento: N=-9265.76 Ty=6.45 Tz=-8.85 Mx=0.01 Mz=7.08
Sollecitazioni agenti localmente: Ty_l=-1614.42 My_l=-33.06
Tensioni nella sezione: σ=400.68 τ=48.92
CC 1 SLV (Collegamento 0021_-378)
Azioni sul collegamento: N=-9265.76 Ty=3.07 Tz=-8.85 Mx=0.01 Mz=3.83
Sollecitazioni agenti localmente: Ty_l=-1627.34 My_l=-33.34
Tensioni nella sezione: σ=404.11 τ=49.31
CC 1 SLV (Collegamento 0021_-378)
Azioni sul collegamento: N=-9265.76 Ty=6.45 Tz=10.87 Mx=0.01 Mz=7.08
Sollecitazioni agenti localmente: Ty_l=-1614.42 My_l=-33.06

Tensioni nella sezione: σ=400.68 τ=48.92
CC 1 SLV (Collegamento 0021_-378)
Azioni sul collegamento: N=-9265.76 Ty=3.07 Tz=10.87 Mx=0.01 Mz=3.83
Sollecitazioni agenti localmente: Ty_l=-1627.34 My_l=-33.34
Tensioni nella sezione: σ=404.11 τ=49.31
CC 2 SLD (Collegamento 0021_-378)
Azioni sul collegamento: N=-5777.33 Ty=4.43 Tz=-2.12 Mx=0.00 Mz=3.87
Sollecitazioni agenti localmente: Ty_l=-1008.79 My_l=-20.66
Tensioni nella sezione: σ=250.41 τ=30.57
CC 2 SLD (Collegamento 0021_-378)
Azioni sul collegamento: N=-5777.33 Ty=3.40 Tz=-2.12 Mx=0.00 Mz=2.88
Sollecitazioni agenti localmente: Ty_l=-1012.73 My_l=-20.74
Tensioni nella sezione: σ=251.45 τ=30.69
CC 2 SLD (Collegamento 0021_-378)
Azioni sul collegamento: N=-5777.32 Ty=4.43 Tz=3.89 Mx=0.00 Mz=3.87
Sollecitazioni agenti localmente: Ty_l=-1008.79 My_l=-20.66
Tensioni nella sezione: σ=250.41 τ=30.57
CC 2 SLD (Collegamento 0021_-378)
Azioni sul collegamento: N=-5777.32 Ty=3.40 Tz=3.89 Mx=0.00 Mz=2.88
Sollecitazioni agenti localmente: Ty_l=-1012.73 My_l=-20.74
Tensioni nella sezione: σ=251.45 τ=30.69
CC 2 SLD (Collegamento 0021_-378)
Azioni sul collegamento: N=-7392.49 Ty=4.43 Tz=-2.12 Mx=0.00 Mz=3.87
Sollecitazioni agenti localmente: Ty_l=-1295.11 My_l=-26.53
Tensioni nella sezione: σ=321.56 τ=39.25
CC 2 SLD (Collegamento 0021_-378)
Azioni sul collegamento: N=-7392.49 Ty=3.40 Tz=-2.12 Mx=0.00 Mz=2.88
Sollecitazioni agenti localmente: Ty_l=-1299.05 My_l=-26.61
Tensioni nella sezione: σ=322.60 τ=39.37
CC 2 SLD (Collegamento 0021_-378)
Azioni sul collegamento: N=-7392.49 Ty=4.43 Tz=3.89 Mx=0.00 Mz=3.87
Sollecitazioni agenti localmente: Ty_l=-1295.11 My_l=-26.53
Tensioni nella sezione: σ=321.56 τ=39.25
CC 2 SLD (Collegamento 0021_-378)
Azioni sul collegamento: N=-7392.49 Ty=3.40 Tz=3.89 Mx=0.00 Mz=2.88
Sollecitazioni agenti localmente: Ty_l=-1299.05 My_l=-26.61
Tensioni nella sezione: σ=322.60 τ=39.37
CC 3 SLV (Collegamento 0021_-378)
Azioni sul collegamento: N=-3974.64 Ty=5.81 Tz=-8.72 Mx=0.01 Mz=5.82
Sollecitazioni agenti localmente: Ty_l=-681.45 My_l=-13.94
Tensioni nella sezione: σ=168.94 τ=20.65
CC 3 SLV (Collegamento 0021_-378)
Azioni sul collegamento: N=-3974.64 Ty=3.70 Tz=-8.72 Mx=0.01 Mz=5.08
Sollecitazioni agenti localmente: Ty_l=-684.37 My_l=-14.00
Tensioni nella sezione: σ=169.71 τ=20.74
CC 3 SLV (Collegamento 0021_-378)
Azioni sul collegamento: N=-3974.64 Ty=5.81 Tz=10.74 Mx=0.01 Mz=5.82
Sollecitazioni agenti localmente: Ty_l=-681.45 My_l=-13.94
Tensioni nella sezione: σ=168.94 τ=20.65
CC 3 SLV (Collegamento 0021_-378)
Azioni sul collegamento: N=-3974.64 Ty=3.70 Tz=10.74 Mx=0.01 Mz=5.08
Sollecitazioni agenti localmente: Ty_l=-684.37 My_l=-14.00
Tensioni nella sezione: σ=169.71 τ=20.74
CC 3 SLV (Collegamento 0021_-378)
Azioni sul collegamento: N=-9260.08 Ty=5.81 Tz=-8.72 Mx=0.01 Mz=5.82
Sollecitazioni agenti localmente: Ty_l=-1618.41 My_l=-33.15
Tensioni nella sezione: σ=401.76 τ=49.04
CC 3 SLV (Collegamento 0021_-378)
Azioni sul collegamento: N=-9260.08 Ty=3.70 Tz=-8.72 Mx=0.01 Mz=5.08
Sollecitazioni agenti localmente: Ty_l=-1621.34 My_l=-33.21
Tensioni nella sezione: σ=402.53 τ=49.13
CC 3 SLV (Collegamento 0021_-378)
Azioni sul collegamento: N=-9260.08 Ty=5.81 Tz=10.74 Mx=0.01 Mz=5.82
Sollecitazioni agenti localmente: Ty_l=-1618.41 My_l=-33.15
Tensioni nella sezione: σ=401.76 τ=49.04
CC 3 SLV (Collegamento 0021_-378)
Azioni sul collegamento: N=-9260.08 Ty=3.70 Tz=10.74 Mx=0.01 Mz=5.08
Sollecitazioni agenti localmente: Ty_l=-1621.34 My_l=-33.21
Tensioni nella sezione: σ=402.53 τ=49.13
CC 4 SLD (Collegamento 0021_-378)
Azioni sul collegamento: N=-5779.06 Ty=4.24 Tz=-2.08 Mx=0.00 Mz=3.48
Sollecitazioni agenti localmente: Ty_l=-1010.62 My_l=-20.70
Tensioni nella sezione: σ=250.89 τ=30.62
CC 4 SLD (Collegamento 0021_-378)
Azioni sul collegamento: N=-5779.06 Ty=3.59 Tz=-2.08 Mx=0.00 Mz=3.26
Sollecitazioni agenti localmente: Ty_l=-1011.51 My_l=-20.72
Tensioni nella sezione: σ=251.13 τ=30.65
CC 4 SLD (Collegamento 0021_-378)
Azioni sul collegamento: N=-5779.06 Ty=4.24 Tz=3.85 Mx=0.00 Mz=3.48
Sollecitazioni agenti localmente: Ty_l=-1010.62 My_l=-20.70

Tensioni nella sezione: σ=250.89 τ=30.62
CC 4 SLD (Collegamento 0021_-378)
Azioni sul collegamento: N=-5779.06 Ty=3.59 Tz=3.85 Mx=0.00 Mz=3.26
Sollecitazioni agenti localmente: Ty_l=-1011.51 My_l=-20.72
Tensioni nella sezione: σ=251.13 τ=30.65
CC 4 SLD (Collegamento 0021_-378)
Azioni sul collegamento: N=-7390.75 Ty=4.24 Tz=-2.08 Mx=0.00 Mz=3.48
Sollecitazioni agenti localmente: Ty_l=-1296.33 My_l=-26.56
Tensioni nella sezione: σ=321.88 τ=39.28
CC 4 SLD (Collegamento 0021_-378)
Azioni sul collegamento: N=-7390.75 Ty=3.59 Tz=-2.08 Mx=0.00 Mz=3.26
Sollecitazioni agenti localmente: Ty_l=-1297.22 My_l=-26.57
Tensioni nella sezione: σ=322.12 τ=39.31
CC 4 SLD (Collegamento 0021_-378)
Azioni sul collegamento: N=-7390.75 Ty=4.24 Tz=3.85 Mx=0.00 Mz=3.48
Sollecitazioni agenti localmente: Ty_l=-1296.33 My_l=-26.56
Tensioni nella sezione: σ=321.88 τ=39.28
CC 4 SLD (Collegamento 0021_-378)
Azioni sul collegamento: N=-7390.75 Ty=3.59 Tz=3.85 Mx=0.00 Mz=3.26
Sollecitazioni agenti localmente: Ty_l=-1297.22 My_l=-26.57
Tensioni nella sezione: σ=322.12 τ=39.31
CC 5 SLV (Collegamento 0021_-378)
Azioni sul collegamento: N=-9260.08 Ty=3.70 Tz=10.74 Mx=0.01 Mz=5.08
Sollecitazioni agenti localmente: Ty_l=-1621.34 My_l=-33.21
Tensioni nella sezione: σ=402.53 τ=49.13
CC 5 SLV (Collegamento 0021_-378)
Azioni sul collegamento: N=-9260.08 Ty=5.81 Tz=10.74 Mx=0.01 Mz=5.82
Sollecitazioni agenti localmente: Ty_l=-1618.41 My_l=-33.15
Tensioni nella sezione: σ=401.76 τ=49.04
CC 5 SLV (Collegamento 0021_-378)
Azioni sul collegamento: N=-9260.08 Ty=3.70 Tz=-8.72 Mx=0.01 Mz=5.08
Sollecitazioni agenti localmente: Ty_l=-1621.34 My_l=-33.21
Tensioni nella sezione: σ=402.53 τ=49.13
CC 5 SLV (Collegamento 0021_-378)
Azioni sul collegamento: N=-9260.08 Ty=5.81 Tz=-8.72 Mx=0.01 Mz=5.82
Sollecitazioni agenti localmente: Ty_l=-1618.41 My_l=-33.15
Tensioni nella sezione: σ=401.76 τ=49.04
CC 5 SLV (Collegamento 0021_-378)
Azioni sul collegamento: N=-3974.64 Ty=3.70 Tz=10.74 Mx=0.01 Mz=5.08
Sollecitazioni agenti localmente: Ty_l=-684.37 My_l=-14.00
Tensioni nella sezione: σ=169.71 τ=20.74
CC 5 SLV (Collegamento 0021_-378)
Azioni sul collegamento: N=-3974.64 Ty=5.81 Tz=10.74 Mx=0.01 Mz=5.82
Sollecitazioni agenti localmente: Ty_l=-681.45 My_l=-13.94
Tensioni nella sezione: σ=168.94 τ=20.65
CC 5 SLV (Collegamento 0021_-378)
Azioni sul collegamento: N=-3974.64 Ty=3.70 Tz=-8.72 Mx=0.01 Mz=5.08
Sollecitazioni agenti localmente: Ty_l=-684.37 My_l=-14.00
Tensioni nella sezione: σ=169.71 τ=20.74
CC 5 SLV (Collegamento 0021_-378)
Azioni sul collegamento: N=-3974.64 Ty=5.81 Tz=-8.72 Mx=0.01 Mz=5.82
Sollecitazioni agenti localmente: Ty_l=-681.45 My_l=-13.94
Tensioni nella sezione: σ=168.94 τ=20.65
CC 6 SLD (Collegamento 0021_-378)
Azioni sul collegamento: N=-7390.75 Ty=3.59 Tz=3.85 Mx=0.00 Mz=3.26
Sollecitazioni agenti localmente: Ty_l=-1297.22 My_l=-26.57
Tensioni nella sezione: σ=322.12 τ=39.31
CC 6 SLD (Collegamento 0021_-378)
Azioni sul collegamento: N=-7390.75 Ty=4.24 Tz=3.85 Mx=0.00 Mz=3.48
Sollecitazioni agenti localmente: Ty_l=-1296.33 My_l=-26.56
Tensioni nella sezione: σ=321.88 τ=39.28
CC 6 SLD (Collegamento 0021_-378)
Azioni sul collegamento: N=-7390.75 Ty=3.59 Tz=-2.08 Mx=0.00 Mz=3.26
Sollecitazioni agenti localmente: Ty_l=-1297.22 My_l=-26.57
Tensioni nella sezione: σ=322.12 τ=39.31
CC 6 SLD (Collegamento 0021_-378)
Azioni sul collegamento: N=-7390.75 Ty=4.24 Tz=-2.08 Mx=0.00 Mz=3.48
Sollecitazioni agenti localmente: Ty_l=-1296.33 My_l=-26.56
Tensioni nella sezione: σ=321.88 τ=39.28
CC 6 SLD (Collegamento 0021_-378)
Azioni sul collegamento: N=-5779.06 Ty=3.59 Tz=3.85 Mx=0.00 Mz=3.26
Sollecitazioni agenti localmente: Ty_l=-1011.51 My_l=-20.72
Tensioni nella sezione: σ=251.13 τ=30.65
CC 6 SLD (Collegamento 0021_-378)
Azioni sul collegamento: N=-5779.06 Ty=4.24 Tz=3.85 Mx=0.00 Mz=3.48
Sollecitazioni agenti localmente: Ty_l=-1010.62 My_l=-20.70
Tensioni nella sezione: σ=250.89 τ=30.62
CC 6 SLD (Collegamento 0021_-378)
Azioni sul collegamento: N=-5779.06 Ty=3.59 Tz=-2.08 Mx=0.00 Mz=3.26
Sollecitazioni agenti localmente: Ty_l=-1011.51 My_l=-20.72

Tensioni nella sezione: σ=251.13 τ=30.65
CC 6 SLD (Collegamento 0021_-378)
Azioni sul collegamento: N=-5779.06 Ty=4.24 Tz=-2.08 Mx=0.00 Mz=3.48
Sollecitazioni agenti localmente: Ty_l=-1010.62 My_l=-20.70
Tensioni nella sezione: σ=250.89 τ=30.62
CC 7 SLV (Collegamento 0021_-378)
Azioni sul collegamento: N=-9265.76 Ty=3.07 Tz=10.87 Mx=0.01 Mz=3.83
Sollecitazioni agenti localmente: Ty_l=-1627.34 My_l=-33.34
Tensioni nella sezione: σ=404.11 τ=49.31
CC 7 SLV (Collegamento 0021_-378)
Azioni sul collegamento: N=-9265.76 Ty=6.45 Tz=10.87 Mx=0.01 Mz=7.08
Sollecitazioni agenti localmente: Ty_l=-1614.42 My_l=-33.06
Tensioni nella sezione: σ=400.68 τ=48.92
CC 7 SLV (Collegamento 0021_-378)
Azioni sul collegamento: N=-9265.76 Ty=3.07 Tz=-8.85 Mx=0.01 Mz=3.83
Sollecitazioni agenti localmente: Ty_l=-1627.34 My_l=-33.34
Tensioni nella sezione: σ=404.11 τ=49.31
CC 7 SLV (Collegamento 0021_-378)
Azioni sul collegamento: N=-9265.76 Ty=6.45 Tz=-8.85 Mx=0.01 Mz=7.08
Sollecitazioni agenti localmente: Ty_l=-1614.42 My_l=-33.06
Tensioni nella sezione: σ=400.68 τ=48.92
CC 7 SLV (Collegamento 0021_-378)
Azioni sul collegamento: N=-3968.96 Ty=3.07 Tz=10.87 Mx=0.01 Mz=3.83
Sollecitazioni agenti localmente: Ty_l=-688.36 My_l=-14.09
Tensioni nella sezione: σ=170.79 τ=20.86
CC 7 SLV (Collegamento 0021_-378)
Azioni sul collegamento: N=-3968.96 Ty=6.45 Tz=10.87 Mx=0.01 Mz=7.08
Sollecitazioni agenti localmente: Ty_l=-675.44 My_l=-13.81
Tensioni nella sezione: σ=167.36 τ=20.47
CC 7 SLV (Collegamento 0021_-378)
Azioni sul collegamento: N=-3968.96 Ty=3.07 Tz=-8.85 Mx=0.01 Mz=3.83
Sollecitazioni agenti localmente: Ty_l=-688.36 My_l=-14.09
Tensioni nella sezione: σ=170.79 τ=20.86
CC 7 SLV (Collegamento 0021_-378)
Azioni sul collegamento: N=-3968.96 Ty=6.45 Tz=-8.85 Mx=0.01 Mz=7.08
Sollecitazioni agenti localmente: Ty_l=-675.44 My_l=-13.81
Tensioni nella sezione: σ=167.36 τ=20.47
CC 8 SLD (Collegamento 0021_-378)
Azioni sul collegamento: N=-7392.49 Ty=3.40 Tz=3.89 Mx=-0.00 Mz=2.88
Sollecitazioni agenti localmente: Ty_l=-1299.05 My_l=-26.61
Tensioni nella sezione: σ=322.60 τ=39.37
CC 8 SLD (Collegamento 0021_-378)
Azioni sul collegamento: N=-7392.49 Ty=4.43 Tz=3.89 Mx=-0.00 Mz=3.87
Sollecitazioni agenti localmente: Ty_l=-1295.11 My_l=-26.53
Tensioni nella sezione: σ=321.56 τ=39.25
CC 8 SLD (Collegamento 0021_-378)
Azioni sul collegamento: N=-7392.49 Ty=3.40 Tz=-2.12 Mx=-0.00 Mz=2.88
Sollecitazioni agenti localmente: Ty_l=-1299.05 My_l=-26.61
Tensioni nella sezione: σ=322.60 τ=39.37
CC 8 SLD (Collegamento 0021_-378)
Azioni sul collegamento: N=-7392.49 Ty=4.43 Tz=-2.12 Mx=-0.00 Mz=3.87
Sollecitazioni agenti localmente: Ty_l=-1295.11 My_l=-26.53
Tensioni nella sezione: σ=321.56 τ=39.25
CC 8 SLD (Collegamento 0021_-378)
Azioni sul collegamento: N=-5777.32 Ty=3.40 Tz=3.89 Mx=-0.00 Mz=2.88
Sollecitazioni agenti localmente: Ty_l=-1012.73 My_l=-20.74
Tensioni nella sezione: σ=251.45 τ=30.69
CC 8 SLD (Collegamento 0021_-378)
Azioni sul collegamento: N=-5777.32 Ty=4.43 Tz=3.89 Mx=-0.00 Mz=3.87
Sollecitazioni agenti localmente: Ty_l=-1008.79 My_l=-20.66
Tensioni nella sezione: σ=250.41 τ=30.57
CC 8 SLD (Collegamento 0021_-378)
Azioni sul collegamento: N=-5777.33 Ty=3.40 Tz=-2.12 Mx=-0.00 Mz=2.88
Sollecitazioni agenti localmente: Ty_l=-1012.73 My_l=-20.74
Tensioni nella sezione: σ=251.45 τ=30.69
CC 8 SLD (Collegamento 0021_-378)
Azioni sul collegamento: N=-5777.33 Ty=4.43 Tz=-2.12 Mx=-0.00 Mz=3.87
Sollecitazioni agenti localmente: Ty_l=-1008.79 My_l=-20.66
Tensioni nella sezione: σ=250.41 τ=30.57
CC 9 SLV (Collegamento 0021_-378)
Azioni sul collegamento: N=-5814.22 Ty=6.23 Tz=-2.14 Mx=0.02 Mz=7.84
Sollecitazioni agenti localmente: Ty_l=-999.50 My_l=-20.45
Tensioni nella sezione: σ=247.83 τ=30.29
CC 9 SLV (Collegamento 0021_-378)
Azioni sul collegamento: N=-5814.22 Ty=3.29 Tz=-2.14 Mx=0.02 Mz=3.06
Sollecitazioni agenti localmente: Ty_l=-1018.53 My_l=-20.86
Tensioni nella sezione: σ=252.88 τ=30.86
CC 9 SLV (Collegamento 0021_-378)
Azioni sul collegamento: N=-5814.22 Ty=6.23 Tz=4.16 Mx=0.02 Mz=7.84
Sollecitazioni agenti localmente: Ty_l=-999.50 My_l=-20.45

Tensioni nella sezione: σ=247.83 τ=30.29
CC 9 SLV (Collegamento 0021_-378)
Azioni sul collegamento: N=-5814.22 Ty=3.29 Tz=4.16 Mx=0.02 Mz=3.06
Sollecitazioni agenti localmente: Ty_l=-1018.53 My_l=-20.86
Tensioni nella sezione: σ=252.88 τ=30.86
CC 9 SLV (Collegamento 0021_-378)
Azioni sul collegamento: N=-7420.50 Ty=6.23 Tz=-2.14 Mx=0.02 Mz=7.84
Sollecitazioni agenti localmente: Ty_l=-1284.25 My_l=-26.28
Tensioni nella sezione: σ=318.59 τ=38.92
CC 9 SLV (Collegamento 0021_-378)
Azioni sul collegamento: N=-7420.50 Ty=3.29 Tz=-2.14 Mx=0.02 Mz=3.06
Sollecitazioni agenti localmente: Ty_l=-1303.28 My_l=-26.70
Tensioni nella sezione: σ=323.64 τ=39.49
CC 9 SLV (Collegamento 0021_-378)
Azioni sul collegamento: N=-7420.50 Ty=6.23 Tz=4.16 Mx=0.02 Mz=7.84
Sollecitazioni agenti localmente: Ty_l=-1284.25 My_l=-26.28
Tensioni nella sezione: σ=318.59 τ=38.92
CC 9 SLV (Collegamento 0021_-378)
Azioni sul collegamento: N=-7420.50 Ty=3.29 Tz=4.16 Mx=0.02 Mz=3.06
Sollecitazioni agenti localmente: Ty_l=-1303.28 My_l=-26.70
Tensioni nella sezione: σ=323.64 τ=39.49
CC 10 SLD (Collegamento 0021_-378)
Azioni sul collegamento: N=-6340.00 Ty=4.36 Tz=-0.08 Mx=0.00 Mz=4.10
Sollecitazioni agenti localmente: Ty_l=-1107.60 My_l=-22.68
Tensioni nella sezione: σ=274.95 τ=33.56
CC 10 SLD (Collegamento 0021_-378)
Azioni sul collegamento: N=-6340.00 Ty=3.47 Tz=-0.08 Mx=0.00 Mz=2.64
Sollecitazioni agenti localmente: Ty_l=-1113.41 My_l=-22.81
Tensioni nella sezione: σ=276.49 τ=33.74
CC 10 SLD (Collegamento 0021_-378)
Azioni sul collegamento: N=-6340.00 Ty=4.36 Tz=1.85 Mx=0.00 Mz=4.10
Sollecitazioni agenti localmente: Ty_l=-1107.60 My_l=-22.68
Tensioni nella sezione: σ=274.95 τ=33.56
CC 10 SLD (Collegamento 0021_-378)
Azioni sul collegamento: N=-6340.00 Ty=3.47 Tz=1.85 Mx=0.00 Mz=2.64
Sollecitazioni agenti localmente: Ty_l=-1113.41 My_l=-22.81
Tensioni nella sezione: σ=276.49 τ=33.74
CC 10 SLD (Collegamento 0021_-378)
Azioni sul collegamento: N=-6829.81 Ty=4.36 Tz=-0.08 Mx=0.00 Mz=4.10
Sollecitazioni agenti localmente: Ty_l=-1194.43 My_l=-24.46
Tensioni nella sezione: σ=296.52 τ=36.19
CC 10 SLD (Collegamento 0021_-378)
Azioni sul collegamento: N=-6829.81 Ty=3.47 Tz=-0.08 Mx=0.00 Mz=2.64
Sollecitazioni agenti localmente: Ty_l=-1200.23 My_l=-24.59
Tensioni nella sezione: σ=298.06 τ=36.37
CC 10 SLD (Collegamento 0021_-378)
Azioni sul collegamento: N=-6829.81 Ty=4.36 Tz=1.85 Mx=0.00 Mz=4.10
Sollecitazioni agenti localmente: Ty_l=-1194.43 My_l=-24.46
Tensioni nella sezione: σ=296.52 τ=36.19
CC 10 SLD (Collegamento 0021_-378)
Azioni sul collegamento: N=-6829.81 Ty=3.47 Tz=1.85 Mx=0.00 Mz=2.64
Sollecitazioni agenti localmente: Ty_l=-1200.23 My_l=-24.59
Tensioni nella sezione: σ=298.06 τ=36.37
CC 11 SLV (Collegamento 0021_-378)
Azioni sul collegamento: N=-7401.56 Ty=5.40 Tz=3.74 Mx=0.02 Mz=7.25
Sollecitazioni agenti localmente: Ty_l=-1283.27 My_l=-26.27
Tensioni nella sezione: σ=318.38 τ=38.89
CC 11 SLV (Collegamento 0021_-378)
Azioni sul collegamento: N=-7401.56 Ty=4.11 Tz=3.74 Mx=0.02 Mz=3.66
Sollecitazioni agenti localmente: Ty_l=-1297.54 My_l=-26.58
Tensioni nella sezione: σ=322.17 τ=39.32
CC 11 SLV (Collegamento 0021_-378)
Azioni sul collegamento: N=-7401.56 Ty=5.40 Tz=-1.71 Mx=0.02 Mz=7.25
Sollecitazioni agenti localmente: Ty_l=-1283.27 My_l=-26.27
Tensioni nella sezione: σ=318.38 τ=38.89
CC 11 SLV (Collegamento 0021_-378)
Azioni sul collegamento: N=-7401.56 Ty=4.11 Tz=-1.71 Mx=0.02 Mz=3.66
Sollecitazioni agenti localmente: Ty_l=-1297.54 My_l=-26.58
Tensioni nella sezione: σ=322.17 τ=39.32
CC 11 SLV (Collegamento 0021_-378)
Azioni sul collegamento: N=-5833.17 Ty=5.40 Tz=3.74 Mx=0.02 Mz=7.25
Sollecitazioni agenti localmente: Ty_l=-1005.24 My_l=-20.57
Tensioni nella sezione: σ=249.30 τ=30.46
CC 11 SLV (Collegamento 0021_-378)
Azioni sul collegamento: N=-5833.17 Ty=4.11 Tz=3.74 Mx=0.02 Mz=3.66
Sollecitazioni agenti localmente: Ty_l=-1019.51 My_l=-20.88
Tensioni nella sezione: σ=253.09 τ=30.89
CC 11 SLV (Collegamento 0021_-378)
Azioni sul collegamento: N=-5833.17 Ty=5.40 Tz=-1.71 Mx=0.02 Mz=7.25
Sollecitazioni agenti localmente: Ty_l=-1005.24 My_l=-20.57

Tensioni nella sezione: σ=249.30 τ=30.46
CC 11 SLV (Collegamento 0021_-378)
Azioni sul collegamento: N=-5833.17 Ty=4.11 Tz=-1.71 Mx=0.02 Mz=3.66
Sollecitazioni agenti localmente: Ty_l=-1019.51 My_l=-20.88
Tensioni nella sezione: σ=253.09 τ=30.89
CC 12 SLD (Collegamento 0021_-378)
Azioni sul collegamento: N=-6824.03 Ty=4.11 Tz=1.72 Mx=0.00 Mz=3.92
Sollecitazioni agenti localmente: Ty_l=-1194.13 My_l=-24.46
Tensioni nella sezione: σ=296.46 τ=36.19
CC 12 SLD (Collegamento 0021_-378)
Azioni sul collegamento: N=-6824.03 Ty=3.72 Tz=1.72 Mx=0.00 Mz=2.82
Sollecitazioni agenti localmente: Ty_l=-1198.49 My_l=-24.55
Tensioni nella sezione: σ=297.62 τ=36.32
CC 12 SLD (Collegamento 0021_-378)
Azioni sul collegamento: N=-6824.03 Ty=4.11 Tz=0.05 Mx=0.00 Mz=3.92
Sollecitazioni agenti localmente: Ty_l=-1194.13 My_l=-24.46
Tensioni nella sezione: σ=296.46 τ=36.19
CC 12 SLD (Collegamento 0021_-378)
Azioni sul collegamento: N=-6824.03 Ty=3.72 Tz=0.05 Mx=0.00 Mz=2.82
Sollecitazioni agenti localmente: Ty_l=-1198.49 My_l=-24.55
Tensioni nella sezione: σ=297.62 τ=36.32
CC 12 SLD (Collegamento 0021_-378)
Azioni sul collegamento: N=-6345.78 Ty=4.11 Tz=1.72 Mx=0.00 Mz=3.92
Sollecitazioni agenti localmente: Ty_l=-1109.35 My_l=-22.72
Tensioni nella sezione: σ=275.39 τ=33.62
CC 12 SLD (Collegamento 0021_-378)
Azioni sul collegamento: N=-6345.78 Ty=3.72 Tz=1.72 Mx=0.00 Mz=2.82
Sollecitazioni agenti localmente: Ty_l=-1113.70 My_l=-22.82
Tensioni nella sezione: σ=276.55 τ=33.75
CC 12 SLD (Collegamento 0021_-378)
Azioni sul collegamento: N=-6345.78 Ty=4.11 Tz=0.05 Mx=0.00 Mz=3.92
Sollecitazioni agenti localmente: Ty_l=-1109.35 My_l=-22.72
Tensioni nella sezione: σ=275.39 τ=33.62
CC 12 SLD (Collegamento 0021_-378)
Azioni sul collegamento: N=-6345.78 Ty=3.72 Tz=0.05 Mx=0.00 Mz=2.82
Sollecitazioni agenti localmente: Ty_l=-1113.70 My_l=-22.82
Tensioni nella sezione: σ=276.55 τ=33.75
CC 13 SLV (Collegamento 0021_-378)
Azioni sul collegamento: N=-5833.17 Ty=4.11 Tz=-1.71 Mx=0.00 Mz=3.66
Sollecitazioni agenti localmente: Ty_l=-1019.51 My_l=-20.88
Tensioni nella sezione: σ=253.09 τ=30.89
CC 13 SLV (Collegamento 0021_-378)
Azioni sul collegamento: N=-5833.17 Ty=5.40 Tz=-1.71 Mx=0.00 Mz=7.25
Sollecitazioni agenti localmente: Ty_l=-1005.24 My_l=-20.57
Tensioni nella sezione: σ=249.30 τ=30.46
CC 13 SLV (Collegamento 0021_-378)
Azioni sul collegamento: N=-5833.17 Ty=4.11 Tz=3.74 Mx=0.00 Mz=3.66
Sollecitazioni agenti localmente: Ty_l=-1019.51 My_l=-20.88
Tensioni nella sezione: σ=253.09 τ=30.89
CC 13 SLV (Collegamento 0021_-378)
Azioni sul collegamento: N=-5833.17 Ty=5.40 Tz=3.74 Mx=0.00 Mz=7.25
Sollecitazioni agenti localmente: Ty_l=-1005.24 My_l=-20.57
Tensioni nella sezione: σ=249.30 τ=30.46
CC 13 SLV (Collegamento 0021_-378)
Azioni sul collegamento: N=-7401.56 Ty=4.11 Tz=-1.71 Mx=0.00 Mz=3.66
Sollecitazioni agenti localmente: Ty_l=-1297.54 My_l=-26.58
Tensioni nella sezione: σ=322.17 τ=39.32
CC 13 SLV (Collegamento 0021_-378)
Azioni sul collegamento: N=-7401.56 Ty=5.40 Tz=-1.71 Mx=0.00 Mz=7.25
Sollecitazioni agenti localmente: Ty_l=-1283.27 My_l=-26.27
Tensioni nella sezione: σ=318.38 τ=38.89
CC 13 SLV (Collegamento 0021_-378)
Azioni sul collegamento: N=-7401.56 Ty=4.11 Tz=3.74 Mx=0.00 Mz=3.66
Sollecitazioni agenti localmente: Ty_l=-1297.54 My_l=-26.58
Tensioni nella sezione: σ=322.17 τ=39.32
CC 13 SLV (Collegamento 0021_-378)
Azioni sul collegamento: N=-7401.56 Ty=5.40 Tz=3.74 Mx=0.00 Mz=7.25
Sollecitazioni agenti localmente: Ty_l=-1283.27 My_l=-26.27
Tensioni nella sezione: σ=318.38 τ=38.89
CC 14 SLD (Collegamento 0021_-378)
Azioni sul collegamento: N=-6345.78 Ty=3.72 Tz=0.05 Mx=-0.00 Mz=2.82
Sollecitazioni agenti localmente: Ty_l=-1113.70 My_l=-22.82
Tensioni nella sezione: σ=276.55 τ=33.75
CC 14 SLD (Collegamento 0021_-378)
Azioni sul collegamento: N=-6345.78 Ty=4.11 Tz=0.05 Mx=-0.00 Mz=3.92
Sollecitazioni agenti localmente: Ty_l=-1109.35 My_l=-22.72
Tensioni nella sezione: σ=275.39 τ=33.62
CC 14 SLD (Collegamento 0021_-378)
Azioni sul collegamento: N=-6345.78 Ty=3.72 Tz=1.72 Mx=-0.00 Mz=2.82
Sollecitazioni agenti localmente: Ty_l=-1113.70 My_l=-22.82

Tensioni nella sezione: σ=276.55 τ=33.75
CC 14 SLD (Collegamento 0021_-378)
Azioni sul collegamento: N=-6345.78 Ty=4.11 Tz=1.72 Mx=-0.00 Mz=3.92
Sollecitazioni agenti localmente: Ty_l=-1109.35 My_l=-22.72
Tensioni nella sezione: σ=275.39 τ=33.62
CC 14 SLD (Collegamento 0021_-378)
Azioni sul collegamento: N=-6824.03 Ty=3.72 Tz=0.05 Mx=-0.00 Mz=2.82
Sollecitazioni agenti localmente: Ty_l=-1198.49 My_l=-24.55
Tensioni nella sezione: σ=297.62 τ=36.32
CC 14 SLD (Collegamento 0021_-378)
Azioni sul collegamento: N=-6824.03 Ty=4.11 Tz=0.05 Mx=-0.00 Mz=3.92
Sollecitazioni agenti localmente: Ty_l=-1194.13 My_l=-24.46
Tensioni nella sezione: σ=296.46 τ=36.19
CC 14 SLD (Collegamento 0021_-378)
Azioni sul collegamento: N=-6824.03 Ty=3.72 Tz=1.72 Mx=-0.00 Mz=2.82
Sollecitazioni agenti localmente: Ty_l=-1198.49 My_l=-24.55
Tensioni nella sezione: σ=297.62 τ=36.32
CC 14 SLD (Collegamento 0021_-378)
Azioni sul collegamento: N=-6824.03 Ty=4.11 Tz=1.72 Mx=-0.00 Mz=3.92
Sollecitazioni agenti localmente: Ty_l=-1194.13 My_l=-24.46
Tensioni nella sezione: σ=296.46 τ=36.19
CC 15 SLV (Collegamento 0021_-378)
Azioni sul collegamento: N=-7420.50 Ty=3.29 Tz=4.16 Mx=0.00 Mz=3.06
Sollecitazioni agenti localmente: Ty_l=-1303.28 My_l=-26.70
Tensioni nella sezione: σ=323.64 τ=39.49
CC 15 SLV (Collegamento 0021_-378)
Azioni sul collegamento: N=-7420.50 Ty=6.23 Tz=4.16 Mx=0.00 Mz=7.84
Sollecitazioni agenti localmente: Ty_l=-1284.25 My_l=-26.28
Tensioni nella sezione: σ=318.59 τ=38.92
CC 15 SLV (Collegamento 0021_-378)
Azioni sul collegamento: N=-7420.50 Ty=3.29 Tz=-2.14 Mx=0.00 Mz=3.06
Sollecitazioni agenti localmente: Ty_l=-1303.28 My_l=-26.70
Tensioni nella sezione: σ=323.64 τ=39.49
CC 15 SLV (Collegamento 0021_-378)
Azioni sul collegamento: N=-7420.50 Ty=6.23 Tz=-2.14 Mx=0.00 Mz=7.84
Sollecitazioni agenti localmente: Ty_l=-1284.25 My_l=-26.28
Tensioni nella sezione: σ=318.59 τ=38.92
CC 15 SLV (Collegamento 0021_-378)
Azioni sul collegamento: N=-5814.22 Ty=3.29 Tz=4.16 Mx=0.00 Mz=3.06
Sollecitazioni agenti localmente: Ty_l=-1018.53 My_l=-20.86
Tensioni nella sezione: σ=252.88 τ=30.86
CC 15 SLV (Collegamento 0021_-378)
Azioni sul collegamento: N=-5814.22 Ty=6.23 Tz=4.16 Mx=0.00 Mz=7.84
Sollecitazioni agenti localmente: Ty_l=-999.50 My_l=-20.45
Tensioni nella sezione: σ=247.83 τ=30.29
CC 15 SLV (Collegamento 0021_-378)
Azioni sul collegamento: N=-5814.22 Ty=3.29 Tz=-2.14 Mx=0.00 Mz=3.06
Sollecitazioni agenti localmente: Ty_l=-1018.53 My_l=-20.86
Tensioni nella sezione: σ=252.88 τ=30.86
CC 15 SLV (Collegamento 0021_-378)
Azioni sul collegamento: N=-5814.22 Ty=6.23 Tz=-2.14 Mx=0.00 Mz=7.84
Sollecitazioni agenti localmente: Ty_l=-999.50 My_l=-20.45
Tensioni nella sezione: σ=247.83 τ=30.29
CC 16 SLD (Collegamento 0021_-378)
Azioni sul collegamento: N=-6829.81 Ty=3.47 Tz=1.85 Mx=-0.00 Mz=2.64
Sollecitazioni agenti localmente: Ty_l=-1200.23 My_l=-24.59
Tensioni nella sezione: σ=298.06 τ=36.37
CC 16 SLD (Collegamento 0021_-378)
Azioni sul collegamento: N=-6829.81 Ty=4.36 Tz=1.85 Mx=-0.00 Mz=4.10
Sollecitazioni agenti localmente: Ty_l=-1194.43 My_l=-24.46
Tensioni nella sezione: σ=296.52 τ=36.19
CC 16 SLD (Collegamento 0021_-378)
Azioni sul collegamento: N=-6829.81 Ty=3.47 Tz=-0.08 Mx=-0.00 Mz=2.64
Sollecitazioni agenti localmente: Ty_l=-1200.23 My_l=-24.59
Tensioni nella sezione: σ=298.06 τ=36.37
CC 16 SLD (Collegamento 0021_-378)
Azioni sul collegamento: N=-6829.81 Ty=4.36 Tz=-0.08 Mx=-0.00 Mz=4.10
Sollecitazioni agenti localmente: Ty_l=-1194.43 My_l=-24.46
Tensioni nella sezione: σ=296.52 τ=36.19
CC 16 SLD (Collegamento 0021_-378)
Azioni sul collegamento: N=-6340.00 Ty=3.47 Tz=1.85 Mx=-0.00 Mz=2.64
Sollecitazioni agenti localmente: Ty_l=-1113.41 My_l=-22.81
Tensioni nella sezione: σ=276.49 τ=33.74
CC 16 SLD (Collegamento 0021_-378)
Azioni sul collegamento: N=-6340.00 Ty=4.36 Tz=1.85 Mx=-0.00 Mz=4.10
Sollecitazioni agenti localmente: Ty_l=-1107.60 My_l=-22.68
Tensioni nella sezione: σ=274.95 τ=33.56
CC 16 SLD (Collegamento 0021_-378)
Azioni sul collegamento: N=-6340.00 Ty=3.47 Tz=-0.08 Mx=-0.00 Mz=2.64
Sollecitazioni agenti localmente: Ty_l=-1113.41 My_l=-22.81

Tensioni nella sezione: σ=276.49 τ=33.74
CC 16 SLD (Collegamento 0021_-378)
Azioni sul collegamento: N=-6340.00 Ty=4.36 Tz=-0.08 Mx=-0.00 Mz=4.10
Sollecitazioni agenti localmente: Ty_l=-1107.60 My_l=-22.68
Tensioni nella sezione: σ=274.95 τ=33.56
CC 17 SLV (Collegamento 0021_-378)
Azioni sul collegamento: N=-3875.57 Ty=0.64 Tz=-9.21 Mx=-0.02 Mz=1.09
Sollecitazioni agenti localmente: Ty_l=-682.72 My_l=-13.99
Tensioni nella sezione: σ=169.57 τ=20.69
CC 17 SLV (Collegamento 0021_-378)
Azioni sul collegamento: N=-3875.57 Ty=4.02 Tz=-9.21 Mx=-0.02 Mz=-2.16
Sollecitazioni agenti localmente: Ty_l=-695.63 My_l=-14.27
Tensioni nella sezione: σ=173.00 τ=21.08
CC 17 SLV (Collegamento 0021_-378)
Azioni sul collegamento: N=-3875.57 Ty=0.64 Tz=10.50 Mx=-0.02 Mz=1.09
Sollecitazioni agenti localmente: Ty_l=-682.72 My_l=-13.99
Tensioni nella sezione: σ=169.57 τ=20.69
CC 17 SLV (Collegamento 0021_-378)
Azioni sul collegamento: N=-3875.57 Ty=4.02 Tz=10.50 Mx=-0.02 Mz=-2.16
Sollecitazioni agenti localmente: Ty_l=-695.63 My_l=-14.27
Tensioni nella sezione: σ=173.00 τ=21.08
CC 17 SLV (Collegamento 0021_-378)
Azioni sul collegamento: N=-9172.38 Ty=0.64 Tz=-9.21 Mx=-0.02 Mz=1.09
Sollecitazioni agenti localmente: Ty_l=-1621.70 My_l=-33.24
Tensioni nella sezione: σ=402.89 τ=49.14
CC 17 SLV (Collegamento 0021_-378)
Azioni sul collegamento: N=-9172.38 Ty=4.02 Tz=-9.21 Mx=-0.02 Mz=-2.16
Sollecitazioni agenti localmente: Ty_l=-1634.61 My_l=-33.52
Tensioni nella sezione: σ=406.32 τ=49.53
CC 17 SLV (Collegamento 0021_-378)
Azioni sul collegamento: N=-9172.38 Ty=0.64 Tz=10.50 Mx=-0.02 Mz=1.09
Sollecitazioni agenti localmente: Ty_l=-1621.70 My_l=-33.24
Tensioni nella sezione: σ=402.89 τ=49.14
CC 17 SLV (Collegamento 0021_-378)
Azioni sul collegamento: N=-9172.38 Ty=4.02 Tz=10.50 Mx=-0.02 Mz=-2.16
Sollecitazioni agenti localmente: Ty_l=-1634.61 My_l=-33.52
Tensioni nella sezione: σ=406.32 τ=49.53
CC 18 SLD (Collegamento 0021_-378)
Azioni sul collegamento: N=-5748.85 Ty=3.69 Tz=-2.23 Mx=-0.01 Mz=2.04
Sollecitazioni agenti localmente: Ty_l=-1011.01 My_l=-20.71
Tensioni nella sezione: σ=251.08 τ=30.64
CC 18 SLD (Collegamento 0021_-378)
Azioni sul collegamento: N=-5748.85 Ty=2.66 Tz=-2.23 Mx=-0.01 Mz=1.05
Sollecitazioni agenti localmente: Ty_l=-1014.94 My_l=-20.80
Tensioni nella sezione: σ=252.13 τ=30.76
CC 18 SLD (Collegamento 0021_-378)
Azioni sul collegamento: N=-5748.85 Ty=3.69 Tz=3.78 Mx=-0.01 Mz=2.04
Sollecitazioni agenti localmente: Ty_l=-1011.01 My_l=-20.71
Tensioni nella sezione: σ=251.08 τ=30.64
CC 18 SLD (Collegamento 0021_-378)
Azioni sul collegamento: N=-5748.85 Ty=2.66 Tz=3.78 Mx=-0.01 Mz=1.05
Sollecitazioni agenti localmente: Ty_l=-1014.94 My_l=-20.80
Tensioni nella sezione: σ=252.13 τ=30.76
CC 18 SLD (Collegamento 0021_-378)
Azioni sul collegamento: N=-7364.01 Ty=3.69 Tz=-2.23 Mx=-0.01 Mz=2.04
Sollecitazioni agenti localmente: Ty_l=-1297.33 My_l=-26.58
Tensioni nella sezione: σ=322.23 τ=39.31
CC 18 SLD (Collegamento 0021_-378)
Azioni sul collegamento: N=-7364.01 Ty=2.66 Tz=-2.23 Mx=-0.01 Mz=1.05
Sollecitazioni agenti localmente: Ty_l=-1301.27 My_l=-26.67
Tensioni nella sezione: σ=323.27 τ=39.43
CC 18 SLD (Collegamento 0021_-378)
Azioni sul collegamento: N=-7364.01 Ty=3.69 Tz=3.78 Mx=-0.01 Mz=2.04
Sollecitazioni agenti localmente: Ty_l=-1297.33 My_l=-26.58
Tensioni nella sezione: σ=322.23 τ=39.31
CC 18 SLD (Collegamento 0021_-378)
Azioni sul collegamento: N=-7364.01 Ty=2.66 Tz=3.78 Mx=-0.01 Mz=1.05
Sollecitazioni agenti localmente: Ty_l=-1301.27 My_l=-26.67
Tensioni nella sezione: σ=323.27 τ=39.43
CC 19 SLV (Collegamento 0021_-378)
Azioni sul collegamento: N=-3881.26 Ty=1.27 Tz=-9.09 Mx=-0.02 Mz=-0.17
Sollecitazioni agenti localmente: Ty_l=-688.72 My_l=-14.12
Tensioni nella sezione: σ=171.15 τ=20.87
CC 19 SLV (Collegamento 0021_-378)
Azioni sul collegamento: N=-3881.26 Ty=3.39 Tz=-9.09 Mx=-0.02 Mz=-0.91
Sollecitazioni agenti localmente: Ty_l=-691.65 My_l=-14.18
Tensioni nella sezione: σ=171.93 τ=20.96
CC 19 SLV (Collegamento 0021_-378)
Azioni sul collegamento: N=-3881.26 Ty=1.27 Tz=10.37 Mx=-0.02 Mz=-0.17
Sollecitazioni agenti localmente: Ty_l=-688.72 My_l=-14.12

Tensioni nella sezione: σ=171.15 τ=20.87
CC 19 SLV (Collegamento 0021_-378)
Azioni sul collegamento: N=-3881.26 Ty=3.39 Tz=10.37 Mx=-0.02 Mz=-0.91
Sollecitazioni agenti localmente: Ty_l=-691.65 My_l=-14.18
Tensioni nella sezione: σ=171.93 τ=20.96
CC 19 SLV (Collegamento 0021_-378)
Azioni sul collegamento: N=-9166.69 Ty=1.27 Tz=-9.09 Mx=-0.02 Mz=-0.17
Sollecitazioni agenti localmente: Ty_l=-1625.68 My_l=-33.33
Tensioni nella sezione: σ=403.97 τ=49.26
CC 19 SLV (Collegamento 0021_-378)
Azioni sul collegamento: N=-9166.69 Ty=3.39 Tz=-9.09 Mx=-0.02 Mz=-0.91
Sollecitazioni agenti localmente: Ty_l=-1628.61 My_l=-33.39
Tensioni nella sezione: σ=404.75 τ=49.35
CC 19 SLV (Collegamento 0021_-378)
Azioni sul collegamento: N=-9166.69 Ty=1.27 Tz=10.37 Mx=-0.02 Mz=-0.17
Sollecitazioni agenti localmente: Ty_l=-1625.68 My_l=-33.33
Tensioni nella sezione: σ=403.97 τ=49.26
CC 19 SLV (Collegamento 0021_-378)
Azioni sul collegamento: N=-9166.69 Ty=3.39 Tz=10.37 Mx=-0.02 Mz=-0.91
Sollecitazioni agenti localmente: Ty_l=-1628.61 My_l=-33.39
Tensioni nella sezione: σ=404.75 τ=49.35
CC 20 SLD (Collegamento 0021_-378)
Azioni sul collegamento: N=-5750.58 Ty=3.50 Tz=-2.19 Mx=-0.01 Mz=1.66
Sollecitazioni agenti localmente: Ty_l=-1012.84 My_l=-20.75
Tensioni nella sezione: σ=251.56 τ=30.69
CC 20 SLD (Collegamento 0021_-378)
Azioni sul collegamento: N=-5750.58 Ty=2.85 Tz=-2.19 Mx=-0.01 Mz=1.43
Sollecitazioni agenti localmente: Ty_l=-1013.73 My_l=-20.77
Tensioni nella sezione: σ=251.80 τ=30.72
CC 20 SLD (Collegamento 0021_-378)
Azioni sul collegamento: N=-5750.58 Ty=3.50 Tz=3.74 Mx=-0.01 Mz=1.66
Sollecitazioni agenti localmente: Ty_l=-1012.84 My_l=-20.75
Tensioni nella sezione: σ=251.56 τ=30.69
CC 20 SLD (Collegamento 0021_-378)
Azioni sul collegamento: N=-5750.58 Ty=2.85 Tz=3.74 Mx=-0.01 Mz=1.43
Sollecitazioni agenti localmente: Ty_l=-1013.73 My_l=-20.77
Tensioni nella sezione: σ=251.80 τ=30.72
CC 20 SLD (Collegamento 0021_-378)
Azioni sul collegamento: N=-7362.28 Ty=3.50 Tz=-2.19 Mx=-0.01 Mz=1.66
Sollecitazioni agenti localmente: Ty_l=-1298.55 My_l=-26.61
Tensioni nella sezione: σ=322.56 τ=39.35
CC 20 SLD (Collegamento 0021_-378)
Azioni sul collegamento: N=-7362.28 Ty=2.85 Tz=-2.19 Mx=-0.01 Mz=1.43
Sollecitazioni agenti localmente: Ty_l=-1299.44 My_l=-26.63
Tensioni nella sezione: σ=322.79 τ=39.38
CC 20 SLD (Collegamento 0021_-378)
Azioni sul collegamento: N=-7362.28 Ty=3.50 Tz=3.74 Mx=-0.01 Mz=1.66
Sollecitazioni agenti localmente: Ty_l=-1298.55 My_l=-26.61
Tensioni nella sezione: σ=322.56 τ=39.35
CC 20 SLD (Collegamento 0021_-378)
Azioni sul collegamento: N=-7362.28 Ty=2.85 Tz=3.74 Mx=-0.01 Mz=1.43
Sollecitazioni agenti localmente: Ty_l=-1299.44 My_l=-26.63
Tensioni nella sezione: σ=322.79 τ=39.38
CC 21 SLV (Collegamento 0021_-378)
Azioni sul collegamento: N=-9166.69 Ty=3.39 Tz=10.37 Mx=-0.02 Mz=-0.91
Sollecitazioni agenti localmente: Ty_l=-1628.61 My_l=-33.39
Tensioni nella sezione: σ=404.75 τ=49.35
CC 21 SLV (Collegamento 0021_-378)
Azioni sul collegamento: N=-9166.69 Ty=1.27 Tz=10.37 Mx=-0.02 Mz=-0.17
Sollecitazioni agenti localmente: Ty_l=-1625.68 My_l=-33.33
Tensioni nella sezione: σ=403.97 τ=49.26
CC 21 SLV (Collegamento 0021_-378)
Azioni sul collegamento: N=-9166.69 Ty=3.39 Tz=-9.09 Mx=-0.02 Mz=-0.91
Sollecitazioni agenti localmente: Ty_l=-1628.61 My_l=-33.39
Tensioni nella sezione: σ=404.75 τ=49.35
CC 21 SLV (Collegamento 0021_-378)
Azioni sul collegamento: N=-9166.69 Ty=1.27 Tz=-9.09 Mx=-0.02 Mz=-0.17
Sollecitazioni agenti localmente: Ty_l=-1625.68 My_l=-33.33
Tensioni nella sezione: σ=403.97 τ=49.26
CC 21 SLV (Collegamento 0021_-378)
Azioni sul collegamento: N=-3881.26 Ty=3.39 Tz=10.37 Mx=-0.02 Mz=-0.91
Sollecitazioni agenti localmente: Ty_l=-691.65 My_l=-14.18
Tensioni nella sezione: σ=171.93 τ=20.96
CC 21 SLV (Collegamento 0021_-378)
Azioni sul collegamento: N=-3881.26 Ty=1.27 Tz=10.37 Mx=-0.02 Mz=-0.17
Sollecitazioni agenti localmente: Ty_l=-688.72 My_l=-14.12
Tensioni nella sezione: σ=171.15 τ=20.87
CC 21 SLV (Collegamento 0021_-378)
Azioni sul collegamento: N=-3881.26 Ty=3.39 Tz=-9.09 Mx=-0.02 Mz=-0.91
Sollecitazioni agenti localmente: Ty_l=-691.65 My_l=-14.18

Tensioni nella sezione: σ=171.93 τ=20.96
CC 21 SLV (Collegamento 0021_-378)
Azioni sul collegamento: N=-3881.26 Ty=1.27 Tz=-9.09 Mx=-0.02 Mz=-0.17
Sollecitazioni agenti localmente: Ty_l=-688.72 My_l=-14.12
Tensioni nella sezione: σ=171.15 τ=20.87
CC 22 SLD (Collegamento 0021_-378)
Azioni sul collegamento: N=-7362.28 Ty=2.85 Tz=3.74 Mx=-0.01 Mz=1.43
Sollecitazioni agenti localmente: Ty_l=-1299.44 My_l=-26.63
Tensioni nella sezione: σ=322.79 τ=39.38
CC 22 SLD (Collegamento 0021_-378)
Azioni sul collegamento: N=-7362.28 Ty=3.50 Tz=3.74 Mx=-0.01 Mz=1.66
Sollecitazioni agenti localmente: Ty_l=-1298.55 My_l=-26.61
Tensioni nella sezione: σ=322.56 τ=39.35
CC 22 SLD (Collegamento 0021_-378)
Azioni sul collegamento: N=-7362.28 Ty=2.85 Tz=-2.19 Mx=-0.01 Mz=1.43
Sollecitazioni agenti localmente: Ty_l=-1299.44 My_l=-26.63
Tensioni nella sezione: σ=322.79 τ=39.38
CC 22 SLD (Collegamento 0021_-378)
Azioni sul collegamento: N=-7362.28 Ty=3.50 Tz=-2.19 Mx=-0.01 Mz=1.66
Sollecitazioni agenti localmente: Ty_l=-1298.55 My_l=-26.61
Tensioni nella sezione: σ=322.56 τ=39.35
CC 22 SLD (Collegamento 0021_-378)
Azioni sul collegamento: N=-5750.58 Ty=2.85 Tz=3.74 Mx=-0.01 Mz=1.43
Sollecitazioni agenti localmente: Ty_l=-1013.73 My_l=-20.77
Tensioni nella sezione: σ=251.80 τ=30.72
CC 22 SLD (Collegamento 0021_-378)
Azioni sul collegamento: N=-5750.58 Ty=3.50 Tz=3.74 Mx=-0.01 Mz=1.66
Sollecitazioni agenti localmente: Ty_l=-1012.84 My_l=-20.75
Tensioni nella sezione: σ=251.56 τ=30.69
CC 22 SLD (Collegamento 0021_-378)
Azioni sul collegamento: N=-5750.58 Ty=2.85 Tz=-2.19 Mx=-0.01 Mz=1.43
Sollecitazioni agenti localmente: Ty_l=-1013.73 My_l=-20.77
Tensioni nella sezione: σ=251.80 τ=30.72
CC 22 SLD (Collegamento 0021_-378)
Azioni sul collegamento: N=-5750.58 Ty=3.50 Tz=-2.19 Mx=-0.01 Mz=1.66
Sollecitazioni agenti localmente: Ty_l=-1012.84 My_l=-20.75
Tensioni nella sezione: σ=251.56 τ=30.69
CC 23 SLV (Collegamento 0021_-378)
Azioni sul collegamento: N=-9172.38 Ty=4.02 Tz=10.50 Mx=-0.01 Mz=-2.16
Sollecitazioni agenti localmente: Ty_l=-1634.61 My_l=-33.52
Tensioni nella sezione: σ=406.32 τ=49.53
CC 23 SLV (Collegamento 0021_-378)
Azioni sul collegamento: N=-9172.38 Ty=0.64 Tz=10.50 Mx=-0.01 Mz=1.09
Sollecitazioni agenti localmente: Ty_l=-1621.70 My_l=-33.24
Tensioni nella sezione: σ=402.89 τ=49.14
CC 23 SLV (Collegamento 0021_-378)
Azioni sul collegamento: N=-9172.38 Ty=4.02 Tz=-9.21 Mx=-0.01 Mz=-2.16
Sollecitazioni agenti localmente: Ty_l=-1634.61 My_l=-33.52
Tensioni nella sezione: σ=406.32 τ=49.53
CC 23 SLV (Collegamento 0021_-378)
Azioni sul collegamento: N=-9172.38 Ty=0.64 Tz=-9.21 Mx=-0.01 Mz=1.09
Sollecitazioni agenti localmente: Ty_l=-1621.70 My_l=-33.24
Tensioni nella sezione: σ=402.89 τ=49.14
CC 23 SLV (Collegamento 0021_-378)
Azioni sul collegamento: N=-3875.57 Ty=4.02 Tz=10.50 Mx=-0.01 Mz=-2.16
Sollecitazioni agenti localmente: Ty_l=-695.63 My_l=-14.27
Tensioni nella sezione: σ=173.00 τ=21.08
CC 23 SLV (Collegamento 0021_-378)
Azioni sul collegamento: N=-3875.57 Ty=0.64 Tz=10.50 Mx=-0.01 Mz=1.09
Sollecitazioni agenti localmente: Ty_l=-682.72 My_l=-13.99
Tensioni nella sezione: σ=169.57 τ=20.69
CC 23 SLV (Collegamento 0021_-378)
Azioni sul collegamento: N=-3875.57 Ty=4.02 Tz=-9.21 Mx=-0.01 Mz=-2.16
Sollecitazioni agenti localmente: Ty_l=-695.63 My_l=-14.27
Tensioni nella sezione: σ=173.00 τ=21.08
CC 23 SLV (Collegamento 0021_-378)
Azioni sul collegamento: N=-3875.57 Ty=0.64 Tz=-9.21 Mx=-0.01 Mz=1.09
Sollecitazioni agenti localmente: Ty_l=-682.72 My_l=-13.99
Tensioni nella sezione: σ=169.57 τ=20.69
CC 24 SLD (Collegamento 0021_-378)
Azioni sul collegamento: N=-7364.01 Ty=2.66 Tz=3.78 Mx=-0.01 Mz=1.05
Sollecitazioni agenti localmente: Ty_l=-1301.27 My_l=-26.67
Tensioni nella sezione: σ=323.27 τ=39.43
CC 24 SLD (Collegamento 0021_-378)
Azioni sul collegamento: N=-7364.01 Ty=3.69 Tz=3.78 Mx=-0.01 Mz=2.04
Sollecitazioni agenti localmente: Ty_l=-1297.33 My_l=-26.58
Tensioni nella sezione: σ=322.23 τ=39.31
CC 24 SLD (Collegamento 0021_-378)
Azioni sul collegamento: N=-7364.01 Ty=2.66 Tz=-2.23 Mx=-0.01 Mz=1.05
Sollecitazioni agenti localmente: Ty_l=-1301.27 My_l=-26.67

Tensioni nella sezione: σ=323.27 τ=39.43
CC 24 SLD (Collegamento 0021_-378)
Azioni sul collegamento: N=-7364.01 Ty=3.69 Tz=-2.23 Mx=-0.01 Mz=2.04
Sollecitazioni agenti localmente: Ty_l=-1297.33 My_l=-26.58
Tensioni nella sezione: σ=322.23 τ=39.31
CC 24 SLD (Collegamento 0021_-378)
Azioni sul collegamento: N=-5748.85 Ty=2.66 Tz=3.78 Mx=-0.01 Mz=1.05
Sollecitazioni agenti localmente: Ty_l=-1014.94 My_l=-20.80
Tensioni nella sezione: σ=252.13 τ=30.76
CC 24 SLD (Collegamento 0021_-378)
Azioni sul collegamento: N=-5748.85 Ty=3.69 Tz=3.78 Mx=-0.01 Mz=2.04
Sollecitazioni agenti localmente: Ty_l=-1011.01 My_l=-20.71
Tensioni nella sezione: σ=251.08 τ=30.64
CC 24 SLD (Collegamento 0021_-378)
Azioni sul collegamento: N=-5748.85 Ty=2.66 Tz=-2.23 Mx=-0.01 Mz=1.05
Sollecitazioni agenti localmente: Ty_l=-1014.94 My_l=-20.80
Tensioni nella sezione: σ=252.13 τ=30.76
CC 24 SLD (Collegamento 0021_-378)
Azioni sul collegamento: N=-5748.85 Ty=3.69 Tz=-2.23 Mx=-0.01 Mz=2.04
Sollecitazioni agenti localmente: Ty_l=-1011.01 My_l=-20.71
Tensioni nella sezione: σ=251.08 τ=30.64
CC 25 SLV (Collegamento 0021_-378)
Azioni sul collegamento: N=-5720.83 Ty=0.86 Tz=-2.51 Mx=-0.03 Mz=1.85
Sollecitazioni agenti localmente: Ty_l=-1006.78 My_l=-20.63
Tensioni nella sezione: σ=250.04 τ=30.51
CC 25 SLV (Collegamento 0021_-378)
Azioni sul collegamento: N=-5720.83 Ty=3.80 Tz=-2.51 Mx=-0.03 Mz=-2.93
Sollecitazioni agenti localmente: Ty_l=-1025.80 My_l=-21.05
Tensioni nella sezione: σ=255.09 τ=31.08
CC 25 SLV (Collegamento 0021_-378)
Azioni sul collegamento: N=-5720.83 Ty=0.86 Tz=3.80 Mx=-0.03 Mz=1.85
Sollecitazioni agenti localmente: Ty_l=-1006.78 My_l=-20.63
Tensioni nella sezione: σ=250.04 τ=30.51
CC 25 SLV (Collegamento 0021_-378)
Azioni sul collegamento: N=-5720.83 Ty=3.80 Tz=3.80 Mx=-0.03 Mz=-2.93
Sollecitazioni agenti localmente: Ty_l=-1025.80 My_l=-21.05
Tensioni nella sezione: σ=255.09 τ=31.08
CC 25 SLV (Collegamento 0021_-378)
Azioni sul collegamento: N=-7327.12 Ty=0.86 Tz=-2.51 Mx=-0.03 Mz=1.85
Sollecitazioni agenti localmente: Ty_l=-1291.53 My_l=-26.47
Tensioni nella sezione: σ=320.80 τ=39.14
CC 25 SLV (Collegamento 0021_-378)
Azioni sul collegamento: N=-7327.12 Ty=3.80 Tz=-2.51 Mx=-0.03 Mz=-2.93
Sollecitazioni agenti localmente: Ty_l=-1310.55 My_l=-26.88
Tensioni nella sezione: σ=325.85 τ=39.71
CC 25 SLV (Collegamento 0021_-378)
Azioni sul collegamento: N=-7327.12 Ty=0.86 Tz=3.80 Mx=-0.03 Mz=1.85
Sollecitazioni agenti localmente: Ty_l=-1291.53 My_l=-26.47
Tensioni nella sezione: σ=320.80 τ=39.14
CC 25 SLV (Collegamento 0021_-378)
Azioni sul collegamento: N=-7327.12 Ty=3.80 Tz=3.80 Mx=-0.03 Mz=-2.93
Sollecitazioni agenti localmente: Ty_l=-1310.55 My_l=-26.88
Tensioni nella sezione: σ=325.85 τ=39.71
CC 26 SLD (Collegamento 0021_-378)
Azioni sul collegamento: N=-6311.53 Ty=3.62 Tz=-0.19 Mx=-0.01 Mz=2.27
Sollecitazioni agenti localmente: Ty_l=-1109.82 My_l=-22.74
Tensioni nella sezione: σ=275.62 τ=33.63
CC 26 SLD (Collegamento 0021_-378)
Azioni sul collegamento: N=-6311.53 Ty=2.73 Tz=-0.19 Mx=-0.01 Mz=0.81
Sollecitazioni agenti localmente: Ty_l=-1115.62 My_l=-22.87
Tensioni nella sezione: σ=277.16 τ=33.81
CC 26 SLD (Collegamento 0021_-378)
Azioni sul collegamento: N=-6311.53 Ty=3.62 Tz=1.73 Mx=-0.01 Mz=2.27
Sollecitazioni agenti localmente: Ty_l=-1109.82 My_l=-22.74
Tensioni nella sezione: σ=275.62 τ=33.63
CC 26 SLD (Collegamento 0021_-378)
Azioni sul collegamento: N=-6311.53 Ty=2.73 Tz=1.73 Mx=-0.01 Mz=0.81
Sollecitazioni agenti localmente: Ty_l=-1115.62 My_l=-22.87
Tensioni nella sezione: σ=277.16 τ=33.81
CC 26 SLD (Collegamento 0021_-378)
Azioni sul collegamento: N=-6801.33 Ty=3.62 Tz=-0.19 Mx=-0.01 Mz=2.27
Sollecitazioni agenti localmente: Ty_l=-1196.65 My_l=-24.52
Tensioni nella sezione: σ=297.20 τ=36.26
CC 26 SLD (Collegamento 0021_-378)
Azioni sul collegamento: N=-6801.33 Ty=2.73 Tz=-0.19 Mx=-0.01 Mz=0.81
Sollecitazioni agenti localmente: Ty_l=-1202.45 My_l=-24.65
Tensioni nella sezione: σ=298.74 τ=36.44
CC 26 SLD (Collegamento 0021_-378)
Azioni sul collegamento: N=-6801.33 Ty=3.62 Tz=1.73 Mx=-0.01 Mz=2.27
Sollecitazioni agenti localmente: Ty_l=-1196.65 My_l=-24.52

Tensioni nella sezione: σ=297.20 τ=36.26
CC 26 SLD (Collegamento 0021_-378)
Azioni sul collegamento: N=-6801.33 Ty=2.73 Tz=1.73 Mx=-0.01 Mz=0.81
Sollecitazioni agenti localmente: Ty_l=-1202.45 My_l=-24.65
Tensioni nella sezione: σ=298.74 τ=36.44
CC 27 SLV (Collegamento 0021_-378)
Azioni sul collegamento: N=-7308.17 Ty=1.68 Tz=3.37 Mx=-0.02 Mz=1.26
Sollecitazioni agenti localmente: Ty_l=-1290.54 My_l=-26.45
Tensioni nella sezione: σ=320.60 τ=39.11
CC 27 SLV (Collegamento 0021_-378)
Azioni sul collegamento: N=-7308.17 Ty=2.97 Tz=3.37 Mx=-0.02 Mz=-2.33
Sollecitazioni agenti localmente: Ty_l=-1304.82 My_l=-26.76
Tensioni nella sezione: σ=324.38 τ=39.54
CC 27 SLV (Collegamento 0021_-378)
Azioni sul collegamento: N=-7308.17 Ty=1.68 Tz=-2.08 Mx=-0.02 Mz=1.26
Sollecitazioni agenti localmente: Ty_l=-1290.54 My_l=-26.45
Tensioni nella sezione: σ=320.60 τ=39.11
CC 27 SLV (Collegamento 0021_-378)
Azioni sul collegamento: N=-7308.17 Ty=2.97 Tz=-2.08 Mx=-0.02 Mz=-2.33
Sollecitazioni agenti localmente: Ty_l=-1304.82 My_l=-26.76
Tensioni nella sezione: σ=324.38 τ=39.54
CC 27 SLV (Collegamento 0021_-378)
Azioni sul collegamento: N=-5739.78 Ty=1.68 Tz=3.37 Mx=-0.02 Mz=1.26
Sollecitazioni agenti localmente: Ty_l=-1012.51 My_l=-20.75
Tensioni nella sezione: σ=251.51 τ=30.68
CC 27 SLV (Collegamento 0021_-378)
Azioni sul collegamento: N=-5739.78 Ty=2.97 Tz=3.37 Mx=-0.02 Mz=-2.33
Sollecitazioni agenti localmente: Ty_l=-1026.79 My_l=-21.06
Tensioni nella sezione: σ=255.30 τ=31.11
CC 27 SLV (Collegamento 0021_-378)
Azioni sul collegamento: N=-5739.78 Ty=1.68 Tz=-2.08 Mx=-0.02 Mz=1.26
Sollecitazioni agenti localmente: Ty_l=-1012.51 My_l=-20.75
Tensioni nella sezione: σ=251.51 τ=30.68
CC 27 SLV (Collegamento 0021_-378)
Azioni sul collegamento: N=-5739.78 Ty=2.97 Tz=-2.08 Mx=-0.02 Mz=-2.33
Sollecitazioni agenti localmente: Ty_l=-1026.79 My_l=-21.06
Tensioni nella sezione: σ=255.30 τ=31.11
CC 28 SLD (Collegamento 0021_-378)
Azioni sul collegamento: N=-6795.56 Ty=3.37 Tz=1.60 Mx=-0.01 Mz=2.09
Sollecitazioni agenti localmente: Ty_l=-1196.35 My_l=-24.51
Tensioni nella sezione: σ=297.13 τ=36.25
CC 28 SLD (Collegamento 0021_-378)
Azioni sul collegamento: N=-6795.56 Ty=2.98 Tz=1.60 Mx=-0.01 Mz=1.00
Sollecitazioni agenti localmente: Ty_l=-1200.70 My_l=-24.61
Tensioni nella sezione: σ=298.29 τ=36.38
CC 28 SLD (Collegamento 0021_-378)
Azioni sul collegamento: N=-6795.56 Ty=3.37 Tz=-0.06 Mx=-0.01 Mz=2.09
Sollecitazioni agenti localmente: Ty_l=-1196.35 My_l=-24.51
Tensioni nella sezione: σ=297.13 τ=36.25
CC 28 SLD (Collegamento 0021_-378)
Azioni sul collegamento: N=-6795.56 Ty=2.98 Tz=-0.06 Mx=-0.01 Mz=1.00
Sollecitazioni agenti localmente: Ty_l=-1200.70 My_l=-24.61
Tensioni nella sezione: σ=298.29 τ=36.38
CC 28 SLD (Collegamento 0021_-378)
Azioni sul collegamento: N=-6317.30 Ty=3.37 Tz=1.60 Mx=-0.01 Mz=2.09
Sollecitazioni agenti localmente: Ty_l=-1111.57 My_l=-22.78
Tensioni nella sezione: σ=276.07 τ=33.68
CC 28 SLD (Collegamento 0021_-378)
Azioni sul collegamento: N=-6317.30 Ty=2.98 Tz=1.60 Mx=-0.01 Mz=1.00
Sollecitazioni agenti localmente: Ty_l=-1115.92 My_l=-22.87
Tensioni nella sezione: σ=277.22 τ=33.82
CC 28 SLD (Collegamento 0021_-378)
Azioni sul collegamento: N=-6317.30 Ty=3.37 Tz=-0.06 Mx=-0.01 Mz=2.09
Sollecitazioni agenti localmente: Ty_l=-1111.57 My_l=-22.78
Tensioni nella sezione: σ=276.07 τ=33.68
CC 28 SLD (Collegamento 0021_-378)
Azioni sul collegamento: N=-6317.30 Ty=2.98 Tz=-0.06 Mx=-0.01 Mz=1.00
Sollecitazioni agenti localmente: Ty_l=-1115.92 My_l=-22.87
Tensioni nella sezione: σ=277.22 τ=33.82
CC 29 SLV (Collegamento 0021_-378)
Azioni sul collegamento: N=-5739.78 Ty=2.97 Tz=-2.08 Mx=-0.01 Mz=-2.33
Sollecitazioni agenti localmente: Ty_l=-1026.79 My_l=-21.06
Tensioni nella sezione: σ=255.30 τ=31.11
CC 29 SLV (Collegamento 0021_-378)
Azioni sul collegamento: N=-5739.78 Ty=1.68 Tz=-2.08 Mx=-0.01 Mz=1.26
Sollecitazioni agenti localmente: Ty_l=-1012.51 My_l=-20.75
Tensioni nella sezione: σ=251.51 τ=30.68
CC 29 SLV (Collegamento 0021_-378)
Azioni sul collegamento: N=-5739.78 Ty=2.97 Tz=3.37 Mx=-0.01 Mz=-2.33
Sollecitazioni agenti localmente: Ty_l=-1026.79 My_l=-21.06

Tensioni nella sezione: σ=255.30 τ=31.11
CC 29 SLV (Collegamento 0021_-378)
Azioni sul collegamento: N=-5739.78 Ty=1.68 Tz=3.37 Mx=-0.01 Mz=1.26
Sollecitazioni agenti localmente: Ty_l=-1012.51 My_l=-20.75
Tensioni nella sezione: σ=251.51 τ=30.68
CC 29 SLV (Collegamento 0021_-378)
Azioni sul collegamento: N=-7308.17 Ty=2.97 Tz=-2.08 Mx=-0.01 Mz=-2.33
Sollecitazioni agenti localmente: Ty_l=-1304.82 My_l=-26.76
Tensioni nella sezione: σ=324.38 τ=39.54
CC 29 SLV (Collegamento 0021_-378)
Azioni sul collegamento: N=-7308.17 Ty=1.68 Tz=-2.08 Mx=-0.01 Mz=1.26
Sollecitazioni agenti localmente: Ty_l=-1290.54 My_l=-26.45
Tensioni nella sezione: σ=320.60 τ=39.11
CC 29 SLV (Collegamento 0021_-378)
Azioni sul collegamento: N=-7308.17 Ty=2.97 Tz=3.37 Mx=-0.01 Mz=-2.33
Sollecitazioni agenti localmente: Ty_l=-1304.82 My_l=-26.76
Tensioni nella sezione: σ=324.38 τ=39.54
CC 29 SLV (Collegamento 0021_-378)
Azioni sul collegamento: N=-7308.17 Ty=1.68 Tz=3.37 Mx=-0.01 Mz=1.26
Sollecitazioni agenti localmente: Ty_l=-1290.54 My_l=-26.45
Tensioni nella sezione: σ=320.60 τ=39.11
CC 30 SLD (Collegamento 0021_-378)
Azioni sul collegamento: N=-6317.30 Ty=2.98 Tz=-0.06 Mx=-0.01 Mz=1.00
Sollecitazioni agenti localmente: Ty_l=-1115.92 My_l=-22.87
Tensioni nella sezione: σ=277.22 τ=33.82
CC 30 SLD (Collegamento 0021_-378)
Azioni sul collegamento: N=-6317.30 Ty=3.37 Tz=-0.06 Mx=-0.01 Mz=2.09
Sollecitazioni agenti localmente: Ty_l=-1111.57 My_l=-22.78
Tensioni nella sezione: σ=276.07 τ=33.68
CC 30 SLD (Collegamento 0021_-378)
Azioni sul collegamento: N=-6317.30 Ty=2.98 Tz=1.60 Mx=-0.01 Mz=1.00
Sollecitazioni agenti localmente: Ty_l=-1115.92 My_l=-22.87
Tensioni nella sezione: σ=277.22 τ=33.82
CC 30 SLD (Collegamento 0021_-378)
Azioni sul collegamento: N=-6317.30 Ty=3.37 Tz=1.60 Mx=-0.01 Mz=2.09
Sollecitazioni agenti localmente: Ty_l=-1111.57 My_l=-22.78
Tensioni nella sezione: σ=276.07 τ=33.68
CC 30 SLD (Collegamento 0021_-378)
Azioni sul collegamento: N=-6795.56 Ty=2.98 Tz=-0.06 Mx=-0.01 Mz=1.00
Sollecitazioni agenti localmente: Ty_l=-1200.70 My_l=-24.61
Tensioni nella sezione: σ=298.29 τ=36.38
CC 30 SLD (Collegamento 0021_-378)
Azioni sul collegamento: N=-6795.56 Ty=3.37 Tz=-0.06 Mx=-0.01 Mz=2.09
Sollecitazioni agenti localmente: Ty_l=-1196.35 My_l=-24.51
Tensioni nella sezione: σ=297.13 τ=36.25
CC 30 SLD (Collegamento 0021_-378)
Azioni sul collegamento: N=-6795.56 Ty=2.98 Tz=1.60 Mx=-0.01 Mz=1.00
Sollecitazioni agenti localmente: Ty_l=-1200.70 My_l=-24.61
Tensioni nella sezione: σ=298.29 τ=36.38
CC 30 SLD (Collegamento 0021_-378)
Azioni sul collegamento: N=-6795.56 Ty=3.37 Tz=1.60 Mx=-0.01 Mz=2.09
Sollecitazioni agenti localmente: Ty_l=-1196.35 My_l=-24.51
Tensioni nella sezione: σ=297.13 τ=36.25
CC 31 SLV (Collegamento 0021_-378)
Azioni sul collegamento: N=-7327.12 Ty=3.80 Tz=3.80 Mx=-0.01 Mz=-2.93
Sollecitazioni agenti localmente: Ty_l=-1310.55 My_l=-26.88
Tensioni nella sezione: σ=325.85 τ=39.71
CC 31 SLV (Collegamento 0021_-378)
Azioni sul collegamento: N=-7327.12 Ty=0.86 Tz=3.80 Mx=-0.01 Mz=1.85
Sollecitazioni agenti localmente: Ty_l=-1291.53 My_l=-26.47
Tensioni nella sezione: σ=320.80 τ=39.14
CC 31 SLV (Collegamento 0021_-378)
Azioni sul collegamento: N=-7327.12 Ty=3.80 Tz=-2.51 Mx=-0.01 Mz=-2.93
Sollecitazioni agenti localmente: Ty_l=-1310.55 My_l=-26.88
Tensioni nella sezione: σ=325.85 τ=39.71
CC 31 SLV (Collegamento 0021_-378)
Azioni sul collegamento: N=-7327.12 Ty=0.86 Tz=-2.51 Mx=-0.01 Mz=1.85
Sollecitazioni agenti localmente: Ty_l=-1291.53 My_l=-26.47
Tensioni nella sezione: σ=320.80 τ=39.14
CC 31 SLV (Collegamento 0021_-378)
Azioni sul collegamento: N=-5720.83 Ty=3.80 Tz=3.80 Mx=-0.01 Mz=-2.93
Sollecitazioni agenti localmente: Ty_l=-1025.80 My_l=-21.05
Tensioni nella sezione: σ=255.09 τ=31.08
CC 31 SLV (Collegamento 0021_-378)
Azioni sul collegamento: N=-5720.83 Ty=0.86 Tz=3.80 Mx=-0.01 Mz=1.85
Sollecitazioni agenti localmente: Ty_l=-1006.78 My_l=-20.63
Tensioni nella sezione: σ=250.04 τ=30.51
CC 31 SLV (Collegamento 0021_-378)
Azioni sul collegamento: N=-5720.83 Ty=3.80 Tz=-2.51 Mx=-0.01 Mz=-2.93
Sollecitazioni agenti localmente: Ty_l=-1025.80 My_l=-21.05

Tensioni nella sezione: σ=255.09 τ=31.08
CC 31 SLV (Collegamento 0021_-378)
Azioni sul collegamento: N=-5720.83 Ty=0.86 Tz=-2.51 Mx=-0.01 Mz=1.85
Sollecitazioni agenti localmente: Ty_l=-1006.78 My_l=-20.63
Tensioni nella sezione: σ=250.04 τ=30.51
CC 32 SLD (Collegamento 0021_-378)
Azioni sul collegamento: N=-6801.33 Ty=2.73 Tz=1.73 Mx=-0.01 Mz=0.81
Sollecitazioni agenti localmente: Ty_l=-1202.45 My_l=-24.65
Tensioni nella sezione: σ=298.74 τ=36.44
CC 32 SLD (Collegamento 0021_-378)
Azioni sul collegamento: N=-6801.33 Ty=3.62 Tz=1.73 Mx=-0.01 Mz=2.27
Sollecitazioni agenti localmente: Ty_l=-1196.65 My_l=-24.52
Tensioni nella sezione: σ=297.20 τ=36.26
CC 32 SLD (Collegamento 0021_-378)
Azioni sul collegamento: N=-6801.33 Ty=2.73 Tz=-0.19 Mx=-0.01 Mz=0.81
Sollecitazioni agenti localmente: Ty_l=-1202.45 My_l=-24.65
Tensioni nella sezione: σ=298.74 τ=36.44
CC 32 SLD (Collegamento 0021_-378)
Azioni sul collegamento: N=-6801.33 Ty=3.62 Tz=-0.19 Mx=-0.01 Mz=2.27
Sollecitazioni agenti localmente: Ty_l=-1196.65 My_l=-24.52
Tensioni nella sezione: σ=297.20 τ=36.26
CC 32 SLD (Collegamento 0021_-378)
Azioni sul collegamento: N=-6311.53 Ty=2.73 Tz=1.73 Mx=-0.01 Mz=0.81
Sollecitazioni agenti localmente: Ty_l=-1115.62 My_l=-22.87
Tensioni nella sezione: σ=277.16 τ=33.81
CC 32 SLD (Collegamento 0021_-378)
Azioni sul collegamento: N=-6311.53 Ty=3.62 Tz=1.73 Mx=-0.01 Mz=2.27
Sollecitazioni agenti localmente: Ty_l=-1109.82 My_l=-22.74
Tensioni nella sezione: σ=275.62 τ=33.63
CC 32 SLD (Collegamento 0021_-378)
Azioni sul collegamento: N=-6311.53 Ty=2.73 Tz=-0.19 Mx=-0.01 Mz=0.81
Sollecitazioni agenti localmente: Ty_l=-1115.62 My_l=-22.87
Tensioni nella sezione: σ=277.16 τ=33.81
CC 32 SLD (Collegamento 0021_-378)
Azioni sul collegamento: N=-6311.53 Ty=3.62 Tz=-0.19 Mx=-0.01 Mz=2.27
Sollecitazioni agenti localmente: Ty_l=-1109.82 My_l=-22.74
Tensioni nella sezione: σ=275.62 τ=33.63
CC 33 SLU (Collegamento 0021_-378)
Azioni sul collegamento: N=-30888.30 Ty=5.44 Tz=82.02 Mx=-0.01 Mz=3.71
Sollecitazioni agenti localmente: Ty_l=-5460.90 My_l=-111.93
Tensioni nella sezione: σ=1356.70 τ=165.48
CC 34 SLU (Collegamento 0021_-378)
Azioni sul collegamento: N=-30337.70 Ty=5.16 Tz=79.98 Mx=-0.01 Mz=3.50
Sollecitazioni agenti localmente: Ty_l=-5364.13 My_l=-109.94
Tensioni nella sezione: σ=1332.67 τ=162.55
CC 35 SLU (Collegamento 0021_-378)
Azioni sul collegamento: N=-30612.00 Ty=5.19 Tz=81.02 Mx=-0.01 Mz=3.39
Sollecitazioni agenti localmente: Ty_l=-5413.21 My_l=-110.95
Tensioni nella sezione: σ=1344.87 τ=164.04
CC 36 SLU (Collegamento 0021_-378)
Azioni sul collegamento: N=-30614.00 Ty=5.41 Tz=80.97 Mx=-0.01 Mz=3.82
Sollecitazioni agenti localmente: Ty_l=-5411.82 My_l=-110.92
Tensioni nella sezione: σ=1344.50 τ=164.00
CC 37 SLU (Collegamento 0021_-378)
Azioni sul collegamento: N=-21597.10 Ty=6.32 Tz=47.86 Mx=-0.01 Mz=4.34
Sollecitazioni agenti localmente: Ty_l=-3811.31 My_l=-78.11
Tensioni nella sezione: σ=946.76 τ=115.49
CC 38 SLU (Collegamento 0021_-378)
Azioni sul collegamento: N=-21046.60 Ty=6.03 Tz=45.82 Mx=-0.01 Mz=4.13
Sollecitazioni agenti localmente: Ty_l=-3714.54 My_l=-76.13
Tensioni nella sezione: σ=922.73 τ=112.56
CC 39 SLU (Collegamento 0021_-378)
Azioni sul collegamento: N=-21320.90 Ty=6.07 Tz=46.87 Mx=-0.01 Mz=4.02
Sollecitazioni agenti localmente: Ty_l=-3763.62 My_l=-77.13
Tensioni nella sezione: σ=934.93 τ=114.05
CC 40 SLU (Collegamento 0021_-378)
Azioni sul collegamento: N=-21322.80 Ty=6.29 Tz=46.82 Mx=-0.01 Mz=4.45
Sollecitazioni agenti localmente: Ty_l=-3762.24 My_l=-77.10
Tensioni nella sezione: σ=934.56 τ=114.01
CC 41 SLU (Collegamento 0021_-378)
Azioni sul collegamento: N=-32817.40 Ty=5.33 Tz=88.46 Mx=0.00 Mz=3.76
Sollecitazioni agenti localmente: Ty_l=-5802.66 My_l=-118.93
Tensioni nella sezione: σ=1441.62 τ=175.84
CC 42 SLU (Collegamento 0021_-378)
Azioni sul collegamento: N=-32266.90 Ty=5.04 Tz=86.42 Mx=0.00 Mz=3.56
Sollecitazioni agenti localmente: Ty_l=-5705.89 My_l=-116.95
Tensioni nella sezione: σ=1417.59 τ=172.91
CC 43 SLU (Collegamento 0021_-378)
Azioni sul collegamento: N=-32541.20 Ty=5.08 Tz=87.47 Mx=0.00 Mz=3.44
Sollecitazioni agenti localmente: Ty_l=-5754.97 My_l=-117.96

Tensioni nella sezione: σ=1429.79 τ=174.39
CC 44 SLU (Collegamento 0021_-378)
Azioni sul collegamento: N=-32543.10 Ty=5.30 Tz=87.42 Mx=0.00 Mz=3.88
Sollecitazioni agenti localmente: Ty_l=-5753.58 My_l=-117.93
Tensioni nella sezione: σ=1429.42 τ=174.35
CC 45 SLU (Collegamento 0021_-378)
Azioni sul collegamento: N=-23689.50 Ty=6.01 Tz=55.60 Mx=-0.01 Mz=4.17
Sollecitazioni agenti localmente: Ty_l=-4182.93 My_l=-85.73
Tensioni nella sezione: σ=1039.11 τ=126.76
CC 46 SLU (Collegamento 0021_-378)
Azioni sul collegamento: N=-23139.00 Ty=5.73 Tz=53.57 Mx=-0.01 Mz=3.96
Sollecitazioni agenti localmente: Ty_l=-4086.16 My_l=-83.74
Tensioni nella sezione: σ=1015.08 τ=123.82
CC 47 SLU (Collegamento 0021_-378)
Azioni sul collegamento: N=-23413.30 Ty=5.76 Tz=54.61 Mx=-0.01 Mz=3.84
Sollecitazioni agenti localmente: Ty_l=-4135.24 My_l=-84.75
Tensioni nella sezione: σ=1027.29 τ=125.31
CC 48 SLU (Collegamento 0021_-378)
Azioni sul collegamento: N=-23415.20 Ty=5.98 Tz=54.56 Mx=-0.01 Mz=4.28
Sollecitazioni agenti localmente: Ty_l=-4133.86 My_l=-84.72
Tensioni nella sezione: σ=1026.91 τ=125.27
CC 49 SLU (Collegamento 0021_-378)
Azioni sul collegamento: N=-16738.30 Ty=6.67 Tz=30.05 Mx=-0.01 Mz=4.64
Sollecitazioni agenti localmente: Ty_l=-2948.80 My_l=-60.42
Tensioni nella sezione: σ=732.42 τ=89.36
CC 50 SLU (Collegamento 0021_-378)
Azioni sul collegamento: N=-16187.80 Ty=6.38 Tz=28.01 Mx=-0.01 Mz=4.43
Sollecitazioni agenti localmente: Ty_l=-2852.03 My_l=-58.44
Tensioni nella sezione: σ=708.39 τ=86.43
CC 51 SLU (Collegamento 0021_-378)
Azioni sul collegamento: N=-16462.10 Ty=6.42 Tz=29.05 Mx=-0.01 Mz=4.32
Sollecitazioni agenti localmente: Ty_l=-2901.11 My_l=-59.45
Tensioni nella sezione: σ=720.59 τ=87.91
CC 52 SLU (Collegamento 0021_-378)
Azioni sul collegamento: N=-16464.00 Ty=6.64 Tz=29.01 Mx=-0.01 Mz=4.75
Sollecitazioni agenti localmente: Ty_l=-2899.72 My_l=-59.42
Tensioni nella sezione: σ=720.22 τ=87.87
CC 53 SLU (Collegamento 0021_-378)
Azioni sul collegamento: N=-25132.80 Ty=5.93 Tz=60.42 Mx=-0.00 Mz=4.21
Sollecitazioni agenti localmente: Ty_l=-4438.62 My_l=-90.97
Tensioni nella sezione: σ=1102.65 τ=134.50
CC 54 SLU (Collegamento 0021_-378)
Azioni sul collegamento: N=-24582.20 Ty=5.64 Tz=58.39 Mx=-0.00 Mz=4.00
Sollecitazioni agenti localmente: Ty_l=-4341.85 My_l=-88.99
Tensioni nella sezione: σ=1078.61 τ=131.57
CC 55 SLU (Collegamento 0021_-378)
Azioni sul collegamento: N=-24856.50 Ty=5.68 Tz=59.43 Mx=0.00 Mz=3.89
Sollecitazioni agenti localmente: Ty_l=-4390.93 My_l=-89.99
Tensioni nella sezione: σ=1090.82 τ=133.06
CC 56 SLU (Collegamento 0021_-378)
Azioni sul collegamento: N=-24858.50 Ty=5.89 Tz=59.38 Mx=-0.00 Mz=4.32
Sollecitazioni agenti localmente: Ty_l=-4389.54 My_l=-89.96
Tensioni nella sezione: σ=1090.44 τ=133.02
CC 57 SLU (Collegamento 0021_-378)
Azioni sul collegamento: N=-22071.60 Ty=5.40 Tz=49.65 Mx=-0.01 Mz=3.73
Sollecitazioni agenti localmente: Ty_l=-3897.85 My_l=-79.89
Tensioni nella sezione: σ=968.30 τ=118.12
CC 58 SLU (Collegamento 0021_-378)
Azioni sul collegamento: N=-21521.10 Ty=5.11 Tz=47.61 Mx=-0.01 Mz=3.53
Sollecitazioni agenti localmente: Ty_l=-3801.07 My_l=-77.90
Tensioni nella sezione: σ=944.27 τ=115.18
CC 59 SLU (Collegamento 0021_-378)
Azioni sul collegamento: N=-21795.30 Ty=5.15 Tz=48.65 Mx=-0.01 Mz=3.41
Sollecitazioni agenti localmente: Ty_l=-3850.15 My_l=-78.91
Tensioni nella sezione: σ=956.47 τ=116.67
CC 60 SLU (Collegamento 0021_-378)
Azioni sul collegamento: N=-21797.30 Ty=5.37 Tz=48.60 Mx=-0.01 Mz=3.85
Sollecitazioni agenti localmente: Ty_l=-3848.77 My_l=-78.88
Tensioni nella sezione: σ=956.10 τ=116.63
CC 61 SLU (Collegamento 0021_-378)
Azioni sul collegamento: N=-15120.40 Ty=6.06 Tz=24.09 Mx=-0.01 Mz=4.21
Sollecitazioni agenti localmente: Ty_l=-2663.71 My_l=-54.58
Tensioni nella sezione: σ=661.61 τ=80.72
CC 62 SLU (Collegamento 0021_-378)
Azioni sul collegamento: N=-14569.90 Ty=5.77 Tz=22.06 Mx=-0.01 Mz=4.00
Sollecitazioni agenti localmente: Ty_l=-2566.94 My_l=-52.60
Tensioni nella sezione: σ=637.58 τ=77.79
CC 63 SLU (Collegamento 0021_-378)
Azioni sul collegamento: N=-14844.20 Ty=5.80 Tz=23.10 Mx=-0.01 Mz=3.88
Sollecitazioni agenti localmente: Ty_l=-2616.02 My_l=-53.61

Tensioni nella sezione: σ=649.78 τ=79.27
CC 64 SLU (Collegamento 0021_-378)
Azioni sul collegamento: N=-14846.10 Ty=6.02 Tz=23.05 Mx=-0.01 Mz=4.32
Sollecitazioni agenti localmente: Ty_l=-2614.63 My_l=-53.58
Tensioni nella sezione: σ=649.40 τ=79.23
CC 65 SLU (Collegamento 0021_-378)
Azioni sul collegamento: N=-23514.90 Ty=5.31 Tz=54.47 Mx=0.00 Mz=3.77
Sollecitazioni agenti localmente: Ty_l=-4153.53 My_l=-85.13
Tensioni nella sezione: σ=1031.84 τ=125.86
CC 66 SLU (Collegamento 0021_-378)
Azioni sul collegamento: N=-22964.30 Ty=5.03 Tz=52.43 Mx=0.00 Mz=3.57
Sollecitazioni agenti localmente: Ty_l=-4056.76 My_l=-83.14
Tensioni nella sezione: σ=1007.80 τ=122.93
CC 67 SLU (Collegamento 0021_-378)
Azioni sul collegamento: N=-23238.60 Ty=5.06 Tz=53.47 Mx=0.00 Mz=3.45
Sollecitazioni agenti localmente: Ty_l=-4105.84 My_l=-84.15
Tensioni nella sezione: σ=1020.01 τ=124.42
CC 68 SLU (Collegamento 0021_-378)
Azioni sul collegamento: N=-23240.60 Ty=5.28 Tz=53.43 Mx=-0.00 Mz=3.89
Sollecitazioni agenti localmente: Ty_l=-4104.46 My_l=-84.12
Tensioni nella sezione: σ=1019.63 τ=124.38
CC 97 SLU (Collegamento 0021_-378)
Azioni sul collegamento: N=-18052.20 Ty=-0.34 Tz=43.06 Mx=-0.05 Mz=-8.83
Sollecitazioni agenti localmente: Ty_l=-3235.28 My_l=-66.37
Tensioni nella sezione: σ=804.51 τ=98.04
CC 98 SLU (Collegamento 0021_-378)
Azioni sul collegamento: N=-17501.60 Ty=-0.63 Tz=41.02 Mx=-0.05 Mz=-9.04
Sollecitazioni agenti localmente: Ty_l=-3138.50 My_l=-64.39
Tensioni nella sezione: σ=780.48 τ=95.11
CC 99 SLU (Collegamento 0021_-378)
Azioni sul collegamento: N=-17775.90 Ty=-0.60 Tz=42.06 Mx=-0.05 Mz=-9.15
Sollecitazioni agenti localmente: Ty_l=-3187.58 My_l=-65.40
Tensioni nella sezione: σ=792.68 τ=96.59
CC 100 SLU (Collegamento 0021_-378)
Azioni sul collegamento: N=-17777.90 Ty=-0.38 Tz=42.01 Mx=-0.05 Mz=-8.71
Sollecitazioni agenti localmente: Ty_l=-3186.20 My_l=-65.37
Tensioni nella sezione: σ=792.31 τ=96.55
CC 101 SLU (Collegamento 0021_-378)
Azioni sul collegamento: N=-7136.43 Ty=4.37 Tz=2.96 Mx=0.00 Mz=3.85
Sollecitazioni agenti localmente: Ty_l=-1249.79 My_l=-25.60
Tensioni nella sezione: σ=310.29 τ=37.87
CC 102 SLU (Collegamento 0021_-378)
Azioni sul collegamento: N=-6585.90 Ty=4.08 Tz=0.92 Mx=0.00 Mz=3.64
Sollecitazioni agenti localmente: Ty_l=-1153.02 My_l=-23.62
Tensioni nella sezione: σ=286.26 τ=34.94
CC 103 SLU (Collegamento 0021_-378)
Azioni sul collegamento: N=-6860.19 Ty=4.11 Tz=1.96 Mx=0.00 Mz=3.53
Sollecitazioni agenti localmente: Ty_l=-1202.09 My_l=-24.62
Tensioni nella sezione: σ=298.46 τ=36.43
CC 104 SLU (Collegamento 0021_-378)
Azioni sul collegamento: N=-6862.15 Ty=4.33 Tz=1.92 Mx=0.00 Mz=3.96
Sollecitazioni agenti localmente: Ty_l=-1200.71 My_l=-24.59
Tensioni nella sezione: σ=298.09 τ=36.39

Collegamento 0022_-379

Piastra 220.00 x 220.00 s=15.00 - 6 Tirafondi ϕ 16 - Profondità di infissione: 350.00
3 righe ad interasse 89.00
2 colonne ad interasse 178.00
Altezza di gola saldature: anima 7.07 - ala 7.07

Tirafondi e calcestruzzo

CC 1 SLV (Collegamento 0022_-379)
Azioni sul collegamento: N=-3330.52 Ty=1.59 Tz=5.89 Mx=0.02 Mz=3.75
Sollecitazioni agenti localmente: Tx_l=1.59 Ty_l=5.89 N_l=-3330.52 Mx_l=-0.00 My_l=3.75 Mz_l=0.02
Taglio nei bulloni: Fv,Ed=1.04 Fv,Rd=7720.78
Rifollamento lato piastra: Fb,Ed,p=1.04 Fb,Rd,p=6695.56
Tirafondi:LT=0.45 (0.31) σ_{cR}=0.00 σ_{fR}=0.00
Compressione nel calcestruzzo: σ_c=7.09
CC 1 SLV (Collegamento 0022_-379)
Azioni sul collegamento: N=-3330.52 Ty=0.88 Tz=5.89 Mx=0.02 Mz=2.36
Sollecitazioni agenti localmente: Tx_l=0.88 Ty_l=5.89 N_l=-3330.52 Mx_l=-0.00 My_l=2.36 Mz_l=0.02
Taglio nei bulloni: Fv,Ed=1.01 Fv,Rd=7720.78
Rifollamento lato piastra: Fb,Ed,p=1.01 Fb,Rd,p=6223.30
Tirafondi:LT=0.45 (0.31) σ_{cR}=0.00 σ_{fR}=0.00
Compressione nel calcestruzzo: σ_c=7.01
CC 1 SLV (Collegamento 0022_-379)
Azioni sul collegamento: N=-3330.52 Ty=1.59 Tz=-11.19 Mx=0.02 Mz=3.75
Sollecitazioni agenti localmente: Tx_l=1.59 Ty_l=-11.19 N_l=-3330.52 Mx_l=-0.00 My_l=3.75 Mz_l=0.02

Taglio nei bulloni: Fv,Ed=1.90 Fv,Rd=7720.78
Rifollamento lato piastra: Fb,Ed,p=1.90 Fb,Rd,p=6131.51
Tirafondi:LT=0.45 (0.31) σ_{cR}=0.00 σ_{fR}=0.00
Compressione nel calcestruzzo: σ_c=7.09
CC 1 SLV (Collegamento 0022_-379)
Azioni sul collegamento: N=-3330.52 Ty=0.88 Tz=-11.19 Mx=0.02 Mz=2.36
Sollecitazioni agenti localmente: Tx_l=0.88 Ty_l=-11.19 N_l=-3330.52 Mx_l=-0.00 My_l=2.36 Mz_l=0.02
Taglio nei bulloni: Fv,Ed=1.89 Fv,Rd=7720.78
Rifollamento lato piastra: Fb,Ed,p=1.89 Fb,Rd,p=6020.90
Tirafondi:LT=0.45 (0.31) σ_{cR}=0.00 σ_{fR}=0.00
Compressione nel calcestruzzo: σ_c=7.01
CC 1 SLV (Collegamento 0022_-379)
Azioni sul collegamento: N=-7936.99 Ty=1.59 Tz=5.89 Mx=0.02 Mz=3.75
Sollecitazioni agenti localmente: Tx_l=1.59 Ty_l=5.89 N_l=-7936.99 Mx_l=-0.00 My_l=3.75 Mz_l=0.02
Taglio nei bulloni: Fv,Ed=1.04 Fv,Rd=7720.78
Rifollamento lato piastra: Fb,Ed,p=1.04 Fb,Rd,p=6695.54
Tirafondi:LT=0.45 (0.31) σ_{cR}=0.00 σ_{fR}=0.00
Compressione nel calcestruzzo: σ_c=16.61
CC 1 SLV (Collegamento 0022_-379)
Azioni sul collegamento: N=-7936.99 Ty=0.88 Tz=5.89 Mx=0.02 Mz=2.36
Sollecitazioni agenti localmente: Tx_l=0.88 Ty_l=5.89 N_l=-7936.99 Mx_l=-0.00 My_l=2.36 Mz_l=0.02
Taglio nei bulloni: Fv,Ed=1.01 Fv,Rd=7720.78
Rifollamento lato piastra: Fb,Ed,p=1.01 Fb,Rd,p=6223.30
Tirafondi:LT=0.45 (0.31) σ_{cR}=0.00 σ_{fR}=0.00
Compressione nel calcestruzzo: σ_c=16.53
CC 1 SLV (Collegamento 0022_-379)
Azioni sul collegamento: N=-7936.99 Ty=1.59 Tz=-11.19 Mx=0.02 Mz=3.75
Sollecitazioni agenti localmente: Tx_l=1.59 Ty_l=-11.19 N_l=-7936.99 Mx_l=-0.00 My_l=3.75 Mz_l=0.02
Taglio nei bulloni: Fv,Ed=1.90 Fv,Rd=7720.78
Rifollamento lato piastra: Fb,Ed,p=1.90 Fb,Rd,p=6131.51
Tirafondi:LT=0.45 (0.31) σ_{cR}=0.00 σ_{fR}=0.00
Compressione nel calcestruzzo: σ_c=16.61
CC 1 SLV (Collegamento 0022_-379)
Azioni sul collegamento: N=-7936.99 Ty=0.88 Tz=-11.19 Mx=0.02 Mz=2.36
Sollecitazioni agenti localmente: Tx_l=0.88 Ty_l=-11.19 N_l=-7936.99 Mx_l=-0.00 My_l=2.36 Mz_l=0.02
Taglio nei bulloni: Fv,Ed=1.89 Fv,Rd=7720.78
Rifollamento lato piastra: Fb,Ed,p=1.89 Fb,Rd,p=6020.90
Tirafondi:LT=0.45 (0.31) σ_{cR}=0.00 σ_{fR}=0.00
Compressione nel calcestruzzo: σ_c=16.53
CC 2 SLD (Collegamento 0022_-379)
Azioni sul collegamento: N=-4931.25 Ty=0.54 Tz=-0.05 Mx=0.01 Mz=1.22
Sollecitazioni agenti localmente: Tx_l=0.54 Ty_l=-0.05 N_l=-4931.25 Mx_l=-0.00 My_l=1.22 Mz_l=0.01
Rifollamento lato piastra: Fb,Ed,p=0.10 Fb,Rd,p=7714.41
Tirafondi:LT=0.45 (0.31) σ_{cR}=0.00 σ_{fR}=0.00
Compressione nel calcestruzzo: σ_c=10.26
CC 2 SLD (Collegamento 0022_-379)
Azioni sul collegamento: N=-4931.25 Ty=0.32 Tz=-0.05 Mx=0.01 Mz=0.79
Sollecitazioni agenti localmente: Tx_l=0.32 Ty_l=-0.05 N_l=-4931.25 Mx_l=-0.00 My_l=0.79 Mz_l=0.01
Tirafondi:LT=0.45 (0.31) σ_{cR}=0.00 σ_{fR}=0.00
Compressione nel calcestruzzo: σ_c=10.23
CC 2 SLD (Collegamento 0022_-379)
Azioni sul collegamento: N=-4931.25 Ty=0.54 Tz=-5.26 Mx=0.01 Mz=1.22
Sollecitazioni agenti localmente: Tx_l=0.54 Ty_l=-5.26 N_l=-4931.25 Mx_l=-0.00 My_l=1.22 Mz_l=0.01
Taglio nei bulloni: Fv,Ed=0.89 Fv,Rd=9650.97
Rifollamento lato piastra: Fb,Ed,p=0.89 Fb,Rd,p=7573.70
Tirafondi:LT=0.45 (0.31) σ_{cR}=0.00 σ_{fR}=0.00
Compressione nel calcestruzzo: σ_c=10.26
CC 2 SLD (Collegamento 0022_-379)
Azioni sul collegamento: N=-4931.25 Ty=0.32 Tz=-5.26 Mx=0.01 Mz=0.79
Sollecitazioni agenti localmente: Tx_l=0.32 Ty_l=-5.26 N_l=-4931.25 Mx_l=-0.00 My_l=0.79 Mz_l=0.01
Taglio nei bulloni: Fv,Ed=0.88 Fv,Rd=9650.97
Rifollamento lato piastra: Fb,Ed,p=0.88 Fb,Rd,p=7506.51
Tirafondi:LT=0.45 (0.31) σ_{cR}=0.00 σ_{fR}=0.00
Compressione nel calcestruzzo: σ_c=10.23
CC 2 SLD (Collegamento 0022_-379)
Azioni sul collegamento: N=-6335.90 Ty=0.54 Tz=-0.05 Mx=0.01 Mz=1.22
Sollecitazioni agenti localmente: Tx_l=0.54 Ty_l=-0.05 N_l=-6335.90 Mx_l=-0.00 My_l=1.22 Mz_l=0.01
Rifollamento lato piastra: Fb,Ed,p=0.10 Fb,Rd,p=7713.66
Tirafondi:LT=0.45 (0.31) σ_{cR}=0.00 σ_{fR}=0.00
Compressione nel calcestruzzo: σ_c=13.16
CC 2 SLD (Collegamento 0022_-379)
Azioni sul collegamento: N=-6335.90 Ty=0.32 Tz=-0.05 Mx=0.01 Mz=0.79
Sollecitazioni agenti localmente: Tx_l=0.32 Ty_l=-0.05 N_l=-6335.90 Mx_l=-0.00 My_l=0.79 Mz_l=0.01
Tirafondi:LT=0.45 (0.31) σ_{cR}=0.00 σ_{fR}=0.00
Compressione nel calcestruzzo: σ_c=13.14
CC 2 SLD (Collegamento 0022_-379)
Azioni sul collegamento: N=-6335.90 Ty=0.54 Tz=-5.26 Mx=0.01 Mz=1.22
Sollecitazioni agenti localmente: Tx_l=0.54 Ty_l=-5.26 N_l=-6335.90 Mx_l=-0.00 My_l=1.22 Mz_l=0.01
Taglio nei bulloni: Fv,Ed=0.89 Fv,Rd=9650.97
Rifollamento lato piastra: Fb,Ed,p=0.89 Fb,Rd,p=7573.70

Tirafondi:LT=0.45 (0.31) σ_{cR}=0.00 σ_{fR}=0.00
Compressione nel calcestruzzo: σ_c=13.16
CC 2 SLD (Collegamento 0022_-379)
Azioni sul collegamento: N=-6335.90 Ty=0.32 Tz=-5.26 Mx=0.01 Mz=0.79
Sollecitazioni agenti localmente: Tx_l=0.32 Ty_l=-5.26 N_l=-6335.90 Mx_l=-0.00 My_l=0.79 Mz_l=0.01
Taglio nei bulloni: Fv,Ed=0.88 Fv,Rd=9650.97
Rifollamento lato piastra: Fb,Ed,p=0.88 Fb,Rd,p=7506.51
Tirafondi:LT=0.45 (0.31) σ_{cR}=0.00 σ_{fR}=0.00
Compressione nel calcestruzzo: σ_c=13.14
CC 3 SLV (Collegamento 0022_-379)
Azioni sul collegamento: N=-3330.55 Ty=0.90 Tz=5.89 Mx=0.01 Mz=2.40
Sollecitazioni agenti localmente: Tx_l=0.90 Ty_l=5.89 N_l=-3330.55 Mx_l=-0.00 My_l=2.40 Mz_l=0.01
Taglio nei bulloni: Fv,Ed=1.01 Fv,Rd=7720.78
Rifollamento lato piastra: Fb,Ed,p=1.01 Fb,Rd,p=6215.70
Tirafondi:LT=0.45 (0.31) σ_{cR}=0.00 σ_{fR}=0.00
Compressione nel calcestruzzo: σ_c=7.02
CC 3 SLV (Collegamento 0022_-379)
Azioni sul collegamento: N=-3330.55 Ty=1.58 Tz=5.89 Mx=0.01 Mz=3.71
Sollecitazioni agenti localmente: Tx_l=1.58 Ty_l=5.89 N_l=-3330.55 Mx_l=-0.00 My_l=3.71 Mz_l=0.01
Taglio nei bulloni: Fv,Ed=1.03 Fv,Rd=7720.78
Rifollamento lato piastra: Fb,Ed,p=1.03 Fb,Rd,p=6663.17
Tirafondi:LT=0.45 (0.31) σ_{cR}=0.00 σ_{fR}=0.00
Compressione nel calcestruzzo: σ_c=7.09
CC 3 SLV (Collegamento 0022_-379)
Azioni sul collegamento: N=-3330.55 Ty=0.90 Tz=-11.19 Mx=0.01 Mz=2.40
Sollecitazioni agenti localmente: Tx_l=0.90 Ty_l=-11.19 N_l=-3330.55 Mx_l=-0.00 My_l=2.40 Mz_l=0.01
Taglio nei bulloni: Fv,Ed=1.88 Fv,Rd=7720.78
Rifollamento lato piastra: Fb,Ed,p=1.88 Fb,Rd,p=6026.57
Tirafondi:LT=0.45 (0.31) σ_{cR}=0.00 σ_{fR}=0.00
Compressione nel calcestruzzo: σ_c=7.02
CC 3 SLV (Collegamento 0022_-379)
Azioni sul collegamento: N=-3330.55 Ty=1.58 Tz=-11.19 Mx=0.01 Mz=3.71
Sollecitazioni agenti localmente: Tx_l=1.58 Ty_l=-11.19 N_l=-3330.55 Mx_l=-0.00 My_l=3.71 Mz_l=0.01
Taglio nei bulloni: Fv,Ed=1.90 Fv,Rd=7720.78
Rifollamento lato piastra: Fb,Ed,p=1.89 Fb,Rd,p=6136.92
Tirafondi:LT=0.45 (0.31) σ_{cR}=0.00 σ_{fR}=0.00
Compressione nel calcestruzzo: σ_c=7.09
CC 3 SLV (Collegamento 0022_-379)
Azioni sul collegamento: N=-7936.97 Ty=0.90 Tz=5.89 Mx=0.01 Mz=2.40
Sollecitazioni agenti localmente: Tx_l=0.90 Ty_l=5.89 N_l=-7936.97 Mx_l=-0.00 My_l=2.40 Mz_l=0.01
Taglio nei bulloni: Fv,Ed=1.01 Fv,Rd=7720.78
Rifollamento lato piastra: Fb,Ed,p=1.01 Fb,Rd,p=6215.68
Tirafondi:LT=0.45 (0.31) σ_{cR}=0.00 σ_{fR}=0.00
Compressione nel calcestruzzo: σ_c=16.53
CC 3 SLV (Collegamento 0022_-379)
Azioni sul collegamento: N=-7936.97 Ty=1.58 Tz=5.89 Mx=0.01 Mz=3.71
Sollecitazioni agenti localmente: Tx_l=1.58 Ty_l=5.89 N_l=-7936.97 Mx_l=-0.00 My_l=3.71 Mz_l=0.01
Taglio nei bulloni: Fv,Ed=1.03 Fv,Rd=7720.78
Rifollamento lato piastra: Fb,Ed,p=1.03 Fb,Rd,p=6663.11
Tirafondi:LT=0.45 (0.31) σ_{cR}=0.00 σ_{fR}=0.00
Compressione nel calcestruzzo: σ_c=16.61
CC 3 SLV (Collegamento 0022_-379)
Azioni sul collegamento: N=-7936.97 Ty=0.90 Tz=-11.19 Mx=0.01 Mz=2.40
Sollecitazioni agenti localmente: Tx_l=0.90 Ty_l=-11.19 N_l=-7936.97 Mx_l=-0.00 My_l=2.40 Mz_l=0.01
Taglio nei bulloni: Fv,Ed=1.88 Fv,Rd=7720.78
Rifollamento lato piastra: Fb,Ed,p=1.88 Fb,Rd,p=6026.57
Tirafondi:LT=0.45 (0.31) σ_{cR}=0.00 σ_{fR}=0.00
Compressione nel calcestruzzo: σ_c=16.53
CC 3 SLV (Collegamento 0022_-379)
Azioni sul collegamento: N=-7936.97 Ty=1.58 Tz=-11.19 Mx=0.01 Mz=3.71
Sollecitazioni agenti localmente: Tx_l=1.58 Ty_l=-11.19 N_l=-7936.97 Mx_l=-0.00 My_l=3.71 Mz_l=0.01
Taglio nei bulloni: Fv,Ed=1.90 Fv,Rd=7720.78
Rifollamento lato piastra: Fb,Ed,p=1.89 Fb,Rd,p=6136.92
Tirafondi:LT=0.45 (0.31) σ_{cR}=0.00 σ_{fR}=0.00
Compressione nel calcestruzzo: σ_c=16.61
CC 4 SLD (Collegamento 0022_-379)
Azioni sul collegamento: N=-4931.25 Ty=0.33 Tz=-0.05 Mx=0.00 Mz=0.80
Sollecitazioni agenti localmente: Tx_l=0.33 Ty_l=-0.05 N_l=-4931.25 Mx_l=-0.00 My_l=0.80 Mz_l=0.00
Tirafondi:LT=0.45 (0.31) σ_{cR}=0.00 σ_{fR}=0.00
Compressione nel calcestruzzo: σ_c=10.23
CC 4 SLD (Collegamento 0022_-379)
Azioni sul collegamento: N=-4931.25 Ty=0.53 Tz=-0.05 Mx=0.00 Mz=1.20
Sollecitazioni agenti localmente: Tx_l=0.53 Ty_l=-0.05 N_l=-4931.25 Mx_l=-0.00 My_l=1.20 Mz_l=0.00
Rifollamento lato piastra: Fb,Ed,p=0.09 Fb,Rd,p=7668.35
Tirafondi:LT=0.45 (0.31) σ_{cR}=0.00 σ_{fR}=0.00
Compressione nel calcestruzzo: σ_c=10.26
CC 4 SLD (Collegamento 0022_-379)
Azioni sul collegamento: N=-4931.25 Ty=0.33 Tz=-5.26 Mx=0.00 Mz=0.80
Sollecitazioni agenti localmente: Tx_l=0.33 Ty_l=-5.26 N_l=-4931.25 Mx_l=-0.00 My_l=0.80 Mz_l=0.00
Taglio nei bulloni: Fv,Ed=0.88 Fv,Rd=9650.97

Rifollamento lato piastra: Fb,Ed,p=0.88 Fb,Rd,p=7510.11
Tirafondi:LT=0.45 (0.31) σ_{cR}=0.00 σ_{fR}=0.00
Compressione nel calcestruzzo: σ_c=10.23
CC 4 SLD (Collegamento 0022_-379)
Azioni sul collegamento: N=-4931.25 Ty=0.53 Tz=-5.26 Mx=0.00 Mz=1.20
Sollecitazioni agenti localmente: Tx_l=0.53 Ty_l=-5.26 N_l=-4931.25 Mx_l=-0.00 My_l=1.20 Mz_l=0.00
Taglio nei bulloni: Fv,Ed=0.89 Fv,Rd=9650.97
Rifollamento lato piastra: Fb,Ed,p=0.88 Fb,Rd,p=7576.71
Tirafondi:LT=0.45 (0.31) σ_{cR}=0.00 σ_{fR}=0.00
Compressione nel calcestruzzo: σ_c=10.26
CC 4 SLD (Collegamento 0022_-379)
Azioni sul collegamento: N=-6335.90 Ty=0.33 Tz=-0.05 Mx=0.00 Mz=0.80
Sollecitazioni agenti localmente: Tx_l=0.33 Ty_l=-0.05 N_l=-6335.90 Mx_l=-0.00 My_l=0.80 Mz_l=0.00
Tirafondi:LT=0.45 (0.31) σ_{cR}=0.00 σ_{fR}=0.00
Compressione nel calcestruzzo: σ_c=13.14
CC 4 SLD (Collegamento 0022_-379)
Azioni sul collegamento: N=-6335.90 Ty=0.53 Tz=-0.05 Mx=0.00 Mz=1.20
Sollecitazioni agenti localmente: Tx_l=0.53 Ty_l=-0.05 N_l=-6335.90 Mx_l=-0.00 My_l=1.20 Mz_l=0.00
Rifollamento lato piastra: Fb,Ed,p=0.09 Fb,Rd,p=7667.10
Tirafondi:LT=0.45 (0.31) σ_{cR}=0.00 σ_{fR}=0.00
Compressione nel calcestruzzo: σ_c=13.16
CC 4 SLD (Collegamento 0022_-379)
Azioni sul collegamento: N=-6335.90 Ty=0.33 Tz=-5.26 Mx=0.00 Mz=0.80
Sollecitazioni agenti localmente: Tx_l=0.33 Ty_l=-5.26 N_l=-6335.90 Mx_l=-0.00 My_l=0.80 Mz_l=0.00
Taglio nei bulloni: Fv,Ed=0.88 Fv,Rd=9650.97
Rifollamento lato piastra: Fb,Ed,p=0.88 Fb,Rd,p=7510.11
Tirafondi:LT=0.45 (0.31) σ_{cR}=0.00 σ_{fR}=0.00
Compressione nel calcestruzzo: σ_c=13.14
CC 4 SLD (Collegamento 0022_-379)
Azioni sul collegamento: N=-6335.90 Ty=0.53 Tz=-5.26 Mx=0.00 Mz=1.20
Sollecitazioni agenti localmente: Tx_l=0.53 Ty_l=-5.26 N_l=-6335.90 Mx_l=-0.00 My_l=1.20 Mz_l=0.00
Taglio nei bulloni: Fv,Ed=0.89 Fv,Rd=9650.97
Rifollamento lato piastra: Fb,Ed,p=0.88 Fb,Rd,p=7576.71
Tirafondi:LT=0.45 (0.31) σ_{cR}=0.00 σ_{fR}=0.00
Compressione nel calcestruzzo: σ_c=13.16
CC 5 SLV (Collegamento 0022_-379)
Azioni sul collegamento: N=-7936.97 Ty=1.58 Tz=-11.19 Mx=0.02 Mz=3.71
Sollecitazioni agenti localmente: Tx_l=1.58 Ty_l=-11.19 N_l=-7936.97 Mx_l=-0.00 My_l=3.71 Mz_l=0.02
Taglio nei bulloni: Fv,Ed=1.90 Fv,Rd=7720.78
Rifollamento lato piastra: Fb,Ed,p=1.90 Fb,Rd,p=6129.04
Tirafondi:LT=0.45 (0.31) σ_{cR}=0.00 σ_{fR}=0.00
Compressione nel calcestruzzo: σ_c=16.61
CC 5 SLV (Collegamento 0022_-379)
Azioni sul collegamento: N=-7936.97 Ty=0.90 Tz=-11.19 Mx=0.02 Mz=2.40
Sollecitazioni agenti localmente: Tx_l=0.90 Ty_l=-11.19 N_l=-7936.97 Mx_l=-0.00 My_l=2.40 Mz_l=0.02
Taglio nei bulloni: Fv,Ed=1.89 Fv,Rd=7720.78
Rifollamento lato piastra: Fb,Ed,p=1.89 Fb,Rd,p=6022.53
Tirafondi:LT=0.45 (0.31) σ_{cR}=0.00 σ_{fR}=0.00
Compressione nel calcestruzzo: σ_c=16.53
CC 5 SLV (Collegamento 0022_-379)
Azioni sul collegamento: N=-7936.97 Ty=1.58 Tz=5.89 Mx=0.02 Mz=3.71
Sollecitazioni agenti localmente: Tx_l=1.58 Ty_l=5.89 N_l=-7936.97 Mx_l=-0.00 My_l=3.71 Mz_l=0.02
Taglio nei bulloni: Fv,Ed=1.04 Fv,Rd=7720.78
Rifollamento lato piastra: Fb,Ed,p=1.04 Fb,Rd,p=6683.37
Tirafondi:LT=0.45 (0.31) σ_{cR}=0.00 σ_{fR}=0.00
Compressione nel calcestruzzo: σ_c=16.61
CC 5 SLV (Collegamento 0022_-379)
Azioni sul collegamento: N=-7936.97 Ty=0.90 Tz=5.89 Mx=0.02 Mz=2.40
Sollecitazioni agenti localmente: Tx_l=0.90 Ty_l=5.89 N_l=-7936.97 Mx_l=-0.00 My_l=2.40 Mz_l=0.02
Taglio nei bulloni: Fv,Ed=1.01 Fv,Rd=7720.78
Rifollamento lato piastra: Fb,Ed,p=1.01 Fb,Rd,p=6229.49
Tirafondi:LT=0.45 (0.31) σ_{cR}=0.00 σ_{fR}=0.00
Compressione nel calcestruzzo: σ_c=16.53
CC 5 SLV (Collegamento 0022_-379)
Azioni sul collegamento: N=-3330.55 Ty=1.58 Tz=-11.19 Mx=0.02 Mz=3.71
Sollecitazioni agenti localmente: Tx_l=1.58 Ty_l=-11.19 N_l=-3330.55 Mx_l=-0.00 My_l=3.71 Mz_l=0.02
Taglio nei bulloni: Fv,Ed=1.90 Fv,Rd=7720.78
Rifollamento lato piastra: Fb,Ed,p=1.90 Fb,Rd,p=6129.05
Tirafondi:LT=0.45 (0.31) σ_{cR}=0.00 σ_{fR}=0.00
Compressione nel calcestruzzo: σ_c=7.09
CC 5 SLV (Collegamento 0022_-379)
Azioni sul collegamento: N=-3330.55 Ty=0.90 Tz=-11.19 Mx=0.02 Mz=2.40
Sollecitazioni agenti localmente: Tx_l=0.90 Ty_l=-11.19 N_l=-3330.55 Mx_l=-0.00 My_l=2.40 Mz_l=0.02
Taglio nei bulloni: Fv,Ed=1.89 Fv,Rd=7720.78
Rifollamento lato piastra: Fb,Ed,p=1.89 Fb,Rd,p=6022.53
Tirafondi:LT=0.45 (0.31) σ_{cR}=0.00 σ_{fR}=0.00
Compressione nel calcestruzzo: σ_c=7.02
CC 5 SLV (Collegamento 0022_-379)
Azioni sul collegamento: N=-3330.55 Ty=1.58 Tz=5.89 Mx=0.02 Mz=3.71
Sollecitazioni agenti localmente: Tx_l=1.58 Ty_l=5.89 N_l=-3330.55 Mx_l=-0.00 My_l=3.71 Mz_l=0.02

Taglio nei bulloni: Fv,Ed=1.04 Fv,Rd=7720.78
Rifollamento lato piastra: Fb,Ed,p=1.04 Fb,Rd,p=6683.43
Tirafondi:LT=0.45 (0.31) σ_{cR}=0.00 σ_{fR}=0.00
Compressione nel calcestruzzo: σ_c=7.09
CC 5 SLV (Collegamento 0022_-379)
Azioni sul collegamento: N=-3330.55 Ty=0.90 Tz=5.89 Mx=0.02 Mz=2.40
Sollecitazioni agenti localmente: Tx_l=0.90 Ty_l=5.89 N_l=-3330.55 Mx_l=-0.00 My_l=2.40 Mz_l=0.02
Taglio nei bulloni: Fv,Ed=1.01 Fv,Rd=7720.78
Rifollamento lato piastra: Fb,Ed,p=1.01 Fb,Rd,p=6229.50
Tirafondi:LT=0.45 (0.31) σ_{cR}=0.00 σ_{fR}=0.00
Compressione nel calcestruzzo: σ_c=7.02
CC 6 SLD (Collegamento 0022_-379)
Azioni sul collegamento: N=-6335.90 Ty=0.53 Tz=-5.26 Mx=0.01 Mz=1.20
Sollecitazioni agenti localmente: Tx_l=0.53 Ty_l=-5.26 N_l=-6335.90 Mx_l=-0.00 My_l=1.20 Mz_l=0.01
Taglio nei bulloni: Fv,Ed=0.89 Fv,Rd=9650.97
Rifollamento lato piastra: Fb,Ed,p=0.89 Fb,Rd,p=7572.23
Tirafondi:LT=0.45 (0.31) σ_{cR}=0.00 σ_{fR}=0.00
Compressione nel calcestruzzo: σ_c=13.16
CC 6 SLD (Collegamento 0022_-379)
Azioni sul collegamento: N=-6335.90 Ty=0.33 Tz=-5.26 Mx=0.01 Mz=0.80
Sollecitazioni agenti localmente: Tx_l=0.33 Ty_l=-5.26 N_l=-6335.90 Mx_l=-0.00 My_l=0.80 Mz_l=0.01
Taglio nei bulloni: Fv,Ed=0.88 Fv,Rd=9650.97
Rifollamento lato piastra: Fb,Ed,p=0.88 Fb,Rd,p=7507.57
Tirafondi:LT=0.45 (0.31) σ_{cR}=0.00 σ_{fR}=0.00
Compressione nel calcestruzzo: σ_c=13.14
CC 6 SLD (Collegamento 0022_-379)
Azioni sul collegamento: N=-6335.90 Ty=0.53 Tz=-0.05 Mx=0.01 Mz=1.20
Sollecitazioni agenti localmente: Tx_l=0.53 Ty_l=-0.05 N_l=-6335.90 Mx_l=-0.00 My_l=1.20 Mz_l=0.01
Rifollamento lato piastra: Fb,Ed,p=0.10 Fb,Rd,p=7715.83
Tirafondi:LT=0.45 (0.31) σ_{cR}=0.00 σ_{fR}=0.00
Compressione nel calcestruzzo: σ_c=13.16
CC 6 SLD (Collegamento 0022_-379)
Azioni sul collegamento: N=-6335.90 Ty=0.33 Tz=-0.05 Mx=0.01 Mz=0.80
Sollecitazioni agenti localmente: Tx_l=0.33 Ty_l=-0.05 N_l=-6335.90 Mx_l=-0.00 My_l=0.80 Mz_l=0.01
Tirafondi:LT=0.45 (0.31) σ_{cR}=0.00 σ_{fR}=0.00
Compressione nel calcestruzzo: σ_c=13.14
CC 6 SLD (Collegamento 0022_-379)
Azioni sul collegamento: N=-4931.25 Ty=0.53 Tz=-5.26 Mx=0.01 Mz=1.20
Sollecitazioni agenti localmente: Tx_l=0.53 Ty_l=-5.26 N_l=-4931.25 Mx_l=-0.00 My_l=1.20 Mz_l=0.01
Taglio nei bulloni: Fv,Ed=0.89 Fv,Rd=9650.97
Rifollamento lato piastra: Fb,Ed,p=0.89 Fb,Rd,p=7572.23
Tirafondi:LT=0.45 (0.31) σ_{cR}=0.00 σ_{fR}=0.00
Compressione nel calcestruzzo: σ_c=10.26
CC 6 SLD (Collegamento 0022_-379)
Azioni sul collegamento: N=-4931.25 Ty=0.33 Tz=-5.26 Mx=0.01 Mz=0.80
Sollecitazioni agenti localmente: Tx_l=0.33 Ty_l=-5.26 N_l=-4931.25 Mx_l=-0.00 My_l=0.80 Mz_l=0.01
Taglio nei bulloni: Fv,Ed=0.88 Fv,Rd=9650.97
Rifollamento lato piastra: Fb,Ed,p=0.88 Fb,Rd,p=7507.57
Tirafondi:LT=0.45 (0.31) σ_{cR}=0.00 σ_{fR}=0.00
Compressione nel calcestruzzo: σ_c=10.23
CC 6 SLD (Collegamento 0022_-379)
Azioni sul collegamento: N=-4931.25 Ty=0.53 Tz=-0.05 Mx=0.01 Mz=1.20
Sollecitazioni agenti localmente: Tx_l=0.53 Ty_l=-0.05 N_l=-4931.25 Mx_l=-0.00 My_l=1.20 Mz_l=0.01
Rifollamento lato piastra: Fb,Ed,p=0.10 Fb,Rd,p=7717.21
Tirafondi:LT=0.45 (0.31) σ_{cR}=0.00 σ_{fR}=0.00
Compressione nel calcestruzzo: σ_c=10.26
CC 6 SLD (Collegamento 0022_-379)
Azioni sul collegamento: N=-4931.25 Ty=0.33 Tz=-0.05 Mx=0.01 Mz=0.80
Sollecitazioni agenti localmente: Tx_l=0.33 Ty_l=-0.05 N_l=-4931.25 Mx_l=-0.00 My_l=0.80 Mz_l=0.01
Tirafondi:LT=0.45 (0.31) σ_{cR}=0.00 σ_{fR}=0.00
Compressione nel calcestruzzo: σ_c=10.23
CC 7 SLV (Collegamento 0022_-379)
Azioni sul collegamento: N=-7936.99 Ty=0.88 Tz=-11.19 Mx=0.01 Mz=2.36
Sollecitazioni agenti localmente: Tx_l=0.88 Ty_l=-11.19 N_l=-7936.99 Mx_l=-0.00 My_l=2.36 Mz_l=0.01
Taglio nei bulloni: Fv,Ed=1.88 Fv,Rd=7720.78
Rifollamento lato piastra: Fb,Ed,p=1.88 Fb,Rd,p=6025.18
Tirafondi:LT=0.45 (0.31) σ_{cR}=0.00 σ_{fR}=0.00
Compressione nel calcestruzzo: σ_c=16.53
CC 7 SLV (Collegamento 0022_-379)
Azioni sul collegamento: N=-7936.99 Ty=1.59 Tz=-11.19 Mx=0.01 Mz=3.75
Sollecitazioni agenti localmente: Tx_l=1.59 Ty_l=-11.19 N_l=-7936.99 Mx_l=-0.00 My_l=3.75 Mz_l=0.01
Taglio nei bulloni: Fv,Ed=1.90 Fv,Rd=7720.78
Rifollamento lato piastra: Fb,Ed,p=1.89 Fb,Rd,p=6140.08
Tirafondi:LT=0.45 (0.31) σ_{cR}=0.00 σ_{fR}=0.00
Compressione nel calcestruzzo: σ_c=16.61
CC 7 SLV (Collegamento 0022_-379)
Azioni sul collegamento: N=-7936.99 Ty=0.88 Tz=5.89 Mx=0.01 Mz=2.36
Sollecitazioni agenti localmente: Tx_l=0.88 Ty_l=5.89 N_l=-7936.99 Mx_l=-0.00 My_l=2.36 Mz_l=0.01
Taglio nei bulloni: Fv,Ed=1.01 Fv,Rd=7720.78
Rifollamento lato piastra: Fb,Ed,p=1.01 Fb,Rd,p=6208.58

Tirafondi:LT=0.45 (0.31) σ_{cR}=0.00 σ_{fR}=0.00
Compressione nel calcestruzzo: σ_c=16.53
CC 7 SLV (Collegamento 0022_-379)
Azioni sul collegamento: N=-7936.99 Ty=1.59 Tz=5.89 Mx=0.01 Mz=3.75
Sollecitazioni agenti localmente: Tx_l=1.59 Ty_l=5.89 N_l=-7936.99 Mx_l=-0.00 My_l=3.75 Mz_l=0.01
Taglio nei bulloni: Fv,Ed=1.03 Fv,Rd=7720.78
Rifollamento lato piastra: Fb,Ed,p=1.03 Fb,Rd,p=6673.59
Tirafondi:LT=0.45 (0.31) σ_{cR}=0.00 σ_{fR}=0.00
Compressione nel calcestruzzo: σ_c=16.61
CC 7 SLV (Collegamento 0022_-379)
Azioni sul collegamento: N=-3330.52 Ty=0.88 Tz=-11.19 Mx=0.01 Mz=2.36
Sollecitazioni agenti localmente: Tx_l=0.88 Ty_l=-11.19 N_l=-3330.52 Mx_l=-0.00 My_l=2.36 Mz_l=0.01
Taglio nei bulloni: Fv,Ed=1.88 Fv,Rd=7720.78
Rifollamento lato piastra: Fb,Ed,p=1.88 Fb,Rd,p=6025.18
Tirafondi:LT=0.45 (0.31) σ_{cR}=0.00 σ_{fR}=0.00
Compressione nel calcestruzzo: σ_c=7.01
CC 7 SLV (Collegamento 0022_-379)
Azioni sul collegamento: N=-3330.52 Ty=1.59 Tz=-11.19 Mx=0.01 Mz=3.75
Sollecitazioni agenti localmente: Tx_l=1.59 Ty_l=-11.19 N_l=-3330.52 Mx_l=-0.00 My_l=3.75 Mz_l=0.01
Taglio nei bulloni: Fv,Ed=1.90 Fv,Rd=7720.78
Rifollamento lato piastra: Fb,Ed,p=1.89 Fb,Rd,p=6140.09
Tirafondi:LT=0.45 (0.31) σ_{cR}=0.00 σ_{fR}=0.00
Compressione nel calcestruzzo: σ_c=7.09
CC 7 SLV (Collegamento 0022_-379)
Azioni sul collegamento: N=-3330.52 Ty=0.88 Tz=5.89 Mx=0.01 Mz=2.36
Sollecitazioni agenti localmente: Tx_l=0.88 Ty_l=5.89 N_l=-3330.52 Mx_l=-0.00 My_l=2.36 Mz_l=0.01
Taglio nei bulloni: Fv,Ed=1.01 Fv,Rd=7720.78
Rifollamento lato piastra: Fb,Ed,p=1.01 Fb,Rd,p=6208.58
Tirafondi:LT=0.45 (0.31) σ_{cR}=0.00 σ_{fR}=0.00
Compressione nel calcestruzzo: σ_c=7.01
CC 7 SLV (Collegamento 0022_-379)
Azioni sul collegamento: N=-3330.52 Ty=1.59 Tz=5.89 Mx=0.01 Mz=3.75
Sollecitazioni agenti localmente: Tx_l=1.59 Ty_l=5.89 N_l=-3330.52 Mx_l=-0.00 My_l=3.75 Mz_l=0.01
Taglio nei bulloni: Fv,Ed=1.03 Fv,Rd=7720.78
Rifollamento lato piastra: Fb,Ed,p=1.03 Fb,Rd,p=6673.61
Tirafondi:LT=0.45 (0.31) σ_{cR}=0.00 σ_{fR}=0.00
Compressione nel calcestruzzo: σ_c=7.09
CC 8 SLD (Collegamento 0022_-379)
Azioni sul collegamento: N=-6335.90 Ty=0.32 Tz=-5.26 Mx=0.00 Mz=0.79
Sollecitazioni agenti localmente: Tx_l=0.32 Ty_l=-5.26 N_l=-6335.90 Mx_l=-0.00 My_l=0.79 Mz_l=0.00
Taglio nei bulloni: Fv,Ed=0.88 Fv,Rd=9650.97
Rifollamento lato piastra: Fb,Ed,p=0.88 Fb,Rd,p=7509.21
Tirafondi:LT=0.45 (0.31) σ_{cR}=0.00 σ_{fR}=0.00
Compressione nel calcestruzzo: σ_c=13.14
CC 8 SLD (Collegamento 0022_-379)
Azioni sul collegamento: N=-6335.90 Ty=0.54 Tz=-5.26 Mx=0.00 Mz=1.22
Sollecitazioni agenti localmente: Tx_l=0.54 Ty_l=-5.26 N_l=-6335.90 Mx_l=-0.00 My_l=1.22 Mz_l=0.00
Taglio nei bulloni: Fv,Ed=0.89 Fv,Rd=9650.97
Rifollamento lato piastra: Fb,Ed,p=0.88 Fb,Rd,p=7578.58
Tirafondi:LT=0.45 (0.31) σ_{cR}=0.00 σ_{fR}=0.00
Compressione nel calcestruzzo: σ_c=13.16
CC 8 SLD (Collegamento 0022_-379)
Azioni sul collegamento: N=-6335.90 Ty=0.32 Tz=-0.05 Mx=0.00 Mz=0.79
Sollecitazioni agenti localmente: Tx_l=0.32 Ty_l=-0.05 N_l=-6335.90 Mx_l=-0.00 My_l=0.79 Mz_l=0.00
Tirafondi:LT=0.45 (0.31) σ_{cR}=0.00 σ_{fR}=0.00
Compressione nel calcestruzzo: σ_c=13.14
CC 8 SLD (Collegamento 0022_-379)
Azioni sul collegamento: N=-6335.90 Ty=0.54 Tz=-0.05 Mx=0.00 Mz=1.22
Sollecitazioni agenti localmente: Tx_l=0.54 Ty_l=-0.05 N_l=-6335.90 Mx_l=-0.00 My_l=1.22 Mz_l=0.00
Rifollamento lato piastra: Fb,Ed,p=0.09 Fb,Rd,p=7661.85
Tirafondi:LT=0.45 (0.31) σ_{cR}=0.00 σ_{fR}=0.00
Compressione nel calcestruzzo: σ_c=13.16
CC 8 SLD (Collegamento 0022_-379)
Azioni sul collegamento: N=-4931.25 Ty=0.32 Tz=-5.26 Mx=0.00 Mz=0.79
Sollecitazioni agenti localmente: Tx_l=0.32 Ty_l=-5.26 N_l=-4931.25 Mx_l=-0.00 My_l=0.79 Mz_l=0.00
Taglio nei bulloni: Fv,Ed=0.88 Fv,Rd=9650.97
Rifollamento lato piastra: Fb,Ed,p=0.88 Fb,Rd,p=7509.21
Tirafondi:LT=0.45 (0.31) σ_{cR}=0.00 σ_{fR}=0.00
Compressione nel calcestruzzo: σ_c=10.23
CC 8 SLD (Collegamento 0022_-379)
Azioni sul collegamento: N=-4931.25 Ty=0.54 Tz=-5.26 Mx=0.00 Mz=1.22
Sollecitazioni agenti localmente: Tx_l=0.54 Ty_l=-5.26 N_l=-4931.25 Mx_l=-0.00 My_l=1.22 Mz_l=0.00
Taglio nei bulloni: Fv,Ed=0.89 Fv,Rd=9650.97
Rifollamento lato piastra: Fb,Ed,p=0.88 Fb,Rd,p=7578.57
Tirafondi:LT=0.45 (0.31) σ_{cR}=0.00 σ_{fR}=0.00
Compressione nel calcestruzzo: σ_c=10.26
CC 8 SLD (Collegamento 0022_-379)
Azioni sul collegamento: N=-4931.25 Ty=0.32 Tz=-0.05 Mx=0.00 Mz=0.79
Sollecitazioni agenti localmente: Tx_l=0.32 Ty_l=-0.05 N_l=-4931.25 Mx_l=-0.00 My_l=0.79 Mz_l=0.00
Tirafondi:LT=0.45 (0.31) σ_{cR}=0.00 σ_{fR}=0.00

Compressione nel calcestruzzo: σ_c=10.23
CC 8 SLD (Collegamento 0022_-379)
Azioni sul collegamento: N=-4931.25 Ty=0.54 Tz=-0.05 Mx=0.00 Mz=1.22
Sollecitazioni agenti localmente: Tx_l=0.54 Ty_l=-0.05 N_l=-4931.25 Mx_l=-0.00 My_l=1.22 Mz_l=0.00
Rifollamento lato piastra: Fb,Ed,p=0.09 Fb,Rd,p=7662.54
Tirafondi:LT=0.45 (0.31) σ_{cR}=0.00 σ_{fR}=0.00
Compressione nel calcestruzzo: σ_c=10.26
CC 9 SLV (Collegamento 0022_-379)
Azioni sul collegamento: N=-4942.75 Ty=2.39 Tz=-0.09 Mx=0.02 Mz=5.32
Sollecitazioni agenti localmente: Tx_l=2.39 Ty_l=-0.09 N_l=-4942.75 Mx_l=-0.00 My_l=5.32 Mz_l=0.02
Taglio nei bulloni: Fv,Ed=0.43 Fv,Rd=7720.78
Rifollamento lato piastra: Fb,Ed,p=0.43 Fb,Rd,p=6058.13
Tirafondi:LT=0.45 (0.31) σ_{cR}=0.00 σ_{fR}=0.00
Compressione nel calcestruzzo: σ_c=10.51
CC 9 SLV (Collegamento 0022_-379)
Azioni sul collegamento: N=-4942.75 Ty=0.08 Tz=-0.09 Mx=0.02 Mz=0.80
Sollecitazioni agenti localmente: Tx_l=0.08 Ty_l=-0.09 N_l=-4942.75 Mx_l=-0.00 My_l=0.80 Mz_l=0.02
Tirafondi:LT=0.45 (0.31) σ_{cR}=0.00 σ_{fR}=0.00
Compressione nel calcestruzzo: σ_c=10.26
CC 9 SLV (Collegamento 0022_-379)
Azioni sul collegamento: N=-4942.75 Ty=2.39 Tz=-5.22 Mx=0.02 Mz=5.32
Sollecitazioni agenti localmente: Tx_l=2.39 Ty_l=-5.22 N_l=-4942.75 Mx_l=-0.00 My_l=5.32 Mz_l=0.02
Taglio nei bulloni: Fv,Ed=0.99 Fv,Rd=7720.78
Rifollamento lato piastra: Fb,Ed,p=0.97 Fb,Rd,p=7548.27
Tirafondi:LT=0.45 (0.31) σ_{cR}=0.00 σ_{fR}=0.00
Compressione nel calcestruzzo: σ_c=10.51
CC 9 SLV (Collegamento 0022_-379)
Azioni sul collegamento: N=-4942.75 Ty=0.08 Tz=-5.22 Mx=0.02 Mz=0.80
Sollecitazioni agenti localmente: Tx_l=0.08 Ty_l=-5.22 N_l=-4942.75 Mx_l=-0.00 My_l=0.80 Mz_l=0.02
Taglio nei bulloni: Fv,Ed=0.90 Fv,Rd=7720.78
Rifollamento lato piastra: Fb,Ed,p=0.89 Fb,Rd,p=5980.56
Tirafondi:LT=0.45 (0.31) σ_{cR}=0.00 σ_{fR}=0.00
Compressione nel calcestruzzo: σ_c=10.26
CC 9 SLV (Collegamento 0022_-379)
Azioni sul collegamento: N=-6324.76 Ty=2.39 Tz=-0.09 Mx=0.02 Mz=5.32
Sollecitazioni agenti localmente: Tx_l=2.39 Ty_l=-0.09 N_l=-6324.76 Mx_l=-0.00 My_l=5.32 Mz_l=0.02
Taglio nei bulloni: Fv,Ed=0.43 Fv,Rd=7720.78
Rifollamento lato piastra: Fb,Ed,p=0.43 Fb,Rd,p=6057.98
Tirafondi:LT=0.45 (0.31) σ_{cR}=0.00 σ_{fR}=0.00
Compressione nel calcestruzzo: σ_c=13.37
CC 9 SLV (Collegamento 0022_-379)
Azioni sul collegamento: N=-6324.76 Ty=0.08 Tz=-0.09 Mx=0.02 Mz=0.80
Sollecitazioni agenti localmente: Tx_l=0.08 Ty_l=-0.09 N_l=-6324.76 Mx_l=-0.00 My_l=0.80 Mz_l=0.02
Tirafondi:LT=0.45 (0.31) σ_{cR}=0.00 σ_{fR}=0.00
Compressione nel calcestruzzo: σ_c=13.11
CC 9 SLV (Collegamento 0022_-379)
Azioni sul collegamento: N=-6324.76 Ty=2.39 Tz=-5.22 Mx=0.02 Mz=5.32
Sollecitazioni agenti localmente: Tx_l=2.39 Ty_l=-5.22 N_l=-6324.76 Mx_l=-0.00 My_l=5.32 Mz_l=0.02
Taglio nei bulloni: Fv,Ed=0.99 Fv,Rd=7720.78
Rifollamento lato piastra: Fb,Ed,p=0.97 Fb,Rd,p=7548.42
Tirafondi:LT=0.45 (0.31) σ_{cR}=0.00 σ_{fR}=0.00
Compressione nel calcestruzzo: σ_c=13.37
CC 9 SLV (Collegamento 0022_-379)
Azioni sul collegamento: N=-6324.76 Ty=0.08 Tz=-5.22 Mx=0.02 Mz=0.80
Sollecitazioni agenti localmente: Tx_l=0.08 Ty_l=-5.22 N_l=-6324.76 Mx_l=-0.00 My_l=0.80 Mz_l=0.02
Taglio nei bulloni: Fv,Ed=0.90 Fv,Rd=7720.78
Rifollamento lato piastra: Fb,Ed,p=0.89 Fb,Rd,p=5980.56
Tirafondi:LT=0.45 (0.31) σ_{cR}=0.00 σ_{fR}=0.00
Compressione nel calcestruzzo: σ_c=13.11
CC 10 SLD (Collegamento 0022_-379)
Azioni sul collegamento: N=-5422.87 Ty=0.78 Tz=-1.87 Mx=0.01 Mz=1.69
Sollecitazioni agenti localmente: Tx_l=0.78 Ty_l=-1.87 N_l=-5422.87 Mx_l=-0.00 My_l=1.69 Mz_l=0.01
Taglio nei bulloni: Fv,Ed=0.35 Fv,Rd=9650.97
Rifollamento lato piastra: Fb,Ed,p=0.34 Fb,Rd,p=9115.18
Tirafondi:LT=0.45 (0.31) σ_{cR}=0.00 σ_{fR}=0.00
Compressione nel calcestruzzo: σ_c=11.30
CC 10 SLD (Collegamento 0022_-379)
Azioni sul collegamento: N=-5422.87 Ty=0.08 Tz=-1.87 Mx=0.01 Mz=0.31
Sollecitazioni agenti localmente: Tx_l=0.08 Ty_l=-1.87 N_l=-5422.87 Mx_l=-0.00 My_l=0.31 Mz_l=0.01
Taglio nei bulloni: Fv,Ed=0.32 Fv,Rd=9650.97
Rifollamento lato piastra: Fb,Ed,p=0.32 Fb,Rd,p=7476.65
Tirafondi:LT=0.45 (0.31) σ_{cR}=0.00 σ_{fR}=0.00
Compressione nel calcestruzzo: σ_c=11.22
CC 10 SLD (Collegamento 0022_-379)
Azioni sul collegamento: N=-5422.87 Ty=0.78 Tz=-3.44 Mx=0.01 Mz=1.69
Sollecitazioni agenti localmente: Tx_l=0.78 Ty_l=-3.44 N_l=-5422.87 Mx_l=-0.00 My_l=1.69 Mz_l=0.01
Taglio nei bulloni: Fv,Ed=0.60 Fv,Rd=9650.97
Rifollamento lato piastra: Fb,Ed,p=0.59 Fb,Rd,p=7968.54
Tirafondi:LT=0.45 (0.31) σ_{cR}=0.00 σ_{fR}=0.00
Compressione nel calcestruzzo: σ_c=11.30

CC 10 SLD (Collegamento 0022_-379)
Azioni sul collegamento: N=-5422.87 Ty=0.08 Tz=-3.44 Mx=0.01 Mz=0.31
Sollecitazioni agenti localmente: Tx_l=0.08 Ty_l=-3.44 N_l=-5422.87 Mx_l=-0.00 My_l=0.31 Mz_l=0.01
Taglio nei bulloni: Fv,Ed=0.58 Fv,Rd=9650.97
Rifollamento lato piastra: Fb,Ed,p=0.58 Fb,Rd,p=7474.78
Tirafondi:LT=0.45 (0.31) σ_{cR}=0.00 σ_{fR}=0.00
Compressione nel calcestruzzo: σ_c=11.22
CC 10 SLD (Collegamento 0022_-379)
Azioni sul collegamento: N=-5844.28 Ty=0.78 Tz=-1.87 Mx=0.01 Mz=1.69
Sollecitazioni agenti localmente: Tx_l=0.78 Ty_l=-1.87 N_l=-5844.28 Mx_l=-0.00 My_l=1.69 Mz_l=0.01
Taglio nei bulloni: Fv,Ed=0.35 Fv,Rd=9650.97
Rifollamento lato piastra: Fb,Ed,p=0.34 Fb,Rd,p=9114.80
Tirafondi:LT=0.45 (0.31) σ_{cR}=0.00 σ_{fR}=0.00
Compressione nel calcestruzzo: σ_c=12.17
CC 10 SLD (Collegamento 0022_-379)
Azioni sul collegamento: N=-5844.28 Ty=0.08 Tz=-1.87 Mx=0.01 Mz=0.31
Sollecitazioni agenti localmente: Tx_l=0.08 Ty_l=-1.87 N_l=-5844.28 Mx_l=-0.00 My_l=0.31 Mz_l=0.01
Taglio nei bulloni: Fv,Ed=0.32 Fv,Rd=9650.97
Rifollamento lato piastra: Fb,Ed,p=0.32 Fb,Rd,p=7476.65
Tirafondi:LT=0.45 (0.31) σ_{cR}=0.00 σ_{fR}=0.00
Compressione nel calcestruzzo: σ_c=12.09
CC 10 SLD (Collegamento 0022_-379)
Azioni sul collegamento: N=-5844.28 Ty=0.78 Tz=-3.44 Mx=0.01 Mz=1.69
Sollecitazioni agenti localmente: Tx_l=0.78 Ty_l=-3.44 N_l=-5844.28 Mx_l=-0.00 My_l=1.69 Mz_l=0.01
Taglio nei bulloni: Fv,Ed=0.60 Fv,Rd=9650.97
Rifollamento lato piastra: Fb,Ed,p=0.59 Fb,Rd,p=7968.56
Tirafondi:LT=0.45 (0.31) σ_{cR}=0.00 σ_{fR}=0.00
Compressione nel calcestruzzo: σ_c=12.17
CC 10 SLD (Collegamento 0022_-379)
Azioni sul collegamento: N=-5844.28 Ty=0.08 Tz=-3.44 Mx=0.01 Mz=0.31
Sollecitazioni agenti localmente: Tx_l=0.08 Ty_l=-3.44 N_l=-5844.28 Mx_l=-0.00 My_l=0.31 Mz_l=0.01
Taglio nei bulloni: Fv,Ed=0.58 Fv,Rd=9650.97
Rifollamento lato piastra: Fb,Ed,p=0.58 Fb,Rd,p=7474.78
Tirafondi:LT=0.45 (0.31) σ_{cR}=0.00 σ_{fR}=0.00
Compressione nel calcestruzzo: σ_c=12.09
CC 11 SLV (Collegamento 0022_-379)
Azioni sul collegamento: N=-6324.69 Ty=2.39 Tz=-5.21 Mx=0.02 Mz=5.31
Sollecitazioni agenti localmente: Tx_l=2.39 Ty_l=-5.21 N_l=-6324.69 Mx_l=-0.00 My_l=5.31 Mz_l=0.02
Taglio nei bulloni: Fv,Ed=0.99 Fv,Rd=7720.78
Rifollamento lato piastra: Fb,Ed,p=0.97 Fb,Rd,p=7544.53
Tirafondi:LT=0.45 (0.31) σ_{cR}=0.00 σ_{fR}=0.00
Compressione nel calcestruzzo: σ_c=13.37
CC 11 SLV (Collegamento 0022_-379)
Azioni sul collegamento: N=-6324.69 Ty=0.09 Tz=-5.21 Mx=0.02 Mz=0.81
Sollecitazioni agenti localmente: Tx_l=0.09 Ty_l=-5.21 N_l=-6324.69 Mx_l=-0.00 My_l=0.81 Mz_l=0.02
Taglio nei bulloni: Fv,Ed=0.89 Fv,Rd=7720.78
Rifollamento lato piastra: Fb,Ed,p=0.89 Fb,Rd,p=5980.38
Tirafondi:LT=0.45 (0.31) σ_{cR}=0.00 σ_{fR}=0.00
Compressione nel calcestruzzo: σ_c=13.11
CC 11 SLV (Collegamento 0022_-379)
Azioni sul collegamento: N=-6324.69 Ty=2.39 Tz=-0.09 Mx=0.02 Mz=5.31
Sollecitazioni agenti localmente: Tx_l=2.39 Ty_l=-0.09 N_l=-6324.69 Mx_l=-0.00 My_l=5.31 Mz_l=0.02
Taglio nei bulloni: Fv,Ed=0.42 Fv,Rd=7720.78
Rifollamento lato piastra: Fb,Ed,p=0.42 Fb,Rd,p=6059.08
Tirafondi:LT=0.45 (0.31) σ_{cR}=0.00 σ_{fR}=0.00
Compressione nel calcestruzzo: σ_c=13.37
CC 11 SLV (Collegamento 0022_-379)
Azioni sul collegamento: N=-6324.69 Ty=0.09 Tz=-0.09 Mx=0.02 Mz=0.81
Sollecitazioni agenti localmente: Tx_l=0.09 Ty_l=-0.09 N_l=-6324.69 Mx_l=-0.00 My_l=0.81 Mz_l=0.02
Tirafondi:LT=0.45 (0.31) σ_{cR}=0.00 σ_{fR}=0.00
Compressione nel calcestruzzo: σ_c=13.11
CC 11 SLV (Collegamento 0022_-379)
Azioni sul collegamento: N=-4942.83 Ty=2.39 Tz=-5.21 Mx=0.02 Mz=5.31
Sollecitazioni agenti localmente: Tx_l=2.39 Ty_l=-5.21 N_l=-4942.83 Mx_l=-0.00 My_l=5.31 Mz_l=0.02
Taglio nei bulloni: Fv,Ed=0.99 Fv,Rd=7720.78
Rifollamento lato piastra: Fb,Ed,p=0.97 Fb,Rd,p=7544.38
Tirafondi:LT=0.45 (0.31) σ_{cR}=0.00 σ_{fR}=0.00
Compressione nel calcestruzzo: σ_c=10.51
CC 11 SLV (Collegamento 0022_-379)
Azioni sul collegamento: N=-4942.83 Ty=0.09 Tz=-5.21 Mx=0.02 Mz=0.81
Sollecitazioni agenti localmente: Tx_l=0.09 Ty_l=-5.21 N_l=-4942.83 Mx_l=-0.00 My_l=0.81 Mz_l=0.02
Taglio nei bulloni: Fv,Ed=0.89 Fv,Rd=7720.78
Rifollamento lato piastra: Fb,Ed,p=0.89 Fb,Rd,p=5980.38
Tirafondi:LT=0.45 (0.31) σ_{cR}=0.00 σ_{fR}=0.00
Compressione nel calcestruzzo: σ_c=10.26
CC 11 SLV (Collegamento 0022_-379)
Azioni sul collegamento: N=-4942.83 Ty=2.39 Tz=-0.09 Mx=0.02 Mz=5.31
Sollecitazioni agenti localmente: Tx_l=2.39 Ty_l=-0.09 N_l=-4942.83 Mx_l=-0.00 My_l=5.31 Mz_l=0.02
Taglio nei bulloni: Fv,Ed=0.42 Fv,Rd=7720.78
Rifollamento lato piastra: Fb,Ed,p=0.42 Fb,Rd,p=6059.36

Tirafondi:LT=0.45 (0.31) σ_{cR}=0.00 σ_{fR}=0.00
Compressione nel calcestruzzo: σ_c=10.51
CC 11 SLV (Collegamento 0022_-379)
Azioni sul collegamento: N=-4942.83 Ty=0.09 Tz=-0.09 Mx=0.02 Mz=0.81
Sollecitazioni agenti localmente: Tx_l=0.09 Ty_l=-0.09 N_l=-4942.83 Mx_l=-0.00 My_l=0.81 Mz_l=0.02
Tirafondi:LT=0.45 (0.31) σ_{cR}=0.00 σ_{fR}=0.00
Compressione nel calcestruzzo: σ_c=10.26
CC 12 SLD (Collegamento 0022_-379)
Azioni sul collegamento: N=-5844.26 Ty=0.78 Tz=-3.43 Mx=0.01 Mz=1.69
Sollecitazioni agenti localmente: Tx_l=0.78 Ty_l=-3.43 N_l=-5844.26 Mx_l=-0.00 My_l=1.69 Mz_l=0.01
Taglio nei bulloni: Fv,Ed=0.60 Fv,Rd=9650.97
Rifollamento lato piastra: Fb,Ed,p=0.59 Fb,Rd,p=7967.19
Tirafondi:LT=0.45 (0.31) σ_{cR}=0.00 σ_{fR}=0.00
Compressione nel calcestruzzo: σ_c=12.17
CC 12 SLD (Collegamento 0022_-379)
Azioni sul collegamento: N=-5844.26 Ty=0.08 Tz=-3.43 Mx=0.01 Mz=0.32
Sollecitazioni agenti localmente: Tx_l=0.08 Ty_l=-3.43 N_l=-5844.26 Mx_l=-0.00 My_l=0.32 Mz_l=0.01
Taglio nei bulloni: Fv,Ed=0.58 Fv,Rd=9650.97
Rifollamento lato piastra: Fb,Ed,p=0.58 Fb,Rd,p=7474.85
Tirafondi:LT=0.45 (0.31) σ_{cR}=0.00 σ_{fR}=0.00
Compressione nel calcestruzzo: σ_c=12.09
CC 12 SLD (Collegamento 0022_-379)
Azioni sul collegamento: N=-5844.26 Ty=0.78 Tz=-1.87 Mx=0.01 Mz=1.69
Sollecitazioni agenti localmente: Tx_l=0.78 Ty_l=-1.87 N_l=-5844.26 Mx_l=-0.00 My_l=1.69 Mz_l=0.01
Taglio nei bulloni: Fv,Ed=0.35 Fv,Rd=9650.97
Rifollamento lato piastra: Fb,Ed,p=0.34 Fb,Rd,p=9109.12
Tirafondi:LT=0.45 (0.31) σ_{cR}=0.00 σ_{fR}=0.00
Compressione nel calcestruzzo: σ_c=12.17
CC 12 SLD (Collegamento 0022_-379)
Azioni sul collegamento: N=-5844.26 Ty=0.08 Tz=-1.87 Mx=0.01 Mz=0.32
Sollecitazioni agenti localmente: Tx_l=0.08 Ty_l=-1.87 N_l=-5844.26 Mx_l=-0.00 My_l=0.32 Mz_l=0.01
Taglio nei bulloni: Fv,Ed=0.32 Fv,Rd=9650.97
Rifollamento lato piastra: Fb,Ed,p=0.32 Fb,Rd,p=7476.90
Tirafondi:LT=0.45 (0.31) σ_{cR}=0.00 σ_{fR}=0.00
Compressione nel calcestruzzo: σ_c=12.09
CC 12 SLD (Collegamento 0022_-379)
Azioni sul collegamento: N=-5422.89 Ty=0.78 Tz=-3.43 Mx=0.01 Mz=1.69
Sollecitazioni agenti localmente: Tx_l=0.78 Ty_l=-3.43 N_l=-5422.89 Mx_l=-0.00 My_l=1.69 Mz_l=0.01
Taglio nei bulloni: Fv,Ed=0.60 Fv,Rd=9650.97
Rifollamento lato piastra: Fb,Ed,p=0.59 Fb,Rd,p=7967.26
Tirafondi:LT=0.45 (0.31) σ_{cR}=0.00 σ_{fR}=0.00
Compressione nel calcestruzzo: σ_c=11.30
CC 12 SLD (Collegamento 0022_-379)
Azioni sul collegamento: N=-5422.89 Ty=0.08 Tz=-3.43 Mx=0.01 Mz=0.32
Sollecitazioni agenti localmente: Tx_l=0.08 Ty_l=-3.43 N_l=-5422.89 Mx_l=-0.00 My_l=0.32 Mz_l=0.01
Taglio nei bulloni: Fv,Ed=0.58 Fv,Rd=9650.97
Rifollamento lato piastra: Fb,Ed,p=0.58 Fb,Rd,p=7474.85
Tirafondi:LT=0.45 (0.31) σ_{cR}=0.00 σ_{fR}=0.00
Compressione nel calcestruzzo: σ_c=11.22
CC 12 SLD (Collegamento 0022_-379)
Azioni sul collegamento: N=-5422.89 Ty=0.78 Tz=-1.87 Mx=0.01 Mz=1.69
Sollecitazioni agenti localmente: Tx_l=0.78 Ty_l=-1.87 N_l=-5422.89 Mx_l=-0.00 My_l=1.69 Mz_l=0.01
Taglio nei bulloni: Fv,Ed=0.35 Fv,Rd=9650.97
Rifollamento lato piastra: Fb,Ed,p=0.34 Fb,Rd,p=9108.67
Tirafondi:LT=0.45 (0.31) σ_{cR}=0.00 σ_{fR}=0.00
Compressione nel calcestruzzo: σ_c=11.30
CC 12 SLD (Collegamento 0022_-379)
Azioni sul collegamento: N=-5422.89 Ty=0.08 Tz=-1.87 Mx=0.01 Mz=0.32
Sollecitazioni agenti localmente: Tx_l=0.08 Ty_l=-1.87 N_l=-5422.89 Mx_l=-0.00 My_l=0.32 Mz_l=0.01
Taglio nei bulloni: Fv,Ed=0.32 Fv,Rd=9650.97
Rifollamento lato piastra: Fb,Ed,p=0.32 Fb,Rd,p=7476.90
Tirafondi:LT=0.45 (0.31) σ_{cR}=0.00 σ_{fR}=0.00
Compressione nel calcestruzzo: σ_c=11.22
CC 13 SLV (Collegamento 0022_-379)
Azioni sul collegamento: N=-4942.83 Ty=0.09 Tz=-0.09 Mx=0.00 Mz=0.81
Sollecitazioni agenti localmente: Tx_l=0.09 Ty_l=-0.09 N_l=-4942.83 Mx_l=-0.00 My_l=0.81 Mz_l=0.00
Tirafondi:LT=0.45 (0.31) σ_{cR}=0.00 σ_{fR}=0.00
Compressione nel calcestruzzo: σ_c=10.26
CC 13 SLV (Collegamento 0022_-379)
Azioni sul collegamento: N=-4942.83 Ty=2.39 Tz=-0.09 Mx=0.00 Mz=5.31
Sollecitazioni agenti localmente: Tx_l=2.39 Ty_l=-0.09 N_l=-4942.83 Mx_l=-0.00 My_l=5.31 Mz_l=0.00
Taglio nei bulloni: Fv,Ed=0.40 Fv,Rd=7720.78
Rifollamento lato piastra: Fb,Ed,p=0.40 Fb,Rd,p=6002.94
Tirafondi:LT=0.45 (0.31) σ_{cR}=0.00 σ_{fR}=0.00
Compressione nel calcestruzzo: σ_c=10.51
CC 13 SLV (Collegamento 0022_-379)
Azioni sul collegamento: N=-4942.83 Ty=0.09 Tz=-5.21 Mx=0.00 Mz=0.81
Sollecitazioni agenti localmente: Tx_l=0.09 Ty_l=-5.21 N_l=-4942.83 Mx_l=-0.00 My_l=0.81 Mz_l=0.00
Taglio nei bulloni: Fv,Ed=0.87 Fv,Rd=7720.78
Rifollamento lato piastra: Fb,Ed,p=0.87 Fb,Rd,p=5980.08

Tirafondi:LT=0.45 (0.31) σ_{cR}=0.00 σ_{fR}=0.00
Compressione nel calcestruzzo: σ_c=10.26
CC 13 SLV (Collegamento 0022_-379)
Azioni sul collegamento: N=-4942.83 Ty=2.39 Tz=-5.21 Mx=0.00 Mz=5.31
Sollecitazioni agenti localmente: Tx_l=2.39 Ty_l=-5.21 N_l=-4942.83 Mx_l=-0.00 My_l=5.31 Mz_l=0.00
Taglio nei bulloni: Fv,Ed=0.96 Fv,Rd=7720.78
Rifollamento lato piastra: Fb,Ed,p=0.96 Fb,Rd,p=7791.14
Tirafondi:LT=0.45 (0.31) σ_{cR}=0.00 σ_{fR}=0.00
Compressione nel calcestruzzo: σ_c=10.51
CC 13 SLV (Collegamento 0022_-379)
Azioni sul collegamento: N=-6324.69 Ty=0.09 Tz=-0.09 Mx=0.00 Mz=0.81
Sollecitazioni agenti localmente: Tx_l=0.09 Ty_l=-0.09 N_l=-6324.69 Mx_l=-0.00 My_l=0.81 Mz_l=0.00
Tirafondi:LT=0.45 (0.31) σ_{cR}=0.00 σ_{fR}=0.00
Compressione nel calcestruzzo: σ_c=13.11
CC 13 SLV (Collegamento 0022_-379)
Azioni sul collegamento: N=-6324.69 Ty=2.39 Tz=-0.09 Mx=0.00 Mz=5.31
Sollecitazioni agenti localmente: Tx_l=2.39 Ty_l=-0.09 N_l=-6324.69 Mx_l=-0.00 My_l=5.31 Mz_l=0.00
Taglio nei bulloni: Fv,Ed=0.40 Fv,Rd=7720.78
Rifollamento lato piastra: Fb,Ed,p=0.40 Fb,Rd,p=6002.78
Tirafondi:LT=0.45 (0.31) σ_{cR}=0.00 σ_{fR}=0.00
Compressione nel calcestruzzo: σ_c=13.37
CC 13 SLV (Collegamento 0022_-379)
Azioni sul collegamento: N=-6324.69 Ty=0.09 Tz=-5.21 Mx=0.00 Mz=0.81
Sollecitazioni agenti localmente: Tx_l=0.09 Ty_l=-5.21 N_l=-6324.69 Mx_l=-0.00 My_l=0.81 Mz_l=0.00
Taglio nei bulloni: Fv,Ed=0.87 Fv,Rd=7720.78
Rifollamento lato piastra: Fb,Ed,p=0.87 Fb,Rd,p=5980.08
Tirafondi:LT=0.45 (0.31) σ_{cR}=0.00 σ_{fR}=0.00
Compressione nel calcestruzzo: σ_c=13.11
CC 13 SLV (Collegamento 0022_-379)
Azioni sul collegamento: N=-6324.69 Ty=2.39 Tz=-5.21 Mx=0.00 Mz=5.31
Sollecitazioni agenti localmente: Tx_l=2.39 Ty_l=-5.21 N_l=-6324.69 Mx_l=-0.00 My_l=5.31 Mz_l=0.00
Taglio nei bulloni: Fv,Ed=0.96 Fv,Rd=7720.78
Rifollamento lato piastra: Fb,Ed,p=0.96 Fb,Rd,p=7791.30
Tirafondi:LT=0.45 (0.31) σ_{cR}=0.00 σ_{fR}=0.00
Compressione nel calcestruzzo: σ_c=13.37
CC 14 SLD (Collegamento 0022_-379)
Azioni sul collegamento: N=-5422.89 Ty=0.08 Tz=-1.87 Mx=0.00 Mz=0.32
Sollecitazioni agenti localmente: Tx_l=0.08 Ty_l=-1.87 N_l=-5422.89 Mx_l=-0.00 My_l=0.32 Mz_l=0.00
Taglio nei bulloni: Fv,Ed=0.31 Fv,Rd=9650.97
Rifollamento lato piastra: Fb,Ed,p=0.31 Fb,Rd,p=7487.81
Tirafondi:LT=0.45 (0.31) σ_{cR}=0.00 σ_{fR}=0.00
Compressione nel calcestruzzo: σ_c=11.22
CC 14 SLD (Collegamento 0022_-379)
Azioni sul collegamento: N=-5422.89 Ty=0.78 Tz=-1.87 Mx=0.00 Mz=1.69
Sollecitazioni agenti localmente: Tx_l=0.78 Ty_l=-1.87 N_l=-5422.89 Mx_l=-0.00 My_l=1.69 Mz_l=0.00
Taglio nei bulloni: Fv,Ed=0.34 Fv,Rd=9650.97
Rifollamento lato piastra: Fb,Ed,p=0.34 Fb,Rd,p=9340.62
Tirafondi:LT=0.45 (0.31) σ_{cR}=0.00 σ_{fR}=0.00
Compressione nel calcestruzzo: σ_c=11.30
CC 14 SLD (Collegamento 0022_-379)
Azioni sul collegamento: N=-5422.89 Ty=0.08 Tz=-3.43 Mx=0.00 Mz=0.32
Sollecitazioni agenti localmente: Tx_l=0.08 Ty_l=-3.43 N_l=-5422.89 Mx_l=-0.00 My_l=0.32 Mz_l=0.00
Taglio nei bulloni: Fv,Ed=0.57 Fv,Rd=9650.97
Rifollamento lato piastra: Fb,Ed,p=0.57 Fb,Rd,p=7478.10
Tirafondi:LT=0.45 (0.31) σ_{cR}=0.00 σ_{fR}=0.00
Compressione nel calcestruzzo: σ_c=11.22
CC 14 SLD (Collegamento 0022_-379)
Azioni sul collegamento: N=-5422.89 Ty=0.78 Tz=-3.43 Mx=0.00 Mz=1.69
Sollecitazioni agenti localmente: Tx_l=0.78 Ty_l=-3.43 N_l=-5422.89 Mx_l=-0.00 My_l=1.69 Mz_l=0.00
Taglio nei bulloni: Fv,Ed=0.59 Fv,Rd=9650.97
Rifollamento lato piastra: Fb,Ed,p=0.59 Fb,Rd,p=8027.34
Tirafondi:LT=0.45 (0.31) σ_{cR}=0.00 σ_{fR}=0.00
Compressione nel calcestruzzo: σ_c=11.30
CC 14 SLD (Collegamento 0022_-379)
Azioni sul collegamento: N=-5844.26 Ty=0.08 Tz=-1.87 Mx=0.00 Mz=0.32
Sollecitazioni agenti localmente: Tx_l=0.08 Ty_l=-1.87 N_l=-5844.26 Mx_l=-0.00 My_l=0.32 Mz_l=0.00
Taglio nei bulloni: Fv,Ed=0.31 Fv,Rd=9650.97
Rifollamento lato piastra: Fb,Ed,p=0.31 Fb,Rd,p=7487.82
Tirafondi:LT=0.45 (0.31) σ_{cR}=0.00 σ_{fR}=0.00
Compressione nel calcestruzzo: σ_c=12.09
CC 14 SLD (Collegamento 0022_-379)
Azioni sul collegamento: N=-5844.26 Ty=0.78 Tz=-1.87 Mx=0.00 Mz=1.69
Sollecitazioni agenti localmente: Tx_l=0.78 Ty_l=-1.87 N_l=-5844.26 Mx_l=-0.00 My_l=1.69 Mz_l=0.00
Taglio nei bulloni: Fv,Ed=0.34 Fv,Rd=9650.97
Rifollamento lato piastra: Fb,Ed,p=0.34 Fb,Rd,p=9341.13
Tirafondi:LT=0.45 (0.31) σ_{cR}=0.00 σ_{fR}=0.00
Compressione nel calcestruzzo: σ_c=12.17
CC 14 SLD (Collegamento 0022_-379)
Azioni sul collegamento: N=-5844.26 Ty=0.08 Tz=-3.43 Mx=0.00 Mz=0.32
Sollecitazioni agenti localmente: Tx_l=0.08 Ty_l=-3.43 N_l=-5844.26 Mx_l=-0.00 My_l=0.32 Mz_l=0.00

Taglio nei bulloni: Fv,Ed=0.57 Fv,Rd=9650.97
Rifollamento lato piastra: Fb,Ed,p=0.57 Fb,Rd,p=7478.10
Tirafondi:LT=0.45 (0.31) σ_{cR}=0.00 σ_{fR}=0.00
Compressione nel calcestruzzo: σ_c=12.09
CC 14 SLD (Collegamento 0022_-379)
Azioni sul collegamento: N=-5844.26 Ty=0.78 Tz=-3.43 Mx=0.00 Mz=1.69
Sollecitazioni agenti localmente: Tx_l=0.78 Ty_l=-3.43 N_l=-5844.26 Mx_l=-0.00 My_l=1.69 Mz_l=0.00
Taglio nei bulloni: Fv,Ed=0.59 Fv,Rd=9650.97
Rifollamento lato piastra: Fb,Ed,p=0.59 Fb,Rd,p=8027.26
Tirafondi:LT=0.45 (0.31) σ_{cR}=0.00 σ_{fR}=0.00
Compressione nel calcestruzzo: σ_c=12.17
CC 15 SLV (Collegamento 0022_-379)
Azioni sul collegamento: N=-6324.76 Ty=0.08 Tz=-5.22 Mx=0.00 Mz=0.80
Sollecitazioni agenti localmente: Tx_l=0.08 Ty_l=-5.22 N_l=-6324.76 Mx_l=-0.00 My_l=0.80 Mz_l=0.00
Taglio nei bulloni: Fv,Ed=0.87 Fv,Rd=7720.78
Rifollamento lato piastra: Fb,Ed,p=0.87 Fb,Rd,p=5979.95
Tirafondi:LT=0.45 (0.31) σ_{cR}=0.00 σ_{fR}=0.00
Compressione nel calcestruzzo: σ_c=13.11
CC 15 SLV (Collegamento 0022_-379)
Azioni sul collegamento: N=-6324.76 Ty=2.39 Tz=-5.22 Mx=0.00 Mz=5.32
Sollecitazioni agenti localmente: Tx_l=2.39 Ty_l=-5.22 N_l=-6324.76 Mx_l=-0.00 My_l=5.32 Mz_l=0.00
Taglio nei bulloni: Fv,Ed=0.96 Fv,Rd=7720.78
Rifollamento lato piastra: Fb,Ed,p=0.96 Fb,Rd,p=7797.28
Tirafondi:LT=0.45 (0.31) σ_{cR}=0.00 σ_{fR}=0.00
Compressione nel calcestruzzo: σ_c=13.37
CC 15 SLV (Collegamento 0022_-379)
Azioni sul collegamento: N=-6324.76 Ty=0.08 Tz=-0.09 Mx=0.00 Mz=0.80
Sollecitazioni agenti localmente: Tx_l=0.08 Ty_l=-0.09 N_l=-6324.76 Mx_l=-0.00 My_l=0.80 Mz_l=0.00
Tirafondi:LT=0.45 (0.31) σ_{cR}=0.00 σ_{fR}=0.00
Compressione nel calcestruzzo: σ_c=13.11
CC 15 SLV (Collegamento 0022_-379)
Azioni sul collegamento: N=-6324.76 Ty=2.39 Tz=-0.09 Mx=0.00 Mz=5.32
Sollecitazioni agenti localmente: Tx_l=2.39 Ty_l=-0.09 N_l=-6324.76 Mx_l=-0.00 My_l=5.32 Mz_l=0.00
Taglio nei bulloni: Fv,Ed=0.40 Fv,Rd=7720.78
Rifollamento lato piastra: Fb,Ed,p=0.40 Fb,Rd,p=6001.95
Tirafondi:LT=0.45 (0.31) σ_{cR}=0.00 σ_{fR}=0.00
Compressione nel calcestruzzo: σ_c=13.37
CC 15 SLV (Collegamento 0022_-379)
Azioni sul collegamento: N=-4942.75 Ty=0.08 Tz=-5.22 Mx=0.00 Mz=0.80
Sollecitazioni agenti localmente: Tx_l=0.08 Ty_l=-5.22 N_l=-4942.75 Mx_l=-0.00 My_l=0.80 Mz_l=0.00
Taglio nei bulloni: Fv,Ed=0.88 Fv,Rd=7720.78
Rifollamento lato piastra: Fb,Ed,p=0.87 Fb,Rd,p=5979.95
Tirafondi:LT=0.45 (0.31) σ_{cR}=0.00 σ_{fR}=0.00
Compressione nel calcestruzzo: σ_c=10.26
CC 15 SLV (Collegamento 0022_-379)
Azioni sul collegamento: N=-4942.75 Ty=2.39 Tz=-5.22 Mx=0.00 Mz=5.32
Sollecitazioni agenti localmente: Tx_l=2.39 Ty_l=-5.22 N_l=-4942.75 Mx_l=-0.00 My_l=5.32 Mz_l=0.00
Taglio nei bulloni: Fv,Ed=0.96 Fv,Rd=7720.78
Rifollamento lato piastra: Fb,Ed,p=0.96 Fb,Rd,p=7797.09
Tirafondi:LT=0.45 (0.31) σ_{cR}=0.00 σ_{fR}=0.00
Compressione nel calcestruzzo: σ_c=10.51
CC 15 SLV (Collegamento 0022_-379)
Azioni sul collegamento: N=-4942.75 Ty=0.08 Tz=-0.09 Mx=0.00 Mz=0.80
Sollecitazioni agenti localmente: Tx_l=0.08 Ty_l=-0.09 N_l=-4942.75 Mx_l=-0.00 My_l=0.80 Mz_l=0.00
Tirafondi:LT=0.45 (0.31) σ_{cR}=0.00 σ_{fR}=0.00
Compressione nel calcestruzzo: σ_c=10.26
CC 15 SLV (Collegamento 0022_-379)
Azioni sul collegamento: N=-4942.75 Ty=2.39 Tz=-0.09 Mx=0.00 Mz=5.32
Sollecitazioni agenti localmente: Tx_l=2.39 Ty_l=-0.09 N_l=-4942.75 Mx_l=-0.00 My_l=5.32 Mz_l=0.00
Taglio nei bulloni: Fv,Ed=0.40 Fv,Rd=7720.78
Rifollamento lato piastra: Fb,Ed,p=0.40 Fb,Rd,p=6002.03
Tirafondi:LT=0.45 (0.31) σ_{cR}=0.00 σ_{fR}=0.00
Compressione nel calcestruzzo: σ_c=10.51
CC 16 SLD (Collegamento 0022_-379)
Azioni sul collegamento: N=-5844.28 Ty=0.08 Tz=-3.44 Mx=0.00 Mz=0.31
Sollecitazioni agenti localmente: Tx_l=0.08 Ty_l=-3.44 N_l=-5844.28 Mx_l=-0.00 My_l=0.31 Mz_l=0.00
Taglio nei bulloni: Fv,Ed=0.57 Fv,Rd=9650.97
Rifollamento lato piastra: Fb,Ed,p=0.57 Fb,Rd,p=7477.96
Tirafondi:LT=0.45 (0.31) σ_{cR}=0.00 σ_{fR}=0.00
Compressione nel calcestruzzo: σ_c=12.09
CC 16 SLD (Collegamento 0022_-379)
Azioni sul collegamento: N=-5844.28 Ty=0.78 Tz=-3.44 Mx=0.00 Mz=1.69
Sollecitazioni agenti localmente: Tx_l=0.78 Ty_l=-3.44 N_l=-5844.28 Mx_l=-0.00 My_l=1.69 Mz_l=0.00
Taglio nei bulloni: Fv,Ed=0.59 Fv,Rd=9650.97
Rifollamento lato piastra: Fb,Ed,p=0.59 Fb,Rd,p=8029.15
Tirafondi:LT=0.45 (0.31) σ_{cR}=0.00 σ_{fR}=0.00
Compressione nel calcestruzzo: σ_c=12.17
CC 16 SLD (Collegamento 0022_-379)
Azioni sul collegamento: N=-5844.28 Ty=0.08 Tz=-1.87 Mx=0.00 Mz=0.31
Sollecitazioni agenti localmente: Tx_l=0.08 Ty_l=-1.87 N_l=-5844.28 Mx_l=-0.00 My_l=0.31 Mz_l=0.00

Taglio nei bulloni: Fv,Ed=0.31 Fv,Rd=9650.97
Rifollamento lato piastra: Fb,Ed,p=0.31 Fb,Rd,p=7487.36
Tirafondi:LT=0.45 (0.31) σ_{cR}=0.00 σ_{fR}=0.00
Compressione nel calcestruzzo: σ_c=12.09
CC 16 SLD (Collegamento 0022_-379)
Azioni sul collegamento: N=-5844.28 Ty=0.78 Tz=-1.87 Mx=0.00 Mz=1.69
Sollecitazioni agenti localmente: Tx_l=0.78 Ty_l=-1.87 N_l=-5844.28 Mx_l=-0.00 My_l=1.69 Mz_l=0.00
Taglio nei bulloni: Fv,Ed=0.34 Fv,Rd=9650.97
Rifollamento lato piastra: Fb,Ed,p=0.34 Fb,Rd,p=9349.04
Tirafondi:LT=0.45 (0.31) σ_{cR}=0.00 σ_{fR}=0.00
Compressione nel calcestruzzo: σ_c=12.17
CC 16 SLD (Collegamento 0022_-379)
Azioni sul collegamento: N=-5422.87 Ty=0.08 Tz=-3.44 Mx=0.00 Mz=0.31
Sollecitazioni agenti localmente: Tx_l=0.08 Ty_l=-3.44 N_l=-5422.87 Mx_l=-0.00 My_l=0.31 Mz_l=0.00
Taglio nei bulloni: Fv,Ed=0.57 Fv,Rd=9650.97
Rifollamento lato piastra: Fb,Ed,p=0.57 Fb,Rd,p=7477.96
Tirafondi:LT=0.45 (0.31) σ_{cR}=0.00 σ_{fR}=0.00
Compressione nel calcestruzzo: σ_c=11.22
CC 16 SLD (Collegamento 0022_-379)
Azioni sul collegamento: N=-5422.87 Ty=0.78 Tz=-3.44 Mx=0.00 Mz=1.69
Sollecitazioni agenti localmente: Tx_l=0.78 Ty_l=-3.44 N_l=-5422.87 Mx_l=-0.00 My_l=1.69 Mz_l=0.00
Taglio nei bulloni: Fv,Ed=0.59 Fv,Rd=9650.97
Rifollamento lato piastra: Fb,Ed,p=0.59 Fb,Rd,p=8029.12
Tirafondi:LT=0.45 (0.31) σ_{cR}=0.00 σ_{fR}=0.00
Compressione nel calcestruzzo: σ_c=11.30
CC 16 SLD (Collegamento 0022_-379)
Azioni sul collegamento: N=-5422.87 Ty=0.08 Tz=-1.87 Mx=0.00 Mz=0.31
Sollecitazioni agenti localmente: Tx_l=0.08 Ty_l=-1.87 N_l=-5422.87 Mx_l=-0.00 My_l=0.31 Mz_l=0.00
Taglio nei bulloni: Fv,Ed=0.31 Fv,Rd=9650.97
Rifollamento lato piastra: Fb,Ed,p=0.31 Fb,Rd,p=7487.36
Tirafondi:LT=0.45 (0.31) σ_{cR}=0.00 σ_{fR}=0.00
Compressione nel calcestruzzo: σ_c=11.22
CC 16 SLD (Collegamento 0022_-379)
Azioni sul collegamento: N=-5422.87 Ty=0.78 Tz=-1.87 Mx=0.00 Mz=1.69
Sollecitazioni agenti localmente: Tx_l=0.78 Ty_l=-1.87 N_l=-5422.87 Mx_l=-0.00 My_l=1.69 Mz_l=0.00
Taglio nei bulloni: Fv,Ed=0.34 Fv,Rd=9650.97
Rifollamento lato piastra: Fb,Ed,p=0.34 Fb,Rd,p=9349.48
Tirafondi:LT=0.45 (0.31) σ_{cR}=0.00 σ_{fR}=0.00
Compressione nel calcestruzzo: σ_c=11.30
CC 17 SLV (Collegamento 0022_-379)
Azioni sul collegamento: N=-3330.00 Ty=-0.74 Tz=5.89 Mx=-0.02 Mz=-2.16
Sollecitazioni agenti localmente: Tx_l=-0.74 Ty_l=5.89 N_l=-3330.00 Mx_l=-0.00 My_l=-2.16 Mz_l=-0.02
Taglio nei bulloni: Fv,Ed=1.01 Fv,Rd=7720.78
Rifollamento lato piastra: Fb,Ed,p=1.01 Fb,Rd,p=6154.63
Tirafondi:LT=0.45 (0.31) σ_{cR}=0.00 σ_{fR}=0.00
Compressione nel calcestruzzo: σ_c=7.00
CC 17 SLV (Collegamento 0022_-379)
Azioni sul collegamento: N=-3330.00 Ty=-1.44 Tz=5.89 Mx=-0.02 Mz=-3.55
Sollecitazioni agenti localmente: Tx_l=-1.44 Ty_l=5.89 N_l=-3330.00 Mx_l=-0.00 My_l=-3.55 Mz_l=-0.02
Taglio nei bulloni: Fv,Ed=1.03 Fv,Rd=7720.78
Rifollamento lato piastra: Fb,Ed,p=1.03 Fb,Rd,p=6573.72
Tirafondi:LT=0.45 (0.31) σ_{cR}=0.00 σ_{fR}=0.00
Compressione nel calcestruzzo: σ_c=7.08
CC 17 SLV (Collegamento 0022_-379)
Azioni sul collegamento: N=-3330.00 Ty=-0.74 Tz=-11.20 Mx=-0.02 Mz=-2.16
Sollecitazioni agenti localmente: Tx_l=-0.74 Ty_l=-11.20 N_l=-3330.00 Mx_l=-0.00 My_l=-2.16 Mz_l=-0.02
Taglio nei bulloni: Fv,Ed=1.89 Fv,Rd=7720.78
Rifollamento lato piastra: Fb,Ed,p=1.89 Fb,Rd,p=6006.74
Tirafondi:LT=0.45 (0.31) σ_{cR}=0.00 σ_{fR}=0.00
Compressione nel calcestruzzo: σ_c=7.00
CC 17 SLV (Collegamento 0022_-379)
Azioni sul collegamento: N=-3330.00 Ty=-1.44 Tz=-11.20 Mx=-0.02 Mz=-3.55
Sollecitazioni agenti localmente: Tx_l=-1.44 Ty_l=-11.20 N_l=-3330.00 Mx_l=-0.00 My_l=-3.55 Mz_l=-0.02
Taglio nei bulloni: Fv,Ed=1.90 Fv,Rd=7720.78
Rifollamento lato piastra: Fb,Ed,p=1.90 Fb,Rd,p=6103.11
Tirafondi:LT=0.45 (0.31) σ_{cR}=0.00 σ_{fR}=0.00
Compressione nel calcestruzzo: σ_c=7.08
CC 17 SLV (Collegamento 0022_-379)
Azioni sul collegamento: N=-7936.47 Ty=-0.74 Tz=5.89 Mx=-0.02 Mz=-2.16
Sollecitazioni agenti localmente: Tx_l=-0.74 Ty_l=5.89 N_l=-7936.47 Mx_l=-0.00 My_l=-2.16 Mz_l=-0.02
Taglio nei bulloni: Fv,Ed=1.01 Fv,Rd=7720.78
Rifollamento lato piastra: Fb,Ed,p=1.01 Fb,Rd,p=6154.63
Tirafondi:LT=0.45 (0.31) σ_{cR}=0.00 σ_{fR}=0.00
Compressione nel calcestruzzo: σ_c=16.52
CC 17 SLV (Collegamento 0022_-379)
Azioni sul collegamento: N=-7936.47 Ty=-1.44 Tz=5.89 Mx=-0.02 Mz=-3.55
Sollecitazioni agenti localmente: Tx_l=-1.44 Ty_l=5.89 N_l=-7936.47 Mx_l=-0.00 My_l=-3.55 Mz_l=-0.02
Taglio nei bulloni: Fv,Ed=1.03 Fv,Rd=7720.78
Rifollamento lato piastra: Fb,Ed,p=1.03 Fb,Rd,p=6573.73
Tirafondi:LT=0.45 (0.31) σ_{cR}=0.00 σ_{fR}=0.00

Compressione nel calcestruzzo: σ_c=16.60
CC 17 SLV (Collegamento 0022_-379)
Azioni sul collegamento: N=-7936.47 Ty=-0.74 Tz=-11.20 Mx=-0.02 Mz=-2.16
Sollecitazioni agenti localmente: Tx_l=-0.74 Ty_l=-11.20 N_l=-7936.47 Mx_l=-0.00 My_l=-2.16 Mz_l=-0.02
Taglio nei bulloni: Fv,Ed=1.89 Fv,Rd=7720.78
Rifollamento lato piastra: Fb,Ed,p=1.89 Fb,Rd,p=6006.74
Tirafondi:LT=0.45 (0.31) σ_{cR}=0.00 σ_{fR}=0.00
Compressione nel calcestruzzo: σ_c=16.52
CC 17 SLV (Collegamento 0022_-379)
Azioni sul collegamento: N=-7936.47 Ty=-1.44 Tz=-11.20 Mx=-0.02 Mz=-3.55
Sollecitazioni agenti localmente: Tx_l=-1.44 Ty_l=-11.20 N_l=-7936.47 Mx_l=-0.00 My_l=-3.55 Mz_l=-0.02
Taglio nei bulloni: Fv,Ed=1.90 Fv,Rd=7720.78
Rifollamento lato piastra: Fb,Ed,p=1.90 Fb,Rd,p=6103.11
Tirafondi:LT=0.45 (0.31) σ_{cR}=0.00 σ_{fR}=0.00
Compressione nel calcestruzzo: σ_c=16.60
CC 18 SLD (Collegamento 0022_-379)
Azioni sul collegamento: N=-4931.08 Ty=-0.17 Tz=-0.05 Mx=-0.00 Mz=-0.59
Sollecitazioni agenti localmente: Tx_l=-0.17 Ty_l=-0.05 N_l=-4931.08 Mx_l=-0.00 My_l=-0.59 Mz_l=-0.00
Tirafondi:LT=0.45 (0.31) σ_{cR}=0.00 σ_{fR}=0.00
Compressione nel calcestruzzo: σ_c=10.22
CC 18 SLD (Collegamento 0022_-379)
Azioni sul collegamento: N=-4931.08 Ty=-0.39 Tz=-0.05 Mx=-0.00 Mz=-1.01
Sollecitazioni agenti localmente: Tx_l=-0.39 Ty_l=-0.05 N_l=-4931.08 Mx_l=-0.00 My_l=-1.01 Mz_l=-0.00
Tirafondi:LT=0.45 (0.31) σ_{cR}=0.00 σ_{fR}=0.00
Compressione nel calcestruzzo: σ_c=10.25
CC 18 SLD (Collegamento 0022_-379)
Azioni sul collegamento: N=-4931.09 Ty=-0.17 Tz=-5.26 Mx=-0.00 Mz=-0.59
Sollecitazioni agenti localmente: Tx_l=-0.17 Ty_l=-5.26 N_l=-4931.09 Mx_l=-0.00 My_l=-0.59 Mz_l=-0.00
Taglio nei bulloni: Fv,Ed=0.88 Fv,Rd=9650.97
Rifollamento lato piastra: Fb,Ed,p=0.88 Fb,Rd,p=7481.92
Tirafondi:LT=0.45 (0.31) σ_{cR}=0.00 σ_{fR}=0.00
Compressione nel calcestruzzo: σ_c=10.22
CC 18 SLD (Collegamento 0022_-379)
Azioni sul collegamento: N=-4931.09 Ty=-0.39 Tz=-5.26 Mx=-0.00 Mz=-1.01
Sollecitazioni agenti localmente: Tx_l=-0.39 Ty_l=-5.26 N_l=-4931.09 Mx_l=-0.00 My_l=-1.01 Mz_l=-0.00
Taglio nei bulloni: Fv,Ed=0.88 Fv,Rd=9650.97
Rifollamento lato piastra: Fb,Ed,p=0.88 Fb,Rd,p=7524.41
Tirafondi:LT=0.45 (0.31) σ_{cR}=0.00 σ_{fR}=0.00
Compressione nel calcestruzzo: σ_c=10.25
CC 18 SLD (Collegamento 0022_-379)
Azioni sul collegamento: N=-6335.74 Ty=-0.17 Tz=-0.05 Mx=-0.00 Mz=-0.59
Sollecitazioni agenti localmente: Tx_l=-0.17 Ty_l=-0.05 N_l=-6335.74 Mx_l=-0.00 My_l=-0.59 Mz_l=-0.00
Tirafondi:LT=0.45 (0.31) σ_{cR}=0.00 σ_{fR}=0.00
Compressione nel calcestruzzo: σ_c=13.12
CC 18 SLD (Collegamento 0022_-379)
Azioni sul collegamento: N=-6335.74 Ty=-0.39 Tz=-0.05 Mx=-0.00 Mz=-1.01
Sollecitazioni agenti localmente: Tx_l=-0.39 Ty_l=-0.05 N_l=-6335.74 Mx_l=-0.00 My_l=-1.01 Mz_l=-0.00
Tirafondi:LT=0.45 (0.31) σ_{cR}=0.00 σ_{fR}=0.00
Compressione nel calcestruzzo: σ_c=13.15
CC 18 SLD (Collegamento 0022_-379)
Azioni sul collegamento: N=-6335.74 Ty=-0.17 Tz=-5.26 Mx=-0.00 Mz=-0.59
Sollecitazioni agenti localmente: Tx_l=-0.17 Ty_l=-5.26 N_l=-6335.74 Mx_l=-0.00 My_l=-0.59 Mz_l=-0.00
Taglio nei bulloni: Fv,Ed=0.88 Fv,Rd=9650.97
Rifollamento lato piastra: Fb,Ed,p=0.88 Fb,Rd,p=7481.91
Tirafondi:LT=0.45 (0.31) σ_{cR}=0.00 σ_{fR}=0.00
Compressione nel calcestruzzo: σ_c=13.12
CC 18 SLD (Collegamento 0022_-379)
Azioni sul collegamento: N=-6335.74 Ty=-0.39 Tz=-5.26 Mx=-0.00 Mz=-1.01
Sollecitazioni agenti localmente: Tx_l=-0.39 Ty_l=-5.26 N_l=-6335.74 Mx_l=-0.00 My_l=-1.01 Mz_l=-0.00
Taglio nei bulloni: Fv,Ed=0.88 Fv,Rd=9650.97
Rifollamento lato piastra: Fb,Ed,p=0.88 Fb,Rd,p=7524.41
Tirafondi:LT=0.45 (0.31) σ_{cR}=0.00 σ_{fR}=0.00
Compressione nel calcestruzzo: σ_c=13.15
CC 19 SLV (Collegamento 0022_-379)
Azioni sul collegamento: N=-3330.02 Ty=-1.43 Tz=5.88 Mx=-0.01 Mz=-3.51
Sollecitazioni agenti localmente: Tx_l=-1.43 Ty_l=5.88 N_l=-3330.02 Mx_l=-0.00 My_l=-3.51 Mz_l=-0.01
Taglio nei bulloni: Fv,Ed=1.02 Fv,Rd=7720.78
Rifollamento lato piastra: Fb,Ed,p=1.02 Fb,Rd,p=6543.62
Tirafondi:LT=0.45 (0.31) σ_{cR}=0.00 σ_{fR}=0.00
Compressione nel calcestruzzo: σ_c=7.08
CC 19 SLV (Collegamento 0022_-379)
Azioni sul collegamento: N=-3330.02 Ty=-0.75 Tz=5.88 Mx=-0.01 Mz=-2.19
Sollecitazioni agenti localmente: Tx_l=-0.75 Ty_l=5.88 N_l=-3330.02 Mx_l=-0.00 My_l=-2.19 Mz_l=-0.01
Taglio nei bulloni: Fv,Ed=1.00 Fv,Rd=7720.78
Rifollamento lato piastra: Fb,Ed,p=1.00 Fb,Rd,p=6147.83
Tirafondi:LT=0.45 (0.31) σ_{cR}=0.00 σ_{fR}=0.00
Compressione nel calcestruzzo: σ_c=7.00
CC 19 SLV (Collegamento 0022_-379)
Azioni sul collegamento: N=-3330.02 Ty=-1.43 Tz=-11.19 Mx=-0.01 Mz=-3.51
Sollecitazioni agenti localmente: Tx_l=-1.43 Ty_l=-11.19 N_l=-3330.02 Mx_l=-0.00 My_l=-3.51 Mz_l=-0.01

Taglio nei bulloni: Fv,Ed=1.89 Fv,Rd=7720.78
Rifollamento lato piastra: Fb,Ed,p=1.89 Fb,Rd,p=6107.91
Tirafondi:LT=0.45 (0.31) σ_{cR}=0.00 σ_{fR}=0.00
Compressione nel calcestruzzo: σ_c=7.08
CC 19 SLV (Collegamento 0022_-379)
Azioni sul collegamento: N=-3330.02 Ty=-0.75 Tz=-11.19 Mx=-0.01 Mz=-2.19
Sollecitazioni agenti localmente: Tx_l=-0.75 Ty_l=-11.19 N_l=-3330.02 Mx_l=-0.00 My_l=-2.19 Mz_l=-0.01
Taglio nei bulloni: Fv,Ed=1.88 Fv,Rd=7720.78
Rifollamento lato piastra: Fb,Ed,p=1.88 Fb,Rd,p=6011.34
Tirafondi:LT=0.45 (0.31) σ_{cR}=0.00 σ_{fR}=0.00
Compressione nel calcestruzzo: σ_c=7.00
CC 19 SLV (Collegamento 0022_-379)
Azioni sul collegamento: N=-7936.44 Ty=-1.43 Tz=5.88 Mx=-0.01 Mz=-3.51
Sollecitazioni agenti localmente: Tx_l=-1.43 Ty_l=5.88 N_l=-7936.44 Mx_l=-0.00 My_l=-3.51 Mz_l=-0.01
Taglio nei bulloni: Fv,Ed=1.02 Fv,Rd=7720.78
Rifollamento lato piastra: Fb,Ed,p=1.02 Fb,Rd,p=6543.57
Tirafondi:LT=0.45 (0.31) σ_{cR}=0.00 σ_{fR}=0.00
Compressione nel calcestruzzo: σ_c=16.60
CC 19 SLV (Collegamento 0022_-379)
Azioni sul collegamento: N=-7936.44 Ty=-0.75 Tz=5.88 Mx=-0.01 Mz=-2.19
Sollecitazioni agenti localmente: Tx_l=-0.75 Ty_l=5.88 N_l=-7936.44 Mx_l=-0.00 My_l=-2.19 Mz_l=-0.01
Taglio nei bulloni: Fv,Ed=1.00 Fv,Rd=7720.78
Rifollamento lato piastra: Fb,Ed,p=1.00 Fb,Rd,p=6147.81
Tirafondi:LT=0.45 (0.31) σ_{cR}=0.00 σ_{fR}=0.00
Compressione nel calcestruzzo: σ_c=16.52
CC 19 SLV (Collegamento 0022_-379)
Azioni sul collegamento: N=-7936.44 Ty=-1.43 Tz=-11.19 Mx=-0.01 Mz=-3.51
Sollecitazioni agenti localmente: Tx_l=-1.43 Ty_l=-11.19 N_l=-7936.44 Mx_l=-0.00 My_l=-3.51 Mz_l=-0.01
Taglio nei bulloni: Fv,Ed=1.89 Fv,Rd=7720.78
Rifollamento lato piastra: Fb,Ed,p=1.89 Fb,Rd,p=6107.91
Tirafondi:LT=0.45 (0.31) σ_{cR}=0.00 σ_{fR}=0.00
Compressione nel calcestruzzo: σ_c=16.60
CC 19 SLV (Collegamento 0022_-379)
Azioni sul collegamento: N=-7936.44 Ty=-0.75 Tz=-11.19 Mx=-0.01 Mz=-2.19
Sollecitazioni agenti localmente: Tx_l=-0.75 Ty_l=-11.19 N_l=-7936.44 Mx_l=-0.00 My_l=-2.19 Mz_l=-0.01
Taglio nei bulloni: Fv,Ed=1.88 Fv,Rd=7720.78
Rifollamento lato piastra: Fb,Ed,p=1.88 Fb,Rd,p=6011.34
Tirafondi:LT=0.45 (0.31) σ_{cR}=0.00 σ_{fR}=0.00
Compressione nel calcestruzzo: σ_c=16.52
CC 20 SLD (Collegamento 0022_-379)
Azioni sul collegamento: N=-4931.09 Ty=-0.38 Tz=-0.05 Mx=-0.00 Mz=-1.00
Sollecitazioni agenti localmente: Tx_l=-0.38 Ty_l=-0.05 N_l=-4931.09 Mx_l=-0.00 My_l=-1.00 Mz_l=-0.00
Tirafondi:LT=0.45 (0.31) σ_{cR}=0.00 σ_{fR}=0.00
Compressione nel calcestruzzo: σ_c=10.24
CC 20 SLD (Collegamento 0022_-379)
Azioni sul collegamento: N=-4931.09 Ty=-0.18 Tz=-0.05 Mx=-0.00 Mz=-0.60
Sollecitazioni agenti localmente: Tx_l=-0.18 Ty_l=-0.05 N_l=-4931.09 Mx_l=-0.00 My_l=-0.60 Mz_l=-0.00
Tirafondi:LT=0.45 (0.31) σ_{cR}=0.00 σ_{fR}=0.00
Compressione nel calcestruzzo: σ_c=10.22
CC 20 SLD (Collegamento 0022_-379)
Azioni sul collegamento: N=-4931.09 Ty=-0.38 Tz=-5.26 Mx=-0.00 Mz=-1.00
Sollecitazioni agenti localmente: Tx_l=-0.38 Ty_l=-5.26 N_l=-4931.09 Mx_l=-0.00 My_l=-1.00 Mz_l=-0.00
Taglio nei bulloni: Fv,Ed=0.88 Fv,Rd=9650.97
Rifollamento lato piastra: Fb,Ed,p=0.88 Fb,Rd,p=7526.46
Tirafondi:LT=0.45 (0.31) σ_{cR}=0.00 σ_{fR}=0.00
Compressione nel calcestruzzo: σ_c=10.24
CC 20 SLD (Collegamento 0022_-379)
Azioni sul collegamento: N=-4931.09 Ty=-0.18 Tz=-5.26 Mx=-0.00 Mz=-0.60
Sollecitazioni agenti localmente: Tx_l=-0.18 Ty_l=-5.26 N_l=-4931.09 Mx_l=-0.00 My_l=-0.60 Mz_l=-0.00
Taglio nei bulloni: Fv,Ed=0.88 Fv,Rd=9650.97
Rifollamento lato piastra: Fb,Ed,p=0.88 Fb,Rd,p=7483.71
Tirafondi:LT=0.45 (0.31) σ_{cR}=0.00 σ_{fR}=0.00
Compressione nel calcestruzzo: σ_c=10.22
CC 20 SLD (Collegamento 0022_-379)
Azioni sul collegamento: N=-6335.74 Ty=-0.38 Tz=-0.05 Mx=-0.00 Mz=-1.00
Sollecitazioni agenti localmente: Tx_l=-0.38 Ty_l=-0.05 N_l=-6335.74 Mx_l=-0.00 My_l=-1.00 Mz_l=-0.00
Tirafondi:LT=0.45 (0.31) σ_{cR}=0.00 σ_{fR}=0.00
Compressione nel calcestruzzo: σ_c=13.15
CC 20 SLD (Collegamento 0022_-379)
Azioni sul collegamento: N=-6335.74 Ty=-0.18 Tz=-0.05 Mx=-0.00 Mz=-0.60
Sollecitazioni agenti localmente: Tx_l=-0.18 Ty_l=-0.05 N_l=-6335.74 Mx_l=-0.00 My_l=-0.60 Mz_l=-0.00
Tirafondi:LT=0.45 (0.31) σ_{cR}=0.00 σ_{fR}=0.00
Compressione nel calcestruzzo: σ_c=13.12
CC 20 SLD (Collegamento 0022_-379)
Azioni sul collegamento: N=-6335.74 Ty=-0.38 Tz=-5.26 Mx=-0.00 Mz=-1.00
Sollecitazioni agenti localmente: Tx_l=-0.38 Ty_l=-5.26 N_l=-6335.74 Mx_l=-0.00 My_l=-1.00 Mz_l=-0.00
Taglio nei bulloni: Fv,Ed=0.88 Fv,Rd=9650.97
Rifollamento lato piastra: Fb,Ed,p=0.88 Fb,Rd,p=7526.47
Tirafondi:LT=0.45 (0.31) σ_{cR}=0.00 σ_{fR}=0.00
Compressione nel calcestruzzo: σ_c=13.15

CC 20 SLD (Collegamento 0022_-379)
Azioni sul collegamento: N=-6335.74 Ty=-0.18 Tz=-5.26 Mx=-0.00 Mz=-0.60
Sollecitazioni agenti localmente: Tx_l=-0.18 Ty_l=-5.26 N_l=-6335.74 Mx_l=-0.00 My_l=-0.60 Mz_l=-0.00
Taglio nei bulloni: Fv,Ed=0.88 Fv,Rd=9650.97
Rifollamento lato piastra: Fb,Ed,p=0.88 Fb,Rd,p=7483.71
Tirafondi:LT=0.45 (0.31) σ_{cR}=0.00 σ_{fR}=0.00
Compressione nel calcestruzzo: σ_c=13.12
CC 21 SLV (Collegamento 0022_-379)
Azioni sul collegamento: N=-7936.44 Ty=-0.75 Tz=-11.19 Mx=-0.02 Mz=-2.19
Sollecitazioni agenti localmente: Tx_l=-0.75 Ty_l=-11.19 N_l=-7936.44 Mx_l=-0.00 My_l=-2.19 Mz_l=-0.02
Taglio nei bulloni: Fv,Ed=1.89 Fv,Rd=7720.78
Rifollamento lato piastra: Fb,Ed,p=1.89 Fb,Rd,p=6008.07
Tirafondi:LT=0.45 (0.31) σ_{cR}=0.00 σ_{fR}=0.00
Compressione nel calcestruzzo: σ_c=16.52
CC 21 SLV (Collegamento 0022_-379)
Azioni sul collegamento: N=-7936.44 Ty=-1.43 Tz=-11.19 Mx=-0.02 Mz=-3.51
Sollecitazioni agenti localmente: Tx_l=-1.43 Ty_l=-11.19 N_l=-7936.44 Mx_l=-0.00 My_l=-3.51 Mz_l=-0.02
Taglio nei bulloni: Fv,Ed=1.90 Fv,Rd=7720.78
Rifollamento lato piastra: Fb,Ed,p=1.90 Fb,Rd,p=6100.89
Tirafondi:LT=0.45 (0.31) σ_{cR}=0.00 σ_{fR}=0.00
Compressione nel calcestruzzo: σ_c=16.60
CC 21 SLV (Collegamento 0022_-379)
Azioni sul collegamento: N=-7936.44 Ty=-0.75 Tz=5.88 Mx=-0.02 Mz=-2.19
Sollecitazioni agenti localmente: Tx_l=-0.75 Ty_l=5.88 N_l=-7936.44 Mx_l=-0.00 My_l=-2.19 Mz_l=-0.02
Taglio nei bulloni: Fv,Ed=1.01 Fv,Rd=7720.78
Rifollamento lato piastra: Fb,Ed,p=1.01 Fb,Rd,p=6159.86
Tirafondi:LT=0.45 (0.31) σ_{cR}=0.00 σ_{fR}=0.00
Compressione nel calcestruzzo: σ_c=16.52
CC 21 SLV (Collegamento 0022_-379)
Azioni sul collegamento: N=-7936.44 Ty=-1.43 Tz=5.88 Mx=-0.02 Mz=-3.51
Sollecitazioni agenti localmente: Tx_l=-1.43 Ty_l=5.88 N_l=-7936.44 Mx_l=-0.00 My_l=-3.51 Mz_l=-0.02
Taglio nei bulloni: Fv,Ed=1.03 Fv,Rd=7720.78
Rifollamento lato piastra: Fb,Ed,p=1.03 Fb,Rd,p=6562.63
Tirafondi:LT=0.45 (0.31) σ_{cR}=0.00 σ_{fR}=0.00
Compressione nel calcestruzzo: σ_c=16.60
CC 21 SLV (Collegamento 0022_-379)
Azioni sul collegamento: N=-3330.02 Ty=-0.75 Tz=-11.19 Mx=-0.02 Mz=-2.19
Sollecitazioni agenti localmente: Tx_l=-0.75 Ty_l=-11.19 N_l=-3330.02 Mx_l=-0.00 My_l=-2.19 Mz_l=-0.02
Taglio nei bulloni: Fv,Ed=1.89 Fv,Rd=7720.78
Rifollamento lato piastra: Fb,Ed,p=1.89 Fb,Rd,p=6008.07
Tirafondi:LT=0.45 (0.31) σ_{cR}=0.00 σ_{fR}=0.00
Compressione nel calcestruzzo: σ_c=7.00
CC 21 SLV (Collegamento 0022_-379)
Azioni sul collegamento: N=-3330.02 Ty=-1.43 Tz=-11.19 Mx=-0.02 Mz=-3.51
Sollecitazioni agenti localmente: Tx_l=-1.43 Ty_l=-11.19 N_l=-3330.02 Mx_l=-0.00 My_l=-3.51 Mz_l=-0.02
Taglio nei bulloni: Fv,Ed=1.90 Fv,Rd=7720.78
Rifollamento lato piastra: Fb,Ed,p=1.90 Fb,Rd,p=6100.89
Tirafondi:LT=0.45 (0.31) σ_{cR}=0.00 σ_{fR}=0.00
Compressione nel calcestruzzo: σ_c=7.08
CC 21 SLV (Collegamento 0022_-379)
Azioni sul collegamento: N=-3330.02 Ty=-0.75 Tz=5.88 Mx=-0.02 Mz=-2.19
Sollecitazioni agenti localmente: Tx_l=-0.75 Ty_l=5.88 N_l=-3330.02 Mx_l=-0.00 My_l=-2.19 Mz_l=-0.02
Taglio nei bulloni: Fv,Ed=1.01 Fv,Rd=7720.78
Rifollamento lato piastra: Fb,Ed,p=1.01 Fb,Rd,p=6159.88
Tirafondi:LT=0.45 (0.31) σ_{cR}=0.00 σ_{fR}=0.00
Compressione nel calcestruzzo: σ_c=7.00
CC 21 SLV (Collegamento 0022_-379)
Azioni sul collegamento: N=-3330.02 Ty=-1.43 Tz=5.88 Mx=-0.02 Mz=-3.51
Sollecitazioni agenti localmente: Tx_l=-1.43 Ty_l=5.88 N_l=-3330.02 Mx_l=-0.00 My_l=-3.51 Mz_l=-0.02
Taglio nei bulloni: Fv,Ed=1.03 Fv,Rd=7720.78
Rifollamento lato piastra: Fb,Ed,p=1.03 Fb,Rd,p=6562.68
Tirafondi:LT=0.45 (0.31) σ_{cR}=0.00 σ_{fR}=0.00
Compressione nel calcestruzzo: σ_c=7.08
CC 22 SLD (Collegamento 0022_-379)
Azioni sul collegamento: N=-6335.74 Ty=-0.18 Tz=-5.26 Mx=-0.00 Mz=-0.60
Sollecitazioni agenti localmente: Tx_l=-0.18 Ty_l=-5.26 N_l=-6335.74 Mx_l=-0.00 My_l=-0.60 Mz_l=-0.00
Taglio nei bulloni: Fv,Ed=0.88 Fv,Rd=9650.97
Rifollamento lato piastra: Fb,Ed,p=0.88 Fb,Rd,p=7482.44
Tirafondi:LT=0.45 (0.31) σ_{cR}=0.00 σ_{fR}=0.00
Compressione nel calcestruzzo: σ_c=13.12
CC 22 SLD (Collegamento 0022_-379)
Azioni sul collegamento: N=-6335.74 Ty=-0.38 Tz=-5.26 Mx=-0.00 Mz=-1.00
Sollecitazioni agenti localmente: Tx_l=-0.38 Ty_l=-5.26 N_l=-6335.74 Mx_l=-0.00 My_l=-1.00 Mz_l=-0.00
Taglio nei bulloni: Fv,Ed=0.88 Fv,Rd=9650.97
Rifollamento lato piastra: Fb,Ed,p=0.88 Fb,Rd,p=7523.36
Tirafondi:LT=0.45 (0.31) σ_{cR}=0.00 σ_{fR}=0.00
Compressione nel calcestruzzo: σ_c=13.15
CC 22 SLD (Collegamento 0022_-379)
Azioni sul collegamento: N=-6335.74 Ty=-0.18 Tz=-0.05 Mx=-0.00 Mz=-0.60
Sollecitazioni agenti localmente: Tx_l=-0.18 Ty_l=-0.05 N_l=-6335.74 Mx_l=-0.00 My_l=-0.60 Mz_l=-0.00

Tirafondi:LT=0.45 (0.31) σ_{cR}=0.00 σ_{fR}=0.00
Compressione nel calcestruzzo: σ_c=13.12
CC 22 SLD (Collegamento 0022_-379)
Azioni sul collegamento: N=-6335.74 Ty=-0.38 Tz=-0.05 Mx=-0.00 Mz=-1.00
Sollecitazioni agenti localmente: Tx_l=-0.38 Ty_l=-0.05 N_l=-6335.74 Mx_l=-0.00 My_l=-1.00 Mz_l=-0.00
Tirafondi:LT=0.45 (0.31) σ_{cR}=0.00 σ_{fR}=0.00
Compressione nel calcestruzzo: σ_c=13.15
CC 22 SLD (Collegamento 0022_-379)
Azioni sul collegamento: N=-4931.09 Ty=-0.18 Tz=-5.26 Mx=-0.00 Mz=-0.60
Sollecitazioni agenti localmente: Tx_l=-0.18 Ty_l=-5.26 N_l=-4931.09 Mx_l=-0.00 My_l=-0.60 Mz_l=-0.00
Taglio nei bulloni: Fv,Ed=0.88 Fv,Rd=9650.97
Rifollamento lato piastra: Fb,Ed,p=0.88 Fb,Rd,p=7482.44
Tirafondi:LT=0.45 (0.31) σ_{cR}=0.00 σ_{fR}=0.00
Compressione nel calcestruzzo: σ_c=10.22
CC 22 SLD (Collegamento 0022_-379)
Azioni sul collegamento: N=-4931.09 Ty=-0.38 Tz=-5.26 Mx=-0.00 Mz=-1.00
Sollecitazioni agenti localmente: Tx_l=-0.38 Ty_l=-5.26 N_l=-4931.09 Mx_l=-0.00 My_l=-1.00 Mz_l=-0.00
Taglio nei bulloni: Fv,Ed=0.88 Fv,Rd=9650.97
Rifollamento lato piastra: Fb,Ed,p=0.88 Fb,Rd,p=7523.35
Tirafondi:LT=0.45 (0.31) σ_{cR}=0.00 σ_{fR}=0.00
Compressione nel calcestruzzo: σ_c=10.24
CC 22 SLD (Collegamento 0022_-379)
Azioni sul collegamento: N=-4931.09 Ty=-0.18 Tz=-0.05 Mx=-0.00 Mz=-0.60
Sollecitazioni agenti localmente: Tx_l=-0.18 Ty_l=-0.05 N_l=-4931.09 Mx_l=-0.00 My_l=-0.60 Mz_l=-0.00
Tirafondi:LT=0.45 (0.31) σ_{cR}=0.00 σ_{fR}=0.00
Compressione nel calcestruzzo: σ_c=10.22
CC 22 SLD (Collegamento 0022_-379)
Azioni sul collegamento: N=-4931.09 Ty=-0.38 Tz=-0.05 Mx=-0.00 Mz=-1.00
Sollecitazioni agenti localmente: Tx_l=-0.38 Ty_l=-0.05 N_l=-4931.09 Mx_l=-0.00 My_l=-1.00 Mz_l=-0.00
Tirafondi:LT=0.45 (0.31) σ_{cR}=0.00 σ_{fR}=0.00
Compressione nel calcestruzzo: σ_c=10.24
CC 23 SLV (Collegamento 0022_-379)
Azioni sul collegamento: N=-7936.47 Ty=-1.44 Tz=-11.20 Mx=-0.01 Mz=-3.55
Sollecitazioni agenti localmente: Tx_l=-1.44 Ty_l=-11.20 N_l=-7936.47 Mx_l=-0.00 My_l=-3.55 Mz_l=-0.01
Taglio nei bulloni: Fv,Ed=1.89 Fv,Rd=7720.78
Rifollamento lato piastra: Fb,Ed,p=1.89 Fb,Rd,p=6110.76
Tirafondi:LT=0.45 (0.31) σ_{cR}=0.00 σ_{fR}=0.00
Compressione nel calcestruzzo: σ_c=16.60
CC 23 SLV (Collegamento 0022_-379)
Azioni sul collegamento: N=-7936.47 Ty=-0.74 Tz=-11.20 Mx=-0.01 Mz=-2.16
Sollecitazioni agenti localmente: Tx_l=-0.74 Ty_l=-11.20 N_l=-7936.47 Mx_l=-0.00 My_l=-2.16 Mz_l=-0.01
Taglio nei bulloni: Fv,Ed=1.88 Fv,Rd=7720.78
Rifollamento lato piastra: Fb,Ed,p=1.88 Fb,Rd,p=6010.20
Tirafondi:LT=0.45 (0.31) σ_{cR}=0.00 σ_{fR}=0.00
Compressione nel calcestruzzo: σ_c=16.52
CC 23 SLV (Collegamento 0022_-379)
Azioni sul collegamento: N=-7936.47 Ty=-1.44 Tz=5.89 Mx=-0.01 Mz=-3.55
Sollecitazioni agenti localmente: Tx_l=-1.44 Ty_l=5.89 N_l=-7936.47 Mx_l=-0.00 My_l=-3.55 Mz_l=-0.01
Taglio nei bulloni: Fv,Ed=1.02 Fv,Rd=7720.78
Rifollamento lato piastra: Fb,Ed,p=1.02 Fb,Rd,p=6553.06
Tirafondi:LT=0.45 (0.31) σ_{cR}=0.00 σ_{fR}=0.00
Compressione nel calcestruzzo: σ_c=16.60
CC 23 SLV (Collegamento 0022_-379)
Azioni sul collegamento: N=-7936.47 Ty=-0.74 Tz=5.89 Mx=-0.01 Mz=-2.16
Sollecitazioni agenti localmente: Tx_l=-0.74 Ty_l=5.89 N_l=-7936.47 Mx_l=-0.00 My_l=-2.16 Mz_l=-0.01
Taglio nei bulloni: Fv,Ed=1.00 Fv,Rd=7720.78
Rifollamento lato piastra: Fb,Ed,p=1.00 Fb,Rd,p=6141.81
Tirafondi:LT=0.45 (0.31) σ_{cR}=0.00 σ_{fR}=0.00
Compressione nel calcestruzzo: σ_c=16.52
CC 23 SLV (Collegamento 0022_-379)
Azioni sul collegamento: N=-3330.00 Ty=-1.44 Tz=-11.20 Mx=-0.01 Mz=-3.55
Sollecitazioni agenti localmente: Tx_l=-1.44 Ty_l=-11.20 N_l=-3330.00 Mx_l=-0.00 My_l=-3.55 Mz_l=-0.01
Taglio nei bulloni: Fv,Ed=1.89 Fv,Rd=7720.78
Rifollamento lato piastra: Fb,Ed,p=1.89 Fb,Rd,p=6110.77
Tirafondi:LT=0.45 (0.31) σ_{cR}=0.00 σ_{fR}=0.00
Compressione nel calcestruzzo: σ_c=7.08
CC 23 SLV (Collegamento 0022_-379)
Azioni sul collegamento: N=-3330.00 Ty=-0.74 Tz=-11.20 Mx=-0.01 Mz=-2.16
Sollecitazioni agenti localmente: Tx_l=-0.74 Ty_l=-11.20 N_l=-3330.00 Mx_l=-0.00 My_l=-2.16 Mz_l=-0.01
Taglio nei bulloni: Fv,Ed=1.88 Fv,Rd=7720.78
Rifollamento lato piastra: Fb,Ed,p=1.88 Fb,Rd,p=6010.20
Tirafondi:LT=0.45 (0.31) σ_{cR}=0.00 σ_{fR}=0.00
Compressione nel calcestruzzo: σ_c=7.00
CC 23 SLV (Collegamento 0022_-379)
Azioni sul collegamento: N=-3330.00 Ty=-1.44 Tz=5.89 Mx=-0.01 Mz=-3.55
Sollecitazioni agenti localmente: Tx_l=-1.44 Ty_l=5.89 N_l=-3330.00 Mx_l=-0.00 My_l=-3.55 Mz_l=-0.01
Taglio nei bulloni: Fv,Ed=1.02 Fv,Rd=7720.78
Rifollamento lato piastra: Fb,Ed,p=1.02 Fb,Rd,p=6553.05
Tirafondi:LT=0.45 (0.31) σ_{cR}=0.00 σ_{fR}=0.00
Compressione nel calcestruzzo: σ_c=7.08

CC 23 SLV (Collegamento 0022_-379)
Azioni sul collegamento: N=-3330.00 Ty=-0.74 Tz=5.89 Mx=-0.01 Mz=-2.16
Sollecitazioni agenti localmente: Tx_l=-0.74 Ty_l=5.89 N_l=-3330.00 Mx_l=-0.00 My_l=-2.16 Mz_l=-0.01
Taglio nei bulloni: Fv,Ed=1.00 Fv,Rd=7720.78
Rifollamento lato piastra: Fb,Ed,p=1.00 Fb,Rd,p=6141.81
Tirafondi:LT=0.45 (0.31) σ_{cR}=0.00 σ_{fR}=0.00
Compressione nel calcestruzzo: σ_c=7.00
CC 24 SLD (Collegamento 0022_-379)
Azioni sul collegamento: N=-6335.74 Ty=-0.39 Tz=-5.26 Mx=-0.00 Mz=-1.01
Sollecitazioni agenti localmente: Tx_l=-0.39 Ty_l=-5.26 N_l=-6335.74 Mx_l=-0.00 My_l=-1.01 Mz_l=-0.00
Taglio nei bulloni: Fv,Ed=0.88 Fv,Rd=9650.97
Rifollamento lato piastra: Fb,Ed,p=0.88 Fb,Rd,p=7527.80
Tirafondi:LT=0.45 (0.31) σ_{cR}=0.00 σ_{fR}=0.00
Compressione nel calcestruzzo: σ_c=13.15
CC 24 SLD (Collegamento 0022_-379)
Azioni sul collegamento: N=-6335.74 Ty=-0.17 Tz=-5.26 Mx=-0.00 Mz=-0.59
Sollecitazioni agenti localmente: Tx_l=-0.17 Ty_l=-5.26 N_l=-6335.74 Mx_l=-0.00 My_l=-0.59 Mz_l=-0.00
Taglio nei bulloni: Fv,Ed=0.88 Fv,Rd=9650.97
Rifollamento lato piastra: Fb,Ed,p=0.88 Fb,Rd,p=7483.24
Tirafondi:LT=0.45 (0.31) σ_{cR}=0.00 σ_{fR}=0.00
Compressione nel calcestruzzo: σ_c=13.12
CC 24 SLD (Collegamento 0022_-379)
Azioni sul collegamento: N=-6335.74 Ty=-0.39 Tz=-0.05 Mx=-0.00 Mz=-1.01
Sollecitazioni agenti localmente: Tx_l=-0.39 Ty_l=-0.05 N_l=-6335.74 Mx_l=-0.00 My_l=-1.01 Mz_l=-0.00
Tirafondi:LT=0.45 (0.31) σ_{cR}=0.00 σ_{fR}=0.00
Compressione nel calcestruzzo: σ_c=13.15
CC 24 SLD (Collegamento 0022_-379)
Azioni sul collegamento: N=-6335.74 Ty=-0.17 Tz=-0.05 Mx=-0.00 Mz=-0.59
Sollecitazioni agenti localmente: Tx_l=-0.17 Ty_l=-0.05 N_l=-6335.74 Mx_l=-0.00 My_l=-0.59 Mz_l=-0.00
Tirafondi:LT=0.45 (0.31) σ_{cR}=0.00 σ_{fR}=0.00
Compressione nel calcestruzzo: σ_c=13.12
CC 24 SLD (Collegamento 0022_-379)
Azioni sul collegamento: N=-4931.09 Ty=-0.39 Tz=-5.26 Mx=-0.00 Mz=-1.01
Sollecitazioni agenti localmente: Tx_l=-0.39 Ty_l=-5.26 N_l=-4931.09 Mx_l=-0.00 My_l=-1.01 Mz_l=-0.00
Taglio nei bulloni: Fv,Ed=0.88 Fv,Rd=9650.97
Rifollamento lato piastra: Fb,Ed,p=0.88 Fb,Rd,p=7527.80
Tirafondi:LT=0.45 (0.31) σ_{cR}=0.00 σ_{fR}=0.00
Compressione nel calcestruzzo: σ_c=10.25
CC 24 SLD (Collegamento 0022_-379)
Azioni sul collegamento: N=-4931.09 Ty=-0.17 Tz=-5.26 Mx=-0.00 Mz=-0.59
Sollecitazioni agenti localmente: Tx_l=-0.17 Ty_l=-5.26 N_l=-4931.09 Mx_l=-0.00 My_l=-0.59 Mz_l=-0.00
Taglio nei bulloni: Fv,Ed=0.88 Fv,Rd=9650.97
Rifollamento lato piastra: Fb,Ed,p=0.88 Fb,Rd,p=7483.24
Tirafondi:LT=0.45 (0.31) σ_{cR}=0.00 σ_{fR}=0.00
Compressione nel calcestruzzo: σ_c=10.22
CC 24 SLD (Collegamento 0022_-379)
Azioni sul collegamento: N=-4931.08 Ty=-0.39 Tz=-0.05 Mx=-0.00 Mz=-1.01
Sollecitazioni agenti localmente: Tx_l=-0.39 Ty_l=-0.05 N_l=-4931.08 Mx_l=-0.00 My_l=-1.01 Mz_l=-0.00
Tirafondi:LT=0.45 (0.31) σ_{cR}=0.00 σ_{fR}=0.00
Compressione nel calcestruzzo: σ_c=10.25
CC 24 SLD (Collegamento 0022_-379)
Azioni sul collegamento: N=-4931.08 Ty=-0.17 Tz=-0.05 Mx=-0.00 Mz=-0.59
Sollecitazioni agenti localmente: Tx_l=-0.17 Ty_l=-0.05 N_l=-4931.08 Mx_l=-0.00 My_l=-0.59 Mz_l=-0.00
Tirafondi:LT=0.45 (0.31) σ_{cR}=0.00 σ_{fR}=0.00
Compressione nel calcestruzzo: σ_c=10.22
CC 25 SLV (Collegamento 0022_-379)
Azioni sul collegamento: N=-4942.23 Ty=0.07 Tz=-0.09 Mx=-0.02 Mz=-0.59
Sollecitazioni agenti localmente: Tx_l=0.07 Ty_l=-0.09 N_l=-4942.23 Mx_l=-0.00 My_l=-0.59 Mz_l=-0.02
Tirafondi:LT=0.45 (0.31) σ_{cR}=0.00 σ_{fR}=0.00
Compressione nel calcestruzzo: σ_c=10.24
CC 25 SLV (Collegamento 0022_-379)
Azioni sul collegamento: N=-4942.23 Ty=-2.24 Tz=-0.09 Mx=-0.02 Mz=-5.11
Sollecitazioni agenti localmente: Tx_l=-2.24 Ty_l=-0.09 N_l=-4942.23 Mx_l=-0.00 My_l=-5.11 Mz_l=-0.02
Taglio nei bulloni: Fv,Ed=0.40 Fv,Rd=7720.78
Rifollamento lato piastra: Fb,Ed,p=0.40 Fb,Rd,p=6067.48
Tirafondi:LT=0.45 (0.31) σ_{cR}=0.00 σ_{fR}=0.00
Compressione nel calcestruzzo: σ_c=10.50
CC 25 SLV (Collegamento 0022_-379)
Azioni sul collegamento: N=-4942.23 Ty=0.07 Tz=-5.22 Mx=-0.02 Mz=-0.59
Sollecitazioni agenti localmente: Tx_l=0.07 Ty_l=-5.22 N_l=-4942.23 Mx_l=-0.00 My_l=-0.59 Mz_l=-0.02
Taglio nei bulloni: Fv,Ed=0.89 Fv,Rd=7720.78
Rifollamento lato piastra: Fb,Ed,p=0.89 Fb,Rd,p=5993.06
Tirafondi:LT=0.45 (0.31) σ_{cR}=0.00 σ_{fR}=0.00
Compressione nel calcestruzzo: σ_c=10.24
CC 25 SLV (Collegamento 0022_-379)
Azioni sul collegamento: N=-4942.23 Ty=-2.24 Tz=-5.22 Mx=-0.02 Mz=-5.11
Sollecitazioni agenti localmente: Tx_l=-2.24 Ty_l=-5.22 N_l=-4942.23 Mx_l=-0.00 My_l=-5.11 Mz_l=-0.02
Taglio nei bulloni: Fv,Ed=0.98 Fv,Rd=7720.78
Rifollamento lato piastra: Fb,Ed,p=0.96 Fb,Rd,p=7350.44
Tirafondi:LT=0.45 (0.31) σ_{cR}=0.00 σ_{fR}=0.00

Compressione nel calcestruzzo: σ_c=10.50
CC 25 SLV (Collegamento 0022_-379)
Azioni sul collegamento: N=-6324.24 Ty=0.07 Tz=-0.09 Mx=-0.02 Mz=-0.59
Sollecitazioni agenti localmente: Tx_l=0.07 Ty_l=-0.09 N_l=-6324.24 Mx_l=-0.00 My_l=-0.59 Mz_l=-0.02
Tirafondi:LT=0.45 (0.31) σ_{cR}=0.00 σ_{fR}=0.00
Compressione nel calcestruzzo: σ_c=13.10
CC 25 SLV (Collegamento 0022_-379)
Azioni sul collegamento: N=-6324.24 Ty=-2.24 Tz=-0.09 Mx=-0.02 Mz=-5.11
Sollecitazioni agenti localmente: Tx_l=-2.24 Ty_l=-0.09 N_l=-6324.24 Mx_l=-0.00 My_l=-5.11 Mz_l=-0.02
Taglio nei bulloni: Fv,Ed=0.40 Fv,Rd=7720.78
Rifollamento lato piastra: Fb,Ed,p=0.40 Fb,Rd,p=6067.42
Tirafondi:LT=0.45 (0.31) σ_{cR}=0.00 σ_{fR}=0.00
Compressione nel calcestruzzo: σ_c=13.35
CC 25 SLV (Collegamento 0022_-379)
Azioni sul collegamento: N=-6324.24 Ty=0.07 Tz=-5.22 Mx=-0.02 Mz=-0.59
Sollecitazioni agenti localmente: Tx_l=0.07 Ty_l=-5.22 N_l=-6324.24 Mx_l=-0.00 My_l=-0.59 Mz_l=-0.02
Taglio nei bulloni: Fv,Ed=0.89 Fv,Rd=7720.78
Rifollamento lato piastra: Fb,Ed,p=0.89 Fb,Rd,p=5993.06
Tirafondi:LT=0.45 (0.31) σ_{cR}=0.00 σ_{fR}=0.00
Compressione nel calcestruzzo: σ_c=13.10
CC 25 SLV (Collegamento 0022_-379)
Azioni sul collegamento: N=-6324.24 Ty=-2.24 Tz=-5.22 Mx=-0.02 Mz=-5.11
Sollecitazioni agenti localmente: Tx_l=-2.24 Ty_l=-5.22 N_l=-6324.24 Mx_l=-0.00 My_l=-5.11 Mz_l=-0.02
Taglio nei bulloni: Fv,Ed=0.98 Fv,Rd=7720.78
Rifollamento lato piastra: Fb,Ed,p=0.96 Fb,Rd,p=7350.49
Tirafondi:LT=0.45 (0.31) σ_{cR}=0.00 σ_{fR}=0.00
Compressione nel calcestruzzo: σ_c=13.35
CC 26 SLD (Collegamento 0022_-379)
Azioni sul collegamento: N=-5422.71 Ty=0.07 Tz=-1.87 Mx=-0.01 Mz=-0.11
Sollecitazioni agenti localmente: Tx_l=0.07 Ty_l=-1.87 N_l=-5422.71 Mx_l=-0.00 My_l=-0.11 Mz_l=-0.01
Taglio nei bulloni: Fv,Ed=0.32 Fv,Rd=9650.97
Rifollamento lato piastra: Fb,Ed,p=0.32 Fb,Rd,p=7514.01
Tirafondi:LT=0.45 (0.31) σ_{cR}=0.00 σ_{fR}=0.00
Compressione nel calcestruzzo: σ_c=11.21
CC 26 SLD (Collegamento 0022_-379)
Azioni sul collegamento: N=-5422.71 Ty=-0.63 Tz=-1.87 Mx=-0.01 Mz=-1.49
Sollecitazioni agenti localmente: Tx_l=-0.63 Ty_l=-1.87 N_l=-5422.71 Mx_l=-0.00 My_l=-1.49 Mz_l=-0.01
Taglio nei bulloni: Fv,Ed=0.34 Fv,Rd=9650.97
Rifollamento lato piastra: Fb,Ed,p=0.33 Fb,Rd,p=8529.49
Tirafondi:LT=0.45 (0.31) σ_{cR}=0.00 σ_{fR}=0.00
Compressione nel calcestruzzo: σ_c=11.29
CC 26 SLD (Collegamento 0022_-379)
Azioni sul collegamento: N=-5422.71 Ty=0.07 Tz=-3.44 Mx=-0.01 Mz=-0.11
Sollecitazioni agenti localmente: Tx_l=0.07 Ty_l=-3.44 N_l=-5422.71 Mx_l=-0.00 My_l=-0.11 Mz_l=-0.01
Taglio nei bulloni: Fv,Ed=0.58 Fv,Rd=9650.97
Rifollamento lato piastra: Fb,Ed,p=0.58 Fb,Rd,p=7486.10
Tirafondi:LT=0.45 (0.31) σ_{cR}=0.00 σ_{fR}=0.00
Compressione nel calcestruzzo: σ_c=11.21
CC 26 SLD (Collegamento 0022_-379)
Azioni sul collegamento: N=-5422.71 Ty=-0.63 Tz=-3.44 Mx=-0.01 Mz=-1.49
Sollecitazioni agenti localmente: Tx_l=-0.63 Ty_l=-3.44 N_l=-5422.71 Mx_l=-0.00 My_l=-1.49 Mz_l=-0.01
Taglio nei bulloni: Fv,Ed=0.59 Fv,Rd=9650.97
Rifollamento lato piastra: Fb,Ed,p=0.59 Fb,Rd,p=7792.50
Tirafondi:LT=0.45 (0.31) σ_{cR}=0.00 σ_{fR}=0.00
Compressione nel calcestruzzo: σ_c=11.29
CC 26 SLD (Collegamento 0022_-379)
Azioni sul collegamento: N=-5844.12 Ty=0.07 Tz=-1.87 Mx=-0.01 Mz=-0.11
Sollecitazioni agenti localmente: Tx_l=0.07 Ty_l=-1.87 N_l=-5844.12 Mx_l=-0.00 My_l=-0.11 Mz_l=-0.01
Taglio nei bulloni: Fv,Ed=0.32 Fv,Rd=9650.97
Rifollamento lato piastra: Fb,Ed,p=0.32 Fb,Rd,p=7514.01
Tirafondi:LT=0.45 (0.31) σ_{cR}=0.00 σ_{fR}=0.00
Compressione nel calcestruzzo: σ_c=12.08
CC 26 SLD (Collegamento 0022_-379)
Azioni sul collegamento: N=-5844.12 Ty=-0.63 Tz=-1.87 Mx=-0.01 Mz=-1.49
Sollecitazioni agenti localmente: Tx_l=-0.63 Ty_l=-1.87 N_l=-5844.12 Mx_l=-0.00 My_l=-1.49 Mz_l=-0.01
Taglio nei bulloni: Fv,Ed=0.34 Fv,Rd=9650.97
Rifollamento lato piastra: Fb,Ed,p=0.33 Fb,Rd,p=8529.45
Tirafondi:LT=0.45 (0.31) σ_{cR}=0.00 σ_{fR}=0.00
Compressione nel calcestruzzo: σ_c=12.16
CC 26 SLD (Collegamento 0022_-379)
Azioni sul collegamento: N=-5844.12 Ty=0.07 Tz=-3.44 Mx=-0.01 Mz=-0.11
Sollecitazioni agenti localmente: Tx_l=0.07 Ty_l=-3.44 N_l=-5844.12 Mx_l=-0.00 My_l=-0.11 Mz_l=-0.01
Taglio nei bulloni: Fv,Ed=0.58 Fv,Rd=9650.97
Rifollamento lato piastra: Fb,Ed,p=0.58 Fb,Rd,p=7486.10
Tirafondi:LT=0.45 (0.31) σ_{cR}=0.00 σ_{fR}=0.00
Compressione nel calcestruzzo: σ_c=12.08
CC 26 SLD (Collegamento 0022_-379)
Azioni sul collegamento: N=-5844.12 Ty=-0.63 Tz=-3.44 Mx=-0.01 Mz=-1.49
Sollecitazioni agenti localmente: Tx_l=-0.63 Ty_l=-3.44 N_l=-5844.12 Mx_l=-0.00 My_l=-1.49 Mz_l=-0.01
Taglio nei bulloni: Fv,Ed=0.59 Fv,Rd=9650.97

Rifollamento lato piastra: Fb,Ed,p=0.59 Fb,Rd,p=7792.51
Tirafondi:LT=0.45 (0.31) σ_{cR}=0.00 σ_{fR}=0.00
Compressione nel calcestruzzo: σ_c=12.16
CC 27 SLV (Collegamento 0022_-379)
Azioni sul collegamento: N=-6324.16 Ty=0.06 Tz=-5.22 Mx=-0.02 Mz=-0.60
Sollecitazioni agenti localmente: Tx_l=0.06 Ty_l=-5.22 N_l=-6324.16 Mx_l=-0.00 My_l=-0.60 Mz_l=-0.02
Taglio nei bulloni: Fv,Ed=0.89 Fv,Rd=7720.78
Rifollamento lato piastra: Fb,Ed,p=0.89 Fb,Rd,p=5992.49
Tirafondi:LT=0.45 (0.31) σ_{cR}=0.00 σ_{fR}=0.00
Compressione nel calcestruzzo: σ_c=13.10
CC 27 SLV (Collegamento 0022_-379)
Azioni sul collegamento: N=-6324.16 Ty=-2.24 Tz=-5.22 Mx=-0.02 Mz=-5.10
Sollecitazioni agenti localmente: Tx_l=-2.24 Ty_l=-5.22 N_l=-6324.16 Mx_l=-0.00 My_l=-5.10 Mz_l=-0.02
Taglio nei bulloni: Fv,Ed=0.98 Fv,Rd=7720.78
Rifollamento lato piastra: Fb,Ed,p=0.96 Fb,Rd,p=7346.77
Tirafondi:LT=0.45 (0.31) σ_{cR}=0.00 σ_{fR}=0.00
Compressione nel calcestruzzo: σ_c=13.35
CC 27 SLV (Collegamento 0022_-379)
Azioni sul collegamento: N=-6324.16 Ty=0.06 Tz=-0.09 Mx=-0.02 Mz=-0.60
Sollecitazioni agenti localmente: Tx_l=0.06 Ty_l=-0.09 N_l=-6324.16 Mx_l=-0.00 My_l=-0.60 Mz_l=-0.02
Tirafondi:LT=0.45 (0.31) σ_{cR}=0.00 σ_{fR}=0.00
Compressione nel calcestruzzo: σ_c=13.10
CC 27 SLV (Collegamento 0022_-379)
Azioni sul collegamento: N=-6324.16 Ty=-2.24 Tz=-0.09 Mx=-0.02 Mz=-5.10
Sollecitazioni agenti localmente: Tx_l=-2.24 Ty_l=-0.09 N_l=-6324.16 Mx_l=-0.00 My_l=-5.10 Mz_l=-0.02
Taglio nei bulloni: Fv,Ed=0.40 Fv,Rd=7720.78
Rifollamento lato piastra: Fb,Ed,p=0.40 Fb,Rd,p=6068.69
Tirafondi:LT=0.45 (0.31) σ_{cR}=0.00 σ_{fR}=0.00
Compressione nel calcestruzzo: σ_c=13.35
CC 27 SLV (Collegamento 0022_-379)
Azioni sul collegamento: N=-4942.30 Ty=0.06 Tz=-5.22 Mx=-0.02 Mz=-0.60
Sollecitazioni agenti localmente: Tx_l=0.06 Ty_l=-5.22 N_l=-4942.30 Mx_l=-0.00 My_l=-0.60 Mz_l=-0.02
Taglio nei bulloni: Fv,Ed=0.89 Fv,Rd=7720.78
Rifollamento lato piastra: Fb,Ed,p=0.89 Fb,Rd,p=5992.49
Tirafondi:LT=0.45 (0.31) σ_{cR}=0.00 σ_{fR}=0.00
Compressione nel calcestruzzo: σ_c=10.25
CC 27 SLV (Collegamento 0022_-379)
Azioni sul collegamento: N=-4942.30 Ty=-2.24 Tz=-5.22 Mx=-0.02 Mz=-5.10
Sollecitazioni agenti localmente: Tx_l=-2.24 Ty_l=-5.22 N_l=-4942.30 Mx_l=-0.00 My_l=-5.10 Mz_l=-0.02
Taglio nei bulloni: Fv,Ed=0.98 Fv,Rd=7720.78
Rifollamento lato piastra: Fb,Ed,p=0.96 Fb,Rd,p=7346.73
Tirafondi:LT=0.45 (0.31) σ_{cR}=0.00 σ_{fR}=0.00
Compressione nel calcestruzzo: σ_c=10.50
CC 27 SLV (Collegamento 0022_-379)
Azioni sul collegamento: N=-4942.30 Ty=0.06 Tz=-0.09 Mx=-0.02 Mz=-0.60
Sollecitazioni agenti localmente: Tx_l=0.06 Ty_l=-0.09 N_l=-4942.30 Mx_l=-0.00 My_l=-0.60 Mz_l=-0.02
Tirafondi:LT=0.45 (0.31) σ_{cR}=0.00 σ_{fR}=0.00
Compressione nel calcestruzzo: σ_c=10.25
CC 27 SLV (Collegamento 0022_-379)
Azioni sul collegamento: N=-4942.30 Ty=-2.24 Tz=-0.09 Mx=-0.02 Mz=-5.10
Sollecitazioni agenti localmente: Tx_l=-2.24 Ty_l=-0.09 N_l=-4942.30 Mx_l=-0.00 My_l=-5.10 Mz_l=-0.02
Taglio nei bulloni: Fv,Ed=0.40 Fv,Rd=7720.78
Rifollamento lato piastra: Fb,Ed,p=0.40 Fb,Rd,p=6068.88
Tirafondi:LT=0.45 (0.31) σ_{cR}=0.00 σ_{fR}=0.00
Compressione nel calcestruzzo: σ_c=10.50
CC 28 SLD (Collegamento 0022_-379)
Azioni sul collegamento: N=-5844.10 Ty=0.07 Tz=-3.44 Mx=-0.01 Mz=-0.11
Sollecitazioni agenti localmente: Tx_l=0.07 Ty_l=-3.44 N_l=-5844.10 Mx_l=-0.00 My_l=-0.11 Mz_l=-0.01
Taglio nei bulloni: Fv,Ed=0.58 Fv,Rd=9650.97
Rifollamento lato piastra: Fb,Ed,p=0.58 Fb,Rd,p=7485.82
Tirafondi:LT=0.45 (0.31) σ_{cR}=0.00 σ_{fR}=0.00
Compressione nel calcestruzzo: σ_c=12.08
CC 28 SLD (Collegamento 0022_-379)
Azioni sul collegamento: N=-5844.10 Ty=-0.63 Tz=-3.44 Mx=-0.01 Mz=-1.48
Sollecitazioni agenti localmente: Tx_l=-0.63 Ty_l=-3.44 N_l=-5844.10 Mx_l=-0.00 My_l=-1.48 Mz_l=-0.01
Taglio nei bulloni: Fv,Ed=0.59 Fv,Rd=9650.97
Rifollamento lato piastra: Fb,Ed,p=0.59 Fb,Rd,p=7791.39
Tirafondi:LT=0.45 (0.31) σ_{cR}=0.00 σ_{fR}=0.00
Compressione nel calcestruzzo: σ_c=12.16
CC 28 SLD (Collegamento 0022_-379)
Azioni sul collegamento: N=-5844.10 Ty=0.07 Tz=-1.87 Mx=-0.01 Mz=-0.11
Sollecitazioni agenti localmente: Tx_l=0.07 Ty_l=-1.87 N_l=-5844.10 Mx_l=-0.00 My_l=-0.11 Mz_l=-0.01
Taglio nei bulloni: Fv,Ed=0.32 Fv,Rd=9650.97
Rifollamento lato piastra: Fb,Ed,p=0.32 Fb,Rd,p=7513.03
Tirafondi:LT=0.45 (0.31) σ_{cR}=0.00 σ_{fR}=0.00
Compressione nel calcestruzzo: σ_c=12.08
CC 28 SLD (Collegamento 0022_-379)
Azioni sul collegamento: N=-5844.10 Ty=-0.63 Tz=-1.87 Mx=-0.01 Mz=-1.48
Sollecitazioni agenti localmente: Tx_l=-0.63 Ty_l=-1.87 N_l=-5844.10 Mx_l=-0.00 My_l=-1.48 Mz_l=-0.01
Taglio nei bulloni: Fv,Ed=0.34 Fv,Rd=9650.97

Rifollamento lato piastra: Fb,Ed,p=0.33 Fb,Rd,p=8524.81
Tirafondi:LT=0.45 (0.31) σ_{cR}=0.00 σ_{fR}=0.00
Compressione nel calcestruzzo: σ_c=12.16
CC 28 SLD (Collegamento 0022_-379)
Azioni sul collegamento: N=-5422.73 Ty=0.07 Tz=-3.44 Mx=-0.01 Mz=-0.11
Sollecitazioni agenti localmente: Tx_l=0.07 Ty_l=-3.44 N_l=-5422.73 Mx_l=-0.00 My_l=-0.11 Mz_l=-0.01
Taglio nei bulloni: Fv,Ed=0.58 Fv,Rd=9650.97
Rifollamento lato piastra: Fb,Ed,p=0.58 Fb,Rd,p=7485.82
Tirafondi:LT=0.45 (0.31) σ_{cR}=0.00 σ_{fR}=0.00
Compressione nel calcestruzzo: σ_c=11.21
CC 28 SLD (Collegamento 0022_-379)
Azioni sul collegamento: N=-5422.73 Ty=-0.63 Tz=-3.44 Mx=-0.01 Mz=-1.48
Sollecitazioni agenti localmente: Tx_l=-0.63 Ty_l=-3.44 N_l=-5422.73 Mx_l=-0.00 My_l=-1.48 Mz_l=-0.01
Taglio nei bulloni: Fv,Ed=0.59 Fv,Rd=9650.97
Rifollamento lato piastra: Fb,Ed,p=0.59 Fb,Rd,p=7791.43
Tirafondi:LT=0.45 (0.31) σ_{cR}=0.00 σ_{fR}=0.00
Compressione nel calcestruzzo: σ_c=11.29
CC 28 SLD (Collegamento 0022_-379)
Azioni sul collegamento: N=-5422.73 Ty=0.07 Tz=-1.87 Mx=-0.01 Mz=-0.11
Sollecitazioni agenti localmente: Tx_l=0.07 Ty_l=-1.87 N_l=-5422.73 Mx_l=-0.00 My_l=-0.11 Mz_l=-0.01
Taglio nei bulloni: Fv,Ed=0.32 Fv,Rd=9650.97
Rifollamento lato piastra: Fb,Ed,p=0.32 Fb,Rd,p=7513.03
Tirafondi:LT=0.45 (0.31) σ_{cR}=0.00 σ_{fR}=0.00
Compressione nel calcestruzzo: σ_c=11.21
CC 28 SLD (Collegamento 0022_-379)
Azioni sul collegamento: N=-5422.73 Ty=-0.63 Tz=-1.87 Mx=-0.01 Mz=-1.48
Sollecitazioni agenti localmente: Tx_l=-0.63 Ty_l=-1.87 N_l=-5422.73 Mx_l=-0.00 My_l=-1.48 Mz_l=-0.01
Taglio nei bulloni: Fv,Ed=0.34 Fv,Rd=9650.97
Rifollamento lato piastra: Fb,Ed,p=0.33 Fb,Rd,p=8524.73
Tirafondi:LT=0.45 (0.31) σ_{cR}=0.00 σ_{fR}=0.00
Compressione nel calcestruzzo: σ_c=11.29
CC 29 SLV (Collegamento 0022_-379)
Azioni sul collegamento: N=-4942.30 Ty=-2.24 Tz=-0.09 Mx=-0.00 Mz=-5.10
Sollecitazioni agenti localmente: Tx_l=-2.24 Ty_l=-0.09 N_l=-4942.30 Mx_l=-0.00 My_l=-5.10 Mz_l=-0.00
Taglio nei bulloni: Fv,Ed=0.38 Fv,Rd=7720.78
Rifollamento lato piastra: Fb,Ed,p=0.38 Fb,Rd,p=6005.64
Tirafondi:LT=0.45 (0.31) σ_{cR}=0.00 σ_{fR}=0.00
Compressione nel calcestruzzo: σ_c=10.50
CC 29 SLV (Collegamento 0022_-379)
Azioni sul collegamento: N=-4942.30 Ty=0.06 Tz=-0.09 Mx=-0.00 Mz=-0.60
Sollecitazioni agenti localmente: Tx_l=0.06 Ty_l=-0.09 N_l=-4942.30 Mx_l=-0.00 My_l=-0.60 Mz_l=-0.00
Tirafondi:LT=0.45 (0.31) σ_{cR}=0.00 σ_{fR}=0.00
Compressione nel calcestruzzo: σ_c=10.25
CC 29 SLV (Collegamento 0022_-379)
Azioni sul collegamento: N=-4942.30 Ty=-2.24 Tz=-5.22 Mx=-0.00 Mz=-5.10
Sollecitazioni agenti localmente: Tx_l=-2.24 Ty_l=-5.22 N_l=-4942.30 Mx_l=-0.00 My_l=-5.10 Mz_l=-0.00
Taglio nei bulloni: Fv,Ed=0.95 Fv,Rd=7720.78
Rifollamento lato piastra: Fb,Ed,p=0.95 Fb,Rd,p=7572.98
Tirafondi:LT=0.45 (0.31) σ_{cR}=0.00 σ_{fR}=0.00
Compressione nel calcestruzzo: σ_c=10.50
CC 29 SLV (Collegamento 0022_-379)
Azioni sul collegamento: N=-4942.30 Ty=0.06 Tz=-5.22 Mx=-0.00 Mz=-0.60
Sollecitazioni agenti localmente: Tx_l=0.06 Ty_l=-5.22 N_l=-4942.30 Mx_l=-0.00 My_l=-0.60 Mz_l=-0.00
Taglio nei bulloni: Fv,Ed=0.87 Fv,Rd=7720.78
Rifollamento lato piastra: Fb,Ed,p=0.87 Fb,Rd,p=5981.89
Tirafondi:LT=0.45 (0.31) σ_{cR}=0.00 σ_{fR}=0.00
Compressione nel calcestruzzo: σ_c=10.25
CC 29 SLV (Collegamento 0022_-379)
Azioni sul collegamento: N=-6324.16 Ty=-2.24 Tz=-0.09 Mx=-0.00 Mz=-5.10
Sollecitazioni agenti localmente: Tx_l=-2.24 Ty_l=-0.09 N_l=-6324.16 Mx_l=-0.00 My_l=-5.10 Mz_l=-0.00
Taglio nei bulloni: Fv,Ed=0.38 Fv,Rd=7720.78
Rifollamento lato piastra: Fb,Ed,p=0.38 Fb,Rd,p=6005.53
Tirafondi:LT=0.45 (0.31) σ_{cR}=0.00 σ_{fR}=0.00
Compressione nel calcestruzzo: σ_c=13.35
CC 29 SLV (Collegamento 0022_-379)
Azioni sul collegamento: N=-6324.16 Ty=0.06 Tz=-0.09 Mx=-0.00 Mz=-0.60
Sollecitazioni agenti localmente: Tx_l=0.06 Ty_l=-0.09 N_l=-6324.16 Mx_l=-0.00 My_l=-0.60 Mz_l=-0.00
Tirafondi:LT=0.45 (0.31) σ_{cR}=0.00 σ_{fR}=0.00
Compressione nel calcestruzzo: σ_c=13.10
CC 29 SLV (Collegamento 0022_-379)
Azioni sul collegamento: N=-6324.16 Ty=-2.24 Tz=-5.22 Mx=-0.00 Mz=-5.10
Sollecitazioni agenti localmente: Tx_l=-2.24 Ty_l=-5.22 N_l=-6324.16 Mx_l=-0.00 My_l=-5.10 Mz_l=-0.00
Taglio nei bulloni: Fv,Ed=0.95 Fv,Rd=7720.78
Rifollamento lato piastra: Fb,Ed,p=0.95 Fb,Rd,p=7573.03
Tirafondi:LT=0.45 (0.31) σ_{cR}=0.00 σ_{fR}=0.00
Compressione nel calcestruzzo: σ_c=13.35
CC 29 SLV (Collegamento 0022_-379)
Azioni sul collegamento: N=-6324.16 Ty=0.06 Tz=-5.22 Mx=-0.00 Mz=-0.60
Sollecitazioni agenti localmente: Tx_l=0.06 Ty_l=-5.22 N_l=-6324.16 Mx_l=-0.00 My_l=-0.60 Mz_l=-0.00
Taglio nei bulloni: Fv,Ed=0.87 Fv,Rd=7720.78

Rifollamento lato piastra: Fb,Ed,p=0.87 Fb,Rd,p=5981.89
Tirafondi:LT=0.45 (0.31) σ_{cR}=0.00 σ_{fR}=0.00
Compressione nel calcestruzzo: σ_c=13.10
CC 30 SLD (Collegamento 0022_-379)
Azioni sul collegamento: N=-5422.73 Ty=-0.63 Tz=-1.87 Mx=-0.00 Mz=-1.48
Sollecitazioni agenti localmente: Tx_l=-0.63 Ty_l=-1.87 N_l=-5422.73 Mx_l=-0.00 My_l=-1.48 Mz_l=-0.00
Taglio nei bulloni: Fv,Ed=0.33 Fv,Rd=9650.97
Rifollamento lato piastra: Fb,Ed,p=0.33 Fb,Rd,p=8700.91
Tirafondi:LT=0.45 (0.31) σ_{cR}=0.00 σ_{fR}=0.00
Compressione nel calcestruzzo: σ_c=11.29
CC 30 SLD (Collegamento 0022_-379)
Azioni sul collegamento: N=-5422.73 Ty=0.07 Tz=-1.87 Mx=-0.00 Mz=-0.11
Sollecitazioni agenti localmente: Tx_l=0.07 Ty_l=-1.87 N_l=-5422.73 Mx_l=-0.00 My_l=-0.11 Mz_l=-0.00
Taglio nei bulloni: Fv,Ed=0.31 Fv,Rd=9650.97
Rifollamento lato piastra: Fb,Ed,p=0.31 Fb,Rd,p=7493.24
Tirafondi:LT=0.45 (0.31) σ_{cR}=0.00 σ_{fR}=0.00
Compressione nel calcestruzzo: σ_c=11.21
CC 30 SLD (Collegamento 0022_-379)
Azioni sul collegamento: N=-5422.73 Ty=-0.63 Tz=-3.44 Mx=-0.00 Mz=-1.48
Sollecitazioni agenti localmente: Tx_l=-0.63 Ty_l=-3.44 N_l=-5422.73 Mx_l=-0.00 My_l=-1.48 Mz_l=-0.00
Taglio nei bulloni: Fv,Ed=0.58 Fv,Rd=9650.97
Rifollamento lato piastra: Fb,Ed,p=0.58 Fb,Rd,p=7838.19
Tirafondi:LT=0.45 (0.31) σ_{cR}=0.00 σ_{fR}=0.00
Compressione nel calcestruzzo: σ_c=11.29
CC 30 SLD (Collegamento 0022_-379)
Azioni sul collegamento: N=-5422.73 Ty=0.07 Tz=-3.44 Mx=-0.00 Mz=-0.11
Sollecitazioni agenti localmente: Tx_l=0.07 Ty_l=-3.44 N_l=-5422.73 Mx_l=-0.00 My_l=-0.11 Mz_l=-0.00
Taglio nei bulloni: Fv,Ed=0.57 Fv,Rd=9650.97
Rifollamento lato piastra: Fb,Ed,p=0.57 Fb,Rd,p=7479.71
Tirafondi:LT=0.45 (0.31) σ_{cR}=0.00 σ_{fR}=0.00
Compressione nel calcestruzzo: σ_c=11.21
CC 30 SLD (Collegamento 0022_-379)
Azioni sul collegamento: N=-5844.10 Ty=-0.63 Tz=-1.87 Mx=-0.00 Mz=-1.48
Sollecitazioni agenti localmente: Tx_l=-0.63 Ty_l=-1.87 N_l=-5844.10 Mx_l=-0.00 My_l=-1.48 Mz_l=-0.00
Taglio nei bulloni: Fv,Ed=0.33 Fv,Rd=9650.97
Rifollamento lato piastra: Fb,Ed,p=0.33 Fb,Rd,p=8701.00
Tirafondi:LT=0.45 (0.31) σ_{cR}=0.00 σ_{fR}=0.00
Compressione nel calcestruzzo: σ_c=12.16
CC 30 SLD (Collegamento 0022_-379)
Azioni sul collegamento: N=-5844.10 Ty=0.07 Tz=-1.87 Mx=-0.00 Mz=-0.11
Sollecitazioni agenti localmente: Tx_l=0.07 Ty_l=-1.87 N_l=-5844.10 Mx_l=-0.00 My_l=-0.11 Mz_l=-0.00
Taglio nei bulloni: Fv,Ed=0.31 Fv,Rd=9650.97
Rifollamento lato piastra: Fb,Ed,p=0.31 Fb,Rd,p=7493.24
Tirafondi:LT=0.45 (0.31) σ_{cR}=0.00 σ_{fR}=0.00
Compressione nel calcestruzzo: σ_c=12.08
CC 30 SLD (Collegamento 0022_-379)
Azioni sul collegamento: N=-5844.10 Ty=-0.63 Tz=-3.44 Mx=-0.00 Mz=-1.48
Sollecitazioni agenti localmente: Tx_l=-0.63 Ty_l=-3.44 N_l=-5844.10 Mx_l=-0.00 My_l=-1.48 Mz_l=-0.00
Taglio nei bulloni: Fv,Ed=0.58 Fv,Rd=9650.97
Rifollamento lato piastra: Fb,Ed,p=0.58 Fb,Rd,p=7838.14
Tirafondi:LT=0.45 (0.31) σ_{cR}=0.00 σ_{fR}=0.00
Compressione nel calcestruzzo: σ_c=12.16
CC 30 SLD (Collegamento 0022_-379)
Azioni sul collegamento: N=-5844.10 Ty=0.07 Tz=-3.44 Mx=-0.00 Mz=-0.11
Sollecitazioni agenti localmente: Tx_l=0.07 Ty_l=-3.44 N_l=-5844.10 Mx_l=-0.00 My_l=-0.11 Mz_l=-0.00
Taglio nei bulloni: Fv,Ed=0.57 Fv,Rd=9650.97
Rifollamento lato piastra: Fb,Ed,p=0.57 Fb,Rd,p=7479.72
Tirafondi:LT=0.45 (0.31) σ_{cR}=0.00 σ_{fR}=0.00
Compressione nel calcestruzzo: σ_c=12.08
CC 31 SLV (Collegamento 0022_-379)
Azioni sul collegamento: N=-6324.24 Ty=-2.24 Tz=-5.22 Mx=-0.00 Mz=-5.11
Sollecitazioni agenti localmente: Tx_l=-2.24 Ty_l=-5.22 N_l=-6324.24 Mx_l=-0.00 My_l=-5.11 Mz_l=-0.00
Taglio nei bulloni: Fv,Ed=0.95 Fv,Rd=7720.78
Rifollamento lato piastra: Fb,Ed,p=0.95 Fb,Rd,p=7578.67
Tirafondi:LT=0.45 (0.31) σ_{cR}=0.00 σ_{fR}=0.00
Compressione nel calcestruzzo: σ_c=13.35
CC 31 SLV (Collegamento 0022_-379)
Azioni sul collegamento: N=-6324.24 Ty=0.07 Tz=-5.22 Mx=-0.00 Mz=-0.59
Sollecitazioni agenti localmente: Tx_l=0.07 Ty_l=-5.22 N_l=-6324.24 Mx_l=-0.00 My_l=-0.59 Mz_l=-0.00
Taglio nei bulloni: Fv,Ed=0.87 Fv,Rd=7720.78
Rifollamento lato piastra: Fb,Ed,p=0.87 Fb,Rd,p=5982.11
Tirafondi:LT=0.45 (0.31) σ_{cR}=0.00 σ_{fR}=0.00
Compressione nel calcestruzzo: σ_c=13.10
CC 31 SLV (Collegamento 0022_-379)
Azioni sul collegamento: N=-6324.24 Ty=-2.24 Tz=-0.09 Mx=-0.00 Mz=-5.11
Sollecitazioni agenti localmente: Tx_l=-2.24 Ty_l=-0.09 N_l=-6324.24 Mx_l=-0.00 My_l=-5.11 Mz_l=-0.00
Taglio nei bulloni: Fv,Ed=0.38 Fv,Rd=7720.78
Rifollamento lato piastra: Fb,Ed,p=0.38 Fb,Rd,p=6004.59
Tirafondi:LT=0.45 (0.31) σ_{cR}=0.00 σ_{fR}=0.00
Compressione nel calcestruzzo: σ_c=13.35

CC 31 SLV (Collegamento 0022_-379)
Azioni sul collegamento: N=-6324.24 Ty=0.07 Tz=-0.09 Mx=-0.00 Mz=-0.59
Sollecitazioni agenti localmente: Tx_l=0.07 Ty_l=-0.09 N_l=-6324.24 Mx_l=-0.00 My_l=-0.59 Mz_l=-0.00
Tirafondi:LT=0.45 (0.31) σ_{cR}=0.00 σ_{fR}=0.00
Compressione nel calcestruzzo: σ_c=13.10
CC 31 SLV (Collegamento 0022_-379)
Azioni sul collegamento: N=-4942.23 Ty=-2.24 Tz=-5.22 Mx=-0.00 Mz=-5.11
Sollecitazioni agenti localmente: Tx_l=-2.24 Ty_l=-5.22 N_l=-4942.23 Mx_l=-0.00 My_l=-5.11 Mz_l=-0.00
Taglio nei bulloni: Fv,Ed=0.95 Fv,Rd=7720.78
Rifollamento lato piastra: Fb,Ed,p=0.95 Fb,Rd,p=7578.61
Tirafondi:LT=0.45 (0.31) σ_{cR}=0.00 σ_{fR}=0.00
Compressione nel calcestruzzo: σ_c=10.50
CC 31 SLV (Collegamento 0022_-379)
Azioni sul collegamento: N=-4942.23 Ty=0.07 Tz=-5.22 Mx=-0.00 Mz=-0.59
Sollecitazioni agenti localmente: Tx_l=0.07 Ty_l=-5.22 N_l=-4942.23 Mx_l=-0.00 My_l=-0.59 Mz_l=-0.00
Taglio nei bulloni: Fv,Ed=0.87 Fv,Rd=7720.78
Rifollamento lato piastra: Fb,Ed,p=0.87 Fb,Rd,p=5982.11
Tirafondi:LT=0.45 (0.31) σ_{cR}=0.00 σ_{fR}=0.00
Compressione nel calcestruzzo: σ_c=10.24
CC 31 SLV (Collegamento 0022_-379)
Azioni sul collegamento: N=-4942.23 Ty=-2.24 Tz=-0.09 Mx=-0.00 Mz=-5.11
Sollecitazioni agenti localmente: Tx_l=-2.24 Ty_l=-0.09 N_l=-4942.23 Mx_l=-0.00 My_l=-5.11 Mz_l=-0.00
Taglio nei bulloni: Fv,Ed=0.38 Fv,Rd=7720.78
Rifollamento lato piastra: Fb,Ed,p=0.38 Fb,Rd,p=6004.62
Tirafondi:LT=0.45 (0.31) σ_{cR}=0.00 σ_{fR}=0.00
Compressione nel calcestruzzo: σ_c=10.50
CC 31 SLV (Collegamento 0022_-379)
Azioni sul collegamento: N=-4942.23 Ty=0.07 Tz=-0.09 Mx=-0.00 Mz=-0.59
Sollecitazioni agenti localmente: Tx_l=0.07 Ty_l=-0.09 N_l=-4942.23 Mx_l=-0.00 My_l=-0.59 Mz_l=-0.00
Tirafondi:LT=0.45 (0.31) σ_{cR}=0.00 σ_{fR}=0.00
Compressione nel calcestruzzo: σ_c=10.24
CC 32 SLD (Collegamento 0022_-379)
Azioni sul collegamento: N=-5844.12 Ty=-0.63 Tz=-3.44 Mx=-0.00 Mz=-1.49
Sollecitazioni agenti localmente: Tx_l=-0.63 Ty_l=-3.44 N_l=-5844.12 Mx_l=-0.00 My_l=-1.49 Mz_l=-0.00
Taglio nei bulloni: Fv,Ed=0.58 Fv,Rd=9650.97
Rifollamento lato piastra: Fb,Ed,p=0.58 Fb,Rd,p=7839.69
Tirafondi:LT=0.45 (0.31) σ_{cR}=0.00 σ_{fR}=0.00
Compressione nel calcestruzzo: σ_c=12.16
CC 32 SLD (Collegamento 0022_-379)
Azioni sul collegamento: N=-5844.12 Ty=0.07 Tz=-3.44 Mx=-0.00 Mz=-0.11
Sollecitazioni agenti localmente: Tx_l=0.07 Ty_l=-3.44 N_l=-5844.12 Mx_l=-0.00 My_l=-0.11 Mz_l=-0.00
Taglio nei bulloni: Fv,Ed=0.57 Fv,Rd=9650.97
Rifollamento lato piastra: Fb,Ed,p=0.57 Fb,Rd,p=7479.88
Tirafondi:LT=0.45 (0.31) σ_{cR}=0.00 σ_{fR}=0.00
Compressione nel calcestruzzo: σ_c=12.08
CC 32 SLD (Collegamento 0022_-379)
Azioni sul collegamento: N=-5844.12 Ty=-0.63 Tz=-1.87 Mx=-0.00 Mz=-1.49
Sollecitazioni agenti localmente: Tx_l=-0.63 Ty_l=-1.87 N_l=-5844.12 Mx_l=-0.00 My_l=-1.49 Mz_l=-0.00
Taglio nei bulloni: Fv,Ed=0.33 Fv,Rd=9650.97
Rifollamento lato piastra: Fb,Ed,p=0.33 Fb,Rd,p=8707.46
Tirafondi:LT=0.45 (0.31) σ_{cR}=0.00 σ_{fR}=0.00
Compressione nel calcestruzzo: σ_c=12.16
CC 32 SLD (Collegamento 0022_-379)
Azioni sul collegamento: N=-5844.12 Ty=0.07 Tz=-1.87 Mx=-0.00 Mz=-0.11
Sollecitazioni agenti localmente: Tx_l=0.07 Ty_l=-1.87 N_l=-5844.12 Mx_l=-0.00 My_l=-0.11 Mz_l=-0.00
Taglio nei bulloni: Fv,Ed=0.31 Fv,Rd=9650.97
Rifollamento lato piastra: Fb,Ed,p=0.31 Fb,Rd,p=7493.82
Tirafondi:LT=0.45 (0.31) σ_{cR}=0.00 σ_{fR}=0.00
Compressione nel calcestruzzo: σ_c=12.08
CC 32 SLD (Collegamento 0022_-379)
Azioni sul collegamento: N=-5422.71 Ty=-0.63 Tz=-3.44 Mx=-0.00 Mz=-1.49
Sollecitazioni agenti localmente: Tx_l=-0.63 Ty_l=-3.44 N_l=-5422.71 Mx_l=-0.00 My_l=-1.49 Mz_l=-0.00
Taglio nei bulloni: Fv,Ed=0.58 Fv,Rd=9650.97
Rifollamento lato piastra: Fb,Ed,p=0.58 Fb,Rd,p=7839.67
Tirafondi:LT=0.45 (0.31) σ_{cR}=0.00 σ_{fR}=0.00
Compressione nel calcestruzzo: σ_c=11.29
CC 32 SLD (Collegamento 0022_-379)
Azioni sul collegamento: N=-5422.71 Ty=0.07 Tz=-3.44 Mx=-0.00 Mz=-0.11
Sollecitazioni agenti localmente: Tx_l=0.07 Ty_l=-3.44 N_l=-5422.71 Mx_l=-0.00 My_l=-0.11 Mz_l=-0.00
Taglio nei bulloni: Fv,Ed=0.57 Fv,Rd=9650.97
Rifollamento lato piastra: Fb,Ed,p=0.57 Fb,Rd,p=7479.88
Tirafondi:LT=0.45 (0.31) σ_{cR}=0.00 σ_{fR}=0.00
Compressione nel calcestruzzo: σ_c=11.21
CC 32 SLD (Collegamento 0022_-379)
Azioni sul collegamento: N=-5422.71 Ty=-0.63 Tz=-1.87 Mx=-0.00 Mz=-1.49
Sollecitazioni agenti localmente: Tx_l=-0.63 Ty_l=-1.87 N_l=-5422.71 Mx_l=-0.00 My_l=-1.49 Mz_l=-0.00
Taglio nei bulloni: Fv,Ed=0.33 Fv,Rd=9650.97
Rifollamento lato piastra: Fb,Ed,p=0.33 Fb,Rd,p=8707.51
Tirafondi:LT=0.45 (0.31) σ_{cR}=0.00 σ_{fR}=0.00
Compressione nel calcestruzzo: σ_c=11.29

CC 32 SLD (Collegamento 0022_-379)
Azioni sul collegamento: N=-5422.71 Ty=0.07 Tz=-1.87 Mx=-0.00 Mz=-0.11
Sollecitazioni agenti localmente: Tx_l=0.07 Ty_l=-1.87 N_l=-5422.71 Mx_l=-0.00 My_l=-0.11 Mz_l=-0.00
Taglio nei bulloni: Fv,Ed=0.31 Fv,Rd=9650.97
Rifollamento lato piastra: Fb,Ed,p=0.31 Fb,Rd,p=7493.82
Tirafondi:LT=0.45 (0.31) σ_{cR}=0.00 σ_{fR}=0.00
Compressione nel calcestruzzo: σ_c=11.21
CC 33 SLU (Collegamento 0022_-379)
Azioni sul collegamento: N=-28967.90 Ty=0.05 Tz=74.90 Mx=0.00 Mz=0.12
Sollecitazioni agenti localmente: Tx_l=0.05 Ty_l=74.90 N_l=-28967.90 Mx_l=-0.00 My_l=0.12 Mz_l=0.00
Taglio nei bulloni: Fv,Ed=12.48 Fv,Rd=7720.78
Rifollamento lato piastra: Fb,Ed,p=12.48 Fb,Rd,p=5979.18
Tirafondi:LT=0.45 (0.31) σ_{cR}=0.00 σ_{fR}=0.00
Compressione nel calcestruzzo: σ_c=59.86
CC 34 SLU (Collegamento 0022_-379)
Azioni sul collegamento: N=-29447.20 Ty=0.05 Tz=76.67 Mx=0.00 Mz=0.12
Sollecitazioni agenti localmente: Tx_l=0.05 Ty_l=76.67 N_l=-29447.20 Mx_l=-0.00 My_l=0.12 Mz_l=0.00
Taglio nei bulloni: Fv,Ed=12.78 Fv,Rd=7720.78
Rifollamento lato piastra: Fb,Ed,p=12.78 Fb,Rd,p=5979.18
Tirafondi:LT=0.45 (0.31) σ_{cR}=0.00 σ_{fR}=0.00
Compressione nel calcestruzzo: σ_c=60.85
CC 35 SLU (Collegamento 0022_-379)
Azioni sul collegamento: N=-29207.50 Ty=0.17 Tz=75.78 Mx=-0.00 Mz=0.35
Sollecitazioni agenti localmente: Tx_l=0.17 Ty_l=75.78 N_l=-29207.50 Mx_l=-0.00 My_l=0.35 Mz_l=-0.00
Taglio nei bulloni: Fv,Ed=12.63 Fv,Rd=7720.78
Rifollamento lato piastra: Fb,Ed,p=12.63 Fb,Rd,p=5979.21
Tirafondi:LT=0.45 (0.31) σ_{cR}=0.00 σ_{fR}=0.00
Compressione nel calcestruzzo: σ_c=60.37
CC 36 SLU (Collegamento 0022_-379)
Azioni sul collegamento: N=-29207.50 Ty=-0.07 Tz=75.79 Mx=0.00 Mz=-0.12
Sollecitazioni agenti localmente: Tx_l=-0.07 Ty_l=75.79 N_l=-29207.50 Mx_l=-0.00 My_l=-0.12 Mz_l=0.00
Taglio nei bulloni: Fv,Ed=12.63 Fv,Rd=7720.78
Rifollamento lato piastra: Fb,Ed,p=12.63 Fb,Rd,p=5979.18
Tirafondi:LT=0.45 (0.31) σ_{cR}=0.00 σ_{fR}=0.00
Compressione nel calcestruzzo: σ_c=60.35
CC 37 SLU (Collegamento 0022_-379)
Azioni sul collegamento: N=-29152.80 Ty=0.07 Tz=74.88 Mx=0.00 Mz=0.13
Sollecitazioni agenti localmente: Tx_l=0.07 Ty_l=74.88 N_l=-29152.80 Mx_l=-0.00 My_l=0.13 Mz_l=0.00
Taglio nei bulloni: Fv,Ed=12.48 Fv,Rd=7720.78
Rifollamento lato piastra: Fb,Ed,p=12.48 Fb,Rd,p=5979.18
Tirafondi:LT=0.45 (0.31) σ_{cR}=0.00 σ_{fR}=0.00
Compressione nel calcestruzzo: σ_c=60.24
CC 38 SLU (Collegamento 0022_-379)
Azioni sul collegamento: N=-29632.10 Ty=0.07 Tz=76.66 Mx=0.00 Mz=0.13
Sollecitazioni agenti localmente: Tx_l=0.07 Ty_l=76.66 N_l=-29632.10 Mx_l=-0.00 My_l=0.13 Mz_l=0.00
Taglio nei bulloni: Fv,Ed=12.78 Fv,Rd=7720.78
Rifollamento lato piastra: Fb,Ed,p=12.78 Fb,Rd,p=5979.18
Tirafondi:LT=0.45 (0.31) σ_{cR}=0.00 σ_{fR}=0.00
Compressione nel calcestruzzo: σ_c=61.23
CC 39 SLU (Collegamento 0022_-379)
Azioni sul collegamento: N=-29392.40 Ty=0.19 Tz=75.77 Mx=-0.00 Mz=0.36
Sollecitazioni agenti localmente: Tx_l=0.19 Ty_l=75.77 N_l=-29392.40 Mx_l=-0.00 My_l=0.36 Mz_l=-0.00
Taglio nei bulloni: Fv,Ed=12.63 Fv,Rd=7720.78
Rifollamento lato piastra: Fb,Ed,p=12.63 Fb,Rd,p=5979.23
Tirafondi:LT=0.45 (0.31) σ_{cR}=0.00 σ_{fR}=0.00
Compressione nel calcestruzzo: σ_c=60.75
CC 40 SLU (Collegamento 0022_-379)
Azioni sul collegamento: N=-29392.40 Ty=-0.05 Tz=75.77 Mx=0.00 Mz=-0.10
Sollecitazioni agenti localmente: Tx_l=-0.05 Ty_l=75.77 N_l=-29392.40 Mx_l=-0.00 My_l=-0.10 Mz_l=0.00
Taglio nei bulloni: Fv,Ed=12.63 Fv,Rd=7720.78
Rifollamento lato piastra: Fb,Ed,p=12.63 Fb,Rd,p=5979.17
Tirafondi:LT=0.45 (0.31) σ_{cR}=0.00 σ_{fR}=0.00
Compressione nel calcestruzzo: σ_c=60.73
CC 41 SLU (Collegamento 0022_-379)
Azioni sul collegamento: N=-19454.60 Ty=0.08 Tz=39.91 Mx=0.00 Mz=0.13
Sollecitazioni agenti localmente: Tx_l=0.08 Ty_l=39.91 N_l=-19454.60 Mx_l=-0.00 My_l=0.13 Mz_l=0.00
Taglio nei bulloni: Fv,Ed=6.65 Fv,Rd=7720.78
Rifollamento lato piastra: Fb,Ed,p=6.65 Fb,Rd,p=5979.21
Tirafondi:LT=0.45 (0.31) σ_{cR}=0.00 σ_{fR}=0.00
Compressione nel calcestruzzo: σ_c=40.20
CC 42 SLU (Collegamento 0022_-379)
Azioni sul collegamento: N=-19933.90 Ty=0.08 Tz=41.69 Mx=0.00 Mz=0.13
Sollecitazioni agenti localmente: Tx_l=0.08 Ty_l=41.69 N_l=-19933.90 Mx_l=-0.00 My_l=0.13 Mz_l=0.00
Taglio nei bulloni: Fv,Ed=6.95 Fv,Rd=7720.78
Rifollamento lato piastra: Fb,Ed,p=6.95 Fb,Rd,p=5979.20
Tirafondi:LT=0.45 (0.31) σ_{cR}=0.00 σ_{fR}=0.00
Compressione nel calcestruzzo: σ_c=41.19
CC 43 SLU (Collegamento 0022_-379)
Azioni sul collegamento: N=-19694.20 Ty=0.20 Tz=40.80 Mx=-0.00 Mz=0.36
Sollecitazioni agenti localmente: Tx_l=0.20 Ty_l=40.80 N_l=-19694.20 Mx_l=-0.00 My_l=0.36 Mz_l=-0.00

Taglio nei bulloni: Fv,Ed=6.80 Fv,Rd=7720.78
Rifollamento lato piastra: Fb,Ed,p=6.80 Fb,Rd,p=5979.37
Tirafondi:LT=0.45 (0.31) σ_{cR}=0.00 σ_{fR}=0.00
Compressione nel calcestruzzo: σ_c=40.71
CC 44 SLU (Collegamento 0022_-379)
Azioni sul collegamento: N=-19694.20 Ty=-0.04 Tz=40.80 Mx=0.00 Mz=-0.10
Sollecitazioni agenti localmente: Tx_l=-0.04 Ty_l=40.80 N_l=-19694.20 Mx_l=-0.00 My_l=-0.10 Mz_l=0.00
Taglio nei bulloni: Fv,Ed=6.80 Fv,Rd=7720.78
Rifollamento lato piastra: Fb,Ed,p=6.80 Fb,Rd,p=5979.18
Tirafondi:LT=0.45 (0.31) σ_{cR}=0.00 σ_{fR}=0.00
Compressione nel calcestruzzo: σ_c=40.70
CC 45 SLU (Collegamento 0022_-379)
Azioni sul collegamento: N=-21628.70 Ty=0.08 Tz=47.97 Mx=0.00 Mz=0.14
Sollecitazioni agenti localmente: Tx_l=0.08 Ty_l=47.97 N_l=-21628.70 Mx_l=-0.00 My_l=0.14 Mz_l=0.00
Taglio nei bulloni: Fv,Ed=8.00 Fv,Rd=7720.78
Rifollamento lato piastra: Fb,Ed,p=8.00 Fb,Rd,p=5979.19
Tirafondi:LT=0.45 (0.31) σ_{cR}=0.00 σ_{fR}=0.00
Compressione nel calcestruzzo: σ_c=44.70
CC 46 SLU (Collegamento 0022_-379)
Azioni sul collegamento: N=-22108.00 Ty=0.08 Tz=49.75 Mx=0.00 Mz=0.14
Sollecitazioni agenti localmente: Tx_l=0.08 Ty_l=49.75 N_l=-22108.00 Mx_l=-0.00 My_l=0.14 Mz_l=0.00
Taglio nei bulloni: Fv,Ed=8.29 Fv,Rd=7720.78
Rifollamento lato piastra: Fb,Ed,p=8.29 Fb,Rd,p=5979.19
Tirafondi:LT=0.45 (0.31) σ_{cR}=0.00 σ_{fR}=0.00
Compressione nel calcestruzzo: σ_c=45.69
CC 47 SLU (Collegamento 0022_-379)
Azioni sul collegamento: N=-21868.40 Ty=0.20 Tz=48.86 Mx=-0.00 Mz=0.37
Sollecitazioni agenti localmente: Tx_l=0.20 Ty_l=48.86 N_l=-21868.40 Mx_l=-0.00 My_l=0.37 Mz_l=-0.00
Taglio nei bulloni: Fv,Ed=8.14 Fv,Rd=7720.78
Rifollamento lato piastra: Fb,Ed,p=8.14 Fb,Rd,p=5979.31
Tirafondi:LT=0.45 (0.31) σ_{cR}=0.00 σ_{fR}=0.00
Compressione nel calcestruzzo: σ_c=45.20
CC 48 SLU (Collegamento 0022_-379)
Azioni sul collegamento: N=-21868.40 Ty=-0.04 Tz=48.86 Mx=0.00 Mz=-0.10
Sollecitazioni agenti localmente: Tx_l=-0.04 Ty_l=48.86 N_l=-21868.40 Mx_l=-0.00 My_l=-0.10 Mz_l=0.00
Taglio nei bulloni: Fv,Ed=8.14 Fv,Rd=7720.78
Rifollamento lato piastra: Fb,Ed,p=8.14 Fb,Rd,p=5979.18
Tirafondi:LT=0.45 (0.31) σ_{cR}=0.00 σ_{fR}=0.00
Compressione nel calcestruzzo: σ_c=45.19
CC 49 SLU (Collegamento 0022_-379)
Azioni sul collegamento: N=-21767.10 Ty=0.10 Tz=47.96 Mx=0.00 Mz=0.15
Sollecitazioni agenti localmente: Tx_l=0.10 Ty_l=47.96 N_l=-21767.10 Mx_l=-0.00 My_l=0.15 Mz_l=0.00
Taglio nei bulloni: Fv,Ed=7.99 Fv,Rd=7720.78
Rifollamento lato piastra: Fb,Ed,p=7.99 Fb,Rd,p=5979.21
Tirafondi:LT=0.45 (0.31) σ_{cR}=0.00 σ_{fR}=0.00
Compressione nel calcestruzzo: σ_c=44.98
CC 50 SLU (Collegamento 0022_-379)
Azioni sul collegamento: N=-22246.40 Ty=0.10 Tz=49.73 Mx=0.00 Mz=0.15
Sollecitazioni agenti localmente: Tx_l=0.10 Ty_l=49.73 N_l=-22246.40 Mx_l=-0.00 My_l=0.15 Mz_l=0.00
Taglio nei bulloni: Fv,Ed=8.29 Fv,Rd=7720.78
Rifollamento lato piastra: Fb,Ed,p=8.29 Fb,Rd,p=5979.21
Tirafondi:LT=0.45 (0.31) σ_{cR}=0.00 σ_{fR}=0.00
Compressione nel calcestruzzo: σ_c=45.97
CC 51 SLU (Collegamento 0022_-379)
Azioni sul collegamento: N=-22006.70 Ty=0.22 Tz=48.85 Mx=-0.00 Mz=0.38
Sollecitazioni agenti localmente: Tx_l=0.22 Ty_l=48.85 N_l=-22006.70 Mx_l=-0.00 My_l=0.38 Mz_l=-0.00
Taglio nei bulloni: Fv,Ed=8.14 Fv,Rd=7720.78
Rifollamento lato piastra: Fb,Ed,p=8.14 Fb,Rd,p=5979.34
Tirafondi:LT=0.45 (0.31) σ_{cR}=0.00 σ_{fR}=0.00
Compressione nel calcestruzzo: σ_c=45.49
CC 52 SLU (Collegamento 0022_-379)
Azioni sul collegamento: N=-22006.70 Ty=-0.02 Tz=48.85 Mx=0.00 Mz=-0.09
Sollecitazioni agenti localmente: Tx_l=-0.02 Ty_l=48.85 N_l=-22006.70 Mx_l=-0.00 My_l=-0.09 Mz_l=0.00
Taglio nei bulloni: Fv,Ed=8.14 Fv,Rd=7720.78
Rifollamento lato piastra: Fb,Ed,p=8.14 Fb,Rd,p=5979.17
Tirafondi:LT=0.45 (0.31) σ_{cR}=0.00 σ_{fR}=0.00
Compressione nel calcestruzzo: σ_c=45.47
CC 53 SLU (Collegamento 0022_-379)
Azioni sul collegamento: N=-14511.40 Ty=0.10 Tz=21.80 Mx=0.00 Mz=0.15
Sollecitazioni agenti localmente: Tx_l=0.10 Ty_l=21.80 N_l=-14511.40 Mx_l=-0.00 My_l=0.15 Mz_l=0.00
Taglio nei bulloni: Fv,Ed=3.63 Fv,Rd=7720.78
Rifollamento lato piastra: Fb,Ed,p=3.63 Fb,Rd,p=5979.37
Tirafondi:LT=0.45 (0.31) σ_{cR}=0.00 σ_{fR}=0.00
Compressione nel calcestruzzo: σ_c=29.99
CC 54 SLU (Collegamento 0022_-379)
Azioni sul collegamento: N=-14990.70 Ty=0.10 Tz=23.57 Mx=0.00 Mz=0.15
Sollecitazioni agenti localmente: Tx_l=0.10 Ty_l=23.57 N_l=-14990.70 Mx_l=-0.00 My_l=0.15 Mz_l=0.00
Taglio nei bulloni: Fv,Ed=3.93 Fv,Rd=7720.78
Rifollamento lato piastra: Fb,Ed,p=3.93 Fb,Rd,p=5979.34
Tirafondi:LT=0.45 (0.31) σ_{cR}=0.00 σ_{fR}=0.00

Compressione nel calcestruzzo: σ_c=30.98
CC 55 SLU (Collegamento 0022_-379)
Azioni sul collegamento: N=-14751.00 Ty=0.22 Tz=22.69 Mx=-0.00 Mz=0.38
Sollecitazioni agenti localmente: Tx_l=0.22 Ty_l=22.69 N_l=-14751.00 Mx_l=-0.00 My_l=0.38 Mz_l=-0.00
Taglio nei bulloni: Fv,Ed=3.78 Fv,Rd=7720.78
Rifollamento lato piastra: Fb,Ed,p=3.78 Fb,Rd,p=5979.97
Tirafondi:LT=0.45 (0.31) σ_{cR}=0.00 σ_{fR}=0.00
Compressione nel calcestruzzo: σ_c=30.50
CC 56 SLU (Collegamento 0022_-379)
Azioni sul collegamento: N=-14751.00 Ty=-0.02 Tz=22.68 Mx=0.00 Mz=-0.09
Sollecitazioni agenti localmente: Tx_l=-0.02 Ty_l=22.68 N_l=-14751.00 Mx_l=-0.00 My_l=-0.09 Mz_l=0.00
Taglio nei bulloni: Fv,Ed=3.78 Fv,Rd=7720.78
Rifollamento lato piastra: Fb,Ed,p=3.78 Fb,Rd,p=5979.17
Tirafondi:LT=0.45 (0.31) σ_{cR}=0.00 σ_{fR}=0.00
Compressione nel calcestruzzo: σ_c=30.48
CC 57 SLU (Collegamento 0022_-379)
Azioni sul collegamento: N=-21907.00 Ty=0.07 Tz=49.04 Mx=0.00 Mz=0.14
Sollecitazioni agenti localmente: Tx_l=0.07 Ty_l=49.04 N_l=-21907.00 Mx_l=-0.00 My_l=0.14 Mz_l=0.00
Taglio nei bulloni: Fv,Ed=8.17 Fv,Rd=7720.78
Rifollamento lato piastra: Fb,Ed,p=8.17 Fb,Rd,p=5979.19
Tirafondi:LT=0.45 (0.31) σ_{cR}=0.00 σ_{fR}=0.00
Compressione nel calcestruzzo: σ_c=45.27
CC 58 SLU (Collegamento 0022_-379)
Azioni sul collegamento: N=-22386.30 Ty=0.07 Tz=50.82 Mx=0.00 Mz=0.13
Sollecitazioni agenti localmente: Tx_l=0.07 Ty_l=50.82 N_l=-22386.30 Mx_l=-0.00 My_l=0.13 Mz_l=0.00
Taglio nei bulloni: Fv,Ed=8.47 Fv,Rd=7720.78
Rifollamento lato piastra: Fb,Ed,p=8.47 Fb,Rd,p=5979.19
Tirafondi:LT=0.45 (0.31) σ_{cR}=0.00 σ_{fR}=0.00
Compressione nel calcestruzzo: σ_c=46.26
CC 59 SLU (Collegamento 0022_-379)
Azioni sul collegamento: N=-22146.70 Ty=0.19 Tz=49.93 Mx=-0.00 Mz=0.37
Sollecitazioni agenti localmente: Tx_l=0.19 Ty_l=49.93 N_l=-22146.70 Mx_l=-0.00 My_l=0.37 Mz_l=-0.00
Taglio nei bulloni: Fv,Ed=8.32 Fv,Rd=7720.78
Rifollamento lato piastra: Fb,Ed,p=8.32 Fb,Rd,p=5979.30
Tirafondi:LT=0.45 (0.31) σ_{cR}=0.00 σ_{fR}=0.00
Compressione nel calcestruzzo: σ_c=45.78
CC 60 SLU (Collegamento 0022_-379)
Azioni sul collegamento: N=-22146.70 Ty=-0.04 Tz=49.93 Mx=0.00 Mz=-0.10
Sollecitazioni agenti localmente: Tx_l=-0.04 Ty_l=49.93 N_l=-22146.70 Mx_l=-0.00 My_l=-0.10 Mz_l=0.00
Taglio nei bulloni: Fv,Ed=8.32 Fv,Rd=7720.78
Rifollamento lato piastra: Fb,Ed,p=8.32 Fb,Rd,p=5979.18
Tirafondi:LT=0.45 (0.31) σ_{cR}=0.00 σ_{fR}=0.00
Compressione nel calcestruzzo: σ_c=45.76
CC 61 SLU (Collegamento 0022_-379)
Azioni sul collegamento: N=-22045.30 Ty=0.09 Tz=49.02 Mx=0.00 Mz=0.14
Sollecitazioni agenti localmente: Tx_l=0.09 Ty_l=49.02 N_l=-22045.30 Mx_l=-0.00 My_l=0.14 Mz_l=0.00
Taglio nei bulloni: Fv,Ed=8.17 Fv,Rd=7720.78
Rifollamento lato piastra: Fb,Ed,p=8.17 Fb,Rd,p=5979.21
Tirafondi:LT=0.45 (0.31) σ_{cR}=0.00 σ_{fR}=0.00
Compressione nel calcestruzzo: σ_c=45.56
CC 62 SLU (Collegamento 0022_-379)
Azioni sul collegamento: N=-22524.60 Ty=0.09 Tz=50.80 Mx=0.00 Mz=0.14
Sollecitazioni agenti localmente: Tx_l=0.09 Ty_l=50.80 N_l=-22524.60 Mx_l=-0.00 My_l=0.14 Mz_l=0.00
Taglio nei bulloni: Fv,Ed=8.47 Fv,Rd=7720.78
Rifollamento lato piastra: Fb,Ed,p=8.47 Fb,Rd,p=5979.20
Tirafondi:LT=0.45 (0.31) σ_{cR}=0.00 σ_{fR}=0.00
Compressione nel calcestruzzo: σ_c=46.55
CC 63 SLU (Collegamento 0022_-379)
Azioni sul collegamento: N=-22285.00 Ty=0.21 Tz=49.91 Mx=-0.00 Mz=0.38
Sollecitazioni agenti localmente: Tx_l=0.21 Ty_l=49.91 N_l=-22285.00 Mx_l=-0.00 My_l=0.38 Mz_l=-0.00
Taglio nei bulloni: Fv,Ed=8.32 Fv,Rd=7720.78
Rifollamento lato piastra: Fb,Ed,p=8.32 Fb,Rd,p=5979.33
Tirafondi:LT=0.45 (0.31) σ_{cR}=0.00 σ_{fR}=0.00
Compressione nel calcestruzzo: σ_c=46.06
CC 64 SLU (Collegamento 0022_-379)
Azioni sul collegamento: N=-22285.00 Ty=-0.03 Tz=49.91 Mx=0.00 Mz=-0.09
Sollecitazioni agenti localmente: Tx_l=-0.03 Ty_l=49.91 N_l=-22285.00 Mx_l=-0.00 My_l=-0.09 Mz_l=0.00
Taglio nei bulloni: Fv,Ed=8.32 Fv,Rd=7720.78
Rifollamento lato piastra: Fb,Ed,p=8.32 Fb,Rd,p=5979.17
Tirafondi:LT=0.45 (0.31) σ_{cR}=0.00 σ_{fR}=0.00
Compressione nel calcestruzzo: σ_c=46.05
CC 65 SLU (Collegamento 0022_-379)
Azioni sul collegamento: N=-14789.70 Ty=0.10 Tz=22.86 Mx=0.00 Mz=0.14
Sollecitazioni agenti localmente: Tx_l=0.10 Ty_l=22.86 N_l=-14789.70 Mx_l=-0.00 My_l=0.14 Mz_l=0.00
Taglio nei bulloni: Fv,Ed=3.81 Fv,Rd=7720.78
Rifollamento lato piastra: Fb,Ed,p=3.81 Fb,Rd,p=5979.34
Tirafondi:LT=0.45 (0.31) σ_{cR}=0.00 σ_{fR}=0.00
Compressione nel calcestruzzo: σ_c=30.57
CC 66 SLU (Collegamento 0022_-379)
Azioni sul collegamento: N=-15269.00 Ty=0.10 Tz=24.64 Mx=0.00 Mz=0.14

Sollecitazioni agenti localmente: Tx_l=0.10 Ty_l=24.64 N_l=-15269.00 Mx_l=-0.00 My_l=0.14 Mz_l=0.00
Taglio nei bulloni: Fv,Ed=4.11 Fv,Rd=7720.78
Rifollamento lato piastra: Fb,Ed,p=4.11 Fb,Rd,p=5979.31
Tirafondi:LT=0.45 (0.31) σ_{cR}=0.00 σ_{fR}=0.00
Compressione nel calcestruzzo: σ_c=31.56
CC 67 SLU (Collegamento 0022_-379)
Azioni sul collegamento: N=-15029.30 Ty=0.22 Tz=23.75 Mx=-0.00 Mz=0.38
Sollecitazioni agenti localmente: Tx_l=0.22 Ty_l=23.75 N_l=-15029.30 Mx_l=-0.00 My_l=0.38 Mz_l=-0.00
Taglio nei bulloni: Fv,Ed=3.96 Fv,Rd=7720.78
Rifollamento lato piastra: Fb,Ed,p=3.96 Fb,Rd,p=5979.88
Tirafondi:LT=0.45 (0.31) σ_{cR}=0.00 σ_{fR}=0.00
Compressione nel calcestruzzo: σ_c=31.07
CC 68 SLU (Collegamento 0022_-379)
Azioni sul collegamento: N=-15029.30 Ty=-0.02 Tz=23.75 Mx=0.00 Mz=-0.09
Sollecitazioni agenti localmente: Tx_l=-0.02 Ty_l=23.75 N_l=-15029.30 Mx_l=-0.00 My_l=-0.09 Mz_l=0.00
Taglio nei bulloni: Fv,Ed=3.96 Fv,Rd=7720.78
Rifollamento lato piastra: Fb,Ed,p=3.96 Fb,Rd,p=5979.17
Tirafondi:LT=0.45 (0.31) σ_{cR}=0.00 σ_{fR}=0.00
Compressione nel calcestruzzo: σ_c=31.06
CC 97 SLU (Collegamento 0022_-379)
Azioni sul collegamento: N=-11572.90 Ty=11.37 Tz=19.27 Mx=0.04 Mz=15.92
Sollecitazioni agenti localmente: Tx_l=11.37 Ty_l=19.27 N_l=-11572.90 Mx_l=-0.00 My_l=15.92 Mz_l=0.04
Taglio nei bulloni: Fv,Ed=3.78 Fv,Rd=7720.78
Rifollamento lato piastra: Fb,Ed,p=3.78 Fb,Rd,p=9198.44
Tirafondi:LT=0.45 (0.31) σ_{cR}=0.00 σ_{fR}=0.00
Compressione nel calcestruzzo: σ_c=24.81
CC 98 SLU (Collegamento 0022_-379)
Azioni sul collegamento: N=-12052.20 Ty=11.37 Tz=21.05 Mx=0.04 Mz=15.92
Sollecitazioni agenti localmente: Tx_l=11.37 Ty_l=21.05 N_l=-12052.20 Mx_l=-0.00 My_l=15.92 Mz_l=0.04
Taglio nei bulloni: Fv,Ed=4.04 Fv,Rd=7720.78
Rifollamento lato piastra: Fb,Ed,p=4.04 Fb,Rd,p=8673.86
Tirafondi:LT=0.45 (0.31) σ_{cR}=0.00 σ_{fR}=0.00
Compressione nel calcestruzzo: σ_c=25.80
CC 99 SLU (Collegamento 0022_-379)
Azioni sul collegamento: N=-11812.60 Ty=11.49 Tz=20.16 Mx=0.04 Mz=16.15
Sollecitazioni agenti localmente: Tx_l=11.49 Ty_l=20.16 N_l=-11812.60 Mx_l=-0.00 My_l=16.15 Mz_l=0.04
Taglio nei bulloni: Fv,Ed=3.92 Fv,Rd=7720.78
Rifollamento lato piastra: Fb,Ed,p=3.92 Fb,Rd,p=8979.24
Tirafondi:LT=0.45 (0.31) σ_{cR}=0.00 σ_{fR}=0.00
Compressione nel calcestruzzo: σ_c=25.32
CC 100 SLU (Collegamento 0022_-379)
Azioni sul collegamento: N=-11812.60 Ty=11.25 Tz=20.16 Mx=0.04 Mz=15.68
Sollecitazioni agenti localmente: Tx_l=11.25 Ty_l=20.16 N_l=-11812.60 Mx_l=-0.00 My_l=15.68 Mz_l=0.04
Taglio nei bulloni: Fv,Ed=3.90 Fv,Rd=7720.78
Rifollamento lato piastra: Fb,Ed,p=3.90 Fb,Rd,p=8858.72
Tirafondi:LT=0.45 (0.31) σ_{cR}=0.00 σ_{fR}=0.00
Compressione nel calcestruzzo: σ_c=25.29
CC 101 SLU (Collegamento 0022_-379)
Azioni sul collegamento: N=-5887.16 Ty=-2.00 Tz=-1.73 Mx=-0.00 Mz=-2.22
Sollecitazioni agenti localmente: Tx_l=-2.00 Ty_l=-1.73 N_l=-5887.16 Mx_l=-0.00 My_l=-2.22 Mz_l=-0.00
Taglio nei bulloni: Fv,Ed=0.45 Fv,Rd=7720.78
Rifollamento lato piastra: Fb,Ed,p=0.45 Fb,Rd,p=11248.30
Tirafondi:LT=0.45 (0.31) σ_{cR}=0.00 σ_{fR}=0.00
Compressione nel calcestruzzo: σ_c=12.29
CC 102 SLU (Collegamento 0022_-379)
Azioni sul collegamento: N=-6366.46 Ty=-2.01 Tz=0.04 Mx=-0.00 Mz=-2.22
Sollecitazioni agenti localmente: Tx_l=-2.01 Ty_l=0.04 N_l=-6366.46 Mx_l=-0.00 My_l=-2.22 Mz_l=-0.00
Taglio nei bulloni: Fv,Ed=0.34 Fv,Rd=7720.78
Rifollamento lato piastra: Fb,Ed,p=0.34 Fb,Rd,p=5979.37
Tirafondi:LT=0.45 (0.31) σ_{cR}=0.00 σ_{fR}=0.00
Compressione nel calcestruzzo: σ_c=13.28
CC 103 SLU (Collegamento 0022_-379)
Azioni sul collegamento: N=-6126.81 Ty=-1.89 Tz=-0.85 Mx=-0.01 Mz=-1.98
Sollecitazioni agenti localmente: Tx_l=-1.89 Ty_l=-0.85 N_l=-6126.81 Mx_l=-0.00 My_l=-1.98 Mz_l=-0.01
Taglio nei bulloni: Fv,Ed=0.35 Fv,Rd=7720.78
Rifollamento lato piastra: Fb,Ed,p=0.35 Fb,Rd,p=7880.25
Tirafondi:LT=0.45 (0.31) σ_{cR}=0.00 σ_{fR}=0.00
Compressione nel calcestruzzo: σ_c=12.77
CC 104 SLU (Collegamento 0022_-379)
Azioni sul collegamento: N=-6126.80 Ty=-2.12 Tz=-0.84 Mx=-0.00 Mz=-2.45
Sollecitazioni agenti localmente: Tx_l=-2.12 Ty_l=-0.84 N_l=-6126.80 Mx_l=-0.00 My_l=-2.45 Mz_l=-0.00
Taglio nei bulloni: Fv,Ed=0.39 Fv,Rd=7720.78
Rifollamento lato piastra: Fb,Ed,p=0.39 Fb,Rd,p=7454.79
Tirafondi:LT=0.45 (0.31) σ_{cR}=0.00 σ_{fR}=0.00
Compressione nel calcestruzzo: σ_c=12.80

Saldatura profilo-piastra

CC 1 SLV (Collegamento 0022_-379)
Azioni sul collegamento: N=-3330.52 Ty=1.59 Tz=5.89 Mx=0.02 Mz=3.75

Sollecitazioni agenti localmente: Tx_l=1.59 Ty_l=5.89 N_l=-3330.52 My_l=-3.75 Mz_l=0.02
Azioni sul cordone: TP=0.10 TO=0.45 NO=-246.19
Tensioni nel cordone: τ_P= 0.03 τ_0=0.14 σ_0=83.74 σ_{ID}=83.74 Σ_T=83.88
CC 1 SLV (Collegamento 0022_-379)
Azioni sul collegamento: N=-3330.52 Ty=0.88 Tz=5.89 Mx=0.02 Mz=2.36
Sollecitazioni agenti localmente: Tx_l=0.88 Ty_l=5.89 N_l=-3330.52 My_l=-2.36 Mz_l=0.02
Azioni sul cordone: TP=0.05 TO=0.45 NO=-246.19
Tensioni nel cordone: τ_P= 0.01 τ_0=0.14 σ_0=81.70 σ_{ID}=81.70 Σ_T=81.84
CC 1 SLV (Collegamento 0022_-379)
Azioni sul collegamento: N=-3330.52 Ty=1.59 Tz=-11.19 Mx=0.02 Mz=3.75
Sollecitazioni agenti localmente: Tx_l=1.59 Ty_l=-11.19 N_l=-3330.52 My_l=-3.75 Mz_l=0.02
Azioni sul cordone: TP=0.10 TO=-0.81 NO=-246.19
Tensioni nel cordone: τ_P= 0.03 τ_0=0.26 σ_0=83.74 σ_{ID}=83.74 Σ_T=83.99
CC 1 SLV (Collegamento 0022_-379)
Azioni sul collegamento: N=-3330.52 Ty=0.88 Tz=-11.19 Mx=0.02 Mz=2.36
Sollecitazioni agenti localmente: Tx_l=0.88 Ty_l=-11.19 N_l=-3330.52 My_l=-2.36 Mz_l=0.02
Azioni sul cordone: TP=0.05 TO=-0.81 NO=-246.19
Tensioni nel cordone: τ_P= 0.01 τ_0=0.26 σ_0=81.70 σ_{ID}=81.70 Σ_T=81.96
CC 1 SLV (Collegamento 0022_-379)
Azioni sul collegamento: N=-7936.99 Ty=1.59 Tz=5.89 Mx=0.02 Mz=3.75
Sollecitazioni agenti localmente: Tx_l=1.59 Ty_l=5.89 N_l=-7936.99 My_l=-3.75 Mz_l=0.02
Azioni sul cordone: TP=0.10 TO=0.45 NO=-586.71
Tensioni nel cordone: τ_P= 0.03 τ_0=0.14 σ_0=191.97 σ_{ID}=191.97 Σ_T=192.11
CC 1 SLV (Collegamento 0022_-379)
Azioni sul collegamento: N=-7936.99 Ty=0.88 Tz=5.89 Mx=0.02 Mz=2.36
Sollecitazioni agenti localmente: Tx_l=0.88 Ty_l=5.89 N_l=-7936.99 My_l=-2.36 Mz_l=0.02
Azioni sul cordone: TP=0.05 TO=0.45 NO=-586.71
Tensioni nel cordone: τ_P= 0.01 τ_0=0.14 σ_0=189.93 σ_{ID}=189.93 Σ_T=190.08
CC 1 SLV (Collegamento 0022_-379)
Azioni sul collegamento: N=-7936.99 Ty=1.59 Tz=-11.19 Mx=0.02 Mz=3.75
Sollecitazioni agenti localmente: Tx_l=1.59 Ty_l=-11.19 N_l=-7936.99 My_l=-3.75 Mz_l=0.02
Azioni sul cordone: TP=0.10 TO=-0.81 NO=-586.71
Tensioni nel cordone: τ_P= 0.03 τ_0=0.26 σ_0=191.97 σ_{ID}=191.97 Σ_T=192.23
CC 1 SLV (Collegamento 0022_-379)
Azioni sul collegamento: N=-7936.99 Ty=0.88 Tz=-11.19 Mx=0.02 Mz=2.36
Sollecitazioni agenti localmente: Tx_l=0.88 Ty_l=-11.19 N_l=-7936.99 My_l=-2.36 Mz_l=0.02
Azioni sul cordone: TP=0.05 TO=-0.81 NO=-586.71
Tensioni nel cordone: τ_P= 0.01 τ_0=0.26 σ_0=189.93 σ_{ID}=189.93 Σ_T=190.19
CC 2 SLD (Collegamento 0022_-379)
Azioni sul collegamento: N=-4931.25 Ty=0.54 Tz=-0.05 Mx=0.01 Mz=1.22
Sollecitazioni agenti localmente: Tx_l=0.54 Ty_l=-0.05 N_l=-4931.25 My_l=-1.22 Mz_l=0.01
Azioni sul cordone: TP=0.03 TO=0.00 NO=-364.52
Tensioni nel cordone: τ_P= 0.01 τ_0=1.46E-04 σ_0=117.64 σ_{ID}=117.64 Σ_T=117.64
CC 2 SLD (Collegamento 0022_-379)
Azioni sul collegamento: N=-4931.25 Ty=0.32 Tz=-0.05 Mx=0.01 Mz=0.79
Sollecitazioni agenti localmente: Tx_l=0.32 Ty_l=-0.05 N_l=-4931.25 My_l=-0.79 Mz_l=0.01
Azioni sul cordone: TP=0.02 TO=0.00 NO=-364.52
Tensioni nel cordone: τ_P=5.66E-03 τ_0=1.46E-04 σ_0=117.02 σ_{ID}=117.02 Σ_T=117.02
CC 2 SLD (Collegamento 0022_-379)
Azioni sul collegamento: N=-4931.25 Ty=0.54 Tz=-5.26 Mx=0.01 Mz=1.22
Sollecitazioni agenti localmente: Tx_l=0.54 Ty_l=-5.26 N_l=-4931.25 My_l=-1.22 Mz_l=0.01
Azioni sul cordone: TP=0.03 TO=-0.38 NO=-364.52
Tensioni nel cordone: τ_P= 0.01 τ_0=0.12 σ_0=117.64 σ_{ID}=117.64 Σ_T=117.76
CC 2 SLD (Collegamento 0022_-379)
Azioni sul collegamento: N=-4931.25 Ty=0.32 Tz=-5.26 Mx=0.01 Mz=0.79
Sollecitazioni agenti localmente: Tx_l=0.32 Ty_l=-5.26 N_l=-4931.25 My_l=-0.79 Mz_l=0.01
Azioni sul cordone: TP=0.02 TO=-0.38 NO=-364.52
Tensioni nel cordone: τ_P=5.66E-03 τ_0=0.12 σ_0=117.02 σ_{ID}=117.02 Σ_T=117.14
CC 2 SLD (Collegamento 0022_-379)
Azioni sul collegamento: N=-6335.90 Ty=0.54 Tz=-0.05 Mx=0.01 Mz=1.22
Sollecitazioni agenti localmente: Tx_l=0.54 Ty_l=-0.05 N_l=-6335.90 My_l=-1.22 Mz_l=0.01
Azioni sul cordone: TP=0.03 TO=0.00 NO=-468.35
Tensioni nel cordone: τ_P= 0.01 τ_0=1.49E-04 σ_0=150.64 σ_{ID}=150.64 Σ_T=150.64
CC 2 SLD (Collegamento 0022_-379)
Azioni sul collegamento: N=-6335.90 Ty=0.32 Tz=-0.05 Mx=0.01 Mz=0.79
Sollecitazioni agenti localmente: Tx_l=0.32 Ty_l=-0.05 N_l=-6335.90 My_l=-0.79 Mz_l=0.01
Azioni sul cordone: TP=0.02 TO=0.00 NO=-468.35
Tensioni nel cordone: τ_P=5.66E-03 τ_0=1.49E-04 σ_0=150.02 σ_{ID}=150.02 Σ_T=150.02
CC 2 SLD (Collegamento 0022_-379)
Azioni sul collegamento: N=-6335.90 Ty=0.54 Tz=-5.26 Mx=0.01 Mz=1.22
Sollecitazioni agenti localmente: Tx_l=0.54 Ty_l=-5.26 N_l=-6335.90 My_l=-1.22 Mz_l=0.01
Azioni sul cordone: TP=0.03 TO=-0.38 NO=-468.35
Tensioni nel cordone: τ_P= 0.01 τ_0=0.12 σ_0=150.64 σ_{ID}=150.64 Σ_T=150.76
CC 2 SLD (Collegamento 0022_-379)
Azioni sul collegamento: N=-6335.90 Ty=0.32 Tz=-5.26 Mx=0.01 Mz=0.79
Sollecitazioni agenti localmente: Tx_l=0.32 Ty_l=-5.26 N_l=-6335.90 My_l=-0.79 Mz_l=0.01
Azioni sul cordone: TP=0.02 TO=-0.38 NO=-468.35
Tensioni nel cordone: τ_P=5.66E-03 τ_0=0.12 σ_0=150.02 σ_{ID}=150.02 Σ_T=150.14
CC 3 SLV (Collegamento 0022_-379)
Azioni sul collegamento: N=-3330.55 Ty=0.90 Tz=5.89 Mx=0.01 Mz=2.40
Sollecitazioni agenti localmente: Tx_l=0.90 Ty_l=5.89 N_l=-3330.55 My_l=-2.40 Mz_l=0.01

Azioni sul cordone: TP=0.05 TO=0.44 NO=-246.19
Tensioni nel cordone: τ_P= 0.02 τ_0=0.14 σ_0=81.76 σ_{ID}=81.76 Σ_T=81.90
CC 3 SLV (Collegamento 0022_-379)
Azioni sul collegamento: N=-3330.55 Ty=1.58 Tz=5.89 Mx=0.01 Mz=3.71
Sollecitazioni agenti localmente: Tx_l=1.58 Ty_l=5.89 N_l=-3330.55 My_l=-3.71 Mz_l=0.01
Azioni sul cordone: TP=0.10 TO=0.44 NO=-246.19
Tensioni nel cordone: τ_P= 0.03 τ_0=0.14 σ_0=83.68 σ_{ID}=83.68 Σ_T=83.82
CC 3 SLV (Collegamento 0022_-379)
Azioni sul collegamento: N=-3330.55 Ty=0.90 Tz=-11.19 Mx=0.01 Mz=2.40
Sollecitazioni agenti localmente: Tx_l=0.90 Ty_l=-11.19 N_l=-3330.55 My_l=-2.40 Mz_l=0.01
Azioni sul cordone: TP=0.05 TO=-0.82 NO=-246.19
Tensioni nel cordone: τ_P= 0.02 τ_0=0.26 σ_0=81.76 σ_{ID}=81.76 Σ_T=82.02
CC 3 SLV (Collegamento 0022_-379)
Azioni sul collegamento: N=-3330.55 Ty=1.58 Tz=-11.19 Mx=0.01 Mz=3.71
Sollecitazioni agenti localmente: Tx_l=1.58 Ty_l=-11.19 N_l=-3330.55 My_l=-3.71 Mz_l=0.01
Azioni sul cordone: TP=0.10 TO=-0.82 NO=-246.19
Tensioni nel cordone: τ_P= 0.03 τ_0=0.26 σ_0=83.68 σ_{ID}=83.68 Σ_T=83.94
CC 3 SLV (Collegamento 0022_-379)
Azioni sul collegamento: N=-7936.97 Ty=0.90 Tz=5.89 Mx=0.01 Mz=2.40
Sollecitazioni agenti localmente: Tx_l=0.90 Ty_l=5.89 N_l=-7936.97 My_l=-2.40 Mz_l=0.01
Azioni sul cordone: TP=0.05 TO=0.44 NO=-586.70
Tensioni nel cordone: τ_P= 0.02 τ_0=0.14 σ_0=189.99 σ_{ID}=189.99 Σ_T=190.13
CC 3 SLV (Collegamento 0022_-379)
Azioni sul collegamento: N=-7936.97 Ty=1.58 Tz=5.89 Mx=0.01 Mz=3.71
Sollecitazioni agenti localmente: Tx_l=1.58 Ty_l=5.89 N_l=-7936.97 My_l=-3.71 Mz_l=0.01
Azioni sul cordone: TP=0.10 TO=0.44 NO=-586.70
Tensioni nel cordone: τ_P= 0.03 τ_0=0.14 σ_0=191.91 σ_{ID}=191.91 Σ_T=192.05
CC 3 SLV (Collegamento 0022_-379)
Azioni sul collegamento: N=-7936.97 Ty=0.90 Tz=-11.19 Mx=0.01 Mz=2.40
Sollecitazioni agenti localmente: Tx_l=0.90 Ty_l=-11.19 N_l=-7936.97 My_l=-2.40 Mz_l=0.01
Azioni sul cordone: TP=0.05 TO=-0.82 NO=-586.70
Tensioni nel cordone: τ_P= 0.02 τ_0=0.26 σ_0=189.99 σ_{ID}=189.99 Σ_T=190.25
CC 3 SLV (Collegamento 0022_-379)
Azioni sul collegamento: N=-7936.97 Ty=1.58 Tz=-11.19 Mx=0.01 Mz=3.71
Sollecitazioni agenti localmente: Tx_l=1.58 Ty_l=-11.19 N_l=-7936.97 My_l=-3.71 Mz_l=0.01
Azioni sul cordone: TP=0.10 TO=-0.82 NO=-586.70
Tensioni nel cordone: τ_P= 0.03 τ_0=0.26 σ_0=191.91 σ_{ID}=191.91 Σ_T=192.17
CC 4 SLD (Collegamento 0022_-379)
Azioni sul collegamento: N=-4931.25 Ty=0.33 Tz=-0.05 Mx=0.00 Mz=0.80
Sollecitazioni agenti localmente: Tx_l=0.33 Ty_l=-0.05 N_l=-4931.25 My_l=-0.80 Mz_l=0.00
Azioni sul cordone: TP=0.02 TO=-0.00 NO=-364.52
Tensioni nel cordone: τ_P=6.34E-03 τ_0=2.62E-04 σ_0=117.04 σ_{ID}=117.04 Σ_T=117.04
CC 4 SLD (Collegamento 0022_-379)
Azioni sul collegamento: N=-4931.25 Ty=0.53 Tz=-0.05 Mx=0.00 Mz=1.20
Sollecitazioni agenti localmente: Tx_l=0.53 Ty_l=-0.05 N_l=-4931.25 My_l=-1.20 Mz_l=0.00
Azioni sul cordone: TP=0.04 TO=-0.00 NO=-364.52
Tensioni nel cordone: τ_P= 0.01 τ_0=2.62E-04 σ_0=117.62 σ_{ID}=117.62 Σ_T=117.62
CC 4 SLD (Collegamento 0022_-379)
Azioni sul collegamento: N=-4931.25 Ty=0.33 Tz=-5.26 Mx=0.00 Mz=0.80
Sollecitazioni agenti localmente: Tx_l=0.33 Ty_l=-5.26 N_l=-4931.25 My_l=-0.80 Mz_l=0.00
Azioni sul cordone: TP=0.02 TO=-0.39 NO=-364.52
Tensioni nel cordone: τ_P=6.34E-03 τ_0=0.12 σ_0=117.04 σ_{ID}=117.04 Σ_T=117.16
CC 4 SLD (Collegamento 0022_-379)
Azioni sul collegamento: N=-4931.25 Ty=0.53 Tz=-5.26 Mx=0.00 Mz=1.20
Sollecitazioni agenti localmente: Tx_l=0.53 Ty_l=-5.26 N_l=-4931.25 My_l=-1.20 Mz_l=0.00
Azioni sul cordone: TP=0.04 TO=-0.39 NO=-364.52
Tensioni nel cordone: τ_P= 0.01 τ_0=0.12 σ_0=117.62 σ_{ID}=117.62 Σ_T=117.74
CC 4 SLD (Collegamento 0022_-379)
Azioni sul collegamento: N=-6335.90 Ty=0.33 Tz=-0.05 Mx=0.00 Mz=0.80
Sollecitazioni agenti localmente: Tx_l=0.33 Ty_l=-0.05 N_l=-6335.90 My_l=-0.80 Mz_l=0.00
Azioni sul cordone: TP=0.02 TO=-0.00 NO=-468.35
Tensioni nel cordone: τ_P=6.34E-03 τ_0=2.57E-04 σ_0=150.04 σ_{ID}=150.04 Σ_T=150.04
CC 4 SLD (Collegamento 0022_-379)
Azioni sul collegamento: N=-6335.90 Ty=0.53 Tz=-0.05 Mx=0.00 Mz=1.20
Sollecitazioni agenti localmente: Tx_l=0.53 Ty_l=-0.05 N_l=-6335.90 My_l=-1.20 Mz_l=0.00
Azioni sul cordone: TP=0.04 TO=-0.00 NO=-468.35
Tensioni nel cordone: τ_P= 0.01 τ_0=2.57E-04 σ_0=150.62 σ_{ID}=150.62 Σ_T=150.63
CC 4 SLD (Collegamento 0022_-379)
Azioni sul collegamento: N=-6335.90 Ty=0.33 Tz=-5.26 Mx=0.00 Mz=0.80
Sollecitazioni agenti localmente: Tx_l=0.33 Ty_l=-5.26 N_l=-6335.90 My_l=-0.80 Mz_l=0.00
Azioni sul cordone: TP=0.02 TO=-0.39 NO=-468.35
Tensioni nel cordone: τ_P=6.34E-03 τ_0=0.12 σ_0=150.04 σ_{ID}=150.04 Σ_T=150.16
CC 4 SLD (Collegamento 0022_-379)
Azioni sul collegamento: N=-6335.90 Ty=0.53 Tz=-5.26 Mx=0.00 Mz=1.20
Sollecitazioni agenti localmente: Tx_l=0.53 Ty_l=-5.26 N_l=-6335.90 My_l=-1.20 Mz_l=0.00
Azioni sul cordone: TP=0.04 TO=-0.39 NO=-468.35
Tensioni nel cordone: τ_P= 0.01 τ_0=0.12 σ_0=150.62 σ_{ID}=150.62 Σ_T=150.75
CC 5 SLV (Collegamento 0022_-379)
Azioni sul collegamento: N=-7936.97 Ty=1.58 Tz=-11.19 Mx=0.02 Mz=3.71
Sollecitazioni agenti localmente: Tx_l=1.58 Ty_l=-11.19 N_l=-7936.97 My_l=-3.71 Mz_l=0.02
Azioni sul cordone: TP=0.10 TO=-0.81 NO=-586.70

Tensioni nel cordone: τ_P= 0.03 τ_0=0.26 σ_0=191.91 σ_{ID}=191.91 Σ_T=192.17
CC 5 SLV (Collegamento 0022_-379)
Azioni sul collegamento: N=-7936.97 Ty=0.90 Tz=-11.19 Mx=0.02 Mz=2.40
Sollecitazioni agenti localmente: Tx_l=0.90 Ty_l=-11.19 N_l=-7936.97 My_l=-2.40 Mz_l=0.02
Azioni sul cordone: TP=0.05 TO=-0.81 NO=-586.70
Tensioni nel cordone: τ_P= 0.02 τ_0=0.26 σ_0=189.99 σ_{ID}=189.99 Σ_T=190.25
CC 5 SLV (Collegamento 0022_-379)
Azioni sul collegamento: N=-7936.97 Ty=1.58 Tz=5.89 Mx=0.02 Mz=3.71
Sollecitazioni agenti localmente: Tx_l=1.58 Ty_l=5.89 N_l=-7936.97 My_l=-3.71 Mz_l=0.02
Azioni sul cordone: TP=0.10 TO=0.45 NO=-586.70
Tensioni nel cordone: τ_P= 0.03 τ_0=0.14 σ_0=191.91 σ_{ID}=191.91 Σ_T=192.05
CC 5 SLV (Collegamento 0022_-379)
Azioni sul collegamento: N=-7936.97 Ty=0.90 Tz=5.89 Mx=0.02 Mz=2.40
Sollecitazioni agenti localmente: Tx_l=0.90 Ty_l=5.89 N_l=-7936.97 My_l=-2.40 Mz_l=0.02
Azioni sul cordone: TP=0.05 TO=0.45 NO=-586.70
Tensioni nel cordone: τ_P= 0.02 τ_0=0.14 σ_0=189.99 σ_{ID}=189.99 Σ_T=190.13
CC 5 SLV (Collegamento 0022_-379)
Azioni sul collegamento: N=-3330.55 Ty=1.58 Tz=-11.19 Mx=0.02 Mz=3.71
Sollecitazioni agenti localmente: Tx_l=1.58 Ty_l=-11.19 N_l=-3330.55 My_l=-3.71 Mz_l=0.02
Azioni sul cordone: TP=0.10 TO=-0.81 NO=-246.19
Tensioni nel cordone: τ_P= 0.03 τ_0=0.26 σ_0=83.68 σ_{ID}=83.68 Σ_T=83.94
CC 5 SLV (Collegamento 0022_-379)
Azioni sul collegamento: N=-3330.55 Ty=0.90 Tz=-11.19 Mx=0.02 Mz=2.40
Sollecitazioni agenti localmente: Tx_l=0.90 Ty_l=-11.19 N_l=-3330.55 My_l=-2.40 Mz_l=0.02
Azioni sul cordone: TP=0.05 TO=-0.81 NO=-246.19
Tensioni nel cordone: τ_P= 0.02 τ_0=0.26 σ_0=81.76 σ_{ID}=81.76 Σ_T=82.02
CC 5 SLV (Collegamento 0022_-379)
Azioni sul collegamento: N=-3330.55 Ty=1.58 Tz=5.89 Mx=0.02 Mz=3.71
Sollecitazioni agenti localmente: Tx_l=1.58 Ty_l=5.89 N_l=-3330.55 My_l=-3.71 Mz_l=0.02
Azioni sul cordone: TP=0.10 TO=0.45 NO=-246.19
Tensioni nel cordone: τ_P= 0.03 τ_0=0.14 σ_0=83.68 σ_{ID}=83.68 Σ_T=83.82
CC 5 SLV (Collegamento 0022_-379)
Azioni sul collegamento: N=-3330.55 Ty=0.90 Tz=5.89 Mx=0.02 Mz=2.40
Sollecitazioni agenti localmente: Tx_l=0.90 Ty_l=5.89 N_l=-3330.55 My_l=-2.40 Mz_l=0.02
Azioni sul cordone: TP=0.05 TO=0.45 NO=-246.19
Tensioni nel cordone: τ_P= 0.02 τ_0=0.14 σ_0=81.76 σ_{ID}=81.76 Σ_T=81.90
CC 6 SLD (Collegamento 0022_-379)
Azioni sul collegamento: N=-6335.90 Ty=0.53 Tz=-5.26 Mx=0.01 Mz=1.20
Sollecitazioni agenti localmente: Tx_l=0.53 Ty_l=-5.26 N_l=-6335.90 My_l=-1.20 Mz_l=0.01
Azioni sul cordone: TP=0.03 TO=-0.38 NO=-468.35
Tensioni nel cordone: τ_P= 0.01 τ_0=0.12 σ_0=150.62 σ_{ID}=150.62 Σ_T=150.75
CC 6 SLD (Collegamento 0022_-379)
Azioni sul collegamento: N=-6335.90 Ty=0.33 Tz=-5.26 Mx=0.01 Mz=0.80
Sollecitazioni agenti localmente: Tx_l=0.33 Ty_l=-5.26 N_l=-6335.90 My_l=-0.80 Mz_l=0.01
Azioni sul cordone: TP=0.02 TO=-0.38 NO=-468.35
Tensioni nel cordone: τ_P=5.78E-03 τ_0=0.12 σ_0=150.04 σ_{ID}=150.04 Σ_T=150.16
CC 6 SLD (Collegamento 0022_-379)
Azioni sul collegamento: N=-6335.90 Ty=0.53 Tz=-0.05 Mx=0.01 Mz=1.20
Sollecitazioni agenti localmente: Tx_l=0.53 Ty_l=-0.05 N_l=-6335.90 My_l=-1.20 Mz_l=0.01
Azioni sul cordone: TP=0.03 TO=0.00 NO=-468.35
Tensioni nel cordone: τ_P= 0.01 τ_0=1.31E-04 σ_0=150.62 σ_{ID}=150.62 Σ_T=150.62
CC 6 SLD (Collegamento 0022_-379)
Azioni sul collegamento: N=-6335.90 Ty=0.33 Tz=-0.05 Mx=0.01 Mz=0.80
Sollecitazioni agenti localmente: Tx_l=0.33 Ty_l=-0.05 N_l=-6335.90 My_l=-0.80 Mz_l=0.01
Azioni sul cordone: TP=0.02 TO=0.00 NO=-468.35
Tensioni nel cordone: τ_P=5.78E-03 τ_0=1.31E-04 σ_0=150.04 σ_{ID}=150.04 Σ_T=150.04
CC 6 SLD (Collegamento 0022_-379)
Azioni sul collegamento: N=-4931.25 Ty=0.53 Tz=-5.26 Mx=0.01 Mz=1.20
Sollecitazioni agenti localmente: Tx_l=0.53 Ty_l=-5.26 N_l=-4931.25 My_l=-1.20 Mz_l=0.01
Azioni sul cordone: TP=0.03 TO=-0.38 NO=-364.52
Tensioni nel cordone: τ_P= 0.01 τ_0=0.12 σ_0=117.62 σ_{ID}=117.62 Σ_T=117.74
CC 6 SLD (Collegamento 0022_-379)
Azioni sul collegamento: N=-4931.25 Ty=0.33 Tz=-5.26 Mx=0.01 Mz=0.80
Sollecitazioni agenti localmente: Tx_l=0.33 Ty_l=-5.26 N_l=-4931.25 My_l=-0.80 Mz_l=0.01
Azioni sul cordone: TP=0.02 TO=-0.38 NO=-364.52
Tensioni nel cordone: τ_P=5.78E-03 τ_0=0.12 σ_0=117.04 σ_{ID}=117.04 Σ_T=117.16
CC 6 SLD (Collegamento 0022_-379)
Azioni sul collegamento: N=-4931.25 Ty=0.53 Tz=-0.05 Mx=0.01 Mz=1.20
Sollecitazioni agenti localmente: Tx_l=0.53 Ty_l=-0.05 N_l=-4931.25 My_l=-1.20 Mz_l=0.01
Azioni sul cordone: TP=0.03 TO=0.00 NO=-364.52
Tensioni nel cordone: τ_P= 0.01 τ_0=1.26E-04 σ_0=117.62 σ_{ID}=117.62 Σ_T=117.62
CC 6 SLD (Collegamento 0022_-379)
Azioni sul collegamento: N=-4931.25 Ty=0.33 Tz=-0.05 Mx=0.01 Mz=0.80
Sollecitazioni agenti localmente: Tx_l=0.33 Ty_l=-0.05 N_l=-4931.25 My_l=-0.80 Mz_l=0.01
Azioni sul cordone: TP=0.02 TO=0.00 NO=-364.52
Tensioni nel cordone: τ_P=5.78E-03 τ_0=1.26E-04 σ_0=117.04 σ_{ID}=117.04 Σ_T=117.04
CC 7 SLV (Collegamento 0022_-379)
Azioni sul collegamento: N=-7936.99 Ty=0.88 Tz=-11.19 Mx=0.01 Mz=2.36
Sollecitazioni agenti localmente: Tx_l=0.88 Ty_l=-11.19 N_l=-7936.99 My_l=-2.36 Mz_l=0.01
Azioni sul cordone: TP=0.05 TO=-0.82 NO=-586.71
Tensioni nel cordone: τ_P= 0.02 τ_0=0.26 σ_0=189.93 σ_{ID}=189.93 Σ_T=190.19

CC 7 SLV (Collegamento 0022_-379)
Azioni sul collegamento: N=-7936.99 Ty=1.59 Tz=-11.19 Mx=0.01 Mz=3.75
Sollecitazioni agenti localmente: Tx_l=1.59 Ty_l=-11.19 N_l=-7936.99 My_l=-3.75 Mz_l=0.01
Azioni sul cordone: TP=0.10 TO=-0.82 NO=-586.71
Tensioni nel cordone: τ_P= 0.03 τ_0=0.26 σ_0=191.97 σ_{ID}=191.97 Σ_T=192.23
CC 7 SLV (Collegamento 0022_-379)
Azioni sul collegamento: N=-7936.99 Ty=0.88 Tz=5.89 Mx=0.01 Mz=2.36
Sollecitazioni agenti localmente: Tx_l=0.88 Ty_l=5.89 N_l=-7936.99 My_l=-2.36 Mz_l=0.01
Azioni sul cordone: TP=0.05 TO=0.44 NO=-586.71
Tensioni nel cordone: τ_P= 0.02 τ_0=0.14 σ_0=189.93 σ_{ID}=189.93 Σ_T=190.07
CC 7 SLV (Collegamento 0022_-379)
Azioni sul collegamento: N=-7936.99 Ty=1.59 Tz=5.89 Mx=0.01 Mz=3.75
Sollecitazioni agenti localmente: Tx_l=1.59 Ty_l=5.89 N_l=-7936.99 My_l=-3.75 Mz_l=0.01
Azioni sul cordone: TP=0.10 TO=0.44 NO=-586.71
Tensioni nel cordone: τ_P= 0.03 τ_0=0.14 σ_0=191.97 σ_{ID}=191.97 Σ_T=192.11
CC 7 SLV (Collegamento 0022_-379)
Azioni sul collegamento: N=-3330.52 Ty=0.88 Tz=-11.19 Mx=0.01 Mz=2.36
Sollecitazioni agenti localmente: Tx_l=0.88 Ty_l=-11.19 N_l=-3330.52 My_l=-2.36 Mz_l=0.01
Azioni sul cordone: TP=0.05 TO=-0.82 NO=-246.19
Tensioni nel cordone: τ_P= 0.02 τ_0=0.26 σ_0=81.70 σ_{ID}=81.70 Σ_T=81.96
CC 7 SLV (Collegamento 0022_-379)
Azioni sul collegamento: N=-3330.52 Ty=1.59 Tz=-11.19 Mx=0.01 Mz=3.75
Sollecitazioni agenti localmente: Tx_l=1.59 Ty_l=-11.19 N_l=-3330.52 My_l=-3.75 Mz_l=0.01
Azioni sul cordone: TP=0.10 TO=-0.82 NO=-246.19
Tensioni nel cordone: τ_P= 0.03 τ_0=0.26 σ_0=83.74 σ_{ID}=83.74 Σ_T=84.00
CC 7 SLV (Collegamento 0022_-379)
Azioni sul collegamento: N=-3330.52 Ty=0.88 Tz=5.89 Mx=0.01 Mz=2.36
Sollecitazioni agenti localmente: Tx_l=0.88 Ty_l=5.89 N_l=-3330.52 My_l=-2.36 Mz_l=0.01
Azioni sul cordone: TP=0.05 TO=0.44 NO=-246.19
Tensioni nel cordone: τ_P= 0.02 τ_0=0.14 σ_0=81.70 σ_{ID}=81.70 Σ_T=81.84
CC 7 SLV (Collegamento 0022_-379)
Azioni sul collegamento: N=-3330.52 Ty=1.59 Tz=5.89 Mx=0.01 Mz=3.75
Sollecitazioni agenti localmente: Tx_l=1.59 Ty_l=5.89 N_l=-3330.52 My_l=-3.75 Mz_l=0.01
Azioni sul cordone: TP=0.10 TO=0.44 NO=-246.19
Tensioni nel cordone: τ_P= 0.03 τ_0=0.14 σ_0=83.74 σ_{ID}=83.74 Σ_T=83.88
CC 8 SLD (Collegamento 0022_-379)
Azioni sul collegamento: N=-6335.90 Ty=0.32 Tz=-5.26 Mx=0.00 Mz=0.79
Sollecitazioni agenti localmente: Tx_l=0.32 Ty_l=-5.26 N_l=-6335.90 My_l=-0.79 Mz_l=0.00
Azioni sul cordone: TP=0.02 TO=-0.39 NO=-468.35
Tensioni nel cordone: τ_P=6.26E-03 τ_0=0.12 σ_0=150.02 σ_{ID}=150.02 Σ_T=150.14
CC 8 SLD (Collegamento 0022_-379)
Azioni sul collegamento: N=-6335.90 Ty=0.54 Tz=-5.26 Mx=0.00 Mz=1.22
Sollecitazioni agenti localmente: Tx_l=0.54 Ty_l=-5.26 N_l=-6335.90 My_l=-1.22 Mz_l=0.00
Azioni sul cordone: TP=0.04 TO=-0.39 NO=-468.35
Tensioni nel cordone: τ_P= 0.01 τ_0=0.12 σ_0=150.64 σ_{ID}=150.64 Σ_T=150.76
CC 8 SLD (Collegamento 0022_-379)
Azioni sul collegamento: N=-6335.90 Ty=0.32 Tz=-0.05 Mx=0.00 Mz=0.79
Sollecitazioni agenti localmente: Tx_l=0.32 Ty_l=-0.05 N_l=-6335.90 My_l=-0.79 Mz_l=0.00
Azioni sul cordone: TP=0.02 TO=-0.00 NO=-468.35
Tensioni nel cordone: τ_P=6.26E-03 τ_0=2.70E-04 σ_0=150.02 σ_{ID}=150.02 Σ_T=150.02
CC 8 SLD (Collegamento 0022_-379)
Azioni sul collegamento: N=-6335.90 Ty=0.54 Tz=-0.05 Mx=0.00 Mz=1.22
Sollecitazioni agenti localmente: Tx_l=0.54 Ty_l=-0.05 N_l=-6335.90 My_l=-1.22 Mz_l=0.00
Azioni sul cordone: TP=0.04 TO=-0.00 NO=-468.35
Tensioni nel cordone: τ_P= 0.01 τ_0=2.70E-04 σ_0=150.64 σ_{ID}=150.64 Σ_T=150.64
CC 8 SLD (Collegamento 0022_-379)
Azioni sul collegamento: N=-4931.25 Ty=0.32 Tz=-5.26 Mx=0.00 Mz=0.79
Sollecitazioni agenti localmente: Tx_l=0.32 Ty_l=-5.26 N_l=-4931.25 My_l=-0.79 Mz_l=0.00
Azioni sul cordone: TP=0.02 TO=-0.39 NO=-364.52
Tensioni nel cordone: τ_P=6.26E-03 τ_0=0.12 σ_0=117.02 σ_{ID}=117.02 Σ_T=117.14
CC 8 SLD (Collegamento 0022_-379)
Azioni sul collegamento: N=-4931.25 Ty=0.54 Tz=-5.26 Mx=0.00 Mz=1.22
Sollecitazioni agenti localmente: Tx_l=0.54 Ty_l=-5.26 N_l=-4931.25 My_l=-1.22 Mz_l=0.00
Azioni sul cordone: TP=0.04 TO=-0.39 NO=-364.52
Tensioni nel cordone: τ_P= 0.01 τ_0=0.12 σ_0=117.64 σ_{ID}=117.64 Σ_T=117.76
CC 8 SLD (Collegamento 0022_-379)
Azioni sul collegamento: N=-4931.25 Ty=0.32 Tz=-0.05 Mx=0.00 Mz=0.79
Sollecitazioni agenti localmente: Tx_l=0.32 Ty_l=-0.05 N_l=-4931.25 My_l=-0.79 Mz_l=0.00
Azioni sul cordone: TP=0.02 TO=-0.00 NO=-364.52
Tensioni nel cordone: τ_P=6.26E-03 τ_0=2.73E-04 σ_0=117.02 σ_{ID}=117.02 Σ_T=117.02
CC 8 SLD (Collegamento 0022_-379)
Azioni sul collegamento: N=-4931.25 Ty=0.54 Tz=-0.05 Mx=0.00 Mz=1.22
Sollecitazioni agenti localmente: Tx_l=0.54 Ty_l=-0.05 N_l=-4931.25 My_l=-1.22 Mz_l=0.00
Azioni sul cordone: TP=0.04 TO=-0.00 NO=-364.52
Tensioni nel cordone: τ_P= 0.01 τ_0=2.73E-04 σ_0=117.64 σ_{ID}=117.64 Σ_T=117.64
CC 9 SLV (Collegamento 0022_-379)
Azioni sul collegamento: N=-4942.75 Ty=2.39 Tz=-0.09 Mx=0.02 Mz=5.32
Sollecitazioni agenti localmente: Tx_l=2.39 Ty_l=-0.09 N_l=-4942.75 My_l=-5.32 Mz_l=0.02
Azioni sul cordone: TP=0.15 TO=0.01 NO=-365.37
Tensioni nel cordone: τ_P= 0.05 τ_0=3.55E-03 σ_0=123.90 σ_{ID}=123.90 Σ_T=123.91
CC 9 SLV (Collegamento 0022_-379)

Azioni sul collegamento: N=-4942.75 Ty=0.08 Tz=-0.09 Mx=0.02 Mz=0.80
Sollecitazioni agenti localmente: Tx_l=0.08 Ty_l=-0.09 N_l=-4942.75 My_l=-0.80 Mz_l=0.02
Azioni sul cordone: TP=-0.02 TO=0.01 NO=-365.37
Tensioni nel cordone: τ_P=6.25E-03 τ_O=3.55E-03 σ_O=117.30 σ_{ID}=117.30 Σ_T=117.30
CC 9 SLV (Collegamento 0022_-379)
Azioni sul collegamento: N=-4942.75 Ty=2.39 Tz=-5.22 Mx=0.02 Mz=5.32
Sollecitazioni agenti localmente: Tx_l=2.39 Ty_l=-5.22 N_l=-4942.75 My_l=-5.32 Mz_l=0.02
Azioni sul cordone: TP=0.15 TO=-0.37 NO=-365.37
Tensioni nel cordone: τ_P= 0.05 τ_O=0.12 σ_O=123.90 σ_{ID}=123.90 Σ_T=124.02
CC 9 SLV (Collegamento 0022_-379)
Azioni sul collegamento: N=-4942.75 Ty=0.08 Tz=-5.22 Mx=0.02 Mz=0.80
Sollecitazioni agenti localmente: Tx_l=0.08 Ty_l=-5.22 N_l=-4942.75 My_l=-0.80 Mz_l=0.02
Azioni sul cordone: TP=-0.02 TO=-0.37 NO=-365.37
Tensioni nel cordone: τ_P=6.25E-03 τ_O=0.12 σ_O=117.30 σ_{ID}=117.30 Σ_T=117.41
CC 9 SLV (Collegamento 0022_-379)
Azioni sul collegamento: N=-6324.76 Ty=2.39 Tz=-0.09 Mx=0.02 Mz=5.32
Sollecitazioni agenti localmente: Tx_l=2.39 Ty_l=-0.09 N_l=-6324.76 My_l=-5.32 Mz_l=0.02
Azioni sul cordone: TP=0.15 TO=0.01 NO=-467.53
Tensioni nel cordone: τ_P= 0.05 τ_O=3.56E-03 σ_O=156.37 σ_{ID}=156.37 Σ_T=156.38
CC 9 SLV (Collegamento 0022_-379)
Azioni sul collegamento: N=-6324.76 Ty=0.08 Tz=-0.09 Mx=0.02 Mz=0.80
Sollecitazioni agenti localmente: Tx_l=0.08 Ty_l=-0.09 N_l=-6324.76 My_l=-0.80 Mz_l=0.02
Azioni sul cordone: TP=-0.02 TO=0.01 NO=-467.53
Tensioni nel cordone: τ_P=6.25E-03 τ_O=3.56E-03 σ_O=149.77 σ_{ID}=149.77 Σ_T=149.77
CC 9 SLV (Collegamento 0022_-379)
Azioni sul collegamento: N=-6324.76 Ty=2.39 Tz=-5.22 Mx=0.02 Mz=5.32
Sollecitazioni agenti localmente: Tx_l=2.39 Ty_l=-5.22 N_l=-6324.76 My_l=-5.32 Mz_l=0.02
Azioni sul cordone: TP=0.15 TO=-0.37 NO=-467.53
Tensioni nel cordone: τ_P= 0.05 τ_O=0.12 σ_O=156.37 σ_{ID}=156.37 Σ_T=156.49
CC 9 SLV (Collegamento 0022_-379)
Azioni sul collegamento: N=-6324.76 Ty=0.08 Tz=-5.22 Mx=0.02 Mz=0.80
Sollecitazioni agenti localmente: Tx_l=0.08 Ty_l=-5.22 N_l=-6324.76 My_l=-0.80 Mz_l=0.02
Azioni sul cordone: TP=-0.02 TO=-0.37 NO=-467.53
Tensioni nel cordone: τ_P=6.25E-03 τ_O=0.12 σ_O=149.77 σ_{ID}=149.77 Σ_T=149.88
CC 10 SLD (Collegamento 0022_-379)
Azioni sul collegamento: N=-5422.87 Ty=0.78 Tz=-1.87 Mx=0.01 Mz=1.69
Sollecitazioni agenti localmente: Tx_l=0.78 Ty_l=-1.87 N_l=-5422.87 My_l=-1.69 Mz_l=0.01
Azioni sul cordone: TP=0.05 TO=-0.13 NO=-400.86
Tensioni nel cordone: τ_P= 0.02 τ_O= 0.04 σ_O=129.89 σ_{ID}=129.89 Σ_T=129.93
CC 10 SLD (Collegamento 0022_-379)
Azioni sul collegamento: N=-5422.87 Ty=0.08 Tz=-1.87 Mx=0.01 Mz=0.31
Sollecitazioni agenti localmente: Tx_l=0.08 Ty_l=-1.87 N_l=-5422.87 My_l=-0.31 Mz_l=0.01
Azioni sul cordone: TP=-0.00 TO=-0.13 NO=-400.86
Tensioni nel cordone: τ_P=7.57E-04 τ_O= 0.04 σ_O=127.87 σ_{ID}=127.87 Σ_T=127.91
CC 10 SLD (Collegamento 0022_-379)
Azioni sul collegamento: N=-5422.87 Ty=0.78 Tz=-3.44 Mx=0.01 Mz=1.69
Sollecitazioni agenti localmente: Tx_l=0.78 Ty_l=-3.44 N_l=-5422.87 My_l=-1.69 Mz_l=0.01
Azioni sul cordone: TP=0.05 TO=-0.25 NO=-400.86
Tensioni nel cordone: τ_P= 0.02 τ_O= 0.08 σ_O=129.89 σ_{ID}=129.89 Σ_T=129.97
CC 10 SLD (Collegamento 0022_-379)
Azioni sul collegamento: N=-5422.87 Ty=0.08 Tz=-3.44 Mx=0.01 Mz=0.31
Sollecitazioni agenti localmente: Tx_l=0.08 Ty_l=-3.44 N_l=-5422.87 My_l=-0.31 Mz_l=0.01
Azioni sul cordone: TP=-0.00 TO=-0.25 NO=-400.86
Tensioni nel cordone: τ_P=7.57E-04 τ_O= 0.08 σ_O=127.87 σ_{ID}=127.87 Σ_T=127.95
CC 10 SLD (Collegamento 0022_-379)
Azioni sul collegamento: N=-5844.28 Ty=0.78 Tz=-1.87 Mx=0.01 Mz=1.69
Sollecitazioni agenti localmente: Tx_l=0.78 Ty_l=-1.87 N_l=-5844.28 My_l=-1.69 Mz_l=0.01
Azioni sul cordone: TP=0.05 TO=-0.13 NO=-432.01
Tensioni nel cordone: τ_P= 0.02 τ_O= 0.04 σ_O=139.79 σ_{ID}=139.79 Σ_T=139.83
CC 10 SLD (Collegamento 0022_-379)
Azioni sul collegamento: N=-5844.28 Ty=0.08 Tz=-1.87 Mx=0.01 Mz=0.31
Sollecitazioni agenti localmente: Tx_l=0.08 Ty_l=-1.87 N_l=-5844.28 My_l=-0.31 Mz_l=0.01
Azioni sul cordone: TP=-0.00 TO=-0.13 NO=-432.01
Tensioni nel cordone: τ_P=7.57E-04 τ_O= 0.04 σ_O=137.77 σ_{ID}=137.77 Σ_T=137.82
CC 10 SLD (Collegamento 0022_-379)
Azioni sul collegamento: N=-5844.28 Ty=0.78 Tz=-3.44 Mx=0.01 Mz=1.69
Sollecitazioni agenti localmente: Tx_l=0.78 Ty_l=-3.44 N_l=-5844.28 My_l=-1.69 Mz_l=0.01
Azioni sul cordone: TP=0.05 TO=-0.25 NO=-432.01
Tensioni nel cordone: τ_P= 0.02 τ_O= 0.08 σ_O=139.79 σ_{ID}=139.79 Σ_T=139.87
CC 10 SLD (Collegamento 0022_-379)
Azioni sul collegamento: N=-5844.28 Ty=0.08 Tz=-3.44 Mx=0.01 Mz=0.31
Sollecitazioni agenti localmente: Tx_l=0.08 Ty_l=-3.44 N_l=-5844.28 My_l=-0.31 Mz_l=0.01
Azioni sul cordone: TP=-0.00 TO=-0.25 NO=-432.01
Tensioni nel cordone: τ_P=7.57E-04 τ_O= 0.08 σ_O=137.77 σ_{ID}=137.77 Σ_T=137.85
CC 11 SLV (Collegamento 0022_-379)
Azioni sul collegamento: N=-6324.69 Ty=2.39 Tz=-5.21 Mx=0.02 Mz=5.31
Sollecitazioni agenti localmente: Tx_l=2.39 Ty_l=-5.21 N_l=-6324.69 My_l=-5.31 Mz_l=0.02
Azioni sul cordone: TP=0.15 TO=-0.37 NO=-467.52
Tensioni nel cordone: τ_P= 0.05 τ_O=0.12 σ_O=156.35 σ_{ID}=156.35 Σ_T=156.47
CC 11 SLV (Collegamento 0022_-379)
Azioni sul collegamento: N=-6324.69 Ty=0.09 Tz=-5.21 Mx=0.02 Mz=0.81

Sollecitazioni agenti localmente: Tx_l=0.09 Ty_l=-5.21 N_l=-6324.69 My_l=-0.81 Mz_l=0.02
Azioni sul cordone: TP=-0.02 TO=-0.37 NO=-467.52
Tensioni nel cordone: τ_P=6.13E-03 τ_0=0.12 σ_0=149.78 σ_{ID}=149.78 Σ_T=149.90
CC 11 SLV (Collegamento 0022_-379)
Azioni sul collegamento: N=-6324.69 Ty=2.39 Tz=-0.09 Mx=0.02 Mz=5.31
Sollecitazioni agenti localmente: Tx_l=2.39 Ty_l=-0.09 N_l=-6324.69 My_l=-5.31 Mz_l=0.02
Azioni sul cordone: TP=0.15 TO=0.01 NO=-467.52
Tensioni nel cordone: τ_P= 0.05 τ_0=3.50E-03 σ_0=156.35 σ_{ID}=156.35 Σ_T=156.36
CC 11 SLV (Collegamento 0022_-379)
Azioni sul collegamento: N=-6324.69 Ty=0.09 Tz=-0.09 Mx=0.02 Mz=0.81
Sollecitazioni agenti localmente: Tx_l=0.09 Ty_l=-0.09 N_l=-6324.69 My_l=-0.81 Mz_l=0.02
Azioni sul cordone: TP=-0.02 TO=0.01 NO=-467.52
Tensioni nel cordone: τ_P=6.13E-03 τ_0=3.50E-03 σ_0=149.78 σ_{ID}=149.78 Σ_T=149.78
CC 11 SLV (Collegamento 0022_-379)
Azioni sul collegamento: N=-4942.83 Ty=2.39 Tz=-5.21 Mx=0.02 Mz=5.31
Sollecitazioni agenti localmente: Tx_l=2.39 Ty_l=-5.21 N_l=-4942.83 My_l=-5.31 Mz_l=0.02
Azioni sul cordone: TP=0.15 TO=-0.37 NO=-365.38
Tensioni nel cordone: τ_P= 0.05 τ_0=0.12 σ_0=123.89 σ_{ID}=123.89 Σ_T=124.00
CC 11 SLV (Collegamento 0022_-379)
Azioni sul collegamento: N=-4942.83 Ty=0.09 Tz=-5.21 Mx=0.02 Mz=0.81
Sollecitazioni agenti localmente: Tx_l=0.09 Ty_l=-5.21 N_l=-4942.83 My_l=-0.81 Mz_l=0.02
Azioni sul cordone: TP=-0.02 TO=-0.37 NO=-365.38
Tensioni nel cordone: τ_P=6.13E-03 τ_0=0.12 σ_0=117.31 σ_{ID}=117.31 Σ_T=117.43
CC 11 SLV (Collegamento 0022_-379)
Azioni sul collegamento: N=-4942.83 Ty=2.39 Tz=-0.09 Mx=0.02 Mz=5.31
Sollecitazioni agenti localmente: Tx_l=2.39 Ty_l=-0.09 N_l=-4942.83 My_l=-5.31 Mz_l=0.02
Azioni sul cordone: TP=0.15 TO=0.01 NO=-365.38
Tensioni nel cordone: τ_P= 0.05 τ_0=3.49E-03 σ_0=123.89 σ_{ID}=123.89 Σ_T=123.89
CC 11 SLV (Collegamento 0022_-379)
Azioni sul collegamento: N=-4942.83 Ty=0.09 Tz=-0.09 Mx=0.02 Mz=0.81
Sollecitazioni agenti localmente: Tx_l=0.09 Ty_l=-0.09 N_l=-4942.83 My_l=-0.81 Mz_l=0.02
Azioni sul cordone: TP=-0.02 TO=0.01 NO=-365.38
Tensioni nel cordone: τ_P=6.13E-03 τ_0=3.49E-03 σ_0=117.31 σ_{ID}=117.31 Σ_T=117.32
CC 12 SLD (Collegamento 0022_-379)
Azioni sul collegamento: N=-5844.26 Ty=0.78 Tz=-3.43 Mx=0.01 Mz=1.69
Sollecitazioni agenti localmente: Tx_l=0.78 Ty_l=-3.43 N_l=-5844.26 My_l=-1.69 Mz_l=0.01
Azioni sul cordone: TP=0.05 TO=-0.25 NO=-432.01
Tensioni nel cordone: τ_P= 0.02 τ_0= 0.08 σ_0=139.78 σ_{ID}=139.78 Σ_T=139.86
CC 12 SLD (Collegamento 0022_-379)
Azioni sul collegamento: N=-5844.26 Ty=0.08 Tz=-3.43 Mx=0.01 Mz=0.32
Sollecitazioni agenti localmente: Tx_l=0.08 Ty_l=-3.43 N_l=-5844.26 My_l=-0.32 Mz_l=0.01
Azioni sul cordone: TP=-0.00 TO=-0.25 NO=-432.01
Tensioni nel cordone: τ_P=7.21E-04 τ_0= 0.08 σ_0=137.78 σ_{ID}=137.78 Σ_T=137.86
CC 12 SLD (Collegamento 0022_-379)
Azioni sul collegamento: N=-5844.26 Ty=0.78 Tz=-1.87 Mx=0.01 Mz=1.69
Sollecitazioni agenti localmente: Tx_l=0.78 Ty_l=-1.87 N_l=-5844.26 My_l=-1.69 Mz_l=0.01
Azioni sul cordone: TP=0.05 TO=-0.13 NO=-432.01
Tensioni nel cordone: τ_P= 0.02 τ_0= 0.04 σ_0=139.78 σ_{ID}=139.78 Σ_T=139.82
CC 12 SLD (Collegamento 0022_-379)
Azioni sul collegamento: N=-5844.26 Ty=0.08 Tz=-1.87 Mx=0.01 Mz=0.32
Sollecitazioni agenti localmente: Tx_l=0.08 Ty_l=-1.87 N_l=-5844.26 My_l=-0.32 Mz_l=0.01
Azioni sul cordone: TP=-0.00 TO=-0.13 NO=-432.01
Tensioni nel cordone: τ_P=7.21E-04 τ_0= 0.04 σ_0=137.78 σ_{ID}=137.78 Σ_T=137.82
CC 12 SLD (Collegamento 0022_-379)
Azioni sul collegamento: N=-5422.89 Ty=0.78 Tz=-3.43 Mx=0.01 Mz=1.69
Sollecitazioni agenti localmente: Tx_l=0.78 Ty_l=-3.43 N_l=-5422.89 My_l=-1.69 Mz_l=0.01
Azioni sul cordone: TP=0.05 TO=-0.25 NO=-400.86
Tensioni nel cordone: τ_P= 0.02 τ_0= 0.08 σ_0=129.88 σ_{ID}=129.88 Σ_T=129.96
CC 12 SLD (Collegamento 0022_-379)
Azioni sul collegamento: N=-5422.89 Ty=0.08 Tz=-3.43 Mx=0.01 Mz=0.32
Sollecitazioni agenti localmente: Tx_l=0.08 Ty_l=-3.43 N_l=-5422.89 My_l=-0.32 Mz_l=0.01
Azioni sul cordone: TP=-0.00 TO=-0.25 NO=-400.86
Tensioni nel cordone: τ_P=7.21E-04 τ_0= 0.08 σ_0=127.88 σ_{ID}=127.88 Σ_T=127.96
CC 12 SLD (Collegamento 0022_-379)
Azioni sul collegamento: N=-5422.89 Ty=0.78 Tz=-1.87 Mx=0.01 Mz=1.69
Sollecitazioni agenti localmente: Tx_l=0.78 Ty_l=-1.87 N_l=-5422.89 My_l=-1.69 Mz_l=0.01
Azioni sul cordone: TP=0.05 TO=-0.13 NO=-400.86
Tensioni nel cordone: τ_P= 0.02 τ_0= 0.04 σ_0=129.88 σ_{ID}=129.88 Σ_T=129.92
CC 12 SLD (Collegamento 0022_-379)
Azioni sul collegamento: N=-5422.89 Ty=0.08 Tz=-1.87 Mx=0.01 Mz=0.32
Sollecitazioni agenti localmente: Tx_l=0.08 Ty_l=-1.87 N_l=-5422.89 My_l=-0.32 Mz_l=0.01
Azioni sul cordone: TP=-0.00 TO=-0.13 NO=-400.86
Tensioni nel cordone: τ_P=7.21E-04 τ_0= 0.04 σ_0=127.88 σ_{ID}=127.88 Σ_T=127.92
CC 13 SLV (Collegamento 0022_-379)
Azioni sul collegamento: N=-4942.83 Ty=0.09 Tz=-0.09 Mx=0.00 Mz=0.81
Sollecitazioni agenti localmente: Tx_l=0.09 Ty_l=-0.09 N_l=-4942.83 My_l=-0.81 Mz_l=0.00
Azioni sul cordone: TP=0.00 TO=-0.00 NO=-365.38
Tensioni nel cordone: τ_P=2.07E-04 τ_0=8.98E-04 σ_0=117.31 σ_{ID}=117.31 Σ_T=117.31
CC 13 SLV (Collegamento 0022_-379)
Azioni sul collegamento: N=-4942.83 Ty=2.39 Tz=-0.09 Mx=0.00 Mz=5.31
Sollecitazioni agenti localmente: Tx_l=2.39 Ty_l=-0.09 N_l=-4942.83 My_l=-5.31 Mz_l=0.00

Azioni sul cordone: TP=0.17 TO=-0.00 NO=-365.38
Tensioni nel cordone: τ_P= 0.05 τ_O=8.98E-04 σ_O=123.89 σ_{ID}=123.89 Σ_T=123.89
CC 13 SLV (Collegamento 0022_-379)
Azioni sul collegamento: N=-4942.83 Ty=0.09 Tz=-5.21 Mx=0.00 Mz=0.81
Sollecitazioni agenti localmente: Tx_l=0.09 Ty_l=-5.21 N_l=-4942.83 My_l=-0.81 Mz_l=0.00
Azioni sul cordone: TP=0.00 TO=-0.38 NO=-365.38
Tensioni nel cordone: τ_P=2.07E-04 τ_O=0.12 σ_O=117.31 σ_{ID}=117.31 Σ_T=117.44
CC 13 SLV (Collegamento 0022_-379)
Azioni sul collegamento: N=-4942.83 Ty=2.39 Tz=-5.21 Mx=0.00 Mz=5.31
Sollecitazioni agenti localmente: Tx_l=2.39 Ty_l=-5.21 N_l=-4942.83 My_l=-5.31 Mz_l=0.00
Azioni sul cordone: TP=0.17 TO=-0.38 NO=-365.38
Tensioni nel cordone: τ_P= 0.05 τ_O=0.12 σ_O=123.89 σ_{ID}=123.89 Σ_T=124.01
CC 13 SLV (Collegamento 0022_-379)
Azioni sul collegamento: N=-6324.69 Ty=0.09 Tz=-0.09 Mx=0.00 Mz=0.81
Sollecitazioni agenti localmente: Tx_l=0.09 Ty_l=-0.09 N_l=-6324.69 My_l=-0.81 Mz_l=0.00
Azioni sul cordone: TP=0.00 TO=-0.00 NO=-467.52
Tensioni nel cordone: τ_P=2.07E-04 τ_O=8.88E-04 σ_O=149.78 σ_{ID}=149.78 Σ_T=149.78
CC 13 SLV (Collegamento 0022_-379)
Azioni sul collegamento: N=-6324.69 Ty=2.39 Tz=-0.09 Mx=0.00 Mz=5.31
Sollecitazioni agenti localmente: Tx_l=2.39 Ty_l=-0.09 N_l=-6324.69 My_l=-5.31 Mz_l=0.00
Azioni sul cordone: TP=0.17 TO=-0.00 NO=-467.52
Tensioni nel cordone: τ_P= 0.05 τ_O=8.88E-04 σ_O=156.35 σ_{ID}=156.35 Σ_T=156.36
CC 13 SLV (Collegamento 0022_-379)
Azioni sul collegamento: N=-6324.69 Ty=0.09 Tz=-5.21 Mx=0.00 Mz=0.81
Sollecitazioni agenti localmente: Tx_l=0.09 Ty_l=-5.21 N_l=-6324.69 My_l=-0.81 Mz_l=0.00
Azioni sul cordone: TP=0.00 TO=-0.38 NO=-467.52
Tensioni nel cordone: τ_P=2.07E-04 τ_O=0.12 σ_O=149.78 σ_{ID}=149.78 Σ_T=149.90
CC 13 SLV (Collegamento 0022_-379)
Azioni sul collegamento: N=-6324.69 Ty=2.39 Tz=-5.21 Mx=0.00 Mz=5.31
Sollecitazioni agenti localmente: Tx_l=2.39 Ty_l=-5.21 N_l=-6324.69 My_l=-5.31 Mz_l=0.00
Azioni sul cordone: TP=0.17 TO=-0.38 NO=-467.52
Tensioni nel cordone: τ_P= 0.05 τ_O=0.12 σ_O=156.35 σ_{ID}=156.35 Σ_T=156.48
CC 14 SLD (Collegamento 0022_-379)
Azioni sul collegamento: N=-5422.89 Ty=0.08 Tz=-1.87 Mx=0.00 Mz=0.32
Sollecitazioni agenti localmente: Tx_l=0.08 Ty_l=-1.87 N_l=-5422.89 My_l=-0.32 Mz_l=0.00
Azioni sul cordone: TP=0.00 TO=-0.14 NO=-400.86
Tensioni nel cordone: τ_P=1.21E-03 τ_O= 0.04 σ_O=127.88 σ_{ID}=127.88 Σ_T=127.92
CC 14 SLD (Collegamento 0022_-379)
Azioni sul collegamento: N=-5422.89 Ty=0.78 Tz=-1.87 Mx=0.00 Mz=1.69
Sollecitazioni agenti localmente: Tx_l=0.78 Ty_l=-1.87 N_l=-5422.89 My_l=-1.69 Mz_l=0.00
Azioni sul cordone: TP=0.06 TO=-0.14 NO=-400.86
Tensioni nel cordone: τ_P= 0.02 τ_O= 0.04 σ_O=129.88 σ_{ID}=129.88 Σ_T=129.93
CC 14 SLD (Collegamento 0022_-379)
Azioni sul collegamento: N=-5422.89 Ty=0.08 Tz=-3.43 Mx=0.00 Mz=0.32
Sollecitazioni agenti localmente: Tx_l=0.08 Ty_l=-3.43 N_l=-5422.89 My_l=-0.32 Mz_l=0.00
Azioni sul cordone: TP=0.00 TO=-0.25 NO=-400.86
Tensioni nel cordone: τ_P=1.21E-03 τ_O= 0.08 σ_O=127.88 σ_{ID}=127.88 Σ_T=127.96
CC 14 SLD (Collegamento 0022_-379)
Azioni sul collegamento: N=-5422.89 Ty=0.78 Tz=-3.43 Mx=0.00 Mz=1.69
Sollecitazioni agenti localmente: Tx_l=0.78 Ty_l=-3.43 N_l=-5422.89 My_l=-1.69 Mz_l=0.00
Azioni sul cordone: TP=0.06 TO=-0.25 NO=-400.86
Tensioni nel cordone: τ_P= 0.02 τ_O= 0.08 σ_O=129.88 σ_{ID}=129.88 Σ_T=129.96
CC 14 SLD (Collegamento 0022_-379)
Azioni sul collegamento: N=-5844.26 Ty=0.08 Tz=-1.87 Mx=0.00 Mz=0.32
Sollecitazioni agenti localmente: Tx_l=0.08 Ty_l=-1.87 N_l=-5844.26 My_l=-0.32 Mz_l=0.00
Azioni sul cordone: TP=0.00 TO=-0.14 NO=-432.01
Tensioni nel cordone: τ_P=1.21E-03 τ_O= 0.04 σ_O=137.78 σ_{ID}=137.78 Σ_T=137.82
CC 14 SLD (Collegamento 0022_-379)
Azioni sul collegamento: N=-5844.26 Ty=0.78 Tz=-1.87 Mx=0.00 Mz=1.69
Sollecitazioni agenti localmente: Tx_l=0.78 Ty_l=-1.87 N_l=-5844.26 My_l=-1.69 Mz_l=0.00
Azioni sul cordone: TP=0.06 TO=-0.14 NO=-432.01
Tensioni nel cordone: τ_P= 0.02 τ_O= 0.04 σ_O=139.78 σ_{ID}=139.78 Σ_T=139.83
CC 14 SLD (Collegamento 0022_-379)
Azioni sul collegamento: N=-5844.26 Ty=0.08 Tz=-3.43 Mx=0.00 Mz=0.32
Sollecitazioni agenti localmente: Tx_l=0.08 Ty_l=-3.43 N_l=-5844.26 My_l=-0.32 Mz_l=0.00
Azioni sul cordone: TP=0.00 TO=-0.25 NO=-432.01
Tensioni nel cordone: τ_P=1.21E-03 τ_O= 0.08 σ_O=137.78 σ_{ID}=137.78 Σ_T=137.86
CC 14 SLD (Collegamento 0022_-379)
Azioni sul collegamento: N=-5844.26 Ty=0.78 Tz=-3.43 Mx=0.00 Mz=1.69
Sollecitazioni agenti localmente: Tx_l=0.78 Ty_l=-3.43 N_l=-5844.26 My_l=-1.69 Mz_l=0.00
Azioni sul cordone: TP=0.06 TO=-0.25 NO=-432.01
Tensioni nel cordone: τ_P= 0.02 τ_O= 0.08 σ_O=139.78 σ_{ID}=139.78 Σ_T=139.86
CC 15 SLV (Collegamento 0022_-379)
Azioni sul collegamento: N=-6324.76 Ty=0.08 Tz=-5.22 Mx=0.00 Mz=0.80
Sollecitazioni agenti localmente: Tx_l=0.08 Ty_l=-5.22 N_l=-6324.76 My_l=-0.80 Mz_l=0.00
Azioni sul cordone: TP=0.00 TO=-0.38 NO=-467.53
Tensioni nel cordone: τ_P=1.33E-04 τ_O=0.12 σ_O=149.77 σ_{ID}=149.77 Σ_T=149.89
CC 15 SLV (Collegamento 0022_-379)
Azioni sul collegamento: N=-6324.76 Ty=2.39 Tz=-5.22 Mx=0.00 Mz=5.32
Sollecitazioni agenti localmente: Tx_l=2.39 Ty_l=-5.22 N_l=-6324.76 My_l=-5.32 Mz_l=0.00
Azioni sul cordone: TP=0.17 TO=-0.38 NO=-467.53

Tensioni nel cordone: τ_P= 0.05 τ_0=0.12 σ_0=156.37 σ_{ID}=156.37 Σ_T=156.50
CC 15 SLV (Collegamento 0022_-379)
Azioni sul collegamento: N=-6324.76 Ty=0.08 Tz=-0.09 Mx=0.00 Mz=0.80
Sollecitazioni agenti localmente: Tx_l=0.08 Ty_l=-0.09 N_l=-6324.76 My_l=-0.80 Mz_l=0.00
Azioni sul cordone: TP=0.00 TO=-0.00 NO=-467.53
Tensioni nel cordone: τ_P=1.33E-04 τ_0=8.64E-04 σ_0=149.77 σ_{ID}=149.77 Σ_T=149.77
CC 15 SLV (Collegamento 0022_-379)
Azioni sul collegamento: N=-6324.76 Ty=2.39 Tz=-0.09 Mx=0.00 Mz=5.32
Sollecitazioni agenti localmente: Tx_l=2.39 Ty_l=-0.09 N_l=-6324.76 My_l=-5.32 Mz_l=0.00
Azioni sul cordone: TP=0.17 TO=-0.00 NO=-467.53
Tensioni nel cordone: τ_P= 0.05 τ_0=8.64E-04 σ_0=156.37 σ_{ID}=156.37 Σ_T=156.37
CC 15 SLV (Collegamento 0022_-379)
Azioni sul collegamento: N=-4942.75 Ty=0.08 Tz=-5.22 Mx=0.00 Mz=0.80
Sollecitazioni agenti localmente: Tx_l=0.08 Ty_l=-5.22 N_l=-4942.75 My_l=-0.80 Mz_l=0.00
Azioni sul cordone: TP=0.00 TO=-0.38 NO=-365.37
Tensioni nel cordone: τ_P=1.33E-04 τ_0=0.12 σ_0=117.30 σ_{ID}=117.30 Σ_T=117.42
CC 15 SLV (Collegamento 0022_-379)
Azioni sul collegamento: N=-4942.75 Ty=2.39 Tz=-5.22 Mx=0.00 Mz=5.32
Sollecitazioni agenti localmente: Tx_l=2.39 Ty_l=-5.22 N_l=-4942.75 My_l=-5.32 Mz_l=0.00
Azioni sul cordone: TP=0.17 TO=-0.38 NO=-365.37
Tensioni nel cordone: τ_P= 0.05 τ_0=0.12 σ_0=123.90 σ_{ID}=123.90 Σ_T=124.02
CC 15 SLV (Collegamento 0022_-379)
Azioni sul collegamento: N=-4942.75 Ty=0.08 Tz=-0.09 Mx=0.00 Mz=0.80
Sollecitazioni agenti localmente: Tx_l=0.08 Ty_l=-0.09 N_l=-4942.75 My_l=-0.80 Mz_l=0.00
Azioni sul cordone: TP=0.00 TO=-0.00 NO=-365.37
Tensioni nel cordone: τ_P=1.33E-04 τ_0=8.70E-04 σ_0=117.30 σ_{ID}=117.30 Σ_T=117.30
CC 15 SLV (Collegamento 0022_-379)
Azioni sul collegamento: N=-4942.75 Ty=2.39 Tz=-0.09 Mx=0.00 Mz=5.32
Sollecitazioni agenti localmente: Tx_l=2.39 Ty_l=-0.09 N_l=-4942.75 My_l=-5.32 Mz_l=0.00
Azioni sul cordone: TP=0.17 TO=-0.00 NO=-365.37
Tensioni nel cordone: τ_P= 0.05 τ_0=8.70E-04 σ_0=123.90 σ_{ID}=123.90 Σ_T=123.90
CC 16 SLD (Collegamento 0022_-379)
Azioni sul collegamento: N=-5844.28 Ty=0.08 Tz=-3.44 Mx=0.00 Mz=0.31
Sollecitazioni agenti localmente: Tx_l=0.08 Ty_l=-3.44 N_l=-5844.28 My_l=-0.31 Mz_l=0.00
Azioni sul cordone: TP=0.00 TO=-0.25 NO=-432.01
Tensioni nel cordone: τ_P=1.19E-03 τ_0= 0.08 σ_0=137.77 σ_{ID}=137.77 Σ_T=137.85
CC 16 SLD (Collegamento 0022_-379)
Azioni sul collegamento: N=-5844.28 Ty=0.78 Tz=-3.44 Mx=0.00 Mz=1.69
Sollecitazioni agenti localmente: Tx_l=0.78 Ty_l=-3.44 N_l=-5844.28 My_l=-1.69 Mz_l=0.00
Azioni sul cordone: TP=0.06 TO=-0.25 NO=-432.01
Tensioni nel cordone: τ_P= 0.02 τ_0= 0.08 σ_0=139.79 σ_{ID}=139.79 Σ_T=139.87
CC 16 SLD (Collegamento 0022_-379)
Azioni sul collegamento: N=-5844.28 Ty=0.08 Tz=-1.87 Mx=0.00 Mz=0.31
Sollecitazioni agenti localmente: Tx_l=0.08 Ty_l=-1.87 N_l=-5844.28 My_l=-0.31 Mz_l=0.00
Azioni sul cordone: TP=0.00 TO=-0.14 NO=-432.01
Tensioni nel cordone: τ_P=1.19E-03 τ_0= 0.04 σ_0=137.77 σ_{ID}=137.77 Σ_T=137.82
CC 16 SLD (Collegamento 0022_-379)
Azioni sul collegamento: N=-5844.28 Ty=0.78 Tz=-1.87 Mx=0.00 Mz=1.69
Sollecitazioni agenti localmente: Tx_l=0.78 Ty_l=-1.87 N_l=-5844.28 My_l=-1.69 Mz_l=0.00
Azioni sul cordone: TP=0.06 TO=-0.14 NO=-432.01
Tensioni nel cordone: τ_P= 0.02 τ_0= 0.04 σ_0=139.79 σ_{ID}=139.79 Σ_T=139.83
CC 16 SLD (Collegamento 0022_-379)
Azioni sul collegamento: N=-5422.87 Ty=0.08 Tz=-3.44 Mx=0.00 Mz=0.31
Sollecitazioni agenti localmente: Tx_l=0.08 Ty_l=-3.44 N_l=-5422.87 My_l=-0.31 Mz_l=0.00
Azioni sul cordone: TP=0.00 TO=-0.25 NO=-400.86
Tensioni nel cordone: τ_P=1.19E-03 τ_0= 0.08 σ_0=127.87 σ_{ID}=127.87 Σ_T=127.95
CC 16 SLD (Collegamento 0022_-379)
Azioni sul collegamento: N=-5422.87 Ty=0.78 Tz=-3.44 Mx=0.00 Mz=1.69
Sollecitazioni agenti localmente: Tx_l=0.78 Ty_l=-3.44 N_l=-5422.87 My_l=-1.69 Mz_l=0.00
Azioni sul cordone: TP=0.06 TO=-0.25 NO=-400.86
Tensioni nel cordone: τ_P= 0.02 τ_0= 0.08 σ_0=129.89 σ_{ID}=129.89 Σ_T=129.97
CC 16 SLD (Collegamento 0022_-379)
Azioni sul collegamento: N=-5422.87 Ty=0.08 Tz=-1.87 Mx=0.00 Mz=0.31
Sollecitazioni agenti localmente: Tx_l=0.08 Ty_l=-1.87 N_l=-5422.87 My_l=-0.31 Mz_l=0.00
Azioni sul cordone: TP=0.00 TO=-0.14 NO=-400.86
Tensioni nel cordone: τ_P=1.19E-03 τ_0= 0.04 σ_0=127.87 σ_{ID}=127.87 Σ_T=127.92
CC 16 SLD (Collegamento 0022_-379)
Azioni sul collegamento: N=-5422.87 Ty=0.78 Tz=-1.87 Mx=0.00 Mz=1.69
Sollecitazioni agenti localmente: Tx_l=0.78 Ty_l=-1.87 N_l=-5422.87 My_l=-1.69 Mz_l=0.00
Azioni sul cordone: TP=0.06 TO=-0.14 NO=-400.86
Tensioni nel cordone: τ_P= 0.02 τ_0= 0.04 σ_0=129.89 σ_{ID}=129.89 Σ_T=129.93
CC 17 SLV (Collegamento 0022_-379)
Azioni sul collegamento: N=-3330.00 Ty=-0.74 Tz=5.89 Mx=-0.02 Mz=-2.16
Sollecitazioni agenti localmente: Tx_l=-0.74 Ty_l=5.89 N_l=-3330.00 My_l=2.16 Mz_l=-0.02
Azioni sul cordone: TP=-0.04 TO=0.45 NO=-246.15
Tensioni nel cordone: τ_P= 0.01 τ_0=0.14 σ_0=81.39 σ_{ID}=81.39 Σ_T=81.53
CC 17 SLV (Collegamento 0022_-379)
Azioni sul collegamento: N=-3330.00 Ty=-1.44 Tz=5.89 Mx=-0.02 Mz=-3.55
Sollecitazioni agenti localmente: Tx_l=-1.44 Ty_l=5.89 N_l=-3330.00 My_l=3.55 Mz_l=-0.02
Azioni sul cordone: TP=-0.09 TO=0.45 NO=-246.15
Tensioni nel cordone: τ_P= 0.03 τ_0=0.14 σ_0=83.42 σ_{ID}=83.42 Σ_T=83.56

CC 17 SLV (Collegamento 0022_-379)
Azioni sul collegamento: N=-3330.00 Ty=-0.74 Tz=-11.20 Mx=-0.02 Mz=-2.16
Sollecitazioni agenti localmente: Tx_l=-0.74 Ty_l=-11.20 N_l=-3330.00 My_l=2.16 Mz_l=-0.02
Azioni sul cordone: TP=-0.04 TO=-0.81 NO=-246.15
Tensioni nel cordone: τ_P= 0.01 τ_O=0.26 σ_O=81.39 σ_{ID}=81.39 Σ_T=81.65
CC 17 SLV (Collegamento 0022_-379)
Azioni sul collegamento: N=-3330.00 Ty=-1.44 Tz=-11.20 Mx=-0.02 Mz=-3.55
Sollecitazioni agenti localmente: Tx_l=-1.44 Ty_l=-11.20 N_l=-3330.00 My_l=3.55 Mz_l=-0.02
Azioni sul cordone: TP=-0.09 TO=-0.81 NO=-246.15
Tensioni nel cordone: τ_P= 0.03 τ_O=0.26 σ_O=83.42 σ_{ID}=83.42 Σ_T=83.68
CC 17 SLV (Collegamento 0022_-379)
Azioni sul collegamento: N=-7936.47 Ty=-0.74 Tz=5.89 Mx=-0.02 Mz=-2.16
Sollecitazioni agenti localmente: Tx_l=-0.74 Ty_l=5.89 N_l=-7936.47 My_l=2.16 Mz_l=-0.02
Azioni sul cordone: TP=-0.04 TO=0.45 NO=-586.67
Tensioni nel cordone: τ_P= 0.01 τ_O=0.14 σ_O=189.62 σ_{ID}=189.62 Σ_T=189.76
CC 17 SLV (Collegamento 0022_-379)
Azioni sul collegamento: N=-7936.47 Ty=-1.44 Tz=5.89 Mx=-0.02 Mz=-3.55
Sollecitazioni agenti localmente: Tx_l=-1.44 Ty_l=5.89 N_l=-7936.47 My_l=3.55 Mz_l=-0.02
Azioni sul cordone: TP=-0.09 TO=0.45 NO=-586.67
Tensioni nel cordone: τ_P= 0.03 τ_O=0.14 σ_O=191.65 σ_{ID}=191.65 Σ_T=191.80
CC 17 SLV (Collegamento 0022_-379)
Azioni sul collegamento: N=-7936.47 Ty=-0.74 Tz=-11.20 Mx=-0.02 Mz=-2.16
Sollecitazioni agenti localmente: Tx_l=-0.74 Ty_l=-11.20 N_l=-7936.47 My_l=2.16 Mz_l=-0.02
Azioni sul cordone: TP=-0.04 TO=-0.81 NO=-586.67
Tensioni nel cordone: τ_P= 0.01 τ_O=0.26 σ_O=189.62 σ_{ID}=189.62 Σ_T=189.88
CC 17 SLV (Collegamento 0022_-379)
Azioni sul collegamento: N=-7936.47 Ty=-1.44 Tz=-11.20 Mx=-0.02 Mz=-3.55
Sollecitazioni agenti localmente: Tx_l=-1.44 Ty_l=-11.20 N_l=-7936.47 My_l=3.55 Mz_l=-0.02
Azioni sul cordone: TP=-0.09 TO=-0.81 NO=-586.67
Tensioni nel cordone: τ_P= 0.03 τ_O=0.26 σ_O=191.65 σ_{ID}=191.65 Σ_T=191.91
CC 18 SLD (Collegamento 0022_-379)
Azioni sul collegamento: N=-4931.08 Ty=-0.17 Tz=-0.05 Mx=-0.00 Mz=-0.59
Sollecitazioni agenti localmente: Tx_l=-0.17 Ty_l=-0.05 N_l=-4931.08 My_l=0.59 Mz_l=-0.00
Azioni sul cordone: TP=-0.01 TO=0.00 NO=-364.51
Tensioni nel cordone: τ_P=2.36E-03 τ_O=2.54E-06 σ_O=116.71 σ_{ID}=116.71 Σ_T=116.71
CC 18 SLD (Collegamento 0022_-379)
Azioni sul collegamento: N=-4931.08 Ty=-0.39 Tz=-0.05 Mx=-0.00 Mz=-1.01
Sollecitazioni agenti localmente: Tx_l=-0.39 Ty_l=-0.05 N_l=-4931.08 My_l=1.01 Mz_l=-0.00
Azioni sul cordone: TP=-0.02 TO=0.00 NO=-364.51
Tensioni nel cordone: τ_P=7.41E-03 τ_O=2.54E-06 σ_O=117.33 σ_{ID}=117.33 Σ_T=117.33
CC 18 SLD (Collegamento 0022_-379)
Azioni sul collegamento: N=-4931.09 Ty=-0.17 Tz=-5.26 Mx=-0.00 Mz=-0.59
Sollecitazioni agenti localmente: Tx_l=-0.17 Ty_l=-5.26 N_l=-4931.09 My_l=0.59 Mz_l=-0.00
Azioni sul cordone: TP=-0.01 TO=-0.38 NO=-364.51
Tensioni nel cordone: τ_P=2.36E-03 τ_O=0.12 σ_O=116.71 σ_{ID}=116.71 Σ_T=116.84
CC 18 SLD (Collegamento 0022_-379)
Azioni sul collegamento: N=-4931.09 Ty=-0.39 Tz=-5.26 Mx=-0.00 Mz=-1.01
Sollecitazioni agenti localmente: Tx_l=-0.39 Ty_l=-5.26 N_l=-4931.09 My_l=1.01 Mz_l=-0.00
Azioni sul cordone: TP=-0.02 TO=-0.38 NO=-364.51
Tensioni nel cordone: τ_P=7.41E-03 τ_O=0.12 σ_O=117.33 σ_{ID}=117.33 Σ_T=117.46
CC 18 SLD (Collegamento 0022_-379)
Azioni sul collegamento: N=-6335.74 Ty=-0.17 Tz=-0.05 Mx=-0.00 Mz=-0.59
Sollecitazioni agenti localmente: Tx_l=-0.17 Ty_l=-0.05 N_l=-6335.74 My_l=0.59 Mz_l=-0.00
Azioni sul cordone: TP=-0.01 TO=0.00 NO=-468.34
Tensioni nel cordone: τ_P=2.36E-03 τ_O=9.99E-06 σ_O=149.72 σ_{ID}=149.72 Σ_T=149.72
CC 18 SLD (Collegamento 0022_-379)
Azioni sul collegamento: N=-6335.74 Ty=-0.39 Tz=-0.05 Mx=-0.00 Mz=-1.01
Sollecitazioni agenti localmente: Tx_l=-0.39 Ty_l=-0.05 N_l=-6335.74 My_l=1.01 Mz_l=-0.00
Azioni sul cordone: TP=-0.02 TO=0.00 NO=-468.34
Tensioni nel cordone: τ_P=7.41E-03 τ_O=9.99E-06 σ_O=150.34 σ_{ID}=150.34 Σ_T=150.34
CC 18 SLD (Collegamento 0022_-379)
Azioni sul collegamento: N=-6335.74 Ty=-0.17 Tz=-5.26 Mx=-0.00 Mz=-0.59
Sollecitazioni agenti localmente: Tx_l=-0.17 Ty_l=-5.26 N_l=-6335.74 My_l=0.59 Mz_l=-0.00
Azioni sul cordone: TP=-0.01 TO=-0.38 NO=-468.34
Tensioni nel cordone: τ_P=2.36E-03 τ_O=0.12 σ_O=149.72 σ_{ID}=149.72 Σ_T=149.84
CC 18 SLD (Collegamento 0022_-379)
Azioni sul collegamento: N=-6335.74 Ty=-0.39 Tz=-5.26 Mx=-0.00 Mz=-1.01
Sollecitazioni agenti localmente: Tx_l=-0.39 Ty_l=-5.26 N_l=-6335.74 My_l=1.01 Mz_l=-0.00
Azioni sul cordone: TP=-0.02 TO=-0.38 NO=-468.34
Tensioni nel cordone: τ_P=7.41E-03 τ_O=0.12 σ_O=150.34 σ_{ID}=150.34 Σ_T=150.46
CC 19 SLV (Collegamento 0022_-379)
Azioni sul collegamento: N=-3330.02 Ty=-1.43 Tz=5.88 Mx=-0.01 Mz=-3.51
Sollecitazioni agenti localmente: Tx_l=-1.43 Ty_l=5.88 N_l=-3330.02 My_l=3.51 Mz_l=-0.01
Azioni sul cordone: TP=-0.09 TO=0.44 NO=-246.16
Tensioni nel cordone: τ_P= 0.03 τ_O=0.14 σ_O=83.37 σ_{ID}=83.37 Σ_T=83.51
CC 19 SLV (Collegamento 0022_-379)
Azioni sul collegamento: N=-3330.02 Ty=-0.75 Tz=5.88 Mx=-0.01 Mz=-2.19
Sollecitazioni agenti localmente: Tx_l=-0.75 Ty_l=5.88 N_l=-3330.02 My_l=2.19 Mz_l=-0.01
Azioni sul cordone: TP=-0.04 TO=0.44 NO=-246.16
Tensioni nel cordone: τ_P= 0.01 τ_O=0.14 σ_O=81.45 σ_{ID}=81.45 Σ_T=81.59
CC 19 SLV (Collegamento 0022_-379)

Azioni sul collegamento: N=-3330.02 Ty=-1.43 Tz=-11.19 Mx=-0.01 Mz=-3.51
Sollecitazioni agenti localmente: Tx_l=-1.43 Ty_l=-11.19 N_l=-3330.02 My_l=3.51 Mz_l=-0.01
Azioni sul cordone: TP=-0.09 TO=-0.82 NO=-246.16
Tensioni nel cordone: τ_P= 0.03 τ_0=0.26 σ_0=83.37 σ_{ID}=83.37 Σ_T=83.63
CC 19 SLV (Collegamento 0022_-379)
Azioni sul collegamento: N=-3330.02 Ty=-0.75 Tz=-11.19 Mx=-0.01 Mz=-2.19
Sollecitazioni agenti localmente: Tx_l=-0.75 Ty_l=-11.19 N_l=-3330.02 My_l=2.19 Mz_l=-0.01
Azioni sul cordone: TP=-0.04 TO=-0.82 NO=-246.16
Tensioni nel cordone: τ_P= 0.01 τ_0=0.26 σ_0=81.45 σ_{ID}=81.45 Σ_T=81.71
CC 19 SLV (Collegamento 0022_-379)
Azioni sul collegamento: N=-7936.44 Ty=-1.43 Tz=5.88 Mx=-0.01 Mz=-3.51
Sollecitazioni agenti localmente: Tx_l=-1.43 Ty_l=5.88 N_l=-7936.44 My_l=3.51 Mz_l=-0.01
Azioni sul cordone: TP=-0.09 TO=0.44 NO=-586.66
Tensioni nel cordone: τ_P= 0.03 τ_0=0.14 σ_0=191.60 σ_{ID}=191.60 Σ_T=191.74
CC 19 SLV (Collegamento 0022_-379)
Azioni sul collegamento: N=-7936.44 Ty=-0.75 Tz=5.88 Mx=-0.01 Mz=-2.19
Sollecitazioni agenti localmente: Tx_l=-0.75 Ty_l=5.88 N_l=-7936.44 My_l=2.19 Mz_l=-0.01
Azioni sul cordone: TP=-0.04 TO=0.44 NO=-586.66
Tensioni nel cordone: τ_P= 0.01 τ_0=0.14 σ_0=189.68 σ_{ID}=189.68 Σ_T=189.82
CC 19 SLV (Collegamento 0022_-379)
Azioni sul collegamento: N=-7936.44 Ty=-1.43 Tz=-11.19 Mx=-0.01 Mz=-3.51
Sollecitazioni agenti localmente: Tx_l=-1.43 Ty_l=-11.19 N_l=-7936.44 My_l=3.51 Mz_l=-0.01
Azioni sul cordone: TP=-0.09 TO=-0.82 NO=-586.66
Tensioni nel cordone: τ_P= 0.03 τ_0=0.26 σ_0=191.60 σ_{ID}=191.60 Σ_T=191.86
CC 19 SLV (Collegamento 0022_-379)
Azioni sul collegamento: N=-7936.44 Ty=-0.75 Tz=-11.19 Mx=-0.01 Mz=-2.19
Sollecitazioni agenti localmente: Tx_l=-0.75 Ty_l=-11.19 N_l=-7936.44 My_l=2.19 Mz_l=-0.01
Azioni sul cordone: TP=-0.04 TO=-0.82 NO=-586.66
Tensioni nel cordone: τ_P= 0.01 τ_0=0.26 σ_0=189.68 σ_{ID}=189.68 Σ_T=189.94
CC 20 SLD (Collegamento 0022_-379)
Azioni sul collegamento: N=-4931.09 Ty=-0.38 Tz=-0.05 Mx=-0.00 Mz=-1.00
Sollecitazioni agenti localmente: Tx_l=-0.38 Ty_l=-0.05 N_l=-4931.09 My_l=1.00 Mz_l=-0.00
Azioni sul cordone: TP=-0.02 TO=-0.00 NO=-364.51
Tensioni nel cordone: τ_P=7.89E-03 τ_0=4.06E-04 σ_0=117.32 σ_{ID}=117.32 Σ_T=117.32
CC 20 SLD (Collegamento 0022_-379)
Azioni sul collegamento: N=-4931.09 Ty=-0.18 Tz=-0.05 Mx=-0.00 Mz=-0.60
Sollecitazioni agenti localmente: Tx_l=-0.18 Ty_l=-0.05 N_l=-4931.09 My_l=0.60 Mz_l=-0.00
Azioni sul cordone: TP=-0.01 TO=-0.00 NO=-364.51
Tensioni nel cordone: τ_P=3.04E-03 τ_0=4.06E-04 σ_0=116.73 σ_{ID}=116.73 Σ_T=116.73
CC 20 SLD (Collegamento 0022_-379)
Azioni sul collegamento: N=-4931.09 Ty=-0.38 Tz=-5.26 Mx=-0.00 Mz=-1.00
Sollecitazioni agenti localmente: Tx_l=-0.38 Ty_l=-5.26 N_l=-4931.09 My_l=1.00 Mz_l=-0.00
Azioni sul cordone: TP=-0.02 TO=-0.39 NO=-364.51
Tensioni nel cordone: τ_P=7.89E-03 τ_0=0.12 σ_0=117.32 σ_{ID}=117.32 Σ_T=117.44
CC 20 SLD (Collegamento 0022_-379)
Azioni sul collegamento: N=-4931.09 Ty=-0.18 Tz=-5.26 Mx=-0.00 Mz=-0.60
Sollecitazioni agenti localmente: Tx_l=-0.18 Ty_l=-5.26 N_l=-4931.09 My_l=0.60 Mz_l=-0.00
Azioni sul cordone: TP=-0.01 TO=-0.39 NO=-364.51
Tensioni nel cordone: τ_P=3.04E-03 τ_0=0.12 σ_0=116.73 σ_{ID}=116.73 Σ_T=116.85
CC 20 SLD (Collegamento 0022_-379)
Azioni sul collegamento: N=-6335.74 Ty=-0.38 Tz=-0.05 Mx=-0.00 Mz=-1.00
Sollecitazioni agenti localmente: Tx_l=-0.38 Ty_l=-0.05 N_l=-6335.74 My_l=1.00 Mz_l=-0.00
Azioni sul cordone: TP=-0.02 TO=-0.00 NO=-468.34
Tensioni nel cordone: τ_P=7.89E-03 τ_0=4.04E-04 σ_0=150.32 σ_{ID}=150.32 Σ_T=150.32
CC 20 SLD (Collegamento 0022_-379)
Azioni sul collegamento: N=-6335.74 Ty=-0.18 Tz=-0.05 Mx=-0.00 Mz=-0.60
Sollecitazioni agenti localmente: Tx_l=-0.18 Ty_l=-0.05 N_l=-6335.74 My_l=0.60 Mz_l=-0.00
Azioni sul cordone: TP=-0.01 TO=-0.00 NO=-468.34
Tensioni nel cordone: τ_P=3.04E-03 τ_0=4.04E-04 σ_0=149.73 σ_{ID}=149.73 Σ_T=149.74
CC 20 SLD (Collegamento 0022_-379)
Azioni sul collegamento: N=-6335.74 Ty=-0.38 Tz=-5.26 Mx=-0.00 Mz=-1.00
Sollecitazioni agenti localmente: Tx_l=-0.38 Ty_l=-5.26 N_l=-6335.74 My_l=1.00 Mz_l=-0.00
Azioni sul cordone: TP=-0.02 TO=-0.39 NO=-468.34
Tensioni nel cordone: τ_P=7.89E-03 τ_0=0.12 σ_0=150.32 σ_{ID}=150.32 Σ_T=150.44
CC 20 SLD (Collegamento 0022_-379)
Azioni sul collegamento: N=-6335.74 Ty=-0.18 Tz=-5.26 Mx=-0.00 Mz=-0.60
Sollecitazioni agenti localmente: Tx_l=-0.18 Ty_l=-5.26 N_l=-6335.74 My_l=0.60 Mz_l=-0.00
Azioni sul cordone: TP=-0.01 TO=-0.39 NO=-468.34
Tensioni nel cordone: τ_P=3.04E-03 τ_0=0.12 σ_0=149.73 σ_{ID}=149.73 Σ_T=149.86
CC 21 SLV (Collegamento 0022_-379)
Azioni sul collegamento: N=-7936.44 Ty=-0.75 Tz=-11.19 Mx=-0.02 Mz=-2.19
Sollecitazioni agenti localmente: Tx_l=-0.75 Ty_l=-11.19 N_l=-7936.44 My_l=2.19 Mz_l=-0.02
Azioni sul cordone: TP=-0.04 TO=-0.82 NO=-586.66
Tensioni nel cordone: τ_P= 0.01 τ_0=0.26 σ_0=189.68 σ_{ID}=189.68 Σ_T=189.94
CC 21 SLV (Collegamento 0022_-379)
Azioni sul collegamento: N=-7936.44 Ty=-1.43 Tz=-11.19 Mx=-0.02 Mz=-3.51
Sollecitazioni agenti localmente: Tx_l=-1.43 Ty_l=-11.19 N_l=-7936.44 My_l=3.51 Mz_l=-0.02
Azioni sul cordone: TP=-0.09 TO=-0.82 NO=-586.66
Tensioni nel cordone: τ_P= 0.03 τ_0=0.26 σ_0=191.60 σ_{ID}=191.60 Σ_T=191.86
CC 21 SLV (Collegamento 0022_-379)
Azioni sul collegamento: N=-7936.44 Ty=-0.75 Tz=5.88 Mx=-0.02 Mz=-2.19

Sollecitazioni agenti localmente: Tx_l=-0.75 Ty_l=5.88 N_l=-7936.44 My_l=2.19 Mz_l=-0.02
Azioni sul cordone: TP=-0.04 TO=0.45 NO=-586.66
Tensioni nel cordone: τ_P= 0.01 τ_0=0.14 σ_0=189.68 σ_{ID}=189.68 Σ_T=189.82
CC 21 SLV (Collegamento 0022_-379)
Azioni sul collegamento: N=-7936.44 Ty=-1.43 Tz=5.88 Mx=-0.02 Mz=-3.51
Sollecitazioni agenti localmente: Tx_l=-1.43 Ty_l=5.88 N_l=-7936.44 My_l=3.51 Mz_l=-0.02
Azioni sul cordone: TP=-0.09 TO=0.45 NO=-586.66
Tensioni nel cordone: τ_P= 0.03 τ_0=0.14 σ_0=191.60 σ_{ID}=191.60 Σ_T=191.74
CC 21 SLV (Collegamento 0022_-379)
Azioni sul collegamento: N=-3330.02 Ty=-0.75 Tz=-11.19 Mx=-0.02 Mz=-2.19
Sollecitazioni agenti localmente: Tx_l=-0.75 Ty_l=-11.19 N_l=-3330.02 My_l=2.19 Mz_l=-0.02
Azioni sul cordone: TP=-0.04 TO=-0.82 NO=-246.16
Tensioni nel cordone: τ_P= 0.01 τ_0=0.26 σ_0=81.45 σ_{ID}=81.45 Σ_T=81.71
CC 21 SLV (Collegamento 0022_-379)
Azioni sul collegamento: N=-3330.02 Ty=-1.43 Tz=-11.19 Mx=-0.02 Mz=-3.51
Sollecitazioni agenti localmente: Tx_l=-1.43 Ty_l=-11.19 N_l=-3330.02 My_l=3.51 Mz_l=-0.02
Azioni sul cordone: TP=-0.09 TO=-0.82 NO=-246.16
Tensioni nel cordone: τ_P= 0.03 τ_0=0.26 σ_0=83.37 σ_{ID}=83.37 Σ_T=83.63
CC 21 SLV (Collegamento 0022_-379)
Azioni sul collegamento: N=-3330.02 Ty=-0.75 Tz=5.88 Mx=-0.02 Mz=-2.19
Sollecitazioni agenti localmente: Tx_l=-0.75 Ty_l=5.88 N_l=-3330.02 My_l=2.19 Mz_l=-0.02
Azioni sul cordone: TP=-0.04 TO=0.45 NO=-246.16
Tensioni nel cordone: τ_P= 0.01 τ_0=0.14 σ_0=81.45 σ_{ID}=81.45 Σ_T=81.59
CC 21 SLV (Collegamento 0022_-379)
Azioni sul collegamento: N=-3330.02 Ty=-1.43 Tz=5.88 Mx=-0.02 Mz=-3.51
Sollecitazioni agenti localmente: Tx_l=-1.43 Ty_l=5.88 N_l=-3330.02 My_l=3.51 Mz_l=-0.02
Azioni sul cordone: TP=-0.09 TO=0.45 NO=-246.16
Tensioni nel cordone: τ_P= 0.03 τ_0=0.14 σ_0=83.37 σ_{ID}=83.37 Σ_T=83.51
CC 22 SLD (Collegamento 0022_-379)
Azioni sul collegamento: N=-6335.74 Ty=-0.18 Tz=-5.26 Mx=-0.00 Mz=-0.60
Sollecitazioni agenti localmente: Tx_l=-0.18 Ty_l=-5.26 N_l=-6335.74 My_l=0.60 Mz_l=-0.00
Azioni sul cordone: TP=-0.01 TO=-0.39 NO=-468.34
Tensioni nel cordone: τ_P=2.48E-03 τ_0=0.12 σ_0=149.73 σ_{ID}=149.73 Σ_T=149.86
CC 22 SLD (Collegamento 0022_-379)
Azioni sul collegamento: N=-6335.74 Ty=-0.38 Tz=-5.26 Mx=-0.00 Mz=-1.00
Sollecitazioni agenti localmente: Tx_l=-0.38 Ty_l=-5.26 N_l=-6335.74 My_l=1.00 Mz_l=-0.00
Azioni sul cordone: TP=-0.02 TO=-0.39 NO=-468.34
Tensioni nel cordone: τ_P=7.33E-03 τ_0=0.12 σ_0=150.32 σ_{ID}=150.32 Σ_T=150.44
CC 22 SLD (Collegamento 0022_-379)
Azioni sul collegamento: N=-6335.74 Ty=-0.18 Tz=-0.05 Mx=-0.00 Mz=-0.60
Sollecitazioni agenti localmente: Tx_l=-0.18 Ty_l=-0.05 N_l=-6335.74 My_l=0.60 Mz_l=-0.00
Azioni sul cordone: TP=-0.01 TO=-0.00 NO=-468.34
Tensioni nel cordone: τ_P=2.48E-03 τ_0=1.65E-05 σ_0=149.73 σ_{ID}=149.73 Σ_T=149.73
CC 22 SLD (Collegamento 0022_-379)
Azioni sul collegamento: N=-6335.74 Ty=-0.38 Tz=-0.05 Mx=-0.00 Mz=-1.00
Sollecitazioni agenti localmente: Tx_l=-0.38 Ty_l=-0.05 N_l=-6335.74 My_l=1.00 Mz_l=-0.00
Azioni sul cordone: TP=-0.02 TO=-0.00 NO=-468.34
Tensioni nel cordone: τ_P=7.33E-03 τ_0=1.65E-05 σ_0=150.32 σ_{ID}=150.32 Σ_T=150.32
CC 22 SLD (Collegamento 0022_-379)
Azioni sul collegamento: N=-4931.09 Ty=-0.18 Tz=-5.26 Mx=-0.00 Mz=-0.60
Sollecitazioni agenti localmente: Tx_l=-0.18 Ty_l=-5.26 N_l=-4931.09 My_l=0.60 Mz_l=-0.00
Azioni sul cordone: TP=-0.01 TO=-0.39 NO=-364.51
Tensioni nel cordone: τ_P=2.48E-03 τ_0=0.12 σ_0=116.73 σ_{ID}=116.73 Σ_T=116.85
CC 22 SLD (Collegamento 0022_-379)
Azioni sul collegamento: N=-4931.09 Ty=-0.38 Tz=-5.26 Mx=-0.00 Mz=-1.00
Sollecitazioni agenti localmente: Tx_l=-0.38 Ty_l=-5.26 N_l=-4931.09 My_l=1.00 Mz_l=-0.00
Azioni sul cordone: TP=-0.02 TO=-0.39 NO=-364.51
Tensioni nel cordone: τ_P=7.33E-03 τ_0=0.12 σ_0=117.32 σ_{ID}=117.32 Σ_T=117.44
CC 22 SLD (Collegamento 0022_-379)
Azioni sul collegamento: N=-4931.09 Ty=-0.18 Tz=-0.05 Mx=-0.00 Mz=-0.60
Sollecitazioni agenti localmente: Tx_l=-0.18 Ty_l=-0.05 N_l=-4931.09 My_l=0.60 Mz_l=-0.00
Azioni sul cordone: TP=-0.01 TO=-0.00 NO=-364.51
Tensioni nel cordone: τ_P=2.48E-03 τ_0=1.77E-05 σ_0=116.73 σ_{ID}=116.73 Σ_T=116.73
CC 22 SLD (Collegamento 0022_-379)
Azioni sul collegamento: N=-4931.09 Ty=-0.38 Tz=-0.05 Mx=-0.00 Mz=-1.00
Sollecitazioni agenti localmente: Tx_l=-0.38 Ty_l=-0.05 N_l=-4931.09 My_l=1.00 Mz_l=-0.00
Azioni sul cordone: TP=-0.02 TO=-0.00 NO=-364.51
Tensioni nel cordone: τ_P=7.33E-03 τ_0=1.77E-05 σ_0=117.32 σ_{ID}=117.32 Σ_T=117.32
CC 23 SLV (Collegamento 0022_-379)
Azioni sul collegamento: N=-7936.47 Ty=-1.44 Tz=-11.20 Mx=-0.01 Mz=-3.55
Sollecitazioni agenti localmente: Tx_l=-1.44 Ty_l=-11.20 N_l=-7936.47 My_l=3.55 Mz_l=-0.01
Azioni sul cordone: TP=-0.09 TO=-0.82 NO=-586.67
Tensioni nel cordone: τ_P= 0.03 τ_0=0.26 σ_0=191.65 σ_{ID}=191.65 Σ_T=191.91
CC 23 SLV (Collegamento 0022_-379)
Azioni sul collegamento: N=-7936.47 Ty=-0.74 Tz=-11.20 Mx=-0.01 Mz=-2.16
Sollecitazioni agenti localmente: Tx_l=-0.74 Ty_l=-11.20 N_l=-7936.47 My_l=2.16 Mz_l=-0.01
Azioni sul cordone: TP=-0.04 TO=-0.82 NO=-586.67
Tensioni nel cordone: τ_P= 0.01 τ_0=0.26 σ_0=189.62 σ_{ID}=189.62 Σ_T=189.88
CC 23 SLV (Collegamento 0022_-379)
Azioni sul collegamento: N=-7936.47 Ty=-1.44 Tz=5.89 Mx=-0.01 Mz=-3.55
Sollecitazioni agenti localmente: Tx_l=-1.44 Ty_l=5.89 N_l=-7936.47 My_l=3.55 Mz_l=-0.01

Azioni sul cordone: TP=-0.09 TO=0.44 NO=-586.67
Tensioni nel cordone: τ_P= 0.03 τ_O=0.14 σ_O=191.65 σ_{ID}=191.65 Σ_T=191.79
CC 23 SLV (Collegamento 0022_-379)
Azioni sul collegamento: N=-7936.47 Ty=-0.74 Tz=5.89 Mx=-0.01 Mz=-2.16
Sollecitazioni agenti localmente: Tx_l=-0.74 Ty_l=5.89 N_l=-7936.47 My_l=2.16 Mz_l=-0.01
Azioni sul cordone: TP=-0.04 TO=0.44 NO=-586.67
Tensioni nel cordone: τ_P= 0.01 τ_O=0.14 σ_O=189.62 σ_{ID}=189.62 Σ_T=189.76
CC 23 SLV (Collegamento 0022_-379)
Azioni sul collegamento: N=-3330.00 Ty=-1.44 Tz=-11.20 Mx=-0.01 Mz=-3.55
Sollecitazioni agenti localmente: Tx_l=-1.44 Ty_l=-11.20 N_l=-3330.00 My_l=3.55 Mz_l=-0.01
Azioni sul cordone: TP=-0.09 TO=-0.82 NO=-246.15
Tensioni nel cordone: τ_P= 0.03 τ_O=0.26 σ_O=83.42 σ_{ID}=83.42 Σ_T=83.68
CC 23 SLV (Collegamento 0022_-379)
Azioni sul collegamento: N=-3330.00 Ty=-0.74 Tz=-11.20 Mx=-0.01 Mz=-2.16
Sollecitazioni agenti localmente: Tx_l=-0.74 Ty_l=-11.20 N_l=-3330.00 My_l=2.16 Mz_l=-0.01
Azioni sul cordone: TP=-0.04 TO=-0.82 NO=-246.15
Tensioni nel cordone: τ_P= 0.01 τ_O=0.26 σ_O=81.39 σ_{ID}=81.39 Σ_T=81.65
CC 23 SLV (Collegamento 0022_-379)
Azioni sul collegamento: N=-3330.00 Ty=-1.44 Tz=5.89 Mx=-0.01 Mz=-3.55
Sollecitazioni agenti localmente: Tx_l=-1.44 Ty_l=5.89 N_l=-3330.00 My_l=3.55 Mz_l=-0.01
Azioni sul cordone: TP=-0.09 TO=0.44 NO=-246.15
Tensioni nel cordone: τ_P= 0.03 τ_O=0.14 σ_O=83.42 σ_{ID}=83.42 Σ_T=83.56
CC 23 SLV (Collegamento 0022_-379)
Azioni sul collegamento: N=-3330.00 Ty=-0.74 Tz=5.89 Mx=-0.01 Mz=-2.16
Sollecitazioni agenti localmente: Tx_l=-0.74 Ty_l=5.89 N_l=-3330.00 My_l=2.16 Mz_l=-0.01
Azioni sul cordone: TP=-0.04 TO=0.44 NO=-246.15
Tensioni nel cordone: τ_P= 0.01 τ_O=0.14 σ_O=81.39 σ_{ID}=81.39 Σ_T=81.53
CC 24 SLD (Collegamento 0022_-379)
Azioni sul collegamento: N=-6335.74 Ty=-0.39 Tz=-5.26 Mx=-0.00 Mz=-1.01
Sollecitazioni agenti localmente: Tx_l=-0.39 Ty_l=-5.26 N_l=-6335.74 My_l=1.01 Mz_l=-0.00
Azioni sul cordone: TP=-0.03 TO=-0.39 NO=-468.34
Tensioni nel cordone: τ_P=8.01E-03 τ_O=0.12 σ_O=150.34 σ_{ID}=150.34 Σ_T=150.46
CC 24 SLD (Collegamento 0022_-379)
Azioni sul collegamento: N=-6335.74 Ty=-0.17 Tz=-5.26 Mx=-0.00 Mz=-0.59
Sollecitazioni agenti localmente: Tx_l=-0.17 Ty_l=-5.26 N_l=-6335.74 My_l=0.59 Mz_l=-0.00
Azioni sul cordone: TP=-0.01 TO=-0.39 NO=-468.34
Tensioni nel cordone: τ_P=2.96E-03 τ_O=0.12 σ_O=149.72 σ_{ID}=149.72 Σ_T=149.84
CC 24 SLD (Collegamento 0022_-379)
Azioni sul collegamento: N=-6335.74 Ty=-0.39 Tz=-0.05 Mx=-0.00 Mz=-1.01
Sollecitazioni agenti localmente: Tx_l=-0.39 Ty_l=-0.05 N_l=-6335.74 My_l=1.01 Mz_l=-0.00
Azioni sul cordone: TP=-0.03 TO=-0.00 NO=-468.34
Tensioni nel cordone: τ_P=8.01E-03 τ_O=4.08E-04 σ_O=150.34 σ_{ID}=150.34 Σ_T=150.34
CC 24 SLD (Collegamento 0022_-379)
Azioni sul collegamento: N=-6335.74 Ty=-0.17 Tz=-0.05 Mx=-0.00 Mz=-0.59
Sollecitazioni agenti localmente: Tx_l=-0.17 Ty_l=-0.05 N_l=-6335.74 My_l=0.59 Mz_l=-0.00
Azioni sul cordone: TP=-0.01 TO=-0.00 NO=-468.34
Tensioni nel cordone: τ_P=2.96E-03 τ_O=4.08E-04 σ_O=149.72 σ_{ID}=149.72 Σ_T=149.72
CC 24 SLD (Collegamento 0022_-379)
Azioni sul collegamento: N=-4931.09 Ty=-0.39 Tz=-5.26 Mx=-0.00 Mz=-1.01
Sollecitazioni agenti localmente: Tx_l=-0.39 Ty_l=-5.26 N_l=-4931.09 My_l=1.01 Mz_l=-0.00
Azioni sul cordone: TP=-0.03 TO=-0.39 NO=-364.51
Tensioni nel cordone: τ_P=8.01E-03 τ_O=0.12 σ_O=117.33 σ_{ID}=117.33 Σ_T=117.46
CC 24 SLD (Collegamento 0022_-379)
Azioni sul collegamento: N=-4931.09 Ty=-0.17 Tz=-5.26 Mx=-0.00 Mz=-0.59
Sollecitazioni agenti localmente: Tx_l=-0.17 Ty_l=-5.26 N_l=-4931.09 My_l=0.59 Mz_l=-0.00
Azioni sul cordone: TP=-0.01 TO=-0.39 NO=-364.51
Tensioni nel cordone: τ_P=2.96E-03 τ_O=0.12 σ_O=116.71 σ_{ID}=116.71 Σ_T=116.84
CC 24 SLD (Collegamento 0022_-379)
Azioni sul collegamento: N=-4931.08 Ty=-0.39 Tz=-0.05 Mx=-0.00 Mz=-1.01
Sollecitazioni agenti localmente: Tx_l=-0.39 Ty_l=-0.05 N_l=-4931.08 My_l=1.01 Mz_l=-0.00
Azioni sul cordone: TP=-0.03 TO=-0.00 NO=-364.51
Tensioni nel cordone: τ_P=8.01E-03 τ_O=4.16E-04 σ_O=117.33 σ_{ID}=117.33 Σ_T=117.33
CC 24 SLD (Collegamento 0022_-379)
Azioni sul collegamento: N=-4931.08 Ty=-0.17 Tz=-0.05 Mx=-0.00 Mz=-0.59
Sollecitazioni agenti localmente: Tx_l=-0.17 Ty_l=-0.05 N_l=-4931.08 My_l=0.59 Mz_l=-0.00
Azioni sul cordone: TP=-0.01 TO=-0.00 NO=-364.51
Tensioni nel cordone: τ_P=2.96E-03 τ_O=4.16E-04 σ_O=116.71 σ_{ID}=116.71 Σ_T=116.71
CC 25 SLV (Collegamento 0022_-379)
Azioni sul collegamento: N=-4942.23 Ty=0.07 Tz=-0.09 Mx=-0.02 Mz=-0.59
Sollecitazioni agenti localmente: Tx_l=0.07 Ty_l=-0.09 N_l=-4942.23 My_l=0.59 Mz_l=-0.02
Azioni sul cordone: TP=0.03 TO=0.01 NO=-365.33
Tensioni nel cordone: τ_P=9.55E-03 τ_O=3.38E-03 σ_O=116.98 σ_{ID}=116.98 Σ_T=116.99
CC 25 SLV (Collegamento 0022_-379)
Azioni sul collegamento: N=-4942.23 Ty=-2.24 Tz=-0.09 Mx=-0.02 Mz=-5.11
Sollecitazioni agenti localmente: Tx_l=-2.24 Ty_l=-0.09 N_l=-4942.23 My_l=5.11 Mz_l=-0.02
Azioni sul cordone: TP=-0.14 TO=0.01 NO=-365.33
Tensioni nel cordone: τ_P= 0.04 τ_O=3.38E-03 σ_O=123.59 σ_{ID}=123.59 Σ_T=123.59
CC 25 SLV (Collegamento 0022_-379)
Azioni sul collegamento: N=-4942.23 Ty=0.07 Tz=-5.22 Mx=-0.02 Mz=-0.59
Sollecitazioni agenti localmente: Tx_l=0.07 Ty_l=-5.22 N_l=-4942.23 My_l=0.59 Mz_l=-0.02
Azioni sul cordone: TP=0.03 TO=-0.37 NO=-365.33

Tensioni nel cordone: τ_P=9.55E-03 τ_0=0.12 σ_0=116.98 σ_{ID}=116.98 Σ_T=117.10
CC 25 SLV (Collegamento 0022_-379)
Azioni sul collegamento: N=-4942.23 Ty=-2.24 Tz=-5.22 Mx=-0.02 Mz=-5.11
Sollecitazioni agenti localmente: Tx_l=-2.24 Ty_l=-5.22 N_l=-4942.23 My_l=5.11 Mz_l=-0.02
Azioni sul cordone: TP=-0.14 TO=-0.37 NO=-365.33
Tensioni nel cordone: τ_P= 0.04 τ_0=0.12 σ_0=123.59 σ_{ID}=123.59 Σ_T=123.71
CC 25 SLV (Collegamento 0022_-379)
Azioni sul collegamento: N=-6324.24 Ty=0.07 Tz=-0.09 Mx=-0.02 Mz=-0.59
Sollecitazioni agenti localmente: Tx_l=0.07 Ty_l=-0.09 N_l=-6324.24 My_l=0.59 Mz_l=-0.02
Azioni sul cordone: TP=0.03 TO=0.01 NO=-467.49
Tensioni nel cordone: τ_P=9.55E-03 τ_0=3.38E-03 σ_0=149.45 σ_{ID}=149.45 Σ_T=149.46
CC 25 SLV (Collegamento 0022_-379)
Azioni sul collegamento: N=-6324.24 Ty=-2.24 Tz=-0.09 Mx=-0.02 Mz=-5.11
Sollecitazioni agenti localmente: Tx_l=-2.24 Ty_l=-0.09 N_l=-6324.24 My_l=5.11 Mz_l=-0.02
Azioni sul cordone: TP=-0.14 TO=0.01 NO=-467.49
Tensioni nel cordone: τ_P= 0.04 τ_0=3.38E-03 σ_0=156.06 σ_{ID}=156.06 Σ_T=156.06
CC 25 SLV (Collegamento 0022_-379)
Azioni sul collegamento: N=-6324.24 Ty=0.07 Tz=-5.22 Mx=-0.02 Mz=-0.59
Sollecitazioni agenti localmente: Tx_l=0.07 Ty_l=-5.22 N_l=-6324.24 My_l=0.59 Mz_l=-0.02
Azioni sul cordone: TP=0.03 TO=-0.37 NO=-467.49
Tensioni nel cordone: τ_P=9.55E-03 τ_0=0.12 σ_0=149.45 σ_{ID}=149.45 Σ_T=149.57
CC 25 SLV (Collegamento 0022_-379)
Azioni sul collegamento: N=-6324.24 Ty=-2.24 Tz=-5.22 Mx=-0.02 Mz=-5.11
Sollecitazioni agenti localmente: Tx_l=-2.24 Ty_l=-5.22 N_l=-6324.24 My_l=5.11 Mz_l=-0.02
Azioni sul cordone: TP=-0.14 TO=-0.37 NO=-467.49
Tensioni nel cordone: τ_P= 0.04 τ_0=0.12 σ_0=156.06 σ_{ID}=156.06 Σ_T=156.18
CC 26 SLD (Collegamento 0022_-379)
Azioni sul collegamento: N=-5422.71 Ty=0.07 Tz=-1.87 Mx=-0.01 Mz=-0.11
Sollecitazioni agenti localmente: Tx_l=0.07 Ty_l=-1.87 N_l=-5422.71 My_l=0.11 Mz_l=-0.01
Azioni sul cordone: TP=0.01 TO=-0.13 NO=-400.85
Tensioni nel cordone: τ_P=4.06E-03 τ_0= 0.04 σ_0=127.57 σ_{ID}=127.57 Σ_T=127.61
CC 26 SLD (Collegamento 0022_-379)
Azioni sul collegamento: N=-5422.71 Ty=-0.63 Tz=-1.87 Mx=-0.01 Mz=-1.49
Sollecitazioni agenti localmente: Tx_l=-0.63 Ty_l=-1.87 N_l=-5422.71 My_l=1.49 Mz_l=-0.01
Azioni sul cordone: TP=-0.04 TO=-0.13 NO=-400.85
Tensioni nel cordone: τ_P= 0.01 τ_0= 0.04 σ_0=129.58 σ_{ID}=129.58 Σ_T=129.62
CC 26 SLD (Collegamento 0022_-379)
Azioni sul collegamento: N=-5422.71 Ty=0.07 Tz=-3.44 Mx=-0.01 Mz=-0.11
Sollecitazioni agenti localmente: Tx_l=0.07 Ty_l=-3.44 N_l=-5422.71 My_l=0.11 Mz_l=-0.01
Azioni sul cordone: TP=0.01 TO=-0.25 NO=-400.85
Tensioni nel cordone: τ_P=4.06E-03 τ_0= 0.08 σ_0=127.57 σ_{ID}=127.57 Σ_T=127.65
CC 26 SLD (Collegamento 0022_-379)
Azioni sul collegamento: N=-5422.71 Ty=-0.63 Tz=-3.44 Mx=-0.01 Mz=-1.49
Sollecitazioni agenti localmente: Tx_l=-0.63 Ty_l=-3.44 N_l=-5422.71 My_l=1.49 Mz_l=-0.01
Azioni sul cordone: TP=-0.04 TO=-0.25 NO=-400.85
Tensioni nel cordone: τ_P= 0.01 τ_0= 0.08 σ_0=129.58 σ_{ID}=129.58 Σ_T=129.66
CC 26 SLD (Collegamento 0022_-379)
Azioni sul collegamento: N=-5844.12 Ty=0.07 Tz=-1.87 Mx=-0.01 Mz=-0.11
Sollecitazioni agenti localmente: Tx_l=0.07 Ty_l=-1.87 N_l=-5844.12 My_l=0.11 Mz_l=-0.01
Azioni sul cordone: TP=0.01 TO=-0.13 NO=-432.00
Tensioni nel cordone: τ_P=4.06E-03 τ_0= 0.04 σ_0=137.47 σ_{ID}=137.47 Σ_T=137.51
CC 26 SLD (Collegamento 0022_-379)
Azioni sul collegamento: N=-5844.12 Ty=-0.63 Tz=-1.87 Mx=-0.01 Mz=-1.49
Sollecitazioni agenti localmente: Tx_l=-0.63 Ty_l=-1.87 N_l=-5844.12 My_l=1.49 Mz_l=-0.01
Azioni sul cordone: TP=-0.04 TO=-0.13 NO=-432.00
Tensioni nel cordone: τ_P= 0.01 τ_0= 0.04 σ_0=139.48 σ_{ID}=139.48 Σ_T=139.53
CC 26 SLD (Collegamento 0022_-379)
Azioni sul collegamento: N=-5844.12 Ty=0.07 Tz=-3.44 Mx=-0.01 Mz=-0.11
Sollecitazioni agenti localmente: Tx_l=0.07 Ty_l=-3.44 N_l=-5844.12 My_l=0.11 Mz_l=-0.01
Azioni sul cordone: TP=0.01 TO=-0.25 NO=-432.00
Tensioni nel cordone: τ_P=4.06E-03 τ_0= 0.08 σ_0=137.47 σ_{ID}=137.47 Σ_T=137.55
CC 26 SLD (Collegamento 0022_-379)
Azioni sul collegamento: N=-5844.12 Ty=-0.63 Tz=-3.44 Mx=-0.01 Mz=-1.49
Sollecitazioni agenti localmente: Tx_l=-0.63 Ty_l=-3.44 N_l=-5844.12 My_l=1.49 Mz_l=-0.01
Azioni sul cordone: TP=-0.04 TO=-0.25 NO=-432.00
Tensioni nel cordone: τ_P= 0.01 τ_0= 0.08 σ_0=139.48 σ_{ID}=139.48 Σ_T=139.56
CC 27 SLV (Collegamento 0022_-379)
Azioni sul collegamento: N=-6324.16 Ty=0.06 Tz=-5.22 Mx=-0.02 Mz=-0.60
Sollecitazioni agenti localmente: Tx_l=0.06 Ty_l=-5.22 N_l=-6324.16 My_l=0.60 Mz_l=-0.02
Azioni sul cordone: TP=0.03 TO=-0.37 NO=-467.48
Tensioni nel cordone: τ_P=9.43E-03 τ_0=0.12 σ_0=149.47 σ_{ID}=149.47 Σ_T=149.59
CC 27 SLV (Collegamento 0022_-379)
Azioni sul collegamento: N=-6324.16 Ty=-2.24 Tz=-5.22 Mx=-0.02 Mz=-5.10
Sollecitazioni agenti localmente: Tx_l=-2.24 Ty_l=-5.22 N_l=-6324.16 My_l=5.10 Mz_l=-0.02
Azioni sul cordone: TP=-0.14 TO=-0.37 NO=-467.48
Tensioni nel cordone: τ_P= 0.04 τ_0=0.12 σ_0=156.04 σ_{ID}=156.04 Σ_T=156.16
CC 27 SLV (Collegamento 0022_-379)
Azioni sul collegamento: N=-6324.16 Ty=0.06 Tz=-0.09 Mx=-0.02 Mz=-0.60
Sollecitazioni agenti localmente: Tx_l=0.06 Ty_l=-0.09 N_l=-6324.16 My_l=0.60 Mz_l=-0.02
Azioni sul cordone: TP=0.03 TO=0.01 NO=-467.48
Tensioni nel cordone: τ_P=9.43E-03 τ_0=3.33E-03 σ_0=149.47 σ_{ID}=149.47 Σ_T=149.47

CC 27 SLV (Collegamento 0022_-379)
Azioni sul collegamento: N=-6324.16 Ty=-2.24 Tz=-0.09 Mx=-0.02 Mz=-5.10
Sollecitazioni agenti localmente: Tx_l=-2.24 Ty_l=-0.09 N_l=-6324.16 My_l=5.10 Mz_l=-0.02
Azioni sul cordone: TP=-0.14 TO=0.01 NO=-467.48
Tensioni nel cordone: τ_P= 0.04 τ_O=3.33E-03 σ_O=156.04 σ_{ID}=156.04 Σ_T=156.04
CC 27 SLV (Collegamento 0022_-379)
Azioni sul collegamento: N=-4942.30 Ty=0.06 Tz=-5.22 Mx=-0.02 Mz=-0.60
Sollecitazioni agenti localmente: Tx_l=0.06 Ty_l=-5.22 N_l=-4942.30 My_l=0.60 Mz_l=-0.02
Azioni sul cordone: TP=0.03 TO=-0.37 NO=-365.34
Tensioni nel cordone: τ_P=9.43E-03 τ_O=0.12 σ_O=117.00 σ_{ID}=117.00 Σ_T=117.12
CC 27 SLV (Collegamento 0022_-379)
Azioni sul collegamento: N=-4942.30 Ty=-2.24 Tz=-5.22 Mx=-0.02 Mz=-5.10
Sollecitazioni agenti localmente: Tx_l=-2.24 Ty_l=-5.22 N_l=-4942.30 My_l=5.10 Mz_l=-0.02
Azioni sul cordone: TP=-0.14 TO=-0.37 NO=-365.34
Tensioni nel cordone: τ_P= 0.04 τ_O=0.12 σ_O=123.57 σ_{ID}=123.57 Σ_T=123.69
CC 27 SLV (Collegamento 0022_-379)
Azioni sul collegamento: N=-4942.30 Ty=0.06 Tz=-0.09 Mx=-0.02 Mz=-0.60
Sollecitazioni agenti localmente: Tx_l=0.06 Ty_l=-0.09 N_l=-4942.30 My_l=0.60 Mz_l=-0.02
Azioni sul cordone: TP=0.03 TO=0.01 NO=-365.34
Tensioni nel cordone: τ_P=9.43E-03 τ_O=3.32E-03 σ_O=117.00 σ_{ID}=117.00 Σ_T=117.00
CC 27 SLV (Collegamento 0022_-379)
Azioni sul collegamento: N=-4942.30 Ty=-2.24 Tz=-0.09 Mx=-0.02 Mz=-5.10
Sollecitazioni agenti localmente: Tx_l=-2.24 Ty_l=-0.09 N_l=-4942.30 My_l=5.10 Mz_l=-0.02
Azioni sul cordone: TP=-0.14 TO=0.01 NO=-365.34
Tensioni nel cordone: τ_P= 0.04 τ_O=3.32E-03 σ_O=123.57 σ_{ID}=123.57 Σ_T=123.58
CC 28 SLD (Collegamento 0022_-379)
Azioni sul collegamento: N=-5844.10 Ty=0.07 Tz=-3.44 Mx=-0.01 Mz=-0.11
Sollecitazioni agenti localmente: Tx_l=0.07 Ty_l=-3.44 N_l=-5844.10 My_l=0.11 Mz_l=-0.01
Azioni sul cordone: TP=0.01 TO=-0.25 NO=-432.00
Tensioni nel cordone: τ_P=4.02E-03 τ_O= 0.08 σ_O=137.47 σ_{ID}=137.47 Σ_T=137.55
CC 28 SLD (Collegamento 0022_-379)
Azioni sul collegamento: N=-5844.10 Ty=-0.63 Tz=-3.44 Mx=-0.01 Mz=-1.48
Sollecitazioni agenti localmente: Tx_l=-0.63 Ty_l=-3.44 N_l=-5844.10 My_l=1.48 Mz_l=-0.01
Azioni sul cordone: TP=-0.04 TO=-0.25 NO=-432.00
Tensioni nel cordone: τ_P= 0.01 τ_O= 0.08 σ_O=139.48 σ_{ID}=139.48 Σ_T=139.56
CC 28 SLD (Collegamento 0022_-379)
Azioni sul collegamento: N=-5844.10 Ty=0.07 Tz=-1.87 Mx=-0.01 Mz=-0.11
Sollecitazioni agenti localmente: Tx_l=0.07 Ty_l=-1.87 N_l=-5844.10 My_l=0.11 Mz_l=-0.01
Azioni sul cordone: TP=0.01 TO=-0.13 NO=-432.00
Tensioni nel cordone: τ_P=4.02E-03 τ_O= 0.04 σ_O=137.47 σ_{ID}=137.47 Σ_T=137.52
CC 28 SLD (Collegamento 0022_-379)
Azioni sul collegamento: N=-5844.10 Ty=-0.63 Tz=-1.87 Mx=-0.01 Mz=-1.48
Sollecitazioni agenti localmente: Tx_l=-0.63 Ty_l=-1.87 N_l=-5844.10 My_l=1.48 Mz_l=-0.01
Azioni sul cordone: TP=-0.04 TO=-0.13 NO=-432.00
Tensioni nel cordone: τ_P= 0.01 τ_O= 0.04 σ_O=139.48 σ_{ID}=139.48 Σ_T=139.52
CC 28 SLD (Collegamento 0022_-379)
Azioni sul collegamento: N=-5422.73 Ty=0.07 Tz=-3.44 Mx=-0.01 Mz=-0.11
Sollecitazioni agenti localmente: Tx_l=0.07 Ty_l=-3.44 N_l=-5422.73 My_l=0.11 Mz_l=-0.01
Azioni sul cordone: TP=0.01 TO=-0.25 NO=-400.85
Tensioni nel cordone: τ_P=4.02E-03 τ_O= 0.08 σ_O=127.57 σ_{ID}=127.57 Σ_T=127.65
CC 28 SLD (Collegamento 0022_-379)
Azioni sul collegamento: N=-5422.73 Ty=-0.63 Tz=-3.44 Mx=-0.01 Mz=-1.48
Sollecitazioni agenti localmente: Tx_l=-0.63 Ty_l=-3.44 N_l=-5422.73 My_l=1.48 Mz_l=-0.01
Azioni sul cordone: TP=-0.04 TO=-0.25 NO=-400.85
Tensioni nel cordone: τ_P= 0.01 τ_O= 0.08 σ_O=129.58 σ_{ID}=129.58 Σ_T=129.66
CC 28 SLD (Collegamento 0022_-379)
Azioni sul collegamento: N=-5422.73 Ty=0.07 Tz=-1.87 Mx=-0.01 Mz=-0.11
Sollecitazioni agenti localmente: Tx_l=0.07 Ty_l=-1.87 N_l=-5422.73 My_l=0.11 Mz_l=-0.01
Azioni sul cordone: TP=0.01 TO=-0.13 NO=-400.85
Tensioni nel cordone: τ_P=4.02E-03 τ_O= 0.04 σ_O=127.57 σ_{ID}=127.57 Σ_T=127.62
CC 28 SLD (Collegamento 0022_-379)
Azioni sul collegamento: N=-5422.73 Ty=-0.63 Tz=-1.87 Mx=-0.01 Mz=-1.48
Sollecitazioni agenti localmente: Tx_l=-0.63 Ty_l=-1.87 N_l=-5422.73 My_l=1.48 Mz_l=-0.01
Azioni sul cordone: TP=-0.04 TO=-0.13 NO=-400.85
Tensioni nel cordone: τ_P= 0.01 τ_O= 0.04 σ_O=129.58 σ_{ID}=129.58 Σ_T=129.62
CC 29 SLV (Collegamento 0022_-379)
Azioni sul collegamento: N=-4942.30 Ty=-2.24 Tz=-0.09 Mx=-0.00 Mz=-5.10
Sollecitazioni agenti localmente: Tx_l=-2.24 Ty_l=-0.09 N_l=-4942.30 My_l=5.10 Mz_l=-0.00
Azioni sul cordone: TP=-0.16 TO=-0.00 NO=-365.34
Tensioni nel cordone: τ_P= 0.05 τ_O=1.07E-03 σ_O=123.57 σ_{ID}=123.57 Σ_T=123.58
CC 29 SLV (Collegamento 0022_-379)
Azioni sul collegamento: N=-4942.30 Ty=0.06 Tz=-0.09 Mx=-0.00 Mz=-0.60
Sollecitazioni agenti localmente: Tx_l=0.06 Ty_l=-0.09 N_l=-4942.30 My_l=0.60 Mz_l=-0.00
Azioni sul cordone: TP=0.01 TO=-0.00 NO=-365.34
Tensioni nel cordone: τ_P=3.10E-03 τ_O=1.07E-03 σ_O=117.00 σ_{ID}=117.00 Σ_T=117.00
CC 29 SLV (Collegamento 0022_-379)
Azioni sul collegamento: N=-4942.30 Ty=-2.24 Tz=-5.22 Mx=-0.00 Mz=-5.10
Sollecitazioni agenti localmente: Tx_l=-2.24 Ty_l=-5.22 N_l=-4942.30 My_l=5.10 Mz_l=-0.00
Azioni sul cordone: TP=-0.16 TO=-0.38 NO=-365.34
Tensioni nel cordone: τ_P= 0.05 τ_O=0.12 σ_O=123.57 σ_{ID}=123.57 Σ_T=123.70
CC 29 SLV (Collegamento 0022_-379)

Azioni sul collegamento: N=-4942.30 Ty=0.06 Tz=-5.22 Mx=-0.00 Mz=-0.60
Sollecitazioni agenti localmente: Tx_l=0.06 Ty_l=-5.22 N_l=-4942.30 My_l=0.60 Mz_l=-0.00
Azioni sul cordone: TP=0.01 TO=-0.38 NO=-365.34
Tensioni nel cordone: τ_P=3.10E-03 τ_O=0.12 σ_O=117.00 σ_{ID}=117.00 Σ_T=117.12
CC 29 SLV (Collegamento 0022_-379)
Azioni sul collegamento: N=-6324.16 Ty=-2.24 Tz=-0.09 Mx=-0.00 Mz=-5.10
Sollecitazioni agenti localmente: Tx_l=-2.24 Ty_l=-0.09 N_l=-6324.16 My_l=5.10 Mz_l=-0.00
Azioni sul cordone: TP=-0.16 TO=-0.00 NO=-467.48
Tensioni nel cordone: τ_P= 0.05 τ_O=1.07E-03 σ_O=156.04 σ_{ID}=156.04 Σ_T=156.04
CC 29 SLV (Collegamento 0022_-379)
Azioni sul collegamento: N=-6324.16 Ty=0.06 Tz=-0.09 Mx=-0.00 Mz=-0.60
Sollecitazioni agenti localmente: Tx_l=0.06 Ty_l=-0.09 N_l=-6324.16 My_l=0.60 Mz_l=-0.00
Azioni sul cordone: TP=0.01 TO=-0.00 NO=-467.48
Tensioni nel cordone: τ_P=3.10E-03 τ_O=1.07E-03 σ_O=149.47 σ_{ID}=149.47 Σ_T=149.47
CC 29 SLV (Collegamento 0022_-379)
Azioni sul collegamento: N=-6324.16 Ty=-2.24 Tz=-5.22 Mx=-0.00 Mz=-5.10
Sollecitazioni agenti localmente: Tx_l=-2.24 Ty_l=-5.22 N_l=-6324.16 My_l=5.10 Mz_l=-0.00
Azioni sul cordone: TP=-0.16 TO=-0.38 NO=-467.48
Tensioni nel cordone: τ_P= 0.05 τ_O=0.12 σ_O=156.04 σ_{ID}=156.04 Σ_T=156.16
CC 29 SLV (Collegamento 0022_-379)
Azioni sul collegamento: N=-6324.16 Ty=0.06 Tz=-5.22 Mx=-0.00 Mz=-0.60
Sollecitazioni agenti localmente: Tx_l=0.06 Ty_l=-5.22 N_l=-6324.16 My_l=0.60 Mz_l=-0.00
Azioni sul cordone: TP=0.01 TO=-0.38 NO=-467.48
Tensioni nel cordone: τ_P=3.10E-03 τ_O=0.12 σ_O=149.47 σ_{ID}=149.47 Σ_T=149.59
CC 30 SLD (Collegamento 0022_-379)
Azioni sul collegamento: N=-5422.73 Ty=-0.63 Tz=-1.87 Mx=-0.00 Mz=-1.48
Sollecitazioni agenti localmente: Tx_l=-0.63 Ty_l=-1.87 N_l=-5422.73 My_l=1.48 Mz_l=-0.00
Azioni sul cordone: TP=-0.05 TO=-0.14 NO=-400.85
Tensioni nel cordone: τ_P= 0.01 τ_O= 0.04 σ_O=129.58 σ_{ID}=129.58 Σ_T=129.62
CC 30 SLD (Collegamento 0022_-379)
Azioni sul collegamento: N=-5422.73 Ty=0.07 Tz=-1.87 Mx=-0.00 Mz=-0.11
Sollecitazioni agenti localmente: Tx_l=0.07 Ty_l=-1.87 N_l=-5422.73 My_l=0.11 Mz_l=-0.00
Azioni sul cordone: TP=0.01 TO=-0.14 NO=-400.85
Tensioni nel cordone: τ_P=2.09E-03 τ_O= 0.04 σ_O=127.57 σ_{ID}=127.57 Σ_T=127.62
CC 30 SLD (Collegamento 0022_-379)
Azioni sul collegamento: N=-5422.73 Ty=-0.63 Tz=-3.44 Mx=-0.00 Mz=-1.48
Sollecitazioni agenti localmente: Tx_l=-0.63 Ty_l=-3.44 N_l=-5422.73 My_l=1.48 Mz_l=-0.00
Azioni sul cordone: TP=-0.05 TO=-0.25 NO=-400.85
Tensioni nel cordone: τ_P= 0.01 τ_O= 0.08 σ_O=129.58 σ_{ID}=129.58 Σ_T=129.66
CC 30 SLD (Collegamento 0022_-379)
Azioni sul collegamento: N=-5422.73 Ty=0.07 Tz=-3.44 Mx=-0.00 Mz=-0.11
Sollecitazioni agenti localmente: Tx_l=0.07 Ty_l=-3.44 N_l=-5422.73 My_l=0.11 Mz_l=-0.00
Azioni sul cordone: TP=0.01 TO=-0.25 NO=-400.85
Tensioni nel cordone: τ_P=2.09E-03 τ_O= 0.08 σ_O=127.57 σ_{ID}=127.57 Σ_T=127.65
CC 30 SLD (Collegamento 0022_-379)
Azioni sul collegamento: N=-5844.10 Ty=-0.63 Tz=-1.87 Mx=-0.00 Mz=-1.48
Sollecitazioni agenti localmente: Tx_l=-0.63 Ty_l=-1.87 N_l=-5844.10 My_l=1.48 Mz_l=-0.00
Azioni sul cordone: TP=-0.05 TO=-0.14 NO=-432.00
Tensioni nel cordone: τ_P= 0.01 τ_O= 0.04 σ_O=139.48 σ_{ID}=139.48 Σ_T=139.52
CC 30 SLD (Collegamento 0022_-379)
Azioni sul collegamento: N=-5844.10 Ty=0.07 Tz=-1.87 Mx=-0.00 Mz=-0.11
Sollecitazioni agenti localmente: Tx_l=0.07 Ty_l=-1.87 N_l=-5844.10 My_l=0.11 Mz_l=-0.00
Azioni sul cordone: TP=0.01 TO=-0.14 NO=-432.00
Tensioni nel cordone: τ_P=2.09E-03 τ_O= 0.04 σ_O=137.47 σ_{ID}=137.47 Σ_T=137.52
CC 30 SLD (Collegamento 0022_-379)
Azioni sul collegamento: N=-5844.10 Ty=-0.63 Tz=-3.44 Mx=-0.00 Mz=-1.48
Sollecitazioni agenti localmente: Tx_l=-0.63 Ty_l=-3.44 N_l=-5844.10 My_l=1.48 Mz_l=-0.00
Azioni sul cordone: TP=-0.05 TO=-0.25 NO=-432.00
Tensioni nel cordone: τ_P= 0.01 τ_O= 0.08 σ_O=139.48 σ_{ID}=139.48 Σ_T=139.56
CC 30 SLD (Collegamento 0022_-379)
Azioni sul collegamento: N=-5844.10 Ty=0.07 Tz=-3.44 Mx=-0.00 Mz=-0.11
Sollecitazioni agenti localmente: Tx_l=0.07 Ty_l=-3.44 N_l=-5844.10 My_l=0.11 Mz_l=-0.00
Azioni sul cordone: TP=0.01 TO=-0.25 NO=-432.00
Tensioni nel cordone: τ_P=2.09E-03 τ_O= 0.08 σ_O=137.47 σ_{ID}=137.47 Σ_T=137.55
CC 31 SLV (Collegamento 0022_-379)
Azioni sul collegamento: N=-6324.24 Ty=-2.24 Tz=-5.22 Mx=-0.00 Mz=-5.11
Sollecitazioni agenti localmente: Tx_l=-2.24 Ty_l=-5.22 N_l=-6324.24 My_l=5.11 Mz_l=-0.00
Azioni sul cordone: TP=-0.16 TO=-0.38 NO=-467.49
Tensioni nel cordone: τ_P= 0.05 τ_O=0.12 σ_O=156.06 σ_{ID}=156.06 Σ_T=156.18
CC 31 SLV (Collegamento 0022_-379)
Azioni sul collegamento: N=-6324.24 Ty=0.07 Tz=-5.22 Mx=-0.00 Mz=-0.59
Sollecitazioni agenti localmente: Tx_l=0.07 Ty_l=-5.22 N_l=-6324.24 My_l=0.59 Mz_l=-0.00
Azioni sul cordone: TP=0.01 TO=-0.38 NO=-467.49
Tensioni nel cordone: τ_P=3.17E-03 τ_O=0.12 σ_O=149.45 σ_{ID}=149.45 Σ_T=149.57
CC 31 SLV (Collegamento 0022_-379)
Azioni sul collegamento: N=-6324.24 Ty=-2.24 Tz=-0.09 Mx=-0.00 Mz=-5.11
Sollecitazioni agenti localmente: Tx_l=-2.24 Ty_l=-0.09 N_l=-6324.24 My_l=5.11 Mz_l=-0.00
Azioni sul cordone: TP=-0.16 TO=-0.00 NO=-467.49
Tensioni nel cordone: τ_P= 0.05 τ_O=1.04E-03 σ_O=156.06 σ_{ID}=156.06 Σ_T=156.06
CC 31 SLV (Collegamento 0022_-379)
Azioni sul collegamento: N=-6324.24 Ty=0.07 Tz=-0.09 Mx=-0.00 Mz=-0.59

Sollecitazioni agenti localmente: Tx_l=0.07 Ty_l=-0.09 N_l=-6324.24 My_l=0.59 Mz_l=-0.00
Azioni sul cordone: TP=0.01 TO=-0.00 NO=-467.49
Tensioni nel cordone: τ_P=3.17E-03 τ_O=1.04E-03 σ_O=149.45 σ_{ID}=149.45 Σ_T=149.46
CC 31 SLV (Collegamento 0022_-379)
Azioni sul collegamento: N=-4942.23 Ty=-2.24 Tz=-5.22 Mx=-0.00 Mz=-5.11
Sollecitazioni agenti localmente: Tx_l=-2.24 Ty_l=-5.22 N_l=-4942.23 My_l=5.11 Mz_l=-0.00
Azioni sul cordone: TP=-0.16 TO=-0.38 NO=-365.33
Tensioni nel cordone: τ_P= 0.05 τ_O=0.12 σ_O=123.59 σ_{ID}=123.59 Σ_T=123.71
CC 31 SLV (Collegamento 0022_-379)
Azioni sul collegamento: N=-4942.23 Ty=0.07 Tz=-5.22 Mx=-0.00 Mz=-0.59
Sollecitazioni agenti localmente: Tx_l=0.07 Ty_l=-5.22 N_l=-4942.23 My_l=0.59 Mz_l=-0.00
Azioni sul cordone: TP=0.01 TO=-0.38 NO=-365.33
Tensioni nel cordone: τ_P=3.17E-03 τ_O=0.12 σ_O=116.98 σ_{ID}=116.98 Σ_T=117.10
CC 31 SLV (Collegamento 0022_-379)
Azioni sul collegamento: N=-4942.23 Ty=-2.24 Tz=-0.09 Mx=-0.00 Mz=-5.11
Sollecitazioni agenti localmente: Tx_l=-2.24 Ty_l=-0.09 N_l=-4942.23 My_l=5.11 Mz_l=-0.00
Azioni sul cordone: TP=-0.16 TO=-0.00 NO=-365.33
Tensioni nel cordone: τ_P= 0.05 τ_O=1.04E-03 σ_O=123.59 σ_{ID}=123.59 Σ_T=123.59
CC 31 SLV (Collegamento 0022_-379)
Azioni sul collegamento: N=-4942.23 Ty=0.07 Tz=-0.09 Mx=-0.00 Mz=-0.59
Sollecitazioni agenti localmente: Tx_l=0.07 Ty_l=-0.09 N_l=-4942.23 My_l=0.59 Mz_l=-0.00
Azioni sul cordone: TP=0.01 TO=-0.00 NO=-365.33
Tensioni nel cordone: τ_P=3.17E-03 τ_O=1.04E-03 σ_O=116.98 σ_{ID}=116.98 Σ_T=116.98
CC 32 SLD (Collegamento 0022_-379)
Azioni sul collegamento: N=-5844.12 Ty=-0.63 Tz=-3.44 Mx=-0.00 Mz=-1.49
Sollecitazioni agenti localmente: Tx_l=-0.63 Ty_l=-3.44 N_l=-5844.12 My_l=1.49 Mz_l=-0.00
Azioni sul cordone: TP=-0.05 TO=-0.25 NO=-432.00
Tensioni nel cordone: τ_P= 0.01 τ_O= 0.08 σ_O=139.48 σ_{ID}=139.48 Σ_T=139.56
CC 32 SLD (Collegamento 0022_-379)
Azioni sul collegamento: N=-5844.12 Ty=0.07 Tz=-3.44 Mx=-0.00 Mz=-0.11
Sollecitazioni agenti localmente: Tx_l=0.07 Ty_l=-3.44 N_l=-5844.12 My_l=0.11 Mz_l=-0.00
Azioni sul cordone: TP=0.01 TO=-0.25 NO=-432.00
Tensioni nel cordone: τ_P=2.11E-03 τ_O= 0.08 σ_O=137.47 σ_{ID}=137.47 Σ_T=137.55
CC 32 SLD (Collegamento 0022_-379)
Azioni sul collegamento: N=-5844.12 Ty=-0.63 Tz=-1.87 Mx=-0.00 Mz=-1.49
Sollecitazioni agenti localmente: Tx_l=-0.63 Ty_l=-1.87 N_l=-5844.12 My_l=1.49 Mz_l=-0.00
Azioni sul cordone: TP=-0.05 TO=-0.14 NO=-432.00
Tensioni nel cordone: τ_P= 0.01 τ_O= 0.04 σ_O=139.48 σ_{ID}=139.48 Σ_T=139.53
CC 32 SLD (Collegamento 0022_-379)
Azioni sul collegamento: N=-5844.12 Ty=0.07 Tz=-1.87 Mx=-0.00 Mz=-0.11
Sollecitazioni agenti localmente: Tx_l=0.07 Ty_l=-1.87 N_l=-5844.12 My_l=0.11 Mz_l=-0.00
Azioni sul cordone: TP=0.01 TO=-0.14 NO=-432.00
Tensioni nel cordone: τ_P=2.11E-03 τ_O= 0.04 σ_O=137.47 σ_{ID}=137.47 Σ_T=137.51
CC 32 SLD (Collegamento 0022_-379)
Azioni sul collegamento: N=-5422.71 Ty=-0.63 Tz=-3.44 Mx=-0.00 Mz=-1.49
Sollecitazioni agenti localmente: Tx_l=-0.63 Ty_l=-3.44 N_l=-5422.71 My_l=1.49 Mz_l=-0.00
Azioni sul cordone: TP=-0.05 TO=-0.25 NO=-400.85
Tensioni nel cordone: τ_P= 0.01 τ_O= 0.08 σ_O=129.58 σ_{ID}=129.58 Σ_T=129.66
CC 32 SLD (Collegamento 0022_-379)
Azioni sul collegamento: N=-5422.71 Ty=0.07 Tz=-3.44 Mx=-0.00 Mz=-0.11
Sollecitazioni agenti localmente: Tx_l=0.07 Ty_l=-3.44 N_l=-5422.71 My_l=0.11 Mz_l=-0.00
Azioni sul cordone: TP=0.01 TO=-0.25 NO=-400.85
Tensioni nel cordone: τ_P=2.11E-03 τ_O= 0.08 σ_O=127.57 σ_{ID}=127.57 Σ_T=127.65
CC 32 SLD (Collegamento 0022_-379)
Azioni sul collegamento: N=-5422.71 Ty=-0.63 Tz=-1.87 Mx=-0.00 Mz=-1.49
Sollecitazioni agenti localmente: Tx_l=-0.63 Ty_l=-1.87 N_l=-5422.71 My_l=1.49 Mz_l=-0.00
Azioni sul cordone: TP=-0.05 TO=-0.14 NO=-400.85
Tensioni nel cordone: τ_P= 0.01 τ_O= 0.04 σ_O=129.58 σ_{ID}=129.58 Σ_T=129.63
CC 32 SLD (Collegamento 0022_-379)
Azioni sul collegamento: N=-5422.71 Ty=0.07 Tz=-1.87 Mx=-0.00 Mz=-0.11
Sollecitazioni agenti localmente: Tx_l=0.07 Ty_l=-1.87 N_l=-5422.71 My_l=0.11 Mz_l=-0.00
Azioni sul cordone: TP=0.01 TO=-0.14 NO=-400.85
Tensioni nel cordone: τ_P=2.11E-03 τ_O= 0.04 σ_O=127.57 σ_{ID}=127.57 Σ_T=127.61
CC 33 SLU (Collegamento 0022_-379)
Azioni sul collegamento: N=-28967.90 Ty=0.05 Tz=74.90 Mx=0.00 Mz=0.12
Sollecitazioni agenti localmente: Tx_l=0.05 Ty_l=74.90 N_l=-28967.90 My_l=-0.12 Mz_l=0.00
Azioni sul cordone: TP=0.00 TO=5.54 NO=-2141.31
Tensioni nel cordone: τ_P=9.40E-04 τ_O=1.76 σ_O=680.79 σ_{ID}=680.79 Σ_T=682.55
CC 34 SLU (Collegamento 0022_-379)
Azioni sul collegamento: N=-29447.20 Ty=0.05 Tz=76.67 Mx=0.00 Mz=0.12
Sollecitazioni agenti localmente: Tx_l=0.05 Ty_l=76.67 N_l=-29447.20 My_l=-0.12 Mz_l=0.00
Azioni sul cordone: TP=0.00 TO=5.67 NO=-2176.74
Tensioni nel cordone: τ_P=9.22E-04 τ_O=1.80 σ_O=692.04 σ_{ID}=692.05 Σ_T=693.85
CC 35 SLU (Collegamento 0022_-379)
Azioni sul collegamento: N=-29207.50 Ty=0.17 Tz=75.78 Mx=-0.00 Mz=0.35
Sollecitazioni agenti localmente: Tx_l=0.17 Ty_l=75.78 N_l=-29207.50 My_l=-0.35 Mz_l=-0.00
Azioni sul cordone: TP=0.01 TO=5.60 NO=-2159.03
Tensioni nel cordone: τ_P=4.07E-03 τ_O=1.78 σ_O=686.76 σ_{ID}=686.76 Σ_T=688.54
CC 36 SLU (Collegamento 0022_-379)
Azioni sul collegamento: N=-29207.50 Ty=-0.07 Tz=75.79 Mx=0.00 Mz=-0.12
Sollecitazioni agenti localmente: Tx_l=-0.07 Ty_l=75.79 N_l=-29207.50 My_l=0.12 Mz_l=0.00

Azioni sul cordone: TP=-0.01 TO=5.60 NO=-2159.03
Tensioni nel cordone: τ_P=2.20E-03 τ_O=1.78 σ_O=686.41 σ_{ID}=686.42 Σ_T=688.20
CC 37 SLU (Collegamento 0022_-379)
Azioni sul collegamento: N=-29152.80 Ty=0.07 Tz=74.88 Mx=0.00 Mz=0.13
Sollecitazioni agenti localmente: Tx_l=0.07 Ty_l=74.88 N_l=-29152.80 My_l=-0.13 Mz_l=0.00
Azioni sul cordone: TP=0.00 TO=5.54 NO=-2154.98
Tensioni nel cordone: τ_P=1.57E-03 τ_O=1.76 σ_O=685.15 σ_{ID}=685.15 Σ_T=686.91
CC 38 SLU (Collegamento 0022_-379)
Azioni sul collegamento: N=-29632.10 Ty=0.07 Tz=76.66 Mx=0.00 Mz=0.13
Sollecitazioni agenti localmente: Tx_l=0.07 Ty_l=76.66 N_l=-29632.10 My_l=-0.13 Mz_l=0.00
Azioni sul cordone: TP=0.00 TO=5.67 NO=-2190.41
Tensioni nel cordone: τ_P=1.55E-03 τ_O=1.80 σ_O=696.41 σ_{ID}=696.41 Σ_T=698.21
CC 39 SLU (Collegamento 0022_-379)
Azioni sul collegamento: N=-29392.40 Ty=0.19 Tz=75.77 Mx=-0.00 Mz=0.36
Sollecitazioni agenti localmente: Tx_l=0.19 Ty_l=75.77 N_l=-29392.40 My_l=-0.36 Mz_l=-0.00
Azioni sul cordone: TP=0.01 TO=5.60 NO=-2172.70
Tensioni nel cordone: τ_P=4.69E-03 τ_O=1.78 σ_O=691.12 σ_{ID}=691.12 Σ_T=692.90
CC 40 SLU (Collegamento 0022_-379)
Azioni sul collegamento: N=-29392.40 Ty=-0.05 Tz=75.77 Mx=0.00 Mz=-0.10
Sollecitazioni agenti localmente: Tx_l=-0.05 Ty_l=75.77 N_l=-29392.40 My_l=0.10 Mz_l=0.00
Azioni sul cordone: TP=-0.00 TO=5.60 NO=-2172.70
Tensioni nel cordone: τ_P=1.58E-03 τ_O=1.78 σ_O=690.74 σ_{ID}=690.74 Σ_T=692.52
CC 41 SLU (Collegamento 0022_-379)
Azioni sul collegamento: N=-19454.60 Ty=0.08 Tz=39.91 Mx=0.00 Mz=0.13
Sollecitazioni agenti localmente: Tx_l=0.08 Ty_l=39.91 N_l=-19454.60 My_l=-0.13 Mz_l=0.00
Azioni sul cordone: TP=0.01 TO=2.95 NO=-1438.09
Tensioni nel cordone: τ_P=1.68E-03 τ_O=0.94 σ_O=457.29 σ_{ID}=457.29 Σ_T=458.22
CC 42 SLU (Collegamento 0022_-379)
Azioni sul collegamento: N=-19933.90 Ty=0.08 Tz=41.69 Mx=0.00 Mz=0.13
Sollecitazioni agenti localmente: Tx_l=0.08 Ty_l=41.69 N_l=-19933.90 My_l=-0.13 Mz_l=0.00
Azioni sul cordone: TP=0.01 TO=3.08 NO=-1473.52
Tensioni nel cordone: τ_P=1.67E-03 τ_O=0.98 σ_O=468.54 σ_{ID}=468.54 Σ_T=469.52
CC 43 SLU (Collegamento 0022_-379)
Azioni sul collegamento: N=-19694.20 Ty=0.20 Tz=40.80 Mx=-0.00 Mz=0.36
Sollecitazioni agenti localmente: Tx_l=0.20 Ty_l=40.80 N_l=-19694.20 My_l=-0.36 Mz_l=-0.00
Azioni sul cordone: TP=0.02 TO=3.02 NO=-1455.80
Tensioni nel cordone: τ_P=4.81E-03 τ_O=0.96 σ_O=463.26 σ_{ID}=463.26 Σ_T=464.21
CC 44 SLU (Collegamento 0022_-379)
Azioni sul collegamento: N=-19694.20 Ty=-0.04 Tz=40.80 Mx=0.00 Mz=-0.10
Sollecitazioni agenti localmente: Tx_l=-0.04 Ty_l=40.80 N_l=-19694.20 My_l=0.10 Mz_l=0.00
Azioni sul cordone: TP=-0.00 TO=3.01 NO=-1455.80
Tensioni nel cordone: τ_P=1.46E-03 τ_O=0.96 σ_O=462.88 σ_{ID}=462.88 Σ_T=463.84
CC 45 SLU (Collegamento 0022_-379)
Azioni sul collegamento: N=-21628.70 Ty=0.08 Tz=47.97 Mx=0.00 Mz=0.14
Sollecitazioni agenti localmente: Tx_l=0.08 Ty_l=47.97 N_l=-21628.70 My_l=-0.14 Mz_l=0.00
Azioni sul cordone: TP=0.01 TO=3.55 NO=-1598.80
Tensioni nel cordone: τ_P=1.66E-03 τ_O=1.13 σ_O=508.38 σ_{ID}=508.38 Σ_T=509.51
CC 46 SLU (Collegamento 0022_-379)
Azioni sul collegamento: N=-22108.00 Ty=0.08 Tz=49.75 Mx=0.00 Mz=0.14
Sollecitazioni agenti localmente: Tx_l=0.08 Ty_l=49.75 N_l=-22108.00 My_l=-0.14 Mz_l=0.00
Azioni sul cordone: TP=0.01 TO=3.68 NO=-1634.23
Tensioni nel cordone: τ_P=1.64E-03 τ_O=1.17 σ_O=519.64 σ_{ID}=519.64 Σ_T=520.81
CC 47 SLU (Collegamento 0022_-379)
Azioni sul collegamento: N=-21868.40 Ty=0.20 Tz=48.86 Mx=-0.00 Mz=0.37
Sollecitazioni agenti localmente: Tx_l=0.20 Ty_l=48.86 N_l=-21868.40 My_l=-0.37 Mz_l=-0.00
Azioni sul cordone: TP=0.02 TO=3.61 NO=-1616.52
Tensioni nel cordone: τ_P=4.79E-03 τ_O=1.15 σ_O=514.35 σ_{ID}=514.35 Σ_T=515.50
CC 48 SLU (Collegamento 0022_-379)
Azioni sul collegamento: N=-21868.40 Ty=-0.04 Tz=48.86 Mx=0.00 Mz=-0.10
Sollecitazioni agenti localmente: Tx_l=-0.04 Ty_l=48.86 N_l=-21868.40 My_l=0.10 Mz_l=0.00
Azioni sul cordone: TP=-0.00 TO=3.61 NO=-1616.52
Tensioni nel cordone: τ_P=1.49E-03 τ_O=1.15 σ_O=513.95 σ_{ID}=513.95 Σ_T=515.10
CC 49 SLU (Collegamento 0022_-379)
Azioni sul collegamento: N=-21767.10 Ty=0.10 Tz=47.96 Mx=0.00 Mz=0.15
Sollecitazioni agenti localmente: Tx_l=0.10 Ty_l=47.96 N_l=-21767.10 My_l=-0.15 Mz_l=0.00
Azioni sul cordone: TP=0.01 TO=3.55 NO=-1609.03
Tensioni nel cordone: τ_P=2.13E-03 τ_O=1.13 σ_O=511.64 σ_{ID}=511.65 Σ_T=512.77
CC 50 SLU (Collegamento 0022_-379)
Azioni sul collegamento: N=-22246.40 Ty=0.10 Tz=49.73 Mx=0.00 Mz=0.15
Sollecitazioni agenti localmente: Tx_l=0.10 Ty_l=49.73 N_l=-22246.40 My_l=-0.15 Mz_l=0.00
Azioni sul cordone: TP=0.01 TO=3.68 NO=-1644.46
Tensioni nel cordone: τ_P=2.11E-03 τ_O=1.17 σ_O=522.90 σ_{ID}=522.90 Σ_T=524.07
CC 51 SLU (Collegamento 0022_-379)
Azioni sul collegamento: N=-22006.70 Ty=0.22 Tz=48.85 Mx=-0.00 Mz=0.38
Sollecitazioni agenti localmente: Tx_l=0.22 Ty_l=48.85 N_l=-22006.70 My_l=-0.38 Mz_l=-0.00
Azioni sul cordone: TP=0.02 TO=3.61 NO=-1626.74
Tensioni nel cordone: τ_P=5.25E-03 τ_O=1.15 σ_O=517.62 σ_{ID}=517.62 Σ_T=518.76
CC 52 SLU (Collegamento 0022_-379)
Azioni sul collegamento: N=-22006.70 Ty=-0.02 Tz=48.85 Mx=0.00 Mz=-0.09
Sollecitazioni agenti localmente: Tx_l=-0.02 Ty_l=48.85 N_l=-22006.70 My_l=0.09 Mz_l=0.00
Azioni sul cordone: TP=-0.00 TO=3.61 NO=-1626.74

Tensioni nel cordone: τ_P=1.02E-03 τ_0=1.15 σ_0=517.18 σ_{ID}=517.19 Σ_T=518.33
CC 53 SLU (Collegamento 0022_-379)
Azioni sul collegamento: N=-14511.40 Ty=0.10 Tz=21.80 Mx=0.00 Mz=0.15
Sollecitazioni agenti localmente: Tx_l=0.10 Ty_l=21.80 N_l=-14511.40 My_l=-0.15 Mz_l=0.00
Azioni sul cordone: TP=0.01 TO=1.61 NO=-1072.69
Tensioni nel cordone: τ_P=2.22E-03 τ_0=0.51 σ_0=341.17 σ_{ID}=341.17 Σ_T=341.68
CC 54 SLU (Collegamento 0022_-379)
Azioni sul collegamento: N=-14990.70 Ty=0.10 Tz=23.57 Mx=0.00 Mz=0.15
Sollecitazioni agenti localmente: Tx_l=0.10 Ty_l=23.57 N_l=-14990.70 My_l=-0.15 Mz_l=0.00
Azioni sul cordone: TP=0.01 TO=1.74 NO=-1108.12
Tensioni nel cordone: τ_P=2.20E-03 τ_0=0.55 σ_0=352.43 σ_{ID}=352.43 Σ_T=352.98
CC 55 SLU (Collegamento 0022_-379)
Azioni sul collegamento: N=-14751.00 Ty=0.22 Tz=22.69 Mx=-0.00 Mz=0.38
Sollecitazioni agenti localmente: Tx_l=0.22 Ty_l=22.69 N_l=-14751.00 My_l=-0.38 Mz_l=-0.00
Azioni sul cordone: TP=0.02 TO=1.68 NO=-1090.40
Tensioni nel cordone: τ_P=5.34E-03 τ_0=0.53 σ_0=347.14 σ_{ID}=347.14 Σ_T=347.67
CC 56 SLU (Collegamento 0022_-379)
Azioni sul collegamento: N=-14751.00 Ty=-0.02 Tz=22.68 Mx=0.00 Mz=-0.09
Sollecitazioni agenti localmente: Tx_l=-0.02 Ty_l=22.68 N_l=-14751.00 My_l=0.09 Mz_l=0.00
Azioni sul cordone: TP=-0.00 TO=1.68 NO=-1090.40
Tensioni nel cordone: τ_P=9.29E-04 τ_0=0.53 σ_0=346.71 σ_{ID}=346.71 Σ_T=347.24
CC 57 SLU (Collegamento 0022_-379)
Azioni sul collegamento: N=-21907.00 Ty=0.07 Tz=49.04 Mx=0.00 Mz=0.14
Sollecitazioni agenti localmente: Tx_l=0.07 Ty_l=49.04 N_l=-21907.00 My_l=-0.14 Mz_l=0.00
Azioni sul cordone: TP=0.01 TO=3.63 NO=-1619.37
Tensioni nel cordone: τ_P=1.60E-03 τ_0=1.15 σ_0=514.91 σ_{ID}=514.92 Σ_T=516.07
CC 58 SLU (Collegamento 0022_-379)
Azioni sul collegamento: N=-22386.30 Ty=0.07 Tz=50.82 Mx=0.00 Mz=0.13
Sollecitazioni agenti localmente: Tx_l=0.07 Ty_l=50.82 N_l=-22386.30 My_l=-0.13 Mz_l=0.00
Azioni sul cordone: TP=0.00 TO=3.76 NO=-1654.80
Tensioni nel cordone: τ_P=1.59E-03 τ_0=1.19 σ_0=526.17 σ_{ID}=526.17 Σ_T=527.37
CC 59 SLU (Collegamento 0022_-379)
Azioni sul collegamento: N=-22146.70 Ty=0.19 Tz=49.93 Mx=-0.00 Mz=0.37
Sollecitazioni agenti localmente: Tx_l=0.19 Ty_l=49.93 N_l=-22146.70 My_l=-0.37 Mz_l=-0.00
Azioni sul cordone: TP=0.01 TO=3.69 NO=-1637.09
Tensioni nel cordone: τ_P=4.73E-03 τ_0=1.17 σ_0=520.88 σ_{ID}=520.89 Σ_T=522.06
CC 60 SLU (Collegamento 0022_-379)
Azioni sul collegamento: N=-22146.70 Ty=-0.04 Tz=49.93 Mx=0.00 Mz=-0.10
Sollecitazioni agenti localmente: Tx_l=-0.04 Ty_l=49.93 N_l=-22146.70 My_l=0.10 Mz_l=0.00
Azioni sul cordone: TP=-0.00 TO=3.69 NO=-1637.09
Tensioni nel cordone: τ_P=1.54E-03 τ_0=1.17 σ_0=520.49 σ_{ID}=520.49 Σ_T=521.66
CC 61 SLU (Collegamento 0022_-379)
Azioni sul collegamento: N=-22045.30 Ty=0.09 Tz=49.02 Mx=0.00 Mz=0.14
Sollecitazioni agenti localmente: Tx_l=0.09 Ty_l=49.02 N_l=-22045.30 My_l=-0.14 Mz_l=0.00
Azioni sul cordone: TP=0.01 TO=3.62 NO=-1629.60
Tensioni nel cordone: τ_P=2.07E-03 τ_0=1.15 σ_0=518.18 σ_{ID}=518.18 Σ_T=519.33
CC 62 SLU (Collegamento 0022_-379)
Azioni sul collegamento: N=-22524.60 Ty=0.09 Tz=50.80 Mx=0.00 Mz=0.14
Sollecitazioni agenti localmente: Tx_l=0.09 Ty_l=50.80 N_l=-22524.60 My_l=-0.14 Mz_l=0.00
Azioni sul cordone: TP=0.01 TO=3.76 NO=-1665.03
Tensioni nel cordone: τ_P=2.05E-03 τ_0=1.19 σ_0=529.43 σ_{ID}=529.44 Σ_T=530.63
CC 63 SLU (Collegamento 0022_-379)
Azioni sul collegamento: N=-22285.00 Ty=0.21 Tz=49.91 Mx=-0.00 Mz=0.38
Sollecitazioni agenti localmente: Tx_l=0.21 Ty_l=49.91 N_l=-22285.00 My_l=-0.38 Mz_l=-0.00
Azioni sul cordone: TP=0.02 TO=3.69 NO=-1647.31
Tensioni nel cordone: τ_P=5.20E-03 τ_0=1.17 σ_0=524.15 σ_{ID}=524.15 Σ_T=525.32
CC 64 SLU (Collegamento 0022_-379)
Azioni sul collegamento: N=-22285.00 Ty=-0.03 Tz=49.91 Mx=0.00 Mz=-0.09
Sollecitazioni agenti localmente: Tx_l=-0.03 Ty_l=49.91 N_l=-22285.00 My_l=0.09 Mz_l=0.00
Azioni sul cordone: TP=-0.00 TO=3.69 NO=-1647.31
Tensioni nel cordone: τ_P=1.07E-03 τ_0=1.17 σ_0=523.73 σ_{ID}=523.73 Σ_T=524.90
CC 65 SLU (Collegamento 0022_-379)
Azioni sul collegamento: N=-14789.70 Ty=0.10 Tz=22.86 Mx=0.00 Mz=0.14
Sollecitazioni agenti localmente: Tx_l=0.10 Ty_l=22.86 N_l=-14789.70 My_l=-0.14 Mz_l=0.00
Azioni sul cordone: TP=0.01 TO=1.69 NO=-1093.26
Tensioni nel cordone: τ_P=2.16E-03 τ_0=0.54 σ_0=347.70 σ_{ID}=347.70 Σ_T=348.24
CC 66 SLU (Collegamento 0022_-379)
Azioni sul collegamento: N=-15269.00 Ty=0.10 Tz=24.64 Mx=0.00 Mz=0.14
Sollecitazioni agenti localmente: Tx_l=0.10 Ty_l=24.64 N_l=-15269.00 My_l=-0.14 Mz_l=0.00
Azioni sul cordone: TP=0.01 TO=1.82 NO=-1128.69
Tensioni nel cordone: τ_P=2.14E-03 τ_0=0.58 σ_0=358.96 σ_{ID}=358.96 Σ_T=359.54
CC 67 SLU (Collegamento 0022_-379)
Azioni sul collegamento: N=-15029.30 Ty=0.22 Tz=23.75 Mx=-0.00 Mz=0.38
Sollecitazioni agenti localmente: Tx_l=0.22 Ty_l=23.75 N_l=-15029.30 My_l=-0.38 Mz_l=-0.00
Azioni sul cordone: TP=0.02 TO=1.76 NO=-1110.97
Tensioni nel cordone: τ_P=5.29E-03 τ_0=0.56 σ_0=353.67 σ_{ID}=353.67 Σ_T=354.23
CC 68 SLU (Collegamento 0022_-379)
Azioni sul collegamento: N=-15029.30 Ty=-0.02 Tz=23.75 Mx=0.00 Mz=-0.09
Sollecitazioni agenti localmente: Tx_l=-0.02 Ty_l=23.75 N_l=-15029.30 My_l=0.09 Mz_l=0.00
Azioni sul cordone: TP=-0.00 TO=1.75 NO=-1110.97
Tensioni nel cordone: τ_P=9.84E-04 τ_0=0.56 σ_0=353.25 σ_{ID}=353.25 Σ_T=353.81

CC 97 SLU (Collegamento 0022_-379)
Azioni sul collegamento: N=-11572.90 Ty=11.37 Tz=19.27 Mx=0.04 Mz=15.92
Sollecitazioni agenti localmente: Tx_l=11.37 Ty_l=19.27 N_l=-11572.90 My_l=-15.92 Mz_l=0.04
Azioni sul cordone: TP=0.80 TO=1.45 NO=-855.47
Tensioni nel cordone: τ_P=0.25 τ_0=0.46 σ_0=295.17 σ_{ID}=295.17 Σ_T=295.63
CC 98 SLU (Collegamento 0022_-379)
Azioni sul collegamento: N=-12052.20 Ty=11.37 Tz=21.05 Mx=0.04 Mz=15.92
Sollecitazioni agenti localmente: Tx_l=11.37 Ty_l=21.05 N_l=-12052.20 My_l=-15.92 Mz_l=0.04
Azioni sul cordone: TP=0.80 TO=1.58 NO=-890.90
Tensioni nel cordone: τ_P=0.25 τ_0=0.50 σ_0=306.42 σ_{ID}=306.43 Σ_T=306.93
CC 99 SLU (Collegamento 0022_-379)
Azioni sul collegamento: N=-11812.60 Ty=11.49 Tz=20.16 Mx=0.04 Mz=16.15
Sollecitazioni agenti localmente: Tx_l=11.49 Ty_l=20.16 N_l=-11812.60 My_l=-16.15 Mz_l=0.04
Azioni sul cordone: TP=0.81 TO=1.52 NO=-873.19
Tensioni nel cordone: τ_P=0.26 τ_0=0.48 σ_0=301.14 σ_{ID}=301.14 Σ_T=301.62
CC 100 SLU (Collegamento 0022_-379)
Azioni sul collegamento: N=-11812.60 Ty=11.25 Tz=20.16 Mx=0.04 Mz=15.68
Sollecitazioni agenti localmente: Tx_l=11.25 Ty_l=20.16 N_l=-11812.60 My_l=-15.68 Mz_l=0.04
Azioni sul cordone: TP=0.79 TO=1.52 NO=-873.19
Tensioni nel cordone: τ_P=0.25 τ_0=0.48 σ_0=300.45 σ_{ID}=300.45 Σ_T=300.94
CC 101 SLU (Collegamento 0022_-379)
Azioni sul collegamento: N=-5887.16 Ty=-2.00 Tz=-1.73 Mx=-0.00 Mz=-2.22
Sollecitazioni agenti localmente: Tx_l=-2.00 Ty_l=-1.73 N_l=-5887.16 My_l=2.22 Mz_l=-0.00
Azioni sul cordone: TP=-0.14 TO=-0.12 NO=-435.18
Tensioni nel cordone: τ_P= 0.05 τ_0= 0.04 σ_0=141.56 σ_{ID}=141.56 Σ_T=141.60
CC 102 SLU (Collegamento 0022_-379)
Azioni sul collegamento: N=-6366.46 Ty=-2.01 Tz=0.04 Mx=-0.00 Mz=-2.22
Sollecitazioni agenti localmente: Tx_l=-2.01 Ty_l=0.04 N_l=-6366.46 My_l=2.22 Mz_l=-0.00
Azioni sul cordone: TP=-0.14 TO=0.01 NO=-470.61
Tensioni nel cordone: τ_P= 0.05 τ_0=2.29E-03 σ_0=152.83 σ_{ID}=152.83 Σ_T=152.83
CC 103 SLU (Collegamento 0022_-379)
Azioni sul collegamento: N=-6126.81 Ty=-1.89 Tz=-0.85 Mx=-0.01 Mz=-1.98
Sollecitazioni agenti localmente: Tx_l=-1.89 Ty_l=-0.85 N_l=-6126.81 My_l=1.98 Mz_l=-0.01
Azioni sul cordone: TP=-0.13 TO=-0.06 NO=-452.90
Tensioni nel cordone: τ_P= 0.04 τ_0= 0.02 σ_0=146.85 σ_{ID}=146.85 Σ_T=146.87
CC 104 SLU (Collegamento 0022_-379)
Azioni sul collegamento: N=-6126.80 Ty=-2.12 Tz=-0.84 Mx=-0.00 Mz=-2.45
Sollecitazioni agenti localmente: Tx_l=-2.12 Ty_l=-0.84 N_l=-6126.80 My_l=2.45 Mz_l=-0.00
Azioni sul cordone: TP=-0.15 TO=-0.06 NO=-452.89
Tensioni nel cordone: τ_P= 0.05 τ_0= 0.02 σ_0=147.53 σ_{ID}=147.53 Σ_T=147.55

Flessione attacco superiore piastra

Bnetta=220.00 Hnetta=15.00
CC 1 SLV (Collegamento 0022_-379)
Azioni sul collegamento: N=-3330.52 Ty=1.59 Tz=5.89 Mx=0.02 Mz=3.75
Sollecitazioni agenti localmente: Ty_l=-605.55 Mx_l=-12.11
Tensioni nella sezione: σ=146.80 τ=18.35
CC 1 SLV (Collegamento 0022_-379)
Azioni sul collegamento: N=-3330.52 Ty=0.88 Tz=5.89 Mx=0.02 Mz=2.36
Sollecitazioni agenti localmente: Ty_l=-605.55 Mx_l=-12.11
Tensioni nella sezione: σ=146.80 τ=18.35
CC 1 SLV (Collegamento 0022_-379)
Azioni sul collegamento: N=-3330.52 Ty=1.59 Tz=-11.19 Mx=0.02 Mz=3.75
Sollecitazioni agenti localmente: Ty_l=-605.55 Mx_l=-12.11
Tensioni nella sezione: σ=146.80 τ=18.35
CC 1 SLV (Collegamento 0022_-379)
Azioni sul collegamento: N=-3330.52 Ty=0.88 Tz=-11.19 Mx=0.02 Mz=2.36
Sollecitazioni agenti localmente: Ty_l=-605.55 Mx_l=-12.11
Tensioni nella sezione: σ=146.80 τ=18.35
CC 1 SLV (Collegamento 0022_-379)
Azioni sul collegamento: N=-7936.99 Ty=1.59 Tz=5.89 Mx=0.02 Mz=3.75
Sollecitazioni agenti localmente: Ty_l=-1443.09 Mx_l=-28.86
Tensioni nella sezione: σ=349.84 τ=43.73
CC 1 SLV (Collegamento 0022_-379)
Azioni sul collegamento: N=-7936.99 Ty=0.88 Tz=5.89 Mx=0.02 Mz=2.36
Sollecitazioni agenti localmente: Ty_l=-1443.09 Mx_l=-28.86
Tensioni nella sezione: σ=349.84 τ=43.73
CC 1 SLV (Collegamento 0022_-379)
Azioni sul collegamento: N=-7936.99 Ty=1.59 Tz=-11.19 Mx=0.02 Mz=3.75
Sollecitazioni agenti localmente: Ty_l=-1443.09 Mx_l=-28.86
Tensioni nella sezione: σ=349.84 τ=43.73
CC 1 SLV (Collegamento 0022_-379)
Azioni sul collegamento: N=-7936.99 Ty=0.88 Tz=-11.19 Mx=0.02 Mz=2.36
Sollecitazioni agenti localmente: Ty_l=-1443.09 Mx_l=-28.86
Tensioni nella sezione: σ=349.84 τ=43.73
CC 2 SLD (Collegamento 0022_-379)
Azioni sul collegamento: N=-4931.25 Ty=0.54 Tz=-0.05 Mx=0.01 Mz=1.22
Sollecitazioni agenti localmente: Ty_l=-896.59 Mx_l=-17.93
Tensioni nella sezione: σ=217.35 τ=27.17
CC 2 SLD (Collegamento 0022_-379)

Azioni sul collegamento: N=-4931.25 Ty=0.32 Tz=-0.05 Mx=0.01 Mz=0.79
Sollecitazioni agenti localmente: Ty_l=-896.59 Mx_l=-17.93
Tensioni nella sezione: σ=217.35 τ=27.17
CC 2 SLD (Collegamento 0022_-379)
Azioni sul collegamento: N=-4931.25 Ty=0.54 Tz=-5.26 Mx=0.01 Mz=1.22
Sollecitazioni agenti localmente: Ty_l=-896.59 Mx_l=-17.93
Tensioni nella sezione: σ=217.35 τ=27.17
CC 2 SLD (Collegamento 0022_-379)
Azioni sul collegamento: N=-4931.25 Ty=0.32 Tz=-5.26 Mx=0.01 Mz=0.79
Sollecitazioni agenti localmente: Ty_l=-896.59 Mx_l=-17.93
Tensioni nella sezione: σ=217.35 τ=27.17
CC 2 SLD (Collegamento 0022_-379)
Azioni sul collegamento: N=-6335.90 Ty=0.54 Tz=-0.05 Mx=0.01 Mz=1.22
Sollecitazioni agenti localmente: Ty_l=-1151.98 Mx_l=-23.04
Tensioni nella sezione: σ=279.27 τ=34.91
CC 2 SLD (Collegamento 0022_-379)
Azioni sul collegamento: N=-6335.90 Ty=0.32 Tz=-0.05 Mx=0.01 Mz=0.79
Sollecitazioni agenti localmente: Ty_l=-1151.98 Mx_l=-23.04
Tensioni nella sezione: σ=279.27 τ=34.91
CC 2 SLD (Collegamento 0022_-379)
Azioni sul collegamento: N=-6335.90 Ty=0.54 Tz=-5.26 Mx=0.01 Mz=1.22
Sollecitazioni agenti localmente: Ty_l=-1151.98 Mx_l=-23.04
Tensioni nella sezione: σ=279.27 τ=34.91
CC 2 SLD (Collegamento 0022_-379)
Azioni sul collegamento: N=-6335.90 Ty=0.32 Tz=-5.26 Mx=0.01 Mz=0.79
Sollecitazioni agenti localmente: Ty_l=-1151.98 Mx_l=-23.04
Tensioni nella sezione: σ=279.27 τ=34.91
CC 3 SLV (Collegamento 0022_-379)
Azioni sul collegamento: N=-3330.55 Ty=0.90 Tz=5.89 Mx=0.01 Mz=2.40
Sollecitazioni agenti localmente: Ty_l=-605.55 Mx_l=-12.11
Tensioni nella sezione: σ=146.80 τ=18.35
CC 3 SLV (Collegamento 0022_-379)
Azioni sul collegamento: N=-3330.55 Ty=1.58 Tz=5.89 Mx=0.01 Mz=3.71
Sollecitazioni agenti localmente: Ty_l=-605.55 Mx_l=-12.11
Tensioni nella sezione: σ=146.80 τ=18.35
CC 3 SLV (Collegamento 0022_-379)
Azioni sul collegamento: N=-3330.55 Ty=0.90 Tz=-11.19 Mx=0.01 Mz=2.40
Sollecitazioni agenti localmente: Ty_l=-605.55 Mx_l=-12.11
Tensioni nella sezione: σ=146.80 τ=18.35
CC 3 SLV (Collegamento 0022_-379)
Azioni sul collegamento: N=-3330.55 Ty=1.58 Tz=-11.19 Mx=0.01 Mz=3.71
Sollecitazioni agenti localmente: Ty_l=-605.55 Mx_l=-12.11
Tensioni nella sezione: σ=146.80 τ=18.35
CC 3 SLV (Collegamento 0022_-379)
Azioni sul collegamento: N=-7936.97 Ty=0.90 Tz=5.89 Mx=0.01 Mz=2.40
Sollecitazioni agenti localmente: Ty_l=-1443.09 Mx_l=-28.86
Tensioni nella sezione: σ=349.84 τ=43.73
CC 3 SLV (Collegamento 0022_-379)
Azioni sul collegamento: N=-7936.97 Ty=1.58 Tz=5.89 Mx=0.01 Mz=3.71
Sollecitazioni agenti localmente: Ty_l=-1443.09 Mx_l=-28.86
Tensioni nella sezione: σ=349.84 τ=43.73
CC 3 SLV (Collegamento 0022_-379)
Azioni sul collegamento: N=-7936.97 Ty=0.90 Tz=-11.19 Mx=0.01 Mz=2.40
Sollecitazioni agenti localmente: Ty_l=-1443.09 Mx_l=-28.86
Tensioni nella sezione: σ=349.84 τ=43.73
CC 3 SLV (Collegamento 0022_-379)
Azioni sul collegamento: N=-7936.97 Ty=1.58 Tz=-11.19 Mx=0.01 Mz=3.71
Sollecitazioni agenti localmente: Ty_l=-1443.09 Mx_l=-28.86
Tensioni nella sezione: σ=349.84 τ=43.73
CC 4 SLD (Collegamento 0022_-379)
Azioni sul collegamento: N=-4931.25 Ty=0.33 Tz=-0.05 Mx=0.00 Mz=0.80
Sollecitazioni agenti localmente: Ty_l=-896.59 Mx_l=-17.93
Tensioni nella sezione: σ=217.35 τ=27.17
CC 4 SLD (Collegamento 0022_-379)
Azioni sul collegamento: N=-4931.25 Ty=0.53 Tz=-0.05 Mx=0.00 Mz=1.20
Sollecitazioni agenti localmente: Ty_l=-896.59 Mx_l=-17.93
Tensioni nella sezione: σ=217.35 τ=27.17
CC 4 SLD (Collegamento 0022_-379)
Azioni sul collegamento: N=-4931.25 Ty=0.33 Tz=-5.26 Mx=0.00 Mz=0.80
Sollecitazioni agenti localmente: Ty_l=-896.59 Mx_l=-17.93
Tensioni nella sezione: σ=217.35 τ=27.17
CC 4 SLD (Collegamento 0022_-379)
Azioni sul collegamento: N=-4931.25 Ty=0.53 Tz=-5.26 Mx=0.00 Mz=1.20
Sollecitazioni agenti localmente: Ty_l=-896.59 Mx_l=-17.93
Tensioni nella sezione: σ=217.35 τ=27.17
CC 4 SLD (Collegamento 0022_-379)
Azioni sul collegamento: N=-6335.90 Ty=0.33 Tz=-0.05 Mx=0.00 Mz=0.80
Sollecitazioni agenti localmente: Ty_l=-1151.98 Mx_l=-23.04
Tensioni nella sezione: σ=279.27 τ=34.91
CC 4 SLD (Collegamento 0022_-379)

Azioni sul collegamento: N=-6335.90 Ty=0.53 Tz=-0.05 Mx=0.00 Mz=1.20
Sollecitazioni agenti localmente: Ty_l=-1151.98 Mx_l=-23.04
Tensioni nella sezione: σ=279.27 τ=34.91
CC 4 SLD (Collegamento 0022_-379)
Azioni sul collegamento: N=-6335.90 Ty=0.33 Tz=-5.26 Mx=0.00 Mz=0.80
Sollecitazioni agenti localmente: Ty_l=-1151.98 Mx_l=-23.04
Tensioni nella sezione: σ=279.27 τ=34.91
CC 4 SLD (Collegamento 0022_-379)
Azioni sul collegamento: N=-6335.90 Ty=0.53 Tz=-5.26 Mx=0.00 Mz=1.20
Sollecitazioni agenti localmente: Ty_l=-1151.98 Mx_l=-23.04
Tensioni nella sezione: σ=279.27 τ=34.91
CC 5 SLV (Collegamento 0022_-379)
Azioni sul collegamento: N=-7936.97 Ty=1.58 Tz=-11.19 Mx=0.02 Mz=3.71
Sollecitazioni agenti localmente: Ty_l=-1443.09 Mx_l=-28.86
Tensioni nella sezione: σ=349.84 τ=43.73
CC 5 SLV (Collegamento 0022_-379)
Azioni sul collegamento: N=-7936.97 Ty=0.90 Tz=-11.19 Mx=0.02 Mz=2.40
Sollecitazioni agenti localmente: Ty_l=-1443.09 Mx_l=-28.86
Tensioni nella sezione: σ=349.84 τ=43.73
CC 5 SLV (Collegamento 0022_-379)
Azioni sul collegamento: N=-7936.97 Ty=1.58 Tz=5.89 Mx=0.02 Mz=3.71
Sollecitazioni agenti localmente: Ty_l=-1443.09 Mx_l=-28.86
Tensioni nella sezione: σ=349.84 τ=43.73
CC 5 SLV (Collegamento 0022_-379)
Azioni sul collegamento: N=-7936.97 Ty=0.90 Tz=5.89 Mx=0.02 Mz=2.40
Sollecitazioni agenti localmente: Ty_l=-1443.09 Mx_l=-28.86
Tensioni nella sezione: σ=349.84 τ=43.73
CC 5 SLV (Collegamento 0022_-379)
Azioni sul collegamento: N=-3330.55 Ty=1.58 Tz=-11.19 Mx=0.02 Mz=3.71
Sollecitazioni agenti localmente: Ty_l=-605.55 Mx_l=-12.11
Tensioni nella sezione: σ=146.80 τ=18.35
CC 5 SLV (Collegamento 0022_-379)
Azioni sul collegamento: N=-3330.55 Ty=0.90 Tz=-11.19 Mx=0.02 Mz=2.40
Sollecitazioni agenti localmente: Ty_l=-605.55 Mx_l=-12.11
Tensioni nella sezione: σ=146.80 τ=18.35
CC 5 SLV (Collegamento 0022_-379)
Azioni sul collegamento: N=-3330.55 Ty=1.58 Tz=5.89 Mx=0.02 Mz=3.71
Sollecitazioni agenti localmente: Ty_l=-605.55 Mx_l=-12.11
Tensioni nella sezione: σ=146.80 τ=18.35
CC 5 SLV (Collegamento 0022_-379)
Azioni sul collegamento: N=-3330.55 Ty=0.90 Tz=5.89 Mx=0.02 Mz=2.40
Sollecitazioni agenti localmente: Ty_l=-605.55 Mx_l=-12.11
Tensioni nella sezione: σ=146.80 τ=18.35
CC 6 SLD (Collegamento 0022_-379)
Azioni sul collegamento: N=-6335.90 Ty=0.53 Tz=-5.26 Mx=0.01 Mz=1.20
Sollecitazioni agenti localmente: Ty_l=-1151.98 Mx_l=-23.04
Tensioni nella sezione: σ=279.27 τ=34.91
CC 6 SLD (Collegamento 0022_-379)
Azioni sul collegamento: N=-6335.90 Ty=0.33 Tz=-5.26 Mx=0.01 Mz=0.80
Sollecitazioni agenti localmente: Ty_l=-1151.98 Mx_l=-23.04
Tensioni nella sezione: σ=279.27 τ=34.91
CC 6 SLD (Collegamento 0022_-379)
Azioni sul collegamento: N=-6335.90 Ty=0.53 Tz=-0.05 Mx=0.01 Mz=1.20
Sollecitazioni agenti localmente: Ty_l=-1151.98 Mx_l=-23.04
Tensioni nella sezione: σ=279.27 τ=34.91
CC 6 SLD (Collegamento 0022_-379)
Azioni sul collegamento: N=-6335.90 Ty=0.33 Tz=-0.05 Mx=0.01 Mz=0.80
Sollecitazioni agenti localmente: Ty_l=-1151.98 Mx_l=-23.04
Tensioni nella sezione: σ=279.27 τ=34.91
CC 6 SLD (Collegamento 0022_-379)
Azioni sul collegamento: N=-4931.25 Ty=0.53 Tz=-5.26 Mx=0.01 Mz=1.20
Sollecitazioni agenti localmente: Ty_l=-896.59 Mx_l=-17.93
Tensioni nella sezione: σ=217.35 τ=27.17
CC 6 SLD (Collegamento 0022_-379)
Azioni sul collegamento: N=-4931.25 Ty=0.33 Tz=-5.26 Mx=0.01 Mz=0.80
Sollecitazioni agenti localmente: Ty_l=-896.59 Mx_l=-17.93
Tensioni nella sezione: σ=217.35 τ=27.17
CC 6 SLD (Collegamento 0022_-379)
Azioni sul collegamento: N=-4931.25 Ty=0.53 Tz=-0.05 Mx=0.01 Mz=1.20
Sollecitazioni agenti localmente: Ty_l=-896.59 Mx_l=-17.93
Tensioni nella sezione: σ=217.35 τ=27.17
CC 6 SLD (Collegamento 0022_-379)
Azioni sul collegamento: N=-4931.25 Ty=0.33 Tz=-0.05 Mx=0.01 Mz=0.80
Sollecitazioni agenti localmente: Ty_l=-896.59 Mx_l=-17.93
Tensioni nella sezione: σ=217.35 τ=27.17
CC 7 SLV (Collegamento 0022_-379)
Azioni sul collegamento: N=-7936.99 Ty=0.88 Tz=-11.19 Mx=0.01 Mz=2.36
Sollecitazioni agenti localmente: Ty_l=-1443.09 Mx_l=-28.86
Tensioni nella sezione: σ=349.84 τ=43.73
CC 7 SLV (Collegamento 0022_-379)

Azioni sul collegamento: N=-7936.99 Ty=1.59 Tz=-11.19 Mx=0.01 Mz=3.75
Sollecitazioni agenti localmente: Ty_l=-1443.09 Mx_l=-28.86
Tensioni nella sezione: σ=349.84 τ=43.73
CC 7 SLV (Collegamento 0022_-379)
Azioni sul collegamento: N=-7936.99 Ty=0.88 Tz=5.89 Mx=0.01 Mz=2.36
Sollecitazioni agenti localmente: Ty_l=-1443.09 Mx_l=-28.86
Tensioni nella sezione: σ=349.84 τ=43.73
CC 7 SLV (Collegamento 0022_-379)
Azioni sul collegamento: N=-7936.99 Ty=1.59 Tz=5.89 Mx=0.01 Mz=3.75
Sollecitazioni agenti localmente: Ty_l=-1443.09 Mx_l=-28.86
Tensioni nella sezione: σ=349.84 τ=43.73
CC 7 SLV (Collegamento 0022_-379)
Azioni sul collegamento: N=-3330.52 Ty=0.88 Tz=-11.19 Mx=0.01 Mz=2.36
Sollecitazioni agenti localmente: Ty_l=-605.55 Mx_l=-12.11
Tensioni nella sezione: σ=146.80 τ=18.35
CC 7 SLV (Collegamento 0022_-379)
Azioni sul collegamento: N=-3330.52 Ty=1.59 Tz=-11.19 Mx=0.01 Mz=3.75
Sollecitazioni agenti localmente: Ty_l=-605.55 Mx_l=-12.11
Tensioni nella sezione: σ=146.80 τ=18.35
CC 7 SLV (Collegamento 0022_-379)
Azioni sul collegamento: N=-3330.52 Ty=0.88 Tz=5.89 Mx=0.01 Mz=2.36
Sollecitazioni agenti localmente: Ty_l=-605.55 Mx_l=-12.11
Tensioni nella sezione: σ=146.80 τ=18.35
CC 7 SLV (Collegamento 0022_-379)
Azioni sul collegamento: N=-3330.52 Ty=1.59 Tz=5.89 Mx=0.01 Mz=3.75
Sollecitazioni agenti localmente: Ty_l=-605.55 Mx_l=-12.11
Tensioni nella sezione: σ=146.80 τ=18.35
CC 8 SLD (Collegamento 0022_-379)
Azioni sul collegamento: N=-6335.90 Ty=0.32 Tz=-5.26 Mx=0.00 Mz=0.79
Sollecitazioni agenti localmente: Ty_l=-1151.98 Mx_l=-23.04
Tensioni nella sezione: σ=279.27 τ=34.91
CC 8 SLD (Collegamento 0022_-379)
Azioni sul collegamento: N=-6335.90 Ty=0.54 Tz=-5.26 Mx=0.00 Mz=1.22
Sollecitazioni agenti localmente: Ty_l=-1151.98 Mx_l=-23.04
Tensioni nella sezione: σ=279.27 τ=34.91
CC 8 SLD (Collegamento 0022_-379)
Azioni sul collegamento: N=-6335.90 Ty=0.32 Tz=-0.05 Mx=0.00 Mz=0.79
Sollecitazioni agenti localmente: Ty_l=-1151.98 Mx_l=-23.04
Tensioni nella sezione: σ=279.27 τ=34.91
CC 8 SLD (Collegamento 0022_-379)
Azioni sul collegamento: N=-6335.90 Ty=0.54 Tz=-0.05 Mx=0.00 Mz=1.22
Sollecitazioni agenti localmente: Ty_l=-1151.98 Mx_l=-23.04
Tensioni nella sezione: σ=279.27 τ=34.91
CC 8 SLD (Collegamento 0022_-379)
Azioni sul collegamento: N=-4931.25 Ty=0.32 Tz=-5.26 Mx=0.00 Mz=0.79
Sollecitazioni agenti localmente: Ty_l=-896.59 Mx_l=-17.93
Tensioni nella sezione: σ=217.35 τ=27.17
CC 8 SLD (Collegamento 0022_-379)
Azioni sul collegamento: N=-4931.25 Ty=0.54 Tz=-5.26 Mx=0.00 Mz=1.22
Sollecitazioni agenti localmente: Ty_l=-896.59 Mx_l=-17.93
Tensioni nella sezione: σ=217.35 τ=27.17
CC 8 SLD (Collegamento 0022_-379)
Azioni sul collegamento: N=-4931.25 Ty=0.32 Tz=-0.05 Mx=0.00 Mz=0.79
Sollecitazioni agenti localmente: Ty_l=-896.59 Mx_l=-17.93
Tensioni nella sezione: σ=217.35 τ=27.17
CC 8 SLD (Collegamento 0022_-379)
Azioni sul collegamento: N=-4931.25 Ty=0.54 Tz=-0.05 Mx=0.00 Mz=1.22
Sollecitazioni agenti localmente: Ty_l=-896.59 Mx_l=-17.93
Tensioni nella sezione: σ=217.35 τ=27.17
CC 9 SLV (Collegamento 0022_-379)
Azioni sul collegamento: N=-4942.75 Ty=2.39 Tz=-0.09 Mx=0.02 Mz=5.32
Sollecitazioni agenti localmente: Ty_l=-898.68 Mx_l=-17.97
Tensioni nella sezione: σ=217.86 τ=27.23
CC 9 SLV (Collegamento 0022_-379)
Azioni sul collegamento: N=-4942.75 Ty=0.08 Tz=-0.09 Mx=0.02 Mz=0.80
Sollecitazioni agenti localmente: Ty_l=-898.68 Mx_l=-17.97
Tensioni nella sezione: σ=217.86 τ=27.23
CC 9 SLV (Collegamento 0022_-379)
Azioni sul collegamento: N=-4942.75 Ty=2.39 Tz=-5.22 Mx=0.02 Mz=5.32
Sollecitazioni agenti localmente: Ty_l=-898.68 Mx_l=-17.97
Tensioni nella sezione: σ=217.86 τ=27.23
CC 9 SLV (Collegamento 0022_-379)
Azioni sul collegamento: N=-4942.75 Ty=0.08 Tz=-5.22 Mx=0.02 Mz=0.80
Sollecitazioni agenti localmente: Ty_l=-898.68 Mx_l=-17.97
Tensioni nella sezione: σ=217.86 τ=27.23
CC 9 SLV (Collegamento 0022_-379)
Azioni sul collegamento: N=-6324.76 Ty=2.39 Tz=-0.09 Mx=0.02 Mz=5.32
Sollecitazioni agenti localmente: Ty_l=-1149.96 Mx_l=-23.00
Tensioni nella sezione: σ=278.78 τ=34.85
CC 9 SLV (Collegamento 0022_-379)

Azioni sul collegamento: N=-6324.76 Ty=0.08 Tz=-0.09 Mx=0.02 Mz=0.80
Sollecitazioni agenti localmente: Ty_l=-1149.96 Mx_l=-23.00
Tensioni nella sezione: σ=278.78 τ=34.85
CC 9 SLV (Collegamento 0022_-379)
Azioni sul collegamento: N=-6324.76 Ty=2.39 Tz=-5.22 Mx=0.02 Mz=5.32
Sollecitazioni agenti localmente: Ty_l=-1149.96 Mx_l=-23.00
Tensioni nella sezione: σ=278.78 τ=34.85
CC 9 SLV (Collegamento 0022_-379)
Azioni sul collegamento: N=-6324.76 Ty=0.08 Tz=-5.22 Mx=0.02 Mz=0.80
Sollecitazioni agenti localmente: Ty_l=-1149.96 Mx_l=-23.00
Tensioni nella sezione: σ=278.78 τ=34.85
CC 10 SLD (Collegamento 0022_-379)
Azioni sul collegamento: N=-5422.87 Ty=0.78 Tz=-1.87 Mx=0.01 Mz=1.69
Sollecitazioni agenti localmente: Ty_l=-985.98 Mx_l=-19.72
Tensioni nella sezione: σ=239.02 τ=29.88
CC 10 SLD (Collegamento 0022_-379)
Azioni sul collegamento: N=-5422.87 Ty=0.08 Tz=-1.87 Mx=0.01 Mz=0.31
Sollecitazioni agenti localmente: Ty_l=-985.98 Mx_l=-19.72
Tensioni nella sezione: σ=239.02 τ=29.88
CC 10 SLD (Collegamento 0022_-379)
Azioni sul collegamento: N=-5422.87 Ty=0.78 Tz=-3.44 Mx=0.01 Mz=1.69
Sollecitazioni agenti localmente: Ty_l=-985.98 Mx_l=-19.72
Tensioni nella sezione: σ=239.02 τ=29.88
CC 10 SLD (Collegamento 0022_-379)
Azioni sul collegamento: N=-5422.87 Ty=0.08 Tz=-3.44 Mx=0.01 Mz=0.31
Sollecitazioni agenti localmente: Ty_l=-985.98 Mx_l=-19.72
Tensioni nella sezione: σ=239.02 τ=29.88
CC 10 SLD (Collegamento 0022_-379)
Azioni sul collegamento: N=-5844.28 Ty=0.78 Tz=-1.87 Mx=0.01 Mz=1.69
Sollecitazioni agenti localmente: Ty_l=-1062.60 Mx_l=-21.25
Tensioni nella sezione: σ=257.60 τ=32.20
CC 10 SLD (Collegamento 0022_-379)
Azioni sul collegamento: N=-5844.28 Ty=0.08 Tz=-1.87 Mx=0.01 Mz=0.31
Sollecitazioni agenti localmente: Ty_l=-1062.60 Mx_l=-21.25
Tensioni nella sezione: σ=257.60 τ=32.20
CC 10 SLD (Collegamento 0022_-379)
Azioni sul collegamento: N=-5844.28 Ty=0.78 Tz=-3.44 Mx=0.01 Mz=1.69
Sollecitazioni agenti localmente: Ty_l=-1062.60 Mx_l=-21.25
Tensioni nella sezione: σ=257.60 τ=32.20
CC 10 SLD (Collegamento 0022_-379)
Azioni sul collegamento: N=-5844.28 Ty=0.08 Tz=-3.44 Mx=0.01 Mz=0.31
Sollecitazioni agenti localmente: Ty_l=-1062.60 Mx_l=-21.25
Tensioni nella sezione: σ=257.60 τ=32.20
CC 11 SLV (Collegamento 0022_-379)
Azioni sul collegamento: N=-6324.69 Ty=2.39 Tz=-5.21 Mx=0.02 Mz=5.31
Sollecitazioni agenti localmente: Ty_l=-1149.94 Mx_l=-23.00
Tensioni nella sezione: σ=278.77 τ=34.85
CC 11 SLV (Collegamento 0022_-379)
Azioni sul collegamento: N=-6324.69 Ty=0.09 Tz=-5.21 Mx=0.02 Mz=0.81
Sollecitazioni agenti localmente: Ty_l=-1149.94 Mx_l=-23.00
Tensioni nella sezione: σ=278.77 τ=34.85
CC 11 SLV (Collegamento 0022_-379)
Azioni sul collegamento: N=-6324.69 Ty=2.39 Tz=-0.09 Mx=0.02 Mz=5.31
Sollecitazioni agenti localmente: Ty_l=-1149.94 Mx_l=-23.00
Tensioni nella sezione: σ=278.77 τ=34.85
CC 11 SLV (Collegamento 0022_-379)
Azioni sul collegamento: N=-6324.69 Ty=0.09 Tz=-0.09 Mx=0.02 Mz=0.81
Sollecitazioni agenti localmente: Ty_l=-1149.94 Mx_l=-23.00
Tensioni nella sezione: σ=278.77 τ=34.85
CC 11 SLV (Collegamento 0022_-379)
Azioni sul collegamento: N=-4942.83 Ty=2.39 Tz=-5.21 Mx=0.02 Mz=5.31
Sollecitazioni agenti localmente: Ty_l=-898.70 Mx_l=-17.97
Tensioni nella sezione: σ=217.87 τ=27.23
CC 11 SLV (Collegamento 0022_-379)
Azioni sul collegamento: N=-4942.83 Ty=0.09 Tz=-5.21 Mx=0.02 Mz=0.81
Sollecitazioni agenti localmente: Ty_l=-898.70 Mx_l=-17.97
Tensioni nella sezione: σ=217.87 τ=27.23
CC 11 SLV (Collegamento 0022_-379)
Azioni sul collegamento: N=-4942.83 Ty=2.39 Tz=-0.09 Mx=0.02 Mz=5.31
Sollecitazioni agenti localmente: Ty_l=-898.70 Mx_l=-17.97
Tensioni nella sezione: σ=217.87 τ=27.23
CC 11 SLV (Collegamento 0022_-379)
Azioni sul collegamento: N=-4942.83 Ty=0.09 Tz=-0.09 Mx=0.02 Mz=0.81
Sollecitazioni agenti localmente: Ty_l=-898.70 Mx_l=-17.97
Tensioni nella sezione: σ=217.87 τ=27.23
CC 12 SLD (Collegamento 0022_-379)
Azioni sul collegamento: N=-5844.26 Ty=0.78 Tz=-3.43 Mx=0.01 Mz=1.69
Sollecitazioni agenti localmente: Ty_l=-1062.59 Mx_l=-21.25
Tensioni nella sezione: σ=257.60 τ=32.20
CC 12 SLD (Collegamento 0022_-379)

Azioni sul collegamento: N=-5844.26 Ty=0.08 Tz=-3.43 Mx=0.01 Mz=0.32
Sollecitazioni agenti localmente: Ty_l=-1062.59 Mx_l=-21.25
Tensioni nella sezione: σ=257.60 τ=32.20
CC 12 SLD (Collegamento 0022_-379)
Azioni sul collegamento: N=-5844.26 Ty=0.78 Tz=-1.87 Mx=0.01 Mz=1.69
Sollecitazioni agenti localmente: Ty_l=-1062.59 Mx_l=-21.25
Tensioni nella sezione: σ=257.60 τ=32.20
CC 12 SLD (Collegamento 0022_-379)
Azioni sul collegamento: N=-5844.26 Ty=0.08 Tz=-1.87 Mx=0.01 Mz=0.32
Sollecitazioni agenti localmente: Ty_l=-1062.59 Mx_l=-21.25
Tensioni nella sezione: σ=257.60 τ=32.20
CC 12 SLD (Collegamento 0022_-379)
Azioni sul collegamento: N=-5422.89 Ty=0.78 Tz=-3.43 Mx=0.01 Mz=1.69
Sollecitazioni agenti localmente: Ty_l=-985.98 Mx_l=-19.72
Tensioni nella sezione: σ=239.03 τ=29.88
CC 12 SLD (Collegamento 0022_-379)
Azioni sul collegamento: N=-5422.89 Ty=0.08 Tz=-3.43 Mx=0.01 Mz=0.32
Sollecitazioni agenti localmente: Ty_l=-985.98 Mx_l=-19.72
Tensioni nella sezione: σ=239.03 τ=29.88
CC 12 SLD (Collegamento 0022_-379)
Azioni sul collegamento: N=-5422.89 Ty=0.78 Tz=-1.87 Mx=0.01 Mz=1.69
Sollecitazioni agenti localmente: Ty_l=-985.98 Mx_l=-19.72
Tensioni nella sezione: σ=239.03 τ=29.88
CC 12 SLD (Collegamento 0022_-379)
Azioni sul collegamento: N=-5422.89 Ty=0.08 Tz=-1.87 Mx=0.01 Mz=0.32
Sollecitazioni agenti localmente: Ty_l=-985.98 Mx_l=-19.72
Tensioni nella sezione: σ=239.03 τ=29.88
CC 13 SLV (Collegamento 0022_-379)
Azioni sul collegamento: N=-4942.83 Ty=0.09 Tz=-0.09 Mx=0.00 Mz=0.81
Sollecitazioni agenti localmente: Ty_l=-898.70 Mx_l=-17.97
Tensioni nella sezione: σ=217.87 τ=27.23
CC 13 SLV (Collegamento 0022_-379)
Azioni sul collegamento: N=-4942.83 Ty=2.39 Tz=-0.09 Mx=0.00 Mz=5.31
Sollecitazioni agenti localmente: Ty_l=-898.70 Mx_l=-17.97
Tensioni nella sezione: σ=217.87 τ=27.23
CC 13 SLV (Collegamento 0022_-379)
Azioni sul collegamento: N=-4942.83 Ty=0.09 Tz=-5.21 Mx=0.00 Mz=0.81
Sollecitazioni agenti localmente: Ty_l=-898.70 Mx_l=-17.97
Tensioni nella sezione: σ=217.87 τ=27.23
CC 13 SLV (Collegamento 0022_-379)
Azioni sul collegamento: N=-4942.83 Ty=2.39 Tz=-5.21 Mx=0.00 Mz=5.31
Sollecitazioni agenti localmente: Ty_l=-898.70 Mx_l=-17.97
Tensioni nella sezione: σ=217.87 τ=27.23
CC 13 SLV (Collegamento 0022_-379)
Azioni sul collegamento: N=-6324.69 Ty=0.09 Tz=-0.09 Mx=0.00 Mz=0.81
Sollecitazioni agenti localmente: Ty_l=-1149.94 Mx_l=-23.00
Tensioni nella sezione: σ=278.77 τ=34.85
CC 13 SLV (Collegamento 0022_-379)
Azioni sul collegamento: N=-6324.69 Ty=2.39 Tz=-0.09 Mx=0.00 Mz=5.31
Sollecitazioni agenti localmente: Ty_l=-1149.94 Mx_l=-23.00
Tensioni nella sezione: σ=278.77 τ=34.85
CC 13 SLV (Collegamento 0022_-379)
Azioni sul collegamento: N=-6324.69 Ty=0.09 Tz=-5.21 Mx=0.00 Mz=0.81
Sollecitazioni agenti localmente: Ty_l=-1149.94 Mx_l=-23.00
Tensioni nella sezione: σ=278.77 τ=34.85
CC 13 SLV (Collegamento 0022_-379)
Azioni sul collegamento: N=-6324.69 Ty=2.39 Tz=-5.21 Mx=0.00 Mz=5.31
Sollecitazioni agenti localmente: Ty_l=-1149.94 Mx_l=-23.00
Tensioni nella sezione: σ=278.77 τ=34.85
CC 14 SLD (Collegamento 0022_-379)
Azioni sul collegamento: N=-5422.89 Ty=0.08 Tz=-1.87 Mx=0.00 Mz=0.32
Sollecitazioni agenti localmente: Ty_l=-985.98 Mx_l=-19.72
Tensioni nella sezione: σ=239.03 τ=29.88
CC 14 SLD (Collegamento 0022_-379)
Azioni sul collegamento: N=-5422.89 Ty=0.78 Tz=-1.87 Mx=0.00 Mz=1.69
Sollecitazioni agenti localmente: Ty_l=-985.98 Mx_l=-19.72
Tensioni nella sezione: σ=239.03 τ=29.88
CC 14 SLD (Collegamento 0022_-379)
Azioni sul collegamento: N=-5422.89 Ty=0.08 Tz=-3.43 Mx=0.00 Mz=0.32
Sollecitazioni agenti localmente: Ty_l=-985.98 Mx_l=-19.72
Tensioni nella sezione: σ=239.03 τ=29.88
CC 14 SLD (Collegamento 0022_-379)
Azioni sul collegamento: N=-5422.89 Ty=0.78 Tz=-3.43 Mx=0.00 Mz=1.69
Sollecitazioni agenti localmente: Ty_l=-985.98 Mx_l=-19.72
Tensioni nella sezione: σ=239.03 τ=29.88
CC 14 SLD (Collegamento 0022_-379)
Azioni sul collegamento: N=-5844.26 Ty=0.08 Tz=-1.87 Mx=0.00 Mz=0.32
Sollecitazioni agenti localmente: Ty_l=-1062.59 Mx_l=-21.25
Tensioni nella sezione: σ=257.60 τ=32.20
CC 14 SLD (Collegamento 0022_-379)

Azioni sul collegamento: N=-5844.26 Ty=0.78 Tz=-1.87 Mx=0.00 Mz=1.69
Sollecitazioni agenti localmente: Ty_l=-1062.59 Mx_l=-21.25
Tensioni nella sezione: σ=257.60 τ=32.20
CC 14 SLD (Collegamento 0022_-379)
Azioni sul collegamento: N=-5844.26 Ty=0.08 Tz=-3.43 Mx=0.00 Mz=0.32
Sollecitazioni agenti localmente: Ty_l=-1062.59 Mx_l=-21.25
Tensioni nella sezione: σ=257.60 τ=32.20
CC 14 SLD (Collegamento 0022_-379)
Azioni sul collegamento: N=-5844.26 Ty=0.78 Tz=-3.43 Mx=0.00 Mz=1.69
Sollecitazioni agenti localmente: Ty_l=-1062.59 Mx_l=-21.25
Tensioni nella sezione: σ=257.60 τ=32.20
CC 15 SLV (Collegamento 0022_-379)
Azioni sul collegamento: N=-6324.76 Ty=0.08 Tz=-5.22 Mx=0.00 Mz=0.80
Sollecitazioni agenti localmente: Ty_l=-1149.96 Mx_l=-23.00
Tensioni nella sezione: σ=278.78 τ=34.85
CC 15 SLV (Collegamento 0022_-379)
Azioni sul collegamento: N=-6324.76 Ty=2.39 Tz=-5.22 Mx=0.00 Mz=5.32
Sollecitazioni agenti localmente: Ty_l=-1149.96 Mx_l=-23.00
Tensioni nella sezione: σ=278.78 τ=34.85
CC 15 SLV (Collegamento 0022_-379)
Azioni sul collegamento: N=-6324.76 Ty=0.08 Tz=-0.09 Mx=0.00 Mz=0.80
Sollecitazioni agenti localmente: Ty_l=-1149.96 Mx_l=-23.00
Tensioni nella sezione: σ=278.78 τ=34.85
CC 15 SLV (Collegamento 0022_-379)
Azioni sul collegamento: N=-6324.76 Ty=2.39 Tz=-0.09 Mx=0.00 Mz=5.32
Sollecitazioni agenti localmente: Ty_l=-1149.96 Mx_l=-23.00
Tensioni nella sezione: σ=278.78 τ=34.85
CC 15 SLV (Collegamento 0022_-379)
Azioni sul collegamento: N=-4942.75 Ty=0.08 Tz=-5.22 Mx=0.00 Mz=0.80
Sollecitazioni agenti localmente: Ty_l=-898.68 Mx_l=-17.97
Tensioni nella sezione: σ=217.86 τ=27.23
CC 15 SLV (Collegamento 0022_-379)
Azioni sul collegamento: N=-4942.75 Ty=2.39 Tz=-5.22 Mx=0.00 Mz=5.32
Sollecitazioni agenti localmente: Ty_l=-898.68 Mx_l=-17.97
Tensioni nella sezione: σ=217.86 τ=27.23
CC 15 SLV (Collegamento 0022_-379)
Azioni sul collegamento: N=-4942.75 Ty=0.08 Tz=-0.09 Mx=0.00 Mz=0.80
Sollecitazioni agenti localmente: Ty_l=-898.68 Mx_l=-17.97
Tensioni nella sezione: σ=217.86 τ=27.23
CC 15 SLV (Collegamento 0022_-379)
Azioni sul collegamento: N=-4942.75 Ty=2.39 Tz=-0.09 Mx=0.00 Mz=5.32
Sollecitazioni agenti localmente: Ty_l=-898.68 Mx_l=-17.97
Tensioni nella sezione: σ=217.86 τ=27.23
CC 16 SLD (Collegamento 0022_-379)
Azioni sul collegamento: N=-5844.28 Ty=0.08 Tz=-3.44 Mx=0.00 Mz=0.31
Sollecitazioni agenti localmente: Ty_l=-1062.60 Mx_l=-21.25
Tensioni nella sezione: σ=257.60 τ=32.20
CC 16 SLD (Collegamento 0022_-379)
Azioni sul collegamento: N=-5844.28 Ty=0.78 Tz=-3.44 Mx=0.00 Mz=1.69
Sollecitazioni agenti localmente: Ty_l=-1062.60 Mx_l=-21.25
Tensioni nella sezione: σ=257.60 τ=32.20
CC 16 SLD (Collegamento 0022_-379)
Azioni sul collegamento: N=-5844.28 Ty=0.08 Tz=-1.87 Mx=0.00 Mz=0.31
Sollecitazioni agenti localmente: Ty_l=-1062.60 Mx_l=-21.25
Tensioni nella sezione: σ=257.60 τ=32.20
CC 16 SLD (Collegamento 0022_-379)
Azioni sul collegamento: N=-5844.28 Ty=0.78 Tz=-1.87 Mx=0.00 Mz=1.69
Sollecitazioni agenti localmente: Ty_l=-1062.60 Mx_l=-21.25
Tensioni nella sezione: σ=257.60 τ=32.20
CC 16 SLD (Collegamento 0022_-379)
Azioni sul collegamento: N=-5422.87 Ty=0.08 Tz=-3.44 Mx=0.00 Mz=0.31
Sollecitazioni agenti localmente: Ty_l=-985.98 Mx_l=-19.72
Tensioni nella sezione: σ=239.02 τ=29.88
CC 16 SLD (Collegamento 0022_-379)
Azioni sul collegamento: N=-5422.87 Ty=0.78 Tz=-3.44 Mx=0.00 Mz=1.69
Sollecitazioni agenti localmente: Ty_l=-985.98 Mx_l=-19.72
Tensioni nella sezione: σ=239.02 τ=29.88
CC 16 SLD (Collegamento 0022_-379)
Azioni sul collegamento: N=-5422.87 Ty=0.08 Tz=-1.87 Mx=0.00 Mz=0.31
Sollecitazioni agenti localmente: Ty_l=-985.98 Mx_l=-19.72
Tensioni nella sezione: σ=239.02 τ=29.88
CC 16 SLD (Collegamento 0022_-379)
Azioni sul collegamento: N=-5422.87 Ty=0.78 Tz=-1.87 Mx=0.00 Mz=1.69
Sollecitazioni agenti localmente: Ty_l=-985.98 Mx_l=-19.72
Tensioni nella sezione: σ=239.02 τ=29.88
CC 17 SLV (Collegamento 0022_-379)
Azioni sul collegamento: N=-3330.00 Ty=-0.74 Tz=5.89 Mx=-0.02 Mz=-2.16
Sollecitazioni agenti localmente: Ty_l=-605.45 Mx_l=-12.11
Tensioni nella sezione: σ=146.78 τ=18.35
CC 17 SLV (Collegamento 0022_-379)

Azioni sul collegamento: N=-3330.00 Ty=-1.44 Tz=5.89 Mx=-0.02 Mz=-3.55
Sollecitazioni agenti localmente: Ty_l=-605.45 Mx_l=-12.11
Tensioni nella sezione: σ=146.78 τ=18.35
CC 17 SLV (Collegamento 0022_-379)
Azioni sul collegamento: N=-3330.00 Ty=-0.74 Tz=-11.20 Mx=-0.02 Mz=-2.16
Sollecitazioni agenti localmente: Ty_l=-605.45 Mx_l=-12.11
Tensioni nella sezione: σ=146.78 τ=18.35
CC 17 SLV (Collegamento 0022_-379)
Azioni sul collegamento: N=-3330.00 Ty=-1.44 Tz=-11.20 Mx=-0.02 Mz=-3.55
Sollecitazioni agenti localmente: Ty_l=-605.45 Mx_l=-12.11
Tensioni nella sezione: σ=146.78 τ=18.35
CC 17 SLV (Collegamento 0022_-379)
Azioni sul collegamento: N=-7936.47 Ty=-0.74 Tz=5.89 Mx=-0.02 Mz=-2.16
Sollecitazioni agenti localmente: Ty_l=-1442.99 Mx_l=-28.86
Tensioni nella sezione: σ=349.82 τ=43.73
CC 17 SLV (Collegamento 0022_-379)
Azioni sul collegamento: N=-7936.47 Ty=-1.44 Tz=5.89 Mx=-0.02 Mz=-3.55
Sollecitazioni agenti localmente: Ty_l=-1442.99 Mx_l=-28.86
Tensioni nella sezione: σ=349.82 τ=43.73
CC 17 SLV (Collegamento 0022_-379)
Azioni sul collegamento: N=-7936.47 Ty=-0.74 Tz=-11.20 Mx=-0.02 Mz=-2.16
Sollecitazioni agenti localmente: Ty_l=-1442.99 Mx_l=-28.86
Tensioni nella sezione: σ=349.82 τ=43.73
CC 17 SLV (Collegamento 0022_-379)
Azioni sul collegamento: N=-7936.47 Ty=-1.44 Tz=-11.20 Mx=-0.02 Mz=-3.55
Sollecitazioni agenti localmente: Ty_l=-1442.99 Mx_l=-28.86
Tensioni nella sezione: σ=349.82 τ=43.73
CC 18 SLD (Collegamento 0022_-379)
Azioni sul collegamento: N=-4931.08 Ty=-0.17 Tz=-0.05 Mx=-0.00 Mz=-0.59
Sollecitazioni agenti localmente: Ty_l=-896.56 Mx_l=-17.93
Tensioni nella sezione: σ=217.35 τ=27.17
CC 18 SLD (Collegamento 0022_-379)
Azioni sul collegamento: N=-4931.08 Ty=-0.39 Tz=-0.05 Mx=-0.00 Mz=-1.01
Sollecitazioni agenti localmente: Ty_l=-896.56 Mx_l=-17.93
Tensioni nella sezione: σ=217.35 τ=27.17
CC 18 SLD (Collegamento 0022_-379)
Azioni sul collegamento: N=-4931.09 Ty=-0.17 Tz=-5.26 Mx=-0.00 Mz=-0.59
Sollecitazioni agenti localmente: Ty_l=-896.56 Mx_l=-17.93
Tensioni nella sezione: σ=217.35 τ=27.17
CC 18 SLD (Collegamento 0022_-379)
Azioni sul collegamento: N=-4931.09 Ty=-0.39 Tz=-5.26 Mx=-0.00 Mz=-1.01
Sollecitazioni agenti localmente: Ty_l=-896.56 Mx_l=-17.93
Tensioni nella sezione: σ=217.35 τ=27.17
CC 18 SLD (Collegamento 0022_-379)
Azioni sul collegamento: N=-6335.74 Ty=-0.17 Tz=-0.05 Mx=-0.00 Mz=-0.59
Sollecitazioni agenti localmente: Ty_l=-1151.95 Mx_l=-23.04
Tensioni nella sezione: σ=279.26 τ=34.91
CC 18 SLD (Collegamento 0022_-379)
Azioni sul collegamento: N=-6335.74 Ty=-0.39 Tz=-0.05 Mx=-0.00 Mz=-1.01
Sollecitazioni agenti localmente: Ty_l=-1151.95 Mx_l=-23.04
Tensioni nella sezione: σ=279.26 τ=34.91
CC 18 SLD (Collegamento 0022_-379)
Azioni sul collegamento: N=-6335.74 Ty=-0.17 Tz=-5.26 Mx=-0.00 Mz=-0.59
Sollecitazioni agenti localmente: Ty_l=-1151.95 Mx_l=-23.04
Tensioni nella sezione: σ=279.26 τ=34.91
CC 18 SLD (Collegamento 0022_-379)
Azioni sul collegamento: N=-6335.74 Ty=-0.39 Tz=-5.26 Mx=-0.00 Mz=-1.01
Sollecitazioni agenti localmente: Ty_l=-1151.95 Mx_l=-23.04
Tensioni nella sezione: σ=279.26 τ=34.91
CC 19 SLV (Collegamento 0022_-379)
Azioni sul collegamento: N=-3330.02 Ty=-1.43 Tz=5.88 Mx=-0.01 Mz=-3.51
Sollecitazioni agenti localmente: Ty_l=-605.46 Mx_l=-12.11
Tensioni nella sezione: σ=146.78 τ=18.35
CC 19 SLV (Collegamento 0022_-379)
Azioni sul collegamento: N=-3330.02 Ty=-0.75 Tz=5.88 Mx=-0.01 Mz=-2.19
Sollecitazioni agenti localmente: Ty_l=-605.46 Mx_l=-12.11
Tensioni nella sezione: σ=146.78 τ=18.35
CC 19 SLV (Collegamento 0022_-379)
Azioni sul collegamento: N=-3330.02 Ty=-1.43 Tz=-11.19 Mx=-0.01 Mz=-3.51
Sollecitazioni agenti localmente: Ty_l=-605.46 Mx_l=-12.11
Tensioni nella sezione: σ=146.78 τ=18.35
CC 19 SLV (Collegamento 0022_-379)
Azioni sul collegamento: N=-3330.02 Ty=-0.75 Tz=-11.19 Mx=-0.01 Mz=-2.19
Sollecitazioni agenti localmente: Ty_l=-605.46 Mx_l=-12.11
Tensioni nella sezione: σ=146.78 τ=18.35
CC 19 SLV (Collegamento 0022_-379)
Azioni sul collegamento: N=-7936.44 Ty=-1.43 Tz=5.88 Mx=-0.01 Mz=-3.51
Sollecitazioni agenti localmente: Ty_l=-1442.99 Mx_l=-28.86
Tensioni nella sezione: σ=349.81 τ=43.73
CC 19 SLV (Collegamento 0022_-379)

Azioni sul collegamento: N=-7936.44 Ty=-0.75 Tz=5.88 Mx=-0.01 Mz=-2.19
Sollecitazioni agenti localmente: Ty_l=-1442.99 Mx_l=-28.86
Tensioni nella sezione: σ=349.81 τ=43.73
CC 19 SLV (Collegamento 0022_-379)
Azioni sul collegamento: N=-7936.44 Ty=-1.43 Tz=-11.19 Mx=-0.01 Mz=-3.51
Sollecitazioni agenti localmente: Ty_l=-1442.99 Mx_l=-28.86
Tensioni nella sezione: σ=349.81 τ=43.73
CC 19 SLV (Collegamento 0022_-379)
Azioni sul collegamento: N=-7936.44 Ty=-0.75 Tz=-11.19 Mx=-0.01 Mz=-2.19
Sollecitazioni agenti localmente: Ty_l=-1442.99 Mx_l=-28.86
Tensioni nella sezione: σ=349.81 τ=43.73
CC 20 SLD (Collegamento 0022_-379)
Azioni sul collegamento: N=-4931.09 Ty=-0.38 Tz=-0.05 Mx=-0.00 Mz=-1.00
Sollecitazioni agenti localmente: Ty_l=-896.56 Mx_l=-17.93
Tensioni nella sezione: σ=217.35 τ=27.17
CC 20 SLD (Collegamento 0022_-379)
Azioni sul collegamento: N=-4931.09 Ty=-0.18 Tz=-0.05 Mx=-0.00 Mz=-0.60
Sollecitazioni agenti localmente: Ty_l=-896.56 Mx_l=-17.93
Tensioni nella sezione: σ=217.35 τ=27.17
CC 20 SLD (Collegamento 0022_-379)
Azioni sul collegamento: N=-4931.09 Ty=-0.38 Tz=-5.26 Mx=-0.00 Mz=-1.00
Sollecitazioni agenti localmente: Ty_l=-896.56 Mx_l=-17.93
Tensioni nella sezione: σ=217.35 τ=27.17
CC 20 SLD (Collegamento 0022_-379)
Azioni sul collegamento: N=-4931.09 Ty=-0.18 Tz=-5.26 Mx=-0.00 Mz=-0.60
Sollecitazioni agenti localmente: Ty_l=-896.56 Mx_l=-17.93
Tensioni nella sezione: σ=217.35 τ=27.17
CC 20 SLD (Collegamento 0022_-379)
Azioni sul collegamento: N=-6335.74 Ty=-0.38 Tz=-0.05 Mx=-0.00 Mz=-1.00
Sollecitazioni agenti localmente: Ty_l=-1151.95 Mx_l=-23.04
Tensioni nella sezione: σ=279.26 τ=34.91
CC 20 SLD (Collegamento 0022_-379)
Azioni sul collegamento: N=-6335.74 Ty=-0.18 Tz=-0.05 Mx=-0.00 Mz=-0.60
Sollecitazioni agenti localmente: Ty_l=-1151.95 Mx_l=-23.04
Tensioni nella sezione: σ=279.26 τ=34.91
CC 20 SLD (Collegamento 0022_-379)
Azioni sul collegamento: N=-6335.74 Ty=-0.38 Tz=-5.26 Mx=-0.00 Mz=-1.00
Sollecitazioni agenti localmente: Ty_l=-1151.95 Mx_l=-23.04
Tensioni nella sezione: σ=279.26 τ=34.91
CC 20 SLD (Collegamento 0022_-379)
Azioni sul collegamento: N=-6335.74 Ty=-0.18 Tz=-5.26 Mx=-0.00 Mz=-0.60
Sollecitazioni agenti localmente: Ty_l=-1151.95 Mx_l=-23.04
Tensioni nella sezione: σ=279.26 τ=34.91
CC 21 SLV (Collegamento 0022_-379)
Azioni sul collegamento: N=-7936.44 Ty=-0.75 Tz=-11.19 Mx=-0.02 Mz=-2.19
Sollecitazioni agenti localmente: Ty_l=-1442.99 Mx_l=-28.86
Tensioni nella sezione: σ=349.81 τ=43.73
CC 21 SLV (Collegamento 0022_-379)
Azioni sul collegamento: N=-7936.44 Ty=-1.43 Tz=-11.19 Mx=-0.02 Mz=-3.51
Sollecitazioni agenti localmente: Ty_l=-1442.99 Mx_l=-28.86
Tensioni nella sezione: σ=349.81 τ=43.73
CC 21 SLV (Collegamento 0022_-379)
Azioni sul collegamento: N=-7936.44 Ty=-0.75 Tz=5.88 Mx=-0.02 Mz=-2.19
Sollecitazioni agenti localmente: Ty_l=-1442.99 Mx_l=-28.86
Tensioni nella sezione: σ=349.81 τ=43.73
CC 21 SLV (Collegamento 0022_-379)
Azioni sul collegamento: N=-7936.44 Ty=-1.43 Tz=5.88 Mx=-0.02 Mz=-3.51
Sollecitazioni agenti localmente: Ty_l=-1442.99 Mx_l=-28.86
Tensioni nella sezione: σ=349.81 τ=43.73
CC 21 SLV (Collegamento 0022_-379)
Azioni sul collegamento: N=-3330.02 Ty=-0.75 Tz=-11.19 Mx=-0.02 Mz=-2.19
Sollecitazioni agenti localmente: Ty_l=-605.46 Mx_l=-12.11
Tensioni nella sezione: σ=146.78 τ=18.35
CC 21 SLV (Collegamento 0022_-379)
Azioni sul collegamento: N=-3330.02 Ty=-1.43 Tz=-11.19 Mx=-0.02 Mz=-3.51
Sollecitazioni agenti localmente: Ty_l=-605.46 Mx_l=-12.11
Tensioni nella sezione: σ=146.78 τ=18.35
CC 21 SLV (Collegamento 0022_-379)
Azioni sul collegamento: N=-3330.02 Ty=-0.75 Tz=5.88 Mx=-0.02 Mz=-2.19
Sollecitazioni agenti localmente: Ty_l=-605.46 Mx_l=-12.11
Tensioni nella sezione: σ=146.78 τ=18.35
CC 21 SLV (Collegamento 0022_-379)
Azioni sul collegamento: N=-3330.02 Ty=-1.43 Tz=5.88 Mx=-0.02 Mz=-3.51
Sollecitazioni agenti localmente: Ty_l=-605.46 Mx_l=-12.11
Tensioni nella sezione: σ=146.78 τ=18.35
CC 22 SLD (Collegamento 0022_-379)
Azioni sul collegamento: N=-6335.74 Ty=-0.18 Tz=-5.26 Mx=-0.00 Mz=-0.60
Sollecitazioni agenti localmente: Ty_l=-1151.95 Mx_l=-23.04
Tensioni nella sezione: σ=279.26 τ=34.91
CC 22 SLD (Collegamento 0022_-379)

Azioni sul collegamento: N=-6335.74 Ty=-0.38 Tz=-5.26 Mx=-0.00 Mz=-1.00
Sollecitazioni agenti localmente: Ty_l=-1151.95 Mx_l=-23.04
Tensioni nella sezione: σ=279.26 τ=34.91
CC 22 SLD (Collegamento 0022_-379)
Azioni sul collegamento: N=-6335.74 Ty=-0.18 Tz=-0.05 Mx=-0.00 Mz=-0.60
Sollecitazioni agenti localmente: Ty_l=-1151.95 Mx_l=-23.04
Tensioni nella sezione: σ=279.26 τ=34.91
CC 22 SLD (Collegamento 0022_-379)
Azioni sul collegamento: N=-6335.74 Ty=-0.38 Tz=-0.05 Mx=-0.00 Mz=-1.00
Sollecitazioni agenti localmente: Ty_l=-1151.95 Mx_l=-23.04
Tensioni nella sezione: σ=279.26 τ=34.91
CC 22 SLD (Collegamento 0022_-379)
Azioni sul collegamento: N=-4931.09 Ty=-0.18 Tz=-5.26 Mx=-0.00 Mz=-0.60
Sollecitazioni agenti localmente: Ty_l=-896.56 Mx_l=-17.93
Tensioni nella sezione: σ=217.35 τ=27.17
CC 22 SLD (Collegamento 0022_-379)
Azioni sul collegamento: N=-4931.09 Ty=-0.38 Tz=-5.26 Mx=-0.00 Mz=-1.00
Sollecitazioni agenti localmente: Ty_l=-896.56 Mx_l=-17.93
Tensioni nella sezione: σ=217.35 τ=27.17
CC 22 SLD (Collegamento 0022_-379)
Azioni sul collegamento: N=-4931.09 Ty=-0.18 Tz=-0.05 Mx=-0.00 Mz=-0.60
Sollecitazioni agenti localmente: Ty_l=-896.56 Mx_l=-17.93
Tensioni nella sezione: σ=217.35 τ=27.17
CC 22 SLD (Collegamento 0022_-379)
Azioni sul collegamento: N=-4931.09 Ty=-0.38 Tz=-0.05 Mx=-0.00 Mz=-1.00
Sollecitazioni agenti localmente: Ty_l=-896.56 Mx_l=-17.93
Tensioni nella sezione: σ=217.35 τ=27.17
CC 23 SLV (Collegamento 0022_-379)
Azioni sul collegamento: N=-7936.47 Ty=-1.44 Tz=-11.20 Mx=-0.01 Mz=-3.55
Sollecitazioni agenti localmente: Ty_l=-1442.99 Mx_l=-28.86
Tensioni nella sezione: σ=349.82 τ=43.73
CC 23 SLV (Collegamento 0022_-379)
Azioni sul collegamento: N=-7936.47 Ty=-0.74 Tz=-11.20 Mx=-0.01 Mz=-2.16
Sollecitazioni agenti localmente: Ty_l=-1442.99 Mx_l=-28.86
Tensioni nella sezione: σ=349.82 τ=43.73
CC 23 SLV (Collegamento 0022_-379)
Azioni sul collegamento: N=-7936.47 Ty=-1.44 Tz=5.89 Mx=-0.01 Mz=-3.55
Sollecitazioni agenti localmente: Ty_l=-1442.99 Mx_l=-28.86
Tensioni nella sezione: σ=349.82 τ=43.73
CC 23 SLV (Collegamento 0022_-379)
Azioni sul collegamento: N=-7936.47 Ty=-0.74 Tz=5.89 Mx=-0.01 Mz=-2.16
Sollecitazioni agenti localmente: Ty_l=-1442.99 Mx_l=-28.86
Tensioni nella sezione: σ=349.82 τ=43.73
CC 23 SLV (Collegamento 0022_-379)
Azioni sul collegamento: N=-3330.00 Ty=-1.44 Tz=-11.20 Mx=-0.01 Mz=-3.55
Sollecitazioni agenti localmente: Ty_l=-605.45 Mx_l=-12.11
Tensioni nella sezione: σ=146.78 τ=18.35
CC 23 SLV (Collegamento 0022_-379)
Azioni sul collegamento: N=-3330.00 Ty=-0.74 Tz=-11.20 Mx=-0.01 Mz=-2.16
Sollecitazioni agenti localmente: Ty_l=-605.45 Mx_l=-12.11
Tensioni nella sezione: σ=146.78 τ=18.35
CC 23 SLV (Collegamento 0022_-379)
Azioni sul collegamento: N=-3330.00 Ty=-1.44 Tz=5.89 Mx=-0.01 Mz=-3.55
Sollecitazioni agenti localmente: Ty_l=-605.45 Mx_l=-12.11
Tensioni nella sezione: σ=146.78 τ=18.35
CC 23 SLV (Collegamento 0022_-379)
Azioni sul collegamento: N=-3330.00 Ty=-0.74 Tz=5.89 Mx=-0.01 Mz=-2.16
Sollecitazioni agenti localmente: Ty_l=-605.45 Mx_l=-12.11
Tensioni nella sezione: σ=146.78 τ=18.35
CC 24 SLD (Collegamento 0022_-379)
Azioni sul collegamento: N=-6335.74 Ty=-0.39 Tz=-5.26 Mx=-0.00 Mz=-1.01
Sollecitazioni agenti localmente: Ty_l=-1151.95 Mx_l=-23.04
Tensioni nella sezione: σ=279.26 τ=34.91
CC 24 SLD (Collegamento 0022_-379)
Azioni sul collegamento: N=-6335.74 Ty=-0.17 Tz=-5.26 Mx=-0.00 Mz=-0.59
Sollecitazioni agenti localmente: Ty_l=-1151.95 Mx_l=-23.04
Tensioni nella sezione: σ=279.26 τ=34.91
CC 24 SLD (Collegamento 0022_-379)
Azioni sul collegamento: N=-6335.74 Ty=-0.39 Tz=-0.05 Mx=-0.00 Mz=-1.01
Sollecitazioni agenti localmente: Ty_l=-1151.95 Mx_l=-23.04
Tensioni nella sezione: σ=279.26 τ=34.91
CC 24 SLD (Collegamento 0022_-379)
Azioni sul collegamento: N=-6335.74 Ty=-0.17 Tz=-0.05 Mx=-0.00 Mz=-0.59
Sollecitazioni agenti localmente: Ty_l=-1151.95 Mx_l=-23.04
Tensioni nella sezione: σ=279.26 τ=34.91
CC 24 SLD (Collegamento 0022_-379)
Azioni sul collegamento: N=-4931.09 Ty=-0.39 Tz=-5.26 Mx=-0.00 Mz=-1.01
Sollecitazioni agenti localmente: Ty_l=-896.56 Mx_l=-17.93
Tensioni nella sezione: σ=217.35 τ=27.17
CC 24 SLD (Collegamento 0022_-379)

Azioni sul collegamento: N=-4931.09 Ty=-0.17 Tz=-5.26 Mx=-0.00 Mz=-0.59
Sollecitazioni agenti localmente: Ty_l=-896.56 Mx_l=-17.93
Tensioni nella sezione: σ=217.35 τ=27.17
CC 24 SLD (Collegamento 0022_-379)
Azioni sul collegamento: N=-4931.08 Ty=-0.39 Tz=-0.05 Mx=-0.00 Mz=-1.01
Sollecitazioni agenti localmente: Ty_l=-896.56 Mx_l=-17.93
Tensioni nella sezione: σ=217.35 τ=27.17
CC 24 SLD (Collegamento 0022_-379)
Azioni sul collegamento: N=-4931.08 Ty=-0.17 Tz=-0.05 Mx=-0.00 Mz=-0.59
Sollecitazioni agenti localmente: Ty_l=-896.56 Mx_l=-17.93
Tensioni nella sezione: σ=217.35 τ=27.17
CC 25 SLV (Collegamento 0022_-379)
Azioni sul collegamento: N=-4942.23 Ty=0.07 Tz=-0.09 Mx=-0.02 Mz=-0.59
Sollecitazioni agenti localmente: Ty_l=-898.59 Mx_l=-17.97
Tensioni nella sezione: σ=217.84 τ=27.23
CC 25 SLV (Collegamento 0022_-379)
Azioni sul collegamento: N=-4942.23 Ty=-2.24 Tz=-0.09 Mx=-0.02 Mz=-5.11
Sollecitazioni agenti localmente: Ty_l=-898.59 Mx_l=-17.97
Tensioni nella sezione: σ=217.84 τ=27.23
CC 25 SLV (Collegamento 0022_-379)
Azioni sul collegamento: N=-4942.23 Ty=0.07 Tz=-5.22 Mx=-0.02 Mz=-0.59
Sollecitazioni agenti localmente: Ty_l=-898.59 Mx_l=-17.97
Tensioni nella sezione: σ=217.84 τ=27.23
CC 25 SLV (Collegamento 0022_-379)
Azioni sul collegamento: N=-4942.23 Ty=-2.24 Tz=-5.22 Mx=-0.02 Mz=-5.11
Sollecitazioni agenti localmente: Ty_l=-898.59 Mx_l=-17.97
Tensioni nella sezione: σ=217.84 τ=27.23
CC 25 SLV (Collegamento 0022_-379)
Azioni sul collegamento: N=-6324.24 Ty=0.07 Tz=-0.09 Mx=-0.02 Mz=-0.59
Sollecitazioni agenti localmente: Ty_l=-1149.86 Mx_l=-23.00
Tensioni nella sezione: σ=278.75 τ=34.84
CC 25 SLV (Collegamento 0022_-379)
Azioni sul collegamento: N=-6324.24 Ty=-2.24 Tz=-0.09 Mx=-0.02 Mz=-5.11
Sollecitazioni agenti localmente: Ty_l=-1149.86 Mx_l=-23.00
Tensioni nella sezione: σ=278.75 τ=34.84
CC 25 SLV (Collegamento 0022_-379)
Azioni sul collegamento: N=-6324.24 Ty=0.07 Tz=-5.22 Mx=-0.02 Mz=-0.59
Sollecitazioni agenti localmente: Ty_l=-1149.86 Mx_l=-23.00
Tensioni nella sezione: σ=278.75 τ=34.84
CC 25 SLV (Collegamento 0022_-379)
Azioni sul collegamento: N=-6324.24 Ty=-2.24 Tz=-5.22 Mx=-0.02 Mz=-5.11
Sollecitazioni agenti localmente: Ty_l=-1149.86 Mx_l=-23.00
Tensioni nella sezione: σ=278.75 τ=34.84
CC 26 SLD (Collegamento 0022_-379)
Azioni sul collegamento: N=-5422.71 Ty=0.07 Tz=-1.87 Mx=-0.01 Mz=-0.11
Sollecitazioni agenti localmente: Ty_l=-985.95 Mx_l=-19.72
Tensioni nella sezione: σ=239.02 τ=29.88
CC 26 SLD (Collegamento 0022_-379)
Azioni sul collegamento: N=-5422.71 Ty=-0.63 Tz=-1.87 Mx=-0.01 Mz=-1.49
Sollecitazioni agenti localmente: Ty_l=-985.95 Mx_l=-19.72
Tensioni nella sezione: σ=239.02 τ=29.88
CC 26 SLD (Collegamento 0022_-379)
Azioni sul collegamento: N=-5422.71 Ty=0.07 Tz=-3.44 Mx=-0.01 Mz=-0.11
Sollecitazioni agenti localmente: Ty_l=-985.95 Mx_l=-19.72
Tensioni nella sezione: σ=239.02 τ=29.88
CC 26 SLD (Collegamento 0022_-379)
Azioni sul collegamento: N=-5422.71 Ty=-0.63 Tz=-3.44 Mx=-0.01 Mz=-1.49
Sollecitazioni agenti localmente: Ty_l=-985.95 Mx_l=-19.72
Tensioni nella sezione: σ=239.02 τ=29.88
CC 26 SLD (Collegamento 0022_-379)
Azioni sul collegamento: N=-5844.12 Ty=0.07 Tz=-1.87 Mx=-0.01 Mz=-0.11
Sollecitazioni agenti localmente: Ty_l=-1062.57 Mx_l=-21.25
Tensioni nella sezione: σ=257.59 τ=32.20
CC 26 SLD (Collegamento 0022_-379)
Azioni sul collegamento: N=-5844.12 Ty=-0.63 Tz=-1.87 Mx=-0.01 Mz=-1.49
Sollecitazioni agenti localmente: Ty_l=-1062.57 Mx_l=-21.25
Tensioni nella sezione: σ=257.59 τ=32.20
CC 26 SLD (Collegamento 0022_-379)
Azioni sul collegamento: N=-5844.12 Ty=0.07 Tz=-3.44 Mx=-0.01 Mz=-0.11
Sollecitazioni agenti localmente: Ty_l=-1062.57 Mx_l=-21.25
Tensioni nella sezione: σ=257.59 τ=32.20
CC 26 SLD (Collegamento 0022_-379)
Azioni sul collegamento: N=-5844.12 Ty=-0.63 Tz=-3.44 Mx=-0.01 Mz=-1.49
Sollecitazioni agenti localmente: Ty_l=-1062.57 Mx_l=-21.25
Tensioni nella sezione: σ=257.59 τ=32.20
CC 27 SLV (Collegamento 0022_-379)
Azioni sul collegamento: N=-6324.16 Ty=0.06 Tz=-5.22 Mx=-0.02 Mz=-0.60
Sollecitazioni agenti localmente: Ty_l=-1149.85 Mx_l=-23.00
Tensioni nella sezione: σ=278.75 τ=34.84
CC 27 SLV (Collegamento 0022_-379)

Azioni sul collegamento: N=-6324.16 Ty=-2.24 Tz=-5.22 Mx=-0.02 Mz=-5.10
Sollecitazioni agenti localmente: Ty_l=-1149.85 Mx_l=-23.00
Tensioni nella sezione: σ=278.75 τ=34.84
CC 27 SLV (Collegamento 0022_-379)
Azioni sul collegamento: N=-6324.16 Ty=0.06 Tz=-0.09 Mx=-0.02 Mz=-0.60
Sollecitazioni agenti localmente: Ty_l=-1149.85 Mx_l=-23.00
Tensioni nella sezione: σ=278.75 τ=34.84
CC 27 SLV (Collegamento 0022_-379)
Azioni sul collegamento: N=-6324.16 Ty=-2.24 Tz=-0.09 Mx=-0.02 Mz=-5.10
Sollecitazioni agenti localmente: Ty_l=-1149.85 Mx_l=-23.00
Tensioni nella sezione: σ=278.75 τ=34.84
CC 27 SLV (Collegamento 0022_-379)
Azioni sul collegamento: N=-4942.30 Ty=0.06 Tz=-5.22 Mx=-0.02 Mz=-0.60
Sollecitazioni agenti localmente: Ty_l=-898.60 Mx_l=-17.97
Tensioni nella sezione: σ=217.84 τ=27.23
CC 27 SLV (Collegamento 0022_-379)
Azioni sul collegamento: N=-4942.30 Ty=-2.24 Tz=-5.22 Mx=-0.02 Mz=-5.10
Sollecitazioni agenti localmente: Ty_l=-898.60 Mx_l=-17.97
Tensioni nella sezione: σ=217.84 τ=27.23
CC 27 SLV (Collegamento 0022_-379)
Azioni sul collegamento: N=-4942.30 Ty=0.06 Tz=-0.09 Mx=-0.02 Mz=-0.60
Sollecitazioni agenti localmente: Ty_l=-898.60 Mx_l=-17.97
Tensioni nella sezione: σ=217.84 τ=27.23
CC 27 SLV (Collegamento 0022_-379)
Azioni sul collegamento: N=-4942.30 Ty=-2.24 Tz=-0.09 Mx=-0.02 Mz=-5.10
Sollecitazioni agenti localmente: Ty_l=-898.60 Mx_l=-17.97
Tensioni nella sezione: σ=217.84 τ=27.23
CC 28 SLD (Collegamento 0022_-379)
Azioni sul collegamento: N=-5844.10 Ty=0.07 Tz=-3.44 Mx=-0.01 Mz=-0.11
Sollecitazioni agenti localmente: Ty_l=-1062.56 Mx_l=-21.25
Tensioni nella sezione: σ=257.59 τ=32.20
CC 28 SLD (Collegamento 0022_-379)
Azioni sul collegamento: N=-5844.10 Ty=-0.63 Tz=-3.44 Mx=-0.01 Mz=-1.48
Sollecitazioni agenti localmente: Ty_l=-1062.56 Mx_l=-21.25
Tensioni nella sezione: σ=257.59 τ=32.20
CC 28 SLD (Collegamento 0022_-379)
Azioni sul collegamento: N=-5844.10 Ty=0.07 Tz=-1.87 Mx=-0.01 Mz=-0.11
Sollecitazioni agenti localmente: Ty_l=-1062.56 Mx_l=-21.25
Tensioni nella sezione: σ=257.59 τ=32.20
CC 28 SLD (Collegamento 0022_-379)
Azioni sul collegamento: N=-5844.10 Ty=-0.63 Tz=-1.87 Mx=-0.01 Mz=-1.48
Sollecitazioni agenti localmente: Ty_l=-1062.56 Mx_l=-21.25
Tensioni nella sezione: σ=257.59 τ=32.20
CC 28 SLD (Collegamento 0022_-379)
Azioni sul collegamento: N=-5422.73 Ty=0.07 Tz=-3.44 Mx=-0.01 Mz=-0.11
Sollecitazioni agenti localmente: Ty_l=-985.95 Mx_l=-19.72
Tensioni nella sezione: σ=239.02 τ=29.88
CC 28 SLD (Collegamento 0022_-379)
Azioni sul collegamento: N=-5422.73 Ty=-0.63 Tz=-3.44 Mx=-0.01 Mz=-1.48
Sollecitazioni agenti localmente: Ty_l=-985.95 Mx_l=-19.72
Tensioni nella sezione: σ=239.02 τ=29.88
CC 28 SLD (Collegamento 0022_-379)
Azioni sul collegamento: N=-5422.73 Ty=0.07 Tz=-1.87 Mx=-0.01 Mz=-0.11
Sollecitazioni agenti localmente: Ty_l=-985.95 Mx_l=-19.72
Tensioni nella sezione: σ=239.02 τ=29.88
CC 28 SLD (Collegamento 0022_-379)
Azioni sul collegamento: N=-5422.73 Ty=-0.63 Tz=-1.87 Mx=-0.01 Mz=-1.48
Sollecitazioni agenti localmente: Ty_l=-985.95 Mx_l=-19.72
Tensioni nella sezione: σ=239.02 τ=29.88
CC 29 SLV (Collegamento 0022_-379)
Azioni sul collegamento: N=-4942.30 Ty=-2.24 Tz=-0.09 Mx=-0.00 Mz=-5.10
Sollecitazioni agenti localmente: Ty_l=-898.60 Mx_l=-17.97
Tensioni nella sezione: σ=217.84 τ=27.23
CC 29 SLV (Collegamento 0022_-379)
Azioni sul collegamento: N=-4942.30 Ty=0.06 Tz=-0.09 Mx=-0.00 Mz=-0.60
Sollecitazioni agenti localmente: Ty_l=-898.60 Mx_l=-17.97
Tensioni nella sezione: σ=217.84 τ=27.23
CC 29 SLV (Collegamento 0022_-379)
Azioni sul collegamento: N=-4942.30 Ty=-2.24 Tz=-5.22 Mx=-0.00 Mz=-5.10
Sollecitazioni agenti localmente: Ty_l=-898.60 Mx_l=-17.97
Tensioni nella sezione: σ=217.84 τ=27.23
CC 29 SLV (Collegamento 0022_-379)
Azioni sul collegamento: N=-4942.30 Ty=0.06 Tz=-5.22 Mx=-0.00 Mz=-0.60
Sollecitazioni agenti localmente: Ty_l=-898.60 Mx_l=-17.97
Tensioni nella sezione: σ=217.84 τ=27.23
CC 29 SLV (Collegamento 0022_-379)
Azioni sul collegamento: N=-6324.16 Ty=-2.24 Tz=-0.09 Mx=-0.00 Mz=-5.10
Sollecitazioni agenti localmente: Ty_l=-1149.85 Mx_l=-23.00
Tensioni nella sezione: σ=278.75 τ=34.84
CC 29 SLV (Collegamento 0022_-379)

Azioni sul collegamento: N=-6324.16 Ty=0.06 Tz=-0.09 Mx=-0.00 Mz=-0.60
Sollecitazioni agenti localmente: Ty_l=-1149.85 Mx_l=-23.00
Tensioni nella sezione: σ=278.75 τ=34.84
CC 29 SLV (Collegamento 0022_-379)
Azioni sul collegamento: N=-6324.16 Ty=-2.24 Tz=-5.22 Mx=-0.00 Mz=-5.10
Sollecitazioni agenti localmente: Ty_l=-1149.85 Mx_l=-23.00
Tensioni nella sezione: σ=278.75 τ=34.84
CC 29 SLV (Collegamento 0022_-379)
Azioni sul collegamento: N=-6324.16 Ty=0.06 Tz=-5.22 Mx=-0.00 Mz=-0.60
Sollecitazioni agenti localmente: Ty_l=-1149.85 Mx_l=-23.00
Tensioni nella sezione: σ=278.75 τ=34.84
CC 30 SLD (Collegamento 0022_-379)
Azioni sul collegamento: N=-5422.73 Ty=-0.63 Tz=-1.87 Mx=-0.00 Mz=-1.48
Sollecitazioni agenti localmente: Ty_l=-985.95 Mx_l=-19.72
Tensioni nella sezione: σ=239.02 τ=29.88
CC 30 SLD (Collegamento 0022_-379)
Azioni sul collegamento: N=-5422.73 Ty=0.07 Tz=-1.87 Mx=-0.00 Mz=-0.11
Sollecitazioni agenti localmente: Ty_l=-985.95 Mx_l=-19.72
Tensioni nella sezione: σ=239.02 τ=29.88
CC 30 SLD (Collegamento 0022_-379)
Azioni sul collegamento: N=-5422.73 Ty=-0.63 Tz=-3.44 Mx=-0.00 Mz=-1.48
Sollecitazioni agenti localmente: Ty_l=-985.95 Mx_l=-19.72
Tensioni nella sezione: σ=239.02 τ=29.88
CC 30 SLD (Collegamento 0022_-379)
Azioni sul collegamento: N=-5422.73 Ty=0.07 Tz=-3.44 Mx=-0.00 Mz=-0.11
Sollecitazioni agenti localmente: Ty_l=-985.95 Mx_l=-19.72
Tensioni nella sezione: σ=239.02 τ=29.88
CC 30 SLD (Collegamento 0022_-379)
Azioni sul collegamento: N=-5844.10 Ty=-0.63 Tz=-1.87 Mx=-0.00 Mz=-1.48
Sollecitazioni agenti localmente: Ty_l=-1062.56 Mx_l=-21.25
Tensioni nella sezione: σ=257.59 τ=32.20
CC 30 SLD (Collegamento 0022_-379)
Azioni sul collegamento: N=-5844.10 Ty=0.07 Tz=-1.87 Mx=-0.00 Mz=-0.11
Sollecitazioni agenti localmente: Ty_l=-1062.56 Mx_l=-21.25
Tensioni nella sezione: σ=257.59 τ=32.20
CC 30 SLD (Collegamento 0022_-379)
Azioni sul collegamento: N=-5844.10 Ty=-0.63 Tz=-3.44 Mx=-0.00 Mz=-1.48
Sollecitazioni agenti localmente: Ty_l=-1062.56 Mx_l=-21.25
Tensioni nella sezione: σ=257.59 τ=32.20
CC 30 SLD (Collegamento 0022_-379)
Azioni sul collegamento: N=-5844.10 Ty=0.07 Tz=-3.44 Mx=-0.00 Mz=-0.11
Sollecitazioni agenti localmente: Ty_l=-1062.56 Mx_l=-21.25
Tensioni nella sezione: σ=257.59 τ=32.20
CC 31 SLV (Collegamento 0022_-379)
Azioni sul collegamento: N=-6324.24 Ty=-2.24 Tz=-5.22 Mx=-0.00 Mz=-5.11
Sollecitazioni agenti localmente: Ty_l=-1149.86 Mx_l=-23.00
Tensioni nella sezione: σ=278.75 τ=34.84
CC 31 SLV (Collegamento 0022_-379)
Azioni sul collegamento: N=-6324.24 Ty=0.07 Tz=-5.22 Mx=-0.00 Mz=-0.59
Sollecitazioni agenti localmente: Ty_l=-1149.86 Mx_l=-23.00
Tensioni nella sezione: σ=278.75 τ=34.84
CC 31 SLV (Collegamento 0022_-379)
Azioni sul collegamento: N=-6324.24 Ty=-2.24 Tz=-0.09 Mx=-0.00 Mz=-5.11
Sollecitazioni agenti localmente: Ty_l=-1149.86 Mx_l=-23.00
Tensioni nella sezione: σ=278.75 τ=34.84
CC 31 SLV (Collegamento 0022_-379)
Azioni sul collegamento: N=-6324.24 Ty=0.07 Tz=-0.09 Mx=-0.00 Mz=-0.59
Sollecitazioni agenti localmente: Ty_l=-1149.86 Mx_l=-23.00
Tensioni nella sezione: σ=278.75 τ=34.84
CC 31 SLV (Collegamento 0022_-379)
Azioni sul collegamento: N=-4942.23 Ty=-2.24 Tz=-5.22 Mx=-0.00 Mz=-5.11
Sollecitazioni agenti localmente: Ty_l=-898.59 Mx_l=-17.97
Tensioni nella sezione: σ=217.84 τ=27.23
CC 31 SLV (Collegamento 0022_-379)
Azioni sul collegamento: N=-4942.23 Ty=0.07 Tz=-5.22 Mx=-0.00 Mz=-0.59
Sollecitazioni agenti localmente: Ty_l=-898.59 Mx_l=-17.97
Tensioni nella sezione: σ=217.84 τ=27.23
CC 31 SLV (Collegamento 0022_-379)
Azioni sul collegamento: N=-4942.23 Ty=-2.24 Tz=-0.09 Mx=-0.00 Mz=-5.11
Sollecitazioni agenti localmente: Ty_l=-898.59 Mx_l=-17.97
Tensioni nella sezione: σ=217.84 τ=27.23
CC 31 SLV (Collegamento 0022_-379)
Azioni sul collegamento: N=-4942.23 Ty=0.07 Tz=-0.09 Mx=-0.00 Mz=-0.59
Sollecitazioni agenti localmente: Ty_l=-898.59 Mx_l=-17.97
Tensioni nella sezione: σ=217.84 τ=27.23
CC 32 SLD (Collegamento 0022_-379)
Azioni sul collegamento: N=-5844.12 Ty=-0.63 Tz=-3.44 Mx=-0.00 Mz=-1.49
Sollecitazioni agenti localmente: Ty_l=-1062.57 Mx_l=-21.25
Tensioni nella sezione: σ=257.59 τ=32.20
CC 32 SLD (Collegamento 0022_-379)

Azioni sul collegamento: N=-5844.12 Ty=0.07 Tz=-3.44 Mx=-0.00 Mz=-0.11
Sollecitazioni agenti localmente: Ty_l=-1062.57 Mx_l=-21.25
Tensioni nella sezione: σ=257.59 τ=32.20
CC 32 SLD (Collegamento 0022_-379)
Azioni sul collegamento: N=-5844.12 Ty=-0.63 Tz=-1.87 Mx=-0.00 Mz=-1.49
Sollecitazioni agenti localmente: Ty_l=-1062.57 Mx_l=-21.25
Tensioni nella sezione: σ=257.59 τ=32.20
CC 32 SLD (Collegamento 0022_-379)
Azioni sul collegamento: N=-5844.12 Ty=0.07 Tz=-1.87 Mx=-0.00 Mz=-0.11
Sollecitazioni agenti localmente: Ty_l=-1062.57 Mx_l=-21.25
Tensioni nella sezione: σ=257.59 τ=32.20
CC 32 SLD (Collegamento 0022_-379)
Azioni sul collegamento: N=-5422.71 Ty=-0.63 Tz=-3.44 Mx=-0.00 Mz=-1.49
Sollecitazioni agenti localmente: Ty_l=-985.95 Mx_l=-19.72
Tensioni nella sezione: σ=239.02 τ=29.88
CC 32 SLD (Collegamento 0022_-379)
Azioni sul collegamento: N=-5422.71 Ty=0.07 Tz=-3.44 Mx=-0.00 Mz=-0.11
Sollecitazioni agenti localmente: Ty_l=-985.95 Mx_l=-19.72
Tensioni nella sezione: σ=239.02 τ=29.88
CC 32 SLD (Collegamento 0022_-379)
Azioni sul collegamento: N=-5422.71 Ty=-0.63 Tz=-1.87 Mx=-0.00 Mz=-1.49
Sollecitazioni agenti localmente: Ty_l=-985.95 Mx_l=-19.72
Tensioni nella sezione: σ=239.02 τ=29.88
CC 32 SLD (Collegamento 0022_-379)
Azioni sul collegamento: N=-5422.71 Ty=0.07 Tz=-1.87 Mx=-0.00 Mz=-0.11
Sollecitazioni agenti localmente: Ty_l=-985.95 Mx_l=-19.72
Tensioni nella sezione: σ=239.02 τ=29.88
CC 33 SLU (Collegamento 0022_-379)
Azioni sul collegamento: N=-28967.90 Ty=0.05 Tz=74.90 Mx=0.00 Mz=0.12
Sollecitazioni agenti localmente: Ty_l=-5266.89 Mx_l=-105.34
Tensioni nella sezione: σ=1276.82 τ=159.60
CC 34 SLU (Collegamento 0022_-379)
Azioni sul collegamento: N=-29447.20 Ty=0.05 Tz=76.67 Mx=0.00 Mz=0.12
Sollecitazioni agenti localmente: Ty_l=-5354.03 Mx_l=-107.08
Tensioni nella sezione: σ=1297.94 τ=162.24
CC 35 SLU (Collegamento 0022_-379)
Azioni sul collegamento: N=-29207.50 Ty=0.17 Tz=75.78 Mx=-0.00 Mz=0.35
Sollecitazioni agenti localmente: Ty_l=-5310.46 Mx_l=-106.21
Tensioni nella sezione: σ=1287.38 τ=160.92
CC 36 SLU (Collegamento 0022_-379)
Azioni sul collegamento: N=-29207.50 Ty=-0.07 Tz=75.79 Mx=0.00 Mz=-0.12
Sollecitazioni agenti localmente: Ty_l=-5310.46 Mx_l=-106.21
Tensioni nella sezione: σ=1287.38 τ=160.92
CC 37 SLU (Collegamento 0022_-379)
Azioni sul collegamento: N=-29152.80 Ty=0.07 Tz=74.88 Mx=0.00 Mz=0.13
Sollecitazioni agenti localmente: Ty_l=-5300.50 Mx_l=-106.01
Tensioni nella sezione: σ=1284.97 τ=160.62
CC 38 SLU (Collegamento 0022_-379)
Azioni sul collegamento: N=-29632.10 Ty=0.07 Tz=76.66 Mx=0.00 Mz=0.13
Sollecitazioni agenti localmente: Ty_l=-5387.65 Mx_l=-107.75
Tensioni nella sezione: σ=1306.09 τ=163.26
CC 39 SLU (Collegamento 0022_-379)
Azioni sul collegamento: N=-29392.40 Ty=0.19 Tz=75.77 Mx=-0.00 Mz=0.36
Sollecitazioni agenti localmente: Ty_l=-5344.08 Mx_l=-106.88
Tensioni nella sezione: σ=1295.53 τ=161.94
CC 40 SLU (Collegamento 0022_-379)
Azioni sul collegamento: N=-29392.40 Ty=-0.05 Tz=75.77 Mx=0.00 Mz=-0.10
Sollecitazioni agenti localmente: Ty_l=-5344.08 Mx_l=-106.88
Tensioni nella sezione: σ=1295.53 τ=161.94
CC 41 SLU (Collegamento 0022_-379)
Azioni sul collegamento: N=-19454.60 Ty=0.08 Tz=39.91 Mx=0.00 Mz=0.13
Sollecitazioni agenti localmente: Ty_l=-3537.20 Mx_l=-70.74
Tensioni nella sezione: σ=857.50 τ=107.19
CC 42 SLU (Collegamento 0022_-379)
Azioni sul collegamento: N=-19933.90 Ty=0.08 Tz=41.69 Mx=0.00 Mz=0.13
Sollecitazioni agenti localmente: Ty_l=-3624.34 Mx_l=-72.49
Tensioni nella sezione: σ=878.63 τ=109.83
CC 43 SLU (Collegamento 0022_-379)
Azioni sul collegamento: N=-19694.20 Ty=0.20 Tz=40.80 Mx=-0.00 Mz=0.36
Sollecitazioni agenti localmente: Ty_l=-3580.77 Mx_l=-71.62
Tensioni nella sezione: σ=868.06 τ=108.51
CC 44 SLU (Collegamento 0022_-379)
Azioni sul collegamento: N=-19694.20 Ty=-0.04 Tz=40.80 Mx=0.00 Mz=-0.10
Sollecitazioni agenti localmente: Ty_l=-3580.77 Mx_l=-71.62
Tensioni nella sezione: σ=868.06 τ=108.51
CC 45 SLU (Collegamento 0022_-379)
Azioni sul collegamento: N=-21628.70 Ty=0.08 Tz=47.97 Mx=0.00 Mz=0.14
Sollecitazioni agenti localmente: Ty_l=-3932.50 Mx_l=-78.65
Tensioni nella sezione: σ=953.33 τ=119.17
CC 46 SLU (Collegamento 0022_-379)

Azioni sul collegamento: N=-22108.00 Ty=0.08 Tz=49.75 Mx=0.00 Mz=0.14
Sollecitazioni agenti localmente: Ty_l=-4019.65 Mx_l=-80.39
Tensioni nella sezione: σ=974.46 τ=121.81
CC 47 SLU (Collegamento 0022_-379)
Azioni sul collegamento: N=-21868.40 Ty=0.20 Tz=48.86 Mx=-0.00 Mz=0.37
Sollecitazioni agenti localmente: Ty_l=-3976.07 Mx_l=-79.52
Tensioni nella sezione: σ=963.89 τ=120.49
CC 48 SLU (Collegamento 0022_-379)
Azioni sul collegamento: N=-21868.40 Ty=-0.04 Tz=48.86 Mx=0.00 Mz=-0.10
Sollecitazioni agenti localmente: Ty_l=-3976.07 Mx_l=-79.52
Tensioni nella sezione: σ=963.89 τ=120.49
CC 49 SLU (Collegamento 0022_-379)
Azioni sul collegamento: N=-21767.10 Ty=0.10 Tz=47.96 Mx=0.00 Mz=0.15
Sollecitazioni agenti localmente: Ty_l=-3957.65 Mx_l=-79.15
Tensioni nella sezione: σ=959.43 τ=119.93
CC 50 SLU (Collegamento 0022_-379)
Azioni sul collegamento: N=-22246.40 Ty=0.10 Tz=49.73 Mx=0.00 Mz=0.15
Sollecitazioni agenti localmente: Ty_l=-4044.79 Mx_l=-80.90
Tensioni nella sezione: σ=980.55 τ=122.57
CC 51 SLU (Collegamento 0022_-379)
Azioni sul collegamento: N=-22006.70 Ty=0.22 Tz=48.85 Mx=-0.00 Mz=0.38
Sollecitazioni agenti localmente: Ty_l=-4001.22 Mx_l=-80.02
Tensioni nella sezione: σ=969.99 τ=121.25
CC 52 SLU (Collegamento 0022_-379)
Azioni sul collegamento: N=-22006.70 Ty=-0.02 Tz=48.85 Mx=0.00 Mz=-0.09
Sollecitazioni agenti localmente: Ty_l=-4001.22 Mx_l=-80.02
Tensioni nella sezione: σ=969.99 τ=121.25
CC 53 SLU (Collegamento 0022_-379)
Azioni sul collegamento: N=-14511.40 Ty=0.10 Tz=21.80 Mx=0.00 Mz=0.15
Sollecitazioni agenti localmente: Ty_l=-2638.43 Mx_l=-52.77
Tensioni nella sezione: σ=639.62 τ=79.95
CC 54 SLU (Collegamento 0022_-379)
Azioni sul collegamento: N=-14990.70 Ty=0.10 Tz=23.57 Mx=0.00 Mz=0.15
Sollecitazioni agenti localmente: Ty_l=-2725.58 Mx_l=-54.51
Tensioni nella sezione: σ=660.75 τ=82.59
CC 55 SLU (Collegamento 0022_-379)
Azioni sul collegamento: N=-14751.00 Ty=0.22 Tz=22.69 Mx=-0.00 Mz=0.38
Sollecitazioni agenti localmente: Ty_l=-2682.01 Mx_l=-53.64
Tensioni nella sezione: σ=650.18 τ=81.27
CC 56 SLU (Collegamento 0022_-379)
Azioni sul collegamento: N=-14751.00 Ty=-0.02 Tz=22.68 Mx=0.00 Mz=-0.09
Sollecitazioni agenti localmente: Ty_l=-2682.00 Mx_l=-53.64
Tensioni nella sezione: σ=650.18 τ=81.27
CC 57 SLU (Collegamento 0022_-379)
Azioni sul collegamento: N=-21907.00 Ty=0.07 Tz=49.04 Mx=0.00 Mz=0.14
Sollecitazioni agenti localmente: Ty_l=-3983.09 Mx_l=-79.66
Tensioni nella sezione: σ=965.60 τ=120.70
CC 58 SLU (Collegamento 0022_-379)
Azioni sul collegamento: N=-22386.30 Ty=0.07 Tz=50.82 Mx=0.00 Mz=0.13
Sollecitazioni agenti localmente: Ty_l=-4070.24 Mx_l=-81.40
Tensioni nella sezione: σ=986.72 τ=123.34
CC 59 SLU (Collegamento 0022_-379)
Azioni sul collegamento: N=-22146.70 Ty=0.19 Tz=49.93 Mx=-0.00 Mz=0.37
Sollecitazioni agenti localmente: Ty_l=-4026.67 Mx_l=-80.53
Tensioni nella sezione: σ=976.16 τ=122.02
CC 60 SLU (Collegamento 0022_-379)
Azioni sul collegamento: N=-22146.70 Ty=-0.04 Tz=49.93 Mx=0.00 Mz=-0.10
Sollecitazioni agenti localmente: Ty_l=-4026.67 Mx_l=-80.53
Tensioni nella sezione: σ=976.16 τ=122.02
CC 61 SLU (Collegamento 0022_-379)
Azioni sul collegamento: N=-22045.30 Ty=0.09 Tz=49.02 Mx=0.00 Mz=0.14
Sollecitazioni agenti localmente: Ty_l=-4008.24 Mx_l=-80.16
Tensioni nella sezione: σ=971.69 τ=121.46
CC 62 SLU (Collegamento 0022_-379)
Azioni sul collegamento: N=-22524.60 Ty=0.09 Tz=50.80 Mx=0.00 Mz=0.14
Sollecitazioni agenti localmente: Ty_l=-4095.39 Mx_l=-81.91
Tensioni nella sezione: σ=992.82 τ=124.10
CC 63 SLU (Collegamento 0022_-379)
Azioni sul collegamento: N=-22285.00 Ty=0.21 Tz=49.91 Mx=-0.00 Mz=0.38
Sollecitazioni agenti localmente: Ty_l=-4051.82 Mx_l=-81.04
Tensioni nella sezione: σ=982.26 τ=122.78
CC 64 SLU (Collegamento 0022_-379)
Azioni sul collegamento: N=-22285.00 Ty=-0.03 Tz=49.91 Mx=0.00 Mz=-0.09
Sollecitazioni agenti localmente: Ty_l=-4051.82 Mx_l=-81.04
Tensioni nella sezione: σ=982.26 τ=122.78
CC 65 SLU (Collegamento 0022_-379)
Azioni sul collegamento: N=-14789.70 Ty=0.10 Tz=22.86 Mx=0.00 Mz=0.14
Sollecitazioni agenti localmente: Ty_l=-2689.03 Mx_l=-53.78
Tensioni nella sezione: σ=651.88 τ=81.49
CC 66 SLU (Collegamento 0022_-379)

Azioni sul collegamento: N=-15269.00 Ty=0.10 Tz=24.64 Mx=0.00 Mz=0.14
Sollecitazioni agenti localmente: Ty_l=-2776.17 Mx_l=-55.52
Tensioni nella sezione: σ=673.01 τ=84.13
CC 67 SLU (Collegamento 0022_-379)
Azioni sul collegamento: N=-15029.30 Ty=0.22 Tz=23.75 Mx=-0.00 Mz=0.38
Sollecitazioni agenti localmente: Ty_l=-2732.60 Mx_l=-54.65
Tensioni nella sezione: σ=662.45 τ=82.81
CC 68 SLU (Collegamento 0022_-379)
Azioni sul collegamento: N=-15029.30 Ty=-0.02 Tz=23.75 Mx=0.00 Mz=-0.09
Sollecitazioni agenti localmente: Ty_l=-2732.60 Mx_l=-54.65
Tensioni nella sezione: σ=662.45 τ=82.81
CC 97 SLU (Collegamento 0022_-379)
Azioni sul collegamento: N=-11572.90 Ty=11.37 Tz=19.27 Mx=0.04 Mz=15.92
Sollecitazioni agenti localmente: Ty_l=-2104.17 Mx_l=-42.08
Tensioni nella sezione: σ=510.10 τ=63.76
CC 98 SLU (Collegamento 0022_-379)
Azioni sul collegamento: N=-12052.20 Ty=11.37 Tz=21.05 Mx=0.04 Mz=15.92
Sollecitazioni agenti localmente: Ty_l=-2191.31 Mx_l=-43.83
Tensioni nella sezione: σ=531.23 τ=66.40
CC 99 SLU (Collegamento 0022_-379)
Azioni sul collegamento: N=-11812.60 Ty=11.49 Tz=20.16 Mx=0.04 Mz=16.15
Sollecitazioni agenti localmente: Ty_l=-2147.74 Mx_l=-42.95
Tensioni nella sezione: σ=520.66 τ=65.08
CC 100 SLU (Collegamento 0022_-379)
Azioni sul collegamento: N=-11812.60 Ty=11.25 Tz=20.16 Mx=0.04 Mz=15.68
Sollecitazioni agenti localmente: Ty_l=-2147.74 Mx_l=-42.95
Tensioni nella sezione: σ=520.66 τ=65.08
CC 101 SLU (Collegamento 0022_-379)
Azioni sul collegamento: N=-5887.16 Ty=-2.00 Tz=-1.73 Mx=-0.00 Mz=-2.22
Sollecitazioni agenti localmente: Ty_l=-1070.39 Mx_l=-21.41
Tensioni nella sezione: σ=259.49 τ=32.44
CC 102 SLU (Collegamento 0022_-379)
Azioni sul collegamento: N=-6366.46 Ty=-2.01 Tz=0.04 Mx=-0.00 Mz=-2.22
Sollecitazioni agenti localmente: Ty_l=-1157.54 Mx_l=-23.15
Tensioni nella sezione: σ=280.62 τ=35.08
CC 103 SLU (Collegamento 0022_-379)
Azioni sul collegamento: N=-6126.81 Ty=-1.89 Tz=-0.85 Mx=-0.01 Mz=-1.98
Sollecitazioni agenti localmente: Ty_l=-1113.96 Mx_l=-22.28
Tensioni nella sezione: σ=270.05 τ=33.76
CC 104 SLU (Collegamento 0022_-379)
Azioni sul collegamento: N=-6126.80 Ty=-2.12 Tz=-0.84 Mx=-0.00 Mz=-2.45
Sollecitazioni agenti localmente: Ty_l=-1113.96 Mx_l=-22.28
Tensioni nella sezione: σ=270.05 τ=33.76

Flessione attacco inferiore piastra

Bnetta=220.00 Hnetta=15.00
CC 1 SLV (Collegamento 0022_-379)
Azioni sul collegamento: N=-3330.52 Ty=1.59 Tz=5.89 Mx=0.02 Mz=3.75
Sollecitazioni agenti localmente: Ty_l=-605.55 Mx_l=-12.11
Tensioni nella sezione: σ=146.80 τ=18.35
CC 1 SLV (Collegamento 0022_-379)
Azioni sul collegamento: N=-3330.52 Ty=0.88 Tz=5.89 Mx=0.02 Mz=2.36
Sollecitazioni agenti localmente: Ty_l=-605.55 Mx_l=-12.11
Tensioni nella sezione: σ=146.80 τ=18.35
CC 1 SLV (Collegamento 0022_-379)
Azioni sul collegamento: N=-3330.52 Ty=1.59 Tz=-11.19 Mx=0.02 Mz=3.75
Sollecitazioni agenti localmente: Ty_l=-605.55 Mx_l=-12.11
Tensioni nella sezione: σ=146.80 τ=18.35
CC 1 SLV (Collegamento 0022_-379)
Azioni sul collegamento: N=-3330.52 Ty=0.88 Tz=-11.19 Mx=0.02 Mz=2.36
Sollecitazioni agenti localmente: Ty_l=-605.55 Mx_l=-12.11
Tensioni nella sezione: σ=146.80 τ=18.35
CC 1 SLV (Collegamento 0022_-379)
Azioni sul collegamento: N=-7936.99 Ty=1.59 Tz=5.89 Mx=0.02 Mz=3.75
Sollecitazioni agenti localmente: Ty_l=-1443.09 Mx_l=-28.86
Tensioni nella sezione: σ=349.84 τ=43.73
CC 1 SLV (Collegamento 0022_-379)
Azioni sul collegamento: N=-7936.99 Ty=0.88 Tz=5.89 Mx=0.02 Mz=2.36
Sollecitazioni agenti localmente: Ty_l=-1443.09 Mx_l=-28.86
Tensioni nella sezione: σ=349.84 τ=43.73
CC 1 SLV (Collegamento 0022_-379)
Azioni sul collegamento: N=-7936.99 Ty=1.59 Tz=-11.19 Mx=0.02 Mz=3.75
Sollecitazioni agenti localmente: Ty_l=-1443.09 Mx_l=-28.86
Tensioni nella sezione: σ=349.84 τ=43.73
CC 1 SLV (Collegamento 0022_-379)
Azioni sul collegamento: N=-7936.99 Ty=0.88 Tz=-11.19 Mx=0.02 Mz=2.36
Sollecitazioni agenti localmente: Ty_l=-1443.09 Mx_l=-28.86
Tensioni nella sezione: σ=349.84 τ=43.73
CC 2 SLD (Collegamento 0022_-379)
Azioni sul collegamento: N=-4931.25 Ty=0.54 Tz=-0.05 Mx=0.01 Mz=1.22

Sollecitazioni agenti localmente: Ty_l=-896.59 Mx_l=-17.93
Tensioni nella sezione: σ=217.35 τ=27.17
CC 2 SLD (Collegamento 0022_-379)
Azioni sul collegamento: N=-4931.25 Ty=0.32 Tz=-0.05 Mx=0.01 Mz=0.79
Sollecitazioni agenti localmente: Ty_l=-896.59 Mx_l=-17.93
Tensioni nella sezione: σ=217.35 τ=27.17
CC 2 SLD (Collegamento 0022_-379)
Azioni sul collegamento: N=-4931.25 Ty=0.54 Tz=-5.26 Mx=0.01 Mz=1.22
Sollecitazioni agenti localmente: Ty_l=-896.59 Mx_l=-17.93
Tensioni nella sezione: σ=217.35 τ=27.17
CC 2 SLD (Collegamento 0022_-379)
Azioni sul collegamento: N=-4931.25 Ty=0.32 Tz=-5.26 Mx=0.01 Mz=0.79
Sollecitazioni agenti localmente: Ty_l=-896.59 Mx_l=-17.93
Tensioni nella sezione: σ=217.35 τ=27.17
CC 2 SLD (Collegamento 0022_-379)
Azioni sul collegamento: N=-6335.90 Ty=0.54 Tz=-0.05 Mx=0.01 Mz=1.22
Sollecitazioni agenti localmente: Ty_l=-1151.98 Mx_l=-23.04
Tensioni nella sezione: σ=279.27 τ=34.91
CC 2 SLD (Collegamento 0022_-379)
Azioni sul collegamento: N=-6335.90 Ty=0.32 Tz=-0.05 Mx=0.01 Mz=0.79
Sollecitazioni agenti localmente: Ty_l=-1151.98 Mx_l=-23.04
Tensioni nella sezione: σ=279.27 τ=34.91
CC 2 SLD (Collegamento 0022_-379)
Azioni sul collegamento: N=-6335.90 Ty=0.54 Tz=-5.26 Mx=0.01 Mz=1.22
Sollecitazioni agenti localmente: Ty_l=-1151.98 Mx_l=-23.04
Tensioni nella sezione: σ=279.27 τ=34.91
CC 2 SLD (Collegamento 0022_-379)
Azioni sul collegamento: N=-6335.90 Ty=0.32 Tz=-5.26 Mx=0.01 Mz=0.79
Sollecitazioni agenti localmente: Ty_l=-1151.98 Mx_l=-23.04
Tensioni nella sezione: σ=279.27 τ=34.91
CC 3 SLV (Collegamento 0022_-379)
Azioni sul collegamento: N=-3330.55 Ty=0.90 Tz=5.89 Mx=0.01 Mz=2.40
Sollecitazioni agenti localmente: Ty_l=-605.55 Mx_l=-12.11
Tensioni nella sezione: σ=146.80 τ=18.35
CC 3 SLV (Collegamento 0022_-379)
Azioni sul collegamento: N=-3330.55 Ty=1.58 Tz=5.89 Mx=0.01 Mz=3.71
Sollecitazioni agenti localmente: Ty_l=-605.55 Mx_l=-12.11
Tensioni nella sezione: σ=146.80 τ=18.35
CC 3 SLV (Collegamento 0022_-379)
Azioni sul collegamento: N=-3330.55 Ty=0.90 Tz=-11.19 Mx=0.01 Mz=2.40
Sollecitazioni agenti localmente: Ty_l=-605.55 Mx_l=-12.11
Tensioni nella sezione: σ=146.80 τ=18.35
CC 3 SLV (Collegamento 0022_-379)
Azioni sul collegamento: N=-3330.55 Ty=1.58 Tz=-11.19 Mx=0.01 Mz=3.71
Sollecitazioni agenti localmente: Ty_l=-605.55 Mx_l=-12.11
Tensioni nella sezione: σ=146.80 τ=18.35
CC 3 SLV (Collegamento 0022_-379)
Azioni sul collegamento: N=-7936.97 Ty=0.90 Tz=5.89 Mx=0.01 Mz=2.40
Sollecitazioni agenti localmente: Ty_l=-1443.09 Mx_l=-28.86
Tensioni nella sezione: σ=349.84 τ=43.73
CC 3 SLV (Collegamento 0022_-379)
Azioni sul collegamento: N=-7936.97 Ty=1.58 Tz=5.89 Mx=0.01 Mz=3.71
Sollecitazioni agenti localmente: Ty_l=-1443.09 Mx_l=-28.86
Tensioni nella sezione: σ=349.84 τ=43.73
CC 3 SLV (Collegamento 0022_-379)
Azioni sul collegamento: N=-7936.97 Ty=0.90 Tz=-11.19 Mx=0.01 Mz=2.40
Sollecitazioni agenti localmente: Ty_l=-1443.09 Mx_l=-28.86
Tensioni nella sezione: σ=349.84 τ=43.73
CC 3 SLV (Collegamento 0022_-379)
Azioni sul collegamento: N=-7936.97 Ty=1.58 Tz=-11.19 Mx=0.01 Mz=3.71
Sollecitazioni agenti localmente: Ty_l=-1443.09 Mx_l=-28.86
Tensioni nella sezione: σ=349.84 τ=43.73
CC 4 SLD (Collegamento 0022_-379)
Azioni sul collegamento: N=-4931.25 Ty=0.33 Tz=-0.05 Mx=0.00 Mz=0.80
Sollecitazioni agenti localmente: Ty_l=-896.59 Mx_l=-17.93
Tensioni nella sezione: σ=217.35 τ=27.17
CC 4 SLD (Collegamento 0022_-379)
Azioni sul collegamento: N=-4931.25 Ty=0.53 Tz=-0.05 Mx=0.00 Mz=1.20
Sollecitazioni agenti localmente: Ty_l=-896.59 Mx_l=-17.93
Tensioni nella sezione: σ=217.35 τ=27.17
CC 4 SLD (Collegamento 0022_-379)
Azioni sul collegamento: N=-4931.25 Ty=0.33 Tz=-5.26 Mx=0.00 Mz=0.80
Sollecitazioni agenti localmente: Ty_l=-896.59 Mx_l=-17.93
Tensioni nella sezione: σ=217.35 τ=27.17
CC 4 SLD (Collegamento 0022_-379)
Azioni sul collegamento: N=-4931.25 Ty=0.53 Tz=-5.26 Mx=0.00 Mz=1.20
Sollecitazioni agenti localmente: Ty_l=-896.59 Mx_l=-17.93
Tensioni nella sezione: σ=217.35 τ=27.17
CC 4 SLD (Collegamento 0022_-379)
Azioni sul collegamento: N=-6335.90 Ty=0.33 Tz=-0.05 Mx=0.00 Mz=0.80

Sollecitazioni agenti localmente: Ty_l=-1151.98 Mx_l=-23.04
Tensioni nella sezione: σ=279.27 τ=34.91
CC 4 SLD (Collegamento 0022_-379)
Azioni sul collegamento: N=-6335.90 Ty=0.53 Tz=-0.05 Mx=0.00 Mz=1.20
Sollecitazioni agenti localmente: Ty_l=-1151.98 Mx_l=-23.04
Tensioni nella sezione: σ=279.27 τ=34.91
CC 4 SLD (Collegamento 0022_-379)
Azioni sul collegamento: N=-6335.90 Ty=0.33 Tz=-5.26 Mx=0.00 Mz=0.80
Sollecitazioni agenti localmente: Ty_l=-1151.98 Mx_l=-23.04
Tensioni nella sezione: σ=279.27 τ=34.91
CC 4 SLD (Collegamento 0022_-379)
Azioni sul collegamento: N=-6335.90 Ty=0.53 Tz=-5.26 Mx=0.00 Mz=1.20
Sollecitazioni agenti localmente: Ty_l=-1151.98 Mx_l=-23.04
Tensioni nella sezione: σ=279.27 τ=34.91
CC 5 SLV (Collegamento 0022_-379)
Azioni sul collegamento: N=-7936.97 Ty=1.58 Tz=-11.19 Mx=0.02 Mz=3.71
Sollecitazioni agenti localmente: Ty_l=-1443.09 Mx_l=-28.86
Tensioni nella sezione: σ=349.84 τ=43.73
CC 5 SLV (Collegamento 0022_-379)
Azioni sul collegamento: N=-7936.97 Ty=0.90 Tz=-11.19 Mx=0.02 Mz=2.40
Sollecitazioni agenti localmente: Ty_l=-1443.09 Mx_l=-28.86
Tensioni nella sezione: σ=349.84 τ=43.73
CC 5 SLV (Collegamento 0022_-379)
Azioni sul collegamento: N=-7936.97 Ty=1.58 Tz=5.89 Mx=0.02 Mz=3.71
Sollecitazioni agenti localmente: Ty_l=-1443.09 Mx_l=-28.86
Tensioni nella sezione: σ=349.84 τ=43.73
CC 5 SLV (Collegamento 0022_-379)
Azioni sul collegamento: N=-7936.97 Ty=0.90 Tz=5.89 Mx=0.02 Mz=2.40
Sollecitazioni agenti localmente: Ty_l=-1443.09 Mx_l=-28.86
Tensioni nella sezione: σ=349.84 τ=43.73
CC 5 SLV (Collegamento 0022_-379)
Azioni sul collegamento: N=-3330.55 Ty=1.58 Tz=-11.19 Mx=0.02 Mz=3.71
Sollecitazioni agenti localmente: Ty_l=-605.55 Mx_l=-12.11
Tensioni nella sezione: σ=146.80 τ=18.35
CC 5 SLV (Collegamento 0022_-379)
Azioni sul collegamento: N=-3330.55 Ty=0.90 Tz=-11.19 Mx=0.02 Mz=2.40
Sollecitazioni agenti localmente: Ty_l=-605.55 Mx_l=-12.11
Tensioni nella sezione: σ=146.80 τ=18.35
CC 5 SLV (Collegamento 0022_-379)
Azioni sul collegamento: N=-3330.55 Ty=1.58 Tz=5.89 Mx=0.02 Mz=3.71
Sollecitazioni agenti localmente: Ty_l=-605.55 Mx_l=-12.11
Tensioni nella sezione: σ=146.80 τ=18.35
CC 5 SLV (Collegamento 0022_-379)
Azioni sul collegamento: N=-3330.55 Ty=0.90 Tz=5.89 Mx=0.02 Mz=2.40
Sollecitazioni agenti localmente: Ty_l=-605.55 Mx_l=-12.11
Tensioni nella sezione: σ=146.80 τ=18.35
CC 6 SLD (Collegamento 0022_-379)
Azioni sul collegamento: N=-6335.90 Ty=0.53 Tz=-5.26 Mx=0.01 Mz=1.20
Sollecitazioni agenti localmente: Ty_l=-1151.98 Mx_l=-23.04
Tensioni nella sezione: σ=279.27 τ=34.91
CC 6 SLD (Collegamento 0022_-379)
Azioni sul collegamento: N=-6335.90 Ty=0.33 Tz=-5.26 Mx=0.01 Mz=0.80
Sollecitazioni agenti localmente: Ty_l=-1151.98 Mx_l=-23.04
Tensioni nella sezione: σ=279.27 τ=34.91
CC 6 SLD (Collegamento 0022_-379)
Azioni sul collegamento: N=-6335.90 Ty=0.53 Tz=-0.05 Mx=0.01 Mz=1.20
Sollecitazioni agenti localmente: Ty_l=-1151.98 Mx_l=-23.04
Tensioni nella sezione: σ=279.27 τ=34.91
CC 6 SLD (Collegamento 0022_-379)
Azioni sul collegamento: N=-6335.90 Ty=0.33 Tz=-0.05 Mx=0.01 Mz=0.80
Sollecitazioni agenti localmente: Ty_l=-1151.98 Mx_l=-23.04
Tensioni nella sezione: σ=279.27 τ=34.91
CC 6 SLD (Collegamento 0022_-379)
Azioni sul collegamento: N=-4931.25 Ty=0.53 Tz=-5.26 Mx=0.01 Mz=1.20
Sollecitazioni agenti localmente: Ty_l=-896.59 Mx_l=-17.93
Tensioni nella sezione: σ=217.35 τ=27.17
CC 6 SLD (Collegamento 0022_-379)
Azioni sul collegamento: N=-4931.25 Ty=0.33 Tz=-5.26 Mx=0.01 Mz=0.80
Sollecitazioni agenti localmente: Ty_l=-896.59 Mx_l=-17.93
Tensioni nella sezione: σ=217.35 τ=27.17
CC 6 SLD (Collegamento 0022_-379)
Azioni sul collegamento: N=-4931.25 Ty=0.53 Tz=-0.05 Mx=0.01 Mz=1.20
Sollecitazioni agenti localmente: Ty_l=-896.59 Mx_l=-17.93
Tensioni nella sezione: σ=217.35 τ=27.17
CC 6 SLD (Collegamento 0022_-379)
Azioni sul collegamento: N=-4931.25 Ty=0.33 Tz=-0.05 Mx=0.01 Mz=0.80
Sollecitazioni agenti localmente: Ty_l=-896.59 Mx_l=-17.93
Tensioni nella sezione: σ=217.35 τ=27.17
CC 7 SLV (Collegamento 0022_-379)
Azioni sul collegamento: N=-7936.99 Ty=0.88 Tz=-11.19 Mx=0.01 Mz=2.36

Sollecitazioni agenti localmente: Ty_l=-1443.09 Mx_l=-28.86
Tensioni nella sezione: σ=349.84 τ=43.73
CC 7 SLV (Collegamento 0022_-379)
Azioni sul collegamento: N=-7936.99 Ty=1.59 Tz=-11.19 Mx=0.01 Mz=3.75
Sollecitazioni agenti localmente: Ty_l=-1443.09 Mx_l=-28.86
Tensioni nella sezione: σ=349.84 τ=43.73
CC 7 SLV (Collegamento 0022_-379)
Azioni sul collegamento: N=-7936.99 Ty=0.88 Tz=5.89 Mx=0.01 Mz=2.36
Sollecitazioni agenti localmente: Ty_l=-1443.09 Mx_l=-28.86
Tensioni nella sezione: σ=349.84 τ=43.73
CC 7 SLV (Collegamento 0022_-379)
Azioni sul collegamento: N=-7936.99 Ty=1.59 Tz=5.89 Mx=0.01 Mz=3.75
Sollecitazioni agenti localmente: Ty_l=-1443.09 Mx_l=-28.86
Tensioni nella sezione: σ=349.84 τ=43.73
CC 7 SLV (Collegamento 0022_-379)
Azioni sul collegamento: N=-3330.52 Ty=0.88 Tz=-11.19 Mx=0.01 Mz=2.36
Sollecitazioni agenti localmente: Ty_l=-605.55 Mx_l=-12.11
Tensioni nella sezione: σ=146.80 τ=18.35
CC 7 SLV (Collegamento 0022_-379)
Azioni sul collegamento: N=-3330.52 Ty=1.59 Tz=-11.19 Mx=0.01 Mz=3.75
Sollecitazioni agenti localmente: Ty_l=-605.55 Mx_l=-12.11
Tensioni nella sezione: σ=146.80 τ=18.35
CC 7 SLV (Collegamento 0022_-379)
Azioni sul collegamento: N=-3330.52 Ty=0.88 Tz=5.89 Mx=0.01 Mz=2.36
Sollecitazioni agenti localmente: Ty_l=-605.55 Mx_l=-12.11
Tensioni nella sezione: σ=146.80 τ=18.35
CC 7 SLV (Collegamento 0022_-379)
Azioni sul collegamento: N=-3330.52 Ty=1.59 Tz=5.89 Mx=0.01 Mz=3.75
Sollecitazioni agenti localmente: Ty_l=-605.55 Mx_l=-12.11
Tensioni nella sezione: σ=146.80 τ=18.35
CC 8 SLD (Collegamento 0022_-379)
Azioni sul collegamento: N=-6335.90 Ty=0.32 Tz=-5.26 Mx=0.00 Mz=0.79
Sollecitazioni agenti localmente: Ty_l=-1151.98 Mx_l=-23.04
Tensioni nella sezione: σ=279.27 τ=34.91
CC 8 SLD (Collegamento 0022_-379)
Azioni sul collegamento: N=-6335.90 Ty=0.54 Tz=-5.26 Mx=0.00 Mz=1.22
Sollecitazioni agenti localmente: Ty_l=-1151.98 Mx_l=-23.04
Tensioni nella sezione: σ=279.27 τ=34.91
CC 8 SLD (Collegamento 0022_-379)
Azioni sul collegamento: N=-6335.90 Ty=0.32 Tz=-0.05 Mx=0.00 Mz=0.79
Sollecitazioni agenti localmente: Ty_l=-1151.98 Mx_l=-23.04
Tensioni nella sezione: σ=279.27 τ=34.91
CC 8 SLD (Collegamento 0022_-379)
Azioni sul collegamento: N=-6335.90 Ty=0.54 Tz=-0.05 Mx=0.00 Mz=1.22
Sollecitazioni agenti localmente: Ty_l=-1151.98 Mx_l=-23.04
Tensioni nella sezione: σ=279.27 τ=34.91
CC 8 SLD (Collegamento 0022_-379)
Azioni sul collegamento: N=-4931.25 Ty=0.32 Tz=-5.26 Mx=0.00 Mz=0.79
Sollecitazioni agenti localmente: Ty_l=-896.59 Mx_l=-17.93
Tensioni nella sezione: σ=217.35 τ=27.17
CC 8 SLD (Collegamento 0022_-379)
Azioni sul collegamento: N=-4931.25 Ty=0.54 Tz=-5.26 Mx=0.00 Mz=1.22
Sollecitazioni agenti localmente: Ty_l=-896.59 Mx_l=-17.93
Tensioni nella sezione: σ=217.35 τ=27.17
CC 8 SLD (Collegamento 0022_-379)
Azioni sul collegamento: N=-4931.25 Ty=0.32 Tz=-0.05 Mx=0.00 Mz=0.79
Sollecitazioni agenti localmente: Ty_l=-896.59 Mx_l=-17.93
Tensioni nella sezione: σ=217.35 τ=27.17
CC 8 SLD (Collegamento 0022_-379)
Azioni sul collegamento: N=-4931.25 Ty=0.54 Tz=-0.05 Mx=0.00 Mz=1.22
Sollecitazioni agenti localmente: Ty_l=-896.59 Mx_l=-17.93
Tensioni nella sezione: σ=217.35 τ=27.17
CC 9 SLV (Collegamento 0022_-379)
Azioni sul collegamento: N=-4942.75 Ty=2.39 Tz=-0.09 Mx=0.02 Mz=5.32
Sollecitazioni agenti localmente: Ty_l=-898.68 Mx_l=-17.97
Tensioni nella sezione: σ=217.86 τ=27.23
CC 9 SLV (Collegamento 0022_-379)
Azioni sul collegamento: N=-4942.75 Ty=0.08 Tz=-0.09 Mx=0.02 Mz=0.80
Sollecitazioni agenti localmente: Ty_l=-898.68 Mx_l=-17.97
Tensioni nella sezione: σ=217.86 τ=27.23
CC 9 SLV (Collegamento 0022_-379)
Azioni sul collegamento: N=-4942.75 Ty=2.39 Tz=-5.22 Mx=0.02 Mz=5.32
Sollecitazioni agenti localmente: Ty_l=-898.68 Mx_l=-17.97
Tensioni nella sezione: σ=217.86 τ=27.23
CC 9 SLV (Collegamento 0022_-379)
Azioni sul collegamento: N=-4942.75 Ty=0.08 Tz=-5.22 Mx=0.02 Mz=0.80
Sollecitazioni agenti localmente: Ty_l=-898.68 Mx_l=-17.97
Tensioni nella sezione: σ=217.86 τ=27.23
CC 9 SLV (Collegamento 0022_-379)
Azioni sul collegamento: N=-6324.76 Ty=2.39 Tz=-0.09 Mx=0.02 Mz=5.32

Sollecitazioni agenti localmente: Ty_l=-1149.96 Mx_l=-23.00
Tensioni nella sezione: σ=278.78 τ=34.85
CC 9 SLV (Collegamento 0022_-379)
Azioni sul collegamento: N=-6324.76 Ty=0.08 Tz=-0.09 Mx=0.02 Mz=0.80
Sollecitazioni agenti localmente: Ty_l=-1149.96 Mx_l=-23.00
Tensioni nella sezione: σ=278.78 τ=34.85
CC 9 SLV (Collegamento 0022_-379)
Azioni sul collegamento: N=-6324.76 Ty=2.39 Tz=-5.22 Mx=0.02 Mz=5.32
Sollecitazioni agenti localmente: Ty_l=-1149.96 Mx_l=-23.00
Tensioni nella sezione: σ=278.78 τ=34.85
CC 9 SLV (Collegamento 0022_-379)
Azioni sul collegamento: N=-6324.76 Ty=0.08 Tz=-5.22 Mx=0.02 Mz=0.80
Sollecitazioni agenti localmente: Ty_l=-1149.96 Mx_l=-23.00
Tensioni nella sezione: σ=278.78 τ=34.85
CC 10 SLD (Collegamento 0022_-379)
Azioni sul collegamento: N=-5422.87 Ty=0.78 Tz=-1.87 Mx=0.01 Mz=1.69
Sollecitazioni agenti localmente: Ty_l=-985.98 Mx_l=-19.72
Tensioni nella sezione: σ=239.02 τ=29.88
CC 10 SLD (Collegamento 0022_-379)
Azioni sul collegamento: N=-5422.87 Ty=0.08 Tz=-1.87 Mx=0.01 Mz=0.31
Sollecitazioni agenti localmente: Ty_l=-985.98 Mx_l=-19.72
Tensioni nella sezione: σ=239.02 τ=29.88
CC 10 SLD (Collegamento 0022_-379)
Azioni sul collegamento: N=-5422.87 Ty=0.78 Tz=-3.44 Mx=0.01 Mz=1.69
Sollecitazioni agenti localmente: Ty_l=-985.98 Mx_l=-19.72
Tensioni nella sezione: σ=239.02 τ=29.88
CC 10 SLD (Collegamento 0022_-379)
Azioni sul collegamento: N=-5422.87 Ty=0.08 Tz=-3.44 Mx=0.01 Mz=0.31
Sollecitazioni agenti localmente: Ty_l=-985.98 Mx_l=-19.72
Tensioni nella sezione: σ=239.02 τ=29.88
CC 10 SLD (Collegamento 0022_-379)
Azioni sul collegamento: N=-5844.28 Ty=0.78 Tz=-1.87 Mx=0.01 Mz=1.69
Sollecitazioni agenti localmente: Ty_l=-1062.60 Mx_l=-21.25
Tensioni nella sezione: σ=257.60 τ=32.20
CC 10 SLD (Collegamento 0022_-379)
Azioni sul collegamento: N=-5844.28 Ty=0.08 Tz=-1.87 Mx=0.01 Mz=0.31
Sollecitazioni agenti localmente: Ty_l=-1062.60 Mx_l=-21.25
Tensioni nella sezione: σ=257.60 τ=32.20
CC 10 SLD (Collegamento 0022_-379)
Azioni sul collegamento: N=-5844.28 Ty=0.78 Tz=-3.44 Mx=0.01 Mz=1.69
Sollecitazioni agenti localmente: Ty_l=-1062.60 Mx_l=-21.25
Tensioni nella sezione: σ=257.60 τ=32.20
CC 10 SLD (Collegamento 0022_-379)
Azioni sul collegamento: N=-5844.28 Ty=0.08 Tz=-3.44 Mx=0.01 Mz=0.31
Sollecitazioni agenti localmente: Ty_l=-1062.60 Mx_l=-21.25
Tensioni nella sezione: σ=257.60 τ=32.20
CC 11 SLV (Collegamento 0022_-379)
Azioni sul collegamento: N=-6324.69 Ty=2.39 Tz=-5.21 Mx=0.02 Mz=5.31
Sollecitazioni agenti localmente: Ty_l=-1149.94 Mx_l=-23.00
Tensioni nella sezione: σ=278.77 τ=34.85
CC 11 SLV (Collegamento 0022_-379)
Azioni sul collegamento: N=-6324.69 Ty=0.09 Tz=-5.21 Mx=0.02 Mz=0.81
Sollecitazioni agenti localmente: Ty_l=-1149.94 Mx_l=-23.00
Tensioni nella sezione: σ=278.77 τ=34.85
CC 11 SLV (Collegamento 0022_-379)
Azioni sul collegamento: N=-6324.69 Ty=2.39 Tz=-0.09 Mx=0.02 Mz=5.31
Sollecitazioni agenti localmente: Ty_l=-1149.94 Mx_l=-23.00
Tensioni nella sezione: σ=278.77 τ=34.85
CC 11 SLV (Collegamento 0022_-379)
Azioni sul collegamento: N=-6324.69 Ty=0.09 Tz=-0.09 Mx=0.02 Mz=0.81
Sollecitazioni agenti localmente: Ty_l=-1149.94 Mx_l=-23.00
Tensioni nella sezione: σ=278.77 τ=34.85
CC 11 SLV (Collegamento 0022_-379)
Azioni sul collegamento: N=-4942.83 Ty=2.39 Tz=-5.21 Mx=0.02 Mz=5.31
Sollecitazioni agenti localmente: Ty_l=-898.70 Mx_l=-17.97
Tensioni nella sezione: σ=217.87 τ=27.23
CC 11 SLV (Collegamento 0022_-379)
Azioni sul collegamento: N=-4942.83 Ty=0.09 Tz=-5.21 Mx=0.02 Mz=0.81
Sollecitazioni agenti localmente: Ty_l=-898.70 Mx_l=-17.97
Tensioni nella sezione: σ=217.87 τ=27.23
CC 11 SLV (Collegamento 0022_-379)
Azioni sul collegamento: N=-4942.83 Ty=2.39 Tz=-0.09 Mx=0.02 Mz=5.31
Sollecitazioni agenti localmente: Ty_l=-898.70 Mx_l=-17.97
Tensioni nella sezione: σ=217.87 τ=27.23
CC 11 SLV (Collegamento 0022_-379)
Azioni sul collegamento: N=-4942.83 Ty=0.09 Tz=-0.09 Mx=0.02 Mz=0.81
Sollecitazioni agenti localmente: Ty_l=-898.70 Mx_l=-17.97
Tensioni nella sezione: σ=217.87 τ=27.23
CC 12 SLD (Collegamento 0022_-379)
Azioni sul collegamento: N=-5844.26 Ty=0.78 Tz=-3.43 Mx=0.01 Mz=1.69

Sollecitazioni agenti localmente: Ty_l=-1062.59 Mx_l=-21.25
Tensioni nella sezione: σ=257.60 τ=32.20
CC 12 SLD (Collegamento 0022_-379)
Azioni sul collegamento: N=-5844.26 Ty=0.08 Tz=-3.43 Mx=0.01 Mz=0.32
Sollecitazioni agenti localmente: Ty_l=-1062.59 Mx_l=-21.25
Tensioni nella sezione: σ=257.60 τ=32.20
CC 12 SLD (Collegamento 0022_-379)
Azioni sul collegamento: N=-5844.26 Ty=0.78 Tz=-1.87 Mx=0.01 Mz=1.69
Sollecitazioni agenti localmente: Ty_l=-1062.59 Mx_l=-21.25
Tensioni nella sezione: σ=257.60 τ=32.20
CC 12 SLD (Collegamento 0022_-379)
Azioni sul collegamento: N=-5844.26 Ty=0.08 Tz=-1.87 Mx=0.01 Mz=0.32
Sollecitazioni agenti localmente: Ty_l=-1062.59 Mx_l=-21.25
Tensioni nella sezione: σ=257.60 τ=32.20
CC 12 SLD (Collegamento 0022_-379)
Azioni sul collegamento: N=-5422.89 Ty=0.78 Tz=-3.43 Mx=0.01 Mz=1.69
Sollecitazioni agenti localmente: Ty_l=-985.98 Mx_l=-19.72
Tensioni nella sezione: σ=239.03 τ=29.88
CC 12 SLD (Collegamento 0022_-379)
Azioni sul collegamento: N=-5422.89 Ty=0.08 Tz=-3.43 Mx=0.01 Mz=0.32
Sollecitazioni agenti localmente: Ty_l=-985.98 Mx_l=-19.72
Tensioni nella sezione: σ=239.03 τ=29.88
CC 12 SLD (Collegamento 0022_-379)
Azioni sul collegamento: N=-5422.89 Ty=0.78 Tz=-1.87 Mx=0.01 Mz=1.69
Sollecitazioni agenti localmente: Ty_l=-985.98 Mx_l=-19.72
Tensioni nella sezione: σ=239.03 τ=29.88
CC 12 SLD (Collegamento 0022_-379)
Azioni sul collegamento: N=-5422.89 Ty=0.08 Tz=-1.87 Mx=0.01 Mz=0.32
Sollecitazioni agenti localmente: Ty_l=-985.98 Mx_l=-19.72
Tensioni nella sezione: σ=239.03 τ=29.88
CC 13 SLV (Collegamento 0022_-379)
Azioni sul collegamento: N=-4942.83 Ty=0.09 Tz=-0.09 Mx=0.00 Mz=0.81
Sollecitazioni agenti localmente: Ty_l=-898.70 Mx_l=-17.97
Tensioni nella sezione: σ=217.87 τ=27.23
CC 13 SLV (Collegamento 0022_-379)
Azioni sul collegamento: N=-4942.83 Ty=2.39 Tz=-0.09 Mx=0.00 Mz=5.31
Sollecitazioni agenti localmente: Ty_l=-898.70 Mx_l=-17.97
Tensioni nella sezione: σ=217.87 τ=27.23
CC 13 SLV (Collegamento 0022_-379)
Azioni sul collegamento: N=-4942.83 Ty=0.09 Tz=-5.21 Mx=0.00 Mz=0.81
Sollecitazioni agenti localmente: Ty_l=-898.70 Mx_l=-17.97
Tensioni nella sezione: σ=217.87 τ=27.23
CC 13 SLV (Collegamento 0022_-379)
Azioni sul collegamento: N=-4942.83 Ty=2.39 Tz=-5.21 Mx=0.00 Mz=5.31
Sollecitazioni agenti localmente: Ty_l=-898.70 Mx_l=-17.97
Tensioni nella sezione: σ=217.87 τ=27.23
CC 13 SLV (Collegamento 0022_-379)
Azioni sul collegamento: N=-6324.69 Ty=0.09 Tz=-0.09 Mx=0.00 Mz=0.81
Sollecitazioni agenti localmente: Ty_l=-1149.94 Mx_l=-23.00
Tensioni nella sezione: σ=278.77 τ=34.85
CC 13 SLV (Collegamento 0022_-379)
Azioni sul collegamento: N=-6324.69 Ty=2.39 Tz=-0.09 Mx=0.00 Mz=5.31
Sollecitazioni agenti localmente: Ty_l=-1149.94 Mx_l=-23.00
Tensioni nella sezione: σ=278.77 τ=34.85
CC 13 SLV (Collegamento 0022_-379)
Azioni sul collegamento: N=-6324.69 Ty=0.09 Tz=-5.21 Mx=0.00 Mz=0.81
Sollecitazioni agenti localmente: Ty_l=-1149.94 Mx_l=-23.00
Tensioni nella sezione: σ=278.77 τ=34.85
CC 13 SLV (Collegamento 0022_-379)
Azioni sul collegamento: N=-6324.69 Ty=2.39 Tz=-5.21 Mx=0.00 Mz=5.31
Sollecitazioni agenti localmente: Ty_l=-1149.94 Mx_l=-23.00
Tensioni nella sezione: σ=278.77 τ=34.85
CC 14 SLD (Collegamento 0022_-379)
Azioni sul collegamento: N=-5422.89 Ty=0.08 Tz=-1.87 Mx=0.00 Mz=0.32
Sollecitazioni agenti localmente: Ty_l=-985.98 Mx_l=-19.72
Tensioni nella sezione: σ=239.03 τ=29.88
CC 14 SLD (Collegamento 0022_-379)
Azioni sul collegamento: N=-5422.89 Ty=0.78 Tz=-1.87 Mx=0.00 Mz=1.69
Sollecitazioni agenti localmente: Ty_l=-985.98 Mx_l=-19.72
Tensioni nella sezione: σ=239.03 τ=29.88
CC 14 SLD (Collegamento 0022_-379)
Azioni sul collegamento: N=-5422.89 Ty=0.08 Tz=-3.43 Mx=0.00 Mz=0.32
Sollecitazioni agenti localmente: Ty_l=-985.98 Mx_l=-19.72
Tensioni nella sezione: σ=239.03 τ=29.88
CC 14 SLD (Collegamento 0022_-379)
Azioni sul collegamento: N=-5422.89 Ty=0.78 Tz=-3.43 Mx=0.00 Mz=1.69
Sollecitazioni agenti localmente: Ty_l=-985.98 Mx_l=-19.72
Tensioni nella sezione: σ=239.03 τ=29.88
CC 14 SLD (Collegamento 0022_-379)
Azioni sul collegamento: N=-5844.26 Ty=0.08 Tz=-1.87 Mx=0.00 Mz=0.32

Sollecitazioni agenti localmente: Ty_l=-1062.59 Mx_l=-21.25
Tensioni nella sezione: σ=257.60 τ=32.20
CC 14 SLD (Collegamento 0022_-379)
Azioni sul collegamento: N=-5844.26 Ty=0.78 Tz=-1.87 Mx=0.00 Mz=1.69
Sollecitazioni agenti localmente: Ty_l=-1062.59 Mx_l=-21.25
Tensioni nella sezione: σ=257.60 τ=32.20
CC 14 SLD (Collegamento 0022_-379)
Azioni sul collegamento: N=-5844.26 Ty=0.08 Tz=-3.43 Mx=0.00 Mz=0.32
Sollecitazioni agenti localmente: Ty_l=-1062.59 Mx_l=-21.25
Tensioni nella sezione: σ=257.60 τ=32.20
CC 14 SLD (Collegamento 0022_-379)
Azioni sul collegamento: N=-5844.26 Ty=0.78 Tz=-3.43 Mx=0.00 Mz=1.69
Sollecitazioni agenti localmente: Ty_l=-1062.59 Mx_l=-21.25
Tensioni nella sezione: σ=257.60 τ=32.20
CC 15 SLV (Collegamento 0022_-379)
Azioni sul collegamento: N=-6324.76 Ty=0.08 Tz=-5.22 Mx=0.00 Mz=0.80
Sollecitazioni agenti localmente: Ty_l=-1149.96 Mx_l=-23.00
Tensioni nella sezione: σ=278.78 τ=34.85
CC 15 SLV (Collegamento 0022_-379)
Azioni sul collegamento: N=-6324.76 Ty=2.39 Tz=-5.22 Mx=0.00 Mz=5.32
Sollecitazioni agenti localmente: Ty_l=-1149.96 Mx_l=-23.00
Tensioni nella sezione: σ=278.78 τ=34.85
CC 15 SLV (Collegamento 0022_-379)
Azioni sul collegamento: N=-6324.76 Ty=0.08 Tz=-0.09 Mx=0.00 Mz=0.80
Sollecitazioni agenti localmente: Ty_l=-1149.96 Mx_l=-23.00
Tensioni nella sezione: σ=278.78 τ=34.85
CC 15 SLV (Collegamento 0022_-379)
Azioni sul collegamento: N=-6324.76 Ty=2.39 Tz=-0.09 Mx=0.00 Mz=5.32
Sollecitazioni agenti localmente: Ty_l=-1149.96 Mx_l=-23.00
Tensioni nella sezione: σ=278.78 τ=34.85
CC 15 SLV (Collegamento 0022_-379)
Azioni sul collegamento: N=-4942.75 Ty=0.08 Tz=-5.22 Mx=0.00 Mz=0.80
Sollecitazioni agenti localmente: Ty_l=-898.68 Mx_l=-17.97
Tensioni nella sezione: σ=217.86 τ=27.23
CC 15 SLV (Collegamento 0022_-379)
Azioni sul collegamento: N=-4942.75 Ty=2.39 Tz=-5.22 Mx=0.00 Mz=5.32
Sollecitazioni agenti localmente: Ty_l=-898.68 Mx_l=-17.97
Tensioni nella sezione: σ=217.86 τ=27.23
CC 15 SLV (Collegamento 0022_-379)
Azioni sul collegamento: N=-4942.75 Ty=0.08 Tz=-0.09 Mx=0.00 Mz=0.80
Sollecitazioni agenti localmente: Ty_l=-898.68 Mx_l=-17.97
Tensioni nella sezione: σ=217.86 τ=27.23
CC 15 SLV (Collegamento 0022_-379)
Azioni sul collegamento: N=-4942.75 Ty=2.39 Tz=-0.09 Mx=0.00 Mz=5.32
Sollecitazioni agenti localmente: Ty_l=-898.68 Mx_l=-17.97
Tensioni nella sezione: σ=217.86 τ=27.23
CC 16 SLD (Collegamento 0022_-379)
Azioni sul collegamento: N=-5844.28 Ty=0.08 Tz=-3.44 Mx=0.00 Mz=0.31
Sollecitazioni agenti localmente: Ty_l=-1062.60 Mx_l=-21.25
Tensioni nella sezione: σ=257.60 τ=32.20
CC 16 SLD (Collegamento 0022_-379)
Azioni sul collegamento: N=-5844.28 Ty=0.78 Tz=-3.44 Mx=0.00 Mz=1.69
Sollecitazioni agenti localmente: Ty_l=-1062.60 Mx_l=-21.25
Tensioni nella sezione: σ=257.60 τ=32.20
CC 16 SLD (Collegamento 0022_-379)
Azioni sul collegamento: N=-5844.28 Ty=0.08 Tz=-1.87 Mx=0.00 Mz=0.31
Sollecitazioni agenti localmente: Ty_l=-1062.60 Mx_l=-21.25
Tensioni nella sezione: σ=257.60 τ=32.20
CC 16 SLD (Collegamento 0022_-379)
Azioni sul collegamento: N=-5844.28 Ty=0.78 Tz=-1.87 Mx=0.00 Mz=1.69
Sollecitazioni agenti localmente: Ty_l=-1062.60 Mx_l=-21.25
Tensioni nella sezione: σ=257.60 τ=32.20
CC 16 SLD (Collegamento 0022_-379)
Azioni sul collegamento: N=-5422.87 Ty=0.08 Tz=-3.44 Mx=0.00 Mz=0.31
Sollecitazioni agenti localmente: Ty_l=-985.98 Mx_l=-19.72
Tensioni nella sezione: σ=239.02 τ=29.88
CC 16 SLD (Collegamento 0022_-379)
Azioni sul collegamento: N=-5422.87 Ty=0.78 Tz=-3.44 Mx=0.00 Mz=1.69
Sollecitazioni agenti localmente: Ty_l=-985.98 Mx_l=-19.72
Tensioni nella sezione: σ=239.02 τ=29.88
CC 16 SLD (Collegamento 0022_-379)
Azioni sul collegamento: N=-5422.87 Ty=0.08 Tz=-1.87 Mx=0.00 Mz=0.31
Sollecitazioni agenti localmente: Ty_l=-985.98 Mx_l=-19.72
Tensioni nella sezione: σ=239.02 τ=29.88
CC 16 SLD (Collegamento 0022_-379)
Azioni sul collegamento: N=-5422.87 Ty=0.78 Tz=-1.87 Mx=0.00 Mz=1.69
Sollecitazioni agenti localmente: Ty_l=-985.98 Mx_l=-19.72
Tensioni nella sezione: σ=239.02 τ=29.88
CC 17 SLV (Collegamento 0022_-379)
Azioni sul collegamento: N=-3330.00 Ty=-0.74 Tz=5.89 Mx=-0.02 Mz=-2.16

Sollecitazioni agenti localmente: Ty_l=-605.45 Mx_l=-12.11
Tensioni nella sezione: σ=146.78 τ=18.35
CC 17 SLV (Collegamento 0022_-379)
Azioni sul collegamento: N=-3330.00 Ty=-1.44 Tz=5.89 Mx=-0.02 Mz=-3.55
Sollecitazioni agenti localmente: Ty_l=-605.45 Mx_l=-12.11
Tensioni nella sezione: σ=146.78 τ=18.35
CC 17 SLV (Collegamento 0022_-379)
Azioni sul collegamento: N=-3330.00 Ty=-0.74 Tz=-11.20 Mx=-0.02 Mz=-2.16
Sollecitazioni agenti localmente: Ty_l=-605.45 Mx_l=-12.11
Tensioni nella sezione: σ=146.78 τ=18.35
CC 17 SLV (Collegamento 0022_-379)
Azioni sul collegamento: N=-3330.00 Ty=-1.44 Tz=-11.20 Mx=-0.02 Mz=-3.55
Sollecitazioni agenti localmente: Ty_l=-605.45 Mx_l=-12.11
Tensioni nella sezione: σ=146.78 τ=18.35
CC 17 SLV (Collegamento 0022_-379)
Azioni sul collegamento: N=-7936.47 Ty=-0.74 Tz=5.89 Mx=-0.02 Mz=-2.16
Sollecitazioni agenti localmente: Ty_l=-1442.99 Mx_l=-28.86
Tensioni nella sezione: σ=349.82 τ=43.73
CC 17 SLV (Collegamento 0022_-379)
Azioni sul collegamento: N=-7936.47 Ty=-1.44 Tz=5.89 Mx=-0.02 Mz=-3.55
Sollecitazioni agenti localmente: Ty_l=-1442.99 Mx_l=-28.86
Tensioni nella sezione: σ=349.82 τ=43.73
CC 17 SLV (Collegamento 0022_-379)
Azioni sul collegamento: N=-7936.47 Ty=-0.74 Tz=-11.20 Mx=-0.02 Mz=-2.16
Sollecitazioni agenti localmente: Ty_l=-1442.99 Mx_l=-28.86
Tensioni nella sezione: σ=349.82 τ=43.73
CC 17 SLV (Collegamento 0022_-379)
Azioni sul collegamento: N=-7936.47 Ty=-1.44 Tz=-11.20 Mx=-0.02 Mz=-3.55
Sollecitazioni agenti localmente: Ty_l=-1442.99 Mx_l=-28.86
Tensioni nella sezione: σ=349.82 τ=43.73
CC 18 SLD (Collegamento 0022_-379)
Azioni sul collegamento: N=-4931.08 Ty=-0.17 Tz=-0.05 Mx=-0.00 Mz=-0.59
Sollecitazioni agenti localmente: Ty_l=-896.56 Mx_l=-17.93
Tensioni nella sezione: σ=217.35 τ=27.17
CC 18 SLD (Collegamento 0022_-379)
Azioni sul collegamento: N=-4931.08 Ty=-0.39 Tz=-0.05 Mx=-0.00 Mz=-1.01
Sollecitazioni agenti localmente: Ty_l=-896.56 Mx_l=-17.93
Tensioni nella sezione: σ=217.35 τ=27.17
CC 18 SLD (Collegamento 0022_-379)
Azioni sul collegamento: N=-4931.09 Ty=-0.17 Tz=-5.26 Mx=-0.00 Mz=-0.59
Sollecitazioni agenti localmente: Ty_l=-896.56 Mx_l=-17.93
Tensioni nella sezione: σ=217.35 τ=27.17
CC 18 SLD (Collegamento 0022_-379)
Azioni sul collegamento: N=-4931.09 Ty=-0.39 Tz=-5.26 Mx=-0.00 Mz=-1.01
Sollecitazioni agenti localmente: Ty_l=-896.56 Mx_l=-17.93
Tensioni nella sezione: σ=217.35 τ=27.17
CC 18 SLD (Collegamento 0022_-379)
Azioni sul collegamento: N=-6335.74 Ty=-0.17 Tz=-0.05 Mx=-0.00 Mz=-0.59
Sollecitazioni agenti localmente: Ty_l=-1151.95 Mx_l=-23.04
Tensioni nella sezione: σ=279.26 τ=34.91
CC 18 SLD (Collegamento 0022_-379)
Azioni sul collegamento: N=-6335.74 Ty=-0.39 Tz=-0.05 Mx=-0.00 Mz=-1.01
Sollecitazioni agenti localmente: Ty_l=-1151.95 Mx_l=-23.04
Tensioni nella sezione: σ=279.26 τ=34.91
CC 18 SLD (Collegamento 0022_-379)
Azioni sul collegamento: N=-6335.74 Ty=-0.17 Tz=-5.26 Mx=-0.00 Mz=-0.59
Sollecitazioni agenti localmente: Ty_l=-1151.95 Mx_l=-23.04
Tensioni nella sezione: σ=279.26 τ=34.91
CC 18 SLD (Collegamento 0022_-379)
Azioni sul collegamento: N=-6335.74 Ty=-0.39 Tz=-5.26 Mx=-0.00 Mz=-1.01
Sollecitazioni agenti localmente: Ty_l=-1151.95 Mx_l=-23.04
Tensioni nella sezione: σ=279.26 τ=34.91
CC 19 SLV (Collegamento 0022_-379)
Azioni sul collegamento: N=-3330.02 Ty=-1.43 Tz=5.88 Mx=-0.01 Mz=-3.51
Sollecitazioni agenti localmente: Ty_l=-605.46 Mx_l=-12.11
Tensioni nella sezione: σ=146.78 τ=18.35
CC 19 SLV (Collegamento 0022_-379)
Azioni sul collegamento: N=-3330.02 Ty=-0.75 Tz=5.88 Mx=-0.01 Mz=-2.19
Sollecitazioni agenti localmente: Ty_l=-605.46 Mx_l=-12.11
Tensioni nella sezione: σ=146.78 τ=18.35
CC 19 SLV (Collegamento 0022_-379)
Azioni sul collegamento: N=-3330.02 Ty=-1.43 Tz=-11.19 Mx=-0.01 Mz=-3.51
Sollecitazioni agenti localmente: Ty_l=-605.46 Mx_l=-12.11
Tensioni nella sezione: σ=146.78 τ=18.35
CC 19 SLV (Collegamento 0022_-379)
Azioni sul collegamento: N=-3330.02 Ty=-0.75 Tz=-11.19 Mx=-0.01 Mz=-2.19
Sollecitazioni agenti localmente: Ty_l=-605.46 Mx_l=-12.11
Tensioni nella sezione: σ=146.78 τ=18.35
CC 19 SLV (Collegamento 0022_-379)
Azioni sul collegamento: N=-7936.44 Ty=-1.43 Tz=5.88 Mx=-0.01 Mz=-3.51

Sollecitazioni agenti localmente: Ty_l=-1442.99 Mx_l=-28.86
Tensioni nella sezione: σ=349.81 τ=43.73
CC 19 SLV (Collegamento 0022_-379)
Azioni sul collegamento: N=-7936.44 Ty=-0.75 Tz=5.88 Mx=-0.01 Mz=-2.19
Sollecitazioni agenti localmente: Ty_l=-1442.99 Mx_l=-28.86
Tensioni nella sezione: σ=349.81 τ=43.73
CC 19 SLV (Collegamento 0022_-379)
Azioni sul collegamento: N=-7936.44 Ty=-1.43 Tz=-11.19 Mx=-0.01 Mz=-3.51
Sollecitazioni agenti localmente: Ty_l=-1442.99 Mx_l=-28.86
Tensioni nella sezione: σ=349.81 τ=43.73
CC 19 SLV (Collegamento 0022_-379)
Azioni sul collegamento: N=-7936.44 Ty=-0.75 Tz=-11.19 Mx=-0.01 Mz=-2.19
Sollecitazioni agenti localmente: Ty_l=-1442.99 Mx_l=-28.86
Tensioni nella sezione: σ=349.81 τ=43.73
CC 20 SLD (Collegamento 0022_-379)
Azioni sul collegamento: N=-4931.09 Ty=-0.38 Tz=-0.05 Mx=-0.00 Mz=-1.00
Sollecitazioni agenti localmente: Ty_l=-896.56 Mx_l=-17.93
Tensioni nella sezione: σ=217.35 τ=27.17
CC 20 SLD (Collegamento 0022_-379)
Azioni sul collegamento: N=-4931.09 Ty=-0.18 Tz=-0.05 Mx=-0.00 Mz=-0.60
Sollecitazioni agenti localmente: Ty_l=-896.56 Mx_l=-17.93
Tensioni nella sezione: σ=217.35 τ=27.17
CC 20 SLD (Collegamento 0022_-379)
Azioni sul collegamento: N=-4931.09 Ty=-0.38 Tz=-5.26 Mx=-0.00 Mz=-1.00
Sollecitazioni agenti localmente: Ty_l=-896.56 Mx_l=-17.93
Tensioni nella sezione: σ=217.35 τ=27.17
CC 20 SLD (Collegamento 0022_-379)
Azioni sul collegamento: N=-4931.09 Ty=-0.18 Tz=-5.26 Mx=-0.00 Mz=-0.60
Sollecitazioni agenti localmente: Ty_l=-896.56 Mx_l=-17.93
Tensioni nella sezione: σ=217.35 τ=27.17
CC 20 SLD (Collegamento 0022_-379)
Azioni sul collegamento: N=-6335.74 Ty=-0.38 Tz=-0.05 Mx=-0.00 Mz=-1.00
Sollecitazioni agenti localmente: Ty_l=-1151.95 Mx_l=-23.04
Tensioni nella sezione: σ=279.26 τ=34.91
CC 20 SLD (Collegamento 0022_-379)
Azioni sul collegamento: N=-6335.74 Ty=-0.18 Tz=-0.05 Mx=-0.00 Mz=-0.60
Sollecitazioni agenti localmente: Ty_l=-1151.95 Mx_l=-23.04
Tensioni nella sezione: σ=279.26 τ=34.91
CC 20 SLD (Collegamento 0022_-379)
Azioni sul collegamento: N=-6335.74 Ty=-0.38 Tz=-5.26 Mx=-0.00 Mz=-1.00
Sollecitazioni agenti localmente: Ty_l=-1151.95 Mx_l=-23.04
Tensioni nella sezione: σ=279.26 τ=34.91
CC 20 SLD (Collegamento 0022_-379)
Azioni sul collegamento: N=-6335.74 Ty=-0.18 Tz=-5.26 Mx=-0.00 Mz=-0.60
Sollecitazioni agenti localmente: Ty_l=-1151.95 Mx_l=-23.04
Tensioni nella sezione: σ=279.26 τ=34.91
CC 21 SLV (Collegamento 0022_-379)
Azioni sul collegamento: N=-7936.44 Ty=-0.75 Tz=-11.19 Mx=-0.02 Mz=-2.19
Sollecitazioni agenti localmente: Ty_l=-1442.99 Mx_l=-28.86
Tensioni nella sezione: σ=349.81 τ=43.73
CC 21 SLV (Collegamento 0022_-379)
Azioni sul collegamento: N=-7936.44 Ty=-1.43 Tz=-11.19 Mx=-0.02 Mz=-3.51
Sollecitazioni agenti localmente: Ty_l=-1442.99 Mx_l=-28.86
Tensioni nella sezione: σ=349.81 τ=43.73
CC 21 SLV (Collegamento 0022_-379)
Azioni sul collegamento: N=-7936.44 Ty=-0.75 Tz=5.88 Mx=-0.02 Mz=-2.19
Sollecitazioni agenti localmente: Ty_l=-1442.99 Mx_l=-28.86
Tensioni nella sezione: σ=349.81 τ=43.73
CC 21 SLV (Collegamento 0022_-379)
Azioni sul collegamento: N=-7936.44 Ty=-1.43 Tz=5.88 Mx=-0.02 Mz=-3.51
Sollecitazioni agenti localmente: Ty_l=-1442.99 Mx_l=-28.86
Tensioni nella sezione: σ=349.81 τ=43.73
CC 21 SLV (Collegamento 0022_-379)
Azioni sul collegamento: N=-3330.02 Ty=-0.75 Tz=-11.19 Mx=-0.02 Mz=-2.19
Sollecitazioni agenti localmente: Ty_l=-605.46 Mx_l=-12.11
Tensioni nella sezione: σ=146.78 τ=18.35
CC 21 SLV (Collegamento 0022_-379)
Azioni sul collegamento: N=-3330.02 Ty=-1.43 Tz=-11.19 Mx=-0.02 Mz=-3.51
Sollecitazioni agenti localmente: Ty_l=-605.46 Mx_l=-12.11
Tensioni nella sezione: σ=146.78 τ=18.35
CC 21 SLV (Collegamento 0022_-379)
Azioni sul collegamento: N=-3330.02 Ty=-0.75 Tz=5.88 Mx=-0.02 Mz=-2.19
Sollecitazioni agenti localmente: Ty_l=-605.46 Mx_l=-12.11
Tensioni nella sezione: σ=146.78 τ=18.35
CC 21 SLV (Collegamento 0022_-379)
Azioni sul collegamento: N=-3330.02 Ty=-1.43 Tz=5.88 Mx=-0.02 Mz=-3.51
Sollecitazioni agenti localmente: Ty_l=-605.46 Mx_l=-12.11
Tensioni nella sezione: σ=146.78 τ=18.35
CC 22 SLD (Collegamento 0022_-379)
Azioni sul collegamento: N=-6335.74 Ty=-0.18 Tz=-5.26 Mx=-0.00 Mz=-0.60

Sollecitazioni agenti localmente: Ty_l=-1151.95 Mx_l=-23.04
Tensioni nella sezione: σ=279.26 τ=34.91
CC 22 SLD (Collegamento 0022_-379)
Azioni sul collegamento: N=-6335.74 Ty=-0.38 Tz=-5.26 Mx=-0.00 Mz=-1.00
Sollecitazioni agenti localmente: Ty_l=-1151.95 Mx_l=-23.04
Tensioni nella sezione: σ=279.26 τ=34.91
CC 22 SLD (Collegamento 0022_-379)
Azioni sul collegamento: N=-6335.74 Ty=-0.18 Tz=-0.05 Mx=-0.00 Mz=-0.60
Sollecitazioni agenti localmente: Ty_l=-1151.95 Mx_l=-23.04
Tensioni nella sezione: σ=279.26 τ=34.91
CC 22 SLD (Collegamento 0022_-379)
Azioni sul collegamento: N=-6335.74 Ty=-0.38 Tz=-0.05 Mx=-0.00 Mz=-1.00
Sollecitazioni agenti localmente: Ty_l=-1151.95 Mx_l=-23.04
Tensioni nella sezione: σ=279.26 τ=34.91
CC 22 SLD (Collegamento 0022_-379)
Azioni sul collegamento: N=-4931.09 Ty=-0.18 Tz=-5.26 Mx=-0.00 Mz=-0.60
Sollecitazioni agenti localmente: Ty_l=-896.56 Mx_l=-17.93
Tensioni nella sezione: σ=217.35 τ=27.17
CC 22 SLD (Collegamento 0022_-379)
Azioni sul collegamento: N=-4931.09 Ty=-0.38 Tz=-5.26 Mx=-0.00 Mz=-1.00
Sollecitazioni agenti localmente: Ty_l=-896.56 Mx_l=-17.93
Tensioni nella sezione: σ=217.35 τ=27.17
CC 22 SLD (Collegamento 0022_-379)
Azioni sul collegamento: N=-4931.09 Ty=-0.18 Tz=-0.05 Mx=-0.00 Mz=-0.60
Sollecitazioni agenti localmente: Ty_l=-896.56 Mx_l=-17.93
Tensioni nella sezione: σ=217.35 τ=27.17
CC 22 SLD (Collegamento 0022_-379)
Azioni sul collegamento: N=-4931.09 Ty=-0.38 Tz=-0.05 Mx=-0.00 Mz=-1.00
Sollecitazioni agenti localmente: Ty_l=-896.56 Mx_l=-17.93
Tensioni nella sezione: σ=217.35 τ=27.17
CC 23 SLV (Collegamento 0022_-379)
Azioni sul collegamento: N=-7936.47 Ty=-1.44 Tz=-11.20 Mx=-0.01 Mz=-3.55
Sollecitazioni agenti localmente: Ty_l=-1442.99 Mx_l=-28.86
Tensioni nella sezione: σ=349.82 τ=43.73
CC 23 SLV (Collegamento 0022_-379)
Azioni sul collegamento: N=-7936.47 Ty=-0.74 Tz=-11.20 Mx=-0.01 Mz=-2.16
Sollecitazioni agenti localmente: Ty_l=-1442.99 Mx_l=-28.86
Tensioni nella sezione: σ=349.82 τ=43.73
CC 23 SLV (Collegamento 0022_-379)
Azioni sul collegamento: N=-7936.47 Ty=-1.44 Tz=5.89 Mx=-0.01 Mz=-3.55
Sollecitazioni agenti localmente: Ty_l=-1442.99 Mx_l=-28.86
Tensioni nella sezione: σ=349.82 τ=43.73
CC 23 SLV (Collegamento 0022_-379)
Azioni sul collegamento: N=-7936.47 Ty=-0.74 Tz=5.89 Mx=-0.01 Mz=-2.16
Sollecitazioni agenti localmente: Ty_l=-1442.99 Mx_l=-28.86
Tensioni nella sezione: σ=349.82 τ=43.73
CC 23 SLV (Collegamento 0022_-379)
Azioni sul collegamento: N=-3330.00 Ty=-1.44 Tz=-11.20 Mx=-0.01 Mz=-3.55
Sollecitazioni agenti localmente: Ty_l=-605.45 Mx_l=-12.11
Tensioni nella sezione: σ=146.78 τ=18.35
CC 23 SLV (Collegamento 0022_-379)
Azioni sul collegamento: N=-3330.00 Ty=-0.74 Tz=-11.20 Mx=-0.01 Mz=-2.16
Sollecitazioni agenti localmente: Ty_l=-605.45 Mx_l=-12.11
Tensioni nella sezione: σ=146.78 τ=18.35
CC 23 SLV (Collegamento 0022_-379)
Azioni sul collegamento: N=-3330.00 Ty=-1.44 Tz=5.89 Mx=-0.01 Mz=-3.55
Sollecitazioni agenti localmente: Ty_l=-605.45 Mx_l=-12.11
Tensioni nella sezione: σ=146.78 τ=18.35
CC 23 SLV (Collegamento 0022_-379)
Azioni sul collegamento: N=-3330.00 Ty=-0.74 Tz=5.89 Mx=-0.01 Mz=-2.16
Sollecitazioni agenti localmente: Ty_l=-605.45 Mx_l=-12.11
Tensioni nella sezione: σ=146.78 τ=18.35
CC 24 SLD (Collegamento 0022_-379)
Azioni sul collegamento: N=-6335.74 Ty=-0.39 Tz=-5.26 Mx=-0.00 Mz=-1.01
Sollecitazioni agenti localmente: Ty_l=-1151.95 Mx_l=-23.04
Tensioni nella sezione: σ=279.26 τ=34.91
CC 24 SLD (Collegamento 0022_-379)
Azioni sul collegamento: N=-6335.74 Ty=-0.17 Tz=-5.26 Mx=-0.00 Mz=-0.59
Sollecitazioni agenti localmente: Ty_l=-1151.95 Mx_l=-23.04
Tensioni nella sezione: σ=279.26 τ=34.91
CC 24 SLD (Collegamento 0022_-379)
Azioni sul collegamento: N=-6335.74 Ty=-0.39 Tz=-0.05 Mx=-0.00 Mz=-1.01
Sollecitazioni agenti localmente: Ty_l=-1151.95 Mx_l=-23.04
Tensioni nella sezione: σ=279.26 τ=34.91
CC 24 SLD (Collegamento 0022_-379)
Azioni sul collegamento: N=-6335.74 Ty=-0.17 Tz=-0.05 Mx=-0.00 Mz=-0.59
Sollecitazioni agenti localmente: Ty_l=-1151.95 Mx_l=-23.04
Tensioni nella sezione: σ=279.26 τ=34.91
CC 24 SLD (Collegamento 0022_-379)
Azioni sul collegamento: N=-4931.09 Ty=-0.39 Tz=-5.26 Mx=-0.00 Mz=-1.01

Sollecitazioni agenti localmente: Ty_l=-896.56 Mx_l=-17.93
Tensioni nella sezione: σ=217.35 τ=27.17
CC 24 SLD (Collegamento 0022_-379)
Azioni sul collegamento: N=-4931.09 Ty=-0.17 Tz=-5.26 Mx=-0.00 Mz=-0.59
Sollecitazioni agenti localmente: Ty_l=-896.56 Mx_l=-17.93
Tensioni nella sezione: σ=217.35 τ=27.17
CC 24 SLD (Collegamento 0022_-379)
Azioni sul collegamento: N=-4931.08 Ty=-0.39 Tz=-0.05 Mx=-0.00 Mz=-1.01
Sollecitazioni agenti localmente: Ty_l=-896.56 Mx_l=-17.93
Tensioni nella sezione: σ=217.35 τ=27.17
CC 24 SLD (Collegamento 0022_-379)
Azioni sul collegamento: N=-4931.08 Ty=-0.17 Tz=-0.05 Mx=-0.00 Mz=-0.59
Sollecitazioni agenti localmente: Ty_l=-896.56 Mx_l=-17.93
Tensioni nella sezione: σ=217.35 τ=27.17
CC 25 SLV (Collegamento 0022_-379)
Azioni sul collegamento: N=-4942.23 Ty=0.07 Tz=-0.09 Mx=-0.02 Mz=-0.59
Sollecitazioni agenti localmente: Ty_l=-898.59 Mx_l=-17.97
Tensioni nella sezione: σ=217.84 τ=27.23
CC 25 SLV (Collegamento 0022_-379)
Azioni sul collegamento: N=-4942.23 Ty=-2.24 Tz=-0.09 Mx=-0.02 Mz=-5.11
Sollecitazioni agenti localmente: Ty_l=-898.59 Mx_l=-17.97
Tensioni nella sezione: σ=217.84 τ=27.23
CC 25 SLV (Collegamento 0022_-379)
Azioni sul collegamento: N=-4942.23 Ty=0.07 Tz=-5.22 Mx=-0.02 Mz=-0.59
Sollecitazioni agenti localmente: Ty_l=-898.59 Mx_l=-17.97
Tensioni nella sezione: σ=217.84 τ=27.23
CC 25 SLV (Collegamento 0022_-379)
Azioni sul collegamento: N=-4942.23 Ty=-2.24 Tz=-5.22 Mx=-0.02 Mz=-5.11
Sollecitazioni agenti localmente: Ty_l=-898.59 Mx_l=-17.97
Tensioni nella sezione: σ=217.84 τ=27.23
CC 25 SLV (Collegamento 0022_-379)
Azioni sul collegamento: N=-6324.24 Ty=0.07 Tz=-0.09 Mx=-0.02 Mz=-0.59
Sollecitazioni agenti localmente: Ty_l=-1149.86 Mx_l=-23.00
Tensioni nella sezione: σ=278.75 τ=34.84
CC 25 SLV (Collegamento 0022_-379)
Azioni sul collegamento: N=-6324.24 Ty=-2.24 Tz=-0.09 Mx=-0.02 Mz=-5.11
Sollecitazioni agenti localmente: Ty_l=-1149.86 Mx_l=-23.00
Tensioni nella sezione: σ=278.75 τ=34.84
CC 25 SLV (Collegamento 0022_-379)
Azioni sul collegamento: N=-6324.24 Ty=0.07 Tz=-5.22 Mx=-0.02 Mz=-0.59
Sollecitazioni agenti localmente: Ty_l=-1149.86 Mx_l=-23.00
Tensioni nella sezione: σ=278.75 τ=34.84
CC 25 SLV (Collegamento 0022_-379)
Azioni sul collegamento: N=-6324.24 Ty=-2.24 Tz=-5.22 Mx=-0.02 Mz=-5.11
Sollecitazioni agenti localmente: Ty_l=-1149.86 Mx_l=-23.00
Tensioni nella sezione: σ=278.75 τ=34.84
CC 26 SLD (Collegamento 0022_-379)
Azioni sul collegamento: N=-5422.71 Ty=0.07 Tz=-1.87 Mx=-0.01 Mz=-0.11
Sollecitazioni agenti localmente: Ty_l=-985.95 Mx_l=-19.72
Tensioni nella sezione: σ=239.02 τ=29.88
CC 26 SLD (Collegamento 0022_-379)
Azioni sul collegamento: N=-5422.71 Ty=-0.63 Tz=-1.87 Mx=-0.01 Mz=-1.49
Sollecitazioni agenti localmente: Ty_l=-985.95 Mx_l=-19.72
Tensioni nella sezione: σ=239.02 τ=29.88
CC 26 SLD (Collegamento 0022_-379)
Azioni sul collegamento: N=-5422.71 Ty=0.07 Tz=-3.44 Mx=-0.01 Mz=-0.11
Sollecitazioni agenti localmente: Ty_l=-985.95 Mx_l=-19.72
Tensioni nella sezione: σ=239.02 τ=29.88
CC 26 SLD (Collegamento 0022_-379)
Azioni sul collegamento: N=-5422.71 Ty=-0.63 Tz=-3.44 Mx=-0.01 Mz=-1.49
Sollecitazioni agenti localmente: Ty_l=-985.95 Mx_l=-19.72
Tensioni nella sezione: σ=239.02 τ=29.88
CC 26 SLD (Collegamento 0022_-379)
Azioni sul collegamento: N=-5844.12 Ty=0.07 Tz=-1.87 Mx=-0.01 Mz=-0.11
Sollecitazioni agenti localmente: Ty_l=-1062.57 Mx_l=-21.25
Tensioni nella sezione: σ=257.59 τ=32.20
CC 26 SLD (Collegamento 0022_-379)
Azioni sul collegamento: N=-5844.12 Ty=-0.63 Tz=-1.87 Mx=-0.01 Mz=-1.49
Sollecitazioni agenti localmente: Ty_l=-1062.57 Mx_l=-21.25
Tensioni nella sezione: σ=257.59 τ=32.20
CC 26 SLD (Collegamento 0022_-379)
Azioni sul collegamento: N=-5844.12 Ty=0.07 Tz=-3.44 Mx=-0.01 Mz=-0.11
Sollecitazioni agenti localmente: Ty_l=-1062.57 Mx_l=-21.25
Tensioni nella sezione: σ=257.59 τ=32.20
CC 26 SLD (Collegamento 0022_-379)
Azioni sul collegamento: N=-5844.12 Ty=-0.63 Tz=-3.44 Mx=-0.01 Mz=-1.49
Sollecitazioni agenti localmente: Ty_l=-1062.57 Mx_l=-21.25
Tensioni nella sezione: σ=257.59 τ=32.20
CC 27 SLV (Collegamento 0022_-379)
Azioni sul collegamento: N=-6324.16 Ty=0.06 Tz=-5.22 Mx=-0.02 Mz=-0.60

Sollecitazioni agenti localmente: Ty_l=-1149.85 Mx_l=-23.00
Tensioni nella sezione: σ=278.75 τ=34.84
CC 27 SLV (Collegamento 0022_-379)
Azioni sul collegamento: N=-6324.16 Ty=-2.24 Tz=-5.22 Mx=-0.02 Mz=-5.10
Sollecitazioni agenti localmente: Ty_l=-1149.85 Mx_l=-23.00
Tensioni nella sezione: σ=278.75 τ=34.84
CC 27 SLV (Collegamento 0022_-379)
Azioni sul collegamento: N=-6324.16 Ty=0.06 Tz=-0.09 Mx=-0.02 Mz=-0.60
Sollecitazioni agenti localmente: Ty_l=-1149.85 Mx_l=-23.00
Tensioni nella sezione: σ=278.75 τ=34.84
CC 27 SLV (Collegamento 0022_-379)
Azioni sul collegamento: N=-6324.16 Ty=-2.24 Tz=-0.09 Mx=-0.02 Mz=-5.10
Sollecitazioni agenti localmente: Ty_l=-1149.85 Mx_l=-23.00
Tensioni nella sezione: σ=278.75 τ=34.84
CC 27 SLV (Collegamento 0022_-379)
Azioni sul collegamento: N=-4942.30 Ty=0.06 Tz=-5.22 Mx=-0.02 Mz=-0.60
Sollecitazioni agenti localmente: Ty_l=-898.60 Mx_l=-17.97
Tensioni nella sezione: σ=217.84 τ=27.23
CC 27 SLV (Collegamento 0022_-379)
Azioni sul collegamento: N=-4942.30 Ty=-2.24 Tz=-5.22 Mx=-0.02 Mz=-5.10
Sollecitazioni agenti localmente: Ty_l=-898.60 Mx_l=-17.97
Tensioni nella sezione: σ=217.84 τ=27.23
CC 27 SLV (Collegamento 0022_-379)
Azioni sul collegamento: N=-4942.30 Ty=0.06 Tz=-0.09 Mx=-0.02 Mz=-0.60
Sollecitazioni agenti localmente: Ty_l=-898.60 Mx_l=-17.97
Tensioni nella sezione: σ=217.84 τ=27.23
CC 27 SLV (Collegamento 0022_-379)
Azioni sul collegamento: N=-4942.30 Ty=-2.24 Tz=-0.09 Mx=-0.02 Mz=-5.10
Sollecitazioni agenti localmente: Ty_l=-898.60 Mx_l=-17.97
Tensioni nella sezione: σ=217.84 τ=27.23
CC 28 SLD (Collegamento 0022_-379)
Azioni sul collegamento: N=-5844.10 Ty=0.07 Tz=-3.44 Mx=-0.01 Mz=-0.11
Sollecitazioni agenti localmente: Ty_l=-1062.56 Mx_l=-21.25
Tensioni nella sezione: σ=257.59 τ=32.20
CC 28 SLD (Collegamento 0022_-379)
Azioni sul collegamento: N=-5844.10 Ty=-0.63 Tz=-3.44 Mx=-0.01 Mz=-1.48
Sollecitazioni agenti localmente: Ty_l=-1062.56 Mx_l=-21.25
Tensioni nella sezione: σ=257.59 τ=32.20
CC 28 SLD (Collegamento 0022_-379)
Azioni sul collegamento: N=-5844.10 Ty=0.07 Tz=-1.87 Mx=-0.01 Mz=-0.11
Sollecitazioni agenti localmente: Ty_l=-1062.56 Mx_l=-21.25
Tensioni nella sezione: σ=257.59 τ=32.20
CC 28 SLD (Collegamento 0022_-379)
Azioni sul collegamento: N=-5844.10 Ty=-0.63 Tz=-1.87 Mx=-0.01 Mz=-1.48
Sollecitazioni agenti localmente: Ty_l=-1062.56 Mx_l=-21.25
Tensioni nella sezione: σ=257.59 τ=32.20
CC 28 SLD (Collegamento 0022_-379)
Azioni sul collegamento: N=-5422.73 Ty=0.07 Tz=-3.44 Mx=-0.01 Mz=-0.11
Sollecitazioni agenti localmente: Ty_l=-985.95 Mx_l=-19.72
Tensioni nella sezione: σ=239.02 τ=29.88
CC 28 SLD (Collegamento 0022_-379)
Azioni sul collegamento: N=-5422.73 Ty=-0.63 Tz=-3.44 Mx=-0.01 Mz=-1.48
Sollecitazioni agenti localmente: Ty_l=-985.95 Mx_l=-19.72
Tensioni nella sezione: σ=239.02 τ=29.88
CC 28 SLD (Collegamento 0022_-379)
Azioni sul collegamento: N=-5422.73 Ty=0.07 Tz=-1.87 Mx=-0.01 Mz=-0.11
Sollecitazioni agenti localmente: Ty_l=-985.95 Mx_l=-19.72
Tensioni nella sezione: σ=239.02 τ=29.88
CC 28 SLD (Collegamento 0022_-379)
Azioni sul collegamento: N=-5422.73 Ty=-0.63 Tz=-1.87 Mx=-0.01 Mz=-1.48
Sollecitazioni agenti localmente: Ty_l=-985.95 Mx_l=-19.72
Tensioni nella sezione: σ=239.02 τ=29.88
CC 29 SLV (Collegamento 0022_-379)
Azioni sul collegamento: N=-4942.30 Ty=-2.24 Tz=-0.09 Mx=-0.00 Mz=-5.10
Sollecitazioni agenti localmente: Ty_l=-898.60 Mx_l=-17.97
Tensioni nella sezione: σ=217.84 τ=27.23
CC 29 SLV (Collegamento 0022_-379)
Azioni sul collegamento: N=-4942.30 Ty=0.06 Tz=-0.09 Mx=-0.00 Mz=-0.60
Sollecitazioni agenti localmente: Ty_l=-898.60 Mx_l=-17.97
Tensioni nella sezione: σ=217.84 τ=27.23
CC 29 SLV (Collegamento 0022_-379)
Azioni sul collegamento: N=-4942.30 Ty=-2.24 Tz=-5.22 Mx=-0.00 Mz=-5.10
Sollecitazioni agenti localmente: Ty_l=-898.60 Mx_l=-17.97
Tensioni nella sezione: σ=217.84 τ=27.23
CC 29 SLV (Collegamento 0022_-379)
Azioni sul collegamento: N=-4942.30 Ty=0.06 Tz=-5.22 Mx=-0.00 Mz=-0.60
Sollecitazioni agenti localmente: Ty_l=-898.60 Mx_l=-17.97
Tensioni nella sezione: σ=217.84 τ=27.23
CC 29 SLV (Collegamento 0022_-379)
Azioni sul collegamento: N=-6324.16 Ty=-2.24 Tz=-0.09 Mx=-0.00 Mz=-5.10

Sollecitazioni agenti localmente: Ty_l=-1149.85 Mx_l=-23.00
Tensioni nella sezione: σ=278.75 τ=34.84
CC 29 SLV (Collegamento 0022_-379)
Azioni sul collegamento: N=-6324.16 Ty=0.06 Tz=-0.09 Mx=-0.00 Mz=-0.60
Sollecitazioni agenti localmente: Ty_l=-1149.85 Mx_l=-23.00
Tensioni nella sezione: σ=278.75 τ=34.84
CC 29 SLV (Collegamento 0022_-379)
Azioni sul collegamento: N=-6324.16 Ty=-2.24 Tz=-5.22 Mx=-0.00 Mz=-5.10
Sollecitazioni agenti localmente: Ty_l=-1149.85 Mx_l=-23.00
Tensioni nella sezione: σ=278.75 τ=34.84
CC 29 SLV (Collegamento 0022_-379)
Azioni sul collegamento: N=-6324.16 Ty=0.06 Tz=-5.22 Mx=-0.00 Mz=-0.60
Sollecitazioni agenti localmente: Ty_l=-1149.85 Mx_l=-23.00
Tensioni nella sezione: σ=278.75 τ=34.84
CC 30 SLD (Collegamento 0022_-379)
Azioni sul collegamento: N=-5422.73 Ty=-0.63 Tz=-1.87 Mx=-0.00 Mz=-1.48
Sollecitazioni agenti localmente: Ty_l=-985.95 Mx_l=-19.72
Tensioni nella sezione: σ=239.02 τ=29.88
CC 30 SLD (Collegamento 0022_-379)
Azioni sul collegamento: N=-5422.73 Ty=0.07 Tz=-1.87 Mx=-0.00 Mz=-0.11
Sollecitazioni agenti localmente: Ty_l=-985.95 Mx_l=-19.72
Tensioni nella sezione: σ=239.02 τ=29.88
CC 30 SLD (Collegamento 0022_-379)
Azioni sul collegamento: N=-5422.73 Ty=-0.63 Tz=-3.44 Mx=-0.00 Mz=-1.48
Sollecitazioni agenti localmente: Ty_l=-985.95 Mx_l=-19.72
Tensioni nella sezione: σ=239.02 τ=29.88
CC 30 SLD (Collegamento 0022_-379)
Azioni sul collegamento: N=-5422.73 Ty=0.07 Tz=-3.44 Mx=-0.00 Mz=-0.11
Sollecitazioni agenti localmente: Ty_l=-985.95 Mx_l=-19.72
Tensioni nella sezione: σ=239.02 τ=29.88
CC 30 SLD (Collegamento 0022_-379)
Azioni sul collegamento: N=-5844.10 Ty=-0.63 Tz=-1.87 Mx=-0.00 Mz=-1.48
Sollecitazioni agenti localmente: Ty_l=-1062.56 Mx_l=-21.25
Tensioni nella sezione: σ=257.59 τ=32.20
CC 30 SLD (Collegamento 0022_-379)
Azioni sul collegamento: N=-5844.10 Ty=0.07 Tz=-1.87 Mx=-0.00 Mz=-0.11
Sollecitazioni agenti localmente: Ty_l=-1062.56 Mx_l=-21.25
Tensioni nella sezione: σ=257.59 τ=32.20
CC 30 SLD (Collegamento 0022_-379)
Azioni sul collegamento: N=-5844.10 Ty=-0.63 Tz=-3.44 Mx=-0.00 Mz=-1.48
Sollecitazioni agenti localmente: Ty_l=-1062.56 Mx_l=-21.25
Tensioni nella sezione: σ=257.59 τ=32.20
CC 30 SLD (Collegamento 0022_-379)
Azioni sul collegamento: N=-5844.10 Ty=0.07 Tz=-3.44 Mx=-0.00 Mz=-0.11
Sollecitazioni agenti localmente: Ty_l=-1062.56 Mx_l=-21.25
Tensioni nella sezione: σ=257.59 τ=32.20
CC 31 SLV (Collegamento 0022_-379)
Azioni sul collegamento: N=-6324.24 Ty=-2.24 Tz=-5.22 Mx=-0.00 Mz=-5.11
Sollecitazioni agenti localmente: Ty_l=-1149.86 Mx_l=-23.00
Tensioni nella sezione: σ=278.75 τ=34.84
CC 31 SLV (Collegamento 0022_-379)
Azioni sul collegamento: N=-6324.24 Ty=0.07 Tz=-5.22 Mx=-0.00 Mz=-0.59
Sollecitazioni agenti localmente: Ty_l=-1149.86 Mx_l=-23.00
Tensioni nella sezione: σ=278.75 τ=34.84
CC 31 SLV (Collegamento 0022_-379)
Azioni sul collegamento: N=-6324.24 Ty=-2.24 Tz=-0.09 Mx=-0.00 Mz=-5.11
Sollecitazioni agenti localmente: Ty_l=-1149.86 Mx_l=-23.00
Tensioni nella sezione: σ=278.75 τ=34.84
CC 31 SLV (Collegamento 0022_-379)
Azioni sul collegamento: N=-6324.24 Ty=0.07 Tz=-0.09 Mx=-0.00 Mz=-0.59
Sollecitazioni agenti localmente: Ty_l=-1149.86 Mx_l=-23.00
Tensioni nella sezione: σ=278.75 τ=34.84
CC 31 SLV (Collegamento 0022_-379)
Azioni sul collegamento: N=-4942.23 Ty=-2.24 Tz=-5.22 Mx=-0.00 Mz=-5.11
Sollecitazioni agenti localmente: Ty_l=-898.59 Mx_l=-17.97
Tensioni nella sezione: σ=217.84 τ=27.23
CC 31 SLV (Collegamento 0022_-379)
Azioni sul collegamento: N=-4942.23 Ty=0.07 Tz=-5.22 Mx=-0.00 Mz=-0.59
Sollecitazioni agenti localmente: Ty_l=-898.59 Mx_l=-17.97
Tensioni nella sezione: σ=217.84 τ=27.23
CC 31 SLV (Collegamento 0022_-379)
Azioni sul collegamento: N=-4942.23 Ty=-2.24 Tz=-0.09 Mx=-0.00 Mz=-5.11
Sollecitazioni agenti localmente: Ty_l=-898.59 Mx_l=-17.97
Tensioni nella sezione: σ=217.84 τ=27.23
CC 31 SLV (Collegamento 0022_-379)
Azioni sul collegamento: N=-4942.23 Ty=0.07 Tz=-0.09 Mx=-0.00 Mz=-0.59
Sollecitazioni agenti localmente: Ty_l=-898.59 Mx_l=-17.97
Tensioni nella sezione: σ=217.84 τ=27.23
CC 32 SLD (Collegamento 0022_-379)
Azioni sul collegamento: N=-5844.12 Ty=-0.63 Tz=-3.44 Mx=-0.00 Mz=-1.49

Sollecitazioni agenti localmente: Ty_l=-1062.57 Mx_l=-21.25
Tensioni nella sezione: σ=257.59 τ=32.20
CC 32 SLD (Collegamento 0022_-379)
Azioni sul collegamento: N=-5844.12 Ty=0.07 Tz=-3.44 Mx=-0.00 Mz=-0.11
Sollecitazioni agenti localmente: Ty_l=-1062.57 Mx_l=-21.25
Tensioni nella sezione: σ=257.59 τ=32.20
CC 32 SLD (Collegamento 0022_-379)
Azioni sul collegamento: N=-5844.12 Ty=-0.63 Tz=-1.87 Mx=-0.00 Mz=-1.49
Sollecitazioni agenti localmente: Ty_l=-1062.57 Mx_l=-21.25
Tensioni nella sezione: σ=257.59 τ=32.20
CC 32 SLD (Collegamento 0022_-379)
Azioni sul collegamento: N=-5844.12 Ty=0.07 Tz=-1.87 Mx=-0.00 Mz=-0.11
Sollecitazioni agenti localmente: Ty_l=-1062.57 Mx_l=-21.25
Tensioni nella sezione: σ=257.59 τ=32.20
CC 32 SLD (Collegamento 0022_-379)
Azioni sul collegamento: N=-5422.71 Ty=-0.63 Tz=-3.44 Mx=-0.00 Mz=-1.49
Sollecitazioni agenti localmente: Ty_l=-985.95 Mx_l=-19.72
Tensioni nella sezione: σ=239.02 τ=29.88
CC 32 SLD (Collegamento 0022_-379)
Azioni sul collegamento: N=-5422.71 Ty=0.07 Tz=-3.44 Mx=-0.00 Mz=-0.11
Sollecitazioni agenti localmente: Ty_l=-985.95 Mx_l=-19.72
Tensioni nella sezione: σ=239.02 τ=29.88
CC 32 SLD (Collegamento 0022_-379)
Azioni sul collegamento: N=-5422.71 Ty=-0.63 Tz=-1.87 Mx=-0.00 Mz=-1.49
Sollecitazioni agenti localmente: Ty_l=-985.95 Mx_l=-19.72
Tensioni nella sezione: σ=239.02 τ=29.88
CC 32 SLD (Collegamento 0022_-379)
Azioni sul collegamento: N=-5422.71 Ty=0.07 Tz=-1.87 Mx=-0.00 Mz=-0.11
Sollecitazioni agenti localmente: Ty_l=-985.95 Mx_l=-19.72
Tensioni nella sezione: σ=239.02 τ=29.88
CC 33 SLU (Collegamento 0022_-379)
Azioni sul collegamento: N=-28967.90 Ty=0.05 Tz=74.90 Mx=0.00 Mz=0.12
Sollecitazioni agenti localmente: Ty_l=-5266.89 Mx_l=-105.34
Tensioni nella sezione: σ=1276.82 τ=159.60
CC 34 SLU (Collegamento 0022_-379)
Azioni sul collegamento: N=-29447.20 Ty=0.05 Tz=76.67 Mx=0.00 Mz=0.12
Sollecitazioni agenti localmente: Ty_l=-5354.03 Mx_l=-107.08
Tensioni nella sezione: σ=1297.94 τ=162.24
CC 35 SLU (Collegamento 0022_-379)
Azioni sul collegamento: N=-29207.50 Ty=0.17 Tz=75.78 Mx=-0.00 Mz=0.35
Sollecitazioni agenti localmente: Ty_l=-5310.46 Mx_l=-106.21
Tensioni nella sezione: σ=1287.38 τ=160.92
CC 36 SLU (Collegamento 0022_-379)
Azioni sul collegamento: N=-29207.50 Ty=-0.07 Tz=75.79 Mx=0.00 Mz=-0.12
Sollecitazioni agenti localmente: Ty_l=-5310.46 Mx_l=-106.21
Tensioni nella sezione: σ=1287.38 τ=160.92
CC 37 SLU (Collegamento 0022_-379)
Azioni sul collegamento: N=-29152.80 Ty=0.07 Tz=74.88 Mx=0.00 Mz=0.13
Sollecitazioni agenti localmente: Ty_l=-5300.51 Mx_l=-106.01
Tensioni nella sezione: σ=1284.97 τ=160.62
CC 38 SLU (Collegamento 0022_-379)
Azioni sul collegamento: N=-29632.10 Ty=0.07 Tz=76.66 Mx=0.00 Mz=0.13
Sollecitazioni agenti localmente: Ty_l=-5387.65 Mx_l=-107.75
Tensioni nella sezione: σ=1306.09 τ=163.26
CC 39 SLU (Collegamento 0022_-379)
Azioni sul collegamento: N=-29392.40 Ty=0.19 Tz=75.77 Mx=-0.00 Mz=0.36
Sollecitazioni agenti localmente: Ty_l=-5344.08 Mx_l=-106.88
Tensioni nella sezione: σ=1295.53 τ=161.94
CC 40 SLU (Collegamento 0022_-379)
Azioni sul collegamento: N=-29392.40 Ty=-0.05 Tz=75.77 Mx=0.00 Mz=-0.10
Sollecitazioni agenti localmente: Ty_l=-5344.08 Mx_l=-106.88
Tensioni nella sezione: σ=1295.53 τ=161.94
CC 41 SLU (Collegamento 0022_-379)
Azioni sul collegamento: N=-19454.60 Ty=0.08 Tz=39.91 Mx=0.00 Mz=0.13
Sollecitazioni agenti localmente: Ty_l=-3537.20 Mx_l=-70.74
Tensioni nella sezione: σ=857.50 τ=107.19
CC 42 SLU (Collegamento 0022_-379)
Azioni sul collegamento: N=-19933.90 Ty=0.08 Tz=41.69 Mx=0.00 Mz=0.13
Sollecitazioni agenti localmente: Ty_l=-3624.34 Mx_l=-72.49
Tensioni nella sezione: σ=878.63 τ=109.83
CC 43 SLU (Collegamento 0022_-379)
Azioni sul collegamento: N=-19694.20 Ty=0.20 Tz=40.80 Mx=-0.00 Mz=0.36
Sollecitazioni agenti localmente: Ty_l=-3580.77 Mx_l=-71.62
Tensioni nella sezione: σ=868.06 τ=108.51
CC 44 SLU (Collegamento 0022_-379)
Azioni sul collegamento: N=-19694.20 Ty=-0.04 Tz=40.80 Mx=0.00 Mz=-0.10
Sollecitazioni agenti localmente: Ty_l=-3580.77 Mx_l=-71.62
Tensioni nella sezione: σ=868.06 τ=108.51
CC 45 SLU (Collegamento 0022_-379)
Azioni sul collegamento: N=-21628.70 Ty=0.08 Tz=47.97 Mx=0.00 Mz=0.14

Sollecitazioni agenti localmente: Ty_l=-3932.50 Mx_l=-78.65
Tensioni nella sezione: σ=953.33 τ=119.17
CC 46 SLU (Collegamento 0022_-379)
Azioni sul collegamento: N=-22108.00 Ty=0.08 Tz=49.75 Mx=0.00 Mz=0.14
Sollecitazioni agenti localmente: Ty_l=-4019.65 Mx_l=-80.39
Tensioni nella sezione: σ=974.46 τ=121.81
CC 47 SLU (Collegamento 0022_-379)
Azioni sul collegamento: N=-21868.40 Ty=0.20 Tz=48.86 Mx=-0.00 Mz=0.37
Sollecitazioni agenti localmente: Ty_l=-3976.07 Mx_l=-79.52
Tensioni nella sezione: σ=963.89 τ=120.49
CC 48 SLU (Collegamento 0022_-379)
Azioni sul collegamento: N=-21868.40 Ty=-0.04 Tz=48.86 Mx=0.00 Mz=-0.10
Sollecitazioni agenti localmente: Ty_l=-3976.07 Mx_l=-79.52
Tensioni nella sezione: σ=963.89 τ=120.49
CC 49 SLU (Collegamento 0022_-379)
Azioni sul collegamento: N=-21767.10 Ty=0.10 Tz=47.96 Mx=0.00 Mz=0.15
Sollecitazioni agenti localmente: Ty_l=-3957.65 Mx_l=-79.15
Tensioni nella sezione: σ=959.43 τ=119.93
CC 50 SLU (Collegamento 0022_-379)
Azioni sul collegamento: N=-22246.40 Ty=0.10 Tz=49.73 Mx=0.00 Mz=0.15
Sollecitazioni agenti localmente: Ty_l=-4044.79 Mx_l=-80.90
Tensioni nella sezione: σ=980.55 τ=122.57
CC 51 SLU (Collegamento 0022_-379)
Azioni sul collegamento: N=-22006.70 Ty=0.22 Tz=48.85 Mx=-0.00 Mz=0.38
Sollecitazioni agenti localmente: Ty_l=-4001.22 Mx_l=-80.02
Tensioni nella sezione: σ=969.99 τ=121.25
CC 52 SLU (Collegamento 0022_-379)
Azioni sul collegamento: N=-22006.70 Ty=-0.02 Tz=48.85 Mx=0.00 Mz=-0.09
Sollecitazioni agenti localmente: Ty_l=-4001.22 Mx_l=-80.02
Tensioni nella sezione: σ=969.99 τ=121.25
CC 53 SLU (Collegamento 0022_-379)
Azioni sul collegamento: N=-14511.40 Ty=0.10 Tz=21.80 Mx=0.00 Mz=0.15
Sollecitazioni agenti localmente: Ty_l=-2638.43 Mx_l=-52.77
Tensioni nella sezione: σ=639.62 τ=79.95
CC 54 SLU (Collegamento 0022_-379)
Azioni sul collegamento: N=-14990.70 Ty=0.10 Tz=23.57 Mx=0.00 Mz=0.15
Sollecitazioni agenti localmente: Ty_l=-2725.58 Mx_l=-54.51
Tensioni nella sezione: σ=660.75 τ=82.59
CC 55 SLU (Collegamento 0022_-379)
Azioni sul collegamento: N=-14751.00 Ty=0.22 Tz=22.69 Mx=-0.00 Mz=0.38
Sollecitazioni agenti localmente: Ty_l=-2682.01 Mx_l=-53.64
Tensioni nella sezione: σ=650.18 τ=81.27
CC 56 SLU (Collegamento 0022_-379)
Azioni sul collegamento: N=-14751.00 Ty=-0.02 Tz=22.68 Mx=0.00 Mz=-0.09
Sollecitazioni agenti localmente: Ty_l=-2682.01 Mx_l=-53.64
Tensioni nella sezione: σ=650.18 τ=81.27
CC 57 SLU (Collegamento 0022_-379)
Azioni sul collegamento: N=-21907.00 Ty=0.07 Tz=49.04 Mx=0.00 Mz=0.14
Sollecitazioni agenti localmente: Ty_l=-3983.10 Mx_l=-79.66
Tensioni nella sezione: σ=965.60 τ=120.70
CC 58 SLU (Collegamento 0022_-379)
Azioni sul collegamento: N=-22386.30 Ty=0.07 Tz=50.82 Mx=0.00 Mz=0.13
Sollecitazioni agenti localmente: Ty_l=-4070.24 Mx_l=-81.40
Tensioni nella sezione: σ=986.72 τ=123.34
CC 59 SLU (Collegamento 0022_-379)
Azioni sul collegamento: N=-22146.70 Ty=0.19 Tz=49.93 Mx=-0.00 Mz=0.37
Sollecitazioni agenti localmente: Ty_l=-4026.67 Mx_l=-80.53
Tensioni nella sezione: σ=976.16 τ=122.02
CC 60 SLU (Collegamento 0022_-379)
Azioni sul collegamento: N=-22146.70 Ty=-0.04 Tz=49.93 Mx=0.00 Mz=-0.10
Sollecitazioni agenti localmente: Ty_l=-4026.67 Mx_l=-80.53
Tensioni nella sezione: σ=976.16 τ=122.02
CC 61 SLU (Collegamento 0022_-379)
Azioni sul collegamento: N=-22045.30 Ty=0.09 Tz=49.02 Mx=0.00 Mz=0.14
Sollecitazioni agenti localmente: Ty_l=-4008.24 Mx_l=-80.16
Tensioni nella sezione: σ=971.69 τ=121.46
CC 62 SLU (Collegamento 0022_-379)
Azioni sul collegamento: N=-22524.60 Ty=0.09 Tz=50.80 Mx=0.00 Mz=0.14
Sollecitazioni agenti localmente: Ty_l=-4095.39 Mx_l=-81.91
Tensioni nella sezione: σ=992.82 τ=124.10
CC 63 SLU (Collegamento 0022_-379)
Azioni sul collegamento: N=-22285.00 Ty=0.21 Tz=49.91 Mx=-0.00 Mz=0.38
Sollecitazioni agenti localmente: Ty_l=-4051.82 Mx_l=-81.04
Tensioni nella sezione: σ=982.26 τ=122.78
CC 64 SLU (Collegamento 0022_-379)
Azioni sul collegamento: N=-22285.00 Ty=-0.03 Tz=49.91 Mx=0.00 Mz=-0.09
Sollecitazioni agenti localmente: Ty_l=-4051.82 Mx_l=-81.04
Tensioni nella sezione: σ=982.26 τ=122.78
CC 65 SLU (Collegamento 0022_-379)
Azioni sul collegamento: N=-14789.70 Ty=0.10 Tz=22.86 Mx=0.00 Mz=0.14

Sollecitazioni agenti localmente: Ty_l=-2689.03 Mx_l=-53.78
Tensioni nella sezione: σ=651.88 τ=81.49
CC 66 SLU (Collegamento 0022_-379)
Azioni sul collegamento: N=-15269.00 Ty=0.10 Tz=24.64 Mx=0.00 Mz=0.14
Sollecitazioni agenti localmente: Ty_l=-2776.17 Mx_l=-55.52
Tensioni nella sezione: σ=673.01 τ=84.13
CC 67 SLU (Collegamento 0022_-379)
Azioni sul collegamento: N=-15029.30 Ty=0.22 Tz=23.75 Mx=-0.00 Mz=0.38
Sollecitazioni agenti localmente: Ty_l=-2732.60 Mx_l=-54.65
Tensioni nella sezione: σ=662.45 τ=82.81
CC 68 SLU (Collegamento 0022_-379)
Azioni sul collegamento: N=-15029.30 Ty=-0.02 Tz=23.75 Mx=0.00 Mz=-0.09
Sollecitazioni agenti localmente: Ty_l=-2732.60 Mx_l=-54.65
Tensioni nella sezione: σ=662.45 τ=82.81
CC 97 SLU (Collegamento 0022_-379)
Azioni sul collegamento: N=-11572.90 Ty=11.37 Tz=19.27 Mx=0.04 Mz=15.92
Sollecitazioni agenti localmente: Ty_l=-2104.17 Mx_l=-42.08
Tensioni nella sezione: σ=510.10 τ=63.76
CC 98 SLU (Collegamento 0022_-379)
Azioni sul collegamento: N=-12052.20 Ty=11.37 Tz=21.05 Mx=0.04 Mz=15.92
Sollecitazioni agenti localmente: Ty_l=-2191.31 Mx_l=-43.83
Tensioni nella sezione: σ=531.23 τ=66.40
CC 99 SLU (Collegamento 0022_-379)
Azioni sul collegamento: N=-11812.60 Ty=11.49 Tz=20.16 Mx=0.04 Mz=16.15
Sollecitazioni agenti localmente: Ty_l=-2147.74 Mx_l=-42.95
Tensioni nella sezione: σ=520.66 τ=65.08
CC 100 SLU (Collegamento 0022_-379)
Azioni sul collegamento: N=-11812.60 Ty=11.25 Tz=20.16 Mx=0.04 Mz=15.68
Sollecitazioni agenti localmente: Ty_l=-2147.74 Mx_l=-42.95
Tensioni nella sezione: σ=520.66 τ=65.08
CC 101 SLU (Collegamento 0022_-379)
Azioni sul collegamento: N=-5887.16 Ty=-2.00 Tz=-1.73 Mx=-0.00 Mz=-2.22
Sollecitazioni agenti localmente: Ty_l=-1070.39 Mx_l=-21.41
Tensioni nella sezione: σ=259.49 τ=32.44
CC 102 SLU (Collegamento 0022_-379)
Azioni sul collegamento: N=-6366.46 Ty=-2.01 Tz=0.04 Mx=-0.00 Mz=-2.22
Sollecitazioni agenti localmente: Ty_l=-1157.54 Mx_l=-23.15
Tensioni nella sezione: σ=280.62 τ=35.08
CC 103 SLU (Collegamento 0022_-379)
Azioni sul collegamento: N=-6126.81 Ty=-1.89 Tz=-0.85 Mx=-0.01 Mz=-1.98
Sollecitazioni agenti localmente: Ty_l=-1113.97 Mx_l=-22.28
Tensioni nella sezione: σ=270.05 τ=33.76
CC 104 SLU (Collegamento 0022_-379)
Azioni sul collegamento: N=-6126.80 Ty=-2.12 Tz=-0.84 Mx=-0.00 Mz=-2.45
Sollecitazioni agenti localmente: Ty_l=-1113.96 Mx_l=-22.28
Tensioni nella sezione: σ=270.05 τ=33.76

Flessione attacco destro piastra

Bnetta=220.00 Hnetta=15.00
CC 1 SLV (Collegamento 0022_-379)
Azioni sul collegamento: N=-3330.52 Ty=1.59 Tz=5.89 Mx=0.02 Mz=3.75
Sollecitazioni agenti localmente: Ty_l=-605.34 My_l=-12.43
Tensioni nella sezione: σ=150.67 τ=18.34
CC 1 SLV (Collegamento 0022_-379)
Azioni sul collegamento: N=-3330.52 Ty=0.88 Tz=5.89 Mx=0.02 Mz=2.36
Sollecitazioni agenti localmente: Ty_l=-599.80 My_l=-12.31
Tensioni nella sezione: σ=149.20 τ=18.18
CC 1 SLV (Collegamento 0022_-379)
Azioni sul collegamento: N=-3330.52 Ty=1.59 Tz=-11.19 Mx=0.02 Mz=3.75
Sollecitazioni agenti localmente: Ty_l=-605.34 My_l=-12.43
Tensioni nella sezione: σ=150.67 τ=18.34
CC 1 SLV (Collegamento 0022_-379)
Azioni sul collegamento: N=-3330.52 Ty=0.88 Tz=-11.19 Mx=0.02 Mz=2.36
Sollecitazioni agenti localmente: Ty_l=-599.80 My_l=-12.31
Tensioni nella sezione: σ=149.20 τ=18.18
CC 1 SLV (Collegamento 0022_-379)
Azioni sul collegamento: N=-7936.99 Ty=1.59 Tz=5.89 Mx=0.02 Mz=3.75
Sollecitazioni agenti localmente: Ty_l=-1421.94 My_l=-29.17
Tensioni nella sezione: σ=353.58 τ=43.09
CC 1 SLV (Collegamento 0022_-379)
Azioni sul collegamento: N=-7936.99 Ty=0.88 Tz=5.89 Mx=0.02 Mz=2.36
Sollecitazioni agenti localmente: Ty_l=-1416.41 My_l=-29.05
Tensioni nella sezione: σ=352.12 τ=42.92
CC 1 SLV (Collegamento 0022_-379)
Azioni sul collegamento: N=-7936.99 Ty=1.59 Tz=-11.19 Mx=0.02 Mz=3.75
Sollecitazioni agenti localmente: Ty_l=-1421.94 My_l=-29.17
Tensioni nella sezione: σ=353.58 τ=43.09
CC 1 SLV (Collegamento 0022_-379)
Azioni sul collegamento: N=-7936.99 Ty=0.88 Tz=-11.19 Mx=0.02 Mz=2.36
Sollecitazioni agenti localmente: Ty_l=-1416.41 My_l=-29.05

Tensioni nella sezione: σ=352.12 τ=42.92
CC 2 SLD (Collegamento 0022_-379)
Azioni sul collegamento: N=-4931.25 Ty=0.54 Tz=-0.05 Mx=0.01 Mz=1.22
Sollecitazioni agenti localmente: Ty_l=-879.01 My_l=-18.03
Tensioni nella sezione: σ=218.50 τ=26.64
CC 2 SLD (Collegamento 0022_-379)
Azioni sul collegamento: N=-4931.25 Ty=0.32 Tz=-0.05 Mx=0.01 Mz=0.79
Sollecitazioni agenti localmente: Ty_l=-877.32 My_l=-17.99
Tensioni nella sezione: σ=218.06 τ=26.59
CC 2 SLD (Collegamento 0022_-379)
Azioni sul collegamento: N=-4931.25 Ty=0.54 Tz=-5.26 Mx=0.01 Mz=1.22
Sollecitazioni agenti localmente: Ty_l=-879.01 My_l=-18.03
Tensioni nella sezione: σ=218.50 τ=26.64
CC 2 SLD (Collegamento 0022_-379)
Azioni sul collegamento: N=-4931.25 Ty=0.32 Tz=-5.26 Mx=0.01 Mz=0.79
Sollecitazioni agenti localmente: Ty_l=-877.32 My_l=-17.99
Tensioni nella sezione: σ=218.06 τ=26.59
CC 2 SLD (Collegamento 0022_-379)
Azioni sul collegamento: N=-6335.90 Ty=0.54 Tz=-0.05 Mx=0.01 Mz=1.22
Sollecitazioni agenti localmente: Ty_l=-1128.02 My_l=-23.13
Tensioni nella sezione: σ=280.38 τ=34.18
CC 2 SLD (Collegamento 0022_-379)
Azioni sul collegamento: N=-6335.90 Ty=0.32 Tz=-0.05 Mx=0.01 Mz=0.79
Sollecitazioni agenti localmente: Ty_l=-1126.33 My_l=-23.09
Tensioni nella sezione: σ=279.93 τ=34.13
CC 2 SLD (Collegamento 0022_-379)
Azioni sul collegamento: N=-6335.90 Ty=0.54 Tz=-5.26 Mx=0.01 Mz=1.22
Sollecitazioni agenti localmente: Ty_l=-1128.02 My_l=-23.13
Tensioni nella sezione: σ=280.38 τ=34.18
CC 2 SLD (Collegamento 0022_-379)
Azioni sul collegamento: N=-6335.90 Ty=0.32 Tz=-5.26 Mx=0.01 Mz=0.79
Sollecitazioni agenti localmente: Ty_l=-1126.33 My_l=-23.09
Tensioni nella sezione: σ=279.93 τ=34.13
CC 3 SLV (Collegamento 0022_-379)
Azioni sul collegamento: N=-3330.55 Ty=0.90 Tz=5.89 Mx=0.01 Mz=2.40
Sollecitazioni agenti localmente: Ty_l=-599.96 My_l=-12.31
Tensioni nella sezione: σ=149.24 τ=18.18
CC 3 SLV (Collegamento 0022_-379)
Azioni sul collegamento: N=-3330.55 Ty=1.58 Tz=5.89 Mx=0.01 Mz=3.71
Sollecitazioni agenti localmente: Ty_l=-605.19 My_l=-12.43
Tensioni nella sezione: σ=150.63 τ=18.34
CC 3 SLV (Collegamento 0022_-379)
Azioni sul collegamento: N=-3330.55 Ty=0.90 Tz=-11.19 Mx=0.01 Mz=2.40
Sollecitazioni agenti localmente: Ty_l=-599.96 My_l=-12.31
Tensioni nella sezione: σ=149.24 τ=18.18
CC 3 SLV (Collegamento 0022_-379)
Azioni sul collegamento: N=-3330.55 Ty=1.58 Tz=-11.19 Mx=0.01 Mz=3.71
Sollecitazioni agenti localmente: Ty_l=-605.19 My_l=-12.43
Tensioni nella sezione: σ=150.63 τ=18.34
CC 3 SLV (Collegamento 0022_-379)
Azioni sul collegamento: N=-7936.97 Ty=0.90 Tz=5.89 Mx=0.01 Mz=2.40
Sollecitazioni agenti localmente: Ty_l=-1416.56 My_l=-29.05
Tensioni nella sezione: σ=352.15 τ=42.93
CC 3 SLV (Collegamento 0022_-379)
Azioni sul collegamento: N=-7936.97 Ty=1.58 Tz=5.89 Mx=0.01 Mz=3.71
Sollecitazioni agenti localmente: Ty_l=-1421.78 My_l=-29.17
Tensioni nella sezione: σ=353.54 τ=43.08
CC 3 SLV (Collegamento 0022_-379)
Azioni sul collegamento: N=-7936.97 Ty=0.90 Tz=-11.19 Mx=0.01 Mz=2.40
Sollecitazioni agenti localmente: Ty_l=-1416.56 My_l=-29.05
Tensioni nella sezione: σ=352.15 τ=42.93
CC 3 SLV (Collegamento 0022_-379)
Azioni sul collegamento: N=-7936.97 Ty=1.58 Tz=-11.19 Mx=0.01 Mz=3.71
Sollecitazioni agenti localmente: Ty_l=-1421.78 My_l=-29.17
Tensioni nella sezione: σ=353.54 τ=43.08
CC 4 SLD (Collegamento 0022_-379)
Azioni sul collegamento: N=-4931.25 Ty=0.33 Tz=-0.05 Mx=0.00 Mz=0.80
Sollecitazioni agenti localmente: Ty_l=-877.37 My_l=-17.99
Tensioni nella sezione: σ=218.07 τ=26.59
CC 4 SLD (Collegamento 0022_-379)
Azioni sul collegamento: N=-4931.25 Ty=0.53 Tz=-0.05 Mx=0.00 Mz=1.20
Sollecitazioni agenti localmente: Ty_l=-878.97 My_l=-18.03
Tensioni nella sezione: σ=218.49 τ=26.64
CC 4 SLD (Collegamento 0022_-379)
Azioni sul collegamento: N=-4931.25 Ty=0.33 Tz=-5.26 Mx=0.00 Mz=0.80
Sollecitazioni agenti localmente: Ty_l=-877.37 My_l=-17.99
Tensioni nella sezione: σ=218.07 τ=26.59
CC 4 SLD (Collegamento 0022_-379)
Azioni sul collegamento: N=-4931.25 Ty=0.53 Tz=-5.26 Mx=0.00 Mz=1.20
Sollecitazioni agenti localmente: Ty_l=-878.97 My_l=-18.03

Tensioni nella sezione: σ=218.49 τ=26.64
CC 4 SLD (Collegamento 0022_-379)
Azioni sul collegamento: N=-6335.90 Ty=0.33 Tz=-0.05 Mx=0.00 Mz=0.80
Sollecitazioni agenti localmente: Ty_l=-1126.38 My_l=-23.10
Tensioni nella sezione: σ=279.94 τ=34.13
CC 4 SLD (Collegamento 0022_-379)
Azioni sul collegamento: N=-6335.90 Ty=0.53 Tz=-0.05 Mx=0.00 Mz=1.20
Sollecitazioni agenti localmente: Ty_l=-1127.97 My_l=-23.13
Tensioni nella sezione: σ=280.37 τ=34.18
CC 4 SLD (Collegamento 0022_-379)
Azioni sul collegamento: N=-6335.90 Ty=0.33 Tz=-5.26 Mx=0.00 Mz=0.80
Sollecitazioni agenti localmente: Ty_l=-1126.38 My_l=-23.10
Tensioni nella sezione: σ=279.94 τ=34.13
CC 4 SLD (Collegamento 0022_-379)
Azioni sul collegamento: N=-6335.90 Ty=0.53 Tz=-5.26 Mx=0.00 Mz=1.20
Sollecitazioni agenti localmente: Ty_l=-1127.97 My_l=-23.13
Tensioni nella sezione: σ=280.37 τ=34.18
CC 5 SLV (Collegamento 0022_-379)
Azioni sul collegamento: N=-7936.97 Ty=1.58 Tz=-11.19 Mx=0.02 Mz=3.71
Sollecitazioni agenti localmente: Ty_l=-1421.78 My_l=-29.17
Tensioni nella sezione: σ=353.54 τ=43.08
CC 5 SLV (Collegamento 0022_-379)
Azioni sul collegamento: N=-7936.97 Ty=0.90 Tz=-11.19 Mx=0.02 Mz=2.40
Sollecitazioni agenti localmente: Ty_l=-1416.56 My_l=-29.05
Tensioni nella sezione: σ=352.15 τ=42.93
CC 5 SLV (Collegamento 0022_-379)
Azioni sul collegamento: N=-7936.97 Ty=1.58 Tz=5.89 Mx=0.02 Mz=3.71
Sollecitazioni agenti localmente: Ty_l=-1421.78 My_l=-29.17
Tensioni nella sezione: σ=353.54 τ=43.08
CC 5 SLV (Collegamento 0022_-379)
Azioni sul collegamento: N=-7936.97 Ty=0.90 Tz=5.89 Mx=0.02 Mz=2.40
Sollecitazioni agenti localmente: Ty_l=-1416.56 My_l=-29.05
Tensioni nella sezione: σ=352.15 τ=42.93
CC 5 SLV (Collegamento 0022_-379)
Azioni sul collegamento: N=-3330.55 Ty=1.58 Tz=-11.19 Mx=0.02 Mz=3.71
Sollecitazioni agenti localmente: Ty_l=-605.19 My_l=-12.43
Tensioni nella sezione: σ=150.63 τ=18.34
CC 5 SLV (Collegamento 0022_-379)
Azioni sul collegamento: N=-3330.55 Ty=0.90 Tz=-11.19 Mx=0.02 Mz=2.40
Sollecitazioni agenti localmente: Ty_l=-599.96 My_l=-12.31
Tensioni nella sezione: σ=149.24 τ=18.18
CC 5 SLV (Collegamento 0022_-379)
Azioni sul collegamento: N=-3330.55 Ty=1.58 Tz=5.89 Mx=0.02 Mz=3.71
Sollecitazioni agenti localmente: Ty_l=-605.19 My_l=-12.43
Tensioni nella sezione: σ=150.63 τ=18.34
CC 5 SLV (Collegamento 0022_-379)
Azioni sul collegamento: N=-3330.55 Ty=0.90 Tz=5.89 Mx=0.02 Mz=2.40
Sollecitazioni agenti localmente: Ty_l=-599.96 My_l=-12.31
Tensioni nella sezione: σ=149.24 τ=18.18
CC 6 SLD (Collegamento 0022_-379)
Azioni sul collegamento: N=-6335.90 Ty=0.53 Tz=-5.26 Mx=0.01 Mz=1.20
Sollecitazioni agenti localmente: Ty_l=-1127.97 My_l=-23.13
Tensioni nella sezione: σ=280.37 τ=34.18
CC 6 SLD (Collegamento 0022_-379)
Azioni sul collegamento: N=-6335.90 Ty=0.33 Tz=-5.26 Mx=0.01 Mz=0.80
Sollecitazioni agenti localmente: Ty_l=-1126.38 My_l=-23.10
Tensioni nella sezione: σ=279.94 τ=34.13
CC 6 SLD (Collegamento 0022_-379)
Azioni sul collegamento: N=-6335.90 Ty=0.53 Tz=-0.05 Mx=0.01 Mz=1.20
Sollecitazioni agenti localmente: Ty_l=-1127.97 My_l=-23.13
Tensioni nella sezione: σ=280.37 τ=34.18
CC 6 SLD (Collegamento 0022_-379)
Azioni sul collegamento: N=-6335.90 Ty=0.33 Tz=-0.05 Mx=0.01 Mz=0.80
Sollecitazioni agenti localmente: Ty_l=-1126.38 My_l=-23.10
Tensioni nella sezione: σ=279.94 τ=34.13
CC 6 SLD (Collegamento 0022_-379)
Azioni sul collegamento: N=-4931.25 Ty=0.53 Tz=-5.26 Mx=0.01 Mz=1.20
Sollecitazioni agenti localmente: Ty_l=-878.97 My_l=-18.03
Tensioni nella sezione: σ=218.49 τ=26.64
CC 6 SLD (Collegamento 0022_-379)
Azioni sul collegamento: N=-4931.25 Ty=0.33 Tz=-5.26 Mx=0.01 Mz=0.80
Sollecitazioni agenti localmente: Ty_l=-877.37 My_l=-17.99
Tensioni nella sezione: σ=218.07 τ=26.59
CC 6 SLD (Collegamento 0022_-379)
Azioni sul collegamento: N=-4931.25 Ty=0.53 Tz=-0.05 Mx=0.01 Mz=1.20
Sollecitazioni agenti localmente: Ty_l=-878.97 My_l=-18.03
Tensioni nella sezione: σ=218.49 τ=26.64
CC 6 SLD (Collegamento 0022_-379)
Azioni sul collegamento: N=-4931.25 Ty=0.33 Tz=-0.05 Mx=0.01 Mz=0.80
Sollecitazioni agenti localmente: Ty_l=-877.37 My_l=-17.99

Tensioni nella sezione: σ=218.07 τ=26.59
CC 7 SLV (Collegamento 0022_-379)
Azioni sul collegamento: N=-7936.99 Ty=0.88 Tz=-11.19 Mx=0.01 Mz=2.36
Sollecitazioni agenti localmente: Ty_l=-1416.41 My_l=-29.05
Tensioni nella sezione: σ=352.12 τ=42.92
CC 7 SLV (Collegamento 0022_-379)
Azioni sul collegamento: N=-7936.99 Ty=1.59 Tz=-11.19 Mx=0.01 Mz=3.75
Sollecitazioni agenti localmente: Ty_l=-1421.94 My_l=-29.17
Tensioni nella sezione: σ=353.58 τ=43.09
CC 7 SLV (Collegamento 0022_-379)
Azioni sul collegamento: N=-7936.99 Ty=0.88 Tz=5.89 Mx=0.01 Mz=2.36
Sollecitazioni agenti localmente: Ty_l=-1416.41 My_l=-29.05
Tensioni nella sezione: σ=352.12 τ=42.92
CC 7 SLV (Collegamento 0022_-379)
Azioni sul collegamento: N=-7936.99 Ty=1.59 Tz=5.89 Mx=0.01 Mz=3.75
Sollecitazioni agenti localmente: Ty_l=-1421.94 My_l=-29.17
Tensioni nella sezione: σ=353.58 τ=43.09
CC 7 SLV (Collegamento 0022_-379)
Azioni sul collegamento: N=-3330.52 Ty=0.88 Tz=-11.19 Mx=0.01 Mz=2.36
Sollecitazioni agenti localmente: Ty_l=-599.80 My_l=-12.31
Tensioni nella sezione: σ=149.20 τ=18.18
CC 7 SLV (Collegamento 0022_-379)
Azioni sul collegamento: N=-3330.52 Ty=1.59 Tz=-11.19 Mx=0.01 Mz=3.75
Sollecitazioni agenti localmente: Ty_l=-605.34 My_l=-12.43
Tensioni nella sezione: σ=150.67 τ=18.34
CC 7 SLV (Collegamento 0022_-379)
Azioni sul collegamento: N=-3330.52 Ty=0.88 Tz=5.89 Mx=0.01 Mz=2.36
Sollecitazioni agenti localmente: Ty_l=-599.80 My_l=-12.31
Tensioni nella sezione: σ=149.20 τ=18.18
CC 7 SLV (Collegamento 0022_-379)
Azioni sul collegamento: N=-3330.52 Ty=1.59 Tz=5.89 Mx=0.01 Mz=3.75
Sollecitazioni agenti localmente: Ty_l=-605.34 My_l=-12.43
Tensioni nella sezione: σ=150.67 τ=18.34
CC 8 SLD (Collegamento 0022_-379)
Azioni sul collegamento: N=-6335.90 Ty=0.32 Tz=-5.26 Mx=0.00 Mz=0.79
Sollecitazioni agenti localmente: Ty_l=-1126.33 My_l=-23.09
Tensioni nella sezione: σ=279.93 τ=34.13
CC 8 SLD (Collegamento 0022_-379)
Azioni sul collegamento: N=-6335.90 Ty=0.54 Tz=-5.26 Mx=0.00 Mz=1.22
Sollecitazioni agenti localmente: Ty_l=-1128.02 My_l=-23.13
Tensioni nella sezione: σ=280.38 τ=34.18
CC 8 SLD (Collegamento 0022_-379)
Azioni sul collegamento: N=-6335.90 Ty=0.32 Tz=-0.05 Mx=0.00 Mz=0.79
Sollecitazioni agenti localmente: Ty_l=-1126.33 My_l=-23.09
Tensioni nella sezione: σ=279.93 τ=34.13
CC 8 SLD (Collegamento 0022_-379)
Azioni sul collegamento: N=-6335.90 Ty=0.54 Tz=-0.05 Mx=0.00 Mz=1.22
Sollecitazioni agenti localmente: Ty_l=-1128.02 My_l=-23.13
Tensioni nella sezione: σ=280.38 τ=34.18
CC 8 SLD (Collegamento 0022_-379)
Azioni sul collegamento: N=-4931.25 Ty=0.32 Tz=-5.26 Mx=0.00 Mz=0.79
Sollecitazioni agenti localmente: Ty_l=-877.32 My_l=-17.99
Tensioni nella sezione: σ=218.06 τ=26.59
CC 8 SLD (Collegamento 0022_-379)
Azioni sul collegamento: N=-4931.25 Ty=0.54 Tz=-5.26 Mx=0.00 Mz=1.22
Sollecitazioni agenti localmente: Ty_l=-879.01 My_l=-18.03
Tensioni nella sezione: σ=218.50 τ=26.64
CC 8 SLD (Collegamento 0022_-379)
Azioni sul collegamento: N=-4931.25 Ty=0.32 Tz=-0.05 Mx=0.00 Mz=0.79
Sollecitazioni agenti localmente: Ty_l=-877.32 My_l=-17.99
Tensioni nella sezione: σ=218.06 τ=26.59
CC 8 SLD (Collegamento 0022_-379)
Azioni sul collegamento: N=-4931.25 Ty=0.54 Tz=-0.05 Mx=0.00 Mz=1.22
Sollecitazioni agenti localmente: Ty_l=-879.01 My_l=-18.03
Tensioni nella sezione: σ=218.50 τ=26.64
CC 9 SLV (Collegamento 0022_-379)
Azioni sul collegamento: N=-4942.75 Ty=2.39 Tz=-0.09 Mx=0.02 Mz=5.32
Sollecitazioni agenti localmente: Ty_l=-897.37 My_l=-18.43
Tensioni nella sezione: σ=223.34 τ=27.19
CC 9 SLV (Collegamento 0022_-379)
Azioni sul collegamento: N=-4942.75 Ty=0.08 Tz=-0.09 Mx=0.02 Mz=0.80
Sollecitazioni agenti localmente: Ty_l=-879.38 My_l=-18.03
Tensioni nella sezione: σ=218.57 τ=26.65
CC 9 SLV (Collegamento 0022_-379)
Azioni sul collegamento: N=-4942.75 Ty=2.39 Tz=-5.22 Mx=0.02 Mz=5.32
Sollecitazioni agenti localmente: Ty_l=-897.37 My_l=-18.43
Tensioni nella sezione: σ=223.34 τ=27.19
CC 9 SLV (Collegamento 0022_-379)
Azioni sul collegamento: N=-4942.75 Ty=0.08 Tz=-5.22 Mx=0.02 Mz=0.80
Sollecitazioni agenti localmente: Ty_l=-879.38 My_l=-18.03

Tensioni nella sezione: σ=218.57 τ=26.65
CC 9 SLV (Collegamento 0022_-379)
Azioni sul collegamento: N=-6324.76 Ty=2.39 Tz=-0.09 Mx=0.02 Mz=5.32
Sollecitazioni agenti localmente: Ty_l=-1142.36 My_l=-23.45
Tensioni nella sezione: σ=284.22 τ=34.62
CC 9 SLV (Collegamento 0022_-379)
Azioni sul collegamento: N=-6324.76 Ty=0.08 Tz=-0.09 Mx=0.02 Mz=0.80
Sollecitazioni agenti localmente: Ty_l=-1124.38 My_l=-23.05
Tensioni nella sezione: σ=279.44 τ=34.07
CC 9 SLV (Collegamento 0022_-379)
Azioni sul collegamento: N=-6324.76 Ty=2.39 Tz=-5.22 Mx=0.02 Mz=5.32
Sollecitazioni agenti localmente: Ty_l=-1142.36 My_l=-23.45
Tensioni nella sezione: σ=284.22 τ=34.62
CC 9 SLV (Collegamento 0022_-379)
Azioni sul collegamento: N=-6324.76 Ty=0.08 Tz=-5.22 Mx=0.02 Mz=0.80
Sollecitazioni agenti localmente: Ty_l=-1124.38 My_l=-23.05
Tensioni nella sezione: σ=279.44 τ=34.07
CC 10 SLD (Collegamento 0022_-379)
Azioni sul collegamento: N=-5422.87 Ty=0.78 Tz=-1.87 Mx=0.01 Mz=1.69
Sollecitazioni agenti localmente: Ty_l=-968.06 My_l=-19.85
Tensioni nella sezione: σ=240.66 τ=29.34
CC 10 SLD (Collegamento 0022_-379)
Azioni sul collegamento: N=-5422.87 Ty=0.08 Tz=-1.87 Mx=0.01 Mz=0.31
Sollecitazioni agenti localmente: Ty_l=-962.58 My_l=-19.73
Tensioni nella sezione: σ=239.21 τ=29.17
CC 10 SLD (Collegamento 0022_-379)
Azioni sul collegamento: N=-5422.87 Ty=0.78 Tz=-3.44 Mx=0.01 Mz=1.69
Sollecitazioni agenti localmente: Ty_l=-968.06 My_l=-19.85
Tensioni nella sezione: σ=240.66 τ=29.34
CC 10 SLD (Collegamento 0022_-379)
Azioni sul collegamento: N=-5422.87 Ty=0.08 Tz=-3.44 Mx=0.01 Mz=0.31
Sollecitazioni agenti localmente: Ty_l=-962.58 My_l=-19.73
Tensioni nella sezione: σ=239.21 τ=29.17
CC 10 SLD (Collegamento 0022_-379)
Azioni sul collegamento: N=-5844.28 Ty=0.78 Tz=-1.87 Mx=0.01 Mz=1.69
Sollecitazioni agenti localmente: Ty_l=-1042.77 My_l=-21.39
Tensioni nella sezione: σ=259.23 τ=31.60
CC 10 SLD (Collegamento 0022_-379)
Azioni sul collegamento: N=-5844.28 Ty=0.08 Tz=-1.87 Mx=0.01 Mz=0.31
Sollecitazioni agenti localmente: Ty_l=-1037.28 My_l=-21.27
Tensioni nella sezione: σ=257.77 τ=31.43
CC 10 SLD (Collegamento 0022_-379)
Azioni sul collegamento: N=-5844.28 Ty=0.78 Tz=-3.44 Mx=0.01 Mz=1.69
Sollecitazioni agenti localmente: Ty_l=-1042.77 My_l=-21.39
Tensioni nella sezione: σ=259.23 τ=31.60
CC 10 SLD (Collegamento 0022_-379)
Azioni sul collegamento: N=-5844.28 Ty=0.08 Tz=-3.44 Mx=0.01 Mz=0.31
Sollecitazioni agenti localmente: Ty_l=-1037.28 My_l=-21.27
Tensioni nella sezione: σ=257.77 τ=31.43
CC 11 SLV (Collegamento 0022_-379)
Azioni sul collegamento: N=-6324.69 Ty=2.39 Tz=-5.21 Mx=0.02 Mz=5.31
Sollecitazioni agenti localmente: Ty_l=-1142.30 My_l=-23.45
Tensioni nella sezione: σ=284.20 τ=34.62
CC 11 SLV (Collegamento 0022_-379)
Azioni sul collegamento: N=-6324.69 Ty=0.09 Tz=-5.21 Mx=0.02 Mz=0.81
Sollecitazioni agenti localmente: Ty_l=-1124.41 My_l=-23.05
Tensioni nella sezione: σ=279.45 τ=34.07
CC 11 SLV (Collegamento 0022_-379)
Azioni sul collegamento: N=-6324.69 Ty=2.39 Tz=-0.09 Mx=0.02 Mz=5.31
Sollecitazioni agenti localmente: Ty_l=-1142.30 My_l=-23.45
Tensioni nella sezione: σ=284.20 τ=34.62
CC 11 SLV (Collegamento 0022_-379)
Azioni sul collegamento: N=-6324.69 Ty=0.09 Tz=-0.09 Mx=0.02 Mz=0.81
Sollecitazioni agenti localmente: Ty_l=-1124.41 My_l=-23.05
Tensioni nella sezione: σ=279.45 τ=34.07
CC 11 SLV (Collegamento 0022_-379)
Azioni sul collegamento: N=-4942.83 Ty=2.39 Tz=-5.21 Mx=0.02 Mz=5.31
Sollecitazioni agenti localmente: Ty_l=-897.34 My_l=-18.43
Tensioni nella sezione: σ=223.33 τ=27.19
CC 11 SLV (Collegamento 0022_-379)
Azioni sul collegamento: N=-4942.83 Ty=0.09 Tz=-5.21 Mx=0.02 Mz=0.81
Sollecitazioni agenti localmente: Ty_l=-879.44 My_l=-18.03
Tensioni nella sezione: σ=218.58 τ=26.65
CC 11 SLV (Collegamento 0022_-379)
Azioni sul collegamento: N=-4942.83 Ty=2.39 Tz=-0.09 Mx=0.02 Mz=5.31
Sollecitazioni agenti localmente: Ty_l=-897.34 My_l=-18.43
Tensioni nella sezione: σ=223.33 τ=27.19
CC 11 SLV (Collegamento 0022_-379)
Azioni sul collegamento: N=-4942.83 Ty=0.09 Tz=-0.09 Mx=0.02 Mz=0.81
Sollecitazioni agenti localmente: Ty_l=-879.44 My_l=-18.03

Tensioni nella sezione: σ=218.58 τ=26.65
CC 12 SLD (Collegamento 0022_-379)
Azioni sul collegamento: N=-5844.26 Ty=0.78 Tz=-3.43 Mx=0.01 Mz=1.69
Sollecitazioni agenti localmente: Ty_l=-1042.75 My_l=-21.39
Tensioni nella sezione: σ=259.22 τ=31.60
CC 12 SLD (Collegamento 0022_-379)
Azioni sul collegamento: N=-5844.26 Ty=0.08 Tz=-3.43 Mx=0.01 Mz=0.32
Sollecitazioni agenti localmente: Ty_l=-1037.29 My_l=-21.27
Tensioni nella sezione: σ=257.77 τ=31.43
CC 12 SLD (Collegamento 0022_-379)
Azioni sul collegamento: N=-5844.26 Ty=0.78 Tz=-1.87 Mx=0.01 Mz=1.69
Sollecitazioni agenti localmente: Ty_l=-1042.75 My_l=-21.39
Tensioni nella sezione: σ=259.22 τ=31.60
CC 12 SLD (Collegamento 0022_-379)
Azioni sul collegamento: N=-5844.26 Ty=0.08 Tz=-1.87 Mx=0.01 Mz=0.32
Sollecitazioni agenti localmente: Ty_l=-1037.29 My_l=-21.27
Tensioni nella sezione: σ=257.77 τ=31.43
CC 12 SLD (Collegamento 0022_-379)
Azioni sul collegamento: N=-5422.89 Ty=0.78 Tz=-3.43 Mx=0.01 Mz=1.69
Sollecitazioni agenti localmente: Ty_l=-968.05 My_l=-19.85
Tensioni nella sezione: σ=240.66 τ=29.33
CC 12 SLD (Collegamento 0022_-379)
Azioni sul collegamento: N=-5422.89 Ty=0.08 Tz=-3.43 Mx=0.01 Mz=0.32
Sollecitazioni agenti localmente: Ty_l=-962.60 My_l=-19.73
Tensioni nella sezione: σ=239.21 τ=29.17
CC 12 SLD (Collegamento 0022_-379)
Azioni sul collegamento: N=-5422.89 Ty=0.78 Tz=-1.87 Mx=0.01 Mz=1.69
Sollecitazioni agenti localmente: Ty_l=-968.05 My_l=-19.85
Tensioni nella sezione: σ=240.66 τ=29.33
CC 12 SLD (Collegamento 0022_-379)
Azioni sul collegamento: N=-5422.89 Ty=0.08 Tz=-1.87 Mx=0.01 Mz=0.32
Sollecitazioni agenti localmente: Ty_l=-962.60 My_l=-19.73
Tensioni nella sezione: σ=239.21 τ=29.17
CC 13 SLV (Collegamento 0022_-379)
Azioni sul collegamento: N=-4942.83 Ty=0.09 Tz=-0.09 Mx=0.00 Mz=0.81
Sollecitazioni agenti localmente: Ty_l=-879.44 My_l=-18.03
Tensioni nella sezione: σ=218.58 τ=26.65
CC 13 SLV (Collegamento 0022_-379)
Azioni sul collegamento: N=-4942.83 Ty=2.39 Tz=-0.09 Mx=0.00 Mz=5.31
Sollecitazioni agenti localmente: Ty_l=-897.34 My_l=-18.43
Tensioni nella sezione: σ=223.33 τ=27.19
CC 13 SLV (Collegamento 0022_-379)
Azioni sul collegamento: N=-4942.83 Ty=0.09 Tz=-5.21 Mx=0.00 Mz=0.81
Sollecitazioni agenti localmente: Ty_l=-879.44 My_l=-18.03
Tensioni nella sezione: σ=218.58 τ=26.65
CC 13 SLV (Collegamento 0022_-379)
Azioni sul collegamento: N=-4942.83 Ty=2.39 Tz=-5.21 Mx=0.00 Mz=5.31
Sollecitazioni agenti localmente: Ty_l=-897.34 My_l=-18.43
Tensioni nella sezione: σ=223.33 τ=27.19
CC 13 SLV (Collegamento 0022_-379)
Azioni sul collegamento: N=-6324.69 Ty=0.09 Tz=-0.09 Mx=0.00 Mz=0.81
Sollecitazioni agenti localmente: Ty_l=-1124.41 My_l=-23.05
Tensioni nella sezione: σ=279.45 τ=34.07
CC 13 SLV (Collegamento 0022_-379)
Azioni sul collegamento: N=-6324.69 Ty=2.39 Tz=-0.09 Mx=0.00 Mz=5.31
Sollecitazioni agenti localmente: Ty_l=-1142.30 My_l=-23.45
Tensioni nella sezione: σ=284.20 τ=34.62
CC 13 SLV (Collegamento 0022_-379)
Azioni sul collegamento: N=-6324.69 Ty=0.09 Tz=-5.21 Mx=0.00 Mz=0.81
Sollecitazioni agenti localmente: Ty_l=-1124.41 My_l=-23.05
Tensioni nella sezione: σ=279.45 τ=34.07
CC 13 SLV (Collegamento 0022_-379)
Azioni sul collegamento: N=-6324.69 Ty=2.39 Tz=-5.21 Mx=0.00 Mz=5.31
Sollecitazioni agenti localmente: Ty_l=-1142.30 My_l=-23.45
Tensioni nella sezione: σ=284.20 τ=34.62
CC 14 SLD (Collegamento 0022_-379)
Azioni sul collegamento: N=-5422.89 Ty=0.08 Tz=-1.87 Mx=0.00 Mz=0.32
Sollecitazioni agenti localmente: Ty_l=-962.60 My_l=-19.73
Tensioni nella sezione: σ=239.21 τ=29.17
CC 14 SLD (Collegamento 0022_-379)
Azioni sul collegamento: N=-5422.89 Ty=0.78 Tz=-1.87 Mx=0.00 Mz=1.69
Sollecitazioni agenti localmente: Ty_l=-968.05 My_l=-19.85
Tensioni nella sezione: σ=240.66 τ=29.33
CC 14 SLD (Collegamento 0022_-379)
Azioni sul collegamento: N=-5422.89 Ty=0.08 Tz=-3.43 Mx=0.00 Mz=0.32
Sollecitazioni agenti localmente: Ty_l=-962.60 My_l=-19.73
Tensioni nella sezione: σ=239.21 τ=29.17
CC 14 SLD (Collegamento 0022_-379)
Azioni sul collegamento: N=-5422.89 Ty=0.78 Tz=-3.43 Mx=0.00 Mz=1.69
Sollecitazioni agenti localmente: Ty_l=-968.05 My_l=-19.85

Tensioni nella sezione: σ=240.66 τ=29.33
CC 14 SLD (Collegamento 0022_-379)
Azioni sul collegamento: N=-5844.26 Ty=0.08 Tz=-1.87 Mx=0.00 Mz=0.32
Sollecitazioni agenti localmente: Ty_l=-1037.29 My_l=-21.27
Tensioni nella sezione: σ=257.77 τ=31.43
CC 14 SLD (Collegamento 0022_-379)
Azioni sul collegamento: N=-5844.26 Ty=0.78 Tz=-1.87 Mx=0.00 Mz=1.69
Sollecitazioni agenti localmente: Ty_l=-1042.75 My_l=-21.39
Tensioni nella sezione: σ=259.22 τ=31.60
CC 14 SLD (Collegamento 0022_-379)
Azioni sul collegamento: N=-5844.26 Ty=0.08 Tz=-3.43 Mx=0.00 Mz=0.32
Sollecitazioni agenti localmente: Ty_l=-1037.29 My_l=-21.27
Tensioni nella sezione: σ=257.77 τ=31.43
CC 14 SLD (Collegamento 0022_-379)
Azioni sul collegamento: N=-5844.26 Ty=0.78 Tz=-3.43 Mx=0.00 Mz=1.69
Sollecitazioni agenti localmente: Ty_l=-1042.75 My_l=-21.39
Tensioni nella sezione: σ=259.22 τ=31.60
CC 15 SLV (Collegamento 0022_-379)
Azioni sul collegamento: N=-6324.76 Ty=0.08 Tz=-5.22 Mx=0.00 Mz=0.80
Sollecitazioni agenti localmente: Ty_l=-1124.38 My_l=-23.05
Tensioni nella sezione: σ=279.44 τ=34.07
CC 15 SLV (Collegamento 0022_-379)
Azioni sul collegamento: N=-6324.76 Ty=2.39 Tz=-5.22 Mx=0.00 Mz=5.32
Sollecitazioni agenti localmente: Ty_l=-1142.36 My_l=-23.45
Tensioni nella sezione: σ=284.22 τ=34.62
CC 15 SLV (Collegamento 0022_-379)
Azioni sul collegamento: N=-6324.76 Ty=0.08 Tz=-0.09 Mx=0.00 Mz=0.80
Sollecitazioni agenti localmente: Ty_l=-1124.38 My_l=-23.05
Tensioni nella sezione: σ=279.44 τ=34.07
CC 15 SLV (Collegamento 0022_-379)
Azioni sul collegamento: N=-6324.76 Ty=2.39 Tz=-0.09 Mx=0.00 Mz=5.32
Sollecitazioni agenti localmente: Ty_l=-1142.36 My_l=-23.45
Tensioni nella sezione: σ=284.22 τ=34.62
CC 15 SLV (Collegamento 0022_-379)
Azioni sul collegamento: N=-4942.75 Ty=0.08 Tz=-5.22 Mx=0.00 Mz=0.80
Sollecitazioni agenti localmente: Ty_l=-879.38 My_l=-18.03
Tensioni nella sezione: σ=218.57 τ=26.65
CC 15 SLV (Collegamento 0022_-379)
Azioni sul collegamento: N=-4942.75 Ty=2.39 Tz=-5.22 Mx=0.00 Mz=5.32
Sollecitazioni agenti localmente: Ty_l=-897.37 My_l=-18.43
Tensioni nella sezione: σ=223.34 τ=27.19
CC 15 SLV (Collegamento 0022_-379)
Azioni sul collegamento: N=-4942.75 Ty=0.08 Tz=-0.09 Mx=0.00 Mz=0.80
Sollecitazioni agenti localmente: Ty_l=-879.38 My_l=-18.03
Tensioni nella sezione: σ=218.57 τ=26.65
CC 15 SLV (Collegamento 0022_-379)
Azioni sul collegamento: N=-4942.75 Ty=2.39 Tz=-0.09 Mx=0.00 Mz=5.32
Sollecitazioni agenti localmente: Ty_l=-897.37 My_l=-18.43
Tensioni nella sezione: σ=223.34 τ=27.19
CC 16 SLD (Collegamento 0022_-379)
Azioni sul collegamento: N=-5844.28 Ty=0.08 Tz=-3.44 Mx=0.00 Mz=0.31
Sollecitazioni agenti localmente: Ty_l=-1037.28 My_l=-21.27
Tensioni nella sezione: σ=257.77 τ=31.43
CC 16 SLD (Collegamento 0022_-379)
Azioni sul collegamento: N=-5844.28 Ty=0.78 Tz=-3.44 Mx=0.00 Mz=1.69
Sollecitazioni agenti localmente: Ty_l=-1042.77 My_l=-21.39
Tensioni nella sezione: σ=259.23 τ=31.60
CC 16 SLD (Collegamento 0022_-379)
Azioni sul collegamento: N=-5844.28 Ty=0.08 Tz=-1.87 Mx=0.00 Mz=0.31
Sollecitazioni agenti localmente: Ty_l=-1037.28 My_l=-21.27
Tensioni nella sezione: σ=257.77 τ=31.43
CC 16 SLD (Collegamento 0022_-379)
Azioni sul collegamento: N=-5844.28 Ty=0.78 Tz=-1.87 Mx=0.00 Mz=1.69
Sollecitazioni agenti localmente: Ty_l=-1042.77 My_l=-21.39
Tensioni nella sezione: σ=259.23 τ=31.60
CC 16 SLD (Collegamento 0022_-379)
Azioni sul collegamento: N=-5422.87 Ty=0.08 Tz=-3.44 Mx=0.00 Mz=0.31
Sollecitazioni agenti localmente: Ty_l=-962.58 My_l=-19.73
Tensioni nella sezione: σ=239.21 τ=29.17
CC 16 SLD (Collegamento 0022_-379)
Azioni sul collegamento: N=-5422.87 Ty=0.78 Tz=-3.44 Mx=0.00 Mz=1.69
Sollecitazioni agenti localmente: Ty_l=-968.06 My_l=-19.85
Tensioni nella sezione: σ=240.66 τ=29.34
CC 16 SLD (Collegamento 0022_-379)
Azioni sul collegamento: N=-5422.87 Ty=0.08 Tz=-1.87 Mx=0.00 Mz=0.31
Sollecitazioni agenti localmente: Ty_l=-962.58 My_l=-19.73
Tensioni nella sezione: σ=239.21 τ=29.17
CC 16 SLD (Collegamento 0022_-379)
Azioni sul collegamento: N=-5422.87 Ty=0.78 Tz=-1.87 Mx=0.00 Mz=1.69
Sollecitazioni agenti localmente: Ty_l=-968.06 My_l=-19.85

Tensioni nella sezione: σ=240.66 τ=29.34
CC 17 SLV (Collegamento 0022_-379)
Azioni sul collegamento: N=-3330.00 Ty=-0.74 Tz=5.89 Mx=-0.02 Mz=-2.16
Sollecitazioni agenti localmente: Ty_l=-581.74 My_l=-11.91
Tensioni nella sezione: σ=144.41 τ=17.63
CC 17 SLV (Collegamento 0022_-379)
Azioni sul collegamento: N=-3330.00 Ty=-1.44 Tz=5.89 Mx=-0.02 Mz=-3.55
Sollecitazioni agenti localmente: Ty_l=-576.21 My_l=-11.79
Tensioni nella sezione: σ=142.94 τ=17.46
CC 17 SLV (Collegamento 0022_-379)
Azioni sul collegamento: N=-3330.00 Ty=-0.74 Tz=-11.20 Mx=-0.02 Mz=-2.16
Sollecitazioni agenti localmente: Ty_l=-581.74 My_l=-11.91
Tensioni nella sezione: σ=144.41 τ=17.63
CC 17 SLV (Collegamento 0022_-379)
Azioni sul collegamento: N=-3330.00 Ty=-1.44 Tz=-11.20 Mx=-0.02 Mz=-3.55
Sollecitazioni agenti localmente: Ty_l=-576.21 My_l=-11.79
Tensioni nella sezione: σ=142.94 τ=17.46
CC 17 SLV (Collegamento 0022_-379)
Azioni sul collegamento: N=-7936.47 Ty=-0.74 Tz=5.89 Mx=-0.02 Mz=-2.16
Sollecitazioni agenti localmente: Ty_l=-1398.34 My_l=-28.65
Tensioni nella sezione: σ=347.32 τ=42.37
CC 17 SLV (Collegamento 0022_-379)
Azioni sul collegamento: N=-7936.47 Ty=-1.44 Tz=5.89 Mx=-0.02 Mz=-3.55
Sollecitazioni agenti localmente: Ty_l=-1392.81 My_l=-28.53
Tensioni nella sezione: σ=345.85 τ=42.21
CC 17 SLV (Collegamento 0022_-379)
Azioni sul collegamento: N=-7936.47 Ty=-0.74 Tz=-11.20 Mx=-0.02 Mz=-2.16
Sollecitazioni agenti localmente: Ty_l=-1398.34 My_l=-28.65
Tensioni nella sezione: σ=347.32 τ=42.37
CC 17 SLV (Collegamento 0022_-379)
Azioni sul collegamento: N=-7936.47 Ty=-1.44 Tz=-11.20 Mx=-0.02 Mz=-3.55
Sollecitazioni agenti localmente: Ty_l=-1392.81 My_l=-28.53
Tensioni nella sezione: σ=345.85 τ=42.21
CC 18 SLD (Collegamento 0022_-379)
Azioni sul collegamento: N=-4931.08 Ty=-0.17 Tz=-0.05 Mx=-0.00 Mz=-0.59
Sollecitazioni agenti localmente: Ty_l=-871.82 My_l=-17.87
Tensioni nella sezione: σ=216.59 τ=26.42
CC 18 SLD (Collegamento 0022_-379)
Azioni sul collegamento: N=-4931.08 Ty=-0.39 Tz=-0.05 Mx=-0.00 Mz=-1.01
Sollecitazioni agenti localmente: Ty_l=-870.13 My_l=-17.83
Tensioni nella sezione: σ=216.15 τ=26.37
CC 18 SLD (Collegamento 0022_-379)
Azioni sul collegamento: N=-4931.09 Ty=-0.17 Tz=-5.26 Mx=-0.00 Mz=-0.59
Sollecitazioni agenti localmente: Ty_l=-871.82 My_l=-17.87
Tensioni nella sezione: σ=216.59 τ=26.42
CC 18 SLD (Collegamento 0022_-379)
Azioni sul collegamento: N=-4931.09 Ty=-0.39 Tz=-5.26 Mx=-0.00 Mz=-1.01
Sollecitazioni agenti localmente: Ty_l=-870.13 My_l=-17.83
Tensioni nella sezione: σ=216.15 τ=26.37
CC 18 SLD (Collegamento 0022_-379)
Azioni sul collegamento: N=-6335.74 Ty=-0.17 Tz=-0.05 Mx=-0.00 Mz=-0.59
Sollecitazioni agenti localmente: Ty_l=-1120.82 My_l=-22.97
Tensioni nella sezione: σ=278.47 τ=33.96
CC 18 SLD (Collegamento 0022_-379)
Azioni sul collegamento: N=-6335.74 Ty=-0.39 Tz=-0.05 Mx=-0.00 Mz=-1.01
Sollecitazioni agenti localmente: Ty_l=-1119.14 My_l=-22.94
Tensioni nella sezione: σ=278.02 τ=33.91
CC 18 SLD (Collegamento 0022_-379)
Azioni sul collegamento: N=-6335.74 Ty=-0.17 Tz=-5.26 Mx=-0.00 Mz=-0.59
Sollecitazioni agenti localmente: Ty_l=-1120.82 My_l=-22.97
Tensioni nella sezione: σ=278.47 τ=33.96
CC 18 SLD (Collegamento 0022_-379)
Azioni sul collegamento: N=-6335.74 Ty=-0.39 Tz=-5.26 Mx=-0.00 Mz=-1.01
Sollecitazioni agenti localmente: Ty_l=-1119.14 My_l=-22.94
Tensioni nella sezione: σ=278.02 τ=33.91
CC 19 SLV (Collegamento 0022_-379)
Azioni sul collegamento: N=-3330.02 Ty=-1.43 Tz=5.88 Mx=-0.01 Mz=-3.51
Sollecitazioni agenti localmente: Ty_l=-576.36 My_l=-11.80
Tensioni nella sezione: σ=142.98 τ=17.47
CC 19 SLV (Collegamento 0022_-379)
Azioni sul collegamento: N=-3330.02 Ty=-0.75 Tz=5.88 Mx=-0.01 Mz=-2.19
Sollecitazioni agenti localmente: Ty_l=-581.59 My_l=-11.91
Tensioni nella sezione: σ=144.37 τ=17.62
CC 19 SLV (Collegamento 0022_-379)
Azioni sul collegamento: N=-3330.02 Ty=-1.43 Tz=-11.19 Mx=-0.01 Mz=-3.51
Sollecitazioni agenti localmente: Ty_l=-576.36 My_l=-11.80
Tensioni nella sezione: σ=142.98 τ=17.47
CC 19 SLV (Collegamento 0022_-379)
Azioni sul collegamento: N=-3330.02 Ty=-0.75 Tz=-11.19 Mx=-0.01 Mz=-2.19
Sollecitazioni agenti localmente: Ty_l=-581.59 My_l=-11.91

Tensioni nella sezione: σ=144.37 τ=17.62
CC 19 SLV (Collegamento 0022_-379)
Azioni sul collegamento: N=-7936.44 Ty=-1.43 Tz=5.88 Mx=-0.01 Mz=-3.51
Sollecitazioni agenti localmente: Ty_l=-1392.96 My_l=-28.54
Tensioni nella sezione: σ=345.89 τ=42.21
CC 19 SLV (Collegamento 0022_-379)
Azioni sul collegamento: N=-7936.44 Ty=-0.75 Tz=5.88 Mx=-0.01 Mz=-2.19
Sollecitazioni agenti localmente: Ty_l=-1398.19 My_l=-28.65
Tensioni nella sezione: σ=347.28 τ=42.37
CC 19 SLV (Collegamento 0022_-379)
Azioni sul collegamento: N=-7936.44 Ty=-1.43 Tz=-11.19 Mx=-0.01 Mz=-3.51
Sollecitazioni agenti localmente: Ty_l=-1392.96 My_l=-28.54
Tensioni nella sezione: σ=345.89 τ=42.21
CC 19 SLV (Collegamento 0022_-379)
Azioni sul collegamento: N=-7936.44 Ty=-0.75 Tz=-11.19 Mx=-0.01 Mz=-2.19
Sollecitazioni agenti localmente: Ty_l=-1398.19 My_l=-28.65
Tensioni nella sezione: σ=347.28 τ=42.37
CC 20 SLD (Collegamento 0022_-379)
Azioni sul collegamento: N=-4931.09 Ty=-0.38 Tz=-0.05 Mx=-0.00 Mz=-1.00
Sollecitazioni agenti localmente: Ty_l=-870.18 My_l=-17.83
Tensioni nella sezione: σ=216.16 τ=26.37
CC 20 SLD (Collegamento 0022_-379)
Azioni sul collegamento: N=-4931.09 Ty=-0.18 Tz=-0.05 Mx=-0.00 Mz=-0.60
Sollecitazioni agenti localmente: Ty_l=-871.77 My_l=-17.87
Tensioni nella sezione: σ=216.58 τ=26.42
CC 20 SLD (Collegamento 0022_-379)
Azioni sul collegamento: N=-4931.09 Ty=-0.38 Tz=-5.26 Mx=-0.00 Mz=-1.00
Sollecitazioni agenti localmente: Ty_l=-870.18 My_l=-17.83
Tensioni nella sezione: σ=216.16 τ=26.37
CC 20 SLD (Collegamento 0022_-379)
Azioni sul collegamento: N=-4931.09 Ty=-0.18 Tz=-5.26 Mx=-0.00 Mz=-0.60
Sollecitazioni agenti localmente: Ty_l=-871.77 My_l=-17.87
Tensioni nella sezione: σ=216.58 τ=26.42
CC 20 SLD (Collegamento 0022_-379)
Azioni sul collegamento: N=-6335.74 Ty=-0.38 Tz=-0.05 Mx=-0.00 Mz=-1.00
Sollecitazioni agenti localmente: Ty_l=-1119.18 My_l=-22.94
Tensioni nella sezione: σ=278.03 τ=33.91
CC 20 SLD (Collegamento 0022_-379)
Azioni sul collegamento: N=-6335.74 Ty=-0.18 Tz=-0.05 Mx=-0.00 Mz=-0.60
Sollecitazioni agenti localmente: Ty_l=-1120.78 My_l=-22.97
Tensioni nella sezione: σ=278.46 τ=33.96
CC 20 SLD (Collegamento 0022_-379)
Azioni sul collegamento: N=-6335.74 Ty=-0.38 Tz=-5.26 Mx=-0.00 Mz=-1.00
Sollecitazioni agenti localmente: Ty_l=-1119.18 My_l=-22.94
Tensioni nella sezione: σ=278.03 τ=33.91
CC 20 SLD (Collegamento 0022_-379)
Azioni sul collegamento: N=-6335.74 Ty=-0.18 Tz=-5.26 Mx=-0.00 Mz=-0.60
Sollecitazioni agenti localmente: Ty_l=-1120.78 My_l=-22.97
Tensioni nella sezione: σ=278.46 τ=33.96
CC 21 SLV (Collegamento 0022_-379)
Azioni sul collegamento: N=-7936.44 Ty=-0.75 Tz=-11.19 Mx=-0.02 Mz=-2.19
Sollecitazioni agenti localmente: Ty_l=-1398.19 My_l=-28.65
Tensioni nella sezione: σ=347.28 τ=42.37
CC 21 SLV (Collegamento 0022_-379)
Azioni sul collegamento: N=-7936.44 Ty=-1.43 Tz=-11.19 Mx=-0.02 Mz=-3.51
Sollecitazioni agenti localmente: Ty_l=-1392.96 My_l=-28.54
Tensioni nella sezione: σ=345.89 τ=42.21
CC 21 SLV (Collegamento 0022_-379)
Azioni sul collegamento: N=-7936.44 Ty=-0.75 Tz=5.88 Mx=-0.02 Mz=-2.19
Sollecitazioni agenti localmente: Ty_l=-1398.19 My_l=-28.65
Tensioni nella sezione: σ=347.28 τ=42.37
CC 21 SLV (Collegamento 0022_-379)
Azioni sul collegamento: N=-7936.44 Ty=-1.43 Tz=5.88 Mx=-0.02 Mz=-3.51
Sollecitazioni agenti localmente: Ty_l=-1392.96 My_l=-28.54
Tensioni nella sezione: σ=345.89 τ=42.21
CC 21 SLV (Collegamento 0022_-379)
Azioni sul collegamento: N=-3330.02 Ty=-0.75 Tz=-11.19 Mx=-0.02 Mz=-2.19
Sollecitazioni agenti localmente: Ty_l=-581.59 My_l=-11.91
Tensioni nella sezione: σ=144.37 τ=17.62
CC 21 SLV (Collegamento 0022_-379)
Azioni sul collegamento: N=-3330.02 Ty=-1.43 Tz=-11.19 Mx=-0.02 Mz=-3.51
Sollecitazioni agenti localmente: Ty_l=-576.36 My_l=-11.80
Tensioni nella sezione: σ=142.98 τ=17.47
CC 21 SLV (Collegamento 0022_-379)
Azioni sul collegamento: N=-3330.02 Ty=-0.75 Tz=5.88 Mx=-0.02 Mz=-2.19
Sollecitazioni agenti localmente: Ty_l=-581.59 My_l=-11.91
Tensioni nella sezione: σ=144.37 τ=17.62
CC 21 SLV (Collegamento 0022_-379)
Azioni sul collegamento: N=-3330.02 Ty=-1.43 Tz=5.88 Mx=-0.02 Mz=-3.51
Sollecitazioni agenti localmente: Ty_l=-576.36 My_l=-11.80

Tensioni nella sezione: σ=142.98 τ=17.47
CC 22 SLD (Collegamento 0022_-379)
Azioni sul collegamento: N=-6335.74 Ty=-0.18 Tz=-5.26 Mx=-0.00 Mz=-0.60
Sollecitazioni agenti localmente: Ty_l=-1120.78 My_l=-22.97
Tensioni nella sezione: σ=278.46 τ=33.96
CC 22 SLD (Collegamento 0022_-379)
Azioni sul collegamento: N=-6335.74 Ty=-0.38 Tz=-5.26 Mx=-0.00 Mz=-1.00
Sollecitazioni agenti localmente: Ty_l=-1119.18 My_l=-22.94
Tensioni nella sezione: σ=278.03 τ=33.91
CC 22 SLD (Collegamento 0022_-379)
Azioni sul collegamento: N=-6335.74 Ty=-0.18 Tz=-0.05 Mx=-0.00 Mz=-0.60
Sollecitazioni agenti localmente: Ty_l=-1120.78 My_l=-22.97
Tensioni nella sezione: σ=278.46 τ=33.96
CC 22 SLD (Collegamento 0022_-379)
Azioni sul collegamento: N=-6335.74 Ty=-0.38 Tz=-0.05 Mx=-0.00 Mz=-1.00
Sollecitazioni agenti localmente: Ty_l=-1119.18 My_l=-22.94
Tensioni nella sezione: σ=278.03 τ=33.91
CC 22 SLD (Collegamento 0022_-379)
Azioni sul collegamento: N=-4931.09 Ty=-0.18 Tz=-5.26 Mx=-0.00 Mz=-0.60
Sollecitazioni agenti localmente: Ty_l=-871.77 My_l=-17.87
Tensioni nella sezione: σ=216.58 τ=26.42
CC 22 SLD (Collegamento 0022_-379)
Azioni sul collegamento: N=-4931.09 Ty=-0.38 Tz=-5.26 Mx=-0.00 Mz=-1.00
Sollecitazioni agenti localmente: Ty_l=-870.18 My_l=-17.83
Tensioni nella sezione: σ=216.16 τ=26.37
CC 22 SLD (Collegamento 0022_-379)
Azioni sul collegamento: N=-4931.09 Ty=-0.18 Tz=-0.05 Mx=-0.00 Mz=-0.60
Sollecitazioni agenti localmente: Ty_l=-871.77 My_l=-17.87
Tensioni nella sezione: σ=216.58 τ=26.42
CC 22 SLD (Collegamento 0022_-379)
Azioni sul collegamento: N=-4931.09 Ty=-0.38 Tz=-0.05 Mx=-0.00 Mz=-1.00
Sollecitazioni agenti localmente: Ty_l=-870.18 My_l=-17.83
Tensioni nella sezione: σ=216.16 τ=26.37
CC 23 SLV (Collegamento 0022_-379)
Azioni sul collegamento: N=-7936.47 Ty=-1.44 Tz=-11.20 Mx=-0.01 Mz=-3.55
Sollecitazioni agenti localmente: Ty_l=-1392.81 My_l=-28.53
Tensioni nella sezione: σ=345.85 τ=42.21
CC 23 SLV (Collegamento 0022_-379)
Azioni sul collegamento: N=-7936.47 Ty=-0.74 Tz=-11.20 Mx=-0.01 Mz=-2.16
Sollecitazioni agenti localmente: Ty_l=-1398.34 My_l=-28.65
Tensioni nella sezione: σ=347.32 τ=42.37
CC 23 SLV (Collegamento 0022_-379)
Azioni sul collegamento: N=-7936.47 Ty=-1.44 Tz=5.89 Mx=-0.01 Mz=-3.55
Sollecitazioni agenti localmente: Ty_l=-1392.81 My_l=-28.53
Tensioni nella sezione: σ=345.85 τ=42.21
CC 23 SLV (Collegamento 0022_-379)
Azioni sul collegamento: N=-7936.47 Ty=-0.74 Tz=5.89 Mx=-0.01 Mz=-2.16
Sollecitazioni agenti localmente: Ty_l=-1398.34 My_l=-28.65
Tensioni nella sezione: σ=347.32 τ=42.37
CC 23 SLV (Collegamento 0022_-379)
Azioni sul collegamento: N=-3330.00 Ty=-1.44 Tz=-11.20 Mx=-0.01 Mz=-3.55
Sollecitazioni agenti localmente: Ty_l=-576.21 My_l=-11.79
Tensioni nella sezione: σ=142.94 τ=17.46
CC 23 SLV (Collegamento 0022_-379)
Azioni sul collegamento: N=-3330.00 Ty=-0.74 Tz=-11.20 Mx=-0.01 Mz=-2.16
Sollecitazioni agenti localmente: Ty_l=-581.74 My_l=-11.91
Tensioni nella sezione: σ=144.41 τ=17.63
CC 23 SLV (Collegamento 0022_-379)
Azioni sul collegamento: N=-3330.00 Ty=-1.44 Tz=5.89 Mx=-0.01 Mz=-3.55
Sollecitazioni agenti localmente: Ty_l=-576.21 My_l=-11.79
Tensioni nella sezione: σ=142.94 τ=17.46
CC 23 SLV (Collegamento 0022_-379)
Azioni sul collegamento: N=-3330.00 Ty=-0.74 Tz=5.89 Mx=-0.01 Mz=-2.16
Sollecitazioni agenti localmente: Ty_l=-581.74 My_l=-11.91
Tensioni nella sezione: σ=144.41 τ=17.63
CC 24 SLD (Collegamento 0022_-379)
Azioni sul collegamento: N=-6335.74 Ty=-0.39 Tz=-5.26 Mx=-0.00 Mz=-1.01
Sollecitazioni agenti localmente: Ty_l=-1119.14 My_l=-22.94
Tensioni nella sezione: σ=278.02 τ=33.91
CC 24 SLD (Collegamento 0022_-379)
Azioni sul collegamento: N=-6335.74 Ty=-0.17 Tz=-5.26 Mx=-0.00 Mz=-0.59
Sollecitazioni agenti localmente: Ty_l=-1120.82 My_l=-22.97
Tensioni nella sezione: σ=278.47 τ=33.96
CC 24 SLD (Collegamento 0022_-379)
Azioni sul collegamento: N=-6335.74 Ty=-0.39 Tz=-0.05 Mx=-0.00 Mz=-1.01
Sollecitazioni agenti localmente: Ty_l=-1119.14 My_l=-22.94
Tensioni nella sezione: σ=278.02 τ=33.91
CC 24 SLD (Collegamento 0022_-379)
Azioni sul collegamento: N=-6335.74 Ty=-0.17 Tz=-0.05 Mx=-0.00 Mz=-0.59
Sollecitazioni agenti localmente: Ty_l=-1120.82 My_l=-22.97

Tensioni nella sezione: σ=278.47 τ=33.96
CC 24 SLD (Collegamento 0022_-379)
Azioni sul collegamento: N=-4931.09 Ty=-0.39 Tz=-5.26 Mx=-0.00 Mz=-1.01
Sollecitazioni agenti localmente: Ty_l=-870.13 My_l=-17.83
Tensioni nella sezione: σ=216.15 τ=26.37
CC 24 SLD (Collegamento 0022_-379)
Azioni sul collegamento: N=-4931.09 Ty=-0.17 Tz=-5.26 Mx=-0.00 Mz=-0.59
Sollecitazioni agenti localmente: Ty_l=-871.82 My_l=-17.87
Tensioni nella sezione: σ=216.59 τ=26.42
CC 24 SLD (Collegamento 0022_-379)
Azioni sul collegamento: N=-4931.08 Ty=-0.39 Tz=-0.05 Mx=-0.00 Mz=-1.01
Sollecitazioni agenti localmente: Ty_l=-870.13 My_l=-17.83
Tensioni nella sezione: σ=216.15 τ=26.37
CC 24 SLD (Collegamento 0022_-379)
Azioni sul collegamento: N=-4931.08 Ty=-0.17 Tz=-0.05 Mx=-0.00 Mz=-0.59
Sollecitazioni agenti localmente: Ty_l=-871.82 My_l=-17.87
Tensioni nella sezione: σ=216.59 τ=26.42
CC 25 SLV (Collegamento 0022_-379)
Azioni sul collegamento: N=-4942.23 Ty=0.07 Tz=-0.09 Mx=-0.02 Mz=-0.59
Sollecitazioni agenti localmente: Ty_l=-873.77 My_l=-17.91
Tensioni nella sezione: σ=217.08 τ=26.48
CC 25 SLV (Collegamento 0022_-379)
Azioni sul collegamento: N=-4942.23 Ty=-2.24 Tz=-0.09 Mx=-0.02 Mz=-5.11
Sollecitazioni agenti localmente: Ty_l=-855.78 My_l=-17.52
Tensioni nella sezione: σ=212.31 τ=25.93
CC 25 SLV (Collegamento 0022_-379)
Azioni sul collegamento: N=-4942.23 Ty=0.07 Tz=-5.22 Mx=-0.02 Mz=-0.59
Sollecitazioni agenti localmente: Ty_l=-873.77 My_l=-17.91
Tensioni nella sezione: σ=217.08 τ=26.48
CC 25 SLV (Collegamento 0022_-379)
Azioni sul collegamento: N=-4942.23 Ty=-2.24 Tz=-5.22 Mx=-0.02 Mz=-5.11
Sollecitazioni agenti localmente: Ty_l=-855.78 My_l=-17.52
Tensioni nella sezione: σ=212.31 τ=25.93
CC 25 SLV (Collegamento 0022_-379)
Azioni sul collegamento: N=-6324.24 Ty=0.07 Tz=-0.09 Mx=-0.02 Mz=-0.59
Sollecitazioni agenti localmente: Ty_l=-1118.77 My_l=-22.93
Tensioni nella sezione: σ=277.96 τ=33.90
CC 25 SLV (Collegamento 0022_-379)
Azioni sul collegamento: N=-6324.24 Ty=-2.24 Tz=-0.09 Mx=-0.02 Mz=-5.11
Sollecitazioni agenti localmente: Ty_l=-1100.78 My_l=-22.54
Tensioni nella sezione: σ=273.18 τ=33.36
CC 25 SLV (Collegamento 0022_-379)
Azioni sul collegamento: N=-6324.24 Ty=0.07 Tz=-5.22 Mx=-0.02 Mz=-0.59
Sollecitazioni agenti localmente: Ty_l=-1118.77 My_l=-22.93
Tensioni nella sezione: σ=277.96 τ=33.90
CC 25 SLV (Collegamento 0022_-379)
Azioni sul collegamento: N=-6324.24 Ty=-2.24 Tz=-5.22 Mx=-0.02 Mz=-5.11
Sollecitazioni agenti localmente: Ty_l=-1100.78 My_l=-22.54
Tensioni nella sezione: σ=273.18 τ=33.36
CC 26 SLD (Collegamento 0022_-379)
Azioni sul collegamento: N=-5422.71 Ty=0.07 Tz=-1.87 Mx=-0.01 Mz=-0.11
Sollecitazioni agenti localmente: Ty_l=-960.87 My_l=-19.70
Tensioni nella sezione: σ=238.75 τ=29.12
CC 26 SLD (Collegamento 0022_-379)
Azioni sul collegamento: N=-5422.71 Ty=-0.63 Tz=-1.87 Mx=-0.01 Mz=-1.49
Sollecitazioni agenti localmente: Ty_l=-955.38 My_l=-19.58
Tensioni nella sezione: σ=237.30 τ=28.95
CC 26 SLD (Collegamento 0022_-379)
Azioni sul collegamento: N=-5422.71 Ty=0.07 Tz=-3.44 Mx=-0.01 Mz=-0.11
Sollecitazioni agenti localmente: Ty_l=-960.87 My_l=-19.70
Tensioni nella sezione: σ=238.75 τ=29.12
CC 26 SLD (Collegamento 0022_-379)
Azioni sul collegamento: N=-5422.71 Ty=-0.63 Tz=-3.44 Mx=-0.01 Mz=-1.49
Sollecitazioni agenti localmente: Ty_l=-955.38 My_l=-19.58
Tensioni nella sezione: σ=237.30 τ=28.95
CC 26 SLD (Collegamento 0022_-379)
Azioni sul collegamento: N=-5844.12 Ty=0.07 Tz=-1.87 Mx=-0.01 Mz=-0.11
Sollecitazioni agenti localmente: Ty_l=-1035.57 My_l=-21.23
Tensioni nella sezione: σ=257.32 τ=31.38
CC 26 SLD (Collegamento 0022_-379)
Azioni sul collegamento: N=-5844.12 Ty=-0.63 Tz=-1.87 Mx=-0.01 Mz=-1.49
Sollecitazioni agenti localmente: Ty_l=-1030.09 My_l=-21.11
Tensioni nella sezione: σ=255.86 τ=31.21
CC 26 SLD (Collegamento 0022_-379)
Azioni sul collegamento: N=-5844.12 Ty=0.07 Tz=-3.44 Mx=-0.01 Mz=-0.11
Sollecitazioni agenti localmente: Ty_l=-1035.57 My_l=-21.23
Tensioni nella sezione: σ=257.32 τ=31.38
CC 26 SLD (Collegamento 0022_-379)
Azioni sul collegamento: N=-5844.12 Ty=-0.63 Tz=-3.44 Mx=-0.01 Mz=-1.49
Sollecitazioni agenti localmente: Ty_l=-1030.09 My_l=-21.11

Tensioni nella sezione: σ=255.86 τ=31.21
CC 27 SLV (Collegamento 0022_-379)
Azioni sul collegamento: N=-6324.16 Ty=0.06 Tz=-5.22 Mx=-0.02 Mz=-0.60
Sollecitazioni agenti localmente: Ty_l=-1118.71 My_l=-22.93
Tensioni nella sezione: σ=277.94 τ=33.90
CC 27 SLV (Collegamento 0022_-379)
Azioni sul collegamento: N=-6324.16 Ty=-2.24 Tz=-5.22 Mx=-0.02 Mz=-5.10
Sollecitazioni agenti localmente: Ty_l=-1100.81 My_l=-22.54
Tensioni nella sezione: σ=273.19 τ=33.36
CC 27 SLV (Collegamento 0022_-379)
Azioni sul collegamento: N=-6324.16 Ty=0.06 Tz=-0.09 Mx=-0.02 Mz=-0.60
Sollecitazioni agenti localmente: Ty_l=-1118.71 My_l=-22.93
Tensioni nella sezione: σ=277.94 τ=33.90
CC 27 SLV (Collegamento 0022_-379)
Azioni sul collegamento: N=-6324.16 Ty=-2.24 Tz=-0.09 Mx=-0.02 Mz=-5.10
Sollecitazioni agenti localmente: Ty_l=-1100.81 My_l=-22.54
Tensioni nella sezione: σ=273.19 τ=33.36
CC 27 SLV (Collegamento 0022_-379)
Azioni sul collegamento: N=-4942.30 Ty=0.06 Tz=-5.22 Mx=-0.02 Mz=-0.60
Sollecitazioni agenti localmente: Ty_l=-873.74 My_l=-17.91
Tensioni nella sezione: σ=217.07 τ=26.48
CC 27 SLV (Collegamento 0022_-379)
Azioni sul collegamento: N=-4942.30 Ty=-2.24 Tz=-5.22 Mx=-0.02 Mz=-5.10
Sollecitazioni agenti localmente: Ty_l=-855.85 My_l=-17.52
Tensioni nella sezione: σ=212.32 τ=25.93
CC 27 SLV (Collegamento 0022_-379)
Azioni sul collegamento: N=-4942.30 Ty=0.06 Tz=-0.09 Mx=-0.02 Mz=-0.60
Sollecitazioni agenti localmente: Ty_l=-873.74 My_l=-17.91
Tensioni nella sezione: σ=217.07 τ=26.48
CC 27 SLV (Collegamento 0022_-379)
Azioni sul collegamento: N=-4942.30 Ty=-2.24 Tz=-0.09 Mx=-0.02 Mz=-5.10
Sollecitazioni agenti localmente: Ty_l=-855.85 My_l=-17.52
Tensioni nella sezione: σ=212.32 τ=25.93
CC 28 SLD (Collegamento 0022_-379)
Azioni sul collegamento: N=-5844.10 Ty=0.07 Tz=-3.44 Mx=-0.01 Mz=-0.11
Sollecitazioni agenti localmente: Ty_l=-1035.55 My_l=-21.23
Tensioni nella sezione: σ=257.31 τ=31.38
CC 28 SLD (Collegamento 0022_-379)
Azioni sul collegamento: N=-5844.10 Ty=-0.63 Tz=-3.44 Mx=-0.01 Mz=-1.48
Sollecitazioni agenti localmente: Ty_l=-1030.10 My_l=-21.11
Tensioni nella sezione: σ=255.86 τ=31.22
CC 28 SLD (Collegamento 0022_-379)
Azioni sul collegamento: N=-5844.10 Ty=0.07 Tz=-1.87 Mx=-0.01 Mz=-0.11
Sollecitazioni agenti localmente: Ty_l=-1035.55 My_l=-21.23
Tensioni nella sezione: σ=257.31 τ=31.38
CC 28 SLD (Collegamento 0022_-379)
Azioni sul collegamento: N=-5844.10 Ty=-0.63 Tz=-1.87 Mx=-0.01 Mz=-1.48
Sollecitazioni agenti localmente: Ty_l=-1030.10 My_l=-21.11
Tensioni nella sezione: σ=255.86 τ=31.22
CC 28 SLD (Collegamento 0022_-379)
Azioni sul collegamento: N=-5422.73 Ty=0.07 Tz=-3.44 Mx=-0.01 Mz=-0.11
Sollecitazioni agenti localmente: Ty_l=-960.86 My_l=-19.70
Tensioni nella sezione: σ=238.75 τ=29.12
CC 28 SLD (Collegamento 0022_-379)
Azioni sul collegamento: N=-5422.73 Ty=-0.63 Tz=-3.44 Mx=-0.01 Mz=-1.48
Sollecitazioni agenti localmente: Ty_l=-955.40 My_l=-19.58
Tensioni nella sezione: σ=237.30 τ=28.95
CC 28 SLD (Collegamento 0022_-379)
Azioni sul collegamento: N=-5422.73 Ty=0.07 Tz=-1.87 Mx=-0.01 Mz=-0.11
Sollecitazioni agenti localmente: Ty_l=-960.86 My_l=-19.70
Tensioni nella sezione: σ=238.75 τ=29.12
CC 28 SLD (Collegamento 0022_-379)
Azioni sul collegamento: N=-5422.73 Ty=-0.63 Tz=-1.87 Mx=-0.01 Mz=-1.48
Sollecitazioni agenti localmente: Ty_l=-955.40 My_l=-19.58
Tensioni nella sezione: σ=237.30 τ=28.95
CC 29 SLV (Collegamento 0022_-379)
Azioni sul collegamento: N=-4942.30 Ty=-2.24 Tz=-0.09 Mx=-0.00 Mz=-5.10
Sollecitazioni agenti localmente: Ty_l=-855.85 My_l=-17.52
Tensioni nella sezione: σ=212.32 τ=25.93
CC 29 SLV (Collegamento 0022_-379)
Azioni sul collegamento: N=-4942.30 Ty=0.06 Tz=-0.09 Mx=-0.00 Mz=-0.60
Sollecitazioni agenti localmente: Ty_l=-873.74 My_l=-17.91
Tensioni nella sezione: σ=217.07 τ=26.48
CC 29 SLV (Collegamento 0022_-379)
Azioni sul collegamento: N=-4942.30 Ty=-2.24 Tz=-5.22 Mx=-0.00 Mz=-5.10
Sollecitazioni agenti localmente: Ty_l=-855.85 My_l=-17.52
Tensioni nella sezione: σ=212.32 τ=25.93
CC 29 SLV (Collegamento 0022_-379)
Azioni sul collegamento: N=-4942.30 Ty=0.06 Tz=-5.22 Mx=-0.00 Mz=-0.60
Sollecitazioni agenti localmente: Ty_l=-873.74 My_l=-17.91

Tensioni nella sezione: σ=217.07 τ=26.48
CC 29 SLV (Collegamento 0022_-379)
Azioni sul collegamento: N=-6324.16 Ty=-2.24 Tz=-0.09 Mx=-0.00 Mz=-5.10
Sollecitazioni agenti localmente: Ty_l=-1100.81 My_l=-22.54
Tensioni nella sezione: σ=273.19 τ=33.36
CC 29 SLV (Collegamento 0022_-379)
Azioni sul collegamento: N=-6324.16 Ty=0.06 Tz=-0.09 Mx=-0.00 Mz=-0.60
Sollecitazioni agenti localmente: Ty_l=-1118.71 My_l=-22.93
Tensioni nella sezione: σ=277.94 τ=33.90
CC 29 SLV (Collegamento 0022_-379)
Azioni sul collegamento: N=-6324.16 Ty=-2.24 Tz=-5.22 Mx=-0.00 Mz=-5.10
Sollecitazioni agenti localmente: Ty_l=-1100.81 My_l=-22.54
Tensioni nella sezione: σ=273.19 τ=33.36
CC 29 SLV (Collegamento 0022_-379)
Azioni sul collegamento: N=-6324.16 Ty=0.06 Tz=-5.22 Mx=-0.00 Mz=-0.60
Sollecitazioni agenti localmente: Ty_l=-1118.71 My_l=-22.93
Tensioni nella sezione: σ=277.94 τ=33.90
CC 30 SLD (Collegamento 0022_-379)
Azioni sul collegamento: N=-5422.73 Ty=-0.63 Tz=-1.87 Mx=-0.00 Mz=-1.48
Sollecitazioni agenti localmente: Ty_l=-955.40 My_l=-19.58
Tensioni nella sezione: σ=237.30 τ=28.95
CC 30 SLD (Collegamento 0022_-379)
Azioni sul collegamento: N=-5422.73 Ty=0.07 Tz=-1.87 Mx=-0.00 Mz=-0.11
Sollecitazioni agenti localmente: Ty_l=-960.86 My_l=-19.70
Tensioni nella sezione: σ=238.75 τ=29.12
CC 30 SLD (Collegamento 0022_-379)
Azioni sul collegamento: N=-5422.73 Ty=-0.63 Tz=-3.44 Mx=-0.00 Mz=-1.48
Sollecitazioni agenti localmente: Ty_l=-955.40 My_l=-19.58
Tensioni nella sezione: σ=237.30 τ=28.95
CC 30 SLD (Collegamento 0022_-379)
Azioni sul collegamento: N=-5422.73 Ty=0.07 Tz=-3.44 Mx=-0.00 Mz=-0.11
Sollecitazioni agenti localmente: Ty_l=-960.86 My_l=-19.70
Tensioni nella sezione: σ=238.75 τ=29.12
CC 30 SLD (Collegamento 0022_-379)
Azioni sul collegamento: N=-5844.10 Ty=-0.63 Tz=-1.87 Mx=-0.00 Mz=-1.48
Sollecitazioni agenti localmente: Ty_l=-1030.10 My_l=-21.11
Tensioni nella sezione: σ=255.86 τ=31.22
CC 30 SLD (Collegamento 0022_-379)
Azioni sul collegamento: N=-5844.10 Ty=0.07 Tz=-1.87 Mx=-0.00 Mz=-0.11
Sollecitazioni agenti localmente: Ty_l=-1035.55 My_l=-21.23
Tensioni nella sezione: σ=257.31 τ=31.38
CC 30 SLD (Collegamento 0022_-379)
Azioni sul collegamento: N=-5844.10 Ty=-0.63 Tz=-3.44 Mx=-0.00 Mz=-1.48
Sollecitazioni agenti localmente: Ty_l=-1030.10 My_l=-21.11
Tensioni nella sezione: σ=255.86 τ=31.22
CC 30 SLD (Collegamento 0022_-379)
Azioni sul collegamento: N=-5844.10 Ty=0.07 Tz=-3.44 Mx=-0.00 Mz=-0.11
Sollecitazioni agenti localmente: Ty_l=-1035.55 My_l=-21.23
Tensioni nella sezione: σ=257.31 τ=31.38
CC 31 SLV (Collegamento 0022_-379)
Azioni sul collegamento: N=-6324.24 Ty=-2.24 Tz=-5.22 Mx=-0.00 Mz=-5.11
Sollecitazioni agenti localmente: Ty_l=-1100.78 My_l=-22.54
Tensioni nella sezione: σ=273.18 τ=33.36
CC 31 SLV (Collegamento 0022_-379)
Azioni sul collegamento: N=-6324.24 Ty=0.07 Tz=-5.22 Mx=-0.00 Mz=-0.59
Sollecitazioni agenti localmente: Ty_l=-1118.77 My_l=-22.93
Tensioni nella sezione: σ=277.96 τ=33.90
CC 31 SLV (Collegamento 0022_-379)
Azioni sul collegamento: N=-6324.24 Ty=-2.24 Tz=-0.09 Mx=-0.00 Mz=-5.11
Sollecitazioni agenti localmente: Ty_l=-1100.78 My_l=-22.54
Tensioni nella sezione: σ=273.18 τ=33.36
CC 31 SLV (Collegamento 0022_-379)
Azioni sul collegamento: N=-6324.24 Ty=0.07 Tz=-0.09 Mx=-0.00 Mz=-0.59
Sollecitazioni agenti localmente: Ty_l=-1118.77 My_l=-22.93
Tensioni nella sezione: σ=277.96 τ=33.90
CC 31 SLV (Collegamento 0022_-379)
Azioni sul collegamento: N=-4942.23 Ty=-2.24 Tz=-5.22 Mx=-0.00 Mz=-5.11
Sollecitazioni agenti localmente: Ty_l=-855.78 My_l=-17.52
Tensioni nella sezione: σ=212.31 τ=25.93
CC 31 SLV (Collegamento 0022_-379)
Azioni sul collegamento: N=-4942.23 Ty=0.07 Tz=-5.22 Mx=-0.00 Mz=-0.59
Sollecitazioni agenti localmente: Ty_l=-873.77 My_l=-17.91
Tensioni nella sezione: σ=217.08 τ=26.48
CC 31 SLV (Collegamento 0022_-379)
Azioni sul collegamento: N=-4942.23 Ty=-2.24 Tz=-0.09 Mx=-0.00 Mz=-5.11
Sollecitazioni agenti localmente: Ty_l=-855.78 My_l=-17.52
Tensioni nella sezione: σ=212.31 τ=25.93
CC 31 SLV (Collegamento 0022_-379)
Azioni sul collegamento: N=-4942.23 Ty=0.07 Tz=-0.09 Mx=-0.00 Mz=-0.59
Sollecitazioni agenti localmente: Ty_l=-873.77 My_l=-17.91

Tensioni nella sezione: σ=217.08 τ=26.48
CC 32 SLD (Collegamento 0022_-379)
Azioni sul collegamento: N=-5844.12 Ty=-0.63 Tz=-3.44 Mx=-0.00 Mz=-1.49
Sollecitazioni agenti localmente: Ty_l=-1030.09 My_l=-21.11
Tensioni nella sezione: σ=255.86 τ=31.21
CC 32 SLD (Collegamento 0022_-379)
Azioni sul collegamento: N=-5844.12 Ty=0.07 Tz=-3.44 Mx=-0.00 Mz=-0.11
Sollecitazioni agenti localmente: Ty_l=-1035.57 My_l=-21.23
Tensioni nella sezione: σ=257.32 τ=31.38
CC 32 SLD (Collegamento 0022_-379)
Azioni sul collegamento: N=-5844.12 Ty=-0.63 Tz=-1.87 Mx=-0.00 Mz=-1.49
Sollecitazioni agenti localmente: Ty_l=-1030.09 My_l=-21.11
Tensioni nella sezione: σ=255.86 τ=31.21
CC 32 SLD (Collegamento 0022_-379)
Azioni sul collegamento: N=-5844.12 Ty=0.07 Tz=-1.87 Mx=-0.00 Mz=-0.11
Sollecitazioni agenti localmente: Ty_l=-1035.57 My_l=-21.23
Tensioni nella sezione: σ=257.32 τ=31.38
CC 32 SLD (Collegamento 0022_-379)
Azioni sul collegamento: N=-5422.71 Ty=-0.63 Tz=-3.44 Mx=-0.00 Mz=-1.49
Sollecitazioni agenti localmente: Ty_l=-955.38 My_l=-19.58
Tensioni nella sezione: σ=237.30 τ=28.95
CC 32 SLD (Collegamento 0022_-379)
Azioni sul collegamento: N=-5422.71 Ty=0.07 Tz=-3.44 Mx=-0.00 Mz=-0.11
Sollecitazioni agenti localmente: Ty_l=-960.87 My_l=-19.70
Tensioni nella sezione: σ=238.75 τ=29.12
CC 32 SLD (Collegamento 0022_-379)
Azioni sul collegamento: N=-5422.71 Ty=-0.63 Tz=-1.87 Mx=-0.00 Mz=-1.49
Sollecitazioni agenti localmente: Ty_l=-955.38 My_l=-19.58
Tensioni nella sezione: σ=237.30 τ=28.95
CC 32 SLD (Collegamento 0022_-379)
Azioni sul collegamento: N=-5422.71 Ty=0.07 Tz=-1.87 Mx=-0.00 Mz=-0.11
Sollecitazioni agenti localmente: Ty_l=-960.87 My_l=-19.70
Tensioni nella sezione: σ=238.75 τ=29.12
CC 33 SLU (Collegamento 0022_-379)
Azioni sul collegamento: N=-28967.90 Ty=0.05 Tz=74.90 Mx=0.00 Mz=0.12
Sollecitazioni agenti localmente: Ty_l=-5135.69 My_l=-105.28
Tensioni nella sezione: σ=1276.15 τ=155.63
CC 34 SLU (Collegamento 0022_-379)
Azioni sul collegamento: N=-29447.20 Ty=0.05 Tz=76.67 Mx=0.00 Mz=0.12
Sollecitazioni agenti localmente: Ty_l=-5220.64 My_l=-107.02
Tensioni nella sezione: σ=1297.26 τ=158.20
CC 35 SLU (Collegamento 0022_-379)
Azioni sul collegamento: N=-29207.50 Ty=0.17 Tz=75.78 Mx=-0.00 Mz=0.35
Sollecitazioni agenti localmente: Ty_l=-5179.10 My_l=-106.17
Tensioni nella sezione: σ=1286.95 τ=156.94
CC 36 SLU (Collegamento 0022_-379)
Azioni sul collegamento: N=-29207.50 Ty=-0.07 Tz=75.79 Mx=0.00 Mz=-0.12
Sollecitazioni agenti localmente: Ty_l=-5177.23 My_l=-106.13
Tensioni nella sezione: σ=1286.46 τ=156.89
CC 37 SLU (Collegamento 0022_-379)
Azioni sul collegamento: N=-29152.80 Ty=0.07 Tz=74.88 Mx=0.00 Mz=0.13
Sollecitazioni agenti localmente: Ty_l=-5168.51 My_l=-105.95
Tensioni nella sezione: σ=1284.31 τ=156.62
CC 38 SLU (Collegamento 0022_-379)
Azioni sul collegamento: N=-29632.10 Ty=0.07 Tz=76.66 Mx=0.00 Mz=0.13
Sollecitazioni agenti localmente: Ty_l=-5253.47 My_l=-107.70
Tensioni nella sezione: σ=1305.42 τ=159.20
CC 39 SLU (Collegamento 0022_-379)
Azioni sul collegamento: N=-29392.40 Ty=0.19 Tz=75.77 Mx=-0.00 Mz=0.36
Sollecitazioni agenti localmente: Ty_l=-5211.92 My_l=-106.85
Tensioni nella sezione: σ=1295.11 τ=157.94
CC 40 SLU (Collegamento 0022_-379)
Azioni sul collegamento: N=-29392.40 Ty=-0.05 Tz=75.77 Mx=0.00 Mz=-0.10
Sollecitazioni agenti localmente: Ty_l=-5210.06 My_l=-106.81
Tensioni nella sezione: σ=1294.61 τ=157.88
CC 41 SLU (Collegamento 0022_-379)
Azioni sul collegamento: N=-19454.60 Ty=0.08 Tz=39.91 Mx=0.00 Mz=0.13
Sollecitazioni agenti localmente: Ty_l=-3449.29 My_l=-70.71
Tensioni nella sezione: σ=857.10 τ=104.52
CC 42 SLU (Collegamento 0022_-379)
Azioni sul collegamento: N=-19933.90 Ty=0.08 Tz=41.69 Mx=0.00 Mz=0.13
Sollecitazioni agenti localmente: Ty_l=-3534.24 My_l=-72.45
Tensioni nella sezione: σ=878.21 τ=107.10
CC 43 SLU (Collegamento 0022_-379)
Azioni sul collegamento: N=-19694.20 Ty=0.20 Tz=40.80 Mx=-0.00 Mz=0.36
Sollecitazioni agenti localmente: Ty_l=-3492.70 My_l=-71.60
Tensioni nella sezione: σ=867.91 τ=105.84
CC 44 SLU (Collegamento 0022_-379)
Azioni sul collegamento: N=-19694.20 Ty=-0.04 Tz=40.80 Mx=0.00 Mz=-0.10
Sollecitazioni agenti localmente: Ty_l=-3490.83 My_l=-71.56

Tensioni nella sezione: σ=867.41 τ=105.78
CC 45 SLU (Collegamento 0022_-379)
Azioni sul collegamento: N=-21628.70 Ty=0.08 Tz=47.97 Mx=0.00 Mz=0.14
Sollecitazioni agenti localmente: Ty_l=-3834.74 My_l=-78.61
Tensioni nella sezione: σ=952.88 τ=116.20
CC 46 SLU (Collegamento 0022_-379)
Azioni sul collegamento: N=-22108.00 Ty=0.08 Tz=49.75 Mx=0.00 Mz=0.14
Sollecitazioni agenti localmente: Ty_l=-3919.70 My_l=-80.35
Tensioni nella sezione: σ=974.00 τ=118.78
CC 47 SLU (Collegamento 0022_-379)
Azioni sul collegamento: N=-21868.40 Ty=0.20 Tz=48.86 Mx=-0.00 Mz=0.37
Sollecitazioni agenti localmente: Ty_l=-3878.15 My_l=-79.50
Tensioni nella sezione: σ=963.69 τ=117.52
CC 48 SLU (Collegamento 0022_-379)
Azioni sul collegamento: N=-21868.40 Ty=-0.04 Tz=48.86 Mx=0.00 Mz=-0.10
Sollecitazioni agenti localmente: Ty_l=-3876.29 My_l=-79.46
Tensioni nella sezione: σ=963.19 τ=117.46
CC 49 SLU (Collegamento 0022_-379)
Azioni sul collegamento: N=-21767.10 Ty=0.10 Tz=47.96 Mx=0.00 Mz=0.15
Sollecitazioni agenti localmente: Ty_l=-3859.30 My_l=-79.12
Tensioni nella sezione: σ=958.99 τ=116.95
CC 50 SLU (Collegamento 0022_-379)
Azioni sul collegamento: N=-22246.40 Ty=0.10 Tz=49.73 Mx=0.00 Mz=0.15
Sollecitazioni agenti localmente: Ty_l=-3944.26 My_l=-80.86
Tensioni nella sezione: σ=980.10 τ=119.52
CC 51 SLU (Collegamento 0022_-379)
Azioni sul collegamento: N=-22006.70 Ty=0.22 Tz=48.85 Mx=-0.00 Mz=0.38
Sollecitazioni agenti localmente: Ty_l=-3902.71 My_l=-80.01
Tensioni nella sezione: σ=969.79 τ=118.26
CC 52 SLU (Collegamento 0022_-379)
Azioni sul collegamento: N=-22006.70 Ty=-0.02 Tz=48.85 Mx=0.00 Mz=-0.09
Sollecitazioni agenti localmente: Ty_l=-3900.85 My_l=-79.97
Tensioni nella sezione: σ=969.29 τ=118.21
CC 53 SLU (Collegamento 0022_-379)
Azioni sul collegamento: N=-14511.40 Ty=0.10 Tz=21.80 Mx=0.00 Mz=0.15
Sollecitazioni agenti localmente: Ty_l=-2573.06 My_l=-52.75
Tensioni nella sezione: σ=639.38 τ=77.97
CC 54 SLU (Collegamento 0022_-379)
Azioni sul collegamento: N=-14990.70 Ty=0.10 Tz=23.57 Mx=0.00 Mz=0.15
Sollecitazioni agenti localmente: Ty_l=-2658.02 My_l=-54.49
Tensioni nella sezione: σ=660.49 τ=80.55
CC 55 SLU (Collegamento 0022_-379)
Azioni sul collegamento: N=-14751.00 Ty=0.22 Tz=22.69 Mx=-0.00 Mz=0.38
Sollecitazioni agenti localmente: Ty_l=-2616.48 My_l=-53.64
Tensioni nella sezione: σ=650.18 τ=79.29
CC 56 SLU (Collegamento 0022_-379)
Azioni sul collegamento: N=-14751.00 Ty=-0.02 Tz=22.68 Mx=0.00 Mz=-0.09
Sollecitazioni agenti localmente: Ty_l=-2614.61 My_l=-53.60
Tensioni nella sezione: σ=649.68 τ=79.23
CC 57 SLU (Collegamento 0022_-379)
Azioni sul collegamento: N=-21907.00 Ty=0.07 Tz=49.04 Mx=0.00 Mz=0.14
Sollecitazioni agenti localmente: Ty_l=-3884.06 My_l=-79.62
Tensioni nella sezione: σ=965.14 τ=117.70
CC 58 SLU (Collegamento 0022_-379)
Azioni sul collegamento: N=-22386.30 Ty=0.07 Tz=50.82 Mx=0.00 Mz=0.13
Sollecitazioni agenti localmente: Ty_l=-3969.01 My_l=-81.37
Tensioni nella sezione: σ=986.25 τ=120.27
CC 59 SLU (Collegamento 0022_-379)
Azioni sul collegamento: N=-22146.70 Ty=0.19 Tz=49.93 Mx=-0.00 Mz=0.37
Sollecitazioni agenti localmente: Ty_l=-3927.47 My_l=-80.52
Tensioni nella sezione: σ=975.94 τ=119.01
CC 60 SLU (Collegamento 0022_-379)
Azioni sul collegamento: N=-22146.70 Ty=-0.04 Tz=49.93 Mx=0.00 Mz=-0.10
Sollecitazioni agenti localmente: Ty_l=-3925.60 My_l=-80.47
Tensioni nella sezione: σ=975.45 τ=118.96
CC 61 SLU (Collegamento 0022_-379)
Azioni sul collegamento: N=-22045.30 Ty=0.09 Tz=49.02 Mx=0.00 Mz=0.14
Sollecitazioni agenti localmente: Ty_l=-3908.61 My_l=-80.13
Tensioni nella sezione: σ=971.24 τ=118.44
CC 62 SLU (Collegamento 0022_-379)
Azioni sul collegamento: N=-22524.60 Ty=0.09 Tz=50.80 Mx=0.00 Mz=0.14
Sollecitazioni agenti localmente: Ty_l=-3993.57 My_l=-81.87
Tensioni nella sezione: σ=992.35 τ=121.02
CC 63 SLU (Collegamento 0022_-379)
Azioni sul collegamento: N=-22285.00 Ty=0.21 Tz=49.91 Mx=-0.00 Mz=0.38
Sollecitazioni agenti localmente: Ty_l=-3952.02 My_l=-81.02
Tensioni nella sezione: σ=982.04 τ=119.76
CC 64 SLU (Collegamento 0022_-379)
Azioni sul collegamento: N=-22285.00 Ty=-0.03 Tz=49.91 Mx=0.00 Mz=-0.09
Sollecitazioni agenti localmente: Ty_l=-3950.16 My_l=-80.98

Tensioni nella sezione: σ=981.55 τ=119.70
CC 65 SLU (Collegamento 0022_-379)
Azioni sul collegamento: N=-14789.70 Ty=0.10 Tz=22.86 Mx=0.00 Mz=0.14
Sollecitazioni agenti localmente: Ty_l=-2622.38 My_l=-53.76
Tensioni nella sezione: σ=651.63 τ=79.47
CC 66 SLU (Collegamento 0022_-379)
Azioni sul collegamento: N=-15269.00 Ty=0.10 Tz=24.64 Mx=0.00 Mz=0.14
Sollecitazioni agenti localmente: Ty_l=-2707.33 My_l=-55.50
Tensioni nella sezione: σ=672.74 τ=82.04
CC 67 SLU (Collegamento 0022_-379)
Azioni sul collegamento: N=-15029.30 Ty=0.22 Tz=23.75 Mx=-0.00 Mz=0.38
Sollecitazioni agenti localmente: Ty_l=-2665.79 My_l=-54.65
Tensioni nella sezione: σ=662.43 τ=80.78
CC 68 SLU (Collegamento 0022_-379)
Azioni sul collegamento: N=-15029.30 Ty=-0.02 Tz=23.75 Mx=0.00 Mz=-0.09
Sollecitazioni agenti localmente: Ty_l=-2663.92 My_l=-54.61
Tensioni nella sezione: σ=661.94 τ=80.72
CC 97 SLU (Collegamento 0022_-379)
Azioni sul collegamento: N=-11572.90 Ty=11.37 Tz=19.27 Mx=0.04 Mz=15.92
Sollecitazioni agenti localmente: Ty_l=-2114.88 My_l=-43.44
Tensioni nella sezione: σ=526.59 τ=64.09
CC 98 SLU (Collegamento 0022_-379)
Azioni sul collegamento: N=-12052.20 Ty=11.37 Tz=21.05 Mx=0.04 Mz=15.92
Sollecitazioni agenti localmente: Ty_l=-2199.84 My_l=-45.19
Tensioni nella sezione: σ=547.70 τ=66.66
CC 99 SLU (Collegamento 0022_-379)
Azioni sul collegamento: N=-11812.60 Ty=11.49 Tz=20.16 Mx=0.04 Mz=16.15
Sollecitazioni agenti localmente: Ty_l=-2158.29 My_l=-44.33
Tensioni nella sezione: σ=537.39 τ=65.40
CC 100 SLU (Collegamento 0022_-379)
Azioni sul collegamento: N=-11812.60 Ty=11.25 Tz=20.16 Mx=0.04 Mz=15.68
Sollecitazioni agenti localmente: Ty_l=-2156.43 My_l=-44.29
Tensioni nella sezione: σ=536.90 τ=65.35
CC 101 SLU (Collegamento 0022_-379)
Azioni sul collegamento: N=-5887.16 Ty=-2.00 Tz=-1.73 Mx=-0.00 Mz=-2.22
Sollecitazioni agenti localmente: Ty_l=-1034.82 My_l=-21.20
Tensioni nella sezione: σ=256.99 τ=31.36
CC 102 SLU (Collegamento 0022_-379)
Azioni sul collegamento: N=-6366.46 Ty=-2.01 Tz=0.04 Mx=-0.00 Mz=-2.22
Sollecitazioni agenti localmente: Ty_l=-1119.77 My_l=-22.94
Tensioni nella sezione: σ=278.10 τ=33.93
CC 103 SLU (Collegamento 0022_-379)
Azioni sul collegamento: N=-6126.81 Ty=-1.89 Tz=-0.85 Mx=-0.01 Mz=-1.98
Sollecitazioni agenti localmente: Ty_l=-1078.23 My_l=-22.09
Tensioni nella sezione: σ=267.79 τ=32.67
CC 104 SLU (Collegamento 0022_-379)
Azioni sul collegamento: N=-6126.80 Ty=-2.12 Tz=-0.84 Mx=-0.00 Mz=-2.45
Sollecitazioni agenti localmente: Ty_l=-1076.36 My_l=-22.05
Tensioni nella sezione: σ=267.29 τ=32.62

Flessione attacco sinistro piastra

Bnetta=220.00 Hnetta=15.00
CC 1 SLV (Collegamento 0022_-379)
Azioni sul collegamento: N=-3330.52 Ty=1.59 Tz=5.89 Mx=0.02 Mz=3.75
Sollecitazioni agenti localmente: Ty_l=-575.48 My_l=-11.78
Tensioni nella sezione: σ=142.75 τ=17.44
CC 1 SLV (Collegamento 0022_-379)
Azioni sul collegamento: N=-3330.52 Ty=0.88 Tz=5.89 Mx=0.02 Mz=2.36
Sollecitazioni agenti localmente: Ty_l=-581.02 My_l=-11.90
Tensioni nella sezione: σ=144.21 τ=17.61
CC 1 SLV (Collegamento 0022_-379)
Azioni sul collegamento: N=-3330.52 Ty=1.59 Tz=-11.19 Mx=0.02 Mz=3.75
Sollecitazioni agenti localmente: Ty_l=-575.48 My_l=-11.78
Tensioni nella sezione: σ=142.75 τ=17.44
CC 1 SLV (Collegamento 0022_-379)
Azioni sul collegamento: N=-3330.52 Ty=0.88 Tz=-11.19 Mx=0.02 Mz=2.36
Sollecitazioni agenti localmente: Ty_l=-581.02 My_l=-11.90
Tensioni nella sezione: σ=144.21 τ=17.61
CC 1 SLV (Collegamento 0022_-379)
Azioni sul collegamento: N=-7936.99 Ty=1.59 Tz=5.89 Mx=0.02 Mz=3.75
Sollecitazioni agenti localmente: Ty_l=-1392.08 My_l=-28.52
Tensioni nella sezione: σ=345.66 τ=42.18
CC 1 SLV (Collegamento 0022_-379)
Azioni sul collegamento: N=-7936.99 Ty=0.88 Tz=5.89 Mx=0.02 Mz=2.36
Sollecitazioni agenti localmente: Ty_l=-1397.62 My_l=-28.64
Tensioni nella sezione: σ=347.13 τ=42.35
CC 1 SLV (Collegamento 0022_-379)
Azioni sul collegamento: N=-7936.99 Ty=1.59 Tz=-11.19 Mx=0.02 Mz=3.75
Sollecitazioni agenti localmente: Ty_l=-1392.08 My_l=-28.52

Tensioni nella sezione: σ=345.66 τ=42.18
CC 1 SLV (Collegamento 0022_-379)
Azioni sul collegamento: N=-7936.99 Ty=0.88 Tz=-11.19 Mx=0.02 Mz=2.36
Sollecitazioni agenti localmente: Ty_l=-1397.62 My_l=-28.64
Tensioni nella sezione: σ=347.13 τ=42.35
CC 2 SLD (Collegamento 0022_-379)
Azioni sul collegamento: N=-4931.25 Ty=0.54 Tz=-0.05 Mx=0.01 Mz=1.22
Sollecitazioni agenti localmente: Ty_l=-869.34 My_l=-17.81
Tensioni nella sezione: σ=215.94 τ=26.34
CC 2 SLD (Collegamento 0022_-379)
Azioni sul collegamento: N=-4931.25 Ty=0.32 Tz=-0.05 Mx=0.01 Mz=0.79
Sollecitazioni agenti localmente: Ty_l=-871.03 My_l=-17.85
Tensioni nella sezione: σ=216.38 τ=26.39
CC 2 SLD (Collegamento 0022_-379)
Azioni sul collegamento: N=-4931.25 Ty=0.54 Tz=-5.26 Mx=0.01 Mz=1.22
Sollecitazioni agenti localmente: Ty_l=-869.34 My_l=-17.81
Tensioni nella sezione: σ=215.94 τ=26.34
CC 2 SLD (Collegamento 0022_-379)
Azioni sul collegamento: N=-4931.25 Ty=0.32 Tz=-5.26 Mx=0.01 Mz=0.79
Sollecitazioni agenti localmente: Ty_l=-871.03 My_l=-17.85
Tensioni nella sezione: σ=216.38 τ=26.39
CC 2 SLD (Collegamento 0022_-379)
Azioni sul collegamento: N=-6335.90 Ty=0.54 Tz=-0.05 Mx=0.01 Mz=1.22
Sollecitazioni agenti localmente: Ty_l=-1118.35 My_l=-22.92
Tensioni nella sezione: σ=277.81 τ=33.89
CC 2 SLD (Collegamento 0022_-379)
Azioni sul collegamento: N=-6335.90 Ty=0.32 Tz=-0.05 Mx=0.01 Mz=0.79
Sollecitazioni agenti localmente: Ty_l=-1120.03 My_l=-22.96
Tensioni nella sezione: σ=278.26 τ=33.94
CC 2 SLD (Collegamento 0022_-379)
Azioni sul collegamento: N=-6335.90 Ty=0.54 Tz=-5.26 Mx=0.01 Mz=1.22
Sollecitazioni agenti localmente: Ty_l=-1118.35 My_l=-22.92
Tensioni nella sezione: σ=277.81 τ=33.89
CC 2 SLD (Collegamento 0022_-379)
Azioni sul collegamento: N=-6335.90 Ty=0.32 Tz=-5.26 Mx=0.01 Mz=0.79
Sollecitazioni agenti localmente: Ty_l=-1120.03 My_l=-22.96
Tensioni nella sezione: σ=278.26 τ=33.94
CC 3 SLV (Collegamento 0022_-379)
Azioni sul collegamento: N=-3330.55 Ty=0.90 Tz=5.89 Mx=0.01 Mz=2.40
Sollecitazioni agenti localmente: Ty_l=-580.87 My_l=-11.89
Tensioni nella sezione: σ=144.18 τ=17.60
CC 3 SLV (Collegamento 0022_-379)
Azioni sul collegamento: N=-3330.55 Ty=1.58 Tz=5.89 Mx=0.01 Mz=3.71
Sollecitazioni agenti localmente: Ty_l=-575.64 My_l=-11.78
Tensioni nella sezione: σ=142.79 τ=17.44
CC 3 SLV (Collegamento 0022_-379)
Azioni sul collegamento: N=-3330.55 Ty=0.90 Tz=-11.19 Mx=0.01 Mz=2.40
Sollecitazioni agenti localmente: Ty_l=-580.87 My_l=-11.89
Tensioni nella sezione: σ=144.18 τ=17.60
CC 3 SLV (Collegamento 0022_-379)
Azioni sul collegamento: N=-3330.55 Ty=1.58 Tz=-11.19 Mx=0.01 Mz=3.71
Sollecitazioni agenti localmente: Ty_l=-575.64 My_l=-11.78
Tensioni nella sezione: σ=142.79 τ=17.44
CC 3 SLV (Collegamento 0022_-379)
Azioni sul collegamento: N=-7936.97 Ty=0.90 Tz=5.89 Mx=0.01 Mz=2.40
Sollecitazioni agenti localmente: Ty_l=-1397.46 My_l=-28.63
Tensioni nella sezione: σ=347.09 τ=42.35
CC 3 SLV (Collegamento 0022_-379)
Azioni sul collegamento: N=-7936.97 Ty=1.58 Tz=5.89 Mx=0.01 Mz=3.71
Sollecitazioni agenti localmente: Ty_l=-1392.23 My_l=-28.52
Tensioni nella sezione: σ=345.70 τ=42.19
CC 3 SLV (Collegamento 0022_-379)
Azioni sul collegamento: N=-7936.97 Ty=0.90 Tz=-11.19 Mx=0.01 Mz=2.40
Sollecitazioni agenti localmente: Ty_l=-1397.46 My_l=-28.63
Tensioni nella sezione: σ=347.09 τ=42.35
CC 3 SLV (Collegamento 0022_-379)
Azioni sul collegamento: N=-7936.97 Ty=1.58 Tz=-11.19 Mx=0.01 Mz=3.71
Sollecitazioni agenti localmente: Ty_l=-1392.23 My_l=-28.52
Tensioni nella sezione: σ=345.70 τ=42.19
CC 4 SLD (Collegamento 0022_-379)
Azioni sul collegamento: N=-4931.25 Ty=0.33 Tz=-0.05 Mx=0.00 Mz=0.80
Sollecitazioni agenti localmente: Ty_l=-870.98 My_l=-17.85
Tensioni nella sezione: σ=216.37 τ=26.39
CC 4 SLD (Collegamento 0022_-379)
Azioni sul collegamento: N=-4931.25 Ty=0.53 Tz=-0.05 Mx=0.00 Mz=1.20
Sollecitazioni agenti localmente: Ty_l=-869.39 My_l=-17.82
Tensioni nella sezione: σ=215.95 τ=26.34
CC 4 SLD (Collegamento 0022_-379)
Azioni sul collegamento: N=-4931.25 Ty=0.33 Tz=-5.26 Mx=0.00 Mz=0.80
Sollecitazioni agenti localmente: Ty_l=-870.98 My_l=-17.85

Tensioni nella sezione: σ=216.37 τ=26.39
CC 4 SLD (Collegamento 0022_-379)
Azioni sul collegamento: N=-4931.25 Ty=0.53 Tz=-5.26 Mx=0.00 Mz=1.20
Sollecitazioni agenti localmente: Ty_l=-869.39 My_l=-17.82
Tensioni nella sezione: σ=215.95 τ=26.34
CC 4 SLD (Collegamento 0022_-379)
Azioni sul collegamento: N=-6335.90 Ty=0.33 Tz=-0.05 Mx=0.00 Mz=0.80
Sollecitazioni agenti localmente: Ty_l=-1119.99 My_l=-22.96
Tensioni nella sezione: σ=278.25 τ=33.94
CC 4 SLD (Collegamento 0022_-379)
Azioni sul collegamento: N=-6335.90 Ty=0.53 Tz=-0.05 Mx=0.00 Mz=1.20
Sollecitazioni agenti localmente: Ty_l=-1118.39 My_l=-22.92
Tensioni nella sezione: σ=277.82 τ=33.89
CC 4 SLD (Collegamento 0022_-379)
Azioni sul collegamento: N=-6335.90 Ty=0.33 Tz=-5.26 Mx=0.00 Mz=0.80
Sollecitazioni agenti localmente: Ty_l=-1119.99 My_l=-22.96
Tensioni nella sezione: σ=278.25 τ=33.94
CC 4 SLD (Collegamento 0022_-379)
Azioni sul collegamento: N=-6335.90 Ty=0.53 Tz=-5.26 Mx=0.00 Mz=1.20
Sollecitazioni agenti localmente: Ty_l=-1118.39 My_l=-22.92
Tensioni nella sezione: σ=277.82 τ=33.89
CC 5 SLV (Collegamento 0022_-379)
Azioni sul collegamento: N=-7936.97 Ty=1.58 Tz=-11.19 Mx=0.02 Mz=3.71
Sollecitazioni agenti localmente: Ty_l=-1392.23 My_l=-28.52
Tensioni nella sezione: σ=345.70 τ=42.19
CC 5 SLV (Collegamento 0022_-379)
Azioni sul collegamento: N=-7936.97 Ty=0.90 Tz=-11.19 Mx=0.02 Mz=2.40
Sollecitazioni agenti localmente: Ty_l=-1397.46 My_l=-28.63
Tensioni nella sezione: σ=347.09 τ=42.35
CC 5 SLV (Collegamento 0022_-379)
Azioni sul collegamento: N=-7936.97 Ty=1.58 Tz=5.89 Mx=0.02 Mz=3.71
Sollecitazioni agenti localmente: Ty_l=-1392.23 My_l=-28.52
Tensioni nella sezione: σ=345.70 τ=42.19
CC 5 SLV (Collegamento 0022_-379)
Azioni sul collegamento: N=-7936.97 Ty=0.90 Tz=5.89 Mx=0.02 Mz=2.40
Sollecitazioni agenti localmente: Ty_l=-1397.46 My_l=-28.63
Tensioni nella sezione: σ=347.09 τ=42.35
CC 5 SLV (Collegamento 0022_-379)
Azioni sul collegamento: N=-3330.55 Ty=1.58 Tz=-11.19 Mx=0.02 Mz=3.71
Sollecitazioni agenti localmente: Ty_l=-575.64 My_l=-11.78
Tensioni nella sezione: σ=142.79 τ=17.44
CC 5 SLV (Collegamento 0022_-379)
Azioni sul collegamento: N=-3330.55 Ty=0.90 Tz=-11.19 Mx=0.02 Mz=2.40
Sollecitazioni agenti localmente: Ty_l=-580.87 My_l=-11.89
Tensioni nella sezione: σ=144.18 τ=17.60
CC 5 SLV (Collegamento 0022_-379)
Azioni sul collegamento: N=-3330.55 Ty=1.58 Tz=5.89 Mx=0.02 Mz=3.71
Sollecitazioni agenti localmente: Ty_l=-575.64 My_l=-11.78
Tensioni nella sezione: σ=142.79 τ=17.44
CC 5 SLV (Collegamento 0022_-379)
Azioni sul collegamento: N=-3330.55 Ty=0.90 Tz=5.89 Mx=0.02 Mz=2.40
Sollecitazioni agenti localmente: Ty_l=-580.87 My_l=-11.89
Tensioni nella sezione: σ=144.18 τ=17.60
CC 6 SLD (Collegamento 0022_-379)
Azioni sul collegamento: N=-6335.90 Ty=0.53 Tz=-5.26 Mx=0.01 Mz=1.20
Sollecitazioni agenti localmente: Ty_l=-1118.39 My_l=-22.92
Tensioni nella sezione: σ=277.82 τ=33.89
CC 6 SLD (Collegamento 0022_-379)
Azioni sul collegamento: N=-6335.90 Ty=0.33 Tz=-5.26 Mx=0.01 Mz=0.80
Sollecitazioni agenti localmente: Ty_l=-1119.99 My_l=-22.96
Tensioni nella sezione: σ=278.25 τ=33.94
CC 6 SLD (Collegamento 0022_-379)
Azioni sul collegamento: N=-6335.90 Ty=0.53 Tz=-0.05 Mx=0.01 Mz=1.20
Sollecitazioni agenti localmente: Ty_l=-1118.39 My_l=-22.92
Tensioni nella sezione: σ=277.82 τ=33.89
CC 6 SLD (Collegamento 0022_-379)
Azioni sul collegamento: N=-6335.90 Ty=0.33 Tz=-0.05 Mx=0.01 Mz=0.80
Sollecitazioni agenti localmente: Ty_l=-1119.99 My_l=-22.96
Tensioni nella sezione: σ=278.25 τ=33.94
CC 6 SLD (Collegamento 0022_-379)
Azioni sul collegamento: N=-4931.25 Ty=0.53 Tz=-5.26 Mx=0.01 Mz=1.20
Sollecitazioni agenti localmente: Ty_l=-869.39 My_l=-17.82
Tensioni nella sezione: σ=215.95 τ=26.34
CC 6 SLD (Collegamento 0022_-379)
Azioni sul collegamento: N=-4931.25 Ty=0.33 Tz=-5.26 Mx=0.01 Mz=0.80
Sollecitazioni agenti localmente: Ty_l=-870.98 My_l=-17.85
Tensioni nella sezione: σ=216.37 τ=26.39
CC 6 SLD (Collegamento 0022_-379)
Azioni sul collegamento: N=-4931.25 Ty=0.53 Tz=-0.05 Mx=0.01 Mz=1.20
Sollecitazioni agenti localmente: Ty_l=-869.39 My_l=-17.82

Tensioni nella sezione: σ=215.95 τ=26.34
CC 6 SLD (Collegamento 0022_-379)
Azioni sul collegamento: N=-4931.25 Ty=0.33 Tz=-0.05 Mx=0.01 Mz=0.80
Sollecitazioni agenti localmente: Ty_l=-870.98 My_l=-17.85
Tensioni nella sezione: σ=216.37 τ=26.39
CC 7 SLV (Collegamento 0022_-379)
Azioni sul collegamento: N=-7936.99 Ty=0.88 Tz=-11.19 Mx=0.01 Mz=2.36
Sollecitazioni agenti localmente: Ty_l=-1397.62 My_l=-28.64
Tensioni nella sezione: σ=347.13 τ=42.35
CC 7 SLV (Collegamento 0022_-379)
Azioni sul collegamento: N=-7936.99 Ty=1.59 Tz=-11.19 Mx=0.01 Mz=3.75
Sollecitazioni agenti localmente: Ty_l=-1392.08 My_l=-28.52
Tensioni nella sezione: σ=345.66 τ=42.18
CC 7 SLV (Collegamento 0022_-379)
Azioni sul collegamento: N=-7936.99 Ty=0.88 Tz=5.89 Mx=0.01 Mz=2.36
Sollecitazioni agenti localmente: Ty_l=-1397.62 My_l=-28.64
Tensioni nella sezione: σ=347.13 τ=42.35
CC 7 SLV (Collegamento 0022_-379)
Azioni sul collegamento: N=-7936.99 Ty=1.59 Tz=5.89 Mx=0.01 Mz=3.75
Sollecitazioni agenti localmente: Ty_l=-1392.08 My_l=-28.52
Tensioni nella sezione: σ=345.66 τ=42.18
CC 7 SLV (Collegamento 0022_-379)
Azioni sul collegamento: N=-3330.52 Ty=0.88 Tz=-11.19 Mx=0.01 Mz=2.36
Sollecitazioni agenti localmente: Ty_l=-581.02 My_l=-11.90
Tensioni nella sezione: σ=144.21 τ=17.61
CC 7 SLV (Collegamento 0022_-379)
Azioni sul collegamento: N=-3330.52 Ty=1.59 Tz=-11.19 Mx=0.01 Mz=3.75
Sollecitazioni agenti localmente: Ty_l=-575.48 My_l=-11.78
Tensioni nella sezione: σ=142.75 τ=17.44
CC 7 SLV (Collegamento 0022_-379)
Azioni sul collegamento: N=-3330.52 Ty=0.88 Tz=5.89 Mx=0.01 Mz=2.36
Sollecitazioni agenti localmente: Ty_l=-581.02 My_l=-11.90
Tensioni nella sezione: σ=144.21 τ=17.61
CC 7 SLV (Collegamento 0022_-379)
Azioni sul collegamento: N=-3330.52 Ty=1.59 Tz=5.89 Mx=0.01 Mz=3.75
Sollecitazioni agenti localmente: Ty_l=-575.48 My_l=-11.78
Tensioni nella sezione: σ=142.75 τ=17.44
CC 8 SLD (Collegamento 0022_-379)
Azioni sul collegamento: N=-6335.90 Ty=0.32 Tz=-5.26 Mx=0.00 Mz=0.79
Sollecitazioni agenti localmente: Ty_l=-1120.03 My_l=-22.96
Tensioni nella sezione: σ=278.26 τ=33.94
CC 8 SLD (Collegamento 0022_-379)
Azioni sul collegamento: N=-6335.90 Ty=0.54 Tz=-5.26 Mx=0.00 Mz=1.22
Sollecitazioni agenti localmente: Ty_l=-1118.35 My_l=-22.92
Tensioni nella sezione: σ=277.81 τ=33.89
CC 8 SLD (Collegamento 0022_-379)
Azioni sul collegamento: N=-6335.90 Ty=0.32 Tz=-0.05 Mx=0.00 Mz=0.79
Sollecitazioni agenti localmente: Ty_l=-1120.03 My_l=-22.96
Tensioni nella sezione: σ=278.26 τ=33.94
CC 8 SLD (Collegamento 0022_-379)
Azioni sul collegamento: N=-6335.90 Ty=0.54 Tz=-0.05 Mx=0.00 Mz=1.22
Sollecitazioni agenti localmente: Ty_l=-1118.35 My_l=-22.92
Tensioni nella sezione: σ=277.81 τ=33.89
CC 8 SLD (Collegamento 0022_-379)
Azioni sul collegamento: N=-4931.25 Ty=0.32 Tz=-5.26 Mx=0.00 Mz=0.79
Sollecitazioni agenti localmente: Ty_l=-871.03 My_l=-17.85
Tensioni nella sezione: σ=216.38 τ=26.39
CC 8 SLD (Collegamento 0022_-379)
Azioni sul collegamento: N=-4931.25 Ty=0.54 Tz=-5.26 Mx=0.00 Mz=1.22
Sollecitazioni agenti localmente: Ty_l=-869.34 My_l=-17.81
Tensioni nella sezione: σ=215.94 τ=26.34
CC 8 SLD (Collegamento 0022_-379)
Azioni sul collegamento: N=-4931.25 Ty=0.32 Tz=-0.05 Mx=0.00 Mz=0.79
Sollecitazioni agenti localmente: Ty_l=-871.03 My_l=-17.85
Tensioni nella sezione: σ=216.38 τ=26.39
CC 8 SLD (Collegamento 0022_-379)
Azioni sul collegamento: N=-4931.25 Ty=0.54 Tz=-0.05 Mx=0.00 Mz=1.22
Sollecitazioni agenti localmente: Ty_l=-869.34 My_l=-17.81
Tensioni nella sezione: σ=215.94 τ=26.34
CC 9 SLV (Collegamento 0022_-379)
Azioni sul collegamento: N=-4942.75 Ty=2.39 Tz=-0.09 Mx=0.02 Mz=5.32
Sollecitazioni agenti localmente: Ty_l=-855.06 My_l=-17.50
Tensioni nella sezione: σ=212.11 τ=25.91
CC 9 SLV (Collegamento 0022_-379)
Azioni sul collegamento: N=-4942.75 Ty=0.08 Tz=-0.09 Mx=0.02 Mz=0.80
Sollecitazioni agenti localmente: Ty_l=-873.05 My_l=-17.89
Tensioni nella sezione: σ=216.88 τ=26.46
CC 9 SLV (Collegamento 0022_-379)
Azioni sul collegamento: N=-4942.75 Ty=2.39 Tz=-5.22 Mx=0.02 Mz=5.32
Sollecitazioni agenti localmente: Ty_l=-855.06 My_l=-17.50

Tensioni nella sezione: σ=212.11 τ=25.91
CC 9 SLV (Collegamento 0022_-379)
Azioni sul collegamento: N=-4942.75 Ty=0.08 Tz=-5.22 Mx=0.02 Mz=0.80
Sollecitazioni agenti localmente: Ty_l=-873.05 My_l=-17.89
Tensioni nella sezione: σ=216.88 τ=26.46
CC 9 SLV (Collegamento 0022_-379)
Azioni sul collegamento: N=-6324.76 Ty=2.39 Tz=-0.09 Mx=0.02 Mz=5.32
Sollecitazioni agenti localmente: Ty_l=-1100.05 My_l=-22.52
Tensioni nella sezione: σ=272.99 τ=33.33
CC 9 SLV (Collegamento 0022_-379)
Azioni sul collegamento: N=-6324.76 Ty=0.08 Tz=-0.09 Mx=0.02 Mz=0.80
Sollecitazioni agenti localmente: Ty_l=-1118.04 My_l=-22.92
Tensioni nella sezione: σ=277.76 τ=33.88
CC 9 SLV (Collegamento 0022_-379)
Azioni sul collegamento: N=-6324.76 Ty=2.39 Tz=-5.22 Mx=0.02 Mz=5.32
Sollecitazioni agenti localmente: Ty_l=-1100.05 My_l=-22.52
Tensioni nella sezione: σ=272.99 τ=33.33
CC 9 SLV (Collegamento 0022_-379)
Azioni sul collegamento: N=-6324.76 Ty=0.08 Tz=-5.22 Mx=0.02 Mz=0.80
Sollecitazioni agenti localmente: Ty_l=-1118.04 My_l=-22.92
Tensioni nella sezione: σ=277.76 τ=33.88
CC 10 SLD (Collegamento 0022_-379)
Azioni sul collegamento: N=-5422.87 Ty=0.78 Tz=-1.87 Mx=0.01 Mz=1.69
Sollecitazioni agenti localmente: Ty_l=-954.59 My_l=-19.56
Tensioni nella sezione: σ=237.09 τ=28.93
CC 10 SLD (Collegamento 0022_-379)
Azioni sul collegamento: N=-5422.87 Ty=0.08 Tz=-1.87 Mx=0.01 Mz=0.31
Sollecitazioni agenti localmente: Ty_l=-960.08 My_l=-19.68
Tensioni nella sezione: σ=238.54 τ=29.09
CC 10 SLD (Collegamento 0022_-379)
Azioni sul collegamento: N=-5422.87 Ty=0.78 Tz=-3.44 Mx=0.01 Mz=1.69
Sollecitazioni agenti localmente: Ty_l=-954.59 My_l=-19.56
Tensioni nella sezione: σ=237.09 τ=28.93
CC 10 SLD (Collegamento 0022_-379)
Azioni sul collegamento: N=-5422.87 Ty=0.08 Tz=-3.44 Mx=0.01 Mz=0.31
Sollecitazioni agenti localmente: Ty_l=-960.08 My_l=-19.68
Tensioni nella sezione: σ=238.54 τ=29.09
CC 10 SLD (Collegamento 0022_-379)
Azioni sul collegamento: N=-5844.28 Ty=0.78 Tz=-1.87 Mx=0.01 Mz=1.69
Sollecitazioni agenti localmente: Ty_l=-1029.30 My_l=-21.09
Tensioni nella sezione: σ=255.65 τ=31.19
CC 10 SLD (Collegamento 0022_-379)
Azioni sul collegamento: N=-5844.28 Ty=0.08 Tz=-1.87 Mx=0.01 Mz=0.31
Sollecitazioni agenti localmente: Ty_l=-1034.78 My_l=-21.21
Tensioni nella sezione: σ=257.11 τ=31.36
CC 10 SLD (Collegamento 0022_-379)
Azioni sul collegamento: N=-5844.28 Ty=0.78 Tz=-3.44 Mx=0.01 Mz=1.69
Sollecitazioni agenti localmente: Ty_l=-1029.30 My_l=-21.09
Tensioni nella sezione: σ=255.65 τ=31.19
CC 10 SLD (Collegamento 0022_-379)
Azioni sul collegamento: N=-5844.28 Ty=0.08 Tz=-3.44 Mx=0.01 Mz=0.31
Sollecitazioni agenti localmente: Ty_l=-1034.78 My_l=-21.21
Tensioni nella sezione: σ=257.11 τ=31.36
CC 11 SLV (Collegamento 0022_-379)
Azioni sul collegamento: N=-6324.69 Ty=2.39 Tz=-5.21 Mx=0.02 Mz=5.31
Sollecitazioni agenti localmente: Ty_l=-1100.08 My_l=-22.52
Tensioni nella sezione: σ=273.00 τ=33.34
CC 11 SLV (Collegamento 0022_-379)
Azioni sul collegamento: N=-6324.69 Ty=0.09 Tz=-5.21 Mx=0.02 Mz=0.81
Sollecitazioni agenti localmente: Ty_l=-1117.98 My_l=-22.91
Tensioni nella sezione: σ=277.75 τ=33.88
CC 11 SLV (Collegamento 0022_-379)
Azioni sul collegamento: N=-6324.69 Ty=2.39 Tz=-0.09 Mx=0.02 Mz=5.31
Sollecitazioni agenti localmente: Ty_l=-1100.08 My_l=-22.52
Tensioni nella sezione: σ=273.00 τ=33.34
CC 11 SLV (Collegamento 0022_-379)
Azioni sul collegamento: N=-6324.69 Ty=0.09 Tz=-0.09 Mx=0.02 Mz=0.81
Sollecitazioni agenti localmente: Ty_l=-1117.98 My_l=-22.91
Tensioni nella sezione: σ=277.75 τ=33.88
CC 11 SLV (Collegamento 0022_-379)
Azioni sul collegamento: N=-4942.83 Ty=2.39 Tz=-5.21 Mx=0.02 Mz=5.31
Sollecitazioni agenti localmente: Ty_l=-855.12 My_l=-17.50
Tensioni nella sezione: σ=212.13 τ=25.91
CC 11 SLV (Collegamento 0022_-379)
Azioni sul collegamento: N=-4942.83 Ty=0.09 Tz=-5.21 Mx=0.02 Mz=0.81
Sollecitazioni agenti localmente: Ty_l=-873.01 My_l=-17.89
Tensioni nella sezione: σ=216.88 τ=26.45
CC 11 SLV (Collegamento 0022_-379)
Azioni sul collegamento: N=-4942.83 Ty=2.39 Tz=-0.09 Mx=0.02 Mz=5.31
Sollecitazioni agenti localmente: Ty_l=-855.12 My_l=-17.50

Tensioni nella sezione: σ=212.13 τ=25.91
CC 11 SLV (Collegamento 0022_-379)
Azioni sul collegamento: N=-4942.83 Ty=0.09 Tz=-0.09 Mx=0.02 Mz=0.81
Sollecitazioni agenti localmente: Ty_l=-873.01 My_l=-17.89
Tensioni nella sezione: σ=216.88 τ=26.45
CC 12 SLD (Collegamento 0022_-379)
Azioni sul collegamento: N=-5844.26 Ty=0.78 Tz=-3.43 Mx=0.01 Mz=1.69
Sollecitazioni agenti localmente: Ty_l=-1029.31 My_l=-21.09
Tensioni nella sezione: σ=255.65 τ=31.19
CC 12 SLD (Collegamento 0022_-379)
Azioni sul collegamento: N=-5844.26 Ty=0.08 Tz=-3.43 Mx=0.01 Mz=0.32
Sollecitazioni agenti localmente: Ty_l=-1034.76 My_l=-21.21
Tensioni nella sezione: σ=257.10 τ=31.36
CC 12 SLD (Collegamento 0022_-379)
Azioni sul collegamento: N=-5844.26 Ty=0.78 Tz=-1.87 Mx=0.01 Mz=1.69
Sollecitazioni agenti localmente: Ty_l=-1029.31 My_l=-21.09
Tensioni nella sezione: σ=255.65 τ=31.19
CC 12 SLD (Collegamento 0022_-379)
Azioni sul collegamento: N=-5844.26 Ty=0.08 Tz=-1.87 Mx=0.01 Mz=0.32
Sollecitazioni agenti localmente: Ty_l=-1034.76 My_l=-21.21
Tensioni nella sezione: σ=257.10 τ=31.36
CC 12 SLD (Collegamento 0022_-379)
Azioni sul collegamento: N=-5422.89 Ty=0.78 Tz=-3.43 Mx=0.01 Mz=1.69
Sollecitazioni agenti localmente: Ty_l=-954.61 My_l=-19.56
Tensioni nella sezione: σ=237.09 τ=28.93
CC 12 SLD (Collegamento 0022_-379)
Azioni sul collegamento: N=-5422.89 Ty=0.08 Tz=-3.43 Mx=0.01 Mz=0.32
Sollecitazioni agenti localmente: Ty_l=-960.07 My_l=-19.68
Tensioni nella sezione: σ=238.54 τ=29.09
CC 12 SLD (Collegamento 0022_-379)
Azioni sul collegamento: N=-5422.89 Ty=0.78 Tz=-1.87 Mx=0.01 Mz=1.69
Sollecitazioni agenti localmente: Ty_l=-954.61 My_l=-19.56
Tensioni nella sezione: σ=237.09 τ=28.93
CC 12 SLD (Collegamento 0022_-379)
Azioni sul collegamento: N=-5422.89 Ty=0.08 Tz=-1.87 Mx=0.01 Mz=0.32
Sollecitazioni agenti localmente: Ty_l=-960.07 My_l=-19.68
Tensioni nella sezione: σ=238.54 τ=29.09
CC 13 SLV (Collegamento 0022_-379)
Azioni sul collegamento: N=-4942.83 Ty=0.09 Tz=-0.09 Mx=0.00 Mz=0.81
Sollecitazioni agenti localmente: Ty_l=-873.01 My_l=-17.89
Tensioni nella sezione: σ=216.88 τ=26.45
CC 13 SLV (Collegamento 0022_-379)
Azioni sul collegamento: N=-4942.83 Ty=2.39 Tz=-0.09 Mx=0.00 Mz=5.31
Sollecitazioni agenti localmente: Ty_l=-855.12 My_l=-17.50
Tensioni nella sezione: σ=212.13 τ=25.91
CC 13 SLV (Collegamento 0022_-379)
Azioni sul collegamento: N=-4942.83 Ty=0.09 Tz=-5.21 Mx=0.00 Mz=0.81
Sollecitazioni agenti localmente: Ty_l=-873.01 My_l=-17.89
Tensioni nella sezione: σ=216.88 τ=26.45
CC 13 SLV (Collegamento 0022_-379)
Azioni sul collegamento: N=-4942.83 Ty=2.39 Tz=-5.21 Mx=0.00 Mz=5.31
Sollecitazioni agenti localmente: Ty_l=-855.12 My_l=-17.50
Tensioni nella sezione: σ=212.13 τ=25.91
CC 13 SLV (Collegamento 0022_-379)
Azioni sul collegamento: N=-6324.69 Ty=0.09 Tz=-0.09 Mx=0.00 Mz=0.81
Sollecitazioni agenti localmente: Ty_l=-1117.98 My_l=-22.91
Tensioni nella sezione: σ=277.75 τ=33.88
CC 13 SLV (Collegamento 0022_-379)
Azioni sul collegamento: N=-6324.69 Ty=2.39 Tz=-0.09 Mx=0.00 Mz=5.31
Sollecitazioni agenti localmente: Ty_l=-1100.08 My_l=-22.52
Tensioni nella sezione: σ=273.00 τ=33.34
CC 13 SLV (Collegamento 0022_-379)
Azioni sul collegamento: N=-6324.69 Ty=0.09 Tz=-5.21 Mx=0.00 Mz=0.81
Sollecitazioni agenti localmente: Ty_l=-1117.98 My_l=-22.91
Tensioni nella sezione: σ=277.75 τ=33.88
CC 13 SLV (Collegamento 0022_-379)
Azioni sul collegamento: N=-6324.69 Ty=2.39 Tz=-5.21 Mx=0.00 Mz=5.31
Sollecitazioni agenti localmente: Ty_l=-1100.08 My_l=-22.52
Tensioni nella sezione: σ=273.00 τ=33.34
CC 14 SLD (Collegamento 0022_-379)
Azioni sul collegamento: N=-5422.89 Ty=0.08 Tz=-1.87 Mx=0.00 Mz=0.32
Sollecitazioni agenti localmente: Ty_l=-960.07 My_l=-19.68
Tensioni nella sezione: σ=238.54 τ=29.09
CC 14 SLD (Collegamento 0022_-379)
Azioni sul collegamento: N=-5422.89 Ty=0.78 Tz=-1.87 Mx=0.00 Mz=1.69
Sollecitazioni agenti localmente: Ty_l=-954.61 My_l=-19.56
Tensioni nella sezione: σ=237.09 τ=28.93
CC 14 SLD (Collegamento 0022_-379)
Azioni sul collegamento: N=-5422.89 Ty=0.08 Tz=-3.43 Mx=0.00 Mz=0.32
Sollecitazioni agenti localmente: Ty_l=-960.07 My_l=-19.68

Tensioni nella sezione: σ=238.54 τ=29.09
CC 14 SLD (Collegamento 0022_-379)
Azioni sul collegamento: N=-5422.89 Ty=0.78 Tz=-3.43 Mx=0.00 Mz=1.69
Sollecitazioni agenti localmente: Ty_l=-954.61 My_l=-19.56
Tensioni nella sezione: σ=237.09 τ=28.93
CC 14 SLD (Collegamento 0022_-379)
Azioni sul collegamento: N=-5844.26 Ty=0.08 Tz=-1.87 Mx=0.00 Mz=0.32
Sollecitazioni agenti localmente: Ty_l=-1034.76 My_l=-21.21
Tensioni nella sezione: σ=257.10 τ=31.36
CC 14 SLD (Collegamento 0022_-379)
Azioni sul collegamento: N=-5844.26 Ty=0.78 Tz=-1.87 Mx=0.00 Mz=1.69
Sollecitazioni agenti localmente: Ty_l=-1029.31 My_l=-21.09
Tensioni nella sezione: σ=255.65 τ=31.19
CC 14 SLD (Collegamento 0022_-379)
Azioni sul collegamento: N=-5844.26 Ty=0.08 Tz=-3.43 Mx=0.00 Mz=0.32
Sollecitazioni agenti localmente: Ty_l=-1034.76 My_l=-21.21
Tensioni nella sezione: σ=257.10 τ=31.36
CC 14 SLD (Collegamento 0022_-379)
Azioni sul collegamento: N=-5844.26 Ty=0.78 Tz=-3.43 Mx=0.00 Mz=1.69
Sollecitazioni agenti localmente: Ty_l=-1029.31 My_l=-21.09
Tensioni nella sezione: σ=255.65 τ=31.19
CC 15 SLV (Collegamento 0022_-379)
Azioni sul collegamento: N=-6324.76 Ty=0.08 Tz=-5.22 Mx=0.00 Mz=0.80
Sollecitazioni agenti localmente: Ty_l=-1118.04 My_l=-22.92
Tensioni nella sezione: σ=277.76 τ=33.88
CC 15 SLV (Collegamento 0022_-379)
Azioni sul collegamento: N=-6324.76 Ty=2.39 Tz=-5.22 Mx=0.00 Mz=5.32
Sollecitazioni agenti localmente: Ty_l=-1100.05 My_l=-22.52
Tensioni nella sezione: σ=272.99 τ=33.33
CC 15 SLV (Collegamento 0022_-379)
Azioni sul collegamento: N=-6324.76 Ty=0.08 Tz=-0.09 Mx=0.00 Mz=0.80
Sollecitazioni agenti localmente: Ty_l=-1118.04 My_l=-22.92
Tensioni nella sezione: σ=277.76 τ=33.88
CC 15 SLV (Collegamento 0022_-379)
Azioni sul collegamento: N=-6324.76 Ty=2.39 Tz=-0.09 Mx=0.00 Mz=5.32
Sollecitazioni agenti localmente: Ty_l=-1100.05 My_l=-22.52
Tensioni nella sezione: σ=272.99 τ=33.33
CC 15 SLV (Collegamento 0022_-379)
Azioni sul collegamento: N=-4942.75 Ty=0.08 Tz=-5.22 Mx=0.00 Mz=0.80
Sollecitazioni agenti localmente: Ty_l=-873.05 My_l=-17.89
Tensioni nella sezione: σ=216.88 τ=26.46
CC 15 SLV (Collegamento 0022_-379)
Azioni sul collegamento: N=-4942.75 Ty=2.39 Tz=-5.22 Mx=0.00 Mz=5.32
Sollecitazioni agenti localmente: Ty_l=-855.06 My_l=-17.50
Tensioni nella sezione: σ=212.11 τ=25.91
CC 15 SLV (Collegamento 0022_-379)
Azioni sul collegamento: N=-4942.75 Ty=0.08 Tz=-0.09 Mx=0.00 Mz=0.80
Sollecitazioni agenti localmente: Ty_l=-873.05 My_l=-17.89
Tensioni nella sezione: σ=216.88 τ=26.46
CC 15 SLV (Collegamento 0022_-379)
Azioni sul collegamento: N=-4942.75 Ty=2.39 Tz=-0.09 Mx=0.00 Mz=5.32
Sollecitazioni agenti localmente: Ty_l=-855.06 My_l=-17.50
Tensioni nella sezione: σ=212.11 τ=25.91
CC 16 SLD (Collegamento 0022_-379)
Azioni sul collegamento: N=-5844.28 Ty=0.08 Tz=-3.44 Mx=0.00 Mz=0.31
Sollecitazioni agenti localmente: Ty_l=-1034.78 My_l=-21.21
Tensioni nella sezione: σ=257.11 τ=31.36
CC 16 SLD (Collegamento 0022_-379)
Azioni sul collegamento: N=-5844.28 Ty=0.78 Tz=-3.44 Mx=0.00 Mz=1.69
Sollecitazioni agenti localmente: Ty_l=-1029.30 My_l=-21.09
Tensioni nella sezione: σ=255.65 τ=31.19
CC 16 SLD (Collegamento 0022_-379)
Azioni sul collegamento: N=-5844.28 Ty=0.08 Tz=-1.87 Mx=0.00 Mz=0.31
Sollecitazioni agenti localmente: Ty_l=-1034.78 My_l=-21.21
Tensioni nella sezione: σ=257.11 τ=31.36
CC 16 SLD (Collegamento 0022_-379)
Azioni sul collegamento: N=-5844.28 Ty=0.78 Tz=-1.87 Mx=0.00 Mz=1.69
Sollecitazioni agenti localmente: Ty_l=-1029.30 My_l=-21.09
Tensioni nella sezione: σ=255.65 τ=31.19
CC 16 SLD (Collegamento 0022_-379)
Azioni sul collegamento: N=-5422.87 Ty=0.08 Tz=-3.44 Mx=0.00 Mz=0.31
Sollecitazioni agenti localmente: Ty_l=-960.08 My_l=-19.68
Tensioni nella sezione: σ=238.54 τ=29.09
CC 16 SLD (Collegamento 0022_-379)
Azioni sul collegamento: N=-5422.87 Ty=0.78 Tz=-3.44 Mx=0.00 Mz=1.69
Sollecitazioni agenti localmente: Ty_l=-954.59 My_l=-19.56
Tensioni nella sezione: σ=237.09 τ=28.93
CC 16 SLD (Collegamento 0022_-379)
Azioni sul collegamento: N=-5422.87 Ty=0.08 Tz=-1.87 Mx=0.00 Mz=0.31
Sollecitazioni agenti localmente: Ty_l=-960.08 My_l=-19.68

Tensioni nella sezione: σ=238.54 τ=29.09
CC 16 SLD (Collegamento 0022_-379)
Azioni sul collegamento: N=-5422.87 Ty=0.78 Tz=-1.87 Mx=0.00 Mz=1.69
Sollecitazioni agenti localmente: Ty_l=-954.59 My_l=-19.56
Tensioni nella sezione: σ=237.09 τ=28.93
CC 17 SLV (Collegamento 0022_-379)
Azioni sul collegamento: N=-3330.00 Ty=-0.74 Tz=5.89 Mx=-0.02 Mz=-2.16
Sollecitazioni agenti localmente: Ty_l=-598.89 My_l=-12.29
Tensioni nella sezione: σ=148.96 τ=18.15
CC 17 SLV (Collegamento 0022_-379)
Azioni sul collegamento: N=-3330.00 Ty=-1.44 Tz=5.89 Mx=-0.02 Mz=-3.55
Sollecitazioni agenti localmente: Ty_l=-604.43 My_l=-12.41
Tensioni nella sezione: σ=150.43 τ=18.32
CC 17 SLV (Collegamento 0022_-379)
Azioni sul collegamento: N=-3330.00 Ty=-0.74 Tz=-11.20 Mx=-0.02 Mz=-2.16
Sollecitazioni agenti localmente: Ty_l=-598.89 My_l=-12.29
Tensioni nella sezione: σ=148.96 τ=18.15
CC 17 SLV (Collegamento 0022_-379)
Azioni sul collegamento: N=-3330.00 Ty=-1.44 Tz=-11.20 Mx=-0.02 Mz=-3.55
Sollecitazioni agenti localmente: Ty_l=-604.43 My_l=-12.41
Tensioni nella sezione: σ=150.43 τ=18.32
CC 17 SLV (Collegamento 0022_-379)
Azioni sul collegamento: N=-7936.47 Ty=-0.74 Tz=5.89 Mx=-0.02 Mz=-2.16
Sollecitazioni agenti localmente: Ty_l=-1415.49 My_l=-29.03
Tensioni nella sezione: σ=351.87 τ=42.89
CC 17 SLV (Collegamento 0022_-379)
Azioni sul collegamento: N=-7936.47 Ty=-1.44 Tz=5.89 Mx=-0.02 Mz=-3.55
Sollecitazioni agenti localmente: Ty_l=-1421.03 My_l=-29.15
Tensioni nella sezione: σ=353.34 τ=43.06
CC 17 SLV (Collegamento 0022_-379)
Azioni sul collegamento: N=-7936.47 Ty=-0.74 Tz=-11.20 Mx=-0.02 Mz=-2.16
Sollecitazioni agenti localmente: Ty_l=-1415.49 My_l=-29.03
Tensioni nella sezione: σ=351.87 τ=42.89
CC 17 SLV (Collegamento 0022_-379)
Azioni sul collegamento: N=-7936.47 Ty=-1.44 Tz=-11.20 Mx=-0.02 Mz=-3.55
Sollecitazioni agenti localmente: Ty_l=-1421.03 My_l=-29.15
Tensioni nella sezione: σ=353.34 τ=43.06
CC 18 SLD (Collegamento 0022_-379)
Azioni sul collegamento: N=-4931.08 Ty=-0.17 Tz=-0.05 Mx=-0.00 Mz=-0.59
Sollecitazioni agenti localmente: Ty_l=-876.48 My_l=-17.97
Tensioni nella sezione: σ=217.83 τ=26.56
CC 18 SLD (Collegamento 0022_-379)
Azioni sul collegamento: N=-4931.08 Ty=-0.39 Tz=-0.05 Mx=-0.00 Mz=-1.01
Sollecitazioni agenti localmente: Ty_l=-878.16 My_l=-18.01
Tensioni nella sezione: σ=218.28 τ=26.61
CC 18 SLD (Collegamento 0022_-379)
Azioni sul collegamento: N=-4931.09 Ty=-0.17 Tz=-5.26 Mx=-0.00 Mz=-0.59
Sollecitazioni agenti localmente: Ty_l=-876.48 My_l=-17.97
Tensioni nella sezione: σ=217.83 τ=26.56
CC 18 SLD (Collegamento 0022_-379)
Azioni sul collegamento: N=-4931.09 Ty=-0.39 Tz=-5.26 Mx=-0.00 Mz=-1.01
Sollecitazioni agenti localmente: Ty_l=-878.16 My_l=-18.01
Tensioni nella sezione: σ=218.28 τ=26.61
CC 18 SLD (Collegamento 0022_-379)
Azioni sul collegamento: N=-6335.74 Ty=-0.17 Tz=-0.05 Mx=-0.00 Mz=-0.59
Sollecitazioni agenti localmente: Ty_l=-1125.48 My_l=-23.08
Tensioni nella sezione: σ=279.70 τ=34.11
CC 18 SLD (Collegamento 0022_-379)
Azioni sul collegamento: N=-6335.74 Ty=-0.39 Tz=-0.05 Mx=-0.00 Mz=-1.01
Sollecitazioni agenti localmente: Ty_l=-1127.17 My_l=-23.11
Tensioni nella sezione: σ=280.15 τ=34.16
CC 18 SLD (Collegamento 0022_-379)
Azioni sul collegamento: N=-6335.74 Ty=-0.17 Tz=-5.26 Mx=-0.00 Mz=-0.59
Sollecitazioni agenti localmente: Ty_l=-1125.48 My_l=-23.08
Tensioni nella sezione: σ=279.70 τ=34.11
CC 18 SLD (Collegamento 0022_-379)
Azioni sul collegamento: N=-6335.74 Ty=-0.39 Tz=-5.26 Mx=-0.00 Mz=-1.01
Sollecitazioni agenti localmente: Ty_l=-1127.17 My_l=-23.11
Tensioni nella sezione: σ=280.15 τ=34.16
CC 19 SLV (Collegamento 0022_-379)
Azioni sul collegamento: N=-3330.02 Ty=-1.43 Tz=5.88 Mx=-0.01 Mz=-3.51
Sollecitazioni agenti localmente: Ty_l=-604.28 My_l=-12.41
Tensioni nella sezione: σ=150.39 τ=18.31
CC 19 SLV (Collegamento 0022_-379)
Azioni sul collegamento: N=-3330.02 Ty=-0.75 Tz=5.88 Mx=-0.01 Mz=-2.19
Sollecitazioni agenti localmente: Ty_l=-599.05 My_l=-12.29
Tensioni nella sezione: σ=149.00 τ=18.15
CC 19 SLV (Collegamento 0022_-379)
Azioni sul collegamento: N=-3330.02 Ty=-1.43 Tz=-11.19 Mx=-0.01 Mz=-3.51
Sollecitazioni agenti localmente: Ty_l=-604.28 My_l=-12.41

Tensioni nella sezione: σ=150.39 τ=18.31
CC 19 SLV (Collegamento 0022_-379)
Azioni sul collegamento: N=-3330.02 Ty=-0.75 Tz=-11.19 Mx=-0.01 Mz=-2.19
Sollecitazioni agenti localmente: Ty_l=-599.05 My_l=-12.29
Tensioni nella sezione: σ=149.00 τ=18.15
CC 19 SLV (Collegamento 0022_-379)
Azioni sul collegamento: N=-7936.44 Ty=-1.43 Tz=5.88 Mx=-0.01 Mz=-3.51
Sollecitazioni agenti localmente: Ty_l=-1420.87 My_l=-29.15
Tensioni nella sezione: σ=353.30 τ=43.06
CC 19 SLV (Collegamento 0022_-379)
Azioni sul collegamento: N=-7936.44 Ty=-0.75 Tz=5.88 Mx=-0.01 Mz=-2.19
Sollecitazioni agenti localmente: Ty_l=-1415.64 My_l=-29.03
Tensioni nella sezione: σ=351.91 τ=42.90
CC 19 SLV (Collegamento 0022_-379)
Azioni sul collegamento: N=-7936.44 Ty=-1.43 Tz=-11.19 Mx=-0.01 Mz=-3.51
Sollecitazioni agenti localmente: Ty_l=-1420.87 My_l=-29.15
Tensioni nella sezione: σ=353.30 τ=43.06
CC 19 SLV (Collegamento 0022_-379)
Azioni sul collegamento: N=-7936.44 Ty=-0.75 Tz=-11.19 Mx=-0.01 Mz=-2.19
Sollecitazioni agenti localmente: Ty_l=-1415.64 My_l=-29.03
Tensioni nella sezione: σ=351.91 τ=42.90
CC 20 SLD (Collegamento 0022_-379)
Azioni sul collegamento: N=-4931.09 Ty=-0.38 Tz=-0.05 Mx=-0.00 Mz=-1.00
Sollecitazioni agenti localmente: Ty_l=-878.12 My_l=-18.01
Tensioni nella sezione: σ=218.27 τ=26.61
CC 20 SLD (Collegamento 0022_-379)
Azioni sul collegamento: N=-4931.09 Ty=-0.18 Tz=-0.05 Mx=-0.00 Mz=-0.60
Sollecitazioni agenti localmente: Ty_l=-876.52 My_l=-17.97
Tensioni nella sezione: σ=217.84 τ=26.56
CC 20 SLD (Collegamento 0022_-379)
Azioni sul collegamento: N=-4931.09 Ty=-0.38 Tz=-5.26 Mx=-0.00 Mz=-1.00
Sollecitazioni agenti localmente: Ty_l=-878.12 My_l=-18.01
Tensioni nella sezione: σ=218.27 τ=26.61
CC 20 SLD (Collegamento 0022_-379)
Azioni sul collegamento: N=-4931.09 Ty=-0.18 Tz=-5.26 Mx=-0.00 Mz=-0.60
Sollecitazioni agenti localmente: Ty_l=-876.52 My_l=-17.97
Tensioni nella sezione: σ=217.84 τ=26.56
CC 20 SLD (Collegamento 0022_-379)
Azioni sul collegamento: N=-6335.74 Ty=-0.38 Tz=-0.05 Mx=-0.00 Mz=-1.00
Sollecitazioni agenti localmente: Ty_l=-1127.12 My_l=-23.11
Tensioni nella sezione: σ=280.14 τ=34.16
CC 20 SLD (Collegamento 0022_-379)
Azioni sul collegamento: N=-6335.74 Ty=-0.18 Tz=-0.05 Mx=-0.00 Mz=-0.60
Sollecitazioni agenti localmente: Ty_l=-1125.53 My_l=-23.08
Tensioni nella sezione: σ=279.72 τ=34.11
CC 20 SLD (Collegamento 0022_-379)
Azioni sul collegamento: N=-6335.74 Ty=-0.38 Tz=-5.26 Mx=-0.00 Mz=-1.00
Sollecitazioni agenti localmente: Ty_l=-1127.12 My_l=-23.11
Tensioni nella sezione: σ=280.14 τ=34.16
CC 20 SLD (Collegamento 0022_-379)
Azioni sul collegamento: N=-6335.74 Ty=-0.18 Tz=-5.26 Mx=-0.00 Mz=-0.60
Sollecitazioni agenti localmente: Ty_l=-1125.53 My_l=-23.08
Tensioni nella sezione: σ=279.72 τ=34.11
CC 21 SLV (Collegamento 0022_-379)
Azioni sul collegamento: N=-7936.44 Ty=-0.75 Tz=-11.19 Mx=-0.02 Mz=-2.19
Sollecitazioni agenti localmente: Ty_l=-1415.64 My_l=-29.03
Tensioni nella sezione: σ=351.91 τ=42.90
CC 21 SLV (Collegamento 0022_-379)
Azioni sul collegamento: N=-7936.44 Ty=-1.43 Tz=-11.19 Mx=-0.02 Mz=-3.51
Sollecitazioni agenti localmente: Ty_l=-1420.87 My_l=-29.15
Tensioni nella sezione: σ=353.30 τ=43.06
CC 21 SLV (Collegamento 0022_-379)
Azioni sul collegamento: N=-7936.44 Ty=-0.75 Tz=5.88 Mx=-0.02 Mz=-2.19
Sollecitazioni agenti localmente: Ty_l=-1415.64 My_l=-29.03
Tensioni nella sezione: σ=351.91 τ=42.90
CC 21 SLV (Collegamento 0022_-379)
Azioni sul collegamento: N=-7936.44 Ty=-1.43 Tz=5.88 Mx=-0.02 Mz=-3.51
Sollecitazioni agenti localmente: Ty_l=-1420.87 My_l=-29.15
Tensioni nella sezione: σ=353.30 τ=43.06
CC 21 SLV (Collegamento 0022_-379)
Azioni sul collegamento: N=-3330.02 Ty=-0.75 Tz=-11.19 Mx=-0.02 Mz=-2.19
Sollecitazioni agenti localmente: Ty_l=-599.05 My_l=-12.29
Tensioni nella sezione: σ=149.00 τ=18.15
CC 21 SLV (Collegamento 0022_-379)
Azioni sul collegamento: N=-3330.02 Ty=-1.43 Tz=-11.19 Mx=-0.02 Mz=-3.51
Sollecitazioni agenti localmente: Ty_l=-604.28 My_l=-12.41
Tensioni nella sezione: σ=150.39 τ=18.31
CC 21 SLV (Collegamento 0022_-379)
Azioni sul collegamento: N=-3330.02 Ty=-0.75 Tz=5.88 Mx=-0.02 Mz=-2.19
Sollecitazioni agenti localmente: Ty_l=-599.05 My_l=-12.29

Tensioni nella sezione: σ=149.00 τ=18.15
CC 21 SLV (Collegamento 0022_-379)
Azioni sul collegamento: N=-3330.02 Ty=-1.43 Tz=5.88 Mx=-0.02 Mz=-3.51
Sollecitazioni agenti localmente: Ty_l=-604.28 My_l=-12.41
Tensioni nella sezione: σ=150.39 τ=18.31
CC 22 SLD (Collegamento 0022_-379)
Azioni sul collegamento: N=-6335.74 Ty=-0.18 Tz=-5.26 Mx=-0.00 Mz=-0.60
Sollecitazioni agenti localmente: Ty_l=-1125.53 My_l=-23.08
Tensioni nella sezione: σ=279.72 τ=34.11
CC 22 SLD (Collegamento 0022_-379)
Azioni sul collegamento: N=-6335.74 Ty=-0.38 Tz=-5.26 Mx=-0.00 Mz=-1.00
Sollecitazioni agenti localmente: Ty_l=-1127.12 My_l=-23.11
Tensioni nella sezione: σ=280.14 τ=34.16
CC 22 SLD (Collegamento 0022_-379)
Azioni sul collegamento: N=-6335.74 Ty=-0.18 Tz=-0.05 Mx=-0.00 Mz=-0.60
Sollecitazioni agenti localmente: Ty_l=-1125.53 My_l=-23.08
Tensioni nella sezione: σ=279.72 τ=34.11
CC 22 SLD (Collegamento 0022_-379)
Azioni sul collegamento: N=-6335.74 Ty=-0.38 Tz=-0.05 Mx=-0.00 Mz=-1.00
Sollecitazioni agenti localmente: Ty_l=-1127.12 My_l=-23.11
Tensioni nella sezione: σ=280.14 τ=34.16
CC 22 SLD (Collegamento 0022_-379)
Azioni sul collegamento: N=-4931.09 Ty=-0.18 Tz=-5.26 Mx=-0.00 Mz=-0.60
Sollecitazioni agenti localmente: Ty_l=-876.52 My_l=-17.97
Tensioni nella sezione: σ=217.84 τ=26.56
CC 22 SLD (Collegamento 0022_-379)
Azioni sul collegamento: N=-4931.09 Ty=-0.38 Tz=-5.26 Mx=-0.00 Mz=-1.00
Sollecitazioni agenti localmente: Ty_l=-878.12 My_l=-18.01
Tensioni nella sezione: σ=218.27 τ=26.61
CC 22 SLD (Collegamento 0022_-379)
Azioni sul collegamento: N=-4931.09 Ty=-0.18 Tz=-0.05 Mx=-0.00 Mz=-0.60
Sollecitazioni agenti localmente: Ty_l=-876.52 My_l=-17.97
Tensioni nella sezione: σ=217.84 τ=26.56
CC 22 SLD (Collegamento 0022_-379)
Azioni sul collegamento: N=-4931.09 Ty=-0.38 Tz=-0.05 Mx=-0.00 Mz=-1.00
Sollecitazioni agenti localmente: Ty_l=-878.12 My_l=-18.01
Tensioni nella sezione: σ=218.27 τ=26.61
CC 23 SLV (Collegamento 0022_-379)
Azioni sul collegamento: N=-7936.47 Ty=-1.44 Tz=-11.20 Mx=-0.01 Mz=-3.55
Sollecitazioni agenti localmente: Ty_l=-1421.03 My_l=-29.15
Tensioni nella sezione: σ=353.34 τ=43.06
CC 23 SLV (Collegamento 0022_-379)
Azioni sul collegamento: N=-7936.47 Ty=-0.74 Tz=-11.20 Mx=-0.01 Mz=-2.16
Sollecitazioni agenti localmente: Ty_l=-1415.49 My_l=-29.03
Tensioni nella sezione: σ=351.87 τ=42.89
CC 23 SLV (Collegamento 0022_-379)
Azioni sul collegamento: N=-7936.47 Ty=-1.44 Tz=5.89 Mx=-0.01 Mz=-3.55
Sollecitazioni agenti localmente: Ty_l=-1421.03 My_l=-29.15
Tensioni nella sezione: σ=353.34 τ=43.06
CC 23 SLV (Collegamento 0022_-379)
Azioni sul collegamento: N=-7936.47 Ty=-0.74 Tz=5.89 Mx=-0.01 Mz=-2.16
Sollecitazioni agenti localmente: Ty_l=-1415.49 My_l=-29.03
Tensioni nella sezione: σ=351.87 τ=42.89
CC 23 SLV (Collegamento 0022_-379)
Azioni sul collegamento: N=-3330.00 Ty=-1.44 Tz=-11.20 Mx=-0.01 Mz=-3.55
Sollecitazioni agenti localmente: Ty_l=-604.43 My_l=-12.41
Tensioni nella sezione: σ=150.43 τ=18.32
CC 23 SLV (Collegamento 0022_-379)
Azioni sul collegamento: N=-3330.00 Ty=-0.74 Tz=-11.20 Mx=-0.01 Mz=-2.16
Sollecitazioni agenti localmente: Ty_l=-598.89 My_l=-12.29
Tensioni nella sezione: σ=148.96 τ=18.15
CC 23 SLV (Collegamento 0022_-379)
Azioni sul collegamento: N=-3330.00 Ty=-1.44 Tz=5.89 Mx=-0.01 Mz=-3.55
Sollecitazioni agenti localmente: Ty_l=-604.43 My_l=-12.41
Tensioni nella sezione: σ=150.43 τ=18.32
CC 23 SLV (Collegamento 0022_-379)
Azioni sul collegamento: N=-3330.00 Ty=-0.74 Tz=5.89 Mx=-0.01 Mz=-2.16
Sollecitazioni agenti localmente: Ty_l=-598.89 My_l=-12.29
Tensioni nella sezione: σ=148.96 τ=18.15
CC 24 SLD (Collegamento 0022_-379)
Azioni sul collegamento: N=-6335.74 Ty=-0.39 Tz=-5.26 Mx=-0.00 Mz=-1.01
Sollecitazioni agenti localmente: Ty_l=-1127.17 My_l=-23.11
Tensioni nella sezione: σ=280.15 τ=34.16
CC 24 SLD (Collegamento 0022_-379)
Azioni sul collegamento: N=-6335.74 Ty=-0.17 Tz=-5.26 Mx=-0.00 Mz=-0.59
Sollecitazioni agenti localmente: Ty_l=-1125.48 My_l=-23.08
Tensioni nella sezione: σ=279.70 τ=34.11
CC 24 SLD (Collegamento 0022_-379)
Azioni sul collegamento: N=-6335.74 Ty=-0.39 Tz=-0.05 Mx=-0.00 Mz=-1.01
Sollecitazioni agenti localmente: Ty_l=-1127.17 My_l=-23.11

Tensioni nella sezione: σ=280.15 τ=34.16
CC 24 SLD (Collegamento 0022_-379)
Azioni sul collegamento: N=-6335.74 Ty=-0.17 Tz=-0.05 Mx=-0.00 Mz=-0.59
Sollecitazioni agenti localmente: Ty_l=-1125.48 My_l=-23.08
Tensioni nella sezione: σ=279.70 τ=34.11
CC 24 SLD (Collegamento 0022_-379)
Azioni sul collegamento: N=-4931.09 Ty=-0.39 Tz=-5.26 Mx=-0.00 Mz=-1.01
Sollecitazioni agenti localmente: Ty_l=-878.16 My_l=-18.01
Tensioni nella sezione: σ=218.28 τ=26.61
CC 24 SLD (Collegamento 0022_-379)
Azioni sul collegamento: N=-4931.09 Ty=-0.17 Tz=-5.26 Mx=-0.00 Mz=-0.59
Sollecitazioni agenti localmente: Ty_l=-876.48 My_l=-17.97
Tensioni nella sezione: σ=217.83 τ=26.56
CC 24 SLD (Collegamento 0022_-379)
Azioni sul collegamento: N=-4931.08 Ty=-0.39 Tz=-0.05 Mx=-0.00 Mz=-1.01
Sollecitazioni agenti localmente: Ty_l=-878.16 My_l=-18.01
Tensioni nella sezione: σ=218.28 τ=26.61
CC 24 SLD (Collegamento 0022_-379)
Azioni sul collegamento: N=-4931.08 Ty=-0.17 Tz=-0.05 Mx=-0.00 Mz=-0.59
Sollecitazioni agenti localmente: Ty_l=-876.48 My_l=-17.97
Tensioni nella sezione: σ=217.83 τ=26.56
CC 25 SLV (Collegamento 0022_-379)
Azioni sul collegamento: N=-4942.23 Ty=0.07 Tz=-0.09 Mx=-0.02 Mz=-0.59
Sollecitazioni agenti localmente: Ty_l=-878.47 My_l=-18.01
Tensioni nella sezione: σ=218.33 τ=26.62
CC 25 SLV (Collegamento 0022_-379)
Azioni sul collegamento: N=-4942.23 Ty=-2.24 Tz=-0.09 Mx=-0.02 Mz=-5.11
Sollecitazioni agenti localmente: Ty_l=-896.46 My_l=-18.41
Tensioni nella sezione: σ=223.10 τ=27.17
CC 25 SLV (Collegamento 0022_-379)
Azioni sul collegamento: N=-4942.23 Ty=0.07 Tz=-5.22 Mx=-0.02 Mz=-0.59
Sollecitazioni agenti localmente: Ty_l=-878.47 My_l=-18.01
Tensioni nella sezione: σ=218.33 τ=26.62
CC 25 SLV (Collegamento 0022_-379)
Azioni sul collegamento: N=-4942.23 Ty=-2.24 Tz=-5.22 Mx=-0.02 Mz=-5.11
Sollecitazioni agenti localmente: Ty_l=-896.46 My_l=-18.41
Tensioni nella sezione: σ=223.10 τ=27.17
CC 25 SLV (Collegamento 0022_-379)
Azioni sul collegamento: N=-6324.24 Ty=0.07 Tz=-0.09 Mx=-0.02 Mz=-0.59
Sollecitazioni agenti localmente: Ty_l=-1123.46 My_l=-23.03
Tensioni nella sezione: σ=279.20 τ=34.04
CC 25 SLV (Collegamento 0022_-379)
Azioni sul collegamento: N=-6324.24 Ty=-2.24 Tz=-0.09 Mx=-0.02 Mz=-5.11
Sollecitazioni agenti localmente: Ty_l=-1141.45 My_l=-23.43
Tensioni nella sezione: σ=283.98 τ=34.59
CC 25 SLV (Collegamento 0022_-379)
Azioni sul collegamento: N=-6324.24 Ty=0.07 Tz=-5.22 Mx=-0.02 Mz=-0.59
Sollecitazioni agenti localmente: Ty_l=-1123.46 My_l=-23.03
Tensioni nella sezione: σ=279.20 τ=34.04
CC 25 SLV (Collegamento 0022_-379)
Azioni sul collegamento: N=-6324.24 Ty=-2.24 Tz=-5.22 Mx=-0.02 Mz=-5.11
Sollecitazioni agenti localmente: Ty_l=-1141.45 My_l=-23.43
Tensioni nella sezione: σ=283.98 τ=34.59
CC 26 SLD (Collegamento 0022_-379)
Azioni sul collegamento: N=-5422.71 Ty=0.07 Tz=-1.87 Mx=-0.01 Mz=-0.11
Sollecitazioni agenti localmente: Ty_l=-961.73 My_l=-19.72
Tensioni nella sezione: σ=238.98 τ=29.14
CC 26 SLD (Collegamento 0022_-379)
Azioni sul collegamento: N=-5422.71 Ty=-0.63 Tz=-1.87 Mx=-0.01 Mz=-1.49
Sollecitazioni agenti localmente: Ty_l=-967.21 My_l=-19.84
Tensioni nella sezione: σ=240.44 τ=29.31
CC 26 SLD (Collegamento 0022_-379)
Azioni sul collegamento: N=-5422.71 Ty=0.07 Tz=-3.44 Mx=-0.01 Mz=-0.11
Sollecitazioni agenti localmente: Ty_l=-961.73 My_l=-19.72
Tensioni nella sezione: σ=238.98 τ=29.14
CC 26 SLD (Collegamento 0022_-379)
Azioni sul collegamento: N=-5422.71 Ty=-0.63 Tz=-3.44 Mx=-0.01 Mz=-1.49
Sollecitazioni agenti localmente: Ty_l=-967.21 My_l=-19.84
Tensioni nella sezione: σ=240.44 τ=29.31
CC 26 SLD (Collegamento 0022_-379)
Azioni sul collegamento: N=-5844.12 Ty=0.07 Tz=-1.87 Mx=-0.01 Mz=-0.11
Sollecitazioni agenti localmente: Ty_l=-1036.44 My_l=-21.25
Tensioni nella sezione: σ=257.55 τ=31.41
CC 26 SLD (Collegamento 0022_-379)
Azioni sul collegamento: N=-5844.12 Ty=-0.63 Tz=-1.87 Mx=-0.01 Mz=-1.49
Sollecitazioni agenti localmente: Ty_l=-1041.92 My_l=-21.37
Tensioni nella sezione: σ=259.00 τ=31.57
CC 26 SLD (Collegamento 0022_-379)
Azioni sul collegamento: N=-5844.12 Ty=0.07 Tz=-3.44 Mx=-0.01 Mz=-0.11
Sollecitazioni agenti localmente: Ty_l=-1036.44 My_l=-21.25

Tensioni nella sezione: σ=257.55 τ=31.41
CC 26 SLD (Collegamento 0022_-379)
Azioni sul collegamento: N=-5844.12 Ty=-0.63 Tz=-3.44 Mx=-0.01 Mz=-1.49
Sollecitazioni agenti localmente: Ty_l=-1041.92 My_l=-21.37
Tensioni nella sezione: σ=259.00 τ=31.57
CC 27 SLV (Collegamento 0022_-379)
Azioni sul collegamento: N=-6324.16 Ty=0.06 Tz=-5.22 Mx=-0.02 Mz=-0.60
Sollecitazioni agenti localmente: Ty_l=-1123.50 My_l=-23.04
Tensioni nella sezione: σ=279.21 τ=34.05
CC 27 SLV (Collegamento 0022_-379)
Azioni sul collegamento: N=-6324.16 Ty=-2.24 Tz=-5.22 Mx=-0.02 Mz=-5.10
Sollecitazioni agenti localmente: Ty_l=-1141.39 My_l=-23.43
Tensioni nella sezione: σ=283.96 τ=34.59
CC 27 SLV (Collegamento 0022_-379)
Azioni sul collegamento: N=-6324.16 Ty=0.06 Tz=-0.09 Mx=-0.02 Mz=-0.60
Sollecitazioni agenti localmente: Ty_l=-1123.50 My_l=-23.04
Tensioni nella sezione: σ=279.21 τ=34.05
CC 27 SLV (Collegamento 0022_-379)
Azioni sul collegamento: N=-6324.16 Ty=-2.24 Tz=-0.09 Mx=-0.02 Mz=-5.10
Sollecitazioni agenti localmente: Ty_l=-1141.39 My_l=-23.43
Tensioni nella sezione: σ=283.96 τ=34.59
CC 27 SLV (Collegamento 0022_-379)
Azioni sul collegamento: N=-4942.30 Ty=0.06 Tz=-5.22 Mx=-0.02 Mz=-0.60
Sollecitazioni agenti localmente: Ty_l=-878.53 My_l=-18.01
Tensioni nella sezione: σ=218.34 τ=26.62
CC 27 SLV (Collegamento 0022_-379)
Azioni sul collegamento: N=-4942.30 Ty=-2.24 Tz=-5.22 Mx=-0.02 Mz=-5.10
Sollecitazioni agenti localmente: Ty_l=-896.43 My_l=-18.41
Tensioni nella sezione: σ=223.09 τ=27.16
CC 27 SLV (Collegamento 0022_-379)
Azioni sul collegamento: N=-4942.30 Ty=0.06 Tz=-0.09 Mx=-0.02 Mz=-0.60
Sollecitazioni agenti localmente: Ty_l=-878.53 My_l=-18.01
Tensioni nella sezione: σ=218.34 τ=26.62
CC 27 SLV (Collegamento 0022_-379)
Azioni sul collegamento: N=-4942.30 Ty=-2.24 Tz=-0.09 Mx=-0.02 Mz=-5.10
Sollecitazioni agenti localmente: Ty_l=-896.43 My_l=-18.41
Tensioni nella sezione: σ=223.09 τ=27.16
CC 28 SLD (Collegamento 0022_-379)
Azioni sul collegamento: N=-5844.10 Ty=0.07 Tz=-3.44 Mx=-0.01 Mz=-0.11
Sollecitazioni agenti localmente: Ty_l=-1036.45 My_l=-21.25
Tensioni nella sezione: σ=257.55 τ=31.41
CC 28 SLD (Collegamento 0022_-379)
Azioni sul collegamento: N=-5844.10 Ty=-0.63 Tz=-3.44 Mx=-0.01 Mz=-1.48
Sollecitazioni agenti localmente: Ty_l=-1041.90 My_l=-21.37
Tensioni nella sezione: σ=259.00 τ=31.57
CC 28 SLD (Collegamento 0022_-379)
Azioni sul collegamento: N=-5844.10 Ty=0.07 Tz=-1.87 Mx=-0.01 Mz=-0.11
Sollecitazioni agenti localmente: Ty_l=-1036.45 My_l=-21.25
Tensioni nella sezione: σ=257.55 τ=31.41
CC 28 SLD (Collegamento 0022_-379)
Azioni sul collegamento: N=-5844.10 Ty=-0.63 Tz=-1.87 Mx=-0.01 Mz=-1.48
Sollecitazioni agenti localmente: Ty_l=-1041.90 My_l=-21.37
Tensioni nella sezione: σ=259.00 τ=31.57
CC 28 SLD (Collegamento 0022_-379)
Azioni sul collegamento: N=-5422.73 Ty=0.07 Tz=-3.44 Mx=-0.01 Mz=-0.11
Sollecitazioni agenti localmente: Ty_l=-961.75 My_l=-19.72
Tensioni nella sezione: σ=238.99 τ=29.14
CC 28 SLD (Collegamento 0022_-379)
Azioni sul collegamento: N=-5422.73 Ty=-0.63 Tz=-3.44 Mx=-0.01 Mz=-1.48
Sollecitazioni agenti localmente: Ty_l=-967.20 My_l=-19.84
Tensioni nella sezione: σ=240.44 τ=29.31
CC 28 SLD (Collegamento 0022_-379)
Azioni sul collegamento: N=-5422.73 Ty=0.07 Tz=-1.87 Mx=-0.01 Mz=-0.11
Sollecitazioni agenti localmente: Ty_l=-961.75 My_l=-19.72
Tensioni nella sezione: σ=238.99 τ=29.14
CC 28 SLD (Collegamento 0022_-379)
Azioni sul collegamento: N=-5422.73 Ty=-0.63 Tz=-1.87 Mx=-0.01 Mz=-1.48
Sollecitazioni agenti localmente: Ty_l=-967.20 My_l=-19.84
Tensioni nella sezione: σ=240.44 τ=29.31
CC 29 SLV (Collegamento 0022_-379)
Azioni sul collegamento: N=-4942.30 Ty=-2.24 Tz=-0.09 Mx=-0.00 Mz=-5.10
Sollecitazioni agenti localmente: Ty_l=-896.43 My_l=-18.41
Tensioni nella sezione: σ=223.09 τ=27.16
CC 29 SLV (Collegamento 0022_-379)
Azioni sul collegamento: N=-4942.30 Ty=0.06 Tz=-0.09 Mx=-0.00 Mz=-0.60
Sollecitazioni agenti localmente: Ty_l=-878.53 My_l=-18.01
Tensioni nella sezione: σ=218.34 τ=26.62
CC 29 SLV (Collegamento 0022_-379)
Azioni sul collegamento: N=-4942.30 Ty=-2.24 Tz=-5.22 Mx=-0.00 Mz=-5.10
Sollecitazioni agenti localmente: Ty_l=-896.43 My_l=-18.41

Tensioni nella sezione: σ=223.09 τ=27.16
CC 29 SLV (Collegamento 0022_-379)
Azioni sul collegamento: N=-4942.30 Ty=0.06 Tz=-5.22 Mx=-0.00 Mz=-0.60
Sollecitazioni agenti localmente: Ty_l=-878.53 My_l=-18.01
Tensioni nella sezione: σ=218.34 τ=26.62
CC 29 SLV (Collegamento 0022_-379)
Azioni sul collegamento: N=-6324.16 Ty=-2.24 Tz=-0.09 Mx=-0.00 Mz=-5.10
Sollecitazioni agenti localmente: Ty_l=-1141.39 My_l=-23.43
Tensioni nella sezione: σ=283.96 τ=34.59
CC 29 SLV (Collegamento 0022_-379)
Azioni sul collegamento: N=-6324.16 Ty=0.06 Tz=-0.09 Mx=-0.00 Mz=-0.60
Sollecitazioni agenti localmente: Ty_l=-1123.50 My_l=-23.04
Tensioni nella sezione: σ=279.21 τ=34.05
CC 29 SLV (Collegamento 0022_-379)
Azioni sul collegamento: N=-6324.16 Ty=-2.24 Tz=-5.22 Mx=-0.00 Mz=-5.10
Sollecitazioni agenti localmente: Ty_l=-1141.39 My_l=-23.43
Tensioni nella sezione: σ=283.96 τ=34.59
CC 29 SLV (Collegamento 0022_-379)
Azioni sul collegamento: N=-6324.16 Ty=0.06 Tz=-5.22 Mx=-0.00 Mz=-0.60
Sollecitazioni agenti localmente: Ty_l=-1123.50 My_l=-23.04
Tensioni nella sezione: σ=279.21 τ=34.05
CC 30 SLD (Collegamento 0022_-379)
Azioni sul collegamento: N=-5422.73 Ty=-0.63 Tz=-1.87 Mx=-0.00 Mz=-1.48
Sollecitazioni agenti localmente: Ty_l=-967.20 My_l=-19.84
Tensioni nella sezione: σ=240.44 τ=29.31
CC 30 SLD (Collegamento 0022_-379)
Azioni sul collegamento: N=-5422.73 Ty=0.07 Tz=-1.87 Mx=-0.00 Mz=-0.11
Sollecitazioni agenti localmente: Ty_l=-961.75 My_l=-19.72
Tensioni nella sezione: σ=238.99 τ=29.14
CC 30 SLD (Collegamento 0022_-379)
Azioni sul collegamento: N=-5422.73 Ty=-0.63 Tz=-3.44 Mx=-0.00 Mz=-1.48
Sollecitazioni agenti localmente: Ty_l=-967.20 My_l=-19.84
Tensioni nella sezione: σ=240.44 τ=29.31
CC 30 SLD (Collegamento 0022_-379)
Azioni sul collegamento: N=-5422.73 Ty=0.07 Tz=-3.44 Mx=-0.00 Mz=-0.11
Sollecitazioni agenti localmente: Ty_l=-961.75 My_l=-19.72
Tensioni nella sezione: σ=238.99 τ=29.14
CC 30 SLD (Collegamento 0022_-379)
Azioni sul collegamento: N=-5844.10 Ty=-0.63 Tz=-1.87 Mx=-0.00 Mz=-1.48
Sollecitazioni agenti localmente: Ty_l=-1041.90 My_l=-21.37
Tensioni nella sezione: σ=259.00 τ=31.57
CC 30 SLD (Collegamento 0022_-379)
Azioni sul collegamento: N=-5844.10 Ty=0.07 Tz=-1.87 Mx=-0.00 Mz=-0.11
Sollecitazioni agenti localmente: Ty_l=-1036.45 My_l=-21.25
Tensioni nella sezione: σ=257.55 τ=31.41
CC 30 SLD (Collegamento 0022_-379)
Azioni sul collegamento: N=-5844.10 Ty=-0.63 Tz=-3.44 Mx=-0.00 Mz=-1.48
Sollecitazioni agenti localmente: Ty_l=-1041.90 My_l=-21.37
Tensioni nella sezione: σ=259.00 τ=31.57
CC 30 SLD (Collegamento 0022_-379)
Azioni sul collegamento: N=-5844.10 Ty=0.07 Tz=-3.44 Mx=-0.00 Mz=-0.11
Sollecitazioni agenti localmente: Ty_l=-1036.45 My_l=-21.25
Tensioni nella sezione: σ=257.55 τ=31.41
CC 31 SLV (Collegamento 0022_-379)
Azioni sul collegamento: N=-6324.24 Ty=-2.24 Tz=-5.22 Mx=-0.00 Mz=-5.11
Sollecitazioni agenti localmente: Ty_l=-1141.45 My_l=-23.43
Tensioni nella sezione: σ=283.98 τ=34.59
CC 31 SLV (Collegamento 0022_-379)
Azioni sul collegamento: N=-6324.24 Ty=0.07 Tz=-5.22 Mx=-0.00 Mz=-0.59
Sollecitazioni agenti localmente: Ty_l=-1123.46 My_l=-23.03
Tensioni nella sezione: σ=279.20 τ=34.04
CC 31 SLV (Collegamento 0022_-379)
Azioni sul collegamento: N=-6324.24 Ty=-2.24 Tz=-0.09 Mx=-0.00 Mz=-5.11
Sollecitazioni agenti localmente: Ty_l=-1141.45 My_l=-23.43
Tensioni nella sezione: σ=283.98 τ=34.59
CC 31 SLV (Collegamento 0022_-379)
Azioni sul collegamento: N=-6324.24 Ty=0.07 Tz=-0.09 Mx=-0.00 Mz=-0.59
Sollecitazioni agenti localmente: Ty_l=-1123.46 My_l=-23.03
Tensioni nella sezione: σ=279.20 τ=34.04
CC 31 SLV (Collegamento 0022_-379)
Azioni sul collegamento: N=-4942.23 Ty=-2.24 Tz=-5.22 Mx=-0.00 Mz=-5.11
Sollecitazioni agenti localmente: Ty_l=-896.46 My_l=-18.41
Tensioni nella sezione: σ=223.10 τ=27.17
CC 31 SLV (Collegamento 0022_-379)
Azioni sul collegamento: N=-4942.23 Ty=0.07 Tz=-5.22 Mx=-0.00 Mz=-0.59
Sollecitazioni agenti localmente: Ty_l=-878.47 My_l=-18.01
Tensioni nella sezione: σ=218.33 τ=26.62
CC 31 SLV (Collegamento 0022_-379)
Azioni sul collegamento: N=-4942.23 Ty=-2.24 Tz=-0.09 Mx=-0.00 Mz=-5.11
Sollecitazioni agenti localmente: Ty_l=-896.46 My_l=-18.41

Tensioni nella sezione: σ=223.10 τ=27.17
CC 31 SLV (Collegamento 0022_-379)
Azioni sul collegamento: N=-4942.23 Ty=0.07 Tz=-0.09 Mx=-0.00 Mz=-0.59
Sollecitazioni agenti localmente: Ty_l=-878.47 My_l=-18.01
Tensioni nella sezione: σ=218.33 τ=26.62
CC 32 SLD (Collegamento 0022_-379)
Azioni sul collegamento: N=-5844.12 Ty=-0.63 Tz=-3.44 Mx=-0.00 Mz=-1.49
Sollecitazioni agenti localmente: Ty_l=-1041.92 My_l=-21.37
Tensioni nella sezione: σ=259.00 τ=31.57
CC 32 SLD (Collegamento 0022_-379)
Azioni sul collegamento: N=-5844.12 Ty=0.07 Tz=-3.44 Mx=-0.00 Mz=-0.11
Sollecitazioni agenti localmente: Ty_l=-1036.44 My_l=-21.25
Tensioni nella sezione: σ=257.55 τ=31.41
CC 32 SLD (Collegamento 0022_-379)
Azioni sul collegamento: N=-5844.12 Ty=-0.63 Tz=-1.87 Mx=-0.00 Mz=-1.49
Sollecitazioni agenti localmente: Ty_l=-1041.92 My_l=-21.37
Tensioni nella sezione: σ=259.00 τ=31.57
CC 32 SLD (Collegamento 0022_-379)
Azioni sul collegamento: N=-5844.12 Ty=0.07 Tz=-1.87 Mx=-0.00 Mz=-0.11
Sollecitazioni agenti localmente: Ty_l=-1036.44 My_l=-21.25
Tensioni nella sezione: σ=257.55 τ=31.41
CC 32 SLD (Collegamento 0022_-379)
Azioni sul collegamento: N=-5422.71 Ty=-0.63 Tz=-3.44 Mx=-0.00 Mz=-1.49
Sollecitazioni agenti localmente: Ty_l=-967.21 My_l=-19.84
Tensioni nella sezione: σ=240.44 τ=29.31
CC 32 SLD (Collegamento 0022_-379)
Azioni sul collegamento: N=-5422.71 Ty=0.07 Tz=-3.44 Mx=-0.00 Mz=-0.11
Sollecitazioni agenti localmente: Ty_l=-961.73 My_l=-19.72
Tensioni nella sezione: σ=238.98 τ=29.14
CC 32 SLD (Collegamento 0022_-379)
Azioni sul collegamento: N=-5422.71 Ty=-0.63 Tz=-1.87 Mx=-0.00 Mz=-1.49
Sollecitazioni agenti localmente: Ty_l=-967.21 My_l=-19.84
Tensioni nella sezione: σ=240.44 τ=29.31
CC 32 SLD (Collegamento 0022_-379)
Azioni sul collegamento: N=-5422.71 Ty=0.07 Tz=-1.87 Mx=-0.00 Mz=-0.11
Sollecitazioni agenti localmente: Ty_l=-961.73 My_l=-19.72
Tensioni nella sezione: σ=238.98 τ=29.14
CC 33 SLU (Collegamento 0022_-379)
Azioni sul collegamento: N=-28967.90 Ty=0.05 Tz=74.90 Mx=0.00 Mz=0.12
Sollecitazioni agenti localmente: Ty_l=-5134.74 My_l=-105.26
Tensioni nella sezione: σ=1275.90 τ=155.60
CC 34 SLU (Collegamento 0022_-379)
Azioni sul collegamento: N=-29447.20 Ty=0.05 Tz=76.67 Mx=0.00 Mz=0.12
Sollecitazioni agenti localmente: Ty_l=-5219.72 My_l=-107.00
Tensioni nella sezione: σ=1297.01 τ=158.17
CC 35 SLU (Collegamento 0022_-379)
Azioni sul collegamento: N=-29207.50 Ty=0.17 Tz=75.78 Mx=-0.00 Mz=0.35
Sollecitazioni agenti localmente: Ty_l=-5176.30 My_l=-106.11
Tensioni nella sezione: σ=1286.21 τ=156.86
CC 36 SLU (Collegamento 0022_-379)
Azioni sul collegamento: N=-29207.50 Ty=-0.07 Tz=75.79 Mx=0.00 Mz=-0.12
Sollecitazioni agenti localmente: Ty_l=-5178.16 My_l=-106.15
Tensioni nella sezione: σ=1286.70 τ=156.91
CC 37 SLU (Collegamento 0022_-379)
Azioni sul collegamento: N=-29152.80 Ty=0.07 Tz=74.88 Mx=0.00 Mz=0.13
Sollecitazioni agenti localmente: Ty_l=-5167.47 My_l=-105.93
Tensioni nella sezione: σ=1284.03 τ=156.59
CC 38 SLU (Collegamento 0022_-379)
Azioni sul collegamento: N=-29632.10 Ty=0.07 Tz=76.66 Mx=0.00 Mz=0.13
Sollecitazioni agenti localmente: Ty_l=-5252.45 My_l=-107.67
Tensioni nella sezione: σ=1305.15 τ=159.16
CC 39 SLU (Collegamento 0022_-379)
Azioni sul collegamento: N=-29392.40 Ty=0.19 Tz=75.77 Mx=-0.00 Mz=0.36
Sollecitazioni agenti localmente: Ty_l=-5209.03 My_l=-106.78
Tensioni nella sezione: σ=1294.34 τ=157.85
CC 40 SLU (Collegamento 0022_-379)
Azioni sul collegamento: N=-29392.40 Ty=-0.05 Tz=75.77 Mx=0.00 Mz=-0.10
Sollecitazioni agenti localmente: Ty_l=-5210.89 My_l=-106.82
Tensioni nella sezione: σ=1294.83 τ=157.91
CC 41 SLU (Collegamento 0022_-379)
Azioni sul collegamento: N=-19454.60 Ty=0.08 Tz=39.91 Mx=0.00 Mz=0.13
Sollecitazioni agenti localmente: Ty_l=-3448.24 My_l=-70.69
Tensioni nella sezione: σ=856.83 τ=104.49
CC 42 SLU (Collegamento 0022_-379)
Azioni sul collegamento: N=-19933.90 Ty=0.08 Tz=41.69 Mx=0.00 Mz=0.13
Sollecitazioni agenti localmente: Ty_l=-3533.22 My_l=-72.43
Tensioni nella sezione: σ=877.94 τ=107.07
CC 43 SLU (Collegamento 0022_-379)
Azioni sul collegamento: N=-19694.20 Ty=0.20 Tz=40.80 Mx=-0.00 Mz=0.36
Sollecitazioni agenti localmente: Ty_l=-3489.80 My_l=-71.54

Tensioni nella sezione: σ=867.14 τ=105.75
CC 44 SLU (Collegamento 0022_-379)
Azioni sul collegamento: N=-19694.20 Ty=-0.04 Tz=40.80 Mx=0.00 Mz=-0.10
Sollecitazioni agenti localmente: Ty_l=-3491.67 My_l=-71.58
Tensioni nella sezione: σ=867.63 τ=105.81
CC 45 SLU (Collegamento 0022_-379)
Azioni sul collegamento: N=-21628.70 Ty=0.08 Tz=47.97 Mx=0.00 Mz=0.14
Sollecitazioni agenti localmente: Ty_l=-3833.63 My_l=-78.59
Tensioni nella sezione: σ=952.59 τ=116.17
CC 46 SLU (Collegamento 0022_-379)
Azioni sul collegamento: N=-22108.00 Ty=0.08 Tz=49.75 Mx=0.00 Mz=0.14
Sollecitazioni agenti localmente: Ty_l=-3918.61 My_l=-80.33
Tensioni nella sezione: σ=973.71 τ=118.75
CC 47 SLU (Collegamento 0022_-379)
Azioni sul collegamento: N=-21868.40 Ty=0.20 Tz=48.86 Mx=-0.00 Mz=0.37
Sollecitazioni agenti localmente: Ty_l=-3875.19 My_l=-79.44
Tensioni nella sezione: σ=962.90 τ=117.43
CC 48 SLU (Collegamento 0022_-379)
Azioni sul collegamento: N=-21868.40 Ty=-0.04 Tz=48.86 Mx=0.00 Mz=-0.10
Sollecitazioni agenti localmente: Ty_l=-3877.05 My_l=-79.48
Tensioni nella sezione: σ=963.39 τ=117.49
CC 49 SLU (Collegamento 0022_-379)
Azioni sul collegamento: N=-21767.10 Ty=0.10 Tz=47.96 Mx=0.00 Mz=0.15
Sollecitazioni agenti localmente: Ty_l=-3858.11 My_l=-79.09
Tensioni nella sezione: σ=958.67 τ=116.91
CC 50 SLU (Collegamento 0022_-379)
Azioni sul collegamento: N=-22246.40 Ty=0.10 Tz=49.73 Mx=0.00 Mz=0.15
Sollecitazioni agenti localmente: Ty_l=-3943.09 My_l=-80.83
Tensioni nella sezione: σ=979.79 τ=119.49
CC 51 SLU (Collegamento 0022_-379)
Azioni sul collegamento: N=-22006.70 Ty=0.22 Tz=48.85 Mx=-0.00 Mz=0.38
Sollecitazioni agenti localmente: Ty_l=-3899.67 My_l=-79.94
Tensioni nella sezione: σ=968.98 τ=118.17
CC 52 SLU (Collegamento 0022_-379)
Azioni sul collegamento: N=-22006.70 Ty=-0.02 Tz=48.85 Mx=0.00 Mz=-0.09
Sollecitazioni agenti localmente: Ty_l=-3901.54 My_l=-79.98
Tensioni nella sezione: σ=969.48 τ=118.23
CC 53 SLU (Collegamento 0022_-379)
Azioni sul collegamento: N=-14511.40 Ty=0.10 Tz=21.80 Mx=0.00 Mz=0.15
Sollecitazioni agenti localmente: Ty_l=-2571.88 My_l=-52.72
Tensioni nella sezione: σ=639.06 τ=77.94
CC 54 SLU (Collegamento 0022_-379)
Azioni sul collegamento: N=-14990.70 Ty=0.10 Tz=23.57 Mx=0.00 Mz=0.15
Sollecitazioni agenti localmente: Ty_l=-2656.86 My_l=-54.46
Tensioni nella sezione: σ=660.18 τ=80.51
CC 55 SLU (Collegamento 0022_-379)
Azioni sul collegamento: N=-14751.00 Ty=0.22 Tz=22.69 Mx=-0.00 Mz=0.38
Sollecitazioni agenti localmente: Ty_l=-2613.44 My_l=-53.57
Tensioni nella sezione: σ=649.37 τ=79.20
CC 56 SLU (Collegamento 0022_-379)
Azioni sul collegamento: N=-14751.00 Ty=-0.02 Tz=22.68 Mx=0.00 Mz=-0.09
Sollecitazioni agenti localmente: Ty_l=-2615.30 My_l=-53.61
Tensioni nella sezione: σ=649.87 τ=79.25
CC 57 SLU (Collegamento 0022_-379)
Azioni sul collegamento: N=-21907.00 Ty=0.07 Tz=49.04 Mx=0.00 Mz=0.14
Sollecitazioni agenti localmente: Ty_l=-3882.98 My_l=-79.60
Tensioni nella sezione: σ=964.85 τ=117.67
CC 58 SLU (Collegamento 0022_-379)
Azioni sul collegamento: N=-22386.30 Ty=0.07 Tz=50.82 Mx=0.00 Mz=0.13
Sollecitazioni agenti localmente: Ty_l=-3967.95 My_l=-81.34
Tensioni nella sezione: σ=985.97 τ=120.24
CC 59 SLU (Collegamento 0022_-379)
Azioni sul collegamento: N=-22146.70 Ty=0.19 Tz=49.93 Mx=-0.00 Mz=0.37
Sollecitazioni agenti localmente: Ty_l=-3924.53 My_l=-80.45
Tensioni nella sezione: σ=975.16 τ=118.92
CC 60 SLU (Collegamento 0022_-379)
Azioni sul collegamento: N=-22146.70 Ty=-0.04 Tz=49.93 Mx=0.00 Mz=-0.10
Sollecitazioni agenti localmente: Ty_l=-3926.40 My_l=-80.49
Tensioni nella sezione: σ=975.66 τ=118.98
CC 61 SLU (Collegamento 0022_-379)
Azioni sul collegamento: N=-22045.30 Ty=0.09 Tz=49.02 Mx=0.00 Mz=0.14
Sollecitazioni agenti localmente: Ty_l=-3907.46 My_l=-80.10
Tensioni nella sezione: σ=970.93 τ=118.41
CC 62 SLU (Collegamento 0022_-379)
Azioni sul collegamento: N=-22524.60 Ty=0.09 Tz=50.80 Mx=0.00 Mz=0.14
Sollecitazioni agenti localmente: Ty_l=-3992.44 My_l=-81.84
Tensioni nella sezione: σ=992.05 τ=120.98
CC 63 SLU (Collegamento 0022_-379)
Azioni sul collegamento: N=-22285.00 Ty=0.21 Tz=49.91 Mx=-0.00 Mz=0.38
Sollecitazioni agenti localmente: Ty_l=-3949.02 My_l=-80.95

Tensioni nella sezione: σ=981.25 τ=119.67
CC 64 SLU (Collegamento 0022_-379)
Azioni sul collegamento: N=-22285.00 Ty=-0.03 Tz=49.91 Mx=0.00 Mz=-0.09
Sollecitazioni agenti localmente: Ty_l=-3950.88 My_l=-80.99
Tensioni nella sezione: σ=981.74 τ=119.72
CC 65 SLU (Collegamento 0022_-379)
Azioni sul collegamento: N=-14789.70 Ty=0.10 Tz=22.86 Mx=0.00 Mz=0.14
Sollecitazioni agenti localmente: Ty_l=-2621.23 My_l=-53.73
Tensioni nella sezione: σ=651.33 τ=79.43
CC 66 SLU (Collegamento 0022_-379)
Azioni sul collegamento: N=-15269.00 Ty=0.10 Tz=24.64 Mx=0.00 Mz=0.14
Sollecitazioni agenti localmente: Ty_l=-2706.21 My_l=-55.48
Tensioni nella sezione: σ=672.44 τ=82.01
CC 67 SLU (Collegamento 0022_-379)
Azioni sul collegamento: N=-15029.30 Ty=0.22 Tz=23.75 Mx=-0.00 Mz=0.38
Sollecitazioni agenti localmente: Ty_l=-2662.79 My_l=-54.59
Tensioni nella sezione: σ=661.64 τ=80.69
CC 68 SLU (Collegamento 0022_-379)
Azioni sul collegamento: N=-15029.30 Ty=-0.02 Tz=23.75 Mx=0.00 Mz=-0.09
Sollecitazioni agenti localmente: Ty_l=-2664.65 My_l=-54.63
Tensioni nella sezione: σ=662.13 τ=80.75
CC 97 SLU (Collegamento 0022_-379)
Azioni sul collegamento: N=-11572.90 Ty=11.37 Tz=19.27 Mx=0.04 Mz=15.92
Sollecitazioni agenti localmente: Ty_l=-1988.24 My_l=-40.67
Tensioni nella sezione: σ=492.98 τ=60.25
CC 98 SLU (Collegamento 0022_-379)
Azioni sul collegamento: N=-12052.20 Ty=11.37 Tz=21.05 Mx=0.04 Mz=15.92
Sollecitazioni agenti localmente: Ty_l=-2073.22 My_l=-42.41
Tensioni nella sezione: σ=514.09 τ=62.83
CC 99 SLU (Collegamento 0022_-379)
Azioni sul collegamento: N=-11812.60 Ty=11.49 Tz=20.16 Mx=0.04 Mz=16.15
Sollecitazioni agenti localmente: Ty_l=-2029.80 My_l=-41.52
Tensioni nella sezione: σ=503.29 τ=61.51
CC 100 SLU (Collegamento 0022_-379)
Azioni sul collegamento: N=-11812.60 Ty=11.25 Tz=20.16 Mx=0.04 Mz=15.68
Sollecitazioni agenti localmente: Ty_l=-2031.67 My_l=-41.56
Tensioni nella sezione: σ=503.78 τ=61.57
CC 101 SLU (Collegamento 0022_-379)
Azioni sul collegamento: N=-5887.16 Ty=-2.00 Tz=-1.73 Mx=-0.00 Mz=-2.22
Sollecitazioni agenti localmente: Ty_l=-1052.45 My_l=-21.59
Tensioni nella sezione: σ=261.67 τ=31.89
CC 102 SLU (Collegamento 0022_-379)
Azioni sul collegamento: N=-6366.46 Ty=-2.01 Tz=0.04 Mx=-0.00 Mz=-2.22
Sollecitazioni agenti localmente: Ty_l=-1137.43 My_l=-23.33
Tensioni nella sezione: σ=282.78 τ=34.47
CC 103 SLU (Collegamento 0022_-379)
Azioni sul collegamento: N=-6126.81 Ty=-1.89 Tz=-0.85 Mx=-0.01 Mz=-1.98
Sollecitazioni agenti localmente: Ty_l=-1094.01 My_l=-22.44
Tensioni nella sezione: σ=271.98 τ=33.15
CC 104 SLU (Collegamento 0022_-379)
Azioni sul collegamento: N=-6126.80 Ty=-2.12 Tz=-0.84 Mx=-0.00 Mz=-2.45
Sollecitazioni agenti localmente: Ty_l=-1095.87 My_l=-22.48
Tensioni nella sezione: σ=272.47 τ=33.21

Collegamento 0023_-380

Piastra 220.00 x 220.00 s=15.00 - 6 Tirafondi ϕ 16 - Profondità di infissione: 350.00
3 righe ad interasse 89.00
2 colonne ad interasse 178.00
Altezza di gola saldature: anima 7.07 - ala 7.07

Tirafondi e calcestruzzo

CC 1 SLV (Collegamento 0023_-380)
Azioni sul collegamento: N=-3330.00 Ty=1.44 Tz=5.89 Mx=0.02 Mz=3.55
Sollecitazioni agenti localmente: Tx_l=1.44 Ty_l=5.89 N_l=-3330.00 Mx_l=-0.00 My_l=3.55 Mz_l=0.02
Taglio nei bulloni: Fv,Ed=1.03 Fv,Rd=7720.78
Rifollamento lato piastra: Fb,Ed,p=1.03 Fb,Rd,p=6573.68
Tirafondi:LT=0.45 (0.31) σ_{cR}=0.00 σ_{fR}=0.00
Compressione nel calcestruzzo: σ_c=7.08
CC 1 SLV (Collegamento 0023_-380)
Azioni sul collegamento: N=-3330.00 Ty=0.74 Tz=5.89 Mx=0.02 Mz=2.16
Sollecitazioni agenti localmente: Tx_l=0.74 Ty_l=5.89 N_l=-3330.00 Mx_l=-0.00 My_l=2.16 Mz_l=0.02
Taglio nei bulloni: Fv,Ed=1.01 Fv,Rd=7720.78
Rifollamento lato piastra: Fb,Ed,p=1.01 Fb,Rd,p=6154.65
Tirafondi:LT=0.45 (0.31) σ_{cR}=0.00 σ_{fR}=0.00
Compressione nel calcestruzzo: σ_c=7.00
CC 1 SLV (Collegamento 0023_-380)
Azioni sul collegamento: N=-3330.00 Ty=1.44 Tz=-11.20 Mx=0.02 Mz=3.55
Sollecitazioni agenti localmente: Tx_l=1.44 Ty_l=-11.20 N_l=-3330.00 Mx_l=-0.00 My_l=3.55 Mz_l=0.02

Taglio nei bulloni: Fv,Ed=1.90 Fv,Rd=7720.78
Rifollamento lato piastra: Fb,Ed,p=1.90 Fb,Rd,p=6103.10
Tirafondi:LT=0.45 (0.31) σ_{cR}=0.00 σ_{fR}=0.00
Compressione nel calcestruzzo: σ_c=7.08
CC 1 SLV (Collegamento 0023_-380)
Azioni sul collegamento: N=-3330.00 Ty=0.74 Tz=-11.20 Mx=0.02 Mz=2.16
Sollecitazioni agenti localmente: Tx_l=0.74 Ty_l=-11.20 N_l=-3330.00 Mx_l=-0.00 My_l=2.16 Mz_l=0.02
Taglio nei bulloni: Fv,Ed=1.89 Fv,Rd=7720.78
Rifollamento lato piastra: Fb,Ed,p=1.89 Fb,Rd,p=6006.75
Tirafondi:LT=0.45 (0.31) σ_{cR}=0.00 σ_{fR}=0.00
Compressione nel calcestruzzo: σ_c=7.00
CC 1 SLV (Collegamento 0023_-380)
Azioni sul collegamento: N=-7936.47 Ty=1.44 Tz=5.89 Mx=0.02 Mz=3.55
Sollecitazioni agenti localmente: Tx_l=1.44 Ty_l=5.89 N_l=-7936.47 Mx_l=-0.00 My_l=3.55 Mz_l=0.02
Taglio nei bulloni: Fv,Ed=1.03 Fv,Rd=7720.78
Rifollamento lato piastra: Fb,Ed,p=1.03 Fb,Rd,p=6573.70
Tirafondi:LT=0.45 (0.31) σ_{cR}=0.00 σ_{fR}=0.00
Compressione nel calcestruzzo: σ_c=16.60
CC 1 SLV (Collegamento 0023_-380)
Azioni sul collegamento: N=-7936.47 Ty=0.74 Tz=5.89 Mx=0.02 Mz=2.16
Sollecitazioni agenti localmente: Tx_l=0.74 Ty_l=5.89 N_l=-7936.47 Mx_l=-0.00 My_l=2.16 Mz_l=0.02
Taglio nei bulloni: Fv,Ed=1.01 Fv,Rd=7720.78
Rifollamento lato piastra: Fb,Ed,p=1.01 Fb,Rd,p=6154.65
Tirafondi:LT=0.45 (0.31) σ_{cR}=0.00 σ_{fR}=0.00
Compressione nel calcestruzzo: σ_c=16.52
CC 1 SLV (Collegamento 0023_-380)
Azioni sul collegamento: N=-7936.47 Ty=1.44 Tz=-11.20 Mx=0.02 Mz=3.55
Sollecitazioni agenti localmente: Tx_l=1.44 Ty_l=-11.20 N_l=-7936.47 Mx_l=-0.00 My_l=3.55 Mz_l=0.02
Taglio nei bulloni: Fv,Ed=1.90 Fv,Rd=7720.78
Rifollamento lato piastra: Fb,Ed,p=1.90 Fb,Rd,p=6103.10
Tirafondi:LT=0.45 (0.31) σ_{cR}=0.00 σ_{fR}=0.00
Compressione nel calcestruzzo: σ_c=16.60
CC 1 SLV (Collegamento 0023_-380)
Azioni sul collegamento: N=-7936.47 Ty=0.74 Tz=-11.20 Mx=0.02 Mz=2.16
Sollecitazioni agenti localmente: Tx_l=0.74 Ty_l=-11.20 N_l=-7936.47 Mx_l=-0.00 My_l=2.16 Mz_l=0.02
Taglio nei bulloni: Fv,Ed=1.89 Fv,Rd=7720.78
Rifollamento lato piastra: Fb,Ed,p=1.89 Fb,Rd,p=6006.75
Tirafondi:LT=0.45 (0.31) σ_{cR}=0.00 σ_{fR}=0.00
Compressione nel calcestruzzo: σ_c=16.52
CC 2 SLD (Collegamento 0023_-380)
Azioni sul collegamento: N=-4931.09 Ty=0.39 Tz=-0.05 Mx=0.00 Mz=1.01
Sollecitazioni agenti localmente: Tx_l=0.39 Ty_l=-0.05 N_l=-4931.09 Mx_l=-0.00 My_l=1.01 Mz_l=0.00
Tirafondi:LT=0.45 (0.31) σ_{cR}=0.00 σ_{fR}=0.00
Compressione nel calcestruzzo: σ_c=10.25
CC 2 SLD (Collegamento 0023_-380)
Azioni sul collegamento: N=-4931.09 Ty=0.17 Tz=-0.05 Mx=0.00 Mz=0.59
Sollecitazioni agenti localmente: Tx_l=0.17 Ty_l=-0.05 N_l=-4931.09 Mx_l=-0.00 My_l=0.59 Mz_l=0.00
Tirafondi:LT=0.45 (0.31) σ_{cR}=0.00 σ_{fR}=0.00
Compressione nel calcestruzzo: σ_c=10.22
CC 2 SLD (Collegamento 0023_-380)
Azioni sul collegamento: N=-4931.09 Ty=0.39 Tz=-5.26 Mx=0.00 Mz=1.01
Sollecitazioni agenti localmente: Tx_l=0.39 Ty_l=-5.26 N_l=-4931.09 Mx_l=-0.00 My_l=1.01 Mz_l=0.00
Taglio nei bulloni: Fv,Ed=0.88 Fv,Rd=9650.97
Rifollamento lato piastra: Fb,Ed,p=0.88 Fb,Rd,p=7524.40
Tirafondi:LT=0.45 (0.31) σ_{cR}=0.00 σ_{fR}=0.00
Compressione nel calcestruzzo: σ_c=10.25
CC 2 SLD (Collegamento 0023_-380)
Azioni sul collegamento: N=-4931.09 Ty=0.17 Tz=-5.26 Mx=0.00 Mz=0.59
Sollecitazioni agenti localmente: Tx_l=0.17 Ty_l=-5.26 N_l=-4931.09 Mx_l=-0.00 My_l=0.59 Mz_l=0.00
Taglio nei bulloni: Fv,Ed=0.88 Fv,Rd=9650.97
Rifollamento lato piastra: Fb,Ed,p=0.88 Fb,Rd,p=7481.91
Tirafondi:LT=0.45 (0.31) σ_{cR}=0.00 σ_{fR}=0.00
Compressione nel calcestruzzo: σ_c=10.22
CC 2 SLD (Collegamento 0023_-380)
Azioni sul collegamento: N=-6335.74 Ty=0.39 Tz=-0.05 Mx=0.00 Mz=1.01
Sollecitazioni agenti localmente: Tx_l=0.39 Ty_l=-0.05 N_l=-6335.74 Mx_l=-0.00 My_l=1.01 Mz_l=0.00
Tirafondi:LT=0.45 (0.31) σ_{cR}=0.00 σ_{fR}=0.00
Compressione nel calcestruzzo: σ_c=13.15
CC 2 SLD (Collegamento 0023_-380)
Azioni sul collegamento: N=-6335.74 Ty=0.17 Tz=-0.05 Mx=0.00 Mz=0.59
Sollecitazioni agenti localmente: Tx_l=0.17 Ty_l=-0.05 N_l=-6335.74 Mx_l=-0.00 My_l=0.59 Mz_l=0.00
Tirafondi:LT=0.45 (0.31) σ_{cR}=0.00 σ_{fR}=0.00
Compressione nel calcestruzzo: σ_c=13.12
CC 2 SLD (Collegamento 0023_-380)
Azioni sul collegamento: N=-6335.74 Ty=0.39 Tz=-5.26 Mx=0.00 Mz=1.01
Sollecitazioni agenti localmente: Tx_l=0.39 Ty_l=-5.26 N_l=-6335.74 Mx_l=-0.00 My_l=1.01 Mz_l=0.00
Taglio nei bulloni: Fv,Ed=0.88 Fv,Rd=9650.97
Rifollamento lato piastra: Fb,Ed,p=0.88 Fb,Rd,p=7524.41
Tirafondi:LT=0.45 (0.31) σ_{cR}=0.00 σ_{fR}=0.00
Compressione nel calcestruzzo: σ_c=13.15

CC 2 SLD (Collegamento 0023_-380)
Azioni sul collegamento: N=-6335.74 Ty=0.17 Tz=-5.26 Mx=0.00 Mz=0.59
Sollecitazioni agenti localmente: Tx_l=0.17 Ty_l=-5.26 N_l=-6335.74 Mx_l=-0.00 My_l=0.59 Mz_l=0.00
Taglio nei bulloni: Fv,Ed=0.88 Fv,Rd=9650.97
Rifollamento lato piastra: Fb,Ed,p=0.88 Fb,Rd,p=7481.92
Tirafondi:LT=0.45 (0.31) σ_{cR}=0.00 σ_{fR}=0.00
Compressione nel calcestruzzo: σ_c=13.12
CC 3 SLV (Collegamento 0023_-380)
Azioni sul collegamento: N=-3330.02 Ty=0.75 Tz=5.88 Mx=0.01 Mz=2.19
Sollecitazioni agenti localmente: Tx_l=0.75 Ty_l=5.88 N_l=-3330.02 Mx_l=-0.00 My_l=2.19 Mz_l=0.01
Taglio nei bulloni: Fv,Ed=1.00 Fv,Rd=7720.78
Rifollamento lato piastra: Fb,Ed,p=1.00 Fb,Rd,p=6147.85
Tirafondi:LT=0.45 (0.31) σ_{cR}=0.00 σ_{fR}=0.00
Compressione nel calcestruzzo: σ_c=7.00
CC 3 SLV (Collegamento 0023_-380)
Azioni sul collegamento: N=-3330.02 Ty=1.43 Tz=5.88 Mx=0.01 Mz=3.51
Sollecitazioni agenti localmente: Tx_l=1.43 Ty_l=5.88 N_l=-3330.02 Mx_l=-0.00 My_l=3.51 Mz_l=0.01
Taglio nei bulloni: Fv,Ed=1.02 Fv,Rd=7720.78
Rifollamento lato piastra: Fb,Ed,p=1.02 Fb,Rd,p=6543.57
Tirafondi:LT=0.45 (0.31) σ_{cR}=0.00 σ_{fR}=0.00
Compressione nel calcestruzzo: σ_c=7.08
CC 3 SLV (Collegamento 0023_-380)
Azioni sul collegamento: N=-3330.02 Ty=0.75 Tz=-11.19 Mx=0.01 Mz=2.19
Sollecitazioni agenti localmente: Tx_l=0.75 Ty_l=-11.19 N_l=-3330.02 Mx_l=-0.00 My_l=2.19 Mz_l=0.01
Taglio nei bulloni: Fv,Ed=1.88 Fv,Rd=7720.78
Rifollamento lato piastra: Fb,Ed,p=1.88 Fb,Rd,p=6011.35
Tirafondi:LT=0.45 (0.31) σ_{cR}=0.00 σ_{fR}=0.00
Compressione nel calcestruzzo: σ_c=7.00
CC 3 SLV (Collegamento 0023_-380)
Azioni sul collegamento: N=-3330.02 Ty=1.43 Tz=-11.19 Mx=0.01 Mz=3.51
Sollecitazioni agenti localmente: Tx_l=1.43 Ty_l=-11.19 N_l=-3330.02 Mx_l=-0.00 My_l=3.51 Mz_l=0.01
Taglio nei bulloni: Fv,Ed=1.89 Fv,Rd=7720.78
Rifollamento lato piastra: Fb,Ed,p=1.89 Fb,Rd,p=6107.90
Tirafondi:LT=0.45 (0.31) σ_{cR}=0.00 σ_{fR}=0.00
Compressione nel calcestruzzo: σ_c=7.08
CC 3 SLV (Collegamento 0023_-380)
Azioni sul collegamento: N=-7936.44 Ty=0.75 Tz=5.88 Mx=0.01 Mz=2.19
Sollecitazioni agenti localmente: Tx_l=0.75 Ty_l=5.88 N_l=-7936.44 Mx_l=-0.00 My_l=2.19 Mz_l=0.01
Taglio nei bulloni: Fv,Ed=1.00 Fv,Rd=7720.78
Rifollamento lato piastra: Fb,Ed,p=1.00 Fb,Rd,p=6147.83
Tirafondi:LT=0.45 (0.31) σ_{cR}=0.00 σ_{fR}=0.00
Compressione nel calcestruzzo: σ_c=16.52
CC 3 SLV (Collegamento 0023_-380)
Azioni sul collegamento: N=-7936.44 Ty=1.43 Tz=5.88 Mx=0.01 Mz=3.51
Sollecitazioni agenti localmente: Tx_l=1.43 Ty_l=5.88 N_l=-7936.44 Mx_l=-0.00 My_l=3.51 Mz_l=0.01
Taglio nei bulloni: Fv,Ed=1.02 Fv,Rd=7720.78
Rifollamento lato piastra: Fb,Ed,p=1.02 Fb,Rd,p=6543.53
Tirafondi:LT=0.45 (0.31) σ_{cR}=0.00 σ_{fR}=0.00
Compressione nel calcestruzzo: σ_c=16.60
CC 3 SLV (Collegamento 0023_-380)
Azioni sul collegamento: N=-7936.44 Ty=0.75 Tz=-11.19 Mx=0.01 Mz=2.19
Sollecitazioni agenti localmente: Tx_l=0.75 Ty_l=-11.19 N_l=-7936.44 Mx_l=-0.00 My_l=2.19 Mz_l=0.01
Taglio nei bulloni: Fv,Ed=1.88 Fv,Rd=7720.78
Rifollamento lato piastra: Fb,Ed,p=1.88 Fb,Rd,p=6011.35
Tirafondi:LT=0.45 (0.31) σ_{cR}=0.00 σ_{fR}=0.00
Compressione nel calcestruzzo: σ_c=16.52
CC 3 SLV (Collegamento 0023_-380)
Azioni sul collegamento: N=-7936.44 Ty=1.43 Tz=-11.19 Mx=0.01 Mz=3.51
Sollecitazioni agenti localmente: Tx_l=1.43 Ty_l=-11.19 N_l=-7936.44 Mx_l=-0.00 My_l=3.51 Mz_l=0.01
Taglio nei bulloni: Fv,Ed=1.89 Fv,Rd=7720.78
Rifollamento lato piastra: Fb,Ed,p=1.89 Fb,Rd,p=6107.91
Tirafondi:LT=0.45 (0.31) σ_{cR}=0.00 σ_{fR}=0.00
Compressione nel calcestruzzo: σ_c=16.60
CC 4 SLD (Collegamento 0023_-380)
Azioni sul collegamento: N=-4931.09 Ty=0.18 Tz=-0.05 Mx=0.00 Mz=0.60
Sollecitazioni agenti localmente: Tx_l=0.18 Ty_l=-0.05 N_l=-4931.09 Mx_l=-0.00 My_l=0.60 Mz_l=0.00
Tirafondi:LT=0.45 (0.31) σ_{cR}=0.00 σ_{fR}=0.00
Compressione nel calcestruzzo: σ_c=10.22
CC 4 SLD (Collegamento 0023_-380)
Azioni sul collegamento: N=-4931.09 Ty=0.38 Tz=-0.05 Mx=0.00 Mz=1.00
Sollecitazioni agenti localmente: Tx_l=0.38 Ty_l=-0.05 N_l=-4931.09 Mx_l=-0.00 My_l=1.00 Mz_l=0.00
Tirafondi:LT=0.45 (0.31) σ_{cR}=0.00 σ_{fR}=0.00
Compressione nel calcestruzzo: σ_c=10.24
CC 4 SLD (Collegamento 0023_-380)
Azioni sul collegamento: N=-4931.09 Ty=0.18 Tz=-5.26 Mx=0.00 Mz=0.60
Sollecitazioni agenti localmente: Tx_l=0.18 Ty_l=-5.26 N_l=-4931.09 Mx_l=-0.00 My_l=0.60 Mz_l=0.00
Taglio nei bulloni: Fv,Ed=0.88 Fv,Rd=9650.97
Rifollamento lato piastra: Fb,Ed,p=0.88 Fb,Rd,p=7483.71
Tirafondi:LT=0.45 (0.31) σ_{cR}=0.00 σ_{fR}=0.00
Compressione nel calcestruzzo: σ_c=10.22

CC 4 SLD (Collegamento 0023_-380)
Azioni sul collegamento: N=-4931.09 Ty=0.38 Tz=-5.26 Mx=0.00 Mz=1.00
Sollecitazioni agenti localmente: Tx_l=0.38 Ty_l=-5.26 N_l=-4931.09 Mx_l=-0.00 My_l=1.00 Mz_l=0.00
Taglio nei bulloni: Fv,Ed=0.88 Fv,Rd=9650.97
Rifollamento lato piastra: Fb,Ed,p=0.88 Fb,Rd,p=7526.46
Tirafondi:LT=0.45 (0.31) σ_{cR}=0.00 σ_{fR}=0.00
Compressione nel calcestruzzo: σ_c=10.24
CC 4 SLD (Collegamento 0023_-380)
Azioni sul collegamento: N=-6335.74 Ty=0.18 Tz=-0.05 Mx=0.00 Mz=0.60
Sollecitazioni agenti localmente: Tx_l=0.18 Ty_l=-0.05 N_l=-6335.74 Mx_l=-0.00 My_l=0.60 Mz_l=0.00
Tirafondi:LT=0.45 (0.31) σ_{cR}=0.00 σ_{fR}=0.00
Compressione nel calcestruzzo: σ_c=13.12
CC 4 SLD (Collegamento 0023_-380)
Azioni sul collegamento: N=-6335.74 Ty=0.38 Tz=-0.05 Mx=0.00 Mz=1.00
Sollecitazioni agenti localmente: Tx_l=0.38 Ty_l=-0.05 N_l=-6335.74 Mx_l=-0.00 My_l=1.00 Mz_l=0.00
Tirafondi:LT=0.45 (0.31) σ_{cR}=0.00 σ_{fR}=0.00
Compressione nel calcestruzzo: σ_c=13.15
CC 4 SLD (Collegamento 0023_-380)
Azioni sul collegamento: N=-6335.74 Ty=0.18 Tz=-5.26 Mx=0.00 Mz=0.60
Sollecitazioni agenti localmente: Tx_l=0.18 Ty_l=-5.26 N_l=-6335.74 Mx_l=-0.00 My_l=0.60 Mz_l=0.00
Taglio nei bulloni: Fv,Ed=0.88 Fv,Rd=9650.97
Rifollamento lato piastra: Fb,Ed,p=0.88 Fb,Rd,p=7483.71
Tirafondi:LT=0.45 (0.31) σ_{cR}=0.00 σ_{fR}=0.00
Compressione nel calcestruzzo: σ_c=13.12
CC 4 SLD (Collegamento 0023_-380)
Azioni sul collegamento: N=-6335.74 Ty=0.38 Tz=-5.26 Mx=0.00 Mz=1.00
Sollecitazioni agenti localmente: Tx_l=0.38 Ty_l=-5.26 N_l=-6335.74 Mx_l=-0.00 My_l=1.00 Mz_l=0.00
Taglio nei bulloni: Fv,Ed=0.88 Fv,Rd=9650.97
Rifollamento lato piastra: Fb,Ed,p=0.88 Fb,Rd,p=7526.46
Tirafondi:LT=0.45 (0.31) σ_{cR}=0.00 σ_{fR}=0.00
Compressione nel calcestruzzo: σ_c=13.15
CC 5 SLV (Collegamento 0023_-380)
Azioni sul collegamento: N=-7936.44 Ty=1.43 Tz=-11.19 Mx=0.02 Mz=3.51
Sollecitazioni agenti localmente: Tx_l=1.43 Ty_l=-11.19 N_l=-7936.44 Mx_l=-0.00 My_l=3.51 Mz_l=0.02
Taglio nei bulloni: Fv,Ed=1.90 Fv,Rd=7720.78
Rifollamento lato piastra: Fb,Ed,p=1.90 Fb,Rd,p=6100.88
Tirafondi:LT=0.45 (0.31) σ_{cR}=0.00 σ_{fR}=0.00
Compressione nel calcestruzzo: σ_c=16.60
CC 5 SLV (Collegamento 0023_-380)
Azioni sul collegamento: N=-7936.44 Ty=0.75 Tz=-11.19 Mx=0.02 Mz=2.19
Sollecitazioni agenti localmente: Tx_l=0.75 Ty_l=-11.19 N_l=-7936.44 Mx_l=-0.00 My_l=2.19 Mz_l=0.02
Taglio nei bulloni: Fv,Ed=1.89 Fv,Rd=7720.78
Rifollamento lato piastra: Fb,Ed,p=1.89 Fb,Rd,p=6008.07
Tirafondi:LT=0.45 (0.31) σ_{cR}=0.00 σ_{fR}=0.00
Compressione nel calcestruzzo: σ_c=16.52
CC 5 SLV (Collegamento 0023_-380)
Azioni sul collegamento: N=-7936.44 Ty=1.43 Tz=5.88 Mx=0.02 Mz=3.51
Sollecitazioni agenti localmente: Tx_l=1.43 Ty_l=5.88 N_l=-7936.44 Mx_l=-0.00 My_l=3.51 Mz_l=0.02
Taglio nei bulloni: Fv,Ed=1.03 Fv,Rd=7720.78
Rifollamento lato piastra: Fb,Ed,p=1.03 Fb,Rd,p=6562.59
Tirafondi:LT=0.45 (0.31) σ_{cR}=0.00 σ_{fR}=0.00
Compressione nel calcestruzzo: σ_c=16.60
CC 5 SLV (Collegamento 0023_-380)
Azioni sul collegamento: N=-7936.44 Ty=0.75 Tz=5.88 Mx=0.02 Mz=2.19
Sollecitazioni agenti localmente: Tx_l=0.75 Ty_l=5.88 N_l=-7936.44 Mx_l=-0.00 My_l=2.19 Mz_l=0.02
Taglio nei bulloni: Fv,Ed=1.01 Fv,Rd=7720.78
Rifollamento lato piastra: Fb,Ed,p=1.01 Fb,Rd,p=6159.88
Tirafondi:LT=0.45 (0.31) σ_{cR}=0.00 σ_{fR}=0.00
Compressione nel calcestruzzo: σ_c=16.52
CC 5 SLV (Collegamento 0023_-380)
Azioni sul collegamento: N=-3330.02 Ty=1.43 Tz=-11.19 Mx=0.02 Mz=3.51
Sollecitazioni agenti localmente: Tx_l=1.43 Ty_l=-11.19 N_l=-3330.02 Mx_l=-0.00 My_l=3.51 Mz_l=0.02
Taglio nei bulloni: Fv,Ed=1.90 Fv,Rd=7720.78
Rifollamento lato piastra: Fb,Ed,p=1.90 Fb,Rd,p=6100.88
Tirafondi:LT=0.45 (0.31) σ_{cR}=0.00 σ_{fR}=0.00
Compressione nel calcestruzzo: σ_c=7.08
CC 5 SLV (Collegamento 0023_-380)
Azioni sul collegamento: N=-3330.02 Ty=0.75 Tz=-11.19 Mx=0.02 Mz=2.19
Sollecitazioni agenti localmente: Tx_l=0.75 Ty_l=-11.19 N_l=-3330.02 Mx_l=-0.00 My_l=2.19 Mz_l=0.02
Taglio nei bulloni: Fv,Ed=1.89 Fv,Rd=7720.78
Rifollamento lato piastra: Fb,Ed,p=1.89 Fb,Rd,p=6008.07
Tirafondi:LT=0.45 (0.31) σ_{cR}=0.00 σ_{fR}=0.00
Compressione nel calcestruzzo: σ_c=7.00
CC 5 SLV (Collegamento 0023_-380)
Azioni sul collegamento: N=-3330.02 Ty=1.43 Tz=5.88 Mx=0.02 Mz=3.51
Sollecitazioni agenti localmente: Tx_l=1.43 Ty_l=5.88 N_l=-3330.02 Mx_l=-0.00 My_l=3.51 Mz_l=0.02
Taglio nei bulloni: Fv,Ed=1.03 Fv,Rd=7720.78
Rifollamento lato piastra: Fb,Ed,p=1.03 Fb,Rd,p=6562.64
Tirafondi:LT=0.45 (0.31) σ_{cR}=0.00 σ_{fR}=0.00
Compressione nel calcestruzzo: σ_c=7.08

CC 5 SLV (Collegamento 0023_-380)
Azioni sul collegamento: N=-3330.02 Ty=0.75 Tz=5.88 Mx=0.02 Mz=2.19
Sollecitazioni agenti localmente: Tx_l=0.75 Ty_l=5.88 N_l=-3330.02 Mx_l=-0.00 My_l=2.19 Mz_l=0.02
Taglio nei bulloni: Fv,Ed=1.01 Fv,Rd=7720.78
Rifollamento lato piastra: Fb,Ed,p=1.01 Fb,Rd,p=6159.90
Tirafondi:LT=0.45 (0.31) σ_{cR}=0.00 σ_{fR}=0.00
Compressione nel calcestruzzo: σ_c=7.00
CC 6 SLD (Collegamento 0023_-380)
Azioni sul collegamento: N=-6335.74 Ty=0.38 Tz=-5.26 Mx=0.00 Mz=1.00
Sollecitazioni agenti localmente: Tx_l=0.38 Ty_l=-5.26 N_l=-6335.74 Mx_l=-0.00 My_l=1.00 Mz_l=0.00
Taglio nei bulloni: Fv,Ed=0.88 Fv,Rd=9650.97
Rifollamento lato piastra: Fb,Ed,p=0.88 Fb,Rd,p=7523.36
Tirafondi:LT=0.45 (0.31) σ_{cR}=0.00 σ_{fR}=0.00
Compressione nel calcestruzzo: σ_c=13.15
CC 6 SLD (Collegamento 0023_-380)
Azioni sul collegamento: N=-6335.74 Ty=0.18 Tz=-5.26 Mx=0.00 Mz=0.60
Sollecitazioni agenti localmente: Tx_l=0.18 Ty_l=-5.26 N_l=-6335.74 Mx_l=-0.00 My_l=0.60 Mz_l=0.00
Taglio nei bulloni: Fv,Ed=0.88 Fv,Rd=9650.97
Rifollamento lato piastra: Fb,Ed,p=0.88 Fb,Rd,p=7482.44
Tirafondi:LT=0.45 (0.31) σ_{cR}=0.00 σ_{fR}=0.00
Compressione nel calcestruzzo: σ_c=13.12
CC 6 SLD (Collegamento 0023_-380)
Azioni sul collegamento: N=-6335.74 Ty=0.38 Tz=-0.05 Mx=0.00 Mz=1.00
Sollecitazioni agenti localmente: Tx_l=0.38 Ty_l=-0.05 N_l=-6335.74 Mx_l=-0.00 My_l=1.00 Mz_l=0.00
Tirafondi:LT=0.45 (0.31) σ_{cR}=0.00 σ_{fR}=0.00
Compressione nel calcestruzzo: σ_c=13.15
CC 6 SLD (Collegamento 0023_-380)
Azioni sul collegamento: N=-6335.74 Ty=0.18 Tz=-0.05 Mx=0.00 Mz=0.60
Sollecitazioni agenti localmente: Tx_l=0.18 Ty_l=-0.05 N_l=-6335.74 Mx_l=-0.00 My_l=0.60 Mz_l=0.00
Tirafondi:LT=0.45 (0.31) σ_{cR}=0.00 σ_{fR}=0.00
Compressione nel calcestruzzo: σ_c=13.12
CC 6 SLD (Collegamento 0023_-380)
Azioni sul collegamento: N=-4931.09 Ty=0.38 Tz=-5.26 Mx=0.00 Mz=1.00
Sollecitazioni agenti localmente: Tx_l=0.38 Ty_l=-5.26 N_l=-4931.09 Mx_l=-0.00 My_l=1.00 Mz_l=0.00
Taglio nei bulloni: Fv,Ed=0.88 Fv,Rd=9650.97
Rifollamento lato piastra: Fb,Ed,p=0.88 Fb,Rd,p=7523.35
Tirafondi:LT=0.45 (0.31) σ_{cR}=0.00 σ_{fR}=0.00
Compressione nel calcestruzzo: σ_c=10.24
CC 6 SLD (Collegamento 0023_-380)
Azioni sul collegamento: N=-4931.09 Ty=0.18 Tz=-5.26 Mx=0.00 Mz=0.60
Sollecitazioni agenti localmente: Tx_l=0.18 Ty_l=-5.26 N_l=-4931.09 Mx_l=-0.00 My_l=0.60 Mz_l=0.00
Taglio nei bulloni: Fv,Ed=0.88 Fv,Rd=9650.97
Rifollamento lato piastra: Fb,Ed,p=0.88 Fb,Rd,p=7482.44
Tirafondi:LT=0.45 (0.31) σ_{cR}=0.00 σ_{fR}=0.00
Compressione nel calcestruzzo: σ_c=10.22
CC 6 SLD (Collegamento 0023_-380)
Azioni sul collegamento: N=-4931.09 Ty=0.38 Tz=-0.05 Mx=0.00 Mz=1.00
Sollecitazioni agenti localmente: Tx_l=0.38 Ty_l=-0.05 N_l=-4931.09 Mx_l=-0.00 My_l=1.00 Mz_l=0.00
Tirafondi:LT=0.45 (0.31) σ_{cR}=0.00 σ_{fR}=0.00
Compressione nel calcestruzzo: σ_c=10.24
CC 6 SLD (Collegamento 0023_-380)
Azioni sul collegamento: N=-4931.09 Ty=0.18 Tz=-0.05 Mx=0.00 Mz=0.60
Sollecitazioni agenti localmente: Tx_l=0.18 Ty_l=-0.05 N_l=-4931.09 Mx_l=-0.00 My_l=0.60 Mz_l=0.00
Tirafondi:LT=0.45 (0.31) σ_{cR}=0.00 σ_{fR}=0.00
Compressione nel calcestruzzo: σ_c=10.22
CC 7 SLV (Collegamento 0023_-380)
Azioni sul collegamento: N=-7936.47 Ty=0.74 Tz=-11.20 Mx=0.01 Mz=2.16
Sollecitazioni agenti localmente: Tx_l=0.74 Ty_l=-11.20 N_l=-7936.47 Mx_l=-0.00 My_l=2.16 Mz_l=0.01
Taglio nei bulloni: Fv,Ed=1.88 Fv,Rd=7720.78
Rifollamento lato piastra: Fb,Ed,p=1.88 Fb,Rd,p=6010.20
Tirafondi:LT=0.45 (0.31) σ_{cR}=0.00 σ_{fR}=0.00
Compressione nel calcestruzzo: σ_c=16.52
CC 7 SLV (Collegamento 0023_-380)
Azioni sul collegamento: N=-7936.47 Ty=1.44 Tz=-11.20 Mx=0.01 Mz=3.55
Sollecitazioni agenti localmente: Tx_l=1.44 Ty_l=-11.20 N_l=-7936.47 Mx_l=-0.00 My_l=3.55 Mz_l=0.01
Taglio nei bulloni: Fv,Ed=1.89 Fv,Rd=7720.78
Rifollamento lato piastra: Fb,Ed,p=1.89 Fb,Rd,p=6110.76
Tirafondi:LT=0.45 (0.31) σ_{cR}=0.00 σ_{fR}=0.00
Compressione nel calcestruzzo: σ_c=16.60
CC 7 SLV (Collegamento 0023_-380)
Azioni sul collegamento: N=-7936.47 Ty=0.74 Tz=5.89 Mx=0.01 Mz=2.16
Sollecitazioni agenti localmente: Tx_l=0.74 Ty_l=5.89 N_l=-7936.47 Mx_l=-0.00 My_l=2.16 Mz_l=0.01
Taglio nei bulloni: Fv,Ed=1.00 Fv,Rd=7720.78
Rifollamento lato piastra: Fb,Ed,p=1.00 Fb,Rd,p=6141.83
Tirafondi:LT=0.45 (0.31) σ_{cR}=0.00 σ_{fR}=0.00
Compressione nel calcestruzzo: σ_c=16.52
CC 7 SLV (Collegamento 0023_-380)
Azioni sul collegamento: N=-7936.47 Ty=1.44 Tz=5.89 Mx=0.01 Mz=3.55
Sollecitazioni agenti localmente: Tx_l=1.44 Ty_l=5.89 N_l=-7936.47 Mx_l=-0.00 My_l=3.55 Mz_l=0.01
Taglio nei bulloni: Fv,Ed=1.02 Fv,Rd=7720.78

Rifollamento lato piastra: Fb,Ed,p=1.02 Fb,Rd,p=6553.02
Tirafondi:LT=0.45 (0.31) σ_{cR}=0.00 σ_{fR}=0.00
Compressione nel calcestruzzo: σ_c=16.60
CC 7 SLV (Collegamento 0023_-380)
Azioni sul collegamento: N=-3330.00 Ty=0.74 Tz=-11.20 Mx=0.01 Mz=2.16
Sollecitazioni agenti localmente: Tx_l=0.74 Ty_l=-11.20 N_l=-3330.00 Mx_l=-0.00 My_l=2.16 Mz_l=0.01
Taglio nei bulloni: Fv,Ed=1.88 Fv,Rd=7720.78
Rifollamento lato piastra: Fb,Ed,p=1.88 Fb,Rd,p=6010.20
Tirafondi:LT=0.45 (0.31) σ_{cR}=0.00 σ_{fR}=0.00
Compressione nel calcestruzzo: σ_c=7.00
CC 7 SLV (Collegamento 0023_-380)
Azioni sul collegamento: N=-3330.00 Ty=1.44 Tz=-11.20 Mx=0.01 Mz=3.55
Sollecitazioni agenti localmente: Tx_l=1.44 Ty_l=-11.20 N_l=-3330.00 Mx_l=-0.00 My_l=3.55 Mz_l=0.01
Taglio nei bulloni: Fv,Ed=1.89 Fv,Rd=7720.78
Rifollamento lato piastra: Fb,Ed,p=1.89 Fb,Rd,p=6110.76
Tirafondi:LT=0.45 (0.31) σ_{cR}=0.00 σ_{fR}=0.00
Compressione nel calcestruzzo: σ_c=7.08
CC 7 SLV (Collegamento 0023_-380)
Azioni sul collegamento: N=-3330.00 Ty=0.74 Tz=5.89 Mx=0.01 Mz=2.16
Sollecitazioni agenti localmente: Tx_l=0.74 Ty_l=5.89 N_l=-3330.00 Mx_l=-0.00 My_l=2.16 Mz_l=0.01
Taglio nei bulloni: Fv,Ed=1.00 Fv,Rd=7720.78
Rifollamento lato piastra: Fb,Ed,p=1.00 Fb,Rd,p=6141.83
Tirafondi:LT=0.45 (0.31) σ_{cR}=0.00 σ_{fR}=0.00
Compressione nel calcestruzzo: σ_c=7.00
CC 7 SLV (Collegamento 0023_-380)
Azioni sul collegamento: N=-3330.00 Ty=1.44 Tz=5.89 Mx=0.01 Mz=3.55
Sollecitazioni agenti localmente: Tx_l=1.44 Ty_l=5.89 N_l=-3330.00 Mx_l=-0.00 My_l=3.55 Mz_l=0.01
Taglio nei bulloni: Fv,Ed=1.02 Fv,Rd=7720.78
Rifollamento lato piastra: Fb,Ed,p=1.02 Fb,Rd,p=6553.01
Tirafondi:LT=0.45 (0.31) σ_{cR}=0.00 σ_{fR}=0.00
Compressione nel calcestruzzo: σ_c=7.08
CC 8 SLD (Collegamento 0023_-380)
Azioni sul collegamento: N=-6335.74 Ty=0.17 Tz=-5.26 Mx=0.00 Mz=0.59
Sollecitazioni agenti localmente: Tx_l=0.17 Ty_l=-5.26 N_l=-6335.74 Mx_l=-0.00 My_l=0.59 Mz_l=0.00
Taglio nei bulloni: Fv,Ed=0.88 Fv,Rd=9650.97
Rifollamento lato piastra: Fb,Ed,p=0.88 Fb,Rd,p=7483.24
Tirafondi:LT=0.45 (0.31) σ_{cR}=0.00 σ_{fR}=0.00
Compressione nel calcestruzzo: σ_c=13.12
CC 8 SLD (Collegamento 0023_-380)
Azioni sul collegamento: N=-6335.74 Ty=0.39 Tz=-5.26 Mx=0.00 Mz=1.01
Sollecitazioni agenti localmente: Tx_l=0.39 Ty_l=-5.26 N_l=-6335.74 Mx_l=-0.00 My_l=1.01 Mz_l=0.00
Taglio nei bulloni: Fv,Ed=0.88 Fv,Rd=9650.97
Rifollamento lato piastra: Fb,Ed,p=0.88 Fb,Rd,p=7527.80
Tirafondi:LT=0.45 (0.31) σ_{cR}=0.00 σ_{fR}=0.00
Compressione nel calcestruzzo: σ_c=13.15
CC 8 SLD (Collegamento 0023_-380)
Azioni sul collegamento: N=-6335.74 Ty=0.17 Tz=-0.05 Mx=0.00 Mz=0.59
Sollecitazioni agenti localmente: Tx_l=0.17 Ty_l=-0.05 N_l=-6335.74 Mx_l=-0.00 My_l=0.59 Mz_l=0.00
Tirafondi:LT=0.45 (0.31) σ_{cR}=0.00 σ_{fR}=0.00
Compressione nel calcestruzzo: σ_c=13.12
CC 8 SLD (Collegamento 0023_-380)
Azioni sul collegamento: N=-6335.74 Ty=0.39 Tz=-0.05 Mx=0.00 Mz=1.01
Sollecitazioni agenti localmente: Tx_l=0.39 Ty_l=-0.05 N_l=-6335.74 Mx_l=-0.00 My_l=1.01 Mz_l=0.00
Tirafondi:LT=0.45 (0.31) σ_{cR}=0.00 σ_{fR}=0.00
Compressione nel calcestruzzo: σ_c=13.15
CC 8 SLD (Collegamento 0023_-380)
Azioni sul collegamento: N=-4931.09 Ty=0.17 Tz=-5.26 Mx=0.00 Mz=0.59
Sollecitazioni agenti localmente: Tx_l=0.17 Ty_l=-5.26 N_l=-4931.09 Mx_l=-0.00 My_l=0.59 Mz_l=0.00
Taglio nei bulloni: Fv,Ed=0.88 Fv,Rd=9650.97
Rifollamento lato piastra: Fb,Ed,p=0.88 Fb,Rd,p=7483.24
Tirafondi:LT=0.45 (0.31) σ_{cR}=0.00 σ_{fR}=0.00
Compressione nel calcestruzzo: σ_c=10.22
CC 8 SLD (Collegamento 0023_-380)
Azioni sul collegamento: N=-4931.09 Ty=0.39 Tz=-5.26 Mx=0.00 Mz=1.01
Sollecitazioni agenti localmente: Tx_l=0.39 Ty_l=-5.26 N_l=-4931.09 Mx_l=-0.00 My_l=1.01 Mz_l=0.00
Taglio nei bulloni: Fv,Ed=0.88 Fv,Rd=9650.97
Rifollamento lato piastra: Fb,Ed,p=0.88 Fb,Rd,p=7527.80
Tirafondi:LT=0.45 (0.31) σ_{cR}=0.00 σ_{fR}=0.00
Compressione nel calcestruzzo: σ_c=10.25
CC 8 SLD (Collegamento 0023_-380)
Azioni sul collegamento: N=-4931.09 Ty=0.17 Tz=-0.05 Mx=0.00 Mz=0.59
Sollecitazioni agenti localmente: Tx_l=0.17 Ty_l=-0.05 N_l=-4931.09 Mx_l=-0.00 My_l=0.59 Mz_l=0.00
Tirafondi:LT=0.45 (0.31) σ_{cR}=0.00 σ_{fR}=0.00
Compressione nel calcestruzzo: σ_c=10.22
CC 8 SLD (Collegamento 0023_-380)
Azioni sul collegamento: N=-4931.09 Ty=0.39 Tz=-0.05 Mx=0.00 Mz=1.01
Sollecitazioni agenti localmente: Tx_l=0.39 Ty_l=-0.05 N_l=-4931.09 Mx_l=-0.00 My_l=1.01 Mz_l=0.00
Tirafondi:LT=0.45 (0.31) σ_{cR}=0.00 σ_{fR}=0.00
Compressione nel calcestruzzo: σ_c=10.25
CC 9 SLV (Collegamento 0023_-380)

Azioni sul collegamento: N=-4942.23 Ty=2.24 Tz=-0.09 Mx=0.02 Mz=5.11
Sollecitazioni agenti localmente: Tx_l=2.24 Ty_l=-0.09 N_l=-4942.23 Mx_l=-0.00 My_l=5.11 Mz_l=0.02
Taglio nei bulloni: Fv,Ed=0.40 Fv,Rd=7720.78
Rifollamento lato piastra: Fb,Ed,p=0.40 Fb,Rd,p=6067.50
Tirafondi:LT=0.45 (0.31) σ_{cR}=0.00 σ_{fR}=0.00
Compressione nel calcestruzzo: σ_c=10.50
CC 9 SLV (Collegamento 0023_-380)
Azioni sul collegamento: N=-4942.23 Ty=-0.07 Tz=-0.09 Mx=0.02 Mz=0.59
Sollecitazioni agenti localmente: Tx_l=-0.07 Ty_l=-0.09 N_l=-4942.23 Mx_l=-0.00 My_l=0.59 Mz_l=0.02
Tirafondi:LT=0.45 (0.31) σ_{cR}=0.00 σ_{fR}=0.00
Compressione nel calcestruzzo: σ_c=10.24
CC 9 SLV (Collegamento 0023_-380)
Azioni sul collegamento: N=-4942.23 Ty=2.24 Tz=-5.22 Mx=0.02 Mz=5.11
Sollecitazioni agenti localmente: Tx_l=2.24 Ty_l=-5.22 N_l=-4942.23 Mx_l=-0.00 My_l=5.11 Mz_l=0.02
Taglio nei bulloni: Fv,Ed=0.98 Fv,Rd=7720.78
Rifollamento lato piastra: Fb,Ed,p=0.96 Fb,Rd,p=7350.20
Tirafondi:LT=0.45 (0.31) σ_{cR}=0.00 σ_{fR}=0.00
Compressione nel calcestruzzo: σ_c=10.50
CC 9 SLV (Collegamento 0023_-380)
Azioni sul collegamento: N=-4942.23 Ty=-0.07 Tz=-5.22 Mx=0.02 Mz=0.59
Sollecitazioni agenti localmente: Tx_l=-0.07 Ty_l=-5.22 N_l=-4942.23 Mx_l=-0.00 My_l=0.59 Mz_l=0.02
Taglio nei bulloni: Fv,Ed=0.89 Fv,Rd=7720.78
Rifollamento lato piastra: Fb,Ed,p=0.89 Fb,Rd,p=5993.04
Tirafondi:LT=0.45 (0.31) σ_{cR}=0.00 σ_{fR}=0.00
Compressione nel calcestruzzo: σ_c=10.24
CC 9 SLV (Collegamento 0023_-380)
Azioni sul collegamento: N=-6324.24 Ty=2.24 Tz=-0.09 Mx=0.02 Mz=5.11
Sollecitazioni agenti localmente: Tx_l=2.24 Ty_l=-0.09 N_l=-6324.24 Mx_l=-0.00 My_l=5.11 Mz_l=0.02
Taglio nei bulloni: Fv,Ed=0.40 Fv,Rd=7720.78
Rifollamento lato piastra: Fb,Ed,p=0.40 Fb,Rd,p=6067.45
Tirafondi:LT=0.45 (0.31) σ_{cR}=0.00 σ_{fR}=0.00
Compressione nel calcestruzzo: σ_c=13.35
CC 9 SLV (Collegamento 0023_-380)
Azioni sul collegamento: N=-6324.24 Ty=-0.07 Tz=-0.09 Mx=0.02 Mz=0.59
Sollecitazioni agenti localmente: Tx_l=-0.07 Ty_l=-0.09 N_l=-6324.24 Mx_l=-0.00 My_l=0.59 Mz_l=0.02
Tirafondi:LT=0.45 (0.31) σ_{cR}=0.00 σ_{fR}=0.00
Compressione nel calcestruzzo: σ_c=13.10
CC 9 SLV (Collegamento 0023_-380)
Azioni sul collegamento: N=-6324.24 Ty=2.24 Tz=-5.22 Mx=0.02 Mz=5.11
Sollecitazioni agenti localmente: Tx_l=2.24 Ty_l=-5.22 N_l=-6324.24 Mx_l=-0.00 My_l=5.11 Mz_l=0.02
Taglio nei bulloni: Fv,Ed=0.98 Fv,Rd=7720.78
Rifollamento lato piastra: Fb,Ed,p=0.96 Fb,Rd,p=7350.26
Tirafondi:LT=0.45 (0.31) σ_{cR}=0.00 σ_{fR}=0.00
Compressione nel calcestruzzo: σ_c=13.35
CC 9 SLV (Collegamento 0023_-380)
Azioni sul collegamento: N=-6324.24 Ty=-0.07 Tz=-5.22 Mx=0.02 Mz=0.59
Sollecitazioni agenti localmente: Tx_l=-0.07 Ty_l=-5.22 N_l=-6324.24 Mx_l=-0.00 My_l=0.59 Mz_l=0.02
Taglio nei bulloni: Fv,Ed=0.89 Fv,Rd=7720.78
Rifollamento lato piastra: Fb,Ed,p=0.89 Fb,Rd,p=5993.04
Tirafondi:LT=0.45 (0.31) σ_{cR}=0.00 σ_{fR}=0.00
Compressione nel calcestruzzo: σ_c=13.10
CC 10 SLD (Collegamento 0023_-380)
Azioni sul collegamento: N=-5422.71 Ty=0.63 Tz=-1.87 Mx=0.01 Mz=1.49
Sollecitazioni agenti localmente: Tx_l=0.63 Ty_l=-1.87 N_l=-5422.71 Mx_l=-0.00 My_l=1.49 Mz_l=0.01
Taglio nei bulloni: Fv,Ed=0.34 Fv,Rd=9650.97
Rifollamento lato piastra: Fb,Ed,p=0.33 Fb,Rd,p=8529.30
Tirafondi:LT=0.45 (0.31) σ_{cR}=0.00 σ_{fR}=0.00
Compressione nel calcestruzzo: σ_c=11.29
CC 10 SLD (Collegamento 0023_-380)
Azioni sul collegamento: N=-5422.71 Ty=-0.07 Tz=-1.87 Mx=0.01 Mz=0.11
Sollecitazioni agenti localmente: Tx_l=-0.07 Ty_l=-1.87 N_l=-5422.71 Mx_l=-0.00 My_l=0.11 Mz_l=0.01
Taglio nei bulloni: Fv,Ed=0.32 Fv,Rd=9650.97
Rifollamento lato piastra: Fb,Ed,p=0.32 Fb,Rd,p=7513.97
Tirafondi:LT=0.45 (0.31) σ_{cR}=0.00 σ_{fR}=0.00
Compressione nel calcestruzzo: σ_c=11.21
CC 10 SLD (Collegamento 0023_-380)
Azioni sul collegamento: N=-5422.71 Ty=0.63 Tz=-3.44 Mx=0.01 Mz=1.49
Sollecitazioni agenti localmente: Tx_l=0.63 Ty_l=-3.44 N_l=-5422.71 Mx_l=-0.00 My_l=1.49 Mz_l=0.01
Taglio nei bulloni: Fv,Ed=0.59 Fv,Rd=9650.97
Rifollamento lato piastra: Fb,Ed,p=0.59 Fb,Rd,p=7792.44
Tirafondi:LT=0.45 (0.31) σ_{cR}=0.00 σ_{fR}=0.00
Compressione nel calcestruzzo: σ_c=11.29
CC 10 SLD (Collegamento 0023_-380)
Azioni sul collegamento: N=-5422.71 Ty=-0.07 Tz=-3.44 Mx=0.01 Mz=0.11
Sollecitazioni agenti localmente: Tx_l=-0.07 Ty_l=-3.44 N_l=-5422.71 Mx_l=-0.00 My_l=0.11 Mz_l=0.01
Taglio nei bulloni: Fv,Ed=0.58 Fv,Rd=9650.97
Rifollamento lato piastra: Fb,Ed,p=0.58 Fb,Rd,p=7486.09
Tirafondi:LT=0.45 (0.31) σ_{cR}=0.00 σ_{fR}=0.00
Compressione nel calcestruzzo: σ_c=11.21
CC 10 SLD (Collegamento 0023_-380)

Azioni sul collegamento: N=-5844.12 Ty=0.63 Tz=-1.87 Mx=0.01 Mz=1.49
Sollecitazioni agenti localmente: Tx_l=0.63 Ty_l=-1.87 N_l=-5844.12 Mx_l=-0.00 My_l=1.49 Mz_l=0.01
Taglio nei bulloni: Fv,Ed=0.34 Fv,Rd=9650.97
Rifollamento lato piastra: Fb,Ed,p=0.33 Fb,Rd,p=8529.26
Tirafondi:LT=0.45 (0.31) σ_{cR}=0.00 σ_{fR}=0.00
Compressione nel calcestruzzo: σ_c=12.16
CC 10 SLD (Collegamento 0023_-380)
Azioni sul collegamento: N=-5844.12 Ty=-0.07 Tz=-1.87 Mx=0.01 Mz=0.11
Sollecitazioni agenti localmente: Tx_l=-0.07 Ty_l=-1.87 N_l=-5844.12 Mx_l=-0.00 My_l=0.11 Mz_l=0.01
Taglio nei bulloni: Fv,Ed=0.32 Fv,Rd=9650.97
Rifollamento lato piastra: Fb,Ed,p=0.32 Fb,Rd,p=7513.97
Tirafondi:LT=0.45 (0.31) σ_{cR}=0.00 σ_{fR}=0.00
Compressione nel calcestruzzo: σ_c=12.08
CC 10 SLD (Collegamento 0023_-380)
Azioni sul collegamento: N=-5844.12 Ty=0.63 Tz=-3.44 Mx=0.01 Mz=1.49
Sollecitazioni agenti localmente: Tx_l=0.63 Ty_l=-3.44 N_l=-5844.12 Mx_l=-0.00 My_l=1.49 Mz_l=0.01
Taglio nei bulloni: Fv,Ed=0.59 Fv,Rd=9650.97
Rifollamento lato piastra: Fb,Ed,p=0.59 Fb,Rd,p=7792.46
Tirafondi:LT=0.45 (0.31) σ_{cR}=0.00 σ_{fR}=0.00
Compressione nel calcestruzzo: σ_c=12.16
CC 10 SLD (Collegamento 0023_-380)
Azioni sul collegamento: N=-5844.12 Ty=-0.07 Tz=-3.44 Mx=0.01 Mz=0.11
Sollecitazioni agenti localmente: Tx_l=-0.07 Ty_l=-3.44 N_l=-5844.12 Mx_l=-0.00 My_l=0.11 Mz_l=0.01
Taglio nei bulloni: Fv,Ed=0.58 Fv,Rd=9650.97
Rifollamento lato piastra: Fb,Ed,p=0.58 Fb,Rd,p=7486.09
Tirafondi:LT=0.45 (0.31) σ_{cR}=0.00 σ_{fR}=0.00
Compressione nel calcestruzzo: σ_c=12.08
CC 11 SLV (Collegamento 0023_-380)
Azioni sul collegamento: N=-6324.16 Ty=2.24 Tz=-5.22 Mx=0.02 Mz=5.10
Sollecitazioni agenti localmente: Tx_l=2.24 Ty_l=-5.22 N_l=-6324.16 Mx_l=-0.00 My_l=5.10 Mz_l=0.02
Taglio nei bulloni: Fv,Ed=0.98 Fv,Rd=7720.78
Rifollamento lato piastra: Fb,Ed,p=0.96 Fb,Rd,p=7346.53
Tirafondi:LT=0.45 (0.31) σ_{cR}=0.00 σ_{fR}=0.00
Compressione nel calcestruzzo: σ_c=13.35
CC 11 SLV (Collegamento 0023_-380)
Azioni sul collegamento: N=-6324.16 Ty=-0.06 Tz=-5.22 Mx=0.02 Mz=0.60
Sollecitazioni agenti localmente: Tx_l=-0.06 Ty_l=-5.22 N_l=-6324.16 Mx_l=-0.00 My_l=0.60 Mz_l=0.02
Taglio nei bulloni: Fv,Ed=0.89 Fv,Rd=7720.78
Rifollamento lato piastra: Fb,Ed,p=0.89 Fb,Rd,p=5992.47
Tirafondi:LT=0.45 (0.31) σ_{cR}=0.00 σ_{fR}=0.00
Compressione nel calcestruzzo: σ_c=13.10
CC 11 SLV (Collegamento 0023_-380)
Azioni sul collegamento: N=-6324.16 Ty=2.24 Tz=-0.09 Mx=0.02 Mz=5.10
Sollecitazioni agenti localmente: Tx_l=2.24 Ty_l=-0.09 N_l=-6324.16 Mx_l=-0.00 My_l=5.10 Mz_l=0.02
Taglio nei bulloni: Fv,Ed=0.40 Fv,Rd=7720.78
Rifollamento lato piastra: Fb,Ed,p=0.40 Fb,Rd,p=6068.71
Tirafondi:LT=0.45 (0.31) σ_{cR}=0.00 σ_{fR}=0.00
Compressione nel calcestruzzo: σ_c=13.35
CC 11 SLV (Collegamento 0023_-380)
Azioni sul collegamento: N=-6324.16 Ty=-0.06 Tz=-0.09 Mx=0.02 Mz=0.60
Sollecitazioni agenti localmente: Tx_l=-0.06 Ty_l=-0.09 N_l=-6324.16 Mx_l=-0.00 My_l=0.60 Mz_l=0.02
Tirafondi:LT=0.45 (0.31) σ_{cR}=0.00 σ_{fR}=0.00
Compressione nel calcestruzzo: σ_c=13.10
CC 11 SLV (Collegamento 0023_-380)
Azioni sul collegamento: N=-4942.30 Ty=2.24 Tz=-5.22 Mx=0.02 Mz=5.10
Sollecitazioni agenti localmente: Tx_l=2.24 Ty_l=-5.22 N_l=-4942.30 Mx_l=-0.00 My_l=5.10 Mz_l=0.02
Taglio nei bulloni: Fv,Ed=0.98 Fv,Rd=7720.78
Rifollamento lato piastra: Fb,Ed,p=0.96 Fb,Rd,p=7346.49
Tirafondi:LT=0.45 (0.31) σ_{cR}=0.00 σ_{fR}=0.00
Compressione nel calcestruzzo: σ_c=10.50
CC 11 SLV (Collegamento 0023_-380)
Azioni sul collegamento: N=-4942.30 Ty=-0.06 Tz=-5.22 Mx=0.02 Mz=0.60
Sollecitazioni agenti localmente: Tx_l=-0.06 Ty_l=-5.22 N_l=-4942.30 Mx_l=-0.00 My_l=0.60 Mz_l=0.02
Taglio nei bulloni: Fv,Ed=0.89 Fv,Rd=7720.78
Rifollamento lato piastra: Fb,Ed,p=0.89 Fb,Rd,p=5992.47
Tirafondi:LT=0.45 (0.31) σ_{cR}=0.00 σ_{fR}=0.00
Compressione nel calcestruzzo: σ_c=10.25
CC 11 SLV (Collegamento 0023_-380)
Azioni sul collegamento: N=-4942.30 Ty=2.24 Tz=-0.09 Mx=0.02 Mz=5.10
Sollecitazioni agenti localmente: Tx_l=2.24 Ty_l=-0.09 N_l=-4942.30 Mx_l=-0.00 My_l=5.10 Mz_l=0.02
Taglio nei bulloni: Fv,Ed=0.40 Fv,Rd=7720.78
Rifollamento lato piastra: Fb,Ed,p=0.40 Fb,Rd,p=6068.91
Tirafondi:LT=0.45 (0.31) σ_{cR}=0.00 σ_{fR}=0.00
Compressione nel calcestruzzo: σ_c=10.50
CC 11 SLV (Collegamento 0023_-380)
Azioni sul collegamento: N=-4942.30 Ty=-0.06 Tz=-0.09 Mx=0.02 Mz=0.60
Sollecitazioni agenti localmente: Tx_l=-0.06 Ty_l=-0.09 N_l=-4942.30 Mx_l=-0.00 My_l=0.60 Mz_l=0.02
Tirafondi:LT=0.45 (0.31) σ_{cR}=0.00 σ_{fR}=0.00
Compressione nel calcestruzzo: σ_c=10.25
CC 12 SLD (Collegamento 0023_-380)

Azioni sul collegamento: N=-5844.10 Ty=0.63 Tz=-3.44 Mx=0.01 Mz=1.48
Sollecitazioni agenti localmente: Tx_l=0.63 Ty_l=-3.44 N_l=-5844.10 Mx_l=-0.00 My_l=1.48 Mz_l=0.01
Taglio nei bulloni: Fv,Ed=0.59 Fv,Rd=9650.97
Rifollamento lato piastra: Fb,Ed,p=0.59 Fb,Rd,p=7791.34
Tirafondi:LT=0.45 (0.31) σ_{cR}=0.00 σ_{fR}=0.00
Compressione nel calcestruzzo: σ_c=12.16
CC 12 SLD (Collegamento 0023_-380)
Azioni sul collegamento: N=-5844.10 Ty=-0.07 Tz=-3.44 Mx=0.01 Mz=0.11
Sollecitazioni agenti localmente: Tx_l=-0.07 Ty_l=-3.44 N_l=-5844.10 Mx_l=-0.00 My_l=0.11 Mz_l=0.01
Taglio nei bulloni: Fv,Ed=0.58 Fv,Rd=9650.97
Rifollamento lato piastra: Fb,Ed,p=0.58 Fb,Rd,p=7485.81
Tirafondi:LT=0.45 (0.31) σ_{cR}=0.00 σ_{fR}=0.00
Compressione nel calcestruzzo: σ_c=12.08
CC 12 SLD (Collegamento 0023_-380)
Azioni sul collegamento: N=-5844.10 Ty=0.63 Tz=-1.87 Mx=0.01 Mz=1.48
Sollecitazioni agenti localmente: Tx_l=0.63 Ty_l=-1.87 N_l=-5844.10 Mx_l=-0.00 My_l=1.48 Mz_l=0.01
Taglio nei bulloni: Fv,Ed=0.34 Fv,Rd=9650.97
Rifollamento lato piastra: Fb,Ed,p=0.33 Fb,Rd,p=8524.64
Tirafondi:LT=0.45 (0.31) σ_{cR}=0.00 σ_{fR}=0.00
Compressione nel calcestruzzo: σ_c=12.16
CC 12 SLD (Collegamento 0023_-380)
Azioni sul collegamento: N=-5844.10 Ty=-0.07 Tz=-1.87 Mx=0.01 Mz=0.11
Sollecitazioni agenti localmente: Tx_l=-0.07 Ty_l=-1.87 N_l=-5844.10 Mx_l=-0.00 My_l=0.11 Mz_l=0.01
Taglio nei bulloni: Fv,Ed=0.32 Fv,Rd=9650.97
Rifollamento lato piastra: Fb,Ed,p=0.32 Fb,Rd,p=7513.00
Tirafondi:LT=0.45 (0.31) σ_{cR}=0.00 σ_{fR}=0.00
Compressione nel calcestruzzo: σ_c=12.08
CC 12 SLD (Collegamento 0023_-380)
Azioni sul collegamento: N=-5422.73 Ty=0.63 Tz=-3.44 Mx=0.01 Mz=1.48
Sollecitazioni agenti localmente: Tx_l=0.63 Ty_l=-3.44 N_l=-5422.73 Mx_l=-0.00 My_l=1.48 Mz_l=0.01
Taglio nei bulloni: Fv,Ed=0.59 Fv,Rd=9650.97
Rifollamento lato piastra: Fb,Ed,p=0.59 Fb,Rd,p=7791.38
Tirafondi:LT=0.45 (0.31) σ_{cR}=0.00 σ_{fR}=0.00
Compressione nel calcestruzzo: σ_c=11.29
CC 12 SLD (Collegamento 0023_-380)
Azioni sul collegamento: N=-5422.73 Ty=-0.07 Tz=-3.44 Mx=0.01 Mz=0.11
Sollecitazioni agenti localmente: Tx_l=-0.07 Ty_l=-3.44 N_l=-5422.73 Mx_l=-0.00 My_l=0.11 Mz_l=0.01
Taglio nei bulloni: Fv,Ed=0.58 Fv,Rd=9650.97
Rifollamento lato piastra: Fb,Ed,p=0.58 Fb,Rd,p=7485.81
Tirafondi:LT=0.45 (0.31) σ_{cR}=0.00 σ_{fR}=0.00
Compressione nel calcestruzzo: σ_c=11.21
CC 12 SLD (Collegamento 0023_-380)
Azioni sul collegamento: N=-5422.73 Ty=0.63 Tz=-1.87 Mx=0.01 Mz=1.48
Sollecitazioni agenti localmente: Tx_l=0.63 Ty_l=-1.87 N_l=-5422.73 Mx_l=-0.00 My_l=1.48 Mz_l=0.01
Taglio nei bulloni: Fv,Ed=0.34 Fv,Rd=9650.97
Rifollamento lato piastra: Fb,Ed,p=0.33 Fb,Rd,p=8524.57
Tirafondi:LT=0.45 (0.31) σ_{cR}=0.00 σ_{fR}=0.00
Compressione nel calcestruzzo: σ_c=11.29
CC 12 SLD (Collegamento 0023_-380)
Azioni sul collegamento: N=-5422.73 Ty=-0.07 Tz=-1.87 Mx=0.01 Mz=0.11
Sollecitazioni agenti localmente: Tx_l=-0.07 Ty_l=-1.87 N_l=-5422.73 Mx_l=-0.00 My_l=0.11 Mz_l=0.01
Taglio nei bulloni: Fv,Ed=0.32 Fv,Rd=9650.97
Rifollamento lato piastra: Fb,Ed,p=0.32 Fb,Rd,p=7513.00
Tirafondi:LT=0.45 (0.31) σ_{cR}=0.00 σ_{fR}=0.00
Compressione nel calcestruzzo: σ_c=11.21
CC 13 SLV (Collegamento 0023_-380)
Azioni sul collegamento: N=-4942.30 Ty=-0.06 Tz=-0.09 Mx=0.00 Mz=0.60
Sollecitazioni agenti localmente: Tx_l=-0.06 Ty_l=-0.09 N_l=-4942.30 Mx_l=-0.00 My_l=0.60 Mz_l=0.00
Tirafondi:LT=0.45 (0.31) σ_{cR}=0.00 σ_{fR}=0.00
Compressione nel calcestruzzo: σ_c=10.25
CC 13 SLV (Collegamento 0023_-380)
Azioni sul collegamento: N=-4942.30 Ty=2.24 Tz=-0.09 Mx=0.00 Mz=5.10
Sollecitazioni agenti localmente: Tx_l=2.24 Ty_l=-0.09 N_l=-4942.30 Mx_l=-0.00 My_l=5.10 Mz_l=0.00
Taglio nei bulloni: Fv,Ed=0.38 Fv,Rd=7720.78
Rifollamento lato piastra: Fb,Ed,p=0.38 Fb,Rd,p=6005.64
Tirafondi:LT=0.45 (0.31) σ_{cR}=0.00 σ_{fR}=0.00
Compressione nel calcestruzzo: σ_c=10.50
CC 13 SLV (Collegamento 0023_-380)
Azioni sul collegamento: N=-4942.30 Ty=-0.06 Tz=-5.22 Mx=0.00 Mz=0.60
Sollecitazioni agenti localmente: Tx_l=-0.06 Ty_l=-5.22 N_l=-4942.30 Mx_l=-0.00 My_l=0.60 Mz_l=0.00
Taglio nei bulloni: Fv,Ed=0.87 Fv,Rd=7720.78
Rifollamento lato piastra: Fb,Ed,p=0.87 Fb,Rd,p=5981.88
Tirafondi:LT=0.45 (0.31) σ_{cR}=0.00 σ_{fR}=0.00
Compressione nel calcestruzzo: σ_c=10.25
CC 13 SLV (Collegamento 0023_-380)
Azioni sul collegamento: N=-4942.30 Ty=2.24 Tz=-5.22 Mx=0.00 Mz=5.10
Sollecitazioni agenti localmente: Tx_l=2.24 Ty_l=-5.22 N_l=-4942.30 Mx_l=-0.00 My_l=5.10 Mz_l=0.00
Taglio nei bulloni: Fv,Ed=0.95 Fv,Rd=7720.78
Rifollamento lato piastra: Fb,Ed,p=0.95 Fb,Rd,p=7572.77
Tirafondi:LT=0.45 (0.31) σ_{cR}=0.00 σ_{fR}=0.00

Compressione nel calcestruzzo: σ_c=10.50
CC 13 SLV (Collegamento 0023_-380)
Azioni sul collegamento: N=-6324.16 Ty=-0.06 Tz=-0.09 Mx=0.00 Mz=0.60
Sollecitazioni agenti localmente: Tx_l=-0.06 Ty_l=-0.09 N_l=-6324.16 Mx_l=-0.00 My_l=0.60 Mz_l=0.00
Tirafondi:LT=0.45 (0.31) σ_{cR}=0.00 σ_{fR}=0.00
Compressione nel calcestruzzo: σ_c=13.10
CC 13 SLV (Collegamento 0023_-380)
Azioni sul collegamento: N=-6324.16 Ty=2.24 Tz=-0.09 Mx=0.00 Mz=5.10
Sollecitazioni agenti localmente: Tx_l=2.24 Ty_l=-0.09 N_l=-6324.16 Mx_l=-0.00 My_l=5.10 Mz_l=0.00
Taglio nei bulloni: Fv,Ed=0.38 Fv,Rd=7720.78
Rifollamento lato piastra: Fb,Ed,p=0.38 Fb,Rd,p=6005.53
Tirafondi:LT=0.45 (0.31) σ_{cR}=0.00 σ_{fR}=0.00
Compressione nel calcestruzzo: σ_c=13.35
CC 13 SLV (Collegamento 0023_-380)
Azioni sul collegamento: N=-6324.16 Ty=-0.06 Tz=-5.22 Mx=0.00 Mz=0.60
Sollecitazioni agenti localmente: Tx_l=-0.06 Ty_l=-5.22 N_l=-6324.16 Mx_l=-0.00 My_l=0.60 Mz_l=0.00
Taglio nei bulloni: Fv,Ed=0.87 Fv,Rd=7720.78
Rifollamento lato piastra: Fb,Ed,p=0.87 Fb,Rd,p=5981.88
Tirafondi:LT=0.45 (0.31) σ_{cR}=0.00 σ_{fR}=0.00
Compressione nel calcestruzzo: σ_c=13.10
CC 13 SLV (Collegamento 0023_-380)
Azioni sul collegamento: N=-6324.16 Ty=2.24 Tz=-5.22 Mx=0.00 Mz=5.10
Sollecitazioni agenti localmente: Tx_l=2.24 Ty_l=-5.22 N_l=-6324.16 Mx_l=-0.00 My_l=5.10 Mz_l=0.00
Taglio nei bulloni: Fv,Ed=0.95 Fv,Rd=7720.78
Rifollamento lato piastra: Fb,Ed,p=0.95 Fb,Rd,p=7572.82
Tirafondi:LT=0.45 (0.31) σ_{cR}=0.00 σ_{fR}=0.00
Compressione nel calcestruzzo: σ_c=13.35
CC 14 SLD (Collegamento 0023_-380)
Azioni sul collegamento: N=-5422.73 Ty=-0.07 Tz=-1.87 Mx=0.00 Mz=0.11
Sollecitazioni agenti localmente: Tx_l=-0.07 Ty_l=-1.87 N_l=-5422.73 Mx_l=-0.00 My_l=0.11 Mz_l=0.00
Taglio nei bulloni: Fv,Ed=0.31 Fv,Rd=9650.97
Rifollamento lato piastra: Fb,Ed,p=0.31 Fb,Rd,p=7493.21
Tirafondi:LT=0.45 (0.31) σ_{cR}=0.00 σ_{fR}=0.00
Compressione nel calcestruzzo: σ_c=11.21
CC 14 SLD (Collegamento 0023_-380)
Azioni sul collegamento: N=-5422.73 Ty=0.63 Tz=-1.87 Mx=0.00 Mz=1.48
Sollecitazioni agenti localmente: Tx_l=0.63 Ty_l=-1.87 N_l=-5422.73 Mx_l=-0.00 My_l=1.48 Mz_l=0.00
Taglio nei bulloni: Fv,Ed=0.33 Fv,Rd=9650.97
Rifollamento lato piastra: Fb,Ed,p=0.33 Fb,Rd,p=8700.72
Tirafondi:LT=0.45 (0.31) σ_{cR}=0.00 σ_{fR}=0.00
Compressione nel calcestruzzo: σ_c=11.29
CC 14 SLD (Collegamento 0023_-380)
Azioni sul collegamento: N=-5422.73 Ty=-0.07 Tz=-3.44 Mx=0.00 Mz=0.11
Sollecitazioni agenti localmente: Tx_l=-0.07 Ty_l=-3.44 N_l=-5422.73 Mx_l=-0.00 My_l=0.11 Mz_l=0.00
Taglio nei bulloni: Fv,Ed=0.57 Fv,Rd=9650.97
Rifollamento lato piastra: Fb,Ed,p=0.57 Fb,Rd,p=7479.71
Tirafondi:LT=0.45 (0.31) σ_{cR}=0.00 σ_{fR}=0.00
Compressione nel calcestruzzo: σ_c=11.21
CC 14 SLD (Collegamento 0023_-380)
Azioni sul collegamento: N=-5422.73 Ty=0.63 Tz=-3.44 Mx=0.00 Mz=1.48
Sollecitazioni agenti localmente: Tx_l=0.63 Ty_l=-3.44 N_l=-5422.73 Mx_l=-0.00 My_l=1.48 Mz_l=0.00
Taglio nei bulloni: Fv,Ed=0.58 Fv,Rd=9650.97
Rifollamento lato piastra: Fb,Ed,p=0.58 Fb,Rd,p=7838.14
Tirafondi:LT=0.45 (0.31) σ_{cR}=0.00 σ_{fR}=0.00
Compressione nel calcestruzzo: σ_c=11.29
CC 14 SLD (Collegamento 0023_-380)
Azioni sul collegamento: N=-5844.10 Ty=-0.07 Tz=-1.87 Mx=0.00 Mz=0.11
Sollecitazioni agenti localmente: Tx_l=-0.07 Ty_l=-1.87 N_l=-5844.10 Mx_l=-0.00 My_l=0.11 Mz_l=0.00
Taglio nei bulloni: Fv,Ed=0.31 Fv,Rd=9650.97
Rifollamento lato piastra: Fb,Ed,p=0.31 Fb,Rd,p=7493.21
Tirafondi:LT=0.45 (0.31) σ_{cR}=0.00 σ_{fR}=0.00
Compressione nel calcestruzzo: σ_c=12.08
CC 14 SLD (Collegamento 0023_-380)
Azioni sul collegamento: N=-5844.10 Ty=0.63 Tz=-1.87 Mx=0.00 Mz=1.48
Sollecitazioni agenti localmente: Tx_l=0.63 Ty_l=-1.87 N_l=-5844.10 Mx_l=-0.00 My_l=1.48 Mz_l=0.00
Taglio nei bulloni: Fv,Ed=0.33 Fv,Rd=9650.97
Rifollamento lato piastra: Fb,Ed,p=0.33 Fb,Rd,p=8700.82
Tirafondi:LT=0.45 (0.31) σ_{cR}=0.00 σ_{fR}=0.00
Compressione nel calcestruzzo: σ_c=12.16
CC 14 SLD (Collegamento 0023_-380)
Azioni sul collegamento: N=-5844.10 Ty=-0.07 Tz=-3.44 Mx=0.00 Mz=0.11
Sollecitazioni agenti localmente: Tx_l=-0.07 Ty_l=-3.44 N_l=-5844.10 Mx_l=-0.00 My_l=0.11 Mz_l=0.00
Taglio nei bulloni: Fv,Ed=0.57 Fv,Rd=9650.97
Rifollamento lato piastra: Fb,Ed,p=0.57 Fb,Rd,p=7479.71
Tirafondi:LT=0.45 (0.31) σ_{cR}=0.00 σ_{fR}=0.00
Compressione nel calcestruzzo: σ_c=12.08
CC 14 SLD (Collegamento 0023_-380)
Azioni sul collegamento: N=-5844.10 Ty=0.63 Tz=-3.44 Mx=0.00 Mz=1.48
Sollecitazioni agenti localmente: Tx_l=0.63 Ty_l=-3.44 N_l=-5844.10 Mx_l=-0.00 My_l=1.48 Mz_l=0.00
Taglio nei bulloni: Fv,Ed=0.58 Fv,Rd=9650.97

Rifollamento lato piastra: Fb,Ed,p=0.58 Fb,Rd,p=7838.09
Tirafondi:LT=0.45 (0.31) σ_{cR}=0.00 σ_{fR}=0.00
Compressione nel calcestruzzo: σ_c=12.16
CC 15 SLV (Collegamento 0023_-380)
Azioni sul collegamento: N=-6324.24 Ty=-0.07 Tz=-5.22 Mx=0.00 Mz=0.59
Sollecitazioni agenti localmente: Tx_l=-0.07 Ty_l=-5.22 N_l=-6324.24 Mx_l=-0.00 My_l=0.59 Mz_l=0.00
Taglio nei bulloni: Fv,Ed=0.87 Fv,Rd=7720.78
Rifollamento lato piastra: Fb,Ed,p=0.87 Fb,Rd,p=5982.10
Tirafondi:LT=0.45 (0.31) σ_{cR}=0.00 σ_{fR}=0.00
Compressione nel calcestruzzo: σ_c=13.10
CC 15 SLV (Collegamento 0023_-380)
Azioni sul collegamento: N=-6324.24 Ty=2.24 Tz=-5.22 Mx=0.00 Mz=5.11
Sollecitazioni agenti localmente: Tx_l=2.24 Ty_l=-5.22 N_l=-6324.24 Mx_l=-0.00 My_l=5.11 Mz_l=0.00
Taglio nei bulloni: Fv,Ed=0.95 Fv,Rd=7720.78
Rifollamento lato piastra: Fb,Ed,p=0.95 Fb,Rd,p=7578.46
Tirafondi:LT=0.45 (0.31) σ_{cR}=0.00 σ_{fR}=0.00
Compressione nel calcestruzzo: σ_c=13.35
CC 15 SLV (Collegamento 0023_-380)
Azioni sul collegamento: N=-6324.24 Ty=-0.07 Tz=-0.09 Mx=0.00 Mz=0.59
Sollecitazioni agenti localmente: Tx_l=-0.07 Ty_l=-0.09 N_l=-6324.24 Mx_l=-0.00 My_l=0.59 Mz_l=0.00
Tirafondi:LT=0.45 (0.31) σ_{cR}=0.00 σ_{fR}=0.00
Compressione nel calcestruzzo: σ_c=13.10
CC 15 SLV (Collegamento 0023_-380)
Azioni sul collegamento: N=-6324.24 Ty=2.24 Tz=-0.09 Mx=0.00 Mz=5.11
Sollecitazioni agenti localmente: Tx_l=2.24 Ty_l=-0.09 N_l=-6324.24 Mx_l=-0.00 My_l=5.11 Mz_l=0.00
Taglio nei bulloni: Fv,Ed=0.38 Fv,Rd=7720.78
Rifollamento lato piastra: Fb,Ed,p=0.38 Fb,Rd,p=6004.58
Tirafondi:LT=0.45 (0.31) σ_{cR}=0.00 σ_{fR}=0.00
Compressione nel calcestruzzo: σ_c=13.35
CC 15 SLV (Collegamento 0023_-380)
Azioni sul collegamento: N=-4942.23 Ty=-0.07 Tz=-5.22 Mx=0.00 Mz=0.59
Sollecitazioni agenti localmente: Tx_l=-0.07 Ty_l=-5.22 N_l=-4942.23 Mx_l=-0.00 My_l=0.59 Mz_l=0.00
Taglio nei bulloni: Fv,Ed=0.87 Fv,Rd=7720.78
Rifollamento lato piastra: Fb,Ed,p=0.87 Fb,Rd,p=5982.10
Tirafondi:LT=0.45 (0.31) σ_{cR}=0.00 σ_{fR}=0.00
Compressione nel calcestruzzo: σ_c=10.24
CC 15 SLV (Collegamento 0023_-380)
Azioni sul collegamento: N=-4942.23 Ty=2.24 Tz=-5.22 Mx=0.00 Mz=5.11
Sollecitazioni agenti localmente: Tx_l=2.24 Ty_l=-5.22 N_l=-4942.23 Mx_l=-0.00 My_l=5.11 Mz_l=0.00
Taglio nei bulloni: Fv,Ed=0.95 Fv,Rd=7720.78
Rifollamento lato piastra: Fb,Ed,p=0.95 Fb,Rd,p=7578.39
Tirafondi:LT=0.45 (0.31) σ_{cR}=0.00 σ_{fR}=0.00
Compressione nel calcestruzzo: σ_c=10.50
CC 15 SLV (Collegamento 0023_-380)
Azioni sul collegamento: N=-4942.23 Ty=-0.07 Tz=-0.09 Mx=0.00 Mz=0.59
Sollecitazioni agenti localmente: Tx_l=-0.07 Ty_l=-0.09 N_l=-4942.23 Mx_l=-0.00 My_l=0.59 Mz_l=0.00
Tirafondi:LT=0.45 (0.31) σ_{cR}=0.00 σ_{fR}=0.00
Compressione nel calcestruzzo: σ_c=10.24
CC 15 SLV (Collegamento 0023_-380)
Azioni sul collegamento: N=-4942.23 Ty=2.24 Tz=-0.09 Mx=0.00 Mz=5.11
Sollecitazioni agenti localmente: Tx_l=2.24 Ty_l=-0.09 N_l=-4942.23 Mx_l=-0.00 My_l=5.11 Mz_l=0.00
Taglio nei bulloni: Fv,Ed=0.38 Fv,Rd=7720.78
Rifollamento lato piastra: Fb,Ed,p=0.38 Fb,Rd,p=6004.62
Tirafondi:LT=0.45 (0.31) σ_{cR}=0.00 σ_{fR}=0.00
Compressione nel calcestruzzo: σ_c=10.50
CC 16 SLD (Collegamento 0023_-380)
Azioni sul collegamento: N=-5844.12 Ty=-0.07 Tz=-3.44 Mx=0.00 Mz=0.11
Sollecitazioni agenti localmente: Tx_l=-0.07 Ty_l=-3.44 N_l=-5844.12 Mx_l=-0.00 My_l=0.11 Mz_l=0.00
Taglio nei bulloni: Fv,Ed=0.57 Fv,Rd=9650.97
Rifollamento lato piastra: Fb,Ed,p=0.57 Fb,Rd,p=7479.87
Tirafondi:LT=0.45 (0.31) σ_{cR}=0.00 σ_{fR}=0.00
Compressione nel calcestruzzo: σ_c=12.08
CC 16 SLD (Collegamento 0023_-380)
Azioni sul collegamento: N=-5844.12 Ty=0.63 Tz=-3.44 Mx=0.00 Mz=1.49
Sollecitazioni agenti localmente: Tx_l=0.63 Ty_l=-3.44 N_l=-5844.12 Mx_l=-0.00 My_l=1.49 Mz_l=0.00
Taglio nei bulloni: Fv,Ed=0.58 Fv,Rd=9650.97
Rifollamento lato piastra: Fb,Ed,p=0.58 Fb,Rd,p=7839.64
Tirafondi:LT=0.45 (0.31) σ_{cR}=0.00 σ_{fR}=0.00
Compressione nel calcestruzzo: σ_c=12.16
CC 16 SLD (Collegamento 0023_-380)
Azioni sul collegamento: N=-5844.12 Ty=-0.07 Tz=-1.87 Mx=0.00 Mz=0.11
Sollecitazioni agenti localmente: Tx_l=-0.07 Ty_l=-1.87 N_l=-5844.12 Mx_l=-0.00 My_l=0.11 Mz_l=0.00
Taglio nei bulloni: Fv,Ed=0.31 Fv,Rd=9650.97
Rifollamento lato piastra: Fb,Ed,p=0.31 Fb,Rd,p=7493.79
Tirafondi:LT=0.45 (0.31) σ_{cR}=0.00 σ_{fR}=0.00
Compressione nel calcestruzzo: σ_c=12.08
CC 16 SLD (Collegamento 0023_-380)
Azioni sul collegamento: N=-5844.12 Ty=0.63 Tz=-1.87 Mx=0.00 Mz=1.49
Sollecitazioni agenti localmente: Tx_l=0.63 Ty_l=-1.87 N_l=-5844.12 Mx_l=-0.00 My_l=1.49 Mz_l=0.00
Taglio nei bulloni: Fv,Ed=0.33 Fv,Rd=9650.97

Rifollamento lato piastra: Fb,Ed,p=0.33 Fb,Rd,p=8707.29
Tirafondi:LT=0.45 (0.31) σ_{cR}=0.00 σ_{fR}=0.00
Compressione nel calcestruzzo: σ_c=12.16
CC 16 SLD (Collegamento 0023_-380)
Azioni sul collegamento: N=-5422.71 Ty=-0.07 Tz=-3.44 Mx=0.00 Mz=0.11
Sollecitazioni agenti localmente: Tx_l=-0.07 Ty_l=-3.44 N_l=-5422.71 Mx_l=-0.00 My_l=0.11 Mz_l=0.00
Taglio nei bulloni: Fv,Ed=0.57 Fv,Rd=9650.97
Rifollamento lato piastra: Fb,Ed,p=0.57 Fb,Rd,p=7479.87
Tirafondi:LT=0.45 (0.31) σ_{cR}=0.00 σ_{fR}=0.00
Compressione nel calcestruzzo: σ_c=11.21
CC 16 SLD (Collegamento 0023_-380)
Azioni sul collegamento: N=-5422.71 Ty=0.63 Tz=-3.44 Mx=0.00 Mz=1.49
Sollecitazioni agenti localmente: Tx_l=0.63 Ty_l=-3.44 N_l=-5422.71 Mx_l=-0.00 My_l=1.49 Mz_l=0.00
Taglio nei bulloni: Fv,Ed=0.58 Fv,Rd=9650.97
Rifollamento lato piastra: Fb,Ed,p=0.58 Fb,Rd,p=7839.62
Tirafondi:LT=0.45 (0.31) σ_{cR}=0.00 σ_{fR}=0.00
Compressione nel calcestruzzo: σ_c=11.29
CC 16 SLD (Collegamento 0023_-380)
Azioni sul collegamento: N=-5422.71 Ty=-0.07 Tz=-1.87 Mx=0.00 Mz=0.11
Sollecitazioni agenti localmente: Tx_l=-0.07 Ty_l=-1.87 N_l=-5422.71 Mx_l=-0.00 My_l=0.11 Mz_l=0.00
Taglio nei bulloni: Fv,Ed=0.31 Fv,Rd=9650.97
Rifollamento lato piastra: Fb,Ed,p=0.31 Fb,Rd,p=7493.80
Tirafondi:LT=0.45 (0.31) σ_{cR}=0.00 σ_{fR}=0.00
Compressione nel calcestruzzo: σ_c=11.21
CC 16 SLD (Collegamento 0023_-380)
Azioni sul collegamento: N=-5422.71 Ty=0.63 Tz=-1.87 Mx=0.00 Mz=1.49
Sollecitazioni agenti localmente: Tx_l=0.63 Ty_l=-1.87 N_l=-5422.71 Mx_l=-0.00 My_l=1.49 Mz_l=0.00
Taglio nei bulloni: Fv,Ed=0.33 Fv,Rd=9650.97
Rifollamento lato piastra: Fb,Ed,p=0.33 Fb,Rd,p=8707.33
Tirafondi:LT=0.45 (0.31) σ_{cR}=0.00 σ_{fR}=0.00
Compressione nel calcestruzzo: σ_c=11.29
CC 17 SLV (Collegamento 0023_-380)
Azioni sul collegamento: N=-3330.52 Ty=-0.88 Tz=5.89 Mx=-0.02 Mz=-2.36
Sollecitazioni agenti localmente: Tx_l=-0.88 Ty_l=5.89 N_l=-3330.52 Mx_l=-0.00 My_l=-2.36 Mz_l=-0.02
Taglio nei bulloni: Fv,Ed=1.01 Fv,Rd=7720.78
Rifollamento lato piastra: Fb,Ed,p=1.01 Fb,Rd,p=6223.33
Tirafondi:LT=0.45 (0.31) σ_{cR}=0.00 σ_{fR}=0.00
Compressione nel calcestruzzo: σ_c=7.01
CC 17 SLV (Collegamento 0023_-380)
Azioni sul collegamento: N=-3330.52 Ty=-1.59 Tz=5.89 Mx=-0.02 Mz=-3.75
Sollecitazioni agenti localmente: Tx_l=-1.59 Ty_l=5.89 N_l=-3330.52 Mx_l=-0.00 My_l=-3.75 Mz_l=-0.02
Taglio nei bulloni: Fv,Ed=1.04 Fv,Rd=7720.78
Rifollamento lato piastra: Fb,Ed,p=1.04 Fb,Rd,p=6695.52
Tirafondi:LT=0.45 (0.31) σ_{cR}=0.00 σ_{fR}=0.00
Compressione nel calcestruzzo: σ_c=7.09
CC 17 SLV (Collegamento 0023_-380)
Azioni sul collegamento: N=-3330.52 Ty=-0.88 Tz=-11.19 Mx=-0.02 Mz=-2.36
Sollecitazioni agenti localmente: Tx_l=-0.88 Ty_l=-11.19 N_l=-3330.52 Mx_l=-0.00 My_l=-2.36 Mz_l=-0.02
Taglio nei bulloni: Fv,Ed=1.89 Fv,Rd=7720.78
Rifollamento lato piastra: Fb,Ed,p=1.89 Fb,Rd,p=6020.90
Tirafondi:LT=0.45 (0.31) σ_{cR}=0.00 σ_{fR}=0.00
Compressione nel calcestruzzo: σ_c=7.01
CC 17 SLV (Collegamento 0023_-380)
Azioni sul collegamento: N=-3330.52 Ty=-1.59 Tz=-11.19 Mx=-0.02 Mz=-3.75
Sollecitazioni agenti localmente: Tx_l=-1.59 Ty_l=-11.19 N_l=-3330.52 Mx_l=-0.00 My_l=-3.75 Mz_l=-0.02
Taglio nei bulloni: Fv,Ed=1.90 Fv,Rd=7720.78
Rifollamento lato piastra: Fb,Ed,p=1.90 Fb,Rd,p=6131.50
Tirafondi:LT=0.45 (0.31) σ_{cR}=0.00 σ_{fR}=0.00
Compressione nel calcestruzzo: σ_c=7.09
CC 17 SLV (Collegamento 0023_-380)
Azioni sul collegamento: N=-7936.99 Ty=-0.88 Tz=5.89 Mx=-0.02 Mz=-2.36
Sollecitazioni agenti localmente: Tx_l=-0.88 Ty_l=5.89 N_l=-7936.99 Mx_l=-0.00 My_l=-2.36 Mz_l=-0.02
Taglio nei bulloni: Fv,Ed=1.01 Fv,Rd=7720.78
Rifollamento lato piastra: Fb,Ed,p=1.01 Fb,Rd,p=6223.32
Tirafondi:LT=0.45 (0.31) σ_{cR}=0.00 σ_{fR}=0.00
Compressione nel calcestruzzo: σ_c=16.53
CC 17 SLV (Collegamento 0023_-380)
Azioni sul collegamento: N=-7936.99 Ty=-1.59 Tz=5.89 Mx=-0.02 Mz=-3.75
Sollecitazioni agenti localmente: Tx_l=-1.59 Ty_l=5.89 N_l=-7936.99 Mx_l=-0.00 My_l=-3.75 Mz_l=-0.02
Taglio nei bulloni: Fv,Ed=1.04 Fv,Rd=7720.78
Rifollamento lato piastra: Fb,Ed,p=1.04 Fb,Rd,p=6695.50
Tirafondi:LT=0.45 (0.31) σ_{cR}=0.00 σ_{fR}=0.00
Compressione nel calcestruzzo: σ_c=16.61
CC 17 SLV (Collegamento 0023_-380)
Azioni sul collegamento: N=-7936.99 Ty=-0.88 Tz=-11.19 Mx=-0.02 Mz=-2.36
Sollecitazioni agenti localmente: Tx_l=-0.88 Ty_l=-11.19 N_l=-7936.99 Mx_l=-0.00 My_l=-2.36 Mz_l=-0.02
Taglio nei bulloni: Fv,Ed=1.89 Fv,Rd=7720.78
Rifollamento lato piastra: Fb,Ed,p=1.89 Fb,Rd,p=6020.90
Tirafondi:LT=0.45 (0.31) σ_{cR}=0.00 σ_{fR}=0.00
Compressione nel calcestruzzo: σ_c=16.53

CC 17 SLV (Collegamento 0023_-380)
Azioni sul collegamento: N=-7936.99 Ty=-1.59 Tz=-11.19 Mx=-0.02 Mz=-3.75
Sollecitazioni agenti localmente: Tx_l=-1.59 Ty_l=-11.19 N_l=-7936.99 Mx_l=-0.00 My_l=-3.75 Mz_l=-0.02
Taglio nei bulloni: Fv,Ed=1.90 Fv,Rd=7720.78
Rifollamento lato piastra: Fb,Ed,p=1.90 Fb,Rd,p=6131.50
Tirafondi:LT=0.45 (0.31) σ_{cR}=0.00 σ_{fR}=0.00
Compressione nel calcestruzzo: σ_c=16.61
CC 18 SLD (Collegamento 0023_-380)
Azioni sul collegamento: N=-4931.25 Ty=-0.32 Tz=-0.05 Mx=-0.01 Mz=-0.79
Sollecitazioni agenti localmente: Tx_l=-0.32 Ty_l=-0.05 N_l=-4931.25 Mx_l=-0.00 My_l=-0.79 Mz_l=-0.01
Tirafondi:LT=0.45 (0.31) σ_{cR}=0.00 σ_{fR}=0.00
Compressione nel calcestruzzo: σ_c=10.23
CC 18 SLD (Collegamento 0023_-380)
Azioni sul collegamento: N=-4931.25 Ty=-0.54 Tz=-0.05 Mx=-0.01 Mz=-1.22
Sollecitazioni agenti localmente: Tx_l=-0.54 Ty_l=-0.05 N_l=-4931.25 Mx_l=-0.00 My_l=-1.22 Mz_l=-0.01
Rifollamento lato piastra: Fb,Ed,p=0.10 Fb,Rd,p=7714.45
Tirafondi:LT=0.45 (0.31) σ_{cR}=0.00 σ_{fR}=0.00
Compressione nel calcestruzzo: σ_c=10.26
CC 18 SLD (Collegamento 0023_-380)
Azioni sul collegamento: N=-4931.25 Ty=-0.32 Tz=-5.26 Mx=-0.01 Mz=-0.79
Sollecitazioni agenti localmente: Tx_l=-0.32 Ty_l=-5.26 N_l=-4931.25 Mx_l=-0.00 My_l=-0.79 Mz_l=-0.01
Taglio nei bulloni: Fv,Ed=0.88 Fv,Rd=9650.97
Rifollamento lato piastra: Fb,Ed,p=0.88 Fb,Rd,p=7506.52
Tirafondi:LT=0.45 (0.31) σ_{cR}=0.00 σ_{fR}=0.00
Compressione nel calcestruzzo: σ_c=10.23
CC 18 SLD (Collegamento 0023_-380)
Azioni sul collegamento: N=-4931.25 Ty=-0.54 Tz=-5.26 Mx=-0.01 Mz=-1.22
Sollecitazioni agenti localmente: Tx_l=-0.54 Ty_l=-5.26 N_l=-4931.25 Mx_l=-0.00 My_l=-1.22 Mz_l=-0.01
Taglio nei bulloni: Fv,Ed=0.89 Fv,Rd=9650.97
Rifollamento lato piastra: Fb,Ed,p=0.89 Fb,Rd,p=7573.69
Tirafondi:LT=0.45 (0.31) σ_{cR}=0.00 σ_{fR}=0.00
Compressione nel calcestruzzo: σ_c=10.26
CC 18 SLD (Collegamento 0023_-380)
Azioni sul collegamento: N=-6335.90 Ty=-0.32 Tz=-0.05 Mx=-0.01 Mz=-0.79
Sollecitazioni agenti localmente: Tx_l=-0.32 Ty_l=-0.05 N_l=-6335.90 Mx_l=-0.00 My_l=-0.79 Mz_l=-0.01
Tirafondi:LT=0.45 (0.31) σ_{cR}=0.00 σ_{fR}=0.00
Compressione nel calcestruzzo: σ_c=13.14
CC 18 SLD (Collegamento 0023_-380)
Azioni sul collegamento: N=-6335.90 Ty=-0.54 Tz=-0.05 Mx=-0.01 Mz=-1.22
Sollecitazioni agenti localmente: Tx_l=-0.54 Ty_l=-0.05 N_l=-6335.90 Mx_l=-0.00 My_l=-1.22 Mz_l=-0.01
Rifollamento lato piastra: Fb,Ed,p=0.10 Fb,Rd,p=7713.70
Tirafondi:LT=0.45 (0.31) σ_{cR}=0.00 σ_{fR}=0.00
Compressione nel calcestruzzo: σ_c=13.16
CC 18 SLD (Collegamento 0023_-380)
Azioni sul collegamento: N=-6335.90 Ty=-0.32 Tz=-5.26 Mx=-0.01 Mz=-0.79
Sollecitazioni agenti localmente: Tx_l=-0.32 Ty_l=-5.26 N_l=-6335.90 Mx_l=-0.00 My_l=-0.79 Mz_l=-0.01
Taglio nei bulloni: Fv,Ed=0.88 Fv,Rd=9650.97
Rifollamento lato piastra: Fb,Ed,p=0.88 Fb,Rd,p=7506.52
Tirafondi:LT=0.45 (0.31) σ_{cR}=0.00 σ_{fR}=0.00
Compressione nel calcestruzzo: σ_c=13.14
CC 18 SLD (Collegamento 0023_-380)
Azioni sul collegamento: N=-6335.90 Ty=-0.54 Tz=-5.26 Mx=-0.01 Mz=-1.22
Sollecitazioni agenti localmente: Tx_l=-0.54 Ty_l=-5.26 N_l=-6335.90 Mx_l=-0.00 My_l=-1.22 Mz_l=-0.01
Taglio nei bulloni: Fv,Ed=0.89 Fv,Rd=9650.97
Rifollamento lato piastra: Fb,Ed,p=0.89 Fb,Rd,p=7573.70
Tirafondi:LT=0.45 (0.31) σ_{cR}=0.00 σ_{fR}=0.00
Compressione nel calcestruzzo: σ_c=13.16
CC 19 SLV (Collegamento 0023_-380)
Azioni sul collegamento: N=-3330.55 Ty=-1.58 Tz=5.89 Mx=-0.01 Mz=-3.71
Sollecitazioni agenti localmente: Tx_l=-1.58 Ty_l=5.89 N_l=-3330.55 Mx_l=-0.00 My_l=-3.71 Mz_l=-0.01
Taglio nei bulloni: Fv,Ed=1.03 Fv,Rd=7720.78
Rifollamento lato piastra: Fb,Ed,p=1.03 Fb,Rd,p=6663.13
Tirafondi:LT=0.45 (0.31) σ_{cR}=0.00 σ_{fR}=0.00
Compressione nel calcestruzzo: σ_c=7.09
CC 19 SLV (Collegamento 0023_-380)
Azioni sul collegamento: N=-3330.55 Ty=-0.90 Tz=5.89 Mx=-0.01 Mz=-2.40
Sollecitazioni agenti localmente: Tx_l=-0.90 Ty_l=5.89 N_l=-3330.55 Mx_l=-0.00 My_l=-2.40 Mz_l=-0.01
Taglio nei bulloni: Fv,Ed=1.01 Fv,Rd=7720.78
Rifollamento lato piastra: Fb,Ed,p=1.01 Fb,Rd,p=6215.72
Tirafondi:LT=0.45 (0.31) σ_{cR}=0.00 σ_{fR}=0.00
Compressione nel calcestruzzo: σ_c=7.02
CC 19 SLV (Collegamento 0023_-380)
Azioni sul collegamento: N=-3330.55 Ty=-1.58 Tz=-11.19 Mx=-0.01 Mz=-3.71
Sollecitazioni agenti localmente: Tx_l=-1.58 Ty_l=-11.19 N_l=-3330.55 Mx_l=-0.00 My_l=-3.71 Mz_l=-0.01
Taglio nei bulloni: Fv,Ed=1.90 Fv,Rd=7720.78
Rifollamento lato piastra: Fb,Ed,p=1.89 Fb,Rd,p=6136.91
Tirafondi:LT=0.45 (0.31) σ_{cR}=0.00 σ_{fR}=0.00
Compressione nel calcestruzzo: σ_c=7.09
CC 19 SLV (Collegamento 0023_-380)
Azioni sul collegamento: N=-3330.55 Ty=-0.90 Tz=-11.19 Mx=-0.01 Mz=-2.40

Sollecitazioni agenti localmente: Tx_l=-0.90 Ty_l=-11.19 N_l=-3330.55 Mx_l=-0.00 My_l=-2.40 Mz_l=-0.01
Taglio nei bulloni: Fv,Ed=1.88 Fv,Rd=7720.78
Rifollamento lato piastra: Fb,Ed,p=1.88 Fb,Rd,p=6026.58
Tirafondi:LT=0.45 (0.31) σ_{cR}=0.00 σ_{fR}=0.00
Compressione nel calcestruzzo: σ_c=7.02
CC 19 SLV (Collegamento 0023_-380)
Azioni sul collegamento: N=-7936.97 Ty=-1.58 Tz=5.89 Mx=-0.01 Mz=-3.71
Sollecitazioni agenti localmente: Tx_l=-1.58 Ty_l=5.89 N_l=-7936.97 Mx_l=-0.00 My_l=-3.71 Mz_l=-0.01
Taglio nei bulloni: Fv,Ed=1.03 Fv,Rd=7720.78
Rifollamento lato piastra: Fb,Ed,p=1.03 Fb,Rd,p=6663.07
Tirafondi:LT=0.45 (0.31) σ_{cR}=0.00 σ_{fR}=0.00
Compressione nel calcestruzzo: σ_c=16.61
CC 19 SLV (Collegamento 0023_-380)
Azioni sul collegamento: N=-7936.97 Ty=-0.90 Tz=5.89 Mx=-0.01 Mz=-2.40
Sollecitazioni agenti localmente: Tx_l=-0.90 Ty_l=5.89 N_l=-7936.97 Mx_l=-0.00 My_l=-2.40 Mz_l=-0.01
Taglio nei bulloni: Fv,Ed=1.01 Fv,Rd=7720.78
Rifollamento lato piastra: Fb,Ed,p=1.01 Fb,Rd,p=6215.70
Tirafondi:LT=0.45 (0.31) σ_{cR}=0.00 σ_{fR}=0.00
Compressione nel calcestruzzo: σ_c=16.53
CC 19 SLV (Collegamento 0023_-380)
Azioni sul collegamento: N=-7936.97 Ty=-1.58 Tz=-11.19 Mx=-0.01 Mz=-3.71
Sollecitazioni agenti localmente: Tx_l=-1.58 Ty_l=-11.19 N_l=-7936.97 Mx_l=-0.00 My_l=-3.71 Mz_l=-0.01
Taglio nei bulloni: Fv,Ed=1.90 Fv,Rd=7720.78
Rifollamento lato piastra: Fb,Ed,p=1.89 Fb,Rd,p=6136.91
Tirafondi:LT=0.45 (0.31) σ_{cR}=0.00 σ_{fR}=0.00
Compressione nel calcestruzzo: σ_c=16.61
CC 19 SLV (Collegamento 0023_-380)
Azioni sul collegamento: N=-7936.97 Ty=-0.90 Tz=-11.19 Mx=-0.01 Mz=-2.40
Sollecitazioni agenti localmente: Tx_l=-0.90 Ty_l=-11.19 N_l=-7936.97 Mx_l=-0.00 My_l=-2.40 Mz_l=-0.01
Taglio nei bulloni: Fv,Ed=1.88 Fv,Rd=7720.78
Rifollamento lato piastra: Fb,Ed,p=1.88 Fb,Rd,p=6026.58
Tirafondi:LT=0.45 (0.31) σ_{cR}=0.00 σ_{fR}=0.00
Compressione nel calcestruzzo: σ_c=16.53
CC 20 SLD (Collegamento 0023_-380)
Azioni sul collegamento: N=-4931.25 Ty=-0.53 Tz=-0.05 Mx=-0.00 Mz=-1.20
Sollecitazioni agenti localmente: Tx_l=-0.53 Ty_l=-0.05 N_l=-4931.25 Mx_l=-0.00 My_l=-1.20 Mz_l=-0.00
Rifollamento lato piastra: Fb,Ed,p=0.09 Fb,Rd,p=7668.37
Tirafondi:LT=0.45 (0.31) σ_{cR}=0.00 σ_{fR}=0.00
Compressione nel calcestruzzo: σ_c=10.26
CC 20 SLD (Collegamento 0023_-380)
Azioni sul collegamento: N=-4931.25 Ty=-0.33 Tz=-0.05 Mx=-0.00 Mz=-0.80
Sollecitazioni agenti localmente: Tx_l=-0.33 Ty_l=-0.05 N_l=-4931.25 Mx_l=-0.00 My_l=-0.80 Mz_l=-0.00
Tirafondi:LT=0.45 (0.31) σ_{cR}=0.00 σ_{fR}=0.00
Compressione nel calcestruzzo: σ_c=10.23
CC 20 SLD (Collegamento 0023_-380)
Azioni sul collegamento: N=-4931.25 Ty=-0.53 Tz=-5.26 Mx=-0.00 Mz=-1.20
Sollecitazioni agenti localmente: Tx_l=-0.53 Ty_l=-5.26 N_l=-4931.25 Mx_l=-0.00 My_l=-1.20 Mz_l=-0.00
Taglio nei bulloni: Fv,Ed=0.89 Fv,Rd=9650.97
Rifollamento lato piastra: Fb,Ed,p=0.88 Fb,Rd,p=7576.70
Tirafondi:LT=0.45 (0.31) σ_{cR}=0.00 σ_{fR}=0.00
Compressione nel calcestruzzo: σ_c=10.26
CC 20 SLD (Collegamento 0023_-380)
Azioni sul collegamento: N=-4931.25 Ty=-0.33 Tz=-5.26 Mx=-0.00 Mz=-0.80
Sollecitazioni agenti localmente: Tx_l=-0.33 Ty_l=-5.26 N_l=-4931.25 Mx_l=-0.00 My_l=-0.80 Mz_l=-0.00
Taglio nei bulloni: Fv,Ed=0.88 Fv,Rd=9650.97
Rifollamento lato piastra: Fb,Ed,p=0.88 Fb,Rd,p=7510.11
Tirafondi:LT=0.45 (0.31) σ_{cR}=0.00 σ_{fR}=0.00
Compressione nel calcestruzzo: σ_c=10.23
CC 20 SLD (Collegamento 0023_-380)
Azioni sul collegamento: N=-6335.90 Ty=-0.53 Tz=-0.05 Mx=-0.00 Mz=-1.20
Sollecitazioni agenti localmente: Tx_l=-0.53 Ty_l=-0.05 N_l=-6335.90 Mx_l=-0.00 My_l=-1.20 Mz_l=-0.00
Rifollamento lato piastra: Fb,Ed,p=0.09 Fb,Rd,p=7667.12
Tirafondi:LT=0.45 (0.31) σ_{cR}=0.00 σ_{fR}=0.00
Compressione nel calcestruzzo: σ_c=13.16
CC 20 SLD (Collegamento 0023_-380)
Azioni sul collegamento: N=-6335.90 Ty=-0.33 Tz=-0.05 Mx=-0.00 Mz=-0.80
Sollecitazioni agenti localmente: Tx_l=-0.33 Ty_l=-0.05 N_l=-6335.90 Mx_l=-0.00 My_l=-0.80 Mz_l=-0.00
Tirafondi:LT=0.45 (0.31) σ_{cR}=0.00 σ_{fR}=0.00
Compressione nel calcestruzzo: σ_c=13.14
CC 20 SLD (Collegamento 0023_-380)
Azioni sul collegamento: N=-6335.90 Ty=-0.53 Tz=-5.26 Mx=-0.00 Mz=-1.20
Sollecitazioni agenti localmente: Tx_l=-0.53 Ty_l=-5.26 N_l=-6335.90 Mx_l=-0.00 My_l=-1.20 Mz_l=-0.00
Taglio nei bulloni: Fv,Ed=0.89 Fv,Rd=9650.97
Rifollamento lato piastra: Fb,Ed,p=0.88 Fb,Rd,p=7576.70
Tirafondi:LT=0.45 (0.31) σ_{cR}=0.00 σ_{fR}=0.00
Compressione nel calcestruzzo: σ_c=13.16
CC 20 SLD (Collegamento 0023_-380)
Azioni sul collegamento: N=-6335.90 Ty=-0.33 Tz=-5.26 Mx=-0.00 Mz=-0.80
Sollecitazioni agenti localmente: Tx_l=-0.33 Ty_l=-5.26 N_l=-6335.90 Mx_l=-0.00 My_l=-0.80 Mz_l=-0.00
Taglio nei bulloni: Fv,Ed=0.88 Fv,Rd=9650.97

Rifollamento lato piastra: Fb,Ed,p=0.88 Fb,Rd,p=7510.11
Tirafondi:LT=0.45 (0.31) σ_{cR}=0.00 σ_{fR}=0.00
Compressione nel calcestruzzo: σ_c=13.14
CC 21 SLV (Collegamento 0023_-380)
Azioni sul collegamento: N=-7936.97 Ty=-0.90 Tz=-11.19 Mx=-0.02 Mz=-2.40
Sollecitazioni agenti localmente: Tx_l=-0.90 Ty_l=-11.19 N_l=-7936.97 Mx_l=-0.00 My_l=-2.40 Mz_l=-0.02
Taglio nei bulloni: Fv,Ed=1.89 Fv,Rd=7720.78
Rifollamento lato piastra: Fb,Ed,p=1.89 Fb,Rd,p=6022.53
Tirafondi:LT=0.45 (0.31) σ_{cR}=0.00 σ_{fR}=0.00
Compressione nel calcestruzzo: σ_c=16.53
CC 21 SLV (Collegamento 0023_-380)
Azioni sul collegamento: N=-7936.97 Ty=-1.58 Tz=-11.19 Mx=-0.02 Mz=-3.71
Sollecitazioni agenti localmente: Tx_l=-1.58 Ty_l=-11.19 N_l=-7936.97 Mx_l=-0.00 My_l=-3.71 Mz_l=-0.02
Taglio nei bulloni: Fv,Ed=1.90 Fv,Rd=7720.78
Rifollamento lato piastra: Fb,Ed,p=1.90 Fb,Rd,p=6129.03
Tirafondi:LT=0.45 (0.31) σ_{cR}=0.00 σ_{fR}=0.00
Compressione nel calcestruzzo: σ_c=16.61
CC 21 SLV (Collegamento 0023_-380)
Azioni sul collegamento: N=-7936.97 Ty=-0.90 Tz=5.89 Mx=-0.02 Mz=-2.40
Sollecitazioni agenti localmente: Tx_l=-0.90 Ty_l=5.89 N_l=-7936.97 Mx_l=-0.00 My_l=-2.40 Mz_l=-0.02
Taglio nei bulloni: Fv,Ed=1.01 Fv,Rd=7720.78
Rifollamento lato piastra: Fb,Ed,p=1.01 Fb,Rd,p=6229.51
Tirafondi:LT=0.45 (0.31) σ_{cR}=0.00 σ_{fR}=0.00
Compressione nel calcestruzzo: σ_c=16.53
CC 21 SLV (Collegamento 0023_-380)
Azioni sul collegamento: N=-7936.97 Ty=-1.58 Tz=5.89 Mx=-0.02 Mz=-3.71
Sollecitazioni agenti localmente: Tx_l=-1.58 Ty_l=5.89 N_l=-7936.97 Mx_l=-0.00 My_l=-3.71 Mz_l=-0.02
Taglio nei bulloni: Fv,Ed=1.04 Fv,Rd=7720.78
Rifollamento lato piastra: Fb,Ed,p=1.04 Fb,Rd,p=6683.33
Tirafondi:LT=0.45 (0.31) σ_{cR}=0.00 σ_{fR}=0.00
Compressione nel calcestruzzo: σ_c=16.61
CC 21 SLV (Collegamento 0023_-380)
Azioni sul collegamento: N=-3330.55 Ty=-0.90 Tz=-11.19 Mx=-0.02 Mz=-2.40
Sollecitazioni agenti localmente: Tx_l=-0.90 Ty_l=-11.19 N_l=-3330.55 Mx_l=-0.00 My_l=-2.40 Mz_l=-0.02
Taglio nei bulloni: Fv,Ed=1.89 Fv,Rd=7720.78
Rifollamento lato piastra: Fb,Ed,p=1.89 Fb,Rd,p=6022.53
Tirafondi:LT=0.45 (0.31) σ_{cR}=0.00 σ_{fR}=0.00
Compressione nel calcestruzzo: σ_c=7.02
CC 21 SLV (Collegamento 0023_-380)
Azioni sul collegamento: N=-3330.55 Ty=-1.58 Tz=-11.19 Mx=-0.02 Mz=-3.71
Sollecitazioni agenti localmente: Tx_l=-1.58 Ty_l=-11.19 N_l=-3330.55 Mx_l=-0.00 My_l=-3.71 Mz_l=-0.02
Taglio nei bulloni: Fv,Ed=1.90 Fv,Rd=7720.78
Rifollamento lato piastra: Fb,Ed,p=1.90 Fb,Rd,p=6129.03
Tirafondi:LT=0.45 (0.31) σ_{cR}=0.00 σ_{fR}=0.00
Compressione nel calcestruzzo: σ_c=7.09
CC 21 SLV (Collegamento 0023_-380)
Azioni sul collegamento: N=-3330.55 Ty=-0.90 Tz=5.89 Mx=-0.02 Mz=-2.40
Sollecitazioni agenti localmente: Tx_l=-0.90 Ty_l=5.89 N_l=-3330.55 Mx_l=-0.00 My_l=-2.40 Mz_l=-0.02
Taglio nei bulloni: Fv,Ed=1.01 Fv,Rd=7720.78
Rifollamento lato piastra: Fb,Ed,p=1.01 Fb,Rd,p=6229.53
Tirafondi:LT=0.45 (0.31) σ_{cR}=0.00 σ_{fR}=0.00
Compressione nel calcestruzzo: σ_c=7.02
CC 21 SLV (Collegamento 0023_-380)
Azioni sul collegamento: N=-3330.55 Ty=-1.58 Tz=5.89 Mx=-0.02 Mz=-3.71
Sollecitazioni agenti localmente: Tx_l=-1.58 Ty_l=5.89 N_l=-3330.55 Mx_l=-0.00 My_l=-3.71 Mz_l=-0.02
Taglio nei bulloni: Fv,Ed=1.04 Fv,Rd=7720.78
Rifollamento lato piastra: Fb,Ed,p=1.04 Fb,Rd,p=6683.39
Tirafondi:LT=0.45 (0.31) σ_{cR}=0.00 σ_{fR}=0.00
Compressione nel calcestruzzo: σ_c=7.09
CC 22 SLD (Collegamento 0023_-380)
Azioni sul collegamento: N=-6335.90 Ty=-0.33 Tz=-5.26 Mx=-0.01 Mz=-0.80
Sollecitazioni agenti localmente: Tx_l=-0.33 Ty_l=-5.26 N_l=-6335.90 Mx_l=-0.00 My_l=-0.80 Mz_l=-0.01
Taglio nei bulloni: Fv,Ed=0.88 Fv,Rd=9650.97
Rifollamento lato piastra: Fb,Ed,p=0.88 Fb,Rd,p=7507.57
Tirafondi:LT=0.45 (0.31) σ_{cR}=0.00 σ_{fR}=0.00
Compressione nel calcestruzzo: σ_c=13.14
CC 22 SLD (Collegamento 0023_-380)
Azioni sul collegamento: N=-6335.90 Ty=-0.53 Tz=-5.26 Mx=-0.01 Mz=-1.20
Sollecitazioni agenti localmente: Tx_l=-0.53 Ty_l=-5.26 N_l=-6335.90 Mx_l=-0.00 My_l=-1.20 Mz_l=-0.01
Taglio nei bulloni: Fv,Ed=0.89 Fv,Rd=9650.97
Rifollamento lato piastra: Fb,Ed,p=0.89 Fb,Rd,p=7572.22
Tirafondi:LT=0.45 (0.31) σ_{cR}=0.00 σ_{fR}=0.00
Compressione nel calcestruzzo: σ_c=13.16
CC 22 SLD (Collegamento 0023_-380)
Azioni sul collegamento: N=-6335.90 Ty=-0.33 Tz=-0.05 Mx=-0.01 Mz=-0.80
Sollecitazioni agenti localmente: Tx_l=-0.33 Ty_l=-0.05 N_l=-6335.90 Mx_l=-0.00 My_l=-0.80 Mz_l=-0.01
Tirafondi:LT=0.45 (0.31) σ_{cR}=0.00 σ_{fR}=0.00
Compressione nel calcestruzzo: σ_c=13.14
CC 22 SLD (Collegamento 0023_-380)
Azioni sul collegamento: N=-6335.90 Ty=-0.53 Tz=-0.05 Mx=-0.01 Mz=-1.20

Sollecitazioni agenti localmente: Tx_l=-0.53 Ty_l=-0.05 N_l=-6335.90 Mx_l=-0.00 My_l=-1.20 Mz_l=-0.01
Rifollamento lato piastra: Fb,Ed,p=0.10 Fb,Rd,p=7715.86
Tirafondi:LT=0.45 (0.31) σ_{cR}=0.00 σ_{fR}=0.00
Compressione nel calcestruzzo: σ_c=13.16
CC 22 SLD (Collegamento 0023_-380)
Azioni sul collegamento: N=-4931.25 Ty=-0.33 Tz=-5.26 Mx=-0.01 Mz=-0.80
Sollecitazioni agenti localmente: Tx_l=-0.33 Ty_l=-5.26 N_l=-4931.25 Mx_l=-0.00 My_l=-0.80 Mz_l=-0.01
Taglio nei bulloni: Fv,Ed=0.88 Fv,Rd=9650.97
Rifollamento lato piastra: Fb,Ed,p=0.88 Fb,Rd,p=7507.57
Tirafondi:LT=0.45 (0.31) σ_{cR}=0.00 σ_{fR}=0.00
Compressione nel calcestruzzo: σ_c=10.23
CC 22 SLD (Collegamento 0023_-380)
Azioni sul collegamento: N=-4931.25 Ty=-0.53 Tz=-5.26 Mx=-0.01 Mz=-1.20
Sollecitazioni agenti localmente: Tx_l=-0.53 Ty_l=-5.26 N_l=-4931.25 Mx_l=-0.00 My_l=-1.20 Mz_l=-0.01
Taglio nei bulloni: Fv,Ed=0.89 Fv,Rd=9650.97
Rifollamento lato piastra: Fb,Ed,p=0.89 Fb,Rd,p=7572.22
Tirafondi:LT=0.45 (0.31) σ_{cR}=0.00 σ_{fR}=0.00
Compressione nel calcestruzzo: σ_c=10.26
CC 22 SLD (Collegamento 0023_-380)
Azioni sul collegamento: N=-4931.25 Ty=-0.33 Tz=-0.05 Mx=-0.01 Mz=-0.80
Sollecitazioni agenti localmente: Tx_l=-0.33 Ty_l=-0.05 N_l=-4931.25 Mx_l=-0.00 My_l=-0.80 Mz_l=-0.01
Tirafondi:LT=0.45 (0.31) σ_{cR}=0.00 σ_{fR}=0.00
Compressione nel calcestruzzo: σ_c=10.23
CC 22 SLD (Collegamento 0023_-380)
Azioni sul collegamento: N=-4931.25 Ty=-0.53 Tz=-0.05 Mx=-0.01 Mz=-1.20
Sollecitazioni agenti localmente: Tx_l=-0.53 Ty_l=-0.05 N_l=-4931.25 Mx_l=-0.00 My_l=-1.20 Mz_l=-0.01
Rifollamento lato piastra: Fb,Ed,p=0.10 Fb,Rd,p=7717.25
Tirafondi:LT=0.45 (0.31) σ_{cR}=0.00 σ_{fR}=0.00
Compressione nel calcestruzzo: σ_c=10.26
CC 23 SLV (Collegamento 0023_-380)
Azioni sul collegamento: N=-7936.99 Ty=-1.59 Tz=-11.19 Mx=-0.01 Mz=-3.75
Sollecitazioni agenti localmente: Tx_l=-1.59 Ty_l=-11.19 N_l=-7936.99 Mx_l=-0.00 My_l=-3.75 Mz_l=-0.01
Taglio nei bulloni: Fv,Ed=1.90 Fv,Rd=7720.78
Rifollamento lato piastra: Fb,Ed,p=1.89 Fb,Rd,p=6140.07
Tirafondi:LT=0.45 (0.31) σ_{cR}=0.00 σ_{fR}=0.00
Compressione nel calcestruzzo: σ_c=16.61
CC 23 SLV (Collegamento 0023_-380)
Azioni sul collegamento: N=-7936.99 Ty=-0.88 Tz=-11.19 Mx=-0.01 Mz=-2.36
Sollecitazioni agenti localmente: Tx_l=-0.88 Ty_l=-11.19 N_l=-7936.99 Mx_l=-0.00 My_l=-2.36 Mz_l=-0.01
Taglio nei bulloni: Fv,Ed=1.88 Fv,Rd=7720.78
Rifollamento lato piastra: Fb,Ed,p=1.88 Fb,Rd,p=6025.19
Tirafondi:LT=0.45 (0.31) σ_{cR}=0.00 σ_{fR}=0.00
Compressione nel calcestruzzo: σ_c=16.53
CC 23 SLV (Collegamento 0023_-380)
Azioni sul collegamento: N=-7936.99 Ty=-1.59 Tz=5.89 Mx=-0.01 Mz=-3.75
Sollecitazioni agenti localmente: Tx_l=-1.59 Ty_l=5.89 N_l=-7936.99 Mx_l=-0.00 My_l=-3.75 Mz_l=-0.01
Taglio nei bulloni: Fv,Ed=1.03 Fv,Rd=7720.78
Rifollamento lato piastra: Fb,Ed,p=1.03 Fb,Rd,p=6673.54
Tirafondi:LT=0.45 (0.31) σ_{cR}=0.00 σ_{fR}=0.00
Compressione nel calcestruzzo: σ_c=16.61
CC 23 SLV (Collegamento 0023_-380)
Azioni sul collegamento: N=-7936.99 Ty=-0.88 Tz=5.89 Mx=-0.01 Mz=-2.36
Sollecitazioni agenti localmente: Tx_l=-0.88 Ty_l=5.89 N_l=-7936.99 Mx_l=-0.00 My_l=-2.36 Mz_l=-0.01
Taglio nei bulloni: Fv,Ed=1.01 Fv,Rd=7720.78
Rifollamento lato piastra: Fb,Ed,p=1.01 Fb,Rd,p=6208.60
Tirafondi:LT=0.45 (0.31) σ_{cR}=0.00 σ_{fR}=0.00
Compressione nel calcestruzzo: σ_c=16.53
CC 23 SLV (Collegamento 0023_-380)
Azioni sul collegamento: N=-3330.52 Ty=-1.59 Tz=-11.19 Mx=-0.01 Mz=-3.75
Sollecitazioni agenti localmente: Tx_l=-1.59 Ty_l=-11.19 N_l=-3330.52 Mx_l=-0.00 My_l=-3.75 Mz_l=-0.01
Taglio nei bulloni: Fv,Ed=1.90 Fv,Rd=7720.78
Rifollamento lato piastra: Fb,Ed,p=1.89 Fb,Rd,p=6140.08
Tirafondi:LT=0.45 (0.31) σ_{cR}=0.00 σ_{fR}=0.00
Compressione nel calcestruzzo: σ_c=7.09
CC 23 SLV (Collegamento 0023_-380)
Azioni sul collegamento: N=-3330.52 Ty=-0.88 Tz=-11.19 Mx=-0.01 Mz=-2.36
Sollecitazioni agenti localmente: Tx_l=-0.88 Ty_l=-11.19 N_l=-3330.52 Mx_l=-0.00 My_l=-2.36 Mz_l=-0.01
Taglio nei bulloni: Fv,Ed=1.88 Fv,Rd=7720.78
Rifollamento lato piastra: Fb,Ed,p=1.88 Fb,Rd,p=6025.19
Tirafondi:LT=0.45 (0.31) σ_{cR}=0.00 σ_{fR}=0.00
Compressione nel calcestruzzo: σ_c=7.01
CC 23 SLV (Collegamento 0023_-380)
Azioni sul collegamento: N=-3330.52 Ty=-1.59 Tz=5.89 Mx=-0.01 Mz=-3.75
Sollecitazioni agenti localmente: Tx_l=-1.59 Ty_l=5.89 N_l=-3330.52 Mx_l=-0.00 My_l=-3.75 Mz_l=-0.01
Taglio nei bulloni: Fv,Ed=1.03 Fv,Rd=7720.78
Rifollamento lato piastra: Fb,Ed,p=1.03 Fb,Rd,p=6673.56
Tirafondi:LT=0.45 (0.31) σ_{cR}=0.00 σ_{fR}=0.00
Compressione nel calcestruzzo: σ_c=7.09
CC 23 SLV (Collegamento 0023_-380)
Azioni sul collegamento: N=-3330.52 Ty=-0.88 Tz=5.89 Mx=-0.01 Mz=-2.36

Sollecitazioni agenti localmente: Tx_l=-0.88 Ty_l=5.89 N_l=-3330.52 Mx_l=-0.00 My_l=-2.36 Mz_l=-0.01
Taglio nei bulloni: Fv,Ed=1.01 Fv,Rd=7720.78
Rifollamento lato piastra: Fb,Ed,p=1.01 Fb,Rd,p=6208.60
Tirafondi:LT=0.45 (0.31) σ_{cR}=0.00 σ_{fR}=0.00
Compressione nel calcestruzzo: σ_c=7.01
CC 24 SLD (Collegamento 0023_-380)
Azioni sul collegamento: N=-6335.90 Ty=-0.54 Tz=-5.26 Mx=-0.00 Mz=-1.22
Sollecitazioni agenti localmente: Tx_l=-0.54 Ty_l=-5.26 N_l=-6335.90 Mx_l=-0.00 My_l=-1.22 Mz_l=-0.00
Taglio nei bulloni: Fv,Ed=0.89 Fv,Rd=9650.97
Rifollamento lato piastra: Fb,Ed,p=0.88 Fb,Rd,p=7578.57
Tirafondi:LT=0.45 (0.31) σ_{cR}=0.00 σ_{fR}=0.00
Compressione nel calcestruzzo: σ_c=13.16
CC 24 SLD (Collegamento 0023_-380)
Azioni sul collegamento: N=-6335.90 Ty=-0.32 Tz=-5.26 Mx=-0.00 Mz=-0.79
Sollecitazioni agenti localmente: Tx_l=-0.32 Ty_l=-5.26 N_l=-6335.90 Mx_l=-0.00 My_l=-0.79 Mz_l=-0.00
Taglio nei bulloni: Fv,Ed=0.88 Fv,Rd=9650.97
Rifollamento lato piastra: Fb,Ed,p=0.88 Fb,Rd,p=7509.22
Tirafondi:LT=0.45 (0.31) σ_{cR}=0.00 σ_{fR}=0.00
Compressione nel calcestruzzo: σ_c=13.14
CC 24 SLD (Collegamento 0023_-380)
Azioni sul collegamento: N=-6335.90 Ty=-0.54 Tz=-0.05 Mx=-0.00 Mz=-1.22
Sollecitazioni agenti localmente: Tx_l=-0.54 Ty_l=-0.05 N_l=-6335.90 Mx_l=-0.00 My_l=-1.22 Mz_l=-0.00
Rifollamento lato piastra: Fb,Ed,p=0.09 Fb,Rd,p=7661.87
Tirafondi:LT=0.45 (0.31) σ_{cR}=0.00 σ_{fR}=0.00
Compressione nel calcestruzzo: σ_c=13.16
CC 24 SLD (Collegamento 0023_-380)
Azioni sul collegamento: N=-6335.90 Ty=-0.32 Tz=-0.05 Mx=-0.00 Mz=-0.79
Sollecitazioni agenti localmente: Tx_l=-0.32 Ty_l=-0.05 N_l=-6335.90 Mx_l=-0.00 My_l=-0.79 Mz_l=-0.00
Tirafondi:LT=0.45 (0.31) σ_{cR}=0.00 σ_{fR}=0.00
Compressione nel calcestruzzo: σ_c=13.14
CC 24 SLD (Collegamento 0023_-380)
Azioni sul collegamento: N=-4931.25 Ty=-0.54 Tz=-5.26 Mx=-0.00 Mz=-1.22
Sollecitazioni agenti localmente: Tx_l=-0.54 Ty_l=-5.26 N_l=-4931.25 Mx_l=-0.00 My_l=-1.22 Mz_l=-0.00
Taglio nei bulloni: Fv,Ed=0.89 Fv,Rd=9650.97
Rifollamento lato piastra: Fb,Ed,p=0.88 Fb,Rd,p=7578.57
Tirafondi:LT=0.45 (0.31) σ_{cR}=0.00 σ_{fR}=0.00
Compressione nel calcestruzzo: σ_c=10.26
CC 24 SLD (Collegamento 0023_-380)
Azioni sul collegamento: N=-4931.25 Ty=-0.32 Tz=-5.26 Mx=-0.00 Mz=-0.79
Sollecitazioni agenti localmente: Tx_l=-0.32 Ty_l=-5.26 N_l=-4931.25 Mx_l=-0.00 My_l=-0.79 Mz_l=-0.00
Taglio nei bulloni: Fv,Ed=0.88 Fv,Rd=9650.97
Rifollamento lato piastra: Fb,Ed,p=0.88 Fb,Rd,p=7509.22
Tirafondi:LT=0.45 (0.31) σ_{cR}=0.00 σ_{fR}=0.00
Compressione nel calcestruzzo: σ_c=10.23
CC 24 SLD (Collegamento 0023_-380)
Azioni sul collegamento: N=-4931.25 Ty=-0.54 Tz=-0.05 Mx=-0.00 Mz=-1.22
Sollecitazioni agenti localmente: Tx_l=-0.54 Ty_l=-0.05 N_l=-4931.25 Mx_l=-0.00 My_l=-1.22 Mz_l=-0.00
Rifollamento lato piastra: Fb,Ed,p=0.09 Fb,Rd,p=7662.55
Tirafondi:LT=0.45 (0.31) σ_{cR}=0.00 σ_{fR}=0.00
Compressione nel calcestruzzo: σ_c=10.26
CC 24 SLD (Collegamento 0023_-380)
Azioni sul collegamento: N=-4931.25 Ty=-0.32 Tz=-0.05 Mx=-0.00 Mz=-0.79
Sollecitazioni agenti localmente: Tx_l=-0.32 Ty_l=-0.05 N_l=-4931.25 Mx_l=-0.00 My_l=-0.79 Mz_l=-0.00
Tirafondi:LT=0.45 (0.31) σ_{cR}=0.00 σ_{fR}=0.00
Compressione nel calcestruzzo: σ_c=10.23
CC 25 SLV (Collegamento 0023_-380)
Azioni sul collegamento: N=-4942.75 Ty=-0.08 Tz=-0.09 Mx=-0.02 Mz=-0.80
Sollecitazioni agenti localmente: Tx_l=-0.08 Ty_l=-0.09 N_l=-4942.75 Mx_l=-0.00 My_l=-0.80 Mz_l=-0.02
Tirafondi:LT=0.45 (0.31) σ_{cR}=0.00 σ_{fR}=0.00
Compressione nel calcestruzzo: σ_c=10.26
CC 25 SLV (Collegamento 0023_-380)
Azioni sul collegamento: N=-4942.75 Ty=-2.39 Tz=-0.09 Mx=-0.02 Mz=-5.32
Sollecitazioni agenti localmente: Tx_l=-2.39 Ty_l=-0.09 N_l=-4942.75 Mx_l=-0.00 My_l=-5.32 Mz_l=-0.02
Taglio nei bulloni: Fv,Ed=0.43 Fv,Rd=7720.78
Rifollamento lato piastra: Fb,Ed,p=0.43 Fb,Rd,p=6058.15
Tirafondi:LT=0.45 (0.31) σ_{cR}=0.00 σ_{fR}=0.00
Compressione nel calcestruzzo: σ_c=10.51
CC 25 SLV (Collegamento 0023_-380)
Azioni sul collegamento: N=-4942.75 Ty=-0.08 Tz=-5.22 Mx=-0.02 Mz=-0.80
Sollecitazioni agenti localmente: Tx_l=-0.08 Ty_l=-5.22 N_l=-4942.75 Mx_l=-0.00 My_l=-0.80 Mz_l=-0.02
Taglio nei bulloni: Fv,Ed=0.90 Fv,Rd=7720.78
Rifollamento lato piastra: Fb,Ed,p=0.89 Fb,Rd,p=5980.55
Tirafondi:LT=0.45 (0.31) σ_{cR}=0.00 σ_{fR}=0.00
Compressione nel calcestruzzo: σ_c=10.26
CC 25 SLV (Collegamento 0023_-380)
Azioni sul collegamento: N=-4942.75 Ty=-2.39 Tz=-5.22 Mx=-0.02 Mz=-5.32
Sollecitazioni agenti localmente: Tx_l=-2.39 Ty_l=-5.22 N_l=-4942.75 Mx_l=-0.00 My_l=-5.32 Mz_l=-0.02
Taglio nei bulloni: Fv,Ed=0.99 Fv,Rd=7720.78
Rifollamento lato piastra: Fb,Ed,p=0.97 Fb,Rd,p=7548.00
Tirafondi:LT=0.45 (0.31) σ_{cR}=0.00 σ_{fR}=0.00

Compressione nel calcestruzzo: σ_c=10.51
CC 25 SLV (Collegamento 0023_-380)
Azioni sul collegamento: N=-6324.76 Ty=-0.08 Tz=-0.09 Mx=-0.02 Mz=-0.80
Sollecitazioni agenti localmente: Tx_l=-0.08 Ty_l=-0.09 N_l=-6324.76 Mx_l=-0.00 My_l=-0.80 Mz_l=-0.02
Tirafondi:LT=0.45 (0.31) σ_{cR}=0.00 σ_{fR}=0.00
Compressione nel calcestruzzo: σ_c=13.11
CC 25 SLV (Collegamento 0023_-380)
Azioni sul collegamento: N=-6324.76 Ty=-2.39 Tz=-0.09 Mx=-0.02 Mz=-5.32
Sollecitazioni agenti localmente: Tx_l=-2.39 Ty_l=-0.09 N_l=-6324.76 Mx_l=-0.00 My_l=-5.32 Mz_l=-0.02
Taglio nei bulloni: Fv,Ed=0.43 Fv,Rd=7720.78
Rifollamento lato piastra: Fb,Ed,p=0.43 Fb,Rd,p=6058.00
Tirafondi:LT=0.45 (0.31) σ_{cR}=0.00 σ_{fR}=0.00
Compressione nel calcestruzzo: σ_c=13.37
CC 25 SLV (Collegamento 0023_-380)
Azioni sul collegamento: N=-6324.76 Ty=-0.08 Tz=-5.22 Mx=-0.02 Mz=-0.80
Sollecitazioni agenti localmente: Tx_l=-0.08 Ty_l=-5.22 N_l=-6324.76 Mx_l=-0.00 My_l=-0.80 Mz_l=-0.02
Taglio nei bulloni: Fv,Ed=0.90 Fv,Rd=7720.78
Rifollamento lato piastra: Fb,Ed,p=0.89 Fb,Rd,p=5980.55
Tirafondi:LT=0.45 (0.31) σ_{cR}=0.00 σ_{fR}=0.00
Compressione nel calcestruzzo: σ_c=13.11
CC 25 SLV (Collegamento 0023_-380)
Azioni sul collegamento: N=-6324.76 Ty=-2.39 Tz=-5.22 Mx=-0.02 Mz=-5.32
Sollecitazioni agenti localmente: Tx_l=-2.39 Ty_l=-5.22 N_l=-6324.76 Mx_l=-0.00 My_l=-5.32 Mz_l=-0.02
Taglio nei bulloni: Fv,Ed=0.99 Fv,Rd=7720.78
Rifollamento lato piastra: Fb,Ed,p=0.97 Fb,Rd,p=7548.16
Tirafondi:LT=0.45 (0.31) σ_{cR}=0.00 σ_{fR}=0.00
Compressione nel calcestruzzo: σ_c=13.37
CC 26 SLD (Collegamento 0023_-380)
Azioni sul collegamento: N=-5422.87 Ty=-0.08 Tz=-1.87 Mx=-0.01 Mz=-0.31
Sollecitazioni agenti localmente: Tx_l=-0.08 Ty_l=-1.87 N_l=-5422.87 Mx_l=-0.00 My_l=-0.31 Mz_l=-0.01
Taglio nei bulloni: Fv,Ed=0.32 Fv,Rd=9650.97
Rifollamento lato piastra: Fb,Ed,p=0.32 Fb,Rd,p=7476.66
Tirafondi:LT=0.45 (0.31) σ_{cR}=0.00 σ_{fR}=0.00
Compressione nel calcestruzzo: σ_c=11.22
CC 26 SLD (Collegamento 0023_-380)
Azioni sul collegamento: N=-5422.87 Ty=-0.78 Tz=-1.87 Mx=-0.01 Mz=-1.69
Sollecitazioni agenti localmente: Tx_l=-0.78 Ty_l=-1.87 N_l=-5422.87 Mx_l=-0.00 My_l=-1.69 Mz_l=-0.01
Taglio nei bulloni: Fv,Ed=0.35 Fv,Rd=9650.97
Rifollamento lato piastra: Fb,Ed,p=0.34 Fb,Rd,p=9114.93
Tirafondi:LT=0.45 (0.31) σ_{cR}=0.00 σ_{fR}=0.00
Compressione nel calcestruzzo: σ_c=11.30
CC 26 SLD (Collegamento 0023_-380)
Azioni sul collegamento: N=-5422.87 Ty=-0.08 Tz=-3.44 Mx=-0.01 Mz=-0.31
Sollecitazioni agenti localmente: Tx_l=-0.08 Ty_l=-3.44 N_l=-5422.87 Mx_l=-0.00 My_l=-0.31 Mz_l=-0.01
Taglio nei bulloni: Fv,Ed=0.58 Fv,Rd=9650.97
Rifollamento lato piastra: Fb,Ed,p=0.58 Fb,Rd,p=7474.78
Tirafondi:LT=0.45 (0.31) σ_{cR}=0.00 σ_{fR}=0.00
Compressione nel calcestruzzo: σ_c=11.22
CC 26 SLD (Collegamento 0023_-380)
Azioni sul collegamento: N=-5422.87 Ty=-0.78 Tz=-3.44 Mx=-0.01 Mz=-1.69
Sollecitazioni agenti localmente: Tx_l=-0.78 Ty_l=-3.44 N_l=-5422.87 Mx_l=-0.00 My_l=-1.69 Mz_l=-0.01
Taglio nei bulloni: Fv,Ed=0.60 Fv,Rd=9650.97
Rifollamento lato piastra: Fb,Ed,p=0.59 Fb,Rd,p=7968.46
Tirafondi:LT=0.45 (0.31) σ_{cR}=0.00 σ_{fR}=0.00
Compressione nel calcestruzzo: σ_c=11.30
CC 26 SLD (Collegamento 0023_-380)
Azioni sul collegamento: N=-5844.28 Ty=-0.08 Tz=-1.87 Mx=-0.01 Mz=-0.31
Sollecitazioni agenti localmente: Tx_l=-0.08 Ty_l=-1.87 N_l=-5844.28 Mx_l=-0.00 My_l=-0.31 Mz_l=-0.01
Taglio nei bulloni: Fv,Ed=0.32 Fv,Rd=9650.97
Rifollamento lato piastra: Fb,Ed,p=0.32 Fb,Rd,p=7476.66
Tirafondi:LT=0.45 (0.31) σ_{cR}=0.00 σ_{fR}=0.00
Compressione nel calcestruzzo: σ_c=12.09
CC 26 SLD (Collegamento 0023_-380)
Azioni sul collegamento: N=-5844.28 Ty=-0.78 Tz=-1.87 Mx=-0.01 Mz=-1.69
Sollecitazioni agenti localmente: Tx_l=-0.78 Ty_l=-1.87 N_l=-5844.28 Mx_l=-0.00 My_l=-1.69 Mz_l=-0.01
Taglio nei bulloni: Fv,Ed=0.35 Fv,Rd=9650.97
Rifollamento lato piastra: Fb,Ed,p=0.34 Fb,Rd,p=9114.55
Tirafondi:LT=0.45 (0.31) σ_{cR}=0.00 σ_{fR}=0.00
Compressione nel calcestruzzo: σ_c=12.17
CC 26 SLD (Collegamento 0023_-380)
Azioni sul collegamento: N=-5844.28 Ty=-0.08 Tz=-3.44 Mx=-0.01 Mz=-0.31
Sollecitazioni agenti localmente: Tx_l=-0.08 Ty_l=-3.44 N_l=-5844.28 Mx_l=-0.00 My_l=-0.31 Mz_l=-0.01
Taglio nei bulloni: Fv,Ed=0.58 Fv,Rd=9650.97
Rifollamento lato piastra: Fb,Ed,p=0.58 Fb,Rd,p=7474.78
Tirafondi:LT=0.45 (0.31) σ_{cR}=0.00 σ_{fR}=0.00
Compressione nel calcestruzzo: σ_c=12.09
CC 26 SLD (Collegamento 0023_-380)
Azioni sul collegamento: N=-5844.28 Ty=-0.78 Tz=-3.44 Mx=-0.01 Mz=-1.69
Sollecitazioni agenti localmente: Tx_l=-0.78 Ty_l=-3.44 N_l=-5844.28 Mx_l=-0.00 My_l=-1.69 Mz_l=-0.01
Taglio nei bulloni: Fv,Ed=0.60 Fv,Rd=9650.97

Rifollamento lato piastra: Fb,Ed,p=0.59 Fb,Rd,p=7968.49
Tirafondi:LT=0.45 (0.31) σ_{cR}=0.00 σ_{fR}=0.00
Compressione nel calcestruzzo: σ_c=12.17
CC 27 SLV (Collegamento 0023_-380)
Azioni sul collegamento: N=-6324.69 Ty=-0.09 Tz=-5.21 Mx=-0.02 Mz=-0.81
Sollecitazioni agenti localmente: Tx_l=-0.09 Ty_l=-5.21 N_l=-6324.69 Mx_l=-0.00 My_l=-0.81 Mz_l=-0.02
Taglio nei bulloni: Fv,Ed=0.89 Fv,Rd=7720.78
Rifollamento lato piastra: Fb,Ed,p=0.89 Fb,Rd,p=5980.38
Tirafondi:LT=0.45 (0.31) σ_{cR}=0.00 σ_{fR}=0.00
Compressione nel calcestruzzo: σ_c=13.11
CC 27 SLV (Collegamento 0023_-380)
Azioni sul collegamento: N=-6324.69 Ty=-2.39 Tz=-5.21 Mx=-0.02 Mz=-5.31
Sollecitazioni agenti localmente: Tx_l=-2.39 Ty_l=-5.21 N_l=-6324.69 Mx_l=-0.00 My_l=-5.31 Mz_l=-0.02
Taglio nei bulloni: Fv,Ed=0.99 Fv,Rd=7720.78
Rifollamento lato piastra: Fb,Ed,p=0.97 Fb,Rd,p=7544.26
Tirafondi:LT=0.45 (0.31) σ_{cR}=0.00 σ_{fR}=0.00
Compressione nel calcestruzzo: σ_c=13.37
CC 27 SLV (Collegamento 0023_-380)
Azioni sul collegamento: N=-6324.69 Ty=-0.09 Tz=-0.09 Mx=-0.02 Mz=-0.81
Sollecitazioni agenti localmente: Tx_l=-0.09 Ty_l=-0.09 N_l=-6324.69 Mx_l=-0.00 My_l=-0.81 Mz_l=-0.02
Tirafondi:LT=0.45 (0.31) σ_{cR}=0.00 σ_{fR}=0.00
Compressione nel calcestruzzo: σ_c=13.11
CC 27 SLV (Collegamento 0023_-380)
Azioni sul collegamento: N=-6324.69 Ty=-2.39 Tz=-0.09 Mx=-0.02 Mz=-5.31
Sollecitazioni agenti localmente: Tx_l=-2.39 Ty_l=-0.09 N_l=-6324.69 Mx_l=-0.00 My_l=-5.31 Mz_l=-0.02
Taglio nei bulloni: Fv,Ed=0.42 Fv,Rd=7720.78
Rifollamento lato piastra: Fb,Ed,p=0.42 Fb,Rd,p=6059.10
Tirafondi:LT=0.45 (0.31) σ_{cR}=0.00 σ_{fR}=0.00
Compressione nel calcestruzzo: σ_c=13.37
CC 27 SLV (Collegamento 0023_-380)
Azioni sul collegamento: N=-4942.83 Ty=-0.09 Tz=-5.21 Mx=-0.02 Mz=-0.81
Sollecitazioni agenti localmente: Tx_l=-0.09 Ty_l=-5.21 N_l=-4942.83 Mx_l=-0.00 My_l=-0.81 Mz_l=-0.02
Taglio nei bulloni: Fv,Ed=0.89 Fv,Rd=7720.78
Rifollamento lato piastra: Fb,Ed,p=0.89 Fb,Rd,p=5980.38
Tirafondi:LT=0.45 (0.31) σ_{cR}=0.00 σ_{fR}=0.00
Compressione nel calcestruzzo: σ_c=10.26
CC 27 SLV (Collegamento 0023_-380)
Azioni sul collegamento: N=-4942.83 Ty=-2.39 Tz=-5.21 Mx=-0.02 Mz=-5.31
Sollecitazioni agenti localmente: Tx_l=-2.39 Ty_l=-5.21 N_l=-4942.83 Mx_l=-0.00 My_l=-5.31 Mz_l=-0.02
Taglio nei bulloni: Fv,Ed=0.99 Fv,Rd=7720.78
Rifollamento lato piastra: Fb,Ed,p=0.97 Fb,Rd,p=7544.12
Tirafondi:LT=0.45 (0.31) σ_{cR}=0.00 σ_{fR}=0.00
Compressione nel calcestruzzo: σ_c=10.51
CC 27 SLV (Collegamento 0023_-380)
Azioni sul collegamento: N=-4942.83 Ty=-0.09 Tz=-0.09 Mx=-0.02 Mz=-0.81
Sollecitazioni agenti localmente: Tx_l=-0.09 Ty_l=-0.09 N_l=-4942.83 Mx_l=-0.00 My_l=-0.81 Mz_l=-0.02
Tirafondi:LT=0.45 (0.31) σ_{cR}=0.00 σ_{fR}=0.00
Compressione nel calcestruzzo: σ_c=10.26
CC 27 SLV (Collegamento 0023_-380)
Azioni sul collegamento: N=-4942.83 Ty=-2.39 Tz=-0.09 Mx=-0.02 Mz=-5.31
Sollecitazioni agenti localmente: Tx_l=-2.39 Ty_l=-0.09 N_l=-4942.83 Mx_l=-0.00 My_l=-5.31 Mz_l=-0.02
Taglio nei bulloni: Fv,Ed=0.42 Fv,Rd=7720.78
Rifollamento lato piastra: Fb,Ed,p=0.42 Fb,Rd,p=6059.39
Tirafondi:LT=0.45 (0.31) σ_{cR}=0.00 σ_{fR}=0.00
Compressione nel calcestruzzo: σ_c=10.51
CC 28 SLD (Collegamento 0023_-380)
Azioni sul collegamento: N=-5844.26 Ty=-0.08 Tz=-3.43 Mx=-0.01 Mz=-0.32
Sollecitazioni agenti localmente: Tx_l=-0.08 Ty_l=-3.43 N_l=-5844.26 Mx_l=-0.00 My_l=-0.32 Mz_l=-0.01
Taglio nei bulloni: Fv,Ed=0.58 Fv,Rd=9650.97
Rifollamento lato piastra: Fb,Ed,p=0.58 Fb,Rd,p=7474.86
Tirafondi:LT=0.45 (0.31) σ_{cR}=0.00 σ_{fR}=0.00
Compressione nel calcestruzzo: σ_c=12.09
CC 28 SLD (Collegamento 0023_-380)
Azioni sul collegamento: N=-5844.26 Ty=-0.78 Tz=-3.43 Mx=-0.01 Mz=-1.69
Sollecitazioni agenti localmente: Tx_l=-0.78 Ty_l=-3.43 N_l=-5844.26 Mx_l=-0.00 My_l=-1.69 Mz_l=-0.01
Taglio nei bulloni: Fv,Ed=0.60 Fv,Rd=9650.97
Rifollamento lato piastra: Fb,Ed,p=0.59 Fb,Rd,p=7967.11
Tirafondi:LT=0.45 (0.31) σ_{cR}=0.00 σ_{fR}=0.00
Compressione nel calcestruzzo: σ_c=12.17
CC 28 SLD (Collegamento 0023_-380)
Azioni sul collegamento: N=-5844.26 Ty=-0.08 Tz=-1.87 Mx=-0.01 Mz=-0.32
Sollecitazioni agenti localmente: Tx_l=-0.08 Ty_l=-1.87 N_l=-5844.26 Mx_l=-0.00 My_l=-0.32 Mz_l=-0.01
Taglio nei bulloni: Fv,Ed=0.32 Fv,Rd=9650.97
Rifollamento lato piastra: Fb,Ed,p=0.32 Fb,Rd,p=7476.91
Tirafondi:LT=0.45 (0.31) σ_{cR}=0.00 σ_{fR}=0.00
Compressione nel calcestruzzo: σ_c=12.09
CC 28 SLD (Collegamento 0023_-380)
Azioni sul collegamento: N=-5844.26 Ty=-0.78 Tz=-1.87 Mx=-0.01 Mz=-1.69
Sollecitazioni agenti localmente: Tx_l=-0.78 Ty_l=-1.87 N_l=-5844.26 Mx_l=-0.00 My_l=-1.69 Mz_l=-0.01
Taglio nei bulloni: Fv,Ed=0.35 Fv,Rd=9650.97

Rifollamento lato piastra: Fb,Ed,p=0.34 Fb,Rd,p=9108.84
Tirafondi:LT=0.45 (0.31) σ_{cR}=0.00 σ_{fR}=0.00
Compressione nel calcestruzzo: σ_c=12.17
CC 28 SLD (Collegamento 0023_-380)
Azioni sul collegamento: N=-5422.89 Ty=-0.08 Tz=-3.43 Mx=-0.01 Mz=-0.32
Sollecitazioni agenti localmente: Tx_l=-0.08 Ty_l=-3.43 N_l=-5422.89 Mx_l=-0.00 My_l=-0.32 Mz_l=-0.01
Taglio nei bulloni: Fv,Ed=0.58 Fv,Rd=9650.97
Rifollamento lato piastra: Fb,Ed,p=0.58 Fb,Rd,p=7474.86
Tirafondi:LT=0.45 (0.31) σ_{cR}=0.00 σ_{fR}=0.00
Compressione nel calcestruzzo: σ_c=11.22
CC 28 SLD (Collegamento 0023_-380)
Azioni sul collegamento: N=-5422.89 Ty=-0.78 Tz=-3.43 Mx=-0.01 Mz=-1.69
Sollecitazioni agenti localmente: Tx_l=-0.78 Ty_l=-3.43 N_l=-5422.89 Mx_l=-0.00 My_l=-1.69 Mz_l=-0.01
Taglio nei bulloni: Fv,Ed=0.60 Fv,Rd=9650.97
Rifollamento lato piastra: Fb,Ed,p=0.59 Fb,Rd,p=7967.17
Tirafondi:LT=0.45 (0.31) σ_{cR}=0.00 σ_{fR}=0.00
Compressione nel calcestruzzo: σ_c=11.30
CC 28 SLD (Collegamento 0023_-380)
Azioni sul collegamento: N=-5422.89 Ty=-0.08 Tz=-1.87 Mx=-0.01 Mz=-0.32
Sollecitazioni agenti localmente: Tx_l=-0.08 Ty_l=-1.87 N_l=-5422.89 Mx_l=-0.00 My_l=-0.32 Mz_l=-0.01
Taglio nei bulloni: Fv,Ed=0.32 Fv,Rd=9650.97
Rifollamento lato piastra: Fb,Ed,p=0.32 Fb,Rd,p=7476.91
Tirafondi:LT=0.45 (0.31) σ_{cR}=0.00 σ_{fR}=0.00
Compressione nel calcestruzzo: σ_c=11.22
CC 28 SLD (Collegamento 0023_-380)
Azioni sul collegamento: N=-5422.89 Ty=-0.78 Tz=-1.87 Mx=-0.01 Mz=-1.69
Sollecitazioni agenti localmente: Tx_l=-0.78 Ty_l=-1.87 N_l=-5422.89 Mx_l=-0.00 My_l=-1.69 Mz_l=-0.01
Taglio nei bulloni: Fv,Ed=0.35 Fv,Rd=9650.97
Rifollamento lato piastra: Fb,Ed,p=0.34 Fb,Rd,p=9108.39
Tirafondi:LT=0.45 (0.31) σ_{cR}=0.00 σ_{fR}=0.00
Compressione nel calcestruzzo: σ_c=11.30
CC 29 SLV (Collegamento 0023_-380)
Azioni sul collegamento: N=-4942.83 Ty=-2.39 Tz=-0.09 Mx=-0.00 Mz=-5.31
Sollecitazioni agenti localmente: Tx_l=-2.39 Ty_l=-0.09 N_l=-4942.83 Mx_l=-0.00 My_l=-5.31 Mz_l=-0.00
Taglio nei bulloni: Fv,Ed=0.40 Fv,Rd=7720.78
Rifollamento lato piastra: Fb,Ed,p=0.40 Fb,Rd,p=6002.94
Tirafondi:LT=0.45 (0.31) σ_{cR}=0.00 σ_{fR}=0.00
Compressione nel calcestruzzo: σ_c=10.51
CC 29 SLV (Collegamento 0023_-380)
Azioni sul collegamento: N=-4942.83 Ty=-0.09 Tz=-0.09 Mx=-0.00 Mz=-0.81
Sollecitazioni agenti localmente: Tx_l=-0.09 Ty_l=-0.09 N_l=-4942.83 Mx_l=-0.00 My_l=-0.81 Mz_l=-0.00
Tirafondi:LT=0.45 (0.31) σ_{cR}=0.00 σ_{fR}=0.00
Compressione nel calcestruzzo: σ_c=10.26
CC 29 SLV (Collegamento 0023_-380)
Azioni sul collegamento: N=-4942.83 Ty=-2.39 Tz=-5.21 Mx=-0.00 Mz=-5.31
Sollecitazioni agenti localmente: Tx_l=-2.39 Ty_l=-5.21 N_l=-4942.83 Mx_l=-0.00 My_l=-5.31 Mz_l=-0.00
Taglio nei bulloni: Fv,Ed=0.96 Fv,Rd=7720.78
Rifollamento lato piastra: Fb,Ed,p=0.96 Fb,Rd,p=7790.90
Tirafondi:LT=0.45 (0.31) σ_{cR}=0.00 σ_{fR}=0.00
Compressione nel calcestruzzo: σ_c=10.51
CC 29 SLV (Collegamento 0023_-380)
Azioni sul collegamento: N=-4942.83 Ty=-0.09 Tz=-5.21 Mx=-0.00 Mz=-0.81
Sollecitazioni agenti localmente: Tx_l=-0.09 Ty_l=-5.21 N_l=-4942.83 Mx_l=-0.00 My_l=-0.81 Mz_l=-0.00
Taglio nei bulloni: Fv,Ed=0.87 Fv,Rd=7720.78
Rifollamento lato piastra: Fb,Ed,p=0.87 Fb,Rd,p=5980.08
Tirafondi:LT=0.45 (0.31) σ_{cR}=0.00 σ_{fR}=0.00
Compressione nel calcestruzzo: σ_c=10.26
CC 29 SLV (Collegamento 0023_-380)
Azioni sul collegamento: N=-6324.69 Ty=-2.39 Tz=-0.09 Mx=-0.00 Mz=-5.31
Sollecitazioni agenti localmente: Tx_l=-2.39 Ty_l=-0.09 N_l=-6324.69 Mx_l=-0.00 My_l=-5.31 Mz_l=-0.00
Taglio nei bulloni: Fv,Ed=0.40 Fv,Rd=7720.78
Rifollamento lato piastra: Fb,Ed,p=0.40 Fb,Rd,p=6002.78
Tirafondi:LT=0.45 (0.31) σ_{cR}=0.00 σ_{fR}=0.00
Compressione nel calcestruzzo: σ_c=13.37
CC 29 SLV (Collegamento 0023_-380)
Azioni sul collegamento: N=-6324.69 Ty=-0.09 Tz=-0.09 Mx=-0.00 Mz=-0.81
Sollecitazioni agenti localmente: Tx_l=-0.09 Ty_l=-0.09 N_l=-6324.69 Mx_l=-0.00 My_l=-0.81 Mz_l=-0.00
Tirafondi:LT=0.45 (0.31) σ_{cR}=0.00 σ_{fR}=0.00
Compressione nel calcestruzzo: σ_c=13.11
CC 29 SLV (Collegamento 0023_-380)
Azioni sul collegamento: N=-6324.69 Ty=-2.39 Tz=-5.21 Mx=-0.00 Mz=-5.31
Sollecitazioni agenti localmente: Tx_l=-2.39 Ty_l=-5.21 N_l=-6324.69 Mx_l=-0.00 My_l=-5.31 Mz_l=-0.00
Taglio nei bulloni: Fv,Ed=0.96 Fv,Rd=7720.78
Rifollamento lato piastra: Fb,Ed,p=0.96 Fb,Rd,p=7791.07
Tirafondi:LT=0.45 (0.31) σ_{cR}=0.00 σ_{fR}=0.00
Compressione nel calcestruzzo: σ_c=13.37
CC 29 SLV (Collegamento 0023_-380)
Azioni sul collegamento: N=-6324.69 Ty=-0.09 Tz=-5.21 Mx=-0.00 Mz=-0.81
Sollecitazioni agenti localmente: Tx_l=-0.09 Ty_l=-5.21 N_l=-6324.69 Mx_l=-0.00 My_l=-0.81 Mz_l=-0.00
Taglio nei bulloni: Fv,Ed=0.87 Fv,Rd=7720.78

Rifollamento lato piastra: Fb,Ed,p=0.87 Fb,Rd,p=5980.08
Tirafondi:LT=0.45 (0.31) σ_{cR}=0.00 σ_{fR}=0.00
Compressione nel calcestruzzo: σ_c=13.11
CC 30 SLD (Collegamento 0023_-380)
Azioni sul collegamento: N=-5422.89 Ty=-0.78 Tz=-1.87 Mx=-0.00 Mz=-1.69
Sollecitazioni agenti localmente: Tx_l=-0.78 Ty_l=-1.87 N_l=-5422.89 Mx_l=-0.00 My_l=-1.69 Mz_l=-0.00
Taglio nei bulloni: Fv,Ed=0.34 Fv,Rd=9650.97
Rifollamento lato piastra: Fb,Ed,p=0.34 Fb,Rd,p=9340.39
Tirafondi:LT=0.45 (0.31) σ_{cR}=0.00 σ_{fR}=0.00
Compressione nel calcestruzzo: σ_c=11.30
CC 30 SLD (Collegamento 0023_-380)
Azioni sul collegamento: N=-5422.89 Ty=-0.08 Tz=-1.87 Mx=-0.00 Mz=-0.32
Sollecitazioni agenti localmente: Tx_l=-0.08 Ty_l=-1.87 N_l=-5422.89 Mx_l=-0.00 My_l=-0.32 Mz_l=-0.00
Taglio nei bulloni: Fv,Ed=0.31 Fv,Rd=9650.97
Rifollamento lato piastra: Fb,Ed,p=0.31 Fb,Rd,p=7487.84
Tirafondi:LT=0.45 (0.31) σ_{cR}=0.00 σ_{fR}=0.00
Compressione nel calcestruzzo: σ_c=11.22
CC 30 SLD (Collegamento 0023_-380)
Azioni sul collegamento: N=-5422.89 Ty=-0.78 Tz=-3.43 Mx=-0.00 Mz=-1.69
Sollecitazioni agenti localmente: Tx_l=-0.78 Ty_l=-3.43 N_l=-5422.89 Mx_l=-0.00 My_l=-1.69 Mz_l=-0.00
Taglio nei bulloni: Fv,Ed=0.59 Fv,Rd=9650.97
Rifollamento lato piastra: Fb,Ed,p=0.59 Fb,Rd,p=8027.27
Tirafondi:LT=0.45 (0.31) σ_{cR}=0.00 σ_{fR}=0.00
Compressione nel calcestruzzo: σ_c=11.30
CC 30 SLD (Collegamento 0023_-380)
Azioni sul collegamento: N=-5422.89 Ty=-0.08 Tz=-3.43 Mx=-0.00 Mz=-0.32
Sollecitazioni agenti localmente: Tx_l=-0.08 Ty_l=-3.43 N_l=-5422.89 Mx_l=-0.00 My_l=-0.32 Mz_l=-0.00
Taglio nei bulloni: Fv,Ed=0.57 Fv,Rd=9650.97
Rifollamento lato piastra: Fb,Ed,p=0.57 Fb,Rd,p=7478.11
Tirafondi:LT=0.45 (0.31) σ_{cR}=0.00 σ_{fR}=0.00
Compressione nel calcestruzzo: σ_c=11.22
CC 30 SLD (Collegamento 0023_-380)
Azioni sul collegamento: N=-5844.26 Ty=-0.78 Tz=-1.87 Mx=-0.00 Mz=-1.69
Sollecitazioni agenti localmente: Tx_l=-0.78 Ty_l=-1.87 N_l=-5844.26 Mx_l=-0.00 My_l=-1.69 Mz_l=-0.00
Taglio nei bulloni: Fv,Ed=0.34 Fv,Rd=9650.97
Rifollamento lato piastra: Fb,Ed,p=0.34 Fb,Rd,p=9340.90
Tirafondi:LT=0.45 (0.31) σ_{cR}=0.00 σ_{fR}=0.00
Compressione nel calcestruzzo: σ_c=12.17
CC 30 SLD (Collegamento 0023_-380)
Azioni sul collegamento: N=-5844.26 Ty=-0.08 Tz=-1.87 Mx=-0.00 Mz=-0.32
Sollecitazioni agenti localmente: Tx_l=-0.08 Ty_l=-1.87 N_l=-5844.26 Mx_l=-0.00 My_l=-0.32 Mz_l=-0.00
Taglio nei bulloni: Fv,Ed=0.31 Fv,Rd=9650.97
Rifollamento lato piastra: Fb,Ed,p=0.31 Fb,Rd,p=7487.84
Tirafondi:LT=0.45 (0.31) σ_{cR}=0.00 σ_{fR}=0.00
Compressione nel calcestruzzo: σ_c=12.09
CC 30 SLD (Collegamento 0023_-380)
Azioni sul collegamento: N=-5844.26 Ty=-0.78 Tz=-3.43 Mx=-0.00 Mz=-1.69
Sollecitazioni agenti localmente: Tx_l=-0.78 Ty_l=-3.43 N_l=-5844.26 Mx_l=-0.00 My_l=-1.69 Mz_l=-0.00
Taglio nei bulloni: Fv,Ed=0.59 Fv,Rd=9650.97
Rifollamento lato piastra: Fb,Ed,p=0.59 Fb,Rd,p=8027.19
Tirafondi:LT=0.45 (0.31) σ_{cR}=0.00 σ_{fR}=0.00
Compressione nel calcestruzzo: σ_c=12.17
CC 30 SLD (Collegamento 0023_-380)
Azioni sul collegamento: N=-5844.26 Ty=-0.08 Tz=-3.43 Mx=-0.00 Mz=-0.32
Sollecitazioni agenti localmente: Tx_l=-0.08 Ty_l=-3.43 N_l=-5844.26 Mx_l=-0.00 My_l=-0.32 Mz_l=-0.00
Taglio nei bulloni: Fv,Ed=0.57 Fv,Rd=9650.97
Rifollamento lato piastra: Fb,Ed,p=0.57 Fb,Rd,p=7478.11
Tirafondi:LT=0.45 (0.31) σ_{cR}=0.00 σ_{fR}=0.00
Compressione nel calcestruzzo: σ_c=12.09
CC 31 SLV (Collegamento 0023_-380)
Azioni sul collegamento: N=-6324.76 Ty=-2.39 Tz=-5.22 Mx=-0.00 Mz=-5.32
Sollecitazioni agenti localmente: Tx_l=-2.39 Ty_l=-5.22 N_l=-6324.76 Mx_l=-0.00 My_l=-5.32 Mz_l=-0.00
Taglio nei bulloni: Fv,Ed=0.96 Fv,Rd=7720.78
Rifollamento lato piastra: Fb,Ed,p=0.96 Fb,Rd,p=7797.05
Tirafondi:LT=0.45 (0.31) σ_{cR}=0.00 σ_{fR}=0.00
Compressione nel calcestruzzo: σ_c=13.37
CC 31 SLV (Collegamento 0023_-380)
Azioni sul collegamento: N=-6324.76 Ty=-0.08 Tz=-5.22 Mx=-0.00 Mz=-0.80
Sollecitazioni agenti localmente: Tx_l=-0.08 Ty_l=-5.22 N_l=-6324.76 Mx_l=-0.00 My_l=-0.80 Mz_l=-0.00
Taglio nei bulloni: Fv,Ed=0.87 Fv,Rd=7720.78
Rifollamento lato piastra: Fb,Ed,p=0.87 Fb,Rd,p=5979.96
Tirafondi:LT=0.45 (0.31) σ_{cR}=0.00 σ_{fR}=0.00
Compressione nel calcestruzzo: σ_c=13.11
CC 31 SLV (Collegamento 0023_-380)
Azioni sul collegamento: N=-6324.76 Ty=-2.39 Tz=-0.09 Mx=-0.00 Mz=-5.32
Sollecitazioni agenti localmente: Tx_l=-2.39 Ty_l=-0.09 N_l=-6324.76 Mx_l=-0.00 My_l=-5.32 Mz_l=-0.00
Taglio nei bulloni: Fv,Ed=0.40 Fv,Rd=7720.78
Rifollamento lato piastra: Fb,Ed,p=0.40 Fb,Rd,p=6001.94
Tirafondi:LT=0.45 (0.31) σ_{cR}=0.00 σ_{fR}=0.00
Compressione nel calcestruzzo: σ_c=13.37

CC 31 SLV (Collegamento 0023_-380)
Azioni sul collegamento: N=-6324.76 Ty=-0.08 Tz=-0.09 Mx=-0.00 Mz=-0.80
Sollecitazioni agenti localmente: Tx_l=-0.08 Ty_l=-0.09 N_l=-6324.76 Mx_l=-0.00 My_l=-0.80 Mz_l=-0.00
Tirafondi:LT=0.45 (0.31) σ_{cR}=0.00 σ_{fR}=0.00
Compressione nel calcestruzzo: σ_c=13.11
CC 31 SLV (Collegamento 0023_-380)
Azioni sul collegamento: N=-4942.75 Ty=-2.39 Tz=-5.22 Mx=-0.00 Mz=-5.32
Sollecitazioni agenti localmente: Tx_l=-2.39 Ty_l=-5.22 N_l=-4942.75 Mx_l=-0.00 My_l=-5.32 Mz_l=-0.00
Taglio nei bulloni: Fv,Ed=0.96 Fv,Rd=7720.78
Rifollamento lato piastra: Fb,Ed,p=0.96 Fb,Rd,p=7796.86
Tirafondi:LT=0.45 (0.31) σ_{cR}=0.00 σ_{fR}=0.00
Compressione nel calcestruzzo: σ_c=10.51
CC 31 SLV (Collegamento 0023_-380)
Azioni sul collegamento: N=-4942.75 Ty=-0.08 Tz=-5.22 Mx=-0.00 Mz=-0.80
Sollecitazioni agenti localmente: Tx_l=-0.08 Ty_l=-5.22 N_l=-4942.75 Mx_l=-0.00 My_l=-0.80 Mz_l=-0.00
Taglio nei bulloni: Fv,Ed=0.88 Fv,Rd=7720.78
Rifollamento lato piastra: Fb,Ed,p=0.87 Fb,Rd,p=5979.96
Tirafondi:LT=0.45 (0.31) σ_{cR}=0.00 σ_{fR}=0.00
Compressione nel calcestruzzo: σ_c=10.26
CC 31 SLV (Collegamento 0023_-380)
Azioni sul collegamento: N=-4942.75 Ty=-2.39 Tz=-0.09 Mx=-0.00 Mz=-5.32
Sollecitazioni agenti localmente: Tx_l=-2.39 Ty_l=-0.09 N_l=-4942.75 Mx_l=-0.00 My_l=-5.32 Mz_l=-0.00
Taglio nei bulloni: Fv,Ed=0.40 Fv,Rd=7720.78
Rifollamento lato piastra: Fb,Ed,p=0.40 Fb,Rd,p=6002.03
Tirafondi:LT=0.45 (0.31) σ_{cR}=0.00 σ_{fR}=0.00
Compressione nel calcestruzzo: σ_c=10.51
CC 31 SLV (Collegamento 0023_-380)
Azioni sul collegamento: N=-4942.75 Ty=-0.08 Tz=-0.09 Mx=-0.00 Mz=-0.80
Sollecitazioni agenti localmente: Tx_l=-0.08 Ty_l=-0.09 N_l=-4942.75 Mx_l=-0.00 My_l=-0.80 Mz_l=-0.00
Tirafondi:LT=0.45 (0.31) σ_{cR}=0.00 σ_{fR}=0.00
Compressione nel calcestruzzo: σ_c=10.26
CC 32 SLD (Collegamento 0023_-380)
Azioni sul collegamento: N=-5844.28 Ty=-0.78 Tz=-3.44 Mx=-0.00 Mz=-1.69
Sollecitazioni agenti localmente: Tx_l=-0.78 Ty_l=-3.44 N_l=-5844.28 Mx_l=-0.00 My_l=-1.69 Mz_l=-0.00
Taglio nei bulloni: Fv,Ed=0.59 Fv,Rd=9650.97
Rifollamento lato piastra: Fb,Ed,p=0.59 Fb,Rd,p=8029.08
Tirafondi:LT=0.45 (0.31) σ_{cR}=0.00 σ_{fR}=0.00
Compressione nel calcestruzzo: σ_c=12.17
CC 32 SLD (Collegamento 0023_-380)
Azioni sul collegamento: N=-5844.28 Ty=-0.08 Tz=-3.44 Mx=-0.00 Mz=-0.31
Sollecitazioni agenti localmente: Tx_l=-0.08 Ty_l=-3.44 N_l=-5844.28 Mx_l=-0.00 My_l=-0.31 Mz_l=-0.00
Taglio nei bulloni: Fv,Ed=0.57 Fv,Rd=9650.97
Rifollamento lato piastra: Fb,Ed,p=0.57 Fb,Rd,p=7477.97
Tirafondi:LT=0.45 (0.31) σ_{cR}=0.00 σ_{fR}=0.00
Compressione nel calcestruzzo: σ_c=12.09
CC 32 SLD (Collegamento 0023_-380)
Azioni sul collegamento: N=-5844.28 Ty=-0.78 Tz=-1.87 Mx=-0.00 Mz=-1.69
Sollecitazioni agenti localmente: Tx_l=-0.78 Ty_l=-1.87 N_l=-5844.28 Mx_l=-0.00 My_l=-1.69 Mz_l=-0.00
Taglio nei bulloni: Fv,Ed=0.34 Fv,Rd=9650.97
Rifollamento lato piastra: Fb,Ed,p=0.34 Fb,Rd,p=9348.82
Tirafondi:LT=0.45 (0.31) σ_{cR}=0.00 σ_{fR}=0.00
Compressione nel calcestruzzo: σ_c=12.17
CC 32 SLD (Collegamento 0023_-380)
Azioni sul collegamento: N=-5844.28 Ty=-0.08 Tz=-1.87 Mx=-0.00 Mz=-0.31
Sollecitazioni agenti localmente: Tx_l=-0.08 Ty_l=-1.87 N_l=-5844.28 Mx_l=-0.00 My_l=-0.31 Mz_l=-0.00
Taglio nei bulloni: Fv,Ed=0.31 Fv,Rd=9650.97
Rifollamento lato piastra: Fb,Ed,p=0.31 Fb,Rd,p=7487.38
Tirafondi:LT=0.45 (0.31) σ_{cR}=0.00 σ_{fR}=0.00
Compressione nel calcestruzzo: σ_c=12.09
CC 32 SLD (Collegamento 0023_-380)
Azioni sul collegamento: N=-5422.87 Ty=-0.78 Tz=-3.44 Mx=-0.00 Mz=-1.69
Sollecitazioni agenti localmente: Tx_l=-0.78 Ty_l=-3.44 N_l=-5422.87 Mx_l=-0.00 My_l=-1.69 Mz_l=-0.00
Taglio nei bulloni: Fv,Ed=0.59 Fv,Rd=9650.97
Rifollamento lato piastra: Fb,Ed,p=0.59 Fb,Rd,p=8029.05
Tirafondi:LT=0.45 (0.31) σ_{cR}=0.00 σ_{fR}=0.00
Compressione nel calcestruzzo: σ_c=11.30
CC 32 SLD (Collegamento 0023_-380)
Azioni sul collegamento: N=-5422.87 Ty=-0.08 Tz=-3.44 Mx=-0.00 Mz=-0.31
Sollecitazioni agenti localmente: Tx_l=-0.08 Ty_l=-3.44 N_l=-5422.87 Mx_l=-0.00 My_l=-0.31 Mz_l=-0.00
Taglio nei bulloni: Fv,Ed=0.57 Fv,Rd=9650.97
Rifollamento lato piastra: Fb,Ed,p=0.57 Fb,Rd,p=7477.96
Tirafondi:LT=0.45 (0.31) σ_{cR}=0.00 σ_{fR}=0.00
Compressione nel calcestruzzo: σ_c=11.22
CC 32 SLD (Collegamento 0023_-380)
Azioni sul collegamento: N=-5422.87 Ty=-0.78 Tz=-1.87 Mx=-0.00 Mz=-1.69
Sollecitazioni agenti localmente: Tx_l=-0.78 Ty_l=-1.87 N_l=-5422.87 Mx_l=-0.00 My_l=-1.69 Mz_l=-0.00
Taglio nei bulloni: Fv,Ed=0.34 Fv,Rd=9650.97
Rifollamento lato piastra: Fb,Ed,p=0.34 Fb,Rd,p=9349.27
Tirafondi:LT=0.45 (0.31) σ_{cR}=0.00 σ_{fR}=0.00
Compressione nel calcestruzzo: σ_c=11.30

CC 32 SLD (Collegamento 0023_-380)
Azioni sul collegamento: N=-5422.87 Ty=-0.08 Tz=-1.87 Mx=-0.00 Mz=-0.31
Sollecitazioni agenti localmente: Tx_l=-0.08 Ty_l=-1.87 N_l=-5422.87 Mx_l=-0.00 My_l=-0.31 Mz_l=-0.00
Taglio nei bulloni: Fv,Ed=0.31 Fv,Rd=9650.97
Rifollamento lato piastra: Fb,Ed,p=0.31 Fb,Rd,p=7487.39
Tirafondi:LT=0.45 (0.31) σ_{cR}=0.00 σ_{fR}=0.00
Compressione nel calcestruzzo: σ_c=11.22
CC 33 SLU (Collegamento 0023_-380)
Azioni sul collegamento: N=-29447.20 Ty=-0.05 Tz=76.67 Mx=-0.00 Mz=-0.12
Sollecitazioni agenti localmente: Tx_l=-0.05 Ty_l=76.67 N_l=-29447.20 Mx_l=-0.00 My_l=-0.12 Mz_l=-0.00
Taglio nei bulloni: Fv,Ed=12.78 Fv,Rd=7720.78
Rifollamento lato piastra: Fb,Ed,p=12.78 Fb,Rd,p=5979.17
Tirafondi:LT=0.45 (0.31) σ_{cR}=0.00 σ_{fR}=0.00
Compressione nel calcestruzzo: σ_c=60.85
CC 34 SLU (Collegamento 0023_-380)
Azioni sul collegamento: N=-28967.90 Ty=-0.05 Tz=74.90 Mx=-0.00 Mz=-0.12
Sollecitazioni agenti localmente: Tx_l=-0.05 Ty_l=74.90 N_l=-28967.90 Mx_l=-0.00 My_l=-0.12 Mz_l=-0.00
Taglio nei bulloni: Fv,Ed=12.48 Fv,Rd=7720.78
Rifollamento lato piastra: Fb,Ed,p=12.48 Fb,Rd,p=5979.18
Tirafondi:LT=0.45 (0.31) σ_{cR}=0.00 σ_{fR}=0.00
Compressione nel calcestruzzo: σ_c=59.86
CC 35 SLU (Collegamento 0023_-380)
Azioni sul collegamento: N=-29207.50 Ty=-0.17 Tz=75.78 Mx=0.00 Mz=-0.35
Sollecitazioni agenti localmente: Tx_l=-0.17 Ty_l=75.78 N_l=-29207.50 Mx_l=-0.00 My_l=-0.35 Mz_l=0.00
Taglio nei bulloni: Fv,Ed=12.63 Fv,Rd=7720.78
Rifollamento lato piastra: Fb,Ed,p=12.63 Fb,Rd,p=5979.21
Tirafondi:LT=0.45 (0.31) σ_{cR}=0.00 σ_{fR}=0.00
Compressione nel calcestruzzo: σ_c=60.37
CC 36 SLU (Collegamento 0023_-380)
Azioni sul collegamento: N=-29207.50 Ty=0.07 Tz=75.79 Mx=-0.00 Mz=0.12
Sollecitazioni agenti localmente: Tx_l=0.07 Ty_l=75.79 N_l=-29207.50 Mx_l=-0.00 My_l=0.12 Mz_l=-0.00
Taglio nei bulloni: Fv,Ed=12.63 Fv,Rd=7720.78
Rifollamento lato piastra: Fb,Ed,p=12.63 Fb,Rd,p=5979.18
Tirafondi:LT=0.45 (0.31) σ_{cR}=0.00 σ_{fR}=0.00
Compressione nel calcestruzzo: σ_c=60.35
CC 37 SLU (Collegamento 0023_-380)
Azioni sul collegamento: N=-19933.90 Ty=-0.08 Tz=41.69 Mx=-0.00 Mz=-0.13
Sollecitazioni agenti localmente: Tx_l=-0.08 Ty_l=41.69 N_l=-19933.90 Mx_l=-0.00 My_l=-0.13 Mz_l=-0.00
Taglio nei bulloni: Fv,Ed=6.95 Fv,Rd=7720.78
Rifollamento lato piastra: Fb,Ed,p=6.95 Fb,Rd,p=5979.20
Tirafondi:LT=0.45 (0.31) σ_{cR}=0.00 σ_{fR}=0.00
Compressione nel calcestruzzo: σ_c=41.19
CC 38 SLU (Collegamento 0023_-380)
Azioni sul collegamento: N=-19454.60 Ty=-0.08 Tz=39.91 Mx=-0.00 Mz=-0.13
Sollecitazioni agenti localmente: Tx_l=-0.08 Ty_l=39.91 N_l=-19454.60 Mx_l=-0.00 My_l=-0.13 Mz_l=-0.00
Taglio nei bulloni: Fv,Ed=6.65 Fv,Rd=7720.78
Rifollamento lato piastra: Fb,Ed,p=6.65 Fb,Rd,p=5979.21
Tirafondi:LT=0.45 (0.31) σ_{cR}=0.00 σ_{fR}=0.00
Compressione nel calcestruzzo: σ_c=40.20
CC 39 SLU (Collegamento 0023_-380)
Azioni sul collegamento: N=-19694.20 Ty=-0.20 Tz=40.80 Mx=0.00 Mz=-0.36
Sollecitazioni agenti localmente: Tx_l=-0.20 Ty_l=40.80 N_l=-19694.20 Mx_l=-0.00 My_l=-0.36 Mz_l=0.00
Taglio nei bulloni: Fv,Ed=6.80 Fv,Rd=7720.78
Rifollamento lato piastra: Fb,Ed,p=6.80 Fb,Rd,p=5979.37
Tirafondi:LT=0.45 (0.31) σ_{cR}=0.00 σ_{fR}=0.00
Compressione nel calcestruzzo: σ_c=40.71
CC 40 SLU (Collegamento 0023_-380)
Azioni sul collegamento: N=-19694.20 Ty=0.04 Tz=40.80 Mx=-0.00 Mz=0.10
Sollecitazioni agenti localmente: Tx_l=0.04 Ty_l=40.80 N_l=-19694.20 Mx_l=-0.00 My_l=0.10 Mz_l=-0.00
Taglio nei bulloni: Fv,Ed=6.80 Fv,Rd=7720.78
Rifollamento lato piastra: Fb,Ed,p=6.80 Fb,Rd,p=5979.18
Tirafondi:LT=0.45 (0.31) σ_{cR}=0.00 σ_{fR}=0.00
Compressione nel calcestruzzo: σ_c=40.70
CC 41 SLU (Collegamento 0023_-380)
Azioni sul collegamento: N=-29632.10 Ty=-0.07 Tz=76.65 Mx=-0.00 Mz=-0.13
Sollecitazioni agenti localmente: Tx_l=-0.07 Ty_l=76.65 N_l=-29632.10 Mx_l=-0.00 My_l=-0.13 Mz_l=-0.00
Taglio nei bulloni: Fv,Ed=12.78 Fv,Rd=7720.78
Rifollamento lato piastra: Fb,Ed,p=12.78 Fb,Rd,p=5979.18
Tirafondi:LT=0.45 (0.31) σ_{cR}=0.00 σ_{fR}=0.00
Compressione nel calcestruzzo: σ_c=61.23
CC 42 SLU (Collegamento 0023_-380)
Azioni sul collegamento: N=-29152.80 Ty=-0.07 Tz=74.88 Mx=-0.00 Mz=-0.13
Sollecitazioni agenti localmente: Tx_l=-0.07 Ty_l=74.88 N_l=-29152.80 Mx_l=-0.00 My_l=-0.13 Mz_l=-0.00
Taglio nei bulloni: Fv,Ed=12.48 Fv,Rd=7720.78
Rifollamento lato piastra: Fb,Ed,p=12.48 Fb,Rd,p=5979.18
Tirafondi:LT=0.45 (0.31) σ_{cR}=0.00 σ_{fR}=0.00
Compressione nel calcestruzzo: σ_c=60.24
CC 43 SLU (Collegamento 0023_-380)
Azioni sul collegamento: N=-29392.40 Ty=-0.19 Tz=75.77 Mx=0.00 Mz=-0.36
Sollecitazioni agenti localmente: Tx_l=-0.19 Ty_l=75.77 N_l=-29392.40 Mx_l=-0.00 My_l=-0.36 Mz_l=0.00

Taglio nei bulloni: Fv,Ed=12.63 Fv,Rd=7720.78
Rifollamento lato piastra: Fb,Ed,p=12.63 Fb,Rd,p=5979.23
Tirafondi:LT=0.45 (0.31) σ_{cR}=0.00 σ_{fR}=0.00
Compressione nel calcestruzzo: σ_c=60.75
CC 44 SLU (Collegamento 0023_-380)
Azioni sul collegamento: N=-29392.40 Ty=0.05 Tz=75.77 Mx=-0.00 Mz=0.10
Sollecitazioni agenti localmente: Tx_l=0.05 Ty_l=75.77 N_l=-29392.40 Mx_l=-0.00 My_l=0.10 Mz_l=-0.00
Taglio nei bulloni: Fv,Ed=12.63 Fv,Rd=7720.78
Rifollamento lato piastra: Fb,Ed,p=12.63 Fb,Rd,p=5979.17
Tirafondi:LT=0.45 (0.31) σ_{cR}=0.00 σ_{fR}=0.00
Compressione nel calcestruzzo: σ_c=60.73
CC 45 SLU (Collegamento 0023_-380)
Azioni sul collegamento: N=-22108.00 Ty=-0.08 Tz=49.75 Mx=-0.00 Mz=-0.14
Sollecitazioni agenti localmente: Tx_l=-0.08 Ty_l=49.75 N_l=-22108.00 Mx_l=-0.00 My_l=-0.14 Mz_l=-0.00
Taglio nei bulloni: Fv,Ed=8.29 Fv,Rd=7720.78
Rifollamento lato piastra: Fb,Ed,p=8.29 Fb,Rd,p=5979.19
Tirafondi:LT=0.45 (0.31) σ_{cR}=0.00 σ_{fR}=0.00
Compressione nel calcestruzzo: σ_c=45.69
CC 46 SLU (Collegamento 0023_-380)
Azioni sul collegamento: N=-21628.70 Ty=-0.08 Tz=47.97 Mx=-0.00 Mz=-0.14
Sollecitazioni agenti localmente: Tx_l=-0.08 Ty_l=47.97 N_l=-21628.70 Mx_l=-0.00 My_l=-0.14 Mz_l=-0.00
Taglio nei bulloni: Fv,Ed=8.00 Fv,Rd=7720.78
Rifollamento lato piastra: Fb,Ed,p=8.00 Fb,Rd,p=5979.19
Tirafondi:LT=0.45 (0.31) σ_{cR}=0.00 σ_{fR}=0.00
Compressione nel calcestruzzo: σ_c=44.70
CC 47 SLU (Collegamento 0023_-380)
Azioni sul collegamento: N=-21868.40 Ty=-0.20 Tz=48.86 Mx=0.00 Mz=-0.37
Sollecitazioni agenti localmente: Tx_l=-0.20 Ty_l=48.86 N_l=-21868.40 Mx_l=-0.00 My_l=-0.37 Mz_l=0.00
Taglio nei bulloni: Fv,Ed=8.14 Fv,Rd=7720.78
Rifollamento lato piastra: Fb,Ed,p=8.14 Fb,Rd,p=5979.31
Tirafondi:LT=0.45 (0.31) σ_{cR}=0.00 σ_{fR}=0.00
Compressione nel calcestruzzo: σ_c=45.20
CC 48 SLU (Collegamento 0023_-380)
Azioni sul collegamento: N=-21868.40 Ty=0.04 Tz=48.86 Mx=-0.00 Mz=0.10
Sollecitazioni agenti localmente: Tx_l=0.04 Ty_l=48.86 N_l=-21868.40 Mx_l=-0.00 My_l=0.10 Mz_l=-0.00
Taglio nei bulloni: Fv,Ed=8.14 Fv,Rd=7720.78
Rifollamento lato piastra: Fb,Ed,p=8.14 Fb,Rd,p=5979.18
Tirafondi:LT=0.45 (0.31) σ_{cR}=0.00 σ_{fR}=0.00
Compressione nel calcestruzzo: σ_c=45.19
CC 49 SLU (Collegamento 0023_-380)
Azioni sul collegamento: N=-14990.70 Ty=-0.10 Tz=23.57 Mx=-0.00 Mz=-0.15
Sollecitazioni agenti localmente: Tx_l=-0.10 Ty_l=23.57 N_l=-14990.70 Mx_l=-0.00 My_l=-0.15 Mz_l=-0.00
Taglio nei bulloni: Fv,Ed=3.93 Fv,Rd=7720.78
Rifollamento lato piastra: Fb,Ed,p=3.93 Fb,Rd,p=5979.34
Tirafondi:LT=0.45 (0.31) σ_{cR}=0.00 σ_{fR}=0.00
Compressione nel calcestruzzo: σ_c=30.98
CC 50 SLU (Collegamento 0023_-380)
Azioni sul collegamento: N=-14511.40 Ty=-0.10 Tz=21.80 Mx=-0.00 Mz=-0.15
Sollecitazioni agenti localmente: Tx_l=-0.10 Ty_l=21.80 N_l=-14511.40 Mx_l=-0.00 My_l=-0.15 Mz_l=-0.00
Taglio nei bulloni: Fv,Ed=3.63 Fv,Rd=7720.78
Rifollamento lato piastra: Fb,Ed,p=3.63 Fb,Rd,p=5979.37
Tirafondi:LT=0.45 (0.31) σ_{cR}=0.00 σ_{fR}=0.00
Compressione nel calcestruzzo: σ_c=29.99
CC 51 SLU (Collegamento 0023_-380)
Azioni sul collegamento: N=-14751.00 Ty=-0.22 Tz=22.68 Mx=0.00 Mz=-0.38
Sollecitazioni agenti localmente: Tx_l=-0.22 Ty_l=22.68 N_l=-14751.00 Mx_l=-0.00 My_l=-0.38 Mz_l=0.00
Taglio nei bulloni: Fv,Ed=3.78 Fv,Rd=7720.78
Rifollamento lato piastra: Fb,Ed,p=3.78 Fb,Rd,p=5979.97
Tirafondi:LT=0.45 (0.31) σ_{cR}=0.00 σ_{fR}=0.00
Compressione nel calcestruzzo: σ_c=30.50
CC 52 SLU (Collegamento 0023_-380)
Azioni sul collegamento: N=-14751.00 Ty=0.02 Tz=22.69 Mx=-0.00 Mz=0.09
Sollecitazioni agenti localmente: Tx_l=0.02 Ty_l=22.69 N_l=-14751.00 Mx_l=-0.00 My_l=0.09 Mz_l=-0.00
Taglio nei bulloni: Fv,Ed=3.78 Fv,Rd=7720.78
Rifollamento lato piastra: Fb,Ed,p=3.78 Fb,Rd,p=5979.17
Tirafondi:LT=0.45 (0.31) σ_{cR}=0.00 σ_{fR}=0.00
Compressione nel calcestruzzo: σ_c=30.48
CC 53 SLU (Collegamento 0023_-380)
Azioni sul collegamento: N=-22246.40 Ty=-0.10 Tz=49.73 Mx=-0.00 Mz=-0.15
Sollecitazioni agenti localmente: Tx_l=-0.10 Ty_l=49.73 N_l=-22246.40 Mx_l=-0.00 My_l=-0.15 Mz_l=-0.00
Taglio nei bulloni: Fv,Ed=8.29 Fv,Rd=7720.78
Rifollamento lato piastra: Fb,Ed,p=8.29 Fb,Rd,p=5979.21
Tirafondi:LT=0.45 (0.31) σ_{cR}=0.00 σ_{fR}=0.00
Compressione nel calcestruzzo: σ_c=45.97
CC 54 SLU (Collegamento 0023_-380)
Azioni sul collegamento: N=-21767.10 Ty=-0.10 Tz=47.96 Mx=-0.00 Mz=-0.15
Sollecitazioni agenti localmente: Tx_l=-0.10 Ty_l=47.96 N_l=-21767.10 Mx_l=-0.00 My_l=-0.15 Mz_l=-0.00
Taglio nei bulloni: Fv,Ed=7.99 Fv,Rd=7720.78
Rifollamento lato piastra: Fb,Ed,p=7.99 Fb,Rd,p=5979.21
Tirafondi:LT=0.45 (0.31) σ_{cR}=0.00 σ_{fR}=0.00

Compressione nel calcestruzzo: σ_c=44.98
CC 55 SLU (Collegamento 0023_-380)
Azioni sul collegamento: N=-22006.70 Ty=-0.22 Tz=48.85 Mx=0.00 Mz=-0.38
Sollecitazioni agenti localmente: Tx_l=-0.22 Ty_l=48.85 N_l=-22006.70 Mx_l=-0.00 My_l=-0.38 Mz_l=0.00
Taglio nei bulloni: Fv,Ed=8.14 Fv,Rd=7720.78
Rifollamento lato piastra: Fb,Ed,p=8.14 Fb,Rd,p=5979.34
Tirafondi:LT=0.45 (0.31) σ_{cR}=0.00 σ_{fR}=0.00
Compressione nel calcestruzzo: σ_c=45.49
CC 56 SLU (Collegamento 0023_-380)
Azioni sul collegamento: N=-22006.70 Ty=0.02 Tz=48.85 Mx=-0.00 Mz=0.09
Sollecitazioni agenti localmente: Tx_l=0.02 Ty_l=48.85 N_l=-22006.70 Mx_l=-0.00 My_l=0.09 Mz_l=-0.00
Taglio nei bulloni: Fv,Ed=8.14 Fv,Rd=7720.78
Rifollamento lato piastra: Fb,Ed,p=8.14 Fb,Rd,p=5979.17
Tirafondi:LT=0.45 (0.31) σ_{cR}=0.00 σ_{fR}=0.00
Compressione nel calcestruzzo: σ_c=45.47
CC 57 SLU (Collegamento 0023_-380)
Azioni sul collegamento: N=-20646.20 Ty=-0.07 Tz=44.37 Mx=-0.00 Mz=-0.13
Sollecitazioni agenti localmente: Tx_l=-0.07 Ty_l=44.37 N_l=-20646.20 Mx_l=-0.00 My_l=-0.13 Mz_l=-0.00
Taglio nei bulloni: Fv,Ed=7.39 Fv,Rd=7720.78
Rifollamento lato piastra: Fb,Ed,p=7.39 Fb,Rd,p=5979.20
Tirafondi:LT=0.45 (0.31) σ_{cR}=0.00 σ_{fR}=0.00
Compressione nel calcestruzzo: σ_c=42.66
CC 58 SLU (Collegamento 0023_-380)
Azioni sul collegamento: N=-20166.90 Ty=-0.07 Tz=42.59 Mx=-0.00 Mz=-0.13
Sollecitazioni agenti localmente: Tx_l=-0.07 Ty_l=42.59 N_l=-20166.90 Mx_l=-0.00 My_l=-0.13 Mz_l=-0.00
Taglio nei bulloni: Fv,Ed=7.10 Fv,Rd=7720.78
Rifollamento lato piastra: Fb,Ed,p=7.10 Fb,Rd,p=5979.20
Tirafondi:LT=0.45 (0.31) σ_{cR}=0.00 σ_{fR}=0.00
Compressione nel calcestruzzo: σ_c=41.67
CC 59 SLU (Collegamento 0023_-380)
Azioni sul collegamento: N=-20406.60 Ty=-0.19 Tz=43.48 Mx=0.00 Mz=-0.36
Sollecitazioni agenti localmente: Tx_l=-0.19 Ty_l=43.48 N_l=-20406.60 Mx_l=-0.00 My_l=-0.36 Mz_l=0.00
Taglio nei bulloni: Fv,Ed=7.25 Fv,Rd=7720.78
Rifollamento lato piastra: Fb,Ed,p=7.25 Fb,Rd,p=5979.34
Tirafondi:LT=0.45 (0.31) σ_{cR}=0.00 σ_{fR}=0.00
Compressione nel calcestruzzo: σ_c=42.18
CC 60 SLU (Collegamento 0023_-380)
Azioni sul collegamento: N=-20406.60 Ty=0.05 Tz=43.48 Mx=-0.00 Mz=0.10
Sollecitazioni agenti localmente: Tx_l=0.05 Ty_l=43.48 N_l=-20406.60 Mx_l=-0.00 My_l=0.10 Mz_l=-0.00
Taglio nei bulloni: Fv,Ed=7.25 Fv,Rd=7720.78
Rifollamento lato piastra: Fb,Ed,p=7.25 Fb,Rd,p=5979.18
Tirafondi:LT=0.45 (0.31) σ_{cR}=0.00 σ_{fR}=0.00
Compressione nel calcestruzzo: σ_c=42.17
CC 61 SLU (Collegamento 0023_-380)
Azioni sul collegamento: N=-13528.90 Ty=-0.09 Tz=18.19 Mx=-0.00 Mz=-0.14
Sollecitazioni agenti localmente: Tx_l=-0.09 Ty_l=18.19 N_l=-13528.90 Mx_l=-0.00 My_l=-0.14 Mz_l=-0.00
Taglio nei bulloni: Fv,Ed=3.03 Fv,Rd=7720.78
Rifollamento lato piastra: Fb,Ed,p=3.03 Fb,Rd,p=5979.42
Tirafondi:LT=0.45 (0.31) σ_{cR}=0.00 σ_{fR}=0.00
Compressione nel calcestruzzo: σ_c=27.96
CC 62 SLU (Collegamento 0023_-380)
Azioni sul collegamento: N=-13049.60 Ty=-0.10 Tz=16.41 Mx=-0.00 Mz=-0.14
Sollecitazioni agenti localmente: Tx_l=-0.10 Ty_l=16.41 N_l=-13049.60 Mx_l=-0.00 My_l=-0.14 Mz_l=-0.00
Taglio nei bulloni: Fv,Ed=2.74 Fv,Rd=7720.78
Rifollamento lato piastra: Fb,Ed,p=2.74 Fb,Rd,p=5979.49
Tirafondi:LT=0.45 (0.31) σ_{cR}=0.00 σ_{fR}=0.00
Compressione nel calcestruzzo: σ_c=26.97
CC 63 SLU (Collegamento 0023_-380)
Azioni sul collegamento: N=-13289.20 Ty=-0.21 Tz=17.30 Mx=0.00 Mz=-0.37
Sollecitazioni agenti localmente: Tx_l=-0.21 Ty_l=17.30 N_l=-13289.20 Mx_l=-0.00 My_l=-0.37 Mz_l=0.00
Taglio nei bulloni: Fv,Ed=2.88 Fv,Rd=7720.78
Rifollamento lato piastra: Fb,Ed,p=2.88 Fb,Rd,p=5980.49
Tirafondi:LT=0.45 (0.31) σ_{cR}=0.00 σ_{fR}=0.00
Compressione nel calcestruzzo: σ_c=27.48
CC 64 SLU (Collegamento 0023_-380)
Azioni sul collegamento: N=-13289.20 Ty=0.02 Tz=17.30 Mx=-0.00 Mz=0.10
Sollecitazioni agenti localmente: Tx_l=0.02 Ty_l=17.30 N_l=-13289.20 Mx_l=-0.00 My_l=0.10 Mz_l=-0.00
Taglio nei bulloni: Fv,Ed=2.88 Fv,Rd=7720.78
Rifollamento lato piastra: Fb,Ed,p=2.88 Fb,Rd,p=5979.18
Tirafondi:LT=0.45 (0.31) σ_{cR}=0.00 σ_{fR}=0.00
Compressione nel calcestruzzo: σ_c=27.46
CC 65 SLU (Collegamento 0023_-380)
Azioni sul collegamento: N=-20784.60 Ty=-0.09 Tz=44.35 Mx=-0.00 Mz=-0.14
Sollecitazioni agenti localmente: Tx_l=-0.09 Ty_l=44.35 N_l=-20784.60 Mx_l=-0.00 My_l=-0.14 Mz_l=-0.00
Taglio nei bulloni: Fv,Ed=7.39 Fv,Rd=7720.78
Rifollamento lato piastra: Fb,Ed,p=7.39 Fb,Rd,p=5979.21
Tirafondi:LT=0.45 (0.31) σ_{cR}=0.00 σ_{fR}=0.00
Compressione nel calcestruzzo: σ_c=42.95
CC 66 SLU (Collegamento 0023_-380)
Azioni sul collegamento: N=-20305.30 Ty=-0.09 Tz=42.57 Mx=-0.00 Mz=-0.14

Sollecitazioni agenti localmente: Tx_l=-0.09 Ty_l=42.57 N_l=-20305.30 Mx_l=-0.00 My_l=-0.14 Mz_l=-0.00
Taglio nei bulloni: Fv,Ed=7.10 Fv,Rd=7720.78
Rifollamento lato piastra: Fb,Ed,p=7.10 Fb,Rd,p=5979.22
Tirafondi:LT=0.45 (0.31) σ_{cR}=0.00 σ_{fR}=0.00
Compressione nel calcestruzzo: σ_c=41.96
CC 67 SLU (Collegamento 0023_-380)
Azioni sul collegamento: N=-20544.90 Ty=-0.21 Tz=43.46 Mx=0.00 Mz=-0.37
Sollecitazioni agenti localmente: Tx_l=-0.21 Ty_l=43.46 N_l=-20544.90 Mx_l=-0.00 My_l=-0.37 Mz_l=0.00
Taglio nei bulloni: Fv,Ed=7.24 Fv,Rd=7720.78
Rifollamento lato piastra: Fb,Ed,p=7.24 Fb,Rd,p=5979.37
Tirafondi:LT=0.45 (0.31) σ_{cR}=0.00 σ_{fR}=0.00
Compressione nel calcestruzzo: σ_c=42.47
CC 68 SLU (Collegamento 0023_-380)
Azioni sul collegamento: N=-20544.90 Ty=0.03 Tz=43.46 Mx=-0.00 Mz=0.10
Sollecitazioni agenti localmente: Tx_l=0.03 Ty_l=43.46 N_l=-20544.90 Mx_l=-0.00 My_l=0.10 Mz_l=-0.00
Taglio nei bulloni: Fv,Ed=7.25 Fv,Rd=7720.78
Rifollamento lato piastra: Fb,Ed,p=7.25 Fb,Rd,p=5979.17
Tirafondi:LT=0.45 (0.31) σ_{cR}=0.00 σ_{fR}=0.00
Compressione nel calcestruzzo: σ_c=42.45
CC 97 SLU (Collegamento 0023_-380)
Azioni sul collegamento: N=-12582.10 Ty=-12.27 Tz=22.98 Mx=-0.04 Mz=-17.61
Sollecitazioni agenti localmente: Tx_l=-12.27 Ty_l=22.98 N_l=-12582.10 Mx_l=-0.00 My_l=-17.61 Mz_l=-0.04
Taglio nei bulloni: Fv,Ed=4.41 Fv,Rd=7720.78
Rifollamento lato piastra: Fb,Ed,p=4.41 Fb,Rd,p=8614.24
Tirafondi:LT=0.45 (0.31) σ_{cR}=0.00 σ_{fR}=0.00
Compressione nel calcestruzzo: σ_c=26.99
CC 98 SLU (Collegamento 0023_-380)
Azioni sul collegamento: N=-12102.80 Ty=-12.27 Tz=21.21 Mx=-0.04 Mz=-17.61
Sollecitazioni agenti localmente: Tx_l=-12.27 Ty_l=21.21 N_l=-12102.80 Mx_l=-0.00 My_l=-17.61 Mz_l=-0.04
Taglio nei bulloni: Fv,Ed=4.15 Fv,Rd=7720.78
Rifollamento lato piastra: Fb,Ed,p=4.15 Fb,Rd,p=9078.24
Tirafondi:LT=0.45 (0.31) σ_{cR}=0.00 σ_{fR}=0.00
Compressione nel calcestruzzo: σ_c=26.00
CC 99 SLU (Collegamento 0023_-380)
Azioni sul collegamento: N=-12342.50 Ty=-12.39 Tz=22.09 Mx=-0.04 Mz=-17.84
Sollecitazioni agenti localmente: Tx_l=-12.39 Ty_l=22.09 N_l=-12342.50 Mx_l=-0.00 My_l=-17.84 Mz_l=-0.04
Taglio nei bulloni: Fv,Ed=4.28 Fv,Rd=7720.78
Rifollamento lato piastra: Fb,Ed,p=4.28 Fb,Rd,p=8886.50
Tirafondi:LT=0.45 (0.31) σ_{cR}=0.00 σ_{fR}=0.00
Compressione nel calcestruzzo: σ_c=26.51
CC 100 SLU (Collegamento 0023_-380)
Azioni sul collegamento: N=-12342.50 Ty=-12.15 Tz=22.09 Mx=-0.04 Mz=-17.38
Sollecitazioni agenti localmente: Tx_l=-12.15 Ty_l=22.09 N_l=-12342.50 Mx_l=-0.00 My_l=-17.38 Mz_l=-0.04
Taglio nei bulloni: Fv,Ed=4.27 Fv,Rd=7720.78
Rifollamento lato piastra: Fb,Ed,p=4.27 Fb,Rd,p=8778.47
Tirafondi:LT=0.45 (0.31) σ_{cR}=0.00 σ_{fR}=0.00
Compressione nel calcestruzzo: σ_c=26.48
CC 101 SLU (Collegamento 0023_-380)
Azioni sul collegamento: N=-6366.46 Ty=2.01 Tz=0.04 Mx=0.00 Mz=2.22
Sollecitazioni agenti localmente: Tx_l=2.01 Ty_l=0.04 N_l=-6366.46 Mx_l=-0.00 My_l=2.22 Mz_l=0.00
Taglio nei bulloni: Fv,Ed=0.34 Fv,Rd=7720.78
Rifollamento lato piastra: Fb,Ed,p=0.34 Fb,Rd,p=5979.37
Tirafondi:LT=0.45 (0.31) σ_{cR}=0.00 σ_{fR}=0.00
Compressione nel calcestruzzo: σ_c=13.28
CC 102 SLU (Collegamento 0023_-380)
Azioni sul collegamento: N=-5887.16 Ty=2.00 Tz=-1.73 Mx=0.00 Mz=2.22
Sollecitazioni agenti localmente: Tx_l=2.00 Ty_l=-1.73 N_l=-5887.16 Mx_l=-0.00 My_l=2.22 Mz_l=0.00
Taglio nei bulloni: Fv,Ed=0.45 Fv,Rd=7720.78
Rifollamento lato piastra: Fb,Ed,p=0.45 Fb,Rd,p=11248.30
Tirafondi:LT=0.45 (0.31) σ_{cR}=0.00 σ_{fR}=0.00
Compressione nel calcestruzzo: σ_c=12.29
CC 103 SLU (Collegamento 0023_-380)
Azioni sul collegamento: N=-6126.81 Ty=1.89 Tz=-0.85 Mx=0.01 Mz=1.98
Sollecitazioni agenti localmente: Tx_l=1.89 Ty_l=-0.85 N_l=-6126.81 Mx_l=-0.00 My_l=1.98 Mz_l=0.01
Taglio nei bulloni: Fv,Ed=0.35 Fv,Rd=7720.78
Rifollamento lato piastra: Fb,Ed,p=0.35 Fb,Rd,p=7880.22
Tirafondi:LT=0.45 (0.31) σ_{cR}=0.00 σ_{fR}=0.00
Compressione nel calcestruzzo: σ_c=12.77
CC 104 SLU (Collegamento 0023_-380)
Azioni sul collegamento: N=-6126.80 Ty=2.12 Tz=-0.84 Mx=0.00 Mz=2.45
Sollecitazioni agenti localmente: Tx_l=2.12 Ty_l=-0.84 N_l=-6126.80 Mx_l=-0.00 My_l=2.45 Mz_l=0.00
Taglio nei bulloni: Fv,Ed=0.39 Fv,Rd=7720.78
Rifollamento lato piastra: Fb,Ed,p=0.39 Fb,Rd,p=7454.80
Tirafondi:LT=0.45 (0.31) σ_{cR}=0.00 σ_{fR}=0.00
Compressione nel calcestruzzo: σ_c=12.80

Saldatura profilo-piastra

CC 1 SLV (Collegamento 0023_-380)
Azioni sul collegamento: N=-3330.00 Ty=1.44 Tz=5.89 Mx=0.02 Mz=3.55

Sollecitazioni agenti localmente: Tx_l=1.44 Ty_l=5.89 N_l=-3330.00 My_l=-3.55 Mz_l=0.02
Azioni sul cordone: TP=0.09 TO=0.45 NO=-246.15
Tensioni nel cordone: τ_P= 0.03 τ_0=0.14 σ_0=83.42 σ_{ID}=83.42 Σ_T=83.56
CC 1 SLV (Collegamento 0023_-380)
Azioni sul collegamento: N=-3330.00 Ty=0.74 Tz=5.89 Mx=0.02 Mz=2.16
Sollecitazioni agenti localmente: Tx_l=0.74 Ty_l=5.89 N_l=-3330.00 My_l=-2.16 Mz_l=0.02
Azioni sul cordone: TP=0.04 TO=0.45 NO=-246.15
Tensioni nel cordone: τ_P= 0.01 τ_0=0.14 σ_0=81.39 σ_{ID}=81.39 Σ_T=81.53
CC 1 SLV (Collegamento 0023_-380)
Azioni sul collegamento: N=-3330.00 Ty=1.44 Tz=-11.20 Mx=0.02 Mz=3.55
Sollecitazioni agenti localmente: Tx_l=1.44 Ty_l=-11.20 N_l=-3330.00 My_l=-3.55 Mz_l=0.02
Azioni sul cordone: TP=0.09 TO=-0.81 NO=-246.15
Tensioni nel cordone: τ_P= 0.03 τ_0=0.26 σ_0=83.42 σ_{ID}=83.42 Σ_T=83.68
CC 1 SLV (Collegamento 0023_-380)
Azioni sul collegamento: N=-3330.00 Ty=0.74 Tz=-11.20 Mx=0.02 Mz=2.16
Sollecitazioni agenti localmente: Tx_l=0.74 Ty_l=-11.20 N_l=-3330.00 My_l=-2.16 Mz_l=0.02
Azioni sul cordone: TP=0.04 TO=-0.81 NO=-246.15
Tensioni nel cordone: τ_P= 0.01 τ_0=0.26 σ_0=81.39 σ_{ID}=81.39 Σ_T=81.65
CC 1 SLV (Collegamento 0023_-380)
Azioni sul collegamento: N=-7936.47 Ty=1.44 Tz=5.89 Mx=0.02 Mz=3.55
Sollecitazioni agenti localmente: Tx_l=1.44 Ty_l=5.89 N_l=-7936.47 My_l=-3.55 Mz_l=0.02
Azioni sul cordone: TP=0.09 TO=0.45 NO=-586.67
Tensioni nel cordone: τ_P= 0.03 τ_0=0.14 σ_0=191.65 σ_{ID}=191.65 Σ_T=191.80
CC 1 SLV (Collegamento 0023_-380)
Azioni sul collegamento: N=-7936.47 Ty=0.74 Tz=5.89 Mx=0.02 Mz=2.16
Sollecitazioni agenti localmente: Tx_l=0.74 Ty_l=5.89 N_l=-7936.47 My_l=-2.16 Mz_l=0.02
Azioni sul cordone: TP=0.04 TO=0.45 NO=-586.67
Tensioni nel cordone: τ_P= 0.01 τ_0=0.14 σ_0=189.62 σ_{ID}=189.62 Σ_T=189.76
CC 1 SLV (Collegamento 0023_-380)
Azioni sul collegamento: N=-7936.47 Ty=1.44 Tz=-11.20 Mx=0.02 Mz=3.55
Sollecitazioni agenti localmente: Tx_l=1.44 Ty_l=-11.20 N_l=-7936.47 My_l=-3.55 Mz_l=0.02
Azioni sul cordone: TP=0.09 TO=-0.81 NO=-586.67
Tensioni nel cordone: τ_P= 0.03 τ_0=0.26 σ_0=191.65 σ_{ID}=191.65 Σ_T=191.91
CC 1 SLV (Collegamento 0023_-380)
Azioni sul collegamento: N=-7936.47 Ty=0.74 Tz=-11.20 Mx=0.02 Mz=2.16
Sollecitazioni agenti localmente: Tx_l=0.74 Ty_l=-11.20 N_l=-7936.47 My_l=-2.16 Mz_l=0.02
Azioni sul cordone: TP=0.04 TO=-0.81 NO=-586.67
Tensioni nel cordone: τ_P= 0.01 τ_0=0.26 σ_0=189.62 σ_{ID}=189.62 Σ_T=189.88
CC 2 SLD (Collegamento 0023_-380)
Azioni sul collegamento: N=-4931.09 Ty=0.39 Tz=-0.05 Mx=0.00 Mz=1.01
Sollecitazioni agenti localmente: Tx_l=0.39 Ty_l=-0.05 N_l=-4931.09 My_l=-1.01 Mz_l=0.00
Azioni sul cordone: TP=0.02 TO=0.00 NO=-364.51
Tensioni nel cordone: τ_P=7.41E-03 τ_0=2.47E-06 σ_0=117.33 σ_{ID}=117.33 Σ_T=117.33
CC 2 SLD (Collegamento 0023_-380)
Azioni sul collegamento: N=-4931.09 Ty=0.17 Tz=-0.05 Mx=0.00 Mz=0.59
Sollecitazioni agenti localmente: Tx_l=0.17 Ty_l=-0.05 N_l=-4931.09 My_l=-0.59 Mz_l=0.00
Azioni sul cordone: TP=0.01 TO=0.00 NO=-364.51
Tensioni nel cordone: τ_P=2.36E-03 τ_0=2.47E-06 σ_0=116.71 σ_{ID}=116.71 Σ_T=116.71
CC 2 SLD (Collegamento 0023_-380)
Azioni sul collegamento: N=-4931.09 Ty=0.39 Tz=-5.26 Mx=0.00 Mz=1.01
Sollecitazioni agenti localmente: Tx_l=0.39 Ty_l=-5.26 N_l=-4931.09 My_l=-1.01 Mz_l=0.00
Azioni sul cordone: TP=0.02 TO=-0.38 NO=-364.51
Tensioni nel cordone: τ_P=7.41E-03 τ_0=0.12 σ_0=117.33 σ_{ID}=117.33 Σ_T=117.46
CC 2 SLD (Collegamento 0023_-380)
Azioni sul collegamento: N=-4931.09 Ty=0.17 Tz=-5.26 Mx=0.00 Mz=0.59
Sollecitazioni agenti localmente: Tx_l=0.17 Ty_l=-5.26 N_l=-4931.09 My_l=-0.59 Mz_l=0.00
Azioni sul cordone: TP=0.01 TO=-0.38 NO=-364.51
Tensioni nel cordone: τ_P=2.36E-03 τ_0=0.12 σ_0=116.71 σ_{ID}=116.71 Σ_T=116.84
CC 2 SLD (Collegamento 0023_-380)
Azioni sul collegamento: N=-6335.74 Ty=0.39 Tz=-0.05 Mx=0.00 Mz=1.01
Sollecitazioni agenti localmente: Tx_l=0.39 Ty_l=-0.05 N_l=-6335.74 My_l=-1.01 Mz_l=0.00
Azioni sul cordone: TP=0.02 TO=0.00 NO=-468.34
Tensioni nel cordone: τ_P=7.41E-03 τ_0=9.91E-06 σ_0=150.34 σ_{ID}=150.34 Σ_T=150.34
CC 2 SLD (Collegamento 0023_-380)
Azioni sul collegamento: N=-6335.74 Ty=0.17 Tz=-0.05 Mx=0.00 Mz=0.59
Sollecitazioni agenti localmente: Tx_l=0.17 Ty_l=-0.05 N_l=-6335.74 My_l=-0.59 Mz_l=0.00
Azioni sul cordone: TP=0.01 TO=0.00 NO=-468.34
Tensioni nel cordone: τ_P=2.36E-03 τ_0=9.91E-06 σ_0=149.72 σ_{ID}=149.72 Σ_T=149.72
CC 2 SLD (Collegamento 0023_-380)
Azioni sul collegamento: N=-6335.74 Ty=0.39 Tz=-5.26 Mx=0.00 Mz=1.01
Sollecitazioni agenti localmente: Tx_l=0.39 Ty_l=-5.26 N_l=-6335.74 My_l=-1.01 Mz_l=0.00
Azioni sul cordone: TP=0.02 TO=-0.38 NO=-468.34
Tensioni nel cordone: τ_P=7.41E-03 τ_0=0.12 σ_0=150.34 σ_{ID}=150.34 Σ_T=150.46
CC 2 SLD (Collegamento 0023_-380)
Azioni sul collegamento: N=-6335.74 Ty=0.17 Tz=-5.26 Mx=0.00 Mz=0.59
Sollecitazioni agenti localmente: Tx_l=0.17 Ty_l=-5.26 N_l=-6335.74 My_l=-0.59 Mz_l=0.00
Azioni sul cordone: TP=0.01 TO=-0.38 NO=-468.34
Tensioni nel cordone: τ_P=2.36E-03 τ_0=0.12 σ_0=149.72 σ_{ID}=149.72 Σ_T=149.84
CC 3 SLV (Collegamento 0023_-380)
Azioni sul collegamento: N=-3330.02 Ty=0.75 Tz=5.88 Mx=0.01 Mz=2.19
Sollecitazioni agenti localmente: Tx_l=0.75 Ty_l=5.88 N_l=-3330.02 My_l=-2.19 Mz_l=0.01

Azioni sul cordone: TP=0.04 TO=0.44 NO=-246.16
Tensioni nel cordone: τ_P= 0.01 τ_O=0.14 σ_O=81.45 σ_{ID}=81.45 Σ_T=81.59
CC 3 SLV (Collegamento 0023_-380)
Azioni sul collegamento: N=-3330.02 Ty=1.43 Tz=5.88 Mx=0.01 Mz=3.51
Sollecitazioni agenti localmente: Tx_l=1.43 Ty_l=5.88 N_l=-3330.02 My_l=-3.51 Mz_l=0.01
Azioni sul cordone: TP=0.09 TO=0.44 NO=-246.16
Tensioni nel cordone: τ_P= 0.03 τ_O=0.14 σ_O=83.37 σ_{ID}=83.37 Σ_T=83.51
CC 3 SLV (Collegamento 0023_-380)
Azioni sul collegamento: N=-3330.02 Ty=0.75 Tz=-11.19 Mx=0.01 Mz=2.19
Sollecitazioni agenti localmente: Tx_l=0.75 Ty_l=-11.19 N_l=-3330.02 My_l=-2.19 Mz_l=0.01
Azioni sul cordone: TP=0.04 TO=-0.82 NO=-246.16
Tensioni nel cordone: τ_P= 0.01 τ_O=0.26 σ_O=81.45 σ_{ID}=81.45 Σ_T=81.71
CC 3 SLV (Collegamento 0023_-380)
Azioni sul collegamento: N=-3330.02 Ty=1.43 Tz=-11.19 Mx=0.01 Mz=3.51
Sollecitazioni agenti localmente: Tx_l=1.43 Ty_l=-11.19 N_l=-3330.02 My_l=-3.51 Mz_l=0.01
Azioni sul cordone: TP=0.09 TO=-0.82 NO=-246.16
Tensioni nel cordone: τ_P= 0.03 τ_O=0.26 σ_O=83.37 σ_{ID}=83.37 Σ_T=83.63
CC 3 SLV (Collegamento 0023_-380)
Azioni sul collegamento: N=-7936.44 Ty=0.75 Tz=5.88 Mx=0.01 Mz=2.19
Sollecitazioni agenti localmente: Tx_l=0.75 Ty_l=5.88 N_l=-7936.44 My_l=-2.19 Mz_l=0.01
Azioni sul cordone: TP=0.04 TO=0.44 NO=-586.66
Tensioni nel cordone: τ_P= 0.01 τ_O=0.14 σ_O=189.68 σ_{ID}=189.68 Σ_T=189.82
CC 3 SLV (Collegamento 0023_-380)
Azioni sul collegamento: N=-7936.44 Ty=1.43 Tz=5.88 Mx=0.01 Mz=3.51
Sollecitazioni agenti localmente: Tx_l=1.43 Ty_l=5.88 N_l=-7936.44 My_l=-3.51 Mz_l=0.01
Azioni sul cordone: TP=0.09 TO=0.44 NO=-586.66
Tensioni nel cordone: τ_P= 0.03 τ_O=0.14 σ_O=191.60 σ_{ID}=191.60 Σ_T=191.74
CC 3 SLV (Collegamento 0023_-380)
Azioni sul collegamento: N=-7936.44 Ty=0.75 Tz=-11.19 Mx=0.01 Mz=2.19
Sollecitazioni agenti localmente: Tx_l=0.75 Ty_l=-11.19 N_l=-7936.44 My_l=-2.19 Mz_l=0.01
Azioni sul cordone: TP=0.04 TO=-0.82 NO=-586.66
Tensioni nel cordone: τ_P= 0.01 τ_O=0.26 σ_O=189.68 σ_{ID}=189.68 Σ_T=189.94
CC 3 SLV (Collegamento 0023_-380)
Azioni sul collegamento: N=-7936.44 Ty=1.43 Tz=-11.19 Mx=0.01 Mz=3.51
Sollecitazioni agenti localmente: Tx_l=1.43 Ty_l=-11.19 N_l=-7936.44 My_l=-3.51 Mz_l=0.01
Azioni sul cordone: TP=0.09 TO=-0.82 NO=-586.66
Tensioni nel cordone: τ_P= 0.03 τ_O=0.26 σ_O=191.60 σ_{ID}=191.60 Σ_T=191.86
CC 4 SLD (Collegamento 0023_-380)
Azioni sul collegamento: N=-4931.09 Ty=0.18 Tz=-0.05 Mx=0.00 Mz=0.60
Sollecitazioni agenti localmente: Tx_l=0.18 Ty_l=-0.05 N_l=-4931.09 My_l=-0.60 Mz_l=0.00
Azioni sul cordone: TP=0.01 TO=-0.00 NO=-364.51
Tensioni nel cordone: τ_P=3.04E-03 τ_O=4.06E-04 σ_O=116.73 σ_{ID}=116.73 Σ_T=116.73
CC 4 SLD (Collegamento 0023_-380)
Azioni sul collegamento: N=-4931.09 Ty=0.38 Tz=-0.05 Mx=0.00 Mz=1.00
Sollecitazioni agenti localmente: Tx_l=0.38 Ty_l=-0.05 N_l=-4931.09 My_l=-1.00 Mz_l=0.00
Azioni sul cordone: TP=0.02 TO=-0.00 NO=-364.51
Tensioni nel cordone: τ_P=7.89E-03 τ_O=4.06E-04 σ_O=117.32 σ_{ID}=117.32 Σ_T=117.32
CC 4 SLD (Collegamento 0023_-380)
Azioni sul collegamento: N=-4931.09 Ty=0.18 Tz=-5.26 Mx=0.00 Mz=0.60
Sollecitazioni agenti localmente: Tx_l=0.18 Ty_l=-5.26 N_l=-4931.09 My_l=-0.60 Mz_l=0.00
Azioni sul cordone: TP=0.01 TO=-0.39 NO=-364.51
Tensioni nel cordone: τ_P=3.04E-03 τ_O=0.12 σ_O=116.73 σ_{ID}=116.73 Σ_T=116.85
CC 4 SLD (Collegamento 0023_-380)
Azioni sul collegamento: N=-4931.09 Ty=0.38 Tz=-5.26 Mx=0.00 Mz=1.00
Sollecitazioni agenti localmente: Tx_l=0.38 Ty_l=-5.26 N_l=-4931.09 My_l=-1.00 Mz_l=0.00
Azioni sul cordone: TP=0.02 TO=-0.39 NO=-364.51
Tensioni nel cordone: τ_P=7.89E-03 τ_O=0.12 σ_O=117.32 σ_{ID}=117.32 Σ_T=117.44
CC 4 SLD (Collegamento 0023_-380)
Azioni sul collegamento: N=-6335.74 Ty=0.18 Tz=-0.05 Mx=0.00 Mz=0.60
Sollecitazioni agenti localmente: Tx_l=0.18 Ty_l=-0.05 N_l=-6335.74 My_l=-0.60 Mz_l=0.00
Azioni sul cordone: TP=0.01 TO=-0.00 NO=-468.34
Tensioni nel cordone: τ_P=3.04E-03 τ_O=4.05E-04 σ_O=149.73 σ_{ID}=149.73 Σ_T=149.74
CC 4 SLD (Collegamento 0023_-380)
Azioni sul collegamento: N=-6335.74 Ty=0.38 Tz=-0.05 Mx=0.00 Mz=1.00
Sollecitazioni agenti localmente: Tx_l=0.38 Ty_l=-0.05 N_l=-6335.74 My_l=-1.00 Mz_l=0.00
Azioni sul cordone: TP=0.02 TO=-0.00 NO=-468.34
Tensioni nel cordone: τ_P=7.89E-03 τ_O=4.05E-04 σ_O=150.32 σ_{ID}=150.32 Σ_T=150.32
CC 4 SLD (Collegamento 0023_-380)
Azioni sul collegamento: N=-6335.74 Ty=0.18 Tz=-5.26 Mx=0.00 Mz=0.60
Sollecitazioni agenti localmente: Tx_l=0.18 Ty_l=-5.26 N_l=-6335.74 My_l=-0.60 Mz_l=0.00
Azioni sul cordone: TP=0.01 TO=-0.39 NO=-468.34
Tensioni nel cordone: τ_P=3.04E-03 τ_O=0.12 σ_O=149.73 σ_{ID}=149.73 Σ_T=149.86
CC 4 SLD (Collegamento 0023_-380)
Azioni sul collegamento: N=-6335.74 Ty=0.38 Tz=-5.26 Mx=0.00 Mz=1.00
Sollecitazioni agenti localmente: Tx_l=0.38 Ty_l=-5.26 N_l=-6335.74 My_l=-1.00 Mz_l=0.00
Azioni sul cordone: TP=0.02 TO=-0.39 NO=-468.34
Tensioni nel cordone: τ_P=7.89E-03 τ_O=0.12 σ_O=150.32 σ_{ID}=150.32 Σ_T=150.44
CC 5 SLV (Collegamento 0023_-380)
Azioni sul collegamento: N=-7936.44 Ty=1.43 Tz=-11.19 Mx=0.02 Mz=3.51
Sollecitazioni agenti localmente: Tx_l=1.43 Ty_l=-11.19 N_l=-7936.44 My_l=-3.51 Mz_l=0.02
Azioni sul cordone: TP=0.09 TO=-0.82 NO=-586.66

Tensioni nel cordone: τ_P= 0.03 τ_0=0.26 σ_0=191.60 σ_{ID}=191.60 Σ_T=191.86
CC 5 SLV (Collegamento 0023_-380)
Azioni sul collegamento: N=-7936.44 Ty=0.75 Tz=-11.19 Mx=0.02 Mz=2.19
Sollecitazioni agenti localmente: Tx_l=0.75 Ty_l=-11.19 N_l=-7936.44 My_l=-2.19 Mz_l=0.02
Azioni sul cordone: TP=0.04 TO=-0.82 NO=-586.66
Tensioni nel cordone: τ_P= 0.01 τ_0=0.26 σ_0=189.68 σ_{ID}=189.68 Σ_T=189.94
CC 5 SLV (Collegamento 0023_-380)
Azioni sul collegamento: N=-7936.44 Ty=1.43 Tz=5.88 Mx=0.02 Mz=3.51
Sollecitazioni agenti localmente: Tx_l=1.43 Ty_l=5.88 N_l=-7936.44 My_l=-3.51 Mz_l=0.02
Azioni sul cordone: TP=0.09 TO=0.45 NO=-586.66
Tensioni nel cordone: τ_P= 0.03 τ_0=0.14 σ_0=191.60 σ_{ID}=191.60 Σ_T=191.74
CC 5 SLV (Collegamento 0023_-380)
Azioni sul collegamento: N=-7936.44 Ty=0.75 Tz=5.88 Mx=0.02 Mz=2.19
Sollecitazioni agenti localmente: Tx_l=0.75 Ty_l=5.88 N_l=-7936.44 My_l=-2.19 Mz_l=0.02
Azioni sul cordone: TP=0.04 TO=0.45 NO=-586.66
Tensioni nel cordone: τ_P= 0.01 τ_0=0.14 σ_0=189.68 σ_{ID}=189.68 Σ_T=189.82
CC 5 SLV (Collegamento 0023_-380)
Azioni sul collegamento: N=-3330.02 Ty=1.43 Tz=-11.19 Mx=0.02 Mz=3.51
Sollecitazioni agenti localmente: Tx_l=1.43 Ty_l=-11.19 N_l=-3330.02 My_l=-3.51 Mz_l=0.02
Azioni sul cordone: TP=0.09 TO=-0.82 NO=-246.16
Tensioni nel cordone: τ_P= 0.03 τ_0=0.26 σ_0=83.37 σ_{ID}=83.37 Σ_T=83.63
CC 5 SLV (Collegamento 0023_-380)
Azioni sul collegamento: N=-3330.02 Ty=0.75 Tz=-11.19 Mx=0.02 Mz=2.19
Sollecitazioni agenti localmente: Tx_l=0.75 Ty_l=-11.19 N_l=-3330.02 My_l=-2.19 Mz_l=0.02
Azioni sul cordone: TP=0.04 TO=-0.82 NO=-246.16
Tensioni nel cordone: τ_P= 0.01 τ_0=0.26 σ_0=81.45 σ_{ID}=81.45 Σ_T=81.71
CC 5 SLV (Collegamento 0023_-380)
Azioni sul collegamento: N=-3330.02 Ty=1.43 Tz=5.88 Mx=0.02 Mz=3.51
Sollecitazioni agenti localmente: Tx_l=1.43 Ty_l=5.88 N_l=-3330.02 My_l=-3.51 Mz_l=0.02
Azioni sul cordone: TP=0.09 TO=0.45 NO=-246.16
Tensioni nel cordone: τ_P= 0.03 τ_0=0.14 σ_0=83.37 σ_{ID}=83.37 Σ_T=83.51
CC 5 SLV (Collegamento 0023_-380)
Azioni sul collegamento: N=-3330.02 Ty=0.75 Tz=5.88 Mx=0.02 Mz=2.19
Sollecitazioni agenti localmente: Tx_l=0.75 Ty_l=5.88 N_l=-3330.02 My_l=-2.19 Mz_l=0.02
Azioni sul cordone: TP=0.04 TO=0.45 NO=-246.16
Tensioni nel cordone: τ_P= 0.01 τ_0=0.14 σ_0=81.45 σ_{ID}=81.45 Σ_T=81.59
CC 6 SLD (Collegamento 0023_-380)
Azioni sul collegamento: N=-6335.74 Ty=0.38 Tz=-5.26 Mx=0.00 Mz=1.00
Sollecitazioni agenti localmente: Tx_l=0.38 Ty_l=-5.26 N_l=-6335.74 My_l=-1.00 Mz_l=0.00
Azioni sul cordone: TP=0.02 TO=-0.39 NO=-468.34
Tensioni nel cordone: τ_P=7.33E-03 τ_0=0.12 σ_0=150.32 σ_{ID}=150.32 Σ_T=150.44
CC 6 SLD (Collegamento 0023_-380)
Azioni sul collegamento: N=-6335.74 Ty=0.18 Tz=-5.26 Mx=0.00 Mz=0.60
Sollecitazioni agenti localmente: Tx_l=0.18 Ty_l=-5.26 N_l=-6335.74 My_l=-0.60 Mz_l=0.00
Azioni sul cordone: TP=0.01 TO=-0.39 NO=-468.34
Tensioni nel cordone: τ_P=2.48E-03 τ_0=0.12 σ_0=149.73 σ_{ID}=149.73 Σ_T=149.86
CC 6 SLD (Collegamento 0023_-380)
Azioni sul collegamento: N=-6335.74 Ty=0.38 Tz=-0.05 Mx=0.00 Mz=1.00
Sollecitazioni agenti localmente: Tx_l=0.38 Ty_l=-0.05 N_l=-6335.74 My_l=-1.00 Mz_l=0.00
Azioni sul cordone: TP=0.02 TO=-0.00 NO=-468.34
Tensioni nel cordone: τ_P=7.33E-03 τ_0=1.66E-05 σ_0=150.32 σ_{ID}=150.32 Σ_T=150.32
CC 6 SLD (Collegamento 0023_-380)
Azioni sul collegamento: N=-6335.74 Ty=0.18 Tz=-0.05 Mx=0.00 Mz=0.60
Sollecitazioni agenti localmente: Tx_l=0.18 Ty_l=-0.05 N_l=-6335.74 My_l=-0.60 Mz_l=0.00
Azioni sul cordone: TP=0.01 TO=-0.00 NO=-468.34
Tensioni nel cordone: τ_P=2.48E-03 τ_0=1.64E-05 σ_0=149.73 σ_{ID}=149.73 Σ_T=149.73
CC 6 SLD (Collegamento 0023_-380)
Azioni sul collegamento: N=-4931.09 Ty=0.38 Tz=-5.26 Mx=0.00 Mz=1.00
Sollecitazioni agenti localmente: Tx_l=0.38 Ty_l=-5.26 N_l=-4931.09 My_l=-1.00 Mz_l=0.00
Azioni sul cordone: TP=0.02 TO=-0.39 NO=-364.51
Tensioni nel cordone: τ_P=7.33E-03 τ_0=0.12 σ_0=117.32 σ_{ID}=117.32 Σ_T=117.44
CC 6 SLD (Collegamento 0023_-380)
Azioni sul collegamento: N=-4931.09 Ty=0.18 Tz=-5.26 Mx=0.00 Mz=0.60
Sollecitazioni agenti localmente: Tx_l=0.18 Ty_l=-5.26 N_l=-4931.09 My_l=-0.60 Mz_l=0.00
Azioni sul cordone: TP=0.01 TO=-0.39 NO=-364.51
Tensioni nel cordone: τ_P=2.48E-03 τ_0=0.12 σ_0=116.73 σ_{ID}=116.73 Σ_T=116.85
CC 6 SLD (Collegamento 0023_-380)
Azioni sul collegamento: N=-4931.09 Ty=0.38 Tz=-0.05 Mx=0.00 Mz=1.00
Sollecitazioni agenti localmente: Tx_l=0.38 Ty_l=-0.05 N_l=-4931.09 My_l=-1.00 Mz_l=0.00
Azioni sul cordone: TP=0.02 TO=-0.00 NO=-364.51
Tensioni nel cordone: τ_P=7.33E-03 τ_0=1.79E-05 σ_0=117.32 σ_{ID}=117.32 Σ_T=117.32
CC 6 SLD (Collegamento 0023_-380)
Azioni sul collegamento: N=-4931.09 Ty=0.18 Tz=-0.05 Mx=0.00 Mz=0.60
Sollecitazioni agenti localmente: Tx_l=0.18 Ty_l=-0.05 N_l=-4931.09 My_l=-0.60 Mz_l=0.00
Azioni sul cordone: TP=0.01 TO=-0.00 NO=-364.51
Tensioni nel cordone: τ_P=2.48E-03 τ_0=1.76E-05 σ_0=116.73 σ_{ID}=116.73 Σ_T=116.73
CC 7 SLV (Collegamento 0023_-380)
Azioni sul collegamento: N=-7936.47 Ty=0.74 Tz=-11.20 Mx=0.01 Mz=2.16
Sollecitazioni agenti localmente: Tx_l=0.74 Ty_l=-11.20 N_l=-7936.47 My_l=-2.16 Mz_l=0.01
Azioni sul cordone: TP=0.04 TO=-0.82 NO=-586.67
Tensioni nel cordone: τ_P= 0.01 τ_0=0.26 σ_0=189.62 σ_{ID}=189.62 Σ_T=189.88

CC 7 SLV (Collegamento 0023_-380)
Azioni sul collegamento: N=-7936.47 Ty=1.44 Tz=-11.20 Mx=0.01 Mz=3.55
Sollecitazioni agenti localmente: Tx_l=1.44 Ty_l=-11.20 N_l=-7936.47 My_l=-3.55 Mz_l=0.01
Azioni sul cordone: TP=0.09 TO=-0.82 NO=-586.67
Tensioni nel cordone: τ_P= 0.03 τ_O=0.26 σ_O=191.65 σ_{ID}=191.65 Σ_T=191.91
CC 7 SLV (Collegamento 0023_-380)
Azioni sul collegamento: N=-7936.47 Ty=0.74 Tz=5.89 Mx=0.01 Mz=2.16
Sollecitazioni agenti localmente: Tx_l=0.74 Ty_l=5.89 N_l=-7936.47 My_l=-2.16 Mz_l=0.01
Azioni sul cordone: TP=0.04 TO=0.44 NO=-586.67
Tensioni nel cordone: τ_P= 0.01 τ_O=0.14 σ_O=189.62 σ_{ID}=189.62 Σ_T=189.76
CC 7 SLV (Collegamento 0023_-380)
Azioni sul collegamento: N=-7936.47 Ty=1.44 Tz=5.89 Mx=0.01 Mz=3.55
Sollecitazioni agenti localmente: Tx_l=1.44 Ty_l=5.89 N_l=-7936.47 My_l=-3.55 Mz_l=0.01
Azioni sul cordone: TP=0.09 TO=0.44 NO=-586.67
Tensioni nel cordone: τ_P= 0.03 τ_O=0.14 σ_O=191.65 σ_{ID}=191.65 Σ_T=191.79
CC 7 SLV (Collegamento 0023_-380)
Azioni sul collegamento: N=-3330.00 Ty=0.74 Tz=-11.20 Mx=0.01 Mz=2.16
Sollecitazioni agenti localmente: Tx_l=0.74 Ty_l=-11.20 N_l=-3330.00 My_l=-2.16 Mz_l=0.01
Azioni sul cordone: TP=0.04 TO=-0.82 NO=-246.15
Tensioni nel cordone: τ_P= 0.01 τ_O=0.26 σ_O=81.39 σ_{ID}=81.39 Σ_T=81.65
CC 7 SLV (Collegamento 0023_-380)
Azioni sul collegamento: N=-3330.00 Ty=1.44 Tz=-11.20 Mx=0.01 Mz=3.55
Sollecitazioni agenti localmente: Tx_l=1.44 Ty_l=-11.20 N_l=-3330.00 My_l=-3.55 Mz_l=0.01
Azioni sul cordone: TP=0.09 TO=-0.82 NO=-246.15
Tensioni nel cordone: τ_P= 0.03 τ_O=0.26 σ_O=83.42 σ_{ID}=83.42 Σ_T=83.68
CC 7 SLV (Collegamento 0023_-380)
Azioni sul collegamento: N=-3330.00 Ty=0.74 Tz=5.89 Mx=0.01 Mz=2.16
Sollecitazioni agenti localmente: Tx_l=0.74 Ty_l=5.89 N_l=-3330.00 My_l=-2.16 Mz_l=0.01
Azioni sul cordone: TP=0.04 TO=0.44 NO=-246.15
Tensioni nel cordone: τ_P= 0.01 τ_O=0.14 σ_O=81.39 σ_{ID}=81.39 Σ_T=81.53
CC 7 SLV (Collegamento 0023_-380)
Azioni sul collegamento: N=-3330.00 Ty=1.44 Tz=5.89 Mx=0.01 Mz=3.55
Sollecitazioni agenti localmente: Tx_l=1.44 Ty_l=5.89 N_l=-3330.00 My_l=-3.55 Mz_l=0.01
Azioni sul cordone: TP=0.09 TO=0.44 NO=-246.15
Tensioni nel cordone: τ_P= 0.03 τ_O=0.14 σ_O=83.42 σ_{ID}=83.42 Σ_T=83.56
CC 8 SLD (Collegamento 0023_-380)
Azioni sul collegamento: N=-6335.74 Ty=0.17 Tz=-5.26 Mx=0.00 Mz=0.59
Sollecitazioni agenti localmente: Tx_l=0.17 Ty_l=-5.26 N_l=-6335.74 My_l=-0.59 Mz_l=0.00
Azioni sul cordone: TP=0.01 TO=-0.39 NO=-468.34
Tensioni nel cordone: τ_P=2.96E-03 τ_O=0.12 σ_O=149.72 σ_{ID}=149.72 Σ_T=149.84
CC 8 SLD (Collegamento 0023_-380)
Azioni sul collegamento: N=-6335.74 Ty=0.39 Tz=-5.26 Mx=0.00 Mz=1.01
Sollecitazioni agenti localmente: Tx_l=0.39 Ty_l=-5.26 N_l=-6335.74 My_l=-1.01 Mz_l=0.00
Azioni sul cordone: TP=0.03 TO=-0.39 NO=-468.34
Tensioni nel cordone: τ_P=8.01E-03 τ_O=0.12 σ_O=150.34 σ_{ID}=150.34 Σ_T=150.46
CC 8 SLD (Collegamento 0023_-380)
Azioni sul collegamento: N=-6335.74 Ty=0.17 Tz=-0.05 Mx=0.00 Mz=0.59
Sollecitazioni agenti localmente: Tx_l=0.17 Ty_l=-0.05 N_l=-6335.74 My_l=-0.59 Mz_l=0.00
Azioni sul cordone: TP=0.01 TO=-0.00 NO=-468.34
Tensioni nel cordone: τ_P=2.96E-03 τ_O=4.08E-04 σ_O=149.72 σ_{ID}=149.72 Σ_T=149.72
CC 8 SLD (Collegamento 0023_-380)
Azioni sul collegamento: N=-6335.74 Ty=0.39 Tz=-0.05 Mx=0.00 Mz=1.01
Sollecitazioni agenti localmente: Tx_l=0.39 Ty_l=-0.05 N_l=-6335.74 My_l=-1.01 Mz_l=0.00
Azioni sul cordone: TP=0.03 TO=-0.00 NO=-468.34
Tensioni nel cordone: τ_P=8.01E-03 τ_O=4.09E-04 σ_O=150.34 σ_{ID}=150.34 Σ_T=150.34
CC 8 SLD (Collegamento 0023_-380)
Azioni sul collegamento: N=-4931.09 Ty=0.17 Tz=-5.26 Mx=0.00 Mz=0.59
Sollecitazioni agenti localmente: Tx_l=0.17 Ty_l=-5.26 N_l=-4931.09 My_l=-0.59 Mz_l=0.00
Azioni sul cordone: TP=0.01 TO=-0.39 NO=-364.51
Tensioni nel cordone: τ_P=2.96E-03 τ_O=0.12 σ_O=116.71 σ_{ID}=116.71 Σ_T=116.84
CC 8 SLD (Collegamento 0023_-380)
Azioni sul collegamento: N=-4931.09 Ty=0.39 Tz=-5.26 Mx=0.00 Mz=1.01
Sollecitazioni agenti localmente: Tx_l=0.39 Ty_l=-5.26 N_l=-4931.09 My_l=-1.01 Mz_l=0.00
Azioni sul cordone: TP=0.03 TO=-0.39 NO=-364.51
Tensioni nel cordone: τ_P=8.01E-03 τ_O=0.12 σ_O=117.33 σ_{ID}=117.33 Σ_T=117.46
CC 8 SLD (Collegamento 0023_-380)
Azioni sul collegamento: N=-4931.09 Ty=0.17 Tz=-0.05 Mx=0.00 Mz=0.59
Sollecitazioni agenti localmente: Tx_l=0.17 Ty_l=-0.05 N_l=-4931.09 My_l=-0.59 Mz_l=0.00
Azioni sul cordone: TP=0.01 TO=-0.00 NO=-364.51
Tensioni nel cordone: τ_P=2.96E-03 τ_O=4.16E-04 σ_O=116.71 σ_{ID}=116.71 Σ_T=116.71
CC 8 SLD (Collegamento 0023_-380)
Azioni sul collegamento: N=-4931.09 Ty=0.39 Tz=-0.05 Mx=0.00 Mz=1.01
Sollecitazioni agenti localmente: Tx_l=0.39 Ty_l=-0.05 N_l=-4931.09 My_l=-1.01 Mz_l=0.00
Azioni sul cordone: TP=0.03 TO=-0.00 NO=-364.51
Tensioni nel cordone: τ_P=8.01E-03 τ_O=4.16E-04 σ_O=117.33 σ_{ID}=117.33 Σ_T=117.33
CC 9 SLV (Collegamento 0023_-380)
Azioni sul collegamento: N=-4942.23 Ty=2.24 Tz=-0.09 Mx=0.02 Mz=5.11
Sollecitazioni agenti localmente: Tx_l=2.24 Ty_l=-0.09 N_l=-4942.23 My_l=-5.11 Mz_l=0.02
Azioni sul cordone: TP=0.14 TO=0.01 NO=-365.33
Tensioni nel cordone: τ_P= 0.04 τ_O=3.38E-03 σ_O=123.59 σ_{ID}=123.59 Σ_T=123.59
CC 9 SLV (Collegamento 0023_-380)

Azioni sul collegamento: N=-4942.23 Ty=-0.07 Tz=-0.09 Mx=0.02 Mz=0.59
Sollecitazioni agenti localmente: Tx_l=-0.07 Ty_l=-0.09 N_l=-4942.23 My_l=-0.59 Mz_l=0.02
Azioni sul cordone: TP=-0.03 TO=0.01 NO=-365.33
Tensioni nel cordone: τ_P=9.55E-03 τ_O=3.38E-03 σ_O=116.98 σ_{ID}=116.98 Σ_T=116.99
CC 9 SLV (Collegamento 0023_-380)
Azioni sul collegamento: N=-4942.23 Ty=2.24 Tz=-5.22 Mx=0.02 Mz=5.11
Sollecitazioni agenti localmente: Tx_l=2.24 Ty_l=-5.22 N_l=-4942.23 My_l=-5.11 Mz_l=0.02
Azioni sul cordone: TP=0.14 TO=-0.37 NO=-365.33
Tensioni nel cordone: τ_P= 0.04 τ_O=0.12 σ_O=123.59 σ_{ID}=123.59 Σ_T=123.71
CC 9 SLV (Collegamento 0023_-380)
Azioni sul collegamento: N=-4942.23 Ty=-0.07 Tz=-5.22 Mx=0.02 Mz=0.59
Sollecitazioni agenti localmente: Tx_l=-0.07 Ty_l=-5.22 N_l=-4942.23 My_l=-0.59 Mz_l=0.02
Azioni sul cordone: TP=-0.03 TO=-0.37 NO=-365.33
Tensioni nel cordone: τ_P=9.55E-03 τ_O=0.12 σ_O=116.98 σ_{ID}=116.98 Σ_T=117.10
CC 9 SLV (Collegamento 0023_-380)
Azioni sul collegamento: N=-6324.24 Ty=2.24 Tz=-0.09 Mx=0.02 Mz=5.11
Sollecitazioni agenti localmente: Tx_l=2.24 Ty_l=-0.09 N_l=-6324.24 My_l=-5.11 Mz_l=0.02
Azioni sul cordone: TP=0.14 TO=0.01 NO=-467.49
Tensioni nel cordone: τ_P= 0.04 τ_O=3.38E-03 σ_O=156.06 σ_{ID}=156.06 Σ_T=156.06
CC 9 SLV (Collegamento 0023_-380)
Azioni sul collegamento: N=-6324.24 Ty=-0.07 Tz=-0.09 Mx=0.02 Mz=0.59
Sollecitazioni agenti localmente: Tx_l=-0.07 Ty_l=-0.09 N_l=-6324.24 My_l=-0.59 Mz_l=0.02
Azioni sul cordone: TP=-0.03 TO=0.01 NO=-467.49
Tensioni nel cordone: τ_P=9.55E-03 τ_O=3.38E-03 σ_O=149.45 σ_{ID}=149.45 Σ_T=149.46
CC 9 SLV (Collegamento 0023_-380)
Azioni sul collegamento: N=-6324.24 Ty=2.24 Tz=-5.22 Mx=0.02 Mz=5.11
Sollecitazioni agenti localmente: Tx_l=2.24 Ty_l=-5.22 N_l=-6324.24 My_l=-5.11 Mz_l=0.02
Azioni sul cordone: TP=0.14 TO=-0.37 NO=-467.49
Tensioni nel cordone: τ_P= 0.04 τ_O=0.12 σ_O=156.06 σ_{ID}=156.06 Σ_T=156.18
CC 9 SLV (Collegamento 0023_-380)
Azioni sul collegamento: N=-6324.24 Ty=-0.07 Tz=-5.22 Mx=0.02 Mz=0.59
Sollecitazioni agenti localmente: Tx_l=-0.07 Ty_l=-5.22 N_l=-6324.24 My_l=-0.59 Mz_l=0.02
Azioni sul cordone: TP=-0.03 TO=-0.37 NO=-467.49
Tensioni nel cordone: τ_P=9.55E-03 τ_O=0.12 σ_O=149.45 σ_{ID}=149.45 Σ_T=149.57
CC 10 SLD (Collegamento 0023_-380)
Azioni sul collegamento: N=-5422.71 Ty=0.63 Tz=-1.87 Mx=0.01 Mz=1.49
Sollecitazioni agenti localmente: Tx_l=0.63 Ty_l=-1.87 N_l=-5422.71 My_l=-1.49 Mz_l=0.01
Azioni sul cordone: TP=0.04 TO=-0.13 NO=-400.85
Tensioni nel cordone: τ_P= 0.01 τ_O= 0.04 σ_O=129.58 σ_{ID}=129.58 Σ_T=129.62
CC 10 SLD (Collegamento 0023_-380)
Azioni sul collegamento: N=-5422.71 Ty=-0.07 Tz=-1.87 Mx=0.01 Mz=0.11
Sollecitazioni agenti localmente: Tx_l=-0.07 Ty_l=-1.87 N_l=-5422.71 My_l=-0.11 Mz_l=0.01
Azioni sul cordone: TP=-0.01 TO=-0.13 NO=-400.85
Tensioni nel cordone: τ_P=4.06E-03 τ_O= 0.04 σ_O=127.57 σ_{ID}=127.57 Σ_T=127.61
CC 10 SLD (Collegamento 0023_-380)
Azioni sul collegamento: N=-5422.71 Ty=0.63 Tz=-3.44 Mx=0.01 Mz=1.49
Sollecitazioni agenti localmente: Tx_l=0.63 Ty_l=-3.44 N_l=-5422.71 My_l=-1.49 Mz_l=0.01
Azioni sul cordone: TP=0.04 TO=-0.25 NO=-400.85
Tensioni nel cordone: τ_P= 0.01 τ_O= 0.08 σ_O=129.58 σ_{ID}=129.58 Σ_T=129.66
CC 10 SLD (Collegamento 0023_-380)
Azioni sul collegamento: N=-5422.71 Ty=-0.07 Tz=-3.44 Mx=0.01 Mz=0.11
Sollecitazioni agenti localmente: Tx_l=-0.07 Ty_l=-3.44 N_l=-5422.71 My_l=-0.11 Mz_l=0.01
Azioni sul cordone: TP=-0.01 TO=-0.25 NO=-400.85
Tensioni nel cordone: τ_P=4.06E-03 τ_O= 0.08 σ_O=127.57 σ_{ID}=127.57 Σ_T=127.65
CC 10 SLD (Collegamento 0023_-380)
Azioni sul collegamento: N=-5844.12 Ty=0.63 Tz=-1.87 Mx=0.01 Mz=1.49
Sollecitazioni agenti localmente: Tx_l=0.63 Ty_l=-1.87 N_l=-5844.12 My_l=-1.49 Mz_l=0.01
Azioni sul cordone: TP=0.04 TO=-0.13 NO=-432.00
Tensioni nel cordone: τ_P= 0.01 τ_O= 0.04 σ_O=139.48 σ_{ID}=139.48 Σ_T=139.53
CC 10 SLD (Collegamento 0023_-380)
Azioni sul collegamento: N=-5844.12 Ty=-0.07 Tz=-1.87 Mx=0.01 Mz=0.11
Sollecitazioni agenti localmente: Tx_l=-0.07 Ty_l=-1.87 N_l=-5844.12 My_l=-0.11 Mz_l=0.01
Azioni sul cordone: TP=-0.01 TO=-0.13 NO=-432.00
Tensioni nel cordone: τ_P=4.06E-03 τ_O= 0.04 σ_O=137.47 σ_{ID}=137.47 Σ_T=137.51
CC 10 SLD (Collegamento 0023_-380)
Azioni sul collegamento: N=-5844.12 Ty=0.63 Tz=-3.44 Mx=0.01 Mz=1.49
Sollecitazioni agenti localmente: Tx_l=0.63 Ty_l=-3.44 N_l=-5844.12 My_l=-1.49 Mz_l=0.01
Azioni sul cordone: TP=0.04 TO=-0.25 NO=-432.00
Tensioni nel cordone: τ_P= 0.01 τ_O= 0.08 σ_O=139.48 σ_{ID}=139.48 Σ_T=139.56
CC 10 SLD (Collegamento 0023_-380)
Azioni sul collegamento: N=-5844.12 Ty=-0.07 Tz=-3.44 Mx=0.01 Mz=0.11
Sollecitazioni agenti localmente: Tx_l=-0.07 Ty_l=-3.44 N_l=-5844.12 My_l=-0.11 Mz_l=0.01
Azioni sul cordone: TP=-0.01 TO=-0.25 NO=-432.00
Tensioni nel cordone: τ_P=4.06E-03 τ_O= 0.08 σ_O=137.47 σ_{ID}=137.47 Σ_T=137.55
CC 11 SLV (Collegamento 0023_-380)
Azioni sul collegamento: N=-6324.16 Ty=2.24 Tz=-5.22 Mx=0.02 Mz=5.10
Sollecitazioni agenti localmente: Tx_l=2.24 Ty_l=-5.22 N_l=-6324.16 My_l=-5.10 Mz_l=0.02
Azioni sul cordone: TP=0.14 TO=-0.37 NO=-467.48
Tensioni nel cordone: τ_P= 0.04 τ_O=0.12 σ_O=156.04 σ_{ID}=156.04 Σ_T=156.16
CC 11 SLV (Collegamento 0023_-380)
Azioni sul collegamento: N=-6324.16 Ty=-0.06 Tz=-5.22 Mx=0.02 Mz=0.60

Sollecitazioni agenti localmente: Tx_l=-0.06 Ty_l=-5.22 N_l=-6324.16 My_l=-0.60 Mz_l=0.02
Azioni sul cordone: TP=-0.03 TO=-0.37 NO=-467.48
Tensioni nel cordone: τ_P=9.43E-03 τ_O=0.12 σ_O=149.47 σ_{ID}=149.47 Σ_T=149.59
CC 11 SLV (Collegamento 0023_-380)
Azioni sul collegamento: N=-6324.16 Ty=2.24 Tz=-0.09 Mx=0.02 Mz=5.10
Sollecitazioni agenti localmente: Tx_l=2.24 Ty_l=-0.09 N_l=-6324.16 My_l=-5.10 Mz_l=0.02
Azioni sul cordone: TP=0.14 TO=0.01 NO=-467.48
Tensioni nel cordone: τ_P= 0.04 τ_O=3.33E-03 σ_O=156.04 σ_{ID}=156.04 Σ_T=156.04
CC 11 SLV (Collegamento 0023_-380)
Azioni sul collegamento: N=-6324.16 Ty=-0.06 Tz=-0.09 Mx=0.02 Mz=0.60
Sollecitazioni agenti localmente: Tx_l=-0.06 Ty_l=-0.09 N_l=-6324.16 My_l=-0.60 Mz_l=0.02
Azioni sul cordone: TP=-0.03 TO=0.01 NO=-467.48
Tensioni nel cordone: τ_P=9.43E-03 τ_O=3.33E-03 σ_O=149.47 σ_{ID}=149.47 Σ_T=149.47
CC 11 SLV (Collegamento 0023_-380)
Azioni sul collegamento: N=-4942.30 Ty=2.24 Tz=-5.22 Mx=0.02 Mz=5.10
Sollecitazioni agenti localmente: Tx_l=2.24 Ty_l=-5.22 N_l=-4942.30 My_l=-5.10 Mz_l=0.02
Azioni sul cordone: TP=0.14 TO=-0.37 NO=-365.34
Tensioni nel cordone: τ_P= 0.04 τ_O=0.12 σ_O=123.57 σ_{ID}=123.57 Σ_T=123.69
CC 11 SLV (Collegamento 0023_-380)
Azioni sul collegamento: N=-4942.30 Ty=-0.06 Tz=-5.22 Mx=0.02 Mz=0.60
Sollecitazioni agenti localmente: Tx_l=-0.06 Ty_l=-5.22 N_l=-4942.30 My_l=-0.60 Mz_l=0.02
Azioni sul cordone: TP=-0.03 TO=-0.37 NO=-365.34
Tensioni nel cordone: τ_P=9.43E-03 τ_O=0.12 σ_O=117.00 σ_{ID}=117.00 Σ_T=117.12
CC 11 SLV (Collegamento 0023_-380)
Azioni sul collegamento: N=-4942.30 Ty=2.24 Tz=-0.09 Mx=0.02 Mz=5.10
Sollecitazioni agenti localmente: Tx_l=2.24 Ty_l=-0.09 N_l=-4942.30 My_l=-5.10 Mz_l=0.02
Azioni sul cordone: TP=0.14 TO=0.01 NO=-365.34
Tensioni nel cordone: τ_P= 0.04 τ_O=3.32E-03 σ_O=123.57 σ_{ID}=123.57 Σ_T=123.58
CC 11 SLV (Collegamento 0023_-380)
Azioni sul collegamento: N=-4942.30 Ty=-0.06 Tz=-0.09 Mx=0.02 Mz=0.60
Sollecitazioni agenti localmente: Tx_l=-0.06 Ty_l=-0.09 N_l=-4942.30 My_l=-0.60 Mz_l=0.02
Azioni sul cordone: TP=-0.03 TO=0.01 NO=-365.34
Tensioni nel cordone: τ_P=9.43E-03 τ_O=3.32E-03 σ_O=117.00 σ_{ID}=117.00 Σ_T=117.00
CC 12 SLD (Collegamento 0023_-380)
Azioni sul collegamento: N=-5844.10 Ty=0.63 Tz=-3.44 Mx=0.01 Mz=1.48
Sollecitazioni agenti localmente: Tx_l=0.63 Ty_l=-3.44 N_l=-5844.10 My_l=-1.48 Mz_l=0.01
Azioni sul cordone: TP=0.04 TO=-0.25 NO=-432.00
Tensioni nel cordone: τ_P= 0.01 τ_O= 0.08 σ_O=139.48 σ_{ID}=139.48 Σ_T=139.56
CC 12 SLD (Collegamento 0023_-380)
Azioni sul collegamento: N=-5844.10 Ty=-0.07 Tz=-3.44 Mx=0.01 Mz=0.11
Sollecitazioni agenti localmente: Tx_l=-0.07 Ty_l=-3.44 N_l=-5844.10 My_l=-0.11 Mz_l=0.01
Azioni sul cordone: TP=-0.01 TO=-0.25 NO=-432.00
Tensioni nel cordone: τ_P=4.02E-03 τ_O= 0.08 σ_O=137.47 σ_{ID}=137.47 Σ_T=137.55
CC 12 SLD (Collegamento 0023_-380)
Azioni sul collegamento: N=-5844.10 Ty=0.63 Tz=-1.87 Mx=0.01 Mz=1.48
Sollecitazioni agenti localmente: Tx_l=0.63 Ty_l=-1.87 N_l=-5844.10 My_l=-1.48 Mz_l=0.01
Azioni sul cordone: TP=0.04 TO=-0.13 NO=-432.00
Tensioni nel cordone: τ_P= 0.01 τ_O= 0.04 σ_O=139.48 σ_{ID}=139.48 Σ_T=139.52
CC 12 SLD (Collegamento 0023_-380)
Azioni sul collegamento: N=-5844.10 Ty=-0.07 Tz=-1.87 Mx=0.01 Mz=0.11
Sollecitazioni agenti localmente: Tx_l=-0.07 Ty_l=-1.87 N_l=-5844.10 My_l=-0.11 Mz_l=0.01
Azioni sul cordone: TP=-0.01 TO=-0.13 NO=-432.00
Tensioni nel cordone: τ_P=4.02E-03 τ_O= 0.04 σ_O=137.47 σ_{ID}=137.47 Σ_T=137.52
CC 12 SLD (Collegamento 0023_-380)
Azioni sul collegamento: N=-5422.73 Ty=0.63 Tz=-3.44 Mx=0.01 Mz=1.48
Sollecitazioni agenti localmente: Tx_l=0.63 Ty_l=-3.44 N_l=-5422.73 My_l=-1.48 Mz_l=0.01
Azioni sul cordone: TP=0.04 TO=-0.25 NO=-400.85
Tensioni nel cordone: τ_P= 0.01 τ_O= 0.08 σ_O=129.58 σ_{ID}=129.58 Σ_T=129.66
CC 12 SLD (Collegamento 0023_-380)
Azioni sul collegamento: N=-5422.73 Ty=-0.07 Tz=-3.44 Mx=0.01 Mz=0.11
Sollecitazioni agenti localmente: Tx_l=-0.07 Ty_l=-3.44 N_l=-5422.73 My_l=-0.11 Mz_l=0.01
Azioni sul cordone: TP=-0.01 TO=-0.25 NO=-400.85
Tensioni nel cordone: τ_P=4.02E-03 τ_O= 0.08 σ_O=127.57 σ_{ID}=127.57 Σ_T=127.65
CC 12 SLD (Collegamento 0023_-380)
Azioni sul collegamento: N=-5422.73 Ty=0.63 Tz=-1.87 Mx=0.01 Mz=1.48
Sollecitazioni agenti localmente: Tx_l=0.63 Ty_l=-1.87 N_l=-5422.73 My_l=-1.48 Mz_l=0.01
Azioni sul cordone: TP=0.04 TO=-0.13 NO=-400.85
Tensioni nel cordone: τ_P= 0.01 τ_O= 0.04 σ_O=129.58 σ_{ID}=129.58 Σ_T=129.62
CC 12 SLD (Collegamento 0023_-380)
Azioni sul collegamento: N=-5422.73 Ty=-0.07 Tz=-1.87 Mx=0.01 Mz=0.11
Sollecitazioni agenti localmente: Tx_l=-0.07 Ty_l=-1.87 N_l=-5422.73 My_l=-0.11 Mz_l=0.01
Azioni sul cordone: TP=-0.01 TO=-0.13 NO=-400.85
Tensioni nel cordone: τ_P=4.02E-03 τ_O= 0.04 σ_O=127.57 σ_{ID}=127.57 Σ_T=127.62
CC 13 SLV (Collegamento 0023_-380)
Azioni sul collegamento: N=-4942.30 Ty=-0.06 Tz=-0.09 Mx=0.00 Mz=0.60
Sollecitazioni agenti localmente: Tx_l=-0.06 Ty_l=-0.09 N_l=-4942.30 My_l=-0.60 Mz_l=0.00
Azioni sul cordone: TP=-0.01 TO=-0.00 NO=-365.34
Tensioni nel cordone: τ_P=3.09E-03 τ_O=1.07E-03 σ_O=117.00 σ_{ID}=117.00 Σ_T=117.00
CC 13 SLV (Collegamento 0023_-380)
Azioni sul collegamento: N=-4942.30 Ty=2.24 Tz=-0.09 Mx=0.00 Mz=5.10
Sollecitazioni agenti localmente: Tx_l=2.24 Ty_l=-0.09 N_l=-4942.30 My_l=-5.10 Mz_l=0.00

Azioni sul cordone: TP=0.16 TO=-0.00 NO=-365.34
Tensioni nel cordone: τ_P= 0.05 τ_O=1.07E-03 σ_O=123.57 σ_{ID}=123.57 Σ_T=123.58
CC 13 SLV (Collegamento 0023_-380)
Azioni sul collegamento: N=-4942.30 Ty=-0.06 Tz=-5.22 Mx=0.00 Mz=0.60
Sollecitazioni agenti localmente: Tx_l=-0.06 Ty_l=-5.22 N_l=-4942.30 My_l=-0.60 Mz_l=0.00
Azioni sul cordone: TP=-0.01 TO=-0.38 NO=-365.34
Tensioni nel cordone: τ_P=3.09E-03 τ_O=0.12 σ_O=117.00 σ_{ID}=117.00 Σ_T=117.12
CC 13 SLV (Collegamento 0023_-380)
Azioni sul collegamento: N=-4942.30 Ty=2.24 Tz=-5.22 Mx=0.00 Mz=5.10
Sollecitazioni agenti localmente: Tx_l=2.24 Ty_l=-5.22 N_l=-4942.30 My_l=-5.10 Mz_l=0.00
Azioni sul cordone: TP=0.16 TO=-0.38 NO=-365.34
Tensioni nel cordone: τ_P= 0.05 τ_O=0.12 σ_O=123.57 σ_{ID}=123.57 Σ_T=123.69
CC 13 SLV (Collegamento 0023_-380)
Azioni sul collegamento: N=-6324.16 Ty=-0.06 Tz=-0.09 Mx=0.00 Mz=0.60
Sollecitazioni agenti localmente: Tx_l=-0.06 Ty_l=-0.09 N_l=-6324.16 My_l=-0.60 Mz_l=0.00
Azioni sul cordone: TP=-0.01 TO=-0.00 NO=-467.48
Tensioni nel cordone: τ_P=3.09E-03 τ_O=1.07E-03 σ_O=149.47 σ_{ID}=149.47 Σ_T=149.47
CC 13 SLV (Collegamento 0023_-380)
Azioni sul collegamento: N=-6324.16 Ty=2.24 Tz=-0.09 Mx=0.00 Mz=5.10
Sollecitazioni agenti localmente: Tx_l=2.24 Ty_l=-0.09 N_l=-6324.16 My_l=-5.10 Mz_l=0.00
Azioni sul cordone: TP=0.16 TO=-0.00 NO=-467.48
Tensioni nel cordone: τ_P= 0.05 τ_O=1.07E-03 σ_O=156.04 σ_{ID}=156.04 Σ_T=156.04
CC 13 SLV (Collegamento 0023_-380)
Azioni sul collegamento: N=-6324.16 Ty=-0.06 Tz=-5.22 Mx=0.00 Mz=0.60
Sollecitazioni agenti localmente: Tx_l=-0.06 Ty_l=-5.22 N_l=-6324.16 My_l=-0.60 Mz_l=0.00
Azioni sul cordone: TP=-0.01 TO=-0.38 NO=-467.48
Tensioni nel cordone: τ_P=3.09E-03 τ_O=0.12 σ_O=149.47 σ_{ID}=149.47 Σ_T=149.59
CC 13 SLV (Collegamento 0023_-380)
Azioni sul collegamento: N=-6324.16 Ty=2.24 Tz=-5.22 Mx=0.00 Mz=5.10
Sollecitazioni agenti localmente: Tx_l=2.24 Ty_l=-5.22 N_l=-6324.16 My_l=-5.10 Mz_l=0.00
Azioni sul cordone: TP=0.16 TO=-0.38 NO=-467.48
Tensioni nel cordone: τ_P= 0.05 τ_O=0.12 σ_O=156.04 σ_{ID}=156.04 Σ_T=156.16
CC 14 SLD (Collegamento 0023_-380)
Azioni sul collegamento: N=-5422.73 Ty=-0.07 Tz=-1.87 Mx=0.00 Mz=0.11
Sollecitazioni agenti localmente: Tx_l=-0.07 Ty_l=-1.87 N_l=-5422.73 My_l=-0.11 Mz_l=0.00
Azioni sul cordone: TP=-0.01 TO=-0.14 NO=-400.85
Tensioni nel cordone: τ_P=2.09E-03 τ_O= 0.04 σ_O=127.57 σ_{ID}=127.57 Σ_T=127.62
CC 14 SLD (Collegamento 0023_-380)
Azioni sul collegamento: N=-5422.73 Ty=0.63 Tz=-1.87 Mx=0.00 Mz=1.48
Sollecitazioni agenti localmente: Tx_l=0.63 Ty_l=-1.87 N_l=-5422.73 My_l=-1.48 Mz_l=0.00
Azioni sul cordone: TP=0.05 TO=-0.14 NO=-400.85
Tensioni nel cordone: τ_P= 0.01 τ_O= 0.04 σ_O=129.58 σ_{ID}=129.58 Σ_T=129.62
CC 14 SLD (Collegamento 0023_-380)
Azioni sul collegamento: N=-5422.73 Ty=-0.07 Tz=-3.44 Mx=0.00 Mz=0.11
Sollecitazioni agenti localmente: Tx_l=-0.07 Ty_l=-3.44 N_l=-5422.73 My_l=-0.11 Mz_l=0.00
Azioni sul cordone: TP=-0.01 TO=-0.25 NO=-400.85
Tensioni nel cordone: τ_P=2.09E-03 τ_O= 0.08 σ_O=127.57 σ_{ID}=127.57 Σ_T=127.65
CC 14 SLD (Collegamento 0023_-380)
Azioni sul collegamento: N=-5422.73 Ty=0.63 Tz=-3.44 Mx=0.00 Mz=1.48
Sollecitazioni agenti localmente: Tx_l=0.63 Ty_l=-3.44 N_l=-5422.73 My_l=-1.48 Mz_l=0.00
Azioni sul cordone: TP=0.05 TO=-0.25 NO=-400.85
Tensioni nel cordone: τ_P= 0.01 τ_O= 0.08 σ_O=129.58 σ_{ID}=129.58 Σ_T=129.66
CC 14 SLD (Collegamento 0023_-380)
Azioni sul collegamento: N=-5844.10 Ty=-0.07 Tz=-1.87 Mx=0.00 Mz=0.11
Sollecitazioni agenti localmente: Tx_l=-0.07 Ty_l=-1.87 N_l=-5844.10 My_l=-0.11 Mz_l=0.00
Azioni sul cordone: TP=-0.01 TO=-0.14 NO=-432.00
Tensioni nel cordone: τ_P=2.09E-03 τ_O= 0.04 σ_O=137.47 σ_{ID}=137.47 Σ_T=137.52
CC 14 SLD (Collegamento 0023_-380)
Azioni sul collegamento: N=-5844.10 Ty=0.63 Tz=-1.87 Mx=0.00 Mz=1.48
Sollecitazioni agenti localmente: Tx_l=0.63 Ty_l=-1.87 N_l=-5844.10 My_l=-1.48 Mz_l=0.00
Azioni sul cordone: TP=0.05 TO=-0.14 NO=-432.00
Tensioni nel cordone: τ_P= 0.01 τ_O= 0.04 σ_O=139.48 σ_{ID}=139.48 Σ_T=139.52
CC 14 SLD (Collegamento 0023_-380)
Azioni sul collegamento: N=-5844.10 Ty=-0.07 Tz=-3.44 Mx=0.00 Mz=0.11
Sollecitazioni agenti localmente: Tx_l=-0.07 Ty_l=-3.44 N_l=-5844.10 My_l=-0.11 Mz_l=0.00
Azioni sul cordone: TP=-0.01 TO=-0.25 NO=-432.00
Tensioni nel cordone: τ_P=2.09E-03 τ_O= 0.08 σ_O=137.47 σ_{ID}=137.47 Σ_T=137.55
CC 14 SLD (Collegamento 0023_-380)
Azioni sul collegamento: N=-5844.10 Ty=0.63 Tz=-3.44 Mx=0.00 Mz=1.48
Sollecitazioni agenti localmente: Tx_l=0.63 Ty_l=-3.44 N_l=-5844.10 My_l=-1.48 Mz_l=0.00
Azioni sul cordone: TP=0.05 TO=-0.25 NO=-432.00
Tensioni nel cordone: τ_P= 0.01 τ_O= 0.08 σ_O=139.48 σ_{ID}=139.48 Σ_T=139.56
CC 15 SLV (Collegamento 0023_-380)
Azioni sul collegamento: N=-6324.24 Ty=-0.07 Tz=-5.22 Mx=0.00 Mz=0.59
Sollecitazioni agenti localmente: Tx_l=-0.07 Ty_l=-5.22 N_l=-6324.24 My_l=-0.59 Mz_l=0.00
Azioni sul cordone: TP=-0.01 TO=-0.38 NO=-467.49
Tensioni nel cordone: τ_P=3.17E-03 τ_O=0.12 σ_O=149.45 σ_{ID}=149.45 Σ_T=149.58
CC 15 SLV (Collegamento 0023_-380)
Azioni sul collegamento: N=-6324.24 Ty=2.24 Tz=-5.22 Mx=0.00 Mz=5.11
Sollecitazioni agenti localmente: Tx_l=2.24 Ty_l=-5.22 N_l=-6324.24 My_l=-5.11 Mz_l=0.00
Azioni sul cordone: TP=0.16 TO=-0.38 NO=-467.49

Tensioni nel cordone: τ_P= 0.05 τ_0=0.12 σ_0=156.06 σ_{ID}=156.06 Σ_T=156.18
CC 15 SLV (Collegamento 0023_-380)
Azioni sul collegamento: N=-6324.24 Ty=-0.07 Tz=-0.09 Mx=0.00 Mz=0.59
Sollecitazioni agenti localmente: Tx_l=-0.07 Ty_l=-0.09 N_l=-6324.24 My_l=-0.59 Mz_l=0.00
Azioni sul cordone: TP=-0.01 TO=-0.00 NO=-467.49
Tensioni nel cordone: τ_P=3.17E-03 τ_0=1.04E-03 σ_0=149.45 σ_{ID}=149.45 Σ_T=149.46
CC 15 SLV (Collegamento 0023_-380)
Azioni sul collegamento: N=-6324.24 Ty=2.24 Tz=-0.09 Mx=0.00 Mz=5.11
Sollecitazioni agenti localmente: Tx_l=2.24 Ty_l=-0.09 N_l=-6324.24 My_l=-5.11 Mz_l=0.00
Azioni sul cordone: TP=0.16 TO=-0.00 NO=-467.49
Tensioni nel cordone: τ_P= 0.05 τ_0=1.04E-03 σ_0=156.06 σ_{ID}=156.06 Σ_T=156.06
CC 15 SLV (Collegamento 0023_-380)
Azioni sul collegamento: N=-4942.23 Ty=-0.07 Tz=-5.22 Mx=0.00 Mz=0.59
Sollecitazioni agenti localmente: Tx_l=-0.07 Ty_l=-5.22 N_l=-4942.23 My_l=-0.59 Mz_l=0.00
Azioni sul cordone: TP=-0.01 TO=-0.38 NO=-365.33
Tensioni nel cordone: τ_P=3.17E-03 τ_0=0.12 σ_0=116.98 σ_{ID}=116.98 Σ_T=117.11
CC 15 SLV (Collegamento 0023_-380)
Azioni sul collegamento: N=-4942.23 Ty=2.24 Tz=-5.22 Mx=0.00 Mz=5.11
Sollecitazioni agenti localmente: Tx_l=2.24 Ty_l=-5.22 N_l=-4942.23 My_l=-5.11 Mz_l=0.00
Azioni sul cordone: TP=0.16 TO=-0.38 NO=-365.33
Tensioni nel cordone: τ_P= 0.05 τ_0=0.12 σ_0=123.59 σ_{ID}=123.59 Σ_T=123.71
CC 15 SLV (Collegamento 0023_-380)
Azioni sul collegamento: N=-4942.23 Ty=-0.07 Tz=-0.09 Mx=0.00 Mz=0.59
Sollecitazioni agenti localmente: Tx_l=-0.07 Ty_l=-0.09 N_l=-4942.23 My_l=-0.59 Mz_l=0.00
Azioni sul cordone: TP=-0.01 TO=-0.00 NO=-365.33
Tensioni nel cordone: τ_P=3.17E-03 τ_0=1.05E-03 σ_0=116.98 σ_{ID}=116.98 Σ_T=116.98
CC 15 SLV (Collegamento 0023_-380)
Azioni sul collegamento: N=-4942.23 Ty=2.24 Tz=-0.09 Mx=0.00 Mz=5.11
Sollecitazioni agenti localmente: Tx_l=2.24 Ty_l=-0.09 N_l=-4942.23 My_l=-5.11 Mz_l=0.00
Azioni sul cordone: TP=0.16 TO=-0.00 NO=-365.33
Tensioni nel cordone: τ_P= 0.05 τ_0=1.05E-03 σ_0=123.59 σ_{ID}=123.59 Σ_T=123.59
CC 16 SLD (Collegamento 0023_-380)
Azioni sul collegamento: N=-5844.12 Ty=-0.07 Tz=-3.44 Mx=0.00 Mz=0.11
Sollecitazioni agenti localmente: Tx_l=-0.07 Ty_l=-3.44 N_l=-5844.12 My_l=-0.11 Mz_l=0.00
Azioni sul cordone: TP=-0.01 TO=-0.25 NO=-432.00
Tensioni nel cordone: τ_P=2.11E-03 τ_0= 0.08 σ_0=137.47 σ_{ID}=137.47 Σ_T=137.55
CC 16 SLD (Collegamento 0023_-380)
Azioni sul collegamento: N=-5844.12 Ty=0.63 Tz=-3.44 Mx=0.00 Mz=1.49
Sollecitazioni agenti localmente: Tx_l=0.63 Ty_l=-3.44 N_l=-5844.12 My_l=-1.49 Mz_l=0.00
Azioni sul cordone: TP=0.05 TO=-0.25 NO=-432.00
Tensioni nel cordone: τ_P= 0.01 τ_0= 0.08 σ_0=139.48 σ_{ID}=139.48 Σ_T=139.56
CC 16 SLD (Collegamento 0023_-380)
Azioni sul collegamento: N=-5844.12 Ty=-0.07 Tz=-1.87 Mx=0.00 Mz=0.11
Sollecitazioni agenti localmente: Tx_l=-0.07 Ty_l=-1.87 N_l=-5844.12 My_l=-0.11 Mz_l=0.00
Azioni sul cordone: TP=-0.01 TO=-0.14 NO=-432.00
Tensioni nel cordone: τ_P=2.11E-03 τ_0= 0.04 σ_0=137.47 σ_{ID}=137.47 Σ_T=137.51
CC 16 SLD (Collegamento 0023_-380)
Azioni sul collegamento: N=-5844.12 Ty=0.63 Tz=-1.87 Mx=0.00 Mz=1.49
Sollecitazioni agenti localmente: Tx_l=0.63 Ty_l=-1.87 N_l=-5844.12 My_l=-1.49 Mz_l=0.00
Azioni sul cordone: TP=0.05 TO=-0.14 NO=-432.00
Tensioni nel cordone: τ_P= 0.01 τ_0= 0.04 σ_0=139.48 σ_{ID}=139.48 Σ_T=139.53
CC 16 SLD (Collegamento 0023_-380)
Azioni sul collegamento: N=-5422.71 Ty=-0.07 Tz=-3.44 Mx=0.00 Mz=0.11
Sollecitazioni agenti localmente: Tx_l=-0.07 Ty_l=-3.44 N_l=-5422.71 My_l=-0.11 Mz_l=0.00
Azioni sul cordone: TP=-0.01 TO=-0.25 NO=-400.85
Tensioni nel cordone: τ_P=2.11E-03 τ_0= 0.08 σ_0=127.57 σ_{ID}=127.57 Σ_T=127.65
CC 16 SLD (Collegamento 0023_-380)
Azioni sul collegamento: N=-5422.71 Ty=0.63 Tz=-3.44 Mx=0.00 Mz=1.49
Sollecitazioni agenti localmente: Tx_l=0.63 Ty_l=-3.44 N_l=-5422.71 My_l=-1.49 Mz_l=0.00
Azioni sul cordone: TP=0.05 TO=-0.25 NO=-400.85
Tensioni nel cordone: τ_P= 0.01 τ_0= 0.08 σ_0=129.58 σ_{ID}=129.58 Σ_T=129.66
CC 16 SLD (Collegamento 0023_-380)
Azioni sul collegamento: N=-5422.71 Ty=-0.07 Tz=-1.87 Mx=0.00 Mz=0.11
Sollecitazioni agenti localmente: Tx_l=-0.07 Ty_l=-1.87 N_l=-5422.71 My_l=-0.11 Mz_l=0.00
Azioni sul cordone: TP=-0.01 TO=-0.14 NO=-400.85
Tensioni nel cordone: τ_P=2.11E-03 τ_0= 0.04 σ_0=127.57 σ_{ID}=127.57 Σ_T=127.61
CC 16 SLD (Collegamento 0023_-380)
Azioni sul collegamento: N=-5422.71 Ty=0.63 Tz=-1.87 Mx=0.00 Mz=1.49
Sollecitazioni agenti localmente: Tx_l=0.63 Ty_l=-1.87 N_l=-5422.71 My_l=-1.49 Mz_l=0.00
Azioni sul cordone: TP=0.05 TO=-0.14 NO=-400.85
Tensioni nel cordone: τ_P= 0.01 τ_0= 0.04 σ_0=129.58 σ_{ID}=129.58 Σ_T=129.63
CC 17 SLV (Collegamento 0023_-380)
Azioni sul collegamento: N=-3330.52 Ty=-0.88 Tz=5.89 Mx=-0.02 Mz=-2.36
Sollecitazioni agenti localmente: Tx_l=-0.88 Ty_l=5.89 N_l=-3330.52 My_l=2.36 Mz_l=-0.02
Azioni sul cordone: TP=-0.05 TO=0.45 NO=-246.19
Tensioni nel cordone: τ_P= 0.01 τ_0=0.14 σ_0=81.70 σ_{ID}=81.70 Σ_T=81.85
CC 17 SLV (Collegamento 0023_-380)
Azioni sul collegamento: N=-3330.52 Ty=-1.59 Tz=5.89 Mx=-0.02 Mz=-3.75
Sollecitazioni agenti localmente: Tx_l=-1.59 Ty_l=5.89 N_l=-3330.52 My_l=3.75 Mz_l=-0.02
Azioni sul cordone: TP=-0.10 TO=0.45 NO=-246.19
Tensioni nel cordone: τ_P= 0.03 τ_0=0.14 σ_0=83.74 σ_{ID}=83.74 Σ_T=83.88

CC 17 SLV (Collegamento 0023_-380)
Azioni sul collegamento: N=-3330.52 Ty=-0.88 Tz=-11.19 Mx=-0.02 Mz=-2.36
Sollecitazioni agenti localmente: Tx_l=-0.88 Ty_l=-11.19 N_l=-3330.52 My_l=2.36 Mz_l=-0.02
Azioni sul cordone: TP=-0.05 TO=-0.81 NO=-246.19
Tensioni nel cordone: τ_P= 0.01 τ_O=0.26 σ_O=81.70 σ_{ID}=81.70 Σ_T=81.96
CC 17 SLV (Collegamento 0023_-380)
Azioni sul collegamento: N=-3330.52 Ty=-1.59 Tz=-11.19 Mx=-0.02 Mz=-3.75
Sollecitazioni agenti localmente: Tx_l=-1.59 Ty_l=-11.19 N_l=-3330.52 My_l=3.75 Mz_l=-0.02
Azioni sul cordone: TP=-0.10 TO=-0.81 NO=-246.19
Tensioni nel cordone: τ_P= 0.03 τ_O=0.26 σ_O=83.74 σ_{ID}=83.74 Σ_T=83.99
CC 17 SLV (Collegamento 0023_-380)
Azioni sul collegamento: N=-7936.99 Ty=-0.88 Tz=5.89 Mx=-0.02 Mz=-2.36
Sollecitazioni agenti localmente: Tx_l=-0.88 Ty_l=5.89 N_l=-7936.99 My_l=2.36 Mz_l=-0.02
Azioni sul cordone: TP=-0.05 TO=0.45 NO=-586.71
Tensioni nel cordone: τ_P= 0.01 τ_O=0.14 σ_O=189.93 σ_{ID}=189.93 Σ_T=190.08
CC 17 SLV (Collegamento 0023_-380)
Azioni sul collegamento: N=-7936.99 Ty=-1.59 Tz=5.89 Mx=-0.02 Mz=-3.75
Sollecitazioni agenti localmente: Tx_l=-1.59 Ty_l=5.89 N_l=-7936.99 My_l=3.75 Mz_l=-0.02
Azioni sul cordone: TP=-0.10 TO=0.45 NO=-586.71
Tensioni nel cordone: τ_P= 0.03 τ_O=0.14 σ_O=191.97 σ_{ID}=191.97 Σ_T=192.11
CC 17 SLV (Collegamento 0023_-380)
Azioni sul collegamento: N=-7936.99 Ty=-0.88 Tz=-11.19 Mx=-0.02 Mz=-2.36
Sollecitazioni agenti localmente: Tx_l=-0.88 Ty_l=-11.19 N_l=-7936.99 My_l=2.36 Mz_l=-0.02
Azioni sul cordone: TP=-0.05 TO=-0.81 NO=-586.71
Tensioni nel cordone: τ_P= 0.01 τ_O=0.26 σ_O=189.93 σ_{ID}=189.93 Σ_T=190.19
CC 17 SLV (Collegamento 0023_-380)
Azioni sul collegamento: N=-7936.99 Ty=-1.59 Tz=-11.19 Mx=-0.02 Mz=-3.75
Sollecitazioni agenti localmente: Tx_l=-1.59 Ty_l=-11.19 N_l=-7936.99 My_l=3.75 Mz_l=-0.02
Azioni sul cordone: TP=-0.10 TO=-0.81 NO=-586.71
Tensioni nel cordone: τ_P= 0.03 τ_O=0.26 σ_O=191.97 σ_{ID}=191.97 Σ_T=192.22
CC 18 SLD (Collegamento 0023_-380)
Azioni sul collegamento: N=-4931.25 Ty=-0.32 Tz=-0.05 Mx=-0.01 Mz=-0.79
Sollecitazioni agenti localmente: Tx_l=-0.32 Ty_l=-0.05 N_l=-4931.25 My_l=0.79 Mz_l=-0.01
Azioni sul cordone: TP=-0.02 TO=0.00 NO=-364.52
Tensioni nel cordone: τ_P=5.66E-03 τ_O=1.46E-04 σ_O=117.02 σ_{ID}=117.02 Σ_T=117.02
CC 18 SLD (Collegamento 0023_-380)
Azioni sul collegamento: N=-4931.25 Ty=-0.54 Tz=-0.05 Mx=-0.01 Mz=-1.22
Sollecitazioni agenti localmente: Tx_l=-0.54 Ty_l=-0.05 N_l=-4931.25 My_l=1.22 Mz_l=-0.01
Azioni sul cordone: TP=-0.03 TO=0.00 NO=-364.52
Tensioni nel cordone: τ_P= 0.01 τ_O=1.46E-04 σ_O=117.64 σ_{ID}=117.64 Σ_T=117.64
CC 18 SLD (Collegamento 0023_-380)
Azioni sul collegamento: N=-4931.25 Ty=-0.32 Tz=-5.26 Mx=-0.01 Mz=-0.79
Sollecitazioni agenti localmente: Tx_l=-0.32 Ty_l=-5.26 N_l=-4931.25 My_l=0.79 Mz_l=-0.01
Azioni sul cordone: TP=-0.02 TO=-0.38 NO=-364.52
Tensioni nel cordone: τ_P=5.66E-03 τ_O=0.12 σ_O=117.02 σ_{ID}=117.02 Σ_T=117.14
CC 18 SLD (Collegamento 0023_-380)
Azioni sul collegamento: N=-4931.25 Ty=-0.54 Tz=-5.26 Mx=-0.01 Mz=-1.22
Sollecitazioni agenti localmente: Tx_l=-0.54 Ty_l=-5.26 N_l=-4931.25 My_l=1.22 Mz_l=-0.01
Azioni sul cordone: TP=-0.03 TO=-0.38 NO=-364.52
Tensioni nel cordone: τ_P= 0.01 τ_O=0.12 σ_O=117.64 σ_{ID}=117.64 Σ_T=117.76
CC 18 SLD (Collegamento 0023_-380)
Azioni sul collegamento: N=-6335.90 Ty=-0.32 Tz=-0.05 Mx=-0.01 Mz=-0.79
Sollecitazioni agenti localmente: Tx_l=-0.32 Ty_l=-0.05 N_l=-6335.90 My_l=0.79 Mz_l=-0.01
Azioni sul cordone: TP=-0.02 TO=0.00 NO=-468.35
Tensioni nel cordone: τ_P=5.66E-03 τ_O=1.49E-04 σ_O=150.02 σ_{ID}=150.02 Σ_T=150.02
CC 18 SLD (Collegamento 0023_-380)
Azioni sul collegamento: N=-6335.90 Ty=-0.54 Tz=-0.05 Mx=-0.01 Mz=-1.22
Sollecitazioni agenti localmente: Tx_l=-0.54 Ty_l=-0.05 N_l=-6335.90 My_l=1.22 Mz_l=-0.01
Azioni sul cordone: TP=-0.03 TO=0.00 NO=-468.35
Tensioni nel cordone: τ_P= 0.01 τ_O=1.49E-04 σ_O=150.64 σ_{ID}=150.64 Σ_T=150.64
CC 18 SLD (Collegamento 0023_-380)
Azioni sul collegamento: N=-6335.90 Ty=-0.32 Tz=-5.26 Mx=-0.01 Mz=-0.79
Sollecitazioni agenti localmente: Tx_l=-0.32 Ty_l=-5.26 N_l=-6335.90 My_l=0.79 Mz_l=-0.01
Azioni sul cordone: TP=-0.02 TO=-0.38 NO=-468.35
Tensioni nel cordone: τ_P=5.66E-03 τ_O=0.12 σ_O=150.02 σ_{ID}=150.02 Σ_T=150.14
CC 18 SLD (Collegamento 0023_-380)
Azioni sul collegamento: N=-6335.90 Ty=-0.54 Tz=-5.26 Mx=-0.01 Mz=-1.22
Sollecitazioni agenti localmente: Tx_l=-0.54 Ty_l=-5.26 N_l=-6335.90 My_l=1.22 Mz_l=-0.01
Azioni sul cordone: TP=-0.03 TO=-0.38 NO=-468.35
Tensioni nel cordone: τ_P= 0.01 τ_O=0.12 σ_O=150.64 σ_{ID}=150.64 Σ_T=150.76
CC 19 SLV (Collegamento 0023_-380)
Azioni sul collegamento: N=-3330.55 Ty=-1.58 Tz=5.89 Mx=-0.01 Mz=-3.71
Sollecitazioni agenti localmente: Tx_l=-1.58 Ty_l=5.89 N_l=-3330.55 My_l=3.71 Mz_l=-0.01
Azioni sul cordone: TP=-0.10 TO=0.44 NO=-246.19
Tensioni nel cordone: τ_P= 0.03 τ_O=0.14 σ_O=83.68 σ_{ID}=83.68 Σ_T=83.82
CC 19 SLV (Collegamento 0023_-380)
Azioni sul collegamento: N=-3330.55 Ty=-0.90 Tz=5.89 Mx=-0.01 Mz=-2.40
Sollecitazioni agenti localmente: Tx_l=-0.90 Ty_l=5.89 N_l=-3330.55 My_l=2.40 Mz_l=-0.01
Azioni sul cordone: TP=-0.05 TO=0.44 NO=-246.19
Tensioni nel cordone: τ_P= 0.02 τ_O=0.14 σ_O=81.76 σ_{ID}=81.76 Σ_T=81.90
CC 19 SLV (Collegamento 0023_-380)

Azioni sul collegamento: N=-3330.55 Ty=-1.58 Tz=-11.19 Mx=-0.01 Mz=-3.71
Sollecitazioni agenti localmente: Tx_l=-1.58 Ty_l=-11.19 N_l=-3330.55 My_l=3.71 Mz_l=-0.01
Azioni sul cordone: TP=-0.10 TO=-0.82 NO=-246.19
Tensioni nel cordone: τ_P= 0.03 τ_0=0.26 σ_0=83.68 σ_{ID}=83.68 Σ_T=83.94
CC 19 SLV (Collegamento 0023_-380)
Azioni sul collegamento: N=-3330.55 Ty=-0.90 Tz=-11.19 Mx=-0.01 Mz=-2.40
Sollecitazioni agenti localmente: Tx_l=-0.90 Ty_l=-11.19 N_l=-3330.55 My_l=2.40 Mz_l=-0.01
Azioni sul cordone: TP=-0.05 TO=-0.82 NO=-246.19
Tensioni nel cordone: τ_P= 0.02 τ_0=0.26 σ_0=81.76 σ_{ID}=81.76 Σ_T=82.02
CC 19 SLV (Collegamento 0023_-380)
Azioni sul collegamento: N=-7936.97 Ty=-1.58 Tz=5.89 Mx=-0.01 Mz=-3.71
Sollecitazioni agenti localmente: Tx_l=-1.58 Ty_l=5.89 N_l=-7936.97 My_l=3.71 Mz_l=-0.01
Azioni sul cordone: TP=-0.10 TO=0.44 NO=-586.70
Tensioni nel cordone: τ_P= 0.03 τ_0=0.14 σ_0=191.91 σ_{ID}=191.91 Σ_T=192.05
CC 19 SLV (Collegamento 0023_-380)
Azioni sul collegamento: N=-7936.97 Ty=-0.90 Tz=5.89 Mx=-0.01 Mz=-2.40
Sollecitazioni agenti localmente: Tx_l=-0.90 Ty_l=5.89 N_l=-7936.97 My_l=2.40 Mz_l=-0.01
Azioni sul cordone: TP=-0.05 TO=0.44 NO=-586.70
Tensioni nel cordone: τ_P= 0.02 τ_0=0.14 σ_0=189.99 σ_{ID}=189.99 Σ_T=190.13
CC 19 SLV (Collegamento 0023_-380)
Azioni sul collegamento: N=-7936.97 Ty=-1.58 Tz=-11.19 Mx=-0.01 Mz=-3.71
Sollecitazioni agenti localmente: Tx_l=-1.58 Ty_l=-11.19 N_l=-7936.97 My_l=3.71 Mz_l=-0.01
Azioni sul cordone: TP=-0.10 TO=-0.82 NO=-586.70
Tensioni nel cordone: τ_P= 0.03 τ_0=0.26 σ_0=191.91 σ_{ID}=191.91 Σ_T=192.17
CC 19 SLV (Collegamento 0023_-380)
Azioni sul collegamento: N=-7936.97 Ty=-0.90 Tz=-11.19 Mx=-0.01 Mz=-2.40
Sollecitazioni agenti localmente: Tx_l=-0.90 Ty_l=-11.19 N_l=-7936.97 My_l=2.40 Mz_l=-0.01
Azioni sul cordone: TP=-0.05 TO=-0.82 NO=-586.70
Tensioni nel cordone: τ_P= 0.02 τ_0=0.26 σ_0=189.99 σ_{ID}=189.99 Σ_T=190.25
CC 20 SLD (Collegamento 0023_-380)
Azioni sul collegamento: N=-4931.25 Ty=-0.53 Tz=-0.05 Mx=-0.00 Mz=-1.20
Sollecitazioni agenti localmente: Tx_l=-0.53 Ty_l=-0.05 N_l=-4931.25 My_l=1.20 Mz_l=-0.00
Azioni sul cordone: TP=-0.04 TO=-0.00 NO=-364.52
Tensioni nel cordone: τ_P= 0.01 τ_0=2.62E-04 σ_0=117.62 σ_{ID}=117.62 Σ_T=117.62
CC 20 SLD (Collegamento 0023_-380)
Azioni sul collegamento: N=-4931.25 Ty=-0.33 Tz=-0.05 Mx=-0.00 Mz=-0.80
Sollecitazioni agenti localmente: Tx_l=-0.33 Ty_l=-0.05 N_l=-4931.25 My_l=0.80 Mz_l=-0.00
Azioni sul cordone: TP=-0.02 TO=-0.00 NO=-364.52
Tensioni nel cordone: τ_P=6.34E-03 τ_0=2.62E-04 σ_0=117.04 σ_{ID}=117.04 Σ_T=117.04
CC 20 SLD (Collegamento 0023_-380)
Azioni sul collegamento: N=-4931.25 Ty=-0.53 Tz=-5.26 Mx=-0.00 Mz=-1.20
Sollecitazioni agenti localmente: Tx_l=-0.53 Ty_l=-5.26 N_l=-4931.25 My_l=1.20 Mz_l=-0.00
Azioni sul cordone: TP=-0.04 TO=-0.39 NO=-364.52
Tensioni nel cordone: τ_P= 0.01 τ_0=0.12 σ_0=117.62 σ_{ID}=117.62 Σ_T=117.74
CC 20 SLD (Collegamento 0023_-380)
Azioni sul collegamento: N=-4931.25 Ty=-0.33 Tz=-5.26 Mx=-0.00 Mz=-0.80
Sollecitazioni agenti localmente: Tx_l=-0.33 Ty_l=-5.26 N_l=-4931.25 My_l=0.80 Mz_l=-0.00
Azioni sul cordone: TP=-0.02 TO=-0.39 NO=-364.52
Tensioni nel cordone: τ_P=6.34E-03 τ_0=0.12 σ_0=117.04 σ_{ID}=117.04 Σ_T=117.16
CC 20 SLD (Collegamento 0023_-380)
Azioni sul collegamento: N=-6335.90 Ty=-0.53 Tz=-0.05 Mx=-0.00 Mz=-1.20
Sollecitazioni agenti localmente: Tx_l=-0.53 Ty_l=-0.05 N_l=-6335.90 My_l=1.20 Mz_l=-0.00
Azioni sul cordone: TP=-0.04 TO=-0.00 NO=-468.35
Tensioni nel cordone: τ_P= 0.01 τ_0=2.57E-04 σ_0=150.62 σ_{ID}=150.62 Σ_T=150.63
CC 20 SLD (Collegamento 0023_-380)
Azioni sul collegamento: N=-6335.90 Ty=-0.33 Tz=-0.05 Mx=-0.00 Mz=-0.80
Sollecitazioni agenti localmente: Tx_l=-0.33 Ty_l=-0.05 N_l=-6335.90 My_l=0.80 Mz_l=-0.00
Azioni sul cordone: TP=-0.02 TO=-0.00 NO=-468.35
Tensioni nel cordone: τ_P=6.34E-03 τ_0=2.57E-04 σ_0=150.04 σ_{ID}=150.04 Σ_T=150.04
CC 20 SLD (Collegamento 0023_-380)
Azioni sul collegamento: N=-6335.90 Ty=-0.53 Tz=-5.26 Mx=-0.00 Mz=-1.20
Sollecitazioni agenti localmente: Tx_l=-0.53 Ty_l=-5.26 N_l=-6335.90 My_l=1.20 Mz_l=-0.00
Azioni sul cordone: TP=-0.04 TO=-0.39 NO=-468.35
Tensioni nel cordone: τ_P= 0.01 τ_0=0.12 σ_0=150.62 σ_{ID}=150.62 Σ_T=150.75
CC 20 SLD (Collegamento 0023_-380)
Azioni sul collegamento: N=-6335.90 Ty=-0.33 Tz=-5.26 Mx=-0.00 Mz=-0.80
Sollecitazioni agenti localmente: Tx_l=-0.33 Ty_l=-5.26 N_l=-6335.90 My_l=0.80 Mz_l=-0.00
Azioni sul cordone: TP=-0.02 TO=-0.39 NO=-468.35
Tensioni nel cordone: τ_P=6.34E-03 τ_0=0.12 σ_0=150.04 σ_{ID}=150.04 Σ_T=150.16
CC 21 SLV (Collegamento 0023_-380)
Azioni sul collegamento: N=-7936.97 Ty=-0.90 Tz=-11.19 Mx=-0.02 Mz=-2.40
Sollecitazioni agenti localmente: Tx_l=-0.90 Ty_l=-11.19 N_l=-7936.97 My_l=2.40 Mz_l=-0.02
Azioni sul cordone: TP=-0.05 TO=-0.81 NO=-586.70
Tensioni nel cordone: τ_P= 0.02 τ_0=0.26 σ_0=189.99 σ_{ID}=189.99 Σ_T=190.25
CC 21 SLV (Collegamento 0023_-380)
Azioni sul collegamento: N=-7936.97 Ty=-1.58 Tz=-11.19 Mx=-0.02 Mz=-3.71
Sollecitazioni agenti localmente: Tx_l=-1.58 Ty_l=-11.19 N_l=-7936.97 My_l=3.71 Mz_l=-0.02
Azioni sul cordone: TP=-0.10 TO=-0.81 NO=-586.70
Tensioni nel cordone: τ_P= 0.03 τ_0=0.26 σ_0=191.91 σ_{ID}=191.91 Σ_T=192.17
CC 21 SLV (Collegamento 0023_-380)
Azioni sul collegamento: N=-7936.97 Ty=-0.90 Tz=5.89 Mx=-0.02 Mz=-2.40

Sollecitazioni agenti localmente: Tx_l=-0.90 Ty_l=5.89 N_l=-7936.97 My_l=2.40 Mz_l=-0.02
Azioni sul cordone: TP=-0.05 TO=0.45 NO=-586.70
Tensioni nel cordone: τ_P= 0.02 τ_0=0.14 σ_0=189.99 σ_{ID}=189.99 Σ_T=190.13
CC 21 SLV (Collegamento 0023_-380)
Azioni sul collegamento: N=-7936.97 Ty=-1.58 Tz=5.89 Mx=-0.02 Mz=-3.71
Sollecitazioni agenti localmente: Tx_l=-1.58 Ty_l=5.89 N_l=-7936.97 My_l=3.71 Mz_l=-0.02
Azioni sul cordone: TP=-0.10 TO=0.45 NO=-586.70
Tensioni nel cordone: τ_P= 0.03 τ_0=0.14 σ_0=191.91 σ_{ID}=191.91 Σ_T=192.05
CC 21 SLV (Collegamento 0023_-380)
Azioni sul collegamento: N=-3330.55 Ty=-0.90 Tz=-11.19 Mx=-0.02 Mz=-2.40
Sollecitazioni agenti localmente: Tx_l=-0.90 Ty_l=-11.19 N_l=-3330.55 My_l=2.40 Mz_l=-0.02
Azioni sul cordone: TP=-0.05 TO=-0.81 NO=-246.19
Tensioni nel cordone: τ_P= 0.02 τ_0=0.26 σ_0=81.76 σ_{ID}=81.76 Σ_T=82.02
CC 21 SLV (Collegamento 0023_-380)
Azioni sul collegamento: N=-3330.55 Ty=-1.58 Tz=-11.19 Mx=-0.02 Mz=-3.71
Sollecitazioni agenti localmente: Tx_l=-1.58 Ty_l=-11.19 N_l=-3330.55 My_l=3.71 Mz_l=-0.02
Azioni sul cordone: TP=-0.10 TO=-0.81 NO=-246.19
Tensioni nel cordone: τ_P= 0.03 τ_0=0.26 σ_0=83.68 σ_{ID}=83.68 Σ_T=83.94
CC 21 SLV (Collegamento 0023_-380)
Azioni sul collegamento: N=-3330.55 Ty=-0.90 Tz=5.89 Mx=-0.02 Mz=-2.40
Sollecitazioni agenti localmente: Tx_l=-0.90 Ty_l=5.89 N_l=-3330.55 My_l=2.40 Mz_l=-0.02
Azioni sul cordone: TP=-0.05 TO=0.45 NO=-246.19
Tensioni nel cordone: τ_P= 0.02 τ_0=0.14 σ_0=81.76 σ_{ID}=81.76 Σ_T=81.90
CC 21 SLV (Collegamento 0023_-380)
Azioni sul collegamento: N=-3330.55 Ty=-1.58 Tz=5.89 Mx=-0.02 Mz=-3.71
Sollecitazioni agenti localmente: Tx_l=-1.58 Ty_l=5.89 N_l=-3330.55 My_l=3.71 Mz_l=-0.02
Azioni sul cordone: TP=-0.10 TO=0.45 NO=-246.19
Tensioni nel cordone: τ_P= 0.03 τ_0=0.14 σ_0=83.68 σ_{ID}=83.68 Σ_T=83.82
CC 22 SLD (Collegamento 0023_-380)
Azioni sul collegamento: N=-6335.90 Ty=-0.33 Tz=-5.26 Mx=-0.01 Mz=-0.80
Sollecitazioni agenti localmente: Tx_l=-0.33 Ty_l=-5.26 N_l=-6335.90 My_l=0.80 Mz_l=-0.01
Azioni sul cordone: TP=-0.02 TO=-0.38 NO=-468.35
Tensioni nel cordone: τ_P=5.78E-03 τ_0=0.12 σ_0=150.04 σ_{ID}=150.04 Σ_T=150.16
CC 22 SLD (Collegamento 0023_-380)
Azioni sul collegamento: N=-6335.90 Ty=-0.53 Tz=-5.26 Mx=-0.01 Mz=-1.20
Sollecitazioni agenti localmente: Tx_l=-0.53 Ty_l=-5.26 N_l=-6335.90 My_l=1.20 Mz_l=-0.01
Azioni sul cordone: TP=-0.03 TO=-0.38 NO=-468.35
Tensioni nel cordone: τ_P= 0.01 τ_0=0.12 σ_0=150.62 σ_{ID}=150.62 Σ_T=150.75
CC 22 SLD (Collegamento 0023_-380)
Azioni sul collegamento: N=-6335.90 Ty=-0.33 Tz=-0.05 Mx=-0.01 Mz=-0.80
Sollecitazioni agenti localmente: Tx_l=-0.33 Ty_l=-0.05 N_l=-6335.90 My_l=0.80 Mz_l=-0.01
Azioni sul cordone: TP=-0.02 TO=0.00 NO=-468.35
Tensioni nel cordone: τ_P=5.78E-03 τ_0=1.31E-04 σ_0=150.04 σ_{ID}=150.04 Σ_T=150.04
CC 22 SLD (Collegamento 0023_-380)
Azioni sul collegamento: N=-6335.90 Ty=-0.53 Tz=-0.05 Mx=-0.01 Mz=-1.20
Sollecitazioni agenti localmente: Tx_l=-0.53 Ty_l=-0.05 N_l=-6335.90 My_l=1.20 Mz_l=-0.01
Azioni sul cordone: TP=-0.03 TO=0.00 NO=-468.35
Tensioni nel cordone: τ_P= 0.01 τ_0=1.31E-04 σ_0=150.62 σ_{ID}=150.62 Σ_T=150.62
CC 22 SLD (Collegamento 0023_-380)
Azioni sul collegamento: N=-4931.25 Ty=-0.33 Tz=-5.26 Mx=-0.01 Mz=-0.80
Sollecitazioni agenti localmente: Tx_l=-0.33 Ty_l=-5.26 N_l=-4931.25 My_l=0.80 Mz_l=-0.01
Azioni sul cordone: TP=-0.02 TO=-0.38 NO=-364.52
Tensioni nel cordone: τ_P=5.78E-03 τ_0=0.12 σ_0=117.04 σ_{ID}=117.04 Σ_T=117.16
CC 22 SLD (Collegamento 0023_-380)
Azioni sul collegamento: N=-4931.25 Ty=-0.53 Tz=-5.26 Mx=-0.01 Mz=-1.20
Sollecitazioni agenti localmente: Tx_l=-0.53 Ty_l=-5.26 N_l=-4931.25 My_l=1.20 Mz_l=-0.01
Azioni sul cordone: TP=-0.03 TO=-0.38 NO=-364.52
Tensioni nel cordone: τ_P= 0.01 τ_0=0.12 σ_0=117.62 σ_{ID}=117.62 Σ_T=117.74
CC 22 SLD (Collegamento 0023_-380)
Azioni sul collegamento: N=-4931.25 Ty=-0.33 Tz=-0.05 Mx=-0.01 Mz=-0.80
Sollecitazioni agenti localmente: Tx_l=-0.33 Ty_l=-0.05 N_l=-4931.25 My_l=0.80 Mz_l=-0.01
Azioni sul cordone: TP=-0.02 TO=0.00 NO=-364.52
Tensioni nel cordone: τ_P=5.78E-03 τ_0=1.26E-04 σ_0=117.04 σ_{ID}=117.04 Σ_T=117.04
CC 22 SLD (Collegamento 0023_-380)
Azioni sul collegamento: N=-4931.25 Ty=-0.53 Tz=-0.05 Mx=-0.01 Mz=-1.20
Sollecitazioni agenti localmente: Tx_l=-0.53 Ty_l=-0.05 N_l=-4931.25 My_l=1.20 Mz_l=-0.01
Azioni sul cordone: TP=-0.03 TO=0.00 NO=-364.52
Tensioni nel cordone: τ_P= 0.01 τ_0=1.26E-04 σ_0=117.62 σ_{ID}=117.62 Σ_T=117.62
CC 23 SLV (Collegamento 0023_-380)
Azioni sul collegamento: N=-7936.99 Ty=-1.59 Tz=-11.19 Mx=-0.01 Mz=-3.75
Sollecitazioni agenti localmente: Tx_l=-1.59 Ty_l=-11.19 N_l=-7936.99 My_l=3.75 Mz_l=-0.01
Azioni sul cordone: TP=-0.10 TO=-0.82 NO=-586.71
Tensioni nel cordone: τ_P= 0.03 τ_0=0.26 σ_0=191.97 σ_{ID}=191.97 Σ_T=192.23
CC 23 SLV (Collegamento 0023_-380)
Azioni sul collegamento: N=-7936.99 Ty=-0.88 Tz=-11.19 Mx=-0.01 Mz=-2.36
Sollecitazioni agenti localmente: Tx_l=-0.88 Ty_l=-11.19 N_l=-7936.99 My_l=2.36 Mz_l=-0.01
Azioni sul cordone: TP=-0.05 TO=-0.82 NO=-586.71
Tensioni nel cordone: τ_P= 0.02 τ_0=0.26 σ_0=189.93 σ_{ID}=189.93 Σ_T=190.19
CC 23 SLV (Collegamento 0023_-380)
Azioni sul collegamento: N=-7936.99 Ty=-1.59 Tz=5.89 Mx=-0.01 Mz=-3.75
Sollecitazioni agenti localmente: Tx_l=-1.59 Ty_l=5.89 N_l=-7936.99 My_l=3.75 Mz_l=-0.01

Azioni sul cordone: TP=-0.10 TO=0.44 NO=-586.71
Tensioni nel cordone: τ_P= 0.03 τ_0=0.14 σ_0=191.97 σ_{ID}=191.97 Σ_T=192.11
CC 23 SLV (Collegamento 0023_-380)
Azioni sul collegamento: N=-7936.99 Ty=-0.88 Tz=5.89 Mx=-0.01 Mz=-2.36
Sollecitazioni agenti localmente: Tx_l=-0.88 Ty_l=5.89 N_l=-7936.99 My_l=2.36 Mz_l=-0.01
Azioni sul cordone: TP=-0.05 TO=0.44 NO=-586.71
Tensioni nel cordone: τ_P= 0.02 τ_0=0.14 σ_0=189.93 σ_{ID}=189.93 Σ_T=190.07
CC 23 SLV (Collegamento 0023_-380)
Azioni sul collegamento: N=-3330.52 Ty=-1.59 Tz=-11.19 Mx=-0.01 Mz=-3.75
Sollecitazioni agenti localmente: Tx_l=-1.59 Ty_l=-11.19 N_l=-3330.52 My_l=3.75 Mz_l=-0.01
Azioni sul cordone: TP=-0.10 TO=-0.82 NO=-246.19
Tensioni nel cordone: τ_P= 0.03 τ_0=0.26 σ_0=83.74 σ_{ID}=83.74 Σ_T=84.00
CC 23 SLV (Collegamento 0023_-380)
Azioni sul collegamento: N=-3330.52 Ty=-0.88 Tz=-11.19 Mx=-0.01 Mz=-2.36
Sollecitazioni agenti localmente: Tx_l=-0.88 Ty_l=-11.19 N_l=-3330.52 My_l=2.36 Mz_l=-0.01
Azioni sul cordone: TP=-0.05 TO=-0.82 NO=-246.19
Tensioni nel cordone: τ_P= 0.02 τ_0=0.26 σ_0=81.70 σ_{ID}=81.70 Σ_T=81.96
CC 23 SLV (Collegamento 0023_-380)
Azioni sul collegamento: N=-3330.52 Ty=-1.59 Tz=5.89 Mx=-0.01 Mz=-3.75
Sollecitazioni agenti localmente: Tx_l=-1.59 Ty_l=5.89 N_l=-3330.52 My_l=3.75 Mz_l=-0.01
Azioni sul cordone: TP=-0.10 TO=0.44 NO=-246.19
Tensioni nel cordone: τ_P= 0.03 τ_0=0.14 σ_0=83.74 σ_{ID}=83.74 Σ_T=83.88
CC 23 SLV (Collegamento 0023_-380)
Azioni sul collegamento: N=-3330.52 Ty=-0.88 Tz=5.89 Mx=-0.01 Mz=-2.36
Sollecitazioni agenti localmente: Tx_l=-0.88 Ty_l=5.89 N_l=-3330.52 My_l=2.36 Mz_l=-0.01
Azioni sul cordone: TP=-0.05 TO=0.44 NO=-246.19
Tensioni nel cordone: τ_P= 0.02 τ_0=0.14 σ_0=81.70 σ_{ID}=81.70 Σ_T=81.84
CC 24 SLD (Collegamento 0023_-380)
Azioni sul collegamento: N=-6335.90 Ty=-0.54 Tz=-5.26 Mx=-0.00 Mz=-1.22
Sollecitazioni agenti localmente: Tx_l=-0.54 Ty_l=-5.26 N_l=-6335.90 My_l=1.22 Mz_l=-0.00
Azioni sul cordone: TP=-0.04 TO=-0.39 NO=-468.35
Tensioni nel cordone: τ_P= 0.01 τ_0=0.12 σ_0=150.64 σ_{ID}=150.64 Σ_T=150.76
CC 24 SLD (Collegamento 0023_-380)
Azioni sul collegamento: N=-6335.90 Ty=-0.32 Tz=-5.26 Mx=-0.00 Mz=-0.79
Sollecitazioni agenti localmente: Tx_l=-0.32 Ty_l=-5.26 N_l=-6335.90 My_l=0.79 Mz_l=-0.00
Azioni sul cordone: TP=-0.02 TO=-0.39 NO=-468.35
Tensioni nel cordone: τ_P=6.26E-03 τ_0=0.12 σ_0=150.02 σ_{ID}=150.02 Σ_T=150.14
CC 24 SLD (Collegamento 0023_-380)
Azioni sul collegamento: N=-6335.90 Ty=-0.54 Tz=-0.05 Mx=-0.00 Mz=-1.22
Sollecitazioni agenti localmente: Tx_l=-0.54 Ty_l=-0.05 N_l=-6335.90 My_l=1.22 Mz_l=-0.00
Azioni sul cordone: TP=-0.04 TO=-0.00 NO=-468.35
Tensioni nel cordone: τ_P= 0.01 τ_0=2.70E-04 σ_0=150.64 σ_{ID}=150.64 Σ_T=150.64
CC 24 SLD (Collegamento 0023_-380)
Azioni sul collegamento: N=-6335.90 Ty=-0.32 Tz=-0.05 Mx=-0.00 Mz=-0.79
Sollecitazioni agenti localmente: Tx_l=-0.32 Ty_l=-0.05 N_l=-6335.90 My_l=0.79 Mz_l=-0.00
Azioni sul cordone: TP=-0.02 TO=-0.00 NO=-468.35
Tensioni nel cordone: τ_P=6.26E-03 τ_0=2.70E-04 σ_0=150.02 σ_{ID}=150.02 Σ_T=150.02
CC 24 SLD (Collegamento 0023_-380)
Azioni sul collegamento: N=-4931.25 Ty=-0.54 Tz=-5.26 Mx=-0.00 Mz=-1.22
Sollecitazioni agenti localmente: Tx_l=-0.54 Ty_l=-5.26 N_l=-4931.25 My_l=1.22 Mz_l=-0.00
Azioni sul cordone: TP=-0.04 TO=-0.39 NO=-364.52
Tensioni nel cordone: τ_P= 0.01 τ_0=0.12 σ_0=117.64 σ_{ID}=117.64 Σ_T=117.76
CC 24 SLD (Collegamento 0023_-380)
Azioni sul collegamento: N=-4931.25 Ty=-0.32 Tz=-5.26 Mx=-0.00 Mz=-0.79
Sollecitazioni agenti localmente: Tx_l=-0.32 Ty_l=-5.26 N_l=-4931.25 My_l=0.79 Mz_l=-0.00
Azioni sul cordone: TP=-0.02 TO=-0.39 NO=-364.52
Tensioni nel cordone: τ_P=6.26E-03 τ_0=0.12 σ_0=117.02 σ_{ID}=117.02 Σ_T=117.14
CC 24 SLD (Collegamento 0023_-380)
Azioni sul collegamento: N=-4931.25 Ty=-0.54 Tz=-0.05 Mx=-0.00 Mz=-1.22
Sollecitazioni agenti localmente: Tx_l=-0.54 Ty_l=-0.05 N_l=-4931.25 My_l=1.22 Mz_l=-0.00
Azioni sul cordone: TP=-0.04 TO=-0.00 NO=-364.52
Tensioni nel cordone: τ_P= 0.01 τ_0=2.73E-04 σ_0=117.64 σ_{ID}=117.64 Σ_T=117.64
CC 24 SLD (Collegamento 0023_-380)
Azioni sul collegamento: N=-4931.25 Ty=-0.32 Tz=-0.05 Mx=-0.00 Mz=-0.79
Sollecitazioni agenti localmente: Tx_l=-0.32 Ty_l=-0.05 N_l=-4931.25 My_l=0.79 Mz_l=-0.00
Azioni sul cordone: TP=-0.02 TO=-0.00 NO=-364.52
Tensioni nel cordone: τ_P=6.26E-03 τ_0=2.73E-04 σ_0=117.02 σ_{ID}=117.02 Σ_T=117.02
CC 25 SLV (Collegamento 0023_-380)
Azioni sul collegamento: N=-4942.75 Ty=-0.08 Tz=-0.09 Mx=-0.02 Mz=-0.80
Sollecitazioni agenti localmente: Tx_l=-0.08 Ty_l=-0.09 N_l=-4942.75 My_l=0.80 Mz_l=-0.02
Azioni sul cordone: TP=0.02 TO=0.01 NO=-365.37
Tensioni nel cordone: τ_P=6.24E-03 τ_0=3.55E-03 σ_0=117.30 σ_{ID}=117.30 Σ_T=117.30
CC 25 SLV (Collegamento 0023_-380)
Azioni sul collegamento: N=-4942.75 Ty=-2.39 Tz=-0.09 Mx=-0.02 Mz=-5.32
Sollecitazioni agenti localmente: Tx_l=-2.39 Ty_l=-0.09 N_l=-4942.75 My_l=5.32 Mz_l=-0.02
Azioni sul cordone: TP=-0.15 TO=0.01 NO=-365.37
Tensioni nel cordone: τ_P= 0.05 τ_0=3.55E-03 σ_0=123.90 σ_{ID}=123.90 Σ_T=123.91
CC 25 SLV (Collegamento 0023_-380)
Azioni sul collegamento: N=-4942.75 Ty=-0.08 Tz=-5.22 Mx=-0.02 Mz=-0.80
Sollecitazioni agenti localmente: Tx_l=-0.08 Ty_l=-5.22 N_l=-4942.75 My_l=0.80 Mz_l=-0.02
Azioni sul cordone: TP=0.02 TO=-0.37 NO=-365.37

Tensioni nel cordone: τ_P=6.24E-03 τ_0=0.12 σ_0=117.30 σ_{ID}=117.30 Σ_T=117.41
CC 25 SLV (Collegamento 0023_-380)
Azioni sul collegamento: N=-4942.75 Ty=-2.39 Tz=-5.22 Mx=-0.02 Mz=-5.32
Sollecitazioni agenti localmente: Tx_l=-2.39 Ty_l=-5.22 N_l=-4942.75 My_l=5.32 Mz_l=-0.02
Azioni sul cordone: TP=-0.15 TO=-0.37 NO=-365.37
Tensioni nel cordone: τ_P= 0.05 τ_0=0.12 σ_0=123.90 σ_{ID}=123.90 Σ_T=124.02
CC 25 SLV (Collegamento 0023_-380)
Azioni sul collegamento: N=-6324.76 Ty=-0.08 Tz=-0.09 Mx=-0.02 Mz=-0.80
Sollecitazioni agenti localmente: Tx_l=-0.08 Ty_l=-0.09 N_l=-6324.76 My_l=0.80 Mz_l=-0.02
Azioni sul cordone: TP=0.02 TO=0.01 NO=-467.53
Tensioni nel cordone: τ_P=6.24E-03 τ_0=3.56E-03 σ_0=149.77 σ_{ID}=149.77 Σ_T=149.77
CC 25 SLV (Collegamento 0023_-380)
Azioni sul collegamento: N=-6324.76 Ty=-2.39 Tz=-0.09 Mx=-0.02 Mz=-5.32
Sollecitazioni agenti localmente: Tx_l=-2.39 Ty_l=-0.09 N_l=-6324.76 My_l=5.32 Mz_l=-0.02
Azioni sul cordone: TP=-0.15 TO=0.01 NO=-467.53
Tensioni nel cordone: τ_P= 0.05 τ_0=3.56E-03 σ_0=156.37 σ_{ID}=156.37 Σ_T=156.38
CC 25 SLV (Collegamento 0023_-380)
Azioni sul collegamento: N=-6324.76 Ty=-0.08 Tz=-5.22 Mx=-0.02 Mz=-0.80
Sollecitazioni agenti localmente: Tx_l=-0.08 Ty_l=-5.22 N_l=-6324.76 My_l=0.80 Mz_l=-0.02
Azioni sul cordone: TP=0.02 TO=-0.37 NO=-467.53
Tensioni nel cordone: τ_P=6.24E-03 τ_0=0.12 σ_0=149.77 σ_{ID}=149.77 Σ_T=149.88
CC 25 SLV (Collegamento 0023_-380)
Azioni sul collegamento: N=-6324.76 Ty=-2.39 Tz=-5.22 Mx=-0.02 Mz=-5.32
Sollecitazioni agenti localmente: Tx_l=-2.39 Ty_l=-5.22 N_l=-6324.76 My_l=5.32 Mz_l=-0.02
Azioni sul cordone: TP=-0.15 TO=-0.37 NO=-467.53
Tensioni nel cordone: τ_P= 0.05 τ_0=0.12 σ_0=156.37 σ_{ID}=156.37 Σ_T=156.49
CC 26 SLD (Collegamento 0023_-380)
Azioni sul collegamento: N=-5422.87 Ty=-0.08 Tz=-1.87 Mx=-0.01 Mz=-0.31
Sollecitazioni agenti localmente: Tx_l=-0.08 Ty_l=-1.87 N_l=-5422.87 My_l=0.31 Mz_l=-0.01
Azioni sul cordone: TP=0.00 TO=-0.13 NO=-400.86
Tensioni nel cordone: τ_P=7.56E-04 τ_0= 0.04 σ_0=127.87 σ_{ID}=127.87 Σ_T=127.92
CC 26 SLD (Collegamento 0023_-380)
Azioni sul collegamento: N=-5422.87 Ty=-0.78 Tz=-1.87 Mx=-0.01 Mz=-1.69
Sollecitazioni agenti localmente: Tx_l=-0.78 Ty_l=-1.87 N_l=-5422.87 My_l=1.69 Mz_l=-0.01
Azioni sul cordone: TP=-0.05 TO=-0.13 NO=-400.86
Tensioni nel cordone: τ_P= 0.02 τ_0= 0.04 σ_0=129.89 σ_{ID}=129.89 Σ_T=129.93
CC 26 SLD (Collegamento 0023_-380)
Azioni sul collegamento: N=-5422.87 Ty=-0.08 Tz=-3.44 Mx=-0.01 Mz=-0.31
Sollecitazioni agenti localmente: Tx_l=-0.08 Ty_l=-3.44 N_l=-5422.87 My_l=0.31 Mz_l=-0.01
Azioni sul cordone: TP=0.00 TO=-0.25 NO=-400.86
Tensioni nel cordone: τ_P=7.56E-04 τ_0= 0.08 σ_0=127.87 σ_{ID}=127.87 Σ_T=127.95
CC 26 SLD (Collegamento 0023_-380)
Azioni sul collegamento: N=-5422.87 Ty=-0.78 Tz=-3.44 Mx=-0.01 Mz=-1.69
Sollecitazioni agenti localmente: Tx_l=-0.78 Ty_l=-3.44 N_l=-5422.87 My_l=1.69 Mz_l=-0.01
Azioni sul cordone: TP=-0.05 TO=-0.25 NO=-400.86
Tensioni nel cordone: τ_P= 0.02 τ_0= 0.08 σ_0=129.89 σ_{ID}=129.89 Σ_T=129.97
CC 26 SLD (Collegamento 0023_-380)
Azioni sul collegamento: N=-5844.28 Ty=-0.08 Tz=-1.87 Mx=-0.01 Mz=-0.31
Sollecitazioni agenti localmente: Tx_l=-0.08 Ty_l=-1.87 N_l=-5844.28 My_l=0.31 Mz_l=-0.01
Azioni sul cordone: TP=0.00 TO=-0.13 NO=-432.01
Tensioni nel cordone: τ_P=7.56E-04 τ_0= 0.04 σ_0=137.77 σ_{ID}=137.77 Σ_T=137.82
CC 26 SLD (Collegamento 0023_-380)
Azioni sul collegamento: N=-5844.28 Ty=-0.78 Tz=-1.87 Mx=-0.01 Mz=-1.69
Sollecitazioni agenti localmente: Tx_l=-0.78 Ty_l=-1.87 N_l=-5844.28 My_l=1.69 Mz_l=-0.01
Azioni sul cordone: TP=-0.05 TO=-0.13 NO=-432.01
Tensioni nel cordone: τ_P= 0.02 τ_0= 0.04 σ_0=139.79 σ_{ID}=139.79 Σ_T=139.83
CC 26 SLD (Collegamento 0023_-380)
Azioni sul collegamento: N=-5844.28 Ty=-0.08 Tz=-3.44 Mx=-0.01 Mz=-0.31
Sollecitazioni agenti localmente: Tx_l=-0.08 Ty_l=-3.44 N_l=-5844.28 My_l=0.31 Mz_l=-0.01
Azioni sul cordone: TP=0.00 TO=-0.25 NO=-432.01
Tensioni nel cordone: τ_P=7.56E-04 τ_0= 0.08 σ_0=137.77 σ_{ID}=137.77 Σ_T=137.85
CC 26 SLD (Collegamento 0023_-380)
Azioni sul collegamento: N=-5844.28 Ty=-0.78 Tz=-3.44 Mx=-0.01 Mz=-1.69
Sollecitazioni agenti localmente: Tx_l=-0.78 Ty_l=-3.44 N_l=-5844.28 My_l=1.69 Mz_l=-0.01
Azioni sul cordone: TP=-0.05 TO=-0.25 NO=-432.01
Tensioni nel cordone: τ_P= 0.02 τ_0= 0.08 σ_0=139.79 σ_{ID}=139.79 Σ_T=139.87
CC 27 SLV (Collegamento 0023_-380)
Azioni sul collegamento: N=-6324.69 Ty=-0.09 Tz=-5.21 Mx=-0.02 Mz=-0.81
Sollecitazioni agenti localmente: Tx_l=-0.09 Ty_l=-5.21 N_l=-6324.69 My_l=0.81 Mz_l=-0.02
Azioni sul cordone: TP=0.02 TO=-0.37 NO=-467.52
Tensioni nel cordone: τ_P=6.13E-03 τ_0=0.12 σ_0=149.78 σ_{ID}=149.78 Σ_T=149.90
CC 27 SLV (Collegamento 0023_-380)
Azioni sul collegamento: N=-6324.69 Ty=-2.39 Tz=-5.21 Mx=-0.02 Mz=-5.31
Sollecitazioni agenti localmente: Tx_l=-2.39 Ty_l=-5.21 N_l=-6324.69 My_l=5.31 Mz_l=-0.02
Azioni sul cordone: TP=-0.15 TO=-0.37 NO=-467.52
Tensioni nel cordone: τ_P= 0.05 τ_0=0.12 σ_0=156.35 σ_{ID}=156.35 Σ_T=156.47
CC 27 SLV (Collegamento 0023_-380)
Azioni sul collegamento: N=-6324.69 Ty=-0.09 Tz=-0.09 Mx=-0.02 Mz=-0.81
Sollecitazioni agenti localmente: Tx_l=-0.09 Ty_l=-0.09 N_l=-6324.69 My_l=0.81 Mz_l=-0.02
Azioni sul cordone: TP=0.02 TO=0.01 NO=-467.52
Tensioni nel cordone: τ_P=6.13E-03 τ_0=3.50E-03 σ_0=149.78 σ_{ID}=149.78 Σ_T=149.79

CC 27 SLV (Collegamento 0023_-380)
Azioni sul collegamento: N=-6324.69 Ty=-2.39 Tz=-0.09 Mx=-0.02 Mz=-5.31
Sollecitazioni agenti localmente: Tx_l=-2.39 Ty_l=-0.09 N_l=-6324.69 My_l=5.31 Mz_l=-0.02
Azioni sul cordone: TP=-0.15 TO=0.01 NO=-467.52
Tensioni nel cordone: τ_P= 0.05 τ_0=3.50E-03 σ_0=156.35 σ_{ID}=156.35 Σ_T=156.36
CC 27 SLV (Collegamento 0023_-380)
Azioni sul collegamento: N=-4942.83 Ty=-0.09 Tz=-5.21 Mx=-0.02 Mz=-0.81
Sollecitazioni agenti localmente: Tx_l=-0.09 Ty_l=-5.21 N_l=-4942.83 My_l=0.81 Mz_l=-0.02
Azioni sul cordone: TP=0.02 TO=-0.37 NO=-365.38
Tensioni nel cordone: τ_P=6.13E-03 τ_0=0.12 σ_0=117.31 σ_{ID}=117.31 Σ_T=117.43
CC 27 SLV (Collegamento 0023_-380)
Azioni sul collegamento: N=-4942.83 Ty=-2.39 Tz=-5.21 Mx=-0.02 Mz=-5.31
Sollecitazioni agenti localmente: Tx_l=-2.39 Ty_l=-5.21 N_l=-4942.83 My_l=5.31 Mz_l=-0.02
Azioni sul cordone: TP=-0.15 TO=-0.37 NO=-365.38
Tensioni nel cordone: τ_P= 0.05 τ_0=0.12 σ_0=123.89 σ_{ID}=123.89 Σ_T=124.00
CC 27 SLV (Collegamento 0023_-380)
Azioni sul collegamento: N=-4942.83 Ty=-0.09 Tz=-0.09 Mx=-0.02 Mz=-0.81
Sollecitazioni agenti localmente: Tx_l=-0.09 Ty_l=-0.09 N_l=-4942.83 My_l=0.81 Mz_l=-0.02
Azioni sul cordone: TP=0.02 TO=0.01 NO=-365.38
Tensioni nel cordone: τ_P=6.13E-03 τ_0=3.49E-03 σ_0=117.31 σ_{ID}=117.31 Σ_T=117.32
CC 27 SLV (Collegamento 0023_-380)
Azioni sul collegamento: N=-4942.83 Ty=-2.39 Tz=-0.09 Mx=-0.02 Mz=-5.31
Sollecitazioni agenti localmente: Tx_l=-2.39 Ty_l=-0.09 N_l=-4942.83 My_l=5.31 Mz_l=-0.02
Azioni sul cordone: TP=-0.15 TO=0.01 NO=-365.38
Tensioni nel cordone: τ_P= 0.05 τ_0=3.49E-03 σ_0=123.89 σ_{ID}=123.89 Σ_T=123.89
CC 28 SLD (Collegamento 0023_-380)
Azioni sul collegamento: N=-5844.26 Ty=-0.08 Tz=-3.43 Mx=-0.01 Mz=-0.32
Sollecitazioni agenti localmente: Tx_l=-0.08 Ty_l=-3.43 N_l=-5844.26 My_l=0.32 Mz_l=-0.01
Azioni sul cordone: TP=0.00 TO=-0.25 NO=-432.01
Tensioni nel cordone: τ_P=7.20E-04 τ_0= 0.08 σ_0=137.78 σ_{ID}=137.78 Σ_T=137.86
CC 28 SLD (Collegamento 0023_-380)
Azioni sul collegamento: N=-5844.26 Ty=-0.78 Tz=-3.43 Mx=-0.01 Mz=-1.69
Sollecitazioni agenti localmente: Tx_l=-0.78 Ty_l=-3.43 N_l=-5844.26 My_l=1.69 Mz_l=-0.01
Azioni sul cordone: TP=-0.05 TO=-0.25 NO=-432.01
Tensioni nel cordone: τ_P= 0.02 τ_0= 0.08 σ_0=139.78 σ_{ID}=139.78 Σ_T=139.86
CC 28 SLD (Collegamento 0023_-380)
Azioni sul collegamento: N=-5844.26 Ty=-0.08 Tz=-1.87 Mx=-0.01 Mz=-0.32
Sollecitazioni agenti localmente: Tx_l=-0.08 Ty_l=-1.87 N_l=-5844.26 My_l=0.32 Mz_l=-0.01
Azioni sul cordone: TP=0.00 TO=-0.13 NO=-432.01
Tensioni nel cordone: τ_P=7.20E-04 τ_0= 0.04 σ_0=137.78 σ_{ID}=137.78 Σ_T=137.82
CC 28 SLD (Collegamento 0023_-380)
Azioni sul collegamento: N=-5844.26 Ty=-0.78 Tz=-1.87 Mx=-0.01 Mz=-1.69
Sollecitazioni agenti localmente: Tx_l=-0.78 Ty_l=-1.87 N_l=-5844.26 My_l=1.69 Mz_l=-0.01
Azioni sul cordone: TP=-0.05 TO=-0.13 NO=-432.01
Tensioni nel cordone: τ_P= 0.02 τ_0= 0.04 σ_0=139.78 σ_{ID}=139.78 Σ_T=139.82
CC 28 SLD (Collegamento 0023_-380)
Azioni sul collegamento: N=-5422.89 Ty=-0.08 Tz=-3.43 Mx=-0.01 Mz=-0.32
Sollecitazioni agenti localmente: Tx_l=-0.08 Ty_l=-3.43 N_l=-5422.89 My_l=0.32 Mz_l=-0.01
Azioni sul cordone: TP=0.00 TO=-0.25 NO=-400.86
Tensioni nel cordone: τ_P=7.20E-04 τ_0= 0.08 σ_0=127.88 σ_{ID}=127.88 Σ_T=127.96
CC 28 SLD (Collegamento 0023_-380)
Azioni sul collegamento: N=-5422.89 Ty=-0.78 Tz=-3.43 Mx=-0.01 Mz=-1.69
Sollecitazioni agenti localmente: Tx_l=-0.78 Ty_l=-3.43 N_l=-5422.89 My_l=1.69 Mz_l=-0.01
Azioni sul cordone: TP=-0.05 TO=-0.25 NO=-400.86
Tensioni nel cordone: τ_P= 0.02 τ_0= 0.08 σ_0=129.88 σ_{ID}=129.88 Σ_T=129.96
CC 28 SLD (Collegamento 0023_-380)
Azioni sul collegamento: N=-5422.89 Ty=-0.08 Tz=-1.87 Mx=-0.01 Mz=-0.32
Sollecitazioni agenti localmente: Tx_l=-0.08 Ty_l=-1.87 N_l=-5422.89 My_l=0.32 Mz_l=-0.01
Azioni sul cordone: TP=0.00 TO=-0.13 NO=-400.86
Tensioni nel cordone: τ_P=7.20E-04 τ_0= 0.04 σ_0=127.88 σ_{ID}=127.88 Σ_T=127.92
CC 28 SLD (Collegamento 0023_-380)
Azioni sul collegamento: N=-5422.89 Ty=-0.78 Tz=-1.87 Mx=-0.01 Mz=-1.69
Sollecitazioni agenti localmente: Tx_l=-0.78 Ty_l=-1.87 N_l=-5422.89 My_l=1.69 Mz_l=-0.01
Azioni sul cordone: TP=-0.05 TO=-0.13 NO=-400.86
Tensioni nel cordone: τ_P= 0.02 τ_0= 0.04 σ_0=129.88 σ_{ID}=129.88 Σ_T=129.92
CC 29 SLV (Collegamento 0023_-380)
Azioni sul collegamento: N=-4942.83 Ty=-2.39 Tz=-0.09 Mx=-0.00 Mz=-5.31
Sollecitazioni agenti localmente: Tx_l=-2.39 Ty_l=-0.09 N_l=-4942.83 My_l=5.31 Mz_l=-0.00
Azioni sul cordone: TP=-0.17 TO=-0.00 NO=-365.38
Tensioni nel cordone: τ_P= 0.05 τ_0=8.98E-04 σ_0=123.89 σ_{ID}=123.89 Σ_T=123.89
CC 29 SLV (Collegamento 0023_-380)
Azioni sul collegamento: N=-4942.83 Ty=-0.09 Tz=-0.09 Mx=-0.00 Mz=-0.81
Sollecitazioni agenti localmente: Tx_l=-0.09 Ty_l=-0.09 N_l=-4942.83 My_l=0.81 Mz_l=-0.00
Azioni sul cordone: TP=-0.00 TO=-0.00 NO=-365.38
Tensioni nel cordone: τ_P=2.12E-04 τ_0=8.98E-04 σ_0=117.31 σ_{ID}=117.31 Σ_T=117.32
CC 29 SLV (Collegamento 0023_-380)
Azioni sul collegamento: N=-4942.83 Ty=-2.39 Tz=-5.21 Mx=-0.00 Mz=-5.31
Sollecitazioni agenti localmente: Tx_l=-2.39 Ty_l=-5.21 N_l=-4942.83 My_l=5.31 Mz_l=-0.00
Azioni sul cordone: TP=-0.17 TO=-0.38 NO=-365.38
Tensioni nel cordone: τ_P= 0.05 τ_0=0.12 σ_0=123.89 σ_{ID}=123.89 Σ_T=124.01
CC 29 SLV (Collegamento 0023_-380)

Azioni sul collegamento: N=-4942.83 Ty=-0.09 Tz=-5.21 Mx=-0.00 Mz=-0.81
Sollecitazioni agenti localmente: Tx_l=-0.09 Ty_l=-5.21 N_l=-4942.83 My_l=0.81 Mz_l=-0.00
Azioni sul cordone: TP=-0.00 TO=-0.38 NO=-365.38
Tensioni nel cordone: τ_P=2.12E-04 τ_0=0.12 σ_0=117.31 σ_{ID}=117.31 Σ_T=117.44
CC 29 SLV (Collegamento 0023_-380)
Azioni sul collegamento: N=-6324.69 Ty=-2.39 Tz=-0.09 Mx=-0.00 Mz=-5.31
Sollecitazioni agenti localmente: Tx_l=-2.39 Ty_l=-0.09 N_l=-6324.69 My_l=5.31 Mz_l=-0.00
Azioni sul cordone: TP=-0.17 TO=-0.00 NO=-467.52
Tensioni nel cordone: τ_P= 0.05 τ_0=8.88E-04 σ_0=156.35 σ_{ID}=156.35 Σ_T=156.35
CC 29 SLV (Collegamento 0023_-380)
Azioni sul collegamento: N=-6324.69 Ty=-0.09 Tz=-0.09 Mx=-0.00 Mz=-0.81
Sollecitazioni agenti localmente: Tx_l=-0.09 Ty_l=-0.09 N_l=-6324.69 My_l=0.81 Mz_l=-0.00
Azioni sul cordone: TP=-0.00 TO=-0.00 NO=-467.52
Tensioni nel cordone: τ_P=2.12E-04 τ_0=8.88E-04 σ_0=149.78 σ_{ID}=149.78 Σ_T=149.78
CC 29 SLV (Collegamento 0023_-380)
Azioni sul collegamento: N=-6324.69 Ty=-2.39 Tz=-5.21 Mx=-0.00 Mz=-5.31
Sollecitazioni agenti localmente: Tx_l=-2.39 Ty_l=-5.21 N_l=-6324.69 My_l=5.31 Mz_l=-0.00
Azioni sul cordone: TP=-0.17 TO=-0.38 NO=-467.52
Tensioni nel cordone: τ_P= 0.05 τ_0=0.12 σ_0=156.35 σ_{ID}=156.35 Σ_T=156.47
CC 29 SLV (Collegamento 0023_-380)
Azioni sul collegamento: N=-6324.69 Ty=-0.09 Tz=-5.21 Mx=-0.00 Mz=-0.81
Sollecitazioni agenti localmente: Tx_l=-0.09 Ty_l=-5.21 N_l=-6324.69 My_l=0.81 Mz_l=-0.00
Azioni sul cordone: TP=-0.00 TO=-0.38 NO=-467.52
Tensioni nel cordone: τ_P=2.12E-04 τ_0=0.12 σ_0=149.78 σ_{ID}=149.78 Σ_T=149.90
CC 30 SLD (Collegamento 0023_-380)
Azioni sul collegamento: N=-5422.89 Ty=-0.78 Tz=-1.87 Mx=-0.00 Mz=-1.69
Sollecitazioni agenti localmente: Tx_l=-0.78 Ty_l=-1.87 N_l=-5422.89 My_l=1.69 Mz_l=-0.00
Azioni sul cordone: TP=-0.06 TO=-0.14 NO=-400.86
Tensioni nel cordone: τ_P= 0.02 τ_0= 0.04 σ_0=129.88 σ_{ID}=129.88 Σ_T=129.93
CC 30 SLD (Collegamento 0023_-380)
Azioni sul collegamento: N=-5422.89 Ty=-0.08 Tz=-1.87 Mx=-0.00 Mz=-0.32
Sollecitazioni agenti localmente: Tx_l=-0.08 Ty_l=-1.87 N_l=-5422.89 My_l=0.32 Mz_l=-0.00
Azioni sul cordone: TP=-0.00 TO=-0.14 NO=-400.86
Tensioni nel cordone: τ_P=1.21E-03 τ_0= 0.04 σ_0=127.88 σ_{ID}=127.88 Σ_T=127.92
CC 30 SLD (Collegamento 0023_-380)
Azioni sul collegamento: N=-5422.89 Ty=-0.78 Tz=-3.43 Mx=-0.00 Mz=-1.69
Sollecitazioni agenti localmente: Tx_l=-0.78 Ty_l=-3.43 N_l=-5422.89 My_l=1.69 Mz_l=-0.00
Azioni sul cordone: TP=-0.06 TO=-0.25 NO=-400.86
Tensioni nel cordone: τ_P= 0.02 τ_0= 0.08 σ_0=129.88 σ_{ID}=129.88 Σ_T=129.96
CC 30 SLD (Collegamento 0023_-380)
Azioni sul collegamento: N=-5422.89 Ty=-0.08 Tz=-3.43 Mx=-0.00 Mz=-0.32
Sollecitazioni agenti localmente: Tx_l=-0.08 Ty_l=-3.43 N_l=-5422.89 My_l=0.32 Mz_l=-0.00
Azioni sul cordone: TP=-0.00 TO=-0.25 NO=-400.86
Tensioni nel cordone: τ_P=1.21E-03 τ_0= 0.08 σ_0=127.88 σ_{ID}=127.88 Σ_T=127.96
CC 30 SLD (Collegamento 0023_-380)
Azioni sul collegamento: N=-5844.26 Ty=-0.78 Tz=-1.87 Mx=-0.00 Mz=-1.69
Sollecitazioni agenti localmente: Tx_l=-0.78 Ty_l=-1.87 N_l=-5844.26 My_l=1.69 Mz_l=-0.00
Azioni sul cordone: TP=-0.06 TO=-0.14 NO=-432.01
Tensioni nel cordone: τ_P= 0.02 τ_0= 0.04 σ_0=139.78 σ_{ID}=139.78 Σ_T=139.83
CC 30 SLD (Collegamento 0023_-380)
Azioni sul collegamento: N=-5844.26 Ty=-0.08 Tz=-1.87 Mx=-0.00 Mz=-0.32
Sollecitazioni agenti localmente: Tx_l=-0.08 Ty_l=-1.87 N_l=-5844.26 My_l=0.32 Mz_l=-0.00
Azioni sul cordone: TP=-0.00 TO=-0.14 NO=-432.01
Tensioni nel cordone: τ_P=1.21E-03 τ_0= 0.04 σ_0=137.78 σ_{ID}=137.78 Σ_T=137.82
CC 30 SLD (Collegamento 0023_-380)
Azioni sul collegamento: N=-5844.26 Ty=-0.78 Tz=-3.43 Mx=-0.00 Mz=-1.69
Sollecitazioni agenti localmente: Tx_l=-0.78 Ty_l=-3.43 N_l=-5844.26 My_l=1.69 Mz_l=-0.00
Azioni sul cordone: TP=-0.06 TO=-0.25 NO=-432.01
Tensioni nel cordone: τ_P= 0.02 τ_0= 0.08 σ_0=139.78 σ_{ID}=139.78 Σ_T=139.86
CC 30 SLD (Collegamento 0023_-380)
Azioni sul collegamento: N=-5844.26 Ty=-0.08 Tz=-3.43 Mx=-0.00 Mz=-0.32
Sollecitazioni agenti localmente: Tx_l=-0.08 Ty_l=-3.43 N_l=-5844.26 My_l=0.32 Mz_l=-0.00
Azioni sul cordone: TP=-0.00 TO=-0.25 NO=-432.01
Tensioni nel cordone: τ_P=1.21E-03 τ_0= 0.08 σ_0=137.78 σ_{ID}=137.78 Σ_T=137.86
CC 31 SLV (Collegamento 0023_-380)
Azioni sul collegamento: N=-6324.76 Ty=-2.39 Tz=-5.22 Mx=-0.00 Mz=-5.32
Sollecitazioni agenti localmente: Tx_l=-2.39 Ty_l=-5.22 N_l=-6324.76 My_l=5.32 Mz_l=-0.00
Azioni sul cordone: TP=-0.17 TO=-0.38 NO=-467.53
Tensioni nel cordone: τ_P= 0.05 τ_0=0.12 σ_0=156.37 σ_{ID}=156.37 Σ_T=156.49
CC 31 SLV (Collegamento 0023_-380)
Azioni sul collegamento: N=-6324.76 Ty=-0.08 Tz=-5.22 Mx=-0.00 Mz=-0.80
Sollecitazioni agenti localmente: Tx_l=-0.08 Ty_l=-5.22 N_l=-6324.76 My_l=0.80 Mz_l=-0.00
Azioni sul cordone: TP=-0.00 TO=-0.38 NO=-467.53
Tensioni nel cordone: τ_P=1.37E-04 τ_0=0.12 σ_0=149.77 σ_{ID}=149.77 Σ_T=149.89
CC 31 SLV (Collegamento 0023_-380)
Azioni sul collegamento: N=-6324.76 Ty=-2.39 Tz=-0.09 Mx=-0.00 Mz=-5.32
Sollecitazioni agenti localmente: Tx_l=-2.39 Ty_l=-0.09 N_l=-6324.76 My_l=5.32 Mz_l=-0.00
Azioni sul cordone: TP=-0.17 TO=-0.00 NO=-467.53
Tensioni nel cordone: τ_P= 0.05 τ_0=8.65E-04 σ_0=156.37 σ_{ID}=156.37 Σ_T=156.37
CC 31 SLV (Collegamento 0023_-380)
Azioni sul collegamento: N=-6324.76 Ty=-0.08 Tz=-0.09 Mx=-0.00 Mz=-0.80

Sollecitazioni agenti localmente: Tx_l=-0.08 Ty_l=-0.09 N_l=-6324.76 My_l=0.80 Mz_l=-0.00
Azioni sul cordone: TP=-0.00 TO=-0.00 NO=-467.53
Tensioni nel cordone: τ_P=1.37E-04 τ_O=8.65E-04 σ_O=149.77 σ_{ID}=149.77 Σ_T=149.77
CC 31 SLV (Collegamento 0023_-380)
Azioni sul collegamento: N=-4942.75 Ty=-2.39 Tz=-5.22 Mx=-0.00 Mz=-5.32
Sollecitazioni agenti localmente: Tx_l=-2.39 Ty_l=-5.22 N_l=-4942.75 My_l=5.32 Mz_l=-0.00
Azioni sul cordone: TP=-0.17 TO=-0.38 NO=-365.37
Tensioni nel cordone: τ_P= 0.05 τ_O=0.12 σ_O=123.90 σ_{ID}=123.90 Σ_T=124.02
CC 31 SLV (Collegamento 0023_-380)
Azioni sul collegamento: N=-4942.75 Ty=-0.08 Tz=-5.22 Mx=-0.00 Mz=-0.80
Sollecitazioni agenti localmente: Tx_l=-0.08 Ty_l=-5.22 N_l=-4942.75 My_l=0.80 Mz_l=-0.00
Azioni sul cordone: TP=-0.00 TO=-0.38 NO=-365.37
Tensioni nel cordone: τ_P=1.37E-04 τ_O=0.12 σ_O=117.30 σ_{ID}=117.30 Σ_T=117.42
CC 31 SLV (Collegamento 0023_-380)
Azioni sul collegamento: N=-4942.75 Ty=-2.39 Tz=-0.09 Mx=-0.00 Mz=-5.32
Sollecitazioni agenti localmente: Tx_l=-2.39 Ty_l=-0.09 N_l=-4942.75 My_l=5.32 Mz_l=-0.00
Azioni sul cordone: TP=-0.17 TO=-0.00 NO=-365.37
Tensioni nel cordone: τ_P= 0.05 τ_O=8.70E-04 σ_O=123.90 σ_{ID}=123.90 Σ_T=123.90
CC 31 SLV (Collegamento 0023_-380)
Azioni sul collegamento: N=-4942.75 Ty=-0.08 Tz=-0.09 Mx=-0.00 Mz=-0.80
Sollecitazioni agenti localmente: Tx_l=-0.08 Ty_l=-0.09 N_l=-4942.75 My_l=0.80 Mz_l=-0.00
Azioni sul cordone: TP=-0.00 TO=-0.00 NO=-365.37
Tensioni nel cordone: τ_P=1.37E-04 τ_O=8.70E-04 σ_O=117.30 σ_{ID}=117.30 Σ_T=117.30
CC 32 SLD (Collegamento 0023_-380)
Azioni sul collegamento: N=-5844.28 Ty=-0.78 Tz=-3.44 Mx=-0.00 Mz=-1.69
Sollecitazioni agenti localmente: Tx_l=-0.78 Ty_l=-3.44 N_l=-5844.28 My_l=1.69 Mz_l=-0.00
Azioni sul cordone: TP=-0.06 TO=-0.25 NO=-432.01
Tensioni nel cordone: τ_P= 0.02 τ_O= 0.08 σ_O=139.79 σ_{ID}=139.79 Σ_T=139.87
CC 32 SLD (Collegamento 0023_-380)
Azioni sul collegamento: N=-5844.28 Ty=-0.08 Tz=-3.44 Mx=-0.00 Mz=-0.31
Sollecitazioni agenti localmente: Tx_l=-0.08 Ty_l=-3.44 N_l=-5844.28 My_l=0.31 Mz_l=-0.00
Azioni sul cordone: TP=-0.00 TO=-0.25 NO=-432.01
Tensioni nel cordone: τ_P=1.19E-03 τ_O= 0.08 σ_O=137.77 σ_{ID}=137.77 Σ_T=137.85
CC 32 SLD (Collegamento 0023_-380)
Azioni sul collegamento: N=-5844.28 Ty=-0.78 Tz=-1.87 Mx=-0.00 Mz=-1.69
Sollecitazioni agenti localmente: Tx_l=-0.78 Ty_l=-1.87 N_l=-5844.28 My_l=1.69 Mz_l=-0.00
Azioni sul cordone: TP=-0.06 TO=-0.14 NO=-432.01
Tensioni nel cordone: τ_P= 0.02 τ_O= 0.04 σ_O=139.79 σ_{ID}=139.79 Σ_T=139.83
CC 32 SLD (Collegamento 0023_-380)
Azioni sul collegamento: N=-5844.28 Ty=-0.08 Tz=-1.87 Mx=-0.00 Mz=-0.31
Sollecitazioni agenti localmente: Tx_l=-0.08 Ty_l=-1.87 N_l=-5844.28 My_l=0.31 Mz_l=-0.00
Azioni sul cordone: TP=-0.00 TO=-0.14 NO=-432.01
Tensioni nel cordone: τ_P=1.19E-03 τ_O= 0.04 σ_O=137.77 σ_{ID}=137.77 Σ_T=137.82
CC 32 SLD (Collegamento 0023_-380)
Azioni sul collegamento: N=-5422.87 Ty=-0.78 Tz=-3.44 Mx=-0.00 Mz=-1.69
Sollecitazioni agenti localmente: Tx_l=-0.78 Ty_l=-3.44 N_l=-5422.87 My_l=1.69 Mz_l=-0.00
Azioni sul cordone: TP=-0.06 TO=-0.25 NO=-400.86
Tensioni nel cordone: τ_P= 0.02 τ_O= 0.08 σ_O=129.89 σ_{ID}=129.89 Σ_T=129.97
CC 32 SLD (Collegamento 0023_-380)
Azioni sul collegamento: N=-5422.87 Ty=-0.08 Tz=-3.44 Mx=-0.00 Mz=-0.31
Sollecitazioni agenti localmente: Tx_l=-0.08 Ty_l=-3.44 N_l=-5422.87 My_l=0.31 Mz_l=-0.00
Azioni sul cordone: TP=-0.00 TO=-0.25 NO=-400.86
Tensioni nel cordone: τ_P=1.19E-03 τ_O= 0.08 σ_O=127.87 σ_{ID}=127.87 Σ_T=127.95
CC 32 SLD (Collegamento 0023_-380)
Azioni sul collegamento: N=-5422.87 Ty=-0.78 Tz=-1.87 Mx=-0.00 Mz=-1.69
Sollecitazioni agenti localmente: Tx_l=-0.78 Ty_l=-1.87 N_l=-5422.87 My_l=1.69 Mz_l=-0.00
Azioni sul cordone: TP=-0.06 TO=-0.14 NO=-400.86
Tensioni nel cordone: τ_P= 0.02 τ_O= 0.04 σ_O=129.89 σ_{ID}=129.89 Σ_T=129.93
CC 32 SLD (Collegamento 0023_-380)
Azioni sul collegamento: N=-5422.87 Ty=-0.08 Tz=-1.87 Mx=-0.00 Mz=-0.31
Sollecitazioni agenti localmente: Tx_l=-0.08 Ty_l=-1.87 N_l=-5422.87 My_l=0.31 Mz_l=-0.00
Azioni sul cordone: TP=-0.00 TO=-0.14 NO=-400.86
Tensioni nel cordone: τ_P=1.19E-03 τ_O= 0.04 σ_O=127.87 σ_{ID}=127.87 Σ_T=127.92
CC 33 SLU (Collegamento 0023_-380)
Azioni sul collegamento: N=-29447.20 Ty=-0.05 Tz=76.67 Mx=-0.00 Mz=-0.12
Sollecitazioni agenti localmente: Tx_l=-0.05 Ty_l=76.67 N_l=-29447.20 My_l=0.12 Mz_l=-0.00
Azioni sul cordone: TP=-0.00 TO=5.67 NO=-2176.74
Tensioni nel cordone: τ_P=9.22E-04 τ_O=1.80 σ_O=692.04 σ_{ID}=692.05 Σ_T=693.85
CC 34 SLU (Collegamento 0023_-380)
Azioni sul collegamento: N=-28967.90 Ty=-0.05 Tz=74.90 Mx=-0.00 Mz=-0.12
Sollecitazioni agenti localmente: Tx_l=-0.05 Ty_l=74.90 N_l=-28967.90 My_l=0.12 Mz_l=-0.00
Azioni sul cordone: TP=-0.00 TO=5.54 NO=-2141.31
Tensioni nel cordone: τ_P=9.40E-04 τ_O=1.76 σ_O=680.79 σ_{ID}=680.79 Σ_T=682.55
CC 35 SLU (Collegamento 0023_-380)
Azioni sul collegamento: N=-29207.50 Ty=-0.17 Tz=75.78 Mx=0.00 Mz=-0.35
Sollecitazioni agenti localmente: Tx_l=-0.17 Ty_l=75.78 N_l=-29207.50 My_l=0.35 Mz_l=0.00
Azioni sul cordone: TP=-0.01 TO=5.60 NO=-2159.03
Tensioni nel cordone: τ_P=4.07E-03 τ_O=1.78 σ_O=686.76 σ_{ID}=686.76 Σ_T=688.54
CC 36 SLU (Collegamento 0023_-380)
Azioni sul collegamento: N=-29207.50 Ty=0.07 Tz=75.79 Mx=-0.00 Mz=0.12
Sollecitazioni agenti localmente: Tx_l=0.07 Ty_l=75.79 N_l=-29207.50 My_l=-0.12 Mz_l=-0.00

Azioni sul cordone: TP=0.01 TO=5.60 NO=-2159.03
Tensioni nel cordone: τ_P=2.20E-03 τ_o=1.78 σ_o=686.41 σ_{ID}=686.42 Σ_T=688.20
CC 37 SLU (Collegamento 0023_-380)
Azioni sul collegamento: N=-19933.90 Ty=-0.08 Tz=41.69 Mx=-0.00 Mz=-0.13
Sollecitazioni agenti localmente: Tx_l=-0.08 Ty_l=41.69 N_l=-19933.90 My_l=0.13 Mz_l=-0.00
Azioni sul cordone: TP=-0.01 TO=3.08 NO=-1473.52
Tensioni nel cordone: τ_P=1.67E-03 τ_o=0.98 σ_o=468.54 σ_{ID}=468.54 Σ_T=469.52
CC 38 SLU (Collegamento 0023_-380)
Azioni sul collegamento: N=-19454.60 Ty=-0.08 Tz=39.91 Mx=-0.00 Mz=-0.13
Sollecitazioni agenti localmente: Tx_l=-0.08 Ty_l=39.91 N_l=-19454.60 My_l=0.13 Mz_l=-0.00
Azioni sul cordone: TP=-0.01 TO=2.95 NO=-1438.09
Tensioni nel cordone: τ_P=1.68E-03 τ_o=0.94 σ_o=457.29 σ_{ID}=457.29 Σ_T=458.22
CC 39 SLU (Collegamento 0023_-380)
Azioni sul collegamento: N=-19694.20 Ty=-0.20 Tz=40.80 Mx=0.00 Mz=-0.36
Sollecitazioni agenti localmente: Tx_l=-0.20 Ty_l=40.80 N_l=-19694.20 My_l=0.36 Mz_l=0.00
Azioni sul cordone: TP=-0.02 TO=3.02 NO=-1455.80
Tensioni nel cordone: τ_P=4.81E-03 τ_o=0.96 σ_o=463.26 σ_{ID}=463.26 Σ_T=464.21
CC 40 SLU (Collegamento 0023_-380)
Azioni sul collegamento: N=-19694.20 Ty=0.04 Tz=40.80 Mx=-0.00 Mz=0.10
Sollecitazioni agenti localmente: Tx_l=0.04 Ty_l=40.80 N_l=-19694.20 My_l=-0.10 Mz_l=-0.00
Azioni sul cordone: TP=0.00 TO=3.01 NO=-1455.80
Tensioni nel cordone: τ_P=1.46E-03 τ_o=0.96 σ_o=462.88 σ_{ID}=462.88 Σ_T=463.84
CC 41 SLU (Collegamento 0023_-380)
Azioni sul collegamento: N=-29632.10 Ty=-0.07 Tz=76.65 Mx=-0.00 Mz=-0.13
Sollecitazioni agenti localmente: Tx_l=-0.07 Ty_l=76.65 N_l=-29632.10 My_l=0.13 Mz_l=-0.00
Azioni sul cordone: TP=-0.00 TO=5.67 NO=-2190.41
Tensioni nel cordone: τ_P=1.55E-03 τ_o=1.80 σ_o=696.41 σ_{ID}=696.41 Σ_T=698.21
CC 42 SLU (Collegamento 0023_-380)
Azioni sul collegamento: N=-29152.80 Ty=-0.07 Tz=74.88 Mx=-0.00 Mz=-0.13
Sollecitazioni agenti localmente: Tx_l=-0.07 Ty_l=74.88 N_l=-29152.80 My_l=0.13 Mz_l=-0.00
Azioni sul cordone: TP=-0.00 TO=5.54 NO=-2154.98
Tensioni nel cordone: τ_P=1.57E-03 τ_o=1.76 σ_o=685.15 σ_{ID}=685.15 Σ_T=686.91
CC 43 SLU (Collegamento 0023_-380)
Azioni sul collegamento: N=-29392.40 Ty=-0.19 Tz=75.77 Mx=0.00 Mz=-0.36
Sollecitazioni agenti localmente: Tx_l=-0.19 Ty_l=75.77 N_l=-29392.40 My_l=0.36 Mz_l=0.00
Azioni sul cordone: TP=-0.01 TO=5.60 NO=-2172.70
Tensioni nel cordone: τ_P=4.69E-03 τ_o=1.78 σ_o=691.12 σ_{ID}=691.12 Σ_T=692.90
CC 44 SLU (Collegamento 0023_-380)
Azioni sul collegamento: N=-29392.40 Ty=0.05 Tz=75.77 Mx=-0.00 Mz=0.10
Sollecitazioni agenti localmente: Tx_l=0.05 Ty_l=75.77 N_l=-29392.40 My_l=-0.10 Mz_l=-0.00
Azioni sul cordone: TP=0.00 TO=5.60 NO=-2172.70
Tensioni nel cordone: τ_P=1.58E-03 τ_o=1.78 σ_o=690.74 σ_{ID}=690.75 Σ_T=692.52
CC 45 SLU (Collegamento 0023_-380)
Azioni sul collegamento: N=-22108.00 Ty=-0.08 Tz=49.75 Mx=-0.00 Mz=-0.14
Sollecitazioni agenti localmente: Tx_l=-0.08 Ty_l=49.75 N_l=-22108.00 My_l=0.14 Mz_l=-0.00
Azioni sul cordone: TP=-0.01 TO=3.68 NO=-1634.23
Tensioni nel cordone: τ_P=1.64E-03 τ_o=1.17 σ_o=519.64 σ_{ID}=519.64 Σ_T=520.81
CC 46 SLU (Collegamento 0023_-380)
Azioni sul collegamento: N=-21628.70 Ty=-0.08 Tz=47.97 Mx=-0.00 Mz=-0.14
Sollecitazioni agenti localmente: Tx_l=-0.08 Ty_l=47.97 N_l=-21628.70 My_l=0.14 Mz_l=-0.00
Azioni sul cordone: TP=-0.01 TO=3.55 NO=-1598.80
Tensioni nel cordone: τ_P=1.66E-03 τ_o=1.13 σ_o=508.38 σ_{ID}=508.38 Σ_T=509.51
CC 47 SLU (Collegamento 0023_-380)
Azioni sul collegamento: N=-21868.40 Ty=-0.20 Tz=48.86 Mx=0.00 Mz=-0.37
Sollecitazioni agenti localmente: Tx_l=-0.20 Ty_l=48.86 N_l=-21868.40 My_l=0.37 Mz_l=0.00
Azioni sul cordone: TP=-0.02 TO=3.61 NO=-1616.52
Tensioni nel cordone: τ_P=4.78E-03 τ_o=1.15 σ_o=514.35 σ_{ID}=514.35 Σ_T=515.50
CC 48 SLU (Collegamento 0023_-380)
Azioni sul collegamento: N=-21868.40 Ty=0.04 Tz=48.86 Mx=-0.00 Mz=0.10
Sollecitazioni agenti localmente: Tx_l=0.04 Ty_l=48.86 N_l=-21868.40 My_l=-0.10 Mz_l=-0.00
Azioni sul cordone: TP=0.00 TO=3.61 NO=-1616.52
Tensioni nel cordone: τ_P=1.49E-03 τ_o=1.15 σ_o=513.95 σ_{ID}=513.95 Σ_T=515.10
CC 49 SLU (Collegamento 0023_-380)
Azioni sul collegamento: N=-14990.70 Ty=-0.10 Tz=23.57 Mx=-0.00 Mz=-0.15
Sollecitazioni agenti localmente: Tx_l=-0.10 Ty_l=23.57 N_l=-14990.70 My_l=0.15 Mz_l=-0.00
Azioni sul cordone: TP=-0.01 TO=1.74 NO=-1108.11
Tensioni nel cordone: τ_P=2.20E-03 τ_o=0.55 σ_o=352.43 σ_{ID}=352.43 Σ_T=352.98
CC 50 SLU (Collegamento 0023_-380)
Azioni sul collegamento: N=-14511.40 Ty=-0.10 Tz=21.80 Mx=-0.00 Mz=-0.15
Sollecitazioni agenti localmente: Tx_l=-0.10 Ty_l=21.80 N_l=-14511.40 My_l=0.15 Mz_l=-0.00
Azioni sul cordone: TP=-0.01 TO=1.61 NO=-1072.68
Tensioni nel cordone: τ_P=2.21E-03 τ_o=0.51 σ_o=341.17 σ_{ID}=341.17 Σ_T=341.68
CC 51 SLU (Collegamento 0023_-380)
Azioni sul collegamento: N=-14751.00 Ty=-0.22 Tz=22.68 Mx=0.00 Mz=-0.38
Sollecitazioni agenti localmente: Tx_l=-0.22 Ty_l=22.68 N_l=-14751.00 My_l=0.38 Mz_l=0.00
Azioni sul cordone: TP=-0.02 TO=1.68 NO=-1090.40
Tensioni nel cordone: τ_P=5.34E-03 τ_o=0.53 σ_o=347.14 σ_{ID}=347.14 Σ_T=347.67
CC 52 SLU (Collegamento 0023_-380)
Azioni sul collegamento: N=-14751.00 Ty=0.02 Tz=22.69 Mx=-0.00 Mz=0.09
Sollecitazioni agenti localmente: Tx_l=0.02 Ty_l=22.69 N_l=-14751.00 My_l=-0.09 Mz_l=-0.00
Azioni sul cordone: TP=0.00 TO=1.68 NO=-1090.40

Tensioni nel cordone: τ_P=9.29E-04 τ_0=0.53 σ_0=346.71 σ_{ID}=346.71 Σ_T=347.24
CC 53 SLU (Collegamento 0023_-380)
Azioni sul collegamento: N=-22246.40 Ty=-0.10 Tz=49.73 Mx=-0.00 Mz=-0.15
Sollecitazioni agenti localmente: Tx_l=-0.10 Ty_l=49.73 N_l=-22246.40 My_l=0.15 Mz_l=-0.00
Azioni sul cordone: TP=-0.01 TO=3.68 NO=-1644.46
Tensioni nel cordone: τ_P=2.11E-03 τ_0=1.17 σ_0=522.90 σ_{ID}=522.90 Σ_T=524.07
CC 54 SLU (Collegamento 0023_-380)
Azioni sul collegamento: N=-21767.10 Ty=-0.10 Tz=47.96 Mx=-0.00 Mz=-0.15
Sollecitazioni agenti localmente: Tx_l=-0.10 Ty_l=47.96 N_l=-21767.10 My_l=0.15 Mz_l=-0.00
Azioni sul cordone: TP=-0.01 TO=3.55 NO=-1609.03
Tensioni nel cordone: τ_P=2.13E-03 τ_0=1.13 σ_0=511.65 σ_{ID}=511.65 Σ_T=512.77
CC 55 SLU (Collegamento 0023_-380)
Azioni sul collegamento: N=-22006.70 Ty=-0.22 Tz=48.85 Mx=0.00 Mz=-0.38
Sollecitazioni agenti localmente: Tx_l=-0.22 Ty_l=48.85 N_l=-22006.70 My_l=0.38 Mz_l=0.00
Azioni sul cordone: TP=-0.02 TO=3.61 NO=-1626.74
Tensioni nel cordone: τ_P=5.25E-03 τ_0=1.15 σ_0=517.62 σ_{ID}=517.62 Σ_T=518.76
CC 56 SLU (Collegamento 0023_-380)
Azioni sul collegamento: N=-22006.70 Ty=0.02 Tz=48.85 Mx=-0.00 Mz=0.09
Sollecitazioni agenti localmente: Tx_l=0.02 Ty_l=48.85 N_l=-22006.70 My_l=-0.09 Mz_l=-0.00
Azioni sul cordone: TP=0.00 TO=3.61 NO=-1626.74
Tensioni nel cordone: τ_P=1.02E-03 τ_0=1.15 σ_0=517.19 σ_{ID}=517.19 Σ_T=518.33
CC 57 SLU (Collegamento 0023_-380)
Azioni sul collegamento: N=-20646.20 Ty=-0.07 Tz=44.37 Mx=-0.00 Mz=-0.13
Sollecitazioni agenti localmente: Tx_l=-0.07 Ty_l=44.37 N_l=-20646.20 My_l=0.13 Mz_l=-0.00
Azioni sul cordone: TP=-0.00 TO=3.28 NO=-1526.18
Tensioni nel cordone: τ_P=1.54E-03 τ_0=1.04 σ_0=485.28 σ_{ID}=485.28 Σ_T=486.32
CC 58 SLU (Collegamento 0023_-380)
Azioni sul collegamento: N=-20166.90 Ty=-0.07 Tz=42.59 Mx=-0.00 Mz=-0.13
Sollecitazioni agenti localmente: Tx_l=-0.07 Ty_l=42.59 N_l=-20166.90 My_l=0.13 Mz_l=-0.00
Azioni sul cordone: TP=-0.00 TO=3.15 NO=-1490.75
Tensioni nel cordone: τ_P=1.55E-03 τ_0=1.00 σ_0=474.02 σ_{ID}=474.02 Σ_T=475.02
CC 59 SLU (Collegamento 0023_-380)
Azioni sul collegamento: N=-20406.60 Ty=-0.19 Tz=43.48 Mx=0.00 Mz=-0.36
Sollecitazioni agenti localmente: Tx_l=-0.19 Ty_l=43.48 N_l=-20406.60 My_l=0.36 Mz_l=0.00
Azioni sul cordone: TP=-0.01 TO=3.21 NO=-1508.46
Tensioni nel cordone: τ_P=4.68E-03 τ_0=1.02 σ_0=480.00 σ_{ID}=480.00 Σ_T=481.02
CC 60 SLU (Collegamento 0023_-380)
Azioni sul collegamento: N=-20406.60 Ty=0.05 Tz=43.48 Mx=-0.00 Mz=0.10
Sollecitazioni agenti localmente: Tx_l=0.05 Ty_l=43.48 N_l=-20406.60 My_l=-0.10 Mz_l=-0.00
Azioni sul cordone: TP=0.01 TO=3.21 NO=-1508.46
Tensioni nel cordone: τ_P=1.59E-03 τ_0=1.02 σ_0=479.62 σ_{ID}=479.62 Σ_T=480.64
CC 61 SLU (Collegamento 0023_-380)
Azioni sul collegamento: N=-13528.90 Ty=-0.09 Tz=18.19 Mx=-0.00 Mz=-0.14
Sollecitazioni agenti localmente: Tx_l=-0.09 Ty_l=18.19 N_l=-13528.90 My_l=0.14 Mz_l=-0.00
Azioni sul cordone: TP=-0.01 TO=1.34 NO=-1000.06
Tensioni nel cordone: τ_P=2.09E-03 τ_0=0.43 σ_0=318.07 σ_{ID}=318.07 Σ_T=318.50
CC 62 SLU (Collegamento 0023_-380)
Azioni sul collegamento: N=-13049.60 Ty=-0.10 Tz=16.41 Mx=-0.00 Mz=-0.14
Sollecitazioni agenti localmente: Tx_l=-0.10 Ty_l=16.41 N_l=-13049.60 My_l=0.14 Mz_l=-0.00
Azioni sul cordone: TP=-0.01 TO=1.21 NO=-964.63
Tensioni nel cordone: τ_P=2.11E-03 τ_0=0.39 σ_0=306.81 σ_{ID}=306.81 Σ_T=307.20
CC 63 SLU (Collegamento 0023_-380)
Azioni sul collegamento: N=-13289.20 Ty=-0.21 Tz=17.30 Mx=0.00 Mz=-0.37
Sollecitazioni agenti localmente: Tx_l=-0.21 Ty_l=17.30 N_l=-13289.20 My_l=0.37 Mz_l=0.00
Azioni sul cordone: TP=-0.02 TO=1.28 NO=-982.34
Tensioni nel cordone: τ_P=5.24E-03 τ_0=0.41 σ_0=312.78 σ_{ID}=312.78 Σ_T=313.19
CC 64 SLU (Collegamento 0023_-380)
Azioni sul collegamento: N=-13289.20 Ty=0.02 Tz=17.30 Mx=-0.00 Mz=0.10
Sollecitazioni agenti localmente: Tx_l=0.02 Ty_l=17.30 N_l=-13289.20 My_l=-0.10 Mz_l=-0.00
Azioni sul cordone: TP=0.00 TO=1.28 NO=-982.34
Tensioni nel cordone: τ_P=1.03E-03 τ_0=0.41 σ_0=312.38 σ_{ID}=312.38 Σ_T=312.78
CC 65 SLU (Collegamento 0023_-380)
Azioni sul collegamento: N=-20784.60 Ty=-0.09 Tz=44.35 Mx=-0.00 Mz=-0.14
Sollecitazioni agenti localmente: Tx_l=-0.09 Ty_l=44.35 N_l=-20784.60 My_l=0.14 Mz_l=-0.00
Azioni sul cordone: TP=-0.01 TO=3.28 NO=-1536.40
Tensioni nel cordone: τ_P=2.00E-03 τ_0=1.04 σ_0=488.55 σ_{ID}=488.55 Σ_T=489.59
CC 66 SLU (Collegamento 0023_-380)
Azioni sul collegamento: N=-20305.30 Ty=-0.09 Tz=42.57 Mx=-0.00 Mz=-0.14
Sollecitazioni agenti localmente: Tx_l=-0.09 Ty_l=42.57 N_l=-20305.30 My_l=0.14 Mz_l=-0.00
Azioni sul cordone: TP=-0.01 TO=3.15 NO=-1500.97
Tensioni nel cordone: τ_P=2.02E-03 τ_0=1.00 σ_0=477.29 σ_{ID}=477.29 Σ_T=478.29
CC 67 SLU (Collegamento 0023_-380)
Azioni sul collegamento: N=-20544.90 Ty=-0.21 Tz=43.46 Mx=0.00 Mz=-0.37
Sollecitazioni agenti localmente: Tx_l=-0.21 Ty_l=43.46 N_l=-20544.90 My_l=0.37 Mz_l=0.00
Azioni sul cordone: TP=-0.02 TO=3.21 NO=-1518.69
Tensioni nel cordone: τ_P=5.15E-03 τ_0=1.02 σ_0=483.26 σ_{ID}=483.26 Σ_T=484.28
CC 68 SLU (Collegamento 0023_-380)
Azioni sul collegamento: N=-20544.90 Ty=0.03 Tz=43.46 Mx=-0.00 Mz=0.10
Sollecitazioni agenti localmente: Tx_l=0.03 Ty_l=43.46 N_l=-20544.90 My_l=-0.10 Mz_l=-0.00
Azioni sul cordone: TP=0.00 TO=3.21 NO=-1518.69
Tensioni nel cordone: τ_P=1.12E-03 τ_0=1.02 σ_0=482.85 σ_{ID}=482.85 Σ_T=483.87

CC 97 SLU (Collegamento 0023_-380)
Azioni sul collegamento: N=-12582.10 Ty=-12.27 Tz=22.98 Mx=-0.04 Mz=-17.61
Sollecitazioni agenti localmente: Tx_l=-12.27 Ty_l=22.98 N_l=-12582.10 My_l=17.61 Mz_l=-0.04
Azioni sul cordone: TP=-0.86 TO=1.73 NO=-930.08
Tensioni nel cordone: τ_P=0.27 τ_0=0.55 σ_0=321.35 σ_{ID}=321.35 Σ_T=321.90
CC 98 SLU (Collegamento 0023_-380)
Azioni sul collegamento: N=-12102.80 Ty=-12.27 Tz=21.21 Mx=-0.04 Mz=-17.61
Sollecitazioni agenti localmente: Tx_l=-12.27 Ty_l=21.21 N_l=-12102.80 My_l=17.61 Mz_l=-0.04
Azioni sul cordone: TP=-0.86 TO=1.60 NO=-894.64
Tensioni nel cordone: τ_P=0.27 τ_0=0.51 σ_0=310.09 σ_{ID}=310.09 Σ_T=310.60
CC 99 SLU (Collegamento 0023_-380)
Azioni sul collegamento: N=-12342.50 Ty=-12.39 Tz=22.09 Mx=-0.04 Mz=-17.84
Sollecitazioni agenti localmente: Tx_l=-12.39 Ty_l=22.09 N_l=-12342.50 My_l=17.84 Mz_l=-0.04
Azioni sul cordone: TP=-0.87 TO=1.67 NO=-912.36
Tensioni nel cordone: τ_P=0.28 τ_0=0.53 σ_0=316.06 σ_{ID}=316.06 Σ_T=316.59
CC 100 SLU (Collegamento 0023_-380)
Azioni sul collegamento: N=-12342.50 Ty=-12.15 Tz=22.09 Mx=-0.04 Mz=-17.38
Sollecitazioni agenti localmente: Tx_l=-12.15 Ty_l=22.09 N_l=-12342.50 My_l=17.38 Mz_l=-0.04
Azioni sul cordone: TP=-0.85 TO=1.67 NO=-912.36
Tensioni nel cordone: τ_P=0.27 τ_0=0.53 σ_0=315.38 σ_{ID}=315.38 Σ_T=315.91
CC 101 SLU (Collegamento 0023_-380)
Azioni sul collegamento: N=-6366.46 Ty=2.01 Tz=0.04 Mx=0.00 Mz=2.22
Sollecitazioni agenti localmente: Tx_l=2.01 Ty_l=0.04 N_l=-6366.46 My_l=-2.22 Mz_l=0.00
Azioni sul cordone: TP=0.14 TO=0.01 NO=-470.61
Tensioni nel cordone: τ_P= 0.05 τ_0=2.29E-03 σ_0=152.83 σ_{ID}=152.83 Σ_T=152.83
CC 102 SLU (Collegamento 0023_-380)
Azioni sul collegamento: N=-5887.16 Ty=2.00 Tz=-1.73 Mx=0.00 Mz=2.22
Sollecitazioni agenti localmente: Tx_l=2.00 Ty_l=-1.73 N_l=-5887.16 My_l=-2.22 Mz_l=0.00
Azioni sul cordone: TP=0.14 TO=-0.12 NO=-435.18
Tensioni nel cordone: τ_P= 0.05 τ_0= 0.04 σ_0=141.56 σ_{ID}=141.56 Σ_T=141.60
CC 103 SLU (Collegamento 0023_-380)
Azioni sul collegamento: N=-6126.81 Ty=1.89 Tz=-0.85 Mx=0.01 Mz=1.98
Sollecitazioni agenti localmente: Tx_l=1.89 Ty_l=-0.85 N_l=-6126.81 My_l=-1.98 Mz_l=0.01
Azioni sul cordone: TP=0.13 TO=-0.06 NO=-452.90
Tensioni nel cordone: τ_P= 0.04 τ_0= 0.02 σ_0=146.85 σ_{ID}=146.85 Σ_T=146.87
CC 104 SLU (Collegamento 0023_-380)
Azioni sul collegamento: N=-6126.80 Ty=2.12 Tz=-0.84 Mx=0.00 Mz=2.45
Sollecitazioni agenti localmente: Tx_l=2.12 Ty_l=-0.84 N_l=-6126.80 My_l=-2.45 Mz_l=0.00
Azioni sul cordone: TP=0.15 TO=-0.06 NO=-452.89
Tensioni nel cordone: τ_P= 0.05 τ_0= 0.02 σ_0=147.53 σ_{ID}=147.53 Σ_T=147.55

Flessione attacco superiore piastra

Bnetta=220.00 Hnetta=15.00
CC 1 SLV (Collegamento 0023_-380)
Azioni sul collegamento: N=-3330.00 Ty=1.44 Tz=5.89 Mx=0.02 Mz=3.55
Sollecitazioni agenti localmente: Ty_l=-605.45 Mx_l=-12.11
Tensioni nella sezione: σ=146.78 τ=18.35
CC 1 SLV (Collegamento 0023_-380)
Azioni sul collegamento: N=-3330.00 Ty=0.74 Tz=5.89 Mx=0.02 Mz=2.16
Sollecitazioni agenti localmente: Ty_l=-605.45 Mx_l=-12.11
Tensioni nella sezione: σ=146.78 τ=18.35
CC 1 SLV (Collegamento 0023_-380)
Azioni sul collegamento: N=-3330.00 Ty=1.44 Tz=-11.20 Mx=0.02 Mz=3.55
Sollecitazioni agenti localmente: Ty_l=-605.45 Mx_l=-12.11
Tensioni nella sezione: σ=146.78 τ=18.35
CC 1 SLV (Collegamento 0023_-380)
Azioni sul collegamento: N=-3330.00 Ty=0.74 Tz=-11.20 Mx=0.02 Mz=2.16
Sollecitazioni agenti localmente: Ty_l=-605.45 Mx_l=-12.11
Tensioni nella sezione: σ=146.78 τ=18.35
CC 1 SLV (Collegamento 0023_-380)
Azioni sul collegamento: N=-7936.47 Ty=1.44 Tz=5.89 Mx=0.02 Mz=3.55
Sollecitazioni agenti localmente: Ty_l=-1442.99 Mx_l=-28.86
Tensioni nella sezione: σ=349.82 τ=43.73
CC 1 SLV (Collegamento 0023_-380)
Azioni sul collegamento: N=-7936.47 Ty=0.74 Tz=5.89 Mx=0.02 Mz=2.16
Sollecitazioni agenti localmente: Ty_l=-1442.99 Mx_l=-28.86
Tensioni nella sezione: σ=349.82 τ=43.73
CC 1 SLV (Collegamento 0023_-380)
Azioni sul collegamento: N=-7936.47 Ty=1.44 Tz=-11.20 Mx=0.02 Mz=3.55
Sollecitazioni agenti localmente: Ty_l=-1442.99 Mx_l=-28.86
Tensioni nella sezione: σ=349.82 τ=43.73
CC 1 SLV (Collegamento 0023_-380)
Azioni sul collegamento: N=-7936.47 Ty=0.74 Tz=-11.20 Mx=0.02 Mz=2.16
Sollecitazioni agenti localmente: Ty_l=-1442.99 Mx_l=-28.86
Tensioni nella sezione: σ=349.82 τ=43.73
CC 2 SLD (Collegamento 0023_-380)
Azioni sul collegamento: N=-4931.09 Ty=0.39 Tz=-0.05 Mx=0.00 Mz=1.01
Sollecitazioni agenti localmente: Ty_l=-896.56 Mx_l=-17.93
Tensioni nella sezione: σ=217.35 τ=27.17
CC 2 SLD (Collegamento 0023_-380)

Azioni sul collegamento: N=-4931.09 Ty=0.17 Tz=-0.05 Mx=0.00 Mz=0.59
Sollecitazioni agenti localmente: Ty_l=-896.56 Mx_l=-17.93
Tensioni nella sezione: σ=217.35 τ=27.17
CC 2 SLD (Collegamento 0023_-380)
Azioni sul collegamento: N=-4931.09 Ty=0.39 Tz=-5.26 Mx=0.00 Mz=1.01
Sollecitazioni agenti localmente: Ty_l=-896.56 Mx_l=-17.93
Tensioni nella sezione: σ=217.35 τ=27.17
CC 2 SLD (Collegamento 0023_-380)
Azioni sul collegamento: N=-4931.09 Ty=0.17 Tz=-5.26 Mx=0.00 Mz=0.59
Sollecitazioni agenti localmente: Ty_l=-896.56 Mx_l=-17.93
Tensioni nella sezione: σ=217.35 τ=27.17
CC 2 SLD (Collegamento 0023_-380)
Azioni sul collegamento: N=-6335.74 Ty=0.39 Tz=-0.05 Mx=0.00 Mz=1.01
Sollecitazioni agenti localmente: Ty_l=-1151.95 Mx_l=-23.04
Tensioni nella sezione: σ=279.26 τ=34.91
CC 2 SLD (Collegamento 0023_-380)
Azioni sul collegamento: N=-6335.74 Ty=0.17 Tz=-0.05 Mx=0.00 Mz=0.59
Sollecitazioni agenti localmente: Ty_l=-1151.95 Mx_l=-23.04
Tensioni nella sezione: σ=279.26 τ=34.91
CC 2 SLD (Collegamento 0023_-380)
Azioni sul collegamento: N=-6335.74 Ty=0.39 Tz=-5.26 Mx=0.00 Mz=1.01
Sollecitazioni agenti localmente: Ty_l=-1151.95 Mx_l=-23.04
Tensioni nella sezione: σ=279.26 τ=34.91
CC 2 SLD (Collegamento 0023_-380)
Azioni sul collegamento: N=-6335.74 Ty=0.17 Tz=-5.26 Mx=0.00 Mz=0.59
Sollecitazioni agenti localmente: Ty_l=-1151.95 Mx_l=-23.04
Tensioni nella sezione: σ=279.26 τ=34.91
CC 3 SLV (Collegamento 0023_-380)
Azioni sul collegamento: N=-3330.02 Ty=0.75 Tz=5.88 Mx=0.01 Mz=2.19
Sollecitazioni agenti localmente: Ty_l=-605.46 Mx_l=-12.11
Tensioni nella sezione: σ=146.78 τ=18.35
CC 3 SLV (Collegamento 0023_-380)
Azioni sul collegamento: N=-3330.02 Ty=1.43 Tz=5.88 Mx=0.01 Mz=3.51
Sollecitazioni agenti localmente: Ty_l=-605.46 Mx_l=-12.11
Tensioni nella sezione: σ=146.78 τ=18.35
CC 3 SLV (Collegamento 0023_-380)
Azioni sul collegamento: N=-3330.02 Ty=0.75 Tz=-11.19 Mx=0.01 Mz=2.19
Sollecitazioni agenti localmente: Ty_l=-605.46 Mx_l=-12.11
Tensioni nella sezione: σ=146.78 τ=18.35
CC 3 SLV (Collegamento 0023_-380)
Azioni sul collegamento: N=-3330.02 Ty=1.43 Tz=-11.19 Mx=0.01 Mz=3.51
Sollecitazioni agenti localmente: Ty_l=-605.46 Mx_l=-12.11
Tensioni nella sezione: σ=146.78 τ=18.35
CC 3 SLV (Collegamento 0023_-380)
Azioni sul collegamento: N=-7936.44 Ty=0.75 Tz=5.88 Mx=0.01 Mz=2.19
Sollecitazioni agenti localmente: Ty_l=-1442.99 Mx_l=-28.86
Tensioni nella sezione: σ=349.81 τ=43.73
CC 3 SLV (Collegamento 0023_-380)
Azioni sul collegamento: N=-7936.44 Ty=1.43 Tz=5.88 Mx=0.01 Mz=3.51
Sollecitazioni agenti localmente: Ty_l=-1442.99 Mx_l=-28.86
Tensioni nella sezione: σ=349.81 τ=43.73
CC 3 SLV (Collegamento 0023_-380)
Azioni sul collegamento: N=-7936.44 Ty=0.75 Tz=-11.19 Mx=0.01 Mz=2.19
Sollecitazioni agenti localmente: Ty_l=-1442.99 Mx_l=-28.86
Tensioni nella sezione: σ=349.81 τ=43.73
CC 3 SLV (Collegamento 0023_-380)
Azioni sul collegamento: N=-7936.44 Ty=1.43 Tz=-11.19 Mx=0.01 Mz=3.51
Sollecitazioni agenti localmente: Ty_l=-1442.99 Mx_l=-28.86
Tensioni nella sezione: σ=349.81 τ=43.73
CC 4 SLD (Collegamento 0023_-380)
Azioni sul collegamento: N=-4931.09 Ty=0.18 Tz=-0.05 Mx=0.00 Mz=0.60
Sollecitazioni agenti localmente: Ty_l=-896.56 Mx_l=-17.93
Tensioni nella sezione: σ=217.35 τ=27.17
CC 4 SLD (Collegamento 0023_-380)
Azioni sul collegamento: N=-4931.09 Ty=0.38 Tz=-0.05 Mx=0.00 Mz=1.00
Sollecitazioni agenti localmente: Ty_l=-896.56 Mx_l=-17.93
Tensioni nella sezione: σ=217.35 τ=27.17
CC 4 SLD (Collegamento 0023_-380)
Azioni sul collegamento: N=-4931.09 Ty=0.18 Tz=-5.26 Mx=0.00 Mz=0.60
Sollecitazioni agenti localmente: Ty_l=-896.56 Mx_l=-17.93
Tensioni nella sezione: σ=217.35 τ=27.17
CC 4 SLD (Collegamento 0023_-380)
Azioni sul collegamento: N=-4931.09 Ty=0.38 Tz=-5.26 Mx=0.00 Mz=1.00
Sollecitazioni agenti localmente: Ty_l=-896.56 Mx_l=-17.93
Tensioni nella sezione: σ=217.35 τ=27.17
CC 4 SLD (Collegamento 0023_-380)
Azioni sul collegamento: N=-6335.74 Ty=0.18 Tz=-0.05 Mx=0.00 Mz=0.60
Sollecitazioni agenti localmente: Ty_l=-1151.95 Mx_l=-23.04
Tensioni nella sezione: σ=279.26 τ=34.91
CC 4 SLD (Collegamento 0023_-380)

Azioni sul collegamento: N=-6335.74 Ty=0.38 Tz=-0.05 Mx=0.00 Mz=1.00
Sollecitazioni agenti localmente: Ty_l=-1151.95 Mx_l=-23.04
Tensioni nella sezione: σ=279.26 τ=34.91
CC 4 SLD (Collegamento 0023_-380)
Azioni sul collegamento: N=-6335.74 Ty=0.18 Tz=-5.26 Mx=0.00 Mz=0.60
Sollecitazioni agenti localmente: Ty_l=-1151.95 Mx_l=-23.04
Tensioni nella sezione: σ=279.26 τ=34.91
CC 4 SLD (Collegamento 0023_-380)
Azioni sul collegamento: N=-6335.74 Ty=0.38 Tz=-5.26 Mx=0.00 Mz=1.00
Sollecitazioni agenti localmente: Ty_l=-1151.95 Mx_l=-23.04
Tensioni nella sezione: σ=279.26 τ=34.91
CC 5 SLV (Collegamento 0023_-380)
Azioni sul collegamento: N=-7936.44 Ty=1.43 Tz=-11.19 Mx=0.02 Mz=3.51
Sollecitazioni agenti localmente: Ty_l=-1442.99 Mx_l=-28.86
Tensioni nella sezione: σ=349.81 τ=43.73
CC 5 SLV (Collegamento 0023_-380)
Azioni sul collegamento: N=-7936.44 Ty=0.75 Tz=-11.19 Mx=0.02 Mz=2.19
Sollecitazioni agenti localmente: Ty_l=-1442.99 Mx_l=-28.86
Tensioni nella sezione: σ=349.81 τ=43.73
CC 5 SLV (Collegamento 0023_-380)
Azioni sul collegamento: N=-7936.44 Ty=1.43 Tz=5.88 Mx=0.02 Mz=3.51
Sollecitazioni agenti localmente: Ty_l=-1442.99 Mx_l=-28.86
Tensioni nella sezione: σ=349.81 τ=43.73
CC 5 SLV (Collegamento 0023_-380)
Azioni sul collegamento: N=-7936.44 Ty=0.75 Tz=5.88 Mx=0.02 Mz=2.19
Sollecitazioni agenti localmente: Ty_l=-1442.99 Mx_l=-28.86
Tensioni nella sezione: σ=349.81 τ=43.73
CC 5 SLV (Collegamento 0023_-380)
Azioni sul collegamento: N=-3330.02 Ty=1.43 Tz=-11.19 Mx=0.02 Mz=3.51
Sollecitazioni agenti localmente: Ty_l=-605.46 Mx_l=-12.11
Tensioni nella sezione: σ=146.78 τ=18.35
CC 5 SLV (Collegamento 0023_-380)
Azioni sul collegamento: N=-3330.02 Ty=0.75 Tz=-11.19 Mx=0.02 Mz=2.19
Sollecitazioni agenti localmente: Ty_l=-605.46 Mx_l=-12.11
Tensioni nella sezione: σ=146.78 τ=18.35
CC 5 SLV (Collegamento 0023_-380)
Azioni sul collegamento: N=-3330.02 Ty=1.43 Tz=5.88 Mx=0.02 Mz=3.51
Sollecitazioni agenti localmente: Ty_l=-605.46 Mx_l=-12.11
Tensioni nella sezione: σ=146.78 τ=18.35
CC 5 SLV (Collegamento 0023_-380)
Azioni sul collegamento: N=-3330.02 Ty=0.75 Tz=5.88 Mx=0.02 Mz=2.19
Sollecitazioni agenti localmente: Ty_l=-605.46 Mx_l=-12.11
Tensioni nella sezione: σ=146.78 τ=18.35
CC 6 SLD (Collegamento 0023_-380)
Azioni sul collegamento: N=-6335.74 Ty=0.38 Tz=-5.26 Mx=0.00 Mz=1.00
Sollecitazioni agenti localmente: Ty_l=-1151.95 Mx_l=-23.04
Tensioni nella sezione: σ=279.26 τ=34.91
CC 6 SLD (Collegamento 0023_-380)
Azioni sul collegamento: N=-6335.74 Ty=0.18 Tz=-5.26 Mx=0.00 Mz=0.60
Sollecitazioni agenti localmente: Ty_l=-1151.95 Mx_l=-23.04
Tensioni nella sezione: σ=279.26 τ=34.91
CC 6 SLD (Collegamento 0023_-380)
Azioni sul collegamento: N=-6335.74 Ty=0.38 Tz=-0.05 Mx=0.00 Mz=1.00
Sollecitazioni agenti localmente: Ty_l=-1151.95 Mx_l=-23.04
Tensioni nella sezione: σ=279.26 τ=34.91
CC 6 SLD (Collegamento 0023_-380)
Azioni sul collegamento: N=-6335.74 Ty=0.18 Tz=-0.05 Mx=0.00 Mz=0.60
Sollecitazioni agenti localmente: Ty_l=-1151.95 Mx_l=-23.04
Tensioni nella sezione: σ=279.26 τ=34.91
CC 6 SLD (Collegamento 0023_-380)
Azioni sul collegamento: N=-4931.09 Ty=0.38 Tz=-5.26 Mx=0.00 Mz=1.00
Sollecitazioni agenti localmente: Ty_l=-896.56 Mx_l=-17.93
Tensioni nella sezione: σ=217.35 τ=27.17
CC 6 SLD (Collegamento 0023_-380)
Azioni sul collegamento: N=-4931.09 Ty=0.18 Tz=-5.26 Mx=0.00 Mz=0.60
Sollecitazioni agenti localmente: Ty_l=-896.56 Mx_l=-17.93
Tensioni nella sezione: σ=217.35 τ=27.17
CC 6 SLD (Collegamento 0023_-380)
Azioni sul collegamento: N=-4931.09 Ty=0.38 Tz=-0.05 Mx=0.00 Mz=1.00
Sollecitazioni agenti localmente: Ty_l=-896.56 Mx_l=-17.93
Tensioni nella sezione: σ=217.35 τ=27.17
CC 6 SLD (Collegamento 0023_-380)
Azioni sul collegamento: N=-4931.09 Ty=0.18 Tz=-0.05 Mx=0.00 Mz=0.60
Sollecitazioni agenti localmente: Ty_l=-896.56 Mx_l=-17.93
Tensioni nella sezione: σ=217.35 τ=27.17
CC 7 SLV (Collegamento 0023_-380)
Azioni sul collegamento: N=-7936.47 Ty=0.74 Tz=-11.20 Mx=0.01 Mz=2.16
Sollecitazioni agenti localmente: Ty_l=-1442.99 Mx_l=-28.86
Tensioni nella sezione: σ=349.82 τ=43.73
CC 7 SLV (Collegamento 0023_-380)

Azioni sul collegamento: N=-7936.47 Ty=1.44 Tz=-11.20 Mx=0.01 Mz=3.55
Sollecitazioni agenti localmente: Ty_l=-1442.99 Mx_l=-28.86
Tensioni nella sezione: σ=349.82 τ=43.73
CC 7 SLV (Collegamento 0023_-380)
Azioni sul collegamento: N=-7936.47 Ty=0.74 Tz=5.89 Mx=0.01 Mz=2.16
Sollecitazioni agenti localmente: Ty_l=-1442.99 Mx_l=-28.86
Tensioni nella sezione: σ=349.82 τ=43.73
CC 7 SLV (Collegamento 0023_-380)
Azioni sul collegamento: N=-7936.47 Ty=1.44 Tz=5.89 Mx=0.01 Mz=3.55
Sollecitazioni agenti localmente: Ty_l=-1442.99 Mx_l=-28.86
Tensioni nella sezione: σ=349.82 τ=43.73
CC 7 SLV (Collegamento 0023_-380)
Azioni sul collegamento: N=-3330.00 Ty=0.74 Tz=-11.20 Mx=0.01 Mz=2.16
Sollecitazioni agenti localmente: Ty_l=-605.45 Mx_l=-12.11
Tensioni nella sezione: σ=146.78 τ=18.35
CC 7 SLV (Collegamento 0023_-380)
Azioni sul collegamento: N=-3330.00 Ty=1.44 Tz=-11.20 Mx=0.01 Mz=3.55
Sollecitazioni agenti localmente: Ty_l=-605.45 Mx_l=-12.11
Tensioni nella sezione: σ=146.78 τ=18.35
CC 7 SLV (Collegamento 0023_-380)
Azioni sul collegamento: N=-3330.00 Ty=0.74 Tz=5.89 Mx=0.01 Mz=2.16
Sollecitazioni agenti localmente: Ty_l=-605.45 Mx_l=-12.11
Tensioni nella sezione: σ=146.78 τ=18.35
CC 7 SLV (Collegamento 0023_-380)
Azioni sul collegamento: N=-3330.00 Ty=1.44 Tz=5.89 Mx=0.01 Mz=3.55
Sollecitazioni agenti localmente: Ty_l=-605.45 Mx_l=-12.11
Tensioni nella sezione: σ=146.78 τ=18.35
CC 8 SLD (Collegamento 0023_-380)
Azioni sul collegamento: N=-6335.74 Ty=0.17 Tz=-5.26 Mx=0.00 Mz=0.59
Sollecitazioni agenti localmente: Ty_l=-1151.95 Mx_l=-23.04
Tensioni nella sezione: σ=279.26 τ=34.91
CC 8 SLD (Collegamento 0023_-380)
Azioni sul collegamento: N=-6335.74 Ty=0.39 Tz=-5.26 Mx=0.00 Mz=1.01
Sollecitazioni agenti localmente: Ty_l=-1151.95 Mx_l=-23.04
Tensioni nella sezione: σ=279.26 τ=34.91
CC 8 SLD (Collegamento 0023_-380)
Azioni sul collegamento: N=-6335.74 Ty=0.17 Tz=-0.05 Mx=0.00 Mz=0.59
Sollecitazioni agenti localmente: Ty_l=-1151.95 Mx_l=-23.04
Tensioni nella sezione: σ=279.26 τ=34.91
CC 8 SLD (Collegamento 0023_-380)
Azioni sul collegamento: N=-6335.74 Ty=0.39 Tz=-0.05 Mx=0.00 Mz=1.01
Sollecitazioni agenti localmente: Ty_l=-1151.95 Mx_l=-23.04
Tensioni nella sezione: σ=279.26 τ=34.91
CC 8 SLD (Collegamento 0023_-380)
Azioni sul collegamento: N=-4931.09 Ty=0.17 Tz=-5.26 Mx=0.00 Mz=0.59
Sollecitazioni agenti localmente: Ty_l=-896.56 Mx_l=-17.93
Tensioni nella sezione: σ=217.35 τ=27.17
CC 8 SLD (Collegamento 0023_-380)
Azioni sul collegamento: N=-4931.09 Ty=0.39 Tz=-5.26 Mx=0.00 Mz=1.01
Sollecitazioni agenti localmente: Ty_l=-896.56 Mx_l=-17.93
Tensioni nella sezione: σ=217.35 τ=27.17
CC 8 SLD (Collegamento 0023_-380)
Azioni sul collegamento: N=-4931.09 Ty=0.17 Tz=-0.05 Mx=0.00 Mz=0.59
Sollecitazioni agenti localmente: Ty_l=-896.56 Mx_l=-17.93
Tensioni nella sezione: σ=217.35 τ=27.17
CC 8 SLD (Collegamento 0023_-380)
Azioni sul collegamento: N=-4931.09 Ty=0.39 Tz=-0.05 Mx=0.00 Mz=1.01
Sollecitazioni agenti localmente: Ty_l=-896.56 Mx_l=-17.93
Tensioni nella sezione: σ=217.35 τ=27.17
CC 9 SLV (Collegamento 0023_-380)
Azioni sul collegamento: N=-4942.23 Ty=2.24 Tz=-0.09 Mx=0.02 Mz=5.11
Sollecitazioni agenti localmente: Ty_l=-898.59 Mx_l=-17.97
Tensioni nella sezione: σ=217.84 τ=27.23
CC 9 SLV (Collegamento 0023_-380)
Azioni sul collegamento: N=-4942.23 Ty=-0.07 Tz=-0.09 Mx=0.02 Mz=0.59
Sollecitazioni agenti localmente: Ty_l=-898.59 Mx_l=-17.97
Tensioni nella sezione: σ=217.84 τ=27.23
CC 9 SLV (Collegamento 0023_-380)
Azioni sul collegamento: N=-4942.23 Ty=2.24 Tz=-5.22 Mx=0.02 Mz=5.11
Sollecitazioni agenti localmente: Ty_l=-898.59 Mx_l=-17.97
Tensioni nella sezione: σ=217.84 τ=27.23
CC 9 SLV (Collegamento 0023_-380)
Azioni sul collegamento: N=-4942.23 Ty=-0.07 Tz=-5.22 Mx=0.02 Mz=0.59
Sollecitazioni agenti localmente: Ty_l=-898.59 Mx_l=-17.97
Tensioni nella sezione: σ=217.84 τ=27.23
CC 9 SLV (Collegamento 0023_-380)
Azioni sul collegamento: N=-6324.24 Ty=2.24 Tz=-0.09 Mx=0.02 Mz=5.11
Sollecitazioni agenti localmente: Ty_l=-1149.86 Mx_l=-23.00
Tensioni nella sezione: σ=278.75 τ=34.84
CC 9 SLV (Collegamento 0023_-380)

Azioni sul collegamento: N=-6324.24 Ty=-0.07 Tz=-0.09 Mx=0.02 Mz=0.59
Sollecitazioni agenti localmente: Ty_l=-1149.86 Mx_l=-23.00
Tensioni nella sezione: σ=278.75 τ=34.84
CC 9 SLV (Collegamento 0023_-380)
Azioni sul collegamento: N=-6324.24 Ty=2.24 Tz=-5.22 Mx=0.02 Mz=5.11
Sollecitazioni agenti localmente: Ty_l=-1149.86 Mx_l=-23.00
Tensioni nella sezione: σ=278.75 τ=34.84
CC 9 SLV (Collegamento 0023_-380)
Azioni sul collegamento: N=-6324.24 Ty=-0.07 Tz=-5.22 Mx=0.02 Mz=0.59
Sollecitazioni agenti localmente: Ty_l=-1149.86 Mx_l=-23.00
Tensioni nella sezione: σ=278.75 τ=34.84
CC 10 SLD (Collegamento 0023_-380)
Azioni sul collegamento: N=-5422.71 Ty=0.63 Tz=-1.87 Mx=0.01 Mz=1.49
Sollecitazioni agenti localmente: Ty_l=-985.95 Mx_l=-19.72
Tensioni nella sezione: σ=239.02 τ=29.88
CC 10 SLD (Collegamento 0023_-380)
Azioni sul collegamento: N=-5422.71 Ty=-0.07 Tz=-1.87 Mx=0.01 Mz=0.11
Sollecitazioni agenti localmente: Ty_l=-985.95 Mx_l=-19.72
Tensioni nella sezione: σ=239.02 τ=29.88
CC 10 SLD (Collegamento 0023_-380)
Azioni sul collegamento: N=-5422.71 Ty=0.63 Tz=-3.44 Mx=0.01 Mz=1.49
Sollecitazioni agenti localmente: Ty_l=-985.95 Mx_l=-19.72
Tensioni nella sezione: σ=239.02 τ=29.88
CC 10 SLD (Collegamento 0023_-380)
Azioni sul collegamento: N=-5422.71 Ty=-0.07 Tz=-3.44 Mx=0.01 Mz=0.11
Sollecitazioni agenti localmente: Ty_l=-985.95 Mx_l=-19.72
Tensioni nella sezione: σ=239.02 τ=29.88
CC 10 SLD (Collegamento 0023_-380)
Azioni sul collegamento: N=-5844.12 Ty=0.63 Tz=-1.87 Mx=0.01 Mz=1.49
Sollecitazioni agenti localmente: Ty_l=-1062.57 Mx_l=-21.25
Tensioni nella sezione: σ=257.59 τ=32.20
CC 10 SLD (Collegamento 0023_-380)
Azioni sul collegamento: N=-5844.12 Ty=-0.07 Tz=-1.87 Mx=0.01 Mz=0.11
Sollecitazioni agenti localmente: Ty_l=-1062.57 Mx_l=-21.25
Tensioni nella sezione: σ=257.59 τ=32.20
CC 10 SLD (Collegamento 0023_-380)
Azioni sul collegamento: N=-5844.12 Ty=0.63 Tz=-3.44 Mx=0.01 Mz=1.49
Sollecitazioni agenti localmente: Ty_l=-1062.57 Mx_l=-21.25
Tensioni nella sezione: σ=257.59 τ=32.20
CC 10 SLD (Collegamento 0023_-380)
Azioni sul collegamento: N=-5844.12 Ty=-0.07 Tz=-3.44 Mx=0.01 Mz=0.11
Sollecitazioni agenti localmente: Ty_l=-1062.57 Mx_l=-21.25
Tensioni nella sezione: σ=257.59 τ=32.20
CC 11 SLV (Collegamento 0023_-380)
Azioni sul collegamento: N=-6324.16 Ty=2.24 Tz=-5.22 Mx=0.02 Mz=5.10
Sollecitazioni agenti localmente: Ty_l=-1149.85 Mx_l=-23.00
Tensioni nella sezione: σ=278.75 τ=34.84
CC 11 SLV (Collegamento 0023_-380)
Azioni sul collegamento: N=-6324.16 Ty=-0.06 Tz=-5.22 Mx=0.02 Mz=0.60
Sollecitazioni agenti localmente: Ty_l=-1149.85 Mx_l=-23.00
Tensioni nella sezione: σ=278.75 τ=34.84
CC 11 SLV (Collegamento 0023_-380)
Azioni sul collegamento: N=-6324.16 Ty=2.24 Tz=-0.09 Mx=0.02 Mz=5.10
Sollecitazioni agenti localmente: Ty_l=-1149.85 Mx_l=-23.00
Tensioni nella sezione: σ=278.75 τ=34.84
CC 11 SLV (Collegamento 0023_-380)
Azioni sul collegamento: N=-6324.16 Ty=-0.06 Tz=-0.09 Mx=0.02 Mz=0.60
Sollecitazioni agenti localmente: Ty_l=-1149.85 Mx_l=-23.00
Tensioni nella sezione: σ=278.75 τ=34.84
CC 11 SLV (Collegamento 0023_-380)
Azioni sul collegamento: N=-4942.30 Ty=2.24 Tz=-5.22 Mx=0.02 Mz=5.10
Sollecitazioni agenti localmente: Ty_l=-898.60 Mx_l=-17.97
Tensioni nella sezione: σ=217.84 τ=27.23
CC 11 SLV (Collegamento 0023_-380)
Azioni sul collegamento: N=-4942.30 Ty=-0.06 Tz=-5.22 Mx=0.02 Mz=0.60
Sollecitazioni agenti localmente: Ty_l=-898.60 Mx_l=-17.97
Tensioni nella sezione: σ=217.84 τ=27.23
CC 11 SLV (Collegamento 0023_-380)
Azioni sul collegamento: N=-4942.30 Ty=2.24 Tz=-0.09 Mx=0.02 Mz=5.10
Sollecitazioni agenti localmente: Ty_l=-898.60 Mx_l=-17.97
Tensioni nella sezione: σ=217.84 τ=27.23
CC 11 SLV (Collegamento 0023_-380)
Azioni sul collegamento: N=-4942.30 Ty=-0.06 Tz=-0.09 Mx=0.02 Mz=0.60
Sollecitazioni agenti localmente: Ty_l=-898.60 Mx_l=-17.97
Tensioni nella sezione: σ=217.84 τ=27.23
CC 12 SLD (Collegamento 0023_-380)
Azioni sul collegamento: N=-5844.10 Ty=0.63 Tz=-3.44 Mx=0.01 Mz=1.48
Sollecitazioni agenti localmente: Ty_l=-1062.56 Mx_l=-21.25
Tensioni nella sezione: σ=257.59 τ=32.20
CC 12 SLD (Collegamento 0023_-380)

Azioni sul collegamento: N=-5844.10 Ty=-0.07 Tz=-3.44 Mx=0.01 Mz=0.11
Sollecitazioni agenti localmente: Ty_l=-1062.56 Mx_l=-21.25
Tensioni nella sezione: σ=257.59 τ=32.20
CC 12 SLD (Collegamento 0023_-380)
Azioni sul collegamento: N=-5844.10 Ty=0.63 Tz=-1.87 Mx=0.01 Mz=1.48
Sollecitazioni agenti localmente: Ty_l=-1062.56 Mx_l=-21.25
Tensioni nella sezione: σ=257.59 τ=32.20
CC 12 SLD (Collegamento 0023_-380)
Azioni sul collegamento: N=-5844.10 Ty=-0.07 Tz=-1.87 Mx=0.01 Mz=0.11
Sollecitazioni agenti localmente: Ty_l=-1062.56 Mx_l=-21.25
Tensioni nella sezione: σ=257.59 τ=32.20
CC 12 SLD (Collegamento 0023_-380)
Azioni sul collegamento: N=-5422.73 Ty=0.63 Tz=-3.44 Mx=0.01 Mz=1.48
Sollecitazioni agenti localmente: Ty_l=-985.95 Mx_l=-19.72
Tensioni nella sezione: σ=239.02 τ=29.88
CC 12 SLD (Collegamento 0023_-380)
Azioni sul collegamento: N=-5422.73 Ty=-0.07 Tz=-3.44 Mx=0.01 Mz=0.11
Sollecitazioni agenti localmente: Ty_l=-985.95 Mx_l=-19.72
Tensioni nella sezione: σ=239.02 τ=29.88
CC 12 SLD (Collegamento 0023_-380)
Azioni sul collegamento: N=-5422.73 Ty=0.63 Tz=-1.87 Mx=0.01 Mz=1.48
Sollecitazioni agenti localmente: Ty_l=-985.95 Mx_l=-19.72
Tensioni nella sezione: σ=239.02 τ=29.88
CC 12 SLD (Collegamento 0023_-380)
Azioni sul collegamento: N=-5422.73 Ty=-0.07 Tz=-1.87 Mx=0.01 Mz=0.11
Sollecitazioni agenti localmente: Ty_l=-985.95 Mx_l=-19.72
Tensioni nella sezione: σ=239.02 τ=29.88
CC 13 SLV (Collegamento 0023_-380)
Azioni sul collegamento: N=-4942.30 Ty=-0.06 Tz=-0.09 Mx=0.00 Mz=0.60
Sollecitazioni agenti localmente: Ty_l=-898.60 Mx_l=-17.97
Tensioni nella sezione: σ=217.84 τ=27.23
CC 13 SLV (Collegamento 0023_-380)
Azioni sul collegamento: N=-4942.30 Ty=2.24 Tz=-0.09 Mx=0.00 Mz=5.10
Sollecitazioni agenti localmente: Ty_l=-898.60 Mx_l=-17.97
Tensioni nella sezione: σ=217.84 τ=27.23
CC 13 SLV (Collegamento 0023_-380)
Azioni sul collegamento: N=-4942.30 Ty=-0.06 Tz=-5.22 Mx=0.00 Mz=0.60
Sollecitazioni agenti localmente: Ty_l=-898.60 Mx_l=-17.97
Tensioni nella sezione: σ=217.84 τ=27.23
CC 13 SLV (Collegamento 0023_-380)
Azioni sul collegamento: N=-4942.30 Ty=2.24 Tz=-5.22 Mx=0.00 Mz=5.10
Sollecitazioni agenti localmente: Ty_l=-898.60 Mx_l=-17.97
Tensioni nella sezione: σ=217.84 τ=27.23
CC 13 SLV (Collegamento 0023_-380)
Azioni sul collegamento: N=-6324.16 Ty=-0.06 Tz=-0.09 Mx=0.00 Mz=0.60
Sollecitazioni agenti localmente: Ty_l=-1149.85 Mx_l=-23.00
Tensioni nella sezione: σ=278.75 τ=34.84
CC 13 SLV (Collegamento 0023_-380)
Azioni sul collegamento: N=-6324.16 Ty=2.24 Tz=-0.09 Mx=0.00 Mz=5.10
Sollecitazioni agenti localmente: Ty_l=-1149.85 Mx_l=-23.00
Tensioni nella sezione: σ=278.75 τ=34.84
CC 13 SLV (Collegamento 0023_-380)
Azioni sul collegamento: N=-6324.16 Ty=-0.06 Tz=-5.22 Mx=0.00 Mz=0.60
Sollecitazioni agenti localmente: Ty_l=-1149.85 Mx_l=-23.00
Tensioni nella sezione: σ=278.75 τ=34.84
CC 13 SLV (Collegamento 0023_-380)
Azioni sul collegamento: N=-6324.16 Ty=2.24 Tz=-5.22 Mx=0.00 Mz=5.10
Sollecitazioni agenti localmente: Ty_l=-1149.85 Mx_l=-23.00
Tensioni nella sezione: σ=278.75 τ=34.84
CC 14 SLD (Collegamento 0023_-380)
Azioni sul collegamento: N=-5422.73 Ty=-0.07 Tz=-1.87 Mx=0.00 Mz=0.11
Sollecitazioni agenti localmente: Ty_l=-985.95 Mx_l=-19.72
Tensioni nella sezione: σ=239.02 τ=29.88
CC 14 SLD (Collegamento 0023_-380)
Azioni sul collegamento: N=-5422.73 Ty=0.63 Tz=-1.87 Mx=0.00 Mz=1.48
Sollecitazioni agenti localmente: Ty_l=-985.95 Mx_l=-19.72
Tensioni nella sezione: σ=239.02 τ=29.88
CC 14 SLD (Collegamento 0023_-380)
Azioni sul collegamento: N=-5422.73 Ty=-0.07 Tz=-3.44 Mx=0.00 Mz=0.11
Sollecitazioni agenti localmente: Ty_l=-985.95 Mx_l=-19.72
Tensioni nella sezione: σ=239.02 τ=29.88
CC 14 SLD (Collegamento 0023_-380)
Azioni sul collegamento: N=-5422.73 Ty=0.63 Tz=-3.44 Mx=0.00 Mz=1.48
Sollecitazioni agenti localmente: Ty_l=-985.95 Mx_l=-19.72
Tensioni nella sezione: σ=239.02 τ=29.88
CC 14 SLD (Collegamento 0023_-380)
Azioni sul collegamento: N=-5844.10 Ty=-0.07 Tz=-1.87 Mx=0.00 Mz=0.11
Sollecitazioni agenti localmente: Ty_l=-1062.56 Mx_l=-21.25
Tensioni nella sezione: σ=257.59 τ=32.20
CC 14 SLD (Collegamento 0023_-380)

Azioni sul collegamento: N=-5844.10 Ty=0.63 Tz=-1.87 Mx=0.00 Mz=1.48
Sollecitazioni agenti localmente: Ty_l=-1062.56 Mx_l=-21.25
Tensioni nella sezione: σ=257.59 τ=32.20
CC 14 SLD (Collegamento 0023_-380)
Azioni sul collegamento: N=-5844.10 Ty=-0.07 Tz=-3.44 Mx=0.00 Mz=0.11
Sollecitazioni agenti localmente: Ty_l=-1062.56 Mx_l=-21.25
Tensioni nella sezione: σ=257.59 τ=32.20
CC 14 SLD (Collegamento 0023_-380)
Azioni sul collegamento: N=-5844.10 Ty=0.63 Tz=-3.44 Mx=0.00 Mz=1.48
Sollecitazioni agenti localmente: Ty_l=-1062.56 Mx_l=-21.25
Tensioni nella sezione: σ=257.59 τ=32.20
CC 15 SLV (Collegamento 0023_-380)
Azioni sul collegamento: N=-6324.24 Ty=-0.07 Tz=-5.22 Mx=0.00 Mz=0.59
Sollecitazioni agenti localmente: Ty_l=-1149.86 Mx_l=-23.00
Tensioni nella sezione: σ=278.75 τ=34.84
CC 15 SLV (Collegamento 0023_-380)
Azioni sul collegamento: N=-6324.24 Ty=2.24 Tz=-5.22 Mx=0.00 Mz=5.11
Sollecitazioni agenti localmente: Ty_l=-1149.86 Mx_l=-23.00
Tensioni nella sezione: σ=278.75 τ=34.84
CC 15 SLV (Collegamento 0023_-380)
Azioni sul collegamento: N=-6324.24 Ty=-0.07 Tz=-0.09 Mx=0.00 Mz=0.59
Sollecitazioni agenti localmente: Ty_l=-1149.86 Mx_l=-23.00
Tensioni nella sezione: σ=278.75 τ=34.84
CC 15 SLV (Collegamento 0023_-380)
Azioni sul collegamento: N=-6324.24 Ty=2.24 Tz=-0.09 Mx=0.00 Mz=5.11
Sollecitazioni agenti localmente: Ty_l=-1149.86 Mx_l=-23.00
Tensioni nella sezione: σ=278.75 τ=34.84
CC 15 SLV (Collegamento 0023_-380)
Azioni sul collegamento: N=-4942.23 Ty=-0.07 Tz=-5.22 Mx=0.00 Mz=0.59
Sollecitazioni agenti localmente: Ty_l=-898.59 Mx_l=-17.97
Tensioni nella sezione: σ=217.84 τ=27.23
CC 15 SLV (Collegamento 0023_-380)
Azioni sul collegamento: N=-4942.23 Ty=2.24 Tz=-5.22 Mx=0.00 Mz=5.11
Sollecitazioni agenti localmente: Ty_l=-898.59 Mx_l=-17.97
Tensioni nella sezione: σ=217.84 τ=27.23
CC 15 SLV (Collegamento 0023_-380)
Azioni sul collegamento: N=-4942.23 Ty=-0.07 Tz=-0.09 Mx=0.00 Mz=0.59
Sollecitazioni agenti localmente: Ty_l=-898.59 Mx_l=-17.97
Tensioni nella sezione: σ=217.84 τ=27.23
CC 15 SLV (Collegamento 0023_-380)
Azioni sul collegamento: N=-4942.23 Ty=2.24 Tz=-0.09 Mx=0.00 Mz=5.11
Sollecitazioni agenti localmente: Ty_l=-898.59 Mx_l=-17.97
Tensioni nella sezione: σ=217.84 τ=27.23
CC 16 SLD (Collegamento 0023_-380)
Azioni sul collegamento: N=-5844.12 Ty=-0.07 Tz=-3.44 Mx=0.00 Mz=0.11
Sollecitazioni agenti localmente: Ty_l=-1062.57 Mx_l=-21.25
Tensioni nella sezione: σ=257.59 τ=32.20
CC 16 SLD (Collegamento 0023_-380)
Azioni sul collegamento: N=-5844.12 Ty=0.63 Tz=-3.44 Mx=0.00 Mz=1.49
Sollecitazioni agenti localmente: Ty_l=-1062.57 Mx_l=-21.25
Tensioni nella sezione: σ=257.59 τ=32.20
CC 16 SLD (Collegamento 0023_-380)
Azioni sul collegamento: N=-5844.12 Ty=-0.07 Tz=-1.87 Mx=0.00 Mz=0.11
Sollecitazioni agenti localmente: Ty_l=-1062.57 Mx_l=-21.25
Tensioni nella sezione: σ=257.59 τ=32.20
CC 16 SLD (Collegamento 0023_-380)
Azioni sul collegamento: N=-5844.12 Ty=0.63 Tz=-1.87 Mx=0.00 Mz=1.49
Sollecitazioni agenti localmente: Ty_l=-1062.57 Mx_l=-21.25
Tensioni nella sezione: σ=257.59 τ=32.20
CC 16 SLD (Collegamento 0023_-380)
Azioni sul collegamento: N=-5422.71 Ty=-0.07 Tz=-3.44 Mx=0.00 Mz=0.11
Sollecitazioni agenti localmente: Ty_l=-985.95 Mx_l=-19.72
Tensioni nella sezione: σ=239.02 τ=29.88
CC 16 SLD (Collegamento 0023_-380)
Azioni sul collegamento: N=-5422.71 Ty=0.63 Tz=-3.44 Mx=0.00 Mz=1.49
Sollecitazioni agenti localmente: Ty_l=-985.95 Mx_l=-19.72
Tensioni nella sezione: σ=239.02 τ=29.88
CC 16 SLD (Collegamento 0023_-380)
Azioni sul collegamento: N=-5422.71 Ty=-0.07 Tz=-1.87 Mx=0.00 Mz=0.11
Sollecitazioni agenti localmente: Ty_l=-985.95 Mx_l=-19.72
Tensioni nella sezione: σ=239.02 τ=29.88
CC 16 SLD (Collegamento 0023_-380)
Azioni sul collegamento: N=-5422.71 Ty=0.63 Tz=-1.87 Mx=0.00 Mz=1.49
Sollecitazioni agenti localmente: Ty_l=-985.95 Mx_l=-19.72
Tensioni nella sezione: σ=239.02 τ=29.88
CC 17 SLV (Collegamento 0023_-380)
Azioni sul collegamento: N=-3330.52 Ty=-0.88 Tz=5.89 Mx=-0.02 Mz=-2.36
Sollecitazioni agenti localmente: Ty_l=-605.55 Mx_l=-12.11
Tensioni nella sezione: σ=146.80 τ=18.35
CC 17 SLV (Collegamento 0023_-380)

Azioni sul collegamento: N=-3330.52 Ty=-1.59 Tz=5.89 Mx=-0.02 Mz=-3.75
Sollecitazioni agenti localmente: Ty_l=-605.55 Mx_l=-12.11
Tensioni nella sezione: σ=146.80 τ=18.35
CC 17 SLV (Collegamento 0023_-380)
Azioni sul collegamento: N=-3330.52 Ty=-0.88 Tz=-11.19 Mx=-0.02 Mz=-2.36
Sollecitazioni agenti localmente: Ty_l=-605.55 Mx_l=-12.11
Tensioni nella sezione: σ=146.80 τ=18.35
CC 17 SLV (Collegamento 0023_-380)
Azioni sul collegamento: N=-3330.52 Ty=-1.59 Tz=-11.19 Mx=-0.02 Mz=-3.75
Sollecitazioni agenti localmente: Ty_l=-605.55 Mx_l=-12.11
Tensioni nella sezione: σ=146.80 τ=18.35
CC 17 SLV (Collegamento 0023_-380)
Azioni sul collegamento: N=-7936.99 Ty=-0.88 Tz=5.89 Mx=-0.02 Mz=-2.36
Sollecitazioni agenti localmente: Ty_l=-1443.09 Mx_l=-28.86
Tensioni nella sezione: σ=349.84 τ=43.73
CC 17 SLV (Collegamento 0023_-380)
Azioni sul collegamento: N=-7936.99 Ty=-1.59 Tz=5.89 Mx=-0.02 Mz=-3.75
Sollecitazioni agenti localmente: Ty_l=-1443.09 Mx_l=-28.86
Tensioni nella sezione: σ=349.84 τ=43.73
CC 17 SLV (Collegamento 0023_-380)
Azioni sul collegamento: N=-7936.99 Ty=-0.88 Tz=-11.19 Mx=-0.02 Mz=-2.36
Sollecitazioni agenti localmente: Ty_l=-1443.09 Mx_l=-28.86
Tensioni nella sezione: σ=349.84 τ=43.73
CC 17 SLV (Collegamento 0023_-380)
Azioni sul collegamento: N=-7936.99 Ty=-1.59 Tz=-11.19 Mx=-0.02 Mz=-3.75
Sollecitazioni agenti localmente: Ty_l=-1443.09 Mx_l=-28.86
Tensioni nella sezione: σ=349.84 τ=43.73
CC 18 SLD (Collegamento 0023_-380)
Azioni sul collegamento: N=-4931.25 Ty=-0.32 Tz=-0.05 Mx=-0.01 Mz=-0.79
Sollecitazioni agenti localmente: Ty_l=-896.59 Mx_l=-17.93
Tensioni nella sezione: σ=217.35 τ=27.17
CC 18 SLD (Collegamento 0023_-380)
Azioni sul collegamento: N=-4931.25 Ty=-0.54 Tz=-0.05 Mx=-0.01 Mz=-1.22
Sollecitazioni agenti localmente: Ty_l=-896.59 Mx_l=-17.93
Tensioni nella sezione: σ=217.35 τ=27.17
CC 18 SLD (Collegamento 0023_-380)
Azioni sul collegamento: N=-4931.25 Ty=-0.32 Tz=-5.26 Mx=-0.01 Mz=-0.79
Sollecitazioni agenti localmente: Ty_l=-896.59 Mx_l=-17.93
Tensioni nella sezione: σ=217.35 τ=27.17
CC 18 SLD (Collegamento 0023_-380)
Azioni sul collegamento: N=-4931.25 Ty=-0.54 Tz=-5.26 Mx=-0.01 Mz=-1.22
Sollecitazioni agenti localmente: Ty_l=-896.59 Mx_l=-17.93
Tensioni nella sezione: σ=217.35 τ=27.17
CC 18 SLD (Collegamento 0023_-380)
Azioni sul collegamento: N=-6335.90 Ty=-0.32 Tz=-0.05 Mx=-0.01 Mz=-0.79
Sollecitazioni agenti localmente: Ty_l=-1151.98 Mx_l=-23.04
Tensioni nella sezione: σ=279.27 τ=34.91
CC 18 SLD (Collegamento 0023_-380)
Azioni sul collegamento: N=-6335.90 Ty=-0.54 Tz=-0.05 Mx=-0.01 Mz=-1.22
Sollecitazioni agenti localmente: Ty_l=-1151.98 Mx_l=-23.04
Tensioni nella sezione: σ=279.27 τ=34.91
CC 18 SLD (Collegamento 0023_-380)
Azioni sul collegamento: N=-6335.90 Ty=-0.32 Tz=-5.26 Mx=-0.01 Mz=-0.79
Sollecitazioni agenti localmente: Ty_l=-1151.98 Mx_l=-23.04
Tensioni nella sezione: σ=279.27 τ=34.91
CC 18 SLD (Collegamento 0023_-380)
Azioni sul collegamento: N=-6335.90 Ty=-0.54 Tz=-5.26 Mx=-0.01 Mz=-1.22
Sollecitazioni agenti localmente: Ty_l=-1151.98 Mx_l=-23.04
Tensioni nella sezione: σ=279.27 τ=34.91
CC 19 SLV (Collegamento 0023_-380)
Azioni sul collegamento: N=-3330.55 Ty=-1.58 Tz=5.89 Mx=-0.01 Mz=-3.71
Sollecitazioni agenti localmente: Ty_l=-605.55 Mx_l=-12.11
Tensioni nella sezione: σ=146.80 τ=18.35
CC 19 SLV (Collegamento 0023_-380)
Azioni sul collegamento: N=-3330.55 Ty=-0.90 Tz=5.89 Mx=-0.01 Mz=-2.40
Sollecitazioni agenti localmente: Ty_l=-605.55 Mx_l=-12.11
Tensioni nella sezione: σ=146.80 τ=18.35
CC 19 SLV (Collegamento 0023_-380)
Azioni sul collegamento: N=-3330.55 Ty=-1.58 Tz=-11.19 Mx=-0.01 Mz=-3.71
Sollecitazioni agenti localmente: Ty_l=-605.55 Mx_l=-12.11
Tensioni nella sezione: σ=146.80 τ=18.35
CC 19 SLV (Collegamento 0023_-380)
Azioni sul collegamento: N=-3330.55 Ty=-0.90 Tz=-11.19 Mx=-0.01 Mz=-2.40
Sollecitazioni agenti localmente: Ty_l=-605.55 Mx_l=-12.11
Tensioni nella sezione: σ=146.80 τ=18.35
CC 19 SLV (Collegamento 0023_-380)
Azioni sul collegamento: N=-7936.97 Ty=-1.58 Tz=5.89 Mx=-0.01 Mz=-3.71
Sollecitazioni agenti localmente: Ty_l=-1443.09 Mx_l=-28.86
Tensioni nella sezione: σ=349.84 τ=43.73
CC 19 SLV (Collegamento 0023_-380)

Azioni sul collegamento: N=-7936.97 Ty=-0.90 Tz=5.89 Mx=-0.01 Mz=-2.40
Sollecitazioni agenti localmente: Ty_l=-1443.09 Mx_l=-28.86
Tensioni nella sezione: σ=349.84 τ=43.73
CC 19 SLV (Collegamento 0023_-380)
Azioni sul collegamento: N=-7936.97 Ty=-1.58 Tz=-11.19 Mx=-0.01 Mz=-3.71
Sollecitazioni agenti localmente: Ty_l=-1443.09 Mx_l=-28.86
Tensioni nella sezione: σ=349.84 τ=43.73
CC 19 SLV (Collegamento 0023_-380)
Azioni sul collegamento: N=-7936.97 Ty=-0.90 Tz=-11.19 Mx=-0.01 Mz=-2.40
Sollecitazioni agenti localmente: Ty_l=-1443.09 Mx_l=-28.86
Tensioni nella sezione: σ=349.84 τ=43.73
CC 20 SLD (Collegamento 0023_-380)
Azioni sul collegamento: N=-4931.25 Ty=-0.53 Tz=-0.05 Mx=-0.00 Mz=-1.20
Sollecitazioni agenti localmente: Ty_l=-896.59 Mx_l=-17.93
Tensioni nella sezione: σ=217.35 τ=27.17
CC 20 SLD (Collegamento 0023_-380)
Azioni sul collegamento: N=-4931.25 Ty=-0.33 Tz=-0.05 Mx=-0.00 Mz=-0.80
Sollecitazioni agenti localmente: Ty_l=-896.59 Mx_l=-17.93
Tensioni nella sezione: σ=217.35 τ=27.17
CC 20 SLD (Collegamento 0023_-380)
Azioni sul collegamento: N=-4931.25 Ty=-0.53 Tz=-5.26 Mx=-0.00 Mz=-1.20
Sollecitazioni agenti localmente: Ty_l=-896.59 Mx_l=-17.93
Tensioni nella sezione: σ=217.35 τ=27.17
CC 20 SLD (Collegamento 0023_-380)
Azioni sul collegamento: N=-4931.25 Ty=-0.33 Tz=-5.26 Mx=-0.00 Mz=-0.80
Sollecitazioni agenti localmente: Ty_l=-896.59 Mx_l=-17.93
Tensioni nella sezione: σ=217.35 τ=27.17
CC 20 SLD (Collegamento 0023_-380)
Azioni sul collegamento: N=-6335.90 Ty=-0.53 Tz=-0.05 Mx=-0.00 Mz=-1.20
Sollecitazioni agenti localmente: Ty_l=-1151.98 Mx_l=-23.04
Tensioni nella sezione: σ=279.27 τ=34.91
CC 20 SLD (Collegamento 0023_-380)
Azioni sul collegamento: N=-6335.90 Ty=-0.33 Tz=-0.05 Mx=-0.00 Mz=-0.80
Sollecitazioni agenti localmente: Ty_l=-1151.98 Mx_l=-23.04
Tensioni nella sezione: σ=279.27 τ=34.91
CC 20 SLD (Collegamento 0023_-380)
Azioni sul collegamento: N=-6335.90 Ty=-0.53 Tz=-5.26 Mx=-0.00 Mz=-1.20
Sollecitazioni agenti localmente: Ty_l=-1151.98 Mx_l=-23.04
Tensioni nella sezione: σ=279.27 τ=34.91
CC 20 SLD (Collegamento 0023_-380)
Azioni sul collegamento: N=-6335.90 Ty=-0.33 Tz=-5.26 Mx=-0.00 Mz=-0.80
Sollecitazioni agenti localmente: Ty_l=-1151.98 Mx_l=-23.04
Tensioni nella sezione: σ=279.27 τ=34.91
CC 21 SLV (Collegamento 0023_-380)
Azioni sul collegamento: N=-7936.97 Ty=-0.90 Tz=-11.19 Mx=-0.02 Mz=-2.40
Sollecitazioni agenti localmente: Ty_l=-1443.09 Mx_l=-28.86
Tensioni nella sezione: σ=349.84 τ=43.73
CC 21 SLV (Collegamento 0023_-380)
Azioni sul collegamento: N=-7936.97 Ty=-1.58 Tz=-11.19 Mx=-0.02 Mz=-3.71
Sollecitazioni agenti localmente: Ty_l=-1443.09 Mx_l=-28.86
Tensioni nella sezione: σ=349.84 τ=43.73
CC 21 SLV (Collegamento 0023_-380)
Azioni sul collegamento: N=-7936.97 Ty=-0.90 Tz=5.89 Mx=-0.02 Mz=-2.40
Sollecitazioni agenti localmente: Ty_l=-1443.09 Mx_l=-28.86
Tensioni nella sezione: σ=349.84 τ=43.73
CC 21 SLV (Collegamento 0023_-380)
Azioni sul collegamento: N=-7936.97 Ty=-1.58 Tz=5.89 Mx=-0.02 Mz=-3.71
Sollecitazioni agenti localmente: Ty_l=-1443.09 Mx_l=-28.86
Tensioni nella sezione: σ=349.84 τ=43.73
CC 21 SLV (Collegamento 0023_-380)
Azioni sul collegamento: N=-3330.55 Ty=-0.90 Tz=-11.19 Mx=-0.02 Mz=-2.40
Sollecitazioni agenti localmente: Ty_l=-605.55 Mx_l=-12.11
Tensioni nella sezione: σ=146.80 τ=18.35
CC 21 SLV (Collegamento 0023_-380)
Azioni sul collegamento: N=-3330.55 Ty=-1.58 Tz=-11.19 Mx=-0.02 Mz=-3.71
Sollecitazioni agenti localmente: Ty_l=-605.55 Mx_l=-12.11
Tensioni nella sezione: σ=146.80 τ=18.35
CC 21 SLV (Collegamento 0023_-380)
Azioni sul collegamento: N=-3330.55 Ty=-0.90 Tz=5.89 Mx=-0.02 Mz=-2.40
Sollecitazioni agenti localmente: Ty_l=-605.55 Mx_l=-12.11
Tensioni nella sezione: σ=146.80 τ=18.35
CC 21 SLV (Collegamento 0023_-380)
Azioni sul collegamento: N=-3330.55 Ty=-1.58 Tz=5.89 Mx=-0.02 Mz=-3.71
Sollecitazioni agenti localmente: Ty_l=-605.55 Mx_l=-12.11
Tensioni nella sezione: σ=146.80 τ=18.35
CC 22 SLD (Collegamento 0023_-380)
Azioni sul collegamento: N=-6335.90 Ty=-0.33 Tz=-5.26 Mx=-0.01 Mz=-0.80
Sollecitazioni agenti localmente: Ty_l=-1151.98 Mx_l=-23.04
Tensioni nella sezione: σ=279.27 τ=34.91
CC 22 SLD (Collegamento 0023_-380)

Azioni sul collegamento: N=-6335.90 Ty=-0.53 Tz=-5.26 Mx=-0.01 Mz=-1.20
Sollecitazioni agenti localmente: Ty_l=-1151.98 Mx_l=-23.04
Tensioni nella sezione: σ=279.27 τ=34.91
CC 22 SLD (Collegamento 0023_-380)
Azioni sul collegamento: N=-6335.90 Ty=-0.33 Tz=-0.05 Mx=-0.01 Mz=-0.80
Sollecitazioni agenti localmente: Ty_l=-1151.98 Mx_l=-23.04
Tensioni nella sezione: σ=279.27 τ=34.91
CC 22 SLD (Collegamento 0023_-380)
Azioni sul collegamento: N=-6335.90 Ty=-0.53 Tz=-0.05 Mx=-0.01 Mz=-1.20
Sollecitazioni agenti localmente: Ty_l=-1151.98 Mx_l=-23.04
Tensioni nella sezione: σ=279.27 τ=34.91
CC 22 SLD (Collegamento 0023_-380)
Azioni sul collegamento: N=-4931.25 Ty=-0.33 Tz=-5.26 Mx=-0.01 Mz=-0.80
Sollecitazioni agenti localmente: Ty_l=-896.59 Mx_l=-17.93
Tensioni nella sezione: σ=217.35 τ=27.17
CC 22 SLD (Collegamento 0023_-380)
Azioni sul collegamento: N=-4931.25 Ty=-0.53 Tz=-5.26 Mx=-0.01 Mz=-1.20
Sollecitazioni agenti localmente: Ty_l=-896.59 Mx_l=-17.93
Tensioni nella sezione: σ=217.35 τ=27.17
CC 22 SLD (Collegamento 0023_-380)
Azioni sul collegamento: N=-4931.25 Ty=-0.33 Tz=-0.05 Mx=-0.01 Mz=-0.80
Sollecitazioni agenti localmente: Ty_l=-896.59 Mx_l=-17.93
Tensioni nella sezione: σ=217.35 τ=27.17
CC 22 SLD (Collegamento 0023_-380)
Azioni sul collegamento: N=-4931.25 Ty=-0.53 Tz=-0.05 Mx=-0.01 Mz=-1.20
Sollecitazioni agenti localmente: Ty_l=-896.59 Mx_l=-17.93
Tensioni nella sezione: σ=217.35 τ=27.17
CC 23 SLV (Collegamento 0023_-380)
Azioni sul collegamento: N=-7936.99 Ty=-1.59 Tz=-11.19 Mx=-0.01 Mz=-3.75
Sollecitazioni agenti localmente: Ty_l=-1443.09 Mx_l=-28.86
Tensioni nella sezione: σ=349.84 τ=43.73
CC 23 SLV (Collegamento 0023_-380)
Azioni sul collegamento: N=-7936.99 Ty=-0.88 Tz=-11.19 Mx=-0.01 Mz=-2.36
Sollecitazioni agenti localmente: Ty_l=-1443.09 Mx_l=-28.86
Tensioni nella sezione: σ=349.84 τ=43.73
CC 23 SLV (Collegamento 0023_-380)
Azioni sul collegamento: N=-7936.99 Ty=-1.59 Tz=5.89 Mx=-0.01 Mz=-3.75
Sollecitazioni agenti localmente: Ty_l=-1443.09 Mx_l=-28.86
Tensioni nella sezione: σ=349.84 τ=43.73
CC 23 SLV (Collegamento 0023_-380)
Azioni sul collegamento: N=-7936.99 Ty=-0.88 Tz=5.89 Mx=-0.01 Mz=-2.36
Sollecitazioni agenti localmente: Ty_l=-1443.09 Mx_l=-28.86
Tensioni nella sezione: σ=349.84 τ=43.73
CC 23 SLV (Collegamento 0023_-380)
Azioni sul collegamento: N=-3330.52 Ty=-1.59 Tz=-11.19 Mx=-0.01 Mz=-3.75
Sollecitazioni agenti localmente: Ty_l=-605.55 Mx_l=-12.11
Tensioni nella sezione: σ=146.80 τ=18.35
CC 23 SLV (Collegamento 0023_-380)
Azioni sul collegamento: N=-3330.52 Ty=-0.88 Tz=-11.19 Mx=-0.01 Mz=-2.36
Sollecitazioni agenti localmente: Ty_l=-605.55 Mx_l=-12.11
Tensioni nella sezione: σ=146.80 τ=18.35
CC 23 SLV (Collegamento 0023_-380)
Azioni sul collegamento: N=-3330.52 Ty=-1.59 Tz=5.89 Mx=-0.01 Mz=-3.75
Sollecitazioni agenti localmente: Ty_l=-605.55 Mx_l=-12.11
Tensioni nella sezione: σ=146.80 τ=18.35
CC 23 SLV (Collegamento 0023_-380)
Azioni sul collegamento: N=-3330.52 Ty=-0.88 Tz=5.89 Mx=-0.01 Mz=-2.36
Sollecitazioni agenti localmente: Ty_l=-605.55 Mx_l=-12.11
Tensioni nella sezione: σ=146.80 τ=18.35
CC 24 SLD (Collegamento 0023_-380)
Azioni sul collegamento: N=-6335.90 Ty=-0.54 Tz=-5.26 Mx=-0.00 Mz=-1.22
Sollecitazioni agenti localmente: Ty_l=-1151.98 Mx_l=-23.04
Tensioni nella sezione: σ=279.27 τ=34.91
CC 24 SLD (Collegamento 0023_-380)
Azioni sul collegamento: N=-6335.90 Ty=-0.32 Tz=-5.26 Mx=-0.00 Mz=-0.79
Sollecitazioni agenti localmente: Ty_l=-1151.98 Mx_l=-23.04
Tensioni nella sezione: σ=279.27 τ=34.91
CC 24 SLD (Collegamento 0023_-380)
Azioni sul collegamento: N=-6335.90 Ty=-0.54 Tz=-0.05 Mx=-0.00 Mz=-1.22
Sollecitazioni agenti localmente: Ty_l=-1151.98 Mx_l=-23.04
Tensioni nella sezione: σ=279.27 τ=34.91
CC 24 SLD (Collegamento 0023_-380)
Azioni sul collegamento: N=-6335.90 Ty=-0.32 Tz=-0.05 Mx=-0.00 Mz=-0.79
Sollecitazioni agenti localmente: Ty_l=-1151.98 Mx_l=-23.04
Tensioni nella sezione: σ=279.27 τ=34.91
CC 24 SLD (Collegamento 0023_-380)
Azioni sul collegamento: N=-4931.25 Ty=-0.54 Tz=-5.26 Mx=-0.00 Mz=-1.22
Sollecitazioni agenti localmente: Ty_l=-896.59 Mx_l=-17.93
Tensioni nella sezione: σ=217.35 τ=27.17
CC 24 SLD (Collegamento 0023_-380)

Azioni sul collegamento: N=-4931.25 Ty=-0.32 Tz=-5.26 Mx=-0.00 Mz=-0.79
Sollecitazioni agenti localmente: Ty_l=-896.59 Mx_l=-17.93
Tensioni nella sezione: σ=217.35 τ=27.17
CC 24 SLD (Collegamento 0023_-380)
Azioni sul collegamento: N=-4931.25 Ty=-0.54 Tz=-0.05 Mx=-0.00 Mz=-1.22
Sollecitazioni agenti localmente: Ty_l=-896.59 Mx_l=-17.93
Tensioni nella sezione: σ=217.35 τ=27.17
CC 24 SLD (Collegamento 0023_-380)
Azioni sul collegamento: N=-4931.25 Ty=-0.32 Tz=-0.05 Mx=-0.00 Mz=-0.79
Sollecitazioni agenti localmente: Ty_l=-896.59 Mx_l=-17.93
Tensioni nella sezione: σ=217.35 τ=27.17
CC 25 SLV (Collegamento 0023_-380)
Azioni sul collegamento: N=-4942.75 Ty=-0.08 Tz=-0.09 Mx=-0.02 Mz=-0.80
Sollecitazioni agenti localmente: Ty_l=-898.68 Mx_l=-17.97
Tensioni nella sezione: σ=217.86 τ=27.23
CC 25 SLV (Collegamento 0023_-380)
Azioni sul collegamento: N=-4942.75 Ty=-2.39 Tz=-0.09 Mx=-0.02 Mz=-5.32
Sollecitazioni agenti localmente: Ty_l=-898.68 Mx_l=-17.97
Tensioni nella sezione: σ=217.86 τ=27.23
CC 25 SLV (Collegamento 0023_-380)
Azioni sul collegamento: N=-4942.75 Ty=-0.08 Tz=-5.22 Mx=-0.02 Mz=-0.80
Sollecitazioni agenti localmente: Ty_l=-898.68 Mx_l=-17.97
Tensioni nella sezione: σ=217.86 τ=27.23
CC 25 SLV (Collegamento 0023_-380)
Azioni sul collegamento: N=-4942.75 Ty=-2.39 Tz=-5.22 Mx=-0.02 Mz=-5.32
Sollecitazioni agenti localmente: Ty_l=-898.68 Mx_l=-17.97
Tensioni nella sezione: σ=217.86 τ=27.23
CC 25 SLV (Collegamento 0023_-380)
Azioni sul collegamento: N=-6324.76 Ty=-0.08 Tz=-0.09 Mx=-0.02 Mz=-0.80
Sollecitazioni agenti localmente: Ty_l=-1149.96 Mx_l=-23.00
Tensioni nella sezione: σ=278.78 τ=34.85
CC 25 SLV (Collegamento 0023_-380)
Azioni sul collegamento: N=-6324.76 Ty=-2.39 Tz=-0.09 Mx=-0.02 Mz=-5.32
Sollecitazioni agenti localmente: Ty_l=-1149.96 Mx_l=-23.00
Tensioni nella sezione: σ=278.78 τ=34.85
CC 25 SLV (Collegamento 0023_-380)
Azioni sul collegamento: N=-6324.76 Ty=-0.08 Tz=-5.22 Mx=-0.02 Mz=-0.80
Sollecitazioni agenti localmente: Ty_l=-1149.96 Mx_l=-23.00
Tensioni nella sezione: σ=278.78 τ=34.85
CC 25 SLV (Collegamento 0023_-380)
Azioni sul collegamento: N=-6324.76 Ty=-2.39 Tz=-5.22 Mx=-0.02 Mz=-5.32
Sollecitazioni agenti localmente: Ty_l=-1149.96 Mx_l=-23.00
Tensioni nella sezione: σ=278.78 τ=34.85
CC 26 SLD (Collegamento 0023_-380)
Azioni sul collegamento: N=-5422.87 Ty=-0.08 Tz=-1.87 Mx=-0.01 Mz=-0.31
Sollecitazioni agenti localmente: Ty_l=-985.98 Mx_l=-19.72
Tensioni nella sezione: σ=239.02 τ=29.88
CC 26 SLD (Collegamento 0023_-380)
Azioni sul collegamento: N=-5422.87 Ty=-0.78 Tz=-1.87 Mx=-0.01 Mz=-1.69
Sollecitazioni agenti localmente: Ty_l=-985.98 Mx_l=-19.72
Tensioni nella sezione: σ=239.02 τ=29.88
CC 26 SLD (Collegamento 0023_-380)
Azioni sul collegamento: N=-5422.87 Ty=-0.08 Tz=-3.44 Mx=-0.01 Mz=-0.31
Sollecitazioni agenti localmente: Ty_l=-985.98 Mx_l=-19.72
Tensioni nella sezione: σ=239.02 τ=29.88
CC 26 SLD (Collegamento 0023_-380)
Azioni sul collegamento: N=-5422.87 Ty=-0.78 Tz=-3.44 Mx=-0.01 Mz=-1.69
Sollecitazioni agenti localmente: Ty_l=-985.98 Mx_l=-19.72
Tensioni nella sezione: σ=239.02 τ=29.88
CC 26 SLD (Collegamento 0023_-380)
Azioni sul collegamento: N=-5844.28 Ty=-0.08 Tz=-1.87 Mx=-0.01 Mz=-0.31
Sollecitazioni agenti localmente: Ty_l=-1062.60 Mx_l=-21.25
Tensioni nella sezione: σ=257.60 τ=32.20
CC 26 SLD (Collegamento 0023_-380)
Azioni sul collegamento: N=-5844.28 Ty=-0.78 Tz=-1.87 Mx=-0.01 Mz=-1.69
Sollecitazioni agenti localmente: Ty_l=-1062.60 Mx_l=-21.25
Tensioni nella sezione: σ=257.60 τ=32.20
CC 26 SLD (Collegamento 0023_-380)
Azioni sul collegamento: N=-5844.28 Ty=-0.08 Tz=-3.44 Mx=-0.01 Mz=-0.31
Sollecitazioni agenti localmente: Ty_l=-1062.60 Mx_l=-21.25
Tensioni nella sezione: σ=257.60 τ=32.20
CC 26 SLD (Collegamento 0023_-380)
Azioni sul collegamento: N=-5844.28 Ty=-0.78 Tz=-3.44 Mx=-0.01 Mz=-1.69
Sollecitazioni agenti localmente: Ty_l=-1062.60 Mx_l=-21.25
Tensioni nella sezione: σ=257.60 τ=32.20
CC 27 SLV (Collegamento 0023_-380)
Azioni sul collegamento: N=-6324.69 Ty=-0.09 Tz=-5.21 Mx=-0.02 Mz=-0.81
Sollecitazioni agenti localmente: Ty_l=-1149.94 Mx_l=-23.00
Tensioni nella sezione: σ=278.77 τ=34.85
CC 27 SLV (Collegamento 0023_-380)

Azioni sul collegamento: N=-6324.69 Ty=-2.39 Tz=-5.21 Mx=-0.02 Mz=-5.31
Sollecitazioni agenti localmente: Ty_l=-1149.94 Mx_l=-23.00
Tensioni nella sezione: σ=278.77 τ=34.85
CC 27 SLV (Collegamento 0023_-380)
Azioni sul collegamento: N=-6324.69 Ty=-0.09 Tz=-0.09 Mx=-0.02 Mz=-0.81
Sollecitazioni agenti localmente: Ty_l=-1149.94 Mx_l=-23.00
Tensioni nella sezione: σ=278.77 τ=34.85
CC 27 SLV (Collegamento 0023_-380)
Azioni sul collegamento: N=-6324.69 Ty=-2.39 Tz=-0.09 Mx=-0.02 Mz=-5.31
Sollecitazioni agenti localmente: Ty_l=-1149.94 Mx_l=-23.00
Tensioni nella sezione: σ=278.77 τ=34.85
CC 27 SLV (Collegamento 0023_-380)
Azioni sul collegamento: N=-4942.83 Ty=-0.09 Tz=-5.21 Mx=-0.02 Mz=-0.81
Sollecitazioni agenti localmente: Ty_l=-898.70 Mx_l=-17.97
Tensioni nella sezione: σ=217.87 τ=27.23
CC 27 SLV (Collegamento 0023_-380)
Azioni sul collegamento: N=-4942.83 Ty=-2.39 Tz=-5.21 Mx=-0.02 Mz=-5.31
Sollecitazioni agenti localmente: Ty_l=-898.70 Mx_l=-17.97
Tensioni nella sezione: σ=217.87 τ=27.23
CC 27 SLV (Collegamento 0023_-380)
Azioni sul collegamento: N=-4942.83 Ty=-0.09 Tz=-0.09 Mx=-0.02 Mz=-0.81
Sollecitazioni agenti localmente: Ty_l=-898.70 Mx_l=-17.97
Tensioni nella sezione: σ=217.87 τ=27.23
CC 27 SLV (Collegamento 0023_-380)
Azioni sul collegamento: N=-4942.83 Ty=-2.39 Tz=-0.09 Mx=-0.02 Mz=-5.31
Sollecitazioni agenti localmente: Ty_l=-898.70 Mx_l=-17.97
Tensioni nella sezione: σ=217.87 τ=27.23
CC 28 SLD (Collegamento 0023_-380)
Azioni sul collegamento: N=-5844.26 Ty=-0.08 Tz=-3.43 Mx=-0.01 Mz=-0.32
Sollecitazioni agenti localmente: Ty_l=-1062.59 Mx_l=-21.25
Tensioni nella sezione: σ=257.60 τ=32.20
CC 28 SLD (Collegamento 0023_-380)
Azioni sul collegamento: N=-5844.26 Ty=-0.78 Tz=-3.43 Mx=-0.01 Mz=-1.69
Sollecitazioni agenti localmente: Ty_l=-1062.59 Mx_l=-21.25
Tensioni nella sezione: σ=257.60 τ=32.20
CC 28 SLD (Collegamento 0023_-380)
Azioni sul collegamento: N=-5844.26 Ty=-0.08 Tz=-1.87 Mx=-0.01 Mz=-0.32
Sollecitazioni agenti localmente: Ty_l=-1062.59 Mx_l=-21.25
Tensioni nella sezione: σ=257.60 τ=32.20
CC 28 SLD (Collegamento 0023_-380)
Azioni sul collegamento: N=-5844.26 Ty=-0.78 Tz=-1.87 Mx=-0.01 Mz=-1.69
Sollecitazioni agenti localmente: Ty_l=-1062.59 Mx_l=-21.25
Tensioni nella sezione: σ=257.60 τ=32.20
CC 28 SLD (Collegamento 0023_-380)
Azioni sul collegamento: N=-5422.89 Ty=-0.08 Tz=-3.43 Mx=-0.01 Mz=-0.32
Sollecitazioni agenti localmente: Ty_l=-985.98 Mx_l=-19.72
Tensioni nella sezione: σ=239.03 τ=29.88
CC 28 SLD (Collegamento 0023_-380)
Azioni sul collegamento: N=-5422.89 Ty=-0.78 Tz=-3.43 Mx=-0.01 Mz=-1.69
Sollecitazioni agenti localmente: Ty_l=-985.98 Mx_l=-19.72
Tensioni nella sezione: σ=239.03 τ=29.88
CC 28 SLD (Collegamento 0023_-380)
Azioni sul collegamento: N=-5422.89 Ty=-0.08 Tz=-1.87 Mx=-0.01 Mz=-0.32
Sollecitazioni agenti localmente: Ty_l=-985.98 Mx_l=-19.72
Tensioni nella sezione: σ=239.03 τ=29.88
CC 28 SLD (Collegamento 0023_-380)
Azioni sul collegamento: N=-5422.89 Ty=-0.78 Tz=-1.87 Mx=-0.01 Mz=-1.69
Sollecitazioni agenti localmente: Ty_l=-985.98 Mx_l=-19.72
Tensioni nella sezione: σ=239.03 τ=29.88
CC 29 SLV (Collegamento 0023_-380)
Azioni sul collegamento: N=-4942.83 Ty=-2.39 Tz=-0.09 Mx=-0.00 Mz=-5.31
Sollecitazioni agenti localmente: Ty_l=-898.70 Mx_l=-17.97
Tensioni nella sezione: σ=217.87 τ=27.23
CC 29 SLV (Collegamento 0023_-380)
Azioni sul collegamento: N=-4942.83 Ty=-0.09 Tz=-0.09 Mx=-0.00 Mz=-0.81
Sollecitazioni agenti localmente: Ty_l=-898.70 Mx_l=-17.97
Tensioni nella sezione: σ=217.87 τ=27.23
CC 29 SLV (Collegamento 0023_-380)
Azioni sul collegamento: N=-4942.83 Ty=-2.39 Tz=-5.21 Mx=-0.00 Mz=-5.31
Sollecitazioni agenti localmente: Ty_l=-898.70 Mx_l=-17.97
Tensioni nella sezione: σ=217.87 τ=27.23
CC 29 SLV (Collegamento 0023_-380)
Azioni sul collegamento: N=-4942.83 Ty=-0.09 Tz=-5.21 Mx=-0.00 Mz=-0.81
Sollecitazioni agenti localmente: Ty_l=-898.70 Mx_l=-17.97
Tensioni nella sezione: σ=217.87 τ=27.23
CC 29 SLV (Collegamento 0023_-380)
Azioni sul collegamento: N=-6324.69 Ty=-2.39 Tz=-0.09 Mx=-0.00 Mz=-5.31
Sollecitazioni agenti localmente: Ty_l=-1149.94 Mx_l=-23.00
Tensioni nella sezione: σ=278.77 τ=34.85
CC 29 SLV (Collegamento 0023_-380)

Azioni sul collegamento: N=-6324.69 Ty=-0.09 Tz=-0.09 Mx=-0.00 Mz=-0.81
Sollecitazioni agenti localmente: Ty_l=-1149.94 Mx_l=-23.00
Tensioni nella sezione: σ=278.77 τ=34.85
CC 29 SLV (Collegamento 0023_-380)
Azioni sul collegamento: N=-6324.69 Ty=-2.39 Tz=-5.21 Mx=-0.00 Mz=-5.31
Sollecitazioni agenti localmente: Ty_l=-1149.94 Mx_l=-23.00
Tensioni nella sezione: σ=278.77 τ=34.85
CC 29 SLV (Collegamento 0023_-380)
Azioni sul collegamento: N=-6324.69 Ty=-0.09 Tz=-5.21 Mx=-0.00 Mz=-0.81
Sollecitazioni agenti localmente: Ty_l=-1149.94 Mx_l=-23.00
Tensioni nella sezione: σ=278.77 τ=34.85
CC 30 SLD (Collegamento 0023_-380)
Azioni sul collegamento: N=-5422.89 Ty=-0.78 Tz=-1.87 Mx=-0.00 Mz=-1.69
Sollecitazioni agenti localmente: Ty_l=-985.98 Mx_l=-19.72
Tensioni nella sezione: σ=239.03 τ=29.88
CC 30 SLD (Collegamento 0023_-380)
Azioni sul collegamento: N=-5422.89 Ty=-0.08 Tz=-1.87 Mx=-0.00 Mz=-0.32
Sollecitazioni agenti localmente: Ty_l=-985.98 Mx_l=-19.72
Tensioni nella sezione: σ=239.03 τ=29.88
CC 30 SLD (Collegamento 0023_-380)
Azioni sul collegamento: N=-5422.89 Ty=-0.78 Tz=-3.43 Mx=-0.00 Mz=-1.69
Sollecitazioni agenti localmente: Ty_l=-985.98 Mx_l=-19.72
Tensioni nella sezione: σ=239.03 τ=29.88
CC 30 SLD (Collegamento 0023_-380)
Azioni sul collegamento: N=-5422.89 Ty=-0.08 Tz=-3.43 Mx=-0.00 Mz=-0.32
Sollecitazioni agenti localmente: Ty_l=-985.98 Mx_l=-19.72
Tensioni nella sezione: σ=239.03 τ=29.88
CC 30 SLD (Collegamento 0023_-380)
Azioni sul collegamento: N=-5844.26 Ty=-0.78 Tz=-1.87 Mx=-0.00 Mz=-1.69
Sollecitazioni agenti localmente: Ty_l=-1062.59 Mx_l=-21.25
Tensioni nella sezione: σ=257.60 τ=32.20
CC 30 SLD (Collegamento 0023_-380)
Azioni sul collegamento: N=-5844.26 Ty=-0.08 Tz=-1.87 Mx=-0.00 Mz=-0.32
Sollecitazioni agenti localmente: Ty_l=-1062.59 Mx_l=-21.25
Tensioni nella sezione: σ=257.60 τ=32.20
CC 30 SLD (Collegamento 0023_-380)
Azioni sul collegamento: N=-5844.26 Ty=-0.78 Tz=-3.43 Mx=-0.00 Mz=-1.69
Sollecitazioni agenti localmente: Ty_l=-1062.59 Mx_l=-21.25
Tensioni nella sezione: σ=257.60 τ=32.20
CC 30 SLD (Collegamento 0023_-380)
Azioni sul collegamento: N=-5844.26 Ty=-0.08 Tz=-3.43 Mx=-0.00 Mz=-0.32
Sollecitazioni agenti localmente: Ty_l=-1062.59 Mx_l=-21.25
Tensioni nella sezione: σ=257.60 τ=32.20
CC 31 SLV (Collegamento 0023_-380)
Azioni sul collegamento: N=-6324.76 Ty=-2.39 Tz=-5.22 Mx=-0.00 Mz=-5.32
Sollecitazioni agenti localmente: Ty_l=-1149.96 Mx_l=-23.00
Tensioni nella sezione: σ=278.78 τ=34.85
CC 31 SLV (Collegamento 0023_-380)
Azioni sul collegamento: N=-6324.76 Ty=-0.08 Tz=-5.22 Mx=-0.00 Mz=-0.80
Sollecitazioni agenti localmente: Ty_l=-1149.96 Mx_l=-23.00
Tensioni nella sezione: σ=278.78 τ=34.85
CC 31 SLV (Collegamento 0023_-380)
Azioni sul collegamento: N=-6324.76 Ty=-2.39 Tz=-0.09 Mx=-0.00 Mz=-5.32
Sollecitazioni agenti localmente: Ty_l=-1149.96 Mx_l=-23.00
Tensioni nella sezione: σ=278.78 τ=34.85
CC 31 SLV (Collegamento 0023_-380)
Azioni sul collegamento: N=-6324.76 Ty=-0.08 Tz=-0.09 Mx=-0.00 Mz=-0.80
Sollecitazioni agenti localmente: Ty_l=-1149.96 Mx_l=-23.00
Tensioni nella sezione: σ=278.78 τ=34.85
CC 31 SLV (Collegamento 0023_-380)
Azioni sul collegamento: N=-4942.75 Ty=-2.39 Tz=-5.22 Mx=-0.00 Mz=-5.32
Sollecitazioni agenti localmente: Ty_l=-898.68 Mx_l=-17.97
Tensioni nella sezione: σ=217.86 τ=27.23
CC 31 SLV (Collegamento 0023_-380)
Azioni sul collegamento: N=-4942.75 Ty=-0.08 Tz=-5.22 Mx=-0.00 Mz=-0.80
Sollecitazioni agenti localmente: Ty_l=-898.68 Mx_l=-17.97
Tensioni nella sezione: σ=217.86 τ=27.23
CC 31 SLV (Collegamento 0023_-380)
Azioni sul collegamento: N=-4942.75 Ty=-2.39 Tz=-0.09 Mx=-0.00 Mz=-5.32
Sollecitazioni agenti localmente: Ty_l=-898.68 Mx_l=-17.97
Tensioni nella sezione: σ=217.86 τ=27.23
CC 31 SLV (Collegamento 0023_-380)
Azioni sul collegamento: N=-4942.75 Ty=-0.08 Tz=-0.09 Mx=-0.00 Mz=-0.80
Sollecitazioni agenti localmente: Ty_l=-898.68 Mx_l=-17.97
Tensioni nella sezione: σ=217.86 τ=27.23
CC 32 SLD (Collegamento 0023_-380)
Azioni sul collegamento: N=-5844.28 Ty=-0.78 Tz=-3.44 Mx=-0.00 Mz=-1.69
Sollecitazioni agenti localmente: Ty_l=-1062.60 Mx_l=-21.25
Tensioni nella sezione: σ=257.60 τ=32.20
CC 32 SLD (Collegamento 0023_-380)

Azioni sul collegamento: N=-5844.28 Ty=-0.08 Tz=-3.44 Mx=-0.00 Mz=-0.31
Sollecitazioni agenti localmente: Ty_l=-1062.60 Mx_l=-21.25
Tensioni nella sezione: σ=257.60 τ=32.20
CC 32 SLD (Collegamento 0023_-380)
Azioni sul collegamento: N=-5844.28 Ty=-0.78 Tz=-1.87 Mx=-0.00 Mz=-1.69
Sollecitazioni agenti localmente: Ty_l=-1062.60 Mx_l=-21.25
Tensioni nella sezione: σ=257.60 τ=32.20
CC 32 SLD (Collegamento 0023_-380)
Azioni sul collegamento: N=-5844.28 Ty=-0.08 Tz=-1.87 Mx=-0.00 Mz=-0.31
Sollecitazioni agenti localmente: Ty_l=-1062.60 Mx_l=-21.25
Tensioni nella sezione: σ=257.60 τ=32.20
CC 32 SLD (Collegamento 0023_-380)
Azioni sul collegamento: N=-5422.87 Ty=-0.78 Tz=-3.44 Mx=-0.00 Mz=-1.69
Sollecitazioni agenti localmente: Ty_l=-985.98 Mx_l=-19.72
Tensioni nella sezione: σ=239.02 τ=29.88
CC 32 SLD (Collegamento 0023_-380)
Azioni sul collegamento: N=-5422.87 Ty=-0.08 Tz=-3.44 Mx=-0.00 Mz=-0.31
Sollecitazioni agenti localmente: Ty_l=-985.98 Mx_l=-19.72
Tensioni nella sezione: σ=239.02 τ=29.88
CC 32 SLD (Collegamento 0023_-380)
Azioni sul collegamento: N=-5422.87 Ty=-0.78 Tz=-1.87 Mx=-0.00 Mz=-1.69
Sollecitazioni agenti localmente: Ty_l=-985.98 Mx_l=-19.72
Tensioni nella sezione: σ=239.02 τ=29.88
CC 32 SLD (Collegamento 0023_-380)
Azioni sul collegamento: N=-5422.87 Ty=-0.08 Tz=-1.87 Mx=-0.00 Mz=-0.31
Sollecitazioni agenti localmente: Ty_l=-985.98 Mx_l=-19.72
Tensioni nella sezione: σ=239.02 τ=29.88
CC 33 SLU (Collegamento 0023_-380)
Azioni sul collegamento: N=-29447.20 Ty=-0.05 Tz=76.67 Mx=-0.00 Mz=-0.12
Sollecitazioni agenti localmente: Ty_l=-5354.03 Mx_l=-107.08
Tensioni nella sezione: σ=1297.94 τ=162.24
CC 34 SLU (Collegamento 0023_-380)
Azioni sul collegamento: N=-28967.90 Ty=-0.05 Tz=74.90 Mx=-0.00 Mz=-0.12
Sollecitazioni agenti localmente: Ty_l=-5266.89 Mx_l=-105.34
Tensioni nella sezione: σ=1276.82 τ=159.60
CC 35 SLU (Collegamento 0023_-380)
Azioni sul collegamento: N=-29207.50 Ty=-0.17 Tz=75.78 Mx=0.00 Mz=-0.35
Sollecitazioni agenti localmente: Ty_l=-5310.46 Mx_l=-106.21
Tensioni nella sezione: σ=1287.38 τ=160.92
CC 36 SLU (Collegamento 0023_-380)
Azioni sul collegamento: N=-29207.50 Ty=0.07 Tz=75.79 Mx=-0.00 Mz=0.12
Sollecitazioni agenti localmente: Ty_l=-5310.46 Mx_l=-106.21
Tensioni nella sezione: σ=1287.38 τ=160.92
CC 37 SLU (Collegamento 0023_-380)
Azioni sul collegamento: N=-19933.90 Ty=-0.08 Tz=41.69 Mx=-0.00 Mz=-0.13
Sollecitazioni agenti localmente: Ty_l=-3624.34 Mx_l=-72.49
Tensioni nella sezione: σ=878.63 τ=109.83
CC 38 SLU (Collegamento 0023_-380)
Azioni sul collegamento: N=-19454.60 Ty=-0.08 Tz=39.91 Mx=-0.00 Mz=-0.13
Sollecitazioni agenti localmente: Ty_l=-3537.19 Mx_l=-70.74
Tensioni nella sezione: σ=857.50 τ=107.19
CC 39 SLU (Collegamento 0023_-380)
Azioni sul collegamento: N=-19694.20 Ty=-0.20 Tz=40.80 Mx=0.00 Mz=-0.36
Sollecitazioni agenti localmente: Ty_l=-3580.76 Mx_l=-71.62
Tensioni nella sezione: σ=868.06 τ=108.51
CC 40 SLU (Collegamento 0023_-380)
Azioni sul collegamento: N=-19694.20 Ty=0.04 Tz=40.80 Mx=-0.00 Mz=0.10
Sollecitazioni agenti localmente: Ty_l=-3580.76 Mx_l=-71.62
Tensioni nella sezione: σ=868.06 τ=108.51
CC 41 SLU (Collegamento 0023_-380)
Azioni sul collegamento: N=-29632.10 Ty=-0.07 Tz=76.65 Mx=-0.00 Mz=-0.13
Sollecitazioni agenti localmente: Ty_l=-5387.65 Mx_l=-107.75
Tensioni nella sezione: σ=1306.09 τ=163.26
CC 42 SLU (Collegamento 0023_-380)
Azioni sul collegamento: N=-29152.80 Ty=-0.07 Tz=74.88 Mx=-0.00 Mz=-0.13
Sollecitazioni agenti localmente: Ty_l=-5300.51 Mx_l=-106.01
Tensioni nella sezione: σ=1284.97 τ=160.62
CC 43 SLU (Collegamento 0023_-380)
Azioni sul collegamento: N=-29392.40 Ty=-0.19 Tz=75.77 Mx=0.00 Mz=-0.36
Sollecitazioni agenti localmente: Ty_l=-5344.08 Mx_l=-106.88
Tensioni nella sezione: σ=1295.53 τ=161.94
CC 44 SLU (Collegamento 0023_-380)
Azioni sul collegamento: N=-29392.40 Ty=0.05 Tz=75.77 Mx=-0.00 Mz=0.10
Sollecitazioni agenti localmente: Ty_l=-5344.08 Mx_l=-106.88
Tensioni nella sezione: σ=1295.53 τ=161.94
CC 45 SLU (Collegamento 0023_-380)
Azioni sul collegamento: N=-22108.00 Ty=-0.08 Tz=49.75 Mx=-0.00 Mz=-0.14
Sollecitazioni agenti localmente: Ty_l=-4019.65 Mx_l=-80.39
Tensioni nella sezione: σ=974.46 τ=121.81
CC 46 SLU (Collegamento 0023_-380)

Azioni sul collegamento: N=-21628.70 Ty=-0.08 Tz=47.97 Mx=-0.00 Mz=-0.14
Sollecitazioni agenti localmente: Ty_l=-3932.50 Mx_l=-78.65
Tensioni nella sezione: σ=953.33 τ=119.17
CC 47 SLU (Collegamento 0023_-380)
Azioni sul collegamento: N=-21868.40 Ty=-0.20 Tz=48.86 Mx=0.00 Mz=-0.37
Sollecitazioni agenti localmente: Ty_l=-3976.07 Mx_l=-79.52
Tensioni nella sezione: σ=963.89 τ=120.49
CC 48 SLU (Collegamento 0023_-380)
Azioni sul collegamento: N=-21868.40 Ty=0.04 Tz=48.86 Mx=-0.00 Mz=0.10
Sollecitazioni agenti localmente: Ty_l=-3976.07 Mx_l=-79.52
Tensioni nella sezione: σ=963.89 τ=120.49
CC 49 SLU (Collegamento 0023_-380)
Azioni sul collegamento: N=-14990.70 Ty=-0.10 Tz=23.57 Mx=-0.00 Mz=-0.15
Sollecitazioni agenti localmente: Ty_l=-2725.58 Mx_l=-54.51
Tensioni nella sezione: σ=660.74 τ=82.59
CC 50 SLU (Collegamento 0023_-380)
Azioni sul collegamento: N=-14511.40 Ty=-0.10 Tz=21.80 Mx=-0.00 Mz=-0.15
Sollecitazioni agenti localmente: Ty_l=-2638.43 Mx_l=-52.77
Tensioni nella sezione: σ=639.62 τ=79.95
CC 51 SLU (Collegamento 0023_-380)
Azioni sul collegamento: N=-14751.00 Ty=-0.22 Tz=22.68 Mx=0.00 Mz=-0.38
Sollecitazioni agenti localmente: Ty_l=-2682.00 Mx_l=-53.64
Tensioni nella sezione: σ=650.18 τ=81.27
CC 52 SLU (Collegamento 0023_-380)
Azioni sul collegamento: N=-14751.00 Ty=0.02 Tz=22.69 Mx=-0.00 Mz=0.09
Sollecitazioni agenti localmente: Ty_l=-2682.00 Mx_l=-53.64
Tensioni nella sezione: σ=650.18 τ=81.27
CC 53 SLU (Collegamento 0023_-380)
Azioni sul collegamento: N=-22246.40 Ty=-0.10 Tz=49.73 Mx=-0.00 Mz=-0.15
Sollecitazioni agenti localmente: Ty_l=-4044.80 Mx_l=-80.90
Tensioni nella sezione: σ=980.55 τ=122.57
CC 54 SLU (Collegamento 0023_-380)
Azioni sul collegamento: N=-21767.10 Ty=-0.10 Tz=47.96 Mx=-0.00 Mz=-0.15
Sollecitazioni agenti localmente: Ty_l=-3957.65 Mx_l=-79.15
Tensioni nella sezione: σ=959.43 τ=119.93
CC 55 SLU (Collegamento 0023_-380)
Azioni sul collegamento: N=-22006.70 Ty=-0.22 Tz=48.85 Mx=0.00 Mz=-0.38
Sollecitazioni agenti localmente: Ty_l=-4001.22 Mx_l=-80.02
Tensioni nella sezione: σ=969.99 τ=121.25
CC 56 SLU (Collegamento 0023_-380)
Azioni sul collegamento: N=-22006.70 Ty=0.02 Tz=48.85 Mx=-0.00 Mz=0.09
Sollecitazioni agenti localmente: Ty_l=-4001.22 Mx_l=-80.02
Tensioni nella sezione: σ=969.99 τ=121.25
CC 57 SLU (Collegamento 0023_-380)
Azioni sul collegamento: N=-20646.20 Ty=-0.07 Tz=44.37 Mx=-0.00 Mz=-0.13
Sollecitazioni agenti localmente: Ty_l=-3753.86 Mx_l=-75.08
Tensioni nella sezione: σ=910.02 τ=113.75
CC 58 SLU (Collegamento 0023_-380)
Azioni sul collegamento: N=-20166.90 Ty=-0.07 Tz=42.59 Mx=-0.00 Mz=-0.13
Sollecitazioni agenti localmente: Ty_l=-3666.72 Mx_l=-73.33
Tensioni nella sezione: σ=888.90 τ=111.11
CC 59 SLU (Collegamento 0023_-380)
Azioni sul collegamento: N=-20406.60 Ty=-0.19 Tz=43.48 Mx=0.00 Mz=-0.36
Sollecitazioni agenti localmente: Ty_l=-3710.29 Mx_l=-74.21
Tensioni nella sezione: σ=899.46 τ=112.43
CC 60 SLU (Collegamento 0023_-380)
Azioni sul collegamento: N=-20406.60 Ty=0.05 Tz=43.48 Mx=-0.00 Mz=0.10
Sollecitazioni agenti localmente: Ty_l=-3710.29 Mx_l=-74.21
Tensioni nella sezione: σ=899.46 τ=112.43
CC 61 SLU (Collegamento 0023_-380)
Azioni sul collegamento: N=-13528.90 Ty=-0.09 Tz=18.19 Mx=-0.00 Mz=-0.14
Sollecitazioni agenti localmente: Ty_l=-2459.79 Mx_l=-49.20
Tensioni nella sezione: σ=596.31 τ=74.54
CC 62 SLU (Collegamento 0023_-380)
Azioni sul collegamento: N=-13049.60 Ty=-0.10 Tz=16.41 Mx=-0.00 Mz=-0.14
Sollecitazioni agenti localmente: Ty_l=-2372.65 Mx_l=-47.45
Tensioni nella sezione: σ=575.19 τ=71.90
CC 63 SLU (Collegamento 0023_-380)
Azioni sul collegamento: N=-13289.20 Ty=-0.21 Tz=17.30 Mx=0.00 Mz=-0.37
Sollecitazioni agenti localmente: Ty_l=-2416.22 Mx_l=-48.32
Tensioni nella sezione: σ=585.75 τ=73.22
CC 64 SLU (Collegamento 0023_-380)
Azioni sul collegamento: N=-13289.20 Ty=0.02 Tz=17.30 Mx=-0.00 Mz=0.10
Sollecitazioni agenti localmente: Ty_l=-2416.22 Mx_l=-48.32
Tensioni nella sezione: σ=585.75 τ=73.22
CC 65 SLU (Collegamento 0023_-380)
Azioni sul collegamento: N=-20784.60 Ty=-0.09 Tz=44.35 Mx=-0.00 Mz=-0.14
Sollecitazioni agenti localmente: Ty_l=-3779.02 Mx_l=-75.58
Tensioni nella sezione: σ=916.12 τ=114.52
CC 66 SLU (Collegamento 0023_-380)

Azioni sul collegamento: N=-20305.30 Ty=-0.09 Tz=42.57 Mx=-0.00 Mz=-0.14
Sollecitazioni agenti localmente: Ty_l=-3691.87 Mx_l=-73.84
Tensioni nella sezione: σ=895.00 τ=111.88
CC 67 SLU (Collegamento 0023_-380)
Azioni sul collegamento: N=-20544.90 Ty=-0.21 Tz=43.46 Mx=0.00 Mz=-0.37
Sollecitazioni agenti localmente: Ty_l=-3735.44 Mx_l=-74.71
Tensioni nella sezione: σ=905.56 τ=113.19
CC 68 SLU (Collegamento 0023_-380)
Azioni sul collegamento: N=-20544.90 Ty=0.03 Tz=43.46 Mx=-0.00 Mz=0.10
Sollecitazioni agenti localmente: Ty_l=-3735.44 Mx_l=-74.71
Tensioni nella sezione: σ=905.56 τ=113.19
CC 97 SLU (Collegamento 0023_-380)
Azioni sul collegamento: N=-12582.10 Ty=-12.27 Tz=22.98 Mx=-0.04 Mz=-17.61
Sollecitazioni agenti localmente: Ty_l=-2287.66 Mx_l=-45.75
Tensioni nella sezione: σ=554.58 τ=69.32
CC 98 SLU (Collegamento 0023_-380)
Azioni sul collegamento: N=-12102.80 Ty=-12.27 Tz=21.21 Mx=-0.04 Mz=-17.61
Sollecitazioni agenti localmente: Ty_l=-2200.51 Mx_l=-44.01
Tensioni nella sezione: σ=533.46 τ=66.68
CC 99 SLU (Collegamento 0023_-380)
Azioni sul collegamento: N=-12342.50 Ty=-12.39 Tz=22.09 Mx=-0.04 Mz=-17.84
Sollecitazioni agenti localmente: Ty_l=-2244.09 Mx_l=-44.88
Tensioni nella sezione: σ=544.02 τ=68.00
CC 100 SLU (Collegamento 0023_-380)
Azioni sul collegamento: N=-12342.50 Ty=-12.15 Tz=22.09 Mx=-0.04 Mz=-17.38
Sollecitazioni agenti localmente: Ty_l=-2244.09 Mx_l=-44.88
Tensioni nella sezione: σ=544.02 τ=68.00
CC 101 SLU (Collegamento 0023_-380)
Azioni sul collegamento: N=-6366.46 Ty=2.01 Tz=0.04 Mx=0.00 Mz=2.22
Sollecitazioni agenti localmente: Ty_l=-1157.54 Mx_l=-23.15
Tensioni nella sezione: σ=280.62 τ=35.08
CC 102 SLU (Collegamento 0023_-380)
Azioni sul collegamento: N=-5887.16 Ty=2.00 Tz=-1.73 Mx=0.00 Mz=2.22
Sollecitazioni agenti localmente: Ty_l=-1070.39 Mx_l=-21.41
Tensioni nella sezione: σ=259.49 τ=32.44
CC 103 SLU (Collegamento 0023_-380)
Azioni sul collegamento: N=-6126.81 Ty=1.89 Tz=-0.85 Mx=0.01 Mz=1.98
Sollecitazioni agenti localmente: Ty_l=-1113.96 Mx_l=-22.28
Tensioni nella sezione: σ=270.05 τ=33.76
CC 104 SLU (Collegamento 0023_-380)
Azioni sul collegamento: N=-6126.80 Ty=2.12 Tz=-0.84 Mx=0.00 Mz=2.45
Sollecitazioni agenti localmente: Ty_l=-1113.96 Mx_l=-22.28
Tensioni nella sezione: σ=270.05 τ=33.76

Flessione attacco inferiore piastra

Bnetta=220.00 Hnetta=15.00
CC 1 SLV (Collegamento 0023_-380)
Azioni sul collegamento: N=-3330.00 Ty=1.44 Tz=5.89 Mx=0.02 Mz=3.55
Sollecitazioni agenti localmente: Ty_l=-605.45 Mx_l=-12.11
Tensioni nella sezione: σ=146.78 τ=18.35
CC 1 SLV (Collegamento 0023_-380)
Azioni sul collegamento: N=-3330.00 Ty=0.74 Tz=5.89 Mx=0.02 Mz=2.16
Sollecitazioni agenti localmente: Ty_l=-605.45 Mx_l=-12.11
Tensioni nella sezione: σ=146.78 τ=18.35
CC 1 SLV (Collegamento 0023_-380)
Azioni sul collegamento: N=-3330.00 Ty=1.44 Tz=-11.20 Mx=0.02 Mz=3.55
Sollecitazioni agenti localmente: Ty_l=-605.45 Mx_l=-12.11
Tensioni nella sezione: σ=146.78 τ=18.35
CC 1 SLV (Collegamento 0023_-380)
Azioni sul collegamento: N=-3330.00 Ty=0.74 Tz=-11.20 Mx=0.02 Mz=2.16
Sollecitazioni agenti localmente: Ty_l=-605.45 Mx_l=-12.11
Tensioni nella sezione: σ=146.78 τ=18.35
CC 1 SLV (Collegamento 0023_-380)
Azioni sul collegamento: N=-7936.47 Ty=1.44 Tz=5.89 Mx=0.02 Mz=3.55
Sollecitazioni agenti localmente: Ty_l=-1442.99 Mx_l=-28.86
Tensioni nella sezione: σ=349.82 τ=43.73
CC 1 SLV (Collegamento 0023_-380)
Azioni sul collegamento: N=-7936.47 Ty=0.74 Tz=5.89 Mx=0.02 Mz=2.16
Sollecitazioni agenti localmente: Ty_l=-1442.99 Mx_l=-28.86
Tensioni nella sezione: σ=349.82 τ=43.73
CC 1 SLV (Collegamento 0023_-380)
Azioni sul collegamento: N=-7936.47 Ty=1.44 Tz=-11.20 Mx=0.02 Mz=3.55
Sollecitazioni agenti localmente: Ty_l=-1442.99 Mx_l=-28.86
Tensioni nella sezione: σ=349.82 τ=43.73
CC 1 SLV (Collegamento 0023_-380)
Azioni sul collegamento: N=-7936.47 Ty=0.74 Tz=-11.20 Mx=0.02 Mz=2.16
Sollecitazioni agenti localmente: Ty_l=-1442.99 Mx_l=-28.86
Tensioni nella sezione: σ=349.82 τ=43.73
CC 2 SLD (Collegamento 0023_-380)
Azioni sul collegamento: N=-4931.09 Ty=0.39 Tz=-0.05 Mx=0.00 Mz=1.01

Sollecitazioni agenti localmente: Ty_l=-896.56 Mx_l=-17.93
Tensioni nella sezione: σ=217.35 τ=27.17
CC 2 SLD (Collegamento 0023_-380)
Azioni sul collegamento: N=-4931.09 Ty=0.17 Tz=-0.05 Mx=0.00 Mz=0.59
Sollecitazioni agenti localmente: Ty_l=-896.56 Mx_l=-17.93
Tensioni nella sezione: σ=217.35 τ=27.17
CC 2 SLD (Collegamento 0023_-380)
Azioni sul collegamento: N=-4931.09 Ty=0.39 Tz=-5.26 Mx=0.00 Mz=1.01
Sollecitazioni agenti localmente: Ty_l=-896.56 Mx_l=-17.93
Tensioni nella sezione: σ=217.35 τ=27.17
CC 2 SLD (Collegamento 0023_-380)
Azioni sul collegamento: N=-4931.09 Ty=0.17 Tz=-5.26 Mx=0.00 Mz=0.59
Sollecitazioni agenti localmente: Ty_l=-896.56 Mx_l=-17.93
Tensioni nella sezione: σ=217.35 τ=27.17
CC 2 SLD (Collegamento 0023_-380)
Azioni sul collegamento: N=-6335.74 Ty=0.39 Tz=-0.05 Mx=0.00 Mz=1.01
Sollecitazioni agenti localmente: Ty_l=-1151.95 Mx_l=-23.04
Tensioni nella sezione: σ=279.26 τ=34.91
CC 2 SLD (Collegamento 0023_-380)
Azioni sul collegamento: N=-6335.74 Ty=0.17 Tz=-0.05 Mx=0.00 Mz=0.59
Sollecitazioni agenti localmente: Ty_l=-1151.95 Mx_l=-23.04
Tensioni nella sezione: σ=279.26 τ=34.91
CC 2 SLD (Collegamento 0023_-380)
Azioni sul collegamento: N=-6335.74 Ty=0.39 Tz=-5.26 Mx=0.00 Mz=1.01
Sollecitazioni agenti localmente: Ty_l=-1151.95 Mx_l=-23.04
Tensioni nella sezione: σ=279.26 τ=34.91
CC 2 SLD (Collegamento 0023_-380)
Azioni sul collegamento: N=-6335.74 Ty=0.17 Tz=-5.26 Mx=0.00 Mz=0.59
Sollecitazioni agenti localmente: Ty_l=-1151.95 Mx_l=-23.04
Tensioni nella sezione: σ=279.26 τ=34.91
CC 3 SLV (Collegamento 0023_-380)
Azioni sul collegamento: N=-3330.02 Ty=0.75 Tz=5.88 Mx=0.01 Mz=2.19
Sollecitazioni agenti localmente: Ty_l=-605.46 Mx_l=-12.11
Tensioni nella sezione: σ=146.78 τ=18.35
CC 3 SLV (Collegamento 0023_-380)
Azioni sul collegamento: N=-3330.02 Ty=1.43 Tz=5.88 Mx=0.01 Mz=3.51
Sollecitazioni agenti localmente: Ty_l=-605.46 Mx_l=-12.11
Tensioni nella sezione: σ=146.78 τ=18.35
CC 3 SLV (Collegamento 0023_-380)
Azioni sul collegamento: N=-3330.02 Ty=0.75 Tz=-11.19 Mx=0.01 Mz=2.19
Sollecitazioni agenti localmente: Ty_l=-605.46 Mx_l=-12.11
Tensioni nella sezione: σ=146.78 τ=18.35
CC 3 SLV (Collegamento 0023_-380)
Azioni sul collegamento: N=-3330.02 Ty=1.43 Tz=-11.19 Mx=0.01 Mz=3.51
Sollecitazioni agenti localmente: Ty_l=-605.46 Mx_l=-12.11
Tensioni nella sezione: σ=146.78 τ=18.35
CC 3 SLV (Collegamento 0023_-380)
Azioni sul collegamento: N=-7936.44 Ty=0.75 Tz=5.88 Mx=0.01 Mz=2.19
Sollecitazioni agenti localmente: Ty_l=-1442.99 Mx_l=-28.86
Tensioni nella sezione: σ=349.81 τ=43.73
CC 3 SLV (Collegamento 0023_-380)
Azioni sul collegamento: N=-7936.44 Ty=1.43 Tz=5.88 Mx=0.01 Mz=3.51
Sollecitazioni agenti localmente: Ty_l=-1442.99 Mx_l=-28.86
Tensioni nella sezione: σ=349.81 τ=43.73
CC 3 SLV (Collegamento 0023_-380)
Azioni sul collegamento: N=-7936.44 Ty=0.75 Tz=-11.19 Mx=0.01 Mz=2.19
Sollecitazioni agenti localmente: Ty_l=-1442.99 Mx_l=-28.86
Tensioni nella sezione: σ=349.81 τ=43.73
CC 3 SLV (Collegamento 0023_-380)
Azioni sul collegamento: N=-7936.44 Ty=1.43 Tz=-11.19 Mx=0.01 Mz=3.51
Sollecitazioni agenti localmente: Ty_l=-1442.99 Mx_l=-28.86
Tensioni nella sezione: σ=349.81 τ=43.73
CC 4 SLD (Collegamento 0023_-380)
Azioni sul collegamento: N=-4931.09 Ty=0.18 Tz=-0.05 Mx=0.00 Mz=0.60
Sollecitazioni agenti localmente: Ty_l=-896.56 Mx_l=-17.93
Tensioni nella sezione: σ=217.35 τ=27.17
CC 4 SLD (Collegamento 0023_-380)
Azioni sul collegamento: N=-4931.09 Ty=0.38 Tz=-0.05 Mx=0.00 Mz=1.00
Sollecitazioni agenti localmente: Ty_l=-896.56 Mx_l=-17.93
Tensioni nella sezione: σ=217.35 τ=27.17
CC 4 SLD (Collegamento 0023_-380)
Azioni sul collegamento: N=-4931.09 Ty=0.18 Tz=-5.26 Mx=0.00 Mz=0.60
Sollecitazioni agenti localmente: Ty_l=-896.56 Mx_l=-17.93
Tensioni nella sezione: σ=217.35 τ=27.17
CC 4 SLD (Collegamento 0023_-380)
Azioni sul collegamento: N=-4931.09 Ty=0.38 Tz=-5.26 Mx=0.00 Mz=1.00
Sollecitazioni agenti localmente: Ty_l=-896.56 Mx_l=-17.93
Tensioni nella sezione: σ=217.35 τ=27.17
CC 4 SLD (Collegamento 0023_-380)
Azioni sul collegamento: N=-6335.74 Ty=0.18 Tz=-0.05 Mx=0.00 Mz=0.60

Sollecitazioni agenti localmente: Ty_l=-1151.95 Mx_l=-23.04
Tensioni nella sezione: σ=279.26 τ=34.91
CC 4 SLD (Collegamento 0023_-380)
Azioni sul collegamento: N=-6335.74 Ty=0.38 Tz=-0.05 Mx=0.00 Mz=1.00
Sollecitazioni agenti localmente: Ty_l=-1151.95 Mx_l=-23.04
Tensioni nella sezione: σ=279.26 τ=34.91
CC 4 SLD (Collegamento 0023_-380)
Azioni sul collegamento: N=-6335.74 Ty=0.18 Tz=-5.26 Mx=0.00 Mz=0.60
Sollecitazioni agenti localmente: Ty_l=-1151.95 Mx_l=-23.04
Tensioni nella sezione: σ=279.26 τ=34.91
CC 4 SLD (Collegamento 0023_-380)
Azioni sul collegamento: N=-6335.74 Ty=0.38 Tz=-5.26 Mx=0.00 Mz=1.00
Sollecitazioni agenti localmente: Ty_l=-1151.95 Mx_l=-23.04
Tensioni nella sezione: σ=279.26 τ=34.91
CC 5 SLV (Collegamento 0023_-380)
Azioni sul collegamento: N=-7936.44 Ty=1.43 Tz=-11.19 Mx=0.02 Mz=3.51
Sollecitazioni agenti localmente: Ty_l=-1442.99 Mx_l=-28.86
Tensioni nella sezione: σ=349.81 τ=43.73
CC 5 SLV (Collegamento 0023_-380)
Azioni sul collegamento: N=-7936.44 Ty=0.75 Tz=-11.19 Mx=0.02 Mz=2.19
Sollecitazioni agenti localmente: Ty_l=-1442.99 Mx_l=-28.86
Tensioni nella sezione: σ=349.81 τ=43.73
CC 5 SLV (Collegamento 0023_-380)
Azioni sul collegamento: N=-7936.44 Ty=1.43 Tz=5.88 Mx=0.02 Mz=3.51
Sollecitazioni agenti localmente: Ty_l=-1442.99 Mx_l=-28.86
Tensioni nella sezione: σ=349.81 τ=43.73
CC 5 SLV (Collegamento 0023_-380)
Azioni sul collegamento: N=-7936.44 Ty=0.75 Tz=5.88 Mx=0.02 Mz=2.19
Sollecitazioni agenti localmente: Ty_l=-1442.99 Mx_l=-28.86
Tensioni nella sezione: σ=349.81 τ=43.73
CC 5 SLV (Collegamento 0023_-380)
Azioni sul collegamento: N=-3330.02 Ty=1.43 Tz=-11.19 Mx=0.02 Mz=3.51
Sollecitazioni agenti localmente: Ty_l=-605.46 Mx_l=-12.11
Tensioni nella sezione: σ=146.78 τ=18.35
CC 5 SLV (Collegamento 0023_-380)
Azioni sul collegamento: N=-3330.02 Ty=0.75 Tz=-11.19 Mx=0.02 Mz=2.19
Sollecitazioni agenti localmente: Ty_l=-605.46 Mx_l=-12.11
Tensioni nella sezione: σ=146.78 τ=18.35
CC 5 SLV (Collegamento 0023_-380)
Azioni sul collegamento: N=-3330.02 Ty=1.43 Tz=5.88 Mx=0.02 Mz=3.51
Sollecitazioni agenti localmente: Ty_l=-605.46 Mx_l=-12.11
Tensioni nella sezione: σ=146.78 τ=18.35
CC 5 SLV (Collegamento 0023_-380)
Azioni sul collegamento: N=-3330.02 Ty=0.75 Tz=5.88 Mx=0.02 Mz=2.19
Sollecitazioni agenti localmente: Ty_l=-605.46 Mx_l=-12.11
Tensioni nella sezione: σ=146.78 τ=18.35
CC 6 SLD (Collegamento 0023_-380)
Azioni sul collegamento: N=-6335.74 Ty=0.38 Tz=-5.26 Mx=0.00 Mz=1.00
Sollecitazioni agenti localmente: Ty_l=-1151.95 Mx_l=-23.04
Tensioni nella sezione: σ=279.26 τ=34.91
CC 6 SLD (Collegamento 0023_-380)
Azioni sul collegamento: N=-6335.74 Ty=0.18 Tz=-5.26 Mx=0.00 Mz=0.60
Sollecitazioni agenti localmente: Ty_l=-1151.95 Mx_l=-23.04
Tensioni nella sezione: σ=279.26 τ=34.91
CC 6 SLD (Collegamento 0023_-380)
Azioni sul collegamento: N=-6335.74 Ty=0.38 Tz=-0.05 Mx=0.00 Mz=1.00
Sollecitazioni agenti localmente: Ty_l=-1151.95 Mx_l=-23.04
Tensioni nella sezione: σ=279.26 τ=34.91
CC 6 SLD (Collegamento 0023_-380)
Azioni sul collegamento: N=-6335.74 Ty=0.18 Tz=-0.05 Mx=0.00 Mz=0.60
Sollecitazioni agenti localmente: Ty_l=-1151.95 Mx_l=-23.04
Tensioni nella sezione: σ=279.26 τ=34.91
CC 6 SLD (Collegamento 0023_-380)
Azioni sul collegamento: N=-4931.09 Ty=0.38 Tz=-5.26 Mx=0.00 Mz=1.00
Sollecitazioni agenti localmente: Ty_l=-896.56 Mx_l=-17.93
Tensioni nella sezione: σ=217.35 τ=27.17
CC 6 SLD (Collegamento 0023_-380)
Azioni sul collegamento: N=-4931.09 Ty=0.18 Tz=-5.26 Mx=0.00 Mz=0.60
Sollecitazioni agenti localmente: Ty_l=-896.56 Mx_l=-17.93
Tensioni nella sezione: σ=217.35 τ=27.17
CC 6 SLD (Collegamento 0023_-380)
Azioni sul collegamento: N=-4931.09 Ty=0.38 Tz=-0.05 Mx=0.00 Mz=1.00
Sollecitazioni agenti localmente: Ty_l=-896.56 Mx_l=-17.93
Tensioni nella sezione: σ=217.35 τ=27.17
CC 6 SLD (Collegamento 0023_-380)
Azioni sul collegamento: N=-4931.09 Ty=0.18 Tz=-0.05 Mx=0.00 Mz=0.60
Sollecitazioni agenti localmente: Ty_l=-896.56 Mx_l=-17.93
Tensioni nella sezione: σ=217.35 τ=27.17
CC 7 SLV (Collegamento 0023_-380)
Azioni sul collegamento: N=-7936.47 Ty=0.74 Tz=-11.20 Mx=0.01 Mz=2.16

Sollecitazioni agenti localmente: Ty_l=-1442.99 Mx_l=-28.86
Tensioni nella sezione: σ=349.82 τ=43.73
CC 7 SLV (Collegamento 0023_-380)
Azioni sul collegamento: N=-7936.47 Ty=1.44 Tz=-11.20 Mx=0.01 Mz=3.55
Sollecitazioni agenti localmente: Ty_l=-1442.99 Mx_l=-28.86
Tensioni nella sezione: σ=349.82 τ=43.73
CC 7 SLV (Collegamento 0023_-380)
Azioni sul collegamento: N=-7936.47 Ty=0.74 Tz=5.89 Mx=0.01 Mz=2.16
Sollecitazioni agenti localmente: Ty_l=-1442.99 Mx_l=-28.86
Tensioni nella sezione: σ=349.82 τ=43.73
CC 7 SLV (Collegamento 0023_-380)
Azioni sul collegamento: N=-7936.47 Ty=1.44 Tz=5.89 Mx=0.01 Mz=3.55
Sollecitazioni agenti localmente: Ty_l=-1442.99 Mx_l=-28.86
Tensioni nella sezione: σ=349.82 τ=43.73
CC 7 SLV (Collegamento 0023_-380)
Azioni sul collegamento: N=-3330.00 Ty=0.74 Tz=-11.20 Mx=0.01 Mz=2.16
Sollecitazioni agenti localmente: Ty_l=-605.45 Mx_l=-12.11
Tensioni nella sezione: σ=146.78 τ=18.35
CC 7 SLV (Collegamento 0023_-380)
Azioni sul collegamento: N=-3330.00 Ty=1.44 Tz=-11.20 Mx=0.01 Mz=3.55
Sollecitazioni agenti localmente: Ty_l=-605.45 Mx_l=-12.11
Tensioni nella sezione: σ=146.78 τ=18.35
CC 7 SLV (Collegamento 0023_-380)
Azioni sul collegamento: N=-3330.00 Ty=0.74 Tz=5.89 Mx=0.01 Mz=2.16
Sollecitazioni agenti localmente: Ty_l=-605.45 Mx_l=-12.11
Tensioni nella sezione: σ=146.78 τ=18.35
CC 7 SLV (Collegamento 0023_-380)
Azioni sul collegamento: N=-3330.00 Ty=1.44 Tz=5.89 Mx=0.01 Mz=3.55
Sollecitazioni agenti localmente: Ty_l=-605.45 Mx_l=-12.11
Tensioni nella sezione: σ=146.78 τ=18.35
CC 8 SLD (Collegamento 0023_-380)
Azioni sul collegamento: N=-6335.74 Ty=0.17 Tz=-5.26 Mx=0.00 Mz=0.59
Sollecitazioni agenti localmente: Ty_l=-1151.95 Mx_l=-23.04
Tensioni nella sezione: σ=279.26 τ=34.91
CC 8 SLD (Collegamento 0023_-380)
Azioni sul collegamento: N=-6335.74 Ty=0.39 Tz=-5.26 Mx=0.00 Mz=1.01
Sollecitazioni agenti localmente: Ty_l=-1151.95 Mx_l=-23.04
Tensioni nella sezione: σ=279.26 τ=34.91
CC 8 SLD (Collegamento 0023_-380)
Azioni sul collegamento: N=-6335.74 Ty=0.17 Tz=-0.05 Mx=0.00 Mz=0.59
Sollecitazioni agenti localmente: Ty_l=-1151.95 Mx_l=-23.04
Tensioni nella sezione: σ=279.26 τ=34.91
CC 8 SLD (Collegamento 0023_-380)
Azioni sul collegamento: N=-6335.74 Ty=0.39 Tz=-0.05 Mx=0.00 Mz=1.01
Sollecitazioni agenti localmente: Ty_l=-1151.95 Mx_l=-23.04
Tensioni nella sezione: σ=279.26 τ=34.91
CC 8 SLD (Collegamento 0023_-380)
Azioni sul collegamento: N=-4931.09 Ty=0.17 Tz=-5.26 Mx=0.00 Mz=0.59
Sollecitazioni agenti localmente: Ty_l=-896.56 Mx_l=-17.93
Tensioni nella sezione: σ=217.35 τ=27.17
CC 8 SLD (Collegamento 0023_-380)
Azioni sul collegamento: N=-4931.09 Ty=0.39 Tz=-5.26 Mx=0.00 Mz=1.01
Sollecitazioni agenti localmente: Ty_l=-896.56 Mx_l=-17.93
Tensioni nella sezione: σ=217.35 τ=27.17
CC 8 SLD (Collegamento 0023_-380)
Azioni sul collegamento: N=-4931.09 Ty=0.17 Tz=-0.05 Mx=0.00 Mz=0.59
Sollecitazioni agenti localmente: Ty_l=-896.56 Mx_l=-17.93
Tensioni nella sezione: σ=217.35 τ=27.17
CC 8 SLD (Collegamento 0023_-380)
Azioni sul collegamento: N=-4931.09 Ty=0.39 Tz=-0.05 Mx=0.00 Mz=1.01
Sollecitazioni agenti localmente: Ty_l=-896.56 Mx_l=-17.93
Tensioni nella sezione: σ=217.35 τ=27.17
CC 9 SLV (Collegamento 0023_-380)
Azioni sul collegamento: N=-4942.23 Ty=2.24 Tz=-0.09 Mx=0.02 Mz=5.11
Sollecitazioni agenti localmente: Ty_l=-898.59 Mx_l=-17.97
Tensioni nella sezione: σ=217.84 τ=27.23
CC 9 SLV (Collegamento 0023_-380)
Azioni sul collegamento: N=-4942.23 Ty=-0.07 Tz=-0.09 Mx=0.02 Mz=0.59
Sollecitazioni agenti localmente: Ty_l=-898.59 Mx_l=-17.97
Tensioni nella sezione: σ=217.84 τ=27.23
CC 9 SLV (Collegamento 0023_-380)
Azioni sul collegamento: N=-4942.23 Ty=2.24 Tz=-5.22 Mx=0.02 Mz=5.11
Sollecitazioni agenti localmente: Ty_l=-898.59 Mx_l=-17.97
Tensioni nella sezione: σ=217.84 τ=27.23
CC 9 SLV (Collegamento 0023_-380)
Azioni sul collegamento: N=-4942.23 Ty=-0.07 Tz=-5.22 Mx=0.02 Mz=0.59
Sollecitazioni agenti localmente: Ty_l=-898.59 Mx_l=-17.97
Tensioni nella sezione: σ=217.84 τ=27.23
CC 9 SLV (Collegamento 0023_-380)
Azioni sul collegamento: N=-6324.24 Ty=2.24 Tz=-0.09 Mx=0.02 Mz=5.11

Sollecitazioni agenti localmente: Ty_l=-1149.86 Mx_l=-23.00
Tensioni nella sezione: σ=278.75 τ=34.84
CC 9 SLV (Collegamento 0023_-380)
Azioni sul collegamento: N=-6324.24 Ty=-0.07 Tz=-0.09 Mx=0.02 Mz=0.59
Sollecitazioni agenti localmente: Ty_l=-1149.86 Mx_l=-23.00
Tensioni nella sezione: σ=278.75 τ=34.84
CC 9 SLV (Collegamento 0023_-380)
Azioni sul collegamento: N=-6324.24 Ty=2.24 Tz=-5.22 Mx=0.02 Mz=5.11
Sollecitazioni agenti localmente: Ty_l=-1149.86 Mx_l=-23.00
Tensioni nella sezione: σ=278.75 τ=34.84
CC 9 SLV (Collegamento 0023_-380)
Azioni sul collegamento: N=-6324.24 Ty=-0.07 Tz=-5.22 Mx=0.02 Mz=0.59
Sollecitazioni agenti localmente: Ty_l=-1149.86 Mx_l=-23.00
Tensioni nella sezione: σ=278.75 τ=34.84
CC 10 SLD (Collegamento 0023_-380)
Azioni sul collegamento: N=-5422.71 Ty=0.63 Tz=-1.87 Mx=0.01 Mz=1.49
Sollecitazioni agenti localmente: Ty_l=-985.95 Mx_l=-19.72
Tensioni nella sezione: σ=239.02 τ=29.88
CC 10 SLD (Collegamento 0023_-380)
Azioni sul collegamento: N=-5422.71 Ty=-0.07 Tz=-1.87 Mx=0.01 Mz=0.11
Sollecitazioni agenti localmente: Ty_l=-985.95 Mx_l=-19.72
Tensioni nella sezione: σ=239.02 τ=29.88
CC 10 SLD (Collegamento 0023_-380)
Azioni sul collegamento: N=-5422.71 Ty=0.63 Tz=-3.44 Mx=0.01 Mz=1.49
Sollecitazioni agenti localmente: Ty_l=-985.95 Mx_l=-19.72
Tensioni nella sezione: σ=239.02 τ=29.88
CC 10 SLD (Collegamento 0023_-380)
Azioni sul collegamento: N=-5422.71 Ty=-0.07 Tz=-3.44 Mx=0.01 Mz=0.11
Sollecitazioni agenti localmente: Ty_l=-985.95 Mx_l=-19.72
Tensioni nella sezione: σ=239.02 τ=29.88
CC 10 SLD (Collegamento 0023_-380)
Azioni sul collegamento: N=-5844.12 Ty=0.63 Tz=-1.87 Mx=0.01 Mz=1.49
Sollecitazioni agenti localmente: Ty_l=-1062.57 Mx_l=-21.25
Tensioni nella sezione: σ=257.59 τ=32.20
CC 10 SLD (Collegamento 0023_-380)
Azioni sul collegamento: N=-5844.12 Ty=-0.07 Tz=-1.87 Mx=0.01 Mz=0.11
Sollecitazioni agenti localmente: Ty_l=-1062.57 Mx_l=-21.25
Tensioni nella sezione: σ=257.59 τ=32.20
CC 10 SLD (Collegamento 0023_-380)
Azioni sul collegamento: N=-5844.12 Ty=0.63 Tz=-3.44 Mx=0.01 Mz=1.49
Sollecitazioni agenti localmente: Ty_l=-1062.57 Mx_l=-21.25
Tensioni nella sezione: σ=257.59 τ=32.20
CC 10 SLD (Collegamento 0023_-380)
Azioni sul collegamento: N=-5844.12 Ty=-0.07 Tz=-3.44 Mx=0.01 Mz=0.11
Sollecitazioni agenti localmente: Ty_l=-1062.57 Mx_l=-21.25
Tensioni nella sezione: σ=257.59 τ=32.20
CC 11 SLV (Collegamento 0023_-380)
Azioni sul collegamento: N=-6324.16 Ty=2.24 Tz=-5.22 Mx=0.02 Mz=5.10
Sollecitazioni agenti localmente: Ty_l=-1149.85 Mx_l=-23.00
Tensioni nella sezione: σ=278.75 τ=34.84
CC 11 SLV (Collegamento 0023_-380)
Azioni sul collegamento: N=-6324.16 Ty=-0.06 Tz=-5.22 Mx=0.02 Mz=0.60
Sollecitazioni agenti localmente: Ty_l=-1149.85 Mx_l=-23.00
Tensioni nella sezione: σ=278.75 τ=34.84
CC 11 SLV (Collegamento 0023_-380)
Azioni sul collegamento: N=-6324.16 Ty=2.24 Tz=-0.09 Mx=0.02 Mz=5.10
Sollecitazioni agenti localmente: Ty_l=-1149.85 Mx_l=-23.00
Tensioni nella sezione: σ=278.75 τ=34.84
CC 11 SLV (Collegamento 0023_-380)
Azioni sul collegamento: N=-6324.16 Ty=-0.06 Tz=-0.09 Mx=0.02 Mz=0.60
Sollecitazioni agenti localmente: Ty_l=-1149.85 Mx_l=-23.00
Tensioni nella sezione: σ=278.75 τ=34.84
CC 11 SLV (Collegamento 0023_-380)
Azioni sul collegamento: N=-4942.30 Ty=2.24 Tz=-5.22 Mx=0.02 Mz=5.10
Sollecitazioni agenti localmente: Ty_l=-898.60 Mx_l=-17.97
Tensioni nella sezione: σ=217.84 τ=27.23
CC 11 SLV (Collegamento 0023_-380)
Azioni sul collegamento: N=-4942.30 Ty=-0.06 Tz=-5.22 Mx=0.02 Mz=0.60
Sollecitazioni agenti localmente: Ty_l=-898.60 Mx_l=-17.97
Tensioni nella sezione: σ=217.84 τ=27.23
CC 11 SLV (Collegamento 0023_-380)
Azioni sul collegamento: N=-4942.30 Ty=2.24 Tz=-0.09 Mx=0.02 Mz=5.10
Sollecitazioni agenti localmente: Ty_l=-898.60 Mx_l=-17.97
Tensioni nella sezione: σ=217.84 τ=27.23
CC 11 SLV (Collegamento 0023_-380)
Azioni sul collegamento: N=-4942.30 Ty=-0.06 Tz=-0.09 Mx=0.02 Mz=0.60
Sollecitazioni agenti localmente: Ty_l=-898.60 Mx_l=-17.97
Tensioni nella sezione: σ=217.84 τ=27.23
CC 12 SLD (Collegamento 0023_-380)
Azioni sul collegamento: N=-5844.10 Ty=0.63 Tz=-3.44 Mx=0.01 Mz=1.48

Sollecitazioni agenti localmente: Ty_l=-1062.56 Mx_l=-21.25
Tensioni nella sezione: σ=257.59 τ=32.20
CC 12 SLD (Collegamento 0023_-380)
Azioni sul collegamento: N=-5844.10 Ty=-0.07 Tz=-3.44 Mx=0.01 Mz=0.11
Sollecitazioni agenti localmente: Ty_l=-1062.56 Mx_l=-21.25
Tensioni nella sezione: σ=257.59 τ=32.20
CC 12 SLD (Collegamento 0023_-380)
Azioni sul collegamento: N=-5844.10 Ty=0.63 Tz=-1.87 Mx=0.01 Mz=1.48
Sollecitazioni agenti localmente: Ty_l=-1062.56 Mx_l=-21.25
Tensioni nella sezione: σ=257.59 τ=32.20
CC 12 SLD (Collegamento 0023_-380)
Azioni sul collegamento: N=-5844.10 Ty=-0.07 Tz=-1.87 Mx=0.01 Mz=0.11
Sollecitazioni agenti localmente: Ty_l=-1062.56 Mx_l=-21.25
Tensioni nella sezione: σ=257.59 τ=32.20
CC 12 SLD (Collegamento 0023_-380)
Azioni sul collegamento: N=-5422.73 Ty=0.63 Tz=-3.44 Mx=0.01 Mz=1.48
Sollecitazioni agenti localmente: Ty_l=-985.95 Mx_l=-19.72
Tensioni nella sezione: σ=239.02 τ=29.88
CC 12 SLD (Collegamento 0023_-380)
Azioni sul collegamento: N=-5422.73 Ty=-0.07 Tz=-3.44 Mx=0.01 Mz=0.11
Sollecitazioni agenti localmente: Ty_l=-985.95 Mx_l=-19.72
Tensioni nella sezione: σ=239.02 τ=29.88
CC 12 SLD (Collegamento 0023_-380)
Azioni sul collegamento: N=-5422.73 Ty=0.63 Tz=-1.87 Mx=0.01 Mz=1.48
Sollecitazioni agenti localmente: Ty_l=-985.95 Mx_l=-19.72
Tensioni nella sezione: σ=239.02 τ=29.88
CC 12 SLD (Collegamento 0023_-380)
Azioni sul collegamento: N=-5422.73 Ty=-0.07 Tz=-1.87 Mx=0.01 Mz=0.11
Sollecitazioni agenti localmente: Ty_l=-985.95 Mx_l=-19.72
Tensioni nella sezione: σ=239.02 τ=29.88
CC 13 SLV (Collegamento 0023_-380)
Azioni sul collegamento: N=-4942.30 Ty=-0.06 Tz=-0.09 Mx=0.00 Mz=0.60
Sollecitazioni agenti localmente: Ty_l=-898.60 Mx_l=-17.97
Tensioni nella sezione: σ=217.84 τ=27.23
CC 13 SLV (Collegamento 0023_-380)
Azioni sul collegamento: N=-4942.30 Ty=2.24 Tz=-0.09 Mx=0.00 Mz=5.10
Sollecitazioni agenti localmente: Ty_l=-898.60 Mx_l=-17.97
Tensioni nella sezione: σ=217.84 τ=27.23
CC 13 SLV (Collegamento 0023_-380)
Azioni sul collegamento: N=-4942.30 Ty=-0.06 Tz=-5.22 Mx=0.00 Mz=0.60
Sollecitazioni agenti localmente: Ty_l=-898.60 Mx_l=-17.97
Tensioni nella sezione: σ=217.84 τ=27.23
CC 13 SLV (Collegamento 0023_-380)
Azioni sul collegamento: N=-4942.30 Ty=2.24 Tz=-5.22 Mx=0.00 Mz=5.10
Sollecitazioni agenti localmente: Ty_l=-898.60 Mx_l=-17.97
Tensioni nella sezione: σ=217.84 τ=27.23
CC 13 SLV (Collegamento 0023_-380)
Azioni sul collegamento: N=-6324.16 Ty=-0.06 Tz=-0.09 Mx=0.00 Mz=0.60
Sollecitazioni agenti localmente: Ty_l=-1149.85 Mx_l=-23.00
Tensioni nella sezione: σ=278.75 τ=34.84
CC 13 SLV (Collegamento 0023_-380)
Azioni sul collegamento: N=-6324.16 Ty=2.24 Tz=-0.09 Mx=0.00 Mz=5.10
Sollecitazioni agenti localmente: Ty_l=-1149.85 Mx_l=-23.00
Tensioni nella sezione: σ=278.75 τ=34.84
CC 13 SLV (Collegamento 0023_-380)
Azioni sul collegamento: N=-6324.16 Ty=-0.06 Tz=-5.22 Mx=0.00 Mz=0.60
Sollecitazioni agenti localmente: Ty_l=-1149.85 Mx_l=-23.00
Tensioni nella sezione: σ=278.75 τ=34.84
CC 13 SLV (Collegamento 0023_-380)
Azioni sul collegamento: N=-6324.16 Ty=2.24 Tz=-5.22 Mx=0.00 Mz=5.10
Sollecitazioni agenti localmente: Ty_l=-1149.85 Mx_l=-23.00
Tensioni nella sezione: σ=278.75 τ=34.84
CC 14 SLD (Collegamento 0023_-380)
Azioni sul collegamento: N=-5422.73 Ty=-0.07 Tz=-1.87 Mx=0.00 Mz=0.11
Sollecitazioni agenti localmente: Ty_l=-985.95 Mx_l=-19.72
Tensioni nella sezione: σ=239.02 τ=29.88
CC 14 SLD (Collegamento 0023_-380)
Azioni sul collegamento: N=-5422.73 Ty=0.63 Tz=-1.87 Mx=0.00 Mz=1.48
Sollecitazioni agenti localmente: Ty_l=-985.95 Mx_l=-19.72
Tensioni nella sezione: σ=239.02 τ=29.88
CC 14 SLD (Collegamento 0023_-380)
Azioni sul collegamento: N=-5422.73 Ty=-0.07 Tz=-3.44 Mx=0.00 Mz=0.11
Sollecitazioni agenti localmente: Ty_l=-985.95 Mx_l=-19.72
Tensioni nella sezione: σ=239.02 τ=29.88
CC 14 SLD (Collegamento 0023_-380)
Azioni sul collegamento: N=-5422.73 Ty=0.63 Tz=-3.44 Mx=0.00 Mz=1.48
Sollecitazioni agenti localmente: Ty_l=-985.95 Mx_l=-19.72
Tensioni nella sezione: σ=239.02 τ=29.88
CC 14 SLD (Collegamento 0023_-380)
Azioni sul collegamento: N=-5844.10 Ty=-0.07 Tz=-1.87 Mx=0.00 Mz=0.11

Sollecitazioni agenti localmente: Ty_l=-1062.56 Mx_l=-21.25
Tensioni nella sezione: σ=257.59 τ=32.20
CC 14 SLD (Collegamento 0023_-380)
Azioni sul collegamento: N=-5844.10 Ty=0.63 Tz=-1.87 Mx=0.00 Mz=1.48
Sollecitazioni agenti localmente: Ty_l=-1062.56 Mx_l=-21.25
Tensioni nella sezione: σ=257.59 τ=32.20
CC 14 SLD (Collegamento 0023_-380)
Azioni sul collegamento: N=-5844.10 Ty=-0.07 Tz=-3.44 Mx=0.00 Mz=0.11
Sollecitazioni agenti localmente: Ty_l=-1062.56 Mx_l=-21.25
Tensioni nella sezione: σ=257.59 τ=32.20
CC 14 SLD (Collegamento 0023_-380)
Azioni sul collegamento: N=-5844.10 Ty=0.63 Tz=-3.44 Mx=0.00 Mz=1.48
Sollecitazioni agenti localmente: Ty_l=-1062.56 Mx_l=-21.25
Tensioni nella sezione: σ=257.59 τ=32.20
CC 15 SLV (Collegamento 0023_-380)
Azioni sul collegamento: N=-6324.24 Ty=-0.07 Tz=-5.22 Mx=0.00 Mz=0.59
Sollecitazioni agenti localmente: Ty_l=-1149.86 Mx_l=-23.00
Tensioni nella sezione: σ=278.75 τ=34.84
CC 15 SLV (Collegamento 0023_-380)
Azioni sul collegamento: N=-6324.24 Ty=2.24 Tz=-5.22 Mx=0.00 Mz=5.11
Sollecitazioni agenti localmente: Ty_l=-1149.86 Mx_l=-23.00
Tensioni nella sezione: σ=278.75 τ=34.84
CC 15 SLV (Collegamento 0023_-380)
Azioni sul collegamento: N=-6324.24 Ty=-0.07 Tz=-0.09 Mx=0.00 Mz=0.59
Sollecitazioni agenti localmente: Ty_l=-1149.86 Mx_l=-23.00
Tensioni nella sezione: σ=278.75 τ=34.84
CC 15 SLV (Collegamento 0023_-380)
Azioni sul collegamento: N=-6324.24 Ty=2.24 Tz=-0.09 Mx=0.00 Mz=5.11
Sollecitazioni agenti localmente: Ty_l=-1149.86 Mx_l=-23.00
Tensioni nella sezione: σ=278.75 τ=34.84
CC 15 SLV (Collegamento 0023_-380)
Azioni sul collegamento: N=-4942.23 Ty=-0.07 Tz=-5.22 Mx=0.00 Mz=0.59
Sollecitazioni agenti localmente: Ty_l=-898.59 Mx_l=-17.97
Tensioni nella sezione: σ=217.84 τ=27.23
CC 15 SLV (Collegamento 0023_-380)
Azioni sul collegamento: N=-4942.23 Ty=2.24 Tz=-5.22 Mx=0.00 Mz=5.11
Sollecitazioni agenti localmente: Ty_l=-898.59 Mx_l=-17.97
Tensioni nella sezione: σ=217.84 τ=27.23
CC 15 SLV (Collegamento 0023_-380)
Azioni sul collegamento: N=-4942.23 Ty=-0.07 Tz=-0.09 Mx=0.00 Mz=0.59
Sollecitazioni agenti localmente: Ty_l=-898.59 Mx_l=-17.97
Tensioni nella sezione: σ=217.84 τ=27.23
CC 15 SLV (Collegamento 0023_-380)
Azioni sul collegamento: N=-4942.23 Ty=2.24 Tz=-0.09 Mx=0.00 Mz=5.11
Sollecitazioni agenti localmente: Ty_l=-898.59 Mx_l=-17.97
Tensioni nella sezione: σ=217.84 τ=27.23
CC 16 SLD (Collegamento 0023_-380)
Azioni sul collegamento: N=-5844.12 Ty=-0.07 Tz=-3.44 Mx=0.00 Mz=0.11
Sollecitazioni agenti localmente: Ty_l=-1062.57 Mx_l=-21.25
Tensioni nella sezione: σ=257.59 τ=32.20
CC 16 SLD (Collegamento 0023_-380)
Azioni sul collegamento: N=-5844.12 Ty=0.63 Tz=-3.44 Mx=0.00 Mz=1.49
Sollecitazioni agenti localmente: Ty_l=-1062.57 Mx_l=-21.25
Tensioni nella sezione: σ=257.59 τ=32.20
CC 16 SLD (Collegamento 0023_-380)
Azioni sul collegamento: N=-5844.12 Ty=-0.07 Tz=-1.87 Mx=0.00 Mz=0.11
Sollecitazioni agenti localmente: Ty_l=-1062.57 Mx_l=-21.25
Tensioni nella sezione: σ=257.59 τ=32.20
CC 16 SLD (Collegamento 0023_-380)
Azioni sul collegamento: N=-5844.12 Ty=0.63 Tz=-1.87 Mx=0.00 Mz=1.49
Sollecitazioni agenti localmente: Ty_l=-1062.57 Mx_l=-21.25
Tensioni nella sezione: σ=257.59 τ=32.20
CC 16 SLD (Collegamento 0023_-380)
Azioni sul collegamento: N=-5422.71 Ty=-0.07 Tz=-3.44 Mx=0.00 Mz=0.11
Sollecitazioni agenti localmente: Ty_l=-985.95 Mx_l=-19.72
Tensioni nella sezione: σ=239.02 τ=29.88
CC 16 SLD (Collegamento 0023_-380)
Azioni sul collegamento: N=-5422.71 Ty=0.63 Tz=-3.44 Mx=0.00 Mz=1.49
Sollecitazioni agenti localmente: Ty_l=-985.95 Mx_l=-19.72
Tensioni nella sezione: σ=239.02 τ=29.88
CC 16 SLD (Collegamento 0023_-380)
Azioni sul collegamento: N=-5422.71 Ty=-0.07 Tz=-1.87 Mx=0.00 Mz=0.11
Sollecitazioni agenti localmente: Ty_l=-985.95 Mx_l=-19.72
Tensioni nella sezione: σ=239.02 τ=29.88
CC 16 SLD (Collegamento 0023_-380)
Azioni sul collegamento: N=-5422.71 Ty=0.63 Tz=-1.87 Mx=0.00 Mz=1.49
Sollecitazioni agenti localmente: Ty_l=-985.95 Mx_l=-19.72
Tensioni nella sezione: σ=239.02 τ=29.88
CC 17 SLV (Collegamento 0023_-380)
Azioni sul collegamento: N=-3330.52 Ty=-0.88 Tz=5.89 Mx=-0.02 Mz=-2.36

Sollecitazioni agenti localmente: Ty_l=-605.55 Mx_l=-12.11
Tensioni nella sezione: σ=146.80 τ=18.35
CC 17 SLV (Collegamento 0023_-380)
Azioni sul collegamento: N=-3330.52 Ty=-1.59 Tz=5.89 Mx=-0.02 Mz=-3.75
Sollecitazioni agenti localmente: Ty_l=-605.55 Mx_l=-12.11
Tensioni nella sezione: σ=146.80 τ=18.35
CC 17 SLV (Collegamento 0023_-380)
Azioni sul collegamento: N=-3330.52 Ty=-0.88 Tz=-11.19 Mx=-0.02 Mz=-2.36
Sollecitazioni agenti localmente: Ty_l=-605.55 Mx_l=-12.11
Tensioni nella sezione: σ=146.80 τ=18.35
CC 17 SLV (Collegamento 0023_-380)
Azioni sul collegamento: N=-3330.52 Ty=-1.59 Tz=-11.19 Mx=-0.02 Mz=-3.75
Sollecitazioni agenti localmente: Ty_l=-605.55 Mx_l=-12.11
Tensioni nella sezione: σ=146.80 τ=18.35
CC 17 SLV (Collegamento 0023_-380)
Azioni sul collegamento: N=-7936.99 Ty=-0.88 Tz=5.89 Mx=-0.02 Mz=-2.36
Sollecitazioni agenti localmente: Ty_l=-1443.09 Mx_l=-28.86
Tensioni nella sezione: σ=349.84 τ=43.73
CC 17 SLV (Collegamento 0023_-380)
Azioni sul collegamento: N=-7936.99 Ty=-1.59 Tz=5.89 Mx=-0.02 Mz=-3.75
Sollecitazioni agenti localmente: Ty_l=-1443.09 Mx_l=-28.86
Tensioni nella sezione: σ=349.84 τ=43.73
CC 17 SLV (Collegamento 0023_-380)
Azioni sul collegamento: N=-7936.99 Ty=-0.88 Tz=-11.19 Mx=-0.02 Mz=-2.36
Sollecitazioni agenti localmente: Ty_l=-1443.09 Mx_l=-28.86
Tensioni nella sezione: σ=349.84 τ=43.73
CC 17 SLV (Collegamento 0023_-380)
Azioni sul collegamento: N=-7936.99 Ty=-1.59 Tz=-11.19 Mx=-0.02 Mz=-3.75
Sollecitazioni agenti localmente: Ty_l=-1443.09 Mx_l=-28.86
Tensioni nella sezione: σ=349.84 τ=43.73
CC 18 SLD (Collegamento 0023_-380)
Azioni sul collegamento: N=-4931.25 Ty=-0.32 Tz=-0.05 Mx=-0.01 Mz=-0.79
Sollecitazioni agenti localmente: Ty_l=-896.59 Mx_l=-17.93
Tensioni nella sezione: σ=217.35 τ=27.17
CC 18 SLD (Collegamento 0023_-380)
Azioni sul collegamento: N=-4931.25 Ty=-0.54 Tz=-0.05 Mx=-0.01 Mz=-1.22
Sollecitazioni agenti localmente: Ty_l=-896.59 Mx_l=-17.93
Tensioni nella sezione: σ=217.35 τ=27.17
CC 18 SLD (Collegamento 0023_-380)
Azioni sul collegamento: N=-4931.25 Ty=-0.32 Tz=-5.26 Mx=-0.01 Mz=-0.79
Sollecitazioni agenti localmente: Ty_l=-896.59 Mx_l=-17.93
Tensioni nella sezione: σ=217.35 τ=27.17
CC 18 SLD (Collegamento 0023_-380)
Azioni sul collegamento: N=-4931.25 Ty=-0.54 Tz=-5.26 Mx=-0.01 Mz=-1.22
Sollecitazioni agenti localmente: Ty_l=-896.59 Mx_l=-17.93
Tensioni nella sezione: σ=217.35 τ=27.17
CC 18 SLD (Collegamento 0023_-380)
Azioni sul collegamento: N=-6335.90 Ty=-0.32 Tz=-0.05 Mx=-0.01 Mz=-0.79
Sollecitazioni agenti localmente: Ty_l=-1151.98 Mx_l=-23.04
Tensioni nella sezione: σ=279.27 τ=34.91
CC 18 SLD (Collegamento 0023_-380)
Azioni sul collegamento: N=-6335.90 Ty=-0.54 Tz=-0.05 Mx=-0.01 Mz=-1.22
Sollecitazioni agenti localmente: Ty_l=-1151.98 Mx_l=-23.04
Tensioni nella sezione: σ=279.27 τ=34.91
CC 18 SLD (Collegamento 0023_-380)
Azioni sul collegamento: N=-6335.90 Ty=-0.32 Tz=-5.26 Mx=-0.01 Mz=-0.79
Sollecitazioni agenti localmente: Ty_l=-1151.98 Mx_l=-23.04
Tensioni nella sezione: σ=279.27 τ=34.91
CC 18 SLD (Collegamento 0023_-380)
Azioni sul collegamento: N=-6335.90 Ty=-0.54 Tz=-5.26 Mx=-0.01 Mz=-1.22
Sollecitazioni agenti localmente: Ty_l=-1151.98 Mx_l=-23.04
Tensioni nella sezione: σ=279.27 τ=34.91
CC 19 SLV (Collegamento 0023_-380)
Azioni sul collegamento: N=-3330.55 Ty=-1.58 Tz=5.89 Mx=-0.01 Mz=-3.71
Sollecitazioni agenti localmente: Ty_l=-605.55 Mx_l=-12.11
Tensioni nella sezione: σ=146.80 τ=18.35
CC 19 SLV (Collegamento 0023_-380)
Azioni sul collegamento: N=-3330.55 Ty=-0.90 Tz=5.89 Mx=-0.01 Mz=-2.40
Sollecitazioni agenti localmente: Ty_l=-605.55 Mx_l=-12.11
Tensioni nella sezione: σ=146.80 τ=18.35
CC 19 SLV (Collegamento 0023_-380)
Azioni sul collegamento: N=-3330.55 Ty=-1.58 Tz=-11.19 Mx=-0.01 Mz=-3.71
Sollecitazioni agenti localmente: Ty_l=-605.55 Mx_l=-12.11
Tensioni nella sezione: σ=146.80 τ=18.35
CC 19 SLV (Collegamento 0023_-380)
Azioni sul collegamento: N=-3330.55 Ty=-0.90 Tz=-11.19 Mx=-0.01 Mz=-2.40
Sollecitazioni agenti localmente: Ty_l=-605.55 Mx_l=-12.11
Tensioni nella sezione: σ=146.80 τ=18.35
CC 19 SLV (Collegamento 0023_-380)
Azioni sul collegamento: N=-7936.97 Ty=-1.58 Tz=5.89 Mx=-0.01 Mz=-3.71

Sollecitazioni agenti localmente: Ty_l=-1443.09 Mx_l=-28.86
Tensioni nella sezione: σ=349.84 τ=43.73
CC 19 SLV (Collegamento 0023_-380)
Azioni sul collegamento: N=-7936.97 Ty=-0.90 Tz=5.89 Mx=-0.01 Mz=-2.40
Sollecitazioni agenti localmente: Ty_l=-1443.09 Mx_l=-28.86
Tensioni nella sezione: σ=349.84 τ=43.73
CC 19 SLV (Collegamento 0023_-380)
Azioni sul collegamento: N=-7936.97 Ty=-1.58 Tz=-11.19 Mx=-0.01 Mz=-3.71
Sollecitazioni agenti localmente: Ty_l=-1443.09 Mx_l=-28.86
Tensioni nella sezione: σ=349.84 τ=43.73
CC 19 SLV (Collegamento 0023_-380)
Azioni sul collegamento: N=-7936.97 Ty=-0.90 Tz=-11.19 Mx=-0.01 Mz=-2.40
Sollecitazioni agenti localmente: Ty_l=-1443.09 Mx_l=-28.86
Tensioni nella sezione: σ=349.84 τ=43.73
CC 20 SLD (Collegamento 0023_-380)
Azioni sul collegamento: N=-4931.25 Ty=-0.53 Tz=-0.05 Mx=-0.00 Mz=-1.20
Sollecitazioni agenti localmente: Ty_l=-896.59 Mx_l=-17.93
Tensioni nella sezione: σ=217.35 τ=27.17
CC 20 SLD (Collegamento 0023_-380)
Azioni sul collegamento: N=-4931.25 Ty=-0.33 Tz=-0.05 Mx=-0.00 Mz=-0.80
Sollecitazioni agenti localmente: Ty_l=-896.59 Mx_l=-17.93
Tensioni nella sezione: σ=217.35 τ=27.17
CC 20 SLD (Collegamento 0023_-380)
Azioni sul collegamento: N=-4931.25 Ty=-0.53 Tz=-5.26 Mx=-0.00 Mz=-1.20
Sollecitazioni agenti localmente: Ty_l=-896.59 Mx_l=-17.93
Tensioni nella sezione: σ=217.35 τ=27.17
CC 20 SLD (Collegamento 0023_-380)
Azioni sul collegamento: N=-4931.25 Ty=-0.33 Tz=-5.26 Mx=-0.00 Mz=-0.80
Sollecitazioni agenti localmente: Ty_l=-896.59 Mx_l=-17.93
Tensioni nella sezione: σ=217.35 τ=27.17
CC 20 SLD (Collegamento 0023_-380)
Azioni sul collegamento: N=-6335.90 Ty=-0.53 Tz=-0.05 Mx=-0.00 Mz=-1.20
Sollecitazioni agenti localmente: Ty_l=-1151.98 Mx_l=-23.04
Tensioni nella sezione: σ=279.27 τ=34.91
CC 20 SLD (Collegamento 0023_-380)
Azioni sul collegamento: N=-6335.90 Ty=-0.33 Tz=-0.05 Mx=-0.00 Mz=-0.80
Sollecitazioni agenti localmente: Ty_l=-1151.98 Mx_l=-23.04
Tensioni nella sezione: σ=279.27 τ=34.91
CC 20 SLD (Collegamento 0023_-380)
Azioni sul collegamento: N=-6335.90 Ty=-0.53 Tz=-5.26 Mx=-0.00 Mz=-1.20
Sollecitazioni agenti localmente: Ty_l=-1151.98 Mx_l=-23.04
Tensioni nella sezione: σ=279.27 τ=34.91
CC 20 SLD (Collegamento 0023_-380)
Azioni sul collegamento: N=-6335.90 Ty=-0.33 Tz=-5.26 Mx=-0.00 Mz=-0.80
Sollecitazioni agenti localmente: Ty_l=-1151.98 Mx_l=-23.04
Tensioni nella sezione: σ=279.27 τ=34.91
CC 21 SLV (Collegamento 0023_-380)
Azioni sul collegamento: N=-7936.97 Ty=-0.90 Tz=-11.19 Mx=-0.02 Mz=-2.40
Sollecitazioni agenti localmente: Ty_l=-1443.09 Mx_l=-28.86
Tensioni nella sezione: σ=349.84 τ=43.73
CC 21 SLV (Collegamento 0023_-380)
Azioni sul collegamento: N=-7936.97 Ty=-1.58 Tz=-11.19 Mx=-0.02 Mz=-3.71
Sollecitazioni agenti localmente: Ty_l=-1443.09 Mx_l=-28.86
Tensioni nella sezione: σ=349.84 τ=43.73
CC 21 SLV (Collegamento 0023_-380)
Azioni sul collegamento: N=-7936.97 Ty=-0.90 Tz=5.89 Mx=-0.02 Mz=-2.40
Sollecitazioni agenti localmente: Ty_l=-1443.09 Mx_l=-28.86
Tensioni nella sezione: σ=349.84 τ=43.73
CC 21 SLV (Collegamento 0023_-380)
Azioni sul collegamento: N=-7936.97 Ty=-1.58 Tz=5.89 Mx=-0.02 Mz=-3.71
Sollecitazioni agenti localmente: Ty_l=-1443.09 Mx_l=-28.86
Tensioni nella sezione: σ=349.84 τ=43.73
CC 21 SLV (Collegamento 0023_-380)
Azioni sul collegamento: N=-3330.55 Ty=-0.90 Tz=-11.19 Mx=-0.02 Mz=-2.40
Sollecitazioni agenti localmente: Ty_l=-605.55 Mx_l=-12.11
Tensioni nella sezione: σ=146.80 τ=18.35
CC 21 SLV (Collegamento 0023_-380)
Azioni sul collegamento: N=-3330.55 Ty=-1.58 Tz=-11.19 Mx=-0.02 Mz=-3.71
Sollecitazioni agenti localmente: Ty_l=-605.55 Mx_l=-12.11
Tensioni nella sezione: σ=146.80 τ=18.35
CC 21 SLV (Collegamento 0023_-380)
Azioni sul collegamento: N=-3330.55 Ty=-0.90 Tz=5.89 Mx=-0.02 Mz=-2.40
Sollecitazioni agenti localmente: Ty_l=-605.55 Mx_l=-12.11
Tensioni nella sezione: σ=146.80 τ=18.35
CC 21 SLV (Collegamento 0023_-380)
Azioni sul collegamento: N=-3330.55 Ty=-1.58 Tz=5.89 Mx=-0.02 Mz=-3.71
Sollecitazioni agenti localmente: Ty_l=-605.55 Mx_l=-12.11
Tensioni nella sezione: σ=146.80 τ=18.35
CC 22 SLD (Collegamento 0023_-380)
Azioni sul collegamento: N=-6335.90 Ty=-0.33 Tz=-5.26 Mx=-0.01 Mz=-0.80

Sollecitazioni agenti localmente: Ty_l=-1151.98 Mx_l=-23.04
Tensioni nella sezione: σ=279.27 τ=34.91
CC 22 SLD (Collegamento 0023_-380)
Azioni sul collegamento: N=-6335.90 Ty=-0.53 Tz=-5.26 Mx=-0.01 Mz=-1.20
Sollecitazioni agenti localmente: Ty_l=-1151.98 Mx_l=-23.04
Tensioni nella sezione: σ=279.27 τ=34.91
CC 22 SLD (Collegamento 0023_-380)
Azioni sul collegamento: N=-6335.90 Ty=-0.33 Tz=-0.05 Mx=-0.01 Mz=-0.80
Sollecitazioni agenti localmente: Ty_l=-1151.98 Mx_l=-23.04
Tensioni nella sezione: σ=279.27 τ=34.91
CC 22 SLD (Collegamento 0023_-380)
Azioni sul collegamento: N=-6335.90 Ty=-0.53 Tz=-0.05 Mx=-0.01 Mz=-1.20
Sollecitazioni agenti localmente: Ty_l=-1151.98 Mx_l=-23.04
Tensioni nella sezione: σ=279.27 τ=34.91
CC 22 SLD (Collegamento 0023_-380)
Azioni sul collegamento: N=-4931.25 Ty=-0.33 Tz=-5.26 Mx=-0.01 Mz=-0.80
Sollecitazioni agenti localmente: Ty_l=-896.59 Mx_l=-17.93
Tensioni nella sezione: σ=217.35 τ=27.17
CC 22 SLD (Collegamento 0023_-380)
Azioni sul collegamento: N=-4931.25 Ty=-0.53 Tz=-5.26 Mx=-0.01 Mz=-1.20
Sollecitazioni agenti localmente: Ty_l=-896.59 Mx_l=-17.93
Tensioni nella sezione: σ=217.35 τ=27.17
CC 22 SLD (Collegamento 0023_-380)
Azioni sul collegamento: N=-4931.25 Ty=-0.33 Tz=-0.05 Mx=-0.01 Mz=-0.80
Sollecitazioni agenti localmente: Ty_l=-896.59 Mx_l=-17.93
Tensioni nella sezione: σ=217.35 τ=27.17
CC 22 SLD (Collegamento 0023_-380)
Azioni sul collegamento: N=-4931.25 Ty=-0.53 Tz=-0.05 Mx=-0.01 Mz=-1.20
Sollecitazioni agenti localmente: Ty_l=-896.59 Mx_l=-17.93
Tensioni nella sezione: σ=217.35 τ=27.17
CC 23 SLV (Collegamento 0023_-380)
Azioni sul collegamento: N=-7936.99 Ty=-1.59 Tz=-11.19 Mx=-0.01 Mz=-3.75
Sollecitazioni agenti localmente: Ty_l=-1443.09 Mx_l=-28.86
Tensioni nella sezione: σ=349.84 τ=43.73
CC 23 SLV (Collegamento 0023_-380)
Azioni sul collegamento: N=-7936.99 Ty=-0.88 Tz=-11.19 Mx=-0.01 Mz=-2.36
Sollecitazioni agenti localmente: Ty_l=-1443.09 Mx_l=-28.86
Tensioni nella sezione: σ=349.84 τ=43.73
CC 23 SLV (Collegamento 0023_-380)
Azioni sul collegamento: N=-7936.99 Ty=-1.59 Tz=5.89 Mx=-0.01 Mz=-3.75
Sollecitazioni agenti localmente: Ty_l=-1443.09 Mx_l=-28.86
Tensioni nella sezione: σ=349.84 τ=43.73
CC 23 SLV (Collegamento 0023_-380)
Azioni sul collegamento: N=-7936.99 Ty=-0.88 Tz=5.89 Mx=-0.01 Mz=-2.36
Sollecitazioni agenti localmente: Ty_l=-1443.09 Mx_l=-28.86
Tensioni nella sezione: σ=349.84 τ=43.73
CC 23 SLV (Collegamento 0023_-380)
Azioni sul collegamento: N=-3330.52 Ty=-1.59 Tz=-11.19 Mx=-0.01 Mz=-3.75
Sollecitazioni agenti localmente: Ty_l=-605.55 Mx_l=-12.11
Tensioni nella sezione: σ=146.80 τ=18.35
CC 23 SLV (Collegamento 0023_-380)
Azioni sul collegamento: N=-3330.52 Ty=-0.88 Tz=-11.19 Mx=-0.01 Mz=-2.36
Sollecitazioni agenti localmente: Ty_l=-605.55 Mx_l=-12.11
Tensioni nella sezione: σ=146.80 τ=18.35
CC 23 SLV (Collegamento 0023_-380)
Azioni sul collegamento: N=-3330.52 Ty=-1.59 Tz=5.89 Mx=-0.01 Mz=-3.75
Sollecitazioni agenti localmente: Ty_l=-605.55 Mx_l=-12.11
Tensioni nella sezione: σ=146.80 τ=18.35
CC 23 SLV (Collegamento 0023_-380)
Azioni sul collegamento: N=-3330.52 Ty=-0.88 Tz=5.89 Mx=-0.01 Mz=-2.36
Sollecitazioni agenti localmente: Ty_l=-605.55 Mx_l=-12.11
Tensioni nella sezione: σ=146.80 τ=18.35
CC 24 SLD (Collegamento 0023_-380)
Azioni sul collegamento: N=-6335.90 Ty=-0.54 Tz=-5.26 Mx=-0.00 Mz=-1.22
Sollecitazioni agenti localmente: Ty_l=-1151.98 Mx_l=-23.04
Tensioni nella sezione: σ=279.27 τ=34.91
CC 24 SLD (Collegamento 0023_-380)
Azioni sul collegamento: N=-6335.90 Ty=-0.32 Tz=-5.26 Mx=-0.00 Mz=-0.79
Sollecitazioni agenti localmente: Ty_l=-1151.98 Mx_l=-23.04
Tensioni nella sezione: σ=279.27 τ=34.91
CC 24 SLD (Collegamento 0023_-380)
Azioni sul collegamento: N=-6335.90 Ty=-0.54 Tz=-0.05 Mx=-0.00 Mz=-1.22
Sollecitazioni agenti localmente: Ty_l=-1151.98 Mx_l=-23.04
Tensioni nella sezione: σ=279.27 τ=34.91
CC 24 SLD (Collegamento 0023_-380)
Azioni sul collegamento: N=-6335.90 Ty=-0.32 Tz=-0.05 Mx=-0.00 Mz=-0.79
Sollecitazioni agenti localmente: Ty_l=-1151.98 Mx_l=-23.04
Tensioni nella sezione: σ=279.27 τ=34.91
CC 24 SLD (Collegamento 0023_-380)
Azioni sul collegamento: N=-4931.25 Ty=-0.54 Tz=-5.26 Mx=-0.00 Mz=-1.22

Sollecitazioni agenti localmente: Ty_l=-896.59 Mx_l=-17.93
Tensioni nella sezione: σ=217.35 τ=27.17
CC 24 SLD (Collegamento 0023_-380)
Azioni sul collegamento: N=-4931.25 Ty=-0.32 Tz=-5.26 Mx=-0.00 Mz=-0.79
Sollecitazioni agenti localmente: Ty_l=-896.59 Mx_l=-17.93
Tensioni nella sezione: σ=217.35 τ=27.17
CC 24 SLD (Collegamento 0023_-380)
Azioni sul collegamento: N=-4931.25 Ty=-0.54 Tz=-0.05 Mx=-0.00 Mz=-1.22
Sollecitazioni agenti localmente: Ty_l=-896.59 Mx_l=-17.93
Tensioni nella sezione: σ=217.35 τ=27.17
CC 24 SLD (Collegamento 0023_-380)
Azioni sul collegamento: N=-4931.25 Ty=-0.32 Tz=-0.05 Mx=-0.00 Mz=-0.79
Sollecitazioni agenti localmente: Ty_l=-896.59 Mx_l=-17.93
Tensioni nella sezione: σ=217.35 τ=27.17
CC 25 SLV (Collegamento 0023_-380)
Azioni sul collegamento: N=-4942.75 Ty=-0.08 Tz=-0.09 Mx=-0.02 Mz=-0.80
Sollecitazioni agenti localmente: Ty_l=-898.68 Mx_l=-17.97
Tensioni nella sezione: σ=217.86 τ=27.23
CC 25 SLV (Collegamento 0023_-380)
Azioni sul collegamento: N=-4942.75 Ty=-2.39 Tz=-0.09 Mx=-0.02 Mz=-5.32
Sollecitazioni agenti localmente: Ty_l=-898.68 Mx_l=-17.97
Tensioni nella sezione: σ=217.86 τ=27.23
CC 25 SLV (Collegamento 0023_-380)
Azioni sul collegamento: N=-4942.75 Ty=-0.08 Tz=-5.22 Mx=-0.02 Mz=-0.80
Sollecitazioni agenti localmente: Ty_l=-898.68 Mx_l=-17.97
Tensioni nella sezione: σ=217.86 τ=27.23
CC 25 SLV (Collegamento 0023_-380)
Azioni sul collegamento: N=-4942.75 Ty=-2.39 Tz=-5.22 Mx=-0.02 Mz=-5.32
Sollecitazioni agenti localmente: Ty_l=-898.68 Mx_l=-17.97
Tensioni nella sezione: σ=217.86 τ=27.23
CC 25 SLV (Collegamento 0023_-380)
Azioni sul collegamento: N=-6324.76 Ty=-0.08 Tz=-0.09 Mx=-0.02 Mz=-0.80
Sollecitazioni agenti localmente: Ty_l=-1149.96 Mx_l=-23.00
Tensioni nella sezione: σ=278.78 τ=34.85
CC 25 SLV (Collegamento 0023_-380)
Azioni sul collegamento: N=-6324.76 Ty=-2.39 Tz=-0.09 Mx=-0.02 Mz=-5.32
Sollecitazioni agenti localmente: Ty_l=-1149.96 Mx_l=-23.00
Tensioni nella sezione: σ=278.78 τ=34.85
CC 25 SLV (Collegamento 0023_-380)
Azioni sul collegamento: N=-6324.76 Ty=-0.08 Tz=-5.22 Mx=-0.02 Mz=-0.80
Sollecitazioni agenti localmente: Ty_l=-1149.96 Mx_l=-23.00
Tensioni nella sezione: σ=278.78 τ=34.85
CC 25 SLV (Collegamento 0023_-380)
Azioni sul collegamento: N=-6324.76 Ty=-2.39 Tz=-5.22 Mx=-0.02 Mz=-5.32
Sollecitazioni agenti localmente: Ty_l=-1149.96 Mx_l=-23.00
Tensioni nella sezione: σ=278.78 τ=34.85
CC 26 SLD (Collegamento 0023_-380)
Azioni sul collegamento: N=-5422.87 Ty=-0.08 Tz=-1.87 Mx=-0.01 Mz=-0.31
Sollecitazioni agenti localmente: Ty_l=-985.98 Mx_l=-19.72
Tensioni nella sezione: σ=239.02 τ=29.88
CC 26 SLD (Collegamento 0023_-380)
Azioni sul collegamento: N=-5422.87 Ty=-0.78 Tz=-1.87 Mx=-0.01 Mz=-1.69
Sollecitazioni agenti localmente: Ty_l=-985.98 Mx_l=-19.72
Tensioni nella sezione: σ=239.02 τ=29.88
CC 26 SLD (Collegamento 0023_-380)
Azioni sul collegamento: N=-5422.87 Ty=-0.08 Tz=-3.44 Mx=-0.01 Mz=-0.31
Sollecitazioni agenti localmente: Ty_l=-985.98 Mx_l=-19.72
Tensioni nella sezione: σ=239.02 τ=29.88
CC 26 SLD (Collegamento 0023_-380)
Azioni sul collegamento: N=-5422.87 Ty=-0.78 Tz=-3.44 Mx=-0.01 Mz=-1.69
Sollecitazioni agenti localmente: Ty_l=-985.98 Mx_l=-19.72
Tensioni nella sezione: σ=239.02 τ=29.88
CC 26 SLD (Collegamento 0023_-380)
Azioni sul collegamento: N=-5844.28 Ty=-0.08 Tz=-1.87 Mx=-0.01 Mz=-0.31
Sollecitazioni agenti localmente: Ty_l=-1062.60 Mx_l=-21.25
Tensioni nella sezione: σ=257.60 τ=32.20
CC 26 SLD (Collegamento 0023_-380)
Azioni sul collegamento: N=-5844.28 Ty=-0.78 Tz=-1.87 Mx=-0.01 Mz=-1.69
Sollecitazioni agenti localmente: Ty_l=-1062.60 Mx_l=-21.25
Tensioni nella sezione: σ=257.60 τ=32.20
CC 26 SLD (Collegamento 0023_-380)
Azioni sul collegamento: N=-5844.28 Ty=-0.08 Tz=-3.44 Mx=-0.01 Mz=-0.31
Sollecitazioni agenti localmente: Ty_l=-1062.60 Mx_l=-21.25
Tensioni nella sezione: σ=257.60 τ=32.20
CC 26 SLD (Collegamento 0023_-380)
Azioni sul collegamento: N=-5844.28 Ty=-0.78 Tz=-3.44 Mx=-0.01 Mz=-1.69
Sollecitazioni agenti localmente: Ty_l=-1062.60 Mx_l=-21.25
Tensioni nella sezione: σ=257.60 τ=32.20
CC 27 SLV (Collegamento 0023_-380)
Azioni sul collegamento: N=-6324.69 Ty=-0.09 Tz=-5.21 Mx=-0.02 Mz=-0.81

Sollecitazioni agenti localmente: Ty_l=-1149.94 Mx_l=-23.00
Tensioni nella sezione: σ=278.77 τ=34.85
CC 27 SLV (Collegamento 0023_-380)
Azioni sul collegamento: N=-6324.69 Ty=-2.39 Tz=-5.21 Mx=-0.02 Mz=-5.31
Sollecitazioni agenti localmente: Ty_l=-1149.94 Mx_l=-23.00
Tensioni nella sezione: σ=278.77 τ=34.85
CC 27 SLV (Collegamento 0023_-380)
Azioni sul collegamento: N=-6324.69 Ty=-0.09 Tz=-0.09 Mx=-0.02 Mz=-0.81
Sollecitazioni agenti localmente: Ty_l=-1149.94 Mx_l=-23.00
Tensioni nella sezione: σ=278.77 τ=34.85
CC 27 SLV (Collegamento 0023_-380)
Azioni sul collegamento: N=-6324.69 Ty=-2.39 Tz=-0.09 Mx=-0.02 Mz=-5.31
Sollecitazioni agenti localmente: Ty_l=-1149.94 Mx_l=-23.00
Tensioni nella sezione: σ=278.77 τ=34.85
CC 27 SLV (Collegamento 0023_-380)
Azioni sul collegamento: N=-4942.83 Ty=-0.09 Tz=-5.21 Mx=-0.02 Mz=-0.81
Sollecitazioni agenti localmente: Ty_l=-898.70 Mx_l=-17.97
Tensioni nella sezione: σ=217.87 τ=27.23
CC 27 SLV (Collegamento 0023_-380)
Azioni sul collegamento: N=-4942.83 Ty=-2.39 Tz=-5.21 Mx=-0.02 Mz=-5.31
Sollecitazioni agenti localmente: Ty_l=-898.70 Mx_l=-17.97
Tensioni nella sezione: σ=217.87 τ=27.23
CC 27 SLV (Collegamento 0023_-380)
Azioni sul collegamento: N=-4942.83 Ty=-0.09 Tz=-0.09 Mx=-0.02 Mz=-0.81
Sollecitazioni agenti localmente: Ty_l=-898.70 Mx_l=-17.97
Tensioni nella sezione: σ=217.87 τ=27.23
CC 27 SLV (Collegamento 0023_-380)
Azioni sul collegamento: N=-4942.83 Ty=-2.39 Tz=-0.09 Mx=-0.02 Mz=-5.31
Sollecitazioni agenti localmente: Ty_l=-898.70 Mx_l=-17.97
Tensioni nella sezione: σ=217.87 τ=27.23
CC 28 SLD (Collegamento 0023_-380)
Azioni sul collegamento: N=-5844.26 Ty=-0.08 Tz=-3.43 Mx=-0.01 Mz=-0.32
Sollecitazioni agenti localmente: Ty_l=-1062.59 Mx_l=-21.25
Tensioni nella sezione: σ=257.60 τ=32.20
CC 28 SLD (Collegamento 0023_-380)
Azioni sul collegamento: N=-5844.26 Ty=-0.78 Tz=-3.43 Mx=-0.01 Mz=-1.69
Sollecitazioni agenti localmente: Ty_l=-1062.59 Mx_l=-21.25
Tensioni nella sezione: σ=257.60 τ=32.20
CC 28 SLD (Collegamento 0023_-380)
Azioni sul collegamento: N=-5844.26 Ty=-0.08 Tz=-1.87 Mx=-0.01 Mz=-0.32
Sollecitazioni agenti localmente: Ty_l=-1062.59 Mx_l=-21.25
Tensioni nella sezione: σ=257.60 τ=32.20
CC 28 SLD (Collegamento 0023_-380)
Azioni sul collegamento: N=-5844.26 Ty=-0.78 Tz=-1.87 Mx=-0.01 Mz=-1.69
Sollecitazioni agenti localmente: Ty_l=-1062.59 Mx_l=-21.25
Tensioni nella sezione: σ=257.60 τ=32.20
CC 28 SLD (Collegamento 0023_-380)
Azioni sul collegamento: N=-5422.89 Ty=-0.08 Tz=-3.43 Mx=-0.01 Mz=-0.32
Sollecitazioni agenti localmente: Ty_l=-985.98 Mx_l=-19.72
Tensioni nella sezione: σ=239.03 τ=29.88
CC 28 SLD (Collegamento 0023_-380)
Azioni sul collegamento: N=-5422.89 Ty=-0.78 Tz=-3.43 Mx=-0.01 Mz=-1.69
Sollecitazioni agenti localmente: Ty_l=-985.98 Mx_l=-19.72
Tensioni nella sezione: σ=239.03 τ=29.88
CC 28 SLD (Collegamento 0023_-380)
Azioni sul collegamento: N=-5422.89 Ty=-0.08 Tz=-1.87 Mx=-0.01 Mz=-0.32
Sollecitazioni agenti localmente: Ty_l=-985.98 Mx_l=-19.72
Tensioni nella sezione: σ=239.03 τ=29.88
CC 28 SLD (Collegamento 0023_-380)
Azioni sul collegamento: N=-5422.89 Ty=-0.78 Tz=-1.87 Mx=-0.01 Mz=-1.69
Sollecitazioni agenti localmente: Ty_l=-985.98 Mx_l=-19.72
Tensioni nella sezione: σ=239.03 τ=29.88
CC 29 SLV (Collegamento 0023_-380)
Azioni sul collegamento: N=-4942.83 Ty=-2.39 Tz=-0.09 Mx=-0.00 Mz=-5.31
Sollecitazioni agenti localmente: Ty_l=-898.70 Mx_l=-17.97
Tensioni nella sezione: σ=217.87 τ=27.23
CC 29 SLV (Collegamento 0023_-380)
Azioni sul collegamento: N=-4942.83 Ty=-0.09 Tz=-0.09 Mx=-0.00 Mz=-0.81
Sollecitazioni agenti localmente: Ty_l=-898.70 Mx_l=-17.97
Tensioni nella sezione: σ=217.87 τ=27.23
CC 29 SLV (Collegamento 0023_-380)
Azioni sul collegamento: N=-4942.83 Ty=-2.39 Tz=-5.21 Mx=-0.00 Mz=-5.31
Sollecitazioni agenti localmente: Ty_l=-898.70 Mx_l=-17.97
Tensioni nella sezione: σ=217.87 τ=27.23
CC 29 SLV (Collegamento 0023_-380)
Azioni sul collegamento: N=-4942.83 Ty=-0.09 Tz=-5.21 Mx=-0.00 Mz=-0.81
Sollecitazioni agenti localmente: Ty_l=-898.70 Mx_l=-17.97
Tensioni nella sezione: σ=217.87 τ=27.23
CC 29 SLV (Collegamento 0023_-380)
Azioni sul collegamento: N=-6324.69 Ty=-2.39 Tz=-0.09 Mx=-0.00 Mz=-5.31

Sollecitazioni agenti localmente: Ty_l=-1149.94 Mx_l=-23.00
Tensioni nella sezione: σ=278.77 τ=34.85
CC 29 SLV (Collegamento 0023_-380)
Azioni sul collegamento: N=-6324.69 Ty=-0.09 Tz=-0.09 Mx=-0.00 Mz=-0.81
Sollecitazioni agenti localmente: Ty_l=-1149.94 Mx_l=-23.00
Tensioni nella sezione: σ=278.77 τ=34.85
CC 29 SLV (Collegamento 0023_-380)
Azioni sul collegamento: N=-6324.69 Ty=-2.39 Tz=-5.21 Mx=-0.00 Mz=-5.31
Sollecitazioni agenti localmente: Ty_l=-1149.94 Mx_l=-23.00
Tensioni nella sezione: σ=278.77 τ=34.85
CC 29 SLV (Collegamento 0023_-380)
Azioni sul collegamento: N=-6324.69 Ty=-0.09 Tz=-5.21 Mx=-0.00 Mz=-0.81
Sollecitazioni agenti localmente: Ty_l=-1149.94 Mx_l=-23.00
Tensioni nella sezione: σ=278.77 τ=34.85
CC 30 SLD (Collegamento 0023_-380)
Azioni sul collegamento: N=-5422.89 Ty=-0.78 Tz=-1.87 Mx=-0.00 Mz=-1.69
Sollecitazioni agenti localmente: Ty_l=-985.98 Mx_l=-19.72
Tensioni nella sezione: σ=239.03 τ=29.88
CC 30 SLD (Collegamento 0023_-380)
Azioni sul collegamento: N=-5422.89 Ty=-0.08 Tz=-1.87 Mx=-0.00 Mz=-0.32
Sollecitazioni agenti localmente: Ty_l=-985.98 Mx_l=-19.72
Tensioni nella sezione: σ=239.03 τ=29.88
CC 30 SLD (Collegamento 0023_-380)
Azioni sul collegamento: N=-5422.89 Ty=-0.78 Tz=-3.43 Mx=-0.00 Mz=-1.69
Sollecitazioni agenti localmente: Ty_l=-985.98 Mx_l=-19.72
Tensioni nella sezione: σ=239.03 τ=29.88
CC 30 SLD (Collegamento 0023_-380)
Azioni sul collegamento: N=-5422.89 Ty=-0.08 Tz=-3.43 Mx=-0.00 Mz=-0.32
Sollecitazioni agenti localmente: Ty_l=-985.98 Mx_l=-19.72
Tensioni nella sezione: σ=239.03 τ=29.88
CC 30 SLD (Collegamento 0023_-380)
Azioni sul collegamento: N=-5844.26 Ty=-0.78 Tz=-1.87 Mx=-0.00 Mz=-1.69
Sollecitazioni agenti localmente: Ty_l=-1062.59 Mx_l=-21.25
Tensioni nella sezione: σ=257.60 τ=32.20
CC 30 SLD (Collegamento 0023_-380)
Azioni sul collegamento: N=-5844.26 Ty=-0.08 Tz=-1.87 Mx=-0.00 Mz=-0.32
Sollecitazioni agenti localmente: Ty_l=-1062.59 Mx_l=-21.25
Tensioni nella sezione: σ=257.60 τ=32.20
CC 30 SLD (Collegamento 0023_-380)
Azioni sul collegamento: N=-5844.26 Ty=-0.78 Tz=-3.43 Mx=-0.00 Mz=-1.69
Sollecitazioni agenti localmente: Ty_l=-1062.59 Mx_l=-21.25
Tensioni nella sezione: σ=257.60 τ=32.20
CC 30 SLD (Collegamento 0023_-380)
Azioni sul collegamento: N=-5844.26 Ty=-0.08 Tz=-3.43 Mx=-0.00 Mz=-0.32
Sollecitazioni agenti localmente: Ty_l=-1062.59 Mx_l=-21.25
Tensioni nella sezione: σ=257.60 τ=32.20
CC 31 SLV (Collegamento 0023_-380)
Azioni sul collegamento: N=-6324.76 Ty=-2.39 Tz=-5.22 Mx=-0.00 Mz=-5.32
Sollecitazioni agenti localmente: Ty_l=-1149.96 Mx_l=-23.00
Tensioni nella sezione: σ=278.78 τ=34.85
CC 31 SLV (Collegamento 0023_-380)
Azioni sul collegamento: N=-6324.76 Ty=-0.08 Tz=-5.22 Mx=-0.00 Mz=-0.80
Sollecitazioni agenti localmente: Ty_l=-1149.96 Mx_l=-23.00
Tensioni nella sezione: σ=278.78 τ=34.85
CC 31 SLV (Collegamento 0023_-380)
Azioni sul collegamento: N=-6324.76 Ty=-2.39 Tz=-0.09 Mx=-0.00 Mz=-5.32
Sollecitazioni agenti localmente: Ty_l=-1149.96 Mx_l=-23.00
Tensioni nella sezione: σ=278.78 τ=34.85
CC 31 SLV (Collegamento 0023_-380)
Azioni sul collegamento: N=-6324.76 Ty=-0.08 Tz=-0.09 Mx=-0.00 Mz=-0.80
Sollecitazioni agenti localmente: Ty_l=-1149.96 Mx_l=-23.00
Tensioni nella sezione: σ=278.78 τ=34.85
CC 31 SLV (Collegamento 0023_-380)
Azioni sul collegamento: N=-4942.75 Ty=-2.39 Tz=-5.22 Mx=-0.00 Mz=-5.32
Sollecitazioni agenti localmente: Ty_l=-898.68 Mx_l=-17.97
Tensioni nella sezione: σ=217.86 τ=27.23
CC 31 SLV (Collegamento 0023_-380)
Azioni sul collegamento: N=-4942.75 Ty=-0.08 Tz=-5.22 Mx=-0.00 Mz=-0.80
Sollecitazioni agenti localmente: Ty_l=-898.68 Mx_l=-17.97
Tensioni nella sezione: σ=217.86 τ=27.23
CC 31 SLV (Collegamento 0023_-380)
Azioni sul collegamento: N=-4942.75 Ty=-2.39 Tz=-0.09 Mx=-0.00 Mz=-5.32
Sollecitazioni agenti localmente: Ty_l=-898.68 Mx_l=-17.97
Tensioni nella sezione: σ=217.86 τ=27.23
CC 31 SLV (Collegamento 0023_-380)
Azioni sul collegamento: N=-4942.75 Ty=-0.08 Tz=-0.09 Mx=-0.00 Mz=-0.80
Sollecitazioni agenti localmente: Ty_l=-898.68 Mx_l=-17.97
Tensioni nella sezione: σ=217.86 τ=27.23
CC 32 SLD (Collegamento 0023_-380)
Azioni sul collegamento: N=-5844.28 Ty=-0.78 Tz=-3.44 Mx=-0.00 Mz=-1.69

Sollecitazioni agenti localmente: Ty_l=-1062.60 Mx_l=-21.25
Tensioni nella sezione: σ=257.60 τ=32.20
CC 32 SLD (Collegamento 0023_-380)
Azioni sul collegamento: N=-5844.28 Ty=-0.08 Tz=-3.44 Mx=-0.00 Mz=-0.31
Sollecitazioni agenti localmente: Ty_l=-1062.60 Mx_l=-21.25
Tensioni nella sezione: σ=257.60 τ=32.20
CC 32 SLD (Collegamento 0023_-380)
Azioni sul collegamento: N=-5844.28 Ty=-0.78 Tz=-1.87 Mx=-0.00 Mz=-1.69
Sollecitazioni agenti localmente: Ty_l=-1062.60 Mx_l=-21.25
Tensioni nella sezione: σ=257.60 τ=32.20
CC 32 SLD (Collegamento 0023_-380)
Azioni sul collegamento: N=-5844.28 Ty=-0.08 Tz=-1.87 Mx=-0.00 Mz=-0.31
Sollecitazioni agenti localmente: Ty_l=-1062.60 Mx_l=-21.25
Tensioni nella sezione: σ=257.60 τ=32.20
CC 32 SLD (Collegamento 0023_-380)
Azioni sul collegamento: N=-5422.87 Ty=-0.78 Tz=-3.44 Mx=-0.00 Mz=-1.69
Sollecitazioni agenti localmente: Ty_l=-985.98 Mx_l=-19.72
Tensioni nella sezione: σ=239.02 τ=29.88
CC 32 SLD (Collegamento 0023_-380)
Azioni sul collegamento: N=-5422.87 Ty=-0.08 Tz=-3.44 Mx=-0.00 Mz=-0.31
Sollecitazioni agenti localmente: Ty_l=-985.98 Mx_l=-19.72
Tensioni nella sezione: σ=239.02 τ=29.88
CC 32 SLD (Collegamento 0023_-380)
Azioni sul collegamento: N=-5422.87 Ty=-0.78 Tz=-1.87 Mx=-0.00 Mz=-1.69
Sollecitazioni agenti localmente: Ty_l=-985.98 Mx_l=-19.72
Tensioni nella sezione: σ=239.02 τ=29.88
CC 32 SLD (Collegamento 0023_-380)
Azioni sul collegamento: N=-5422.87 Ty=-0.08 Tz=-1.87 Mx=-0.00 Mz=-0.31
Sollecitazioni agenti localmente: Ty_l=-985.98 Mx_l=-19.72
Tensioni nella sezione: σ=239.02 τ=29.88
CC 33 SLU (Collegamento 0023_-380)
Azioni sul collegamento: N=-29447.20 Ty=-0.05 Tz=76.67 Mx=-0.00 Mz=-0.12
Sollecitazioni agenti localmente: Ty_l=-5354.03 Mx_l=-107.08
Tensioni nella sezione: σ=1297.94 τ=162.24
CC 34 SLU (Collegamento 0023_-380)
Azioni sul collegamento: N=-28967.90 Ty=-0.05 Tz=74.90 Mx=-0.00 Mz=-0.12
Sollecitazioni agenti localmente: Ty_l=-5266.89 Mx_l=-105.34
Tensioni nella sezione: σ=1276.82 τ=159.60
CC 35 SLU (Collegamento 0023_-380)
Azioni sul collegamento: N=-29207.50 Ty=-0.17 Tz=75.78 Mx=0.00 Mz=-0.35
Sollecitazioni agenti localmente: Ty_l=-5310.46 Mx_l=-106.21
Tensioni nella sezione: σ=1287.38 τ=160.92
CC 36 SLU (Collegamento 0023_-380)
Azioni sul collegamento: N=-29207.50 Ty=0.07 Tz=75.79 Mx=-0.00 Mz=0.12
Sollecitazioni agenti localmente: Ty_l=-5310.46 Mx_l=-106.21
Tensioni nella sezione: σ=1287.38 τ=160.92
CC 37 SLU (Collegamento 0023_-380)
Azioni sul collegamento: N=-19933.90 Ty=-0.08 Tz=41.69 Mx=-0.00 Mz=-0.13
Sollecitazioni agenti localmente: Ty_l=-3624.34 Mx_l=-72.49
Tensioni nella sezione: σ=878.63 τ=109.83
CC 38 SLU (Collegamento 0023_-380)
Azioni sul collegamento: N=-19454.60 Ty=-0.08 Tz=39.91 Mx=-0.00 Mz=-0.13
Sollecitazioni agenti localmente: Ty_l=-3537.19 Mx_l=-70.74
Tensioni nella sezione: σ=857.50 τ=107.19
CC 39 SLU (Collegamento 0023_-380)
Azioni sul collegamento: N=-19694.20 Ty=-0.20 Tz=40.80 Mx=0.00 Mz=-0.36
Sollecitazioni agenti localmente: Ty_l=-3580.76 Mx_l=-71.62
Tensioni nella sezione: σ=868.06 τ=108.51
CC 40 SLU (Collegamento 0023_-380)
Azioni sul collegamento: N=-19694.20 Ty=0.04 Tz=40.80 Mx=-0.00 Mz=0.10
Sollecitazioni agenti localmente: Ty_l=-3580.76 Mx_l=-71.62
Tensioni nella sezione: σ=868.06 τ=108.51
CC 41 SLU (Collegamento 0023_-380)
Azioni sul collegamento: N=-29632.10 Ty=-0.07 Tz=76.65 Mx=-0.00 Mz=-0.13
Sollecitazioni agenti localmente: Ty_l=-5387.66 Mx_l=-107.75
Tensioni nella sezione: σ=1306.10 τ=163.26
CC 42 SLU (Collegamento 0023_-380)
Azioni sul collegamento: N=-29152.80 Ty=-0.07 Tz=74.88 Mx=-0.00 Mz=-0.13
Sollecitazioni agenti localmente: Ty_l=-5300.51 Mx_l=-106.01
Tensioni nella sezione: σ=1284.97 τ=160.62
CC 43 SLU (Collegamento 0023_-380)
Azioni sul collegamento: N=-29392.40 Ty=-0.19 Tz=75.77 Mx=0.00 Mz=-0.36
Sollecitazioni agenti localmente: Ty_l=-5344.08 Mx_l=-106.88
Tensioni nella sezione: σ=1295.53 τ=161.94
CC 44 SLU (Collegamento 0023_-380)
Azioni sul collegamento: N=-29392.40 Ty=0.05 Tz=75.77 Mx=-0.00 Mz=0.10
Sollecitazioni agenti localmente: Ty_l=-5344.08 Mx_l=-106.88
Tensioni nella sezione: σ=1295.53 τ=161.94
CC 45 SLU (Collegamento 0023_-380)
Azioni sul collegamento: N=-22108.00 Ty=-0.08 Tz=49.75 Mx=-0.00 Mz=-0.14

Sollecitazioni agenti localmente: Ty_l=-4019.65 Mx_l=-80.39
Tensioni nella sezione: σ=974.46 τ=121.81
CC 46 SLU (Collegamento 0023_-380)
Azioni sul collegamento: N=-21628.70 Ty=-0.08 Tz=47.97 Mx=-0.00 Mz=-0.14
Sollecitazioni agenti localmente: Ty_l=-3932.50 Mx_l=-78.65
Tensioni nella sezione: σ=953.33 τ=119.17
CC 47 SLU (Collegamento 0023_-380)
Azioni sul collegamento: N=-21868.40 Ty=-0.20 Tz=48.86 Mx=0.00 Mz=-0.37
Sollecitazioni agenti localmente: Ty_l=-3976.07 Mx_l=-79.52
Tensioni nella sezione: σ=963.89 τ=120.49
CC 48 SLU (Collegamento 0023_-380)
Azioni sul collegamento: N=-21868.40 Ty=0.04 Tz=48.86 Mx=-0.00 Mz=0.10
Sollecitazioni agenti localmente: Ty_l=-3976.07 Mx_l=-79.52
Tensioni nella sezione: σ=963.89 τ=120.49
CC 49 SLU (Collegamento 0023_-380)
Azioni sul collegamento: N=-14990.70 Ty=-0.10 Tz=23.57 Mx=-0.00 Mz=-0.15
Sollecitazioni agenti localmente: Ty_l=-2725.58 Mx_l=-54.51
Tensioni nella sezione: σ=660.74 τ=82.59
CC 50 SLU (Collegamento 0023_-380)
Azioni sul collegamento: N=-14511.40 Ty=-0.10 Tz=21.80 Mx=-0.00 Mz=-0.15
Sollecitazioni agenti localmente: Ty_l=-2638.43 Mx_l=-52.77
Tensioni nella sezione: σ=639.62 τ=79.95
CC 51 SLU (Collegamento 0023_-380)
Azioni sul collegamento: N=-14751.00 Ty=-0.22 Tz=22.68 Mx=0.00 Mz=-0.38
Sollecitazioni agenti localmente: Ty_l=-2682.00 Mx_l=-53.64
Tensioni nella sezione: σ=650.18 τ=81.27
CC 52 SLU (Collegamento 0023_-380)
Azioni sul collegamento: N=-14751.00 Ty=0.02 Tz=22.69 Mx=-0.00 Mz=0.09
Sollecitazioni agenti localmente: Ty_l=-2682.00 Mx_l=-53.64
Tensioni nella sezione: σ=650.18 τ=81.27
CC 53 SLU (Collegamento 0023_-380)
Azioni sul collegamento: N=-22246.40 Ty=-0.10 Tz=49.73 Mx=-0.00 Mz=-0.15
Sollecitazioni agenti localmente: Ty_l=-4044.80 Mx_l=-80.90
Tensioni nella sezione: σ=980.55 τ=122.57
CC 54 SLU (Collegamento 0023_-380)
Azioni sul collegamento: N=-21767.10 Ty=-0.10 Tz=47.96 Mx=-0.00 Mz=-0.15
Sollecitazioni agenti localmente: Ty_l=-3957.65 Mx_l=-79.15
Tensioni nella sezione: σ=959.43 τ=119.93
CC 55 SLU (Collegamento 0023_-380)
Azioni sul collegamento: N=-22006.70 Ty=-0.22 Tz=48.85 Mx=0.00 Mz=-0.38
Sollecitazioni agenti localmente: Ty_l=-4001.23 Mx_l=-80.02
Tensioni nella sezione: σ=969.99 τ=121.25
CC 56 SLU (Collegamento 0023_-380)
Azioni sul collegamento: N=-22006.70 Ty=0.02 Tz=48.85 Mx=-0.00 Mz=0.09
Sollecitazioni agenti localmente: Ty_l=-4001.22 Mx_l=-80.02
Tensioni nella sezione: σ=969.99 τ=121.25
CC 57 SLU (Collegamento 0023_-380)
Azioni sul collegamento: N=-20646.20 Ty=-0.07 Tz=44.37 Mx=-0.00 Mz=-0.13
Sollecitazioni agenti localmente: Ty_l=-3753.86 Mx_l=-75.08
Tensioni nella sezione: σ=910.03 τ=113.75
CC 58 SLU (Collegamento 0023_-380)
Azioni sul collegamento: N=-20166.90 Ty=-0.07 Tz=42.59 Mx=-0.00 Mz=-0.13
Sollecitazioni agenti localmente: Ty_l=-3666.72 Mx_l=-73.33
Tensioni nella sezione: σ=888.90 τ=111.11
CC 59 SLU (Collegamento 0023_-380)
Azioni sul collegamento: N=-20406.60 Ty=-0.19 Tz=43.48 Mx=0.00 Mz=-0.36
Sollecitazioni agenti localmente: Ty_l=-3710.29 Mx_l=-74.21
Tensioni nella sezione: σ=899.46 τ=112.43
CC 60 SLU (Collegamento 0023_-380)
Azioni sul collegamento: N=-20406.60 Ty=0.05 Tz=43.48 Mx=-0.00 Mz=0.10
Sollecitazioni agenti localmente: Ty_l=-3710.29 Mx_l=-74.21
Tensioni nella sezione: σ=899.46 τ=112.43
CC 61 SLU (Collegamento 0023_-380)
Azioni sul collegamento: N=-13528.90 Ty=-0.09 Tz=18.19 Mx=-0.00 Mz=-0.14
Sollecitazioni agenti localmente: Ty_l=-2459.80 Mx_l=-49.20
Tensioni nella sezione: σ=596.31 τ=74.54
CC 62 SLU (Collegamento 0023_-380)
Azioni sul collegamento: N=-13049.60 Ty=-0.10 Tz=16.41 Mx=-0.00 Mz=-0.14
Sollecitazioni agenti localmente: Ty_l=-2372.65 Mx_l=-47.45
Tensioni nella sezione: σ=575.19 τ=71.90
CC 63 SLU (Collegamento 0023_-380)
Azioni sul collegamento: N=-13289.20 Ty=-0.21 Tz=17.30 Mx=0.00 Mz=-0.37
Sollecitazioni agenti localmente: Ty_l=-2416.22 Mx_l=-48.32
Tensioni nella sezione: σ=585.75 τ=73.22
CC 64 SLU (Collegamento 0023_-380)
Azioni sul collegamento: N=-13289.20 Ty=0.02 Tz=17.30 Mx=-0.00 Mz=0.10
Sollecitazioni agenti localmente: Ty_l=-2416.22 Mx_l=-48.32
Tensioni nella sezione: σ=585.75 τ=73.22
CC 65 SLU (Collegamento 0023_-380)
Azioni sul collegamento: N=-20784.60 Ty=-0.09 Tz=44.35 Mx=-0.00 Mz=-0.14

Sollecitazioni agenti localmente: Ty_l=-3779.02 Mx_l=-75.58
Tensioni nella sezione: σ=916.12 τ=114.52
CC 66 SLU (Collegamento 0023_-380)
Azioni sul collegamento: N=-20305.30 Ty=-0.09 Tz=42.57 Mx=-0.00 Mz=-0.14
Sollecitazioni agenti localmente: Ty_l=-3691.87 Mx_l=-73.84
Tensioni nella sezione: σ=895.00 τ=111.88
CC 67 SLU (Collegamento 0023_-380)
Azioni sul collegamento: N=-20544.90 Ty=-0.21 Tz=43.46 Mx=0.00 Mz=-0.37
Sollecitazioni agenti localmente: Ty_l=-3735.45 Mx_l=-74.71
Tensioni nella sezione: σ=905.56 τ=113.19
CC 68 SLU (Collegamento 0023_-380)
Azioni sul collegamento: N=-20544.90 Ty=0.03 Tz=43.46 Mx=-0.00 Mz=0.10
Sollecitazioni agenti localmente: Ty_l=-3735.44 Mx_l=-74.71
Tensioni nella sezione: σ=905.56 τ=113.19
CC 97 SLU (Collegamento 0023_-380)
Azioni sul collegamento: N=-12582.10 Ty=-12.27 Tz=22.98 Mx=-0.04 Mz=-17.61
Sollecitazioni agenti localmente: Ty_l=-2287.66 Mx_l=-45.75
Tensioni nella sezione: σ=554.58 τ=69.32
CC 98 SLU (Collegamento 0023_-380)
Azioni sul collegamento: N=-12102.80 Ty=-12.27 Tz=21.21 Mx=-0.04 Mz=-17.61
Sollecitazioni agenti localmente: Ty_l=-2200.51 Mx_l=-44.01
Tensioni nella sezione: σ=533.46 τ=66.68
CC 99 SLU (Collegamento 0023_-380)
Azioni sul collegamento: N=-12342.50 Ty=-12.39 Tz=22.09 Mx=-0.04 Mz=-17.84
Sollecitazioni agenti localmente: Ty_l=-2244.09 Mx_l=-44.88
Tensioni nella sezione: σ=544.02 τ=68.00
CC 100 SLU (Collegamento 0023_-380)
Azioni sul collegamento: N=-12342.50 Ty=-12.15 Tz=22.09 Mx=-0.04 Mz=-17.38
Sollecitazioni agenti localmente: Ty_l=-2244.09 Mx_l=-44.88
Tensioni nella sezione: σ=544.02 τ=68.00
CC 101 SLU (Collegamento 0023_-380)
Azioni sul collegamento: N=-6366.46 Ty=2.01 Tz=0.04 Mx=0.00 Mz=2.22
Sollecitazioni agenti localmente: Ty_l=-1157.54 Mx_l=-23.15
Tensioni nella sezione: σ=280.62 τ=35.08
CC 102 SLU (Collegamento 0023_-380)
Azioni sul collegamento: N=-5887.16 Ty=2.00 Tz=-1.73 Mx=0.00 Mz=2.22
Sollecitazioni agenti localmente: Ty_l=-1070.39 Mx_l=-21.41
Tensioni nella sezione: σ=259.49 τ=32.44
CC 103 SLU (Collegamento 0023_-380)
Azioni sul collegamento: N=-6126.81 Ty=1.89 Tz=-0.85 Mx=0.01 Mz=1.98
Sollecitazioni agenti localmente: Ty_l=-1113.97 Mx_l=-22.28
Tensioni nella sezione: σ=270.05 τ=33.76
CC 104 SLU (Collegamento 0023_-380)
Azioni sul collegamento: N=-6126.80 Ty=2.12 Tz=-0.84 Mx=0.00 Mz=2.45
Sollecitazioni agenti localmente: Ty_l=-1113.96 Mx_l=-22.28
Tensioni nella sezione: σ=270.05 τ=33.76

Flessione attacco destro piastra

Bnetta=220.00 Hnetta=15.00
CC 1 SLV (Collegamento 0023_-380)
Azioni sul collegamento: N=-3330.00 Ty=1.44 Tz=5.89 Mx=0.02 Mz=3.55
Sollecitazioni agenti localmente: Ty_l=-604.43 My_l=-12.41
Tensioni nella sezione: σ=150.43 τ=18.32
CC 1 SLV (Collegamento 0023_-380)
Azioni sul collegamento: N=-3330.00 Ty=0.74 Tz=5.89 Mx=0.02 Mz=2.16
Sollecitazioni agenti localmente: Ty_l=-598.89 My_l=-12.29
Tensioni nella sezione: σ=148.96 τ=18.15
CC 1 SLV (Collegamento 0023_-380)
Azioni sul collegamento: N=-3330.00 Ty=1.44 Tz=-11.20 Mx=0.02 Mz=3.55
Sollecitazioni agenti localmente: Ty_l=-604.43 My_l=-12.41
Tensioni nella sezione: σ=150.43 τ=18.32
CC 1 SLV (Collegamento 0023_-380)
Azioni sul collegamento: N=-3330.00 Ty=0.74 Tz=-11.20 Mx=0.02 Mz=2.16
Sollecitazioni agenti localmente: Ty_l=-598.89 My_l=-12.29
Tensioni nella sezione: σ=148.96 τ=18.15
CC 1 SLV (Collegamento 0023_-380)
Azioni sul collegamento: N=-7936.47 Ty=1.44 Tz=5.89 Mx=0.02 Mz=3.55
Sollecitazioni agenti localmente: Ty_l=-1421.03 My_l=-29.15
Tensioni nella sezione: σ=353.34 τ=43.06
CC 1 SLV (Collegamento 0023_-380)
Azioni sul collegamento: N=-7936.47 Ty=0.74 Tz=5.89 Mx=0.02 Mz=2.16
Sollecitazioni agenti localmente: Ty_l=-1415.49 My_l=-29.03
Tensioni nella sezione: σ=351.87 τ=42.89
CC 1 SLV (Collegamento 0023_-380)
Azioni sul collegamento: N=-7936.47 Ty=1.44 Tz=-11.20 Mx=0.02 Mz=3.55
Sollecitazioni agenti localmente: Ty_l=-1421.03 My_l=-29.15
Tensioni nella sezione: σ=353.34 τ=43.06
CC 1 SLV (Collegamento 0023_-380)
Azioni sul collegamento: N=-7936.47 Ty=0.74 Tz=-11.20 Mx=0.02 Mz=2.16
Sollecitazioni agenti localmente: Ty_l=-1415.49 My_l=-29.03

Tensioni nella sezione: σ=351.87 τ=42.89
CC 2 SLD (Collegamento 0023_-380)
Azioni sul collegamento: N=-4931.09 Ty=0.39 Tz=-0.05 Mx=0.00 Mz=1.01
Sollecitazioni agenti localmente: Ty_l=-878.16 My_l=-18.01
Tensioni nella sezione: σ=218.28 τ=26.61
CC 2 SLD (Collegamento 0023_-380)
Azioni sul collegamento: N=-4931.09 Ty=0.17 Tz=-0.05 Mx=0.00 Mz=0.59
Sollecitazioni agenti localmente: Ty_l=-876.48 My_l=-17.97
Tensioni nella sezione: σ=217.83 τ=26.56
CC 2 SLD (Collegamento 0023_-380)
Azioni sul collegamento: N=-4931.09 Ty=0.39 Tz=-5.26 Mx=0.00 Mz=1.01
Sollecitazioni agenti localmente: Ty_l=-878.16 My_l=-18.01
Tensioni nella sezione: σ=218.28 τ=26.61
CC 2 SLD (Collegamento 0023_-380)
Azioni sul collegamento: N=-4931.09 Ty=0.17 Tz=-5.26 Mx=0.00 Mz=0.59
Sollecitazioni agenti localmente: Ty_l=-876.48 My_l=-17.97
Tensioni nella sezione: σ=217.83 τ=26.56
CC 2 SLD (Collegamento 0023_-380)
Azioni sul collegamento: N=-6335.74 Ty=0.39 Tz=-0.05 Mx=0.00 Mz=1.01
Sollecitazioni agenti localmente: Ty_l=-1127.17 My_l=-23.11
Tensioni nella sezione: σ=280.15 τ=34.16
CC 2 SLD (Collegamento 0023_-380)
Azioni sul collegamento: N=-6335.74 Ty=0.17 Tz=-0.05 Mx=0.00 Mz=0.59
Sollecitazioni agenti localmente: Ty_l=-1125.48 My_l=-23.08
Tensioni nella sezione: σ=279.70 τ=34.11
CC 2 SLD (Collegamento 0023_-380)
Azioni sul collegamento: N=-6335.74 Ty=0.39 Tz=-5.26 Mx=0.00 Mz=1.01
Sollecitazioni agenti localmente: Ty_l=-1127.17 My_l=-23.11
Tensioni nella sezione: σ=280.15 τ=34.16
CC 2 SLD (Collegamento 0023_-380)
Azioni sul collegamento: N=-6335.74 Ty=0.17 Tz=-5.26 Mx=0.00 Mz=0.59
Sollecitazioni agenti localmente: Ty_l=-1125.48 My_l=-23.08
Tensioni nella sezione: σ=279.70 τ=34.11
CC 3 SLV (Collegamento 0023_-380)
Azioni sul collegamento: N=-3330.02 Ty=0.75 Tz=5.88 Mx=0.01 Mz=2.19
Sollecitazioni agenti localmente: Ty_l=-599.05 My_l=-12.29
Tensioni nella sezione: σ=149.00 τ=18.15
CC 3 SLV (Collegamento 0023_-380)
Azioni sul collegamento: N=-3330.02 Ty=1.43 Tz=5.88 Mx=0.01 Mz=3.51
Sollecitazioni agenti localmente: Ty_l=-604.28 My_l=-12.41
Tensioni nella sezione: σ=150.39 τ=18.31
CC 3 SLV (Collegamento 0023_-380)
Azioni sul collegamento: N=-3330.02 Ty=0.75 Tz=-11.19 Mx=0.01 Mz=2.19
Sollecitazioni agenti localmente: Ty_l=-599.05 My_l=-12.29
Tensioni nella sezione: σ=149.00 τ=18.15
CC 3 SLV (Collegamento 0023_-380)
Azioni sul collegamento: N=-3330.02 Ty=1.43 Tz=-11.19 Mx=0.01 Mz=3.51
Sollecitazioni agenti localmente: Ty_l=-604.28 My_l=-12.41
Tensioni nella sezione: σ=150.39 τ=18.31
CC 3 SLV (Collegamento 0023_-380)
Azioni sul collegamento: N=-7936.44 Ty=0.75 Tz=5.88 Mx=0.01 Mz=2.19
Sollecitazioni agenti localmente: Ty_l=-1415.64 My_l=-29.03
Tensioni nella sezione: σ=351.91 τ=42.90
CC 3 SLV (Collegamento 0023_-380)
Azioni sul collegamento: N=-7936.44 Ty=1.43 Tz=5.88 Mx=0.01 Mz=3.51
Sollecitazioni agenti localmente: Ty_l=-1420.87 My_l=-29.15
Tensioni nella sezione: σ=353.30 τ=43.06
CC 3 SLV (Collegamento 0023_-380)
Azioni sul collegamento: N=-7936.44 Ty=0.75 Tz=-11.19 Mx=0.01 Mz=2.19
Sollecitazioni agenti localmente: Ty_l=-1415.64 My_l=-29.03
Tensioni nella sezione: σ=351.91 τ=42.90
CC 3 SLV (Collegamento 0023_-380)
Azioni sul collegamento: N=-7936.44 Ty=1.43 Tz=-11.19 Mx=0.01 Mz=3.51
Sollecitazioni agenti localmente: Ty_l=-1420.87 My_l=-29.15
Tensioni nella sezione: σ=353.30 τ=43.06
CC 4 SLD (Collegamento 0023_-380)
Azioni sul collegamento: N=-4931.09 Ty=0.18 Tz=-0.05 Mx=0.00 Mz=0.60
Sollecitazioni agenti localmente: Ty_l=-876.52 My_l=-17.97
Tensioni nella sezione: σ=217.84 τ=26.56
CC 4 SLD (Collegamento 0023_-380)
Azioni sul collegamento: N=-4931.09 Ty=0.38 Tz=-0.05 Mx=0.00 Mz=1.00
Sollecitazioni agenti localmente: Ty_l=-878.12 My_l=-18.01
Tensioni nella sezione: σ=218.27 τ=26.61
CC 4 SLD (Collegamento 0023_-380)
Azioni sul collegamento: N=-4931.09 Ty=0.18 Tz=-5.26 Mx=0.00 Mz=0.60
Sollecitazioni agenti localmente: Ty_l=-876.52 My_l=-17.97
Tensioni nella sezione: σ=217.84 τ=26.56
CC 4 SLD (Collegamento 0023_-380)
Azioni sul collegamento: N=-4931.09 Ty=0.38 Tz=-5.26 Mx=0.00 Mz=1.00
Sollecitazioni agenti localmente: Ty_l=-878.12 My_l=-18.01

Tensioni nella sezione: σ=218.27 τ=26.61
CC 4 SLD (Collegamento 0023_-380)
Azioni sul collegamento: N=-6335.74 Ty=0.18 Tz=-0.05 Mx=0.00 Mz=0.60
Sollecitazioni agenti localmente: Ty_l=-1125.53 My_l=-23.08
Tensioni nella sezione: σ=279.72 τ=34.11
CC 4 SLD (Collegamento 0023_-380)
Azioni sul collegamento: N=-6335.74 Ty=0.38 Tz=-0.05 Mx=0.00 Mz=1.00
Sollecitazioni agenti localmente: Ty_l=-1127.12 My_l=-23.11
Tensioni nella sezione: σ=280.14 τ=34.16
CC 4 SLD (Collegamento 0023_-380)
Azioni sul collegamento: N=-6335.74 Ty=0.18 Tz=-5.26 Mx=0.00 Mz=0.60
Sollecitazioni agenti localmente: Ty_l=-1125.53 My_l=-23.08
Tensioni nella sezione: σ=279.72 τ=34.11
CC 4 SLD (Collegamento 0023_-380)
Azioni sul collegamento: N=-6335.74 Ty=0.38 Tz=-5.26 Mx=0.00 Mz=1.00
Sollecitazioni agenti localmente: Ty_l=-1127.12 My_l=-23.11
Tensioni nella sezione: σ=280.14 τ=34.16
CC 5 SLV (Collegamento 0023_-380)
Azioni sul collegamento: N=-7936.44 Ty=1.43 Tz=-11.19 Mx=0.02 Mz=3.51
Sollecitazioni agenti localmente: Ty_l=-1420.87 My_l=-29.15
Tensioni nella sezione: σ=353.30 τ=43.06
CC 5 SLV (Collegamento 0023_-380)
Azioni sul collegamento: N=-7936.44 Ty=0.75 Tz=-11.19 Mx=0.02 Mz=2.19
Sollecitazioni agenti localmente: Ty_l=-1415.64 My_l=-29.03
Tensioni nella sezione: σ=351.91 τ=42.90
CC 5 SLV (Collegamento 0023_-380)
Azioni sul collegamento: N=-7936.44 Ty=1.43 Tz=5.88 Mx=0.02 Mz=3.51
Sollecitazioni agenti localmente: Ty_l=-1420.87 My_l=-29.15
Tensioni nella sezione: σ=353.30 τ=43.06
CC 5 SLV (Collegamento 0023_-380)
Azioni sul collegamento: N=-7936.44 Ty=0.75 Tz=5.88 Mx=0.02 Mz=2.19
Sollecitazioni agenti localmente: Ty_l=-1415.64 My_l=-29.03
Tensioni nella sezione: σ=351.91 τ=42.90
CC 5 SLV (Collegamento 0023_-380)
Azioni sul collegamento: N=-3330.02 Ty=1.43 Tz=-11.19 Mx=0.02 Mz=3.51
Sollecitazioni agenti localmente: Ty_l=-604.28 My_l=-12.41
Tensioni nella sezione: σ=150.39 τ=18.31
CC 5 SLV (Collegamento 0023_-380)
Azioni sul collegamento: N=-3330.02 Ty=0.75 Tz=-11.19 Mx=0.02 Mz=2.19
Sollecitazioni agenti localmente: Ty_l=-599.05 My_l=-12.29
Tensioni nella sezione: σ=149.00 τ=18.15
CC 5 SLV (Collegamento 0023_-380)
Azioni sul collegamento: N=-3330.02 Ty=1.43 Tz=5.88 Mx=0.02 Mz=3.51
Sollecitazioni agenti localmente: Ty_l=-604.28 My_l=-12.41
Tensioni nella sezione: σ=150.39 τ=18.31
CC 5 SLV (Collegamento 0023_-380)
Azioni sul collegamento: N=-3330.02 Ty=0.75 Tz=5.88 Mx=0.02 Mz=2.19
Sollecitazioni agenti localmente: Ty_l=-599.05 My_l=-12.29
Tensioni nella sezione: σ=149.00 τ=18.15
CC 6 SLD (Collegamento 0023_-380)
Azioni sul collegamento: N=-6335.74 Ty=0.38 Tz=-5.26 Mx=0.00 Mz=1.00
Sollecitazioni agenti localmente: Ty_l=-1127.12 My_l=-23.11
Tensioni nella sezione: σ=280.14 τ=34.16
CC 6 SLD (Collegamento 0023_-380)
Azioni sul collegamento: N=-6335.74 Ty=0.18 Tz=-5.26 Mx=0.00 Mz=0.60
Sollecitazioni agenti localmente: Ty_l=-1125.53 My_l=-23.08
Tensioni nella sezione: σ=279.72 τ=34.11
CC 6 SLD (Collegamento 0023_-380)
Azioni sul collegamento: N=-6335.74 Ty=0.38 Tz=-0.05 Mx=0.00 Mz=1.00
Sollecitazioni agenti localmente: Ty_l=-1127.12 My_l=-23.11
Tensioni nella sezione: σ=280.14 τ=34.16
CC 6 SLD (Collegamento 0023_-380)
Azioni sul collegamento: N=-6335.74 Ty=0.18 Tz=-0.05 Mx=0.00 Mz=0.60
Sollecitazioni agenti localmente: Ty_l=-1125.53 My_l=-23.08
Tensioni nella sezione: σ=279.72 τ=34.11
CC 6 SLD (Collegamento 0023_-380)
Azioni sul collegamento: N=-4931.09 Ty=0.38 Tz=-5.26 Mx=0.00 Mz=1.00
Sollecitazioni agenti localmente: Ty_l=-878.12 My_l=-18.01
Tensioni nella sezione: σ=218.27 τ=26.61
CC 6 SLD (Collegamento 0023_-380)
Azioni sul collegamento: N=-4931.09 Ty=0.18 Tz=-5.26 Mx=0.00 Mz=0.60
Sollecitazioni agenti localmente: Ty_l=-876.52 My_l=-17.97
Tensioni nella sezione: σ=217.84 τ=26.56
CC 6 SLD (Collegamento 0023_-380)
Azioni sul collegamento: N=-4931.09 Ty=0.38 Tz=-0.05 Mx=0.00 Mz=1.00
Sollecitazioni agenti localmente: Ty_l=-878.12 My_l=-18.01
Tensioni nella sezione: σ=218.27 τ=26.61
CC 6 SLD (Collegamento 0023_-380)
Azioni sul collegamento: N=-4931.09 Ty=0.18 Tz=-0.05 Mx=0.00 Mz=0.60
Sollecitazioni agenti localmente: Ty_l=-876.52 My_l=-17.97

Tensioni nella sezione: σ=217.84 τ=26.56
CC 7 SLV (Collegamento 0023_-380)
Azioni sul collegamento: N=-7936.47 Ty=0.74 Tz=-11.20 Mx=0.01 Mz=2.16
Sollecitazioni agenti localmente: Ty_l=-1415.49 My_l=-29.03
Tensioni nella sezione: σ=351.87 τ=42.89
CC 7 SLV (Collegamento 0023_-380)
Azioni sul collegamento: N=-7936.47 Ty=1.44 Tz=-11.20 Mx=0.01 Mz=3.55
Sollecitazioni agenti localmente: Ty_l=-1421.03 My_l=-29.15
Tensioni nella sezione: σ=353.34 τ=43.06
CC 7 SLV (Collegamento 0023_-380)
Azioni sul collegamento: N=-7936.47 Ty=0.74 Tz=5.89 Mx=0.01 Mz=2.16
Sollecitazioni agenti localmente: Ty_l=-1415.49 My_l=-29.03
Tensioni nella sezione: σ=351.87 τ=42.89
CC 7 SLV (Collegamento 0023_-380)
Azioni sul collegamento: N=-7936.47 Ty=1.44 Tz=5.89 Mx=0.01 Mz=3.55
Sollecitazioni agenti localmente: Ty_l=-1421.03 My_l=-29.15
Tensioni nella sezione: σ=353.34 τ=43.06
CC 7 SLV (Collegamento 0023_-380)
Azioni sul collegamento: N=-3330.00 Ty=0.74 Tz=-11.20 Mx=0.01 Mz=2.16
Sollecitazioni agenti localmente: Ty_l=-598.89 My_l=-12.29
Tensioni nella sezione: σ=148.96 τ=18.15
CC 7 SLV (Collegamento 0023_-380)
Azioni sul collegamento: N=-3330.00 Ty=1.44 Tz=-11.20 Mx=0.01 Mz=3.55
Sollecitazioni agenti localmente: Ty_l=-604.43 My_l=-12.41
Tensioni nella sezione: σ=150.43 τ=18.32
CC 7 SLV (Collegamento 0023_-380)
Azioni sul collegamento: N=-3330.00 Ty=0.74 Tz=5.89 Mx=0.01 Mz=2.16
Sollecitazioni agenti localmente: Ty_l=-598.89 My_l=-12.29
Tensioni nella sezione: σ=148.96 τ=18.15
CC 7 SLV (Collegamento 0023_-380)
Azioni sul collegamento: N=-3330.00 Ty=1.44 Tz=5.89 Mx=0.01 Mz=3.55
Sollecitazioni agenti localmente: Ty_l=-604.43 My_l=-12.41
Tensioni nella sezione: σ=150.43 τ=18.32
CC 8 SLD (Collegamento 0023_-380)
Azioni sul collegamento: N=-6335.74 Ty=0.17 Tz=-5.26 Mx=0.00 Mz=0.59
Sollecitazioni agenti localmente: Ty_l=-1125.48 My_l=-23.08
Tensioni nella sezione: σ=279.70 τ=34.11
CC 8 SLD (Collegamento 0023_-380)
Azioni sul collegamento: N=-6335.74 Ty=0.39 Tz=-5.26 Mx=0.00 Mz=1.01
Sollecitazioni agenti localmente: Ty_l=-1127.17 My_l=-23.11
Tensioni nella sezione: σ=280.15 τ=34.16
CC 8 SLD (Collegamento 0023_-380)
Azioni sul collegamento: N=-6335.74 Ty=0.17 Tz=-0.05 Mx=0.00 Mz=0.59
Sollecitazioni agenti localmente: Ty_l=-1125.48 My_l=-23.08
Tensioni nella sezione: σ=279.70 τ=34.11
CC 8 SLD (Collegamento 0023_-380)
Azioni sul collegamento: N=-6335.74 Ty=0.39 Tz=-0.05 Mx=0.00 Mz=1.01
Sollecitazioni agenti localmente: Ty_l=-1127.17 My_l=-23.11
Tensioni nella sezione: σ=280.15 τ=34.16
CC 8 SLD (Collegamento 0023_-380)
Azioni sul collegamento: N=-4931.09 Ty=0.17 Tz=-5.26 Mx=0.00 Mz=0.59
Sollecitazioni agenti localmente: Ty_l=-876.48 My_l=-17.97
Tensioni nella sezione: σ=217.83 τ=26.56
CC 8 SLD (Collegamento 0023_-380)
Azioni sul collegamento: N=-4931.09 Ty=0.39 Tz=-5.26 Mx=0.00 Mz=1.01
Sollecitazioni agenti localmente: Ty_l=-878.16 My_l=-18.01
Tensioni nella sezione: σ=218.28 τ=26.61
CC 8 SLD (Collegamento 0023_-380)
Azioni sul collegamento: N=-4931.09 Ty=0.17 Tz=-0.05 Mx=0.00 Mz=0.59
Sollecitazioni agenti localmente: Ty_l=-876.48 My_l=-17.97
Tensioni nella sezione: σ=217.83 τ=26.56
CC 8 SLD (Collegamento 0023_-380)
Azioni sul collegamento: N=-4931.09 Ty=0.39 Tz=-0.05 Mx=0.00 Mz=1.01
Sollecitazioni agenti localmente: Ty_l=-878.16 My_l=-18.01
Tensioni nella sezione: σ=218.28 τ=26.61
CC 9 SLV (Collegamento 0023_-380)
Azioni sul collegamento: N=-4942.23 Ty=2.24 Tz=-0.09 Mx=0.02 Mz=5.11
Sollecitazioni agenti localmente: Ty_l=-896.46 My_l=-18.41
Tensioni nella sezione: σ=223.10 τ=27.17
CC 9 SLV (Collegamento 0023_-380)
Azioni sul collegamento: N=-4942.23 Ty=-0.07 Tz=-0.09 Mx=0.02 Mz=0.59
Sollecitazioni agenti localmente: Ty_l=-878.47 My_l=-18.01
Tensioni nella sezione: σ=218.33 τ=26.62
CC 9 SLV (Collegamento 0023_-380)
Azioni sul collegamento: N=-4942.23 Ty=2.24 Tz=-5.22 Mx=0.02 Mz=5.11
Sollecitazioni agenti localmente: Ty_l=-896.46 My_l=-18.41
Tensioni nella sezione: σ=223.10 τ=27.17
CC 9 SLV (Collegamento 0023_-380)
Azioni sul collegamento: N=-4942.23 Ty=-0.07 Tz=-5.22 Mx=0.02 Mz=0.59
Sollecitazioni agenti localmente: Ty_l=-878.47 My_l=-18.01

Tensioni nella sezione: σ=218.33 τ=26.62
CC 9 SLV (Collegamento 0023_-380)
Azioni sul collegamento: N=-6324.24 Ty=2.24 Tz=-0.09 Mx=0.02 Mz=5.11
Sollecitazioni agenti localmente: Ty_l=-1141.45 My_l=-23.43
Tensioni nella sezione: σ=283.98 τ=34.59
CC 9 SLV (Collegamento 0023_-380)
Azioni sul collegamento: N=-6324.24 Ty=-0.07 Tz=-0.09 Mx=0.02 Mz=0.59
Sollecitazioni agenti localmente: Ty_l=-1123.47 My_l=-23.03
Tensioni nella sezione: σ=279.20 τ=34.04
CC 9 SLV (Collegamento 0023_-380)
Azioni sul collegamento: N=-6324.24 Ty=2.24 Tz=-5.22 Mx=0.02 Mz=5.11
Sollecitazioni agenti localmente: Ty_l=-1141.45 My_l=-23.43
Tensioni nella sezione: σ=283.98 τ=34.59
CC 9 SLV (Collegamento 0023_-380)
Azioni sul collegamento: N=-6324.24 Ty=-0.07 Tz=-5.22 Mx=0.02 Mz=0.59
Sollecitazioni agenti localmente: Ty_l=-1123.47 My_l=-23.03
Tensioni nella sezione: σ=279.20 τ=34.04
CC 10 SLD (Collegamento 0023_-380)
Azioni sul collegamento: N=-5422.71 Ty=0.63 Tz=-1.87 Mx=0.01 Mz=1.49
Sollecitazioni agenti localmente: Ty_l=-967.21 My_l=-19.84
Tensioni nella sezione: σ=240.44 τ=29.31
CC 10 SLD (Collegamento 0023_-380)
Azioni sul collegamento: N=-5422.71 Ty=-0.07 Tz=-1.87 Mx=0.01 Mz=0.11
Sollecitazioni agenti localmente: Ty_l=-961.73 My_l=-19.72
Tensioni nella sezione: σ=238.98 τ=29.14
CC 10 SLD (Collegamento 0023_-380)
Azioni sul collegamento: N=-5422.71 Ty=0.63 Tz=-3.44 Mx=0.01 Mz=1.49
Sollecitazioni agenti localmente: Ty_l=-967.21 My_l=-19.84
Tensioni nella sezione: σ=240.44 τ=29.31
CC 10 SLD (Collegamento 0023_-380)
Azioni sul collegamento: N=-5422.71 Ty=-0.07 Tz=-3.44 Mx=0.01 Mz=0.11
Sollecitazioni agenti localmente: Ty_l=-961.73 My_l=-19.72
Tensioni nella sezione: σ=238.98 τ=29.14
CC 10 SLD (Collegamento 0023_-380)
Azioni sul collegamento: N=-5844.12 Ty=0.63 Tz=-1.87 Mx=0.01 Mz=1.49
Sollecitazioni agenti localmente: Ty_l=-1041.92 My_l=-21.37
Tensioni nella sezione: σ=259.00 τ=31.57
CC 10 SLD (Collegamento 0023_-380)
Azioni sul collegamento: N=-5844.12 Ty=-0.07 Tz=-1.87 Mx=0.01 Mz=0.11
Sollecitazioni agenti localmente: Ty_l=-1036.44 My_l=-21.25
Tensioni nella sezione: σ=257.55 τ=31.41
CC 10 SLD (Collegamento 0023_-380)
Azioni sul collegamento: N=-5844.12 Ty=0.63 Tz=-3.44 Mx=0.01 Mz=1.49
Sollecitazioni agenti localmente: Ty_l=-1041.92 My_l=-21.37
Tensioni nella sezione: σ=259.00 τ=31.57
CC 10 SLD (Collegamento 0023_-380)
Azioni sul collegamento: N=-5844.12 Ty=-0.07 Tz=-3.44 Mx=0.01 Mz=0.11
Sollecitazioni agenti localmente: Ty_l=-1036.44 My_l=-21.25
Tensioni nella sezione: σ=257.55 τ=31.41
CC 11 SLV (Collegamento 0023_-380)
Azioni sul collegamento: N=-6324.16 Ty=2.24 Tz=-5.22 Mx=0.02 Mz=5.10
Sollecitazioni agenti localmente: Ty_l=-1141.39 My_l=-23.43
Tensioni nella sezione: σ=283.96 τ=34.59
CC 11 SLV (Collegamento 0023_-380)
Azioni sul collegamento: N=-6324.16 Ty=-0.06 Tz=-5.22 Mx=0.02 Mz=0.60
Sollecitazioni agenti localmente: Ty_l=-1123.50 My_l=-23.04
Tensioni nella sezione: σ=279.21 τ=34.05
CC 11 SLV (Collegamento 0023_-380)
Azioni sul collegamento: N=-6324.16 Ty=2.24 Tz=-0.09 Mx=0.02 Mz=5.10
Sollecitazioni agenti localmente: Ty_l=-1141.39 My_l=-23.43
Tensioni nella sezione: σ=283.96 τ=34.59
CC 11 SLV (Collegamento 0023_-380)
Azioni sul collegamento: N=-6324.16 Ty=-0.06 Tz=-0.09 Mx=0.02 Mz=0.60
Sollecitazioni agenti localmente: Ty_l=-1123.50 My_l=-23.04
Tensioni nella sezione: σ=279.21 τ=34.05
CC 11 SLV (Collegamento 0023_-380)
Azioni sul collegamento: N=-4942.30 Ty=2.24 Tz=-5.22 Mx=0.02 Mz=5.10
Sollecitazioni agenti localmente: Ty_l=-896.42 My_l=-18.41
Tensioni nella sezione: σ=223.09 τ=27.16
CC 11 SLV (Collegamento 0023_-380)
Azioni sul collegamento: N=-4942.30 Ty=-0.06 Tz=-5.22 Mx=0.02 Mz=0.60
Sollecitazioni agenti localmente: Ty_l=-878.53 My_l=-18.01
Tensioni nella sezione: σ=218.34 τ=26.62
CC 11 SLV (Collegamento 0023_-380)
Azioni sul collegamento: N=-4942.30 Ty=2.24 Tz=-0.09 Mx=0.02 Mz=5.10
Sollecitazioni agenti localmente: Ty_l=-896.42 My_l=-18.41
Tensioni nella sezione: σ=223.09 τ=27.16
CC 11 SLV (Collegamento 0023_-380)
Azioni sul collegamento: N=-4942.30 Ty=-0.06 Tz=-0.09 Mx=0.02 Mz=0.60
Sollecitazioni agenti localmente: Ty_l=-878.53 My_l=-18.01

Tensioni nella sezione: σ=218.34 τ=26.62
CC 12 SLD (Collegamento 0023_-380)
Azioni sul collegamento: N=-5844.10 Ty=0.63 Tz=-3.44 Mx=0.01 Mz=1.48
Sollecitazioni agenti localmente: Ty_l=-1041.90 My_l=-21.37
Tensioni nella sezione: σ=259.00 τ=31.57
CC 12 SLD (Collegamento 0023_-380)
Azioni sul collegamento: N=-5844.10 Ty=-0.07 Tz=-3.44 Mx=0.01 Mz=0.11
Sollecitazioni agenti localmente: Ty_l=-1036.45 My_l=-21.25
Tensioni nella sezione: σ=257.55 τ=31.41
CC 12 SLD (Collegamento 0023_-380)
Azioni sul collegamento: N=-5844.10 Ty=0.63 Tz=-1.87 Mx=0.01 Mz=1.48
Sollecitazioni agenti localmente: Ty_l=-1041.90 My_l=-21.37
Tensioni nella sezione: σ=259.00 τ=31.57
CC 12 SLD (Collegamento 0023_-380)
Azioni sul collegamento: N=-5844.10 Ty=-0.07 Tz=-1.87 Mx=0.01 Mz=0.11
Sollecitazioni agenti localmente: Ty_l=-1036.45 My_l=-21.25
Tensioni nella sezione: σ=257.55 τ=31.41
CC 12 SLD (Collegamento 0023_-380)
Azioni sul collegamento: N=-5422.73 Ty=0.63 Tz=-3.44 Mx=0.01 Mz=1.48
Sollecitazioni agenti localmente: Ty_l=-967.20 My_l=-19.84
Tensioni nella sezione: σ=240.44 τ=29.31
CC 12 SLD (Collegamento 0023_-380)
Azioni sul collegamento: N=-5422.73 Ty=-0.07 Tz=-3.44 Mx=0.01 Mz=0.11
Sollecitazioni agenti localmente: Ty_l=-961.75 My_l=-19.72
Tensioni nella sezione: σ=238.99 τ=29.14
CC 12 SLD (Collegamento 0023_-380)
Azioni sul collegamento: N=-5422.73 Ty=0.63 Tz=-1.87 Mx=0.01 Mz=1.48
Sollecitazioni agenti localmente: Ty_l=-967.20 My_l=-19.84
Tensioni nella sezione: σ=240.44 τ=29.31
CC 12 SLD (Collegamento 0023_-380)
Azioni sul collegamento: N=-5422.73 Ty=-0.07 Tz=-1.87 Mx=0.01 Mz=0.11
Sollecitazioni agenti localmente: Ty_l=-961.75 My_l=-19.72
Tensioni nella sezione: σ=238.99 τ=29.14
CC 13 SLV (Collegamento 0023_-380)
Azioni sul collegamento: N=-4942.30 Ty=-0.06 Tz=-0.09 Mx=0.00 Mz=0.60
Sollecitazioni agenti localmente: Ty_l=-878.53 My_l=-18.01
Tensioni nella sezione: σ=218.34 τ=26.62
CC 13 SLV (Collegamento 0023_-380)
Azioni sul collegamento: N=-4942.30 Ty=2.24 Tz=-0.09 Mx=0.00 Mz=5.10
Sollecitazioni agenti localmente: Ty_l=-896.42 My_l=-18.41
Tensioni nella sezione: σ=223.09 τ=27.16
CC 13 SLV (Collegamento 0023_-380)
Azioni sul collegamento: N=-4942.30 Ty=-0.06 Tz=-5.22 Mx=0.00 Mz=0.60
Sollecitazioni agenti localmente: Ty_l=-878.53 My_l=-18.01
Tensioni nella sezione: σ=218.34 τ=26.62
CC 13 SLV (Collegamento 0023_-380)
Azioni sul collegamento: N=-4942.30 Ty=2.24 Tz=-5.22 Mx=0.00 Mz=5.10
Sollecitazioni agenti localmente: Ty_l=-896.42 My_l=-18.41
Tensioni nella sezione: σ=223.09 τ=27.16
CC 13 SLV (Collegamento 0023_-380)
Azioni sul collegamento: N=-6324.16 Ty=-0.06 Tz=-0.09 Mx=0.00 Mz=0.60
Sollecitazioni agenti localmente: Ty_l=-1123.50 My_l=-23.04
Tensioni nella sezione: σ=279.21 τ=34.05
CC 13 SLV (Collegamento 0023_-380)
Azioni sul collegamento: N=-6324.16 Ty=2.24 Tz=-0.09 Mx=0.00 Mz=5.10
Sollecitazioni agenti localmente: Ty_l=-1141.39 My_l=-23.43
Tensioni nella sezione: σ=283.96 τ=34.59
CC 13 SLV (Collegamento 0023_-380)
Azioni sul collegamento: N=-6324.16 Ty=-0.06 Tz=-5.22 Mx=0.00 Mz=0.60
Sollecitazioni agenti localmente: Ty_l=-1123.50 My_l=-23.04
Tensioni nella sezione: σ=279.21 τ=34.05
CC 13 SLV (Collegamento 0023_-380)
Azioni sul collegamento: N=-6324.16 Ty=2.24 Tz=-5.22 Mx=0.00 Mz=5.10
Sollecitazioni agenti localmente: Ty_l=-1141.39 My_l=-23.43
Tensioni nella sezione: σ=283.96 τ=34.59
CC 14 SLD (Collegamento 0023_-380)
Azioni sul collegamento: N=-5422.73 Ty=-0.07 Tz=-1.87 Mx=0.00 Mz=0.11
Sollecitazioni agenti localmente: Ty_l=-961.75 My_l=-19.72
Tensioni nella sezione: σ=238.99 τ=29.14
CC 14 SLD (Collegamento 0023_-380)
Azioni sul collegamento: N=-5422.73 Ty=0.63 Tz=-1.87 Mx=0.00 Mz=1.48
Sollecitazioni agenti localmente: Ty_l=-967.20 My_l=-19.84
Tensioni nella sezione: σ=240.44 τ=29.31
CC 14 SLD (Collegamento 0023_-380)
Azioni sul collegamento: N=-5422.73 Ty=-0.07 Tz=-3.44 Mx=0.00 Mz=0.11
Sollecitazioni agenti localmente: Ty_l=-961.75 My_l=-19.72
Tensioni nella sezione: σ=238.99 τ=29.14
CC 14 SLD (Collegamento 0023_-380)
Azioni sul collegamento: N=-5422.73 Ty=0.63 Tz=-3.44 Mx=0.00 Mz=1.48
Sollecitazioni agenti localmente: Ty_l=-967.20 My_l=-19.84

Tensioni nella sezione: σ=240.44 τ=29.31
CC 14 SLD (Collegamento 0023_-380)
Azioni sul collegamento: N=-5844.10 Ty=-0.07 Tz=-1.87 Mx=0.00 Mz=0.11
Sollecitazioni agenti localmente: Ty_l=-1036.45 My_l=-21.25
Tensioni nella sezione: σ=257.55 τ=31.41
CC 14 SLD (Collegamento 0023_-380)
Azioni sul collegamento: N=-5844.10 Ty=0.63 Tz=-1.87 Mx=0.00 Mz=1.48
Sollecitazioni agenti localmente: Ty_l=-1041.90 My_l=-21.37
Tensioni nella sezione: σ=259.00 τ=31.57
CC 14 SLD (Collegamento 0023_-380)
Azioni sul collegamento: N=-5844.10 Ty=-0.07 Tz=-3.44 Mx=0.00 Mz=0.11
Sollecitazioni agenti localmente: Ty_l=-1036.45 My_l=-21.25
Tensioni nella sezione: σ=257.55 τ=31.41
CC 14 SLD (Collegamento 0023_-380)
Azioni sul collegamento: N=-5844.10 Ty=0.63 Tz=-3.44 Mx=0.00 Mz=1.48
Sollecitazioni agenti localmente: Ty_l=-1041.90 My_l=-21.37
Tensioni nella sezione: σ=259.00 τ=31.57
CC 15 SLV (Collegamento 0023_-380)
Azioni sul collegamento: N=-6324.24 Ty=-0.07 Tz=-5.22 Mx=0.00 Mz=0.59
Sollecitazioni agenti localmente: Ty_l=-1123.47 My_l=-23.03
Tensioni nella sezione: σ=279.20 τ=34.04
CC 15 SLV (Collegamento 0023_-380)
Azioni sul collegamento: N=-6324.24 Ty=2.24 Tz=-5.22 Mx=0.00 Mz=5.11
Sollecitazioni agenti localmente: Ty_l=-1141.45 My_l=-23.43
Tensioni nella sezione: σ=283.98 τ=34.59
CC 15 SLV (Collegamento 0023_-380)
Azioni sul collegamento: N=-6324.24 Ty=-0.07 Tz=-0.09 Mx=0.00 Mz=0.59
Sollecitazioni agenti localmente: Ty_l=-1123.47 My_l=-23.03
Tensioni nella sezione: σ=279.20 τ=34.04
CC 15 SLV (Collegamento 0023_-380)
Azioni sul collegamento: N=-6324.24 Ty=2.24 Tz=-0.09 Mx=0.00 Mz=5.11
Sollecitazioni agenti localmente: Ty_l=-1141.45 My_l=-23.43
Tensioni nella sezione: σ=283.98 τ=34.59
CC 15 SLV (Collegamento 0023_-380)
Azioni sul collegamento: N=-4942.23 Ty=-0.07 Tz=-5.22 Mx=0.00 Mz=0.59
Sollecitazioni agenti localmente: Ty_l=-878.47 My_l=-18.01
Tensioni nella sezione: σ=218.33 τ=26.62
CC 15 SLV (Collegamento 0023_-380)
Azioni sul collegamento: N=-4942.23 Ty=2.24 Tz=-5.22 Mx=0.00 Mz=5.11
Sollecitazioni agenti localmente: Ty_l=-896.46 My_l=-18.41
Tensioni nella sezione: σ=223.10 τ=27.17
CC 15 SLV (Collegamento 0023_-380)
Azioni sul collegamento: N=-4942.23 Ty=-0.07 Tz=-0.09 Mx=0.00 Mz=0.59
Sollecitazioni agenti localmente: Ty_l=-878.47 My_l=-18.01
Tensioni nella sezione: σ=218.33 τ=26.62
CC 15 SLV (Collegamento 0023_-380)
Azioni sul collegamento: N=-4942.23 Ty=2.24 Tz=-0.09 Mx=0.00 Mz=5.11
Sollecitazioni agenti localmente: Ty_l=-896.46 My_l=-18.41
Tensioni nella sezione: σ=223.10 τ=27.17
CC 16 SLD (Collegamento 0023_-380)
Azioni sul collegamento: N=-5844.12 Ty=-0.07 Tz=-3.44 Mx=0.00 Mz=0.11
Sollecitazioni agenti localmente: Ty_l=-1036.44 My_l=-21.25
Tensioni nella sezione: σ=257.55 τ=31.41
CC 16 SLD (Collegamento 0023_-380)
Azioni sul collegamento: N=-5844.12 Ty=0.63 Tz=-3.44 Mx=0.00 Mz=1.49
Sollecitazioni agenti localmente: Ty_l=-1041.92 My_l=-21.37
Tensioni nella sezione: σ=259.00 τ=31.57
CC 16 SLD (Collegamento 0023_-380)
Azioni sul collegamento: N=-5844.12 Ty=-0.07 Tz=-1.87 Mx=0.00 Mz=0.11
Sollecitazioni agenti localmente: Ty_l=-1036.44 My_l=-21.25
Tensioni nella sezione: σ=257.55 τ=31.41
CC 16 SLD (Collegamento 0023_-380)
Azioni sul collegamento: N=-5844.12 Ty=0.63 Tz=-1.87 Mx=0.00 Mz=1.49
Sollecitazioni agenti localmente: Ty_l=-1041.92 My_l=-21.37
Tensioni nella sezione: σ=259.00 τ=31.57
CC 16 SLD (Collegamento 0023_-380)
Azioni sul collegamento: N=-5422.71 Ty=-0.07 Tz=-3.44 Mx=0.00 Mz=0.11
Sollecitazioni agenti localmente: Ty_l=-961.73 My_l=-19.72
Tensioni nella sezione: σ=238.98 τ=29.14
CC 16 SLD (Collegamento 0023_-380)
Azioni sul collegamento: N=-5422.71 Ty=0.63 Tz=-3.44 Mx=0.00 Mz=1.49
Sollecitazioni agenti localmente: Ty_l=-967.21 My_l=-19.84
Tensioni nella sezione: σ=240.44 τ=29.31
CC 16 SLD (Collegamento 0023_-380)
Azioni sul collegamento: N=-5422.71 Ty=-0.07 Tz=-1.87 Mx=0.00 Mz=0.11
Sollecitazioni agenti localmente: Ty_l=-961.73 My_l=-19.72
Tensioni nella sezione: σ=238.98 τ=29.14
CC 16 SLD (Collegamento 0023_-380)
Azioni sul collegamento: N=-5422.71 Ty=0.63 Tz=-1.87 Mx=0.00 Mz=1.49
Sollecitazioni agenti localmente: Ty_l=-967.21 My_l=-19.84

Tensioni nella sezione: σ=240.44 τ=29.31
CC 17 SLV (Collegamento 0023_-380)
Azioni sul collegamento: N=-3330.52 Ty=-0.88 Tz=5.89 Mx=-0.02 Mz=-2.36
Sollecitazioni agenti localmente: Ty_l=-581.02 My_l=-11.90
Tensioni nella sezione: σ=144.21 τ=17.61
CC 17 SLV (Collegamento 0023_-380)
Azioni sul collegamento: N=-3330.52 Ty=-1.59 Tz=5.89 Mx=-0.02 Mz=-3.75
Sollecitazioni agenti localmente: Ty_l=-575.48 My_l=-11.78
Tensioni nella sezione: σ=142.75 τ=17.44
CC 17 SLV (Collegamento 0023_-380)
Azioni sul collegamento: N=-3330.52 Ty=-0.88 Tz=-11.19 Mx=-0.02 Mz=-2.36
Sollecitazioni agenti localmente: Ty_l=-581.02 My_l=-11.90
Tensioni nella sezione: σ=144.21 τ=17.61
CC 17 SLV (Collegamento 0023_-380)
Azioni sul collegamento: N=-3330.52 Ty=-1.59 Tz=-11.19 Mx=-0.02 Mz=-3.75
Sollecitazioni agenti localmente: Ty_l=-575.48 My_l=-11.78
Tensioni nella sezione: σ=142.75 τ=17.44
CC 17 SLV (Collegamento 0023_-380)
Azioni sul collegamento: N=-7936.99 Ty=-0.88 Tz=5.89 Mx=-0.02 Mz=-2.36
Sollecitazioni agenti localmente: Ty_l=-1397.62 My_l=-28.64
Tensioni nella sezione: σ=347.13 τ=42.35
CC 17 SLV (Collegamento 0023_-380)
Azioni sul collegamento: N=-7936.99 Ty=-1.59 Tz=5.89 Mx=-0.02 Mz=-3.75
Sollecitazioni agenti localmente: Ty_l=-1392.08 My_l=-28.52
Tensioni nella sezione: σ=345.66 τ=42.18
CC 17 SLV (Collegamento 0023_-380)
Azioni sul collegamento: N=-7936.99 Ty=-0.88 Tz=-11.19 Mx=-0.02 Mz=-2.36
Sollecitazioni agenti localmente: Ty_l=-1397.62 My_l=-28.64
Tensioni nella sezione: σ=347.13 τ=42.35
CC 17 SLV (Collegamento 0023_-380)
Azioni sul collegamento: N=-7936.99 Ty=-1.59 Tz=-11.19 Mx=-0.02 Mz=-3.75
Sollecitazioni agenti localmente: Ty_l=-1392.08 My_l=-28.52
Tensioni nella sezione: σ=345.66 τ=42.18
CC 18 SLD (Collegamento 0023_-380)
Azioni sul collegamento: N=-4931.25 Ty=-0.32 Tz=-0.05 Mx=-0.01 Mz=-0.79
Sollecitazioni agenti localmente: Ty_l=-871.03 My_l=-17.85
Tensioni nella sezione: σ=216.38 τ=26.39
CC 18 SLD (Collegamento 0023_-380)
Azioni sul collegamento: N=-4931.25 Ty=-0.54 Tz=-0.05 Mx=-0.01 Mz=-1.22
Sollecitazioni agenti localmente: Ty_l=-869.34 My_l=-17.81
Tensioni nella sezione: σ=215.94 τ=26.34
CC 18 SLD (Collegamento 0023_-380)
Azioni sul collegamento: N=-4931.25 Ty=-0.32 Tz=-5.26 Mx=-0.01 Mz=-0.79
Sollecitazioni agenti localmente: Ty_l=-871.03 My_l=-17.85
Tensioni nella sezione: σ=216.38 τ=26.39
CC 18 SLD (Collegamento 0023_-380)
Azioni sul collegamento: N=-4931.25 Ty=-0.54 Tz=-5.26 Mx=-0.01 Mz=-1.22
Sollecitazioni agenti localmente: Ty_l=-869.34 My_l=-17.81
Tensioni nella sezione: σ=215.94 τ=26.34
CC 18 SLD (Collegamento 0023_-380)
Azioni sul collegamento: N=-6335.90 Ty=-0.32 Tz=-0.05 Mx=-0.01 Mz=-0.79
Sollecitazioni agenti localmente: Ty_l=-1120.03 My_l=-22.96
Tensioni nella sezione: σ=278.26 τ=33.94
CC 18 SLD (Collegamento 0023_-380)
Azioni sul collegamento: N=-6335.90 Ty=-0.54 Tz=-0.05 Mx=-0.01 Mz=-1.22
Sollecitazioni agenti localmente: Ty_l=-1118.35 My_l=-22.92
Tensioni nella sezione: σ=277.81 τ=33.89
CC 18 SLD (Collegamento 0023_-380)
Azioni sul collegamento: N=-6335.90 Ty=-0.32 Tz=-5.26 Mx=-0.01 Mz=-0.79
Sollecitazioni agenti localmente: Ty_l=-1120.03 My_l=-22.96
Tensioni nella sezione: σ=278.26 τ=33.94
CC 18 SLD (Collegamento 0023_-380)
Azioni sul collegamento: N=-6335.90 Ty=-0.54 Tz=-5.26 Mx=-0.01 Mz=-1.22
Sollecitazioni agenti localmente: Ty_l=-1118.35 My_l=-22.92
Tensioni nella sezione: σ=277.81 τ=33.89
CC 19 SLV (Collegamento 0023_-380)
Azioni sul collegamento: N=-3330.55 Ty=-1.58 Tz=5.89 Mx=-0.01 Mz=-3.71
Sollecitazioni agenti localmente: Ty_l=-575.64 My_l=-11.78
Tensioni nella sezione: σ=142.79 τ=17.44
CC 19 SLV (Collegamento 0023_-380)
Azioni sul collegamento: N=-3330.55 Ty=-0.90 Tz=5.89 Mx=-0.01 Mz=-2.40
Sollecitazioni agenti localmente: Ty_l=-580.87 My_l=-11.89
Tensioni nella sezione: σ=144.18 τ=17.60
CC 19 SLV (Collegamento 0023_-380)
Azioni sul collegamento: N=-3330.55 Ty=-1.58 Tz=-11.19 Mx=-0.01 Mz=-3.71
Sollecitazioni agenti localmente: Ty_l=-575.64 My_l=-11.78
Tensioni nella sezione: σ=142.79 τ=17.44
CC 19 SLV (Collegamento 0023_-380)
Azioni sul collegamento: N=-3330.55 Ty=-0.90 Tz=-11.19 Mx=-0.01 Mz=-2.40
Sollecitazioni agenti localmente: Ty_l=-580.87 My_l=-11.89

Tensioni nella sezione: σ=144.18 τ=17.60
CC 19 SLV (Collegamento 0023_-380)
Azioni sul collegamento: N=-7936.97 Ty=-1.58 Tz=5.89 Mx=-0.01 Mz=-3.71
Sollecitazioni agenti localmente: Ty_l=-1392.23 My_l=-28.52
Tensioni nella sezione: σ=345.70 τ=42.19
CC 19 SLV (Collegamento 0023_-380)
Azioni sul collegamento: N=-7936.97 Ty=-0.90 Tz=5.89 Mx=-0.01 Mz=-2.40
Sollecitazioni agenti localmente: Ty_l=-1397.46 My_l=-28.63
Tensioni nella sezione: σ=347.09 τ=42.35
CC 19 SLV (Collegamento 0023_-380)
Azioni sul collegamento: N=-7936.97 Ty=-1.58 Tz=-11.19 Mx=-0.01 Mz=-3.71
Sollecitazioni agenti localmente: Ty_l=-1392.23 My_l=-28.52
Tensioni nella sezione: σ=345.70 τ=42.19
CC 19 SLV (Collegamento 0023_-380)
Azioni sul collegamento: N=-7936.97 Ty=-0.90 Tz=-11.19 Mx=-0.01 Mz=-2.40
Sollecitazioni agenti localmente: Ty_l=-1397.46 My_l=-28.63
Tensioni nella sezione: σ=347.09 τ=42.35
CC 20 SLD (Collegamento 0023_-380)
Azioni sul collegamento: N=-4931.25 Ty=-0.53 Tz=-0.05 Mx=-0.00 Mz=-1.20
Sollecitazioni agenti localmente: Ty_l=-869.39 My_l=-17.82
Tensioni nella sezione: σ=215.95 τ=26.34
CC 20 SLD (Collegamento 0023_-380)
Azioni sul collegamento: N=-4931.25 Ty=-0.33 Tz=-0.05 Mx=-0.00 Mz=-0.80
Sollecitazioni agenti localmente: Ty_l=-870.98 My_l=-17.85
Tensioni nella sezione: σ=216.37 τ=26.39
CC 20 SLD (Collegamento 0023_-380)
Azioni sul collegamento: N=-4931.25 Ty=-0.53 Tz=-5.26 Mx=-0.00 Mz=-1.20
Sollecitazioni agenti localmente: Ty_l=-869.39 My_l=-17.82
Tensioni nella sezione: σ=215.95 τ=26.34
CC 20 SLD (Collegamento 0023_-380)
Azioni sul collegamento: N=-4931.25 Ty=-0.33 Tz=-5.26 Mx=-0.00 Mz=-0.80
Sollecitazioni agenti localmente: Ty_l=-870.98 My_l=-17.85
Tensioni nella sezione: σ=216.37 τ=26.39
CC 20 SLD (Collegamento 0023_-380)
Azioni sul collegamento: N=-6335.90 Ty=-0.53 Tz=-0.05 Mx=-0.00 Mz=-1.20
Sollecitazioni agenti localmente: Ty_l=-1118.39 My_l=-22.92
Tensioni nella sezione: σ=277.82 τ=33.89
CC 20 SLD (Collegamento 0023_-380)
Azioni sul collegamento: N=-6335.90 Ty=-0.33 Tz=-0.05 Mx=-0.00 Mz=-0.80
Sollecitazioni agenti localmente: Ty_l=-1119.99 My_l=-22.96
Tensioni nella sezione: σ=278.25 τ=33.94
CC 20 SLD (Collegamento 0023_-380)
Azioni sul collegamento: N=-6335.90 Ty=-0.53 Tz=-5.26 Mx=-0.00 Mz=-1.20
Sollecitazioni agenti localmente: Ty_l=-1118.39 My_l=-22.92
Tensioni nella sezione: σ=277.82 τ=33.89
CC 20 SLD (Collegamento 0023_-380)
Azioni sul collegamento: N=-6335.90 Ty=-0.33 Tz=-5.26 Mx=-0.00 Mz=-0.80
Sollecitazioni agenti localmente: Ty_l=-1119.99 My_l=-22.96
Tensioni nella sezione: σ=278.25 τ=33.94
CC 21 SLV (Collegamento 0023_-380)
Azioni sul collegamento: N=-7936.97 Ty=-0.90 Tz=-11.19 Mx=-0.02 Mz=-2.40
Sollecitazioni agenti localmente: Ty_l=-1397.46 My_l=-28.63
Tensioni nella sezione: σ=347.09 τ=42.35
CC 21 SLV (Collegamento 0023_-380)
Azioni sul collegamento: N=-7936.97 Ty=-1.58 Tz=-11.19 Mx=-0.02 Mz=-3.71
Sollecitazioni agenti localmente: Ty_l=-1392.23 My_l=-28.52
Tensioni nella sezione: σ=345.70 τ=42.19
CC 21 SLV (Collegamento 0023_-380)
Azioni sul collegamento: N=-7936.97 Ty=-0.90 Tz=5.89 Mx=-0.02 Mz=-2.40
Sollecitazioni agenti localmente: Ty_l=-1397.46 My_l=-28.63
Tensioni nella sezione: σ=347.09 τ=42.35
CC 21 SLV (Collegamento 0023_-380)
Azioni sul collegamento: N=-7936.97 Ty=-1.58 Tz=5.89 Mx=-0.02 Mz=-3.71
Sollecitazioni agenti localmente: Ty_l=-1392.23 My_l=-28.52
Tensioni nella sezione: σ=345.70 τ=42.19
CC 21 SLV (Collegamento 0023_-380)
Azioni sul collegamento: N=-3330.55 Ty=-0.90 Tz=-11.19 Mx=-0.02 Mz=-2.40
Sollecitazioni agenti localmente: Ty_l=-580.87 My_l=-11.89
Tensioni nella sezione: σ=144.18 τ=17.60
CC 21 SLV (Collegamento 0023_-380)
Azioni sul collegamento: N=-3330.55 Ty=-1.58 Tz=-11.19 Mx=-0.02 Mz=-3.71
Sollecitazioni agenti localmente: Ty_l=-575.64 My_l=-11.78
Tensioni nella sezione: σ=142.79 τ=17.44
CC 21 SLV (Collegamento 0023_-380)
Azioni sul collegamento: N=-3330.55 Ty=-0.90 Tz=5.89 Mx=-0.02 Mz=-2.40
Sollecitazioni agenti localmente: Ty_l=-580.87 My_l=-11.89
Tensioni nella sezione: σ=144.18 τ=17.60
CC 21 SLV (Collegamento 0023_-380)
Azioni sul collegamento: N=-3330.55 Ty=-1.58 Tz=5.89 Mx=-0.02 Mz=-3.71
Sollecitazioni agenti localmente: Ty_l=-575.64 My_l=-11.78

Tensioni nella sezione: σ=142.79 τ=17.44
CC 22 SLD (Collegamento 0023_-380)
Azioni sul collegamento: N=-6335.90 Ty=-0.33 Tz=-5.26 Mx=-0.01 Mz=-0.80
Sollecitazioni agenti localmente: Ty_l=-1119.99 My_l=-22.96
Tensioni nella sezione: σ=278.25 τ=33.94
CC 22 SLD (Collegamento 0023_-380)
Azioni sul collegamento: N=-6335.90 Ty=-0.53 Tz=-5.26 Mx=-0.01 Mz=-1.20
Sollecitazioni agenti localmente: Ty_l=-1118.39 My_l=-22.92
Tensioni nella sezione: σ=277.82 τ=33.89
CC 22 SLD (Collegamento 0023_-380)
Azioni sul collegamento: N=-6335.90 Ty=-0.33 Tz=-0.05 Mx=-0.01 Mz=-0.80
Sollecitazioni agenti localmente: Ty_l=-1119.99 My_l=-22.96
Tensioni nella sezione: σ=278.25 τ=33.94
CC 22 SLD (Collegamento 0023_-380)
Azioni sul collegamento: N=-6335.90 Ty=-0.53 Tz=-0.05 Mx=-0.01 Mz=-1.20
Sollecitazioni agenti localmente: Ty_l=-1118.39 My_l=-22.92
Tensioni nella sezione: σ=277.82 τ=33.89
CC 22 SLD (Collegamento 0023_-380)
Azioni sul collegamento: N=-4931.25 Ty=-0.33 Tz=-5.26 Mx=-0.01 Mz=-0.80
Sollecitazioni agenti localmente: Ty_l=-870.98 My_l=-17.85
Tensioni nella sezione: σ=216.37 τ=26.39
CC 22 SLD (Collegamento 0023_-380)
Azioni sul collegamento: N=-4931.25 Ty=-0.53 Tz=-5.26 Mx=-0.01 Mz=-1.20
Sollecitazioni agenti localmente: Ty_l=-869.39 My_l=-17.82
Tensioni nella sezione: σ=215.95 τ=26.34
CC 22 SLD (Collegamento 0023_-380)
Azioni sul collegamento: N=-4931.25 Ty=-0.33 Tz=-0.05 Mx=-0.01 Mz=-0.80
Sollecitazioni agenti localmente: Ty_l=-870.98 My_l=-17.85
Tensioni nella sezione: σ=216.37 τ=26.39
CC 22 SLD (Collegamento 0023_-380)
Azioni sul collegamento: N=-4931.25 Ty=-0.53 Tz=-0.05 Mx=-0.01 Mz=-1.20
Sollecitazioni agenti localmente: Ty_l=-869.39 My_l=-17.82
Tensioni nella sezione: σ=215.95 τ=26.34
CC 23 SLV (Collegamento 0023_-380)
Azioni sul collegamento: N=-7936.99 Ty=-1.59 Tz=-11.19 Mx=-0.01 Mz=-3.75
Sollecitazioni agenti localmente: Ty_l=-1392.08 My_l=-28.52
Tensioni nella sezione: σ=345.66 τ=42.18
CC 23 SLV (Collegamento 0023_-380)
Azioni sul collegamento: N=-7936.99 Ty=-0.88 Tz=-11.19 Mx=-0.01 Mz=-2.36
Sollecitazioni agenti localmente: Ty_l=-1397.62 My_l=-28.64
Tensioni nella sezione: σ=347.13 τ=42.35
CC 23 SLV (Collegamento 0023_-380)
Azioni sul collegamento: N=-7936.99 Ty=-1.59 Tz=5.89 Mx=-0.01 Mz=-3.75
Sollecitazioni agenti localmente: Ty_l=-1392.08 My_l=-28.52
Tensioni nella sezione: σ=345.66 τ=42.18
CC 23 SLV (Collegamento 0023_-380)
Azioni sul collegamento: N=-7936.99 Ty=-0.88 Tz=5.89 Mx=-0.01 Mz=-2.36
Sollecitazioni agenti localmente: Ty_l=-1397.62 My_l=-28.64
Tensioni nella sezione: σ=347.13 τ=42.35
CC 23 SLV (Collegamento 0023_-380)
Azioni sul collegamento: N=-3330.52 Ty=-1.59 Tz=-11.19 Mx=-0.01 Mz=-3.75
Sollecitazioni agenti localmente: Ty_l=-575.48 My_l=-11.78
Tensioni nella sezione: σ=142.75 τ=17.44
CC 23 SLV (Collegamento 0023_-380)
Azioni sul collegamento: N=-3330.52 Ty=-0.88 Tz=-11.19 Mx=-0.01 Mz=-2.36
Sollecitazioni agenti localmente: Ty_l=-581.02 My_l=-11.90
Tensioni nella sezione: σ=144.21 τ=17.61
CC 23 SLV (Collegamento 0023_-380)
Azioni sul collegamento: N=-3330.52 Ty=-1.59 Tz=5.89 Mx=-0.01 Mz=-3.75
Sollecitazioni agenti localmente: Ty_l=-575.48 My_l=-11.78
Tensioni nella sezione: σ=142.75 τ=17.44
CC 23 SLV (Collegamento 0023_-380)
Azioni sul collegamento: N=-3330.52 Ty=-0.88 Tz=5.89 Mx=-0.01 Mz=-2.36
Sollecitazioni agenti localmente: Ty_l=-581.02 My_l=-11.90
Tensioni nella sezione: σ=144.21 τ=17.61
CC 24 SLD (Collegamento 0023_-380)
Azioni sul collegamento: N=-6335.90 Ty=-0.54 Tz=-5.26 Mx=-0.00 Mz=-1.22
Sollecitazioni agenti localmente: Ty_l=-1118.35 My_l=-22.92
Tensioni nella sezione: σ=277.81 τ=33.89
CC 24 SLD (Collegamento 0023_-380)
Azioni sul collegamento: N=-6335.90 Ty=-0.32 Tz=-5.26 Mx=-0.00 Mz=-0.79
Sollecitazioni agenti localmente: Ty_l=-1120.03 My_l=-22.96
Tensioni nella sezione: σ=278.26 τ=33.94
CC 24 SLD (Collegamento 0023_-380)
Azioni sul collegamento: N=-6335.90 Ty=-0.54 Tz=-0.05 Mx=-0.00 Mz=-1.22
Sollecitazioni agenti localmente: Ty_l=-1118.35 My_l=-22.92
Tensioni nella sezione: σ=277.81 τ=33.89
CC 24 SLD (Collegamento 0023_-380)
Azioni sul collegamento: N=-6335.90 Ty=-0.32 Tz=-0.05 Mx=-0.00 Mz=-0.79
Sollecitazioni agenti localmente: Ty_l=-1120.03 My_l=-22.96

Tensioni nella sezione: σ=278.26 τ=33.94
CC 24 SLD (Collegamento 0023_-380)
Azioni sul collegamento: N=-4931.25 Ty=-0.54 Tz=-5.26 Mx=-0.00 Mz=-1.22
Sollecitazioni agenti localmente: Ty_l=-869.34 My_l=-17.81
Tensioni nella sezione: σ=215.94 τ=26.34
CC 24 SLD (Collegamento 0023_-380)
Azioni sul collegamento: N=-4931.25 Ty=-0.32 Tz=-5.26 Mx=-0.00 Mz=-0.79
Sollecitazioni agenti localmente: Ty_l=-871.03 My_l=-17.85
Tensioni nella sezione: σ=216.38 τ=26.39
CC 24 SLD (Collegamento 0023_-380)
Azioni sul collegamento: N=-4931.25 Ty=-0.54 Tz=-0.05 Mx=-0.00 Mz=-1.22
Sollecitazioni agenti localmente: Ty_l=-869.34 My_l=-17.81
Tensioni nella sezione: σ=215.94 τ=26.34
CC 24 SLD (Collegamento 0023_-380)
Azioni sul collegamento: N=-4931.25 Ty=-0.32 Tz=-0.05 Mx=-0.00 Mz=-0.79
Sollecitazioni agenti localmente: Ty_l=-871.03 My_l=-17.85
Tensioni nella sezione: σ=216.38 τ=26.39
CC 25 SLV (Collegamento 0023_-380)
Azioni sul collegamento: N=-4942.75 Ty=-0.08 Tz=-0.09 Mx=-0.02 Mz=-0.80
Sollecitazioni agenti localmente: Ty_l=-873.05 My_l=-17.89
Tensioni nella sezione: σ=216.88 τ=26.46
CC 25 SLV (Collegamento 0023_-380)
Azioni sul collegamento: N=-4942.75 Ty=-2.39 Tz=-0.09 Mx=-0.02 Mz=-5.32
Sollecitazioni agenti localmente: Ty_l=-855.06 My_l=-17.50
Tensioni nella sezione: σ=212.11 τ=25.91
CC 25 SLV (Collegamento 0023_-380)
Azioni sul collegamento: N=-4942.75 Ty=-0.08 Tz=-5.22 Mx=-0.02 Mz=-0.80
Sollecitazioni agenti localmente: Ty_l=-873.05 My_l=-17.89
Tensioni nella sezione: σ=216.88 τ=26.46
CC 25 SLV (Collegamento 0023_-380)
Azioni sul collegamento: N=-4942.75 Ty=-2.39 Tz=-5.22 Mx=-0.02 Mz=-5.32
Sollecitazioni agenti localmente: Ty_l=-855.06 My_l=-17.50
Tensioni nella sezione: σ=212.11 τ=25.91
CC 25 SLV (Collegamento 0023_-380)
Azioni sul collegamento: N=-6324.76 Ty=-0.08 Tz=-0.09 Mx=-0.02 Mz=-0.80
Sollecitazioni agenti localmente: Ty_l=-1118.04 My_l=-22.92
Tensioni nella sezione: σ=277.76 τ=33.88
CC 25 SLV (Collegamento 0023_-380)
Azioni sul collegamento: N=-6324.76 Ty=-2.39 Tz=-0.09 Mx=-0.02 Mz=-5.32
Sollecitazioni agenti localmente: Ty_l=-1100.05 My_l=-22.52
Tensioni nella sezione: σ=272.99 τ=33.34
CC 25 SLV (Collegamento 0023_-380)
Azioni sul collegamento: N=-6324.76 Ty=-0.08 Tz=-5.22 Mx=-0.02 Mz=-0.80
Sollecitazioni agenti localmente: Ty_l=-1118.04 My_l=-22.92
Tensioni nella sezione: σ=277.76 τ=33.88
CC 25 SLV (Collegamento 0023_-380)
Azioni sul collegamento: N=-6324.76 Ty=-2.39 Tz=-5.22 Mx=-0.02 Mz=-5.32
Sollecitazioni agenti localmente: Ty_l=-1100.05 My_l=-22.52
Tensioni nella sezione: σ=272.99 τ=33.34
CC 26 SLD (Collegamento 0023_-380)
Azioni sul collegamento: N=-5422.87 Ty=-0.08 Tz=-1.87 Mx=-0.01 Mz=-0.31
Sollecitazioni agenti localmente: Ty_l=-960.08 My_l=-19.68
Tensioni nella sezione: σ=238.54 τ=29.09
CC 26 SLD (Collegamento 0023_-380)
Azioni sul collegamento: N=-5422.87 Ty=-0.78 Tz=-1.87 Mx=-0.01 Mz=-1.69
Sollecitazioni agenti localmente: Ty_l=-954.59 My_l=-19.56
Tensioni nella sezione: σ=237.09 τ=28.93
CC 26 SLD (Collegamento 0023_-380)
Azioni sul collegamento: N=-5422.87 Ty=-0.08 Tz=-3.44 Mx=-0.01 Mz=-0.31
Sollecitazioni agenti localmente: Ty_l=-960.08 My_l=-19.68
Tensioni nella sezione: σ=238.54 τ=29.09
CC 26 SLD (Collegamento 0023_-380)
Azioni sul collegamento: N=-5422.87 Ty=-0.78 Tz=-3.44 Mx=-0.01 Mz=-1.69
Sollecitazioni agenti localmente: Ty_l=-954.59 My_l=-19.56
Tensioni nella sezione: σ=237.09 τ=28.93
CC 26 SLD (Collegamento 0023_-380)
Azioni sul collegamento: N=-5844.28 Ty=-0.08 Tz=-1.87 Mx=-0.01 Mz=-0.31
Sollecitazioni agenti localmente: Ty_l=-1034.78 My_l=-21.21
Tensioni nella sezione: σ=257.11 τ=31.36
CC 26 SLD (Collegamento 0023_-380)
Azioni sul collegamento: N=-5844.28 Ty=-0.78 Tz=-1.87 Mx=-0.01 Mz=-1.69
Sollecitazioni agenti localmente: Ty_l=-1029.30 My_l=-21.09
Tensioni nella sezione: σ=255.65 τ=31.19
CC 26 SLD (Collegamento 0023_-380)
Azioni sul collegamento: N=-5844.28 Ty=-0.08 Tz=-3.44 Mx=-0.01 Mz=-0.31
Sollecitazioni agenti localmente: Ty_l=-1034.78 My_l=-21.21
Tensioni nella sezione: σ=257.11 τ=31.36
CC 26 SLD (Collegamento 0023_-380)
Azioni sul collegamento: N=-5844.28 Ty=-0.78 Tz=-3.44 Mx=-0.01 Mz=-1.69
Sollecitazioni agenti localmente: Ty_l=-1029.30 My_l=-21.09

Tensioni nella sezione: σ=255.65 τ=31.19
CC 27 SLV (Collegamento 0023_-380)
Azioni sul collegamento: N=-6324.69 Ty=-0.09 Tz=-5.21 Mx=-0.02 Mz=-0.81
Sollecitazioni agenti localmente: Ty_l=-1117.98 My_l=-22.91
Tensioni nella sezione: σ=277.75 τ=33.88
CC 27 SLV (Collegamento 0023_-380)
Azioni sul collegamento: N=-6324.69 Ty=-2.39 Tz=-5.21 Mx=-0.02 Mz=-5.31
Sollecitazioni agenti localmente: Ty_l=-1100.09 My_l=-22.52
Tensioni nella sezione: σ=273.00 τ=33.34
CC 27 SLV (Collegamento 0023_-380)
Azioni sul collegamento: N=-6324.69 Ty=-0.09 Tz=-0.09 Mx=-0.02 Mz=-0.81
Sollecitazioni agenti localmente: Ty_l=-1117.98 My_l=-22.91
Tensioni nella sezione: σ=277.75 τ=33.88
CC 27 SLV (Collegamento 0023_-380)
Azioni sul collegamento: N=-6324.69 Ty=-2.39 Tz=-0.09 Mx=-0.02 Mz=-5.31
Sollecitazioni agenti localmente: Ty_l=-1100.09 My_l=-22.52
Tensioni nella sezione: σ=273.00 τ=33.34
CC 27 SLV (Collegamento 0023_-380)
Azioni sul collegamento: N=-4942.83 Ty=-0.09 Tz=-5.21 Mx=-0.02 Mz=-0.81
Sollecitazioni agenti localmente: Ty_l=-873.01 My_l=-17.89
Tensioni nella sezione: σ=216.88 τ=26.45
CC 27 SLV (Collegamento 0023_-380)
Azioni sul collegamento: N=-4942.83 Ty=-2.39 Tz=-5.21 Mx=-0.02 Mz=-5.31
Sollecitazioni agenti localmente: Ty_l=-855.12 My_l=-17.50
Tensioni nella sezione: σ=212.13 τ=25.91
CC 27 SLV (Collegamento 0023_-380)
Azioni sul collegamento: N=-4942.83 Ty=-0.09 Tz=-0.09 Mx=-0.02 Mz=-0.81
Sollecitazioni agenti localmente: Ty_l=-873.01 My_l=-17.89
Tensioni nella sezione: σ=216.88 τ=26.45
CC 27 SLV (Collegamento 0023_-380)
Azioni sul collegamento: N=-4942.83 Ty=-2.39 Tz=-0.09 Mx=-0.02 Mz=-5.31
Sollecitazioni agenti localmente: Ty_l=-855.12 My_l=-17.50
Tensioni nella sezione: σ=212.13 τ=25.91
CC 28 SLD (Collegamento 0023_-380)
Azioni sul collegamento: N=-5844.26 Ty=-0.08 Tz=-3.43 Mx=-0.01 Mz=-0.32
Sollecitazioni agenti localmente: Ty_l=-1034.76 My_l=-21.21
Tensioni nella sezione: σ=257.10 τ=31.36
CC 28 SLD (Collegamento 0023_-380)
Azioni sul collegamento: N=-5844.26 Ty=-0.78 Tz=-3.43 Mx=-0.01 Mz=-1.69
Sollecitazioni agenti localmente: Ty_l=-1029.31 My_l=-21.09
Tensioni nella sezione: σ=255.65 τ=31.19
CC 28 SLD (Collegamento 0023_-380)
Azioni sul collegamento: N=-5844.26 Ty=-0.08 Tz=-1.87 Mx=-0.01 Mz=-0.32
Sollecitazioni agenti localmente: Ty_l=-1034.76 My_l=-21.21
Tensioni nella sezione: σ=257.10 τ=31.36
CC 28 SLD (Collegamento 0023_-380)
Azioni sul collegamento: N=-5844.26 Ty=-0.78 Tz=-1.87 Mx=-0.01 Mz=-1.69
Sollecitazioni agenti localmente: Ty_l=-1029.31 My_l=-21.09
Tensioni nella sezione: σ=255.65 τ=31.19
CC 28 SLD (Collegamento 0023_-380)
Azioni sul collegamento: N=-5422.89 Ty=-0.08 Tz=-3.43 Mx=-0.01 Mz=-0.32
Sollecitazioni agenti localmente: Ty_l=-960.07 My_l=-19.68
Tensioni nella sezione: σ=238.54 τ=29.09
CC 28 SLD (Collegamento 0023_-380)
Azioni sul collegamento: N=-5422.89 Ty=-0.78 Tz=-3.43 Mx=-0.01 Mz=-1.69
Sollecitazioni agenti localmente: Ty_l=-954.61 My_l=-19.56
Tensioni nella sezione: σ=237.09 τ=28.93
CC 28 SLD (Collegamento 0023_-380)
Azioni sul collegamento: N=-5422.89 Ty=-0.08 Tz=-1.87 Mx=-0.01 Mz=-0.32
Sollecitazioni agenti localmente: Ty_l=-960.07 My_l=-19.68
Tensioni nella sezione: σ=238.54 τ=29.09
CC 28 SLD (Collegamento 0023_-380)
Azioni sul collegamento: N=-5422.89 Ty=-0.78 Tz=-1.87 Mx=-0.01 Mz=-1.69
Sollecitazioni agenti localmente: Ty_l=-954.61 My_l=-19.56
Tensioni nella sezione: σ=237.09 τ=28.93
CC 29 SLV (Collegamento 0023_-380)
Azioni sul collegamento: N=-4942.83 Ty=-2.39 Tz=-0.09 Mx=-0.00 Mz=-5.31
Sollecitazioni agenti localmente: Ty_l=-855.12 My_l=-17.50
Tensioni nella sezione: σ=212.13 τ=25.91
CC 29 SLV (Collegamento 0023_-380)
Azioni sul collegamento: N=-4942.83 Ty=-0.09 Tz=-0.09 Mx=-0.00 Mz=-0.81
Sollecitazioni agenti localmente: Ty_l=-873.01 My_l=-17.89
Tensioni nella sezione: σ=216.88 τ=26.45
CC 29 SLV (Collegamento 0023_-380)
Azioni sul collegamento: N=-4942.83 Ty=-2.39 Tz=-5.21 Mx=-0.00 Mz=-5.31
Sollecitazioni agenti localmente: Ty_l=-855.12 My_l=-17.50
Tensioni nella sezione: σ=212.13 τ=25.91
CC 29 SLV (Collegamento 0023_-380)
Azioni sul collegamento: N=-4942.83 Ty=-0.09 Tz=-5.21 Mx=-0.00 Mz=-0.81
Sollecitazioni agenti localmente: Ty_l=-873.01 My_l=-17.89

Tensioni nella sezione: σ=216.88 τ=26.45
CC 29 SLV (Collegamento 0023_-380)
Azioni sul collegamento: N=-6324.69 Ty=-2.39 Tz=-0.09 Mx=-0.00 Mz=-5.31
Sollecitazioni agenti localmente: Ty_l=-1100.09 My_l=-22.52
Tensioni nella sezione: σ=273.00 τ=33.34
CC 29 SLV (Collegamento 0023_-380)
Azioni sul collegamento: N=-6324.69 Ty=-0.09 Tz=-0.09 Mx=-0.00 Mz=-0.81
Sollecitazioni agenti localmente: Ty_l=-1117.98 My_l=-22.91
Tensioni nella sezione: σ=277.75 τ=33.88
CC 29 SLV (Collegamento 0023_-380)
Azioni sul collegamento: N=-6324.69 Ty=-2.39 Tz=-5.21 Mx=-0.00 Mz=-5.31
Sollecitazioni agenti localmente: Ty_l=-1100.09 My_l=-22.52
Tensioni nella sezione: σ=273.00 τ=33.34
CC 29 SLV (Collegamento 0023_-380)
Azioni sul collegamento: N=-6324.69 Ty=-0.09 Tz=-5.21 Mx=-0.00 Mz=-0.81
Sollecitazioni agenti localmente: Ty_l=-1117.98 My_l=-22.91
Tensioni nella sezione: σ=277.75 τ=33.88
CC 30 SLD (Collegamento 0023_-380)
Azioni sul collegamento: N=-5422.89 Ty=-0.78 Tz=-1.87 Mx=-0.00 Mz=-1.69
Sollecitazioni agenti localmente: Ty_l=-954.61 My_l=-19.56
Tensioni nella sezione: σ=237.09 τ=28.93
CC 30 SLD (Collegamento 0023_-380)
Azioni sul collegamento: N=-5422.89 Ty=-0.08 Tz=-1.87 Mx=-0.00 Mz=-0.32
Sollecitazioni agenti localmente: Ty_l=-960.07 My_l=-19.68
Tensioni nella sezione: σ=238.54 τ=29.09
CC 30 SLD (Collegamento 0023_-380)
Azioni sul collegamento: N=-5422.89 Ty=-0.78 Tz=-3.43 Mx=-0.00 Mz=-1.69
Sollecitazioni agenti localmente: Ty_l=-954.61 My_l=-19.56
Tensioni nella sezione: σ=237.09 τ=28.93
CC 30 SLD (Collegamento 0023_-380)
Azioni sul collegamento: N=-5422.89 Ty=-0.08 Tz=-3.43 Mx=-0.00 Mz=-0.32
Sollecitazioni agenti localmente: Ty_l=-960.07 My_l=-19.68
Tensioni nella sezione: σ=238.54 τ=29.09
CC 30 SLD (Collegamento 0023_-380)
Azioni sul collegamento: N=-5844.26 Ty=-0.78 Tz=-1.87 Mx=-0.00 Mz=-1.69
Sollecitazioni agenti localmente: Ty_l=-1029.31 My_l=-21.09
Tensioni nella sezione: σ=255.65 τ=31.19
CC 30 SLD (Collegamento 0023_-380)
Azioni sul collegamento: N=-5844.26 Ty=-0.08 Tz=-1.87 Mx=-0.00 Mz=-0.32
Sollecitazioni agenti localmente: Ty_l=-1034.76 My_l=-21.21
Tensioni nella sezione: σ=257.10 τ=31.36
CC 30 SLD (Collegamento 0023_-380)
Azioni sul collegamento: N=-5844.26 Ty=-0.78 Tz=-3.43 Mx=-0.00 Mz=-1.69
Sollecitazioni agenti localmente: Ty_l=-1029.31 My_l=-21.09
Tensioni nella sezione: σ=255.65 τ=31.19
CC 30 SLD (Collegamento 0023_-380)
Azioni sul collegamento: N=-5844.26 Ty=-0.08 Tz=-3.43 Mx=-0.00 Mz=-0.32
Sollecitazioni agenti localmente: Ty_l=-1034.76 My_l=-21.21
Tensioni nella sezione: σ=257.10 τ=31.36
CC 31 SLV (Collegamento 0023_-380)
Azioni sul collegamento: N=-6324.76 Ty=-2.39 Tz=-5.22 Mx=-0.00 Mz=-5.32
Sollecitazioni agenti localmente: Ty_l=-1100.05 My_l=-22.52
Tensioni nella sezione: σ=272.99 τ=33.34
CC 31 SLV (Collegamento 0023_-380)
Azioni sul collegamento: N=-6324.76 Ty=-0.08 Tz=-5.22 Mx=-0.00 Mz=-0.80
Sollecitazioni agenti localmente: Ty_l=-1118.04 My_l=-22.92
Tensioni nella sezione: σ=277.76 τ=33.88
CC 31 SLV (Collegamento 0023_-380)
Azioni sul collegamento: N=-6324.76 Ty=-2.39 Tz=-0.09 Mx=-0.00 Mz=-5.32
Sollecitazioni agenti localmente: Ty_l=-1100.05 My_l=-22.52
Tensioni nella sezione: σ=272.99 τ=33.34
CC 31 SLV (Collegamento 0023_-380)
Azioni sul collegamento: N=-6324.76 Ty=-0.08 Tz=-0.09 Mx=-0.00 Mz=-0.80
Sollecitazioni agenti localmente: Ty_l=-1118.04 My_l=-22.92
Tensioni nella sezione: σ=277.76 τ=33.88
CC 31 SLV (Collegamento 0023_-380)
Azioni sul collegamento: N=-4942.75 Ty=-2.39 Tz=-5.22 Mx=-0.00 Mz=-5.32
Sollecitazioni agenti localmente: Ty_l=-855.06 My_l=-17.50
Tensioni nella sezione: σ=212.11 τ=25.91
CC 31 SLV (Collegamento 0023_-380)
Azioni sul collegamento: N=-4942.75 Ty=-0.08 Tz=-5.22 Mx=-0.00 Mz=-0.80
Sollecitazioni agenti localmente: Ty_l=-873.05 My_l=-17.89
Tensioni nella sezione: σ=216.88 τ=26.46
CC 31 SLV (Collegamento 0023_-380)
Azioni sul collegamento: N=-4942.75 Ty=-2.39 Tz=-0.09 Mx=-0.00 Mz=-5.32
Sollecitazioni agenti localmente: Ty_l=-855.06 My_l=-17.50
Tensioni nella sezione: σ=212.11 τ=25.91
CC 31 SLV (Collegamento 0023_-380)
Azioni sul collegamento: N=-4942.75 Ty=-0.08 Tz=-0.09 Mx=-0.00 Mz=-0.80
Sollecitazioni agenti localmente: Ty_l=-873.05 My_l=-17.89

Tensioni nella sezione: σ=216.88 τ=26.46
CC 32 SLD (Collegamento 0023_-380)
Azioni sul collegamento: N=-5844.28 Ty=-0.78 Tz=-3.44 Mx=-0.00 Mz=-1.69
Sollecitazioni agenti localmente: Ty_l=-1029.30 My_l=-21.09
Tensioni nella sezione: σ=255.65 τ=31.19
CC 32 SLD (Collegamento 0023_-380)
Azioni sul collegamento: N=-5844.28 Ty=-0.08 Tz=-3.44 Mx=-0.00 Mz=-0.31
Sollecitazioni agenti localmente: Ty_l=-1034.78 My_l=-21.21
Tensioni nella sezione: σ=257.11 τ=31.36
CC 32 SLD (Collegamento 0023_-380)
Azioni sul collegamento: N=-5844.28 Ty=-0.78 Tz=-1.87 Mx=-0.00 Mz=-1.69
Sollecitazioni agenti localmente: Ty_l=-1029.30 My_l=-21.09
Tensioni nella sezione: σ=255.65 τ=31.19
CC 32 SLD (Collegamento 0023_-380)
Azioni sul collegamento: N=-5844.28 Ty=-0.08 Tz=-1.87 Mx=-0.00 Mz=-0.31
Sollecitazioni agenti localmente: Ty_l=-1034.78 My_l=-21.21
Tensioni nella sezione: σ=257.11 τ=31.36
CC 32 SLD (Collegamento 0023_-380)
Azioni sul collegamento: N=-5422.87 Ty=-0.78 Tz=-3.44 Mx=-0.00 Mz=-1.69
Sollecitazioni agenti localmente: Ty_l=-954.59 My_l=-19.56
Tensioni nella sezione: σ=237.09 τ=28.93
CC 32 SLD (Collegamento 0023_-380)
Azioni sul collegamento: N=-5422.87 Ty=-0.08 Tz=-3.44 Mx=-0.00 Mz=-0.31
Sollecitazioni agenti localmente: Ty_l=-960.08 My_l=-19.68
Tensioni nella sezione: σ=238.54 τ=29.09
CC 32 SLD (Collegamento 0023_-380)
Azioni sul collegamento: N=-5422.87 Ty=-0.78 Tz=-1.87 Mx=-0.00 Mz=-1.69
Sollecitazioni agenti localmente: Ty_l=-954.59 My_l=-19.56
Tensioni nella sezione: σ=237.09 τ=28.93
CC 32 SLD (Collegamento 0023_-380)
Azioni sul collegamento: N=-5422.87 Ty=-0.08 Tz=-1.87 Mx=-0.00 Mz=-0.31
Sollecitazioni agenti localmente: Ty_l=-960.08 My_l=-19.68
Tensioni nella sezione: σ=238.54 τ=29.09
CC 33 SLU (Collegamento 0023_-380)
Azioni sul collegamento: N=-29447.20 Ty=-0.05 Tz=76.67 Mx=-0.00 Mz=-0.12
Sollecitazioni agenti localmente: Ty_l=-5219.72 My_l=-107.00
Tensioni nella sezione: σ=1297.01 τ=158.17
CC 34 SLU (Collegamento 0023_-380)
Azioni sul collegamento: N=-28967.90 Ty=-0.05 Tz=74.90 Mx=-0.00 Mz=-0.12
Sollecitazioni agenti localmente: Ty_l=-5134.74 My_l=-105.26
Tensioni nella sezione: σ=1275.90 τ=155.60
CC 35 SLU (Collegamento 0023_-380)
Azioni sul collegamento: N=-29207.50 Ty=-0.17 Tz=75.78 Mx=0.00 Mz=-0.35
Sollecitazioni agenti localmente: Ty_l=-5176.30 My_l=-106.11
Tensioni nella sezione: σ=1286.21 τ=156.86
CC 36 SLU (Collegamento 0023_-380)
Azioni sul collegamento: N=-29207.50 Ty=0.07 Tz=75.79 Mx=-0.00 Mz=0.12
Sollecitazioni agenti localmente: Ty_l=-5178.16 My_l=-106.15
Tensioni nella sezione: σ=1286.70 τ=156.91
CC 37 SLU (Collegamento 0023_-380)
Azioni sul collegamento: N=-19933.90 Ty=-0.08 Tz=41.69 Mx=-0.00 Mz=-0.13
Sollecitazioni agenti localmente: Ty_l=-3533.22 My_l=-72.43
Tensioni nella sezione: σ=877.94 τ=107.07
CC 38 SLU (Collegamento 0023_-380)
Azioni sul collegamento: N=-19454.60 Ty=-0.08 Tz=39.91 Mx=-0.00 Mz=-0.13
Sollecitazioni agenti localmente: Ty_l=-3448.24 My_l=-70.69
Tensioni nella sezione: σ=856.83 τ=104.49
CC 39 SLU (Collegamento 0023_-380)
Azioni sul collegamento: N=-19694.20 Ty=-0.20 Tz=40.80 Mx=0.00 Mz=-0.36
Sollecitazioni agenti localmente: Ty_l=-3489.80 My_l=-71.54
Tensioni nella sezione: σ=867.14 τ=105.75
CC 40 SLU (Collegamento 0023_-380)
Azioni sul collegamento: N=-19694.20 Ty=0.04 Tz=40.80 Mx=-0.00 Mz=0.10
Sollecitazioni agenti localmente: Ty_l=-3491.66 My_l=-71.58
Tensioni nella sezione: σ=867.63 τ=105.81
CC 41 SLU (Collegamento 0023_-380)
Azioni sul collegamento: N=-29632.10 Ty=-0.07 Tz=76.65 Mx=-0.00 Mz=-0.13
Sollecitazioni agenti localmente: Ty_l=-5252.45 My_l=-107.67
Tensioni nella sezione: σ=1305.15 τ=159.16
CC 42 SLU (Collegamento 0023_-380)
Azioni sul collegamento: N=-29152.80 Ty=-0.07 Tz=74.88 Mx=-0.00 Mz=-0.13
Sollecitazioni agenti localmente: Ty_l=-5167.47 My_l=-105.93
Tensioni nella sezione: σ=1284.03 τ=156.59
CC 43 SLU (Collegamento 0023_-380)
Azioni sul collegamento: N=-29392.40 Ty=-0.19 Tz=75.77 Mx=0.00 Mz=-0.36
Sollecitazioni agenti localmente: Ty_l=-5209.03 My_l=-106.78
Tensioni nella sezione: σ=1294.34 τ=157.85
CC 44 SLU (Collegamento 0023_-380)
Azioni sul collegamento: N=-29392.40 Ty=0.05 Tz=75.77 Mx=-0.00 Mz=0.10
Sollecitazioni agenti localmente: Ty_l=-5210.90 My_l=-106.82

Tensioni nella sezione: σ=1294.84 τ=157.91
CC 45 SLU (Collegamento 0023_-380)
Azioni sul collegamento: N=-22108.00 Ty=-0.08 Tz=49.75 Mx=-0.00 Mz=-0.14
Sollecitazioni agenti localmente: Ty_l=-3918.61 My_l=-80.33
Tensioni nella sezione: σ=973.71 τ=118.75
CC 46 SLU (Collegamento 0023_-380)
Azioni sul collegamento: N=-21628.70 Ty=-0.08 Tz=47.97 Mx=-0.00 Mz=-0.14
Sollecitazioni agenti localmente: Ty_l=-3833.63 My_l=-78.59
Tensioni nella sezione: σ=952.59 τ=116.17
CC 47 SLU (Collegamento 0023_-380)
Azioni sul collegamento: N=-21868.40 Ty=-0.20 Tz=48.86 Mx=0.00 Mz=-0.37
Sollecitazioni agenti localmente: Ty_l=-3875.19 My_l=-79.44
Tensioni nella sezione: σ=962.90 τ=117.43
CC 48 SLU (Collegamento 0023_-380)
Azioni sul collegamento: N=-21868.40 Ty=0.04 Tz=48.86 Mx=-0.00 Mz=0.10
Sollecitazioni agenti localmente: Ty_l=-3877.05 My_l=-79.48
Tensioni nella sezione: σ=963.39 τ=117.49
CC 49 SLU (Collegamento 0023_-380)
Azioni sul collegamento: N=-14990.70 Ty=-0.10 Tz=23.57 Mx=-0.00 Mz=-0.15
Sollecitazioni agenti localmente: Ty_l=-2656.86 My_l=-54.46
Tensioni nella sezione: σ=660.18 τ=80.51
CC 50 SLU (Collegamento 0023_-380)
Azioni sul collegamento: N=-14511.40 Ty=-0.10 Tz=21.80 Mx=-0.00 Mz=-0.15
Sollecitazioni agenti localmente: Ty_l=-2571.88 My_l=-52.72
Tensioni nella sezione: σ=639.06 τ=77.94
CC 51 SLU (Collegamento 0023_-380)
Azioni sul collegamento: N=-14751.00 Ty=-0.22 Tz=22.68 Mx=0.00 Mz=-0.38
Sollecitazioni agenti localmente: Ty_l=-2613.44 My_l=-53.57
Tensioni nella sezione: σ=649.37 τ=79.19
CC 52 SLU (Collegamento 0023_-380)
Azioni sul collegamento: N=-14751.00 Ty=0.02 Tz=22.69 Mx=-0.00 Mz=0.09
Sollecitazioni agenti localmente: Ty_l=-2615.30 My_l=-53.61
Tensioni nella sezione: σ=649.87 τ=79.25
CC 53 SLU (Collegamento 0023_-380)
Azioni sul collegamento: N=-22246.40 Ty=-0.10 Tz=49.73 Mx=-0.00 Mz=-0.15
Sollecitazioni agenti localmente: Ty_l=-3943.10 My_l=-80.83
Tensioni nella sezione: σ=979.79 τ=119.49
CC 54 SLU (Collegamento 0023_-380)
Azioni sul collegamento: N=-21767.10 Ty=-0.10 Tz=47.96 Mx=-0.00 Mz=-0.15
Sollecitazioni agenti localmente: Ty_l=-3858.12 My_l=-79.09
Tensioni nella sezione: σ=958.67 τ=116.91
CC 55 SLU (Collegamento 0023_-380)
Azioni sul collegamento: N=-22006.70 Ty=-0.22 Tz=48.85 Mx=0.00 Mz=-0.38
Sollecitazioni agenti localmente: Ty_l=-3899.68 My_l=-79.94
Tensioni nella sezione: σ=968.99 τ=118.17
CC 56 SLU (Collegamento 0023_-380)
Azioni sul collegamento: N=-22006.70 Ty=0.02 Tz=48.85 Mx=-0.00 Mz=0.09
Sollecitazioni agenti localmente: Ty_l=-3901.54 My_l=-79.98
Tensioni nella sezione: σ=969.48 τ=118.23
CC 57 SLU (Collegamento 0023_-380)
Azioni sul collegamento: N=-20646.20 Ty=-0.07 Tz=44.37 Mx=-0.00 Mz=-0.13
Sollecitazioni agenti localmente: Ty_l=-3659.50 My_l=-75.02
Tensioni nella sezione: σ=909.32 τ=110.89
CC 58 SLU (Collegamento 0023_-380)
Azioni sul collegamento: N=-20166.90 Ty=-0.07 Tz=42.59 Mx=-0.00 Mz=-0.13
Sollecitazioni agenti localmente: Ty_l=-3574.52 My_l=-73.28
Tensioni nella sezione: σ=888.21 τ=108.32
CC 59 SLU (Collegamento 0023_-380)
Azioni sul collegamento: N=-20406.60 Ty=-0.19 Tz=43.48 Mx=0.00 Mz=-0.36
Sollecitazioni agenti localmente: Ty_l=-3616.08 My_l=-74.13
Tensioni nella sezione: σ=898.52 τ=109.58
CC 60 SLU (Collegamento 0023_-380)
Azioni sul collegamento: N=-20406.60 Ty=0.05 Tz=43.48 Mx=-0.00 Mz=0.10
Sollecitazioni agenti localmente: Ty_l=-3617.95 My_l=-74.17
Tensioni nella sezione: σ=899.01 τ=109.64
CC 61 SLU (Collegamento 0023_-380)
Azioni sul collegamento: N=-13528.90 Ty=-0.09 Tz=18.19 Mx=-0.00 Mz=-0.14
Sollecitazioni agenti localmente: Ty_l=-2397.75 My_l=-49.15
Tensioni nella sezione: σ=595.80 τ=72.66
CC 62 SLU (Collegamento 0023_-380)
Azioni sul collegamento: N=-13049.60 Ty=-0.10 Tz=16.41 Mx=-0.00 Mz=-0.14
Sollecitazioni agenti localmente: Ty_l=-2312.77 My_l=-47.41
Tensioni nella sezione: σ=574.68 τ=70.08
CC 63 SLU (Collegamento 0023_-380)
Azioni sul collegamento: N=-13289.20 Ty=-0.21 Tz=17.30 Mx=0.00 Mz=-0.37
Sollecitazioni agenti localmente: Ty_l=-2354.33 My_l=-48.26
Tensioni nella sezione: σ=584.99 τ=71.34
CC 64 SLU (Collegamento 0023_-380)
Azioni sul collegamento: N=-13289.20 Ty=0.02 Tz=17.30 Mx=-0.00 Mz=0.10
Sollecitazioni agenti localmente: Ty_l=-2356.19 My_l=-48.30

Tensioni nella sezione: σ=585.49 τ=71.40
CC 65 SLU (Collegamento 0023_-380)
Azioni sul collegamento: N=-20784.60 Ty=-0.09 Tz=44.35 Mx=-0.00 Mz=-0.14
Sollecitazioni agenti localmente: Ty_l=-3683.99 My_l=-75.52
Tensioni nella sezione: σ=915.41 τ=111.64
CC 66 SLU (Collegamento 0023_-380)
Azioni sul collegamento: N=-20305.30 Ty=-0.09 Tz=42.57 Mx=-0.00 Mz=-0.14
Sollecitazioni agenti localmente: Ty_l=-3599.01 My_l=-73.78
Tensioni nella sezione: σ=894.29 τ=109.06
CC 67 SLU (Collegamento 0023_-380)
Azioni sul collegamento: N=-20544.90 Ty=-0.21 Tz=43.46 Mx=0.00 Mz=-0.37
Sollecitazioni agenti localmente: Ty_l=-3640.57 My_l=-74.63
Tensioni nella sezione: σ=904.60 τ=110.32
CC 68 SLU (Collegamento 0023_-380)
Azioni sul collegamento: N=-20544.90 Ty=0.03 Tz=43.46 Mx=-0.00 Mz=0.10
Sollecitazioni agenti localmente: Ty_l=-3642.44 My_l=-74.67
Tensioni nella sezione: σ=905.10 τ=110.38
CC 97 SLU (Collegamento 0023_-380)
Azioni sul collegamento: N=-12582.10 Ty=-12.27 Tz=22.98 Mx=-0.04 Mz=-17.61
Sollecitazioni agenti localmente: Ty_l=-2160.43 My_l=-44.19
Tensioni nella sezione: σ=535.65 τ=65.47
CC 98 SLU (Collegamento 0023_-380)
Azioni sul collegamento: N=-12102.80 Ty=-12.27 Tz=21.21 Mx=-0.04 Mz=-17.61
Sollecitazioni agenti localmente: Ty_l=-2075.45 My_l=-42.45
Tensioni nella sezione: σ=514.53 τ=62.89
CC 99 SLU (Collegamento 0023_-380)
Azioni sul collegamento: N=-12342.50 Ty=-12.39 Tz=22.09 Mx=-0.04 Mz=-17.84
Sollecitazioni agenti localmente: Ty_l=-2117.01 My_l=-43.30
Tensioni nella sezione: σ=524.84 τ=64.15
CC 100 SLU (Collegamento 0023_-380)
Azioni sul collegamento: N=-12342.50 Ty=-12.15 Tz=22.09 Mx=-0.04 Mz=-17.38
Sollecitazioni agenti localmente: Ty_l=-2118.87 My_l=-43.34
Tensioni nella sezione: σ=525.34 τ=64.21
CC 101 SLU (Collegamento 0023_-380)
Azioni sul collegamento: N=-6366.46 Ty=2.01 Tz=0.04 Mx=0.00 Mz=2.22
Sollecitazioni agenti localmente: Ty_l=-1137.43 My_l=-23.33
Tensioni nella sezione: σ=282.78 τ=34.47
CC 102 SLU (Collegamento 0023_-380)
Azioni sul collegamento: N=-5887.16 Ty=2.00 Tz=-1.73 Mx=0.00 Mz=2.22
Sollecitazioni agenti localmente: Ty_l=-1052.45 My_l=-21.59
Tensioni nella sezione: σ=261.67 τ=31.89
CC 103 SLU (Collegamento 0023_-380)
Azioni sul collegamento: N=-6126.81 Ty=1.89 Tz=-0.85 Mx=0.01 Mz=1.98
Sollecitazioni agenti localmente: Ty_l=-1094.01 My_l=-22.44
Tensioni nella sezione: σ=271.98 τ=33.15
CC 104 SLU (Collegamento 0023_-380)
Azioni sul collegamento: N=-6126.80 Ty=2.12 Tz=-0.84 Mx=0.00 Mz=2.45
Sollecitazioni agenti localmente: Ty_l=-1095.87 My_l=-22.48
Tensioni nella sezione: σ=272.47 τ=33.21

Flessione attacco sinistro piastra

Bnetta=220.00 Hnetta=15.00
CC 1 SLV (Collegamento 0023_-380)
Azioni sul collegamento: N=-3330.00 Ty=1.44 Tz=5.89 Mx=0.02 Mz=3.55
Sollecitazioni agenti localmente: Ty_l=-576.21 My_l=-11.79
Tensioni nella sezione: σ=142.94 τ=17.46
CC 1 SLV (Collegamento 0023_-380)
Azioni sul collegamento: N=-3330.00 Ty=0.74 Tz=5.89 Mx=0.02 Mz=2.16
Sollecitazioni agenti localmente: Ty_l=-581.74 My_l=-11.91
Tensioni nella sezione: σ=144.41 τ=17.63
CC 1 SLV (Collegamento 0023_-380)
Azioni sul collegamento: N=-3330.00 Ty=1.44 Tz=-11.20 Mx=0.02 Mz=3.55
Sollecitazioni agenti localmente: Ty_l=-576.21 My_l=-11.79
Tensioni nella sezione: σ=142.94 τ=17.46
CC 1 SLV (Collegamento 0023_-380)
Azioni sul collegamento: N=-3330.00 Ty=0.74 Tz=-11.20 Mx=0.02 Mz=2.16
Sollecitazioni agenti localmente: Ty_l=-581.74 My_l=-11.91
Tensioni nella sezione: σ=144.41 τ=17.63
CC 1 SLV (Collegamento 0023_-380)
Azioni sul collegamento: N=-7936.47 Ty=1.44 Tz=5.89 Mx=0.02 Mz=3.55
Sollecitazioni agenti localmente: Ty_l=-1392.81 My_l=-28.53
Tensioni nella sezione: σ=345.85 τ=42.21
CC 1 SLV (Collegamento 0023_-380)
Azioni sul collegamento: N=-7936.47 Ty=0.74 Tz=5.89 Mx=0.02 Mz=2.16
Sollecitazioni agenti localmente: Ty_l=-1398.34 My_l=-28.65
Tensioni nella sezione: σ=347.32 τ=42.37
CC 1 SLV (Collegamento 0023_-380)
Azioni sul collegamento: N=-7936.47 Ty=1.44 Tz=-11.20 Mx=0.02 Mz=3.55
Sollecitazioni agenti localmente: Ty_l=-1392.81 My_l=-28.53

Tensioni nella sezione: σ=345.85 τ=42.21
CC 1 SLV (Collegamento 0023_-380)
Azioni sul collegamento: N=-7936.47 Ty=0.74 Tz=-11.20 Mx=0.02 Mz=2.16
Sollecitazioni agenti localmente: Ty_l=-1398.34 My_l=-28.65
Tensioni nella sezione: σ=347.32 τ=42.37
CC 2 SLD (Collegamento 0023_-380)
Azioni sul collegamento: N=-4931.09 Ty=0.39 Tz=-0.05 Mx=0.00 Mz=1.01
Sollecitazioni agenti localmente: Ty_l=-870.13 My_l=-17.83
Tensioni nella sezione: σ=216.15 τ=26.37
CC 2 SLD (Collegamento 0023_-380)
Azioni sul collegamento: N=-4931.09 Ty=0.17 Tz=-0.05 Mx=0.00 Mz=0.59
Sollecitazioni agenti localmente: Ty_l=-871.82 My_l=-17.87
Tensioni nella sezione: σ=216.59 τ=26.42
CC 2 SLD (Collegamento 0023_-380)
Azioni sul collegamento: N=-4931.09 Ty=0.39 Tz=-5.26 Mx=0.00 Mz=1.01
Sollecitazioni agenti localmente: Ty_l=-870.13 My_l=-17.83
Tensioni nella sezione: σ=216.15 τ=26.37
CC 2 SLD (Collegamento 0023_-380)
Azioni sul collegamento: N=-4931.09 Ty=0.17 Tz=-5.26 Mx=0.00 Mz=0.59
Sollecitazioni agenti localmente: Ty_l=-871.82 My_l=-17.87
Tensioni nella sezione: σ=216.59 τ=26.42
CC 2 SLD (Collegamento 0023_-380)
Azioni sul collegamento: N=-6335.74 Ty=0.39 Tz=-0.05 Mx=0.00 Mz=1.01
Sollecitazioni agenti localmente: Ty_l=-1119.14 My_l=-22.94
Tensioni nella sezione: σ=278.02 τ=33.91
CC 2 SLD (Collegamento 0023_-380)
Azioni sul collegamento: N=-6335.74 Ty=0.17 Tz=-0.05 Mx=0.00 Mz=0.59
Sollecitazioni agenti localmente: Ty_l=-1120.82 My_l=-22.97
Tensioni nella sezione: σ=278.47 τ=33.96
CC 2 SLD (Collegamento 0023_-380)
Azioni sul collegamento: N=-6335.74 Ty=0.39 Tz=-5.26 Mx=0.00 Mz=1.01
Sollecitazioni agenti localmente: Ty_l=-1119.14 My_l=-22.94
Tensioni nella sezione: σ=278.02 τ=33.91
CC 2 SLD (Collegamento 0023_-380)
Azioni sul collegamento: N=-6335.74 Ty=0.17 Tz=-5.26 Mx=0.00 Mz=0.59
Sollecitazioni agenti localmente: Ty_l=-1120.82 My_l=-22.97
Tensioni nella sezione: σ=278.47 τ=33.96
CC 3 SLV (Collegamento 0023_-380)
Azioni sul collegamento: N=-3330.02 Ty=0.75 Tz=5.88 Mx=0.01 Mz=2.19
Sollecitazioni agenti localmente: Ty_l=-581.59 My_l=-11.91
Tensioni nella sezione: σ=144.37 τ=17.62
CC 3 SLV (Collegamento 0023_-380)
Azioni sul collegamento: N=-3330.02 Ty=1.43 Tz=5.88 Mx=0.01 Mz=3.51
Sollecitazioni agenti localmente: Ty_l=-576.37 My_l=-11.80
Tensioni nella sezione: σ=142.98 τ=17.47
CC 3 SLV (Collegamento 0023_-380)
Azioni sul collegamento: N=-3330.02 Ty=0.75 Tz=-11.19 Mx=0.01 Mz=2.19
Sollecitazioni agenti localmente: Ty_l=-581.59 My_l=-11.91
Tensioni nella sezione: σ=144.37 τ=17.62
CC 3 SLV (Collegamento 0023_-380)
Azioni sul collegamento: N=-3330.02 Ty=1.43 Tz=-11.19 Mx=0.01 Mz=3.51
Sollecitazioni agenti localmente: Ty_l=-576.37 My_l=-11.80
Tensioni nella sezione: σ=142.98 τ=17.47
CC 3 SLV (Collegamento 0023_-380)
Azioni sul collegamento: N=-7936.44 Ty=0.75 Tz=5.88 Mx=0.01 Mz=2.19
Sollecitazioni agenti localmente: Ty_l=-1398.19 My_l=-28.65
Tensioni nella sezione: σ=347.28 τ=42.37
CC 3 SLV (Collegamento 0023_-380)
Azioni sul collegamento: N=-7936.44 Ty=1.43 Tz=5.88 Mx=0.01 Mz=3.51
Sollecitazioni agenti localmente: Ty_l=-1392.96 My_l=-28.54
Tensioni nella sezione: σ=345.89 τ=42.21
CC 3 SLV (Collegamento 0023_-380)
Azioni sul collegamento: N=-7936.44 Ty=0.75 Tz=-11.19 Mx=0.01 Mz=2.19
Sollecitazioni agenti localmente: Ty_l=-1398.19 My_l=-28.65
Tensioni nella sezione: σ=347.28 τ=42.37
CC 3 SLV (Collegamento 0023_-380)
Azioni sul collegamento: N=-7936.44 Ty=1.43 Tz=-11.19 Mx=0.01 Mz=3.51
Sollecitazioni agenti localmente: Ty_l=-1392.96 My_l=-28.54
Tensioni nella sezione: σ=345.89 τ=42.21
CC 4 SLD (Collegamento 0023_-380)
Azioni sul collegamento: N=-4931.09 Ty=0.18 Tz=-0.05 Mx=0.00 Mz=0.60
Sollecitazioni agenti localmente: Ty_l=-871.77 My_l=-17.87
Tensioni nella sezione: σ=216.58 τ=26.42
CC 4 SLD (Collegamento 0023_-380)
Azioni sul collegamento: N=-4931.09 Ty=0.38 Tz=-0.05 Mx=0.00 Mz=1.00
Sollecitazioni agenti localmente: Ty_l=-870.18 My_l=-17.83
Tensioni nella sezione: σ=216.16 τ=26.37
CC 4 SLD (Collegamento 0023_-380)
Azioni sul collegamento: N=-4931.09 Ty=0.18 Tz=-5.26 Mx=0.00 Mz=0.60
Sollecitazioni agenti localmente: Ty_l=-871.77 My_l=-17.87

Tensioni nella sezione: σ=216.58 τ=26.42
CC 4 SLD (Collegamento 0023_-380)
Azioni sul collegamento: N=-4931.09 Ty=0.38 Tz=-5.26 Mx=0.00 Mz=1.00
Sollecitazioni agenti localmente: Ty_l=-870.18 My_l=-17.83
Tensioni nella sezione: σ=216.16 τ=26.37
CC 4 SLD (Collegamento 0023_-380)
Azioni sul collegamento: N=-6335.74 Ty=0.18 Tz=-0.05 Mx=0.00 Mz=0.60
Sollecitazioni agenti localmente: Ty_l=-1120.78 My_l=-22.97
Tensioni nella sezione: σ=278.46 τ=33.96
CC 4 SLD (Collegamento 0023_-380)
Azioni sul collegamento: N=-6335.74 Ty=0.38 Tz=-0.05 Mx=0.00 Mz=1.00
Sollecitazioni agenti localmente: Ty_l=-1119.18 My_l=-22.94
Tensioni nella sezione: σ=278.03 τ=33.91
CC 4 SLD (Collegamento 0023_-380)
Azioni sul collegamento: N=-6335.74 Ty=0.18 Tz=-5.26 Mx=0.00 Mz=0.60
Sollecitazioni agenti localmente: Ty_l=-1120.78 My_l=-22.97
Tensioni nella sezione: σ=278.46 τ=33.96
CC 4 SLD (Collegamento 0023_-380)
Azioni sul collegamento: N=-6335.74 Ty=0.38 Tz=-5.26 Mx=0.00 Mz=1.00
Sollecitazioni agenti localmente: Ty_l=-1119.18 My_l=-22.94
Tensioni nella sezione: σ=278.03 τ=33.91
CC 5 SLV (Collegamento 0023_-380)
Azioni sul collegamento: N=-7936.44 Ty=1.43 Tz=-11.19 Mx=0.02 Mz=3.51
Sollecitazioni agenti localmente: Ty_l=-1392.96 My_l=-28.54
Tensioni nella sezione: σ=345.89 τ=42.21
CC 5 SLV (Collegamento 0023_-380)
Azioni sul collegamento: N=-7936.44 Ty=0.75 Tz=-11.19 Mx=0.02 Mz=2.19
Sollecitazioni agenti localmente: Ty_l=-1398.19 My_l=-28.65
Tensioni nella sezione: σ=347.28 τ=42.37
CC 5 SLV (Collegamento 0023_-380)
Azioni sul collegamento: N=-7936.44 Ty=1.43 Tz=5.88 Mx=0.02 Mz=3.51
Sollecitazioni agenti localmente: Ty_l=-1392.96 My_l=-28.54
Tensioni nella sezione: σ=345.89 τ=42.21
CC 5 SLV (Collegamento 0023_-380)
Azioni sul collegamento: N=-7936.44 Ty=0.75 Tz=5.88 Mx=0.02 Mz=2.19
Sollecitazioni agenti localmente: Ty_l=-1398.19 My_l=-28.65
Tensioni nella sezione: σ=347.28 τ=42.37
CC 5 SLV (Collegamento 0023_-380)
Azioni sul collegamento: N=-3330.02 Ty=1.43 Tz=-11.19 Mx=0.02 Mz=3.51
Sollecitazioni agenti localmente: Ty_l=-576.37 My_l=-11.80
Tensioni nella sezione: σ=142.98 τ=17.47
CC 5 SLV (Collegamento 0023_-380)
Azioni sul collegamento: N=-3330.02 Ty=0.75 Tz=-11.19 Mx=0.02 Mz=2.19
Sollecitazioni agenti localmente: Ty_l=-581.59 My_l=-11.91
Tensioni nella sezione: σ=144.37 τ=17.62
CC 5 SLV (Collegamento 0023_-380)
Azioni sul collegamento: N=-3330.02 Ty=1.43 Tz=5.88 Mx=0.02 Mz=3.51
Sollecitazioni agenti localmente: Ty_l=-576.37 My_l=-11.80
Tensioni nella sezione: σ=142.98 τ=17.47
CC 5 SLV (Collegamento 0023_-380)
Azioni sul collegamento: N=-3330.02 Ty=0.75 Tz=5.88 Mx=0.02 Mz=2.19
Sollecitazioni agenti localmente: Ty_l=-581.59 My_l=-11.91
Tensioni nella sezione: σ=144.37 τ=17.62
CC 6 SLD (Collegamento 0023_-380)
Azioni sul collegamento: N=-6335.74 Ty=0.38 Tz=-5.26 Mx=0.00 Mz=1.00
Sollecitazioni agenti localmente: Ty_l=-1119.18 My_l=-22.94
Tensioni nella sezione: σ=278.03 τ=33.91
CC 6 SLD (Collegamento 0023_-380)
Azioni sul collegamento: N=-6335.74 Ty=0.18 Tz=-5.26 Mx=0.00 Mz=0.60
Sollecitazioni agenti localmente: Ty_l=-1120.78 My_l=-22.97
Tensioni nella sezione: σ=278.46 τ=33.96
CC 6 SLD (Collegamento 0023_-380)
Azioni sul collegamento: N=-6335.74 Ty=0.38 Tz=-0.05 Mx=0.00 Mz=1.00
Sollecitazioni agenti localmente: Ty_l=-1119.18 My_l=-22.94
Tensioni nella sezione: σ=278.03 τ=33.91
CC 6 SLD (Collegamento 0023_-380)
Azioni sul collegamento: N=-6335.74 Ty=0.18 Tz=-0.05 Mx=0.00 Mz=0.60
Sollecitazioni agenti localmente: Ty_l=-1120.78 My_l=-22.97
Tensioni nella sezione: σ=278.46 τ=33.96
CC 6 SLD (Collegamento 0023_-380)
Azioni sul collegamento: N=-4931.09 Ty=0.38 Tz=-5.26 Mx=0.00 Mz=1.00
Sollecitazioni agenti localmente: Ty_l=-870.18 My_l=-17.83
Tensioni nella sezione: σ=216.16 τ=26.37
CC 6 SLD (Collegamento 0023_-380)
Azioni sul collegamento: N=-4931.09 Ty=0.18 Tz=-5.26 Mx=0.00 Mz=0.60
Sollecitazioni agenti localmente: Ty_l=-871.77 My_l=-17.87
Tensioni nella sezione: σ=216.58 τ=26.42
CC 6 SLD (Collegamento 0023_-380)
Azioni sul collegamento: N=-4931.09 Ty=0.38 Tz=-0.05 Mx=0.00 Mz=1.00
Sollecitazioni agenti localmente: Ty_l=-870.18 My_l=-17.83

Tensioni nella sezione: σ=216.16 τ=26.37
CC 6 SLD (Collegamento 0023_-380)
Azioni sul collegamento: N=-4931.09 Ty=0.18 Tz=-0.05 Mx=0.00 Mz=0.60
Sollecitazioni agenti localmente: Ty_l=-871.77 My_l=-17.87
Tensioni nella sezione: σ=216.58 τ=26.42
CC 7 SLV (Collegamento 0023_-380)
Azioni sul collegamento: N=-7936.47 Ty=0.74 Tz=-11.20 Mx=0.01 Mz=2.16
Sollecitazioni agenti localmente: Ty_l=-1398.34 My_l=-28.65
Tensioni nella sezione: σ=347.32 τ=42.37
CC 7 SLV (Collegamento 0023_-380)
Azioni sul collegamento: N=-7936.47 Ty=1.44 Tz=-11.20 Mx=0.01 Mz=3.55
Sollecitazioni agenti localmente: Ty_l=-1392.81 My_l=-28.53
Tensioni nella sezione: σ=345.85 τ=42.21
CC 7 SLV (Collegamento 0023_-380)
Azioni sul collegamento: N=-7936.47 Ty=0.74 Tz=5.89 Mx=0.01 Mz=2.16
Sollecitazioni agenti localmente: Ty_l=-1398.34 My_l=-28.65
Tensioni nella sezione: σ=347.32 τ=42.37
CC 7 SLV (Collegamento 0023_-380)
Azioni sul collegamento: N=-7936.47 Ty=1.44 Tz=5.89 Mx=0.01 Mz=3.55
Sollecitazioni agenti localmente: Ty_l=-1392.81 My_l=-28.53
Tensioni nella sezione: σ=345.85 τ=42.21
CC 7 SLV (Collegamento 0023_-380)
Azioni sul collegamento: N=-3330.00 Ty=0.74 Tz=-11.20 Mx=0.01 Mz=2.16
Sollecitazioni agenti localmente: Ty_l=-581.74 My_l=-11.91
Tensioni nella sezione: σ=144.41 τ=17.63
CC 7 SLV (Collegamento 0023_-380)
Azioni sul collegamento: N=-3330.00 Ty=1.44 Tz=-11.20 Mx=0.01 Mz=3.55
Sollecitazioni agenti localmente: Ty_l=-576.21 My_l=-11.79
Tensioni nella sezione: σ=142.94 τ=17.46
CC 7 SLV (Collegamento 0023_-380)
Azioni sul collegamento: N=-3330.00 Ty=0.74 Tz=5.89 Mx=0.01 Mz=2.16
Sollecitazioni agenti localmente: Ty_l=-581.74 My_l=-11.91
Tensioni nella sezione: σ=144.41 τ=17.63
CC 7 SLV (Collegamento 0023_-380)
Azioni sul collegamento: N=-3330.00 Ty=1.44 Tz=5.89 Mx=0.01 Mz=3.55
Sollecitazioni agenti localmente: Ty_l=-576.21 My_l=-11.79
Tensioni nella sezione: σ=142.94 τ=17.46
CC 8 SLD (Collegamento 0023_-380)
Azioni sul collegamento: N=-6335.74 Ty=0.17 Tz=-5.26 Mx=0.00 Mz=0.59
Sollecitazioni agenti localmente: Ty_l=-1120.82 My_l=-22.97
Tensioni nella sezione: σ=278.47 τ=33.96
CC 8 SLD (Collegamento 0023_-380)
Azioni sul collegamento: N=-6335.74 Ty=0.39 Tz=-5.26 Mx=0.00 Mz=1.01
Sollecitazioni agenti localmente: Ty_l=-1119.14 My_l=-22.94
Tensioni nella sezione: σ=278.02 τ=33.91
CC 8 SLD (Collegamento 0023_-380)
Azioni sul collegamento: N=-6335.74 Ty=0.17 Tz=-0.05 Mx=0.00 Mz=0.59
Sollecitazioni agenti localmente: Ty_l=-1120.82 My_l=-22.97
Tensioni nella sezione: σ=278.47 τ=33.96
CC 8 SLD (Collegamento 0023_-380)
Azioni sul collegamento: N=-6335.74 Ty=0.39 Tz=-0.05 Mx=0.00 Mz=1.01
Sollecitazioni agenti localmente: Ty_l=-1119.14 My_l=-22.94
Tensioni nella sezione: σ=278.02 τ=33.91
CC 8 SLD (Collegamento 0023_-380)
Azioni sul collegamento: N=-4931.09 Ty=0.17 Tz=-5.26 Mx=0.00 Mz=0.59
Sollecitazioni agenti localmente: Ty_l=-871.82 My_l=-17.87
Tensioni nella sezione: σ=216.59 τ=26.42
CC 8 SLD (Collegamento 0023_-380)
Azioni sul collegamento: N=-4931.09 Ty=0.39 Tz=-5.26 Mx=0.00 Mz=1.01
Sollecitazioni agenti localmente: Ty_l=-870.13 My_l=-17.83
Tensioni nella sezione: σ=216.15 τ=26.37
CC 8 SLD (Collegamento 0023_-380)
Azioni sul collegamento: N=-4931.09 Ty=0.17 Tz=-0.05 Mx=0.00 Mz=0.59
Sollecitazioni agenti localmente: Ty_l=-871.82 My_l=-17.87
Tensioni nella sezione: σ=216.59 τ=26.42
CC 8 SLD (Collegamento 0023_-380)
Azioni sul collegamento: N=-4931.09 Ty=0.39 Tz=-0.05 Mx=0.00 Mz=1.01
Sollecitazioni agenti localmente: Ty_l=-870.13 My_l=-17.83
Tensioni nella sezione: σ=216.15 τ=26.37
CC 9 SLV (Collegamento 0023_-380)
Azioni sul collegamento: N=-4942.23 Ty=2.24 Tz=-0.09 Mx=0.02 Mz=5.11
Sollecitazioni agenti localmente: Ty_l=-855.79 My_l=-17.52
Tensioni nella sezione: σ=212.31 τ=25.93
CC 9 SLV (Collegamento 0023_-380)
Azioni sul collegamento: N=-4942.23 Ty=-0.07 Tz=-0.09 Mx=0.02 Mz=0.59
Sollecitazioni agenti localmente: Ty_l=-873.77 My_l=-17.91
Tensioni nella sezione: σ=217.08 τ=26.48
CC 9 SLV (Collegamento 0023_-380)
Azioni sul collegamento: N=-4942.23 Ty=2.24 Tz=-5.22 Mx=0.02 Mz=5.11
Sollecitazioni agenti localmente: Ty_l=-855.79 My_l=-17.52

Tensioni nella sezione: σ=212.31 τ=25.93
CC 9 SLV (Collegamento 0023_-380)
Azioni sul collegamento: N=-4942.23 Ty=-0.07 Tz=-5.22 Mx=0.02 Mz=0.59
Sollecitazioni agenti localmente: Ty_l=-873.77 My_l=-17.91
Tensioni nella sezione: σ=217.08 τ=26.48
CC 9 SLV (Collegamento 0023_-380)
Azioni sul collegamento: N=-6324.24 Ty=2.24 Tz=-0.09 Mx=0.02 Mz=5.11
Sollecitazioni agenti localmente: Ty_l=-1100.78 My_l=-22.54
Tensioni nella sezione: σ=273.18 τ=33.36
CC 9 SLV (Collegamento 0023_-380)
Azioni sul collegamento: N=-6324.24 Ty=-0.07 Tz=-0.09 Mx=0.02 Mz=0.59
Sollecitazioni agenti localmente: Ty_l=-1118.76 My_l=-22.93
Tensioni nella sezione: σ=277.96 τ=33.90
CC 9 SLV (Collegamento 0023_-380)
Azioni sul collegamento: N=-6324.24 Ty=2.24 Tz=-5.22 Mx=0.02 Mz=5.11
Sollecitazioni agenti localmente: Ty_l=-1100.78 My_l=-22.54
Tensioni nella sezione: σ=273.18 τ=33.36
CC 9 SLV (Collegamento 0023_-380)
Azioni sul collegamento: N=-6324.24 Ty=-0.07 Tz=-5.22 Mx=0.02 Mz=0.59
Sollecitazioni agenti localmente: Ty_l=-1118.76 My_l=-22.93
Tensioni nella sezione: σ=277.96 τ=33.90
CC 10 SLD (Collegamento 0023_-380)
Azioni sul collegamento: N=-5422.71 Ty=0.63 Tz=-1.87 Mx=0.01 Mz=1.49
Sollecitazioni agenti localmente: Ty_l=-955.38 My_l=-19.58
Tensioni nella sezione: σ=237.30 τ=28.95
CC 10 SLD (Collegamento 0023_-380)
Azioni sul collegamento: N=-5422.71 Ty=-0.07 Tz=-1.87 Mx=0.01 Mz=0.11
Sollecitazioni agenti localmente: Ty_l=-960.87 My_l=-19.70
Tensioni nella sezione: σ=238.75 τ=29.12
CC 10 SLD (Collegamento 0023_-380)
Azioni sul collegamento: N=-5422.71 Ty=0.63 Tz=-3.44 Mx=0.01 Mz=1.49
Sollecitazioni agenti localmente: Ty_l=-955.38 My_l=-19.58
Tensioni nella sezione: σ=237.30 τ=28.95
CC 10 SLD (Collegamento 0023_-380)
Azioni sul collegamento: N=-5422.71 Ty=-0.07 Tz=-3.44 Mx=0.01 Mz=0.11
Sollecitazioni agenti localmente: Ty_l=-960.87 My_l=-19.70
Tensioni nella sezione: σ=238.75 τ=29.12
CC 10 SLD (Collegamento 0023_-380)
Azioni sul collegamento: N=-5844.12 Ty=0.63 Tz=-1.87 Mx=0.01 Mz=1.49
Sollecitazioni agenti localmente: Ty_l=-1030.09 My_l=-21.11
Tensioni nella sezione: σ=255.86 τ=31.21
CC 10 SLD (Collegamento 0023_-380)
Azioni sul collegamento: N=-5844.12 Ty=-0.07 Tz=-1.87 Mx=0.01 Mz=0.11
Sollecitazioni agenti localmente: Ty_l=-1035.57 My_l=-21.23
Tensioni nella sezione: σ=257.32 τ=31.38
CC 10 SLD (Collegamento 0023_-380)
Azioni sul collegamento: N=-5844.12 Ty=0.63 Tz=-3.44 Mx=0.01 Mz=1.49
Sollecitazioni agenti localmente: Ty_l=-1030.09 My_l=-21.11
Tensioni nella sezione: σ=255.86 τ=31.21
CC 10 SLD (Collegamento 0023_-380)
Azioni sul collegamento: N=-5844.12 Ty=-0.07 Tz=-3.44 Mx=0.01 Mz=0.11
Sollecitazioni agenti localmente: Ty_l=-1035.57 My_l=-21.23
Tensioni nella sezione: σ=257.32 τ=31.38
CC 11 SLV (Collegamento 0023_-380)
Azioni sul collegamento: N=-6324.16 Ty=2.24 Tz=-5.22 Mx=0.02 Mz=5.10
Sollecitazioni agenti localmente: Ty_l=-1100.81 My_l=-22.54
Tensioni nella sezione: σ=273.19 τ=33.36
CC 11 SLV (Collegamento 0023_-380)
Azioni sul collegamento: N=-6324.16 Ty=-0.06 Tz=-5.22 Mx=0.02 Mz=0.60
Sollecitazioni agenti localmente: Ty_l=-1118.70 My_l=-22.93
Tensioni nella sezione: σ=277.94 τ=33.90
CC 11 SLV (Collegamento 0023_-380)
Azioni sul collegamento: N=-6324.16 Ty=2.24 Tz=-0.09 Mx=0.02 Mz=5.10
Sollecitazioni agenti localmente: Ty_l=-1100.81 My_l=-22.54
Tensioni nella sezione: σ=273.19 τ=33.36
CC 11 SLV (Collegamento 0023_-380)
Azioni sul collegamento: N=-6324.16 Ty=-0.06 Tz=-0.09 Mx=0.02 Mz=0.60
Sollecitazioni agenti localmente: Ty_l=-1118.70 My_l=-22.93
Tensioni nella sezione: σ=277.94 τ=33.90
CC 11 SLV (Collegamento 0023_-380)
Azioni sul collegamento: N=-4942.30 Ty=2.24 Tz=-5.22 Mx=0.02 Mz=5.10
Sollecitazioni agenti localmente: Ty_l=-855.85 My_l=-17.52
Tensioni nella sezione: σ=212.32 τ=25.93
CC 11 SLV (Collegamento 0023_-380)
Azioni sul collegamento: N=-4942.30 Ty=-0.06 Tz=-5.22 Mx=0.02 Mz=0.60
Sollecitazioni agenti localmente: Ty_l=-873.74 My_l=-17.91
Tensioni nella sezione: σ=217.07 τ=26.48
CC 11 SLV (Collegamento 0023_-380)
Azioni sul collegamento: N=-4942.30 Ty=2.24 Tz=-0.09 Mx=0.02 Mz=5.10
Sollecitazioni agenti localmente: Ty_l=-855.85 My_l=-17.52

Tensioni nella sezione: σ=212.32 τ=25.93
CC 11 SLV (Collegamento 0023_-380)
Azioni sul collegamento: N=-4942.30 Ty=-0.06 Tz=-0.09 Mx=0.02 Mz=0.60
Sollecitazioni agenti localmente: Ty_l=-873.74 My_l=-17.91
Tensioni nella sezione: σ=217.07 τ=26.48
CC 12 SLD (Collegamento 0023_-380)
Azioni sul collegamento: N=-5844.10 Ty=0.63 Tz=-3.44 Mx=0.01 Mz=1.48
Sollecitazioni agenti localmente: Ty_l=-1030.10 My_l=-21.11
Tensioni nella sezione: σ=255.86 τ=31.22
CC 12 SLD (Collegamento 0023_-380)
Azioni sul collegamento: N=-5844.10 Ty=-0.07 Tz=-3.44 Mx=0.01 Mz=0.11
Sollecitazioni agenti localmente: Ty_l=-1035.55 My_l=-21.23
Tensioni nella sezione: σ=257.31 τ=31.38
CC 12 SLD (Collegamento 0023_-380)
Azioni sul collegamento: N=-5844.10 Ty=0.63 Tz=-1.87 Mx=0.01 Mz=1.48
Sollecitazioni agenti localmente: Ty_l=-1030.10 My_l=-21.11
Tensioni nella sezione: σ=255.86 τ=31.22
CC 12 SLD (Collegamento 0023_-380)
Azioni sul collegamento: N=-5844.10 Ty=-0.07 Tz=-1.87 Mx=0.01 Mz=0.11
Sollecitazioni agenti localmente: Ty_l=-1035.55 My_l=-21.23
Tensioni nella sezione: σ=257.31 τ=31.38
CC 12 SLD (Collegamento 0023_-380)
Azioni sul collegamento: N=-5422.73 Ty=0.63 Tz=-3.44 Mx=0.01 Mz=1.48
Sollecitazioni agenti localmente: Ty_l=-955.40 My_l=-19.58
Tensioni nella sezione: σ=237.30 τ=28.95
CC 12 SLD (Collegamento 0023_-380)
Azioni sul collegamento: N=-5422.73 Ty=-0.07 Tz=-3.44 Mx=0.01 Mz=0.11
Sollecitazioni agenti localmente: Ty_l=-960.86 My_l=-19.70
Tensioni nella sezione: σ=238.75 τ=29.12
CC 12 SLD (Collegamento 0023_-380)
Azioni sul collegamento: N=-5422.73 Ty=0.63 Tz=-1.87 Mx=0.01 Mz=1.48
Sollecitazioni agenti localmente: Ty_l=-955.40 My_l=-19.58
Tensioni nella sezione: σ=237.30 τ=28.95
CC 12 SLD (Collegamento 0023_-380)
Azioni sul collegamento: N=-5422.73 Ty=-0.07 Tz=-1.87 Mx=0.01 Mz=0.11
Sollecitazioni agenti localmente: Ty_l=-960.86 My_l=-19.70
Tensioni nella sezione: σ=238.75 τ=29.12
CC 13 SLV (Collegamento 0023_-380)
Azioni sul collegamento: N=-4942.30 Ty=-0.06 Tz=-0.09 Mx=0.00 Mz=0.60
Sollecitazioni agenti localmente: Ty_l=-873.74 My_l=-17.91
Tensioni nella sezione: σ=217.07 τ=26.48
CC 13 SLV (Collegamento 0023_-380)
Azioni sul collegamento: N=-4942.30 Ty=2.24 Tz=-0.09 Mx=0.00 Mz=5.10
Sollecitazioni agenti localmente: Ty_l=-855.85 My_l=-17.52
Tensioni nella sezione: σ=212.32 τ=25.93
CC 13 SLV (Collegamento 0023_-380)
Azioni sul collegamento: N=-4942.30 Ty=-0.06 Tz=-5.22 Mx=0.00 Mz=0.60
Sollecitazioni agenti localmente: Ty_l=-873.74 My_l=-17.91
Tensioni nella sezione: σ=217.07 τ=26.48
CC 13 SLV (Collegamento 0023_-380)
Azioni sul collegamento: N=-4942.30 Ty=2.24 Tz=-5.22 Mx=0.00 Mz=5.10
Sollecitazioni agenti localmente: Ty_l=-855.85 My_l=-17.52
Tensioni nella sezione: σ=212.32 τ=25.93
CC 13 SLV (Collegamento 0023_-380)
Azioni sul collegamento: N=-6324.16 Ty=-0.06 Tz=-0.09 Mx=0.00 Mz=0.60
Sollecitazioni agenti localmente: Ty_l=-1118.70 My_l=-22.93
Tensioni nella sezione: σ=277.94 τ=33.90
CC 13 SLV (Collegamento 0023_-380)
Azioni sul collegamento: N=-6324.16 Ty=2.24 Tz=-0.09 Mx=0.00 Mz=5.10
Sollecitazioni agenti localmente: Ty_l=-1100.81 My_l=-22.54
Tensioni nella sezione: σ=273.19 τ=33.36
CC 13 SLV (Collegamento 0023_-380)
Azioni sul collegamento: N=-6324.16 Ty=-0.06 Tz=-5.22 Mx=0.00 Mz=0.60
Sollecitazioni agenti localmente: Ty_l=-1118.70 My_l=-22.93
Tensioni nella sezione: σ=277.94 τ=33.90
CC 13 SLV (Collegamento 0023_-380)
Azioni sul collegamento: N=-6324.16 Ty=2.24 Tz=-5.22 Mx=0.00 Mz=5.10
Sollecitazioni agenti localmente: Ty_l=-1100.81 My_l=-22.54
Tensioni nella sezione: σ=273.19 τ=33.36
CC 14 SLD (Collegamento 0023_-380)
Azioni sul collegamento: N=-5422.73 Ty=-0.07 Tz=-1.87 Mx=0.00 Mz=0.11
Sollecitazioni agenti localmente: Ty_l=-960.86 My_l=-19.70
Tensioni nella sezione: σ=238.75 τ=29.12
CC 14 SLD (Collegamento 0023_-380)
Azioni sul collegamento: N=-5422.73 Ty=0.63 Tz=-1.87 Mx=0.00 Mz=1.48
Sollecitazioni agenti localmente: Ty_l=-955.40 My_l=-19.58
Tensioni nella sezione: σ=237.30 τ=28.95
CC 14 SLD (Collegamento 0023_-380)
Azioni sul collegamento: N=-5422.73 Ty=-0.07 Tz=-3.44 Mx=0.00 Mz=0.11
Sollecitazioni agenti localmente: Ty_l=-960.86 My_l=-19.70

Tensioni nella sezione: σ=238.75 τ=29.12
CC 14 SLD (Collegamento 0023_-380)
Azioni sul collegamento: N=-5422.73 Ty=0.63 Tz=-3.44 Mx=0.00 Mz=1.48
Sollecitazioni agenti localmente: Ty_l=-955.40 My_l=-19.58
Tensioni nella sezione: σ=237.30 τ=28.95
CC 14 SLD (Collegamento 0023_-380)
Azioni sul collegamento: N=-5844.10 Ty=-0.07 Tz=-1.87 Mx=0.00 Mz=0.11
Sollecitazioni agenti localmente: Ty_l=-1035.55 My_l=-21.23
Tensioni nella sezione: σ=257.31 τ=31.38
CC 14 SLD (Collegamento 0023_-380)
Azioni sul collegamento: N=-5844.10 Ty=0.63 Tz=-1.87 Mx=0.00 Mz=1.48
Sollecitazioni agenti localmente: Ty_l=-1030.10 My_l=-21.11
Tensioni nella sezione: σ=255.86 τ=31.22
CC 14 SLD (Collegamento 0023_-380)
Azioni sul collegamento: N=-5844.10 Ty=-0.07 Tz=-3.44 Mx=0.00 Mz=0.11
Sollecitazioni agenti localmente: Ty_l=-1035.55 My_l=-21.23
Tensioni nella sezione: σ=257.31 τ=31.38
CC 14 SLD (Collegamento 0023_-380)
Azioni sul collegamento: N=-5844.10 Ty=0.63 Tz=-3.44 Mx=0.00 Mz=1.48
Sollecitazioni agenti localmente: Ty_l=-1030.10 My_l=-21.11
Tensioni nella sezione: σ=255.86 τ=31.22
CC 15 SLV (Collegamento 0023_-380)
Azioni sul collegamento: N=-6324.24 Ty=-0.07 Tz=-5.22 Mx=0.00 Mz=0.59
Sollecitazioni agenti localmente: Ty_l=-1118.76 My_l=-22.93
Tensioni nella sezione: σ=277.96 τ=33.90
CC 15 SLV (Collegamento 0023_-380)
Azioni sul collegamento: N=-6324.24 Ty=2.24 Tz=-5.22 Mx=0.00 Mz=5.11
Sollecitazioni agenti localmente: Ty_l=-1100.78 My_l=-22.54
Tensioni nella sezione: σ=273.18 τ=33.36
CC 15 SLV (Collegamento 0023_-380)
Azioni sul collegamento: N=-6324.24 Ty=-0.07 Tz=-0.09 Mx=0.00 Mz=0.59
Sollecitazioni agenti localmente: Ty_l=-1118.76 My_l=-22.93
Tensioni nella sezione: σ=277.96 τ=33.90
CC 15 SLV (Collegamento 0023_-380)
Azioni sul collegamento: N=-6324.24 Ty=2.24 Tz=-0.09 Mx=0.00 Mz=5.11
Sollecitazioni agenti localmente: Ty_l=-1100.78 My_l=-22.54
Tensioni nella sezione: σ=273.18 τ=33.36
CC 15 SLV (Collegamento 0023_-380)
Azioni sul collegamento: N=-4942.23 Ty=-0.07 Tz=-5.22 Mx=0.00 Mz=0.59
Sollecitazioni agenti localmente: Ty_l=-873.77 My_l=-17.91
Tensioni nella sezione: σ=217.08 τ=26.48
CC 15 SLV (Collegamento 0023_-380)
Azioni sul collegamento: N=-4942.23 Ty=2.24 Tz=-5.22 Mx=0.00 Mz=5.11
Sollecitazioni agenti localmente: Ty_l=-855.79 My_l=-17.52
Tensioni nella sezione: σ=212.31 τ=25.93
CC 15 SLV (Collegamento 0023_-380)
Azioni sul collegamento: N=-4942.23 Ty=-0.07 Tz=-0.09 Mx=0.00 Mz=0.59
Sollecitazioni agenti localmente: Ty_l=-873.77 My_l=-17.91
Tensioni nella sezione: σ=217.08 τ=26.48
CC 15 SLV (Collegamento 0023_-380)
Azioni sul collegamento: N=-4942.23 Ty=2.24 Tz=-0.09 Mx=0.00 Mz=5.11
Sollecitazioni agenti localmente: Ty_l=-855.79 My_l=-17.52
Tensioni nella sezione: σ=212.31 τ=25.93
CC 16 SLD (Collegamento 0023_-380)
Azioni sul collegamento: N=-5844.12 Ty=-0.07 Tz=-3.44 Mx=0.00 Mz=0.11
Sollecitazioni agenti localmente: Ty_l=-1035.57 My_l=-21.23
Tensioni nella sezione: σ=257.32 τ=31.38
CC 16 SLD (Collegamento 0023_-380)
Azioni sul collegamento: N=-5844.12 Ty=0.63 Tz=-3.44 Mx=0.00 Mz=1.49
Sollecitazioni agenti localmente: Ty_l=-1030.09 My_l=-21.11
Tensioni nella sezione: σ=255.86 τ=31.21
CC 16 SLD (Collegamento 0023_-380)
Azioni sul collegamento: N=-5844.12 Ty=-0.07 Tz=-1.87 Mx=0.00 Mz=0.11
Sollecitazioni agenti localmente: Ty_l=-1035.57 My_l=-21.23
Tensioni nella sezione: σ=257.32 τ=31.38
CC 16 SLD (Collegamento 0023_-380)
Azioni sul collegamento: N=-5844.12 Ty=0.63 Tz=-1.87 Mx=0.00 Mz=1.49
Sollecitazioni agenti localmente: Ty_l=-1030.09 My_l=-21.11
Tensioni nella sezione: σ=255.86 τ=31.21
CC 16 SLD (Collegamento 0023_-380)
Azioni sul collegamento: N=-5422.71 Ty=-0.07 Tz=-3.44 Mx=0.00 Mz=0.11
Sollecitazioni agenti localmente: Ty_l=-960.87 My_l=-19.70
Tensioni nella sezione: σ=238.75 τ=29.12
CC 16 SLD (Collegamento 0023_-380)
Azioni sul collegamento: N=-5422.71 Ty=0.63 Tz=-3.44 Mx=0.00 Mz=1.49
Sollecitazioni agenti localmente: Ty_l=-955.38 My_l=-19.58
Tensioni nella sezione: σ=237.30 τ=28.95
CC 16 SLD (Collegamento 0023_-380)
Azioni sul collegamento: N=-5422.71 Ty=-0.07 Tz=-1.87 Mx=0.00 Mz=0.11
Sollecitazioni agenti localmente: Ty_l=-960.87 My_l=-19.70

Tensioni nella sezione: σ=238.75 τ=29.12
CC 16 SLD (Collegamento 0023_-380)
Azioni sul collegamento: N=-5422.71 Ty=0.63 Tz=-1.87 Mx=0.00 Mz=1.49
Sollecitazioni agenti localmente: Ty_l=-955.38 My_l=-19.58
Tensioni nella sezione: σ=237.30 τ=28.95
CC 17 SLV (Collegamento 0023_-380)
Azioni sul collegamento: N=-3330.52 Ty=-0.88 Tz=5.89 Mx=-0.02 Mz=-2.36
Sollecitazioni agenti localmente: Ty_l=-599.80 My_l=-12.31
Tensioni nella sezione: σ=149.20 τ=18.18
CC 17 SLV (Collegamento 0023_-380)
Azioni sul collegamento: N=-3330.52 Ty=-1.59 Tz=5.89 Mx=-0.02 Mz=-3.75
Sollecitazioni agenti localmente: Ty_l=-605.34 My_l=-12.43
Tensioni nella sezione: σ=150.67 τ=18.34
CC 17 SLV (Collegamento 0023_-380)
Azioni sul collegamento: N=-3330.52 Ty=-0.88 Tz=-11.19 Mx=-0.02 Mz=-2.36
Sollecitazioni agenti localmente: Ty_l=-599.80 My_l=-12.31
Tensioni nella sezione: σ=149.20 τ=18.18
CC 17 SLV (Collegamento 0023_-380)
Azioni sul collegamento: N=-3330.52 Ty=-1.59 Tz=-11.19 Mx=-0.02 Mz=-3.75
Sollecitazioni agenti localmente: Ty_l=-605.34 My_l=-12.43
Tensioni nella sezione: σ=150.67 τ=18.34
CC 17 SLV (Collegamento 0023_-380)
Azioni sul collegamento: N=-7936.99 Ty=-0.88 Tz=5.89 Mx=-0.02 Mz=-2.36
Sollecitazioni agenti localmente: Ty_l=-1416.41 My_l=-29.05
Tensioni nella sezione: σ=352.12 τ=42.92
CC 17 SLV (Collegamento 0023_-380)
Azioni sul collegamento: N=-7936.99 Ty=-1.59 Tz=5.89 Mx=-0.02 Mz=-3.75
Sollecitazioni agenti localmente: Ty_l=-1421.94 My_l=-29.17
Tensioni nella sezione: σ=353.58 τ=43.09
CC 17 SLV (Collegamento 0023_-380)
Azioni sul collegamento: N=-7936.99 Ty=-0.88 Tz=-11.19 Mx=-0.02 Mz=-2.36
Sollecitazioni agenti localmente: Ty_l=-1416.41 My_l=-29.05
Tensioni nella sezione: σ=352.12 τ=42.92
CC 17 SLV (Collegamento 0023_-380)
Azioni sul collegamento: N=-7936.99 Ty=-1.59 Tz=-11.19 Mx=-0.02 Mz=-3.75
Sollecitazioni agenti localmente: Ty_l=-1421.94 My_l=-29.17
Tensioni nella sezione: σ=353.58 τ=43.09
CC 18 SLD (Collegamento 0023_-380)
Azioni sul collegamento: N=-4931.25 Ty=-0.32 Tz=-0.05 Mx=-0.01 Mz=-0.79
Sollecitazioni agenti localmente: Ty_l=-877.32 My_l=-17.99
Tensioni nella sezione: σ=218.06 τ=26.59
CC 18 SLD (Collegamento 0023_-380)
Azioni sul collegamento: N=-4931.25 Ty=-0.54 Tz=-0.05 Mx=-0.01 Mz=-1.22
Sollecitazioni agenti localmente: Ty_l=-879.01 My_l=-18.03
Tensioni nella sezione: σ=218.50 τ=26.64
CC 18 SLD (Collegamento 0023_-380)
Azioni sul collegamento: N=-4931.25 Ty=-0.32 Tz=-5.26 Mx=-0.01 Mz=-0.79
Sollecitazioni agenti localmente: Ty_l=-877.32 My_l=-17.99
Tensioni nella sezione: σ=218.06 τ=26.59
CC 18 SLD (Collegamento 0023_-380)
Azioni sul collegamento: N=-4931.25 Ty=-0.54 Tz=-5.26 Mx=-0.01 Mz=-1.22
Sollecitazioni agenti localmente: Ty_l=-879.01 My_l=-18.03
Tensioni nella sezione: σ=218.50 τ=26.64
CC 18 SLD (Collegamento 0023_-380)
Azioni sul collegamento: N=-6335.90 Ty=-0.32 Tz=-0.05 Mx=-0.01 Mz=-0.79
Sollecitazioni agenti localmente: Ty_l=-1126.33 My_l=-23.09
Tensioni nella sezione: σ=279.93 τ=34.13
CC 18 SLD (Collegamento 0023_-380)
Azioni sul collegamento: N=-6335.90 Ty=-0.54 Tz=-0.05 Mx=-0.01 Mz=-1.22
Sollecitazioni agenti localmente: Ty_l=-1128.02 My_l=-23.13
Tensioni nella sezione: σ=280.38 τ=34.18
CC 18 SLD (Collegamento 0023_-380)
Azioni sul collegamento: N=-6335.90 Ty=-0.32 Tz=-5.26 Mx=-0.01 Mz=-0.79
Sollecitazioni agenti localmente: Ty_l=-1126.33 My_l=-23.09
Tensioni nella sezione: σ=279.93 τ=34.13
CC 18 SLD (Collegamento 0023_-380)
Azioni sul collegamento: N=-6335.90 Ty=-0.54 Tz=-5.26 Mx=-0.01 Mz=-1.22
Sollecitazioni agenti localmente: Ty_l=-1128.02 My_l=-23.13
Tensioni nella sezione: σ=280.38 τ=34.18
CC 19 SLV (Collegamento 0023_-380)
Azioni sul collegamento: N=-3330.55 Ty=-1.58 Tz=5.89 Mx=-0.01 Mz=-3.71
Sollecitazioni agenti localmente: Ty_l=-605.19 My_l=-12.43
Tensioni nella sezione: σ=150.63 τ=18.34
CC 19 SLV (Collegamento 0023_-380)
Azioni sul collegamento: N=-3330.55 Ty=-0.90 Tz=5.89 Mx=-0.01 Mz=-2.40
Sollecitazioni agenti localmente: Ty_l=-599.96 My_l=-12.31
Tensioni nella sezione: σ=149.24 τ=18.18
CC 19 SLV (Collegamento 0023_-380)
Azioni sul collegamento: N=-3330.55 Ty=-1.58 Tz=-11.19 Mx=-0.01 Mz=-3.71
Sollecitazioni agenti localmente: Ty_l=-605.19 My_l=-12.43

Tensioni nella sezione: σ=150.63 τ=18.34
CC 19 SLV (Collegamento 0023_-380)
Azioni sul collegamento: N=-3330.55 Ty=-0.90 Tz=-11.19 Mx=-0.01 Mz=-2.40
Sollecitazioni agenti localmente: Ty_l=-599.96 My_l=-12.31
Tensioni nella sezione: σ=149.24 τ=18.18
CC 19 SLV (Collegamento 0023_-380)
Azioni sul collegamento: N=-7936.97 Ty=-1.58 Tz=5.89 Mx=-0.01 Mz=-3.71
Sollecitazioni agenti localmente: Ty_l=-1421.78 My_l=-29.17
Tensioni nella sezione: σ=353.54 τ=43.08
CC 19 SLV (Collegamento 0023_-380)
Azioni sul collegamento: N=-7936.97 Ty=-0.90 Tz=5.89 Mx=-0.01 Mz=-2.40
Sollecitazioni agenti localmente: Ty_l=-1416.56 My_l=-29.05
Tensioni nella sezione: σ=352.15 τ=42.93
CC 19 SLV (Collegamento 0023_-380)
Azioni sul collegamento: N=-7936.97 Ty=-1.58 Tz=-11.19 Mx=-0.01 Mz=-3.71
Sollecitazioni agenti localmente: Ty_l=-1421.78 My_l=-29.17
Tensioni nella sezione: σ=353.54 τ=43.08
CC 19 SLV (Collegamento 0023_-380)
Azioni sul collegamento: N=-7936.97 Ty=-0.90 Tz=-11.19 Mx=-0.01 Mz=-2.40
Sollecitazioni agenti localmente: Ty_l=-1416.56 My_l=-29.05
Tensioni nella sezione: σ=352.15 τ=42.93
CC 20 SLD (Collegamento 0023_-380)
Azioni sul collegamento: N=-4931.25 Ty=-0.53 Tz=-0.05 Mx=-0.00 Mz=-1.20
Sollecitazioni agenti localmente: Ty_l=-878.97 My_l=-18.03
Tensioni nella sezione: σ=218.49 τ=26.64
CC 20 SLD (Collegamento 0023_-380)
Azioni sul collegamento: N=-4931.25 Ty=-0.33 Tz=-0.05 Mx=-0.00 Mz=-0.80
Sollecitazioni agenti localmente: Ty_l=-877.37 My_l=-17.99
Tensioni nella sezione: σ=218.07 τ=26.59
CC 20 SLD (Collegamento 0023_-380)
Azioni sul collegamento: N=-4931.25 Ty=-0.53 Tz=-5.26 Mx=-0.00 Mz=-1.20
Sollecitazioni agenti localmente: Ty_l=-878.97 My_l=-18.03
Tensioni nella sezione: σ=218.49 τ=26.64
CC 20 SLD (Collegamento 0023_-380)
Azioni sul collegamento: N=-4931.25 Ty=-0.33 Tz=-5.26 Mx=-0.00 Mz=-0.80
Sollecitazioni agenti localmente: Ty_l=-877.37 My_l=-17.99
Tensioni nella sezione: σ=218.07 τ=26.59
CC 20 SLD (Collegamento 0023_-380)
Azioni sul collegamento: N=-6335.90 Ty=-0.53 Tz=-0.05 Mx=-0.00 Mz=-1.20
Sollecitazioni agenti localmente: Ty_l=-1127.97 My_l=-23.13
Tensioni nella sezione: σ=280.37 τ=34.18
CC 20 SLD (Collegamento 0023_-380)
Azioni sul collegamento: N=-6335.90 Ty=-0.33 Tz=-0.05 Mx=-0.00 Mz=-0.80
Sollecitazioni agenti localmente: Ty_l=-1126.38 My_l=-23.10
Tensioni nella sezione: σ=279.94 τ=34.13
CC 20 SLD (Collegamento 0023_-380)
Azioni sul collegamento: N=-6335.90 Ty=-0.53 Tz=-5.26 Mx=-0.00 Mz=-1.20
Sollecitazioni agenti localmente: Ty_l=-1127.97 My_l=-23.13
Tensioni nella sezione: σ=280.37 τ=34.18
CC 20 SLD (Collegamento 0023_-380)
Azioni sul collegamento: N=-6335.90 Ty=-0.33 Tz=-5.26 Mx=-0.00 Mz=-0.80
Sollecitazioni agenti localmente: Ty_l=-1126.38 My_l=-23.10
Tensioni nella sezione: σ=279.94 τ=34.13
CC 21 SLV (Collegamento 0023_-380)
Azioni sul collegamento: N=-7936.97 Ty=-0.90 Tz=-11.19 Mx=-0.02 Mz=-2.40
Sollecitazioni agenti localmente: Ty_l=-1416.56 My_l=-29.05
Tensioni nella sezione: σ=352.15 τ=42.93
CC 21 SLV (Collegamento 0023_-380)
Azioni sul collegamento: N=-7936.97 Ty=-1.58 Tz=-11.19 Mx=-0.02 Mz=-3.71
Sollecitazioni agenti localmente: Ty_l=-1421.78 My_l=-29.17
Tensioni nella sezione: σ=353.54 τ=43.08
CC 21 SLV (Collegamento 0023_-380)
Azioni sul collegamento: N=-7936.97 Ty=-0.90 Tz=5.89 Mx=-0.02 Mz=-2.40
Sollecitazioni agenti localmente: Ty_l=-1416.56 My_l=-29.05
Tensioni nella sezione: σ=352.15 τ=42.93
CC 21 SLV (Collegamento 0023_-380)
Azioni sul collegamento: N=-7936.97 Ty=-1.58 Tz=5.89 Mx=-0.02 Mz=-3.71
Sollecitazioni agenti localmente: Ty_l=-1421.78 My_l=-29.17
Tensioni nella sezione: σ=353.54 τ=43.08
CC 21 SLV (Collegamento 0023_-380)
Azioni sul collegamento: N=-3330.55 Ty=-0.90 Tz=-11.19 Mx=-0.02 Mz=-2.40
Sollecitazioni agenti localmente: Ty_l=-599.96 My_l=-12.31
Tensioni nella sezione: σ=149.24 τ=18.18
CC 21 SLV (Collegamento 0023_-380)
Azioni sul collegamento: N=-3330.55 Ty=-1.58 Tz=-11.19 Mx=-0.02 Mz=-3.71
Sollecitazioni agenti localmente: Ty_l=-605.19 My_l=-12.43
Tensioni nella sezione: σ=150.63 τ=18.34
CC 21 SLV (Collegamento 0023_-380)
Azioni sul collegamento: N=-3330.55 Ty=-0.90 Tz=5.89 Mx=-0.02 Mz=-2.40
Sollecitazioni agenti localmente: Ty_l=-599.96 My_l=-12.31

Tensioni nella sezione: σ=149.24 τ=18.18
CC 21 SLV (Collegamento 0023_-380)
Azioni sul collegamento: N=-3330.55 Ty=-1.58 Tz=5.89 Mx=-0.02 Mz=-3.71
Sollecitazioni agenti localmente: Ty_l=-605.19 My_l=-12.43
Tensioni nella sezione: σ=150.63 τ=18.34
CC 22 SLD (Collegamento 0023_-380)
Azioni sul collegamento: N=-6335.90 Ty=-0.33 Tz=-5.26 Mx=-0.01 Mz=-0.80
Sollecitazioni agenti localmente: Ty_l=-1126.38 My_l=-23.10
Tensioni nella sezione: σ=279.94 τ=34.13
CC 22 SLD (Collegamento 0023_-380)
Azioni sul collegamento: N=-6335.90 Ty=-0.53 Tz=-5.26 Mx=-0.01 Mz=-1.20
Sollecitazioni agenti localmente: Ty_l=-1127.97 My_l=-23.13
Tensioni nella sezione: σ=280.37 τ=34.18
CC 22 SLD (Collegamento 0023_-380)
Azioni sul collegamento: N=-6335.90 Ty=-0.33 Tz=-0.05 Mx=-0.01 Mz=-0.80
Sollecitazioni agenti localmente: Ty_l=-1126.38 My_l=-23.10
Tensioni nella sezione: σ=279.94 τ=34.13
CC 22 SLD (Collegamento 0023_-380)
Azioni sul collegamento: N=-6335.90 Ty=-0.53 Tz=-0.05 Mx=-0.01 Mz=-1.20
Sollecitazioni agenti localmente: Ty_l=-1127.97 My_l=-23.13
Tensioni nella sezione: σ=280.37 τ=34.18
CC 22 SLD (Collegamento 0023_-380)
Azioni sul collegamento: N=-4931.25 Ty=-0.33 Tz=-5.26 Mx=-0.01 Mz=-0.80
Sollecitazioni agenti localmente: Ty_l=-877.37 My_l=-17.99
Tensioni nella sezione: σ=218.07 τ=26.59
CC 22 SLD (Collegamento 0023_-380)
Azioni sul collegamento: N=-4931.25 Ty=-0.53 Tz=-5.26 Mx=-0.01 Mz=-1.20
Sollecitazioni agenti localmente: Ty_l=-878.97 My_l=-18.03
Tensioni nella sezione: σ=218.49 τ=26.64
CC 22 SLD (Collegamento 0023_-380)
Azioni sul collegamento: N=-4931.25 Ty=-0.33 Tz=-0.05 Mx=-0.01 Mz=-0.80
Sollecitazioni agenti localmente: Ty_l=-877.37 My_l=-17.99
Tensioni nella sezione: σ=218.07 τ=26.59
CC 22 SLD (Collegamento 0023_-380)
Azioni sul collegamento: N=-4931.25 Ty=-0.53 Tz=-0.05 Mx=-0.01 Mz=-1.20
Sollecitazioni agenti localmente: Ty_l=-878.97 My_l=-18.03
Tensioni nella sezione: σ=218.49 τ=26.64
CC 23 SLV (Collegamento 0023_-380)
Azioni sul collegamento: N=-7936.99 Ty=-1.59 Tz=-11.19 Mx=-0.01 Mz=-3.75
Sollecitazioni agenti localmente: Ty_l=-1421.94 My_l=-29.17
Tensioni nella sezione: σ=353.58 τ=43.09
CC 23 SLV (Collegamento 0023_-380)
Azioni sul collegamento: N=-7936.99 Ty=-0.88 Tz=-11.19 Mx=-0.01 Mz=-2.36
Sollecitazioni agenti localmente: Ty_l=-1416.41 My_l=-29.05
Tensioni nella sezione: σ=352.12 τ=42.92
CC 23 SLV (Collegamento 0023_-380)
Azioni sul collegamento: N=-7936.99 Ty=-1.59 Tz=5.89 Mx=-0.01 Mz=-3.75
Sollecitazioni agenti localmente: Ty_l=-1421.94 My_l=-29.17
Tensioni nella sezione: σ=353.58 τ=43.09
CC 23 SLV (Collegamento 0023_-380)
Azioni sul collegamento: N=-7936.99 Ty=-0.88 Tz=5.89 Mx=-0.01 Mz=-2.36
Sollecitazioni agenti localmente: Ty_l=-1416.41 My_l=-29.05
Tensioni nella sezione: σ=352.12 τ=42.92
CC 23 SLV (Collegamento 0023_-380)
Azioni sul collegamento: N=-3330.52 Ty=-1.59 Tz=-11.19 Mx=-0.01 Mz=-3.75
Sollecitazioni agenti localmente: Ty_l=-605.34 My_l=-12.43
Tensioni nella sezione: σ=150.67 τ=18.34
CC 23 SLV (Collegamento 0023_-380)
Azioni sul collegamento: N=-3330.52 Ty=-0.88 Tz=-11.19 Mx=-0.01 Mz=-2.36
Sollecitazioni agenti localmente: Ty_l=-599.80 My_l=-12.31
Tensioni nella sezione: σ=149.20 τ=18.18
CC 23 SLV (Collegamento 0023_-380)
Azioni sul collegamento: N=-3330.52 Ty=-1.59 Tz=5.89 Mx=-0.01 Mz=-3.75
Sollecitazioni agenti localmente: Ty_l=-605.34 My_l=-12.43
Tensioni nella sezione: σ=150.67 τ=18.34
CC 23 SLV (Collegamento 0023_-380)
Azioni sul collegamento: N=-3330.52 Ty=-0.88 Tz=5.89 Mx=-0.01 Mz=-2.36
Sollecitazioni agenti localmente: Ty_l=-599.80 My_l=-12.31
Tensioni nella sezione: σ=149.20 τ=18.18
CC 24 SLD (Collegamento 0023_-380)
Azioni sul collegamento: N=-6335.90 Ty=-0.54 Tz=-5.26 Mx=-0.00 Mz=-1.22
Sollecitazioni agenti localmente: Ty_l=-1128.02 My_l=-23.13
Tensioni nella sezione: σ=280.38 τ=34.18
CC 24 SLD (Collegamento 0023_-380)
Azioni sul collegamento: N=-6335.90 Ty=-0.32 Tz=-5.26 Mx=-0.00 Mz=-0.79
Sollecitazioni agenti localmente: Ty_l=-1126.33 My_l=-23.09
Tensioni nella sezione: σ=279.93 τ=34.13
CC 24 SLD (Collegamento 0023_-380)
Azioni sul collegamento: N=-6335.90 Ty=-0.54 Tz=-0.05 Mx=-0.00 Mz=-1.22
Sollecitazioni agenti localmente: Ty_l=-1128.02 My_l=-23.13

Tensioni nella sezione: σ=280.38 τ=34.18
CC 24 SLD (Collegamento 0023_-380)
Azioni sul collegamento: N=-6335.90 Ty=-0.32 Tz=-0.05 Mx=-0.00 Mz=-0.79
Sollecitazioni agenti localmente: Ty_l=-1126.33 My_l=-23.09
Tensioni nella sezione: σ=279.93 τ=34.13
CC 24 SLD (Collegamento 0023_-380)
Azioni sul collegamento: N=-4931.25 Ty=-0.54 Tz=-5.26 Mx=-0.00 Mz=-1.22
Sollecitazioni agenti localmente: Ty_l=-879.01 My_l=-18.03
Tensioni nella sezione: σ=218.50 τ=26.64
CC 24 SLD (Collegamento 0023_-380)
Azioni sul collegamento: N=-4931.25 Ty=-0.32 Tz=-5.26 Mx=-0.00 Mz=-0.79
Sollecitazioni agenti localmente: Ty_l=-877.32 My_l=-17.99
Tensioni nella sezione: σ=218.06 τ=26.59
CC 24 SLD (Collegamento 0023_-380)
Azioni sul collegamento: N=-4931.25 Ty=-0.54 Tz=-0.05 Mx=-0.00 Mz=-1.22
Sollecitazioni agenti localmente: Ty_l=-879.01 My_l=-18.03
Tensioni nella sezione: σ=218.50 τ=26.64
CC 24 SLD (Collegamento 0023_-380)
Azioni sul collegamento: N=-4931.25 Ty=-0.32 Tz=-0.05 Mx=-0.00 Mz=-0.79
Sollecitazioni agenti localmente: Ty_l=-877.32 My_l=-17.99
Tensioni nella sezione: σ=218.06 τ=26.59
CC 25 SLV (Collegamento 0023_-380)
Azioni sul collegamento: N=-4942.75 Ty=-0.08 Tz=-0.09 Mx=-0.02 Mz=-0.80
Sollecitazioni agenti localmente: Ty_l=-879.38 My_l=-18.03
Tensioni nella sezione: σ=218.57 τ=26.65
CC 25 SLV (Collegamento 0023_-380)
Azioni sul collegamento: N=-4942.75 Ty=-2.39 Tz=-0.09 Mx=-0.02 Mz=-5.32
Sollecitazioni agenti localmente: Ty_l=-897.37 My_l=-18.43
Tensioni nella sezione: σ=223.34 τ=27.19
CC 25 SLV (Collegamento 0023_-380)
Azioni sul collegamento: N=-4942.75 Ty=-0.08 Tz=-5.22 Mx=-0.02 Mz=-0.80
Sollecitazioni agenti localmente: Ty_l=-879.38 My_l=-18.03
Tensioni nella sezione: σ=218.57 τ=26.65
CC 25 SLV (Collegamento 0023_-380)
Azioni sul collegamento: N=-4942.75 Ty=-2.39 Tz=-5.22 Mx=-0.02 Mz=-5.32
Sollecitazioni agenti localmente: Ty_l=-897.37 My_l=-18.43
Tensioni nella sezione: σ=223.34 τ=27.19
CC 25 SLV (Collegamento 0023_-380)
Azioni sul collegamento: N=-6324.76 Ty=-0.08 Tz=-0.09 Mx=-0.02 Mz=-0.80
Sollecitazioni agenti localmente: Ty_l=-1124.38 My_l=-23.05
Tensioni nella sezione: σ=279.44 τ=34.07
CC 25 SLV (Collegamento 0023_-380)
Azioni sul collegamento: N=-6324.76 Ty=-2.39 Tz=-0.09 Mx=-0.02 Mz=-5.32
Sollecitazioni agenti localmente: Ty_l=-1142.36 My_l=-23.45
Tensioni nella sezione: σ=284.22 τ=34.62
CC 25 SLV (Collegamento 0023_-380)
Azioni sul collegamento: N=-6324.76 Ty=-0.08 Tz=-5.22 Mx=-0.02 Mz=-0.80
Sollecitazioni agenti localmente: Ty_l=-1124.38 My_l=-23.05
Tensioni nella sezione: σ=279.44 τ=34.07
CC 25 SLV (Collegamento 0023_-380)
Azioni sul collegamento: N=-6324.76 Ty=-2.39 Tz=-5.22 Mx=-0.02 Mz=-5.32
Sollecitazioni agenti localmente: Ty_l=-1142.36 My_l=-23.45
Tensioni nella sezione: σ=284.22 τ=34.62
CC 26 SLD (Collegamento 0023_-380)
Azioni sul collegamento: N=-5422.87 Ty=-0.08 Tz=-1.87 Mx=-0.01 Mz=-0.31
Sollecitazioni agenti localmente: Ty_l=-962.58 My_l=-19.73
Tensioni nella sezione: σ=239.21 τ=29.17
CC 26 SLD (Collegamento 0023_-380)
Azioni sul collegamento: N=-5422.87 Ty=-0.78 Tz=-1.87 Mx=-0.01 Mz=-1.69
Sollecitazioni agenti localmente: Ty_l=-968.06 My_l=-19.85
Tensioni nella sezione: σ=240.66 τ=29.34
CC 26 SLD (Collegamento 0023_-380)
Azioni sul collegamento: N=-5422.87 Ty=-0.08 Tz=-3.44 Mx=-0.01 Mz=-0.31
Sollecitazioni agenti localmente: Ty_l=-962.58 My_l=-19.73
Tensioni nella sezione: σ=239.21 τ=29.17
CC 26 SLD (Collegamento 0023_-380)
Azioni sul collegamento: N=-5422.87 Ty=-0.78 Tz=-3.44 Mx=-0.01 Mz=-1.69
Sollecitazioni agenti localmente: Ty_l=-968.06 My_l=-19.85
Tensioni nella sezione: σ=240.66 τ=29.34
CC 26 SLD (Collegamento 0023_-380)
Azioni sul collegamento: N=-5844.28 Ty=-0.08 Tz=-1.87 Mx=-0.01 Mz=-0.31
Sollecitazioni agenti localmente: Ty_l=-1037.28 My_l=-21.27
Tensioni nella sezione: σ=257.77 τ=31.43
CC 26 SLD (Collegamento 0023_-380)
Azioni sul collegamento: N=-5844.28 Ty=-0.78 Tz=-1.87 Mx=-0.01 Mz=-1.69
Sollecitazioni agenti localmente: Ty_l=-1042.77 My_l=-21.39
Tensioni nella sezione: σ=259.23 τ=31.60
CC 26 SLD (Collegamento 0023_-380)
Azioni sul collegamento: N=-5844.28 Ty=-0.08 Tz=-3.44 Mx=-0.01 Mz=-0.31
Sollecitazioni agenti localmente: Ty_l=-1037.28 My_l=-21.27

Tensioni nella sezione: σ=257.77 τ=31.43
CC 26 SLD (Collegamento 0023_-380)
Azioni sul collegamento: N=-5844.28 Ty=-0.78 Tz=-3.44 Mx=-0.01 Mz=-1.69
Sollecitazioni agenti localmente: Ty_l=-1042.77 My_l=-21.39
Tensioni nella sezione: σ=259.23 τ=31.60
CC 27 SLV (Collegamento 0023_-380)
Azioni sul collegamento: N=-6324.69 Ty=-0.09 Tz=-5.21 Mx=-0.02 Mz=-0.81
Sollecitazioni agenti localmente: Ty_l=-1124.41 My_l=-23.05
Tensioni nella sezione: σ=279.45 τ=34.07
CC 27 SLV (Collegamento 0023_-380)
Azioni sul collegamento: N=-6324.69 Ty=-2.39 Tz=-5.21 Mx=-0.02 Mz=-5.31
Sollecitazioni agenti localmente: Ty_l=-1142.30 My_l=-23.45
Tensioni nella sezione: σ=284.20 τ=34.62
CC 27 SLV (Collegamento 0023_-380)
Azioni sul collegamento: N=-6324.69 Ty=-0.09 Tz=-0.09 Mx=-0.02 Mz=-0.81
Sollecitazioni agenti localmente: Ty_l=-1124.41 My_l=-23.05
Tensioni nella sezione: σ=279.45 τ=34.07
CC 27 SLV (Collegamento 0023_-380)
Azioni sul collegamento: N=-6324.69 Ty=-2.39 Tz=-0.09 Mx=-0.02 Mz=-5.31
Sollecitazioni agenti localmente: Ty_l=-1142.30 My_l=-23.45
Tensioni nella sezione: σ=284.20 τ=34.62
CC 27 SLV (Collegamento 0023_-380)
Azioni sul collegamento: N=-4942.83 Ty=-0.09 Tz=-5.21 Mx=-0.02 Mz=-0.81
Sollecitazioni agenti localmente: Ty_l=-879.44 My_l=-18.03
Tensioni nella sezione: σ=218.58 τ=26.65
CC 27 SLV (Collegamento 0023_-380)
Azioni sul collegamento: N=-4942.83 Ty=-2.39 Tz=-5.21 Mx=-0.02 Mz=-5.31
Sollecitazioni agenti localmente: Ty_l=-897.34 My_l=-18.43
Tensioni nella sezione: σ=223.33 τ=27.19
CC 27 SLV (Collegamento 0023_-380)
Azioni sul collegamento: N=-4942.83 Ty=-0.09 Tz=-0.09 Mx=-0.02 Mz=-0.81
Sollecitazioni agenti localmente: Ty_l=-879.44 My_l=-18.03
Tensioni nella sezione: σ=218.58 τ=26.65
CC 27 SLV (Collegamento 0023_-380)
Azioni sul collegamento: N=-4942.83 Ty=-2.39 Tz=-0.09 Mx=-0.02 Mz=-5.31
Sollecitazioni agenti localmente: Ty_l=-897.34 My_l=-18.43
Tensioni nella sezione: σ=223.33 τ=27.19
CC 28 SLD (Collegamento 0023_-380)
Azioni sul collegamento: N=-5844.26 Ty=-0.08 Tz=-3.43 Mx=-0.01 Mz=-0.32
Sollecitazioni agenti localmente: Ty_l=-1037.29 My_l=-21.27
Tensioni nella sezione: σ=257.77 τ=31.43
CC 28 SLD (Collegamento 0023_-380)
Azioni sul collegamento: N=-5844.26 Ty=-0.78 Tz=-3.43 Mx=-0.01 Mz=-1.69
Sollecitazioni agenti localmente: Ty_l=-1042.75 My_l=-21.39
Tensioni nella sezione: σ=259.22 τ=31.60
CC 28 SLD (Collegamento 0023_-380)
Azioni sul collegamento: N=-5844.26 Ty=-0.08 Tz=-1.87 Mx=-0.01 Mz=-0.32
Sollecitazioni agenti localmente: Ty_l=-1037.29 My_l=-21.27
Tensioni nella sezione: σ=257.77 τ=31.43
CC 28 SLD (Collegamento 0023_-380)
Azioni sul collegamento: N=-5844.26 Ty=-0.78 Tz=-1.87 Mx=-0.01 Mz=-1.69
Sollecitazioni agenti localmente: Ty_l=-1042.75 My_l=-21.39
Tensioni nella sezione: σ=259.22 τ=31.60
CC 28 SLD (Collegamento 0023_-380)
Azioni sul collegamento: N=-5422.89 Ty=-0.08 Tz=-3.43 Mx=-0.01 Mz=-0.32
Sollecitazioni agenti localmente: Ty_l=-962.60 My_l=-19.73
Tensioni nella sezione: σ=239.21 τ=29.17
CC 28 SLD (Collegamento 0023_-380)
Azioni sul collegamento: N=-5422.89 Ty=-0.78 Tz=-3.43 Mx=-0.01 Mz=-1.69
Sollecitazioni agenti localmente: Ty_l=-968.05 My_l=-19.85
Tensioni nella sezione: σ=240.66 τ=29.33
CC 28 SLD (Collegamento 0023_-380)
Azioni sul collegamento: N=-5422.89 Ty=-0.08 Tz=-1.87 Mx=-0.01 Mz=-0.32
Sollecitazioni agenti localmente: Ty_l=-962.60 My_l=-19.73
Tensioni nella sezione: σ=239.21 τ=29.17
CC 28 SLD (Collegamento 0023_-380)
Azioni sul collegamento: N=-5422.89 Ty=-0.78 Tz=-1.87 Mx=-0.01 Mz=-1.69
Sollecitazioni agenti localmente: Ty_l=-968.05 My_l=-19.85
Tensioni nella sezione: σ=240.66 τ=29.33
CC 29 SLV (Collegamento 0023_-380)
Azioni sul collegamento: N=-4942.83 Ty=-2.39 Tz=-0.09 Mx=-0.00 Mz=-5.31
Sollecitazioni agenti localmente: Ty_l=-897.34 My_l=-18.43
Tensioni nella sezione: σ=223.33 τ=27.19
CC 29 SLV (Collegamento 0023_-380)
Azioni sul collegamento: N=-4942.83 Ty=-0.09 Tz=-0.09 Mx=-0.00 Mz=-0.81
Sollecitazioni agenti localmente: Ty_l=-879.44 My_l=-18.03
Tensioni nella sezione: σ=218.58 τ=26.65
CC 29 SLV (Collegamento 0023_-380)
Azioni sul collegamento: N=-4942.83 Ty=-2.39 Tz=-5.21 Mx=-0.00 Mz=-5.31
Sollecitazioni agenti localmente: Ty_l=-897.34 My_l=-18.43

Tensioni nella sezione: σ=223.33 τ=27.19
CC 29 SLV (Collegamento 0023_-380)
Azioni sul collegamento: N=-4942.83 Ty=-0.09 Tz=-5.21 Mx=-0.00 Mz=-0.81
Sollecitazioni agenti localmente: Ty_l=-879.44 My_l=-18.03
Tensioni nella sezione: σ=218.58 τ=26.65
CC 29 SLV (Collegamento 0023_-380)
Azioni sul collegamento: N=-6324.69 Ty=-2.39 Tz=-0.09 Mx=-0.00 Mz=-5.31
Sollecitazioni agenti localmente: Ty_l=-1142.30 My_l=-23.45
Tensioni nella sezione: σ=284.20 τ=34.62
CC 29 SLV (Collegamento 0023_-380)
Azioni sul collegamento: N=-6324.69 Ty=-0.09 Tz=-0.09 Mx=-0.00 Mz=-0.81
Sollecitazioni agenti localmente: Ty_l=-1124.41 My_l=-23.05
Tensioni nella sezione: σ=279.45 τ=34.07
CC 29 SLV (Collegamento 0023_-380)
Azioni sul collegamento: N=-6324.69 Ty=-2.39 Tz=-5.21 Mx=-0.00 Mz=-5.31
Sollecitazioni agenti localmente: Ty_l=-1142.30 My_l=-23.45
Tensioni nella sezione: σ=284.20 τ=34.62
CC 29 SLV (Collegamento 0023_-380)
Azioni sul collegamento: N=-6324.69 Ty=-0.09 Tz=-5.21 Mx=-0.00 Mz=-0.81
Sollecitazioni agenti localmente: Ty_l=-1124.41 My_l=-23.05
Tensioni nella sezione: σ=279.45 τ=34.07
CC 30 SLD (Collegamento 0023_-380)
Azioni sul collegamento: N=-5422.89 Ty=-0.78 Tz=-1.87 Mx=-0.00 Mz=-1.69
Sollecitazioni agenti localmente: Ty_l=-968.05 My_l=-19.85
Tensioni nella sezione: σ=240.66 τ=29.33
CC 30 SLD (Collegamento 0023_-380)
Azioni sul collegamento: N=-5422.89 Ty=-0.08 Tz=-1.87 Mx=-0.00 Mz=-0.32
Sollecitazioni agenti localmente: Ty_l=-962.60 My_l=-19.73
Tensioni nella sezione: σ=239.21 τ=29.17
CC 30 SLD (Collegamento 0023_-380)
Azioni sul collegamento: N=-5422.89 Ty=-0.78 Tz=-3.43 Mx=-0.00 Mz=-1.69
Sollecitazioni agenti localmente: Ty_l=-968.05 My_l=-19.85
Tensioni nella sezione: σ=240.66 τ=29.33
CC 30 SLD (Collegamento 0023_-380)
Azioni sul collegamento: N=-5422.89 Ty=-0.08 Tz=-3.43 Mx=-0.00 Mz=-0.32
Sollecitazioni agenti localmente: Ty_l=-962.60 My_l=-19.73
Tensioni nella sezione: σ=239.21 τ=29.17
CC 30 SLD (Collegamento 0023_-380)
Azioni sul collegamento: N=-5844.26 Ty=-0.78 Tz=-1.87 Mx=-0.00 Mz=-1.69
Sollecitazioni agenti localmente: Ty_l=-1042.75 My_l=-21.39
Tensioni nella sezione: σ=259.22 τ=31.60
CC 30 SLD (Collegamento 0023_-380)
Azioni sul collegamento: N=-5844.26 Ty=-0.08 Tz=-1.87 Mx=-0.00 Mz=-0.32
Sollecitazioni agenti localmente: Ty_l=-1037.29 My_l=-21.27
Tensioni nella sezione: σ=257.77 τ=31.43
CC 30 SLD (Collegamento 0023_-380)
Azioni sul collegamento: N=-5844.26 Ty=-0.78 Tz=-3.43 Mx=-0.00 Mz=-1.69
Sollecitazioni agenti localmente: Ty_l=-1042.75 My_l=-21.39
Tensioni nella sezione: σ=259.22 τ=31.60
CC 30 SLD (Collegamento 0023_-380)
Azioni sul collegamento: N=-5844.26 Ty=-0.08 Tz=-3.43 Mx=-0.00 Mz=-0.32
Sollecitazioni agenti localmente: Ty_l=-1037.29 My_l=-21.27
Tensioni nella sezione: σ=257.77 τ=31.43
CC 31 SLV (Collegamento 0023_-380)
Azioni sul collegamento: N=-6324.76 Ty=-2.39 Tz=-5.22 Mx=-0.00 Mz=-5.32
Sollecitazioni agenti localmente: Ty_l=-1142.36 My_l=-23.45
Tensioni nella sezione: σ=284.22 τ=34.62
CC 31 SLV (Collegamento 0023_-380)
Azioni sul collegamento: N=-6324.76 Ty=-0.08 Tz=-5.22 Mx=-0.00 Mz=-0.80
Sollecitazioni agenti localmente: Ty_l=-1124.38 My_l=-23.05
Tensioni nella sezione: σ=279.44 τ=34.07
CC 31 SLV (Collegamento 0023_-380)
Azioni sul collegamento: N=-6324.76 Ty=-2.39 Tz=-0.09 Mx=-0.00 Mz=-5.32
Sollecitazioni agenti localmente: Ty_l=-1142.36 My_l=-23.45
Tensioni nella sezione: σ=284.22 τ=34.62
CC 31 SLV (Collegamento 0023_-380)
Azioni sul collegamento: N=-6324.76 Ty=-0.08 Tz=-0.09 Mx=-0.00 Mz=-0.80
Sollecitazioni agenti localmente: Ty_l=-1124.38 My_l=-23.05
Tensioni nella sezione: σ=279.44 τ=34.07
CC 31 SLV (Collegamento 0023_-380)
Azioni sul collegamento: N=-4942.75 Ty=-2.39 Tz=-5.22 Mx=-0.00 Mz=-5.32
Sollecitazioni agenti localmente: Ty_l=-897.37 My_l=-18.43
Tensioni nella sezione: σ=223.34 τ=27.19
CC 31 SLV (Collegamento 0023_-380)
Azioni sul collegamento: N=-4942.75 Ty=-0.08 Tz=-5.22 Mx=-0.00 Mz=-0.80
Sollecitazioni agenti localmente: Ty_l=-879.38 My_l=-18.03
Tensioni nella sezione: σ=218.57 τ=26.65
CC 31 SLV (Collegamento 0023_-380)
Azioni sul collegamento: N=-4942.75 Ty=-2.39 Tz=-0.09 Mx=-0.00 Mz=-5.32
Sollecitazioni agenti localmente: Ty_l=-897.37 My_l=-18.43

Tensioni nella sezione: σ=223.34 τ=27.19
CC 31 SLV (Collegamento 0023_-380)
Azioni sul collegamento: N=-4942.75 Ty=-0.08 Tz=-0.09 Mx=-0.00 Mz=-0.80
Sollecitazioni agenti localmente: Ty_l=-879.38 My_l=-18.03
Tensioni nella sezione: σ=218.57 τ=26.65
CC 32 SLD (Collegamento 0023_-380)
Azioni sul collegamento: N=-5844.28 Ty=-0.78 Tz=-3.44 Mx=-0.00 Mz=-1.69
Sollecitazioni agenti localmente: Ty_l=-1042.77 My_l=-21.39
Tensioni nella sezione: σ=259.23 τ=31.60
CC 32 SLD (Collegamento 0023_-380)
Azioni sul collegamento: N=-5844.28 Ty=-0.08 Tz=-3.44 Mx=-0.00 Mz=-0.31
Sollecitazioni agenti localmente: Ty_l=-1037.28 My_l=-21.27
Tensioni nella sezione: σ=257.77 τ=31.43
CC 32 SLD (Collegamento 0023_-380)
Azioni sul collegamento: N=-5844.28 Ty=-0.78 Tz=-1.87 Mx=-0.00 Mz=-1.69
Sollecitazioni agenti localmente: Ty_l=-1042.77 My_l=-21.39
Tensioni nella sezione: σ=259.23 τ=31.60
CC 32 SLD (Collegamento 0023_-380)
Azioni sul collegamento: N=-5844.28 Ty=-0.08 Tz=-1.87 Mx=-0.00 Mz=-0.31
Sollecitazioni agenti localmente: Ty_l=-1037.28 My_l=-21.27
Tensioni nella sezione: σ=257.77 τ=31.43
CC 32 SLD (Collegamento 0023_-380)
Azioni sul collegamento: N=-5422.87 Ty=-0.78 Tz=-3.44 Mx=-0.00 Mz=-1.69
Sollecitazioni agenti localmente: Ty_l=-968.06 My_l=-19.85
Tensioni nella sezione: σ=240.66 τ=29.34
CC 32 SLD (Collegamento 0023_-380)
Azioni sul collegamento: N=-5422.87 Ty=-0.08 Tz=-3.44 Mx=-0.00 Mz=-0.31
Sollecitazioni agenti localmente: Ty_l=-962.58 My_l=-19.73
Tensioni nella sezione: σ=239.21 τ=29.17
CC 32 SLD (Collegamento 0023_-380)
Azioni sul collegamento: N=-5422.87 Ty=-0.78 Tz=-1.87 Mx=-0.00 Mz=-1.69
Sollecitazioni agenti localmente: Ty_l=-968.06 My_l=-19.85
Tensioni nella sezione: σ=240.66 τ=29.34
CC 32 SLD (Collegamento 0023_-380)
Azioni sul collegamento: N=-5422.87 Ty=-0.08 Tz=-1.87 Mx=-0.00 Mz=-0.31
Sollecitazioni agenti localmente: Ty_l=-962.58 My_l=-19.73
Tensioni nella sezione: σ=239.21 τ=29.17
CC 33 SLU (Collegamento 0023_-380)
Azioni sul collegamento: N=-29447.20 Ty=-0.05 Tz=76.67 Mx=-0.00 Mz=-0.12
Sollecitazioni agenti localmente: Ty_l=-5220.64 My_l=-107.02
Tensioni nella sezione: σ=1297.26 τ=158.20
CC 34 SLU (Collegamento 0023_-380)
Azioni sul collegamento: N=-28967.90 Ty=-0.05 Tz=74.90 Mx=-0.00 Mz=-0.12
Sollecitazioni agenti localmente: Ty_l=-5135.69 My_l=-105.28
Tensioni nella sezione: σ=1276.15 τ=155.63
CC 35 SLU (Collegamento 0023_-380)
Azioni sul collegamento: N=-29207.50 Ty=-0.17 Tz=75.78 Mx=0.00 Mz=-0.35
Sollecitazioni agenti localmente: Ty_l=-5179.10 My_l=-106.17
Tensioni nella sezione: σ=1286.95 τ=156.94
CC 36 SLU (Collegamento 0023_-380)
Azioni sul collegamento: N=-29207.50 Ty=0.07 Tz=75.79 Mx=-0.00 Mz=0.12
Sollecitazioni agenti localmente: Ty_l=-5177.23 My_l=-106.13
Tensioni nella sezione: σ=1286.46 τ=156.89
CC 37 SLU (Collegamento 0023_-380)
Azioni sul collegamento: N=-19933.90 Ty=-0.08 Tz=41.69 Mx=-0.00 Mz=-0.13
Sollecitazioni agenti localmente: Ty_l=-3534.24 My_l=-72.45
Tensioni nella sezione: σ=878.21 τ=107.10
CC 38 SLU (Collegamento 0023_-380)
Azioni sul collegamento: N=-19454.60 Ty=-0.08 Tz=39.91 Mx=-0.00 Mz=-0.13
Sollecitazioni agenti localmente: Ty_l=-3449.28 My_l=-70.71
Tensioni nella sezione: σ=857.10 τ=104.52
CC 39 SLU (Collegamento 0023_-380)
Azioni sul collegamento: N=-19694.20 Ty=-0.20 Tz=40.80 Mx=0.00 Mz=-0.36
Sollecitazioni agenti localmente: Ty_l=-3492.69 My_l=-71.60
Tensioni nella sezione: σ=867.91 τ=105.84
CC 40 SLU (Collegamento 0023_-380)
Azioni sul collegamento: N=-19694.20 Ty=0.04 Tz=40.80 Mx=-0.00 Mz=0.10
Sollecitazioni agenti localmente: Ty_l=-3490.83 My_l=-71.56
Tensioni nella sezione: σ=867.41 τ=105.78
CC 41 SLU (Collegamento 0023_-380)
Azioni sul collegamento: N=-29632.10 Ty=-0.07 Tz=76.65 Mx=-0.00 Mz=-0.13
Sollecitazioni agenti localmente: Ty_l=-5253.47 My_l=-107.70
Tensioni nella sezione: σ=1305.42 τ=159.20
CC 42 SLU (Collegamento 0023_-380)
Azioni sul collegamento: N=-29152.80 Ty=-0.07 Tz=74.88 Mx=-0.00 Mz=-0.13
Sollecitazioni agenti localmente: Ty_l=-5168.52 My_l=-105.95
Tensioni nella sezione: σ=1284.31 τ=156.62
CC 43 SLU (Collegamento 0023_-380)
Azioni sul collegamento: N=-29392.40 Ty=-0.19 Tz=75.77 Mx=0.00 Mz=-0.36
Sollecitazioni agenti localmente: Ty_l=-5211.93 My_l=-106.85

Tensioni nella sezione: σ=1295.11 τ=157.94
CC 44 SLU (Collegamento 0023_-380)
Azioni sul collegamento: N=-29392.40 Ty=0.05 Tz=75.77 Mx=-0.00 Mz=0.10
Sollecitazioni agenti localmente: Ty_l=-5210.06 My_l=-106.81
Tensioni nella sezione: σ=1294.61 τ=157.88
CC 45 SLU (Collegamento 0023_-380)
Azioni sul collegamento: N=-22108.00 Ty=-0.08 Tz=49.75 Mx=-0.00 Mz=-0.14
Sollecitazioni agenti localmente: Ty_l=-3919.70 My_l=-80.35
Tensioni nella sezione: σ=974.00 τ=118.78
CC 46 SLU (Collegamento 0023_-380)
Azioni sul collegamento: N=-21628.70 Ty=-0.08 Tz=47.97 Mx=-0.00 Mz=-0.14
Sollecitazioni agenti localmente: Ty_l=-3834.74 My_l=-78.61
Tensioni nella sezione: σ=952.88 τ=116.20
CC 47 SLU (Collegamento 0023_-380)
Azioni sul collegamento: N=-21868.40 Ty=-0.20 Tz=48.86 Mx=0.00 Mz=-0.37
Sollecitazioni agenti localmente: Ty_l=-3878.15 My_l=-79.50
Tensioni nella sezione: σ=963.69 τ=117.52
CC 48 SLU (Collegamento 0023_-380)
Azioni sul collegamento: N=-21868.40 Ty=0.04 Tz=48.86 Mx=-0.00 Mz=0.10
Sollecitazioni agenti localmente: Ty_l=-3876.29 My_l=-79.46
Tensioni nella sezione: σ=963.19 τ=117.46
CC 49 SLU (Collegamento 0023_-380)
Azioni sul collegamento: N=-14990.70 Ty=-0.10 Tz=23.57 Mx=-0.00 Mz=-0.15
Sollecitazioni agenti localmente: Ty_l=-2658.02 My_l=-54.49
Tensioni nella sezione: σ=660.49 τ=80.55
CC 50 SLU (Collegamento 0023_-380)
Azioni sul collegamento: N=-14511.40 Ty=-0.10 Tz=21.80 Mx=-0.00 Mz=-0.15
Sollecitazioni agenti localmente: Ty_l=-2573.06 My_l=-52.75
Tensioni nella sezione: σ=639.38 τ=77.97
CC 51 SLU (Collegamento 0023_-380)
Azioni sul collegamento: N=-14751.00 Ty=-0.22 Tz=22.68 Mx=0.00 Mz=-0.38
Sollecitazioni agenti localmente: Ty_l=-2616.47 My_l=-53.64
Tensioni nella sezione: σ=650.18 τ=79.29
CC 52 SLU (Collegamento 0023_-380)
Azioni sul collegamento: N=-14751.00 Ty=0.02 Tz=22.69 Mx=-0.00 Mz=0.09
Sollecitazioni agenti localmente: Ty_l=-2614.61 My_l=-53.60
Tensioni nella sezione: σ=649.68 τ=79.23
CC 53 SLU (Collegamento 0023_-380)
Azioni sul collegamento: N=-22246.40 Ty=-0.10 Tz=49.73 Mx=-0.00 Mz=-0.15
Sollecitazioni agenti localmente: Ty_l=-3944.26 My_l=-80.86
Tensioni nella sezione: σ=980.10 τ=119.52
CC 54 SLU (Collegamento 0023_-380)
Azioni sul collegamento: N=-21767.10 Ty=-0.10 Tz=47.96 Mx=-0.00 Mz=-0.15
Sollecitazioni agenti localmente: Ty_l=-3859.30 My_l=-79.12
Tensioni nella sezione: σ=958.99 τ=116.95
CC 55 SLU (Collegamento 0023_-380)
Azioni sul collegamento: N=-22006.70 Ty=-0.22 Tz=48.85 Mx=0.00 Mz=-0.38
Sollecitazioni agenti localmente: Ty_l=-3902.71 My_l=-80.01
Tensioni nella sezione: σ=969.79 τ=118.26
CC 56 SLU (Collegamento 0023_-380)
Azioni sul collegamento: N=-22006.70 Ty=0.02 Tz=48.85 Mx=-0.00 Mz=0.09
Sollecitazioni agenti localmente: Ty_l=-3900.85 My_l=-79.97
Tensioni nella sezione: σ=969.30 τ=118.21
CC 57 SLU (Collegamento 0023_-380)
Azioni sul collegamento: N=-20646.20 Ty=-0.07 Tz=44.37 Mx=-0.00 Mz=-0.13
Sollecitazioni agenti localmente: Ty_l=-3660.53 My_l=-75.04
Tensioni nella sezione: σ=909.59 τ=110.92
CC 58 SLU (Collegamento 0023_-380)
Azioni sul collegamento: N=-20166.90 Ty=-0.07 Tz=42.59 Mx=-0.00 Mz=-0.13
Sollecitazioni agenti localmente: Ty_l=-3575.57 My_l=-73.30
Tensioni nella sezione: σ=888.49 τ=108.35
CC 59 SLU (Collegamento 0023_-380)
Azioni sul collegamento: N=-20406.60 Ty=-0.19 Tz=43.48 Mx=0.00 Mz=-0.36
Sollecitazioni agenti localmente: Ty_l=-3618.98 My_l=-74.19
Tensioni nella sezione: σ=899.29 τ=109.67
CC 60 SLU (Collegamento 0023_-380)
Azioni sul collegamento: N=-20406.60 Ty=0.05 Tz=43.48 Mx=-0.00 Mz=0.10
Sollecitazioni agenti localmente: Ty_l=-3617.12 My_l=-74.15
Tensioni nella sezione: σ=898.79 τ=109.61
CC 61 SLU (Collegamento 0023_-380)
Azioni sul collegamento: N=-13528.90 Ty=-0.09 Tz=18.19 Mx=-0.00 Mz=-0.14
Sollecitazioni agenti localmente: Ty_l=-2398.85 My_l=-49.18
Tensioni nella sezione: σ=596.09 τ=72.69
CC 62 SLU (Collegamento 0023_-380)
Azioni sul collegamento: N=-13049.60 Ty=-0.10 Tz=16.41 Mx=-0.00 Mz=-0.14
Sollecitazioni agenti localmente: Ty_l=-2313.89 My_l=-47.44
Tensioni nella sezione: σ=574.98 τ=70.12
CC 63 SLU (Collegamento 0023_-380)
Azioni sul collegamento: N=-13289.20 Ty=-0.21 Tz=17.30 Mx=0.00 Mz=-0.37
Sollecitazioni agenti localmente: Ty_l=-2357.30 My_l=-48.33

Tensioni nella sezione: σ=585.78 τ=71.43
CC 64 SLU (Collegamento 0023_-380)
Azioni sul collegamento: N=-13289.20 Ty=0.02 Tz=17.30 Mx=-0.00 Mz=0.10
Sollecitazioni agenti localmente: Ty_l=-2355.44 My_l=-48.29
Tensioni nella sezione: σ=585.28 τ=71.38
CC 65 SLU (Collegamento 0023_-380)
Azioni sul collegamento: N=-20784.60 Ty=-0.09 Tz=44.35 Mx=-0.00 Mz=-0.14
Sollecitazioni agenti localmente: Ty_l=-3685.09 My_l=-75.55
Tensioni nella sezione: σ=915.70 τ=111.67
CC 66 SLU (Collegamento 0023_-380)
Azioni sul collegamento: N=-20305.30 Ty=-0.09 Tz=42.57 Mx=-0.00 Mz=-0.14
Sollecitazioni agenti localmente: Ty_l=-3600.13 My_l=-73.80
Tensioni nella sezione: σ=894.59 τ=109.09
CC 67 SLU (Collegamento 0023_-380)
Azioni sul collegamento: N=-20544.90 Ty=-0.21 Tz=43.46 Mx=0.00 Mz=-0.37
Sollecitazioni agenti localmente: Ty_l=-3643.54 My_l=-74.69
Tensioni nella sezione: σ=905.39 τ=110.41
CC 68 SLU (Collegamento 0023_-380)
Azioni sul collegamento: N=-20544.90 Ty=0.03 Tz=43.46 Mx=-0.00 Mz=0.10
Sollecitazioni agenti localmente: Ty_l=-3641.68 My_l=-74.65
Tensioni nella sezione: σ=904.89 τ=110.35
CC 97 SLU (Collegamento 0023_-380)
Azioni sul collegamento: N=-12582.10 Ty=-12.27 Tz=22.98 Mx=-0.04 Mz=-17.61
Sollecitazioni agenti localmente: Ty_l=-2300.51 My_l=-47.26
Tensioni nella sezione: σ=572.83 τ=69.71
CC 98 SLU (Collegamento 0023_-380)
Azioni sul collegamento: N=-12102.80 Ty=-12.27 Tz=21.21 Mx=-0.04 Mz=-17.61
Sollecitazioni agenti localmente: Ty_l=-2215.55 My_l=-45.52
Tensioni nella sezione: σ=551.72 τ=67.14
CC 99 SLU (Collegamento 0023_-380)
Azioni sul collegamento: N=-12342.50 Ty=-12.39 Tz=22.09 Mx=-0.04 Mz=-17.84
Sollecitazioni agenti localmente: Ty_l=-2258.96 My_l=-46.41
Tensioni nella sezione: σ=562.52 τ=68.45
CC 100 SLU (Collegamento 0023_-380)
Azioni sul collegamento: N=-12342.50 Ty=-12.15 Tz=22.09 Mx=-0.04 Mz=-17.38
Sollecitazioni agenti localmente: Ty_l=-2257.10 My_l=-46.37
Tensioni nella sezione: σ=562.03 τ=68.40
CC 101 SLU (Collegamento 0023_-380)
Azioni sul collegamento: N=-6366.46 Ty=2.01 Tz=0.04 Mx=0.00 Mz=2.22
Sollecitazioni agenti localmente: Ty_l=-1119.77 My_l=-22.94
Tensioni nella sezione: σ=278.10 τ=33.93
CC 102 SLU (Collegamento 0023_-380)
Azioni sul collegamento: N=-5887.16 Ty=2.00 Tz=-1.73 Mx=0.00 Mz=2.22
Sollecitazioni agenti localmente: Ty_l=-1034.82 My_l=-21.20
Tensioni nella sezione: σ=256.99 τ=31.36
CC 103 SLU (Collegamento 0023_-380)
Azioni sul collegamento: N=-6126.81 Ty=1.89 Tz=-0.85 Mx=0.01 Mz=1.98
Sollecitazioni agenti localmente: Ty_l=-1078.23 My_l=-22.09
Tensioni nella sezione: σ=267.79 τ=32.67
CC 104 SLU (Collegamento 0023_-380)
Azioni sul collegamento: N=-6126.80 Ty=2.12 Tz=-0.84 Mx=0.00 Mz=2.45
Sollecitazioni agenti localmente: Ty_l=-1076.36 My_l=-22.05
Tensioni nella sezione: σ=267.29 τ=32.62

Collegamento 0024_-381

Piastra 220.00 x 220.00 s=15.00 - 6 Tirafondi ϕ 16 - Profondità di infissione: 350.00
3 righe ad interasse 89.00
2 colonne ad interasse 178.00
Altezza di gola saldature: anima 7.07 - ala 7.07

Tirafondi e calcestruzzo

CC 1 SLV (Collegamento 0024_-381)
Azioni sul collegamento: N=-3931.62 Ty=6.55 Tz=-8.98 Mx=0.01 Mz=7.22
Sollecitazioni agenti localmente: Tx_l=6.55 Ty_l=-8.98 N_l=-3931.62 Mx_l=-0.00 My_l=7.22 Mz_l=0.01
Taglio nei bulloni: Fv,Ed=1.87 Fv,Rd=7720.78
Rifollamento lato piastra: Fb,Ed,p=1.86 Fb,Rd,p=10428.60
Tirafondi:LT=0.45 (0.31) σ_{cR}=0.00 σ_{fR}=0.00
Compressione nel calcestruzzo: σ_c=8.53
CC 1 SLV (Collegamento 0024_-381)
Azioni sul collegamento: N=-3931.62 Ty=3.19 Tz=-8.98 Mx=0.01 Mz=4.04
Sollecitazioni agenti localmente: Tx_l=3.19 Ty_l=-8.98 N_l=-3931.62 Mx_l=-0.00 My_l=4.04 Mz_l=0.01
Taglio nei bulloni: Fv,Ed=1.61 Fv,Rd=7720.78
Rifollamento lato piastra: Fb,Ed,p=1.60 Fb,Rd,p=7019.31
Tirafondi:LT=0.45 (0.31) σ_{cR}=0.00 σ_{fR}=0.00
Compressione nel calcestruzzo: σ_c=8.35
CC 1 SLV (Collegamento 0024_-381)
Azioni sul collegamento: N=-3931.62 Ty=6.55 Tz=10.69 Mx=0.01 Mz=7.22
Sollecitazioni agenti localmente: Tx_l=6.55 Ty_l=10.69 N_l=-3931.62 Mx_l=-0.00 My_l=7.22 Mz_l=0.01

Taglio nei bulloni: Fv,Ed=2.11 Fv,Rd=7720.78
Rifollamento lato piastra: Fb,Ed,p=2.11 Fb,Rd,p=9431.52
Tirafondi:LT=0.45 (0.31) σ_{cR}=0.00 σ_{fR}=0.00
Compressione nel calcestruzzo: σ_c=8.53
CC 1 SLV (Collegamento 0024_-381)
Azioni sul collegamento: N=-3931.62 Ty=3.19 Tz=10.69 Mx=0.01 Mz=4.04
Sollecitazioni agenti localmente: Tx_l=3.19 Ty_l=10.69 N_l=-3931.62 Mx_l=-0.00 My_l=4.04 Mz_l=0.01
Taglio nei bulloni: Fv,Ed=1.88 Fv,Rd=7720.78
Rifollamento lato piastra: Fb,Ed,p=1.88 Fb,Rd,p=6806.97
Tirafondi:LT=0.45 (0.31) σ_{cR}=0.00 σ_{fR}=0.00
Compressione nel calcestruzzo: σ_c=8.35
CC 1 SLV (Collegamento 0024_-381)
Azioni sul collegamento: N=-9217.12 Ty=6.55 Tz=-8.98 Mx=0.01 Mz=7.22
Sollecitazioni agenti localmente: Tx_l=6.55 Ty_l=-8.98 N_l=-9217.12 Mx_l=-0.00 My_l=7.22 Mz_l=0.01
Taglio nei bulloni: Fv,Ed=1.87 Fv,Rd=7720.78
Rifollamento lato piastra: Fb,Ed,p=1.86 Fb,Rd,p=10428.70
Tirafondi:LT=0.45 (0.31) σ_{cR}=0.00 σ_{fR}=0.00
Compressione nel calcestruzzo: σ_c=19.45
CC 1 SLV (Collegamento 0024_-381)
Azioni sul collegamento: N=-9217.12 Ty=3.19 Tz=-8.98 Mx=0.01 Mz=4.04
Sollecitazioni agenti localmente: Tx_l=3.19 Ty_l=-8.98 N_l=-9217.12 Mx_l=-0.00 My_l=4.04 Mz_l=0.01
Taglio nei bulloni: Fv,Ed=1.61 Fv,Rd=7720.78
Rifollamento lato piastra: Fb,Ed,p=1.60 Fb,Rd,p=7019.36
Tirafondi:LT=0.45 (0.31) σ_{cR}=0.00 σ_{fR}=0.00
Compressione nel calcestruzzo: σ_c=19.27
CC 1 SLV (Collegamento 0024_-381)
Azioni sul collegamento: N=-9217.12 Ty=6.55 Tz=10.69 Mx=0.01 Mz=7.22
Sollecitazioni agenti localmente: Tx_l=6.55 Ty_l=10.69 N_l=-9217.12 Mx_l=-0.00 My_l=7.22 Mz_l=0.01
Taglio nei bulloni: Fv,Ed=2.11 Fv,Rd=7720.78
Rifollamento lato piastra: Fb,Ed,p=2.11 Fb,Rd,p=9431.26
Tirafondi:LT=0.45 (0.31) σ_{cR}=0.00 σ_{fR}=0.00
Compressione nel calcestruzzo: σ_c=19.45
CC 1 SLV (Collegamento 0024_-381)
Azioni sul collegamento: N=-9217.12 Ty=3.19 Tz=10.69 Mx=0.01 Mz=4.04
Sollecitazioni agenti localmente: Tx_l=3.19 Ty_l=10.69 N_l=-9217.12 Mx_l=-0.00 My_l=4.04 Mz_l=0.01
Taglio nei bulloni: Fv,Ed=1.88 Fv,Rd=7720.78
Rifollamento lato piastra: Fb,Ed,p=1.88 Fb,Rd,p=6806.91
Tirafondi:LT=0.45 (0.31) σ_{cR}=0.00 σ_{fR}=0.00
Compressione nel calcestruzzo: σ_c=19.27
CC 2 SLD (Collegamento 0024_-381)
Azioni sul collegamento: N=-5736.03 Ty=4.54 Tz=-2.27 Mx=0.00 Mz=4.03
Sollecitazioni agenti localmente: Tx_l=4.54 Ty_l=-2.27 N_l=-5736.03 Mx_l=-0.00 My_l=4.03 Mz_l=0.00
Taglio nei bulloni: Fv,Ed=0.85 Fv,Rd=9650.97
Rifollamento lato piastra: Fb,Ed,p=0.85 Fb,Rd,p=10321.90
Tirafondi:LT=0.45 (0.31) σ_{cR}=0.00 σ_{fR}=0.00
Compressione nel calcestruzzo: σ_c=12.08
CC 2 SLD (Collegamento 0024_-381)
Azioni sul collegamento: N=-5736.03 Ty=3.51 Tz=-2.27 Mx=0.00 Mz=3.06
Sollecitazioni agenti localmente: Tx_l=3.51 Ty_l=-2.27 N_l=-5736.03 Mx_l=-0.00 My_l=3.06 Mz_l=0.00
Taglio nei bulloni: Fv,Ed=0.70 Fv,Rd=9650.97
Rifollamento lato piastra: Fb,Ed,p=0.70 Fb,Rd,p=12265.00
Tirafondi:LT=0.45 (0.31) σ_{cR}=0.00 σ_{fR}=0.00
Compressione nel calcestruzzo: σ_c=12.02
CC 2 SLD (Collegamento 0024_-381)
Azioni sul collegamento: N=-5736.03 Ty=4.54 Tz=3.73 Mx=0.00 Mz=4.03
Sollecitazioni agenti localmente: Tx_l=4.54 Ty_l=3.73 N_l=-5736.03 Mx_l=-0.00 My_l=4.03 Mz_l=0.00
Taglio nei bulloni: Fv,Ed=0.98 Fv,Rd=9650.97
Rifollamento lato piastra: Fb,Ed,p=0.98 Fb,Rd,p=13712.20
Tirafondi:LT=0.45 (0.31) σ_{cR}=0.00 σ_{fR}=0.00
Compressione nel calcestruzzo: σ_c=12.08
CC 2 SLD (Collegamento 0024_-381)
Azioni sul collegamento: N=-5736.03 Ty=3.51 Tz=3.73 Mx=0.00 Mz=3.06
Sollecitazioni agenti localmente: Tx_l=3.51 Ty_l=3.73 N_l=-5736.03 Mx_l=-0.00 My_l=3.06 Mz_l=0.00
Taglio nei bulloni: Fv,Ed=0.86 Fv,Rd=9650.97
Rifollamento lato piastra: Fb,Ed,p=0.86 Fb,Rd,p=14599.70
Tirafondi:LT=0.45 (0.31) σ_{cR}=0.00 σ_{fR}=0.00
Compressione nel calcestruzzo: σ_c=12.02
CC 2 SLD (Collegamento 0024_-381)
Azioni sul collegamento: N=-7347.75 Ty=4.54 Tz=-2.27 Mx=0.00 Mz=4.03
Sollecitazioni agenti localmente: Tx_l=4.54 Ty_l=-2.27 N_l=-7347.75 Mx_l=-0.00 My_l=4.03 Mz_l=0.00
Taglio nei bulloni: Fv,Ed=0.85 Fv,Rd=9650.97
Rifollamento lato piastra: Fb,Ed,p=0.85 Fb,Rd,p=10322.10
Tirafondi:LT=0.45 (0.31) σ_{cR}=0.00 σ_{fR}=0.00
Compressione nel calcestruzzo: σ_c=15.41
CC 2 SLD (Collegamento 0024_-381)
Azioni sul collegamento: N=-7347.75 Ty=3.51 Tz=-2.27 Mx=0.00 Mz=3.06
Sollecitazioni agenti localmente: Tx_l=3.51 Ty_l=-2.27 N_l=-7347.75 Mx_l=-0.00 My_l=3.06 Mz_l=0.00
Taglio nei bulloni: Fv,Ed=0.70 Fv,Rd=9650.97
Rifollamento lato piastra: Fb,Ed,p=0.70 Fb,Rd,p=12265.30
Tirafondi:LT=0.45 (0.31) σ_{cR}=0.00 σ_{fR}=0.00

Compressione nel calcestruzzo: σ_c=15.35
CC 2 SLD (Collegamento 0024_-381)
Azioni sul collegamento: N=-7347.75 Ty=4.54 Tz=3.73 Mx=0.00 Mz=4.03
Sollecitazioni agenti localmente: Tx_l=4.54 Ty_l=3.73 N_l=-7347.75 Mx_l=-0.00 My_l=4.03 Mz_l=0.00
Taglio nei bulloni: Fv,Ed=0.98 Fv,Rd=9650.97
Rifollamento lato piastra: Fb,Ed,p=0.98 Fb,Rd,p=13712.40
Tirafondi:LT=0.45 (0.31) σ_{cR}=0.00 σ_{fR}=0.00
Compressione nel calcestruzzo: σ_c=15.41
CC 2 SLD (Collegamento 0024_-381)
Azioni sul collegamento: N=-7347.75 Ty=3.51 Tz=3.73 Mx=0.00 Mz=3.06
Sollecitazioni agenti localmente: Tx_l=3.51 Ty_l=3.73 N_l=-7347.75 Mx_l=-0.00 My_l=3.06 Mz_l=0.00
Taglio nei bulloni: Fv,Ed=0.86 Fv,Rd=9650.97
Rifollamento lato piastra: Fb,Ed,p=0.86 Fb,Rd,p=14599.50
Tirafondi:LT=0.45 (0.31) σ_{cR}=0.00 σ_{fR}=0.00
Compressione nel calcestruzzo: σ_c=15.35
CC 3 SLV (Collegamento 0024_-381)
Azioni sul collegamento: N=-3937.31 Ty=5.92 Tz=-8.85 Mx=0.01 Mz=5.96
Sollecitazioni agenti localmente: Tx_l=5.92 Ty_l=-8.85 N_l=-3937.31 Mx_l=-0.00 My_l=5.96 Mz_l=0.01
Taglio nei bulloni: Fv,Ed=1.79 Fv,Rd=7720.78
Rifollamento lato piastra: Fb,Ed,p=1.78 Fb,Rd,p=9910.88
Tirafondi:LT=0.45 (0.31) σ_{cR}=0.00 σ_{fR}=0.00
Compressione nel calcestruzzo: σ_c=8.47
CC 3 SLV (Collegamento 0024_-381)
Azioni sul collegamento: N=-3937.31 Ty=3.82 Tz=-8.85 Mx=0.01 Mz=5.30
Sollecitazioni agenti localmente: Tx_l=3.82 Ty_l=-8.85 N_l=-3937.31 Mx_l=-0.00 My_l=5.30 Mz_l=0.01
Taglio nei bulloni: Fv,Ed=1.62 Fv,Rd=7720.78
Rifollamento lato piastra: Fb,Ed,p=1.61 Fb,Rd,p=7578.35
Tirafondi:LT=0.45 (0.31) σ_{cR}=0.00 σ_{fR}=0.00
Compressione nel calcestruzzo: σ_c=8.43
CC 3 SLV (Collegamento 0024_-381)
Azioni sul collegamento: N=-3937.31 Ty=5.92 Tz=10.56 Mx=0.01 Mz=5.96
Sollecitazioni agenti localmente: Tx_l=5.92 Ty_l=10.56 N_l=-3937.31 Mx_l=-0.00 My_l=5.96 Mz_l=0.01
Taglio nei bulloni: Fv,Ed=2.03 Fv,Rd=7720.78
Rifollamento lato piastra: Fb,Ed,p=2.03 Fb,Rd,p=8847.90
Tirafondi:LT=0.45 (0.31) σ_{cR}=0.00 σ_{fR}=0.00
Compressione nel calcestruzzo: σ_c=8.47
CC 3 SLV (Collegamento 0024_-381)
Azioni sul collegamento: N=-3937.31 Ty=3.82 Tz=10.56 Mx=0.01 Mz=5.30
Sollecitazioni agenti localmente: Tx_l=3.82 Ty_l=10.56 N_l=-3937.31 Mx_l=-0.00 My_l=5.30 Mz_l=0.01
Taglio nei bulloni: Fv,Ed=1.89 Fv,Rd=7720.78
Rifollamento lato piastra: Fb,Ed,p=1.89 Fb,Rd,p=7177.46
Tirafondi:LT=0.45 (0.31) σ_{cR}=0.00 σ_{fR}=0.00
Compressione nel calcestruzzo: σ_c=8.43
CC 3 SLV (Collegamento 0024_-381)
Azioni sul collegamento: N=-9211.43 Ty=5.92 Tz=-8.85 Mx=0.01 Mz=5.96
Sollecitazioni agenti localmente: Tx_l=5.92 Ty_l=-8.85 N_l=-9211.43 Mx_l=-0.00 My_l=5.96 Mz_l=0.01
Taglio nei bulloni: Fv,Ed=1.79 Fv,Rd=7720.78
Rifollamento lato piastra: Fb,Ed,p=1.78 Fb,Rd,p=9910.90
Tirafondi:LT=0.45 (0.31) σ_{cR}=0.00 σ_{fR}=0.00
Compressione nel calcestruzzo: σ_c=19.37
CC 3 SLV (Collegamento 0024_-381)
Azioni sul collegamento: N=-9211.43 Ty=3.82 Tz=-8.85 Mx=0.01 Mz=5.30
Sollecitazioni agenti localmente: Tx_l=3.82 Ty_l=-8.85 N_l=-9211.43 Mx_l=-0.00 My_l=5.30 Mz_l=0.01
Taglio nei bulloni: Fv,Ed=1.62 Fv,Rd=7720.78
Rifollamento lato piastra: Fb,Ed,p=1.61 Fb,Rd,p=7578.35
Tirafondi:LT=0.45 (0.31) σ_{cR}=0.00 σ_{fR}=0.00
Compressione nel calcestruzzo: σ_c=19.33
CC 3 SLV (Collegamento 0024_-381)
Azioni sul collegamento: N=-9211.43 Ty=5.92 Tz=10.56 Mx=0.01 Mz=5.96
Sollecitazioni agenti localmente: Tx_l=5.92 Ty_l=10.56 N_l=-9211.43 Mx_l=-0.00 My_l=5.96 Mz_l=0.01
Taglio nei bulloni: Fv,Ed=2.03 Fv,Rd=7720.78
Rifollamento lato piastra: Fb,Ed,p=2.03 Fb,Rd,p=8847.87
Tirafondi:LT=0.45 (0.31) σ_{cR}=0.00 σ_{fR}=0.00
Compressione nel calcestruzzo: σ_c=19.37
CC 3 SLV (Collegamento 0024_-381)
Azioni sul collegamento: N=-9211.43 Ty=3.82 Tz=10.56 Mx=0.01 Mz=5.30
Sollecitazioni agenti localmente: Tx_l=3.82 Ty_l=10.56 N_l=-9211.43 Mx_l=-0.00 My_l=5.30 Mz_l=0.01
Taglio nei bulloni: Fv,Ed=1.89 Fv,Rd=7720.78
Rifollamento lato piastra: Fb,Ed,p=1.89 Fb,Rd,p=7177.45
Tirafondi:LT=0.45 (0.31) σ_{cR}=0.00 σ_{fR}=0.00
Compressione nel calcestruzzo: σ_c=19.33
CC 4 SLD (Collegamento 0024_-381)
Azioni sul collegamento: N=-5737.77 Ty=4.34 Tz=-2.23 Mx=0.00 Mz=3.65
Sollecitazioni agenti localmente: Tx_l=4.34 Ty_l=-2.23 N_l=-5737.77 Mx_l=-0.00 My_l=3.65 Mz_l=0.00
Taglio nei bulloni: Fv,Ed=0.81 Fv,Rd=9650.97
Rifollamento lato piastra: Fb,Ed,p=0.81 Fb,Rd,p=10464.90
Tirafondi:LT=0.45 (0.31) σ_{cR}=0.00 σ_{fR}=0.00
Compressione nel calcestruzzo: σ_c=12.06
CC 4 SLD (Collegamento 0024_-381)
Azioni sul collegamento: N=-5737.77 Ty=3.71 Tz=-2.23 Mx=0.00 Mz=3.45

Sollecitazioni agenti localmente: Tx_l=3.71 Ty_l=-2.23 N_l=-5737.77 Mx_l=-0.00 My_l=3.45 Mz_l=0.00
Taglio nei bulloni: Fv,Ed=0.72 Fv,Rd=9650.97
Rifollamento lato piastra: Fb,Ed,p=0.72 Fb,Rd,p=11605.90
Tirafondi:LT=0.45 (0.31) σ_{cR}=0.00 σ_{fR}=0.00
Compressione nel calcestruzzo: σ_c=12.05
CC 4 SLD (Collegamento 0024_-381)
Azioni sul collegamento: N=-5737.77 Ty=4.34 Tz=3.69 Mx=0.00 Mz=3.65
Sollecitazioni agenti localmente: Tx_l=4.34 Ty_l=3.69 N_l=-5737.77 Mx_l=-0.00 My_l=3.65 Mz_l=0.00
Taglio nei bulloni: Fv,Ed=0.95 Fv,Rd=9650.97
Rifollamento lato piastra: Fb,Ed,p=0.95 Fb,Rd,p=13925.50
Tirafondi:LT=0.45 (0.31) σ_{cR}=0.00 σ_{fR}=0.00
Compressione nel calcestruzzo: σ_c=12.06
CC 4 SLD (Collegamento 0024_-381)
Azioni sul collegamento: N=-5737.77 Ty=3.71 Tz=3.69 Mx=0.00 Mz=3.45
Sollecitazioni agenti localmente: Tx_l=3.71 Ty_l=3.69 N_l=-5737.77 Mx_l=-0.00 My_l=3.45 Mz_l=0.00
Taglio nei bulloni: Fv,Ed=0.87 Fv,Rd=9650.97
Rifollamento lato piastra: Fb,Ed,p=0.87 Fb,Rd,p=14972.50
Tirafondi:LT=0.45 (0.31) σ_{cR}=0.00 σ_{fR}=0.00
Compressione nel calcestruzzo: σ_c=12.05
CC 4 SLD (Collegamento 0024_-381)
Azioni sul collegamento: N=-7346.01 Ty=4.34 Tz=-2.23 Mx=0.00 Mz=3.65
Sollecitazioni agenti localmente: Tx_l=4.34 Ty_l=-2.23 N_l=-7346.01 Mx_l=-0.00 My_l=3.65 Mz_l=0.00
Taglio nei bulloni: Fv,Ed=0.81 Fv,Rd=9650.97
Rifollamento lato piastra: Fb,Ed,p=0.81 Fb,Rd,p=10464.80
Tirafondi:LT=0.45 (0.31) σ_{cR}=0.00 σ_{fR}=0.00
Compressione nel calcestruzzo: σ_c=15.38
CC 4 SLD (Collegamento 0024_-381)
Azioni sul collegamento: N=-7346.01 Ty=3.71 Tz=-2.23 Mx=0.00 Mz=3.45
Sollecitazioni agenti localmente: Tx_l=3.71 Ty_l=-2.23 N_l=-7346.01 Mx_l=-0.00 My_l=3.45 Mz_l=0.00
Taglio nei bulloni: Fv,Ed=0.72 Fv,Rd=9650.97
Rifollamento lato piastra: Fb,Ed,p=0.72 Fb,Rd,p=11605.80
Tirafondi:LT=0.45 (0.31) σ_{cR}=0.00 σ_{fR}=0.00
Compressione nel calcestruzzo: σ_c=15.37
CC 4 SLD (Collegamento 0024_-381)
Azioni sul collegamento: N=-7346.01 Ty=4.34 Tz=3.69 Mx=0.00 Mz=3.65
Sollecitazioni agenti localmente: Tx_l=4.34 Ty_l=3.69 N_l=-7346.01 Mx_l=-0.00 My_l=3.65 Mz_l=0.00
Taglio nei bulloni: Fv,Ed=0.95 Fv,Rd=9650.97
Rifollamento lato piastra: Fb,Ed,p=0.95 Fb,Rd,p=13925.30
Tirafondi:LT=0.45 (0.31) σ_{cR}=0.00 σ_{fR}=0.00
Compressione nel calcestruzzo: σ_c=15.38
CC 4 SLD (Collegamento 0024_-381)
Azioni sul collegamento: N=-7346.01 Ty=3.71 Tz=3.69 Mx=0.00 Mz=3.45
Sollecitazioni agenti localmente: Tx_l=3.71 Ty_l=3.69 N_l=-7346.01 Mx_l=-0.00 My_l=3.45 Mz_l=0.00
Taglio nei bulloni: Fv,Ed=0.87 Fv,Rd=9650.97
Rifollamento lato piastra: Fb,Ed,p=0.87 Fb,Rd,p=14972.30
Tirafondi:LT=0.45 (0.31) σ_{cR}=0.00 σ_{fR}=0.00
Compressione nel calcestruzzo: σ_c=15.37
CC 5 SLV (Collegamento 0024_-381)
Azioni sul collegamento: N=-9211.43 Ty=3.82 Tz=10.56 Mx=0.01 Mz=5.30
Sollecitazioni agenti localmente: Tx_l=3.82 Ty_l=10.56 N_l=-9211.43 Mx_l=-0.00 My_l=5.30 Mz_l=0.01
Taglio nei bulloni: Fv,Ed=1.89 Fv,Rd=7720.78
Rifollamento lato piastra: Fb,Ed,p=1.89 Fb,Rd,p=7181.59
Tirafondi:LT=0.45 (0.31) σ_{cR}=0.00 σ_{fR}=0.00
Compressione nel calcestruzzo: σ_c=19.33
CC 5 SLV (Collegamento 0024_-381)
Azioni sul collegamento: N=-9211.43 Ty=5.92 Tz=10.56 Mx=0.01 Mz=5.96
Sollecitazioni agenti localmente: Tx_l=5.92 Ty_l=10.56 N_l=-9211.43 Mx_l=-0.00 My_l=5.96 Mz_l=0.01
Taglio nei bulloni: Fv,Ed=2.03 Fv,Rd=7720.78
Rifollamento lato piastra: Fb,Ed,p=2.03 Fb,Rd,p=8852.36
Tirafondi:LT=0.45 (0.31) σ_{cR}=0.00 σ_{fR}=0.00
Compressione nel calcestruzzo: σ_c=19.37
CC 5 SLV (Collegamento 0024_-381)
Azioni sul collegamento: N=-9211.43 Ty=3.82 Tz=-8.85 Mx=0.01 Mz=5.30
Sollecitazioni agenti localmente: Tx_l=3.82 Ty_l=-8.85 N_l=-9211.43 Mx_l=-0.00 My_l=5.30 Mz_l=0.01
Taglio nei bulloni: Fv,Ed=1.62 Fv,Rd=7720.78
Rifollamento lato piastra: Fb,Ed,p=1.61 Fb,Rd,p=7565.54
Tirafondi:LT=0.45 (0.31) σ_{cR}=0.00 σ_{fR}=0.00
Compressione nel calcestruzzo: σ_c=19.33
CC 5 SLV (Collegamento 0024_-381)
Azioni sul collegamento: N=-9211.43 Ty=5.92 Tz=-8.85 Mx=0.01 Mz=5.96
Sollecitazioni agenti localmente: Tx_l=5.92 Ty_l=-8.85 N_l=-9211.43 Mx_l=-0.00 My_l=5.96 Mz_l=0.01
Taglio nei bulloni: Fv,Ed=1.79 Fv,Rd=7720.78
Rifollamento lato piastra: Fb,Ed,p=1.78 Fb,Rd,p=9887.04
Tirafondi:LT=0.45 (0.31) σ_{cR}=0.00 σ_{fR}=0.00
Compressione nel calcestruzzo: σ_c=19.37
CC 5 SLV (Collegamento 0024_-381)
Azioni sul collegamento: N=-3937.31 Ty=3.82 Tz=10.56 Mx=0.01 Mz=5.30
Sollecitazioni agenti localmente: Tx_l=3.82 Ty_l=10.56 N_l=-3937.31 Mx_l=-0.00 My_l=5.30 Mz_l=0.01
Taglio nei bulloni: Fv,Ed=1.89 Fv,Rd=7720.78
Rifollamento lato piastra: Fb,Ed,p=1.89 Fb,Rd,p=7181.61

Tirafondi:LT=0.45 (0.31) σ_{cR}=0.00 σ_{fR}=0.00
Compressione nel calcestruzzo: σ_c=8.43
CC 5 SLV (Collegamento 0024_-381)
Azioni sul collegamento: N=-3937.31 Ty=5.92 Tz=10.56 Mx=0.01 Mz=5.96
Sollecitazioni agenti localmente: Tx_l=5.92 Ty_l=10.56 N_l=-3937.31 Mx_l=-0.00 My_l=5.96 Mz_l=0.01
Taglio nei bulloni: Fv,Ed=2.03 Fv,Rd=7720.78
Rifollamento lato piastra: Fb,Ed,p=2.03 Fb,Rd,p=8852.39
Tirafondi:LT=0.45 (0.31) σ_{cR}=0.00 σ_{fR}=0.00
Compressione nel calcestruzzo: σ_c=8.47
CC 5 SLV (Collegamento 0024_-381)
Azioni sul collegamento: N=-3937.31 Ty=3.82 Tz=-8.85 Mx=0.01 Mz=5.30
Sollecitazioni agenti localmente: Tx_l=3.82 Ty_l=-8.85 N_l=-3937.31 Mx_l=-0.00 My_l=5.30 Mz_l=0.01
Taglio nei bulloni: Fv,Ed=1.62 Fv,Rd=7720.78
Rifollamento lato piastra: Fb,Ed,p=1.61 Fb,Rd,p=7565.53
Tirafondi:LT=0.45 (0.31) σ_{cR}=0.00 σ_{fR}=0.00
Compressione nel calcestruzzo: σ_c=8.43
CC 5 SLV (Collegamento 0024_-381)
Azioni sul collegamento: N=-3937.31 Ty=5.92 Tz=-8.85 Mx=0.01 Mz=5.96
Sollecitazioni agenti localmente: Tx_l=5.92 Ty_l=-8.85 N_l=-3937.31 Mx_l=-0.00 My_l=5.96 Mz_l=0.01
Taglio nei bulloni: Fv,Ed=1.79 Fv,Rd=7720.78
Rifollamento lato piastra: Fb,Ed,p=1.78 Fb,Rd,p=9887.02
Tirafondi:LT=0.45 (0.31) σ_{cR}=0.00 σ_{fR}=0.00
Compressione nel calcestruzzo: σ_c=8.47
CC 6 SLD (Collegamento 0024_-381)
Azioni sul collegamento: N=-7346.01 Ty=3.71 Tz=3.69 Mx=0.00 Mz=3.45
Sollecitazioni agenti localmente: Tx_l=3.71 Ty_l=3.69 N_l=-7346.01 Mx_l=-0.00 My_l=3.45 Mz_l=0.00
Taglio nei bulloni: Fv,Ed=0.87 Fv,Rd=9650.97
Rifollamento lato piastra: Fb,Ed,p=0.87 Fb,Rd,p=14959.40
Tirafondi:LT=0.45 (0.31) σ_{cR}=0.00 σ_{fR}=0.00
Compressione nel calcestruzzo: σ_c=15.37
CC 6 SLD (Collegamento 0024_-381)
Azioni sul collegamento: N=-7346.01 Ty=4.34 Tz=3.69 Mx=0.00 Mz=3.65
Sollecitazioni agenti localmente: Tx_l=4.34 Ty_l=3.69 N_l=-7346.01 Mx_l=-0.00 My_l=3.65 Mz_l=0.00
Taglio nei bulloni: Fv,Ed=0.95 Fv,Rd=9650.97
Rifollamento lato piastra: Fb,Ed,p=0.95 Fb,Rd,p=13916.00
Tirafondi:LT=0.45 (0.31) σ_{cR}=0.00 σ_{fR}=0.00
Compressione nel calcestruzzo: σ_c=15.38
CC 6 SLD (Collegamento 0024_-381)
Azioni sul collegamento: N=-7346.01 Ty=3.71 Tz=-2.23 Mx=0.00 Mz=3.45
Sollecitazioni agenti localmente: Tx_l=3.71 Ty_l=-2.23 N_l=-7346.01 Mx_l=-0.00 My_l=3.45 Mz_l=0.00
Taglio nei bulloni: Fv,Ed=0.72 Fv,Rd=9650.97
Rifollamento lato piastra: Fb,Ed,p=0.72 Fb,Rd,p=11610.60
Tirafondi:LT=0.45 (0.31) σ_{cR}=0.00 σ_{fR}=0.00
Compressione nel calcestruzzo: σ_c=15.37
CC 6 SLD (Collegamento 0024_-381)
Azioni sul collegamento: N=-7346.01 Ty=4.34 Tz=-2.23 Mx=0.00 Mz=3.65
Sollecitazioni agenti localmente: Tx_l=4.34 Ty_l=-2.23 N_l=-7346.01 Mx_l=-0.00 My_l=3.65 Mz_l=0.00
Taglio nei bulloni: Fv,Ed=0.82 Fv,Rd=9650.97
Rifollamento lato piastra: Fb,Ed,p=0.82 Fb,Rd,p=10469.00
Tirafondi:LT=0.45 (0.31) σ_{cR}=0.00 σ_{fR}=0.00
Compressione nel calcestruzzo: σ_c=15.38
CC 6 SLD (Collegamento 0024_-381)
Azioni sul collegamento: N=-5737.77 Ty=3.71 Tz=3.69 Mx=0.00 Mz=3.45
Sollecitazioni agenti localmente: Tx_l=3.71 Ty_l=3.69 N_l=-5737.77 Mx_l=-0.00 My_l=3.45 Mz_l=0.00
Taglio nei bulloni: Fv,Ed=0.87 Fv,Rd=9650.97
Rifollamento lato piastra: Fb,Ed,p=0.87 Fb,Rd,p=14959.70
Tirafondi:LT=0.45 (0.31) σ_{cR}=0.00 σ_{fR}=0.00
Compressione nel calcestruzzo: σ_c=12.05
CC 6 SLD (Collegamento 0024_-381)
Azioni sul collegamento: N=-5737.77 Ty=4.34 Tz=3.69 Mx=0.00 Mz=3.65
Sollecitazioni agenti localmente: Tx_l=4.34 Ty_l=3.69 N_l=-5737.77 Mx_l=-0.00 My_l=3.65 Mz_l=0.00
Taglio nei bulloni: Fv,Ed=0.95 Fv,Rd=9650.97
Rifollamento lato piastra: Fb,Ed,p=0.95 Fb,Rd,p=13916.10
Tirafondi:LT=0.45 (0.31) σ_{cR}=0.00 σ_{fR}=0.00
Compressione nel calcestruzzo: σ_c=12.06
CC 6 SLD (Collegamento 0024_-381)
Azioni sul collegamento: N=-5737.77 Ty=3.71 Tz=-2.23 Mx=0.00 Mz=3.45
Sollecitazioni agenti localmente: Tx_l=3.71 Ty_l=-2.23 N_l=-5737.77 Mx_l=-0.00 My_l=3.45 Mz_l=0.00
Taglio nei bulloni: Fv,Ed=0.72 Fv,Rd=9650.97
Rifollamento lato piastra: Fb,Ed,p=0.72 Fb,Rd,p=11610.70
Tirafondi:LT=0.45 (0.31) σ_{cR}=0.00 σ_{fR}=0.00
Compressione nel calcestruzzo: σ_c=12.05
CC 6 SLD (Collegamento 0024_-381)
Azioni sul collegamento: N=-5737.77 Ty=4.34 Tz=-2.23 Mx=0.00 Mz=3.65
Sollecitazioni agenti localmente: Tx_l=4.34 Ty_l=-2.23 N_l=-5737.77 Mx_l=-0.00 My_l=3.65 Mz_l=0.00
Taglio nei bulloni: Fv,Ed=0.82 Fv,Rd=9650.97
Rifollamento lato piastra: Fb,Ed,p=0.82 Fb,Rd,p=10469.10
Tirafondi:LT=0.45 (0.31) σ_{cR}=0.00 σ_{fR}=0.00
Compressione nel calcestruzzo: σ_c=12.06
CC 7 SLV (Collegamento 0024_-381)

Azioni sul collegamento: N=-9217.12 Ty=3.19 Tz=10.69 Mx=0.01 Mz=4.04
Sollecitazioni agenti localmente: Tx_l=3.19 Ty_l=10.69 N_l=-9217.12 Mx_l=-0.00 My_l=4.04 Mz_l=0.01
Taglio nei bulloni: Fv,Ed=1.87 Fv,Rd=7720.78
Rifollamento lato piastra: Fb,Ed,p=1.87 Fb,Rd,p=6788.01
Tirafondi:LT=0.45 (0.31) σ_{cR}=0.00 σ_{fR}=0.00
Compressione nel calcestruzzo: σ_c=19.27
CC 7 SLV (Collegamento 0024_-381)
Azioni sul collegamento: N=-9217.12 Ty=6.55 Tz=10.69 Mx=0.01 Mz=7.22
Sollecitazioni agenti localmente: Tx_l=6.55 Ty_l=10.69 N_l=-9217.12 Mx_l=-0.00 My_l=7.22 Mz_l=0.01
Taglio nei bulloni: Fv,Ed=2.10 Fv,Rd=7720.78
Rifollamento lato piastra: Fb,Ed,p=2.10 Fb,Rd,p=9409.35
Tirafondi:LT=0.45 (0.31) σ_{cR}=0.00 σ_{fR}=0.00
Compressione nel calcestruzzo: σ_c=19.45
CC 7 SLV (Collegamento 0024_-381)
Azioni sul collegamento: N=-9217.12 Ty=3.19 Tz=-8.98 Mx=0.01 Mz=4.04
Sollecitazioni agenti localmente: Tx_l=3.19 Ty_l=-8.98 N_l=-9217.12 Mx_l=-0.00 My_l=4.04 Mz_l=0.01
Taglio nei bulloni: Fv,Ed=1.60 Fv,Rd=7720.78
Rifollamento lato piastra: Fb,Ed,p=1.59 Fb,Rd,p=7068.93
Tirafondi:LT=0.45 (0.31) σ_{cR}=0.00 σ_{fR}=0.00
Compressione nel calcestruzzo: σ_c=19.27
CC 7 SLV (Collegamento 0024_-381)
Azioni sul collegamento: N=-9217.12 Ty=6.55 Tz=-8.98 Mx=0.01 Mz=7.22
Sollecitazioni agenti localmente: Tx_l=6.55 Ty_l=-8.98 N_l=-9217.12 Mx_l=-0.00 My_l=7.22 Mz_l=0.01
Taglio nei bulloni: Fv,Ed=1.86 Fv,Rd=7720.78
Rifollamento lato piastra: Fb,Ed,p=1.85 Fb,Rd,p=10479.00
Tirafondi:LT=0.45 (0.31) σ_{cR}=0.00 σ_{fR}=0.00
Compressione nel calcestruzzo: σ_c=19.45
CC 7 SLV (Collegamento 0024_-381)
Azioni sul collegamento: N=-3931.62 Ty=3.19 Tz=10.69 Mx=0.01 Mz=4.04
Sollecitazioni agenti localmente: Tx_l=3.19 Ty_l=10.69 N_l=-3931.62 Mx_l=-0.00 My_l=4.04 Mz_l=0.01
Taglio nei bulloni: Fv,Ed=1.87 Fv,Rd=7720.78
Rifollamento lato piastra: Fb,Ed,p=1.87 Fb,Rd,p=6788.07
Tirafondi:LT=0.45 (0.31) σ_{cR}=0.00 σ_{fR}=0.00
Compressione nel calcestruzzo: σ_c=8.35
CC 7 SLV (Collegamento 0024_-381)
Azioni sul collegamento: N=-3931.62 Ty=6.55 Tz=10.69 Mx=0.01 Mz=7.22
Sollecitazioni agenti localmente: Tx_l=6.55 Ty_l=10.69 N_l=-3931.62 Mx_l=-0.00 My_l=7.22 Mz_l=0.01
Taglio nei bulloni: Fv,Ed=2.10 Fv,Rd=7720.78
Rifollamento lato piastra: Fb,Ed,p=2.10 Fb,Rd,p=9409.61
Tirafondi:LT=0.45 (0.31) σ_{cR}=0.00 σ_{fR}=0.00
Compressione nel calcestruzzo: σ_c=8.53
CC 7 SLV (Collegamento 0024_-381)
Azioni sul collegamento: N=-3931.62 Ty=3.19 Tz=-8.98 Mx=0.01 Mz=4.04
Sollecitazioni agenti localmente: Tx_l=3.19 Ty_l=-8.98 N_l=-3931.62 Mx_l=-0.00 My_l=4.04 Mz_l=0.01
Taglio nei bulloni: Fv,Ed=1.60 Fv,Rd=7720.78
Rifollamento lato piastra: Fb,Ed,p=1.59 Fb,Rd,p=7068.87
Tirafondi:LT=0.45 (0.31) σ_{cR}=0.00 σ_{fR}=0.00
Compressione nel calcestruzzo: σ_c=8.35
CC 7 SLV (Collegamento 0024_-381)
Azioni sul collegamento: N=-3931.62 Ty=6.55 Tz=-8.98 Mx=0.01 Mz=7.22
Sollecitazioni agenti localmente: Tx_l=6.55 Ty_l=-8.98 N_l=-3931.62 Mx_l=-0.00 My_l=7.22 Mz_l=0.01
Taglio nei bulloni: Fv,Ed=1.86 Fv,Rd=7720.78
Rifollamento lato piastra: Fb,Ed,p=1.85 Fb,Rd,p=10478.90
Tirafondi:LT=0.45 (0.31) σ_{cR}=0.00 σ_{fR}=0.00
Compressione nel calcestruzzo: σ_c=8.53
CC 8 SLD (Collegamento 0024_-381)
Azioni sul collegamento: N=-7347.75 Ty=3.51 Tz=3.73 Mx=-0.00 Mz=3.06
Sollecitazioni agenti localmente: Tx_l=3.51 Ty_l=3.73 N_l=-7347.75 Mx_l=-0.00 My_l=3.06 Mz_l=-0.00
Taglio nei bulloni: Fv,Ed=0.85 Fv,Rd=9650.97
Rifollamento lato piastra: Fb,Ed,p=0.85 Fb,Rd,p=14586.70
Tirafondi:LT=0.45 (0.31) σ_{cR}=0.00 σ_{fR}=0.00
Compressione nel calcestruzzo: σ_c=15.35
CC 8 SLD (Collegamento 0024_-381)
Azioni sul collegamento: N=-7347.75 Ty=4.54 Tz=3.73 Mx=-0.00 Mz=4.03
Sollecitazioni agenti localmente: Tx_l=4.54 Ty_l=3.73 N_l=-7347.75 Mx_l=-0.00 My_l=4.03 Mz_l=-0.00
Taglio nei bulloni: Fv,Ed=0.98 Fv,Rd=9650.97
Rifollamento lato piastra: Fb,Ed,p=0.98 Fb,Rd,p=13749.10
Tirafondi:LT=0.45 (0.31) σ_{cR}=0.00 σ_{fR}=0.00
Compressione nel calcestruzzo: σ_c=15.41
CC 8 SLD (Collegamento 0024_-381)
Azioni sul collegamento: N=-7347.75 Ty=3.51 Tz=-2.27 Mx=-0.00 Mz=3.06
Sollecitazioni agenti localmente: Tx_l=3.51 Ty_l=-2.27 N_l=-7347.75 Mx_l=-0.00 My_l=3.06 Mz_l=-0.00
Taglio nei bulloni: Fv,Ed=0.70 Fv,Rd=9650.97
Rifollamento lato piastra: Fb,Ed,p=0.70 Fb,Rd,p=12224.10
Tirafondi:LT=0.45 (0.31) σ_{cR}=0.00 σ_{fR}=0.00
Compressione nel calcestruzzo: σ_c=15.35
CC 8 SLD (Collegamento 0024_-381)
Azioni sul collegamento: N=-7347.75 Ty=4.54 Tz=-2.27 Mx=-0.00 Mz=4.03
Sollecitazioni agenti localmente: Tx_l=4.54 Ty_l=-2.27 N_l=-7347.75 Mx_l=-0.00 My_l=4.03 Mz_l=-0.00
Taglio nei bulloni: Fv,Ed=0.85 Fv,Rd=9650.97

Rifollamento lato piastra: Fb,Ed,p=0.85 Fb,Rd,p=10294.00
Tirafondi:LT=0.45 (0.31) σ_{cR}=0.00 σ_{fR}=0.00
Compressione nel calcestruzzo: σ_c=15.41
CC 8 SLD (Collegamento 0024_-381)
Azioni sul collegamento: N=-5736.03 Ty=3.51 Tz=3.73 Mx=-0.00 Mz=3.06
Sollecitazioni agenti localmente: Tx_l=3.51 Ty_l=3.73 N_l=-5736.03 Mx_l=-0.00 My_l=3.06 Mz_l=-0.00
Taglio nei bulloni: Fv,Ed=0.85 Fv,Rd=9650.97
Rifollamento lato piastra: Fb,Ed,p=0.85 Fb,Rd,p=14586.90
Tirafondi:LT=0.45 (0.31) σ_{cR}=0.00 σ_{fR}=0.00
Compressione nel calcestruzzo: σ_c=12.02
CC 8 SLD (Collegamento 0024_-381)
Azioni sul collegamento: N=-5736.03 Ty=4.54 Tz=3.73 Mx=-0.00 Mz=4.03
Sollecitazioni agenti localmente: Tx_l=4.54 Ty_l=3.73 N_l=-5736.03 Mx_l=-0.00 My_l=4.03 Mz_l=-0.00
Taglio nei bulloni: Fv,Ed=0.98 Fv,Rd=9650.97
Rifollamento lato piastra: Fb,Ed,p=0.98 Fb,Rd,p=13749.00
Tirafondi:LT=0.45 (0.31) σ_{cR}=0.00 σ_{fR}=0.00
Compressione nel calcestruzzo: σ_c=12.08
CC 8 SLD (Collegamento 0024_-381)
Azioni sul collegamento: N=-5736.03 Ty=3.51 Tz=-2.27 Mx=-0.00 Mz=3.06
Sollecitazioni agenti localmente: Tx_l=3.51 Ty_l=-2.27 N_l=-5736.03 Mx_l=-0.00 My_l=3.06 Mz_l=-0.00
Taglio nei bulloni: Fv,Ed=0.70 Fv,Rd=9650.97
Rifollamento lato piastra: Fb,Ed,p=0.70 Fb,Rd,p=12223.70
Tirafondi:LT=0.45 (0.31) σ_{cR}=0.00 σ_{fR}=0.00
Compressione nel calcestruzzo: σ_c=12.02
CC 8 SLD (Collegamento 0024_-381)
Azioni sul collegamento: N=-5736.03 Ty=4.54 Tz=-2.27 Mx=-0.00 Mz=4.03
Sollecitazioni agenti localmente: Tx_l=4.54 Ty_l=-2.27 N_l=-5736.03 Mx_l=-0.00 My_l=4.03 Mz_l=-0.00
Taglio nei bulloni: Fv,Ed=0.85 Fv,Rd=9650.97
Rifollamento lato piastra: Fb,Ed,p=0.85 Fb,Rd,p=10293.80
Tirafondi:LT=0.45 (0.31) σ_{cR}=0.00 σ_{fR}=0.00
Compressione nel calcestruzzo: σ_c=12.08
CC 9 SLV (Collegamento 0024_-381)
Azioni sul collegamento: N=-5772.92 Ty=6.34 Tz=-2.29 Mx=0.02 Mz=8.01
Sollecitazioni agenti localmente: Tx_l=6.34 Ty_l=-2.29 N_l=-5772.92 Mx_l=-0.00 My_l=8.01 Mz_l=0.02
Taglio nei bulloni: Fv,Ed=1.15 Fv,Rd=7720.78
Rifollamento lato piastra: Fb,Ed,p=1.15 Fb,Rd,p=7231.86
Tirafondi:LT=0.45 (0.31) σ_{cR}=0.00 σ_{fR}=0.00
Compressione nel calcestruzzo: σ_c=12.38
CC 9 SLV (Collegamento 0024_-381)
Azioni sul collegamento: N=-5772.92 Ty=3.40 Tz=-2.29 Mx=0.02 Mz=3.25
Sollecitazioni agenti localmente: Tx_l=3.40 Ty_l=-2.29 N_l=-5772.92 Mx_l=-0.00 My_l=3.25 Mz_l=0.02
Taglio nei bulloni: Fv,Ed=0.71 Fv,Rd=7720.78
Rifollamento lato piastra: Fb,Ed,p=0.71 Fb,Rd,p=10266.70
Tirafondi:LT=0.45 (0.31) σ_{cR}=0.00 σ_{fR}=0.00
Compressione nel calcestruzzo: σ_c=12.11
CC 9 SLV (Collegamento 0024_-381)
Azioni sul collegamento: N=-5772.92 Ty=6.34 Tz=4.00 Mx=0.02 Mz=8.01
Sollecitazioni agenti localmente: Tx_l=6.34 Ty_l=4.00 N_l=-5772.92 Mx_l=-0.00 My_l=8.01 Mz_l=0.02
Taglio nei bulloni: Fv,Ed=1.28 Fv,Rd=7720.78
Rifollamento lato piastra: Fb,Ed,p=1.26 Fb,Rd,p=9252.84
Tirafondi:LT=0.45 (0.31) σ_{cR}=0.00 σ_{fR}=0.00
Compressione nel calcestruzzo: σ_c=12.38
CC 9 SLV (Collegamento 0024_-381)
Azioni sul collegamento: N=-5772.92 Ty=3.40 Tz=4.00 Mx=0.02 Mz=3.25
Sollecitazioni agenti localmente: Tx_l=3.40 Ty_l=4.00 N_l=-5772.92 Mx_l=-0.00 My_l=3.25 Mz_l=0.02
Taglio nei bulloni: Fv,Ed=0.90 Fv,Rd=7720.78
Rifollamento lato piastra: Fb,Ed,p=0.90 Fb,Rd,p=11181.70
Tirafondi:LT=0.45 (0.31) σ_{cR}=0.00 σ_{fR}=0.00
Compressione nel calcestruzzo: σ_c=12.11
CC 9 SLV (Collegamento 0024_-381)
Azioni sul collegamento: N=-7375.82 Ty=6.34 Tz=-2.29 Mx=0.02 Mz=8.01
Sollecitazioni agenti localmente: Tx_l=6.34 Ty_l=-2.29 N_l=-7375.82 Mx_l=-0.00 My_l=8.01 Mz_l=0.02
Taglio nei bulloni: Fv,Ed=1.15 Fv,Rd=7720.78
Rifollamento lato piastra: Fb,Ed,p=1.15 Fb,Rd,p=7232.03
Tirafondi:LT=0.45 (0.31) σ_{cR}=0.00 σ_{fR}=0.00
Compressione nel calcestruzzo: σ_c=15.69
CC 9 SLV (Collegamento 0024_-381)
Azioni sul collegamento: N=-7375.82 Ty=3.40 Tz=-2.29 Mx=0.02 Mz=3.25
Sollecitazioni agenti localmente: Tx_l=3.40 Ty_l=-2.29 N_l=-7375.82 Mx_l=-0.00 My_l=3.25 Mz_l=0.02
Taglio nei bulloni: Fv,Ed=0.71 Fv,Rd=7720.78
Rifollamento lato piastra: Fb,Ed,p=0.71 Fb,Rd,p=10267.30
Tirafondi:LT=0.45 (0.31) σ_{cR}=0.00 σ_{fR}=0.00
Compressione nel calcestruzzo: σ_c=15.42
CC 9 SLV (Collegamento 0024_-381)
Azioni sul collegamento: N=-7375.82 Ty=6.34 Tz=4.00 Mx=0.02 Mz=8.01
Sollecitazioni agenti localmente: Tx_l=6.34 Ty_l=4.00 N_l=-7375.82 Mx_l=-0.00 My_l=8.01 Mz_l=0.02
Taglio nei bulloni: Fv,Ed=1.28 Fv,Rd=7720.78
Rifollamento lato piastra: Fb,Ed,p=1.26 Fb,Rd,p=9253.11
Tirafondi:LT=0.45 (0.31) σ_{cR}=0.00 σ_{fR}=0.00
Compressione nel calcestruzzo: σ_c=15.69

CC 9 SLV (Collegamento 0024_-381)
Azioni sul collegamento: N=-7375.82 Ty=3.40 Tz=4.00 Mx=0.02 Mz=3.25
Sollecitazioni agenti localmente: Tx_l=3.40 Ty_l=4.00 N_l=-7375.82 Mx_l=-0.00 My_l=3.25 Mz_l=0.02
Taglio nei bulloni: Fv,Ed=0.90 Fv,Rd=7720.78
Rifollamento lato piastra: Fb,Ed,p=0.90 Fb,Rd,p=11181.60
Tirafondi:LT=0.45 (0.31) σ_{cR}=0.00 σ_{fR}=0.00
Compressione nel calcestruzzo: σ_c=15.42
CC 10 SLD (Collegamento 0024_-381)
Azioni sul collegamento: N=-6297.50 Ty=4.47 Tz=-0.23 Mx=0.00 Mz=4.27
Sollecitazioni agenti localmente: Tx_l=4.47 Ty_l=-0.23 N_l=-6297.50 Mx_l=-0.00 My_l=4.27 Mz_l=0.00
Taglio nei bulloni: Fv,Ed=0.75 Fv,Rd=9650.97
Rifollamento lato piastra: Fb,Ed,p=0.75 Fb,Rd,p=7509.46
Tirafondi:LT=0.45 (0.31) σ_{cR}=0.00 σ_{fR}=0.00
Compressione nel calcestruzzo: σ_c=13.25
CC 10 SLD (Collegamento 0024_-381)
Azioni sul collegamento: N=-6297.50 Ty=3.58 Tz=-0.23 Mx=0.00 Mz=2.82
Sollecitazioni agenti localmente: Tx_l=3.58 Ty_l=-0.23 N_l=-6297.50 Mx_l=-0.00 My_l=2.82 Mz_l=0.00
Taglio nei bulloni: Fv,Ed=0.60 Fv,Rd=9650.97
Rifollamento lato piastra: Fb,Ed,p=0.60 Fb,Rd,p=7529.29
Tirafondi:LT=0.45 (0.31) σ_{cR}=0.00 σ_{fR}=0.00
Compressione nel calcestruzzo: σ_c=13.17
CC 10 SLD (Collegamento 0024_-381)
Azioni sul collegamento: N=-6297.50 Ty=4.47 Tz=1.69 Mx=0.00 Mz=4.27
Sollecitazioni agenti localmente: Tx_l=4.47 Ty_l=1.69 N_l=-6297.50 Mx_l=-0.00 My_l=4.27 Mz_l=0.00
Taglio nei bulloni: Fv,Ed=0.80 Fv,Rd=9650.97
Rifollamento lato piastra: Fb,Ed,p=0.80 Fb,Rd,p=9009.90
Tirafondi:LT=0.45 (0.31) σ_{cR}=0.00 σ_{fR}=0.00
Compressione nel calcestruzzo: σ_c=13.25
CC 10 SLD (Collegamento 0024_-381)
Azioni sul collegamento: N=-6297.50 Ty=3.58 Tz=1.69 Mx=0.00 Mz=2.82
Sollecitazioni agenti localmente: Tx_l=3.58 Ty_l=1.69 N_l=-6297.50 Mx_l=-0.00 My_l=2.82 Mz_l=0.00
Taglio nei bulloni: Fv,Ed=0.66 Fv,Rd=9650.97
Rifollamento lato piastra: Fb,Ed,p=0.66 Fb,Rd,p=9880.27
Tirafondi:LT=0.45 (0.31) σ_{cR}=0.00 σ_{fR}=0.00
Compressione nel calcestruzzo: σ_c=13.17
CC 10 SLD (Collegamento 0024_-381)
Azioni sul collegamento: N=-6786.28 Ty=4.47 Tz=-0.23 Mx=0.00 Mz=4.27
Sollecitazioni agenti localmente: Tx_l=4.47 Ty_l=-0.23 N_l=-6786.28 Mx_l=-0.00 My_l=4.27 Mz_l=0.00
Taglio nei bulloni: Fv,Ed=0.75 Fv,Rd=9650.97
Rifollamento lato piastra: Fb,Ed,p=0.75 Fb,Rd,p=7509.46
Tirafondi:LT=0.45 (0.31) σ_{cR}=0.00 σ_{fR}=0.00
Compressione nel calcestruzzo: σ_c=14.26
CC 10 SLD (Collegamento 0024_-381)
Azioni sul collegamento: N=-6786.28 Ty=3.58 Tz=-0.23 Mx=0.00 Mz=2.82
Sollecitazioni agenti localmente: Tx_l=3.58 Ty_l=-0.23 N_l=-6786.28 Mx_l=-0.00 My_l=2.82 Mz_l=0.00
Taglio nei bulloni: Fv,Ed=0.60 Fv,Rd=9650.97
Rifollamento lato piastra: Fb,Ed,p=0.60 Fb,Rd,p=7529.30
Tirafondi:LT=0.45 (0.31) σ_{cR}=0.00 σ_{fR}=0.00
Compressione nel calcestruzzo: σ_c=14.18
CC 10 SLD (Collegamento 0024_-381)
Azioni sul collegamento: N=-6786.28 Ty=4.47 Tz=1.69 Mx=0.00 Mz=4.27
Sollecitazioni agenti localmente: Tx_l=4.47 Ty_l=1.69 N_l=-6786.28 Mx_l=-0.00 My_l=4.27 Mz_l=0.00
Taglio nei bulloni: Fv,Ed=0.80 Fv,Rd=9650.97
Rifollamento lato piastra: Fb,Ed,p=0.80 Fb,Rd,p=9009.29
Tirafondi:LT=0.45 (0.31) σ_{cR}=0.00 σ_{fR}=0.00
Compressione nel calcestruzzo: σ_c=14.26
CC 10 SLD (Collegamento 0024_-381)
Azioni sul collegamento: N=-6786.28 Ty=3.58 Tz=1.69 Mx=0.00 Mz=2.82
Sollecitazioni agenti localmente: Tx_l=3.58 Ty_l=1.69 N_l=-6786.28 Mx_l=-0.00 My_l=2.82 Mz_l=0.00
Taglio nei bulloni: Fv,Ed=0.66 Fv,Rd=9650.97
Rifollamento lato piastra: Fb,Ed,p=0.66 Fb,Rd,p=9879.31
Tirafondi:LT=0.45 (0.31) σ_{cR}=0.00 σ_{fR}=0.00
Compressione nel calcestruzzo: σ_c=14.18
CC 11 SLV (Collegamento 0024_-381)
Azioni sul collegamento: N=-7356.86 Ty=5.52 Tz=3.57 Mx=0.02 Mz=7.44
Sollecitazioni agenti localmente: Tx_l=5.52 Ty_l=3.57 N_l=-7356.86 Mx_l=-0.00 My_l=7.44 Mz_l=0.02
Taglio nei bulloni: Fv,Ed=1.12 Fv,Rd=7720.78
Rifollamento lato piastra: Fb,Ed,p=1.10 Fb,Rd,p=9399.22
Tirafondi:LT=0.45 (0.31) σ_{cR}=0.00 σ_{fR}=0.00
Compressione nel calcestruzzo: σ_c=15.62
CC 11 SLV (Collegamento 0024_-381)
Azioni sul collegamento: N=-7356.86 Ty=4.22 Tz=3.57 Mx=0.02 Mz=3.82
Sollecitazioni agenti localmente: Tx_l=4.22 Ty_l=3.57 N_l=-7356.86 Mx_l=-0.00 My_l=3.82 Mz_l=0.02
Taglio nei bulloni: Fv,Ed=0.95 Fv,Rd=7720.78
Rifollamento lato piastra: Fb,Ed,p=0.92 Fb,Rd,p=10865.00
Tirafondi:LT=0.45 (0.31) σ_{cR}=0.00 σ_{fR}=0.00
Compressione nel calcestruzzo: σ_c=15.42
CC 11 SLV (Collegamento 0024_-381)
Azioni sul collegamento: N=-7356.86 Ty=5.52 Tz=-1.86 Mx=0.02 Mz=7.44
Sollecitazioni agenti localmente: Tx_l=5.52 Ty_l=-1.86 N_l=-7356.86 Mx_l=-0.00 My_l=7.44 Mz_l=0.02

Taglio nei bulloni: Fv,Ed=1.00 Fv,Rd=7720.78
Rifollamento lato piastra: Fb,Ed,p=1.00 Fb,Rd,p=7084.99
Tirafondi:LT=0.45 (0.31) σ_{cR}=0.00 σ_{fR}=0.00
Compressione nel calcestruzzo: σ_c=15.62
CC 11 SLV (Collegamento 0024_-381)
Azioni sul collegamento: N=-7356.86 Ty=4.22 Tz=-1.86 Mx=0.02 Mz=3.82
Sollecitazioni agenti localmente: Tx_l=4.22 Ty_l=-1.86 N_l=-7356.86 Mx_l=-0.00 My_l=3.82 Mz_l=0.02
Taglio nei bulloni: Fv,Ed=0.79 Fv,Rd=7720.78
Rifollamento lato piastra: Fb,Ed,p=0.79 Fb,Rd,p=7856.32
Tirafondi:LT=0.45 (0.31) σ_{cR}=0.00 σ_{fR}=0.00
Compressione nel calcestruzzo: σ_c=15.42
CC 11 SLV (Collegamento 0024_-381)
Azioni sul collegamento: N=-5791.88 Ty=5.52 Tz=3.57 Mx=0.02 Mz=7.44
Sollecitazioni agenti localmente: Tx_l=5.52 Ty_l=3.57 N_l=-5791.88 Mx_l=-0.00 My_l=7.44 Mz_l=0.02
Taglio nei bulloni: Fv,Ed=1.12 Fv,Rd=7720.78
Rifollamento lato piastra: Fb,Ed,p=1.10 Fb,Rd,p=9399.18
Tirafondi:LT=0.45 (0.31) σ_{cR}=0.00 σ_{fR}=0.00
Compressione nel calcestruzzo: σ_c=12.39
CC 11 SLV (Collegamento 0024_-381)
Azioni sul collegamento: N=-5791.88 Ty=4.22 Tz=3.57 Mx=0.02 Mz=3.82
Sollecitazioni agenti localmente: Tx_l=4.22 Ty_l=3.57 N_l=-5791.88 Mx_l=-0.00 My_l=3.82 Mz_l=0.02
Taglio nei bulloni: Fv,Ed=0.95 Fv,Rd=7720.78
Rifollamento lato piastra: Fb,Ed,p=0.92 Fb,Rd,p=10865.00
Tirafondi:LT=0.45 (0.31) σ_{cR}=0.00 σ_{fR}=0.00
Compressione nel calcestruzzo: σ_c=12.18
CC 11 SLV (Collegamento 0024_-381)
Azioni sul collegamento: N=-5791.88 Ty=5.52 Tz=-1.86 Mx=0.02 Mz=7.44
Sollecitazioni agenti localmente: Tx_l=5.52 Ty_l=-1.86 N_l=-5791.88 Mx_l=-0.00 My_l=7.44 Mz_l=0.02
Taglio nei bulloni: Fv,Ed=1.00 Fv,Rd=7720.78
Rifollamento lato piastra: Fb,Ed,p=1.00 Fb,Rd,p=7084.86
Tirafondi:LT=0.45 (0.31) σ_{cR}=0.00 σ_{fR}=0.00
Compressione nel calcestruzzo: σ_c=12.39
CC 11 SLV (Collegamento 0024_-381)
Azioni sul collegamento: N=-5791.88 Ty=4.22 Tz=-1.86 Mx=0.02 Mz=3.82
Sollecitazioni agenti localmente: Tx_l=4.22 Ty_l=-1.86 N_l=-5791.88 Mx_l=-0.00 My_l=3.82 Mz_l=0.02
Taglio nei bulloni: Fv,Ed=0.79 Fv,Rd=7720.78
Rifollamento lato piastra: Fb,Ed,p=0.79 Fb,Rd,p=7856.11
Tirafondi:LT=0.45 (0.31) σ_{cR}=0.00 σ_{fR}=0.00
Compressione nel calcestruzzo: σ_c=12.18
CC 12 SLD (Collegamento 0024_-381)
Azioni sul collegamento: N=-6780.50 Ty=4.22 Tz=1.56 Mx=0.00 Mz=4.10
Sollecitazioni agenti localmente: Tx_l=4.22 Ty_l=1.56 N_l=-6780.50 Mx_l=-0.00 My_l=4.10 Mz_l=0.00
Taglio nei bulloni: Fv,Ed=0.75 Fv,Rd=9650.97
Rifollamento lato piastra: Fb,Ed,p=0.75 Fb,Rd,p=8940.69
Tirafondi:LT=0.45 (0.31) σ_{cR}=0.00 σ_{fR}=0.00
Compressione nel calcestruzzo: σ_c=14.24
CC 12 SLD (Collegamento 0024_-381)
Azioni sul collegamento: N=-6780.50 Ty=3.83 Tz=1.56 Mx=0.00 Mz=3.00
Sollecitazioni agenti localmente: Tx_l=3.83 Ty_l=1.56 N_l=-6780.50 Mx_l=-0.00 My_l=3.00 Mz_l=0.00
Taglio nei bulloni: Fv,Ed=0.69 Fv,Rd=9650.97
Rifollamento lato piastra: Fb,Ed,p=0.69 Fb,Rd,p=9261.40
Tirafondi:LT=0.45 (0.31) σ_{cR}=0.00 σ_{fR}=0.00
Compressione nel calcestruzzo: σ_c=14.18
CC 12 SLD (Collegamento 0024_-381)
Azioni sul collegamento: N=-6780.50 Ty=4.22 Tz=-0.10 Mx=0.00 Mz=4.10
Sollecitazioni agenti localmente: Tx_l=4.22 Ty_l=-0.10 N_l=-6780.50 Mx_l=-0.00 My_l=4.10 Mz_l=0.00
Taglio nei bulloni: Fv,Ed=0.71 Fv,Rd=9650.97
Rifollamento lato piastra: Fb,Ed,p=0.71 Fb,Rd,p=7483.15
Tirafondi:LT=0.45 (0.31) σ_{cR}=0.00 σ_{fR}=0.00
Compressione nel calcestruzzo: σ_c=14.24
CC 12 SLD (Collegamento 0024_-381)
Azioni sul collegamento: N=-6780.50 Ty=3.83 Tz=-0.10 Mx=0.00 Mz=3.00
Sollecitazioni agenti localmente: Tx_l=3.83 Ty_l=-0.10 N_l=-6780.50 Mx_l=-0.00 My_l=3.00 Mz_l=0.00
Taglio nei bulloni: Fv,Ed=0.64 Fv,Rd=9650.97
Rifollamento lato piastra: Fb,Ed,p=0.64 Fb,Rd,p=7485.13
Tirafondi:LT=0.45 (0.31) σ_{cR}=0.00 σ_{fR}=0.00
Compressione nel calcestruzzo: σ_c=14.18
CC 12 SLD (Collegamento 0024_-381)
Azioni sul collegamento: N=-6303.28 Ty=4.22 Tz=1.56 Mx=0.00 Mz=4.10
Sollecitazioni agenti localmente: Tx_l=4.22 Ty_l=1.56 N_l=-6303.28 Mx_l=-0.00 My_l=4.10 Mz_l=0.00
Taglio nei bulloni: Fv,Ed=0.75 Fv,Rd=9650.97
Rifollamento lato piastra: Fb,Ed,p=0.75 Fb,Rd,p=8940.61
Tirafondi:LT=0.45 (0.31) σ_{cR}=0.00 σ_{fR}=0.00
Compressione nel calcestruzzo: σ_c=13.25
CC 12 SLD (Collegamento 0024_-381)
Azioni sul collegamento: N=-6303.28 Ty=3.83 Tz=1.56 Mx=0.00 Mz=3.00
Sollecitazioni agenti localmente: Tx_l=3.83 Ty_l=1.56 N_l=-6303.28 Mx_l=-0.00 My_l=3.00 Mz_l=0.00
Taglio nei bulloni: Fv,Ed=0.69 Fv,Rd=9650.97
Rifollamento lato piastra: Fb,Ed,p=0.69 Fb,Rd,p=9261.29
Tirafondi:LT=0.45 (0.31) σ_{cR}=0.00 σ_{fR}=0.00

Compressione nel calcestruzzo: σ_c=13.19
CC 12 SLD (Collegamento 0024_-381)
Azioni sul collegamento: N=-6303.28 Ty=4.22 Tz=-0.10 Mx=0.00 Mz=4.10
Sollecitazioni agenti localmente: Tx_l=4.22 Ty_l=-0.10 N_l=-6303.28 Mx_l=-0.00 My_l=4.10 Mz_l=0.00
Taglio nei bulloni: Fv,Ed=0.71 Fv,Rd=9650.97
Rifollamento lato piastra: Fb,Ed,p=0.71 Fb,Rd,p=7483.11
Tirafondi:LT=0.45 (0.31) σ_{cR}=0.00 σ_{fR}=0.00
Compressione nel calcestruzzo: σ_c=13.25
CC 12 SLD (Collegamento 0024_-381)
Azioni sul collegamento: N=-6303.28 Ty=3.83 Tz=-0.10 Mx=0.00 Mz=3.00
Sollecitazioni agenti localmente: Tx_l=3.83 Ty_l=-0.10 N_l=-6303.28 Mx_l=-0.00 My_l=3.00 Mz_l=0.00
Taglio nei bulloni: Fv,Ed=0.64 Fv,Rd=9650.97
Rifollamento lato piastra: Fb,Ed,p=0.64 Fb,Rd,p=7485.08
Tirafondi:LT=0.45 (0.31) σ_{cR}=0.00 σ_{fR}=0.00
Compressione nel calcestruzzo: σ_c=13.19
CC 13 SLV (Collegamento 0024_-381)
Azioni sul collegamento: N=-5791.88 Ty=4.22 Tz=-1.86 Mx=0.00 Mz=3.82
Sollecitazioni agenti localmente: Tx_l=4.22 Ty_l=-1.86 N_l=-5791.88 Mx_l=-0.00 My_l=3.82 Mz_l=0.00
Taglio nei bulloni: Fv,Ed=0.77 Fv,Rd=7720.78
Rifollamento lato piastra: Fb,Ed,p=0.77 Fb,Rd,p=7750.47
Tirafondi:LT=0.45 (0.31) σ_{cR}=0.00 σ_{fR}=0.00
Compressione nel calcestruzzo: σ_c=12.18
CC 13 SLV (Collegamento 0024_-381)
Azioni sul collegamento: N=-5791.88 Ty=5.52 Tz=-1.86 Mx=0.00 Mz=7.44
Sollecitazioni agenti localmente: Tx_l=5.52 Ty_l=-1.86 N_l=-5791.88 Mx_l=-0.00 My_l=7.44 Mz_l=0.00
Taglio nei bulloni: Fv,Ed=0.97 Fv,Rd=7720.78
Rifollamento lato piastra: Fb,Ed,p=0.97 Fb,Rd,p=7011.54
Tirafondi:LT=0.45 (0.31) σ_{cR}=0.00 σ_{fR}=0.00
Compressione nel calcestruzzo: σ_c=12.39
CC 13 SLV (Collegamento 0024_-381)
Azioni sul collegamento: N=-5791.88 Ty=4.22 Tz=3.57 Mx=0.00 Mz=3.82
Sollecitazioni agenti localmente: Tx_l=4.22 Ty_l=3.57 N_l=-5791.88 Mx_l=-0.00 My_l=3.82 Mz_l=0.00
Taglio nei bulloni: Fv,Ed=0.93 Fv,Rd=7720.78
Rifollamento lato piastra: Fb,Ed,p=0.92 Fb,Rd,p=11093.70
Tirafondi:LT=0.45 (0.31) σ_{cR}=0.00 σ_{fR}=0.00
Compressione nel calcestruzzo: σ_c=12.18
CC 13 SLV (Collegamento 0024_-381)
Azioni sul collegamento: N=-5791.88 Ty=5.52 Tz=3.57 Mx=0.00 Mz=7.44
Sollecitazioni agenti localmente: Tx_l=5.52 Ty_l=3.57 N_l=-5791.88 Mx_l=-0.00 My_l=7.44 Mz_l=0.00
Taglio nei bulloni: Fv,Ed=1.10 Fv,Rd=7720.78
Rifollamento lato piastra: Fb,Ed,p=1.10 Fb,Rd,p=9740.87
Tirafondi:LT=0.45 (0.31) σ_{cR}=0.00 σ_{fR}=0.00
Compressione nel calcestruzzo: σ_c=12.39
CC 13 SLV (Collegamento 0024_-381)
Azioni sul collegamento: N=-7356.86 Ty=4.22 Tz=-1.86 Mx=0.00 Mz=3.82
Sollecitazioni agenti localmente: Tx_l=4.22 Ty_l=-1.86 N_l=-7356.86 Mx_l=-0.00 My_l=3.82 Mz_l=0.00
Taglio nei bulloni: Fv,Ed=0.77 Fv,Rd=7720.78
Rifollamento lato piastra: Fb,Ed,p=0.77 Fb,Rd,p=7750.68
Tirafondi:LT=0.45 (0.31) σ_{cR}=0.00 σ_{fR}=0.00
Compressione nel calcestruzzo: σ_c=15.42
CC 13 SLV (Collegamento 0024_-381)
Azioni sul collegamento: N=-7356.86 Ty=5.52 Tz=-1.86 Mx=0.00 Mz=7.44
Sollecitazioni agenti localmente: Tx_l=5.52 Ty_l=-1.86 N_l=-7356.86 Mx_l=-0.00 My_l=7.44 Mz_l=0.00
Taglio nei bulloni: Fv,Ed=0.97 Fv,Rd=7720.78
Rifollamento lato piastra: Fb,Ed,p=0.97 Fb,Rd,p=7011.66
Tirafondi:LT=0.45 (0.31) σ_{cR}=0.00 σ_{fR}=0.00
Compressione nel calcestruzzo: σ_c=15.62
CC 13 SLV (Collegamento 0024_-381)
Azioni sul collegamento: N=-7356.86 Ty=4.22 Tz=3.57 Mx=0.00 Mz=3.82
Sollecitazioni agenti localmente: Tx_l=4.22 Ty_l=3.57 N_l=-7356.86 Mx_l=-0.00 My_l=3.82 Mz_l=0.00
Taglio nei bulloni: Fv,Ed=0.93 Fv,Rd=7720.78
Rifollamento lato piastra: Fb,Ed,p=0.92 Fb,Rd,p=11093.80
Tirafondi:LT=0.45 (0.31) σ_{cR}=0.00 σ_{fR}=0.00
Compressione nel calcestruzzo: σ_c=15.42
CC 13 SLV (Collegamento 0024_-381)
Azioni sul collegamento: N=-7356.86 Ty=5.52 Tz=3.57 Mx=0.00 Mz=7.44
Sollecitazioni agenti localmente: Tx_l=5.52 Ty_l=3.57 N_l=-7356.86 Mx_l=-0.00 My_l=7.44 Mz_l=0.00
Taglio nei bulloni: Fv,Ed=1.10 Fv,Rd=7720.78
Rifollamento lato piastra: Fb,Ed,p=1.10 Fb,Rd,p=9740.91
Tirafondi:LT=0.45 (0.31) σ_{cR}=0.00 σ_{fR}=0.00
Compressione nel calcestruzzo: σ_c=15.62
CC 14 SLD (Collegamento 0024_-381)
Azioni sul collegamento: N=-6303.28 Ty=3.83 Tz=-0.10 Mx=-0.00 Mz=3.00
Sollecitazioni agenti localmente: Tx_l=3.83 Ty_l=-0.10 N_l=-6303.28 Mx_l=-0.00 My_l=3.00 Mz_l=-0.00
Taglio nei bulloni: Fv,Ed=0.64 Fv,Rd=9650.97
Rifollamento lato piastra: Fb,Ed,p=0.64 Fb,Rd,p=7480.22
Tirafondi:LT=0.45 (0.31) σ_{cR}=0.00 σ_{fR}=0.00
Compressione nel calcestruzzo: σ_c=13.19
CC 14 SLD (Collegamento 0024_-381)
Azioni sul collegamento: N=-6303.28 Ty=4.22 Tz=-0.10 Mx=-0.00 Mz=4.10

Sollecitazioni agenti localmente: Tx_l=4.22 Ty_l=-0.10 N_l=-6303.28 Mx_l=-0.00 My_l=4.10 Mz_l=-0.00
Taglio nei bulloni: Fv,Ed=0.71 Fv,Rd=9650.97
Rifollamento lato piastra: Fb,Ed,p=0.71 Fb,Rd,p=7479.11
Tirafondi:LT=0.45 (0.31) σ_{cR}=0.00 σ_{fR}=0.00
Compressione nel calcestruzzo: σ_c=13.25
CC 14 SLD (Collegamento 0024_-381)
Azioni sul collegamento: N=-6303.28 Ty=3.83 Tz=1.56 Mx=-0.00 Mz=3.00
Sollecitazioni agenti localmente: Tx_l=3.83 Ty_l=1.56 N_l=-6303.28 Mx_l=-0.00 My_l=3.00 Mz_l=-0.00
Taglio nei bulloni: Fv,Ed=0.69 Fv,Rd=9650.97
Rifollamento lato piastra: Fb,Ed,p=0.69 Fb,Rd,p=9344.20
Tirafondi:LT=0.45 (0.31) σ_{cR}=0.00 σ_{fR}=0.00
Compressione nel calcestruzzo: σ_c=13.19
CC 14 SLD (Collegamento 0024_-381)
Azioni sul collegamento: N=-6303.28 Ty=4.22 Tz=1.56 Mx=-0.00 Mz=4.10
Sollecitazioni agenti localmente: Tx_l=4.22 Ty_l=1.56 N_l=-6303.28 Mx_l=-0.00 My_l=4.10 Mz_l=-0.00
Taglio nei bulloni: Fv,Ed=0.75 Fv,Rd=9650.97
Rifollamento lato piastra: Fb,Ed,p=0.75 Fb,Rd,p=9007.73
Tirafondi:LT=0.45 (0.31) σ_{cR}=0.00 σ_{fR}=0.00
Compressione nel calcestruzzo: σ_c=13.25
CC 14 SLD (Collegamento 0024_-381)
Azioni sul collegamento: N=-6780.50 Ty=3.83 Tz=-0.10 Mx=-0.00 Mz=3.00
Sollecitazioni agenti localmente: Tx_l=3.83 Ty_l=-0.10 N_l=-6780.50 Mx_l=-0.00 My_l=3.00 Mz_l=-0.00
Taglio nei bulloni: Fv,Ed=0.64 Fv,Rd=9650.97
Rifollamento lato piastra: Fb,Ed,p=0.64 Fb,Rd,p=7480.27
Tirafondi:LT=0.45 (0.31) σ_{cR}=0.00 σ_{fR}=0.00
Compressione nel calcestruzzo: σ_c=14.18
CC 14 SLD (Collegamento 0024_-381)
Azioni sul collegamento: N=-6780.50 Ty=4.22 Tz=-0.10 Mx=-0.00 Mz=4.10
Sollecitazioni agenti localmente: Tx_l=4.22 Ty_l=-0.10 N_l=-6780.50 Mx_l=-0.00 My_l=4.10 Mz_l=-0.00
Taglio nei bulloni: Fv,Ed=0.71 Fv,Rd=9650.97
Rifollamento lato piastra: Fb,Ed,p=0.71 Fb,Rd,p=7479.14
Tirafondi:LT=0.45 (0.31) σ_{cR}=0.00 σ_{fR}=0.00
Compressione nel calcestruzzo: σ_c=14.24
CC 14 SLD (Collegamento 0024_-381)
Azioni sul collegamento: N=-6780.50 Ty=3.83 Tz=1.56 Mx=-0.00 Mz=3.00
Sollecitazioni agenti localmente: Tx_l=3.83 Ty_l=1.56 N_l=-6780.50 Mx_l=-0.00 My_l=3.00 Mz_l=-0.00
Taglio nei bulloni: Fv,Ed=0.69 Fv,Rd=9650.97
Rifollamento lato piastra: Fb,Ed,p=0.69 Fb,Rd,p=9344.30
Tirafondi:LT=0.45 (0.31) σ_{cR}=0.00 σ_{fR}=0.00
Compressione nel calcestruzzo: σ_c=14.18
CC 14 SLD (Collegamento 0024_-381)
Azioni sul collegamento: N=-6780.50 Ty=4.22 Tz=1.56 Mx=-0.00 Mz=4.10
Sollecitazioni agenti localmente: Tx_l=4.22 Ty_l=1.56 N_l=-6780.50 Mx_l=-0.00 My_l=4.10 Mz_l=-0.00
Taglio nei bulloni: Fv,Ed=0.75 Fv,Rd=9650.97
Rifollamento lato piastra: Fb,Ed,p=0.75 Fb,Rd,p=9007.82
Tirafondi:LT=0.45 (0.31) σ_{cR}=0.00 σ_{fR}=0.00
Compressione nel calcestruzzo: σ_c=14.24
CC 15 SLV (Collegamento 0024_-381)
Azioni sul collegamento: N=-7375.82 Ty=3.40 Tz=4.00 Mx=0.00 Mz=3.25
Sollecitazioni agenti localmente: Tx_l=3.40 Ty_l=4.00 N_l=-7375.82 Mx_l=-0.00 My_l=3.25 Mz_l=0.00
Taglio nei bulloni: Fv,Ed=0.88 Fv,Rd=7720.78
Rifollamento lato piastra: Fb,Ed,p=0.88 Fb,Rd,p=11159.00
Tirafondi:LT=0.45 (0.31) σ_{cR}=0.00 σ_{fR}=0.00
Compressione nel calcestruzzo: σ_c=15.42
CC 15 SLV (Collegamento 0024_-381)
Azioni sul collegamento: N=-7375.82 Ty=6.34 Tz=4.00 Mx=0.00 Mz=8.01
Sollecitazioni agenti localmente: Tx_l=6.34 Ty_l=4.00 N_l=-7375.82 Mx_l=-0.00 My_l=8.01 Mz_l=0.00
Taglio nei bulloni: Fv,Ed=1.25 Fv,Rd=7720.78
Rifollamento lato piastra: Fb,Ed,p=1.25 Fb,Rd,p=9579.22
Tirafondi:LT=0.45 (0.31) σ_{cR}=0.00 σ_{fR}=0.00
Compressione nel calcestruzzo: σ_c=15.69
CC 15 SLV (Collegamento 0024_-381)
Azioni sul collegamento: N=-7375.82 Ty=3.40 Tz=-2.29 Mx=0.00 Mz=3.25
Sollecitazioni agenti localmente: Tx_l=3.40 Ty_l=-2.29 N_l=-7375.82 Mx_l=-0.00 My_l=3.25 Mz_l=0.00
Taglio nei bulloni: Fv,Ed=0.69 Fv,Rd=7720.78
Rifollamento lato piastra: Fb,Ed,p=0.69 Fb,Rd,p=10134.20
Tirafondi:LT=0.45 (0.31) σ_{cR}=0.00 σ_{fR}=0.00
Compressione nel calcestruzzo: σ_c=15.42
CC 15 SLV (Collegamento 0024_-381)
Azioni sul collegamento: N=-7375.82 Ty=6.34 Tz=-2.29 Mx=0.00 Mz=8.01
Sollecitazioni agenti localmente: Tx_l=6.34 Ty_l=-2.29 N_l=-7375.82 Mx_l=-0.00 My_l=8.01 Mz_l=0.00
Taglio nei bulloni: Fv,Ed=1.13 Fv,Rd=7720.78
Rifollamento lato piastra: Fb,Ed,p=1.13 Fb,Rd,p=7157.59
Tirafondi:LT=0.45 (0.31) σ_{cR}=0.00 σ_{fR}=0.00
Compressione nel calcestruzzo: σ_c=15.69
CC 15 SLV (Collegamento 0024_-381)
Azioni sul collegamento: N=-5772.92 Ty=3.40 Tz=4.00 Mx=0.00 Mz=3.25
Sollecitazioni agenti localmente: Tx_l=3.40 Ty_l=4.00 N_l=-5772.92 Mx_l=-0.00 My_l=3.25 Mz_l=0.00
Taglio nei bulloni: Fv,Ed=0.88 Fv,Rd=7720.78
Rifollamento lato piastra: Fb,Ed,p=0.88 Fb,Rd,p=11159.20

Tirafondi:LT=0.45 (0.31) σ_{cR}=0.00 σ_{fR}=0.00
Compressione nel calcestruzzo: σ_c=12.11
CC 15 SLV (Collegamento 0024_-381)
Azioni sul collegamento: N=-5772.92 Ty=6.34 Tz=4.00 Mx=0.00 Mz=8.01
Sollecitazioni agenti localmente: Tx_l=6.34 Ty_l=4.00 N_l=-5772.92 Mx_l=-0.00 My_l=8.01 Mz_l=0.00
Taglio nei bulloni: Fv,Ed=1.25 Fv,Rd=7720.78
Rifollamento lato piastra: Fb,Ed,p=1.25 Fb,Rd,p=9578.94
Tirafondi:LT=0.45 (0.31) σ_{cR}=0.00 σ_{fR}=0.00
Compressione nel calcestruzzo: σ_c=12.38
CC 15 SLV (Collegamento 0024_-381)
Azioni sul collegamento: N=-5772.92 Ty=3.40 Tz=-2.29 Mx=0.00 Mz=3.25
Sollecitazioni agenti localmente: Tx_l=3.40 Ty_l=-2.29 N_l=-5772.92 Mx_l=-0.00 My_l=3.25 Mz_l=0.00
Taglio nei bulloni: Fv,Ed=0.69 Fv,Rd=7720.78
Rifollamento lato piastra: Fb,Ed,p=0.69 Fb,Rd,p=10133.60
Tirafondi:LT=0.45 (0.31) σ_{cR}=0.00 σ_{fR}=0.00
Compressione nel calcestruzzo: σ_c=12.11
CC 15 SLV (Collegamento 0024_-381)
Azioni sul collegamento: N=-5772.92 Ty=6.34 Tz=-2.29 Mx=0.00 Mz=8.01
Sollecitazioni agenti localmente: Tx_l=6.34 Ty_l=-2.29 N_l=-5772.92 Mx_l=-0.00 My_l=8.01 Mz_l=0.00
Taglio nei bulloni: Fv,Ed=1.13 Fv,Rd=7720.78
Rifollamento lato piastra: Fb,Ed,p=1.13 Fb,Rd,p=7157.42
Tirafondi:LT=0.45 (0.31) σ_{cR}=0.00 σ_{fR}=0.00
Compressione nel calcestruzzo: σ_c=12.38
CC 16 SLD (Collegamento 0024_-381)
Azioni sul collegamento: N=-6786.28 Ty=3.58 Tz=1.69 Mx=-0.00 Mz=2.82
Sollecitazioni agenti localmente: Tx_l=3.58 Ty_l=1.69 N_l=-6786.28 Mx_l=-0.00 My_l=2.82 Mz_l=-0.00
Taglio nei bulloni: Fv,Ed=0.66 Fv,Rd=9650.97
Rifollamento lato piastra: Fb,Ed,p=0.66 Fb,Rd,p=9996.35
Tirafondi:LT=0.45 (0.31) σ_{cR}=0.00 σ_{fR}=0.00
Compressione nel calcestruzzo: σ_c=14.18
CC 16 SLD (Collegamento 0024_-381)
Azioni sul collegamento: N=-6786.28 Ty=4.47 Tz=1.69 Mx=-0.00 Mz=4.27
Sollecitazioni agenti localmente: Tx_l=4.47 Ty_l=1.69 N_l=-6786.28 Mx_l=-0.00 My_l=4.27 Mz_l=-0.00
Taglio nei bulloni: Fv,Ed=0.80 Fv,Rd=9650.97
Rifollamento lato piastra: Fb,Ed,p=0.80 Fb,Rd,p=9081.79
Tirafondi:LT=0.45 (0.31) σ_{cR}=0.00 σ_{fR}=0.00
Compressione nel calcestruzzo: σ_c=14.26
CC 16 SLD (Collegamento 0024_-381)
Azioni sul collegamento: N=-6786.28 Ty=3.58 Tz=-0.23 Mx=-0.00 Mz=2.82
Sollecitazioni agenti localmente: Tx_l=3.58 Ty_l=-0.23 N_l=-6786.28 Mx_l=-0.00 My_l=2.82 Mz_l=-0.00
Taglio nei bulloni: Fv,Ed=0.60 Fv,Rd=9650.97
Rifollamento lato piastra: Fb,Ed,p=0.60 Fb,Rd,p=7515.52
Tirafondi:LT=0.45 (0.31) σ_{cR}=0.00 σ_{fR}=0.00
Compressione nel calcestruzzo: σ_c=14.18
CC 16 SLD (Collegamento 0024_-381)
Azioni sul collegamento: N=-6786.28 Ty=4.47 Tz=-0.23 Mx=-0.00 Mz=4.27
Sollecitazioni agenti localmente: Tx_l=4.47 Ty_l=-0.23 N_l=-6786.28 Mx_l=-0.00 My_l=4.27 Mz_l=-0.00
Taglio nei bulloni: Fv,Ed=0.75 Fv,Rd=9650.97
Rifollamento lato piastra: Fb,Ed,p=0.75 Fb,Rd,p=7500.59
Tirafondi:LT=0.45 (0.31) σ_{cR}=0.00 σ_{fR}=0.00
Compressione nel calcestruzzo: σ_c=14.26
CC 16 SLD (Collegamento 0024_-381)
Azioni sul collegamento: N=-6297.50 Ty=3.58 Tz=1.69 Mx=-0.00 Mz=2.82
Sollecitazioni agenti localmente: Tx_l=3.58 Ty_l=1.69 N_l=-6297.50 Mx_l=-0.00 My_l=2.82 Mz_l=-0.00
Taglio nei bulloni: Fv,Ed=0.66 Fv,Rd=9650.97
Rifollamento lato piastra: Fb,Ed,p=0.66 Fb,Rd,p=9997.33
Tirafondi:LT=0.45 (0.31) σ_{cR}=0.00 σ_{fR}=0.00
Compressione nel calcestruzzo: σ_c=13.17
CC 16 SLD (Collegamento 0024_-381)
Azioni sul collegamento: N=-6297.50 Ty=4.47 Tz=1.69 Mx=-0.00 Mz=4.27
Sollecitazioni agenti localmente: Tx_l=4.47 Ty_l=1.69 N_l=-6297.50 Mx_l=-0.00 My_l=4.27 Mz_l=-0.00
Taglio nei bulloni: Fv,Ed=0.80 Fv,Rd=9650.97
Rifollamento lato piastra: Fb,Ed,p=0.80 Fb,Rd,p=9082.42
Tirafondi:LT=0.45 (0.31) σ_{cR}=0.00 σ_{fR}=0.00
Compressione nel calcestruzzo: σ_c=13.25
CC 16 SLD (Collegamento 0024_-381)
Azioni sul collegamento: N=-6297.50 Ty=3.58 Tz=-0.23 Mx=-0.00 Mz=2.82
Sollecitazioni agenti localmente: Tx_l=3.58 Ty_l=-0.23 N_l=-6297.50 Mx_l=-0.00 My_l=2.82 Mz_l=-0.00
Taglio nei bulloni: Fv,Ed=0.60 Fv,Rd=9650.97
Rifollamento lato piastra: Fb,Ed,p=0.60 Fb,Rd,p=7515.51
Tirafondi:LT=0.45 (0.31) σ_{cR}=0.00 σ_{fR}=0.00
Compressione nel calcestruzzo: σ_c=13.17
CC 16 SLD (Collegamento 0024_-381)
Azioni sul collegamento: N=-6297.50 Ty=4.47 Tz=-0.23 Mx=-0.00 Mz=4.27
Sollecitazioni agenti localmente: Tx_l=4.47 Ty_l=-0.23 N_l=-6297.50 Mx_l=-0.00 My_l=4.27 Mz_l=-0.00
Taglio nei bulloni: Fv,Ed=0.75 Fv,Rd=9650.97
Rifollamento lato piastra: Fb,Ed,p=0.75 Fb,Rd,p=7500.59
Tirafondi:LT=0.45 (0.31) σ_{cR}=0.00 σ_{fR}=0.00
Compressione nel calcestruzzo: σ_c=13.25
CC 17 SLV (Collegamento 0024_-381)

Azioni sul collegamento: N=-3838.16 Ty=0.76 Tz=-9.35 Mx=-0.02 Mz=1.23
Sollecitazioni agenti localmente: Tx_l=0.76 Ty_l=-9.35 N_l=-3838.16 Mx_l=-0.00 My_l=1.23 Mz_l=-0.02
Taglio nei bulloni: Fv,Ed=1.59 Fv,Rd=7720.78
Rifollamento lato piastra: Fb,Ed,p=1.59 Fb,Rd,p=6058.88
Tirafondi:LT=0.45 (0.31) σ_{cR}=0.00 σ_{fR}=0.00
Compressione nel calcestruzzo: σ_c=8.00
CC 17 SLV (Collegamento 0024_-381)
Azioni sul collegamento: N=-3838.16 Ty=4.12 Tz=-9.35 Mx=-0.02 Mz=-1.95
Sollecitazioni agenti localmente: Tx_l=4.12 Ty_l=-9.35 N_l=-3838.16 Mx_l=-0.00 My_l=-1.95 Mz_l=-0.02
Taglio nei bulloni: Fv,Ed=1.73 Fv,Rd=7720.78
Rifollamento lato piastra: Fb,Ed,p=1.73 Fb,Rd,p=7792.84
Tirafondi:LT=0.45 (0.31) σ_{cR}=0.00 σ_{fR}=0.00
Compressione nel calcestruzzo: σ_c=8.04
CC 17 SLV (Collegamento 0024_-381)
Azioni sul collegamento: N=-3838.16 Ty=0.76 Tz=10.33 Mx=-0.02 Mz=1.23
Sollecitazioni agenti localmente: Tx_l=0.76 Ty_l=10.33 N_l=-3838.16 Mx_l=-0.00 My_l=1.23 Mz_l=-0.02
Taglio nei bulloni: Fv,Ed=1.75 Fv,Rd=7720.78
Rifollamento lato piastra: Fb,Ed,p=1.75 Fb,Rd,p=6010.44
Tirafondi:LT=0.45 (0.31) σ_{cR}=0.00 σ_{fR}=0.00
Compressione nel calcestruzzo: σ_c=8.00
CC 17 SLV (Collegamento 0024_-381)
Azioni sul collegamento: N=-3838.16 Ty=4.12 Tz=10.33 Mx=-0.02 Mz=-1.95
Sollecitazioni agenti localmente: Tx_l=4.12 Ty_l=10.33 N_l=-3838.16 Mx_l=-0.00 My_l=-1.95 Mz_l=-0.02
Taglio nei bulloni: Fv,Ed=1.88 Fv,Rd=7720.78
Rifollamento lato piastra: Fb,Ed,p=1.87 Fb,Rd,p=7277.26
Tirafondi:LT=0.45 (0.31) σ_{cR}=0.00 σ_{fR}=0.00
Compressione nel calcestruzzo: σ_c=8.04
CC 17 SLV (Collegamento 0024_-381)
Azioni sul collegamento: N=-9123.66 Ty=0.76 Tz=-9.35 Mx=-0.02 Mz=1.23
Sollecitazioni agenti localmente: Tx_l=0.76 Ty_l=-9.35 N_l=-9123.66 Mx_l=-0.00 My_l=1.23 Mz_l=-0.02
Taglio nei bulloni: Fv,Ed=1.59 Fv,Rd=7720.78
Rifollamento lato piastra: Fb,Ed,p=1.59 Fb,Rd,p=6058.88
Tirafondi:LT=0.45 (0.31) σ_{cR}=0.00 σ_{fR}=0.00
Compressione nel calcestruzzo: σ_c=18.92
CC 17 SLV (Collegamento 0024_-381)
Azioni sul collegamento: N=-9123.66 Ty=4.12 Tz=-9.35 Mx=-0.02 Mz=-1.95
Sollecitazioni agenti localmente: Tx_l=4.12 Ty_l=-9.35 N_l=-9123.66 Mx_l=-0.00 My_l=-1.95 Mz_l=-0.02
Taglio nei bulloni: Fv,Ed=1.73 Fv,Rd=7720.78
Rifollamento lato piastra: Fb,Ed,p=1.73 Fb,Rd,p=7792.88
Tirafondi:LT=0.45 (0.31) σ_{cR}=0.00 σ_{fR}=0.00
Compressione nel calcestruzzo: σ_c=18.96
CC 17 SLV (Collegamento 0024_-381)
Azioni sul collegamento: N=-9123.66 Ty=0.76 Tz=10.33 Mx=-0.02 Mz=1.23
Sollecitazioni agenti localmente: Tx_l=0.76 Ty_l=10.33 N_l=-9123.66 Mx_l=-0.00 My_l=1.23 Mz_l=-0.02
Taglio nei bulloni: Fv,Ed=1.75 Fv,Rd=7720.78
Rifollamento lato piastra: Fb,Ed,p=1.75 Fb,Rd,p=6010.44
Tirafondi:LT=0.45 (0.31) σ_{cR}=0.00 σ_{fR}=0.00
Compressione nel calcestruzzo: σ_c=18.92
CC 17 SLV (Collegamento 0024_-381)
Azioni sul collegamento: N=-9123.66 Ty=4.12 Tz=10.33 Mx=-0.02 Mz=-1.95
Sollecitazioni agenti localmente: Tx_l=4.12 Ty_l=10.33 N_l=-9123.66 Mx_l=-0.00 My_l=-1.95 Mz_l=-0.02
Taglio nei bulloni: Fv,Ed=1.88 Fv,Rd=7720.78
Rifollamento lato piastra: Fb,Ed,p=1.87 Fb,Rd,p=7277.16
Tirafondi:LT=0.45 (0.31) σ_{cR}=0.00 σ_{fR}=0.00
Compressione nel calcestruzzo: σ_c=18.96
CC 18 SLD (Collegamento 0024_-381)
Azioni sul collegamento: N=-5707.53 Ty=3.80 Tz=-2.38 Mx=-0.01 Mz=2.21
Sollecitazioni agenti localmente: Tx_l=3.80 Ty_l=-2.38 N_l=-5707.53 Mx_l=-0.00 My_l=2.21 Mz_l=-0.01
Taglio nei bulloni: Fv,Ed=0.76 Fv,Rd=9650.97
Rifollamento lato piastra: Fb,Ed,p=0.75 Fb,Rd,p=11614.40
Tirafondi:LT=0.45 (0.31) σ_{cR}=0.00 σ_{fR}=0.00
Compressione nel calcestruzzo: σ_c=11.92
CC 18 SLD (Collegamento 0024_-381)
Azioni sul collegamento: N=-5707.53 Ty=2.77 Tz=-2.38 Mx=-0.01 Mz=1.24
Sollecitazioni agenti localmente: Tx_l=2.77 Ty_l=-2.38 N_l=-5707.53 Mx_l=-0.00 My_l=1.24 Mz_l=-0.01
Taglio nei bulloni: Fv,Ed=0.62 Fv,Rd=9650.97
Rifollamento lato piastra: Fb,Ed,p=0.61 Fb,Rd,p=13752.50
Tirafondi:LT=0.45 (0.31) σ_{cR}=0.00 σ_{fR}=0.00
Compressione nel calcestruzzo: σ_c=11.86
CC 18 SLD (Collegamento 0024_-381)
Azioni sul collegamento: N=-5707.53 Ty=3.80 Tz=3.62 Mx=-0.01 Mz=2.21
Sollecitazioni agenti localmente: Tx_l=3.80 Ty_l=3.62 N_l=-5707.53 Mx_l=-0.00 My_l=2.21 Mz_l=-0.01
Taglio nei bulloni: Fv,Ed=0.89 Fv,Rd=9650.97
Rifollamento lato piastra: Fb,Ed,p=0.89 Fb,Rd,p=14673.90
Tirafondi:LT=0.45 (0.31) σ_{cR}=0.00 σ_{fR}=0.00
Compressione nel calcestruzzo: σ_c=11.92
CC 18 SLD (Collegamento 0024_-381)
Azioni sul collegamento: N=-5707.53 Ty=2.77 Tz=3.62 Mx=-0.01 Mz=1.24
Sollecitazioni agenti localmente: Tx_l=2.77 Ty_l=3.62 N_l=-5707.53 Mx_l=-0.00 My_l=1.24 Mz_l=-0.01
Taglio nei bulloni: Fv,Ed=0.77 Fv,Rd=9650.97

Rifollamento lato piastra: Fb,Ed,p=0.76 Fb,Rd,p=13209.80
Tirafondi:LT=0.45 (0.31) σ_{cR}=0.00 σ_{fR}=0.00
Compressione nel calcestruzzo: σ_c=11.86
CC 18 SLD (Collegamento 0024_-381)
Azioni sul collegamento: N=-7319.25 Ty=3.80 Tz=-2.38 Mx=-0.01 Mz=2.21
Sollecitazioni agenti localmente: Tx_l=3.80 Ty_l=-2.38 N_l=-7319.25 Mx_l=-0.00 My_l=2.21 Mz_l=-0.01
Taglio nei bulloni: Fv,Ed=0.76 Fv,Rd=9650.97
Rifollamento lato piastra: Fb,Ed,p=0.75 Fb,Rd,p=11614.70
Tirafondi:LT=0.45 (0.31) σ_{cR}=0.00 σ_{fR}=0.00
Compressione nel calcestruzzo: σ_c=15.25
CC 18 SLD (Collegamento 0024_-381)
Azioni sul collegamento: N=-7319.25 Ty=2.77 Tz=-2.38 Mx=-0.01 Mz=1.24
Sollecitazioni agenti localmente: Tx_l=2.77 Ty_l=-2.38 N_l=-7319.25 Mx_l=-0.00 My_l=1.24 Mz_l=-0.01
Taglio nei bulloni: Fv,Ed=0.62 Fv,Rd=9650.97
Rifollamento lato piastra: Fb,Ed,p=0.61 Fb,Rd,p=13752.70
Tirafondi:LT=0.45 (0.31) σ_{cR}=0.00 σ_{fR}=0.00
Compressione nel calcestruzzo: σ_c=15.19
CC 18 SLD (Collegamento 0024_-381)
Azioni sul collegamento: N=-7319.25 Ty=3.80 Tz=3.62 Mx=-0.01 Mz=2.21
Sollecitazioni agenti localmente: Tx_l=3.80 Ty_l=3.62 N_l=-7319.25 Mx_l=-0.00 My_l=2.21 Mz_l=-0.01
Taglio nei bulloni: Fv,Ed=0.89 Fv,Rd=9650.97
Rifollamento lato piastra: Fb,Ed,p=0.89 Fb,Rd,p=14674.00
Tirafondi:LT=0.45 (0.31) σ_{cR}=0.00 σ_{fR}=0.00
Compressione nel calcestruzzo: σ_c=15.25
CC 18 SLD (Collegamento 0024_-381)
Azioni sul collegamento: N=-7319.25 Ty=2.77 Tz=3.62 Mx=-0.01 Mz=1.24
Sollecitazioni agenti localmente: Tx_l=2.77 Ty_l=3.62 N_l=-7319.25 Mx_l=-0.00 My_l=1.24 Mz_l=-0.01
Taglio nei bulloni: Fv,Ed=0.77 Fv,Rd=9650.97
Rifollamento lato piastra: Fb,Ed,p=0.76 Fb,Rd,p=13209.70
Tirafondi:LT=0.45 (0.31) σ_{cR}=0.00 σ_{fR}=0.00
Compressione nel calcestruzzo: σ_c=15.19
CC 19 SLV (Collegamento 0024_-381)
Azioni sul collegamento: N=-3843.85 Ty=1.39 Tz=-9.22 Mx=-0.02 Mz=-0.03
Sollecitazioni agenti localmente: Tx_l=1.39 Ty_l=-9.22 N_l=-3843.85 Mx_l=-0.00 My_l=-0.03 Mz_l=-0.02
Taglio nei bulloni: Fv,Ed=1.57 Fv,Rd=7720.78
Rifollamento lato piastra: Fb,Ed,p=1.57 Fb,Rd,p=6209.50
Tirafondi:LT=0.45 (0.31) σ_{cR}=0.00 σ_{fR}=0.00
Compressione nel calcestruzzo: σ_c=7.94
CC 19 SLV (Collegamento 0024_-381)
Azioni sul collegamento: N=-3843.85 Ty=3.49 Tz=-9.22 Mx=-0.02 Mz=-0.69
Sollecitazioni agenti localmente: Tx_l=3.49 Ty_l=-9.22 N_l=-3843.85 Mx_l=-0.00 My_l=-0.69 Mz_l=-0.02
Taglio nei bulloni: Fv,Ed=1.67 Fv,Rd=7720.78
Rifollamento lato piastra: Fb,Ed,p=1.67 Fb,Rd,p=7309.50
Tirafondi:LT=0.45 (0.31) σ_{cR}=0.00 σ_{fR}=0.00
Compressione nel calcestruzzo: σ_c=7.98
CC 19 SLV (Collegamento 0024_-381)
Azioni sul collegamento: N=-3843.85 Ty=1.39 Tz=10.20 Mx=-0.02 Mz=-0.03
Sollecitazioni agenti localmente: Tx_l=1.39 Ty_l=10.20 N_l=-3843.85 Mx_l=-0.00 My_l=-0.03 Mz_l=-0.02
Taglio nei bulloni: Fv,Ed=1.74 Fv,Rd=7720.78
Rifollamento lato piastra: Fb,Ed,p=1.73 Fb,Rd,p=6117.90
Tirafondi:LT=0.45 (0.31) σ_{cR}=0.00 σ_{fR}=0.00
Compressione nel calcestruzzo: σ_c=7.94
CC 19 SLV (Collegamento 0024_-381)
Azioni sul collegamento: N=-3843.85 Ty=3.49 Tz=10.20 Mx=-0.02 Mz=-0.69
Sollecitazioni agenti localmente: Tx_l=3.49 Ty_l=10.20 N_l=-3843.85 Mx_l=-0.00 My_l=-0.69 Mz_l=-0.02
Taglio nei bulloni: Fv,Ed=1.82 Fv,Rd=7720.78
Rifollamento lato piastra: Fb,Ed,p=1.81 Fb,Rd,p=6940.86
Tirafondi:LT=0.45 (0.31) σ_{cR}=0.00 σ_{fR}=0.00
Compressione nel calcestruzzo: σ_c=7.98
CC 19 SLV (Collegamento 0024_-381)
Azioni sul collegamento: N=-9117.97 Ty=1.39 Tz=-9.22 Mx=-0.02 Mz=-0.03
Sollecitazioni agenti localmente: Tx_l=1.39 Ty_l=-9.22 N_l=-9117.97 Mx_l=-0.00 My_l=-0.03 Mz_l=-0.02
Taglio nei bulloni: Fv,Ed=1.57 Fv,Rd=7720.78
Rifollamento lato piastra: Fb,Ed,p=1.57 Fb,Rd,p=6209.51
Tirafondi:LT=0.45 (0.31) σ_{cR}=0.00 σ_{fR}=0.00
Compressione nel calcestruzzo: σ_c=18.84
CC 19 SLV (Collegamento 0024_-381)
Azioni sul collegamento: N=-9117.97 Ty=3.49 Tz=-9.22 Mx=-0.02 Mz=-0.69
Sollecitazioni agenti localmente: Tx_l=3.49 Ty_l=-9.22 N_l=-9117.97 Mx_l=-0.00 My_l=-0.69 Mz_l=-0.02
Taglio nei bulloni: Fv,Ed=1.67 Fv,Rd=7720.78
Rifollamento lato piastra: Fb,Ed,p=1.67 Fb,Rd,p=7309.57
Tirafondi:LT=0.45 (0.31) σ_{cR}=0.00 σ_{fR}=0.00
Compressione nel calcestruzzo: σ_c=18.88
CC 19 SLV (Collegamento 0024_-381)
Azioni sul collegamento: N=-9117.97 Ty=1.39 Tz=10.20 Mx=-0.02 Mz=-0.03
Sollecitazioni agenti localmente: Tx_l=1.39 Ty_l=10.20 N_l=-9117.97 Mx_l=-0.00 My_l=-0.03 Mz_l=-0.02
Taglio nei bulloni: Fv,Ed=1.74 Fv,Rd=7720.78
Rifollamento lato piastra: Fb,Ed,p=1.73 Fb,Rd,p=6117.90
Tirafondi:LT=0.45 (0.31) σ_{cR}=0.00 σ_{fR}=0.00
Compressione nel calcestruzzo: σ_c=18.84

CC 19 SLV (Collegamento 0024_-381)
Azioni sul collegamento: N=-9117.97 Ty=3.49 Tz=10.20 Mx=-0.02 Mz=-0.69
Sollecitazioni agenti localmente: Tx_l=3.49 Ty_l=10.20 N_l=-9117.97 Mx_l=-0.00 My_l=-0.69 Mz_l=-0.02
Taglio nei bulloni: Fv,Ed=1.82 Fv,Rd=7720.78
Rifollamento lato piastra: Fb,Ed,p=1.81 Fb,Rd,p=6940.85
Tirafondi:LT=0.45 (0.31) σ_{cR}=0.00 σ_{fR}=0.00
Compressione nel calcestruzzo: σ_c=18.88
CC 20 SLD (Collegamento 0024_-381)
Azioni sul collegamento: N=-5709.27 Ty=3.60 Tz=-2.35 Mx=-0.01 Mz=1.82
Sollecitazioni agenti localmente: Tx_l=3.60 Ty_l=-2.35 N_l=-5709.27 Mx_l=-0.00 My_l=1.82 Mz_l=-0.01
Taglio nei bulloni: Fv,Ed=0.73 Fv,Rd=9650.97
Rifollamento lato piastra: Fb,Ed,p=0.72 Fb,Rd,p=11980.70
Tirafondi:LT=0.45 (0.31) σ_{cR}=0.00 σ_{fR}=0.00
Compressione nel calcestruzzo: σ_c=11.90
CC 20 SLD (Collegamento 0024_-381)
Azioni sul collegamento: N=-5709.27 Ty=2.97 Tz=-2.35 Mx=-0.01 Mz=1.62
Sollecitazioni agenti localmente: Tx_l=2.97 Ty_l=-2.35 N_l=-5709.27 Mx_l=-0.00 My_l=1.62 Mz_l=-0.01
Taglio nei bulloni: Fv,Ed=0.64 Fv,Rd=9650.97
Rifollamento lato piastra: Fb,Ed,p=0.63 Fb,Rd,p=13357.80
Tirafondi:LT=0.45 (0.31) σ_{cR}=0.00 σ_{fR}=0.00
Compressione nel calcestruzzo: σ_c=11.89
CC 20 SLD (Collegamento 0024_-381)
Azioni sul collegamento: N=-5709.27 Ty=3.60 Tz=3.58 Mx=-0.01 Mz=1.82
Sollecitazioni agenti localmente: Tx_l=3.60 Ty_l=3.58 N_l=-5709.27 Mx_l=-0.00 My_l=1.82 Mz_l=-0.01
Taglio nei bulloni: Fv,Ed=0.86 Fv,Rd=9650.97
Rifollamento lato piastra: Fb,Ed,p=0.86 Fb,Rd,p=14967.50
Tirafondi:LT=0.45 (0.31) σ_{cR}=0.00 σ_{fR}=0.00
Compressione nel calcestruzzo: σ_c=11.90
CC 20 SLD (Collegamento 0024_-381)
Azioni sul collegamento: N=-5709.27 Ty=2.97 Tz=3.58 Mx=-0.01 Mz=1.62
Sollecitazioni agenti localmente: Tx_l=2.97 Ty_l=3.58 N_l=-5709.27 Mx_l=-0.00 My_l=1.62 Mz_l=-0.01
Taglio nei bulloni: Fv,Ed=0.79 Fv,Rd=9650.97
Rifollamento lato piastra: Fb,Ed,p=0.78 Fb,Rd,p=13638.60
Tirafondi:LT=0.45 (0.31) σ_{cR}=0.00 σ_{fR}=0.00
Compressione nel calcestruzzo: σ_c=11.89
CC 20 SLD (Collegamento 0024_-381)
Azioni sul collegamento: N=-7317.51 Ty=3.60 Tz=-2.35 Mx=-0.01 Mz=1.82
Sollecitazioni agenti localmente: Tx_l=3.60 Ty_l=-2.35 N_l=-7317.51 Mx_l=-0.00 My_l=1.82 Mz_l=-0.01
Taglio nei bulloni: Fv,Ed=0.73 Fv,Rd=9650.97
Rifollamento lato piastra: Fb,Ed,p=0.72 Fb,Rd,p=11980.60
Tirafondi:LT=0.45 (0.31) σ_{cR}=0.00 σ_{fR}=0.00
Compressione nel calcestruzzo: σ_c=15.22
CC 20 SLD (Collegamento 0024_-381)
Azioni sul collegamento: N=-7317.51 Ty=2.97 Tz=-2.35 Mx=-0.01 Mz=1.62
Sollecitazioni agenti localmente: Tx_l=2.97 Ty_l=-2.35 N_l=-7317.51 Mx_l=-0.00 My_l=1.62 Mz_l=-0.01
Taglio nei bulloni: Fv,Ed=0.64 Fv,Rd=9650.97
Rifollamento lato piastra: Fb,Ed,p=0.63 Fb,Rd,p=13357.80
Tirafondi:LT=0.45 (0.31) σ_{cR}=0.00 σ_{fR}=0.00
Compressione nel calcestruzzo: σ_c=15.21
CC 20 SLD (Collegamento 0024_-381)
Azioni sul collegamento: N=-7317.51 Ty=3.60 Tz=3.58 Mx=-0.01 Mz=1.82
Sollecitazioni agenti localmente: Tx_l=3.60 Ty_l=3.58 N_l=-7317.51 Mx_l=-0.00 My_l=1.82 Mz_l=-0.01
Taglio nei bulloni: Fv,Ed=0.86 Fv,Rd=9650.97
Rifollamento lato piastra: Fb,Ed,p=0.86 Fb,Rd,p=14967.90
Tirafondi:LT=0.45 (0.31) σ_{cR}=0.00 σ_{fR}=0.00
Compressione nel calcestruzzo: σ_c=15.22
CC 20 SLD (Collegamento 0024_-381)
Azioni sul collegamento: N=-7317.51 Ty=2.97 Tz=3.58 Mx=-0.01 Mz=1.62
Sollecitazioni agenti localmente: Tx_l=2.97 Ty_l=3.58 N_l=-7317.51 Mx_l=-0.00 My_l=1.62 Mz_l=-0.01
Taglio nei bulloni: Fv,Ed=0.79 Fv,Rd=9650.97
Rifollamento lato piastra: Fb,Ed,p=0.78 Fb,Rd,p=13638.30
Tirafondi:LT=0.45 (0.31) σ_{cR}=0.00 σ_{fR}=0.00
Compressione nel calcestruzzo: σ_c=15.21
CC 21 SLV (Collegamento 0024_-381)
Azioni sul collegamento: N=-9117.97 Ty=3.49 Tz=10.20 Mx=-0.02 Mz=-0.69
Sollecitazioni agenti localmente: Tx_l=3.49 Ty_l=10.20 N_l=-9117.97 Mx_l=-0.00 My_l=-0.69 Mz_l=-0.02
Taglio nei bulloni: Fv,Ed=1.82 Fv,Rd=7720.78
Rifollamento lato piastra: Fb,Ed,p=1.81 Fb,Rd,p=6932.88
Tirafondi:LT=0.45 (0.31) σ_{cR}=0.00 σ_{fR}=0.00
Compressione nel calcestruzzo: σ_c=18.88
CC 21 SLV (Collegamento 0024_-381)
Azioni sul collegamento: N=-9117.97 Ty=1.39 Tz=10.20 Mx=-0.02 Mz=-0.03
Sollecitazioni agenti localmente: Tx_l=1.39 Ty_l=10.20 N_l=-9117.97 Mx_l=-0.00 My_l=-0.03 Mz_l=-0.02
Taglio nei bulloni: Fv,Ed=1.74 Fv,Rd=7720.78
Rifollamento lato piastra: Fb,Ed,p=1.73 Fb,Rd,p=6115.36
Tirafondi:LT=0.45 (0.31) σ_{cR}=0.00 σ_{fR}=0.00
Compressione nel calcestruzzo: σ_c=18.84
CC 21 SLV (Collegamento 0024_-381)
Azioni sul collegamento: N=-9117.97 Ty=3.49 Tz=-9.22 Mx=-0.02 Mz=-0.69
Sollecitazioni agenti localmente: Tx_l=3.49 Ty_l=-9.22 N_l=-9117.97 Mx_l=-0.00 My_l=-0.69 Mz_l=-0.02

Taglio nei bulloni: Fv,Ed=1.67 Fv,Rd=7720.78
Rifollamento lato piastra: Fb,Ed,p=1.67 Fb,Rd,p=7314.40
Tirafondi:LT=0.45 (0.31) σ_{cR}=0.00 σ_{fR}=0.00
Compressione nel calcestruzzo: σ_c=18.88
CC 21 SLV (Collegamento 0024_-381)
Azioni sul collegamento: N=-9117.97 Ty=1.39 Tz=-9.22 Mx=-0.02 Mz=-0.03
Sollecitazioni agenti localmente: Tx_l=1.39 Ty_l=-9.22 N_l=-9117.97 Mx_l=-0.00 My_l=-0.03 Mz_l=-0.02
Taglio nei bulloni: Fv,Ed=1.58 Fv,Rd=7720.78
Rifollamento lato piastra: Fb,Ed,p=1.58 Fb,Rd,p=6212.22
Tirafondi:LT=0.45 (0.31) σ_{cR}=0.00 σ_{fR}=0.00
Compressione nel calcestruzzo: σ_c=18.84
CC 21 SLV (Collegamento 0024_-381)
Azioni sul collegamento: N=-3843.85 Ty=3.49 Tz=10.20 Mx=-0.02 Mz=-0.69
Sollecitazioni agenti localmente: Tx_l=3.49 Ty_l=10.20 N_l=-3843.85 Mx_l=-0.00 My_l=-0.69 Mz_l=-0.02
Taglio nei bulloni: Fv,Ed=1.82 Fv,Rd=7720.78
Rifollamento lato piastra: Fb,Ed,p=1.81 Fb,Rd,p=6932.89
Tirafondi:LT=0.45 (0.31) σ_{cR}=0.00 σ_{fR}=0.00
Compressione nel calcestruzzo: σ_c=7.98
CC 21 SLV (Collegamento 0024_-381)
Azioni sul collegamento: N=-3843.85 Ty=1.39 Tz=10.20 Mx=-0.02 Mz=-0.03
Sollecitazioni agenti localmente: Tx_l=1.39 Ty_l=10.20 N_l=-3843.85 Mx_l=-0.00 My_l=-0.03 Mz_l=-0.02
Taglio nei bulloni: Fv,Ed=1.74 Fv,Rd=7720.78
Rifollamento lato piastra: Fb,Ed,p=1.73 Fb,Rd,p=6115.36
Tirafondi:LT=0.45 (0.31) σ_{cR}=0.00 σ_{fR}=0.00
Compressione nel calcestruzzo: σ_c=7.94
CC 21 SLV (Collegamento 0024_-381)
Azioni sul collegamento: N=-3843.85 Ty=3.49 Tz=-9.22 Mx=-0.02 Mz=-0.69
Sollecitazioni agenti localmente: Tx_l=3.49 Ty_l=-9.22 N_l=-3843.85 Mx_l=-0.00 My_l=-0.69 Mz_l=-0.02
Taglio nei bulloni: Fv,Ed=1.67 Fv,Rd=7720.78
Rifollamento lato piastra: Fb,Ed,p=1.67 Fb,Rd,p=7314.33
Tirafondi:LT=0.45 (0.31) σ_{cR}=0.00 σ_{fR}=0.00
Compressione nel calcestruzzo: σ_c=7.98
CC 21 SLV (Collegamento 0024_-381)
Azioni sul collegamento: N=-3843.85 Ty=1.39 Tz=-9.22 Mx=-0.02 Mz=-0.03
Sollecitazioni agenti localmente: Tx_l=1.39 Ty_l=-9.22 N_l=-3843.85 Mx_l=-0.00 My_l=-0.03 Mz_l=-0.02
Taglio nei bulloni: Fv,Ed=1.58 Fv,Rd=7720.78
Rifollamento lato piastra: Fb,Ed,p=1.58 Fb,Rd,p=6212.21
Tirafondi:LT=0.45 (0.31) σ_{cR}=0.00 σ_{fR}=0.00
Compressione nel calcestruzzo: σ_c=7.94
CC 22 SLD (Collegamento 0024_-381)
Azioni sul collegamento: N=-7317.51 Ty=2.97 Tz=3.58 Mx=-0.01 Mz=1.62
Sollecitazioni agenti localmente: Tx_l=2.97 Ty_l=3.58 N_l=-7317.51 Mx_l=-0.00 My_l=1.62 Mz_l=-0.01
Taglio nei bulloni: Fv,Ed=0.79 Fv,Rd=9650.97
Rifollamento lato piastra: Fb,Ed,p=0.78 Fb,Rd,p=13627.70
Tirafondi:LT=0.45 (0.31) σ_{cR}=0.00 σ_{fR}=0.00
Compressione nel calcestruzzo: σ_c=15.21
CC 22 SLD (Collegamento 0024_-381)
Azioni sul collegamento: N=-7317.51 Ty=3.60 Tz=3.58 Mx=-0.01 Mz=1.82
Sollecitazioni agenti localmente: Tx_l=3.60 Ty_l=3.58 N_l=-7317.51 Mx_l=-0.00 My_l=1.82 Mz_l=-0.01
Taglio nei bulloni: Fv,Ed=0.86 Fv,Rd=9650.97
Rifollamento lato piastra: Fb,Ed,p=0.86 Fb,Rd,p=14968.00
Tirafondi:LT=0.45 (0.31) σ_{cR}=0.00 σ_{fR}=0.00
Compressione nel calcestruzzo: σ_c=15.22
CC 22 SLD (Collegamento 0024_-381)
Azioni sul collegamento: N=-7317.51 Ty=2.97 Tz=-2.35 Mx=-0.01 Mz=1.62
Sollecitazioni agenti localmente: Tx_l=2.97 Ty_l=-2.35 N_l=-7317.51 Mx_l=-0.00 My_l=1.62 Mz_l=-0.01
Taglio nei bulloni: Fv,Ed=0.64 Fv,Rd=9650.97
Rifollamento lato piastra: Fb,Ed,p=0.63 Fb,Rd,p=13345.70
Tirafondi:LT=0.45 (0.31) σ_{cR}=0.00 σ_{fR}=0.00
Compressione nel calcestruzzo: σ_c=15.21
CC 22 SLD (Collegamento 0024_-381)
Azioni sul collegamento: N=-7317.51 Ty=3.60 Tz=-2.35 Mx=-0.01 Mz=1.82
Sollecitazioni agenti localmente: Tx_l=3.60 Ty_l=-2.35 N_l=-7317.51 Mx_l=-0.00 My_l=1.82 Mz_l=-0.01
Taglio nei bulloni: Fv,Ed=0.73 Fv,Rd=9650.97
Rifollamento lato piastra: Fb,Ed,p=0.72 Fb,Rd,p=11959.80
Tirafondi:LT=0.45 (0.31) σ_{cR}=0.00 σ_{fR}=0.00
Compressione nel calcestruzzo: σ_c=15.22
CC 22 SLD (Collegamento 0024_-381)
Azioni sul collegamento: N=-5709.27 Ty=2.97 Tz=3.58 Mx=-0.01 Mz=1.62
Sollecitazioni agenti localmente: Tx_l=2.97 Ty_l=3.58 N_l=-5709.27 Mx_l=-0.00 My_l=1.62 Mz_l=-0.01
Taglio nei bulloni: Fv,Ed=0.79 Fv,Rd=9650.97
Rifollamento lato piastra: Fb,Ed,p=0.78 Fb,Rd,p=13628.00
Tirafondi:LT=0.45 (0.31) σ_{cR}=0.00 σ_{fR}=0.00
Compressione nel calcestruzzo: σ_c=11.89
CC 22 SLD (Collegamento 0024_-381)
Azioni sul collegamento: N=-5709.27 Ty=3.60 Tz=3.58 Mx=-0.01 Mz=1.82
Sollecitazioni agenti localmente: Tx_l=3.60 Ty_l=3.58 N_l=-5709.27 Mx_l=-0.00 My_l=1.82 Mz_l=-0.01
Taglio nei bulloni: Fv,Ed=0.86 Fv,Rd=9650.97
Rifollamento lato piastra: Fb,Ed,p=0.86 Fb,Rd,p=14967.50
Tirafondi:LT=0.45 (0.31) σ_{cR}=0.00 σ_{fR}=0.00

Compressione nel calcestruzzo: σ_c=11.90
CC 22 SLD (Collegamento 0024_-381)
Azioni sul collegamento: N=-5709.27 Ty=2.97 Tz=-2.35 Mx=-0.01 Mz=1.62
Sollecitazioni agenti localmente: Tx_l=2.97 Ty_l=-2.35 N_l=-5709.27 Mx_l=-0.00 My_l=1.62 Mz_l=-0.01
Taglio nei bulloni: Fv,Ed=0.64 Fv,Rd=9650.97
Rifollamento lato piastra: Fb,Ed,p=0.63 Fb,Rd,p=13345.80
Tirafondi:LT=0.45 (0.31) σ_{cR}=0.00 σ_{fR}=0.00
Compressione nel calcestruzzo: σ_c=11.89
CC 22 SLD (Collegamento 0024_-381)
Azioni sul collegamento: N=-5709.27 Ty=3.60 Tz=-2.35 Mx=-0.01 Mz=1.82
Sollecitazioni agenti localmente: Tx_l=3.60 Ty_l=-2.35 N_l=-5709.27 Mx_l=-0.00 My_l=1.82 Mz_l=-0.01
Taglio nei bulloni: Fv,Ed=0.73 Fv,Rd=9650.97
Rifollamento lato piastra: Fb,Ed,p=0.72 Fb,Rd,p=11959.90
Tirafondi:LT=0.45 (0.31) σ_{cR}=0.00 σ_{fR}=0.00
Compressione nel calcestruzzo: σ_c=11.90
CC 23 SLV (Collegamento 0024_-381)
Azioni sul collegamento: N=-9123.66 Ty=4.12 Tz=10.33 Mx=-0.01 Mz=-1.95
Sollecitazioni agenti localmente: Tx_l=4.12 Ty_l=10.33 N_l=-9123.66 Mx_l=-0.00 My_l=-1.95 Mz_l=-0.01
Taglio nei bulloni: Fv,Ed=1.87 Fv,Rd=7720.78
Rifollamento lato piastra: Fb,Ed,p=1.86 Fb,Rd,p=7326.59
Tirafondi:LT=0.45 (0.31) σ_{cR}=0.00 σ_{fR}=0.00
Compressione nel calcestruzzo: σ_c=18.96
CC 23 SLV (Collegamento 0024_-381)
Azioni sul collegamento: N=-9123.66 Ty=0.76 Tz=10.33 Mx=-0.01 Mz=1.23
Sollecitazioni agenti localmente: Tx_l=0.76 Ty_l=10.33 N_l=-9123.66 Mx_l=-0.00 My_l=1.23 Mz_l=-0.01
Taglio nei bulloni: Fv,Ed=1.74 Fv,Rd=7720.78
Rifollamento lato piastra: Fb,Ed,p=1.74 Fb,Rd,p=6016.44
Tirafondi:LT=0.45 (0.31) σ_{cR}=0.00 σ_{fR}=0.00
Compressione nel calcestruzzo: σ_c=18.92
CC 23 SLV (Collegamento 0024_-381)
Azioni sul collegamento: N=-9123.66 Ty=4.12 Tz=-9.35 Mx=-0.01 Mz=-1.95
Sollecitazioni agenti localmente: Tx_l=4.12 Ty_l=-9.35 N_l=-9123.66 Mx_l=-0.00 My_l=-1.95 Mz_l=-0.01
Taglio nei bulloni: Fv,Ed=1.72 Fv,Rd=7720.78
Rifollamento lato piastra: Fb,Ed,p=1.72 Fb,Rd,p=7767.35
Tirafondi:LT=0.45 (0.31) σ_{cR}=0.00 σ_{fR}=0.00
Compressione nel calcestruzzo: σ_c=18.96
CC 23 SLV (Collegamento 0024_-381)
Azioni sul collegamento: N=-9123.66 Ty=0.76 Tz=-9.35 Mx=-0.01 Mz=1.23
Sollecitazioni agenti localmente: Tx_l=0.76 Ty_l=-9.35 N_l=-9123.66 Mx_l=-0.00 My_l=1.23 Mz_l=-0.01
Taglio nei bulloni: Fv,Ed=1.58 Fv,Rd=7720.78
Rifollamento lato piastra: Fb,Ed,p=1.58 Fb,Rd,p=6050.46
Tirafondi:LT=0.45 (0.31) σ_{cR}=0.00 σ_{fR}=0.00
Compressione nel calcestruzzo: σ_c=18.92
CC 23 SLV (Collegamento 0024_-381)
Azioni sul collegamento: N=-3838.16 Ty=4.12 Tz=10.33 Mx=-0.01 Mz=-1.95
Sollecitazioni agenti localmente: Tx_l=4.12 Ty_l=10.33 N_l=-3838.16 Mx_l=-0.00 My_l=-1.95 Mz_l=-0.01
Taglio nei bulloni: Fv,Ed=1.87 Fv,Rd=7720.78
Rifollamento lato piastra: Fb,Ed,p=1.86 Fb,Rd,p=7326.69
Tirafondi:LT=0.45 (0.31) σ_{cR}=0.00 σ_{fR}=0.00
Compressione nel calcestruzzo: σ_c=8.04
CC 23 SLV (Collegamento 0024_-381)
Azioni sul collegamento: N=-3838.16 Ty=0.76 Tz=10.33 Mx=-0.01 Mz=1.23
Sollecitazioni agenti localmente: Tx_l=0.76 Ty_l=10.33 N_l=-3838.16 Mx_l=-0.00 My_l=1.23 Mz_l=-0.01
Taglio nei bulloni: Fv,Ed=1.74 Fv,Rd=7720.78
Rifollamento lato piastra: Fb,Ed,p=1.74 Fb,Rd,p=6016.45
Tirafondi:LT=0.45 (0.31) σ_{cR}=0.00 σ_{fR}=0.00
Compressione nel calcestruzzo: σ_c=8.00
CC 23 SLV (Collegamento 0024_-381)
Azioni sul collegamento: N=-3838.16 Ty=4.12 Tz=-9.35 Mx=-0.01 Mz=-1.95
Sollecitazioni agenti localmente: Tx_l=4.12 Ty_l=-9.35 N_l=-3838.16 Mx_l=-0.00 My_l=-1.95 Mz_l=-0.01
Taglio nei bulloni: Fv,Ed=1.72 Fv,Rd=7720.78
Rifollamento lato piastra: Fb,Ed,p=1.72 Fb,Rd,p=7767.31
Tirafondi:LT=0.45 (0.31) σ_{cR}=0.00 σ_{fR}=0.00
Compressione nel calcestruzzo: σ_c=8.04
CC 23 SLV (Collegamento 0024_-381)
Azioni sul collegamento: N=-3838.16 Ty=0.76 Tz=-9.35 Mx=-0.01 Mz=1.23
Sollecitazioni agenti localmente: Tx_l=0.76 Ty_l=-9.35 N_l=-3838.16 Mx_l=-0.00 My_l=1.23 Mz_l=-0.01
Taglio nei bulloni: Fv,Ed=1.58 Fv,Rd=7720.78
Rifollamento lato piastra: Fb,Ed,p=1.58 Fb,Rd,p=6050.46
Tirafondi:LT=0.45 (0.31) σ_{cR}=0.00 σ_{fR}=0.00
Compressione nel calcestruzzo: σ_c=8.00
CC 24 SLD (Collegamento 0024_-381)
Azioni sul collegamento: N=-7319.25 Ty=2.77 Tz=3.62 Mx=-0.01 Mz=1.24
Sollecitazioni agenti localmente: Tx_l=2.77 Ty_l=3.62 N_l=-7319.25 Mx_l=-0.00 My_l=1.24 Mz_l=-0.01
Taglio nei bulloni: Fv,Ed=0.77 Fv,Rd=9650.97
Rifollamento lato piastra: Fb,Ed,p=0.76 Fb,Rd,p=13258.90
Tirafondi:LT=0.45 (0.31) σ_{cR}=0.00 σ_{fR}=0.00
Compressione nel calcestruzzo: σ_c=15.19
CC 24 SLD (Collegamento 0024_-381)
Azioni sul collegamento: N=-7319.25 Ty=3.80 Tz=3.62 Mx=-0.01 Mz=2.21

Sollecitazioni agenti localmente: Tx_l=3.80 Ty_l=3.62 N_l=-7319.25 Mx_l=-0.00 My_l=2.21 Mz_l=-0.01
Taglio nei bulloni: Fv,Ed=0.88 Fv,Rd=9650.97
Rifollamento lato piastra: Fb,Ed,p=0.88 Fb,Rd,p=14672.50
Tirafondi:LT=0.45 (0.31) σ_{cR}=0.00 σ_{fR}=0.00
Compressione nel calcestruzzo: σ_c=15.25
CC 24 SLD (Collegamento 0024_-381)
Azioni sul collegamento: N=-7319.25 Ty=2.77 Tz=-2.38 Mx=-0.01 Mz=1.24
Sollecitazioni agenti localmente: Tx_l=2.77 Ty_l=-2.38 N_l=-7319.25 Mx_l=-0.00 My_l=1.24 Mz_l=-0.01
Taglio nei bulloni: Fv,Ed=0.62 Fv,Rd=9650.97
Rifollamento lato piastra: Fb,Ed,p=0.61 Fb,Rd,p=13824.30
Tirafondi:LT=0.45 (0.31) σ_{cR}=0.00 σ_{fR}=0.00
Compressione nel calcestruzzo: σ_c=15.19
CC 24 SLD (Collegamento 0024_-381)
Azioni sul collegamento: N=-7319.25 Ty=3.80 Tz=-2.38 Mx=-0.01 Mz=2.21
Sollecitazioni agenti localmente: Tx_l=3.80 Ty_l=-2.38 N_l=-7319.25 Mx_l=-0.00 My_l=2.21 Mz_l=-0.01
Taglio nei bulloni: Fv,Ed=0.76 Fv,Rd=9650.97
Rifollamento lato piastra: Fb,Ed,p=0.75 Fb,Rd,p=11710.80
Tirafondi:LT=0.45 (0.31) σ_{cR}=0.00 σ_{fR}=0.00
Compressione nel calcestruzzo: σ_c=15.25
CC 24 SLD (Collegamento 0024_-381)
Azioni sul collegamento: N=-5707.53 Ty=2.77 Tz=3.62 Mx=-0.01 Mz=1.24
Sollecitazioni agenti localmente: Tx_l=2.77 Ty_l=3.62 N_l=-5707.53 Mx_l=-0.00 My_l=1.24 Mz_l=-0.01
Taglio nei bulloni: Fv,Ed=0.77 Fv,Rd=9650.97
Rifollamento lato piastra: Fb,Ed,p=0.76 Fb,Rd,p=13259.00
Tirafondi:LT=0.45 (0.31) σ_{cR}=0.00 σ_{fR}=0.00
Compressione nel calcestruzzo: σ_c=11.86
CC 24 SLD (Collegamento 0024_-381)
Azioni sul collegamento: N=-5707.53 Ty=3.80 Tz=3.62 Mx=-0.01 Mz=2.21
Sollecitazioni agenti localmente: Tx_l=3.80 Ty_l=3.62 N_l=-5707.53 Mx_l=-0.00 My_l=2.21 Mz_l=-0.01
Taglio nei bulloni: Fv,Ed=0.88 Fv,Rd=9650.97
Rifollamento lato piastra: Fb,Ed,p=0.88 Fb,Rd,p=14672.50
Tirafondi:LT=0.45 (0.31) σ_{cR}=0.00 σ_{fR}=0.00
Compressione nel calcestruzzo: σ_c=11.92
CC 24 SLD (Collegamento 0024_-381)
Azioni sul collegamento: N=-5707.53 Ty=2.77 Tz=-2.38 Mx=-0.01 Mz=1.24
Sollecitazioni agenti localmente: Tx_l=2.77 Ty_l=-2.38 N_l=-5707.53 Mx_l=-0.00 My_l=1.24 Mz_l=-0.01
Taglio nei bulloni: Fv,Ed=0.62 Fv,Rd=9650.97
Rifollamento lato piastra: Fb,Ed,p=0.61 Fb,Rd,p=13824.10
Tirafondi:LT=0.45 (0.31) σ_{cR}=0.00 σ_{fR}=0.00
Compressione nel calcestruzzo: σ_c=11.86
CC 24 SLD (Collegamento 0024_-381)
Azioni sul collegamento: N=-5707.53 Ty=3.80 Tz=-2.38 Mx=-0.01 Mz=2.21
Sollecitazioni agenti localmente: Tx_l=3.80 Ty_l=-2.38 N_l=-5707.53 Mx_l=-0.00 My_l=2.21 Mz_l=-0.01
Taglio nei bulloni: Fv,Ed=0.76 Fv,Rd=9650.97
Rifollamento lato piastra: Fb,Ed,p=0.75 Fb,Rd,p=11710.50
Tirafondi:LT=0.45 (0.31) σ_{cR}=0.00 σ_{fR}=0.00
Compressione nel calcestruzzo: σ_c=11.92
CC 25 SLV (Collegamento 0024_-381)
Azioni sul collegamento: N=-5679.46 Ty=0.97 Tz=-2.66 Mx=-0.03 Mz=2.02
Sollecitazioni agenti localmente: Tx_l=0.97 Ty_l=-2.66 N_l=-5679.46 Mx_l=-0.00 My_l=2.02 Mz_l=-0.03
Taglio nei bulloni: Fv,Ed=0.51 Fv,Rd=7720.78
Rifollamento lato piastra: Fb,Ed,p=0.51 Fb,Rd,p=7445.83
Tirafondi:LT=0.45 (0.31) σ_{cR}=0.00 σ_{fR}=0.00
Compressione nel calcestruzzo: σ_c=11.85
CC 25 SLV (Collegamento 0024_-381)
Azioni sul collegamento: N=-5679.46 Ty=3.91 Tz=-2.66 Mx=-0.03 Mz=-2.74
Sollecitazioni agenti localmente: Tx_l=3.91 Ty_l=-2.66 N_l=-5679.46 Mx_l=-0.00 My_l=-2.74 Mz_l=-0.03
Taglio nei bulloni: Fv,Ed=0.83 Fv,Rd=7720.78
Rifollamento lato piastra: Fb,Ed,p=0.80 Fb,Rd,p=9373.59
Tirafondi:LT=0.45 (0.31) σ_{cR}=0.00 σ_{fR}=0.00
Compressione nel calcestruzzo: σ_c=11.89
CC 25 SLV (Collegamento 0024_-381)
Azioni sul collegamento: N=-5679.46 Ty=0.97 Tz=3.63 Mx=-0.03 Mz=2.02
Sollecitazioni agenti localmente: Tx_l=0.97 Ty_l=3.63 N_l=-5679.46 Mx_l=-0.00 My_l=2.02 Mz_l=-0.03
Taglio nei bulloni: Fv,Ed=0.66 Fv,Rd=7720.78
Rifollamento lato piastra: Fb,Ed,p=0.65 Fb,Rd,p=6378.14
Tirafondi:LT=0.45 (0.31) σ_{cR}=0.00 σ_{fR}=0.00
Compressione nel calcestruzzo: σ_c=11.85
CC 25 SLV (Collegamento 0024_-381)
Azioni sul collegamento: N=-5679.46 Ty=3.91 Tz=3.63 Mx=-0.03 Mz=-2.74
Sollecitazioni agenti localmente: Tx_l=3.91 Ty_l=3.63 N_l=-5679.46 Mx_l=-0.00 My_l=-2.74 Mz_l=-0.03
Taglio nei bulloni: Fv,Ed=0.93 Fv,Rd=7720.78
Rifollamento lato piastra: Fb,Ed,p=0.93 Fb,Rd,p=11623.00
Tirafondi:LT=0.45 (0.31) σ_{cR}=0.00 σ_{fR}=0.00
Compressione nel calcestruzzo: σ_c=11.89
CC 25 SLV (Collegamento 0024_-381)
Azioni sul collegamento: N=-7282.36 Ty=0.97 Tz=-2.66 Mx=-0.03 Mz=2.02
Sollecitazioni agenti localmente: Tx_l=0.97 Ty_l=-2.66 N_l=-7282.36 Mx_l=-0.00 My_l=2.02 Mz_l=-0.03
Taglio nei bulloni: Fv,Ed=0.51 Fv,Rd=7720.78
Rifollamento lato piastra: Fb,Ed,p=0.51 Fb,Rd,p=7445.66

Tirafondi:LT=0.45 (0.31) σ_{cR}=0.00 σ_{fR}=0.00
Compressione nel calcestruzzo: σ_c=15.16
CC 25 SLV (Collegamento 0024_-381)
Azioni sul collegamento: N=-7282.36 Ty=3.91 Tz=-2.66 Mx=-0.03 Mz=-2.74
Sollecitazioni agenti localmente: Tx_l=3.91 Ty_l=-2.66 N_l=-7282.36 Mx_l=-0.00 My_l=-2.74 Mz_l=-0.03
Taglio nei bulloni: Fv,Ed=0.83 Fv,Rd=7720.78
Rifollamento lato piastra: Fb,Ed,p=0.80 Fb,Rd,p=9374.04
Tirafondi:LT=0.45 (0.31) σ_{cR}=0.00 σ_{fR}=0.00
Compressione nel calcestruzzo: σ_c=15.20
CC 25 SLV (Collegamento 0024_-381)
Azioni sul collegamento: N=-7282.36 Ty=0.97 Tz=3.63 Mx=-0.03 Mz=2.02
Sollecitazioni agenti localmente: Tx_l=0.97 Ty_l=3.63 N_l=-7282.36 Mx_l=-0.00 My_l=2.02 Mz_l=-0.03
Taglio nei bulloni: Fv,Ed=0.66 Fv,Rd=7720.78
Rifollamento lato piastra: Fb,Ed,p=0.65 Fb,Rd,p=6378.11
Tirafondi:LT=0.45 (0.31) σ_{cR}=0.00 σ_{fR}=0.00
Compressione nel calcestruzzo: σ_c=15.16
CC 25 SLV (Collegamento 0024_-381)
Azioni sul collegamento: N=-7282.36 Ty=3.91 Tz=3.63 Mx=-0.03 Mz=-2.74
Sollecitazioni agenti localmente: Tx_l=3.91 Ty_l=3.63 N_l=-7282.36 Mx_l=-0.00 My_l=-2.74 Mz_l=-0.03
Taglio nei bulloni: Fv,Ed=0.93 Fv,Rd=7720.78
Rifollamento lato piastra: Fb,Ed,p=0.93 Fb,Rd,p=11623.20
Tirafondi:LT=0.45 (0.31) σ_{cR}=0.00 σ_{fR}=0.00
Compressione nel calcestruzzo: σ_c=15.20
CC 26 SLD (Collegamento 0024_-381)
Azioni sul collegamento: N=-6269.00 Ty=3.73 Tz=-0.34 Mx=-0.01 Mz=2.45
Sollecitazioni agenti localmente: Tx_l=3.73 Ty_l=-0.34 N_l=-6269.00 Mx_l=-0.00 My_l=2.45 Mz_l=-0.01
Taglio nei bulloni: Fv,Ed=0.64 Fv,Rd=9650.97
Rifollamento lato piastra: Fb,Ed,p=0.63 Fb,Rd,p=7532.95
Tirafondi:LT=0.45 (0.31) σ_{cR}=0.00 σ_{fR}=0.00
Compressione nel calcestruzzo: σ_c=13.09
CC 26 SLD (Collegamento 0024_-381)
Azioni sul collegamento: N=-6269.00 Ty=2.84 Tz=-0.34 Mx=-0.01 Mz=0.99
Sollecitazioni agenti localmente: Tx_l=2.84 Ty_l=-0.34 N_l=-6269.00 Mx_l=-0.00 My_l=0.99 Mz_l=-0.01
Taglio nei bulloni: Fv,Ed=0.49 Fv,Rd=9650.97
Rifollamento lato piastra: Fb,Ed,p=0.49 Fb,Rd,p=7574.90
Tirafondi:LT=0.45 (0.31) σ_{cR}=0.00 σ_{fR}=0.00
Compressione nel calcestruzzo: σ_c=13.01
CC 26 SLD (Collegamento 0024_-381)
Azioni sul collegamento: N=-6269.00 Ty=3.73 Tz=1.57 Mx=-0.01 Mz=2.45
Sollecitazioni agenti localmente: Tx_l=3.73 Ty_l=1.57 N_l=-6269.00 Mx_l=-0.00 My_l=2.45 Mz_l=-0.01
Taglio nei bulloni: Fv,Ed=0.69 Fv,Rd=9650.97
Rifollamento lato piastra: Fb,Ed,p=0.69 Fb,Rd,p=9572.98
Tirafondi:LT=0.45 (0.31) σ_{cR}=0.00 σ_{fR}=0.00
Compressione nel calcestruzzo: σ_c=13.09
CC 26 SLD (Collegamento 0024_-381)
Azioni sul collegamento: N=-6269.00 Ty=2.84 Tz=1.57 Mx=-0.01 Mz=0.99
Sollecitazioni agenti localmente: Tx_l=2.84 Ty_l=1.57 N_l=-6269.00 Mx_l=-0.00 My_l=0.99 Mz_l=-0.01
Taglio nei bulloni: Fv,Ed=0.56 Fv,Rd=9650.97
Rifollamento lato piastra: Fb,Ed,p=0.56 Fb,Rd,p=11095.20
Tirafondi:LT=0.45 (0.31) σ_{cR}=0.00 σ_{fR}=0.00
Compressione nel calcestruzzo: σ_c=13.01
CC 26 SLD (Collegamento 0024_-381)
Azioni sul collegamento: N=-6757.78 Ty=3.73 Tz=-0.34 Mx=-0.01 Mz=2.45
Sollecitazioni agenti localmente: Tx_l=3.73 Ty_l=-0.34 N_l=-6757.78 Mx_l=-0.00 My_l=2.45 Mz_l=-0.01
Taglio nei bulloni: Fv,Ed=0.64 Fv,Rd=9650.97
Rifollamento lato piastra: Fb,Ed,p=0.63 Fb,Rd,p=7532.87
Tirafondi:LT=0.45 (0.31) σ_{cR}=0.00 σ_{fR}=0.00
Compressione nel calcestruzzo: σ_c=14.10
CC 26 SLD (Collegamento 0024_-381)
Azioni sul collegamento: N=-6757.78 Ty=2.84 Tz=-0.34 Mx=-0.01 Mz=0.99
Sollecitazioni agenti localmente: Tx_l=2.84 Ty_l=-0.34 N_l=-6757.78 Mx_l=-0.00 My_l=0.99 Mz_l=-0.01
Taglio nei bulloni: Fv,Ed=0.49 Fv,Rd=9650.97
Rifollamento lato piastra: Fb,Ed,p=0.49 Fb,Rd,p=7574.77
Tirafondi:LT=0.45 (0.31) σ_{cR}=0.00 σ_{fR}=0.00
Compressione nel calcestruzzo: σ_c=14.02
CC 26 SLD (Collegamento 0024_-381)
Azioni sul collegamento: N=-6757.78 Ty=3.73 Tz=1.57 Mx=-0.01 Mz=2.45
Sollecitazioni agenti localmente: Tx_l=3.73 Ty_l=1.57 N_l=-6757.78 Mx_l=-0.00 My_l=2.45 Mz_l=-0.01
Taglio nei bulloni: Fv,Ed=0.69 Fv,Rd=9650.97
Rifollamento lato piastra: Fb,Ed,p=0.69 Fb,Rd,p=9572.94
Tirafondi:LT=0.45 (0.31) σ_{cR}=0.00 σ_{fR}=0.00
Compressione nel calcestruzzo: σ_c=14.10
CC 26 SLD (Collegamento 0024_-381)
Azioni sul collegamento: N=-6757.78 Ty=2.84 Tz=1.57 Mx=-0.01 Mz=0.99
Sollecitazioni agenti localmente: Tx_l=2.84 Ty_l=1.57 N_l=-6757.78 Mx_l=-0.00 My_l=0.99 Mz_l=-0.01
Taglio nei bulloni: Fv,Ed=0.56 Fv,Rd=9650.97
Rifollamento lato piastra: Fb,Ed,p=0.56 Fb,Rd,p=11095.20
Tirafondi:LT=0.45 (0.31) σ_{cR}=0.00 σ_{fR}=0.00
Compressione nel calcestruzzo: σ_c=14.02
CC 27 SLV (Collegamento 0024_-381)

Azioni sul collegamento: N=-7263.40 Ty=1.79 Tz=3.21 Mx=-0.02 Mz=1.45
Sollecitazioni agenti localmente: Tx_l=1.79 Ty_l=3.21 N_l=-7263.40 Mx_l=-0.00 My_l=1.45 Mz_l=-0.02
Taglio nei bulloni: Fv,Ed=0.65 Fv,Rd=7720.78
Rifollamento lato piastra: Fb,Ed,p=0.62 Fb,Rd,p=8089.83
Tirafondi:LT=0.45 (0.31) σ_{cR}=0.00 σ_{fR}=0.00
Compressione nel calcestruzzo: σ_c=15.09
CC 27 SLV (Collegamento 0024_-381)
Azioni sul collegamento: N=-7263.40 Ty=3.09 Tz=3.21 Mx=-0.02 Mz=-2.17
Sollecitazioni agenti localmente: Tx_l=3.09 Ty_l=3.21 N_l=-7263.40 Mx_l=-0.00 My_l=-2.17 Mz_l=-0.02
Taglio nei bulloni: Fv,Ed=0.78 Fv,Rd=7720.78
Rifollamento lato piastra: Fb,Ed,p=0.74 Fb,Rd,p=11259.40
Tirafondi:LT=0.45 (0.31) σ_{cR}=0.00 σ_{fR}=0.00
Compressione nel calcestruzzo: σ_c=15.13
CC 27 SLV (Collegamento 0024_-381)
Azioni sul collegamento: N=-7263.40 Ty=1.79 Tz=-2.23 Mx=-0.02 Mz=1.45
Sollecitazioni agenti localmente: Tx_l=1.79 Ty_l=-2.23 N_l=-7263.40 Mx_l=-0.00 My_l=1.45 Mz_l=-0.02
Taglio nei bulloni: Fv,Ed=0.51 Fv,Rd=7720.78
Rifollamento lato piastra: Fb,Ed,p=0.51 Fb,Rd,p=10972.80
Tirafondi:LT=0.45 (0.31) σ_{cR}=0.00 σ_{fR}=0.00
Compressione nel calcestruzzo: σ_c=15.09
CC 27 SLV (Collegamento 0024_-381)
Azioni sul collegamento: N=-7263.40 Ty=3.09 Tz=-2.23 Mx=-0.02 Mz=-2.17
Sollecitazioni agenti localmente: Tx_l=3.09 Ty_l=-2.23 N_l=-7263.40 Mx_l=-0.00 My_l=-2.17 Mz_l=-0.02
Taglio nei bulloni: Fv,Ed=0.67 Fv,Rd=7720.78
Rifollamento lato piastra: Fb,Ed,p=0.64 Fb,Rd,p=9665.15
Tirafondi:LT=0.45 (0.31) σ_{cR}=0.00 σ_{fR}=0.00
Compressione nel calcestruzzo: σ_c=15.13
CC 27 SLV (Collegamento 0024_-381)
Azioni sul collegamento: N=-5698.42 Ty=1.79 Tz=3.21 Mx=-0.02 Mz=1.45
Sollecitazioni agenti localmente: Tx_l=1.79 Ty_l=3.21 N_l=-5698.42 Mx_l=-0.00 My_l=1.45 Mz_l=-0.02
Taglio nei bulloni: Fv,Ed=0.65 Fv,Rd=7720.78
Rifollamento lato piastra: Fb,Ed,p=0.62 Fb,Rd,p=8089.87
Tirafondi:LT=0.45 (0.31) σ_{cR}=0.00 σ_{fR}=0.00
Compressione nel calcestruzzo: σ_c=11.86
CC 27 SLV (Collegamento 0024_-381)
Azioni sul collegamento: N=-5698.42 Ty=3.09 Tz=3.21 Mx=-0.02 Mz=-2.17
Sollecitazioni agenti localmente: Tx_l=3.09 Ty_l=3.21 N_l=-5698.42 Mx_l=-0.00 My_l=-2.17 Mz_l=-0.02
Taglio nei bulloni: Fv,Ed=0.78 Fv,Rd=7720.78
Rifollamento lato piastra: Fb,Ed,p=0.74 Fb,Rd,p=11259.40
Tirafondi:LT=0.45 (0.31) σ_{cR}=0.00 σ_{fR}=0.00
Compressione nel calcestruzzo: σ_c=11.90
CC 27 SLV (Collegamento 0024_-381)
Azioni sul collegamento: N=-5698.42 Ty=1.79 Tz=-2.23 Mx=-0.02 Mz=1.45
Sollecitazioni agenti localmente: Tx_l=1.79 Ty_l=-2.23 N_l=-5698.42 Mx_l=-0.00 My_l=1.45 Mz_l=-0.02
Taglio nei bulloni: Fv,Ed=0.51 Fv,Rd=7720.78
Rifollamento lato piastra: Fb,Ed,p=0.51 Fb,Rd,p=10972.40
Tirafondi:LT=0.45 (0.31) σ_{cR}=0.00 σ_{fR}=0.00
Compressione nel calcestruzzo: σ_c=11.86
CC 27 SLV (Collegamento 0024_-381)
Azioni sul collegamento: N=-5698.42 Ty=3.09 Tz=-2.23 Mx=-0.02 Mz=-2.17
Sollecitazioni agenti localmente: Tx_l=3.09 Ty_l=-2.23 N_l=-5698.42 Mx_l=-0.00 My_l=-2.17 Mz_l=-0.02
Taglio nei bulloni: Fv,Ed=0.67 Fv,Rd=7720.78
Rifollamento lato piastra: Fb,Ed,p=0.64 Fb,Rd,p=9665.91
Tirafondi:LT=0.45 (0.31) σ_{cR}=0.00 σ_{fR}=0.00
Compressione nel calcestruzzo: σ_c=11.90
CC 28 SLD (Collegamento 0024_-381)
Azioni sul collegamento: N=-6752.00 Ty=3.48 Tz=1.44 Mx=-0.01 Mz=2.27
Sollecitazioni agenti localmente: Tx_l=3.48 Ty_l=1.44 N_l=-6752.00 Mx_l=-0.00 My_l=2.27 Mz_l=-0.01
Taglio nei bulloni: Fv,Ed=0.64 Fv,Rd=9650.97
Rifollamento lato piastra: Fb,Ed,p=0.64 Fb,Rd,p=9508.17
Tirafondi:LT=0.45 (0.31) σ_{cR}=0.00 σ_{fR}=0.00
Compressione nel calcestruzzo: σ_c=14.08
CC 28 SLD (Collegamento 0024_-381)
Azioni sul collegamento: N=-6752.00 Ty=3.09 Tz=1.44 Mx=-0.01 Mz=1.17
Sollecitazioni agenti localmente: Tx_l=3.09 Ty_l=1.44 N_l=-6752.00 Mx_l=-0.00 My_l=1.17 Mz_l=-0.01
Taglio nei bulloni: Fv,Ed=0.58 Fv,Rd=9650.97
Rifollamento lato piastra: Fb,Ed,p=0.58 Fb,Rd,p=10059.30
Tirafondi:LT=0.45 (0.31) σ_{cR}=0.00 σ_{fR}=0.00
Compressione nel calcestruzzo: σ_c=14.02
CC 28 SLD (Collegamento 0024_-381)
Azioni sul collegamento: N=-6752.00 Ty=3.48 Tz=-0.21 Mx=-0.01 Mz=2.27
Sollecitazioni agenti localmente: Tx_l=3.48 Ty_l=-0.21 N_l=-6752.00 Mx_l=-0.00 My_l=2.27 Mz_l=-0.01
Taglio nei bulloni: Fv,Ed=0.59 Fv,Rd=9650.97
Rifollamento lato piastra: Fb,Ed,p=0.59 Fb,Rd,p=7493.41
Tirafondi:LT=0.45 (0.31) σ_{cR}=0.00 σ_{fR}=0.00
Compressione nel calcestruzzo: σ_c=14.08
CC 28 SLD (Collegamento 0024_-381)
Azioni sul collegamento: N=-6752.00 Ty=3.09 Tz=-0.21 Mx=-0.01 Mz=1.17
Sollecitazioni agenti localmente: Tx_l=3.09 Ty_l=-0.21 N_l=-6752.00 Mx_l=-0.00 My_l=1.17 Mz_l=-0.01
Taglio nei bulloni: Fv,Ed=0.53 Fv,Rd=9650.97

Rifollamento lato piastra: Fb,Ed,p=0.53 Fb,Rd,p=7498.61
Tirafondi:LT=0.45 (0.31) σ_{cR}=0.00 σ_{fR}=0.00
Compressione nel calcestruzzo: σ_c=14.02
CC 28 SLD (Collegamento 0024_-381)
Azioni sul collegamento: N=-6274.78 Ty=3.48 Tz=1.44 Mx=-0.01 Mz=2.27
Sollecitazioni agenti localmente: Tx_l=3.48 Ty_l=1.44 N_l=-6274.78 Mx_l=-0.00 My_l=2.27 Mz_l=-0.01
Taglio nei bulloni: Fv,Ed=0.64 Fv,Rd=9650.97
Rifollamento lato piastra: Fb,Ed,p=0.64 Fb,Rd,p=9507.54
Tirafondi:LT=0.45 (0.31) σ_{cR}=0.00 σ_{fR}=0.00
Compressione nel calcestruzzo: σ_c=13.09
CC 28 SLD (Collegamento 0024_-381)
Azioni sul collegamento: N=-6274.78 Ty=3.09 Tz=1.44 Mx=-0.01 Mz=1.17
Sollecitazioni agenti localmente: Tx_l=3.09 Ty_l=1.44 N_l=-6274.78 Mx_l=-0.00 My_l=1.17 Mz_l=-0.01
Taglio nei bulloni: Fv,Ed=0.58 Fv,Rd=9650.97
Rifollamento lato piastra: Fb,Ed,p=0.58 Fb,Rd,p=10058.50
Tirafondi:LT=0.45 (0.31) σ_{cR}=0.00 σ_{fR}=0.00
Compressione nel calcestruzzo: σ_c=13.03
CC 28 SLD (Collegamento 0024_-381)
Azioni sul collegamento: N=-6274.78 Ty=3.48 Tz=-0.21 Mx=-0.01 Mz=2.27
Sollecitazioni agenti localmente: Tx_l=3.48 Ty_l=-0.21 N_l=-6274.78 Mx_l=-0.00 My_l=2.27 Mz_l=-0.01
Taglio nei bulloni: Fv,Ed=0.59 Fv,Rd=9650.97
Rifollamento lato piastra: Fb,Ed,p=0.59 Fb,Rd,p=7493.39
Tirafondi:LT=0.45 (0.31) σ_{cR}=0.00 σ_{fR}=0.00
Compressione nel calcestruzzo: σ_c=13.09
CC 28 SLD (Collegamento 0024_-381)
Azioni sul collegamento: N=-6274.78 Ty=3.09 Tz=-0.21 Mx=-0.01 Mz=1.17
Sollecitazioni agenti localmente: Tx_l=3.09 Ty_l=-0.21 N_l=-6274.78 Mx_l=-0.00 My_l=1.17 Mz_l=-0.01
Taglio nei bulloni: Fv,Ed=0.53 Fv,Rd=9650.97
Rifollamento lato piastra: Fb,Ed,p=0.53 Fb,Rd,p=7498.58
Tirafondi:LT=0.45 (0.31) σ_{cR}=0.00 σ_{fR}=0.00
Compressione nel calcestruzzo: σ_c=13.03
CC 29 SLV (Collegamento 0024_-381)
Azioni sul collegamento: N=-5698.42 Ty=3.09 Tz=-2.23 Mx=-0.01 Mz=-2.17
Sollecitazioni agenti localmente: Tx_l=3.09 Ty_l=-2.23 N_l=-5698.42 Mx_l=-0.00 My_l=-2.17 Mz_l=-0.01
Taglio nei bulloni: Fv,Ed=0.65 Fv,Rd=7720.78
Rifollamento lato piastra: Fb,Ed,p=0.64 Fb,Rd,p=10310.70
Tirafondi:LT=0.45 (0.31) σ_{cR}=0.00 σ_{fR}=0.00
Compressione nel calcestruzzo: σ_c=11.90
CC 29 SLV (Collegamento 0024_-381)
Azioni sul collegamento: N=-5698.42 Ty=1.79 Tz=-2.23 Mx=-0.01 Mz=1.45
Sollecitazioni agenti localmente: Tx_l=1.79 Ty_l=-2.23 N_l=-5698.42 Mx_l=-0.00 My_l=1.45 Mz_l=-0.01
Taglio nei bulloni: Fv,Ed=0.49 Fv,Rd=7720.78
Rifollamento lato piastra: Fb,Ed,p=0.49 Fb,Rd,p=10929.40
Tirafondi:LT=0.45 (0.31) σ_{cR}=0.00 σ_{fR}=0.00
Compressione nel calcestruzzo: σ_c=11.86
CC 29 SLV (Collegamento 0024_-381)
Azioni sul collegamento: N=-5698.42 Ty=3.09 Tz=3.21 Mx=-0.01 Mz=-2.17
Sollecitazioni agenti localmente: Tx_l=3.09 Ty_l=3.21 N_l=-5698.42 Mx_l=-0.00 My_l=-2.17 Mz_l=-0.01
Taglio nei bulloni: Fv,Ed=0.76 Fv,Rd=7720.78
Rifollamento lato piastra: Fb,Ed,p=0.74 Fb,Rd,p=11585.10
Tirafondi:LT=0.45 (0.31) σ_{cR}=0.00 σ_{fR}=0.00
Compressione nel calcestruzzo: σ_c=11.90
CC 29 SLV (Collegamento 0024_-381)
Azioni sul collegamento: N=-5698.42 Ty=1.79 Tz=3.21 Mx=-0.01 Mz=1.45
Sollecitazioni agenti localmente: Tx_l=1.79 Ty_l=3.21 N_l=-5698.42 Mx_l=-0.00 My_l=1.45 Mz_l=-0.01
Taglio nei bulloni: Fv,Ed=0.63 Fv,Rd=7720.78
Rifollamento lato piastra: Fb,Ed,p=0.62 Fb,Rd,p=8513.49
Tirafondi:LT=0.45 (0.31) σ_{cR}=0.00 σ_{fR}=0.00
Compressione nel calcestruzzo: σ_c=11.86
CC 29 SLV (Collegamento 0024_-381)
Azioni sul collegamento: N=-7263.40 Ty=3.09 Tz=-2.23 Mx=-0.01 Mz=-2.17
Sollecitazioni agenti localmente: Tx_l=3.09 Ty_l=-2.23 N_l=-7263.40 Mx_l=-0.00 My_l=-2.17 Mz_l=-0.01
Taglio nei bulloni: Fv,Ed=0.65 Fv,Rd=7720.78
Rifollamento lato piastra: Fb,Ed,p=0.64 Fb,Rd,p=10309.80
Tirafondi:LT=0.45 (0.31) σ_{cR}=0.00 σ_{fR}=0.00
Compressione nel calcestruzzo: σ_c=15.13
CC 29 SLV (Collegamento 0024_-381)
Azioni sul collegamento: N=-7263.40 Ty=1.79 Tz=-2.23 Mx=-0.01 Mz=1.45
Sollecitazioni agenti localmente: Tx_l=1.79 Ty_l=-2.23 N_l=-7263.40 Mx_l=-0.00 My_l=1.45 Mz_l=-0.01
Taglio nei bulloni: Fv,Ed=0.49 Fv,Rd=7720.78
Rifollamento lato piastra: Fb,Ed,p=0.49 Fb,Rd,p=10929.70
Tirafondi:LT=0.45 (0.31) σ_{cR}=0.00 σ_{fR}=0.00
Compressione nel calcestruzzo: σ_c=15.09
CC 29 SLV (Collegamento 0024_-381)
Azioni sul collegamento: N=-7263.40 Ty=3.09 Tz=3.21 Mx=-0.01 Mz=-2.17
Sollecitazioni agenti localmente: Tx_l=3.09 Ty_l=3.21 N_l=-7263.40 Mx_l=-0.00 My_l=-2.17 Mz_l=-0.01
Taglio nei bulloni: Fv,Ed=0.76 Fv,Rd=7720.78
Rifollamento lato piastra: Fb,Ed,p=0.74 Fb,Rd,p=11585.10
Tirafondi:LT=0.45 (0.31) σ_{cR}=0.00 σ_{fR}=0.00
Compressione nel calcestruzzo: σ_c=15.13

CC 29 SLV (Collegamento 0024_-381)
Azioni sul collegamento: N=-7263.40 Ty=1.79 Tz=3.21 Mx=-0.01 Mz=1.45
Sollecitazioni agenti localmente: Tx_l=1.79 Ty_l=3.21 N_l=-7263.40 Mx_l=-0.00 My_l=1.45 Mz_l=-0.01
Taglio nei bulloni: Fv,Ed=0.63 Fv,Rd=7720.78
Rifollamento lato piastra: Fb,Ed,p=0.62 Fb,Rd,p=8513.45
Tirafondi:LT=0.45 (0.31) σ_{cR}=0.00 σ_{fR}=0.00
Compressione nel calcestruzzo: σ_c=15.09
CC 30 SLD (Collegamento 0024_-381)
Azioni sul collegamento: N=-6274.78 Ty=3.09 Tz=-0.21 Mx=-0.01 Mz=1.17
Sollecitazioni agenti localmente: Tx_l=3.09 Ty_l=-0.21 N_l=-6274.78 Mx_l=-0.00 My_l=1.17 Mz_l=-0.01
Taglio nei bulloni: Fv,Ed=0.52 Fv,Rd=9650.97
Rifollamento lato piastra: Fb,Ed,p=0.52 Fb,Rd,p=7510.47
Tirafondi:LT=0.45 (0.31) σ_{cR}=0.00 σ_{fR}=0.00
Compressione nel calcestruzzo: σ_c=13.03
CC 30 SLD (Collegamento 0024_-381)
Azioni sul collegamento: N=-6274.78 Ty=3.48 Tz=-0.21 Mx=-0.01 Mz=2.27
Sollecitazioni agenti localmente: Tx_l=3.48 Ty_l=-0.21 N_l=-6274.78 Mx_l=-0.00 My_l=2.27 Mz_l=-0.01
Taglio nei bulloni: Fv,Ed=0.59 Fv,Rd=9650.97
Rifollamento lato piastra: Fb,Ed,p=0.59 Fb,Rd,p=7502.72
Tirafondi:LT=0.45 (0.31) σ_{cR}=0.00 σ_{fR}=0.00
Compressione nel calcestruzzo: σ_c=13.09
CC 30 SLD (Collegamento 0024_-381)
Azioni sul collegamento: N=-6274.78 Ty=3.09 Tz=1.44 Mx=-0.01 Mz=1.17
Sollecitazioni agenti localmente: Tx_l=3.09 Ty_l=1.44 N_l=-6274.78 Mx_l=-0.00 My_l=1.17 Mz_l=-0.01
Taglio nei bulloni: Fv,Ed=0.58 Fv,Rd=9650.97
Rifollamento lato piastra: Fb,Ed,p=0.58 Fb,Rd,p=10002.80
Tirafondi:LT=0.45 (0.31) σ_{cR}=0.00 σ_{fR}=0.00
Compressione nel calcestruzzo: σ_c=13.03
CC 30 SLD (Collegamento 0024_-381)
Azioni sul collegamento: N=-6274.78 Ty=3.48 Tz=1.44 Mx=-0.01 Mz=2.27
Sollecitazioni agenti localmente: Tx_l=3.48 Ty_l=1.44 N_l=-6274.78 Mx_l=-0.00 My_l=2.27 Mz_l=-0.01
Taglio nei bulloni: Fv,Ed=0.64 Fv,Rd=9650.97
Rifollamento lato piastra: Fb,Ed,p=0.64 Fb,Rd,p=9459.47
Tirafondi:LT=0.45 (0.31) σ_{cR}=0.00 σ_{fR}=0.00
Compressione nel calcestruzzo: σ_c=13.09
CC 30 SLD (Collegamento 0024_-381)
Azioni sul collegamento: N=-6752.00 Ty=3.09 Tz=-0.21 Mx=-0.01 Mz=1.17
Sollecitazioni agenti localmente: Tx_l=3.09 Ty_l=-0.21 N_l=-6752.00 Mx_l=-0.00 My_l=1.17 Mz_l=-0.01
Taglio nei bulloni: Fv,Ed=0.52 Fv,Rd=9650.97
Rifollamento lato piastra: Fb,Ed,p=0.52 Fb,Rd,p=7510.51
Tirafondi:LT=0.45 (0.31) σ_{cR}=0.00 σ_{fR}=0.00
Compressione nel calcestruzzo: σ_c=14.02
CC 30 SLD (Collegamento 0024_-381)
Azioni sul collegamento: N=-6752.00 Ty=3.48 Tz=-0.21 Mx=-0.01 Mz=2.27
Sollecitazioni agenti localmente: Tx_l=3.48 Ty_l=-0.21 N_l=-6752.00 Mx_l=-0.00 My_l=2.27 Mz_l=-0.01
Taglio nei bulloni: Fv,Ed=0.59 Fv,Rd=9650.97
Rifollamento lato piastra: Fb,Ed,p=0.59 Fb,Rd,p=7502.74
Tirafondi:LT=0.45 (0.31) σ_{cR}=0.00 σ_{fR}=0.00
Compressione nel calcestruzzo: σ_c=14.08
CC 30 SLD (Collegamento 0024_-381)
Azioni sul collegamento: N=-6752.00 Ty=3.09 Tz=1.44 Mx=-0.01 Mz=1.17
Sollecitazioni agenti localmente: Tx_l=3.09 Ty_l=1.44 N_l=-6752.00 Mx_l=-0.00 My_l=1.17 Mz_l=-0.01
Taglio nei bulloni: Fv,Ed=0.58 Fv,Rd=9650.97
Rifollamento lato piastra: Fb,Ed,p=0.58 Fb,Rd,p=10003.60
Tirafondi:LT=0.45 (0.31) σ_{cR}=0.00 σ_{fR}=0.00
Compressione nel calcestruzzo: σ_c=14.02
CC 30 SLD (Collegamento 0024_-381)
Azioni sul collegamento: N=-6752.00 Ty=3.48 Tz=1.44 Mx=-0.01 Mz=2.27
Sollecitazioni agenti localmente: Tx_l=3.48 Ty_l=1.44 N_l=-6752.00 Mx_l=-0.00 My_l=2.27 Mz_l=-0.01
Taglio nei bulloni: Fv,Ed=0.64 Fv,Rd=9650.97
Rifollamento lato piastra: Fb,Ed,p=0.64 Fb,Rd,p=9460.09
Tirafondi:LT=0.45 (0.31) σ_{cR}=0.00 σ_{fR}=0.00
Compressione nel calcestruzzo: σ_c=14.08
CC 31 SLV (Collegamento 0024_-381)
Azioni sul collegamento: N=-7282.36 Ty=3.91 Tz=3.63 Mx=-0.01 Mz=-2.74
Sollecitazioni agenti localmente: Tx_l=3.91 Ty_l=3.63 N_l=-7282.36 Mx_l=-0.00 My_l=-2.74 Mz_l=-0.01
Taglio nei bulloni: Fv,Ed=0.90 Fv,Rd=7720.78
Rifollamento lato piastra: Fb,Ed,p=0.90 Fb,Rd,p=11612.10
Tirafondi:LT=0.45 (0.31) σ_{cR}=0.00 σ_{fR}=0.00
Compressione nel calcestruzzo: σ_c=15.20
CC 31 SLV (Collegamento 0024_-381)
Azioni sul collegamento: N=-7282.36 Ty=0.97 Tz=3.63 Mx=-0.01 Mz=2.02
Sollecitazioni agenti localmente: Tx_l=0.97 Ty_l=3.63 N_l=-7282.36 Mx_l=-0.00 My_l=2.02 Mz_l=-0.01
Taglio nei bulloni: Fv,Ed=0.64 Fv,Rd=7720.78
Rifollamento lato piastra: Fb,Ed,p=0.63 Fb,Rd,p=6531.31
Tirafondi:LT=0.45 (0.31) σ_{cR}=0.00 σ_{fR}=0.00
Compressione nel calcestruzzo: σ_c=15.16
CC 31 SLV (Collegamento 0024_-381)
Azioni sul collegamento: N=-7282.36 Ty=3.91 Tz=-2.66 Mx=-0.01 Mz=-2.74
Sollecitazioni agenti localmente: Tx_l=3.91 Ty_l=-2.66 N_l=-7282.36 Mx_l=-0.00 My_l=-2.74 Mz_l=-0.01

Taglio nei bulloni: Fv,Ed=0.80 Fv,Rd=7720.78
Rifollamento lato piastra: Fb,Ed,p=0.79 Fb,Rd,p=9917.86
Tirafondi:LT=0.45 (0.31) σ_{cR}=0.00 σ_{fR}=0.00
Compressione nel calcestruzzo: σ_c=15.20
CC 31 SLV (Collegamento 0024_-381)
Azioni sul collegamento: N=-7282.36 Ty=0.97 Tz=-2.66 Mx=-0.01 Mz=2.02
Sollecitazioni agenti localmente: Tx_l=0.97 Ty_l=-2.66 N_l=-7282.36 Mx_l=-0.00 My_l=2.02 Mz_l=-0.01
Taglio nei bulloni: Fv,Ed=0.48 Fv,Rd=7720.78
Rifollamento lato piastra: Fb,Ed,p=0.48 Fb,Rd,p=7269.06
Tirafondi:LT=0.45 (0.31) σ_{cR}=0.00 σ_{fR}=0.00
Compressione nel calcestruzzo: σ_c=15.16
CC 31 SLV (Collegamento 0024_-381)
Azioni sul collegamento: N=-5679.46 Ty=3.91 Tz=3.63 Mx=-0.01 Mz=-2.74
Sollecitazioni agenti localmente: Tx_l=3.91 Ty_l=3.63 N_l=-5679.46 Mx_l=-0.00 My_l=-2.74 Mz_l=-0.01
Taglio nei bulloni: Fv,Ed=0.90 Fv,Rd=7720.78
Rifollamento lato piastra: Fb,Ed,p=0.90 Fb,Rd,p=11611.90
Tirafondi:LT=0.45 (0.31) σ_{cR}=0.00 σ_{fR}=0.00
Compressione nel calcestruzzo: σ_c=11.89
CC 31 SLV (Collegamento 0024_-381)
Azioni sul collegamento: N=-5679.46 Ty=0.97 Tz=3.63 Mx=-0.01 Mz=2.02
Sollecitazioni agenti localmente: Tx_l=0.97 Ty_l=3.63 N_l=-5679.46 Mx_l=-0.00 My_l=2.02 Mz_l=-0.01
Taglio nei bulloni: Fv,Ed=0.64 Fv,Rd=7720.78
Rifollamento lato piastra: Fb,Ed,p=0.63 Fb,Rd,p=6531.36
Tirafondi:LT=0.45 (0.31) σ_{cR}=0.00 σ_{fR}=0.00
Compressione nel calcestruzzo: σ_c=11.85
CC 31 SLV (Collegamento 0024_-381)
Azioni sul collegamento: N=-5679.46 Ty=3.91 Tz=-2.66 Mx=-0.01 Mz=-2.74
Sollecitazioni agenti localmente: Tx_l=3.91 Ty_l=-2.66 N_l=-5679.46 Mx_l=-0.00 My_l=-2.74 Mz_l=-0.01
Taglio nei bulloni: Fv,Ed=0.80 Fv,Rd=7720.78
Rifollamento lato piastra: Fb,Ed,p=0.79 Fb,Rd,p=9917.35
Tirafondi:LT=0.45 (0.31) σ_{cR}=0.00 σ_{fR}=0.00
Compressione nel calcestruzzo: σ_c=11.89
CC 31 SLV (Collegamento 0024_-381)
Azioni sul collegamento: N=-5679.46 Ty=0.97 Tz=-2.66 Mx=-0.01 Mz=2.02
Sollecitazioni agenti localmente: Tx_l=0.97 Ty_l=-2.66 N_l=-5679.46 Mx_l=-0.00 My_l=2.02 Mz_l=-0.01
Taglio nei bulloni: Fv,Ed=0.48 Fv,Rd=7720.78
Rifollamento lato piastra: Fb,Ed,p=0.48 Fb,Rd,p=7269.21
Tirafondi:LT=0.45 (0.31) σ_{cR}=0.00 σ_{fR}=0.00
Compressione nel calcestruzzo: σ_c=11.85
CC 32 SLD (Collegamento 0024_-381)
Azioni sul collegamento: N=-6757.78 Ty=2.84 Tz=1.57 Mx=-0.00 Mz=0.99
Sollecitazioni agenti localmente: Tx_l=2.84 Ty_l=1.57 N_l=-6757.78 Mx_l=-0.00 My_l=0.99 Mz_l=-0.00
Taglio nei bulloni: Fv,Ed=0.55 Fv,Rd=9650.97
Rifollamento lato piastra: Fb,Ed,p=0.55 Fb,Rd,p=11027.20
Tirafondi:LT=0.45 (0.31) σ_{cR}=0.00 σ_{fR}=0.00
Compressione nel calcestruzzo: σ_c=14.02
CC 32 SLD (Collegamento 0024_-381)
Azioni sul collegamento: N=-6757.78 Ty=3.73 Tz=1.57 Mx=-0.00 Mz=2.45
Sollecitazioni agenti localmente: Tx_l=3.73 Ty_l=1.57 N_l=-6757.78 Mx_l=-0.00 My_l=2.45 Mz_l=-0.00
Taglio nei bulloni: Fv,Ed=0.68 Fv,Rd=9650.97
Rifollamento lato piastra: Fb,Ed,p=0.68 Fb,Rd,p=9522.02
Tirafondi:LT=0.45 (0.31) σ_{cR}=0.00 σ_{fR}=0.00
Compressione nel calcestruzzo: σ_c=14.10
CC 32 SLD (Collegamento 0024_-381)
Azioni sul collegamento: N=-6757.78 Ty=2.84 Tz=-0.34 Mx=-0.00 Mz=0.99
Sollecitazioni agenti localmente: Tx_l=2.84 Ty_l=-0.34 N_l=-6757.78 Mx_l=-0.00 My_l=0.99 Mz_l=-0.00
Taglio nei bulloni: Fv,Ed=0.48 Fv,Rd=9650.97
Rifollamento lato piastra: Fb,Ed,p=0.48 Fb,Rd,p=7604.60
Tirafondi:LT=0.45 (0.31) σ_{cR}=0.00 σ_{fR}=0.00
Compressione nel calcestruzzo: σ_c=14.02
CC 32 SLD (Collegamento 0024_-381)
Azioni sul collegamento: N=-6757.78 Ty=3.73 Tz=-0.34 Mx=-0.00 Mz=2.45
Sollecitazioni agenti localmente: Tx_l=3.73 Ty_l=-0.34 N_l=-6757.78 Mx_l=-0.00 My_l=2.45 Mz_l=-0.00
Taglio nei bulloni: Fv,Ed=0.63 Fv,Rd=9650.97
Rifollamento lato piastra: Fb,Ed,p=0.63 Fb,Rd,p=7549.86
Tirafondi:LT=0.45 (0.31) σ_{cR}=0.00 σ_{fR}=0.00
Compressione nel calcestruzzo: σ_c=14.10
CC 32 SLD (Collegamento 0024_-381)
Azioni sul collegamento: N=-6269.00 Ty=2.84 Tz=1.57 Mx=-0.00 Mz=0.99
Sollecitazioni agenti localmente: Tx_l=2.84 Ty_l=1.57 N_l=-6269.00 Mx_l=-0.00 My_l=0.99 Mz_l=-0.00
Taglio nei bulloni: Fv,Ed=0.55 Fv,Rd=9650.97
Rifollamento lato piastra: Fb,Ed,p=0.55 Fb,Rd,p=11027.20
Tirafondi:LT=0.45 (0.31) σ_{cR}=0.00 σ_{fR}=0.00
Compressione nel calcestruzzo: σ_c=13.01
CC 32 SLD (Collegamento 0024_-381)
Azioni sul collegamento: N=-6269.00 Ty=3.73 Tz=1.57 Mx=-0.00 Mz=2.45
Sollecitazioni agenti localmente: Tx_l=3.73 Ty_l=1.57 N_l=-6269.00 Mx_l=-0.00 My_l=2.45 Mz_l=-0.00
Taglio nei bulloni: Fv,Ed=0.68 Fv,Rd=9650.97
Rifollamento lato piastra: Fb,Ed,p=0.68 Fb,Rd,p=9522.05
Tirafondi:LT=0.45 (0.31) σ_{cR}=0.00 σ_{fR}=0.00

Compressione nel calcestruzzo: σ_c=13.09
CC 32 SLD (Collegamento 0024_-381)
Azioni sul collegamento: N=-6269.00 Ty=2.84 Tz=-0.34 Mx=-0.00 Mz=0.99
Sollecitazioni agenti localmente: Tx_l=2.84 Ty_l=-0.34 N_l=-6269.00 Mx_l=-0.00 My_l=0.99 Mz_l=-0.00
Taglio nei bulloni: Fv,Ed=0.48 Fv,Rd=9650.97
Rifollamento lato piastra: Fb,Ed,p=0.48 Fb,Rd,p=7604.76
Tirafondi:LT=0.45 (0.31) σ_{cR}=0.00 σ_{fR}=0.00
Compressione nel calcestruzzo: σ_c=13.01
CC 32 SLD (Collegamento 0024_-381)
Azioni sul collegamento: N=-6269.00 Ty=3.73 Tz=-0.34 Mx=-0.00 Mz=2.45
Sollecitazioni agenti localmente: Tx_l=3.73 Ty_l=-0.34 N_l=-6269.00 Mx_l=-0.00 My_l=2.45 Mz_l=-0.00
Taglio nei bulloni: Fv,Ed=0.63 Fv,Rd=9650.97
Rifollamento lato piastra: Fb,Ed,p=0.63 Fb,Rd,p=7549.95
Tirafondi:LT=0.45 (0.31) σ_{cR}=0.00 σ_{fR}=0.00
Compressione nel calcestruzzo: σ_c=13.09
CC 33 SLU (Collegamento 0024_-381)
Azioni sul collegamento: N=-30229.20 Ty=5.39 Tz=79.58 Mx=-0.01 Mz=3.85
Sollecitazioni agenti localmente: Tx_l=5.39 Ty_l=79.58 N_l=-30229.20 Mx_l=-0.00 My_l=3.85 Mz_l=-0.01
Taglio nei bulloni: Fv,Ed=13.30 Fv,Rd=7720.78
Rifollamento lato piastra: Fb,Ed,p=13.30 Fb,Rd,p=6019.16
Tirafondi:LT=0.45 (0.31) σ_{cR}=0.00 σ_{fR}=0.00
Compressione nel calcestruzzo: σ_c=62.67
CC 34 SLU (Collegamento 0024_-381)
Azioni sul collegamento: N=-30778.60 Ty=5.67 Tz=81.62 Mx=-0.01 Mz=4.05
Sollecitazioni agenti localmente: Tx_l=5.67 Ty_l=81.62 N_l=-30778.60 Mx_l=-0.00 My_l=4.05 Mz_l=-0.01
Taglio nei bulloni: Fv,Ed=13.64 Fv,Rd=7720.78
Rifollamento lato piastra: Fb,Ed,p=13.64 Fb,Rd,p=6021.31
Tirafondi:LT=0.45 (0.31) σ_{cR}=0.00 σ_{fR}=0.00
Compressione nel calcestruzzo: σ_c=63.82
CC 35 SLU (Collegamento 0024_-381)
Azioni sul collegamento: N=-30504.90 Ty=5.64 Tz=80.58 Mx=-0.01 Mz=4.16
Sollecitazioni agenti localmente: Tx_l=5.64 Ty_l=80.58 N_l=-30504.90 Mx_l=-0.00 My_l=4.16 Mz_l=-0.01
Taglio nei bulloni: Fv,Ed=13.47 Fv,Rd=7720.78
Rifollamento lato piastra: Fb,Ed,p=13.47 Fb,Rd,p=6021.83
Tirafondi:LT=0.45 (0.31) σ_{cR}=0.00 σ_{fR}=0.00
Compressione nel calcestruzzo: σ_c=63.26
CC 36 SLU (Collegamento 0024_-381)
Azioni sul collegamento: N=-30502.90 Ty=5.42 Tz=80.62 Mx=-0.01 Mz=3.73
Sollecitazioni agenti localmente: Tx_l=5.42 Ty_l=80.62 N_l=-30502.90 Mx_l=-0.00 My_l=3.73 Mz_l=-0.01
Taglio nei bulloni: Fv,Ed=13.47 Fv,Rd=7720.78
Rifollamento lato piastra: Fb,Ed,p=13.47 Fb,Rd,p=6018.68
Tirafondi:LT=0.45 (0.31) σ_{cR}=0.00 σ_{fR}=0.00
Compressione nel calcestruzzo: σ_c=63.23
CC 37 SLU (Collegamento 0024_-381)
Azioni sul collegamento: N=-32152.70 Ty=5.24 Tz=86.01 Mx=0.00 Mz=3.86
Sollecitazioni agenti localmente: Tx_l=5.24 Ty_l=86.01 N_l=-32152.70 Mx_l=-0.00 My_l=3.86 Mz_l=0.00
Taglio nei bulloni: Fv,Ed=14.36 Fv,Rd=7720.78
Rifollamento lato piastra: Fb,Ed,p=14.36 Fb,Rd,p=6012.39
Tirafondi:LT=0.45 (0.31) σ_{cR}=0.00 σ_{fR}=0.00
Compressione nel calcestruzzo: σ_c=66.65
CC 38 SLU (Collegamento 0024_-381)
Azioni sul collegamento: N=-32702.10 Ty=5.53 Tz=88.04 Mx=0.00 Mz=4.06
Sollecitazioni agenti localmente: Tx_l=5.53 Ty_l=88.04 N_l=-32702.10 Mx_l=-0.00 My_l=4.06 Mz_l=0.00
Taglio nei bulloni: Fv,Ed=14.71 Fv,Rd=7720.78
Rifollamento lato piastra: Fb,Ed,p=14.71 Fb,Rd,p=6014.37
Tirafondi:LT=0.45 (0.31) σ_{cR}=0.00 σ_{fR}=0.00
Compressione nel calcestruzzo: σ_c=67.80
CC 39 SLU (Collegamento 0024_-381)
Azioni sul collegamento: N=-32428.40 Ty=5.50 Tz=87.00 Mx=0.00 Mz=4.18
Sollecitazioni agenti localmente: Tx_l=5.50 Ty_l=87.00 N_l=-32428.40 Mx_l=-0.00 My_l=4.18 Mz_l=0.00
Taglio nei bulloni: Fv,Ed=14.53 Fv,Rd=7720.78
Rifollamento lato piastra: Fb,Ed,p=14.53 Fb,Rd,p=6014.74
Tirafondi:LT=0.45 (0.31) σ_{cR}=0.00 σ_{fR}=0.00
Compressione nel calcestruzzo: σ_c=67.24
CC 40 SLU (Collegamento 0024_-381)
Azioni sul collegamento: N=-32426.40 Ty=5.28 Tz=87.05 Mx=0.00 Mz=3.74
Sollecitazioni agenti localmente: Tx_l=5.28 Ty_l=87.05 N_l=-32426.40 Mx_l=-0.00 My_l=3.74 Mz_l=0.00
Taglio nei bulloni: Fv,Ed=14.54 Fv,Rd=7720.78
Rifollamento lato piastra: Fb,Ed,p=14.54 Fb,Rd,p=6012.06
Tirafondi:LT=0.45 (0.31) σ_{cR}=0.00 σ_{fR}=0.00
Compressione nel calcestruzzo: σ_c=67.21
CC 41 SLU (Collegamento 0024_-381)
Azioni sul collegamento: N=-20958.20 Ty=6.23 Tz=45.50 Mx=-0.01 Mz=4.43
Sollecitazioni agenti localmente: Tx_l=6.23 Ty_l=45.50 N_l=-20958.20 Mx_l=-0.00 My_l=4.43 Mz_l=-0.01
Taglio nei bulloni: Fv,Ed=7.66 Fv,Rd=7720.78
Rifollamento lato piastra: Fb,Ed,p=7.66 Fb,Rd,p=6143.22
Tirafondi:LT=0.45 (0.31) σ_{cR}=0.00 σ_{fR}=0.00
Compressione nel calcestruzzo: σ_c=43.55
CC 42 SLU (Collegamento 0024_-381)
Azioni sul collegamento: N=-21507.60 Ty=6.52 Tz=47.54 Mx=-0.01 Mz=4.63

Sollecitazioni agenti localmente: Tx_l=6.52 Ty_l=47.54 N_l=-21507.60 Mx_l=-0.00 My_l=4.63 Mz_l=-0.01
Taglio nei bulloni: Fv,Ed=8.01 Fv,Rd=7720.78
Rifollamento lato piastra: Fb,Ed,p=8.00 Fb,Rd,p=6143.51
Tirafondi:LT=0.45 (0.31) σ_{cR}=0.00 σ_{fR}=0.00
Compressione nel calcestruzzo: σ_c=44.70
CC 43 SLU (Collegamento 0024_-381)
Azioni sul collegamento: N=-21233.90 Ty=6.48 Tz=46.50 Mx=-0.01 Mz=4.75
Sollecitazioni agenti localmente: Tx_l=6.48 Ty_l=46.50 N_l=-21233.90 Mx_l=-0.00 My_l=4.75 Mz_l=-0.01
Taglio nei bulloni: Fv,Ed=7.83 Fv,Rd=7720.78
Rifollamento lato piastra: Fb,Ed,p=7.83 Fb,Rd,p=6148.94
Tirafondi:LT=0.45 (0.31) σ_{cR}=0.00 σ_{fR}=0.00
Compressione nel calcestruzzo: σ_c=44.14
CC 44 SLU (Collegamento 0024_-381)
Azioni sul collegamento: N=-21231.90 Ty=6.26 Tz=46.54 Mx=-0.01 Mz=4.31
Sollecitazioni agenti localmente: Tx_l=6.26 Ty_l=46.54 N_l=-21231.90 Mx_l=-0.00 My_l=4.31 Mz_l=-0.01
Taglio nei bulloni: Fv,Ed=7.83 Fv,Rd=7720.78
Rifollamento lato piastra: Fb,Ed,p=7.83 Fb,Rd,p=6137.89
Tirafondi:LT=0.45 (0.31) σ_{cR}=0.00 σ_{fR}=0.00
Compressione nel calcestruzzo: σ_c=44.11
CC 45 SLU (Collegamento 0024_-381)
Azioni sul collegamento: N=-23044.60 Ty=5.94 Tz=53.22 Mx=-0.01 Mz=4.28
Sollecitazioni agenti localmente: Tx_l=5.94 Ty_l=53.22 N_l=-23044.60 Mx_l=-0.00 My_l=4.28 Mz_l=-0.01
Taglio nei bulloni: Fv,Ed=8.93 Fv,Rd=7720.78
Rifollamento lato piastra: Fb,Ed,p=8.93 Fb,Rd,p=6088.00
Tirafondi:LT=0.45 (0.31) σ_{cR}=0.00 σ_{fR}=0.00
Compressione nel calcestruzzo: σ_c=47.85
CC 46 SLU (Collegamento 0024_-381)
Azioni sul collegamento: N=-23594.00 Ty=6.22 Tz=55.25 Mx=-0.01 Mz=4.49
Sollecitazioni agenti localmente: Tx_l=6.22 Ty_l=55.25 N_l=-23594.00 Mx_l=-0.00 My_l=4.49 Mz_l=-0.01
Taglio nei bulloni: Fv,Ed=9.28 Fv,Rd=7720.78
Rifollamento lato piastra: Fb,Ed,p=9.27 Fb,Rd,p=6090.04
Tirafondi:LT=0.45 (0.31) σ_{cR}=0.00 σ_{fR}=0.00
Compressione nel calcestruzzo: σ_c=49.00
CC 47 SLU (Collegamento 0024_-381)
Azioni sul collegamento: N=-23320.30 Ty=6.19 Tz=54.21 Mx=-0.01 Mz=4.60
Sollecitazioni agenti localmente: Tx_l=6.19 Ty_l=54.21 N_l=-23320.30 Mx_l=-0.00 My_l=4.60 Mz_l=-0.01
Taglio nei bulloni: Fv,Ed=9.10 Fv,Rd=7720.78
Rifollamento lato piastra: Fb,Ed,p=9.10 Fb,Rd,p=6092.93
Tirafondi:LT=0.45 (0.31) σ_{cR}=0.00 σ_{fR}=0.00
Compressione nel calcestruzzo: σ_c=48.44
CC 48 SLU (Collegamento 0024_-381)
Azioni sul collegamento: N=-23318.30 Ty=5.97 Tz=54.26 Mx=-0.01 Mz=4.17
Sollecitazioni agenti localmente: Tx_l=5.97 Ty_l=54.26 N_l=-23318.30 Mx_l=-0.00 My_l=4.17 Mz_l=-0.01
Taglio nei bulloni: Fv,Ed=9.10 Fv,Rd=7720.78
Rifollamento lato piastra: Fb,Ed,p=9.10 Fb,Rd,p=6085.22
Tirafondi:LT=0.45 (0.31) σ_{cR}=0.00 σ_{fR}=0.00
Compressione nel calcestruzzo: σ_c=48.41
CC 49 SLU (Collegamento 0024_-381)
Azioni sul collegamento: N=-24483.70 Ty=5.83 Tz=58.03 Mx=0.00 Mz=4.29
Sollecitazioni agenti localmente: Tx_l=5.83 Ty_l=58.03 N_l=-24483.70 Mx_l=-0.00 My_l=4.29 Mz_l=0.00
Taglio nei bulloni: Fv,Ed=9.72 Fv,Rd=7720.78
Rifollamento lato piastra: Fb,Ed,p=9.72 Fb,Rd,p=6068.96
Tirafondi:LT=0.45 (0.31) σ_{cR}=0.00 σ_{fR}=0.00
Compressione nel calcestruzzo: σ_c=50.83
CC 50 SLU (Collegamento 0024_-381)
Azioni sul collegamento: N=-25033.00 Ty=6.12 Tz=60.06 Mx=0.00 Mz=4.50
Sollecitazioni agenti localmente: Tx_l=6.12 Ty_l=60.06 N_l=-25033.00 Mx_l=-0.00 My_l=4.50 Mz_l=0.00
Taglio nei bulloni: Fv,Ed=10.06 Fv,Rd=7720.78
Rifollamento lato piastra: Fb,Ed,p=10.06 Fb,Rd,p=6071.30
Tirafondi:LT=0.45 (0.31) σ_{cR}=0.00 σ_{fR}=0.00
Compressione nel calcestruzzo: σ_c=51.97
CC 51 SLU (Collegamento 0024_-381)
Azioni sul collegamento: N=-24759.30 Ty=6.08 Tz=59.02 Mx=-0.00 Mz=4.61
Sollecitazioni agenti localmente: Tx_l=6.08 Ty_l=59.02 N_l=-24759.30 Mx_l=-0.00 My_l=4.61 Mz_l=-0.00
Taglio nei bulloni: Fv,Ed=9.89 Fv,Rd=7720.78
Rifollamento lato piastra: Fb,Ed,p=9.89 Fb,Rd,p=6073.41
Tirafondi:LT=0.45 (0.31) σ_{cR}=0.00 σ_{fR}=0.00
Compressione nel calcestruzzo: σ_c=51.42
CC 52 SLU (Collegamento 0024_-381)
Azioni sul collegamento: N=-24757.40 Ty=5.87 Tz=59.07 Mx=0.00 Mz=4.18
Sollecitazioni agenti localmente: Tx_l=5.87 Ty_l=59.07 N_l=-24757.40 Mx_l=-0.00 My_l=4.18 Mz_l=0.00
Taglio nei bulloni: Fv,Ed=9.89 Fv,Rd=7720.78
Rifollamento lato piastra: Fb,Ed,p=9.89 Fb,Rd,p=6066.92
Tirafondi:LT=0.45 (0.31) σ_{cR}=0.00 σ_{fR}=0.00
Compressione nel calcestruzzo: σ_c=51.39
CC 53 SLU (Collegamento 0024_-381)
Azioni sul collegamento: N=-16108.60 Ty=6.57 Tz=27.72 Mx=-0.01 Mz=4.72
Sollecitazioni agenti localmente: Tx_l=6.57 Ty_l=27.72 N_l=-16108.60 Mx_l=-0.00 My_l=4.72 Mz_l=-0.01
Taglio nei bulloni: Fv,Ed=4.76 Fv,Rd=7720.78
Rifollamento lato piastra: Fb,Ed,p=4.75 Fb,Rd,p=6471.62

Tirafondi:LT=0.45 (0.31) σ_{cR}=0.00 σ_{fR}=0.00
Compressione nel calcestruzzo: σ_c=33.55
CC 54 SLU (Collegamento 0024_-381)
Azioni sul collegamento: N=-16657.90 Ty=6.86 Tz=29.76 Mx=-0.01 Mz=4.92
Sollecitazioni agenti localmente: Tx_l=6.86 Ty_l=29.76 N_l=-16657.90 Mx_l=-0.00 My_l=4.92 Mz_l=-0.01
Taglio nei bulloni: Fv,Ed=5.10 Fv,Rd=7720.78
Rifollamento lato piastra: Fb,Ed,p=5.10 Fb,Rd,p=6444.30
Tirafondi:LT=0.45 (0.31) σ_{cR}=0.00 σ_{fR}=0.00
Compressione nel calcestruzzo: σ_c=34.69
CC 55 SLU (Collegamento 0024_-381)
Azioni sul collegamento: N=-16384.20 Ty=6.82 Tz=28.72 Mx=-0.01 Mz=5.04
Sollecitazioni agenti localmente: Tx_l=6.82 Ty_l=28.72 N_l=-16384.20 Mx_l=-0.00 My_l=5.04 Mz_l=-0.01
Taglio nei bulloni: Fv,Ed=4.93 Fv,Rd=7720.78
Rifollamento lato piastra: Fb,Ed,p=4.93 Fb,Rd,p=6473.06
Tirafondi:LT=0.45 (0.31) σ_{cR}=0.00 σ_{fR}=0.00
Compressione nel calcestruzzo: σ_c=34.14
CC 56 SLU (Collegamento 0024_-381)
Azioni sul collegamento: N=-16382.30 Ty=6.60 Tz=28.76 Mx=-0.01 Mz=4.60
Sollecitazioni agenti localmente: Tx_l=6.60 Ty_l=28.76 N_l=-16382.30 Mx_l=-0.00 My_l=4.60 Mz_l=-0.01
Taglio nei bulloni: Fv,Ed=4.93 Fv,Rd=7720.78
Rifollamento lato piastra: Fb,Ed,p=4.92 Fb,Rd,p=6441.97
Tirafondi:LT=0.45 (0.31) σ_{cR}=0.00 σ_{fR}=0.00
Compressione nel calcestruzzo: σ_c=34.11
CC 57 SLU (Collegamento 0024_-381)
Azioni sul collegamento: N=-23426.90 Ty=6.35 Tz=54.67 Mx=-0.01 Mz=4.58
Sollecitazioni agenti localmente: Tx_l=6.35 Ty_l=54.67 N_l=-23426.90 Mx_l=-0.00 My_l=4.58 Mz_l=-0.01
Taglio nei bulloni: Fv,Ed=9.18 Fv,Rd=7720.78
Rifollamento lato piastra: Fb,Ed,p=9.18 Fb,Rd,p=6097.21
Tirafondi:LT=0.45 (0.31) σ_{cR}=0.00 σ_{fR}=0.00
Compressione nel calcestruzzo: σ_c=48.66
CC 58 SLU (Collegamento 0024_-381)
Azioni sul collegamento: N=-23976.20 Ty=6.64 Tz=56.70 Mx=-0.01 Mz=4.78
Sollecitazioni agenti localmente: Tx_l=6.64 Ty_l=56.70 N_l=-23976.20 Mx_l=-0.00 My_l=4.78 Mz_l=-0.01
Taglio nei bulloni: Fv,Ed=9.52 Fv,Rd=7720.78
Rifollamento lato piastra: Fb,Ed,p=9.52 Fb,Rd,p=6098.94
Tirafondi:LT=0.45 (0.31) σ_{cR}=0.00 σ_{fR}=0.00
Compressione nel calcestruzzo: σ_c=49.81
CC 59 SLU (Collegamento 0024_-381)
Azioni sul collegamento: N=-23702.50 Ty=6.61 Tz=55.66 Mx=-0.01 Mz=4.90
Sollecitazioni agenti localmente: Tx_l=6.61 Ty_l=55.66 N_l=-23702.50 Mx_l=-0.00 My_l=4.90 Mz_l=-0.01
Taglio nei bulloni: Fv,Ed=9.35 Fv,Rd=7720.78
Rifollamento lato piastra: Fb,Ed,p=9.35 Fb,Rd,p=6102.04
Tirafondi:LT=0.45 (0.31) σ_{cR}=0.00 σ_{fR}=0.00
Compressione nel calcestruzzo: σ_c=49.25
CC 60 SLU (Collegamento 0024_-381)
Azioni sul collegamento: N=-23700.60 Ty=6.39 Tz=55.71 Mx=-0.01 Mz=4.46
Sollecitazioni agenti localmente: Tx_l=6.39 Ty_l=55.71 N_l=-23700.60 Mx_l=-0.00 My_l=4.46 Mz_l=-0.01
Taglio nei bulloni: Fv,Ed=9.35 Fv,Rd=7720.78
Rifollamento lato piastra: Fb,Ed,p=9.35 Fb,Rd,p=6094.22
Tirafondi:LT=0.45 (0.31) σ_{cR}=0.00 σ_{fR}=0.00
Compressione nel calcestruzzo: σ_c=49.22
CC 61 SLU (Collegamento 0024_-381)
Azioni sul collegamento: N=-24865.90 Ty=6.25 Tz=59.47 Mx=0.00 Mz=4.59
Sollecitazioni agenti localmente: Tx_l=6.25 Ty_l=59.47 N_l=-24865.90 Mx_l=-0.00 My_l=4.59 Mz_l=0.00
Taglio nei bulloni: Fv,Ed=9.97 Fv,Rd=7720.78
Rifollamento lato piastra: Fb,Ed,p=9.97 Fb,Rd,p=6077.14
Tirafondi:LT=0.45 (0.31) σ_{cR}=0.00 σ_{fR}=0.00
Compressione nel calcestruzzo: σ_c=51.63
CC 62 SLU (Collegamento 0024_-381)
Azioni sul collegamento: N=-25415.30 Ty=6.53 Tz=61.51 Mx=-0.00 Mz=4.79
Sollecitazioni agenti localmente: Tx_l=6.53 Ty_l=61.51 N_l=-25415.30 Mx_l=-0.00 My_l=4.79 Mz_l=-0.00
Taglio nei bulloni: Fv,Ed=10.31 Fv,Rd=7720.78
Rifollamento lato piastra: Fb,Ed,p=10.31 Fb,Rd,p=6079.24
Tirafondi:LT=0.45 (0.31) σ_{cR}=0.00 σ_{fR}=0.00
Compressione nel calcestruzzo: σ_c=52.78
CC 63 SLU (Collegamento 0024_-381)
Azioni sul collegamento: N=-25141.60 Ty=6.50 Tz=60.47 Mx=-0.00 Mz=4.91
Sollecitazioni agenti localmente: Tx_l=6.50 Ty_l=60.47 N_l=-25141.60 Mx_l=-0.00 My_l=4.91 Mz_l=-0.00
Taglio nei bulloni: Fv,Ed=10.14 Fv,Rd=7720.78
Rifollamento lato piastra: Fb,Ed,p=10.14 Fb,Rd,p=6081.52
Tirafondi:LT=0.45 (0.31) σ_{cR}=0.00 σ_{fR}=0.00
Compressione nel calcestruzzo: σ_c=52.22
CC 64 SLU (Collegamento 0024_-381)
Azioni sul collegamento: N=-25139.60 Ty=6.28 Tz=60.51 Mx=0.00 Mz=4.47
Sollecitazioni agenti localmente: Tx_l=6.28 Ty_l=60.51 N_l=-25139.60 Mx_l=-0.00 My_l=4.47 Mz_l=0.00
Taglio nei bulloni: Fv,Ed=10.14 Fv,Rd=7720.78
Rifollamento lato piastra: Fb,Ed,p=10.14 Fb,Rd,p=6074.92
Tirafondi:LT=0.45 (0.31) σ_{cR}=0.00 σ_{fR}=0.00
Compressione nel calcestruzzo: σ_c=52.19
CC 65 SLU (Collegamento 0024_-381)

Azioni sul collegamento: N=-16490.80 Ty=6.99 Tz=29.17 Mx=-0.01 Mz=5.02
Sollecitazioni agenti localmente: Tx_l=6.99 Ty_l=29.17 N_l=-16490.80 Mx_l=-0.00 My_l=5.02 Mz_l=-0.01
Taglio nei bulloni: Fv,Ed=5.01 Fv,Rd=7720.78
Rifollamento lato piastra: Fb,Ed,p=5.00 Fb,Rd,p=6481.85
Tirafondi:LT=0.45 (0.31) σ_{cR}=0.00 σ_{fR}=0.00
Compressione nel calcestruzzo: σ_c=34.35
CC 66 SLU (Collegamento 0024_-381)
Azioni sul collegamento: N=-17040.20 Ty=7.27 Tz=31.20 Mx=-0.01 Mz=5.22
Sollecitazioni agenti localmente: Tx_l=7.27 Ty_l=31.20 N_l=-17040.20 Mx_l=-0.00 My_l=5.22 Mz_l=-0.01
Taglio nei bulloni: Fv,Ed=5.35 Fv,Rd=7720.78
Rifollamento lato piastra: Fb,Ed,p=5.35 Fb,Rd,p=6454.85
Tirafondi:LT=0.45 (0.31) σ_{cR}=0.00 σ_{fR}=0.00
Compressione nel calcestruzzo: σ_c=35.50
CC 67 SLU (Collegamento 0024_-381)
Azioni sul collegamento: N=-16766.50 Ty=7.24 Tz=30.16 Mx=-0.01 Mz=5.34
Sollecitazioni agenti localmente: Tx_l=7.24 Ty_l=30.16 N_l=-16766.50 Mx_l=-0.00 My_l=5.34 Mz_l=-0.01
Taglio nei bulloni: Fv,Ed=5.18 Fv,Rd=7720.78
Rifollamento lato piastra: Fb,Ed,p=5.18 Fb,Rd,p=6482.90
Tirafondi:LT=0.45 (0.31) σ_{cR}=0.00 σ_{fR}=0.00
Compressione nel calcestruzzo: σ_c=34.94
CC 68 SLU (Collegamento 0024_-381)
Azioni sul collegamento: N=-16764.50 Ty=7.02 Tz=30.21 Mx=-0.01 Mz=4.90
Sollecitazioni agenti localmente: Tx_l=7.02 Ty_l=30.21 N_l=-16764.50 Mx_l=-0.00 My_l=4.90 Mz_l=-0.01
Taglio nei bulloni: Fv,Ed=5.18 Fv,Rd=7720.78
Rifollamento lato piastra: Fb,Ed,p=5.17 Fb,Rd,p=6452.96
Tirafondi:LT=0.45 (0.31) σ_{cR}=0.00 σ_{fR}=0.00
Compressione nel calcestruzzo: σ_c=34.91
CC 97 SLU (Collegamento 0024_-381)
Azioni sul collegamento: N=-10609.80 Ty=16.63 Tz=15.80 Mx=0.03 Mz=19.66
Sollecitazioni agenti localmente: Tx_l=16.63 Ty_l=15.80 N_l=-10609.80 Mx_l=-0.00 My_l=19.66 Mz_l=0.03
Taglio nei bulloni: Fv,Ed=3.87 Fv,Rd=7720.78
Rifollamento lato piastra: Fb,Ed,p=3.83 Fb,Rd,p=11592.50
Tirafondi:LT=0.45 (0.31) σ_{cR}=0.00 σ_{fR}=0.00
Compressione nel calcestruzzo: σ_c=23.03
CC 98 SLU (Collegamento 0024_-381)
Azioni sul collegamento: N=-11159.10 Ty=16.91 Tz=17.84 Mx=0.03 Mz=19.86
Sollecitazioni agenti localmente: Tx_l=16.91 Ty_l=17.84 N_l=-11159.10 Mx_l=-0.00 My_l=19.86 Mz_l=0.03
Taglio nei bulloni: Fv,Ed=4.14 Fv,Rd=7720.78
Rifollamento lato piastra: Fb,Ed,p=4.14 Fb,Rd,p=11715.30
Tirafondi:LT=0.45 (0.31) σ_{cR}=0.00 σ_{fR}=0.00
Compressione nel calcestruzzo: σ_c=24.18
CC 99 SLU (Collegamento 0024_-381)
Azioni sul collegamento: N=-10885.40 Ty=16.88 Tz=16.80 Mx=0.03 Mz=19.98
Sollecitazioni agenti localmente: Tx_l=16.88 Ty_l=16.80 N_l=-10885.40 Mx_l=-0.00 My_l=19.98 Mz_l=0.03
Taglio nei bulloni: Fv,Ed=4.01 Fv,Rd=7720.78
Rifollamento lato piastra: Fb,Ed,p=3.97 Fb,Rd,p=11857.70
Tirafondi:LT=0.45 (0.31) σ_{cR}=0.00 σ_{fR}=0.00
Compressione nel calcestruzzo: σ_c=23.62
CC 100 SLU (Collegamento 0024_-381)
Azioni sul collegamento: N=-10883.50 Ty=16.66 Tz=16.84 Mx=0.03 Mz=19.55
Sollecitazioni agenti localmente: Tx_l=16.66 Ty_l=16.84 N_l=-10883.50 Mx_l=-0.00 My_l=19.55 Mz_l=0.03
Taglio nei bulloni: Fv,Ed=4.00 Fv,Rd=7720.78
Rifollamento lato piastra: Fb,Ed,p=4.00 Fb,Rd,p=11955.10
Tirafondi:LT=0.45 (0.31) σ_{cR}=0.00 σ_{fR}=0.00
Compressione nel calcestruzzo: σ_c=23.59
CC 101 SLU (Collegamento 0024_-381)
Azioni sul collegamento: N=-6606.14 Ty=1.32 Tz=0.91 Mx=-0.01 Mz=0.13
Sollecitazioni agenti localmente: Tx_l=1.32 Ty_l=0.91 N_l=-6606.14 Mx_l=-0.00 My_l=0.13 Mz_l=-0.01
Taglio nei bulloni: Fv,Ed=0.28 Fv,Rd=7720.78
Rifollamento lato piastra: Fb,Ed,p=0.28 Fb,Rd,p=10354.90
Tirafondi:LT=0.45 (0.31) σ_{cR}=0.00 σ_{fR}=0.00
Compressione nel calcestruzzo: σ_c=13.66
CC 102 SLU (Collegamento 0024_-381)
Azioni sul collegamento: N=-7155.53 Ty=1.61 Tz=2.94 Mx=-0.01 Mz=0.33
Sollecitazioni agenti localmente: Tx_l=1.61 Ty_l=2.94 N_l=-7155.53 Mx_l=-0.00 My_l=0.33 Mz_l=-0.01
Taglio nei bulloni: Fv,Ed=0.57 Fv,Rd=7720.78
Rifollamento lato piastra: Fb,Ed,p=0.56 Fb,Rd,p=8413.08
Tirafondi:LT=0.45 (0.31) σ_{cR}=0.00 σ_{fR}=0.00
Compressione nel calcestruzzo: σ_c=14.80
CC 103 SLU (Collegamento 0024_-381)
Azioni sul collegamento: N=-6881.82 Ty=1.58 Tz=1.90 Mx=-0.01 Mz=0.45
Sollecitazioni agenti localmente: Tx_l=1.58 Ty_l=1.90 N_l=-6881.82 Mx_l=-0.00 My_l=0.45 Mz_l=-0.01
Taglio nei bulloni: Fv,Ed=0.43 Fv,Rd=7720.78
Rifollamento lato piastra: Fb,Ed,p=0.41 Fb,Rd,p=10746.50
Tirafondi:LT=0.45 (0.31) σ_{cR}=0.00 σ_{fR}=0.00
Compressione nel calcestruzzo: σ_c=14.24
CC 104 SLU (Collegamento 0024_-381)
Azioni sul collegamento: N=-6879.85 Ty=1.36 Tz=1.95 Mx=-0.01 Mz=0.01
Sollecitazioni agenti localmente: Tx_l=1.36 Ty_l=1.95 N_l=-6879.85 Mx_l=-0.00 My_l=0.01 Mz_l=-0.01
Taglio nei bulloni: Fv,Ed=0.41 Fv,Rd=7720.78

Rifollamento lato piastra: Fb,Ed,p=0.40 Fb,Rd,p=9910.27
Tirafondi:LT=0.45 (0.31) σ_{cR}=0.00 σ_{fR}=0.00
Compressione nel calcestruzzo: σ_c=14.22

Saldatura profilo-piastra

CC 1 SLV (Collegamento 0024_-381)
Azioni sul collegamento: N=-3931.62 Ty=6.55 Tz=-8.98 Mx=0.01 Mz=7.22
Sollecitazioni agenti localmente: Tx_l=6.55 Ty_l=-8.98 N_l=-3931.62 My_l=-7.22 Mz_l=0.01
Azioni sul cordone: TP=0.47 TO=-0.65 NO=-290.63
Tensioni nel cordone: τ_P=0.15 τ_0=0.21 σ_0=102.92 σ_{ID}=102.92 Σ_T=103.13
CC 1 SLV (Collegamento 0024_-381)
Azioni sul collegamento: N=-3931.62 Ty=3.19 Tz=-8.98 Mx=0.01 Mz=4.04
Sollecitazioni agenti localmente: Tx_l=3.19 Ty_l=-8.98 N_l=-3931.62 My_l=-4.04 Mz_l=0.01
Azioni sul cordone: TP=0.22 TO=-0.65 NO=-290.63
Tensioni nel cordone: τ_P= 0.07 τ_0=0.21 σ_0=98.27 σ_{ID}=98.28 Σ_T=98.48
CC 1 SLV (Collegamento 0024_-381)
Azioni sul collegamento: N=-3931.62 Ty=6.55 Tz=10.69 Mx=0.01 Mz=7.22
Sollecitazioni agenti localmente: Tx_l=6.55 Ty_l=10.69 N_l=-3931.62 My_l=-7.22 Mz_l=0.01
Azioni sul cordone: TP=0.47 TO=0.80 NO=-290.63
Tensioni nel cordone: τ_P=0.15 τ_0=0.25 σ_0=102.92 σ_{ID}=102.92 Σ_T=103.18
CC 1 SLV (Collegamento 0024_-381)
Azioni sul collegamento: N=-3931.62 Ty=3.19 Tz=10.69 Mx=0.01 Mz=4.04
Sollecitazioni agenti localmente: Tx_l=3.19 Ty_l=10.69 N_l=-3931.62 My_l=-4.04 Mz_l=0.01
Azioni sul cordone: TP=0.22 TO=0.80 NO=-290.63
Tensioni nel cordone: τ_P= 0.07 τ_0=0.25 σ_0=98.27 σ_{ID}=98.28 Σ_T=98.53
CC 1 SLV (Collegamento 0024_-381)
Azioni sul collegamento: N=-9217.12 Ty=6.55 Tz=-8.98 Mx=0.01 Mz=7.22
Sollecitazioni agenti localmente: Tx_l=6.55 Ty_l=-8.98 N_l=-9217.12 My_l=-7.22 Mz_l=0.01
Azioni sul cordone: TP=0.47 TO=-0.65 NO=-681.33
Tensioni nel cordone: τ_P=0.15 τ_0=0.21 σ_0=227.11 σ_{ID}=227.11 Σ_T=227.32
CC 1 SLV (Collegamento 0024_-381)
Azioni sul collegamento: N=-9217.12 Ty=3.19 Tz=-8.98 Mx=0.01 Mz=4.04
Sollecitazioni agenti localmente: Tx_l=3.19 Ty_l=-8.98 N_l=-9217.12 My_l=-4.04 Mz_l=0.01
Azioni sul cordone: TP=0.22 TO=-0.65 NO=-681.33
Tensioni nel cordone: τ_P= 0.07 τ_0=0.21 σ_0=222.46 σ_{ID}=222.46 Σ_T=222.67
CC 1 SLV (Collegamento 0024_-381)
Azioni sul collegamento: N=-9217.12 Ty=6.55 Tz=10.69 Mx=0.01 Mz=7.22
Sollecitazioni agenti localmente: Tx_l=6.55 Ty_l=10.69 N_l=-9217.12 My_l=-7.22 Mz_l=0.01
Azioni sul cordone: TP=0.47 TO=0.80 NO=-681.33
Tensioni nel cordone: τ_P=0.15 τ_0=0.25 σ_0=227.11 σ_{ID}=227.11 Σ_T=227.36
CC 1 SLV (Collegamento 0024_-381)
Azioni sul collegamento: N=-9217.12 Ty=3.19 Tz=10.69 Mx=0.01 Mz=4.04
Sollecitazioni agenti localmente: Tx_l=3.19 Ty_l=10.69 N_l=-9217.12 My_l=-4.04 Mz_l=0.01
Azioni sul cordone: TP=0.22 TO=0.80 NO=-681.33
Tensioni nel cordone: τ_P= 0.07 τ_0=0.25 σ_0=222.46 σ_{ID}=222.46 Σ_T=222.72
CC 2 SLD (Collegamento 0024_-381)
Azioni sul collegamento: N=-5736.03 Ty=4.54 Tz=-2.27 Mx=0.00 Mz=4.03
Sollecitazioni agenti localmente: Tx_l=4.54 Ty_l=-2.27 N_l=-5736.03 My_l=-4.03 Mz_l=0.00
Azioni sul cordone: TP=0.33 TO=-0.17 NO=-424.01
Tensioni nel cordone: τ_P=0.11 τ_0= 0.05 σ_0=140.66 σ_{ID}=140.66 Σ_T=140.72
CC 2 SLD (Collegamento 0024_-381)
Azioni sul collegamento: N=-5736.03 Ty=3.51 Tz=-2.27 Mx=0.00 Mz=3.06
Sollecitazioni agenti localmente: Tx_l=3.51 Ty_l=-2.27 N_l=-5736.03 My_l=-3.06 Mz_l=0.00
Azioni sul cordone: TP=0.26 TO=-0.17 NO=-424.01
Tensioni nel cordone: τ_P= 0.08 τ_0= 0.05 σ_0=139.25 σ_{ID}=139.25 Σ_T=139.30
CC 2 SLD (Collegamento 0024_-381)
Azioni sul collegamento: N=-5736.03 Ty=4.54 Tz=3.73 Mx=0.00 Mz=4.03
Sollecitazioni agenti localmente: Tx_l=4.54 Ty_l=3.73 N_l=-5736.03 My_l=-4.03 Mz_l=0.00
Azioni sul cordone: TP=0.33 TO=0.28 NO=-424.01
Tensioni nel cordone: τ_P=0.11 τ_0= 0.09 σ_0=140.66 σ_{ID}=140.66 Σ_T=140.75
CC 2 SLD (Collegamento 0024_-381)
Azioni sul collegamento: N=-5736.03 Ty=3.51 Tz=3.73 Mx=0.00 Mz=3.06
Sollecitazioni agenti localmente: Tx_l=3.51 Ty_l=3.73 N_l=-5736.03 My_l=-3.06 Mz_l=0.00
Azioni sul cordone: TP=0.26 TO=0.28 NO=-424.01
Tensioni nel cordone: τ_P= 0.08 τ_0= 0.09 σ_0=139.25 σ_{ID}=139.25 Σ_T=139.33
CC 2 SLD (Collegamento 0024_-381)
Azioni sul collegamento: N=-7347.75 Ty=4.54 Tz=-2.27 Mx=0.00 Mz=4.03
Sollecitazioni agenti localmente: Tx_l=4.54 Ty_l=-2.27 N_l=-7347.75 My_l=-4.03 Mz_l=0.00
Azioni sul cordone: TP=0.33 TO=-0.17 NO=-543.15
Tensioni nel cordone: τ_P=0.11 τ_0= 0.05 σ_0=178.53 σ_{ID}=178.53 Σ_T=178.58
CC 2 SLD (Collegamento 0024_-381)
Azioni sul collegamento: N=-7347.75 Ty=3.51 Tz=-2.27 Mx=0.00 Mz=3.06
Sollecitazioni agenti localmente: Tx_l=3.51 Ty_l=-2.27 N_l=-7347.75 My_l=-3.06 Mz_l=0.00
Azioni sul cordone: TP=0.26 TO=-0.17 NO=-543.15
Tensioni nel cordone: τ_P= 0.08 τ_0= 0.05 σ_0=177.11 σ_{ID}=177.11 Σ_T=177.17
CC 2 SLD (Collegamento 0024_-381)
Azioni sul collegamento: N=-7347.75 Ty=4.54 Tz=3.73 Mx=0.00 Mz=4.03
Sollecitazioni agenti localmente: Tx_l=4.54 Ty_l=3.73 N_l=-7347.75 My_l=-4.03 Mz_l=0.00
Azioni sul cordone: TP=0.33 TO=0.28 NO=-543.15
Tensioni nel cordone: τ_P=0.11 τ_0= 0.09 σ_0=178.53 σ_{ID}=178.53 Σ_T=178.62

CC 2 SLD (Collegamento 0024_-381)
Azioni sul collegamento: N=-7347.75 Ty=3.51 Tz=3.73 Mx=0.00 Mz=3.06
Sollecitazioni agenti localmente: Tx_l=3.51 Ty_l=3.73 N_l=-7347.75 My_l=-3.06 Mz_l=0.00
Azioni sul cordone: TP=0.26 TO=0.28 NO=-543.15
Tensioni nel cordone: τ_P= 0.08 τ_0= 0.09 σ_0=177.11 σ_{ID}=177.11 Σ_T=177.20
CC 3 SLV (Collegamento 0024_-381)
Azioni sul collegamento: N=-3937.31 Ty=5.92 Tz=-8.85 Mx=0.01 Mz=5.96
Sollecitazioni agenti localmente: Tx_l=5.92 Ty_l=-8.85 N_l=-3937.31 My_l=-5.96 Mz_l=0.01
Azioni sul cordone: TP=0.43 TO=-0.65 NO=-291.05
Tensioni nel cordone: τ_P=0.14 τ_0=0.21 σ_0=101.22 σ_{ID}=101.22 Σ_T=101.43
CC 3 SLV (Collegamento 0024_-381)
Azioni sul collegamento: N=-3937.31 Ty=3.82 Tz=-8.85 Mx=0.01 Mz=5.30
Sollecitazioni agenti localmente: Tx_l=3.82 Ty_l=-8.85 N_l=-3937.31 My_l=-5.30 Mz_l=0.01
Azioni sul cordone: TP=0.27 TO=-0.65 NO=-291.05
Tensioni nel cordone: τ_P= 0.09 τ_0=0.21 σ_0=100.25 σ_{ID}=100.25 Σ_T=100.45
CC 3 SLV (Collegamento 0024_-381)
Azioni sul collegamento: N=-3937.31 Ty=5.92 Tz=10.56 Mx=0.01 Mz=5.96
Sollecitazioni agenti localmente: Tx_l=5.92 Ty_l=10.56 N_l=-3937.31 My_l=-5.96 Mz_l=0.01
Azioni sul cordone: TP=0.43 TO=0.79 NO=-291.05
Tensioni nel cordone: τ_P=0.14 τ_0=0.25 σ_0=101.22 σ_{ID}=101.22 Σ_T=101.47
CC 3 SLV (Collegamento 0024_-381)
Azioni sul collegamento: N=-3937.31 Ty=3.82 Tz=10.56 Mx=0.01 Mz=5.30
Sollecitazioni agenti localmente: Tx_l=3.82 Ty_l=10.56 N_l=-3937.31 My_l=-5.30 Mz_l=0.01
Azioni sul cordone: TP=0.27 TO=0.79 NO=-291.05
Tensioni nel cordone: τ_P= 0.09 τ_0=0.25 σ_0=100.25 σ_{ID}=100.25 Σ_T=100.50
CC 3 SLV (Collegamento 0024_-381)
Azioni sul collegamento: N=-9211.43 Ty=5.92 Tz=-8.85 Mx=0.01 Mz=5.96
Sollecitazioni agenti localmente: Tx_l=5.92 Ty_l=-8.85 N_l=-9211.43 My_l=-5.96 Mz_l=0.01
Azioni sul cordone: TP=0.43 TO=-0.65 NO=-680.91
Tensioni nel cordone: τ_P=0.14 τ_0=0.21 σ_0=225.14 σ_{ID}=225.14 Σ_T=225.34
CC 3 SLV (Collegamento 0024_-381)
Azioni sul collegamento: N=-9211.43 Ty=3.82 Tz=-8.85 Mx=0.01 Mz=5.30
Sollecitazioni agenti localmente: Tx_l=3.82 Ty_l=-8.85 N_l=-9211.43 My_l=-5.30 Mz_l=0.01
Azioni sul cordone: TP=0.27 TO=-0.65 NO=-680.91
Tensioni nel cordone: τ_P= 0.09 τ_0=0.21 σ_0=224.16 σ_{ID}=224.16 Σ_T=224.37
CC 3 SLV (Collegamento 0024_-381)
Azioni sul collegamento: N=-9211.43 Ty=5.92 Tz=10.56 Mx=0.01 Mz=5.96
Sollecitazioni agenti localmente: Tx_l=5.92 Ty_l=10.56 N_l=-9211.43 My_l=-5.96 Mz_l=0.01
Azioni sul cordone: TP=0.43 TO=0.79 NO=-680.91
Tensioni nel cordone: τ_P=0.14 τ_0=0.25 σ_0=225.14 σ_{ID}=225.14 Σ_T=225.39
CC 3 SLV (Collegamento 0024_-381)
Azioni sul collegamento: N=-9211.43 Ty=3.82 Tz=10.56 Mx=0.01 Mz=5.30
Sollecitazioni agenti localmente: Tx_l=3.82 Ty_l=10.56 N_l=-9211.43 My_l=-5.30 Mz_l=0.01
Azioni sul cordone: TP=0.27 TO=0.79 NO=-680.91
Tensioni nel cordone: τ_P= 0.09 τ_0=0.25 σ_0=224.16 σ_{ID}=224.16 Σ_T=224.41
CC 4 SLD (Collegamento 0024_-381)
Azioni sul collegamento: N=-5737.77 Ty=4.34 Tz=-2.23 Mx=0.00 Mz=3.65
Sollecitazioni agenti localmente: Tx_l=4.34 Ty_l=-2.23 N_l=-5737.77 My_l=-3.65 Mz_l=0.00
Azioni sul cordone: TP=0.32 TO=-0.16 NO=-424.14
Tensioni nel cordone: τ_P=0.10 τ_0= 0.05 σ_0=140.14 σ_{ID}=140.14 Σ_T=140.19
CC 4 SLD (Collegamento 0024_-381)
Azioni sul collegamento: N=-5737.77 Ty=3.71 Tz=-2.23 Mx=0.00 Mz=3.45
Sollecitazioni agenti localmente: Tx_l=3.71 Ty_l=-2.23 N_l=-5737.77 My_l=-3.45 Mz_l=0.00
Azioni sul cordone: TP=0.27 TO=-0.16 NO=-424.14
Tensioni nel cordone: τ_P= 0.09 τ_0= 0.05 σ_0=139.84 σ_{ID}=139.84 Σ_T=139.90
CC 4 SLD (Collegamento 0024_-381)
Azioni sul collegamento: N=-5737.77 Ty=4.34 Tz=3.69 Mx=0.00 Mz=3.65
Sollecitazioni agenti localmente: Tx_l=4.34 Ty_l=3.69 N_l=-5737.77 My_l=-3.65 Mz_l=0.00
Azioni sul cordone: TP=0.32 TO=0.27 NO=-424.14
Tensioni nel cordone: τ_P=0.10 τ_0= 0.09 σ_0=140.14 σ_{ID}=140.14 Σ_T=140.23
CC 4 SLD (Collegamento 0024_-381)
Azioni sul collegamento: N=-5737.77 Ty=3.71 Tz=3.69 Mx=0.00 Mz=3.45
Sollecitazioni agenti localmente: Tx_l=3.71 Ty_l=3.69 N_l=-5737.77 My_l=-3.45 Mz_l=0.00
Azioni sul cordone: TP=0.27 TO=0.27 NO=-424.14
Tensioni nel cordone: τ_P= 0.09 τ_0= 0.09 σ_0=139.84 σ_{ID}=139.84 Σ_T=139.93
CC 4 SLD (Collegamento 0024_-381)
Azioni sul collegamento: N=-7346.01 Ty=4.34 Tz=-2.23 Mx=0.00 Mz=3.65
Sollecitazioni agenti localmente: Tx_l=4.34 Ty_l=-2.23 N_l=-7346.01 My_l=-3.65 Mz_l=0.00
Azioni sul cordone: TP=0.32 TO=-0.16 NO=-543.02
Tensioni nel cordone: τ_P=0.10 τ_0= 0.05 σ_0=177.93 σ_{ID}=177.93 Σ_T=177.98
CC 4 SLD (Collegamento 0024_-381)
Azioni sul collegamento: N=-7346.01 Ty=3.71 Tz=-2.23 Mx=0.00 Mz=3.45
Sollecitazioni agenti localmente: Tx_l=3.71 Ty_l=-2.23 N_l=-7346.01 My_l=-3.45 Mz_l=0.00
Azioni sul cordone: TP=0.27 TO=-0.16 NO=-543.02
Tensioni nel cordone: τ_P= 0.09 τ_0= 0.05 σ_0=177.63 σ_{ID}=177.63 Σ_T=177.68
CC 4 SLD (Collegamento 0024_-381)
Azioni sul collegamento: N=-7346.01 Ty=4.34 Tz=3.69 Mx=0.00 Mz=3.65
Sollecitazioni agenti localmente: Tx_l=4.34 Ty_l=3.69 N_l=-7346.01 My_l=-3.65 Mz_l=0.00
Azioni sul cordone: TP=0.32 TO=0.27 NO=-543.02
Tensioni nel cordone: τ_P=0.10 τ_0= 0.09 σ_0=177.93 σ_{ID}=177.93 Σ_T=178.02
CC 4 SLD (Collegamento 0024_-381)

Azioni sul collegamento: N=-7346.01 Ty=3.71 Tz=3.69 Mx=0.00 Mz=3.45
Sollecitazioni agenti localmente: Tx_l=3.71 Ty_l=3.69 N_l=-7346.01 My_l=-3.45 Mz_l=0.00
Azioni sul cordone: TP=0.27 TO=0.27 NO=-543.02
Tensioni nel cordone: τ_P= 0.09 τ_0= 0.09 σ_0=177.63 σ_{ID}=177.63 Σ_T=177.72
CC 5 SLV (Collegamento 0024_-381)
Azioni sul collegamento: N=-9211.43 Ty=3.82 Tz=10.56 Mx=0.01 Mz=5.30
Sollecitazioni agenti localmente: Tx_l=3.82 Ty_l=10.56 N_l=-9211.43 My_l=-5.30 Mz_l=0.01
Azioni sul cordone: TP=0.27 TO=0.79 NO=-680.91
Tensioni nel cordone: τ_P= 0.09 τ_0=0.25 σ_0=224.16 σ_{ID}=224.16 Σ_T=224.41
CC 5 SLV (Collegamento 0024_-381)
Azioni sul collegamento: N=-9211.43 Ty=5.92 Tz=10.56 Mx=0.01 Mz=5.96
Sollecitazioni agenti localmente: Tx_l=5.92 Ty_l=10.56 N_l=-9211.43 My_l=-5.96 Mz_l=0.01
Azioni sul cordone: TP=0.42 TO=0.79 NO=-680.91
Tensioni nel cordone: τ_P=0.13 τ_0=0.25 σ_0=225.14 σ_{ID}=225.14 Σ_T=225.39
CC 5 SLV (Collegamento 0024_-381)
Azioni sul collegamento: N=-9211.43 Ty=3.82 Tz=-8.85 Mx=0.01 Mz=5.30
Sollecitazioni agenti localmente: Tx_l=3.82 Ty_l=-8.85 N_l=-9211.43 My_l=-5.30 Mz_l=0.01
Azioni sul cordone: TP=0.27 TO=-0.65 NO=-680.91
Tensioni nel cordone: τ_P= 0.09 τ_0=0.21 σ_0=224.16 σ_{ID}=224.16 Σ_T=224.37
CC 5 SLV (Collegamento 0024_-381)
Azioni sul collegamento: N=-9211.43 Ty=5.92 Tz=-8.85 Mx=0.01 Mz=5.96
Sollecitazioni agenti localmente: Tx_l=5.92 Ty_l=-8.85 N_l=-9211.43 My_l=-5.96 Mz_l=0.01
Azioni sul cordone: TP=0.42 TO=-0.65 NO=-680.91
Tensioni nel cordone: τ_P=0.13 τ_0=0.21 σ_0=225.14 σ_{ID}=225.14 Σ_T=225.34
CC 5 SLV (Collegamento 0024_-381)
Azioni sul collegamento: N=-3937.31 Ty=3.82 Tz=10.56 Mx=0.01 Mz=5.30
Sollecitazioni agenti localmente: Tx_l=3.82 Ty_l=10.56 N_l=-3937.31 My_l=-5.30 Mz_l=0.01
Azioni sul cordone: TP=0.27 TO=0.79 NO=-291.05
Tensioni nel cordone: τ_P= 0.09 τ_0=0.25 σ_0=100.25 σ_{ID}=100.25 Σ_T=100.50
CC 5 SLV (Collegamento 0024_-381)
Azioni sul collegamento: N=-3937.31 Ty=5.92 Tz=10.56 Mx=0.01 Mz=5.96
Sollecitazioni agenti localmente: Tx_l=5.92 Ty_l=10.56 N_l=-3937.31 My_l=-5.96 Mz_l=0.01
Azioni sul cordone: TP=0.42 TO=0.79 NO=-291.05
Tensioni nel cordone: τ_P=0.13 τ_0=0.25 σ_0=101.22 σ_{ID}=101.22 Σ_T=101.47
CC 5 SLV (Collegamento 0024_-381)
Azioni sul collegamento: N=-3937.31 Ty=3.82 Tz=-8.85 Mx=0.01 Mz=5.30
Sollecitazioni agenti localmente: Tx_l=3.82 Ty_l=-8.85 N_l=-3937.31 My_l=-5.30 Mz_l=0.01
Azioni sul cordone: TP=0.27 TO=-0.65 NO=-291.05
Tensioni nel cordone: τ_P= 0.09 τ_0=0.21 σ_0=100.25 σ_{ID}=100.25 Σ_T=100.45
CC 5 SLV (Collegamento 0024_-381)
Azioni sul collegamento: N=-3937.31 Ty=5.92 Tz=-8.85 Mx=0.01 Mz=5.96
Sollecitazioni agenti localmente: Tx_l=5.92 Ty_l=-8.85 N_l=-3937.31 My_l=-5.96 Mz_l=0.01
Azioni sul cordone: TP=0.42 TO=-0.65 NO=-291.05
Tensioni nel cordone: τ_P=0.13 τ_0=0.21 σ_0=101.22 σ_{ID}=101.22 Σ_T=101.43
CC 6 SLD (Collegamento 0024_-381)
Azioni sul collegamento: N=-7346.01 Ty=3.71 Tz=3.69 Mx=0.00 Mz=3.45
Sollecitazioni agenti localmente: Tx_l=3.71 Ty_l=3.69 N_l=-7346.01 My_l=-3.45 Mz_l=0.00
Azioni sul cordone: TP=0.27 TO=0.27 NO=-543.02
Tensioni nel cordone: τ_P= 0.09 τ_0= 0.09 σ_0=177.63 σ_{ID}=177.63 Σ_T=177.72
CC 6 SLD (Collegamento 0024_-381)
Azioni sul collegamento: N=-7346.01 Ty=4.34 Tz=3.69 Mx=0.00 Mz=3.65
Sollecitazioni agenti localmente: Tx_l=4.34 Ty_l=3.69 N_l=-7346.01 My_l=-3.65 Mz_l=0.00
Azioni sul cordone: TP=0.32 TO=0.27 NO=-543.02
Tensioni nel cordone: τ_P=0.10 τ_0= 0.09 σ_0=177.93 σ_{ID}=177.93 Σ_T=178.02
CC 6 SLD (Collegamento 0024_-381)
Azioni sul collegamento: N=-7346.01 Ty=3.71 Tz=-2.23 Mx=0.00 Mz=3.45
Sollecitazioni agenti localmente: Tx_l=3.71 Ty_l=-2.23 N_l=-7346.01 My_l=-3.45 Mz_l=0.00
Azioni sul cordone: TP=0.27 TO=-0.16 NO=-543.02
Tensioni nel cordone: τ_P= 0.09 τ_0= 0.05 σ_0=177.63 σ_{ID}=177.63 Σ_T=177.68
CC 6 SLD (Collegamento 0024_-381)
Azioni sul collegamento: N=-7346.01 Ty=4.34 Tz=-2.23 Mx=0.00 Mz=3.65
Sollecitazioni agenti localmente: Tx_l=4.34 Ty_l=-2.23 N_l=-7346.01 My_l=-3.65 Mz_l=0.00
Azioni sul cordone: TP=0.32 TO=-0.16 NO=-543.02
Tensioni nel cordone: τ_P=0.10 τ_0= 0.05 σ_0=177.93 σ_{ID}=177.93 Σ_T=177.98
CC 6 SLD (Collegamento 0024_-381)
Azioni sul collegamento: N=-5737.77 Ty=3.71 Tz=3.69 Mx=0.00 Mz=3.45
Sollecitazioni agenti localmente: Tx_l=3.71 Ty_l=3.69 N_l=-5737.77 My_l=-3.45 Mz_l=0.00
Azioni sul cordone: TP=0.27 TO=0.27 NO=-424.14
Tensioni nel cordone: τ_P= 0.09 τ_0= 0.09 σ_0=139.84 σ_{ID}=139.84 Σ_T=139.93
CC 6 SLD (Collegamento 0024_-381)
Azioni sul collegamento: N=-5737.77 Ty=4.34 Tz=3.69 Mx=0.00 Mz=3.65
Sollecitazioni agenti localmente: Tx_l=4.34 Ty_l=3.69 N_l=-5737.77 My_l=-3.65 Mz_l=0.00
Azioni sul cordone: TP=0.32 TO=0.27 NO=-424.14
Tensioni nel cordone: τ_P=0.10 τ_0= 0.09 σ_0=140.14 σ_{ID}=140.14 Σ_T=140.23
CC 6 SLD (Collegamento 0024_-381)
Azioni sul collegamento: N=-5737.77 Ty=3.71 Tz=-2.23 Mx=0.00 Mz=3.45
Sollecitazioni agenti localmente: Tx_l=3.71 Ty_l=-2.23 N_l=-5737.77 My_l=-3.45 Mz_l=0.00
Azioni sul cordone: TP=0.27 TO=-0.16 NO=-424.14
Tensioni nel cordone: τ_P= 0.09 τ_0= 0.05 σ_0=139.84 σ_{ID}=139.84 Σ_T=139.90
CC 6 SLD (Collegamento 0024_-381)
Azioni sul collegamento: N=-5737.77 Ty=4.34 Tz=-2.23 Mx=0.00 Mz=3.65

Sollecitazioni agenti localmente: Tx_l=4.34 Ty_l=-2.23 N_l=-5737.77 My_l=-3.65 Mz_l=0.00
Azioni sul cordone: TP=0.32 TO=-0.16 NO=-424.14
Tensioni nel cordone: τ_P=0.10 τ_0= 0.05 σ_0=140.14 σ_{ID}=140.14 Σ_T=140.19
CC 7 SLV (Collegamento 0024_-381)
Azioni sul collegamento: N=-9217.12 Ty=3.19 Tz=10.69 Mx=0.01 Mz=4.04
Sollecitazioni agenti localmente: Tx_l=3.19 Ty_l=10.69 N_l=-9217.12 My_l=-4.04 Mz_l=0.01
Azioni sul cordone: TP=0.23 TO=0.80 NO=-681.33
Tensioni nel cordone: τ_P= 0.07 τ_0=0.25 σ_0=222.46 σ_{ID}=222.46 Σ_T=222.71
CC 7 SLV (Collegamento 0024_-381)
Azioni sul collegamento: N=-9217.12 Ty=6.55 Tz=10.69 Mx=0.01 Mz=7.22
Sollecitazioni agenti localmente: Tx_l=6.55 Ty_l=10.69 N_l=-9217.12 My_l=-7.22 Mz_l=0.01
Azioni sul cordone: TP=0.48 TO=0.80 NO=-681.33
Tensioni nel cordone: τ_P=0.15 τ_0=0.25 σ_0=227.11 σ_{ID}=227.11 Σ_T=227.36
CC 7 SLV (Collegamento 0024_-381)
Azioni sul collegamento: N=-9217.12 Ty=3.19 Tz=-8.98 Mx=0.01 Mz=4.04
Sollecitazioni agenti localmente: Tx_l=3.19 Ty_l=-8.98 N_l=-9217.12 My_l=-4.04 Mz_l=0.01
Azioni sul cordone: TP=0.23 TO=-0.66 NO=-681.33
Tensioni nel cordone: τ_P= 0.07 τ_0=0.21 σ_0=222.46 σ_{ID}=222.46 Σ_T=222.67
CC 7 SLV (Collegamento 0024_-381)
Azioni sul collegamento: N=-9217.12 Ty=6.55 Tz=-8.98 Mx=0.01 Mz=7.22
Sollecitazioni agenti localmente: Tx_l=6.55 Ty_l=-8.98 N_l=-9217.12 My_l=-7.22 Mz_l=0.01
Azioni sul cordone: TP=0.48 TO=-0.66 NO=-681.33
Tensioni nel cordone: τ_P=0.15 τ_0=0.21 σ_0=227.11 σ_{ID}=227.11 Σ_T=227.32
CC 7 SLV (Collegamento 0024_-381)
Azioni sul collegamento: N=-3931.62 Ty=3.19 Tz=10.69 Mx=0.01 Mz=4.04
Sollecitazioni agenti localmente: Tx_l=3.19 Ty_l=10.69 N_l=-3931.62 My_l=-4.04 Mz_l=0.01
Azioni sul cordone: TP=0.23 TO=0.80 NO=-290.63
Tensioni nel cordone: τ_P= 0.07 τ_0=0.25 σ_0=98.27 σ_{ID}=98.28 Σ_T=98.53
CC 7 SLV (Collegamento 0024_-381)
Azioni sul collegamento: N=-3931.62 Ty=6.55 Tz=10.69 Mx=0.01 Mz=7.22
Sollecitazioni agenti localmente: Tx_l=6.55 Ty_l=10.69 N_l=-3931.62 My_l=-7.22 Mz_l=0.01
Azioni sul cordone: TP=0.48 TO=0.80 NO=-290.63
Tensioni nel cordone: τ_P=0.15 τ_0=0.25 σ_0=102.92 σ_{ID}=102.92 Σ_T=103.18
CC 7 SLV (Collegamento 0024_-381)
Azioni sul collegamento: N=-3931.62 Ty=3.19 Tz=-8.98 Mx=0.01 Mz=4.04
Sollecitazioni agenti localmente: Tx_l=3.19 Ty_l=-8.98 N_l=-3931.62 My_l=-4.04 Mz_l=0.01
Azioni sul cordone: TP=0.23 TO=-0.66 NO=-290.63
Tensioni nel cordone: τ_P= 0.07 τ_0=0.21 σ_0=98.27 σ_{ID}=98.28 Σ_T=98.48
CC 7 SLV (Collegamento 0024_-381)
Azioni sul collegamento: N=-3931.62 Ty=6.55 Tz=-8.98 Mx=0.01 Mz=7.22
Sollecitazioni agenti localmente: Tx_l=6.55 Ty_l=-8.98 N_l=-3931.62 My_l=-7.22 Mz_l=0.01
Azioni sul cordone: TP=0.48 TO=-0.66 NO=-290.63
Tensioni nel cordone: τ_P=0.15 τ_0=0.21 σ_0=102.92 σ_{ID}=102.92 Σ_T=103.13
CC 8 SLD (Collegamento 0024_-381)
Azioni sul collegamento: N=-7347.75 Ty=3.51 Tz=3.73 Mx=-0.00 Mz=3.06
Sollecitazioni agenti localmente: Tx_l=3.51 Ty_l=3.73 N_l=-7347.75 My_l=-3.06 Mz_l=-0.00
Azioni sul cordone: TP=0.26 TO=0.28 NO=-543.15
Tensioni nel cordone: τ_P= 0.08 τ_0= 0.09 σ_0=177.11 σ_{ID}=177.11 Σ_T=177.20
CC 8 SLD (Collegamento 0024_-381)
Azioni sul collegamento: N=-7347.75 Ty=4.54 Tz=3.73 Mx=-0.00 Mz=4.03
Sollecitazioni agenti localmente: Tx_l=4.54 Ty_l=3.73 N_l=-7347.75 My_l=-4.03 Mz_l=-0.00
Azioni sul cordone: TP=0.34 TO=0.28 NO=-543.15
Tensioni nel cordone: τ_P=0.11 τ_0= 0.09 σ_0=178.53 σ_{ID}=178.53 Σ_T=178.62
CC 8 SLD (Collegamento 0024_-381)
Azioni sul collegamento: N=-7347.75 Ty=3.51 Tz=-2.27 Mx=-0.00 Mz=3.06
Sollecitazioni agenti localmente: Tx_l=3.51 Ty_l=-2.27 N_l=-7347.75 My_l=-3.06 Mz_l=-0.00
Azioni sul cordone: TP=0.26 TO=-0.17 NO=-543.15
Tensioni nel cordone: τ_P= 0.08 τ_0= 0.05 σ_0=177.11 σ_{ID}=177.11 Σ_T=177.17
CC 8 SLD (Collegamento 0024_-381)
Azioni sul collegamento: N=-7347.75 Ty=4.54 Tz=-2.27 Mx=-0.00 Mz=4.03
Sollecitazioni agenti localmente: Tx_l=4.54 Ty_l=-2.27 N_l=-7347.75 My_l=-4.03 Mz_l=-0.00
Azioni sul cordone: TP=0.34 TO=-0.17 NO=-543.15
Tensioni nel cordone: τ_P=0.11 τ_0= 0.05 σ_0=178.53 σ_{ID}=178.53 Σ_T=178.58
CC 8 SLD (Collegamento 0024_-381)
Azioni sul collegamento: N=-5736.03 Ty=3.51 Tz=3.73 Mx=-0.00 Mz=3.06
Sollecitazioni agenti localmente: Tx_l=3.51 Ty_l=3.73 N_l=-5736.03 My_l=-3.06 Mz_l=-0.00
Azioni sul cordone: TP=0.26 TO=0.28 NO=-424.01
Tensioni nel cordone: τ_P= 0.08 τ_0= 0.09 σ_0=139.25 σ_{ID}=139.25 Σ_T=139.33
CC 8 SLD (Collegamento 0024_-381)
Azioni sul collegamento: N=-5736.03 Ty=4.54 Tz=3.73 Mx=-0.00 Mz=4.03
Sollecitazioni agenti localmente: Tx_l=4.54 Ty_l=3.73 N_l=-5736.03 My_l=-4.03 Mz_l=-0.00
Azioni sul cordone: TP=0.34 TO=0.28 NO=-424.01
Tensioni nel cordone: τ_P=0.11 τ_0= 0.09 σ_0=140.66 σ_{ID}=140.66 Σ_T=140.75
CC 8 SLD (Collegamento 0024_-381)
Azioni sul collegamento: N=-5736.03 Ty=3.51 Tz=-2.27 Mx=-0.00 Mz=3.06
Sollecitazioni agenti localmente: Tx_l=3.51 Ty_l=-2.27 N_l=-5736.03 My_l=-3.06 Mz_l=-0.00
Azioni sul cordone: TP=0.26 TO=-0.17 NO=-424.01
Tensioni nel cordone: τ_P= 0.08 τ_0= 0.05 σ_0=139.25 σ_{ID}=139.25 Σ_T=139.30
CC 8 SLD (Collegamento 0024_-381)
Azioni sul collegamento: N=-5736.03 Ty=4.54 Tz=-2.27 Mx=-0.00 Mz=4.03
Sollecitazioni agenti localmente: Tx_l=4.54 Ty_l=-2.27 N_l=-5736.03 My_l=-4.03 Mz_l=-0.00

Azioni sul cordone: TP=0.34 TO=-0.17 NO=-424.01
Tensioni nel cordone: τ_P=0.11 τ_0= 0.05 σ_0=140.66 σ_{ID}=140.66 Σ_T=140.72
CC 9 SLV (Collegamento 0024_-381)
Azioni sul collegamento: N=-5772.92 Ty=6.34 Tz=-2.29 Mx=0.02 Mz=8.01
Sollecitazioni agenti localmente: Tx_l=6.34 Ty_l=-2.29 N_l=-5772.92 My_l=-8.01 Mz_l=0.02
Azioni sul cordone: TP=0.45 TO=-0.15 NO=-426.74
Tensioni nel cordone: τ_P=0.14 τ_0= 0.05 σ_0=147.34 σ_{ID}=147.34 Σ_T=147.39
CC 9 SLV (Collegamento 0024_-381)
Azioni sul collegamento: N=-5772.92 Ty=3.40 Tz=-2.29 Mx=0.02 Mz=3.25
Sollecitazioni agenti localmente: Tx_l=3.40 Ty_l=-2.29 N_l=-5772.92 My_l=-3.25 Mz_l=0.02
Azioni sul cordone: TP=0.23 TO=-0.15 NO=-426.74
Tensioni nel cordone: τ_P= 0.07 τ_0= 0.05 σ_0=140.38 σ_{ID}=140.38 Σ_T=140.43
CC 9 SLV (Collegamento 0024_-381)
Azioni sul collegamento: N=-5772.92 Ty=6.34 Tz=4.00 Mx=0.02 Mz=8.01
Sollecitazioni agenti localmente: Tx_l=6.34 Ty_l=4.00 N_l=-5772.92 My_l=-8.01 Mz_l=0.02
Azioni sul cordone: TP=0.45 TO=0.31 NO=-426.74
Tensioni nel cordone: τ_P=0.14 τ_0= 0.10 σ_0=147.34 σ_{ID}=147.34 Σ_T=147.44
CC 9 SLV (Collegamento 0024_-381)
Azioni sul collegamento: N=-5772.92 Ty=3.40 Tz=4.00 Mx=0.02 Mz=3.25
Sollecitazioni agenti localmente: Tx_l=3.40 Ty_l=4.00 N_l=-5772.92 My_l=-3.25 Mz_l=0.02
Azioni sul cordone: TP=0.23 TO=0.31 NO=-426.74
Tensioni nel cordone: τ_P= 0.07 τ_0= 0.10 σ_0=140.38 σ_{ID}=140.38 Σ_T=140.48
CC 9 SLV (Collegamento 0024_-381)
Azioni sul collegamento: N=-7375.82 Ty=6.34 Tz=-2.29 Mx=0.02 Mz=8.01
Sollecitazioni agenti localmente: Tx_l=6.34 Ty_l=-2.29 N_l=-7375.82 My_l=-8.01 Mz_l=0.02
Azioni sul cordone: TP=0.45 TO=-0.15 NO=-545.22
Tensioni nel cordone: τ_P=0.14 τ_0= 0.05 σ_0=185.00 σ_{ID}=185.00 Σ_T=185.05
CC 9 SLV (Collegamento 0024_-381)
Azioni sul collegamento: N=-7375.82 Ty=3.40 Tz=-2.29 Mx=0.02 Mz=3.25
Sollecitazioni agenti localmente: Tx_l=3.40 Ty_l=-2.29 N_l=-7375.82 My_l=-3.25 Mz_l=0.02
Azioni sul cordone: TP=0.23 TO=-0.15 NO=-545.22
Tensioni nel cordone: τ_P= 0.07 τ_0= 0.05 σ_0=178.04 σ_{ID}=178.04 Σ_T=178.09
CC 9 SLV (Collegamento 0024_-381)
Azioni sul collegamento: N=-7375.82 Ty=6.34 Tz=4.00 Mx=0.02 Mz=8.01
Sollecitazioni agenti localmente: Tx_l=6.34 Ty_l=4.00 N_l=-7375.82 My_l=-8.01 Mz_l=0.02
Azioni sul cordone: TP=0.45 TO=0.31 NO=-545.22
Tensioni nel cordone: τ_P=0.14 τ_0= 0.10 σ_0=185.00 σ_{ID}=185.00 Σ_T=185.10
CC 9 SLV (Collegamento 0024_-381)
Azioni sul collegamento: N=-7375.82 Ty=3.40 Tz=4.00 Mx=0.02 Mz=3.25
Sollecitazioni agenti localmente: Tx_l=3.40 Ty_l=4.00 N_l=-7375.82 My_l=-3.25 Mz_l=0.02
Azioni sul cordone: TP=0.23 TO=0.31 NO=-545.22
Tensioni nel cordone: τ_P= 0.07 τ_0= 0.10 σ_0=178.04 σ_{ID}=178.04 Σ_T=178.14
CC 10 SLD (Collegamento 0024_-381)
Azioni sul collegamento: N=-6297.50 Ty=4.47 Tz=-0.23 Mx=0.00 Mz=4.27
Sollecitazioni agenti localmente: Tx_l=4.47 Ty_l=-0.23 N_l=-6297.50 My_l=-4.27 Mz_l=0.00
Azioni sul cordone: TP=0.33 TO=-0.01 NO=-465.51
Tensioni nel cordone: τ_P=0.10 τ_0=4.60E-03 σ_0=154.21 σ_{ID}=154.21 Σ_T=154.21
CC 10 SLD (Collegamento 0024_-381)
Azioni sul collegamento: N=-6297.50 Ty=3.58 Tz=-0.23 Mx=0.00 Mz=2.82
Sollecitazioni agenti localmente: Tx_l=3.58 Ty_l=-0.23 N_l=-6297.50 My_l=-2.82 Mz_l=0.00
Azioni sul cordone: TP=0.26 TO=-0.01 NO=-465.51
Tensioni nel cordone: τ_P= 0.08 τ_0=4.60E-03 σ_0=152.08 σ_{ID}=152.08 Σ_T=152.09
CC 10 SLD (Collegamento 0024_-381)
Azioni sul collegamento: N=-6297.50 Ty=4.47 Tz=1.69 Mx=0.00 Mz=4.27
Sollecitazioni agenti localmente: Tx_l=4.47 Ty_l=1.69 N_l=-6297.50 My_l=-4.27 Mz_l=0.00
Azioni sul cordone: TP=0.33 TO=0.13 NO=-465.51
Tensioni nel cordone: τ_P=0.10 τ_0= 0.04 σ_0=154.21 σ_{ID}=154.21 Σ_T=154.25
CC 10 SLD (Collegamento 0024_-381)
Azioni sul collegamento: N=-6297.50 Ty=3.58 Tz=1.69 Mx=0.00 Mz=2.82
Sollecitazioni agenti localmente: Tx_l=3.58 Ty_l=1.69 N_l=-6297.50 My_l=-2.82 Mz_l=0.00
Azioni sul cordone: TP=0.26 TO=0.13 NO=-465.51
Tensioni nel cordone: τ_P= 0.08 τ_0= 0.04 σ_0=152.08 σ_{ID}=152.08 Σ_T=152.12
CC 10 SLD (Collegamento 0024_-381)
Azioni sul collegamento: N=-6786.28 Ty=4.47 Tz=-0.23 Mx=0.00 Mz=4.27
Sollecitazioni agenti localmente: Tx_l=4.47 Ty_l=-0.23 N_l=-6786.28 My_l=-4.27 Mz_l=0.00
Azioni sul cordone: TP=0.33 TO=-0.01 NO=-501.64
Tensioni nel cordone: τ_P=0.10 τ_0=4.60E-03 σ_0=165.69 σ_{ID}=165.69 Σ_T=165.70
CC 10 SLD (Collegamento 0024_-381)
Azioni sul collegamento: N=-6786.28 Ty=3.58 Tz=-0.23 Mx=0.00 Mz=2.82
Sollecitazioni agenti localmente: Tx_l=3.58 Ty_l=-0.23 N_l=-6786.28 My_l=-2.82 Mz_l=0.00
Azioni sul cordone: TP=0.26 TO=-0.01 NO=-501.64
Tensioni nel cordone: τ_P= 0.08 τ_0=4.60E-03 σ_0=163.57 σ_{ID}=163.57 Σ_T=163.57
CC 10 SLD (Collegamento 0024_-381)
Azioni sul collegamento: N=-6786.28 Ty=4.47 Tz=1.69 Mx=0.00 Mz=4.27
Sollecitazioni agenti localmente: Tx_l=4.47 Ty_l=1.69 N_l=-6786.28 My_l=-4.27 Mz_l=0.00
Azioni sul cordone: TP=0.33 TO=0.13 NO=-501.64
Tensioni nel cordone: τ_P=0.10 τ_0= 0.04 σ_0=165.69 σ_{ID}=165.69 Σ_T=165.73
CC 10 SLD (Collegamento 0024_-381)
Azioni sul collegamento: N=-6786.28 Ty=3.58 Tz=1.69 Mx=0.00 Mz=2.82
Sollecitazioni agenti localmente: Tx_l=3.58 Ty_l=1.69 N_l=-6786.28 My_l=-2.82 Mz_l=0.00
Azioni sul cordone: TP=0.26 TO=0.13 NO=-501.64

Tensioni nel cordone: τ_P= 0.08 τ_0= 0.04 σ_0=163.57 σ_{ID}=163.57 Σ_T=163.61
CC 11 SLV (Collegamento 0024_-381)
Azioni sul collegamento: N=-7356.86 Ty=5.52 Tz=3.57 Mx=0.02 Mz=7.44
Sollecitazioni agenti localmente: Tx_l=5.52 Ty_l=3.57 N_l=-7356.86 My_l=-7.44 Mz_l=0.02
Azioni sul cordone: TP=0.39 TO=0.28 NO=-543.82
Tensioni nel cordone: τ_P=0.12 τ_0= 0.09 σ_0=183.72 σ_{ID}=183.72 Σ_T=183.81
CC 11 SLV (Collegamento 0024_-381)
Azioni sul collegamento: N=-7356.86 Ty=4.22 Tz=3.57 Mx=0.02 Mz=3.82
Sollecitazioni agenti localmente: Tx_l=4.22 Ty_l=3.57 N_l=-7356.86 My_l=-3.82 Mz_l=0.02
Azioni sul cordone: TP=0.29 TO=0.28 NO=-543.82
Tensioni nel cordone: τ_P= 0.09 τ_0= 0.09 σ_0=178.44 σ_{ID}=178.44 Σ_T=178.53
CC 11 SLV (Collegamento 0024_-381)
Azioni sul collegamento: N=-7356.86 Ty=5.52 Tz=-1.86 Mx=0.02 Mz=7.44
Sollecitazioni agenti localmente: Tx_l=5.52 Ty_l=-1.86 N_l=-7356.86 My_l=-7.44 Mz_l=0.02
Azioni sul cordone: TP=0.39 TO=-0.12 NO=-543.82
Tensioni nel cordone: τ_P=0.12 τ_0= 0.04 σ_0=183.72 σ_{ID}=183.72 Σ_T=183.76
CC 11 SLV (Collegamento 0024_-381)
Azioni sul collegamento: N=-7356.86 Ty=4.22 Tz=-1.86 Mx=0.02 Mz=3.82
Sollecitazioni agenti localmente: Tx_l=4.22 Ty_l=-1.86 N_l=-7356.86 My_l=-3.82 Mz_l=0.02
Azioni sul cordone: TP=0.29 TO=-0.12 NO=-543.82
Tensioni nel cordone: τ_P= 0.09 τ_0= 0.04 σ_0=178.44 σ_{ID}=178.44 Σ_T=178.48
CC 11 SLV (Collegamento 0024_-381)
Azioni sul collegamento: N=-5791.88 Ty=5.52 Tz=3.57 Mx=0.02 Mz=7.44
Sollecitazioni agenti localmente: Tx_l=5.52 Ty_l=3.57 N_l=-5791.88 My_l=-7.44 Mz_l=0.02
Azioni sul cordone: TP=0.39 TO=0.28 NO=-428.14
Tensioni nel cordone: τ_P=0.12 τ_0= 0.09 σ_0=146.95 σ_{ID}=146.95 Σ_T=147.03
CC 11 SLV (Collegamento 0024_-381)
Azioni sul collegamento: N=-5791.88 Ty=4.22 Tz=3.57 Mx=0.02 Mz=3.82
Sollecitazioni agenti localmente: Tx_l=4.22 Ty_l=3.57 N_l=-5791.88 My_l=-3.82 Mz_l=0.02
Azioni sul cordone: TP=0.29 TO=0.28 NO=-428.14
Tensioni nel cordone: τ_P= 0.09 τ_0= 0.09 σ_0=141.67 σ_{ID}=141.67 Σ_T=141.76
CC 11 SLV (Collegamento 0024_-381)
Azioni sul collegamento: N=-5791.88 Ty=5.52 Tz=-1.86 Mx=0.02 Mz=7.44
Sollecitazioni agenti localmente: Tx_l=5.52 Ty_l=-1.86 N_l=-5791.88 My_l=-7.44 Mz_l=0.02
Azioni sul cordone: TP=0.39 TO=-0.12 NO=-428.14
Tensioni nel cordone: τ_P=0.12 τ_0= 0.04 σ_0=146.95 σ_{ID}=146.95 Σ_T=146.99
CC 11 SLV (Collegamento 0024_-381)
Azioni sul collegamento: N=-5791.88 Ty=4.22 Tz=-1.86 Mx=0.02 Mz=3.82
Sollecitazioni agenti localmente: Tx_l=4.22 Ty_l=-1.86 N_l=-5791.88 My_l=-3.82 Mz_l=0.02
Azioni sul cordone: TP=0.29 TO=-0.12 NO=-428.14
Tensioni nel cordone: τ_P= 0.09 τ_0= 0.04 σ_0=141.67 σ_{ID}=141.67 Σ_T=141.71
CC 12 SLD (Collegamento 0024_-381)
Azioni sul collegamento: N=-6780.50 Ty=4.22 Tz=1.56 Mx=0.00 Mz=4.10
Sollecitazioni agenti localmente: Tx_l=4.22 Ty_l=1.56 N_l=-6780.50 My_l=-4.10 Mz_l=0.00
Azioni sul cordone: TP=0.31 TO=0.12 NO=-501.22
Tensioni nel cordone: τ_P= 0.10 τ_0= 0.04 σ_0=165.30 σ_{ID}=165.30 Σ_T=165.34
CC 12 SLD (Collegamento 0024_-381)
Azioni sul collegamento: N=-6780.50 Ty=3.83 Tz=1.56 Mx=0.00 Mz=3.00
Sollecitazioni agenti localmente: Tx_l=3.83 Ty_l=1.56 N_l=-6780.50 My_l=-3.00 Mz_l=0.00
Azioni sul cordone: TP=0.28 TO=0.12 NO=-501.22
Tensioni nel cordone: τ_P= 0.09 τ_0= 0.04 σ_0=163.69 σ_{ID}=163.69 Σ_T=163.73
CC 12 SLD (Collegamento 0024_-381)
Azioni sul collegamento: N=-6780.50 Ty=4.22 Tz=-0.10 Mx=0.00 Mz=4.10
Sollecitazioni agenti localmente: Tx_l=4.22 Ty_l=-0.10 N_l=-6780.50 My_l=-4.10 Mz_l=0.00
Azioni sul cordone: TP=0.31 TO=-0.01 NO=-501.22
Tensioni nel cordone: τ_P= 0.10 τ_0=1.61E-03 σ_0=165.30 σ_{ID}=165.30 Σ_T=165.30
CC 12 SLD (Collegamento 0024_-381)
Azioni sul collegamento: N=-6780.50 Ty=3.83 Tz=-0.10 Mx=0.00 Mz=3.00
Sollecitazioni agenti localmente: Tx_l=3.83 Ty_l=-0.10 N_l=-6780.50 My_l=-3.00 Mz_l=0.00
Azioni sul cordone: TP=0.28 TO=-0.01 NO=-501.22
Tensioni nel cordone: τ_P= 0.09 τ_0=1.61E-03 σ_0=163.69 σ_{ID}=163.69 Σ_T=163.69
CC 12 SLD (Collegamento 0024_-381)
Azioni sul collegamento: N=-6303.28 Ty=4.22 Tz=1.56 Mx=0.00 Mz=4.10
Sollecitazioni agenti localmente: Tx_l=4.22 Ty_l=1.56 N_l=-6303.28 My_l=-4.10 Mz_l=0.00
Azioni sul cordone: TP=0.31 TO=0.12 NO=-465.94
Tensioni nel cordone: τ_P= 0.10 τ_0= 0.04 σ_0=154.09 σ_{ID}=154.09 Σ_T=154.12
CC 12 SLD (Collegamento 0024_-381)
Azioni sul collegamento: N=-6303.28 Ty=3.83 Tz=1.56 Mx=0.00 Mz=3.00
Sollecitazioni agenti localmente: Tx_l=3.83 Ty_l=1.56 N_l=-6303.28 My_l=-3.00 Mz_l=0.00
Azioni sul cordone: TP=0.28 TO=0.12 NO=-465.94
Tensioni nel cordone: τ_P= 0.09 τ_0= 0.04 σ_0=152.48 σ_{ID}=152.48 Σ_T=152.51
CC 12 SLD (Collegamento 0024_-381)
Azioni sul collegamento: N=-6303.28 Ty=4.22 Tz=-0.10 Mx=0.00 Mz=4.10
Sollecitazioni agenti localmente: Tx_l=4.22 Ty_l=-0.10 N_l=-6303.28 My_l=-4.10 Mz_l=0.00
Azioni sul cordone: TP=0.31 TO=-0.01 NO=-465.94
Tensioni nel cordone: τ_P= 0.10 τ_0=1.60E-03 σ_0=154.09 σ_{ID}=154.09 Σ_T=154.09
CC 12 SLD (Collegamento 0024_-381)
Azioni sul collegamento: N=-6303.28 Ty=3.83 Tz=-0.10 Mx=0.00 Mz=3.00
Sollecitazioni agenti localmente: Tx_l=3.83 Ty_l=-0.10 N_l=-6303.28 My_l=-3.00 Mz_l=0.00
Azioni sul cordone: TP=0.28 TO=-0.01 NO=-465.94
Tensioni nel cordone: τ_P= 0.09 τ_0=1.60E-03 σ_0=152.48 σ_{ID}=152.48 Σ_T=152.48

CC 13 SLV (Collegamento 0024_-381)
Azioni sul collegamento: N=-5791.88 Ty=4.22 Tz=-1.86 Mx=0.00 Mz=3.82
Sollecitazioni agenti localmente: Tx_l=4.22 Ty_l=-1.86 N_l=-5791.88 My_l=-3.82 Mz_l=0.00
Azioni sul cordone: TP=0.31 TO=-0.14 NO=-428.14
Tensioni nel cordone: τ_P= 0.10 τ_0= 0.04 σ_0=141.67 σ_{ID}=141.67 Σ_T=141.71
CC 13 SLV (Collegamento 0024_-381)
Azioni sul collegamento: N=-5791.88 Ty=5.52 Tz=-1.86 Mx=0.00 Mz=7.44
Sollecitazioni agenti localmente: Tx_l=5.52 Ty_l=-1.86 N_l=-5791.88 My_l=-7.44 Mz_l=0.00
Azioni sul cordone: TP=0.40 TO=-0.14 NO=-428.14
Tensioni nel cordone: τ_P=0.13 τ_0= 0.04 σ_0=146.95 σ_{ID}=146.95 Σ_T=146.99
CC 13 SLV (Collegamento 0024_-381)
Azioni sul collegamento: N=-5791.88 Ty=4.22 Tz=3.57 Mx=0.00 Mz=3.82
Sollecitazioni agenti localmente: Tx_l=4.22 Ty_l=3.57 N_l=-5791.88 My_l=-3.82 Mz_l=0.00
Azioni sul cordone: TP=0.31 TO=0.27 NO=-428.14
Tensioni nel cordone: τ_P= 0.10 τ_0= 0.08 σ_0=141.67 σ_{ID}=141.67 Σ_T=141.75
CC 13 SLV (Collegamento 0024_-381)
Azioni sul collegamento: N=-5791.88 Ty=5.52 Tz=3.57 Mx=0.00 Mz=7.44
Sollecitazioni agenti localmente: Tx_l=5.52 Ty_l=3.57 N_l=-5791.88 My_l=-7.44 Mz_l=0.00
Azioni sul cordone: TP=0.40 TO=0.27 NO=-428.14
Tensioni nel cordone: τ_P=0.13 τ_0= 0.08 σ_0=146.95 σ_{ID}=146.95 Σ_T=147.03
CC 13 SLV (Collegamento 0024_-381)
Azioni sul collegamento: N=-7356.86 Ty=4.22 Tz=-1.86 Mx=0.00 Mz=3.82
Sollecitazioni agenti localmente: Tx_l=4.22 Ty_l=-1.86 N_l=-7356.86 My_l=-3.82 Mz_l=0.00
Azioni sul cordone: TP=0.31 TO=-0.14 NO=-543.82
Tensioni nel cordone: τ_P= 0.10 τ_0= 0.04 σ_0=178.44 σ_{ID}=178.44 Σ_T=178.48
CC 13 SLV (Collegamento 0024_-381)
Azioni sul collegamento: N=-7356.86 Ty=5.52 Tz=-1.86 Mx=0.00 Mz=7.44
Sollecitazioni agenti localmente: Tx_l=5.52 Ty_l=-1.86 N_l=-7356.86 My_l=-7.44 Mz_l=0.00
Azioni sul cordone: TP=0.40 TO=-0.14 NO=-543.82
Tensioni nel cordone: τ_P=0.13 τ_0= 0.04 σ_0=183.72 σ_{ID}=183.72 Σ_T=183.76
CC 13 SLV (Collegamento 0024_-381)
Azioni sul collegamento: N=-7356.86 Ty=4.22 Tz=3.57 Mx=0.00 Mz=3.82
Sollecitazioni agenti localmente: Tx_l=4.22 Ty_l=3.57 N_l=-7356.86 My_l=-3.82 Mz_l=0.00
Azioni sul cordone: TP=0.31 TO=0.27 NO=-543.82
Tensioni nel cordone: τ_P= 0.10 τ_0= 0.08 σ_0=178.44 σ_{ID}=178.44 Σ_T=178.52
CC 13 SLV (Collegamento 0024_-381)
Azioni sul collegamento: N=-7356.86 Ty=5.52 Tz=3.57 Mx=0.00 Mz=7.44
Sollecitazioni agenti localmente: Tx_l=5.52 Ty_l=3.57 N_l=-7356.86 My_l=-7.44 Mz_l=0.00
Azioni sul cordone: TP=0.40 TO=0.27 NO=-543.82
Tensioni nel cordone: τ_P=0.13 τ_0= 0.08 σ_0=183.72 σ_{ID}=183.72 Σ_T=183.80
CC 14 SLD (Collegamento 0024_-381)
Azioni sul collegamento: N=-6303.28 Ty=3.83 Tz=-0.10 Mx=-0.00 Mz=3.00
Sollecitazioni agenti localmente: Tx_l=3.83 Ty_l=-0.10 N_l=-6303.28 My_l=-3.00 Mz_l=-0.00
Azioni sul cordone: TP=0.28 TO=-0.01 NO=-465.94
Tensioni nel cordone: τ_P= 0.09 τ_0=2.76E-03 σ_0=152.48 σ_{ID}=152.48 Σ_T=152.48
CC 14 SLD (Collegamento 0024_-381)
Azioni sul collegamento: N=-6303.28 Ty=4.22 Tz=-0.10 Mx=-0.00 Mz=4.10
Sollecitazioni agenti localmente: Tx_l=4.22 Ty_l=-0.10 N_l=-6303.28 My_l=-4.10 Mz_l=-0.00
Azioni sul cordone: TP=0.31 TO=-0.01 NO=-465.94
Tensioni nel cordone: τ_P= 0.10 τ_0=2.76E-03 σ_0=154.09 σ_{ID}=154.09 Σ_T=154.09
CC 14 SLD (Collegamento 0024_-381)
Azioni sul collegamento: N=-6303.28 Ty=3.83 Tz=1.56 Mx=-0.00 Mz=3.00
Sollecitazioni agenti localmente: Tx_l=3.83 Ty_l=1.56 N_l=-6303.28 My_l=-3.00 Mz_l=-0.00
Azioni sul cordone: TP=0.28 TO=0.11 NO=-465.94
Tensioni nel cordone: τ_P= 0.09 τ_0= 0.04 σ_0=152.48 σ_{ID}=152.48 Σ_T=152.51
CC 14 SLD (Collegamento 0024_-381)
Azioni sul collegamento: N=-6303.28 Ty=4.22 Tz=1.56 Mx=-0.00 Mz=4.10
Sollecitazioni agenti localmente: Tx_l=4.22 Ty_l=1.56 N_l=-6303.28 My_l=-4.10 Mz_l=-0.00
Azioni sul cordone: TP=0.31 TO=0.11 NO=-465.94
Tensioni nel cordone: τ_P= 0.10 τ_0= 0.04 σ_0=154.09 σ_{ID}=154.09 Σ_T=154.12
CC 14 SLD (Collegamento 0024_-381)
Azioni sul collegamento: N=-6780.50 Ty=3.83 Tz=-0.10 Mx=-0.00 Mz=3.00
Sollecitazioni agenti localmente: Tx_l=3.83 Ty_l=-0.10 N_l=-6780.50 My_l=-3.00 Mz_l=-0.00
Azioni sul cordone: TP=0.28 TO=-0.01 NO=-501.22
Tensioni nel cordone: τ_P= 0.09 τ_0=2.77E-03 σ_0=163.69 σ_{ID}=163.69 Σ_T=163.69
CC 14 SLD (Collegamento 0024_-381)
Azioni sul collegamento: N=-6780.50 Ty=4.22 Tz=-0.10 Mx=-0.00 Mz=4.10
Sollecitazioni agenti localmente: Tx_l=4.22 Ty_l=-0.10 N_l=-6780.50 My_l=-4.10 Mz_l=-0.00
Azioni sul cordone: TP=0.31 TO=-0.01 NO=-501.22
Tensioni nel cordone: τ_P= 0.10 τ_0=2.77E-03 σ_0=165.30 σ_{ID}=165.30 Σ_T=165.30
CC 14 SLD (Collegamento 0024_-381)
Azioni sul collegamento: N=-6780.50 Ty=3.83 Tz=1.56 Mx=-0.00 Mz=3.00
Sollecitazioni agenti localmente: Tx_l=3.83 Ty_l=1.56 N_l=-6780.50 My_l=-3.00 Mz_l=-0.00
Azioni sul cordone: TP=0.28 TO=0.11 NO=-501.22
Tensioni nel cordone: τ_P= 0.09 τ_0= 0.04 σ_0=163.69 σ_{ID}=163.69 Σ_T=163.72
CC 14 SLD (Collegamento 0024_-381)
Azioni sul collegamento: N=-6780.50 Ty=4.22 Tz=1.56 Mx=-0.00 Mz=4.10
Sollecitazioni agenti localmente: Tx_l=4.22 Ty_l=1.56 N_l=-6780.50 My_l=-4.10 Mz_l=-0.00
Azioni sul cordone: TP=0.31 TO=0.11 NO=-501.22
Tensioni nel cordone: τ_P= 0.10 τ_0= 0.04 σ_0=165.30 σ_{ID}=165.30 Σ_T=165.34
CC 15 SLV (Collegamento 0024_-381)

Azioni sul collegamento: N=-7375.82 Ty=3.40 Tz=4.00 Mx=0.00 Mz=3.25
Sollecitazioni agenti localmente: Tx_l=3.40 Ty_l=4.00 N_l=-7375.82 My_l=-3.25 Mz_l=0.00
Azioni sul cordone: TP=0.25 TO=0.30 NO=-545.22
Tensioni nel cordone: τ_P= 0.08 τ_0= 0.09 σ_0=178.04 σ_{ID}=178.04 Σ_T=178.13
CC 15 SLV (Collegamento 0024_-381)
Azioni sul collegamento: N=-7375.82 Ty=6.34 Tz=4.00 Mx=0.00 Mz=8.01
Sollecitazioni agenti localmente: Tx_l=6.34 Ty_l=4.00 N_l=-7375.82 My_l=-8.01 Mz_l=0.00
Azioni sul cordone: TP=0.47 TO=0.30 NO=-545.22
Tensioni nel cordone: τ_P=0.15 τ_0= 0.09 σ_0=185.00 σ_{ID}=185.00 Σ_T=185.10
CC 15 SLV (Collegamento 0024_-381)
Azioni sul collegamento: N=-7375.82 Ty=3.40 Tz=-2.29 Mx=0.00 Mz=3.25
Sollecitazioni agenti localmente: Tx_l=3.40 Ty_l=-2.29 N_l=-7375.82 My_l=-3.25 Mz_l=0.00
Azioni sul cordone: TP=0.25 TO=-0.17 NO=-545.22
Tensioni nel cordone: τ_P= 0.08 τ_0= 0.05 σ_0=178.04 σ_{ID}=178.04 Σ_T=178.09
CC 15 SLV (Collegamento 0024_-381)
Azioni sul collegamento: N=-7375.82 Ty=6.34 Tz=-2.29 Mx=0.00 Mz=8.01
Sollecitazioni agenti localmente: Tx_l=6.34 Ty_l=-2.29 N_l=-7375.82 My_l=-8.01 Mz_l=0.00
Azioni sul cordone: TP=0.47 TO=-0.17 NO=-545.22
Tensioni nel cordone: τ_P=0.15 τ_0= 0.05 σ_0=185.00 σ_{ID}=185.00 Σ_T=185.06
CC 15 SLV (Collegamento 0024_-381)
Azioni sul collegamento: N=-5772.92 Ty=3.40 Tz=4.00 Mx=0.00 Mz=3.25
Sollecitazioni agenti localmente: Tx_l=3.40 Ty_l=4.00 N_l=-5772.92 My_l=-3.25 Mz_l=0.00
Azioni sul cordone: TP=0.25 TO=0.30 NO=-426.74
Tensioni nel cordone: τ_P= 0.08 τ_0= 0.09 σ_0=140.38 σ_{ID}=140.38 Σ_T=140.47
CC 15 SLV (Collegamento 0024_-381)
Azioni sul collegamento: N=-5772.92 Ty=6.34 Tz=4.00 Mx=0.00 Mz=8.01
Sollecitazioni agenti localmente: Tx_l=6.34 Ty_l=4.00 N_l=-5772.92 My_l=-8.01 Mz_l=0.00
Azioni sul cordone: TP=0.47 TO=0.30 NO=-426.74
Tensioni nel cordone: τ_P=0.15 τ_0= 0.09 σ_0=147.34 σ_{ID}=147.34 Σ_T=147.44
CC 15 SLV (Collegamento 0024_-381)
Azioni sul collegamento: N=-5772.92 Ty=3.40 Tz=-2.29 Mx=0.00 Mz=3.25
Sollecitazioni agenti localmente: Tx_l=3.40 Ty_l=-2.29 N_l=-5772.92 My_l=-3.25 Mz_l=0.00
Azioni sul cordone: TP=0.25 TO=-0.17 NO=-426.74
Tensioni nel cordone: τ_P= 0.08 τ_0= 0.05 σ_0=140.38 σ_{ID}=140.38 Σ_T=140.43
CC 15 SLV (Collegamento 0024_-381)
Azioni sul collegamento: N=-5772.92 Ty=6.34 Tz=-2.29 Mx=0.00 Mz=8.01
Sollecitazioni agenti localmente: Tx_l=6.34 Ty_l=-2.29 N_l=-5772.92 My_l=-8.01 Mz_l=0.00
Azioni sul cordone: TP=0.47 TO=-0.17 NO=-426.74
Tensioni nel cordone: τ_P=0.15 τ_0= 0.05 σ_0=147.34 σ_{ID}=147.34 Σ_T=147.40
CC 16 SLD (Collegamento 0024_-381)
Azioni sul collegamento: N=-6786.28 Ty=3.58 Tz=1.69 Mx=-0.00 Mz=2.82
Sollecitazioni agenti localmente: Tx_l=3.58 Ty_l=1.69 N_l=-6786.28 My_l=-2.82 Mz_l=-0.00
Azioni sul cordone: TP=0.27 TO=0.12 NO=-501.64
Tensioni nel cordone: τ_P= 0.08 τ_0= 0.04 σ_0=163.57 σ_{ID}=163.57 Σ_T=163.61
CC 16 SLD (Collegamento 0024_-381)
Azioni sul collegamento: N=-6786.28 Ty=4.47 Tz=1.69 Mx=-0.00 Mz=4.27
Sollecitazioni agenti localmente: Tx_l=4.47 Ty_l=1.69 N_l=-6786.28 My_l=-4.27 Mz_l=-0.00
Azioni sul cordone: TP=0.33 TO=0.12 NO=-501.64
Tensioni nel cordone: τ_P=0.11 τ_0= 0.04 σ_0=165.69 σ_{ID}=165.69 Σ_T=165.73
CC 16 SLD (Collegamento 0024_-381)
Azioni sul collegamento: N=-6786.28 Ty=3.58 Tz=-0.23 Mx=-0.00 Mz=2.82
Sollecitazioni agenti localmente: Tx_l=3.58 Ty_l=-0.23 N_l=-6786.28 My_l=-2.82 Mz_l=-0.00
Azioni sul cordone: TP=0.27 TO=-0.02 NO=-501.64
Tensioni nel cordone: τ_P= 0.08 τ_0=5.91E-03 σ_0=163.57 σ_{ID}=163.57 Σ_T=163.57
CC 16 SLD (Collegamento 0024_-381)
Azioni sul collegamento: N=-6786.28 Ty=4.47 Tz=-0.23 Mx=-0.00 Mz=4.27
Sollecitazioni agenti localmente: Tx_l=4.47 Ty_l=-0.23 N_l=-6786.28 My_l=-4.27 Mz_l=-0.00
Azioni sul cordone: TP=0.33 TO=-0.02 NO=-501.64
Tensioni nel cordone: τ_P=0.11 τ_0=5.91E-03 σ_0=165.69 σ_{ID}=165.69 Σ_T=165.70
CC 16 SLD (Collegamento 0024_-381)
Azioni sul collegamento: N=-6297.50 Ty=3.58 Tz=1.69 Mx=-0.00 Mz=2.82
Sollecitazioni agenti localmente: Tx_l=3.58 Ty_l=1.69 N_l=-6297.50 My_l=-2.82 Mz_l=-0.00
Azioni sul cordone: TP=0.27 TO=0.12 NO=-465.51
Tensioni nel cordone: τ_P= 0.08 τ_0= 0.04 σ_0=152.08 σ_{ID}=152.08 Σ_T=152.12
CC 16 SLD (Collegamento 0024_-381)
Azioni sul collegamento: N=-6297.50 Ty=4.47 Tz=1.69 Mx=-0.00 Mz=4.27
Sollecitazioni agenti localmente: Tx_l=4.47 Ty_l=1.69 N_l=-6297.50 My_l=-4.27 Mz_l=-0.00
Azioni sul cordone: TP=0.33 TO=0.12 NO=-465.51
Tensioni nel cordone: τ_P=0.11 τ_0= 0.04 σ_0=154.21 σ_{ID}=154.21 Σ_T=154.25
CC 16 SLD (Collegamento 0024_-381)
Azioni sul collegamento: N=-6297.50 Ty=3.58 Tz=-0.23 Mx=-0.00 Mz=2.82
Sollecitazioni agenti localmente: Tx_l=3.58 Ty_l=-0.23 N_l=-6297.50 My_l=-2.82 Mz_l=-0.00
Azioni sul cordone: TP=0.27 TO=-0.02 NO=-465.51
Tensioni nel cordone: τ_P= 0.08 τ_0=5.91E-03 σ_0=152.08 σ_{ID}=152.08 Σ_T=152.09
CC 16 SLD (Collegamento 0024_-381)
Azioni sul collegamento: N=-6297.50 Ty=4.47 Tz=-0.23 Mx=-0.00 Mz=4.27
Sollecitazioni agenti localmente: Tx_l=4.47 Ty_l=-0.23 N_l=-6297.50 My_l=-4.27 Mz_l=-0.00
Azioni sul cordone: TP=0.33 TO=-0.02 NO=-465.51
Tensioni nel cordone: τ_P=0.11 τ_0=5.91E-03 σ_0=154.21 σ_{ID}=154.21 Σ_T=154.21
CC 17 SLV (Collegamento 0024_-381)
Azioni sul collegamento: N=-3838.16 Ty=0.76 Tz=-9.35 Mx=-0.02 Mz=1.23

Sollecitazioni agenti localmente: Tx_l=0.76 Ty_l=-9.35 N_l=-3838.16 My_l=-1.23 Mz_l=-0.02
Azioni sul cordone: TP=0.08 TO=-0.71 NO=-283.72
Tensioni nel cordone: τ_P= 0.03 τ_O=0.22 σ_O=91.98 σ_{ID}=91.98 Σ_T=92.20
CC 17 SLV (Collegamento 0024_-381)
Azioni sul collegamento: N=-3838.16 Ty=4.12 Tz=-9.35 Mx=-0.02 Mz=-1.95
Sollecitazioni agenti localmente: Tx_l=4.12 Ty_l=-9.35 N_l=-3838.16 My_l=1.95 Mz_l=-0.02
Azioni sul cordone: TP=0.33 TO=-0.67 NO=-283.72
Tensioni nel cordone: τ_P=0.10 τ_O=0.21 σ_O=93.03 σ_{ID}=93.03 Σ_T=93.25
CC 17 SLV (Collegamento 0024_-381)
Azioni sul collegamento: N=-3838.16 Ty=0.76 Tz=10.33 Mx=-0.02 Mz=1.23
Sollecitazioni agenti localmente: Tx_l=0.76 Ty_l=10.33 N_l=-3838.16 My_l=-1.23 Mz_l=-0.02
Azioni sul cordone: TP=0.08 TO=0.75 NO=-283.72
Tensioni nel cordone: τ_P= 0.03 τ_O=0.24 σ_O=91.98 σ_{ID}=91.98 Σ_T=92.21
CC 17 SLV (Collegamento 0024_-381)
Azioni sul collegamento: N=-3838.16 Ty=4.12 Tz=10.33 Mx=-0.02 Mz=-1.95
Sollecitazioni agenti localmente: Tx_l=4.12 Ty_l=10.33 N_l=-3838.16 My_l=1.95 Mz_l=-0.02
Azioni sul cordone: TP=0.33 TO=0.78 NO=-283.72
Tensioni nel cordone: τ_P=0.10 τ_O=0.25 σ_O=93.03 σ_{ID}=93.03 Σ_T=93.28
CC 17 SLV (Collegamento 0024_-381)
Azioni sul collegamento: N=-9123.66 Ty=0.76 Tz=-9.35 Mx=-0.02 Mz=1.23
Sollecitazioni agenti localmente: Tx_l=0.76 Ty_l=-9.35 N_l=-9123.66 My_l=-1.23 Mz_l=-0.02
Azioni sul cordone: TP=0.08 TO=-0.71 NO=-674.42
Tensioni nel cordone: τ_P= 0.03 τ_O=0.22 σ_O=216.16 σ_{ID}=216.16 Σ_T=216.39
CC 17 SLV (Collegamento 0024_-381)
Azioni sul collegamento: N=-9123.66 Ty=4.12 Tz=-9.35 Mx=-0.02 Mz=-1.95
Sollecitazioni agenti localmente: Tx_l=4.12 Ty_l=-9.35 N_l=-9123.66 My_l=1.95 Mz_l=-0.02
Azioni sul cordone: TP=0.33 TO=-0.67 NO=-674.42
Tensioni nel cordone: τ_P=0.10 τ_O=0.21 σ_O=217.22 σ_{ID}=217.22 Σ_T=217.43
CC 17 SLV (Collegamento 0024_-381)
Azioni sul collegamento: N=-9123.66 Ty=0.76 Tz=10.33 Mx=-0.02 Mz=1.23
Sollecitazioni agenti localmente: Tx_l=0.76 Ty_l=10.33 N_l=-9123.66 My_l=-1.23 Mz_l=-0.02
Azioni sul cordone: TP=0.08 TO=0.75 NO=-674.42
Tensioni nel cordone: τ_P= 0.03 τ_O=0.24 σ_O=216.16 σ_{ID}=216.16 Σ_T=216.40
CC 17 SLV (Collegamento 0024_-381)
Azioni sul collegamento: N=-9123.66 Ty=4.12 Tz=10.33 Mx=-0.02 Mz=-1.95
Sollecitazioni agenti localmente: Tx_l=4.12 Ty_l=10.33 N_l=-9123.66 My_l=1.95 Mz_l=-0.02
Azioni sul cordone: TP=0.33 TO=0.78 NO=-674.42
Tensioni nel cordone: τ_P=0.10 τ_O=0.25 σ_O=217.22 σ_{ID}=217.22 Σ_T=217.46
CC 18 SLD (Collegamento 0024_-381)
Azioni sul collegamento: N=-5707.53 Ty=3.80 Tz=-2.38 Mx=-0.01 Mz=2.21
Sollecitazioni agenti localmente: Tx_l=3.80 Ty_l=-2.38 N_l=-5707.53 My_l=-2.21 Mz_l=-0.01
Azioni sul cordone: TP=0.29 TO=-0.18 NO=-421.90
Tensioni nel cordone: τ_P= 0.09 τ_O= 0.06 σ_O=137.32 σ_{ID}=137.32 Σ_T=137.38
CC 18 SLD (Collegamento 0024_-381)
Azioni sul collegamento: N=-5707.53 Ty=2.77 Tz=-2.38 Mx=-0.01 Mz=1.24
Sollecitazioni agenti localmente: Tx_l=2.77 Ty_l=-2.38 N_l=-5707.53 My_l=-1.24 Mz_l=-0.01
Azioni sul cordone: TP=0.21 TO=-0.18 NO=-421.90
Tensioni nel cordone: τ_P= 0.07 τ_O= 0.06 σ_O=135.91 σ_{ID}=135.91 Σ_T=135.97
CC 18 SLD (Collegamento 0024_-381)
Azioni sul collegamento: N=-5707.53 Ty=3.80 Tz=3.62 Mx=-0.01 Mz=2.21
Sollecitazioni agenti localmente: Tx_l=3.80 Ty_l=3.62 N_l=-5707.53 My_l=-2.21 Mz_l=-0.01
Azioni sul cordone: TP=0.29 TO=0.26 NO=-421.90
Tensioni nel cordone: τ_P= 0.09 τ_O= 0.08 σ_O=137.32 σ_{ID}=137.32 Σ_T=137.41
CC 18 SLD (Collegamento 0024_-381)
Azioni sul collegamento: N=-5707.53 Ty=2.77 Tz=3.62 Mx=-0.01 Mz=1.24
Sollecitazioni agenti localmente: Tx_l=2.77 Ty_l=3.62 N_l=-5707.53 My_l=-1.24 Mz_l=-0.01
Azioni sul cordone: TP=0.21 TO=0.26 NO=-421.90
Tensioni nel cordone: τ_P= 0.07 τ_O= 0.08 σ_O=135.91 σ_{ID}=135.91 Σ_T=135.99
CC 18 SLD (Collegamento 0024_-381)
Azioni sul collegamento: N=-7319.25 Ty=3.80 Tz=-2.38 Mx=-0.01 Mz=2.21
Sollecitazioni agenti localmente: Tx_l=3.80 Ty_l=-2.38 N_l=-7319.25 My_l=-2.21 Mz_l=-0.01
Azioni sul cordone: TP=0.29 TO=-0.18 NO=-541.04
Tensioni nel cordone: τ_P= 0.09 τ_O= 0.06 σ_O=175.19 σ_{ID}=175.19 Σ_T=175.25
CC 18 SLD (Collegamento 0024_-381)
Azioni sul collegamento: N=-7319.25 Ty=2.77 Tz=-2.38 Mx=-0.01 Mz=1.24
Sollecitazioni agenti localmente: Tx_l=2.77 Ty_l=-2.38 N_l=-7319.25 My_l=-1.24 Mz_l=-0.01
Azioni sul cordone: TP=0.21 TO=-0.18 NO=-541.04
Tensioni nel cordone: τ_P= 0.07 τ_O= 0.06 σ_O=173.78 σ_{ID}=173.78 Σ_T=173.83
CC 18 SLD (Collegamento 0024_-381)
Azioni sul collegamento: N=-7319.25 Ty=3.80 Tz=3.62 Mx=-0.01 Mz=2.21
Sollecitazioni agenti localmente: Tx_l=3.80 Ty_l=3.62 N_l=-7319.25 My_l=-2.21 Mz_l=-0.01
Azioni sul cordone: TP=0.29 TO=0.26 NO=-541.04
Tensioni nel cordone: τ_P= 0.09 τ_O= 0.08 σ_O=175.19 σ_{ID}=175.19 Σ_T=175.28
CC 18 SLD (Collegamento 0024_-381)
Azioni sul collegamento: N=-7319.25 Ty=2.77 Tz=3.62 Mx=-0.01 Mz=1.24
Sollecitazioni agenti localmente: Tx_l=2.77 Ty_l=3.62 N_l=-7319.25 My_l=-1.24 Mz_l=-0.01
Azioni sul cordone: TP=0.21 TO=0.26 NO=-541.04
Tensioni nel cordone: τ_P= 0.07 τ_O= 0.08 σ_O=173.78 σ_{ID}=173.78 Σ_T=173.86
CC 19 SLV (Collegamento 0024_-381)
Azioni sul collegamento: N=-3843.85 Ty=1.39 Tz=-9.22 Mx=-0.02 Mz=-0.03
Sollecitazioni agenti localmente: Tx_l=1.39 Ty_l=-9.22 N_l=-3843.85 My_l=0.03 Mz_l=-0.02

Azioni sul cordone: TP=0.12 TO=-0.67 NO=-284.14
Tensioni nel cordone: τ_P= 0.04 τ_O=0.21 σ_O=90.35 σ_{ID}=90.35 Σ_T=90.57
CC 19 SLV (Collegamento 0024_-381)
Azioni sul collegamento: N=-3843.85 Ty=3.49 Tz=-9.22 Mx=-0.02 Mz=-0.69
Sollecitazioni agenti localmente: Tx_l=3.49 Ty_l=-9.22 N_l=-3843.85 My_l=0.69 Mz_l=-0.02
Azioni sul cordone: TP=0.28 TO=-0.67 NO=-284.14
Tensioni nel cordone: τ_P= 0.09 τ_O=0.21 σ_O=91.33 σ_{ID}=91.33 Σ_T=91.54
CC 19 SLV (Collegamento 0024_-381)
Azioni sul collegamento: N=-3843.85 Ty=1.39 Tz=10.20 Mx=-0.02 Mz=-0.03
Sollecitazioni agenti localmente: Tx_l=1.39 Ty_l=10.20 N_l=-3843.85 My_l=0.03 Mz_l=-0.02
Azioni sul cordone: TP=0.12 TO=0.77 NO=-284.14
Tensioni nel cordone: τ_P= 0.04 τ_O=0.24 σ_O=90.35 σ_{ID}=90.35 Σ_T=90.60
CC 19 SLV (Collegamento 0024_-381)
Azioni sul collegamento: N=-3843.85 Ty=3.49 Tz=10.20 Mx=-0.02 Mz=-0.69
Sollecitazioni agenti localmente: Tx_l=3.49 Ty_l=10.20 N_l=-3843.85 My_l=0.69 Mz_l=-0.02
Azioni sul cordone: TP=0.28 TO=0.77 NO=-284.14
Tensioni nel cordone: τ_P= 0.09 τ_O=0.24 σ_O=91.33 σ_{ID}=91.33 Σ_T=91.57
CC 19 SLV (Collegamento 0024_-381)
Azioni sul collegamento: N=-9117.97 Ty=1.39 Tz=-9.22 Mx=-0.02 Mz=-0.03
Sollecitazioni agenti localmente: Tx_l=1.39 Ty_l=-9.22 N_l=-9117.97 My_l=0.03 Mz_l=-0.02
Azioni sul cordone: TP=0.12 TO=-0.67 NO=-674.00
Tensioni nel cordone: τ_P= 0.04 τ_O=0.21 σ_O=214.27 σ_{ID}=214.27 Σ_T=214.48
CC 19 SLV (Collegamento 0024_-381)
Azioni sul collegamento: N=-9117.97 Ty=3.49 Tz=-9.22 Mx=-0.02 Mz=-0.69
Sollecitazioni agenti localmente: Tx_l=3.49 Ty_l=-9.22 N_l=-9117.97 My_l=0.69 Mz_l=-0.02
Azioni sul cordone: TP=0.28 TO=-0.67 NO=-674.00
Tensioni nel cordone: τ_P= 0.09 τ_O=0.21 σ_O=215.25 σ_{ID}=215.25 Σ_T=215.46
CC 19 SLV (Collegamento 0024_-381)
Azioni sul collegamento: N=-9117.97 Ty=1.39 Tz=10.20 Mx=-0.02 Mz=-0.03
Sollecitazioni agenti localmente: Tx_l=1.39 Ty_l=10.20 N_l=-9117.97 My_l=0.03 Mz_l=-0.02
Azioni sul cordone: TP=0.12 TO=0.77 NO=-674.00
Tensioni nel cordone: τ_P= 0.04 τ_O=0.24 σ_O=214.27 σ_{ID}=214.27 Σ_T=214.51
CC 19 SLV (Collegamento 0024_-381)
Azioni sul collegamento: N=-9117.97 Ty=3.49 Tz=10.20 Mx=-0.02 Mz=-0.69
Sollecitazioni agenti localmente: Tx_l=3.49 Ty_l=10.20 N_l=-9117.97 My_l=0.69 Mz_l=-0.02
Azioni sul cordone: TP=0.28 TO=0.77 NO=-674.00
Tensioni nel cordone: τ_P= 0.09 τ_O=0.24 σ_O=215.25 σ_{ID}=215.25 Σ_T=215.49
CC 20 SLD (Collegamento 0024_-381)
Azioni sul collegamento: N=-5709.27 Ty=3.60 Tz=-2.35 Mx=-0.01 Mz=1.82
Sollecitazioni agenti localmente: Tx_l=3.60 Ty_l=-2.35 N_l=-5709.27 My_l=-1.82 Mz_l=-0.01
Azioni sul cordone: TP=0.27 TO=-0.18 NO=-422.03
Tensioni nel cordone: τ_P= 0.09 τ_O= 0.06 σ_O=136.81 σ_{ID}=136.81 Σ_T=136.86
CC 20 SLD (Collegamento 0024_-381)
Azioni sul collegamento: N=-5709.27 Ty=2.97 Tz=-2.35 Mx=-0.01 Mz=1.62
Sollecitazioni agenti localmente: Tx_l=2.97 Ty_l=-2.35 N_l=-5709.27 My_l=-1.62 Mz_l=-0.01
Azioni sul cordone: TP=0.23 TO=-0.18 NO=-422.03
Tensioni nel cordone: τ_P= 0.07 τ_O= 0.06 σ_O=136.51 σ_{ID}=136.51 Σ_T=136.56
CC 20 SLD (Collegamento 0024_-381)
Azioni sul collegamento: N=-5709.27 Ty=3.60 Tz=3.58 Mx=-0.01 Mz=1.82
Sollecitazioni agenti localmente: Tx_l=3.60 Ty_l=3.58 N_l=-5709.27 My_l=-1.82 Mz_l=-0.01
Azioni sul cordone: TP=0.27 TO=0.26 NO=-422.03
Tensioni nel cordone: τ_P= 0.09 τ_O= 0.08 σ_O=136.81 σ_{ID}=136.81 Σ_T=136.89
CC 20 SLD (Collegamento 0024_-381)
Azioni sul collegamento: N=-5709.27 Ty=2.97 Tz=3.58 Mx=-0.01 Mz=1.62
Sollecitazioni agenti localmente: Tx_l=2.97 Ty_l=3.58 N_l=-5709.27 My_l=-1.62 Mz_l=-0.01
Azioni sul cordone: TP=0.23 TO=0.26 NO=-422.03
Tensioni nel cordone: τ_P= 0.07 τ_O= 0.08 σ_O=136.51 σ_{ID}=136.51 Σ_T=136.59
CC 20 SLD (Collegamento 0024_-381)
Azioni sul collegamento: N=-7317.51 Ty=3.60 Tz=-2.35 Mx=-0.01 Mz=1.82
Sollecitazioni agenti localmente: Tx_l=3.60 Ty_l=-2.35 N_l=-7317.51 My_l=-1.82 Mz_l=-0.01
Azioni sul cordone: TP=0.27 TO=-0.18 NO=-540.91
Tensioni nel cordone: τ_P= 0.09 τ_O= 0.06 σ_O=174.59 σ_{ID}=174.59 Σ_T=174.65
CC 20 SLD (Collegamento 0024_-381)
Azioni sul collegamento: N=-7317.51 Ty=2.97 Tz=-2.35 Mx=-0.01 Mz=1.62
Sollecitazioni agenti localmente: Tx_l=2.97 Ty_l=-2.35 N_l=-7317.51 My_l=-1.62 Mz_l=-0.01
Azioni sul cordone: TP=0.23 TO=-0.18 NO=-540.91
Tensioni nel cordone: τ_P= 0.07 τ_O= 0.06 σ_O=174.29 σ_{ID}=174.29 Σ_T=174.35
CC 20 SLD (Collegamento 0024_-381)
Azioni sul collegamento: N=-7317.51 Ty=3.60 Tz=3.58 Mx=-0.01 Mz=1.82
Sollecitazioni agenti localmente: Tx_l=3.60 Ty_l=3.58 N_l=-7317.51 My_l=-1.82 Mz_l=-0.01
Azioni sul cordone: TP=0.27 TO=0.26 NO=-540.91
Tensioni nel cordone: τ_P= 0.09 τ_O= 0.08 σ_O=174.59 σ_{ID}=174.59 Σ_T=174.67
CC 20 SLD (Collegamento 0024_-381)
Azioni sul collegamento: N=-7317.51 Ty=2.97 Tz=3.58 Mx=-0.01 Mz=1.62
Sollecitazioni agenti localmente: Tx_l=2.97 Ty_l=3.58 N_l=-7317.51 My_l=-1.62 Mz_l=-0.01
Azioni sul cordone: TP=0.23 TO=0.26 NO=-540.91
Tensioni nel cordone: τ_P= 0.07 τ_O= 0.08 σ_O=174.29 σ_{ID}=174.29 Σ_T=174.38
CC 21 SLV (Collegamento 0024_-381)
Azioni sul collegamento: N=-9117.97 Ty=3.49 Tz=10.20 Mx=-0.02 Mz=-0.69
Sollecitazioni agenti localmente: Tx_l=3.49 Ty_l=10.20 N_l=-9117.97 My_l=0.69 Mz_l=-0.02
Azioni sul cordone: TP=0.28 TO=0.77 NO=-674.00

Tensioni nel cordone: τ_P= 0.09 τ_O=0.24 σ_O=215.25 σ_{ID}=215.25 Σ_T=215.49
CC 21 SLV (Collegamento 0024_-381)
Azioni sul collegamento: N=-9117.97 Ty=1.39 Tz=10.20 Mx=-0.02 Mz=-0.03
Sollecitazioni agenti localmente: Tx_l=1.39 Ty_l=10.20 N_l=-9117.97 My_l=0.03 Mz_l=-0.02
Azioni sul cordone: TP=0.12 TO=0.77 NO=-674.00
Tensioni nel cordone: τ_P= 0.04 τ_O=0.24 σ_O=214.27 σ_{ID}=214.27 Σ_T=214.51
CC 21 SLV (Collegamento 0024_-381)
Azioni sul collegamento: N=-9117.97 Ty=3.49 Tz=-9.22 Mx=-0.02 Mz=-0.69
Sollecitazioni agenti localmente: Tx_l=3.49 Ty_l=-9.22 N_l=-9117.97 My_l=0.69 Mz_l=-0.02
Azioni sul cordone: TP=0.28 TO=-0.67 NO=-674.00
Tensioni nel cordone: τ_P= 0.09 τ_O=0.21 σ_O=215.25 σ_{ID}=215.25 Σ_T=215.46
CC 21 SLV (Collegamento 0024_-381)
Azioni sul collegamento: N=-9117.97 Ty=1.39 Tz=-9.22 Mx=-0.02 Mz=-0.03
Sollecitazioni agenti localmente: Tx_l=1.39 Ty_l=-9.22 N_l=-9117.97 My_l=0.03 Mz_l=-0.02
Azioni sul cordone: TP=0.12 TO=-0.67 NO=-674.00
Tensioni nel cordone: τ_P= 0.04 τ_O=0.21 σ_O=214.27 σ_{ID}=214.27 Σ_T=214.48
CC 21 SLV (Collegamento 0024_-381)
Azioni sul collegamento: N=-3843.85 Ty=3.49 Tz=10.20 Mx=-0.02 Mz=-0.69
Sollecitazioni agenti localmente: Tx_l=3.49 Ty_l=10.20 N_l=-3843.85 My_l=0.69 Mz_l=-0.02
Azioni sul cordone: TP=0.28 TO=0.77 NO=-284.14
Tensioni nel cordone: τ_P= 0.09 τ_O=0.24 σ_O=91.33 σ_{ID}=91.33 Σ_T=91.57
CC 21 SLV (Collegamento 0024_-381)
Azioni sul collegamento: N=-3843.85 Ty=1.39 Tz=10.20 Mx=-0.02 Mz=-0.03
Sollecitazioni agenti localmente: Tx_l=1.39 Ty_l=10.20 N_l=-3843.85 My_l=0.03 Mz_l=-0.02
Azioni sul cordone: TP=0.12 TO=0.77 NO=-284.14
Tensioni nel cordone: τ_P= 0.04 τ_O=0.24 σ_O=90.35 σ_{ID}=90.35 Σ_T=90.60
CC 21 SLV (Collegamento 0024_-381)
Azioni sul collegamento: N=-3843.85 Ty=3.49 Tz=-9.22 Mx=-0.02 Mz=-0.69
Sollecitazioni agenti localmente: Tx_l=3.49 Ty_l=-9.22 N_l=-3843.85 My_l=0.69 Mz_l=-0.02
Azioni sul cordone: TP=0.28 TO=-0.67 NO=-284.14
Tensioni nel cordone: τ_P= 0.09 τ_O=0.21 σ_O=91.33 σ_{ID}=91.33 Σ_T=91.54
CC 21 SLV (Collegamento 0024_-381)
Azioni sul collegamento: N=-3843.85 Ty=1.39 Tz=-9.22 Mx=-0.02 Mz=-0.03
Sollecitazioni agenti localmente: Tx_l=1.39 Ty_l=-9.22 N_l=-3843.85 My_l=0.03 Mz_l=-0.02
Azioni sul cordone: TP=0.12 TO=-0.67 NO=-284.14
Tensioni nel cordone: τ_P= 0.04 τ_O=0.21 σ_O=90.35 σ_{ID}=90.35 Σ_T=90.56
CC 22 SLD (Collegamento 0024_-381)
Azioni sul collegamento: N=-7317.51 Ty=2.97 Tz=3.58 Mx=-0.01 Mz=1.62
Sollecitazioni agenti localmente: Tx_l=2.97 Ty_l=3.58 N_l=-7317.51 My_l=-1.62 Mz_l=-0.01
Azioni sul cordone: TP=0.23 TO=0.26 NO=-540.91
Tensioni nel cordone: τ_P= 0.07 τ_O= 0.08 σ_O=174.29 σ_{ID}=174.29 Σ_T=174.38
CC 22 SLD (Collegamento 0024_-381)
Azioni sul collegamento: N=-7317.51 Ty=3.60 Tz=3.58 Mx=-0.01 Mz=1.82
Sollecitazioni agenti localmente: Tx_l=3.60 Ty_l=3.58 N_l=-7317.51 My_l=-1.82 Mz_l=-0.01
Azioni sul cordone: TP=0.28 TO=0.26 NO=-540.91
Tensioni nel cordone: τ_P= 0.09 τ_O= 0.08 σ_O=174.59 σ_{ID}=174.59 Σ_T=174.67
CC 22 SLD (Collegamento 0024_-381)
Azioni sul collegamento: N=-7317.51 Ty=2.97 Tz=-2.35 Mx=-0.01 Mz=1.62
Sollecitazioni agenti localmente: Tx_l=2.97 Ty_l=-2.35 N_l=-7317.51 My_l=-1.62 Mz_l=-0.01
Azioni sul cordone: TP=0.23 TO=-0.18 NO=-540.91
Tensioni nel cordone: τ_P= 0.07 τ_O= 0.06 σ_O=174.29 σ_{ID}=174.29 Σ_T=174.35
CC 22 SLD (Collegamento 0024_-381)
Azioni sul collegamento: N=-7317.51 Ty=3.60 Tz=-2.35 Mx=-0.01 Mz=1.82
Sollecitazioni agenti localmente: Tx_l=3.60 Ty_l=-2.35 N_l=-7317.51 My_l=-1.82 Mz_l=-0.01
Azioni sul cordone: TP=0.28 TO=-0.18 NO=-540.91
Tensioni nel cordone: τ_P= 0.09 τ_O= 0.06 σ_O=174.59 σ_{ID}=174.59 Σ_T=174.65
CC 22 SLD (Collegamento 0024_-381)
Azioni sul collegamento: N=-5709.27 Ty=2.97 Tz=3.58 Mx=-0.01 Mz=1.62
Sollecitazioni agenti localmente: Tx_l=2.97 Ty_l=3.58 N_l=-5709.27 My_l=-1.62 Mz_l=-0.01
Azioni sul cordone: TP=0.23 TO=0.26 NO=-422.03
Tensioni nel cordone: τ_P= 0.07 τ_O= 0.08 σ_O=136.51 σ_{ID}=136.51 Σ_T=136.59
CC 22 SLD (Collegamento 0024_-381)
Azioni sul collegamento: N=-5709.27 Ty=3.60 Tz=3.58 Mx=-0.01 Mz=1.82
Sollecitazioni agenti localmente: Tx_l=3.60 Ty_l=3.58 N_l=-5709.27 My_l=-1.82 Mz_l=-0.01
Azioni sul cordone: TP=0.28 TO=0.26 NO=-422.03
Tensioni nel cordone: τ_P= 0.09 τ_O= 0.08 σ_O=136.81 σ_{ID}=136.81 Σ_T=136.89
CC 22 SLD (Collegamento 0024_-381)
Azioni sul collegamento: N=-5709.27 Ty=2.97 Tz=-2.35 Mx=-0.01 Mz=1.62
Sollecitazioni agenti localmente: Tx_l=2.97 Ty_l=-2.35 N_l=-5709.27 My_l=-1.62 Mz_l=-0.01
Azioni sul cordone: TP=0.23 TO=-0.18 NO=-422.03
Tensioni nel cordone: τ_P= 0.07 τ_O= 0.06 σ_O=136.51 σ_{ID}=136.51 Σ_T=136.56
CC 22 SLD (Collegamento 0024_-381)
Azioni sul collegamento: N=-5709.27 Ty=3.60 Tz=-2.35 Mx=-0.01 Mz=1.82
Sollecitazioni agenti localmente: Tx_l=3.60 Ty_l=-2.35 N_l=-5709.27 My_l=-1.82 Mz_l=-0.01
Azioni sul cordone: TP=0.28 TO=-0.18 NO=-422.03
Tensioni nel cordone: τ_P= 0.09 τ_O= 0.06 σ_O=136.81 σ_{ID}=136.81 Σ_T=136.86
CC 23 SLV (Collegamento 0024_-381)
Azioni sul collegamento: N=-9123.66 Ty=4.12 Tz=10.33 Mx=-0.01 Mz=-1.95
Sollecitazioni agenti localmente: Tx_l=4.12 Ty_l=10.33 N_l=-9123.66 My_l=1.95 Mz_l=-0.01
Azioni sul cordone: TP=0.32 TO=0.77 NO=-674.42
Tensioni nel cordone: τ_P=0.10 τ_O=0.25 σ_O=217.22 σ_{ID}=217.22 Σ_T=217.46

CC 23 SLV (Collegamento 0024_-381)
Azioni sul collegamento: N=-9123.66 Ty=0.76 Tz=10.33 Mx=-0.01 Mz=1.23
Sollecitazioni agenti localmente: Tx_l=0.76 Ty_l=10.33 N_l=-9123.66 My_l=-1.23 Mz_l=-0.01
Azioni sul cordone: TP=0.07 TO=0.75 NO=-674.42
Tensioni nel cordone: τ_P= 0.02 τ_O=0.24 σ_O=216.16 σ_{ID}=216.16 Σ_T=216.40
CC 23 SLV (Collegamento 0024_-381)
Azioni sul collegamento: N=-9123.66 Ty=4.12 Tz=-9.35 Mx=-0.01 Mz=-1.95
Sollecitazioni agenti localmente: Tx_l=4.12 Ty_l=-9.35 N_l=-9123.66 My_l=1.95 Mz_l=-0.01
Azioni sul cordone: TP=0.32 TO=-0.68 NO=-674.42
Tensioni nel cordone: τ_P=0.10 τ_O=0.22 σ_O=217.22 σ_{ID}=217.22 Σ_T=217.43
CC 23 SLV (Collegamento 0024_-381)
Azioni sul collegamento: N=-9123.66 Ty=0.76 Tz=-9.35 Mx=-0.01 Mz=1.23
Sollecitazioni agenti localmente: Tx_l=0.76 Ty_l=-9.35 N_l=-9123.66 My_l=-1.23 Mz_l=-0.01
Azioni sul cordone: TP=0.07 TO=-0.70 NO=-674.42
Tensioni nel cordone: τ_P= 0.02 τ_O=0.22 σ_O=216.16 σ_{ID}=216.16 Σ_T=216.38
CC 23 SLV (Collegamento 0024_-381)
Azioni sul collegamento: N=-3838.16 Ty=4.12 Tz=10.33 Mx=-0.01 Mz=-1.95
Sollecitazioni agenti localmente: Tx_l=4.12 Ty_l=10.33 N_l=-3838.16 My_l=1.95 Mz_l=-0.01
Azioni sul cordone: TP=0.32 TO=0.77 NO=-283.72
Tensioni nel cordone: τ_P=0.10 τ_O=0.25 σ_O=93.03 σ_{ID}=93.03 Σ_T=93.28
CC 23 SLV (Collegamento 0024_-381)
Azioni sul collegamento: N=-3838.16 Ty=0.76 Tz=10.33 Mx=-0.01 Mz=1.23
Sollecitazioni agenti localmente: Tx_l=0.76 Ty_l=10.33 N_l=-3838.16 My_l=-1.23 Mz_l=-0.01
Azioni sul cordone: TP=0.07 TO=0.75 NO=-283.72
Tensioni nel cordone: τ_P= 0.02 τ_O=0.24 σ_O=91.98 σ_{ID}=91.98 Σ_T=92.22
CC 23 SLV (Collegamento 0024_-381)
Azioni sul collegamento: N=-3838.16 Ty=4.12 Tz=-9.35 Mx=-0.01 Mz=-1.95
Sollecitazioni agenti localmente: Tx_l=4.12 Ty_l=-9.35 N_l=-3838.16 My_l=1.95 Mz_l=-0.01
Azioni sul cordone: TP=0.32 TO=-0.68 NO=-283.72
Tensioni nel cordone: τ_P=0.10 τ_O=0.22 σ_O=93.03 σ_{ID}=93.03 Σ_T=93.25
CC 23 SLV (Collegamento 0024_-381)
Azioni sul collegamento: N=-3838.16 Ty=0.76 Tz=-9.35 Mx=-0.01 Mz=1.23
Sollecitazioni agenti localmente: Tx_l=0.76 Ty_l=-9.35 N_l=-3838.16 My_l=-1.23 Mz_l=-0.01
Azioni sul cordone: TP=0.07 TO=-0.70 NO=-283.72
Tensioni nel cordone: τ_P= 0.02 τ_O=0.22 σ_O=91.98 σ_{ID}=91.98 Σ_T=92.20
CC 24 SLD (Collegamento 0024_-381)
Azioni sul collegamento: N=-7319.25 Ty=2.77 Tz=3.62 Mx=-0.01 Mz=1.24
Sollecitazioni agenti localmente: Tx_l=2.77 Ty_l=3.62 N_l=-7319.25 My_l=-1.24 Mz_l=-0.01
Azioni sul cordone: TP=0.21 TO=0.26 NO=-541.04
Tensioni nel cordone: τ_P= 0.07 τ_O= 0.08 σ_O=173.78 σ_{ID}=173.78 Σ_T=173.86
CC 24 SLD (Collegamento 0024_-381)
Azioni sul collegamento: N=-7319.25 Ty=3.80 Tz=3.62 Mx=-0.01 Mz=2.21
Sollecitazioni agenti localmente: Tx_l=3.80 Ty_l=3.62 N_l=-7319.25 My_l=-2.21 Mz_l=-0.01
Azioni sul cordone: TP=0.29 TO=0.26 NO=-541.04
Tensioni nel cordone: τ_P= 0.09 τ_O= 0.08 σ_O=175.19 σ_{ID}=175.19 Σ_T=175.28
CC 24 SLD (Collegamento 0024_-381)
Azioni sul collegamento: N=-7319.25 Ty=2.77 Tz=-2.38 Mx=-0.01 Mz=1.24
Sollecitazioni agenti localmente: Tx_l=2.77 Ty_l=-2.38 N_l=-7319.25 My_l=-1.24 Mz_l=-0.01
Azioni sul cordone: TP=0.21 TO=-0.18 NO=-541.04
Tensioni nel cordone: τ_P= 0.07 τ_O= 0.06 σ_O=173.78 σ_{ID}=173.78 Σ_T=173.83
CC 24 SLD (Collegamento 0024_-381)
Azioni sul collegamento: N=-7319.25 Ty=3.80 Tz=-2.38 Mx=-0.01 Mz=2.21
Sollecitazioni agenti localmente: Tx_l=3.80 Ty_l=-2.38 N_l=-7319.25 My_l=-2.21 Mz_l=-0.01
Azioni sul cordone: TP=0.29 TO=-0.18 NO=-541.04
Tensioni nel cordone: τ_P= 0.09 τ_O= 0.06 σ_O=175.19 σ_{ID}=175.19 Σ_T=175.25
CC 24 SLD (Collegamento 0024_-381)
Azioni sul collegamento: N=-5707.53 Ty=2.77 Tz=3.62 Mx=-0.01 Mz=1.24
Sollecitazioni agenti localmente: Tx_l=2.77 Ty_l=3.62 N_l=-5707.53 My_l=-1.24 Mz_l=-0.01
Azioni sul cordone: TP=0.21 TO=0.26 NO=-421.90
Tensioni nel cordone: τ_P= 0.07 τ_O= 0.08 σ_O=135.91 σ_{ID}=135.91 Σ_T=135.99
CC 24 SLD (Collegamento 0024_-381)
Azioni sul collegamento: N=-5707.53 Ty=3.80 Tz=3.62 Mx=-0.01 Mz=2.21
Sollecitazioni agenti localmente: Tx_l=3.80 Ty_l=3.62 N_l=-5707.53 My_l=-2.21 Mz_l=-0.01
Azioni sul cordone: TP=0.29 TO=0.26 NO=-421.90
Tensioni nel cordone: τ_P= 0.09 τ_O= 0.08 σ_O=137.32 σ_{ID}=137.32 Σ_T=137.41
CC 24 SLD (Collegamento 0024_-381)
Azioni sul collegamento: N=-5707.53 Ty=2.77 Tz=-2.38 Mx=-0.01 Mz=1.24
Sollecitazioni agenti localmente: Tx_l=2.77 Ty_l=-2.38 N_l=-5707.53 My_l=-1.24 Mz_l=-0.01
Azioni sul cordone: TP=0.21 TO=-0.18 NO=-421.90
Tensioni nel cordone: τ_P= 0.07 τ_O= 0.06 σ_O=135.91 σ_{ID}=135.91 Σ_T=135.96
CC 24 SLD (Collegamento 0024_-381)
Azioni sul collegamento: N=-5707.53 Ty=3.80 Tz=-2.38 Mx=-0.01 Mz=2.21
Sollecitazioni agenti localmente: Tx_l=3.80 Ty_l=-2.38 N_l=-5707.53 My_l=-2.21 Mz_l=-0.01
Azioni sul cordone: TP=0.29 TO=-0.18 NO=-421.90
Tensioni nel cordone: τ_P= 0.09 τ_O= 0.06 σ_O=137.32 σ_{ID}=137.32 Σ_T=137.38
CC 25 SLV (Collegamento 0024_-381)
Azioni sul collegamento: N=-5679.46 Ty=0.97 Tz=-2.66 Mx=-0.03 Mz=2.02
Sollecitazioni agenti localmente: Tx_l=0.97 Ty_l=-2.66 N_l=-5679.46 My_l=-2.02 Mz_l=-0.03
Azioni sul cordone: TP=0.10 TO=-0.22 NO=-419.83
Tensioni nel cordone: τ_P= 0.03 τ_O= 0.07 σ_O=136.40 σ_{ID}=136.40 Σ_T=136.47
CC 25 SLV (Collegamento 0024_-381)

Azioni sul collegamento: N=-5679.46 Ty=3.91 Tz=-2.66 Mx=-0.03 Mz=-2.74
Sollecitazioni agenti localmente: Tx_l=3.91 Ty_l=-2.66 N_l=-5679.46 My_l=2.74 Mz_l=-0.03
Azioni sul cordone: TP=0.32 TO=-0.18 NO=-419.83
Tensioni nel cordone: τ_P=0.10 τ_0= 0.06 σ_0=137.45 σ_{ID}=137.45 Σ_T=137.51
CC 25 SLV (Collegamento 0024_-381)
Azioni sul collegamento: N=-5679.46 Ty=0.97 Tz=3.63 Mx=-0.03 Mz=2.02
Sollecitazioni agenti localmente: Tx_l=0.97 Ty_l=3.63 N_l=-5679.46 My_l=-2.02 Mz_l=-0.03
Azioni sul cordone: TP=0.10 TO=0.25 NO=-419.83
Tensioni nel cordone: τ_P= 0.03 τ_0= 0.08 σ_0=136.40 σ_{ID}=136.40 Σ_T=136.48
CC 25 SLV (Collegamento 0024_-381)
Azioni sul collegamento: N=-5679.46 Ty=3.91 Tz=3.63 Mx=-0.03 Mz=-2.74
Sollecitazioni agenti localmente: Tx_l=3.91 Ty_l=3.63 N_l=-5679.46 My_l=2.74 Mz_l=-0.03
Azioni sul cordone: TP=0.32 TO=0.29 NO=-419.83
Tensioni nel cordone: τ_P=0.10 τ_0= 0.09 σ_0=137.45 σ_{ID}=137.45 Σ_T=137.54
CC 25 SLV (Collegamento 0024_-381)
Azioni sul collegamento: N=-7282.36 Ty=0.97 Tz=-2.66 Mx=-0.03 Mz=2.02
Sollecitazioni agenti localmente: Tx_l=0.97 Ty_l=-2.66 N_l=-7282.36 My_l=-2.02 Mz_l=-0.03
Azioni sul cordone: TP=0.10 TO=-0.22 NO=-538.31
Tensioni nel cordone: τ_P= 0.03 τ_0= 0.07 σ_0=174.06 σ_{ID}=174.06 Σ_T=174.13
CC 25 SLV (Collegamento 0024_-381)
Azioni sul collegamento: N=-7282.36 Ty=3.91 Tz=-2.66 Mx=-0.03 Mz=-2.74
Sollecitazioni agenti localmente: Tx_l=3.91 Ty_l=-2.66 N_l=-7282.36 My_l=2.74 Mz_l=-0.03
Azioni sul cordone: TP=0.32 TO=-0.18 NO=-538.31
Tensioni nel cordone: τ_P=0.10 τ_0= 0.06 σ_0=175.11 σ_{ID}=175.11 Σ_T=175.17
CC 25 SLV (Collegamento 0024_-381)
Azioni sul collegamento: N=-7282.36 Ty=0.97 Tz=3.63 Mx=-0.03 Mz=2.02
Sollecitazioni agenti localmente: Tx_l=0.97 Ty_l=3.63 N_l=-7282.36 My_l=-2.02 Mz_l=-0.03
Azioni sul cordone: TP=0.10 TO=0.25 NO=-538.31
Tensioni nel cordone: τ_P= 0.03 τ_0= 0.08 σ_0=174.06 σ_{ID}=174.06 Σ_T=174.14
CC 25 SLV (Collegamento 0024_-381)
Azioni sul collegamento: N=-7282.36 Ty=3.91 Tz=3.63 Mx=-0.03 Mz=-2.74
Sollecitazioni agenti localmente: Tx_l=3.91 Ty_l=3.63 N_l=-7282.36 My_l=2.74 Mz_l=-0.03
Azioni sul cordone: TP=0.32 TO=0.29 NO=-538.31
Tensioni nel cordone: τ_P=0.10 τ_0= 0.09 σ_0=175.11 σ_{ID}=175.11 Σ_T=175.20
CC 26 SLD (Collegamento 0024_-381)
Azioni sul collegamento: N=-6269.00 Ty=3.73 Tz=-0.34 Mx=-0.01 Mz=2.45
Sollecitazioni agenti localmente: Tx_l=3.73 Ty_l=-0.34 N_l=-6269.00 My_l=-2.45 Mz_l=-0.01
Azioni sul cordone: TP=0.29 TO=-0.03 NO=-463.41
Tensioni nel cordone: τ_P= 0.09 τ_0= 0.01 σ_0=150.87 σ_{ID}=150.87 Σ_T=150.88
CC 26 SLD (Collegamento 0024_-381)
Azioni sul collegamento: N=-6269.00 Ty=2.84 Tz=-0.34 Mx=-0.01 Mz=0.99
Sollecitazioni agenti localmente: Tx_l=2.84 Ty_l=-0.34 N_l=-6269.00 My_l=-0.99 Mz_l=-0.01
Azioni sul cordone: TP=0.22 TO=-0.03 NO=-463.41
Tensioni nel cordone: τ_P= 0.07 τ_0= 0.01 σ_0=148.75 σ_{ID}=148.75 Σ_T=148.76
CC 26 SLD (Collegamento 0024_-381)
Azioni sul collegamento: N=-6269.00 Ty=3.73 Tz=1.57 Mx=-0.01 Mz=2.45
Sollecitazioni agenti localmente: Tx_l=3.73 Ty_l=1.57 N_l=-6269.00 My_l=-2.45 Mz_l=-0.01
Azioni sul cordone: TP=0.29 TO=0.11 NO=-463.41
Tensioni nel cordone: τ_P= 0.09 τ_0= 0.03 σ_0=150.87 σ_{ID}=150.87 Σ_T=150.90
CC 26 SLD (Collegamento 0024_-381)
Azioni sul collegamento: N=-6269.00 Ty=2.84 Tz=1.57 Mx=-0.01 Mz=0.99
Sollecitazioni agenti localmente: Tx_l=2.84 Ty_l=1.57 N_l=-6269.00 My_l=-0.99 Mz_l=-0.01
Azioni sul cordone: TP=0.22 TO=0.11 NO=-463.41
Tensioni nel cordone: τ_P= 0.07 τ_0= 0.03 σ_0=148.75 σ_{ID}=148.75 Σ_T=148.78
CC 26 SLD (Collegamento 0024_-381)
Azioni sul collegamento: N=-6757.78 Ty=3.73 Tz=-0.34 Mx=-0.01 Mz=2.45
Sollecitazioni agenti localmente: Tx_l=3.73 Ty_l=-0.34 N_l=-6757.78 My_l=-2.45 Mz_l=-0.01
Azioni sul cordone: TP=0.29 TO=-0.03 NO=-499.54
Tensioni nel cordone: τ_P= 0.09 τ_0= 0.01 σ_0=162.35 σ_{ID}=162.35 Σ_T=162.36
CC 26 SLD (Collegamento 0024_-381)
Azioni sul collegamento: N=-6757.78 Ty=2.84 Tz=-0.34 Mx=-0.01 Mz=0.99
Sollecitazioni agenti localmente: Tx_l=2.84 Ty_l=-0.34 N_l=-6757.78 My_l=-0.99 Mz_l=-0.01
Azioni sul cordone: TP=0.22 TO=-0.03 NO=-499.54
Tensioni nel cordone: τ_P= 0.07 τ_0= 0.01 σ_0=160.23 σ_{ID}=160.23 Σ_T=160.24
CC 26 SLD (Collegamento 0024_-381)
Azioni sul collegamento: N=-6757.78 Ty=3.73 Tz=1.57 Mx=-0.01 Mz=2.45
Sollecitazioni agenti localmente: Tx_l=3.73 Ty_l=1.57 N_l=-6757.78 My_l=-2.45 Mz_l=-0.01
Azioni sul cordone: TP=0.29 TO=0.11 NO=-499.54
Tensioni nel cordone: τ_P= 0.09 τ_0= 0.03 σ_0=162.35 σ_{ID}=162.35 Σ_T=162.39
CC 26 SLD (Collegamento 0024_-381)
Azioni sul collegamento: N=-6757.78 Ty=2.84 Tz=1.57 Mx=-0.01 Mz=0.99
Sollecitazioni agenti localmente: Tx_l=2.84 Ty_l=1.57 N_l=-6757.78 My_l=-0.99 Mz_l=-0.01
Azioni sul cordone: TP=0.22 TO=0.11 NO=-499.54
Tensioni nel cordone: τ_P= 0.07 τ_0= 0.03 σ_0=160.23 σ_{ID}=160.23 Σ_T=160.26
CC 27 SLV (Collegamento 0024_-381)
Azioni sul collegamento: N=-7263.40 Ty=1.79 Tz=3.21 Mx=-0.02 Mz=1.45
Sollecitazioni agenti localmente: Tx_l=1.79 Ty_l=3.21 N_l=-7263.40 My_l=-1.45 Mz_l=-0.02
Azioni sul cordone: TP=0.16 TO=0.22 NO=-536.91
Tensioni nel cordone: τ_P= 0.05 τ_0= 0.07 σ_0=172.77 σ_{ID}=172.77 Σ_T=172.84
CC 27 SLV (Collegamento 0024_-381)
Azioni sul collegamento: N=-7263.40 Ty=3.09 Tz=3.21 Mx=-0.02 Mz=-2.17

Sollecitazioni agenti localmente: Tx_l=3.09 Ty_l=3.21 N_l=-7263.40 My_l=2.17 Mz_l=-0.02
Azioni sul cordone: TP=0.26 TO=0.26 NO=-536.91
Tensioni nel cordone: τ_P= 0.08 τ_O= 0.08 σ_O=173.82 σ_{ID}=173.82 Σ_T=173.91
CC 27 SLV (Collegamento 0024_-381)
Azioni sul collegamento: N=-7263.40 Ty=1.79 Tz=-2.23 Mx=-0.02 Mz=1.45
Sollecitazioni agenti localmente: Tx_l=1.79 Ty_l=-2.23 N_l=-7263.40 My_l=-1.45 Mz_l=-0.02
Azioni sul cordone: TP=0.16 TO=-0.18 NO=-536.91
Tensioni nel cordone: τ_P= 0.05 τ_O= 0.06 σ_O=172.77 σ_{ID}=172.77 Σ_T=172.83
CC 27 SLV (Collegamento 0024_-381)
Azioni sul collegamento: N=-7263.40 Ty=3.09 Tz=-2.23 Mx=-0.02 Mz=-2.17
Sollecitazioni agenti localmente: Tx_l=3.09 Ty_l=-2.23 N_l=-7263.40 My_l=2.17 Mz_l=-0.02
Azioni sul cordone: TP=0.26 TO=-0.15 NO=-536.91
Tensioni nel cordone: τ_P= 0.08 τ_O= 0.05 σ_O=173.82 σ_{ID}=173.82 Σ_T=173.87
CC 27 SLV (Collegamento 0024_-381)
Azioni sul collegamento: N=-5698.42 Ty=1.79 Tz=3.21 Mx=-0.02 Mz=1.45
Sollecitazioni agenti localmente: Tx_l=1.79 Ty_l=3.21 N_l=-5698.42 My_l=-1.45 Mz_l=-0.02
Azioni sul cordone: TP=0.16 TO=0.22 NO=-421.23
Tensioni nel cordone: τ_P= 0.05 τ_O= 0.07 σ_O=136.00 σ_{ID}=136.00 Σ_T=136.07
CC 27 SLV (Collegamento 0024_-381)
Azioni sul collegamento: N=-5698.42 Ty=3.09 Tz=3.21 Mx=-0.02 Mz=-2.17
Sollecitazioni agenti localmente: Tx_l=3.09 Ty_l=3.21 N_l=-5698.42 My_l=2.17 Mz_l=-0.02
Azioni sul cordone: TP=0.26 TO=0.26 NO=-421.23
Tensioni nel cordone: τ_P= 0.08 τ_O= 0.08 σ_O=137.05 σ_{ID}=137.05 Σ_T=137.13
CC 27 SLV (Collegamento 0024_-381)
Azioni sul collegamento: N=-5698.42 Ty=1.79 Tz=-2.23 Mx=-0.02 Mz=1.45
Sollecitazioni agenti localmente: Tx_l=1.79 Ty_l=-2.23 N_l=-5698.42 My_l=-1.45 Mz_l=-0.02
Azioni sul cordone: TP=0.16 TO=-0.18 NO=-421.23
Tensioni nel cordone: τ_P= 0.05 τ_O= 0.06 σ_O=136.00 σ_{ID}=136.00 Σ_T=136.06
CC 27 SLV (Collegamento 0024_-381)
Azioni sul collegamento: N=-5698.42 Ty=3.09 Tz=-2.23 Mx=-0.02 Mz=-2.17
Sollecitazioni agenti localmente: Tx_l=3.09 Ty_l=-2.23 N_l=-5698.42 My_l=2.17 Mz_l=-0.02
Azioni sul cordone: TP=0.26 TO=-0.15 NO=-421.23
Tensioni nel cordone: τ_P= 0.08 τ_O= 0.05 σ_O=137.05 σ_{ID}=137.05 Σ_T=137.10
CC 28 SLD (Collegamento 0024_-381)
Azioni sul collegamento: N=-6752.00 Ty=3.48 Tz=1.44 Mx=-0.01 Mz=2.27
Sollecitazioni agenti localmente: Tx_l=3.48 Ty_l=1.44 N_l=-6752.00 My_l=-2.27 Mz_l=-0.01
Azioni sul cordone: TP=0.27 TO=0.10 NO=-499.11
Tensioni nel cordone: τ_P= 0.09 τ_O= 0.03 σ_O=161.96 σ_{ID}=161.96 Σ_T=161.99
CC 28 SLD (Collegamento 0024_-381)
Azioni sul collegamento: N=-6752.00 Ty=3.09 Tz=1.44 Mx=-0.01 Mz=1.17
Sollecitazioni agenti localmente: Tx_l=3.09 Ty_l=1.44 N_l=-6752.00 My_l=-1.17 Mz_l=-0.01
Azioni sul cordone: TP=0.24 TO=0.10 NO=-499.11
Tensioni nel cordone: τ_P= 0.08 τ_O= 0.03 σ_O=160.35 σ_{ID}=160.35 Σ_T=160.38
CC 28 SLD (Collegamento 0024_-381)
Azioni sul collegamento: N=-6752.00 Ty=3.48 Tz=-0.21 Mx=-0.01 Mz=2.27
Sollecitazioni agenti localmente: Tx_l=3.48 Ty_l=-0.21 N_l=-6752.00 My_l=-2.27 Mz_l=-0.01
Azioni sul cordone: TP=0.27 TO=-0.02 NO=-499.11
Tensioni nel cordone: τ_P= 0.09 τ_O=7.48E-03 σ_O=161.96 σ_{ID}=161.96 Σ_T=161.97
CC 28 SLD (Collegamento 0024_-381)
Azioni sul collegamento: N=-6752.00 Ty=3.09 Tz=-0.21 Mx=-0.01 Mz=1.17
Sollecitazioni agenti localmente: Tx_l=3.09 Ty_l=-0.21 N_l=-6752.00 My_l=-1.17 Mz_l=-0.01
Azioni sul cordone: TP=0.24 TO=-0.02 NO=-499.11
Tensioni nel cordone: τ_P= 0.08 τ_O=7.48E-03 σ_O=160.35 σ_{ID}=160.35 Σ_T=160.36
CC 28 SLD (Collegamento 0024_-381)
Azioni sul collegamento: N=-6274.78 Ty=3.48 Tz=1.44 Mx=-0.01 Mz=2.27
Sollecitazioni agenti localmente: Tx_l=3.48 Ty_l=1.44 N_l=-6274.78 My_l=-2.27 Mz_l=-0.01
Azioni sul cordone: TP=0.27 TO=0.10 NO=-463.83
Tensioni nel cordone: τ_P= 0.09 τ_O= 0.03 σ_O=150.75 σ_{ID}=150.75 Σ_T=150.78
CC 28 SLD (Collegamento 0024_-381)
Azioni sul collegamento: N=-6274.78 Ty=3.09 Tz=1.44 Mx=-0.01 Mz=1.17
Sollecitazioni agenti localmente: Tx_l=3.09 Ty_l=1.44 N_l=-6274.78 My_l=-1.17 Mz_l=-0.01
Azioni sul cordone: TP=0.24 TO=0.10 NO=-463.83
Tensioni nel cordone: τ_P= 0.08 τ_O= 0.03 σ_O=149.14 σ_{ID}=149.14 Σ_T=149.17
CC 28 SLD (Collegamento 0024_-381)
Azioni sul collegamento: N=-6274.78 Ty=3.48 Tz=-0.21 Mx=-0.01 Mz=2.27
Sollecitazioni agenti localmente: Tx_l=3.48 Ty_l=-0.21 N_l=-6274.78 My_l=-2.27 Mz_l=-0.01
Azioni sul cordone: TP=0.27 TO=-0.02 NO=-463.83
Tensioni nel cordone: τ_P= 0.09 τ_O=7.48E-03 σ_O=150.75 σ_{ID}=150.75 Σ_T=150.75
CC 28 SLD (Collegamento 0024_-381)
Azioni sul collegamento: N=-6274.78 Ty=3.09 Tz=-0.21 Mx=-0.01 Mz=1.17
Sollecitazioni agenti localmente: Tx_l=3.09 Ty_l=-0.21 N_l=-6274.78 My_l=-1.17 Mz_l=-0.01
Azioni sul cordone: TP=0.24 TO=-0.02 NO=-463.83
Tensioni nel cordone: τ_P= 0.08 τ_O=7.48E-03 σ_O=149.14 σ_{ID}=149.14 Σ_T=149.15
CC 29 SLV (Collegamento 0024_-381)
Azioni sul collegamento: N=-5698.42 Ty=3.09 Tz=-2.23 Mx=-0.01 Mz=-2.17
Sollecitazioni agenti localmente: Tx_l=3.09 Ty_l=-2.23 N_l=-5698.42 My_l=2.17 Mz_l=-0.01
Azioni sul cordone: TP=0.24 TO=-0.16 NO=-421.23
Tensioni nel cordone: τ_P= 0.08 τ_O= 0.05 σ_O=137.05 σ_{ID}=137.05 Σ_T=137.10
CC 29 SLV (Collegamento 0024_-381)
Azioni sul collegamento: N=-5698.42 Ty=1.79 Tz=-2.23 Mx=-0.01 Mz=1.45
Sollecitazioni agenti localmente: Tx_l=1.79 Ty_l=-2.23 N_l=-5698.42 My_l=-1.45 Mz_l=-0.01

Azioni sul cordone: TP=0.14 TO=-0.17 NO=-421.23
Tensioni nel cordone: τ_P= 0.05 τ_0= 0.05 σ_0=136.00 σ_{ID}=136.00 Σ_T=136.05
CC 29 SLV (Collegamento 0024_-381)
Azioni sul collegamento: N=-5698.42 Ty=3.09 Tz=3.21 Mx=-0.01 Mz=-2.17
Sollecitazioni agenti localmente: Tx_l=3.09 Ty_l=3.21 N_l=-5698.42 My_l=2.17 Mz_l=-0.01
Azioni sul cordone: TP=0.24 TO=0.24 NO=-421.23
Tensioni nel cordone: τ_P= 0.08 τ_0= 0.08 σ_0=137.05 σ_{ID}=137.05 Σ_T=137.13
CC 29 SLV (Collegamento 0024_-381)
Azioni sul collegamento: N=-5698.42 Ty=1.79 Tz=3.21 Mx=-0.01 Mz=1.45
Sollecitazioni agenti localmente: Tx_l=1.79 Ty_l=3.21 N_l=-5698.42 My_l=-1.45 Mz_l=-0.01
Azioni sul cordone: TP=0.14 TO=0.23 NO=-421.23
Tensioni nel cordone: τ_P= 0.05 τ_0= 0.07 σ_0=136.00 σ_{ID}=136.00 Σ_T=136.07
CC 29 SLV (Collegamento 0024_-381)
Azioni sul collegamento: N=-7263.40 Ty=3.09 Tz=-2.23 Mx=-0.01 Mz=-2.17
Sollecitazioni agenti localmente: Tx_l=3.09 Ty_l=-2.23 N_l=-7263.40 My_l=2.17 Mz_l=-0.01
Azioni sul cordone: TP=0.24 TO=-0.16 NO=-536.91
Tensioni nel cordone: τ_P= 0.08 τ_0= 0.05 σ_0=173.82 σ_{ID}=173.82 Σ_T=173.87
CC 29 SLV (Collegamento 0024_-381)
Azioni sul collegamento: N=-7263.40 Ty=1.79 Tz=-2.23 Mx=-0.01 Mz=1.45
Sollecitazioni agenti localmente: Tx_l=1.79 Ty_l=-2.23 N_l=-7263.40 My_l=-1.45 Mz_l=-0.01
Azioni sul cordone: TP=0.14 TO=-0.17 NO=-536.91
Tensioni nel cordone: τ_P= 0.05 τ_0= 0.05 σ_0=172.77 σ_{ID}=172.77 Σ_T=172.82
CC 29 SLV (Collegamento 0024_-381)
Azioni sul collegamento: N=-7263.40 Ty=3.09 Tz=3.21 Mx=-0.01 Mz=-2.17
Sollecitazioni agenti localmente: Tx_l=3.09 Ty_l=3.21 N_l=-7263.40 My_l=2.17 Mz_l=-0.01
Azioni sul cordone: TP=0.24 TO=0.24 NO=-536.91
Tensioni nel cordone: τ_P= 0.08 τ_0= 0.08 σ_0=173.82 σ_{ID}=173.82 Σ_T=173.90
CC 29 SLV (Collegamento 0024_-381)
Azioni sul collegamento: N=-7263.40 Ty=1.79 Tz=3.21 Mx=-0.01 Mz=1.45
Sollecitazioni agenti localmente: Tx_l=1.79 Ty_l=3.21 N_l=-7263.40 My_l=-1.45 Mz_l=-0.01
Azioni sul cordone: TP=0.14 TO=0.23 NO=-536.91
Tensioni nel cordone: τ_P= 0.05 τ_0= 0.07 σ_0=172.77 σ_{ID}=172.77 Σ_T=172.84
CC 30 SLD (Collegamento 0024_-381)
Azioni sul collegamento: N=-6274.78 Ty=3.09 Tz=-0.21 Mx=-0.01 Mz=1.17
Sollecitazioni agenti localmente: Tx_l=3.09 Ty_l=-0.21 N_l=-6274.78 My_l=-1.17 Mz_l=-0.01
Azioni sul cordone: TP=0.23 TO=-0.02 NO=-463.83
Tensioni nel cordone: τ_P= 0.07 τ_0=6.32E-03 σ_0=149.14 σ_{ID}=149.14 Σ_T=149.15
CC 30 SLD (Collegamento 0024_-381)
Azioni sul collegamento: N=-6274.78 Ty=3.48 Tz=-0.21 Mx=-0.01 Mz=2.27
Sollecitazioni agenti localmente: Tx_l=3.48 Ty_l=-0.21 N_l=-6274.78 My_l=-2.27 Mz_l=-0.01
Azioni sul cordone: TP=0.26 TO=-0.02 NO=-463.83
Tensioni nel cordone: τ_P= 0.08 τ_0=6.32E-03 σ_0=150.75 σ_{ID}=150.75 Σ_T=150.75
CC 30 SLD (Collegamento 0024_-381)
Azioni sul collegamento: N=-6274.78 Ty=3.09 Tz=1.44 Mx=-0.01 Mz=1.17
Sollecitazioni agenti localmente: Tx_l=3.09 Ty_l=1.44 N_l=-6274.78 My_l=-1.17 Mz_l=-0.01
Azioni sul cordone: TP=0.23 TO=0.10 NO=-463.83
Tensioni nel cordone: τ_P= 0.07 τ_0= 0.03 σ_0=149.14 σ_{ID}=149.14 Σ_T=149.17
CC 30 SLD (Collegamento 0024_-381)
Azioni sul collegamento: N=-6274.78 Ty=3.48 Tz=1.44 Mx=-0.01 Mz=2.27
Sollecitazioni agenti localmente: Tx_l=3.48 Ty_l=1.44 N_l=-6274.78 My_l=-2.27 Mz_l=-0.01
Azioni sul cordone: TP=0.26 TO=0.10 NO=-463.83
Tensioni nel cordone: τ_P= 0.08 τ_0= 0.03 σ_0=150.75 σ_{ID}=150.75 Σ_T=150.78
CC 30 SLD (Collegamento 0024_-381)
Azioni sul collegamento: N=-6752.00 Ty=3.09 Tz=-0.21 Mx=-0.01 Mz=1.17
Sollecitazioni agenti localmente: Tx_l=3.09 Ty_l=-0.21 N_l=-6752.00 My_l=-1.17 Mz_l=-0.01
Azioni sul cordone: TP=0.23 TO=-0.02 NO=-499.11
Tensioni nel cordone: τ_P= 0.07 τ_0=6.32E-03 σ_0=160.35 σ_{ID}=160.35 Σ_T=160.36
CC 30 SLD (Collegamento 0024_-381)
Azioni sul collegamento: N=-6752.00 Ty=3.48 Tz=-0.21 Mx=-0.01 Mz=2.27
Sollecitazioni agenti localmente: Tx_l=3.48 Ty_l=-0.21 N_l=-6752.00 My_l=-2.27 Mz_l=-0.01
Azioni sul cordone: TP=0.26 TO=-0.02 NO=-499.11
Tensioni nel cordone: τ_P= 0.08 τ_0=6.32E-03 σ_0=161.96 σ_{ID}=161.96 Σ_T=161.97
CC 30 SLD (Collegamento 0024_-381)
Azioni sul collegamento: N=-6752.00 Ty=3.09 Tz=1.44 Mx=-0.01 Mz=1.17
Sollecitazioni agenti localmente: Tx_l=3.09 Ty_l=1.44 N_l=-6752.00 My_l=-1.17 Mz_l=-0.01
Azioni sul cordone: TP=0.23 TO=0.10 NO=-499.11
Tensioni nel cordone: τ_P= 0.07 τ_0= 0.03 σ_0=160.35 σ_{ID}=160.35 Σ_T=160.38
CC 30 SLD (Collegamento 0024_-381)
Azioni sul collegamento: N=-6752.00 Ty=3.48 Tz=1.44 Mx=-0.01 Mz=2.27
Sollecitazioni agenti localmente: Tx_l=3.48 Ty_l=1.44 N_l=-6752.00 My_l=-2.27 Mz_l=-0.01
Azioni sul cordone: TP=0.26 TO=0.10 NO=-499.11
Tensioni nel cordone: τ_P= 0.08 τ_0= 0.03 σ_0=161.96 σ_{ID}=161.96 Σ_T=161.99
CC 31 SLV (Collegamento 0024_-381)
Azioni sul collegamento: N=-7282.36 Ty=3.91 Tz=3.63 Mx=-0.01 Mz=-2.74
Sollecitazioni agenti localmente: Tx_l=3.91 Ty_l=3.63 N_l=-7282.36 My_l=2.74 Mz_l=-0.01
Azioni sul cordone: TP=0.30 TO=0.28 NO=-538.31
Tensioni nel cordone: τ_P= 0.09 τ_0= 0.09 σ_0=175.11 σ_{ID}=175.11 Σ_T=175.20
CC 31 SLV (Collegamento 0024_-381)
Azioni sul collegamento: N=-7282.36 Ty=0.97 Tz=3.63 Mx=-0.01 Mz=2.02
Sollecitazioni agenti localmente: Tx_l=0.97 Ty_l=3.63 N_l=-7282.36 My_l=-2.02 Mz_l=-0.01
Azioni sul cordone: TP=0.08 TO=0.26 NO=-538.31

Tensioni nel cordone: τ_P= 0.03 τ_0= 0.08 σ_0=174.06 σ_{ID}=174.06 Σ_T=174.14
CC 31 SLV (Collegamento 0024_-381)
Azioni sul collegamento: N=-7282.36 Ty=3.91 Tz=-2.66 Mx=-0.01 Mz=-2.74
Sollecitazioni agenti localmente: Tx_l=3.91 Ty_l=-2.66 N_l=-7282.36 My_l=2.74 Mz_l=-0.01
Azioni sul cordone: TP=0.30 TO=-0.19 NO=-538.31
Tensioni nel cordone: τ_P= 0.09 τ_0= 0.06 σ_0=175.11 σ_{ID}=175.11 Σ_T=175.17
CC 31 SLV (Collegamento 0024_-381)
Azioni sul collegamento: N=-7282.36 Ty=0.97 Tz=-2.66 Mx=-0.01 Mz=2.02
Sollecitazioni agenti localmente: Tx_l=0.97 Ty_l=-2.66 N_l=-7282.36 My_l=-2.02 Mz_l=-0.01
Azioni sul cordone: TP=0.08 TO=-0.20 NO=-538.31
Tensioni nel cordone: τ_P= 0.03 τ_0= 0.06 σ_0=174.06 σ_{ID}=174.06 Σ_T=174.12
CC 31 SLV (Collegamento 0024_-381)
Azioni sul collegamento: N=-5679.46 Ty=3.91 Tz=3.63 Mx=-0.01 Mz=-2.74
Sollecitazioni agenti localmente: Tx_l=3.91 Ty_l=3.63 N_l=-5679.46 My_l=2.74 Mz_l=-0.01
Azioni sul cordone: TP=0.30 TO=0.28 NO=-419.83
Tensioni nel cordone: τ_P= 0.09 τ_0= 0.09 σ_0=137.45 σ_{ID}=137.45 Σ_T=137.54
CC 31 SLV (Collegamento 0024_-381)
Azioni sul collegamento: N=-5679.46 Ty=0.97 Tz=3.63 Mx=-0.01 Mz=2.02
Sollecitazioni agenti localmente: Tx_l=0.97 Ty_l=3.63 N_l=-5679.46 My_l=-2.02 Mz_l=-0.01
Azioni sul cordone: TP=0.08 TO=0.26 NO=-419.83
Tensioni nel cordone: τ_P= 0.03 τ_0= 0.08 σ_0=136.40 σ_{ID}=136.40 Σ_T=136.48
CC 31 SLV (Collegamento 0024_-381)
Azioni sul collegamento: N=-5679.46 Ty=3.91 Tz=-2.66 Mx=-0.01 Mz=-2.74
Sollecitazioni agenti localmente: Tx_l=3.91 Ty_l=-2.66 N_l=-5679.46 My_l=2.74 Mz_l=-0.01
Azioni sul cordone: TP=0.30 TO=-0.19 NO=-419.83
Tensioni nel cordone: τ_P= 0.09 τ_0= 0.06 σ_0=137.45 σ_{ID}=137.45 Σ_T=137.51
CC 31 SLV (Collegamento 0024_-381)
Azioni sul collegamento: N=-5679.46 Ty=0.97 Tz=-2.66 Mx=-0.01 Mz=2.02
Sollecitazioni agenti localmente: Tx_l=0.97 Ty_l=-2.66 N_l=-5679.46 My_l=-2.02 Mz_l=-0.01
Azioni sul cordone: TP=0.08 TO=-0.20 NO=-419.83
Tensioni nel cordone: τ_P= 0.03 τ_0= 0.06 σ_0=136.40 σ_{ID}=136.40 Σ_T=136.46
CC 32 SLD (Collegamento 0024_-381)
Azioni sul collegamento: N=-6757.78 Ty=2.84 Tz=1.57 Mx=-0.00 Mz=0.99
Sollecitazioni agenti localmente: Tx_l=2.84 Ty_l=1.57 N_l=-6757.78 My_l=-0.99 Mz_l=-0.00
Azioni sul cordone: TP=0.22 TO=0.11 NO=-499.54
Tensioni nel cordone: τ_P= 0.07 τ_0= 0.04 σ_0=160.23 σ_{ID}=160.23 Σ_T=160.26
CC 32 SLD (Collegamento 0024_-381)
Azioni sul collegamento: N=-6757.78 Ty=3.73 Tz=1.57 Mx=-0.00 Mz=2.45
Sollecitazioni agenti localmente: Tx_l=3.73 Ty_l=1.57 N_l=-6757.78 My_l=-2.45 Mz_l=-0.00
Azioni sul cordone: TP=0.28 TO=0.11 NO=-499.54
Tensioni nel cordone: τ_P= 0.09 τ_0= 0.04 σ_0=162.35 σ_{ID}=162.35 Σ_T=162.39
CC 32 SLD (Collegamento 0024_-381)
Azioni sul collegamento: N=-6757.78 Ty=2.84 Tz=-0.34 Mx=-0.00 Mz=0.99
Sollecitazioni agenti localmente: Tx_l=2.84 Ty_l=-0.34 N_l=-6757.78 My_l=-0.99 Mz_l=-0.00
Azioni sul cordone: TP=0.22 TO=-0.03 NO=-499.54
Tensioni nel cordone: τ_P= 0.07 τ_0=9.31E-03 σ_0=160.23 σ_{ID}=160.23 Σ_T=160.24
CC 32 SLD (Collegamento 0024_-381)
Azioni sul collegamento: N=-6757.78 Ty=3.73 Tz=-0.34 Mx=-0.00 Mz=2.45
Sollecitazioni agenti localmente: Tx_l=3.73 Ty_l=-0.34 N_l=-6757.78 My_l=-2.45 Mz_l=-0.00
Azioni sul cordone: TP=0.28 TO=-0.03 NO=-499.54
Tensioni nel cordone: τ_P= 0.09 τ_0=9.31E-03 σ_0=162.35 σ_{ID}=162.35 Σ_T=162.36
CC 32 SLD (Collegamento 0024_-381)
Azioni sul collegamento: N=-6269.00 Ty=2.84 Tz=1.57 Mx=-0.00 Mz=0.99
Sollecitazioni agenti localmente: Tx_l=2.84 Ty_l=1.57 N_l=-6269.00 My_l=-0.99 Mz_l=-0.00
Azioni sul cordone: TP=0.22 TO=0.11 NO=-463.41
Tensioni nel cordone: τ_P= 0.07 τ_0= 0.04 σ_0=148.75 σ_{ID}=148.75 Σ_T=148.78
CC 32 SLD (Collegamento 0024_-381)
Azioni sul collegamento: N=-6269.00 Ty=3.73 Tz=1.57 Mx=-0.00 Mz=2.45
Sollecitazioni agenti localmente: Tx_l=3.73 Ty_l=1.57 N_l=-6269.00 My_l=-2.45 Mz_l=-0.00
Azioni sul cordone: TP=0.28 TO=0.11 NO=-463.41
Tensioni nel cordone: τ_P= 0.09 τ_0= 0.04 σ_0=150.87 σ_{ID}=150.87 Σ_T=150.91
CC 32 SLD (Collegamento 0024_-381)
Azioni sul collegamento: N=-6269.00 Ty=2.84 Tz=-0.34 Mx=-0.00 Mz=0.99
Sollecitazioni agenti localmente: Tx_l=2.84 Ty_l=-0.34 N_l=-6269.00 My_l=-0.99 Mz_l=-0.00
Azioni sul cordone: TP=0.22 TO=-0.03 NO=-463.41
Tensioni nel cordone: τ_P= 0.07 τ_0=9.31E-03 σ_0=148.75 σ_{ID}=148.75 Σ_T=148.75
CC 32 SLD (Collegamento 0024_-381)
Azioni sul collegamento: N=-6269.00 Ty=3.73 Tz=-0.34 Mx=-0.00 Mz=2.45
Sollecitazioni agenti localmente: Tx_l=3.73 Ty_l=-0.34 N_l=-6269.00 My_l=-2.45 Mz_l=-0.00
Azioni sul cordone: TP=0.28 TO=-0.03 NO=-463.41
Tensioni nel cordone: τ_P= 0.09 τ_0=9.31E-03 σ_0=150.87 σ_{ID}=150.87 Σ_T=150.88
CC 33 SLU (Collegamento 0024_-381)
Azioni sul collegamento: N=-30229.20 Ty=5.39 Tz=79.58 Mx=-0.01 Mz=3.85
Sollecitazioni agenti localmente: Tx_l=5.39 Ty_l=79.58 N_l=-30229.20 My_l=-3.85 Mz_l=-0.01
Azioni sul cordone: TP=0.41 TO=5.88 NO=-2234.55
Tensioni nel cordone: τ_P=0.13 τ_0=1.87 σ_0=715.87 σ_{ID}=715.87 Σ_T=717.74
CC 34 SLU (Collegamento 0024_-381)
Azioni sul collegamento: N=-30778.60 Ty=5.67 Tz=81.62 Mx=-0.01 Mz=4.05
Sollecitazioni agenti localmente: Tx_l=5.67 Ty_l=81.62 N_l=-30778.60 My_l=-4.05 Mz_l=-0.01
Azioni sul cordone: TP=0.43 TO=6.03 NO=-2275.16
Tensioni nel cordone: τ_P=0.14 τ_0=1.92 σ_0=729.07 σ_{ID}=729.07 Σ_T=730.99

CC 35 SLU (Collegamento 0024_-381)
Azioni sul collegamento: N=-30504.90 Ty=5.64 Tz=80.58 Mx=-0.01 Mz=4.16
Sollecitazioni agenti localmente: Tx_l=5.64 Ty_l=80.58 N_l=-30504.90 My_l=-4.16 Mz_l=-0.01
Azioni sul cordone: TP=0.43 TO=5.95 NO=-2254.93
Tensioni nel cordone: τ_P=0.14 τ_0=1.89 σ_0=722.81 σ_{ID}=722.81 Σ_T=724.70
CC 36 SLU (Collegamento 0024_-381)
Azioni sul collegamento: N=-30502.90 Ty=5.42 Tz=80.62 Mx=-0.01 Mz=3.73
Sollecitazioni agenti localmente: Tx_l=5.42 Ty_l=80.62 N_l=-30502.90 My_l=-3.73 Mz_l=-0.01
Azioni sul cordone: TP=0.41 TO=5.96 NO=-2254.79
Tensioni nel cordone: τ_P=0.13 τ_0=1.89 σ_0=722.13 σ_{ID}=722.13 Σ_T=724.02
CC 37 SLU (Collegamento 0024_-381)
Azioni sul collegamento: N=-32152.70 Ty=5.24 Tz=86.01 Mx=0.00 Mz=3.86
Sollecitazioni agenti localmente: Tx_l=5.24 Ty_l=86.01 N_l=-32152.70 My_l=-3.86 Mz_l=0.00
Azioni sul cordone: TP=0.38 TO=6.36 NO=-2376.74
Tensioni nel cordone: τ_P=0.12 τ_0=2.02 σ_0=761.08 σ_{ID}=761.08 Σ_T=763.10
CC 38 SLU (Collegamento 0024_-381)
Azioni sul collegamento: N=-32702.10 Ty=5.53 Tz=88.04 Mx=0.00 Mz=4.06
Sollecitazioni agenti localmente: Tx_l=5.53 Ty_l=88.04 N_l=-32702.10 My_l=-4.06 Mz_l=0.00
Azioni sul cordone: TP=0.41 TO=6.51 NO=-2417.35
Tensioni nel cordone: τ_P=0.13 τ_0=2.07 σ_0=774.28 σ_{ID}=774.28 Σ_T=776.35
CC 39 SLU (Collegamento 0024_-381)
Azioni sul collegamento: N=-32428.40 Ty=5.50 Tz=87.00 Mx=0.00 Mz=4.18
Sollecitazioni agenti localmente: Tx_l=5.50 Ty_l=87.00 N_l=-32428.40 My_l=-4.18 Mz_l=0.00
Azioni sul cordone: TP=0.40 TO=6.43 NO=-2397.11
Tensioni nel cordone: τ_P=0.13 τ_0=2.04 σ_0=768.02 σ_{ID}=768.02 Σ_T=770.07
CC 40 SLU (Collegamento 0024_-381)
Azioni sul collegamento: N=-32426.40 Ty=5.28 Tz=87.05 Mx=0.00 Mz=3.74
Sollecitazioni agenti localmente: Tx_l=5.28 Ty_l=87.05 N_l=-32426.40 My_l=-3.74 Mz_l=0.00
Azioni sul cordone: TP=0.39 TO=6.44 NO=-2396.97
Tensioni nel cordone: τ_P=0.12 τ_0=2.05 σ_0=767.34 σ_{ID}=767.34 Σ_T=769.38
CC 41 SLU (Collegamento 0024_-381)
Azioni sul collegamento: N=-20958.20 Ty=6.23 Tz=45.50 Mx=-0.01 Mz=4.43
Sollecitazioni agenti localmente: Tx_l=6.23 Ty_l=45.50 N_l=-20958.20 My_l=-4.43 Mz_l=-0.01
Azioni sul cordone: TP=0.47 TO=3.36 NO=-1549.24
Tensioni nel cordone: τ_P=0.15 τ_0=1.07 σ_0=498.89 σ_{ID}=498.90 Σ_T=499.96
CC 42 SLU (Collegamento 0024_-381)
Azioni sul collegamento: N=-21507.60 Ty=6.52 Tz=47.54 Mx=-0.01 Mz=4.63
Sollecitazioni agenti localmente: Tx_l=6.52 Ty_l=47.54 N_l=-21507.60 My_l=-4.63 Mz_l=-0.01
Azioni sul cordone: TP=0.49 TO=3.51 NO=-1589.85
Tensioni nel cordone: τ_P=0.16 τ_0=1.12 σ_0=512.10 σ_{ID}=512.10 Σ_T=513.21
CC 43 SLU (Collegamento 0024_-381)
Azioni sul collegamento: N=-21233.90 Ty=6.48 Tz=46.50 Mx=-0.01 Mz=4.75
Sollecitazioni agenti localmente: Tx_l=6.48 Ty_l=46.50 N_l=-21233.90 My_l=-4.75 Mz_l=-0.01
Azioni sul cordone: TP=0.49 TO=3.43 NO=-1569.62
Tensioni nel cordone: τ_P=0.15 τ_0=1.09 σ_0=505.84 σ_{ID}=505.84 Σ_T=506.93
CC 44 SLU (Collegamento 0024_-381)
Azioni sul collegamento: N=-21231.90 Ty=6.26 Tz=46.54 Mx=-0.01 Mz=4.31
Sollecitazioni agenti localmente: Tx_l=6.26 Ty_l=46.54 N_l=-21231.90 My_l=-4.31 Mz_l=-0.01
Azioni sul cordone: TP=0.47 TO=3.44 NO=-1569.47
Tensioni nel cordone: τ_P=0.15 τ_0=1.09 σ_0=505.15 σ_{ID}=505.16 Σ_T=506.25
CC 45 SLU (Collegamento 0024_-381)
Azioni sul collegamento: N=-23044.60 Ty=5.94 Tz=53.22 Mx=-0.01 Mz=4.28
Sollecitazioni agenti localmente: Tx_l=5.94 Ty_l=53.22 N_l=-23044.60 My_l=-4.28 Mz_l=-0.01
Azioni sul cordone: TP=0.45 TO=3.93 NO=-1703.46
Tensioni nel cordone: τ_P=0.14 τ_0=1.25 σ_0=547.70 σ_{ID}=547.71 Σ_T=548.95
CC 46 SLU (Collegamento 0024_-381)
Azioni sul collegamento: N=-23594.00 Ty=6.22 Tz=55.25 Mx=-0.01 Mz=4.49
Sollecitazioni agenti localmente: Tx_l=6.22 Ty_l=55.25 N_l=-23594.00 My_l=-4.49 Mz_l=-0.01
Azioni sul cordone: TP=0.47 TO=4.08 NO=-1744.08
Tensioni nel cordone: τ_P=0.15 τ_0=1.30 σ_0=560.91 σ_{ID}=560.91 Σ_T=562.20
CC 47 SLU (Collegamento 0024_-381)
Azioni sul collegamento: N=-23320.30 Ty=6.19 Tz=54.21 Mx=-0.01 Mz=4.60
Sollecitazioni agenti localmente: Tx_l=6.19 Ty_l=54.21 N_l=-23320.30 My_l=-4.60 Mz_l=-0.01
Azioni sul cordone: TP=0.47 TO=4.00 NO=-1723.84
Tensioni nel cordone: τ_P=0.15 τ_0=1.27 σ_0=554.65 σ_{ID}=554.65 Σ_T=555.92
CC 48 SLU (Collegamento 0024_-381)
Azioni sul collegamento: N=-23318.30 Ty=5.97 Tz=54.26 Mx=-0.01 Mz=4.17
Sollecitazioni agenti localmente: Tx_l=5.97 Ty_l=54.26 N_l=-23318.30 My_l=-4.17 Mz_l=-0.01
Azioni sul cordone: TP=0.45 TO=4.01 NO=-1723.70
Tensioni nel cordone: τ_P=0.14 τ_0=1.27 σ_0=553.96 σ_{ID}=553.97 Σ_T=555.24
CC 49 SLU (Collegamento 0024_-381)
Azioni sul collegamento: N=-24483.70 Ty=5.83 Tz=58.03 Mx=0.00 Mz=4.29
Sollecitazioni agenti localmente: Tx_l=5.83 Ty_l=58.03 N_l=-24483.70 My_l=-4.29 Mz_l=0.00
Azioni sul cordone: TP=0.43 TO=4.29 NO=-1809.84
Tensioni nel cordone: τ_P=0.14 τ_0=1.36 σ_0=581.53 σ_{ID}=581.53 Σ_T=582.89
CC 50 SLU (Collegamento 0024_-381)
Azioni sul collegamento: N=-25033.00 Ty=6.12 Tz=60.06 Mx=0.00 Mz=4.50
Sollecitazioni agenti localmente: Tx_l=6.12 Ty_l=60.06 N_l=-25033.00 My_l=-4.50 Mz_l=0.00
Azioni sul cordone: TP=0.45 TO=4.44 NO=-1850.45
Tensioni nel cordone: τ_P=0.14 τ_0=1.41 σ_0=594.73 σ_{ID}=594.73 Σ_T=596.14
CC 51 SLU (Collegamento 0024_-381)

Azioni sul collegamento: N=-24759.30 Ty=6.08 Tz=59.02 Mx=-0.00 Mz=4.61
Sollecitazioni agenti localmente: Tx_l=6.08 Ty_l=59.02 N_l=-24759.30 My_l=-4.61 Mz_l=-0.00
Azioni sul cordone: TP=0.45 TO=4.36 NO=-1830.22
Tensioni nel cordone: τ_P=0.14 τ_0=1.39 σ_0=588.47 σ_{ID}=588.47 Σ_T=589.86
CC 52 SLU (Collegamento 0024_-381)
Azioni sul collegamento: N=-24757.40 Ty=5.87 Tz=59.07 Mx=0.00 Mz=4.18
Sollecitazioni agenti localmente: Tx_l=5.87 Ty_l=59.07 N_l=-24757.40 My_l=-4.18 Mz_l=0.00
Azioni sul cordone: TP=0.43 TO=4.37 NO=-1830.07
Tensioni nel cordone: τ_P=0.14 τ_0=1.39 σ_0=587.79 σ_{ID}=587.79 Σ_T=589.18
CC 53 SLU (Collegamento 0024_-381)
Azioni sul collegamento: N=-16108.60 Ty=6.57 Tz=27.72 Mx=-0.01 Mz=4.72
Sollecitazioni agenti localmente: Tx_l=6.57 Ty_l=27.72 N_l=-16108.60 My_l=-4.72 Mz_l=-0.01
Azioni sul cordone: TP=0.49 TO=2.04 NO=-1190.75
Tensioni nel cordone: τ_P=0.16 τ_0=0.65 σ_0=385.38 σ_{ID}=385.38 Σ_T=386.03
CC 54 SLU (Collegamento 0024_-381)
Azioni sul collegamento: N=-16657.90 Ty=6.86 Tz=29.76 Mx=-0.01 Mz=4.92
Sollecitazioni agenti localmente: Tx_l=6.86 Ty_l=29.76 N_l=-16657.90 My_l=-4.92 Mz_l=-0.01
Azioni sul cordone: TP=0.51 TO=2.19 NO=-1231.36
Tensioni nel cordone: τ_P=0.16 τ_0=0.70 σ_0=398.58 σ_{ID}=398.58 Σ_T=399.28
CC 55 SLU (Collegamento 0024_-381)
Azioni sul collegamento: N=-16384.20 Ty=6.82 Tz=28.72 Mx=-0.01 Mz=5.04
Sollecitazioni agenti localmente: Tx_l=6.82 Ty_l=28.72 N_l=-16384.20 My_l=-5.04 Mz_l=-0.01
Azioni sul cordone: TP=0.51 TO=2.12 NO=-1211.13
Tensioni nel cordone: τ_P=0.16 τ_0=0.67 σ_0=392.32 σ_{ID}=392.32 Σ_T=392.99
CC 56 SLU (Collegamento 0024_-381)
Azioni sul collegamento: N=-16382.30 Ty=6.60 Tz=28.76 Mx=-0.01 Mz=4.60
Sollecitazioni agenti localmente: Tx_l=6.60 Ty_l=28.76 N_l=-16382.30 My_l=-4.60 Mz_l=-0.01
Azioni sul cordone: TP=0.49 TO=2.12 NO=-1210.98
Tensioni nel cordone: τ_P=0.16 τ_0=0.67 σ_0=391.64 σ_{ID}=391.64 Σ_T=392.31
CC 57 SLU (Collegamento 0024_-381)
Azioni sul collegamento: N=-23426.90 Ty=6.35 Tz=54.67 Mx=-0.01 Mz=4.58
Sollecitazioni agenti localmente: Tx_l=6.35 Ty_l=54.67 N_l=-23426.90 My_l=-4.58 Mz_l=-0.01
Azioni sul cordone: TP=0.48 TO=4.04 NO=-1731.72
Tensioni nel cordone: τ_P=0.15 τ_0=1.28 σ_0=557.12 σ_{ID}=557.12 Σ_T=558.40
CC 58 SLU (Collegamento 0024_-381)
Azioni sul collegamento: N=-23976.20 Ty=6.64 Tz=56.70 Mx=-0.01 Mz=4.78
Sollecitazioni agenti localmente: Tx_l=6.64 Ty_l=56.70 N_l=-23976.20 My_l=-4.78 Mz_l=-0.01
Azioni sul cordone: TP=0.50 TO=4.19 NO=-1772.33
Tensioni nel cordone: τ_P=0.16 τ_0=1.33 σ_0=570.32 σ_{ID}=570.32 Σ_T=571.65
CC 59 SLU (Collegamento 0024_-381)
Azioni sul collegamento: N=-23702.50 Ty=6.61 Tz=55.66 Mx=-0.01 Mz=4.90
Sollecitazioni agenti localmente: Tx_l=6.61 Ty_l=55.66 N_l=-23702.50 My_l=-4.90 Mz_l=-0.01
Azioni sul cordone: TP=0.50 TO=4.11 NO=-1752.10
Tensioni nel cordone: τ_P=0.16 τ_0=1.31 σ_0=564.06 σ_{ID}=564.06 Σ_T=565.37
CC 60 SLU (Collegamento 0024_-381)
Azioni sul collegamento: N=-23700.60 Ty=6.39 Tz=55.71 Mx=-0.01 Mz=4.46
Sollecitazioni agenti localmente: Tx_l=6.39 Ty_l=55.71 N_l=-23700.60 My_l=-4.46 Mz_l=-0.01
Azioni sul cordone: TP=0.48 TO=4.11 NO=-1751.95
Tensioni nel cordone: τ_P=0.15 τ_0=1.31 σ_0=563.38 σ_{ID}=563.38 Σ_T=564.68
CC 61 SLU (Collegamento 0024_-381)
Azioni sul collegamento: N=-24865.90 Ty=6.25 Tz=59.47 Mx=0.00 Mz=4.59
Sollecitazioni agenti localmente: Tx_l=6.25 Ty_l=59.47 N_l=-24865.90 My_l=-4.59 Mz_l=0.00
Azioni sul cordone: TP=0.46 TO=4.40 NO=-1838.10
Tensioni nel cordone: τ_P=0.15 τ_0=1.40 σ_0=590.94 σ_{ID}=590.94 Σ_T=592.34
CC 62 SLU (Collegamento 0024_-381)
Azioni sul collegamento: N=-25415.30 Ty=6.53 Tz=61.51 Mx=-0.00 Mz=4.79
Sollecitazioni agenti localmente: Tx_l=6.53 Ty_l=61.51 N_l=-25415.30 My_l=-4.79 Mz_l=-0.00
Azioni sul cordone: TP=0.48 TO=4.55 NO=-1878.71
Tensioni nel cordone: τ_P=0.15 τ_0=1.45 σ_0=604.14 σ_{ID}=604.14 Σ_T=605.59
CC 63 SLU (Collegamento 0024_-381)
Azioni sul collegamento: N=-25141.60 Ty=6.50 Tz=60.47 Mx=-0.00 Mz=4.91
Sollecitazioni agenti localmente: Tx_l=6.50 Ty_l=60.47 N_l=-25141.60 My_l=-4.91 Mz_l=-0.00
Azioni sul cordone: TP=0.48 TO=4.47 NO=-1858.47
Tensioni nel cordone: τ_P=0.15 τ_0=1.42 σ_0=597.88 σ_{ID}=597.89 Σ_T=599.30
CC 64 SLU (Collegamento 0024_-381)
Azioni sul collegamento: N=-25139.60 Ty=6.28 Tz=60.51 Mx=0.00 Mz=4.47
Sollecitazioni agenti localmente: Tx_l=6.28 Ty_l=60.51 N_l=-25139.60 My_l=-4.47 Mz_l=0.00
Azioni sul cordone: TP=0.46 TO=4.47 NO=-1858.33
Tensioni nel cordone: τ_P=0.15 τ_0=1.42 σ_0=597.20 σ_{ID}=597.20 Σ_T=598.62
CC 65 SLU (Collegamento 0024_-381)
Azioni sul collegamento: N=-16490.80 Ty=6.99 Tz=29.17 Mx=-0.01 Mz=5.02
Sollecitazioni agenti localmente: Tx_l=6.99 Ty_l=29.17 N_l=-16490.80 My_l=-5.02 Mz_l=-0.01
Azioni sul cordone: TP=0.52 TO=2.15 NO=-1219.00
Tensioni nel cordone: τ_P=0.17 τ_0=0.68 σ_0=394.79 σ_{ID}=394.79 Σ_T=395.47
CC 66 SLU (Collegamento 0024_-381)
Azioni sul collegamento: N=-17040.20 Ty=7.27 Tz=31.20 Mx=-0.01 Mz=5.22
Sollecitazioni agenti localmente: Tx_l=7.27 Ty_l=31.20 N_l=-17040.20 My_l=-5.22 Mz_l=-0.01
Azioni sul cordone: TP=0.55 TO=2.30 NO=-1259.62
Tensioni nel cordone: τ_P=0.17 τ_0=0.73 σ_0=407.99 σ_{ID}=407.99 Σ_T=408.72
CC 67 SLU (Collegamento 0024_-381)
Azioni sul collegamento: N=-16766.50 Ty=7.24 Tz=30.16 Mx=-0.01 Mz=5.34

Sollecitazioni agenti localmente: T_{x_l}=7.24 T_{y_l}=30.16 N_l=-16766.50 M_{y_l}=-5.34 M_{z_l}=-0.01
Azioni sul cordone: TP=0.54 TO=2.22 NO=-1239.38
Tensioni nel cordone: τ_P=0.17 τ_O=0.71 σ_O=401.73 σ_{ID}=401.73 Σ_T=402.44
CC 68 SLU (Collegamento 0024_-381)
Azioni sul collegamento: N=-16764.50 Ty=7.02 Tz=30.21 Mx=-0.01 Mz=4.90
Sollecitazioni agenti localmente: T_{x_l}=7.02 T_{y_l}=30.21 N_l=-16764.50 M_{y_l}=-4.90 M_{z_l}=-0.01
Azioni sul cordone: TP=0.53 TO=2.23 NO=-1239.24
Tensioni nel cordone: τ_P=0.17 τ_O=0.71 σ_O=401.05 σ_{ID}=401.05 Σ_T=401.76
CC 97 SLU (Collegamento 0024_-381)
Azioni sul collegamento: N=-10609.80 Ty=16.63 Tz=15.80 Mx=0.03 Mz=19.66
Sollecitazioni agenti localmente: T_{x_l}=16.63 T_{y_l}=15.80 N_l=-10609.80 M_{y_l}=-19.66 M_{z_l}=0.03
Azioni sul cordone: TP=1.20 TO=1.19 NO=-784.28
Tensioni nel cordone: τ_P=0.38 τ_O=0.38 σ_O=278.01 σ_{ID}=278.01 Σ_T=278.38
CC 98 SLU (Collegamento 0024_-381)
Azioni sul collegamento: N=-11159.10 Ty=16.91 Tz=17.84 Mx=0.03 Mz=19.86
Sollecitazioni agenti localmente: T_{x_l}=16.91 T_{y_l}=17.84 N_l=-11159.10 M_{y_l}=-19.86 M_{z_l}=0.03
Azioni sul cordone: TP=1.22 TO=1.34 NO=-824.89
Tensioni nel cordone: τ_P=0.39 τ_O=0.43 σ_O=291.21 σ_{ID}=291.21 Σ_T=291.63
CC 99 SLU (Collegamento 0024_-381)
Azioni sul collegamento: N=-10885.40 Ty=16.88 Tz=16.80 Mx=0.03 Mz=19.98
Sollecitazioni agenti localmente: T_{x_l}=16.88 T_{y_l}=16.80 N_l=-10885.40 M_{y_l}=-19.98 M_{z_l}=0.03
Azioni sul cordone: TP=1.22 TO=1.26 NO=-804.65
Tensioni nel cordone: τ_P=0.39 τ_O=0.40 σ_O=284.95 σ_{ID}=284.95 Σ_T=285.35
CC 100 SLU (Collegamento 0024_-381)
Azioni sul collegamento: N=-10883.50 Ty=16.66 Tz=16.84 Mx=0.03 Mz=19.55
Sollecitazioni agenti localmente: T_{x_l}=16.66 T_{y_l}=16.84 N_l=-10883.50 M_{y_l}=-19.55 M_{z_l}=0.03
Azioni sul cordone: TP=1.20 TO=1.27 NO=-804.51
Tensioni nel cordone: τ_P=0.38 τ_O=0.40 σ_O=284.27 σ_{ID}=284.27 Σ_T=284.67
CC 101 SLU (Collegamento 0024_-381)
Azioni sul collegamento: N=-6606.14 Ty=1.32 Tz=0.91 Mx=-0.01 Mz=0.13
Sollecitazioni agenti localmente: T_{x_l}=1.32 T_{y_l}=0.91 N_l=-6606.14 M_{y_l}=-0.13 M_{z_l}=-0.01
Azioni sul cordone: TP=0.11 TO=0.06 NO=-488.33
Tensioni nel cordone: τ_P= 0.03 τ_O= 0.02 σ_O=155.41 σ_{ID}=155.41 Σ_T=155.42
CC 102 SLU (Collegamento 0024_-381)
Azioni sul collegamento: N=-7155.53 Ty=1.61 Tz=2.94 Mx=-0.01 Mz=0.33
Sollecitazioni agenti localmente: T_{x_l}=1.61 T_{y_l}=2.94 N_l=-7155.53 M_{y_l}=-0.33 M_{z_l}=-0.01
Azioni sul cordone: TP=0.13 TO=0.21 NO=-528.94
Tensioni nel cordone: τ_P= 0.04 τ_O= 0.07 σ_O=168.61 σ_{ID}=168.61 Σ_T=168.67
CC 103 SLU (Collegamento 0024_-381)
Azioni sul collegamento: N=-6881.82 Ty=1.58 Tz=1.90 Mx=-0.01 Mz=0.45
Sollecitazioni agenti localmente: T_{x_l}=1.58 T_{y_l}=1.90 N_l=-6881.82 M_{y_l}=-0.45 M_{z_l}=-0.01
Azioni sul cordone: TP=0.13 TO=0.13 NO=-508.71
Tensioni nel cordone: τ_P= 0.04 τ_O= 0.04 σ_O=162.35 σ_{ID}=162.35 Σ_T=162.39
CC 104 SLU (Collegamento 0024_-381)
Azioni sul collegamento: N=-6879.85 Ty=1.36 Tz=1.95 Mx=-0.01 Mz=0.01
Sollecitazioni agenti localmente: T_{x_l}=1.36 T_{y_l}=1.95 N_l=-6879.85 M_{y_l}=-0.01 M_{z_l}=-0.01
Azioni sul cordone: TP=0.11 TO=0.14 NO=-508.56
Tensioni nel cordone: τ_P= 0.03 τ_O= 0.04 σ_O=161.66 σ_{ID}=161.66 Σ_T=161.71

Flessione attacco superiore piastra

Bnetta=220.00 Hnetta=15.00
CC 1 SLV (Collegamento 0024_-381)
Azioni sul collegamento: N=-3931.62 Ty=6.55 Tz=-8.98 Mx=0.01 Mz=7.22
Sollecitazioni agenti localmente: T_{y_l}=-714.84 M_{x_l}=-14.30
Tensioni nella sezione: σ=173.29 τ=21.66
CC 1 SLV (Collegamento 0024_-381)
Azioni sul collegamento: N=-3931.62 Ty=3.19 Tz=-8.98 Mx=0.01 Mz=4.04
Sollecitazioni agenti localmente: T_{y_l}=-714.84 M_{x_l}=-14.30
Tensioni nella sezione: σ=173.29 τ=21.66
CC 1 SLV (Collegamento 0024_-381)
Azioni sul collegamento: N=-3931.62 Ty=6.55 Tz=10.69 Mx=0.01 Mz=7.22
Sollecitazioni agenti localmente: T_{y_l}=-714.84 M_{x_l}=-14.30
Tensioni nella sezione: σ=173.29 τ=21.66
CC 1 SLV (Collegamento 0024_-381)
Azioni sul collegamento: N=-3931.62 Ty=3.19 Tz=10.69 Mx=0.01 Mz=4.04
Sollecitazioni agenti localmente: T_{y_l}=-714.84 M_{x_l}=-14.30
Tensioni nella sezione: σ=173.29 τ=21.66
CC 1 SLV (Collegamento 0024_-381)
Azioni sul collegamento: N=-9217.12 Ty=6.55 Tz=-8.98 Mx=0.01 Mz=7.22
Sollecitazioni agenti localmente: T_{y_l}=-1675.84 M_{x_l}=-33.52
Tensioni nella sezione: σ=406.26 τ=50.78
CC 1 SLV (Collegamento 0024_-381)
Azioni sul collegamento: N=-9217.12 Ty=3.19 Tz=-8.98 Mx=0.01 Mz=4.04
Sollecitazioni agenti localmente: T_{y_l}=-1675.84 M_{x_l}=-33.52
Tensioni nella sezione: σ=406.26 τ=50.78
CC 1 SLV (Collegamento 0024_-381)
Azioni sul collegamento: N=-9217.12 Ty=6.55 Tz=10.69 Mx=0.01 Mz=7.22
Sollecitazioni agenti localmente: T_{y_l}=-1675.84 M_{x_l}=-33.52
Tensioni nella sezione: σ=406.26 τ=50.78
CC 1 SLV (Collegamento 0024_-381)

Azioni sul collegamento: N=-9217.12 Ty=3.19 Tz=10.69 Mx=0.01 Mz=4.04
Sollecitazioni agenti localmente: Ty_l=-1675.84 Mx_l=-33.52
Tensioni nella sezione: σ=406.26 τ=50.78
CC 2 SLD (Collegamento 0024_-381)
Azioni sul collegamento: N=-5736.03 Ty=4.54 Tz=-2.27 Mx=0.00 Mz=4.03
Sollecitazioni agenti localmente: Ty_l=-1042.91 Mx_l=-20.86
Tensioni nella sezione: σ=252.83 τ=31.60
CC 2 SLD (Collegamento 0024_-381)
Azioni sul collegamento: N=-5736.03 Ty=3.51 Tz=-2.27 Mx=0.00 Mz=3.06
Sollecitazioni agenti localmente: Ty_l=-1042.91 Mx_l=-20.86
Tensioni nella sezione: σ=252.83 τ=31.60
CC 2 SLD (Collegamento 0024_-381)
Azioni sul collegamento: N=-5736.03 Ty=4.54 Tz=3.73 Mx=0.00 Mz=4.03
Sollecitazioni agenti localmente: Ty_l=-1042.91 Mx_l=-20.86
Tensioni nella sezione: σ=252.83 τ=31.60
CC 2 SLD (Collegamento 0024_-381)
Azioni sul collegamento: N=-5736.03 Ty=3.51 Tz=3.73 Mx=0.00 Mz=3.06
Sollecitazioni agenti localmente: Ty_l=-1042.91 Mx_l=-20.86
Tensioni nella sezione: σ=252.83 τ=31.60
CC 2 SLD (Collegamento 0024_-381)
Azioni sul collegamento: N=-7347.75 Ty=4.54 Tz=-2.27 Mx=0.00 Mz=4.03
Sollecitazioni agenti localmente: Ty_l=-1335.95 Mx_l=-26.72
Tensioni nella sezione: σ=323.87 τ=40.48
CC 2 SLD (Collegamento 0024_-381)
Azioni sul collegamento: N=-7347.75 Ty=3.51 Tz=-2.27 Mx=0.00 Mz=3.06
Sollecitazioni agenti localmente: Ty_l=-1335.95 Mx_l=-26.72
Tensioni nella sezione: σ=323.87 τ=40.48
CC 2 SLD (Collegamento 0024_-381)
Azioni sul collegamento: N=-7347.75 Ty=4.54 Tz=3.73 Mx=0.00 Mz=4.03
Sollecitazioni agenti localmente: Ty_l=-1335.95 Mx_l=-26.72
Tensioni nella sezione: σ=323.87 τ=40.48
CC 2 SLD (Collegamento 0024_-381)
Azioni sul collegamento: N=-7347.75 Ty=3.51 Tz=3.73 Mx=0.00 Mz=3.06
Sollecitazioni agenti localmente: Ty_l=-1335.95 Mx_l=-26.72
Tensioni nella sezione: σ=323.87 τ=40.48
CC 3 SLV (Collegamento 0024_-381)
Azioni sul collegamento: N=-3937.31 Ty=5.92 Tz=-8.85 Mx=0.01 Mz=5.96
Sollecitazioni agenti localmente: Ty_l=-715.87 Mx_l=-14.32
Tensioni nella sezione: σ=173.54 τ=21.69
CC 3 SLV (Collegamento 0024_-381)
Azioni sul collegamento: N=-3937.31 Ty=3.82 Tz=-8.85 Mx=0.01 Mz=5.30
Sollecitazioni agenti localmente: Ty_l=-715.87 Mx_l=-14.32
Tensioni nella sezione: σ=173.54 τ=21.69
CC 3 SLV (Collegamento 0024_-381)
Azioni sul collegamento: N=-3937.31 Ty=5.92 Tz=10.56 Mx=0.01 Mz=5.96
Sollecitazioni agenti localmente: Ty_l=-715.87 Mx_l=-14.32
Tensioni nella sezione: σ=173.54 τ=21.69
CC 3 SLV (Collegamento 0024_-381)
Azioni sul collegamento: N=-3937.31 Ty=3.82 Tz=10.56 Mx=0.01 Mz=5.30
Sollecitazioni agenti localmente: Ty_l=-715.87 Mx_l=-14.32
Tensioni nella sezione: σ=173.54 τ=21.69
CC 3 SLV (Collegamento 0024_-381)
Azioni sul collegamento: N=-9211.43 Ty=5.92 Tz=-8.85 Mx=0.01 Mz=5.96
Sollecitazioni agenti localmente: Ty_l=-1674.80 Mx_l=-33.50
Tensioni nella sezione: σ=406.01 τ=50.75
CC 3 SLV (Collegamento 0024_-381)
Azioni sul collegamento: N=-9211.43 Ty=3.82 Tz=-8.85 Mx=0.01 Mz=5.30
Sollecitazioni agenti localmente: Ty_l=-1674.80 Mx_l=-33.50
Tensioni nella sezione: σ=406.01 τ=50.75
CC 3 SLV (Collegamento 0024_-381)
Azioni sul collegamento: N=-9211.43 Ty=5.92 Tz=10.56 Mx=0.01 Mz=5.96
Sollecitazioni agenti localmente: Ty_l=-1674.80 Mx_l=-33.50
Tensioni nella sezione: σ=406.01 τ=50.75
CC 3 SLV (Collegamento 0024_-381)
Azioni sul collegamento: N=-9211.43 Ty=3.82 Tz=10.56 Mx=0.01 Mz=5.30
Sollecitazioni agenti localmente: Ty_l=-1674.80 Mx_l=-33.50
Tensioni nella sezione: σ=406.01 τ=50.75
CC 4 SLD (Collegamento 0024_-381)
Azioni sul collegamento: N=-5737.77 Ty=4.34 Tz=-2.23 Mx=0.00 Mz=3.65
Sollecitazioni agenti localmente: Ty_l=-1043.23 Mx_l=-20.86
Tensioni nella sezione: σ=252.90 τ=31.61
CC 4 SLD (Collegamento 0024_-381)
Azioni sul collegamento: N=-5737.77 Ty=3.71 Tz=-2.23 Mx=0.00 Mz=3.45
Sollecitazioni agenti localmente: Ty_l=-1043.23 Mx_l=-20.86
Tensioni nella sezione: σ=252.90 τ=31.61
CC 4 SLD (Collegamento 0024_-381)
Azioni sul collegamento: N=-5737.77 Ty=4.34 Tz=3.69 Mx=0.00 Mz=3.65
Sollecitazioni agenti localmente: Ty_l=-1043.23 Mx_l=-20.86
Tensioni nella sezione: σ=252.90 τ=31.61
CC 4 SLD (Collegamento 0024_-381)

Azioni sul collegamento: N=-5737.77 Ty=3.71 Tz=3.69 Mx=0.00 Mz=3.45
Sollecitazioni agenti localmente: Ty_l=-1043.23 Mx_l=-20.86
Tensioni nella sezione: σ=252.90 τ=31.61
CC 4 SLD (Collegamento 0024_-381)
Azioni sul collegamento: N=-7346.01 Ty=4.34 Tz=-2.23 Mx=0.00 Mz=3.65
Sollecitazioni agenti localmente: Ty_l=-1335.64 Mx_l=-26.71
Tensioni nella sezione: σ=323.79 τ=40.47
CC 4 SLD (Collegamento 0024_-381)
Azioni sul collegamento: N=-7346.01 Ty=3.71 Tz=-2.23 Mx=0.00 Mz=3.45
Sollecitazioni agenti localmente: Ty_l=-1335.64 Mx_l=-26.71
Tensioni nella sezione: σ=323.79 τ=40.47
CC 4 SLD (Collegamento 0024_-381)
Azioni sul collegamento: N=-7346.01 Ty=4.34 Tz=3.69 Mx=0.00 Mz=3.65
Sollecitazioni agenti localmente: Ty_l=-1335.64 Mx_l=-26.71
Tensioni nella sezione: σ=323.79 τ=40.47
CC 4 SLD (Collegamento 0024_-381)
Azioni sul collegamento: N=-7346.01 Ty=3.71 Tz=3.69 Mx=0.00 Mz=3.45
Sollecitazioni agenti localmente: Ty_l=-1335.64 Mx_l=-26.71
Tensioni nella sezione: σ=323.79 τ=40.47
CC 5 SLV (Collegamento 0024_-381)
Azioni sul collegamento: N=-9211.43 Ty=3.82 Tz=10.56 Mx=0.01 Mz=5.30
Sollecitazioni agenti localmente: Ty_l=-1674.80 Mx_l=-33.50
Tensioni nella sezione: σ=406.01 τ=50.75
CC 5 SLV (Collegamento 0024_-381)
Azioni sul collegamento: N=-9211.43 Ty=5.92 Tz=10.56 Mx=0.01 Mz=5.96
Sollecitazioni agenti localmente: Ty_l=-1674.80 Mx_l=-33.50
Tensioni nella sezione: σ=406.01 τ=50.75
CC 5 SLV (Collegamento 0024_-381)
Azioni sul collegamento: N=-9211.43 Ty=3.82 Tz=-8.85 Mx=0.01 Mz=5.30
Sollecitazioni agenti localmente: Ty_l=-1674.80 Mx_l=-33.50
Tensioni nella sezione: σ=406.01 τ=50.75
CC 5 SLV (Collegamento 0024_-381)
Azioni sul collegamento: N=-9211.43 Ty=5.92 Tz=-8.85 Mx=0.01 Mz=5.96
Sollecitazioni agenti localmente: Ty_l=-1674.80 Mx_l=-33.50
Tensioni nella sezione: σ=406.01 τ=50.75
CC 5 SLV (Collegamento 0024_-381)
Azioni sul collegamento: N=-3937.31 Ty=3.82 Tz=10.56 Mx=0.01 Mz=5.30
Sollecitazioni agenti localmente: Ty_l=-715.87 Mx_l=-14.32
Tensioni nella sezione: σ=173.54 τ=21.69
CC 5 SLV (Collegamento 0024_-381)
Azioni sul collegamento: N=-3937.31 Ty=5.92 Tz=10.56 Mx=0.01 Mz=5.96
Sollecitazioni agenti localmente: Ty_l=-715.87 Mx_l=-14.32
Tensioni nella sezione: σ=173.54 τ=21.69
CC 5 SLV (Collegamento 0024_-381)
Azioni sul collegamento: N=-3937.31 Ty=3.82 Tz=-8.85 Mx=0.01 Mz=5.30
Sollecitazioni agenti localmente: Ty_l=-715.87 Mx_l=-14.32
Tensioni nella sezione: σ=173.54 τ=21.69
CC 5 SLV (Collegamento 0024_-381)
Azioni sul collegamento: N=-3937.31 Ty=5.92 Tz=-8.85 Mx=0.01 Mz=5.96
Sollecitazioni agenti localmente: Ty_l=-715.87 Mx_l=-14.32
Tensioni nella sezione: σ=173.54 τ=21.69
CC 6 SLD (Collegamento 0024_-381)
Azioni sul collegamento: N=-7346.01 Ty=3.71 Tz=3.69 Mx=0.00 Mz=3.45
Sollecitazioni agenti localmente: Ty_l=-1335.64 Mx_l=-26.71
Tensioni nella sezione: σ=323.79 τ=40.47
CC 6 SLD (Collegamento 0024_-381)
Azioni sul collegamento: N=-7346.01 Ty=4.34 Tz=3.69 Mx=0.00 Mz=3.65
Sollecitazioni agenti localmente: Ty_l=-1335.64 Mx_l=-26.71
Tensioni nella sezione: σ=323.79 τ=40.47
CC 6 SLD (Collegamento 0024_-381)
Azioni sul collegamento: N=-7346.01 Ty=3.71 Tz=-2.23 Mx=0.00 Mz=3.45
Sollecitazioni agenti localmente: Ty_l=-1335.64 Mx_l=-26.71
Tensioni nella sezione: σ=323.79 τ=40.47
CC 6 SLD (Collegamento 0024_-381)
Azioni sul collegamento: N=-7346.01 Ty=4.34 Tz=-2.23 Mx=0.00 Mz=3.65
Sollecitazioni agenti localmente: Ty_l=-1335.64 Mx_l=-26.71
Tensioni nella sezione: σ=323.79 τ=40.47
CC 6 SLD (Collegamento 0024_-381)
Azioni sul collegamento: N=-5737.77 Ty=3.71 Tz=3.69 Mx=0.00 Mz=3.45
Sollecitazioni agenti localmente: Ty_l=-1043.23 Mx_l=-20.86
Tensioni nella sezione: σ=252.90 τ=31.61
CC 6 SLD (Collegamento 0024_-381)
Azioni sul collegamento: N=-5737.77 Ty=4.34 Tz=3.69 Mx=0.00 Mz=3.65
Sollecitazioni agenti localmente: Ty_l=-1043.23 Mx_l=-20.86
Tensioni nella sezione: σ=252.90 τ=31.61
CC 6 SLD (Collegamento 0024_-381)
Azioni sul collegamento: N=-5737.77 Ty=3.71 Tz=-2.23 Mx=0.00 Mz=3.45
Sollecitazioni agenti localmente: Ty_l=-1043.23 Mx_l=-20.86
Tensioni nella sezione: σ=252.90 τ=31.61
CC 6 SLD (Collegamento 0024_-381)

Azioni sul collegamento: N=-5737.77 Ty=4.34 Tz=-2.23 Mx=0.00 Mz=3.65
Sollecitazioni agenti localmente: Ty_l=-1043.23 Mx_l=-20.86
Tensioni nella sezione: σ=252.90 τ=31.61
CC 7 SLV (Collegamento 0024_-381)
Azioni sul collegamento: N=-9217.12 Ty=3.19 Tz=10.69 Mx=0.01 Mz=4.04
Sollecitazioni agenti localmente: Ty_l=-1675.84 Mx_l=-33.52
Tensioni nella sezione: σ=406.26 τ=50.78
CC 7 SLV (Collegamento 0024_-381)
Azioni sul collegamento: N=-9217.12 Ty=6.55 Tz=10.69 Mx=0.01 Mz=7.22
Sollecitazioni agenti localmente: Ty_l=-1675.84 Mx_l=-33.52
Tensioni nella sezione: σ=406.26 τ=50.78
CC 7 SLV (Collegamento 0024_-381)
Azioni sul collegamento: N=-9217.12 Ty=3.19 Tz=-8.98 Mx=0.01 Mz=4.04
Sollecitazioni agenti localmente: Ty_l=-1675.84 Mx_l=-33.52
Tensioni nella sezione: σ=406.26 τ=50.78
CC 7 SLV (Collegamento 0024_-381)
Azioni sul collegamento: N=-9217.12 Ty=6.55 Tz=-8.98 Mx=0.01 Mz=7.22
Sollecitazioni agenti localmente: Ty_l=-1675.84 Mx_l=-33.52
Tensioni nella sezione: σ=406.26 τ=50.78
CC 7 SLV (Collegamento 0024_-381)
Azioni sul collegamento: N=-3931.62 Ty=3.19 Tz=10.69 Mx=0.01 Mz=4.04
Sollecitazioni agenti localmente: Ty_l=-714.84 Mx_l=-14.30
Tensioni nella sezione: σ=173.29 τ=21.66
CC 7 SLV (Collegamento 0024_-381)
Azioni sul collegamento: N=-3931.62 Ty=6.55 Tz=10.69 Mx=0.01 Mz=7.22
Sollecitazioni agenti localmente: Ty_l=-714.84 Mx_l=-14.30
Tensioni nella sezione: σ=173.29 τ=21.66
CC 7 SLV (Collegamento 0024_-381)
Azioni sul collegamento: N=-3931.62 Ty=3.19 Tz=-8.98 Mx=0.01 Mz=4.04
Sollecitazioni agenti localmente: Ty_l=-714.84 Mx_l=-14.30
Tensioni nella sezione: σ=173.29 τ=21.66
CC 7 SLV (Collegamento 0024_-381)
Azioni sul collegamento: N=-3931.62 Ty=6.55 Tz=-8.98 Mx=0.01 Mz=7.22
Sollecitazioni agenti localmente: Ty_l=-714.84 Mx_l=-14.30
Tensioni nella sezione: σ=173.29 τ=21.66
CC 8 SLD (Collegamento 0024_-381)
Azioni sul collegamento: N=-7347.75 Ty=3.51 Tz=3.73 Mx=-0.00 Mz=3.06
Sollecitazioni agenti localmente: Ty_l=-1335.95 Mx_l=-26.72
Tensioni nella sezione: σ=323.87 τ=40.48
CC 8 SLD (Collegamento 0024_-381)
Azioni sul collegamento: N=-7347.75 Ty=4.54 Tz=3.73 Mx=-0.00 Mz=4.03
Sollecitazioni agenti localmente: Ty_l=-1335.95 Mx_l=-26.72
Tensioni nella sezione: σ=323.87 τ=40.48
CC 8 SLD (Collegamento 0024_-381)
Azioni sul collegamento: N=-7347.75 Ty=3.51 Tz=-2.27 Mx=-0.00 Mz=3.06
Sollecitazioni agenti localmente: Ty_l=-1335.95 Mx_l=-26.72
Tensioni nella sezione: σ=323.87 τ=40.48
CC 8 SLD (Collegamento 0024_-381)
Azioni sul collegamento: N=-7347.75 Ty=4.54 Tz=-2.27 Mx=-0.00 Mz=4.03
Sollecitazioni agenti localmente: Ty_l=-1335.95 Mx_l=-26.72
Tensioni nella sezione: σ=323.87 τ=40.48
CC 8 SLD (Collegamento 0024_-381)
Azioni sul collegamento: N=-5736.03 Ty=3.51 Tz=3.73 Mx=-0.00 Mz=3.06
Sollecitazioni agenti localmente: Ty_l=-1042.91 Mx_l=-20.86
Tensioni nella sezione: σ=252.83 τ=31.60
CC 8 SLD (Collegamento 0024_-381)
Azioni sul collegamento: N=-5736.03 Ty=4.54 Tz=3.73 Mx=-0.00 Mz=4.03
Sollecitazioni agenti localmente: Ty_l=-1042.91 Mx_l=-20.86
Tensioni nella sezione: σ=252.83 τ=31.60
CC 8 SLD (Collegamento 0024_-381)
Azioni sul collegamento: N=-5736.03 Ty=3.51 Tz=-2.27 Mx=-0.00 Mz=3.06
Sollecitazioni agenti localmente: Ty_l=-1042.91 Mx_l=-20.86
Tensioni nella sezione: σ=252.83 τ=31.60
CC 8 SLD (Collegamento 0024_-381)
Azioni sul collegamento: N=-5736.03 Ty=4.54 Tz=-2.27 Mx=-0.00 Mz=4.03
Sollecitazioni agenti localmente: Ty_l=-1042.91 Mx_l=-20.86
Tensioni nella sezione: σ=252.83 τ=31.60
CC 9 SLV (Collegamento 0024_-381)
Azioni sul collegamento: N=-5772.92 Ty=6.34 Tz=-2.29 Mx=0.02 Mz=8.01
Sollecitazioni agenti localmente: Ty_l=-1049.62 Mx_l=-20.99
Tensioni nella sezione: σ=254.45 τ=31.81
CC 9 SLV (Collegamento 0024_-381)
Azioni sul collegamento: N=-5772.92 Ty=3.40 Tz=-2.29 Mx=0.02 Mz=3.25
Sollecitazioni agenti localmente: Ty_l=-1049.62 Mx_l=-20.99
Tensioni nella sezione: σ=254.45 τ=31.81
CC 9 SLV (Collegamento 0024_-381)
Azioni sul collegamento: N=-5772.92 Ty=6.34 Tz=4.00 Mx=0.02 Mz=8.01
Sollecitazioni agenti localmente: Ty_l=-1049.62 Mx_l=-20.99
Tensioni nella sezione: σ=254.45 τ=31.81
CC 9 SLV (Collegamento 0024_-381)

Azioni sul collegamento: N=-5772.92 Ty=3.40 Tz=4.00 Mx=0.02 Mz=3.25
Sollecitazioni agenti localmente: Ty_l=-1049.62 Mx_l=-20.99
Tensioni nella sezione: σ=254.45 τ=31.81
CC 9 SLV (Collegamento 0024_-381)
Azioni sul collegamento: N=-7375.82 Ty=6.34 Tz=-2.29 Mx=0.02 Mz=8.01
Sollecitazioni agenti localmente: Ty_l=-1341.06 Mx_l=-26.82
Tensioni nella sezione: σ=325.10 τ=40.64
CC 9 SLV (Collegamento 0024_-381)
Azioni sul collegamento: N=-7375.82 Ty=3.40 Tz=-2.29 Mx=0.02 Mz=3.25
Sollecitazioni agenti localmente: Ty_l=-1341.06 Mx_l=-26.82
Tensioni nella sezione: σ=325.10 τ=40.64
CC 9 SLV (Collegamento 0024_-381)
Azioni sul collegamento: N=-7375.82 Ty=6.34 Tz=4.00 Mx=0.02 Mz=8.01
Sollecitazioni agenti localmente: Ty_l=-1341.06 Mx_l=-26.82
Tensioni nella sezione: σ=325.10 τ=40.64
CC 9 SLV (Collegamento 0024_-381)
Azioni sul collegamento: N=-7375.82 Ty=3.40 Tz=4.00 Mx=0.02 Mz=3.25
Sollecitazioni agenti localmente: Ty_l=-1341.06 Mx_l=-26.82
Tensioni nella sezione: σ=325.10 τ=40.64
CC 10 SLD (Collegamento 0024_-381)
Azioni sul collegamento: N=-6297.50 Ty=4.47 Tz=-0.23 Mx=0.00 Mz=4.27
Sollecitazioni agenti localmente: Ty_l=-1145.00 Mx_l=-22.90
Tensioni nella sezione: σ=277.57 τ=34.70
CC 10 SLD (Collegamento 0024_-381)
Azioni sul collegamento: N=-6297.50 Ty=3.58 Tz=-0.23 Mx=0.00 Mz=2.82
Sollecitazioni agenti localmente: Ty_l=-1145.00 Mx_l=-22.90
Tensioni nella sezione: σ=277.57 τ=34.70
CC 10 SLD (Collegamento 0024_-381)
Azioni sul collegamento: N=-6297.50 Ty=4.47 Tz=1.69 Mx=0.00 Mz=4.27
Sollecitazioni agenti localmente: Ty_l=-1145.00 Mx_l=-22.90
Tensioni nella sezione: σ=277.57 τ=34.70
CC 10 SLD (Collegamento 0024_-381)
Azioni sul collegamento: N=-6297.50 Ty=3.58 Tz=1.69 Mx=0.00 Mz=2.82
Sollecitazioni agenti localmente: Ty_l=-1145.00 Mx_l=-22.90
Tensioni nella sezione: σ=277.57 τ=34.70
CC 10 SLD (Collegamento 0024_-381)
Azioni sul collegamento: N=-6786.28 Ty=4.47 Tz=-0.23 Mx=0.00 Mz=4.27
Sollecitazioni agenti localmente: Ty_l=-1233.87 Mx_l=-24.68
Tensioni nella sezione: σ=299.12 τ=37.39
CC 10 SLD (Collegamento 0024_-381)
Azioni sul collegamento: N=-6786.28 Ty=3.58 Tz=-0.23 Mx=0.00 Mz=2.82
Sollecitazioni agenti localmente: Ty_l=-1233.87 Mx_l=-24.68
Tensioni nella sezione: σ=299.12 τ=37.39
CC 10 SLD (Collegamento 0024_-381)
Azioni sul collegamento: N=-6786.28 Ty=4.47 Tz=1.69 Mx=0.00 Mz=4.27
Sollecitazioni agenti localmente: Ty_l=-1233.87 Mx_l=-24.68
Tensioni nella sezione: σ=299.12 τ=37.39
CC 10 SLD (Collegamento 0024_-381)
Azioni sul collegamento: N=-6786.28 Ty=3.58 Tz=1.69 Mx=0.00 Mz=2.82
Sollecitazioni agenti localmente: Ty_l=-1233.87 Mx_l=-24.68
Tensioni nella sezione: σ=299.12 τ=37.39
CC 11 SLV (Collegamento 0024_-381)
Azioni sul collegamento: N=-7356.86 Ty=5.52 Tz=3.57 Mx=0.02 Mz=7.44
Sollecitazioni agenti localmente: Ty_l=-1337.61 Mx_l=-26.75
Tensioni nella sezione: σ=324.27 τ=40.53
CC 11 SLV (Collegamento 0024_-381)
Azioni sul collegamento: N=-7356.86 Ty=4.22 Tz=3.57 Mx=0.02 Mz=3.82
Sollecitazioni agenti localmente: Ty_l=-1337.61 Mx_l=-26.75
Tensioni nella sezione: σ=324.27 τ=40.53
CC 11 SLV (Collegamento 0024_-381)
Azioni sul collegamento: N=-7356.86 Ty=5.52 Tz=-1.86 Mx=0.02 Mz=7.44
Sollecitazioni agenti localmente: Ty_l=-1337.61 Mx_l=-26.75
Tensioni nella sezione: σ=324.27 τ=40.53
CC 11 SLV (Collegamento 0024_-381)
Azioni sul collegamento: N=-7356.86 Ty=4.22 Tz=-1.86 Mx=0.02 Mz=3.82
Sollecitazioni agenti localmente: Ty_l=-1337.61 Mx_l=-26.75
Tensioni nella sezione: σ=324.27 τ=40.53
CC 11 SLV (Collegamento 0024_-381)
Azioni sul collegamento: N=-5791.88 Ty=5.52 Tz=3.57 Mx=0.02 Mz=7.44
Sollecitazioni agenti localmente: Ty_l=-1053.07 Mx_l=-21.06
Tensioni nella sezione: σ=255.29 τ=31.91
CC 11 SLV (Collegamento 0024_-381)
Azioni sul collegamento: N=-5791.88 Ty=4.22 Tz=3.57 Mx=0.02 Mz=3.82
Sollecitazioni agenti localmente: Ty_l=-1053.07 Mx_l=-21.06
Tensioni nella sezione: σ=255.29 τ=31.91
CC 11 SLV (Collegamento 0024_-381)
Azioni sul collegamento: N=-5791.88 Ty=5.52 Tz=-1.86 Mx=0.02 Mz=7.44
Sollecitazioni agenti localmente: Ty_l=-1053.07 Mx_l=-21.06
Tensioni nella sezione: σ=255.29 τ=31.91
CC 11 SLV (Collegamento 0024_-381)

Azioni sul collegamento: N=-5791.88 Ty=4.22 Tz=-1.86 Mx=0.02 Mz=3.82
Sollecitazioni agenti localmente: Ty_l=-1053.07 Mx_l=-21.06
Tensioni nella sezione: σ=255.29 τ=31.91
CC 12 SLD (Collegamento 0024_-381)
Azioni sul collegamento: N=-6780.50 Ty=4.22 Tz=1.56 Mx=0.00 Mz=4.10
Sollecitazioni agenti localmente: Ty_l=-1232.82 Mx_l=-24.66
Tensioni nella sezione: σ=298.86 τ=37.36
CC 12 SLD (Collegamento 0024_-381)
Azioni sul collegamento: N=-6780.50 Ty=3.83 Tz=1.56 Mx=0.00 Mz=3.00
Sollecitazioni agenti localmente: Ty_l=-1232.82 Mx_l=-24.66
Tensioni nella sezione: σ=298.86 τ=37.36
CC 12 SLD (Collegamento 0024_-381)
Azioni sul collegamento: N=-6780.50 Ty=4.22 Tz=-0.10 Mx=0.00 Mz=4.10
Sollecitazioni agenti localmente: Ty_l=-1232.82 Mx_l=-24.66
Tensioni nella sezione: σ=298.86 τ=37.36
CC 12 SLD (Collegamento 0024_-381)
Azioni sul collegamento: N=-6780.50 Ty=3.83 Tz=-0.10 Mx=0.00 Mz=3.00
Sollecitazioni agenti localmente: Ty_l=-1232.82 Mx_l=-24.66
Tensioni nella sezione: σ=298.86 τ=37.36
CC 12 SLD (Collegamento 0024_-381)
Azioni sul collegamento: N=-6303.28 Ty=4.22 Tz=1.56 Mx=0.00 Mz=4.10
Sollecitazioni agenti localmente: Ty_l=-1146.05 Mx_l=-22.92
Tensioni nella sezione: σ=277.83 τ=34.73
CC 12 SLD (Collegamento 0024_-381)
Azioni sul collegamento: N=-6303.28 Ty=3.83 Tz=1.56 Mx=0.00 Mz=3.00
Sollecitazioni agenti localmente: Ty_l=-1146.05 Mx_l=-22.92
Tensioni nella sezione: σ=277.83 τ=34.73
CC 12 SLD (Collegamento 0024_-381)
Azioni sul collegamento: N=-6303.28 Ty=4.22 Tz=-0.10 Mx=0.00 Mz=4.10
Sollecitazioni agenti localmente: Ty_l=-1146.05 Mx_l=-22.92
Tensioni nella sezione: σ=277.83 τ=34.73
CC 12 SLD (Collegamento 0024_-381)
Azioni sul collegamento: N=-6303.28 Ty=3.83 Tz=-0.10 Mx=0.00 Mz=3.00
Sollecitazioni agenti localmente: Ty_l=-1146.05 Mx_l=-22.92
Tensioni nella sezione: σ=277.83 τ=34.73
CC 13 SLV (Collegamento 0024_-381)
Azioni sul collegamento: N=-5791.88 Ty=4.22 Tz=-1.86 Mx=0.00 Mz=3.82
Sollecitazioni agenti localmente: Ty_l=-1053.07 Mx_l=-21.06
Tensioni nella sezione: σ=255.29 τ=31.91
CC 13 SLV (Collegamento 0024_-381)
Azioni sul collegamento: N=-5791.88 Ty=5.52 Tz=-1.86 Mx=0.00 Mz=7.44
Sollecitazioni agenti localmente: Ty_l=-1053.07 Mx_l=-21.06
Tensioni nella sezione: σ=255.29 τ=31.91
CC 13 SLV (Collegamento 0024_-381)
Azioni sul collegamento: N=-5791.88 Ty=4.22 Tz=3.57 Mx=0.00 Mz=3.82
Sollecitazioni agenti localmente: Ty_l=-1053.07 Mx_l=-21.06
Tensioni nella sezione: σ=255.29 τ=31.91
CC 13 SLV (Collegamento 0024_-381)
Azioni sul collegamento: N=-5791.88 Ty=5.52 Tz=3.57 Mx=0.00 Mz=7.44
Sollecitazioni agenti localmente: Ty_l=-1053.07 Mx_l=-21.06
Tensioni nella sezione: σ=255.29 τ=31.91
CC 13 SLV (Collegamento 0024_-381)
Azioni sul collegamento: N=-7356.86 Ty=4.22 Tz=-1.86 Mx=0.00 Mz=3.82
Sollecitazioni agenti localmente: Ty_l=-1337.61 Mx_l=-26.75
Tensioni nella sezione: σ=324.27 τ=40.53
CC 13 SLV (Collegamento 0024_-381)
Azioni sul collegamento: N=-7356.86 Ty=5.52 Tz=-1.86 Mx=0.00 Mz=7.44
Sollecitazioni agenti localmente: Ty_l=-1337.61 Mx_l=-26.75
Tensioni nella sezione: σ=324.27 τ=40.53
CC 13 SLV (Collegamento 0024_-381)
Azioni sul collegamento: N=-7356.86 Ty=4.22 Tz=3.57 Mx=0.00 Mz=3.82
Sollecitazioni agenti localmente: Ty_l=-1337.61 Mx_l=-26.75
Tensioni nella sezione: σ=324.27 τ=40.53
CC 13 SLV (Collegamento 0024_-381)
Azioni sul collegamento: N=-7356.86 Ty=5.52 Tz=3.57 Mx=0.00 Mz=7.44
Sollecitazioni agenti localmente: Ty_l=-1337.61 Mx_l=-26.75
Tensioni nella sezione: σ=324.27 τ=40.53
CC 14 SLD (Collegamento 0024_-381)
Azioni sul collegamento: N=-6303.28 Ty=3.83 Tz=-0.10 Mx=-0.00 Mz=3.00
Sollecitazioni agenti localmente: Ty_l=-1146.05 Mx_l=-22.92
Tensioni nella sezione: σ=277.83 τ=34.73
CC 14 SLD (Collegamento 0024_-381)
Azioni sul collegamento: N=-6303.28 Ty=4.22 Tz=-0.10 Mx=-0.00 Mz=4.10
Sollecitazioni agenti localmente: Ty_l=-1146.05 Mx_l=-22.92
Tensioni nella sezione: σ=277.83 τ=34.73
CC 14 SLD (Collegamento 0024_-381)
Azioni sul collegamento: N=-6303.28 Ty=3.83 Tz=1.56 Mx=-0.00 Mz=3.00
Sollecitazioni agenti localmente: Ty_l=-1146.05 Mx_l=-22.92
Tensioni nella sezione: σ=277.83 τ=34.73
CC 14 SLD (Collegamento 0024_-381)

Azioni sul collegamento: N=-6303.28 Ty=4.22 Tz=1.56 Mx=-0.00 Mz=4.10
Sollecitazioni agenti localmente: Ty_l=-1146.05 Mx_l=-22.92
Tensioni nella sezione: σ=277.83 τ=34.73
CC 14 SLD (Collegamento 0024_-381)
Azioni sul collegamento: N=-6780.50 Ty=3.83 Tz=-0.10 Mx=-0.00 Mz=3.00
Sollecitazioni agenti localmente: Ty_l=-1232.82 Mx_l=-24.66
Tensioni nella sezione: σ=298.86 τ=37.36
CC 14 SLD (Collegamento 0024_-381)
Azioni sul collegamento: N=-6780.50 Ty=4.22 Tz=-0.10 Mx=-0.00 Mz=4.10
Sollecitazioni agenti localmente: Ty_l=-1232.82 Mx_l=-24.66
Tensioni nella sezione: σ=298.86 τ=37.36
CC 14 SLD (Collegamento 0024_-381)
Azioni sul collegamento: N=-6780.50 Ty=3.83 Tz=1.56 Mx=-0.00 Mz=3.00
Sollecitazioni agenti localmente: Ty_l=-1232.82 Mx_l=-24.66
Tensioni nella sezione: σ=298.86 τ=37.36
CC 14 SLD (Collegamento 0024_-381)
Azioni sul collegamento: N=-6780.50 Ty=4.22 Tz=1.56 Mx=-0.00 Mz=4.10
Sollecitazioni agenti localmente: Ty_l=-1232.82 Mx_l=-24.66
Tensioni nella sezione: σ=298.86 τ=37.36
CC 15 SLV (Collegamento 0024_-381)
Azioni sul collegamento: N=-7375.82 Ty=3.40 Tz=4.00 Mx=0.00 Mz=3.25
Sollecitazioni agenti localmente: Ty_l=-1341.06 Mx_l=-26.82
Tensioni nella sezione: σ=325.10 τ=40.64
CC 15 SLV (Collegamento 0024_-381)
Azioni sul collegamento: N=-7375.82 Ty=6.34 Tz=4.00 Mx=0.00 Mz=8.01
Sollecitazioni agenti localmente: Ty_l=-1341.06 Mx_l=-26.82
Tensioni nella sezione: σ=325.10 τ=40.64
CC 15 SLV (Collegamento 0024_-381)
Azioni sul collegamento: N=-7375.82 Ty=3.40 Tz=-2.29 Mx=0.00 Mz=3.25
Sollecitazioni agenti localmente: Ty_l=-1341.06 Mx_l=-26.82
Tensioni nella sezione: σ=325.10 τ=40.64
CC 15 SLV (Collegamento 0024_-381)
Azioni sul collegamento: N=-7375.82 Ty=6.34 Tz=-2.29 Mx=0.00 Mz=8.01
Sollecitazioni agenti localmente: Ty_l=-1341.06 Mx_l=-26.82
Tensioni nella sezione: σ=325.10 τ=40.64
CC 15 SLV (Collegamento 0024_-381)
Azioni sul collegamento: N=-5772.92 Ty=3.40 Tz=4.00 Mx=0.00 Mz=3.25
Sollecitazioni agenti localmente: Ty_l=-1049.62 Mx_l=-20.99
Tensioni nella sezione: σ=254.45 τ=31.81
CC 15 SLV (Collegamento 0024_-381)
Azioni sul collegamento: N=-5772.92 Ty=6.34 Tz=4.00 Mx=0.00 Mz=8.01
Sollecitazioni agenti localmente: Ty_l=-1049.62 Mx_l=-20.99
Tensioni nella sezione: σ=254.45 τ=31.81
CC 15 SLV (Collegamento 0024_-381)
Azioni sul collegamento: N=-5772.92 Ty=3.40 Tz=-2.29 Mx=0.00 Mz=3.25
Sollecitazioni agenti localmente: Ty_l=-1049.62 Mx_l=-20.99
Tensioni nella sezione: σ=254.45 τ=31.81
CC 15 SLV (Collegamento 0024_-381)
Azioni sul collegamento: N=-5772.92 Ty=6.34 Tz=-2.29 Mx=0.00 Mz=8.01
Sollecitazioni agenti localmente: Ty_l=-1049.62 Mx_l=-20.99
Tensioni nella sezione: σ=254.45 τ=31.81
CC 16 SLD (Collegamento 0024_-381)
Azioni sul collegamento: N=-6786.28 Ty=3.58 Tz=1.69 Mx=-0.00 Mz=2.82
Sollecitazioni agenti localmente: Ty_l=-1233.87 Mx_l=-24.68
Tensioni nella sezione: σ=299.12 τ=37.39
CC 16 SLD (Collegamento 0024_-381)
Azioni sul collegamento: N=-6786.28 Ty=4.47 Tz=1.69 Mx=-0.00 Mz=4.27
Sollecitazioni agenti localmente: Ty_l=-1233.87 Mx_l=-24.68
Tensioni nella sezione: σ=299.12 τ=37.39
CC 16 SLD (Collegamento 0024_-381)
Azioni sul collegamento: N=-6786.28 Ty=3.58 Tz=-0.23 Mx=-0.00 Mz=2.82
Sollecitazioni agenti localmente: Ty_l=-1233.87 Mx_l=-24.68
Tensioni nella sezione: σ=299.12 τ=37.39
CC 16 SLD (Collegamento 0024_-381)
Azioni sul collegamento: N=-6786.28 Ty=4.47 Tz=-0.23 Mx=-0.00 Mz=4.27
Sollecitazioni agenti localmente: Ty_l=-1233.87 Mx_l=-24.68
Tensioni nella sezione: σ=299.12 τ=37.39
CC 16 SLD (Collegamento 0024_-381)
Azioni sul collegamento: N=-6297.50 Ty=3.58 Tz=1.69 Mx=-0.00 Mz=2.82
Sollecitazioni agenti localmente: Ty_l=-1145.00 Mx_l=-22.90
Tensioni nella sezione: σ=277.57 τ=34.70
CC 16 SLD (Collegamento 0024_-381)
Azioni sul collegamento: N=-6297.50 Ty=4.47 Tz=1.69 Mx=-0.00 Mz=4.27
Sollecitazioni agenti localmente: Ty_l=-1145.00 Mx_l=-22.90
Tensioni nella sezione: σ=277.57 τ=34.70
CC 16 SLD (Collegamento 0024_-381)
Azioni sul collegamento: N=-6297.50 Ty=3.58 Tz=-0.23 Mx=-0.00 Mz=2.82
Sollecitazioni agenti localmente: Ty_l=-1145.00 Mx_l=-22.90
Tensioni nella sezione: σ=277.57 τ=34.70
CC 16 SLD (Collegamento 0024_-381)

Azioni sul collegamento: N=-6297.50 Ty=4.47 Tz=-0.23 Mx=-0.00 Mz=4.27
Sollecitazioni agenti localmente: Ty_l=-1145.00 Mx_l=-22.90
Tensioni nella sezione: σ=277.57 τ=34.70
CC 17 SLV (Collegamento 0024_-381)
Azioni sul collegamento: N=-3838.16 Ty=0.76 Tz=-9.35 Mx=-0.02 Mz=1.23
Sollecitazioni agenti localmente: Ty_l=-697.85 Mx_l=-13.96
Tensioni nella sezione: σ=169.18 τ=21.15
CC 17 SLV (Collegamento 0024_-381)
Azioni sul collegamento: N=-3838.16 Ty=4.12 Tz=-9.35 Mx=-0.02 Mz=-1.95
Sollecitazioni agenti localmente: Ty_l=-697.85 Mx_l=-13.96
Tensioni nella sezione: σ=169.18 τ=21.15
CC 17 SLV (Collegamento 0024_-381)
Azioni sul collegamento: N=-3838.16 Ty=0.76 Tz=10.33 Mx=-0.02 Mz=1.23
Sollecitazioni agenti localmente: Ty_l=-697.85 Mx_l=-13.96
Tensioni nella sezione: σ=169.18 τ=21.15
CC 17 SLV (Collegamento 0024_-381)
Azioni sul collegamento: N=-3838.16 Ty=4.12 Tz=10.33 Mx=-0.02 Mz=-1.95
Sollecitazioni agenti localmente: Ty_l=-697.85 Mx_l=-13.96
Tensioni nella sezione: σ=169.18 τ=21.15
CC 17 SLV (Collegamento 0024_-381)
Azioni sul collegamento: N=-9123.66 Ty=0.76 Tz=-9.35 Mx=-0.02 Mz=1.23
Sollecitazioni agenti localmente: Ty_l=-1658.85 Mx_l=-33.18
Tensioni nella sezione: σ=402.14 τ=50.27
CC 17 SLV (Collegamento 0024_-381)
Azioni sul collegamento: N=-9123.66 Ty=4.12 Tz=-9.35 Mx=-0.02 Mz=-1.95
Sollecitazioni agenti localmente: Ty_l=-1658.85 Mx_l=-33.18
Tensioni nella sezione: σ=402.14 τ=50.27
CC 17 SLV (Collegamento 0024_-381)
Azioni sul collegamento: N=-9123.66 Ty=0.76 Tz=10.33 Mx=-0.02 Mz=1.23
Sollecitazioni agenti localmente: Ty_l=-1658.85 Mx_l=-33.18
Tensioni nella sezione: σ=402.14 τ=50.27
CC 17 SLV (Collegamento 0024_-381)
Azioni sul collegamento: N=-9123.66 Ty=4.12 Tz=10.33 Mx=-0.02 Mz=-1.95
Sollecitazioni agenti localmente: Ty_l=-1658.85 Mx_l=-33.18
Tensioni nella sezione: σ=402.14 τ=50.27
CC 18 SLD (Collegamento 0024_-381)
Azioni sul collegamento: N=-5707.53 Ty=3.80 Tz=-2.38 Mx=-0.01 Mz=2.21
Sollecitazioni agenti localmente: Ty_l=-1037.73 Mx_l=-20.75
Tensioni nella sezione: σ=251.57 τ=31.45
CC 18 SLD (Collegamento 0024_-381)
Azioni sul collegamento: N=-5707.53 Ty=2.77 Tz=-2.38 Mx=-0.01 Mz=1.24
Sollecitazioni agenti localmente: Ty_l=-1037.73 Mx_l=-20.75
Tensioni nella sezione: σ=251.57 τ=31.45
CC 18 SLD (Collegamento 0024_-381)
Azioni sul collegamento: N=-5707.53 Ty=3.80 Tz=3.62 Mx=-0.01 Mz=2.21
Sollecitazioni agenti localmente: Ty_l=-1037.73 Mx_l=-20.75
Tensioni nella sezione: σ=251.57 τ=31.45
CC 18 SLD (Collegamento 0024_-381)
Azioni sul collegamento: N=-5707.53 Ty=2.77 Tz=3.62 Mx=-0.01 Mz=1.24
Sollecitazioni agenti localmente: Ty_l=-1037.73 Mx_l=-20.75
Tensioni nella sezione: σ=251.57 τ=31.45
CC 18 SLD (Collegamento 0024_-381)
Azioni sul collegamento: N=-7319.25 Ty=3.80 Tz=-2.38 Mx=-0.01 Mz=2.21
Sollecitazioni agenti localmente: Ty_l=-1330.77 Mx_l=-26.62
Tensioni nella sezione: σ=322.61 τ=40.33
CC 18 SLD (Collegamento 0024_-381)
Azioni sul collegamento: N=-7319.25 Ty=2.77 Tz=-2.38 Mx=-0.01 Mz=1.24
Sollecitazioni agenti localmente: Ty_l=-1330.77 Mx_l=-26.62
Tensioni nella sezione: σ=322.61 τ=40.33
CC 18 SLD (Collegamento 0024_-381)
Azioni sul collegamento: N=-7319.25 Ty=3.80 Tz=3.62 Mx=-0.01 Mz=2.21
Sollecitazioni agenti localmente: Ty_l=-1330.77 Mx_l=-26.62
Tensioni nella sezione: σ=322.61 τ=40.33
CC 18 SLD (Collegamento 0024_-381)
Azioni sul collegamento: N=-7319.25 Ty=2.77 Tz=3.62 Mx=-0.01 Mz=1.24
Sollecitazioni agenti localmente: Ty_l=-1330.77 Mx_l=-26.62
Tensioni nella sezione: σ=322.61 τ=40.33
CC 19 SLV (Collegamento 0024_-381)
Azioni sul collegamento: N=-3843.85 Ty=1.39 Tz=-9.22 Mx=-0.02 Mz=-0.03
Sollecitazioni agenti localmente: Ty_l=-698.88 Mx_l=-13.98
Tensioni nella sezione: σ=169.43 τ=21.18
CC 19 SLV (Collegamento 0024_-381)
Azioni sul collegamento: N=-3843.85 Ty=3.49 Tz=-9.22 Mx=-0.02 Mz=-0.69
Sollecitazioni agenti localmente: Ty_l=-698.88 Mx_l=-13.98
Tensioni nella sezione: σ=169.43 τ=21.18
CC 19 SLV (Collegamento 0024_-381)
Azioni sul collegamento: N=-3843.85 Ty=1.39 Tz=10.20 Mx=-0.02 Mz=-0.03
Sollecitazioni agenti localmente: Ty_l=-698.88 Mx_l=-13.98
Tensioni nella sezione: σ=169.43 τ=21.18
CC 19 SLV (Collegamento 0024_-381)

Azioni sul collegamento: N=-3843.85 Ty=3.49 Tz=10.20 Mx=-0.02 Mz=-0.69
Sollecitazioni agenti localmente: Ty_l=-698.88 Mx_l=-13.98
Tensioni nella sezione: σ=169.43 τ=21.18
CC 19 SLV (Collegamento 0024_-381)
Azioni sul collegamento: N=-9117.97 Ty=1.39 Tz=-9.22 Mx=-0.02 Mz=-0.03
Sollecitazioni agenti localmente: Ty_l=-1657.81 Mx_l=-33.16
Tensioni nella sezione: σ=401.89 τ=50.24
CC 19 SLV (Collegamento 0024_-381)
Azioni sul collegamento: N=-9117.97 Ty=3.49 Tz=-9.22 Mx=-0.02 Mz=-0.69
Sollecitazioni agenti localmente: Ty_l=-1657.81 Mx_l=-33.16
Tensioni nella sezione: σ=401.89 τ=50.24
CC 19 SLV (Collegamento 0024_-381)
Azioni sul collegamento: N=-9117.97 Ty=1.39 Tz=10.20 Mx=-0.02 Mz=-0.03
Sollecitazioni agenti localmente: Ty_l=-1657.81 Mx_l=-33.16
Tensioni nella sezione: σ=401.89 τ=50.24
CC 19 SLV (Collegamento 0024_-381)
Azioni sul collegamento: N=-9117.97 Ty=3.49 Tz=10.20 Mx=-0.02 Mz=-0.69
Sollecitazioni agenti localmente: Ty_l=-1657.81 Mx_l=-33.16
Tensioni nella sezione: σ=401.89 τ=50.24
CC 20 SLD (Collegamento 0024_-381)
Azioni sul collegamento: N=-5709.27 Ty=3.60 Tz=-2.35 Mx=-0.01 Mz=1.82
Sollecitazioni agenti localmente: Ty_l=-1038.05 Mx_l=-20.76
Tensioni nella sezione: σ=251.65 τ=31.46
CC 20 SLD (Collegamento 0024_-381)
Azioni sul collegamento: N=-5709.27 Ty=2.97 Tz=-2.35 Mx=-0.01 Mz=1.62
Sollecitazioni agenti localmente: Ty_l=-1038.05 Mx_l=-20.76
Tensioni nella sezione: σ=251.65 τ=31.46
CC 20 SLD (Collegamento 0024_-381)
Azioni sul collegamento: N=-5709.27 Ty=3.60 Tz=3.58 Mx=-0.01 Mz=1.82
Sollecitazioni agenti localmente: Ty_l=-1038.05 Mx_l=-20.76
Tensioni nella sezione: σ=251.65 τ=31.46
CC 20 SLD (Collegamento 0024_-381)
Azioni sul collegamento: N=-5709.27 Ty=2.97 Tz=3.58 Mx=-0.01 Mz=1.62
Sollecitazioni agenti localmente: Ty_l=-1038.05 Mx_l=-20.76
Tensioni nella sezione: σ=251.65 τ=31.46
CC 20 SLD (Collegamento 0024_-381)
Azioni sul collegamento: N=-7317.51 Ty=3.60 Tz=-2.35 Mx=-0.01 Mz=1.82
Sollecitazioni agenti localmente: Ty_l=-1330.46 Mx_l=-26.61
Tensioni nella sezione: σ=322.53 τ=40.32
CC 20 SLD (Collegamento 0024_-381)
Azioni sul collegamento: N=-7317.51 Ty=2.97 Tz=-2.35 Mx=-0.01 Mz=1.62
Sollecitazioni agenti localmente: Ty_l=-1330.46 Mx_l=-26.61
Tensioni nella sezione: σ=322.53 τ=40.32
CC 20 SLD (Collegamento 0024_-381)
Azioni sul collegamento: N=-7317.51 Ty=3.60 Tz=3.58 Mx=-0.01 Mz=1.82
Sollecitazioni agenti localmente: Ty_l=-1330.46 Mx_l=-26.61
Tensioni nella sezione: σ=322.53 τ=40.32
CC 20 SLD (Collegamento 0024_-381)
Azioni sul collegamento: N=-7317.51 Ty=2.97 Tz=3.58 Mx=-0.01 Mz=1.62
Sollecitazioni agenti localmente: Ty_l=-1330.46 Mx_l=-26.61
Tensioni nella sezione: σ=322.53 τ=40.32
CC 21 SLV (Collegamento 0024_-381)
Azioni sul collegamento: N=-9117.97 Ty=3.49 Tz=10.20 Mx=-0.02 Mz=-0.69
Sollecitazioni agenti localmente: Ty_l=-1657.81 Mx_l=-33.16
Tensioni nella sezione: σ=401.89 τ=50.24
CC 21 SLV (Collegamento 0024_-381)
Azioni sul collegamento: N=-9117.97 Ty=1.39 Tz=10.20 Mx=-0.02 Mz=-0.03
Sollecitazioni agenti localmente: Ty_l=-1657.81 Mx_l=-33.16
Tensioni nella sezione: σ=401.89 τ=50.24
CC 21 SLV (Collegamento 0024_-381)
Azioni sul collegamento: N=-9117.97 Ty=3.49 Tz=-9.22 Mx=-0.02 Mz=-0.69
Sollecitazioni agenti localmente: Ty_l=-1657.81 Mx_l=-33.16
Tensioni nella sezione: σ=401.89 τ=50.24
CC 21 SLV (Collegamento 0024_-381)
Azioni sul collegamento: N=-9117.97 Ty=1.39 Tz=-9.22 Mx=-0.02 Mz=-0.03
Sollecitazioni agenti localmente: Ty_l=-1657.81 Mx_l=-33.16
Tensioni nella sezione: σ=401.89 τ=50.24
CC 21 SLV (Collegamento 0024_-381)
Azioni sul collegamento: N=-3843.85 Ty=3.49 Tz=10.20 Mx=-0.02 Mz=-0.69
Sollecitazioni agenti localmente: Ty_l=-698.88 Mx_l=-13.98
Tensioni nella sezione: σ=169.43 τ=21.18
CC 21 SLV (Collegamento 0024_-381)
Azioni sul collegamento: N=-3843.85 Ty=1.39 Tz=10.20 Mx=-0.02 Mz=-0.03
Sollecitazioni agenti localmente: Ty_l=-698.88 Mx_l=-13.98
Tensioni nella sezione: σ=169.43 τ=21.18
CC 21 SLV (Collegamento 0024_-381)
Azioni sul collegamento: N=-3843.85 Ty=3.49 Tz=-9.22 Mx=-0.02 Mz=-0.69
Sollecitazioni agenti localmente: Ty_l=-698.88 Mx_l=-13.98
Tensioni nella sezione: σ=169.43 τ=21.18
CC 21 SLV (Collegamento 0024_-381)

Azioni sul collegamento: N=-3843.85 Ty=1.39 Tz=-9.22 Mx=-0.02 Mz=-0.03
Sollecitazioni agenti localmente: Ty_l=-698.88 Mx_l=-13.98
Tensioni nella sezione: σ=169.43 τ=21.18
CC 22 SLD (Collegamento 0024_-381)
Azioni sul collegamento: N=-7317.51 Ty=2.97 Tz=3.58 Mx=-0.01 Mz=1.62
Sollecitazioni agenti localmente: Ty_l=-1330.46 Mx_l=-26.61
Tensioni nella sezione: σ=322.53 τ=40.32
CC 22 SLD (Collegamento 0024_-381)
Azioni sul collegamento: N=-7317.51 Ty=3.60 Tz=3.58 Mx=-0.01 Mz=1.82
Sollecitazioni agenti localmente: Ty_l=-1330.46 Mx_l=-26.61
Tensioni nella sezione: σ=322.53 τ=40.32
CC 22 SLD (Collegamento 0024_-381)
Azioni sul collegamento: N=-7317.51 Ty=2.97 Tz=-2.35 Mx=-0.01 Mz=1.62
Sollecitazioni agenti localmente: Ty_l=-1330.46 Mx_l=-26.61
Tensioni nella sezione: σ=322.53 τ=40.32
CC 22 SLD (Collegamento 0024_-381)
Azioni sul collegamento: N=-7317.51 Ty=3.60 Tz=-2.35 Mx=-0.01 Mz=1.82
Sollecitazioni agenti localmente: Ty_l=-1330.46 Mx_l=-26.61
Tensioni nella sezione: σ=322.53 τ=40.32
CC 22 SLD (Collegamento 0024_-381)
Azioni sul collegamento: N=-5709.27 Ty=2.97 Tz=3.58 Mx=-0.01 Mz=1.62
Sollecitazioni agenti localmente: Ty_l=-1038.05 Mx_l=-20.76
Tensioni nella sezione: σ=251.65 τ=31.46
CC 22 SLD (Collegamento 0024_-381)
Azioni sul collegamento: N=-5709.27 Ty=3.60 Tz=3.58 Mx=-0.01 Mz=1.82
Sollecitazioni agenti localmente: Ty_l=-1038.05 Mx_l=-20.76
Tensioni nella sezione: σ=251.65 τ=31.46
CC 22 SLD (Collegamento 0024_-381)
Azioni sul collegamento: N=-5709.27 Ty=2.97 Tz=-2.35 Mx=-0.01 Mz=1.62
Sollecitazioni agenti localmente: Ty_l=-1038.05 Mx_l=-20.76
Tensioni nella sezione: σ=251.65 τ=31.46
CC 22 SLD (Collegamento 0024_-381)
Azioni sul collegamento: N=-5709.27 Ty=3.60 Tz=-2.35 Mx=-0.01 Mz=1.82
Sollecitazioni agenti localmente: Ty_l=-1038.05 Mx_l=-20.76
Tensioni nella sezione: σ=251.65 τ=31.46
CC 23 SLV (Collegamento 0024_-381)
Azioni sul collegamento: N=-9123.66 Ty=4.12 Tz=10.33 Mx=-0.01 Mz=-1.95
Sollecitazioni agenti localmente: Ty_l=-1658.85 Mx_l=-33.18
Tensioni nella sezione: σ=402.14 τ=50.27
CC 23 SLV (Collegamento 0024_-381)
Azioni sul collegamento: N=-9123.66 Ty=0.76 Tz=10.33 Mx=-0.01 Mz=1.23
Sollecitazioni agenti localmente: Ty_l=-1658.85 Mx_l=-33.18
Tensioni nella sezione: σ=402.14 τ=50.27
CC 23 SLV (Collegamento 0024_-381)
Azioni sul collegamento: N=-9123.66 Ty=4.12 Tz=-9.35 Mx=-0.01 Mz=-1.95
Sollecitazioni agenti localmente: Ty_l=-1658.85 Mx_l=-33.18
Tensioni nella sezione: σ=402.14 τ=50.27
CC 23 SLV (Collegamento 0024_-381)
Azioni sul collegamento: N=-9123.66 Ty=0.76 Tz=-9.35 Mx=-0.01 Mz=1.23
Sollecitazioni agenti localmente: Ty_l=-1658.85 Mx_l=-33.18
Tensioni nella sezione: σ=402.14 τ=50.27
CC 23 SLV (Collegamento 0024_-381)
Azioni sul collegamento: N=-3838.16 Ty=4.12 Tz=10.33 Mx=-0.01 Mz=-1.95
Sollecitazioni agenti localmente: Ty_l=-697.85 Mx_l=-13.96
Tensioni nella sezione: σ=169.18 τ=21.15
CC 23 SLV (Collegamento 0024_-381)
Azioni sul collegamento: N=-3838.16 Ty=0.76 Tz=10.33 Mx=-0.01 Mz=1.23
Sollecitazioni agenti localmente: Ty_l=-697.85 Mx_l=-13.96
Tensioni nella sezione: σ=169.18 τ=21.15
CC 23 SLV (Collegamento 0024_-381)
Azioni sul collegamento: N=-3838.16 Ty=4.12 Tz=-9.35 Mx=-0.01 Mz=-1.95
Sollecitazioni agenti localmente: Ty_l=-697.85 Mx_l=-13.96
Tensioni nella sezione: σ=169.18 τ=21.15
CC 23 SLV (Collegamento 0024_-381)
Azioni sul collegamento: N=-3838.16 Ty=0.76 Tz=-9.35 Mx=-0.01 Mz=1.23
Sollecitazioni agenti localmente: Ty_l=-697.85 Mx_l=-13.96
Tensioni nella sezione: σ=169.18 τ=21.15
CC 24 SLD (Collegamento 0024_-381)
Azioni sul collegamento: N=-7319.25 Ty=2.77 Tz=3.62 Mx=-0.01 Mz=1.24
Sollecitazioni agenti localmente: Ty_l=-1330.77 Mx_l=-26.62
Tensioni nella sezione: σ=322.61 τ=40.33
CC 24 SLD (Collegamento 0024_-381)
Azioni sul collegamento: N=-7319.25 Ty=3.80 Tz=3.62 Mx=-0.01 Mz=2.21
Sollecitazioni agenti localmente: Ty_l=-1330.77 Mx_l=-26.62
Tensioni nella sezione: σ=322.61 τ=40.33
CC 24 SLD (Collegamento 0024_-381)
Azioni sul collegamento: N=-7319.25 Ty=2.77 Tz=-2.38 Mx=-0.01 Mz=1.24
Sollecitazioni agenti localmente: Ty_l=-1330.77 Mx_l=-26.62
Tensioni nella sezione: σ=322.61 τ=40.33
CC 24 SLD (Collegamento 0024_-381)

Azioni sul collegamento: N=-7319.25 Ty=3.80 Tz=-2.38 Mx=-0.01 Mz=2.21
Sollecitazioni agenti localmente: Ty_l=-1330.77 Mx_l=-26.62
Tensioni nella sezione: σ=322.61 τ=40.33
CC 24 SLD (Collegamento 0024_-381)
Azioni sul collegamento: N=-5707.53 Ty=2.77 Tz=3.62 Mx=-0.01 Mz=1.24
Sollecitazioni agenti localmente: Ty_l=-1037.73 Mx_l=-20.75
Tensioni nella sezione: σ=251.57 τ=31.45
CC 24 SLD (Collegamento 0024_-381)
Azioni sul collegamento: N=-5707.53 Ty=3.80 Tz=3.62 Mx=-0.01 Mz=2.21
Sollecitazioni agenti localmente: Ty_l=-1037.73 Mx_l=-20.75
Tensioni nella sezione: σ=251.57 τ=31.45
CC 24 SLD (Collegamento 0024_-381)
Azioni sul collegamento: N=-5707.53 Ty=2.77 Tz=-2.38 Mx=-0.01 Mz=1.24
Sollecitazioni agenti localmente: Ty_l=-1037.73 Mx_l=-20.75
Tensioni nella sezione: σ=251.57 τ=31.45
CC 24 SLD (Collegamento 0024_-381)
Azioni sul collegamento: N=-5707.53 Ty=3.80 Tz=-2.38 Mx=-0.01 Mz=2.21
Sollecitazioni agenti localmente: Ty_l=-1037.73 Mx_l=-20.75
Tensioni nella sezione: σ=251.57 τ=31.45
CC 25 SLV (Collegamento 0024_-381)
Azioni sul collegamento: N=-5679.46 Ty=0.97 Tz=-2.66 Mx=-0.03 Mz=2.02
Sollecitazioni agenti localmente: Ty_l=-1032.63 Mx_l=-20.65
Tensioni nella sezione: σ=250.33 τ=31.29
CC 25 SLV (Collegamento 0024_-381)
Azioni sul collegamento: N=-5679.46 Ty=3.91 Tz=-2.66 Mx=-0.03 Mz=-2.74
Sollecitazioni agenti localmente: Ty_l=-1032.63 Mx_l=-20.65
Tensioni nella sezione: σ=250.33 τ=31.29
CC 25 SLV (Collegamento 0024_-381)
Azioni sul collegamento: N=-5679.46 Ty=0.97 Tz=3.63 Mx=-0.03 Mz=2.02
Sollecitazioni agenti localmente: Ty_l=-1032.63 Mx_l=-20.65
Tensioni nella sezione: σ=250.33 τ=31.29
CC 25 SLV (Collegamento 0024_-381)
Azioni sul collegamento: N=-5679.46 Ty=3.91 Tz=3.63 Mx=-0.03 Mz=-2.74
Sollecitazioni agenti localmente: Ty_l=-1032.63 Mx_l=-20.65
Tensioni nella sezione: σ=250.33 τ=31.29
CC 25 SLV (Collegamento 0024_-381)
Azioni sul collegamento: N=-7282.36 Ty=0.97 Tz=-2.66 Mx=-0.03 Mz=2.02
Sollecitazioni agenti localmente: Ty_l=-1324.06 Mx_l=-26.48
Tensioni nella sezione: σ=320.99 τ=40.12
CC 25 SLV (Collegamento 0024_-381)
Azioni sul collegamento: N=-7282.36 Ty=3.91 Tz=-2.66 Mx=-0.03 Mz=-2.74
Sollecitazioni agenti localmente: Ty_l=-1324.06 Mx_l=-26.48
Tensioni nella sezione: σ=320.99 τ=40.12
CC 25 SLV (Collegamento 0024_-381)
Azioni sul collegamento: N=-7282.36 Ty=0.97 Tz=3.63 Mx=-0.03 Mz=2.02
Sollecitazioni agenti localmente: Ty_l=-1324.06 Mx_l=-26.48
Tensioni nella sezione: σ=320.99 τ=40.12
CC 25 SLV (Collegamento 0024_-381)
Azioni sul collegamento: N=-7282.36 Ty=3.91 Tz=3.63 Mx=-0.03 Mz=-2.74
Sollecitazioni agenti localmente: Ty_l=-1324.06 Mx_l=-26.48
Tensioni nella sezione: σ=320.99 τ=40.12
CC 26 SLD (Collegamento 0024_-381)
Azioni sul collegamento: N=-6269.00 Ty=3.73 Tz=-0.34 Mx=-0.01 Mz=2.45
Sollecitazioni agenti localmente: Ty_l=-1139.82 Mx_l=-22.80
Tensioni nella sezione: σ=276.32 τ=34.54
CC 26 SLD (Collegamento 0024_-381)
Azioni sul collegamento: N=-6269.00 Ty=2.84 Tz=-0.34 Mx=-0.01 Mz=0.99
Sollecitazioni agenti localmente: Ty_l=-1139.82 Mx_l=-22.80
Tensioni nella sezione: σ=276.32 τ=34.54
CC 26 SLD (Collegamento 0024_-381)
Azioni sul collegamento: N=-6269.00 Ty=3.73 Tz=1.57 Mx=-0.01 Mz=2.45
Sollecitazioni agenti localmente: Ty_l=-1139.82 Mx_l=-22.80
Tensioni nella sezione: σ=276.32 τ=34.54
CC 26 SLD (Collegamento 0024_-381)
Azioni sul collegamento: N=-6269.00 Ty=2.84 Tz=1.57 Mx=-0.01 Mz=0.99
Sollecitazioni agenti localmente: Ty_l=-1139.82 Mx_l=-22.80
Tensioni nella sezione: σ=276.32 τ=34.54
CC 26 SLD (Collegamento 0024_-381)
Azioni sul collegamento: N=-6757.78 Ty=3.73 Tz=-0.34 Mx=-0.01 Mz=2.45
Sollecitazioni agenti localmente: Ty_l=-1228.69 Mx_l=-24.57
Tensioni nella sezione: σ=297.86 τ=37.23
CC 26 SLD (Collegamento 0024_-381)
Azioni sul collegamento: N=-6757.78 Ty=2.84 Tz=-0.34 Mx=-0.01 Mz=0.99
Sollecitazioni agenti localmente: Ty_l=-1228.69 Mx_l=-24.57
Tensioni nella sezione: σ=297.86 τ=37.23
CC 26 SLD (Collegamento 0024_-381)
Azioni sul collegamento: N=-6757.78 Ty=3.73 Tz=1.57 Mx=-0.01 Mz=2.45
Sollecitazioni agenti localmente: Ty_l=-1228.69 Mx_l=-24.57
Tensioni nella sezione: σ=297.86 τ=37.23
CC 26 SLD (Collegamento 0024_-381)

Azioni sul collegamento: N=-6757.78 Ty=2.84 Tz=1.57 Mx=-0.01 Mz=0.99
Sollecitazioni agenti localmente: Ty_l=-1228.69 Mx_l=-24.57
Tensioni nella sezione: σ=297.86 τ=37.23
CC 27 SLV (Collegamento 0024_-381)
Azioni sul collegamento: N=-7263.40 Ty=1.79 Tz=3.21 Mx=-0.02 Mz=1.45
Sollecitazioni agenti localmente: Ty_l=-1320.62 Mx_l=-26.41
Tensioni nella sezione: σ=320.15 τ=40.02
CC 27 SLV (Collegamento 0024_-381)
Azioni sul collegamento: N=-7263.40 Ty=3.09 Tz=3.21 Mx=-0.02 Mz=-2.17
Sollecitazioni agenti localmente: Ty_l=-1320.62 Mx_l=-26.41
Tensioni nella sezione: σ=320.15 τ=40.02
CC 27 SLV (Collegamento 0024_-381)
Azioni sul collegamento: N=-7263.40 Ty=1.79 Tz=-2.23 Mx=-0.02 Mz=1.45
Sollecitazioni agenti localmente: Ty_l=-1320.62 Mx_l=-26.41
Tensioni nella sezione: σ=320.15 τ=40.02
CC 27 SLV (Collegamento 0024_-381)
Azioni sul collegamento: N=-7263.40 Ty=3.09 Tz=-2.23 Mx=-0.02 Mz=-2.17
Sollecitazioni agenti localmente: Ty_l=-1320.62 Mx_l=-26.41
Tensioni nella sezione: σ=320.15 τ=40.02
CC 27 SLV (Collegamento 0024_-381)
Azioni sul collegamento: N=-5698.42 Ty=1.79 Tz=3.21 Mx=-0.02 Mz=1.45
Sollecitazioni agenti localmente: Ty_l=-1036.07 Mx_l=-20.72
Tensioni nella sezione: σ=251.17 τ=31.40
CC 27 SLV (Collegamento 0024_-381)
Azioni sul collegamento: N=-5698.42 Ty=3.09 Tz=3.21 Mx=-0.02 Mz=-2.17
Sollecitazioni agenti localmente: Ty_l=-1036.07 Mx_l=-20.72
Tensioni nella sezione: σ=251.17 τ=31.40
CC 27 SLV (Collegamento 0024_-381)
Azioni sul collegamento: N=-5698.42 Ty=1.79 Tz=-2.23 Mx=-0.02 Mz=1.45
Sollecitazioni agenti localmente: Ty_l=-1036.07 Mx_l=-20.72
Tensioni nella sezione: σ=251.17 τ=31.40
CC 27 SLV (Collegamento 0024_-381)
Azioni sul collegamento: N=-5698.42 Ty=3.09 Tz=-2.23 Mx=-0.02 Mz=-2.17
Sollecitazioni agenti localmente: Ty_l=-1036.07 Mx_l=-20.72
Tensioni nella sezione: σ=251.17 τ=31.40
CC 28 SLD (Collegamento 0024_-381)
Azioni sul collegamento: N=-6752.00 Ty=3.48 Tz=1.44 Mx=-0.01 Mz=2.27
Sollecitazioni agenti localmente: Ty_l=-1227.64 Mx_l=-24.55
Tensioni nella sezione: σ=297.61 τ=37.20
CC 28 SLD (Collegamento 0024_-381)
Azioni sul collegamento: N=-6752.00 Ty=3.09 Tz=1.44 Mx=-0.01 Mz=1.17
Sollecitazioni agenti localmente: Ty_l=-1227.64 Mx_l=-24.55
Tensioni nella sezione: σ=297.61 τ=37.20
CC 28 SLD (Collegamento 0024_-381)
Azioni sul collegamento: N=-6752.00 Ty=3.48 Tz=-0.21 Mx=-0.01 Mz=2.27
Sollecitazioni agenti localmente: Ty_l=-1227.64 Mx_l=-24.55
Tensioni nella sezione: σ=297.61 τ=37.20
CC 28 SLD (Collegamento 0024_-381)
Azioni sul collegamento: N=-6752.00 Ty=3.09 Tz=-0.21 Mx=-0.01 Mz=1.17
Sollecitazioni agenti localmente: Ty_l=-1227.64 Mx_l=-24.55
Tensioni nella sezione: σ=297.61 τ=37.20
CC 28 SLD (Collegamento 0024_-381)
Azioni sul collegamento: N=-6274.78 Ty=3.48 Tz=1.44 Mx=-0.01 Mz=2.27
Sollecitazioni agenti localmente: Ty_l=-1140.87 Mx_l=-22.82
Tensioni nella sezione: σ=276.57 τ=34.57
CC 28 SLD (Collegamento 0024_-381)
Azioni sul collegamento: N=-6274.78 Ty=3.09 Tz=1.44 Mx=-0.01 Mz=1.17
Sollecitazioni agenti localmente: Ty_l=-1140.87 Mx_l=-22.82
Tensioni nella sezione: σ=276.57 τ=34.57
CC 28 SLD (Collegamento 0024_-381)
Azioni sul collegamento: N=-6274.78 Ty=3.48 Tz=-0.21 Mx=-0.01 Mz=2.27
Sollecitazioni agenti localmente: Ty_l=-1140.87 Mx_l=-22.82
Tensioni nella sezione: σ=276.57 τ=34.57
CC 28 SLD (Collegamento 0024_-381)
Azioni sul collegamento: N=-6274.78 Ty=3.09 Tz=-0.21 Mx=-0.01 Mz=1.17
Sollecitazioni agenti localmente: Ty_l=-1140.87 Mx_l=-22.82
Tensioni nella sezione: σ=276.57 τ=34.57
CC 29 SLV (Collegamento 0024_-381)
Azioni sul collegamento: N=-5698.42 Ty=3.09 Tz=-2.23 Mx=-0.01 Mz=-2.17
Sollecitazioni agenti localmente: Ty_l=-1036.07 Mx_l=-20.72
Tensioni nella sezione: σ=251.17 τ=31.40
CC 29 SLV (Collegamento 0024_-381)
Azioni sul collegamento: N=-5698.42 Ty=1.79 Tz=-2.23 Mx=-0.01 Mz=1.45
Sollecitazioni agenti localmente: Ty_l=-1036.07 Mx_l=-20.72
Tensioni nella sezione: σ=251.17 τ=31.40
CC 29 SLV (Collegamento 0024_-381)
Azioni sul collegamento: N=-5698.42 Ty=3.09 Tz=3.21 Mx=-0.01 Mz=-2.17
Sollecitazioni agenti localmente: Ty_l=-1036.07 Mx_l=-20.72
Tensioni nella sezione: σ=251.17 τ=31.40
CC 29 SLV (Collegamento 0024_-381)

Azioni sul collegamento: N=-5698.42 Ty=1.79 Tz=3.21 Mx=-0.01 Mz=1.45
Sollecitazioni agenti localmente: Ty_l=-1036.07 Mx_l=-20.72
Tensioni nella sezione: σ=251.17 τ=31.40
CC 29 SLV (Collegamento 0024_-381)
Azioni sul collegamento: N=-7263.40 Ty=3.09 Tz=-2.23 Mx=-0.01 Mz=-2.17
Sollecitazioni agenti localmente: Ty_l=-1320.62 Mx_l=-26.41
Tensioni nella sezione: σ=320.15 τ=40.02
CC 29 SLV (Collegamento 0024_-381)
Azioni sul collegamento: N=-7263.40 Ty=1.79 Tz=-2.23 Mx=-0.01 Mz=1.45
Sollecitazioni agenti localmente: Ty_l=-1320.62 Mx_l=-26.41
Tensioni nella sezione: σ=320.15 τ=40.02
CC 29 SLV (Collegamento 0024_-381)
Azioni sul collegamento: N=-7263.40 Ty=3.09 Tz=3.21 Mx=-0.01 Mz=-2.17
Sollecitazioni agenti localmente: Ty_l=-1320.62 Mx_l=-26.41
Tensioni nella sezione: σ=320.15 τ=40.02
CC 29 SLV (Collegamento 0024_-381)
Azioni sul collegamento: N=-7263.40 Ty=1.79 Tz=3.21 Mx=-0.01 Mz=1.45
Sollecitazioni agenti localmente: Ty_l=-1320.62 Mx_l=-26.41
Tensioni nella sezione: σ=320.15 τ=40.02
CC 30 SLD (Collegamento 0024_-381)
Azioni sul collegamento: N=-6274.78 Ty=3.09 Tz=-0.21 Mx=-0.01 Mz=1.17
Sollecitazioni agenti localmente: Ty_l=-1140.87 Mx_l=-22.82
Tensioni nella sezione: σ=276.57 τ=34.57
CC 30 SLD (Collegamento 0024_-381)
Azioni sul collegamento: N=-6274.78 Ty=3.48 Tz=-0.21 Mx=-0.01 Mz=2.27
Sollecitazioni agenti localmente: Ty_l=-1140.87 Mx_l=-22.82
Tensioni nella sezione: σ=276.57 τ=34.57
CC 30 SLD (Collegamento 0024_-381)
Azioni sul collegamento: N=-6274.78 Ty=3.09 Tz=1.44 Mx=-0.01 Mz=1.17
Sollecitazioni agenti localmente: Ty_l=-1140.87 Mx_l=-22.82
Tensioni nella sezione: σ=276.57 τ=34.57
CC 30 SLD (Collegamento 0024_-381)
Azioni sul collegamento: N=-6274.78 Ty=3.48 Tz=1.44 Mx=-0.01 Mz=2.27
Sollecitazioni agenti localmente: Ty_l=-1140.87 Mx_l=-22.82
Tensioni nella sezione: σ=276.57 τ=34.57
CC 30 SLD (Collegamento 0024_-381)
Azioni sul collegamento: N=-6752.00 Ty=3.09 Tz=-0.21 Mx=-0.01 Mz=1.17
Sollecitazioni agenti localmente: Ty_l=-1227.64 Mx_l=-24.55
Tensioni nella sezione: σ=297.61 τ=37.20
CC 30 SLD (Collegamento 0024_-381)
Azioni sul collegamento: N=-6752.00 Ty=3.48 Tz=-0.21 Mx=-0.01 Mz=2.27
Sollecitazioni agenti localmente: Ty_l=-1227.64 Mx_l=-24.55
Tensioni nella sezione: σ=297.61 τ=37.20
CC 30 SLD (Collegamento 0024_-381)
Azioni sul collegamento: N=-6752.00 Ty=3.09 Tz=1.44 Mx=-0.01 Mz=1.17
Sollecitazioni agenti localmente: Ty_l=-1227.64 Mx_l=-24.55
Tensioni nella sezione: σ=297.61 τ=37.20
CC 30 SLD (Collegamento 0024_-381)
Azioni sul collegamento: N=-6752.00 Ty=3.48 Tz=1.44 Mx=-0.01 Mz=2.27
Sollecitazioni agenti localmente: Ty_l=-1227.64 Mx_l=-24.55
Tensioni nella sezione: σ=297.61 τ=37.20
CC 31 SLV (Collegamento 0024_-381)
Azioni sul collegamento: N=-7282.36 Ty=3.91 Tz=3.63 Mx=-0.01 Mz=-2.74
Sollecitazioni agenti localmente: Ty_l=-1324.06 Mx_l=-26.48
Tensioni nella sezione: σ=320.99 τ=40.12
CC 31 SLV (Collegamento 0024_-381)
Azioni sul collegamento: N=-7282.36 Ty=0.97 Tz=3.63 Mx=-0.01 Mz=2.02
Sollecitazioni agenti localmente: Ty_l=-1324.06 Mx_l=-26.48
Tensioni nella sezione: σ=320.99 τ=40.12
CC 31 SLV (Collegamento 0024_-381)
Azioni sul collegamento: N=-7282.36 Ty=3.91 Tz=-2.66 Mx=-0.01 Mz=-2.74
Sollecitazioni agenti localmente: Ty_l=-1324.06 Mx_l=-26.48
Tensioni nella sezione: σ=320.99 τ=40.12
CC 31 SLV (Collegamento 0024_-381)
Azioni sul collegamento: N=-7282.36 Ty=0.97 Tz=-2.66 Mx=-0.01 Mz=2.02
Sollecitazioni agenti localmente: Ty_l=-1324.06 Mx_l=-26.48
Tensioni nella sezione: σ=320.99 τ=40.12
CC 31 SLV (Collegamento 0024_-381)
Azioni sul collegamento: N=-5679.46 Ty=3.91 Tz=3.63 Mx=-0.01 Mz=-2.74
Sollecitazioni agenti localmente: Ty_l=-1032.63 Mx_l=-20.65
Tensioni nella sezione: σ=250.33 τ=31.29
CC 31 SLV (Collegamento 0024_-381)
Azioni sul collegamento: N=-5679.46 Ty=0.97 Tz=3.63 Mx=-0.01 Mz=2.02
Sollecitazioni agenti localmente: Ty_l=-1032.63 Mx_l=-20.65
Tensioni nella sezione: σ=250.33 τ=31.29
CC 31 SLV (Collegamento 0024_-381)
Azioni sul collegamento: N=-5679.46 Ty=3.91 Tz=-2.66 Mx=-0.01 Mz=-2.74
Sollecitazioni agenti localmente: Ty_l=-1032.63 Mx_l=-20.65
Tensioni nella sezione: σ=250.33 τ=31.29
CC 31 SLV (Collegamento 0024_-381)

Azioni sul collegamento: N=-5679.46 Ty=0.97 Tz=-2.66 Mx=-0.01 Mz=2.02
Sollecitazioni agenti localmente: Ty_l=-1032.63 Mx_l=-20.65
Tensioni nella sezione: σ=250.33 τ=31.29
CC 32 SLD (Collegamento 0024_-381)
Azioni sul collegamento: N=-6757.78 Ty=2.84 Tz=1.57 Mx=-0.00 Mz=0.99
Sollecitazioni agenti localmente: Ty_l=-1228.69 Mx_l=-24.57
Tensioni nella sezione: σ=297.86 τ=37.23
CC 32 SLD (Collegamento 0024_-381)
Azioni sul collegamento: N=-6757.78 Ty=3.73 Tz=1.57 Mx=-0.00 Mz=2.45
Sollecitazioni agenti localmente: Ty_l=-1228.69 Mx_l=-24.57
Tensioni nella sezione: σ=297.86 τ=37.23
CC 32 SLD (Collegamento 0024_-381)
Azioni sul collegamento: N=-6757.78 Ty=2.84 Tz=-0.34 Mx=-0.00 Mz=0.99
Sollecitazioni agenti localmente: Ty_l=-1228.69 Mx_l=-24.57
Tensioni nella sezione: σ=297.86 τ=37.23
CC 32 SLD (Collegamento 0024_-381)
Azioni sul collegamento: N=-6757.78 Ty=3.73 Tz=-0.34 Mx=-0.00 Mz=2.45
Sollecitazioni agenti localmente: Ty_l=-1228.69 Mx_l=-24.57
Tensioni nella sezione: σ=297.86 τ=37.23
CC 32 SLD (Collegamento 0024_-381)
Azioni sul collegamento: N=-6269.00 Ty=2.84 Tz=1.57 Mx=-0.00 Mz=0.99
Sollecitazioni agenti localmente: Ty_l=-1139.82 Mx_l=-22.80
Tensioni nella sezione: σ=276.32 τ=34.54
CC 32 SLD (Collegamento 0024_-381)
Azioni sul collegamento: N=-6269.00 Ty=3.73 Tz=1.57 Mx=-0.00 Mz=2.45
Sollecitazioni agenti localmente: Ty_l=-1139.82 Mx_l=-22.80
Tensioni nella sezione: σ=276.32 τ=34.54
CC 32 SLD (Collegamento 0024_-381)
Azioni sul collegamento: N=-6269.00 Ty=2.84 Tz=-0.34 Mx=-0.00 Mz=0.99
Sollecitazioni agenti localmente: Ty_l=-1139.82 Mx_l=-22.80
Tensioni nella sezione: σ=276.32 τ=34.54
CC 32 SLD (Collegamento 0024_-381)
Azioni sul collegamento: N=-6269.00 Ty=3.73 Tz=-0.34 Mx=-0.00 Mz=2.45
Sollecitazioni agenti localmente: Ty_l=-1139.82 Mx_l=-22.80
Tensioni nella sezione: σ=276.32 τ=34.54
CC 33 SLU (Collegamento 0024_-381)
Azioni sul collegamento: N=-30229.20 Ty=5.39 Tz=79.58 Mx=-0.01 Mz=3.85
Sollecitazioni agenti localmente: Ty_l=-5496.22 Mx_l=-109.92
Tensioni nella sezione: σ=1332.41 τ=166.55
CC 34 SLU (Collegamento 0024_-381)
Azioni sul collegamento: N=-30778.60 Ty=5.67 Tz=81.62 Mx=-0.01 Mz=4.05
Sollecitazioni agenti localmente: Ty_l=-5596.11 Mx_l=-111.92
Tensioni nella sezione: σ=1356.63 τ=169.58
CC 35 SLU (Collegamento 0024_-381)
Azioni sul collegamento: N=-30504.90 Ty=5.64 Tz=80.58 Mx=-0.01 Mz=4.16
Sollecitazioni agenti localmente: Ty_l=-5546.34 Mx_l=-110.93
Tensioni nella sezione: σ=1344.57 τ=168.07
CC 36 SLU (Collegamento 0024_-381)
Azioni sul collegamento: N=-30502.90 Ty=5.42 Tz=80.62 Mx=-0.01 Mz=3.73
Sollecitazioni agenti localmente: Ty_l=-5545.98 Mx_l=-110.92
Tensioni nella sezione: σ=1344.48 τ=168.06
CC 37 SLU (Collegamento 0024_-381)
Azioni sul collegamento: N=-32152.70 Ty=5.24 Tz=86.01 Mx=0.00 Mz=3.86
Sollecitazioni agenti localmente: Ty_l=-5845.94 Mx_l=-116.92
Tensioni nella sezione: σ=1417.20 τ=177.15
CC 38 SLU (Collegamento 0024_-381)
Azioni sul collegamento: N=-32702.10 Ty=5.53 Tz=88.04 Mx=0.00 Mz=4.06
Sollecitazioni agenti localmente: Ty_l=-5945.83 Mx_l=-118.92
Tensioni nella sezione: σ=1441.41 τ=180.18
CC 39 SLU (Collegamento 0024_-381)
Azioni sul collegamento: N=-32428.40 Ty=5.50 Tz=87.00 Mx=0.00 Mz=4.18
Sollecitazioni agenti localmente: Ty_l=-5896.07 Mx_l=-117.92
Tensioni nella sezione: σ=1429.35 τ=178.67
CC 40 SLU (Collegamento 0024_-381)
Azioni sul collegamento: N=-32426.40 Ty=5.28 Tz=87.05 Mx=0.00 Mz=3.74
Sollecitazioni agenti localmente: Ty_l=-5895.71 Mx_l=-117.91
Tensioni nella sezione: σ=1429.26 τ=178.66
CC 41 SLU (Collegamento 0024_-381)
Azioni sul collegamento: N=-20958.20 Ty=6.23 Tz=45.50 Mx=-0.01 Mz=4.43
Sollecitazioni agenti localmente: Ty_l=-3810.59 Mx_l=-76.21
Tensioni nella sezione: σ=923.78 τ=115.47
CC 42 SLU (Collegamento 0024_-381)
Azioni sul collegamento: N=-21507.60 Ty=6.52 Tz=47.54 Mx=-0.01 Mz=4.63
Sollecitazioni agenti localmente: Ty_l=-3910.48 Mx_l=-78.21
Tensioni nella sezione: σ=947.99 τ=118.50
CC 43 SLU (Collegamento 0024_-381)
Azioni sul collegamento: N=-21233.90 Ty=6.48 Tz=46.50 Mx=-0.01 Mz=4.75
Sollecitazioni agenti localmente: Ty_l=-3860.71 Mx_l=-77.21
Tensioni nella sezione: σ=935.93 τ=116.99
CC 44 SLU (Collegamento 0024_-381)

Azioni sul collegamento: N=-21231.90 Ty=6.26 Tz=46.54 Mx=-0.01 Mz=4.31
Sollecitazioni agenti localmente: Ty_l=-3860.35 Mx_l=-77.21
Tensioni nella sezione: σ=935.84 τ=116.98
CC 45 SLU (Collegamento 0024_-381)
Azioni sul collegamento: N=-23044.60 Ty=5.94 Tz=53.22 Mx=-0.01 Mz=4.28
Sollecitazioni agenti localmente: Ty_l=-4189.93 Mx_l=-83.80
Tensioni nella sezione: σ=1015.74 τ=126.97
CC 46 SLU (Collegamento 0024_-381)
Azioni sul collegamento: N=-23594.00 Ty=6.22 Tz=55.25 Mx=-0.01 Mz=4.49
Sollecitazioni agenti localmente: Ty_l=-4289.82 Mx_l=-85.80
Tensioni nella sezione: σ=1039.95 τ=129.99
CC 47 SLU (Collegamento 0024_-381)
Azioni sul collegamento: N=-23320.30 Ty=6.19 Tz=54.21 Mx=-0.01 Mz=4.60
Sollecitazioni agenti localmente: Ty_l=-4240.05 Mx_l=-84.80
Tensioni nella sezione: σ=1027.89 τ=128.49
CC 48 SLU (Collegamento 0024_-381)
Azioni sul collegamento: N=-23318.30 Ty=5.97 Tz=54.26 Mx=-0.01 Mz=4.17
Sollecitazioni agenti localmente: Ty_l=-4239.69 Mx_l=-84.79
Tensioni nella sezione: σ=1027.80 τ=128.48
CC 49 SLU (Collegamento 0024_-381)
Azioni sul collegamento: N=-24483.70 Ty=5.83 Tz=58.03 Mx=0.00 Mz=4.29
Sollecitazioni agenti localmente: Ty_l=-4451.57 Mx_l=-89.03
Tensioni nella sezione: σ=1079.17 τ=134.90
CC 50 SLU (Collegamento 0024_-381)
Azioni sul collegamento: N=-25033.00 Ty=6.12 Tz=60.06 Mx=0.00 Mz=4.50
Sollecitazioni agenti localmente: Ty_l=-4551.46 Mx_l=-91.03
Tensioni nella sezione: σ=1103.38 τ=137.92
CC 51 SLU (Collegamento 0024_-381)
Azioni sul collegamento: N=-24759.30 Ty=6.08 Tz=59.02 Mx=-0.00 Mz=4.61
Sollecitazioni agenti localmente: Ty_l=-4501.70 Mx_l=-90.03
Tensioni nella sezione: σ=1091.32 τ=136.41
CC 52 SLU (Collegamento 0024_-381)
Azioni sul collegamento: N=-24757.40 Ty=5.87 Tz=59.07 Mx=0.00 Mz=4.18
Sollecitazioni agenti localmente: Ty_l=-4501.34 Mx_l=-90.03
Tensioni nella sezione: σ=1091.23 τ=136.40
CC 53 SLU (Collegamento 0024_-381)
Azioni sul collegamento: N=-16108.60 Ty=6.57 Tz=27.72 Mx=-0.01 Mz=4.72
Sollecitazioni agenti localmente: Ty_l=-2928.83 Mx_l=-58.58
Tensioni nella sezione: σ=710.02 τ=88.75
CC 54 SLU (Collegamento 0024_-381)
Azioni sul collegamento: N=-16657.90 Ty=6.86 Tz=29.76 Mx=-0.01 Mz=4.92
Sollecitazioni agenti localmente: Ty_l=-3028.71 Mx_l=-60.57
Tensioni nella sezione: σ=734.23 τ=91.78
CC 55 SLU (Collegamento 0024_-381)
Azioni sul collegamento: N=-16384.20 Ty=6.82 Tz=28.72 Mx=-0.01 Mz=5.04
Sollecitazioni agenti localmente: Ty_l=-2978.95 Mx_l=-59.58
Tensioni nella sezione: σ=722.17 τ=90.27
CC 56 SLU (Collegamento 0024_-381)
Azioni sul collegamento: N=-16382.30 Ty=6.60 Tz=28.76 Mx=-0.01 Mz=4.60
Sollecitazioni agenti localmente: Ty_l=-2978.59 Mx_l=-59.57
Tensioni nella sezione: σ=722.08 τ=90.26
CC 57 SLU (Collegamento 0024_-381)
Azioni sul collegamento: N=-23426.90 Ty=6.35 Tz=54.67 Mx=-0.01 Mz=4.58
Sollecitazioni agenti localmente: Ty_l=-4259.43 Mx_l=-85.19
Tensioni nella sezione: σ=1032.59 τ=129.07
CC 58 SLU (Collegamento 0024_-381)
Azioni sul collegamento: N=-23976.20 Ty=6.64 Tz=56.70 Mx=-0.01 Mz=4.78
Sollecitazioni agenti localmente: Ty_l=-4359.32 Mx_l=-87.19
Tensioni nella sezione: σ=1056.80 τ=132.10
CC 59 SLU (Collegamento 0024_-381)
Azioni sul collegamento: N=-23702.50 Ty=6.61 Tz=55.66 Mx=-0.01 Mz=4.90
Sollecitazioni agenti localmente: Ty_l=-4309.55 Mx_l=-86.19
Tensioni nella sezione: σ=1044.74 τ=130.59
CC 60 SLU (Collegamento 0024_-381)
Azioni sul collegamento: N=-23700.60 Ty=6.39 Tz=55.71 Mx=-0.01 Mz=4.46
Sollecitazioni agenti localmente: Ty_l=-4309.19 Mx_l=-86.18
Tensioni nella sezione: σ=1044.65 τ=130.58
CC 61 SLU (Collegamento 0024_-381)
Azioni sul collegamento: N=-24865.90 Ty=6.25 Tz=59.47 Mx=0.00 Mz=4.59
Sollecitazioni agenti localmente: Ty_l=-4521.07 Mx_l=-90.42
Tensioni nella sezione: σ=1096.02 τ=137.00
CC 62 SLU (Collegamento 0024_-381)
Azioni sul collegamento: N=-25415.30 Ty=6.53 Tz=61.51 Mx=-0.00 Mz=4.79
Sollecitazioni agenti localmente: Ty_l=-4620.96 Mx_l=-92.42
Tensioni nella sezione: σ=1120.23 τ=140.03
CC 63 SLU (Collegamento 0024_-381)
Azioni sul collegamento: N=-25141.60 Ty=6.50 Tz=60.47 Mx=-0.00 Mz=4.91
Sollecitazioni agenti localmente: Ty_l=-4571.20 Mx_l=-91.42
Tensioni nella sezione: σ=1108.17 τ=138.52
CC 64 SLU (Collegamento 0024_-381)

Azioni sul collegamento: N=-25139.60 Ty=6.28 Tz=60.51 Mx=0.00 Mz=4.47
Sollecitazioni agenti localmente: Ty_l=-4570.84 Mx_l=-91.42
Tensioni nella sezione: σ=1108.08 τ=138.51
CC 65 SLU (Collegamento 0024_-381)
Azioni sul collegamento: N=-16490.80 Ty=6.99 Tz=29.17 Mx=-0.01 Mz=5.02
Sollecitazioni agenti localmente: Ty_l=-2998.33 Mx_l=-59.97
Tensioni nella sezione: σ=726.87 τ=90.86
CC 66 SLU (Collegamento 0024_-381)
Azioni sul collegamento: N=-17040.20 Ty=7.27 Tz=31.20 Mx=-0.01 Mz=5.22
Sollecitazioni agenti localmente: Ty_l=-3098.21 Mx_l=-61.96
Tensioni nella sezione: σ=751.08 τ=93.89
CC 67 SLU (Collegamento 0024_-381)
Azioni sul collegamento: N=-16766.50 Ty=7.24 Tz=30.16 Mx=-0.01 Mz=5.34
Sollecitazioni agenti localmente: Ty_l=-3048.45 Mx_l=-60.97
Tensioni nella sezione: σ=739.02 τ=92.38
CC 68 SLU (Collegamento 0024_-381)
Azioni sul collegamento: N=-16764.50 Ty=7.02 Tz=30.21 Mx=-0.01 Mz=4.90
Sollecitazioni agenti localmente: Ty_l=-3048.09 Mx_l=-60.96
Tensioni nella sezione: σ=738.93 τ=92.37
CC 97 SLU (Collegamento 0024_-381)
Azioni sul collegamento: N=-10609.80 Ty=16.63 Tz=15.80 Mx=0.03 Mz=19.66
Sollecitazioni agenti localmente: Ty_l=-1929.04 Mx_l=-38.58
Tensioni nella sezione: σ=467.65 τ=58.46
CC 98 SLU (Collegamento 0024_-381)
Azioni sul collegamento: N=-11159.10 Ty=16.91 Tz=17.84 Mx=0.03 Mz=19.86
Sollecitazioni agenti localmente: Ty_l=-2028.93 Mx_l=-40.58
Tensioni nella sezione: σ=491.86 τ=61.48
CC 99 SLU (Collegamento 0024_-381)
Azioni sul collegamento: N=-10885.40 Ty=16.88 Tz=16.80 Mx=0.03 Mz=19.98
Sollecitazioni agenti localmente: Ty_l=-1979.17 Mx_l=-39.58
Tensioni nella sezione: σ=479.80 τ=59.97
CC 100 SLU (Collegamento 0024_-381)
Azioni sul collegamento: N=-10883.50 Ty=16.66 Tz=16.84 Mx=0.03 Mz=19.55
Sollecitazioni agenti localmente: Ty_l=-1978.81 Mx_l=-39.58
Tensioni nella sezione: σ=479.71 τ=59.96
CC 101 SLU (Collegamento 0024_-381)
Azioni sul collegamento: N=-6606.14 Ty=1.32 Tz=0.91 Mx=-0.01 Mz=0.13
Sollecitazioni agenti localmente: Ty_l=-1201.12 Mx_l=-24.02
Tensioni nella sezione: σ=291.18 τ=36.40
CC 102 SLU (Collegamento 0024_-381)
Azioni sul collegamento: N=-7155.53 Ty=1.61 Tz=2.94 Mx=-0.01 Mz=0.33
Sollecitazioni agenti localmente: Ty_l=-1301.00 Mx_l=-26.02
Tensioni nella sezione: σ=315.39 τ=39.42
CC 103 SLU (Collegamento 0024_-381)
Azioni sul collegamento: N=-6881.82 Ty=1.58 Tz=1.90 Mx=-0.01 Mz=0.45
Sollecitazioni agenti localmente: Ty_l=-1251.24 Mx_l=-25.02
Tensioni nella sezione: σ=303.33 τ=37.92
CC 104 SLU (Collegamento 0024_-381)
Azioni sul collegamento: N=-6879.85 Ty=1.36 Tz=1.95 Mx=-0.01 Mz=0.01
Sollecitazioni agenti localmente: Ty_l=-1250.88 Mx_l=-25.02
Tensioni nella sezione: σ=303.24 τ=37.91

Flessione attacco inferiore piastra

Bnetta=220.00 Hnetta=15.00
CC 1 SLV (Collegamento 0024_-381)
Azioni sul collegamento: N=-3931.62 Ty=6.55 Tz=-8.98 Mx=0.01 Mz=7.22
Sollecitazioni agenti localmente: Ty_l=-714.84 Mx_l=-14.30
Tensioni nella sezione: σ=173.29 τ=21.66
CC 1 SLV (Collegamento 0024_-381)
Azioni sul collegamento: N=-3931.62 Ty=3.19 Tz=-8.98 Mx=0.01 Mz=4.04
Sollecitazioni agenti localmente: Ty_l=-714.84 Mx_l=-14.30
Tensioni nella sezione: σ=173.29 τ=21.66
CC 1 SLV (Collegamento 0024_-381)
Azioni sul collegamento: N=-3931.62 Ty=6.55 Tz=10.69 Mx=0.01 Mz=7.22
Sollecitazioni agenti localmente: Ty_l=-714.84 Mx_l=-14.30
Tensioni nella sezione: σ=173.29 τ=21.66
CC 1 SLV (Collegamento 0024_-381)
Azioni sul collegamento: N=-3931.62 Ty=3.19 Tz=10.69 Mx=0.01 Mz=4.04
Sollecitazioni agenti localmente: Ty_l=-714.84 Mx_l=-14.30
Tensioni nella sezione: σ=173.29 τ=21.66
CC 1 SLV (Collegamento 0024_-381)
Azioni sul collegamento: N=-9217.12 Ty=6.55 Tz=-8.98 Mx=0.01 Mz=7.22
Sollecitazioni agenti localmente: Ty_l=-1675.84 Mx_l=-33.52
Tensioni nella sezione: σ=406.26 τ=50.78
CC 1 SLV (Collegamento 0024_-381)
Azioni sul collegamento: N=-9217.12 Ty=3.19 Tz=-8.98 Mx=0.01 Mz=4.04
Sollecitazioni agenti localmente: Ty_l=-1675.84 Mx_l=-33.52
Tensioni nella sezione: σ=406.26 τ=50.78
CC 1 SLV (Collegamento 0024_-381)
Azioni sul collegamento: N=-9217.12 Ty=6.55 Tz=10.69 Mx=0.01 Mz=7.22

Sollecitazioni agenti localmente: Ty_l=-1675.84 Mx_l=-33.52
Tensioni nella sezione: σ=406.26 τ=50.78
CC 1 SLV (Collegamento 0024_-381)
Azioni sul collegamento: N=-9217.12 Ty=3.19 Tz=10.69 Mx=0.01 Mz=4.04
Sollecitazioni agenti localmente: Ty_l=-1675.84 Mx_l=-33.52
Tensioni nella sezione: σ=406.26 τ=50.78
CC 2 SLD (Collegamento 0024_-381)
Azioni sul collegamento: N=-5736.03 Ty=4.54 Tz=-2.27 Mx=0.00 Mz=4.03
Sollecitazioni agenti localmente: Ty_l=-1042.91 Mx_l=-20.86
Tensioni nella sezione: σ=252.83 τ=31.60
CC 2 SLD (Collegamento 0024_-381)
Azioni sul collegamento: N=-5736.03 Ty=3.51 Tz=-2.27 Mx=0.00 Mz=3.06
Sollecitazioni agenti localmente: Ty_l=-1042.91 Mx_l=-20.86
Tensioni nella sezione: σ=252.83 τ=31.60
CC 2 SLD (Collegamento 0024_-381)
Azioni sul collegamento: N=-5736.03 Ty=4.54 Tz=3.73 Mx=0.00 Mz=4.03
Sollecitazioni agenti localmente: Ty_l=-1042.91 Mx_l=-20.86
Tensioni nella sezione: σ=252.83 τ=31.60
CC 2 SLD (Collegamento 0024_-381)
Azioni sul collegamento: N=-5736.03 Ty=3.51 Tz=3.73 Mx=0.00 Mz=3.06
Sollecitazioni agenti localmente: Ty_l=-1042.91 Mx_l=-20.86
Tensioni nella sezione: σ=252.83 τ=31.60
CC 2 SLD (Collegamento 0024_-381)
Azioni sul collegamento: N=-7347.75 Ty=4.54 Tz=-2.27 Mx=0.00 Mz=4.03
Sollecitazioni agenti localmente: Ty_l=-1335.95 Mx_l=-26.72
Tensioni nella sezione: σ=323.87 τ=40.48
CC 2 SLD (Collegamento 0024_-381)
Azioni sul collegamento: N=-7347.75 Ty=3.51 Tz=-2.27 Mx=0.00 Mz=3.06
Sollecitazioni agenti localmente: Ty_l=-1335.95 Mx_l=-26.72
Tensioni nella sezione: σ=323.87 τ=40.48
CC 2 SLD (Collegamento 0024_-381)
Azioni sul collegamento: N=-7347.75 Ty=4.54 Tz=3.73 Mx=0.00 Mz=4.03
Sollecitazioni agenti localmente: Ty_l=-1335.95 Mx_l=-26.72
Tensioni nella sezione: σ=323.87 τ=40.48
CC 2 SLD (Collegamento 0024_-381)
Azioni sul collegamento: N=-7347.75 Ty=3.51 Tz=3.73 Mx=0.00 Mz=3.06
Sollecitazioni agenti localmente: Ty_l=-1335.95 Mx_l=-26.72
Tensioni nella sezione: σ=323.87 τ=40.48
CC 3 SLV (Collegamento 0024_-381)
Azioni sul collegamento: N=-3937.31 Ty=5.92 Tz=-8.85 Mx=0.01 Mz=5.96
Sollecitazioni agenti localmente: Ty_l=-715.87 Mx_l=-14.32
Tensioni nella sezione: σ=173.54 τ=21.69
CC 3 SLV (Collegamento 0024_-381)
Azioni sul collegamento: N=-3937.31 Ty=3.82 Tz=-8.85 Mx=0.01 Mz=5.30
Sollecitazioni agenti localmente: Ty_l=-715.87 Mx_l=-14.32
Tensioni nella sezione: σ=173.54 τ=21.69
CC 3 SLV (Collegamento 0024_-381)
Azioni sul collegamento: N=-3937.31 Ty=5.92 Tz=10.56 Mx=0.01 Mz=5.96
Sollecitazioni agenti localmente: Ty_l=-715.87 Mx_l=-14.32
Tensioni nella sezione: σ=173.54 τ=21.69
CC 3 SLV (Collegamento 0024_-381)
Azioni sul collegamento: N=-3937.31 Ty=3.82 Tz=10.56 Mx=0.01 Mz=5.30
Sollecitazioni agenti localmente: Ty_l=-715.87 Mx_l=-14.32
Tensioni nella sezione: σ=173.54 τ=21.69
CC 3 SLV (Collegamento 0024_-381)
Azioni sul collegamento: N=-9211.43 Ty=5.92 Tz=-8.85 Mx=0.01 Mz=5.96
Sollecitazioni agenti localmente: Ty_l=-1674.81 Mx_l=-33.50
Tensioni nella sezione: σ=406.01 τ=50.75
CC 3 SLV (Collegamento 0024_-381)
Azioni sul collegamento: N=-9211.43 Ty=3.82 Tz=-8.85 Mx=0.01 Mz=5.30
Sollecitazioni agenti localmente: Ty_l=-1674.81 Mx_l=-33.50
Tensioni nella sezione: σ=406.01 τ=50.75
CC 3 SLV (Collegamento 0024_-381)
Azioni sul collegamento: N=-9211.43 Ty=5.92 Tz=10.56 Mx=0.01 Mz=5.96
Sollecitazioni agenti localmente: Ty_l=-1674.81 Mx_l=-33.50
Tensioni nella sezione: σ=406.01 τ=50.75
CC 3 SLV (Collegamento 0024_-381)
Azioni sul collegamento: N=-9211.43 Ty=3.82 Tz=10.56 Mx=0.01 Mz=5.30
Sollecitazioni agenti localmente: Ty_l=-1674.81 Mx_l=-33.50
Tensioni nella sezione: σ=406.01 τ=50.75
CC 4 SLD (Collegamento 0024_-381)
Azioni sul collegamento: N=-5737.77 Ty=4.34 Tz=-2.23 Mx=0.00 Mz=3.65
Sollecitazioni agenti localmente: Ty_l=-1043.23 Mx_l=-20.86
Tensioni nella sezione: σ=252.90 τ=31.61
CC 4 SLD (Collegamento 0024_-381)
Azioni sul collegamento: N=-5737.77 Ty=3.71 Tz=-2.23 Mx=0.00 Mz=3.45
Sollecitazioni agenti localmente: Ty_l=-1043.23 Mx_l=-20.86
Tensioni nella sezione: σ=252.90 τ=31.61
CC 4 SLD (Collegamento 0024_-381)
Azioni sul collegamento: N=-5737.77 Ty=4.34 Tz=3.69 Mx=0.00 Mz=3.65

Sollecitazioni agenti localmente: Ty_l=-1043.23 Mx_l=-20.86
Tensioni nella sezione: σ=252.90 τ=31.61
CC 4 SLD (Collegamento 0024_-381)
Azioni sul collegamento: N=-5737.77 Ty=3.71 Tz=3.69 Mx=0.00 Mz=3.45
Sollecitazioni agenti localmente: Ty_l=-1043.23 Mx_l=-20.86
Tensioni nella sezione: σ=252.90 τ=31.61
CC 4 SLD (Collegamento 0024_-381)
Azioni sul collegamento: N=-7346.01 Ty=4.34 Tz=-2.23 Mx=0.00 Mz=3.65
Sollecitazioni agenti localmente: Ty_l=-1335.64 Mx_l=-26.71
Tensioni nella sezione: σ=323.79 τ=40.47
CC 4 SLD (Collegamento 0024_-381)
Azioni sul collegamento: N=-7346.01 Ty=3.71 Tz=-2.23 Mx=0.00 Mz=3.45
Sollecitazioni agenti localmente: Ty_l=-1335.64 Mx_l=-26.71
Tensioni nella sezione: σ=323.79 τ=40.47
CC 4 SLD (Collegamento 0024_-381)
Azioni sul collegamento: N=-7346.01 Ty=4.34 Tz=3.69 Mx=0.00 Mz=3.65
Sollecitazioni agenti localmente: Ty_l=-1335.64 Mx_l=-26.71
Tensioni nella sezione: σ=323.79 τ=40.47
CC 4 SLD (Collegamento 0024_-381)
Azioni sul collegamento: N=-7346.01 Ty=3.71 Tz=3.69 Mx=0.00 Mz=3.45
Sollecitazioni agenti localmente: Ty_l=-1335.64 Mx_l=-26.71
Tensioni nella sezione: σ=323.79 τ=40.47
CC 5 SLV (Collegamento 0024_-381)
Azioni sul collegamento: N=-9211.43 Ty=3.82 Tz=10.56 Mx=0.01 Mz=5.30
Sollecitazioni agenti localmente: Ty_l=-1674.81 Mx_l=-33.50
Tensioni nella sezione: σ=406.01 τ=50.75
CC 5 SLV (Collegamento 0024_-381)
Azioni sul collegamento: N=-9211.43 Ty=5.92 Tz=10.56 Mx=0.01 Mz=5.96
Sollecitazioni agenti localmente: Ty_l=-1674.81 Mx_l=-33.50
Tensioni nella sezione: σ=406.01 τ=50.75
CC 5 SLV (Collegamento 0024_-381)
Azioni sul collegamento: N=-9211.43 Ty=3.82 Tz=-8.85 Mx=0.01 Mz=5.30
Sollecitazioni agenti localmente: Ty_l=-1674.81 Mx_l=-33.50
Tensioni nella sezione: σ=406.01 τ=50.75
CC 5 SLV (Collegamento 0024_-381)
Azioni sul collegamento: N=-9211.43 Ty=5.92 Tz=-8.85 Mx=0.01 Mz=5.96
Sollecitazioni agenti localmente: Ty_l=-1674.81 Mx_l=-33.50
Tensioni nella sezione: σ=406.01 τ=50.75
CC 5 SLV (Collegamento 0024_-381)
Azioni sul collegamento: N=-3937.31 Ty=3.82 Tz=10.56 Mx=0.01 Mz=5.30
Sollecitazioni agenti localmente: Ty_l=-715.87 Mx_l=-14.32
Tensioni nella sezione: σ=173.54 τ=21.69
CC 5 SLV (Collegamento 0024_-381)
Azioni sul collegamento: N=-3937.31 Ty=5.92 Tz=10.56 Mx=0.01 Mz=5.96
Sollecitazioni agenti localmente: Ty_l=-715.87 Mx_l=-14.32
Tensioni nella sezione: σ=173.54 τ=21.69
CC 5 SLV (Collegamento 0024_-381)
Azioni sul collegamento: N=-3937.31 Ty=3.82 Tz=-8.85 Mx=0.01 Mz=5.30
Sollecitazioni agenti localmente: Ty_l=-715.87 Mx_l=-14.32
Tensioni nella sezione: σ=173.54 τ=21.69
CC 5 SLV (Collegamento 0024_-381)
Azioni sul collegamento: N=-3937.31 Ty=5.92 Tz=-8.85 Mx=0.01 Mz=5.96
Sollecitazioni agenti localmente: Ty_l=-715.87 Mx_l=-14.32
Tensioni nella sezione: σ=173.54 τ=21.69
CC 6 SLD (Collegamento 0024_-381)
Azioni sul collegamento: N=-7346.01 Ty=3.71 Tz=3.69 Mx=0.00 Mz=3.45
Sollecitazioni agenti localmente: Ty_l=-1335.64 Mx_l=-26.71
Tensioni nella sezione: σ=323.79 τ=40.47
CC 6 SLD (Collegamento 0024_-381)
Azioni sul collegamento: N=-7346.01 Ty=4.34 Tz=3.69 Mx=0.00 Mz=3.65
Sollecitazioni agenti localmente: Ty_l=-1335.64 Mx_l=-26.71
Tensioni nella sezione: σ=323.79 τ=40.47
CC 6 SLD (Collegamento 0024_-381)
Azioni sul collegamento: N=-7346.01 Ty=3.71 Tz=-2.23 Mx=0.00 Mz=3.45
Sollecitazioni agenti localmente: Ty_l=-1335.64 Mx_l=-26.71
Tensioni nella sezione: σ=323.79 τ=40.47
CC 6 SLD (Collegamento 0024_-381)
Azioni sul collegamento: N=-7346.01 Ty=4.34 Tz=-2.23 Mx=0.00 Mz=3.65
Sollecitazioni agenti localmente: Ty_l=-1335.64 Mx_l=-26.71
Tensioni nella sezione: σ=323.79 τ=40.47
CC 6 SLD (Collegamento 0024_-381)
Azioni sul collegamento: N=-5737.77 Ty=3.71 Tz=3.69 Mx=0.00 Mz=3.45
Sollecitazioni agenti localmente: Ty_l=-1043.23 Mx_l=-20.86
Tensioni nella sezione: σ=252.90 τ=31.61
CC 6 SLD (Collegamento 0024_-381)
Azioni sul collegamento: N=-5737.77 Ty=4.34 Tz=3.69 Mx=0.00 Mz=3.65
Sollecitazioni agenti localmente: Ty_l=-1043.23 Mx_l=-20.86
Tensioni nella sezione: σ=252.90 τ=31.61
CC 6 SLD (Collegamento 0024_-381)
Azioni sul collegamento: N=-5737.77 Ty=3.71 Tz=-2.23 Mx=0.00 Mz=3.45

Sollecitazioni agenti localmente: Ty_l=-1043.23 Mx_l=-20.86
Tensioni nella sezione: σ=252.90 τ=31.61
CC 6 SLD (Collegamento 0024_-381)
Azioni sul collegamento: N=-5737.77 Ty=4.34 Tz=-2.23 Mx=0.00 Mz=3.65
Sollecitazioni agenti localmente: Ty_l=-1043.23 Mx_l=-20.86
Tensioni nella sezione: σ=252.90 τ=31.61
CC 7 SLV (Collegamento 0024_-381)
Azioni sul collegamento: N=-9217.12 Ty=3.19 Tz=10.69 Mx=0.01 Mz=4.04
Sollecitazioni agenti localmente: Ty_l=-1675.84 Mx_l=-33.52
Tensioni nella sezione: σ=406.26 τ=50.78
CC 7 SLV (Collegamento 0024_-381)
Azioni sul collegamento: N=-9217.12 Ty=6.55 Tz=10.69 Mx=0.01 Mz=7.22
Sollecitazioni agenti localmente: Ty_l=-1675.84 Mx_l=-33.52
Tensioni nella sezione: σ=406.26 τ=50.78
CC 7 SLV (Collegamento 0024_-381)
Azioni sul collegamento: N=-9217.12 Ty=3.19 Tz=-8.98 Mx=0.01 Mz=4.04
Sollecitazioni agenti localmente: Ty_l=-1675.84 Mx_l=-33.52
Tensioni nella sezione: σ=406.26 τ=50.78
CC 7 SLV (Collegamento 0024_-381)
Azioni sul collegamento: N=-9217.12 Ty=6.55 Tz=-8.98 Mx=0.01 Mz=7.22
Sollecitazioni agenti localmente: Ty_l=-1675.84 Mx_l=-33.52
Tensioni nella sezione: σ=406.26 τ=50.78
CC 7 SLV (Collegamento 0024_-381)
Azioni sul collegamento: N=-3931.62 Ty=3.19 Tz=10.69 Mx=0.01 Mz=4.04
Sollecitazioni agenti localmente: Ty_l=-714.84 Mx_l=-14.30
Tensioni nella sezione: σ=173.29 τ=21.66
CC 7 SLV (Collegamento 0024_-381)
Azioni sul collegamento: N=-3931.62 Ty=6.55 Tz=10.69 Mx=0.01 Mz=7.22
Sollecitazioni agenti localmente: Ty_l=-714.84 Mx_l=-14.30
Tensioni nella sezione: σ=173.29 τ=21.66
CC 7 SLV (Collegamento 0024_-381)
Azioni sul collegamento: N=-3931.62 Ty=3.19 Tz=-8.98 Mx=0.01 Mz=4.04
Sollecitazioni agenti localmente: Ty_l=-714.84 Mx_l=-14.30
Tensioni nella sezione: σ=173.29 τ=21.66
CC 7 SLV (Collegamento 0024_-381)
Azioni sul collegamento: N=-3931.62 Ty=6.55 Tz=-8.98 Mx=0.01 Mz=7.22
Sollecitazioni agenti localmente: Ty_l=-714.84 Mx_l=-14.30
Tensioni nella sezione: σ=173.29 τ=21.66
CC 8 SLD (Collegamento 0024_-381)
Azioni sul collegamento: N=-7347.75 Ty=3.51 Tz=3.73 Mx=-0.00 Mz=3.06
Sollecitazioni agenti localmente: Ty_l=-1335.95 Mx_l=-26.72
Tensioni nella sezione: σ=323.87 τ=40.48
CC 8 SLD (Collegamento 0024_-381)
Azioni sul collegamento: N=-7347.75 Ty=4.54 Tz=3.73 Mx=-0.00 Mz=4.03
Sollecitazioni agenti localmente: Ty_l=-1335.95 Mx_l=-26.72
Tensioni nella sezione: σ=323.87 τ=40.48
CC 8 SLD (Collegamento 0024_-381)
Azioni sul collegamento: N=-7347.75 Ty=3.51 Tz=-2.27 Mx=-0.00 Mz=3.06
Sollecitazioni agenti localmente: Ty_l=-1335.95 Mx_l=-26.72
Tensioni nella sezione: σ=323.87 τ=40.48
CC 8 SLD (Collegamento 0024_-381)
Azioni sul collegamento: N=-7347.75 Ty=4.54 Tz=-2.27 Mx=-0.00 Mz=4.03
Sollecitazioni agenti localmente: Ty_l=-1335.95 Mx_l=-26.72
Tensioni nella sezione: σ=323.87 τ=40.48
CC 8 SLD (Collegamento 0024_-381)
Azioni sul collegamento: N=-5736.03 Ty=3.51 Tz=3.73 Mx=-0.00 Mz=3.06
Sollecitazioni agenti localmente: Ty_l=-1042.91 Mx_l=-20.86
Tensioni nella sezione: σ=252.83 τ=31.60
CC 8 SLD (Collegamento 0024_-381)
Azioni sul collegamento: N=-5736.03 Ty=4.54 Tz=3.73 Mx=-0.00 Mz=4.03
Sollecitazioni agenti localmente: Ty_l=-1042.91 Mx_l=-20.86
Tensioni nella sezione: σ=252.83 τ=31.60
CC 8 SLD (Collegamento 0024_-381)
Azioni sul collegamento: N=-5736.03 Ty=3.51 Tz=-2.27 Mx=-0.00 Mz=3.06
Sollecitazioni agenti localmente: Ty_l=-1042.91 Mx_l=-20.86
Tensioni nella sezione: σ=252.83 τ=31.60
CC 8 SLD (Collegamento 0024_-381)
Azioni sul collegamento: N=-5736.03 Ty=4.54 Tz=-2.27 Mx=-0.00 Mz=4.03
Sollecitazioni agenti localmente: Ty_l=-1042.91 Mx_l=-20.86
Tensioni nella sezione: σ=252.83 τ=31.60
CC 9 SLV (Collegamento 0024_-381)
Azioni sul collegamento: N=-5772.92 Ty=6.34 Tz=-2.29 Mx=0.02 Mz=8.01
Sollecitazioni agenti localmente: Ty_l=-1049.62 Mx_l=-20.99
Tensioni nella sezione: σ=254.45 τ=31.81
CC 9 SLV (Collegamento 0024_-381)
Azioni sul collegamento: N=-5772.92 Ty=3.40 Tz=-2.29 Mx=0.02 Mz=3.25
Sollecitazioni agenti localmente: Ty_l=-1049.62 Mx_l=-20.99
Tensioni nella sezione: σ=254.45 τ=31.81
CC 9 SLV (Collegamento 0024_-381)
Azioni sul collegamento: N=-5772.92 Ty=6.34 Tz=4.00 Mx=0.02 Mz=8.01

Sollecitazioni agenti localmente: Ty_l=-1049.62 Mx_l=-20.99
Tensioni nella sezione: σ=254.45 τ=31.81
CC 9 SLV (Collegamento 0024_-381)
Azioni sul collegamento: N=-5772.92 Ty=3.40 Tz=4.00 Mx=0.02 Mz=3.25
Sollecitazioni agenti localmente: Ty_l=-1049.62 Mx_l=-20.99
Tensioni nella sezione: σ=254.45 τ=31.81
CC 9 SLV (Collegamento 0024_-381)
Azioni sul collegamento: N=-7375.82 Ty=6.34 Tz=-2.29 Mx=0.02 Mz=8.01
Sollecitazioni agenti localmente: Ty_l=-1341.06 Mx_l=-26.82
Tensioni nella sezione: σ=325.10 τ=40.64
CC 9 SLV (Collegamento 0024_-381)
Azioni sul collegamento: N=-7375.82 Ty=3.40 Tz=-2.29 Mx=0.02 Mz=3.25
Sollecitazioni agenti localmente: Ty_l=-1341.06 Mx_l=-26.82
Tensioni nella sezione: σ=325.10 τ=40.64
CC 9 SLV (Collegamento 0024_-381)
Azioni sul collegamento: N=-7375.82 Ty=6.34 Tz=4.00 Mx=0.02 Mz=8.01
Sollecitazioni agenti localmente: Ty_l=-1341.06 Mx_l=-26.82
Tensioni nella sezione: σ=325.10 τ=40.64
CC 9 SLV (Collegamento 0024_-381)
Azioni sul collegamento: N=-7375.82 Ty=3.40 Tz=4.00 Mx=0.02 Mz=3.25
Sollecitazioni agenti localmente: Ty_l=-1341.06 Mx_l=-26.82
Tensioni nella sezione: σ=325.10 τ=40.64
CC 10 SLD (Collegamento 0024_-381)
Azioni sul collegamento: N=-6297.50 Ty=4.47 Tz=-0.23 Mx=0.00 Mz=4.27
Sollecitazioni agenti localmente: Ty_l=-1145.00 Mx_l=-22.90
Tensioni nella sezione: σ=277.57 τ=34.70
CC 10 SLD (Collegamento 0024_-381)
Azioni sul collegamento: N=-6297.50 Ty=3.58 Tz=-0.23 Mx=0.00 Mz=2.82
Sollecitazioni agenti localmente: Ty_l=-1145.00 Mx_l=-22.90
Tensioni nella sezione: σ=277.57 τ=34.70
CC 10 SLD (Collegamento 0024_-381)
Azioni sul collegamento: N=-6297.50 Ty=4.47 Tz=1.69 Mx=0.00 Mz=4.27
Sollecitazioni agenti localmente: Ty_l=-1145.00 Mx_l=-22.90
Tensioni nella sezione: σ=277.57 τ=34.70
CC 10 SLD (Collegamento 0024_-381)
Azioni sul collegamento: N=-6297.50 Ty=3.58 Tz=1.69 Mx=0.00 Mz=2.82
Sollecitazioni agenti localmente: Ty_l=-1145.00 Mx_l=-22.90
Tensioni nella sezione: σ=277.57 τ=34.70
CC 10 SLD (Collegamento 0024_-381)
Azioni sul collegamento: N=-6786.28 Ty=4.47 Tz=-0.23 Mx=0.00 Mz=4.27
Sollecitazioni agenti localmente: Ty_l=-1233.87 Mx_l=-24.68
Tensioni nella sezione: σ=299.12 τ=37.39
CC 10 SLD (Collegamento 0024_-381)
Azioni sul collegamento: N=-6786.28 Ty=3.58 Tz=-0.23 Mx=0.00 Mz=2.82
Sollecitazioni agenti localmente: Ty_l=-1233.87 Mx_l=-24.68
Tensioni nella sezione: σ=299.12 τ=37.39
CC 10 SLD (Collegamento 0024_-381)
Azioni sul collegamento: N=-6786.28 Ty=4.47 Tz=1.69 Mx=0.00 Mz=4.27
Sollecitazioni agenti localmente: Ty_l=-1233.87 Mx_l=-24.68
Tensioni nella sezione: σ=299.12 τ=37.39
CC 10 SLD (Collegamento 0024_-381)
Azioni sul collegamento: N=-6786.28 Ty=3.58 Tz=1.69 Mx=0.00 Mz=2.82
Sollecitazioni agenti localmente: Ty_l=-1233.87 Mx_l=-24.68
Tensioni nella sezione: σ=299.12 τ=37.39
CC 11 SLV (Collegamento 0024_-381)
Azioni sul collegamento: N=-7356.86 Ty=5.52 Tz=3.57 Mx=0.02 Mz=7.44
Sollecitazioni agenti localmente: Ty_l=-1337.61 Mx_l=-26.75
Tensioni nella sezione: σ=324.27 τ=40.53
CC 11 SLV (Collegamento 0024_-381)
Azioni sul collegamento: N=-7356.86 Ty=4.22 Tz=3.57 Mx=0.02 Mz=3.82
Sollecitazioni agenti localmente: Ty_l=-1337.61 Mx_l=-26.75
Tensioni nella sezione: σ=324.27 τ=40.53
CC 11 SLV (Collegamento 0024_-381)
Azioni sul collegamento: N=-7356.86 Ty=5.52 Tz=-1.86 Mx=0.02 Mz=7.44
Sollecitazioni agenti localmente: Ty_l=-1337.61 Mx_l=-26.75
Tensioni nella sezione: σ=324.27 τ=40.53
CC 11 SLV (Collegamento 0024_-381)
Azioni sul collegamento: N=-7356.86 Ty=4.22 Tz=-1.86 Mx=0.02 Mz=3.82
Sollecitazioni agenti localmente: Ty_l=-1337.61 Mx_l=-26.75
Tensioni nella sezione: σ=324.27 τ=40.53
CC 11 SLV (Collegamento 0024_-381)
Azioni sul collegamento: N=-5791.88 Ty=5.52 Tz=3.57 Mx=0.02 Mz=7.44
Sollecitazioni agenti localmente: Ty_l=-1053.07 Mx_l=-21.06
Tensioni nella sezione: σ=255.29 τ=31.91
CC 11 SLV (Collegamento 0024_-381)
Azioni sul collegamento: N=-5791.88 Ty=4.22 Tz=3.57 Mx=0.02 Mz=3.82
Sollecitazioni agenti localmente: Ty_l=-1053.07 Mx_l=-21.06
Tensioni nella sezione: σ=255.29 τ=31.91
CC 11 SLV (Collegamento 0024_-381)
Azioni sul collegamento: N=-5791.88 Ty=5.52 Tz=-1.86 Mx=0.02 Mz=7.44

Sollecitazioni agenti localmente: Ty_l=-1053.07 Mx_l=-21.06
Tensioni nella sezione: σ=255.29 τ=31.91
CC 11 SLV (Collegamento 0024_-381)
Azioni sul collegamento: N=-5791.88 Ty=4.22 Tz=-1.86 Mx=0.02 Mz=3.82
Sollecitazioni agenti localmente: Ty_l=-1053.07 Mx_l=-21.06
Tensioni nella sezione: σ=255.29 τ=31.91
CC 12 SLD (Collegamento 0024_-381)
Azioni sul collegamento: N=-6780.50 Ty=4.22 Tz=1.56 Mx=0.00 Mz=4.10
Sollecitazioni agenti localmente: Ty_l=-1232.82 Mx_l=-24.66
Tensioni nella sezione: σ=298.86 τ=37.36
CC 12 SLD (Collegamento 0024_-381)
Azioni sul collegamento: N=-6780.50 Ty=3.83 Tz=1.56 Mx=0.00 Mz=3.00
Sollecitazioni agenti localmente: Ty_l=-1232.82 Mx_l=-24.66
Tensioni nella sezione: σ=298.86 τ=37.36
CC 12 SLD (Collegamento 0024_-381)
Azioni sul collegamento: N=-6780.50 Ty=4.22 Tz=-0.10 Mx=0.00 Mz=4.10
Sollecitazioni agenti localmente: Ty_l=-1232.82 Mx_l=-24.66
Tensioni nella sezione: σ=298.86 τ=37.36
CC 12 SLD (Collegamento 0024_-381)
Azioni sul collegamento: N=-6780.50 Ty=3.83 Tz=-0.10 Mx=0.00 Mz=3.00
Sollecitazioni agenti localmente: Ty_l=-1232.82 Mx_l=-24.66
Tensioni nella sezione: σ=298.86 τ=37.36
CC 12 SLD (Collegamento 0024_-381)
Azioni sul collegamento: N=-6303.28 Ty=4.22 Tz=1.56 Mx=0.00 Mz=4.10
Sollecitazioni agenti localmente: Ty_l=-1146.05 Mx_l=-22.92
Tensioni nella sezione: σ=277.83 τ=34.73
CC 12 SLD (Collegamento 0024_-381)
Azioni sul collegamento: N=-6303.28 Ty=3.83 Tz=1.56 Mx=0.00 Mz=3.00
Sollecitazioni agenti localmente: Ty_l=-1146.05 Mx_l=-22.92
Tensioni nella sezione: σ=277.83 τ=34.73
CC 12 SLD (Collegamento 0024_-381)
Azioni sul collegamento: N=-6303.28 Ty=4.22 Tz=-0.10 Mx=0.00 Mz=4.10
Sollecitazioni agenti localmente: Ty_l=-1146.05 Mx_l=-22.92
Tensioni nella sezione: σ=277.83 τ=34.73
CC 12 SLD (Collegamento 0024_-381)
Azioni sul collegamento: N=-6303.28 Ty=3.83 Tz=-0.10 Mx=0.00 Mz=3.00
Sollecitazioni agenti localmente: Ty_l=-1146.05 Mx_l=-22.92
Tensioni nella sezione: σ=277.83 τ=34.73
CC 13 SLV (Collegamento 0024_-381)
Azioni sul collegamento: N=-5791.88 Ty=4.22 Tz=-1.86 Mx=0.00 Mz=3.82
Sollecitazioni agenti localmente: Ty_l=-1053.07 Mx_l=-21.06
Tensioni nella sezione: σ=255.29 τ=31.91
CC 13 SLV (Collegamento 0024_-381)
Azioni sul collegamento: N=-5791.88 Ty=5.52 Tz=-1.86 Mx=0.00 Mz=7.44
Sollecitazioni agenti localmente: Ty_l=-1053.07 Mx_l=-21.06
Tensioni nella sezione: σ=255.29 τ=31.91
CC 13 SLV (Collegamento 0024_-381)
Azioni sul collegamento: N=-5791.88 Ty=4.22 Tz=3.57 Mx=0.00 Mz=3.82
Sollecitazioni agenti localmente: Ty_l=-1053.07 Mx_l=-21.06
Tensioni nella sezione: σ=255.29 τ=31.91
CC 13 SLV (Collegamento 0024_-381)
Azioni sul collegamento: N=-5791.88 Ty=5.52 Tz=3.57 Mx=0.00 Mz=7.44
Sollecitazioni agenti localmente: Ty_l=-1053.07 Mx_l=-21.06
Tensioni nella sezione: σ=255.29 τ=31.91
CC 13 SLV (Collegamento 0024_-381)
Azioni sul collegamento: N=-7356.86 Ty=4.22 Tz=-1.86 Mx=0.00 Mz=3.82
Sollecitazioni agenti localmente: Ty_l=-1337.61 Mx_l=-26.75
Tensioni nella sezione: σ=324.27 τ=40.53
CC 13 SLV (Collegamento 0024_-381)
Azioni sul collegamento: N=-7356.86 Ty=5.52 Tz=-1.86 Mx=0.00 Mz=7.44
Sollecitazioni agenti localmente: Ty_l=-1337.61 Mx_l=-26.75
Tensioni nella sezione: σ=324.27 τ=40.53
CC 13 SLV (Collegamento 0024_-381)
Azioni sul collegamento: N=-7356.86 Ty=4.22 Tz=3.57 Mx=0.00 Mz=3.82
Sollecitazioni agenti localmente: Ty_l=-1337.61 Mx_l=-26.75
Tensioni nella sezione: σ=324.27 τ=40.53
CC 13 SLV (Collegamento 0024_-381)
Azioni sul collegamento: N=-7356.86 Ty=5.52 Tz=3.57 Mx=0.00 Mz=7.44
Sollecitazioni agenti localmente: Ty_l=-1337.61 Mx_l=-26.75
Tensioni nella sezione: σ=324.27 τ=40.53
CC 14 SLD (Collegamento 0024_-381)
Azioni sul collegamento: N=-6303.28 Ty=3.83 Tz=-0.10 Mx=-0.00 Mz=3.00
Sollecitazioni agenti localmente: Ty_l=-1146.05 Mx_l=-22.92
Tensioni nella sezione: σ=277.83 τ=34.73
CC 14 SLD (Collegamento 0024_-381)
Azioni sul collegamento: N=-6303.28 Ty=4.22 Tz=-0.10 Mx=-0.00 Mz=4.10
Sollecitazioni agenti localmente: Ty_l=-1146.05 Mx_l=-22.92
Tensioni nella sezione: σ=277.83 τ=34.73
CC 14 SLD (Collegamento 0024_-381)
Azioni sul collegamento: N=-6303.28 Ty=3.83 Tz=1.56 Mx=-0.00 Mz=3.00

Sollecitazioni agenti localmente: Ty_l=-1146.05 Mx_l=-22.92
Tensioni nella sezione: σ=277.83 τ=34.73
CC 14 SLD (Collegamento 0024_-381)
Azioni sul collegamento: N=-6303.28 Ty=4.22 Tz=1.56 Mx=-0.00 Mz=4.10
Sollecitazioni agenti localmente: Ty_l=-1146.05 Mx_l=-22.92
Tensioni nella sezione: σ=277.83 τ=34.73
CC 14 SLD (Collegamento 0024_-381)
Azioni sul collegamento: N=-6780.50 Ty=3.83 Tz=-0.10 Mx=-0.00 Mz=3.00
Sollecitazioni agenti localmente: Ty_l=-1232.82 Mx_l=-24.66
Tensioni nella sezione: σ=298.86 τ=37.36
CC 14 SLD (Collegamento 0024_-381)
Azioni sul collegamento: N=-6780.50 Ty=4.22 Tz=-0.10 Mx=-0.00 Mz=4.10
Sollecitazioni agenti localmente: Ty_l=-1232.82 Mx_l=-24.66
Tensioni nella sezione: σ=298.86 τ=37.36
CC 14 SLD (Collegamento 0024_-381)
Azioni sul collegamento: N=-6780.50 Ty=3.83 Tz=1.56 Mx=-0.00 Mz=3.00
Sollecitazioni agenti localmente: Ty_l=-1232.82 Mx_l=-24.66
Tensioni nella sezione: σ=298.86 τ=37.36
CC 14 SLD (Collegamento 0024_-381)
Azioni sul collegamento: N=-6780.50 Ty=4.22 Tz=1.56 Mx=-0.00 Mz=4.10
Sollecitazioni agenti localmente: Ty_l=-1232.82 Mx_l=-24.66
Tensioni nella sezione: σ=298.86 τ=37.36
CC 15 SLV (Collegamento 0024_-381)
Azioni sul collegamento: N=-7375.82 Ty=3.40 Tz=4.00 Mx=0.00 Mz=3.25
Sollecitazioni agenti localmente: Ty_l=-1341.06 Mx_l=-26.82
Tensioni nella sezione: σ=325.10 τ=40.64
CC 15 SLV (Collegamento 0024_-381)
Azioni sul collegamento: N=-7375.82 Ty=6.34 Tz=4.00 Mx=0.00 Mz=8.01
Sollecitazioni agenti localmente: Ty_l=-1341.06 Mx_l=-26.82
Tensioni nella sezione: σ=325.10 τ=40.64
CC 15 SLV (Collegamento 0024_-381)
Azioni sul collegamento: N=-7375.82 Ty=3.40 Tz=-2.29 Mx=0.00 Mz=3.25
Sollecitazioni agenti localmente: Ty_l=-1341.06 Mx_l=-26.82
Tensioni nella sezione: σ=325.10 τ=40.64
CC 15 SLV (Collegamento 0024_-381)
Azioni sul collegamento: N=-7375.82 Ty=6.34 Tz=-2.29 Mx=0.00 Mz=8.01
Sollecitazioni agenti localmente: Ty_l=-1341.06 Mx_l=-26.82
Tensioni nella sezione: σ=325.10 τ=40.64
CC 15 SLV (Collegamento 0024_-381)
Azioni sul collegamento: N=-5772.92 Ty=3.40 Tz=4.00 Mx=0.00 Mz=3.25
Sollecitazioni agenti localmente: Ty_l=-1049.62 Mx_l=-20.99
Tensioni nella sezione: σ=254.45 τ=31.81
CC 15 SLV (Collegamento 0024_-381)
Azioni sul collegamento: N=-5772.92 Ty=6.34 Tz=4.00 Mx=0.00 Mz=8.01
Sollecitazioni agenti localmente: Ty_l=-1049.62 Mx_l=-20.99
Tensioni nella sezione: σ=254.45 τ=31.81
CC 15 SLV (Collegamento 0024_-381)
Azioni sul collegamento: N=-5772.92 Ty=3.40 Tz=-2.29 Mx=0.00 Mz=3.25
Sollecitazioni agenti localmente: Ty_l=-1049.62 Mx_l=-20.99
Tensioni nella sezione: σ=254.45 τ=31.81
CC 15 SLV (Collegamento 0024_-381)
Azioni sul collegamento: N=-5772.92 Ty=6.34 Tz=-2.29 Mx=0.00 Mz=8.01
Sollecitazioni agenti localmente: Ty_l=-1049.62 Mx_l=-20.99
Tensioni nella sezione: σ=254.45 τ=31.81
CC 16 SLD (Collegamento 0024_-381)
Azioni sul collegamento: N=-6786.28 Ty=3.58 Tz=1.69 Mx=-0.00 Mz=2.82
Sollecitazioni agenti localmente: Ty_l=-1233.87 Mx_l=-24.68
Tensioni nella sezione: σ=299.12 τ=37.39
CC 16 SLD (Collegamento 0024_-381)
Azioni sul collegamento: N=-6786.28 Ty=4.47 Tz=1.69 Mx=-0.00 Mz=4.27
Sollecitazioni agenti localmente: Ty_l=-1233.87 Mx_l=-24.68
Tensioni nella sezione: σ=299.12 τ=37.39
CC 16 SLD (Collegamento 0024_-381)
Azioni sul collegamento: N=-6786.28 Ty=3.58 Tz=-0.23 Mx=-0.00 Mz=2.82
Sollecitazioni agenti localmente: Ty_l=-1233.87 Mx_l=-24.68
Tensioni nella sezione: σ=299.12 τ=37.39
CC 16 SLD (Collegamento 0024_-381)
Azioni sul collegamento: N=-6786.28 Ty=4.47 Tz=-0.23 Mx=-0.00 Mz=4.27
Sollecitazioni agenti localmente: Ty_l=-1233.87 Mx_l=-24.68
Tensioni nella sezione: σ=299.12 τ=37.39
CC 16 SLD (Collegamento 0024_-381)
Azioni sul collegamento: N=-6297.50 Ty=3.58 Tz=1.69 Mx=-0.00 Mz=2.82
Sollecitazioni agenti localmente: Ty_l=-1145.00 Mx_l=-22.90
Tensioni nella sezione: σ=277.57 τ=34.70
CC 16 SLD (Collegamento 0024_-381)
Azioni sul collegamento: N=-6297.50 Ty=4.47 Tz=1.69 Mx=-0.00 Mz=4.27
Sollecitazioni agenti localmente: Ty_l=-1145.00 Mx_l=-22.90
Tensioni nella sezione: σ=277.57 τ=34.70
CC 16 SLD (Collegamento 0024_-381)
Azioni sul collegamento: N=-6297.50 Ty=3.58 Tz=-0.23 Mx=-0.00 Mz=2.82

Sollecitazioni agenti localmente: Ty_l=-1145.00 Mx_l=-22.90
Tensioni nella sezione: σ=277.57 τ=34.70
CC 16 SLD (Collegamento 0024_-381)
Azioni sul collegamento: N=-6297.50 Ty=4.47 Tz=-0.23 Mx=-0.00 Mz=4.27
Sollecitazioni agenti localmente: Ty_l=-1145.00 Mx_l=-22.90
Tensioni nella sezione: σ=277.57 τ=34.70
CC 17 SLV (Collegamento 0024_-381)
Azioni sul collegamento: N=-3838.16 Ty=0.76 Tz=-9.35 Mx=-0.02 Mz=1.23
Sollecitazioni agenti localmente: Ty_l=-697.85 Mx_l=-13.96
Tensioni nella sezione: σ=169.18 τ=21.15
CC 17 SLV (Collegamento 0024_-381)
Azioni sul collegamento: N=-3838.16 Ty=4.12 Tz=-9.35 Mx=-0.02 Mz=-1.95
Sollecitazioni agenti localmente: Ty_l=-697.85 Mx_l=-13.96
Tensioni nella sezione: σ=169.18 τ=21.15
CC 17 SLV (Collegamento 0024_-381)
Azioni sul collegamento: N=-3838.16 Ty=0.76 Tz=10.33 Mx=-0.02 Mz=1.23
Sollecitazioni agenti localmente: Ty_l=-697.85 Mx_l=-13.96
Tensioni nella sezione: σ=169.18 τ=21.15
CC 17 SLV (Collegamento 0024_-381)
Azioni sul collegamento: N=-3838.16 Ty=4.12 Tz=10.33 Mx=-0.02 Mz=-1.95
Sollecitazioni agenti localmente: Ty_l=-697.85 Mx_l=-13.96
Tensioni nella sezione: σ=169.18 τ=21.15
CC 17 SLV (Collegamento 0024_-381)
Azioni sul collegamento: N=-9123.66 Ty=0.76 Tz=-9.35 Mx=-0.02 Mz=1.23
Sollecitazioni agenti localmente: Ty_l=-1658.85 Mx_l=-33.18
Tensioni nella sezione: σ=402.14 τ=50.27
CC 17 SLV (Collegamento 0024_-381)
Azioni sul collegamento: N=-9123.66 Ty=4.12 Tz=-9.35 Mx=-0.02 Mz=-1.95
Sollecitazioni agenti localmente: Ty_l=-1658.85 Mx_l=-33.18
Tensioni nella sezione: σ=402.14 τ=50.27
CC 17 SLV (Collegamento 0024_-381)
Azioni sul collegamento: N=-9123.66 Ty=0.76 Tz=10.33 Mx=-0.02 Mz=1.23
Sollecitazioni agenti localmente: Ty_l=-1658.85 Mx_l=-33.18
Tensioni nella sezione: σ=402.14 τ=50.27
CC 17 SLV (Collegamento 0024_-381)
Azioni sul collegamento: N=-9123.66 Ty=4.12 Tz=10.33 Mx=-0.02 Mz=-1.95
Sollecitazioni agenti localmente: Ty_l=-1658.85 Mx_l=-33.18
Tensioni nella sezione: σ=402.14 τ=50.27
CC 18 SLD (Collegamento 0024_-381)
Azioni sul collegamento: N=-5707.53 Ty=3.80 Tz=-2.38 Mx=-0.01 Mz=2.21
Sollecitazioni agenti localmente: Ty_l=-1037.73 Mx_l=-20.75
Tensioni nella sezione: σ=251.57 τ=31.45
CC 18 SLD (Collegamento 0024_-381)
Azioni sul collegamento: N=-5707.53 Ty=2.77 Tz=-2.38 Mx=-0.01 Mz=1.24
Sollecitazioni agenti localmente: Ty_l=-1037.73 Mx_l=-20.75
Tensioni nella sezione: σ=251.57 τ=31.45
CC 18 SLD (Collegamento 0024_-381)
Azioni sul collegamento: N=-5707.53 Ty=3.80 Tz=3.62 Mx=-0.01 Mz=2.21
Sollecitazioni agenti localmente: Ty_l=-1037.73 Mx_l=-20.75
Tensioni nella sezione: σ=251.57 τ=31.45
CC 18 SLD (Collegamento 0024_-381)
Azioni sul collegamento: N=-5707.53 Ty=2.77 Tz=3.62 Mx=-0.01 Mz=1.24
Sollecitazioni agenti localmente: Ty_l=-1037.73 Mx_l=-20.75
Tensioni nella sezione: σ=251.57 τ=31.45
CC 18 SLD (Collegamento 0024_-381)
Azioni sul collegamento: N=-7319.25 Ty=3.80 Tz=-2.38 Mx=-0.01 Mz=2.21
Sollecitazioni agenti localmente: Ty_l=-1330.77 Mx_l=-26.62
Tensioni nella sezione: σ=322.61 τ=40.33
CC 18 SLD (Collegamento 0024_-381)
Azioni sul collegamento: N=-7319.25 Ty=2.77 Tz=-2.38 Mx=-0.01 Mz=1.24
Sollecitazioni agenti localmente: Ty_l=-1330.77 Mx_l=-26.62
Tensioni nella sezione: σ=322.61 τ=40.33
CC 18 SLD (Collegamento 0024_-381)
Azioni sul collegamento: N=-7319.25 Ty=3.80 Tz=3.62 Mx=-0.01 Mz=2.21
Sollecitazioni agenti localmente: Ty_l=-1330.77 Mx_l=-26.62
Tensioni nella sezione: σ=322.61 τ=40.33
CC 18 SLD (Collegamento 0024_-381)
Azioni sul collegamento: N=-7319.25 Ty=2.77 Tz=3.62 Mx=-0.01 Mz=1.24
Sollecitazioni agenti localmente: Ty_l=-1330.77 Mx_l=-26.62
Tensioni nella sezione: σ=322.61 τ=40.33
CC 19 SLV (Collegamento 0024_-381)
Azioni sul collegamento: N=-3843.85 Ty=1.39 Tz=-9.22 Mx=-0.02 Mz=-0.03
Sollecitazioni agenti localmente: Ty_l=-698.88 Mx_l=-13.98
Tensioni nella sezione: σ=169.43 τ=21.18
CC 19 SLV (Collegamento 0024_-381)
Azioni sul collegamento: N=-3843.85 Ty=3.49 Tz=-9.22 Mx=-0.02 Mz=-0.69
Sollecitazioni agenti localmente: Ty_l=-698.88 Mx_l=-13.98
Tensioni nella sezione: σ=169.43 τ=21.18
CC 19 SLV (Collegamento 0024_-381)
Azioni sul collegamento: N=-3843.85 Ty=1.39 Tz=10.20 Mx=-0.02 Mz=-0.03

Sollecitazioni agenti localmente: Ty_l=-698.88 Mx_l=-13.98
Tensioni nella sezione: σ=169.43 τ=21.18
CC 19 SLV (Collegamento 0024_-381)
Azioni sul collegamento: N=-3843.85 Ty=3.49 Tz=10.20 Mx=-0.02 Mz=-0.69
Sollecitazioni agenti localmente: Ty_l=-698.88 Mx_l=-13.98
Tensioni nella sezione: σ=169.43 τ=21.18
CC 19 SLV (Collegamento 0024_-381)
Azioni sul collegamento: N=-9117.97 Ty=1.39 Tz=-9.22 Mx=-0.02 Mz=-0.03
Sollecitazioni agenti localmente: Ty_l=-1657.81 Mx_l=-33.16
Tensioni nella sezione: σ=401.89 τ=50.24
CC 19 SLV (Collegamento 0024_-381)
Azioni sul collegamento: N=-9117.97 Ty=3.49 Tz=-9.22 Mx=-0.02 Mz=-0.69
Sollecitazioni agenti localmente: Ty_l=-1657.81 Mx_l=-33.16
Tensioni nella sezione: σ=401.89 τ=50.24
CC 19 SLV (Collegamento 0024_-381)
Azioni sul collegamento: N=-9117.97 Ty=1.39 Tz=10.20 Mx=-0.02 Mz=-0.03
Sollecitazioni agenti localmente: Ty_l=-1657.81 Mx_l=-33.16
Tensioni nella sezione: σ=401.89 τ=50.24
CC 19 SLV (Collegamento 0024_-381)
Azioni sul collegamento: N=-9117.97 Ty=3.49 Tz=10.20 Mx=-0.02 Mz=-0.69
Sollecitazioni agenti localmente: Ty_l=-1657.81 Mx_l=-33.16
Tensioni nella sezione: σ=401.89 τ=50.24
CC 20 SLD (Collegamento 0024_-381)
Azioni sul collegamento: N=-5709.27 Ty=3.60 Tz=-2.35 Mx=-0.01 Mz=1.82
Sollecitazioni agenti localmente: Ty_l=-1038.05 Mx_l=-20.76
Tensioni nella sezione: σ=251.65 τ=31.46
CC 20 SLD (Collegamento 0024_-381)
Azioni sul collegamento: N=-5709.27 Ty=2.97 Tz=-2.35 Mx=-0.01 Mz=1.62
Sollecitazioni agenti localmente: Ty_l=-1038.05 Mx_l=-20.76
Tensioni nella sezione: σ=251.65 τ=31.46
CC 20 SLD (Collegamento 0024_-381)
Azioni sul collegamento: N=-5709.27 Ty=3.60 Tz=3.58 Mx=-0.01 Mz=1.82
Sollecitazioni agenti localmente: Ty_l=-1038.05 Mx_l=-20.76
Tensioni nella sezione: σ=251.65 τ=31.46
CC 20 SLD (Collegamento 0024_-381)
Azioni sul collegamento: N=-5709.27 Ty=2.97 Tz=3.58 Mx=-0.01 Mz=1.62
Sollecitazioni agenti localmente: Ty_l=-1038.05 Mx_l=-20.76
Tensioni nella sezione: σ=251.65 τ=31.46
CC 20 SLD (Collegamento 0024_-381)
Azioni sul collegamento: N=-7317.51 Ty=3.60 Tz=-2.35 Mx=-0.01 Mz=1.82
Sollecitazioni agenti localmente: Ty_l=-1330.46 Mx_l=-26.61
Tensioni nella sezione: σ=322.53 τ=40.32
CC 20 SLD (Collegamento 0024_-381)
Azioni sul collegamento: N=-7317.51 Ty=2.97 Tz=-2.35 Mx=-0.01 Mz=1.62
Sollecitazioni agenti localmente: Ty_l=-1330.46 Mx_l=-26.61
Tensioni nella sezione: σ=322.53 τ=40.32
CC 20 SLD (Collegamento 0024_-381)
Azioni sul collegamento: N=-7317.51 Ty=3.60 Tz=3.58 Mx=-0.01 Mz=1.82
Sollecitazioni agenti localmente: Ty_l=-1330.46 Mx_l=-26.61
Tensioni nella sezione: σ=322.53 τ=40.32
CC 20 SLD (Collegamento 0024_-381)
Azioni sul collegamento: N=-7317.51 Ty=2.97 Tz=3.58 Mx=-0.01 Mz=1.62
Sollecitazioni agenti localmente: Ty_l=-1330.46 Mx_l=-26.61
Tensioni nella sezione: σ=322.53 τ=40.32
CC 21 SLV (Collegamento 0024_-381)
Azioni sul collegamento: N=-9117.97 Ty=3.49 Tz=10.20 Mx=-0.02 Mz=-0.69
Sollecitazioni agenti localmente: Ty_l=-1657.81 Mx_l=-33.16
Tensioni nella sezione: σ=401.89 τ=50.24
CC 21 SLV (Collegamento 0024_-381)
Azioni sul collegamento: N=-9117.97 Ty=1.39 Tz=10.20 Mx=-0.02 Mz=-0.03
Sollecitazioni agenti localmente: Ty_l=-1657.81 Mx_l=-33.16
Tensioni nella sezione: σ=401.89 τ=50.24
CC 21 SLV (Collegamento 0024_-381)
Azioni sul collegamento: N=-9117.97 Ty=3.49 Tz=-9.22 Mx=-0.02 Mz=-0.69
Sollecitazioni agenti localmente: Ty_l=-1657.81 Mx_l=-33.16
Tensioni nella sezione: σ=401.89 τ=50.24
CC 21 SLV (Collegamento 0024_-381)
Azioni sul collegamento: N=-9117.97 Ty=1.39 Tz=-9.22 Mx=-0.02 Mz=-0.03
Sollecitazioni agenti localmente: Ty_l=-1657.81 Mx_l=-33.16
Tensioni nella sezione: σ=401.89 τ=50.24
CC 21 SLV (Collegamento 0024_-381)
Azioni sul collegamento: N=-3843.85 Ty=3.49 Tz=10.20 Mx=-0.02 Mz=-0.69
Sollecitazioni agenti localmente: Ty_l=-698.88 Mx_l=-13.98
Tensioni nella sezione: σ=169.43 τ=21.18
CC 21 SLV (Collegamento 0024_-381)
Azioni sul collegamento: N=-3843.85 Ty=1.39 Tz=10.20 Mx=-0.02 Mz=-0.03
Sollecitazioni agenti localmente: Ty_l=-698.88 Mx_l=-13.98
Tensioni nella sezione: σ=169.43 τ=21.18
CC 21 SLV (Collegamento 0024_-381)
Azioni sul collegamento: N=-3843.85 Ty=3.49 Tz=-9.22 Mx=-0.02 Mz=-0.69

Sollecitazioni agenti localmente: Ty_l=-698.88 Mx_l=-13.98
Tensioni nella sezione: σ=169.43 τ=21.18
CC 21 SLV (Collegamento 0024_-381)
Azioni sul collegamento: N=-3843.85 Ty=1.39 Tz=-9.22 Mx=-0.02 Mz=-0.03
Sollecitazioni agenti localmente: Ty_l=-698.88 Mx_l=-13.98
Tensioni nella sezione: σ=169.43 τ=21.18
CC 22 SLD (Collegamento 0024_-381)
Azioni sul collegamento: N=-7317.51 Ty=2.97 Tz=3.58 Mx=-0.01 Mz=1.62
Sollecitazioni agenti localmente: Ty_l=-1330.46 Mx_l=-26.61
Tensioni nella sezione: σ=322.53 τ=40.32
CC 22 SLD (Collegamento 0024_-381)
Azioni sul collegamento: N=-7317.51 Ty=3.60 Tz=3.58 Mx=-0.01 Mz=1.82
Sollecitazioni agenti localmente: Ty_l=-1330.46 Mx_l=-26.61
Tensioni nella sezione: σ=322.53 τ=40.32
CC 22 SLD (Collegamento 0024_-381)
Azioni sul collegamento: N=-7317.51 Ty=2.97 Tz=-2.35 Mx=-0.01 Mz=1.62
Sollecitazioni agenti localmente: Ty_l=-1330.46 Mx_l=-26.61
Tensioni nella sezione: σ=322.53 τ=40.32
CC 22 SLD (Collegamento 0024_-381)
Azioni sul collegamento: N=-7317.51 Ty=3.60 Tz=-2.35 Mx=-0.01 Mz=1.82
Sollecitazioni agenti localmente: Ty_l=-1330.46 Mx_l=-26.61
Tensioni nella sezione: σ=322.53 τ=40.32
CC 22 SLD (Collegamento 0024_-381)
Azioni sul collegamento: N=-5709.27 Ty=2.97 Tz=3.58 Mx=-0.01 Mz=1.62
Sollecitazioni agenti localmente: Ty_l=-1038.05 Mx_l=-20.76
Tensioni nella sezione: σ=251.65 τ=31.46
CC 22 SLD (Collegamento 0024_-381)
Azioni sul collegamento: N=-5709.27 Ty=3.60 Tz=3.58 Mx=-0.01 Mz=1.82
Sollecitazioni agenti localmente: Ty_l=-1038.05 Mx_l=-20.76
Tensioni nella sezione: σ=251.65 τ=31.46
CC 22 SLD (Collegamento 0024_-381)
Azioni sul collegamento: N=-5709.27 Ty=2.97 Tz=-2.35 Mx=-0.01 Mz=1.62
Sollecitazioni agenti localmente: Ty_l=-1038.05 Mx_l=-20.76
Tensioni nella sezione: σ=251.65 τ=31.46
CC 22 SLD (Collegamento 0024_-381)
Azioni sul collegamento: N=-5709.27 Ty=3.60 Tz=-2.35 Mx=-0.01 Mz=1.82
Sollecitazioni agenti localmente: Ty_l=-1038.05 Mx_l=-20.76
Tensioni nella sezione: σ=251.65 τ=31.46
CC 23 SLV (Collegamento 0024_-381)
Azioni sul collegamento: N=-9123.66 Ty=4.12 Tz=10.33 Mx=-0.01 Mz=-1.95
Sollecitazioni agenti localmente: Ty_l=-1658.85 Mx_l=-33.18
Tensioni nella sezione: σ=402.14 τ=50.27
CC 23 SLV (Collegamento 0024_-381)
Azioni sul collegamento: N=-9123.66 Ty=0.76 Tz=10.33 Mx=-0.01 Mz=1.23
Sollecitazioni agenti localmente: Ty_l=-1658.85 Mx_l=-33.18
Tensioni nella sezione: σ=402.14 τ=50.27
CC 23 SLV (Collegamento 0024_-381)
Azioni sul collegamento: N=-9123.66 Ty=4.12 Tz=-9.35 Mx=-0.01 Mz=-1.95
Sollecitazioni agenti localmente: Ty_l=-1658.85 Mx_l=-33.18
Tensioni nella sezione: σ=402.14 τ=50.27
CC 23 SLV (Collegamento 0024_-381)
Azioni sul collegamento: N=-9123.66 Ty=0.76 Tz=-9.35 Mx=-0.01 Mz=1.23
Sollecitazioni agenti localmente: Ty_l=-1658.85 Mx_l=-33.18
Tensioni nella sezione: σ=402.14 τ=50.27
CC 23 SLV (Collegamento 0024_-381)
Azioni sul collegamento: N=-3838.16 Ty=4.12 Tz=10.33 Mx=-0.01 Mz=-1.95
Sollecitazioni agenti localmente: Ty_l=-697.85 Mx_l=-13.96
Tensioni nella sezione: σ=169.18 τ=21.15
CC 23 SLV (Collegamento 0024_-381)
Azioni sul collegamento: N=-3838.16 Ty=0.76 Tz=10.33 Mx=-0.01 Mz=1.23
Sollecitazioni agenti localmente: Ty_l=-697.85 Mx_l=-13.96
Tensioni nella sezione: σ=169.18 τ=21.15
CC 23 SLV (Collegamento 0024_-381)
Azioni sul collegamento: N=-3838.16 Ty=4.12 Tz=-9.35 Mx=-0.01 Mz=-1.95
Sollecitazioni agenti localmente: Ty_l=-697.85 Mx_l=-13.96
Tensioni nella sezione: σ=169.18 τ=21.15
CC 23 SLV (Collegamento 0024_-381)
Azioni sul collegamento: N=-3838.16 Ty=0.76 Tz=-9.35 Mx=-0.01 Mz=1.23
Sollecitazioni agenti localmente: Ty_l=-697.85 Mx_l=-13.96
Tensioni nella sezione: σ=169.18 τ=21.15
CC 24 SLD (Collegamento 0024_-381)
Azioni sul collegamento: N=-7319.25 Ty=2.77 Tz=3.62 Mx=-0.01 Mz=1.24
Sollecitazioni agenti localmente: Ty_l=-1330.77 Mx_l=-26.62
Tensioni nella sezione: σ=322.61 τ=40.33
CC 24 SLD (Collegamento 0024_-381)
Azioni sul collegamento: N=-7319.25 Ty=3.80 Tz=3.62 Mx=-0.01 Mz=2.21
Sollecitazioni agenti localmente: Ty_l=-1330.77 Mx_l=-26.62
Tensioni nella sezione: σ=322.61 τ=40.33
CC 24 SLD (Collegamento 0024_-381)
Azioni sul collegamento: N=-7319.25 Ty=2.77 Tz=-2.38 Mx=-0.01 Mz=1.24

Sollecitazioni agenti localmente: Ty_l=-1330.77 Mx_l=-26.62
Tensioni nella sezione: σ=322.61 τ=40.33
CC 24 SLD (Collegamento 0024_-381)
Azioni sul collegamento: N=-7319.25 Ty=3.80 Tz=-2.38 Mx=-0.01 Mz=2.21
Sollecitazioni agenti localmente: Ty_l=-1330.77 Mx_l=-26.62
Tensioni nella sezione: σ=322.61 τ=40.33
CC 24 SLD (Collegamento 0024_-381)
Azioni sul collegamento: N=-5707.53 Ty=2.77 Tz=3.62 Mx=-0.01 Mz=1.24
Sollecitazioni agenti localmente: Ty_l=-1037.73 Mx_l=-20.75
Tensioni nella sezione: σ=251.57 τ=31.45
CC 24 SLD (Collegamento 0024_-381)
Azioni sul collegamento: N=-5707.53 Ty=3.80 Tz=3.62 Mx=-0.01 Mz=2.21
Sollecitazioni agenti localmente: Ty_l=-1037.73 Mx_l=-20.75
Tensioni nella sezione: σ=251.57 τ=31.45
CC 24 SLD (Collegamento 0024_-381)
Azioni sul collegamento: N=-5707.53 Ty=2.77 Tz=-2.38 Mx=-0.01 Mz=1.24
Sollecitazioni agenti localmente: Ty_l=-1037.73 Mx_l=-20.75
Tensioni nella sezione: σ=251.57 τ=31.45
CC 24 SLD (Collegamento 0024_-381)
Azioni sul collegamento: N=-5707.53 Ty=3.80 Tz=-2.38 Mx=-0.01 Mz=2.21
Sollecitazioni agenti localmente: Ty_l=-1037.73 Mx_l=-20.75
Tensioni nella sezione: σ=251.57 τ=31.45
CC 25 SLV (Collegamento 0024_-381)
Azioni sul collegamento: N=-5679.46 Ty=0.97 Tz=-2.66 Mx=-0.03 Mz=2.02
Sollecitazioni agenti localmente: Ty_l=-1032.63 Mx_l=-20.65
Tensioni nella sezione: σ=250.33 τ=31.29
CC 25 SLV (Collegamento 0024_-381)
Azioni sul collegamento: N=-5679.46 Ty=3.91 Tz=-2.66 Mx=-0.03 Mz=-2.74
Sollecitazioni agenti localmente: Ty_l=-1032.63 Mx_l=-20.65
Tensioni nella sezione: σ=250.33 τ=31.29
CC 25 SLV (Collegamento 0024_-381)
Azioni sul collegamento: N=-5679.46 Ty=0.97 Tz=3.63 Mx=-0.03 Mz=2.02
Sollecitazioni agenti localmente: Ty_l=-1032.63 Mx_l=-20.65
Tensioni nella sezione: σ=250.33 τ=31.29
CC 25 SLV (Collegamento 0024_-381)
Azioni sul collegamento: N=-5679.46 Ty=3.91 Tz=3.63 Mx=-0.03 Mz=-2.74
Sollecitazioni agenti localmente: Ty_l=-1032.63 Mx_l=-20.65
Tensioni nella sezione: σ=250.33 τ=31.29
CC 25 SLV (Collegamento 0024_-381)
Azioni sul collegamento: N=-7282.36 Ty=0.97 Tz=-2.66 Mx=-0.03 Mz=2.02
Sollecitazioni agenti localmente: Ty_l=-1324.07 Mx_l=-26.48
Tensioni nella sezione: σ=320.99 τ=40.12
CC 25 SLV (Collegamento 0024_-381)
Azioni sul collegamento: N=-7282.36 Ty=3.91 Tz=-2.66 Mx=-0.03 Mz=-2.74
Sollecitazioni agenti localmente: Ty_l=-1324.07 Mx_l=-26.48
Tensioni nella sezione: σ=320.99 τ=40.12
CC 25 SLV (Collegamento 0024_-381)
Azioni sul collegamento: N=-7282.36 Ty=0.97 Tz=3.63 Mx=-0.03 Mz=2.02
Sollecitazioni agenti localmente: Ty_l=-1324.07 Mx_l=-26.48
Tensioni nella sezione: σ=320.99 τ=40.12
CC 25 SLV (Collegamento 0024_-381)
Azioni sul collegamento: N=-7282.36 Ty=3.91 Tz=3.63 Mx=-0.03 Mz=-2.74
Sollecitazioni agenti localmente: Ty_l=-1324.07 Mx_l=-26.48
Tensioni nella sezione: σ=320.99 τ=40.12
CC 26 SLD (Collegamento 0024_-381)
Azioni sul collegamento: N=-6269.00 Ty=3.73 Tz=-0.34 Mx=-0.01 Mz=2.45
Sollecitazioni agenti localmente: Ty_l=-1139.82 Mx_l=-22.80
Tensioni nella sezione: σ=276.32 τ=34.54
CC 26 SLD (Collegamento 0024_-381)
Azioni sul collegamento: N=-6269.00 Ty=2.84 Tz=-0.34 Mx=-0.01 Mz=0.99
Sollecitazioni agenti localmente: Ty_l=-1139.82 Mx_l=-22.80
Tensioni nella sezione: σ=276.32 τ=34.54
CC 26 SLD (Collegamento 0024_-381)
Azioni sul collegamento: N=-6269.00 Ty=3.73 Tz=1.57 Mx=-0.01 Mz=2.45
Sollecitazioni agenti localmente: Ty_l=-1139.82 Mx_l=-22.80
Tensioni nella sezione: σ=276.32 τ=34.54
CC 26 SLD (Collegamento 0024_-381)
Azioni sul collegamento: N=-6269.00 Ty=2.84 Tz=1.57 Mx=-0.01 Mz=0.99
Sollecitazioni agenti localmente: Ty_l=-1139.82 Mx_l=-22.80
Tensioni nella sezione: σ=276.32 τ=34.54
CC 26 SLD (Collegamento 0024_-381)
Azioni sul collegamento: N=-6757.78 Ty=3.73 Tz=-0.34 Mx=-0.01 Mz=2.45
Sollecitazioni agenti localmente: Ty_l=-1228.69 Mx_l=-24.57
Tensioni nella sezione: σ=297.86 τ=37.23
CC 26 SLD (Collegamento 0024_-381)
Azioni sul collegamento: N=-6757.78 Ty=2.84 Tz=-0.34 Mx=-0.01 Mz=0.99
Sollecitazioni agenti localmente: Ty_l=-1228.69 Mx_l=-24.57
Tensioni nella sezione: σ=297.86 τ=37.23
CC 26 SLD (Collegamento 0024_-381)
Azioni sul collegamento: N=-6757.78 Ty=3.73 Tz=1.57 Mx=-0.01 Mz=2.45

Sollecitazioni agenti localmente: Ty_l=-1228.69 Mx_l=-24.57
Tensioni nella sezione: σ=297.86 τ=37.23
CC 26 SLD (Collegamento 0024_-381)
Azioni sul collegamento: N=-6757.78 Ty=2.84 Tz=1.57 Mx=-0.01 Mz=0.99
Sollecitazioni agenti localmente: Ty_l=-1228.69 Mx_l=-24.57
Tensioni nella sezione: σ=297.86 τ=37.23
CC 27 SLV (Collegamento 0024_-381)
Azioni sul collegamento: N=-7263.40 Ty=1.79 Tz=3.21 Mx=-0.02 Mz=1.45
Sollecitazioni agenti localmente: Ty_l=-1320.62 Mx_l=-26.41
Tensioni nella sezione: σ=320.15 τ=40.02
CC 27 SLV (Collegamento 0024_-381)
Azioni sul collegamento: N=-7263.40 Ty=3.09 Tz=3.21 Mx=-0.02 Mz=-2.17
Sollecitazioni agenti localmente: Ty_l=-1320.62 Mx_l=-26.41
Tensioni nella sezione: σ=320.15 τ=40.02
CC 27 SLV (Collegamento 0024_-381)
Azioni sul collegamento: N=-7263.40 Ty=1.79 Tz=-2.23 Mx=-0.02 Mz=1.45
Sollecitazioni agenti localmente: Ty_l=-1320.62 Mx_l=-26.41
Tensioni nella sezione: σ=320.15 τ=40.02
CC 27 SLV (Collegamento 0024_-381)
Azioni sul collegamento: N=-7263.40 Ty=3.09 Tz=-2.23 Mx=-0.02 Mz=-2.17
Sollecitazioni agenti localmente: Ty_l=-1320.62 Mx_l=-26.41
Tensioni nella sezione: σ=320.15 τ=40.02
CC 27 SLV (Collegamento 0024_-381)
Azioni sul collegamento: N=-5698.42 Ty=1.79 Tz=3.21 Mx=-0.02 Mz=1.45
Sollecitazioni agenti localmente: Ty_l=-1036.08 Mx_l=-20.72
Tensioni nella sezione: σ=251.17 τ=31.40
CC 27 SLV (Collegamento 0024_-381)
Azioni sul collegamento: N=-5698.42 Ty=3.09 Tz=3.21 Mx=-0.02 Mz=-2.17
Sollecitazioni agenti localmente: Ty_l=-1036.08 Mx_l=-20.72
Tensioni nella sezione: σ=251.17 τ=31.40
CC 27 SLV (Collegamento 0024_-381)
Azioni sul collegamento: N=-5698.42 Ty=1.79 Tz=-2.23 Mx=-0.02 Mz=1.45
Sollecitazioni agenti localmente: Ty_l=-1036.08 Mx_l=-20.72
Tensioni nella sezione: σ=251.17 τ=31.40
CC 27 SLV (Collegamento 0024_-381)
Azioni sul collegamento: N=-5698.42 Ty=3.09 Tz=-2.23 Mx=-0.02 Mz=-2.17
Sollecitazioni agenti localmente: Ty_l=-1036.08 Mx_l=-20.72
Tensioni nella sezione: σ=251.17 τ=31.40
CC 28 SLD (Collegamento 0024_-381)
Azioni sul collegamento: N=-6752.00 Ty=3.48 Tz=1.44 Mx=-0.01 Mz=2.27
Sollecitazioni agenti localmente: Ty_l=-1227.64 Mx_l=-24.55
Tensioni nella sezione: σ=297.61 τ=37.20
CC 28 SLD (Collegamento 0024_-381)
Azioni sul collegamento: N=-6752.00 Ty=3.09 Tz=1.44 Mx=-0.01 Mz=1.17
Sollecitazioni agenti localmente: Ty_l=-1227.64 Mx_l=-24.55
Tensioni nella sezione: σ=297.61 τ=37.20
CC 28 SLD (Collegamento 0024_-381)
Azioni sul collegamento: N=-6752.00 Ty=3.48 Tz=-0.21 Mx=-0.01 Mz=2.27
Sollecitazioni agenti localmente: Ty_l=-1227.64 Mx_l=-24.55
Tensioni nella sezione: σ=297.61 τ=37.20
CC 28 SLD (Collegamento 0024_-381)
Azioni sul collegamento: N=-6752.00 Ty=3.09 Tz=-0.21 Mx=-0.01 Mz=1.17
Sollecitazioni agenti localmente: Ty_l=-1227.64 Mx_l=-24.55
Tensioni nella sezione: σ=297.61 τ=37.20
CC 28 SLD (Collegamento 0024_-381)
Azioni sul collegamento: N=-6274.78 Ty=3.48 Tz=1.44 Mx=-0.01 Mz=2.27
Sollecitazioni agenti localmente: Ty_l=-1140.87 Mx_l=-22.82
Tensioni nella sezione: σ=276.57 τ=34.57
CC 28 SLD (Collegamento 0024_-381)
Azioni sul collegamento: N=-6274.78 Ty=3.09 Tz=1.44 Mx=-0.01 Mz=1.17
Sollecitazioni agenti localmente: Ty_l=-1140.87 Mx_l=-22.82
Tensioni nella sezione: σ=276.57 τ=34.57
CC 28 SLD (Collegamento 0024_-381)
Azioni sul collegamento: N=-6274.78 Ty=3.48 Tz=-0.21 Mx=-0.01 Mz=2.27
Sollecitazioni agenti localmente: Ty_l=-1140.87 Mx_l=-22.82
Tensioni nella sezione: σ=276.57 τ=34.57
CC 28 SLD (Collegamento 0024_-381)
Azioni sul collegamento: N=-6274.78 Ty=3.09 Tz=-0.21 Mx=-0.01 Mz=1.17
Sollecitazioni agenti localmente: Ty_l=-1140.87 Mx_l=-22.82
Tensioni nella sezione: σ=276.57 τ=34.57
CC 29 SLV (Collegamento 0024_-381)
Azioni sul collegamento: N=-5698.42 Ty=3.09 Tz=-2.23 Mx=-0.01 Mz=-2.17
Sollecitazioni agenti localmente: Ty_l=-1036.08 Mx_l=-20.72
Tensioni nella sezione: σ=251.17 τ=31.40
CC 29 SLV (Collegamento 0024_-381)
Azioni sul collegamento: N=-5698.42 Ty=1.79 Tz=-2.23 Mx=-0.01 Mz=1.45
Sollecitazioni agenti localmente: Ty_l=-1036.08 Mx_l=-20.72
Tensioni nella sezione: σ=251.17 τ=31.40
CC 29 SLV (Collegamento 0024_-381)
Azioni sul collegamento: N=-5698.42 Ty=3.09 Tz=3.21 Mx=-0.01 Mz=-2.17

Sollecitazioni agenti localmente: Ty_l=-1036.08 Mx_l=-20.72
Tensioni nella sezione: σ=251.17 τ=31.40
CC 29 SLV (Collegamento 0024_-381)
Azioni sul collegamento: N=-5698.42 Ty=1.79 Tz=3.21 Mx=-0.01 Mz=1.45
Sollecitazioni agenti localmente: Ty_l=-1036.08 Mx_l=-20.72
Tensioni nella sezione: σ=251.17 τ=31.40
CC 29 SLV (Collegamento 0024_-381)
Azioni sul collegamento: N=-7263.40 Ty=3.09 Tz=-2.23 Mx=-0.01 Mz=-2.17
Sollecitazioni agenti localmente: Ty_l=-1320.62 Mx_l=-26.41
Tensioni nella sezione: σ=320.15 τ=40.02
CC 29 SLV (Collegamento 0024_-381)
Azioni sul collegamento: N=-7263.40 Ty=1.79 Tz=-2.23 Mx=-0.01 Mz=1.45
Sollecitazioni agenti localmente: Ty_l=-1320.62 Mx_l=-26.41
Tensioni nella sezione: σ=320.15 τ=40.02
CC 29 SLV (Collegamento 0024_-381)
Azioni sul collegamento: N=-7263.40 Ty=3.09 Tz=3.21 Mx=-0.01 Mz=-2.17
Sollecitazioni agenti localmente: Ty_l=-1320.62 Mx_l=-26.41
Tensioni nella sezione: σ=320.15 τ=40.02
CC 29 SLV (Collegamento 0024_-381)
Azioni sul collegamento: N=-7263.40 Ty=1.79 Tz=3.21 Mx=-0.01 Mz=1.45
Sollecitazioni agenti localmente: Ty_l=-1320.62 Mx_l=-26.41
Tensioni nella sezione: σ=320.15 τ=40.02
CC 30 SLD (Collegamento 0024_-381)
Azioni sul collegamento: N=-6274.78 Ty=3.09 Tz=-0.21 Mx=-0.01 Mz=1.17
Sollecitazioni agenti localmente: Ty_l=-1140.87 Mx_l=-22.82
Tensioni nella sezione: σ=276.57 τ=34.57
CC 30 SLD (Collegamento 0024_-381)
Azioni sul collegamento: N=-6274.78 Ty=3.48 Tz=-0.21 Mx=-0.01 Mz=2.27
Sollecitazioni agenti localmente: Ty_l=-1140.87 Mx_l=-22.82
Tensioni nella sezione: σ=276.57 τ=34.57
CC 30 SLD (Collegamento 0024_-381)
Azioni sul collegamento: N=-6274.78 Ty=3.09 Tz=1.44 Mx=-0.01 Mz=1.17
Sollecitazioni agenti localmente: Ty_l=-1140.87 Mx_l=-22.82
Tensioni nella sezione: σ=276.57 τ=34.57
CC 30 SLD (Collegamento 0024_-381)
Azioni sul collegamento: N=-6274.78 Ty=3.48 Tz=1.44 Mx=-0.01 Mz=2.27
Sollecitazioni agenti localmente: Ty_l=-1140.87 Mx_l=-22.82
Tensioni nella sezione: σ=276.57 τ=34.57
CC 30 SLD (Collegamento 0024_-381)
Azioni sul collegamento: N=-6752.00 Ty=3.09 Tz=-0.21 Mx=-0.01 Mz=1.17
Sollecitazioni agenti localmente: Ty_l=-1227.64 Mx_l=-24.55
Tensioni nella sezione: σ=297.61 τ=37.20
CC 30 SLD (Collegamento 0024_-381)
Azioni sul collegamento: N=-6752.00 Ty=3.48 Tz=-0.21 Mx=-0.01 Mz=2.27
Sollecitazioni agenti localmente: Ty_l=-1227.64 Mx_l=-24.55
Tensioni nella sezione: σ=297.61 τ=37.20
CC 30 SLD (Collegamento 0024_-381)
Azioni sul collegamento: N=-6752.00 Ty=3.09 Tz=1.44 Mx=-0.01 Mz=1.17
Sollecitazioni agenti localmente: Ty_l=-1227.64 Mx_l=-24.55
Tensioni nella sezione: σ=297.61 τ=37.20
CC 30 SLD (Collegamento 0024_-381)
Azioni sul collegamento: N=-6752.00 Ty=3.48 Tz=1.44 Mx=-0.01 Mz=2.27
Sollecitazioni agenti localmente: Ty_l=-1227.64 Mx_l=-24.55
Tensioni nella sezione: σ=297.61 τ=37.20
CC 31 SLV (Collegamento 0024_-381)
Azioni sul collegamento: N=-7282.36 Ty=3.91 Tz=3.63 Mx=-0.01 Mz=-2.74
Sollecitazioni agenti localmente: Ty_l=-1324.07 Mx_l=-26.48
Tensioni nella sezione: σ=320.99 τ=40.12
CC 31 SLV (Collegamento 0024_-381)
Azioni sul collegamento: N=-7282.36 Ty=0.97 Tz=3.63 Mx=-0.01 Mz=2.02
Sollecitazioni agenti localmente: Ty_l=-1324.07 Mx_l=-26.48
Tensioni nella sezione: σ=320.99 τ=40.12
CC 31 SLV (Collegamento 0024_-381)
Azioni sul collegamento: N=-7282.36 Ty=3.91 Tz=-2.66 Mx=-0.01 Mz=-2.74
Sollecitazioni agenti localmente: Ty_l=-1324.07 Mx_l=-26.48
Tensioni nella sezione: σ=320.99 τ=40.12
CC 31 SLV (Collegamento 0024_-381)
Azioni sul collegamento: N=-7282.36 Ty=0.97 Tz=-2.66 Mx=-0.01 Mz=2.02
Sollecitazioni agenti localmente: Ty_l=-1324.07 Mx_l=-26.48
Tensioni nella sezione: σ=320.99 τ=40.12
CC 31 SLV (Collegamento 0024_-381)
Azioni sul collegamento: N=-5679.46 Ty=3.91 Tz=3.63 Mx=-0.01 Mz=-2.74
Sollecitazioni agenti localmente: Ty_l=-1032.63 Mx_l=-20.65
Tensioni nella sezione: σ=250.33 τ=31.29
CC 31 SLV (Collegamento 0024_-381)
Azioni sul collegamento: N=-5679.46 Ty=0.97 Tz=3.63 Mx=-0.01 Mz=2.02
Sollecitazioni agenti localmente: Ty_l=-1032.63 Mx_l=-20.65
Tensioni nella sezione: σ=250.33 τ=31.29
CC 31 SLV (Collegamento 0024_-381)
Azioni sul collegamento: N=-5679.46 Ty=3.91 Tz=-2.66 Mx=-0.01 Mz=-2.74

Sollecitazioni agenti localmente: Ty_l=-1032.63 Mx_l=-20.65
Tensioni nella sezione: σ=250.33 τ=31.29
CC 31 SLV (Collegamento 0024_-381)
Azioni sul collegamento: N=-5679.46 Ty=0.97 Tz=-2.66 Mx=-0.01 Mz=2.02
Sollecitazioni agenti localmente: Ty_l=-1032.63 Mx_l=-20.65
Tensioni nella sezione: σ=250.33 τ=31.29
CC 32 SLD (Collegamento 0024_-381)
Azioni sul collegamento: N=-6757.78 Ty=2.84 Tz=1.57 Mx=-0.00 Mz=0.99
Sollecitazioni agenti localmente: Ty_l=-1228.69 Mx_l=-24.57
Tensioni nella sezione: σ=297.86 τ=37.23
CC 32 SLD (Collegamento 0024_-381)
Azioni sul collegamento: N=-6757.78 Ty=3.73 Tz=1.57 Mx=-0.00 Mz=2.45
Sollecitazioni agenti localmente: Ty_l=-1228.69 Mx_l=-24.57
Tensioni nella sezione: σ=297.86 τ=37.23
CC 32 SLD (Collegamento 0024_-381)
Azioni sul collegamento: N=-6757.78 Ty=2.84 Tz=-0.34 Mx=-0.00 Mz=0.99
Sollecitazioni agenti localmente: Ty_l=-1228.69 Mx_l=-24.57
Tensioni nella sezione: σ=297.86 τ=37.23
CC 32 SLD (Collegamento 0024_-381)
Azioni sul collegamento: N=-6757.78 Ty=3.73 Tz=-0.34 Mx=-0.00 Mz=2.45
Sollecitazioni agenti localmente: Ty_l=-1228.69 Mx_l=-24.57
Tensioni nella sezione: σ=297.86 τ=37.23
CC 32 SLD (Collegamento 0024_-381)
Azioni sul collegamento: N=-6269.00 Ty=2.84 Tz=1.57 Mx=-0.00 Mz=0.99
Sollecitazioni agenti localmente: Ty_l=-1139.82 Mx_l=-22.80
Tensioni nella sezione: σ=276.32 τ=34.54
CC 32 SLD (Collegamento 0024_-381)
Azioni sul collegamento: N=-6269.00 Ty=3.73 Tz=1.57 Mx=-0.00 Mz=2.45
Sollecitazioni agenti localmente: Ty_l=-1139.82 Mx_l=-22.80
Tensioni nella sezione: σ=276.32 τ=34.54
CC 32 SLD (Collegamento 0024_-381)
Azioni sul collegamento: N=-6269.00 Ty=2.84 Tz=-0.34 Mx=-0.00 Mz=0.99
Sollecitazioni agenti localmente: Ty_l=-1139.82 Mx_l=-22.80
Tensioni nella sezione: σ=276.32 τ=34.54
CC 32 SLD (Collegamento 0024_-381)
Azioni sul collegamento: N=-6269.00 Ty=3.73 Tz=-0.34 Mx=-0.00 Mz=2.45
Sollecitazioni agenti localmente: Ty_l=-1139.82 Mx_l=-22.80
Tensioni nella sezione: σ=276.32 τ=34.54
CC 33 SLU (Collegamento 0024_-381)
Azioni sul collegamento: N=-30229.20 Ty=5.39 Tz=79.58 Mx=-0.01 Mz=3.85
Sollecitazioni agenti localmente: Ty_l=-5496.22 Mx_l=-109.92
Tensioni nella sezione: σ=1332.41 τ=166.55
CC 34 SLU (Collegamento 0024_-381)
Azioni sul collegamento: N=-30778.60 Ty=5.67 Tz=81.62 Mx=-0.01 Mz=4.05
Sollecitazioni agenti localmente: Ty_l=-5596.11 Mx_l=-111.92
Tensioni nella sezione: σ=1356.63 τ=169.58
CC 35 SLU (Collegamento 0024_-381)
Azioni sul collegamento: N=-30504.90 Ty=5.64 Tz=80.58 Mx=-0.01 Mz=4.16
Sollecitazioni agenti localmente: Ty_l=-5546.35 Mx_l=-110.93
Tensioni nella sezione: σ=1344.57 τ=168.07
CC 36 SLU (Collegamento 0024_-381)
Azioni sul collegamento: N=-30502.90 Ty=5.42 Tz=80.62 Mx=-0.01 Mz=3.73
Sollecitazioni agenti localmente: Ty_l=-5545.98 Mx_l=-110.92
Tensioni nella sezione: σ=1344.48 τ=168.06
CC 37 SLU (Collegamento 0024_-381)
Azioni sul collegamento: N=-32152.70 Ty=5.24 Tz=86.01 Mx=0.00 Mz=3.86
Sollecitazioni agenti localmente: Ty_l=-5845.94 Mx_l=-116.92
Tensioni nella sezione: σ=1417.20 τ=177.15
CC 38 SLU (Collegamento 0024_-381)
Azioni sul collegamento: N=-32702.10 Ty=5.53 Tz=88.04 Mx=0.00 Mz=4.06
Sollecitazioni agenti localmente: Ty_l=-5945.83 Mx_l=-118.92
Tensioni nella sezione: σ=1441.41 τ=180.18
CC 39 SLU (Collegamento 0024_-381)
Azioni sul collegamento: N=-32428.40 Ty=5.50 Tz=87.00 Mx=0.00 Mz=4.18
Sollecitazioni agenti localmente: Ty_l=-5896.07 Mx_l=-117.92
Tensioni nella sezione: σ=1429.35 τ=178.67
CC 40 SLU (Collegamento 0024_-381)
Azioni sul collegamento: N=-32426.40 Ty=5.28 Tz=87.05 Mx=0.00 Mz=3.74
Sollecitazioni agenti localmente: Ty_l=-5895.71 Mx_l=-117.91
Tensioni nella sezione: σ=1429.26 τ=178.66
CC 41 SLU (Collegamento 0024_-381)
Azioni sul collegamento: N=-20958.20 Ty=6.23 Tz=45.50 Mx=-0.01 Mz=4.43
Sollecitazioni agenti localmente: Ty_l=-3810.59 Mx_l=-76.21
Tensioni nella sezione: σ=923.78 τ=115.47
CC 42 SLU (Collegamento 0024_-381)
Azioni sul collegamento: N=-21507.60 Ty=6.52 Tz=47.54 Mx=-0.01 Mz=4.63
Sollecitazioni agenti localmente: Ty_l=-3910.48 Mx_l=-78.21
Tensioni nella sezione: σ=947.99 τ=118.50
CC 43 SLU (Collegamento 0024_-381)
Azioni sul collegamento: N=-21233.90 Ty=6.48 Tz=46.50 Mx=-0.01 Mz=4.75

Sollecitazioni agenti localmente: Ty_l=-3860.71 Mx_l=-77.21
Tensioni nella sezione: σ=935.93 τ=116.99
CC 44 SLU (Collegamento 0024_-381)
Azioni sul collegamento: N=-21231.90 Ty=6.26 Tz=46.54 Mx=-0.01 Mz=4.31
Sollecitazioni agenti localmente: Ty_l=-3860.35 Mx_l=-77.21
Tensioni nella sezione: σ=935.84 τ=116.98
CC 45 SLU (Collegamento 0024_-381)
Azioni sul collegamento: N=-23044.60 Ty=5.94 Tz=53.22 Mx=-0.01 Mz=4.28
Sollecitazioni agenti localmente: Ty_l=-4189.93 Mx_l=-83.80
Tensioni nella sezione: σ=1015.74 τ=126.97
CC 46 SLU (Collegamento 0024_-381)
Azioni sul collegamento: N=-23594.00 Ty=6.22 Tz=55.25 Mx=-0.01 Mz=4.49
Sollecitazioni agenti localmente: Ty_l=-4289.82 Mx_l=-85.80
Tensioni nella sezione: σ=1039.95 τ=129.99
CC 47 SLU (Collegamento 0024_-381)
Azioni sul collegamento: N=-23320.30 Ty=6.19 Tz=54.21 Mx=-0.01 Mz=4.60
Sollecitazioni agenti localmente: Ty_l=-4240.05 Mx_l=-84.80
Tensioni nella sezione: σ=1027.89 τ=128.49
CC 48 SLU (Collegamento 0024_-381)
Azioni sul collegamento: N=-23318.30 Ty=5.97 Tz=54.26 Mx=-0.01 Mz=4.17
Sollecitazioni agenti localmente: Ty_l=-4239.70 Mx_l=-84.79
Tensioni nella sezione: σ=1027.80 τ=128.48
CC 49 SLU (Collegamento 0024_-381)
Azioni sul collegamento: N=-24483.70 Ty=5.83 Tz=58.03 Mx=0.00 Mz=4.29
Sollecitazioni agenti localmente: Ty_l=-4451.58 Mx_l=-89.03
Tensioni nella sezione: σ=1079.17 τ=134.90
CC 50 SLU (Collegamento 0024_-381)
Azioni sul collegamento: N=-25033.00 Ty=6.12 Tz=60.06 Mx=0.00 Mz=4.50
Sollecitazioni agenti localmente: Ty_l=-4551.46 Mx_l=-91.03
Tensioni nella sezione: σ=1103.38 τ=137.92
CC 51 SLU (Collegamento 0024_-381)
Azioni sul collegamento: N=-24759.30 Ty=6.08 Tz=59.02 Mx=-0.00 Mz=4.61
Sollecitazioni agenti localmente: Ty_l=-4501.70 Mx_l=-90.03
Tensioni nella sezione: σ=1091.32 τ=136.41
CC 52 SLU (Collegamento 0024_-381)
Azioni sul collegamento: N=-24757.40 Ty=5.87 Tz=59.07 Mx=0.00 Mz=4.18
Sollecitazioni agenti localmente: Ty_l=-4501.34 Mx_l=-90.03
Tensioni nella sezione: σ=1091.23 τ=136.40
CC 53 SLU (Collegamento 0024_-381)
Azioni sul collegamento: N=-16108.60 Ty=6.57 Tz=27.72 Mx=-0.01 Mz=4.72
Sollecitazioni agenti localmente: Ty_l=-2928.83 Mx_l=-58.58
Tensioni nella sezione: σ=710.02 τ=88.75
CC 54 SLU (Collegamento 0024_-381)
Azioni sul collegamento: N=-16657.90 Ty=6.86 Tz=29.76 Mx=-0.01 Mz=4.92
Sollecitazioni agenti localmente: Ty_l=-3028.71 Mx_l=-60.57
Tensioni nella sezione: σ=734.23 τ=91.78
CC 55 SLU (Collegamento 0024_-381)
Azioni sul collegamento: N=-16384.20 Ty=6.82 Tz=28.72 Mx=-0.01 Mz=5.04
Sollecitazioni agenti localmente: Ty_l=-2978.95 Mx_l=-59.58
Tensioni nella sezione: σ=722.17 τ=90.27
CC 56 SLU (Collegamento 0024_-381)
Azioni sul collegamento: N=-16382.30 Ty=6.60 Tz=28.76 Mx=-0.01 Mz=4.60
Sollecitazioni agenti localmente: Ty_l=-2978.59 Mx_l=-59.57
Tensioni nella sezione: σ=722.08 τ=90.26
CC 57 SLU (Collegamento 0024_-381)
Azioni sul collegamento: N=-23426.90 Ty=6.35 Tz=54.67 Mx=-0.01 Mz=4.58
Sollecitazioni agenti localmente: Ty_l=-4259.43 Mx_l=-85.19
Tensioni nella sezione: σ=1032.59 τ=129.07
CC 58 SLU (Collegamento 0024_-381)
Azioni sul collegamento: N=-23976.20 Ty=6.64 Tz=56.70 Mx=-0.01 Mz=4.78
Sollecitazioni agenti localmente: Ty_l=-4359.32 Mx_l=-87.19
Tensioni nella sezione: σ=1056.80 τ=132.10
CC 59 SLU (Collegamento 0024_-381)
Azioni sul collegamento: N=-23702.50 Ty=6.61 Tz=55.66 Mx=-0.01 Mz=4.90
Sollecitazioni agenti localmente: Ty_l=-4309.55 Mx_l=-86.19
Tensioni nella sezione: σ=1044.74 τ=130.59
CC 60 SLU (Collegamento 0024_-381)
Azioni sul collegamento: N=-23700.60 Ty=6.39 Tz=55.71 Mx=-0.01 Mz=4.46
Sollecitazioni agenti localmente: Ty_l=-4309.20 Mx_l=-86.18
Tensioni nella sezione: σ=1044.65 τ=130.58
CC 61 SLU (Collegamento 0024_-381)
Azioni sul collegamento: N=-24865.90 Ty=6.25 Tz=59.47 Mx=0.00 Mz=4.59
Sollecitazioni agenti localmente: Ty_l=-4521.07 Mx_l=-90.42
Tensioni nella sezione: σ=1096.02 τ=137.00
CC 62 SLU (Collegamento 0024_-381)
Azioni sul collegamento: N=-25415.30 Ty=6.53 Tz=61.51 Mx=-0.00 Mz=4.79
Sollecitazioni agenti localmente: Ty_l=-4620.96 Mx_l=-92.42
Tensioni nella sezione: σ=1120.23 τ=140.03
CC 63 SLU (Collegamento 0024_-381)
Azioni sul collegamento: N=-25141.60 Ty=6.50 Tz=60.47 Mx=-0.00 Mz=4.91

Sollecitazioni agenti localmente: Ty_l=-4571.20 Mx_l=-91.42
Tensioni nella sezione: σ=1108.17 τ=138.52
CC 64 SLU (Collegamento 0024_-381)
Azioni sul collegamento: N=-25139.60 Ty=6.28 Tz=60.51 Mx=0.00 Mz=4.47
Sollecitazioni agenti localmente: Ty_l=-4570.84 Mx_l=-91.42
Tensioni nella sezione: σ=1108.08 τ=138.51
CC 65 SLU (Collegamento 0024_-381)
Azioni sul collegamento: N=-16490.80 Ty=6.99 Tz=29.17 Mx=-0.01 Mz=5.02
Sollecitazioni agenti localmente: Ty_l=-2998.33 Mx_l=-59.97
Tensioni nella sezione: σ=726.87 τ=90.86
CC 66 SLU (Collegamento 0024_-381)
Azioni sul collegamento: N=-17040.20 Ty=7.27 Tz=31.20 Mx=-0.01 Mz=5.22
Sollecitazioni agenti localmente: Ty_l=-3098.22 Mx_l=-61.96
Tensioni nella sezione: σ=751.08 τ=93.89
CC 67 SLU (Collegamento 0024_-381)
Azioni sul collegamento: N=-16766.50 Ty=7.24 Tz=30.16 Mx=-0.01 Mz=5.34
Sollecitazioni agenti localmente: Ty_l=-3048.45 Mx_l=-60.97
Tensioni nella sezione: σ=739.02 τ=92.38
CC 68 SLU (Collegamento 0024_-381)
Azioni sul collegamento: N=-16764.50 Ty=7.02 Tz=30.21 Mx=-0.01 Mz=4.90
Sollecitazioni agenti localmente: Ty_l=-3048.09 Mx_l=-60.96
Tensioni nella sezione: σ=738.93 τ=92.37
CC 97 SLU (Collegamento 0024_-381)
Azioni sul collegamento: N=-10609.80 Ty=16.63 Tz=15.80 Mx=0.03 Mz=19.66
Sollecitazioni agenti localmente: Ty_l=-1929.05 Mx_l=-38.58
Tensioni nella sezione: σ=467.65 τ=58.46
CC 98 SLU (Collegamento 0024_-381)
Azioni sul collegamento: N=-11159.10 Ty=16.91 Tz=17.84 Mx=0.03 Mz=19.86
Sollecitazioni agenti localmente: Ty_l=-2028.93 Mx_l=-40.58
Tensioni nella sezione: σ=491.86 τ=61.48
CC 99 SLU (Collegamento 0024_-381)
Azioni sul collegamento: N=-10885.40 Ty=16.88 Tz=16.80 Mx=0.03 Mz=19.98
Sollecitazioni agenti localmente: Ty_l=-1979.17 Mx_l=-39.58
Tensioni nella sezione: σ=479.80 τ=59.97
CC 100 SLU (Collegamento 0024_-381)
Azioni sul collegamento: N=-10883.50 Ty=16.66 Tz=16.84 Mx=0.03 Mz=19.55
Sollecitazioni agenti localmente: Ty_l=-1978.81 Mx_l=-39.58
Tensioni nella sezione: σ=479.71 τ=59.96
CC 101 SLU (Collegamento 0024_-381)
Azioni sul collegamento: N=-6606.14 Ty=1.32 Tz=0.91 Mx=-0.01 Mz=0.13
Sollecitazioni agenti localmente: Ty_l=-1201.12 Mx_l=-24.02
Tensioni nella sezione: σ=291.18 τ=36.40
CC 102 SLU (Collegamento 0024_-381)
Azioni sul collegamento: N=-7155.53 Ty=1.61 Tz=2.94 Mx=-0.01 Mz=0.33
Sollecitazioni agenti localmente: Ty_l=-1301.01 Mx_l=-26.02
Tensioni nella sezione: σ=315.39 τ=39.42
CC 103 SLU (Collegamento 0024_-381)
Azioni sul collegamento: N=-6881.82 Ty=1.58 Tz=1.90 Mx=-0.01 Mz=0.45
Sollecitazioni agenti localmente: Ty_l=-1251.24 Mx_l=-25.02
Tensioni nella sezione: σ=303.33 τ=37.92
CC 104 SLU (Collegamento 0024_-381)
Azioni sul collegamento: N=-6879.85 Ty=1.36 Tz=1.95 Mx=-0.01 Mz=0.01
Sollecitazioni agenti localmente: Ty_l=-1250.88 Mx_l=-25.02
Tensioni nella sezione: σ=303.24 τ=37.91

Flessione attacco destro piastra

Bnetta=220.00 Hnetta=15.00
CC 1 SLV (Collegamento 0024_-381)
Azioni sul collegamento: N=-3931.62 Ty=6.55 Tz=-8.98 Mx=0.01 Mz=7.22
Sollecitazioni agenti localmente: Ty_l=-725.69 My_l=-14.92
Tensioni nella sezione: σ=180.81 τ=21.99
CC 1 SLV (Collegamento 0024_-381)
Azioni sul collegamento: N=-3931.62 Ty=3.19 Tz=-8.98 Mx=0.01 Mz=4.04
Sollecitazioni agenti localmente: Ty_l=-713.03 My_l=-14.64
Tensioni nella sezione: σ=177.45 τ=21.61
CC 1 SLV (Collegamento 0024_-381)
Azioni sul collegamento: N=-3931.62 Ty=6.55 Tz=10.69 Mx=0.01 Mz=7.22
Sollecitazioni agenti localmente: Ty_l=-725.69 My_l=-14.92
Tensioni nella sezione: σ=180.81 τ=21.99
CC 1 SLV (Collegamento 0024_-381)
Azioni sul collegamento: N=-3931.62 Ty=3.19 Tz=10.69 Mx=0.01 Mz=4.04
Sollecitazioni agenti localmente: Ty_l=-713.03 My_l=-14.64
Tensioni nella sezione: σ=177.45 τ=21.61
CC 1 SLV (Collegamento 0024_-381)
Azioni sul collegamento: N=-9217.12 Ty=6.55 Tz=-8.98 Mx=0.01 Mz=7.22
Sollecitazioni agenti localmente: Ty_l=-1662.66 My_l=-34.12
Tensioni nella sezione: σ=413.63 τ=50.38
CC 1 SLV (Collegamento 0024_-381)
Azioni sul collegamento: N=-9217.12 Ty=3.19 Tz=-8.98 Mx=0.01 Mz=4.04
Sollecitazioni agenti localmente: Ty_l=-1650.01 My_l=-33.85

Tensioni nella sezione: σ=410.27 τ=50.00
CC 1 SLV (Collegamento 0024_-381)
Azioni sul collegamento: N=-9217.12 Ty=6.55 Tz=10.69 Mx=0.01 Mz=7.22
Sollecitazioni agenti localmente: Ty_l=-1662.66 My_l=-34.12
Tensioni nella sezione: σ=413.63 τ=50.38
CC 1 SLV (Collegamento 0024_-381)
Azioni sul collegamento: N=-9217.12 Ty=3.19 Tz=10.69 Mx=0.01 Mz=4.04
Sollecitazioni agenti localmente: Ty_l=-1650.01 My_l=-33.85
Tensioni nella sezione: σ=410.27 τ=50.00
CC 2 SLD (Collegamento 0024_-381)
Azioni sul collegamento: N=-5736.03 Ty=4.54 Tz=-2.27 Mx=0.00 Mz=4.03
Sollecitazioni agenti localmente: Ty_l=-1032.88 My_l=-21.20
Tensioni nella sezione: σ=256.93 τ=31.30
CC 2 SLD (Collegamento 0024_-381)
Azioni sul collegamento: N=-5736.03 Ty=3.51 Tz=-2.27 Mx=0.00 Mz=3.06
Sollecitazioni agenti localmente: Ty_l=-1029.02 My_l=-21.11
Tensioni nella sezione: σ=255.90 τ=31.18
CC 2 SLD (Collegamento 0024_-381)
Azioni sul collegamento: N=-5736.03 Ty=4.54 Tz=3.73 Mx=0.00 Mz=4.03
Sollecitazioni agenti localmente: Ty_l=-1032.88 My_l=-21.20
Tensioni nella sezione: σ=256.93 τ=31.30
CC 2 SLD (Collegamento 0024_-381)
Azioni sul collegamento: N=-5736.03 Ty=3.51 Tz=3.73 Mx=0.00 Mz=3.06
Sollecitazioni agenti localmente: Ty_l=-1029.02 My_l=-21.11
Tensioni nella sezione: σ=255.90 τ=31.18
CC 2 SLD (Collegamento 0024_-381)
Azioni sul collegamento: N=-7347.75 Ty=4.54 Tz=-2.27 Mx=0.00 Mz=4.03
Sollecitazioni agenti localmente: Ty_l=-1318.60 My_l=-27.05
Tensioni nella sezione: σ=327.92 τ=39.96
CC 2 SLD (Collegamento 0024_-381)
Azioni sul collegamento: N=-7347.75 Ty=3.51 Tz=-2.27 Mx=0.00 Mz=3.06
Sollecitazioni agenti localmente: Ty_l=-1314.74 My_l=-26.97
Tensioni nella sezione: σ=326.90 τ=39.84
CC 2 SLD (Collegamento 0024_-381)
Azioni sul collegamento: N=-7347.75 Ty=4.54 Tz=3.73 Mx=0.00 Mz=4.03
Sollecitazioni agenti localmente: Ty_l=-1318.60 My_l=-27.05
Tensioni nella sezione: σ=327.92 τ=39.96
CC 2 SLD (Collegamento 0024_-381)
Azioni sul collegamento: N=-7347.75 Ty=3.51 Tz=3.73 Mx=0.00 Mz=3.06
Sollecitazioni agenti localmente: Ty_l=-1314.74 My_l=-26.97
Tensioni nella sezione: σ=326.90 τ=39.84
CC 3 SLV (Collegamento 0024_-381)
Azioni sul collegamento: N=-3937.31 Ty=5.92 Tz=-8.85 Mx=0.01 Mz=5.96
Sollecitazioni agenti localmente: Ty_l=-721.70 My_l=-14.83
Tensioni nella sezione: σ=179.73 τ=21.87
CC 3 SLV (Collegamento 0024_-381)
Azioni sul collegamento: N=-3937.31 Ty=3.82 Tz=-8.85 Mx=0.01 Mz=5.30
Sollecitazioni agenti localmente: Ty_l=-719.04 My_l=-14.77
Tensioni nella sezione: σ=179.03 τ=21.79
CC 3 SLV (Collegamento 0024_-381)
Azioni sul collegamento: N=-3937.31 Ty=5.92 Tz=10.56 Mx=0.01 Mz=5.96
Sollecitazioni agenti localmente: Ty_l=-721.70 My_l=-14.83
Tensioni nella sezione: σ=179.73 τ=21.87
CC 3 SLV (Collegamento 0024_-381)
Azioni sul collegamento: N=-3937.31 Ty=3.82 Tz=10.56 Mx=0.01 Mz=5.30
Sollecitazioni agenti localmente: Ty_l=-719.04 My_l=-14.77
Tensioni nella sezione: σ=179.03 τ=21.79
CC 3 SLV (Collegamento 0024_-381)
Azioni sul collegamento: N=-9211.43 Ty=5.92 Tz=-8.85 Mx=0.01 Mz=5.96
Sollecitazioni agenti localmente: Ty_l=-1656.65 My_l=-33.99
Tensioni nella sezione: σ=412.06 τ=50.20
CC 3 SLV (Collegamento 0024_-381)
Azioni sul collegamento: N=-9211.43 Ty=3.82 Tz=-8.85 Mx=0.01 Mz=5.30
Sollecitazioni agenti localmente: Ty_l=-1654.00 My_l=-33.94
Tensioni nella sezione: σ=411.35 τ=50.12
CC 3 SLV (Collegamento 0024_-381)
Azioni sul collegamento: N=-9211.43 Ty=5.92 Tz=10.56 Mx=0.01 Mz=5.96
Sollecitazioni agenti localmente: Ty_l=-1656.65 My_l=-33.99
Tensioni nella sezione: σ=412.06 τ=50.20
CC 3 SLV (Collegamento 0024_-381)
Azioni sul collegamento: N=-9211.43 Ty=3.82 Tz=10.56 Mx=0.01 Mz=5.30
Sollecitazioni agenti localmente: Ty_l=-1654.00 My_l=-33.94
Tensioni nella sezione: σ=411.35 τ=50.12
CC 4 SLD (Collegamento 0024_-381)
Azioni sul collegamento: N=-5737.77 Ty=4.34 Tz=-2.23 Mx=0.00 Mz=3.65
Sollecitazioni agenti localmente: Ty_l=-1031.66 My_l=-21.17
Tensioni nella sezione: σ=256.60 τ=31.26
CC 4 SLD (Collegamento 0024_-381)
Azioni sul collegamento: N=-5737.77 Ty=3.71 Tz=-2.23 Mx=0.00 Mz=3.45
Sollecitazioni agenti localmente: Ty_l=-1030.86 My_l=-21.15

Tensioni nella sezione: σ=256.38 τ=31.24
CC 4 SLD (Collegamento 0024_-381)
Azioni sul collegamento: N=-5737.77 Ty=4.34 Tz=3.69 Mx=0.00 Mz=3.65
Sollecitazioni agenti localmente: Ty_l=-1031.66 My_l=-21.17
Tensioni nella sezione: σ=256.60 τ=31.26
CC 4 SLD (Collegamento 0024_-381)
Azioni sul collegamento: N=-5737.77 Ty=3.71 Tz=3.69 Mx=0.00 Mz=3.45
Sollecitazioni agenti localmente: Ty_l=-1030.86 My_l=-21.15
Tensioni nella sezione: σ=256.38 τ=31.24
CC 4 SLD (Collegamento 0024_-381)
Azioni sul collegamento: N=-7346.01 Ty=4.34 Tz=-2.23 Mx=0.00 Mz=3.65
Sollecitazioni agenti localmente: Ty_l=-1316.76 My_l=-27.01
Tensioni nella sezione: σ=327.44 τ=39.90
CC 4 SLD (Collegamento 0024_-381)
Azioni sul collegamento: N=-7346.01 Ty=3.71 Tz=-2.23 Mx=0.00 Mz=3.45
Sollecitazioni agenti localmente: Ty_l=-1315.95 My_l=-27.00
Tensioni nella sezione: σ=327.23 τ=39.88
CC 4 SLD (Collegamento 0024_-381)
Azioni sul collegamento: N=-7346.01 Ty=4.34 Tz=3.69 Mx=0.00 Mz=3.65
Sollecitazioni agenti localmente: Ty_l=-1316.76 My_l=-27.01
Tensioni nella sezione: σ=327.44 τ=39.90
CC 4 SLD (Collegamento 0024_-381)
Azioni sul collegamento: N=-7346.01 Ty=3.71 Tz=3.69 Mx=0.00 Mz=3.45
Sollecitazioni agenti localmente: Ty_l=-1315.95 My_l=-27.00
Tensioni nella sezione: σ=327.23 τ=39.88
CC 5 SLV (Collegamento 0024_-381)
Azioni sul collegamento: N=-9211.43 Ty=3.82 Tz=10.56 Mx=0.01 Mz=5.30
Sollecitazioni agenti localmente: Ty_l=-1654.00 My_l=-33.94
Tensioni nella sezione: σ=411.35 τ=50.12
CC 5 SLV (Collegamento 0024_-381)
Azioni sul collegamento: N=-9211.43 Ty=5.92 Tz=10.56 Mx=0.01 Mz=5.96
Sollecitazioni agenti localmente: Ty_l=-1656.65 My_l=-33.99
Tensioni nella sezione: σ=412.06 τ=50.20
CC 5 SLV (Collegamento 0024_-381)
Azioni sul collegamento: N=-9211.43 Ty=3.82 Tz=-8.85 Mx=0.01 Mz=5.30
Sollecitazioni agenti localmente: Ty_l=-1654.00 My_l=-33.94
Tensioni nella sezione: σ=411.35 τ=50.12
CC 5 SLV (Collegamento 0024_-381)
Azioni sul collegamento: N=-9211.43 Ty=5.92 Tz=-8.85 Mx=0.01 Mz=5.96
Sollecitazioni agenti localmente: Ty_l=-1656.65 My_l=-33.99
Tensioni nella sezione: σ=412.06 τ=50.20
CC 5 SLV (Collegamento 0024_-381)
Azioni sul collegamento: N=-3937.31 Ty=3.82 Tz=10.56 Mx=0.01 Mz=5.30
Sollecitazioni agenti localmente: Ty_l=-719.04 My_l=-14.77
Tensioni nella sezione: σ=179.03 τ=21.79
CC 5 SLV (Collegamento 0024_-381)
Azioni sul collegamento: N=-3937.31 Ty=5.92 Tz=10.56 Mx=0.01 Mz=5.96
Sollecitazioni agenti localmente: Ty_l=-721.70 My_l=-14.83
Tensioni nella sezione: σ=179.73 τ=21.87
CC 5 SLV (Collegamento 0024_-381)
Azioni sul collegamento: N=-3937.31 Ty=3.82 Tz=-8.85 Mx=0.01 Mz=5.30
Sollecitazioni agenti localmente: Ty_l=-719.04 My_l=-14.77
Tensioni nella sezione: σ=179.03 τ=21.79
CC 5 SLV (Collegamento 0024_-381)
Azioni sul collegamento: N=-3937.31 Ty=5.92 Tz=-8.85 Mx=0.01 Mz=5.96
Sollecitazioni agenti localmente: Ty_l=-721.70 My_l=-14.83
Tensioni nella sezione: σ=179.73 τ=21.87
CC 6 SLD (Collegamento 0024_-381)
Azioni sul collegamento: N=-7346.01 Ty=3.71 Tz=3.69 Mx=0.00 Mz=3.45
Sollecitazioni agenti localmente: Ty_l=-1315.95 My_l=-27.00
Tensioni nella sezione: σ=327.23 τ=39.88
CC 6 SLD (Collegamento 0024_-381)
Azioni sul collegamento: N=-7346.01 Ty=4.34 Tz=3.69 Mx=0.00 Mz=3.65
Sollecitazioni agenti localmente: Ty_l=-1316.76 My_l=-27.01
Tensioni nella sezione: σ=327.44 τ=39.90
CC 6 SLD (Collegamento 0024_-381)
Azioni sul collegamento: N=-7346.01 Ty=3.71 Tz=-2.23 Mx=0.00 Mz=3.45
Sollecitazioni agenti localmente: Ty_l=-1315.95 My_l=-27.00
Tensioni nella sezione: σ=327.23 τ=39.88
CC 6 SLD (Collegamento 0024_-381)
Azioni sul collegamento: N=-7346.01 Ty=4.34 Tz=-2.23 Mx=0.00 Mz=3.65
Sollecitazioni agenti localmente: Ty_l=-1316.76 My_l=-27.01
Tensioni nella sezione: σ=327.44 τ=39.90
CC 6 SLD (Collegamento 0024_-381)
Azioni sul collegamento: N=-5737.77 Ty=3.71 Tz=3.69 Mx=0.00 Mz=3.45
Sollecitazioni agenti localmente: Ty_l=-1030.86 My_l=-21.15
Tensioni nella sezione: σ=256.38 τ=31.24
CC 6 SLD (Collegamento 0024_-381)
Azioni sul collegamento: N=-5737.77 Ty=4.34 Tz=3.69 Mx=0.00 Mz=3.65
Sollecitazioni agenti localmente: Ty_l=-1031.66 My_l=-21.17

Tensioni nella sezione: σ=256.60 τ=31.26
CC 6 SLD (Collegamento 0024_-381)
Azioni sul collegamento: N=-5737.77 Ty=3.71 Tz=-2.23 Mx=0.00 Mz=3.45
Sollecitazioni agenti localmente: Ty_l=-1030.86 My_l=-21.15
Tensioni nella sezione: σ=256.38 τ=31.24
CC 6 SLD (Collegamento 0024_-381)
Azioni sul collegamento: N=-5737.77 Ty=4.34 Tz=-2.23 Mx=0.00 Mz=3.65
Sollecitazioni agenti localmente: Ty_l=-1031.66 My_l=-21.17
Tensioni nella sezione: σ=256.60 τ=31.26
CC 7 SLV (Collegamento 0024_-381)
Azioni sul collegamento: N=-9217.12 Ty=3.19 Tz=10.69 Mx=0.01 Mz=4.04
Sollecitazioni agenti localmente: Ty_l=-1650.01 My_l=-33.85
Tensioni nella sezione: σ=410.27 τ=50.00
CC 7 SLV (Collegamento 0024_-381)
Azioni sul collegamento: N=-9217.12 Ty=6.55 Tz=10.69 Mx=0.01 Mz=7.22
Sollecitazioni agenti localmente: Ty_l=-1662.66 My_l=-34.12
Tensioni nella sezione: σ=413.63 τ=50.38
CC 7 SLV (Collegamento 0024_-381)
Azioni sul collegamento: N=-9217.12 Ty=3.19 Tz=-8.98 Mx=0.01 Mz=4.04
Sollecitazioni agenti localmente: Ty_l=-1650.01 My_l=-33.85
Tensioni nella sezione: σ=410.27 τ=50.00
CC 7 SLV (Collegamento 0024_-381)
Azioni sul collegamento: N=-9217.12 Ty=6.55 Tz=-8.98 Mx=0.01 Mz=7.22
Sollecitazioni agenti localmente: Ty_l=-1662.66 My_l=-34.12
Tensioni nella sezione: σ=413.63 τ=50.38
CC 7 SLV (Collegamento 0024_-381)
Azioni sul collegamento: N=-3931.62 Ty=3.19 Tz=10.69 Mx=0.01 Mz=4.04
Sollecitazioni agenti localmente: Ty_l=-713.03 My_l=-14.64
Tensioni nella sezione: σ=177.45 τ=21.61
CC 7 SLV (Collegamento 0024_-381)
Azioni sul collegamento: N=-3931.62 Ty=6.55 Tz=10.69 Mx=0.01 Mz=7.22
Sollecitazioni agenti localmente: Ty_l=-725.69 My_l=-14.92
Tensioni nella sezione: σ=180.81 τ=21.99
CC 7 SLV (Collegamento 0024_-381)
Azioni sul collegamento: N=-3931.62 Ty=3.19 Tz=-8.98 Mx=0.01 Mz=4.04
Sollecitazioni agenti localmente: Ty_l=-713.03 My_l=-14.64
Tensioni nella sezione: σ=177.45 τ=21.61
CC 7 SLV (Collegamento 0024_-381)
Azioni sul collegamento: N=-3931.62 Ty=6.55 Tz=-8.98 Mx=0.01 Mz=7.22
Sollecitazioni agenti localmente: Ty_l=-725.69 My_l=-14.92
Tensioni nella sezione: σ=180.81 τ=21.99
CC 8 SLD (Collegamento 0024_-381)
Azioni sul collegamento: N=-7347.75 Ty=3.51 Tz=3.73 Mx=-0.00 Mz=3.06
Sollecitazioni agenti localmente: Ty_l=-1314.74 My_l=-26.97
Tensioni nella sezione: σ=326.90 τ=39.84
CC 8 SLD (Collegamento 0024_-381)
Azioni sul collegamento: N=-7347.75 Ty=4.54 Tz=3.73 Mx=-0.00 Mz=4.03
Sollecitazioni agenti localmente: Ty_l=-1318.60 My_l=-27.05
Tensioni nella sezione: σ=327.92 τ=39.96
CC 8 SLD (Collegamento 0024_-381)
Azioni sul collegamento: N=-7347.75 Ty=3.51 Tz=-2.27 Mx=-0.00 Mz=3.06
Sollecitazioni agenti localmente: Ty_l=-1314.74 My_l=-26.97
Tensioni nella sezione: σ=326.90 τ=39.84
CC 8 SLD (Collegamento 0024_-381)
Azioni sul collegamento: N=-7347.75 Ty=4.54 Tz=-2.27 Mx=-0.00 Mz=4.03
Sollecitazioni agenti localmente: Ty_l=-1318.60 My_l=-27.05
Tensioni nella sezione: σ=327.92 τ=39.96
CC 8 SLD (Collegamento 0024_-381)
Azioni sul collegamento: N=-5736.03 Ty=3.51 Tz=3.73 Mx=-0.00 Mz=3.06
Sollecitazioni agenti localmente: Ty_l=-1029.02 My_l=-21.11
Tensioni nella sezione: σ=255.90 τ=31.18
CC 8 SLD (Collegamento 0024_-381)
Azioni sul collegamento: N=-5736.03 Ty=4.54 Tz=3.73 Mx=-0.00 Mz=4.03
Sollecitazioni agenti localmente: Ty_l=-1032.88 My_l=-21.20
Tensioni nella sezione: σ=256.93 τ=31.30
CC 8 SLD (Collegamento 0024_-381)
Azioni sul collegamento: N=-5736.03 Ty=3.51 Tz=-2.27 Mx=-0.00 Mz=3.06
Sollecitazioni agenti localmente: Ty_l=-1029.02 My_l=-21.11
Tensioni nella sezione: σ=255.90 τ=31.18
CC 8 SLD (Collegamento 0024_-381)
Azioni sul collegamento: N=-5736.03 Ty=4.54 Tz=-2.27 Mx=-0.00 Mz=4.03
Sollecitazioni agenti localmente: Ty_l=-1032.88 My_l=-21.20
Tensioni nella sezione: σ=256.93 τ=31.30
CC 9 SLV (Collegamento 0024_-381)
Azioni sul collegamento: N=-5772.92 Ty=6.34 Tz=-2.29 Mx=0.02 Mz=8.01
Sollecitazioni agenti localmente: Ty_l=-1055.26 My_l=-21.68
Tensioni nella sezione: σ=262.76 τ=31.98
CC 9 SLV (Collegamento 0024_-381)
Azioni sul collegamento: N=-5772.92 Ty=3.40 Tz=-2.29 Mx=0.02 Mz=3.25
Sollecitazioni agenti localmente: Ty_l=-1036.29 My_l=-21.26

Tensioni nella sezione: σ=257.72 τ=31.40
CC 9 SLV (Collegamento 0024_-381)
Azioni sul collegamento: N=-5772.92 Ty=6.34 Tz=4.00 Mx=0.02 Mz=8.01
Sollecitazioni agenti localmente: Ty_l=-1055.26 My_l=-21.68
Tensioni nella sezione: σ=262.76 τ=31.98
CC 9 SLV (Collegamento 0024_-381)
Azioni sul collegamento: N=-5772.92 Ty=3.40 Tz=4.00 Mx=0.02 Mz=3.25
Sollecitazioni agenti localmente: Ty_l=-1036.29 My_l=-21.26
Tensioni nella sezione: σ=257.72 τ=31.40
CC 9 SLV (Collegamento 0024_-381)
Azioni sul collegamento: N=-7375.82 Ty=6.34 Tz=-2.29 Mx=0.02 Mz=8.01
Sollecitazioni agenti localmente: Ty_l=-1339.41 My_l=-27.50
Tensioni nella sezione: σ=333.36 τ=40.59
CC 9 SLV (Collegamento 0024_-381)
Azioni sul collegamento: N=-7375.82 Ty=3.40 Tz=-2.29 Mx=0.02 Mz=3.25
Sollecitazioni agenti localmente: Ty_l=-1320.44 My_l=-27.09
Tensioni nella sezione: σ=328.33 τ=40.01
CC 9 SLV (Collegamento 0024_-381)
Azioni sul collegamento: N=-7375.82 Ty=6.34 Tz=4.00 Mx=0.02 Mz=8.01
Sollecitazioni agenti localmente: Ty_l=-1339.41 My_l=-27.50
Tensioni nella sezione: σ=333.36 τ=40.59
CC 9 SLV (Collegamento 0024_-381)
Azioni sul collegamento: N=-7375.82 Ty=3.40 Tz=4.00 Mx=0.02 Mz=3.25
Sollecitazioni agenti localmente: Ty_l=-1320.44 My_l=-27.09
Tensioni nella sezione: σ=328.33 τ=40.01
CC 10 SLD (Collegamento 0024_-381)
Azioni sul collegamento: N=-6297.50 Ty=4.47 Tz=-0.23 Mx=0.00 Mz=4.27
Sollecitazioni agenti localmente: Ty_l=-1133.38 My_l=-23.26
Tensioni nella sezione: σ=281.92 τ=34.34
CC 10 SLD (Collegamento 0024_-381)
Azioni sul collegamento: N=-6297.50 Ty=3.58 Tz=-0.23 Mx=0.00 Mz=2.82
Sollecitazioni agenti localmente: Ty_l=-1127.59 My_l=-23.13
Tensioni nella sezione: σ=280.38 τ=34.17
CC 10 SLD (Collegamento 0024_-381)
Azioni sul collegamento: N=-6297.50 Ty=4.47 Tz=1.69 Mx=0.00 Mz=4.27
Sollecitazioni agenti localmente: Ty_l=-1133.38 My_l=-23.26
Tensioni nella sezione: σ=281.92 τ=34.34
CC 10 SLD (Collegamento 0024_-381)
Azioni sul collegamento: N=-6297.50 Ty=3.58 Tz=1.69 Mx=0.00 Mz=2.82
Sollecitazioni agenti localmente: Ty_l=-1127.59 My_l=-23.13
Tensioni nella sezione: σ=280.38 τ=34.17
CC 10 SLD (Collegamento 0024_-381)
Azioni sul collegamento: N=-6786.28 Ty=4.47 Tz=-0.23 Mx=0.00 Mz=4.27
Sollecitazioni agenti localmente: Ty_l=-1220.02 My_l=-25.03
Tensioni nella sezione: σ=303.45 τ=36.97
CC 10 SLD (Collegamento 0024_-381)
Azioni sul collegamento: N=-6786.28 Ty=3.58 Tz=-0.23 Mx=0.00 Mz=2.82
Sollecitazioni agenti localmente: Ty_l=-1214.24 My_l=-24.91
Tensioni nella sezione: σ=301.91 τ=36.80
CC 10 SLD (Collegamento 0024_-381)
Azioni sul collegamento: N=-6786.28 Ty=4.47 Tz=1.69 Mx=0.00 Mz=4.27
Sollecitazioni agenti localmente: Ty_l=-1220.02 My_l=-25.03
Tensioni nella sezione: σ=303.45 τ=36.97
CC 10 SLD (Collegamento 0024_-381)
Azioni sul collegamento: N=-6786.28 Ty=3.58 Tz=1.69 Mx=0.00 Mz=2.82
Sollecitazioni agenti localmente: Ty_l=-1214.24 My_l=-24.91
Tensioni nella sezione: σ=301.91 τ=36.80
CC 11 SLV (Collegamento 0024_-381)
Azioni sul collegamento: N=-7356.86 Ty=5.52 Tz=3.57 Mx=0.02 Mz=7.44
Sollecitazioni agenti localmente: Ty_l=-1333.75 My_l=-27.38
Tensioni nella sezione: σ=331.92 τ=40.42
CC 11 SLV (Collegamento 0024_-381)
Azioni sul collegamento: N=-7356.86 Ty=4.22 Tz=3.57 Mx=0.02 Mz=3.82
Sollecitazioni agenti localmente: Ty_l=-1319.38 My_l=-27.07
Tensioni nella sezione: σ=328.10 τ=39.98
CC 11 SLV (Collegamento 0024_-381)
Azioni sul collegamento: N=-7356.86 Ty=5.52 Tz=-1.86 Mx=0.02 Mz=7.44
Sollecitazioni agenti localmente: Ty_l=-1333.75 My_l=-27.38
Tensioni nella sezione: σ=331.92 τ=40.42
CC 11 SLV (Collegamento 0024_-381)
Azioni sul collegamento: N=-7356.86 Ty=4.22 Tz=-1.86 Mx=0.02 Mz=3.82
Sollecitazioni agenti localmente: Ty_l=-1319.38 My_l=-27.07
Tensioni nella sezione: σ=328.10 τ=39.98
CC 11 SLV (Collegamento 0024_-381)
Azioni sul collegamento: N=-5791.88 Ty=5.52 Tz=3.57 Mx=0.02 Mz=7.44
Sollecitazioni agenti localmente: Ty_l=-1056.32 My_l=-21.70
Tensioni nella sezione: σ=262.98 τ=32.01
CC 11 SLV (Collegamento 0024_-381)
Azioni sul collegamento: N=-5791.88 Ty=4.22 Tz=3.57 Mx=0.02 Mz=3.82
Sollecitazioni agenti localmente: Ty_l=-1041.95 My_l=-21.38

Tensioni nella sezione: σ=259.17 τ=31.57
CC 11 SLV (Collegamento 0024_-381)
Azioni sul collegamento: N=-5791.88 Ty=5.52 Tz=-1.86 Mx=0.02 Mz=7.44
Sollecitazioni agenti localmente: Ty_l=-1056.32 My_l=-21.70
Tensioni nella sezione: σ=262.98 τ=32.01
CC 11 SLV (Collegamento 0024_-381)
Azioni sul collegamento: N=-5791.88 Ty=4.22 Tz=-1.86 Mx=0.02 Mz=3.82
Sollecitazioni agenti localmente: Ty_l=-1041.95 My_l=-21.38
Tensioni nella sezione: σ=259.17 τ=31.57
CC 12 SLD (Collegamento 0024_-381)
Azioni sul collegamento: N=-6780.50 Ty=4.22 Tz=1.56 Mx=0.00 Mz=4.10
Sollecitazioni agenti localmente: Ty_l=-1218.30 My_l=-25.00
Tensioni nella sezione: σ=303.00 τ=36.92
CC 12 SLD (Collegamento 0024_-381)
Azioni sul collegamento: N=-6780.50 Ty=3.83 Tz=1.56 Mx=0.00 Mz=3.00
Sollecitazioni agenti localmente: Ty_l=-1213.92 My_l=-24.90
Tensioni nella sezione: σ=301.84 τ=36.79
CC 12 SLD (Collegamento 0024_-381)
Azioni sul collegamento: N=-6780.50 Ty=4.22 Tz=-0.10 Mx=0.00 Mz=4.10
Sollecitazioni agenti localmente: Ty_l=-1218.30 My_l=-25.00
Tensioni nella sezione: σ=303.00 τ=36.92
CC 12 SLD (Collegamento 0024_-381)
Azioni sul collegamento: N=-6780.50 Ty=3.83 Tz=-0.10 Mx=0.00 Mz=3.00
Sollecitazioni agenti localmente: Ty_l=-1213.92 My_l=-24.90
Tensioni nella sezione: σ=301.84 τ=36.79
CC 12 SLD (Collegamento 0024_-381)
Azioni sul collegamento: N=-6303.28 Ty=4.22 Tz=1.56 Mx=0.00 Mz=4.10
Sollecitazioni agenti localmente: Ty_l=-1133.70 My_l=-23.26
Tensioni nella sezione: σ=281.98 τ=34.35
CC 12 SLD (Collegamento 0024_-381)
Azioni sul collegamento: N=-6303.28 Ty=3.83 Tz=1.56 Mx=0.00 Mz=3.00
Sollecitazioni agenti localmente: Ty_l=-1129.32 My_l=-23.17
Tensioni nella sezione: σ=280.82 τ=34.22
CC 12 SLD (Collegamento 0024_-381)
Azioni sul collegamento: N=-6303.28 Ty=4.22 Tz=-0.10 Mx=0.00 Mz=4.10
Sollecitazioni agenti localmente: Ty_l=-1133.70 My_l=-23.26
Tensioni nella sezione: σ=281.98 τ=34.35
CC 12 SLD (Collegamento 0024_-381)
Azioni sul collegamento: N=-6303.28 Ty=3.83 Tz=-0.10 Mx=0.00 Mz=3.00
Sollecitazioni agenti localmente: Ty_l=-1129.32 My_l=-23.17
Tensioni nella sezione: σ=280.82 τ=34.22
CC 13 SLV (Collegamento 0024_-381)
Azioni sul collegamento: N=-5791.88 Ty=4.22 Tz=-1.86 Mx=0.00 Mz=3.82
Sollecitazioni agenti localmente: Ty_l=-1041.95 My_l=-21.38
Tensioni nella sezione: σ=259.17 τ=31.57
CC 13 SLV (Collegamento 0024_-381)
Azioni sul collegamento: N=-5791.88 Ty=5.52 Tz=-1.86 Mx=0.00 Mz=7.44
Sollecitazioni agenti localmente: Ty_l=-1056.32 My_l=-21.70
Tensioni nella sezione: σ=262.98 τ=32.01
CC 13 SLV (Collegamento 0024_-381)
Azioni sul collegamento: N=-5791.88 Ty=4.22 Tz=3.57 Mx=0.00 Mz=3.82
Sollecitazioni agenti localmente: Ty_l=-1041.95 My_l=-21.38
Tensioni nella sezione: σ=259.17 τ=31.57
CC 13 SLV (Collegamento 0024_-381)
Azioni sul collegamento: N=-5791.88 Ty=5.52 Tz=3.57 Mx=0.00 Mz=7.44
Sollecitazioni agenti localmente: Ty_l=-1056.32 My_l=-21.70
Tensioni nella sezione: σ=262.98 τ=32.01
CC 13 SLV (Collegamento 0024_-381)
Azioni sul collegamento: N=-7356.86 Ty=4.22 Tz=-1.86 Mx=0.00 Mz=3.82
Sollecitazioni agenti localmente: Ty_l=-1319.38 My_l=-27.07
Tensioni nella sezione: σ=328.10 τ=39.98
CC 13 SLV (Collegamento 0024_-381)
Azioni sul collegamento: N=-7356.86 Ty=5.52 Tz=-1.86 Mx=0.00 Mz=7.44
Sollecitazioni agenti localmente: Ty_l=-1333.75 My_l=-27.38
Tensioni nella sezione: σ=331.92 τ=40.42
CC 13 SLV (Collegamento 0024_-381)
Azioni sul collegamento: N=-7356.86 Ty=4.22 Tz=3.57 Mx=0.00 Mz=3.82
Sollecitazioni agenti localmente: Ty_l=-1319.38 My_l=-27.07
Tensioni nella sezione: σ=328.10 τ=39.98
CC 13 SLV (Collegamento 0024_-381)
Azioni sul collegamento: N=-7356.86 Ty=5.52 Tz=3.57 Mx=0.00 Mz=7.44
Sollecitazioni agenti localmente: Ty_l=-1333.75 My_l=-27.38
Tensioni nella sezione: σ=331.92 τ=40.42
CC 14 SLD (Collegamento 0024_-381)
Azioni sul collegamento: N=-6303.28 Ty=3.83 Tz=-0.10 Mx=-0.00 Mz=3.00
Sollecitazioni agenti localmente: Ty_l=-1129.32 My_l=-23.17
Tensioni nella sezione: σ=280.82 τ=34.22
CC 14 SLD (Collegamento 0024_-381)
Azioni sul collegamento: N=-6303.28 Ty=4.22 Tz=-0.10 Mx=-0.00 Mz=4.10
Sollecitazioni agenti localmente: Ty_l=-1133.70 My_l=-23.26

Tensioni nella sezione: σ=281.98 τ=34.35
CC 14 SLD (Collegamento 0024_-381)
Azioni sul collegamento: N=-6303.28 Ty=3.83 Tz=1.56 Mx=-0.00 Mz=3.00
Sollecitazioni agenti localmente: Ty_l=-1129.32 My_l=-23.17
Tensioni nella sezione: σ=280.82 τ=34.22
CC 14 SLD (Collegamento 0024_-381)
Azioni sul collegamento: N=-6303.28 Ty=4.22 Tz=1.56 Mx=-0.00 Mz=4.10
Sollecitazioni agenti localmente: Ty_l=-1133.70 My_l=-23.26
Tensioni nella sezione: σ=281.98 τ=34.35
CC 14 SLD (Collegamento 0024_-381)
Azioni sul collegamento: N=-6780.50 Ty=3.83 Tz=-0.10 Mx=-0.00 Mz=3.00
Sollecitazioni agenti localmente: Ty_l=-1213.92 My_l=-24.90
Tensioni nella sezione: σ=301.84 τ=36.79
CC 14 SLD (Collegamento 0024_-381)
Azioni sul collegamento: N=-6780.50 Ty=4.22 Tz=-0.10 Mx=-0.00 Mz=4.10
Sollecitazioni agenti localmente: Ty_l=-1218.30 My_l=-25.00
Tensioni nella sezione: σ=303.00 τ=36.92
CC 14 SLD (Collegamento 0024_-381)
Azioni sul collegamento: N=-6780.50 Ty=3.83 Tz=1.56 Mx=-0.00 Mz=3.00
Sollecitazioni agenti localmente: Ty_l=-1213.92 My_l=-24.90
Tensioni nella sezione: σ=301.84 τ=36.79
CC 14 SLD (Collegamento 0024_-381)
Azioni sul collegamento: N=-6780.50 Ty=4.22 Tz=1.56 Mx=-0.00 Mz=4.10
Sollecitazioni agenti localmente: Ty_l=-1218.30 My_l=-25.00
Tensioni nella sezione: σ=303.00 τ=36.92
CC 15 SLV (Collegamento 0024_-381)
Azioni sul collegamento: N=-7375.82 Ty=3.40 Tz=4.00 Mx=0.00 Mz=3.25
Sollecitazioni agenti localmente: Ty_l=-1320.44 My_l=-27.09
Tensioni nella sezione: σ=328.33 τ=40.01
CC 15 SLV (Collegamento 0024_-381)
Azioni sul collegamento: N=-7375.82 Ty=6.34 Tz=4.00 Mx=0.00 Mz=8.01
Sollecitazioni agenti localmente: Ty_l=-1339.41 My_l=-27.50
Tensioni nella sezione: σ=333.36 τ=40.59
CC 15 SLV (Collegamento 0024_-381)
Azioni sul collegamento: N=-7375.82 Ty=3.40 Tz=-2.29 Mx=0.00 Mz=3.25
Sollecitazioni agenti localmente: Ty_l=-1320.44 My_l=-27.09
Tensioni nella sezione: σ=328.33 τ=40.01
CC 15 SLV (Collegamento 0024_-381)
Azioni sul collegamento: N=-7375.82 Ty=6.34 Tz=-2.29 Mx=0.00 Mz=8.01
Sollecitazioni agenti localmente: Ty_l=-1339.41 My_l=-27.50
Tensioni nella sezione: σ=333.36 τ=40.59
CC 15 SLV (Collegamento 0024_-381)
Azioni sul collegamento: N=-5772.92 Ty=3.40 Tz=4.00 Mx=0.00 Mz=3.25
Sollecitazioni agenti localmente: Ty_l=-1036.29 My_l=-21.26
Tensioni nella sezione: σ=257.72 τ=31.40
CC 15 SLV (Collegamento 0024_-381)
Azioni sul collegamento: N=-5772.92 Ty=6.34 Tz=4.00 Mx=0.00 Mz=8.01
Sollecitazioni agenti localmente: Ty_l=-1055.26 My_l=-21.68
Tensioni nella sezione: σ=262.76 τ=31.98
CC 15 SLV (Collegamento 0024_-381)
Azioni sul collegamento: N=-5772.92 Ty=3.40 Tz=-2.29 Mx=0.00 Mz=3.25
Sollecitazioni agenti localmente: Ty_l=-1036.29 My_l=-21.26
Tensioni nella sezione: σ=257.72 τ=31.40
CC 15 SLV (Collegamento 0024_-381)
Azioni sul collegamento: N=-5772.92 Ty=6.34 Tz=-2.29 Mx=0.00 Mz=8.01
Sollecitazioni agenti localmente: Ty_l=-1055.26 My_l=-21.68
Tensioni nella sezione: σ=262.76 τ=31.98
CC 16 SLD (Collegamento 0024_-381)
Azioni sul collegamento: N=-6786.28 Ty=3.58 Tz=1.69 Mx=-0.00 Mz=2.82
Sollecitazioni agenti localmente: Ty_l=-1214.24 My_l=-24.91
Tensioni nella sezione: σ=301.91 τ=36.80
CC 16 SLD (Collegamento 0024_-381)
Azioni sul collegamento: N=-6786.28 Ty=4.47 Tz=1.69 Mx=-0.00 Mz=4.27
Sollecitazioni agenti localmente: Ty_l=-1220.02 My_l=-25.03
Tensioni nella sezione: σ=303.45 τ=36.97
CC 16 SLD (Collegamento 0024_-381)
Azioni sul collegamento: N=-6786.28 Ty=3.58 Tz=-0.23 Mx=-0.00 Mz=2.82
Sollecitazioni agenti localmente: Ty_l=-1214.24 My_l=-24.91
Tensioni nella sezione: σ=301.91 τ=36.80
CC 16 SLD (Collegamento 0024_-381)
Azioni sul collegamento: N=-6786.28 Ty=4.47 Tz=-0.23 Mx=-0.00 Mz=4.27
Sollecitazioni agenti localmente: Ty_l=-1220.02 My_l=-25.03
Tensioni nella sezione: σ=303.45 τ=36.97
CC 16 SLD (Collegamento 0024_-381)
Azioni sul collegamento: N=-6297.50 Ty=3.58 Tz=1.69 Mx=-0.00 Mz=2.82
Sollecitazioni agenti localmente: Ty_l=-1127.59 My_l=-23.13
Tensioni nella sezione: σ=280.38 τ=34.17
CC 16 SLD (Collegamento 0024_-381)
Azioni sul collegamento: N=-6297.50 Ty=4.47 Tz=1.69 Mx=-0.00 Mz=4.27
Sollecitazioni agenti localmente: Ty_l=-1133.38 My_l=-23.26

Tensioni nella sezione: σ=281.92 τ=34.34
CC 16 SLD (Collegamento 0024_-381)
Azioni sul collegamento: N=-6297.50 Ty=3.58 Tz=-0.23 Mx=-0.00 Mz=2.82
Sollecitazioni agenti localmente: Ty_l=-1127.59 My_l=-23.13
Tensioni nella sezione: σ=280.38 τ=34.17
CC 16 SLD (Collegamento 0024_-381)
Azioni sul collegamento: N=-6297.50 Ty=4.47 Tz=-0.23 Mx=-0.00 Mz=4.27
Sollecitazioni agenti localmente: Ty_l=-1133.38 My_l=-23.26
Tensioni nella sezione: σ=281.92 τ=34.34
CC 17 SLV (Collegamento 0024_-381)
Azioni sul collegamento: N=-3838.16 Ty=0.76 Tz=-9.35 Mx=-0.02 Mz=1.23
Sollecitazioni agenti localmente: Ty_l=-685.29 My_l=-14.06
Tensioni nella sezione: σ=170.37 τ=20.77
CC 17 SLV (Collegamento 0024_-381)
Azioni sul collegamento: N=-3838.16 Ty=4.12 Tz=-9.35 Mx=-0.02 Mz=-1.95
Sollecitazioni agenti localmente: Ty_l=-672.64 My_l=-13.78
Tensioni nella sezione: σ=167.01 τ=20.38
CC 17 SLV (Collegamento 0024_-381)
Azioni sul collegamento: N=-3838.16 Ty=0.76 Tz=10.33 Mx=-0.02 Mz=1.23
Sollecitazioni agenti localmente: Ty_l=-685.29 My_l=-14.06
Tensioni nella sezione: σ=170.37 τ=20.77
CC 17 SLV (Collegamento 0024_-381)
Azioni sul collegamento: N=-3838.16 Ty=4.12 Tz=10.33 Mx=-0.02 Mz=-1.95
Sollecitazioni agenti localmente: Ty_l=-672.64 My_l=-13.78
Tensioni nella sezione: σ=167.01 τ=20.38
CC 17 SLV (Collegamento 0024_-381)
Azioni sul collegamento: N=-9123.66 Ty=0.76 Tz=-9.35 Mx=-0.02 Mz=1.23
Sollecitazioni agenti localmente: Ty_l=-1622.27 My_l=-33.26
Tensioni nella sezione: σ=403.19 τ=49.16
CC 17 SLV (Collegamento 0024_-381)
Azioni sul collegamento: N=-9123.66 Ty=4.12 Tz=-9.35 Mx=-0.02 Mz=-1.95
Sollecitazioni agenti localmente: Ty_l=-1609.61 My_l=-32.99
Tensioni nella sezione: σ=399.83 τ=48.78
CC 17 SLV (Collegamento 0024_-381)
Azioni sul collegamento: N=-9123.66 Ty=0.76 Tz=10.33 Mx=-0.02 Mz=1.23
Sollecitazioni agenti localmente: Ty_l=-1622.27 My_l=-33.26
Tensioni nella sezione: σ=403.19 τ=49.16
CC 17 SLV (Collegamento 0024_-381)
Azioni sul collegamento: N=-9123.66 Ty=4.12 Tz=10.33 Mx=-0.02 Mz=-1.95
Sollecitazioni agenti localmente: Ty_l=-1609.61 My_l=-32.99
Tensioni nella sezione: σ=399.83 τ=48.78
CC 18 SLD (Collegamento 0024_-381)
Azioni sul collegamento: N=-5707.53 Ty=3.80 Tz=-2.38 Mx=-0.01 Mz=2.21
Sollecitazioni agenti localmente: Ty_l=-1020.56 My_l=-20.93
Tensioni nella sezione: σ=253.74 τ=30.93
CC 18 SLD (Collegamento 0024_-381)
Azioni sul collegamento: N=-5707.53 Ty=2.77 Tz=-2.38 Mx=-0.01 Mz=1.24
Sollecitazioni agenti localmente: Ty_l=-1016.71 My_l=-20.85
Tensioni nella sezione: σ=252.72 τ=30.81
CC 18 SLD (Collegamento 0024_-381)
Azioni sul collegamento: N=-5707.53 Ty=3.80 Tz=3.62 Mx=-0.01 Mz=2.21
Sollecitazioni agenti localmente: Ty_l=-1020.56 My_l=-20.93
Tensioni nella sezione: σ=253.74 τ=30.93
CC 18 SLD (Collegamento 0024_-381)
Azioni sul collegamento: N=-5707.53 Ty=2.77 Tz=3.62 Mx=-0.01 Mz=1.24
Sollecitazioni agenti localmente: Ty_l=-1016.71 My_l=-20.85
Tensioni nella sezione: σ=252.72 τ=30.81
CC 18 SLD (Collegamento 0024_-381)
Azioni sul collegamento: N=-7319.25 Ty=3.80 Tz=-2.38 Mx=-0.01 Mz=2.21
Sollecitazioni agenti localmente: Ty_l=-1306.28 My_l=-26.79
Tensioni nella sezione: σ=324.74 τ=39.58
CC 18 SLD (Collegamento 0024_-381)
Azioni sul collegamento: N=-7319.25 Ty=2.77 Tz=-2.38 Mx=-0.01 Mz=1.24
Sollecitazioni agenti localmente: Ty_l=-1302.42 My_l=-26.71
Tensioni nella sezione: σ=323.71 τ=39.47
CC 18 SLD (Collegamento 0024_-381)
Azioni sul collegamento: N=-7319.25 Ty=3.80 Tz=3.62 Mx=-0.01 Mz=2.21
Sollecitazioni agenti localmente: Ty_l=-1306.28 My_l=-26.79
Tensioni nella sezione: σ=324.74 τ=39.58
CC 18 SLD (Collegamento 0024_-381)
Azioni sul collegamento: N=-7319.25 Ty=2.77 Tz=3.62 Mx=-0.01 Mz=1.24
Sollecitazioni agenti localmente: Ty_l=-1302.42 My_l=-26.71
Tensioni nella sezione: σ=323.71 τ=39.47
CC 19 SLV (Collegamento 0024_-381)
Azioni sul collegamento: N=-3843.85 Ty=1.39 Tz=-9.22 Mx=-0.02 Mz=-0.03
Sollecitazioni agenti localmente: Ty_l=-681.30 My_l=-13.97
Tensioni nella sezione: σ=169.29 τ=20.65
CC 19 SLV (Collegamento 0024_-381)
Azioni sul collegamento: N=-3843.85 Ty=3.49 Tz=-9.22 Mx=-0.02 Mz=-0.69
Sollecitazioni agenti localmente: Ty_l=-678.65 My_l=-13.91

Tensioni nella sezione: σ=168.59 τ=20.57
CC 19 SLV (Collegamento 0024_-381)
Azioni sul collegamento: N=-3843.85 Ty=1.39 Tz=10.20 Mx=-0.02 Mz=-0.03
Sollecitazioni agenti localmente: Ty_l=-681.30 My_l=-13.97
Tensioni nella sezione: σ=169.29 τ=20.65
CC 19 SLV (Collegamento 0024_-381)
Azioni sul collegamento: N=-3843.85 Ty=3.49 Tz=10.20 Mx=-0.02 Mz=-0.69
Sollecitazioni agenti localmente: Ty_l=-678.65 My_l=-13.91
Tensioni nella sezione: σ=168.59 τ=20.57
CC 19 SLV (Collegamento 0024_-381)
Azioni sul collegamento: N=-9117.97 Ty=1.39 Tz=-9.22 Mx=-0.02 Mz=-0.03
Sollecitazioni agenti localmente: Ty_l=-1616.26 My_l=-33.13
Tensioni nella sezione: σ=401.61 τ=48.98
CC 19 SLV (Collegamento 0024_-381)
Azioni sul collegamento: N=-9117.97 Ty=3.49 Tz=-9.22 Mx=-0.02 Mz=-0.69
Sollecitazioni agenti localmente: Ty_l=-1613.60 My_l=-33.08
Tensioni nella sezione: σ=400.91 τ=48.90
CC 19 SLV (Collegamento 0024_-381)
Azioni sul collegamento: N=-9117.97 Ty=1.39 Tz=10.20 Mx=-0.02 Mz=-0.03
Sollecitazioni agenti localmente: Ty_l=-1616.26 My_l=-33.13
Tensioni nella sezione: σ=401.61 τ=48.98
CC 19 SLV (Collegamento 0024_-381)
Azioni sul collegamento: N=-9117.97 Ty=3.49 Tz=10.20 Mx=-0.02 Mz=-0.69
Sollecitazioni agenti localmente: Ty_l=-1613.60 My_l=-33.08
Tensioni nella sezione: σ=400.91 τ=48.90
CC 20 SLD (Collegamento 0024_-381)
Azioni sul collegamento: N=-5709.27 Ty=3.60 Tz=-2.35 Mx=-0.01 Mz=1.82
Sollecitazioni agenti localmente: Ty_l=-1019.35 My_l=-20.91
Tensioni nella sezione: σ=253.41 τ=30.89
CC 20 SLD (Collegamento 0024_-381)
Azioni sul collegamento: N=-5709.27 Ty=2.97 Tz=-2.35 Mx=-0.01 Mz=1.62
Sollecitazioni agenti localmente: Ty_l=-1018.54 My_l=-20.89
Tensioni nella sezione: σ=253.20 τ=30.86
CC 20 SLD (Collegamento 0024_-381)
Azioni sul collegamento: N=-5709.27 Ty=3.60 Tz=3.58 Mx=-0.01 Mz=1.82
Sollecitazioni agenti localmente: Ty_l=-1019.35 My_l=-20.91
Tensioni nella sezione: σ=253.41 τ=30.89
CC 20 SLD (Collegamento 0024_-381)
Azioni sul collegamento: N=-5709.27 Ty=2.97 Tz=3.58 Mx=-0.01 Mz=1.62
Sollecitazioni agenti localmente: Ty_l=-1018.54 My_l=-20.89
Tensioni nella sezione: σ=253.20 τ=30.86
CC 20 SLD (Collegamento 0024_-381)
Azioni sul collegamento: N=-7317.51 Ty=3.60 Tz=-2.35 Mx=-0.01 Mz=1.82
Sollecitazioni agenti localmente: Ty_l=-1304.45 My_l=-26.75
Tensioni nella sezione: σ=324.26 τ=39.53
CC 20 SLD (Collegamento 0024_-381)
Azioni sul collegamento: N=-7317.51 Ty=2.97 Tz=-2.35 Mx=-0.01 Mz=1.62
Sollecitazioni agenti localmente: Ty_l=-1303.64 My_l=-26.73
Tensioni nella sezione: σ=324.04 τ=39.50
CC 20 SLD (Collegamento 0024_-381)
Azioni sul collegamento: N=-7317.51 Ty=3.60 Tz=3.58 Mx=-0.01 Mz=1.82
Sollecitazioni agenti localmente: Ty_l=-1304.45 My_l=-26.75
Tensioni nella sezione: σ=324.26 τ=39.53
CC 20 SLD (Collegamento 0024_-381)
Azioni sul collegamento: N=-7317.51 Ty=2.97 Tz=3.58 Mx=-0.01 Mz=1.62
Sollecitazioni agenti localmente: Ty_l=-1303.64 My_l=-26.73
Tensioni nella sezione: σ=324.04 τ=39.50
CC 21 SLV (Collegamento 0024_-381)
Azioni sul collegamento: N=-9117.97 Ty=3.49 Tz=10.20 Mx=-0.02 Mz=-0.69
Sollecitazioni agenti localmente: Ty_l=-1613.60 My_l=-33.08
Tensioni nella sezione: σ=400.91 τ=48.90
CC 21 SLV (Collegamento 0024_-381)
Azioni sul collegamento: N=-9117.97 Ty=1.39 Tz=10.20 Mx=-0.02 Mz=-0.03
Sollecitazioni agenti localmente: Ty_l=-1616.26 My_l=-33.13
Tensioni nella sezione: σ=401.61 τ=48.98
CC 21 SLV (Collegamento 0024_-381)
Azioni sul collegamento: N=-9117.97 Ty=3.49 Tz=-9.22 Mx=-0.02 Mz=-0.69
Sollecitazioni agenti localmente: Ty_l=-1613.60 My_l=-33.08
Tensioni nella sezione: σ=400.91 τ=48.90
CC 21 SLV (Collegamento 0024_-381)
Azioni sul collegamento: N=-9117.97 Ty=1.39 Tz=-9.22 Mx=-0.02 Mz=-0.03
Sollecitazioni agenti localmente: Ty_l=-1616.26 My_l=-33.13
Tensioni nella sezione: σ=401.61 τ=48.98
CC 21 SLV (Collegamento 0024_-381)
Azioni sul collegamento: N=-3843.85 Ty=3.49 Tz=10.20 Mx=-0.02 Mz=-0.69
Sollecitazioni agenti localmente: Ty_l=-678.65 My_l=-13.91
Tensioni nella sezione: σ=168.59 τ=20.57
CC 21 SLV (Collegamento 0024_-381)
Azioni sul collegamento: N=-3843.85 Ty=1.39 Tz=10.20 Mx=-0.02 Mz=-0.03
Sollecitazioni agenti localmente: Ty_l=-681.30 My_l=-13.97

Tensioni nella sezione: σ=169.29 τ=20.65
CC 21 SLV (Collegamento 0024_-381)
Azioni sul collegamento: N=-3843.85 Ty=3.49 Tz=-9.22 Mx=-0.02 Mz=-0.69
Sollecitazioni agenti localmente: Ty_l=-678.65 My_l=-13.91
Tensioni nella sezione: σ=168.59 τ=20.57
CC 21 SLV (Collegamento 0024_-381)
Azioni sul collegamento: N=-3843.85 Ty=1.39 Tz=-9.22 Mx=-0.02 Mz=-0.03
Sollecitazioni agenti localmente: Ty_l=-681.30 My_l=-13.97
Tensioni nella sezione: σ=169.29 τ=20.65
CC 22 SLD (Collegamento 0024_-381)
Azioni sul collegamento: N=-7317.51 Ty=2.97 Tz=3.58 Mx=-0.01 Mz=1.62
Sollecitazioni agenti localmente: Ty_l=-1303.64 My_l=-26.73
Tensioni nella sezione: σ=324.04 τ=39.50
CC 22 SLD (Collegamento 0024_-381)
Azioni sul collegamento: N=-7317.51 Ty=3.60 Tz=3.58 Mx=-0.01 Mz=1.82
Sollecitazioni agenti localmente: Ty_l=-1304.45 My_l=-26.75
Tensioni nella sezione: σ=324.26 τ=39.53
CC 22 SLD (Collegamento 0024_-381)
Azioni sul collegamento: N=-7317.51 Ty=2.97 Tz=-2.35 Mx=-0.01 Mz=1.62
Sollecitazioni agenti localmente: Ty_l=-1303.64 My_l=-26.73
Tensioni nella sezione: σ=324.04 τ=39.50
CC 22 SLD (Collegamento 0024_-381)
Azioni sul collegamento: N=-7317.51 Ty=3.60 Tz=-2.35 Mx=-0.01 Mz=1.82
Sollecitazioni agenti localmente: Ty_l=-1304.45 My_l=-26.75
Tensioni nella sezione: σ=324.26 τ=39.53
CC 22 SLD (Collegamento 0024_-381)
Azioni sul collegamento: N=-5709.27 Ty=2.97 Tz=3.58 Mx=-0.01 Mz=1.62
Sollecitazioni agenti localmente: Ty_l=-1018.54 My_l=-20.89
Tensioni nella sezione: σ=253.20 τ=30.86
CC 22 SLD (Collegamento 0024_-381)
Azioni sul collegamento: N=-5709.27 Ty=3.60 Tz=3.58 Mx=-0.01 Mz=1.82
Sollecitazioni agenti localmente: Ty_l=-1019.35 My_l=-20.91
Tensioni nella sezione: σ=253.41 τ=30.89
CC 22 SLD (Collegamento 0024_-381)
Azioni sul collegamento: N=-5709.27 Ty=2.97 Tz=-2.35 Mx=-0.01 Mz=1.62
Sollecitazioni agenti localmente: Ty_l=-1018.54 My_l=-20.89
Tensioni nella sezione: σ=253.20 τ=30.86
CC 22 SLD (Collegamento 0024_-381)
Azioni sul collegamento: N=-5709.27 Ty=3.60 Tz=-2.35 Mx=-0.01 Mz=1.82
Sollecitazioni agenti localmente: Ty_l=-1019.35 My_l=-20.91
Tensioni nella sezione: σ=253.41 τ=30.89
CC 23 SLV (Collegamento 0024_-381)
Azioni sul collegamento: N=-9123.66 Ty=4.12 Tz=10.33 Mx=-0.01 Mz=-1.95
Sollecitazioni agenti localmente: Ty_l=-1609.61 My_l=-32.99
Tensioni nella sezione: σ=399.83 τ=48.78
CC 23 SLV (Collegamento 0024_-381)
Azioni sul collegamento: N=-9123.66 Ty=0.76 Tz=10.33 Mx=-0.01 Mz=1.23
Sollecitazioni agenti localmente: Ty_l=-1622.27 My_l=-33.26
Tensioni nella sezione: σ=403.19 τ=49.16
CC 23 SLV (Collegamento 0024_-381)
Azioni sul collegamento: N=-9123.66 Ty=4.12 Tz=-9.35 Mx=-0.01 Mz=-1.95
Sollecitazioni agenti localmente: Ty_l=-1609.61 My_l=-32.99
Tensioni nella sezione: σ=399.83 τ=48.78
CC 23 SLV (Collegamento 0024_-381)
Azioni sul collegamento: N=-9123.66 Ty=0.76 Tz=-9.35 Mx=-0.01 Mz=1.23
Sollecitazioni agenti localmente: Ty_l=-1622.27 My_l=-33.26
Tensioni nella sezione: σ=403.19 τ=49.16
CC 23 SLV (Collegamento 0024_-381)
Azioni sul collegamento: N=-3838.16 Ty=4.12 Tz=10.33 Mx=-0.01 Mz=-1.95
Sollecitazioni agenti localmente: Ty_l=-672.64 My_l=-13.78
Tensioni nella sezione: σ=167.01 τ=20.38
CC 23 SLV (Collegamento 0024_-381)
Azioni sul collegamento: N=-3838.16 Ty=0.76 Tz=10.33 Mx=-0.01 Mz=1.23
Sollecitazioni agenti localmente: Ty_l=-685.29 My_l=-14.06
Tensioni nella sezione: σ=170.37 τ=20.77
CC 23 SLV (Collegamento 0024_-381)
Azioni sul collegamento: N=-3838.16 Ty=4.12 Tz=-9.35 Mx=-0.01 Mz=-1.95
Sollecitazioni agenti localmente: Ty_l=-672.64 My_l=-13.78
Tensioni nella sezione: σ=167.01 τ=20.38
CC 23 SLV (Collegamento 0024_-381)
Azioni sul collegamento: N=-3838.16 Ty=0.76 Tz=-9.35 Mx=-0.01 Mz=1.23
Sollecitazioni agenti localmente: Ty_l=-685.29 My_l=-14.06
Tensioni nella sezione: σ=170.37 τ=20.77
CC 24 SLD (Collegamento 0024_-381)
Azioni sul collegamento: N=-7319.25 Ty=2.77 Tz=3.62 Mx=-0.01 Mz=1.24
Sollecitazioni agenti localmente: Ty_l=-1302.42 My_l=-26.71
Tensioni nella sezione: σ=323.71 τ=39.47
CC 24 SLD (Collegamento 0024_-381)
Azioni sul collegamento: N=-7319.25 Ty=3.80 Tz=3.62 Mx=-0.01 Mz=2.21
Sollecitazioni agenti localmente: Ty_l=-1306.28 My_l=-26.79

Tensioni nella sezione: σ=324.74 τ=39.58
CC 24 SLD (Collegamento 0024_-381)
Azioni sul collegamento: N=-7319.25 Ty=2.77 Tz=-2.38 Mx=-0.01 Mz=1.24
Sollecitazioni agenti localmente: Ty_l=-1302.42 My_l=-26.71
Tensioni nella sezione: σ=323.71 τ=39.47
CC 24 SLD (Collegamento 0024_-381)
Azioni sul collegamento: N=-7319.25 Ty=3.80 Tz=-2.38 Mx=-0.01 Mz=2.21
Sollecitazioni agenti localmente: Ty_l=-1306.28 My_l=-26.79
Tensioni nella sezione: σ=324.74 τ=39.58
CC 24 SLD (Collegamento 0024_-381)
Azioni sul collegamento: N=-5707.53 Ty=2.77 Tz=3.62 Mx=-0.01 Mz=1.24
Sollecitazioni agenti localmente: Ty_l=-1016.71 My_l=-20.85
Tensioni nella sezione: σ=252.72 τ=30.81
CC 24 SLD (Collegamento 0024_-381)
Azioni sul collegamento: N=-5707.53 Ty=3.80 Tz=3.62 Mx=-0.01 Mz=2.21
Sollecitazioni agenti localmente: Ty_l=-1020.56 My_l=-20.93
Tensioni nella sezione: σ=253.74 τ=30.93
CC 24 SLD (Collegamento 0024_-381)
Azioni sul collegamento: N=-5707.53 Ty=2.77 Tz=-2.38 Mx=-0.01 Mz=1.24
Sollecitazioni agenti localmente: Ty_l=-1016.71 My_l=-20.85
Tensioni nella sezione: σ=252.72 τ=30.81
CC 24 SLD (Collegamento 0024_-381)
Azioni sul collegamento: N=-5707.53 Ty=3.80 Tz=-2.38 Mx=-0.01 Mz=2.21
Sollecitazioni agenti localmente: Ty_l=-1020.56 My_l=-20.93
Tensioni nella sezione: σ=253.74 τ=30.93
CC 25 SLV (Collegamento 0024_-381)
Azioni sul collegamento: N=-5679.46 Ty=0.97 Tz=-2.66 Mx=-0.03 Mz=2.02
Sollecitazioni agenti localmente: Ty_l=-1014.86 My_l=-20.82
Tensioni nella sezione: σ=252.31 τ=30.75
CC 25 SLV (Collegamento 0024_-381)
Azioni sul collegamento: N=-5679.46 Ty=3.91 Tz=-2.66 Mx=-0.03 Mz=-2.74
Sollecitazioni agenti localmente: Ty_l=-995.89 My_l=-20.40
Tensioni nella sezione: σ=247.28 τ=30.18
CC 25 SLV (Collegamento 0024_-381)
Azioni sul collegamento: N=-5679.46 Ty=0.97 Tz=3.63 Mx=-0.03 Mz=2.02
Sollecitazioni agenti localmente: Ty_l=-1014.86 My_l=-20.82
Tensioni nella sezione: σ=252.31 τ=30.75
CC 25 SLV (Collegamento 0024_-381)
Azioni sul collegamento: N=-5679.46 Ty=3.91 Tz=3.63 Mx=-0.03 Mz=-2.74
Sollecitazioni agenti localmente: Ty_l=-995.89 My_l=-20.40
Tensioni nella sezione: σ=247.28 τ=30.18
CC 25 SLV (Collegamento 0024_-381)
Azioni sul collegamento: N=-7282.36 Ty=0.97 Tz=-2.66 Mx=-0.03 Mz=2.02
Sollecitazioni agenti localmente: Ty_l=-1299.01 My_l=-26.64
Tensioni nella sezione: σ=322.92 τ=39.36
CC 25 SLV (Collegamento 0024_-381)
Azioni sul collegamento: N=-7282.36 Ty=3.91 Tz=-2.66 Mx=-0.03 Mz=-2.74
Sollecitazioni agenti localmente: Ty_l=-1280.05 My_l=-26.23
Tensioni nella sezione: σ=317.89 τ=38.79
CC 25 SLV (Collegamento 0024_-381)
Azioni sul collegamento: N=-7282.36 Ty=0.97 Tz=3.63 Mx=-0.03 Mz=2.02
Sollecitazioni agenti localmente: Ty_l=-1299.01 My_l=-26.64
Tensioni nella sezione: σ=322.92 τ=39.36
CC 25 SLV (Collegamento 0024_-381)
Azioni sul collegamento: N=-7282.36 Ty=3.91 Tz=3.63 Mx=-0.03 Mz=-2.74
Sollecitazioni agenti localmente: Ty_l=-1280.05 My_l=-26.23
Tensioni nella sezione: σ=317.89 τ=38.79
CC 26 SLD (Collegamento 0024_-381)
Azioni sul collegamento: N=-6269.00 Ty=3.73 Tz=-0.34 Mx=-0.01 Mz=2.45
Sollecitazioni agenti localmente: Ty_l=-1121.06 My_l=-23.00
Tensioni nella sezione: σ=278.73 τ=33.97
CC 26 SLD (Collegamento 0024_-381)
Azioni sul collegamento: N=-6269.00 Ty=2.84 Tz=-0.34 Mx=-0.01 Mz=0.99
Sollecitazioni agenti localmente: Ty_l=-1115.28 My_l=-22.87
Tensioni nella sezione: σ=277.20 τ=33.80
CC 26 SLD (Collegamento 0024_-381)
Azioni sul collegamento: N=-6269.00 Ty=3.73 Tz=1.57 Mx=-0.01 Mz=2.45
Sollecitazioni agenti localmente: Ty_l=-1121.06 My_l=-23.00
Tensioni nella sezione: σ=278.73 τ=33.97
CC 26 SLD (Collegamento 0024_-381)
Azioni sul collegamento: N=-6269.00 Ty=2.84 Tz=1.57 Mx=-0.01 Mz=0.99
Sollecitazioni agenti localmente: Ty_l=-1115.28 My_l=-22.87
Tensioni nella sezione: σ=277.20 τ=33.80
CC 26 SLD (Collegamento 0024_-381)
Azioni sul collegamento: N=-6757.78 Ty=3.73 Tz=-0.34 Mx=-0.01 Mz=2.45
Sollecitazioni agenti localmente: Ty_l=-1207.71 My_l=-24.77
Tensioni nella sezione: σ=300.26 τ=36.60
CC 26 SLD (Collegamento 0024_-381)
Azioni sul collegamento: N=-6757.78 Ty=2.84 Tz=-0.34 Mx=-0.01 Mz=0.99
Sollecitazioni agenti localmente: Ty_l=-1201.92 My_l=-24.64

Tensioni nella sezione: σ=298.73 τ=36.42
CC 26 SLD (Collegamento 0024_-381)
Azioni sul collegamento: N=-6757.78 Ty=3.73 Tz=1.57 Mx=-0.01 Mz=2.45
Sollecitazioni agenti localmente: Ty_l=-1207.71 My_l=-24.77
Tensioni nella sezione: σ=300.26 τ=36.60
CC 26 SLD (Collegamento 0024_-381)
Azioni sul collegamento: N=-6757.78 Ty=2.84 Tz=1.57 Mx=-0.01 Mz=0.99
Sollecitazioni agenti localmente: Ty_l=-1201.92 My_l=-24.64
Tensioni nella sezione: σ=298.73 τ=36.42
CC 27 SLV (Collegamento 0024_-381)
Azioni sul collegamento: N=-7263.40 Ty=1.79 Tz=3.21 Mx=-0.02 Mz=1.45
Sollecitazioni agenti localmente: Ty_l=-1293.35 My_l=-26.52
Tensioni nella sezione: σ=321.48 τ=39.19
CC 27 SLV (Collegamento 0024_-381)
Azioni sul collegamento: N=-7263.40 Ty=3.09 Tz=3.21 Mx=-0.02 Mz=-2.17
Sollecitazioni agenti localmente: Ty_l=-1278.98 My_l=-26.21
Tensioni nella sezione: σ=317.66 τ=38.76
CC 27 SLV (Collegamento 0024_-381)
Azioni sul collegamento: N=-7263.40 Ty=1.79 Tz=-2.23 Mx=-0.02 Mz=1.45
Sollecitazioni agenti localmente: Ty_l=-1293.35 My_l=-26.52
Tensioni nella sezione: σ=321.48 τ=39.19
CC 27 SLV (Collegamento 0024_-381)
Azioni sul collegamento: N=-7263.40 Ty=3.09 Tz=-2.23 Mx=-0.02 Mz=-2.17
Sollecitazioni agenti localmente: Ty_l=-1278.98 My_l=-26.21
Tensioni nella sezione: σ=317.66 τ=38.76
CC 27 SLV (Collegamento 0024_-381)
Azioni sul collegamento: N=-5698.42 Ty=1.79 Tz=3.21 Mx=-0.02 Mz=1.45
Sollecitazioni agenti localmente: Ty_l=-1015.92 My_l=-20.83
Tensioni nella sezione: σ=252.54 τ=30.79
CC 27 SLV (Collegamento 0024_-381)
Azioni sul collegamento: N=-5698.42 Ty=3.09 Tz=3.21 Mx=-0.02 Mz=-2.17
Sollecitazioni agenti localmente: Ty_l=-1001.55 My_l=-20.52
Tensioni nella sezione: σ=248.72 τ=30.35
CC 27 SLV (Collegamento 0024_-381)
Azioni sul collegamento: N=-5698.42 Ty=1.79 Tz=-2.23 Mx=-0.02 Mz=1.45
Sollecitazioni agenti localmente: Ty_l=-1015.92 My_l=-20.83
Tensioni nella sezione: σ=252.54 τ=30.79
CC 27 SLV (Collegamento 0024_-381)
Azioni sul collegamento: N=-5698.42 Ty=3.09 Tz=-2.23 Mx=-0.02 Mz=-2.17
Sollecitazioni agenti localmente: Ty_l=-1001.55 My_l=-20.52
Tensioni nella sezione: σ=248.72 τ=30.35
CC 28 SLD (Collegamento 0024_-381)
Azioni sul collegamento: N=-6752.00 Ty=3.48 Tz=1.44 Mx=-0.01 Mz=2.27
Sollecitazioni agenti localmente: Ty_l=-1205.98 My_l=-24.74
Tensioni nella sezione: σ=299.82 τ=36.54
CC 28 SLD (Collegamento 0024_-381)
Azioni sul collegamento: N=-6752.00 Ty=3.09 Tz=1.44 Mx=-0.01 Mz=1.17
Sollecitazioni agenti localmente: Ty_l=-1201.60 My_l=-24.64
Tensioni nella sezione: σ=298.66 τ=36.41
CC 28 SLD (Collegamento 0024_-381)
Azioni sul collegamento: N=-6752.00 Ty=3.48 Tz=-0.21 Mx=-0.01 Mz=2.27
Sollecitazioni agenti localmente: Ty_l=-1205.98 My_l=-24.74
Tensioni nella sezione: σ=299.82 τ=36.54
CC 28 SLD (Collegamento 0024_-381)
Azioni sul collegamento: N=-6752.00 Ty=3.09 Tz=-0.21 Mx=-0.01 Mz=1.17
Sollecitazioni agenti localmente: Ty_l=-1201.60 My_l=-24.64
Tensioni nella sezione: σ=298.66 τ=36.41
CC 28 SLD (Collegamento 0024_-381)
Azioni sul collegamento: N=-6274.78 Ty=3.48 Tz=1.44 Mx=-0.01 Mz=2.27
Sollecitazioni agenti localmente: Ty_l=-1121.38 My_l=-23.00
Tensioni nella sezione: σ=278.80 τ=33.98
CC 28 SLD (Collegamento 0024_-381)
Azioni sul collegamento: N=-6274.78 Ty=3.09 Tz=1.44 Mx=-0.01 Mz=1.17
Sollecitazioni agenti localmente: Ty_l=-1117.00 My_l=-22.91
Tensioni nella sezione: σ=277.64 τ=33.85
CC 28 SLD (Collegamento 0024_-381)
Azioni sul collegamento: N=-6274.78 Ty=3.48 Tz=-0.21 Mx=-0.01 Mz=2.27
Sollecitazioni agenti localmente: Ty_l=-1121.38 My_l=-23.00
Tensioni nella sezione: σ=278.80 τ=33.98
CC 28 SLD (Collegamento 0024_-381)
Azioni sul collegamento: N=-6274.78 Ty=3.09 Tz=-0.21 Mx=-0.01 Mz=1.17
Sollecitazioni agenti localmente: Ty_l=-1117.00 My_l=-22.91
Tensioni nella sezione: σ=277.64 τ=33.85
CC 29 SLV (Collegamento 0024_-381)
Azioni sul collegamento: N=-5698.42 Ty=3.09 Tz=-2.23 Mx=-0.01 Mz=-2.17
Sollecitazioni agenti localmente: Ty_l=-1001.55 My_l=-20.52
Tensioni nella sezione: σ=248.72 τ=30.35
CC 29 SLV (Collegamento 0024_-381)
Azioni sul collegamento: N=-5698.42 Ty=1.79 Tz=-2.23 Mx=-0.01 Mz=1.45
Sollecitazioni agenti localmente: Ty_l=-1015.92 My_l=-20.83

Tensioni nella sezione: σ=252.54 τ=30.79
CC 29 SLV (Collegamento 0024_-381)
Azioni sul collegamento: N=-5698.42 Ty=3.09 Tz=3.21 Mx=-0.01 Mz=-2.17
Sollecitazioni agenti localmente: Ty_l=-1001.55 My_l=-20.52
Tensioni nella sezione: σ=248.72 τ=30.35
CC 29 SLV (Collegamento 0024_-381)
Azioni sul collegamento: N=-5698.42 Ty=1.79 Tz=3.21 Mx=-0.01 Mz=1.45
Sollecitazioni agenti localmente: Ty_l=-1015.92 My_l=-20.83
Tensioni nella sezione: σ=252.54 τ=30.79
CC 29 SLV (Collegamento 0024_-381)
Azioni sul collegamento: N=-7263.40 Ty=3.09 Tz=-2.23 Mx=-0.01 Mz=-2.17
Sollecitazioni agenti localmente: Ty_l=-1278.98 My_l=-26.21
Tensioni nella sezione: σ=317.66 τ=38.76
CC 29 SLV (Collegamento 0024_-381)
Azioni sul collegamento: N=-7263.40 Ty=1.79 Tz=-2.23 Mx=-0.01 Mz=1.45
Sollecitazioni agenti localmente: Ty_l=-1293.35 My_l=-26.52
Tensioni nella sezione: σ=321.48 τ=39.19
CC 29 SLV (Collegamento 0024_-381)
Azioni sul collegamento: N=-7263.40 Ty=3.09 Tz=3.21 Mx=-0.01 Mz=-2.17
Sollecitazioni agenti localmente: Ty_l=-1278.98 My_l=-26.21
Tensioni nella sezione: σ=317.66 τ=38.76
CC 29 SLV (Collegamento 0024_-381)
Azioni sul collegamento: N=-7263.40 Ty=1.79 Tz=3.21 Mx=-0.01 Mz=1.45
Sollecitazioni agenti localmente: Ty_l=-1293.35 My_l=-26.52
Tensioni nella sezione: σ=321.48 τ=39.19
CC 30 SLD (Collegamento 0024_-381)
Azioni sul collegamento: N=-6274.78 Ty=3.09 Tz=-0.21 Mx=-0.01 Mz=1.17
Sollecitazioni agenti localmente: Ty_l=-1117.00 My_l=-22.91
Tensioni nella sezione: σ=277.64 τ=33.85
CC 30 SLD (Collegamento 0024_-381)
Azioni sul collegamento: N=-6274.78 Ty=3.48 Tz=-0.21 Mx=-0.01 Mz=2.27
Sollecitazioni agenti localmente: Ty_l=-1121.38 My_l=-23.00
Tensioni nella sezione: σ=278.80 τ=33.98
CC 30 SLD (Collegamento 0024_-381)
Azioni sul collegamento: N=-6274.78 Ty=3.09 Tz=1.44 Mx=-0.01 Mz=1.17
Sollecitazioni agenti localmente: Ty_l=-1117.00 My_l=-22.91
Tensioni nella sezione: σ=277.64 τ=33.85
CC 30 SLD (Collegamento 0024_-381)
Azioni sul collegamento: N=-6274.78 Ty=3.48 Tz=1.44 Mx=-0.01 Mz=2.27
Sollecitazioni agenti localmente: Ty_l=-1121.38 My_l=-23.00
Tensioni nella sezione: σ=278.80 τ=33.98
CC 30 SLD (Collegamento 0024_-381)
Azioni sul collegamento: N=-6752.00 Ty=3.09 Tz=-0.21 Mx=-0.01 Mz=1.17
Sollecitazioni agenti localmente: Ty_l=-1201.60 My_l=-24.64
Tensioni nella sezione: σ=298.66 τ=36.41
CC 30 SLD (Collegamento 0024_-381)
Azioni sul collegamento: N=-6752.00 Ty=3.48 Tz=-0.21 Mx=-0.01 Mz=2.27
Sollecitazioni agenti localmente: Ty_l=-1205.98 My_l=-24.74
Tensioni nella sezione: σ=299.82 τ=36.54
CC 30 SLD (Collegamento 0024_-381)
Azioni sul collegamento: N=-6752.00 Ty=3.09 Tz=1.44 Mx=-0.01 Mz=1.17
Sollecitazioni agenti localmente: Ty_l=-1201.60 My_l=-24.64
Tensioni nella sezione: σ=298.66 τ=36.41
CC 30 SLD (Collegamento 0024_-381)
Azioni sul collegamento: N=-6752.00 Ty=3.48 Tz=1.44 Mx=-0.01 Mz=2.27
Sollecitazioni agenti localmente: Ty_l=-1205.98 My_l=-24.74
Tensioni nella sezione: σ=299.82 τ=36.54
CC 31 SLV (Collegamento 0024_-381)
Azioni sul collegamento: N=-7282.36 Ty=3.91 Tz=3.63 Mx=-0.01 Mz=-2.74
Sollecitazioni agenti localmente: Ty_l=-1280.05 My_l=-26.23
Tensioni nella sezione: σ=317.89 τ=38.79
CC 31 SLV (Collegamento 0024_-381)
Azioni sul collegamento: N=-7282.36 Ty=0.97 Tz=3.63 Mx=-0.01 Mz=2.02
Sollecitazioni agenti localmente: Ty_l=-1299.01 My_l=-26.64
Tensioni nella sezione: σ=322.92 τ=39.36
CC 31 SLV (Collegamento 0024_-381)
Azioni sul collegamento: N=-7282.36 Ty=3.91 Tz=-2.66 Mx=-0.01 Mz=-2.74
Sollecitazioni agenti localmente: Ty_l=-1280.05 My_l=-26.23
Tensioni nella sezione: σ=317.89 τ=38.79
CC 31 SLV (Collegamento 0024_-381)
Azioni sul collegamento: N=-7282.36 Ty=0.97 Tz=-2.66 Mx=-0.01 Mz=2.02
Sollecitazioni agenti localmente: Ty_l=-1299.01 My_l=-26.64
Tensioni nella sezione: σ=322.92 τ=39.36
CC 31 SLV (Collegamento 0024_-381)
Azioni sul collegamento: N=-5679.46 Ty=3.91 Tz=3.63 Mx=-0.01 Mz=-2.74
Sollecitazioni agenti localmente: Ty_l=-995.89 My_l=-20.40
Tensioni nella sezione: σ=247.28 τ=30.18
CC 31 SLV (Collegamento 0024_-381)
Azioni sul collegamento: N=-5679.46 Ty=0.97 Tz=3.63 Mx=-0.01 Mz=2.02
Sollecitazioni agenti localmente: Ty_l=-1014.86 My_l=-20.82

Tensioni nella sezione: σ=252.31 τ=30.75
CC 31 SLV (Collegamento 0024_-381)
Azioni sul collegamento: N=-5679.46 Ty=3.91 Tz=-2.66 Mx=-0.01 Mz=-2.74
Sollecitazioni agenti localmente: Ty_l=-995.89 My_l=-20.40
Tensioni nella sezione: σ=247.28 τ=30.18
CC 31 SLV (Collegamento 0024_-381)
Azioni sul collegamento: N=-5679.46 Ty=0.97 Tz=-2.66 Mx=-0.01 Mz=2.02
Sollecitazioni agenti localmente: Ty_l=-1014.86 My_l=-20.82
Tensioni nella sezione: σ=252.31 τ=30.75
CC 32 SLD (Collegamento 0024_-381)
Azioni sul collegamento: N=-6757.78 Ty=2.84 Tz=1.57 Mx=-0.00 Mz=0.99
Sollecitazioni agenti localmente: Ty_l=-1201.92 My_l=-24.64
Tensioni nella sezione: σ=298.73 τ=36.42
CC 32 SLD (Collegamento 0024_-381)
Azioni sul collegamento: N=-6757.78 Ty=3.73 Tz=1.57 Mx=-0.00 Mz=2.45
Sollecitazioni agenti localmente: Ty_l=-1207.71 My_l=-24.77
Tensioni nella sezione: σ=300.26 τ=36.60
CC 32 SLD (Collegamento 0024_-381)
Azioni sul collegamento: N=-6757.78 Ty=2.84 Tz=-0.34 Mx=-0.00 Mz=0.99
Sollecitazioni agenti localmente: Ty_l=-1201.92 My_l=-24.64
Tensioni nella sezione: σ=298.73 τ=36.42
CC 32 SLD (Collegamento 0024_-381)
Azioni sul collegamento: N=-6757.78 Ty=3.73 Tz=-0.34 Mx=-0.00 Mz=2.45
Sollecitazioni agenti localmente: Ty_l=-1207.71 My_l=-24.77
Tensioni nella sezione: σ=300.26 τ=36.60
CC 32 SLD (Collegamento 0024_-381)
Azioni sul collegamento: N=-6269.00 Ty=2.84 Tz=1.57 Mx=-0.00 Mz=0.99
Sollecitazioni agenti localmente: Ty_l=-1115.28 My_l=-22.87
Tensioni nella sezione: σ=277.20 τ=33.80
CC 32 SLD (Collegamento 0024_-381)
Azioni sul collegamento: N=-6269.00 Ty=3.73 Tz=1.57 Mx=-0.00 Mz=2.45
Sollecitazioni agenti localmente: Ty_l=-1121.06 My_l=-23.00
Tensioni nella sezione: σ=278.73 τ=33.97
CC 32 SLD (Collegamento 0024_-381)
Azioni sul collegamento: N=-6269.00 Ty=2.84 Tz=-0.34 Mx=-0.00 Mz=0.99
Sollecitazioni agenti localmente: Ty_l=-1115.28 My_l=-22.87
Tensioni nella sezione: σ=277.20 τ=33.80
CC 32 SLD (Collegamento 0024_-381)
Azioni sul collegamento: N=-6269.00 Ty=3.73 Tz=-0.34 Mx=-0.00 Mz=2.45
Sollecitazioni agenti localmente: Ty_l=-1121.06 My_l=-23.00
Tensioni nella sezione: σ=278.73 τ=33.97
CC 33 SLU (Collegamento 0024_-381)
Azioni sul collegamento: N=-30229.20 Ty=5.39 Tz=79.58 Mx=-0.01 Mz=3.85
Sollecitazioni agenti localmente: Ty_l=-5374.11 My_l=-110.19
Tensioni nella sezione: σ=1335.64 τ=162.85
CC 34 SLU (Collegamento 0024_-381)
Azioni sul collegamento: N=-30778.60 Ty=5.67 Tz=81.62 Mx=-0.01 Mz=4.05
Sollecitazioni agenti localmente: Ty_l=-5472.30 My_l=-112.20
Tensioni nella sezione: σ=1360.06 τ=165.83
CC 35 SLU (Collegamento 0024_-381)
Azioni sul collegamento: N=-30504.90 Ty=5.64 Tz=80.58 Mx=-0.01 Mz=4.16
Sollecitazioni agenti localmente: Ty_l=-5424.25 My_l=-111.22
Tensioni nella sezione: σ=1348.13 τ=164.37
CC 36 SLU (Collegamento 0024_-381)
Azioni sul collegamento: N=-30502.90 Ty=5.42 Tz=80.62 Mx=-0.01 Mz=3.73
Sollecitazioni agenti localmente: Ty_l=-5422.17 My_l=-111.17
Tensioni nella sezione: σ=1347.58 τ=164.31
CC 37 SLU (Collegamento 0024_-381)
Azioni sul collegamento: N=-32152.70 Ty=5.24 Tz=86.01 Mx=0.00 Mz=3.86
Sollecitazioni agenti localmente: Ty_l=-5715.14 My_l=-117.18
Tensioni nella sezione: σ=1420.39 τ=173.19
CC 38 SLU (Collegamento 0024_-381)
Azioni sul collegamento: N=-32702.10 Ty=5.53 Tz=88.04 Mx=0.00 Mz=4.06
Sollecitazioni agenti localmente: Ty_l=-5813.33 My_l=-119.20
Tensioni nella sezione: σ=1444.80 τ=176.16
CC 39 SLU (Collegamento 0024_-381)
Azioni sul collegamento: N=-32428.40 Ty=5.50 Tz=87.00 Mx=0.00 Mz=4.18
Sollecitazioni agenti localmente: Ty_l=-5765.28 My_l=-118.21
Tensioni nella sezione: σ=1432.87 τ=174.71
CC 40 SLU (Collegamento 0024_-381)
Azioni sul collegamento: N=-32426.40 Ty=5.28 Tz=87.05 Mx=0.00 Mz=3.74
Sollecitazioni agenti localmente: Ty_l=-5763.20 My_l=-118.17
Tensioni nella sezione: σ=1432.32 τ=174.64
CC 41 SLU (Collegamento 0024_-381)
Azioni sul collegamento: N=-20958.20 Ty=6.23 Tz=45.50 Mx=-0.01 Mz=4.43
Sollecitazioni agenti localmente: Ty_l=-3732.94 My_l=-76.55
Tensioni nella sezione: σ=927.88 τ=113.12
CC 42 SLU (Collegamento 0024_-381)
Azioni sul collegamento: N=-21507.60 Ty=6.52 Tz=47.54 Mx=-0.01 Mz=4.63
Sollecitazioni agenti localmente: Ty_l=-3831.14 My_l=-78.56

Tensioni nella sezione: σ=952.29 τ=116.09
CC 43 SLU (Collegamento 0024_-381)
Azioni sul collegamento: N=-21233.90 Ty=6.48 Tz=46.50 Mx=-0.01 Mz=4.75
Sollecitazioni agenti localmente: Ty_l=-3783.08 My_l=-77.58
Tensioni nella sezione: σ=940.36 τ=114.64
CC 44 SLU (Collegamento 0024_-381)
Azioni sul collegamento: N=-21231.90 Ty=6.26 Tz=46.54 Mx=-0.01 Mz=4.31
Sollecitazioni agenti localmente: Ty_l=-3781.00 My_l=-77.53
Tensioni nella sezione: σ=939.81 τ=114.58
CC 45 SLU (Collegamento 0024_-381)
Azioni sul collegamento: N=-23044.60 Ty=5.94 Tz=53.22 Mx=-0.01 Mz=4.28
Sollecitazioni agenti localmente: Ty_l=-4102.22 My_l=-84.12
Tensioni nella sezione: σ=1019.63 τ=124.31
CC 46 SLU (Collegamento 0024_-381)
Azioni sul collegamento: N=-23594.00 Ty=6.22 Tz=55.25 Mx=-0.01 Mz=4.49
Sollecitazioni agenti localmente: Ty_l=-4200.42 My_l=-86.13
Tensioni nella sezione: σ=1044.04 τ=127.28
CC 47 SLU (Collegamento 0024_-381)
Azioni sul collegamento: N=-23320.30 Ty=6.19 Tz=54.21 Mx=-0.01 Mz=4.60
Sollecitazioni agenti localmente: Ty_l=-4152.36 My_l=-85.15
Tensioni nella sezione: σ=1032.11 τ=125.83
CC 48 SLU (Collegamento 0024_-381)
Azioni sul collegamento: N=-23318.30 Ty=5.97 Tz=54.26 Mx=-0.01 Mz=4.17
Sollecitazioni agenti localmente: Ty_l=-4150.28 My_l=-85.10
Tensioni nella sezione: σ=1031.56 τ=125.77
CC 49 SLU (Collegamento 0024_-381)
Azioni sul collegamento: N=-24483.70 Ty=5.83 Tz=58.03 Mx=0.00 Mz=4.29
Sollecitazioni agenti localmente: Ty_l=-4357.36 My_l=-89.35
Tensioni nella sezione: σ=1083.03 τ=132.04
CC 50 SLU (Collegamento 0024_-381)
Azioni sul collegamento: N=-25033.00 Ty=6.12 Tz=60.06 Mx=0.00 Mz=4.50
Sollecitazioni agenti localmente: Ty_l=-4455.56 My_l=-91.36
Tensioni nella sezione: σ=1107.44 τ=135.02
CC 51 SLU (Collegamento 0024_-381)
Azioni sul collegamento: N=-24759.30 Ty=6.08 Tz=59.02 Mx=-0.00 Mz=4.61
Sollecitazioni agenti localmente: Ty_l=-4407.50 My_l=-90.38
Tensioni nella sezione: σ=1095.51 τ=133.56
CC 52 SLU (Collegamento 0024_-381)
Azioni sul collegamento: N=-24757.40 Ty=5.87 Tz=59.07 Mx=0.00 Mz=4.18
Sollecitazioni agenti localmente: Ty_l=-4405.42 My_l=-90.33
Tensioni nella sezione: σ=1094.96 τ=133.50
CC 53 SLU (Collegamento 0024_-381)
Azioni sul collegamento: N=-16108.60 Ty=6.57 Tz=27.72 Mx=-0.01 Mz=4.72
Sollecitazioni agenti localmente: Ty_l=-2874.39 My_l=-58.95
Tensioni nella sezione: σ=714.56 τ=87.10
CC 54 SLU (Collegamento 0024_-381)
Azioni sul collegamento: N=-16657.90 Ty=6.86 Tz=29.76 Mx=-0.01 Mz=4.92
Sollecitazioni agenti localmente: Ty_l=-2972.58 My_l=-60.97
Tensioni nella sezione: σ=738.97 τ=90.08
CC 55 SLU (Collegamento 0024_-381)
Azioni sul collegamento: N=-16384.20 Ty=6.82 Tz=28.72 Mx=-0.01 Mz=5.04
Sollecitazioni agenti localmente: Ty_l=-2924.53 My_l=-59.98
Tensioni nella sezione: σ=727.04 τ=88.62
CC 56 SLU (Collegamento 0024_-381)
Azioni sul collegamento: N=-16382.30 Ty=6.60 Tz=28.76 Mx=-0.01 Mz=4.60
Sollecitazioni agenti localmente: Ty_l=-2922.44 My_l=-59.94
Tensioni nella sezione: σ=726.49 τ=88.56
CC 57 SLU (Collegamento 0024_-381)
Azioni sul collegamento: N=-23426.90 Ty=6.35 Tz=54.67 Mx=-0.01 Mz=4.58
Sollecitazioni agenti localmente: Ty_l=-4171.16 My_l=-85.53
Tensioni nella sezione: σ=1036.78 τ=126.40
CC 58 SLU (Collegamento 0024_-381)
Azioni sul collegamento: N=-23976.20 Ty=6.64 Tz=56.70 Mx=-0.01 Mz=4.78
Sollecitazioni agenti localmente: Ty_l=-4269.36 My_l=-87.55
Tensioni nella sezione: σ=1061.19 τ=129.37
CC 59 SLU (Collegamento 0024_-381)
Azioni sul collegamento: N=-23702.50 Ty=6.61 Tz=55.66 Mx=-0.01 Mz=4.90
Sollecitazioni agenti localmente: Ty_l=-4221.30 My_l=-86.56
Tensioni nella sezione: σ=1049.26 τ=127.92
CC 60 SLU (Collegamento 0024_-381)
Azioni sul collegamento: N=-23700.60 Ty=6.39 Tz=55.71 Mx=-0.01 Mz=4.46
Sollecitazioni agenti localmente: Ty_l=-4219.22 My_l=-86.52
Tensioni nella sezione: σ=1048.71 τ=127.86
CC 61 SLU (Collegamento 0024_-381)
Azioni sul collegamento: N=-24865.90 Ty=6.25 Tz=59.47 Mx=0.00 Mz=4.59
Sollecitazioni agenti localmente: Ty_l=-4426.30 My_l=-90.76
Tensioni nella sezione: σ=1100.18 τ=134.13
CC 62 SLU (Collegamento 0024_-381)
Azioni sul collegamento: N=-25415.30 Ty=6.53 Tz=61.51 Mx=-0.00 Mz=4.79
Sollecitazioni agenti localmente: Ty_l=-4524.50 My_l=-92.78

Tensioni nella sezione: σ=1124.59 τ=137.11
CC 63 SLU (Collegamento 0024_-381)
Azioni sul collegamento: N=-25141.60 Ty=6.50 Tz=60.47 Mx=-0.00 Mz=4.91
Sollecitazioni agenti localmente: Ty_l=-4476.44 My_l=-91.79
Tensioni nella sezione: σ=1112.66 τ=135.65
CC 64 SLU (Collegamento 0024_-381)
Azioni sul collegamento: N=-25139.60 Ty=6.28 Tz=60.51 Mx=0.00 Mz=4.47
Sollecitazioni agenti localmente: Ty_l=-4474.36 My_l=-91.75
Tensioni nella sezione: σ=1112.11 τ=135.59
CC 65 SLU (Collegamento 0024_-381)
Azioni sul collegamento: N=-16490.80 Ty=6.99 Tz=29.17 Mx=-0.01 Mz=5.02
Sollecitazioni agenti localmente: Ty_l=-2943.33 My_l=-60.37
Tensioni nella sezione: σ=731.71 τ=89.19
CC 66 SLU (Collegamento 0024_-381)
Azioni sul collegamento: N=-17040.20 Ty=7.27 Tz=31.20 Mx=-0.01 Mz=5.22
Sollecitazioni agenti localmente: Ty_l=-3041.52 My_l=-62.38
Tensioni nella sezione: σ=756.12 τ=92.17
CC 67 SLU (Collegamento 0024_-381)
Azioni sul collegamento: N=-16766.50 Ty=7.24 Tz=30.16 Mx=-0.01 Mz=5.34
Sollecitazioni agenti localmente: Ty_l=-2993.46 My_l=-61.40
Tensioni nella sezione: σ=744.19 τ=90.71
CC 68 SLU (Collegamento 0024_-381)
Azioni sul collegamento: N=-16764.50 Ty=7.02 Tz=30.21 Mx=-0.01 Mz=4.90
Sollecitazioni agenti localmente: Ty_l=-2991.38 My_l=-61.35
Tensioni nella sezione: σ=743.64 τ=90.65
CC 97 SLU (Collegamento 0024_-381)
Azioni sul collegamento: N=-10609.80 Ty=16.63 Tz=15.80 Mx=0.03 Mz=19.66
Sollecitazioni agenti localmente: Ty_l=-1959.03 My_l=-40.27
Tensioni nella sezione: σ=488.12 τ=59.36
CC 98 SLU (Collegamento 0024_-381)
Azioni sul collegamento: N=-11159.10 Ty=16.91 Tz=17.84 Mx=0.03 Mz=19.86
Sollecitazioni agenti localmente: Ty_l=-2057.22 My_l=-42.28
Tensioni nella sezione: σ=512.53 τ=62.34
CC 99 SLU (Collegamento 0024_-381)
Azioni sul collegamento: N=-10885.40 Ty=16.88 Tz=16.80 Mx=0.03 Mz=19.98
Sollecitazioni agenti localmente: Ty_l=-2009.17 My_l=-41.30
Tensioni nella sezione: σ=500.60 τ=60.88
CC 100 SLU (Collegamento 0024_-381)
Azioni sul collegamento: N=-10883.50 Ty=16.66 Tz=16.84 Mx=0.03 Mz=19.55
Sollecitazioni agenti localmente: Ty_l=-2007.08 My_l=-41.25
Tensioni nella sezione: σ=500.05 τ=60.82
CC 101 SLU (Collegamento 0024_-381)
Azioni sul collegamento: N=-6606.14 Ty=1.32 Tz=0.91 Mx=-0.01 Mz=0.13
Sollecitazioni agenti localmente: Ty_l=-1171.61 My_l=-24.02
Tensioni nella sezione: σ=291.13 τ=35.50
CC 102 SLU (Collegamento 0024_-381)
Azioni sul collegamento: N=-7155.53 Ty=1.61 Tz=2.94 Mx=-0.01 Mz=0.33
Sollecitazioni agenti localmente: Ty_l=-1269.80 My_l=-26.03
Tensioni nella sezione: σ=315.55 τ=38.48
CC 103 SLU (Collegamento 0024_-381)
Azioni sul collegamento: N=-6881.82 Ty=1.58 Tz=1.90 Mx=-0.01 Mz=0.45
Sollecitazioni agenti localmente: Ty_l=-1221.74 My_l=-25.05
Tensioni nella sezione: σ=303.62 τ=37.02
CC 104 SLU (Collegamento 0024_-381)
Azioni sul collegamento: N=-6879.85 Ty=1.36 Tz=1.95 Mx=-0.01 Mz=0.01
Sollecitazioni agenti localmente: Ty_l=-1219.66 My_l=-25.00
Tensioni nella sezione: σ=303.07 τ=36.96

Flessione attacco sinistro piastra

Bnetta=220.00 Hnetta=15.00
CC 1 SLV (Collegamento 0024_-381)
Azioni sul collegamento: N=-3931.62 Ty=6.55 Tz=-8.98 Mx=0.01 Mz=7.22
Sollecitazioni agenti localmente: Ty_l=-668.25 My_l=-13.66
Tensioni nella sezione: σ=165.56 τ=20.25
CC 1 SLV (Collegamento 0024_-381)
Azioni sul collegamento: N=-3931.62 Ty=3.19 Tz=-8.98 Mx=0.01 Mz=4.04
Sollecitazioni agenti localmente: Ty_l=-680.91 My_l=-13.94
Tensioni nella sezione: σ=168.92 τ=20.63
CC 1 SLV (Collegamento 0024_-381)
Azioni sul collegamento: N=-3931.62 Ty=6.55 Tz=10.69 Mx=0.01 Mz=7.22
Sollecitazioni agenti localmente: Ty_l=-668.25 My_l=-13.66
Tensioni nella sezione: σ=165.56 τ=20.25
CC 1 SLV (Collegamento 0024_-381)
Azioni sul collegamento: N=-3931.62 Ty=3.19 Tz=10.69 Mx=0.01 Mz=4.04
Sollecitazioni agenti localmente: Ty_l=-680.91 My_l=-13.94
Tensioni nella sezione: σ=168.92 τ=20.63
CC 1 SLV (Collegamento 0024_-381)
Azioni sul collegamento: N=-9217.12 Ty=6.55 Tz=-8.98 Mx=0.01 Mz=7.22
Sollecitazioni agenti localmente: Ty_l=-1605.22 My_l=-32.87

Tensioni nella sezione: σ=398.39 τ=48.64
CC 1 SLV (Collegamento 0024_-381)
Azioni sul collegamento: N=-9217.12 Ty=3.19 Tz=-8.98 Mx=0.01 Mz=4.04
Sollecitazioni agenti localmente: Ty_l=-1617.88 My_l=-33.14
Tensioni nella sezione: σ=401.75 τ=49.03
CC 1 SLV (Collegamento 0024_-381)
Azioni sul collegamento: N=-9217.12 Ty=6.55 Tz=10.69 Mx=0.01 Mz=7.22
Sollecitazioni agenti localmente: Ty_l=-1605.22 My_l=-32.87
Tensioni nella sezione: σ=398.39 τ=48.64
CC 1 SLV (Collegamento 0024_-381)
Azioni sul collegamento: N=-9217.12 Ty=3.19 Tz=10.69 Mx=0.01 Mz=4.04
Sollecitazioni agenti localmente: Ty_l=-1617.88 My_l=-33.14
Tensioni nella sezione: σ=401.75 τ=49.03
CC 2 SLD (Collegamento 0024_-381)
Azioni sul collegamento: N=-5736.03 Ty=4.54 Tz=-2.27 Mx=0.00 Mz=4.03
Sollecitazioni agenti localmente: Ty_l=-1000.80 My_l=-20.49
Tensioni nella sezione: σ=248.41 τ=30.33
CC 2 SLD (Collegamento 0024_-381)
Azioni sul collegamento: N=-5736.03 Ty=3.51 Tz=-2.27 Mx=0.00 Mz=3.06
Sollecitazioni agenti localmente: Ty_l=-1004.66 My_l=-20.58
Tensioni nella sezione: σ=249.44 τ=30.44
CC 2 SLD (Collegamento 0024_-381)
Azioni sul collegamento: N=-5736.03 Ty=4.54 Tz=3.73 Mx=0.00 Mz=4.03
Sollecitazioni agenti localmente: Ty_l=-1000.80 My_l=-20.49
Tensioni nella sezione: σ=248.41 τ=30.33
CC 2 SLD (Collegamento 0024_-381)
Azioni sul collegamento: N=-5736.03 Ty=3.51 Tz=3.73 Mx=0.00 Mz=3.06
Sollecitazioni agenti localmente: Ty_l=-1004.66 My_l=-20.58
Tensioni nella sezione: σ=249.44 τ=30.44
CC 2 SLD (Collegamento 0024_-381)
Azioni sul collegamento: N=-7347.75 Ty=4.54 Tz=-2.27 Mx=0.00 Mz=4.03
Sollecitazioni agenti localmente: Ty_l=-1286.51 My_l=-26.35
Tensioni nella sezione: σ=319.41 τ=38.99
CC 2 SLD (Collegamento 0024_-381)
Azioni sul collegamento: N=-7347.75 Ty=3.51 Tz=-2.27 Mx=0.00 Mz=3.06
Sollecitazioni agenti localmente: Ty_l=-1290.37 My_l=-26.44
Tensioni nella sezione: σ=320.43 τ=39.10
CC 2 SLD (Collegamento 0024_-381)
Azioni sul collegamento: N=-7347.75 Ty=4.54 Tz=3.73 Mx=0.00 Mz=4.03
Sollecitazioni agenti localmente: Ty_l=-1286.51 My_l=-26.35
Tensioni nella sezione: σ=319.41 τ=38.99
CC 2 SLD (Collegamento 0024_-381)
Azioni sul collegamento: N=-7347.75 Ty=3.51 Tz=3.73 Mx=0.00 Mz=3.06
Sollecitazioni agenti localmente: Ty_l=-1290.37 My_l=-26.44
Tensioni nella sezione: σ=320.43 τ=39.10
CC 3 SLV (Collegamento 0024_-381)
Azioni sul collegamento: N=-3937.31 Ty=5.92 Tz=-8.85 Mx=0.01 Mz=5.96
Sollecitazioni agenti localmente: Ty_l=-674.26 My_l=-13.79
Tensioni nella sezione: σ=167.14 τ=20.43
CC 3 SLV (Collegamento 0024_-381)
Azioni sul collegamento: N=-3937.31 Ty=3.82 Tz=-8.85 Mx=0.01 Mz=5.30
Sollecitazioni agenti localmente: Ty_l=-676.91 My_l=-13.85
Tensioni nella sezione: σ=167.84 τ=20.51
CC 3 SLV (Collegamento 0024_-381)
Azioni sul collegamento: N=-3937.31 Ty=5.92 Tz=10.56 Mx=0.01 Mz=5.96
Sollecitazioni agenti localmente: Ty_l=-674.26 My_l=-13.79
Tensioni nella sezione: σ=167.14 τ=20.43
CC 3 SLV (Collegamento 0024_-381)
Azioni sul collegamento: N=-3937.31 Ty=3.82 Tz=10.56 Mx=0.01 Mz=5.30
Sollecitazioni agenti localmente: Ty_l=-676.91 My_l=-13.85
Tensioni nella sezione: σ=167.84 τ=20.51
CC 3 SLV (Collegamento 0024_-381)
Azioni sul collegamento: N=-9211.43 Ty=5.92 Tz=-8.85 Mx=0.01 Mz=5.96
Sollecitazioni agenti localmente: Ty_l=-1609.22 My_l=-32.96
Tensioni nella sezione: σ=399.46 τ=48.76
CC 3 SLV (Collegamento 0024_-381)
Azioni sul collegamento: N=-9211.43 Ty=3.82 Tz=-8.85 Mx=0.01 Mz=5.30
Sollecitazioni agenti localmente: Ty_l=-1611.87 My_l=-33.01
Tensioni nella sezione: σ=400.17 τ=48.84
CC 3 SLV (Collegamento 0024_-381)
Azioni sul collegamento: N=-9211.43 Ty=5.92 Tz=10.56 Mx=0.01 Mz=5.96
Sollecitazioni agenti localmente: Ty_l=-1609.22 My_l=-32.96
Tensioni nella sezione: σ=399.46 τ=48.76
CC 3 SLV (Collegamento 0024_-381)
Azioni sul collegamento: N=-9211.43 Ty=3.82 Tz=10.56 Mx=0.01 Mz=5.30
Sollecitazioni agenti localmente: Ty_l=-1611.87 My_l=-33.01
Tensioni nella sezione: σ=400.17 τ=48.84
CC 4 SLD (Collegamento 0024_-381)
Azioni sul collegamento: N=-5737.77 Ty=4.34 Tz=-2.23 Mx=0.00 Mz=3.65
Sollecitazioni agenti localmente: Ty_l=-1002.63 My_l=-20.53

Tensioni nella sezione: σ=248.89 τ=30.38
CC 4 SLD (Collegamento 0024_-381)
Azioni sul collegamento: N=-5737.77 Ty=3.71 Tz=-2.23 Mx=0.00 Mz=3.45
Sollecitazioni agenti localmente: Ty_l=-1003.44 My_l=-20.55
Tensioni nella sezione: σ=249.11 τ=30.41
CC 4 SLD (Collegamento 0024_-381)
Azioni sul collegamento: N=-5737.77 Ty=4.34 Tz=3.69 Mx=0.00 Mz=3.65
Sollecitazioni agenti localmente: Ty_l=-1002.63 My_l=-20.53
Tensioni nella sezione: σ=248.89 τ=30.38
CC 4 SLD (Collegamento 0024_-381)
Azioni sul collegamento: N=-5737.77 Ty=3.71 Tz=3.69 Mx=0.00 Mz=3.45
Sollecitazioni agenti localmente: Ty_l=-1003.44 My_l=-20.55
Tensioni nella sezione: σ=249.11 τ=30.41
CC 4 SLD (Collegamento 0024_-381)
Azioni sul collegamento: N=-7346.01 Ty=4.34 Tz=-2.23 Mx=0.00 Mz=3.65
Sollecitazioni agenti localmente: Ty_l=-1287.73 My_l=-26.38
Tensioni nella sezione: σ=319.74 τ=39.02
CC 4 SLD (Collegamento 0024_-381)
Azioni sul collegamento: N=-7346.01 Ty=3.71 Tz=-2.23 Mx=0.00 Mz=3.45
Sollecitazioni agenti localmente: Ty_l=-1288.54 My_l=-26.40
Tensioni nella sezione: σ=319.95 τ=39.05
CC 4 SLD (Collegamento 0024_-381)
Azioni sul collegamento: N=-7346.01 Ty=4.34 Tz=3.69 Mx=0.00 Mz=3.65
Sollecitazioni agenti localmente: Ty_l=-1287.73 My_l=-26.38
Tensioni nella sezione: σ=319.74 τ=39.02
CC 4 SLD (Collegamento 0024_-381)
Azioni sul collegamento: N=-7346.01 Ty=3.71 Tz=3.69 Mx=0.00 Mz=3.45
Sollecitazioni agenti localmente: Ty_l=-1288.54 My_l=-26.40
Tensioni nella sezione: σ=319.95 τ=39.05
CC 5 SLV (Collegamento 0024_-381)
Azioni sul collegamento: N=-9211.43 Ty=3.82 Tz=10.56 Mx=0.01 Mz=5.30
Sollecitazioni agenti localmente: Ty_l=-1611.87 My_l=-33.01
Tensioni nella sezione: σ=400.17 τ=48.84
CC 5 SLV (Collegamento 0024_-381)
Azioni sul collegamento: N=-9211.43 Ty=5.92 Tz=10.56 Mx=0.01 Mz=5.96
Sollecitazioni agenti localmente: Ty_l=-1609.22 My_l=-32.96
Tensioni nella sezione: σ=399.46 τ=48.76
CC 5 SLV (Collegamento 0024_-381)
Azioni sul collegamento: N=-9211.43 Ty=3.82 Tz=-8.85 Mx=0.01 Mz=5.30
Sollecitazioni agenti localmente: Ty_l=-1611.87 My_l=-33.01
Tensioni nella sezione: σ=400.17 τ=48.84
CC 5 SLV (Collegamento 0024_-381)
Azioni sul collegamento: N=-9211.43 Ty=5.92 Tz=-8.85 Mx=0.01 Mz=5.96
Sollecitazioni agenti localmente: Ty_l=-1609.22 My_l=-32.96
Tensioni nella sezione: σ=399.46 τ=48.76
CC 5 SLV (Collegamento 0024_-381)
Azioni sul collegamento: N=-3937.31 Ty=3.82 Tz=10.56 Mx=0.01 Mz=5.30
Sollecitazioni agenti localmente: Ty_l=-676.91 My_l=-13.85
Tensioni nella sezione: σ=167.84 τ=20.51
CC 5 SLV (Collegamento 0024_-381)
Azioni sul collegamento: N=-3937.31 Ty=5.92 Tz=10.56 Mx=0.01 Mz=5.96
Sollecitazioni agenti localmente: Ty_l=-674.26 My_l=-13.79
Tensioni nella sezione: σ=167.14 τ=20.43
CC 5 SLV (Collegamento 0024_-381)
Azioni sul collegamento: N=-3937.31 Ty=3.82 Tz=-8.85 Mx=0.01 Mz=5.30
Sollecitazioni agenti localmente: Ty_l=-676.91 My_l=-13.85
Tensioni nella sezione: σ=167.84 τ=20.51
CC 5 SLV (Collegamento 0024_-381)
Azioni sul collegamento: N=-3937.31 Ty=5.92 Tz=-8.85 Mx=0.01 Mz=5.96
Sollecitazioni agenti localmente: Ty_l=-674.26 My_l=-13.79
Tensioni nella sezione: σ=167.14 τ=20.43
CC 6 SLD (Collegamento 0024_-381)
Azioni sul collegamento: N=-7346.01 Ty=3.71 Tz=3.69 Mx=0.00 Mz=3.45
Sollecitazioni agenti localmente: Ty_l=-1288.54 My_l=-26.40
Tensioni nella sezione: σ=319.95 τ=39.05
CC 6 SLD (Collegamento 0024_-381)
Azioni sul collegamento: N=-7346.01 Ty=4.34 Tz=3.69 Mx=0.00 Mz=3.65
Sollecitazioni agenti localmente: Ty_l=-1287.73 My_l=-26.38
Tensioni nella sezione: σ=319.74 τ=39.02
CC 6 SLD (Collegamento 0024_-381)
Azioni sul collegamento: N=-7346.01 Ty=3.71 Tz=-2.23 Mx=0.00 Mz=3.45
Sollecitazioni agenti localmente: Ty_l=-1288.54 My_l=-26.40
Tensioni nella sezione: σ=319.95 τ=39.05
CC 6 SLD (Collegamento 0024_-381)
Azioni sul collegamento: N=-7346.01 Ty=4.34 Tz=-2.23 Mx=0.00 Mz=3.65
Sollecitazioni agenti localmente: Ty_l=-1287.73 My_l=-26.38
Tensioni nella sezione: σ=319.74 τ=39.02
CC 6 SLD (Collegamento 0024_-381)
Azioni sul collegamento: N=-5737.77 Ty=3.71 Tz=3.69 Mx=0.00 Mz=3.45
Sollecitazioni agenti localmente: Ty_l=-1003.44 My_l=-20.55

Tensioni nella sezione: σ=249.11 τ=30.41
CC 6 SLD (Collegamento 0024_-381)
Azioni sul collegamento: N=-5737.77 Ty=4.34 Tz=3.69 Mx=0.00 Mz=3.65
Sollecitazioni agenti localmente: Ty_l=-1002.63 My_l=-20.53
Tensioni nella sezione: σ=248.89 τ=30.38
CC 6 SLD (Collegamento 0024_-381)
Azioni sul collegamento: N=-5737.77 Ty=3.71 Tz=-2.23 Mx=0.00 Mz=3.45
Sollecitazioni agenti localmente: Ty_l=-1003.44 My_l=-20.55
Tensioni nella sezione: σ=249.11 τ=30.41
CC 6 SLD (Collegamento 0024_-381)
Azioni sul collegamento: N=-5737.77 Ty=4.34 Tz=-2.23 Mx=0.00 Mz=3.65
Sollecitazioni agenti localmente: Ty_l=-1002.63 My_l=-20.53
Tensioni nella sezione: σ=248.89 τ=30.38
CC 7 SLV (Collegamento 0024_-381)
Azioni sul collegamento: N=-9217.12 Ty=3.19 Tz=10.69 Mx=0.01 Mz=4.04
Sollecitazioni agenti localmente: Ty_l=-1617.88 My_l=-33.14
Tensioni nella sezione: σ=401.75 τ=49.03
CC 7 SLV (Collegamento 0024_-381)
Azioni sul collegamento: N=-9217.12 Ty=6.55 Tz=10.69 Mx=0.01 Mz=7.22
Sollecitazioni agenti localmente: Ty_l=-1605.22 My_l=-32.87
Tensioni nella sezione: σ=398.39 τ=48.64
CC 7 SLV (Collegamento 0024_-381)
Azioni sul collegamento: N=-9217.12 Ty=3.19 Tz=-8.98 Mx=0.01 Mz=4.04
Sollecitazioni agenti localmente: Ty_l=-1617.88 My_l=-33.14
Tensioni nella sezione: σ=401.75 τ=49.03
CC 7 SLV (Collegamento 0024_-381)
Azioni sul collegamento: N=-9217.12 Ty=6.55 Tz=-8.98 Mx=0.01 Mz=7.22
Sollecitazioni agenti localmente: Ty_l=-1605.22 My_l=-32.87
Tensioni nella sezione: σ=398.39 τ=48.64
CC 7 SLV (Collegamento 0024_-381)
Azioni sul collegamento: N=-3931.62 Ty=3.19 Tz=10.69 Mx=0.01 Mz=4.04
Sollecitazioni agenti localmente: Ty_l=-680.91 My_l=-13.94
Tensioni nella sezione: σ=168.92 τ=20.63
CC 7 SLV (Collegamento 0024_-381)
Azioni sul collegamento: N=-3931.62 Ty=6.55 Tz=10.69 Mx=0.01 Mz=7.22
Sollecitazioni agenti localmente: Ty_l=-668.25 My_l=-13.66
Tensioni nella sezione: σ=165.56 τ=20.25
CC 7 SLV (Collegamento 0024_-381)
Azioni sul collegamento: N=-3931.62 Ty=3.19 Tz=-8.98 Mx=0.01 Mz=4.04
Sollecitazioni agenti localmente: Ty_l=-680.91 My_l=-13.94
Tensioni nella sezione: σ=168.92 τ=20.63
CC 7 SLV (Collegamento 0024_-381)
Azioni sul collegamento: N=-3931.62 Ty=6.55 Tz=-8.98 Mx=0.01 Mz=7.22
Sollecitazioni agenti localmente: Ty_l=-668.25 My_l=-13.66
Tensioni nella sezione: σ=165.56 τ=20.25
CC 8 SLD (Collegamento 0024_-381)
Azioni sul collegamento: N=-7347.75 Ty=3.51 Tz=3.73 Mx=-0.00 Mz=3.06
Sollecitazioni agenti localmente: Ty_l=-1290.37 My_l=-26.44
Tensioni nella sezione: σ=320.43 τ=39.10
CC 8 SLD (Collegamento 0024_-381)
Azioni sul collegamento: N=-7347.75 Ty=4.54 Tz=3.73 Mx=-0.00 Mz=4.03
Sollecitazioni agenti localmente: Ty_l=-1286.51 My_l=-26.35
Tensioni nella sezione: σ=319.41 τ=38.99
CC 8 SLD (Collegamento 0024_-381)
Azioni sul collegamento: N=-7347.75 Ty=3.51 Tz=-2.27 Mx=-0.00 Mz=3.06
Sollecitazioni agenti localmente: Ty_l=-1290.37 My_l=-26.44
Tensioni nella sezione: σ=320.43 τ=39.10
CC 8 SLD (Collegamento 0024_-381)
Azioni sul collegamento: N=-7347.75 Ty=4.54 Tz=-2.27 Mx=-0.00 Mz=4.03
Sollecitazioni agenti localmente: Ty_l=-1286.51 My_l=-26.35
Tensioni nella sezione: σ=319.41 τ=38.99
CC 8 SLD (Collegamento 0024_-381)
Azioni sul collegamento: N=-5736.03 Ty=3.51 Tz=3.73 Mx=-0.00 Mz=3.06
Sollecitazioni agenti localmente: Ty_l=-1004.66 My_l=-20.58
Tensioni nella sezione: σ=249.44 τ=30.44
CC 8 SLD (Collegamento 0024_-381)
Azioni sul collegamento: N=-5736.03 Ty=4.54 Tz=3.73 Mx=-0.00 Mz=4.03
Sollecitazioni agenti localmente: Ty_l=-1000.80 My_l=-20.49
Tensioni nella sezione: σ=248.41 τ=30.33
CC 8 SLD (Collegamento 0024_-381)
Azioni sul collegamento: N=-5736.03 Ty=3.51 Tz=-2.27 Mx=-0.00 Mz=3.06
Sollecitazioni agenti localmente: Ty_l=-1004.66 My_l=-20.58
Tensioni nella sezione: σ=249.44 τ=30.44
CC 8 SLD (Collegamento 0024_-381)
Azioni sul collegamento: N=-5736.03 Ty=4.54 Tz=-2.27 Mx=-0.00 Mz=4.03
Sollecitazioni agenti localmente: Ty_l=-1000.80 My_l=-20.49
Tensioni nella sezione: σ=248.41 τ=30.33
CC 9 SLV (Collegamento 0024_-381)
Azioni sul collegamento: N=-5772.92 Ty=6.34 Tz=-2.29 Mx=0.02 Mz=8.01
Sollecitazioni agenti localmente: Ty_l=-991.51 My_l=-20.28

Tensioni nella sezione: σ=245.83 τ=30.05
CC 9 SLV (Collegamento 0024_-381)
Azioni sul collegamento: N=-5772.92 Ty=3.40 Tz=-2.29 Mx=0.02 Mz=3.25
Sollecitazioni agenti localmente: Ty_l=-1010.47 My_l=-20.70
Tensioni nella sezione: σ=250.87 τ=30.62
CC 9 SLV (Collegamento 0024_-381)
Azioni sul collegamento: N=-5772.92 Ty=6.34 Tz=4.00 Mx=0.02 Mz=8.01
Sollecitazioni agenti localmente: Ty_l=-991.51 My_l=-20.28
Tensioni nella sezione: σ=245.83 τ=30.05
CC 9 SLV (Collegamento 0024_-381)
Azioni sul collegamento: N=-5772.92 Ty=3.40 Tz=4.00 Mx=0.02 Mz=3.25
Sollecitazioni agenti localmente: Ty_l=-1010.47 My_l=-20.70
Tensioni nella sezione: σ=250.87 τ=30.62
CC 9 SLV (Collegamento 0024_-381)
Azioni sul collegamento: N=-7375.82 Ty=6.34 Tz=-2.29 Mx=0.02 Mz=8.01
Sollecitazioni agenti localmente: Ty_l=-1275.66 My_l=-26.11
Tensioni nella sezione: σ=316.44 τ=38.66
CC 9 SLV (Collegamento 0024_-381)
Azioni sul collegamento: N=-7375.82 Ty=3.40 Tz=-2.29 Mx=0.02 Mz=3.25
Sollecitazioni agenti localmente: Ty_l=-1294.62 My_l=-26.52
Tensioni nella sezione: σ=321.48 τ=39.23
CC 9 SLV (Collegamento 0024_-381)
Azioni sul collegamento: N=-7375.82 Ty=6.34 Tz=4.00 Mx=0.02 Mz=8.01
Sollecitazioni agenti localmente: Ty_l=-1275.66 My_l=-26.11
Tensioni nella sezione: σ=316.44 τ=38.66
CC 9 SLV (Collegamento 0024_-381)
Azioni sul collegamento: N=-7375.82 Ty=3.40 Tz=4.00 Mx=0.02 Mz=3.25
Sollecitazioni agenti localmente: Ty_l=-1294.62 My_l=-26.52
Tensioni nella sezione: σ=321.48 τ=39.23
CC 10 SLD (Collegamento 0024_-381)
Azioni sul collegamento: N=-6297.50 Ty=4.47 Tz=-0.23 Mx=0.00 Mz=4.27
Sollecitazioni agenti localmente: Ty_l=-1099.37 My_l=-22.51
Tensioni nella sezione: σ=272.89 τ=33.31
CC 10 SLD (Collegamento 0024_-381)
Azioni sul collegamento: N=-6297.50 Ty=3.58 Tz=-0.23 Mx=0.00 Mz=2.82
Sollecitazioni agenti localmente: Ty_l=-1105.16 My_l=-22.64
Tensioni nella sezione: σ=274.42 τ=33.49
CC 10 SLD (Collegamento 0024_-381)
Azioni sul collegamento: N=-6297.50 Ty=4.47 Tz=1.69 Mx=0.00 Mz=4.27
Sollecitazioni agenti localmente: Ty_l=-1099.37 My_l=-22.51
Tensioni nella sezione: σ=272.89 τ=33.31
CC 10 SLD (Collegamento 0024_-381)
Azioni sul collegamento: N=-6297.50 Ty=3.58 Tz=1.69 Mx=0.00 Mz=2.82
Sollecitazioni agenti localmente: Ty_l=-1105.16 My_l=-22.64
Tensioni nella sezione: σ=274.42 τ=33.49
CC 10 SLD (Collegamento 0024_-381)
Azioni sul collegamento: N=-6786.28 Ty=4.47 Tz=-0.23 Mx=0.00 Mz=4.27
Sollecitazioni agenti localmente: Ty_l=-1186.02 My_l=-24.29
Tensioni nella sezione: σ=294.42 τ=35.94
CC 10 SLD (Collegamento 0024_-381)
Azioni sul collegamento: N=-6786.28 Ty=3.58 Tz=-0.23 Mx=0.00 Mz=2.82
Sollecitazioni agenti localmente: Ty_l=-1191.80 My_l=-24.42
Tensioni nella sezione: σ=295.95 τ=36.12
CC 10 SLD (Collegamento 0024_-381)
Azioni sul collegamento: N=-6786.28 Ty=4.47 Tz=1.69 Mx=0.00 Mz=4.27
Sollecitazioni agenti localmente: Ty_l=-1186.02 My_l=-24.29
Tensioni nella sezione: σ=294.42 τ=35.94
CC 10 SLD (Collegamento 0024_-381)
Azioni sul collegamento: N=-6786.28 Ty=3.58 Tz=1.69 Mx=0.00 Mz=2.82
Sollecitazioni agenti localmente: Ty_l=-1191.80 My_l=-24.42
Tensioni nella sezione: σ=295.95 τ=36.12
CC 11 SLV (Collegamento 0024_-381)
Azioni sul collegamento: N=-7356.86 Ty=5.52 Tz=3.57 Mx=0.02 Mz=7.44
Sollecitazioni agenti localmente: Ty_l=-1274.59 My_l=-26.09
Tensioni nella sezione: σ=316.21 τ=38.62
CC 11 SLV (Collegamento 0024_-381)
Azioni sul collegamento: N=-7356.86 Ty=4.22 Tz=3.57 Mx=0.02 Mz=3.82
Sollecitazioni agenti localmente: Ty_l=-1288.97 My_l=-26.40
Tensioni nella sezione: σ=320.03 τ=39.06
CC 11 SLV (Collegamento 0024_-381)
Azioni sul collegamento: N=-7356.86 Ty=5.52 Tz=-1.86 Mx=0.02 Mz=7.44
Sollecitazioni agenti localmente: Ty_l=-1274.59 My_l=-26.09
Tensioni nella sezione: σ=316.21 τ=38.62
CC 11 SLV (Collegamento 0024_-381)
Azioni sul collegamento: N=-7356.86 Ty=4.22 Tz=-1.86 Mx=0.02 Mz=3.82
Sollecitazioni agenti localmente: Ty_l=-1288.97 My_l=-26.40
Tensioni nella sezione: σ=320.03 τ=39.06
CC 11 SLV (Collegamento 0024_-381)
Azioni sul collegamento: N=-5791.88 Ty=5.52 Tz=3.57 Mx=0.02 Mz=7.44
Sollecitazioni agenti localmente: Ty_l=-997.16 My_l=-20.40

Tensioni nella sezione: σ=247.28 τ=30.22
CC 11 SLV (Collegamento 0024_-381)
Azioni sul collegamento: N=-5791.88 Ty=4.22 Tz=3.57 Mx=0.02 Mz=3.82
Sollecitazioni agenti localmente: Ty_l=-1011.54 My_l=-20.72
Tensioni nella sezione: σ=251.09 τ=30.65
CC 11 SLV (Collegamento 0024_-381)
Azioni sul collegamento: N=-5791.88 Ty=5.52 Tz=-1.86 Mx=0.02 Mz=7.44
Sollecitazioni agenti localmente: Ty_l=-997.16 My_l=-20.40
Tensioni nella sezione: σ=247.28 τ=30.22
CC 11 SLV (Collegamento 0024_-381)
Azioni sul collegamento: N=-5791.88 Ty=4.22 Tz=-1.86 Mx=0.02 Mz=3.82
Sollecitazioni agenti localmente: Ty_l=-1011.54 My_l=-20.72
Tensioni nella sezione: σ=251.09 τ=30.65
CC 12 SLD (Collegamento 0024_-381)
Azioni sul collegamento: N=-6780.50 Ty=4.22 Tz=1.56 Mx=0.00 Mz=4.10
Sollecitazioni agenti localmente: Ty_l=-1185.69 My_l=-24.28
Tensioni nella sezione: σ=294.35 τ=35.93
CC 12 SLD (Collegamento 0024_-381)
Azioni sul collegamento: N=-6780.50 Ty=3.83 Tz=1.56 Mx=0.00 Mz=3.00
Sollecitazioni agenti localmente: Ty_l=-1190.08 My_l=-24.38
Tensioni nella sezione: σ=295.51 τ=36.06
CC 12 SLD (Collegamento 0024_-381)
Azioni sul collegamento: N=-6780.50 Ty=4.22 Tz=-0.10 Mx=0.00 Mz=4.10
Sollecitazioni agenti localmente: Ty_l=-1185.69 My_l=-24.28
Tensioni nella sezione: σ=294.35 τ=35.93
CC 12 SLD (Collegamento 0024_-381)
Azioni sul collegamento: N=-6780.50 Ty=3.83 Tz=-0.10 Mx=0.00 Mz=3.00
Sollecitazioni agenti localmente: Ty_l=-1190.08 My_l=-24.38
Tensioni nella sezione: σ=295.51 τ=36.06
CC 12 SLD (Collegamento 0024_-381)
Azioni sul collegamento: N=-6303.28 Ty=4.22 Tz=1.56 Mx=0.00 Mz=4.10
Sollecitazioni agenti localmente: Ty_l=-1101.10 My_l=-22.55
Tensioni nella sezione: σ=273.33 τ=33.37
CC 12 SLD (Collegamento 0024_-381)
Azioni sul collegamento: N=-6303.28 Ty=3.83 Tz=1.56 Mx=0.00 Mz=3.00
Sollecitazioni agenti localmente: Ty_l=-1105.48 My_l=-22.65
Tensioni nella sezione: σ=274.49 τ=33.50
CC 12 SLD (Collegamento 0024_-381)
Azioni sul collegamento: N=-6303.28 Ty=4.22 Tz=-0.10 Mx=0.00 Mz=4.10
Sollecitazioni agenti localmente: Ty_l=-1101.10 My_l=-22.55
Tensioni nella sezione: σ=273.33 τ=33.37
CC 12 SLD (Collegamento 0024_-381)
Azioni sul collegamento: N=-6303.28 Ty=3.83 Tz=-0.10 Mx=0.00 Mz=3.00
Sollecitazioni agenti localmente: Ty_l=-1105.48 My_l=-22.65
Tensioni nella sezione: σ=274.49 τ=33.50
CC 13 SLV (Collegamento 0024_-381)
Azioni sul collegamento: N=-5791.88 Ty=4.22 Tz=-1.86 Mx=0.00 Mz=3.82
Sollecitazioni agenti localmente: Ty_l=-1011.54 My_l=-20.72
Tensioni nella sezione: σ=251.09 τ=30.65
CC 13 SLV (Collegamento 0024_-381)
Azioni sul collegamento: N=-5791.88 Ty=5.52 Tz=-1.86 Mx=0.00 Mz=7.44
Sollecitazioni agenti localmente: Ty_l=-997.16 My_l=-20.40
Tensioni nella sezione: σ=247.28 τ=30.22
CC 13 SLV (Collegamento 0024_-381)
Azioni sul collegamento: N=-5791.88 Ty=4.22 Tz=3.57 Mx=0.00 Mz=3.82
Sollecitazioni agenti localmente: Ty_l=-1011.54 My_l=-20.72
Tensioni nella sezione: σ=251.09 τ=30.65
CC 13 SLV (Collegamento 0024_-381)
Azioni sul collegamento: N=-5791.88 Ty=5.52 Tz=3.57 Mx=0.00 Mz=7.44
Sollecitazioni agenti localmente: Ty_l=-997.16 My_l=-20.40
Tensioni nella sezione: σ=247.28 τ=30.22
CC 13 SLV (Collegamento 0024_-381)
Azioni sul collegamento: N=-7356.86 Ty=4.22 Tz=-1.86 Mx=0.00 Mz=3.82
Sollecitazioni agenti localmente: Ty_l=-1288.97 My_l=-26.40
Tensioni nella sezione: σ=320.03 τ=39.06
CC 13 SLV (Collegamento 0024_-381)
Azioni sul collegamento: N=-7356.86 Ty=5.52 Tz=-1.86 Mx=0.00 Mz=7.44
Sollecitazioni agenti localmente: Ty_l=-1274.59 My_l=-26.09
Tensioni nella sezione: σ=316.21 τ=38.62
CC 13 SLV (Collegamento 0024_-381)
Azioni sul collegamento: N=-7356.86 Ty=4.22 Tz=3.57 Mx=0.00 Mz=3.82
Sollecitazioni agenti localmente: Ty_l=-1288.97 My_l=-26.40
Tensioni nella sezione: σ=320.03 τ=39.06
CC 13 SLV (Collegamento 0024_-381)
Azioni sul collegamento: N=-7356.86 Ty=5.52 Tz=3.57 Mx=0.00 Mz=7.44
Sollecitazioni agenti localmente: Ty_l=-1274.59 My_l=-26.09
Tensioni nella sezione: σ=316.21 τ=38.62
CC 14 SLD (Collegamento 0024_-381)
Azioni sul collegamento: N=-6303.28 Ty=3.83 Tz=-0.10 Mx=-0.00 Mz=3.00
Sollecitazioni agenti localmente: Ty_l=-1105.48 My_l=-22.65

Tensioni nella sezione: σ=274.49 τ=33.50
CC 14 SLD (Collegamento 0024_-381)
Azioni sul collegamento: N=-6303.28 Ty=4.22 Tz=-0.10 Mx=-0.00 Mz=4.10
Sollecitazioni agenti localmente: Ty_l=-1101.10 My_l=-22.55
Tensioni nella sezione: σ=273.33 τ=33.37
CC 14 SLD (Collegamento 0024_-381)
Azioni sul collegamento: N=-6303.28 Ty=3.83 Tz=1.56 Mx=-0.00 Mz=3.00
Sollecitazioni agenti localmente: Ty_l=-1105.48 My_l=-22.65
Tensioni nella sezione: σ=274.49 τ=33.50
CC 14 SLD (Collegamento 0024_-381)
Azioni sul collegamento: N=-6303.28 Ty=4.22 Tz=1.56 Mx=-0.00 Mz=4.10
Sollecitazioni agenti localmente: Ty_l=-1101.10 My_l=-22.55
Tensioni nella sezione: σ=273.33 τ=33.37
CC 14 SLD (Collegamento 0024_-381)
Azioni sul collegamento: N=-6780.50 Ty=3.83 Tz=-0.10 Mx=-0.00 Mz=3.00
Sollecitazioni agenti localmente: Ty_l=-1190.08 My_l=-24.38
Tensioni nella sezione: σ=295.51 τ=36.06
CC 14 SLD (Collegamento 0024_-381)
Azioni sul collegamento: N=-6780.50 Ty=4.22 Tz=-0.10 Mx=-0.00 Mz=4.10
Sollecitazioni agenti localmente: Ty_l=-1185.69 My_l=-24.28
Tensioni nella sezione: σ=294.35 τ=35.93
CC 14 SLD (Collegamento 0024_-381)
Azioni sul collegamento: N=-6780.50 Ty=3.83 Tz=1.56 Mx=-0.00 Mz=3.00
Sollecitazioni agenti localmente: Ty_l=-1190.08 My_l=-24.38
Tensioni nella sezione: σ=295.51 τ=36.06
CC 14 SLD (Collegamento 0024_-381)
Azioni sul collegamento: N=-6780.50 Ty=4.22 Tz=1.56 Mx=-0.00 Mz=4.10
Sollecitazioni agenti localmente: Ty_l=-1185.69 My_l=-24.28
Tensioni nella sezione: σ=294.35 τ=35.93
CC 15 SLV (Collegamento 0024_-381)
Azioni sul collegamento: N=-7375.82 Ty=3.40 Tz=4.00 Mx=0.00 Mz=3.25
Sollecitazioni agenti localmente: Ty_l=-1294.62 My_l=-26.52
Tensioni nella sezione: σ=321.48 τ=39.23
CC 15 SLV (Collegamento 0024_-381)
Azioni sul collegamento: N=-7375.82 Ty=6.34 Tz=4.00 Mx=0.00 Mz=8.01
Sollecitazioni agenti localmente: Ty_l=-1275.66 My_l=-26.11
Tensioni nella sezione: σ=316.44 τ=38.66
CC 15 SLV (Collegamento 0024_-381)
Azioni sul collegamento: N=-7375.82 Ty=3.40 Tz=-2.29 Mx=0.00 Mz=3.25
Sollecitazioni agenti localmente: Ty_l=-1294.62 My_l=-26.52
Tensioni nella sezione: σ=321.48 τ=39.23
CC 15 SLV (Collegamento 0024_-381)
Azioni sul collegamento: N=-7375.82 Ty=6.34 Tz=-2.29 Mx=0.00 Mz=8.01
Sollecitazioni agenti localmente: Ty_l=-1275.66 My_l=-26.11
Tensioni nella sezione: σ=316.44 τ=38.66
CC 15 SLV (Collegamento 0024_-381)
Azioni sul collegamento: N=-5772.92 Ty=3.40 Tz=4.00 Mx=0.00 Mz=3.25
Sollecitazioni agenti localmente: Ty_l=-1010.47 My_l=-20.70
Tensioni nella sezione: σ=250.87 τ=30.62
CC 15 SLV (Collegamento 0024_-381)
Azioni sul collegamento: N=-5772.92 Ty=6.34 Tz=4.00 Mx=0.00 Mz=8.01
Sollecitazioni agenti localmente: Ty_l=-991.51 My_l=-20.28
Tensioni nella sezione: σ=245.83 τ=30.05
CC 15 SLV (Collegamento 0024_-381)
Azioni sul collegamento: N=-5772.92 Ty=3.40 Tz=-2.29 Mx=0.00 Mz=3.25
Sollecitazioni agenti localmente: Ty_l=-1010.47 My_l=-20.70
Tensioni nella sezione: σ=250.87 τ=30.62
CC 15 SLV (Collegamento 0024_-381)
Azioni sul collegamento: N=-5772.92 Ty=6.34 Tz=-2.29 Mx=0.00 Mz=8.01
Sollecitazioni agenti localmente: Ty_l=-991.51 My_l=-20.28
Tensioni nella sezione: σ=245.83 τ=30.05
CC 16 SLD (Collegamento 0024_-381)
Azioni sul collegamento: N=-6786.28 Ty=3.58 Tz=1.69 Mx=-0.00 Mz=2.82
Sollecitazioni agenti localmente: Ty_l=-1191.80 My_l=-24.42
Tensioni nella sezione: σ=295.95 τ=36.12
CC 16 SLD (Collegamento 0024_-381)
Azioni sul collegamento: N=-6786.28 Ty=4.47 Tz=1.69 Mx=-0.00 Mz=4.27
Sollecitazioni agenti localmente: Ty_l=-1186.02 My_l=-24.29
Tensioni nella sezione: σ=294.42 τ=35.94
CC 16 SLD (Collegamento 0024_-381)
Azioni sul collegamento: N=-6786.28 Ty=3.58 Tz=-0.23 Mx=-0.00 Mz=2.82
Sollecitazioni agenti localmente: Ty_l=-1191.80 My_l=-24.42
Tensioni nella sezione: σ=295.95 τ=36.12
CC 16 SLD (Collegamento 0024_-381)
Azioni sul collegamento: N=-6786.28 Ty=4.47 Tz=-0.23 Mx=-0.00 Mz=4.27
Sollecitazioni agenti localmente: Ty_l=-1186.02 My_l=-24.29
Tensioni nella sezione: σ=294.42 τ=35.94
CC 16 SLD (Collegamento 0024_-381)
Azioni sul collegamento: N=-6297.50 Ty=3.58 Tz=1.69 Mx=-0.00 Mz=2.82
Sollecitazioni agenti localmente: Ty_l=-1105.16 My_l=-22.64

Tensioni nella sezione: σ=274.42 τ=33.49
CC 16 SLD (Collegamento 0024_-381)
Azioni sul collegamento: N=-6297.50 Ty=4.47 Tz=1.69 Mx=-0.00 Mz=4.27
Sollecitazioni agenti localmente: Ty_l=-1099.37 My_l=-22.51
Tensioni nella sezione: σ=272.89 τ=33.31
CC 16 SLD (Collegamento 0024_-381)
Azioni sul collegamento: N=-6297.50 Ty=3.58 Tz=-0.23 Mx=-0.00 Mz=2.82
Sollecitazioni agenti localmente: Ty_l=-1105.16 My_l=-22.64
Tensioni nella sezione: σ=274.42 τ=33.49
CC 16 SLD (Collegamento 0024_-381)
Azioni sul collegamento: N=-6297.50 Ty=4.47 Tz=-0.23 Mx=-0.00 Mz=4.27
Sollecitazioni agenti localmente: Ty_l=-1099.37 My_l=-22.51
Tensioni nella sezione: σ=272.89 τ=33.31
CC 17 SLV (Collegamento 0024_-381)
Azioni sul collegamento: N=-3838.16 Ty=0.76 Tz=-9.35 Mx=-0.02 Mz=1.23
Sollecitazioni agenti localmente: Ty_l=-675.51 My_l=-13.84
Tensioni nella sezione: σ=167.77 τ=20.47
CC 17 SLV (Collegamento 0024_-381)
Azioni sul collegamento: N=-3838.16 Ty=4.12 Tz=-9.35 Mx=-0.02 Mz=-1.95
Sollecitazioni agenti localmente: Ty_l=-688.16 My_l=-14.12
Tensioni nella sezione: σ=171.13 τ=20.85
CC 17 SLV (Collegamento 0024_-381)
Azioni sul collegamento: N=-3838.16 Ty=0.76 Tz=10.33 Mx=-0.02 Mz=1.23
Sollecitazioni agenti localmente: Ty_l=-675.51 My_l=-13.84
Tensioni nella sezione: σ=167.77 τ=20.47
CC 17 SLV (Collegamento 0024_-381)
Azioni sul collegamento: N=-3838.16 Ty=4.12 Tz=10.33 Mx=-0.02 Mz=-1.95
Sollecitazioni agenti localmente: Ty_l=-688.16 My_l=-14.12
Tensioni nella sezione: σ=171.13 τ=20.85
CC 17 SLV (Collegamento 0024_-381)
Azioni sul collegamento: N=-9123.66 Ty=0.76 Tz=-9.35 Mx=-0.02 Mz=1.23
Sollecitazioni agenti localmente: Ty_l=-1612.48 My_l=-33.05
Tensioni nella sezione: σ=400.59 τ=48.86
CC 17 SLV (Collegamento 0024_-381)
Azioni sul collegamento: N=-9123.66 Ty=4.12 Tz=-9.35 Mx=-0.02 Mz=-1.95
Sollecitazioni agenti localmente: Ty_l=-1625.14 My_l=-33.33
Tensioni nella sezione: σ=403.95 τ=49.25
CC 17 SLV (Collegamento 0024_-381)
Azioni sul collegamento: N=-9123.66 Ty=0.76 Tz=10.33 Mx=-0.02 Mz=1.23
Sollecitazioni agenti localmente: Ty_l=-1612.48 My_l=-33.05
Tensioni nella sezione: σ=400.59 τ=48.86
CC 17 SLV (Collegamento 0024_-381)
Azioni sul collegamento: N=-9123.66 Ty=4.12 Tz=10.33 Mx=-0.02 Mz=-1.95
Sollecitazioni agenti localmente: Ty_l=-1625.14 My_l=-33.33
Tensioni nella sezione: σ=403.95 τ=49.25
CC 18 SLD (Collegamento 0024_-381)
Azioni sul collegamento: N=-5707.53 Ty=3.80 Tz=-2.38 Mx=-0.01 Mz=2.21
Sollecitazioni agenti localmente: Ty_l=-1003.01 My_l=-20.55
Tensioni nella sezione: σ=249.09 τ=30.39
CC 18 SLD (Collegamento 0024_-381)
Azioni sul collegamento: N=-5707.53 Ty=2.77 Tz=-2.38 Mx=-0.01 Mz=1.24
Sollecitazioni agenti localmente: Ty_l=-1006.87 My_l=-20.63
Tensioni nella sezione: σ=250.11 τ=30.51
CC 18 SLD (Collegamento 0024_-381)
Azioni sul collegamento: N=-5707.53 Ty=3.80 Tz=3.62 Mx=-0.01 Mz=2.21
Sollecitazioni agenti localmente: Ty_l=-1003.01 My_l=-20.55
Tensioni nella sezione: σ=249.09 τ=30.39
CC 18 SLD (Collegamento 0024_-381)
Azioni sul collegamento: N=-5707.53 Ty=2.77 Tz=3.62 Mx=-0.01 Mz=1.24
Sollecitazioni agenti localmente: Ty_l=-1006.87 My_l=-20.63
Tensioni nella sezione: σ=250.11 τ=30.51
CC 18 SLD (Collegamento 0024_-381)
Azioni sul collegamento: N=-7319.25 Ty=3.80 Tz=-2.38 Mx=-0.01 Mz=2.21
Sollecitazioni agenti localmente: Ty_l=-1288.73 My_l=-26.41
Tensioni nella sezione: σ=320.08 τ=39.05
CC 18 SLD (Collegamento 0024_-381)
Azioni sul collegamento: N=-7319.25 Ty=2.77 Tz=-2.38 Mx=-0.01 Mz=1.24
Sollecitazioni agenti localmente: Ty_l=-1292.59 My_l=-26.49
Tensioni nella sezione: σ=321.11 τ=39.17
CC 18 SLD (Collegamento 0024_-381)
Azioni sul collegamento: N=-7319.25 Ty=3.80 Tz=3.62 Mx=-0.01 Mz=2.21
Sollecitazioni agenti localmente: Ty_l=-1288.73 My_l=-26.41
Tensioni nella sezione: σ=320.08 τ=39.05
CC 18 SLD (Collegamento 0024_-381)
Azioni sul collegamento: N=-7319.25 Ty=2.77 Tz=3.62 Mx=-0.01 Mz=1.24
Sollecitazioni agenti localmente: Ty_l=-1292.59 My_l=-26.49
Tensioni nella sezione: σ=321.11 τ=39.17
CC 19 SLV (Collegamento 0024_-381)
Azioni sul collegamento: N=-3843.85 Ty=1.39 Tz=-9.22 Mx=-0.02 Mz=-0.03
Sollecitazioni agenti localmente: Ty_l=-681.52 My_l=-13.97

Tensioni nella sezione: σ=169.35 τ=20.65
CC 19 SLV (Collegamento 0024_-381)
Azioni sul collegamento: N=-3843.85 Ty=3.49 Tz=-9.22 Mx=-0.02 Mz=-0.69
Sollecitazioni agenti localmente: Ty_l=-684.17 My_l=-14.03
Tensioni nella sezione: σ=170.05 τ=20.73
CC 19 SLV (Collegamento 0024_-381)
Azioni sul collegamento: N=-3843.85 Ty=1.39 Tz=10.20 Mx=-0.02 Mz=-0.03
Sollecitazioni agenti localmente: Ty_l=-681.52 My_l=-13.97
Tensioni nella sezione: σ=169.35 τ=20.65
CC 19 SLV (Collegamento 0024_-381)
Azioni sul collegamento: N=-3843.85 Ty=3.49 Tz=10.20 Mx=-0.02 Mz=-0.69
Sollecitazioni agenti localmente: Ty_l=-684.17 My_l=-14.03
Tensioni nella sezione: σ=170.05 τ=20.73
CC 19 SLV (Collegamento 0024_-381)
Azioni sul collegamento: N=-9117.97 Ty=1.39 Tz=-9.22 Mx=-0.02 Mz=-0.03
Sollecitazioni agenti localmente: Ty_l=-1616.47 My_l=-33.14
Tensioni nella sezione: σ=401.67 τ=48.98
CC 19 SLV (Collegamento 0024_-381)
Azioni sul collegamento: N=-9117.97 Ty=3.49 Tz=-9.22 Mx=-0.02 Mz=-0.69
Sollecitazioni agenti localmente: Ty_l=-1619.13 My_l=-33.20
Tensioni nella sezione: σ=402.38 τ=49.06
CC 19 SLV (Collegamento 0024_-381)
Azioni sul collegamento: N=-9117.97 Ty=1.39 Tz=10.20 Mx=-0.02 Mz=-0.03
Sollecitazioni agenti localmente: Ty_l=-1616.47 My_l=-33.14
Tensioni nella sezione: σ=401.67 τ=48.98
CC 19 SLV (Collegamento 0024_-381)
Azioni sul collegamento: N=-9117.97 Ty=3.49 Tz=10.20 Mx=-0.02 Mz=-0.69
Sollecitazioni agenti localmente: Ty_l=-1619.13 My_l=-33.20
Tensioni nella sezione: σ=402.38 τ=49.06
CC 20 SLD (Collegamento 0024_-381)
Azioni sul collegamento: N=-5709.27 Ty=3.60 Tz=-2.35 Mx=-0.01 Mz=1.82
Sollecitazioni agenti localmente: Ty_l=-1004.85 My_l=-20.59
Tensioni nella sezione: σ=249.57 τ=30.45
CC 20 SLD (Collegamento 0024_-381)
Azioni sul collegamento: N=-5709.27 Ty=2.97 Tz=-2.35 Mx=-0.01 Mz=1.62
Sollecitazioni agenti localmente: Ty_l=-1005.66 My_l=-20.61
Tensioni nella sezione: σ=249.78 τ=30.47
CC 20 SLD (Collegamento 0024_-381)
Azioni sul collegamento: N=-5709.27 Ty=3.60 Tz=3.58 Mx=-0.01 Mz=1.82
Sollecitazioni agenti localmente: Ty_l=-1004.85 My_l=-20.59
Tensioni nella sezione: σ=249.57 τ=30.45
CC 20 SLD (Collegamento 0024_-381)
Azioni sul collegamento: N=-5709.27 Ty=2.97 Tz=3.58 Mx=-0.01 Mz=1.62
Sollecitazioni agenti localmente: Ty_l=-1005.66 My_l=-20.61
Tensioni nella sezione: σ=249.78 τ=30.47
CC 20 SLD (Collegamento 0024_-381)
Azioni sul collegamento: N=-7317.51 Ty=3.60 Tz=-2.35 Mx=-0.01 Mz=1.82
Sollecitazioni agenti localmente: Ty_l=-1289.95 My_l=-26.43
Tensioni nella sezione: σ=320.41 τ=39.09
CC 20 SLD (Collegamento 0024_-381)
Azioni sul collegamento: N=-7317.51 Ty=2.97 Tz=-2.35 Mx=-0.01 Mz=1.62
Sollecitazioni agenti localmente: Ty_l=-1290.76 My_l=-26.45
Tensioni nella sezione: σ=320.62 τ=39.11
CC 20 SLD (Collegamento 0024_-381)
Azioni sul collegamento: N=-7317.51 Ty=3.60 Tz=3.58 Mx=-0.01 Mz=1.82
Sollecitazioni agenti localmente: Ty_l=-1289.95 My_l=-26.43
Tensioni nella sezione: σ=320.41 τ=39.09
CC 20 SLD (Collegamento 0024_-381)
Azioni sul collegamento: N=-7317.51 Ty=2.97 Tz=3.58 Mx=-0.01 Mz=1.62
Sollecitazioni agenti localmente: Ty_l=-1290.76 My_l=-26.45
Tensioni nella sezione: σ=320.62 τ=39.11
CC 21 SLV (Collegamento 0024_-381)
Azioni sul collegamento: N=-9117.97 Ty=3.49 Tz=10.20 Mx=-0.02 Mz=-0.69
Sollecitazioni agenti localmente: Ty_l=-1619.13 My_l=-33.20
Tensioni nella sezione: σ=402.38 τ=49.06
CC 21 SLV (Collegamento 0024_-381)
Azioni sul collegamento: N=-9117.97 Ty=1.39 Tz=10.20 Mx=-0.02 Mz=-0.03
Sollecitazioni agenti localmente: Ty_l=-1616.47 My_l=-33.14
Tensioni nella sezione: σ=401.67 τ=48.98
CC 21 SLV (Collegamento 0024_-381)
Azioni sul collegamento: N=-9117.97 Ty=3.49 Tz=-9.22 Mx=-0.02 Mz=-0.69
Sollecitazioni agenti localmente: Ty_l=-1619.13 My_l=-33.20
Tensioni nella sezione: σ=402.38 τ=49.06
CC 21 SLV (Collegamento 0024_-381)
Azioni sul collegamento: N=-9117.97 Ty=1.39 Tz=-9.22 Mx=-0.02 Mz=-0.03
Sollecitazioni agenti localmente: Ty_l=-1616.47 My_l=-33.14
Tensioni nella sezione: σ=401.67 τ=48.98
CC 21 SLV (Collegamento 0024_-381)
Azioni sul collegamento: N=-3843.85 Ty=3.49 Tz=10.20 Mx=-0.02 Mz=-0.69
Sollecitazioni agenti localmente: Ty_l=-684.17 My_l=-14.03

Tensioni nella sezione: σ=170.05 τ=20.73
CC 21 SLV (Collegamento 0024_-381)
Azioni sul collegamento: N=-3843.85 Ty=1.39 Tz=10.20 Mx=-0.02 Mz=-0.03
Sollecitazioni agenti localmente: Ty_l=-681.52 My_l=-13.97
Tensioni nella sezione: σ=169.35 τ=20.65
CC 21 SLV (Collegamento 0024_-381)
Azioni sul collegamento: N=-3843.85 Ty=3.49 Tz=-9.22 Mx=-0.02 Mz=-0.69
Sollecitazioni agenti localmente: Ty_l=-684.17 My_l=-14.03
Tensioni nella sezione: σ=170.05 τ=20.73
CC 21 SLV (Collegamento 0024_-381)
Azioni sul collegamento: N=-3843.85 Ty=1.39 Tz=-9.22 Mx=-0.02 Mz=-0.03
Sollecitazioni agenti localmente: Ty_l=-681.52 My_l=-13.97
Tensioni nella sezione: σ=169.35 τ=20.65
CC 22 SLD (Collegamento 0024_-381)
Azioni sul collegamento: N=-7317.51 Ty=2.97 Tz=3.58 Mx=-0.01 Mz=1.62
Sollecitazioni agenti localmente: Ty_l=-1290.76 My_l=-26.45
Tensioni nella sezione: σ=320.62 τ=39.11
CC 22 SLD (Collegamento 0024_-381)
Azioni sul collegamento: N=-7317.51 Ty=3.60 Tz=3.58 Mx=-0.01 Mz=1.82
Sollecitazioni agenti localmente: Ty_l=-1289.95 My_l=-26.43
Tensioni nella sezione: σ=320.41 τ=39.09
CC 22 SLD (Collegamento 0024_-381)
Azioni sul collegamento: N=-7317.51 Ty=2.97 Tz=-2.35 Mx=-0.01 Mz=1.62
Sollecitazioni agenti localmente: Ty_l=-1290.76 My_l=-26.45
Tensioni nella sezione: σ=320.62 τ=39.11
CC 22 SLD (Collegamento 0024_-381)
Azioni sul collegamento: N=-7317.51 Ty=3.60 Tz=-2.35 Mx=-0.01 Mz=1.82
Sollecitazioni agenti localmente: Ty_l=-1289.95 My_l=-26.43
Tensioni nella sezione: σ=320.41 τ=39.09
CC 22 SLD (Collegamento 0024_-381)
Azioni sul collegamento: N=-5709.27 Ty=2.97 Tz=3.58 Mx=-0.01 Mz=1.62
Sollecitazioni agenti localmente: Ty_l=-1005.66 My_l=-20.61
Tensioni nella sezione: σ=249.78 τ=30.47
CC 22 SLD (Collegamento 0024_-381)
Azioni sul collegamento: N=-5709.27 Ty=3.60 Tz=3.58 Mx=-0.01 Mz=1.82
Sollecitazioni agenti localmente: Ty_l=-1004.85 My_l=-20.59
Tensioni nella sezione: σ=249.57 τ=30.45
CC 22 SLD (Collegamento 0024_-381)
Azioni sul collegamento: N=-5709.27 Ty=2.97 Tz=-2.35 Mx=-0.01 Mz=1.62
Sollecitazioni agenti localmente: Ty_l=-1005.66 My_l=-20.61
Tensioni nella sezione: σ=249.78 τ=30.47
CC 22 SLD (Collegamento 0024_-381)
Azioni sul collegamento: N=-5709.27 Ty=3.60 Tz=-2.35 Mx=-0.01 Mz=1.82
Sollecitazioni agenti localmente: Ty_l=-1004.85 My_l=-20.59
Tensioni nella sezione: σ=249.57 τ=30.45
CC 23 SLV (Collegamento 0024_-381)
Azioni sul collegamento: N=-9123.66 Ty=4.12 Tz=10.33 Mx=-0.01 Mz=-1.95
Sollecitazioni agenti localmente: Ty_l=-1625.14 My_l=-33.33
Tensioni nella sezione: σ=403.95 τ=49.25
CC 23 SLV (Collegamento 0024_-381)
Azioni sul collegamento: N=-9123.66 Ty=0.76 Tz=10.33 Mx=-0.01 Mz=1.23
Sollecitazioni agenti localmente: Ty_l=-1612.48 My_l=-33.05
Tensioni nella sezione: σ=400.59 τ=48.86
CC 23 SLV (Collegamento 0024_-381)
Azioni sul collegamento: N=-9123.66 Ty=4.12 Tz=-9.35 Mx=-0.01 Mz=-1.95
Sollecitazioni agenti localmente: Ty_l=-1625.14 My_l=-33.33
Tensioni nella sezione: σ=403.95 τ=49.25
CC 23 SLV (Collegamento 0024_-381)
Azioni sul collegamento: N=-9123.66 Ty=0.76 Tz=-9.35 Mx=-0.01 Mz=1.23
Sollecitazioni agenti localmente: Ty_l=-1612.48 My_l=-33.05
Tensioni nella sezione: σ=400.59 τ=48.86
CC 23 SLV (Collegamento 0024_-381)
Azioni sul collegamento: N=-3838.16 Ty=4.12 Tz=10.33 Mx=-0.01 Mz=-1.95
Sollecitazioni agenti localmente: Ty_l=-688.16 My_l=-14.12
Tensioni nella sezione: σ=171.13 τ=20.85
CC 23 SLV (Collegamento 0024_-381)
Azioni sul collegamento: N=-3838.16 Ty=0.76 Tz=10.33 Mx=-0.01 Mz=1.23
Sollecitazioni agenti localmente: Ty_l=-675.51 My_l=-13.84
Tensioni nella sezione: σ=167.77 τ=20.47
CC 23 SLV (Collegamento 0024_-381)
Azioni sul collegamento: N=-3838.16 Ty=4.12 Tz=-9.35 Mx=-0.01 Mz=-1.95
Sollecitazioni agenti localmente: Ty_l=-688.16 My_l=-14.12
Tensioni nella sezione: σ=171.13 τ=20.85
CC 23 SLV (Collegamento 0024_-381)
Azioni sul collegamento: N=-3838.16 Ty=0.76 Tz=-9.35 Mx=-0.01 Mz=1.23
Sollecitazioni agenti localmente: Ty_l=-675.51 My_l=-13.84
Tensioni nella sezione: σ=167.77 τ=20.47
CC 24 SLD (Collegamento 0024_-381)
Azioni sul collegamento: N=-7319.25 Ty=2.77 Tz=3.62 Mx=-0.01 Mz=1.24
Sollecitazioni agenti localmente: Ty_l=-1292.59 My_l=-26.49

Tensioni nella sezione: σ=321.11 τ=39.17
CC 24 SLD (Collegamento 0024_-381)
Azioni sul collegamento: N=-7319.25 Ty=3.80 Tz=3.62 Mx=-0.01 Mz=2.21
Sollecitazioni agenti localmente: Ty_l=-1288.73 My_l=-26.41
Tensioni nella sezione: σ=320.08 τ=39.05
CC 24 SLD (Collegamento 0024_-381)
Azioni sul collegamento: N=-7319.25 Ty=2.77 Tz=-2.38 Mx=-0.01 Mz=1.24
Sollecitazioni agenti localmente: Ty_l=-1292.59 My_l=-26.49
Tensioni nella sezione: σ=321.11 τ=39.17
CC 24 SLD (Collegamento 0024_-381)
Azioni sul collegamento: N=-7319.25 Ty=3.80 Tz=-2.38 Mx=-0.01 Mz=2.21
Sollecitazioni agenti localmente: Ty_l=-1288.73 My_l=-26.41
Tensioni nella sezione: σ=320.08 τ=39.05
CC 24 SLD (Collegamento 0024_-381)
Azioni sul collegamento: N=-5707.53 Ty=2.77 Tz=3.62 Mx=-0.01 Mz=1.24
Sollecitazioni agenti localmente: Ty_l=-1006.87 My_l=-20.63
Tensioni nella sezione: σ=250.11 τ=30.51
CC 24 SLD (Collegamento 0024_-381)
Azioni sul collegamento: N=-5707.53 Ty=3.80 Tz=3.62 Mx=-0.01 Mz=2.21
Sollecitazioni agenti localmente: Ty_l=-1003.01 My_l=-20.55
Tensioni nella sezione: σ=249.09 τ=30.39
CC 24 SLD (Collegamento 0024_-381)
Azioni sul collegamento: N=-5707.53 Ty=2.77 Tz=-2.38 Mx=-0.01 Mz=1.24
Sollecitazioni agenti localmente: Ty_l=-1006.87 My_l=-20.63
Tensioni nella sezione: σ=250.11 τ=30.51
CC 24 SLD (Collegamento 0024_-381)
Azioni sul collegamento: N=-5707.53 Ty=3.80 Tz=-2.38 Mx=-0.01 Mz=2.21
Sollecitazioni agenti localmente: Ty_l=-1003.01 My_l=-20.55
Tensioni nella sezione: σ=249.09 τ=30.39
CC 25 SLV (Collegamento 0024_-381)
Azioni sul collegamento: N=-5679.46 Ty=0.97 Tz=-2.66 Mx=-0.03 Mz=2.02
Sollecitazioni agenti localmente: Ty_l=-998.77 My_l=-20.46
Tensioni nella sezione: σ=248.04 τ=30.27
CC 25 SLV (Collegamento 0024_-381)
Azioni sul collegamento: N=-5679.46 Ty=3.91 Tz=-2.66 Mx=-0.03 Mz=-2.74
Sollecitazioni agenti localmente: Ty_l=-1017.73 My_l=-20.88
Tensioni nella sezione: σ=253.08 τ=30.84
CC 25 SLV (Collegamento 0024_-381)
Azioni sul collegamento: N=-5679.46 Ty=0.97 Tz=3.63 Mx=-0.03 Mz=2.02
Sollecitazioni agenti localmente: Ty_l=-998.77 My_l=-20.46
Tensioni nella sezione: σ=248.04 τ=30.27
CC 25 SLV (Collegamento 0024_-381)
Azioni sul collegamento: N=-5679.46 Ty=3.91 Tz=3.63 Mx=-0.03 Mz=-2.74
Sollecitazioni agenti localmente: Ty_l=-1017.73 My_l=-20.88
Tensioni nella sezione: σ=253.08 τ=30.84
CC 25 SLV (Collegamento 0024_-381)
Azioni sul collegamento: N=-7282.36 Ty=0.97 Tz=-2.66 Mx=-0.03 Mz=2.02
Sollecitazioni agenti localmente: Ty_l=-1282.92 My_l=-26.29
Tensioni nella sezione: σ=318.65 τ=38.88
CC 25 SLV (Collegamento 0024_-381)
Azioni sul collegamento: N=-7282.36 Ty=3.91 Tz=-2.66 Mx=-0.03 Mz=-2.74
Sollecitazioni agenti localmente: Ty_l=-1301.88 My_l=-26.70
Tensioni nella sezione: σ=323.68 τ=39.45
CC 25 SLV (Collegamento 0024_-381)
Azioni sul collegamento: N=-7282.36 Ty=0.97 Tz=3.63 Mx=-0.03 Mz=2.02
Sollecitazioni agenti localmente: Ty_l=-1282.92 My_l=-26.29
Tensioni nella sezione: σ=318.65 τ=38.88
CC 25 SLV (Collegamento 0024_-381)
Azioni sul collegamento: N=-7282.36 Ty=3.91 Tz=3.63 Mx=-0.03 Mz=-2.74
Sollecitazioni agenti localmente: Ty_l=-1301.88 My_l=-26.70
Tensioni nella sezione: σ=323.68 τ=39.45
CC 26 SLD (Collegamento 0024_-381)
Azioni sul collegamento: N=-6269.00 Ty=3.73 Tz=-0.34 Mx=-0.01 Mz=2.45
Sollecitazioni agenti localmente: Ty_l=-1101.59 My_l=-22.57
Tensioni nella sezione: σ=273.56 τ=33.38
CC 26 SLD (Collegamento 0024_-381)
Azioni sul collegamento: N=-6269.00 Ty=2.84 Tz=-0.34 Mx=-0.01 Mz=0.99
Sollecitazioni agenti localmente: Ty_l=-1107.37 My_l=-22.70
Tensioni nella sezione: σ=275.10 τ=33.56
CC 26 SLD (Collegamento 0024_-381)
Azioni sul collegamento: N=-6269.00 Ty=3.73 Tz=1.57 Mx=-0.01 Mz=2.45
Sollecitazioni agenti localmente: Ty_l=-1101.59 My_l=-22.57
Tensioni nella sezione: σ=273.56 τ=33.38
CC 26 SLD (Collegamento 0024_-381)
Azioni sul collegamento: N=-6269.00 Ty=2.84 Tz=1.57 Mx=-0.01 Mz=0.99
Sollecitazioni agenti localmente: Ty_l=-1107.37 My_l=-22.70
Tensioni nella sezione: σ=275.10 τ=33.56
CC 26 SLD (Collegamento 0024_-381)
Azioni sul collegamento: N=-6757.78 Ty=3.73 Tz=-0.34 Mx=-0.01 Mz=2.45
Sollecitazioni agenti localmente: Ty_l=-1188.23 My_l=-24.35

Tensioni nella sezione: σ=295.09 τ=36.01
CC 26 SLD (Collegamento 0024_-381)
Azioni sul collegamento: N=-6757.78 Ty=2.84 Tz=-0.34 Mx=-0.01 Mz=0.99
Sollecitazioni agenti localmente: Ty_l=-1194.02 My_l=-24.47
Tensioni nella sezione: σ=296.63 τ=36.18
CC 26 SLD (Collegamento 0024_-381)
Azioni sul collegamento: N=-6757.78 Ty=3.73 Tz=1.57 Mx=-0.01 Mz=2.45
Sollecitazioni agenti localmente: Ty_l=-1188.23 My_l=-24.35
Tensioni nella sezione: σ=295.09 τ=36.01
CC 26 SLD (Collegamento 0024_-381)
Azioni sul collegamento: N=-6757.78 Ty=2.84 Tz=1.57 Mx=-0.01 Mz=0.99
Sollecitazioni agenti localmente: Ty_l=-1194.02 My_l=-24.47
Tensioni nella sezione: σ=296.63 τ=36.18
CC 27 SLV (Collegamento 0024_-381)
Azioni sul collegamento: N=-7263.40 Ty=1.79 Tz=3.21 Mx=-0.02 Mz=1.45
Sollecitazioni agenti localmente: Ty_l=-1281.85 My_l=-26.27
Tensioni nella sezione: σ=318.42 τ=38.84
CC 27 SLV (Collegamento 0024_-381)
Azioni sul collegamento: N=-7263.40 Ty=3.09 Tz=3.21 Mx=-0.02 Mz=-2.17
Sollecitazioni agenti localmente: Ty_l=-1296.22 My_l=-26.58
Tensioni nella sezione: σ=322.24 τ=39.28
CC 27 SLV (Collegamento 0024_-381)
Azioni sul collegamento: N=-7263.40 Ty=1.79 Tz=-2.23 Mx=-0.02 Mz=1.45
Sollecitazioni agenti localmente: Ty_l=-1281.85 My_l=-26.27
Tensioni nella sezione: σ=318.42 τ=38.84
CC 27 SLV (Collegamento 0024_-381)
Azioni sul collegamento: N=-7263.40 Ty=3.09 Tz=-2.23 Mx=-0.02 Mz=-2.17
Sollecitazioni agenti localmente: Ty_l=-1296.22 My_l=-26.58
Tensioni nella sezione: σ=322.24 τ=39.28
CC 27 SLV (Collegamento 0024_-381)
Azioni sul collegamento: N=-5698.42 Ty=1.79 Tz=3.21 Mx=-0.02 Mz=1.45
Sollecitazioni agenti localmente: Ty_l=-1004.42 My_l=-20.58
Tensioni nella sezione: σ=249.49 τ=30.44
CC 27 SLV (Collegamento 0024_-381)
Azioni sul collegamento: N=-5698.42 Ty=3.09 Tz=3.21 Mx=-0.02 Mz=-2.17
Sollecitazioni agenti localmente: Ty_l=-1018.79 My_l=-20.90
Tensioni nella sezione: σ=253.30 τ=30.87
CC 27 SLV (Collegamento 0024_-381)
Azioni sul collegamento: N=-5698.42 Ty=1.79 Tz=-2.23 Mx=-0.02 Mz=1.45
Sollecitazioni agenti localmente: Ty_l=-1004.42 My_l=-20.58
Tensioni nella sezione: σ=249.49 τ=30.44
CC 27 SLV (Collegamento 0024_-381)
Azioni sul collegamento: N=-5698.42 Ty=3.09 Tz=-2.23 Mx=-0.02 Mz=-2.17
Sollecitazioni agenti localmente: Ty_l=-1018.79 My_l=-20.90
Tensioni nella sezione: σ=253.30 τ=30.87
CC 28 SLD (Collegamento 0024_-381)
Azioni sul collegamento: N=-6752.00 Ty=3.48 Tz=1.44 Mx=-0.01 Mz=2.27
Sollecitazioni agenti localmente: Ty_l=-1187.91 My_l=-24.34
Tensioni nella sezione: σ=295.02 τ=36.00
CC 28 SLD (Collegamento 0024_-381)
Azioni sul collegamento: N=-6752.00 Ty=3.09 Tz=1.44 Mx=-0.01 Mz=1.17
Sollecitazioni agenti localmente: Ty_l=-1192.29 My_l=-24.44
Tensioni nella sezione: σ=296.19 τ=36.13
CC 28 SLD (Collegamento 0024_-381)
Azioni sul collegamento: N=-6752.00 Ty=3.48 Tz=-0.21 Mx=-0.01 Mz=2.27
Sollecitazioni agenti localmente: Ty_l=-1187.91 My_l=-24.34
Tensioni nella sezione: σ=295.02 τ=36.00
CC 28 SLD (Collegamento 0024_-381)
Azioni sul collegamento: N=-6752.00 Ty=3.09 Tz=-0.21 Mx=-0.01 Mz=1.17
Sollecitazioni agenti localmente: Ty_l=-1192.29 My_l=-24.44
Tensioni nella sezione: σ=296.19 τ=36.13
CC 28 SLD (Collegamento 0024_-381)
Azioni sul collegamento: N=-6274.78 Ty=3.48 Tz=1.44 Mx=-0.01 Mz=2.27
Sollecitazioni agenti localmente: Ty_l=-1103.31 My_l=-22.61
Tensioni nella sezione: σ=274.00 τ=33.43
CC 28 SLD (Collegamento 0024_-381)
Azioni sul collegamento: N=-6274.78 Ty=3.09 Tz=1.44 Mx=-0.01 Mz=1.17
Sollecitazioni agenti localmente: Ty_l=-1107.69 My_l=-22.70
Tensioni nella sezione: σ=275.17 τ=33.57
CC 28 SLD (Collegamento 0024_-381)
Azioni sul collegamento: N=-6274.78 Ty=3.48 Tz=-0.21 Mx=-0.01 Mz=2.27
Sollecitazioni agenti localmente: Ty_l=-1103.31 My_l=-22.61
Tensioni nella sezione: σ=274.00 τ=33.43
CC 28 SLD (Collegamento 0024_-381)
Azioni sul collegamento: N=-6274.78 Ty=3.09 Tz=-0.21 Mx=-0.01 Mz=1.17
Sollecitazioni agenti localmente: Ty_l=-1107.69 My_l=-22.70
Tensioni nella sezione: σ=275.17 τ=33.57
CC 29 SLV (Collegamento 0024_-381)
Azioni sul collegamento: N=-5698.42 Ty=3.09 Tz=-2.23 Mx=-0.01 Mz=-2.17
Sollecitazioni agenti localmente: Ty_l=-1018.79 My_l=-20.90

Tensioni nella sezione: σ=253.30 τ=30.87
CC 29 SLV (Collegamento 0024_-381)
Azioni sul collegamento: N=-5698.42 Ty=1.79 Tz=-2.23 Mx=-0.01 Mz=1.45
Sollecitazioni agenti localmente: Ty_l=-1004.42 My_l=-20.58
Tensioni nella sezione: σ=249.49 τ=30.44
CC 29 SLV (Collegamento 0024_-381)
Azioni sul collegamento: N=-5698.42 Ty=3.09 Tz=3.21 Mx=-0.01 Mz=-2.17
Sollecitazioni agenti localmente: Ty_l=-1018.79 My_l=-20.90
Tensioni nella sezione: σ=253.30 τ=30.87
CC 29 SLV (Collegamento 0024_-381)
Azioni sul collegamento: N=-5698.42 Ty=1.79 Tz=3.21 Mx=-0.01 Mz=1.45
Sollecitazioni agenti localmente: Ty_l=-1004.42 My_l=-20.58
Tensioni nella sezione: σ=249.49 τ=30.44
CC 29 SLV (Collegamento 0024_-381)
Azioni sul collegamento: N=-7263.40 Ty=3.09 Tz=-2.23 Mx=-0.01 Mz=-2.17
Sollecitazioni agenti localmente: Ty_l=-1296.22 My_l=-26.58
Tensioni nella sezione: σ=322.24 τ=39.28
CC 29 SLV (Collegamento 0024_-381)
Azioni sul collegamento: N=-7263.40 Ty=1.79 Tz=-2.23 Mx=-0.01 Mz=1.45
Sollecitazioni agenti localmente: Ty_l=-1281.85 My_l=-26.27
Tensioni nella sezione: σ=318.42 τ=38.84
CC 29 SLV (Collegamento 0024_-381)
Azioni sul collegamento: N=-7263.40 Ty=3.09 Tz=3.21 Mx=-0.01 Mz=-2.17
Sollecitazioni agenti localmente: Ty_l=-1296.22 My_l=-26.58
Tensioni nella sezione: σ=322.24 τ=39.28
CC 29 SLV (Collegamento 0024_-381)
Azioni sul collegamento: N=-7263.40 Ty=1.79 Tz=3.21 Mx=-0.01 Mz=1.45
Sollecitazioni agenti localmente: Ty_l=-1281.85 My_l=-26.27
Tensioni nella sezione: σ=318.42 τ=38.84
CC 30 SLD (Collegamento 0024_-381)
Azioni sul collegamento: N=-6274.78 Ty=3.09 Tz=-0.21 Mx=-0.01 Mz=1.17
Sollecitazioni agenti localmente: Ty_l=-1107.69 My_l=-22.70
Tensioni nella sezione: σ=275.17 τ=33.57
CC 30 SLD (Collegamento 0024_-381)
Azioni sul collegamento: N=-6274.78 Ty=3.48 Tz=-0.21 Mx=-0.01 Mz=2.27
Sollecitazioni agenti localmente: Ty_l=-1103.31 My_l=-22.61
Tensioni nella sezione: σ=274.00 τ=33.43
CC 30 SLD (Collegamento 0024_-381)
Azioni sul collegamento: N=-6274.78 Ty=3.09 Tz=1.44 Mx=-0.01 Mz=1.17
Sollecitazioni agenti localmente: Ty_l=-1107.69 My_l=-22.70
Tensioni nella sezione: σ=275.17 τ=33.57
CC 30 SLD (Collegamento 0024_-381)
Azioni sul collegamento: N=-6274.78 Ty=3.48 Tz=1.44 Mx=-0.01 Mz=2.27
Sollecitazioni agenti localmente: Ty_l=-1103.31 My_l=-22.61
Tensioni nella sezione: σ=274.00 τ=33.43
CC 30 SLD (Collegamento 0024_-381)
Azioni sul collegamento: N=-6752.00 Ty=3.09 Tz=-0.21 Mx=-0.01 Mz=1.17
Sollecitazioni agenti localmente: Ty_l=-1192.29 My_l=-24.44
Tensioni nella sezione: σ=296.19 τ=36.13
CC 30 SLD (Collegamento 0024_-381)
Azioni sul collegamento: N=-6752.00 Ty=3.48 Tz=-0.21 Mx=-0.01 Mz=2.27
Sollecitazioni agenti localmente: Ty_l=-1187.91 My_l=-24.34
Tensioni nella sezione: σ=295.02 τ=36.00
CC 30 SLD (Collegamento 0024_-381)
Azioni sul collegamento: N=-6752.00 Ty=3.09 Tz=1.44 Mx=-0.01 Mz=1.17
Sollecitazioni agenti localmente: Ty_l=-1192.29 My_l=-24.44
Tensioni nella sezione: σ=296.19 τ=36.13
CC 30 SLD (Collegamento 0024_-381)
Azioni sul collegamento: N=-6752.00 Ty=3.48 Tz=1.44 Mx=-0.01 Mz=2.27
Sollecitazioni agenti localmente: Ty_l=-1187.91 My_l=-24.34
Tensioni nella sezione: σ=295.02 τ=36.00
CC 31 SLV (Collegamento 0024_-381)
Azioni sul collegamento: N=-7282.36 Ty=3.91 Tz=3.63 Mx=-0.01 Mz=-2.74
Sollecitazioni agenti localmente: Ty_l=-1301.88 My_l=-26.70
Tensioni nella sezione: σ=323.68 τ=39.45
CC 31 SLV (Collegamento 0024_-381)
Azioni sul collegamento: N=-7282.36 Ty=0.97 Tz=3.63 Mx=-0.01 Mz=2.02
Sollecitazioni agenti localmente: Ty_l=-1282.92 My_l=-26.29
Tensioni nella sezione: σ=318.65 τ=38.88
CC 31 SLV (Collegamento 0024_-381)
Azioni sul collegamento: N=-7282.36 Ty=3.91 Tz=-2.66 Mx=-0.01 Mz=-2.74
Sollecitazioni agenti localmente: Ty_l=-1301.88 My_l=-26.70
Tensioni nella sezione: σ=323.68 τ=39.45
CC 31 SLV (Collegamento 0024_-381)
Azioni sul collegamento: N=-7282.36 Ty=0.97 Tz=-2.66 Mx=-0.01 Mz=2.02
Sollecitazioni agenti localmente: Ty_l=-1282.92 My_l=-26.29
Tensioni nella sezione: σ=318.65 τ=38.88
CC 31 SLV (Collegamento 0024_-381)
Azioni sul collegamento: N=-5679.46 Ty=3.91 Tz=3.63 Mx=-0.01 Mz=-2.74
Sollecitazioni agenti localmente: Ty_l=-1017.73 My_l=-20.88

Tensioni nella sezione: σ=253.08 τ=30.84
CC 31 SLV (Collegamento 0024_-381)
Azioni sul collegamento: N=-5679.46 Ty=0.97 Tz=3.63 Mx=-0.01 Mz=2.02
Sollecitazioni agenti localmente: Ty_l=-998.77 My_l=-20.46
Tensioni nella sezione: σ=248.04 τ=30.27
CC 31 SLV (Collegamento 0024_-381)
Azioni sul collegamento: N=-5679.46 Ty=3.91 Tz=-2.66 Mx=-0.01 Mz=-2.74
Sollecitazioni agenti localmente: Ty_l=-1017.73 My_l=-20.88
Tensioni nella sezione: σ=253.08 τ=30.84
CC 31 SLV (Collegamento 0024_-381)
Azioni sul collegamento: N=-5679.46 Ty=0.97 Tz=-2.66 Mx=-0.01 Mz=2.02
Sollecitazioni agenti localmente: Ty_l=-998.77 My_l=-20.46
Tensioni nella sezione: σ=248.04 τ=30.27
CC 32 SLD (Collegamento 0024_-381)
Azioni sul collegamento: N=-6757.78 Ty=2.84 Tz=1.57 Mx=-0.00 Mz=0.99
Sollecitazioni agenti localmente: Ty_l=-1194.02 My_l=-24.47
Tensioni nella sezione: σ=296.63 τ=36.18
CC 32 SLD (Collegamento 0024_-381)
Azioni sul collegamento: N=-6757.78 Ty=3.73 Tz=1.57 Mx=-0.00 Mz=2.45
Sollecitazioni agenti localmente: Ty_l=-1188.23 My_l=-24.35
Tensioni nella sezione: σ=295.09 τ=36.01
CC 32 SLD (Collegamento 0024_-381)
Azioni sul collegamento: N=-6757.78 Ty=2.84 Tz=-0.34 Mx=-0.00 Mz=0.99
Sollecitazioni agenti localmente: Ty_l=-1194.02 My_l=-24.47
Tensioni nella sezione: σ=296.63 τ=36.18
CC 32 SLD (Collegamento 0024_-381)
Azioni sul collegamento: N=-6757.78 Ty=3.73 Tz=-0.34 Mx=-0.00 Mz=2.45
Sollecitazioni agenti localmente: Ty_l=-1188.23 My_l=-24.35
Tensioni nella sezione: σ=295.09 τ=36.01
CC 32 SLD (Collegamento 0024_-381)
Azioni sul collegamento: N=-6269.00 Ty=2.84 Tz=1.57 Mx=-0.00 Mz=0.99
Sollecitazioni agenti localmente: Ty_l=-1107.37 My_l=-22.70
Tensioni nella sezione: σ=275.10 τ=33.56
CC 32 SLD (Collegamento 0024_-381)
Azioni sul collegamento: N=-6269.00 Ty=3.73 Tz=1.57 Mx=-0.00 Mz=2.45
Sollecitazioni agenti localmente: Ty_l=-1101.59 My_l=-22.57
Tensioni nella sezione: σ=273.56 τ=33.38
CC 32 SLD (Collegamento 0024_-381)
Azioni sul collegamento: N=-6269.00 Ty=2.84 Tz=-0.34 Mx=-0.00 Mz=0.99
Sollecitazioni agenti localmente: Ty_l=-1107.37 My_l=-22.70
Tensioni nella sezione: σ=275.10 τ=33.56
CC 32 SLD (Collegamento 0024_-381)
Azioni sul collegamento: N=-6269.00 Ty=3.73 Tz=-0.34 Mx=-0.00 Mz=2.45
Sollecitazioni agenti localmente: Ty_l=-1101.59 My_l=-22.57
Tensioni nella sezione: σ=273.56 τ=33.38
CC 33 SLU (Collegamento 0024_-381)
Azioni sul collegamento: N=-30229.20 Ty=5.39 Tz=79.58 Mx=-0.01 Mz=3.85
Sollecitazioni agenti localmente: Ty_l=-5343.52 My_l=-109.52
Tensioni nella sezione: σ=1327.52 τ=161.93
CC 34 SLU (Collegamento 0024_-381)
Azioni sul collegamento: N=-30778.60 Ty=5.67 Tz=81.62 Mx=-0.01 Mz=4.05
Sollecitazioni agenti localmente: Ty_l=-5440.11 My_l=-111.50
Tensioni nella sezione: σ=1351.51 τ=164.85
CC 35 SLU (Collegamento 0024_-381)
Azioni sul collegamento: N=-30504.90 Ty=5.64 Tz=80.58 Mx=-0.01 Mz=4.16
Sollecitazioni agenti localmente: Ty_l=-5391.12 My_l=-110.50
Tensioni nella sezione: σ=1339.33 τ=163.37
CC 36 SLU (Collegamento 0024_-381)
Azioni sul collegamento: N=-30502.90 Ty=5.42 Tz=80.62 Mx=-0.01 Mz=3.73
Sollecitazioni agenti localmente: Ty_l=-5392.50 My_l=-110.53
Tensioni nella sezione: σ=1339.70 τ=163.41
CC 37 SLU (Collegamento 0024_-381)
Azioni sul collegamento: N=-32152.70 Ty=5.24 Tz=86.01 Mx=0.00 Mz=3.86
Sollecitazioni agenti localmente: Ty_l=-5684.45 My_l=-116.51
Tensioni nella sezione: σ=1412.24 τ=172.26
CC 38 SLU (Collegamento 0024_-381)
Azioni sul collegamento: N=-32702.10 Ty=5.53 Tz=88.04 Mx=0.00 Mz=4.06
Sollecitazioni agenti localmente: Ty_l=-5781.04 My_l=-118.49
Tensioni nella sezione: σ=1436.23 τ=175.18
CC 39 SLU (Collegamento 0024_-381)
Azioni sul collegamento: N=-32428.40 Ty=5.50 Tz=87.00 Mx=0.00 Mz=4.18
Sollecitazioni agenti localmente: Ty_l=-5732.05 My_l=-117.48
Tensioni nella sezione: σ=1424.05 τ=173.70
CC 40 SLU (Collegamento 0024_-381)
Azioni sul collegamento: N=-32426.40 Ty=5.28 Tz=87.05 Mx=0.00 Mz=3.74
Sollecitazioni agenti localmente: Ty_l=-5733.44 My_l=-117.52
Tensioni nella sezione: σ=1424.42 τ=173.74
CC 41 SLU (Collegamento 0024_-381)
Azioni sul collegamento: N=-20958.20 Ty=6.23 Tz=45.50 Mx=-0.01 Mz=4.43
Sollecitazioni agenti localmente: Ty_l=-3697.70 My_l=-75.78

Tensioni nella sezione: σ=918.52 τ=112.05
CC 42 SLU (Collegamento 0024_-381)
Azioni sul collegamento: N=-21507.60 Ty=6.52 Tz=47.54 Mx=-0.01 Mz=4.63
Sollecitazioni agenti localmente: Ty_l=-3794.29 My_l=-77.76
Tensioni nella sezione: σ=942.51 τ=114.98
CC 43 SLU (Collegamento 0024_-381)
Azioni sul collegamento: N=-21233.90 Ty=6.48 Tz=46.50 Mx=-0.01 Mz=4.75
Sollecitazioni agenti localmente: Ty_l=-3745.31 My_l=-76.75
Tensioni nella sezione: σ=930.33 τ=113.49
CC 44 SLU (Collegamento 0024_-381)
Azioni sul collegamento: N=-21231.90 Ty=6.26 Tz=46.54 Mx=-0.01 Mz=4.31
Sollecitazioni agenti localmente: Ty_l=-3746.69 My_l=-76.78
Tensioni nella sezione: σ=930.71 τ=113.54
CC 45 SLU (Collegamento 0024_-381)
Azioni sul collegamento: N=-23044.60 Ty=5.94 Tz=53.22 Mx=-0.01 Mz=4.28
Sollecitazioni agenti localmente: Ty_l=-4068.14 My_l=-83.37
Tensioni nella sezione: σ=1010.58 τ=123.28
CC 46 SLU (Collegamento 0024_-381)
Azioni sul collegamento: N=-23594.00 Ty=6.22 Tz=55.25 Mx=-0.01 Mz=4.49
Sollecitazioni agenti localmente: Ty_l=-4164.73 My_l=-85.35
Tensioni nella sezione: σ=1034.57 τ=126.20
CC 47 SLU (Collegamento 0024_-381)
Azioni sul collegamento: N=-23320.30 Ty=6.19 Tz=54.21 Mx=-0.01 Mz=4.60
Sollecitazioni agenti localmente: Ty_l=-4115.74 My_l=-84.35
Tensioni nella sezione: σ=1022.39 τ=124.72
CC 48 SLU (Collegamento 0024_-381)
Azioni sul collegamento: N=-23318.30 Ty=5.97 Tz=54.26 Mx=-0.01 Mz=4.17
Sollecitazioni agenti localmente: Ty_l=-4117.13 My_l=-84.38
Tensioni nella sezione: σ=1022.76 τ=124.76
CC 49 SLU (Collegamento 0024_-381)
Azioni sul collegamento: N=-24483.70 Ty=5.83 Tz=58.03 Mx=0.00 Mz=4.29
Sollecitazioni agenti localmente: Ty_l=-4323.21 My_l=-88.60
Tensioni nella sezione: σ=1073.96 τ=131.01
CC 50 SLU (Collegamento 0024_-381)
Azioni sul collegamento: N=-25033.00 Ty=6.12 Tz=60.06 Mx=0.00 Mz=4.50
Sollecitazioni agenti localmente: Ty_l=-4419.80 My_l=-90.58
Tensioni nella sezione: σ=1097.95 τ=133.93
CC 51 SLU (Collegamento 0024_-381)
Azioni sul collegamento: N=-24759.30 Ty=6.08 Tz=59.02 Mx=-0.00 Mz=4.61
Sollecitazioni agenti localmente: Ty_l=-4370.81 My_l=-89.58
Tensioni nella sezione: σ=1085.77 τ=132.45
CC 52 SLU (Collegamento 0024_-381)
Azioni sul collegamento: N=-24757.40 Ty=5.87 Tz=59.07 Mx=0.00 Mz=4.18
Sollecitazioni agenti localmente: Ty_l=-4372.19 My_l=-89.61
Tensioni nella sezione: σ=1086.14 τ=132.49
CC 53 SLU (Collegamento 0024_-381)
Azioni sul collegamento: N=-16108.60 Ty=6.57 Tz=27.72 Mx=-0.01 Mz=4.72
Sollecitazioni agenti localmente: Ty_l=-2836.83 My_l=-58.13
Tensioni nella sezione: σ=704.59 τ=85.96
CC 54 SLU (Collegamento 0024_-381)
Azioni sul collegamento: N=-16657.90 Ty=6.86 Tz=29.76 Mx=-0.01 Mz=4.92
Sollecitazioni agenti localmente: Ty_l=-2933.41 My_l=-60.11
Tensioni nella sezione: σ=728.58 τ=88.89
CC 55 SLU (Collegamento 0024_-381)
Azioni sul collegamento: N=-16384.20 Ty=6.82 Tz=28.72 Mx=-0.01 Mz=5.04
Sollecitazioni agenti localmente: Ty_l=-2884.43 My_l=-59.10
Tensioni nella sezione: σ=716.40 τ=87.41
CC 56 SLU (Collegamento 0024_-381)
Azioni sul collegamento: N=-16382.30 Ty=6.60 Tz=28.76 Mx=-0.01 Mz=4.60
Sollecitazioni agenti localmente: Ty_l=-2885.81 My_l=-59.13
Tensioni nella sezione: σ=716.77 τ=87.45
CC 57 SLU (Collegamento 0024_-381)
Azioni sul collegamento: N=-23426.90 Ty=6.35 Tz=54.67 Mx=-0.01 Mz=4.58
Sollecitazioni agenti localmente: Ty_l=-4134.72 My_l=-84.74
Tensioni nella sezione: σ=1027.11 τ=125.30
CC 58 SLU (Collegamento 0024_-381)
Azioni sul collegamento: N=-23976.20 Ty=6.64 Tz=56.70 Mx=-0.01 Mz=4.78
Sollecitazioni agenti localmente: Ty_l=-4231.31 My_l=-86.72
Tensioni nella sezione: σ=1051.09 τ=128.22
CC 59 SLU (Collegamento 0024_-381)
Azioni sul collegamento: N=-23702.50 Ty=6.61 Tz=55.66 Mx=-0.01 Mz=4.90
Sollecitazioni agenti localmente: Ty_l=-4182.33 My_l=-85.71
Tensioni nella sezione: σ=1038.91 τ=126.74
CC 60 SLU (Collegamento 0024_-381)
Azioni sul collegamento: N=-23700.60 Ty=6.39 Tz=55.71 Mx=-0.01 Mz=4.46
Sollecitazioni agenti localmente: Ty_l=-4183.71 My_l=-85.74
Tensioni nella sezione: σ=1039.29 τ=126.78
CC 61 SLU (Collegamento 0024_-381)
Azioni sul collegamento: N=-24865.90 Ty=6.25 Tz=59.47 Mx=0.00 Mz=4.59
Sollecitazioni agenti localmente: Ty_l=-4389.79 My_l=-89.97

Tensioni nella sezione: σ=1090.49 τ=133.02
CC 62 SLU (Collegamento 0024_-381)
Azioni sul collegamento: N=-25415.30 Ty=6.53 Tz=61.51 Mx=-0.00 Mz=4.79
Sollecitazioni agenti localmente: Ty_l=-4486.38 My_l=-91.94
Tensioni nella sezione: σ=1114.47 τ=135.95
CC 63 SLU (Collegamento 0024_-381)
Azioni sul collegamento: N=-25141.60 Ty=6.50 Tz=60.47 Mx=-0.00 Mz=4.91
Sollecitazioni agenti localmente: Ty_l=-4437.39 My_l=-90.94
Tensioni nella sezione: σ=1102.29 τ=134.47
CC 64 SLU (Collegamento 0024_-381)
Azioni sul collegamento: N=-25139.60 Ty=6.28 Tz=60.51 Mx=0.00 Mz=4.47
Sollecitazioni agenti localmente: Ty_l=-4438.78 My_l=-90.97
Tensioni nella sezione: σ=1102.67 τ=134.51
CC 65 SLU (Collegamento 0024_-381)
Azioni sul collegamento: N=-16490.80 Ty=6.99 Tz=29.17 Mx=-0.01 Mz=5.02
Sollecitazioni agenti localmente: Ty_l=-2903.41 My_l=-59.49
Tensioni nella sezione: σ=721.12 τ=87.98
CC 66 SLU (Collegamento 0024_-381)
Azioni sul collegamento: N=-17040.20 Ty=7.27 Tz=31.20 Mx=-0.01 Mz=5.22
Sollecitazioni agenti localmente: Ty_l=-3000.00 My_l=-61.47
Tensioni nella sezione: σ=745.10 τ=90.91
CC 67 SLU (Collegamento 0024_-381)
Azioni sul collegamento: N=-16766.50 Ty=7.24 Tz=30.16 Mx=-0.01 Mz=5.34
Sollecitazioni agenti localmente: Ty_l=-2951.01 My_l=-60.47
Tensioni nella sezione: σ=732.92 τ=89.42
CC 68 SLU (Collegamento 0024_-381)
Azioni sul collegamento: N=-16764.50 Ty=7.02 Tz=30.21 Mx=-0.01 Mz=4.90
Sollecitazioni agenti localmente: Ty_l=-2952.40 My_l=-60.50
Tensioni nella sezione: σ=733.30 τ=89.47
CC 97 SLU (Collegamento 0024_-381)
Azioni sul collegamento: N=-10609.80 Ty=16.63 Tz=15.80 Mx=0.03 Mz=19.66
Sollecitazioni agenti localmente: Ty_l=-1802.61 My_l=-36.84
Tensioni nella sezione: σ=446.59 τ=54.62
CC 98 SLU (Collegamento 0024_-381)
Azioni sul collegamento: N=-11159.10 Ty=16.91 Tz=17.84 Mx=0.03 Mz=19.86
Sollecitazioni agenti localmente: Ty_l=-1899.20 My_l=-38.82
Tensioni nella sezione: σ=470.58 τ=57.55
CC 99 SLU (Collegamento 0024_-381)
Azioni sul collegamento: N=-10885.40 Ty=16.88 Tz=16.80 Mx=0.03 Mz=19.98
Sollecitazioni agenti localmente: Ty_l=-1850.21 My_l=-37.82
Tensioni nella sezione: σ=458.40 τ=56.07
CC 100 SLU (Collegamento 0024_-381)
Azioni sul collegamento: N=-10883.50 Ty=16.66 Tz=16.84 Mx=0.03 Mz=19.55
Sollecitazioni agenti localmente: Ty_l=-1851.60 My_l=-37.85
Tensioni nella sezione: σ=458.77 τ=56.11
CC 101 SLU (Collegamento 0024_-381)
Azioni sul collegamento: N=-6606.14 Ty=1.32 Tz=0.91 Mx=-0.01 Mz=0.13
Sollecitazioni agenti localmente: Ty_l=-1170.57 My_l=-24.00
Tensioni nella sezione: σ=290.86 τ=35.47
CC 102 SLU (Collegamento 0024_-381)
Azioni sul collegamento: N=-7155.53 Ty=1.61 Tz=2.94 Mx=-0.01 Mz=0.33
Sollecitazioni agenti localmente: Ty_l=-1267.16 My_l=-25.97
Tensioni nella sezione: σ=314.85 τ=38.40
CC 103 SLU (Collegamento 0024_-381)
Azioni sul collegamento: N=-6881.82 Ty=1.58 Tz=1.90 Mx=-0.01 Mz=0.45
Sollecitazioni agenti localmente: Ty_l=-1218.17 My_l=-24.97
Tensioni nella sezione: σ=302.67 τ=36.91
CC 104 SLU (Collegamento 0024_-381)
Azioni sul collegamento: N=-6879.85 Ty=1.36 Tz=1.95 Mx=-0.01 Mz=0.01
Sollecitazioni agenti localmente: Ty_l=-1219.56 My_l=-25.00
Tensioni nella sezione: σ=303.04 τ=36.96

Collegamento 0025_-382

Piastra 220.00 x 220.00 s=15.00 - 6 Tirafondi ϕ 16 - Profondità di infissione: 350.00
3 righe ad interasse 89.00
2 colonne ad interasse 178.00
Altezza di gola saldature: anima 7.07 - ala 7.07

Tirafondi e calcestruzzo

CC 1 SLV (Collegamento 0025_-382)
Azioni sul collegamento: N=-3838.16 Ty=-4.12 Tz=-9.35 Mx=0.02 Mz=1.95
Sollecitazioni agenti localmente: Tx_l=-4.12 Ty_l=-9.35 N_l=-3838.16 Mx_l=-0.00 My_l=1.95 Mz_l=0.02
Taglio nei bulloni: Fv,Ed=1.73 Fv,Rd=7720.78
Rifollamento lato piastra: Fb,Ed,p=1.73 Fb,Rd,p=7792.79
Tirafondi:LT=0.45 (0.31) σ_{cR}=0.00 σ_{fR}=0.00
Compressione nel calcestruzzo: σ_c=8.04
CC 1 SLV (Collegamento 0025_-382)
Azioni sul collegamento: N=-3838.16 Ty=-0.76 Tz=-9.35 Mx=0.02 Mz=-1.23

Sollecitazioni agenti localmente: T_{x_l}=-0.76 T_{y_l}=-9.35 N_l=-3838.16 M_{x_l}=-0.00 M_{y_l}=-1.23 M_{z_l}=0.02
Taglio nei bulloni: Fv,Ed=1.59 Fv,Rd=7720.78
Rifollamento lato piastra: Fb,Ed,p=1.59 Fb,Rd,p=6058.88
Tirafondi:LT=0.45 (0.31) σ_{cR}=0.00 σ_{fR}=0.00
Compressione nel calcestruzzo: σ_c=8.00
CC 1 SLV (Collegamento 0025_-382)
Azioni sul collegamento: N=-3838.16 Ty=-4.12 Tz=10.33 Mx=0.02 Mz=1.95
Sollecitazioni agenti localmente: T_{x_l}=-4.12 T_{y_l}=10.33 N_l=-3838.16 M_{x_l}=-0.00 M_{y_l}=1.95 M_{z_l}=0.02
Taglio nei bulloni: Fv,Ed=1.88 Fv,Rd=7720.78
Rifollamento lato piastra: Fb,Ed,p=1.87 Fb,Rd,p=7277.24
Tirafondi:LT=0.45 (0.31) σ_{cR}=0.00 σ_{fR}=0.00
Compressione nel calcestruzzo: σ_c=8.04
CC 1 SLV (Collegamento 0025_-382)
Azioni sul collegamento: N=-3838.16 Ty=-0.76 Tz=10.33 Mx=0.02 Mz=-1.23
Sollecitazioni agenti localmente: T_{x_l}=-0.76 T_{y_l}=10.33 N_l=-3838.16 M_{x_l}=-0.00 M_{y_l}=-1.23 M_{z_l}=0.02
Taglio nei bulloni: Fv,Ed=1.75 Fv,Rd=7720.78
Rifollamento lato piastra: Fb,Ed,p=1.75 Fb,Rd,p=6010.44
Tirafondi:LT=0.45 (0.31) σ_{cR}=0.00 σ_{fR}=0.00
Compressione nel calcestruzzo: σ_c=8.00
CC 1 SLV (Collegamento 0025_-382)
Azioni sul collegamento: N=-9123.66 Ty=-4.12 Tz=-9.35 Mx=0.02 Mz=1.95
Sollecitazioni agenti localmente: T_{x_l}=-4.12 T_{y_l}=-9.35 N_l=-9123.66 M_{x_l}=-0.00 M_{y_l}=1.95 M_{z_l}=0.02
Taglio nei bulloni: Fv,Ed=1.73 Fv,Rd=7720.78
Rifollamento lato piastra: Fb,Ed,p=1.73 Fb,Rd,p=7792.84
Tirafondi:LT=0.45 (0.31) σ_{cR}=0.00 σ_{fR}=0.00
Compressione nel calcestruzzo: σ_c=18.96
CC 1 SLV (Collegamento 0025_-382)
Azioni sul collegamento: N=-9123.66 Ty=-0.76 Tz=-9.35 Mx=0.02 Mz=-1.23
Sollecitazioni agenti localmente: T_{x_l}=-0.76 T_{y_l}=-9.35 N_l=-9123.66 M_{x_l}=-0.00 M_{y_l}=-1.23 M_{z_l}=0.02
Taglio nei bulloni: Fv,Ed=1.59 Fv,Rd=7720.78
Rifollamento lato piastra: Fb,Ed,p=1.59 Fb,Rd,p=6058.89
Tirafondi:LT=0.45 (0.31) σ_{cR}=0.00 σ_{fR}=0.00
Compressione nel calcestruzzo: σ_c=18.92
CC 1 SLV (Collegamento 0025_-382)
Azioni sul collegamento: N=-9123.66 Ty=-4.12 Tz=10.33 Mx=0.02 Mz=1.95
Sollecitazioni agenti localmente: T_{x_l}=-4.12 T_{y_l}=10.33 N_l=-9123.66 M_{x_l}=-0.00 M_{y_l}=1.95 M_{z_l}=0.02
Taglio nei bulloni: Fv,Ed=1.88 Fv,Rd=7720.78
Rifollamento lato piastra: Fb,Ed,p=1.87 Fb,Rd,p=7277.13
Tirafondi:LT=0.45 (0.31) σ_{cR}=0.00 σ_{fR}=0.00
Compressione nel calcestruzzo: σ_c=18.96
CC 1 SLV (Collegamento 0025_-382)
Azioni sul collegamento: N=-9123.66 Ty=-0.76 Tz=10.33 Mx=0.02 Mz=-1.23
Sollecitazioni agenti localmente: T_{x_l}=-0.76 T_{y_l}=10.33 N_l=-9123.66 M_{x_l}=-0.00 M_{y_l}=-1.23 M_{z_l}=0.02
Taglio nei bulloni: Fv,Ed=1.75 Fv,Rd=7720.78
Rifollamento lato piastra: Fb,Ed,p=1.75 Fb,Rd,p=6010.44
Tirafondi:LT=0.45 (0.31) σ_{cR}=0.00 σ_{fR}=0.00
Compressione nel calcestruzzo: σ_c=18.92
CC 2 SLD (Collegamento 0025_-382)
Azioni sul collegamento: N=-5707.53 Ty=-2.77 Tz=-2.38 Mx=0.01 Mz=-1.24
Sollecitazioni agenti localmente: T_{x_l}=-2.77 T_{y_l}=-2.38 N_l=-5707.53 M_{x_l}=-0.00 M_{y_l}=-1.24 M_{z_l}=0.01
Taglio nei bulloni: Fv,Ed=0.62 Fv,Rd=9650.97
Rifollamento lato piastra: Fb,Ed,p=0.61 Fb,Rd,p=13753.00
Tirafondi:LT=0.45 (0.31) σ_{cR}=0.00 σ_{fR}=0.00
Compressione nel calcestruzzo: σ_c=11.86
CC 2 SLD (Collegamento 0025_-382)
Azioni sul collegamento: N=-5707.53 Ty=-3.80 Tz=-2.38 Mx=0.01 Mz=-2.21
Sollecitazioni agenti localmente: T_{x_l}=-3.80 T_{y_l}=-2.38 N_l=-5707.53 M_{x_l}=-0.00 M_{y_l}=-2.21 M_{z_l}=0.01
Taglio nei bulloni: Fv,Ed=0.76 Fv,Rd=9650.97
Rifollamento lato piastra: Fb,Ed,p=0.75 Fb,Rd,p=11615.30
Tirafondi:LT=0.45 (0.31) σ_{cR}=0.00 σ_{fR}=0.00
Compressione nel calcestruzzo: σ_c=11.92
CC 2 SLD (Collegamento 0025_-382)
Azioni sul collegamento: N=-5707.53 Ty=-2.77 Tz=3.62 Mx=0.01 Mz=-1.24
Sollecitazioni agenti localmente: T_{x_l}=-2.77 T_{y_l}=3.62 N_l=-5707.53 M_{x_l}=-0.00 M_{y_l}=-1.24 M_{z_l}=0.01
Taglio nei bulloni: Fv,Ed=0.77 Fv,Rd=9650.97
Rifollamento lato piastra: Fb,Ed,p=0.76 Fb,Rd,p=13209.70
Tirafondi:LT=0.45 (0.31) σ_{cR}=0.00 σ_{fR}=0.00
Compressione nel calcestruzzo: σ_c=11.86
CC 2 SLD (Collegamento 0025_-382)
Azioni sul collegamento: N=-5707.53 Ty=-3.80 Tz=3.62 Mx=0.01 Mz=-2.21
Sollecitazioni agenti localmente: T_{x_l}=-3.80 T_{y_l}=3.62 N_l=-5707.53 M_{x_l}=-0.00 M_{y_l}=-2.21 M_{z_l}=0.01
Taglio nei bulloni: Fv,Ed=0.89 Fv,Rd=9650.97
Rifollamento lato piastra: Fb,Ed,p=0.89 Fb,Rd,p=14674.10
Tirafondi:LT=0.45 (0.31) σ_{cR}=0.00 σ_{fR}=0.00
Compressione nel calcestruzzo: σ_c=11.92
CC 2 SLD (Collegamento 0025_-382)
Azioni sul collegamento: N=-7319.25 Ty=-2.77 Tz=-2.38 Mx=0.01 Mz=-1.24
Sollecitazioni agenti localmente: T_{x_l}=-2.77 T_{y_l}=-2.38 N_l=-7319.25 M_{x_l}=-0.00 M_{y_l}=-1.24 M_{z_l}=0.01
Taglio nei bulloni: Fv,Ed=0.62 Fv,Rd=9650.97
Rifollamento lato piastra: Fb,Ed,p=0.61 Fb,Rd,p=13752.80

Tirafondi:LT=0.45 (0.31) σ_{cR}=0.00 σ_{fR}=0.00
Compressione nel calcestruzzo: σ_c=15.19
CC 2 SLD (Collegamento 0025_-382)
Azioni sul collegamento: N=-7319.25 Ty=-3.80 Tz=-2.38 Mx=0.01 Mz=-2.21
Sollecitazioni agenti localmente: Tx_l=-3.80 Ty_l=-2.38 N_l=-7319.25 Mx_l=-0.00 My_l=-2.21 Mz_l=0.01
Taglio nei bulloni: Fv,Ed=0.76 Fv,Rd=9650.97
Rifollamento lato piastra: Fb,Ed,p=0.75 Fb,Rd,p=11614.90
Tirafondi:LT=0.45 (0.31) σ_{cR}=0.00 σ_{fR}=0.00
Compressione nel calcestruzzo: σ_c=15.25
CC 2 SLD (Collegamento 0025_-382)
Azioni sul collegamento: N=-7319.25 Ty=-2.77 Tz=3.62 Mx=0.01 Mz=-1.24
Sollecitazioni agenti localmente: Tx_l=-2.77 Ty_l=3.62 N_l=-7319.25 Mx_l=-0.00 My_l=-1.24 Mz_l=0.01
Taglio nei bulloni: Fv,Ed=0.77 Fv,Rd=9650.97
Rifollamento lato piastra: Fb,Ed,p=0.76 Fb,Rd,p=13209.80
Tirafondi:LT=0.45 (0.31) σ_{cR}=0.00 σ_{fR}=0.00
Compressione nel calcestruzzo: σ_c=15.19
CC 2 SLD (Collegamento 0025_-382)
Azioni sul collegamento: N=-7319.25 Ty=-3.80 Tz=3.62 Mx=0.01 Mz=-2.21
Sollecitazioni agenti localmente: Tx_l=-3.80 Ty_l=3.62 N_l=-7319.25 Mx_l=-0.00 My_l=-2.21 Mz_l=0.01
Taglio nei bulloni: Fv,Ed=0.89 Fv,Rd=9650.97
Rifollamento lato piastra: Fb,Ed,p=0.89 Fb,Rd,p=14673.90
Tirafondi:LT=0.45 (0.31) σ_{cR}=0.00 σ_{fR}=0.00
Compressione nel calcestruzzo: σ_c=15.25
CC 3 SLV (Collegamento 0025_-382)
Azioni sul collegamento: N=-3843.85 Ty=-3.49 Tz=-9.22 Mx=0.02 Mz=0.69
Sollecitazioni agenti localmente: Tx_l=-3.49 Ty_l=-9.22 N_l=-3843.85 Mx_l=-0.00 My_l=0.69 Mz_l=0.02
Taglio nei bulloni: Fv,Ed=1.67 Fv,Rd=7720.78
Rifollamento lato piastra: Fb,Ed,p=1.67 Fb,Rd,p=7309.56
Tirafondi:LT=0.45 (0.31) σ_{cR}=0.00 σ_{fR}=0.00
Compressione nel calcestruzzo: σ_c=7.98
CC 3 SLV (Collegamento 0025_-382)
Azioni sul collegamento: N=-3843.85 Ty=-1.39 Tz=-9.22 Mx=0.02 Mz=0.03
Sollecitazioni agenti localmente: Tx_l=-1.39 Ty_l=-9.22 N_l=-3843.85 Mx_l=-0.00 My_l=0.03 Mz_l=0.02
Taglio nei bulloni: Fv,Ed=1.57 Fv,Rd=7720.78
Rifollamento lato piastra: Fb,Ed,p=1.57 Fb,Rd,p=6209.49
Tirafondi:LT=0.45 (0.31) σ_{cR}=0.00 σ_{fR}=0.00
Compressione nel calcestruzzo: σ_c=7.94
CC 3 SLV (Collegamento 0025_-382)
Azioni sul collegamento: N=-3843.85 Ty=-3.49 Tz=10.20 Mx=0.02 Mz=0.69
Sollecitazioni agenti localmente: Tx_l=-3.49 Ty_l=10.20 N_l=-3843.85 Mx_l=-0.00 My_l=0.69 Mz_l=0.02
Taglio nei bulloni: Fv,Ed=1.82 Fv,Rd=7720.78
Rifollamento lato piastra: Fb,Ed,p=1.81 Fb,Rd,p=6940.89
Tirafondi:LT=0.45 (0.31) σ_{cR}=0.00 σ_{fR}=0.00
Compressione nel calcestruzzo: σ_c=7.98
CC 3 SLV (Collegamento 0025_-382)
Azioni sul collegamento: N=-3843.85 Ty=-1.39 Tz=10.20 Mx=0.02 Mz=0.03
Sollecitazioni agenti localmente: Tx_l=-1.39 Ty_l=10.20 N_l=-3843.85 Mx_l=-0.00 My_l=0.03 Mz_l=0.02
Taglio nei bulloni: Fv,Ed=1.74 Fv,Rd=7720.78
Rifollamento lato piastra: Fb,Ed,p=1.73 Fb,Rd,p=6117.89
Tirafondi:LT=0.45 (0.31) σ_{cR}=0.00 σ_{fR}=0.00
Compressione nel calcestruzzo: σ_c=7.94
CC 3 SLV (Collegamento 0025_-382)
Azioni sul collegamento: N=-9117.97 Ty=-3.49 Tz=-9.22 Mx=0.02 Mz=0.69
Sollecitazioni agenti localmente: Tx_l=-3.49 Ty_l=-9.22 N_l=-9117.97 Mx_l=-0.00 My_l=0.69 Mz_l=0.02
Taglio nei bulloni: Fv,Ed=1.67 Fv,Rd=7720.78
Rifollamento lato piastra: Fb,Ed,p=1.67 Fb,Rd,p=7309.64
Tirafondi:LT=0.45 (0.31) σ_{cR}=0.00 σ_{fR}=0.00
Compressione nel calcestruzzo: σ_c=18.88
CC 3 SLV (Collegamento 0025_-382)
Azioni sul collegamento: N=-9117.97 Ty=-1.39 Tz=-9.22 Mx=0.02 Mz=0.03
Sollecitazioni agenti localmente: Tx_l=-1.39 Ty_l=-9.22 N_l=-9117.97 Mx_l=-0.00 My_l=0.03 Mz_l=0.02
Taglio nei bulloni: Fv,Ed=1.57 Fv,Rd=7720.78
Rifollamento lato piastra: Fb,Ed,p=1.57 Fb,Rd,p=6209.50
Tirafondi:LT=0.45 (0.31) σ_{cR}=0.00 σ_{fR}=0.00
Compressione nel calcestruzzo: σ_c=18.84
CC 3 SLV (Collegamento 0025_-382)
Azioni sul collegamento: N=-9117.97 Ty=-3.49 Tz=10.20 Mx=0.02 Mz=0.69
Sollecitazioni agenti localmente: Tx_l=-3.49 Ty_l=10.20 N_l=-9117.97 Mx_l=-0.00 My_l=0.69 Mz_l=0.02
Taglio nei bulloni: Fv,Ed=1.82 Fv,Rd=7720.78
Rifollamento lato piastra: Fb,Ed,p=1.81 Fb,Rd,p=6940.88
Tirafondi:LT=0.45 (0.31) σ_{cR}=0.00 σ_{fR}=0.00
Compressione nel calcestruzzo: σ_c=18.88
CC 3 SLV (Collegamento 0025_-382)
Azioni sul collegamento: N=-9117.97 Ty=-1.39 Tz=10.20 Mx=0.02 Mz=0.03
Sollecitazioni agenti localmente: Tx_l=-1.39 Ty_l=10.20 N_l=-9117.97 Mx_l=-0.00 My_l=0.03 Mz_l=0.02
Taglio nei bulloni: Fv,Ed=1.74 Fv,Rd=7720.78
Rifollamento lato piastra: Fb,Ed,p=1.73 Fb,Rd,p=6117.88
Tirafondi:LT=0.45 (0.31) σ_{cR}=0.00 σ_{fR}=0.00
Compressione nel calcestruzzo: σ_c=18.84
CC 4 SLD (Collegamento 0025_-382)

Azioni sul collegamento: N=-5709.27 Ty=-2.97 Tz=-2.35 Mx=0.01 Mz=-1.62
Sollecitazioni agenti localmente: Tx_l=-2.97 Ty_l=-2.35 N_l=-5709.27 Mx_l=-0.00 My_l=-1.62 Mz_l=0.01
Taglio nei bulloni: Fv,Ed=0.64 Fv,Rd=9650.97
Rifollamento lato piastra: Fb,Ed,p=0.63 Fb,Rd,p=13357.90
Tirafondi:LT=0.45 (0.31) σ_{cR}=0.00 σ_{fR}=0.00
Compressione nel calcestruzzo: σ_c=11.89
CC 4 SLD (Collegamento 0025_-382)
Azioni sul collegamento: N=-5709.27 Ty=-3.60 Tz=-2.35 Mx=0.01 Mz=-1.82
Sollecitazioni agenti localmente: Tx_l=-3.60 Ty_l=-2.35 N_l=-5709.27 Mx_l=-0.00 My_l=-1.82 Mz_l=0.01
Taglio nei bulloni: Fv,Ed=0.73 Fv,Rd=9650.97
Rifollamento lato piastra: Fb,Ed,p=0.72 Fb,Rd,p=11980.90
Tirafondi:LT=0.45 (0.31) σ_{cR}=0.00 σ_{fR}=0.00
Compressione nel calcestruzzo: σ_c=11.90
CC 4 SLD (Collegamento 0025_-382)
Azioni sul collegamento: N=-5709.27 Ty=-2.97 Tz=3.58 Mx=0.01 Mz=-1.62
Sollecitazioni agenti localmente: Tx_l=-2.97 Ty_l=3.58 N_l=-5709.27 Mx_l=-0.00 My_l=-1.62 Mz_l=0.01
Taglio nei bulloni: Fv,Ed=0.79 Fv,Rd=9650.97
Rifollamento lato piastra: Fb,Ed,p=0.78 Fb,Rd,p=13638.40
Tirafondi:LT=0.45 (0.31) σ_{cR}=0.00 σ_{fR}=0.00
Compressione nel calcestruzzo: σ_c=11.89
CC 4 SLD (Collegamento 0025_-382)
Azioni sul collegamento: N=-5709.27 Ty=-3.60 Tz=3.58 Mx=0.01 Mz=-1.82
Sollecitazioni agenti localmente: Tx_l=-3.60 Ty_l=3.58 N_l=-5709.27 Mx_l=-0.00 My_l=-1.82 Mz_l=0.01
Taglio nei bulloni: Fv,Ed=0.86 Fv,Rd=9650.97
Rifollamento lato piastra: Fb,Ed,p=0.86 Fb,Rd,p=14967.70
Tirafondi:LT=0.45 (0.31) σ_{cR}=0.00 σ_{fR}=0.00
Compressione nel calcestruzzo: σ_c=11.90
CC 4 SLD (Collegamento 0025_-382)
Azioni sul collegamento: N=-7317.51 Ty=-2.97 Tz=-2.35 Mx=0.01 Mz=-1.62
Sollecitazioni agenti localmente: Tx_l=-2.97 Ty_l=-2.35 N_l=-7317.51 Mx_l=-0.00 My_l=-1.62 Mz_l=0.01
Taglio nei bulloni: Fv,Ed=0.64 Fv,Rd=9650.97
Rifollamento lato piastra: Fb,Ed,p=0.63 Fb,Rd,p=13358.00
Tirafondi:LT=0.45 (0.31) σ_{cR}=0.00 σ_{fR}=0.00
Compressione nel calcestruzzo: σ_c=15.21
CC 4 SLD (Collegamento 0025_-382)
Azioni sul collegamento: N=-7317.51 Ty=-3.60 Tz=-2.35 Mx=0.01 Mz=-1.82
Sollecitazioni agenti localmente: Tx_l=-3.60 Ty_l=-2.35 N_l=-7317.51 Mx_l=-0.00 My_l=-1.82 Mz_l=0.01
Taglio nei bulloni: Fv,Ed=0.73 Fv,Rd=9650.97
Rifollamento lato piastra: Fb,Ed,p=0.72 Fb,Rd,p=11981.00
Tirafondi:LT=0.45 (0.31) σ_{cR}=0.00 σ_{fR}=0.00
Compressione nel calcestruzzo: σ_c=15.22
CC 4 SLD (Collegamento 0025_-382)
Azioni sul collegamento: N=-7317.51 Ty=-2.97 Tz=3.58 Mx=0.01 Mz=-1.62
Sollecitazioni agenti localmente: Tx_l=-2.97 Ty_l=3.58 N_l=-7317.51 Mx_l=-0.00 My_l=-1.62 Mz_l=0.01
Taglio nei bulloni: Fv,Ed=0.79 Fv,Rd=9650.97
Rifollamento lato piastra: Fb,Ed,p=0.78 Fb,Rd,p=13638.00
Tirafondi:LT=0.45 (0.31) σ_{cR}=0.00 σ_{fR}=0.00
Compressione nel calcestruzzo: σ_c=15.21
CC 4 SLD (Collegamento 0025_-382)
Azioni sul collegamento: N=-7317.51 Ty=-3.60 Tz=3.58 Mx=0.01 Mz=-1.82
Sollecitazioni agenti localmente: Tx_l=-3.60 Ty_l=3.58 N_l=-7317.51 Mx_l=-0.00 My_l=-1.82 Mz_l=0.01
Taglio nei bulloni: Fv,Ed=0.86 Fv,Rd=9650.97
Rifollamento lato piastra: Fb,Ed,p=0.86 Fb,Rd,p=14968.30
Tirafondi:LT=0.45 (0.31) σ_{cR}=0.00 σ_{fR}=0.00
Compressione nel calcestruzzo: σ_c=15.22
CC 5 SLV (Collegamento 0025_-382)
Azioni sul collegamento: N=-9117.97 Ty=-1.39 Tz=10.20 Mx=0.02 Mz=0.03
Sollecitazioni agenti localmente: Tx_l=-1.39 Ty_l=10.20 N_l=-9117.97 Mx_l=-0.00 My_l=0.03 Mz_l=0.02
Taglio nei bulloni: Fv,Ed=1.74 Fv,Rd=7720.78
Rifollamento lato piastra: Fb,Ed,p=1.73 Fb,Rd,p=6115.35
Tirafondi:LT=0.45 (0.31) σ_{cR}=0.00 σ_{fR}=0.00
Compressione nel calcestruzzo: σ_c=18.84
CC 5 SLV (Collegamento 0025_-382)
Azioni sul collegamento: N=-9117.97 Ty=-3.49 Tz=10.20 Mx=0.02 Mz=0.69
Sollecitazioni agenti localmente: Tx_l=-3.49 Ty_l=10.20 N_l=-9117.97 Mx_l=-0.00 My_l=0.69 Mz_l=0.02
Taglio nei bulloni: Fv,Ed=1.82 Fv,Rd=7720.78
Rifollamento lato piastra: Fb,Ed,p=1.81 Fb,Rd,p=6932.89
Tirafondi:LT=0.45 (0.31) σ_{cR}=0.00 σ_{fR}=0.00
Compressione nel calcestruzzo: σ_c=18.88
CC 5 SLV (Collegamento 0025_-382)
Azioni sul collegamento: N=-9117.97 Ty=-1.39 Tz=-9.22 Mx=0.02 Mz=0.03
Sollecitazioni agenti localmente: Tx_l=-1.39 Ty_l=-9.22 N_l=-9117.97 Mx_l=-0.00 My_l=0.03 Mz_l=0.02
Taglio nei bulloni: Fv,Ed=1.58 Fv,Rd=7720.78
Rifollamento lato piastra: Fb,Ed,p=1.58 Fb,Rd,p=6212.22
Tirafondi:LT=0.45 (0.31) σ_{cR}=0.00 σ_{fR}=0.00
Compressione nel calcestruzzo: σ_c=18.84
CC 5 SLV (Collegamento 0025_-382)
Azioni sul collegamento: N=-9117.97 Ty=-3.49 Tz=-9.22 Mx=0.02 Mz=0.69
Sollecitazioni agenti localmente: Tx_l=-3.49 Ty_l=-9.22 N_l=-9117.97 Mx_l=-0.00 My_l=0.69 Mz_l=0.02
Taglio nei bulloni: Fv,Ed=1.67 Fv,Rd=7720.78

Rifollamento lato piastra: Fb,Ed,p=1.67 Fb,Rd,p=7314.48
Tirafondi:LT=0.45 (0.31) σ_{cR}=0.00 σ_{fR}=0.00
Compressione nel calcestruzzo: σ_c=18.88
CC 5 SLV (Collegamento 0025_-382)
Azioni sul collegamento: N=-3843.85 Ty=-1.39 Tz=10.20 Mx=0.02 Mz=0.03
Sollecitazioni agenti localmente: Tx_l=-1.39 Ty_l=10.20 N_l=-3843.85 Mx_l=-0.00 My_l=0.03 Mz_l=0.02
Taglio nei bulloni: Fv,Ed=1.74 Fv,Rd=7720.78
Rifollamento lato piastra: Fb,Ed,p=1.73 Fb,Rd,p=6115.35
Tirafondi:LT=0.45 (0.31) σ_{cR}=0.00 σ_{fR}=0.00
Compressione nel calcestruzzo: σ_c=7.94
CC 5 SLV (Collegamento 0025_-382)
Azioni sul collegamento: N=-3843.85 Ty=-3.49 Tz=10.20 Mx=0.02 Mz=0.69
Sollecitazioni agenti localmente: Tx_l=-3.49 Ty_l=10.20 N_l=-3843.85 Mx_l=-0.00 My_l=0.69 Mz_l=0.02
Taglio nei bulloni: Fv,Ed=1.82 Fv,Rd=7720.78
Rifollamento lato piastra: Fb,Ed,p=1.81 Fb,Rd,p=6932.90
Tirafondi:LT=0.45 (0.31) σ_{cR}=0.00 σ_{fR}=0.00
Compressione nel calcestruzzo: σ_c=7.98
CC 5 SLV (Collegamento 0025_-382)
Azioni sul collegamento: N=-3843.85 Ty=-1.39 Tz=-9.22 Mx=0.02 Mz=0.03
Sollecitazioni agenti localmente: Tx_l=-1.39 Ty_l=-9.22 N_l=-3843.85 Mx_l=-0.00 My_l=0.03 Mz_l=0.02
Taglio nei bulloni: Fv,Ed=1.58 Fv,Rd=7720.78
Rifollamento lato piastra: Fb,Ed,p=1.58 Fb,Rd,p=6212.20
Tirafondi:LT=0.45 (0.31) σ_{cR}=0.00 σ_{fR}=0.00
Compressione nel calcestruzzo: σ_c=7.94
CC 5 SLV (Collegamento 0025_-382)
Azioni sul collegamento: N=-3843.85 Ty=-3.49 Tz=-9.22 Mx=0.02 Mz=0.69
Sollecitazioni agenti localmente: Tx_l=-3.49 Ty_l=-9.22 N_l=-3843.85 Mx_l=-0.00 My_l=0.69 Mz_l=0.02
Taglio nei bulloni: Fv,Ed=1.67 Fv,Rd=7720.78
Rifollamento lato piastra: Fb,Ed,p=1.67 Fb,Rd,p=7314.40
Tirafondi:LT=0.45 (0.31) σ_{cR}=0.00 σ_{fR}=0.00
Compressione nel calcestruzzo: σ_c=7.98
CC 6 SLD (Collegamento 0025_-382)
Azioni sul collegamento: N=-7317.51 Ty=-3.60 Tz=3.58 Mx=0.01 Mz=-1.82
Sollecitazioni agenti localmente: Tx_l=-3.60 Ty_l=3.58 N_l=-7317.51 Mx_l=-0.00 My_l=-1.82 Mz_l=0.01
Taglio nei bulloni: Fv,Ed=0.86 Fv,Rd=9650.97
Rifollamento lato piastra: Fb,Ed,p=0.86 Fb,Rd,p=14968.40
Tirafondi:LT=0.45 (0.31) σ_{cR}=0.00 σ_{fR}=0.00
Compressione nel calcestruzzo: σ_c=15.22
CC 6 SLD (Collegamento 0025_-382)
Azioni sul collegamento: N=-7317.51 Ty=-2.97 Tz=3.58 Mx=0.01 Mz=-1.62
Sollecitazioni agenti localmente: Tx_l=-2.97 Ty_l=3.58 N_l=-7317.51 Mx_l=-0.00 My_l=-1.62 Mz_l=0.01
Taglio nei bulloni: Fv,Ed=0.79 Fv,Rd=9650.97
Rifollamento lato piastra: Fb,Ed,p=0.78 Fb,Rd,p=13627.40
Tirafondi:LT=0.45 (0.31) σ_{cR}=0.00 σ_{fR}=0.00
Compressione nel calcestruzzo: σ_c=15.21
CC 6 SLD (Collegamento 0025_-382)
Azioni sul collegamento: N=-7317.51 Ty=-3.60 Tz=-2.35 Mx=0.01 Mz=-1.82
Sollecitazioni agenti localmente: Tx_l=-3.60 Ty_l=-2.35 N_l=-7317.51 Mx_l=-0.00 My_l=-1.82 Mz_l=0.01
Taglio nei bulloni: Fv,Ed=0.73 Fv,Rd=9650.97
Rifollamento lato piastra: Fb,Ed,p=0.72 Fb,Rd,p=11960.20
Tirafondi:LT=0.45 (0.31) σ_{cR}=0.00 σ_{fR}=0.00
Compressione nel calcestruzzo: σ_c=15.22
CC 6 SLD (Collegamento 0025_-382)
Azioni sul collegamento: N=-7317.51 Ty=-2.97 Tz=-2.35 Mx=0.01 Mz=-1.62
Sollecitazioni agenti localmente: Tx_l=-2.97 Ty_l=-2.35 N_l=-7317.51 Mx_l=-0.00 My_l=-1.62 Mz_l=0.01
Taglio nei bulloni: Fv,Ed=0.64 Fv,Rd=9650.97
Rifollamento lato piastra: Fb,Ed,p=0.63 Fb,Rd,p=13346.00
Tirafondi:LT=0.45 (0.31) σ_{cR}=0.00 σ_{fR}=0.00
Compressione nel calcestruzzo: σ_c=15.21
CC 6 SLD (Collegamento 0025_-382)
Azioni sul collegamento: N=-5709.27 Ty=-3.60 Tz=3.58 Mx=0.01 Mz=-1.82
Sollecitazioni agenti localmente: Tx_l=-3.60 Ty_l=3.58 N_l=-5709.27 Mx_l=-0.00 My_l=-1.82 Mz_l=0.01
Taglio nei bulloni: Fv,Ed=0.86 Fv,Rd=9650.97
Rifollamento lato piastra: Fb,Ed,p=0.86 Fb,Rd,p=14967.80
Tirafondi:LT=0.45 (0.31) σ_{cR}=0.00 σ_{fR}=0.00
Compressione nel calcestruzzo: σ_c=11.90
CC 6 SLD (Collegamento 0025_-382)
Azioni sul collegamento: N=-5709.27 Ty=-2.97 Tz=3.58 Mx=0.01 Mz=-1.62
Sollecitazioni agenti localmente: Tx_l=-2.97 Ty_l=3.58 N_l=-5709.27 Mx_l=-0.00 My_l=-1.62 Mz_l=0.01
Taglio nei bulloni: Fv,Ed=0.79 Fv,Rd=9650.97
Rifollamento lato piastra: Fb,Ed,p=0.78 Fb,Rd,p=13627.80
Tirafondi:LT=0.45 (0.31) σ_{cR}=0.00 σ_{fR}=0.00
Compressione nel calcestruzzo: σ_c=11.89
CC 6 SLD (Collegamento 0025_-382)
Azioni sul collegamento: N=-5709.27 Ty=-3.60 Tz=-2.35 Mx=0.01 Mz=-1.82
Sollecitazioni agenti localmente: Tx_l=-3.60 Ty_l=-2.35 N_l=-5709.27 Mx_l=-0.00 My_l=-1.82 Mz_l=0.01
Taglio nei bulloni: Fv,Ed=0.73 Fv,Rd=9650.97
Rifollamento lato piastra: Fb,Ed,p=0.72 Fb,Rd,p=11960.00
Tirafondi:LT=0.45 (0.31) σ_{cR}=0.00 σ_{fR}=0.00
Compressione nel calcestruzzo: σ_c=11.90

CC 6 SLD (Collegamento 0025_-382)
Azioni sul collegamento: N=-5709.27 Ty=-2.97 Tz=-2.35 Mx=0.01 Mz=-1.62
Sollecitazioni agenti localmente: Tx_l=-2.97 Ty_l=-2.35 N_l=-5709.27 Mx_l=-0.00 My_l=-1.62 Mz_l=0.01
Taglio nei bulloni: Fv,Ed=0.64 Fv,Rd=9650.97
Rifollamento lato piastra: Fb,Ed,p=0.63 Fb,Rd,p=13345.90
Tirafondi:LT=0.45 (0.31) σ_{cR}=0.00 σ_{fR}=0.00
Compressione nel calcestruzzo: σ_c=11.89
CC 7 SLV (Collegamento 0025_-382)
Azioni sul collegamento: N=-9123.66 Ty=-0.76 Tz=10.33 Mx=0.01 Mz=-1.23
Sollecitazioni agenti localmente: Tx_l=-0.76 Ty_l=10.33 N_l=-9123.66 Mx_l=-0.00 My_l=-1.23 Mz_l=0.01
Taglio nei bulloni: Fv,Ed=1.74 Fv,Rd=7720.78
Rifollamento lato piastra: Fb,Ed,p=1.74 Fb,Rd,p=6016.45
Tirafondi:LT=0.45 (0.31) σ_{cR}=0.00 σ_{fR}=0.00
Compressione nel calcestruzzo: σ_c=18.92
CC 7 SLV (Collegamento 0025_-382)
Azioni sul collegamento: N=-9123.66 Ty=-4.12 Tz=10.33 Mx=0.01 Mz=1.95
Sollecitazioni agenti localmente: Tx_l=-4.12 Ty_l=10.33 N_l=-9123.66 Mx_l=-0.00 My_l=1.95 Mz_l=0.01
Taglio nei bulloni: Fv,Ed=1.87 Fv,Rd=7720.78
Rifollamento lato piastra: Fb,Ed,p=1.86 Fb,Rd,p=7326.56
Tirafondi:LT=0.45 (0.31) σ_{cR}=0.00 σ_{fR}=0.00
Compressione nel calcestruzzo: σ_c=18.96
CC 7 SLV (Collegamento 0025_-382)
Azioni sul collegamento: N=-9123.66 Ty=-0.76 Tz=-9.35 Mx=0.01 Mz=-1.23
Sollecitazioni agenti localmente: Tx_l=-0.76 Ty_l=-9.35 N_l=-9123.66 Mx_l=-0.00 My_l=-1.23 Mz_l=0.01
Taglio nei bulloni: Fv,Ed=1.58 Fv,Rd=7720.78
Rifollamento lato piastra: Fb,Ed,p=1.58 Fb,Rd,p=6050.47
Tirafondi:LT=0.45 (0.31) σ_{cR}=0.00 σ_{fR}=0.00
Compressione nel calcestruzzo: σ_c=18.92
CC 7 SLV (Collegamento 0025_-382)
Azioni sul collegamento: N=-9123.66 Ty=-4.12 Tz=-9.35 Mx=0.01 Mz=1.95
Sollecitazioni agenti localmente: Tx_l=-4.12 Ty_l=-9.35 N_l=-9123.66 Mx_l=-0.00 My_l=1.95 Mz_l=0.01
Taglio nei bulloni: Fv,Ed=1.72 Fv,Rd=7720.78
Rifollamento lato piastra: Fb,Ed,p=1.72 Fb,Rd,p=7767.30
Tirafondi:LT=0.45 (0.31) σ_{cR}=0.00 σ_{fR}=0.00
Compressione nel calcestruzzo: σ_c=18.96
CC 7 SLV (Collegamento 0025_-382)
Azioni sul collegamento: N=-3838.16 Ty=-0.76 Tz=10.33 Mx=0.01 Mz=-1.23
Sollecitazioni agenti localmente: Tx_l=-0.76 Ty_l=10.33 N_l=-3838.16 Mx_l=-0.00 My_l=-1.23 Mz_l=0.01
Taglio nei bulloni: Fv,Ed=1.74 Fv,Rd=7720.78
Rifollamento lato piastra: Fb,Ed,p=1.74 Fb,Rd,p=6016.45
Tirafondi:LT=0.45 (0.31) σ_{cR}=0.00 σ_{fR}=0.00
Compressione nel calcestruzzo: σ_c=8.00
CC 7 SLV (Collegamento 0025_-382)
Azioni sul collegamento: N=-3838.16 Ty=-4.12 Tz=10.33 Mx=0.01 Mz=1.95
Sollecitazioni agenti localmente: Tx_l=-4.12 Ty_l=10.33 N_l=-3838.16 Mx_l=-0.00 My_l=1.95 Mz_l=0.01
Taglio nei bulloni: Fv,Ed=1.87 Fv,Rd=7720.78
Rifollamento lato piastra: Fb,Ed,p=1.86 Fb,Rd,p=7326.68
Tirafondi:LT=0.45 (0.31) σ_{cR}=0.00 σ_{fR}=0.00
Compressione nel calcestruzzo: σ_c=8.04
CC 7 SLV (Collegamento 0025_-382)
Azioni sul collegamento: N=-3838.16 Ty=-0.76 Tz=-9.35 Mx=0.01 Mz=-1.23
Sollecitazioni agenti localmente: Tx_l=-0.76 Ty_l=-9.35 N_l=-3838.16 Mx_l=-0.00 My_l=-1.23 Mz_l=0.01
Taglio nei bulloni: Fv,Ed=1.58 Fv,Rd=7720.78
Rifollamento lato piastra: Fb,Ed,p=1.58 Fb,Rd,p=6050.47
Tirafondi:LT=0.45 (0.31) σ_{cR}=0.00 σ_{fR}=0.00
Compressione nel calcestruzzo: σ_c=8.00
CC 7 SLV (Collegamento 0025_-382)
Azioni sul collegamento: N=-3838.16 Ty=-4.12 Tz=-9.35 Mx=0.01 Mz=1.95
Sollecitazioni agenti localmente: Tx_l=-4.12 Ty_l=-9.35 N_l=-3838.16 Mx_l=-0.00 My_l=1.95 Mz_l=0.01
Taglio nei bulloni: Fv,Ed=1.72 Fv,Rd=7720.78
Rifollamento lato piastra: Fb,Ed,p=1.72 Fb,Rd,p=7767.25
Tirafondi:LT=0.45 (0.31) σ_{cR}=0.00 σ_{fR}=0.00
Compressione nel calcestruzzo: σ_c=8.04
CC 8 SLD (Collegamento 0025_-382)
Azioni sul collegamento: N=-7319.25 Ty=-3.80 Tz=3.62 Mx=0.01 Mz=-2.21
Sollecitazioni agenti localmente: Tx_l=-3.80 Ty_l=3.62 N_l=-7319.25 Mx_l=-0.00 My_l=-2.21 Mz_l=0.01
Taglio nei bulloni: Fv,Ed=0.88 Fv,Rd=9650.97
Rifollamento lato piastra: Fb,Ed,p=0.88 Fb,Rd,p=14672.50
Tirafondi:LT=0.45 (0.31) σ_{cR}=0.00 σ_{fR}=0.00
Compressione nel calcestruzzo: σ_c=15.25
CC 8 SLD (Collegamento 0025_-382)
Azioni sul collegamento: N=-7319.25 Ty=-2.77 Tz=3.62 Mx=0.01 Mz=-1.24
Sollecitazioni agenti localmente: Tx_l=-2.77 Ty_l=3.62 N_l=-7319.25 Mx_l=-0.00 My_l=-1.24 Mz_l=0.01
Taglio nei bulloni: Fv,Ed=0.77 Fv,Rd=9650.97
Rifollamento lato piastra: Fb,Ed,p=0.76 Fb,Rd,p=13259.00
Tirafondi:LT=0.45 (0.31) σ_{cR}=0.00 σ_{fR}=0.00
Compressione nel calcestruzzo: σ_c=15.19
CC 8 SLD (Collegamento 0025_-382)
Azioni sul collegamento: N=-7319.25 Ty=-3.80 Tz=-2.38 Mx=0.01 Mz=-2.21
Sollecitazioni agenti localmente: Tx_l=-3.80 Ty_l=-2.38 N_l=-7319.25 Mx_l=-0.00 My_l=-2.21 Mz_l=0.01

Taglio nei bulloni: Fv,Ed=0.76 Fv,Rd=9650.97
Rifollamento lato piastra: Fb,Ed,p=0.75 Fb,Rd,p=11711.10
Tirafondi:LT=0.45 (0.31) σ_{cR}=0.00 σ_{fR}=0.00
Compressione nel calcestruzzo: σ_c=15.25
CC 8 SLD (Collegamento 0025_-382)
Azioni sul collegamento: N=-7319.25 Ty=-2.77 Tz=-2.38 Mx=0.01 Mz=-1.24
Sollecitazioni agenti localmente: Tx_l=-2.77 Ty_l=-2.38 N_l=-7319.25 Mx_l=-0.00 My_l=-1.24 Mz_l=0.01
Taglio nei bulloni: Fv,Ed=0.62 Fv,Rd=9650.97
Rifollamento lato piastra: Fb,Ed,p=0.61 Fb,Rd,p=13824.40
Tirafondi:LT=0.45 (0.31) σ_{cR}=0.00 σ_{fR}=0.00
Compressione nel calcestruzzo: σ_c=15.19
CC 8 SLD (Collegamento 0025_-382)
Azioni sul collegamento: N=-5707.53 Ty=-3.80 Tz=3.62 Mx=0.01 Mz=-2.21
Sollecitazioni agenti localmente: Tx_l=-3.80 Ty_l=3.62 N_l=-5707.53 Mx_l=-0.00 My_l=-2.21 Mz_l=0.01
Taglio nei bulloni: Fv,Ed=0.88 Fv,Rd=9650.97
Rifollamento lato piastra: Fb,Ed,p=0.88 Fb,Rd,p=14672.60
Tirafondi:LT=0.45 (0.31) σ_{cR}=0.00 σ_{fR}=0.00
Compressione nel calcestruzzo: σ_c=11.92
CC 8 SLD (Collegamento 0025_-382)
Azioni sul collegamento: N=-5707.53 Ty=-2.77 Tz=3.62 Mx=0.01 Mz=-1.24
Sollecitazioni agenti localmente: Tx_l=-2.77 Ty_l=3.62 N_l=-5707.53 Mx_l=-0.00 My_l=-1.24 Mz_l=0.01
Taglio nei bulloni: Fv,Ed=0.77 Fv,Rd=9650.97
Rifollamento lato piastra: Fb,Ed,p=0.76 Fb,Rd,p=13258.90
Tirafondi:LT=0.45 (0.31) σ_{cR}=0.00 σ_{fR}=0.00
Compressione nel calcestruzzo: σ_c=11.86
CC 8 SLD (Collegamento 0025_-382)
Azioni sul collegamento: N=-5707.53 Ty=-3.80 Tz=-2.38 Mx=0.01 Mz=-2.21
Sollecitazioni agenti localmente: Tx_l=-3.80 Ty_l=-2.38 N_l=-5707.53 Mx_l=-0.00 My_l=-2.21 Mz_l=0.01
Taglio nei bulloni: Fv,Ed=0.76 Fv,Rd=9650.97
Rifollamento lato piastra: Fb,Ed,p=0.75 Fb,Rd,p=11711.50
Tirafondi:LT=0.45 (0.31) σ_{cR}=0.00 σ_{fR}=0.00
Compressione nel calcestruzzo: σ_c=11.92
CC 8 SLD (Collegamento 0025_-382)
Azioni sul collegamento: N=-5707.53 Ty=-2.77 Tz=-2.38 Mx=0.01 Mz=-1.24
Sollecitazioni agenti localmente: Tx_l=-2.77 Ty_l=-2.38 N_l=-5707.53 Mx_l=-0.00 My_l=-1.24 Mz_l=0.01
Taglio nei bulloni: Fv,Ed=0.62 Fv,Rd=9650.97
Rifollamento lato piastra: Fb,Ed,p=0.61 Fb,Rd,p=13824.70
Tirafondi:LT=0.45 (0.31) σ_{cR}=0.00 σ_{fR}=0.00
Compressione nel calcestruzzo: σ_c=11.86
CC 9 SLV (Collegamento 0025_-382)
Azioni sul collegamento: N=-5679.47 Ty=-3.91 Tz=-2.66 Mx=0.03 Mz=2.74
Sollecitazioni agenti localmente: Tx_l=-3.91 Ty_l=-2.66 N_l=-5679.47 Mx_l=-0.00 My_l=2.74 Mz_l=0.03
Taglio nei bulloni: Fv,Ed=0.83 Fv,Rd=7720.78
Rifollamento lato piastra: Fb,Ed,p=0.80 Fb,Rd,p=9374.40
Tirafondi:LT=0.45 (0.31) σ_{cR}=0.00 σ_{fR}=0.00
Compressione nel calcestruzzo: σ_c=11.89
CC 9 SLV (Collegamento 0025_-382)
Azioni sul collegamento: N=-5679.47 Ty=-0.97 Tz=-2.66 Mx=0.03 Mz=-2.02
Sollecitazioni agenti localmente: Tx_l=-0.97 Ty_l=-2.66 N_l=-5679.47 Mx_l=-0.00 My_l=-2.02 Mz_l=0.03
Taglio nei bulloni: Fv,Ed=0.51 Fv,Rd=7720.78
Rifollamento lato piastra: Fb,Ed,p=0.51 Fb,Rd,p=7446.08
Tirafondi:LT=0.45 (0.31) σ_{cR}=0.00 σ_{fR}=0.00
Compressione nel calcestruzzo: σ_c=11.85
CC 9 SLV (Collegamento 0025_-382)
Azioni sul collegamento: N=-5679.47 Ty=-3.91 Tz=3.63 Mx=0.03 Mz=2.74
Sollecitazioni agenti localmente: Tx_l=-3.91 Ty_l=3.63 N_l=-5679.47 Mx_l=-0.00 My_l=2.74 Mz_l=0.03
Taglio nei bulloni: Fv,Ed=0.93 Fv,Rd=7720.78
Rifollamento lato piastra: Fb,Ed,p=0.93 Fb,Rd,p=11623.60
Tirafondi:LT=0.45 (0.31) σ_{cR}=0.00 σ_{fR}=0.00
Compressione nel calcestruzzo: σ_c=11.89
CC 9 SLV (Collegamento 0025_-382)
Azioni sul collegamento: N=-5679.47 Ty=-0.97 Tz=3.63 Mx=0.03 Mz=-2.02
Sollecitazioni agenti localmente: Tx_l=-0.97 Ty_l=3.63 N_l=-5679.47 Mx_l=-0.00 My_l=-2.02 Mz_l=0.03
Taglio nei bulloni: Fv,Ed=0.66 Fv,Rd=7720.78
Rifollamento lato piastra: Fb,Ed,p=0.65 Fb,Rd,p=6378.24
Tirafondi:LT=0.45 (0.31) σ_{cR}=0.00 σ_{fR}=0.00
Compressione nel calcestruzzo: σ_c=11.85
CC 9 SLV (Collegamento 0025_-382)
Azioni sul collegamento: N=-7282.35 Ty=-3.91 Tz=-2.66 Mx=0.03 Mz=2.74
Sollecitazioni agenti localmente: Tx_l=-3.91 Ty_l=-2.66 N_l=-7282.35 Mx_l=-0.00 My_l=2.74 Mz_l=0.03
Taglio nei bulloni: Fv,Ed=0.83 Fv,Rd=7720.78
Rifollamento lato piastra: Fb,Ed,p=0.80 Fb,Rd,p=9374.12
Tirafondi:LT=0.45 (0.31) σ_{cR}=0.00 σ_{fR}=0.00
Compressione nel calcestruzzo: σ_c=15.20
CC 9 SLV (Collegamento 0025_-382)
Azioni sul collegamento: N=-7282.35 Ty=-0.97 Tz=-2.66 Mx=0.03 Mz=-2.02
Sollecitazioni agenti localmente: Tx_l=-0.97 Ty_l=-2.66 N_l=-7282.35 Mx_l=-0.00 My_l=-2.02 Mz_l=0.03
Taglio nei bulloni: Fv,Ed=0.51 Fv,Rd=7720.78
Rifollamento lato piastra: Fb,Ed,p=0.51 Fb,Rd,p=7446.18
Tirafondi:LT=0.45 (0.31) σ_{cR}=0.00 σ_{fR}=0.00

Compressione nel calcestruzzo: σ_c=15.16
CC 9 SLV (Collegamento 0025_-382)
Azioni sul collegamento: N=-7282.35 Ty=-3.91 Tz=3.63 Mx=0.03 Mz=2.74
Sollecitazioni agenti localmente: Tx_l=-3.91 Ty_l=3.63 N_l=-7282.35 Mx_l=-0.00 My_l=2.74 Mz_l=0.03
Taglio nei bulloni: Fv,Ed=0.93 Fv,Rd=7720.78
Rifollamento lato piastra: Fb,Ed,p=0.93 Fb,Rd,p=11623.50
Tirafondi:LT=0.45 (0.31) σ_{cR}=0.00 σ_{fR}=0.00
Compressione nel calcestruzzo: σ_c=15.20
CC 9 SLV (Collegamento 0025_-382)
Azioni sul collegamento: N=-7282.35 Ty=-0.97 Tz=3.63 Mx=0.03 Mz=-2.02
Sollecitazioni agenti localmente: Tx_l=-0.97 Ty_l=3.63 N_l=-7282.35 Mx_l=-0.00 My_l=-2.02 Mz_l=0.03
Taglio nei bulloni: Fv,Ed=0.66 Fv,Rd=7720.78
Rifollamento lato piastra: Fb,Ed,p=0.65 Fb,Rd,p=6378.26
Tirafondi:LT=0.45 (0.31) σ_{cR}=0.00 σ_{fR}=0.00
Compressione nel calcestruzzo: σ_c=15.16
CC 10 SLD (Collegamento 0025_-382)
Azioni sul collegamento: N=-6269.01 Ty=-2.84 Tz=-0.34 Mx=0.01 Mz=-0.99
Sollecitazioni agenti localmente: Tx_l=-2.84 Ty_l=-0.34 N_l=-6269.01 Mx_l=-0.00 My_l=-0.99 Mz_l=0.01
Taglio nei bulloni: Fv,Ed=0.49 Fv,Rd=9650.97
Rifollamento lato piastra: Fb,Ed,p=0.49 Fb,Rd,p=7574.82
Tirafondi:LT=0.45 (0.31) σ_{cR}=0.00 σ_{fR}=0.00
Compressione nel calcestruzzo: σ_c=13.01
CC 10 SLD (Collegamento 0025_-382)
Azioni sul collegamento: N=-6269.01 Ty=-3.73 Tz=-0.34 Mx=0.01 Mz=-2.45
Sollecitazioni agenti localmente: Tx_l=-3.73 Ty_l=-0.34 N_l=-6269.01 Mx_l=-0.00 My_l=-2.45 Mz_l=0.01
Taglio nei bulloni: Fv,Ed=0.64 Fv,Rd=9650.97
Rifollamento lato piastra: Fb,Ed,p=0.63 Fb,Rd,p=7532.90
Tirafondi:LT=0.45 (0.31) σ_{cR}=0.00 σ_{fR}=0.00
Compressione nel calcestruzzo: σ_c=13.09
CC 10 SLD (Collegamento 0025_-382)
Azioni sul collegamento: N=-6269.00 Ty=-2.84 Tz=1.57 Mx=0.01 Mz=-0.99
Sollecitazioni agenti localmente: Tx_l=-2.84 Ty_l=1.57 N_l=-6269.00 Mx_l=-0.00 My_l=-0.99 Mz_l=0.01
Taglio nei bulloni: Fv,Ed=0.56 Fv,Rd=9650.97
Rifollamento lato piastra: Fb,Ed,p=0.56 Fb,Rd,p=11095.60
Tirafondi:LT=0.45 (0.31) σ_{cR}=0.00 σ_{fR}=0.00
Compressione nel calcestruzzo: σ_c=13.01
CC 10 SLD (Collegamento 0025_-382)
Azioni sul collegamento: N=-6269.00 Ty=-3.73 Tz=1.57 Mx=0.01 Mz=-2.45
Sollecitazioni agenti localmente: Tx_l=-3.73 Ty_l=1.57 N_l=-6269.00 Mx_l=-0.00 My_l=-2.45 Mz_l=0.01
Taglio nei bulloni: Fv,Ed=0.69 Fv,Rd=9650.97
Rifollamento lato piastra: Fb,Ed,p=0.69 Fb,Rd,p=9573.30
Tirafondi:LT=0.45 (0.31) σ_{cR}=0.00 σ_{fR}=0.00
Compressione nel calcestruzzo: σ_c=13.09
CC 10 SLD (Collegamento 0025_-382)
Azioni sul collegamento: N=-6757.78 Ty=-2.84 Tz=-0.34 Mx=0.01 Mz=-0.99
Sollecitazioni agenti localmente: Tx_l=-2.84 Ty_l=-0.34 N_l=-6757.78 Mx_l=-0.00 My_l=-0.99 Mz_l=0.01
Taglio nei bulloni: Fv,Ed=0.49 Fv,Rd=9650.97
Rifollamento lato piastra: Fb,Ed,p=0.49 Fb,Rd,p=7574.72
Tirafondi:LT=0.45 (0.31) σ_{cR}=0.00 σ_{fR}=0.00
Compressione nel calcestruzzo: σ_c=14.02
CC 10 SLD (Collegamento 0025_-382)
Azioni sul collegamento: N=-6757.78 Ty=-3.73 Tz=-0.34 Mx=0.01 Mz=-2.45
Sollecitazioni agenti localmente: Tx_l=-3.73 Ty_l=-0.34 N_l=-6757.78 Mx_l=-0.00 My_l=-2.45 Mz_l=0.01
Taglio nei bulloni: Fv,Ed=0.64 Fv,Rd=9650.97
Rifollamento lato piastra: Fb,Ed,p=0.63 Fb,Rd,p=7532.85
Tirafondi:LT=0.45 (0.31) σ_{cR}=0.00 σ_{fR}=0.00
Compressione nel calcestruzzo: σ_c=14.10
CC 10 SLD (Collegamento 0025_-382)
Azioni sul collegamento: N=-6757.78 Ty=-2.84 Tz=1.57 Mx=0.01 Mz=-0.99
Sollecitazioni agenti localmente: Tx_l=-2.84 Ty_l=1.57 N_l=-6757.78 Mx_l=-0.00 My_l=-0.99 Mz_l=0.01
Taglio nei bulloni: Fv,Ed=0.56 Fv,Rd=9650.97
Rifollamento lato piastra: Fb,Ed,p=0.56 Fb,Rd,p=11095.30
Tirafondi:LT=0.45 (0.31) σ_{cR}=0.00 σ_{fR}=0.00
Compressione nel calcestruzzo: σ_c=14.02
CC 10 SLD (Collegamento 0025_-382)
Azioni sul collegamento: N=-6757.78 Ty=-3.73 Tz=1.57 Mx=0.01 Mz=-2.45
Sollecitazioni agenti localmente: Tx_l=-3.73 Ty_l=1.57 N_l=-6757.78 Mx_l=-0.00 My_l=-2.45 Mz_l=0.01
Taglio nei bulloni: Fv,Ed=0.69 Fv,Rd=9650.97
Rifollamento lato piastra: Fb,Ed,p=0.69 Fb,Rd,p=9573.14
Tirafondi:LT=0.45 (0.31) σ_{cR}=0.00 σ_{fR}=0.00
Compressione nel calcestruzzo: σ_c=14.10
CC 11 SLV (Collegamento 0025_-382)
Azioni sul collegamento: N=-7263.41 Ty=-3.09 Tz=3.21 Mx=0.02 Mz=2.17
Sollecitazioni agenti localmente: Tx_l=-3.09 Ty_l=3.21 N_l=-7263.41 Mx_l=-0.00 My_l=2.17 Mz_l=0.02
Taglio nei bulloni: Fv,Ed=0.78 Fv,Rd=7720.78
Rifollamento lato piastra: Fb,Ed,p=0.74 Fb,Rd,p=11258.90
Tirafondi:LT=0.45 (0.31) σ_{cR}=0.00 σ_{fR}=0.00
Compressione nel calcestruzzo: σ_c=15.13
CC 11 SLV (Collegamento 0025_-382)
Azioni sul collegamento: N=-7263.41 Ty=-1.79 Tz=3.21 Mx=0.02 Mz=-1.45

Sollecitazioni agenti localmente: Tx_l=-1.79 Ty_l=3.21 N_l=-7263.41 Mx_l=-0.00 My_l=-1.45 Mz_l=0.02
Taglio nei bulloni: Fv,Ed=0.65 Fv,Rd=7720.78
Rifollamento lato piastra: Fb,Ed,p=0.62 Fb,Rd,p=8090.12
Tirafondi:LT=0.45 (0.31) σ_{cR}=0.00 σ_{fR}=0.00
Compressione nel calcestruzzo: σ_c=15.09
CC 11 SLV (Collegamento 0025_-382)
Azioni sul collegamento: N=-7263.41 Ty=-3.09 Tz=-2.23 Mx=0.02 Mz=2.17
Sollecitazioni agenti localmente: Tx_l=-3.09 Ty_l=-2.23 N_l=-7263.41 Mx_l=-0.00 My_l=2.17 Mz_l=0.02
Taglio nei bulloni: Fv,Ed=0.67 Fv,Rd=7720.78
Rifollamento lato piastra: Fb,Ed,p=0.64 Fb,Rd,p=9665.12
Tirafondi:LT=0.45 (0.31) σ_{cR}=0.00 σ_{fR}=0.00
Compressione nel calcestruzzo: σ_c=15.13
CC 11 SLV (Collegamento 0025_-382)
Azioni sul collegamento: N=-7263.41 Ty=-1.79 Tz=-2.23 Mx=0.02 Mz=-1.45
Sollecitazioni agenti localmente: Tx_l=-1.79 Ty_l=-2.23 N_l=-7263.41 Mx_l=-0.00 My_l=-1.45 Mz_l=0.02
Taglio nei bulloni: Fv,Ed=0.51 Fv,Rd=7720.78
Rifollamento lato piastra: Fb,Ed,p=0.51 Fb,Rd,p=10973.30
Tirafondi:LT=0.45 (0.31) σ_{cR}=0.00 σ_{fR}=0.00
Compressione nel calcestruzzo: σ_c=15.09
CC 11 SLV (Collegamento 0025_-382)
Azioni sul collegamento: N=-5698.41 Ty=-3.09 Tz=3.21 Mx=0.02 Mz=2.17
Sollecitazioni agenti localmente: Tx_l=-3.09 Ty_l=3.21 N_l=-5698.41 Mx_l=-0.00 My_l=2.17 Mz_l=0.02
Taglio nei bulloni: Fv,Ed=0.78 Fv,Rd=7720.78
Rifollamento lato piastra: Fb,Ed,p=0.74 Fb,Rd,p=11259.20
Tirafondi:LT=0.45 (0.31) σ_{cR}=0.00 σ_{fR}=0.00
Compressione nel calcestruzzo: σ_c=11.90
CC 11 SLV (Collegamento 0025_-382)
Azioni sul collegamento: N=-5698.41 Ty=-1.79 Tz=3.21 Mx=0.02 Mz=-1.45
Sollecitazioni agenti localmente: Tx_l=-1.79 Ty_l=3.21 N_l=-5698.41 Mx_l=-0.00 My_l=-1.45 Mz_l=0.02
Taglio nei bulloni: Fv,Ed=0.65 Fv,Rd=7720.78
Rifollamento lato piastra: Fb,Ed,p=0.62 Fb,Rd,p=8090.39
Tirafondi:LT=0.45 (0.31) σ_{cR}=0.00 σ_{fR}=0.00
Compressione nel calcestruzzo: σ_c=11.86
CC 11 SLV (Collegamento 0025_-382)
Azioni sul collegamento: N=-5698.41 Ty=-3.09 Tz=-2.23 Mx=0.02 Mz=2.17
Sollecitazioni agenti localmente: Tx_l=-3.09 Ty_l=-2.23 N_l=-5698.41 Mx_l=-0.00 My_l=2.17 Mz_l=0.02
Taglio nei bulloni: Fv,Ed=0.67 Fv,Rd=7720.78
Rifollamento lato piastra: Fb,Ed,p=0.64 Fb,Rd,p=9665.87
Tirafondi:LT=0.45 (0.31) σ_{cR}=0.00 σ_{fR}=0.00
Compressione nel calcestruzzo: σ_c=11.90
CC 11 SLV (Collegamento 0025_-382)
Azioni sul collegamento: N=-5698.41 Ty=-1.79 Tz=-2.23 Mx=0.02 Mz=-1.45
Sollecitazioni agenti localmente: Tx_l=-1.79 Ty_l=-2.23 N_l=-5698.41 Mx_l=-0.00 My_l=-1.45 Mz_l=0.02
Taglio nei bulloni: Fv,Ed=0.51 Fv,Rd=7720.78
Rifollamento lato piastra: Fb,Ed,p=0.51 Fb,Rd,p=10973.00
Tirafondi:LT=0.45 (0.31) σ_{cR}=0.00 σ_{fR}=0.00
Compressione nel calcestruzzo: σ_c=11.86
CC 12 SLD (Collegamento 0025_-382)
Azioni sul collegamento: N=-6752.00 Ty=-3.09 Tz=1.44 Mx=0.01 Mz=-1.17
Sollecitazioni agenti localmente: Tx_l=-3.09 Ty_l=1.44 N_l=-6752.00 Mx_l=-0.00 My_l=-1.17 Mz_l=0.01
Taglio nei bulloni: Fv,Ed=0.58 Fv,Rd=9650.97
Rifollamento lato piastra: Fb,Ed,p=0.58 Fb,Rd,p=10058.50
Tirafondi:LT=0.45 (0.31) σ_{cR}=0.00 σ_{fR}=0.00
Compressione nel calcestruzzo: σ_c=14.02
CC 12 SLD (Collegamento 0025_-382)
Azioni sul collegamento: N=-6752.00 Ty=-3.48 Tz=1.44 Mx=0.01 Mz=-2.27
Sollecitazioni agenti localmente: Tx_l=-3.48 Ty_l=1.44 N_l=-6752.00 Mx_l=-0.00 My_l=-2.27 Mz_l=0.01
Taglio nei bulloni: Fv,Ed=0.64 Fv,Rd=9650.97
Rifollamento lato piastra: Fb,Ed,p=0.64 Fb,Rd,p=9507.66
Tirafondi:LT=0.45 (0.31) σ_{cR}=0.00 σ_{fR}=0.00
Compressione nel calcestruzzo: σ_c=14.08
CC 12 SLD (Collegamento 0025_-382)
Azioni sul collegamento: N=-6752.00 Ty=-3.09 Tz=-0.21 Mx=0.01 Mz=-1.17
Sollecitazioni agenti localmente: Tx_l=-3.09 Ty_l=-0.21 N_l=-6752.00 Mx_l=-0.00 My_l=-1.17 Mz_l=0.01
Taglio nei bulloni: Fv,Ed=0.53 Fv,Rd=9650.97
Rifollamento lato piastra: Fb,Ed,p=0.53 Fb,Rd,p=7498.57
Tirafondi:LT=0.45 (0.31) σ_{cR}=0.00 σ_{fR}=0.00
Compressione nel calcestruzzo: σ_c=14.02
CC 12 SLD (Collegamento 0025_-382)
Azioni sul collegamento: N=-6752.00 Ty=-3.48 Tz=-0.21 Mx=0.01 Mz=-2.27
Sollecitazioni agenti localmente: Tx_l=-3.48 Ty_l=-0.21 N_l=-6752.00 Mx_l=-0.00 My_l=-2.27 Mz_l=0.01
Taglio nei bulloni: Fv,Ed=0.59 Fv,Rd=9650.97
Rifollamento lato piastra: Fb,Ed,p=0.59 Fb,Rd,p=7493.39
Tirafondi:LT=0.45 (0.31) σ_{cR}=0.00 σ_{fR}=0.00
Compressione nel calcestruzzo: σ_c=14.08
CC 12 SLD (Collegamento 0025_-382)
Azioni sul collegamento: N=-6274.78 Ty=-3.09 Tz=1.44 Mx=0.01 Mz=-1.17
Sollecitazioni agenti localmente: Tx_l=-3.09 Ty_l=1.44 N_l=-6274.78 Mx_l=-0.00 My_l=-1.17 Mz_l=0.01
Taglio nei bulloni: Fv,Ed=0.58 Fv,Rd=9650.97
Rifollamento lato piastra: Fb,Ed,p=0.58 Fb,Rd,p=10058.60

Tirafondi:LT=0.45 (0.31) σ_{cR}=0.00 σ_{fR}=0.00
Compressione nel calcestruzzo: σ_c=13.03
CC 12 SLD (Collegamento 0025_-382)
Azioni sul collegamento: N=-6274.78 Ty=-3.48 Tz=1.44 Mx=0.01 Mz=-2.27
Sollecitazioni agenti localmente: Tx_l=-3.48 Ty_l=1.44 N_l=-6274.78 Mx_l=-0.00 My_l=-2.27 Mz_l=0.01
Taglio nei bulloni: Fv,Ed=0.64 Fv,Rd=9650.97
Rifollamento lato piastra: Fb,Ed,p=0.64 Fb,Rd,p=9507.75
Tirafondi:LT=0.45 (0.31) σ_{cR}=0.00 σ_{fR}=0.00
Compressione nel calcestruzzo: σ_c=13.09
CC 12 SLD (Collegamento 0025_-382)
Azioni sul collegamento: N=-6274.78 Ty=-3.09 Tz=-0.21 Mx=0.01 Mz=-1.17
Sollecitazioni agenti localmente: Tx_l=-3.09 Ty_l=-0.21 N_l=-6274.78 Mx_l=-0.00 My_l=-1.17 Mz_l=0.01
Taglio nei bulloni: Fv,Ed=0.53 Fv,Rd=9650.97
Rifollamento lato piastra: Fb,Ed,p=0.53 Fb,Rd,p=7498.60
Tirafondi:LT=0.45 (0.31) σ_{cR}=0.00 σ_{fR}=0.00
Compressione nel calcestruzzo: σ_c=13.03
CC 12 SLD (Collegamento 0025_-382)
Azioni sul collegamento: N=-6274.78 Ty=-3.48 Tz=-0.21 Mx=0.01 Mz=-2.27
Sollecitazioni agenti localmente: Tx_l=-3.48 Ty_l=-0.21 N_l=-6274.78 Mx_l=-0.00 My_l=-2.27 Mz_l=0.01
Taglio nei bulloni: Fv,Ed=0.59 Fv,Rd=9650.97
Rifollamento lato piastra: Fb,Ed,p=0.59 Fb,Rd,p=7493.41
Tirafondi:LT=0.45 (0.31) σ_{cR}=0.00 σ_{fR}=0.00
Compressione nel calcestruzzo: σ_c=13.09
CC 13 SLV (Collegamento 0025_-382)
Azioni sul collegamento: N=-5698.41 Ty=-1.79 Tz=-2.23 Mx=0.01 Mz=-1.45
Sollecitazioni agenti localmente: Tx_l=-1.79 Ty_l=-2.23 N_l=-5698.41 Mx_l=-0.00 My_l=-1.45 Mz_l=0.01
Taglio nei bulloni: Fv,Ed=0.49 Fv,Rd=7720.78
Rifollamento lato piastra: Fb,Ed,p=0.49 Fb,Rd,p=10930.00
Tirafondi:LT=0.45 (0.31) σ_{cR}=0.00 σ_{fR}=0.00
Compressione nel calcestruzzo: σ_c=11.86
CC 13 SLV (Collegamento 0025_-382)
Azioni sul collegamento: N=-5698.41 Ty=-3.09 Tz=-2.23 Mx=0.01 Mz=2.17
Sollecitazioni agenti localmente: Tx_l=-3.09 Ty_l=-2.23 N_l=-5698.41 Mx_l=-0.00 My_l=2.17 Mz_l=0.01
Taglio nei bulloni: Fv,Ed=0.65 Fv,Rd=7720.78
Rifollamento lato piastra: Fb,Ed,p=0.64 Fb,Rd,p=10310.80
Tirafondi:LT=0.45 (0.31) σ_{cR}=0.00 σ_{fR}=0.00
Compressione nel calcestruzzo: σ_c=11.90
CC 13 SLV (Collegamento 0025_-382)
Azioni sul collegamento: N=-5698.41 Ty=-1.79 Tz=3.21 Mx=0.01 Mz=-1.45
Sollecitazioni agenti localmente: Tx_l=-1.79 Ty_l=3.21 N_l=-5698.41 Mx_l=-0.00 My_l=-1.45 Mz_l=0.01
Taglio nei bulloni: Fv,Ed=0.63 Fv,Rd=7720.78
Rifollamento lato piastra: Fb,Ed,p=0.62 Fb,Rd,p=8514.20
Tirafondi:LT=0.45 (0.31) σ_{cR}=0.00 σ_{fR}=0.00
Compressione nel calcestruzzo: σ_c=11.86
CC 13 SLV (Collegamento 0025_-382)
Azioni sul collegamento: N=-5698.41 Ty=-3.09 Tz=3.21 Mx=0.01 Mz=2.17
Sollecitazioni agenti localmente: Tx_l=-3.09 Ty_l=3.21 N_l=-5698.41 Mx_l=-0.00 My_l=2.17 Mz_l=0.01
Taglio nei bulloni: Fv,Ed=0.76 Fv,Rd=7720.78
Rifollamento lato piastra: Fb,Ed,p=0.74 Fb,Rd,p=11585.00
Tirafondi:LT=0.45 (0.31) σ_{cR}=0.00 σ_{fR}=0.00
Compressione nel calcestruzzo: σ_c=11.90
CC 13 SLV (Collegamento 0025_-382)
Azioni sul collegamento: N=-7263.41 Ty=-1.79 Tz=-2.23 Mx=0.01 Mz=-1.45
Sollecitazioni agenti localmente: Tx_l=-1.79 Ty_l=-2.23 N_l=-7263.41 Mx_l=-0.00 My_l=-1.45 Mz_l=0.01
Taglio nei bulloni: Fv,Ed=0.49 Fv,Rd=7720.78
Rifollamento lato piastra: Fb,Ed,p=0.49 Fb,Rd,p=10930.40
Tirafondi:LT=0.45 (0.31) σ_{cR}=0.00 σ_{fR}=0.00
Compressione nel calcestruzzo: σ_c=15.09
CC 13 SLV (Collegamento 0025_-382)
Azioni sul collegamento: N=-7263.41 Ty=-3.09 Tz=-2.23 Mx=0.01 Mz=2.17
Sollecitazioni agenti localmente: Tx_l=-3.09 Ty_l=-2.23 N_l=-7263.41 Mx_l=-0.00 My_l=2.17 Mz_l=0.01
Taglio nei bulloni: Fv,Ed=0.65 Fv,Rd=7720.78
Rifollamento lato piastra: Fb,Ed,p=0.64 Fb,Rd,p=10309.90
Tirafondi:LT=0.45 (0.31) σ_{cR}=0.00 σ_{fR}=0.00
Compressione nel calcestruzzo: σ_c=15.13
CC 13 SLV (Collegamento 0025_-382)
Azioni sul collegamento: N=-7263.41 Ty=-1.79 Tz=3.21 Mx=0.01 Mz=-1.45
Sollecitazioni agenti localmente: Tx_l=-1.79 Ty_l=3.21 N_l=-7263.41 Mx_l=-0.00 My_l=-1.45 Mz_l=0.01
Taglio nei bulloni: Fv,Ed=0.63 Fv,Rd=7720.78
Rifollamento lato piastra: Fb,Ed,p=0.62 Fb,Rd,p=8513.87
Tirafondi:LT=0.45 (0.31) σ_{cR}=0.00 σ_{fR}=0.00
Compressione nel calcestruzzo: σ_c=15.09
CC 13 SLV (Collegamento 0025_-382)
Azioni sul collegamento: N=-7263.41 Ty=-3.09 Tz=3.21 Mx=0.01 Mz=2.17
Sollecitazioni agenti localmente: Tx_l=-3.09 Ty_l=3.21 N_l=-7263.41 Mx_l=-0.00 My_l=2.17 Mz_l=0.01
Taglio nei bulloni: Fv,Ed=0.76 Fv,Rd=7720.78
Rifollamento lato piastra: Fb,Ed,p=0.74 Fb,Rd,p=11584.60
Tirafondi:LT=0.45 (0.31) σ_{cR}=0.00 σ_{fR}=0.00
Compressione nel calcestruzzo: σ_c=15.13
CC 14 SLD (Collegamento 0025_-382)

Azioni sul collegamento: N=-6274.78 Ty=-3.48 Tz=-0.21 Mx=0.01 Mz=-2.27
Sollecitazioni agenti localmente: Tx_l=-3.48 Ty_l=-0.21 N_l=-6274.78 Mx_l=-0.00 My_l=-2.27 Mz_l=0.01
Taglio nei bulloni: Fv,Ed=0.59 Fv,Rd=9650.97
Rifollamento lato piastra: Fb,Ed,p=0.59 Fb,Rd,p=7502.75
Tirafondi:LT=0.45 (0.31) σ_{cR}=0.00 σ_{fR}=0.00
Compressione nel calcestruzzo: σ_c=13.09
CC 14 SLD (Collegamento 0025_-382)
Azioni sul collegamento: N=-6274.78 Ty=-3.09 Tz=-0.21 Mx=0.01 Mz=-1.17
Sollecitazioni agenti localmente: Tx_l=-3.09 Ty_l=-0.21 N_l=-6274.78 Mx_l=-0.00 My_l=-1.17 Mz_l=0.01
Taglio nei bulloni: Fv,Ed=0.52 Fv,Rd=9650.97
Rifollamento lato piastra: Fb,Ed,p=0.52 Fb,Rd,p=7510.51
Tirafondi:LT=0.45 (0.31) σ_{cR}=0.00 σ_{fR}=0.00
Compressione nel calcestruzzo: σ_c=13.03
CC 14 SLD (Collegamento 0025_-382)
Azioni sul collegamento: N=-6274.78 Ty=-3.48 Tz=1.44 Mx=0.01 Mz=-2.27
Sollecitazioni agenti localmente: Tx_l=-3.48 Ty_l=1.44 N_l=-6274.78 Mx_l=-0.00 My_l=-2.27 Mz_l=0.01
Taglio nei bulloni: Fv,Ed=0.64 Fv,Rd=9650.97
Rifollamento lato piastra: Fb,Ed,p=0.64 Fb,Rd,p=9459.66
Tirafondi:LT=0.45 (0.31) σ_{cR}=0.00 σ_{fR}=0.00
Compressione nel calcestruzzo: σ_c=13.09
CC 14 SLD (Collegamento 0025_-382)
Azioni sul collegamento: N=-6274.78 Ty=-3.09 Tz=1.44 Mx=0.01 Mz=-1.17
Sollecitazioni agenti localmente: Tx_l=-3.09 Ty_l=1.44 N_l=-6274.78 Mx_l=-0.00 My_l=-1.17 Mz_l=0.01
Taglio nei bulloni: Fv,Ed=0.58 Fv,Rd=9650.97
Rifollamento lato piastra: Fb,Ed,p=0.58 Fb,Rd,p=10002.90
Tirafondi:LT=0.45 (0.31) σ_{cR}=0.00 σ_{fR}=0.00
Compressione nel calcestruzzo: σ_c=13.03
CC 14 SLD (Collegamento 0025_-382)
Azioni sul collegamento: N=-6752.00 Ty=-3.48 Tz=-0.21 Mx=0.01 Mz=-2.27
Sollecitazioni agenti localmente: Tx_l=-3.48 Ty_l=-0.21 N_l=-6752.00 Mx_l=-0.00 My_l=-2.27 Mz_l=0.01
Taglio nei bulloni: Fv,Ed=0.59 Fv,Rd=9650.97
Rifollamento lato piastra: Fb,Ed,p=0.59 Fb,Rd,p=7502.72
Tirafondi:LT=0.45 (0.31) σ_{cR}=0.00 σ_{fR}=0.00
Compressione nel calcestruzzo: σ_c=14.08
CC 14 SLD (Collegamento 0025_-382)
Azioni sul collegamento: N=-6752.00 Ty=-3.09 Tz=-0.21 Mx=0.01 Mz=-1.17
Sollecitazioni agenti localmente: Tx_l=-3.09 Ty_l=-0.21 N_l=-6752.00 Mx_l=-0.00 My_l=-1.17 Mz_l=0.01
Taglio nei bulloni: Fv,Ed=0.52 Fv,Rd=9650.97
Rifollamento lato piastra: Fb,Ed,p=0.52 Fb,Rd,p=7510.47
Tirafondi:LT=0.45 (0.31) σ_{cR}=0.00 σ_{fR}=0.00
Compressione nel calcestruzzo: σ_c=14.02
CC 14 SLD (Collegamento 0025_-382)
Azioni sul collegamento: N=-6752.00 Ty=-3.48 Tz=1.44 Mx=0.01 Mz=-2.27
Sollecitazioni agenti localmente: Tx_l=-3.48 Ty_l=1.44 N_l=-6752.00 Mx_l=-0.00 My_l=-2.27 Mz_l=0.01
Taglio nei bulloni: Fv,Ed=0.64 Fv,Rd=9650.97
Rifollamento lato piastra: Fb,Ed,p=0.64 Fb,Rd,p=9459.58
Tirafondi:LT=0.45 (0.31) σ_{cR}=0.00 σ_{fR}=0.00
Compressione nel calcestruzzo: σ_c=14.08
CC 14 SLD (Collegamento 0025_-382)
Azioni sul collegamento: N=-6752.00 Ty=-3.09 Tz=1.44 Mx=0.01 Mz=-1.17
Sollecitazioni agenti localmente: Tx_l=-3.09 Ty_l=1.44 N_l=-6752.00 Mx_l=-0.00 My_l=-1.17 Mz_l=0.01
Taglio nei bulloni: Fv,Ed=0.58 Fv,Rd=9650.97
Rifollamento lato piastra: Fb,Ed,p=0.58 Fb,Rd,p=10002.80
Tirafondi:LT=0.45 (0.31) σ_{cR}=0.00 σ_{fR}=0.00
Compressione nel calcestruzzo: σ_c=14.02
CC 15 SLV (Collegamento 0025_-382)
Azioni sul collegamento: N=-7282.35 Ty=-0.97 Tz=3.63 Mx=0.01 Mz=-2.02
Sollecitazioni agenti localmente: Tx_l=-0.97 Ty_l=3.63 N_l=-7282.35 Mx_l=-0.00 My_l=-2.02 Mz_l=0.01
Taglio nei bulloni: Fv,Ed=0.64 Fv,Rd=7720.78
Rifollamento lato piastra: Fb,Ed,p=0.63 Fb,Rd,p=6531.54
Tirafondi:LT=0.45 (0.31) σ_{cR}=0.00 σ_{fR}=0.00
Compressione nel calcestruzzo: σ_c=15.16
CC 15 SLV (Collegamento 0025_-382)
Azioni sul collegamento: N=-7282.35 Ty=-3.91 Tz=3.63 Mx=0.01 Mz=2.74
Sollecitazioni agenti localmente: Tx_l=-3.91 Ty_l=3.63 N_l=-7282.35 Mx_l=-0.00 My_l=2.74 Mz_l=0.01
Taglio nei bulloni: Fv,Ed=0.90 Fv,Rd=7720.78
Rifollamento lato piastra: Fb,Ed,p=0.90 Fb,Rd,p=11612.40
Tirafondi:LT=0.45 (0.31) σ_{cR}=0.00 σ_{fR}=0.00
Compressione nel calcestruzzo: σ_c=15.20
CC 15 SLV (Collegamento 0025_-382)
Azioni sul collegamento: N=-7282.35 Ty=-0.97 Tz=-2.66 Mx=0.01 Mz=-2.02
Sollecitazioni agenti localmente: Tx_l=-0.97 Ty_l=-2.66 N_l=-7282.35 Mx_l=-0.00 My_l=-2.02 Mz_l=0.01
Taglio nei bulloni: Fv,Ed=0.48 Fv,Rd=7720.78
Rifollamento lato piastra: Fb,Ed,p=0.48 Fb,Rd,p=7269.52
Tirafondi:LT=0.45 (0.31) σ_{cR}=0.00 σ_{fR}=0.00
Compressione nel calcestruzzo: σ_c=15.16
CC 15 SLV (Collegamento 0025_-382)
Azioni sul collegamento: N=-7282.35 Ty=-3.91 Tz=-2.66 Mx=0.01 Mz=2.74
Sollecitazioni agenti localmente: Tx_l=-3.91 Ty_l=-2.66 N_l=-7282.35 Mx_l=-0.00 My_l=2.74 Mz_l=0.01
Taglio nei bulloni: Fv,Ed=0.80 Fv,Rd=7720.78

Rifollamento lato piastra: Fb,Ed,p=0.79 Fb,Rd,p=9918.10
Tirafondi:LT=0.45 (0.31) σ_{cR}=0.00 σ_{fR}=0.00
Compressione nel calcestruzzo: σ_c=15.20
CC 15 SLV (Collegamento 0025_-382)
Azioni sul collegamento: N=-5679.47 Ty=-0.97 Tz=3.63 Mx=0.01 Mz=-2.02
Sollecitazioni agenti localmente: Tx_l=-0.97 Ty_l=3.63 N_l=-5679.47 Mx_l=-0.00 My_l=-2.02 Mz_l=0.01
Taglio nei bulloni: Fv,Ed=0.64 Fv,Rd=7720.78
Rifollamento lato piastra: Fb,Ed,p=0.63 Fb,Rd,p=6531.51
Tirafondi:LT=0.45 (0.31) σ_{cR}=0.00 σ_{fR}=0.00
Compressione nel calcestruzzo: σ_c=11.85
CC 15 SLV (Collegamento 0025_-382)
Azioni sul collegamento: N=-5679.47 Ty=-3.91 Tz=3.63 Mx=0.01 Mz=2.74
Sollecitazioni agenti localmente: Tx_l=-3.91 Ty_l=3.63 N_l=-5679.47 Mx_l=-0.00 My_l=2.74 Mz_l=0.01
Taglio nei bulloni: Fv,Ed=0.90 Fv,Rd=7720.78
Rifollamento lato piastra: Fb,Ed,p=0.90 Fb,Rd,p=11612.50
Tirafondi:LT=0.45 (0.31) σ_{cR}=0.00 σ_{fR}=0.00
Compressione nel calcestruzzo: σ_c=11.89
CC 15 SLV (Collegamento 0025_-382)
Azioni sul collegamento: N=-5679.47 Ty=-0.97 Tz=-2.66 Mx=0.01 Mz=-2.02
Sollecitazioni agenti localmente: Tx_l=-0.97 Ty_l=-2.66 N_l=-5679.47 Mx_l=-0.00 My_l=-2.02 Mz_l=0.01
Taglio nei bulloni: Fv,Ed=0.48 Fv,Rd=7720.78
Rifollamento lato piastra: Fb,Ed,p=0.48 Fb,Rd,p=7269.43
Tirafondi:LT=0.45 (0.31) σ_{cR}=0.00 σ_{fR}=0.00
Compressione nel calcestruzzo: σ_c=11.85
CC 15 SLV (Collegamento 0025_-382)
Azioni sul collegamento: N=-5679.47 Ty=-3.91 Tz=-2.66 Mx=0.01 Mz=2.74
Sollecitazioni agenti localmente: Tx_l=-3.91 Ty_l=-2.66 N_l=-5679.47 Mx_l=-0.00 My_l=2.74 Mz_l=0.01
Taglio nei bulloni: Fv,Ed=0.80 Fv,Rd=7720.78
Rifollamento lato piastra: Fb,Ed,p=0.79 Fb,Rd,p=9918.42
Tirafondi:LT=0.45 (0.31) σ_{cR}=0.00 σ_{fR}=0.00
Compressione nel calcestruzzo: σ_c=11.89
CC 16 SLD (Collegamento 0025_-382)
Azioni sul collegamento: N=-6757.78 Ty=-3.73 Tz=1.57 Mx=0.00 Mz=-2.45
Sollecitazioni agenti localmente: Tx_l=-3.73 Ty_l=1.57 N_l=-6757.78 Mx_l=-0.00 My_l=-2.45 Mz_l=0.00
Taglio nei bulloni: Fv,Ed=0.68 Fv,Rd=9650.97
Rifollamento lato piastra: Fb,Ed,p=0.68 Fb,Rd,p=9522.20
Tirafondi:LT=0.45 (0.31) σ_{cR}=0.00 σ_{fR}=0.00
Compressione nel calcestruzzo: σ_c=14.10
CC 16 SLD (Collegamento 0025_-382)
Azioni sul collegamento: N=-6757.78 Ty=-2.84 Tz=1.57 Mx=0.00 Mz=-0.99
Sollecitazioni agenti localmente: Tx_l=-2.84 Ty_l=1.57 N_l=-6757.78 Mx_l=-0.00 My_l=-0.99 Mz_l=0.00
Taglio nei bulloni: Fv,Ed=0.55 Fv,Rd=9650.97
Rifollamento lato piastra: Fb,Ed,p=0.55 Fb,Rd,p=11027.30
Tirafondi:LT=0.45 (0.31) σ_{cR}=0.00 σ_{fR}=0.00
Compressione nel calcestruzzo: σ_c=14.02
CC 16 SLD (Collegamento 0025_-382)
Azioni sul collegamento: N=-6757.78 Ty=-3.73 Tz=-0.34 Mx=0.00 Mz=-2.45
Sollecitazioni agenti localmente: Tx_l=-3.73 Ty_l=-0.34 N_l=-6757.78 Mx_l=-0.00 My_l=-2.45 Mz_l=0.00
Taglio nei bulloni: Fv,Ed=0.63 Fv,Rd=9650.97
Rifollamento lato piastra: Fb,Ed,p=0.63 Fb,Rd,p=7549.85
Tirafondi:LT=0.45 (0.31) σ_{cR}=0.00 σ_{fR}=0.00
Compressione nel calcestruzzo: σ_c=14.10
CC 16 SLD (Collegamento 0025_-382)
Azioni sul collegamento: N=-6757.78 Ty=-2.84 Tz=-0.34 Mx=0.00 Mz=-0.99
Sollecitazioni agenti localmente: Tx_l=-2.84 Ty_l=-0.34 N_l=-6757.78 Mx_l=-0.00 My_l=-0.99 Mz_l=0.00
Taglio nei bulloni: Fv,Ed=0.48 Fv,Rd=9650.97
Rifollamento lato piastra: Fb,Ed,p=0.48 Fb,Rd,p=7604.57
Tirafondi:LT=0.45 (0.31) σ_{cR}=0.00 σ_{fR}=0.00
Compressione nel calcestruzzo: σ_c=14.02
CC 16 SLD (Collegamento 0025_-382)
Azioni sul collegamento: N=-6269.00 Ty=-3.73 Tz=1.57 Mx=0.00 Mz=-2.45
Sollecitazioni agenti localmente: Tx_l=-3.73 Ty_l=1.57 N_l=-6269.00 Mx_l=-0.00 My_l=-2.45 Mz_l=0.00
Taglio nei bulloni: Fv,Ed=0.68 Fv,Rd=9650.97
Rifollamento lato piastra: Fb,Ed,p=0.68 Fb,Rd,p=9522.36
Tirafondi:LT=0.45 (0.31) σ_{cR}=0.00 σ_{fR}=0.00
Compressione nel calcestruzzo: σ_c=13.09
CC 16 SLD (Collegamento 0025_-382)
Azioni sul collegamento: N=-6269.00 Ty=-2.84 Tz=1.57 Mx=0.00 Mz=-0.99
Sollecitazioni agenti localmente: Tx_l=-2.84 Ty_l=1.57 N_l=-6269.00 Mx_l=-0.00 My_l=-0.99 Mz_l=0.00
Taglio nei bulloni: Fv,Ed=0.55 Fv,Rd=9650.97
Rifollamento lato piastra: Fb,Ed,p=0.55 Fb,Rd,p=11027.60
Tirafondi:LT=0.45 (0.31) σ_{cR}=0.00 σ_{fR}=0.00
Compressione nel calcestruzzo: σ_c=13.01
CC 16 SLD (Collegamento 0025_-382)
Azioni sul collegamento: N=-6269.01 Ty=-3.73 Tz=-0.34 Mx=0.00 Mz=-2.45
Sollecitazioni agenti localmente: Tx_l=-3.73 Ty_l=-0.34 N_l=-6269.01 Mx_l=-0.00 My_l=-2.45 Mz_l=0.00
Taglio nei bulloni: Fv,Ed=0.63 Fv,Rd=9650.97
Rifollamento lato piastra: Fb,Ed,p=0.63 Fb,Rd,p=7549.90
Tirafondi:LT=0.45 (0.31) σ_{cR}=0.00 σ_{fR}=0.00
Compressione nel calcestruzzo: σ_c=13.09

CC 16 SLD (Collegamento 0025_-382)
Azioni sul collegamento: N=-6269.01 Ty=-2.84 Tz=-0.34 Mx=0.00 Mz=-0.99
Sollecitazioni agenti localmente: Tx_l=-2.84 Ty_l=-0.34 N_l=-6269.01 Mx_l=-0.00 My_l=-0.99 Mz_l=0.00
Taglio nei bulloni: Fv,Ed=0.48 Fv,Rd=9650.97
Rifollamento lato piastra: Fb,Ed,p=0.48 Fb,Rd,p=7604.67
Tirafondi:LT=0.45 (0.31) σ_{cR}=0.00 σ_{fR}=0.00
Compressione nel calcestruzzo: σ_c=13.01
CC 17 SLV (Collegamento 0025_-382)
Azioni sul collegamento: N=-3931.62 Ty=-3.19 Tz=-8.98 Mx=-0.01 Mz=-4.04
Sollecitazioni agenti localmente: Tx_l=-3.19 Ty_l=-8.98 N_l=-3931.62 Mx_l=-0.00 My_l=-4.04 Mz_l=-0.01
Taglio nei bulloni: Fv,Ed=1.61 Fv,Rd=7720.78
Rifollamento lato piastra: Fb,Ed,p=1.60 Fb,Rd,p=7019.32
Tirafondi:LT=0.45 (0.31) σ_{cR}=0.00 σ_{fR}=0.00
Compressione nel calcestruzzo: σ_c=8.35
CC 17 SLV (Collegamento 0025_-382)
Azioni sul collegamento: N=-3931.62 Ty=-6.55 Tz=-8.98 Mx=-0.01 Mz=-7.22
Sollecitazioni agenti localmente: Tx_l=-6.55 Ty_l=-8.98 N_l=-3931.62 Mx_l=-0.00 My_l=-7.22 Mz_l=-0.01
Taglio nei bulloni: Fv,Ed=1.87 Fv,Rd=7720.78
Rifollamento lato piastra: Fb,Ed,p=1.86 Fb,Rd,p=10428.60
Tirafondi:LT=0.45 (0.31) σ_{cR}=0.00 σ_{fR}=0.00
Compressione nel calcestruzzo: σ_c=8.53
CC 17 SLV (Collegamento 0025_-382)
Azioni sul collegamento: N=-3931.62 Ty=-3.19 Tz=10.69 Mx=-0.01 Mz=-4.04
Sollecitazioni agenti localmente: Tx_l=-3.19 Ty_l=10.69 N_l=-3931.62 Mx_l=-0.00 My_l=-4.04 Mz_l=-0.01
Taglio nei bulloni: Fv,Ed=1.88 Fv,Rd=7720.78
Rifollamento lato piastra: Fb,Ed,p=1.88 Fb,Rd,p=6807.00
Tirafondi:LT=0.45 (0.31) σ_{cR}=0.00 σ_{fR}=0.00
Compressione nel calcestruzzo: σ_c=8.35
CC 17 SLV (Collegamento 0025_-382)
Azioni sul collegamento: N=-3931.62 Ty=-6.55 Tz=10.69 Mx=-0.01 Mz=-7.22
Sollecitazioni agenti localmente: Tx_l=-6.55 Ty_l=10.69 N_l=-3931.62 Mx_l=-0.00 My_l=-7.22 Mz_l=-0.01
Taglio nei bulloni: Fv,Ed=2.11 Fv,Rd=7720.78
Rifollamento lato piastra: Fb,Ed,p=2.11 Fb,Rd,p=9431.51
Tirafondi:LT=0.45 (0.31) σ_{cR}=0.00 σ_{fR}=0.00
Compressione nel calcestruzzo: σ_c=8.53
CC 17 SLV (Collegamento 0025_-382)
Azioni sul collegamento: N=-9217.12 Ty=-3.19 Tz=-8.98 Mx=-0.01 Mz=-4.04
Sollecitazioni agenti localmente: Tx_l=-3.19 Ty_l=-8.98 N_l=-9217.12 Mx_l=-0.00 My_l=-4.04 Mz_l=-0.01
Taglio nei bulloni: Fv,Ed=1.61 Fv,Rd=7720.78
Rifollamento lato piastra: Fb,Ed,p=1.60 Fb,Rd,p=7019.39
Tirafondi:LT=0.45 (0.31) σ_{cR}=0.00 σ_{fR}=0.00
Compressione nel calcestruzzo: σ_c=19.27
CC 17 SLV (Collegamento 0025_-382)
Azioni sul collegamento: N=-9217.12 Ty=-6.55 Tz=-8.98 Mx=-0.01 Mz=-7.22
Sollecitazioni agenti localmente: Tx_l=-6.55 Ty_l=-8.98 N_l=-9217.12 Mx_l=-0.00 My_l=-7.22 Mz_l=-0.01
Taglio nei bulloni: Fv,Ed=1.87 Fv,Rd=7720.78
Rifollamento lato piastra: Fb,Ed,p=1.86 Fb,Rd,p=10428.70
Tirafondi:LT=0.45 (0.31) σ_{cR}=0.00 σ_{fR}=0.00
Compressione nel calcestruzzo: σ_c=19.45
CC 17 SLV (Collegamento 0025_-382)
Azioni sul collegamento: N=-9217.12 Ty=-3.19 Tz=10.69 Mx=-0.01 Mz=-4.04
Sollecitazioni agenti localmente: Tx_l=-3.19 Ty_l=10.69 N_l=-9217.12 Mx_l=-0.00 My_l=-4.04 Mz_l=-0.01
Taglio nei bulloni: Fv,Ed=1.88 Fv,Rd=7720.78
Rifollamento lato piastra: Fb,Ed,p=1.88 Fb,Rd,p=6806.94
Tirafondi:LT=0.45 (0.31) σ_{cR}=0.00 σ_{fR}=0.00
Compressione nel calcestruzzo: σ_c=19.27
CC 17 SLV (Collegamento 0025_-382)
Azioni sul collegamento: N=-9217.12 Ty=-6.55 Tz=10.69 Mx=-0.01 Mz=-7.22
Sollecitazioni agenti localmente: Tx_l=-6.55 Ty_l=10.69 N_l=-9217.12 Mx_l=-0.00 My_l=-7.22 Mz_l=-0.01
Taglio nei bulloni: Fv,Ed=2.11 Fv,Rd=7720.78
Rifollamento lato piastra: Fb,Ed,p=2.11 Fb,Rd,p=9431.21
Tirafondi:LT=0.45 (0.31) σ_{cR}=0.00 σ_{fR}=0.00
Compressione nel calcestruzzo: σ_c=19.45
CC 18 SLD (Collegamento 0025_-382)
Azioni sul collegamento: N=-5736.03 Ty=-3.51 Tz=-2.27 Mx=-0.00 Mz=-3.06
Sollecitazioni agenti localmente: Tx_l=-3.51 Ty_l=-2.27 N_l=-5736.03 Mx_l=-0.00 My_l=-3.06 Mz_l=-0.00
Taglio nei bulloni: Fv,Ed=0.70 Fv,Rd=9650.97
Rifollamento lato piastra: Fb,Ed,p=0.70 Fb,Rd,p=12263.80
Tirafondi:LT=0.45 (0.31) σ_{cR}=0.00 σ_{fR}=0.00
Compressione nel calcestruzzo: σ_c=12.02
CC 18 SLD (Collegamento 0025_-382)
Azioni sul collegamento: N=-5736.03 Ty=-4.54 Tz=-2.27 Mx=-0.00 Mz=-4.03
Sollecitazioni agenti localmente: Tx_l=-4.54 Ty_l=-2.27 N_l=-5736.03 Mx_l=-0.00 My_l=-4.03 Mz_l=-0.00
Taglio nei bulloni: Fv,Ed=0.85 Fv,Rd=9650.97
Rifollamento lato piastra: Fb,Ed,p=0.85 Fb,Rd,p=10321.30
Tirafondi:LT=0.45 (0.31) σ_{cR}=0.00 σ_{fR}=0.00
Compressione nel calcestruzzo: σ_c=12.08
CC 18 SLD (Collegamento 0025_-382)
Azioni sul collegamento: N=-5736.03 Ty=-3.51 Tz=3.73 Mx=-0.00 Mz=-3.06
Sollecitazioni agenti localmente: Tx_l=-3.51 Ty_l=3.73 N_l=-5736.03 Mx_l=-0.00 My_l=-3.06 Mz_l=-0.00

Taglio nei bulloni: Fv,Ed=0.86 Fv,Rd=9650.97
Rifollamento lato piastra: Fb,Ed,p=0.86 Fb,Rd,p=14599.80
Tirafondi:LT=0.45 (0.31) σ_{cR}=0.00 σ_{fR}=0.00
Compressione nel calcestruzzo: σ_c=12.02
CC 18 SLD (Collegamento 0025_-382)
Azioni sul collegamento: N=-5736.03 Ty=-4.54 Tz=3.73 Mx=-0.00 Mz=-4.03
Sollecitazioni agenti localmente: Tx_l=-4.54 Ty_l=3.73 N_l=-5736.03 Mx_l=-0.00 My_l=-4.03 Mz_l=-0.00
Taglio nei bulloni: Fv,Ed=0.98 Fv,Rd=9650.97
Rifollamento lato piastra: Fb,Ed,p=0.98 Fb,Rd,p=13712.20
Tirafondi:LT=0.45 (0.31) σ_{cR}=0.00 σ_{fR}=0.00
Compressione nel calcestruzzo: σ_c=12.08
CC 18 SLD (Collegamento 0025_-382)
Azioni sul collegamento: N=-7347.75 Ty=-3.51 Tz=-2.27 Mx=-0.00 Mz=-3.06
Sollecitazioni agenti localmente: Tx_l=-3.51 Ty_l=-2.27 N_l=-7347.75 Mx_l=-0.00 My_l=-3.06 Mz_l=-0.00
Taglio nei bulloni: Fv,Ed=0.70 Fv,Rd=9650.97
Rifollamento lato piastra: Fb,Ed,p=0.70 Fb,Rd,p=12264.20
Tirafondi:LT=0.45 (0.31) σ_{cR}=0.00 σ_{fR}=0.00
Compressione nel calcestruzzo: σ_c=15.35
CC 18 SLD (Collegamento 0025_-382)
Azioni sul collegamento: N=-7347.75 Ty=-4.54 Tz=-2.27 Mx=-0.00 Mz=-4.03
Sollecitazioni agenti localmente: Tx_l=-4.54 Ty_l=-2.27 N_l=-7347.75 Mx_l=-0.00 My_l=-4.03 Mz_l=-0.00
Taglio nei bulloni: Fv,Ed=0.85 Fv,Rd=9650.97
Rifollamento lato piastra: Fb,Ed,p=0.85 Fb,Rd,p=10321.50
Tirafondi:LT=0.45 (0.31) σ_{cR}=0.00 σ_{fR}=0.00
Compressione nel calcestruzzo: σ_c=15.41
CC 18 SLD (Collegamento 0025_-382)
Azioni sul collegamento: N=-7347.75 Ty=-3.51 Tz=3.73 Mx=-0.00 Mz=-3.06
Sollecitazioni agenti localmente: Tx_l=-3.51 Ty_l=3.73 N_l=-7347.75 Mx_l=-0.00 My_l=-3.06 Mz_l=-0.00
Taglio nei bulloni: Fv,Ed=0.86 Fv,Rd=9650.97
Rifollamento lato piastra: Fb,Ed,p=0.86 Fb,Rd,p=14600.30
Tirafondi:LT=0.45 (0.31) σ_{cR}=0.00 σ_{fR}=0.00
Compressione nel calcestruzzo: σ_c=15.35
CC 18 SLD (Collegamento 0025_-382)
Azioni sul collegamento: N=-7347.75 Ty=-4.54 Tz=3.73 Mx=-0.00 Mz=-4.03
Sollecitazioni agenti localmente: Tx_l=-4.54 Ty_l=3.73 N_l=-7347.75 Mx_l=-0.00 My_l=-4.03 Mz_l=-0.00
Taglio nei bulloni: Fv,Ed=0.98 Fv,Rd=9650.97
Rifollamento lato piastra: Fb,Ed,p=0.98 Fb,Rd,p=13711.80
Tirafondi:LT=0.45 (0.31) σ_{cR}=0.00 σ_{fR}=0.00
Compressione nel calcestruzzo: σ_c=15.41
CC 19 SLV (Collegamento 0025_-382)
Azioni sul collegamento: N=-3937.31 Ty=-3.82 Tz=-8.85 Mx=-0.01 Mz=-5.30
Sollecitazioni agenti localmente: Tx_l=-3.82 Ty_l=-8.85 N_l=-3937.31 Mx_l=-0.00 My_l=-5.30 Mz_l=-0.01
Taglio nei bulloni: Fv,Ed=1.62 Fv,Rd=7720.78
Rifollamento lato piastra: Fb,Ed,p=1.61 Fb,Rd,p=7578.33
Tirafondi:LT=0.45 (0.31) σ_{cR}=0.00 σ_{fR}=0.00
Compressione nel calcestruzzo: σ_c=8.43
CC 19 SLV (Collegamento 0025_-382)
Azioni sul collegamento: N=-3937.31 Ty=-5.92 Tz=-8.85 Mx=-0.01 Mz=-5.96
Sollecitazioni agenti localmente: Tx_l=-5.92 Ty_l=-8.85 N_l=-3937.31 Mx_l=-0.00 My_l=-5.96 Mz_l=-0.01
Taglio nei bulloni: Fv,Ed=1.79 Fv,Rd=7720.78
Rifollamento lato piastra: Fb,Ed,p=1.78 Fb,Rd,p=9911.03
Tirafondi:LT=0.45 (0.31) σ_{cR}=0.00 σ_{fR}=0.00
Compressione nel calcestruzzo: σ_c=8.47
CC 19 SLV (Collegamento 0025_-382)
Azioni sul collegamento: N=-3937.31 Ty=-3.82 Tz=10.56 Mx=-0.01 Mz=-5.30
Sollecitazioni agenti localmente: Tx_l=-3.82 Ty_l=10.56 N_l=-3937.31 Mx_l=-0.00 My_l=-5.30 Mz_l=-0.01
Taglio nei bulloni: Fv,Ed=1.89 Fv,Rd=7720.78
Rifollamento lato piastra: Fb,Ed,p=1.89 Fb,Rd,p=7177.41
Tirafondi:LT=0.45 (0.31) σ_{cR}=0.00 σ_{fR}=0.00
Compressione nel calcestruzzo: σ_c=8.43
CC 19 SLV (Collegamento 0025_-382)
Azioni sul collegamento: N=-3937.31 Ty=-5.92 Tz=10.56 Mx=-0.01 Mz=-5.96
Sollecitazioni agenti localmente: Tx_l=-5.92 Ty_l=10.56 N_l=-3937.31 Mx_l=-0.00 My_l=-5.96 Mz_l=-0.01
Taglio nei bulloni: Fv,Ed=2.03 Fv,Rd=7720.78
Rifollamento lato piastra: Fb,Ed,p=2.03 Fb,Rd,p=8847.91
Tirafondi:LT=0.45 (0.31) σ_{cR}=0.00 σ_{fR}=0.00
Compressione nel calcestruzzo: σ_c=8.47
CC 19 SLV (Collegamento 0025_-382)
Azioni sul collegamento: N=-9211.43 Ty=-3.82 Tz=-8.85 Mx=-0.01 Mz=-5.30
Sollecitazioni agenti localmente: Tx_l=-3.82 Ty_l=-8.85 N_l=-9211.43 Mx_l=-0.00 My_l=-5.30 Mz_l=-0.01
Taglio nei bulloni: Fv,Ed=1.62 Fv,Rd=7720.78
Rifollamento lato piastra: Fb,Ed,p=1.61 Fb,Rd,p=7578.49
Tirafondi:LT=0.45 (0.31) σ_{cR}=0.00 σ_{fR}=0.00
Compressione nel calcestruzzo: σ_c=19.33
CC 19 SLV (Collegamento 0025_-382)
Azioni sul collegamento: N=-9211.43 Ty=-5.92 Tz=-8.85 Mx=-0.01 Mz=-5.96
Sollecitazioni agenti localmente: Tx_l=-5.92 Ty_l=-8.85 N_l=-9211.43 Mx_l=-0.00 My_l=-5.96 Mz_l=-0.01
Taglio nei bulloni: Fv,Ed=1.79 Fv,Rd=7720.78
Rifollamento lato piastra: Fb,Ed,p=1.78 Fb,Rd,p=9911.42
Tirafondi:LT=0.45 (0.31) σ_{cR}=0.00 σ_{fR}=0.00

Compressione nel calcestruzzo: σ_c=19.37
CC 19 SLV (Collegamento 0025_-382)
Azioni sul collegamento: N=-9211.43 Ty=-3.82 Tz=10.56 Mx=-0.01 Mz=-5.30
Sollecitazioni agenti localmente: Tx_l=-3.82 Ty_l=10.56 N_l=-9211.43 Mx_l=-0.00 My_l=-5.30 Mz_l=-0.01
Taglio nei bulloni: Fv,Ed=1.89 Fv,Rd=7720.78
Rifollamento lato piastra: Fb,Ed,p=1.89 Fb,Rd,p=7177.39
Tirafondi:LT=0.45 (0.31) σ_{cR}=0.00 σ_{fR}=0.00
Compressione nel calcestruzzo: σ_c=19.33
CC 19 SLV (Collegamento 0025_-382)
Azioni sul collegamento: N=-9211.43 Ty=-5.92 Tz=10.56 Mx=-0.01 Mz=-5.96
Sollecitazioni agenti localmente: Tx_l=-5.92 Ty_l=10.56 N_l=-9211.43 Mx_l=-0.00 My_l=-5.96 Mz_l=-0.01
Taglio nei bulloni: Fv,Ed=2.03 Fv,Rd=7720.78
Rifollamento lato piastra: Fb,Ed,p=2.03 Fb,Rd,p=8847.86
Tirafondi:LT=0.45 (0.31) σ_{cR}=0.00 σ_{fR}=0.00
Compressione nel calcestruzzo: σ_c=19.37
CC 20 SLD (Collegamento 0025_-382)
Azioni sul collegamento: N=-5737.77 Ty=-3.71 Tz=-2.23 Mx=-0.00 Mz=-3.45
Sollecitazioni agenti localmente: Tx_l=-3.71 Ty_l=-2.23 N_l=-5737.77 Mx_l=-0.00 My_l=-3.45 Mz_l=-0.00
Taglio nei bulloni: Fv,Ed=0.72 Fv,Rd=9650.97
Rifollamento lato piastra: Fb,Ed,p=0.72 Fb,Rd,p=11605.40
Tirafondi:LT=0.45 (0.31) σ_{cR}=0.00 σ_{fR}=0.00
Compressione nel calcestruzzo: σ_c=12.05
CC 20 SLD (Collegamento 0025_-382)
Azioni sul collegamento: N=-5737.77 Ty=-4.34 Tz=-2.23 Mx=-0.00 Mz=-3.65
Sollecitazioni agenti localmente: Tx_l=-4.34 Ty_l=-2.23 N_l=-5737.77 Mx_l=-0.00 My_l=-3.65 Mz_l=-0.00
Taglio nei bulloni: Fv,Ed=0.81 Fv,Rd=9650.97
Rifollamento lato piastra: Fb,Ed,p=0.81 Fb,Rd,p=10464.50
Tirafondi:LT=0.45 (0.31) σ_{cR}=0.00 σ_{fR}=0.00
Compressione nel calcestruzzo: σ_c=12.06
CC 20 SLD (Collegamento 0025_-382)
Azioni sul collegamento: N=-5737.77 Ty=-3.71 Tz=3.69 Mx=-0.00 Mz=-3.45
Sollecitazioni agenti localmente: Tx_l=-3.71 Ty_l=3.69 N_l=-5737.77 Mx_l=-0.00 My_l=-3.45 Mz_l=-0.00
Taglio nei bulloni: Fv,Ed=0.87 Fv,Rd=9650.97
Rifollamento lato piastra: Fb,Ed,p=0.87 Fb,Rd,p=14972.20
Tirafondi:LT=0.45 (0.31) σ_{cR}=0.00 σ_{fR}=0.00
Compressione nel calcestruzzo: σ_c=12.05
CC 20 SLD (Collegamento 0025_-382)
Azioni sul collegamento: N=-5737.77 Ty=-4.34 Tz=3.69 Mx=-0.00 Mz=-3.65
Sollecitazioni agenti localmente: Tx_l=-4.34 Ty_l=3.69 N_l=-5737.77 Mx_l=-0.00 My_l=-3.65 Mz_l=-0.00
Taglio nei bulloni: Fv,Ed=0.95 Fv,Rd=9650.97
Rifollamento lato piastra: Fb,Ed,p=0.95 Fb,Rd,p=13925.10
Tirafondi:LT=0.45 (0.31) σ_{cR}=0.00 σ_{fR}=0.00
Compressione nel calcestruzzo: σ_c=12.06
CC 20 SLD (Collegamento 0025_-382)
Azioni sul collegamento: N=-7346.01 Ty=-3.71 Tz=-2.23 Mx=-0.00 Mz=-3.45
Sollecitazioni agenti localmente: Tx_l=-3.71 Ty_l=-2.23 N_l=-7346.01 Mx_l=-0.00 My_l=-3.45 Mz_l=-0.00
Taglio nei bulloni: Fv,Ed=0.72 Fv,Rd=9650.97
Rifollamento lato piastra: Fb,Ed,p=0.72 Fb,Rd,p=11606.20
Tirafondi:LT=0.45 (0.31) σ_{cR}=0.00 σ_{fR}=0.00
Compressione nel calcestruzzo: σ_c=15.37
CC 20 SLD (Collegamento 0025_-382)
Azioni sul collegamento: N=-7346.01 Ty=-4.34 Tz=-2.23 Mx=-0.00 Mz=-3.65
Sollecitazioni agenti localmente: Tx_l=-4.34 Ty_l=-2.23 N_l=-7346.01 Mx_l=-0.00 My_l=-3.65 Mz_l=-0.00
Taglio nei bulloni: Fv,Ed=0.81 Fv,Rd=9650.97
Rifollamento lato piastra: Fb,Ed,p=0.81 Fb,Rd,p=10465.10
Tirafondi:LT=0.45 (0.31) σ_{cR}=0.00 σ_{fR}=0.00
Compressione nel calcestruzzo: σ_c=15.38
CC 20 SLD (Collegamento 0025_-382)
Azioni sul collegamento: N=-7346.01 Ty=-3.71 Tz=3.69 Mx=-0.00 Mz=-3.45
Sollecitazioni agenti localmente: Tx_l=-3.71 Ty_l=3.69 N_l=-7346.01 Mx_l=-0.00 My_l=-3.45 Mz_l=-0.00
Taglio nei bulloni: Fv,Ed=0.87 Fv,Rd=9650.97
Rifollamento lato piastra: Fb,Ed,p=0.87 Fb,Rd,p=14972.70
Tirafondi:LT=0.45 (0.31) σ_{cR}=0.00 σ_{fR}=0.00
Compressione nel calcestruzzo: σ_c=15.37
CC 20 SLD (Collegamento 0025_-382)
Azioni sul collegamento: N=-7346.01 Ty=-4.34 Tz=3.69 Mx=-0.00 Mz=-3.65
Sollecitazioni agenti localmente: Tx_l=-4.34 Ty_l=3.69 N_l=-7346.01 Mx_l=-0.00 My_l=-3.65 Mz_l=-0.00
Taglio nei bulloni: Fv,Ed=0.95 Fv,Rd=9650.97
Rifollamento lato piastra: Fb,Ed,p=0.95 Fb,Rd,p=13925.60
Tirafondi:LT=0.45 (0.31) σ_{cR}=0.00 σ_{fR}=0.00
Compressione nel calcestruzzo: σ_c=15.38
CC 21 SLV (Collegamento 0025_-382)
Azioni sul collegamento: N=-9211.43 Ty=-5.92 Tz=10.56 Mx=-0.01 Mz=-5.96
Sollecitazioni agenti localmente: Tx_l=-5.92 Ty_l=10.56 N_l=-9211.43 Mx_l=-0.00 My_l=-5.96 Mz_l=-0.01
Taglio nei bulloni: Fv,Ed=2.03 Fv,Rd=7720.78
Rifollamento lato piastra: Fb,Ed,p=2.03 Fb,Rd,p=8852.35
Tirafondi:LT=0.45 (0.31) σ_{cR}=0.00 σ_{fR}=0.00
Compressione nel calcestruzzo: σ_c=19.37
CC 21 SLV (Collegamento 0025_-382)
Azioni sul collegamento: N=-9211.43 Ty=-3.82 Tz=10.56 Mx=-0.01 Mz=-5.30

Sollecitazioni agenti localmente: Tx_l=-3.82 Ty_l=10.56 N_l=-9211.43 Mx_l=-0.00 My_l=-5.30 Mz_l=-0.01
Taglio nei bulloni: Fv,Ed=1.89 Fv,Rd=7720.78
Rifollamento lato piastra: Fb,Ed,p=1.89 Fb,Rd,p=7181.54
Tirafondi:LT=0.45 (0.31) σ_{cR}=0.00 σ_{fR}=0.00
Compressione nel calcestruzzo: σ_c=19.33
CC 21 SLV (Collegamento 0025_-382)
Azioni sul collegamento: N=-9211.43 Ty=-5.92 Tz=-8.85 Mx=-0.01 Mz=-5.96
Sollecitazioni agenti localmente: Tx_l=-5.92 Ty_l=-8.85 N_l=-9211.43 Mx_l=-0.00 My_l=-5.96 Mz_l=-0.01
Taglio nei bulloni: Fv,Ed=1.79 Fv,Rd=7720.78
Rifollamento lato piastra: Fb,Ed,p=1.78 Fb,Rd,p=9887.53
Tirafondi:LT=0.45 (0.31) σ_{cR}=0.00 σ_{fR}=0.00
Compressione nel calcestruzzo: σ_c=19.37
CC 21 SLV (Collegamento 0025_-382)
Azioni sul collegamento: N=-9211.43 Ty=-3.82 Tz=-8.85 Mx=-0.01 Mz=-5.30
Sollecitazioni agenti localmente: Tx_l=-3.82 Ty_l=-8.85 N_l=-9211.43 Mx_l=-0.00 My_l=-5.30 Mz_l=-0.01
Taglio nei bulloni: Fv,Ed=1.62 Fv,Rd=7720.78
Rifollamento lato piastra: Fb,Ed,p=1.61 Fb,Rd,p=7565.67
Tirafondi:LT=0.45 (0.31) σ_{cR}=0.00 σ_{fR}=0.00
Compressione nel calcestruzzo: σ_c=19.33
CC 21 SLV (Collegamento 0025_-382)
Azioni sul collegamento: N=-3937.31 Ty=-5.92 Tz=10.56 Mx=-0.01 Mz=-5.96
Sollecitazioni agenti localmente: Tx_l=-5.92 Ty_l=10.56 N_l=-3937.31 Mx_l=-0.00 My_l=-5.96 Mz_l=-0.01
Taglio nei bulloni: Fv,Ed=2.03 Fv,Rd=7720.78
Rifollamento lato piastra: Fb,Ed,p=2.03 Fb,Rd,p=8852.40
Tirafondi:LT=0.45 (0.31) σ_{cR}=0.00 σ_{fR}=0.00
Compressione nel calcestruzzo: σ_c=8.47
CC 21 SLV (Collegamento 0025_-382)
Azioni sul collegamento: N=-3937.31 Ty=-3.82 Tz=10.56 Mx=-0.01 Mz=-5.30
Sollecitazioni agenti localmente: Tx_l=-3.82 Ty_l=10.56 N_l=-3937.31 Mx_l=-0.00 My_l=-5.30 Mz_l=-0.01
Taglio nei bulloni: Fv,Ed=1.89 Fv,Rd=7720.78
Rifollamento lato piastra: Fb,Ed,p=1.89 Fb,Rd,p=7181.56
Tirafondi:LT=0.45 (0.31) σ_{cR}=0.00 σ_{fR}=0.00
Compressione nel calcestruzzo: σ_c=8.43
CC 21 SLV (Collegamento 0025_-382)
Azioni sul collegamento: N=-3937.31 Ty=-5.92 Tz=-8.85 Mx=-0.01 Mz=-5.96
Sollecitazioni agenti localmente: Tx_l=-5.92 Ty_l=-8.85 N_l=-3937.31 Mx_l=-0.00 My_l=-5.96 Mz_l=-0.01
Taglio nei bulloni: Fv,Ed=1.79 Fv,Rd=7720.78
Rifollamento lato piastra: Fb,Ed,p=1.78 Fb,Rd,p=9887.15
Tirafondi:LT=0.45 (0.31) σ_{cR}=0.00 σ_{fR}=0.00
Compressione nel calcestruzzo: σ_c=8.47
CC 21 SLV (Collegamento 0025_-382)
Azioni sul collegamento: N=-3937.31 Ty=-3.82 Tz=-8.85 Mx=-0.01 Mz=-5.30
Sollecitazioni agenti localmente: Tx_l=-3.82 Ty_l=-8.85 N_l=-3937.31 Mx_l=-0.00 My_l=-5.30 Mz_l=-0.01
Taglio nei bulloni: Fv,Ed=1.62 Fv,Rd=7720.78
Rifollamento lato piastra: Fb,Ed,p=1.61 Fb,Rd,p=7565.51
Tirafondi:LT=0.45 (0.31) σ_{cR}=0.00 σ_{fR}=0.00
Compressione nel calcestruzzo: σ_c=8.43
CC 22 SLD (Collegamento 0025_-382)
Azioni sul collegamento: N=-7346.01 Ty=-4.34 Tz=3.69 Mx=-0.00 Mz=-3.65
Sollecitazioni agenti localmente: Tx_l=-4.34 Ty_l=3.69 N_l=-7346.01 Mx_l=-0.00 My_l=-3.65 Mz_l=-0.00
Taglio nei bulloni: Fv,Ed=0.95 Fv,Rd=9650.97
Rifollamento lato piastra: Fb,Ed,p=0.95 Fb,Rd,p=13916.30
Tirafondi:LT=0.45 (0.31) σ_{cR}=0.00 σ_{fR}=0.00
Compressione nel calcestruzzo: σ_c=15.38
CC 22 SLD (Collegamento 0025_-382)
Azioni sul collegamento: N=-7346.01 Ty=-3.71 Tz=3.69 Mx=-0.00 Mz=-3.45
Sollecitazioni agenti localmente: Tx_l=-3.71 Ty_l=3.69 N_l=-7346.01 Mx_l=-0.00 My_l=-3.45 Mz_l=-0.00
Taglio nei bulloni: Fv,Ed=0.87 Fv,Rd=9650.97
Rifollamento lato piastra: Fb,Ed,p=0.87 Fb,Rd,p=14959.90
Tirafondi:LT=0.45 (0.31) σ_{cR}=0.00 σ_{fR}=0.00
Compressione nel calcestruzzo: σ_c=15.37
CC 22 SLD (Collegamento 0025_-382)
Azioni sul collegamento: N=-7346.01 Ty=-4.34 Tz=-2.23 Mx=-0.00 Mz=-3.65
Sollecitazioni agenti localmente: Tx_l=-4.34 Ty_l=-2.23 N_l=-7346.01 Mx_l=-0.00 My_l=-3.65 Mz_l=-0.00
Taglio nei bulloni: Fv,Ed=0.82 Fv,Rd=9650.97
Rifollamento lato piastra: Fb,Ed,p=0.82 Fb,Rd,p=10469.30
Tirafondi:LT=0.45 (0.31) σ_{cR}=0.00 σ_{fR}=0.00
Compressione nel calcestruzzo: σ_c=15.38
CC 22 SLD (Collegamento 0025_-382)
Azioni sul collegamento: N=-7346.01 Ty=-3.71 Tz=-2.23 Mx=-0.00 Mz=-3.45
Sollecitazioni agenti localmente: Tx_l=-3.71 Ty_l=-2.23 N_l=-7346.01 Mx_l=-0.00 My_l=-3.45 Mz_l=-0.00
Taglio nei bulloni: Fv,Ed=0.72 Fv,Rd=9650.97
Rifollamento lato piastra: Fb,Ed,p=0.72 Fb,Rd,p=11611.00
Tirafondi:LT=0.45 (0.31) σ_{cR}=0.00 σ_{fR}=0.00
Compressione nel calcestruzzo: σ_c=15.37
CC 22 SLD (Collegamento 0025_-382)
Azioni sul collegamento: N=-5737.77 Ty=-4.34 Tz=3.69 Mx=-0.00 Mz=-3.65
Sollecitazioni agenti localmente: Tx_l=-4.34 Ty_l=3.69 N_l=-5737.77 Mx_l=-0.00 My_l=-3.65 Mz_l=-0.00
Taglio nei bulloni: Fv,Ed=0.95 Fv,Rd=9650.97
Rifollamento lato piastra: Fb,Ed,p=0.95 Fb,Rd,p=13915.80

Tirafondi:LT=0.45 (0.31) σ_{cR}=0.00 σ_{fR}=0.00
Compressione nel calcestruzzo: σ_c=12.06
CC 22 SLD (Collegamento 0025_-382)
Azioni sul collegamento: N=-5737.77 Ty=-3.71 Tz=3.69 Mx=-0.00 Mz=-3.45
Sollecitazioni agenti localmente: Tx_l=-3.71 Ty_l=3.69 N_l=-5737.77 Mx_l=-0.00 My_l=-3.45 Mz_l=-0.00
Taglio nei bulloni: Fv,Ed=0.87 Fv,Rd=9650.97
Rifollamento lato piastra: Fb,Ed,p=0.87 Fb,Rd,p=14959.30
Tirafondi:LT=0.45 (0.31) σ_{cR}=0.00 σ_{fR}=0.00
Compressione nel calcestruzzo: σ_c=12.05
CC 22 SLD (Collegamento 0025_-382)
Azioni sul collegamento: N=-5737.77 Ty=-4.34 Tz=-2.23 Mx=-0.00 Mz=-3.65
Sollecitazioni agenti localmente: Tx_l=-4.34 Ty_l=-2.23 N_l=-5737.77 Mx_l=-0.00 My_l=-3.65 Mz_l=-0.00
Taglio nei bulloni: Fv,Ed=0.82 Fv,Rd=9650.97
Rifollamento lato piastra: Fb,Ed,p=0.82 Fb,Rd,p=10468.70
Tirafondi:LT=0.45 (0.31) σ_{cR}=0.00 σ_{fR}=0.00
Compressione nel calcestruzzo: σ_c=12.06
CC 22 SLD (Collegamento 0025_-382)
Azioni sul collegamento: N=-5737.77 Ty=-3.71 Tz=-2.23 Mx=-0.00 Mz=-3.45
Sollecitazioni agenti localmente: Tx_l=-3.71 Ty_l=-2.23 N_l=-5737.77 Mx_l=-0.00 My_l=-3.45 Mz_l=-0.00
Taglio nei bulloni: Fv,Ed=0.72 Fv,Rd=9650.97
Rifollamento lato piastra: Fb,Ed,p=0.72 Fb,Rd,p=11610.20
Tirafondi:LT=0.45 (0.31) σ_{cR}=0.00 σ_{fR}=0.00
Compressione nel calcestruzzo: σ_c=12.05
CC 23 SLV (Collegamento 0025_-382)
Azioni sul collegamento: N=-9217.12 Ty=-6.55 Tz=10.69 Mx=-0.01 Mz=-7.22
Sollecitazioni agenti localmente: Tx_l=-6.55 Ty_l=10.69 N_l=-9217.12 Mx_l=-0.00 My_l=-7.22 Mz_l=-0.01
Taglio nei bulloni: Fv,Ed=2.10 Fv,Rd=7720.78
Rifollamento lato piastra: Fb,Ed,p=2.10 Fb,Rd,p=9409.29
Tirafondi:LT=0.45 (0.31) σ_{cR}=0.00 σ_{fR}=0.00
Compressione nel calcestruzzo: σ_c=19.45
CC 23 SLV (Collegamento 0025_-382)
Azioni sul collegamento: N=-9217.12 Ty=-3.19 Tz=10.69 Mx=-0.01 Mz=-4.04
Sollecitazioni agenti localmente: Tx_l=-3.19 Ty_l=10.69 N_l=-9217.12 Mx_l=-0.00 My_l=-4.04 Mz_l=-0.01
Taglio nei bulloni: Fv,Ed=1.87 Fv,Rd=7720.78
Rifollamento lato piastra: Fb,Ed,p=1.87 Fb,Rd,p=6788.04
Tirafondi:LT=0.45 (0.31) σ_{cR}=0.00 σ_{fR}=0.00
Compressione nel calcestruzzo: σ_c=19.27
CC 23 SLV (Collegamento 0025_-382)
Azioni sul collegamento: N=-9217.12 Ty=-6.55 Tz=-8.98 Mx=-0.01 Mz=-7.22
Sollecitazioni agenti localmente: Tx_l=-6.55 Ty_l=-8.98 N_l=-9217.12 Mx_l=-0.00 My_l=-7.22 Mz_l=-0.01
Taglio nei bulloni: Fv,Ed=1.86 Fv,Rd=7720.78
Rifollamento lato piastra: Fb,Ed,p=1.85 Fb,Rd,p=10479.00
Tirafondi:LT=0.45 (0.31) σ_{cR}=0.00 σ_{fR}=0.00
Compressione nel calcestruzzo: σ_c=19.45
CC 23 SLV (Collegamento 0025_-382)
Azioni sul collegamento: N=-9217.12 Ty=-3.19 Tz=-8.98 Mx=-0.01 Mz=-4.04
Sollecitazioni agenti localmente: Tx_l=-3.19 Ty_l=-8.98 N_l=-9217.12 Mx_l=-0.00 My_l=-4.04 Mz_l=-0.01
Taglio nei bulloni: Fv,Ed=1.60 Fv,Rd=7720.78
Rifollamento lato piastra: Fb,Ed,p=1.59 Fb,Rd,p=7068.96
Tirafondi:LT=0.45 (0.31) σ_{cR}=0.00 σ_{fR}=0.00
Compressione nel calcestruzzo: σ_c=19.27
CC 23 SLV (Collegamento 0025_-382)
Azioni sul collegamento: N=-3931.62 Ty=-6.55 Tz=10.69 Mx=-0.01 Mz=-7.22
Sollecitazioni agenti localmente: Tx_l=-6.55 Ty_l=10.69 N_l=-3931.62 Mx_l=-0.00 My_l=-7.22 Mz_l=-0.01
Taglio nei bulloni: Fv,Ed=2.10 Fv,Rd=7720.78
Rifollamento lato piastra: Fb,Ed,p=2.10 Fb,Rd,p=9409.59
Tirafondi:LT=0.45 (0.31) σ_{cR}=0.00 σ_{fR}=0.00
Compressione nel calcestruzzo: σ_c=8.53
CC 23 SLV (Collegamento 0025_-382)
Azioni sul collegamento: N=-3931.62 Ty=-3.19 Tz=10.69 Mx=-0.01 Mz=-4.04
Sollecitazioni agenti localmente: Tx_l=-3.19 Ty_l=10.69 N_l=-3931.62 Mx_l=-0.00 My_l=-4.04 Mz_l=-0.01
Taglio nei bulloni: Fv,Ed=1.87 Fv,Rd=7720.78
Rifollamento lato piastra: Fb,Ed,p=1.87 Fb,Rd,p=6788.11
Tirafondi:LT=0.45 (0.31) σ_{cR}=0.00 σ_{fR}=0.00
Compressione nel calcestruzzo: σ_c=8.35
CC 23 SLV (Collegamento 0025_-382)
Azioni sul collegamento: N=-3931.62 Ty=-6.55 Tz=-8.98 Mx=-0.01 Mz=-7.22
Sollecitazioni agenti localmente: Tx_l=-6.55 Ty_l=-8.98 N_l=-3931.62 Mx_l=-0.00 My_l=-7.22 Mz_l=-0.01
Taglio nei bulloni: Fv,Ed=1.86 Fv,Rd=7720.78
Rifollamento lato piastra: Fb,Ed,p=1.85 Fb,Rd,p=10478.90
Tirafondi:LT=0.45 (0.31) σ_{cR}=0.00 σ_{fR}=0.00
Compressione nel calcestruzzo: σ_c=8.53
CC 23 SLV (Collegamento 0025_-382)
Azioni sul collegamento: N=-3931.62 Ty=-3.19 Tz=-8.98 Mx=-0.01 Mz=-4.04
Sollecitazioni agenti localmente: Tx_l=-3.19 Ty_l=-8.98 N_l=-3931.62 Mx_l=-0.00 My_l=-4.04 Mz_l=-0.01
Taglio nei bulloni: Fv,Ed=1.60 Fv,Rd=7720.78
Rifollamento lato piastra: Fb,Ed,p=1.59 Fb,Rd,p=7068.89
Tirafondi:LT=0.45 (0.31) σ_{cR}=0.00 σ_{fR}=0.00
Compressione nel calcestruzzo: σ_c=8.35
CC 24 SLD (Collegamento 0025_-382)

Azioni sul collegamento: N=-7347.75 Ty=-4.54 Tz=3.73 Mx=0.00 Mz=-4.03
Sollecitazioni agenti localmente: Tx_l=-4.54 Ty_l=3.73 N_l=-7347.75 Mx_l=-0.00 My_l=-4.03 Mz_l=0.00
Taglio nei bulloni: Fv,Ed=0.98 Fv,Rd=9650.97
Rifollamento lato piastra: Fb,Ed,p=0.98 Fb,Rd,p=13748.50
Tirafondi:LT=0.45 (0.31) σ_{cR}=0.00 σ_{fR}=0.00
Compressione nel calcestruzzo: σ_c=15.41
CC 24 SLD (Collegamento 0025_-382)
Azioni sul collegamento: N=-7347.75 Ty=-3.51 Tz=3.73 Mx=0.00 Mz=-3.06
Sollecitazioni agenti localmente: Tx_l=-3.51 Ty_l=3.73 N_l=-7347.75 Mx_l=-0.00 My_l=-3.06 Mz_l=0.00
Taglio nei bulloni: Fv,Ed=0.85 Fv,Rd=9650.97
Rifollamento lato piastra: Fb,Ed,p=0.85 Fb,Rd,p=14587.50
Tirafondi:LT=0.45 (0.31) σ_{cR}=0.00 σ_{fR}=0.00
Compressione nel calcestruzzo: σ_c=15.35
CC 24 SLD (Collegamento 0025_-382)
Azioni sul collegamento: N=-7347.75 Ty=-4.54 Tz=-2.27 Mx=0.00 Mz=-4.03
Sollecitazioni agenti localmente: Tx_l=-4.54 Ty_l=-2.27 N_l=-7347.75 Mx_l=-0.00 My_l=-4.03 Mz_l=0.00
Taglio nei bulloni: Fv,Ed=0.85 Fv,Rd=9650.97
Rifollamento lato piastra: Fb,Ed,p=0.85 Fb,Rd,p=10293.40
Tirafondi:LT=0.45 (0.31) σ_{cR}=0.00 σ_{fR}=0.00
Compressione nel calcestruzzo: σ_c=15.41
CC 24 SLD (Collegamento 0025_-382)
Azioni sul collegamento: N=-7347.75 Ty=-3.51 Tz=-2.27 Mx=0.00 Mz=-3.06
Sollecitazioni agenti localmente: Tx_l=-3.51 Ty_l=-2.27 N_l=-7347.75 Mx_l=-0.00 My_l=-3.06 Mz_l=0.00
Taglio nei bulloni: Fv,Ed=0.70 Fv,Rd=9650.97
Rifollamento lato piastra: Fb,Ed,p=0.70 Fb,Rd,p=12222.90
Tirafondi:LT=0.45 (0.31) σ_{cR}=0.00 σ_{fR}=0.00
Compressione nel calcestruzzo: σ_c=15.35
CC 24 SLD (Collegamento 0025_-382)
Azioni sul collegamento: N=-5736.03 Ty=-4.54 Tz=3.73 Mx=0.00 Mz=-4.03
Sollecitazioni agenti localmente: Tx_l=-4.54 Ty_l=3.73 N_l=-5736.03 Mx_l=-0.00 My_l=-4.03 Mz_l=0.00
Taglio nei bulloni: Fv,Ed=0.98 Fv,Rd=9650.97
Rifollamento lato piastra: Fb,Ed,p=0.98 Fb,Rd,p=13748.90
Tirafondi:LT=0.45 (0.31) σ_{cR}=0.00 σ_{fR}=0.00
Compressione nel calcestruzzo: σ_c=12.08
CC 24 SLD (Collegamento 0025_-382)
Azioni sul collegamento: N=-5736.03 Ty=-3.51 Tz=3.73 Mx=0.00 Mz=-3.06
Sollecitazioni agenti localmente: Tx_l=-3.51 Ty_l=3.73 N_l=-5736.03 Mx_l=-0.00 My_l=-3.06 Mz_l=0.00
Taglio nei bulloni: Fv,Ed=0.85 Fv,Rd=9650.97
Rifollamento lato piastra: Fb,Ed,p=0.85 Fb,Rd,p=14587.00
Tirafondi:LT=0.45 (0.31) σ_{cR}=0.00 σ_{fR}=0.00
Compressione nel calcestruzzo: σ_c=12.02
CC 24 SLD (Collegamento 0025_-382)
Azioni sul collegamento: N=-5736.03 Ty=-4.54 Tz=-2.27 Mx=0.00 Mz=-4.03
Sollecitazioni agenti localmente: Tx_l=-4.54 Ty_l=-2.27 N_l=-5736.03 Mx_l=-0.00 My_l=-4.03 Mz_l=0.00
Taglio nei bulloni: Fv,Ed=0.85 Fv,Rd=9650.97
Rifollamento lato piastra: Fb,Ed,p=0.85 Fb,Rd,p=10293.10
Tirafondi:LT=0.45 (0.31) σ_{cR}=0.00 σ_{fR}=0.00
Compressione nel calcestruzzo: σ_c=12.08
CC 24 SLD (Collegamento 0025_-382)
Azioni sul collegamento: N=-5736.03 Ty=-3.51 Tz=-2.27 Mx=0.00 Mz=-3.06
Sollecitazioni agenti localmente: Tx_l=-3.51 Ty_l=-2.27 N_l=-5736.03 Mx_l=-0.00 My_l=-3.06 Mz_l=0.00
Taglio nei bulloni: Fv,Ed=0.70 Fv,Rd=9650.97
Rifollamento lato piastra: Fb,Ed,p=0.70 Fb,Rd,p=12222.60
Tirafondi:LT=0.45 (0.31) σ_{cR}=0.00 σ_{fR}=0.00
Compressione nel calcestruzzo: σ_c=12.02
CC 25 SLV (Collegamento 0025_-382)
Azioni sul collegamento: N=-5772.93 Ty=-3.40 Tz=-2.29 Mx=-0.02 Mz=-3.25
Sollecitazioni agenti localmente: Tx_l=-3.40 Ty_l=-2.29 N_l=-5772.93 Mx_l=-0.00 My_l=-3.25 Mz_l=-0.02
Taglio nei bulloni: Fv,Ed=0.71 Fv,Rd=7720.78
Rifollamento lato piastra: Fb,Ed,p=0.71 Fb,Rd,p=10267.10
Tirafondi:LT=0.45 (0.31) σ_{cR}=0.00 σ_{fR}=0.00
Compressione nel calcestruzzo: σ_c=12.11
CC 25 SLV (Collegamento 0025_-382)
Azioni sul collegamento: N=-5772.93 Ty=-6.34 Tz=-2.29 Mx=-0.02 Mz=-8.01
Sollecitazioni agenti localmente: Tx_l=-6.34 Ty_l=-2.29 N_l=-5772.93 Mx_l=-0.00 My_l=-8.01 Mz_l=-0.02
Taglio nei bulloni: Fv,Ed=1.15 Fv,Rd=7720.78
Rifollamento lato piastra: Fb,Ed,p=1.15 Fb,Rd,p=7232.15
Tirafondi:LT=0.45 (0.31) σ_{cR}=0.00 σ_{fR}=0.00
Compressione nel calcestruzzo: σ_c=12.38
CC 25 SLV (Collegamento 0025_-382)
Azioni sul collegamento: N=-5772.93 Ty=-3.40 Tz=4.00 Mx=-0.02 Mz=-3.25
Sollecitazioni agenti localmente: Tx_l=-3.40 Ty_l=4.00 N_l=-5772.93 Mx_l=-0.00 My_l=-3.25 Mz_l=-0.02
Taglio nei bulloni: Fv,Ed=0.90 Fv,Rd=7720.78
Rifollamento lato piastra: Fb,Ed,p=0.90 Fb,Rd,p=11181.60
Tirafondi:LT=0.45 (0.31) σ_{cR}=0.00 σ_{fR}=0.00
Compressione nel calcestruzzo: σ_c=12.11
CC 25 SLV (Collegamento 0025_-382)
Azioni sul collegamento: N=-5772.93 Ty=-6.34 Tz=4.00 Mx=-0.02 Mz=-8.01
Sollecitazioni agenti localmente: Tx_l=-6.34 Ty_l=4.00 N_l=-5772.93 Mx_l=-0.00 My_l=-8.01 Mz_l=-0.02
Taglio nei bulloni: Fv,Ed=1.28 Fv,Rd=7720.78

Rifollamento lato piastra: Fb,Ed,p=1.26 Fb,Rd,p=9253.49
Tirafondi:LT=0.45 (0.31) σ_{cR}=0.00 σ_{fR}=0.00
Compressione nel calcestruzzo: σ_c=12.38
CC 25 SLV (Collegamento 0025_-382)
Azioni sul collegamento: N=-7375.81 Ty=-3.40 Tz=-2.29 Mx=-0.02 Mz=-3.25
Sollecitazioni agenti localmente: Tx_l=-3.40 Ty_l=-2.29 N_l=-7375.81 Mx_l=-0.00 My_l=-3.25 Mz_l=-0.02
Taglio nei bulloni: Fv,Ed=0.71 Fv,Rd=7720.78
Rifollamento lato piastra: Fb,Ed,p=0.71 Fb,Rd,p=10266.70
Tirafondi:LT=0.45 (0.31) σ_{cR}=0.00 σ_{fR}=0.00
Compressione nel calcestruzzo: σ_c=15.42
CC 25 SLV (Collegamento 0025_-382)
Azioni sul collegamento: N=-7375.81 Ty=-6.34 Tz=-2.29 Mx=-0.02 Mz=-8.01
Sollecitazioni agenti localmente: Tx_l=-6.34 Ty_l=-2.29 N_l=-7375.81 Mx_l=-0.00 My_l=-8.01 Mz_l=-0.02
Taglio nei bulloni: Fv,Ed=1.15 Fv,Rd=7720.78
Rifollamento lato piastra: Fb,Ed,p=1.15 Fb,Rd,p=7232.05
Tirafondi:LT=0.45 (0.31) σ_{cR}=0.00 σ_{fR}=0.00
Compressione nel calcestruzzo: σ_c=15.69
CC 25 SLV (Collegamento 0025_-382)
Azioni sul collegamento: N=-7375.81 Ty=-3.40 Tz=4.00 Mx=-0.02 Mz=-3.25
Sollecitazioni agenti localmente: Tx_l=-3.40 Ty_l=4.00 N_l=-7375.81 Mx_l=-0.00 My_l=-3.25 Mz_l=-0.02
Taglio nei bulloni: Fv,Ed=0.90 Fv,Rd=7720.78
Rifollamento lato piastra: Fb,Ed,p=0.90 Fb,Rd,p=11182.10
Tirafondi:LT=0.45 (0.31) σ_{cR}=0.00 σ_{fR}=0.00
Compressione nel calcestruzzo: σ_c=15.42
CC 25 SLV (Collegamento 0025_-382)
Azioni sul collegamento: N=-7375.81 Ty=-6.34 Tz=4.00 Mx=-0.02 Mz=-8.01
Sollecitazioni agenti localmente: Tx_l=-6.34 Ty_l=4.00 N_l=-7375.81 Mx_l=-0.00 My_l=-8.01 Mz_l=-0.02
Taglio nei bulloni: Fv,Ed=1.28 Fv,Rd=7720.78
Rifollamento lato piastra: Fb,Ed,p=1.26 Fb,Rd,p=9252.79
Tirafondi:LT=0.45 (0.31) σ_{cR}=0.00 σ_{fR}=0.00
Compressione nel calcestruzzo: σ_c=15.69
CC 26 SLD (Collegamento 0025_-382)
Azioni sul collegamento: N=-6297.50 Ty=-3.58 Tz=-0.23 Mx=-0.00 Mz=-2.82
Sollecitazioni agenti localmente: Tx_l=-3.58 Ty_l=-0.23 N_l=-6297.50 Mx_l=-0.00 My_l=-2.82 Mz_l=-0.00
Taglio nei bulloni: Fv,Ed=0.60 Fv,Rd=9650.97
Rifollamento lato piastra: Fb,Ed,p=0.60 Fb,Rd,p=7529.25
Tirafondi:LT=0.45 (0.31) σ_{cR}=0.00 σ_{fR}=0.00
Compressione nel calcestruzzo: σ_c=13.17
CC 26 SLD (Collegamento 0025_-382)
Azioni sul collegamento: N=-6297.50 Ty=-4.47 Tz=-0.23 Mx=-0.00 Mz=-4.27
Sollecitazioni agenti localmente: Tx_l=-4.47 Ty_l=-0.23 N_l=-6297.50 Mx_l=-0.00 My_l=-4.27 Mz_l=-0.00
Taglio nei bulloni: Fv,Ed=0.75 Fv,Rd=9650.97
Rifollamento lato piastra: Fb,Ed,p=0.75 Fb,Rd,p=7509.43
Tirafondi:LT=0.45 (0.31) σ_{cR}=0.00 σ_{fR}=0.00
Compressione nel calcestruzzo: σ_c=13.25
CC 26 SLD (Collegamento 0025_-382)
Azioni sul collegamento: N=-6297.50 Ty=-3.58 Tz=1.69 Mx=-0.00 Mz=-2.82
Sollecitazioni agenti localmente: Tx_l=-3.58 Ty_l=1.69 N_l=-6297.50 Mx_l=-0.00 My_l=-2.82 Mz_l=-0.00
Taglio nei bulloni: Fv,Ed=0.66 Fv,Rd=9650.97
Rifollamento lato piastra: Fb,Ed,p=0.66 Fb,Rd,p=9879.54
Tirafondi:LT=0.45 (0.31) σ_{cR}=0.00 σ_{fR}=0.00
Compressione nel calcestruzzo: σ_c=13.17
CC 26 SLD (Collegamento 0025_-382)
Azioni sul collegamento: N=-6297.50 Ty=-4.47 Tz=1.69 Mx=-0.00 Mz=-4.27
Sollecitazioni agenti localmente: Tx_l=-4.47 Ty_l=1.69 N_l=-6297.50 Mx_l=-0.00 My_l=-4.27 Mz_l=-0.00
Taglio nei bulloni: Fv,Ed=0.80 Fv,Rd=9650.97
Rifollamento lato piastra: Fb,Ed,p=0.80 Fb,Rd,p=9009.52
Tirafondi:LT=0.45 (0.31) σ_{cR}=0.00 σ_{fR}=0.00
Compressione nel calcestruzzo: σ_c=13.25
CC 26 SLD (Collegamento 0025_-382)
Azioni sul collegamento: N=-6786.28 Ty=-3.58 Tz=-0.23 Mx=-0.00 Mz=-2.82
Sollecitazioni agenti localmente: Tx_l=-3.58 Ty_l=-0.23 N_l=-6786.28 Mx_l=-0.00 My_l=-2.82 Mz_l=-0.00
Taglio nei bulloni: Fv,Ed=0.60 Fv,Rd=9650.97
Rifollamento lato piastra: Fb,Ed,p=0.60 Fb,Rd,p=7529.28
Tirafondi:LT=0.45 (0.31) σ_{cR}=0.00 σ_{fR}=0.00
Compressione nel calcestruzzo: σ_c=14.18
CC 26 SLD (Collegamento 0025_-382)
Azioni sul collegamento: N=-6786.28 Ty=-4.47 Tz=-0.23 Mx=-0.00 Mz=-4.27
Sollecitazioni agenti localmente: Tx_l=-4.47 Ty_l=-0.23 N_l=-6786.28 Mx_l=-0.00 My_l=-4.27 Mz_l=-0.00
Taglio nei bulloni: Fv,Ed=0.75 Fv,Rd=9650.97
Rifollamento lato piastra: Fb,Ed,p=0.75 Fb,Rd,p=7509.45
Tirafondi:LT=0.45 (0.31) σ_{cR}=0.00 σ_{fR}=0.00
Compressione nel calcestruzzo: σ_c=14.26
CC 26 SLD (Collegamento 0025_-382)
Azioni sul collegamento: N=-6786.28 Ty=-3.58 Tz=1.69 Mx=-0.00 Mz=-2.82
Sollecitazioni agenti localmente: Tx_l=-3.58 Ty_l=1.69 N_l=-6786.28 Mx_l=-0.00 My_l=-2.82 Mz_l=-0.00
Taglio nei bulloni: Fv,Ed=0.66 Fv,Rd=9650.97
Rifollamento lato piastra: Fb,Ed,p=0.66 Fb,Rd,p=9880.45
Tirafondi:LT=0.45 (0.31) σ_{cR}=0.00 σ_{fR}=0.00
Compressione nel calcestruzzo: σ_c=14.18

CC 26 SLD (Collegamento 0025_-382)
Azioni sul collegamento: N=-6786.28 Ty=-4.47 Tz=1.69 Mx=-0.00 Mz=-4.27
Sollecitazioni agenti localmente: Tx_l=-4.47 Ty_l=1.69 N_l=-6786.28 Mx_l=-0.00 My_l=-4.27 Mz_l=-0.00
Taglio nei bulloni: Fv,Ed=0.80 Fv,Rd=9650.97
Rifollamento lato piastra: Fb,Ed,p=0.80 Fb,Rd,p=9010.10
Tirafondi:LT=0.45 (0.31) σ_{cR}=0.00 σ_{fR}=0.00
Compressione nel calcestruzzo: σ_c=14.26
CC 27 SLV (Collegamento 0025_-382)
Azioni sul collegamento: N=-7356.87 Ty=-4.22 Tz=3.57 Mx=-0.02 Mz=-3.82
Sollecitazioni agenti localmente: Tx_l=-4.22 Ty_l=3.57 N_l=-7356.87 Mx_l=-0.00 My_l=-3.82 Mz_l=-0.02
Taglio nei bulloni: Fv,Ed=0.95 Fv,Rd=7720.78
Rifollamento lato piastra: Fb,Ed,p=0.92 Fb,Rd,p=10864.90
Tirafondi:LT=0.45 (0.31) σ_{cR}=0.00 σ_{fR}=0.00
Compressione nel calcestruzzo: σ_c=15.42
CC 27 SLV (Collegamento 0025_-382)
Azioni sul collegamento: N=-7356.87 Ty=-5.52 Tz=3.57 Mx=-0.02 Mz=-7.44
Sollecitazioni agenti localmente: Tx_l=-5.52 Ty_l=3.57 N_l=-7356.87 Mx_l=-0.00 My_l=-7.44 Mz_l=-0.02
Taglio nei bulloni: Fv,Ed=1.12 Fv,Rd=7720.78
Rifollamento lato piastra: Fb,Ed,p=1.10 Fb,Rd,p=9399.59
Tirafondi:LT=0.45 (0.31) σ_{cR}=0.00 σ_{fR}=0.00
Compressione nel calcestruzzo: σ_c=15.62
CC 27 SLV (Collegamento 0025_-382)
Azioni sul collegamento: N=-7356.87 Ty=-4.22 Tz=-1.86 Mx=-0.02 Mz=-3.82
Sollecitazioni agenti localmente: Tx_l=-4.22 Ty_l=-1.86 N_l=-7356.87 Mx_l=-0.00 My_l=-3.82 Mz_l=-0.02
Taglio nei bulloni: Fv,Ed=0.79 Fv,Rd=7720.78
Rifollamento lato piastra: Fb,Ed,p=0.79 Fb,Rd,p=7856.70
Tirafondi:LT=0.45 (0.31) σ_{cR}=0.00 σ_{fR}=0.00
Compressione nel calcestruzzo: σ_c=15.42
CC 27 SLV (Collegamento 0025_-382)
Azioni sul collegamento: N=-7356.87 Ty=-5.52 Tz=-1.86 Mx=-0.02 Mz=-7.44
Sollecitazioni agenti localmente: Tx_l=-5.52 Ty_l=-1.86 N_l=-7356.87 Mx_l=-0.00 My_l=-7.44 Mz_l=-0.02
Taglio nei bulloni: Fv,Ed=1.00 Fv,Rd=7720.78
Rifollamento lato piastra: Fb,Ed,p=1.00 Fb,Rd,p=7085.37
Tirafondi:LT=0.45 (0.31) σ_{cR}=0.00 σ_{fR}=0.00
Compressione nel calcestruzzo: σ_c=15.62
CC 27 SLV (Collegamento 0025_-382)
Azioni sul collegamento: N=-5791.87 Ty=-4.22 Tz=3.57 Mx=-0.02 Mz=-3.82
Sollecitazioni agenti localmente: Tx_l=-4.22 Ty_l=3.57 N_l=-5791.87 Mx_l=-0.00 My_l=-3.82 Mz_l=-0.02
Taglio nei bulloni: Fv,Ed=0.95 Fv,Rd=7720.78
Rifollamento lato piastra: Fb,Ed,p=0.92 Fb,Rd,p=10864.70
Tirafondi:LT=0.45 (0.31) σ_{cR}=0.00 σ_{fR}=0.00
Compressione nel calcestruzzo: σ_c=12.18
CC 27 SLV (Collegamento 0025_-382)
Azioni sul collegamento: N=-5791.87 Ty=-5.52 Tz=3.57 Mx=-0.02 Mz=-7.44
Sollecitazioni agenti localmente: Tx_l=-5.52 Ty_l=3.57 N_l=-5791.87 Mx_l=-0.00 My_l=-7.44 Mz_l=-0.02
Taglio nei bulloni: Fv,Ed=1.12 Fv,Rd=7720.78
Rifollamento lato piastra: Fb,Ed,p=1.10 Fb,Rd,p=9399.17
Tirafondi:LT=0.45 (0.31) σ_{cR}=0.00 σ_{fR}=0.00
Compressione nel calcestruzzo: σ_c=12.39
CC 27 SLV (Collegamento 0025_-382)
Azioni sul collegamento: N=-5791.87 Ty=-4.22 Tz=-1.86 Mx=-0.02 Mz=-3.82
Sollecitazioni agenti localmente: Tx_l=-4.22 Ty_l=-1.86 N_l=-5791.87 Mx_l=-0.00 My_l=-3.82 Mz_l=-0.02
Taglio nei bulloni: Fv,Ed=0.79 Fv,Rd=7720.78
Rifollamento lato piastra: Fb,Ed,p=0.79 Fb,Rd,p=7856.38
Tirafondi:LT=0.45 (0.31) σ_{cR}=0.00 σ_{fR}=0.00
Compressione nel calcestruzzo: σ_c=12.18
CC 27 SLV (Collegamento 0025_-382)
Azioni sul collegamento: N=-5791.87 Ty=-5.52 Tz=-1.86 Mx=-0.02 Mz=-7.44
Sollecitazioni agenti localmente: Tx_l=-5.52 Ty_l=-1.86 N_l=-5791.87 Mx_l=-0.00 My_l=-7.44 Mz_l=-0.02
Taglio nei bulloni: Fv,Ed=1.00 Fv,Rd=7720.78
Rifollamento lato piastra: Fb,Ed,p=1.00 Fb,Rd,p=7085.18
Tirafondi:LT=0.45 (0.31) σ_{cR}=0.00 σ_{fR}=0.00
Compressione nel calcestruzzo: σ_c=12.39
CC 28 SLD (Collegamento 0025_-382)
Azioni sul collegamento: N=-6780.50 Ty=-3.83 Tz=1.56 Mx=-0.00 Mz=-3.00
Sollecitazioni agenti localmente: Tx_l=-3.83 Ty_l=1.56 N_l=-6780.50 Mx_l=-0.00 My_l=-3.00 Mz_l=-0.00
Taglio nei bulloni: Fv,Ed=0.69 Fv,Rd=9650.97
Rifollamento lato piastra: Fb,Ed,p=0.69 Fb,Rd,p=9260.82
Tirafondi:LT=0.45 (0.31) σ_{cR}=0.00 σ_{fR}=0.00
Compressione nel calcestruzzo: σ_c=14.18
CC 28 SLD (Collegamento 0025_-382)
Azioni sul collegamento: N=-6780.50 Ty=-4.22 Tz=1.56 Mx=-0.00 Mz=-4.10
Sollecitazioni agenti localmente: Tx_l=-4.22 Ty_l=1.56 N_l=-6780.50 Mx_l=-0.00 My_l=-4.10 Mz_l=-0.00
Taglio nei bulloni: Fv,Ed=0.75 Fv,Rd=9650.97
Rifollamento lato piastra: Fb,Ed,p=0.75 Fb,Rd,p=8940.29
Tirafondi:LT=0.45 (0.31) σ_{cR}=0.00 σ_{fR}=0.00
Compressione nel calcestruzzo: σ_c=14.24
CC 28 SLD (Collegamento 0025_-382)
Azioni sul collegamento: N=-6780.50 Ty=-3.83 Tz=-0.10 Mx=-0.00 Mz=-3.00
Sollecitazioni agenti localmente: Tx_l=-3.83 Ty_l=-0.10 N_l=-6780.50 Mx_l=-0.00 My_l=-3.00 Mz_l=-0.00

Taglio nei bulloni: Fv,Ed=0.64 Fv,Rd=9650.97
Rifollamento lato piastra: Fb,Ed,p=0.64 Fb,Rd,p=7485.12
Tirafondi:LT=0.45 (0.31) σ_{cR}=0.00 σ_{fR}=0.00
Compressione nel calcestruzzo: σ_c=14.18
CC 28 SLD (Collegamento 0025_-382)
Azioni sul collegamento: N=-6780.50 Ty=-4.22 Tz=-0.10 Mx=-0.00 Mz=-4.10
Sollecitazioni agenti localmente: Tx_l=-4.22 Ty_l=-0.10 N_l=-6780.50 Mx_l=-0.00 My_l=-4.10 Mz_l=-0.00
Taglio nei bulloni: Fv,Ed=0.71 Fv,Rd=9650.97
Rifollamento lato piastra: Fb,Ed,p=0.71 Fb,Rd,p=7483.13
Tirafondi:LT=0.45 (0.31) σ_{cR}=0.00 σ_{fR}=0.00
Compressione nel calcestruzzo: σ_c=14.24
CC 28 SLD (Collegamento 0025_-382)
Azioni sul collegamento: N=-6303.28 Ty=-3.83 Tz=1.56 Mx=-0.00 Mz=-3.00
Sollecitazioni agenti localmente: Tx_l=-3.83 Ty_l=1.56 N_l=-6303.28 Mx_l=-0.00 My_l=-3.00 Mz_l=-0.00
Taglio nei bulloni: Fv,Ed=0.69 Fv,Rd=9650.97
Rifollamento lato piastra: Fb,Ed,p=0.69 Fb,Rd,p=9261.34
Tirafondi:LT=0.45 (0.31) σ_{cR}=0.00 σ_{fR}=0.00
Compressione nel calcestruzzo: σ_c=13.19
CC 28 SLD (Collegamento 0025_-382)
Azioni sul collegamento: N=-6303.28 Ty=-4.22 Tz=1.56 Mx=-0.00 Mz=-4.10
Sollecitazioni agenti localmente: Tx_l=-4.22 Ty_l=1.56 N_l=-6303.28 Mx_l=-0.00 My_l=-4.10 Mz_l=-0.00
Taglio nei bulloni: Fv,Ed=0.75 Fv,Rd=9650.97
Rifollamento lato piastra: Fb,Ed,p=0.75 Fb,Rd,p=8940.72
Tirafondi:LT=0.45 (0.31) σ_{cR}=0.00 σ_{fR}=0.00
Compressione nel calcestruzzo: σ_c=13.25
CC 28 SLD (Collegamento 0025_-382)
Azioni sul collegamento: N=-6303.28 Ty=-3.83 Tz=-0.10 Mx=-0.00 Mz=-3.00
Sollecitazioni agenti localmente: Tx_l=-3.83 Ty_l=-0.10 N_l=-6303.28 Mx_l=-0.00 My_l=-3.00 Mz_l=-0.00
Taglio nei bulloni: Fv,Ed=0.64 Fv,Rd=9650.97
Rifollamento lato piastra: Fb,Ed,p=0.64 Fb,Rd,p=7485.07
Tirafondi:LT=0.45 (0.31) σ_{cR}=0.00 σ_{fR}=0.00
Compressione nel calcestruzzo: σ_c=13.19
CC 28 SLD (Collegamento 0025_-382)
Azioni sul collegamento: N=-6303.28 Ty=-4.22 Tz=-0.10 Mx=-0.00 Mz=-4.10
Sollecitazioni agenti localmente: Tx_l=-4.22 Ty_l=-0.10 N_l=-6303.28 Mx_l=-0.00 My_l=-4.10 Mz_l=-0.00
Taglio nei bulloni: Fv,Ed=0.71 Fv,Rd=9650.97
Rifollamento lato piastra: Fb,Ed,p=0.71 Fb,Rd,p=7483.10
Tirafondi:LT=0.45 (0.31) σ_{cR}=0.00 σ_{fR}=0.00
Compressione nel calcestruzzo: σ_c=13.25
CC 29 SLV (Collegamento 0025_-382)
Azioni sul collegamento: N=-5791.87 Ty=-5.52 Tz=-1.86 Mx=-0.00 Mz=-7.44
Sollecitazioni agenti localmente: Tx_l=-5.52 Ty_l=-1.86 N_l=-5791.87 Mx_l=-0.00 My_l=-7.44 Mz_l=-0.00
Taglio nei bulloni: Fv,Ed=0.97 Fv,Rd=7720.78
Rifollamento lato piastra: Fb,Ed,p=0.97 Fb,Rd,p=7011.83
Tirafondi:LT=0.45 (0.31) σ_{cR}=0.00 σ_{fR}=0.00
Compressione nel calcestruzzo: σ_c=12.39
CC 29 SLV (Collegamento 0025_-382)
Azioni sul collegamento: N=-5791.87 Ty=-4.22 Tz=-1.86 Mx=-0.00 Mz=-3.82
Sollecitazioni agenti localmente: Tx_l=-4.22 Ty_l=-1.86 N_l=-5791.87 Mx_l=-0.00 My_l=-3.82 Mz_l=-0.00
Taglio nei bulloni: Fv,Ed=0.77 Fv,Rd=7720.78
Rifollamento lato piastra: Fb,Ed,p=0.77 Fb,Rd,p=7750.71
Tirafondi:LT=0.45 (0.31) σ_{cR}=0.00 σ_{fR}=0.00
Compressione nel calcestruzzo: σ_c=12.18
CC 29 SLV (Collegamento 0025_-382)
Azioni sul collegamento: N=-5791.87 Ty=-5.52 Tz=3.57 Mx=-0.00 Mz=-7.44
Sollecitazioni agenti localmente: Tx_l=-5.52 Ty_l=3.57 N_l=-5791.87 Mx_l=-0.00 My_l=-7.44 Mz_l=-0.00
Taglio nei bulloni: Fv,Ed=1.10 Fv,Rd=7720.78
Rifollamento lato piastra: Fb,Ed,p=1.10 Fb,Rd,p=9740.98
Tirafondi:LT=0.45 (0.31) σ_{cR}=0.00 σ_{fR}=0.00
Compressione nel calcestruzzo: σ_c=12.39
CC 29 SLV (Collegamento 0025_-382)
Azioni sul collegamento: N=-5791.87 Ty=-4.22 Tz=3.57 Mx=-0.00 Mz=-3.82
Sollecitazioni agenti localmente: Tx_l=-4.22 Ty_l=3.57 N_l=-5791.87 Mx_l=-0.00 My_l=-3.82 Mz_l=-0.00
Taglio nei bulloni: Fv,Ed=0.93 Fv,Rd=7720.78
Rifollamento lato piastra: Fb,Ed,p=0.92 Fb,Rd,p=11093.50
Tirafondi:LT=0.45 (0.31) σ_{cR}=0.00 σ_{fR}=0.00
Compressione nel calcestruzzo: σ_c=12.18
CC 29 SLV (Collegamento 0025_-382)
Azioni sul collegamento: N=-7356.87 Ty=-5.52 Tz=-1.86 Mx=-0.00 Mz=-7.44
Sollecitazioni agenti localmente: Tx_l=-5.52 Ty_l=-1.86 N_l=-7356.87 Mx_l=-0.00 My_l=-7.44 Mz_l=-0.00
Taglio nei bulloni: Fv,Ed=0.97 Fv,Rd=7720.78
Rifollamento lato piastra: Fb,Ed,p=0.97 Fb,Rd,p=7012.01
Tirafondi:LT=0.45 (0.31) σ_{cR}=0.00 σ_{fR}=0.00
Compressione nel calcestruzzo: σ_c=15.62
CC 29 SLV (Collegamento 0025_-382)
Azioni sul collegamento: N=-7356.87 Ty=-4.22 Tz=-1.86 Mx=-0.00 Mz=-3.82
Sollecitazioni agenti localmente: Tx_l=-4.22 Ty_l=-1.86 N_l=-7356.87 Mx_l=-0.00 My_l=-3.82 Mz_l=-0.00
Taglio nei bulloni: Fv,Ed=0.77 Fv,Rd=7720.78
Rifollamento lato piastra: Fb,Ed,p=0.77 Fb,Rd,p=7751.02
Tirafondi:LT=0.45 (0.31) σ_{cR}=0.00 σ_{fR}=0.00

Compressione nel calcestruzzo: σ_c=15.42
CC 29 SLV (Collegamento 0025_-382)
Azioni sul collegamento: N=-7356.87 Ty=-5.52 Tz=3.57 Mx=-0.00 Mz=-7.44
Sollecitazioni agenti localmente: Tx_l=-5.52 Ty_l=3.57 N_l=-7356.87 Mx_l=-0.00 My_l=-7.44 Mz_l=-0.00
Taglio nei bulloni: Fv,Ed=1.10 Fv,Rd=7720.78
Rifollamento lato piastra: Fb,Ed,p=1.10 Fb,Rd,p=9741.43
Tirafondi:LT=0.45 (0.31) σ_{cR}=0.00 σ_{fR}=0.00
Compressione nel calcestruzzo: σ_c=15.62
CC 29 SLV (Collegamento 0025_-382)
Azioni sul collegamento: N=-7356.87 Ty=-4.22 Tz=3.57 Mx=-0.00 Mz=-3.82
Sollecitazioni agenti localmente: Tx_l=-4.22 Ty_l=3.57 N_l=-7356.87 Mx_l=-0.00 My_l=-3.82 Mz_l=-0.00
Taglio nei bulloni: Fv,Ed=0.93 Fv,Rd=7720.78
Rifollamento lato piastra: Fb,Ed,p=0.92 Fb,Rd,p=11093.70
Tirafondi:LT=0.45 (0.31) σ_{cR}=0.00 σ_{fR}=0.00
Compressione nel calcestruzzo: σ_c=15.42
CC 30 SLD (Collegamento 0025_-382)
Azioni sul collegamento: N=-6303.28 Ty=-4.22 Tz=-0.10 Mx=0.00 Mz=-4.10
Sollecitazioni agenti localmente: Tx_l=-4.22 Ty_l=-0.10 N_l=-6303.28 Mx_l=-0.00 My_l=-4.10 Mz_l=0.00
Taglio nei bulloni: Fv,Ed=0.71 Fv,Rd=9650.97
Rifollamento lato piastra: Fb,Ed,p=0.71 Fb,Rd,p=7479.10
Tirafondi:LT=0.45 (0.31) σ_{cR}=0.00 σ_{fR}=0.00
Compressione nel calcestruzzo: σ_c=13.25
CC 30 SLD (Collegamento 0025_-382)
Azioni sul collegamento: N=-6303.28 Ty=-3.83 Tz=-0.10 Mx=0.00 Mz=-3.00
Sollecitazioni agenti localmente: Tx_l=-3.83 Ty_l=-0.10 N_l=-6303.28 Mx_l=-0.00 My_l=-3.00 Mz_l=0.00
Taglio nei bulloni: Fv,Ed=0.64 Fv,Rd=9650.97
Rifollamento lato piastra: Fb,Ed,p=0.64 Fb,Rd,p=7480.22
Tirafondi:LT=0.45 (0.31) σ_{cR}=0.00 σ_{fR}=0.00
Compressione nel calcestruzzo: σ_c=13.19
CC 30 SLD (Collegamento 0025_-382)
Azioni sul collegamento: N=-6303.28 Ty=-4.22 Tz=1.56 Mx=0.00 Mz=-4.10
Sollecitazioni agenti localmente: Tx_l=-4.22 Ty_l=1.56 N_l=-6303.28 Mx_l=-0.00 My_l=-4.10 Mz_l=0.00
Taglio nei bulloni: Fv,Ed=0.75 Fv,Rd=9650.97
Rifollamento lato piastra: Fb,Ed,p=0.75 Fb,Rd,p=9007.88
Tirafondi:LT=0.45 (0.31) σ_{cR}=0.00 σ_{fR}=0.00
Compressione nel calcestruzzo: σ_c=13.25
CC 30 SLD (Collegamento 0025_-382)
Azioni sul collegamento: N=-6303.28 Ty=-3.83 Tz=1.56 Mx=0.00 Mz=-3.00
Sollecitazioni agenti localmente: Tx_l=-3.83 Ty_l=1.56 N_l=-6303.28 Mx_l=-0.00 My_l=-3.00 Mz_l=0.00
Taglio nei bulloni: Fv,Ed=0.69 Fv,Rd=9650.97
Rifollamento lato piastra: Fb,Ed,p=0.69 Fb,Rd,p=9344.27
Tirafondi:LT=0.45 (0.31) σ_{cR}=0.00 σ_{fR}=0.00
Compressione nel calcestruzzo: σ_c=13.19
CC 30 SLD (Collegamento 0025_-382)
Azioni sul collegamento: N=-6780.50 Ty=-4.22 Tz=-0.10 Mx=0.00 Mz=-4.10
Sollecitazioni agenti localmente: Tx_l=-4.22 Ty_l=-0.10 N_l=-6780.50 Mx_l=-0.00 My_l=-4.10 Mz_l=0.00
Taglio nei bulloni: Fv,Ed=0.71 Fv,Rd=9650.97
Rifollamento lato piastra: Fb,Ed,p=0.71 Fb,Rd,p=7479.13
Tirafondi:LT=0.45 (0.31) σ_{cR}=0.00 σ_{fR}=0.00
Compressione nel calcestruzzo: σ_c=14.24
CC 30 SLD (Collegamento 0025_-382)
Azioni sul collegamento: N=-6780.50 Ty=-3.83 Tz=-0.10 Mx=0.00 Mz=-3.00
Sollecitazioni agenti localmente: Tx_l=-3.83 Ty_l=-0.10 N_l=-6780.50 Mx_l=-0.00 My_l=-3.00 Mz_l=0.00
Taglio nei bulloni: Fv,Ed=0.64 Fv,Rd=9650.97
Rifollamento lato piastra: Fb,Ed,p=0.64 Fb,Rd,p=7480.24
Tirafondi:LT=0.45 (0.31) σ_{cR}=0.00 σ_{fR}=0.00
Compressione nel calcestruzzo: σ_c=14.18
CC 30 SLD (Collegamento 0025_-382)
Azioni sul collegamento: N=-6780.50 Ty=-4.22 Tz=1.56 Mx=0.00 Mz=-4.10
Sollecitazioni agenti localmente: Tx_l=-4.22 Ty_l=1.56 N_l=-6780.50 Mx_l=-0.00 My_l=-4.10 Mz_l=0.00
Taglio nei bulloni: Fv,Ed=0.75 Fv,Rd=9650.97
Rifollamento lato piastra: Fb,Ed,p=0.75 Fb,Rd,p=9007.45
Tirafondi:LT=0.45 (0.31) σ_{cR}=0.00 σ_{fR}=0.00
Compressione nel calcestruzzo: σ_c=14.24
CC 30 SLD (Collegamento 0025_-382)
Azioni sul collegamento: N=-6780.50 Ty=-3.83 Tz=1.56 Mx=0.00 Mz=-3.00
Sollecitazioni agenti localmente: Tx_l=-3.83 Ty_l=1.56 N_l=-6780.50 Mx_l=-0.00 My_l=-3.00 Mz_l=0.00
Taglio nei bulloni: Fv,Ed=0.69 Fv,Rd=9650.97
Rifollamento lato piastra: Fb,Ed,p=0.69 Fb,Rd,p=9343.73
Tirafondi:LT=0.45 (0.31) σ_{cR}=0.00 σ_{fR}=0.00
Compressione nel calcestruzzo: σ_c=14.18
CC 31 SLV (Collegamento 0025_-382)
Azioni sul collegamento: N=-7375.81 Ty=-6.34 Tz=4.00 Mx=-0.00 Mz=-8.01
Sollecitazioni agenti localmente: Tx_l=-6.34 Ty_l=4.00 N_l=-7375.81 Mx_l=-0.00 My_l=-8.01 Mz_l=-0.00
Taglio nei bulloni: Fv,Ed=1.25 Fv,Rd=7720.78
Rifollamento lato piastra: Fb,Ed,p=1.25 Fb,Rd,p=9578.97
Tirafondi:LT=0.45 (0.31) σ_{cR}=0.00 σ_{fR}=0.00
Compressione nel calcestruzzo: σ_c=15.69
CC 31 SLV (Collegamento 0025_-382)
Azioni sul collegamento: N=-7375.81 Ty=-3.40 Tz=4.00 Mx=-0.00 Mz=-3.25

Sollecitazioni agenti localmente: Tx_l=-3.40 Ty_l=4.00 N_l=-7375.81 Mx_l=-0.00 My_l=-3.25 Mz_l=-0.00
Taglio nei bulloni: Fv,Ed=0.88 Fv,Rd=7720.78
Rifollamento lato piastra: Fb,Ed,p=0.88 Fb,Rd,p=11159.50
Tirafondi:LT=0.45 (0.31) σ_{cR}=0.00 σ_{fR}=0.00
Compressione nel calcestruzzo: σ_c=15.42
CC 31 SLV (Collegamento 0025_-382)
Azioni sul collegamento: N=-7375.81 Ty=-6.34 Tz=-2.29 Mx=-0.00 Mz=-8.01
Sollecitazioni agenti localmente: Tx_l=-6.34 Ty_l=-2.29 N_l=-7375.81 Mx_l=-0.00 My_l=-8.01 Mz_l=-0.00
Taglio nei bulloni: Fv,Ed=1.13 Fv,Rd=7720.78
Rifollamento lato piastra: Fb,Ed,p=1.13 Fb,Rd,p=7157.59
Tirafondi:LT=0.45 (0.31) σ_{cR}=0.00 σ_{fR}=0.00
Compressione nel calcestruzzo: σ_c=15.69
CC 31 SLV (Collegamento 0025_-382)
Azioni sul collegamento: N=-7375.81 Ty=-3.40 Tz=-2.29 Mx=-0.00 Mz=-3.25
Sollecitazioni agenti localmente: Tx_l=-3.40 Ty_l=-2.29 N_l=-7375.81 Mx_l=-0.00 My_l=-3.25 Mz_l=-0.00
Taglio nei bulloni: Fv,Ed=0.69 Fv,Rd=7720.78
Rifollamento lato piastra: Fb,Ed,p=0.69 Fb,Rd,p=10133.50
Tirafondi:LT=0.45 (0.31) σ_{cR}=0.00 σ_{fR}=0.00
Compressione nel calcestruzzo: σ_c=15.42
CC 31 SLV (Collegamento 0025_-382)
Azioni sul collegamento: N=-5772.93 Ty=-6.34 Tz=4.00 Mx=-0.00 Mz=-8.01
Sollecitazioni agenti localmente: Tx_l=-6.34 Ty_l=4.00 N_l=-5772.93 Mx_l=-0.00 My_l=-8.01 Mz_l=-0.00
Taglio nei bulloni: Fv,Ed=1.25 Fv,Rd=7720.78
Rifollamento lato piastra: Fb,Ed,p=1.25 Fb,Rd,p=9579.71
Tirafondi:LT=0.45 (0.31) σ_{cR}=0.00 σ_{fR}=0.00
Compressione nel calcestruzzo: σ_c=12.38
CC 31 SLV (Collegamento 0025_-382)
Azioni sul collegamento: N=-5772.93 Ty=-3.40 Tz=4.00 Mx=-0.00 Mz=-3.25
Sollecitazioni agenti localmente: Tx_l=-3.40 Ty_l=4.00 N_l=-5772.93 Mx_l=-0.00 My_l=-3.25 Mz_l=-0.00
Taglio nei bulloni: Fv,Ed=0.88 Fv,Rd=7720.78
Rifollamento lato piastra: Fb,Ed,p=0.88 Fb,Rd,p=11159.10
Tirafondi:LT=0.45 (0.31) σ_{cR}=0.00 σ_{fR}=0.00
Compressione nel calcestruzzo: σ_c=12.11
CC 31 SLV (Collegamento 0025_-382)
Azioni sul collegamento: N=-5772.93 Ty=-6.34 Tz=-2.29 Mx=-0.00 Mz=-8.01
Sollecitazioni agenti localmente: Tx_l=-6.34 Ty_l=-2.29 N_l=-5772.93 Mx_l=-0.00 My_l=-8.01 Mz_l=-0.00
Taglio nei bulloni: Fv,Ed=1.13 Fv,Rd=7720.78
Rifollamento lato piastra: Fb,Ed,p=1.13 Fb,Rd,p=7157.69
Tirafondi:LT=0.45 (0.31) σ_{cR}=0.00 σ_{fR}=0.00
Compressione nel calcestruzzo: σ_c=12.38
CC 31 SLV (Collegamento 0025_-382)
Azioni sul collegamento: N=-5772.93 Ty=-3.40 Tz=-2.29 Mx=-0.00 Mz=-3.25
Sollecitazioni agenti localmente: Tx_l=-3.40 Ty_l=-2.29 N_l=-5772.93 Mx_l=-0.00 My_l=-3.25 Mz_l=-0.00
Taglio nei bulloni: Fv,Ed=0.69 Fv,Rd=7720.78
Rifollamento lato piastra: Fb,Ed,p=0.69 Fb,Rd,p=10133.90
Tirafondi:LT=0.45 (0.31) σ_{cR}=0.00 σ_{fR}=0.00
Compressione nel calcestruzzo: σ_c=12.11
CC 32 SLD (Collegamento 0025_-382)
Azioni sul collegamento: N=-6786.28 Ty=-4.47 Tz=1.69 Mx=0.00 Mz=-4.27
Sollecitazioni agenti localmente: Tx_l=-4.47 Ty_l=1.69 N_l=-6786.28 Mx_l=-0.00 My_l=-4.27 Mz_l=0.00
Taglio nei bulloni: Fv,Ed=0.80 Fv,Rd=9650.97
Rifollamento lato piastra: Fb,Ed,p=0.80 Fb,Rd,p=9082.64
Tirafondi:LT=0.45 (0.31) σ_{cR}=0.00 σ_{fR}=0.00
Compressione nel calcestruzzo: σ_c=14.26
CC 32 SLD (Collegamento 0025_-382)
Azioni sul collegamento: N=-6786.28 Ty=-3.58 Tz=1.69 Mx=0.00 Mz=-2.82
Sollecitazioni agenti localmente: Tx_l=-3.58 Ty_l=1.69 N_l=-6786.28 Mx_l=-0.00 My_l=-2.82 Mz_l=0.00
Taglio nei bulloni: Fv,Ed=0.66 Fv,Rd=9650.97
Rifollamento lato piastra: Fb,Ed,p=0.66 Fb,Rd,p=9997.55
Tirafondi:LT=0.45 (0.31) σ_{cR}=0.00 σ_{fR}=0.00
Compressione nel calcestruzzo: σ_c=14.18
CC 32 SLD (Collegamento 0025_-382)
Azioni sul collegamento: N=-6786.28 Ty=-4.47 Tz=-0.23 Mx=0.00 Mz=-4.27
Sollecitazioni agenti localmente: Tx_l=-4.47 Ty_l=-0.23 N_l=-6786.28 Mx_l=-0.00 My_l=-4.27 Mz_l=0.00
Taglio nei bulloni: Fv,Ed=0.75 Fv,Rd=9650.97
Rifollamento lato piastra: Fb,Ed,p=0.75 Fb,Rd,p=7500.57
Tirafondi:LT=0.45 (0.31) σ_{cR}=0.00 σ_{fR}=0.00
Compressione nel calcestruzzo: σ_c=14.26
CC 32 SLD (Collegamento 0025_-382)
Azioni sul collegamento: N=-6786.28 Ty=-3.58 Tz=-0.23 Mx=0.00 Mz=-2.82
Sollecitazioni agenti localmente: Tx_l=-3.58 Ty_l=-0.23 N_l=-6786.28 Mx_l=-0.00 My_l=-2.82 Mz_l=0.00
Taglio nei bulloni: Fv,Ed=0.60 Fv,Rd=9650.97
Rifollamento lato piastra: Fb,Ed,p=0.60 Fb,Rd,p=7515.50
Tirafondi:LT=0.45 (0.31) σ_{cR}=0.00 σ_{fR}=0.00
Compressione nel calcestruzzo: σ_c=14.18
CC 32 SLD (Collegamento 0025_-382)
Azioni sul collegamento: N=-6297.50 Ty=-4.47 Tz=1.69 Mx=0.00 Mz=-4.27
Sollecitazioni agenti localmente: Tx_l=-4.47 Ty_l=1.69 N_l=-6297.50 Mx_l=-0.00 My_l=-4.27 Mz_l=0.00
Taglio nei bulloni: Fv,Ed=0.80 Fv,Rd=9650.97
Rifollamento lato piastra: Fb,Ed,p=0.80 Fb,Rd,p=9082.05

Tirafondi:LT=0.45 (0.31) σ_{cR}=0.00 σ_{fR}=0.00
Compressione nel calcestruzzo: σ_c=13.25
CC 32 SLD (Collegamento 0025_-382)
Azioni sul collegamento: N=-6297.50 Ty=-3.58 Tz=1.69 Mx=0.00 Mz=-2.82
Sollecitazioni agenti localmente: Tx_l=-3.58 Ty_l=1.69 N_l=-6297.50 Mx_l=-0.00 My_l=-2.82 Mz_l=0.00
Taglio nei bulloni: Fv,Ed=0.66 Fv,Rd=9650.97
Rifollamento lato piastra: Fb,Ed,p=0.66 Fb,Rd,p=9996.62
Tirafondi:LT=0.45 (0.31) σ_{cR}=0.00 σ_{fR}=0.00
Compressione nel calcestruzzo: σ_c=13.17
CC 32 SLD (Collegamento 0025_-382)
Azioni sul collegamento: N=-6297.50 Ty=-4.47 Tz=-0.23 Mx=0.00 Mz=-4.27
Sollecitazioni agenti localmente: Tx_l=-4.47 Ty_l=-0.23 N_l=-6297.50 Mx_l=-0.00 My_l=-4.27 Mz_l=0.00
Taglio nei bulloni: Fv,Ed=0.75 Fv,Rd=9650.97
Rifollamento lato piastra: Fb,Ed,p=0.75 Fb,Rd,p=7500.56
Tirafondi:LT=0.45 (0.31) σ_{cR}=0.00 σ_{fR}=0.00
Compressione nel calcestruzzo: σ_c=13.25
CC 32 SLD (Collegamento 0025_-382)
Azioni sul collegamento: N=-6297.50 Ty=-3.58 Tz=-0.23 Mx=0.00 Mz=-2.82
Sollecitazioni agenti localmente: Tx_l=-3.58 Ty_l=-0.23 N_l=-6297.50 Mx_l=-0.00 My_l=-2.82 Mz_l=0.00
Taglio nei bulloni: Fv,Ed=0.60 Fv,Rd=9650.97
Rifollamento lato piastra: Fb,Ed,p=0.60 Fb,Rd,p=7515.47
Tirafondi:LT=0.45 (0.31) σ_{cR}=0.00 σ_{fR}=0.00
Compressione nel calcestruzzo: σ_c=13.17
CC 33 SLU (Collegamento 0025_-382)
Azioni sul collegamento: N=-30778.60 Ty=-5.67 Tz=81.62 Mx=0.01 Mz=-4.05
Sollecitazioni agenti localmente: Tx_l=-5.67 Ty_l=81.62 N_l=-30778.60 Mx_l=-0.00 My_l=-4.05 Mz_l=0.01
Taglio nei bulloni: Fv,Ed=13.64 Fv,Rd=7720.78
Rifollamento lato piastra: Fb,Ed,p=13.64 Fb,Rd,p=6021.31
Tirafondi:LT=0.45 (0.31) σ_{cR}=0.00 σ_{fR}=0.00
Compressione nel calcestruzzo: σ_c=63.82
CC 34 SLU (Collegamento 0025_-382)
Azioni sul collegamento: N=-30229.20 Ty=-5.39 Tz=79.58 Mx=0.01 Mz=-3.85
Sollecitazioni agenti localmente: Tx_l=-5.39 Ty_l=79.58 N_l=-30229.20 Mx_l=-0.00 My_l=-3.85 Mz_l=0.01
Taglio nei bulloni: Fv,Ed=13.30 Fv,Rd=7720.78
Rifollamento lato piastra: Fb,Ed,p=13.30 Fb,Rd,p=6019.16
Tirafondi:LT=0.45 (0.31) σ_{cR}=0.00 σ_{fR}=0.00
Compressione nel calcestruzzo: σ_c=62.67
CC 35 SLU (Collegamento 0025_-382)
Azioni sul collegamento: N=-30504.90 Ty=-5.64 Tz=80.58 Mx=0.01 Mz=-4.16
Sollecitazioni agenti localmente: Tx_l=-5.64 Ty_l=80.58 N_l=-30504.90 Mx_l=-0.00 My_l=-4.16 Mz_l=0.01
Taglio nei bulloni: Fv,Ed=13.47 Fv,Rd=7720.78
Rifollamento lato piastra: Fb,Ed,p=13.47 Fb,Rd,p=6021.83
Tirafondi:LT=0.45 (0.31) σ_{cR}=0.00 σ_{fR}=0.00
Compressione nel calcestruzzo: σ_c=63.26
CC 36 SLU (Collegamento 0025_-382)
Azioni sul collegamento: N=-30502.90 Ty=-5.42 Tz=80.62 Mx=0.01 Mz=-3.73
Sollecitazioni agenti localmente: Tx_l=-5.42 Ty_l=80.62 N_l=-30502.90 Mx_l=-0.00 My_l=-3.73 Mz_l=0.01
Taglio nei bulloni: Fv,Ed=13.47 Fv,Rd=7720.78
Rifollamento lato piastra: Fb,Ed,p=13.47 Fb,Rd,p=6018.69
Tirafondi:LT=0.45 (0.31) σ_{cR}=0.00 σ_{fR}=0.00
Compressione nel calcestruzzo: σ_c=63.23
CC 37 SLU (Collegamento 0025_-382)
Azioni sul collegamento: N=-21507.60 Ty=-6.52 Tz=47.54 Mx=0.01 Mz=-4.63
Sollecitazioni agenti localmente: Tx_l=-6.52 Ty_l=47.54 N_l=-21507.60 Mx_l=-0.00 My_l=-4.63 Mz_l=0.01
Taglio nei bulloni: Fv,Ed=8.01 Fv,Rd=7720.78
Rifollamento lato piastra: Fb,Ed,p=8.00 Fb,Rd,p=6143.51
Tirafondi:LT=0.45 (0.31) σ_{cR}=0.00 σ_{fR}=0.00
Compressione nel calcestruzzo: σ_c=44.70
CC 38 SLU (Collegamento 0025_-382)
Azioni sul collegamento: N=-20958.20 Ty=-6.23 Tz=45.50 Mx=0.01 Mz=-4.43
Sollecitazioni agenti localmente: Tx_l=-6.23 Ty_l=45.50 N_l=-20958.20 Mx_l=-0.00 My_l=-4.43 Mz_l=0.01
Taglio nei bulloni: Fv,Ed=7.66 Fv,Rd=7720.78
Rifollamento lato piastra: Fb,Ed,p=7.66 Fb,Rd,p=6143.22
Tirafondi:LT=0.45 (0.31) σ_{cR}=0.00 σ_{fR}=0.00
Compressione nel calcestruzzo: σ_c=43.55
CC 39 SLU (Collegamento 0025_-382)
Azioni sul collegamento: N=-21233.90 Ty=-6.48 Tz=46.50 Mx=0.01 Mz=-4.75
Sollecitazioni agenti localmente: Tx_l=-6.48 Ty_l=46.50 N_l=-21233.90 Mx_l=-0.00 My_l=-4.75 Mz_l=0.01
Taglio nei bulloni: Fv,Ed=7.83 Fv,Rd=7720.78
Rifollamento lato piastra: Fb,Ed,p=7.83 Fb,Rd,p=6148.94
Tirafondi:LT=0.45 (0.31) σ_{cR}=0.00 σ_{fR}=0.00
Compressione nel calcestruzzo: σ_c=44.14
CC 40 SLU (Collegamento 0025_-382)
Azioni sul collegamento: N=-21231.90 Ty=-6.26 Tz=46.54 Mx=0.01 Mz=-4.31
Sollecitazioni agenti localmente: Tx_l=-6.26 Ty_l=46.54 N_l=-21231.90 Mx_l=-0.00 My_l=-4.31 Mz_l=0.01
Taglio nei bulloni: Fv,Ed=7.83 Fv,Rd=7720.78
Rifollamento lato piastra: Fb,Ed,p=7.83 Fb,Rd,p=6137.89
Tirafondi:LT=0.45 (0.31) σ_{cR}=0.00 σ_{fR}=0.00
Compressione nel calcestruzzo: σ_c=44.11
CC 41 SLU (Collegamento 0025_-382)

Azioni sul collegamento: N=-32702.20 Ty=-5.53 Tz=88.04 Mx=-0.00 Mz=-4.06
Sollecitazioni agenti localmente: Tx_l=-5.53 Ty_l=88.04 N_l=-32702.20 Mx_l=-0.00 My_l=-4.06 Mz_l=-0.00
Taglio nei bulloni: Fv,Ed=14.71 Fv,Rd=7720.78
Rifollamento lato piastra: Fb,Ed,p=14.71 Fb,Rd,p=6014.38
Tirafondi:LT=0.45 (0.31) σ_{cR}=0.00 σ_{fR}=0.00
Compressione nel calcestruzzo: σ_c=67.80
CC 42 SLU (Collegamento 0025_-382)
Azioni sul collegamento: N=-32152.80 Ty=-5.24 Tz=86.01 Mx=-0.00 Mz=-3.86
Sollecitazioni agenti localmente: Tx_l=-5.24 Ty_l=86.01 N_l=-32152.80 Mx_l=-0.00 My_l=-3.86 Mz_l=-0.00
Taglio nei bulloni: Fv,Ed=14.36 Fv,Rd=7720.78
Rifollamento lato piastra: Fb,Ed,p=14.36 Fb,Rd,p=6012.40
Tirafondi:LT=0.45 (0.31) σ_{cR}=0.00 σ_{fR}=0.00
Compressione nel calcestruzzo: σ_c=66.65
CC 43 SLU (Collegamento 0025_-382)
Azioni sul collegamento: N=-32428.50 Ty=-5.50 Tz=87.00 Mx=-0.00 Mz=-4.18
Sollecitazioni agenti localmente: Tx_l=-5.50 Ty_l=87.00 N_l=-32428.50 Mx_l=-0.00 My_l=-4.18 Mz_l=-0.00
Taglio nei bulloni: Fv,Ed=14.53 Fv,Rd=7720.78
Rifollamento lato piastra: Fb,Ed,p=14.53 Fb,Rd,p=6014.74
Tirafondi:LT=0.45 (0.31) σ_{cR}=0.00 σ_{fR}=0.00
Compressione nel calcestruzzo: σ_c=67.24
CC 44 SLU (Collegamento 0025_-382)
Azioni sul collegamento: N=-32426.50 Ty=-5.28 Tz=87.05 Mx=-0.00 Mz=-3.74
Sollecitazioni agenti localmente: Tx_l=-5.28 Ty_l=87.05 N_l=-32426.50 Mx_l=-0.00 My_l=-3.74 Mz_l=-0.00
Taglio nei bulloni: Fv,Ed=14.54 Fv,Rd=7720.78
Rifollamento lato piastra: Fb,Ed,p=14.54 Fb,Rd,p=6012.06
Tirafondi:LT=0.45 (0.31) σ_{cR}=0.00 σ_{fR}=0.00
Compressione nel calcestruzzo: σ_c=67.21
CC 45 SLU (Collegamento 0025_-382)
Azioni sul collegamento: N=-23594.00 Ty=-6.22 Tz=55.25 Mx=0.01 Mz=-4.49
Sollecitazioni agenti localmente: Tx_l=-6.22 Ty_l=55.25 N_l=-23594.00 Mx_l=-0.00 My_l=-4.49 Mz_l=0.01
Taglio nei bulloni: Fv,Ed=9.28 Fv,Rd=7720.78
Rifollamento lato piastra: Fb,Ed,p=9.27 Fb,Rd,p=6090.04
Tirafondi:LT=0.45 (0.31) σ_{cR}=0.00 σ_{fR}=0.00
Compressione nel calcestruzzo: σ_c=49.00
CC 46 SLU (Collegamento 0025_-382)
Azioni sul collegamento: N=-23044.60 Ty=-5.94 Tz=53.22 Mx=0.01 Mz=-4.28
Sollecitazioni agenti localmente: Tx_l=-5.94 Ty_l=53.22 N_l=-23044.60 Mx_l=-0.00 My_l=-4.28 Mz_l=0.01
Taglio nei bulloni: Fv,Ed=8.93 Fv,Rd=7720.78
Rifollamento lato piastra: Fb,Ed,p=8.93 Fb,Rd,p=6088.00
Tirafondi:LT=0.45 (0.31) σ_{cR}=0.00 σ_{fR}=0.00
Compressione nel calcestruzzo: σ_c=47.85
CC 47 SLU (Collegamento 0025_-382)
Azioni sul collegamento: N=-23320.30 Ty=-6.19 Tz=54.21 Mx=0.01 Mz=-4.60
Sollecitazioni agenti localmente: Tx_l=-6.19 Ty_l=54.21 N_l=-23320.30 Mx_l=-0.00 My_l=-4.60 Mz_l=0.01
Taglio nei bulloni: Fv,Ed=9.10 Fv,Rd=7720.78
Rifollamento lato piastra: Fb,Ed,p=9.10 Fb,Rd,p=6092.92
Tirafondi:LT=0.45 (0.31) σ_{cR}=0.00 σ_{fR}=0.00
Compressione nel calcestruzzo: σ_c=48.44
CC 48 SLU (Collegamento 0025_-382)
Azioni sul collegamento: N=-23318.30 Ty=-5.97 Tz=54.26 Mx=0.01 Mz=-4.17
Sollecitazioni agenti localmente: Tx_l=-5.97 Ty_l=54.26 N_l=-23318.30 Mx_l=-0.00 My_l=-4.17 Mz_l=0.01
Taglio nei bulloni: Fv,Ed=9.11 Fv,Rd=7720.78
Rifollamento lato piastra: Fb,Ed,p=9.10 Fb,Rd,p=6085.22
Tirafondi:LT=0.45 (0.31) σ_{cR}=0.00 σ_{fR}=0.00
Compressione nel calcestruzzo: σ_c=48.41
CC 49 SLU (Collegamento 0025_-382)
Azioni sul collegamento: N=-16657.90 Ty=-6.86 Tz=29.76 Mx=0.01 Mz=-4.92
Sollecitazioni agenti localmente: Tx_l=-6.86 Ty_l=29.76 N_l=-16657.90 Mx_l=-0.00 My_l=-4.92 Mz_l=0.01
Taglio nei bulloni: Fv,Ed=5.10 Fv,Rd=7720.78
Rifollamento lato piastra: Fb,Ed,p=5.10 Fb,Rd,p=6444.31
Tirafondi:LT=0.45 (0.31) σ_{cR}=0.00 σ_{fR}=0.00
Compressione nel calcestruzzo: σ_c=34.69
CC 50 SLU (Collegamento 0025_-382)
Azioni sul collegamento: N=-16108.50 Ty=-6.57 Tz=27.72 Mx=0.01 Mz=-4.72
Sollecitazioni agenti localmente: Tx_l=-6.57 Ty_l=27.72 N_l=-16108.50 Mx_l=-0.00 My_l=-4.72 Mz_l=0.01
Taglio nei bulloni: Fv,Ed=4.76 Fv,Rd=7720.78
Rifollamento lato piastra: Fb,Ed,p=4.75 Fb,Rd,p=6471.63
Tirafondi:LT=0.45 (0.31) σ_{cR}=0.00 σ_{fR}=0.00
Compressione nel calcestruzzo: σ_c=33.55
CC 51 SLU (Collegamento 0025_-382)
Azioni sul collegamento: N=-16384.20 Ty=-6.82 Tz=28.72 Mx=0.01 Mz=-5.04
Sollecitazioni agenti localmente: Tx_l=-6.82 Ty_l=28.72 N_l=-16384.20 Mx_l=-0.00 My_l=-5.04 Mz_l=0.01
Taglio nei bulloni: Fv,Ed=4.93 Fv,Rd=7720.78
Rifollamento lato piastra: Fb,Ed,p=4.93 Fb,Rd,p=6473.07
Tirafondi:LT=0.45 (0.31) σ_{cR}=0.00 σ_{fR}=0.00
Compressione nel calcestruzzo: σ_c=34.14
CC 52 SLU (Collegamento 0025_-382)
Azioni sul collegamento: N=-16382.20 Ty=-6.60 Tz=28.76 Mx=0.01 Mz=-4.60
Sollecitazioni agenti localmente: Tx_l=-6.60 Ty_l=28.76 N_l=-16382.20 Mx_l=-0.00 My_l=-4.60 Mz_l=0.01
Taglio nei bulloni: Fv,Ed=4.93 Fv,Rd=7720.78

Rifollamento lato piastra: Fb,Ed,p=4.92 Fb,Rd,p=6441.98
Tirafondi:LT=0.45 (0.31) σ_{cR}=0.00 σ_{fR}=0.00
Compressione nel calcestruzzo: σ_c=34.11
CC 53 SLU (Collegamento 0025_-382)
Azioni sul collegamento: N=-25033.10 Ty=-6.12 Tz=60.06 Mx=-0.00 Mz=-4.50
Sollecitazioni agenti localmente: Tx_l=-6.12 Ty_l=60.06 N_l=-25033.10 Mx_l=-0.00 My_l=-4.50 Mz_l=-0.00
Taglio nei bulloni: Fv,Ed=10.06 Fv,Rd=7720.78
Rifollamento lato piastra: Fb,Ed,p=10.06 Fb,Rd,p=6071.30
Tirafondi:LT=0.45 (0.31) σ_{cR}=0.00 σ_{fR}=0.00
Compressione nel calcestruzzo: σ_c=51.97
CC 54 SLU (Collegamento 0025_-382)
Azioni sul collegamento: N=-24483.80 Ty=-5.83 Tz=58.03 Mx=-0.00 Mz=-4.29
Sollecitazioni agenti localmente: Tx_l=-5.83 Ty_l=58.03 N_l=-24483.80 Mx_l=-0.00 My_l=-4.29 Mz_l=-0.00
Taglio nei bulloni: Fv,Ed=9.72 Fv,Rd=7720.78
Rifollamento lato piastra: Fb,Ed,p=9.72 Fb,Rd,p=6068.97
Tirafondi:LT=0.45 (0.31) σ_{cR}=0.00 σ_{fR}=0.00
Compressione nel calcestruzzo: σ_c=50.83
CC 55 SLU (Collegamento 0025_-382)
Azioni sul collegamento: N=-24759.40 Ty=-6.08 Tz=59.02 Mx=0.00 Mz=-4.61
Sollecitazioni agenti localmente: Tx_l=-6.08 Ty_l=59.02 N_l=-24759.40 Mx_l=-0.00 My_l=-4.61 Mz_l=0.00
Taglio nei bulloni: Fv,Ed=9.89 Fv,Rd=7720.78
Rifollamento lato piastra: Fb,Ed,p=9.89 Fb,Rd,p=6073.42
Tirafondi:LT=0.45 (0.31) σ_{cR}=0.00 σ_{fR}=0.00
Compressione nel calcestruzzo: σ_c=51.42
CC 56 SLU (Collegamento 0025_-382)
Azioni sul collegamento: N=-24757.50 Ty=-5.87 Tz=59.07 Mx=-0.00 Mz=-4.18
Sollecitazioni agenti localmente: Tx_l=-5.87 Ty_l=59.07 N_l=-24757.50 Mx_l=-0.00 My_l=-4.18 Mz_l=-0.00
Taglio nei bulloni: Fv,Ed=9.89 Fv,Rd=7720.78
Rifollamento lato piastra: Fb,Ed,p=9.89 Fb,Rd,p=6066.93
Tirafondi:LT=0.45 (0.31) σ_{cR}=0.00 σ_{fR}=0.00
Compressione nel calcestruzzo: σ_c=51.39
CC 57 SLU (Collegamento 0025_-382)
Azioni sul collegamento: N=-21981.50 Ty=-5.60 Tz=49.32 Mx=0.01 Mz=-4.03
Sollecitazioni agenti localmente: Tx_l=-5.60 Ty_l=49.32 N_l=-21981.50 Mx_l=-0.00 My_l=-4.03 Mz_l=0.01
Taglio nei bulloni: Fv,Ed=8.28 Fv,Rd=7720.78
Rifollamento lato piastra: Fb,Ed,p=8.28 Fb,Rd,p=6091.76
Tirafondi:LT=0.45 (0.31) σ_{cR}=0.00 σ_{fR}=0.00
Compressione nel calcestruzzo: σ_c=45.64
CC 58 SLU (Collegamento 0025_-382)
Azioni sul collegamento: N=-21432.10 Ty=-5.31 Tz=47.28 Mx=0.01 Mz=-3.83
Sollecitazioni agenti localmente: Tx_l=-5.31 Ty_l=47.28 N_l=-21432.10 Mx_l=-0.00 My_l=-3.83 Mz_l=0.01
Taglio nei bulloni: Fv,Ed=7.94 Fv,Rd=7720.78
Rifollamento lato piastra: Fb,Ed,p=7.94 Fb,Rd,p=6089.52
Tirafondi:LT=0.45 (0.31) σ_{cR}=0.00 σ_{fR}=0.00
Compressione nel calcestruzzo: σ_c=44.50
CC 59 SLU (Collegamento 0025_-382)
Azioni sul collegamento: N=-21707.80 Ty=-5.57 Tz=48.28 Mx=0.01 Mz=-4.15
Sollecitazioni agenti localmente: Tx_l=-5.57 Ty_l=48.28 N_l=-21707.80 Mx_l=-0.00 My_l=-4.15 Mz_l=0.01
Taglio nei bulloni: Fv,Ed=8.11 Fv,Rd=7720.78
Rifollamento lato piastra: Fb,Ed,p=8.11 Fb,Rd,p=6095.07
Tirafondi:LT=0.45 (0.31) σ_{cR}=0.00 σ_{fR}=0.00
Compressione nel calcestruzzo: σ_c=45.08
CC 60 SLU (Collegamento 0025_-382)
Azioni sul collegamento: N=-21705.80 Ty=-5.35 Tz=48.32 Mx=0.01 Mz=-3.72
Sollecitazioni agenti localmente: Tx_l=-5.35 Ty_l=48.32 N_l=-21705.80 Mx_l=-0.00 My_l=-3.72 Mz_l=0.01
Taglio nei bulloni: Fv,Ed=8.11 Fv,Rd=7720.78
Rifollamento lato piastra: Fb,Ed,p=8.11 Fb,Rd,p=6086.34
Tirafondi:LT=0.45 (0.31) σ_{cR}=0.00 σ_{fR}=0.00
Compressione nel calcestruzzo: σ_c=45.06
CC 61 SLU (Collegamento 0025_-382)
Azioni sul collegamento: N=-15045.40 Ty=-6.23 Tz=23.82 Mx=0.01 Mz=-4.47
Sollecitazioni agenti localmente: Tx_l=-6.23 Ty_l=23.82 N_l=-15045.40 Mx_l=-0.00 My_l=-4.47 Mz_l=0.01
Taglio nei bulloni: Fv,Ed=4.11 Fv,Rd=7720.78
Rifollamento lato piastra: Fb,Ed,p=4.11 Fb,Rd,p=6579.15
Tirafondi:LT=0.45 (0.31) σ_{cR}=0.00 σ_{fR}=0.00
Compressione nel calcestruzzo: σ_c=31.34
CC 62 SLU (Collegamento 0025_-382)
Azioni sul collegamento: N=-14496.00 Ty=-5.95 Tz=21.79 Mx=0.01 Mz=-4.27
Sollecitazioni agenti localmente: Tx_l=-5.95 Ty_l=21.79 N_l=-14496.00 Mx_l=-0.00 My_l=-4.27 Mz_l=0.01
Taglio nei bulloni: Fv,Ed=3.77 Fv,Rd=7720.78
Rifollamento lato piastra: Fb,Ed,p=3.77 Fb,Rd,p=6632.64
Tirafondi:LT=0.45 (0.31) σ_{cR}=0.00 σ_{fR}=0.00
Compressione nel calcestruzzo: σ_c=30.19
CC 63 SLU (Collegamento 0025_-382)
Azioni sul collegamento: N=-14771.70 Ty=-6.20 Tz=22.78 Mx=0.01 Mz=-4.59
Sollecitazioni agenti localmente: Tx_l=-6.20 Ty_l=22.78 N_l=-14771.70 Mx_l=-0.00 My_l=-4.59 Mz_l=0.01
Taglio nei bulloni: Fv,Ed=3.94 Fv,Rd=7720.78
Rifollamento lato piastra: Fb,Ed,p=3.94 Fb,Rd,p=6627.17
Tirafondi:LT=0.45 (0.31) σ_{cR}=0.00 σ_{fR}=0.00
Compressione nel calcestruzzo: σ_c=30.78

CC 64 SLU (Collegamento 0025_-382)
Azioni sul collegamento: N=-14769.70 Ty=-5.98 Tz=22.82 Mx=0.01 Mz=-4.15
Sollecitazioni agenti localmente: Tx_l=-5.98 Ty_l=22.82 N_l=-14769.70 Mx_l=-0.00 My_l=-4.15 Mz_l=0.01
Taglio nei bulloni: Fv,Ed=3.94 Fv,Rd=7720.78
Rifollamento lato piastra: Fb,Ed,p=3.94 Fb,Rd,p=6582.10
Tirafondi:LT=0.45 (0.31) σ_{cR}=0.00 σ_{fR}=0.00
Compressione nel calcestruzzo: σ_c=30.75
CC 65 SLU (Collegamento 0025_-382)
Azioni sul collegamento: N=-23420.60 Ty=-5.49 Tz=54.12 Mx=-0.00 Mz=-4.04
Sollecitazioni agenti localmente: Tx_l=-5.49 Ty_l=54.12 N_l=-23420.60 Mx_l=-0.00 My_l=-4.04 Mz_l=-0.00
Taglio nei bulloni: Fv,Ed=9.07 Fv,Rd=7720.78
Rifollamento lato piastra: Fb,Ed,p=9.07 Fb,Rd,p=6070.73
Tirafondi:LT=0.45 (0.31) σ_{cR}=0.00 σ_{fR}=0.00
Compressione nel calcestruzzo: σ_c=48.62
CC 66 SLU (Collegamento 0025_-382)
Azioni sul collegamento: N=-22871.20 Ty=-5.21 Tz=52.09 Mx=-0.00 Mz=-3.84
Sollecitazioni agenti localmente: Tx_l=-5.21 Ty_l=52.09 N_l=-22871.20 Mx_l=-0.00 My_l=-3.84 Mz_l=-0.00
Taglio nei bulloni: Fv,Ed=8.73 Fv,Rd=7720.78
Rifollamento lato piastra: Fb,Ed,p=8.73 Fb,Rd,p=6068.12
Tirafondi:LT=0.45 (0.31) σ_{cR}=0.00 σ_{fR}=0.00
Compressione nel calcestruzzo: σ_c=47.47
CC 67 SLU (Collegamento 0025_-382)
Azioni sul collegamento: N=-23146.90 Ty=-5.46 Tz=53.08 Mx=-0.00 Mz=-4.16
Sollecitazioni agenti localmente: Tx_l=-5.46 Ty_l=53.08 N_l=-23146.90 Mx_l=-0.00 My_l=-4.16 Mz_l=-0.00
Taglio nei bulloni: Fv,Ed=8.89 Fv,Rd=7720.78
Rifollamento lato piastra: Fb,Ed,p=8.89 Fb,Rd,p=6073.08
Tirafondi:LT=0.45 (0.31) σ_{cR}=0.00 σ_{fR}=0.00
Compressione nel calcestruzzo: σ_c=48.06
CC 68 SLU (Collegamento 0025_-382)
Azioni sul collegamento: N=-23144.90 Ty=-5.24 Tz=53.13 Mx=-0.00 Mz=-3.72
Sollecitazioni agenti localmente: Tx_l=-5.24 Ty_l=53.13 N_l=-23144.90 Mx_l=-0.00 My_l=-3.72 Mz_l=-0.00
Taglio nei bulloni: Fv,Ed=8.90 Fv,Rd=7720.78
Rifollamento lato piastra: Fb,Ed,p=8.90 Fb,Rd,p=6065.88
Tirafondi:LT=0.45 (0.31) σ_{cR}=0.00 σ_{fR}=0.00
Compressione nel calcestruzzo: σ_c=48.03
CC 97 SLU (Collegamento 0025_-382)
Azioni sul collegamento: N=-11444.50 Ty=-17.52 Tz=18.88 Mx=-0.03 Mz=-21.34
Sollecitazioni agenti localmente: Tx_l=-17.52 Ty_l=18.88 N_l=-11444.50 Mx_l=-0.00 My_l=-21.34 Mz_l=-0.03
Taglio nei bulloni: Fv,Ed=4.35 Fv,Rd=7720.78
Rifollamento lato piastra: Fb,Ed,p=4.35 Fb,Rd,p=11600.30
Tirafondi:LT=0.45 (0.31) σ_{cR}=0.00 σ_{fR}=0.00
Compressione nel calcestruzzo: σ_c=24.85
CC 98 SLU (Collegamento 0025_-382)
Azioni sul collegamento: N=-10895.20 Ty=-17.24 Tz=16.84 Mx=-0.03 Mz=-21.13
Sollecitazioni agenti localmente: Tx_l=-17.24 Ty_l=16.84 N_l=-10895.20 Mx_l=-0.00 My_l=-21.13 Mz_l=-0.03
Taglio nei bulloni: Fv,Ed=4.07 Fv,Rd=7720.78
Rifollamento lato piastra: Fb,Ed,p=4.02 Fb,Rd,p=11726.40
Tirafondi:LT=0.45 (0.31) σ_{cR}=0.00 σ_{fR}=0.00
Compressione nel calcestruzzo: σ_c=23.70
CC 99 SLU (Collegamento 0025_-382)
Azioni sul collegamento: N=-11170.80 Ty=-17.49 Tz=17.84 Mx=-0.03 Mz=-21.45
Sollecitazioni agenti localmente: Tx_l=-17.49 Ty_l=17.84 N_l=-11170.80 Mx_l=-0.00 My_l=-21.45 Mz_l=-0.03
Taglio nei bulloni: Fv,Ed=4.22 Fv,Rd=7720.78
Rifollamento lato piastra: Fb,Ed,p=4.22 Fb,Rd,p=11903.30
Tirafondi:LT=0.45 (0.31) σ_{cR}=0.00 σ_{fR}=0.00
Compressione nel calcestruzzo: σ_c=24.29
CC 100 SLU (Collegamento 0025_-382)
Azioni sul collegamento: N=-11168.90 Ty=-17.27 Tz=17.88 Mx=-0.04 Mz=-21.02
Sollecitazioni agenti localmente: Tx_l=-17.27 Ty_l=17.88 N_l=-11168.90 Mx_l=-0.00 My_l=-21.02 Mz_l=-0.04
Taglio nei bulloni: Fv,Ed=4.20 Fv,Rd=7720.78
Rifollamento lato piastra: Fb,Ed,p=4.20 Fb,Rd,p=11817.30
Tirafondi:LT=0.45 (0.31) σ_{cR}=0.00 σ_{fR}=0.00
Compressione nel calcestruzzo: σ_c=24.26
CC 101 SLU (Collegamento 0025_-382)
Azioni sul collegamento: N=-7155.53 Ty=-1.61 Tz=2.94 Mx=0.01 Mz=-0.33
Sollecitazioni agenti localmente: Tx_l=-1.61 Ty_l=2.94 N_l=-7155.53 Mx_l=-0.00 My_l=-0.33 Mz_l=0.01
Taglio nei bulloni: Fv,Ed=0.57 Fv,Rd=7720.78
Rifollamento lato piastra: Fb,Ed,p=0.56 Fb,Rd,p=8412.66
Tirafondi:LT=0.45 (0.31) σ_{cR}=0.00 σ_{fR}=0.00
Compressione nel calcestruzzo: σ_c=14.80
CC 102 SLU (Collegamento 0025_-382)
Azioni sul collegamento: N=-6606.15 Ty=-1.32 Tz=0.91 Mx=0.01 Mz=-0.13
Sollecitazioni agenti localmente: Tx_l=-1.32 Ty_l=0.91 N_l=-6606.15 Mx_l=-0.00 My_l=-0.13 Mz_l=0.01
Taglio nei bulloni: Fv,Ed=0.28 Fv,Rd=7720.78
Rifollamento lato piastra: Fb,Ed,p=0.28 Fb,Rd,p=10354.70
Tirafondi:LT=0.45 (0.31) σ_{cR}=0.00 σ_{fR}=0.00
Compressione nel calcestruzzo: σ_c=13.66
CC 103 SLU (Collegamento 0025_-382)
Azioni sul collegamento: N=-6881.82 Ty=-1.58 Tz=1.90 Mx=0.01 Mz=-0.45
Sollecitazioni agenti localmente: Tx_l=-1.58 Ty_l=1.90 N_l=-6881.82 Mx_l=-0.00 My_l=-0.45 Mz_l=0.01

Taglio nei bulloni: Fv,Ed=0.43 Fv,Rd=7720.78
Rifollamento lato piastra: Fb,Ed,p=0.41 Fb,Rd,p=10745.90
Tirafondi:LT=0.45 (0.31) σ_{cR}=0.00 σ_{fR}=0.00
Compressione nel calcestruzzo: σ_c=14.24
CC 104 SLU (Collegamento 0025_-382)
Azioni sul collegamento: N=-6879.85 Ty=-1.36 Tz=1.95 Mx=0.01 Mz=-0.01
Sollecitazioni agenti localmente: Tx_l=-1.36 Ty_l=1.95 N_l=-6879.85 Mx_l=-0.00 My_l=-0.01 Mz_l=0.01
Taglio nei bulloni: Fv,Ed=0.41 Fv,Rd=7720.78
Rifollamento lato piastra: Fb,Ed,p=0.40 Fb,Rd,p=9910.85
Tirafondi:LT=0.45 (0.31) σ_{cR}=0.00 σ_{fR}=0.00
Compressione nel calcestruzzo: σ_c=14.22

Saldatura profilo-piastra

CC 1 SLV (Collegamento 0025_-382)
Azioni sul collegamento: N=-3838.16 Ty=-4.12 Tz=-9.35 Mx=0.02 Mz=1.95
Sollecitazioni agenti localmente: Tx_l=-4.12 Ty_l=-9.35 N_l=-3838.16 My_l=-1.95 Mz_l=0.02
Azioni sul cordone: TP=-0.33 TO=-0.67 NO=-283.72
Tensioni nel cordone: τ_P=0.10 τ_0=0.21 σ_0=93.03 σ_{ID}=93.03 Σ_T=93.25
CC 1 SLV (Collegamento 0025_-382)
Azioni sul collegamento: N=-3838.16 Ty=-0.76 Tz=-9.35 Mx=0.02 Mz=-1.23
Sollecitazioni agenti localmente: Tx_l=-0.76 Ty_l=-9.35 N_l=-3838.16 My_l=1.23 Mz_l=0.02
Azioni sul cordone: TP=-0.08 TO=-0.71 NO=-283.72
Tensioni nel cordone: τ_P= 0.03 τ_0=0.22 σ_0=91.98 σ_{ID}=91.98 Σ_T=92.20
CC 1 SLV (Collegamento 0025_-382)
Azioni sul collegamento: N=-3838.16 Ty=-4.12 Tz=10.33 Mx=0.02 Mz=1.95
Sollecitazioni agenti localmente: Tx_l=-4.12 Ty_l=10.33 N_l=-3838.16 My_l=-1.95 Mz_l=0.02
Azioni sul cordone: TP=-0.33 TO=0.78 NO=-283.72
Tensioni nel cordone: τ_P=0.10 τ_0=0.25 σ_0=93.03 σ_{ID}=93.03 Σ_T=93.28
CC 1 SLV (Collegamento 0025_-382)
Azioni sul collegamento: N=-3838.16 Ty=-0.76 Tz=10.33 Mx=0.02 Mz=-1.23
Sollecitazioni agenti localmente: Tx_l=-0.76 Ty_l=10.33 N_l=-3838.16 My_l=1.23 Mz_l=0.02
Azioni sul cordone: TP=-0.08 TO=0.75 NO=-283.72
Tensioni nel cordone: τ_P= 0.03 τ_0=0.24 σ_0=91.98 σ_{ID}=91.98 Σ_T=92.21
CC 1 SLV (Collegamento 0025_-382)
Azioni sul collegamento: N=-9123.66 Ty=-4.12 Tz=-9.35 Mx=0.02 Mz=1.95
Sollecitazioni agenti localmente: Tx_l=-4.12 Ty_l=-9.35 N_l=-9123.66 My_l=-1.95 Mz_l=0.02
Azioni sul cordone: TP=-0.33 TO=-0.67 NO=-674.42
Tensioni nel cordone: τ_P=0.10 τ_0=0.21 σ_0=217.22 σ_{ID}=217.22 Σ_T=217.43
CC 1 SLV (Collegamento 0025_-382)
Azioni sul collegamento: N=-9123.66 Ty=-0.76 Tz=-9.35 Mx=0.02 Mz=-1.23
Sollecitazioni agenti localmente: Tx_l=-0.76 Ty_l=-9.35 N_l=-9123.66 My_l=1.23 Mz_l=0.02
Azioni sul cordone: TP=-0.08 TO=-0.71 NO=-674.42
Tensioni nel cordone: τ_P= 0.03 τ_0=0.22 σ_0=216.16 σ_{ID}=216.16 Σ_T=216.39
CC 1 SLV (Collegamento 0025_-382)
Azioni sul collegamento: N=-9123.66 Ty=-4.12 Tz=10.33 Mx=0.02 Mz=1.95
Sollecitazioni agenti localmente: Tx_l=-4.12 Ty_l=10.33 N_l=-9123.66 My_l=-1.95 Mz_l=0.02
Azioni sul cordone: TP=-0.33 TO=0.78 NO=-674.42
Tensioni nel cordone: τ_P=0.10 τ_0=0.25 σ_0=217.22 σ_{ID}=217.22 Σ_T=217.46
CC 1 SLV (Collegamento 0025_-382)
Azioni sul collegamento: N=-9123.66 Ty=-0.76 Tz=10.33 Mx=0.02 Mz=-1.23
Sollecitazioni agenti localmente: Tx_l=-0.76 Ty_l=10.33 N_l=-9123.66 My_l=1.23 Mz_l=0.02
Azioni sul cordone: TP=-0.08 TO=0.75 NO=-674.42
Tensioni nel cordone: τ_P= 0.03 τ_0=0.24 σ_0=216.16 σ_{ID}=216.16 Σ_T=216.40
CC 2 SLD (Collegamento 0025_-382)
Azioni sul collegamento: N=-5707.53 Ty=-2.77 Tz=-2.38 Mx=0.01 Mz=-1.24
Sollecitazioni agenti localmente: Tx_l=-2.77 Ty_l=-2.38 N_l=-5707.53 My_l=1.24 Mz_l=0.01
Azioni sul cordone: TP=-0.21 TO=-0.18 NO=-421.90
Tensioni nel cordone: τ_P= 0.07 τ_0= 0.06 σ_0=135.91 σ_{ID}=135.91 Σ_T=135.97
CC 2 SLD (Collegamento 0025_-382)
Azioni sul collegamento: N=-5707.53 Ty=-3.80 Tz=-2.38 Mx=0.01 Mz=-2.21
Sollecitazioni agenti localmente: Tx_l=-3.80 Ty_l=-2.38 N_l=-5707.53 My_l=2.21 Mz_l=0.01
Azioni sul cordone: TP=-0.29 TO=-0.18 NO=-421.90
Tensioni nel cordone: τ_P= 0.09 τ_0= 0.06 σ_0=137.32 σ_{ID}=137.32 Σ_T=137.38
CC 2 SLD (Collegamento 0025_-382)
Azioni sul collegamento: N=-5707.53 Ty=-2.77 Tz=3.62 Mx=0.01 Mz=-1.24
Sollecitazioni agenti localmente: Tx_l=-2.77 Ty_l=3.62 N_l=-5707.53 My_l=1.24 Mz_l=0.01
Azioni sul cordone: TP=-0.21 TO=0.26 NO=-421.90
Tensioni nel cordone: τ_P= 0.07 τ_0= 0.08 σ_0=135.91 σ_{ID}=135.91 Σ_T=135.99
CC 2 SLD (Collegamento 0025_-382)
Azioni sul collegamento: N=-5707.53 Ty=-3.80 Tz=3.62 Mx=0.01 Mz=-2.21
Sollecitazioni agenti localmente: Tx_l=-3.80 Ty_l=3.62 N_l=-5707.53 My_l=2.21 Mz_l=0.01
Azioni sul cordone: TP=-0.29 TO=0.26 NO=-421.90
Tensioni nel cordone: τ_P= 0.09 τ_0= 0.08 σ_0=137.32 σ_{ID}=137.32 Σ_T=137.41
CC 2 SLD (Collegamento 0025_-382)
Azioni sul collegamento: N=-7319.25 Ty=-2.77 Tz=-2.38 Mx=0.01 Mz=-1.24
Sollecitazioni agenti localmente: Tx_l=-2.77 Ty_l=-2.38 N_l=-7319.25 My_l=1.24 Mz_l=0.01
Azioni sul cordone: TP=-0.21 TO=-0.18 NO=-541.04
Tensioni nel cordone: τ_P= 0.07 τ_0= 0.06 σ_0=173.78 σ_{ID}=173.78 Σ_T=173.83
CC 2 SLD (Collegamento 0025_-382)
Azioni sul collegamento: N=-7319.25 Ty=-3.80 Tz=-2.38 Mx=0.01 Mz=-2.21

Sollecitazioni agenti localmente: Tx_l=-3.80 Ty_l=-2.38 N_l=-7319.25 My_l=2.21 Mz_l=0.01
Azioni sul cordone: TP=-0.29 TO=-0.18 NO=-541.04
Tensioni nel cordone: τ_P= 0.09 τ_O= 0.06 σ_O=175.19 σ_{ID}=175.19 Σ_T=175.25
CC 2 SLD (Collegamento 0025_-382)
Azioni sul collegamento: N=-7319.25 Ty=-2.77 Tz=3.62 Mx=0.01 Mz=-1.24
Sollecitazioni agenti localmente: Tx_l=-2.77 Ty_l=3.62 N_l=-7319.25 My_l=1.24 Mz_l=0.01
Azioni sul cordone: TP=-0.21 TO=0.26 NO=-541.04
Tensioni nel cordone: τ_P= 0.07 τ_O= 0.08 σ_O=173.78 σ_{ID}=173.78 Σ_T=173.86
CC 2 SLD (Collegamento 0025_-382)
Azioni sul collegamento: N=-7319.25 Ty=-3.80 Tz=3.62 Mx=0.01 Mz=-2.21
Sollecitazioni agenti localmente: Tx_l=-3.80 Ty_l=3.62 N_l=-7319.25 My_l=2.21 Mz_l=0.01
Azioni sul cordone: TP=-0.29 TO=0.26 NO=-541.04
Tensioni nel cordone: τ_P= 0.09 τ_O= 0.08 σ_O=175.19 σ_{ID}=175.19 Σ_T=175.28
CC 3 SLV (Collegamento 0025_-382)
Azioni sul collegamento: N=-3843.85 Ty=-3.49 Tz=-9.22 Mx=0.02 Mz=0.69
Sollecitazioni agenti localmente: Tx_l=-3.49 Ty_l=-9.22 N_l=-3843.85 My_l=-0.69 Mz_l=0.02
Azioni sul cordone: TP=-0.28 TO=-0.67 NO=-284.14
Tensioni nel cordone: τ_P= 0.09 τ_O=0.21 σ_O=91.33 σ_{ID}=91.33 Σ_T=91.54
CC 3 SLV (Collegamento 0025_-382)
Azioni sul collegamento: N=-3843.85 Ty=-1.39 Tz=-9.22 Mx=0.02 Mz=0.03
Sollecitazioni agenti localmente: Tx_l=-1.39 Ty_l=-9.22 N_l=-3843.85 My_l=-0.03 Mz_l=0.02
Azioni sul cordone: TP=-0.12 TO=-0.67 NO=-284.14
Tensioni nel cordone: τ_P= 0.04 τ_O=0.21 σ_O=90.35 σ_{ID}=90.35 Σ_T=90.56
CC 3 SLV (Collegamento 0025_-382)
Azioni sul collegamento: N=-3843.85 Ty=-3.49 Tz=10.20 Mx=0.02 Mz=0.69
Sollecitazioni agenti localmente: Tx_l=-3.49 Ty_l=10.20 N_l=-3843.85 My_l=-0.69 Mz_l=0.02
Azioni sul cordone: TP=-0.28 TO=0.77 NO=-284.14
Tensioni nel cordone: τ_P= 0.09 τ_O=0.24 σ_O=91.33 σ_{ID}=91.33 Σ_T=91.57
CC 3 SLV (Collegamento 0025_-382)
Azioni sul collegamento: N=-3843.85 Ty=-1.39 Tz=10.20 Mx=0.02 Mz=0.03
Sollecitazioni agenti localmente: Tx_l=-1.39 Ty_l=10.20 N_l=-3843.85 My_l=-0.03 Mz_l=0.02
Azioni sul cordone: TP=-0.12 TO=0.77 NO=-284.14
Tensioni nel cordone: τ_P= 0.04 τ_O=0.24 σ_O=90.35 σ_{ID}=90.35 Σ_T=90.60
CC 3 SLV (Collegamento 0025_-382)
Azioni sul collegamento: N=-9117.97 Ty=-3.49 Tz=-9.22 Mx=0.02 Mz=0.69
Sollecitazioni agenti localmente: Tx_l=-3.49 Ty_l=-9.22 N_l=-9117.97 My_l=-0.69 Mz_l=0.02
Azioni sul cordone: TP=-0.28 TO=-0.67 NO=-674.00
Tensioni nel cordone: τ_P= 0.09 τ_O=0.21 σ_O=215.25 σ_{ID}=215.25 Σ_T=215.46
CC 3 SLV (Collegamento 0025_-382)
Azioni sul collegamento: N=-9117.97 Ty=-1.39 Tz=-9.22 Mx=0.02 Mz=0.03
Sollecitazioni agenti localmente: Tx_l=-1.39 Ty_l=-9.22 N_l=-9117.97 My_l=-0.03 Mz_l=0.02
Azioni sul cordone: TP=-0.12 TO=-0.67 NO=-674.00
Tensioni nel cordone: τ_P= 0.04 τ_O=0.21 σ_O=214.27 σ_{ID}=214.27 Σ_T=214.48
CC 3 SLV (Collegamento 0025_-382)
Azioni sul collegamento: N=-9117.97 Ty=-3.49 Tz=10.20 Mx=0.02 Mz=0.69
Sollecitazioni agenti localmente: Tx_l=-3.49 Ty_l=10.20 N_l=-9117.97 My_l=-0.69 Mz_l=0.02
Azioni sul cordone: TP=-0.28 TO=0.77 NO=-674.00
Tensioni nel cordone: τ_P= 0.09 τ_O=0.24 σ_O=215.25 σ_{ID}=215.25 Σ_T=215.49
CC 3 SLV (Collegamento 0025_-382)
Azioni sul collegamento: N=-9117.97 Ty=-1.39 Tz=10.20 Mx=0.02 Mz=0.03
Sollecitazioni agenti localmente: Tx_l=-1.39 Ty_l=10.20 N_l=-9117.97 My_l=-0.03 Mz_l=0.02
Azioni sul cordone: TP=-0.12 TO=0.77 NO=-674.00
Tensioni nel cordone: τ_P= 0.04 τ_O=0.24 σ_O=214.27 σ_{ID}=214.27 Σ_T=214.51
CC 4 SLD (Collegamento 0025_-382)
Azioni sul collegamento: N=-5709.27 Ty=-2.97 Tz=-2.35 Mx=0.01 Mz=-1.62
Sollecitazioni agenti localmente: Tx_l=-2.97 Ty_l=-2.35 N_l=-5709.27 My_l=1.62 Mz_l=0.01
Azioni sul cordone: TP=-0.23 TO=-0.18 NO=-422.03
Tensioni nel cordone: τ_P= 0.07 τ_O= 0.06 σ_O=136.51 σ_{ID}=136.51 Σ_T=136.56
CC 4 SLD (Collegamento 0025_-382)
Azioni sul collegamento: N=-5709.27 Ty=-3.60 Tz=-2.35 Mx=0.01 Mz=-1.82
Sollecitazioni agenti localmente: Tx_l=-3.60 Ty_l=-2.35 N_l=-5709.27 My_l=1.82 Mz_l=0.01
Azioni sul cordone: TP=-0.27 TO=-0.18 NO=-422.03
Tensioni nel cordone: τ_P= 0.09 τ_O= 0.06 σ_O=136.81 σ_{ID}=136.81 Σ_T=136.86
CC 4 SLD (Collegamento 0025_-382)
Azioni sul collegamento: N=-5709.27 Ty=-2.97 Tz=3.58 Mx=0.01 Mz=-1.62
Sollecitazioni agenti localmente: Tx_l=-2.97 Ty_l=3.58 N_l=-5709.27 My_l=1.62 Mz_l=0.01
Azioni sul cordone: TP=-0.23 TO=0.26 NO=-422.03
Tensioni nel cordone: τ_P= 0.07 τ_O= 0.08 σ_O=136.51 σ_{ID}=136.51 Σ_T=136.59
CC 4 SLD (Collegamento 0025_-382)
Azioni sul collegamento: N=-5709.27 Ty=-3.60 Tz=3.58 Mx=0.01 Mz=-1.82
Sollecitazioni agenti localmente: Tx_l=-3.60 Ty_l=3.58 N_l=-5709.27 My_l=1.82 Mz_l=0.01
Azioni sul cordone: TP=-0.27 TO=0.26 NO=-422.03
Tensioni nel cordone: τ_P= 0.09 τ_O= 0.08 σ_O=136.81 σ_{ID}=136.81 Σ_T=136.89
CC 4 SLD (Collegamento 0025_-382)
Azioni sul collegamento: N=-7317.51 Ty=-2.97 Tz=-2.35 Mx=0.01 Mz=-1.62
Sollecitazioni agenti localmente: Tx_l=-2.97 Ty_l=-2.35 N_l=-7317.51 My_l=1.62 Mz_l=0.01
Azioni sul cordone: TP=-0.23 TO=-0.18 NO=-540.91
Tensioni nel cordone: τ_P= 0.07 τ_O= 0.06 σ_O=174.29 σ_{ID}=174.29 Σ_T=174.35
CC 4 SLD (Collegamento 0025_-382)
Azioni sul collegamento: N=-7317.51 Ty=-3.60 Tz=-2.35 Mx=0.01 Mz=-1.82
Sollecitazioni agenti localmente: Tx_l=-3.60 Ty_l=-2.35 N_l=-7317.51 My_l=1.82 Mz_l=0.01

Azioni sul cordone: TP=-0.27 TO=-0.18 NO=-540.91
Tensioni nel cordone: τ_P= 0.09 τ_0= 0.06 σ_0=174.59 σ_{ID}=174.59 Σ_T=174.65
CC 4 SLD (Collegamento 0025_-382)
Azioni sul collegamento: N=-7317.51 Ty=-2.97 Tz=3.58 Mx=0.01 Mz=-1.62
Sollecitazioni agenti localmente: Tx_l=-2.97 Ty_l=3.58 N_l=-7317.51 My_l=1.62 Mz_l=0.01
Azioni sul cordone: TP=-0.23 TO=0.26 NO=-540.91
Tensioni nel cordone: τ_P= 0.07 τ_0= 0.08 σ_0=174.29 σ_{ID}=174.29 Σ_T=174.38
CC 4 SLD (Collegamento 0025_-382)
Azioni sul collegamento: N=-7317.51 Ty=-3.60 Tz=3.58 Mx=0.01 Mz=-1.82
Sollecitazioni agenti localmente: Tx_l=-3.60 Ty_l=3.58 N_l=-7317.51 My_l=1.82 Mz_l=0.01
Azioni sul cordone: TP=-0.27 TO=0.26 NO=-540.91
Tensioni nel cordone: τ_P= 0.09 τ_0= 0.08 σ_0=174.59 σ_{ID}=174.59 Σ_T=174.67
CC 5 SLV (Collegamento 0025_-382)
Azioni sul collegamento: N=-9117.97 Ty=-1.39 Tz=10.20 Mx=0.02 Mz=0.03
Sollecitazioni agenti localmente: Tx_l=-1.39 Ty_l=10.20 N_l=-9117.97 My_l=-0.03 Mz_l=0.02
Azioni sul cordone: TP=-0.12 TO=0.77 NO=-674.00
Tensioni nel cordone: τ_P= 0.04 τ_0=0.24 σ_0=214.27 σ_{ID}=214.27 Σ_T=214.51
CC 5 SLV (Collegamento 0025_-382)
Azioni sul collegamento: N=-9117.97 Ty=-3.49 Tz=10.20 Mx=0.02 Mz=0.69
Sollecitazioni agenti localmente: Tx_l=-3.49 Ty_l=10.20 N_l=-9117.97 My_l=-0.69 Mz_l=0.02
Azioni sul cordone: TP=-0.28 TO=0.77 NO=-674.00
Tensioni nel cordone: τ_P= 0.09 τ_0=0.24 σ_0=215.25 σ_{ID}=215.25 Σ_T=215.49
CC 5 SLV (Collegamento 0025_-382)
Azioni sul collegamento: N=-9117.97 Ty=-1.39 Tz=-9.22 Mx=0.02 Mz=0.03
Sollecitazioni agenti localmente: Tx_l=-1.39 Ty_l=-9.22 N_l=-9117.97 My_l=-0.03 Mz_l=0.02
Azioni sul cordone: TP=-0.12 TO=-0.67 NO=-674.00
Tensioni nel cordone: τ_P= 0.04 τ_0=0.21 σ_0=214.27 σ_{ID}=214.27 Σ_T=214.48
CC 5 SLV (Collegamento 0025_-382)
Azioni sul collegamento: N=-9117.97 Ty=-3.49 Tz=-9.22 Mx=0.02 Mz=0.69
Sollecitazioni agenti localmente: Tx_l=-3.49 Ty_l=-9.22 N_l=-9117.97 My_l=-0.69 Mz_l=0.02
Azioni sul cordone: TP=-0.28 TO=-0.67 NO=-674.00
Tensioni nel cordone: τ_P= 0.09 τ_0=0.21 σ_0=215.25 σ_{ID}=215.25 Σ_T=215.46
CC 5 SLV (Collegamento 0025_-382)
Azioni sul collegamento: N=-3843.85 Ty=-1.39 Tz=10.20 Mx=0.02 Mz=0.03
Sollecitazioni agenti localmente: Tx_l=-1.39 Ty_l=10.20 N_l=-3843.85 My_l=-0.03 Mz_l=0.02
Azioni sul cordone: TP=-0.12 TO=0.77 NO=-284.14
Tensioni nel cordone: τ_P= 0.04 τ_0=0.24 σ_0=90.35 σ_{ID}=90.35 Σ_T=90.60
CC 5 SLV (Collegamento 0025_-382)
Azioni sul collegamento: N=-3843.85 Ty=-3.49 Tz=10.20 Mx=0.02 Mz=0.69
Sollecitazioni agenti localmente: Tx_l=-3.49 Ty_l=10.20 N_l=-3843.85 My_l=-0.69 Mz_l=0.02
Azioni sul cordone: TP=-0.28 TO=0.77 NO=-284.14
Tensioni nel cordone: τ_P= 0.09 τ_0=0.24 σ_0=91.33 σ_{ID}=91.33 Σ_T=91.57
CC 5 SLV (Collegamento 0025_-382)
Azioni sul collegamento: N=-3843.85 Ty=-1.39 Tz=-9.22 Mx=0.02 Mz=0.03
Sollecitazioni agenti localmente: Tx_l=-1.39 Ty_l=-9.22 N_l=-3843.85 My_l=-0.03 Mz_l=0.02
Azioni sul cordone: TP=-0.12 TO=-0.67 NO=-284.14
Tensioni nel cordone: τ_P= 0.04 τ_0=0.21 σ_0=90.35 σ_{ID}=90.35 Σ_T=90.56
CC 5 SLV (Collegamento 0025_-382)
Azioni sul collegamento: N=-3843.85 Ty=-3.49 Tz=-9.22 Mx=0.02 Mz=0.69
Sollecitazioni agenti localmente: Tx_l=-3.49 Ty_l=-9.22 N_l=-3843.85 My_l=-0.69 Mz_l=0.02
Azioni sul cordone: TP=-0.28 TO=-0.67 NO=-284.14
Tensioni nel cordone: τ_P= 0.09 τ_0=0.21 σ_0=91.33 σ_{ID}=91.33 Σ_T=91.54
CC 6 SLD (Collegamento 0025_-382)
Azioni sul collegamento: N=-7317.51 Ty=-3.60 Tz=3.58 Mx=0.01 Mz=-1.82
Sollecitazioni agenti localmente: Tx_l=-3.60 Ty_l=3.58 N_l=-7317.51 My_l=1.82 Mz_l=0.01
Azioni sul cordone: TP=-0.28 TO=0.26 NO=-540.91
Tensioni nel cordone: τ_P= 0.09 τ_0= 0.08 σ_0=174.59 σ_{ID}=174.59 Σ_T=174.67
CC 6 SLD (Collegamento 0025_-382)
Azioni sul collegamento: N=-7317.51 Ty=-2.97 Tz=3.58 Mx=0.01 Mz=-1.62
Sollecitazioni agenti localmente: Tx_l=-2.97 Ty_l=3.58 N_l=-7317.51 My_l=1.62 Mz_l=0.01
Azioni sul cordone: TP=-0.23 TO=0.26 NO=-540.91
Tensioni nel cordone: τ_P= 0.07 τ_0= 0.08 σ_0=174.29 σ_{ID}=174.29 Σ_T=174.38
CC 6 SLD (Collegamento 0025_-382)
Azioni sul collegamento: N=-7317.51 Ty=-3.60 Tz=-2.35 Mx=0.01 Mz=-1.82
Sollecitazioni agenti localmente: Tx_l=-3.60 Ty_l=-2.35 N_l=-7317.51 My_l=1.82 Mz_l=0.01
Azioni sul cordone: TP=-0.28 TO=-0.18 NO=-540.91
Tensioni nel cordone: τ_P= 0.09 τ_0= 0.06 σ_0=174.59 σ_{ID}=174.59 Σ_T=174.65
CC 6 SLD (Collegamento 0025_-382)
Azioni sul collegamento: N=-7317.51 Ty=-2.97 Tz=-2.35 Mx=0.01 Mz=-1.62
Sollecitazioni agenti localmente: Tx_l=-2.97 Ty_l=-2.35 N_l=-7317.51 My_l=1.62 Mz_l=0.01
Azioni sul cordone: TP=-0.23 TO=-0.18 NO=-540.91
Tensioni nel cordone: τ_P= 0.07 τ_0= 0.06 σ_0=174.29 σ_{ID}=174.29 Σ_T=174.35
CC 6 SLD (Collegamento 0025_-382)
Azioni sul collegamento: N=-5709.27 Ty=-3.60 Tz=3.58 Mx=0.01 Mz=-1.82
Sollecitazioni agenti localmente: Tx_l=-3.60 Ty_l=3.58 N_l=-5709.27 My_l=1.82 Mz_l=0.01
Azioni sul cordone: TP=-0.28 TO=0.26 NO=-422.03
Tensioni nel cordone: τ_P= 0.09 τ_0= 0.08 σ_0=136.81 σ_{ID}=136.81 Σ_T=136.89
CC 6 SLD (Collegamento 0025_-382)
Azioni sul collegamento: N=-5709.27 Ty=-2.97 Tz=3.58 Mx=0.01 Mz=-1.62
Sollecitazioni agenti localmente: Tx_l=-2.97 Ty_l=3.58 N_l=-5709.27 My_l=1.62 Mz_l=0.01
Azioni sul cordone: TP=-0.23 TO=0.26 NO=-422.03

Tensioni nel cordone: τ_P= 0.07 τ_0= 0.08 σ_0=136.51 σ_{ID}=136.51 Σ_T=136.59
CC 6 SLD (Collegamento 0025_-382)
Azioni sul collegamento: N=-5709.27 Ty=-3.60 Tz=-2.35 Mx=0.01 Mz=-1.82
Sollecitazioni agenti localmente: Tx_l=-3.60 Ty_l=-2.35 N_l=-5709.27 My_l=1.82 Mz_l=0.01
Azioni sul cordone: TP=-0.28 TO=-0.18 NO=-422.03
Tensioni nel cordone: τ_P= 0.09 τ_0= 0.06 σ_0=136.81 σ_{ID}=136.81 Σ_T=136.86
CC 6 SLD (Collegamento 0025_-382)
Azioni sul collegamento: N=-5709.27 Ty=-2.97 Tz=-2.35 Mx=0.01 Mz=-1.62
Sollecitazioni agenti localmente: Tx_l=-2.97 Ty_l=-2.35 N_l=-5709.27 My_l=1.62 Mz_l=0.01
Azioni sul cordone: TP=-0.23 TO=-0.18 NO=-422.03
Tensioni nel cordone: τ_P= 0.07 τ_0= 0.06 σ_0=136.51 σ_{ID}=136.51 Σ_T=136.56
CC 7 SLV (Collegamento 0025_-382)
Azioni sul collegamento: N=-9123.66 Ty=-0.76 Tz=10.33 Mx=0.01 Mz=-1.23
Sollecitazioni agenti localmente: Tx_l=-0.76 Ty_l=10.33 N_l=-9123.66 My_l=1.23 Mz_l=0.01
Azioni sul cordone: TP=-0.07 TO=0.75 NO=-674.42
Tensioni nel cordone: τ_P= 0.02 τ_0=0.24 σ_0=216.16 σ_{ID}=216.16 Σ_T=216.40
CC 7 SLV (Collegamento 0025_-382)
Azioni sul collegamento: N=-9123.66 Ty=-4.12 Tz=10.33 Mx=0.01 Mz=1.95
Sollecitazioni agenti localmente: Tx_l=-4.12 Ty_l=10.33 N_l=-9123.66 My_l=-1.95 Mz_l=0.01
Azioni sul cordone: TP=-0.32 TO=0.77 NO=-674.42
Tensioni nel cordone: τ_P=0.10 τ_0=0.25 σ_0=217.22 σ_{ID}=217.22 Σ_T=217.46
CC 7 SLV (Collegamento 0025_-382)
Azioni sul collegamento: N=-9123.66 Ty=-0.76 Tz=-9.35 Mx=0.01 Mz=-1.23
Sollecitazioni agenti localmente: Tx_l=-0.76 Ty_l=-9.35 N_l=-9123.66 My_l=1.23 Mz_l=0.01
Azioni sul cordone: TP=-0.07 TO=-0.70 NO=-674.42
Tensioni nel cordone: τ_P= 0.02 τ_0=0.22 σ_0=216.16 σ_{ID}=216.16 Σ_T=216.38
CC 7 SLV (Collegamento 0025_-382)
Azioni sul collegamento: N=-9123.66 Ty=-4.12 Tz=-9.35 Mx=0.01 Mz=1.95
Sollecitazioni agenti localmente: Tx_l=-4.12 Ty_l=-9.35 N_l=-9123.66 My_l=-1.95 Mz_l=0.01
Azioni sul cordone: TP=-0.32 TO=-0.68 NO=-674.42
Tensioni nel cordone: τ_P=0.10 τ_0=0.22 σ_0=217.22 σ_{ID}=217.22 Σ_T=217.43
CC 7 SLV (Collegamento 0025_-382)
Azioni sul collegamento: N=-3838.16 Ty=-0.76 Tz=10.33 Mx=0.01 Mz=-1.23
Sollecitazioni agenti localmente: Tx_l=-0.76 Ty_l=10.33 N_l=-3838.16 My_l=1.23 Mz_l=0.01
Azioni sul cordone: TP=-0.07 TO=0.75 NO=-283.72
Tensioni nel cordone: τ_P= 0.02 τ_0=0.24 σ_0=91.98 σ_{ID}=91.98 Σ_T=92.22
CC 7 SLV (Collegamento 0025_-382)
Azioni sul collegamento: N=-3838.16 Ty=-4.12 Tz=10.33 Mx=0.01 Mz=1.95
Sollecitazioni agenti localmente: Tx_l=-4.12 Ty_l=10.33 N_l=-3838.16 My_l=-1.95 Mz_l=0.01
Azioni sul cordone: TP=-0.32 TO=0.77 NO=-283.72
Tensioni nel cordone: τ_P=0.10 τ_0=0.25 σ_0=93.03 σ_{ID}=93.03 Σ_T=93.28
CC 7 SLV (Collegamento 0025_-382)
Azioni sul collegamento: N=-3838.16 Ty=-0.76 Tz=-9.35 Mx=0.01 Mz=-1.23
Sollecitazioni agenti localmente: Tx_l=-0.76 Ty_l=-9.35 N_l=-3838.16 My_l=1.23 Mz_l=0.01
Azioni sul cordone: TP=-0.07 TO=-0.70 NO=-283.72
Tensioni nel cordone: τ_P= 0.02 τ_0=0.22 σ_0=91.98 σ_{ID}=91.98 Σ_T=92.20
CC 7 SLV (Collegamento 0025_-382)
Azioni sul collegamento: N=-3838.16 Ty=-4.12 Tz=-9.35 Mx=0.01 Mz=1.95
Sollecitazioni agenti localmente: Tx_l=-4.12 Ty_l=-9.35 N_l=-3838.16 My_l=-1.95 Mz_l=0.01
Azioni sul cordone: TP=-0.32 TO=-0.68 NO=-283.72
Tensioni nel cordone: τ_P=0.10 τ_0=0.22 σ_0=93.03 σ_{ID}=93.03 Σ_T=93.25
CC 8 SLD (Collegamento 0025_-382)
Azioni sul collegamento: N=-7319.25 Ty=-3.80 Tz=3.62 Mx=0.01 Mz=-2.21
Sollecitazioni agenti localmente: Tx_l=-3.80 Ty_l=3.62 N_l=-7319.25 My_l=2.21 Mz_l=0.01
Azioni sul cordone: TP=-0.29 TO=0.26 NO=-541.04
Tensioni nel cordone: τ_P= 0.09 τ_0= 0.08 σ_0=175.19 σ_{ID}=175.19 Σ_T=175.28
CC 8 SLD (Collegamento 0025_-382)
Azioni sul collegamento: N=-7319.25 Ty=-2.77 Tz=3.62 Mx=0.01 Mz=-1.24
Sollecitazioni agenti localmente: Tx_l=-2.77 Ty_l=3.62 N_l=-7319.25 My_l=1.24 Mz_l=0.01
Azioni sul cordone: TP=-0.21 TO=0.26 NO=-541.04
Tensioni nel cordone: τ_P= 0.07 τ_0= 0.08 σ_0=173.78 σ_{ID}=173.78 Σ_T=173.86
CC 8 SLD (Collegamento 0025_-382)
Azioni sul collegamento: N=-7319.25 Ty=-3.80 Tz=-2.38 Mx=0.01 Mz=-2.21
Sollecitazioni agenti localmente: Tx_l=-3.80 Ty_l=-2.38 N_l=-7319.25 My_l=2.21 Mz_l=0.01
Azioni sul cordone: TP=-0.29 TO=-0.18 NO=-541.04
Tensioni nel cordone: τ_P= 0.09 τ_0= 0.06 σ_0=175.19 σ_{ID}=175.19 Σ_T=175.25
CC 8 SLD (Collegamento 0025_-382)
Azioni sul collegamento: N=-7319.25 Ty=-2.77 Tz=-2.38 Mx=0.01 Mz=-1.24
Sollecitazioni agenti localmente: Tx_l=-2.77 Ty_l=-2.38 N_l=-7319.25 My_l=1.24 Mz_l=0.01
Azioni sul cordone: TP=-0.21 TO=-0.18 NO=-541.04
Tensioni nel cordone: τ_P= 0.07 τ_0= 0.06 σ_0=173.78 σ_{ID}=173.78 Σ_T=173.83
CC 8 SLD (Collegamento 0025_-382)
Azioni sul collegamento: N=-5707.53 Ty=-3.80 Tz=3.62 Mx=0.01 Mz=-2.21
Sollecitazioni agenti localmente: Tx_l=-3.80 Ty_l=3.62 N_l=-5707.53 My_l=2.21 Mz_l=0.01
Azioni sul cordone: TP=-0.29 TO=0.26 NO=-421.90
Tensioni nel cordone: τ_P= 0.09 τ_0= 0.08 σ_0=137.32 σ_{ID}=137.32 Σ_T=137.41
CC 8 SLD (Collegamento 0025_-382)
Azioni sul collegamento: N=-5707.53 Ty=-2.77 Tz=3.62 Mx=0.01 Mz=-1.24
Sollecitazioni agenti localmente: Tx_l=-2.77 Ty_l=3.62 N_l=-5707.53 My_l=1.24 Mz_l=0.01
Azioni sul cordone: TP=-0.21 TO=0.26 NO=-421.90
Tensioni nel cordone: τ_P= 0.07 τ_0= 0.08 σ_0=135.91 σ_{ID}=135.91 Σ_T=135.99

CC 8 SLD (Collegamento 0025_-382)
Azioni sul collegamento: N=-5707.53 Ty=-3.80 Tz=-2.38 Mx=0.01 Mz=-2.21
Sollecitazioni agenti localmente: Tx_l=-3.80 Ty_l=-2.38 N_l=-5707.53 My_l=2.21 Mz_l=0.01
Azioni sul cordone: TP=-0.29 TO=-0.18 NO=-421.90
Tensioni nel cordone: τ_P= 0.09 τ_0= 0.06 σ_0=137.32 σ_{ID}=137.32 Σ_T=137.38
CC 8 SLD (Collegamento 0025_-382)
Azioni sul collegamento: N=-5707.53 Ty=-2.77 Tz=-2.38 Mx=0.01 Mz=-1.24
Sollecitazioni agenti localmente: Tx_l=-2.77 Ty_l=-2.38 N_l=-5707.53 My_l=1.24 Mz_l=0.01
Azioni sul cordone: TP=-0.21 TO=-0.18 NO=-421.90
Tensioni nel cordone: τ_P= 0.07 τ_0= 0.06 σ_0=135.91 σ_{ID}=135.91 Σ_T=135.96
CC 9 SLV (Collegamento 0025_-382)
Azioni sul collegamento: N=-5679.47 Ty=-3.91 Tz=-2.66 Mx=0.03 Mz=2.74
Sollecitazioni agenti localmente: Tx_l=-3.91 Ty_l=-2.66 N_l=-5679.47 My_l=-2.74 Mz_l=0.03
Azioni sul cordone: TP=-0.32 TO=-0.18 NO=-419.83
Tensioni nel cordone: τ_P=0.10 τ_0= 0.06 σ_0=137.45 σ_{ID}=137.45 Σ_T=137.51
CC 9 SLV (Collegamento 0025_-382)
Azioni sul collegamento: N=-5679.47 Ty=-0.97 Tz=-2.66 Mx=0.03 Mz=-2.02
Sollecitazioni agenti localmente: Tx_l=-0.97 Ty_l=-2.66 N_l=-5679.47 My_l=2.02 Mz_l=0.03
Azioni sul cordone: TP=-0.10 TO=-0.22 NO=-419.83
Tensioni nel cordone: τ_P= 0.03 τ_0= 0.07 σ_0=136.40 σ_{ID}=136.40 Σ_T=136.47
CC 9 SLV (Collegamento 0025_-382)
Azioni sul collegamento: N=-5679.47 Ty=-3.91 Tz=3.63 Mx=0.03 Mz=2.74
Sollecitazioni agenti localmente: Tx_l=-3.91 Ty_l=3.63 N_l=-5679.47 My_l=-2.74 Mz_l=0.03
Azioni sul cordone: TP=-0.32 TO=0.29 NO=-419.83
Tensioni nel cordone: τ_P=0.10 τ_0= 0.09 σ_0=137.45 σ_{ID}=137.45 Σ_T=137.54
CC 9 SLV (Collegamento 0025_-382)
Azioni sul collegamento: N=-5679.47 Ty=-0.97 Tz=3.63 Mx=0.03 Mz=-2.02
Sollecitazioni agenti localmente: Tx_l=-0.97 Ty_l=3.63 N_l=-5679.47 My_l=2.02 Mz_l=0.03
Azioni sul cordone: TP=-0.10 TO=0.25 NO=-419.83
Tensioni nel cordone: τ_P= 0.03 τ_0= 0.08 σ_0=136.40 σ_{ID}=136.40 Σ_T=136.48
CC 9 SLV (Collegamento 0025_-382)
Azioni sul collegamento: N=-7282.35 Ty=-3.91 Tz=-2.66 Mx=0.03 Mz=2.74
Sollecitazioni agenti localmente: Tx_l=-3.91 Ty_l=-2.66 N_l=-7282.35 My_l=-2.74 Mz_l=0.03
Azioni sul cordone: TP=-0.32 TO=-0.18 NO=-538.31
Tensioni nel cordone: τ_P=0.10 τ_0= 0.06 σ_0=175.11 σ_{ID}=175.11 Σ_T=175.17
CC 9 SLV (Collegamento 0025_-382)
Azioni sul collegamento: N=-7282.35 Ty=-0.97 Tz=-2.66 Mx=0.03 Mz=-2.02
Sollecitazioni agenti localmente: Tx_l=-0.97 Ty_l=-2.66 N_l=-7282.35 My_l=2.02 Mz_l=0.03
Azioni sul cordone: TP=-0.10 TO=-0.22 NO=-538.31
Tensioni nel cordone: τ_P= 0.03 τ_0= 0.07 σ_0=174.06 σ_{ID}=174.06 Σ_T=174.13
CC 9 SLV (Collegamento 0025_-382)
Azioni sul collegamento: N=-7282.35 Ty=-3.91 Tz=3.63 Mx=0.03 Mz=2.74
Sollecitazioni agenti localmente: Tx_l=-3.91 Ty_l=3.63 N_l=-7282.35 My_l=-2.74 Mz_l=0.03
Azioni sul cordone: TP=-0.32 TO=0.29 NO=-538.31
Tensioni nel cordone: τ_P=0.10 τ_0= 0.09 σ_0=175.11 σ_{ID}=175.11 Σ_T=175.20
CC 9 SLV (Collegamento 0025_-382)
Azioni sul collegamento: N=-7282.35 Ty=-0.97 Tz=3.63 Mx=0.03 Mz=-2.02
Sollecitazioni agenti localmente: Tx_l=-0.97 Ty_l=3.63 N_l=-7282.35 My_l=2.02 Mz_l=0.03
Azioni sul cordone: TP=-0.10 TO=0.25 NO=-538.31
Tensioni nel cordone: τ_P= 0.03 τ_0= 0.08 σ_0=174.06 σ_{ID}=174.06 Σ_T=174.14
CC 10 SLD (Collegamento 0025_-382)
Azioni sul collegamento: N=-6269.01 Ty=-2.84 Tz=-0.34 Mx=0.01 Mz=-0.99
Sollecitazioni agenti localmente: Tx_l=-2.84 Ty_l=-0.34 N_l=-6269.01 My_l=0.99 Mz_l=0.01
Azioni sul cordone: TP=-0.22 TO=-0.03 NO=-463.41
Tensioni nel cordone: τ_P= 0.07 τ_0= 0.01 σ_0=148.75 σ_{ID}=148.75 Σ_T=148.76
CC 10 SLD (Collegamento 0025_-382)
Azioni sul collegamento: N=-6269.01 Ty=-3.73 Tz=-0.34 Mx=0.01 Mz=-2.45
Sollecitazioni agenti localmente: Tx_l=-3.73 Ty_l=-0.34 N_l=-6269.01 My_l=2.45 Mz_l=0.01
Azioni sul cordone: TP=-0.29 TO=-0.03 NO=-463.41
Tensioni nel cordone: τ_P= 0.09 τ_0= 0.01 σ_0=150.87 σ_{ID}=150.87 Σ_T=150.88
CC 10 SLD (Collegamento 0025_-382)
Azioni sul collegamento: N=-6269.00 Ty=-2.84 Tz=1.57 Mx=0.01 Mz=-0.99
Sollecitazioni agenti localmente: Tx_l=-2.84 Ty_l=1.57 N_l=-6269.00 My_l=0.99 Mz_l=0.01
Azioni sul cordone: TP=-0.22 TO=0.11 NO=-463.41
Tensioni nel cordone: τ_P= 0.07 τ_0= 0.03 σ_0=148.75 σ_{ID}=148.75 Σ_T=148.78
CC 10 SLD (Collegamento 0025_-382)
Azioni sul collegamento: N=-6269.00 Ty=-3.73 Tz=1.57 Mx=0.01 Mz=-2.45
Sollecitazioni agenti localmente: Tx_l=-3.73 Ty_l=1.57 N_l=-6269.00 My_l=2.45 Mz_l=0.01
Azioni sul cordone: TP=-0.29 TO=0.11 NO=-463.41
Tensioni nel cordone: τ_P= 0.09 τ_0= 0.03 σ_0=150.87 σ_{ID}=150.87 Σ_T=150.90
CC 10 SLD (Collegamento 0025_-382)
Azioni sul collegamento: N=-6757.78 Ty=-2.84 Tz=-0.34 Mx=0.01 Mz=-0.99
Sollecitazioni agenti localmente: Tx_l=-2.84 Ty_l=-0.34 N_l=-6757.78 My_l=0.99 Mz_l=0.01
Azioni sul cordone: TP=-0.22 TO=-0.03 NO=-499.54
Tensioni nel cordone: τ_P= 0.07 τ_0= 0.01 σ_0=160.23 σ_{ID}=160.23 Σ_T=160.24
CC 10 SLD (Collegamento 0025_-382)
Azioni sul collegamento: N=-6757.78 Ty=-3.73 Tz=-0.34 Mx=0.01 Mz=-2.45
Sollecitazioni agenti localmente: Tx_l=-3.73 Ty_l=-0.34 N_l=-6757.78 My_l=2.45 Mz_l=0.01
Azioni sul cordone: TP=-0.29 TO=-0.03 NO=-499.54
Tensioni nel cordone: τ_P= 0.09 τ_0= 0.01 σ_0=162.35 σ_{ID}=162.35 Σ_T=162.36
CC 10 SLD (Collegamento 0025_-382)

Azioni sul collegamento: N=-6757.78 Ty=-2.84 Tz=1.57 Mx=0.01 Mz=-0.99
Sollecitazioni agenti localmente: Tx_l=-2.84 Ty_l=1.57 N_l=-6757.78 My_l=0.99 Mz_l=0.01
Azioni sul cordone: TP=-0.22 TO=0.11 NO=-499.54
Tensioni nel cordone: τ_P= 0.07 τ_0= 0.03 σ_0=160.23 σ_{ID}=160.23 Σ_T=160.26
CC 10 SLD (Collegamento 0025_-382)
Azioni sul collegamento: N=-6757.78 Ty=-3.73 Tz=1.57 Mx=0.01 Mz=-2.45
Sollecitazioni agenti localmente: Tx_l=-3.73 Ty_l=1.57 N_l=-6757.78 My_l=2.45 Mz_l=0.01
Azioni sul cordone: TP=-0.29 TO=0.11 NO=-499.54
Tensioni nel cordone: τ_P= 0.09 τ_0= 0.03 σ_0=162.35 σ_{ID}=162.35 Σ_T=162.39
CC 11 SLV (Collegamento 0025_-382)
Azioni sul collegamento: N=-7263.41 Ty=-3.09 Tz=3.21 Mx=0.02 Mz=2.17
Sollecitazioni agenti localmente: Tx_l=-3.09 Ty_l=3.21 N_l=-7263.41 My_l=-2.17 Mz_l=0.02
Azioni sul cordone: TP=-0.26 TO=0.26 NO=-536.91
Tensioni nel cordone: τ_P= 0.08 τ_0= 0.08 σ_0=173.82 σ_{ID}=173.82 Σ_T=173.91
CC 11 SLV (Collegamento 0025_-382)
Azioni sul collegamento: N=-7263.41 Ty=-1.79 Tz=3.21 Mx=0.02 Mz=-1.45
Sollecitazioni agenti localmente: Tx_l=-1.79 Ty_l=3.21 N_l=-7263.41 My_l=1.45 Mz_l=0.02
Azioni sul cordone: TP=-0.16 TO=0.22 NO=-536.91
Tensioni nel cordone: τ_P= 0.05 τ_0= 0.07 σ_0=172.77 σ_{ID}=172.77 Σ_T=172.84
CC 11 SLV (Collegamento 0025_-382)
Azioni sul collegamento: N=-7263.41 Ty=-3.09 Tz=-2.23 Mx=0.02 Mz=2.17
Sollecitazioni agenti localmente: Tx_l=-3.09 Ty_l=-2.23 N_l=-7263.41 My_l=-2.17 Mz_l=0.02
Azioni sul cordone: TP=-0.26 TO=-0.15 NO=-536.91
Tensioni nel cordone: τ_P= 0.08 τ_0= 0.05 σ_0=173.82 σ_{ID}=173.82 Σ_T=173.87
CC 11 SLV (Collegamento 0025_-382)
Azioni sul collegamento: N=-7263.41 Ty=-1.79 Tz=-2.23 Mx=0.02 Mz=-1.45
Sollecitazioni agenti localmente: Tx_l=-1.79 Ty_l=-2.23 N_l=-7263.41 My_l=1.45 Mz_l=0.02
Azioni sul cordone: TP=-0.16 TO=-0.18 NO=-536.91
Tensioni nel cordone: τ_P= 0.05 τ_0= 0.06 σ_0=172.77 σ_{ID}=172.77 Σ_T=172.83
CC 11 SLV (Collegamento 0025_-382)
Azioni sul collegamento: N=-5698.41 Ty=-3.09 Tz=3.21 Mx=0.02 Mz=2.17
Sollecitazioni agenti localmente: Tx_l=-3.09 Ty_l=3.21 N_l=-5698.41 My_l=-2.17 Mz_l=0.02
Azioni sul cordone: TP=-0.26 TO=0.26 NO=-421.23
Tensioni nel cordone: τ_P= 0.08 τ_0= 0.08 σ_0=137.05 σ_{ID}=137.05 Σ_T=137.13
CC 11 SLV (Collegamento 0025_-382)
Azioni sul collegamento: N=-5698.41 Ty=-1.79 Tz=3.21 Mx=0.02 Mz=-1.45
Sollecitazioni agenti localmente: Tx_l=-1.79 Ty_l=3.21 N_l=-5698.41 My_l=1.45 Mz_l=0.02
Azioni sul cordone: TP=-0.16 TO=0.22 NO=-421.23
Tensioni nel cordone: τ_P= 0.05 τ_0= 0.07 σ_0=136.00 σ_{ID}=136.00 Σ_T=136.07
CC 11 SLV (Collegamento 0025_-382)
Azioni sul collegamento: N=-5698.41 Ty=-3.09 Tz=-2.23 Mx=0.02 Mz=2.17
Sollecitazioni agenti localmente: Tx_l=-3.09 Ty_l=-2.23 N_l=-5698.41 My_l=-2.17 Mz_l=0.02
Azioni sul cordone: TP=-0.26 TO=-0.15 NO=-421.23
Tensioni nel cordone: τ_P= 0.08 τ_0= 0.05 σ_0=137.05 σ_{ID}=137.05 Σ_T=137.10
CC 11 SLV (Collegamento 0025_-382)
Azioni sul collegamento: N=-5698.41 Ty=-1.79 Tz=-2.23 Mx=0.02 Mz=-1.45
Sollecitazioni agenti localmente: Tx_l=-1.79 Ty_l=-2.23 N_l=-5698.41 My_l=1.45 Mz_l=0.02
Azioni sul cordone: TP=-0.16 TO=-0.18 NO=-421.23
Tensioni nel cordone: τ_P= 0.05 τ_0= 0.06 σ_0=136.00 σ_{ID}=136.00 Σ_T=136.06
CC 12 SLD (Collegamento 0025_-382)
Azioni sul collegamento: N=-6752.00 Ty=-3.09 Tz=1.44 Mx=0.01 Mz=-1.17
Sollecitazioni agenti localmente: Tx_l=-3.09 Ty_l=1.44 N_l=-6752.00 My_l=1.17 Mz_l=0.01
Azioni sul cordone: TP=-0.24 TO=0.10 NO=-499.11
Tensioni nel cordone: τ_P= 0.08 τ_0= 0.03 σ_0=160.35 σ_{ID}=160.35 Σ_T=160.38
CC 12 SLD (Collegamento 0025_-382)
Azioni sul collegamento: N=-6752.00 Ty=-3.48 Tz=1.44 Mx=0.01 Mz=-2.27
Sollecitazioni agenti localmente: Tx_l=-3.48 Ty_l=1.44 N_l=-6752.00 My_l=2.27 Mz_l=0.01
Azioni sul cordone: TP=-0.27 TO=0.10 NO=-499.11
Tensioni nel cordone: τ_P= 0.09 τ_0= 0.03 σ_0=161.96 σ_{ID}=161.96 Σ_T=161.99
CC 12 SLD (Collegamento 0025_-382)
Azioni sul collegamento: N=-6752.00 Ty=-3.09 Tz=-0.21 Mx=0.01 Mz=-1.17
Sollecitazioni agenti localmente: Tx_l=-3.09 Ty_l=-0.21 N_l=-6752.00 My_l=1.17 Mz_l=0.01
Azioni sul cordone: TP=-0.24 TO=-0.02 NO=-499.11
Tensioni nel cordone: τ_P= 0.08 τ_0=7.48E-03 σ_0=160.35 σ_{ID}=160.35 Σ_T=160.36
CC 12 SLD (Collegamento 0025_-382)
Azioni sul collegamento: N=-6752.00 Ty=-3.48 Tz=-0.21 Mx=0.01 Mz=-2.27
Sollecitazioni agenti localmente: Tx_l=-3.48 Ty_l=-0.21 N_l=-6752.00 My_l=2.27 Mz_l=0.01
Azioni sul cordone: TP=-0.27 TO=-0.02 NO=-499.11
Tensioni nel cordone: τ_P= 0.09 τ_0=7.48E-03 σ_0=161.96 σ_{ID}=161.96 Σ_T=161.97
CC 12 SLD (Collegamento 0025_-382)
Azioni sul collegamento: N=-6274.78 Ty=-3.09 Tz=1.44 Mx=0.01 Mz=-1.17
Sollecitazioni agenti localmente: Tx_l=-3.09 Ty_l=1.44 N_l=-6274.78 My_l=1.17 Mz_l=0.01
Azioni sul cordone: TP=-0.24 TO=0.10 NO=-463.83
Tensioni nel cordone: τ_P= 0.08 τ_0= 0.03 σ_0=149.14 σ_{ID}=149.14 Σ_T=149.17
CC 12 SLD (Collegamento 0025_-382)
Azioni sul collegamento: N=-6274.78 Ty=-3.48 Tz=1.44 Mx=0.01 Mz=-2.27
Sollecitazioni agenti localmente: Tx_l=-3.48 Ty_l=1.44 N_l=-6274.78 My_l=2.27 Mz_l=0.01
Azioni sul cordone: TP=-0.27 TO=0.10 NO=-463.83
Tensioni nel cordone: τ_P= 0.09 τ_0= 0.03 σ_0=150.75 σ_{ID}=150.75 Σ_T=150.78
CC 12 SLD (Collegamento 0025_-382)
Azioni sul collegamento: N=-6274.78 Ty=-3.09 Tz=-0.21 Mx=0.01 Mz=-1.17

Sollecitazioni agenti localmente: Tx_l=-3.09 Ty_l=-0.21 N_l=-6274.78 My_l=1.17 Mz_l=0.01
Azioni sul cordone: TP=-0.24 TO=-0.02 NO=-463.83
Tensioni nel cordone: τ_P= 0.08 τ_O=7.48E-03 σ_O=149.14 σ_{ID}=149.14 Σ_T=149.15
CC 12 SLD (Collegamento 0025_-382)
Azioni sul collegamento: N=-6274.78 Ty=-3.48 Tz=-0.21 Mx=0.01 Mz=-2.27
Sollecitazioni agenti localmente: Tx_l=-3.48 Ty_l=-0.21 N_l=-6274.78 My_l=2.27 Mz_l=0.01
Azioni sul cordone: TP=-0.27 TO=-0.02 NO=-463.83
Tensioni nel cordone: τ_P= 0.09 τ_O=7.48E-03 σ_O=150.75 σ_{ID}=150.75 Σ_T=150.75
CC 13 SLV (Collegamento 0025_-382)
Azioni sul collegamento: N=-5698.41 Ty=-1.79 Tz=-2.23 Mx=0.01 Mz=-1.45
Sollecitazioni agenti localmente: Tx_l=-1.79 Ty_l=-2.23 N_l=-5698.41 My_l=1.45 Mz_l=0.01
Azioni sul cordone: TP=-0.14 TO=-0.17 NO=-421.23
Tensioni nel cordone: τ_P= 0.05 τ_O= 0.05 σ_O=136.00 σ_{ID}=136.00 Σ_T=136.05
CC 13 SLV (Collegamento 0025_-382)
Azioni sul collegamento: N=-5698.41 Ty=-3.09 Tz=-2.23 Mx=0.01 Mz=2.17
Sollecitazioni agenti localmente: Tx_l=-3.09 Ty_l=-2.23 N_l=-5698.41 My_l=-2.17 Mz_l=0.01
Azioni sul cordone: TP=-0.24 TO=-0.16 NO=-421.23
Tensioni nel cordone: τ_P= 0.08 τ_O= 0.05 σ_O=137.05 σ_{ID}=137.05 Σ_T=137.10
CC 13 SLV (Collegamento 0025_-382)
Azioni sul collegamento: N=-5698.41 Ty=-1.79 Tz=3.21 Mx=0.01 Mz=-1.45
Sollecitazioni agenti localmente: Tx_l=-1.79 Ty_l=3.21 N_l=-5698.41 My_l=1.45 Mz_l=0.01
Azioni sul cordone: TP=-0.14 TO=0.23 NO=-421.23
Tensioni nel cordone: τ_P= 0.05 τ_O= 0.07 σ_O=136.00 σ_{ID}=136.00 Σ_T=136.07
CC 13 SLV (Collegamento 0025_-382)
Azioni sul collegamento: N=-5698.41 Ty=-3.09 Tz=3.21 Mx=0.01 Mz=2.17
Sollecitazioni agenti localmente: Tx_l=-3.09 Ty_l=3.21 N_l=-5698.41 My_l=-2.17 Mz_l=0.01
Azioni sul cordone: TP=-0.24 TO=0.24 NO=-421.23
Tensioni nel cordone: τ_P= 0.08 τ_O= 0.08 σ_O=137.05 σ_{ID}=137.05 Σ_T=137.13
CC 13 SLV (Collegamento 0025_-382)
Azioni sul collegamento: N=-7263.41 Ty=-1.79 Tz=-2.23 Mx=0.01 Mz=-1.45
Sollecitazioni agenti localmente: Tx_l=-1.79 Ty_l=-2.23 N_l=-7263.41 My_l=1.45 Mz_l=0.01
Azioni sul cordone: TP=-0.14 TO=-0.17 NO=-536.91
Tensioni nel cordone: τ_P= 0.05 τ_O= 0.05 σ_O=172.77 σ_{ID}=172.77 Σ_T=172.82
CC 13 SLV (Collegamento 0025_-382)
Azioni sul collegamento: N=-7263.41 Ty=-3.09 Tz=-2.23 Mx=0.01 Mz=2.17
Sollecitazioni agenti localmente: Tx_l=-3.09 Ty_l=-2.23 N_l=-7263.41 My_l=-2.17 Mz_l=0.01
Azioni sul cordone: TP=-0.24 TO=-0.16 NO=-536.91
Tensioni nel cordone: τ_P= 0.08 τ_O= 0.05 σ_O=173.82 σ_{ID}=173.82 Σ_T=173.87
CC 13 SLV (Collegamento 0025_-382)
Azioni sul collegamento: N=-7263.41 Ty=-1.79 Tz=3.21 Mx=0.01 Mz=-1.45
Sollecitazioni agenti localmente: Tx_l=-1.79 Ty_l=3.21 N_l=-7263.41 My_l=1.45 Mz_l=0.01
Azioni sul cordone: TP=-0.14 TO=0.23 NO=-536.91
Tensioni nel cordone: τ_P= 0.05 τ_O= 0.07 σ_O=172.77 σ_{ID}=172.77 Σ_T=172.84
CC 13 SLV (Collegamento 0025_-382)
Azioni sul collegamento: N=-7263.41 Ty=-3.09 Tz=3.21 Mx=0.01 Mz=2.17
Sollecitazioni agenti localmente: Tx_l=-3.09 Ty_l=3.21 N_l=-7263.41 My_l=-2.17 Mz_l=0.01
Azioni sul cordone: TP=-0.24 TO=0.24 NO=-536.91
Tensioni nel cordone: τ_P= 0.08 τ_O= 0.08 σ_O=173.82 σ_{ID}=173.82 Σ_T=173.90
CC 14 SLD (Collegamento 0025_-382)
Azioni sul collegamento: N=-6274.78 Ty=-3.48 Tz=-0.21 Mx=0.01 Mz=-2.27
Sollecitazioni agenti localmente: Tx_l=-3.48 Ty_l=-0.21 N_l=-6274.78 My_l=2.27 Mz_l=0.01
Azioni sul cordone: TP=-0.26 TO=-0.02 NO=-463.83
Tensioni nel cordone: τ_P= 0.08 τ_O=6.32E-03 σ_O=150.75 σ_{ID}=150.75 Σ_T=150.75
CC 14 SLD (Collegamento 0025_-382)
Azioni sul collegamento: N=-6274.78 Ty=-3.09 Tz=-0.21 Mx=0.01 Mz=-1.17
Sollecitazioni agenti localmente: Tx_l=-3.09 Ty_l=-0.21 N_l=-6274.78 My_l=1.17 Mz_l=0.01
Azioni sul cordone: TP=-0.23 TO=-0.02 NO=-463.83
Tensioni nel cordone: τ_P= 0.07 τ_O=6.32E-03 σ_O=149.14 σ_{ID}=149.14 Σ_T=149.15
CC 14 SLD (Collegamento 0025_-382)
Azioni sul collegamento: N=-6274.78 Ty=-3.48 Tz=1.44 Mx=0.01 Mz=-2.27
Sollecitazioni agenti localmente: Tx_l=-3.48 Ty_l=1.44 N_l=-6274.78 My_l=2.27 Mz_l=0.01
Azioni sul cordone: TP=-0.26 TO=0.10 NO=-463.83
Tensioni nel cordone: τ_P= 0.08 τ_O= 0.03 σ_O=150.75 σ_{ID}=150.75 Σ_T=150.78
CC 14 SLD (Collegamento 0025_-382)
Azioni sul collegamento: N=-6274.78 Ty=-3.09 Tz=1.44 Mx=0.01 Mz=-1.17
Sollecitazioni agenti localmente: Tx_l=-3.09 Ty_l=1.44 N_l=-6274.78 My_l=1.17 Mz_l=0.01
Azioni sul cordone: TP=-0.23 TO=0.10 NO=-463.83
Tensioni nel cordone: τ_P= 0.07 τ_O= 0.03 σ_O=149.14 σ_{ID}=149.14 Σ_T=149.17
CC 14 SLD (Collegamento 0025_-382)
Azioni sul collegamento: N=-6752.00 Ty=-3.48 Tz=-0.21 Mx=0.01 Mz=-2.27
Sollecitazioni agenti localmente: Tx_l=-3.48 Ty_l=-0.21 N_l=-6752.00 My_l=2.27 Mz_l=0.01
Azioni sul cordone: TP=-0.26 TO=-0.02 NO=-499.11
Tensioni nel cordone: τ_P= 0.08 τ_O=6.32E-03 σ_O=161.96 σ_{ID}=161.96 Σ_T=161.97
CC 14 SLD (Collegamento 0025_-382)
Azioni sul collegamento: N=-6752.00 Ty=-3.09 Tz=-0.21 Mx=0.01 Mz=-1.17
Sollecitazioni agenti localmente: Tx_l=-3.09 Ty_l=-0.21 N_l=-6752.00 My_l=1.17 Mz_l=0.01
Azioni sul cordone: TP=-0.23 TO=-0.02 NO=-499.11
Tensioni nel cordone: τ_P= 0.07 τ_O=6.32E-03 σ_O=160.35 σ_{ID}=160.35 Σ_T=160.36
CC 14 SLD (Collegamento 0025_-382)
Azioni sul collegamento: N=-6752.00 Ty=-3.48 Tz=1.44 Mx=0.01 Mz=-2.27
Sollecitazioni agenti localmente: Tx_l=-3.48 Ty_l=1.44 N_l=-6752.00 My_l=2.27 Mz_l=0.01

Azioni sul cordone: TP=-0.26 TO=0.10 NO=-499.11
Tensioni nel cordone: τ_P= 0.08 τ_0= 0.03 σ_0=161.96 σ_{ID}=161.96 Σ_T=161.99
CC 14 SLD (Collegamento 0025_-382)
Azioni sul collegamento: N=-6752.00 Ty=-3.09 Tz=1.44 Mx=0.01 Mz=-1.17
Sollecitazioni agenti localmente: Tx_l=-3.09 Ty_l=1.44 N_l=-6752.00 My_l=1.17 Mz_l=0.01
Azioni sul cordone: TP=-0.23 TO=0.10 NO=-499.11
Tensioni nel cordone: τ_P= 0.07 τ_0= 0.03 σ_0=160.35 σ_{ID}=160.35 Σ_T=160.38
CC 15 SLV (Collegamento 0025_-382)
Azioni sul collegamento: N=-7282.35 Ty=-0.97 Tz=3.63 Mx=0.01 Mz=-2.02
Sollecitazioni agenti localmente: Tx_l=-0.97 Ty_l=3.63 N_l=-7282.35 My_l=2.02 Mz_l=0.01
Azioni sul cordone: TP=-0.08 TO=0.26 NO=-538.31
Tensioni nel cordone: τ_P= 0.03 τ_0= 0.08 σ_0=174.06 σ_{ID}=174.06 Σ_T=174.14
CC 15 SLV (Collegamento 0025_-382)
Azioni sul collegamento: N=-7282.35 Ty=-3.91 Tz=3.63 Mx=0.01 Mz=2.74
Sollecitazioni agenti localmente: Tx_l=-3.91 Ty_l=3.63 N_l=-7282.35 My_l=-2.74 Mz_l=0.01
Azioni sul cordone: TP=-0.30 TO=0.28 NO=-538.31
Tensioni nel cordone: τ_P= 0.09 τ_0= 0.09 σ_0=175.11 σ_{ID}=175.11 Σ_T=175.20
CC 15 SLV (Collegamento 0025_-382)
Azioni sul collegamento: N=-7282.35 Ty=-0.97 Tz=-2.66 Mx=0.01 Mz=-2.02
Sollecitazioni agenti localmente: Tx_l=-0.97 Ty_l=-2.66 N_l=-7282.35 My_l=2.02 Mz_l=0.01
Azioni sul cordone: TP=-0.08 TO=-0.20 NO=-538.31
Tensioni nel cordone: τ_P= 0.03 τ_0= 0.06 σ_0=174.06 σ_{ID}=174.06 Σ_T=174.12
CC 15 SLV (Collegamento 0025_-382)
Azioni sul collegamento: N=-7282.35 Ty=-3.91 Tz=-2.66 Mx=0.01 Mz=2.74
Sollecitazioni agenti localmente: Tx_l=-3.91 Ty_l=-2.66 N_l=-7282.35 My_l=-2.74 Mz_l=0.01
Azioni sul cordone: TP=-0.30 TO=-0.19 NO=-538.31
Tensioni nel cordone: τ_P= 0.09 τ_0= 0.06 σ_0=175.11 σ_{ID}=175.11 Σ_T=175.17
CC 15 SLV (Collegamento 0025_-382)
Azioni sul collegamento: N=-5679.47 Ty=-0.97 Tz=3.63 Mx=0.01 Mz=-2.02
Sollecitazioni agenti localmente: Tx_l=-0.97 Ty_l=3.63 N_l=-5679.47 My_l=2.02 Mz_l=0.01
Azioni sul cordone: TP=-0.08 TO=0.26 NO=-419.83
Tensioni nel cordone: τ_P= 0.03 τ_0= 0.08 σ_0=136.40 σ_{ID}=136.40 Σ_T=136.48
CC 15 SLV (Collegamento 0025_-382)
Azioni sul collegamento: N=-5679.47 Ty=-3.91 Tz=3.63 Mx=0.01 Mz=2.74
Sollecitazioni agenti localmente: Tx_l=-3.91 Ty_l=3.63 N_l=-5679.47 My_l=-2.74 Mz_l=0.01
Azioni sul cordone: TP=-0.30 TO=0.28 NO=-419.83
Tensioni nel cordone: τ_P= 0.09 τ_0= 0.09 σ_0=137.45 σ_{ID}=137.45 Σ_T=137.54
CC 15 SLV (Collegamento 0025_-382)
Azioni sul collegamento: N=-5679.47 Ty=-0.97 Tz=-2.66 Mx=0.01 Mz=-2.02
Sollecitazioni agenti localmente: Tx_l=-0.97 Ty_l=-2.66 N_l=-5679.47 My_l=2.02 Mz_l=0.01
Azioni sul cordone: TP=-0.08 TO=-0.20 NO=-419.83
Tensioni nel cordone: τ_P= 0.03 τ_0= 0.06 σ_0=136.40 σ_{ID}=136.40 Σ_T=136.46
CC 15 SLV (Collegamento 0025_-382)
Azioni sul collegamento: N=-5679.47 Ty=-3.91 Tz=-2.66 Mx=0.01 Mz=2.74
Sollecitazioni agenti localmente: Tx_l=-3.91 Ty_l=-2.66 N_l=-5679.47 My_l=-2.74 Mz_l=0.01
Azioni sul cordone: TP=-0.30 TO=-0.19 NO=-419.83
Tensioni nel cordone: τ_P= 0.09 τ_0= 0.06 σ_0=137.45 σ_{ID}=137.45 Σ_T=137.51
CC 16 SLD (Collegamento 0025_-382)
Azioni sul collegamento: N=-6757.78 Ty=-3.73 Tz=1.57 Mx=0.00 Mz=-2.45
Sollecitazioni agenti localmente: Tx_l=-3.73 Ty_l=1.57 N_l=-6757.78 My_l=2.45 Mz_l=0.00
Azioni sul cordone: TP=-0.28 TO=0.11 NO=-499.54
Tensioni nel cordone: τ_P= 0.09 τ_0= 0.04 σ_0=162.35 σ_{ID}=162.35 Σ_T=162.39
CC 16 SLD (Collegamento 0025_-382)
Azioni sul collegamento: N=-6757.78 Ty=-2.84 Tz=1.57 Mx=0.00 Mz=-0.99
Sollecitazioni agenti localmente: Tx_l=-2.84 Ty_l=1.57 N_l=-6757.78 My_l=0.99 Mz_l=0.00
Azioni sul cordone: TP=-0.22 TO=0.11 NO=-499.54
Tensioni nel cordone: τ_P= 0.07 τ_0= 0.04 σ_0=160.23 σ_{ID}=160.23 Σ_T=160.26
CC 16 SLD (Collegamento 0025_-382)
Azioni sul collegamento: N=-6757.78 Ty=-3.73 Tz=-0.34 Mx=0.00 Mz=-2.45
Sollecitazioni agenti localmente: Tx_l=-3.73 Ty_l=-0.34 N_l=-6757.78 My_l=2.45 Mz_l=0.00
Azioni sul cordone: TP=-0.28 TO=-0.03 NO=-499.54
Tensioni nel cordone: τ_P= 0.09 τ_0=9.31E-03 σ_0=162.35 σ_{ID}=162.35 Σ_T=162.36
CC 16 SLD (Collegamento 0025_-382)
Azioni sul collegamento: N=-6757.78 Ty=-2.84 Tz=-0.34 Mx=0.00 Mz=-0.99
Sollecitazioni agenti localmente: Tx_l=-2.84 Ty_l=-0.34 N_l=-6757.78 My_l=0.99 Mz_l=0.00
Azioni sul cordone: TP=-0.22 TO=-0.03 NO=-499.54
Tensioni nel cordone: τ_P= 0.07 τ_0=9.31E-03 σ_0=160.23 σ_{ID}=160.23 Σ_T=160.24
CC 16 SLD (Collegamento 0025_-382)
Azioni sul collegamento: N=-6269.00 Ty=-3.73 Tz=1.57 Mx=0.00 Mz=-2.45
Sollecitazioni agenti localmente: Tx_l=-3.73 Ty_l=1.57 N_l=-6269.00 My_l=2.45 Mz_l=0.00
Azioni sul cordone: TP=-0.28 TO=0.11 NO=-463.41
Tensioni nel cordone: τ_P= 0.09 τ_0= 0.04 σ_0=150.87 σ_{ID}=150.87 Σ_T=150.91
CC 16 SLD (Collegamento 0025_-382)
Azioni sul collegamento: N=-6269.00 Ty=-2.84 Tz=1.57 Mx=0.00 Mz=-0.99
Sollecitazioni agenti localmente: Tx_l=-2.84 Ty_l=1.57 N_l=-6269.00 My_l=0.99 Mz_l=0.00
Azioni sul cordone: TP=-0.22 TO=0.11 NO=-463.41
Tensioni nel cordone: τ_P= 0.07 τ_0= 0.04 σ_0=148.75 σ_{ID}=148.75 Σ_T=148.78
CC 16 SLD (Collegamento 0025_-382)
Azioni sul collegamento: N=-6269.01 Ty=-3.73 Tz=-0.34 Mx=0.00 Mz=-2.45
Sollecitazioni agenti localmente: Tx_l=-3.73 Ty_l=-0.34 N_l=-6269.01 My_l=2.45 Mz_l=0.00
Azioni sul cordone: TP=-0.28 TO=-0.03 NO=-463.41

Tensioni nel cordone: τ_P= 0.09 τ_O=9.31E-03 σ_O=150.87 σ_{ID}=150.87 Σ_T=150.88
CC 16 SLD (Collegamento 0025_-382)
Azioni sul collegamento: N=-6269.01 Ty=-2.84 Tz=-0.34 Mx=0.00 Mz=-0.99
Sollecitazioni agenti localmente: Tx_l=-2.84 Ty_l=-0.34 N_l=-6269.01 My_l=0.99 Mz_l=0.00
Azioni sul cordone: TP=-0.22 TO=-0.03 NO=-463.41
Tensioni nel cordone: τ_P= 0.07 τ_O=9.31E-03 σ_O=148.75 σ_{ID}=148.75 Σ_T=148.75
CC 17 SLV (Collegamento 0025_-382)
Azioni sul collegamento: N=-3931.62 Ty=-3.19 Tz=-8.98 Mx=-0.01 Mz=-4.04
Sollecitazioni agenti localmente: Tx_l=-3.19 Ty_l=-8.98 N_l=-3931.62 My_l=4.04 Mz_l=-0.01
Azioni sul cordone: TP=-0.22 TO=-0.65 NO=-290.63
Tensioni nel cordone: τ_P= 0.07 τ_O=0.21 σ_O=98.28 σ_{ID}=98.28 Σ_T=98.48
CC 17 SLV (Collegamento 0025_-382)
Azioni sul collegamento: N=-3931.62 Ty=-6.55 Tz=-8.98 Mx=-0.01 Mz=-7.22
Sollecitazioni agenti localmente: Tx_l=-6.55 Ty_l=-8.98 N_l=-3931.62 My_l=7.22 Mz_l=-0.01
Azioni sul cordone: TP=-0.47 TO=-0.65 NO=-290.63
Tensioni nel cordone: τ_P=0.15 τ_O=0.21 σ_O=102.92 σ_{ID}=102.92 Σ_T=103.13
CC 17 SLV (Collegamento 0025_-382)
Azioni sul collegamento: N=-3931.62 Ty=-3.19 Tz=10.69 Mx=-0.01 Mz=-4.04
Sollecitazioni agenti localmente: Tx_l=-3.19 Ty_l=10.69 N_l=-3931.62 My_l=4.04 Mz_l=-0.01
Azioni sul cordone: TP=-0.22 TO=0.80 NO=-290.63
Tensioni nel cordone: τ_P= 0.07 τ_O=0.25 σ_O=98.28 σ_{ID}=98.28 Σ_T=98.53
CC 17 SLV (Collegamento 0025_-382)
Azioni sul collegamento: N=-3931.62 Ty=-6.55 Tz=10.69 Mx=-0.01 Mz=-7.22
Sollecitazioni agenti localmente: Tx_l=-6.55 Ty_l=10.69 N_l=-3931.62 My_l=7.22 Mz_l=-0.01
Azioni sul cordone: TP=-0.47 TO=0.80 NO=-290.63
Tensioni nel cordone: τ_P=0.15 τ_O=0.25 σ_O=102.92 σ_{ID}=102.92 Σ_T=103.18
CC 17 SLV (Collegamento 0025_-382)
Azioni sul collegamento: N=-9217.12 Ty=-3.19 Tz=-8.98 Mx=-0.01 Mz=-4.04
Sollecitazioni agenti localmente: Tx_l=-3.19 Ty_l=-8.98 N_l=-9217.12 My_l=4.04 Mz_l=-0.01
Azioni sul cordone: TP=-0.22 TO=-0.65 NO=-681.33
Tensioni nel cordone: τ_P= 0.07 τ_O=0.21 σ_O=222.46 σ_{ID}=222.46 Σ_T=222.67
CC 17 SLV (Collegamento 0025_-382)
Azioni sul collegamento: N=-9217.12 Ty=-6.55 Tz=-8.98 Mx=-0.01 Mz=-7.22
Sollecitazioni agenti localmente: Tx_l=-6.55 Ty_l=-8.98 N_l=-9217.12 My_l=7.22 Mz_l=-0.01
Azioni sul cordone: TP=-0.47 TO=-0.65 NO=-681.33
Tensioni nel cordone: τ_P=0.15 τ_O=0.21 σ_O=227.11 σ_{ID}=227.11 Σ_T=227.32
CC 17 SLV (Collegamento 0025_-382)
Azioni sul collegamento: N=-9217.12 Ty=-3.19 Tz=10.69 Mx=-0.01 Mz=-4.04
Sollecitazioni agenti localmente: Tx_l=-3.19 Ty_l=10.69 N_l=-9217.12 My_l=4.04 Mz_l=-0.01
Azioni sul cordone: TP=-0.22 TO=0.80 NO=-681.33
Tensioni nel cordone: τ_P= 0.07 τ_O=0.25 σ_O=222.46 σ_{ID}=222.46 Σ_T=222.72
CC 17 SLV (Collegamento 0025_-382)
Azioni sul collegamento: N=-9217.12 Ty=-6.55 Tz=10.69 Mx=-0.01 Mz=-7.22
Sollecitazioni agenti localmente: Tx_l=-6.55 Ty_l=10.69 N_l=-9217.12 My_l=7.22 Mz_l=-0.01
Azioni sul cordone: TP=-0.47 TO=0.80 NO=-681.33
Tensioni nel cordone: τ_P=0.15 τ_O=0.25 σ_O=227.11 σ_{ID}=227.11 Σ_T=227.36
CC 18 SLD (Collegamento 0025_-382)
Azioni sul collegamento: N=-5736.03 Ty=-3.51 Tz=-2.27 Mx=-0.00 Mz=-3.06
Sollecitazioni agenti localmente: Tx_l=-3.51 Ty_l=-2.27 N_l=-5736.03 My_l=3.06 Mz_l=-0.00
Azioni sul cordone: TP=-0.26 TO=-0.17 NO=-424.01
Tensioni nel cordone: τ_P= 0.08 τ_O= 0.05 σ_O=139.25 σ_{ID}=139.25 Σ_T=139.30
CC 18 SLD (Collegamento 0025_-382)
Azioni sul collegamento: N=-5736.03 Ty=-4.54 Tz=-2.27 Mx=-0.00 Mz=-4.03
Sollecitazioni agenti localmente: Tx_l=-4.54 Ty_l=-2.27 N_l=-5736.03 My_l=4.03 Mz_l=-0.00
Azioni sul cordone: TP=-0.33 TO=-0.17 NO=-424.01
Tensioni nel cordone: τ_P=0.11 τ_O= 0.05 σ_O=140.66 σ_{ID}=140.66 Σ_T=140.72
CC 18 SLD (Collegamento 0025_-382)
Azioni sul collegamento: N=-5736.03 Ty=-3.51 Tz=3.73 Mx=-0.00 Mz=-3.06
Sollecitazioni agenti localmente: Tx_l=-3.51 Ty_l=3.73 N_l=-5736.03 My_l=3.06 Mz_l=-0.00
Azioni sul cordone: TP=-0.26 TO=0.28 NO=-424.01
Tensioni nel cordone: τ_P= 0.08 τ_O= 0.09 σ_O=139.25 σ_{ID}=139.25 Σ_T=139.33
CC 18 SLD (Collegamento 0025_-382)
Azioni sul collegamento: N=-5736.03 Ty=-4.54 Tz=3.73 Mx=-0.00 Mz=-4.03
Sollecitazioni agenti localmente: Tx_l=-4.54 Ty_l=3.73 N_l=-5736.03 My_l=4.03 Mz_l=-0.00
Azioni sul cordone: TP=-0.33 TO=0.28 NO=-424.01
Tensioni nel cordone: τ_P=0.11 τ_O= 0.09 σ_O=140.66 σ_{ID}=140.66 Σ_T=140.75
CC 18 SLD (Collegamento 0025_-382)
Azioni sul collegamento: N=-7347.75 Ty=-3.51 Tz=-2.27 Mx=-0.00 Mz=-3.06
Sollecitazioni agenti localmente: Tx_l=-3.51 Ty_l=-2.27 N_l=-7347.75 My_l=3.06 Mz_l=-0.00
Azioni sul cordone: TP=-0.26 TO=-0.17 NO=-543.15
Tensioni nel cordone: τ_P= 0.08 τ_O= 0.05 σ_O=177.11 σ_{ID}=177.11 Σ_T=177.17
CC 18 SLD (Collegamento 0025_-382)
Azioni sul collegamento: N=-7347.75 Ty=-4.54 Tz=-2.27 Mx=-0.00 Mz=-4.03
Sollecitazioni agenti localmente: Tx_l=-4.54 Ty_l=-2.27 N_l=-7347.75 My_l=4.03 Mz_l=-0.00
Azioni sul cordone: TP=-0.33 TO=-0.17 NO=-543.15
Tensioni nel cordone: τ_P=0.11 τ_O= 0.05 σ_O=178.53 σ_{ID}=178.53 Σ_T=178.58
CC 18 SLD (Collegamento 0025_-382)
Azioni sul collegamento: N=-7347.75 Ty=-3.51 Tz=3.73 Mx=-0.00 Mz=-3.06
Sollecitazioni agenti localmente: Tx_l=-3.51 Ty_l=3.73 N_l=-7347.75 My_l=3.06 Mz_l=-0.00
Azioni sul cordone: TP=-0.26 TO=0.28 NO=-543.15
Tensioni nel cordone: τ_P= 0.08 τ_O= 0.09 σ_O=177.11 σ_{ID}=177.11 Σ_T=177.20

CC 18 SLD (Collegamento 0025_-382)
Azioni sul collegamento: N=-7347.75 Ty=-4.54 Tz=3.73 Mx=-0.00 Mz=-4.03
Sollecitazioni agenti localmente: Tx_l=-4.54 Ty_l=3.73 N_l=-7347.75 My_l=4.03 Mz_l=-0.00
Azioni sul cordone: TP=-0.33 TO=0.28 NO=-543.15
Tensioni nel cordone: τ_P=0.11 τ_0= 0.09 σ_0=178.53 σ_{ID}=178.53 Σ_T=178.62
CC 19 SLV (Collegamento 0025_-382)
Azioni sul collegamento: N=-3937.31 Ty=-3.82 Tz=-8.85 Mx=-0.01 Mz=-5.30
Sollecitazioni agenti localmente: Tx_l=-3.82 Ty_l=-8.85 N_l=-3937.31 My_l=5.30 Mz_l=-0.01
Azioni sul cordone: TP=-0.27 TO=-0.65 NO=-291.05
Tensioni nel cordone: τ_P= 0.09 τ_0=0.21 σ_0=100.25 σ_{ID}=100.25 Σ_T=100.45
CC 19 SLV (Collegamento 0025_-382)
Azioni sul collegamento: N=-3937.31 Ty=-5.92 Tz=-8.85 Mx=-0.01 Mz=-5.96
Sollecitazioni agenti localmente: Tx_l=-5.92 Ty_l=-8.85 N_l=-3937.31 My_l=5.96 Mz_l=-0.01
Azioni sul cordone: TP=-0.43 TO=-0.65 NO=-291.05
Tensioni nel cordone: τ_P=0.14 τ_0=0.21 σ_0=101.22 σ_{ID}=101.22 Σ_T=101.43
CC 19 SLV (Collegamento 0025_-382)
Azioni sul collegamento: N=-3937.31 Ty=-3.82 Tz=10.56 Mx=-0.01 Mz=-5.30
Sollecitazioni agenti localmente: Tx_l=-3.82 Ty_l=10.56 N_l=-3937.31 My_l=5.30 Mz_l=-0.01
Azioni sul cordone: TP=-0.27 TO=0.79 NO=-291.05
Tensioni nel cordone: τ_P= 0.09 τ_0=0.25 σ_0=100.25 σ_{ID}=100.25 Σ_T=100.50
CC 19 SLV (Collegamento 0025_-382)
Azioni sul collegamento: N=-3937.31 Ty=-5.92 Tz=10.56 Mx=-0.01 Mz=-5.96
Sollecitazioni agenti localmente: Tx_l=-5.92 Ty_l=10.56 N_l=-3937.31 My_l=5.96 Mz_l=-0.01
Azioni sul cordone: TP=-0.43 TO=0.79 NO=-291.05
Tensioni nel cordone: τ_P=0.14 τ_0=0.25 σ_0=101.22 σ_{ID}=101.22 Σ_T=101.47
CC 19 SLV (Collegamento 0025_-382)
Azioni sul collegamento: N=-9211.43 Ty=-3.82 Tz=-8.85 Mx=-0.01 Mz=-5.30
Sollecitazioni agenti localmente: Tx_l=-3.82 Ty_l=-8.85 N_l=-9211.43 My_l=5.30 Mz_l=-0.01
Azioni sul cordone: TP=-0.27 TO=-0.65 NO=-680.91
Tensioni nel cordone: τ_P= 0.09 τ_0=0.21 σ_0=224.16 σ_{ID}=224.16 Σ_T=224.37
CC 19 SLV (Collegamento 0025_-382)
Azioni sul collegamento: N=-9211.43 Ty=-5.92 Tz=-8.85 Mx=-0.01 Mz=-5.96
Sollecitazioni agenti localmente: Tx_l=-5.92 Ty_l=-8.85 N_l=-9211.43 My_l=5.96 Mz_l=-0.01
Azioni sul cordone: TP=-0.43 TO=-0.65 NO=-680.91
Tensioni nel cordone: τ_P=0.14 τ_0=0.21 σ_0=225.14 σ_{ID}=225.14 Σ_T=225.34
CC 19 SLV (Collegamento 0025_-382)
Azioni sul collegamento: N=-9211.43 Ty=-3.82 Tz=10.56 Mx=-0.01 Mz=-5.30
Sollecitazioni agenti localmente: Tx_l=-3.82 Ty_l=10.56 N_l=-9211.43 My_l=5.30 Mz_l=-0.01
Azioni sul cordone: TP=-0.27 TO=0.79 NO=-680.91
Tensioni nel cordone: τ_P= 0.09 τ_0=0.25 σ_0=224.16 σ_{ID}=224.16 Σ_T=224.41
CC 19 SLV (Collegamento 0025_-382)
Azioni sul collegamento: N=-9211.43 Ty=-5.92 Tz=10.56 Mx=-0.01 Mz=-5.96
Sollecitazioni agenti localmente: Tx_l=-5.92 Ty_l=10.56 N_l=-9211.43 My_l=5.96 Mz_l=-0.01
Azioni sul cordone: TP=-0.43 TO=0.79 NO=-680.91
Tensioni nel cordone: τ_P=0.14 τ_0=0.25 σ_0=225.14 σ_{ID}=225.14 Σ_T=225.39
CC 20 SLD (Collegamento 0025_-382)
Azioni sul collegamento: N=-5737.77 Ty=-3.71 Tz=-2.23 Mx=-0.00 Mz=-3.45
Sollecitazioni agenti localmente: Tx_l=-3.71 Ty_l=-2.23 N_l=-5737.77 My_l=3.45 Mz_l=-0.00
Azioni sul cordone: TP=-0.27 TO=-0.16 NO=-424.14
Tensioni nel cordone: τ_P= 0.09 τ_0= 0.05 σ_0=139.84 σ_{ID}=139.84 Σ_T=139.90
CC 20 SLD (Collegamento 0025_-382)
Azioni sul collegamento: N=-5737.77 Ty=-4.34 Tz=-2.23 Mx=-0.00 Mz=-3.65
Sollecitazioni agenti localmente: Tx_l=-4.34 Ty_l=-2.23 N_l=-5737.77 My_l=3.65 Mz_l=-0.00
Azioni sul cordone: TP=-0.32 TO=-0.16 NO=-424.14
Tensioni nel cordone: τ_P=0.10 τ_0= 0.05 σ_0=140.14 σ_{ID}=140.14 Σ_T=140.19
CC 20 SLD (Collegamento 0025_-382)
Azioni sul collegamento: N=-5737.77 Ty=-3.71 Tz=3.69 Mx=-0.00 Mz=-3.45
Sollecitazioni agenti localmente: Tx_l=-3.71 Ty_l=3.69 N_l=-5737.77 My_l=3.45 Mz_l=-0.00
Azioni sul cordone: TP=-0.27 TO=0.27 NO=-424.14
Tensioni nel cordone: τ_P= 0.09 τ_0= 0.09 σ_0=139.84 σ_{ID}=139.84 Σ_T=139.93
CC 20 SLD (Collegamento 0025_-382)
Azioni sul collegamento: N=-5737.77 Ty=-4.34 Tz=3.69 Mx=-0.00 Mz=-3.65
Sollecitazioni agenti localmente: Tx_l=-4.34 Ty_l=3.69 N_l=-5737.77 My_l=3.65 Mz_l=-0.00
Azioni sul cordone: TP=-0.32 TO=0.27 NO=-424.14
Tensioni nel cordone: τ_P=0.10 τ_0= 0.09 σ_0=140.14 σ_{ID}=140.14 Σ_T=140.23
CC 20 SLD (Collegamento 0025_-382)
Azioni sul collegamento: N=-7346.01 Ty=-3.71 Tz=-2.23 Mx=-0.00 Mz=-3.45
Sollecitazioni agenti localmente: Tx_l=-3.71 Ty_l=-2.23 N_l=-7346.01 My_l=3.45 Mz_l=-0.00
Azioni sul cordone: TP=-0.27 TO=-0.16 NO=-543.02
Tensioni nel cordone: τ_P= 0.09 τ_0= 0.05 σ_0=177.63 σ_{ID}=177.63 Σ_T=177.68
CC 20 SLD (Collegamento 0025_-382)
Azioni sul collegamento: N=-7346.01 Ty=-4.34 Tz=-2.23 Mx=-0.00 Mz=-3.65
Sollecitazioni agenti localmente: Tx_l=-4.34 Ty_l=-2.23 N_l=-7346.01 My_l=3.65 Mz_l=-0.00
Azioni sul cordone: TP=-0.32 TO=-0.16 NO=-543.02
Tensioni nel cordone: τ_P=0.10 τ_0= 0.05 σ_0=177.93 σ_{ID}=177.93 Σ_T=177.98
CC 20 SLD (Collegamento 0025_-382)
Azioni sul collegamento: N=-7346.01 Ty=-3.71 Tz=3.69 Mx=-0.00 Mz=-3.45
Sollecitazioni agenti localmente: Tx_l=-3.71 Ty_l=3.69 N_l=-7346.01 My_l=3.45 Mz_l=-0.00
Azioni sul cordone: TP=-0.27 TO=0.27 NO=-543.02
Tensioni nel cordone: τ_P= 0.09 τ_0= 0.09 σ_0=177.63 σ_{ID}=177.63 Σ_T=177.72
CC 20 SLD (Collegamento 0025_-382)

Azioni sul collegamento: N=-7346.01 Ty=-4.34 Tz=3.69 Mx=-0.00 Mz=-3.65
Sollecitazioni agenti localmente: Tx_l=-4.34 Ty_l=3.69 N_l=-7346.01 My_l=3.65 Mz_l=-0.00
Azioni sul cordone: TP=-0.32 TO=0.27 NO=-543.02
Tensioni nel cordone: τ_P=0.10 τ_0= 0.09 σ_0=177.93 σ_{ID}=177.93 Σ_T=178.02
CC 21 SLV (Collegamento 0025_-382)
Azioni sul collegamento: N=-9211.43 Ty=-5.92 Tz=10.56 Mx=-0.01 Mz=-5.96
Sollecitazioni agenti localmente: Tx_l=-5.92 Ty_l=10.56 N_l=-9211.43 My_l=5.96 Mz_l=-0.01
Azioni sul cordone: TP=-0.42 TO=0.79 NO=-680.91
Tensioni nel cordone: τ_P=0.13 τ_0=0.25 σ_0=225.14 σ_{ID}=225.14 Σ_T=225.39
CC 21 SLV (Collegamento 0025_-382)
Azioni sul collegamento: N=-9211.43 Ty=-3.82 Tz=10.56 Mx=-0.01 Mz=-5.30
Sollecitazioni agenti localmente: Tx_l=-3.82 Ty_l=10.56 N_l=-9211.43 My_l=5.30 Mz_l=-0.01
Azioni sul cordone: TP=-0.27 TO=0.79 NO=-680.91
Tensioni nel cordone: τ_P= 0.09 τ_0=0.25 σ_0=224.16 σ_{ID}=224.16 Σ_T=224.41
CC 21 SLV (Collegamento 0025_-382)
Azioni sul collegamento: N=-9211.43 Ty=-5.92 Tz=-8.85 Mx=-0.01 Mz=-5.96
Sollecitazioni agenti localmente: Tx_l=-5.92 Ty_l=-8.85 N_l=-9211.43 My_l=5.96 Mz_l=-0.01
Azioni sul cordone: TP=-0.42 TO=-0.65 NO=-680.91
Tensioni nel cordone: τ_P=0.13 τ_0=0.21 σ_0=225.14 σ_{ID}=225.14 Σ_T=225.34
CC 21 SLV (Collegamento 0025_-382)
Azioni sul collegamento: N=-9211.43 Ty=-3.82 Tz=-8.85 Mx=-0.01 Mz=-5.30
Sollecitazioni agenti localmente: Tx_l=-3.82 Ty_l=-8.85 N_l=-9211.43 My_l=5.30 Mz_l=-0.01
Azioni sul cordone: TP=-0.27 TO=-0.65 NO=-680.91
Tensioni nel cordone: τ_P= 0.09 τ_0=0.21 σ_0=224.16 σ_{ID}=224.16 Σ_T=224.37
CC 21 SLV (Collegamento 0025_-382)
Azioni sul collegamento: N=-3937.31 Ty=-5.92 Tz=10.56 Mx=-0.01 Mz=-5.96
Sollecitazioni agenti localmente: Tx_l=-5.92 Ty_l=10.56 N_l=-3937.31 My_l=5.96 Mz_l=-0.01
Azioni sul cordone: TP=-0.42 TO=0.79 NO=-291.05
Tensioni nel cordone: τ_P=0.13 τ_0=0.25 σ_0=101.22 σ_{ID}=101.22 Σ_T=101.47
CC 21 SLV (Collegamento 0025_-382)
Azioni sul collegamento: N=-3937.31 Ty=-3.82 Tz=10.56 Mx=-0.01 Mz=-5.30
Sollecitazioni agenti localmente: Tx_l=-3.82 Ty_l=10.56 N_l=-3937.31 My_l=5.30 Mz_l=-0.01
Azioni sul cordone: TP=-0.27 TO=0.79 NO=-291.05
Tensioni nel cordone: τ_P= 0.09 τ_0=0.25 σ_0=100.25 σ_{ID}=100.25 Σ_T=100.50
CC 21 SLV (Collegamento 0025_-382)
Azioni sul collegamento: N=-3937.31 Ty=-5.92 Tz=-8.85 Mx=-0.01 Mz=-5.96
Sollecitazioni agenti localmente: Tx_l=-5.92 Ty_l=-8.85 N_l=-3937.31 My_l=5.96 Mz_l=-0.01
Azioni sul cordone: TP=-0.42 TO=-0.65 NO=-291.05
Tensioni nel cordone: τ_P=0.13 τ_0=0.21 σ_0=101.22 σ_{ID}=101.22 Σ_T=101.43
CC 21 SLV (Collegamento 0025_-382)
Azioni sul collegamento: N=-3937.31 Ty=-3.82 Tz=-8.85 Mx=-0.01 Mz=-5.30
Sollecitazioni agenti localmente: Tx_l=-3.82 Ty_l=-8.85 N_l=-3937.31 My_l=5.30 Mz_l=-0.01
Azioni sul cordone: TP=-0.27 TO=-0.65 NO=-291.05
Tensioni nel cordone: τ_P= 0.09 τ_0=0.21 σ_0=100.25 σ_{ID}=100.25 Σ_T=100.45
CC 22 SLD (Collegamento 0025_-382)
Azioni sul collegamento: N=-7346.01 Ty=-4.34 Tz=3.69 Mx=-0.00 Mz=-3.65
Sollecitazioni agenti localmente: Tx_l=-4.34 Ty_l=3.69 N_l=-7346.01 My_l=3.65 Mz_l=-0.00
Azioni sul cordone: TP=-0.32 TO=0.27 NO=-543.02
Tensioni nel cordone: τ_P=0.10 τ_0= 0.09 σ_0=177.93 σ_{ID}=177.93 Σ_T=178.02
CC 22 SLD (Collegamento 0025_-382)
Azioni sul collegamento: N=-7346.01 Ty=-3.71 Tz=3.69 Mx=-0.00 Mz=-3.45
Sollecitazioni agenti localmente: Tx_l=-3.71 Ty_l=3.69 N_l=-7346.01 My_l=3.45 Mz_l=-0.00
Azioni sul cordone: TP=-0.27 TO=0.27 NO=-543.02
Tensioni nel cordone: τ_P= 0.09 τ_0= 0.09 σ_0=177.63 σ_{ID}=177.63 Σ_T=177.72
CC 22 SLD (Collegamento 0025_-382)
Azioni sul collegamento: N=-7346.01 Ty=-4.34 Tz=-2.23 Mx=-0.00 Mz=-3.65
Sollecitazioni agenti localmente: Tx_l=-4.34 Ty_l=-2.23 N_l=-7346.01 My_l=3.65 Mz_l=-0.00
Azioni sul cordone: TP=-0.32 TO=-0.16 NO=-543.02
Tensioni nel cordone: τ_P=0.10 τ_0= 0.05 σ_0=177.93 σ_{ID}=177.93 Σ_T=177.98
CC 22 SLD (Collegamento 0025_-382)
Azioni sul collegamento: N=-7346.01 Ty=-3.71 Tz=-2.23 Mx=-0.00 Mz=-3.45
Sollecitazioni agenti localmente: Tx_l=-3.71 Ty_l=-2.23 N_l=-7346.01 My_l=3.45 Mz_l=-0.00
Azioni sul cordone: TP=-0.27 TO=-0.16 NO=-543.02
Tensioni nel cordone: τ_P= 0.09 τ_0= 0.05 σ_0=177.63 σ_{ID}=177.63 Σ_T=177.68
CC 22 SLD (Collegamento 0025_-382)
Azioni sul collegamento: N=-5737.77 Ty=-4.34 Tz=3.69 Mx=-0.00 Mz=-3.65
Sollecitazioni agenti localmente: Tx_l=-4.34 Ty_l=3.69 N_l=-5737.77 My_l=3.65 Mz_l=-0.00
Azioni sul cordone: TP=-0.32 TO=0.27 NO=-424.14
Tensioni nel cordone: τ_P=0.10 τ_0= 0.09 σ_0=140.14 σ_{ID}=140.14 Σ_T=140.23
CC 22 SLD (Collegamento 0025_-382)
Azioni sul collegamento: N=-5737.77 Ty=-3.71 Tz=3.69 Mx=-0.00 Mz=-3.45
Sollecitazioni agenti localmente: Tx_l=-3.71 Ty_l=3.69 N_l=-5737.77 My_l=3.45 Mz_l=-0.00
Azioni sul cordone: TP=-0.27 TO=0.27 NO=-424.14
Tensioni nel cordone: τ_P= 0.09 τ_0= 0.09 σ_0=139.84 σ_{ID}=139.84 Σ_T=139.93
CC 22 SLD (Collegamento 0025_-382)
Azioni sul collegamento: N=-5737.77 Ty=-4.34 Tz=-2.23 Mx=-0.00 Mz=-3.65
Sollecitazioni agenti localmente: Tx_l=-4.34 Ty_l=-2.23 N_l=-5737.77 My_l=3.65 Mz_l=-0.00
Azioni sul cordone: TP=-0.32 TO=-0.16 NO=-424.14
Tensioni nel cordone: τ_P=0.10 τ_0= 0.05 σ_0=140.14 σ_{ID}=140.14 Σ_T=140.19
CC 22 SLD (Collegamento 0025_-382)
Azioni sul collegamento: N=-5737.77 Ty=-3.71 Tz=-2.23 Mx=-0.00 Mz=-3.45

Sollecitazioni agenti localmente: Tx_l=-3.71 Ty_l=-2.23 N_l=-5737.77 My_l=3.45 Mz_l=-0.00
Azioni sul cordone: TP=-0.27 TO=-0.16 NO=-424.14
Tensioni nel cordone: τ_P= 0.09 τ_0= 0.05 σ_0=139.84 σ_{ID}=139.84 Σ_T=139.90
CC 23 SLV (Collegamento 0025_-382)
Azioni sul collegamento: N=-9217.12 Ty=-6.55 Tz=10.69 Mx=-0.01 Mz=-7.22
Sollecitazioni agenti localmente: Tx_l=-6.55 Ty_l=10.69 N_l=-9217.12 My_l=7.22 Mz_l=-0.01
Azioni sul cordone: TP=-0.48 TO=0.80 NO=-681.33
Tensioni nel cordone: τ_P=0.15 τ_0=0.25 σ_0=227.11 σ_{ID}=227.11 Σ_T=227.36
CC 23 SLV (Collegamento 0025_-382)
Azioni sul collegamento: N=-9217.12 Ty=-3.19 Tz=10.69 Mx=-0.01 Mz=-4.04
Sollecitazioni agenti localmente: Tx_l=-3.19 Ty_l=10.69 N_l=-9217.12 My_l=4.04 Mz_l=-0.01
Azioni sul cordone: TP=-0.23 TO=0.80 NO=-681.33
Tensioni nel cordone: τ_P= 0.07 τ_0=0.25 σ_0=222.46 σ_{ID}=222.46 Σ_T=222.71
CC 23 SLV (Collegamento 0025_-382)
Azioni sul collegamento: N=-9217.12 Ty=-6.55 Tz=-8.98 Mx=-0.01 Mz=-7.22
Sollecitazioni agenti localmente: Tx_l=-6.55 Ty_l=-8.98 N_l=-9217.12 My_l=7.22 Mz_l=-0.01
Azioni sul cordone: TP=-0.48 TO=-0.66 NO=-681.33
Tensioni nel cordone: τ_P=0.15 τ_0=0.21 σ_0=227.11 σ_{ID}=227.11 Σ_T=227.32
CC 23 SLV (Collegamento 0025_-382)
Azioni sul collegamento: N=-9217.12 Ty=-3.19 Tz=-8.98 Mx=-0.01 Mz=-4.04
Sollecitazioni agenti localmente: Tx_l=-3.19 Ty_l=-8.98 N_l=-9217.12 My_l=4.04 Mz_l=-0.01
Azioni sul cordone: TP=-0.23 TO=-0.66 NO=-681.33
Tensioni nel cordone: τ_P= 0.07 τ_0=0.21 σ_0=222.46 σ_{ID}=222.46 Σ_T=222.67
CC 23 SLV (Collegamento 0025_-382)
Azioni sul collegamento: N=-3931.62 Ty=-6.55 Tz=10.69 Mx=-0.01 Mz=-7.22
Sollecitazioni agenti localmente: Tx_l=-6.55 Ty_l=10.69 N_l=-3931.62 My_l=7.22 Mz_l=-0.01
Azioni sul cordone: TP=-0.48 TO=0.80 NO=-290.63
Tensioni nel cordone: τ_P=0.15 τ_0=0.25 σ_0=102.92 σ_{ID}=102.92 Σ_T=103.18
CC 23 SLV (Collegamento 0025_-382)
Azioni sul collegamento: N=-3931.62 Ty=-3.19 Tz=10.69 Mx=-0.01 Mz=-4.04
Sollecitazioni agenti localmente: Tx_l=-3.19 Ty_l=10.69 N_l=-3931.62 My_l=4.04 Mz_l=-0.01
Azioni sul cordone: TP=-0.23 TO=0.80 NO=-290.63
Tensioni nel cordone: τ_P= 0.07 τ_0=0.25 σ_0=98.28 σ_{ID}=98.28 Σ_T=98.53
CC 23 SLV (Collegamento 0025_-382)
Azioni sul collegamento: N=-3931.62 Ty=-6.55 Tz=-8.98 Mx=-0.01 Mz=-7.22
Sollecitazioni agenti localmente: Tx_l=-6.55 Ty_l=-8.98 N_l=-3931.62 My_l=7.22 Mz_l=-0.01
Azioni sul cordone: TP=-0.48 TO=-0.66 NO=-290.63
Tensioni nel cordone: τ_P=0.15 τ_0=0.21 σ_0=102.92 σ_{ID}=102.92 Σ_T=103.13
CC 23 SLV (Collegamento 0025_-382)
Azioni sul collegamento: N=-3931.62 Ty=-3.19 Tz=-8.98 Mx=-0.01 Mz=-4.04
Sollecitazioni agenti localmente: Tx_l=-3.19 Ty_l=-8.98 N_l=-3931.62 My_l=4.04 Mz_l=-0.01
Azioni sul cordone: TP=-0.23 TO=-0.66 NO=-290.63
Tensioni nel cordone: τ_P= 0.07 τ_0=0.21 σ_0=98.28 σ_{ID}=98.28 Σ_T=98.48
CC 24 SLD (Collegamento 0025_-382)
Azioni sul collegamento: N=-7347.75 Ty=-4.54 Tz=3.73 Mx=0.00 Mz=-4.03
Sollecitazioni agenti localmente: Tx_l=-4.54 Ty_l=3.73 N_l=-7347.75 My_l=4.03 Mz_l=0.00
Azioni sul cordone: TP=-0.34 TO=0.28 NO=-543.15
Tensioni nel cordone: τ_P=0.11 τ_0= 0.09 σ_0=178.53 σ_{ID}=178.53 Σ_T=178.62
CC 24 SLD (Collegamento 0025_-382)
Azioni sul collegamento: N=-7347.75 Ty=-3.51 Tz=3.73 Mx=0.00 Mz=-3.06
Sollecitazioni agenti localmente: Tx_l=-3.51 Ty_l=3.73 N_l=-7347.75 My_l=3.06 Mz_l=0.00
Azioni sul cordone: TP=-0.26 TO=0.28 NO=-543.15
Tensioni nel cordone: τ_P= 0.08 τ_0= 0.09 σ_0=177.11 σ_{ID}=177.11 Σ_T=177.20
CC 24 SLD (Collegamento 0025_-382)
Azioni sul collegamento: N=-7347.75 Ty=-4.54 Tz=-2.27 Mx=0.00 Mz=-4.03
Sollecitazioni agenti localmente: Tx_l=-4.54 Ty_l=-2.27 N_l=-7347.75 My_l=4.03 Mz_l=0.00
Azioni sul cordone: TP=-0.34 TO=-0.17 NO=-543.15
Tensioni nel cordone: τ_P=0.11 τ_0= 0.05 σ_0=178.53 σ_{ID}=178.53 Σ_T=178.58
CC 24 SLD (Collegamento 0025_-382)
Azioni sul collegamento: N=-7347.75 Ty=-3.51 Tz=-2.27 Mx=0.00 Mz=-3.06
Sollecitazioni agenti localmente: Tx_l=-3.51 Ty_l=-2.27 N_l=-7347.75 My_l=3.06 Mz_l=0.00
Azioni sul cordone: TP=-0.26 TO=-0.17 NO=-543.15
Tensioni nel cordone: τ_P= 0.08 τ_0= 0.05 σ_0=177.11 σ_{ID}=177.11 Σ_T=177.17
CC 24 SLD (Collegamento 0025_-382)
Azioni sul collegamento: N=-5736.03 Ty=-4.54 Tz=3.73 Mx=0.00 Mz=-4.03
Sollecitazioni agenti localmente: Tx_l=-4.54 Ty_l=3.73 N_l=-5736.03 My_l=4.03 Mz_l=0.00
Azioni sul cordone: TP=-0.34 TO=0.28 NO=-424.01
Tensioni nel cordone: τ_P=0.11 τ_0= 0.09 σ_0=140.66 σ_{ID}=140.66 Σ_T=140.75
CC 24 SLD (Collegamento 0025_-382)
Azioni sul collegamento: N=-5736.03 Ty=-3.51 Tz=3.73 Mx=0.00 Mz=-3.06
Sollecitazioni agenti localmente: Tx_l=-3.51 Ty_l=3.73 N_l=-5736.03 My_l=3.06 Mz_l=0.00
Azioni sul cordone: TP=-0.26 TO=0.28 NO=-424.01
Tensioni nel cordone: τ_P= 0.08 τ_0= 0.09 σ_0=139.25 σ_{ID}=139.25 Σ_T=139.33
CC 24 SLD (Collegamento 0025_-382)
Azioni sul collegamento: N=-5736.03 Ty=-4.54 Tz=-2.27 Mx=0.00 Mz=-4.03
Sollecitazioni agenti localmente: Tx_l=-4.54 Ty_l=-2.27 N_l=-5736.03 My_l=4.03 Mz_l=0.00
Azioni sul cordone: TP=-0.34 TO=-0.17 NO=-424.01
Tensioni nel cordone: τ_P=0.11 τ_0= 0.05 σ_0=140.66 σ_{ID}=140.66 Σ_T=140.72
CC 24 SLD (Collegamento 0025_-382)
Azioni sul collegamento: N=-5736.03 Ty=-3.51 Tz=-2.27 Mx=0.00 Mz=-3.06
Sollecitazioni agenti localmente: Tx_l=-3.51 Ty_l=-2.27 N_l=-5736.03 My_l=3.06 Mz_l=0.00

Azioni sul cordone: TP=-0.26 TO=-0.17 NO=-424.01
Tensioni nel cordone: τ_P= 0.08 τ_0= 0.05 σ_0=139.25 σ_{ID}=139.25 Σ_T=139.30
CC 25 SLV (Collegamento 0025_-382)
Azioni sul collegamento: N=-5772.93 Ty=-3.40 Tz=-2.29 Mx=-0.02 Mz=-3.25
Sollecitazioni agenti localmente: Tx_l=-3.40 Ty_l=-2.29 N_l=-5772.93 My_l=3.25 Mz_l=-0.02
Azioni sul cordone: TP=-0.23 TO=-0.15 NO=-426.74
Tensioni nel cordone: τ_P= 0.07 τ_0= 0.05 σ_0=140.38 σ_{ID}=140.38 Σ_T=140.43
CC 25 SLV (Collegamento 0025_-382)
Azioni sul collegamento: N=-5772.93 Ty=-6.34 Tz=-2.29 Mx=-0.02 Mz=-8.01
Sollecitazioni agenti localmente: Tx_l=-6.34 Ty_l=-2.29 N_l=-5772.93 My_l=8.01 Mz_l=-0.02
Azioni sul cordone: TP=-0.45 TO=-0.15 NO=-426.74
Tensioni nel cordone: τ_P=0.14 τ_0= 0.05 σ_0=147.34 σ_{ID}=147.34 Σ_T=147.39
CC 25 SLV (Collegamento 0025_-382)
Azioni sul collegamento: N=-5772.93 Ty=-3.40 Tz=4.00 Mx=-0.02 Mz=-3.25
Sollecitazioni agenti localmente: Tx_l=-3.40 Ty_l=4.00 N_l=-5772.93 My_l=3.25 Mz_l=-0.02
Azioni sul cordone: TP=-0.23 TO=0.31 NO=-426.74
Tensioni nel cordone: τ_P= 0.07 τ_0= 0.10 σ_0=140.38 σ_{ID}=140.38 Σ_T=140.48
CC 25 SLV (Collegamento 0025_-382)
Azioni sul collegamento: N=-5772.93 Ty=-6.34 Tz=4.00 Mx=-0.02 Mz=-8.01
Sollecitazioni agenti localmente: Tx_l=-6.34 Ty_l=4.00 N_l=-5772.93 My_l=8.01 Mz_l=-0.02
Azioni sul cordone: TP=-0.45 TO=0.31 NO=-426.74
Tensioni nel cordone: τ_P=0.14 τ_0= 0.10 σ_0=147.34 σ_{ID}=147.34 Σ_T=147.44
CC 25 SLV (Collegamento 0025_-382)
Azioni sul collegamento: N=-7375.81 Ty=-3.40 Tz=-2.29 Mx=-0.02 Mz=-3.25
Sollecitazioni agenti localmente: Tx_l=-3.40 Ty_l=-2.29 N_l=-7375.81 My_l=3.25 Mz_l=-0.02
Azioni sul cordone: TP=-0.23 TO=-0.15 NO=-545.22
Tensioni nel cordone: τ_P= 0.07 τ_0= 0.05 σ_0=178.04 σ_{ID}=178.04 Σ_T=178.09
CC 25 SLV (Collegamento 0025_-382)
Azioni sul collegamento: N=-7375.81 Ty=-6.34 Tz=-2.29 Mx=-0.02 Mz=-8.01
Sollecitazioni agenti localmente: Tx_l=-6.34 Ty_l=-2.29 N_l=-7375.81 My_l=8.01 Mz_l=-0.02
Azioni sul cordone: TP=-0.45 TO=-0.15 NO=-545.22
Tensioni nel cordone: τ_P=0.14 τ_0= 0.05 σ_0=185.00 σ_{ID}=185.00 Σ_T=185.05
CC 25 SLV (Collegamento 0025_-382)
Azioni sul collegamento: N=-7375.81 Ty=-3.40 Tz=4.00 Mx=-0.02 Mz=-3.25
Sollecitazioni agenti localmente: Tx_l=-3.40 Ty_l=4.00 N_l=-7375.81 My_l=3.25 Mz_l=-0.02
Azioni sul cordone: TP=-0.23 TO=0.31 NO=-545.22
Tensioni nel cordone: τ_P= 0.07 τ_0= 0.10 σ_0=178.04 σ_{ID}=178.04 Σ_T=178.14
CC 25 SLV (Collegamento 0025_-382)
Azioni sul collegamento: N=-7375.81 Ty=-6.34 Tz=4.00 Mx=-0.02 Mz=-8.01
Sollecitazioni agenti localmente: Tx_l=-6.34 Ty_l=4.00 N_l=-7375.81 My_l=8.01 Mz_l=-0.02
Azioni sul cordone: TP=-0.45 TO=0.31 NO=-545.22
Tensioni nel cordone: τ_P=0.14 τ_0= 0.10 σ_0=185.00 σ_{ID}=185.00 Σ_T=185.10
CC 26 SLD (Collegamento 0025_-382)
Azioni sul collegamento: N=-6297.50 Ty=-3.58 Tz=-0.23 Mx=-0.00 Mz=-2.82
Sollecitazioni agenti localmente: Tx_l=-3.58 Ty_l=-0.23 N_l=-6297.50 My_l=2.82 Mz_l=-0.00
Azioni sul cordone: TP=-0.26 TO=-0.01 NO=-465.51
Tensioni nel cordone: τ_P= 0.08 τ_0=4.59E-03 σ_0=152.08 σ_{ID}=152.08 Σ_T=152.09
CC 26 SLD (Collegamento 0025_-382)
Azioni sul collegamento: N=-6297.50 Ty=-4.47 Tz=-0.23 Mx=-0.00 Mz=-4.27
Sollecitazioni agenti localmente: Tx_l=-4.47 Ty_l=-0.23 N_l=-6297.50 My_l=4.27 Mz_l=-0.00
Azioni sul cordone: TP=-0.33 TO=-0.01 NO=-465.51
Tensioni nel cordone: τ_P=0.10 τ_0=4.59E-03 σ_0=154.21 σ_{ID}=154.21 Σ_T=154.21
CC 26 SLD (Collegamento 0025_-382)
Azioni sul collegamento: N=-6297.50 Ty=-3.58 Tz=1.69 Mx=-0.00 Mz=-2.82
Sollecitazioni agenti localmente: Tx_l=-3.58 Ty_l=1.69 N_l=-6297.50 My_l=2.82 Mz_l=-0.00
Azioni sul cordone: TP=-0.26 TO=0.13 NO=-465.51
Tensioni nel cordone: τ_P= 0.08 τ_0= 0.04 σ_0=152.08 σ_{ID}=152.08 Σ_T=152.12
CC 26 SLD (Collegamento 0025_-382)
Azioni sul collegamento: N=-6297.50 Ty=-4.47 Tz=1.69 Mx=-0.00 Mz=-4.27
Sollecitazioni agenti localmente: Tx_l=-4.47 Ty_l=1.69 N_l=-6297.50 My_l=4.27 Mz_l=-0.00
Azioni sul cordone: TP=-0.33 TO=0.13 NO=-465.51
Tensioni nel cordone: τ_P=0.10 τ_0= 0.04 σ_0=154.21 σ_{ID}=154.21 Σ_T=154.25
CC 26 SLD (Collegamento 0025_-382)
Azioni sul collegamento: N=-6786.28 Ty=-3.58 Tz=-0.23 Mx=-0.00 Mz=-2.82
Sollecitazioni agenti localmente: Tx_l=-3.58 Ty_l=-0.23 N_l=-6786.28 My_l=2.82 Mz_l=-0.00
Azioni sul cordone: TP=-0.26 TO=-0.01 NO=-501.64
Tensioni nel cordone: τ_P= 0.08 τ_0=4.60E-03 σ_0=163.57 σ_{ID}=163.57 Σ_T=163.57
CC 26 SLD (Collegamento 0025_-382)
Azioni sul collegamento: N=-6786.28 Ty=-4.47 Tz=-0.23 Mx=-0.00 Mz=-4.27
Sollecitazioni agenti localmente: Tx_l=-4.47 Ty_l=-0.23 N_l=-6786.28 My_l=4.27 Mz_l=-0.00
Azioni sul cordone: TP=-0.33 TO=-0.01 NO=-501.64
Tensioni nel cordone: τ_P=0.10 τ_0=4.60E-03 σ_0=165.69 σ_{ID}=165.69 Σ_T=165.70
CC 26 SLD (Collegamento 0025_-382)
Azioni sul collegamento: N=-6786.28 Ty=-3.58 Tz=1.69 Mx=-0.00 Mz=-2.82
Sollecitazioni agenti localmente: Tx_l=-3.58 Ty_l=1.69 N_l=-6786.28 My_l=2.82 Mz_l=-0.00
Azioni sul cordone: TP=-0.26 TO=0.13 NO=-501.64
Tensioni nel cordone: τ_P= 0.08 τ_0= 0.04 σ_0=163.57 σ_{ID}=163.57 Σ_T=163.61
CC 26 SLD (Collegamento 0025_-382)
Azioni sul collegamento: N=-6786.28 Ty=-4.47 Tz=1.69 Mx=-0.00 Mz=-4.27
Sollecitazioni agenti localmente: Tx_l=-4.47 Ty_l=1.69 N_l=-6786.28 My_l=4.27 Mz_l=-0.00
Azioni sul cordone: TP=-0.33 TO=0.13 NO=-501.64

Tensioni nel cordone: τ_P=0.10 τ_0= 0.04 σ_0=165.69 σ_{ID}=165.69 Σ_T=165.73
CC 27 SLV (Collegamento 0025_-382)
Azioni sul collegamento: N=-7356.87 Ty=-4.22 Tz=3.57 Mx=-0.02 Mz=-3.82
Sollecitazioni agenti localmente: Tx_l=-4.22 Ty_l=3.57 N_l=-7356.87 My_l=3.82 Mz_l=-0.02
Azioni sul cordone: TP=-0.29 TO=0.28 NO=-543.82
Tensioni nel cordone: τ_P= 0.09 τ_0= 0.09 σ_0=178.44 σ_{ID}=178.44 Σ_T=178.53
CC 27 SLV (Collegamento 0025_-382)
Azioni sul collegamento: N=-7356.87 Ty=-5.52 Tz=3.57 Mx=-0.02 Mz=-7.44
Sollecitazioni agenti localmente: Tx_l=-5.52 Ty_l=3.57 N_l=-7356.87 My_l=7.44 Mz_l=-0.02
Azioni sul cordone: TP=-0.39 TO=0.28 NO=-543.82
Tensioni nel cordone: τ_P=0.12 τ_0= 0.09 σ_0=183.72 σ_{ID}=183.72 Σ_T=183.80
CC 27 SLV (Collegamento 0025_-382)
Azioni sul collegamento: N=-7356.87 Ty=-4.22 Tz=-1.86 Mx=-0.02 Mz=-3.82
Sollecitazioni agenti localmente: Tx_l=-4.22 Ty_l=-1.86 N_l=-7356.87 My_l=3.82 Mz_l=-0.02
Azioni sul cordone: TP=-0.29 TO=-0.12 NO=-543.82
Tensioni nel cordone: τ_P= 0.09 τ_0= 0.04 σ_0=178.44 σ_{ID}=178.44 Σ_T=178.48
CC 27 SLV (Collegamento 0025_-382)
Azioni sul collegamento: N=-7356.87 Ty=-5.52 Tz=-1.86 Mx=-0.02 Mz=-7.44
Sollecitazioni agenti localmente: Tx_l=-5.52 Ty_l=-1.86 N_l=-7356.87 My_l=7.44 Mz_l=-0.02
Azioni sul cordone: TP=-0.39 TO=-0.12 NO=-543.82
Tensioni nel cordone: τ_P=0.12 τ_0= 0.04 σ_0=183.72 σ_{ID}=183.72 Σ_T=183.75
CC 27 SLV (Collegamento 0025_-382)
Azioni sul collegamento: N=-5791.87 Ty=-4.22 Tz=3.57 Mx=-0.02 Mz=-3.82
Sollecitazioni agenti localmente: Tx_l=-4.22 Ty_l=3.57 N_l=-5791.87 My_l=3.82 Mz_l=-0.02
Azioni sul cordone: TP=-0.29 TO=0.28 NO=-428.14
Tensioni nel cordone: τ_P= 0.09 τ_0= 0.09 σ_0=141.67 σ_{ID}=141.67 Σ_T=141.76
CC 27 SLV (Collegamento 0025_-382)
Azioni sul collegamento: N=-5791.87 Ty=-5.52 Tz=3.57 Mx=-0.02 Mz=-7.44
Sollecitazioni agenti localmente: Tx_l=-5.52 Ty_l=3.57 N_l=-5791.87 My_l=7.44 Mz_l=-0.02
Azioni sul cordone: TP=-0.39 TO=0.28 NO=-428.14
Tensioni nel cordone: τ_P=0.12 τ_0= 0.09 σ_0=146.94 σ_{ID}=146.94 Σ_T=147.03
CC 27 SLV (Collegamento 0025_-382)
Azioni sul collegamento: N=-5791.87 Ty=-4.22 Tz=-1.86 Mx=-0.02 Mz=-3.82
Sollecitazioni agenti localmente: Tx_l=-4.22 Ty_l=-1.86 N_l=-5791.87 My_l=3.82 Mz_l=-0.02
Azioni sul cordone: TP=-0.29 TO=-0.12 NO=-428.14
Tensioni nel cordone: τ_P= 0.09 τ_0= 0.04 σ_0=141.67 σ_{ID}=141.67 Σ_T=141.71
CC 27 SLV (Collegamento 0025_-382)
Azioni sul collegamento: N=-5791.87 Ty=-5.52 Tz=-1.86 Mx=-0.02 Mz=-7.44
Sollecitazioni agenti localmente: Tx_l=-5.52 Ty_l=-1.86 N_l=-5791.87 My_l=7.44 Mz_l=-0.02
Azioni sul cordone: TP=-0.39 TO=-0.12 NO=-428.14
Tensioni nel cordone: τ_P=0.12 τ_0= 0.04 σ_0=146.94 σ_{ID}=146.94 Σ_T=146.99
CC 28 SLD (Collegamento 0025_-382)
Azioni sul collegamento: N=-6780.50 Ty=-3.83 Tz=1.56 Mx=-0.00 Mz=-3.00
Sollecitazioni agenti localmente: Tx_l=-3.83 Ty_l=1.56 N_l=-6780.50 My_l=3.00 Mz_l=-0.00
Azioni sul cordone: TP=-0.28 TO=0.12 NO=-501.22
Tensioni nel cordone: τ_P= 0.09 τ_0= 0.04 σ_0=163.69 σ_{ID}=163.69 Σ_T=163.73
CC 28 SLD (Collegamento 0025_-382)
Azioni sul collegamento: N=-6780.50 Ty=-4.22 Tz=1.56 Mx=-0.00 Mz=-4.10
Sollecitazioni agenti localmente: Tx_l=-4.22 Ty_l=1.56 N_l=-6780.50 My_l=4.10 Mz_l=-0.00
Azioni sul cordone: TP=-0.31 TO=0.12 NO=-501.22
Tensioni nel cordone: τ_P= 0.10 τ_0= 0.04 σ_0=165.30 σ_{ID}=165.30 Σ_T=165.34
CC 28 SLD (Collegamento 0025_-382)
Azioni sul collegamento: N=-6780.50 Ty=-3.83 Tz=-0.10 Mx=-0.00 Mz=-3.00
Sollecitazioni agenti localmente: Tx_l=-3.83 Ty_l=-0.10 N_l=-6780.50 My_l=3.00 Mz_l=-0.00
Azioni sul cordone: TP=-0.28 TO=-0.01 NO=-501.22
Tensioni nel cordone: τ_P= 0.09 τ_0=1.61E-03 σ_0=163.69 σ_{ID}=163.69 Σ_T=163.69
CC 28 SLD (Collegamento 0025_-382)
Azioni sul collegamento: N=-6780.50 Ty=-4.22 Tz=-0.10 Mx=-0.00 Mz=-4.10
Sollecitazioni agenti localmente: Tx_l=-4.22 Ty_l=-0.10 N_l=-6780.50 My_l=4.10 Mz_l=-0.00
Azioni sul cordone: TP=-0.31 TO=-0.01 NO=-501.22
Tensioni nel cordone: τ_P= 0.10 τ_0=1.61E-03 σ_0=165.30 σ_{ID}=165.30 Σ_T=165.30
CC 28 SLD (Collegamento 0025_-382)
Azioni sul collegamento: N=-6303.28 Ty=-3.83 Tz=1.56 Mx=-0.00 Mz=-3.00
Sollecitazioni agenti localmente: Tx_l=-3.83 Ty_l=1.56 N_l=-6303.28 My_l=3.00 Mz_l=-0.00
Azioni sul cordone: TP=-0.28 TO=0.12 NO=-465.94
Tensioni nel cordone: τ_P= 0.09 τ_0= 0.04 σ_0=152.48 σ_{ID}=152.48 Σ_T=152.51
CC 28 SLD (Collegamento 0025_-382)
Azioni sul collegamento: N=-6303.28 Ty=-4.22 Tz=1.56 Mx=-0.00 Mz=-4.10
Sollecitazioni agenti localmente: Tx_l=-4.22 Ty_l=1.56 N_l=-6303.28 My_l=4.10 Mz_l=-0.00
Azioni sul cordone: TP=-0.31 TO=0.12 NO=-465.94
Tensioni nel cordone: τ_P= 0.10 τ_0= 0.04 σ_0=154.09 σ_{ID}=154.09 Σ_T=154.12
CC 28 SLD (Collegamento 0025_-382)
Azioni sul collegamento: N=-6303.28 Ty=-3.83 Tz=-0.10 Mx=-0.00 Mz=-3.00
Sollecitazioni agenti localmente: Tx_l=-3.83 Ty_l=-0.10 N_l=-6303.28 My_l=3.00 Mz_l=-0.00
Azioni sul cordone: TP=-0.28 TO=-0.01 NO=-465.94
Tensioni nel cordone: τ_P= 0.09 τ_0=1.60E-03 σ_0=152.48 σ_{ID}=152.48 Σ_T=152.48
CC 28 SLD (Collegamento 0025_-382)
Azioni sul collegamento: N=-6303.28 Ty=-4.22 Tz=-0.10 Mx=-0.00 Mz=-4.10
Sollecitazioni agenti localmente: Tx_l=-4.22 Ty_l=-0.10 N_l=-6303.28 My_l=4.10 Mz_l=-0.00
Azioni sul cordone: TP=-0.31 TO=-0.01 NO=-465.94
Tensioni nel cordone: τ_P= 0.10 τ_0=1.60E-03 σ_0=154.09 σ_{ID}=154.09 Σ_T=154.09

CC 29 SLV (Collegamento 0025_-382)
Azioni sul collegamento: N=-5791.87 Ty=-5.52 Tz=-1.86 Mx=-0.00 Mz=-7.44
Sollecitazioni agenti localmente: Tx_l=-5.52 Ty_l=-1.86 N_l=-5791.87 My_l=7.44 Mz_l=-0.00
Azioni sul cordone: TP=-0.40 TO=-0.14 NO=-428.14
Tensioni nel cordone: τ_P=0.13 τ_0= 0.04 σ_0=146.94 σ_{ID}=146.94 Σ_T=146.99
CC 29 SLV (Collegamento 0025_-382)
Azioni sul collegamento: N=-5791.87 Ty=-4.22 Tz=-1.86 Mx=-0.00 Mz=-3.82
Sollecitazioni agenti localmente: Tx_l=-4.22 Ty_l=-1.86 N_l=-5791.87 My_l=3.82 Mz_l=-0.00
Azioni sul cordone: TP=-0.31 TO=-0.14 NO=-428.14
Tensioni nel cordone: τ_P= 0.10 τ_0= 0.04 σ_0=141.67 σ_{ID}=141.67 Σ_T=141.71
CC 29 SLV (Collegamento 0025_-382)
Azioni sul collegamento: N=-5791.87 Ty=-5.52 Tz=3.57 Mx=-0.00 Mz=-7.44
Sollecitazioni agenti localmente: Tx_l=-5.52 Ty_l=3.57 N_l=-5791.87 My_l=7.44 Mz_l=-0.00
Azioni sul cordone: TP=-0.40 TO=0.27 NO=-428.14
Tensioni nel cordone: τ_P=0.13 τ_0= 0.08 σ_0=146.94 σ_{ID}=146.94 Σ_T=147.03
CC 29 SLV (Collegamento 0025_-382)
Azioni sul collegamento: N=-5791.87 Ty=-4.22 Tz=3.57 Mx=-0.00 Mz=-3.82
Sollecitazioni agenti localmente: Tx_l=-4.22 Ty_l=3.57 N_l=-5791.87 My_l=3.82 Mz_l=-0.00
Azioni sul cordone: TP=-0.31 TO=0.27 NO=-428.14
Tensioni nel cordone: τ_P= 0.10 τ_0= 0.08 σ_0=141.67 σ_{ID}=141.67 Σ_T=141.75
CC 29 SLV (Collegamento 0025_-382)
Azioni sul collegamento: N=-7356.87 Ty=-5.52 Tz=-1.86 Mx=-0.00 Mz=-7.44
Sollecitazioni agenti localmente: Tx_l=-5.52 Ty_l=-1.86 N_l=-7356.87 My_l=7.44 Mz_l=-0.00
Azioni sul cordone: TP=-0.40 TO=-0.14 NO=-543.82
Tensioni nel cordone: τ_P=0.13 τ_0= 0.04 σ_0=183.72 σ_{ID}=183.72 Σ_T=183.76
CC 29 SLV (Collegamento 0025_-382)
Azioni sul collegamento: N=-7356.87 Ty=-4.22 Tz=-1.86 Mx=-0.00 Mz=-3.82
Sollecitazioni agenti localmente: Tx_l=-4.22 Ty_l=-1.86 N_l=-7356.87 My_l=3.82 Mz_l=-0.00
Azioni sul cordone: TP=-0.31 TO=-0.14 NO=-543.82
Tensioni nel cordone: τ_P= 0.10 τ_0= 0.04 σ_0=178.44 σ_{ID}=178.44 Σ_T=178.48
CC 29 SLV (Collegamento 0025_-382)
Azioni sul collegamento: N=-7356.87 Ty=-5.52 Tz=3.57 Mx=-0.00 Mz=-7.44
Sollecitazioni agenti localmente: Tx_l=-5.52 Ty_l=3.57 N_l=-7356.87 My_l=7.44 Mz_l=-0.00
Azioni sul cordone: TP=-0.40 TO=0.27 NO=-543.82
Tensioni nel cordone: τ_P=0.13 τ_0= 0.08 σ_0=183.72 σ_{ID}=183.72 Σ_T=183.80
CC 29 SLV (Collegamento 0025_-382)
Azioni sul collegamento: N=-7356.87 Ty=-4.22 Tz=3.57 Mx=-0.00 Mz=-3.82
Sollecitazioni agenti localmente: Tx_l=-4.22 Ty_l=3.57 N_l=-7356.87 My_l=3.82 Mz_l=-0.00
Azioni sul cordone: TP=-0.31 TO=0.27 NO=-543.82
Tensioni nel cordone: τ_P= 0.10 τ_0= 0.08 σ_0=178.44 σ_{ID}=178.44 Σ_T=178.52
CC 30 SLD (Collegamento 0025_-382)
Azioni sul collegamento: N=-6303.28 Ty=-4.22 Tz=-0.10 Mx=0.00 Mz=-4.10
Sollecitazioni agenti localmente: Tx_l=-4.22 Ty_l=-0.10 N_l=-6303.28 My_l=4.10 Mz_l=0.00
Azioni sul cordone: TP=-0.31 TO=-0.01 NO=-465.94
Tensioni nel cordone: τ_P= 0.10 τ_0=2.76E-03 σ_0=154.09 σ_{ID}=154.09 Σ_T=154.09
CC 30 SLD (Collegamento 0025_-382)
Azioni sul collegamento: N=-6303.28 Ty=-3.83 Tz=-0.10 Mx=0.00 Mz=-3.00
Sollecitazioni agenti localmente: Tx_l=-3.83 Ty_l=-0.10 N_l=-6303.28 My_l=3.00 Mz_l=0.00
Azioni sul cordone: TP=-0.28 TO=-0.01 NO=-465.94
Tensioni nel cordone: τ_P= 0.09 τ_0=2.76E-03 σ_0=152.48 σ_{ID}=152.48 Σ_T=152.48
CC 30 SLD (Collegamento 0025_-382)
Azioni sul collegamento: N=-6303.28 Ty=-4.22 Tz=1.56 Mx=0.00 Mz=-4.10
Sollecitazioni agenti localmente: Tx_l=-4.22 Ty_l=1.56 N_l=-6303.28 My_l=4.10 Mz_l=0.00
Azioni sul cordone: TP=-0.31 TO=0.11 NO=-465.94
Tensioni nel cordone: τ_P= 0.10 τ_0= 0.04 σ_0=154.09 σ_{ID}=154.09 Σ_T=154.12
CC 30 SLD (Collegamento 0025_-382)
Azioni sul collegamento: N=-6303.28 Ty=-3.83 Tz=1.56 Mx=0.00 Mz=-3.00
Sollecitazioni agenti localmente: Tx_l=-3.83 Ty_l=1.56 N_l=-6303.28 My_l=3.00 Mz_l=0.00
Azioni sul cordone: TP=-0.28 TO=0.11 NO=-465.94
Tensioni nel cordone: τ_P= 0.09 τ_0= 0.04 σ_0=152.48 σ_{ID}=152.48 Σ_T=152.51
CC 30 SLD (Collegamento 0025_-382)
Azioni sul collegamento: N=-6780.50 Ty=-4.22 Tz=-0.10 Mx=0.00 Mz=-4.10
Sollecitazioni agenti localmente: Tx_l=-4.22 Ty_l=-0.10 N_l=-6780.50 My_l=4.10 Mz_l=0.00
Azioni sul cordone: TP=-0.31 TO=-0.01 NO=-501.22
Tensioni nel cordone: τ_P= 0.10 τ_0=2.77E-03 σ_0=165.30 σ_{ID}=165.30 Σ_T=165.30
CC 30 SLD (Collegamento 0025_-382)
Azioni sul collegamento: N=-6780.50 Ty=-3.83 Tz=-0.10 Mx=0.00 Mz=-3.00
Sollecitazioni agenti localmente: Tx_l=-3.83 Ty_l=-0.10 N_l=-6780.50 My_l=3.00 Mz_l=0.00
Azioni sul cordone: TP=-0.28 TO=-0.01 NO=-501.22
Tensioni nel cordone: τ_P= 0.09 τ_0=2.77E-03 σ_0=163.69 σ_{ID}=163.69 Σ_T=163.69
CC 30 SLD (Collegamento 0025_-382)
Azioni sul collegamento: N=-6780.50 Ty=-4.22 Tz=1.56 Mx=0.00 Mz=-4.10
Sollecitazioni agenti localmente: Tx_l=-4.22 Ty_l=1.56 N_l=-6780.50 My_l=4.10 Mz_l=0.00
Azioni sul cordone: TP=-0.31 TO=0.11 NO=-501.22
Tensioni nel cordone: τ_P= 0.10 τ_0= 0.04 σ_0=165.30 σ_{ID}=165.30 Σ_T=165.33
CC 30 SLD (Collegamento 0025_-382)
Azioni sul collegamento: N=-6780.50 Ty=-3.83 Tz=1.56 Mx=0.00 Mz=-3.00
Sollecitazioni agenti localmente: Tx_l=-3.83 Ty_l=1.56 N_l=-6780.50 My_l=3.00 Mz_l=0.00
Azioni sul cordone: TP=-0.28 TO=0.11 NO=-501.22
Tensioni nel cordone: τ_P= 0.09 τ_0= 0.04 σ_0=163.69 σ_{ID}=163.69 Σ_T=163.72
CC 31 SLV (Collegamento 0025_-382)

Azioni sul collegamento: N=-7375.81 Ty=-6.34 Tz=4.00 Mx=-0.00 Mz=-8.01
Sollecitazioni agenti localmente: Tx_l=-6.34 Ty_l=4.00 N_l=-7375.81 My_l=8.01 Mz_l=-0.00
Azioni sul cordone: TP=-0.47 TO=0.30 NO=-545.22
Tensioni nel cordone: τ_P=0.15 τ_0= 0.09 σ_0=185.00 σ_{ID}=185.00 Σ_T=185.10
CC 31 SLV (Collegamento 0025_-382)
Azioni sul collegamento: N=-7375.81 Ty=-3.40 Tz=4.00 Mx=-0.00 Mz=-3.25
Sollecitazioni agenti localmente: Tx_l=-3.40 Ty_l=4.00 N_l=-7375.81 My_l=3.25 Mz_l=-0.00
Azioni sul cordone: TP=-0.25 TO=0.30 NO=-545.22
Tensioni nel cordone: τ_P= 0.08 τ_0= 0.09 σ_0=178.04 σ_{ID}=178.04 Σ_T=178.13
CC 31 SLV (Collegamento 0025_-382)
Azioni sul collegamento: N=-7375.81 Ty=-6.34 Tz=-2.29 Mx=-0.00 Mz=-8.01
Sollecitazioni agenti localmente: Tx_l=-6.34 Ty_l=-2.29 N_l=-7375.81 My_l=8.01 Mz_l=-0.00
Azioni sul cordone: TP=-0.47 TO=-0.17 NO=-545.22
Tensioni nel cordone: τ_P=0.15 τ_0= 0.05 σ_0=185.00 σ_{ID}=185.00 Σ_T=185.06
CC 31 SLV (Collegamento 0025_-382)
Azioni sul collegamento: N=-7375.81 Ty=-3.40 Tz=-2.29 Mx=-0.00 Mz=-3.25
Sollecitazioni agenti localmente: Tx_l=-3.40 Ty_l=-2.29 N_l=-7375.81 My_l=3.25 Mz_l=-0.00
Azioni sul cordone: TP=-0.25 TO=-0.17 NO=-545.22
Tensioni nel cordone: τ_P= 0.08 τ_0= 0.05 σ_0=178.04 σ_{ID}=178.04 Σ_T=178.09
CC 31 SLV (Collegamento 0025_-382)
Azioni sul collegamento: N=-5772.93 Ty=-6.34 Tz=4.00 Mx=-0.00 Mz=-8.01
Sollecitazioni agenti localmente: Tx_l=-6.34 Ty_l=4.00 N_l=-5772.93 My_l=8.01 Mz_l=-0.00
Azioni sul cordone: TP=-0.47 TO=0.30 NO=-426.74
Tensioni nel cordone: τ_P=0.15 τ_0= 0.09 σ_0=147.34 σ_{ID}=147.34 Σ_T=147.44
CC 31 SLV (Collegamento 0025_-382)
Azioni sul collegamento: N=-5772.93 Ty=-3.40 Tz=4.00 Mx=-0.00 Mz=-3.25
Sollecitazioni agenti localmente: Tx_l=-3.40 Ty_l=4.00 N_l=-5772.93 My_l=3.25 Mz_l=-0.00
Azioni sul cordone: TP=-0.25 TO=0.30 NO=-426.74
Tensioni nel cordone: τ_P= 0.08 τ_0= 0.09 σ_0=140.38 σ_{ID}=140.38 Σ_T=140.47
CC 31 SLV (Collegamento 0025_-382)
Azioni sul collegamento: N=-5772.93 Ty=-6.34 Tz=-2.29 Mx=-0.00 Mz=-8.01
Sollecitazioni agenti localmente: Tx_l=-6.34 Ty_l=-2.29 N_l=-5772.93 My_l=8.01 Mz_l=-0.00
Azioni sul cordone: TP=-0.47 TO=-0.17 NO=-426.74
Tensioni nel cordone: τ_P=0.15 τ_0= 0.05 σ_0=147.34 σ_{ID}=147.34 Σ_T=147.40
CC 31 SLV (Collegamento 0025_-382)
Azioni sul collegamento: N=-5772.93 Ty=-3.40 Tz=-2.29 Mx=-0.00 Mz=-3.25
Sollecitazioni agenti localmente: Tx_l=-3.40 Ty_l=-2.29 N_l=-5772.93 My_l=3.25 Mz_l=-0.00
Azioni sul cordone: TP=-0.25 TO=-0.17 NO=-426.74
Tensioni nel cordone: τ_P= 0.08 τ_0= 0.05 σ_0=140.38 σ_{ID}=140.38 Σ_T=140.43
CC 32 SLD (Collegamento 0025_-382)
Azioni sul collegamento: N=-6786.28 Ty=-4.47 Tz=1.69 Mx=0.00 Mz=-4.27
Sollecitazioni agenti localmente: Tx_l=-4.47 Ty_l=1.69 N_l=-6786.28 My_l=4.27 Mz_l=0.00
Azioni sul cordone: TP=-0.33 TO=0.12 NO=-501.64
Tensioni nel cordone: τ_P=0.11 τ_0= 0.04 σ_0=165.69 σ_{ID}=165.69 Σ_T=165.73
CC 32 SLD (Collegamento 0025_-382)
Azioni sul collegamento: N=-6786.28 Ty=-3.58 Tz=1.69 Mx=0.00 Mz=-2.82
Sollecitazioni agenti localmente: Tx_l=-3.58 Ty_l=1.69 N_l=-6786.28 My_l=2.82 Mz_l=0.00
Azioni sul cordone: TP=-0.27 TO=0.12 NO=-501.64
Tensioni nel cordone: τ_P= 0.08 τ_0= 0.04 σ_0=163.57 σ_{ID}=163.57 Σ_T=163.61
CC 32 SLD (Collegamento 0025_-382)
Azioni sul collegamento: N=-6786.28 Ty=-4.47 Tz=-0.23 Mx=0.00 Mz=-4.27
Sollecitazioni agenti localmente: Tx_l=-4.47 Ty_l=-0.23 N_l=-6786.28 My_l=4.27 Mz_l=0.00
Azioni sul cordone: TP=-0.33 TO=-0.02 NO=-501.64
Tensioni nel cordone: τ_P=0.11 τ_0=5.90E-03 σ_0=165.69 σ_{ID}=165.69 Σ_T=165.70
CC 32 SLD (Collegamento 0025_-382)
Azioni sul collegamento: N=-6786.28 Ty=-3.58 Tz=-0.23 Mx=0.00 Mz=-2.82
Sollecitazioni agenti localmente: Tx_l=-3.58 Ty_l=-0.23 N_l=-6786.28 My_l=2.82 Mz_l=0.00
Azioni sul cordone: TP=-0.27 TO=-0.02 NO=-501.64
Tensioni nel cordone: τ_P= 0.08 τ_0=5.90E-03 σ_0=163.57 σ_{ID}=163.57 Σ_T=163.57
CC 32 SLD (Collegamento 0025_-382)
Azioni sul collegamento: N=-6297.50 Ty=-4.47 Tz=1.69 Mx=0.00 Mz=-4.27
Sollecitazioni agenti localmente: Tx_l=-4.47 Ty_l=1.69 N_l=-6297.50 My_l=4.27 Mz_l=0.00
Azioni sul cordone: TP=-0.33 TO=0.12 NO=-465.51
Tensioni nel cordone: τ_P=0.11 τ_0= 0.04 σ_0=154.21 σ_{ID}=154.21 Σ_T=154.25
CC 32 SLD (Collegamento 0025_-382)
Azioni sul collegamento: N=-6297.50 Ty=-3.58 Tz=1.69 Mx=0.00 Mz=-2.82
Sollecitazioni agenti localmente: Tx_l=-3.58 Ty_l=1.69 N_l=-6297.50 My_l=2.82 Mz_l=0.00
Azioni sul cordone: TP=-0.27 TO=0.12 NO=-465.51
Tensioni nel cordone: τ_P= 0.08 τ_0= 0.04 σ_0=152.08 σ_{ID}=152.08 Σ_T=152.12
CC 32 SLD (Collegamento 0025_-382)
Azioni sul collegamento: N=-6297.50 Ty=-4.47 Tz=-0.23 Mx=0.00 Mz=-4.27
Sollecitazioni agenti localmente: Tx_l=-4.47 Ty_l=-0.23 N_l=-6297.50 My_l=4.27 Mz_l=0.00
Azioni sul cordone: TP=-0.33 TO=-0.02 NO=-465.51
Tensioni nel cordone: τ_P=0.11 τ_0=5.90E-03 σ_0=154.21 σ_{ID}=154.21 Σ_T=154.21
CC 32 SLD (Collegamento 0025_-382)
Azioni sul collegamento: N=-6297.50 Ty=-3.58 Tz=-0.23 Mx=0.00 Mz=-2.82
Sollecitazioni agenti localmente: Tx_l=-3.58 Ty_l=-0.23 N_l=-6297.50 My_l=2.82 Mz_l=0.00
Azioni sul cordone: TP=-0.27 TO=-0.02 NO=-465.51
Tensioni nel cordone: τ_P= 0.08 τ_0=5.90E-03 σ_0=152.08 σ_{ID}=152.08 Σ_T=152.09
CC 33 SLU (Collegamento 0025_-382)
Azioni sul collegamento: N=-30778.60 Ty=-5.67 Tz=81.62 Mx=0.01 Mz=-4.05

Sollecitazioni agenti localmente: Tx_l=-5.67 Ty_l=81.62 N_l=-30778.60 My_l=4.05 Mz_l=0.01
Azioni sul cordone: TP=-0.43 TO=6.03 NO=-2275.16
Tensioni nel cordone: τ_P=0.14 τ_O=1.92 σ_O=729.07 σ_{ID}=729.07 Σ_T=730.99
CC 34 SLU (Collegamento 0025_-382)
Azioni sul collegamento: N=-30229.20 Ty=-5.39 Tz=79.58 Mx=0.01 Mz=-3.85
Sollecitazioni agenti localmente: Tx_l=-5.39 Ty_l=79.58 N_l=-30229.20 My_l=3.85 Mz_l=0.01
Azioni sul cordone: TP=-0.41 TO=5.88 NO=-2234.55
Tensioni nel cordone: τ_P=0.13 τ_O=1.87 σ_O=715.87 σ_{ID}=715.87 Σ_T=717.74
CC 35 SLU (Collegamento 0025_-382)
Azioni sul collegamento: N=-30504.90 Ty=-5.64 Tz=80.58 Mx=0.01 Mz=-4.16
Sollecitazioni agenti localmente: Tx_l=-5.64 Ty_l=80.58 N_l=-30504.90 My_l=4.16 Mz_l=0.01
Azioni sul cordone: TP=-0.43 TO=5.95 NO=-2254.93
Tensioni nel cordone: τ_P=0.14 τ_O=1.89 σ_O=722.81 σ_{ID}=722.81 Σ_T=724.70
CC 36 SLU (Collegamento 0025_-382)
Azioni sul collegamento: N=-30502.90 Ty=-5.42 Tz=80.62 Mx=0.01 Mz=-3.73
Sollecitazioni agenti localmente: Tx_l=-5.42 Ty_l=80.62 N_l=-30502.90 My_l=3.73 Mz_l=0.01
Azioni sul cordone: TP=-0.41 TO=5.96 NO=-2254.79
Tensioni nel cordone: τ_P=0.13 τ_O=1.89 σ_O=722.13 σ_{ID}=722.13 Σ_T=724.02
CC 37 SLU (Collegamento 0025_-382)
Azioni sul collegamento: N=-21507.60 Ty=-6.52 Tz=47.54 Mx=0.01 Mz=-4.63
Sollecitazioni agenti localmente: Tx_l=-6.52 Ty_l=47.54 N_l=-21507.60 My_l=4.63 Mz_l=0.01
Azioni sul cordone: TP=-0.49 TO=3.51 NO=-1589.85
Tensioni nel cordone: τ_P=0.16 τ_O=1.12 σ_O=512.10 σ_{ID}=512.10 Σ_T=513.21
CC 38 SLU (Collegamento 0025_-382)
Azioni sul collegamento: N=-20958.20 Ty=-6.23 Tz=45.50 Mx=0.01 Mz=-4.43
Sollecitazioni agenti localmente: Tx_l=-6.23 Ty_l=45.50 N_l=-20958.20 My_l=4.43 Mz_l=0.01
Azioni sul cordone: TP=-0.47 TO=3.36 NO=-1549.24
Tensioni nel cordone: τ_P=0.15 τ_O=1.07 σ_O=498.89 σ_{ID}=498.90 Σ_T=499.96
CC 39 SLU (Collegamento 0025_-382)
Azioni sul collegamento: N=-21233.90 Ty=-6.48 Tz=46.50 Mx=0.01 Mz=-4.75
Sollecitazioni agenti localmente: Tx_l=-6.48 Ty_l=46.50 N_l=-21233.90 My_l=4.75 Mz_l=0.01
Azioni sul cordone: TP=-0.49 TO=3.43 NO=-1569.62
Tensioni nel cordone: τ_P=0.15 τ_O=1.09 σ_O=505.84 σ_{ID}=505.84 Σ_T=506.93
CC 40 SLU (Collegamento 0025_-382)
Azioni sul collegamento: N=-21231.90 Ty=-6.26 Tz=46.54 Mx=0.01 Mz=-4.31
Sollecitazioni agenti localmente: Tx_l=-6.26 Ty_l=46.54 N_l=-21231.90 My_l=4.31 Mz_l=0.01
Azioni sul cordone: TP=-0.47 TO=3.44 NO=-1569.47
Tensioni nel cordone: τ_P=0.15 τ_O=1.09 σ_O=505.15 σ_{ID}=505.16 Σ_T=506.25
CC 41 SLU (Collegamento 0025_-382)
Azioni sul collegamento: N=-32702.20 Ty=-5.53 Tz=88.04 Mx=-0.00 Mz=-4.06
Sollecitazioni agenti localmente: Tx_l=-5.53 Ty_l=88.04 N_l=-32702.20 My_l=4.06 Mz_l=-0.00
Azioni sul cordone: TP=-0.41 TO=6.51 NO=-2417.36
Tensioni nel cordone: τ_P=0.13 τ_O=2.07 σ_O=774.28 σ_{ID}=774.29 Σ_T=776.35
CC 42 SLU (Collegamento 0025_-382)
Azioni sul collegamento: N=-32152.80 Ty=-5.24 Tz=86.01 Mx=-0.00 Mz=-3.86
Sollecitazioni agenti localmente: Tx_l=-5.24 Ty_l=86.01 N_l=-32152.80 My_l=3.86 Mz_l=-0.00
Azioni sul cordone: TP=-0.38 TO=6.36 NO=-2376.75
Tensioni nel cordone: τ_P=0.12 τ_O=2.02 σ_O=761.08 σ_{ID}=761.09 Σ_T=763.10
CC 43 SLU (Collegamento 0025_-382)
Azioni sul collegamento: N=-32428.50 Ty=-5.50 Tz=87.00 Mx=-0.00 Mz=-4.18
Sollecitazioni agenti localmente: Tx_l=-5.50 Ty_l=87.00 N_l=-32428.50 My_l=4.18 Mz_l=-0.00
Azioni sul cordone: TP=-0.40 TO=6.43 NO=-2397.12
Tensioni nel cordone: τ_P=0.13 τ_O=2.04 σ_O=768.02 σ_{ID}=768.03 Σ_T=770.07
CC 44 SLU (Collegamento 0025_-382)
Azioni sul collegamento: N=-32426.50 Ty=-5.28 Tz=87.05 Mx=-0.00 Mz=-3.74
Sollecitazioni agenti localmente: Tx_l=-5.28 Ty_l=87.05 N_l=-32426.50 My_l=3.74 Mz_l=-0.00
Azioni sul cordone: TP=-0.39 TO=6.44 NO=-2396.98
Tensioni nel cordone: τ_P=0.12 τ_O=2.05 σ_O=767.34 σ_{ID}=767.35 Σ_T=769.39
CC 45 SLU (Collegamento 0025_-382)
Azioni sul collegamento: N=-23594.00 Ty=-6.22 Tz=55.25 Mx=0.01 Mz=-4.49
Sollecitazioni agenti localmente: Tx_l=-6.22 Ty_l=55.25 N_l=-23594.00 My_l=4.49 Mz_l=0.01
Azioni sul cordone: TP=-0.47 TO=4.08 NO=-1744.08
Tensioni nel cordone: τ_P=0.15 τ_O=1.30 σ_O=560.91 σ_{ID}=560.91 Σ_T=562.20
CC 46 SLU (Collegamento 0025_-382)
Azioni sul collegamento: N=-23044.60 Ty=-5.94 Tz=53.22 Mx=0.01 Mz=-4.28
Sollecitazioni agenti localmente: Tx_l=-5.94 Ty_l=53.22 N_l=-23044.60 My_l=4.28 Mz_l=0.01
Azioni sul cordone: TP=-0.45 TO=3.93 NO=-1703.47
Tensioni nel cordone: τ_P=0.14 τ_O=1.25 σ_O=547.70 σ_{ID}=547.71 Σ_T=548.95
CC 47 SLU (Collegamento 0025_-382)
Azioni sul collegamento: N=-23320.30 Ty=-6.19 Tz=54.21 Mx=0.01 Mz=-4.60
Sollecitazioni agenti localmente: Tx_l=-6.19 Ty_l=54.21 N_l=-23320.30 My_l=4.60 Mz_l=0.01
Azioni sul cordone: TP=-0.47 TO=4.00 NO=-1723.84
Tensioni nel cordone: τ_P=0.15 τ_O=1.27 σ_O=554.65 σ_{ID}=554.65 Σ_T=555.92
CC 48 SLU (Collegamento 0025_-382)
Azioni sul collegamento: N=-23318.30 Ty=-5.97 Tz=54.26 Mx=0.01 Mz=-4.17
Sollecitazioni agenti localmente: Tx_l=-5.97 Ty_l=54.26 N_l=-23318.30 My_l=4.17 Mz_l=0.01
Azioni sul cordone: TP=-0.45 TO=4.01 NO=-1723.70
Tensioni nel cordone: τ_P=0.14 τ_O=1.27 σ_O=553.96 σ_{ID}=553.97 Σ_T=555.24
CC 49 SLU (Collegamento 0025_-382)
Azioni sul collegamento: N=-16657.90 Ty=-6.86 Tz=29.76 Mx=0.01 Mz=-4.92
Sollecitazioni agenti localmente: Tx_l=-6.86 Ty_l=29.76 N_l=-16657.90 My_l=4.92 Mz_l=0.01

Azioni sul cordone: TP=-0.51 TO=2.19 NO=-1231.36
Tensioni nel cordone: τ_P=0.16 τ_0=0.70 σ_0=398.58 σ_{ID}=398.58 Σ_T=399.28
CC 50 SLU (Collegamento 0025_-382)
Azioni sul collegamento: N=-16108.50 Ty=-6.57 Tz=27.72 Mx=0.01 Mz=-4.72
Sollecitazioni agenti localmente: Tx_l=-6.57 Ty_l=27.72 N_l=-16108.50 My_l=4.72 Mz_l=0.01
Azioni sul cordone: TP=-0.49 TO=2.04 NO=-1190.75
Tensioni nel cordone: τ_P=0.16 τ_0=0.65 σ_0=385.38 σ_{ID}=385.38 Σ_T=386.02
CC 51 SLU (Collegamento 0025_-382)
Azioni sul collegamento: N=-16384.20 Ty=-6.82 Tz=28.72 Mx=0.01 Mz=-5.04
Sollecitazioni agenti localmente: Tx_l=-6.82 Ty_l=28.72 N_l=-16384.20 My_l=5.04 Mz_l=0.01
Azioni sul cordone: TP=-0.51 TO=2.12 NO=-1211.13
Tensioni nel cordone: τ_P=0.16 τ_0=0.67 σ_0=392.32 σ_{ID}=392.32 Σ_T=392.99
CC 52 SLU (Collegamento 0025_-382)
Azioni sul collegamento: N=-16382.20 Ty=-6.60 Tz=28.76 Mx=0.01 Mz=-4.60
Sollecitazioni agenti localmente: Tx_l=-6.60 Ty_l=28.76 N_l=-16382.20 My_l=4.60 Mz_l=0.01
Azioni sul cordone: TP=-0.49 TO=2.12 NO=-1210.98
Tensioni nel cordone: τ_P=0.16 τ_0=0.67 σ_0=391.64 σ_{ID}=391.64 Σ_T=392.31
CC 53 SLU (Collegamento 0025_-382)
Azioni sul collegamento: N=-25033.10 Ty=-6.12 Tz=60.06 Mx=-0.00 Mz=-4.50
Sollecitazioni agenti localmente: Tx_l=-6.12 Ty_l=60.06 N_l=-25033.10 My_l=4.50 Mz_l=-0.00
Azioni sul cordone: TP=-0.45 TO=4.44 NO=-1850.46
Tensioni nel cordone: τ_P=0.14 τ_0=1.41 σ_0=594.73 σ_{ID}=594.74 Σ_T=596.14
CC 54 SLU (Collegamento 0025_-382)
Azioni sul collegamento: N=-24483.80 Ty=-5.83 Tz=58.03 Mx=-0.00 Mz=-4.29
Sollecitazioni agenti localmente: Tx_l=-5.83 Ty_l=58.03 N_l=-24483.80 My_l=4.29 Mz_l=-0.00
Azioni sul cordone: TP=-0.43 TO=4.29 NO=-1809.85
Tensioni nel cordone: τ_P=0.14 τ_0=1.36 σ_0=581.53 σ_{ID}=581.53 Σ_T=582.89
CC 55 SLU (Collegamento 0025_-382)
Azioni sul collegamento: N=-24759.40 Ty=-6.08 Tz=59.02 Mx=0.00 Mz=-4.61
Sollecitazioni agenti localmente: Tx_l=-6.08 Ty_l=59.02 N_l=-24759.40 My_l=4.61 Mz_l=0.00
Azioni sul cordone: TP=-0.45 TO=4.36 NO=-1830.22
Tensioni nel cordone: τ_P=0.14 τ_0=1.39 σ_0=588.47 σ_{ID}=588.48 Σ_T=589.86
CC 56 SLU (Collegamento 0025_-382)
Azioni sul collegamento: N=-24757.50 Ty=-5.87 Tz=59.07 Mx=-0.00 Mz=-4.18
Sollecitazioni agenti localmente: Tx_l=-5.87 Ty_l=59.07 N_l=-24757.50 My_l=4.18 Mz_l=-0.00
Azioni sul cordone: TP=-0.43 TO=4.37 NO=-1830.08
Tensioni nel cordone: τ_P=0.14 τ_0=1.39 σ_0=587.79 σ_{ID}=587.79 Σ_T=589.18
CC 57 SLU (Collegamento 0025_-382)
Azioni sul collegamento: N=-21981.50 Ty=-5.60 Tz=49.32 Mx=0.01 Mz=-4.03
Sollecitazioni agenti localmente: Tx_l=-5.60 Ty_l=49.32 N_l=-21981.50 My_l=4.03 Mz_l=0.01
Azioni sul cordone: TP=-0.42 TO=3.64 NO=-1624.88
Tensioni nel cordone: τ_P=0.13 τ_0=1.16 σ_0=522.36 σ_{ID}=522.36 Σ_T=523.52
CC 58 SLU (Collegamento 0025_-382)
Azioni sul collegamento: N=-21432.10 Ty=-5.31 Tz=47.28 Mx=0.01 Mz=-3.83
Sollecitazioni agenti localmente: Tx_l=-5.31 Ty_l=47.28 N_l=-21432.10 My_l=3.83 Mz_l=0.01
Azioni sul cordone: TP=-0.40 TO=3.49 NO=-1584.27
Tensioni nel cordone: τ_P=0.13 τ_0=1.11 σ_0=509.16 σ_{ID}=509.16 Σ_T=510.26
CC 59 SLU (Collegamento 0025_-382)
Azioni sul collegamento: N=-21707.80 Ty=-5.57 Tz=48.28 Mx=0.01 Mz=-4.15
Sollecitazioni agenti localmente: Tx_l=-5.57 Ty_l=48.28 N_l=-21707.80 My_l=4.15 Mz_l=0.01
Azioni sul cordone: TP=-0.42 TO=3.56 NO=-1604.64
Tensioni nel cordone: τ_P=0.13 τ_0=1.13 σ_0=516.10 σ_{ID}=516.10 Σ_T=517.23
CC 60 SLU (Collegamento 0025_-382)
Azioni sul collegamento: N=-21705.80 Ty=-5.35 Tz=48.32 Mx=0.01 Mz=-3.72
Sollecitazioni agenti localmente: Tx_l=-5.35 Ty_l=48.32 N_l=-21705.80 My_l=3.72 Mz_l=0.01
Azioni sul cordone: TP=-0.40 TO=3.57 NO=-1604.50
Tensioni nel cordone: τ_P=0.13 τ_0=1.13 σ_0=515.42 σ_{ID}=515.42 Σ_T=516.55
CC 61 SLU (Collegamento 0025_-382)
Azioni sul collegamento: N=-15045.40 Ty=-6.23 Tz=23.82 Mx=0.01 Mz=-4.47
Sollecitazioni agenti localmente: Tx_l=-6.23 Ty_l=23.82 N_l=-15045.40 My_l=4.47 Mz_l=0.01
Azioni sul cordone: TP=-0.47 TO=1.76 NO=-1112.16
Tensioni nel cordone: τ_P=0.15 τ_0=0.56 σ_0=360.03 σ_{ID}=360.03 Σ_T=360.59
CC 62 SLU (Collegamento 0025_-382)
Azioni sul collegamento: N=-14496.00 Ty=-5.95 Tz=21.79 Mx=0.01 Mz=-4.27
Sollecitazioni agenti localmente: Tx_l=-5.95 Ty_l=21.79 N_l=-14496.00 My_l=4.27 Mz_l=0.01
Azioni sul cordone: TP=-0.45 TO=1.61 NO=-1071.55
Tensioni nel cordone: τ_P=0.14 τ_0=0.51 σ_0=346.83 σ_{ID}=346.83 Σ_T=347.34
CC 63 SLU (Collegamento 0025_-382)
Azioni sul collegamento: N=-14771.70 Ty=-6.20 Tz=22.78 Mx=0.01 Mz=-4.59
Sollecitazioni agenti localmente: Tx_l=-6.20 Ty_l=22.78 N_l=-14771.70 My_l=4.59 Mz_l=0.01
Azioni sul cordone: TP=-0.47 TO=1.68 NO=-1091.93
Tensioni nel cordone: τ_P=0.15 τ_0=0.53 σ_0=353.77 σ_{ID}=353.77 Σ_T=354.30
CC 64 SLU (Collegamento 0025_-382)
Azioni sul collegamento: N=-14769.70 Ty=-5.98 Tz=22.82 Mx=0.01 Mz=-4.15
Sollecitazioni agenti localmente: Tx_l=-5.98 Ty_l=22.82 N_l=-14769.70 My_l=4.15 Mz_l=0.01
Azioni sul cordone: TP=-0.45 TO=1.68 NO=-1091.78
Tensioni nel cordone: τ_P=0.14 τ_0=0.54 σ_0=353.09 σ_{ID}=353.09 Σ_T=353.62
CC 65 SLU (Collegamento 0025_-382)
Azioni sul collegamento: N=-23420.60 Ty=-5.49 Tz=54.12 Mx=-0.00 Mz=-4.04
Sollecitazioni agenti localmente: Tx_l=-5.49 Ty_l=54.12 N_l=-23420.60 My_l=4.04 Mz_l=-0.00
Azioni sul cordone: TP=-0.40 TO=4.00 NO=-1731.26

Tensioni nel cordone: τ_P=0.13 τ_0=1.27 σ_0=556.18 σ_{ID}=556.19 Σ_T=557.46
CC 66 SLU (Collegamento 0025_-382)
Azioni sul collegamento: N=-22871.20 Ty=-5.21 Tz=52.09 Mx=-0.00 Mz=-3.84
Sollecitazioni agenti localmente: Tx_l=-5.21 Ty_l=52.09 N_l=-22871.20 My_l=3.84 Mz_l=-0.00
Azioni sul cordone: TP=-0.38 TO=3.85 NO=-1690.65
Tensioni nel cordone: τ_P=0.12 τ_0=1.22 σ_0=542.98 σ_{ID}=542.98 Σ_T=544.21
CC 67 SLU (Collegamento 0025_-382)
Azioni sul collegamento: N=-23146.90 Ty=-5.46 Tz=53.08 Mx=-0.00 Mz=-4.16
Sollecitazioni agenti localmente: Tx_l=-5.46 Ty_l=53.08 N_l=-23146.90 My_l=4.16 Mz_l=-0.00
Azioni sul cordone: TP=-0.40 TO=3.92 NO=-1711.03
Tensioni nel cordone: τ_P=0.13 τ_0=1.25 σ_0=549.92 σ_{ID}=549.93 Σ_T=551.17
CC 68 SLU (Collegamento 0025_-382)
Azioni sul collegamento: N=-23144.90 Ty=-5.24 Tz=53.13 Mx=-0.00 Mz=-3.72
Sollecitazioni agenti localmente: Tx_l=-5.24 Ty_l=53.13 N_l=-23144.90 My_l=3.72 Mz_l=-0.00
Azioni sul cordone: TP=-0.39 TO=3.93 NO=-1710.88
Tensioni nel cordone: τ_P=0.12 τ_0=1.25 σ_0=549.24 σ_{ID}=549.24 Σ_T=550.49
CC 97 SLU (Collegamento 0025_-382)
Azioni sul collegamento: N=-11444.50 Ty=-17.52 Tz=18.88 Mx=-0.03 Mz=-21.34
Sollecitazioni agenti localmente: Tx_l=-17.52 Ty_l=18.88 N_l=-11444.50 My_l=21.34 Mz_l=-0.03
Azioni sul cordone: TP=-1.26 TO=1.42 NO=-845.98
Tensioni nel cordone: τ_P=0.40 τ_0=0.45 σ_0=300.06 σ_{ID}=300.06 Σ_T=300.52
CC 98 SLU (Collegamento 0025_-382)
Azioni sul collegamento: N=-10895.20 Ty=-17.24 Tz=16.84 Mx=-0.03 Mz=-21.13
Sollecitazioni agenti localmente: Tx_l=-17.24 Ty_l=16.84 N_l=-10895.20 My_l=21.13 Mz_l=-0.03
Azioni sul cordone: TP=-1.23 TO=1.27 NO=-805.37
Tensioni nel cordone: τ_P=0.39 τ_0=0.40 σ_0=286.86 σ_{ID}=286.86 Σ_T=287.27
CC 99 SLU (Collegamento 0025_-382)
Azioni sul collegamento: N=-11170.80 Ty=-17.49 Tz=17.84 Mx=-0.03 Mz=-21.45
Sollecitazioni agenti localmente: Tx_l=-17.49 Ty_l=17.84 N_l=-11170.80 My_l=21.45 Mz_l=-0.03
Azioni sul cordone: TP=-1.25 TO=1.35 NO=-825.75
Tensioni nel cordone: τ_P=0.40 τ_0=0.43 σ_0=293.81 σ_{ID}=293.81 Σ_T=294.23
CC 100 SLU (Collegamento 0025_-382)
Azioni sul collegamento: N=-11168.90 Ty=-17.27 Tz=17.88 Mx=-0.04 Mz=-21.02
Sollecitazioni agenti localmente: Tx_l=-17.27 Ty_l=17.88 N_l=-11168.90 My_l=21.02 Mz_l=-0.04
Azioni sul cordone: TP=-1.24 TO=1.35 NO=-825.61
Tensioni nel cordone: τ_P=0.39 τ_0=0.43 σ_0=293.12 σ_{ID}=293.12 Σ_T=293.55
CC 101 SLU (Collegamento 0025_-382)
Azioni sul collegamento: N=-7155.53 Ty=-1.61 Tz=2.94 Mx=0.01 Mz=-0.33
Sollecitazioni agenti localmente: Tx_l=-1.61 Ty_l=2.94 N_l=-7155.53 My_l=0.33 Mz_l=0.01
Azioni sul cordone: TP=-0.13 TO=0.21 NO=-528.94
Tensioni nel cordone: τ_P= 0.04 τ_0= 0.07 σ_0=168.61 σ_{ID}=168.61 Σ_T=168.67
CC 102 SLU (Collegamento 0025_-382)
Azioni sul collegamento: N=-6606.15 Ty=-1.32 Tz=0.91 Mx=0.01 Mz=-0.13
Sollecitazioni agenti localmente: Tx_l=-1.32 Ty_l=0.91 N_l=-6606.15 My_l=0.13 Mz_l=0.01
Azioni sul cordone: TP=-0.11 TO=0.06 NO=-488.33
Tensioni nel cordone: τ_P= 0.03 τ_0= 0.02 σ_0=155.41 σ_{ID}=155.41 Σ_T=155.42
CC 103 SLU (Collegamento 0025_-382)
Azioni sul collegamento: N=-6881.82 Ty=-1.58 Tz=1.90 Mx=0.01 Mz=-0.45
Sollecitazioni agenti localmente: Tx_l=-1.58 Ty_l=1.90 N_l=-6881.82 My_l=0.45 Mz_l=0.01
Azioni sul cordone: TP=-0.13 TO=0.13 NO=-508.71
Tensioni nel cordone: τ_P= 0.04 τ_0= 0.04 σ_0=162.35 σ_{ID}=162.35 Σ_T=162.39
CC 104 SLU (Collegamento 0025_-382)
Azioni sul collegamento: N=-6879.85 Ty=-1.36 Tz=1.95 Mx=0.01 Mz=-0.01
Sollecitazioni agenti localmente: Tx_l=-1.36 Ty_l=1.95 N_l=-6879.85 My_l=0.01 Mz_l=0.01
Azioni sul cordone: TP=-0.11 TO=0.14 NO=-508.56
Tensioni nel cordone: τ_P= 0.03 τ_0= 0.04 σ_0=161.66 σ_{ID}=161.66 Σ_T=161.71

Flessione attacco superiore piastra

Bnetta=220.00 Hnetta=15.00
CC 1 SLV (Collegamento 0025_-382)
Azioni sul collegamento: N=-3838.16 Ty=-4.12 Tz=-9.35 Mx=0.02 Mz=1.95
Sollecitazioni agenti localmente: Ty_l=-697.85 Mx_l=-13.96
Tensioni nella sezione: σ=169.18 τ=21.15
CC 1 SLV (Collegamento 0025_-382)
Azioni sul collegamento: N=-3838.16 Ty=-0.76 Tz=-9.35 Mx=0.02 Mz=-1.23
Sollecitazioni agenti localmente: Ty_l=-697.85 Mx_l=-13.96
Tensioni nella sezione: σ=169.18 τ=21.15
CC 1 SLV (Collegamento 0025_-382)
Azioni sul collegamento: N=-3838.16 Ty=-4.12 Tz=10.33 Mx=0.02 Mz=1.95
Sollecitazioni agenti localmente: Ty_l=-697.85 Mx_l=-13.96
Tensioni nella sezione: σ=169.18 τ=21.15
CC 1 SLV (Collegamento 0025_-382)
Azioni sul collegamento: N=-3838.16 Ty=-0.76 Tz=10.33 Mx=0.02 Mz=-1.23
Sollecitazioni agenti localmente: Ty_l=-697.85 Mx_l=-13.96
Tensioni nella sezione: σ=169.18 τ=21.15
CC 1 SLV (Collegamento 0025_-382)
Azioni sul collegamento: N=-9123.66 Ty=-4.12 Tz=-9.35 Mx=0.02 Mz=1.95
Sollecitazioni agenti localmente: Ty_l=-1658.85 Mx_l=-33.18
Tensioni nella sezione: σ=402.14 τ=50.27
CC 1 SLV (Collegamento 0025_-382)

Azioni sul collegamento: N=-9123.66 Ty=-0.76 Tz=-9.35 Mx=0.02 Mz=-1.23
Sollecitazioni agenti localmente: Ty_l=-1658.85 Mx_l=-33.18
Tensioni nella sezione: σ=402.14 τ=50.27
CC 1 SLV (Collegamento 0025_-382)
Azioni sul collegamento: N=-9123.66 Ty=-4.12 Tz=10.33 Mx=0.02 Mz=1.95
Sollecitazioni agenti localmente: Ty_l=-1658.85 Mx_l=-33.18
Tensioni nella sezione: σ=402.14 τ=50.27
CC 1 SLV (Collegamento 0025_-382)
Azioni sul collegamento: N=-9123.66 Ty=-0.76 Tz=10.33 Mx=0.02 Mz=-1.23
Sollecitazioni agenti localmente: Ty_l=-1658.85 Mx_l=-33.18
Tensioni nella sezione: σ=402.14 τ=50.27
CC 2 SLD (Collegamento 0025_-382)
Azioni sul collegamento: N=-5707.53 Ty=-2.77 Tz=-2.38 Mx=0.01 Mz=-1.24
Sollecitazioni agenti localmente: Ty_l=-1037.73 Mx_l=-20.75
Tensioni nella sezione: σ=251.57 τ=31.45
CC 2 SLD (Collegamento 0025_-382)
Azioni sul collegamento: N=-5707.53 Ty=-3.80 Tz=-2.38 Mx=0.01 Mz=-2.21
Sollecitazioni agenti localmente: Ty_l=-1037.73 Mx_l=-20.75
Tensioni nella sezione: σ=251.57 τ=31.45
CC 2 SLD (Collegamento 0025_-382)
Azioni sul collegamento: N=-5707.53 Ty=-2.77 Tz=3.62 Mx=0.01 Mz=-1.24
Sollecitazioni agenti localmente: Ty_l=-1037.73 Mx_l=-20.75
Tensioni nella sezione: σ=251.57 τ=31.45
CC 2 SLD (Collegamento 0025_-382)
Azioni sul collegamento: N=-5707.53 Ty=-3.80 Tz=3.62 Mx=0.01 Mz=-2.21
Sollecitazioni agenti localmente: Ty_l=-1037.73 Mx_l=-20.75
Tensioni nella sezione: σ=251.57 τ=31.45
CC 2 SLD (Collegamento 0025_-382)
Azioni sul collegamento: N=-7319.25 Ty=-2.77 Tz=-2.38 Mx=0.01 Mz=-1.24
Sollecitazioni agenti localmente: Ty_l=-1330.77 Mx_l=-26.62
Tensioni nella sezione: σ=322.61 τ=40.33
CC 2 SLD (Collegamento 0025_-382)
Azioni sul collegamento: N=-7319.25 Ty=-3.80 Tz=-2.38 Mx=0.01 Mz=-2.21
Sollecitazioni agenti localmente: Ty_l=-1330.77 Mx_l=-26.62
Tensioni nella sezione: σ=322.61 τ=40.33
CC 2 SLD (Collegamento 0025_-382)
Azioni sul collegamento: N=-7319.25 Ty=-2.77 Tz=3.62 Mx=0.01 Mz=-1.24
Sollecitazioni agenti localmente: Ty_l=-1330.77 Mx_l=-26.62
Tensioni nella sezione: σ=322.61 τ=40.33
CC 2 SLD (Collegamento 0025_-382)
Azioni sul collegamento: N=-7319.25 Ty=-3.80 Tz=3.62 Mx=0.01 Mz=-2.21
Sollecitazioni agenti localmente: Ty_l=-1330.77 Mx_l=-26.62
Tensioni nella sezione: σ=322.61 τ=40.33
CC 3 SLV (Collegamento 0025_-382)
Azioni sul collegamento: N=-3843.85 Ty=-3.49 Tz=-9.22 Mx=0.02 Mz=0.69
Sollecitazioni agenti localmente: Ty_l=-698.88 Mx_l=-13.98
Tensioni nella sezione: σ=169.43 τ=21.18
CC 3 SLV (Collegamento 0025_-382)
Azioni sul collegamento: N=-3843.85 Ty=-1.39 Tz=-9.22 Mx=0.02 Mz=0.03
Sollecitazioni agenti localmente: Ty_l=-698.88 Mx_l=-13.98
Tensioni nella sezione: σ=169.43 τ=21.18
CC 3 SLV (Collegamento 0025_-382)
Azioni sul collegamento: N=-3843.85 Ty=-3.49 Tz=10.20 Mx=0.02 Mz=0.69
Sollecitazioni agenti localmente: Ty_l=-698.88 Mx_l=-13.98
Tensioni nella sezione: σ=169.43 τ=21.18
CC 3 SLV (Collegamento 0025_-382)
Azioni sul collegamento: N=-3843.85 Ty=-1.39 Tz=10.20 Mx=0.02 Mz=0.03
Sollecitazioni agenti localmente: Ty_l=-698.88 Mx_l=-13.98
Tensioni nella sezione: σ=169.43 τ=21.18
CC 3 SLV (Collegamento 0025_-382)
Azioni sul collegamento: N=-9117.97 Ty=-3.49 Tz=-9.22 Mx=0.02 Mz=0.69
Sollecitazioni agenti localmente: Ty_l=-1657.81 Mx_l=-33.16
Tensioni nella sezione: σ=401.89 τ=50.24
CC 3 SLV (Collegamento 0025_-382)
Azioni sul collegamento: N=-9117.97 Ty=-1.39 Tz=-9.22 Mx=0.02 Mz=0.03
Sollecitazioni agenti localmente: Ty_l=-1657.81 Mx_l=-33.16
Tensioni nella sezione: σ=401.89 τ=50.24
CC 3 SLV (Collegamento 0025_-382)
Azioni sul collegamento: N=-9117.97 Ty=-3.49 Tz=10.20 Mx=0.02 Mz=0.69
Sollecitazioni agenti localmente: Ty_l=-1657.81 Mx_l=-33.16
Tensioni nella sezione: σ=401.89 τ=50.24
CC 3 SLV (Collegamento 0025_-382)
Azioni sul collegamento: N=-9117.97 Ty=-1.39 Tz=10.20 Mx=0.02 Mz=0.03
Sollecitazioni agenti localmente: Ty_l=-1657.81 Mx_l=-33.16
Tensioni nella sezione: σ=401.89 τ=50.24
CC 4 SLD (Collegamento 0025_-382)
Azioni sul collegamento: N=-5709.27 Ty=-2.97 Tz=-2.35 Mx=0.01 Mz=-1.62
Sollecitazioni agenti localmente: Ty_l=-1038.05 Mx_l=-20.76
Tensioni nella sezione: σ=251.65 τ=31.46
CC 4 SLD (Collegamento 0025_-382)

Azioni sul collegamento: N=-5709.27 Ty=-3.60 Tz=-2.35 Mx=0.01 Mz=-1.82
Sollecitazioni agenti localmente: Ty_l=-1038.05 Mx_l=-20.76
Tensioni nella sezione: σ=251.65 τ=31.46
CC 4 SLD (Collegamento 0025_-382)
Azioni sul collegamento: N=-5709.27 Ty=-2.97 Tz=3.58 Mx=0.01 Mz=-1.62
Sollecitazioni agenti localmente: Ty_l=-1038.05 Mx_l=-20.76
Tensioni nella sezione: σ=251.65 τ=31.46
CC 4 SLD (Collegamento 0025_-382)
Azioni sul collegamento: N=-5709.27 Ty=-3.60 Tz=3.58 Mx=0.01 Mz=-1.82
Sollecitazioni agenti localmente: Ty_l=-1038.05 Mx_l=-20.76
Tensioni nella sezione: σ=251.65 τ=31.46
CC 4 SLD (Collegamento 0025_-382)
Azioni sul collegamento: N=-7317.51 Ty=-2.97 Tz=-2.35 Mx=0.01 Mz=-1.62
Sollecitazioni agenti localmente: Ty_l=-1330.46 Mx_l=-26.61
Tensioni nella sezione: σ=322.53 τ=40.32
CC 4 SLD (Collegamento 0025_-382)
Azioni sul collegamento: N=-7317.51 Ty=-3.60 Tz=-2.35 Mx=0.01 Mz=-1.82
Sollecitazioni agenti localmente: Ty_l=-1330.46 Mx_l=-26.61
Tensioni nella sezione: σ=322.53 τ=40.32
CC 4 SLD (Collegamento 0025_-382)
Azioni sul collegamento: N=-7317.51 Ty=-2.97 Tz=3.58 Mx=0.01 Mz=-1.62
Sollecitazioni agenti localmente: Ty_l=-1330.46 Mx_l=-26.61
Tensioni nella sezione: σ=322.53 τ=40.32
CC 4 SLD (Collegamento 0025_-382)
Azioni sul collegamento: N=-7317.51 Ty=-3.60 Tz=3.58 Mx=0.01 Mz=-1.82
Sollecitazioni agenti localmente: Ty_l=-1330.46 Mx_l=-26.61
Tensioni nella sezione: σ=322.53 τ=40.32
CC 5 SLV (Collegamento 0025_-382)
Azioni sul collegamento: N=-9117.97 Ty=-1.39 Tz=10.20 Mx=0.02 Mz=0.03
Sollecitazioni agenti localmente: Ty_l=-1657.81 Mx_l=-33.16
Tensioni nella sezione: σ=401.89 τ=50.24
CC 5 SLV (Collegamento 0025_-382)
Azioni sul collegamento: N=-9117.97 Ty=-3.49 Tz=10.20 Mx=0.02 Mz=0.69
Sollecitazioni agenti localmente: Ty_l=-1657.81 Mx_l=-33.16
Tensioni nella sezione: σ=401.89 τ=50.24
CC 5 SLV (Collegamento 0025_-382)
Azioni sul collegamento: N=-9117.97 Ty=-1.39 Tz=-9.22 Mx=0.02 Mz=0.03
Sollecitazioni agenti localmente: Ty_l=-1657.81 Mx_l=-33.16
Tensioni nella sezione: σ=401.89 τ=50.24
CC 5 SLV (Collegamento 0025_-382)
Azioni sul collegamento: N=-9117.97 Ty=-3.49 Tz=-9.22 Mx=0.02 Mz=0.69
Sollecitazioni agenti localmente: Ty_l=-1657.81 Mx_l=-33.16
Tensioni nella sezione: σ=401.89 τ=50.24
CC 5 SLV (Collegamento 0025_-382)
Azioni sul collegamento: N=-3843.85 Ty=-1.39 Tz=10.20 Mx=0.02 Mz=0.03
Sollecitazioni agenti localmente: Ty_l=-698.88 Mx_l=-13.98
Tensioni nella sezione: σ=169.43 τ=21.18
CC 5 SLV (Collegamento 0025_-382)
Azioni sul collegamento: N=-3843.85 Ty=-3.49 Tz=10.20 Mx=0.02 Mz=0.69
Sollecitazioni agenti localmente: Ty_l=-698.88 Mx_l=-13.98
Tensioni nella sezione: σ=169.43 τ=21.18
CC 5 SLV (Collegamento 0025_-382)
Azioni sul collegamento: N=-3843.85 Ty=-1.39 Tz=-9.22 Mx=0.02 Mz=0.03
Sollecitazioni agenti localmente: Ty_l=-698.88 Mx_l=-13.98
Tensioni nella sezione: σ=169.43 τ=21.18
CC 5 SLV (Collegamento 0025_-382)
Azioni sul collegamento: N=-3843.85 Ty=-3.49 Tz=-9.22 Mx=0.02 Mz=0.69
Sollecitazioni agenti localmente: Ty_l=-698.88 Mx_l=-13.98
Tensioni nella sezione: σ=169.43 τ=21.18
CC 6 SLD (Collegamento 0025_-382)
Azioni sul collegamento: N=-7317.51 Ty=-3.60 Tz=3.58 Mx=0.01 Mz=-1.82
Sollecitazioni agenti localmente: Ty_l=-1330.46 Mx_l=-26.61
Tensioni nella sezione: σ=322.53 τ=40.32
CC 6 SLD (Collegamento 0025_-382)
Azioni sul collegamento: N=-7317.51 Ty=-2.97 Tz=3.58 Mx=0.01 Mz=-1.62
Sollecitazioni agenti localmente: Ty_l=-1330.46 Mx_l=-26.61
Tensioni nella sezione: σ=322.53 τ=40.32
CC 6 SLD (Collegamento 0025_-382)
Azioni sul collegamento: N=-7317.51 Ty=-3.60 Tz=-2.35 Mx=0.01 Mz=-1.82
Sollecitazioni agenti localmente: Ty_l=-1330.46 Mx_l=-26.61
Tensioni nella sezione: σ=322.53 τ=40.32
CC 6 SLD (Collegamento 0025_-382)
Azioni sul collegamento: N=-7317.51 Ty=-2.97 Tz=-2.35 Mx=0.01 Mz=-1.62
Sollecitazioni agenti localmente: Ty_l=-1330.46 Mx_l=-26.61
Tensioni nella sezione: σ=322.53 τ=40.32
CC 6 SLD (Collegamento 0025_-382)
Azioni sul collegamento: N=-5709.27 Ty=-3.60 Tz=3.58 Mx=0.01 Mz=-1.82
Sollecitazioni agenti localmente: Ty_l=-1038.05 Mx_l=-20.76
Tensioni nella sezione: σ=251.65 τ=31.46
CC 6 SLD (Collegamento 0025_-382)

Azioni sul collegamento: N=-5709.27 Ty=-2.97 Tz=3.58 Mx=0.01 Mz=-1.62
Sollecitazioni agenti localmente: Ty_l=-1038.05 Mx_l=-20.76
Tensioni nella sezione: σ=251.65 τ=31.46
CC 6 SLD (Collegamento 0025_-382)
Azioni sul collegamento: N=-5709.27 Ty=-3.60 Tz=-2.35 Mx=0.01 Mz=-1.82
Sollecitazioni agenti localmente: Ty_l=-1038.05 Mx_l=-20.76
Tensioni nella sezione: σ=251.65 τ=31.46
CC 6 SLD (Collegamento 0025_-382)
Azioni sul collegamento: N=-5709.27 Ty=-2.97 Tz=-2.35 Mx=0.01 Mz=-1.62
Sollecitazioni agenti localmente: Ty_l=-1038.05 Mx_l=-20.76
Tensioni nella sezione: σ=251.65 τ=31.46
CC 7 SLV (Collegamento 0025_-382)
Azioni sul collegamento: N=-9123.66 Ty=-0.76 Tz=10.33 Mx=0.01 Mz=-1.23
Sollecitazioni agenti localmente: Ty_l=-1658.85 Mx_l=-33.18
Tensioni nella sezione: σ=402.14 τ=50.27
CC 7 SLV (Collegamento 0025_-382)
Azioni sul collegamento: N=-9123.66 Ty=-4.12 Tz=10.33 Mx=0.01 Mz=1.95
Sollecitazioni agenti localmente: Ty_l=-1658.85 Mx_l=-33.18
Tensioni nella sezione: σ=402.14 τ=50.27
CC 7 SLV (Collegamento 0025_-382)
Azioni sul collegamento: N=-9123.66 Ty=-0.76 Tz=-9.35 Mx=0.01 Mz=-1.23
Sollecitazioni agenti localmente: Ty_l=-1658.85 Mx_l=-33.18
Tensioni nella sezione: σ=402.14 τ=50.27
CC 7 SLV (Collegamento 0025_-382)
Azioni sul collegamento: N=-9123.66 Ty=-4.12 Tz=-9.35 Mx=0.01 Mz=1.95
Sollecitazioni agenti localmente: Ty_l=-1658.85 Mx_l=-33.18
Tensioni nella sezione: σ=402.14 τ=50.27
CC 7 SLV (Collegamento 0025_-382)
Azioni sul collegamento: N=-3838.16 Ty=-0.76 Tz=10.33 Mx=0.01 Mz=-1.23
Sollecitazioni agenti localmente: Ty_l=-697.85 Mx_l=-13.96
Tensioni nella sezione: σ=169.18 τ=21.15
CC 7 SLV (Collegamento 0025_-382)
Azioni sul collegamento: N=-3838.16 Ty=-4.12 Tz=10.33 Mx=0.01 Mz=1.95
Sollecitazioni agenti localmente: Ty_l=-697.85 Mx_l=-13.96
Tensioni nella sezione: σ=169.18 τ=21.15
CC 7 SLV (Collegamento 0025_-382)
Azioni sul collegamento: N=-3838.16 Ty=-0.76 Tz=-9.35 Mx=0.01 Mz=-1.23
Sollecitazioni agenti localmente: Ty_l=-697.85 Mx_l=-13.96
Tensioni nella sezione: σ=169.18 τ=21.15
CC 7 SLV (Collegamento 0025_-382)
Azioni sul collegamento: N=-3838.16 Ty=-4.12 Tz=-9.35 Mx=0.01 Mz=1.95
Sollecitazioni agenti localmente: Ty_l=-697.85 Mx_l=-13.96
Tensioni nella sezione: σ=169.18 τ=21.15
CC 8 SLD (Collegamento 0025_-382)
Azioni sul collegamento: N=-7319.25 Ty=-3.80 Tz=3.62 Mx=0.01 Mz=-2.21
Sollecitazioni agenti localmente: Ty_l=-1330.77 Mx_l=-26.62
Tensioni nella sezione: σ=322.61 τ=40.33
CC 8 SLD (Collegamento 0025_-382)
Azioni sul collegamento: N=-7319.25 Ty=-2.77 Tz=3.62 Mx=0.01 Mz=-1.24
Sollecitazioni agenti localmente: Ty_l=-1330.77 Mx_l=-26.62
Tensioni nella sezione: σ=322.61 τ=40.33
CC 8 SLD (Collegamento 0025_-382)
Azioni sul collegamento: N=-7319.25 Ty=-3.80 Tz=-2.38 Mx=0.01 Mz=-2.21
Sollecitazioni agenti localmente: Ty_l=-1330.77 Mx_l=-26.62
Tensioni nella sezione: σ=322.61 τ=40.33
CC 8 SLD (Collegamento 0025_-382)
Azioni sul collegamento: N=-7319.25 Ty=-2.77 Tz=-2.38 Mx=0.01 Mz=-1.24
Sollecitazioni agenti localmente: Ty_l=-1330.77 Mx_l=-26.62
Tensioni nella sezione: σ=322.61 τ=40.33
CC 8 SLD (Collegamento 0025_-382)
Azioni sul collegamento: N=-5707.53 Ty=-3.80 Tz=3.62 Mx=0.01 Mz=-2.21
Sollecitazioni agenti localmente: Ty_l=-1037.73 Mx_l=-20.75
Tensioni nella sezione: σ=251.57 τ=31.45
CC 8 SLD (Collegamento 0025_-382)
Azioni sul collegamento: N=-5707.53 Ty=-2.77 Tz=3.62 Mx=0.01 Mz=-1.24
Sollecitazioni agenti localmente: Ty_l=-1037.73 Mx_l=-20.75
Tensioni nella sezione: σ=251.57 τ=31.45
CC 8 SLD (Collegamento 0025_-382)
Azioni sul collegamento: N=-5707.53 Ty=-3.80 Tz=-2.38 Mx=0.01 Mz=-2.21
Sollecitazioni agenti localmente: Ty_l=-1037.73 Mx_l=-20.75
Tensioni nella sezione: σ=251.57 τ=31.45
CC 8 SLD (Collegamento 0025_-382)
Azioni sul collegamento: N=-5707.53 Ty=-2.77 Tz=-2.38 Mx=0.01 Mz=-1.24
Sollecitazioni agenti localmente: Ty_l=-1037.73 Mx_l=-20.75
Tensioni nella sezione: σ=251.57 τ=31.45
CC 9 SLV (Collegamento 0025_-382)
Azioni sul collegamento: N=-5679.47 Ty=-3.91 Tz=-2.66 Mx=0.03 Mz=2.74
Sollecitazioni agenti localmente: Ty_l=-1032.63 Mx_l=-20.65
Tensioni nella sezione: σ=250.33 τ=31.29
CC 9 SLV (Collegamento 0025_-382)

Azioni sul collegamento: N=-5679.47 Ty=-0.97 Tz=-2.66 Mx=0.03 Mz=-2.02
Sollecitazioni agenti localmente: Ty_l=-1032.63 Mx_l=-20.65
Tensioni nella sezione: σ=250.33 τ=31.29
CC 9 SLV (Collegamento 0025_-382)
Azioni sul collegamento: N=-5679.47 Ty=-3.91 Tz=3.63 Mx=0.03 Mz=2.74
Sollecitazioni agenti localmente: Ty_l=-1032.63 Mx_l=-20.65
Tensioni nella sezione: σ=250.33 τ=31.29
CC 9 SLV (Collegamento 0025_-382)
Azioni sul collegamento: N=-5679.47 Ty=-0.97 Tz=3.63 Mx=0.03 Mz=-2.02
Sollecitazioni agenti localmente: Ty_l=-1032.63 Mx_l=-20.65
Tensioni nella sezione: σ=250.33 τ=31.29
CC 9 SLV (Collegamento 0025_-382)
Azioni sul collegamento: N=-7282.35 Ty=-3.91 Tz=-2.66 Mx=0.03 Mz=2.74
Sollecitazioni agenti localmente: Ty_l=-1324.06 Mx_l=-26.48
Tensioni nella sezione: σ=320.99 τ=40.12
CC 9 SLV (Collegamento 0025_-382)
Azioni sul collegamento: N=-7282.35 Ty=-0.97 Tz=-2.66 Mx=0.03 Mz=-2.02
Sollecitazioni agenti localmente: Ty_l=-1324.06 Mx_l=-26.48
Tensioni nella sezione: σ=320.99 τ=40.12
CC 9 SLV (Collegamento 0025_-382)
Azioni sul collegamento: N=-7282.35 Ty=-3.91 Tz=3.63 Mx=0.03 Mz=2.74
Sollecitazioni agenti localmente: Ty_l=-1324.06 Mx_l=-26.48
Tensioni nella sezione: σ=320.99 τ=40.12
CC 9 SLV (Collegamento 0025_-382)
Azioni sul collegamento: N=-7282.35 Ty=-0.97 Tz=3.63 Mx=0.03 Mz=-2.02
Sollecitazioni agenti localmente: Ty_l=-1324.06 Mx_l=-26.48
Tensioni nella sezione: σ=320.99 τ=40.12
CC 10 SLD (Collegamento 0025_-382)
Azioni sul collegamento: N=-6269.01 Ty=-2.84 Tz=-0.34 Mx=0.01 Mz=-0.99
Sollecitazioni agenti localmente: Ty_l=-1139.82 Mx_l=-22.80
Tensioni nella sezione: σ=276.32 τ=34.54
CC 10 SLD (Collegamento 0025_-382)
Azioni sul collegamento: N=-6269.01 Ty=-3.73 Tz=-0.34 Mx=0.01 Mz=-2.45
Sollecitazioni agenti localmente: Ty_l=-1139.82 Mx_l=-22.80
Tensioni nella sezione: σ=276.32 τ=34.54
CC 10 SLD (Collegamento 0025_-382)
Azioni sul collegamento: N=-6269.00 Ty=-2.84 Tz=1.57 Mx=0.01 Mz=-0.99
Sollecitazioni agenti localmente: Ty_l=-1139.82 Mx_l=-22.80
Tensioni nella sezione: σ=276.32 τ=34.54
CC 10 SLD (Collegamento 0025_-382)
Azioni sul collegamento: N=-6269.00 Ty=-3.73 Tz=1.57 Mx=0.01 Mz=-2.45
Sollecitazioni agenti localmente: Ty_l=-1139.82 Mx_l=-22.80
Tensioni nella sezione: σ=276.32 τ=34.54
CC 10 SLD (Collegamento 0025_-382)
Azioni sul collegamento: N=-6757.78 Ty=-2.84 Tz=-0.34 Mx=0.01 Mz=-0.99
Sollecitazioni agenti localmente: Ty_l=-1228.69 Mx_l=-24.57
Tensioni nella sezione: σ=297.86 τ=37.23
CC 10 SLD (Collegamento 0025_-382)
Azioni sul collegamento: N=-6757.78 Ty=-3.73 Tz=-0.34 Mx=0.01 Mz=-2.45
Sollecitazioni agenti localmente: Ty_l=-1228.69 Mx_l=-24.57
Tensioni nella sezione: σ=297.86 τ=37.23
CC 10 SLD (Collegamento 0025_-382)
Azioni sul collegamento: N=-6757.78 Ty=-2.84 Tz=1.57 Mx=0.01 Mz=-0.99
Sollecitazioni agenti localmente: Ty_l=-1228.69 Mx_l=-24.57
Tensioni nella sezione: σ=297.86 τ=37.23
CC 10 SLD (Collegamento 0025_-382)
Azioni sul collegamento: N=-6757.78 Ty=-3.73 Tz=1.57 Mx=0.01 Mz=-2.45
Sollecitazioni agenti localmente: Ty_l=-1228.69 Mx_l=-24.57
Tensioni nella sezione: σ=297.86 τ=37.23
CC 11 SLV (Collegamento 0025_-382)
Azioni sul collegamento: N=-7263.41 Ty=-3.09 Tz=3.21 Mx=0.02 Mz=2.17
Sollecitazioni agenti localmente: Ty_l=-1320.62 Mx_l=-26.41
Tensioni nella sezione: σ=320.15 τ=40.02
CC 11 SLV (Collegamento 0025_-382)
Azioni sul collegamento: N=-7263.41 Ty=-1.79 Tz=3.21 Mx=0.02 Mz=-1.45
Sollecitazioni agenti localmente: Ty_l=-1320.62 Mx_l=-26.41
Tensioni nella sezione: σ=320.15 τ=40.02
CC 11 SLV (Collegamento 0025_-382)
Azioni sul collegamento: N=-7263.41 Ty=-3.09 Tz=-2.23 Mx=0.02 Mz=2.17
Sollecitazioni agenti localmente: Ty_l=-1320.62 Mx_l=-26.41
Tensioni nella sezione: σ=320.15 τ=40.02
CC 11 SLV (Collegamento 0025_-382)
Azioni sul collegamento: N=-7263.41 Ty=-1.79 Tz=-2.23 Mx=0.02 Mz=-1.45
Sollecitazioni agenti localmente: Ty_l=-1320.62 Mx_l=-26.41
Tensioni nella sezione: σ=320.15 τ=40.02
CC 11 SLV (Collegamento 0025_-382)
Azioni sul collegamento: N=-5698.41 Ty=-3.09 Tz=3.21 Mx=0.02 Mz=2.17
Sollecitazioni agenti localmente: Ty_l=-1036.07 Mx_l=-20.72
Tensioni nella sezione: σ=251.17 τ=31.40
CC 11 SLV (Collegamento 0025_-382)

Azioni sul collegamento: N=-5698.41 Ty=-1.79 Tz=3.21 Mx=0.02 Mz=-1.45
Sollecitazioni agenti localmente: Ty_l=-1036.07 Mx_l=-20.72
Tensioni nella sezione: σ=251.17 τ=31.40
CC 11 SLV (Collegamento 0025_-382)
Azioni sul collegamento: N=-5698.41 Ty=-3.09 Tz=-2.23 Mx=0.02 Mz=2.17
Sollecitazioni agenti localmente: Ty_l=-1036.07 Mx_l=-20.72
Tensioni nella sezione: σ=251.17 τ=31.40
CC 11 SLV (Collegamento 0025_-382)
Azioni sul collegamento: N=-5698.41 Ty=-1.79 Tz=-2.23 Mx=0.02 Mz=-1.45
Sollecitazioni agenti localmente: Ty_l=-1036.07 Mx_l=-20.72
Tensioni nella sezione: σ=251.17 τ=31.40
CC 12 SLD (Collegamento 0025_-382)
Azioni sul collegamento: N=-6752.00 Ty=-3.09 Tz=1.44 Mx=0.01 Mz=-1.17
Sollecitazioni agenti localmente: Ty_l=-1227.64 Mx_l=-24.55
Tensioni nella sezione: σ=297.61 τ=37.20
CC 12 SLD (Collegamento 0025_-382)
Azioni sul collegamento: N=-6752.00 Ty=-3.48 Tz=1.44 Mx=0.01 Mz=-2.27
Sollecitazioni agenti localmente: Ty_l=-1227.64 Mx_l=-24.55
Tensioni nella sezione: σ=297.61 τ=37.20
CC 12 SLD (Collegamento 0025_-382)
Azioni sul collegamento: N=-6752.00 Ty=-3.09 Tz=-0.21 Mx=0.01 Mz=-1.17
Sollecitazioni agenti localmente: Ty_l=-1227.64 Mx_l=-24.55
Tensioni nella sezione: σ=297.61 τ=37.20
CC 12 SLD (Collegamento 0025_-382)
Azioni sul collegamento: N=-6752.00 Ty=-3.48 Tz=-0.21 Mx=0.01 Mz=-2.27
Sollecitazioni agenti localmente: Ty_l=-1227.64 Mx_l=-24.55
Tensioni nella sezione: σ=297.61 τ=37.20
CC 12 SLD (Collegamento 0025_-382)
Azioni sul collegamento: N=-6274.78 Ty=-3.09 Tz=1.44 Mx=0.01 Mz=-1.17
Sollecitazioni agenti localmente: Ty_l=-1140.87 Mx_l=-22.82
Tensioni nella sezione: σ=276.57 τ=34.57
CC 12 SLD (Collegamento 0025_-382)
Azioni sul collegamento: N=-6274.78 Ty=-3.48 Tz=1.44 Mx=0.01 Mz=-2.27
Sollecitazioni agenti localmente: Ty_l=-1140.87 Mx_l=-22.82
Tensioni nella sezione: σ=276.57 τ=34.57
CC 12 SLD (Collegamento 0025_-382)
Azioni sul collegamento: N=-6274.78 Ty=-3.09 Tz=-0.21 Mx=0.01 Mz=-1.17
Sollecitazioni agenti localmente: Ty_l=-1140.87 Mx_l=-22.82
Tensioni nella sezione: σ=276.57 τ=34.57
CC 12 SLD (Collegamento 0025_-382)
Azioni sul collegamento: N=-6274.78 Ty=-3.48 Tz=-0.21 Mx=0.01 Mz=-2.27
Sollecitazioni agenti localmente: Ty_l=-1140.87 Mx_l=-22.82
Tensioni nella sezione: σ=276.57 τ=34.57
CC 13 SLV (Collegamento 0025_-382)
Azioni sul collegamento: N=-5698.41 Ty=-1.79 Tz=-2.23 Mx=0.01 Mz=-1.45
Sollecitazioni agenti localmente: Ty_l=-1036.07 Mx_l=-20.72
Tensioni nella sezione: σ=251.17 τ=31.40
CC 13 SLV (Collegamento 0025_-382)
Azioni sul collegamento: N=-5698.41 Ty=-3.09 Tz=-2.23 Mx=0.01 Mz=2.17
Sollecitazioni agenti localmente: Ty_l=-1036.07 Mx_l=-20.72
Tensioni nella sezione: σ=251.17 τ=31.40
CC 13 SLV (Collegamento 0025_-382)
Azioni sul collegamento: N=-5698.41 Ty=-1.79 Tz=3.21 Mx=0.01 Mz=-1.45
Sollecitazioni agenti localmente: Ty_l=-1036.07 Mx_l=-20.72
Tensioni nella sezione: σ=251.17 τ=31.40
CC 13 SLV (Collegamento 0025_-382)
Azioni sul collegamento: N=-5698.41 Ty=-3.09 Tz=3.21 Mx=0.01 Mz=2.17
Sollecitazioni agenti localmente: Ty_l=-1036.07 Mx_l=-20.72
Tensioni nella sezione: σ=251.17 τ=31.40
CC 13 SLV (Collegamento 0025_-382)
Azioni sul collegamento: N=-7263.41 Ty=-1.79 Tz=-2.23 Mx=0.01 Mz=-1.45
Sollecitazioni agenti localmente: Ty_l=-1320.62 Mx_l=-26.41
Tensioni nella sezione: σ=320.15 τ=40.02
CC 13 SLV (Collegamento 0025_-382)
Azioni sul collegamento: N=-7263.41 Ty=-3.09 Tz=-2.23 Mx=0.01 Mz=2.17
Sollecitazioni agenti localmente: Ty_l=-1320.62 Mx_l=-26.41
Tensioni nella sezione: σ=320.15 τ=40.02
CC 13 SLV (Collegamento 0025_-382)
Azioni sul collegamento: N=-7263.41 Ty=-1.79 Tz=3.21 Mx=0.01 Mz=-1.45
Sollecitazioni agenti localmente: Ty_l=-1320.62 Mx_l=-26.41
Tensioni nella sezione: σ=320.15 τ=40.02
CC 13 SLV (Collegamento 0025_-382)
Azioni sul collegamento: N=-7263.41 Ty=-3.09 Tz=3.21 Mx=0.01 Mz=2.17
Sollecitazioni agenti localmente: Ty_l=-1320.62 Mx_l=-26.41
Tensioni nella sezione: σ=320.15 τ=40.02
CC 14 SLD (Collegamento 0025_-382)
Azioni sul collegamento: N=-6274.78 Ty=-3.48 Tz=-0.21 Mx=0.01 Mz=-2.27
Sollecitazioni agenti localmente: Ty_l=-1140.87 Mx_l=-22.82
Tensioni nella sezione: σ=276.57 τ=34.57
CC 14 SLD (Collegamento 0025_-382)

Azioni sul collegamento: N=-6274.78 Ty=-3.09 Tz=-0.21 Mx=0.01 Mz=-1.17
Sollecitazioni agenti localmente: Ty_l=-1140.87 Mx_l=-22.82
Tensioni nella sezione: σ=276.57 τ=34.57
CC 14 SLD (Collegamento 0025_-382)
Azioni sul collegamento: N=-6274.78 Ty=-3.48 Tz=1.44 Mx=0.01 Mz=-2.27
Sollecitazioni agenti localmente: Ty_l=-1140.87 Mx_l=-22.82
Tensioni nella sezione: σ=276.57 τ=34.57
CC 14 SLD (Collegamento 0025_-382)
Azioni sul collegamento: N=-6274.78 Ty=-3.09 Tz=1.44 Mx=0.01 Mz=-1.17
Sollecitazioni agenti localmente: Ty_l=-1140.87 Mx_l=-22.82
Tensioni nella sezione: σ=276.57 τ=34.57
CC 14 SLD (Collegamento 0025_-382)
Azioni sul collegamento: N=-6752.00 Ty=-3.48 Tz=-0.21 Mx=0.01 Mz=-2.27
Sollecitazioni agenti localmente: Ty_l=-1227.64 Mx_l=-24.55
Tensioni nella sezione: σ=297.61 τ=37.20
CC 14 SLD (Collegamento 0025_-382)
Azioni sul collegamento: N=-6752.00 Ty=-3.09 Tz=-0.21 Mx=0.01 Mz=-1.17
Sollecitazioni agenti localmente: Ty_l=-1227.64 Mx_l=-24.55
Tensioni nella sezione: σ=297.61 τ=37.20
CC 14 SLD (Collegamento 0025_-382)
Azioni sul collegamento: N=-6752.00 Ty=-3.48 Tz=1.44 Mx=0.01 Mz=-2.27
Sollecitazioni agenti localmente: Ty_l=-1227.64 Mx_l=-24.55
Tensioni nella sezione: σ=297.61 τ=37.20
CC 14 SLD (Collegamento 0025_-382)
Azioni sul collegamento: N=-6752.00 Ty=-3.09 Tz=1.44 Mx=0.01 Mz=-1.17
Sollecitazioni agenti localmente: Ty_l=-1227.64 Mx_l=-24.55
Tensioni nella sezione: σ=297.61 τ=37.20
CC 15 SLV (Collegamento 0025_-382)
Azioni sul collegamento: N=-7282.35 Ty=-0.97 Tz=3.63 Mx=0.01 Mz=-2.02
Sollecitazioni agenti localmente: Ty_l=-1324.06 Mx_l=-26.48
Tensioni nella sezione: σ=320.99 τ=40.12
CC 15 SLV (Collegamento 0025_-382)
Azioni sul collegamento: N=-7282.35 Ty=-3.91 Tz=3.63 Mx=0.01 Mz=2.74
Sollecitazioni agenti localmente: Ty_l=-1324.06 Mx_l=-26.48
Tensioni nella sezione: σ=320.99 τ=40.12
CC 15 SLV (Collegamento 0025_-382)
Azioni sul collegamento: N=-7282.35 Ty=-0.97 Tz=-2.66 Mx=0.01 Mz=-2.02
Sollecitazioni agenti localmente: Ty_l=-1324.06 Mx_l=-26.48
Tensioni nella sezione: σ=320.99 τ=40.12
CC 15 SLV (Collegamento 0025_-382)
Azioni sul collegamento: N=-7282.35 Ty=-3.91 Tz=-2.66 Mx=0.01 Mz=2.74
Sollecitazioni agenti localmente: Ty_l=-1324.06 Mx_l=-26.48
Tensioni nella sezione: σ=320.99 τ=40.12
CC 15 SLV (Collegamento 0025_-382)
Azioni sul collegamento: N=-5679.47 Ty=-0.97 Tz=3.63 Mx=0.01 Mz=-2.02
Sollecitazioni agenti localmente: Ty_l=-1032.63 Mx_l=-20.65
Tensioni nella sezione: σ=250.33 τ=31.29
CC 15 SLV (Collegamento 0025_-382)
Azioni sul collegamento: N=-5679.47 Ty=-3.91 Tz=3.63 Mx=0.01 Mz=2.74
Sollecitazioni agenti localmente: Ty_l=-1032.63 Mx_l=-20.65
Tensioni nella sezione: σ=250.33 τ=31.29
CC 15 SLV (Collegamento 0025_-382)
Azioni sul collegamento: N=-5679.47 Ty=-0.97 Tz=-2.66 Mx=0.01 Mz=-2.02
Sollecitazioni agenti localmente: Ty_l=-1032.63 Mx_l=-20.65
Tensioni nella sezione: σ=250.33 τ=31.29
CC 15 SLV (Collegamento 0025_-382)
Azioni sul collegamento: N=-5679.47 Ty=-3.91 Tz=-2.66 Mx=0.01 Mz=2.74
Sollecitazioni agenti localmente: Ty_l=-1032.63 Mx_l=-20.65
Tensioni nella sezione: σ=250.33 τ=31.29
CC 16 SLD (Collegamento 0025_-382)
Azioni sul collegamento: N=-6757.78 Ty=-3.73 Tz=1.57 Mx=0.00 Mz=-2.45
Sollecitazioni agenti localmente: Ty_l=-1228.69 Mx_l=-24.57
Tensioni nella sezione: σ=297.86 τ=37.23
CC 16 SLD (Collegamento 0025_-382)
Azioni sul collegamento: N=-6757.78 Ty=-2.84 Tz=1.57 Mx=0.00 Mz=-0.99
Sollecitazioni agenti localmente: Ty_l=-1228.69 Mx_l=-24.57
Tensioni nella sezione: σ=297.86 τ=37.23
CC 16 SLD (Collegamento 0025_-382)
Azioni sul collegamento: N=-6757.78 Ty=-3.73 Tz=-0.34 Mx=0.00 Mz=-2.45
Sollecitazioni agenti localmente: Ty_l=-1228.69 Mx_l=-24.57
Tensioni nella sezione: σ=297.86 τ=37.23
CC 16 SLD (Collegamento 0025_-382)
Azioni sul collegamento: N=-6757.78 Ty=-2.84 Tz=-0.34 Mx=0.00 Mz=-0.99
Sollecitazioni agenti localmente: Ty_l=-1228.69 Mx_l=-24.57
Tensioni nella sezione: σ=297.86 τ=37.23
CC 16 SLD (Collegamento 0025_-382)
Azioni sul collegamento: N=-6269.00 Ty=-3.73 Tz=1.57 Mx=0.00 Mz=-2.45
Sollecitazioni agenti localmente: Ty_l=-1139.82 Mx_l=-22.80
Tensioni nella sezione: σ=276.32 τ=34.54
CC 16 SLD (Collegamento 0025_-382)

Azioni sul collegamento: N=-6269.00 Ty=-2.84 Tz=1.57 Mx=0.00 Mz=-0.99
Sollecitazioni agenti localmente: Ty_l=-1139.82 Mx_l=-22.80
Tensioni nella sezione: σ=276.32 τ=34.54
CC 16 SLD (Collegamento 0025_-382)
Azioni sul collegamento: N=-6269.01 Ty=-3.73 Tz=-0.34 Mx=0.00 Mz=-2.45
Sollecitazioni agenti localmente: Ty_l=-1139.82 Mx_l=-22.80
Tensioni nella sezione: σ=276.32 τ=34.54
CC 16 SLD (Collegamento 0025_-382)
Azioni sul collegamento: N=-6269.01 Ty=-2.84 Tz=-0.34 Mx=0.00 Mz=-0.99
Sollecitazioni agenti localmente: Ty_l=-1139.82 Mx_l=-22.80
Tensioni nella sezione: σ=276.32 τ=34.54
CC 17 SLV (Collegamento 0025_-382)
Azioni sul collegamento: N=-3931.62 Ty=-3.19 Tz=-8.98 Mx=-0.01 Mz=-4.04
Sollecitazioni agenti localmente: Ty_l=-714.84 Mx_l=-14.30
Tensioni nella sezione: σ=173.29 τ=21.66
CC 17 SLV (Collegamento 0025_-382)
Azioni sul collegamento: N=-3931.62 Ty=-6.55 Tz=-8.98 Mx=-0.01 Mz=-7.22
Sollecitazioni agenti localmente: Ty_l=-714.84 Mx_l=-14.30
Tensioni nella sezione: σ=173.29 τ=21.66
CC 17 SLV (Collegamento 0025_-382)
Azioni sul collegamento: N=-3931.62 Ty=-3.19 Tz=10.69 Mx=-0.01 Mz=-4.04
Sollecitazioni agenti localmente: Ty_l=-714.84 Mx_l=-14.30
Tensioni nella sezione: σ=173.29 τ=21.66
CC 17 SLV (Collegamento 0025_-382)
Azioni sul collegamento: N=-3931.62 Ty=-6.55 Tz=10.69 Mx=-0.01 Mz=-7.22
Sollecitazioni agenti localmente: Ty_l=-714.84 Mx_l=-14.30
Tensioni nella sezione: σ=173.29 τ=21.66
CC 17 SLV (Collegamento 0025_-382)
Azioni sul collegamento: N=-9217.12 Ty=-3.19 Tz=-8.98 Mx=-0.01 Mz=-4.04
Sollecitazioni agenti localmente: Ty_l=-1675.84 Mx_l=-33.52
Tensioni nella sezione: σ=406.26 τ=50.78
CC 17 SLV (Collegamento 0025_-382)
Azioni sul collegamento: N=-9217.12 Ty=-6.55 Tz=-8.98 Mx=-0.01 Mz=-7.22
Sollecitazioni agenti localmente: Ty_l=-1675.84 Mx_l=-33.52
Tensioni nella sezione: σ=406.26 τ=50.78
CC 17 SLV (Collegamento 0025_-382)
Azioni sul collegamento: N=-9217.12 Ty=-3.19 Tz=10.69 Mx=-0.01 Mz=-4.04
Sollecitazioni agenti localmente: Ty_l=-1675.84 Mx_l=-33.52
Tensioni nella sezione: σ=406.26 τ=50.78
CC 17 SLV (Collegamento 0025_-382)
Azioni sul collegamento: N=-9217.12 Ty=-6.55 Tz=10.69 Mx=-0.01 Mz=-7.22
Sollecitazioni agenti localmente: Ty_l=-1675.84 Mx_l=-33.52
Tensioni nella sezione: σ=406.26 τ=50.78
CC 18 SLD (Collegamento 0025_-382)
Azioni sul collegamento: N=-5736.03 Ty=-3.51 Tz=-2.27 Mx=-0.00 Mz=-3.06
Sollecitazioni agenti localmente: Ty_l=-1042.91 Mx_l=-20.86
Tensioni nella sezione: σ=252.83 τ=31.60
CC 18 SLD (Collegamento 0025_-382)
Azioni sul collegamento: N=-5736.03 Ty=-4.54 Tz=-2.27 Mx=-0.00 Mz=-4.03
Sollecitazioni agenti localmente: Ty_l=-1042.91 Mx_l=-20.86
Tensioni nella sezione: σ=252.83 τ=31.60
CC 18 SLD (Collegamento 0025_-382)
Azioni sul collegamento: N=-5736.03 Ty=-3.51 Tz=3.73 Mx=-0.00 Mz=-3.06
Sollecitazioni agenti localmente: Ty_l=-1042.91 Mx_l=-20.86
Tensioni nella sezione: σ=252.83 τ=31.60
CC 18 SLD (Collegamento 0025_-382)
Azioni sul collegamento: N=-5736.03 Ty=-4.54 Tz=3.73 Mx=-0.00 Mz=-4.03
Sollecitazioni agenti localmente: Ty_l=-1042.91 Mx_l=-20.86
Tensioni nella sezione: σ=252.83 τ=31.60
CC 18 SLD (Collegamento 0025_-382)
Azioni sul collegamento: N=-7347.75 Ty=-3.51 Tz=-2.27 Mx=-0.00 Mz=-3.06
Sollecitazioni agenti localmente: Ty_l=-1335.95 Mx_l=-26.72
Tensioni nella sezione: σ=323.87 τ=40.48
CC 18 SLD (Collegamento 0025_-382)
Azioni sul collegamento: N=-7347.75 Ty=-4.54 Tz=-2.27 Mx=-0.00 Mz=-4.03
Sollecitazioni agenti localmente: Ty_l=-1335.95 Mx_l=-26.72
Tensioni nella sezione: σ=323.87 τ=40.48
CC 18 SLD (Collegamento 0025_-382)
Azioni sul collegamento: N=-7347.75 Ty=-3.51 Tz=3.73 Mx=-0.00 Mz=-3.06
Sollecitazioni agenti localmente: Ty_l=-1335.95 Mx_l=-26.72
Tensioni nella sezione: σ=323.87 τ=40.48
CC 18 SLD (Collegamento 0025_-382)
Azioni sul collegamento: N=-7347.75 Ty=-4.54 Tz=3.73 Mx=-0.00 Mz=-4.03
Sollecitazioni agenti localmente: Ty_l=-1335.95 Mx_l=-26.72
Tensioni nella sezione: σ=323.87 τ=40.48
CC 19 SLV (Collegamento 0025_-382)
Azioni sul collegamento: N=-3937.31 Ty=-3.82 Tz=-8.85 Mx=-0.01 Mz=-5.30
Sollecitazioni agenti localmente: Ty_l=-715.87 Mx_l=-14.32
Tensioni nella sezione: σ=173.54 τ=21.69
CC 19 SLV (Collegamento 0025_-382)

Azioni sul collegamento: N=-3937.31 Ty=-5.92 Tz=-8.85 Mx=-0.01 Mz=-5.96
Sollecitazioni agenti localmente: Ty_l=-715.87 Mx_l=-14.32
Tensioni nella sezione: σ=173.54 τ=21.69
CC 19 SLV (Collegamento 0025_-382)
Azioni sul collegamento: N=-3937.31 Ty=-3.82 Tz=10.56 Mx=-0.01 Mz=-5.30
Sollecitazioni agenti localmente: Ty_l=-715.87 Mx_l=-14.32
Tensioni nella sezione: σ=173.54 τ=21.69
CC 19 SLV (Collegamento 0025_-382)
Azioni sul collegamento: N=-3937.31 Ty=-5.92 Tz=10.56 Mx=-0.01 Mz=-5.96
Sollecitazioni agenti localmente: Ty_l=-715.87 Mx_l=-14.32
Tensioni nella sezione: σ=173.54 τ=21.69
CC 19 SLV (Collegamento 0025_-382)
Azioni sul collegamento: N=-9211.43 Ty=-3.82 Tz=-8.85 Mx=-0.01 Mz=-5.30
Sollecitazioni agenti localmente: Ty_l=-1674.81 Mx_l=-33.50
Tensioni nella sezione: σ=406.01 τ=50.75
CC 19 SLV (Collegamento 0025_-382)
Azioni sul collegamento: N=-9211.43 Ty=-5.92 Tz=-8.85 Mx=-0.01 Mz=-5.96
Sollecitazioni agenti localmente: Ty_l=-1674.81 Mx_l=-33.50
Tensioni nella sezione: σ=406.01 τ=50.75
CC 19 SLV (Collegamento 0025_-382)
Azioni sul collegamento: N=-9211.43 Ty=-3.82 Tz=10.56 Mx=-0.01 Mz=-5.30
Sollecitazioni agenti localmente: Ty_l=-1674.81 Mx_l=-33.50
Tensioni nella sezione: σ=406.01 τ=50.75
CC 19 SLV (Collegamento 0025_-382)
Azioni sul collegamento: N=-9211.43 Ty=-5.92 Tz=10.56 Mx=-0.01 Mz=-5.96
Sollecitazioni agenti localmente: Ty_l=-1674.81 Mx_l=-33.50
Tensioni nella sezione: σ=406.01 τ=50.75
CC 20 SLD (Collegamento 0025_-382)
Azioni sul collegamento: N=-5737.77 Ty=-3.71 Tz=-2.23 Mx=-0.00 Mz=-3.45
Sollecitazioni agenti localmente: Ty_l=-1043.23 Mx_l=-20.86
Tensioni nella sezione: σ=252.90 τ=31.61
CC 20 SLD (Collegamento 0025_-382)
Azioni sul collegamento: N=-5737.77 Ty=-4.34 Tz=-2.23 Mx=-0.00 Mz=-3.65
Sollecitazioni agenti localmente: Ty_l=-1043.23 Mx_l=-20.86
Tensioni nella sezione: σ=252.90 τ=31.61
CC 20 SLD (Collegamento 0025_-382)
Azioni sul collegamento: N=-5737.77 Ty=-3.71 Tz=3.69 Mx=-0.00 Mz=-3.45
Sollecitazioni agenti localmente: Ty_l=-1043.23 Mx_l=-20.86
Tensioni nella sezione: σ=252.90 τ=31.61
CC 20 SLD (Collegamento 0025_-382)
Azioni sul collegamento: N=-5737.77 Ty=-4.34 Tz=3.69 Mx=-0.00 Mz=-3.65
Sollecitazioni agenti localmente: Ty_l=-1043.23 Mx_l=-20.86
Tensioni nella sezione: σ=252.90 τ=31.61
CC 20 SLD (Collegamento 0025_-382)
Azioni sul collegamento: N=-7346.01 Ty=-3.71 Tz=-2.23 Mx=-0.00 Mz=-3.45
Sollecitazioni agenti localmente: Ty_l=-1335.64 Mx_l=-26.71
Tensioni nella sezione: σ=323.79 τ=40.47
CC 20 SLD (Collegamento 0025_-382)
Azioni sul collegamento: N=-7346.01 Ty=-4.34 Tz=-2.23 Mx=-0.00 Mz=-3.65
Sollecitazioni agenti localmente: Ty_l=-1335.64 Mx_l=-26.71
Tensioni nella sezione: σ=323.79 τ=40.47
CC 20 SLD (Collegamento 0025_-382)
Azioni sul collegamento: N=-7346.01 Ty=-3.71 Tz=3.69 Mx=-0.00 Mz=-3.45
Sollecitazioni agenti localmente: Ty_l=-1335.64 Mx_l=-26.71
Tensioni nella sezione: σ=323.79 τ=40.47
CC 20 SLD (Collegamento 0025_-382)
Azioni sul collegamento: N=-7346.01 Ty=-4.34 Tz=3.69 Mx=-0.00 Mz=-3.65
Sollecitazioni agenti localmente: Ty_l=-1335.64 Mx_l=-26.71
Tensioni nella sezione: σ=323.79 τ=40.47
CC 21 SLV (Collegamento 0025_-382)
Azioni sul collegamento: N=-9211.43 Ty=-5.92 Tz=10.56 Mx=-0.01 Mz=-5.96
Sollecitazioni agenti localmente: Ty_l=-1674.81 Mx_l=-33.50
Tensioni nella sezione: σ=406.01 τ=50.75
CC 21 SLV (Collegamento 0025_-382)
Azioni sul collegamento: N=-9211.43 Ty=-3.82 Tz=10.56 Mx=-0.01 Mz=-5.30
Sollecitazioni agenti localmente: Ty_l=-1674.81 Mx_l=-33.50
Tensioni nella sezione: σ=406.01 τ=50.75
CC 21 SLV (Collegamento 0025_-382)
Azioni sul collegamento: N=-9211.43 Ty=-5.92 Tz=-8.85 Mx=-0.01 Mz=-5.96
Sollecitazioni agenti localmente: Ty_l=-1674.81 Mx_l=-33.50
Tensioni nella sezione: σ=406.01 τ=50.75
CC 21 SLV (Collegamento 0025_-382)
Azioni sul collegamento: N=-9211.43 Ty=-3.82 Tz=-8.85 Mx=-0.01 Mz=-5.30
Sollecitazioni agenti localmente: Ty_l=-1674.81 Mx_l=-33.50
Tensioni nella sezione: σ=406.01 τ=50.75
CC 21 SLV (Collegamento 0025_-382)
Azioni sul collegamento: N=-3937.31 Ty=-5.92 Tz=10.56 Mx=-0.01 Mz=-5.96
Sollecitazioni agenti localmente: Ty_l=-715.87 Mx_l=-14.32
Tensioni nella sezione: σ=173.54 τ=21.69
CC 21 SLV (Collegamento 0025_-382)

Azioni sul collegamento: N=-3937.31 Ty=-3.82 Tz=10.56 Mx=-0.01 Mz=-5.30
Sollecitazioni agenti localmente: Ty_l=-715.87 Mx_l=-14.32
Tensioni nella sezione: σ=173.54 τ=21.69
CC 21 SLV (Collegamento 0025_-382)
Azioni sul collegamento: N=-3937.31 Ty=-5.92 Tz=-8.85 Mx=-0.01 Mz=-5.96
Sollecitazioni agenti localmente: Ty_l=-715.87 Mx_l=-14.32
Tensioni nella sezione: σ=173.54 τ=21.69
CC 21 SLV (Collegamento 0025_-382)
Azioni sul collegamento: N=-3937.31 Ty=-3.82 Tz=-8.85 Mx=-0.01 Mz=-5.30
Sollecitazioni agenti localmente: Ty_l=-715.87 Mx_l=-14.32
Tensioni nella sezione: σ=173.54 τ=21.69
CC 22 SLD (Collegamento 0025_-382)
Azioni sul collegamento: N=-7346.01 Ty=-4.34 Tz=3.69 Mx=-0.00 Mz=-3.65
Sollecitazioni agenti localmente: Ty_l=-1335.64 Mx_l=-26.71
Tensioni nella sezione: σ=323.79 τ=40.47
CC 22 SLD (Collegamento 0025_-382)
Azioni sul collegamento: N=-7346.01 Ty=-3.71 Tz=3.69 Mx=-0.00 Mz=-3.45
Sollecitazioni agenti localmente: Ty_l=-1335.64 Mx_l=-26.71
Tensioni nella sezione: σ=323.79 τ=40.47
CC 22 SLD (Collegamento 0025_-382)
Azioni sul collegamento: N=-7346.01 Ty=-4.34 Tz=-2.23 Mx=-0.00 Mz=-3.65
Sollecitazioni agenti localmente: Ty_l=-1335.64 Mx_l=-26.71
Tensioni nella sezione: σ=323.79 τ=40.47
CC 22 SLD (Collegamento 0025_-382)
Azioni sul collegamento: N=-7346.01 Ty=-3.71 Tz=-2.23 Mx=-0.00 Mz=-3.45
Sollecitazioni agenti localmente: Ty_l=-1335.64 Mx_l=-26.71
Tensioni nella sezione: σ=323.79 τ=40.47
CC 22 SLD (Collegamento 0025_-382)
Azioni sul collegamento: N=-5737.77 Ty=-4.34 Tz=3.69 Mx=-0.00 Mz=-3.65
Sollecitazioni agenti localmente: Ty_l=-1043.23 Mx_l=-20.86
Tensioni nella sezione: σ=252.90 τ=31.61
CC 22 SLD (Collegamento 0025_-382)
Azioni sul collegamento: N=-5737.77 Ty=-3.71 Tz=3.69 Mx=-0.00 Mz=-3.45
Sollecitazioni agenti localmente: Ty_l=-1043.23 Mx_l=-20.86
Tensioni nella sezione: σ=252.90 τ=31.61
CC 22 SLD (Collegamento 0025_-382)
Azioni sul collegamento: N=-5737.77 Ty=-4.34 Tz=-2.23 Mx=-0.00 Mz=-3.65
Sollecitazioni agenti localmente: Ty_l=-1043.23 Mx_l=-20.86
Tensioni nella sezione: σ=252.90 τ=31.61
CC 22 SLD (Collegamento 0025_-382)
Azioni sul collegamento: N=-5737.77 Ty=-3.71 Tz=-2.23 Mx=-0.00 Mz=-3.45
Sollecitazioni agenti localmente: Ty_l=-1043.23 Mx_l=-20.86
Tensioni nella sezione: σ=252.90 τ=31.61
CC 23 SLV (Collegamento 0025_-382)
Azioni sul collegamento: N=-9217.12 Ty=-6.55 Tz=10.69 Mx=-0.01 Mz=-7.22
Sollecitazioni agenti localmente: Ty_l=-1675.84 Mx_l=-33.52
Tensioni nella sezione: σ=406.26 τ=50.78
CC 23 SLV (Collegamento 0025_-382)
Azioni sul collegamento: N=-9217.12 Ty=-3.19 Tz=10.69 Mx=-0.01 Mz=-4.04
Sollecitazioni agenti localmente: Ty_l=-1675.84 Mx_l=-33.52
Tensioni nella sezione: σ=406.26 τ=50.78
CC 23 SLV (Collegamento 0025_-382)
Azioni sul collegamento: N=-9217.12 Ty=-6.55 Tz=-8.98 Mx=-0.01 Mz=-7.22
Sollecitazioni agenti localmente: Ty_l=-1675.84 Mx_l=-33.52
Tensioni nella sezione: σ=406.26 τ=50.78
CC 23 SLV (Collegamento 0025_-382)
Azioni sul collegamento: N=-9217.12 Ty=-3.19 Tz=-8.98 Mx=-0.01 Mz=-4.04
Sollecitazioni agenti localmente: Ty_l=-1675.84 Mx_l=-33.52
Tensioni nella sezione: σ=406.26 τ=50.78
CC 23 SLV (Collegamento 0025_-382)
Azioni sul collegamento: N=-3931.62 Ty=-6.55 Tz=10.69 Mx=-0.01 Mz=-7.22
Sollecitazioni agenti localmente: Ty_l=-714.84 Mx_l=-14.30
Tensioni nella sezione: σ=173.29 τ=21.66
CC 23 SLV (Collegamento 0025_-382)
Azioni sul collegamento: N=-3931.62 Ty=-3.19 Tz=10.69 Mx=-0.01 Mz=-4.04
Sollecitazioni agenti localmente: Ty_l=-714.84 Mx_l=-14.30
Tensioni nella sezione: σ=173.29 τ=21.66
CC 23 SLV (Collegamento 0025_-382)
Azioni sul collegamento: N=-3931.62 Ty=-6.55 Tz=-8.98 Mx=-0.01 Mz=-7.22
Sollecitazioni agenti localmente: Ty_l=-714.84 Mx_l=-14.30
Tensioni nella sezione: σ=173.29 τ=21.66
CC 23 SLV (Collegamento 0025_-382)
Azioni sul collegamento: N=-3931.62 Ty=-3.19 Tz=-8.98 Mx=-0.01 Mz=-4.04
Sollecitazioni agenti localmente: Ty_l=-714.84 Mx_l=-14.30
Tensioni nella sezione: σ=173.29 τ=21.66
CC 24 SLD (Collegamento 0025_-382)
Azioni sul collegamento: N=-7347.75 Ty=-4.54 Tz=3.73 Mx=0.00 Mz=-4.03
Sollecitazioni agenti localmente: Ty_l=-1335.95 Mx_l=-26.72
Tensioni nella sezione: σ=323.87 τ=40.48
CC 24 SLD (Collegamento 0025_-382)

Azioni sul collegamento: N=-7347.75 Ty=-3.51 Tz=3.73 Mx=0.00 Mz=-3.06
Sollecitazioni agenti localmente: Ty_l=-1335.95 Mx_l=-26.72
Tensioni nella sezione: σ=323.87 τ=40.48
CC 24 SLD (Collegamento 0025_-382)
Azioni sul collegamento: N=-7347.75 Ty=-4.54 Tz=-2.27 Mx=0.00 Mz=-4.03
Sollecitazioni agenti localmente: Ty_l=-1335.95 Mx_l=-26.72
Tensioni nella sezione: σ=323.87 τ=40.48
CC 24 SLD (Collegamento 0025_-382)
Azioni sul collegamento: N=-7347.75 Ty=-3.51 Tz=-2.27 Mx=0.00 Mz=-3.06
Sollecitazioni agenti localmente: Ty_l=-1335.95 Mx_l=-26.72
Tensioni nella sezione: σ=323.87 τ=40.48
CC 24 SLD (Collegamento 0025_-382)
Azioni sul collegamento: N=-5736.03 Ty=-4.54 Tz=3.73 Mx=0.00 Mz=-4.03
Sollecitazioni agenti localmente: Ty_l=-1042.91 Mx_l=-20.86
Tensioni nella sezione: σ=252.83 τ=31.60
CC 24 SLD (Collegamento 0025_-382)
Azioni sul collegamento: N=-5736.03 Ty=-3.51 Tz=3.73 Mx=0.00 Mz=-3.06
Sollecitazioni agenti localmente: Ty_l=-1042.91 Mx_l=-20.86
Tensioni nella sezione: σ=252.83 τ=31.60
CC 24 SLD (Collegamento 0025_-382)
Azioni sul collegamento: N=-5736.03 Ty=-4.54 Tz=-2.27 Mx=0.00 Mz=-4.03
Sollecitazioni agenti localmente: Ty_l=-1042.91 Mx_l=-20.86
Tensioni nella sezione: σ=252.83 τ=31.60
CC 24 SLD (Collegamento 0025_-382)
Azioni sul collegamento: N=-5736.03 Ty=-3.51 Tz=-2.27 Mx=0.00 Mz=-3.06
Sollecitazioni agenti localmente: Ty_l=-1042.91 Mx_l=-20.86
Tensioni nella sezione: σ=252.83 τ=31.60
CC 25 SLV (Collegamento 0025_-382)
Azioni sul collegamento: N=-5772.93 Ty=-3.40 Tz=-2.29 Mx=-0.02 Mz=-3.25
Sollecitazioni agenti localmente: Ty_l=-1049.62 Mx_l=-20.99
Tensioni nella sezione: σ=254.45 τ=31.81
CC 25 SLV (Collegamento 0025_-382)
Azioni sul collegamento: N=-5772.93 Ty=-6.34 Tz=-2.29 Mx=-0.02 Mz=-8.01
Sollecitazioni agenti localmente: Ty_l=-1049.62 Mx_l=-20.99
Tensioni nella sezione: σ=254.45 τ=31.81
CC 25 SLV (Collegamento 0025_-382)
Azioni sul collegamento: N=-5772.93 Ty=-3.40 Tz=4.00 Mx=-0.02 Mz=-3.25
Sollecitazioni agenti localmente: Ty_l=-1049.62 Mx_l=-20.99
Tensioni nella sezione: σ=254.45 τ=31.81
CC 25 SLV (Collegamento 0025_-382)
Azioni sul collegamento: N=-5772.93 Ty=-6.34 Tz=4.00 Mx=-0.02 Mz=-8.01
Sollecitazioni agenti localmente: Ty_l=-1049.62 Mx_l=-20.99
Tensioni nella sezione: σ=254.45 τ=31.81
CC 25 SLV (Collegamento 0025_-382)
Azioni sul collegamento: N=-7375.81 Ty=-3.40 Tz=-2.29 Mx=-0.02 Mz=-3.25
Sollecitazioni agenti localmente: Ty_l=-1341.06 Mx_l=-26.82
Tensioni nella sezione: σ=325.10 τ=40.64
CC 25 SLV (Collegamento 0025_-382)
Azioni sul collegamento: N=-7375.81 Ty=-6.34 Tz=-2.29 Mx=-0.02 Mz=-8.01
Sollecitazioni agenti localmente: Ty_l=-1341.06 Mx_l=-26.82
Tensioni nella sezione: σ=325.10 τ=40.64
CC 25 SLV (Collegamento 0025_-382)
Azioni sul collegamento: N=-7375.81 Ty=-3.40 Tz=4.00 Mx=-0.02 Mz=-3.25
Sollecitazioni agenti localmente: Ty_l=-1341.06 Mx_l=-26.82
Tensioni nella sezione: σ=325.10 τ=40.64
CC 25 SLV (Collegamento 0025_-382)
Azioni sul collegamento: N=-7375.81 Ty=-6.34 Tz=4.00 Mx=-0.02 Mz=-8.01
Sollecitazioni agenti localmente: Ty_l=-1341.06 Mx_l=-26.82
Tensioni nella sezione: σ=325.10 τ=40.64
CC 26 SLD (Collegamento 0025_-382)
Azioni sul collegamento: N=-6297.50 Ty=-3.58 Tz=-0.23 Mx=-0.00 Mz=-2.82
Sollecitazioni agenti localmente: Ty_l=-1145.00 Mx_l=-22.90
Tensioni nella sezione: σ=277.57 τ=34.70
CC 26 SLD (Collegamento 0025_-382)
Azioni sul collegamento: N=-6297.50 Ty=-4.47 Tz=-0.23 Mx=-0.00 Mz=-4.27
Sollecitazioni agenti localmente: Ty_l=-1145.00 Mx_l=-22.90
Tensioni nella sezione: σ=277.57 τ=34.70
CC 26 SLD (Collegamento 0025_-382)
Azioni sul collegamento: N=-6297.50 Ty=-3.58 Tz=1.69 Mx=-0.00 Mz=-2.82
Sollecitazioni agenti localmente: Ty_l=-1145.00 Mx_l=-22.90
Tensioni nella sezione: σ=277.57 τ=34.70
CC 26 SLD (Collegamento 0025_-382)
Azioni sul collegamento: N=-6297.50 Ty=-4.47 Tz=1.69 Mx=-0.00 Mz=-4.27
Sollecitazioni agenti localmente: Ty_l=-1145.00 Mx_l=-22.90
Tensioni nella sezione: σ=277.57 τ=34.70
CC 26 SLD (Collegamento 0025_-382)
Azioni sul collegamento: N=-6786.28 Ty=-3.58 Tz=-0.23 Mx=-0.00 Mz=-2.82
Sollecitazioni agenti localmente: Ty_l=-1233.87 Mx_l=-24.68
Tensioni nella sezione: σ=299.12 τ=37.39
CC 26 SLD (Collegamento 0025_-382)

Azioni sul collegamento: N=-6786.28 Ty=-4.47 Tz=-0.23 Mx=-0.00 Mz=-4.27
Sollecitazioni agenti localmente: Ty_l=-1233.87 Mx_l=-24.68
Tensioni nella sezione: σ=299.12 τ=37.39
CC 26 SLD (Collegamento 0025_-382)
Azioni sul collegamento: N=-6786.28 Ty=-3.58 Tz=1.69 Mx=-0.00 Mz=-2.82
Sollecitazioni agenti localmente: Ty_l=-1233.87 Mx_l=-24.68
Tensioni nella sezione: σ=299.12 τ=37.39
CC 26 SLD (Collegamento 0025_-382)
Azioni sul collegamento: N=-6786.28 Ty=-4.47 Tz=1.69 Mx=-0.00 Mz=-4.27
Sollecitazioni agenti localmente: Ty_l=-1233.87 Mx_l=-24.68
Tensioni nella sezione: σ=299.12 τ=37.39
CC 27 SLV (Collegamento 0025_-382)
Azioni sul collegamento: N=-7356.87 Ty=-4.22 Tz=3.57 Mx=-0.02 Mz=-3.82
Sollecitazioni agenti localmente: Ty_l=-1337.61 Mx_l=-26.75
Tensioni nella sezione: σ=324.27 τ=40.53
CC 27 SLV (Collegamento 0025_-382)
Azioni sul collegamento: N=-7356.87 Ty=-5.52 Tz=3.57 Mx=-0.02 Mz=-7.44
Sollecitazioni agenti localmente: Ty_l=-1337.61 Mx_l=-26.75
Tensioni nella sezione: σ=324.27 τ=40.53
CC 27 SLV (Collegamento 0025_-382)
Azioni sul collegamento: N=-7356.87 Ty=-4.22 Tz=-1.86 Mx=-0.02 Mz=-3.82
Sollecitazioni agenti localmente: Ty_l=-1337.61 Mx_l=-26.75
Tensioni nella sezione: σ=324.27 τ=40.53
CC 27 SLV (Collegamento 0025_-382)
Azioni sul collegamento: N=-7356.87 Ty=-5.52 Tz=-1.86 Mx=-0.02 Mz=-7.44
Sollecitazioni agenti localmente: Ty_l=-1337.61 Mx_l=-26.75
Tensioni nella sezione: σ=324.27 τ=40.53
CC 27 SLV (Collegamento 0025_-382)
Azioni sul collegamento: N=-5791.87 Ty=-4.22 Tz=3.57 Mx=-0.02 Mz=-3.82
Sollecitazioni agenti localmente: Ty_l=-1053.07 Mx_l=-21.06
Tensioni nella sezione: σ=255.29 τ=31.91
CC 27 SLV (Collegamento 0025_-382)
Azioni sul collegamento: N=-5791.87 Ty=-5.52 Tz=3.57 Mx=-0.02 Mz=-7.44
Sollecitazioni agenti localmente: Ty_l=-1053.07 Mx_l=-21.06
Tensioni nella sezione: σ=255.29 τ=31.91
CC 27 SLV (Collegamento 0025_-382)
Azioni sul collegamento: N=-5791.87 Ty=-4.22 Tz=-1.86 Mx=-0.02 Mz=-3.82
Sollecitazioni agenti localmente: Ty_l=-1053.07 Mx_l=-21.06
Tensioni nella sezione: σ=255.29 τ=31.91
CC 27 SLV (Collegamento 0025_-382)
Azioni sul collegamento: N=-5791.87 Ty=-5.52 Tz=-1.86 Mx=-0.02 Mz=-7.44
Sollecitazioni agenti localmente: Ty_l=-1053.07 Mx_l=-21.06
Tensioni nella sezione: σ=255.29 τ=31.91
CC 28 SLD (Collegamento 0025_-382)
Azioni sul collegamento: N=-6780.50 Ty=-3.83 Tz=1.56 Mx=-0.00 Mz=-3.00
Sollecitazioni agenti localmente: Ty_l=-1232.82 Mx_l=-24.66
Tensioni nella sezione: σ=298.86 τ=37.36
CC 28 SLD (Collegamento 0025_-382)
Azioni sul collegamento: N=-6780.50 Ty=-4.22 Tz=1.56 Mx=-0.00 Mz=-4.10
Sollecitazioni agenti localmente: Ty_l=-1232.82 Mx_l=-24.66
Tensioni nella sezione: σ=298.86 τ=37.36
CC 28 SLD (Collegamento 0025_-382)
Azioni sul collegamento: N=-6780.50 Ty=-3.83 Tz=-0.10 Mx=-0.00 Mz=-3.00
Sollecitazioni agenti localmente: Ty_l=-1232.82 Mx_l=-24.66
Tensioni nella sezione: σ=298.86 τ=37.36
CC 28 SLD (Collegamento 0025_-382)
Azioni sul collegamento: N=-6780.50 Ty=-4.22 Tz=-0.10 Mx=-0.00 Mz=-4.10
Sollecitazioni agenti localmente: Ty_l=-1232.82 Mx_l=-24.66
Tensioni nella sezione: σ=298.86 τ=37.36
CC 28 SLD (Collegamento 0025_-382)
Azioni sul collegamento: N=-6303.28 Ty=-3.83 Tz=1.56 Mx=-0.00 Mz=-3.00
Sollecitazioni agenti localmente: Ty_l=-1146.05 Mx_l=-22.92
Tensioni nella sezione: σ=277.83 τ=34.73
CC 28 SLD (Collegamento 0025_-382)
Azioni sul collegamento: N=-6303.28 Ty=-4.22 Tz=1.56 Mx=-0.00 Mz=-4.10
Sollecitazioni agenti localmente: Ty_l=-1146.05 Mx_l=-22.92
Tensioni nella sezione: σ=277.83 τ=34.73
CC 28 SLD (Collegamento 0025_-382)
Azioni sul collegamento: N=-6303.28 Ty=-3.83 Tz=-0.10 Mx=-0.00 Mz=-3.00
Sollecitazioni agenti localmente: Ty_l=-1146.05 Mx_l=-22.92
Tensioni nella sezione: σ=277.83 τ=34.73
CC 28 SLD (Collegamento 0025_-382)
Azioni sul collegamento: N=-6303.28 Ty=-4.22 Tz=-0.10 Mx=-0.00 Mz=-4.10
Sollecitazioni agenti localmente: Ty_l=-1146.05 Mx_l=-22.92
Tensioni nella sezione: σ=277.83 τ=34.73
CC 29 SLV (Collegamento 0025_-382)
Azioni sul collegamento: N=-5791.87 Ty=-5.52 Tz=-1.86 Mx=-0.00 Mz=-7.44
Sollecitazioni agenti localmente: Ty_l=-1053.07 Mx_l=-21.06
Tensioni nella sezione: σ=255.29 τ=31.91
CC 29 SLV (Collegamento 0025_-382)

Azioni sul collegamento: N=-5791.87 Ty=-4.22 Tz=-1.86 Mx=-0.00 Mz=-3.82
Sollecitazioni agenti localmente: Ty_l=-1053.07 Mx_l=-21.06
Tensioni nella sezione: σ=255.29 τ=31.91
CC 29 SLV (Collegamento 0025_-382)
Azioni sul collegamento: N=-5791.87 Ty=-5.52 Tz=3.57 Mx=-0.00 Mz=-7.44
Sollecitazioni agenti localmente: Ty_l=-1053.07 Mx_l=-21.06
Tensioni nella sezione: σ=255.29 τ=31.91
CC 29 SLV (Collegamento 0025_-382)
Azioni sul collegamento: N=-5791.87 Ty=-4.22 Tz=3.57 Mx=-0.00 Mz=-3.82
Sollecitazioni agenti localmente: Ty_l=-1053.07 Mx_l=-21.06
Tensioni nella sezione: σ=255.29 τ=31.91
CC 29 SLV (Collegamento 0025_-382)
Azioni sul collegamento: N=-7356.87 Ty=-5.52 Tz=-1.86 Mx=-0.00 Mz=-7.44
Sollecitazioni agenti localmente: Ty_l=-1337.61 Mx_l=-26.75
Tensioni nella sezione: σ=324.27 τ=40.53
CC 29 SLV (Collegamento 0025_-382)
Azioni sul collegamento: N=-7356.87 Ty=-4.22 Tz=-1.86 Mx=-0.00 Mz=-3.82
Sollecitazioni agenti localmente: Ty_l=-1337.61 Mx_l=-26.75
Tensioni nella sezione: σ=324.27 τ=40.53
CC 29 SLV (Collegamento 0025_-382)
Azioni sul collegamento: N=-7356.87 Ty=-5.52 Tz=3.57 Mx=-0.00 Mz=-7.44
Sollecitazioni agenti localmente: Ty_l=-1337.61 Mx_l=-26.75
Tensioni nella sezione: σ=324.27 τ=40.53
CC 29 SLV (Collegamento 0025_-382)
Azioni sul collegamento: N=-7356.87 Ty=-4.22 Tz=3.57 Mx=-0.00 Mz=-3.82
Sollecitazioni agenti localmente: Ty_l=-1337.61 Mx_l=-26.75
Tensioni nella sezione: σ=324.27 τ=40.53
CC 30 SLD (Collegamento 0025_-382)
Azioni sul collegamento: N=-6303.28 Ty=-4.22 Tz=-0.10 Mx=0.00 Mz=-4.10
Sollecitazioni agenti localmente: Ty_l=-1146.05 Mx_l=-22.92
Tensioni nella sezione: σ=277.83 τ=34.73
CC 30 SLD (Collegamento 0025_-382)
Azioni sul collegamento: N=-6303.28 Ty=-3.83 Tz=-0.10 Mx=0.00 Mz=-3.00
Sollecitazioni agenti localmente: Ty_l=-1146.05 Mx_l=-22.92
Tensioni nella sezione: σ=277.83 τ=34.73
CC 30 SLD (Collegamento 0025_-382)
Azioni sul collegamento: N=-6303.28 Ty=-4.22 Tz=1.56 Mx=0.00 Mz=-4.10
Sollecitazioni agenti localmente: Ty_l=-1146.05 Mx_l=-22.92
Tensioni nella sezione: σ=277.83 τ=34.73
CC 30 SLD (Collegamento 0025_-382)
Azioni sul collegamento: N=-6303.28 Ty=-3.83 Tz=1.56 Mx=0.00 Mz=-3.00
Sollecitazioni agenti localmente: Ty_l=-1146.05 Mx_l=-22.92
Tensioni nella sezione: σ=277.83 τ=34.73
CC 30 SLD (Collegamento 0025_-382)
Azioni sul collegamento: N=-6780.50 Ty=-4.22 Tz=-0.10 Mx=0.00 Mz=-4.10
Sollecitazioni agenti localmente: Ty_l=-1232.82 Mx_l=-24.66
Tensioni nella sezione: σ=298.86 τ=37.36
CC 30 SLD (Collegamento 0025_-382)
Azioni sul collegamento: N=-6780.50 Ty=-3.83 Tz=-0.10 Mx=0.00 Mz=-3.00
Sollecitazioni agenti localmente: Ty_l=-1232.82 Mx_l=-24.66
Tensioni nella sezione: σ=298.86 τ=37.36
CC 30 SLD (Collegamento 0025_-382)
Azioni sul collegamento: N=-6780.50 Ty=-4.22 Tz=1.56 Mx=0.00 Mz=-4.10
Sollecitazioni agenti localmente: Ty_l=-1232.82 Mx_l=-24.66
Tensioni nella sezione: σ=298.86 τ=37.36
CC 30 SLD (Collegamento 0025_-382)
Azioni sul collegamento: N=-6780.50 Ty=-3.83 Tz=1.56 Mx=0.00 Mz=-3.00
Sollecitazioni agenti localmente: Ty_l=-1232.82 Mx_l=-24.66
Tensioni nella sezione: σ=298.86 τ=37.36
CC 31 SLV (Collegamento 0025_-382)
Azioni sul collegamento: N=-7375.81 Ty=-6.34 Tz=4.00 Mx=-0.00 Mz=-8.01
Sollecitazioni agenti localmente: Ty_l=-1341.06 Mx_l=-26.82
Tensioni nella sezione: σ=325.10 τ=40.64
CC 31 SLV (Collegamento 0025_-382)
Azioni sul collegamento: N=-7375.81 Ty=-3.40 Tz=4.00 Mx=-0.00 Mz=-3.25
Sollecitazioni agenti localmente: Ty_l=-1341.06 Mx_l=-26.82
Tensioni nella sezione: σ=325.10 τ=40.64
CC 31 SLV (Collegamento 0025_-382)
Azioni sul collegamento: N=-7375.81 Ty=-6.34 Tz=-2.29 Mx=-0.00 Mz=-8.01
Sollecitazioni agenti localmente: Ty_l=-1341.06 Mx_l=-26.82
Tensioni nella sezione: σ=325.10 τ=40.64
CC 31 SLV (Collegamento 0025_-382)
Azioni sul collegamento: N=-7375.81 Ty=-3.40 Tz=-2.29 Mx=-0.00 Mz=-3.25
Sollecitazioni agenti localmente: Ty_l=-1341.06 Mx_l=-26.82
Tensioni nella sezione: σ=325.10 τ=40.64
CC 31 SLV (Collegamento 0025_-382)
Azioni sul collegamento: N=-5772.93 Ty=-6.34 Tz=4.00 Mx=-0.00 Mz=-8.01
Sollecitazioni agenti localmente: Ty_l=-1049.62 Mx_l=-20.99
Tensioni nella sezione: σ=254.45 τ=31.81
CC 31 SLV (Collegamento 0025_-382)

Azioni sul collegamento: N=-5772.93 Ty=-3.40 Tz=4.00 Mx=-0.00 Mz=-3.25
Sollecitazioni agenti localmente: Ty_l=-1049.62 Mx_l=-20.99
Tensioni nella sezione: σ=254.45 τ=31.81
CC 31 SLV (Collegamento 0025_-382)
Azioni sul collegamento: N=-5772.93 Ty=-6.34 Tz=-2.29 Mx=-0.00 Mz=-8.01
Sollecitazioni agenti localmente: Ty_l=-1049.62 Mx_l=-20.99
Tensioni nella sezione: σ=254.45 τ=31.81
CC 31 SLV (Collegamento 0025_-382)
Azioni sul collegamento: N=-5772.93 Ty=-3.40 Tz=-2.29 Mx=-0.00 Mz=-3.25
Sollecitazioni agenti localmente: Ty_l=-1049.62 Mx_l=-20.99
Tensioni nella sezione: σ=254.45 τ=31.81
CC 32 SLD (Collegamento 0025_-382)
Azioni sul collegamento: N=-6786.28 Ty=-4.47 Tz=1.69 Mx=0.00 Mz=-4.27
Sollecitazioni agenti localmente: Ty_l=-1233.87 Mx_l=-24.68
Tensioni nella sezione: σ=299.12 τ=37.39
CC 32 SLD (Collegamento 0025_-382)
Azioni sul collegamento: N=-6786.28 Ty=-3.58 Tz=1.69 Mx=0.00 Mz=-2.82
Sollecitazioni agenti localmente: Ty_l=-1233.87 Mx_l=-24.68
Tensioni nella sezione: σ=299.12 τ=37.39
CC 32 SLD (Collegamento 0025_-382)
Azioni sul collegamento: N=-6786.28 Ty=-4.47 Tz=-0.23 Mx=0.00 Mz=-4.27
Sollecitazioni agenti localmente: Ty_l=-1233.87 Mx_l=-24.68
Tensioni nella sezione: σ=299.12 τ=37.39
CC 32 SLD (Collegamento 0025_-382)
Azioni sul collegamento: N=-6786.28 Ty=-3.58 Tz=-0.23 Mx=0.00 Mz=-2.82
Sollecitazioni agenti localmente: Ty_l=-1233.87 Mx_l=-24.68
Tensioni nella sezione: σ=299.12 τ=37.39
CC 32 SLD (Collegamento 0025_-382)
Azioni sul collegamento: N=-6297.50 Ty=-4.47 Tz=1.69 Mx=0.00 Mz=-4.27
Sollecitazioni agenti localmente: Ty_l=-1145.00 Mx_l=-22.90
Tensioni nella sezione: σ=277.57 τ=34.70
CC 32 SLD (Collegamento 0025_-382)
Azioni sul collegamento: N=-6297.50 Ty=-3.58 Tz=1.69 Mx=0.00 Mz=-2.82
Sollecitazioni agenti localmente: Ty_l=-1145.00 Mx_l=-22.90
Tensioni nella sezione: σ=277.57 τ=34.70
CC 32 SLD (Collegamento 0025_-382)
Azioni sul collegamento: N=-6297.50 Ty=-4.47 Tz=-0.23 Mx=0.00 Mz=-4.27
Sollecitazioni agenti localmente: Ty_l=-1145.00 Mx_l=-22.90
Tensioni nella sezione: σ=277.57 τ=34.70
CC 32 SLD (Collegamento 0025_-382)
Azioni sul collegamento: N=-6297.50 Ty=-3.58 Tz=-0.23 Mx=0.00 Mz=-2.82
Sollecitazioni agenti localmente: Ty_l=-1145.00 Mx_l=-22.90
Tensioni nella sezione: σ=277.57 τ=34.70
CC 33 SLU (Collegamento 0025_-382)
Azioni sul collegamento: N=-30778.60 Ty=-5.67 Tz=81.62 Mx=0.01 Mz=-4.05
Sollecitazioni agenti localmente: Ty_l=-5596.11 Mx_l=-111.92
Tensioni nella sezione: σ=1356.63 τ=169.58
CC 34 SLU (Collegamento 0025_-382)
Azioni sul collegamento: N=-30229.20 Ty=-5.39 Tz=79.58 Mx=0.01 Mz=-3.85
Sollecitazioni agenti localmente: Ty_l=-5496.22 Mx_l=-109.92
Tensioni nella sezione: σ=1332.41 τ=166.55
CC 35 SLU (Collegamento 0025_-382)
Azioni sul collegamento: N=-30504.90 Ty=-5.64 Tz=80.58 Mx=0.01 Mz=-4.16
Sollecitazioni agenti localmente: Ty_l=-5546.34 Mx_l=-110.93
Tensioni nella sezione: σ=1344.57 τ=168.07
CC 36 SLU (Collegamento 0025_-382)
Azioni sul collegamento: N=-30502.90 Ty=-5.42 Tz=80.62 Mx=0.01 Mz=-3.73
Sollecitazioni agenti localmente: Ty_l=-5545.98 Mx_l=-110.92
Tensioni nella sezione: σ=1344.48 τ=168.06
CC 37 SLU (Collegamento 0025_-382)
Azioni sul collegamento: N=-21507.60 Ty=-6.52 Tz=47.54 Mx=0.01 Mz=-4.63
Sollecitazioni agenti localmente: Ty_l=-3910.47 Mx_l=-78.21
Tensioni nella sezione: σ=947.99 τ=118.50
CC 38 SLU (Collegamento 0025_-382)
Azioni sul collegamento: N=-20958.20 Ty=-6.23 Tz=45.50 Mx=0.01 Mz=-4.43
Sollecitazioni agenti localmente: Ty_l=-3810.59 Mx_l=-76.21
Tensioni nella sezione: σ=923.78 τ=115.47
CC 39 SLU (Collegamento 0025_-382)
Azioni sul collegamento: N=-21233.90 Ty=-6.48 Tz=46.50 Mx=0.01 Mz=-4.75
Sollecitazioni agenti localmente: Ty_l=-3860.71 Mx_l=-77.21
Tensioni nella sezione: σ=935.93 τ=116.99
CC 40 SLU (Collegamento 0025_-382)
Azioni sul collegamento: N=-21231.90 Ty=-6.26 Tz=46.54 Mx=0.01 Mz=-4.31
Sollecitazioni agenti localmente: Ty_l=-3860.35 Mx_l=-77.21
Tensioni nella sezione: σ=935.84 τ=116.98
CC 41 SLU (Collegamento 0025_-382)
Azioni sul collegamento: N=-32702.20 Ty=-5.53 Tz=88.04 Mx=-0.00 Mz=-4.06
Sollecitazioni agenti localmente: Ty_l=-5945.85 Mx_l=-118.92
Tensioni nella sezione: σ=1441.42 τ=180.18
CC 42 SLU (Collegamento 0025_-382)

Azioni sul collegamento: N=-32152.80 Ty=-5.24 Tz=86.01 Mx=-0.00 Mz=-3.86
Sollecitazioni agenti localmente: Ty_l=-5845.96 Mx_l=-116.92
Tensioni nella sezione: σ=1417.20 τ=177.15
CC 43 SLU (Collegamento 0025_-382)
Azioni sul collegamento: N=-32428.50 Ty=-5.50 Tz=87.00 Mx=-0.00 Mz=-4.18
Sollecitazioni agenti localmente: Ty_l=-5896.09 Mx_l=-117.92
Tensioni nella sezione: σ=1429.35 τ=178.67
CC 44 SLU (Collegamento 0025_-382)
Azioni sul collegamento: N=-32426.50 Ty=-5.28 Tz=87.05 Mx=-0.00 Mz=-3.74
Sollecitazioni agenti localmente: Ty_l=-5895.73 Mx_l=-117.91
Tensioni nella sezione: σ=1429.27 τ=178.66
CC 45 SLU (Collegamento 0025_-382)
Azioni sul collegamento: N=-23594.00 Ty=-6.22 Tz=55.25 Mx=0.01 Mz=-4.49
Sollecitazioni agenti localmente: Ty_l=-4289.82 Mx_l=-85.80
Tensioni nella sezione: σ=1039.95 τ=129.99
CC 46 SLU (Collegamento 0025_-382)
Azioni sul collegamento: N=-23044.60 Ty=-5.94 Tz=53.22 Mx=0.01 Mz=-4.28
Sollecitazioni agenti localmente: Ty_l=-4189.93 Mx_l=-83.80
Tensioni nella sezione: σ=1015.74 τ=126.97
CC 47 SLU (Collegamento 0025_-382)
Azioni sul collegamento: N=-23320.30 Ty=-6.19 Tz=54.21 Mx=0.01 Mz=-4.60
Sollecitazioni agenti localmente: Ty_l=-4240.05 Mx_l=-84.80
Tensioni nella sezione: σ=1027.89 τ=128.49
CC 48 SLU (Collegamento 0025_-382)
Azioni sul collegamento: N=-23318.30 Ty=-5.97 Tz=54.26 Mx=0.01 Mz=-4.17
Sollecitazioni agenti localmente: Ty_l=-4239.70 Mx_l=-84.79
Tensioni nella sezione: σ=1027.80 τ=128.48
CC 49 SLU (Collegamento 0025_-382)
Azioni sul collegamento: N=-16657.90 Ty=-6.86 Tz=29.76 Mx=0.01 Mz=-4.92
Sollecitazioni agenti localmente: Ty_l=-3028.71 Mx_l=-60.57
Tensioni nella sezione: σ=734.23 τ=91.78
CC 50 SLU (Collegamento 0025_-382)
Azioni sul collegamento: N=-16108.50 Ty=-6.57 Tz=27.72 Mx=0.01 Mz=-4.72
Sollecitazioni agenti localmente: Ty_l=-2928.83 Mx_l=-58.58
Tensioni nella sezione: σ=710.02 τ=88.75
CC 51 SLU (Collegamento 0025_-382)
Azioni sul collegamento: N=-16384.20 Ty=-6.82 Tz=28.72 Mx=0.01 Mz=-5.04
Sollecitazioni agenti localmente: Ty_l=-2978.95 Mx_l=-59.58
Tensioni nella sezione: σ=722.17 τ=90.27
CC 52 SLU (Collegamento 0025_-382)
Azioni sul collegamento: N=-16382.20 Ty=-6.60 Tz=28.76 Mx=0.01 Mz=-4.60
Sollecitazioni agenti localmente: Ty_l=-2978.59 Mx_l=-59.57
Tensioni nella sezione: σ=722.08 τ=90.26
CC 53 SLU (Collegamento 0025_-382)
Azioni sul collegamento: N=-25033.10 Ty=-6.12 Tz=60.06 Mx=-0.00 Mz=-4.50
Sollecitazioni agenti localmente: Ty_l=-4551.48 Mx_l=-91.03
Tensioni nella sezione: σ=1103.39 τ=137.92
CC 54 SLU (Collegamento 0025_-382)
Azioni sul collegamento: N=-24483.80 Ty=-5.83 Tz=58.03 Mx=-0.00 Mz=-4.29
Sollecitazioni agenti localmente: Ty_l=-4451.59 Mx_l=-89.03
Tensioni nella sezione: σ=1079.17 τ=134.90
CC 55 SLU (Collegamento 0025_-382)
Azioni sul collegamento: N=-24759.40 Ty=-6.08 Tz=59.02 Mx=0.00 Mz=-4.61
Sollecitazioni agenti localmente: Ty_l=-4501.71 Mx_l=-90.03
Tensioni nella sezione: σ=1091.32 τ=136.42
CC 56 SLU (Collegamento 0025_-382)
Azioni sul collegamento: N=-24757.50 Ty=-5.87 Tz=59.07 Mx=-0.00 Mz=-4.18
Sollecitazioni agenti localmente: Ty_l=-4501.36 Mx_l=-90.03
Tensioni nella sezione: σ=1091.24 τ=136.41
CC 57 SLU (Collegamento 0025_-382)
Azioni sul collegamento: N=-21981.50 Ty=-5.60 Tz=49.32 Mx=0.01 Mz=-4.03
Sollecitazioni agenti localmente: Ty_l=-3996.63 Mx_l=-79.93
Tensioni nella sezione: σ=968.88 τ=121.11
CC 58 SLU (Collegamento 0025_-382)
Azioni sul collegamento: N=-21432.10 Ty=-5.31 Tz=47.28 Mx=0.01 Mz=-3.83
Sollecitazioni agenti localmente: Ty_l=-3896.75 Mx_l=-77.93
Tensioni nella sezione: σ=944.66 τ=118.08
CC 59 SLU (Collegamento 0025_-382)
Azioni sul collegamento: N=-21707.80 Ty=-5.57 Tz=48.28 Mx=0.01 Mz=-4.15
Sollecitazioni agenti localmente: Ty_l=-3946.87 Mx_l=-78.94
Tensioni nella sezione: σ=956.81 τ=119.60
CC 60 SLU (Collegamento 0025_-382)
Azioni sul collegamento: N=-21705.80 Ty=-5.35 Tz=48.32 Mx=0.01 Mz=-3.72
Sollecitazioni agenti localmente: Ty_l=-3946.51 Mx_l=-78.93
Tensioni nella sezione: σ=956.73 τ=119.59
CC 61 SLU (Collegamento 0025_-382)
Azioni sul collegamento: N=-15045.40 Ty=-6.23 Tz=23.82 Mx=0.01 Mz=-4.47
Sollecitazioni agenti localmente: Ty_l=-2735.53 Mx_l=-54.71
Tensioni nella sezione: σ=663.16 τ=82.89
CC 62 SLU (Collegamento 0025_-382)

Azioni sul collegamento: N=-14496.00 Ty=-5.95 Tz=21.79 Mx=0.01 Mz=-4.27
Sollecitazioni agenti localmente: Ty_l=-2635.64 Mx_l=-52.71
Tensioni nella sezione: σ=638.94 τ=79.87
CC 63 SLU (Collegamento 0025_-382)
Azioni sul collegamento: N=-14771.70 Ty=-6.20 Tz=22.78 Mx=0.01 Mz=-4.59
Sollecitazioni agenti localmente: Ty_l=-2685.76 Mx_l=-53.72
Tensioni nella sezione: σ=651.09 τ=81.39
CC 64 SLU (Collegamento 0025_-382)
Azioni sul collegamento: N=-14769.70 Ty=-5.98 Tz=22.82 Mx=0.01 Mz=-4.15
Sollecitazioni agenti localmente: Ty_l=-2685.40 Mx_l=-53.71
Tensioni nella sezione: σ=651.01 τ=81.38
CC 65 SLU (Collegamento 0025_-382)
Azioni sul collegamento: N=-23420.60 Ty=-5.49 Tz=54.12 Mx=-0.00 Mz=-4.04
Sollecitazioni agenti localmente: Ty_l=-4258.29 Mx_l=-85.17
Tensioni nella sezione: σ=1032.31 τ=129.04
CC 66 SLU (Collegamento 0025_-382)
Azioni sul collegamento: N=-22871.20 Ty=-5.21 Tz=52.09 Mx=-0.00 Mz=-3.84
Sollecitazioni agenti localmente: Ty_l=-4158.41 Mx_l=-83.17
Tensioni nella sezione: σ=1008.10 τ=126.01
CC 67 SLU (Collegamento 0025_-382)
Azioni sul collegamento: N=-23146.90 Ty=-5.46 Tz=53.08 Mx=-0.00 Mz=-4.16
Sollecitazioni agenti localmente: Ty_l=-4208.53 Mx_l=-84.17
Tensioni nella sezione: σ=1020.25 τ=127.53
CC 68 SLU (Collegamento 0025_-382)
Azioni sul collegamento: N=-23144.90 Ty=-5.24 Tz=53.13 Mx=-0.00 Mz=-3.72
Sollecitazioni agenti localmente: Ty_l=-4208.17 Mx_l=-84.16
Tensioni nella sezione: σ=1020.16 τ=127.52
CC 97 SLU (Collegamento 0025_-382)
Azioni sul collegamento: N=-11444.50 Ty=-17.52 Tz=18.88 Mx=-0.03 Mz=-21.34
Sollecitazioni agenti localmente: Ty_l=-2080.82 Mx_l=-41.62
Tensioni nella sezione: σ=504.44 τ=63.06
CC 98 SLU (Collegamento 0025_-382)
Azioni sul collegamento: N=-10895.20 Ty=-17.24 Tz=16.84 Mx=-0.03 Mz=-21.13
Sollecitazioni agenti localmente: Ty_l=-1980.94 Mx_l=-39.62
Tensioni nella sezione: σ=480.23 τ=60.03
CC 99 SLU (Collegamento 0025_-382)
Azioni sul collegamento: N=-11170.80 Ty=-17.49 Tz=17.84 Mx=-0.03 Mz=-21.45
Sollecitazioni agenti localmente: Ty_l=-2031.06 Mx_l=-40.62
Tensioni nella sezione: σ=492.38 τ=61.55
CC 100 SLU (Collegamento 0025_-382)
Azioni sul collegamento: N=-11168.90 Ty=-17.27 Tz=17.88 Mx=-0.04 Mz=-21.02
Sollecitazioni agenti localmente: Ty_l=-2030.70 Mx_l=-40.61
Tensioni nella sezione: σ=492.29 τ=61.54
CC 101 SLU (Collegamento 0025_-382)
Azioni sul collegamento: N=-7155.53 Ty=-1.61 Tz=2.94 Mx=0.01 Mz=-0.33
Sollecitazioni agenti localmente: Ty_l=-1301.01 Mx_l=-26.02
Tensioni nella sezione: σ=315.39 τ=39.42
CC 102 SLU (Collegamento 0025_-382)
Azioni sul collegamento: N=-6606.15 Ty=-1.32 Tz=0.91 Mx=0.01 Mz=-0.13
Sollecitazioni agenti localmente: Ty_l=-1201.12 Mx_l=-24.02
Tensioni nella sezione: σ=291.18 τ=36.40
CC 103 SLU (Collegamento 0025_-382)
Azioni sul collegamento: N=-6881.82 Ty=-1.58 Tz=1.90 Mx=0.01 Mz=-0.45
Sollecitazioni agenti localmente: Ty_l=-1251.24 Mx_l=-25.02
Tensioni nella sezione: σ=303.33 τ=37.92
CC 104 SLU (Collegamento 0025_-382)
Azioni sul collegamento: N=-6879.85 Ty=-1.36 Tz=1.95 Mx=0.01 Mz=-0.01
Sollecitazioni agenti localmente: Ty_l=-1250.88 Mx_l=-25.02
Tensioni nella sezione: σ=303.24 τ=37.91

Flessione attacco inferiore piastra

Bnetta=220.00 Hnetta=15.00
CC 1 SLV (Collegamento 0025_-382)
Azioni sul collegamento: N=-3838.16 Ty=-4.12 Tz=-9.35 Mx=0.02 Mz=1.95
Sollecitazioni agenti localmente: Ty_l=-697.85 Mx_l=-13.96
Tensioni nella sezione: σ=169.18 τ=21.15
CC 1 SLV (Collegamento 0025_-382)
Azioni sul collegamento: N=-3838.16 Ty=-0.76 Tz=-9.35 Mx=0.02 Mz=-1.23
Sollecitazioni agenti localmente: Ty_l=-697.85 Mx_l=-13.96
Tensioni nella sezione: σ=169.18 τ=21.15
CC 1 SLV (Collegamento 0025_-382)
Azioni sul collegamento: N=-3838.16 Ty=-4.12 Tz=10.33 Mx=0.02 Mz=1.95
Sollecitazioni agenti localmente: Ty_l=-697.85 Mx_l=-13.96
Tensioni nella sezione: σ=169.18 τ=21.15
CC 1 SLV (Collegamento 0025_-382)
Azioni sul collegamento: N=-3838.16 Ty=-0.76 Tz=10.33 Mx=0.02 Mz=-1.23
Sollecitazioni agenti localmente: Ty_l=-697.85 Mx_l=-13.96
Tensioni nella sezione: σ=169.18 τ=21.15
CC 1 SLV (Collegamento 0025_-382)
Azioni sul collegamento: N=-9123.66 Ty=-4.12 Tz=-9.35 Mx=0.02 Mz=1.95

Sollecitazioni agenti localmente: Ty_l=-1658.85 Mx_l=-33.18
Tensioni nella sezione: σ=402.14 τ=50.27
CC 1 SLV (Collegamento 0025_-382)
Azioni sul collegamento: N=-9123.66 Ty=-0.76 Tz=-9.35 Mx=0.02 Mz=-1.23
Sollecitazioni agenti localmente: Ty_l=-1658.85 Mx_l=-33.18
Tensioni nella sezione: σ=402.14 τ=50.27
CC 1 SLV (Collegamento 0025_-382)
Azioni sul collegamento: N=-9123.66 Ty=-4.12 Tz=10.33 Mx=0.02 Mz=1.95
Sollecitazioni agenti localmente: Ty_l=-1658.85 Mx_l=-33.18
Tensioni nella sezione: σ=402.14 τ=50.27
CC 1 SLV (Collegamento 0025_-382)
Azioni sul collegamento: N=-9123.66 Ty=-0.76 Tz=10.33 Mx=0.02 Mz=-1.23
Sollecitazioni agenti localmente: Ty_l=-1658.85 Mx_l=-33.18
Tensioni nella sezione: σ=402.14 τ=50.27
CC 2 SLD (Collegamento 0025_-382)
Azioni sul collegamento: N=-5707.53 Ty=-2.77 Tz=-2.38 Mx=0.01 Mz=-1.24
Sollecitazioni agenti localmente: Ty_l=-1037.73 Mx_l=-20.75
Tensioni nella sezione: σ=251.57 τ=31.45
CC 2 SLD (Collegamento 0025_-382)
Azioni sul collegamento: N=-5707.53 Ty=-3.80 Tz=-2.38 Mx=0.01 Mz=-2.21
Sollecitazioni agenti localmente: Ty_l=-1037.73 Mx_l=-20.75
Tensioni nella sezione: σ=251.57 τ=31.45
CC 2 SLD (Collegamento 0025_-382)
Azioni sul collegamento: N=-5707.53 Ty=-2.77 Tz=3.62 Mx=0.01 Mz=-1.24
Sollecitazioni agenti localmente: Ty_l=-1037.73 Mx_l=-20.75
Tensioni nella sezione: σ=251.57 τ=31.45
CC 2 SLD (Collegamento 0025_-382)
Azioni sul collegamento: N=-5707.53 Ty=-3.80 Tz=3.62 Mx=0.01 Mz=-2.21
Sollecitazioni agenti localmente: Ty_l=-1037.73 Mx_l=-20.75
Tensioni nella sezione: σ=251.57 τ=31.45
CC 2 SLD (Collegamento 0025_-382)
Azioni sul collegamento: N=-7319.25 Ty=-2.77 Tz=-2.38 Mx=0.01 Mz=-1.24
Sollecitazioni agenti localmente: Ty_l=-1330.77 Mx_l=-26.62
Tensioni nella sezione: σ=322.61 τ=40.33
CC 2 SLD (Collegamento 0025_-382)
Azioni sul collegamento: N=-7319.25 Ty=-3.80 Tz=-2.38 Mx=0.01 Mz=-2.21
Sollecitazioni agenti localmente: Ty_l=-1330.77 Mx_l=-26.62
Tensioni nella sezione: σ=322.61 τ=40.33
CC 2 SLD (Collegamento 0025_-382)
Azioni sul collegamento: N=-7319.25 Ty=-2.77 Tz=3.62 Mx=0.01 Mz=-1.24
Sollecitazioni agenti localmente: Ty_l=-1330.77 Mx_l=-26.62
Tensioni nella sezione: σ=322.61 τ=40.33
CC 2 SLD (Collegamento 0025_-382)
Azioni sul collegamento: N=-7319.25 Ty=-3.80 Tz=3.62 Mx=0.01 Mz=-2.21
Sollecitazioni agenti localmente: Ty_l=-1330.77 Mx_l=-26.62
Tensioni nella sezione: σ=322.61 τ=40.33
CC 3 SLV (Collegamento 0025_-382)
Azioni sul collegamento: N=-3843.85 Ty=-3.49 Tz=-9.22 Mx=0.02 Mz=0.69
Sollecitazioni agenti localmente: Ty_l=-698.88 Mx_l=-13.98
Tensioni nella sezione: σ=169.43 τ=21.18
CC 3 SLV (Collegamento 0025_-382)
Azioni sul collegamento: N=-3843.85 Ty=-1.39 Tz=-9.22 Mx=0.02 Mz=0.03
Sollecitazioni agenti localmente: Ty_l=-698.88 Mx_l=-13.98
Tensioni nella sezione: σ=169.43 τ=21.18
CC 3 SLV (Collegamento 0025_-382)
Azioni sul collegamento: N=-3843.85 Ty=-3.49 Tz=10.20 Mx=0.02 Mz=0.69
Sollecitazioni agenti localmente: Ty_l=-698.88 Mx_l=-13.98
Tensioni nella sezione: σ=169.43 τ=21.18
CC 3 SLV (Collegamento 0025_-382)
Azioni sul collegamento: N=-3843.85 Ty=-1.39 Tz=10.20 Mx=0.02 Mz=0.03
Sollecitazioni agenti localmente: Ty_l=-698.88 Mx_l=-13.98
Tensioni nella sezione: σ=169.43 τ=21.18
CC 3 SLV (Collegamento 0025_-382)
Azioni sul collegamento: N=-9117.97 Ty=-3.49 Tz=-9.22 Mx=0.02 Mz=0.69
Sollecitazioni agenti localmente: Ty_l=-1657.81 Mx_l=-33.16
Tensioni nella sezione: σ=401.89 τ=50.24
CC 3 SLV (Collegamento 0025_-382)
Azioni sul collegamento: N=-9117.97 Ty=-1.39 Tz=-9.22 Mx=0.02 Mz=0.03
Sollecitazioni agenti localmente: Ty_l=-1657.81 Mx_l=-33.16
Tensioni nella sezione: σ=401.89 τ=50.24
CC 3 SLV (Collegamento 0025_-382)
Azioni sul collegamento: N=-9117.97 Ty=-3.49 Tz=10.20 Mx=0.02 Mz=0.69
Sollecitazioni agenti localmente: Ty_l=-1657.81 Mx_l=-33.16
Tensioni nella sezione: σ=401.89 τ=50.24
CC 3 SLV (Collegamento 0025_-382)
Azioni sul collegamento: N=-9117.97 Ty=-1.39 Tz=10.20 Mx=0.02 Mz=0.03
Sollecitazioni agenti localmente: Ty_l=-1657.81 Mx_l=-33.16
Tensioni nella sezione: σ=401.89 τ=50.24
CC 4 SLD (Collegamento 0025_-382)
Azioni sul collegamento: N=-5709.27 Ty=-2.97 Tz=-2.35 Mx=0.01 Mz=-1.62

Sollecitazioni agenti localmente: Ty_l=-1038.05 Mx_l=-20.76
Tensioni nella sezione: σ=251.65 τ=31.46
CC 4 SLD (Collegamento 0025_-382)
Azioni sul collegamento: N=-5709.27 Ty=-3.60 Tz=-2.35 Mx=0.01 Mz=-1.82
Sollecitazioni agenti localmente: Ty_l=-1038.05 Mx_l=-20.76
Tensioni nella sezione: σ=251.65 τ=31.46
CC 4 SLD (Collegamento 0025_-382)
Azioni sul collegamento: N=-5709.27 Ty=-2.97 Tz=3.58 Mx=0.01 Mz=-1.62
Sollecitazioni agenti localmente: Ty_l=-1038.05 Mx_l=-20.76
Tensioni nella sezione: σ=251.65 τ=31.46
CC 4 SLD (Collegamento 0025_-382)
Azioni sul collegamento: N=-5709.27 Ty=-3.60 Tz=3.58 Mx=0.01 Mz=-1.82
Sollecitazioni agenti localmente: Ty_l=-1038.05 Mx_l=-20.76
Tensioni nella sezione: σ=251.65 τ=31.46
CC 4 SLD (Collegamento 0025_-382)
Azioni sul collegamento: N=-7317.51 Ty=-2.97 Tz=-2.35 Mx=0.01 Mz=-1.62
Sollecitazioni agenti localmente: Ty_l=-1330.46 Mx_l=-26.61
Tensioni nella sezione: σ=322.53 τ=40.32
CC 4 SLD (Collegamento 0025_-382)
Azioni sul collegamento: N=-7317.51 Ty=-3.60 Tz=-2.35 Mx=0.01 Mz=-1.82
Sollecitazioni agenti localmente: Ty_l=-1330.46 Mx_l=-26.61
Tensioni nella sezione: σ=322.53 τ=40.32
CC 4 SLD (Collegamento 0025_-382)
Azioni sul collegamento: N=-7317.51 Ty=-2.97 Tz=3.58 Mx=0.01 Mz=-1.62
Sollecitazioni agenti localmente: Ty_l=-1330.46 Mx_l=-26.61
Tensioni nella sezione: σ=322.53 τ=40.32
CC 4 SLD (Collegamento 0025_-382)
Azioni sul collegamento: N=-7317.51 Ty=-3.60 Tz=3.58 Mx=0.01 Mz=-1.82
Sollecitazioni agenti localmente: Ty_l=-1330.46 Mx_l=-26.61
Tensioni nella sezione: σ=322.53 τ=40.32
CC 5 SLV (Collegamento 0025_-382)
Azioni sul collegamento: N=-9117.97 Ty=-1.39 Tz=10.20 Mx=0.02 Mz=0.03
Sollecitazioni agenti localmente: Ty_l=-1657.81 Mx_l=-33.16
Tensioni nella sezione: σ=401.89 τ=50.24
CC 5 SLV (Collegamento 0025_-382)
Azioni sul collegamento: N=-9117.97 Ty=-3.49 Tz=10.20 Mx=0.02 Mz=0.69
Sollecitazioni agenti localmente: Ty_l=-1657.81 Mx_l=-33.16
Tensioni nella sezione: σ=401.89 τ=50.24
CC 5 SLV (Collegamento 0025_-382)
Azioni sul collegamento: N=-9117.97 Ty=-1.39 Tz=-9.22 Mx=0.02 Mz=0.03
Sollecitazioni agenti localmente: Ty_l=-1657.81 Mx_l=-33.16
Tensioni nella sezione: σ=401.89 τ=50.24
CC 5 SLV (Collegamento 0025_-382)
Azioni sul collegamento: N=-9117.97 Ty=-3.49 Tz=-9.22 Mx=0.02 Mz=0.69
Sollecitazioni agenti localmente: Ty_l=-1657.81 Mx_l=-33.16
Tensioni nella sezione: σ=401.89 τ=50.24
CC 5 SLV (Collegamento 0025_-382)
Azioni sul collegamento: N=-3843.85 Ty=-1.39 Tz=10.20 Mx=0.02 Mz=0.03
Sollecitazioni agenti localmente: Ty_l=-698.88 Mx_l=-13.98
Tensioni nella sezione: σ=169.43 τ=21.18
CC 5 SLV (Collegamento 0025_-382)
Azioni sul collegamento: N=-3843.85 Ty=-3.49 Tz=10.20 Mx=0.02 Mz=0.69
Sollecitazioni agenti localmente: Ty_l=-698.88 Mx_l=-13.98
Tensioni nella sezione: σ=169.43 τ=21.18
CC 5 SLV (Collegamento 0025_-382)
Azioni sul collegamento: N=-3843.85 Ty=-1.39 Tz=-9.22 Mx=0.02 Mz=0.03
Sollecitazioni agenti localmente: Ty_l=-698.88 Mx_l=-13.98
Tensioni nella sezione: σ=169.43 τ=21.18
CC 5 SLV (Collegamento 0025_-382)
Azioni sul collegamento: N=-3843.85 Ty=-3.49 Tz=-9.22 Mx=0.02 Mz=0.69
Sollecitazioni agenti localmente: Ty_l=-698.88 Mx_l=-13.98
Tensioni nella sezione: σ=169.43 τ=21.18
CC 6 SLD (Collegamento 0025_-382)
Azioni sul collegamento: N=-7317.51 Ty=-3.60 Tz=3.58 Mx=0.01 Mz=-1.82
Sollecitazioni agenti localmente: Ty_l=-1330.46 Mx_l=-26.61
Tensioni nella sezione: σ=322.53 τ=40.32
CC 6 SLD (Collegamento 0025_-382)
Azioni sul collegamento: N=-7317.51 Ty=-2.97 Tz=3.58 Mx=0.01 Mz=-1.62
Sollecitazioni agenti localmente: Ty_l=-1330.46 Mx_l=-26.61
Tensioni nella sezione: σ=322.53 τ=40.32
CC 6 SLD (Collegamento 0025_-382)
Azioni sul collegamento: N=-7317.51 Ty=-3.60 Tz=-2.35 Mx=0.01 Mz=-1.82
Sollecitazioni agenti localmente: Ty_l=-1330.46 Mx_l=-26.61
Tensioni nella sezione: σ=322.53 τ=40.32
CC 6 SLD (Collegamento 0025_-382)
Azioni sul collegamento: N=-7317.51 Ty=-2.97 Tz=-2.35 Mx=0.01 Mz=-1.62
Sollecitazioni agenti localmente: Ty_l=-1330.46 Mx_l=-26.61
Tensioni nella sezione: σ=322.53 τ=40.32
CC 6 SLD (Collegamento 0025_-382)
Azioni sul collegamento: N=-5709.27 Ty=-3.60 Tz=3.58 Mx=0.01 Mz=-1.82

Sollecitazioni agenti localmente: Ty_l=-1038.05 Mx_l=-20.76
Tensioni nella sezione: σ=251.65 τ=31.46
CC 6 SLD (Collegamento 0025_-382)
Azioni sul collegamento: N=-5709.27 Ty=-2.97 Tz=3.58 Mx=0.01 Mz=-1.62
Sollecitazioni agenti localmente: Ty_l=-1038.05 Mx_l=-20.76
Tensioni nella sezione: σ=251.65 τ=31.46
CC 6 SLD (Collegamento 0025_-382)
Azioni sul collegamento: N=-5709.27 Ty=-3.60 Tz=-2.35 Mx=0.01 Mz=-1.82
Sollecitazioni agenti localmente: Ty_l=-1038.05 Mx_l=-20.76
Tensioni nella sezione: σ=251.65 τ=31.46
CC 6 SLD (Collegamento 0025_-382)
Azioni sul collegamento: N=-5709.27 Ty=-2.97 Tz=-2.35 Mx=0.01 Mz=-1.62
Sollecitazioni agenti localmente: Ty_l=-1038.05 Mx_l=-20.76
Tensioni nella sezione: σ=251.65 τ=31.46
CC 7 SLV (Collegamento 0025_-382)
Azioni sul collegamento: N=-9123.66 Ty=-0.76 Tz=10.33 Mx=0.01 Mz=-1.23
Sollecitazioni agenti localmente: Ty_l=-1658.85 Mx_l=-33.18
Tensioni nella sezione: σ=402.14 τ=50.27
CC 7 SLV (Collegamento 0025_-382)
Azioni sul collegamento: N=-9123.66 Ty=-4.12 Tz=10.33 Mx=0.01 Mz=1.95
Sollecitazioni agenti localmente: Ty_l=-1658.85 Mx_l=-33.18
Tensioni nella sezione: σ=402.14 τ=50.27
CC 7 SLV (Collegamento 0025_-382)
Azioni sul collegamento: N=-9123.66 Ty=-0.76 Tz=-9.35 Mx=0.01 Mz=-1.23
Sollecitazioni agenti localmente: Ty_l=-1658.85 Mx_l=-33.18
Tensioni nella sezione: σ=402.14 τ=50.27
CC 7 SLV (Collegamento 0025_-382)
Azioni sul collegamento: N=-9123.66 Ty=-4.12 Tz=-9.35 Mx=0.01 Mz=1.95
Sollecitazioni agenti localmente: Ty_l=-1658.85 Mx_l=-33.18
Tensioni nella sezione: σ=402.14 τ=50.27
CC 7 SLV (Collegamento 0025_-382)
Azioni sul collegamento: N=-3838.16 Ty=-0.76 Tz=10.33 Mx=0.01 Mz=-1.23
Sollecitazioni agenti localmente: Ty_l=-697.85 Mx_l=-13.96
Tensioni nella sezione: σ=169.18 τ=21.15
CC 7 SLV (Collegamento 0025_-382)
Azioni sul collegamento: N=-3838.16 Ty=-4.12 Tz=10.33 Mx=0.01 Mz=1.95
Sollecitazioni agenti localmente: Ty_l=-697.85 Mx_l=-13.96
Tensioni nella sezione: σ=169.18 τ=21.15
CC 7 SLV (Collegamento 0025_-382)
Azioni sul collegamento: N=-3838.16 Ty=-0.76 Tz=-9.35 Mx=0.01 Mz=-1.23
Sollecitazioni agenti localmente: Ty_l=-697.85 Mx_l=-13.96
Tensioni nella sezione: σ=169.18 τ=21.15
CC 7 SLV (Collegamento 0025_-382)
Azioni sul collegamento: N=-3838.16 Ty=-4.12 Tz=-9.35 Mx=0.01 Mz=1.95
Sollecitazioni agenti localmente: Ty_l=-697.85 Mx_l=-13.96
Tensioni nella sezione: σ=169.18 τ=21.15
CC 8 SLD (Collegamento 0025_-382)
Azioni sul collegamento: N=-7319.25 Ty=-3.80 Tz=3.62 Mx=0.01 Mz=-2.21
Sollecitazioni agenti localmente: Ty_l=-1330.77 Mx_l=-26.62
Tensioni nella sezione: σ=322.61 τ=40.33
CC 8 SLD (Collegamento 0025_-382)
Azioni sul collegamento: N=-7319.25 Ty=-2.77 Tz=3.62 Mx=0.01 Mz=-1.24
Sollecitazioni agenti localmente: Ty_l=-1330.77 Mx_l=-26.62
Tensioni nella sezione: σ=322.61 τ=40.33
CC 8 SLD (Collegamento 0025_-382)
Azioni sul collegamento: N=-7319.25 Ty=-3.80 Tz=-2.38 Mx=0.01 Mz=-2.21
Sollecitazioni agenti localmente: Ty_l=-1330.77 Mx_l=-26.62
Tensioni nella sezione: σ=322.61 τ=40.33
CC 8 SLD (Collegamento 0025_-382)
Azioni sul collegamento: N=-7319.25 Ty=-2.77 Tz=-2.38 Mx=0.01 Mz=-1.24
Sollecitazioni agenti localmente: Ty_l=-1330.77 Mx_l=-26.62
Tensioni nella sezione: σ=322.61 τ=40.33
CC 8 SLD (Collegamento 0025_-382)
Azioni sul collegamento: N=-5707.53 Ty=-3.80 Tz=3.62 Mx=0.01 Mz=-2.21
Sollecitazioni agenti localmente: Ty_l=-1037.73 Mx_l=-20.75
Tensioni nella sezione: σ=251.57 τ=31.45
CC 8 SLD (Collegamento 0025_-382)
Azioni sul collegamento: N=-5707.53 Ty=-2.77 Tz=3.62 Mx=0.01 Mz=-1.24
Sollecitazioni agenti localmente: Ty_l=-1037.73 Mx_l=-20.75
Tensioni nella sezione: σ=251.57 τ=31.45
CC 8 SLD (Collegamento 0025_-382)
Azioni sul collegamento: N=-5707.53 Ty=-3.80 Tz=-2.38 Mx=0.01 Mz=-2.21
Sollecitazioni agenti localmente: Ty_l=-1037.73 Mx_l=-20.75
Tensioni nella sezione: σ=251.57 τ=31.45
CC 8 SLD (Collegamento 0025_-382)
Azioni sul collegamento: N=-5707.53 Ty=-2.77 Tz=-2.38 Mx=0.01 Mz=-1.24
Sollecitazioni agenti localmente: Ty_l=-1037.73 Mx_l=-20.75
Tensioni nella sezione: σ=251.57 τ=31.45
CC 9 SLV (Collegamento 0025_-382)
Azioni sul collegamento: N=-5679.47 Ty=-3.91 Tz=-2.66 Mx=0.03 Mz=2.74

Sollecitazioni agenti localmente: Ty_l=-1032.63 Mx_l=-20.65
Tensioni nella sezione: σ=250.33 τ=31.29
CC 9 SLV (Collegamento 0025_-382)
Azioni sul collegamento: N=-5679.47 Ty=-0.97 Tz=-2.66 Mx=0.03 Mz=-2.02
Sollecitazioni agenti localmente: Ty_l=-1032.63 Mx_l=-20.65
Tensioni nella sezione: σ=250.33 τ=31.29
CC 9 SLV (Collegamento 0025_-382)
Azioni sul collegamento: N=-5679.47 Ty=-3.91 Tz=3.63 Mx=0.03 Mz=2.74
Sollecitazioni agenti localmente: Ty_l=-1032.63 Mx_l=-20.65
Tensioni nella sezione: σ=250.33 τ=31.29
CC 9 SLV (Collegamento 0025_-382)
Azioni sul collegamento: N=-5679.47 Ty=-0.97 Tz=3.63 Mx=0.03 Mz=-2.02
Sollecitazioni agenti localmente: Ty_l=-1032.63 Mx_l=-20.65
Tensioni nella sezione: σ=250.33 τ=31.29
CC 9 SLV (Collegamento 0025_-382)
Azioni sul collegamento: N=-7282.35 Ty=-3.91 Tz=-2.66 Mx=0.03 Mz=2.74
Sollecitazioni agenti localmente: Ty_l=-1324.06 Mx_l=-26.48
Tensioni nella sezione: σ=320.99 τ=40.12
CC 9 SLV (Collegamento 0025_-382)
Azioni sul collegamento: N=-7282.35 Ty=-0.97 Tz=-2.66 Mx=0.03 Mz=-2.02
Sollecitazioni agenti localmente: Ty_l=-1324.06 Mx_l=-26.48
Tensioni nella sezione: σ=320.99 τ=40.12
CC 9 SLV (Collegamento 0025_-382)
Azioni sul collegamento: N=-7282.35 Ty=-3.91 Tz=3.63 Mx=0.03 Mz=2.74
Sollecitazioni agenti localmente: Ty_l=-1324.06 Mx_l=-26.48
Tensioni nella sezione: σ=320.99 τ=40.12
CC 9 SLV (Collegamento 0025_-382)
Azioni sul collegamento: N=-7282.35 Ty=-0.97 Tz=3.63 Mx=0.03 Mz=-2.02
Sollecitazioni agenti localmente: Ty_l=-1324.06 Mx_l=-26.48
Tensioni nella sezione: σ=320.99 τ=40.12
CC 10 SLD (Collegamento 0025_-382)
Azioni sul collegamento: N=-6269.01 Ty=-2.84 Tz=-0.34 Mx=0.01 Mz=-0.99
Sollecitazioni agenti localmente: Ty_l=-1139.82 Mx_l=-22.80
Tensioni nella sezione: σ=276.32 τ=34.54
CC 10 SLD (Collegamento 0025_-382)
Azioni sul collegamento: N=-6269.01 Ty=-3.73 Tz=-0.34 Mx=0.01 Mz=-2.45
Sollecitazioni agenti localmente: Ty_l=-1139.82 Mx_l=-22.80
Tensioni nella sezione: σ=276.32 τ=34.54
CC 10 SLD (Collegamento 0025_-382)
Azioni sul collegamento: N=-6269.00 Ty=-2.84 Tz=1.57 Mx=0.01 Mz=-0.99
Sollecitazioni agenti localmente: Ty_l=-1139.82 Mx_l=-22.80
Tensioni nella sezione: σ=276.32 τ=34.54
CC 10 SLD (Collegamento 0025_-382)
Azioni sul collegamento: N=-6269.00 Ty=-3.73 Tz=1.57 Mx=0.01 Mz=-2.45
Sollecitazioni agenti localmente: Ty_l=-1139.82 Mx_l=-22.80
Tensioni nella sezione: σ=276.32 τ=34.54
CC 10 SLD (Collegamento 0025_-382)
Azioni sul collegamento: N=-6757.78 Ty=-2.84 Tz=-0.34 Mx=0.01 Mz=-0.99
Sollecitazioni agenti localmente: Ty_l=-1228.69 Mx_l=-24.57
Tensioni nella sezione: σ=297.86 τ=37.23
CC 10 SLD (Collegamento 0025_-382)
Azioni sul collegamento: N=-6757.78 Ty=-3.73 Tz=-0.34 Mx=0.01 Mz=-2.45
Sollecitazioni agenti localmente: Ty_l=-1228.69 Mx_l=-24.57
Tensioni nella sezione: σ=297.86 τ=37.23
CC 10 SLD (Collegamento 0025_-382)
Azioni sul collegamento: N=-6757.78 Ty=-2.84 Tz=1.57 Mx=0.01 Mz=-0.99
Sollecitazioni agenti localmente: Ty_l=-1228.69 Mx_l=-24.57
Tensioni nella sezione: σ=297.86 τ=37.23
CC 10 SLD (Collegamento 0025_-382)
Azioni sul collegamento: N=-6757.78 Ty=-3.73 Tz=1.57 Mx=0.01 Mz=-2.45
Sollecitazioni agenti localmente: Ty_l=-1228.69 Mx_l=-24.57
Tensioni nella sezione: σ=297.86 τ=37.23
CC 11 SLV (Collegamento 0025_-382)
Azioni sul collegamento: N=-7263.41 Ty=-3.09 Tz=3.21 Mx=0.02 Mz=2.17
Sollecitazioni agenti localmente: Ty_l=-1320.62 Mx_l=-26.41
Tensioni nella sezione: σ=320.15 τ=40.02
CC 11 SLV (Collegamento 0025_-382)
Azioni sul collegamento: N=-7263.41 Ty=-1.79 Tz=3.21 Mx=0.02 Mz=-1.45
Sollecitazioni agenti localmente: Ty_l=-1320.62 Mx_l=-26.41
Tensioni nella sezione: σ=320.15 τ=40.02
CC 11 SLV (Collegamento 0025_-382)
Azioni sul collegamento: N=-7263.41 Ty=-3.09 Tz=-2.23 Mx=0.02 Mz=2.17
Sollecitazioni agenti localmente: Ty_l=-1320.62 Mx_l=-26.41
Tensioni nella sezione: σ=320.15 τ=40.02
CC 11 SLV (Collegamento 0025_-382)
Azioni sul collegamento: N=-7263.41 Ty=-1.79 Tz=-2.23 Mx=0.02 Mz=-1.45
Sollecitazioni agenti localmente: Ty_l=-1320.62 Mx_l=-26.41
Tensioni nella sezione: σ=320.15 τ=40.02
CC 11 SLV (Collegamento 0025_-382)
Azioni sul collegamento: N=-5698.41 Ty=-3.09 Tz=3.21 Mx=0.02 Mz=2.17

Sollecitazioni agenti localmente: Ty_l=-1036.07 Mx_l=-20.72
Tensioni nella sezione: σ=251.17 τ=31.40
CC 11 SLV (Collegamento 0025_-382)
Azioni sul collegamento: N=-5698.41 Ty=-1.79 Tz=3.21 Mx=0.02 Mz=-1.45
Sollecitazioni agenti localmente: Ty_l=-1036.07 Mx_l=-20.72
Tensioni nella sezione: σ=251.17 τ=31.40
CC 11 SLV (Collegamento 0025_-382)
Azioni sul collegamento: N=-5698.41 Ty=-3.09 Tz=-2.23 Mx=0.02 Mz=2.17
Sollecitazioni agenti localmente: Ty_l=-1036.07 Mx_l=-20.72
Tensioni nella sezione: σ=251.17 τ=31.40
CC 11 SLV (Collegamento 0025_-382)
Azioni sul collegamento: N=-5698.41 Ty=-1.79 Tz=-2.23 Mx=0.02 Mz=-1.45
Sollecitazioni agenti localmente: Ty_l=-1036.07 Mx_l=-20.72
Tensioni nella sezione: σ=251.17 τ=31.40
CC 12 SLD (Collegamento 0025_-382)
Azioni sul collegamento: N=-6752.00 Ty=-3.09 Tz=1.44 Mx=0.01 Mz=-1.17
Sollecitazioni agenti localmente: Ty_l=-1227.64 Mx_l=-24.55
Tensioni nella sezione: σ=297.61 τ=37.20
CC 12 SLD (Collegamento 0025_-382)
Azioni sul collegamento: N=-6752.00 Ty=-3.48 Tz=1.44 Mx=0.01 Mz=-2.27
Sollecitazioni agenti localmente: Ty_l=-1227.64 Mx_l=-24.55
Tensioni nella sezione: σ=297.61 τ=37.20
CC 12 SLD (Collegamento 0025_-382)
Azioni sul collegamento: N=-6752.00 Ty=-3.09 Tz=-0.21 Mx=0.01 Mz=-1.17
Sollecitazioni agenti localmente: Ty_l=-1227.64 Mx_l=-24.55
Tensioni nella sezione: σ=297.61 τ=37.20
CC 12 SLD (Collegamento 0025_-382)
Azioni sul collegamento: N=-6752.00 Ty=-3.48 Tz=-0.21 Mx=0.01 Mz=-2.27
Sollecitazioni agenti localmente: Ty_l=-1227.64 Mx_l=-24.55
Tensioni nella sezione: σ=297.61 τ=37.20
CC 12 SLD (Collegamento 0025_-382)
Azioni sul collegamento: N=-6274.78 Ty=-3.09 Tz=1.44 Mx=0.01 Mz=-1.17
Sollecitazioni agenti localmente: Ty_l=-1140.87 Mx_l=-22.82
Tensioni nella sezione: σ=276.57 τ=34.57
CC 12 SLD (Collegamento 0025_-382)
Azioni sul collegamento: N=-6274.78 Ty=-3.48 Tz=1.44 Mx=0.01 Mz=-2.27
Sollecitazioni agenti localmente: Ty_l=-1140.87 Mx_l=-22.82
Tensioni nella sezione: σ=276.57 τ=34.57
CC 12 SLD (Collegamento 0025_-382)
Azioni sul collegamento: N=-6274.78 Ty=-3.09 Tz=-0.21 Mx=0.01 Mz=-1.17
Sollecitazioni agenti localmente: Ty_l=-1140.87 Mx_l=-22.82
Tensioni nella sezione: σ=276.57 τ=34.57
CC 12 SLD (Collegamento 0025_-382)
Azioni sul collegamento: N=-6274.78 Ty=-3.48 Tz=-0.21 Mx=0.01 Mz=-2.27
Sollecitazioni agenti localmente: Ty_l=-1140.87 Mx_l=-22.82
Tensioni nella sezione: σ=276.57 τ=34.57
CC 13 SLV (Collegamento 0025_-382)
Azioni sul collegamento: N=-5698.41 Ty=-1.79 Tz=-2.23 Mx=0.01 Mz=-1.45
Sollecitazioni agenti localmente: Ty_l=-1036.07 Mx_l=-20.72
Tensioni nella sezione: σ=251.17 τ=31.40
CC 13 SLV (Collegamento 0025_-382)
Azioni sul collegamento: N=-5698.41 Ty=-3.09 Tz=-2.23 Mx=0.01 Mz=2.17
Sollecitazioni agenti localmente: Ty_l=-1036.07 Mx_l=-20.72
Tensioni nella sezione: σ=251.17 τ=31.40
CC 13 SLV (Collegamento 0025_-382)
Azioni sul collegamento: N=-5698.41 Ty=-1.79 Tz=3.21 Mx=0.01 Mz=-1.45
Sollecitazioni agenti localmente: Ty_l=-1036.07 Mx_l=-20.72
Tensioni nella sezione: σ=251.17 τ=31.40
CC 13 SLV (Collegamento 0025_-382)
Azioni sul collegamento: N=-5698.41 Ty=-3.09 Tz=3.21 Mx=0.01 Mz=2.17
Sollecitazioni agenti localmente: Ty_l=-1036.07 Mx_l=-20.72
Tensioni nella sezione: σ=251.17 τ=31.40
CC 13 SLV (Collegamento 0025_-382)
Azioni sul collegamento: N=-7263.41 Ty=-1.79 Tz=-2.23 Mx=0.01 Mz=-1.45
Sollecitazioni agenti localmente: Ty_l=-1320.62 Mx_l=-26.41
Tensioni nella sezione: σ=320.15 τ=40.02
CC 13 SLV (Collegamento 0025_-382)
Azioni sul collegamento: N=-7263.41 Ty=-3.09 Tz=-2.23 Mx=0.01 Mz=2.17
Sollecitazioni agenti localmente: Ty_l=-1320.62 Mx_l=-26.41
Tensioni nella sezione: σ=320.15 τ=40.02
CC 13 SLV (Collegamento 0025_-382)
Azioni sul collegamento: N=-7263.41 Ty=-1.79 Tz=3.21 Mx=0.01 Mz=-1.45
Sollecitazioni agenti localmente: Ty_l=-1320.62 Mx_l=-26.41
Tensioni nella sezione: σ=320.15 τ=40.02
CC 13 SLV (Collegamento 0025_-382)
Azioni sul collegamento: N=-7263.41 Ty=-3.09 Tz=3.21 Mx=0.01 Mz=2.17
Sollecitazioni agenti localmente: Ty_l=-1320.62 Mx_l=-26.41
Tensioni nella sezione: σ=320.15 τ=40.02
CC 14 SLD (Collegamento 0025_-382)
Azioni sul collegamento: N=-6274.78 Ty=-3.48 Tz=-0.21 Mx=0.01 Mz=-2.27

Sollecitazioni agenti localmente: Ty_l=-1140.87 Mx_l=-22.82
Tensioni nella sezione: σ=276.57 τ=34.57
CC 14 SLD (Collegamento 0025_-382)
Azioni sul collegamento: N=-6274.78 Ty=-3.09 Tz=-0.21 Mx=0.01 Mz=-1.17
Sollecitazioni agenti localmente: Ty_l=-1140.87 Mx_l=-22.82
Tensioni nella sezione: σ=276.57 τ=34.57
CC 14 SLD (Collegamento 0025_-382)
Azioni sul collegamento: N=-6274.78 Ty=-3.48 Tz=1.44 Mx=0.01 Mz=-2.27
Sollecitazioni agenti localmente: Ty_l=-1140.87 Mx_l=-22.82
Tensioni nella sezione: σ=276.57 τ=34.57
CC 14 SLD (Collegamento 0025_-382)
Azioni sul collegamento: N=-6274.78 Ty=-3.09 Tz=1.44 Mx=0.01 Mz=-1.17
Sollecitazioni agenti localmente: Ty_l=-1140.87 Mx_l=-22.82
Tensioni nella sezione: σ=276.57 τ=34.57
CC 14 SLD (Collegamento 0025_-382)
Azioni sul collegamento: N=-6752.00 Ty=-3.48 Tz=-0.21 Mx=0.01 Mz=-2.27
Sollecitazioni agenti localmente: Ty_l=-1227.64 Mx_l=-24.55
Tensioni nella sezione: σ=297.61 τ=37.20
CC 14 SLD (Collegamento 0025_-382)
Azioni sul collegamento: N=-6752.00 Ty=-3.09 Tz=-0.21 Mx=0.01 Mz=-1.17
Sollecitazioni agenti localmente: Ty_l=-1227.64 Mx_l=-24.55
Tensioni nella sezione: σ=297.61 τ=37.20
CC 14 SLD (Collegamento 0025_-382)
Azioni sul collegamento: N=-6752.00 Ty=-3.48 Tz=1.44 Mx=0.01 Mz=-2.27
Sollecitazioni agenti localmente: Ty_l=-1227.64 Mx_l=-24.55
Tensioni nella sezione: σ=297.61 τ=37.20
CC 14 SLD (Collegamento 0025_-382)
Azioni sul collegamento: N=-6752.00 Ty=-3.09 Tz=1.44 Mx=0.01 Mz=-1.17
Sollecitazioni agenti localmente: Ty_l=-1227.64 Mx_l=-24.55
Tensioni nella sezione: σ=297.61 τ=37.20
CC 15 SLV (Collegamento 0025_-382)
Azioni sul collegamento: N=-7282.35 Ty=-0.97 Tz=3.63 Mx=0.01 Mz=-2.02
Sollecitazioni agenti localmente: Ty_l=-1324.06 Mx_l=-26.48
Tensioni nella sezione: σ=320.99 τ=40.12
CC 15 SLV (Collegamento 0025_-382)
Azioni sul collegamento: N=-7282.35 Ty=-3.91 Tz=3.63 Mx=0.01 Mz=2.74
Sollecitazioni agenti localmente: Ty_l=-1324.06 Mx_l=-26.48
Tensioni nella sezione: σ=320.99 τ=40.12
CC 15 SLV (Collegamento 0025_-382)
Azioni sul collegamento: N=-7282.35 Ty=-0.97 Tz=-2.66 Mx=0.01 Mz=-2.02
Sollecitazioni agenti localmente: Ty_l=-1324.06 Mx_l=-26.48
Tensioni nella sezione: σ=320.99 τ=40.12
CC 15 SLV (Collegamento 0025_-382)
Azioni sul collegamento: N=-7282.35 Ty=-3.91 Tz=-2.66 Mx=0.01 Mz=2.74
Sollecitazioni agenti localmente: Ty_l=-1324.06 Mx_l=-26.48
Tensioni nella sezione: σ=320.99 τ=40.12
CC 15 SLV (Collegamento 0025_-382)
Azioni sul collegamento: N=-5679.47 Ty=-0.97 Tz=3.63 Mx=0.01 Mz=-2.02
Sollecitazioni agenti localmente: Ty_l=-1032.63 Mx_l=-20.65
Tensioni nella sezione: σ=250.33 τ=31.29
CC 15 SLV (Collegamento 0025_-382)
Azioni sul collegamento: N=-5679.47 Ty=-3.91 Tz=3.63 Mx=0.01 Mz=2.74
Sollecitazioni agenti localmente: Ty_l=-1032.63 Mx_l=-20.65
Tensioni nella sezione: σ=250.33 τ=31.29
CC 15 SLV (Collegamento 0025_-382)
Azioni sul collegamento: N=-5679.47 Ty=-0.97 Tz=-2.66 Mx=0.01 Mz=-2.02
Sollecitazioni agenti localmente: Ty_l=-1032.63 Mx_l=-20.65
Tensioni nella sezione: σ=250.33 τ=31.29
CC 15 SLV (Collegamento 0025_-382)
Azioni sul collegamento: N=-5679.47 Ty=-3.91 Tz=-2.66 Mx=0.01 Mz=2.74
Sollecitazioni agenti localmente: Ty_l=-1032.63 Mx_l=-20.65
Tensioni nella sezione: σ=250.33 τ=31.29
CC 16 SLD (Collegamento 0025_-382)
Azioni sul collegamento: N=-6757.78 Ty=-3.73 Tz=1.57 Mx=0.00 Mz=-2.45
Sollecitazioni agenti localmente: Ty_l=-1228.69 Mx_l=-24.57
Tensioni nella sezione: σ=297.86 τ=37.23
CC 16 SLD (Collegamento 0025_-382)
Azioni sul collegamento: N=-6757.78 Ty=-2.84 Tz=1.57 Mx=0.00 Mz=-0.99
Sollecitazioni agenti localmente: Ty_l=-1228.69 Mx_l=-24.57
Tensioni nella sezione: σ=297.86 τ=37.23
CC 16 SLD (Collegamento 0025_-382)
Azioni sul collegamento: N=-6757.78 Ty=-3.73 Tz=-0.34 Mx=0.00 Mz=-2.45
Sollecitazioni agenti localmente: Ty_l=-1228.69 Mx_l=-24.57
Tensioni nella sezione: σ=297.86 τ=37.23
CC 16 SLD (Collegamento 0025_-382)
Azioni sul collegamento: N=-6757.78 Ty=-2.84 Tz=-0.34 Mx=0.00 Mz=-0.99
Sollecitazioni agenti localmente: Ty_l=-1228.69 Mx_l=-24.57
Tensioni nella sezione: σ=297.86 τ=37.23
CC 16 SLD (Collegamento 0025_-382)
Azioni sul collegamento: N=-6269.00 Ty=-3.73 Tz=1.57 Mx=0.00 Mz=-2.45

Sollecitazioni agenti localmente: Ty_l=-1139.82 Mx_l=-22.80
Tensioni nella sezione: σ=276.32 τ=34.54
CC 16 SLD (Collegamento 0025_-382)
Azioni sul collegamento: N=-6269.00 Ty=-2.84 Tz=1.57 Mx=0.00 Mz=-0.99
Sollecitazioni agenti localmente: Ty_l=-1139.82 Mx_l=-22.80
Tensioni nella sezione: σ=276.32 τ=34.54
CC 16 SLD (Collegamento 0025_-382)
Azioni sul collegamento: N=-6269.01 Ty=-3.73 Tz=-0.34 Mx=0.00 Mz=-2.45
Sollecitazioni agenti localmente: Ty_l=-1139.82 Mx_l=-22.80
Tensioni nella sezione: σ=276.32 τ=34.54
CC 16 SLD (Collegamento 0025_-382)
Azioni sul collegamento: N=-6269.01 Ty=-2.84 Tz=-0.34 Mx=0.00 Mz=-0.99
Sollecitazioni agenti localmente: Ty_l=-1139.82 Mx_l=-22.80
Tensioni nella sezione: σ=276.32 τ=34.54
CC 17 SLV (Collegamento 0025_-382)
Azioni sul collegamento: N=-3931.62 Ty=-3.19 Tz=-8.98 Mx=-0.01 Mz=-4.04
Sollecitazioni agenti localmente: Ty_l=-714.84 Mx_l=-14.30
Tensioni nella sezione: σ=173.29 τ=21.66
CC 17 SLV (Collegamento 0025_-382)
Azioni sul collegamento: N=-3931.62 Ty=-6.55 Tz=-8.98 Mx=-0.01 Mz=-7.22
Sollecitazioni agenti localmente: Ty_l=-714.84 Mx_l=-14.30
Tensioni nella sezione: σ=173.29 τ=21.66
CC 17 SLV (Collegamento 0025_-382)
Azioni sul collegamento: N=-3931.62 Ty=-3.19 Tz=10.69 Mx=-0.01 Mz=-4.04
Sollecitazioni agenti localmente: Ty_l=-714.84 Mx_l=-14.30
Tensioni nella sezione: σ=173.29 τ=21.66
CC 17 SLV (Collegamento 0025_-382)
Azioni sul collegamento: N=-3931.62 Ty=-6.55 Tz=10.69 Mx=-0.01 Mz=-7.22
Sollecitazioni agenti localmente: Ty_l=-714.84 Mx_l=-14.30
Tensioni nella sezione: σ=173.29 τ=21.66
CC 17 SLV (Collegamento 0025_-382)
Azioni sul collegamento: N=-9217.12 Ty=-3.19 Tz=-8.98 Mx=-0.01 Mz=-4.04
Sollecitazioni agenti localmente: Ty_l=-1675.84 Mx_l=-33.52
Tensioni nella sezione: σ=406.26 τ=50.78
CC 17 SLV (Collegamento 0025_-382)
Azioni sul collegamento: N=-9217.12 Ty=-6.55 Tz=-8.98 Mx=-0.01 Mz=-7.22
Sollecitazioni agenti localmente: Ty_l=-1675.84 Mx_l=-33.52
Tensioni nella sezione: σ=406.26 τ=50.78
CC 17 SLV (Collegamento 0025_-382)
Azioni sul collegamento: N=-9217.12 Ty=-3.19 Tz=10.69 Mx=-0.01 Mz=-4.04
Sollecitazioni agenti localmente: Ty_l=-1675.84 Mx_l=-33.52
Tensioni nella sezione: σ=406.26 τ=50.78
CC 17 SLV (Collegamento 0025_-382)
Azioni sul collegamento: N=-9217.12 Ty=-6.55 Tz=10.69 Mx=-0.01 Mz=-7.22
Sollecitazioni agenti localmente: Ty_l=-1675.84 Mx_l=-33.52
Tensioni nella sezione: σ=406.26 τ=50.78
CC 18 SLD (Collegamento 0025_-382)
Azioni sul collegamento: N=-5736.03 Ty=-3.51 Tz=-2.27 Mx=-0.00 Mz=-3.06
Sollecitazioni agenti localmente: Ty_l=-1042.92 Mx_l=-20.86
Tensioni nella sezione: σ=252.83 τ=31.60
CC 18 SLD (Collegamento 0025_-382)
Azioni sul collegamento: N=-5736.03 Ty=-4.54 Tz=-2.27 Mx=-0.00 Mz=-4.03
Sollecitazioni agenti localmente: Ty_l=-1042.92 Mx_l=-20.86
Tensioni nella sezione: σ=252.83 τ=31.60
CC 18 SLD (Collegamento 0025_-382)
Azioni sul collegamento: N=-5736.03 Ty=-3.51 Tz=3.73 Mx=-0.00 Mz=-3.06
Sollecitazioni agenti localmente: Ty_l=-1042.92 Mx_l=-20.86
Tensioni nella sezione: σ=252.83 τ=31.60
CC 18 SLD (Collegamento 0025_-382)
Azioni sul collegamento: N=-5736.03 Ty=-4.54 Tz=3.73 Mx=-0.00 Mz=-4.03
Sollecitazioni agenti localmente: Ty_l=-1042.92 Mx_l=-20.86
Tensioni nella sezione: σ=252.83 τ=31.60
CC 18 SLD (Collegamento 0025_-382)
Azioni sul collegamento: N=-7347.75 Ty=-3.51 Tz=-2.27 Mx=-0.00 Mz=-3.06
Sollecitazioni agenti localmente: Ty_l=-1335.95 Mx_l=-26.72
Tensioni nella sezione: σ=323.87 τ=40.48
CC 18 SLD (Collegamento 0025_-382)
Azioni sul collegamento: N=-7347.75 Ty=-4.54 Tz=-2.27 Mx=-0.00 Mz=-4.03
Sollecitazioni agenti localmente: Ty_l=-1335.95 Mx_l=-26.72
Tensioni nella sezione: σ=323.87 τ=40.48
CC 18 SLD (Collegamento 0025_-382)
Azioni sul collegamento: N=-7347.75 Ty=-3.51 Tz=3.73 Mx=-0.00 Mz=-3.06
Sollecitazioni agenti localmente: Ty_l=-1335.95 Mx_l=-26.72
Tensioni nella sezione: σ=323.87 τ=40.48
CC 18 SLD (Collegamento 0025_-382)
Azioni sul collegamento: N=-7347.75 Ty=-4.54 Tz=3.73 Mx=-0.00 Mz=-4.03
Sollecitazioni agenti localmente: Ty_l=-1335.95 Mx_l=-26.72
Tensioni nella sezione: σ=323.87 τ=40.48
CC 19 SLV (Collegamento 0025_-382)
Azioni sul collegamento: N=-3937.31 Ty=-3.82 Tz=-8.85 Mx=-0.01 Mz=-5.30

Sollecitazioni agenti localmente: Ty_l=-715.87 Mx_l=-14.32
Tensioni nella sezione: σ=173.54 τ=21.69
CC 19 SLV (Collegamento 0025_-382)
Azioni sul collegamento: N=-3937.31 Ty=-5.92 Tz=-8.85 Mx=-0.01 Mz=-5.96
Sollecitazioni agenti localmente: Ty_l=-715.87 Mx_l=-14.32
Tensioni nella sezione: σ=173.54 τ=21.69
CC 19 SLV (Collegamento 0025_-382)
Azioni sul collegamento: N=-3937.31 Ty=-3.82 Tz=10.56 Mx=-0.01 Mz=-5.30
Sollecitazioni agenti localmente: Ty_l=-715.87 Mx_l=-14.32
Tensioni nella sezione: σ=173.54 τ=21.69
CC 19 SLV (Collegamento 0025_-382)
Azioni sul collegamento: N=-3937.31 Ty=-5.92 Tz=10.56 Mx=-0.01 Mz=-5.96
Sollecitazioni agenti localmente: Ty_l=-715.87 Mx_l=-14.32
Tensioni nella sezione: σ=173.54 τ=21.69
CC 19 SLV (Collegamento 0025_-382)
Azioni sul collegamento: N=-9211.43 Ty=-3.82 Tz=-8.85 Mx=-0.01 Mz=-5.30
Sollecitazioni agenti localmente: Ty_l=-1674.81 Mx_l=-33.50
Tensioni nella sezione: σ=406.01 τ=50.75
CC 19 SLV (Collegamento 0025_-382)
Azioni sul collegamento: N=-9211.43 Ty=-5.92 Tz=-8.85 Mx=-0.01 Mz=-5.96
Sollecitazioni agenti localmente: Ty_l=-1674.81 Mx_l=-33.50
Tensioni nella sezione: σ=406.01 τ=50.75
CC 19 SLV (Collegamento 0025_-382)
Azioni sul collegamento: N=-9211.43 Ty=-3.82 Tz=10.56 Mx=-0.01 Mz=-5.30
Sollecitazioni agenti localmente: Ty_l=-1674.81 Mx_l=-33.50
Tensioni nella sezione: σ=406.01 τ=50.75
CC 19 SLV (Collegamento 0025_-382)
Azioni sul collegamento: N=-9211.43 Ty=-5.92 Tz=10.56 Mx=-0.01 Mz=-5.96
Sollecitazioni agenti localmente: Ty_l=-1674.81 Mx_l=-33.50
Tensioni nella sezione: σ=406.01 τ=50.75
CC 20 SLD (Collegamento 0025_-382)
Azioni sul collegamento: N=-5737.77 Ty=-3.71 Tz=-2.23 Mx=-0.00 Mz=-3.45
Sollecitazioni agenti localmente: Ty_l=-1043.23 Mx_l=-20.86
Tensioni nella sezione: σ=252.90 τ=31.61
CC 20 SLD (Collegamento 0025_-382)
Azioni sul collegamento: N=-5737.77 Ty=-4.34 Tz=-2.23 Mx=-0.00 Mz=-3.65
Sollecitazioni agenti localmente: Ty_l=-1043.23 Mx_l=-20.86
Tensioni nella sezione: σ=252.90 τ=31.61
CC 20 SLD (Collegamento 0025_-382)
Azioni sul collegamento: N=-5737.77 Ty=-3.71 Tz=3.69 Mx=-0.00 Mz=-3.45
Sollecitazioni agenti localmente: Ty_l=-1043.23 Mx_l=-20.86
Tensioni nella sezione: σ=252.90 τ=31.61
CC 20 SLD (Collegamento 0025_-382)
Azioni sul collegamento: N=-5737.77 Ty=-4.34 Tz=3.69 Mx=-0.00 Mz=-3.65
Sollecitazioni agenti localmente: Ty_l=-1043.23 Mx_l=-20.86
Tensioni nella sezione: σ=252.90 τ=31.61
CC 20 SLD (Collegamento 0025_-382)
Azioni sul collegamento: N=-7346.01 Ty=-3.71 Tz=-2.23 Mx=-0.00 Mz=-3.45
Sollecitazioni agenti localmente: Ty_l=-1335.64 Mx_l=-26.71
Tensioni nella sezione: σ=323.79 τ=40.47
CC 20 SLD (Collegamento 0025_-382)
Azioni sul collegamento: N=-7346.01 Ty=-4.34 Tz=-2.23 Mx=-0.00 Mz=-3.65
Sollecitazioni agenti localmente: Ty_l=-1335.64 Mx_l=-26.71
Tensioni nella sezione: σ=323.79 τ=40.47
CC 20 SLD (Collegamento 0025_-382)
Azioni sul collegamento: N=-7346.01 Ty=-3.71 Tz=3.69 Mx=-0.00 Mz=-3.45
Sollecitazioni agenti localmente: Ty_l=-1335.64 Mx_l=-26.71
Tensioni nella sezione: σ=323.79 τ=40.47
CC 20 SLD (Collegamento 0025_-382)
Azioni sul collegamento: N=-7346.01 Ty=-4.34 Tz=3.69 Mx=-0.00 Mz=-3.65
Sollecitazioni agenti localmente: Ty_l=-1335.64 Mx_l=-26.71
Tensioni nella sezione: σ=323.79 τ=40.47
CC 21 SLV (Collegamento 0025_-382)
Azioni sul collegamento: N=-9211.43 Ty=-5.92 Tz=10.56 Mx=-0.01 Mz=-5.96
Sollecitazioni agenti localmente: Ty_l=-1674.81 Mx_l=-33.50
Tensioni nella sezione: σ=406.01 τ=50.75
CC 21 SLV (Collegamento 0025_-382)
Azioni sul collegamento: N=-9211.43 Ty=-3.82 Tz=10.56 Mx=-0.01 Mz=-5.30
Sollecitazioni agenti localmente: Ty_l=-1674.81 Mx_l=-33.50
Tensioni nella sezione: σ=406.01 τ=50.75
CC 21 SLV (Collegamento 0025_-382)
Azioni sul collegamento: N=-9211.43 Ty=-5.92 Tz=-8.85 Mx=-0.01 Mz=-5.96
Sollecitazioni agenti localmente: Ty_l=-1674.81 Mx_l=-33.50
Tensioni nella sezione: σ=406.01 τ=50.75
CC 21 SLV (Collegamento 0025_-382)
Azioni sul collegamento: N=-9211.43 Ty=-3.82 Tz=-8.85 Mx=-0.01 Mz=-5.30
Sollecitazioni agenti localmente: Ty_l=-1674.81 Mx_l=-33.50
Tensioni nella sezione: σ=406.01 τ=50.75
CC 21 SLV (Collegamento 0025_-382)
Azioni sul collegamento: N=-3937.31 Ty=-5.92 Tz=10.56 Mx=-0.01 Mz=-5.96

Sollecitazioni agenti localmente: Ty_l=-715.87 Mx_l=-14.32
Tensioni nella sezione: σ=173.54 τ=21.69
CC 21 SLV (Collegamento 0025_-382)
Azioni sul collegamento: N=-3937.31 Ty=-3.82 Tz=10.56 Mx=-0.01 Mz=-5.30
Sollecitazioni agenti localmente: Ty_l=-715.87 Mx_l=-14.32
Tensioni nella sezione: σ=173.54 τ=21.69
CC 21 SLV (Collegamento 0025_-382)
Azioni sul collegamento: N=-3937.31 Ty=-5.92 Tz=-8.85 Mx=-0.01 Mz=-5.96
Sollecitazioni agenti localmente: Ty_l=-715.87 Mx_l=-14.32
Tensioni nella sezione: σ=173.54 τ=21.69
CC 21 SLV (Collegamento 0025_-382)
Azioni sul collegamento: N=-3937.31 Ty=-3.82 Tz=-8.85 Mx=-0.01 Mz=-5.30
Sollecitazioni agenti localmente: Ty_l=-715.87 Mx_l=-14.32
Tensioni nella sezione: σ=173.54 τ=21.69
CC 22 SLD (Collegamento 0025_-382)
Azioni sul collegamento: N=-7346.01 Ty=-4.34 Tz=3.69 Mx=-0.00 Mz=-3.65
Sollecitazioni agenti localmente: Ty_l=-1335.64 Mx_l=-26.71
Tensioni nella sezione: σ=323.79 τ=40.47
CC 22 SLD (Collegamento 0025_-382)
Azioni sul collegamento: N=-7346.01 Ty=-3.71 Tz=3.69 Mx=-0.00 Mz=-3.45
Sollecitazioni agenti localmente: Ty_l=-1335.64 Mx_l=-26.71
Tensioni nella sezione: σ=323.79 τ=40.47
CC 22 SLD (Collegamento 0025_-382)
Azioni sul collegamento: N=-7346.01 Ty=-4.34 Tz=-2.23 Mx=-0.00 Mz=-3.65
Sollecitazioni agenti localmente: Ty_l=-1335.64 Mx_l=-26.71
Tensioni nella sezione: σ=323.79 τ=40.47
CC 22 SLD (Collegamento 0025_-382)
Azioni sul collegamento: N=-7346.01 Ty=-3.71 Tz=-2.23 Mx=-0.00 Mz=-3.45
Sollecitazioni agenti localmente: Ty_l=-1335.64 Mx_l=-26.71
Tensioni nella sezione: σ=323.79 τ=40.47
CC 22 SLD (Collegamento 0025_-382)
Azioni sul collegamento: N=-5737.77 Ty=-4.34 Tz=3.69 Mx=-0.00 Mz=-3.65
Sollecitazioni agenti localmente: Ty_l=-1043.23 Mx_l=-20.86
Tensioni nella sezione: σ=252.90 τ=31.61
CC 22 SLD (Collegamento 0025_-382)
Azioni sul collegamento: N=-5737.77 Ty=-3.71 Tz=3.69 Mx=-0.00 Mz=-3.45
Sollecitazioni agenti localmente: Ty_l=-1043.23 Mx_l=-20.86
Tensioni nella sezione: σ=252.90 τ=31.61
CC 22 SLD (Collegamento 0025_-382)
Azioni sul collegamento: N=-5737.77 Ty=-4.34 Tz=-2.23 Mx=-0.00 Mz=-3.65
Sollecitazioni agenti localmente: Ty_l=-1043.23 Mx_l=-20.86
Tensioni nella sezione: σ=252.90 τ=31.61
CC 22 SLD (Collegamento 0025_-382)
Azioni sul collegamento: N=-5737.77 Ty=-3.71 Tz=-2.23 Mx=-0.00 Mz=-3.45
Sollecitazioni agenti localmente: Ty_l=-1043.23 Mx_l=-20.86
Tensioni nella sezione: σ=252.90 τ=31.61
CC 23 SLV (Collegamento 0025_-382)
Azioni sul collegamento: N=-9217.12 Ty=-6.55 Tz=10.69 Mx=-0.01 Mz=-7.22
Sollecitazioni agenti localmente: Ty_l=-1675.84 Mx_l=-33.52
Tensioni nella sezione: σ=406.26 τ=50.78
CC 23 SLV (Collegamento 0025_-382)
Azioni sul collegamento: N=-9217.12 Ty=-3.19 Tz=10.69 Mx=-0.01 Mz=-4.04
Sollecitazioni agenti localmente: Ty_l=-1675.84 Mx_l=-33.52
Tensioni nella sezione: σ=406.26 τ=50.78
CC 23 SLV (Collegamento 0025_-382)
Azioni sul collegamento: N=-9217.12 Ty=-6.55 Tz=-8.98 Mx=-0.01 Mz=-7.22
Sollecitazioni agenti localmente: Ty_l=-1675.84 Mx_l=-33.52
Tensioni nella sezione: σ=406.26 τ=50.78
CC 23 SLV (Collegamento 0025_-382)
Azioni sul collegamento: N=-9217.12 Ty=-3.19 Tz=-8.98 Mx=-0.01 Mz=-4.04
Sollecitazioni agenti localmente: Ty_l=-1675.84 Mx_l=-33.52
Tensioni nella sezione: σ=406.26 τ=50.78
CC 23 SLV (Collegamento 0025_-382)
Azioni sul collegamento: N=-3931.62 Ty=-6.55 Tz=10.69 Mx=-0.01 Mz=-7.22
Sollecitazioni agenti localmente: Ty_l=-714.84 Mx_l=-14.30
Tensioni nella sezione: σ=173.29 τ=21.66
CC 23 SLV (Collegamento 0025_-382)
Azioni sul collegamento: N=-3931.62 Ty=-3.19 Tz=10.69 Mx=-0.01 Mz=-4.04
Sollecitazioni agenti localmente: Ty_l=-714.84 Mx_l=-14.30
Tensioni nella sezione: σ=173.29 τ=21.66
CC 23 SLV (Collegamento 0025_-382)
Azioni sul collegamento: N=-3931.62 Ty=-6.55 Tz=-8.98 Mx=-0.01 Mz=-7.22
Sollecitazioni agenti localmente: Ty_l=-714.84 Mx_l=-14.30
Tensioni nella sezione: σ=173.29 τ=21.66
CC 23 SLV (Collegamento 0025_-382)
Azioni sul collegamento: N=-3931.62 Ty=-3.19 Tz=-8.98 Mx=-0.01 Mz=-4.04
Sollecitazioni agenti localmente: Ty_l=-714.84 Mx_l=-14.30
Tensioni nella sezione: σ=173.29 τ=21.66
CC 24 SLD (Collegamento 0025_-382)
Azioni sul collegamento: N=-7347.75 Ty=-4.54 Tz=3.73 Mx=0.00 Mz=-4.03

Sollecitazioni agenti localmente: Ty_l=-1335.95 Mx_l=-26.72
Tensioni nella sezione: σ=323.87 τ=40.48
CC 24 SLD (Collegamento 0025_-382)
Azioni sul collegamento: N=-7347.75 Ty=-3.51 Tz=3.73 Mx=0.00 Mz=-3.06
Sollecitazioni agenti localmente: Ty_l=-1335.95 Mx_l=-26.72
Tensioni nella sezione: σ=323.87 τ=40.48
CC 24 SLD (Collegamento 0025_-382)
Azioni sul collegamento: N=-7347.75 Ty=-4.54 Tz=-2.27 Mx=0.00 Mz=-4.03
Sollecitazioni agenti localmente: Ty_l=-1335.95 Mx_l=-26.72
Tensioni nella sezione: σ=323.87 τ=40.48
CC 24 SLD (Collegamento 0025_-382)
Azioni sul collegamento: N=-7347.75 Ty=-3.51 Tz=-2.27 Mx=0.00 Mz=-3.06
Sollecitazioni agenti localmente: Ty_l=-1335.95 Mx_l=-26.72
Tensioni nella sezione: σ=323.87 τ=40.48
CC 24 SLD (Collegamento 0025_-382)
Azioni sul collegamento: N=-5736.03 Ty=-4.54 Tz=3.73 Mx=0.00 Mz=-4.03
Sollecitazioni agenti localmente: Ty_l=-1042.92 Mx_l=-20.86
Tensioni nella sezione: σ=252.83 τ=31.60
CC 24 SLD (Collegamento 0025_-382)
Azioni sul collegamento: N=-5736.03 Ty=-3.51 Tz=3.73 Mx=0.00 Mz=-3.06
Sollecitazioni agenti localmente: Ty_l=-1042.92 Mx_l=-20.86
Tensioni nella sezione: σ=252.83 τ=31.60
CC 24 SLD (Collegamento 0025_-382)
Azioni sul collegamento: N=-5736.03 Ty=-4.54 Tz=-2.27 Mx=0.00 Mz=-4.03
Sollecitazioni agenti localmente: Ty_l=-1042.92 Mx_l=-20.86
Tensioni nella sezione: σ=252.83 τ=31.60
CC 24 SLD (Collegamento 0025_-382)
Azioni sul collegamento: N=-5736.03 Ty=-3.51 Tz=-2.27 Mx=0.00 Mz=-3.06
Sollecitazioni agenti localmente: Ty_l=-1042.92 Mx_l=-20.86
Tensioni nella sezione: σ=252.83 τ=31.60
CC 25 SLV (Collegamento 0025_-382)
Azioni sul collegamento: N=-5772.93 Ty=-3.40 Tz=-2.29 Mx=-0.02 Mz=-3.25
Sollecitazioni agenti localmente: Ty_l=-1049.62 Mx_l=-20.99
Tensioni nella sezione: σ=254.45 τ=31.81
CC 25 SLV (Collegamento 0025_-382)
Azioni sul collegamento: N=-5772.93 Ty=-6.34 Tz=-2.29 Mx=-0.02 Mz=-8.01
Sollecitazioni agenti localmente: Ty_l=-1049.62 Mx_l=-20.99
Tensioni nella sezione: σ=254.45 τ=31.81
CC 25 SLV (Collegamento 0025_-382)
Azioni sul collegamento: N=-5772.93 Ty=-3.40 Tz=4.00 Mx=-0.02 Mz=-3.25
Sollecitazioni agenti localmente: Ty_l=-1049.62 Mx_l=-20.99
Tensioni nella sezione: σ=254.45 τ=31.81
CC 25 SLV (Collegamento 0025_-382)
Azioni sul collegamento: N=-5772.93 Ty=-6.34 Tz=4.00 Mx=-0.02 Mz=-8.01
Sollecitazioni agenti localmente: Ty_l=-1049.62 Mx_l=-20.99
Tensioni nella sezione: σ=254.45 τ=31.81
CC 25 SLV (Collegamento 0025_-382)
Azioni sul collegamento: N=-7375.81 Ty=-3.40 Tz=-2.29 Mx=-0.02 Mz=-3.25
Sollecitazioni agenti localmente: Ty_l=-1341.06 Mx_l=-26.82
Tensioni nella sezione: σ=325.10 τ=40.64
CC 25 SLV (Collegamento 0025_-382)
Azioni sul collegamento: N=-7375.81 Ty=-6.34 Tz=-2.29 Mx=-0.02 Mz=-8.01
Sollecitazioni agenti localmente: Ty_l=-1341.06 Mx_l=-26.82
Tensioni nella sezione: σ=325.10 τ=40.64
CC 25 SLV (Collegamento 0025_-382)
Azioni sul collegamento: N=-7375.81 Ty=-3.40 Tz=4.00 Mx=-0.02 Mz=-3.25
Sollecitazioni agenti localmente: Ty_l=-1341.06 Mx_l=-26.82
Tensioni nella sezione: σ=325.10 τ=40.64
CC 25 SLV (Collegamento 0025_-382)
Azioni sul collegamento: N=-7375.81 Ty=-6.34 Tz=4.00 Mx=-0.02 Mz=-8.01
Sollecitazioni agenti localmente: Ty_l=-1341.06 Mx_l=-26.82
Tensioni nella sezione: σ=325.10 τ=40.64
CC 26 SLD (Collegamento 0025_-382)
Azioni sul collegamento: N=-6297.50 Ty=-3.58 Tz=-0.23 Mx=-0.00 Mz=-2.82
Sollecitazioni agenti localmente: Ty_l=-1145.00 Mx_l=-22.90
Tensioni nella sezione: σ=277.57 τ=34.70
CC 26 SLD (Collegamento 0025_-382)
Azioni sul collegamento: N=-6297.50 Ty=-4.47 Tz=-0.23 Mx=-0.00 Mz=-4.27
Sollecitazioni agenti localmente: Ty_l=-1145.00 Mx_l=-22.90
Tensioni nella sezione: σ=277.57 τ=34.70
CC 26 SLD (Collegamento 0025_-382)
Azioni sul collegamento: N=-6297.50 Ty=-3.58 Tz=1.69 Mx=-0.00 Mz=-2.82
Sollecitazioni agenti localmente: Ty_l=-1145.00 Mx_l=-22.90
Tensioni nella sezione: σ=277.57 τ=34.70
CC 26 SLD (Collegamento 0025_-382)
Azioni sul collegamento: N=-6297.50 Ty=-4.47 Tz=1.69 Mx=-0.00 Mz=-4.27
Sollecitazioni agenti localmente: Ty_l=-1145.00 Mx_l=-22.90
Tensioni nella sezione: σ=277.57 τ=34.70
CC 26 SLD (Collegamento 0025_-382)
Azioni sul collegamento: N=-6786.28 Ty=-3.58 Tz=-0.23 Mx=-0.00 Mz=-2.82

Sollecitazioni agenti localmente: Ty_l=-1233.87 Mx_l=-24.68
Tensioni nella sezione: σ=299.12 τ=37.39
CC 26 SLD (Collegamento 0025_-382)
Azioni sul collegamento: N=-6786.28 Ty=-4.47 Tz=-0.23 Mx=-0.00 Mz=-4.27
Sollecitazioni agenti localmente: Ty_l=-1233.87 Mx_l=-24.68
Tensioni nella sezione: σ=299.12 τ=37.39
CC 26 SLD (Collegamento 0025_-382)
Azioni sul collegamento: N=-6786.28 Ty=-3.58 Tz=1.69 Mx=-0.00 Mz=-2.82
Sollecitazioni agenti localmente: Ty_l=-1233.87 Mx_l=-24.68
Tensioni nella sezione: σ=299.12 τ=37.39
CC 26 SLD (Collegamento 0025_-382)
Azioni sul collegamento: N=-6786.28 Ty=-4.47 Tz=1.69 Mx=-0.00 Mz=-4.27
Sollecitazioni agenti localmente: Ty_l=-1233.87 Mx_l=-24.68
Tensioni nella sezione: σ=299.12 τ=37.39
CC 27 SLV (Collegamento 0025_-382)
Azioni sul collegamento: N=-7356.87 Ty=-4.22 Tz=3.57 Mx=-0.02 Mz=-3.82
Sollecitazioni agenti localmente: Ty_l=-1337.61 Mx_l=-26.75
Tensioni nella sezione: σ=324.27 τ=40.53
CC 27 SLV (Collegamento 0025_-382)
Azioni sul collegamento: N=-7356.87 Ty=-5.52 Tz=3.57 Mx=-0.02 Mz=-7.44
Sollecitazioni agenti localmente: Ty_l=-1337.61 Mx_l=-26.75
Tensioni nella sezione: σ=324.27 τ=40.53
CC 27 SLV (Collegamento 0025_-382)
Azioni sul collegamento: N=-7356.87 Ty=-4.22 Tz=-1.86 Mx=-0.02 Mz=-3.82
Sollecitazioni agenti localmente: Ty_l=-1337.61 Mx_l=-26.75
Tensioni nella sezione: σ=324.27 τ=40.53
CC 27 SLV (Collegamento 0025_-382)
Azioni sul collegamento: N=-7356.87 Ty=-5.52 Tz=-1.86 Mx=-0.02 Mz=-7.44
Sollecitazioni agenti localmente: Ty_l=-1337.61 Mx_l=-26.75
Tensioni nella sezione: σ=324.27 τ=40.53
CC 27 SLV (Collegamento 0025_-382)
Azioni sul collegamento: N=-5791.87 Ty=-4.22 Tz=3.57 Mx=-0.02 Mz=-3.82
Sollecitazioni agenti localmente: Ty_l=-1053.07 Mx_l=-21.06
Tensioni nella sezione: σ=255.29 τ=31.91
CC 27 SLV (Collegamento 0025_-382)
Azioni sul collegamento: N=-5791.87 Ty=-5.52 Tz=3.57 Mx=-0.02 Mz=-7.44
Sollecitazioni agenti localmente: Ty_l=-1053.07 Mx_l=-21.06
Tensioni nella sezione: σ=255.29 τ=31.91
CC 27 SLV (Collegamento 0025_-382)
Azioni sul collegamento: N=-5791.87 Ty=-4.22 Tz=-1.86 Mx=-0.02 Mz=-3.82
Sollecitazioni agenti localmente: Ty_l=-1053.07 Mx_l=-21.06
Tensioni nella sezione: σ=255.29 τ=31.91
CC 27 SLV (Collegamento 0025_-382)
Azioni sul collegamento: N=-5791.87 Ty=-5.52 Tz=-1.86 Mx=-0.02 Mz=-7.44
Sollecitazioni agenti localmente: Ty_l=-1053.07 Mx_l=-21.06
Tensioni nella sezione: σ=255.29 τ=31.91
CC 28 SLD (Collegamento 0025_-382)
Azioni sul collegamento: N=-6780.50 Ty=-3.83 Tz=1.56 Mx=-0.00 Mz=-3.00
Sollecitazioni agenti localmente: Ty_l=-1232.82 Mx_l=-24.66
Tensioni nella sezione: σ=298.86 τ=37.36
CC 28 SLD (Collegamento 0025_-382)
Azioni sul collegamento: N=-6780.50 Ty=-4.22 Tz=1.56 Mx=-0.00 Mz=-4.10
Sollecitazioni agenti localmente: Ty_l=-1232.82 Mx_l=-24.66
Tensioni nella sezione: σ=298.86 τ=37.36
CC 28 SLD (Collegamento 0025_-382)
Azioni sul collegamento: N=-6780.50 Ty=-3.83 Tz=-0.10 Mx=-0.00 Mz=-3.00
Sollecitazioni agenti localmente: Ty_l=-1232.82 Mx_l=-24.66
Tensioni nella sezione: σ=298.86 τ=37.36
CC 28 SLD (Collegamento 0025_-382)
Azioni sul collegamento: N=-6780.50 Ty=-4.22 Tz=-0.10 Mx=-0.00 Mz=-4.10
Sollecitazioni agenti localmente: Ty_l=-1232.82 Mx_l=-24.66
Tensioni nella sezione: σ=298.86 τ=37.36
CC 28 SLD (Collegamento 0025_-382)
Azioni sul collegamento: N=-6303.28 Ty=-3.83 Tz=1.56 Mx=-0.00 Mz=-3.00
Sollecitazioni agenti localmente: Ty_l=-1146.05 Mx_l=-22.92
Tensioni nella sezione: σ=277.83 τ=34.73
CC 28 SLD (Collegamento 0025_-382)
Azioni sul collegamento: N=-6303.28 Ty=-4.22 Tz=1.56 Mx=-0.00 Mz=-4.10
Sollecitazioni agenti localmente: Ty_l=-1146.05 Mx_l=-22.92
Tensioni nella sezione: σ=277.83 τ=34.73
CC 28 SLD (Collegamento 0025_-382)
Azioni sul collegamento: N=-6303.28 Ty=-3.83 Tz=-0.10 Mx=-0.00 Mz=-3.00
Sollecitazioni agenti localmente: Ty_l=-1146.05 Mx_l=-22.92
Tensioni nella sezione: σ=277.83 τ=34.73
CC 28 SLD (Collegamento 0025_-382)
Azioni sul collegamento: N=-6303.28 Ty=-4.22 Tz=-0.10 Mx=-0.00 Mz=-4.10
Sollecitazioni agenti localmente: Ty_l=-1146.05 Mx_l=-22.92
Tensioni nella sezione: σ=277.83 τ=34.73
CC 29 SLV (Collegamento 0025_-382)
Azioni sul collegamento: N=-5791.87 Ty=-5.52 Tz=-1.86 Mx=-0.00 Mz=-7.44

Sollecitazioni agenti localmente: Ty_l=-1053.07 Mx_l=-21.06
Tensioni nella sezione: σ=255.29 τ=31.91
CC 29 SLV (Collegamento 0025_-382)
Azioni sul collegamento: N=-5791.87 Ty=-4.22 Tz=-1.86 Mx=-0.00 Mz=-3.82
Sollecitazioni agenti localmente: Ty_l=-1053.07 Mx_l=-21.06
Tensioni nella sezione: σ=255.29 τ=31.91
CC 29 SLV (Collegamento 0025_-382)
Azioni sul collegamento: N=-5791.87 Ty=-5.52 Tz=3.57 Mx=-0.00 Mz=-7.44
Sollecitazioni agenti localmente: Ty_l=-1053.07 Mx_l=-21.06
Tensioni nella sezione: σ=255.29 τ=31.91
CC 29 SLV (Collegamento 0025_-382)
Azioni sul collegamento: N=-5791.87 Ty=-4.22 Tz=3.57 Mx=-0.00 Mz=-3.82
Sollecitazioni agenti localmente: Ty_l=-1053.07 Mx_l=-21.06
Tensioni nella sezione: σ=255.29 τ=31.91
CC 29 SLV (Collegamento 0025_-382)
Azioni sul collegamento: N=-7356.87 Ty=-5.52 Tz=-1.86 Mx=-0.00 Mz=-7.44
Sollecitazioni agenti localmente: Ty_l=-1337.61 Mx_l=-26.75
Tensioni nella sezione: σ=324.27 τ=40.53
CC 29 SLV (Collegamento 0025_-382)
Azioni sul collegamento: N=-7356.87 Ty=-4.22 Tz=-1.86 Mx=-0.00 Mz=-3.82
Sollecitazioni agenti localmente: Ty_l=-1337.61 Mx_l=-26.75
Tensioni nella sezione: σ=324.27 τ=40.53
CC 29 SLV (Collegamento 0025_-382)
Azioni sul collegamento: N=-7356.87 Ty=-5.52 Tz=3.57 Mx=-0.00 Mz=-7.44
Sollecitazioni agenti localmente: Ty_l=-1337.61 Mx_l=-26.75
Tensioni nella sezione: σ=324.27 τ=40.53
CC 29 SLV (Collegamento 0025_-382)
Azioni sul collegamento: N=-7356.87 Ty=-4.22 Tz=3.57 Mx=-0.00 Mz=-3.82
Sollecitazioni agenti localmente: Ty_l=-1337.61 Mx_l=-26.75
Tensioni nella sezione: σ=324.27 τ=40.53
CC 30 SLD (Collegamento 0025_-382)
Azioni sul collegamento: N=-6303.28 Ty=-4.22 Tz=-0.10 Mx=0.00 Mz=-4.10
Sollecitazioni agenti localmente: Ty_l=-1146.05 Mx_l=-22.92
Tensioni nella sezione: σ=277.83 τ=34.73
CC 30 SLD (Collegamento 0025_-382)
Azioni sul collegamento: N=-6303.28 Ty=-3.83 Tz=-0.10 Mx=0.00 Mz=-3.00
Sollecitazioni agenti localmente: Ty_l=-1146.05 Mx_l=-22.92
Tensioni nella sezione: σ=277.83 τ=34.73
CC 30 SLD (Collegamento 0025_-382)
Azioni sul collegamento: N=-6303.28 Ty=-4.22 Tz=1.56 Mx=0.00 Mz=-4.10
Sollecitazioni agenti localmente: Ty_l=-1146.05 Mx_l=-22.92
Tensioni nella sezione: σ=277.83 τ=34.73
CC 30 SLD (Collegamento 0025_-382)
Azioni sul collegamento: N=-6303.28 Ty=-3.83 Tz=1.56 Mx=0.00 Mz=-3.00
Sollecitazioni agenti localmente: Ty_l=-1146.05 Mx_l=-22.92
Tensioni nella sezione: σ=277.83 τ=34.73
CC 30 SLD (Collegamento 0025_-382)
Azioni sul collegamento: N=-6780.50 Ty=-4.22 Tz=-0.10 Mx=0.00 Mz=-4.10
Sollecitazioni agenti localmente: Ty_l=-1232.82 Mx_l=-24.66
Tensioni nella sezione: σ=298.86 τ=37.36
CC 30 SLD (Collegamento 0025_-382)
Azioni sul collegamento: N=-6780.50 Ty=-3.83 Tz=-0.10 Mx=0.00 Mz=-3.00
Sollecitazioni agenti localmente: Ty_l=-1232.82 Mx_l=-24.66
Tensioni nella sezione: σ=298.86 τ=37.36
CC 30 SLD (Collegamento 0025_-382)
Azioni sul collegamento: N=-6780.50 Ty=-4.22 Tz=1.56 Mx=0.00 Mz=-4.10
Sollecitazioni agenti localmente: Ty_l=-1232.82 Mx_l=-24.66
Tensioni nella sezione: σ=298.86 τ=37.36
CC 30 SLD (Collegamento 0025_-382)
Azioni sul collegamento: N=-6780.50 Ty=-3.83 Tz=1.56 Mx=0.00 Mz=-3.00
Sollecitazioni agenti localmente: Ty_l=-1232.82 Mx_l=-24.66
Tensioni nella sezione: σ=298.86 τ=37.36
CC 31 SLV (Collegamento 0025_-382)
Azioni sul collegamento: N=-7375.81 Ty=-6.34 Tz=4.00 Mx=-0.00 Mz=-8.01
Sollecitazioni agenti localmente: Ty_l=-1341.06 Mx_l=-26.82
Tensioni nella sezione: σ=325.10 τ=40.64
CC 31 SLV (Collegamento 0025_-382)
Azioni sul collegamento: N=-7375.81 Ty=-3.40 Tz=4.00 Mx=-0.00 Mz=-3.25
Sollecitazioni agenti localmente: Ty_l=-1341.06 Mx_l=-26.82
Tensioni nella sezione: σ=325.10 τ=40.64
CC 31 SLV (Collegamento 0025_-382)
Azioni sul collegamento: N=-7375.81 Ty=-6.34 Tz=-2.29 Mx=-0.00 Mz=-8.01
Sollecitazioni agenti localmente: Ty_l=-1341.06 Mx_l=-26.82
Tensioni nella sezione: σ=325.10 τ=40.64
CC 31 SLV (Collegamento 0025_-382)
Azioni sul collegamento: N=-7375.81 Ty=-3.40 Tz=-2.29 Mx=-0.00 Mz=-3.25
Sollecitazioni agenti localmente: Ty_l=-1341.06 Mx_l=-26.82
Tensioni nella sezione: σ=325.10 τ=40.64
CC 31 SLV (Collegamento 0025_-382)
Azioni sul collegamento: N=-5772.93 Ty=-6.34 Tz=4.00 Mx=-0.00 Mz=-8.01

Sollecitazioni agenti localmente: Ty_l=-1049.62 Mx_l=-20.99
Tensioni nella sezione: σ=254.45 τ=31.81
CC 31 SLV (Collegamento 0025_-382)
Azioni sul collegamento: N=-5772.93 Ty=-3.40 Tz=4.00 Mx=-0.00 Mz=-3.25
Sollecitazioni agenti localmente: Ty_l=-1049.62 Mx_l=-20.99
Tensioni nella sezione: σ=254.45 τ=31.81
CC 31 SLV (Collegamento 0025_-382)
Azioni sul collegamento: N=-5772.93 Ty=-6.34 Tz=-2.29 Mx=-0.00 Mz=-8.01
Sollecitazioni agenti localmente: Ty_l=-1049.62 Mx_l=-20.99
Tensioni nella sezione: σ=254.45 τ=31.81
CC 31 SLV (Collegamento 0025_-382)
Azioni sul collegamento: N=-5772.93 Ty=-3.40 Tz=-2.29 Mx=-0.00 Mz=-3.25
Sollecitazioni agenti localmente: Ty_l=-1049.62 Mx_l=-20.99
Tensioni nella sezione: σ=254.45 τ=31.81
CC 32 SLD (Collegamento 0025_-382)
Azioni sul collegamento: N=-6786.28 Ty=-4.47 Tz=1.69 Mx=0.00 Mz=-4.27
Sollecitazioni agenti localmente: Ty_l=-1233.87 Mx_l=-24.68
Tensioni nella sezione: σ=299.12 τ=37.39
CC 32 SLD (Collegamento 0025_-382)
Azioni sul collegamento: N=-6786.28 Ty=-3.58 Tz=1.69 Mx=0.00 Mz=-2.82
Sollecitazioni agenti localmente: Ty_l=-1233.87 Mx_l=-24.68
Tensioni nella sezione: σ=299.12 τ=37.39
CC 32 SLD (Collegamento 0025_-382)
Azioni sul collegamento: N=-6786.28 Ty=-4.47 Tz=-0.23 Mx=0.00 Mz=-4.27
Sollecitazioni agenti localmente: Ty_l=-1233.87 Mx_l=-24.68
Tensioni nella sezione: σ=299.12 τ=37.39
CC 32 SLD (Collegamento 0025_-382)
Azioni sul collegamento: N=-6786.28 Ty=-3.58 Tz=-0.23 Mx=0.00 Mz=-2.82
Sollecitazioni agenti localmente: Ty_l=-1233.87 Mx_l=-24.68
Tensioni nella sezione: σ=299.12 τ=37.39
CC 32 SLD (Collegamento 0025_-382)
Azioni sul collegamento: N=-6297.50 Ty=-4.47 Tz=1.69 Mx=0.00 Mz=-4.27
Sollecitazioni agenti localmente: Ty_l=-1145.00 Mx_l=-22.90
Tensioni nella sezione: σ=277.57 τ=34.70
CC 32 SLD (Collegamento 0025_-382)
Azioni sul collegamento: N=-6297.50 Ty=-3.58 Tz=1.69 Mx=0.00 Mz=-2.82
Sollecitazioni agenti localmente: Ty_l=-1145.00 Mx_l=-22.90
Tensioni nella sezione: σ=277.57 τ=34.70
CC 32 SLD (Collegamento 0025_-382)
Azioni sul collegamento: N=-6297.50 Ty=-4.47 Tz=-0.23 Mx=0.00 Mz=-4.27
Sollecitazioni agenti localmente: Ty_l=-1145.00 Mx_l=-22.90
Tensioni nella sezione: σ=277.57 τ=34.70
CC 32 SLD (Collegamento 0025_-382)
Azioni sul collegamento: N=-6297.50 Ty=-3.58 Tz=-0.23 Mx=0.00 Mz=-2.82
Sollecitazioni agenti localmente: Ty_l=-1145.00 Mx_l=-22.90
Tensioni nella sezione: σ=277.57 τ=34.70
CC 33 SLU (Collegamento 0025_-382)
Azioni sul collegamento: N=-30778.60 Ty=-5.67 Tz=81.62 Mx=0.01 Mz=-4.05
Sollecitazioni agenti localmente: Ty_l=-5596.11 Mx_l=-111.92
Tensioni nella sezione: σ=1356.63 τ=169.58
CC 34 SLU (Collegamento 0025_-382)
Azioni sul collegamento: N=-30229.20 Ty=-5.39 Tz=79.58 Mx=0.01 Mz=-3.85
Sollecitazioni agenti localmente: Ty_l=-5496.22 Mx_l=-109.92
Tensioni nella sezione: σ=1332.41 τ=166.55
CC 35 SLU (Collegamento 0025_-382)
Azioni sul collegamento: N=-30504.90 Ty=-5.64 Tz=80.58 Mx=0.01 Mz=-4.16
Sollecitazioni agenti localmente: Ty_l=-5546.35 Mx_l=-110.93
Tensioni nella sezione: σ=1344.57 τ=168.07
CC 36 SLU (Collegamento 0025_-382)
Azioni sul collegamento: N=-30502.90 Ty=-5.42 Tz=80.62 Mx=0.01 Mz=-3.73
Sollecitazioni agenti localmente: Ty_l=-5545.98 Mx_l=-110.92
Tensioni nella sezione: σ=1344.48 τ=168.06
CC 37 SLU (Collegamento 0025_-382)
Azioni sul collegamento: N=-21507.60 Ty=-6.52 Tz=47.54 Mx=0.01 Mz=-4.63
Sollecitazioni agenti localmente: Ty_l=-3910.47 Mx_l=-78.21
Tensioni nella sezione: σ=947.99 τ=118.50
CC 38 SLU (Collegamento 0025_-382)
Azioni sul collegamento: N=-20958.20 Ty=-6.23 Tz=45.50 Mx=0.01 Mz=-4.43
Sollecitazioni agenti localmente: Ty_l=-3810.59 Mx_l=-76.21
Tensioni nella sezione: σ=923.78 τ=115.47
CC 39 SLU (Collegamento 0025_-382)
Azioni sul collegamento: N=-21233.90 Ty=-6.48 Tz=46.50 Mx=0.01 Mz=-4.75
Sollecitazioni agenti localmente: Ty_l=-3860.71 Mx_l=-77.21
Tensioni nella sezione: σ=935.93 τ=116.99
CC 40 SLU (Collegamento 0025_-382)
Azioni sul collegamento: N=-21231.90 Ty=-6.26 Tz=46.54 Mx=0.01 Mz=-4.31
Sollecitazioni agenti localmente: Ty_l=-3860.35 Mx_l=-77.21
Tensioni nella sezione: σ=935.84 τ=116.98
CC 41 SLU (Collegamento 0025_-382)
Azioni sul collegamento: N=-32702.20 Ty=-5.53 Tz=88.04 Mx=-0.00 Mz=-4.06

Sollecitazioni agenti localmente: Ty_l=-5945.86 Mx_l=-118.92
Tensioni nella sezione: σ=1441.42 τ=180.18
CC 42 SLU (Collegamento 0025_-382)
Azioni sul collegamento: N=-32152.80 Ty=-5.24 Tz=86.01 Mx=-0.00 Mz=-3.86
Sollecitazioni agenti localmente: Ty_l=-5845.97 Mx_l=-116.92
Tensioni nella sezione: σ=1417.20 τ=177.15
CC 43 SLU (Collegamento 0025_-382)
Azioni sul collegamento: N=-32428.50 Ty=-5.50 Tz=87.00 Mx=-0.00 Mz=-4.18
Sollecitazioni agenti localmente: Ty_l=-5896.09 Mx_l=-117.92
Tensioni nella sezione: σ=1429.35 τ=178.67
CC 44 SLU (Collegamento 0025_-382)
Azioni sul collegamento: N=-32426.50 Ty=-5.28 Tz=87.05 Mx=-0.00 Mz=-3.74
Sollecitazioni agenti localmente: Ty_l=-5895.73 Mx_l=-117.91
Tensioni nella sezione: σ=1429.27 τ=178.66
CC 45 SLU (Collegamento 0025_-382)
Azioni sul collegamento: N=-23594.00 Ty=-6.22 Tz=55.25 Mx=0.01 Mz=-4.49
Sollecitazioni agenti localmente: Ty_l=-4289.82 Mx_l=-85.80
Tensioni nella sezione: σ=1039.95 τ=129.99
CC 46 SLU (Collegamento 0025_-382)
Azioni sul collegamento: N=-23044.60 Ty=-5.94 Tz=53.22 Mx=0.01 Mz=-4.28
Sollecitazioni agenti localmente: Ty_l=-4189.93 Mx_l=-83.80
Tensioni nella sezione: σ=1015.74 τ=126.97
CC 47 SLU (Collegamento 0025_-382)
Azioni sul collegamento: N=-23320.30 Ty=-6.19 Tz=54.21 Mx=0.01 Mz=-4.60
Sollecitazioni agenti localmente: Ty_l=-4240.06 Mx_l=-84.80
Tensioni nella sezione: σ=1027.89 τ=128.49
CC 48 SLU (Collegamento 0025_-382)
Azioni sul collegamento: N=-23318.30 Ty=-5.97 Tz=54.26 Mx=0.01 Mz=-4.17
Sollecitazioni agenti localmente: Ty_l=-4239.70 Mx_l=-84.79
Tensioni nella sezione: σ=1027.80 τ=128.48
CC 49 SLU (Collegamento 0025_-382)
Azioni sul collegamento: N=-16657.90 Ty=-6.86 Tz=29.76 Mx=0.01 Mz=-4.92
Sollecitazioni agenti localmente: Ty_l=-3028.71 Mx_l=-60.57
Tensioni nella sezione: σ=734.23 τ=91.78
CC 50 SLU (Collegamento 0025_-382)
Azioni sul collegamento: N=-16108.50 Ty=-6.57 Tz=27.72 Mx=0.01 Mz=-4.72
Sollecitazioni agenti localmente: Ty_l=-2928.83 Mx_l=-58.58
Tensioni nella sezione: σ=710.02 τ=88.75
CC 51 SLU (Collegamento 0025_-382)
Azioni sul collegamento: N=-16384.20 Ty=-6.82 Tz=28.72 Mx=0.01 Mz=-5.04
Sollecitazioni agenti localmente: Ty_l=-2978.95 Mx_l=-59.58
Tensioni nella sezione: σ=722.17 τ=90.27
CC 52 SLU (Collegamento 0025_-382)
Azioni sul collegamento: N=-16382.20 Ty=-6.60 Tz=28.76 Mx=0.01 Mz=-4.60
Sollecitazioni agenti localmente: Ty_l=-2978.59 Mx_l=-59.57
Tensioni nella sezione: σ=722.08 τ=90.26
CC 53 SLU (Collegamento 0025_-382)
Azioni sul collegamento: N=-25033.10 Ty=-6.12 Tz=60.06 Mx=-0.00 Mz=-4.50
Sollecitazioni agenti localmente: Ty_l=-4551.48 Mx_l=-91.03
Tensioni nella sezione: σ=1103.39 τ=137.92
CC 54 SLU (Collegamento 0025_-382)
Azioni sul collegamento: N=-24483.80 Ty=-5.83 Tz=58.03 Mx=-0.00 Mz=-4.29
Sollecitazioni agenti localmente: Ty_l=-4451.59 Mx_l=-89.03
Tensioni nella sezione: σ=1079.17 τ=134.90
CC 55 SLU (Collegamento 0025_-382)
Azioni sul collegamento: N=-24759.40 Ty=-6.08 Tz=59.02 Mx=0.00 Mz=-4.61
Sollecitazioni agenti localmente: Ty_l=-4501.72 Mx_l=-90.03
Tensioni nella sezione: σ=1091.32 τ=136.42
CC 56 SLU (Collegamento 0025_-382)
Azioni sul collegamento: N=-24757.50 Ty=-5.87 Tz=59.07 Mx=-0.00 Mz=-4.18
Sollecitazioni agenti localmente: Ty_l=-4501.36 Mx_l=-90.03
Tensioni nella sezione: σ=1091.24 τ=136.41
CC 57 SLU (Collegamento 0025_-382)
Azioni sul collegamento: N=-21981.50 Ty=-5.60 Tz=49.32 Mx=0.01 Mz=-4.03
Sollecitazioni agenti localmente: Ty_l=-3996.63 Mx_l=-79.93
Tensioni nella sezione: σ=968.88 τ=121.11
CC 58 SLU (Collegamento 0025_-382)
Azioni sul collegamento: N=-21432.10 Ty=-5.31 Tz=47.28 Mx=0.01 Mz=-3.83
Sollecitazioni agenti localmente: Ty_l=-3896.75 Mx_l=-77.93
Tensioni nella sezione: σ=944.66 τ=118.08
CC 59 SLU (Collegamento 0025_-382)
Azioni sul collegamento: N=-21707.80 Ty=-5.57 Tz=48.28 Mx=0.01 Mz=-4.15
Sollecitazioni agenti localmente: Ty_l=-3946.87 Mx_l=-78.94
Tensioni nella sezione: σ=956.82 τ=119.60
CC 60 SLU (Collegamento 0025_-382)
Azioni sul collegamento: N=-21705.80 Ty=-5.35 Tz=48.32 Mx=0.01 Mz=-3.72
Sollecitazioni agenti localmente: Ty_l=-3946.51 Mx_l=-78.93
Tensioni nella sezione: σ=956.73 τ=119.59
CC 61 SLU (Collegamento 0025_-382)
Azioni sul collegamento: N=-15045.40 Ty=-6.23 Tz=23.82 Mx=0.01 Mz=-4.47

Sollecitazioni agenti localmente: Ty_l=-2735.53 Mx_l=-54.71
Tensioni nella sezione: σ=663.16 τ=82.89
CC 62 SLU (Collegamento 0025_-382)
Azioni sul collegamento: N=-14496.00 Ty=-5.95 Tz=21.79 Mx=0.01 Mz=-4.27
Sollecitazioni agenti localmente: Ty_l=-2635.64 Mx_l=-52.71
Tensioni nella sezione: σ=638.94 τ=79.87
CC 63 SLU (Collegamento 0025_-382)
Azioni sul collegamento: N=-14771.70 Ty=-6.20 Tz=22.78 Mx=0.01 Mz=-4.59
Sollecitazioni agenti localmente: Ty_l=-2685.76 Mx_l=-53.72
Tensioni nella sezione: σ=651.09 τ=81.39
CC 64 SLU (Collegamento 0025_-382)
Azioni sul collegamento: N=-14769.70 Ty=-5.98 Tz=22.82 Mx=0.01 Mz=-4.15
Sollecitazioni agenti localmente: Ty_l=-2685.41 Mx_l=-53.71
Tensioni nella sezione: σ=651.01 τ=81.38
CC 65 SLU (Collegamento 0025_-382)
Azioni sul collegamento: N=-23420.60 Ty=-5.49 Tz=54.12 Mx=-0.00 Mz=-4.04
Sollecitazioni agenti localmente: Ty_l=-4258.29 Mx_l=-85.17
Tensioni nella sezione: σ=1032.31 τ=129.04
CC 66 SLU (Collegamento 0025_-382)
Azioni sul collegamento: N=-22871.20 Ty=-5.21 Tz=52.09 Mx=-0.00 Mz=-3.84
Sollecitazioni agenti localmente: Ty_l=-4158.41 Mx_l=-83.17
Tensioni nella sezione: σ=1008.10 τ=126.01
CC 67 SLU (Collegamento 0025_-382)
Azioni sul collegamento: N=-23146.90 Ty=-5.46 Tz=53.08 Mx=-0.00 Mz=-4.16
Sollecitazioni agenti localmente: Ty_l=-4208.53 Mx_l=-84.17
Tensioni nella sezione: σ=1020.25 τ=127.53
CC 68 SLU (Collegamento 0025_-382)
Azioni sul collegamento: N=-23144.90 Ty=-5.24 Tz=53.13 Mx=-0.00 Mz=-3.72
Sollecitazioni agenti localmente: Ty_l=-4208.17 Mx_l=-84.16
Tensioni nella sezione: σ=1020.16 τ=127.52
CC 97 SLU (Collegamento 0025_-382)
Azioni sul collegamento: N=-11444.50 Ty=-17.52 Tz=18.88 Mx=-0.03 Mz=-21.34
Sollecitazioni agenti localmente: Ty_l=-2080.82 Mx_l=-41.62
Tensioni nella sezione: σ=504.44 τ=63.06
CC 98 SLU (Collegamento 0025_-382)
Azioni sul collegamento: N=-10895.20 Ty=-17.24 Tz=16.84 Mx=-0.03 Mz=-21.13
Sollecitazioni agenti localmente: Ty_l=-1980.94 Mx_l=-39.62
Tensioni nella sezione: σ=480.23 τ=60.03
CC 99 SLU (Collegamento 0025_-382)
Azioni sul collegamento: N=-11170.80 Ty=-17.49 Tz=17.84 Mx=-0.03 Mz=-21.45
Sollecitazioni agenti localmente: Ty_l=-2031.06 Mx_l=-40.62
Tensioni nella sezione: σ=492.38 τ=61.55
CC 100 SLU (Collegamento 0025_-382)
Azioni sul collegamento: N=-11168.90 Ty=-17.27 Tz=17.88 Mx=-0.04 Mz=-21.02
Sollecitazioni agenti localmente: Ty_l=-2030.70 Mx_l=-40.61
Tensioni nella sezione: σ=492.29 τ=61.54
CC 101 SLU (Collegamento 0025_-382)
Azioni sul collegamento: N=-7155.53 Ty=-1.61 Tz=2.94 Mx=0.01 Mz=-0.33
Sollecitazioni agenti localmente: Ty_l=-1301.01 Mx_l=-26.02
Tensioni nella sezione: σ=315.39 τ=39.42
CC 102 SLU (Collegamento 0025_-382)
Azioni sul collegamento: N=-6606.15 Ty=-1.32 Tz=0.91 Mx=0.01 Mz=-0.13
Sollecitazioni agenti localmente: Ty_l=-1201.12 Mx_l=-24.02
Tensioni nella sezione: σ=291.18 τ=36.40
CC 103 SLU (Collegamento 0025_-382)
Azioni sul collegamento: N=-6881.82 Ty=-1.58 Tz=1.90 Mx=0.01 Mz=-0.45
Sollecitazioni agenti localmente: Ty_l=-1251.24 Mx_l=-25.02
Tensioni nella sezione: σ=303.33 τ=37.92
CC 104 SLU (Collegamento 0025_-382)
Azioni sul collegamento: N=-6879.85 Ty=-1.36 Tz=1.95 Mx=0.01 Mz=-0.01
Sollecitazioni agenti localmente: Ty_l=-1250.88 Mx_l=-25.02
Tensioni nella sezione: σ=303.24 τ=37.91

Flessione attacco destro piastra

Bnetta=220.00 Hnetta=15.00
CC 1 SLV (Collegamento 0025_-382)
Azioni sul collegamento: N=-3838.16 Ty=-4.12 Tz=-9.35 Mx=0.02 Mz=1.95
Sollecitazioni agenti localmente: Ty_l=-688.16 My_l=-14.12
Tensioni nella sezione: σ=171.13 τ=20.85
CC 1 SLV (Collegamento 0025_-382)
Azioni sul collegamento: N=-3838.16 Ty=-0.76 Tz=-9.35 Mx=0.02 Mz=-1.23
Sollecitazioni agenti localmente: Ty_l=-675.51 My_l=-13.84
Tensioni nella sezione: σ=167.77 τ=20.47
CC 1 SLV (Collegamento 0025_-382)
Azioni sul collegamento: N=-3838.16 Ty=-4.12 Tz=10.33 Mx=0.02 Mz=1.95
Sollecitazioni agenti localmente: Ty_l=-688.16 My_l=-14.12
Tensioni nella sezione: σ=171.13 τ=20.85
CC 1 SLV (Collegamento 0025_-382)
Azioni sul collegamento: N=-3838.16 Ty=-0.76 Tz=10.33 Mx=0.02 Mz=-1.23
Sollecitazioni agenti localmente: Ty_l=-675.51 My_l=-13.84

Tensioni nella sezione: σ=167.77 τ=20.47
CC 1 SLV (Collegamento 0025_-382)
Azioni sul collegamento: N=-9123.66 Ty=-4.12 Tz=-9.35 Mx=0.02 Mz=1.95
Sollecitazioni agenti localmente: Ty_l=-1625.14 My_l=-33.33
Tensioni nella sezione: σ=403.95 τ=49.25
CC 1 SLV (Collegamento 0025_-382)
Azioni sul collegamento: N=-9123.66 Ty=-0.76 Tz=-9.35 Mx=0.02 Mz=-1.23
Sollecitazioni agenti localmente: Ty_l=-1612.48 My_l=-33.05
Tensioni nella sezione: σ=400.60 τ=48.86
CC 1 SLV (Collegamento 0025_-382)
Azioni sul collegamento: N=-9123.66 Ty=-4.12 Tz=10.33 Mx=0.02 Mz=1.95
Sollecitazioni agenti localmente: Ty_l=-1625.14 My_l=-33.33
Tensioni nella sezione: σ=403.95 τ=49.25
CC 1 SLV (Collegamento 0025_-382)
Azioni sul collegamento: N=-9123.66 Ty=-0.76 Tz=10.33 Mx=0.02 Mz=-1.23
Sollecitazioni agenti localmente: Ty_l=-1612.48 My_l=-33.05
Tensioni nella sezione: σ=400.60 τ=48.86
CC 2 SLD (Collegamento 0025_-382)
Azioni sul collegamento: N=-5707.53 Ty=-2.77 Tz=-2.38 Mx=0.01 Mz=-1.24
Sollecitazioni agenti localmente: Ty_l=-1006.87 My_l=-20.63
Tensioni nella sezione: σ=250.11 τ=30.51
CC 2 SLD (Collegamento 0025_-382)
Azioni sul collegamento: N=-5707.53 Ty=-3.80 Tz=-2.38 Mx=0.01 Mz=-2.21
Sollecitazioni agenti localmente: Ty_l=-1003.02 My_l=-20.55
Tensioni nella sezione: σ=249.09 τ=30.39
CC 2 SLD (Collegamento 0025_-382)
Azioni sul collegamento: N=-5707.53 Ty=-2.77 Tz=3.62 Mx=0.01 Mz=-1.24
Sollecitazioni agenti localmente: Ty_l=-1006.87 My_l=-20.63
Tensioni nella sezione: σ=250.11 τ=30.51
CC 2 SLD (Collegamento 0025_-382)
Azioni sul collegamento: N=-5707.53 Ty=-3.80 Tz=3.62 Mx=0.01 Mz=-2.21
Sollecitazioni agenti localmente: Ty_l=-1003.02 My_l=-20.55
Tensioni nella sezione: σ=249.09 τ=30.39
CC 2 SLD (Collegamento 0025_-382)
Azioni sul collegamento: N=-7319.25 Ty=-2.77 Tz=-2.38 Mx=0.01 Mz=-1.24
Sollecitazioni agenti localmente: Ty_l=-1292.59 My_l=-26.49
Tensioni nella sezione: σ=321.11 τ=39.17
CC 2 SLD (Collegamento 0025_-382)
Azioni sul collegamento: N=-7319.25 Ty=-3.80 Tz=-2.38 Mx=0.01 Mz=-2.21
Sollecitazioni agenti localmente: Ty_l=-1288.73 My_l=-26.41
Tensioni nella sezione: σ=320.08 τ=39.05
CC 2 SLD (Collegamento 0025_-382)
Azioni sul collegamento: N=-7319.25 Ty=-2.77 Tz=3.62 Mx=0.01 Mz=-1.24
Sollecitazioni agenti localmente: Ty_l=-1292.59 My_l=-26.49
Tensioni nella sezione: σ=321.11 τ=39.17
CC 2 SLD (Collegamento 0025_-382)
Azioni sul collegamento: N=-7319.25 Ty=-3.80 Tz=3.62 Mx=0.01 Mz=-2.21
Sollecitazioni agenti localmente: Ty_l=-1288.73 My_l=-26.41
Tensioni nella sezione: σ=320.08 τ=39.05
CC 3 SLV (Collegamento 0025_-382)
Azioni sul collegamento: N=-3843.85 Ty=-3.49 Tz=-9.22 Mx=0.02 Mz=0.69
Sollecitazioni agenti localmente: Ty_l=-684.17 My_l=-14.03
Tensioni nella sezione: σ=170.05 τ=20.73
CC 3 SLV (Collegamento 0025_-382)
Azioni sul collegamento: N=-3843.85 Ty=-1.39 Tz=-9.22 Mx=0.02 Mz=0.03
Sollecitazioni agenti localmente: Ty_l=-681.52 My_l=-13.97
Tensioni nella sezione: σ=169.35 τ=20.65
CC 3 SLV (Collegamento 0025_-382)
Azioni sul collegamento: N=-3843.85 Ty=-3.49 Tz=10.20 Mx=0.02 Mz=0.69
Sollecitazioni agenti localmente: Ty_l=-684.17 My_l=-14.03
Tensioni nella sezione: σ=170.05 τ=20.73
CC 3 SLV (Collegamento 0025_-382)
Azioni sul collegamento: N=-3843.85 Ty=-1.39 Tz=10.20 Mx=0.02 Mz=0.03
Sollecitazioni agenti localmente: Ty_l=-681.52 My_l=-13.97
Tensioni nella sezione: σ=169.35 τ=20.65
CC 3 SLV (Collegamento 0025_-382)
Azioni sul collegamento: N=-9117.97 Ty=-3.49 Tz=-9.22 Mx=0.02 Mz=0.69
Sollecitazioni agenti localmente: Ty_l=-1619.13 My_l=-33.20
Tensioni nella sezione: σ=402.38 τ=49.06
CC 3 SLV (Collegamento 0025_-382)
Azioni sul collegamento: N=-9117.97 Ty=-1.39 Tz=-9.22 Mx=0.02 Mz=0.03
Sollecitazioni agenti localmente: Ty_l=-1616.47 My_l=-33.14
Tensioni nella sezione: σ=401.67 τ=48.98
CC 3 SLV (Collegamento 0025_-382)
Azioni sul collegamento: N=-9117.97 Ty=-3.49 Tz=10.20 Mx=0.02 Mz=0.69
Sollecitazioni agenti localmente: Ty_l=-1619.13 My_l=-33.20
Tensioni nella sezione: σ=402.38 τ=49.06
CC 3 SLV (Collegamento 0025_-382)
Azioni sul collegamento: N=-9117.97 Ty=-1.39 Tz=10.20 Mx=0.02 Mz=0.03
Sollecitazioni agenti localmente: Ty_l=-1616.47 My_l=-33.14

Tensioni nella sezione: σ=401.67 τ=48.98
CC 4 SLD (Collegamento 0025_-382)
Azioni sul collegamento: N=-5709.27 Ty=-2.97 Tz=-2.35 Mx=0.01 Mz=-1.62
Sollecitazioni agenti localmente: Ty_l=-1005.66 My_l=-20.61
Tensioni nella sezione: σ=249.78 τ=30.47
CC 4 SLD (Collegamento 0025_-382)
Azioni sul collegamento: N=-5709.27 Ty=-3.60 Tz=-2.35 Mx=0.01 Mz=-1.82
Sollecitazioni agenti localmente: Ty_l=-1004.85 My_l=-20.59
Tensioni nella sezione: σ=249.57 τ=30.45
CC 4 SLD (Collegamento 0025_-382)
Azioni sul collegamento: N=-5709.27 Ty=-2.97 Tz=3.58 Mx=0.01 Mz=-1.62
Sollecitazioni agenti localmente: Ty_l=-1005.66 My_l=-20.61
Tensioni nella sezione: σ=249.78 τ=30.47
CC 4 SLD (Collegamento 0025_-382)
Azioni sul collegamento: N=-5709.27 Ty=-3.60 Tz=3.58 Mx=0.01 Mz=-1.82
Sollecitazioni agenti localmente: Ty_l=-1004.85 My_l=-20.59
Tensioni nella sezione: σ=249.57 τ=30.45
CC 4 SLD (Collegamento 0025_-382)
Azioni sul collegamento: N=-7317.51 Ty=-2.97 Tz=-2.35 Mx=0.01 Mz=-1.62
Sollecitazioni agenti localmente: Ty_l=-1290.76 My_l=-26.45
Tensioni nella sezione: σ=320.62 τ=39.11
CC 4 SLD (Collegamento 0025_-382)
Azioni sul collegamento: N=-7317.51 Ty=-3.60 Tz=-2.35 Mx=0.01 Mz=-1.82
Sollecitazioni agenti localmente: Ty_l=-1289.95 My_l=-26.43
Tensioni nella sezione: σ=320.41 τ=39.09
CC 4 SLD (Collegamento 0025_-382)
Azioni sul collegamento: N=-7317.51 Ty=-2.97 Tz=3.58 Mx=0.01 Mz=-1.62
Sollecitazioni agenti localmente: Ty_l=-1290.76 My_l=-26.45
Tensioni nella sezione: σ=320.62 τ=39.11
CC 4 SLD (Collegamento 0025_-382)
Azioni sul collegamento: N=-7317.51 Ty=-3.60 Tz=3.58 Mx=0.01 Mz=-1.82
Sollecitazioni agenti localmente: Ty_l=-1289.95 My_l=-26.43
Tensioni nella sezione: σ=320.41 τ=39.09
CC 5 SLV (Collegamento 0025_-382)
Azioni sul collegamento: N=-9117.97 Ty=-1.39 Tz=10.20 Mx=0.02 Mz=0.03
Sollecitazioni agenti localmente: Ty_l=-1616.47 My_l=-33.14
Tensioni nella sezione: σ=401.67 τ=48.98
CC 5 SLV (Collegamento 0025_-382)
Azioni sul collegamento: N=-9117.97 Ty=-3.49 Tz=10.20 Mx=0.02 Mz=0.69
Sollecitazioni agenti localmente: Ty_l=-1619.13 My_l=-33.20
Tensioni nella sezione: σ=402.38 τ=49.06
CC 5 SLV (Collegamento 0025_-382)
Azioni sul collegamento: N=-9117.97 Ty=-1.39 Tz=-9.22 Mx=0.02 Mz=0.03
Sollecitazioni agenti localmente: Ty_l=-1616.47 My_l=-33.14
Tensioni nella sezione: σ=401.67 τ=48.98
CC 5 SLV (Collegamento 0025_-382)
Azioni sul collegamento: N=-9117.97 Ty=-3.49 Tz=-9.22 Mx=0.02 Mz=0.69
Sollecitazioni agenti localmente: Ty_l=-1619.13 My_l=-33.20
Tensioni nella sezione: σ=402.38 τ=49.06
CC 5 SLV (Collegamento 0025_-382)
Azioni sul collegamento: N=-3843.85 Ty=-1.39 Tz=10.20 Mx=0.02 Mz=0.03
Sollecitazioni agenti localmente: Ty_l=-681.52 My_l=-13.97
Tensioni nella sezione: σ=169.35 τ=20.65
CC 5 SLV (Collegamento 0025_-382)
Azioni sul collegamento: N=-3843.85 Ty=-3.49 Tz=10.20 Mx=0.02 Mz=0.69
Sollecitazioni agenti localmente: Ty_l=-684.17 My_l=-14.03
Tensioni nella sezione: σ=170.05 τ=20.73
CC 5 SLV (Collegamento 0025_-382)
Azioni sul collegamento: N=-3843.85 Ty=-1.39 Tz=-9.22 Mx=0.02 Mz=0.03
Sollecitazioni agenti localmente: Ty_l=-681.52 My_l=-13.97
Tensioni nella sezione: σ=169.35 τ=20.65
CC 5 SLV (Collegamento 0025_-382)
Azioni sul collegamento: N=-3843.85 Ty=-3.49 Tz=-9.22 Mx=0.02 Mz=0.69
Sollecitazioni agenti localmente: Ty_l=-684.17 My_l=-14.03
Tensioni nella sezione: σ=170.05 τ=20.73
CC 6 SLD (Collegamento 0025_-382)
Azioni sul collegamento: N=-7317.51 Ty=-3.60 Tz=3.58 Mx=0.01 Mz=-1.82
Sollecitazioni agenti localmente: Ty_l=-1289.95 My_l=-26.43
Tensioni nella sezione: σ=320.41 τ=39.09
CC 6 SLD (Collegamento 0025_-382)
Azioni sul collegamento: N=-7317.51 Ty=-2.97 Tz=3.58 Mx=0.01 Mz=-1.62
Sollecitazioni agenti localmente: Ty_l=-1290.76 My_l=-26.45
Tensioni nella sezione: σ=320.62 τ=39.11
CC 6 SLD (Collegamento 0025_-382)
Azioni sul collegamento: N=-7317.51 Ty=-3.60 Tz=-2.35 Mx=0.01 Mz=-1.82
Sollecitazioni agenti localmente: Ty_l=-1289.95 My_l=-26.43
Tensioni nella sezione: σ=320.41 τ=39.09
CC 6 SLD (Collegamento 0025_-382)
Azioni sul collegamento: N=-7317.51 Ty=-2.97 Tz=-2.35 Mx=0.01 Mz=-1.62
Sollecitazioni agenti localmente: Ty_l=-1290.76 My_l=-26.45

Tensioni nella sezione: σ=320.62 τ=39.11
CC 6 SLD (Collegamento 0025_-382)
Azioni sul collegamento: N=-5709.27 Ty=-3.60 Tz=3.58 Mx=0.01 Mz=-1.82
Sollecitazioni agenti localmente: Ty_l=-1004.85 My_l=-20.59
Tensioni nella sezione: σ=249.57 τ=30.45
CC 6 SLD (Collegamento 0025_-382)
Azioni sul collegamento: N=-5709.27 Ty=-2.97 Tz=3.58 Mx=0.01 Mz=-1.62
Sollecitazioni agenti localmente: Ty_l=-1005.66 My_l=-20.61
Tensioni nella sezione: σ=249.78 τ=30.47
CC 6 SLD (Collegamento 0025_-382)
Azioni sul collegamento: N=-5709.27 Ty=-3.60 Tz=-2.35 Mx=0.01 Mz=-1.82
Sollecitazioni agenti localmente: Ty_l=-1004.85 My_l=-20.59
Tensioni nella sezione: σ=249.57 τ=30.45
CC 6 SLD (Collegamento 0025_-382)
Azioni sul collegamento: N=-5709.27 Ty=-2.97 Tz=-2.35 Mx=0.01 Mz=-1.62
Sollecitazioni agenti localmente: Ty_l=-1005.66 My_l=-20.61
Tensioni nella sezione: σ=249.78 τ=30.47
CC 7 SLV (Collegamento 0025_-382)
Azioni sul collegamento: N=-9123.66 Ty=-0.76 Tz=10.33 Mx=0.01 Mz=-1.23
Sollecitazioni agenti localmente: Ty_l=-1612.48 My_l=-33.05
Tensioni nella sezione: σ=400.60 τ=48.86
CC 7 SLV (Collegamento 0025_-382)
Azioni sul collegamento: N=-9123.66 Ty=-4.12 Tz=10.33 Mx=0.01 Mz=1.95
Sollecitazioni agenti localmente: Ty_l=-1625.14 My_l=-33.33
Tensioni nella sezione: σ=403.95 τ=49.25
CC 7 SLV (Collegamento 0025_-382)
Azioni sul collegamento: N=-9123.66 Ty=-0.76 Tz=-9.35 Mx=0.01 Mz=-1.23
Sollecitazioni agenti localmente: Ty_l=-1612.48 My_l=-33.05
Tensioni nella sezione: σ=400.60 τ=48.86
CC 7 SLV (Collegamento 0025_-382)
Azioni sul collegamento: N=-9123.66 Ty=-4.12 Tz=-9.35 Mx=0.01 Mz=1.95
Sollecitazioni agenti localmente: Ty_l=-1625.14 My_l=-33.33
Tensioni nella sezione: σ=403.95 τ=49.25
CC 7 SLV (Collegamento 0025_-382)
Azioni sul collegamento: N=-3838.16 Ty=-0.76 Tz=10.33 Mx=0.01 Mz=-1.23
Sollecitazioni agenti localmente: Ty_l=-675.51 My_l=-13.84
Tensioni nella sezione: σ=167.77 τ=20.47
CC 7 SLV (Collegamento 0025_-382)
Azioni sul collegamento: N=-3838.16 Ty=-4.12 Tz=10.33 Mx=0.01 Mz=1.95
Sollecitazioni agenti localmente: Ty_l=-688.16 My_l=-14.12
Tensioni nella sezione: σ=171.13 τ=20.85
CC 7 SLV (Collegamento 0025_-382)
Azioni sul collegamento: N=-3838.16 Ty=-0.76 Tz=-9.35 Mx=0.01 Mz=-1.23
Sollecitazioni agenti localmente: Ty_l=-675.51 My_l=-13.84
Tensioni nella sezione: σ=167.77 τ=20.47
CC 7 SLV (Collegamento 0025_-382)
Azioni sul collegamento: N=-3838.16 Ty=-4.12 Tz=-9.35 Mx=0.01 Mz=1.95
Sollecitazioni agenti localmente: Ty_l=-688.16 My_l=-14.12
Tensioni nella sezione: σ=171.13 τ=20.85
CC 8 SLD (Collegamento 0025_-382)
Azioni sul collegamento: N=-7319.25 Ty=-3.80 Tz=3.62 Mx=0.01 Mz=-2.21
Sollecitazioni agenti localmente: Ty_l=-1288.73 My_l=-26.41
Tensioni nella sezione: σ=320.08 τ=39.05
CC 8 SLD (Collegamento 0025_-382)
Azioni sul collegamento: N=-7319.25 Ty=-2.77 Tz=3.62 Mx=0.01 Mz=-1.24
Sollecitazioni agenti localmente: Ty_l=-1292.59 My_l=-26.49
Tensioni nella sezione: σ=321.11 τ=39.17
CC 8 SLD (Collegamento 0025_-382)
Azioni sul collegamento: N=-7319.25 Ty=-3.80 Tz=-2.38 Mx=0.01 Mz=-2.21
Sollecitazioni agenti localmente: Ty_l=-1288.73 My_l=-26.41
Tensioni nella sezione: σ=320.08 τ=39.05
CC 8 SLD (Collegamento 0025_-382)
Azioni sul collegamento: N=-7319.25 Ty=-2.77 Tz=-2.38 Mx=0.01 Mz=-1.24
Sollecitazioni agenti localmente: Ty_l=-1292.59 My_l=-26.49
Tensioni nella sezione: σ=321.11 τ=39.17
CC 8 SLD (Collegamento 0025_-382)
Azioni sul collegamento: N=-5707.53 Ty=-3.80 Tz=3.62 Mx=0.01 Mz=-2.21
Sollecitazioni agenti localmente: Ty_l=-1003.02 My_l=-20.55
Tensioni nella sezione: σ=249.09 τ=30.39
CC 8 SLD (Collegamento 0025_-382)
Azioni sul collegamento: N=-5707.53 Ty=-2.77 Tz=3.62 Mx=0.01 Mz=-1.24
Sollecitazioni agenti localmente: Ty_l=-1006.87 My_l=-20.63
Tensioni nella sezione: σ=250.11 τ=30.51
CC 8 SLD (Collegamento 0025_-382)
Azioni sul collegamento: N=-5707.53 Ty=-3.80 Tz=-2.38 Mx=0.01 Mz=-2.21
Sollecitazioni agenti localmente: Ty_l=-1003.02 My_l=-20.55
Tensioni nella sezione: σ=249.09 τ=30.39
CC 8 SLD (Collegamento 0025_-382)
Azioni sul collegamento: N=-5707.53 Ty=-2.77 Tz=-2.38 Mx=0.01 Mz=-1.24
Sollecitazioni agenti localmente: Ty_l=-1006.87 My_l=-20.63

Tensioni nella sezione: σ=250.11 τ=30.51
CC 9 SLV (Collegamento 0025_-382)
Azioni sul collegamento: N=-5679.47 Ty=-3.91 Tz=-2.66 Mx=0.03 Mz=2.74
Sollecitazioni agenti localmente: Ty_l=-1017.73 My_l=-20.88
Tensioni nella sezione: σ=253.08 τ=30.84
CC 9 SLV (Collegamento 0025_-382)
Azioni sul collegamento: N=-5679.47 Ty=-0.97 Tz=-2.66 Mx=0.03 Mz=-2.02
Sollecitazioni agenti localmente: Ty_l=-998.77 My_l=-20.46
Tensioni nella sezione: σ=248.04 τ=30.27
CC 9 SLV (Collegamento 0025_-382)
Azioni sul collegamento: N=-5679.47 Ty=-3.91 Tz=3.63 Mx=0.03 Mz=2.74
Sollecitazioni agenti localmente: Ty_l=-1017.73 My_l=-20.88
Tensioni nella sezione: σ=253.08 τ=30.84
CC 9 SLV (Collegamento 0025_-382)
Azioni sul collegamento: N=-5679.47 Ty=-0.97 Tz=3.63 Mx=0.03 Mz=-2.02
Sollecitazioni agenti localmente: Ty_l=-998.77 My_l=-20.46
Tensioni nella sezione: σ=248.04 τ=30.27
CC 9 SLV (Collegamento 0025_-382)
Azioni sul collegamento: N=-7282.35 Ty=-3.91 Tz=-2.66 Mx=0.03 Mz=2.74
Sollecitazioni agenti localmente: Ty_l=-1301.88 My_l=-26.70
Tensioni nella sezione: σ=323.68 τ=39.45
CC 9 SLV (Collegamento 0025_-382)
Azioni sul collegamento: N=-7282.35 Ty=-0.97 Tz=-2.66 Mx=0.03 Mz=-2.02
Sollecitazioni agenti localmente: Ty_l=-1282.92 My_l=-26.29
Tensioni nella sezione: σ=318.65 τ=38.88
CC 9 SLV (Collegamento 0025_-382)
Azioni sul collegamento: N=-7282.35 Ty=-3.91 Tz=3.63 Mx=0.03 Mz=2.74
Sollecitazioni agenti localmente: Ty_l=-1301.88 My_l=-26.70
Tensioni nella sezione: σ=323.68 τ=39.45
CC 9 SLV (Collegamento 0025_-382)
Azioni sul collegamento: N=-7282.35 Ty=-0.97 Tz=3.63 Mx=0.03 Mz=-2.02
Sollecitazioni agenti localmente: Ty_l=-1282.92 My_l=-26.29
Tensioni nella sezione: σ=318.65 τ=38.88
CC 10 SLD (Collegamento 0025_-382)
Azioni sul collegamento: N=-6269.01 Ty=-2.84 Tz=-0.34 Mx=0.01 Mz=-0.99
Sollecitazioni agenti localmente: Ty_l=-1107.37 My_l=-22.70
Tensioni nella sezione: σ=275.10 τ=33.56
CC 10 SLD (Collegamento 0025_-382)
Azioni sul collegamento: N=-6269.01 Ty=-3.73 Tz=-0.34 Mx=0.01 Mz=-2.45
Sollecitazioni agenti localmente: Ty_l=-1101.59 My_l=-22.57
Tensioni nella sezione: σ=273.56 τ=33.38
CC 10 SLD (Collegamento 0025_-382)
Azioni sul collegamento: N=-6269.00 Ty=-2.84 Tz=1.57 Mx=0.01 Mz=-0.99
Sollecitazioni agenti localmente: Ty_l=-1107.37 My_l=-22.70
Tensioni nella sezione: σ=275.10 τ=33.56
CC 10 SLD (Collegamento 0025_-382)
Azioni sul collegamento: N=-6269.00 Ty=-3.73 Tz=1.57 Mx=0.01 Mz=-2.45
Sollecitazioni agenti localmente: Ty_l=-1101.59 My_l=-22.57
Tensioni nella sezione: σ=273.56 τ=33.38
CC 10 SLD (Collegamento 0025_-382)
Azioni sul collegamento: N=-6757.78 Ty=-2.84 Tz=-0.34 Mx=0.01 Mz=-0.99
Sollecitazioni agenti localmente: Ty_l=-1194.02 My_l=-24.47
Tensioni nella sezione: σ=296.63 τ=36.18
CC 10 SLD (Collegamento 0025_-382)
Azioni sul collegamento: N=-6757.78 Ty=-3.73 Tz=-0.34 Mx=0.01 Mz=-2.45
Sollecitazioni agenti localmente: Ty_l=-1188.23 My_l=-24.35
Tensioni nella sezione: σ=295.09 τ=36.01
CC 10 SLD (Collegamento 0025_-382)
Azioni sul collegamento: N=-6757.78 Ty=-2.84 Tz=1.57 Mx=0.01 Mz=-0.99
Sollecitazioni agenti localmente: Ty_l=-1194.02 My_l=-24.47
Tensioni nella sezione: σ=296.63 τ=36.18
CC 10 SLD (Collegamento 0025_-382)
Azioni sul collegamento: N=-6757.78 Ty=-3.73 Tz=1.57 Mx=0.01 Mz=-2.45
Sollecitazioni agenti localmente: Ty_l=-1188.23 My_l=-24.35
Tensioni nella sezione: σ=295.09 τ=36.01
CC 11 SLV (Collegamento 0025_-382)
Azioni sul collegamento: N=-7263.41 Ty=-3.09 Tz=3.21 Mx=0.02 Mz=2.17
Sollecitazioni agenti localmente: Ty_l=-1296.22 My_l=-26.58
Tensioni nella sezione: σ=322.24 τ=39.28
CC 11 SLV (Collegamento 0025_-382)
Azioni sul collegamento: N=-7263.41 Ty=-1.79 Tz=3.21 Mx=0.02 Mz=-1.45
Sollecitazioni agenti localmente: Ty_l=-1281.86 My_l=-26.27
Tensioni nella sezione: σ=318.42 τ=38.84
CC 11 SLV (Collegamento 0025_-382)
Azioni sul collegamento: N=-7263.41 Ty=-3.09 Tz=-2.23 Mx=0.02 Mz=2.17
Sollecitazioni agenti localmente: Ty_l=-1296.22 My_l=-26.58
Tensioni nella sezione: σ=322.24 τ=39.28
CC 11 SLV (Collegamento 0025_-382)
Azioni sul collegamento: N=-7263.41 Ty=-1.79 Tz=-2.23 Mx=0.02 Mz=-1.45
Sollecitazioni agenti localmente: Ty_l=-1281.86 My_l=-26.27

Tensioni nella sezione: σ=318.42 τ=38.84
CC 11 SLV (Collegamento 0025_-382)
Azioni sul collegamento: N=-5698.41 Ty=-3.09 Tz=3.21 Mx=0.02 Mz=2.17
Sollecitazioni agenti localmente: Ty_l=-1018.79 My_l=-20.90
Tensioni nella sezione: σ=253.30 τ=30.87
CC 11 SLV (Collegamento 0025_-382)
Azioni sul collegamento: N=-5698.41 Ty=-1.79 Tz=3.21 Mx=0.02 Mz=-1.45
Sollecitazioni agenti localmente: Ty_l=-1004.42 My_l=-20.58
Tensioni nella sezione: σ=249.49 τ=30.44
CC 11 SLV (Collegamento 0025_-382)
Azioni sul collegamento: N=-5698.41 Ty=-3.09 Tz=-2.23 Mx=0.02 Mz=2.17
Sollecitazioni agenti localmente: Ty_l=-1018.79 My_l=-20.90
Tensioni nella sezione: σ=253.30 τ=30.87
CC 11 SLV (Collegamento 0025_-382)
Azioni sul collegamento: N=-5698.41 Ty=-1.79 Tz=-2.23 Mx=0.02 Mz=-1.45
Sollecitazioni agenti localmente: Ty_l=-1004.42 My_l=-20.58
Tensioni nella sezione: σ=249.49 τ=30.44
CC 12 SLD (Collegamento 0025_-382)
Azioni sul collegamento: N=-6752.00 Ty=-3.09 Tz=1.44 Mx=0.01 Mz=-1.17
Sollecitazioni agenti localmente: Ty_l=-1192.29 My_l=-24.44
Tensioni nella sezione: σ=296.19 τ=36.13
CC 12 SLD (Collegamento 0025_-382)
Azioni sul collegamento: N=-6752.00 Ty=-3.48 Tz=1.44 Mx=0.01 Mz=-2.27
Sollecitazioni agenti localmente: Ty_l=-1187.91 My_l=-24.34
Tensioni nella sezione: σ=295.02 τ=36.00
CC 12 SLD (Collegamento 0025_-382)
Azioni sul collegamento: N=-6752.00 Ty=-3.09 Tz=-0.21 Mx=0.01 Mz=-1.17
Sollecitazioni agenti localmente: Ty_l=-1192.29 My_l=-24.44
Tensioni nella sezione: σ=296.19 τ=36.13
CC 12 SLD (Collegamento 0025_-382)
Azioni sul collegamento: N=-6752.00 Ty=-3.48 Tz=-0.21 Mx=0.01 Mz=-2.27
Sollecitazioni agenti localmente: Ty_l=-1187.91 My_l=-24.34
Tensioni nella sezione: σ=295.02 τ=36.00
CC 12 SLD (Collegamento 0025_-382)
Azioni sul collegamento: N=-6274.78 Ty=-3.09 Tz=1.44 Mx=0.01 Mz=-1.17
Sollecitazioni agenti localmente: Ty_l=-1107.69 My_l=-22.70
Tensioni nella sezione: σ=275.17 τ=33.57
CC 12 SLD (Collegamento 0025_-382)
Azioni sul collegamento: N=-6274.78 Ty=-3.48 Tz=1.44 Mx=0.01 Mz=-2.27
Sollecitazioni agenti localmente: Ty_l=-1103.31 My_l=-22.61
Tensioni nella sezione: σ=274.00 τ=33.43
CC 12 SLD (Collegamento 0025_-382)
Azioni sul collegamento: N=-6274.78 Ty=-3.09 Tz=-0.21 Mx=0.01 Mz=-1.17
Sollecitazioni agenti localmente: Ty_l=-1107.69 My_l=-22.70
Tensioni nella sezione: σ=275.17 τ=33.57
CC 12 SLD (Collegamento 0025_-382)
Azioni sul collegamento: N=-6274.78 Ty=-3.48 Tz=-0.21 Mx=0.01 Mz=-2.27
Sollecitazioni agenti localmente: Ty_l=-1103.31 My_l=-22.61
Tensioni nella sezione: σ=274.00 τ=33.43
CC 13 SLV (Collegamento 0025_-382)
Azioni sul collegamento: N=-5698.41 Ty=-1.79 Tz=-2.23 Mx=0.01 Mz=-1.45
Sollecitazioni agenti localmente: Ty_l=-1004.42 My_l=-20.58
Tensioni nella sezione: σ=249.49 τ=30.44
CC 13 SLV (Collegamento 0025_-382)
Azioni sul collegamento: N=-5698.41 Ty=-3.09 Tz=-2.23 Mx=0.01 Mz=2.17
Sollecitazioni agenti localmente: Ty_l=-1018.79 My_l=-20.90
Tensioni nella sezione: σ=253.30 τ=30.87
CC 13 SLV (Collegamento 0025_-382)
Azioni sul collegamento: N=-5698.41 Ty=-1.79 Tz=3.21 Mx=0.01 Mz=-1.45
Sollecitazioni agenti localmente: Ty_l=-1004.42 My_l=-20.58
Tensioni nella sezione: σ=249.49 τ=30.44
CC 13 SLV (Collegamento 0025_-382)
Azioni sul collegamento: N=-5698.41 Ty=-3.09 Tz=3.21 Mx=0.01 Mz=2.17
Sollecitazioni agenti localmente: Ty_l=-1018.79 My_l=-20.90
Tensioni nella sezione: σ=253.30 τ=30.87
CC 13 SLV (Collegamento 0025_-382)
Azioni sul collegamento: N=-7263.41 Ty=-1.79 Tz=-2.23 Mx=0.01 Mz=-1.45
Sollecitazioni agenti localmente: Ty_l=-1281.86 My_l=-26.27
Tensioni nella sezione: σ=318.42 τ=38.84
CC 13 SLV (Collegamento 0025_-382)
Azioni sul collegamento: N=-7263.41 Ty=-3.09 Tz=-2.23 Mx=0.01 Mz=2.17
Sollecitazioni agenti localmente: Ty_l=-1296.22 My_l=-26.58
Tensioni nella sezione: σ=322.24 τ=39.28
CC 13 SLV (Collegamento 0025_-382)
Azioni sul collegamento: N=-7263.41 Ty=-1.79 Tz=3.21 Mx=0.01 Mz=-1.45
Sollecitazioni agenti localmente: Ty_l=-1281.86 My_l=-26.27
Tensioni nella sezione: σ=318.42 τ=38.84
CC 13 SLV (Collegamento 0025_-382)
Azioni sul collegamento: N=-7263.41 Ty=-3.09 Tz=3.21 Mx=0.01 Mz=2.17
Sollecitazioni agenti localmente: Ty_l=-1296.22 My_l=-26.58

Tensioni nella sezione: σ=322.24 τ=39.28
CC 14 SLD (Collegamento 0025_-382)
Azioni sul collegamento: N=-6274.78 Ty=-3.48 Tz=-0.21 Mx=0.01 Mz=-2.27
Sollecitazioni agenti localmente: Ty_l=-1103.31 My_l=-22.61
Tensioni nella sezione: σ=274.00 τ=33.43
CC 14 SLD (Collegamento 0025_-382)
Azioni sul collegamento: N=-6274.78 Ty=-3.09 Tz=-0.21 Mx=0.01 Mz=-1.17
Sollecitazioni agenti localmente: Ty_l=-1107.69 My_l=-22.70
Tensioni nella sezione: σ=275.17 τ=33.57
CC 14 SLD (Collegamento 0025_-382)
Azioni sul collegamento: N=-6274.78 Ty=-3.48 Tz=1.44 Mx=0.01 Mz=-2.27
Sollecitazioni agenti localmente: Ty_l=-1103.31 My_l=-22.61
Tensioni nella sezione: σ=274.00 τ=33.43
CC 14 SLD (Collegamento 0025_-382)
Azioni sul collegamento: N=-6274.78 Ty=-3.09 Tz=1.44 Mx=0.01 Mz=-1.17
Sollecitazioni agenti localmente: Ty_l=-1107.69 My_l=-22.70
Tensioni nella sezione: σ=275.17 τ=33.57
CC 14 SLD (Collegamento 0025_-382)
Azioni sul collegamento: N=-6752.00 Ty=-3.48 Tz=-0.21 Mx=0.01 Mz=-2.27
Sollecitazioni agenti localmente: Ty_l=-1187.91 My_l=-24.34
Tensioni nella sezione: σ=295.02 τ=36.00
CC 14 SLD (Collegamento 0025_-382)
Azioni sul collegamento: N=-6752.00 Ty=-3.09 Tz=-0.21 Mx=0.01 Mz=-1.17
Sollecitazioni agenti localmente: Ty_l=-1192.29 My_l=-24.44
Tensioni nella sezione: σ=296.19 τ=36.13
CC 14 SLD (Collegamento 0025_-382)
Azioni sul collegamento: N=-6752.00 Ty=-3.48 Tz=1.44 Mx=0.01 Mz=-2.27
Sollecitazioni agenti localmente: Ty_l=-1187.91 My_l=-24.34
Tensioni nella sezione: σ=295.02 τ=36.00
CC 14 SLD (Collegamento 0025_-382)
Azioni sul collegamento: N=-6752.00 Ty=-3.09 Tz=1.44 Mx=0.01 Mz=-1.17
Sollecitazioni agenti localmente: Ty_l=-1192.29 My_l=-24.44
Tensioni nella sezione: σ=296.19 τ=36.13
CC 15 SLV (Collegamento 0025_-382)
Azioni sul collegamento: N=-7282.35 Ty=-0.97 Tz=3.63 Mx=0.01 Mz=-2.02
Sollecitazioni agenti localmente: Ty_l=-1282.92 My_l=-26.29
Tensioni nella sezione: σ=318.65 τ=38.88
CC 15 SLV (Collegamento 0025_-382)
Azioni sul collegamento: N=-7282.35 Ty=-3.91 Tz=3.63 Mx=0.01 Mz=2.74
Sollecitazioni agenti localmente: Ty_l=-1301.88 My_l=-26.70
Tensioni nella sezione: σ=323.68 τ=39.45
CC 15 SLV (Collegamento 0025_-382)
Azioni sul collegamento: N=-7282.35 Ty=-0.97 Tz=-2.66 Mx=0.01 Mz=-2.02
Sollecitazioni agenti localmente: Ty_l=-1282.92 My_l=-26.29
Tensioni nella sezione: σ=318.65 τ=38.88
CC 15 SLV (Collegamento 0025_-382)
Azioni sul collegamento: N=-7282.35 Ty=-3.91 Tz=-2.66 Mx=0.01 Mz=2.74
Sollecitazioni agenti localmente: Ty_l=-1301.88 My_l=-26.70
Tensioni nella sezione: σ=323.68 τ=39.45
CC 15 SLV (Collegamento 0025_-382)
Azioni sul collegamento: N=-5679.47 Ty=-0.97 Tz=3.63 Mx=0.01 Mz=-2.02
Sollecitazioni agenti localmente: Ty_l=-998.77 My_l=-20.46
Tensioni nella sezione: σ=248.04 τ=30.27
CC 15 SLV (Collegamento 0025_-382)
Azioni sul collegamento: N=-5679.47 Ty=-3.91 Tz=3.63 Mx=0.01 Mz=2.74
Sollecitazioni agenti localmente: Ty_l=-1017.73 My_l=-20.88
Tensioni nella sezione: σ=253.08 τ=30.84
CC 15 SLV (Collegamento 0025_-382)
Azioni sul collegamento: N=-5679.47 Ty=-0.97 Tz=-2.66 Mx=0.01 Mz=-2.02
Sollecitazioni agenti localmente: Ty_l=-998.77 My_l=-20.46
Tensioni nella sezione: σ=248.04 τ=30.27
CC 15 SLV (Collegamento 0025_-382)
Azioni sul collegamento: N=-5679.47 Ty=-3.91 Tz=-2.66 Mx=0.01 Mz=2.74
Sollecitazioni agenti localmente: Ty_l=-1017.73 My_l=-20.88
Tensioni nella sezione: σ=253.08 τ=30.84
CC 16 SLD (Collegamento 0025_-382)
Azioni sul collegamento: N=-6757.78 Ty=-3.73 Tz=1.57 Mx=0.00 Mz=-2.45
Sollecitazioni agenti localmente: Ty_l=-1188.23 My_l=-24.35
Tensioni nella sezione: σ=295.09 τ=36.01
CC 16 SLD (Collegamento 0025_-382)
Azioni sul collegamento: N=-6757.78 Ty=-2.84 Tz=1.57 Mx=0.00 Mz=-0.99
Sollecitazioni agenti localmente: Ty_l=-1194.02 My_l=-24.47
Tensioni nella sezione: σ=296.63 τ=36.18
CC 16 SLD (Collegamento 0025_-382)
Azioni sul collegamento: N=-6757.78 Ty=-3.73 Tz=-0.34 Mx=0.00 Mz=-2.45
Sollecitazioni agenti localmente: Ty_l=-1188.23 My_l=-24.35
Tensioni nella sezione: σ=295.09 τ=36.01
CC 16 SLD (Collegamento 0025_-382)
Azioni sul collegamento: N=-6757.78 Ty=-2.84 Tz=-0.34 Mx=0.00 Mz=-0.99
Sollecitazioni agenti localmente: Ty_l=-1194.02 My_l=-24.47

Tensioni nella sezione: σ=296.63 τ=36.18
CC 16 SLD (Collegamento 0025_-382)
Azioni sul collegamento: N=-6269.00 Ty=-3.73 Tz=1.57 Mx=0.00 Mz=-2.45
Sollecitazioni agenti localmente: Ty_l=-1101.59 My_l=-22.57
Tensioni nella sezione: σ=273.56 τ=33.38
CC 16 SLD (Collegamento 0025_-382)
Azioni sul collegamento: N=-6269.00 Ty=-2.84 Tz=1.57 Mx=0.00 Mz=-0.99
Sollecitazioni agenti localmente: Ty_l=-1107.37 My_l=-22.70
Tensioni nella sezione: σ=275.10 τ=33.56
CC 16 SLD (Collegamento 0025_-382)
Azioni sul collegamento: N=-6269.01 Ty=-3.73 Tz=-0.34 Mx=0.00 Mz=-2.45
Sollecitazioni agenti localmente: Ty_l=-1101.59 My_l=-22.57
Tensioni nella sezione: σ=273.56 τ=33.38
CC 16 SLD (Collegamento 0025_-382)
Azioni sul collegamento: N=-6269.01 Ty=-2.84 Tz=-0.34 Mx=0.00 Mz=-0.99
Sollecitazioni agenti localmente: Ty_l=-1107.37 My_l=-22.70
Tensioni nella sezione: σ=275.10 τ=33.56
CC 17 SLV (Collegamento 0025_-382)
Azioni sul collegamento: N=-3931.62 Ty=-3.19 Tz=-8.98 Mx=-0.01 Mz=-4.04
Sollecitazioni agenti localmente: Ty_l=-680.91 My_l=-13.94
Tensioni nella sezione: σ=168.92 τ=20.63
CC 17 SLV (Collegamento 0025_-382)
Azioni sul collegamento: N=-3931.62 Ty=-6.55 Tz=-8.98 Mx=-0.01 Mz=-7.22
Sollecitazioni agenti localmente: Ty_l=-668.25 My_l=-13.66
Tensioni nella sezione: σ=165.56 τ=20.25
CC 17 SLV (Collegamento 0025_-382)
Azioni sul collegamento: N=-3931.62 Ty=-3.19 Tz=10.69 Mx=-0.01 Mz=-4.04
Sollecitazioni agenti localmente: Ty_l=-680.91 My_l=-13.94
Tensioni nella sezione: σ=168.92 τ=20.63
CC 17 SLV (Collegamento 0025_-382)
Azioni sul collegamento: N=-3931.62 Ty=-6.55 Tz=10.69 Mx=-0.01 Mz=-7.22
Sollecitazioni agenti localmente: Ty_l=-668.25 My_l=-13.66
Tensioni nella sezione: σ=165.56 τ=20.25
CC 17 SLV (Collegamento 0025_-382)
Azioni sul collegamento: N=-9217.12 Ty=-3.19 Tz=-8.98 Mx=-0.01 Mz=-4.04
Sollecitazioni agenti localmente: Ty_l=-1617.88 My_l=-33.14
Tensioni nella sezione: σ=401.75 τ=49.03
CC 17 SLV (Collegamento 0025_-382)
Azioni sul collegamento: N=-9217.12 Ty=-6.55 Tz=-8.98 Mx=-0.01 Mz=-7.22
Sollecitazioni agenti localmente: Ty_l=-1605.22 My_l=-32.87
Tensioni nella sezione: σ=398.39 τ=48.64
CC 17 SLV (Collegamento 0025_-382)
Azioni sul collegamento: N=-9217.12 Ty=-3.19 Tz=10.69 Mx=-0.01 Mz=-4.04
Sollecitazioni agenti localmente: Ty_l=-1617.88 My_l=-33.14
Tensioni nella sezione: σ=401.75 τ=49.03
CC 17 SLV (Collegamento 0025_-382)
Azioni sul collegamento: N=-9217.12 Ty=-6.55 Tz=10.69 Mx=-0.01 Mz=-7.22
Sollecitazioni agenti localmente: Ty_l=-1605.22 My_l=-32.87
Tensioni nella sezione: σ=398.39 τ=48.64
CC 18 SLD (Collegamento 0025_-382)
Azioni sul collegamento: N=-5736.03 Ty=-3.51 Tz=-2.27 Mx=-0.00 Mz=-3.06
Sollecitazioni agenti localmente: Ty_l=-1004.66 My_l=-20.58
Tensioni nella sezione: σ=249.44 τ=30.44
CC 18 SLD (Collegamento 0025_-382)
Azioni sul collegamento: N=-5736.03 Ty=-4.54 Tz=-2.27 Mx=-0.00 Mz=-4.03
Sollecitazioni agenti localmente: Ty_l=-1000.80 My_l=-20.49
Tensioni nella sezione: σ=248.41 τ=30.33
CC 18 SLD (Collegamento 0025_-382)
Azioni sul collegamento: N=-5736.03 Ty=-3.51 Tz=3.73 Mx=-0.00 Mz=-3.06
Sollecitazioni agenti localmente: Ty_l=-1004.66 My_l=-20.58
Tensioni nella sezione: σ=249.44 τ=30.44
CC 18 SLD (Collegamento 0025_-382)
Azioni sul collegamento: N=-5736.03 Ty=-4.54 Tz=3.73 Mx=-0.00 Mz=-4.03
Sollecitazioni agenti localmente: Ty_l=-1000.80 My_l=-20.49
Tensioni nella sezione: σ=248.41 τ=30.33
CC 18 SLD (Collegamento 0025_-382)
Azioni sul collegamento: N=-7347.75 Ty=-3.51 Tz=-2.27 Mx=-0.00 Mz=-3.06
Sollecitazioni agenti localmente: Ty_l=-1290.37 My_l=-26.44
Tensioni nella sezione: σ=320.43 τ=39.10
CC 18 SLD (Collegamento 0025_-382)
Azioni sul collegamento: N=-7347.75 Ty=-4.54 Tz=-2.27 Mx=-0.00 Mz=-4.03
Sollecitazioni agenti localmente: Ty_l=-1286.51 My_l=-26.35
Tensioni nella sezione: σ=319.41 τ=38.99
CC 18 SLD (Collegamento 0025_-382)
Azioni sul collegamento: N=-7347.75 Ty=-3.51 Tz=3.73 Mx=-0.00 Mz=-3.06
Sollecitazioni agenti localmente: Ty_l=-1290.37 My_l=-26.44
Tensioni nella sezione: σ=320.43 τ=39.10
CC 18 SLD (Collegamento 0025_-382)
Azioni sul collegamento: N=-7347.75 Ty=-4.54 Tz=3.73 Mx=-0.00 Mz=-4.03
Sollecitazioni agenti localmente: Ty_l=-1286.51 My_l=-26.35

Tensioni nella sezione: σ=319.41 τ=38.99
CC 19 SLV (Collegamento 0025_-382)
Azioni sul collegamento: N=-3937.31 Ty=-3.82 Tz=-8.85 Mx=-0.01 Mz=-5.30
Sollecitazioni agenti localmente: Ty_l=-676.91 My_l=-13.85
Tensioni nella sezione: σ=167.85 τ=20.51
CC 19 SLV (Collegamento 0025_-382)
Azioni sul collegamento: N=-3937.31 Ty=-5.92 Tz=-8.85 Mx=-0.01 Mz=-5.96
Sollecitazioni agenti localmente: Ty_l=-674.26 My_l=-13.79
Tensioni nella sezione: σ=167.14 τ=20.43
CC 19 SLV (Collegamento 0025_-382)
Azioni sul collegamento: N=-3937.31 Ty=-3.82 Tz=10.56 Mx=-0.01 Mz=-5.30
Sollecitazioni agenti localmente: Ty_l=-676.91 My_l=-13.85
Tensioni nella sezione: σ=167.85 τ=20.51
CC 19 SLV (Collegamento 0025_-382)
Azioni sul collegamento: N=-3937.31 Ty=-5.92 Tz=10.56 Mx=-0.01 Mz=-5.96
Sollecitazioni agenti localmente: Ty_l=-674.26 My_l=-13.79
Tensioni nella sezione: σ=167.14 τ=20.43
CC 19 SLV (Collegamento 0025_-382)
Azioni sul collegamento: N=-9211.43 Ty=-3.82 Tz=-8.85 Mx=-0.01 Mz=-5.30
Sollecitazioni agenti localmente: Ty_l=-1611.87 My_l=-33.01
Tensioni nella sezione: σ=400.17 τ=48.84
CC 19 SLV (Collegamento 0025_-382)
Azioni sul collegamento: N=-9211.43 Ty=-5.92 Tz=-8.85 Mx=-0.01 Mz=-5.96
Sollecitazioni agenti localmente: Ty_l=-1609.22 My_l=-32.96
Tensioni nella sezione: σ=399.46 τ=48.76
CC 19 SLV (Collegamento 0025_-382)
Azioni sul collegamento: N=-9211.43 Ty=-3.82 Tz=10.56 Mx=-0.01 Mz=-5.30
Sollecitazioni agenti localmente: Ty_l=-1611.87 My_l=-33.01
Tensioni nella sezione: σ=400.17 τ=48.84
CC 19 SLV (Collegamento 0025_-382)
Azioni sul collegamento: N=-9211.43 Ty=-5.92 Tz=10.56 Mx=-0.01 Mz=-5.96
Sollecitazioni agenti localmente: Ty_l=-1609.22 My_l=-32.96
Tensioni nella sezione: σ=399.46 τ=48.76
CC 20 SLD (Collegamento 0025_-382)
Azioni sul collegamento: N=-5737.77 Ty=-3.71 Tz=-2.23 Mx=-0.00 Mz=-3.45
Sollecitazioni agenti localmente: Ty_l=-1003.44 My_l=-20.55
Tensioni nella sezione: σ=249.11 τ=30.41
CC 20 SLD (Collegamento 0025_-382)
Azioni sul collegamento: N=-5737.77 Ty=-4.34 Tz=-2.23 Mx=-0.00 Mz=-3.65
Sollecitazioni agenti localmente: Ty_l=-1002.63 My_l=-20.53
Tensioni nella sezione: σ=248.89 τ=30.38
CC 20 SLD (Collegamento 0025_-382)
Azioni sul collegamento: N=-5737.77 Ty=-3.71 Tz=3.69 Mx=-0.00 Mz=-3.45
Sollecitazioni agenti localmente: Ty_l=-1003.44 My_l=-20.55
Tensioni nella sezione: σ=249.11 τ=30.41
CC 20 SLD (Collegamento 0025_-382)
Azioni sul collegamento: N=-5737.77 Ty=-4.34 Tz=3.69 Mx=-0.00 Mz=-3.65
Sollecitazioni agenti localmente: Ty_l=-1002.63 My_l=-20.53
Tensioni nella sezione: σ=248.89 τ=30.38
CC 20 SLD (Collegamento 0025_-382)
Azioni sul collegamento: N=-7346.01 Ty=-3.71 Tz=-2.23 Mx=-0.00 Mz=-3.45
Sollecitazioni agenti localmente: Ty_l=-1288.54 My_l=-26.40
Tensioni nella sezione: σ=319.95 τ=39.05
CC 20 SLD (Collegamento 0025_-382)
Azioni sul collegamento: N=-7346.01 Ty=-4.34 Tz=-2.23 Mx=-0.00 Mz=-3.65
Sollecitazioni agenti localmente: Ty_l=-1287.73 My_l=-26.38
Tensioni nella sezione: σ=319.74 τ=39.02
CC 20 SLD (Collegamento 0025_-382)
Azioni sul collegamento: N=-7346.01 Ty=-3.71 Tz=3.69 Mx=-0.00 Mz=-3.45
Sollecitazioni agenti localmente: Ty_l=-1288.54 My_l=-26.40
Tensioni nella sezione: σ=319.95 τ=39.05
CC 20 SLD (Collegamento 0025_-382)
Azioni sul collegamento: N=-7346.01 Ty=-4.34 Tz=3.69 Mx=-0.00 Mz=-3.65
Sollecitazioni agenti localmente: Ty_l=-1287.73 My_l=-26.38
Tensioni nella sezione: σ=319.74 τ=39.02
CC 21 SLV (Collegamento 0025_-382)
Azioni sul collegamento: N=-9211.43 Ty=-5.92 Tz=10.56 Mx=-0.01 Mz=-5.96
Sollecitazioni agenti localmente: Ty_l=-1609.22 My_l=-32.96
Tensioni nella sezione: σ=399.46 τ=48.76
CC 21 SLV (Collegamento 0025_-382)
Azioni sul collegamento: N=-9211.43 Ty=-3.82 Tz=10.56 Mx=-0.01 Mz=-5.30
Sollecitazioni agenti localmente: Ty_l=-1611.87 My_l=-33.01
Tensioni nella sezione: σ=400.17 τ=48.84
CC 21 SLV (Collegamento 0025_-382)
Azioni sul collegamento: N=-9211.43 Ty=-5.92 Tz=-8.85 Mx=-0.01 Mz=-5.96
Sollecitazioni agenti localmente: Ty_l=-1609.22 My_l=-32.96
Tensioni nella sezione: σ=399.46 τ=48.76
CC 21 SLV (Collegamento 0025_-382)
Azioni sul collegamento: N=-9211.43 Ty=-3.82 Tz=-8.85 Mx=-0.01 Mz=-5.30
Sollecitazioni agenti localmente: Ty_l=-1611.87 My_l=-33.01

Tensioni nella sezione: σ=400.17 τ=48.84
CC 21 SLV (Collegamento 0025_-382)
Azioni sul collegamento: N=-3937.31 Ty=-5.92 Tz=10.56 Mx=-0.01 Mz=-5.96
Sollecitazioni agenti localmente: Ty_l=-674.26 My_l=-13.79
Tensioni nella sezione: σ=167.14 τ=20.43
CC 21 SLV (Collegamento 0025_-382)
Azioni sul collegamento: N=-3937.31 Ty=-3.82 Tz=10.56 Mx=-0.01 Mz=-5.30
Sollecitazioni agenti localmente: Ty_l=-676.91 My_l=-13.85
Tensioni nella sezione: σ=167.85 τ=20.51
CC 21 SLV (Collegamento 0025_-382)
Azioni sul collegamento: N=-3937.31 Ty=-5.92 Tz=-8.85 Mx=-0.01 Mz=-5.96
Sollecitazioni agenti localmente: Ty_l=-674.26 My_l=-13.79
Tensioni nella sezione: σ=167.14 τ=20.43
CC 21 SLV (Collegamento 0025_-382)
Azioni sul collegamento: N=-3937.31 Ty=-3.82 Tz=-8.85 Mx=-0.01 Mz=-5.30
Sollecitazioni agenti localmente: Ty_l=-676.91 My_l=-13.85
Tensioni nella sezione: σ=167.85 τ=20.51
CC 22 SLD (Collegamento 0025_-382)
Azioni sul collegamento: N=-7346.01 Ty=-4.34 Tz=3.69 Mx=-0.00 Mz=-3.65
Sollecitazioni agenti localmente: Ty_l=-1287.73 My_l=-26.38
Tensioni nella sezione: σ=319.74 τ=39.02
CC 22 SLD (Collegamento 0025_-382)
Azioni sul collegamento: N=-7346.01 Ty=-3.71 Tz=3.69 Mx=-0.00 Mz=-3.45
Sollecitazioni agenti localmente: Ty_l=-1288.54 My_l=-26.40
Tensioni nella sezione: σ=319.95 τ=39.05
CC 22 SLD (Collegamento 0025_-382)
Azioni sul collegamento: N=-7346.01 Ty=-4.34 Tz=-2.23 Mx=-0.00 Mz=-3.65
Sollecitazioni agenti localmente: Ty_l=-1287.73 My_l=-26.38
Tensioni nella sezione: σ=319.74 τ=39.02
CC 22 SLD (Collegamento 0025_-382)
Azioni sul collegamento: N=-7346.01 Ty=-3.71 Tz=-2.23 Mx=-0.00 Mz=-3.45
Sollecitazioni agenti localmente: Ty_l=-1288.54 My_l=-26.40
Tensioni nella sezione: σ=319.95 τ=39.05
CC 22 SLD (Collegamento 0025_-382)
Azioni sul collegamento: N=-5737.77 Ty=-4.34 Tz=3.69 Mx=-0.00 Mz=-3.65
Sollecitazioni agenti localmente: Ty_l=-1002.63 My_l=-20.53
Tensioni nella sezione: σ=248.89 τ=30.38
CC 22 SLD (Collegamento 0025_-382)
Azioni sul collegamento: N=-5737.77 Ty=-3.71 Tz=3.69 Mx=-0.00 Mz=-3.45
Sollecitazioni agenti localmente: Ty_l=-1003.44 My_l=-20.55
Tensioni nella sezione: σ=249.11 τ=30.41
CC 22 SLD (Collegamento 0025_-382)
Azioni sul collegamento: N=-5737.77 Ty=-4.34 Tz=-2.23 Mx=-0.00 Mz=-3.65
Sollecitazioni agenti localmente: Ty_l=-1002.63 My_l=-20.53
Tensioni nella sezione: σ=248.89 τ=30.38
CC 22 SLD (Collegamento 0025_-382)
Azioni sul collegamento: N=-5737.77 Ty=-3.71 Tz=-2.23 Mx=-0.00 Mz=-3.45
Sollecitazioni agenti localmente: Ty_l=-1003.44 My_l=-20.55
Tensioni nella sezione: σ=249.11 τ=30.41
CC 23 SLV (Collegamento 0025_-382)
Azioni sul collegamento: N=-9217.12 Ty=-6.55 Tz=10.69 Mx=-0.01 Mz=-7.22
Sollecitazioni agenti localmente: Ty_l=-1605.22 My_l=-32.87
Tensioni nella sezione: σ=398.39 τ=48.64
CC 23 SLV (Collegamento 0025_-382)
Azioni sul collegamento: N=-9217.12 Ty=-3.19 Tz=10.69 Mx=-0.01 Mz=-4.04
Sollecitazioni agenti localmente: Ty_l=-1617.88 My_l=-33.14
Tensioni nella sezione: σ=401.75 τ=49.03
CC 23 SLV (Collegamento 0025_-382)
Azioni sul collegamento: N=-9217.12 Ty=-6.55 Tz=-8.98 Mx=-0.01 Mz=-7.22
Sollecitazioni agenti localmente: Ty_l=-1605.22 My_l=-32.87
Tensioni nella sezione: σ=398.39 τ=48.64
CC 23 SLV (Collegamento 0025_-382)
Azioni sul collegamento: N=-9217.12 Ty=-3.19 Tz=-8.98 Mx=-0.01 Mz=-4.04
Sollecitazioni agenti localmente: Ty_l=-1617.88 My_l=-33.14
Tensioni nella sezione: σ=401.75 τ=49.03
CC 23 SLV (Collegamento 0025_-382)
Azioni sul collegamento: N=-3931.62 Ty=-6.55 Tz=10.69 Mx=-0.01 Mz=-7.22
Sollecitazioni agenti localmente: Ty_l=-668.25 My_l=-13.66
Tensioni nella sezione: σ=165.56 τ=20.25
CC 23 SLV (Collegamento 0025_-382)
Azioni sul collegamento: N=-3931.62 Ty=-3.19 Tz=10.69 Mx=-0.01 Mz=-4.04
Sollecitazioni agenti localmente: Ty_l=-680.91 My_l=-13.94
Tensioni nella sezione: σ=168.92 τ=20.63
CC 23 SLV (Collegamento 0025_-382)
Azioni sul collegamento: N=-3931.62 Ty=-6.55 Tz=-8.98 Mx=-0.01 Mz=-7.22
Sollecitazioni agenti localmente: Ty_l=-668.25 My_l=-13.66
Tensioni nella sezione: σ=165.56 τ=20.25
CC 23 SLV (Collegamento 0025_-382)
Azioni sul collegamento: N=-3931.62 Ty=-3.19 Tz=-8.98 Mx=-0.01 Mz=-4.04
Sollecitazioni agenti localmente: Ty_l=-680.91 My_l=-13.94

Tensioni nella sezione: σ=168.92 τ=20.63
CC 24 SLD (Collegamento 0025_-382)
Azioni sul collegamento: N=-7347.75 Ty=-4.54 Tz=3.73 Mx=0.00 Mz=-4.03
Sollecitazioni agenti localmente: Ty_l=-1286.51 My_l=-26.35
Tensioni nella sezione: σ=319.41 τ=38.99
CC 24 SLD (Collegamento 0025_-382)
Azioni sul collegamento: N=-7347.75 Ty=-3.51 Tz=3.73 Mx=0.00 Mz=-3.06
Sollecitazioni agenti localmente: Ty_l=-1290.37 My_l=-26.44
Tensioni nella sezione: σ=320.43 τ=39.10
CC 24 SLD (Collegamento 0025_-382)
Azioni sul collegamento: N=-7347.75 Ty=-4.54 Tz=-2.27 Mx=0.00 Mz=-4.03
Sollecitazioni agenti localmente: Ty_l=-1286.51 My_l=-26.35
Tensioni nella sezione: σ=319.41 τ=38.99
CC 24 SLD (Collegamento 0025_-382)
Azioni sul collegamento: N=-7347.75 Ty=-3.51 Tz=-2.27 Mx=0.00 Mz=-3.06
Sollecitazioni agenti localmente: Ty_l=-1290.37 My_l=-26.44
Tensioni nella sezione: σ=320.43 τ=39.10
CC 24 SLD (Collegamento 0025_-382)
Azioni sul collegamento: N=-5736.03 Ty=-4.54 Tz=3.73 Mx=0.00 Mz=-4.03
Sollecitazioni agenti localmente: Ty_l=-1000.80 My_l=-20.49
Tensioni nella sezione: σ=248.41 τ=30.33
CC 24 SLD (Collegamento 0025_-382)
Azioni sul collegamento: N=-5736.03 Ty=-3.51 Tz=3.73 Mx=0.00 Mz=-3.06
Sollecitazioni agenti localmente: Ty_l=-1004.66 My_l=-20.58
Tensioni nella sezione: σ=249.44 τ=30.44
CC 24 SLD (Collegamento 0025_-382)
Azioni sul collegamento: N=-5736.03 Ty=-4.54 Tz=-2.27 Mx=0.00 Mz=-4.03
Sollecitazioni agenti localmente: Ty_l=-1000.80 My_l=-20.49
Tensioni nella sezione: σ=248.41 τ=30.33
CC 24 SLD (Collegamento 0025_-382)
Azioni sul collegamento: N=-5736.03 Ty=-3.51 Tz=-2.27 Mx=0.00 Mz=-3.06
Sollecitazioni agenti localmente: Ty_l=-1004.66 My_l=-20.58
Tensioni nella sezione: σ=249.44 τ=30.44
CC 25 SLV (Collegamento 0025_-382)
Azioni sul collegamento: N=-5772.93 Ty=-3.40 Tz=-2.29 Mx=-0.02 Mz=-3.25
Sollecitazioni agenti localmente: Ty_l=-1010.47 My_l=-20.70
Tensioni nella sezione: σ=250.87 τ=30.62
CC 25 SLV (Collegamento 0025_-382)
Azioni sul collegamento: N=-5772.93 Ty=-6.34 Tz=-2.29 Mx=-0.02 Mz=-8.01
Sollecitazioni agenti localmente: Ty_l=-991.51 My_l=-20.28
Tensioni nella sezione: σ=245.83 τ=30.05
CC 25 SLV (Collegamento 0025_-382)
Azioni sul collegamento: N=-5772.93 Ty=-3.40 Tz=4.00 Mx=-0.02 Mz=-3.25
Sollecitazioni agenti localmente: Ty_l=-1010.47 My_l=-20.70
Tensioni nella sezione: σ=250.87 τ=30.62
CC 25 SLV (Collegamento 0025_-382)
Azioni sul collegamento: N=-5772.93 Ty=-6.34 Tz=4.00 Mx=-0.02 Mz=-8.01
Sollecitazioni agenti localmente: Ty_l=-991.51 My_l=-20.28
Tensioni nella sezione: σ=245.83 τ=30.05
CC 25 SLV (Collegamento 0025_-382)
Azioni sul collegamento: N=-7375.81 Ty=-3.40 Tz=-2.29 Mx=-0.02 Mz=-3.25
Sollecitazioni agenti localmente: Ty_l=-1294.62 My_l=-26.52
Tensioni nella sezione: σ=321.48 τ=39.23
CC 25 SLV (Collegamento 0025_-382)
Azioni sul collegamento: N=-7375.81 Ty=-6.34 Tz=-2.29 Mx=-0.02 Mz=-8.01
Sollecitazioni agenti localmente: Ty_l=-1275.66 My_l=-26.11
Tensioni nella sezione: σ=316.44 τ=38.66
CC 25 SLV (Collegamento 0025_-382)
Azioni sul collegamento: N=-7375.81 Ty=-3.40 Tz=4.00 Mx=-0.02 Mz=-3.25
Sollecitazioni agenti localmente: Ty_l=-1294.62 My_l=-26.52
Tensioni nella sezione: σ=321.48 τ=39.23
CC 25 SLV (Collegamento 0025_-382)
Azioni sul collegamento: N=-7375.81 Ty=-6.34 Tz=4.00 Mx=-0.02 Mz=-8.01
Sollecitazioni agenti localmente: Ty_l=-1275.66 My_l=-26.11
Tensioni nella sezione: σ=316.44 τ=38.66
CC 26 SLD (Collegamento 0025_-382)
Azioni sul collegamento: N=-6297.50 Ty=-3.58 Tz=-0.23 Mx=-0.00 Mz=-2.82
Sollecitazioni agenti localmente: Ty_l=-1105.16 My_l=-22.64
Tensioni nella sezione: σ=274.42 τ=33.49
CC 26 SLD (Collegamento 0025_-382)
Azioni sul collegamento: N=-6297.50 Ty=-4.47 Tz=-0.23 Mx=-0.00 Mz=-4.27
Sollecitazioni agenti localmente: Ty_l=-1099.37 My_l=-22.51
Tensioni nella sezione: σ=272.89 τ=33.31
CC 26 SLD (Collegamento 0025_-382)
Azioni sul collegamento: N=-6297.50 Ty=-3.58 Tz=1.69 Mx=-0.00 Mz=-2.82
Sollecitazioni agenti localmente: Ty_l=-1105.16 My_l=-22.64
Tensioni nella sezione: σ=274.42 τ=33.49
CC 26 SLD (Collegamento 0025_-382)
Azioni sul collegamento: N=-6297.50 Ty=-4.47 Tz=1.69 Mx=-0.00 Mz=-4.27
Sollecitazioni agenti localmente: Ty_l=-1099.37 My_l=-22.51

Tensioni nella sezione: σ=272.89 τ=33.31
CC 26 SLD (Collegamento 0025_-382)
Azioni sul collegamento: N=-6786.28 Ty=-3.58 Tz=-0.23 Mx=-0.00 Mz=-2.82
Sollecitazioni agenti localmente: Ty_l=-1191.80 My_l=-24.42
Tensioni nella sezione: σ=295.95 τ=36.12
CC 26 SLD (Collegamento 0025_-382)
Azioni sul collegamento: N=-6786.28 Ty=-4.47 Tz=-0.23 Mx=-0.00 Mz=-4.27
Sollecitazioni agenti localmente: Ty_l=-1186.02 My_l=-24.29
Tensioni nella sezione: σ=294.42 τ=35.94
CC 26 SLD (Collegamento 0025_-382)
Azioni sul collegamento: N=-6786.28 Ty=-3.58 Tz=1.69 Mx=-0.00 Mz=-2.82
Sollecitazioni agenti localmente: Ty_l=-1191.80 My_l=-24.42
Tensioni nella sezione: σ=295.95 τ=36.12
CC 26 SLD (Collegamento 0025_-382)
Azioni sul collegamento: N=-6786.28 Ty=-4.47 Tz=1.69 Mx=-0.00 Mz=-4.27
Sollecitazioni agenti localmente: Ty_l=-1186.02 My_l=-24.29
Tensioni nella sezione: σ=294.42 τ=35.94
CC 27 SLV (Collegamento 0025_-382)
Azioni sul collegamento: N=-7356.87 Ty=-4.22 Tz=3.57 Mx=-0.02 Mz=-3.82
Sollecitazioni agenti localmente: Ty_l=-1288.97 My_l=-26.40
Tensioni nella sezione: σ=320.03 τ=39.06
CC 27 SLV (Collegamento 0025_-382)
Azioni sul collegamento: N=-7356.87 Ty=-5.52 Tz=3.57 Mx=-0.02 Mz=-7.44
Sollecitazioni agenti localmente: Ty_l=-1274.60 My_l=-26.09
Tensioni nella sezione: σ=316.22 τ=38.62
CC 27 SLV (Collegamento 0025_-382)
Azioni sul collegamento: N=-7356.87 Ty=-4.22 Tz=-1.86 Mx=-0.02 Mz=-3.82
Sollecitazioni agenti localmente: Ty_l=-1288.97 My_l=-26.40
Tensioni nella sezione: σ=320.03 τ=39.06
CC 27 SLV (Collegamento 0025_-382)
Azioni sul collegamento: N=-7356.87 Ty=-5.52 Tz=-1.86 Mx=-0.02 Mz=-7.44
Sollecitazioni agenti localmente: Ty_l=-1274.60 My_l=-26.09
Tensioni nella sezione: σ=316.22 τ=38.62
CC 27 SLV (Collegamento 0025_-382)
Azioni sul collegamento: N=-5791.87 Ty=-4.22 Tz=3.57 Mx=-0.02 Mz=-3.82
Sollecitazioni agenti localmente: Ty_l=-1011.53 My_l=-20.72
Tensioni nella sezione: σ=251.09 τ=30.65
CC 27 SLV (Collegamento 0025_-382)
Azioni sul collegamento: N=-5791.87 Ty=-5.52 Tz=3.57 Mx=-0.02 Mz=-7.44
Sollecitazioni agenti localmente: Ty_l=-997.16 My_l=-20.40
Tensioni nella sezione: σ=247.28 τ=30.22
CC 27 SLV (Collegamento 0025_-382)
Azioni sul collegamento: N=-5791.87 Ty=-4.22 Tz=-1.86 Mx=-0.02 Mz=-3.82
Sollecitazioni agenti localmente: Ty_l=-1011.53 My_l=-20.72
Tensioni nella sezione: σ=251.09 τ=30.65
CC 27 SLV (Collegamento 0025_-382)
Azioni sul collegamento: N=-5791.87 Ty=-5.52 Tz=-1.86 Mx=-0.02 Mz=-7.44
Sollecitazioni agenti localmente: Ty_l=-997.16 My_l=-20.40
Tensioni nella sezione: σ=247.28 τ=30.22
CC 28 SLD (Collegamento 0025_-382)
Azioni sul collegamento: N=-6780.50 Ty=-3.83 Tz=1.56 Mx=-0.00 Mz=-3.00
Sollecitazioni agenti localmente: Ty_l=-1190.08 My_l=-24.38
Tensioni nella sezione: σ=295.51 τ=36.06
CC 28 SLD (Collegamento 0025_-382)
Azioni sul collegamento: N=-6780.50 Ty=-4.22 Tz=1.56 Mx=-0.00 Mz=-4.10
Sollecitazioni agenti localmente: Ty_l=-1185.70 My_l=-24.28
Tensioni nella sezione: σ=294.35 τ=35.93
CC 28 SLD (Collegamento 0025_-382)
Azioni sul collegamento: N=-6780.50 Ty=-3.83 Tz=-0.10 Mx=-0.00 Mz=-3.00
Sollecitazioni agenti localmente: Ty_l=-1190.08 My_l=-24.38
Tensioni nella sezione: σ=295.51 τ=36.06
CC 28 SLD (Collegamento 0025_-382)
Azioni sul collegamento: N=-6780.50 Ty=-4.22 Tz=-0.10 Mx=-0.00 Mz=-4.10
Sollecitazioni agenti localmente: Ty_l=-1185.70 My_l=-24.28
Tensioni nella sezione: σ=294.35 τ=35.93
CC 28 SLD (Collegamento 0025_-382)
Azioni sul collegamento: N=-6303.28 Ty=-3.83 Tz=1.56 Mx=-0.00 Mz=-3.00
Sollecitazioni agenti localmente: Ty_l=-1105.48 My_l=-22.65
Tensioni nella sezione: σ=274.49 τ=33.50
CC 28 SLD (Collegamento 0025_-382)
Azioni sul collegamento: N=-6303.28 Ty=-4.22 Tz=1.56 Mx=-0.00 Mz=-4.10
Sollecitazioni agenti localmente: Ty_l=-1101.10 My_l=-22.55
Tensioni nella sezione: σ=273.33 τ=33.37
CC 28 SLD (Collegamento 0025_-382)
Azioni sul collegamento: N=-6303.28 Ty=-3.83 Tz=-0.10 Mx=-0.00 Mz=-3.00
Sollecitazioni agenti localmente: Ty_l=-1105.48 My_l=-22.65
Tensioni nella sezione: σ=274.49 τ=33.50
CC 28 SLD (Collegamento 0025_-382)
Azioni sul collegamento: N=-6303.28 Ty=-4.22 Tz=-0.10 Mx=-0.00 Mz=-4.10
Sollecitazioni agenti localmente: Ty_l=-1101.10 My_l=-22.55

Tensioni nella sezione: σ=273.33 τ=33.37
CC 29 SLV (Collegamento 0025_-382)
Azioni sul collegamento: N=-5791.87 Ty=-5.52 Tz=-1.86 Mx=-0.00 Mz=-7.44
Sollecitazioni agenti localmente: Ty_l=-997.16 My_l=-20.40
Tensioni nella sezione: σ=247.28 τ=30.22
CC 29 SLV (Collegamento 0025_-382)
Azioni sul collegamento: N=-5791.87 Ty=-4.22 Tz=-1.86 Mx=-0.00 Mz=-3.82
Sollecitazioni agenti localmente: Ty_l=-1011.53 My_l=-20.72
Tensioni nella sezione: σ=251.09 τ=30.65
CC 29 SLV (Collegamento 0025_-382)
Azioni sul collegamento: N=-5791.87 Ty=-5.52 Tz=3.57 Mx=-0.00 Mz=-7.44
Sollecitazioni agenti localmente: Ty_l=-997.16 My_l=-20.40
Tensioni nella sezione: σ=247.28 τ=30.22
CC 29 SLV (Collegamento 0025_-382)
Azioni sul collegamento: N=-5791.87 Ty=-4.22 Tz=3.57 Mx=-0.00 Mz=-3.82
Sollecitazioni agenti localmente: Ty_l=-1011.53 My_l=-20.72
Tensioni nella sezione: σ=251.09 τ=30.65
CC 29 SLV (Collegamento 0025_-382)
Azioni sul collegamento: N=-7356.87 Ty=-5.52 Tz=-1.86 Mx=-0.00 Mz=-7.44
Sollecitazioni agenti localmente: Ty_l=-1274.60 My_l=-26.09
Tensioni nella sezione: σ=316.22 τ=38.62
CC 29 SLV (Collegamento 0025_-382)
Azioni sul collegamento: N=-7356.87 Ty=-4.22 Tz=-1.86 Mx=-0.00 Mz=-3.82
Sollecitazioni agenti localmente: Ty_l=-1288.97 My_l=-26.40
Tensioni nella sezione: σ=320.03 τ=39.06
CC 29 SLV (Collegamento 0025_-382)
Azioni sul collegamento: N=-7356.87 Ty=-5.52 Tz=3.57 Mx=-0.00 Mz=-7.44
Sollecitazioni agenti localmente: Ty_l=-1274.60 My_l=-26.09
Tensioni nella sezione: σ=316.22 τ=38.62
CC 29 SLV (Collegamento 0025_-382)
Azioni sul collegamento: N=-7356.87 Ty=-4.22 Tz=3.57 Mx=-0.00 Mz=-3.82
Sollecitazioni agenti localmente: Ty_l=-1288.97 My_l=-26.40
Tensioni nella sezione: σ=320.03 τ=39.06
CC 30 SLD (Collegamento 0025_-382)
Azioni sul collegamento: N=-6303.28 Ty=-4.22 Tz=-0.10 Mx=0.00 Mz=-4.10
Sollecitazioni agenti localmente: Ty_l=-1101.10 My_l=-22.55
Tensioni nella sezione: σ=273.33 τ=33.37
CC 30 SLD (Collegamento 0025_-382)
Azioni sul collegamento: N=-6303.28 Ty=-3.83 Tz=-0.10 Mx=0.00 Mz=-3.00
Sollecitazioni agenti localmente: Ty_l=-1105.48 My_l=-22.65
Tensioni nella sezione: σ=274.49 τ=33.50
CC 30 SLD (Collegamento 0025_-382)
Azioni sul collegamento: N=-6303.28 Ty=-4.22 Tz=1.56 Mx=0.00 Mz=-4.10
Sollecitazioni agenti localmente: Ty_l=-1101.10 My_l=-22.55
Tensioni nella sezione: σ=273.33 τ=33.37
CC 30 SLD (Collegamento 0025_-382)
Azioni sul collegamento: N=-6303.28 Ty=-3.83 Tz=1.56 Mx=0.00 Mz=-3.00
Sollecitazioni agenti localmente: Ty_l=-1105.48 My_l=-22.65
Tensioni nella sezione: σ=274.49 τ=33.50
CC 30 SLD (Collegamento 0025_-382)
Azioni sul collegamento: N=-6780.50 Ty=-4.22 Tz=-0.10 Mx=0.00 Mz=-4.10
Sollecitazioni agenti localmente: Ty_l=-1185.70 My_l=-24.28
Tensioni nella sezione: σ=294.35 τ=35.93
CC 30 SLD (Collegamento 0025_-382)
Azioni sul collegamento: N=-6780.50 Ty=-3.83 Tz=-0.10 Mx=0.00 Mz=-3.00
Sollecitazioni agenti localmente: Ty_l=-1190.08 My_l=-24.38
Tensioni nella sezione: σ=295.51 τ=36.06
CC 30 SLD (Collegamento 0025_-382)
Azioni sul collegamento: N=-6780.50 Ty=-4.22 Tz=1.56 Mx=0.00 Mz=-4.10
Sollecitazioni agenti localmente: Ty_l=-1185.70 My_l=-24.28
Tensioni nella sezione: σ=294.35 τ=35.93
CC 30 SLD (Collegamento 0025_-382)
Azioni sul collegamento: N=-6780.50 Ty=-3.83 Tz=1.56 Mx=0.00 Mz=-3.00
Sollecitazioni agenti localmente: Ty_l=-1190.08 My_l=-24.38
Tensioni nella sezione: σ=295.51 τ=36.06
CC 31 SLV (Collegamento 0025_-382)
Azioni sul collegamento: N=-7375.81 Ty=-6.34 Tz=4.00 Mx=-0.00 Mz=-8.01
Sollecitazioni agenti localmente: Ty_l=-1275.66 My_l=-26.11
Tensioni nella sezione: σ=316.44 τ=38.66
CC 31 SLV (Collegamento 0025_-382)
Azioni sul collegamento: N=-7375.81 Ty=-3.40 Tz=4.00 Mx=-0.00 Mz=-3.25
Sollecitazioni agenti localmente: Ty_l=-1294.62 My_l=-26.52
Tensioni nella sezione: σ=321.48 τ=39.23
CC 31 SLV (Collegamento 0025_-382)
Azioni sul collegamento: N=-7375.81 Ty=-6.34 Tz=-2.29 Mx=-0.00 Mz=-8.01
Sollecitazioni agenti localmente: Ty_l=-1275.66 My_l=-26.11
Tensioni nella sezione: σ=316.44 τ=38.66
CC 31 SLV (Collegamento 0025_-382)
Azioni sul collegamento: N=-7375.81 Ty=-3.40 Tz=-2.29 Mx=-0.00 Mz=-3.25
Sollecitazioni agenti localmente: Ty_l=-1294.62 My_l=-26.52

Tensioni nella sezione: σ=321.48 τ=39.23
CC 31 SLV (Collegamento 0025_-382)
Azioni sul collegamento: N=-5772.93 Ty=-6.34 Tz=4.00 Mx=-0.00 Mz=-8.01
Sollecitazioni agenti localmente: Ty_l=-991.51 My_l=-20.28
Tensioni nella sezione: σ=245.83 τ=30.05
CC 31 SLV (Collegamento 0025_-382)
Azioni sul collegamento: N=-5772.93 Ty=-3.40 Tz=4.00 Mx=-0.00 Mz=-3.25
Sollecitazioni agenti localmente: Ty_l=-1010.47 My_l=-20.70
Tensioni nella sezione: σ=250.87 τ=30.62
CC 31 SLV (Collegamento 0025_-382)
Azioni sul collegamento: N=-5772.93 Ty=-6.34 Tz=-2.29 Mx=-0.00 Mz=-8.01
Sollecitazioni agenti localmente: Ty_l=-991.51 My_l=-20.28
Tensioni nella sezione: σ=245.83 τ=30.05
CC 31 SLV (Collegamento 0025_-382)
Azioni sul collegamento: N=-5772.93 Ty=-3.40 Tz=-2.29 Mx=-0.00 Mz=-3.25
Sollecitazioni agenti localmente: Ty_l=-1010.47 My_l=-20.70
Tensioni nella sezione: σ=250.87 τ=30.62
CC 32 SLD (Collegamento 0025_-382)
Azioni sul collegamento: N=-6786.28 Ty=-4.47 Tz=1.69 Mx=0.00 Mz=-4.27
Sollecitazioni agenti localmente: Ty_l=-1186.02 My_l=-24.29
Tensioni nella sezione: σ=294.42 τ=35.94
CC 32 SLD (Collegamento 0025_-382)
Azioni sul collegamento: N=-6786.28 Ty=-3.58 Tz=1.69 Mx=0.00 Mz=-2.82
Sollecitazioni agenti localmente: Ty_l=-1191.80 My_l=-24.42
Tensioni nella sezione: σ=295.95 τ=36.12
CC 32 SLD (Collegamento 0025_-382)
Azioni sul collegamento: N=-6786.28 Ty=-4.47 Tz=-0.23 Mx=0.00 Mz=-4.27
Sollecitazioni agenti localmente: Ty_l=-1186.02 My_l=-24.29
Tensioni nella sezione: σ=294.42 τ=35.94
CC 32 SLD (Collegamento 0025_-382)
Azioni sul collegamento: N=-6786.28 Ty=-3.58 Tz=-0.23 Mx=0.00 Mz=-2.82
Sollecitazioni agenti localmente: Ty_l=-1191.80 My_l=-24.42
Tensioni nella sezione: σ=295.95 τ=36.12
CC 32 SLD (Collegamento 0025_-382)
Azioni sul collegamento: N=-6297.50 Ty=-4.47 Tz=1.69 Mx=0.00 Mz=-4.27
Sollecitazioni agenti localmente: Ty_l=-1099.37 My_l=-22.51
Tensioni nella sezione: σ=272.89 τ=33.31
CC 32 SLD (Collegamento 0025_-382)
Azioni sul collegamento: N=-6297.50 Ty=-3.58 Tz=1.69 Mx=0.00 Mz=-2.82
Sollecitazioni agenti localmente: Ty_l=-1105.16 My_l=-22.64
Tensioni nella sezione: σ=274.42 τ=33.49
CC 32 SLD (Collegamento 0025_-382)
Azioni sul collegamento: N=-6297.50 Ty=-4.47 Tz=-0.23 Mx=0.00 Mz=-4.27
Sollecitazioni agenti localmente: Ty_l=-1099.37 My_l=-22.51
Tensioni nella sezione: σ=272.89 τ=33.31
CC 32 SLD (Collegamento 0025_-382)
Azioni sul collegamento: N=-6297.50 Ty=-3.58 Tz=-0.23 Mx=0.00 Mz=-2.82
Sollecitazioni agenti localmente: Ty_l=-1105.16 My_l=-22.64
Tensioni nella sezione: σ=274.42 τ=33.49
CC 33 SLU (Collegamento 0025_-382)
Azioni sul collegamento: N=-30778.60 Ty=-5.67 Tz=81.62 Mx=0.01 Mz=-4.05
Sollecitazioni agenti localmente: Ty_l=-5440.11 My_l=-111.50
Tensioni nella sezione: σ=1351.51 τ=164.85
CC 34 SLU (Collegamento 0025_-382)
Azioni sul collegamento: N=-30229.20 Ty=-5.39 Tz=79.58 Mx=0.01 Mz=-3.85
Sollecitazioni agenti localmente: Ty_l=-5343.52 My_l=-109.52
Tensioni nella sezione: σ=1327.52 τ=161.93
CC 35 SLU (Collegamento 0025_-382)
Azioni sul collegamento: N=-30504.90 Ty=-5.64 Tz=80.58 Mx=0.01 Mz=-4.16
Sollecitazioni agenti localmente: Ty_l=-5391.12 My_l=-110.50
Tensioni nella sezione: σ=1339.33 τ=163.37
CC 36 SLU (Collegamento 0025_-382)
Azioni sul collegamento: N=-30502.90 Ty=-5.42 Tz=80.62 Mx=0.01 Mz=-3.73
Sollecitazioni agenti localmente: Ty_l=-5392.50 My_l=-110.53
Tensioni nella sezione: σ=1339.70 τ=163.41
CC 37 SLU (Collegamento 0025_-382)
Azioni sul collegamento: N=-21507.60 Ty=-6.52 Tz=47.54 Mx=0.01 Mz=-4.63
Sollecitazioni agenti localmente: Ty_l=-3794.29 My_l=-77.76
Tensioni nella sezione: σ=942.51 τ=114.98
CC 38 SLU (Collegamento 0025_-382)
Azioni sul collegamento: N=-20958.20 Ty=-6.23 Tz=45.50 Mx=0.01 Mz=-4.43
Sollecitazioni agenti localmente: Ty_l=-3697.70 My_l=-75.78
Tensioni nella sezione: σ=918.52 τ=112.05
CC 39 SLU (Collegamento 0025_-382)
Azioni sul collegamento: N=-21233.90 Ty=-6.48 Tz=46.50 Mx=0.01 Mz=-4.75
Sollecitazioni agenti localmente: Ty_l=-3745.30 My_l=-76.75
Tensioni nella sezione: σ=930.33 τ=113.49
CC 40 SLU (Collegamento 0025_-382)
Azioni sul collegamento: N=-21231.90 Ty=-6.26 Tz=46.54 Mx=0.01 Mz=-4.31
Sollecitazioni agenti localmente: Ty_l=-3746.69 My_l=-76.78

Tensioni nella sezione: σ=930.70 τ=113.54
CC 41 SLU (Collegamento 0025_-382)
Azioni sul collegamento: N=-32702.20 Ty=-5.53 Tz=88.04 Mx=-0.00 Mz=-4.06
Sollecitazioni agenti localmente: Ty_l=-5781.06 My_l=-118.49
Tensioni nella sezione: σ=1436.23 τ=175.18
CC 42 SLU (Collegamento 0025_-382)
Azioni sul collegamento: N=-32152.80 Ty=-5.24 Tz=86.01 Mx=-0.00 Mz=-3.86
Sollecitazioni agenti localmente: Ty_l=-5684.47 My_l=-116.51
Tensioni nella sezione: σ=1412.24 τ=172.26
CC 43 SLU (Collegamento 0025_-382)
Azioni sul collegamento: N=-32428.50 Ty=-5.50 Tz=87.00 Mx=-0.00 Mz=-4.18
Sollecitazioni agenti localmente: Ty_l=-5732.07 My_l=-117.48
Tensioni nella sezione: σ=1424.05 τ=173.70
CC 44 SLU (Collegamento 0025_-382)
Azioni sul collegamento: N=-32426.50 Ty=-5.28 Tz=87.05 Mx=-0.00 Mz=-3.74
Sollecitazioni agenti localmente: Ty_l=-5733.46 My_l=-117.52
Tensioni nella sezione: σ=1424.42 τ=173.74
CC 45 SLU (Collegamento 0025_-382)
Azioni sul collegamento: N=-23594.00 Ty=-6.22 Tz=55.25 Mx=0.01 Mz=-4.49
Sollecitazioni agenti localmente: Ty_l=-4164.73 My_l=-85.35
Tensioni nella sezione: σ=1034.57 τ=126.20
CC 46 SLU (Collegamento 0025_-382)
Azioni sul collegamento: N=-23044.60 Ty=-5.94 Tz=53.22 Mx=0.01 Mz=-4.28
Sollecitazioni agenti localmente: Ty_l=-4068.14 My_l=-83.37
Tensioni nella sezione: σ=1010.58 τ=123.28
CC 47 SLU (Collegamento 0025_-382)
Azioni sul collegamento: N=-23320.30 Ty=-6.19 Tz=54.21 Mx=0.01 Mz=-4.60
Sollecitazioni agenti localmente: Ty_l=-4115.74 My_l=-84.35
Tensioni nella sezione: σ=1022.39 τ=124.72
CC 48 SLU (Collegamento 0025_-382)
Azioni sul collegamento: N=-23318.30 Ty=-5.97 Tz=54.26 Mx=0.01 Mz=-4.17
Sollecitazioni agenti localmente: Ty_l=-4117.13 My_l=-84.38
Tensioni nella sezione: σ=1022.76 τ=124.76
CC 49 SLU (Collegamento 0025_-382)
Azioni sul collegamento: N=-16657.90 Ty=-6.86 Tz=29.76 Mx=0.01 Mz=-4.92
Sollecitazioni agenti localmente: Ty_l=-2933.41 My_l=-60.11
Tensioni nella sezione: σ=728.58 τ=88.89
CC 50 SLU (Collegamento 0025_-382)
Azioni sul collegamento: N=-16108.50 Ty=-6.57 Tz=27.72 Mx=0.01 Mz=-4.72
Sollecitazioni agenti localmente: Ty_l=-2836.82 My_l=-58.13
Tensioni nella sezione: σ=704.59 τ=85.96
CC 51 SLU (Collegamento 0025_-382)
Azioni sul collegamento: N=-16384.20 Ty=-6.82 Tz=28.72 Mx=0.01 Mz=-5.04
Sollecitazioni agenti localmente: Ty_l=-2884.43 My_l=-59.10
Tensioni nella sezione: σ=716.40 τ=87.41
CC 52 SLU (Collegamento 0025_-382)
Azioni sul collegamento: N=-16382.20 Ty=-6.60 Tz=28.76 Mx=0.01 Mz=-4.60
Sollecitazioni agenti localmente: Ty_l=-2885.81 My_l=-59.13
Tensioni nella sezione: σ=716.77 τ=87.45
CC 53 SLU (Collegamento 0025_-382)
Azioni sul collegamento: N=-25033.10 Ty=-6.12 Tz=60.06 Mx=-0.00 Mz=-4.50
Sollecitazioni agenti localmente: Ty_l=-4419.81 My_l=-90.58
Tensioni nella sezione: σ=1097.95 τ=133.93
CC 54 SLU (Collegamento 0025_-382)
Azioni sul collegamento: N=-24483.80 Ty=-5.83 Tz=58.03 Mx=-0.00 Mz=-4.29
Sollecitazioni agenti localmente: Ty_l=-4323.22 My_l=-88.60
Tensioni nella sezione: σ=1073.97 τ=131.01
CC 55 SLU (Collegamento 0025_-382)
Azioni sul collegamento: N=-24759.40 Ty=-6.08 Tz=59.02 Mx=0.00 Mz=-4.61
Sollecitazioni agenti localmente: Ty_l=-4370.82 My_l=-89.58
Tensioni nella sezione: σ=1085.77 τ=132.45
CC 56 SLU (Collegamento 0025_-382)
Azioni sul collegamento: N=-24757.50 Ty=-5.87 Tz=59.07 Mx=-0.00 Mz=-4.18
Sollecitazioni agenti localmente: Ty_l=-4372.21 My_l=-89.61
Tensioni nella sezione: σ=1086.15 τ=132.49
CC 57 SLU (Collegamento 0025_-382)
Azioni sul collegamento: N=-21981.50 Ty=-5.60 Tz=49.32 Mx=0.01 Mz=-4.03
Sollecitazioni agenti localmente: Ty_l=-3880.67 My_l=-79.53
Tensioni nella sezione: σ=964.02 τ=117.60
CC 58 SLU (Collegamento 0025_-382)
Azioni sul collegamento: N=-21432.10 Ty=-5.31 Tz=47.28 Mx=0.01 Mz=-3.83
Sollecitazioni agenti localmente: Ty_l=-3784.08 My_l=-77.55
Tensioni nella sezione: σ=940.03 τ=114.67
CC 59 SLU (Collegamento 0025_-382)
Azioni sul collegamento: N=-21707.80 Ty=-5.57 Tz=48.28 Mx=0.01 Mz=-4.15
Sollecitazioni agenti localmente: Ty_l=-3831.68 My_l=-78.53
Tensioni nella sezione: σ=951.84 τ=116.11
CC 60 SLU (Collegamento 0025_-382)
Azioni sul collegamento: N=-21705.80 Ty=-5.35 Tz=48.32 Mx=0.01 Mz=-3.72
Sollecitazioni agenti localmente: Ty_l=-3833.07 My_l=-78.56

Tensioni nella sezione: σ=952.21 τ=116.15
CC 61 SLU (Collegamento 0025_-382)
Azioni sul collegamento: N=-15045.40 Ty=-6.23 Tz=23.82 Mx=0.01 Mz=-4.47
Sollecitazioni agenti localmente: Ty_l=-2649.36 My_l=-54.29
Tensioni nella sezione: σ=658.02 τ=80.28
CC 62 SLU (Collegamento 0025_-382)
Azioni sul collegamento: N=-14496.00 Ty=-5.95 Tz=21.79 Mx=0.01 Mz=-4.27
Sollecitazioni agenti localmente: Ty_l=-2552.77 My_l=-52.31
Tensioni nella sezione: σ=634.04 τ=77.36
CC 63 SLU (Collegamento 0025_-382)
Azioni sul collegamento: N=-14771.70 Ty=-6.20 Tz=22.78 Mx=0.01 Mz=-4.59
Sollecitazioni agenti localmente: Ty_l=-2600.37 My_l=-53.28
Tensioni nella sezione: σ=645.84 τ=78.80
CC 64 SLU (Collegamento 0025_-382)
Azioni sul collegamento: N=-14769.70 Ty=-5.98 Tz=22.82 Mx=0.01 Mz=-4.15
Sollecitazioni agenti localmente: Ty_l=-2601.75 My_l=-53.31
Tensioni nella sezione: σ=646.22 τ=78.84
CC 65 SLU (Collegamento 0025_-382)
Azioni sul collegamento: N=-23420.60 Ty=-5.49 Tz=54.12 Mx=-0.00 Mz=-4.04
Sollecitazioni agenti localmente: Ty_l=-4135.75 My_l=-84.76
Tensioni nella sezione: σ=1027.40 τ=125.33
CC 66 SLU (Collegamento 0025_-382)
Azioni sul collegamento: N=-22871.20 Ty=-5.21 Tz=52.09 Mx=-0.00 Mz=-3.84
Sollecitazioni agenti localmente: Ty_l=-4039.17 My_l=-82.78
Tensioni nella sezione: σ=1003.41 τ=122.40
CC 67 SLU (Collegamento 0025_-382)
Azioni sul collegamento: N=-23146.90 Ty=-5.46 Tz=53.08 Mx=-0.00 Mz=-4.16
Sollecitazioni agenti localmente: Ty_l=-4086.77 My_l=-83.76
Tensioni nella sezione: σ=1015.22 τ=123.84
CC 68 SLU (Collegamento 0025_-382)
Azioni sul collegamento: N=-23144.90 Ty=-5.24 Tz=53.13 Mx=-0.00 Mz=-3.72
Sollecitazioni agenti localmente: Ty_l=-4088.15 My_l=-83.79
Tensioni nella sezione: σ=1015.59 τ=123.88
CC 97 SLU (Collegamento 0025_-382)
Azioni sul collegamento: N=-11444.50 Ty=-17.52 Tz=18.88 Mx=-0.03 Mz=-21.34
Sollecitazioni agenti localmente: Ty_l=-1943.94 My_l=-39.73
Tensioni nella sezione: σ=481.60 τ=58.91
CC 98 SLU (Collegamento 0025_-382)
Azioni sul collegamento: N=-10895.20 Ty=-17.24 Tz=16.84 Mx=-0.03 Mz=-21.13
Sollecitazioni agenti localmente: Ty_l=-1847.35 My_l=-37.75
Tensioni nella sezione: σ=457.61 τ=55.98
CC 99 SLU (Collegamento 0025_-382)
Azioni sul collegamento: N=-11170.80 Ty=-17.49 Tz=17.84 Mx=-0.03 Mz=-21.45
Sollecitazioni agenti localmente: Ty_l=-1894.95 My_l=-38.73
Tensioni nella sezione: σ=469.42 τ=57.42
CC 100 SLU (Collegamento 0025_-382)
Azioni sul collegamento: N=-11168.90 Ty=-17.27 Tz=17.88 Mx=-0.04 Mz=-21.02
Sollecitazioni agenti localmente: Ty_l=-1896.34 My_l=-38.76
Tensioni nella sezione: σ=469.79 τ=57.46
CC 101 SLU (Collegamento 0025_-382)
Azioni sul collegamento: N=-7155.53 Ty=-1.61 Tz=2.94 Mx=0.01 Mz=-0.33
Sollecitazioni agenti localmente: Ty_l=-1267.16 My_l=-25.97
Tensioni nella sezione: σ=314.85 τ=38.40
CC 102 SLU (Collegamento 0025_-382)
Azioni sul collegamento: N=-6606.15 Ty=-1.32 Tz=0.91 Mx=0.01 Mz=-0.13
Sollecitazioni agenti localmente: Ty_l=-1170.57 My_l=-24.00
Tensioni nella sezione: σ=290.86 τ=35.47
CC 103 SLU (Collegamento 0025_-382)
Azioni sul collegamento: N=-6881.82 Ty=-1.58 Tz=1.90 Mx=0.01 Mz=-0.45
Sollecitazioni agenti localmente: Ty_l=-1218.17 My_l=-24.97
Tensioni nella sezione: σ=302.67 τ=36.91
CC 104 SLU (Collegamento 0025_-382)
Azioni sul collegamento: N=-6879.85 Ty=-1.36 Tz=1.95 Mx=0.01 Mz=-0.01
Sollecitazioni agenti localmente: Ty_l=-1219.56 My_l=-25.00
Tensioni nella sezione: σ=303.04 τ=36.96

Flessione attacco sinistro piastra

Bnetta=220.00 Hnetta=15.00
CC 1 SLV (Collegamento 0025_-382)
Azioni sul collegamento: N=-3838.16 Ty=-4.12 Tz=-9.35 Mx=0.02 Mz=1.95
Sollecitazioni agenti localmente: Ty_l=-672.64 My_l=-13.78
Tensioni nella sezione: σ=167.01 τ=20.38
CC 1 SLV (Collegamento 0025_-382)
Azioni sul collegamento: N=-3838.16 Ty=-0.76 Tz=-9.35 Mx=0.02 Mz=-1.23
Sollecitazioni agenti localmente: Ty_l=-685.29 My_l=-14.06
Tensioni nella sezione: σ=170.37 τ=20.77
CC 1 SLV (Collegamento 0025_-382)
Azioni sul collegamento: N=-3838.16 Ty=-4.12 Tz=10.33 Mx=0.02 Mz=1.95
Sollecitazioni agenti localmente: Ty_l=-672.64 My_l=-13.78

Tensioni nella sezione: σ=167.01 τ=20.38
CC 1 SLV (Collegamento 0025_-382)
Azioni sul collegamento: N=-3838.16 Ty=-0.76 Tz=10.33 Mx=0.02 Mz=-1.23
Sollecitazioni agenti localmente: Ty_l=-685.29 My_l=-14.06
Tensioni nella sezione: σ=170.37 τ=20.77
CC 1 SLV (Collegamento 0025_-382)
Azioni sul collegamento: N=-9123.66 Ty=-4.12 Tz=-9.35 Mx=0.02 Mz=1.95
Sollecitazioni agenti localmente: Ty_l=-1609.61 My_l=-32.99
Tensioni nella sezione: σ=399.83 τ=48.78
CC 1 SLV (Collegamento 0025_-382)
Azioni sul collegamento: N=-9123.66 Ty=-0.76 Tz=-9.35 Mx=0.02 Mz=-1.23
Sollecitazioni agenti localmente: Ty_l=-1622.27 My_l=-33.26
Tensioni nella sezione: σ=403.19 τ=49.16
CC 1 SLV (Collegamento 0025_-382)
Azioni sul collegamento: N=-9123.66 Ty=-4.12 Tz=10.33 Mx=0.02 Mz=1.95
Sollecitazioni agenti localmente: Ty_l=-1609.61 My_l=-32.99
Tensioni nella sezione: σ=399.83 τ=48.78
CC 1 SLV (Collegamento 0025_-382)
Azioni sul collegamento: N=-9123.66 Ty=-0.76 Tz=10.33 Mx=0.02 Mz=-1.23
Sollecitazioni agenti localmente: Ty_l=-1622.27 My_l=-33.26
Tensioni nella sezione: σ=403.19 τ=49.16
CC 2 SLD (Collegamento 0025_-382)
Azioni sul collegamento: N=-5707.53 Ty=-2.77 Tz=-2.38 Mx=0.01 Mz=-1.24
Sollecitazioni agenti localmente: Ty_l=-1016.71 My_l=-20.85
Tensioni nella sezione: σ=252.72 τ=30.81
CC 2 SLD (Collegamento 0025_-382)
Azioni sul collegamento: N=-5707.53 Ty=-3.80 Tz=-2.38 Mx=0.01 Mz=-2.21
Sollecitazioni agenti localmente: Ty_l=-1020.56 My_l=-20.93
Tensioni nella sezione: σ=253.74 τ=30.93
CC 2 SLD (Collegamento 0025_-382)
Azioni sul collegamento: N=-5707.53 Ty=-2.77 Tz=3.62 Mx=0.01 Mz=-1.24
Sollecitazioni agenti localmente: Ty_l=-1016.71 My_l=-20.85
Tensioni nella sezione: σ=252.72 τ=30.81
CC 2 SLD (Collegamento 0025_-382)
Azioni sul collegamento: N=-5707.53 Ty=-3.80 Tz=3.62 Mx=0.01 Mz=-2.21
Sollecitazioni agenti localmente: Ty_l=-1020.56 My_l=-20.93
Tensioni nella sezione: σ=253.74 τ=30.93
CC 2 SLD (Collegamento 0025_-382)
Azioni sul collegamento: N=-7319.25 Ty=-2.77 Tz=-2.38 Mx=0.01 Mz=-1.24
Sollecitazioni agenti localmente: Ty_l=-1302.42 My_l=-26.71
Tensioni nella sezione: σ=323.71 τ=39.47
CC 2 SLD (Collegamento 0025_-382)
Azioni sul collegamento: N=-7319.25 Ty=-3.80 Tz=-2.38 Mx=0.01 Mz=-2.21
Sollecitazioni agenti localmente: Ty_l=-1306.28 My_l=-26.79
Tensioni nella sezione: σ=324.74 τ=39.58
CC 2 SLD (Collegamento 0025_-382)
Azioni sul collegamento: N=-7319.25 Ty=-2.77 Tz=3.62 Mx=0.01 Mz=-1.24
Sollecitazioni agenti localmente: Ty_l=-1302.42 My_l=-26.71
Tensioni nella sezione: σ=323.71 τ=39.47
CC 2 SLD (Collegamento 0025_-382)
Azioni sul collegamento: N=-7319.25 Ty=-3.80 Tz=3.62 Mx=0.01 Mz=-2.21
Sollecitazioni agenti localmente: Ty_l=-1306.28 My_l=-26.79
Tensioni nella sezione: σ=324.74 τ=39.58
CC 3 SLV (Collegamento 0025_-382)
Azioni sul collegamento: N=-3843.85 Ty=-3.49 Tz=-9.22 Mx=0.02 Mz=0.69
Sollecitazioni agenti localmente: Ty_l=-678.65 My_l=-13.91
Tensioni nella sezione: σ=168.59 τ=20.57
CC 3 SLV (Collegamento 0025_-382)
Azioni sul collegamento: N=-3843.85 Ty=-1.39 Tz=-9.22 Mx=0.02 Mz=0.03
Sollecitazioni agenti localmente: Ty_l=-681.30 My_l=-13.97
Tensioni nella sezione: σ=169.29 τ=20.65
CC 3 SLV (Collegamento 0025_-382)
Azioni sul collegamento: N=-3843.85 Ty=-3.49 Tz=10.20 Mx=0.02 Mz=0.69
Sollecitazioni agenti localmente: Ty_l=-678.65 My_l=-13.91
Tensioni nella sezione: σ=168.59 τ=20.57
CC 3 SLV (Collegamento 0025_-382)
Azioni sul collegamento: N=-3843.85 Ty=-1.39 Tz=10.20 Mx=0.02 Mz=0.03
Sollecitazioni agenti localmente: Ty_l=-681.30 My_l=-13.97
Tensioni nella sezione: σ=169.29 τ=20.65
CC 3 SLV (Collegamento 0025_-382)
Azioni sul collegamento: N=-9117.97 Ty=-3.49 Tz=-9.22 Mx=0.02 Mz=0.69
Sollecitazioni agenti localmente: Ty_l=-1613.60 My_l=-33.08
Tensioni nella sezione: σ=400.91 τ=48.90
CC 3 SLV (Collegamento 0025_-382)
Azioni sul collegamento: N=-9117.97 Ty=-1.39 Tz=-9.22 Mx=0.02 Mz=0.03
Sollecitazioni agenti localmente: Ty_l=-1616.26 My_l=-33.13
Tensioni nella sezione: σ=401.61 τ=48.98
CC 3 SLV (Collegamento 0025_-382)
Azioni sul collegamento: N=-9117.97 Ty=-3.49 Tz=10.20 Mx=0.02 Mz=0.69
Sollecitazioni agenti localmente: Ty_l=-1613.60 My_l=-33.08

Tensioni nella sezione: σ=400.91 τ=48.90
CC 3 SLV (Collegamento 0025_-382)
Azioni sul collegamento: N=-9117.97 Ty=-1.39 Tz=10.20 Mx=0.02 Mz=0.03
Sollecitazioni agenti localmente: Ty_l=-1616.26 My_l=-33.13
Tensioni nella sezione: σ=401.61 τ=48.98
CC 4 SLD (Collegamento 0025_-382)
Azioni sul collegamento: N=-5709.27 Ty=-2.97 Tz=-2.35 Mx=0.01 Mz=-1.62
Sollecitazioni agenti localmente: Ty_l=-1018.54 My_l=-20.89
Tensioni nella sezione: σ=253.20 τ=30.86
CC 4 SLD (Collegamento 0025_-382)
Azioni sul collegamento: N=-5709.27 Ty=-3.60 Tz=-2.35 Mx=0.01 Mz=-1.82
Sollecitazioni agenti localmente: Ty_l=-1019.35 My_l=-20.91
Tensioni nella sezione: σ=253.41 τ=30.89
CC 4 SLD (Collegamento 0025_-382)
Azioni sul collegamento: N=-5709.27 Ty=-2.97 Tz=3.58 Mx=0.01 Mz=-1.62
Sollecitazioni agenti localmente: Ty_l=-1018.54 My_l=-20.89
Tensioni nella sezione: σ=253.20 τ=30.86
CC 4 SLD (Collegamento 0025_-382)
Azioni sul collegamento: N=-5709.27 Ty=-3.60 Tz=3.58 Mx=0.01 Mz=-1.82
Sollecitazioni agenti localmente: Ty_l=-1019.35 My_l=-20.91
Tensioni nella sezione: σ=253.41 τ=30.89
CC 4 SLD (Collegamento 0025_-382)
Azioni sul collegamento: N=-7317.51 Ty=-2.97 Tz=-2.35 Mx=0.01 Mz=-1.62
Sollecitazioni agenti localmente: Ty_l=-1303.64 My_l=-26.73
Tensioni nella sezione: σ=324.04 τ=39.50
CC 4 SLD (Collegamento 0025_-382)
Azioni sul collegamento: N=-7317.51 Ty=-3.60 Tz=-2.35 Mx=0.01 Mz=-1.82
Sollecitazioni agenti localmente: Ty_l=-1304.45 My_l=-26.75
Tensioni nella sezione: σ=324.26 τ=39.53
CC 4 SLD (Collegamento 0025_-382)
Azioni sul collegamento: N=-7317.51 Ty=-2.97 Tz=3.58 Mx=0.01 Mz=-1.62
Sollecitazioni agenti localmente: Ty_l=-1303.64 My_l=-26.73
Tensioni nella sezione: σ=324.04 τ=39.50
CC 4 SLD (Collegamento 0025_-382)
Azioni sul collegamento: N=-7317.51 Ty=-3.60 Tz=3.58 Mx=0.01 Mz=-1.82
Sollecitazioni agenti localmente: Ty_l=-1304.45 My_l=-26.75
Tensioni nella sezione: σ=324.26 τ=39.53
CC 5 SLV (Collegamento 0025_-382)
Azioni sul collegamento: N=-9117.97 Ty=-1.39 Tz=10.20 Mx=0.02 Mz=0.03
Sollecitazioni agenti localmente: Ty_l=-1616.26 My_l=-33.13
Tensioni nella sezione: σ=401.61 τ=48.98
CC 5 SLV (Collegamento 0025_-382)
Azioni sul collegamento: N=-9117.97 Ty=-3.49 Tz=10.20 Mx=0.02 Mz=0.69
Sollecitazioni agenti localmente: Ty_l=-1613.60 My_l=-33.08
Tensioni nella sezione: σ=400.91 τ=48.90
CC 5 SLV (Collegamento 0025_-382)
Azioni sul collegamento: N=-9117.97 Ty=-1.39 Tz=-9.22 Mx=0.02 Mz=0.03
Sollecitazioni agenti localmente: Ty_l=-1616.26 My_l=-33.13
Tensioni nella sezione: σ=401.61 τ=48.98
CC 5 SLV (Collegamento 0025_-382)
Azioni sul collegamento: N=-9117.97 Ty=-3.49 Tz=-9.22 Mx=0.02 Mz=0.69
Sollecitazioni agenti localmente: Ty_l=-1613.60 My_l=-33.08
Tensioni nella sezione: σ=400.91 τ=48.90
CC 5 SLV (Collegamento 0025_-382)
Azioni sul collegamento: N=-3843.85 Ty=-1.39 Tz=10.20 Mx=0.02 Mz=0.03
Sollecitazioni agenti localmente: Ty_l=-681.30 My_l=-13.97
Tensioni nella sezione: σ=169.29 τ=20.65
CC 5 SLV (Collegamento 0025_-382)
Azioni sul collegamento: N=-3843.85 Ty=-3.49 Tz=10.20 Mx=0.02 Mz=0.69
Sollecitazioni agenti localmente: Ty_l=-678.65 My_l=-13.91
Tensioni nella sezione: σ=168.59 τ=20.57
CC 5 SLV (Collegamento 0025_-382)
Azioni sul collegamento: N=-3843.85 Ty=-1.39 Tz=-9.22 Mx=0.02 Mz=0.03
Sollecitazioni agenti localmente: Ty_l=-681.30 My_l=-13.97
Tensioni nella sezione: σ=169.29 τ=20.65
CC 5 SLV (Collegamento 0025_-382)
Azioni sul collegamento: N=-3843.85 Ty=-3.49 Tz=-9.22 Mx=0.02 Mz=0.69
Sollecitazioni agenti localmente: Ty_l=-678.65 My_l=-13.91
Tensioni nella sezione: σ=168.59 τ=20.57
CC 6 SLD (Collegamento 0025_-382)
Azioni sul collegamento: N=-7317.51 Ty=-3.60 Tz=3.58 Mx=0.01 Mz=-1.82
Sollecitazioni agenti localmente: Ty_l=-1304.45 My_l=-26.75
Tensioni nella sezione: σ=324.26 τ=39.53
CC 6 SLD (Collegamento 0025_-382)
Azioni sul collegamento: N=-7317.51 Ty=-2.97 Tz=3.58 Mx=0.01 Mz=-1.62
Sollecitazioni agenti localmente: Ty_l=-1303.64 My_l=-26.73
Tensioni nella sezione: σ=324.04 τ=39.50
CC 6 SLD (Collegamento 0025_-382)
Azioni sul collegamento: N=-7317.51 Ty=-3.60 Tz=-2.35 Mx=0.01 Mz=-1.82
Sollecitazioni agenti localmente: Ty_l=-1304.45 My_l=-26.75

Tensioni nella sezione: σ=324.26 τ=39.53
CC 6 SLD (Collegamento 0025_-382)
Azioni sul collegamento: N=-7317.51 Ty=-2.97 Tz=-2.35 Mx=0.01 Mz=-1.62
Sollecitazioni agenti localmente: Ty_l=-1303.64 My_l=-26.73
Tensioni nella sezione: σ=324.04 τ=39.50
CC 6 SLD (Collegamento 0025_-382)
Azioni sul collegamento: N=-5709.27 Ty=-3.60 Tz=3.58 Mx=0.01 Mz=-1.82
Sollecitazioni agenti localmente: Ty_l=-1019.35 My_l=-20.91
Tensioni nella sezione: σ=253.41 τ=30.89
CC 6 SLD (Collegamento 0025_-382)
Azioni sul collegamento: N=-5709.27 Ty=-2.97 Tz=3.58 Mx=0.01 Mz=-1.62
Sollecitazioni agenti localmente: Ty_l=-1018.54 My_l=-20.89
Tensioni nella sezione: σ=253.20 τ=30.86
CC 6 SLD (Collegamento 0025_-382)
Azioni sul collegamento: N=-5709.27 Ty=-3.60 Tz=-2.35 Mx=0.01 Mz=-1.82
Sollecitazioni agenti localmente: Ty_l=-1019.35 My_l=-20.91
Tensioni nella sezione: σ=253.41 τ=30.89
CC 6 SLD (Collegamento 0025_-382)
Azioni sul collegamento: N=-5709.27 Ty=-2.97 Tz=-2.35 Mx=0.01 Mz=-1.62
Sollecitazioni agenti localmente: Ty_l=-1018.54 My_l=-20.89
Tensioni nella sezione: σ=253.20 τ=30.86
CC 7 SLV (Collegamento 0025_-382)
Azioni sul collegamento: N=-9123.66 Ty=-0.76 Tz=10.33 Mx=0.01 Mz=-1.23
Sollecitazioni agenti localmente: Ty_l=-1622.27 My_l=-33.26
Tensioni nella sezione: σ=403.19 τ=49.16
CC 7 SLV (Collegamento 0025_-382)
Azioni sul collegamento: N=-9123.66 Ty=-4.12 Tz=10.33 Mx=0.01 Mz=1.95
Sollecitazioni agenti localmente: Ty_l=-1609.61 My_l=-32.99
Tensioni nella sezione: σ=399.83 τ=48.78
CC 7 SLV (Collegamento 0025_-382)
Azioni sul collegamento: N=-9123.66 Ty=-0.76 Tz=-9.35 Mx=0.01 Mz=-1.23
Sollecitazioni agenti localmente: Ty_l=-1622.27 My_l=-33.26
Tensioni nella sezione: σ=403.19 τ=49.16
CC 7 SLV (Collegamento 0025_-382)
Azioni sul collegamento: N=-9123.66 Ty=-4.12 Tz=-9.35 Mx=0.01 Mz=1.95
Sollecitazioni agenti localmente: Ty_l=-1609.61 My_l=-32.99
Tensioni nella sezione: σ=399.83 τ=48.78
CC 7 SLV (Collegamento 0025_-382)
Azioni sul collegamento: N=-3838.16 Ty=-0.76 Tz=10.33 Mx=0.01 Mz=-1.23
Sollecitazioni agenti localmente: Ty_l=-685.29 My_l=-14.06
Tensioni nella sezione: σ=170.37 τ=20.77
CC 7 SLV (Collegamento 0025_-382)
Azioni sul collegamento: N=-3838.16 Ty=-4.12 Tz=10.33 Mx=0.01 Mz=1.95
Sollecitazioni agenti localmente: Ty_l=-672.64 My_l=-13.78
Tensioni nella sezione: σ=167.01 τ=20.38
CC 7 SLV (Collegamento 0025_-382)
Azioni sul collegamento: N=-3838.16 Ty=-0.76 Tz=-9.35 Mx=0.01 Mz=-1.23
Sollecitazioni agenti localmente: Ty_l=-685.29 My_l=-14.06
Tensioni nella sezione: σ=170.37 τ=20.77
CC 7 SLV (Collegamento 0025_-382)
Azioni sul collegamento: N=-3838.16 Ty=-4.12 Tz=-9.35 Mx=0.01 Mz=1.95
Sollecitazioni agenti localmente: Ty_l=-672.64 My_l=-13.78
Tensioni nella sezione: σ=167.01 τ=20.38
CC 8 SLD (Collegamento 0025_-382)
Azioni sul collegamento: N=-7319.25 Ty=-3.80 Tz=3.62 Mx=0.01 Mz=-2.21
Sollecitazioni agenti localmente: Ty_l=-1306.28 My_l=-26.79
Tensioni nella sezione: σ=324.74 τ=39.58
CC 8 SLD (Collegamento 0025_-382)
Azioni sul collegamento: N=-7319.25 Ty=-2.77 Tz=3.62 Mx=0.01 Mz=-1.24
Sollecitazioni agenti localmente: Ty_l=-1302.42 My_l=-26.71
Tensioni nella sezione: σ=323.71 τ=39.47
CC 8 SLD (Collegamento 0025_-382)
Azioni sul collegamento: N=-7319.25 Ty=-3.80 Tz=-2.38 Mx=0.01 Mz=-2.21
Sollecitazioni agenti localmente: Ty_l=-1306.28 My_l=-26.79
Tensioni nella sezione: σ=324.74 τ=39.58
CC 8 SLD (Collegamento 0025_-382)
Azioni sul collegamento: N=-7319.25 Ty=-2.77 Tz=-2.38 Mx=0.01 Mz=-1.24
Sollecitazioni agenti localmente: Ty_l=-1302.42 My_l=-26.71
Tensioni nella sezione: σ=323.71 τ=39.47
CC 8 SLD (Collegamento 0025_-382)
Azioni sul collegamento: N=-5707.53 Ty=-3.80 Tz=3.62 Mx=0.01 Mz=-2.21
Sollecitazioni agenti localmente: Ty_l=-1020.56 My_l=-20.93
Tensioni nella sezione: σ=253.74 τ=30.93
CC 8 SLD (Collegamento 0025_-382)
Azioni sul collegamento: N=-5707.53 Ty=-2.77 Tz=3.62 Mx=0.01 Mz=-1.24
Sollecitazioni agenti localmente: Ty_l=-1016.71 My_l=-20.85
Tensioni nella sezione: σ=252.72 τ=30.81
CC 8 SLD (Collegamento 0025_-382)
Azioni sul collegamento: N=-5707.53 Ty=-3.80 Tz=-2.38 Mx=0.01 Mz=-2.21
Sollecitazioni agenti localmente: Ty_l=-1020.56 My_l=-20.93

Tensioni nella sezione: σ=253.74 τ=30.93
CC 8 SLD (Collegamento 0025_-382)
Azioni sul collegamento: N=-5707.53 Ty=-2.77 Tz=-2.38 Mx=0.01 Mz=-1.24
Sollecitazioni agenti localmente: Ty_l=-1016.71 My_l=-20.85
Tensioni nella sezione: σ=252.72 τ=30.81
CC 9 SLV (Collegamento 0025_-382)
Azioni sul collegamento: N=-5679.47 Ty=-3.91 Tz=-2.66 Mx=0.03 Mz=2.74
Sollecitazioni agenti localmente: Ty_l=-995.90 My_l=-20.40
Tensioni nella sezione: σ=247.28 τ=30.18
CC 9 SLV (Collegamento 0025_-382)
Azioni sul collegamento: N=-5679.47 Ty=-0.97 Tz=-2.66 Mx=0.03 Mz=-2.02
Sollecitazioni agenti localmente: Ty_l=-1014.86 My_l=-20.82
Tensioni nella sezione: σ=252.31 τ=30.75
CC 9 SLV (Collegamento 0025_-382)
Azioni sul collegamento: N=-5679.47 Ty=-3.91 Tz=3.63 Mx=0.03 Mz=2.74
Sollecitazioni agenti localmente: Ty_l=-995.90 My_l=-20.40
Tensioni nella sezione: σ=247.28 τ=30.18
CC 9 SLV (Collegamento 0025_-382)
Azioni sul collegamento: N=-5679.47 Ty=-0.97 Tz=3.63 Mx=0.03 Mz=-2.02
Sollecitazioni agenti localmente: Ty_l=-1014.86 My_l=-20.82
Tensioni nella sezione: σ=252.31 τ=30.75
CC 9 SLV (Collegamento 0025_-382)
Azioni sul collegamento: N=-7282.35 Ty=-3.91 Tz=-2.66 Mx=0.03 Mz=2.74
Sollecitazioni agenti localmente: Ty_l=-1280.05 My_l=-26.23
Tensioni nella sezione: σ=317.89 τ=38.79
CC 9 SLV (Collegamento 0025_-382)
Azioni sul collegamento: N=-7282.35 Ty=-0.97 Tz=-2.66 Mx=0.03 Mz=-2.02
Sollecitazioni agenti localmente: Ty_l=-1299.01 My_l=-26.64
Tensioni nella sezione: σ=322.92 τ=39.36
CC 9 SLV (Collegamento 0025_-382)
Azioni sul collegamento: N=-7282.35 Ty=-3.91 Tz=3.63 Mx=0.03 Mz=2.74
Sollecitazioni agenti localmente: Ty_l=-1280.05 My_l=-26.23
Tensioni nella sezione: σ=317.89 τ=38.79
CC 9 SLV (Collegamento 0025_-382)
Azioni sul collegamento: N=-7282.35 Ty=-0.97 Tz=3.63 Mx=0.03 Mz=-2.02
Sollecitazioni agenti localmente: Ty_l=-1299.01 My_l=-26.64
Tensioni nella sezione: σ=322.92 τ=39.36
CC 10 SLD (Collegamento 0025_-382)
Azioni sul collegamento: N=-6269.01 Ty=-2.84 Tz=-0.34 Mx=0.01 Mz=-0.99
Sollecitazioni agenti localmente: Ty_l=-1115.28 My_l=-22.87
Tensioni nella sezione: σ=277.20 τ=33.80
CC 10 SLD (Collegamento 0025_-382)
Azioni sul collegamento: N=-6269.01 Ty=-3.73 Tz=-0.34 Mx=0.01 Mz=-2.45
Sollecitazioni agenti localmente: Ty_l=-1121.06 My_l=-23.00
Tensioni nella sezione: σ=278.73 τ=33.97
CC 10 SLD (Collegamento 0025_-382)
Azioni sul collegamento: N=-6269.00 Ty=-2.84 Tz=1.57 Mx=0.01 Mz=-0.99
Sollecitazioni agenti localmente: Ty_l=-1115.28 My_l=-22.87
Tensioni nella sezione: σ=277.20 τ=33.80
CC 10 SLD (Collegamento 0025_-382)
Azioni sul collegamento: N=-6269.00 Ty=-3.73 Tz=1.57 Mx=0.01 Mz=-2.45
Sollecitazioni agenti localmente: Ty_l=-1121.06 My_l=-23.00
Tensioni nella sezione: σ=278.73 τ=33.97
CC 10 SLD (Collegamento 0025_-382)
Azioni sul collegamento: N=-6757.78 Ty=-2.84 Tz=-0.34 Mx=0.01 Mz=-0.99
Sollecitazioni agenti localmente: Ty_l=-1201.92 My_l=-24.64
Tensioni nella sezione: σ=298.73 τ=36.42
CC 10 SLD (Collegamento 0025_-382)
Azioni sul collegamento: N=-6757.78 Ty=-3.73 Tz=-0.34 Mx=0.01 Mz=-2.45
Sollecitazioni agenti localmente: Ty_l=-1207.71 My_l=-24.77
Tensioni nella sezione: σ=300.26 τ=36.60
CC 10 SLD (Collegamento 0025_-382)
Azioni sul collegamento: N=-6757.78 Ty=-2.84 Tz=1.57 Mx=0.01 Mz=-0.99
Sollecitazioni agenti localmente: Ty_l=-1201.92 My_l=-24.64
Tensioni nella sezione: σ=298.73 τ=36.42
CC 10 SLD (Collegamento 0025_-382)
Azioni sul collegamento: N=-6757.78 Ty=-3.73 Tz=1.57 Mx=0.01 Mz=-2.45
Sollecitazioni agenti localmente: Ty_l=-1207.71 My_l=-24.77
Tensioni nella sezione: σ=300.26 τ=36.60
CC 11 SLV (Collegamento 0025_-382)
Azioni sul collegamento: N=-7263.41 Ty=-3.09 Tz=3.21 Mx=0.02 Mz=2.17
Sollecitazioni agenti localmente: Ty_l=-1278.98 My_l=-26.21
Tensioni nella sezione: σ=317.66 τ=38.76
CC 11 SLV (Collegamento 0025_-382)
Azioni sul collegamento: N=-7263.41 Ty=-1.79 Tz=3.21 Mx=0.02 Mz=-1.45
Sollecitazioni agenti localmente: Ty_l=-1293.35 My_l=-26.52
Tensioni nella sezione: σ=321.48 τ=39.19
CC 11 SLV (Collegamento 0025_-382)
Azioni sul collegamento: N=-7263.41 Ty=-3.09 Tz=-2.23 Mx=0.02 Mz=2.17
Sollecitazioni agenti localmente: Ty_l=-1278.98 My_l=-26.21

Tensioni nella sezione: σ=317.66 τ=38.76
CC 11 SLV (Collegamento 0025_-382)
Azioni sul collegamento: N=-7263.41 Ty=-1.79 Tz=-2.23 Mx=0.02 Mz=-1.45
Sollecitazioni agenti localmente: Ty_l=-1293.35 My_l=-26.52
Tensioni nella sezione: σ=321.48 τ=39.19
CC 11 SLV (Collegamento 0025_-382)
Azioni sul collegamento: N=-5698.41 Ty=-3.09 Tz=3.21 Mx=0.02 Mz=2.17
Sollecitazioni agenti localmente: Ty_l=-1001.55 My_l=-20.52
Tensioni nella sezione: σ=248.72 τ=30.35
CC 11 SLV (Collegamento 0025_-382)
Azioni sul collegamento: N=-5698.41 Ty=-1.79 Tz=3.21 Mx=0.02 Mz=-1.45
Sollecitazioni agenti localmente: Ty_l=-1015.92 My_l=-20.83
Tensioni nella sezione: σ=252.54 τ=30.79
CC 11 SLV (Collegamento 0025_-382)
Azioni sul collegamento: N=-5698.41 Ty=-3.09 Tz=-2.23 Mx=0.02 Mz=2.17
Sollecitazioni agenti localmente: Ty_l=-1001.55 My_l=-20.52
Tensioni nella sezione: σ=248.72 τ=30.35
CC 11 SLV (Collegamento 0025_-382)
Azioni sul collegamento: N=-5698.41 Ty=-1.79 Tz=-2.23 Mx=0.02 Mz=-1.45
Sollecitazioni agenti localmente: Ty_l=-1015.92 My_l=-20.83
Tensioni nella sezione: σ=252.54 τ=30.79
CC 12 SLD (Collegamento 0025_-382)
Azioni sul collegamento: N=-6752.00 Ty=-3.09 Tz=1.44 Mx=0.01 Mz=-1.17
Sollecitazioni agenti localmente: Ty_l=-1201.60 My_l=-24.64
Tensioni nella sezione: σ=298.66 τ=36.41
CC 12 SLD (Collegamento 0025_-382)
Azioni sul collegamento: N=-6752.00 Ty=-3.48 Tz=1.44 Mx=0.01 Mz=-2.27
Sollecitazioni agenti localmente: Ty_l=-1205.98 My_l=-24.74
Tensioni nella sezione: σ=299.82 τ=36.54
CC 12 SLD (Collegamento 0025_-382)
Azioni sul collegamento: N=-6752.00 Ty=-3.09 Tz=-0.21 Mx=0.01 Mz=-1.17
Sollecitazioni agenti localmente: Ty_l=-1201.60 My_l=-24.64
Tensioni nella sezione: σ=298.66 τ=36.41
CC 12 SLD (Collegamento 0025_-382)
Azioni sul collegamento: N=-6752.00 Ty=-3.48 Tz=-0.21 Mx=0.01 Mz=-2.27
Sollecitazioni agenti localmente: Ty_l=-1205.98 My_l=-24.74
Tensioni nella sezione: σ=299.82 τ=36.54
CC 12 SLD (Collegamento 0025_-382)
Azioni sul collegamento: N=-6274.78 Ty=-3.09 Tz=1.44 Mx=0.01 Mz=-1.17
Sollecitazioni agenti localmente: Ty_l=-1117.00 My_l=-22.91
Tensioni nella sezione: σ=277.64 τ=33.85
CC 12 SLD (Collegamento 0025_-382)
Azioni sul collegamento: N=-6274.78 Ty=-3.48 Tz=1.44 Mx=0.01 Mz=-2.27
Sollecitazioni agenti localmente: Ty_l=-1121.38 My_l=-23.00
Tensioni nella sezione: σ=278.80 τ=33.98
CC 12 SLD (Collegamento 0025_-382)
Azioni sul collegamento: N=-6274.78 Ty=-3.09 Tz=-0.21 Mx=0.01 Mz=-1.17
Sollecitazioni agenti localmente: Ty_l=-1117.00 My_l=-22.91
Tensioni nella sezione: σ=277.64 τ=33.85
CC 12 SLD (Collegamento 0025_-382)
Azioni sul collegamento: N=-6274.78 Ty=-3.48 Tz=-0.21 Mx=0.01 Mz=-2.27
Sollecitazioni agenti localmente: Ty_l=-1121.38 My_l=-23.00
Tensioni nella sezione: σ=278.80 τ=33.98
CC 13 SLV (Collegamento 0025_-382)
Azioni sul collegamento: N=-5698.41 Ty=-1.79 Tz=-2.23 Mx=0.01 Mz=-1.45
Sollecitazioni agenti localmente: Ty_l=-1015.92 My_l=-20.83
Tensioni nella sezione: σ=252.54 τ=30.79
CC 13 SLV (Collegamento 0025_-382)
Azioni sul collegamento: N=-5698.41 Ty=-3.09 Tz=-2.23 Mx=0.01 Mz=2.17
Sollecitazioni agenti localmente: Ty_l=-1001.55 My_l=-20.52
Tensioni nella sezione: σ=248.72 τ=30.35
CC 13 SLV (Collegamento 0025_-382)
Azioni sul collegamento: N=-5698.41 Ty=-1.79 Tz=3.21 Mx=0.01 Mz=-1.45
Sollecitazioni agenti localmente: Ty_l=-1015.92 My_l=-20.83
Tensioni nella sezione: σ=252.54 τ=30.79
CC 13 SLV (Collegamento 0025_-382)
Azioni sul collegamento: N=-5698.41 Ty=-3.09 Tz=3.21 Mx=0.01 Mz=2.17
Sollecitazioni agenti localmente: Ty_l=-1001.55 My_l=-20.52
Tensioni nella sezione: σ=248.72 τ=30.35
CC 13 SLV (Collegamento 0025_-382)
Azioni sul collegamento: N=-7263.41 Ty=-1.79 Tz=-2.23 Mx=0.01 Mz=-1.45
Sollecitazioni agenti localmente: Ty_l=-1293.35 My_l=-26.52
Tensioni nella sezione: σ=321.48 τ=39.19
CC 13 SLV (Collegamento 0025_-382)
Azioni sul collegamento: N=-7263.41 Ty=-3.09 Tz=-2.23 Mx=0.01 Mz=2.17
Sollecitazioni agenti localmente: Ty_l=-1278.98 My_l=-26.21
Tensioni nella sezione: σ=317.66 τ=38.76
CC 13 SLV (Collegamento 0025_-382)
Azioni sul collegamento: N=-7263.41 Ty=-1.79 Tz=3.21 Mx=0.01 Mz=-1.45
Sollecitazioni agenti localmente: Ty_l=-1293.35 My_l=-26.52

Tensioni nella sezione: σ=321.48 τ=39.19
CC 13 SLV (Collegamento 0025_-382)
Azioni sul collegamento: N=-7263.41 Ty=-3.09 Tz=3.21 Mx=0.01 Mz=2.17
Sollecitazioni agenti localmente: Ty_l=-1278.98 My_l=-26.21
Tensioni nella sezione: σ=317.66 τ=38.76
CC 14 SLD (Collegamento 0025_-382)
Azioni sul collegamento: N=-6274.78 Ty=-3.48 Tz=-0.21 Mx=0.01 Mz=-2.27
Sollecitazioni agenti localmente: Ty_l=-1121.38 My_l=-23.00
Tensioni nella sezione: σ=278.80 τ=33.98
CC 14 SLD (Collegamento 0025_-382)
Azioni sul collegamento: N=-6274.78 Ty=-3.09 Tz=-0.21 Mx=0.01 Mz=-1.17
Sollecitazioni agenti localmente: Ty_l=-1117.00 My_l=-22.91
Tensioni nella sezione: σ=277.64 τ=33.85
CC 14 SLD (Collegamento 0025_-382)
Azioni sul collegamento: N=-6274.78 Ty=-3.48 Tz=1.44 Mx=0.01 Mz=-2.27
Sollecitazioni agenti localmente: Ty_l=-1121.38 My_l=-23.00
Tensioni nella sezione: σ=278.80 τ=33.98
CC 14 SLD (Collegamento 0025_-382)
Azioni sul collegamento: N=-6274.78 Ty=-3.09 Tz=1.44 Mx=0.01 Mz=-1.17
Sollecitazioni agenti localmente: Ty_l=-1117.00 My_l=-22.91
Tensioni nella sezione: σ=277.64 τ=33.85
CC 14 SLD (Collegamento 0025_-382)
Azioni sul collegamento: N=-6752.00 Ty=-3.48 Tz=-0.21 Mx=0.01 Mz=-2.27
Sollecitazioni agenti localmente: Ty_l=-1205.98 My_l=-24.74
Tensioni nella sezione: σ=299.82 τ=36.54
CC 14 SLD (Collegamento 0025_-382)
Azioni sul collegamento: N=-6752.00 Ty=-3.09 Tz=-0.21 Mx=0.01 Mz=-1.17
Sollecitazioni agenti localmente: Ty_l=-1201.60 My_l=-24.64
Tensioni nella sezione: σ=298.66 τ=36.41
CC 14 SLD (Collegamento 0025_-382)
Azioni sul collegamento: N=-6752.00 Ty=-3.48 Tz=1.44 Mx=0.01 Mz=-2.27
Sollecitazioni agenti localmente: Ty_l=-1205.98 My_l=-24.74
Tensioni nella sezione: σ=299.82 τ=36.54
CC 14 SLD (Collegamento 0025_-382)
Azioni sul collegamento: N=-6752.00 Ty=-3.09 Tz=1.44 Mx=0.01 Mz=-1.17
Sollecitazioni agenti localmente: Ty_l=-1201.60 My_l=-24.64
Tensioni nella sezione: σ=298.66 τ=36.41
CC 15 SLV (Collegamento 0025_-382)
Azioni sul collegamento: N=-7282.35 Ty=-0.97 Tz=3.63 Mx=0.01 Mz=-2.02
Sollecitazioni agenti localmente: Ty_l=-1299.01 My_l=-26.64
Tensioni nella sezione: σ=322.92 τ=39.36
CC 15 SLV (Collegamento 0025_-382)
Azioni sul collegamento: N=-7282.35 Ty=-3.91 Tz=3.63 Mx=0.01 Mz=2.74
Sollecitazioni agenti localmente: Ty_l=-1280.05 My_l=-26.23
Tensioni nella sezione: σ=317.89 τ=38.79
CC 15 SLV (Collegamento 0025_-382)
Azioni sul collegamento: N=-7282.35 Ty=-0.97 Tz=-2.66 Mx=0.01 Mz=-2.02
Sollecitazioni agenti localmente: Ty_l=-1299.01 My_l=-26.64
Tensioni nella sezione: σ=322.92 τ=39.36
CC 15 SLV (Collegamento 0025_-382)
Azioni sul collegamento: N=-7282.35 Ty=-3.91 Tz=-2.66 Mx=0.01 Mz=2.74
Sollecitazioni agenti localmente: Ty_l=-1280.05 My_l=-26.23
Tensioni nella sezione: σ=317.89 τ=38.79
CC 15 SLV (Collegamento 0025_-382)
Azioni sul collegamento: N=-5679.47 Ty=-0.97 Tz=3.63 Mx=0.01 Mz=-2.02
Sollecitazioni agenti localmente: Ty_l=-1014.86 My_l=-20.82
Tensioni nella sezione: σ=252.31 τ=30.75
CC 15 SLV (Collegamento 0025_-382)
Azioni sul collegamento: N=-5679.47 Ty=-3.91 Tz=3.63 Mx=0.01 Mz=2.74
Sollecitazioni agenti localmente: Ty_l=-995.90 My_l=-20.40
Tensioni nella sezione: σ=247.28 τ=30.18
CC 15 SLV (Collegamento 0025_-382)
Azioni sul collegamento: N=-5679.47 Ty=-0.97 Tz=-2.66 Mx=0.01 Mz=-2.02
Sollecitazioni agenti localmente: Ty_l=-1014.86 My_l=-20.82
Tensioni nella sezione: σ=252.31 τ=30.75
CC 15 SLV (Collegamento 0025_-382)
Azioni sul collegamento: N=-5679.47 Ty=-3.91 Tz=-2.66 Mx=0.01 Mz=2.74
Sollecitazioni agenti localmente: Ty_l=-995.90 My_l=-20.40
Tensioni nella sezione: σ=247.28 τ=30.18
CC 16 SLD (Collegamento 0025_-382)
Azioni sul collegamento: N=-6757.78 Ty=-3.73 Tz=1.57 Mx=0.00 Mz=-2.45
Sollecitazioni agenti localmente: Ty_l=-1207.71 My_l=-24.77
Tensioni nella sezione: σ=300.26 τ=36.60
CC 16 SLD (Collegamento 0025_-382)
Azioni sul collegamento: N=-6757.78 Ty=-2.84 Tz=1.57 Mx=0.00 Mz=-0.99
Sollecitazioni agenti localmente: Ty_l=-1201.92 My_l=-24.64
Tensioni nella sezione: σ=298.73 τ=36.42
CC 16 SLD (Collegamento 0025_-382)
Azioni sul collegamento: N=-6757.78 Ty=-3.73 Tz=-0.34 Mx=0.00 Mz=-2.45
Sollecitazioni agenti localmente: Ty_l=-1207.71 My_l=-24.77

Tensioni nella sezione: σ=300.26 τ=36.60
CC 16 SLD (Collegamento 0025_-382)
Azioni sul collegamento: N=-6757.78 Ty=-2.84 Tz=-0.34 Mx=0.00 Mz=-0.99
Sollecitazioni agenti localmente: Ty_l=-1201.92 My_l=-24.64
Tensioni nella sezione: σ=298.73 τ=36.42
CC 16 SLD (Collegamento 0025_-382)
Azioni sul collegamento: N=-6269.00 Ty=-3.73 Tz=1.57 Mx=0.00 Mz=-2.45
Sollecitazioni agenti localmente: Ty_l=-1121.06 My_l=-23.00
Tensioni nella sezione: σ=278.73 τ=33.97
CC 16 SLD (Collegamento 0025_-382)
Azioni sul collegamento: N=-6269.00 Ty=-2.84 Tz=1.57 Mx=0.00 Mz=-0.99
Sollecitazioni agenti localmente: Ty_l=-1115.28 My_l=-22.87
Tensioni nella sezione: σ=277.20 τ=33.80
CC 16 SLD (Collegamento 0025_-382)
Azioni sul collegamento: N=-6269.01 Ty=-3.73 Tz=-0.34 Mx=0.00 Mz=-2.45
Sollecitazioni agenti localmente: Ty_l=-1121.06 My_l=-23.00
Tensioni nella sezione: σ=278.73 τ=33.97
CC 16 SLD (Collegamento 0025_-382)
Azioni sul collegamento: N=-6269.01 Ty=-2.84 Tz=-0.34 Mx=0.00 Mz=-0.99
Sollecitazioni agenti localmente: Ty_l=-1115.28 My_l=-22.87
Tensioni nella sezione: σ=277.20 τ=33.80
CC 17 SLV (Collegamento 0025_-382)
Azioni sul collegamento: N=-3931.62 Ty=-3.19 Tz=-8.98 Mx=-0.01 Mz=-4.04
Sollecitazioni agenti localmente: Ty_l=-713.03 My_l=-14.64
Tensioni nella sezione: σ=177.45 τ=21.61
CC 17 SLV (Collegamento 0025_-382)
Azioni sul collegamento: N=-3931.62 Ty=-6.55 Tz=-8.98 Mx=-0.01 Mz=-7.22
Sollecitazioni agenti localmente: Ty_l=-725.69 My_l=-14.92
Tensioni nella sezione: σ=180.81 τ=21.99
CC 17 SLV (Collegamento 0025_-382)
Azioni sul collegamento: N=-3931.62 Ty=-3.19 Tz=10.69 Mx=-0.01 Mz=-4.04
Sollecitazioni agenti localmente: Ty_l=-713.03 My_l=-14.64
Tensioni nella sezione: σ=177.45 τ=21.61
CC 17 SLV (Collegamento 0025_-382)
Azioni sul collegamento: N=-3931.62 Ty=-6.55 Tz=10.69 Mx=-0.01 Mz=-7.22
Sollecitazioni agenti localmente: Ty_l=-725.69 My_l=-14.92
Tensioni nella sezione: σ=180.81 τ=21.99
CC 17 SLV (Collegamento 0025_-382)
Azioni sul collegamento: N=-9217.12 Ty=-3.19 Tz=-8.98 Mx=-0.01 Mz=-4.04
Sollecitazioni agenti localmente: Ty_l=-1650.01 My_l=-33.85
Tensioni nella sezione: σ=410.27 τ=50.00
CC 17 SLV (Collegamento 0025_-382)
Azioni sul collegamento: N=-9217.12 Ty=-6.55 Tz=-8.98 Mx=-0.01 Mz=-7.22
Sollecitazioni agenti localmente: Ty_l=-1662.66 My_l=-34.12
Tensioni nella sezione: σ=413.63 τ=50.38
CC 17 SLV (Collegamento 0025_-382)
Azioni sul collegamento: N=-9217.12 Ty=-3.19 Tz=10.69 Mx=-0.01 Mz=-4.04
Sollecitazioni agenti localmente: Ty_l=-1650.01 My_l=-33.85
Tensioni nella sezione: σ=410.27 τ=50.00
CC 17 SLV (Collegamento 0025_-382)
Azioni sul collegamento: N=-9217.12 Ty=-6.55 Tz=10.69 Mx=-0.01 Mz=-7.22
Sollecitazioni agenti localmente: Ty_l=-1662.66 My_l=-34.12
Tensioni nella sezione: σ=413.63 τ=50.38
CC 18 SLD (Collegamento 0025_-382)
Azioni sul collegamento: N=-5736.03 Ty=-3.51 Tz=-2.27 Mx=-0.00 Mz=-3.06
Sollecitazioni agenti localmente: Ty_l=-1029.02 My_l=-21.11
Tensioni nella sezione: σ=255.90 τ=31.18
CC 18 SLD (Collegamento 0025_-382)
Azioni sul collegamento: N=-5736.03 Ty=-4.54 Tz=-2.27 Mx=-0.00 Mz=-4.03
Sollecitazioni agenti localmente: Ty_l=-1032.88 My_l=-21.20
Tensioni nella sezione: σ=256.93 τ=31.30
CC 18 SLD (Collegamento 0025_-382)
Azioni sul collegamento: N=-5736.03 Ty=-3.51 Tz=3.73 Mx=-0.00 Mz=-3.06
Sollecitazioni agenti localmente: Ty_l=-1029.02 My_l=-21.11
Tensioni nella sezione: σ=255.90 τ=31.18
CC 18 SLD (Collegamento 0025_-382)
Azioni sul collegamento: N=-5736.03 Ty=-4.54 Tz=3.73 Mx=-0.00 Mz=-4.03
Sollecitazioni agenti localmente: Ty_l=-1032.88 My_l=-21.20
Tensioni nella sezione: σ=256.93 τ=31.30
CC 18 SLD (Collegamento 0025_-382)
Azioni sul collegamento: N=-7347.75 Ty=-3.51 Tz=-2.27 Mx=-0.00 Mz=-3.06
Sollecitazioni agenti localmente: Ty_l=-1314.74 My_l=-26.97
Tensioni nella sezione: σ=326.90 τ=39.84
CC 18 SLD (Collegamento 0025_-382)
Azioni sul collegamento: N=-7347.75 Ty=-4.54 Tz=-2.27 Mx=-0.00 Mz=-4.03
Sollecitazioni agenti localmente: Ty_l=-1318.60 My_l=-27.05
Tensioni nella sezione: σ=327.92 τ=39.96
CC 18 SLD (Collegamento 0025_-382)
Azioni sul collegamento: N=-7347.75 Ty=-3.51 Tz=3.73 Mx=-0.00 Mz=-3.06
Sollecitazioni agenti localmente: Ty_l=-1314.74 My_l=-26.97

Tensioni nella sezione: σ=326.90 τ=39.84
CC 18 SLD (Collegamento 0025_-382)
Azioni sul collegamento: N=-7347.75 Ty=-4.54 Tz=3.73 Mx=-0.00 Mz=-4.03
Sollecitazioni agenti localmente: Ty_l=-1318.60 My_l=-27.05
Tensioni nella sezione: σ=327.92 τ=39.96
CC 19 SLV (Collegamento 0025_-382)
Azioni sul collegamento: N=-3937.31 Ty=-3.82 Tz=-8.85 Mx=-0.01 Mz=-5.30
Sollecitazioni agenti localmente: Ty_l=-719.04 My_l=-14.77
Tensioni nella sezione: σ=179.03 τ=21.79
CC 19 SLV (Collegamento 0025_-382)
Azioni sul collegamento: N=-3937.31 Ty=-5.92 Tz=-8.85 Mx=-0.01 Mz=-5.96
Sollecitazioni agenti localmente: Ty_l=-721.70 My_l=-14.83
Tensioni nella sezione: σ=179.73 τ=21.87
CC 19 SLV (Collegamento 0025_-382)
Azioni sul collegamento: N=-3937.31 Ty=-3.82 Tz=10.56 Mx=-0.01 Mz=-5.30
Sollecitazioni agenti localmente: Ty_l=-719.04 My_l=-14.77
Tensioni nella sezione: σ=179.03 τ=21.79
CC 19 SLV (Collegamento 0025_-382)
Azioni sul collegamento: N=-3937.31 Ty=-5.92 Tz=10.56 Mx=-0.01 Mz=-5.96
Sollecitazioni agenti localmente: Ty_l=-721.70 My_l=-14.83
Tensioni nella sezione: σ=179.73 τ=21.87
CC 19 SLV (Collegamento 0025_-382)
Azioni sul collegamento: N=-9211.43 Ty=-3.82 Tz=-8.85 Mx=-0.01 Mz=-5.30
Sollecitazioni agenti localmente: Ty_l=-1654.00 My_l=-33.94
Tensioni nella sezione: σ=411.35 τ=50.12
CC 19 SLV (Collegamento 0025_-382)
Azioni sul collegamento: N=-9211.43 Ty=-5.92 Tz=-8.85 Mx=-0.01 Mz=-5.96
Sollecitazioni agenti localmente: Ty_l=-1656.66 My_l=-33.99
Tensioni nella sezione: σ=412.06 τ=50.20
CC 19 SLV (Collegamento 0025_-382)
Azioni sul collegamento: N=-9211.43 Ty=-3.82 Tz=10.56 Mx=-0.01 Mz=-5.30
Sollecitazioni agenti localmente: Ty_l=-1654.00 My_l=-33.94
Tensioni nella sezione: σ=411.35 τ=50.12
CC 19 SLV (Collegamento 0025_-382)
Azioni sul collegamento: N=-9211.43 Ty=-5.92 Tz=10.56 Mx=-0.01 Mz=-5.96
Sollecitazioni agenti localmente: Ty_l=-1656.66 My_l=-33.99
Tensioni nella sezione: σ=412.06 τ=50.20
CC 20 SLD (Collegamento 0025_-382)
Azioni sul collegamento: N=-5737.77 Ty=-3.71 Tz=-2.23 Mx=-0.00 Mz=-3.45
Sollecitazioni agenti localmente: Ty_l=-1030.86 My_l=-21.15
Tensioni nella sezione: σ=256.38 τ=31.24
CC 20 SLD (Collegamento 0025_-382)
Azioni sul collegamento: N=-5737.77 Ty=-4.34 Tz=-2.23 Mx=-0.00 Mz=-3.65
Sollecitazioni agenti localmente: Ty_l=-1031.67 My_l=-21.17
Tensioni nella sezione: σ=256.60 τ=31.26
CC 20 SLD (Collegamento 0025_-382)
Azioni sul collegamento: N=-5737.77 Ty=-3.71 Tz=3.69 Mx=-0.00 Mz=-3.45
Sollecitazioni agenti localmente: Ty_l=-1030.86 My_l=-21.15
Tensioni nella sezione: σ=256.38 τ=31.24
CC 20 SLD (Collegamento 0025_-382)
Azioni sul collegamento: N=-5737.77 Ty=-4.34 Tz=3.69 Mx=-0.00 Mz=-3.65
Sollecitazioni agenti localmente: Ty_l=-1031.67 My_l=-21.17
Tensioni nella sezione: σ=256.60 τ=31.26
CC 20 SLD (Collegamento 0025_-382)
Azioni sul collegamento: N=-7346.01 Ty=-3.71 Tz=-2.23 Mx=-0.00 Mz=-3.45
Sollecitazioni agenti localmente: Ty_l=-1315.95 My_l=-27.00
Tensioni nella sezione: σ=327.23 τ=39.88
CC 20 SLD (Collegamento 0025_-382)
Azioni sul collegamento: N=-7346.01 Ty=-4.34 Tz=-2.23 Mx=-0.00 Mz=-3.65
Sollecitazioni agenti localmente: Ty_l=-1316.76 My_l=-27.01
Tensioni nella sezione: σ=327.44 τ=39.90
CC 20 SLD (Collegamento 0025_-382)
Azioni sul collegamento: N=-7346.01 Ty=-3.71 Tz=3.69 Mx=-0.00 Mz=-3.45
Sollecitazioni agenti localmente: Ty_l=-1315.95 My_l=-27.00
Tensioni nella sezione: σ=327.23 τ=39.88
CC 20 SLD (Collegamento 0025_-382)
Azioni sul collegamento: N=-7346.01 Ty=-4.34 Tz=3.69 Mx=-0.00 Mz=-3.65
Sollecitazioni agenti localmente: Ty_l=-1316.76 My_l=-27.01
Tensioni nella sezione: σ=327.44 τ=39.90
CC 21 SLV (Collegamento 0025_-382)
Azioni sul collegamento: N=-9211.43 Ty=-5.92 Tz=10.56 Mx=-0.01 Mz=-5.96
Sollecitazioni agenti localmente: Ty_l=-1656.66 My_l=-33.99
Tensioni nella sezione: σ=412.06 τ=50.20
CC 21 SLV (Collegamento 0025_-382)
Azioni sul collegamento: N=-9211.43 Ty=-3.82 Tz=10.56 Mx=-0.01 Mz=-5.30
Sollecitazioni agenti localmente: Ty_l=-1654.00 My_l=-33.94
Tensioni nella sezione: σ=411.35 τ=50.12
CC 21 SLV (Collegamento 0025_-382)
Azioni sul collegamento: N=-9211.43 Ty=-5.92 Tz=-8.85 Mx=-0.01 Mz=-5.96
Sollecitazioni agenti localmente: Ty_l=-1656.66 My_l=-33.99

Tensioni nella sezione: σ=412.06 τ=50.20
CC 21 SLV (Collegamento 0025_-382)
Azioni sul collegamento: N=-9211.43 Ty=-3.82 Tz=-8.85 Mx=-0.01 Mz=-5.30
Sollecitazioni agenti localmente: Ty_l=-1654.00 My_l=-33.94
Tensioni nella sezione: σ=411.35 τ=50.12
CC 21 SLV (Collegamento 0025_-382)
Azioni sul collegamento: N=-3937.31 Ty=-5.92 Tz=10.56 Mx=-0.01 Mz=-5.96
Sollecitazioni agenti localmente: Ty_l=-721.70 My_l=-14.83
Tensioni nella sezione: σ=179.73 τ=21.87
CC 21 SLV (Collegamento 0025_-382)
Azioni sul collegamento: N=-3937.31 Ty=-3.82 Tz=10.56 Mx=-0.01 Mz=-5.30
Sollecitazioni agenti localmente: Ty_l=-719.04 My_l=-14.77
Tensioni nella sezione: σ=179.03 τ=21.79
CC 21 SLV (Collegamento 0025_-382)
Azioni sul collegamento: N=-3937.31 Ty=-5.92 Tz=-8.85 Mx=-0.01 Mz=-5.96
Sollecitazioni agenti localmente: Ty_l=-721.70 My_l=-14.83
Tensioni nella sezione: σ=179.73 τ=21.87
CC 21 SLV (Collegamento 0025_-382)
Azioni sul collegamento: N=-3937.31 Ty=-3.82 Tz=-8.85 Mx=-0.01 Mz=-5.30
Sollecitazioni agenti localmente: Ty_l=-719.04 My_l=-14.77
Tensioni nella sezione: σ=179.03 τ=21.79
CC 22 SLD (Collegamento 0025_-382)
Azioni sul collegamento: N=-7346.01 Ty=-4.34 Tz=3.69 Mx=-0.00 Mz=-3.65
Sollecitazioni agenti localmente: Ty_l=-1316.76 My_l=-27.01
Tensioni nella sezione: σ=327.44 τ=39.90
CC 22 SLD (Collegamento 0025_-382)
Azioni sul collegamento: N=-7346.01 Ty=-3.71 Tz=3.69 Mx=-0.00 Mz=-3.45
Sollecitazioni agenti localmente: Ty_l=-1315.95 My_l=-27.00
Tensioni nella sezione: σ=327.23 τ=39.88
CC 22 SLD (Collegamento 0025_-382)
Azioni sul collegamento: N=-7346.01 Ty=-4.34 Tz=-2.23 Mx=-0.00 Mz=-3.65
Sollecitazioni agenti localmente: Ty_l=-1316.76 My_l=-27.01
Tensioni nella sezione: σ=327.44 τ=39.90
CC 22 SLD (Collegamento 0025_-382)
Azioni sul collegamento: N=-7346.01 Ty=-3.71 Tz=-2.23 Mx=-0.00 Mz=-3.45
Sollecitazioni agenti localmente: Ty_l=-1315.95 My_l=-27.00
Tensioni nella sezione: σ=327.23 τ=39.88
CC 22 SLD (Collegamento 0025_-382)
Azioni sul collegamento: N=-5737.77 Ty=-4.34 Tz=3.69 Mx=-0.00 Mz=-3.65
Sollecitazioni agenti localmente: Ty_l=-1031.67 My_l=-21.17
Tensioni nella sezione: σ=256.60 τ=31.26
CC 22 SLD (Collegamento 0025_-382)
Azioni sul collegamento: N=-5737.77 Ty=-3.71 Tz=3.69 Mx=-0.00 Mz=-3.45
Sollecitazioni agenti localmente: Ty_l=-1030.86 My_l=-21.15
Tensioni nella sezione: σ=256.38 τ=31.24
CC 22 SLD (Collegamento 0025_-382)
Azioni sul collegamento: N=-5737.77 Ty=-4.34 Tz=-2.23 Mx=-0.00 Mz=-3.65
Sollecitazioni agenti localmente: Ty_l=-1031.67 My_l=-21.17
Tensioni nella sezione: σ=256.60 τ=31.26
CC 22 SLD (Collegamento 0025_-382)
Azioni sul collegamento: N=-5737.77 Ty=-3.71 Tz=-2.23 Mx=-0.00 Mz=-3.45
Sollecitazioni agenti localmente: Ty_l=-1030.86 My_l=-21.15
Tensioni nella sezione: σ=256.38 τ=31.24
CC 23 SLV (Collegamento 0025_-382)
Azioni sul collegamento: N=-9217.12 Ty=-6.55 Tz=10.69 Mx=-0.01 Mz=-7.22
Sollecitazioni agenti localmente: Ty_l=-1662.66 My_l=-34.12
Tensioni nella sezione: σ=413.63 τ=50.38
CC 23 SLV (Collegamento 0025_-382)
Azioni sul collegamento: N=-9217.12 Ty=-3.19 Tz=10.69 Mx=-0.01 Mz=-4.04
Sollecitazioni agenti localmente: Ty_l=-1650.01 My_l=-33.85
Tensioni nella sezione: σ=410.27 τ=50.00
CC 23 SLV (Collegamento 0025_-382)
Azioni sul collegamento: N=-9217.12 Ty=-6.55 Tz=-8.98 Mx=-0.01 Mz=-7.22
Sollecitazioni agenti localmente: Ty_l=-1662.66 My_l=-34.12
Tensioni nella sezione: σ=413.63 τ=50.38
CC 23 SLV (Collegamento 0025_-382)
Azioni sul collegamento: N=-9217.12 Ty=-3.19 Tz=-8.98 Mx=-0.01 Mz=-4.04
Sollecitazioni agenti localmente: Ty_l=-1650.01 My_l=-33.85
Tensioni nella sezione: σ=410.27 τ=50.00
CC 23 SLV (Collegamento 0025_-382)
Azioni sul collegamento: N=-3931.62 Ty=-6.55 Tz=10.69 Mx=-0.01 Mz=-7.22
Sollecitazioni agenti localmente: Ty_l=-725.69 My_l=-14.92
Tensioni nella sezione: σ=180.81 τ=21.99
CC 23 SLV (Collegamento 0025_-382)
Azioni sul collegamento: N=-3931.62 Ty=-3.19 Tz=10.69 Mx=-0.01 Mz=-4.04
Sollecitazioni agenti localmente: Ty_l=-713.03 My_l=-14.64
Tensioni nella sezione: σ=177.45 τ=21.61
CC 23 SLV (Collegamento 0025_-382)
Azioni sul collegamento: N=-3931.62 Ty=-6.55 Tz=-8.98 Mx=-0.01 Mz=-7.22
Sollecitazioni agenti localmente: Ty_l=-725.69 My_l=-14.92

Tensioni nella sezione: σ=180.81 τ=21.99
CC 23 SLV (Collegamento 0025_-382)
Azioni sul collegamento: N=-3931.62 Ty=-3.19 Tz=-8.98 Mx=-0.01 Mz=-4.04
Sollecitazioni agenti localmente: Ty_l=-713.03 My_l=-14.64
Tensioni nella sezione: σ=177.45 τ=21.61
CC 24 SLD (Collegamento 0025_-382)
Azioni sul collegamento: N=-7347.75 Ty=-4.54 Tz=3.73 Mx=0.00 Mz=-4.03
Sollecitazioni agenti localmente: Ty_l=-1318.60 My_l=-27.05
Tensioni nella sezione: σ=327.92 τ=39.96
CC 24 SLD (Collegamento 0025_-382)
Azioni sul collegamento: N=-7347.75 Ty=-3.51 Tz=3.73 Mx=0.00 Mz=-3.06
Sollecitazioni agenti localmente: Ty_l=-1314.74 My_l=-26.97
Tensioni nella sezione: σ=326.90 τ=39.84
CC 24 SLD (Collegamento 0025_-382)
Azioni sul collegamento: N=-7347.75 Ty=-4.54 Tz=-2.27 Mx=0.00 Mz=-4.03
Sollecitazioni agenti localmente: Ty_l=-1318.60 My_l=-27.05
Tensioni nella sezione: σ=327.92 τ=39.96
CC 24 SLD (Collegamento 0025_-382)
Azioni sul collegamento: N=-7347.75 Ty=-3.51 Tz=-2.27 Mx=0.00 Mz=-3.06
Sollecitazioni agenti localmente: Ty_l=-1314.74 My_l=-26.97
Tensioni nella sezione: σ=326.90 τ=39.84
CC 24 SLD (Collegamento 0025_-382)
Azioni sul collegamento: N=-5736.03 Ty=-4.54 Tz=3.73 Mx=0.00 Mz=-4.03
Sollecitazioni agenti localmente: Ty_l=-1032.88 My_l=-21.20
Tensioni nella sezione: σ=256.93 τ=31.30
CC 24 SLD (Collegamento 0025_-382)
Azioni sul collegamento: N=-5736.03 Ty=-3.51 Tz=3.73 Mx=0.00 Mz=-3.06
Sollecitazioni agenti localmente: Ty_l=-1029.02 My_l=-21.11
Tensioni nella sezione: σ=255.90 τ=31.18
CC 24 SLD (Collegamento 0025_-382)
Azioni sul collegamento: N=-5736.03 Ty=-4.54 Tz=-2.27 Mx=0.00 Mz=-4.03
Sollecitazioni agenti localmente: Ty_l=-1032.88 My_l=-21.20
Tensioni nella sezione: σ=256.93 τ=31.30
CC 24 SLD (Collegamento 0025_-382)
Azioni sul collegamento: N=-5736.03 Ty=-3.51 Tz=-2.27 Mx=0.00 Mz=-3.06
Sollecitazioni agenti localmente: Ty_l=-1029.02 My_l=-21.11
Tensioni nella sezione: σ=255.90 τ=31.18
CC 25 SLV (Collegamento 0025_-382)
Azioni sul collegamento: N=-5772.93 Ty=-3.40 Tz=-2.29 Mx=-0.02 Mz=-3.25
Sollecitazioni agenti localmente: Ty_l=-1036.29 My_l=-21.26
Tensioni nella sezione: σ=257.72 τ=31.40
CC 25 SLV (Collegamento 0025_-382)
Azioni sul collegamento: N=-5772.93 Ty=-6.34 Tz=-2.29 Mx=-0.02 Mz=-8.01
Sollecitazioni agenti localmente: Ty_l=-1055.26 My_l=-21.68
Tensioni nella sezione: σ=262.76 τ=31.98
CC 25 SLV (Collegamento 0025_-382)
Azioni sul collegamento: N=-5772.93 Ty=-3.40 Tz=4.00 Mx=-0.02 Mz=-3.25
Sollecitazioni agenti localmente: Ty_l=-1036.29 My_l=-21.26
Tensioni nella sezione: σ=257.72 τ=31.40
CC 25 SLV (Collegamento 0025_-382)
Azioni sul collegamento: N=-5772.93 Ty=-6.34 Tz=4.00 Mx=-0.02 Mz=-8.01
Sollecitazioni agenti localmente: Ty_l=-1055.26 My_l=-21.68
Tensioni nella sezione: σ=262.76 τ=31.98
CC 25 SLV (Collegamento 0025_-382)
Azioni sul collegamento: N=-7375.81 Ty=-3.40 Tz=-2.29 Mx=-0.02 Mz=-3.25
Sollecitazioni agenti localmente: Ty_l=-1320.44 My_l=-27.09
Tensioni nella sezione: σ=328.33 τ=40.01
CC 25 SLV (Collegamento 0025_-382)
Azioni sul collegamento: N=-7375.81 Ty=-6.34 Tz=-2.29 Mx=-0.02 Mz=-8.01
Sollecitazioni agenti localmente: Ty_l=-1339.40 My_l=-27.50
Tensioni nella sezione: σ=333.36 τ=40.59
CC 25 SLV (Collegamento 0025_-382)
Azioni sul collegamento: N=-7375.81 Ty=-3.40 Tz=4.00 Mx=-0.02 Mz=-3.25
Sollecitazioni agenti localmente: Ty_l=-1320.44 My_l=-27.09
Tensioni nella sezione: σ=328.33 τ=40.01
CC 25 SLV (Collegamento 0025_-382)
Azioni sul collegamento: N=-7375.81 Ty=-6.34 Tz=4.00 Mx=-0.02 Mz=-8.01
Sollecitazioni agenti localmente: Ty_l=-1339.40 My_l=-27.50
Tensioni nella sezione: σ=333.36 τ=40.59
CC 26 SLD (Collegamento 0025_-382)
Azioni sul collegamento: N=-6297.50 Ty=-3.58 Tz=-0.23 Mx=-0.00 Mz=-2.82
Sollecitazioni agenti localmente: Ty_l=-1127.60 My_l=-23.13
Tensioni nella sezione: σ=280.38 τ=34.17
CC 26 SLD (Collegamento 0025_-382)
Azioni sul collegamento: N=-6297.50 Ty=-4.47 Tz=-0.23 Mx=-0.00 Mz=-4.27
Sollecitazioni agenti localmente: Ty_l=-1133.38 My_l=-23.26
Tensioni nella sezione: σ=281.92 τ=34.34
CC 26 SLD (Collegamento 0025_-382)
Azioni sul collegamento: N=-6297.50 Ty=-3.58 Tz=1.69 Mx=-0.00 Mz=-2.82
Sollecitazioni agenti localmente: Ty_l=-1127.60 My_l=-23.13

Tensioni nella sezione: σ=280.38 τ=34.17
CC 26 SLD (Collegamento 0025_-382)
Azioni sul collegamento: N=-6297.50 Ty=-4.47 Tz=1.69 Mx=-0.00 Mz=-4.27
Sollecitazioni agenti localmente: Ty_l=-1133.38 My_l=-23.26
Tensioni nella sezione: σ=281.92 τ=34.34
CC 26 SLD (Collegamento 0025_-382)
Azioni sul collegamento: N=-6786.28 Ty=-3.58 Tz=-0.23 Mx=-0.00 Mz=-2.82
Sollecitazioni agenti localmente: Ty_l=-1214.24 My_l=-24.91
Tensioni nella sezione: σ=301.91 τ=36.80
CC 26 SLD (Collegamento 0025_-382)
Azioni sul collegamento: N=-6786.28 Ty=-4.47 Tz=-0.23 Mx=-0.00 Mz=-4.27
Sollecitazioni agenti localmente: Ty_l=-1220.02 My_l=-25.03
Tensioni nella sezione: σ=303.45 τ=36.97
CC 26 SLD (Collegamento 0025_-382)
Azioni sul collegamento: N=-6786.28 Ty=-3.58 Tz=1.69 Mx=-0.00 Mz=-2.82
Sollecitazioni agenti localmente: Ty_l=-1214.24 My_l=-24.91
Tensioni nella sezione: σ=301.91 τ=36.80
CC 26 SLD (Collegamento 0025_-382)
Azioni sul collegamento: N=-6786.28 Ty=-4.47 Tz=1.69 Mx=-0.00 Mz=-4.27
Sollecitazioni agenti localmente: Ty_l=-1220.02 My_l=-25.03
Tensioni nella sezione: σ=303.45 τ=36.97
CC 27 SLV (Collegamento 0025_-382)
Azioni sul collegamento: N=-7356.87 Ty=-4.22 Tz=3.57 Mx=-0.02 Mz=-3.82
Sollecitazioni agenti localmente: Ty_l=-1319.38 My_l=-27.07
Tensioni nella sezione: σ=328.10 τ=39.98
CC 27 SLV (Collegamento 0025_-382)
Azioni sul collegamento: N=-7356.87 Ty=-5.52 Tz=3.57 Mx=-0.02 Mz=-7.44
Sollecitazioni agenti localmente: Ty_l=-1333.75 My_l=-27.38
Tensioni nella sezione: σ=331.92 τ=40.42
CC 27 SLV (Collegamento 0025_-382)
Azioni sul collegamento: N=-7356.87 Ty=-4.22 Tz=-1.86 Mx=-0.02 Mz=-3.82
Sollecitazioni agenti localmente: Ty_l=-1319.38 My_l=-27.07
Tensioni nella sezione: σ=328.10 τ=39.98
CC 27 SLV (Collegamento 0025_-382)
Azioni sul collegamento: N=-7356.87 Ty=-5.52 Tz=-1.86 Mx=-0.02 Mz=-7.44
Sollecitazioni agenti localmente: Ty_l=-1333.75 My_l=-27.38
Tensioni nella sezione: σ=331.92 τ=40.42
CC 27 SLV (Collegamento 0025_-382)
Azioni sul collegamento: N=-5791.87 Ty=-4.22 Tz=3.57 Mx=-0.02 Mz=-3.82
Sollecitazioni agenti localmente: Ty_l=-1041.95 My_l=-21.38
Tensioni nella sezione: σ=259.17 τ=31.57
CC 27 SLV (Collegamento 0025_-382)
Azioni sul collegamento: N=-5791.87 Ty=-5.52 Tz=3.57 Mx=-0.02 Mz=-7.44
Sollecitazioni agenti localmente: Ty_l=-1056.32 My_l=-21.70
Tensioni nella sezione: σ=262.98 τ=32.01
CC 27 SLV (Collegamento 0025_-382)
Azioni sul collegamento: N=-5791.87 Ty=-4.22 Tz=-1.86 Mx=-0.02 Mz=-3.82
Sollecitazioni agenti localmente: Ty_l=-1041.95 My_l=-21.38
Tensioni nella sezione: σ=259.17 τ=31.57
CC 27 SLV (Collegamento 0025_-382)
Azioni sul collegamento: N=-5791.87 Ty=-5.52 Tz=-1.86 Mx=-0.02 Mz=-7.44
Sollecitazioni agenti localmente: Ty_l=-1056.32 My_l=-21.70
Tensioni nella sezione: σ=262.98 τ=32.01
CC 28 SLD (Collegamento 0025_-382)
Azioni sul collegamento: N=-6780.50 Ty=-3.83 Tz=1.56 Mx=-0.00 Mz=-3.00
Sollecitazioni agenti localmente: Ty_l=-1213.92 My_l=-24.90
Tensioni nella sezione: σ=301.84 τ=36.79
CC 28 SLD (Collegamento 0025_-382)
Azioni sul collegamento: N=-6780.50 Ty=-4.22 Tz=1.56 Mx=-0.00 Mz=-4.10
Sollecitazioni agenti localmente: Ty_l=-1218.30 My_l=-25.00
Tensioni nella sezione: σ=303.00 τ=36.92
CC 28 SLD (Collegamento 0025_-382)
Azioni sul collegamento: N=-6780.50 Ty=-3.83 Tz=-0.10 Mx=-0.00 Mz=-3.00
Sollecitazioni agenti localmente: Ty_l=-1213.92 My_l=-24.90
Tensioni nella sezione: σ=301.84 τ=36.79
CC 28 SLD (Collegamento 0025_-382)
Azioni sul collegamento: N=-6780.50 Ty=-4.22 Tz=-0.10 Mx=-0.00 Mz=-4.10
Sollecitazioni agenti localmente: Ty_l=-1218.30 My_l=-25.00
Tensioni nella sezione: σ=303.00 τ=36.92
CC 28 SLD (Collegamento 0025_-382)
Azioni sul collegamento: N=-6303.28 Ty=-3.83 Tz=1.56 Mx=-0.00 Mz=-3.00
Sollecitazioni agenti localmente: Ty_l=-1129.32 My_l=-23.17
Tensioni nella sezione: σ=280.82 τ=34.22
CC 28 SLD (Collegamento 0025_-382)
Azioni sul collegamento: N=-6303.28 Ty=-4.22 Tz=1.56 Mx=-0.00 Mz=-4.10
Sollecitazioni agenti localmente: Ty_l=-1133.70 My_l=-23.26
Tensioni nella sezione: σ=281.98 τ=34.35
CC 28 SLD (Collegamento 0025_-382)
Azioni sul collegamento: N=-6303.28 Ty=-3.83 Tz=-0.10 Mx=-0.00 Mz=-3.00
Sollecitazioni agenti localmente: Ty_l=-1129.32 My_l=-23.17

Tensioni nella sezione: σ=280.82 τ=34.22
CC 28 SLD (Collegamento 0025_-382)
Azioni sul collegamento: N=-6303.28 Ty=-4.22 Tz=-0.10 Mx=-0.00 Mz=-4.10
Sollecitazioni agenti localmente: Ty_l=-1133.70 My_l=-23.26
Tensioni nella sezione: σ=281.98 τ=34.35
CC 29 SLV (Collegamento 0025_-382)
Azioni sul collegamento: N=-5791.87 Ty=-5.52 Tz=-1.86 Mx=-0.00 Mz=-7.44
Sollecitazioni agenti localmente: Ty_l=-1056.32 My_l=-21.70
Tensioni nella sezione: σ=262.98 τ=32.01
CC 29 SLV (Collegamento 0025_-382)
Azioni sul collegamento: N=-5791.87 Ty=-4.22 Tz=-1.86 Mx=-0.00 Mz=-3.82
Sollecitazioni agenti localmente: Ty_l=-1041.95 My_l=-21.38
Tensioni nella sezione: σ=259.17 τ=31.57
CC 29 SLV (Collegamento 0025_-382)
Azioni sul collegamento: N=-5791.87 Ty=-5.52 Tz=3.57 Mx=-0.00 Mz=-7.44
Sollecitazioni agenti localmente: Ty_l=-1056.32 My_l=-21.70
Tensioni nella sezione: σ=262.98 τ=32.01
CC 29 SLV (Collegamento 0025_-382)
Azioni sul collegamento: N=-5791.87 Ty=-4.22 Tz=3.57 Mx=-0.00 Mz=-3.82
Sollecitazioni agenti localmente: Ty_l=-1041.95 My_l=-21.38
Tensioni nella sezione: σ=259.17 τ=31.57
CC 29 SLV (Collegamento 0025_-382)
Azioni sul collegamento: N=-7356.87 Ty=-5.52 Tz=-1.86 Mx=-0.00 Mz=-7.44
Sollecitazioni agenti localmente: Ty_l=-1333.75 My_l=-27.38
Tensioni nella sezione: σ=331.92 τ=40.42
CC 29 SLV (Collegamento 0025_-382)
Azioni sul collegamento: N=-7356.87 Ty=-4.22 Tz=-1.86 Mx=-0.00 Mz=-3.82
Sollecitazioni agenti localmente: Ty_l=-1319.38 My_l=-27.07
Tensioni nella sezione: σ=328.10 τ=39.98
CC 29 SLV (Collegamento 0025_-382)
Azioni sul collegamento: N=-7356.87 Ty=-5.52 Tz=3.57 Mx=-0.00 Mz=-7.44
Sollecitazioni agenti localmente: Ty_l=-1333.75 My_l=-27.38
Tensioni nella sezione: σ=331.92 τ=40.42
CC 29 SLV (Collegamento 0025_-382)
Azioni sul collegamento: N=-7356.87 Ty=-4.22 Tz=3.57 Mx=-0.00 Mz=-3.82
Sollecitazioni agenti localmente: Ty_l=-1319.38 My_l=-27.07
Tensioni nella sezione: σ=328.10 τ=39.98
CC 30 SLD (Collegamento 0025_-382)
Azioni sul collegamento: N=-6303.28 Ty=-4.22 Tz=-0.10 Mx=0.00 Mz=-4.10
Sollecitazioni agenti localmente: Ty_l=-1133.70 My_l=-23.26
Tensioni nella sezione: σ=281.98 τ=34.35
CC 30 SLD (Collegamento 0025_-382)
Azioni sul collegamento: N=-6303.28 Ty=-3.83 Tz=-0.10 Mx=0.00 Mz=-3.00
Sollecitazioni agenti localmente: Ty_l=-1129.32 My_l=-23.17
Tensioni nella sezione: σ=280.82 τ=34.22
CC 30 SLD (Collegamento 0025_-382)
Azioni sul collegamento: N=-6303.28 Ty=-4.22 Tz=1.56 Mx=0.00 Mz=-4.10
Sollecitazioni agenti localmente: Ty_l=-1133.70 My_l=-23.26
Tensioni nella sezione: σ=281.98 τ=34.35
CC 30 SLD (Collegamento 0025_-382)
Azioni sul collegamento: N=-6303.28 Ty=-3.83 Tz=1.56 Mx=0.00 Mz=-3.00
Sollecitazioni agenti localmente: Ty_l=-1129.32 My_l=-23.17
Tensioni nella sezione: σ=280.82 τ=34.22
CC 30 SLD (Collegamento 0025_-382)
Azioni sul collegamento: N=-6780.50 Ty=-4.22 Tz=-0.10 Mx=0.00 Mz=-4.10
Sollecitazioni agenti localmente: Ty_l=-1218.30 My_l=-25.00
Tensioni nella sezione: σ=303.00 τ=36.92
CC 30 SLD (Collegamento 0025_-382)
Azioni sul collegamento: N=-6780.50 Ty=-3.83 Tz=-0.10 Mx=0.00 Mz=-3.00
Sollecitazioni agenti localmente: Ty_l=-1213.92 My_l=-24.90
Tensioni nella sezione: σ=301.84 τ=36.79
CC 30 SLD (Collegamento 0025_-382)
Azioni sul collegamento: N=-6780.50 Ty=-4.22 Tz=1.56 Mx=0.00 Mz=-4.10
Sollecitazioni agenti localmente: Ty_l=-1218.30 My_l=-25.00
Tensioni nella sezione: σ=303.00 τ=36.92
CC 30 SLD (Collegamento 0025_-382)
Azioni sul collegamento: N=-6780.50 Ty=-3.83 Tz=1.56 Mx=0.00 Mz=-3.00
Sollecitazioni agenti localmente: Ty_l=-1213.92 My_l=-24.90
Tensioni nella sezione: σ=301.84 τ=36.79
CC 31 SLV (Collegamento 0025_-382)
Azioni sul collegamento: N=-7375.81 Ty=-6.34 Tz=4.00 Mx=-0.00 Mz=-8.01
Sollecitazioni agenti localmente: Ty_l=-1339.40 My_l=-27.50
Tensioni nella sezione: σ=333.36 τ=40.59
CC 31 SLV (Collegamento 0025_-382)
Azioni sul collegamento: N=-7375.81 Ty=-3.40 Tz=4.00 Mx=-0.00 Mz=-3.25
Sollecitazioni agenti localmente: Ty_l=-1320.44 My_l=-27.09
Tensioni nella sezione: σ=328.33 τ=40.01
CC 31 SLV (Collegamento 0025_-382)
Azioni sul collegamento: N=-7375.81 Ty=-6.34 Tz=-2.29 Mx=-0.00 Mz=-8.01
Sollecitazioni agenti localmente: Ty_l=-1339.40 My_l=-27.50

Tensioni nella sezione: σ=333.36 τ=40.59
CC 31 SLV (Collegamento 0025_-382)
Azioni sul collegamento: N=-7375.81 Ty=-3.40 Tz=-2.29 Mx=-0.00 Mz=-3.25
Sollecitazioni agenti localmente: Ty_l=-1320.44 My_l=-27.09
Tensioni nella sezione: σ=328.33 τ=40.01
CC 31 SLV (Collegamento 0025_-382)
Azioni sul collegamento: N=-5772.93 Ty=-6.34 Tz=4.00 Mx=-0.00 Mz=-8.01
Sollecitazioni agenti localmente: Ty_l=-1055.26 My_l=-21.68
Tensioni nella sezione: σ=262.76 τ=31.98
CC 31 SLV (Collegamento 0025_-382)
Azioni sul collegamento: N=-5772.93 Ty=-3.40 Tz=4.00 Mx=-0.00 Mz=-3.25
Sollecitazioni agenti localmente: Ty_l=-1036.29 My_l=-21.26
Tensioni nella sezione: σ=257.72 τ=31.40
CC 31 SLV (Collegamento 0025_-382)
Azioni sul collegamento: N=-5772.93 Ty=-6.34 Tz=-2.29 Mx=-0.00 Mz=-8.01
Sollecitazioni agenti localmente: Ty_l=-1055.26 My_l=-21.68
Tensioni nella sezione: σ=262.76 τ=31.98
CC 31 SLV (Collegamento 0025_-382)
Azioni sul collegamento: N=-5772.93 Ty=-3.40 Tz=-2.29 Mx=-0.00 Mz=-3.25
Sollecitazioni agenti localmente: Ty_l=-1036.29 My_l=-21.26
Tensioni nella sezione: σ=257.72 τ=31.40
CC 32 SLD (Collegamento 0025_-382)
Azioni sul collegamento: N=-6786.28 Ty=-4.47 Tz=1.69 Mx=0.00 Mz=-4.27
Sollecitazioni agenti localmente: Ty_l=-1220.02 My_l=-25.03
Tensioni nella sezione: σ=303.45 τ=36.97
CC 32 SLD (Collegamento 0025_-382)
Azioni sul collegamento: N=-6786.28 Ty=-3.58 Tz=1.69 Mx=0.00 Mz=-2.82
Sollecitazioni agenti localmente: Ty_l=-1214.24 My_l=-24.91
Tensioni nella sezione: σ=301.91 τ=36.80
CC 32 SLD (Collegamento 0025_-382)
Azioni sul collegamento: N=-6786.28 Ty=-4.47 Tz=-0.23 Mx=0.00 Mz=-4.27
Sollecitazioni agenti localmente: Ty_l=-1220.02 My_l=-25.03
Tensioni nella sezione: σ=303.45 τ=36.97
CC 32 SLD (Collegamento 0025_-382)
Azioni sul collegamento: N=-6786.28 Ty=-3.58 Tz=-0.23 Mx=0.00 Mz=-2.82
Sollecitazioni agenti localmente: Ty_l=-1214.24 My_l=-24.91
Tensioni nella sezione: σ=301.91 τ=36.80
CC 32 SLD (Collegamento 0025_-382)
Azioni sul collegamento: N=-6297.50 Ty=-4.47 Tz=1.69 Mx=0.00 Mz=-4.27
Sollecitazioni agenti localmente: Ty_l=-1133.38 My_l=-23.26
Tensioni nella sezione: σ=281.92 τ=34.34
CC 32 SLD (Collegamento 0025_-382)
Azioni sul collegamento: N=-6297.50 Ty=-3.58 Tz=1.69 Mx=0.00 Mz=-2.82
Sollecitazioni agenti localmente: Ty_l=-1127.60 My_l=-23.13
Tensioni nella sezione: σ=280.38 τ=34.17
CC 32 SLD (Collegamento 0025_-382)
Azioni sul collegamento: N=-6297.50 Ty=-4.47 Tz=-0.23 Mx=0.00 Mz=-4.27
Sollecitazioni agenti localmente: Ty_l=-1133.38 My_l=-23.26
Tensioni nella sezione: σ=281.92 τ=34.34
CC 32 SLD (Collegamento 0025_-382)
Azioni sul collegamento: N=-6297.50 Ty=-3.58 Tz=-0.23 Mx=0.00 Mz=-2.82
Sollecitazioni agenti localmente: Ty_l=-1127.60 My_l=-23.13
Tensioni nella sezione: σ=280.38 τ=34.17
CC 33 SLU (Collegamento 0025_-382)
Azioni sul collegamento: N=-30778.60 Ty=-5.67 Tz=81.62 Mx=0.01 Mz=-4.05
Sollecitazioni agenti localmente: Ty_l=-5472.30 My_l=-112.20
Tensioni nella sezione: σ=1360.06 τ=165.83
CC 34 SLU (Collegamento 0025_-382)
Azioni sul collegamento: N=-30229.20 Ty=-5.39 Tz=79.58 Mx=0.01 Mz=-3.85
Sollecitazioni agenti localmente: Ty_l=-5374.11 My_l=-110.19
Tensioni nella sezione: σ=1335.64 τ=162.85
CC 35 SLU (Collegamento 0025_-382)
Azioni sul collegamento: N=-30504.90 Ty=-5.64 Tz=80.58 Mx=0.01 Mz=-4.16
Sollecitazioni agenti localmente: Ty_l=-5424.25 My_l=-111.22
Tensioni nella sezione: σ=1348.12 τ=164.37
CC 36 SLU (Collegamento 0025_-382)
Azioni sul collegamento: N=-30502.90 Ty=-5.42 Tz=80.62 Mx=0.01 Mz=-3.73
Sollecitazioni agenti localmente: Ty_l=-5422.17 My_l=-111.17
Tensioni nella sezione: σ=1347.58 τ=164.31
CC 37 SLU (Collegamento 0025_-382)
Azioni sul collegamento: N=-21507.60 Ty=-6.52 Tz=47.54 Mx=0.01 Mz=-4.63
Sollecitazioni agenti localmente: Ty_l=-3831.13 My_l=-78.56
Tensioni nella sezione: σ=952.29 τ=116.09
CC 38 SLU (Collegamento 0025_-382)
Azioni sul collegamento: N=-20958.20 Ty=-6.23 Tz=45.50 Mx=0.01 Mz=-4.43
Sollecitazioni agenti localmente: Ty_l=-3732.94 My_l=-76.55
Tensioni nella sezione: σ=927.88 τ=113.12
CC 39 SLU (Collegamento 0025_-382)
Azioni sul collegamento: N=-21233.90 Ty=-6.48 Tz=46.50 Mx=0.01 Mz=-4.75
Sollecitazioni agenti localmente: Ty_l=-3783.08 My_l=-77.58

Tensioni nella sezione: σ=940.36 τ=114.64
CC 40 SLU (Collegamento 0025_-382)
Azioni sul collegamento: N=-21231.90 Ty=-6.26 Tz=46.54 Mx=0.01 Mz=-4.31
Sollecitazioni agenti localmente: Ty_l=-3781.00 My_l=-77.53
Tensioni nella sezione: σ=939.81 τ=114.58
CC 41 SLU (Collegamento 0025_-382)
Azioni sul collegamento: N=-32702.20 Ty=-5.53 Tz=88.04 Mx=-0.00 Mz=-4.06
Sollecitazioni agenti localmente: Ty_l=-5813.36 My_l=-119.20
Tensioni nella sezione: σ=1444.80 τ=176.16
CC 42 SLU (Collegamento 0025_-382)
Azioni sul collegamento: N=-32152.80 Ty=-5.24 Tz=86.01 Mx=-0.00 Mz=-3.86
Sollecitazioni agenti localmente: Ty_l=-5715.16 My_l=-117.18
Tensioni nella sezione: σ=1420.39 τ=173.19
CC 43 SLU (Collegamento 0025_-382)
Azioni sul collegamento: N=-32428.50 Ty=-5.50 Tz=87.00 Mx=-0.00 Mz=-4.18
Sollecitazioni agenti localmente: Ty_l=-5765.30 My_l=-118.21
Tensioni nella sezione: σ=1432.87 τ=174.71
CC 44 SLU (Collegamento 0025_-382)
Azioni sul collegamento: N=-32426.50 Ty=-5.28 Tz=87.05 Mx=-0.00 Mz=-3.74
Sollecitazioni agenti localmente: Ty_l=-5763.22 My_l=-118.17
Tensioni nella sezione: σ=1432.32 τ=174.64
CC 45 SLU (Collegamento 0025_-382)
Azioni sul collegamento: N=-23594.00 Ty=-6.22 Tz=55.25 Mx=0.01 Mz=-4.49
Sollecitazioni agenti localmente: Ty_l=-4200.42 My_l=-86.13
Tensioni nella sezione: σ=1044.04 τ=127.28
CC 46 SLU (Collegamento 0025_-382)
Azioni sul collegamento: N=-23044.60 Ty=-5.94 Tz=53.22 Mx=0.01 Mz=-4.28
Sollecitazioni agenti localmente: Ty_l=-4102.23 My_l=-84.12
Tensioni nella sezione: σ=1019.63 τ=124.31
CC 47 SLU (Collegamento 0025_-382)
Azioni sul collegamento: N=-23320.30 Ty=-6.19 Tz=54.21 Mx=0.01 Mz=-4.60
Sollecitazioni agenti localmente: Ty_l=-4152.36 My_l=-85.15
Tensioni nella sezione: σ=1032.11 τ=125.83
CC 48 SLU (Collegamento 0025_-382)
Azioni sul collegamento: N=-23318.30 Ty=-5.97 Tz=54.26 Mx=0.01 Mz=-4.17
Sollecitazioni agenti localmente: Ty_l=-4150.28 My_l=-85.10
Tensioni nella sezione: σ=1031.56 τ=125.77
CC 49 SLU (Collegamento 0025_-382)
Azioni sul collegamento: N=-16657.90 Ty=-6.86 Tz=29.76 Mx=0.01 Mz=-4.92
Sollecitazioni agenti localmente: Ty_l=-2972.58 My_l=-60.97
Tensioni nella sezione: σ=738.97 τ=90.08
CC 50 SLU (Collegamento 0025_-382)
Azioni sul collegamento: N=-16108.50 Ty=-6.57 Tz=27.72 Mx=0.01 Mz=-4.72
Sollecitazioni agenti localmente: Ty_l=-2874.39 My_l=-58.95
Tensioni nella sezione: σ=714.56 τ=87.10
CC 51 SLU (Collegamento 0025_-382)
Azioni sul collegamento: N=-16384.20 Ty=-6.82 Tz=28.72 Mx=0.01 Mz=-5.04
Sollecitazioni agenti localmente: Ty_l=-2924.52 My_l=-59.98
Tensioni nella sezione: σ=727.04 τ=88.62
CC 52 SLU (Collegamento 0025_-382)
Azioni sul collegamento: N=-16382.20 Ty=-6.60 Tz=28.76 Mx=0.01 Mz=-4.60
Sollecitazioni agenti localmente: Ty_l=-2922.44 My_l=-59.94
Tensioni nella sezione: σ=726.49 τ=88.56
CC 53 SLU (Collegamento 0025_-382)
Azioni sul collegamento: N=-25033.10 Ty=-6.12 Tz=60.06 Mx=-0.00 Mz=-4.50
Sollecitazioni agenti localmente: Ty_l=-4455.57 My_l=-91.36
Tensioni nella sezione: σ=1107.45 τ=135.02
CC 54 SLU (Collegamento 0025_-382)
Azioni sul collegamento: N=-24483.80 Ty=-5.83 Tz=58.03 Mx=-0.00 Mz=-4.29
Sollecitazioni agenti localmente: Ty_l=-4357.38 My_l=-89.35
Tensioni nella sezione: σ=1083.03 τ=132.04
CC 55 SLU (Collegamento 0025_-382)
Azioni sul collegamento: N=-24759.40 Ty=-6.08 Tz=59.02 Mx=0.00 Mz=-4.61
Sollecitazioni agenti localmente: Ty_l=-4407.52 My_l=-90.38
Tensioni nella sezione: σ=1095.51 τ=133.56
CC 56 SLU (Collegamento 0025_-382)
Azioni sul collegamento: N=-24757.50 Ty=-5.87 Tz=59.07 Mx=-0.00 Mz=-4.18
Sollecitazioni agenti localmente: Ty_l=-4405.44 My_l=-90.33
Tensioni nella sezione: σ=1094.97 τ=133.50
CC 57 SLU (Collegamento 0025_-382)
Azioni sul collegamento: N=-21981.50 Ty=-5.60 Tz=49.32 Mx=0.01 Mz=-4.03
Sollecitazioni agenti localmente: Ty_l=-3912.76 My_l=-80.23
Tensioni nella sezione: σ=972.53 τ=118.57
CC 58 SLU (Collegamento 0025_-382)
Azioni sul collegamento: N=-21432.10 Ty=-5.31 Tz=47.28 Mx=0.01 Mz=-3.83
Sollecitazioni agenti localmente: Ty_l=-3814.57 My_l=-78.22
Tensioni nella sezione: σ=948.12 τ=115.59
CC 59 SLU (Collegamento 0025_-382)
Azioni sul collegamento: N=-21707.80 Ty=-5.57 Tz=48.28 Mx=0.01 Mz=-4.15
Sollecitazioni agenti localmente: Ty_l=-3864.71 My_l=-79.25

Tensioni nella sezione: σ=960.60 τ=117.11
CC 60 SLU (Collegamento 0025_-382)
Azioni sul collegamento: N=-21705.80 Ty=-5.35 Tz=48.32 Mx=0.01 Mz=-3.72
Sollecitazioni agenti localmente: Ty_l=-3862.62 My_l=-79.20
Tensioni nella sezione: σ=960.05 τ=117.05
CC 61 SLU (Collegamento 0025_-382)
Azioni sul collegamento: N=-15045.40 Ty=-6.23 Tz=23.82 Mx=0.01 Mz=-4.47
Sollecitazioni agenti localmente: Ty_l=-2684.92 My_l=-55.07
Tensioni nella sezione: σ=667.46 τ=81.36
CC 62 SLU (Collegamento 0025_-382)
Azioni sul collegamento: N=-14496.00 Ty=-5.95 Tz=21.79 Mx=0.01 Mz=-4.27
Sollecitazioni agenti localmente: Ty_l=-2586.73 My_l=-53.05
Tensioni nella sezione: σ=643.05 τ=78.39
CC 63 SLU (Collegamento 0025_-382)
Azioni sul collegamento: N=-14771.70 Ty=-6.20 Tz=22.78 Mx=0.01 Mz=-4.59
Sollecitazioni agenti localmente: Ty_l=-2636.87 My_l=-54.08
Tensioni nella sezione: σ=655.53 τ=79.91
CC 64 SLU (Collegamento 0025_-382)
Azioni sul collegamento: N=-14769.70 Ty=-5.98 Tz=22.82 Mx=0.01 Mz=-4.15
Sollecitazioni agenti localmente: Ty_l=-2634.78 My_l=-54.04
Tensioni nella sezione: σ=654.98 τ=79.84
CC 65 SLU (Collegamento 0025_-382)
Azioni sul collegamento: N=-23420.60 Ty=-5.49 Tz=54.12 Mx=-0.00 Mz=-4.04
Sollecitazioni agenti localmente: Ty_l=-4167.92 My_l=-85.46
Tensioni nella sezione: σ=1035.94 τ=126.30
CC 66 SLU (Collegamento 0025_-382)
Azioni sul collegamento: N=-22871.20 Ty=-5.21 Tz=52.09 Mx=-0.00 Mz=-3.84
Sollecitazioni agenti localmente: Ty_l=-4069.73 My_l=-83.45
Tensioni nella sezione: σ=1011.52 τ=123.33
CC 67 SLU (Collegamento 0025_-382)
Azioni sul collegamento: N=-23146.90 Ty=-5.46 Tz=53.08 Mx=-0.00 Mz=-4.16
Sollecitazioni agenti localmente: Ty_l=-4119.86 My_l=-84.48
Tensioni nella sezione: σ=1024.00 τ=124.84
CC 68 SLU (Collegamento 0025_-382)
Azioni sul collegamento: N=-23144.90 Ty=-5.24 Tz=53.13 Mx=-0.00 Mz=-3.72
Sollecitazioni agenti localmente: Ty_l=-4117.78 My_l=-84.44
Tensioni nella sezione: σ=1023.46 τ=124.78
CC 97 SLU (Collegamento 0025_-382)
Azioni sul collegamento: N=-11444.50 Ty=-17.52 Tz=18.88 Mx=-0.03 Mz=-21.34
Sollecitazioni agenti localmente: Ty_l=-2113.67 My_l=-43.45
Tensioni nella sezione: σ=526.65 τ=64.05
CC 98 SLU (Collegamento 0025_-382)
Azioni sul collegamento: N=-10895.20 Ty=-17.24 Tz=16.84 Mx=-0.03 Mz=-21.13
Sollecitazioni agenti localmente: Ty_l=-2015.48 My_l=-41.43
Tensioni nella sezione: σ=502.24 τ=61.08
CC 99 SLU (Collegamento 0025_-382)
Azioni sul collegamento: N=-11170.80 Ty=-17.49 Tz=17.84 Mx=-0.03 Mz=-21.45
Sollecitazioni agenti localmente: Ty_l=-2065.62 My_l=-42.46
Tensioni nella sezione: σ=514.72 τ=62.59
CC 100 SLU (Collegamento 0025_-382)
Azioni sul collegamento: N=-11168.90 Ty=-17.27 Tz=17.88 Mx=-0.04 Mz=-21.02
Sollecitazioni agenti localmente: Ty_l=-2063.53 My_l=-42.42
Tensioni nella sezione: σ=514.17 τ=62.53
CC 101 SLU (Collegamento 0025_-382)
Azioni sul collegamento: N=-7155.53 Ty=-1.61 Tz=2.94 Mx=0.01 Mz=-0.33
Sollecitazioni agenti localmente: Ty_l=-1269.80 My_l=-26.03
Tensioni nella sezione: σ=315.55 τ=38.48
CC 102 SLU (Collegamento 0025_-382)
Azioni sul collegamento: N=-6606.15 Ty=-1.32 Tz=0.91 Mx=0.01 Mz=-0.13
Sollecitazioni agenti localmente: Ty_l=-1171.61 My_l=-24.02
Tensioni nella sezione: σ=291.13 τ=35.50
CC 103 SLU (Collegamento 0025_-382)
Azioni sul collegamento: N=-6881.82 Ty=-1.58 Tz=1.90 Mx=0.01 Mz=-0.45
Sollecitazioni agenti localmente: Ty_l=-1221.74 My_l=-25.05
Tensioni nella sezione: σ=303.62 τ=37.02
CC 104 SLU (Collegamento 0025_-382)
Azioni sul collegamento: N=-6879.85 Ty=-1.36 Tz=1.95 Mx=0.01 Mz=-0.01
Sollecitazioni agenti localmente: Ty_l=-1219.66 My_l=-25.00
Tensioni nella sezione: σ=303.07 τ=36.96

Oggetto: INTEGRAZIONI FASCICOLO VERIFICA SEZIONI ACCIAIO T_{∞}

Simbologia

Sez.		= Numero della sezione
Cod.		= Codice
Tipo		= Tipologia 2C = Doppia C lato labbri 2Cdx = Doppia C lato costola 2I = Doppia I 2L = Doppia L lato labbri 2Ldx = Doppia L lato costole C = C Cdx = C destra Cir. = Circolare Cir.c = Circolare cava I = I L = L Ldx = L destra Om. = Omega Pg = Pi greco Pr = Poligono regolare Prc = Poligono regolare cavo Pc = Per coordinate Ia = Inerzie assegnate R = Rettangolare Rc = Rettangolare cava T = T U = U Ur = U rovescia V = V Vr = V rovescia Z = Z Zdx = Z destra Ts = T stondata Ls = L stondata Cs = C stondata Is = I stondata Dis. = Disegnata
D	<cm>	= Distanza
Area	<cmq>	= Area
Anet	<cmq>	= Area netta per compressione
Aeff	<cmq>	= Area effettiva per trazione
Jy	<cm4>	= Momento d'inerzia rispetto all'asse Y
Jz	<cm4>	= Momento d'inerzia rispetto all'asse Z
Iy	<cm>	= Raggio giratorio d'inerzia rispetto all'asse Y
Iz	<cm>	= Raggio giratorio d'inerzia rispetto all'asse Z
Wymin	<cmc>	= Modulo di resistenza minimo rispetto all'asse Y
Wzmin	<cmc>	= Modulo di resistenza minimo rispetto all'asse Z
Wy,plas	<cmc>	= Modulo di resistenza plastico intorno all'asse Y
Wz,plas	<cmc>	= Modulo di resistenza plastico intorno all'asse Z
Atag,y	<cmq>	= Area resistente a taglio in dir. Y
Atag,z	<cmq>	= Area resistente a taglio in dir. Z
$J\omega$	<cm6>	= Costante di ingobbamento
CC		= Numero della combinazione delle condizioni di carico elementari
N,Ed	<daN>	= Forza assiale di calcolo
Mz,Ed	<daNm>	= Momento flettente di calcolo intorno all'asse Z
Nc,Rd	<daN>	= Resistenza a compressione
Mz,c,Rd	<daNm>	= Resistenza di calcolo a flessione intorno all'asse Z
L	<cm>	= Lunghezza dell'asta
αmy, αmz, αLT		= Coefficienti correttivi per il momento flettente
λ_y		= Snellezza per inflessione intorno all'asse y(c)
Ncr,y	<daN>	= Sforzo normale critico euleriano per inflessione intorno all'asse y(c)
λ^*_y		= Snellezza adimensionale per inflessione intorno all'asse y(c)
Curva		= Curva di instabilità adottata
Φ_y		= Coefficiente Φ per inflessione intorno all'asse y(c)
χ_y		= Coefficiente χ di riduzione per instabilità intorno all'asse y(c)
λ_z		= Snellezza per inflessione intorno all'asse z(e)
Ncr,z	<daN>	= Sforzo normale critico euleriano per inflessione intorno all'asse z(e)
λ^*_z		= Snellezza adimensionale per inflessione intorno all'asse z(e)
Φ_z		= Coefficiente Φ per inflessione intorno all'asse z(e)
χ_z		= Coefficiente χ di riduzione per instabilità intorno all'asse z(e)
Kyy, Kyz, Kzy, Kzz		= Coefficienti di interazione
Xl	<m>	= Coordinata progressiva (dal nodo iniziale dell'asta) in cui viene effettuato il progetto/verifica
N	<daN>	= Sforzo normale
Ty	<daN>	= Taglio in dir. Y
Mz	<daNm>	= Momento flettente intorno all'asse Z
Mx	<daNm>	= Momento torcente intorno all'asse X
MNz,c,Rd	<daNm>	= Resistenza di calcolo a pressoflessione intorno all'asse Z
V,Ed	<daN>	= Forza di taglio di calcolo
Vc,Rd,Red	<daN>	= Resistenza a taglio ridotta
Vc,Rd	<daN>	= Resistenza a taglio
L_{cr}	<m>	= Lunghezza di libera inflessione laterale fra ritegni torsionali
α-imp		= Coefficiente di imperfezione
k_c		= Coeff. di correzione momento flettente per stabilità laterale membrature inflesse
ψ		= Coeff. di correzione momento critico per stabilità laterale membrature inflesse
M,cr	<daNm>	= Momento critico per instabilità flesso torsionale
λ_{LT}		= Coefficiente di imperfezione per stabilità laterale membrature inflesse
$\lambda_{LT,\theta}$		= Coefficiente di imperfezione di confronto per stabilità laterale membrature inflesse
β_{LT}		= Coefficiente per calcolo Φ_{LT}
Φ_{LT}		= Coefficiente Φ per stabilità laterale membrature inflesse
f		= Fattore di modifica per il coefficiente di riduzione
χ_{LT}		= Coefficiente di riduzione per stabilità laterale membrature inflesse
My,Ed	<daNm>	= Momento flettente di calcolo intorno all'asse Y
My,b,Rd	<daNm>	= Resistenza di calcolo a flessione ridotta per stabilità laterale membrature inflesse
My,c,Rd	<daNm>	= Resistenza di calcolo a flessione intorno all'asse Y
Tz	<daN>	= Taglio in dir. Z

My	<daNm>	= Momento flettente intorno all'asse Y
MNy,c,Rd	<daNm>	= Resistenza di calcolo a pressoflessione intorno all'asse Y
α		= Esponente sfruttamento per flessione retta intorno all'asse y
β		= Esponente sfruttamento per flessione retta intorno all'asse z
V,Ed,G	<daN>	= Forza di taglio per azioni non sismiche
V,Ed,M	<daN>	= Forza di taglio dovuta all'applicazione dei momenti resistenti
σ_N	<daN/cmq>	= Tensione normale per sforzo normale
σ_M	<daN/cmq>	= Tensione normale per momento flettente
τ	<daN/cmq>	= Tensione tangenziale per taglio e/o torsione
$\sigma_{ID,max}$	<daN/cmq>	= Tensione ideale massima
Myeq,Ed	<daNm>	= Valore equivalente del momento flettente intorno all'asse Y
Mzeq,Ed	<daNm>	= Valore equivalente del momento flettente intorno all'asse Z
$f_{Z,L}$	<cm>	= Freccia in direzione Z locale
$f_{Z,G}$	<cm>	= Freccia in direzione Z globale

Caratteristiche profilati utilizzati

Sez.	Cod.	Tipo	D <cm>	Area <cmq>	Anet <cmq>	Aeff <cmq>	Jy <cm4>	Jz <cm4>	Iy <cm>	Iz <cm>	Wymin <cmc>	Wzmin <cmc>
2	U160x8.5	Cs	--	26.58	26.58	26.58	916.14	88.69	5.87	1.83	114.52	18.03
3	HEB140	Is	--	42.96	42.96	42.96	1509.25	549.67	5.93	3.58	215.61	78.52
4	IPE120	Is	--	13.21	13.21	13.21	317.76	27.67	4.90	1.45	52.96	8.65
5	HEA100 sez. generica	Is	--	21.24	21.24	21.24	349.24	133.81	4.06	2.51	72.76	26.76

Caratteristiche profilati utilizzati

Sez.	Cod.	Wy,plas <cmc>	Wz,plas <cmc>	Atag,y <cmq>	Atag,z <cmq>	Jω <cm6>
2	U160x8.5	141.21	39.83	13.77	17.14	
3	HEB140	246.04	119.88	36.52	13.08	22478.90
4	IPE120	60.93	13.60	9.10	6.31	889.59
5	HEA100 sez. generica	83.42	41.22	18.44	7.56	2581.33

Asta n. 10 (10 310) HEA100 sez. generica Crit. 10

- Verifica di stabilità aste presso-inflesse (C4.2.4.1.3.3.2) - CC 98 - Classe 1
  Sollecitazioni: N,Ed=-22490.50 Mz,Ed=-52.35
  Resistenze: Nc,Rd=47530.20 Mz,c,Rd=922.54 L=20.00
  αmy, αmz, αLT=0.95, 0.95, 0.95
  λ_Y=4.93 Ncr,y=18095700.00 λ^*_y=0.05 Curva b: Φ_y=0.00 χ_y=1.00
  λ_Z=7.97 Ncr,z=6933490.00 λ^*_z=0.08 Curva c: Φ_z=0.00 χ_z=1.00
  Kyy, Kyz, Kzy, Kzz=0.88, 0.45, 0.53, 0.76
  Verifica YY: 0.47+0.03=0.50
  Verifica ZZ: 0.47+0.04=0.52

- Verifica a pressoflessione retta - CC 98 Xl=0.20 - Classe 1
  Sollecitazioni: N=-22486.00 T_y=-26.22 M_z=-52.35 M_x=-1.22
  Mz,Ed=-52.35 Mz,c,Rd=922.54
  N,Ed=-22486.00 Nc,Rd=47530.20 n=N,Ed/Nc,Rd=0.47
  MNz,c,Rd=839.17 Mz,Ed/MNz,c,Rd=0.06

- Verifica a taglio e torsione dir. Y (4.2.25) - CC 98 Xl=0.00
  Sollecitazioni: N=-22490.50 T_y=-26.22 M_z=-47.11 M_x=-1.22
  V,Ed=-26.22 Vc,Rd,Red=23666.80 V,Ed/Vc,Rd,Red=0.00

Asta n. 11 (11 311) HEA100 sez. generica Crit. 10

- Verifica di stabilità aste presso-inflesse (C4.2.4.1.3.3.2) - CC 97 - Classe 1
  Sollecitazioni: N,Ed=-22490.50 Mz,Ed=-52.35
  Resistenze: Nc,Rd=47530.20 Mz,c,Rd=922.54 L=20.00
  αmy, αmz, αLT=0.95, 0.95, 0.95
  λ_Y=4.93 Ncr,y=18095700.00 λ^*_y=0.05 Curva b: Φ_y=0.00 χ_y=1.00
  λ_Z=7.97 Ncr,z=6933490.00 λ^*_z=0.08 Curva c: Φ_z=0.00 χ_z=1.00
  Kyy, Kyz, Kzy, Kzz=0.88, 0.45, 0.53, 0.76
  Verifica YY: 0.47+0.03=0.50
  Verifica ZZ: 0.47+0.04=0.52

- Verifica a pressoflessione retta - CC 121 Xl=0.20 - Classe 1
  Sollecitazioni: N=-17087.60 T_y=-27.73 M_z=-59.98 M_x=1.29
  Mz,Ed=-59.98 Mz,c,Rd=922.54
  N,Ed=-17087.60 Nc,Rd=47530.20 n=N,Ed/Nc,Rd=0.36
  MNz,c,Rd=901.82 Mz,Ed/MNz,c,Rd=0.07

- Verifica a taglio e torsione dir. Y (4.2.25) - CC 121 Xl=0.20
  Sollecitazioni: N=-17087.60 T_y=-27.73 M_z=-59.98 M_x=1.29
  V,Ed=-27.73 Vc,Rd,Red=23657.00 V,Ed/Vc,Rd,Red=0.00

Asta n. 12 (12 312) HEA100 sez. generica Crit. 10

- Verifica di stabilità aste presso-inflesse (C4.2.4.1.3.3.2) - CC 102 - Classe 1
  Sollecitazioni: N,Ed=-21715.00 Mz,Ed=-12.36
  Resistenze: Nc,Rd=47530.20 Mz,c,Rd=922.54 L=20.00
  αmy, αmz, αLT=0.95, 0.95, 0.95
  λ_Y=4.93 Ncr,y=18095700.00 λ^*_y=0.05 Curva b: Φ_y=0.00 χ_y=1.00
  λ_Z=7.97 Ncr,z=6933490.00 λ^*_z=0.08 Curva c: Φ_z=0.00 χ_z=1.00
  Kyy, Kyz, Kzy, Kzz=0.89, 0.46, 0.53, 0.76
  Verifica YY: 0.46+0.01=0.46
  Verifica ZZ: 0.46+0.01=0.47

- Verifica a compressione (4.2.10) - CC 65 Xl=0.00 - Classe 1
  Sollecitazioni: N=-5254.45 T_y=-1.81
  N,Ed=-5254.45 Nc,Rd=-47530.20 N,Ed/Nc,Rd=0.11

- Verifica a taglio dir. Y (4.2.17) - CC 118 Xl=0.00
  Sollecitazioni: N=-10500.30 T_y=-8.82 M_z=-15.28
  V,Ed=-8.82 Vc,Rd=23824.20 V,Ed/Vc,Rd=0.00

Asta n. 13 (13 313) HEA100 sez. generica Crit. 10

- Verifica di stabilità aste presso-inflesse (C4.2.4.1.3.3.2) - CC 105 - Classe 1
  Sollecitazioni: N,Ed=-21714.30 Mz,Ed=-12.36
  Resistenze: Nc,Rd=47530.20 Mz,c,Rd=922.54 L=20.00
  αmy, αmz, αLT=0.95, 0.95, 0.95
  λ_Y=4.93 Ncr,y=18095700.00 λ^*_y=0.05 Curva b: Φ_y=0.00 χ_y=1.00
  λ_Z=7.97 Ncr,z=6933490.00 λ^*_z=0.08 Curva c: Φ_z=0.00 χ_z=1.00
  Kyy, Kyz, Kzy, Kzz=0.89, 0.46, 0.53, 0.76
  Verifica YY: 0.46+0.01=0.46
  Verifica ZZ: 0.46+0.01=0.47

- Verifica a compressione (4.2.10) - CC 17 Xl=0.00 - Classe 1
  Sollecitazioni: N=-5254.45 T_y=-1.81
  N,Ed=-5254.45 Nc,Rd=-47530.20 N,Ed/Nc,Rd=0.11

- Verifica a taglio dir. Y (4.2.17) - CC 125 Xl=0.00
  Sollecitazioni: N=-9170.09 T_y=-9.96 M_z=-18.94
  V,Ed=-9.96 Vc,Rd=23824.20 V,Ed/Vc,Rd=0.00

Asta n. 14 (14 314) HEA100 sez. generica Crit. 10

- Verifica di stabilità aste presso-inflesse (C4.2.4.1.3.3.2) - CC 102 - Classe 1
  Sollecitazioni: N,Ed=-19336.40 Mz,Ed=-0.01
  Resistenze: Nc,Rd=47530.20 Mz,c,Rd=922.54 L=20.00
  αmy, αmz, αLT=0.95, 0.95, 0.95
  λ_Y=4.93 Ncr,y=18095700.00 λ^*_y=0.05 Curva b: Φ_y=0.00 χ_y=1.00
  λ_Z=7.97 Ncr,z=6933490.00 λ^*_z=0.08 Curva c: Φ_z=0.00 χ_z=1.00
  Kyy, Kyz, Kzy, Kzz=0.89, 0.47, 0.54, 0.78
  Verifica YY: 0.41=0.41
  Verifica ZZ: 0.41=0.41

- Verifica a compressione (4.2.10) - CC 102 Xl=0.00 - Classe 1
  Sollecitazioni: N=-19336.40
  N,Ed=-19336.40 Nc,Rd=-47530.20 N,Ed/Nc,Rd=0.41

- Verifica a taglio dir. Y (4.2.17) - CC 65 Xl=0.00
  Sollecitazioni: N=-3387.28 T_y=1.15 M_z=5.41
  V,Ed=1.15 Vc,Rd=23824.20 V,Ed/Vc,Rd=0.00

Asta n. 15 (15 315) HEA100 sez. generica Crit. 10

- Verifica di stabilità aste presso-inflesse (C4.2.4.1.3.3.2) - CC 105 - Classe 1
  Sollecitazioni: N,Ed=-19335.90 Mz,Ed=-0.01
  Resistenze: Nc,Rd=47530.20 Mz,c,Rd=922.54 L=20.00
  αmy, αmz, αLT=0.95, 0.95, 0.95
  λ_Y=4.93 Ncr,y=18095700.00 λ^*_y=0.05 Curva b: Φ_y=0.00 χ_y=1.00
  λ_Z=7.97 Ncr,z=6933490.00 λ^*_z=0.08 Curva c: Φ_z=0.00 χ_z=1.00
  Kyy, Kyz, Kzy, Kzz=0.89, 0.47, 0.54, 0.78
  Verifica YY: 0.41=0.41

Verifica ZZ: 0.41=0.41

- Verifica a compressione (4.2.10) - CC 105 Xl=0.00 - Classe 1
  Sollecitazioni: N=-19335.90
  N,Ed=-19335.90 Nc,Rd=-47530.20 N,Ed/Nc,Rd=0.41

- Verifica a taglio dir. Y (4.2.17) - CC 17 Xl=0.00
  Sollecitazioni: N=-3387.28 T_y=1.15 M_z=5.41
  V,Ed=1.15 Vc,Rd=23824.20 V,Ed/Vc,Rd=0.00

Asta n. 16 (16 316) HEA100 sez. generica Crit. 10

- Verifica di stabilità aste presso-inflesse (C4.2.4.1.3.3.2) - CC 102 - Classe 1
  Sollecitazioni: N,Ed=-21642.00 Mz,Ed=12.16
  Resistenze: Nc,Rd=47530.20 Mz,c,Rd=922.54 L=20.00
  αmy, αmz, αLT=0.95, 0.95, 0.95
  λ_Y=4.93 Ncr,y=18095700.00 λ^*_y=0.05 Curva b: Φ_y=0.00 χ_y=1.00
  λ_Z=7.97 Ncr,z=6933490.00 λ^*_z=0.08 Curva c: Φ_z=0.00 χ_z=1.00
  Kyy, Kyz, Kzy, Kzz=0.89, 0.46, 0.53, 0.76
  Verifica YY: 0.46+0.01=0.46
  Verifica ZZ: 0.46+0.01=0.47

- Verifica a compressione (4.2.10) - CC 17 Xl=0.00 - Classe 1
  Sollecitazioni: N=-5251.24 T_y=1.80
  N,Ed=-5251.24 Nc,Rd=-47530.20 N,Ed/Nc,Rd=0.11

- Verifica a taglio dir. Y (4.2.17) - CC 118 Xl=0.00
  Sollecitazioni: N=-10455.10 T_y=8.77 M_z=15.03
  V,Ed=8.77 Vc,Rd=23824.20 V,Ed/Vc,Rd=0.00

Asta n. 17 (17 317) HEA100 sez. generica Crit. 10

- Verifica di stabilità aste presso-inflesse (C4.2.4.1.3.3.2) - CC 105 - Classe 1
  Sollecitazioni: N,Ed=-21641.30 Mz,Ed=12.16
  Resistenze: Nc,Rd=47530.20 Mz,c,Rd=922.54 L=20.00
  αmy, αmz, αLT=0.95, 0.95, 0.95
  λ_Y=4.93 Ncr,y=18095700.00 λ^*_y=0.05 Curva b: Φ_y=0.00 χ_y=1.00
  λ_Z=7.97 Ncr,z=6933490.00 λ^*_z=0.08 Curva c: Φ_z=0.00 χ_z=1.00
  Kyy, Kyz, Kzy, Kzz=0.89, 0.46, 0.53, 0.76
  Verifica YY: 0.46+0.01=0.46
  Verifica ZZ: 0.46+0.01=0.47

- Verifica a compressione (4.2.10) - CC 65 Xl=0.00 - Classe 1
  Sollecitazioni: N=-5251.24 T_y=1.80
  N,Ed=-5251.24 Nc,Rd=-47530.20 N,Ed/Nc,Rd=0.11

- Verifica a taglio dir. Y (4.2.17) - CC 125 Xl=0.00
  Sollecitazioni: N=-9129.50 T_y=9.92 M_z=18.71
  V,Ed=9.92 Vc,Rd=23824.20 V,Ed/Vc,Rd=0.00

Asta n. 18 (18 318) HEA100 sez. generica Crit. 10

- Verifica di stabilità aste presso-inflesse (C4.2.4.1.3.3.2) - CC 98 - Classe 1
  Sollecitazioni: N,Ed=-22382.40 Mz,Ed=51.91
  Resistenze: Nc,Rd=47530.20 Mz,c,Rd=922.54 L=20.00
  αmy, αmz, αLT=0.95, 0.95, 0.95
  λ_Y=4.93 Ncr,y=18095700.00 λ^*_y=0.05 Curva b: Φ_y=0.00 χ_y=1.00
  λ_Z=7.97 Ncr,z=6933490.00 λ^*_z=0.08 Curva c: Φ_z=0.00 χ_z=1.00
  Kyy, Kyz, Kzy, Kzz=0.88, 0.45, 0.53, 0.76
  Verifica YY: 0.47+0.03=0.50
  Verifica ZZ: 0.47+0.04=0.51

- Verifica a pressoflessione retta - CC 98 Xl=0.20 - Classe 1
  Sollecitazioni: N=-22377.90 T_y=26.12 M_z=51.91 M_x=1.21
  Mz,Ed=51.91 Mz,c,Rd=922.54
  N,Ed=-22377.90 Nc,Rd=47530.20 n=N,Ed/Nc,Rd=0.47
  MNz,c,Rd=840.83 Mz,Ed/MNz,c,Rd=0.06

- Verifica a taglio e torsione dir. Y (4.2.25) - CC 98 Xl=0.07
  Sollecitazioni: N=-22380.80 T_y=26.12 M_z=48.58 M_x=1.21
  V,Ed=26.12 Vc,Rd,Red=23668.00 V,Ed/Vc,Rd,Red=0.00

Asta n. 19 (19 319) HEA100 sez. generica Crit. 10

- Verifica di stabilità aste presso-inflesse (C4.2.4.1.3.3.2) - CC 97 - Classe 1
  Sollecitazioni: N,Ed=-22382.40 Mz,Ed=51.91
  Resistenze: Nc,Rd=47530.20 Mz,c,Rd=922.54 L=20.00
  αmy, αmz, αLT=0.95, 0.95, 0.95
  λ_Y=4.93 Ncr,y=18095700.00 λ^*_y=0.05 Curva b: Φ_y=0.00 χ_y=1.00
  λ_Z=7.97 Ncr,z=6933490.00 λ^*_z=0.08 Curva c: Φ_z=0.00 χ_z=1.00
  Kyy, Kyz, Kzy, Kzz=0.88, 0.45, 0.53, 0.76
  Verifica YY: 0.47+0.03=0.50
  Verifica ZZ: 0.47+0.04=0.51

- Verifica a pressoflessione retta - CC 121 Xl=0.20 - Classe 1
  Sollecitazioni: N=-16990.00 T_y=27.60 M_z=59.48 M_x=-1.29
  Mz,Ed=59.48 Mz,c,Rd=922.54
  N,Ed=-16990.00 Nc,Rd=47530.20 n=N,Ed/Nc,Rd=0.36
  MNz,c,Rd=902.57 Mz,Ed/MNz,c,Rd=0.07

- Verifica a taglio e torsione dir. Y (4.2.25) - CC 121 Xl=0.00
  Sollecitazioni: N=-16994.50 T_y=27.60 M_z=53.96 M_x=-1.29
  V,Ed=27.60 Vc,Rd,Red=23658.20 V,Ed/Vc,Rd,Red=0.00

Asta n. 313 (-590 310) IPE120 Crit. 10

- Verifica di stabilità aste inflesse (4.2.4.1.3.2) CC 102 - Classe 1
  L_{cr}=0.40 Curva b: α-imp=0.34 k_c=0.94 ψ=1.76 M,cr=37588.50 λ_{LT}=0.20
  $\lambda_{LT,0}$=0.40 β_{LT}=0.75 Φ_{LT}=0.48 β_{LT}=0.75 f=0.99 χ_{LT}=1.00
  CC 102 My,Ed=294.15 My,b,Rd=1363.58 My,Ed/My,b,Rd=0.22

- Verifica di stabilità aste presso-inflesse (C4.2.4.1.3.3.2) - CC 98 - Classe 1
  Sollecitazioni: N,Ed=-641.86 My,Ed=483.36 Mz,Ed=15.10
  Resistenze: Nc,Rd=29566.40 My,c,Rd=1363.58 Mz,c,Rd=304.36 L=40.00
  αmy, αmz, αLT=0.95, 0.95, 0.95
  L_{cr}=0.40 Curva b: α-imp=0.34 k_c=0.94 ψ=1.88 M,cr=40253.40 λ_{LT}=0.19
  $\lambda_{LT,0}$=0.40 β_{LT}=0.75 Φ_{LT}=0.48 β_{LT}=0.75 f=0.99 χ_{LT}=1.00
  λ_Y=8.16 Ncr,y=4116220.00 λ^*_y=0.09 Curva a: Φ_y=0.49 χ_y=1.00
  λ_Z=27.64 Ncr,z=358410.00 λ^*_z=0.29 Curva b: Φ_z=0.56 χ_z=0.97
  Kyy, Kyz, Kzy, Kzz=0.95, 0.57, 0.57, 0.95
  Verifica YY: 0.02+0.34+0.03=0.39
  Verifica ZZ: 0.02+0.20+0.05=0.27

- Verifica freccia massima per soli carichi accidentali - CC 133
  $f_{Z,L}$=0.00 (L/17296)

- Verifica freccia massima carichi totali - CC 134
  $f_{Z,L}$=0.00 (L/9754)

- Verifica a pressoflessione deviata (EC3 6.41) - CC 98 Xl=0.40 - Classe 1
  Sollecitazioni: N=-641.86 T_z=-1358.53 M_y=483.36 T_y=-71.02 M_z=-13.31
  N,Ed=-641.86 Nc,Rd=29566.40 n=N,Ed/Nc,Rd=0.02
  Pressoflessione retta YY (4.2.34):
   My,Ed=483.36 My,c,Rd=1363.58 MNy,c,Rd=1363.58 My,Ed/MNy,c,Rd=0.35
  Pressoflessione retta ZZ (4.2.35):
   Mz,Ed=-13.31 Mz,c,Rd=304.36 MNz,c,Rd=304.36 Mz,Ed/MNz,c,Rd=0.04
  α=2.00 β=1.00 $(My,Ed/MNy,c,Rd)^2+(Mz,Ed/MNz,c,Rd)^1$=0.35

- Verifica a taglio dir. Y (4.2.17) - CC 98 Xl=0.40
  Sollecitazioni: N=-641.86 T_z=-1358.53 M_y=483.36 T_y=-71.02 M_z=-13.31
  V,Ed=-71.02 Vc,Rd=11760.20 V,Ed/Vc,Rd=0.01

- Verifica a taglio dir. Z (4.2.17)
  V,Ed=-1358.53 Vc,Rd=8148.24 V,Ed/Vc,Rd=0.17

Asta n. 313 (310 329) IPE120 Crit. 10

- Verifica di stabilità aste inflesse (4.2.4.1.3.2) CC 102 - Classe 1
  L_{cr}=0.14 Curva b: α-imp=0.34 k_c=0.94 ψ=1.57 M,cr=247918.00 λ_{LT}=0.08
  $\lambda_{LT,0}$=0.40 β_{LT}=0.75 Φ_{LT}=0.45 β_{LT}=0.75 f=1.00 χ_{LT}=1.00
  CC 102 My,Ed=345.46 My,b,Rd=1363.58 My,Ed/My,b,Rd=0.25

- Verifica di stabilità aste presso-inflesse (C4.2.4.1.3.3.2) - CC 98 - Classe 1
  Sollecitazioni: N,Ed=-1004.85 My,Ed=400.88 Mz,Ed=10.98
  Resistenze: Nc,Rd=29566.40 My,c,Rd=1363.58 Mz,c,Rd=304.36 L=14.42
  αmy, αmz, αLT=0.95, 0.95, 0.95
  L_{cr}=0.14 Curva b: α-imp=0.34 k_c=0.94 ψ=1.31 M,cr=206168.00 λ_{LT}=0.08
  $\lambda_{LT,0}$=0.40 β_{LT}=0.75 Φ_{LT}=0.45 β_{LT}=0.75 f=1.00 χ_{LT}=1.00
  λ_Y=2.94 Ncr,y=31672900.00 λ^*_y=0.03 Curva a: Φ_y=0.00 χ_y=1.00
  λ_Z=9.96 Ncr,z=2757840.00 λ^*_z=0.11 Curva b: Φ_z=0.00 χ_z=1.00
  Kyy, Kyz, Kzy, Kzz=0.94, 0.56, 0.57, 0.94
  Verifica YY: 0.03+0.28+0.02=0.33
  Verifica ZZ: 0.03+0.17+0.03=0.23

- Verifica freccia massima per soli carichi accidentali - CC 137
  $f_{z,L}$=0.00 (L/13440)

- Verifica freccia massima carichi totali - CC 138
  $f_{z,L}$=0.00 (L/8518)

- Verifica a pressoflessione deviata (EC3 6.41) - CC 98 Xl=0.00 - Classe 1
  Sollecitazioni: N=-1004.85 T_z=1425.41 M_y=400.88 T_y=-53.90 M_z=10.98
  N,Ed=-1004.85 Nc,Rd=29566.40 n=N,Ed/Nc,Rd=0.03
  Pressoflessione retta YY (4.2.34):
   My,Ed=400.88 My,c,Rd=1363.58 MNy,c,Rd=1363.58 My,Ed/MNy,c,Rd=0.29
  Pressoflessione retta ZZ (4.2.35):
   Mz,Ed=10.98 Mz,c,Rd=304.36 MNz,c,Rd=304.36 Mz,Ed/MNz,c,Rd=0.04
  α=2.00 β=1.00 $(My,Ed/MNy,c,Rd)^2$+$(Mz,Ed/MNz,c,Rd)^1$=0.29

- Verifica a taglio dir. Y (4.2.17) - CC 1 Xl=0.00
  Sollecitazioni: N=-391.58 T_z=3745.25 M_y=86.92 T_y=-12.01 M_z=2.89
  V,Ed=-12.01 Vc,Rd=11760.20 V,Ed/Vc,Rd=0.00

- Verifica a taglio dir. Z (4.2.17)
  V,Ed=3745.25 (V,Ed,G=336.31, V,Ed,M=3408.94) Vc,Rd=8148.24 V,Ed/Vc,Rd=0.46

Asta n. 313 (329 -714) IPE120 Crit. 10

- Verifica di stabilità aste inflesse (4.2.4.1.3.2) CC 102 - Classe 1
  L_{cr}=0.26 Curva b: α-imp=0.34 k_c=0.94 ψ=1.90 M,cr=96445.60 λ_{LT}=0.12
  $\lambda_{LT,0}$=0.40 β_{LT}=0.75 Φ_{LT}=0.46 β_{LT}=0.75 f=1.00 χ_{LT}=1.00
  CC 102 My,Ed=-443.42 My,b,Rd=1363.58 My,Ed/My,b,Rd=0.33

- Verifica di stabilità aste presso-inflesse (C4.2.4.1.3.3.2) - CC 98 - Classe 1
  Sollecitazioni: N,Ed=-1004.85 My,Ed=195.49 Mz,Ed=-10.59
  Resistenze: Nc,Rd=29566.40 My,c,Rd=1363.58 Mz,c,Rd=304.36 L=25.58
  αmy, αmz, αLT=0.95, 0.95, 0.95
  L_{cr}=0.26 Curva b: α-imp=0.34 k_c=0.94 ψ=2.88 M,cr=145976.00 λ_{LT}=0.10
  $\lambda_{LT,0}$=0.40 β_{LT}=0.75 Φ_{LT}=0.45 β_{LT}=0.75 f=1.00 χ_{LT}=1.00
  λ_Y=5.22 Ncr,y=10065100.00 λ^*_y=0.06 Curva a: Φ_y=0.00 χ_y=1.00
  λ_Z=17.68 Ncr,z=876394.00 λ^*_z=0.19 Curva b: Φ_z=0.00 χ_z=1.00
  Kyy, Kyz, Kzy, Kzz=0.95, 0.57, 0.57, 0.94
  Verifica YY: 0.03+0.14+0.02=0.19
  Verifica ZZ: 0.03+0.08+0.03=0.15

- Verifica freccia massima per soli carichi accidentali - CC 137
  $f_{z,L}$=0.00 (L/15549)

- Verifica freccia massima carichi totali - CC 134
  $f_{z,L}$=0.00 (L/15549)

- Verifica a pressoflessione deviata (EC3 6.41) - CC 102 Xl=0.26 - Classe 1
  Sollecitazioni: N=431.39 T_z=1969.41 M_y=-443.42 T_y=-17.83 M_z=-3.54
  N,Ed=431.39 Nc,Rd=29566.40 n=N,Ed/Nc,Rd=0.01
  Pressoflessione retta YY (4.2.34):
   My,Ed=-443.42 My,c,Rd=1363.58 MNy,c,Rd=1363.58 My,Ed/MNy,c,Rd=0.33
  Pressoflessione retta ZZ (4.2.35):
   Mz,Ed=-3.54 Mz,c,Rd=304.36 MNz,c,Rd=304.36 Mz,Ed/MNz,c,Rd=0.01
  α=2.00 β=1.00 $(My,Ed/MNy,c,Rd)^2$+$(Mz,Ed/MNz,c,Rd)^1$=0.33

- Verifica a taglio dir. Y (4.2.17) - CC 1 Xl=0.00
  Sollecitazioni: N=-391.58 T_z=3743.76 M_y=46.85 T_y=-12.01
  V,Ed=-12.01 Vc,Rd=11760.20 V,Ed/Vc,Rd=0.00

- Verifica a taglio dir. Z (4.2.17)
  V,Ed=3743.76 (V,Ed,G=334.81, V,Ed,M=3408.94) Vc,Rd=8148.24 V,Ed/Vc,Rd=0.46

Asta n. 313 (-714 -759) IPE120 Crit. 10

- Verifica di stabilità aste inflesse (4.2.4.1.3.2) CC 102 - Classe 1
  L_{cr}=0.20 Curva b: α-imp=0.34 k_c=0.94 ψ=1.43 M,cr=118151.00 λ_{LT}=0.11
  $\lambda_{LT,0}$=0.40 β_{LT}=0.75 Φ_{LT}=0.46 β_{LT}=0.75 f=1.00 χ_{LT}=1.00
  CC 102 My,Ed=-431.04 My,b,Rd=1363.58 My,Ed/My,b,Rd=0.32

- Verifica di stabilità aste presso-inflesse (C4.2.4.1.3.3.2) - CC 98 - Classe 1
  Sollecitazioni: N,Ed=-1170.93 My,Ed=-180.29 Mz,Ed=8.59
  Resistenze: Nc,Rd=29566.40 My,c,Rd=1363.58 Mz,c,Rd=304.36 L=20.00
  αmy, αmz, αLT=0.95, 0.95, 0.95
  L_{cr}=0.20 Curva b: α-imp=0.34 k_c=0.94 ψ=2.09 M,cr=172421.00 λ_{LT}=0.09
  $\lambda_{LT,0}$=0.40 β_{LT}=0.75 Φ_{LT}=0.45 β_{LT}=0.75 f=1.00 χ_{LT}=1.00
  λ_Y=4.08 Ncr,y=16464900.00 λ^*_y=0.04 Curva a: Φ_y=0.00 χ_y=1.00
  λ_Z=13.82 Ncr,z=1433640.00 λ^*_z=0.15 Curva b: Φ_z=0.00 χ_z=1.00
  Kyy, Kyz, Kzy, Kzz=0.94, 0.56, 0.57, 0.94
  Verifica YY: 0.04+0.12+0.02=0.18
  Verifica ZZ: 0.04+0.07+0.03=0.14

- Verifica freccia massima per soli carichi accidentali - CC 137
  $f_{Z,G}$=0.00 (L/8473)

- Verifica freccia massima carichi totali - CC 138
  $f_{Z,L}$=0.00 (L/7489)

- Verifica a pressoflessione deviata (EC3 6.41) - CC 102 Xl=0.00 - Classe 1
  Sollecitazioni: N=654.27 T_z=-1437.96 M_y=-431.04 T_y=-13.11 M_z=2.76
  N,Ed=654.27 Nc,Rd=29566.40 n=N,Ed/Nc,Rd=0.02
  Pressoflessione retta YY (4.2.34):
   My,Ed=-431.04 My,c,Rd=1363.58 MNy,c,Rd=1363.58 My,Ed/MNy,c,Rd=0.32
  Pressoflessione retta ZZ (4.2.35):
   Mz,Ed=2.76 Mz,c,Rd=304.36 MNz,c,Rd=304.36 Mz,Ed/MNz,c,Rd=0.01
  α=2.00 β=1.00 $(My,Ed/MNy,c,Rd)^2+(Mz,Ed/MNz,c,Rd)^1$=0.32

- Verifica a taglio dir. Y (4.2.17) - CC 1 Xl=0.00
  Sollecitazioni: N=-499.66 T_z=3128.69 M_y=-33.91 T_y=-12.16 M_z=2.87
  V,Ed=-12.16 Vc,Rd=11760.20 V,Ed/Vc,Rd=0.00

- Verifica a taglio dir. Z (4.2.17)
  V,Ed=3128.69 (V,Ed,G=-280.25, V,Ed,M=3408.94) Vc,Rd=8148.24 V,Ed/Vc,Rd=0.38

Asta n. 313 (-759 312) IPE120 Crit. 10

- Verifica di stabilità aste inflesse (4.2.4.1.3.2) CC 102 - Classe 1
  L_{cr}=0.20 Curva b: α-imp=0.34 k_c=0.94 ψ=3.08 M,cr=253387.00 λ_{LT}=0.08
  $\lambda_{LT,0}$=0.40 β_{LT}=0.75 Φ_{LT}=0.45 β_{LT}=0.75 f=1.00 χ_{LT}=1.00
  CC 102 My,Ed=145.27 My,b,Rd=1363.58 My,Ed/My,b,Rd=0.11

- Verifica di stabilità aste presso-inflesse (C4.2.4.1.3.3.2) - CC 98 - Classe 1
  Sollecitazioni: N,Ed=-1170.93 My,Ed=289.38 Mz,Ed=-7.92
  Resistenze: Nc,Rd=29566.40 My,c,Rd=1363.58 Mz,c,Rd=304.36 L=20.00
  αmy, αmz, αLT=0.95, 0.95, 0.95
  L_{cr}=0.20 Curva b: α-imp=0.34 k_c=0.94 ψ=1.56 M,cr=128802.00 λ_{LT}=0.11
  $\lambda_{LT,0}$=0.40 β_{LT}=0.75 Φ_{LT}=0.45 β_{LT}=0.75 f=1.00 χ_{LT}=1.00
  λ_Y=4.08 Ncr,y=16464900.00 λ^*_y=0.04 Curva a: Φ_y=0.00 χ_y=1.00
  λ_Z=13.82 Ncr,z=1433640.00 λ^*_z=0.15 Curva b: Φ_z=0.00 χ_z=1.00
  Kyy, Kyz, Kzy, Kzz=0.94, 0.56, 0.57, 0.94
  Verifica YY: 0.04+0.20+0.01=0.25
  Verifica ZZ: 0.04+0.12+0.02=0.18

- Verifica freccia massima per soli carichi accidentali - CC 137
  $f_{Z,L}$=0.00 (L/15827)

- Verifica freccia massima carichi totali - CC 137
  $f_{Z,L}$=0.00 (L/16448)

- Verifica a pressoflessione deviata (EC3 6.41) - CC 98 Xl=0.20 - Classe 1

Sollecitazioni: N=-1170.93 T_z=-1176.97 M_y=289.38 T_y=-41.27 M_z=-7.92
N,Ed=-1170.93 Nc,Rd=29566.40 n=N,Ed/Nc,Rd=0.04
Pressoflessione retta YY (4.2.34):
My,Ed=289.38 My,c,Rd=1363.58 MNy,c,Rd=1363.58 My,Ed/MNy,c,Rd=0.21
Pressoflessione retta ZZ (4.2.35):
Mz,Ed=-7.92 Mz,c,Rd=304.36 MNz,c,Rd=304.36 Mz,Ed/MNz,c,Rd=0.03
α=2.00 β=1.00 $(My,Ed/MNy,c,Rd)^2+(Mz,Ed/MNz,c,Rd)^1$=0.21

- Verifica a taglio dir. Y (4.2.17) - CC 1 Xl=0.00
Sollecitazioni: N=-499.66 T_z=3126.61 M_y=20.31 T_y=14.86
V,Ed=14.86 Vc,Rd=11760.20 V,Ed/Vc,Rd=0.00

- Verifica a taglio dir. Z (4.2.17)
V,Ed=3126.61 (V,Ed,G=-282.33, V,Ed,M=3408.94) Vc,Rd=8148.24 V,Ed/Vc,Rd=0.38

Asta n. 313 (312 -847) IPE120 Crit. 10

- Verifica di stabilità aste inflesse (4.2.4.1.3.2) CC 102 - Classe 1
L_{cr}=0.40 Curva b: α-imp=0.34 k_c=0.94 ψ=2.65 M,cr=56561.50 λ_{LT}=0.16
$\lambda_{LT,0}$=0.40 β_{LT}=0.75 Φ_{LT}=0.47 β_{LT}=0.75 f=0.99 χ_{LT}=1.00
CC 102 My,Ed=-171.92 My,b,Rd=1363.58 My,Ed/My,b,Rd=0.13

- Verifica di stabilità aste presso-inflesse (C4.2.4.1.3.3.2) - CC 98 - Classe 1
Sollecitazioni: N,Ed=-1219.81 My,Ed=271.42 Mz,Ed=5.55
Resistenze: Nc,Rd=29566.40 My,c,Rd=1363.58 Mz,c,Rd=304.36 L=40.00
αmy, αmz, αLT=0.95, 0.95, 0.95
L_{cr}=0.40 Curva b: α-imp=0.34 k_c=0.94 ψ=2.61 M,cr=55873.40 λ_{LT}=0.16
$\lambda_{LT,0}$=0.40 β_{LT}=0.75 Φ_{LT}=0.47 β_{LT}=0.75 f=0.99 χ_{LT}=1.00
λ_Y=8.16 Ncr,y=4116220.00 λ^*_y=0.09 Curva a: Φ_y=0.49 χ_y=1.00
λ_Z=27.64 Ncr,z=358410.00 λ^*_z=0.29 Curva b: Φ_z=0.56 χ_z=0.97
Kyy, Kyz, Kzy, Kzz=0.95, 0.57, 0.57, 0.95
Verifica YY: 0.04+0.19+0.01=0.24
Verifica ZZ: 0.04+0.11+0.02=0.17

- Verifica freccia massima per soli carichi accidentali - CC 133
$f_{Z,L}$=0.00 (L/22671)

- Verifica freccia massima carichi totali - CC 134
$f_{Z,L}$=0.00 (L/13107)

- Verifica a pressoflessione deviata (EC3 6.41) - CC 98 Xl=0.00 - Classe 1
Sollecitazioni: N=-1219.81 T_z=1147.53 M_y=271.42 T_y=-25.64 M_z=5.55
N,Ed=-1219.81 Nc,Rd=29566.40 n=N,Ed/Nc,Rd=0.04
Pressoflessione retta YY (4.2.34):
My,Ed=271.42 My,c,Rd=1363.58 MNy,c,Rd=1363.58 My,Ed/MNy,c,Rd=0.20
Pressoflessione retta ZZ (4.2.35):
Mz,Ed=5.55 Mz,c,Rd=304.36 MNz,c,Rd=304.36 Mz,Ed/MNz,c,Rd=0.02
α=2.00 β=1.00 $(My,Ed/MNy,c,Rd)^2+(Mz,Ed/MNz,c,Rd)^1$=0.20

- Verifica a taglio dir. Y (4.2.17) - CC 1 Xl=0.00
Sollecitazioni: N=-563.53 T_z=3625.87 M_y=58.42 T_y=-12.02 M_z=2.72
V,Ed=-12.02 Vc,Rd=11760.20 V,Ed/Vc,Rd=0.00

- Verifica a taglio dir. Z (4.2.17)
V,Ed=3625.87 (V,Ed,G=236.84, V,Ed,M=3389.03) Vc,Rd=8148.24 V,Ed/Vc,Rd=0.44

Asta n. 313 (-847 314) IPE120 Crit. 10

- Verifica di stabilità aste inflesse (4.2.4.1.3.2) CC 102 - Classe 1
L_{cr}=0.40 Curva b: α-imp=0.34 k_c=0.94 ψ=2.39 M,cr=49927.90 λ_{LT}=0.17
$\lambda_{LT,0}$=0.40 β_{LT}=0.75 Φ_{LT}=0.47 β_{LT}=0.75 f=0.99 χ_{LT}=1.00
CC 102 My,Ed=354.58 My,b,Rd=1363.58 My,Ed/My,b,Rd=0.26

- Verifica di stabilità aste presso-inflesse (C4.2.4.1.3.3.2) - CC 98 - Classe 1
Sollecitazioni: N,Ed=-1224.27 My,Ed=219.22 Mz,Ed=2.19
Resistenze: Nc,Rd=29566.40 My,c,Rd=1363.58 Mz,c,Rd=304.36 L=40.47
αmy, αmz, αLT=0.95, 0.95, 0.95
L_{cr}=0.40 Curva b: α-imp=0.34 k_c=0.94 ψ=2.86 M,cr=59896.00 λ_{LT}=0.15
$\lambda_{LT,0}$=0.40 β_{LT}=0.75 Φ_{LT}=0.47 β_{LT}=0.75 f=0.99 χ_{LT}=1.00
λ_Y=8.25 Ncr,y=4021170.00 λ^*_y=0.09 Curva a: Φ_y=0.49 χ_y=1.00

λ_z=27.96 Ncr,z=350134.00 λ^*_z=0.30 Curva b: Φ_z=0.56 χ_z=0.96
Kyy, Kyz, Kzy, Kzz=0.95, 0.57, 0.57, 0.95
Verifica YY: 0.04+0.15+0.00=0.20
Verifica ZZ: 0.04+0.09+0.01=0.14

- Verifica freccia massima per soli carichi accidentali - CC 137
$f_{z,L}$=0.00 (L/24600)

- Verifica freccia massima carichi totali - CC 138
$f_{z,L}$=0.00 (L/18653)

- Verifica a pressoflessione retta - CC 102 Xl=0.40 - Classe 1
Sollecitazioni: N=230.20 T_z=-1341.16 M_y=354.58 T_y=-2.23
My,Ed=354.58 My,c,Rd=1363.58
N,Ed=230.20 Nc,Rd=29566.40 n=N,Ed/Nc,Rd=0.01
MNy,c,Rd=1363.58 My,Ed/MNy,c,Rd=0.26

- Verifica a taglio dir. Y (4.2.17) - CC 1 Xl=0.00
Sollecitazioni: N=-603.81 T_z=3190.14 M_y=-29.31 T_y=-12.18 M_z=2.50
V,Ed=-12.18 Vc,Rd=11760.20 V,Ed/Vc,Rd=0.00

- Verifica a taglio dir. Z (4.2.17)
V,Ed=3190.14 (V,Ed,G=-198.89, V,Ed,M=3389.03) Vc,Rd=8148.24 V,Ed/Vc,Rd=0.39

Asta n. 313 (314 -935) IPE120 Crit. 10

- Verifica di stabilità aste inflesse (4.2.4.1.3.2) CC 102 - Classe 1
L_{cr}=0.40 Curva b: α-imp=0.34 k_c=0.94 ψ=2.38 M,cr=52095.30 λ_{LT}=0.17
$\lambda_{LT,0}$=0.40 β_{LT}=0.75 Φ_{LT}=0.47 β_{LT}=0.75 f=0.99 χ_{LT}=1.00
CC 102 My,Ed=354.67 My,b,Rd=1363.58 My,Ed/My,b,Rd=0.26

- Verifica di stabilità aste presso-inflesse (C4.2.4.1.3.3.2) - CC 98 - Classe 1
Sollecitazioni: N,Ed=-1225.17 My,Ed=219.09 Mz,Ed=2.31
Resistenze: Nc,Rd=29566.40 My,c,Rd=1363.58 Mz,c,Rd=304.36 L=39.53
αmy, αmz, αLT=0.95, 0.95, 0.95
L_{cr}=0.40 Curva b: α-imp=0.34 k_c=0.94 ψ=2.86 M,cr=62520.50 λ_{LT}=0.15
$\lambda_{LT,0}$=0.40 β_{LT}=0.75 Φ_{LT}=0.47 β_{LT}=0.75 f=1.00 χ_{LT}=1.00
λ_y=8.06 Ncr,y=4214680.00 λ^*_y=0.09 Curva a: Φ_y=0.49 χ_y=1.00
λ_z=27.31 Ncr,z=366983.00 λ^*_z=0.29 Curva b: Φ_z=0.56 χ_z=0.97
Kyy, Kyz, Kzy, Kzz=0.95, 0.57, 0.57, 0.95
Verifica YY: 0.04+0.15+0.00=0.20
Verifica ZZ: 0.04+0.09+0.01=0.14

- Verifica freccia massima per soli carichi accidentali - CC 137
$f_{z,L}$=0.00 (L/12102)

- Verifica freccia massima carichi totali - CC 138
$f_{z,L}$=0.00 (L/9262)

- Verifica a pressoflessione retta - CC 102 Xl=0.00 - Classe 1
Sollecitazioni: N=230.91 T_z=1369.77 M_y=354.67 T_y=2.79
My,Ed=354.67 My,c,Rd=1363.58
N,Ed=230.91 Nc,Rd=29566.40 n=N,Ed/Nc,Rd=0.01
MNy,c,Rd=1363.58 My,Ed/MNy,c,Rd=0.26

- Verifica a taglio dir. Y (4.2.17) - CC 1 Xl=0.00
Sollecitazioni: N=-604.69 T_z=3637.07 M_y=52.53 T_y=-12.63 M_z=2.47
V,Ed=-12.63 Vc,Rd=11760.20 V,Ed/Vc,Rd=0.00

- Verifica a taglio dir. Z (4.2.17)
V,Ed=3637.07 (V,Ed,G=207.98, V,Ed,M=3429.09) Vc,Rd=8148.24 V,Ed/Vc,Rd=0.45

Asta n. 313 (-935 316) IPE120 Crit. 10

- Verifica di stabilità aste inflesse (4.2.4.1.3.2) CC 102 - Classe 1
L_{cr}=0.40 Curva b: α-imp=0.34 k_c=0.94 ψ=2.65 M,cr=56633.60 λ_{LT}=0.16
$\lambda_{LT,0}$=0.40 β_{LT}=0.75 Φ_{LT}=0.47 β_{LT}=0.75 f=0.99 χ_{LT}=1.00
CC 102 My,Ed=-170.54 My,b,Rd=1363.58 My,Ed/My,b,Rd=0.13

- Verifica di stabilità aste presso-inflesse (C4.2.4.1.3.3.2) - CC 98 - Classe 1
Sollecitazioni: N,Ed=-1220.22 My,Ed=270.57 Mz,Ed=5.60

Resistenze: Nc,Rd=29566.40 My,c,Rd=1363.58 Mz,c,Rd=304.36 L=40.00
αmy, αmz, αLT=0.95, 0.95, 0.95
L_{cr}=0.40 Curva b: α-imp=0.34 k_c=0.94 ψ=2.61 M,cr=55831.40 λ_{LT}=0.16
$\lambda_{LT,0}$=0.40 β_{LT}=0.75 Φ_{LT}=0.47 β_{LT}=0.75 f=0.99 χ_{LT}=1.00
λ_Y=8.16 Ncr,y=4116220.00 λ^*_y=0.09 Curva a: Φ_y=0.49 χ_y=1.00
λ_Z=27.64 Ncr,z=358410.00 λ^*_z=0.29 Curva b: Φ_z=0.56 χ_z=0.97
Kyy, Kyz, Kzy, Kzz=0.95, 0.57, 0.57, 0.95
Verifica YY: 0.04+0.19+0.01=0.24
Verifica ZZ: 0.04+0.11+0.02=0.17

- Verifica freccia massima per soli carichi accidentali - CC 137
$f_{Z,L}$=0.00 (L/19972)

- Verifica freccia massima carichi totali - CC 139
$f_{Z,L}$=0.00 (L/20460)

- Verifica a pressoflessione deviata (EC3 6.41) - CC 98 Xl=0.40 - Classe 1
Sollecitazioni: N=-1220.22 T_z=-1143.03 M_y=270.57 T_y=25.86 M_z=5.60
N,Ed=-1220.22 Nc,Rd=29566.40 n=N,Ed/Nc,Rd=0.04
Pressoflessione retta YY (4.2.34):
My,Ed=270.57 My,c,Rd=1363.58 MNy,c,Rd=1363.58 My,Ed/MNy,c,Rd=0.20
Pressoflessione retta ZZ (4.2.35):
Mz,Ed=5.60 Mz,c,Rd=304.36 MNz,c,Rd=304.36 Mz,Ed/MNz,c,Rd=0.02
α=2.00 β=1.00 $(My,Ed/MNy,c,Rd)^2+(Mz,Ed/MNz,c,Rd)^1$=0.20

- Verifica a taglio dir. Y (4.2.17) - CC 1 Xl=0.00
Sollecitazioni: N=-566.71 T_z=3198.31 M_y=-26.41 T_y=-14.48 M_z=2.65
V,Ed=-14.48 Vc,Rd=11760.20 V,Ed/Vc,Rd=0.00

- Verifica a taglio dir. Z (4.2.17)
V,Ed=3198.31 (V,Ed,G=-230.78, V,Ed,M=3429.09) Vc,Rd=8148.24 V,Ed/Vc,Rd=0.39

Asta n. 313 (316 -1023) IPE120 Crit. 10

- Verifica di stabilità aste inflesse (4.2.4.1.3.2) CC 102 - Classe 1
L_{cr}=0.20 Curva b: α-imp=0.34 k_c=0.94 ψ=3.08 M,cr=253891.00 λ_{LT}=0.08
$\lambda_{LT,0}$=0.40 β_{LT}=0.75 Φ_{LT}=0.45 β_{LT}=0.75 f=1.00 χ_{LT}=1.00
CC 102 My,Ed=144.68 My,b,Rd=1363.58 My,Ed/My,b,Rd=0.11

- Verifica di stabilità aste presso-inflesse (C4.2.4.1.3.3.2) - CC 98 - Classe 1
Sollecitazioni: N,Ed=-1169.28 My,Ed=288.46 Mz,Ed=-7.96
Resistenze: Nc,Rd=29566.40 My,c,Rd=1363.58 Mz,c,Rd=304.36 L=20.00
αmy, αmz, αLT=0.95, 0.95, 0.95
L_{cr}=0.20 Curva b: α-imp=0.34 k_c=0.94 ψ=1.56 M,cr=128814.00 λ_{LT}=0.11
$\lambda_{LT,0}$=0.40 β_{LT}=0.75 Φ_{LT}=0.45 β_{LT}=0.75 f=1.00 χ_{LT}=1.00
λ_Y=4.08 Ncr,y=16464900.00 λ^*_y=0.04 Curva a: Φ_y=0.00 χ_y=1.00
λ_Z=13.82 Ncr,z=1433640.00 λ^*_z=0.15 Curva b: Φ_z=0.00 χ_z=1.00
Kyy, Kyz, Kzy, Kzz=0.94, 0.56, 0.57, 0.94
Verifica YY: 0.04+0.20+0.01=0.25
Verifica ZZ: 0.04+0.12+0.02=0.18

- Verifica freccia massima per soli carichi accidentali - CC 133
$f_{Z,L}$=0.00 (L/17848)

- Verifica freccia massima carichi totali - CC 134
$f_{Z,G}$=0.00 (L/10894)

- Verifica a pressoflessione deviata (EC3 6.41) - CC 98 Xl=0.00 - Classe 1
Sollecitazioni: N=-1169.28 T_z=1173.47 M_y=288.46 T_y=41.49 M_z=-7.96
N,Ed=-1169.28 Nc,Rd=29566.40 n=N,Ed/Nc,Rd=0.04
Pressoflessione retta YY (4.2.34):
My,Ed=288.46 My,c,Rd=1363.58 MNy,c,Rd=1363.58 My,Ed/MNy,c,Rd=0.21
Pressoflessione retta ZZ (4.2.35):
Mz,Ed=-7.96 Mz,c,Rd=304.36 MNz,c,Rd=304.36 Mz,Ed/MNz,c,Rd=0.03
α=2.00 β=1.00 $(My,Ed/MNy,c,Rd)^2+(Mz,Ed/MNz,c,Rd)^1$=0.21

- Verifica a taglio dir. Y (4.2.17) - CC 1 Xl=0.00
Sollecitazioni: N=-503.49 T_z=3692.04 M_y=69.96 T_y=-15.97 M_z=2.83
V,Ed=-15.97 Vc,Rd=11760.20 V,Ed/Vc,Rd=0.00

- Verifica a taglio dir. Z (4.2.17)

V,Ed=3692.04 (V,Ed,G=283.09, V,Ed,M=3408.94) Vc,Rd=8148.24 V,Ed/Vc,Rd=0.45

Asta n. 313 (-1023 -1068) IPE120 Crit. 10

- Verifica di stabilità aste inflesse (4.2.4.1.3.2) CC 102 - Classe 1
  L_{cr}=0.20 Curva b: α-imp=0.34 k_c=0.94 ψ=1.43 M,cr=118121.00 λ_{LT}=0.11
  $\lambda_{LT,0}$=0.40 β_{LT}=0.75 Φ_{LT}=0.46 β_{LT}=0.75 f=1.00 χ_{LT}=1.00
  CC 102 My,Ed=-430.34 My,b,Rd=1363.58 My,Ed/My,b,Rd=0.32

- Verifica di stabilità aste presso-inflesse (C4.2.4.1.3.3.2) - CC 98 - Classe 1
  Sollecitazioni: N,Ed=-1169.28 My,Ed=-179.81 Mz,Ed=8.63
  Resistenze: Nc,Rd=29566.40 My,c,Rd=1363.58 Mz,c,Rd=304.36 L=20.00
  αmy, αmz, αLT=0.95, 0.95, 0.95
  L_{cr}=0.20 Curva b: α-imp=0.34 k_c=0.94 ψ=2.09 M,cr=172380.00 λ_{LT}=0.09
  $\lambda_{LT,0}$=0.40 β_{LT}=0.75 Φ_{LT}=0.45 β_{LT}=0.75 f=1.00 χ_{LT}=1.00
  λ_Y=4.08 Ncr,y=16464900.00 λ^*_y=0.04 Curva a: Φ_y=0.00 χ_y=1.00
  λ_Z=13.82 Ncr,z=1433640.00 λ^*_z=0.15 Curva b: Φ_z=0.00 χ_z=1.00
  Kyy, Kyz, Kzy, Kzz=0.94, 0.56, 0.57, 0.94
  Verifica YY: 0.04+0.12+0.02=0.18
  Verifica ZZ: 0.04+0.07+0.03=0.14

- Verifica freccia massima per soli carichi accidentali - CC 137
  $f_{Z,L}$=0.00 (L/16448)

- Verifica freccia massima carichi totali - CC 138
  $f_{Z,L}$=0.00 (L/15827)

- Verifica a pressoflessione deviata (EC3 6.41) - CC 102 Xl=0.20 - Classe 1
  Sollecitazioni: N=656.91 T_z=1434.75 M_y=-430.34 T_y=13.50 M_z=2.84
  N,Ed=656.91 Nc,Rd=29566.40 n=N,Ed/Nc,Rd=0.02
  Pressoflessione retta YY (4.2.34):
   My,Ed=-430.34 My,c,Rd=1363.58 MNy,c,Rd=1363.58 My,Ed/MNy,c,Rd=0.32
  Pressoflessione retta ZZ (4.2.35):
   Mz,Ed=2.84 Mz,c,Rd=304.36 MNz,c,Rd=304.36 Mz,Ed/MNz,c,Rd=0.01
  α=2.00 β=1.00 $(My,Ed/MNy,c,Rd)^2+(Mz,Ed/MNz,c,Rd)^1$=0.32

- Verifica a taglio dir. Y (4.2.17) - CC 1 Xl=0.00
  Sollecitazioni: N=-503.49 T_z=3689.96 M_y=20.50 T_y=-15.97
  V,Ed=-15.97 Vc,Rd=11760.20 V,Ed/Vc,Rd=0.00

- Verifica a taglio dir. Z (4.2.17)
  V,Ed=3689.96 (V,Ed,G=281.02, V,Ed,M=3408.94) Vc,Rd=8148.24 V,Ed/Vc,Rd=0.45

Asta n. 313 (-1068 331) IPE120 Crit. 10

- Verifica di stabilità aste inflesse (4.2.4.1.3.2) CC 102 - Classe 1
  L_{cr}=0.27 Curva b: α-imp=0.34 k_c=0.94 ψ=1.94 M,cr=91936.30 λ_{LT}=0.12
  $\lambda_{LT,0}$=0.40 β_{LT}=0.75 Φ_{LT}=0.46 β_{LT}=0.75 f=1.00 χ_{LT}=1.00
  CC 102 My,Ed=-442.60 My,b,Rd=1363.58 My,Ed/My,b,Rd=0.32

- Verifica di stabilità aste presso-inflesse (C4.2.4.1.3.3.2) - CC 98 - Classe 1
  Sollecitazioni: N,Ed=-1002.61 My,Ed=207.72 Mz,Ed=-10.63
  Resistenze: Nc,Rd=29566.40 My,c,Rd=1363.58 Mz,c,Rd=304.36 L=26.52
  αmy, αmz, αLT=0.95, 0.95, 0.95
  L_{cr}=0.27 Curva b: α-imp=0.34 k_c=0.94 ψ=2.79 M,cr=132111.00 λ_{LT}=0.10
  $\lambda_{LT,0}$=0.40 β_{LT}=0.75 Φ_{LT}=0.45 β_{LT}=0.75 f=1.00 χ_{LT}=1.00
  λ_Y=5.41 Ncr,y=9364240.00 λ^*_y=0.06 Curva a: Φ_y=0.00 χ_y=1.00
  λ_Z=18.32 Ncr,z=815369.00 λ^*_z=0.20 Curva b: Φ_z=0.00 χ_z=1.00
  Kyy, Kyz, Kzy, Kzz=0.95, 0.57, 0.57, 0.94
  Verifica YY: 0.03+0.14+0.02=0.20
  Verifica ZZ: 0.03+0.09+0.03=0.15

- Verifica freccia massima per soli carichi accidentali - CC 137
  $f_{Z,L}$=0.00 (L/7270)

- Verifica freccia massima carichi totali - CC 138
  $f_{Z,L}$=0.00 (L/6741)

- Verifica a pressoflessione deviata (EC3 6.41) - CC 102 Xl=0.00 - Classe 1
  Sollecitazioni: N=435.35 T_z=-1959.66 M_y=-442.60 T_y=18.24 M_z=-3.62
  N,Ed=435.35 Nc,Rd=29566.40 n=N,Ed/Nc,Rd=0.01

Pressoflessione retta YY (4.2.34):
My,Ed=-442.60 My,c,Rd=1363.58 MNy,c,Rd=1363.58 My,Ed/MNy,c,Rd=0.32
Pressoflessione retta ZZ (4.2.35):
Mz,Ed=-3.62 Mz,c,Rd=304.36 MNz,c,Rd=304.36 Mz,Ed/MNz,c,Rd=0.01
α=2.00 β=1.00 $(My,Ed/MNy,c,Rd)^2+(Mz,Ed/MNz,c,Rd)^1$=0.32

- Verifica a taglio dir. Y (4.2.17) - CC 1 Xl=0.00
Sollecitazioni: N=-397.09 T_z=3080.11 M_y=-25.78 T_y=-16.80 M_z=2.94
V,Ed=-16.80 Vc,Rd=11760.20 V,Ed/Vc,Rd=0.00

- Verifica a taglio dir. Z (4.2.17)
V,Ed=3080.11 (V,Ed,G=-328.84, V,Ed,M=3408.94) Vc,Rd=8148.24 V,Ed/Vc,Rd=0.38

Asta n. 313 (331 318) IPE120 Crit. 10

- Verifica di stabilità aste inflesse (4.2.4.1.3.2) CC 102 - Classe 1
L_{cr}=0.13 Curva b: α-imp=0.34 k_c=0.94 ψ=1.53 M,cr=274988.00 λ_{LT}=0.07
$\lambda_{LT,0}$=0.40 β_{LT}=0.75 Φ_{LT}=0.45 β_{LT}=0.75 f=1.00 χ_{LT}=1.00
CC 102 My,Ed=342.38 My,b,Rd=1363.58 My,Ed/My,b,Rd=0.25

- Verifica di stabilità aste presso-inflesse (C4.2.4.1.3.3.2) - CC 98 - Classe 1
Sollecitazioni: N,Ed=-1002.61 My,Ed=398.88 Mz,Ed=11.02
Resistenze: Nc,Rd=29566.40 My,c,Rd=1363.58 Mz,c,Rd=304.36 L=13.48
αmy, αmz, αLT=0.95, 0.95, 0.95
L_{cr}=0.13 Curva b: α-imp=0.34 k_c=0.94 ψ=1.28 M,cr=231259.00 λ_{LT}=0.08
$\lambda_{LT,0}$=0.40 β_{LT}=0.75 Φ_{LT}=0.45 β_{LT}=0.75 f=1.00 χ_{LT}=1.00
λ_Y=2.75 Ncr,y=36244000.00 λ^*_y=0.03 Curva a: Φ_y=0.00 χ_y=1.00
λ_Z=9.31 Ncr,z=3155860.00 λ^*_z=0.10 Curva b: Φ_z=0.00 χ_z=1.00
Kyy, Kyz, Kzy, Kzz=0.94, 0.56, 0.57, 0.94
Verifica YY: 0.03+0.28+0.02=0.33
Verifica ZZ: 0.03+0.17+0.03=0.23

- Verifica a pressoflessione deviata (EC3 6.41) - CC 98 Xl=0.13 - Classe 1
Sollecitazioni: N=-1002.61 T_z=-1418.99 M_y=398.88 T_y=54.13 M_z=11.02
N,Ed=-1002.61 Nc,Rd=29566.40 n=N,Ed/Nc,Rd=0.03
Pressoflessione retta YY (4.2.34):
My,Ed=398.88 My,c,Rd=1363.58 MNy,c,Rd=1363.58 My,Ed/MNy,c,Rd=0.29
Pressoflessione retta ZZ (4.2.35):
Mz,Ed=11.02 Mz,c,Rd=304.36 MNz,c,Rd=304.36 Mz,Ed/MNz,c,Rd=0.04
α=2.00 β=1.00 $(My,Ed/MNy,c,Rd)^2+(Mz,Ed/MNz,c,Rd)^1$=0.29

- Verifica a taglio dir. Y (4.2.17) - CC 1 Xl=0.00
Sollecitazioni: N=-397.09 T_z=3077.36 M_y=51.08 T_y=10.77
V,Ed=10.77 Vc,Rd=11760.20 V,Ed/Vc,Rd=0.00

- Verifica a taglio dir. Z (4.2.17)
V,Ed=3077.36 (V,Ed,G=-331.59, V,Ed,M=3408.94) Vc,Rd=8148.24 V,Ed/Vc,Rd=0.38

Asta n. 313 (318 -1197) IPE120 Crit. 10

- Verifica di stabilità aste inflesse (4.2.4.1.3.2) CC 102 - Classe 1
L_{cr}=0.40 Curva b: α-imp=0.34 k_c=0.94 ψ=1.76 M,cr=37576.10 λ_{LT}=0.20
$\lambda_{LT,0}$=0.40 β_{LT}=0.75 Φ_{LT}=0.48 β_{LT}=0.75 f=0.99 χ_{LT}=1.00
CC 102 My,Ed=290.60 My,b,Rd=1363.58 My,Ed/My,b,Rd=0.21

- Verifica di stabilità aste presso-inflesse (C4.2.4.1.3.3.2) - CC 98 - Classe 1
Sollecitazioni: N,Ed=-640.73 My,Ed=480.87 Mz,Ed=15.14
Resistenze: Nc,Rd=29566.40 My,c,Rd=1363.58 Mz,c,Rd=304.36 L=40.00
αmy, αmz, αLT=0.95, 0.95, 0.95
L_{cr}=0.40 Curva b: α-imp=0.34 k_c=0.94 ψ=1.88 M,cr=40265.50 λ_{LT}=0.19
$\lambda_{LT,0}$=0.40 β_{LT}=0.75 Φ_{LT}=0.48 β_{LT}=0.75 f=0.99 χ_{LT}=1.00
λ_Y=8.16 Ncr,y=4116220.00 λ^*_y=0.09 Curva a: Φ_y=0.49 χ_y=1.00
λ_Z=27.64 Ncr,z=358410.00 λ^*_z=0.29 Curva b: Φ_z=0.56 χ_z=0.97
Kyy, Kyz, Kzy, Kzz=0.95, 0.57, 0.57, 0.95
Verifica YY: 0.02+0.33+0.03=0.38
Verifica ZZ: 0.02+0.20+0.05=0.27

- Verifica freccia massima per soli carichi accidentali - CC 133
$f_{Z,L}$=0.00 (L/10356)

- Verifica freccia massima carichi totali - CC 134
  $f_{Z,L}$=0.01 (L/5886)

- Verifica a pressoflessione deviata (EC3 6.41) - CC 98 Xl=0.00 - Classe 1
  Sollecitazioni: N=-640.73 T_z=1352.15 M_y=480.87 T_y=71.21 M_z=-13.35
  N,Ed=-640.73 Nc,Rd=29566.40 n=N,Ed/Nc,Rd=0.02
  Pressoflessione retta YY (4.2.34):
   My,Ed=480.87 My,c,Rd=1363.58 MNy,c,Rd=1363.58 My,Ed/MNy,c,Rd=0.35
  Pressoflessione retta ZZ (4.2.35):
   Mz,Ed=-13.35 Mz,c,Rd=304.36 MNz,c,Rd=304.36 Mz,Ed/MNz,c,Rd=0.04
  α=2.00 β=1.00 $(My,Ed/MNy,c,Rd)^2+(Mz,Ed/MNz,c,Rd)^1$=0.35

- Verifica a taglio dir. Y (4.2.17) - CC 98 Xl=0.00
  Sollecitazioni: N=-640.73 T_z=1352.15 M_y=480.87 T_y=71.21 M_z=-13.35
  V,Ed=71.21 Vc,Rd=11760.20 V,Ed/Vc,Rd=0.01

- Verifica a taglio dir. Z (4.2.17)
  V,Ed=1352.15 Vc,Rd=8148.24 V,Ed/Vc,Rd=0.17

Asta n. 314 (-609 311) IPE120 Crit. 10

- Verifica di stabilità aste inflesse (4.2.4.1.3.2) CC 105 - Classe 1
  L_{cr}=0.40 Curva b: α-imp=0.34 k_c=0.94 ψ=1.76 M,cr=37588.70 λ_{LT}=0.20
  $\lambda_{LT,0}$=0.40 β_{LT}=0.75 Φ_{LT}=0.48 β_{LT}=0.75 f=0.99 χ_{LT}=1.00
  CC 105 My,Ed=294.15 My,b,Rd=1363.58 My,Ed/My,b,Rd=0.22

- Verifica di stabilità aste presso-inflesse (C4.2.4.1.3.3.2) - CC 97 - Classe 1
  Sollecitazioni: N,Ed=-641.86 My,Ed=483.37 Mz,Ed=-15.10
  Resistenze: Nc,Rd=29566.40 My,c,Rd=1363.58 Mz,c,Rd=304.36 L=40.00
  αmy, αmz, αLT=0.95, 0.95, 0.95
  L_{cr}=0.40 Curva b: α-imp=0.34 k_c=0.94 ψ=1.88 M,cr=40253.30 λ_{LT}=0.19
  $\lambda_{LT,0}$=0.40 β_{LT}=0.75 Φ_{LT}=0.48 β_{LT}=0.75 f=0.99 χ_{LT}=1.00
  λ_Y=8.16 Ncr,y=4116220.00 λ^*_y=0.09 Curva a: Φ_y=0.49 χ_y=1.00
  λ_Z=27.64 Ncr,z=358410.00 λ^*_z=0.29 Curva b: Φ_z=0.56 χ_z=0.97
  Kyy, Kyz, Kzy, Kzz=0.95, 0.57, 0.57, 0.95
  Verifica YY: 0.02+0.34+0.03=0.39
  Verifica ZZ: 0.02+0.20+0.05=0.27

- Verifica freccia massima per soli carichi accidentali - CC 133
  $f_{Z,L}$=0.00 (L/17296)

- Verifica freccia massima carichi totali - CC 133
  $f_{Z,L}$=0.00 (L/9754)

- Verifica a pressoflessione deviata (EC3 6.41) - CC 97 Xl=0.40 - Classe 1
  Sollecitazioni: N=-641.86 T_z=-1358.53 M_y=483.37 T_y=71.02 M_z=13.31
  N,Ed=-641.86 Nc,Rd=29566.40 n=N,Ed/Nc,Rd=0.02
  Pressoflessione retta YY (4.2.34):
   My,Ed=483.37 My,c,Rd=1363.58 MNy,c,Rd=1363.58 My,Ed/MNy,c,Rd=0.35
  Pressoflessione retta ZZ (4.2.35):
   Mz,Ed=13.31 Mz,c,Rd=304.36 MNz,c,Rd=304.36 Mz,Ed/MNz,c,Rd=0.04
  α=2.00 β=1.00 $(My,Ed/MNy,c,Rd)^2+(Mz,Ed/MNz,c,Rd)^1$=0.35

- Verifica a taglio dir. Y (4.2.17) - CC 97 Xl=0.40
  Sollecitazioni: N=-641.86 T_z=-1358.53 M_y=483.37 T_y=71.02 M_z=13.31
  V,Ed=71.02 Vc,Rd=11760.20 V,Ed/Vc,Rd=0.01

- Verifica a taglio dir. Z (4.2.17)
  V,Ed=-1358.53 Vc,Rd=8148.24 V,Ed/Vc,Rd=0.17

Asta n. 314 (311 330) IPE120 Crit. 10

- Verifica di stabilità aste inflesse (4.2.4.1.3.2) CC 105 - Classe 1
  L_{cr}=0.14 Curva b: α-imp=0.34 k_c=0.94 ψ=1.57 M,cr=247916.00 λ_{LT}=0.08
  $\lambda_{LT,0}$=0.40 β_{LT}=0.75 Φ_{LT}=0.45 β_{LT}=0.75 f=1.00 χ_{LT}=1.00
  CC 105 My,Ed=345.46 My,b,Rd=1363.58 My,Ed/My,b,Rd=0.25

- Verifica di stabilità aste presso-inflesse (C4.2.4.1.3.3.2) - CC 97 - Classe 1
  Sollecitazioni: N,Ed=-1004.84 My,Ed=400.89 Mz,Ed=-10.98
  Resistenze: Nc,Rd=29566.40 My,c,Rd=1363.58 Mz,c,Rd=304.36 L=14.42
  αmy, αmz, αLT=0.95, 0.95, 0.95

L_{cr}=0.14 Curva b: α-imp=0.34 k_c=0.94 ψ=1.31 M,cr=206168.00 λ_{LT}=0.08
$\lambda_{LT,0}$=0.40 β_{LT}=0.75 Φ_{LT}=0.45 β_{LT}=0.75 f=1.00 χ_{LT}=1.00
λ_Y=2.94 Ncr,y=31672900.00 λ^*_y=0.03 Curva a: Φ_y=0.00 χ_y=1.00
λ_Z=9.96 Ncr,z=2757840.00 λ^*_z=0.11 Curva b: Φ_z=0.00 χ_z=1.00
Kyy, Kyz, Kzy, Kzz=0.94, 0.56, 0.57, 0.94
Verifica YY: 0.03+0.28+0.02=0.33
Verifica ZZ: 0.03+0.17+0.03=0.23

- Verifica freccia massima per soli carichi accidentali - CC 141
$f_{z,L}$=0.00 (L/13440)

- Verifica freccia massima carichi totali - CC 141
$f_{z,L}$=0.00 (L/8640)

- Verifica a pressoflessione deviata (EC3 6.41) - CC 97 Xl=0.00 - Classe 1
Sollecitazioni: N=-1004.84 T_z=1425.42 M_y=400.89 T_y=53.90 M_z=-10.98
N,Ed=-1004.84 Nc,Rd=29566.40 n=N,Ed/Nc,Rd=0.03
Pressoflessione retta YY (4.2.34):
My,Ed=400.89 My,c,Rd=1363.58 MNy,c,Rd=1363.58 My,Ed/MNy,c,Rd=0.29
Pressoflessione retta ZZ (4.2.35):
Mz,Ed=-10.98 Mz,c,Rd=304.36 MNz,c,Rd=304.36 Mz,Ed/MNz,c,Rd=0.04
α=2.00 β=1.00 $(My,Ed/MNy,c,Rd)^2+(Mz,Ed/MNz,c,Rd)^1$=0.29

- Verifica a taglio dir. Y (4.2.17) - CC 1 Xl=0.00
Sollecitazioni: N=-399.62 T_z=3745.25 M_y=90.31 T_y=-17.21 M_z=2.89
V,Ed=-17.21 Vc,Rd=11760.20 V,Ed/Vc,Rd=0.00

- Verifica a taglio dir. Z (4.2.17)
V,Ed=3745.25 (V,Ed,G=336.31, V,Ed,M=3408.94) Vc,Rd=8148.24 V,Ed/Vc,Rd=0.46

Asta n. 314 (330 -738) IPE120 Crit. 10

- Verifica di stabilità aste inflesse (4.2.4.1.3.2) CC 105 - Classe 1
L_{cr}=0.26 Curva b: α-imp=0.34 k_c=0.94 ψ=1.90 M,cr=96446.60 λ_{LT}=0.12
$\lambda_{LT,0}$=0.40 β_{LT}=0.75 Φ_{LT}=0.46 β_{LT}=0.75 f=1.00 χ_{LT}=1.00
CC 105 My,Ed=-443.40 My,b,Rd=1363.58 My,Ed/My,b,Rd=0.33

- Verifica di stabilità aste presso-inflesse (C4.2.4.1.3.3.2) - CC 129 - Classe 1
Sollecitazioni: N,Ed=-6.89 My,Ed=-297.21 Mz,Ed=4.19
Resistenze: Nc,Rd=29566.40 My,c,Rd=1363.58 Mz,c,Rd=304.36 L=25.58
αmy, αmz, αLT=0.95, 0.95, 0.95
L_{cr}=0.26 Curva b: α-imp=0.34 k_c=0.94 ψ=2.02 M,cr=102473.00 λ_{LT}=0.12
$\lambda_{LT,0}$=0.40 β_{LT}=0.75 Φ_{LT}=0.46 β_{LT}=0.75 f=1.00 χ_{LT}=1.00
λ_Y=5.22 Ncr,y=10065100.00 λ^*_y=0.06 Curva a: Φ_y=0.00 χ_y=1.00
λ_Z=17.68 Ncr,z=876394.00 λ^*_z=0.19 Curva b: Φ_z=0.00 χ_z=1.00
Kyy, Kyz, Kzy, Kzz=0.95, 0.57, 0.57, 0.95
Verifica YY: 0.00+0.21+0.01=0.22
Verifica ZZ: 0.00+0.12+0.01=0.14

- Verifica freccia massima per soli carichi accidentali - CC 141
$f_{z,L}$=0.00 (L/15327)

- Verifica freccia massima carichi totali - CC 133
$f_{z,L}$=0.00 (L/15327)

- Verifica a pressoflessione deviata (EC3 6.41) - CC 105 Xl=0.26 - Classe 1
Sollecitazioni: N=431.32 T_z=1969.34 M_y=-443.40 T_y=17.84 M_z=3.54
N,Ed=431.32 Nc,Rd=29566.40 n=N,Ed/Nc,Rd=0.01
Pressoflessione retta YY (4.2.34):
My,Ed=-443.40 My,c,Rd=1363.58 MNy,c,Rd=1363.58 My,Ed/MNy,c,Rd=0.33
Pressoflessione retta ZZ (4.2.35):
Mz,Ed=3.54 Mz,c,Rd=304.36 MNz,c,Rd=304.36 Mz,Ed/MNz,c,Rd=0.01
α=2.00 β=1.00 $(My,Ed/MNy,c,Rd)^2+(Mz,Ed/MNz,c,Rd)^1$=0.33

- Verifica a taglio dir. Y (4.2.17) - CC 1 Xl=0.00
Sollecitazioni: N=-399.62 T_z=3743.76 M_y=49.11 T_y=-17.21
V,Ed=-17.21 Vc,Rd=11760.20 V,Ed/Vc,Rd=0.00

- Verifica a taglio dir. Z (4.2.17)
V,Ed=3743.76 (V,Ed,G=334.82, V,Ed,M=3408.94) Vc,Rd=8148.24 V,Ed/Vc,Rd=0.46

Asta n. 314 (-738 -783) IPE120 Crit. 10

- Verifica di stabilità aste inflesse (4.2.4.1.3.2) CC 105 - Classe 1
  L_{cr}=0.20 Curva b: α-imp=0.34 k_c=0.94 ψ=1.43 M,cr=118152.00 λ_{LT}=0.11
  $\lambda_{LT,0}$=0.40 β_{LT}=0.75 Φ_{LT}=0.46 β_{LT}=0.75 f=1.00 χ_{LT}=1.00
  CC 105 My,Ed=-431.01 My,b,Rd=1363.58 My,Ed/My,b,Rd=0.32

- Verifica di stabilità aste presso-inflesse (C4.2.4.1.3.3.2) - CC 97 - Classe 1
  Sollecitazioni: N,Ed=-1170.92 My,Ed=-180.30 Mz,Ed=-8.59
  Resistenze: Nc,Rd=29566.40 My,c,Rd=1363.58 Mz,c,Rd=304.36 L=20.00
  αmy, αmz, αLT=0.95, 0.95, 0.95
  L_{cr}=0.20 Curva b: α-imp=0.34 k_c=0.94 ψ=2.09 M,cr=172420.00 λ_{LT}=0.09
  $\lambda_{LT,0}$=0.40 β_{LT}=0.75 Φ_{LT}=0.45 β_{LT}=0.75 f=1.00 χ_{LT}=1.00
  λ_Y=4.08 Ncr,y=16464900.00 λ^*_y=0.04 Curva a: Φ_y=0.00 χ_y=1.00
  λ_Z=13.82 Ncr,z=1433640.00 λ^*_z=0.15 Curva b: Φ_z=0.00 χ_z=1.00
  Kyy, Kyz, Kzy, Kzz=0.94, 0.56, 0.57, 0.94
  Verifica YY: 0.04+0.12+0.02=0.18
  Verifica ZZ: 0.04+0.07+0.03=0.14

- Verifica freccia massima per soli carichi accidentali - CC 141
  $f_{Z,G}$=0.00 (L/8388)

- Verifica freccia massima carichi totali - CC 141
  $f_{Z,L}$=0.00 (L/7423)

- Verifica a pressoflessione deviata (EC3 6.41) - CC 105 Xl=0.00 - Classe 1
  Sollecitazioni: N=654.17 T_z=-1437.93 M_y=-431.01 T_y=13.11 M_z=-2.76
  N,Ed=654.17 Nc,Rd=29566.40 n=N,Ed/Nc,Rd=0.02
  Pressoflessione retta YY (4.2.34):
   My,Ed=-431.01 My,c,Rd=1363.58 MNy,c,Rd=1363.58 My,Ed/MNy,c,Rd=0.32
  Pressoflessione retta ZZ (4.2.35):
   Mz,Ed=-2.76 Mz,c,Rd=304.36 MNz,c,Rd=304.36 Mz,Ed/MNz,c,Rd=0.01
  α=2.00 β=1.00 $(My,Ed/MNy,c,Rd)^2+(Mz,Ed/MNz,c,Rd)^1$=0.32

- Verifica a taglio dir. Y (4.2.17) - CC 1 Xl=0.00
  Sollecitazioni: N=-506.92 T_z=3128.69 M_y=-33.53 T_y=-16.37 M_z=2.87
  V,Ed=-16.37 Vc,Rd=11760.20 V,Ed/Vc,Rd=0.00

- Verifica a taglio dir. Z (4.2.17)
  V,Ed=3128.69 (V,Ed,G=-280.26, V,Ed,M=3408.94) Vc,Rd=8148.24 V,Ed/Vc,Rd=0.38

Asta n. 314 (-783 313) IPE120 Crit. 10

- Verifica di stabilità aste inflesse (4.2.4.1.3.2) CC 105 - Classe 1
  L_{cr}=0.20 Curva b: α-imp=0.34 k_c=0.94 ψ=3.08 M,cr=253369.00 λ_{LT}=0.08
  $\lambda_{LT,0}$=0.40 β_{LT}=0.75 Φ_{LT}=0.45 β_{LT}=0.75 f=1.00 χ_{LT}=1.00
  CC 105 My,Ed=145.28 My,b,Rd=1363.58 My,Ed/My,b,Rd=0.11

- Verifica di stabilità aste presso-inflesse (C4.2.4.1.3.3.2) - CC 97 - Classe 1
  Sollecitazioni: N,Ed=-1170.92 My,Ed=289.38 Mz,Ed=7.92
  Resistenze: Nc,Rd=29566.40 My,c,Rd=1363.58 Mz,c,Rd=304.36 L=20.00
  αmy, αmz, αLT=0.95, 0.95, 0.95
  L_{cr}=0.20 Curva b: α-imp=0.34 k_c=0.94 ψ=1.56 M,cr=128803.00 λ_{LT}=0.11
  $\lambda_{LT,0}$=0.40 β_{LT}=0.75 Φ_{LT}=0.45 β_{LT}=0.75 f=1.00 χ_{LT}=1.00
  λ_Y=4.08 Ncr,y=16464900.00 λ^*_y=0.04 Curva a: Φ_y=0.00 χ_y=1.00
  λ_Z=13.82 Ncr,z=1433640.00 λ^*_z=0.15 Curva b: Φ_z=0.00 χ_z=1.00
  Kyy, Kyz, Kzy, Kzz=0.94, 0.56, 0.57, 0.94
  Verifica YY: 0.04+0.20+0.01=0.25
  Verifica ZZ: 0.04+0.12+0.02=0.18

- Verifica freccia massima per soli carichi accidentali - CC 141
  $f_{Z,L}$=0.00 (L/15827)

- Verifica freccia massima carichi totali - CC 142
  $f_{Z,L}$=0.00 (L/16448)

- Verifica a pressoflessione deviata (EC3 6.41) - CC 97 Xl=0.20 - Classe 1
  Sollecitazioni: N=-1170.92 T_z=-1176.99 M_y=289.38 T_y=41.27 M_z=7.92
  N,Ed=-1170.92 Nc,Rd=29566.40 n=N,Ed/Nc,Rd=0.04
  Pressoflessione retta YY (4.2.34):
   My,Ed=289.38 My,c,Rd=1363.58 MNy,c,Rd=1363.58 My,Ed/MNy,c,Rd=0.21

Pressoflessione retta ZZ (4.2.35):
Mz,Ed=7.92 Mz,c,Rd=304.36 MNz,c,Rd=304.36 Mz,Ed/MNz,c,Rd=0.03
α=2.00 β=1.00 (My,Ed/MNy,c,Rd)^2+(Mz,Ed/MNz,c,Rd)^1=0.21

- Verifica a taglio dir. Y (4.2.17) - CC 1 Xl=0.00
Sollecitazioni: N=-506.92 T_z=3126.61 M_y=20.75 T_y=10.65
V,Ed=10.65 Vc,Rd=11760.20 V,Ed/Vc,Rd=0.00

- Verifica a taglio dir. Z (4.2.17)
V,Ed=3126.61 (V,Ed,G=-282.33, V,Ed,M=3408.94) Vc,Rd=8148.24 V,Ed/Vc,Rd=0.38

Asta n. 314 (313 -871) IPE120 Crit. 10

- Verifica di stabilità aste inflesse (4.2.4.1.3.2) CC 105 - Classe 1
L_{cr}=0.40 Curva b: α-imp=0.34 k_c=0.94 ψ=2.65 M,cr=56562.90 λ_{LT}=0.16
$\lambda_{LT,0}$=0.40 β_{LT}=0.75 Φ_{LT}=0.47 β_{LT}=0.75 f=0.99 χ_{LT}=1.00
CC 105 My,Ed=-171.92 My,b,Rd=1363.58 My,Ed/My,b,Rd=0.13

- Verifica di stabilità aste presso-inflesse (C4.2.4.1.3.3.2) - CC 97 - Classe 1
Sollecitazioni: N,Ed=-1219.80 My,Ed=271.43 Mz,Ed=-5.55
Resistenze: Nc,Rd=29566.40 My,c,Rd=1363.58 Mz,c,Rd=304.36 L=40.00
αmy, αmz, αLT=0.95, 0.95, 0.95
L_{cr}=0.40 Curva b: α-imp=0.34 k_c=0.94 ψ=2.61 M,cr=55873.50 λ_{LT}=0.16
$\lambda_{LT,0}$=0.40 β_{LT}=0.75 Φ_{LT}=0.47 β_{LT}=0.75 f=0.99 χ_{LT}=1.00
λ_Y=8.16 Ncr,y=4116220.00 λ^*_y=0.09 Curva a: Φ_y=0.49 χ_y=1.00
λ_Z=27.64 Ncr,z=358410.00 λ^*_z=0.29 Curva b: Φ_z=0.56 χ_z=0.97
Kyy, Kyz, Kzy, Kzz=0.95, 0.57, 0.57, 0.95
Verifica YY: 0.04+0.19+0.01=0.24
Verifica ZZ: 0.04+0.11+0.02=0.17

- Verifica freccia massima per soli carichi accidentali - CC 133
$f_{z,L}$=0.00 (L/22671)

- Verifica freccia massima carichi totali - CC 133
$f_{z,L}$=0.00 (L/13107)

- Verifica a pressoflessione deviata (EC3 6.41) - CC 97 Xl=0.00 - Classe 1
Sollecitazioni: N=-1219.80 T_z=1147.54 M_y=271.43 T_y=25.64 M_z=-5.55
N,Ed=-1219.80 Nc,Rd=29566.40 n=N,Ed/Nc,Rd=0.04
Pressoflessione retta YY (4.2.34):
My,Ed=271.43 My,c,Rd=1363.58 MNy,c,Rd=1363.58 My,Ed/MNy,c,Rd=0.20
Pressoflessione retta ZZ (4.2.35):
Mz,Ed=-5.55 Mz,c,Rd=304.36 MNz,c,Rd=304.36 Mz,Ed/MNz,c,Rd=0.02
α=2.00 β=1.00 (My,Ed/MNy,c,Rd)^2+(Mz,Ed/MNz,c,Rd)^1=0.20

- Verifica a taglio dir. Y (4.2.17) - CC 1 Xl=0.00
Sollecitazioni: N=-569.34 T_z=3625.87 M_y=60.60 T_y=-14.87 M_z=2.72
V,Ed=-14.87 Vc,Rd=11760.20 V,Ed/Vc,Rd=0.00

- Verifica a taglio dir. Z (4.2.17)
V,Ed=3625.87 (V,Ed,G=236.84, V,Ed,M=3389.03) Vc,Rd=8148.24 V,Ed/Vc,Rd=0.44

Asta n. 314 (-871 315) IPE120 Crit. 10

- Verifica di stabilità aste inflesse (4.2.4.1.3.2) CC 105 - Classe 1
L_{cr}=0.40 Curva b: α-imp=0.34 k_c=0.94 ψ=2.39 M,cr=49928.30 λ_{LT}=0.17
$\lambda_{LT,0}$=0.40 β_{LT}=0.75 Φ_{LT}=0.47 β_{LT}=0.75 f=0.99 χ_{LT}=1.00
CC 105 My,Ed=354.57 My,b,Rd=1363.58 My,Ed/My,b,Rd=0.26

- Verifica di stabilità aste presso-inflesse (C4.2.4.1.3.3.2) - CC 129 - Classe 1
Sollecitazioni: N,Ed=-349.33 My,Ed=267.54 Mz,Ed=-0.79
Resistenze: Nc,Rd=29566.40 My,c,Rd=1363.58 Mz,c,Rd=304.36 L=40.47
αmy, αmz, αLT=0.95, 0.95, 0.95
L_{cr}=0.40 Curva b: α-imp=0.34 k_c=0.94 ψ=2.21 M,cr=46302.90 λ_{LT}=0.18
$\lambda_{LT,0}$=0.40 β_{LT}=0.75 Φ_{LT}=0.47 β_{LT}=0.75 f=0.99 χ_{LT}=1.00
λ_Y=8.25 Ncr,y=4021170.00 λ^*_y=0.09 Curva a: Φ_y=0.49 χ_y=1.00
λ_Z=27.96 Ncr,z=350134.00 λ^*_z=0.30 Curva b: Φ_z=0.56 χ_z=0.96
Kyy, Kyz, Kzy, Kzz=0.95, 0.57, 0.57, 0.95
Verifica YY: 0.01+0.19+0.00=0.20
Verifica ZZ: 0.01+0.11+0.00=0.13

- Verifica freccia massima per soli carichi accidentali - CC 133
  $f_{Z,L}$=0.00 (L/24962)

- Verifica freccia massima carichi totali - CC 141
  $f_{Z,L}$=0.00 (L/18653)

- Verifica a pressoflessione retta - CC 105 Xl=0.40 - Classe 1
  Sollecitazioni: N=230.13 T_z=-1341.13 M_y=354.57 T_y=2.23
  My,Ed=354.57 My,c,Rd=1363.58
  N,Ed=230.13 Nc,Rd=29566.40 n=N,Ed/Nc,Rd=0.01
  MNy,c,Rd=1363.58 My,Ed/MNy,c,Rd=0.26

- Verifica a taglio dir. Y (4.2.17) - CC 1 Xl=0.00
  Sollecitazioni: N=-605.41 T_z=3190.14 M_y=-28.93 T_y=-12.18 M_z=2.50
  V,Ed=-12.18 Vc,Rd=11760.20 V,Ed/Vc,Rd=0.00

- Verifica a taglio dir. Z (4.2.17)
  V,Ed=3190.14 (V,Ed,G=-198.89, V,Ed,M=3389.03) Vc,Rd=8148.24 V,Ed/Vc,Rd=0.39

Asta n. 314 (315 -959) IPE120 Crit. 10

- Verifica di stabilità aste inflesse (4.2.4.1.3.2) CC 105 - Classe 1
  L_{cr}=0.40 Curva b: α-imp=0.34 k_c=0.94 ψ=2.38 M,cr=52095.70 λ_{LT}=0.17
  $\lambda_{LT,0}$=0.40 β_{LT}=0.75 Φ_{LT}=0.47 β_{LT}=0.75 f=0.99 χ_{LT}=1.00
  CC 105 My,Ed=354.66 My,b,Rd=1363.58 My,Ed/My,b,Rd=0.26

- Verifica di stabilità aste presso-inflesse (C4.2.4.1.3.3.2) - CC 129 - Classe 1
  Sollecitazioni: N,Ed=-347.96 My,Ed=267.71 Mz,Ed=-0.89
  Resistenze: Nc,Rd=29566.40 My,c,Rd=1363.58 Mz,c,Rd=304.36 L=39.53
  αmy, αmz, αLT=0.95, 0.95, 0.95
  L_{cr}=0.40 Curva b: α-imp=0.34 k_c=0.94 ψ=2.21 M,cr=48328.70 λ_{LT}=0.17
  $\lambda_{LT,0}$=0.40 β_{LT}=0.75 Φ_{LT}=0.47 β_{LT}=0.75 f=0.99 χ_{LT}=1.00
  λ_Y=8.06 Ncr,y=4214680.00 λ^*_y=0.09 Curva a: Φ_y=0.49 χ_y=1.00
  λ_Z=27.31 Ncr,z=366983.00 λ^*_z=0.29 Curva b: Φ_z=0.56 χ_z=0.97
  Kyy, Kyz, Kzy, Kzz=0.95, 0.57, 0.57, 0.95
  Verifica YY: 0.01+0.19+0.00=0.20
  Verifica ZZ: 0.01+0.11+0.00=0.13

- Verifica freccia massima per soli carichi accidentali - CC 141
  $f_{Z,L}$=0.00 (L/12102)

- Verifica freccia massima carichi totali - CC 141
  $f_{Z,L}$=0.00 (L/9262)

- Verifica a pressoflessione retta - CC 105 Xl=0.00 - Classe 1
  Sollecitazioni: N=230.84 T_z=1369.74 M_y=354.66 T_y=-2.79
  My,Ed=354.66 My,c,Rd=1363.58
  N,Ed=230.84 Nc,Rd=29566.40 n=N,Ed/Nc,Rd=0.01
  MNy,c,Rd=1363.58 My,Ed/MNy,c,Rd=0.26

- Verifica a taglio dir. Y (4.2.17) - CC 1 Xl=0.00
  Sollecitazioni: N=-603.18 T_z=3637.07 M_y=53.52 T_y=-12.63 M_z=2.47
  V,Ed=-12.63 Vc,Rd=11760.20 V,Ed/Vc,Rd=0.00

- Verifica a taglio dir. Z (4.2.17)
  V,Ed=3637.07 (V,Ed,G=207.98, V,Ed,M=3429.09) Vc,Rd=8148.24 V,Ed/Vc,Rd=0.45

Asta n. 314 (-959 317) IPE120 Crit. 10

- Verifica di stabilità aste inflesse (4.2.4.1.3.2) CC 105 - Classe 1
  L_{cr}=0.40 Curva b: α-imp=0.34 k_c=0.94 ψ=2.65 M,cr=56635.00 λ_{LT}=0.16
  $\lambda_{LT,0}$=0.40 β_{LT}=0.75 Φ_{LT}=0.47 β_{LT}=0.75 f=0.99 χ_{LT}=1.00
  CC 105 My,Ed=-170.54 My,b,Rd=1363.58 My,Ed/My,b,Rd=0.13

- Verifica di stabilità aste presso-inflesse (C4.2.4.1.3.3.2) - CC 97 - Classe 1
  Sollecitazioni: N,Ed=-1220.21 My,Ed=270.58 Mz,Ed=-5.60
  Resistenze: Nc,Rd=29566.40 My,c,Rd=1363.58 Mz,c,Rd=304.36 L=40.00
  αmy, αmz, αLT=0.95, 0.95, 0.95
  L_{cr}=0.40 Curva b: α-imp=0.34 k_c=0.94 ψ=2.61 M,cr=55831.50 λ_{LT}=0.16
  $\lambda_{LT,0}$=0.40 β_{LT}=0.75 Φ_{LT}=0.47 β_{LT}=0.75 f=0.99 χ_{LT}=1.00

λ_Y=8.16 Ncr,y=4116220.00 λ^*_y=0.09 Curva a: Φ_y=0.49 χ_y=1.00
λ_Z=27.64 Ncr,z=358410.00 λ^*_z=0.29 Curva b: Φ_z=0.56 χ_z=0.97
Kyy, Kyz, Kzy, Kzz=0.95, 0.57, 0.57, 0.95
Verifica YY: 0.04+0.19+0.01=0.24
Verifica ZZ: 0.04+0.11+0.02=0.17

- Verifica freccia massima per soli carichi accidentali - CC 141
$f_{Z,L}$=0.00 (L/19972)

- Verifica freccia massima carichi totali - CC 142
$f_{Z,L}$=0.00 (L/20460)

- Verifica a pressoflessione deviata (EC3 6.41) - CC 97 Xl=0.40 - Classe 1
Sollecitazioni: N=-1220.21 T_z=-1143.05 M_y=270.58 T_y=-25.86 M_z=-5.60
N,Ed=-1220.21 Nc,Rd=29566.40 n=N,Ed/Nc,Rd=0.04
Pressoflessione retta YY (4.2.34):
My,Ed=270.58 My,c,Rd=1363.58 MNy,c,Rd=1363.58 My,Ed/MNy,c,Rd=0.20
Pressoflessione retta ZZ (4.2.35):
Mz,Ed=-5.60 Mz,c,Rd=304.36 MNz,c,Rd=304.36 Mz,Ed/MNz,c,Rd=0.02
α=2.00 β=1.00 $(My,Ed/MNy,c,Rd)^2+(Mz,Ed/MNz,c,Rd)^1$=0.20

- Verifica a taglio dir. Y (4.2.17) - CC 1 Xl=0.00
Sollecitazioni: N=-561.00 T_z=3198.31 M_y=-26.46 T_y=-12.30 M_z=2.65
V,Ed=-12.30 Vc,Rd=11760.20 V,Ed/Vc,Rd=0.00

- Verifica a taglio dir. Z (4.2.17)
V,Ed=3198.31 (V,Ed,G=-230.78, V,Ed,M=3429.09) Vc,Rd=8148.24 V,Ed/Vc,Rd=0.39

Asta n. 314 (317 -1047) IPE120 Crit. 10

- Verifica di stabilità aste inflesse (4.2.4.1.3.2) CC 105 - Classe 1
L_{cr}=0.20 Curva b: α-imp=0.34 k_c=0.94 ψ=3.08 M,cr=253873.00 λ_{LT}=0.08
$\lambda_{LT,0}$=0.40 β_{LT}=0.75 Φ_{LT}=0.45 β_{LT}=0.75 f=1.00 χ_{LT}=1.00
CC 105 My,Ed=144.68 My,b,Rd=1363.58 My,Ed/My,b,Rd=0.11

- Verifica di stabilità aste presso-inflesse (C4.2.4.1.3.3.2) - CC 97 - Classe 1
Sollecitazioni: N,Ed=-1169.27 My,Ed=288.46 Mz,Ed=7.96
Resistenze: Nc,Rd=29566.40 My,c,Rd=1363.58 Mz,c,Rd=304.36 L=20.00
αmy, αmz, αLT=0.95, 0.95, 0.95
L_{cr}=0.20 Curva b: α-imp=0.34 k_c=0.94 ψ=1.56 M,cr=128815.00 λ_{LT}=0.11
$\lambda_{LT,0}$=0.40 β_{LT}=0.75 Φ_{LT}=0.45 β_{LT}=0.75 f=1.00 χ_{LT}=1.00
λ_Y=4.08 Ncr,y=16464900.00 λ^*_y=0.04 Curva a: Φ_y=0.00 χ_y=1.00
λ_Z=13.82 Ncr,z=1433640.00 λ^*_z=0.15 Curva b: Φ_z=0.00 χ_z=1.00
Kyy, Kyz, Kzy, Kzz=0.94, 0.56, 0.57, 0.94
Verifica YY: 0.04+0.20+0.01=0.25
Verifica ZZ: 0.04+0.12+0.02=0.18

- Verifica freccia massima per soli carichi accidentali - CC 133
$f_{Z,G}$=0.00 (L/17848)

- Verifica freccia massima carichi totali - CC 133
$f_{Z,G}$=0.00 (L/10894)

- Verifica a pressoflessione deviata (EC3 6.41) - CC 97 Xl=0.00 - Classe 1
Sollecitazioni: N=-1169.27 T_z=1173.48 M_y=288.46 T_y=-41.49 M_z=7.96
N,Ed=-1169.27 Nc,Rd=29566.40 n=N,Ed/Nc,Rd=0.04
Pressoflessione retta YY (4.2.34):
My,Ed=288.46 My,c,Rd=1363.58 MNy,c,Rd=1363.58 My,Ed/MNy,c,Rd=0.21
Pressoflessione retta ZZ (4.2.35):
Mz,Ed=7.96 Mz,c,Rd=304.36 MNz,c,Rd=304.36 Mz,Ed/MNz,c,Rd=0.03
α=2.00 β=1.00 $(My,Ed/MNy,c,Rd)^2+(Mz,Ed/MNz,c,Rd)^1$=0.21

- Verifica a taglio dir. Y (4.2.17) - CC 1 Xl=0.00
Sollecitazioni: N=-496.35 T_z=3692.04 M_y=69.46 T_y=-12.44 M_z=2.83
V,Ed=-12.44 Vc,Rd=11760.20 V,Ed/Vc,Rd=0.00

- Verifica a taglio dir. Z (4.2.17)
V,Ed=3692.04 (V,Ed,G=283.10, V,Ed,M=3408.94) Vc,Rd=8148.24 V,Ed/Vc,Rd=0.45

Asta n. 314 (-1047 -1092) IPE120 Crit. 10

- Verifica di stabilità aste inflesse (4.2.4.1.3.2) CC 105 - Classe 1
  L_{cr}=0.20 Curva b: α-imp=0.34 k_c=0.94 ψ=1.43 M,cr=118122.00 λ_{LT}=0.11
  $\lambda_{LT,0}$=0.40 β_{LT}=0.75 Φ_{LT}=0.46 β_{LT}=0.75 f=1.00 χ_{LT}=1.00
  CC 105 My,Ed=-430.32 My,b,Rd=1363.58 My,Ed/My,b,Rd=0.32

- Verifica di stabilità aste presso-inflesse (C4.2.4.1.3.3.2) - CC 97 - Classe 1
  Sollecitazioni: N,Ed=-1169.27 My,Ed=-179.81 Mz,Ed=-8.63
  Resistenze: Nc,Rd=29566.40 My,c,Rd=1363.58 Mz,c,Rd=304.36 L=20.00
  αmy, αmz, αLT=0.95, 0.95, 0.95
  L_{cr}=0.20 Curva b: α-imp=0.34 k_c=0.94 ψ=2.09 M,cr=172380.00 λ_{LT}=0.09
  $\lambda_{LT,0}$=0.40 β_{LT}=0.75 Φ_{LT}=0.45 β_{LT}=0.75 f=1.00 χ_{LT}=1.00
  λ_Y=4.08 Ncr,y=16464900.00 λ^*_y=0.04 Curva a: Φ_y=0.00 χ_y=1.00
  λ_Z=13.82 Ncr,z=1433640.00 λ^*_z=0.15 Curva b: Φ_z=0.00 χ_z=1.00
  Kyy, Kyz, Kzy, Kzz=0.94, 0.56, 0.57, 0.94
  Verifica YY: 0.04+0.12+0.02=0.18
  Verifica ZZ: 0.04+0.07+0.03=0.14

- Verifica freccia massima per soli carichi accidentali - CC 141
  $f_{Z,L}$=0.00 (L/16131)

- Verifica freccia massima carichi totali - CC 144
  $f_{Z,L}$=0.00 (L/15827)

- Verifica a pressoflessione deviata (EC3 6.41) - CC 105 Xl=0.20 - Classe 1
  Sollecitazioni: N=656.81 T_z=1434.71 M_y=-430.32 T_y=-13.50 M_z=-2.84
  N,Ed=656.81 Nc,Rd=29566.40 n=N,Ed/Nc,Rd=0.02
  Pressoflessione retta YY (4.2.34):
   My,Ed=-430.32 My,c,Rd=1363.58 MNy,c,Rd=1363.58 My,Ed/MNy,c,Rd=0.32
  Pressoflessione retta ZZ (4.2.35):
   Mz,Ed=-2.84 Mz,c,Rd=304.36 MNz,c,Rd=304.36 Mz,Ed/MNz,c,Rd=0.01
  α=2.00 β=1.00 $(My,Ed/MNy,c,Rd)^2+(Mz,Ed/MNz,c,Rd)^1$=0.32

- Verifica a taglio dir. Y (4.2.17) - CC 1 Xl=0.00
  Sollecitazioni: N=-496.35 T_z=3689.97 M_y=20.06 T_y=-12.44
  V,Ed=-12.44 Vc,Rd=11760.20 V,Ed/Vc,Rd=0.00

- Verifica a taglio dir. Z (4.2.17)
  V,Ed=3689.97 (V,Ed,G=281.02, V,Ed,M=3408.94) Vc,Rd=8148.24 V,Ed/Vc,Rd=0.45

Asta n. 314 (-1092 332) IPE120 Crit. 10

- Verifica di stabilità aste inflesse (4.2.4.1.3.2) CC 105 - Classe 1
  L_{cr}=0.27 Curva b: α-imp=0.34 k_c=0.94 ψ=1.94 M,cr=91937.30 λ_{LT}=0.12
  $\lambda_{LT,0}$=0.40 β_{LT}=0.75 Φ_{LT}=0.46 β_{LT}=0.75 f=1.00 χ_{LT}=1.00
  CC 105 My,Ed=-442.58 My,b,Rd=1363.58 My,Ed/My,b,Rd=0.32

- Verifica di stabilità aste presso-inflesse (C4.2.4.1.3.3.2) - CC 129 - Classe 1
  Sollecitazioni: N,Ed=-2.27 My,Ed=-296.74 Mz,Ed=4.28
  Resistenze: Nc,Rd=29566.40 My,c,Rd=1363.58 Mz,c,Rd=304.36 L=26.52
  αmy, αmz, αLT=0.95, 0.95, 0.95
  L_{cr}=0.27 Curva b: α-imp=0.34 k_c=0.94 ψ=2.07 M,cr=97811.80 λ_{LT}=0.12
  $\lambda_{LT,0}$=0.40 β_{LT}=0.75 Φ_{LT}=0.46 β_{LT}=0.75 f=1.00 χ_{LT}=1.00
  λ_Y=5.41 Ncr,y=9364240.00 λ^*_y=0.06 Curva a: Φ_y=0.00 χ_y=1.00
  λ_Z=18.32 Ncr,z=815369.00 λ^*_z=0.20 Curva b: Φ_z=0.00 χ_z=1.00
  Kyy, Kyz, Kzy, Kzz=0.95, 0.57, 0.57, 0.95
  Verifica YY: 0.00+0.21+0.01=0.21
  Verifica ZZ: 0.00+0.12+0.01=0.14

- Verifica freccia massima per soli carichi accidentali - CC 141
  $f_{Z,L}$=0.00 (L/7176)

- Verifica freccia massima carichi totali - CC 141
  $f_{Z,L}$=0.00 (L/6741)

- Verifica a pressoflessione deviata (EC3 6.41) - CC 105 Xl=0.00 - Classe 1
  Sollecitazioni: N=435.28 T_z=-1959.59 M_y=-442.58 T_y=-18.25 M_z=3.62
  N,Ed=435.28 Nc,Rd=29566.40 n=N,Ed/Nc,Rd=0.01
  Pressoflessione retta YY (4.2.34):
   My,Ed=-442.58 My,c,Rd=1363.58 MNy,c,Rd=1363.58 My,Ed/MNy,c,Rd=0.32
  Pressoflessione retta ZZ (4.2.35):
   Mz,Ed=3.62 Mz,c,Rd=304.36 MNz,c,Rd=304.36 Mz,Ed/MNz,c,Rd=0.01

α=2.00 β=1.00 (My,Ed/MNy,c,Rd)^2+(Mz,Ed/MNz,c,Rd)^1=0.32

- Verifica a taglio dir. Y (4.2.17) - CC 1 Xl=0.00
  Sollecitazioni: N=-389.14 T_z=3080.10 M_y=-26.05 T_y=-12.29 M_z=2.94
  V,Ed=-12.29 Vc,Rd=11760.20 V,Ed/Vc,Rd=0.00

- Verifica a taglio dir. Z (4.2.17)
  V,Ed=3080.10 (V,Ed,G=-328.84, V,Ed,M=3408.94) Vc,Rd=8148.24 V,Ed/Vc,Rd=0.38

Asta n. 314 (332 319) IPE120 Crit. 10

- Verifica di stabilità aste inflesse (4.2.4.1.3.2) CC 105 - Classe 1
  L_{cr}=0.13 Curva b: α-imp=0.34 k_c=0.94 ψ=1.53 M,cr=274985.00 λ_{LT}=0.07
  $\lambda_{LT,0}$=0.40 β_{LT}=0.75 Φ_{LT}=0.45 β_{LT}=0.75 f=1.00 χ_{LT}=1.00
  CC 105 My,Ed=342.38 My,b,Rd=1363.58 My,Ed/My,b,Rd=0.25

- Verifica di stabilità aste presso-inflesse (C4.2.4.1.3.3.2) - CC 97 - Classe 1
  Sollecitazioni: N,Ed=-1002.59 My,Ed=398.88 Mz,Ed=-11.02
  Resistenze: Nc,Rd=29566.40 My,c,Rd=1363.58 Mz,c,Rd=304.36 L=13.48
  αmy, αmz, αLT=0.95, 0.95, 0.95
  L_{cr}=0.13 Curva b: α-imp=0.34 k_c=0.94 ψ=1.28 M,cr=231259.00 λ_{LT}=0.08
  $\lambda_{LT,0}$=0.40 β_{LT}=0.75 Φ_{LT}=0.45 β_{LT}=0.75 f=1.00 χ_{LT}=1.00
  λ_Y=2.75 Ncr,y=36244000.00 λ^*_y=0.03 Curva a: Φ_y=0.00 χ_y=1.00
  λ_Z=9.31 Ncr,z=3155860.00 λ^*_z=0.10 Curva b: Φ_z=0.00 χ_z=1.00
  Kyy, Kyz, Kzy, Kzz=0.94, 0.56, 0.57, 0.94
  Verifica YY: 0.03+0.28+0.02=0.33
  Verifica ZZ: 0.03+0.17+0.03=0.23

- Verifica a pressoflessione deviata (EC3 6.41) - CC 97 Xl=0.13 - Classe 1
  Sollecitazioni: N=-1002.59 T_z=-1419.01 M_y=398.88 T_y=-54.13 M_z=-11.02
  N,Ed=-1002.59 Nc,Rd=29566.40 n=N,Ed/Nc,Rd=0.03
  Pressoflessione retta YY (4.2.34):
   My,Ed=398.88 My,c,Rd=1363.58 MNy,c,Rd=1363.58 My,Ed/MNy,c,Rd=0.29
  Pressoflessione retta ZZ (4.2.35):
   Mz,Ed=-11.02 Mz,c,Rd=304.36 MNz,c,Rd=304.36 Mz,Ed/MNz,c,Rd=0.04
  α=2.00 β=1.00 (My,Ed/MNy,c,Rd)^2+(Mz,Ed/MNz,c,Rd)^1=0.29

- Verifica a taglio dir. Y (4.2.17) - CC 1 Xl=0.00
  Sollecitazioni: N=-389.14 T_z=3077.35 M_y=48.75 T_y=15.28
  V,Ed=15.28 Vc,Rd=11760.20 V,Ed/Vc,Rd=0.00

- Verifica a taglio dir. Z (4.2.17)
  V,Ed=3077.35 (V,Ed,G=-331.59, V,Ed,M=3408.94) Vc,Rd=8148.24 V,Ed/Vc,Rd=0.38

Asta n. 314 (319 -1216) IPE120 Crit. 10

- Verifica di stabilità aste inflesse (4.2.4.1.3.2) CC 105 - Classe 1
  L_{cr}=0.40 Curva b: α-imp=0.34 k_c=0.94 ψ=1.76 M,cr=37576.30 λ_{LT}=0.20
  $\lambda_{LT,0}$=0.40 β_{LT}=0.75 Φ_{LT}=0.48 β_{LT}=0.75 f=0.99 χ_{LT}=1.00
  CC 105 My,Ed=290.60 My,b,Rd=1363.58 My,Ed/My,b,Rd=0.21

- Verifica di stabilità aste presso-inflesse (C4.2.4.1.3.3.2) - CC 97 - Classe 1
  Sollecitazioni: N,Ed=-640.72 My,Ed=480.88 Mz,Ed=-15.14
  Resistenze: Nc,Rd=29566.40 My,c,Rd=1363.58 Mz,c,Rd=304.36 L=40.00
  αmy, αmz, αLT=0.95, 0.95, 0.95
  L_{cr}=0.40 Curva b: α-imp=0.34 k_c=0.94 ψ=1.88 M,cr=40265.50 λ_{LT}=0.19
  $\lambda_{LT,0}$=0.40 β_{LT}=0.75 Φ_{LT}=0.48 β_{LT}=0.75 f=0.99 χ_{LT}=1.00
  λ_Y=8.16 Ncr,y=4116220.00 λ^*_y=0.09 Curva a: Φ_y=0.49 χ_y=1.00
  λ_Z=27.64 Ncr,z=358410.00 λ^*_z=0.29 Curva b: Φ_z=0.56 χ_z=0.97
  Kyy, Kyz, Kzy, Kzz=0.95, 0.57, 0.57, 0.95
  Verifica YY: 0.02+0.33+0.03=0.38
  Verifica ZZ: 0.02+0.20+0.05=0.27

- Verifica freccia massima per soli carichi accidentali - CC 133
  $f_{Z,G}$=0.00 (L/10356)

- Verifica freccia massima carichi totali - CC 133
  $f_{Z,L}$=0.01 (L/5886)

- Verifica a pressoflessione deviata (EC3 6.41) - CC 97 Xl=0.00 - Classe 1

Sollecitazioni: N=-640.72 T_z=1352.15 M_y=480.88 T_y=-71.21 M_z=13.35
N,Ed=-640.72 Nc,Rd=29566.40 n=N,Ed/Nc,Rd=0.02
Pressoflessione retta YY (4.2.34):
My,Ed=480.88 My,c,Rd=1363.58 MNy,c,Rd=1363.58 My,Ed/MNy,c,Rd=0.35
Pressoflessione retta ZZ (4.2.35):
Mz,Ed=13.35 Mz,c,Rd=304.36 MNz,c,Rd=304.36 Mz,Ed/MNz,c,Rd=0.04
α=2.00 β=1.00 $(My,Ed/MNy,c,Rd)^2+(Mz,Ed/MNz,c,Rd)^1$=0.35

- Verifica a taglio dir. Y (4.2.17) - CC 97 Xl=0.00
Sollecitazioni: N=-640.72 T_z=1352.15 M_y=480.88 T_y=-71.21 M_z=13.35
V,Ed=-71.21 Vc,Rd=11760.20 V,Ed/Vc,Rd=0.01

- Verifica a taglio dir. Z (4.2.17)
V,Ed=1352.15 Vc,Rd=8148.24 V,Ed/Vc,Rd=0.17

Asta n. 602 (-503 -375) HEB140 Crit. 1

- Verifica di stabilità aste inflesse (4.2.4.1.3.2) CC 97 - Classe 3
L_{cr}=2.30 Curva b: α-imp=0.34 k_c=0.94 ψ=1.75 M,cr=39032.80 λ_{LT}=0.39
$\lambda_{LT,0}$=0.40 β_{LT}=0.75 Φ_{LT}=0.56 β_{LT}=0.75 f=0.98 χ_{LT}=1.00
CC 97 My,Ed=-22.95 My,b,Rd=5390.19 My,Ed/My,b,Rd=0.00

- Verifica freccia massima carichi totali - CC 134
$f_{Z,L}$=0.00 (L/77962)

- Verifica in termini tensionali (4.2.5) - CC 126 Xl=0.00 - Classe 3
Sollecitazioni: N=391.10 T_z=39.83 T_y=-13.58 M_z=19.56
Tensioni: σ_N=9.10 σ_M=24.91 τ=0.00 σ_{max}=34.01
Tensioni: σ_N=9.10 σ_M=1.25 τ=4.79 τ_{max}=4.79
Tensioni: σ_N=9.10 σ_M=24.91 τ=0.20 $\sigma_{ID,max}$=34.02

Asta n. 604 (-511 -377) HEB140 Crit. 1

- Verifica di stabilità aste inflesse (4.2.4.1.3.2) CC 97 - Classe 3
L_{cr}=2.30 Curva b: α-imp=0.34 k_c=0.94 ψ=1.75 M,cr=39032.80 λ_{LT}=0.39
$\lambda_{LT,0}$=0.40 β_{LT}=0.75 Φ_{LT}=0.56 β_{LT}=0.75 f=0.98 χ_{LT}=1.00
CC 97 My,Ed=-22.95 My,b,Rd=5390.19 My,Ed/My,b,Rd=0.00

- Verifica freccia massima carichi totali - CC 135
$f_{Z,L}$=0.00 (L/76725)

- Verifica in termini tensionali (4.2.5) - CC 128 Xl=0.42 - Classe 3
Sollecitazioni: N=348.35 T_z=25.35 M_y=-13.66 T_y=-9.53 M_z=8.67
Tensioni: σ_N=8.11 σ_M=17.37 τ=0.00 σ_{max}=25.48
Tensioni: σ_N=8.11 σ_M=0.55 τ=3.05 τ_{max}=3.05
Tensioni: σ_N=8.11 σ_M=17.37 τ=0.00 $\sigma_{ID,max}$=25.48

Asta n. 606 (-515 -379) HEB140 Crit. 1

- Verifica di stabilità aste inflesse (4.2.4.1.3.2) CC 97 - Classe 3
L_{cr}=2.30 Curva b: α-imp=0.34 k_c=0.94 ψ=1.75 M,cr=39032.80 λ_{LT}=0.39
$\lambda_{LT,0}$=0.40 β_{LT}=0.75 Φ_{LT}=0.56 β_{LT}=0.75 f=0.98 χ_{LT}=1.00
CC 97 My,Ed=-22.95 My,b,Rd=5390.19 My,Ed/My,b,Rd=0.00

- Verifica freccia massima carichi totali - CC 138
$f_{Z,L}$=0.00 (L/77339)

- Verifica in termini tensionali (4.2.5) - CC 102 Xl=1.15 - Classe 3
Sollecitazioni: N=376.54 M_y=-22.95
Tensioni: σ_N=8.77 σ_M=10.65 τ=0.00 σ_{max}=19.41
Tensioni: σ_N=0.00 σ_M=0.00 τ=0.00 τ_{max}=0.00
Tensioni: σ_N=8.77 σ_M=10.65 τ=0.00 $\sigma_{ID,max}$=19.41

Asta n. 608 (-519 -381) HEB140 Crit. 1

- Verifica di stabilità aste inflesse (4.2.4.1.3.2) CC 97 - Classe 3
L_{cr}=2.30 Curva b: α-imp=0.34 k_c=0.94 ψ=1.75 M,cr=39032.80 λ_{LT}=0.39
$\lambda_{LT,0}$=0.40 β_{LT}=0.75 Φ_{LT}=0.56 β_{LT}=0.75 f=0.98 χ_{LT}=1.00
CC 97 My,Ed=-22.95 My,b,Rd=5390.19 My,Ed/My,b,Rd=0.00

- Verifica freccia massima carichi totali - CC 133
  $f_{Z,L}$=0.00 (L/75526)

- Verifica in termini tensionali (4.2.5) - CC 127 Xl=0.42 - Classe 3
  Sollecitazioni: N=347.59 T_z=25.35 M_y=-13.66 T_y=9.41 M_z=-8.54
  Tensioni: σ_N=8.09 σ_M=17.20 τ=0.00 σ_{max}=25.30
  Tensioni: σ_N=8.09 σ_M=-0.54 τ=3.05 τ_{max}=3.05
  Tensioni: σ_N=8.09 σ_M=17.20 τ=0.00 $\sigma_{ID,max}$=25.30

Asta n. 610 (-527 -383) HEB140 Crit. 1

- Verifica di stabilità aste inflesse (4.2.4.1.3.2) CC 97 - Classe 3
  L_{cr}=2.30 Curva b: α-imp=0.34 k_c=0.94 ψ=1.75 M,cr=39032.80 λ_{LT}=0.39
  $\lambda_{LT,0}$=0.40 β_{LT}=0.75 Φ_{LT}=0.56 β_{LT}=0.75 f=0.98 χ_{LT}=1.00
  CC 97 My,Ed=-22.95 My,b,Rd=5390.19 My,Ed/My,b,Rd=0.00

- Verifica freccia massima carichi totali - CC 136
  $f_{Z,L}$=0.00 (L/77962)

- Verifica in termini tensionali (4.2.5) - CC 126 Xl=0.00 - Classe 3
  Sollecitazioni: N=389.87 T_z=39.83 T_y=13.51 M_z=-19.44
  Tensioni: σ_N=9.08 σ_M=24.75 τ=0.00 σ_{max}=33.83
  Tensioni: σ_N=9.08 σ_M=-1.24 τ=4.79 τ_{max}=4.79
  Tensioni: σ_N=9.08 σ_M=24.75 τ=0.20 $\sigma_{ID,max}$=33.83

Asta n. 612 (-375 -377) U160x8.5 Crit. 1

- Verifica di stabilità aste inflesse (4.2.4.1.3.2) CC 101 - Classe 3
  L_{cr}=0.80 Curva d: α-imp=0.76 k_c=0.94 ψ=1.75 M,cr=0.00 λ_{LT}=0.00
  $\lambda_{LT,0}$=0.00 β_{LT}=0.00 Φ_{LT}=0.00 β_{LT}=0.00 f=0.00 χ_{LT}=1.00
  CC 101 My,Ed=1.45 My,b,Rd=2862.95 My,Ed/My,b,Rd=0.00

- Verifica di stabilità aste presso-inflesse (C4.2.4.1.3.3.1) - CC 124 - Classe 3
  Sollecitazioni: N,Ed=-39.98 Myeq,Ed=1.09 Mzeq,Ed=5.44
  Resistenze: Nc,Rd=66446.40 My,c,Rd=2862.95 Mz,c,Rd=450.72 L=80.00
  λ_Y=13.63 Ncr,y=2966900.00 λ^*_y=0.16 Curva c: Φ_y=0.50 χ_y=1.00
  λ_Z=43.80 Ncr,z=287205.00 λ^*_z=0.50 Curva c: Φ_z=0.70 χ_z=0.84
  χ,min=0.84
  Verifica: 0.00+0.00+0.01=0.01

- Verifica in termini tensionali (4.2.5) - CC 125 Xl=0.00 - Classe 3
  Sollecitazioni: N=43.55 T_z=-7.24 T_y=-33.03 M_z=11.41
  Tensioni: σ_N=1.64 σ_M=63.27 τ=0.00 σ_{max}=64.91
  Tensioni: σ_N=1.64 σ_M=5.39 τ=4.16 τ_{max}=4.16
  Tensioni: σ_N=1.64 σ_M=63.27 τ=0.02 $\sigma_{ID,max}$=64.91

Asta n. 612 (-377 -379) U160x8.5 Crit. 1

- Verifica di stabilità aste inflesse (4.2.4.1.3.2) CC 101 - Classe 3
  L_{cr}=0.80 Curva d: α-imp=0.76 k_c=0.94 ψ=1.75 M,cr=0.00 λ_{LT}=0.00
  $\lambda_{LT,0}$=0.00 β_{LT}=0.00 Φ_{LT}=0.00 β_{LT}=0.00 f=0.00 χ_{LT}=1.00
  CC 101 My,Ed=1.47 My,b,Rd=2862.95 My,Ed/My,b,Rd=0.00

- Verifica di stabilità aste presso-inflesse (C4.2.4.1.3.3.1) - CC 65 - Classe 3
  Sollecitazioni: N,Ed=-51.08 Myeq,Ed=0.81 Mzeq,Ed=3.55
  Resistenze: Nc,Rd=66446.40 My,c,Rd=2862.95 Mz,c,Rd=450.72 L=80.47
  λ_Y=13.71 Ncr,y=2932340.00 λ^*_y=0.16 Curva c: Φ_y=0.50 χ_y=1.00
  λ_Z=44.05 Ncr,z=283860.00 λ^*_z=0.51 Curva c: Φ_z=0.70 χ_z=0.84
  χ,min=0.84
  Verifica: 0.00+0.00+0.01=0.01

- Verifica in termini tensionali (4.2.5) - CC 65 Xl=0.00 - Classe 3
  Sollecitazioni: N=-36.14 T_z=-5.40 T_y=-12.92 M_z=3.55
  Tensioni: σ_N=-1.36 σ_M=19.67 τ=0.00 σ_{max}=18.31
  Tensioni: σ_N=-1.36 σ_M=1.68 τ=1.63 τ_{max}=1.63
  Tensioni: σ_N=-1.36 σ_M=19.67 τ=0.01 $\sigma_{ID,max}$=18.31

Asta n. 612 (-379 -381) U160x8.5 Crit. 1

- Verifica di stabilità aste inflesse (4.2.4.1.3.2) CC 101 - Classe 3
  L_{cr}=0.80 Curva d: α-imp=0.76 k_c=0.94 ψ=1.75 M,cr=0.00 λ_{LT}=0.00
  $\lambda_{LT,0}$=0.00 β_{LT}=0.00 Φ_{LT}=0.00 β_{LT}=0.00 f=0.00 χ_{LT}=1.00
  CC 101 My,Ed=1.43 My,b,Rd=2862.95 My,Ed/My,b,Rd=0.00

- Verifica di stabilità aste presso-inflesse (C4.2.4.1.3.3.1) - CC 17 - Classe 3
  Sollecitazioni: N,Ed=-50.80 Myeq,Ed=0.80 Mzeq,Ed=3.51
  Resistenze: Nc,Rd=66446.40 My,c,Rd=2862.95 Mz,c,Rd=450.72 L=79.53
  λ_Y=13.55 Ncr,y=3002070.00 λ^*_y=0.16 Curva c: Φ_y=0.50 χ_y=1.00
  λ_Z=43.54 Ncr,z=290610.00 λ^*_z=0.50 Curva c: Φ_z=0.70 χ_z=0.84
  χ,min=0.84
  Verifica: 0.00+0.00+0.01=0.01

- Verifica in termini tensionali (4.2.5) - CC 17 Xl=0.80 - Classe 3
  Sollecitazioni: N=-36.13 T_z=5.33 T_y=12.87 M_z=3.51
  Tensioni: σ_N=-1.36 σ_M=19.44 τ=0.00 σ_{max}=18.08
  Tensioni: σ_N=-1.36 σ_M=1.66 τ=1.62 τ_{max}=1.62
  Tensioni: σ_N=-1.36 σ_M=19.44 τ=0.01 $\sigma_{ID,max}$=18.08

Asta n. 612 (-381 -383) U160x8.5 Crit. 1

- Verifica di stabilità aste inflesse (4.2.4.1.3.2) CC 101 - Classe 3
  L_{cr}=0.80 Curva d: α-imp=0.76 k_c=0.94 ψ=1.75 M,cr=0.00 λ_{LT}=0.00
  $\lambda_{LT,0}$=0.00 β_{LT}=0.00 Φ_{LT}=0.00 β_{LT}=0.00 f=0.00 χ_{LT}=1.00
  CC 101 My,Ed=1.45 My,b,Rd=2862.95 My,Ed/My,b,Rd=0.00

- Verifica di stabilità aste presso-inflesse (C4.2.4.1.3.3.1) - CC 123 - Classe 3
  Sollecitazioni: N,Ed=-39.75 Myeq,Ed=1.09 Mzeq,Ed=5.38
  Resistenze: Nc,Rd=66446.40 My,c,Rd=2862.95 Mz,c,Rd=450.72 L=80.00
  λ_Y=13.63 Ncr,y=2966900.00 λ^*_y=0.16 Curva c: Φ_y=0.50 χ_y=1.00
  λ_Z=43.80 Ncr,z=287205.00 λ^*_z=0.50 Curva c: Φ_z=0.70 χ_z=0.84
  χ,min=0.84
  Verifica: 0.00+0.00+0.01=0.01

- Verifica in termini tensionali (4.2.5) - CC 125 Xl=0.80 - Classe 3
  Sollecitazioni: N=43.85 T_z=7.24 T_y=32.94 M_z=11.37
  Tensioni: σ_N=1.65 σ_M=63.06 τ=0.00 σ_{max}=64.71
  Tensioni: σ_N=1.65 σ_M=5.37 τ=4.15 τ_{max}=4.15
  Tensioni: σ_N=1.65 σ_M=63.06 τ=0.02 $\sigma_{ID,max}$=64.71

Asta n. 615 (-378 -376) U160x8.5 Crit. 1

- Verifica di stabilità aste inflesse (4.2.4.1.3.2) CC 105 - Classe 3
  L_{cr}=0.80 Curva d: α-imp=0.76 k_c=0.94 ψ=1.75 M,cr=0.00 λ_{LT}=0.00
  $\lambda_{LT,0}$=0.00 β_{LT}=0.00 Φ_{LT}=0.00 β_{LT}=0.00 f=0.00 χ_{LT}=1.00
  CC 105 My,Ed=1.45 My,b,Rd=2862.95 My,Ed/My,b,Rd=0.00

- Verifica di stabilità aste presso-inflesse (C4.2.4.1.3.3.1) - CC 125 - Classe 3
  Sollecitazioni: N,Ed=-77.34 Myeq,Ed=1.09 Mzeq,Ed=6.85
  Resistenze: Nc,Rd=66446.40 My,c,Rd=2862.95 Mz,c,Rd=450.72 L=80.00
  λ_Y=13.63 Ncr,y=2966900.00 λ^*_y=0.16 Curva c: Φ_y=0.50 χ_y=1.00
  λ_Z=43.80 Ncr,z=287205.00 λ^*_z=0.50 Curva c: Φ_z=0.70 χ_z=0.84
  χ,min=0.84
  Verifica: 0.00+0.00+0.02=0.02

- Verifica in termini tensionali (4.2.5) - CC 106 Xl=0.80 - Classe 3
  Sollecitazioni: N=51.52 T_z=7.24 T_y=29.44 M_z=9.77
  Tensioni: σ_N=1.94 σ_M=54.20 τ=0.00 σ_{max}=56.14
  Tensioni: σ_N=1.94 σ_M=4.62 τ=3.71 τ_{max}=3.71
  Tensioni: σ_N=1.94 σ_M=54.20 τ=0.02 $\sigma_{ID,max}$=56.14

Asta n. 615 (-380 -378) U160x8.5 Crit. 1

- Verifica di stabilità aste inflesse (4.2.4.1.3.2) CC 105 - Classe 3
  L_{cr}=0.80 Curva d: α-imp=0.76 k_c=0.94 ψ=1.75 M,cr=0.00 λ_{LT}=0.00
  $\lambda_{LT,0}$=0.00 β_{LT}=0.00 Φ_{LT}=0.00 β_{LT}=0.00 f=0.00 χ_{LT}=1.00
  CC 105 My,Ed=1.47 My,b,Rd=2862.95 My,Ed/My,b,Rd=0.00

- Verifica di stabilità aste presso-inflesse (C4.2.4.1.3.3.1) - CC 17 - Classe 3

Sollecitazioni: N,Ed=-51.08 Myeq,Ed=0.81 Mzeq,Ed=3.55
Resistenze: Nc,Rd=66446.40 My,c,Rd=2862.95 Mz,c,Rd=450.72 L=80.47
λ_Y=13.71 Ncr,y=2932340.00 λ^*_y=0.16 Curva c: Φ_y=0.50 χ_y=1.00
λ_Z=44.05 Ncr,z=283860.00 λ^*_z=0.51 Curva c: Φ_z=0.70 χ_z=0.84
χ,min=0.84
Verifica: 0.00+0.00+0.01=0.01

- Verifica in termini tensionali (4.2.5) - CC 17 Xl=0.80 - Classe 3
Sollecitazioni: N=-36.14 T_z=5.40 T_y=12.92 M_z=3.55
Tensioni: σ_N=-1.36 σ_M=19.67 τ=0.00 σ_{max}=18.31
Tensioni: σ_N=-1.36 σ_M=1.68 τ=1.63 τ_{max}=1.63
Tensioni: σ_N=-1.36 σ_M=19.67 τ=0.01 $\sigma_{ID,max}$=18.31

Asta n. 615 (-382 -380) U160x8.5 Crit. 1

- Verifica di stabilità aste inflesse (4.2.4.1.3.2) CC 105 - Classe 3
L_{cr}=0.80 Curva d: α-imp=0.76 k_c=0.94 ψ=1.75 M,cr=0.00 λ_{LT}=0.00
$\lambda_{LT,0}$=0.00 β_{LT}=0.00 Φ_{LT}=0.00 β_{LT}=0.00 f=0.00 χ_{LT}=1.00
CC 105 My,Ed=1.43 My,b,Rd=2862.95 My,Ed/My,b,Rd=0.00

- Verifica di stabilità aste presso-inflesse (C4.2.4.1.3.3.1) - CC 65 - Classe 3
Sollecitazioni: N,Ed=-50.80 Myeq,Ed=0.80 Mzeq,Ed=3.51
Resistenze: Nc,Rd=66446.40 My,c,Rd=2862.95 Mz,c,Rd=450.72 L=79.53
λ_Y=13.55 Ncr,y=3002070.00 λ^*_y=0.16 Curva c: Φ_y=0.50 χ_y=1.00
λ_Z=43.54 Ncr,z=290610.00 λ^*_z=0.50 Curva c: Φ_z=0.70 χ_z=0.84
χ,min=0.84
Verifica: 0.00+0.00+0.01=0.01

- Verifica in termini tensionali (4.2.5) - CC 65 Xl=0.00 - Classe 3
Sollecitazioni: N=-36.13 T_z=-5.33 T_y=-12.87 M_z=3.51
Tensioni: σ_N=-1.36 σ_M=19.44 τ=0.00 σ_{max}=18.08
Tensioni: σ_N=-1.36 σ_M=1.66 τ=1.62 τ_{max}=1.62
Tensioni: σ_N=-1.36 σ_M=19.44 τ=0.01 $\sigma_{ID,max}$=18.08

Asta n. 615 (-384 -382) U160x8.5 Crit. 1

- Verifica di stabilità aste inflesse (4.2.4.1.3.2) CC 105 - Classe 3
L_{cr}=0.80 Curva d: α-imp=0.76 k_c=0.94 ψ=1.75 M,cr=0.00 λ_{LT}=0.00
$\lambda_{LT,0}$=0.00 β_{LT}=0.00 Φ_{LT}=0.00 β_{LT}=0.00 f=0.00 χ_{LT}=1.00
CC 105 My,Ed=1.45 My,b,Rd=2862.95 My,Ed/My,b,Rd=0.00

- Verifica di stabilità aste presso-inflesse (C4.2.4.1.3.3.1) - CC 125 - Classe 3
Sollecitazioni: N,Ed=-77.02 Myeq,Ed=1.09 Mzeq,Ed=6.89
Resistenze: Nc,Rd=66446.40 My,c,Rd=2862.95 Mz,c,Rd=450.72 L=80.00
λ_Y=13.63 Ncr,y=2966890.00 λ^*_y=0.16 Curva c: Φ_y=0.50 χ_y=1.00
λ_Z=43.80 Ncr,z=287205.00 λ^*_z=0.50 Curva c: Φ_z=0.70 χ_z=0.84
χ,min=0.84
Verifica: 0.00+0.00+0.02=0.02

- Verifica in termini tensionali (4.2.5) - CC 106 Xl=0.00 - Classe 3
Sollecitazioni: N=51.74 T_z=-7.24 T_y=-29.41 M_z=9.75
Tensioni: σ_N=1.95 σ_M=54.11 τ=0.00 σ_{max}=56.05
Tensioni: σ_N=1.95 σ_M=4.61 τ=3.71 τ_{max}=3.71
Tensioni: σ_N=1.95 σ_M=54.11 τ=0.02 $\sigma_{ID,max}$=56.05

Asta n. 617 (-41 -375) HEB140 Crit. 1

- Verifica di stabilità aste presso-inflesse (C4.2.4.1.3.3.2) - CC 98 - Classe 3
Sollecitazioni: N,Ed=-34808.90 My,Ed=314.13 Mz,Ed=30.97
Resistenze: Nc,Rd=107392.00 My,c,Rd=5390.19 Mz,c,Rd=1963.10 L=230.49
αmy, αmz, αLT=0.95, 0.95, 0.95
L_{cr}=2.30 Curva b: α-imp=0.34 k_c=0.94 ψ=1.75 M,cr=39032.80 λ_{LT}=0.39
$\lambda_{LT,0}$=0.40 β_{LT}=0.75 Φ_{LT}=0.56 β_{LT}=0.75 f=0.98 χ_{LT}=1.00
λ_Y=38.89 Ncr,y=588819.00 λ^*_y=0.45 Curva b: Φ_y=0.64 χ_y=0.91
λ_Z=64.43 Ncr,z=214447.00 λ^*_z=0.74 Curva c: Φ_z=0.91 χ_z=0.70
Kyy, Kyz, Kzy, Kzz=1.04, 1.15, 0.83, 1.15
Verifica YY: 0.36+0.06+0.02=0.44
Verifica ZZ: 0.46+0.05+0.02=0.53

- Verifica freccia massima per soli carichi accidentali - CC 133
  $f_{Z,G}$=0.03 (L/8910) $f_{Z,L}$=0.01 (L/15743)

- Verifica freccia massima carichi totali - CC 134
  $f_{Z,G}$=0.04 (L/5461) $f_{Z,L}$=0.02 (L/10174)

- Verifica in termini tensionali (4.2.5) - CC 98 Xl=2.30 - Classe 3
  Sollecitazioni: N=-34740.60 T_z=-176.12 M_y=314.13 T_y=19.77 M_z=30.97
  Tensioni: σ_N=-808.73 σ_M=-185.14 τ=0.00 σ_{max}=-993.87
  Tensioni: σ_N=-808.73 σ_M=1.97 τ=21.18 τ_{max}=21.18
  Tensioni: σ_N=-808.73 σ_M=-185.14 τ=0.00 $\sigma_{ID,max}$=993.87

Asta n. 617 (-375 10) HEB140 Crit. 1

- Verifica di stabilità aste presso-inflesse (C4.2.4.1.3.3.2) - CC 98 - Classe 3
  Sollecitazioni: N,Ed=-34636.80 My,Ed=314.23 Mz,Ed=-70.92
  Resistenze: Nc,Rd=107392.00 My,c,Rd=5390.19 Mz,c,Rd=1963.10 L=230.49
  αmy, αmz, αLT=0.95, 0.95, 0.95
  L_{cr}=2.30 Curva b: α-imp=0.34 k_c=0.94 ψ=1.75 M,cr=39032.80 λ_{LT}=0.39
  $\lambda_{LT,0}$=0.40 β_{LT}=0.75 Φ_{LT}=0.56 β_{LT}=0.75 f=0.98 χ_{LT}=1.00
  λ_Y=38.89 Ncr,y=588819.00 λ^*_y=0.45 Curva b: Φ_y=0.64 χ_y=0.91
  λ_Z=64.43 Ncr,z=214447.00 λ^*_z=0.74 Curva c: Φ_z=0.91 χ_z=0.70
  Kyy, Kyz, Kzy, Kzz=1.04, 1.15, 0.83, 1.15
  Verifica YY: 0.36+0.06+0.04=0.46
  Verifica ZZ: 0.46+0.05+0.04=0.55

- Verifica freccia massima per soli carichi accidentali - CC 133
  $f_{Z,G}$=0.03 (L/8951) $f_{Z,L}$=0.01 (L/15725)

- Verifica freccia massima carichi totali - CC 134
  $f_{Z,G}$=0.04 (L/5521) $f_{Z,L}$=0.02 (L/10161)

- Verifica in termini tensionali (4.2.5) - CC 98 Xl=0.00 - Classe 3
  Sollecitazioni: N=-34636.80 T_z=176.16 M_y=314.23 T_y=-44.19 M_z=30.92
  Tensioni: σ_N=-806.32 σ_M=-185.12 τ=0.00 σ_{max}=-991.43
  Tensioni: σ_N=-806.32 σ_M=1.97 τ=21.19 τ_{max}=21.19
  Tensioni: σ_N=-806.32 σ_M=-185.12 τ=0.00 $\sigma_{ID,max}$=991.43

Asta n. 619 (12 -511) HEB140 Crit. 1

- Verifica di stabilità aste inflesse (4.2.4.1.3.2) CC 97 - Classe 3
  L_{cr}=3.50 Curva b: α-imp=0.34 k_c=0.94 ψ=1.75 M,cr=22787.60 λ_{LT}=0.51
  $\lambda_{LT,0}$=0.40 β_{LT}=0.75 Φ_{LT}=0.62 β_{LT}=0.75 f=0.98 χ_{LT}=0.98
  CC 97 My,Ed=-69.71 My,b,Rd=5284.96 My,Ed/My,b,Rd=0.01

- Verifica freccia massima carichi totali - CC 134
  $f_{Z,L}$=0.02 (L/16815)

- Verifica in termini tensionali (4.2.5) - CC 102 Xl=1.59 - Classe 3
  Sollecitazioni: N=25286.40 T_z=7.24 M_y=-69.13 T_y=2.98 M_z=-7.35
  Tensioni: σ_N=588.65 σ_M=41.42 τ=0.00 σ_{max}=630.07
  Tensioni: σ_N=588.65 σ_M=-0.47 τ=0.87 τ_{max}=0.87
  Tensioni: σ_N=588.65 σ_M=41.42 τ=0.00 $\sigma_{ID,max}$=630.07

Asta n. 621 (22 -379) HEB140 Crit. 1

- Verifica di stabilità aste presso-inflesse (C4.2.4.1.3.3.2) - CC 102 - Classe 3
  Sollecitazioni: N,Ed=-29986.40 My,Ed=271.74 Mz,Ed=0.12
  Resistenze: Nc,Rd=107392.00 My,c,Rd=5390.19 Mz,c,Rd=1963.10 L=230.49
  αmy, αmz, αLT=0.95, 0.95, 0.95
  L_{cr}=2.30 Curva b: α-imp=0.34 k_c=0.94 ψ=1.75 M,cr=39032.80 λ_{LT}=0.39
  $\lambda_{LT,0}$=0.40 β_{LT}=0.75 Φ_{LT}=0.56 β_{LT}=0.75 f=0.98 χ_{LT}=1.00
  λ_Y=38.89 Ncr,y=588819.00 λ^*_y=0.45 Curva b: Φ_y=0.64 χ_y=0.91
  λ_Z=64.43 Ncr,z=214447.00 λ^*_z=0.74 Curva c: Φ_z=0.91 χ_z=0.70
  Kyy, Kyz, Kzy, Kzz=1.03, 1.12, 0.82, 1.12
  Verifica YY: 0.31+0.05+0.00=0.36
  Verifica ZZ: 0.40+0.04+0.00=0.44

- Verifica freccia massima per soli carichi accidentali - CC 137
  $f_{Z,G}$=0.03 (L/8736) $f_{Z,L}$=0.01 (L/15378)

- Verifica freccia massima carichi totali - CC 138
  $f_{Z,G}$=0.04 (L/6341) $f_{Z,L}$=0.02 (L/11899)

- Verifica in termini tensionali (4.2.5) - CC 102 Xl=2.30 - Classe 3
  Sollecitazioni: N=-29918.20 T_z=-157.73 M_y=271.74
  Tensioni: σ_N=-696.47 σ_M=-126.04 τ=0.00 σ_{max}=-822.51
  Tensioni: σ_N=-696.47 σ_M=-0.00 τ=18.97 τ_{max}=18.97
  Tensioni: σ_N=-696.47 σ_M=-126.04 τ=0.00 $\sigma_{ID,max}$=822.51

Asta n. 621 (-379 14) HEB140 Crit. 1

- Verifica di stabilità aste presso-inflesse (C4.2.4.1.3.3.2) - CC 102 - Classe 3
  Sollecitazioni: N,Ed=-29811.80 My,Ed=271.62 Mz,Ed=-0.09
  Resistenze: Nc,Rd=107392.00 My,c,Rd=5390.19 Mz,c,Rd=1963.10 L=230.49
  αmy, αmz, αLT=0.95, 0.95, 0.95
  L_{cr}=2.30 Curva b: α-imp=0.34 k_c=0.94 ψ=1.75 M,cr=39032.80 λ_{LT}=0.39
  $\lambda_{LT,0}$=0.40 β_{LT}=0.75 Φ_{LT}=0.56 β_{LT}=0.75 f=0.98 χ_{LT}=1.00
  λ_Y=38.89 Ncr,y=588819.00 λ^*_y=0.45 Curva b: Φ_y=0.64 χ_y=0.91
  λ_Z=64.43 Ncr,z=214447.00 λ^*_z=0.74 Curva c: Φ_z=0.91 χ_z=0.70
  Kyy, Kyz, Kzy, Kzz=1.03, 1.12, 0.82, 1.12
  Verifica YY: 0.31+0.05+0.00=0.36
  Verifica ZZ: 0.40+0.04+0.00=0.44

- Verifica freccia massima per soli carichi accidentali - CC 137
  $f_{Z,G}$=0.03 (L/8844) $f_{Z,L}$=0.01 (L/15401)

- Verifica freccia massima carichi totali - CC 138
  $f_{Z,G}$=0.04 (L/6449) $f_{Z,L}$=0.02 (L/11882)

- Verifica in termini tensionali (4.2.5) - CC 102 Xl=0.00 - Classe 3
  Sollecitazioni: N=-29811.80 T_z=157.68 M_y=271.62
  Tensioni: σ_N=-693.99 σ_M=-125.98 τ=0.00 σ_{max}=-819.97
  Tensioni: σ_N=-693.99 σ_M=-0.00 τ=18.96 τ_{max}=18.96
  Tensioni: σ_N=-693.99 σ_M=-125.98 τ=0.00 $\sigma_{ID,max}$=819.97

Asta n. 623 (16 -519) HEB140 Crit. 1

- Verifica di stabilità aste inflesse (4.2.4.1.3.2) CC 97 - Classe 3
  L_{cr}=3.50 Curva b: α-imp=0.34 k_c=0.94 ψ=1.75 M,cr=22787.60 λ_{LT}=0.51
  $\lambda_{LT,0}$=0.40 β_{LT}=0.75 Φ_{LT}=0.62 β_{LT}=0.75 f=0.98 χ_{LT}=0.98
  CC 97 My,Ed=-69.71 My,b,Rd=5284.96 My,Ed/My,b,Rd=0.01

- Verifica freccia massima carichi totali - CC 144
  $f_{Z,G}$=0.02 (L/16796)

- Verifica in termini tensionali (4.2.5) - CC 102 Xl=1.59 - Classe 3
  Sollecitazioni: N=25201.90 T_z=7.24 M_y=-69.13 T_y=-2.88 M_z=7.29
  Tensioni: σ_N=586.68 σ_M=41.35 τ=0.00 σ_{max}=628.03
  Tensioni: σ_N=586.68 σ_M=0.46 τ=0.87 τ_{max}=0.87
  Tensioni: σ_N=586.68 σ_M=41.35 τ=0.00 $\sigma_{ID,max}$=628.03

Asta n. 625 (-179 -383) HEB140 Crit. 1

- Verifica di stabilità aste presso-inflesse (C4.2.4.1.3.3.2) - CC 98 - Classe 3
  Sollecitazioni: N,Ed=-34643.30 My,Ed=312.74 Mz,Ed=-30.94
  Resistenze: Nc,Rd=107392.00 My,c,Rd=5390.19 Mz,c,Rd=1963.10 L=230.49
  αmy, αmz, αLT=0.95, 0.95, 0.95
  L_{cr}=2.30 Curva b: α-imp=0.34 k_c=0.94 ψ=1.75 M,cr=39032.80 λ_{LT}=0.39
  $\lambda_{LT,0}$=0.40 β_{LT}=0.75 Φ_{LT}=0.56 β_{LT}=0.75 f=0.98 χ_{LT}=1.00
  λ_Y=38.89 Ncr,y=588819.00 λ^*_y=0.45 Curva b: Φ_y=0.64 χ_y=0.91
  λ_Z=64.43 Ncr,z=214447.00 λ^*_z=0.74 Curva c: Φ_z=0.91 χ_z=0.70
  Kyy, Kyz, Kzy, Kzz=1.04, 1.15, 0.83, 1.15
  Verifica YY: 0.36+0.06+0.02=0.43
  Verifica ZZ: 0.46+0.05+0.02=0.53

- Verifica freccia massima per soli carichi accidentali - CC 133
  $f_{Z,G}$=0.03 (L/8910) $f_{Z,L}$=0.01 (L/15783)

- Verifica freccia massima carichi totali - CC 134

$f_{Z,G}$=0.04 (L/5488) $f_{Z,L}$=0.02 (L/10226)

- Verifica in termini tensionali (4.2.5) - CC 98 Xl=2.30 - Classe 3
  Sollecitazioni: N=-34575.10 T_z=-175.52 M_y=312.74 T_y=-19.82 M_z=-30.94
  Tensioni: σ_N=-804.88 σ_M=-184.46 τ=0.00 σ_{max}=-989.34
  Tensioni: σ_N=-804.88 σ_M=-1.97 τ=21.11 τ_{max}=21.11
  Tensioni: σ_N=-804.88 σ_M=-184.46 τ=0.00 $\sigma_{ID,max}$=989.34

Asta n. 625 (-383 18) HEB140 Crit. 1

- Verifica di stabilità aste presso-inflesse (C4.2.4.1.3.3.2) - CC 98 - Classe 3
  Sollecitazioni: N,Ed=-34471.40 My,Ed=312.83 Mz,Ed=70.29
  Resistenze: Nc,Rd=107392.00 My,c,Rd=5390.19 Mz,c,Rd=1963.10 L=230.49
  αmy, αmz, αLT=0.95, 0.95, 0.95
  L_{cr}=2.30 Curva b: α-imp=0.34 k_c=0.94 ψ=1.75 M,cr=39032.80 λ_{LT}=0.39
  $\lambda_{LT,0}$=0.40 β_{LT}=0.75 Φ_{LT}=0.56 β_{LT}=0.75 f=0.98 χ_{LT}=1.00
  λ_Y=38.89 Ncr,y=588819.00 λ^*_y=0.45 Curva b: Φ_y=0.64 χ_y=0.91
  λ_Z=64.43 Ncr,z=214447.00 λ^*_z=0.74 Curva c: Φ_z=0.91 χ_z=0.70
  Kyy, Kyz, Kzy, Kzz=1.04, 1.14, 0.83, 1.14
  Verifica YY: 0.35+0.06+0.04=0.46
  Verifica ZZ: 0.46+0.05+0.04=0.55

- Verifica freccia massima per soli carichi accidentali - CC 133
  $f_{Z,G}$=0.03 (L/8967) $f_{Z,L}$=0.01 (L/15764)

- Verifica freccia massima carichi totali - CC 134
  $f_{Z,G}$=0.04 (L/5540) $f_{Z,L}$=0.02 (L/10219)

- Verifica in termini tensionali (4.2.5) - CC 98 Xl=0.00 - Classe 3
  Sollecitazioni: N=-34471.40 T_z=175.56 M_y=312.83 T_y=43.90 M_z=-30.89
  Tensioni: σ_N=-802.47 σ_M=-184.44 τ=0.00 σ_{max}=-986.90
  Tensioni: σ_N=-802.47 σ_M=-1.97 τ=21.12 τ_{max}=21.12
  Tensioni: σ_N=-802.47 σ_M=-184.44 τ=0.00 $\sigma_{ID,max}$=986.90

Asta n. 632 (10 -503) HEB140 Crit. 1

- Verifica di stabilità aste inflesse (4.2.4.1.3.2) CC 97 - Classe 3
  L_{cr}=3.50 Curva b: α-imp=0.34 k_c=0.94 ψ=1.75 M,cr=22787.60 λ_{LT}=0.51
  $\lambda_{LT,0}$=0.40 β_{LT}=0.75 Φ_{LT}=0.62 β_{LT}=0.75 f=0.98 χ_{LT}=0.98
  CC 97 My,Ed=-69.71 My,b,Rd=5284.96 My,Ed/My,b,Rd=0.01

- Verifica freccia massima carichi totali - CC 141
  $f_{Z,G}$=0.02 (L/16815)

- Verifica in termini tensionali (4.2.5) - CC 98 Xl=0.64 - Classe 3
  Sollecitazioni: N=26183.60 T_z=50.70 M_y=-41.48 T_y=17.97 M_z=-40.73
  Tensioni: σ_N=609.53 σ_M=71.11 τ=0.00 σ_{max}=680.64
  Tensioni: σ_N=609.53 σ_M=-2.59 τ=6.10 τ_{max}=6.10
  Tensioni: σ_N=609.53 σ_M=71.11 τ=0.00 $\sigma_{ID,max}$=680.64

Asta n. 634 (20 -377) HEB140 Crit. 1

- Verifica di stabilità aste presso-inflesse (C4.2.4.1.3.3.2) - CC 102 - Classe 3
  Sollecitazioni: N,Ed=-33626.50 My,Ed=302.75 Mz,Ed=7.17
  Resistenze: Nc,Rd=107392.00 My,c,Rd=5390.19 Mz,c,Rd=1963.10 L=230.49
  αmy, αmz, αLT=0.95, 0.95, 0.95
  L_{cr}=2.30 Curva b: α-imp=0.34 k_c=0.94 ψ=1.75 M,cr=39032.80 λ_{LT}=0.39
  $\lambda_{LT,0}$=0.40 β_{LT}=0.75 Φ_{LT}=0.56 β_{LT}=0.75 f=0.98 χ_{LT}=1.00
  λ_Y=38.89 Ncr,y=588819.00 λ^*_y=0.45 Curva b: Φ_y=0.64 χ_y=0.91
  λ_Z=64.43 Ncr,z=214447.00 λ^*_z=0.74 Curva c: Φ_z=0.91 χ_z=0.70
  Kyy, Kyz, Kzy, Kzz=1.04, 1.14, 0.83, 1.14
  Verifica YY: 0.35+0.06+0.00=0.41
  Verifica ZZ: 0.45+0.05+0.00=0.50

- Verifica freccia massima per soli carichi accidentali - CC 137
  $f_{Z,G}$=0.03 (L/7821) $f_{Z,L}$=0.02 (L/13754)

- Verifica freccia massima carichi totali - CC 138
  $f_{Z,G}$=0.04 (L/5660) $f_{Z,L}$=0.02 (L/10528)

- Verifica in termini tensionali (4.2.5) - CC 102 Xl=2.30 - Classe 3
  Sollecitazioni: N=-33558.20 T_z=-171.19 M_y=302.75 T_y=4.52 M_z=7.17
  Tensioni: σ_N=-781.21 σ_M=-149.54 τ=0.00 σ_{max}=-930.75
  Tensioni: σ_N=-781.21 σ_M=0.46 τ=20.59 τ_{max}=20.59
  Tensioni: σ_N=-781.21 σ_M=-149.54 τ=0.00 $\sigma_{ID,max}$=930.75

Asta n. 634 (-377 12) HEB140 Crit. 1

- Verifica di stabilità aste presso-inflesse (C4.2.4.1.3.3.2) - CC 102 - Classe 3
  Sollecitazioni: N,Ed=-33450.90 My,Ed=302.89 Mz,Ed=-16.51
  Resistenze: Nc,Rd=107392.00 My,c,Rd=5390.19 Mz,c,Rd=1963.10 L=230.49
  αmy, αmz, αLT=0.95, 0.95, 0.95
  L_{cr}=2.30 Curva b: α-imp=0.34 k_c=0.94 ψ=1.75 M,cr=39032.80 λ_{LT}=0.39
  $\lambda_{LT,0}$=0.40 β_{LT}=0.75 Φ_{LT}=0.56 β_{LT}=0.75 f=0.98 χ_{LT}=1.00
  λ_Y=38.89 Ncr,y=588819.00 λ^*_y=0.45 Curva b: Φ_y=0.64 χ_y=0.91
  λ_Z=64.43 Ncr,z=214447.00 λ^*_z=0.74 Curva c: Φ_z=0.91 χ_z=0.70
  Kyy, Kyz, Kzy, Kzz=1.04, 1.14, 0.83, 1.14
  Verifica YY: 0.34+0.06+0.01=0.41
  Verifica ZZ: 0.45+0.05+0.01=0.50

- Verifica freccia massima per soli carichi accidentali - CC 137
  $f_{Z,G}$=0.03 (L/7924) $f_{Z,L}$=0.02 (L/13744)

- Verifica freccia massima carichi totali - CC 138
  $f_{Z,G}$=0.04 (L/5761) $f_{Z,L}$=0.02 (L/10523)

- Verifica in termini tensionali (4.2.5) - CC 102 Xl=0.00 - Classe 3
  Sollecitazioni: N=-33450.90 T_z=171.25 M_y=302.89 T_y=-9.76 M_z=6.00
  Tensioni: σ_N=-778.71 σ_M=-148.12 τ=0.00 σ_{max}=-926.83
  Tensioni: σ_N=-778.71 σ_M=0.38 τ=20.60 τ_{max}=20.60
  Tensioni: σ_N=-778.71 σ_M=-148.12 τ=0.00 $\sigma_{ID,max}$=926.83

Asta n. 636 (14 -515) HEB140 Crit. 1

- Verifica di stabilità aste inflesse (4.2.4.1.3.2) CC 97 - Classe 3
  L_{cr}=3.50 Curva b: α-imp=0.34 k_c=0.94 ψ=1.75 M,cr=22787.60 λ_{LT}=0.51
  $\lambda_{LT,0}$=0.40 β_{LT}=0.75 Φ_{LT}=0.62 β_{LT}=0.75 f=0.98 χ_{LT}=0.98
  CC 97 My,Ed=-69.71 My,b,Rd=5284.96 My,Ed/My,b,Rd=0.01

- Verifica freccia massima carichi totali - CC 137
  $f_{Z,L}$=0.02 (L/16815)

- Verifica in termini tensionali (4.2.5) - CC 102 Xl=1.74 - Classe 3
  Sollecitazioni: N=22532.20 M_y=-69.71
  Tensioni: σ_N=524.53 σ_M=32.33 τ=0.00 σ_{max}=556.86
  Tensioni: σ_N=0.00 σ_M=0.00 τ=0.00 τ_{max}=0.00
  Tensioni: σ_N=524.53 σ_M=32.33 τ=0.00 $\sigma_{ID,max}$=556.86

Asta n. 638 (24 -381) HEB140 Crit. 1

- Verifica di stabilità aste presso-inflesse (C4.2.4.1.3.3.2) - CC 102 - Classe 3
  Sollecitazioni: N,Ed=-33514.60 My,Ed=301.81 Mz,Ed=-7.24
  Resistenze: Nc,Rd=107392.00 My,c,Rd=5390.19 Mz,c,Rd=1963.10 L=230.49
  αmy, αmz, αLT=0.95, 0.95, 0.95
  L_{cr}=2.30 Curva b: α-imp=0.34 k_c=0.94 ψ=1.75 M,cr=39032.80 λ_{LT}=0.39
  $\lambda_{LT,0}$=0.40 β_{LT}=0.75 Φ_{LT}=0.56 β_{LT}=0.75 f=0.98 χ_{LT}=1.00
  λ_Y=38.89 Ncr,y=588819.00 λ^*_y=0.45 Curva b: Φ_y=0.64 χ_y=0.91
  λ_Z=64.43 Ncr,z=214447.00 λ^*_z=0.74 Curva c: Φ_z=0.91 χ_z=0.70
  Kyy, Kyz, Kzy, Kzz=1.04, 1.14, 0.83, 1.14
  Verifica YY: 0.34+0.06+0.00=0.41
  Verifica ZZ: 0.45+0.05+0.00=0.50

- Verifica freccia massima per soli carichi accidentali - CC 137
  $f_{Z,G}$=0.03 (L/7840) $f_{Z,L}$=0.02 (L/13795)

- Verifica freccia massima carichi totali - CC 138
  $f_{Z,G}$=0.04 (L/5680) $f_{Z,L}$=0.02 (L/10564)

- Verifica in termini tensionali (4.2.5) - CC 102 Xl=2.30 - Classe 3
  Sollecitazioni: N=-33446.30 T_z=-170.78 M_y=301.81 T_y=-4.63 M_z=-7.24

Tensioni: σ_N=-778.60 σ_M=-149.20 τ=0.00 σ_{max}=-927.80
Tensioni: σ_N=-778.60 σ_M=-0.46 τ=20.54 τ_{max}=20.54
Tensioni: σ_N=-778.60 σ_M=-149.20 τ=0.00 $\sigma_{ID,max}$=927.80

Asta n. 638 (-381 16) HEB140 Crit. 1

- Verifica di stabilità aste presso-inflesse (C4.2.4.1.3.3.2) - CC 102 - Classe 3
Sollecitazioni: N,Ed=-33339.20 My,Ed=301.95 Mz,Ed=16.21
Resistenze: Nc,Rd=107392.00 My,c,Rd=5390.19 Mz,c,Rd=1963.10 L=230.49
αmy, αmz, αLT=0.95, 0.95, 0.95
L_{cr}=2.30 Curva b: α-imp=0.34 k_c=0.94 ψ=1.75 M,cr=39032.80 λ_{LT}=0.39
$\lambda_{LT,0}$=0.40 β_{LT}=0.75 Φ_{LT}=0.56 β_{LT}=0.75 f=0.98 χ_{LT}=1.00
λ_Y=38.89 Ncr,y=588819.00 λ^*_y=0.45 Curva b: Φ_y=0.64 χ_y=0.91
λ_Z=64.43 Ncr,z=214447.00 λ^*_z=0.74 Curva c: Φ_z=0.91 χ_z=0.70
Kyy, Kyz, Kzy, Kzz=1.04, 1.14, 0.83, 1.14
Verifica YY: 0.34+0.06+0.01=0.41
Verifica ZZ: 0.44+0.05+0.01=0.50

- Verifica freccia massima per soli carichi accidentali - CC 137
$f_{Z,G}$=0.03 (L/7930) $f_{Z,L}$=0.02 (L/13757)

- Verifica freccia massima carichi totali - CC 138
$f_{Z,G}$=0.04 (L/5775) $f_{Z,L}$=0.02 (L/10545)

- Verifica in termini tensionali (4.2.5) - CC 102 Xl=0.00 - Classe 3
Sollecitazioni: N=-33339.20 T_z=170.84 M_y=301.95 T_y=9.67 M_z=-6.08
Tensioni: σ_N=-776.11 σ_M=-147.78 τ=0.00 σ_{max}=-923.89
Tensioni: σ_N=-776.11 σ_M=-0.39 τ=20.55 τ_{max}=20.55
Tensioni: σ_N=-776.11 σ_M=-147.78 τ=0.00 $\sigma_{ID,max}$=923.89

Asta n. 640 (18 -527) HEB140 Crit. 1

- Verifica di stabilità aste inflesse (4.2.4.1.3.2) CC 97 - Classe 3
L_{cr}=3.50 Curva b: α-imp=0.34 k_c=0.94 ψ=1.75 M,cr=22787.60 λ_{LT}=0.51
$\lambda_{LT,0}$=0.40 β_{LT}=0.75 Φ_{LT}=0.62 β_{LT}=0.75 f=0.98 χ_{LT}=0.98
CC 97 My,Ed=-69.71 My,b,Rd=5284.96 My,Ed/My,b,Rd=0.01

- Verifica freccia massima carichi totali - CC 142
$f_{Z,G}$=0.02 (L/16796)

- Verifica in termini tensionali (4.2.5) - CC 98 Xl=0.64 - Classe 3
Sollecitazioni: N=26058.40 T_z=50.70 M_y=-41.48 T_y=-17.78 M_z=40.38
Tensioni: σ_N=606.62 σ_M=70.67 τ=0.00 σ_{max}=677.28
Tensioni: σ_N=606.62 σ_M=2.57 τ=6.10 τ_{max}=6.10
Tensioni: σ_N=606.62 σ_M=70.67 τ=0.00 $\sigma_{ID,max}$=677.28

Asta n. 647 (11 -504) HEB140 Crit. 1

- Verifica di stabilità aste inflesse (4.2.4.1.3.2) CC 97 - Classe 3
L_{cr}=3.50 Curva b: α-imp=0.34 k_c=0.94 ψ=1.75 M,cr=22787.60 λ_{LT}=0.51
$\lambda_{LT,0}$=0.40 β_{LT}=0.75 Φ_{LT}=0.62 β_{LT}=0.75 f=0.98 χ_{LT}=0.98
CC 97 My,Ed=-69.71 My,b,Rd=5284.96 My,Ed/My,b,Rd=0.01

- Verifica freccia massima carichi totali - CC 137
$f_{Z,G}$=0.02 (L/16815)

- Verifica in termini tensionali (4.2.5) - CC 97 Xl=0.64 - Classe 3
Sollecitazioni: N=26183.60 T_z=50.70 M_y=-41.48 T_y=-17.97 M_z=40.73
Tensioni: σ_N=609.53 σ_M=71.11 τ=0.00 σ_{max}=680.64
Tensioni: σ_N=609.53 σ_M=2.59 τ=6.10 τ_{max}=6.10
Tensioni: σ_N=609.53 σ_M=71.11 τ=0.00 $\sigma_{ID,max}$=680.64

Asta n. 649 (13 -512) HEB140 Crit. 1

- Verifica di stabilità aste inflesse (4.2.4.1.3.2) CC 97 - Classe 3
L_{cr}=3.50 Curva b: α-imp=0.34 k_c=0.94 ψ=1.75 M,cr=22787.60 λ_{LT}=0.51
$\lambda_{LT,0}$=0.40 β_{LT}=0.75 Φ_{LT}=0.62 β_{LT}=0.75 f=0.98 χ_{LT}=0.98
CC 97 My,Ed=-69.71 My,b,Rd=5284.96 My,Ed/My,b,Rd=0.01

- Verifica freccia massima carichi totali - CC 137
  $f_{Z,G}$=0.02 (L/16815)

- Verifica in termini tensionali (4.2.5) - CC 105 Xl=1.59 - Classe 3
  Sollecitazioni: N=25285.60 T_z=7.24 M_y=-69.13 T_y=-2.98 M_z=7.35
  Tensioni: σ_N=588.63 σ_M=41.42 τ=0.00 σ_{max}=630.05
  Tensioni: σ_N=588.63 σ_M=0.47 τ=0.87 τ_{max}=0.87
  Tensioni: σ_N=588.63 σ_M=41.42 τ=0.00 $\sigma_{ID,max}$=630.05

Asta n. 651 (-380 15) HEB140 Crit. 1

- Verifica di stabilità aste presso-inflesse (C4.2.4.1.3.3.2) - CC 105 - Classe 3
  Sollecitazioni: N,Ed=-29811.00 My,Ed=271.61 Mz,Ed=0.09
  Resistenze: Nc,Rd=107392.00 My,c,Rd=5390.19 Mz,c,Rd=1963.10 L=230.49
  αmy, αmz, αLT=0.95, 0.95, 0.95
  L_{cr}=2.30 Curva b: α-imp=0.34 k_c=0.94 ψ=1.75 M,cr=39032.80 λ_{LT}=0.39
  $\lambda_{LT,0}$=0.40 β_{LT}=0.75 Φ_{LT}=0.56 β_{LT}=0.75 f=0.98 χ_{LT}=1.00
  λ_Y=38.89 Ncr,y=588819.00 λ^*_y=0.45 Curva b: Φ_y=0.64 χ_y=0.91
  λ_Z=64.43 Ncr,z=214447.00 λ^*_z=0.74 Curva c: Φ_z=0.91 χ_z=0.70
  Kyy, Kyz, Kzy, Kzz=1.03, 1.12, 0.82, 1.12
  Verifica YY: 0.31+0.05+0.00=0.36
  Verifica ZZ: 0.40+0.04+0.00=0.44

- Verifica freccia massima per soli carichi accidentali - CC 141
  $f_{Z,G}$=0.03 (L/8844) $f_{Z,L}$=0.01 (L/15393)

- Verifica freccia massima carichi totali - CC 141
  $f_{Z,G}$=0.04 (L/6462) $f_{Z,L}$=0.02 (L/11789)

- Verifica in termini tensionali (4.2.5) - CC 105 Xl=0.00 - Classe 3
  Sollecitazioni: N=-29811.00 T_z=157.67 M_y=271.61
  Tensioni: σ_N=-693.98 σ_M=-125.97 τ=0.00 σ_{max}=-819.95
  Tensioni: σ_N=-693.98 σ_M=-0.00 τ=18.96 τ_{max}=18.96
  Tensioni: σ_N=-693.98 σ_M=-125.97 τ=0.00 $\sigma_{ID,max}$=819.95

Asta n. 651 (23 -380) HEB140 Crit. 1

- Verifica di stabilità aste presso-inflesse (C4.2.4.1.3.3.2) - CC 105 - Classe 3
  Sollecitazioni: N,Ed=-29985.60 My,Ed=271.74 Mz,Ed=-0.12
  Resistenze: Nc,Rd=107392.00 My,c,Rd=5390.19 Mz,c,Rd=1963.10 L=230.49
  αmy, αmz, αLT=0.95, 0.95, 0.95
  L_{cr}=2.30 Curva b: α-imp=0.34 k_c=0.94 ψ=1.75 M,cr=39032.80 λ_{LT}=0.39
  $\lambda_{LT,0}$=0.40 β_{LT}=0.75 Φ_{LT}=0.56 β_{LT}=0.75 f=0.98 χ_{LT}=1.00
  λ_Y=38.89 Ncr,y=588819.00 λ^*_y=0.45 Curva b: Φ_y=0.64 χ_y=0.91
  λ_Z=64.43 Ncr,z=214447.00 λ^*_z=0.74 Curva c: Φ_z=0.91 χ_z=0.70
  Kyy, Kyz, Kzy, Kzz=1.03, 1.12, 0.82, 1.12
  Verifica YY: 0.31+0.05+0.00=0.36
  Verifica ZZ: 0.40+0.04+0.00=0.44

- Verifica freccia massima per soli carichi accidentali - CC 141
  $f_{Z,G}$=0.03 (L/8701) $f_{Z,L}$=0.01 (L/15492)

- Verifica freccia massima carichi totali - CC 141
  $f_{Z,G}$=0.04 (L/6287) $f_{Z,L}$=0.02 (L/12024)

- Verifica in termini tensionali (4.2.5) - CC 105 Xl=2.30 - Classe 3
  Sollecitazioni: N=-29917.30 T_z=-157.73 M_y=271.74
  Tensioni: σ_N=-696.45 σ_M=-126.03 τ=0.00 σ_{max}=-822.49
  Tensioni: σ_N=-696.45 σ_M=-0.00 τ=18.97 τ_{max}=18.97
  Tensioni: σ_N=-696.45 σ_M=-126.03 τ=0.00 $\sigma_{ID,max}$=822.49

Asta n. 653 (17 -520) HEB140 Crit. 1

- Verifica di stabilità aste inflesse (4.2.4.1.3.2) CC 97 - Classe 3
  L_{cr}=3.50 Curva b: α-imp=0.34 k_c=0.94 ψ=1.75 M,cr=22787.60 λ_{LT}=0.51
  $\lambda_{LT,0}$=0.40 β_{LT}=0.75 Φ_{LT}=0.62 β_{LT}=0.75 f=0.98 χ_{LT}=0.98
  CC 97 My,Ed=-69.71 My,b,Rd=5284.96 My,Ed/My,b,Rd=0.01

- Verifica freccia massima carichi totali - CC 137
  $f_{Z,G}$=0.02 (L/16815)

- Verifica in termini tensionali (4.2.5) - CC 105 Xl=1.59 - Classe 3
  Sollecitazioni: N=25201.10 T_z=7.24 M_y=-69.13 T_y=2.88 M_z=-7.29
  Tensioni: σ_N=586.66 σ_M=41.35 τ=0.00 σ_{max}=628.01
  Tensioni: σ_N=586.66 σ_M=-0.46 τ=0.87 τ_{max}=0.87
  Tensioni: σ_N=586.66 σ_M=41.35 τ=0.00 $\sigma_{ID,max}$=628.01

Asta n. 655 (-384 19) HEB140 Crit. 1

- Verifica di stabilità aste presso-inflesse (C4.2.4.1.3.3.2) - CC 97 - Classe 3
  Sollecitazioni: N,Ed=-34471.40 My,Ed=312.83 Mz,Ed=-70.29
  Resistenze: Nc,Rd=107392.00 My,c,Rd=5390.19 Mz,c,Rd=1963.10 L=230.49
  αmy, αmz, αLT=0.95, 0.95, 0.95
  L_{cr}=2.30 Curva b: α-imp=0.34 k_c=0.94 ψ=1.75 M,cr=39032.80 λ_{LT}=0.39
  $\lambda_{LT,0}$=0.40 β_{LT}=0.75 Φ_{LT}=0.56 β_{LT}=0.75 f=0.98 χ_{LT}=1.00
  λ_Y=38.89 Ncr,y=588819.00 λ^*_y=0.45 Curva b: Φ_y=0.64 χ_y=0.91
  λ_Z=64.43 Ncr,z=214447.00 λ^*_z=0.74 Curva c: Φ_z=0.91 χ_z=0.70
  Kyy, Kyz, Kzy, Kzz=1.04, 1.14, 0.83, 1.14
  Verifica YY: 0.35+0.06+0.04=0.46
  Verifica ZZ: 0.46+0.05+0.04=0.55

- Verifica freccia massima per soli carichi accidentali - CC 133
  $f_{Z,G}$=0.03 (L/9001) $f_{Z,L}$=0.01 (L/15796)

- Verifica freccia massima carichi totali - CC 133
  $f_{Z,G}$=0.04 (L/5562) $f_{Z,L}$=0.02 (L/10154)

- Verifica in termini tensionali (4.2.5) - CC 97 Xl=0.00 - Classe 3
  Sollecitazioni: N=-34471.40 T_z=175.56 M_y=312.83 T_y=-43.90 M_z=30.89
  Tensioni: σ_N=-802.47 σ_M=-184.44 τ=0.00 σ_{max}=-986.90
  Tensioni: σ_N=-802.47 σ_M=1.97 τ=21.12 τ_{max}=21.12
  Tensioni: σ_N=-802.47 σ_M=-184.44 τ=0.00 $\sigma_{ID,max}$=986.90

Asta n. 655 (-182 -384) HEB140 Crit. 1

- Verifica di stabilità aste presso-inflesse (C4.2.4.1.3.3.2) - CC 97 - Classe 3
  Sollecitazioni: N,Ed=-34643.30 My,Ed=312.74 Mz,Ed=30.94
  Resistenze: Nc,Rd=107392.00 My,c,Rd=5390.19 Mz,c,Rd=1963.10 L=230.49
  αmy, αmz, αLT=0.95, 0.95, 0.95
  L_{cr}=2.30 Curva b: α-imp=0.34 k_c=0.94 ψ=1.75 M,cr=39032.80 λ_{LT}=0.39
  $\lambda_{LT,0}$=0.40 β_{LT}=0.75 Φ_{LT}=0.56 β_{LT}=0.75 f=0.98 χ_{LT}=1.00
  λ_Y=38.89 Ncr,y=588819.00 λ^*_y=0.45 Curva b: Φ_y=0.64 χ_y=0.91
  λ_Z=64.43 Ncr,z=214447.00 λ^*_z=0.74 Curva c: Φ_z=0.91 χ_z=0.70
  Kyy, Kyz, Kzy, Kzz=1.04, 1.15, 0.83, 1.15
  Verifica YY: 0.36+0.06+0.02=0.43
  Verifica ZZ: 0.46+0.05+0.02=0.53

- Verifica freccia massima per soli carichi accidentali - CC 133
  $f_{Z,G}$=0.03 (L/8930) $f_{Z,L}$=0.01 (L/15693)

- Verifica freccia massima carichi totali - CC 133
  $f_{Z,G}$=0.04 (L/5502) $f_{Z,L}$=0.02 (L/10154)

- Verifica in termini tensionali (4.2.5) - CC 97 Xl=2.30 - Classe 3
  Sollecitazioni: N=-34575.10 T_z=-175.52 M_y=312.74 T_y=19.82 M_z=30.94
  Tensioni: σ_N=-804.88 σ_M=-184.46 τ=0.00 σ_{max}=-989.34
  Tensioni: σ_N=-804.88 σ_M=1.97 τ=21.11 τ_{max}=21.11
  Tensioni: σ_N=-804.88 σ_M=-184.46 τ=0.00 $\sigma_{ID,max}$=989.34

Asta n. 662 (-376 11) HEB140 Crit. 1

- Verifica di stabilità aste presso-inflesse (C4.2.4.1.3.3.2) - CC 97 - Classe 3
  Sollecitazioni: N,Ed=-34636.80 My,Ed=314.23 Mz,Ed=70.92
  Resistenze: Nc,Rd=107392.00 My,c,Rd=5390.19 Mz,c,Rd=1963.10 L=230.49
  αmy, αmz, αLT=0.95, 0.95, 0.95
  L_{cr}=2.30 Curva b: α-imp=0.34 k_c=0.94 ψ=1.75 M,cr=39032.80 λ_{LT}=0.39
  $\lambda_{LT,0}$=0.40 β_{LT}=0.75 Φ_{LT}=0.56 β_{LT}=0.75 f=0.98 χ_{LT}=1.00
  λ_Y=38.89 Ncr,y=588819.00 λ^*_y=0.45 Curva b: Φ_y=0.64 χ_y=0.91
  λ_Z=64.43 Ncr,z=214447.00 λ^*_z=0.74 Curva c: Φ_z=0.91 χ_z=0.70

Kyy, Kyz, Kzy, Kzz=1.04, 1.15, 0.83, 1.15
Verifica YY: 0.36+0.06+0.04=0.46
Verifica ZZ: 0.46+0.05+0.04=0.55

- Verifica freccia massima per soli carichi accidentali - CC 133
$f_{Z,G}$=0.03 (L/8951) $f_{Z,L}$=0.01 (L/15693)

- Verifica freccia massima carichi totali - CC 133
$f_{Z,G}$=0.04 (L/5517) $f_{Z,L}$=0.02 (L/10070)

- Verifica in termini tensionali (4.2.5) - CC 97 Xl=0.00 - Classe 3
Sollecitazioni: N=-34636.80 T_z=176.16 M_y=314.23 T_y=44.19 M_z=-30.92
Tensioni: σ_N=-806.32 σ_M=-185.12 τ=0.00 σ_{max}=-991.43
Tensioni: σ_N=-806.32 σ_M=-1.97 τ=21.19 τ_{max}=21.19
Tensioni: σ_N=-806.32 σ_M=-185.12 τ=0.00 $\sigma_{ID,max}$=991.43

Asta n. 662 (-44 -376) HEB140 Crit. 1

- Verifica di stabilità aste presso-inflesse (C4.2.4.1.3.3.2) - CC 97 - Classe 3
Sollecitazioni: N,Ed=-34808.90 My,Ed=314.13 Mz,Ed=-30.97
Resistenze: Nc,Rd=107392.00 My,c,Rd=5390.19 Mz,c,Rd=1963.10 L=230.49
αmy, αmz, αLT=0.95, 0.95, 0.95
L_{cr}=2.30 Curva b: α-imp=0.34 k_c=0.94 ψ=1.75 M,cr=39032.80 λ_{LT}=0.39
$\lambda_{LT,0}$=0.40 β_{LT}=0.75 Φ_{LT}=0.56 β_{LT}=0.75 f=0.98 χ_{LT}=1.00
λ_Y=38.89 Ncr,y=588819.00 λ^*_y=0.45 Curva b: Φ_y=0.64 χ_y=0.91
λ_Z=64.43 Ncr,z=214447.00 λ^*_z=0.74 Curva c: Φ_z=0.91 χ_z=0.70
Kyy, Kyz, Kzy, Kzz=1.04, 1.15, 0.83, 1.15
Verifica YY: 0.36+0.06+0.02=0.44
Verifica ZZ: 0.46+0.05+0.02=0.53

- Verifica freccia massima per soli carichi accidentali - CC 133
$f_{Z,G}$=0.03 (L/8934) $f_{Z,L}$=0.01 (L/15693)

- Verifica freccia massima carichi totali - CC 133
$f_{Z,G}$=0.04 (L/5469) $f_{Z,L}$=0.02 (L/10070)

- Verifica in termini tensionali (4.2.5) - CC 97 Xl=2.30 - Classe 3
Sollecitazioni: N=-34740.60 T_z=-176.12 M_y=314.13 T_y=-19.77 M_z=-30.97
Tensioni: σ_N=-808.73 σ_M=-185.14 τ=0.00 σ_{max}=-993.87
Tensioni: σ_N=-808.73 σ_M=-1.97 τ=21.18 τ_{max}=21.18
Tensioni: σ_N=-808.73 σ_M=-185.14 τ=0.00 $\sigma_{ID,max}$=993.87

Asta n. 664 (-378 13) HEB140 Crit. 1

- Verifica di stabilità aste presso-inflesse (C4.2.4.1.3.3.2) - CC 105 - Classe 3
Sollecitazioni: N,Ed=-33449.90 My,Ed=302.89 Mz,Ed=16.51
Resistenze: Nc,Rd=107392.00 My,c,Rd=5390.19 Mz,c,Rd=1963.10 L=230.49
αmy, αmz, αLT=0.95, 0.95, 0.95
L_{cr}=2.30 Curva b: α-imp=0.34 k_c=0.94 ψ=1.75 M,cr=39032.80 λ_{LT}=0.39
$\lambda_{LT,0}$=0.40 β_{LT}=0.75 Φ_{LT}=0.56 β_{LT}=0.75 f=0.98 χ_{LT}=1.00
λ_Y=38.89 Ncr,y=588819.00 λ^*_y=0.45 Curva b: Φ_y=0.64 χ_y=0.91
λ_Z=64.43 Ncr,z=214447.00 λ^*_z=0.74 Curva c: Φ_z=0.91 χ_z=0.70
Kyy, Kyz, Kzy, Kzz=1.04, 1.14, 0.83, 1.14
Verifica YY: 0.34+0.06+0.01=0.41
Verifica ZZ: 0.45+0.05+0.01=0.50

- Verifica freccia massima per soli carichi accidentali - CC 141
$f_{Z,G}$=0.03 (L/7911) $f_{Z,L}$=0.02 (L/13732)

- Verifica freccia massima carichi totali - CC 141
$f_{Z,G}$=0.04 (L/5778) $f_{Z,L}$=0.02 (L/10508)

- Verifica in termini tensionali (4.2.5) - CC 105 Xl=0.00 - Classe 3
Sollecitazioni: N=-33449.90 T_z=171.24 M_y=302.89 T_y=9.76 M_z=-6.00
Tensioni: σ_N=-778.69 σ_M=-148.12 τ=0.00 σ_{max}=-926.80
Tensioni: σ_N=-778.69 σ_M=-0.38 τ=20.60 τ_{max}=20.60
Tensioni: σ_N=-778.69 σ_M=-148.12 τ=0.00 $\sigma_{ID,max}$=926.80

Asta n. 664 (21 -378) HEB140 Crit. 1

- Verifica di stabilità aste presso-inflesse (C4.2.4.1.3.3.2) - CC 105 - Classe 3
  Sollecitazioni: N,Ed=-33625.50 My,Ed=302.75 Mz,Ed=-7.17
  Resistenze: Nc,Rd=107392.00 My,c,Rd=5390.19 Mz,c,Rd=1963.10 L=230.49
  αmy, αmz, αLT=0.95, 0.95, 0.95
  L_{cr}=2.30 Curva b: α-imp=0.34 k_c=0.94 ψ=1.75 M,cr=39032.80 λ_{LT}=0.39
  $\lambda_{LT,0}$=0.40 β_{LT}=0.75 Φ_{LT}=0.56 β_{LT}=0.75 f=0.98 χ_{LT}=1.00
  λ_Y=38.89 Ncr,y=588819.00 λ^*_y=0.45 Curva b: Φ_y=0.64 χ_y=0.91
  λ_Z=64.43 Ncr,z=214447.00 λ^*_z=0.74 Curva c: Φ_z=0.91 χ_z=0.70
  Kyy, Kyz, Kzy, Kzz=1.04, 1.14, 0.83, 1.14
  Verifica YY: 0.35+0.06+0.00=0.41
  Verifica ZZ: 0.45+0.05+0.00=0.50

- Verifica freccia massima per soli carichi accidentali - CC 141
  $f_{Z,G}$=0.03 (L/7815) $f_{Z,L}$=0.02 (L/13889)

- Verifica freccia massima carichi totali - CC 141
  $f_{Z,G}$=0.04 (L/5628) $f_{Z,L}$=0.02 (L/10646)

- Verifica in termini tensionali (4.2.5) - CC 105 Xl=2.30 - Classe 3
  Sollecitazioni: N=-33557.20 T_z=-171.18 M_y=302.75 T_y=-4.52 M_z=-7.17
  Tensioni: σ_N=-781.18 σ_M=-149.54 τ=0.00 σ_{max}=-930.72
  Tensioni: σ_N=-781.18 σ_M=-0.46 τ=20.59 τ_{max}=20.59
  Tensioni: σ_N=-781.18 σ_M=-149.54 τ=0.00 $\sigma_{ID,max}$=930.72

Asta n. 666 (15 -516) HEB140 Crit. 1

- Verifica di stabilità aste inflesse (4.2.4.1.3.2) CC 97 - Classe 3
  L_{cr}=3.50 Curva b: α-imp=0.34 k_c=0.94 ψ=1.75 M,cr=22787.60 λ_{LT}=0.51
  $\lambda_{LT,0}$=0.40 β_{LT}=0.75 Φ_{LT}=0.62 β_{LT}=0.75 f=0.98 χ_{LT}=0.98
  CC 97 My,Ed=-69.71 My,b,Rd=5284.96 My,Ed/My,b,Rd=0.01

- Verifica freccia massima carichi totali - CC 137
  $f_{Z,G}$=0.02 (L/16815)

- Verifica in termini tensionali (4.2.5) - CC 105 Xl=1.74 - Classe 3
  Sollecitazioni: N=22531.60 M_y=-69.71
  Tensioni: σ_N=524.52 σ_M=32.33 τ=0.00 σ_{max}=556.85
  Tensioni: σ_N=0.00 σ_M=0.00 τ=0.00 τ_{max}=0.00
  Tensioni: σ_N=524.52 σ_M=32.33 τ=0.00 $\sigma_{ID,max}$=556.85

Asta n. 668 (-382 17) HEB140 Crit. 1

- Verifica di stabilità aste presso-inflesse (C4.2.4.1.3.3.2) - CC 105 - Classe 3
  Sollecitazioni: N,Ed=-33338.20 My,Ed=301.94 Mz,Ed=-16.21
  Resistenze: Nc,Rd=107392.00 My,c,Rd=5390.19 Mz,c,Rd=1963.10 L=230.49
  αmy, αmz, αLT=0.95, 0.95, 0.95
  L_{cr}=2.30 Curva b: α-imp=0.34 k_c=0.94 ψ=1.75 M,cr=39032.80 λ_{LT}=0.39
  $\lambda_{LT,0}$=0.40 β_{LT}=0.75 Φ_{LT}=0.56 β_{LT}=0.75 f=0.98 χ_{LT}=1.00
  λ_Y=38.89 Ncr,y=588819.00 λ^*_y=0.45 Curva b: Φ_y=0.64 χ_y=0.91
  λ_Z=64.43 Ncr,z=214447.00 λ^*_z=0.74 Curva c: Φ_z=0.91 χ_z=0.70
  Kyy, Kyz, Kzy, Kzz=1.04, 1.14, 0.83, 1.14
  Verifica YY: 0.34+0.06+0.01=0.41
  Verifica ZZ: 0.44+0.05+0.01=0.50

- Verifica freccia massima per soli carichi accidentali - CC 141
  $f_{Z,G}$=0.03 (L/7943) $f_{Z,L}$=0.02 (L/13732)

- Verifica freccia massima carichi totali - CC 141
  $f_{Z,G}$=0.04 (L/5788) $f_{Z,L}$=0.02 (L/10508)

- Verifica in termini tensionali (4.2.5) - CC 105 Xl=0.00 - Classe 3
  Sollecitazioni: N=-33338.20 T_z=170.83 M_y=301.94 T_y=-9.67 M_z=6.08
  Tensioni: σ_N=-776.09 σ_M=-147.78 τ=0.00 σ_{max}=-923.87
  Tensioni: σ_N=-776.09 σ_M=0.39 τ=20.55 τ_{max}=20.55
  Tensioni: σ_N=-776.09 σ_M=-147.78 τ=0.00 $\sigma_{ID,max}$=923.87

Asta n. 668 (25 -382) HEB140 Crit. 1

- Verifica di stabilità aste presso-inflesse (C4.2.4.1.3.3.2) - CC 105 - Classe 3
  Sollecitazioni: N,Ed=-33513.50 My,Ed=301.80 Mz,Ed=7.24

Resistenze: Nc,Rd=107392.00 My,c,Rd=5390.19 Mz,c,Rd=1963.10 L=230.49
αmy, αmz, αLT=0.95, 0.95, 0.95
L_{cr}=2.30 Curva b: α-imp=0.34 k_c=0.94 ψ=1.75 M,cr=39032.80 λ_{LT}=0.39
$\lambda_{LT,0}$=0.40 β_{LT}=0.75 Φ_{LT}=0.56 β_{LT}=0.75 f=0.98 χ_{LT}=1.00
λ_Y=38.89 Ncr,y=588819.00 λ^*_y=0.45 Curva b: Φ_y=0.64 χ_y=0.91
λ_Z=64.43 Ncr,z=214447.00 λ^*_z=0.74 Curva c: Φ_z=0.91 χ_z=0.70
Kyy, Kyz, Kzy, Kzz=1.04, 1.14, 0.83, 1.14
Verifica YY: 0.34+0.06+0.00=0.41
Verifica ZZ: 0.45+0.05+0.00=0.50

- Verifica freccia massima per soli carichi accidentali - CC 141
$f_{Z,G}$=0.03 (L/7827) $f_{Z,L}$=0.02 (L/13810)

- Verifica freccia massima carichi totali - CC 141
$f_{Z,G}$=0.04 (L/5651) $f_{Z,L}$=0.02 (L/10694)

- Verifica in termini tensionali (4.2.5) - CC 105 Xl=2.30 - Classe 3
Sollecitazioni: N=-33445.30 T_z=-170.77 M_y=301.80 T_y=4.63 M_z=7.24
Tensioni: σ_N=-778.58 σ_M=-149.19 τ=0.00 σ_{max}=-927.77
Tensioni: σ_N=-778.58 σ_M=0.46 τ=20.54 τ_{max}=20.54
Tensioni: σ_N=-778.58 σ_M=-149.19 τ=0.00 $\sigma_{ID,max}$=927.77

Asta n. 670 (19 -528) HEB140 Crit. 1

- Verifica di stabilità aste inflesse (4.2.4.1.3.2) CC 97 - Classe 3
L_{cr}=3.50 Curva b: α-imp=0.34 k_c=0.94 ψ=1.75 M,cr=22787.60 λ_{LT}=0.51
$\lambda_{LT,0}$=0.40 β_{LT}=0.75 Φ_{LT}=0.62 β_{LT}=0.75 f=0.98 χ_{LT}=0.98
CC 97 My,Ed=-69.71 My,b,Rd=5284.96 My,Ed/My,b,Rd=0.01

- Verifica freccia massima carichi totali - CC 139
$f_{Z,G}$=0.02 (L/16796)

- Verifica in termini tensionali (4.2.5) - CC 97 Xl=0.64 - Classe 3
Sollecitazioni: N=26058.40 T_z=50.70 M_y=-41.48 T_y=17.78 M_z=-40.38
Tensioni: σ_N=606.62 σ_M=70.67 τ=0.00 σ_{max}=677.28
Tensioni: σ_N=606.62 σ_M=-2.57 τ=6.10 τ_{max}=6.10
Tensioni: σ_N=606.62 σ_M=70.67 τ=0.00 $\sigma_{ID,max}$=677.28

Asta n. 677 (-376 -504) HEB140 Crit. 1

- Verifica di stabilità aste inflesse (4.2.4.1.3.2) CC 97 - Classe 3
L_{cr}=2.30 Curva b: α-imp=0.34 k_c=0.94 ψ=1.75 M,cr=39032.80 λ_{LT}=0.39
$\lambda_{LT,0}$=0.40 β_{LT}=0.75 Φ_{LT}=0.56 β_{LT}=0.75 f=0.98 χ_{LT}=1.00
CC 97 My,Ed=-22.95 My,b,Rd=5390.19 My,Ed/My,b,Rd=0.00

- Verifica freccia massima carichi totali - CC 133
$f_{Z,L}$=0.00 (L/74364)

- Verifica in termini tensionali (4.2.5) - CC 105 Xl=2.10 - Classe 3
Sollecitazioni: N=424.83 T_z=-32.59 M_y=-7.59 T_y=10.42 M_z=11.63
Tensioni: σ_N=9.89 σ_M=18.33 τ=0.00 σ_{max}=28.22
Tensioni: σ_N=9.89 σ_M=0.74 τ=3.92 τ_{max}=3.92
Tensioni: σ_N=9.89 σ_M=18.33 τ=0.00 $\sigma_{ID,max}$=28.22

Asta n. 679 (-378 -512) HEB140 Crit. 1

- Verifica di stabilità aste inflesse (4.2.4.1.3.2) CC 97 - Classe 3
L_{cr}=2.30 Curva b: α-imp=0.34 k_c=0.94 ψ=1.75 M,cr=39032.80 λ_{LT}=0.39
$\lambda_{LT,0}$=0.40 β_{LT}=0.75 Φ_{LT}=0.56 β_{LT}=0.75 f=0.98 χ_{LT}=1.00
CC 97 My,Ed=-22.95 My,b,Rd=5390.19 My,Ed/My,b,Rd=0.00

- Verifica freccia massima carichi totali - CC 134
$f_{Z,L}$=0.00 (L/74364) $f_{Z,G}$=0.00 (L/117895)

- Verifica in termini tensionali (4.2.5) - CC 108 Xl=1.89 - Classe 3
Sollecitazioni: N=403.81 T_z=-25.35 M_y=-13.66 T_y=7.89 M_z=7.32
Tensioni: σ_N=9.40 σ_M=15.66 τ=0.00 σ_{max}=25.06
Tensioni: σ_N=9.40 σ_M=0.47 τ=3.05 τ_{max}=3.05
Tensioni: σ_N=9.40 σ_M=15.66 τ=0.00 $\sigma_{ID,max}$=25.06

Asta n. 681 (-380 -516) HEB140 Crit. 1

- Verifica di stabilità aste inflesse (4.2.4.1.3.2) CC 97 - Classe 3
  L_{cr}=2.30 Curva b: α-imp=0.34 k_c=0.94 ψ=1.75 M,cr=39032.80 λ_{LT}=0.39
  $\lambda_{LT,0}$=0.40 β_{LT}=0.75 Φ_{LT}=0.56 β_{LT}=0.75 f=0.98 χ_{LT}=1.00
  CC 97 My,Ed=-22.95 My,b,Rd=5390.19 My,Ed/My,b,Rd=0.00

- Verifica freccia massima carichi totali - CC 133
  $f_{Z,L}$=0.00 (L/75526) $f_{Z,G}$=0.00 (L/117895)

- Verifica in termini tensionali (4.2.5) - CC 105 Xl=1.15 - Classe 3
  Sollecitazioni: N=376.14 M_y=-22.95
  Tensioni: σ_N=8.76 σ_M=10.65 τ=0.00 σ_{max}=19.40
  Tensioni: σ_N=0.00 σ_M=0.00 τ=0.00 τ_{max}=0.00
  Tensioni: σ_N=8.76 σ_M=10.65 τ=0.00 $\sigma_{ID,max}$=19.40

Asta n. 683 (-382 -520) HEB140 Crit. 1

- Verifica di stabilità aste inflesse (4.2.4.1.3.2) CC 97 - Classe 3
  L_{cr}=2.30 Curva b: α-imp=0.34 k_c=0.94 ψ=1.75 M,cr=39032.80 λ_{LT}=0.39
  $\lambda_{LT,0}$=0.40 β_{LT}=0.75 Φ_{LT}=0.56 β_{LT}=0.75 f=0.98 χ_{LT}=1.00
  CC 97 My,Ed=-22.95 My,b,Rd=5390.19 My,Ed/My,b,Rd=0.00

- Verifica freccia massima carichi totali - CC 137
  $f_{Z,L}$=0.00 (L/76725) $f_{Z,G}$=0.00 (L/125550)

- Verifica in termini tensionali (4.2.5) - CC 107 Xl=1.89 - Classe 3
  Sollecitazioni: N=402.88 T_z=-25.35 M_y=-13.66 T_y=-7.83 M_z=-7.25
  Tensioni: σ_N=9.38 σ_M=15.57 τ=0.00 σ_{max}=24.95
  Tensioni: σ_N=9.38 σ_M=-0.46 τ=3.05 τ_{max}=3.05
  Tensioni: σ_N=9.38 σ_M=15.57 τ=0.00 $\sigma_{ID,max}$=24.95

Asta n. 685 (-384 -528) HEB140 Crit. 1

- Verifica di stabilità aste inflesse (4.2.4.1.3.2) CC 97 - Classe 3
  L_{cr}=2.30 Curva b: α-imp=0.34 k_c=0.94 ψ=1.75 M,cr=39032.80 λ_{LT}=0.39
  $\lambda_{LT,0}$=0.40 β_{LT}=0.75 Φ_{LT}=0.56 β_{LT}=0.75 f=0.98 χ_{LT}=1.00
  CC 97 My,Ed=-22.95 My,b,Rd=5390.19 My,Ed/My,b,Rd=0.00

- Verifica freccia massima carichi totali - CC 136
  $f_{Z,L}$=0.00 (L/76725) $f_{Z,G}$=0.00 (L/120842)

- Verifica in termini tensionali (4.2.5) - CC 105 Xl=2.10 - Classe 3
  Sollecitazioni: N=423.61 T_z=-32.59 M_y=-7.59 T_y=-10.37 M_z=-11.53
  Tensioni: σ_N=9.86 σ_M=18.20 τ=0.00 σ_{max}=28.06
  Tensioni: σ_N=9.86 σ_M=-0.73 τ=3.92 τ_{max}=3.92
  Tensioni: σ_N=9.86 σ_M=18.20 τ=0.00 $\sigma_{ID,max}$=28.06

Oggetto: INTEGRAZIONI FASCICOLO DI CALCOLO T_{∞}

Sommario

Introduzione 3
Sistemi di riferimento 3
Rotazioni e momenti 3
Normativa di riferimento 3
Unità di misura 4
Geometria 4
Elenco vincoli nodi 4
Elenco costanti elastiche nodali 4
Elenco nodi 4
Elenco materiali 13
Elenco sezioni aste 13
Elenco vincoli aste 14
Elenco aste 15
Elenco tipi elementi bidimensionali 31
Elenco elementi bidimensionali 31
Elenco tipi plinti/pali 48
Elenco plinti/pali 49
Carichi 49
Condizioni di carico elementari 49
Elenco carichi nodi Condizione di carico n. 11: Schema 2 q3 tandem mezz Carichi concentrati 50
Elenco carichi nodi Condizione di carico n. 12: Schema 2 q3 tandemdx Carichi concentrati 50
Elenco carichi nodi Condizione di carico n. 13: Schema 2 q3 tandem sx Carichi concentrati 50
Elenco carichi nodi Condizione di carico n. 16: q8 Veicolo in svio Carichi concentrati 50
Elenco carichi aste Condizione di carico n. 1: G1 Elenco peso proprio aste 50
Elenco carichi aste Condizione di carico n. 2: G2 + terreno Carichi distribuiti 50
Elenco carichi aste Condizione di carico n. 16: q8 Veicolo in svio Carichi distribuiti 51
Elenco carichi aste Condizione di carico n. 17: Ecc - Onda di Piena Carichi distribuiti 51
Elenco peso proprio elementi bidimensionali 52
Elenco carichi elementi bidimensionali Condizione di carico n. 2: G2 + terreno Carichi uniformi 52
Elenco carichi elementi bidimensionali Condizione di carico n. 2: G2 + terreno Carichi idrostatici 63
Elenco carichi elementi bidimensionali Condizione di carico n. 3: Schema 1 q1tandem mezz Carichi uniformi 65
Elenco carichi elementi bidimensionali Condizione di carico n. 4: Schema 1 q1tandem dx Carichi uniformi 65
Elenco carichi elementi bidimensionali Condizione di carico n. 5: Schema 1 q1tandem sx Carichi uniformi 66
Elenco carichi elementi bidimensionali Condizione di carico n. 6: Schema 1 q1dist Carichi uniformi 66
Elenco carichi elementi bidimensionali Condizione di carico n. 7: Schema 2 q1tandem mezz Carichi uniformi 74
Elenco carichi elementi bidimensionali Condizione di carico n. 8: Schema 2 q1tandem dx Carichi uniformi 75
Elenco carichi elementi bidimensionali Condizione di carico n. 9: Schema 2 q1tandem sx Carichi uniformi 75
Elenco carichi elementi bidimensionali Condizione di carico n. 10: Schema 2 q1dis mezz Carichi uniformi 75
Elenco carichi elementi bidimensionali Condizione di carico n. 14: Schema 1 q1dist Carichi uniformi 83
Elenco carichi elementi bidimensionali Condizione di carico n. 15: q var neve Carichi uniformi 90
Analisi dei carichi da vento 101
Analisi dei carichi da neve 102
Risultati del calcolo 103
Parametri di calcolo 103
Figura numero 1: Spettro SLD 105
Figura numero 2: Spettro SLD Z 106
Figura numero 3: Spettro SLV 106
Figura numero 4: Spettro SLV Z 106
Spostamenti dei nodi allo stato limite ultimo 116
Reazioni vincolari 168
Tensioni sul terreno 173
Sollecitazioni aste 175
Sollecitazioni elementi bidimensionali 236
Verifiche e armature pareti 338
Figura numero 5: Riferimenti sezione 339
Parete n. 106 339
Parete n. 107 339
Parete n. 206 340
Parete n. 207 340
Parete n. 208 341
Parete n. 209 341
Parete n. 306 342
Parete n. 307 342

Introduzione

Sistemi di riferimento

Le coordinate, i carichi concentrati, i cedimenti, le reazioni vincolari e gli spostamenti dei NODI sono riferiti ad una terna destra cartesiana globale con l'asse Z verticale rivolto verso l'alto.
I carichi in coordinate locali e le sollecitazioni delle ASTE sono riferite ad una terna destra cartesiana locale così definita:
- origine nel nodo iniziale dell'asta;
- asse X coincidente con l'asse dell'asta e con verso dal nodo iniziale al nodo finale;
- immaginando la trave a sezione rettangolare l'asse Y è parallelo alla base e l'asse Z è parallelo all'altezza. La rotazione dell'asta comporta quindi una rotazione di tutta la terna locale.

Si può immaginare la terna locale di un'asta comunque disposta nello spazio come derivante da quella globale dopo una serie di trasformazioni:
- una rotazione intorno all'asse Z che porti l'asse X a coincidere con la proiezione dell'asse dell'asta sul piano orizzontale;
- una traslazione lungo il nuovo asse X così definito in modo da portare l'origine a coincidere con la proiezione del nodo iniziale dell'asta sul piano orizzontale;
- una traslazione lungo l'asse Z che porti l'origine a coincidere con il nodo iniziale dell'asta;
- una rotazione intorno all'asse Y così definito che porti l'asse X a coincidere con l'asse dell'asta;
- una rotazione intorno all'asse X così definito pari alla rotazione dell'asta.

In pratica le travi prive di rotazione avranno sempre l'asse Z rivolto verso l'alto e l'asse Y nel piano del solaio, mentre i pilastri privi di rotazione avranno l'asse Y parallelo all'asse Y globale e l'asse Z parallelo ma controverso all'asse X globale. Da notare quindi che per i pilastri la "base" è il lato parallelo a Y.

Le sollecitazioni ed i carichi in coordinate locali negli ELEMENTI BIDIMENSIONALI e nei MURI sono riferiti ad una terna destra cartesiana locale così definita:
- origine nel primo nodo dell'elemento;
- asse X coincidente con la congiungente il primo ed il secondo nodo dell'elemento;
- asse Y definito come prodotto vettoriale fra il versore dell'asse X e il versore della congiungente il primo e il quarto nodo. Asse Z a formare con gli altri due una terna destrorsa.

Praticamente un elemento verticale con l'asse X locale coincidente con l'asse X globale ha anche gli altri assi locali coincidenti con quelli globali.

Rotazioni e momenti

Seguendo il principio adottato per tutti i carichi che sono positivi se CONTROVERSI agli assi, anche i momenti concentrati e le rotazioni impresse in coordinate globali risultano positivi se CONTROVERSI al segno positivo delle rotazioni. Il segno positivo dei momenti e delle rotazioni è quello orario per l'osservatore posto nell'origine: X ruota su Y, Y ruota su Z, Z ruota su X. In pratica è sufficiente adottare la regola della mano destra: col pollice rivolto nella direzione dell'asse, la rotazione che porta a chiudere il palmo della mano corrisponde al segno positivo.

Normativa di riferimento

La normativa di riferimento è la seguente:
- Legge n. 64 del 2/2/1974 - Provvedimenti per le costruzioni con particolari prescrizioni per le zone sismiche.

- D.M. del 24/1/1986 - Norme tecniche relative alle costruzioni sismiche.

- Legge n. 1086 del 5/11/1971 - Norme per la disciplina delle opere di conglomerato cementizio armato, normale e precompresso ed a struttura metallica.

- D.M. del 14/2/1992 - Norme tecniche per l'esecuzione delle opere in c.a. normale e precompresso e per le strutture metalliche.

- D.M. del 9/1/1996 - Norme tecniche per l'esecuzione delle opere in c.a. normale e precompresso e per le strutture metalliche.

- D.M. del 16/1/1996 - Norme tecniche per le costruzioni in zone sismiche.

- Circolare n. 21745 del 30/7/1981 - Legge n. 219 del 14/5/1981 - Art. 10 - Istruzioni relative al rafforzamento degli edifici in muratura danneggiati dal sisma.

- Regione Autonoma Friuli Venezia Giulia - Legge Regionale n. 30 del 20/6/1977 - Documentazione tecnica per la progettazione e direzione delle opere di riparazione degli edifici - Documento Tecnico n. 2 - Raccomandazioni per la riparazione strutturale degli edifici in muratura.

- D.M. del 20/11/1987 - Norme Tecniche per la progettazione, esecuzione e collaudo degli edifici in muratura e per il loro consolidamento.

- Norme Tecniche C.N.R. n. 10011-85 del 18/4/1985 - Costruzioni di acciaio - Istruzioni per il calcolo, l'esecuzione, il collaudo e la manutenzione.

- Norme Tecniche C.N.R. n. 10025-84 del 14/12/1984 - Istruzioni per il progetto, l'esecuzione ed il controllo delle strutture prefabbricate in conglomerato cementizio e per le strutture costruite con sistemi industrializzati di acciaio

- Istruzioni per il calcolo, l'esecuzione, il collaudo e la manutenzione.

- Circolare n. 65 del 10/4/1997 - Istruzioni per l'applicazione delle "Norme tecniche per le costruzioni in zone sismiche" di cui al D.M. del 16/1/1996.

- Eurocodice 5 - Progettazione delle strutture di legno.

- DIN 1052 - Metodi di verifica per il legno.

- D.M. del 14/1/2008 - Norme tecniche per le costruzioni. Le verifiche degli elementi di fondazione sono eseguite utilizzando l'Approccio 2.

- Circolare n. 617 del 2/2/2009 - Istruzioni per l'applicazione delle "Nuove norme tecniche per le costruzioni" di cui al D.M. del 14/1/2008.

- Documento Tecnico CNR-DT 200 R1/2012 - Istruzioni per la Progettazione, l'Esecuzione ed il Controllo di Interventi di Consolidamento Statico mediante l'utilizzo di Compositi Fibrorinforzati.

- Eurocodice 3 - Progettazione delle strutture in acciaio.

Unità di misura

Le unità di misura adottate sono le seguenti:
- lunghezze : m
- forze : daN
- masse : kg
- temperature : gradi centigradi
- angoli : gradi sessadecimali o radianti

Geometria

Elenco vincoli nodi

Simbologia
Vn = Numero del vincolo nodo
Comm. = Commento
TV = Tipo vincolo se valutato da stratigrafia
SP = Plinto senza pali
CP = Palo o plinto con pali
Sx = Spostamento in dir. X (L=libero, B=bloccato, E=elastico)
Sy = Spostamento in dir. Y (L=libero, B=bloccato, E=elastico)
Sz = Spostamento in dir. Z (L=libero, B=bloccato, E=elastico)
Rx = Rotazione intorno all'asse X (L=libera, B=bloccata, E=elastica)
Ry = Rotazione intorno all'asse Y (L=libera, B=bloccata, E=elastica)
Rz = Rotazione intorno all'asse Z (L=libera, B=bloccata, E=elastica)
RL = Rotazione libera
Ly = Lunghezza (dir. Y locale)
Lz = Larghezza (dir. Z locale)
Kt = Coeff. di sottofondo su suolo elastico alla Winkler

Vn	Comm.	TV	Sx	Sy	Sz	Rx	Ry	Rz	RL	Ly <m>	Lz <m>	Kt <daN/cmc>
1	Libero		L	L	L	L	L	L				
3	El. sew 110001		B	B	L	L	L	B				
5	PALO	CP	E	E	E	E	E	B				f(strat.)
5	PALO	SP	B	B	E	B	B	B				f(strat.)

Elenco costanti elastiche nodali

Simbologia
Nodo = Numero del nodo
Kx = Costante elastica in dir. X
Ky = Costante elastica in dir. Y
Kz = Costante elastica in dir. Z
KRx = Costante elastica intorno all'asse X
KRy = Costante elastica intorno all'asse Y

Nodo	Kx <daN/cm>	Ky <daN/cm>	Kz <daN/cm>	KRx <daNm/rad>	KRy <daNm/rad>
-183	11253.20	11253.20	54883.30	2331060.00	2331060.00
-137	11247.10	11247.10	29784.30	2329590.00	2329590.00
-132	11253.20	11253.20	54883.30	2331060.00	2331060.00
-115	11247.10	11247.10	29784.30	2329590.00	2329590.00
-110	11253.20	11253.20	54883.30	2331060.00	2331060.00
-93	11247.10	11247.10	29784.30	2329590.00	2329590.00
-88	11253.20	11253.20	54883.30	2331060.00	2331060.00
-45	11253.20	11253.20	54883.30	2331060.00	2331060.00

Nodo	Kx <daN/cm>	Ky <daN/cm>	Kz <daN/cm>	KRx <daNm/rad>	KRy <daNm/rad>
-178	11253.20	11253.20	54883.30	2331060.00	2331060.00
-135	11253.20	11253.20	54883.30	2331060.00	2331060.00
-130	11247.10	11247.10	29784.30	2329590.00	2329590.00
-113	11253.20	11253.20	54883.30	2331060.00	2331060.00
-108	11247.10	11247.10	29784.30	2329590.00	2329590.00
-91	11253.20	11253.20	54883.30	2331060.00	2331060.00
-86	11247.10	11247.10	29784.30	2329590.00	2329590.00
-40	11253.20	11253.20	54883.30	2331060.00	2331060.00

Elenco nodi

Simbologia
Nodo = Numero del nodo
X = Coordinata X del nodo
Y = Coordinata Y del nodo
Z = Coordinata Z del nodo
Imp. = Numero dell'impalcato
Vn = Numero del vincolo nodo

Nodo	X <m>	Y <m>	Z <m>	Imp.	Vn
-2220	1.71	3.84	3.42	0	1
-2217	7.70	3.84	3.42	0	1
-2214	9.70	3.84	3.42	0	1
-2211	12.50	3.84	3.42	0	1
-2208	13.69	3.84	3.42	0	1
-2205	14.49	3.84	3.42	0	1
-2202	11.30	3.84	3.42	0	1
-2199	10.50	3.84	3.42	0	1
-2196	8.90	3.84	3.42	0	1
-2193	7.50	3.84	3.42	0	1
-2190	6.90	3.84	3.42	0	1
-2187	6.10	3.84	3.42	0	1
-2184	4.50	3.84	3.42	0	1
-2181	2.90	3.84	3.42	0	1
-2178	2.10	3.84	3.42	0	1
-2175	0.51	3.84	3.42	0	1
-2172	14.49	0.24	3.42	0	1
-2169	13.29	0.24	3.42	0	1
-2166	12.30	0.24	3.42	0	1
-2163	11.30	0.24	3.42	0	1
-2160	10.50	0.24	3.42	0	1
-2157	9.30	0.24	3.42	0	1
-2154	8.30	0.24	3.42	0	1
-2151	7.70	0.24	3.42	0	1
-2148	7.10	0.24	3.42	0	1
-2145	6.50	0.24	3.42	0	1
-2142	5.30	0.24	3.42	0	1
-2139	4.10	0.24	3.42	0	1
-2136	3.30	0.24	3.42	0	1
-2133	2.50	0.24	3.42	0	1
-2130	1.31	0.24	3.42	0	1
-2127	0.11	0.24	3.42	0	1
-2124	7.90	-0.07	3.42	0	1
-2121	7.10	4.13	3.42	0	1
-2118	7.90	4.13	3.42	0	1
-2115	6.70	4.04	3.42	0	1
-2112	7.10	3.64	3.42	0	1
-2109	7.90	3.51	3.42	0	1
-2106	6.70	3.51	3.42	0	1
-2103	7.10	3.04	3.42	0	1
-2100	7.90	2.04	3.42	0	1
-2097	7.90	0.58	3.42	0	1
-2094	8.30	0.44	3.42	0	1
-2091	7.90	0.04	3.42	0	1
-2088	6.70	0.44	3.42	0	1
-2085	7.90	0.84	3.42	0	1
-2082	7.10	2.44	3.42	0	1
-2079	6.70	2.84	3.42	0	1
-2076	7.90	1.24	3.42	0	1
-2073	7.90	1.04	3.42	0	1
-2070	7.10	1.24	3.42	0	1
-2067	5.70	4.04	3.42	0	1
-2064	7.10	1.64	3.42	0	1
-2061	6.70	0.84	3.42	0	1
-2058	3.90	-0.07	3.42	0	1
-2055	4.10	-0.07	3.42	0	1
-2052	5.30	-0.07	3.42	0	1
-2049	6.50	-0.07	3.42	0	1
-2046	7.70	-0.07	3.42	0	1
-2043	8.90	-0.07	3.42	0	1
-2040	10.10	-0.07	3.42	0	1
-2037	11.30	-0.07	3.42	0	1
-2034	12.50	-0.07	3.42	0	1
-2031	13.69	-0.07	3.42	0	1
-2028	0.11	-0.07	3.42	0	1
-2025	1.31	-0.07	3.42	0	1
-2022	2.50	-0.07	3.42	0	1
-2019	7.50	-0.07	3.42	0	1
-2016	11.10	4.13	3.42	0	1
-2013	3.70	4.13	3.42	0	1

Nodo	X <m>	Y <m>	Z <m>	Imp.	Vn
-2219	3.70	3.84	3.42	0	1
-2216	8.10	3.84	3.42	0	1
-2213	12.10	3.84	3.42	0	1
-2210	12.90	3.84	3.42	0	1
-2207	14.09	3.84	3.42	0	1
-2204	11.70	3.84	3.42	0	1
-2201	11.10	3.84	3.42	0	1
-2198	10.10	3.84	3.42	0	1
-2195	8.50	3.84	3.42	0	1
-2192	7.30	3.84	3.42	0	1
-2189	6.70	3.84	3.42	0	1
-2186	5.30	3.84	3.42	0	1
-2183	4.10	3.84	3.42	0	1
-2180	2.70	3.84	3.42	0	1
-2177	1.31	3.84	3.42	0	1
-2174	0.11	3.84	3.42	0	1
-2171	14.09	0.24	3.42	0	1
-2168	12.90	0.24	3.42	0	1
-2165	12.10	0.24	3.42	0	1
-2162	11.10	0.24	3.42	0	1
-2159	10.10	0.24	3.42	0	1
-2156	8.90	0.24	3.42	0	1
-2153	8.10	0.24	3.42	0	1
-2150	7.50	0.24	3.42	0	1
-2147	6.90	0.24	3.42	0	1
-2144	6.10	0.24	3.42	0	1
-2141	4.90	0.24	3.42	0	1
-2138	3.90	0.24	3.42	0	1
-2135	2.90	0.24	3.42	0	1
-2132	2.10	0.24	3.42	0	1
-2129	0.91	0.24	3.42	0	1
-2126	6.70	-0.07	3.42	0	1
-2123	8.30	-0.07	3.42	0	1
-2120	8.30	4.13	3.42	0	1
-2117	7.90	4.04	3.42	0	1
-2114	8.30	3.64	3.42	0	1
-2111	6.70	3.64	3.42	0	1
-2108	7.10	3.51	3.42	0	1
-2105	6.70	3.24	3.42	0	1
-2102	6.70	2.04	3.42	0	1
-2099	8.30	2.04	3.42	0	1
-2096	7.10	0.58	3.42	0	1
-2093	8.30	0.04	3.42	0	1
-2090	7.10	0.44	3.42	0	1
-2087	6.70	0.04	3.42	0	1
-2084	7.10	0.84	3.42	0	1
-2081	7.10	2.84	3.42	0	1
-2078	8.30	1.24	3.42	0	1
-2075	7.90	1.64	3.42	0	1
-2072	7.10	1.04	3.42	0	1
-2069	3.70	4.04	3.42	0	1
-2066	6.70	1.24	3.42	0	1
-2063	9.70	4.04	3.42	0	1
-2060	12.30	-0.07	3.42	0	1
-2057	2.70	-0.07	3.42	0	1
-2054	4.50	-0.07	3.42	0	1
-2051	5.70	-0.07	3.42	0	1
-2048	6.90	-0.07	3.42	0	1
-2045	8.10	-0.07	3.42	0	1
-2042	9.30	-0.07	3.42	0	1
-2039	10.50	-0.07	3.42	0	1
-2036	11.70	-0.07	3.42	0	1
-2033	12.90	-0.07	3.42	0	1
-2030	14.09	-0.07	3.42	0	1
-2027	0.51	-0.07	3.42	0	1
-2024	1.71	-0.07	3.42	0	1
-2021	2.90	-0.07	3.42	0	1
-2018	14.89	-0.07	3.42	0	1
-2015	3.90	4.13	3.42	0	1
-2012	4.10	4.13	3.42	0	1

Nodo	X <m>	Y <m>	Z <m>	Imp.	Vn
-2218	5.70	3.84	3.42	0	1
-2215	7.90	3.84	3.42	0	1
-2212	12.30	3.84	3.42	0	1
-2209	13.29	3.84	3.42	0	1
-2206	14.89	3.84	3.42	0	1
-2203	3.30	3.84	3.42	0	1
-2200	10.90	3.84	3.42	0	1
-2197	9.30	3.84	3.42	0	1
-2194	8.30	3.84	3.42	0	1
-2191	7.10	3.84	3.42	0	1
-2188	6.50	3.84	3.42	0	1
-2185	4.90	3.84	3.42	0	1
-2182	3.90	3.84	3.42	0	1
-2179	2.50	3.84	3.42	0	1
-2176	0.91	3.84	3.42	0	1
-2173	14.89	0.24	3.42	0	1
-2170	13.69	0.24	3.42	0	1
-2167	12.50	0.24	3.42	0	1
-2164	11.70	0.24	3.42	0	1
-2161	10.90	0.24	3.42	0	1
-2158	9.70	0.24	3.42	0	1
-2155	8.50	0.24	3.42	0	1
-2152	7.90	0.24	3.42	0	1
-2149	7.30	0.24	3.42	0	1
-2146	6.70	0.24	3.42	0	1
-2143	5.70	0.24	3.42	0	1
-2140	4.50	0.24	3.42	0	1
-2137	3.70	0.24	3.42	0	1
-2134	2.70	0.24	3.42	0	1
-2131	1.71	0.24	3.42	0	1
-2128	0.51	0.24	3.42	0	1
-2125	7.10	-0.07	3.42	0	1
-2122	6.70	4.13	3.42	0	1
-2119	8.30	4.04	3.42	0	1
-2116	7.10	4.04	3.42	0	1
-2113	7.90	3.64	3.42	0	1
-2110	8.30	3.51	3.42	0	1
-2107	7.10	3.24	3.42	0	1
-2104	6.70	3.04	3.42	0	1
-2101	7.10	2.04	3.42	0	1
-2098	8.30	0.58	3.42	0	1
-2095	6.70	0.58	3.42	0	1
-2092	7.90	0.44	3.42	0	1
-2089	7.10	0.04	3.42	0	1
-2086	8.30	0.84	3.42	0	1
-2083	7.90	2.84	3.42	0	1
-2080	6.70	2.44	3.42	0	1
-2077	8.30	1.64	3.42	0	1
-2074	8.30	1.04	3.42	0	1
-2071	1.71	4.04	3.42	0	1
-2068	6.70	1.04	3.42	0	1
-2065	7.70	4.04	3.42	0	1
-2062	6.70	1.64	3.42	0	1
-2059	11.10	-0.07	3.42	0	1
-2056	3.70	-0.07	3.42	0	1
-2053	4.90	-0.07	3.42	0	1
-2050	6.10	-0.07	3.42	0	1
-2047	7.30	-0.07	3.42	0	1
-2044	8.50	-0.07	3.42	0	1
-2041	9.70	-0.07	3.42	0	1
-2038	10.90	-0.07	3.42	0	1
-2035	12.10	-0.07	3.42	0	1
-2032	13.29	-0.07	3.42	0	1
-2029	14.49	-0.07	3.42	0	1
-2026	0.91	-0.07	3.42	0	1
-2023	2.10	-0.07	3.42	0	1
-2020	3.30	-0.07	3.42	0	1
-2017	12.30	4.13	3.42	0	1
-2014	2.70	4.13	3.42	0	1
-2011	4.50	4.13	3.42	0	1

-2010	4.90	4.13	3.42	0	1	-2009	5.30	4.13	3.42	0	1	-2008	5.70	4.13	3.42	0	1
-2007	6.10	4.13	3.42	0	1	-2006	6.50	4.13	3.42	0	1	-2005	6.90	4.13	3.42	0	1
-2004	7.30	4.13	3.42	0	1	-2003	7.70	4.13	3.42	0	1	-2002	8.10	4.13	3.42	0	1
-2001	8.50	4.13	3.42	0	1	-2000	8.90	4.13	3.42	0	1	-1999	9.30	4.13	3.42	0	1
-1998	9.70	4.13	3.42	0	1	-1997	10.10	4.13	3.42	0	1	-1996	10.50	4.13	3.42	0	1
-1995	10.90	4.13	3.42	0	1	-1994	11.30	4.13	3.42	0	1	-1993	7.50	4.13	3.42	0	1
-1992	11.70	4.13	3.42	0	1	-1991	12.10	4.13	3.42	0	1	-1990	12.50	4.13	3.42	0	1
-1989	12.90	4.13	3.42	0	1	-1988	13.29	4.13	3.42	0	1	-1987	13.69	4.13	3.42	0	1
-1986	14.09	4.13	3.42	0	1	-1985	14.49	4.13	3.42	0	1	-1984	0.11	4.13	3.42	0	1
-1983	0.51	4.13	3.42	0	1	-1982	0.91	4.13	3.42	0	1	-1981	1.31	4.13	3.42	0	1
-1980	1.71	4.13	3.42	0	1	-1979	2.10	4.13	3.42	0	1	-1978	2.50	4.13	3.42	0	1
-1977	2.90	4.13	3.42	0	1	-1976	3.30	4.13	3.42	0	1	-1975	14.89	4.13	3.42	0	1
-1974	8.30	3.04	3.42	0	1	-1973	8.30	3.24	3.42	0	1	-1972	12.30	3.04	3.42	0	1
-1971	12.30	1.64	3.42	0	1	-1970	12.30	1.24	3.42	0	1	-1969	12.30	1.04	3.42	0	1
-1968	12.30	2.84	3.42	0	1	-1967	12.30	2.44	3.42	0	1	-1966	12.30	2.04	3.42	0	1
-1965	12.30	3.24	3.42	0	1	-1964	12.30	4.04	3.42	0	1	-1963	12.30	3.64	3.42	0	1
-1962	12.30	3.51	3.42	0	1	-1961	12.30	0.04	3.42	0	1	-1960	12.30	0.44	3.42	0	1
-1959	12.30	0.84	3.42	0	1	-1958	12.30	0.58	3.42	0	1	-1957	11.10	4.04	3.42	0	1
-1956	11.10	3.64	3.42	0	1	-1955	11.10	3.51	3.42	0	1	-1954	11.10	2.84	3.42	0	1
-1953	11.10	2.44	3.42	0	1	-1952	11.10	0.58	3.42	0	1	-1951	11.10	0.44	3.42	0	1
-1950	11.10	0.04	3.42	0	1	-1949	11.10	2.04	3.42	0	1	-1948	11.10	0.84	3.42	0	1
-1947	11.10	1.04	3.42	0	1	-1946	11.10	1.64	3.42	0	1	-1945	11.10	1.24	3.42	0	1
-1944	11.10	3.24	3.42	0	1	-1943	11.10	3.04	3.42	0	1	-1942	3.90	4.04	3.42	0	1
-1941	3.90	3.64	3.42	0	1	-1940	3.90	3.51	3.42	0	1	-1939	3.90	3.24	3.42	0	1
-1938	3.90	3.04	3.42	0	1	-1937	3.90	2.04	3.42	0	1	-1936	3.90	0.58	3.42	0	1
-1935	3.90	0.44	3.42	0	1	-1934	3.90	0.04	3.42	0	1	-1933	2.70	0.04	3.42	0	1
-1932	2.70	0.44	3.42	0	1	-1931	2.70	0.58	3.42	0	1	-1930	2.70	0.84	3.42	0	1
-1929	2.70	1.64	3.42	0	1	-1928	2.70	2.84	3.42	0	1	-1927	2.70	2.44	3.42	0	1
-1926	2.70	2.04	3.42	0	1	-1925	2.70	3.51	3.42	0	1	-1924	3.90	0.84	3.42	0	1
-1923	3.90	1.64	3.42	0	1	-1922	2.70	4.04	3.42	0	1	-1921	2.70	3.64	3.42	0	1
-1920	3.90	1.24	3.42	0	1	-1919	3.90	1.04	3.42	0	1	-1918	3.90	2.84	3.42	0	1
-1917	3.90	2.44	3.42	0	1	-1916	2.70	1.24	3.42	0	1	-1915	2.70	1.04	3.42	0	1
-1914	2.70	3.24	3.42	0	1	-1913	2.70	3.04	3.42	0	1	-1912	7.90	3.24	3.42	0	1
-1911	7.90	3.04	3.42	0	1	-1910	12.10	3.04	3.42	0	1	-1909	12.50	3.04	3.42	0	1
-1908	12.90	3.04	3.42	0	1	-1907	13.29	3.04	3.42	0	1	-1906	13.69	3.04	3.42	0	1
-1905	14.09	3.04	3.42	0	1	-1904	14.49	3.04	3.42	0	1	-1903	14.89	3.04	3.42	0	1
-1902	14.89	1.04	3.42	0	1	-1901	14.49	1.04	3.42	0	1	-1900	14.09	1.04	3.42	0	1
-1899	13.69	1.04	3.42	0	1	-1898	13.29	1.04	3.42	0	1	-1897	12.90	1.04	3.42	0	1
-1896	12.50	1.04	3.42	0	1	-1895	12.10	1.04	3.42	0	1	-1894	3.70	3.04	3.42	0	1
-1893	4.10	3.04	3.42	0	1	-1892	4.50	3.04	3.42	0	1	-1891	4.90	3.04	3.42	0	1
-1890	5.30	3.04	3.42	0	1	-1889	5.70	3.04	3.42	0	1	-1888	6.10	3.04	3.42	0	1
-1887	6.50	3.04	3.42	0	1	-1886	6.90	3.04	3.42	0	1	-1885	7.30	3.04	3.42	0	1
-1884	7.50	3.04	3.42	0	1	-1883	7.70	3.04	3.42	0	1	-1882	8.10	3.04	3.42	0	1
-1881	8.50	3.04	3.42	0	1	-1880	8.90	3.04	3.42	0	1	-1879	9.30	3.04	3.42	0	1
-1878	9.70	3.04	3.42	0	1	-1877	10.10	3.04	3.42	0	1	-1876	10.50	3.04	3.42	0	1
-1875	10.90	3.04	3.42	0	1	-1874	11.70	3.04	3.42	0	1	-1873	11.30	3.04	3.42	0	1
-1872	0.11	3.04	3.42	0	1	-1871	0.51	3.04	3.42	0	1	-1870	0.91	3.04	3.42	0	1
-1869	1.31	3.04	3.42	0	1	-1868	1.71	3.04	3.42	0	1	-1867	7.50	2.84	3.42	0	1
-1866	7.70	0.84	3.42	0	1	-1865	8.10	0.84	3.42	0	1	-1864	8.50	0.84	3.42	0	1
-1863	11.70	1.64	3.42	0	1	-1862	7.50	0.84	3.42	0	1	-1861	8.90	0.84	3.42	0	1
-1860	1.71	0.44	3.42	0	1	-1859	11.70	2.44	3.42	0	1	-1858	5.70	0.84	3.42	0	1
-1857	9.30	0.84	3.42	0	1	-1856	6.10	0.84	3.42	0	1	-1855	2.10	0.44	3.42	0	1
-1854	2.50	0.44	3.42	0	1	-1853	4.50	0.84	3.42	0	1	-1852	4.90	0.84	3.42	0	1
-1851	5.30	0.84	3.42	0	1	-1850	11.70	0.84	3.42	0	1	-1849	7.50	1.24	3.42	0	1
-1848	11.70	3.24	3.42	0	1	-1847	7.50	3.64	3.42	0	1	-1846	7.50	2.04	3.42	0	1
-1845	9.70	0.84	3.42	0	1	-1844	10.10	0.84	3.42	0	1	-1843	10.50	0.84	3.42	0	1
-1842	7.50	3.24	3.42	0	1	-1841	2.90	0.44	3.42	0	1	-1840	0.51	0.84	3.42	0	1
-1839	10.90	0.84	3.42	0	1	-1838	3.70	0.84	3.42	0	1	-1837	4.10	0.84	3.42	0	1
-1836	11.30	0.84	3.42	0	1	-1835	6.50	2.44	3.42	0	1	-1834	6.90	2.44	3.42	0	1
-1833	7.30	2.44	3.42	0	1	-1832	7.70	2.44	3.42	0	1	-1831	8.10	2.44	3.42	0	1
-1830	8.50	2.44	3.42	0	1	-1829	8.90	2.44	3.42	0	1	-1828	9.30	2.44	3.42	0	1
-1827	9.70	2.44	3.42	0	1	-1826	10.10	2.44	3.42	0	1	-1825	10.50	2.44	3.42	0	1
-1824	10.90	2.44	3.42	0	1	-1823	11.30	2.44	3.42	0	1	-1822	3.70	0.04	3.42	0	1
-1821	4.10	0.04	3.42	0	1	-1820	4.50	0.04	3.42	0	1	-1819	4.90	0.04	3.42	0	1
-1818	5.30	0.04	3.42	0	1	-1817	5.70	0.04	3.42	0	1	-1816	6.10	0.04	3.42	0	1
-1815	6.50	0.04	3.42	0	1	-1814	6.90	0.04	3.42	0	1	-1813	7.30	0.04	3.42	0	1
-1812	7.70	0.04	3.42	0	1	-1811	8.10	0.04	3.42	0	1	-1810	8.50	0.04	3.42	0	1
-1809	8.90	0.04	3.42	0	1	-1808	9.30	0.04	3.42	0	1	-1807	9.70	0.04	3.42	0	1
-1806	10.10	0.04	3.42	0	1	-1805	10.50	0.04	3.42	0	1	-1804	10.90	0.04	3.42	0	1
-1803	11.30	0.04	3.42	0	1	-1802	3.70	1.64	3.42	0	1	-1801	4.10	1.64	3.42	0	1
-1800	4.50	1.64	3.42	0	1	-1799	4.90	1.64	3.42	0	1	-1798	5.30	1.64	3.42	0	1
-1797	5.70	1.64	3.42	0	1	-1796	6.10	1.64	3.42	0	1	-1795	6.50	1.64	3.42	0	1
-1794	6.90	1.64	3.42	0	1	-1793	7.30	1.64	3.42	0	1	-1792	7.70	1.64	3.42	0	1
-1791	8.10	1.64	3.42	0	1	-1790	8.50	1.64	3.42	0	1	-1789	8.90	1.64	3.42	0	1
-1788	9.30	1.64	3.42	0	1	-1787	9.70	1.64	3.42	0	1	-1786	10.10	1.64	3.42	0	1
-1785	10.50	1.64	3.42	0	1	-1784	10.90	1.64	3.42	0	1	-1783	11.30	1.64	3.42	0	1
-1782	3.70	0.44	3.42	0	1	-1781	4.10	0.44	3.42	0	1	-1780	4.50	0.44	3.42	0	1
-1779	4.90	0.44	3.42	0	1	-1778	5.30	0.44	3.42	0	1	-1777	5.70	0.44	3.42	0	1
-1776	6.10	0.44	3.42	0	1	-1775	6.50	0.44	3.42	0	1	-1774	6.90	0.44	3.42	0	1

-1773	7.30	0.44	3.42	0	1
-1770	8.50	0.44	3.42	0	1
-1767	9.70	0.44	3.42	0	1
-1764	10.90	0.44	3.42	0	1
-1761	4.10	4.04	3.42	0	1
-1758	5.30	4.04	3.42	0	1
-1755	6.90	4.04	3.42	0	1
-1752	8.50	4.04	3.42	0	1
-1749	10.10	4.04	3.42	0	1
-1746	11.30	4.04	3.42	0	1
-1743	4.50	3.64	3.42	0	1
-1740	5.70	3.64	3.42	0	1
-1737	6.90	3.64	3.42	0	1
-1734	8.10	3.64	3.42	0	1
-1731	9.30	3.64	3.42	0	1
-1728	10.50	3.64	3.42	0	1
-1725	3.70	1.24	3.42	0	1
-1722	4.90	1.24	3.42	0	1
-1719	6.10	1.24	3.42	0	1
-1716	7.30	1.24	3.42	0	1
-1713	8.50	1.24	3.42	0	1
-1710	9.70	1.24	3.42	0	1
-1707	10.90	1.24	3.42	0	1
-1704	4.10	3.24	3.42	0	1
-1701	5.30	3.24	3.42	0	1
-1698	3.70	2.44	3.42	0	1
-1695	6.50	0.84	3.42	0	1
-1692	4.10	2.44	3.42	0	1
-1689	7.50	4.04	3.42	0	1
-1686	11.70	4.04	3.42	0	1
-1683	14.09	0.44	3.42	0	1
-1680	12.50	4.04	3.42	0	1
-1677	13.69	4.04	3.42	0	1
-1674	12.10	2.04	3.42	0	1
-1671	13.29	2.04	3.42	0	1
-1668	14.49	2.04	3.42	0	1
-1665	12.90	1.24	3.42	0	1
-1662	14.09	1.24	3.42	0	1
-1659	12.50	3.64	3.42	0	1
-1656	13.69	3.64	3.42	0	1
-1653	12.10	3.24	3.42	0	1
-1650	13.29	3.24	3.42	0	1
-1647	14.49	3.24	3.42	0	1
-1644	12.90	2.84	3.42	0	1
-1641	14.09	2.84	3.42	0	1
-1638	12.50	2.44	3.42	0	1
-1635	13.69	2.44	3.42	0	1
-1632	12.10	1.64	3.42	0	1
-1629	13.29	1.64	3.42	0	1
-1626	14.49	1.64	3.42	0	1
-1623	12.90	0.04	3.42	0	1
-1620	14.09	0.04	3.42	0	1
-1617	0.11	0.04	3.42	0	1
-1614	0.11	2.84	3.42	0	1
-1611	0.11	1.24	3.42	0	1
-1608	0.11	0.44	3.42	0	1
-1605	0.91	0.04	3.42	0	1
-1602	2.10	0.04	3.42	0	1
-1599	0.51	1.64	3.42	0	1
-1596	1.71	1.64	3.42	0	1
-1593	2.90	1.64	3.42	0	1
-1590	1.31	2.44	3.42	0	1
-1587	2.50	2.44	3.42	0	1
-1584	0.91	2.84	3.42	0	1
-1581	2.10	2.84	3.42	0	1
-1578	0.51	3.24	3.42	0	1
-1575	1.71	3.24	3.42	0	1
-1572	2.90	3.24	3.42	0	1
-1569	1.31	3.64	3.42	0	1
-1566	2.50	3.64	3.42	0	1
-1563	0.91	1.24	3.42	0	1
-1560	2.10	1.24	3.42	0	1
-1557	0.51	2.04	3.42	0	1
-1554	1.71	2.04	3.42	0	1
-1551	2.90	2.04	3.42	0	1
-1548	1.31	4.04	3.42	0	1
-1545	2.50	4.04	3.42	0	1
-1542	0.91	0.44	3.42	0	1
-1539	3.30	0.04	3.42	0	1

-1772	7.70	0.44	3.42	0	1
-1769	8.90	0.44	3.42	0	1
-1766	10.10	0.44	3.42	0	1
-1763	11.30	0.44	3.42	0	1
-1760	4.50	4.04	3.42	0	1
-1757	6.10	4.04	3.42	0	1
-1754	7.30	4.04	3.42	0	1
-1751	8.90	4.04	3.42	0	1
-1748	10.50	4.04	3.42	0	1
-1745	3.70	3.64	3.42	0	1
-1742	4.90	3.64	3.42	0	1
-1739	6.10	3.64	3.42	0	1
-1736	7.30	3.64	3.42	0	1
-1733	8.50	3.64	3.42	0	1
-1730	9.70	3.64	3.42	0	1
-1727	10.90	3.64	3.42	0	1
-1724	4.10	1.24	3.42	0	1
-1721	5.30	1.24	3.42	0	1
-1718	6.50	1.24	3.42	0	1
-1715	7.70	1.24	3.42	0	1
-1712	8.90	1.24	3.42	0	1
-1709	10.10	1.24	3.42	0	1
-1706	11.30	1.24	3.42	0	1
-1703	4.50	3.24	3.42	0	1
-1700	5.70	3.24	3.42	0	1
-1697	0.91	0.84	3.42	0	1
-1694	6.90	0.84	3.42	0	1
-1691	4.50	2.44	3.42	0	1
-1688	4.90	2.44	3.42	0	1
-1685	2.10	0.84	3.42	0	1
-1682	14.49	0.44	3.42	0	1
-1679	12.90	4.04	3.42	0	1
-1676	14.09	4.04	3.42	0	1
-1673	12.50	2.04	3.42	0	1
-1670	13.69	2.04	3.42	0	1
-1667	12.10	1.24	3.42	0	1
-1664	13.29	1.24	3.42	0	1
-1661	14.49	1.24	3.42	0	1
-1658	12.90	3.64	3.42	0	1
-1655	14.09	3.64	3.42	0	1
-1652	12.50	3.24	3.42	0	1
-1649	13.69	3.24	3.42	0	1
-1646	12.10	2.84	3.42	0	1
-1643	13.29	2.84	3.42	0	1
-1640	14.49	2.84	3.42	0	1
-1637	12.90	2.44	3.42	0	1
-1634	14.09	2.44	3.42	0	1
-1631	12.50	1.64	3.42	0	1
-1628	13.69	1.64	3.42	0	1
-1625	12.10	0.04	3.42	0	1
-1622	13.29	0.04	3.42	0	1
-1619	14.49	0.04	3.42	0	1
-1616	0.11	1.64	3.42	0	1
-1613	0.11	3.24	3.42	0	1
-1610	0.11	2.04	3.42	0	1
-1607	0.11	0.84	3.42	0	1
-1604	1.31	0.04	3.42	0	1
-1601	2.50	0.04	3.42	0	1
-1598	0.91	1.64	3.42	0	1
-1595	2.10	1.64	3.42	0	1
-1592	0.51	2.44	3.42	0	1
-1589	1.71	2.44	3.42	0	1
-1586	2.90	2.44	3.42	0	1
-1583	1.31	2.84	3.42	0	1
-1580	2.50	2.84	3.42	0	1
-1577	0.91	3.24	3.42	0	1
-1574	2.10	3.24	3.42	0	1
-1571	0.51	3.64	3.42	0	1
-1568	1.71	3.64	3.42	0	1
-1565	2.90	3.64	3.42	0	1
-1562	1.31	1.24	3.42	0	1
-1559	2.50	1.24	3.42	0	1
-1556	0.91	2.04	3.42	0	1
-1553	2.10	2.04	3.42	0	1
-1550	0.51	4.04	3.42	0	1
-1547	7.90	2.44	3.42	0	1
-1544	2.90	4.04	3.42	0	1
-1541	1.31	0.44	3.42	0	1
-1538	13.29	0.58	3.42	0	1

-1771	8.10	0.44	3.42	0	1
-1768	9.30	0.44	3.42	0	1
-1765	10.50	0.44	3.42	0	1
-1762	8.30	2.84	3.42	0	1
-1759	4.90	4.04	3.42	0	1
-1756	6.50	4.04	3.42	0	1
-1753	8.10	4.04	3.42	0	1
-1750	9.30	4.04	3.42	0	1
-1747	10.90	4.04	3.42	0	1
-1744	4.10	3.64	3.42	0	1
-1741	5.30	3.64	3.42	0	1
-1738	6.50	3.64	3.42	0	1
-1735	7.70	3.64	3.42	0	1
-1732	8.90	3.64	3.42	0	1
-1729	10.10	3.64	3.42	0	1
-1726	11.30	3.64	3.42	0	1
-1723	4.50	1.24	3.42	0	1
-1720	5.70	1.24	3.42	0	1
-1717	6.90	1.24	3.42	0	1
-1714	8.10	1.24	3.42	0	1
-1711	9.30	1.24	3.42	0	1
-1708	10.50	1.24	3.42	0	1
-1705	3.70	3.24	3.42	0	1
-1702	4.90	3.24	3.42	0	1
-1699	8.30	2.44	3.42	0	1
-1696	1.31	0.84	3.42	0	1
-1693	7.30	0.84	3.42	0	1
-1690	1.71	0.84	3.42	0	1
-1687	11.70	0.04	3.42	0	1
-1684	13.69	0.44	3.42	0	1
-1681	12.10	4.04	3.42	0	1
-1678	13.29	4.04	3.42	0	1
-1675	14.49	4.04	3.42	0	1
-1672	12.90	2.04	3.42	0	1
-1669	14.09	2.04	3.42	0	1
-1666	12.50	1.24	3.42	0	1
-1663	13.69	1.24	3.42	0	1
-1660	12.10	3.64	3.42	0	1
-1657	13.29	3.64	3.42	0	1
-1654	14.49	3.64	3.42	0	1
-1651	12.90	3.24	3.42	0	1
-1648	14.09	3.24	3.42	0	1
-1645	12.50	2.84	3.42	0	1
-1642	13.69	2.84	3.42	0	1
-1639	12.10	2.44	3.42	0	1
-1636	13.29	2.44	3.42	0	1
-1633	14.49	2.44	3.42	0	1
-1630	12.90	1.64	3.42	0	1
-1627	14.09	1.64	3.42	0	1
-1624	12.50	0.04	3.42	0	1
-1621	13.69	0.04	3.42	0	1
-1618	2.90	0.84	3.42	0	1
-1615	0.11	2.44	3.42	0	1
-1612	0.11	3.64	3.42	0	1
-1609	0.11	4.04	3.42	0	1
-1606	0.51	0.04	3.42	0	1
-1603	1.71	0.04	3.42	0	1
-1600	2.90	0.04	3.42	0	1
-1597	1.31	1.64	3.42	0	1
-1594	2.50	1.64	3.42	0	1
-1591	0.91	2.44	3.42	0	1
-1588	2.10	2.44	3.42	0	1
-1585	0.51	2.84	3.42	0	1
-1582	1.71	2.84	3.42	0	1
-1579	2.90	2.84	3.42	0	1
-1576	1.31	3.24	3.42	0	1
-1573	2.50	3.24	3.42	0	1
-1570	0.91	3.64	3.42	0	1
-1567	2.10	3.64	3.42	0	1
-1564	0.51	1.24	3.42	0	1
-1561	1.71	1.24	3.42	0	1
-1558	2.90	1.24	3.42	0	1
-1555	1.31	2.04	3.42	0	1
-1552	2.50	2.04	3.42	0	1
-1549	0.91	4.04	3.42	0	1
-1546	2.10	4.04	3.42	0	1
-1543	0.51	0.44	3.42	0	1
-1540	3.30	4.04	3.42	0	1
-1537	3.30	3.24	3.42	0	1

-1536	3.30	0.84	3.42	0	1
-1533	7.50	0.04	3.42	0	1
-1530	12.50	0.58	3.42	0	1
-1527	14.49	0.58	3.42	0	1
-1524	13.29	3.51	3.42	0	1
-1521	12.10	3.51	3.42	0	1
-1518	14.09	3.51	3.42	0	1
-1515	2.50	3.51	3.42	0	1
-1512	1.31	3.51	3.42	0	1
-1509	0.11	3.51	3.42	0	1
-1506	10.50	3.51	3.42	0	1
-1503	9.30	3.51	3.42	0	1
-1500	8.10	3.51	3.42	0	1
-1497	6.10	3.24	3.42	0	1
-1494	7.30	3.24	3.42	0	1
-1491	8.50	3.24	3.42	0	1
-1488	6.50	3.51	3.42	0	1
-1485	5.30	3.51	3.42	0	1
-1482	8.90	3.24	3.42	0	1
-1479	10.10	3.24	3.42	0	1
-1476	11.30	3.24	3.42	0	1
-1473	4.50	2.84	3.42	0	1
-1470	5.70	2.84	3.42	0	1
-1467	6.90	2.84	3.42	0	1
-1464	8.10	2.84	3.42	0	1
-1461	4.10	3.51	3.42	0	1
-1458	3.70	3.51	3.42	0	1
-1455	10.50	2.84	3.42	0	1
-1452	3.70	2.04	3.42	0	1
-1449	4.50	2.04	3.42	0	1
-1446	5.30	2.04	3.42	0	1
-1443	6.10	2.04	3.42	0	1
-1440	1.71	0.58	3.42	0	1
-1437	1.31	0.58	3.42	0	1
-1434	8.90	2.04	3.42	0	1
-1431	10.10	2.04	3.42	0	1
-1428	11.30	2.04	3.42	0	1
-1425	14.89	4.04	3.42	0	1
-1422	14.89	3.64	3.42	0	1
-1419	14.89	2.44	3.42	0	1
-1416	12.10	0.84	3.42	0	1
-1413	7.50	0.44	3.42	0	1
-1410	5.70	2.44	3.42	0	1
-1407	0.11	0.58	3.42	0	1
-1404	10.50	0.58	3.42	0	1
-1401	9.30	0.58	3.42	0	1
-1398	8.10	0.58	3.42	0	1
-1395	6.90	0.58	3.42	0	1
-1392	5.70	0.58	3.42	0	1
-1389	4.50	0.58	3.42	0	1
-1386	7.50	0.58	3.42	0	1
-1383	4.10	1.04	3.42	0	1
-1380	5.30	1.04	3.42	0	1
-1377	6.50	1.04	3.42	0	1
-1374	7.50	1.04	3.42	0	1
-1371	8.50	1.04	3.42	0	1
-1368	9.70	1.04	3.42	0	1
-1365	13.69	0.84	3.42	0	1
-1362	12.10	0.44	3.42	0	1
-1359	10.90	1.04	3.42	0	1
-1356	12.50	0.44	3.42	0	1
-1353	0.51	1.04	3.42	0	1
-1350	1.31	1.04	3.42	0	1
-1347	2.50	1.04	3.42	0	1
-1344	3.30	3.04	3.42	0	1
-1334	8.30	4.04	3.20	0	1
-1330	6.70	4.04	3.20	0	1
-1327	7.10	3.64	3.20	0	1
-1320	6.70	3.24	3.20	0	1
-1315	7.90	2.04	3.20	0	1
-1308	8.30	0.04	3.20	0	1
-1305	7.10	0.44	3.20	0	1
-1302	6.70	0.04	3.20	0	1
-1299	7.10	0.84	3.20	0	1
-1296	7.10	1.64	3.20	0	1
-1289	7.90	1.64	3.20	0	1
-1286	8.30	1.24	3.20	0	1
-1283	7.10	2.84	3.20	0	1
-1280	7.90	2.44	3.20	0	1

-1535	7.50	1.64	3.42	0	1
-1532	7.50	2.44	3.42	0	1
-1529	12.10	0.58	3.42	0	1
-1526	14.09	0.58	3.42	0	1
-1523	12.90	3.51	3.42	0	1
-1520	14.89	3.51	3.42	0	1
-1517	13.69	3.51	3.42	0	1
-1514	2.10	3.51	3.42	0	1
-1511	0.91	3.51	3.42	0	1
-1508	11.30	3.51	3.42	0	1
-1505	10.10	3.51	3.42	0	1
-1502	8.90	3.51	3.42	0	1
-1499	7.70	3.51	3.42	0	1
-1496	6.50	3.24	3.42	0	1
-1493	7.70	3.24	3.42	0	1
-1490	12.90	0.58	3.42	0	1
-1487	6.10	3.51	3.42	0	1
-1484	4.90	3.51	3.42	0	1
-1481	9.30	3.24	3.42	0	1
-1478	10.50	3.24	3.42	0	1
-1475	3.70	2.84	3.42	0	1
-1472	4.90	2.84	3.42	0	1
-1469	6.10	2.84	3.42	0	1
-1466	7.30	2.84	3.42	0	1
-1463	8.50	2.84	3.42	0	1
-1460	9.30	2.84	3.42	0	1
-1457	7.50	3.51	3.42	0	1
-1454	10.90	2.84	3.42	0	1
-1451	2.90	0.58	3.42	0	1
-1448	4.90	2.04	3.42	0	1
-1445	5.70	2.04	3.42	0	1
-1442	6.50	2.04	3.42	0	1
-1439	7.30	2.04	3.42	0	1
-1436	8.10	2.04	3.42	0	1
-1433	9.30	2.04	3.42	0	1
-1430	10.50	2.04	3.42	0	1
-1427	14.89	0.84	3.42	0	1
-1424	14.89	2.04	3.42	0	1
-1421	14.89	3.24	3.42	0	1
-1418	14.89	1.64	3.42	0	1
-1415	12.50	0.84	3.42	0	1
-1412	6.10	2.44	3.42	0	1
-1409	0.91	0.58	3.42	0	1
-1406	11.30	0.58	3.42	0	1
-1403	10.10	0.58	3.42	0	1
-1400	8.90	0.58	3.42	0	1
-1397	7.70	0.58	3.42	0	1
-1394	6.50	0.58	3.42	0	1
-1391	5.30	0.58	3.42	0	1
-1388	4.10	0.58	3.42	0	1
-1385	3.30	1.04	3.42	0	1
-1382	4.50	1.04	3.42	0	1
-1379	5.70	1.04	3.42	0	1
-1376	6.90	1.04	3.42	0	1
-1373	7.70	1.04	3.42	0	1
-1370	8.90	1.04	3.42	0	1
-1367	12.90	0.84	3.42	0	1
-1364	14.09	0.84	3.42	0	1
-1361	10.10	1.04	3.42	0	1
-1358	11.30	1.04	3.42	0	1
-1355	12.90	0.44	3.42	0	1
-1352	13.29	0.44	3.42	0	1
-1349	1.71	1.04	3.42	0	1
-1346	2.90	1.04	3.42	0	1
-1343	2.50	3.04	3.42	0	1
-1332	7.90	4.04	3.20	0	1
-1329	8.30	3.64	3.20	0	1
-1326	6.70	3.64	3.20	0	1
-1317	6.70	2.04	3.20	0	1
-1314	8.30	2.04	3.20	0	1
-1307	7.90	0.44	3.20	0	1
-1304	7.10	0.04	3.20	0	1
-1301	8.30	0.84	3.20	0	1
-1298	6.70	0.84	3.20	0	1
-1295	6.70	1.24	3.20	0	1
-1288	7.90	1.24	3.20	0	1
-1285	6.70	2.84	3.20	0	1
-1282	7.10	2.44	3.20	0	1
-1279	8.30	2.84	3.20	0	1

-1534	3.30	2.44	3.42	0	1
-1531	3.30	1.64	3.42	0	1
-1528	14.89	0.58	3.42	0	1
-1525	13.69	0.58	3.42	0	1
-1522	12.50	3.51	3.42	0	1
-1519	14.49	3.51	3.42	0	1
-1516	2.90	3.51	3.42	0	1
-1513	1.71	3.51	3.42	0	1
-1510	0.51	3.51	3.42	0	1
-1507	10.90	3.51	3.42	0	1
-1504	9.70	3.51	3.42	0	1
-1501	8.50	3.51	3.42	0	1
-1498	7.30	3.51	3.42	0	1
-1495	6.90	3.24	3.42	0	1
-1492	8.10	3.24	3.42	0	1
-1489	6.90	3.51	3.42	0	1
-1486	5.70	3.51	3.42	0	1
-1483	4.50	3.51	3.42	0	1
-1480	9.70	3.24	3.42	0	1
-1477	10.90	3.24	3.42	0	1
-1474	4.10	2.84	3.42	0	1
-1471	5.30	2.84	3.42	0	1
-1468	6.50	2.84	3.42	0	1
-1465	7.70	2.84	3.42	0	1
-1462	8.90	2.84	3.42	0	1
-1459	9.70	2.84	3.42	0	1
-1456	10.10	2.84	3.42	0	1
-1453	11.30	2.84	3.42	0	1
-1450	4.10	2.04	3.42	0	1
-1447	2.50	0.58	3.42	0	1
-1444	2.10	0.58	3.42	0	1
-1441	6.90	2.04	3.42	0	1
-1438	7.70	2.04	3.42	0	1
-1435	8.50	2.04	3.42	0	1
-1432	9.70	2.04	3.42	0	1
-1429	10.90	2.04	3.42	0	1
-1426	14.89	0.44	3.42	0	1
-1423	14.89	1.24	3.42	0	1
-1420	14.89	2.84	3.42	0	1
-1417	14.89	0.04	3.42	0	1
-1414	2.50	0.84	3.42	0	1
-1411	5.30	2.44	3.42	0	1
-1408	0.51	0.58	3.42	0	1
-1405	10.90	0.58	3.42	0	1
-1402	9.70	0.58	3.42	0	1
-1399	8.50	0.58	3.42	0	1
-1396	7.30	0.58	3.42	0	1
-1393	6.10	0.58	3.42	0	1
-1390	4.90	0.58	3.42	0	1
-1387	3.70	0.58	3.42	0	1
-1384	3.70	1.04	3.42	0	1
-1381	4.90	1.04	3.42	0	1
-1378	6.10	1.04	3.42	0	1
-1375	7.30	1.04	3.42	0	1
-1372	8.10	1.04	3.42	0	1
-1369	9.30	1.04	3.42	0	1
-1366	13.29	0.84	3.42	0	1
-1363	14.49	0.84	3.42	0	1
-1360	10.50	1.04	3.42	0	1
-1357	11.70	1.04	3.42	0	1
-1354	0.11	1.04	3.42	0	1
-1351	0.91	1.04	3.42	0	1
-1348	2.10	1.04	3.42	0	1
-1345	2.90	3.04	3.42	0	1
-1342	2.10	3.04	3.42	0	1
-1331	7.10	4.04	3.20	0	1
-1328	7.90	3.64	3.20	0	1
-1322	7.10	3.24	3.20	0	1
-1316	7.10	2.04	3.20	0	1
-1309	8.30	0.44	3.20	0	1
-1306	7.90	0.04	3.20	0	1
-1303	6.70	0.44	3.20	0	1
-1300	7.90	0.84	3.20	0	1
-1297	6.70	1.64	3.20	0	1
-1293	7.10	1.24	3.20	0	1
-1287	8.30	1.64	3.20	0	1
-1284	6.70	2.44	3.20	0	1
-1281	7.90	2.84	3.20	0	1
-1278	8.30	2.44	3.20	0	1

-1277	8.30	3.24	3.20	0	1	-1275	7.90	3.24	3.20	0	1	-1273	7.75	0.04	4.70	0	1
-1272	7.25	0.04	4.70	0	1	-1271	15.20	4.29	3.20	0	1	-1270	-0.20	4.29	3.20	0	1
-1269	15.20	4.13	3.20	0	1	-1225	-0.20	4.13	3.20	0	1	-1224	14.89	4.04	3.20	0	1
-1223	14.49	4.04	3.20	0	1	-1222	14.09	4.04	3.20	0	1	-1221	13.69	4.04	3.20	0	1
-1220	12.90	4.04	3.20	0	1	-1219	12.50	4.04	3.20	0	1	-1218	12.30	4.04	3.20	0	1
-1217	12.10	4.04	3.20	0	1	-1216	11.70	4.04	3.20	0	1	-1215	11.10	4.04	3.20	0	1
-1214	10.90	4.04	3.20	0	1	-1213	10.50	4.04	3.20	0	1	-1212	10.10	4.04	3.20	0	1
-1211	9.70	4.04	3.20	0	1	-1210	8.90	4.04	3.20	0	1	-1209	8.50	4.04	3.20	0	1
-1208	8.10	4.04	3.20	0	1	-1207	7.70	4.04	3.20	0	1	-1206	7.30	4.04	3.20	0	1
-1205	6.90	4.04	3.20	0	1	-1204	6.50	4.04	3.20	0	1	-1203	6.10	4.04	3.20	0	1
-1202	5.30	4.04	3.20	0	1	-1201	4.90	4.04	3.20	0	1	-1200	4.50	4.04	3.20	0	1
-1199	4.10	4.04	3.20	0	1	-1198	3.90	4.04	3.20	0	1	-1197	3.30	4.04	3.20	0	1
-1196	2.90	4.04	3.20	0	1	-1195	2.70	4.04	3.20	0	1	-1194	2.50	4.04	3.20	0	1
-1193	2.10	4.04	3.20	0	1	-1192	1.31	4.04	3.20	0	1	-1191	0.91	4.04	3.20	0	1
-1190	0.51	4.04	3.20	0	1	-1189	0.11	4.04	3.20	0	1	-1188	15.20	3.64	3.20	0	1
-1187	14.89	3.64	3.20	0	1	-1186	14.49	3.64	3.20	0	1	-1185	14.09	3.64	3.20	0	1
-1184	13.69	3.64	3.20	0	1	-1183	13.29	3.64	3.20	0	1	-1182	12.90	3.64	3.20	0	1
-1181	12.50	3.64	3.20	0	1	-1180	12.30	3.64	3.20	0	1	-1179	12.10	3.64	3.20	0	1
-1178	11.30	3.64	3.20	0	1	-1177	11.10	3.64	3.20	0	1	-1176	10.90	3.64	3.20	0	1
-1175	10.50	3.64	3.20	0	1	-1174	10.10	3.64	3.20	0	1	-1173	9.70	3.64	3.20	0	1
-1172	9.30	3.64	3.20	0	1	-1171	8.90	3.64	3.20	0	1	-1170	8.50	3.64	3.20	0	1
-1169	8.10	3.64	3.20	0	1	-1168	7.70	3.64	3.20	0	1	-1167	7.50	3.64	3.20	0	1
-1166	7.30	3.64	3.20	0	1	-1165	6.90	3.64	3.20	0	1	-1164	6.50	3.64	3.20	0	1
-1163	6.10	3.64	3.20	0	1	-1162	5.70	3.64	3.20	0	1	-1161	5.30	3.64	3.20	0	1
-1160	4.90	3.64	3.20	0	1	-1159	4.50	3.64	3.20	0	1	-1158	4.10	3.64	3.20	0	1
-1157	3.90	3.64	3.20	0	1	-1156	3.70	3.64	3.20	0	1	-1155	2.90	3.64	3.20	0	1
-1154	2.70	3.64	3.20	0	1	-1153	2.50	3.64	3.20	0	1	-1152	2.10	3.64	3.20	0	1
-1151	1.71	3.64	3.20	0	1	-1150	1.31	3.64	3.20	0	1	-1149	0.91	3.64	3.20	0	1
-1148	0.51	3.64	3.20	0	1	-1147	0.11	3.64	3.20	0	1	-1146	-0.20	3.64	3.20	0	1
-1145	15.20	3.51	3.20	0	1	-1103	-0.20	3.51	3.20	0	1	-1102	15.20	3.24	3.20	0	1
-1101	14.89	3.24	3.20	0	1	-1100	14.49	3.24	3.20	0	1	-1099	14.09	3.24	3.20	0	1
-1098	13.69	3.24	3.20	0	1	-1097	13.29	3.24	3.20	0	1	-1096	12.90	3.24	3.20	0	1
-1095	12.50	3.24	3.20	0	1	-1094	12.30	3.24	3.20	0	1	-1093	12.10	3.24	3.20	0	1
-1092	11.70	3.24	3.20	0	1	-1091	11.30	3.24	3.20	0	1	-1090	11.10	3.24	3.20	0	1
-1089	10.90	3.24	3.20	0	1	-1088	10.50	3.24	3.20	0	1	-1087	10.10	3.24	3.20	0	1
-1086	9.70	3.24	3.20	0	1	-1085	9.30	3.24	3.20	0	1	-1084	8.90	3.24	3.20	0	1
-1083	8.50	3.24	3.20	0	1	-1082	8.10	3.24	3.20	0	1	-1081	7.70	3.24	3.20	0	1
-1080	7.50	3.24	3.20	0	1	-1079	7.30	3.24	3.20	0	1	-1078	6.90	3.24	3.20	0	1
-1077	6.50	3.24	3.20	0	1	-1076	6.10	3.24	3.20	0	1	-1075	5.70	3.24	3.20	0	1
-1074	5.30	3.24	3.20	0	1	-1073	4.90	3.24	3.20	0	1	-1072	4.50	3.24	3.20	0	1
-1071	4.10	3.24	3.20	0	1	-1070	3.90	3.24	3.20	0	1	-1069	3.70	3.24	3.20	0	1
-1068	3.30	3.24	3.20	0	1	-1067	2.90	3.24	3.20	0	1	-1066	2.70	3.24	3.20	0	1
-1065	2.50	3.24	3.20	0	1	-1064	2.10	3.24	3.20	0	1	-1063	1.71	3.24	3.20	0	1
-1062	1.31	3.24	3.20	0	1	-1061	0.91	3.24	3.20	0	1	-1060	0.51	3.24	3.20	0	1
-1059	0.11	3.24	3.20	0	1	-1058	-0.20	3.24	3.20	0	1	-1057	15.20	3.04	3.20	0	1
-1047	11.70	3.04	3.20	0	1	-1023	3.30	3.04	3.20	0	1	-1013	-0.20	3.04	3.20	0	1
-1012	15.20	2.84	3.20	0	1	-1011	14.89	2.84	3.20	0	1	-1010	14.49	2.84	3.20	0	1
-1009	14.09	2.84	3.20	0	1	-1008	13.69	2.84	3.20	0	1	-1007	13.29	2.84	3.20	0	1
-1006	12.90	2.84	3.20	0	1	-1005	12.50	2.84	3.20	0	1	-1004	12.30	2.84	3.20	0	1
-1003	12.10	2.84	3.20	0	1	-1002	11.30	2.84	3.20	0	1	-1001	11.10	2.84	3.20	0	1
-1000	10.90	2.84	3.20	0	1	-999	10.50	2.84	3.20	0	1	-998	10.10	2.84	3.20	0	1
-997	9.70	2.84	3.20	0	1	-996	9.30	2.84	3.20	0	1	-995	8.90	2.84	3.20	0	1
-994	8.50	2.84	3.20	0	1	-993	8.10	2.84	3.20	0	1	-992	7.70	2.84	3.20	0	1
-991	7.50	2.84	3.20	0	1	-990	7.30	2.84	3.20	0	1	-989	6.90	2.84	3.20	0	1
-988	6.50	2.84	3.20	0	1	-987	6.10	2.84	3.20	0	1	-986	5.70	2.84	3.20	0	1
-985	5.30	2.84	3.20	0	1	-984	4.90	2.84	3.20	0	1	-983	4.50	2.84	3.20	0	1
-982	4.10	2.84	3.20	0	1	-981	3.90	2.84	3.20	0	1	-980	3.70	2.84	3.20	0	1
-979	2.90	2.84	3.20	0	1	-978	2.70	2.84	3.20	0	1	-977	2.50	2.84	3.20	0	1
-976	2.10	2.84	3.20	0	1	-975	1.71	2.84	3.20	0	1	-974	1.31	2.84	3.20	0	1
-973	0.91	2.84	3.20	0	1	-972	0.51	2.84	3.20	0	1	-971	0.11	2.84	3.20	0	1
-970	-0.20	2.84	3.20	0	1	-969	15.20	2.44	3.20	0	1	-968	14.89	2.44	3.20	0	1
-967	14.49	2.44	3.20	0	1	-966	14.09	2.44	3.20	0	1	-965	13.69	2.44	3.20	0	1
-964	13.29	2.44	3.20	0	1	-963	12.90	2.44	3.20	0	1	-962	12.50	2.44	3.20	0	1
-961	12.30	2.44	3.20	0	1	-960	12.10	2.44	3.20	0	1	-959	11.70	2.44	3.20	0	1
-958	11.30	2.44	3.20	0	1	-957	11.10	2.44	3.20	0	1	-956	10.90	2.44	3.20	0	1
-955	10.50	2.44	3.20	0	1	-954	10.10	2.44	3.20	0	1	-953	9.70	2.44	3.20	0	1
-952	9.30	2.44	3.20	0	1	-951	8.90	2.44	3.20	0	1	-950	8.50	2.44	3.20	0	1
-949	8.10	2.44	3.20	0	1	-948	7.70	2.44	3.20	0	1	-947	7.50	2.44	3.20	0	1
-946	7.30	2.44	3.20	0	1	-945	6.90	2.44	3.20	0	1	-944	6.50	2.44	3.20	0	1
-943	6.10	2.44	3.20	0	1	-942	5.70	2.44	3.20	0	1	-941	5.30	2.44	3.20	0	1
-940	4.90	2.44	3.20	0	1	-939	4.50	2.44	3.20	0	1	-938	4.10	2.44	3.20	0	1
-937	3.90	2.44	3.20	0	1	-936	3.70	2.44	3.20	0	1	-935	3.30	2.44	3.20	0	1
-934	2.90	2.44	3.20	0	1	-933	2.70	2.44	3.20	0	1	-932	2.50	2.44	3.20	0	1
-931	2.10	2.44	3.20	0	1	-930	1.71	2.44	3.20	0	1	-929	1.31	2.44	3.20	0	1
-928	0.91	2.44	3.20	0	1	-927	0.51	2.44	3.20	0	1	-926	0.11	2.44	3.20	0	1
-925	-0.20	2.44	3.20	0	1	-924	15.20	2.04	3.20	0	1	-923	14.89	2.04	3.20	0	1
-922	14.49	2.04	3.20	0	1	-921	14.09	2.04	3.20	0	1	-920	13.69	2.04	3.20	0	1
-919	13.29	2.04	3.20	0	1	-918	12.90	2.04	3.20	0	1	-917	12.50	2.04	3.20	0	1
-916	12.30	2.04	3.20	0	1	-915	12.10	2.04	3.20	0	1	-914	11.30	2.04	3.20	0	1

-913	11.10	2.04	3.20	0	1	-912	10.90	2.04	3.20	0	1	-911	10.50	2.04	3.20	0	1
-910	10.10	2.04	3.20	0	1	-909	9.70	2.04	3.20	0	1	-908	9.30	2.04	3.20	0	1
-907	8.90	2.04	3.20	0	1	-906	8.50	2.04	3.20	0	1	-905	8.10	2.04	3.20	0	1
-904	7.70	2.04	3.20	0	1	-903	7.50	2.04	3.20	0	1	-902	7.30	2.04	3.20	0	1
-901	6.90	2.04	3.20	0	1	-900	6.50	2.04	3.20	0	1	-899	6.10	2.04	3.20	0	1
-898	5.70	2.04	3.20	0	1	-897	5.30	2.04	3.20	0	1	-896	4.90	2.04	3.20	0	1
-895	4.50	2.04	3.20	0	1	-894	4.10	2.04	3.20	0	1	-893	3.90	2.04	3.20	0	1
-892	3.70	2.04	3.20	0	1	-891	2.90	2.04	3.20	0	1	-890	2.70	2.04	3.20	0	1
-889	2.50	2.04	3.20	0	1	-888	2.10	2.04	3.20	0	1	-887	1.71	2.04	3.20	0	1
-886	1.31	2.04	3.20	0	1	-885	0.91	2.04	3.20	0	1	-884	0.51	2.04	3.20	0	1
-883	0.11	2.04	3.20	0	1	-882	-0.20	2.04	3.20	0	1	-881	15.20	1.64	3.20	0	1
-880	14.89	1.64	3.20	0	1	-879	14.49	1.64	3.20	0	1	-878	14.09	1.64	3.20	0	1
-877	13.69	1.64	3.20	0	1	-876	13.29	1.64	3.20	0	1	-875	12.90	1.64	3.20	0	1
-874	12.50	1.64	3.20	0	1	-873	12.30	1.64	3.20	0	1	-872	12.10	1.64	3.20	0	1
-871	11.70	1.64	3.20	0	1	-870	11.30	1.64	3.20	0	1	-869	11.10	1.64	3.20	0	1
-868	10.90	1.64	3.20	0	1	-867	10.50	1.64	3.20	0	1	-866	10.10	1.64	3.20	0	1
-865	9.70	1.64	3.20	0	1	-864	9.30	1.64	3.20	0	1	-863	8.90	1.64	3.20	0	1
-862	8.50	1.64	3.20	0	1	-861	8.10	1.64	3.20	0	1	-860	7.70	1.64	3.20	0	1
-859	7.50	1.64	3.20	0	1	-858	7.30	1.64	3.20	0	1	-857	6.90	1.64	3.20	0	1
-856	6.50	1.64	3.20	0	1	-855	6.10	1.64	3.20	0	1	-854	5.70	1.64	3.20	0	1
-853	5.30	1.64	3.20	0	1	-852	4.90	1.64	3.20	0	1	-851	4.50	1.64	3.20	0	1
-850	4.10	1.64	3.20	0	1	-849	3.90	1.64	3.20	0	1	-848	3.70	1.64	3.20	0	1
-847	3.30	1.64	3.20	0	1	-846	2.90	1.64	3.20	0	1	-845	2.70	1.64	3.20	0	1
-844	2.50	1.64	3.20	0	1	-843	2.10	1.64	3.20	0	1	-842	1.71	1.64	3.20	0	1
-841	1.31	1.64	3.20	0	1	-840	0.91	1.64	3.20	0	1	-839	0.51	1.64	3.20	0	1
-838	0.11	1.64	3.20	0	1	-837	-0.20	1.64	3.20	0	1	-836	15.20	1.24	3.20	0	1
-835	14.89	1.24	3.20	0	1	-834	14.49	1.24	3.20	0	1	-833	14.09	1.24	3.20	0	1
-832	13.69	1.24	3.20	0	1	-831	13.29	1.24	3.20	0	1	-830	12.90	1.24	3.20	0	1
-829	12.50	1.24	3.20	0	1	-828	12.30	1.24	3.20	0	1	-827	12.10	1.24	3.20	0	1
-826	11.30	1.24	3.20	0	1	-825	11.10	1.24	3.20	0	1	-824	10.90	1.24	3.20	0	1
-823	10.50	1.24	3.20	0	1	-822	10.10	1.24	3.20	0	1	-821	9.70	1.24	3.20	0	1
-820	9.30	1.24	3.20	0	1	-819	8.90	1.24	3.20	0	1	-818	8.50	1.24	3.20	0	1
-817	8.10	1.24	3.20	0	1	-816	7.70	1.24	3.20	0	1	-815	7.50	1.24	3.20	0	1
-814	7.30	1.24	3.20	0	1	-813	6.90	1.24	3.20	0	1	-812	6.50	1.24	3.20	0	1
-811	6.10	1.24	3.20	0	1	-810	5.70	1.24	3.20	0	1	-809	5.30	1.24	3.20	0	1
-808	4.90	1.24	3.20	0	1	-807	4.50	1.24	3.20	0	1	-806	4.10	1.24	3.20	0	1
-805	3.90	1.24	3.20	0	1	-804	3.70	1.24	3.20	0	1	-803	2.90	1.24	3.20	0	1
-802	2.70	1.24	3.20	0	1	-801	2.50	1.24	3.20	0	1	-800	2.10	1.24	3.20	0	1
-799	1.71	1.24	3.20	0	1	-798	1.31	1.24	3.20	0	1	-797	0.91	1.24	3.20	0	1
-796	0.51	1.24	3.20	0	1	-795	0.11	1.24	3.20	0	1	-794	-0.20	1.24	3.20	0	1
-793	15.20	1.04	3.20	0	1	-783	11.70	1.04	3.20	0	1	-759	3.30	1.04	3.20	0	1
-749	-0.20	1.04	3.20	0	1	-748	15.20	0.84	3.20	0	1	-747	14.89	0.84	3.20	0	1
-746	14.49	0.84	3.20	0	1	-745	14.09	0.84	3.20	0	1	-744	13.69	0.84	3.20	0	1
-743	13.29	0.84	3.20	0	1	-742	12.90	0.84	3.20	0	1	-741	12.50	0.84	3.20	0	1
-740	12.30	0.84	3.20	0	1	-739	12.10	0.84	3.20	0	1	-738	11.70	0.84	3.20	0	1
-737	11.30	0.84	3.20	0	1	-736	11.10	0.84	3.20	0	1	-735	10.90	0.84	3.20	0	1
-734	10.50	0.84	3.20	0	1	-733	10.10	0.84	3.20	0	1	-732	9.70	0.84	3.20	0	1
-731	9.30	0.84	3.20	0	1	-730	8.90	0.84	3.20	0	1	-729	8.50	0.84	3.20	0	1
-728	8.10	0.84	3.20	0	1	-727	7.70	0.84	3.20	0	1	-726	7.50	0.84	3.20	0	1
-725	7.30	0.84	3.20	0	1	-724	6.90	0.84	3.20	0	1	-723	6.50	0.84	3.20	0	1
-722	6.10	0.84	3.20	0	1	-721	5.70	0.84	3.20	0	1	-720	5.30	0.84	3.20	0	1
-719	4.90	0.84	3.20	0	1	-718	4.50	0.84	3.20	0	1	-717	4.10	0.84	3.20	0	1
-716	3.90	0.84	3.20	0	1	-715	3.70	0.84	3.20	0	1	-714	3.30	0.84	3.20	0	1
-713	2.90	0.84	3.20	0	1	-712	2.70	0.84	3.20	0	1	-711	2.50	0.84	3.20	0	1
-710	2.10	0.84	3.20	0	1	-709	1.71	0.84	3.20	0	1	-708	1.31	0.84	3.20	0	1
-707	0.91	0.84	3.20	0	1	-706	0.51	0.84	3.20	0	1	-705	0.11	0.84	3.20	0	1
-704	-0.20	0.84	3.20	0	1	-703	15.20	0.58	3.20	0	1	-661	-0.20	0.58	3.20	0	1
-660	15.20	0.44	3.20	0	1	-659	14.89	0.44	3.20	0	1	-658	14.49	0.44	3.20	0	1
-657	14.09	0.44	3.20	0	1	-656	13.69	0.44	3.20	0	1	-655	13.29	0.44	3.20	0	1
-654	12.90	0.44	3.20	0	1	-653	12.50	0.44	3.20	0	1	-652	12.30	0.44	3.20	0	1
-651	12.10	0.44	3.20	0	1	-650	11.30	0.44	3.20	0	1	-649	11.10	0.44	3.20	0	1
-648	10.90	0.44	3.20	0	1	-647	10.50	0.44	3.20	0	1	-646	10.10	0.44	3.20	0	1
-645	9.70	0.44	3.20	0	1	-644	9.30	0.44	3.20	0	1	-643	8.90	0.44	3.20	0	1
-642	8.50	0.44	3.20	0	1	-641	8.10	0.44	3.20	0	1	-640	7.70	0.44	3.20	0	1
-639	7.50	0.44	3.20	0	1	-638	7.30	0.44	3.20	0	1	-637	6.90	0.44	3.20	0	1
-636	6.50	0.44	3.20	0	1	-635	6.10	0.44	3.20	0	1	-634	5.70	0.44	3.20	0	1
-633	5.30	0.44	3.20	0	1	-632	4.90	0.44	3.20	0	1	-631	4.50	0.44	3.20	0	1
-630	4.10	0.44	3.20	0	1	-629	3.90	0.44	3.20	0	1	-628	3.70	0.44	3.20	0	1
-627	2.90	0.44	3.20	0	1	-626	2.70	0.44	3.20	0	1	-625	2.50	0.44	3.20	0	1
-624	2.10	0.44	3.20	0	1	-623	1.71	0.44	3.20	0	1	-622	1.31	0.44	3.20	0	1
-621	0.91	0.44	3.20	0	1	-620	0.51	0.44	3.20	0	1	-619	0.11	0.44	3.20	0	1
-618	-0.20	0.44	3.20	0	1	-617	14.89	0.04	3.20	0	1	-616	14.49	0.04	3.20	0	1
-615	14.09	0.04	3.20	0	1	-614	13.69	0.04	3.20	0	1	-613	12.90	0.04	3.20	0	1
-612	12.50	0.04	3.20	0	1	-611	12.30	0.04	3.20	0	1	-610	12.10	0.04	3.20	0	1
-609	11.70	0.04	3.20	0	1	-608	11.10	0.04	3.20	0	1	-607	10.90	0.04	3.20	0	1
-606	10.50	0.04	3.20	0	1	-605	10.10	0.04	3.20	0	1	-604	9.70	0.04	3.20	0	1
-603	8.90	0.04	3.20	0	1	-602	8.50	0.04	3.20	0	1	-601	8.10	0.04	3.20	0	1
-600	7.70	0.04	3.20	0	1	-599	7.30	0.04	3.20	0	1	-598	6.90	0.04	3.20	0	1
-597	6.50	0.04	3.20	0	1	-596	6.10	0.04	3.20	0	1	-595	5.30	0.04	3.20	0	1

-594	4.90	0.04	3.20	0	1
-591	3.90	0.04	3.20	0	1
-588	2.70	0.04	3.20	0	1
-585	1.31	0.04	3.20	0	1
-582	0.11	0.04	3.20	0	1
-536	15.20	-0.21	3.20	0	1
-533	-0.20	4.29	3.00	0	1
-530	15.20	4.04	3.00	0	1
-527	-0.20	3.64	3.00	0	1
-524	15.20	3.24	3.00	0	1
-521	-0.20	3.04	3.00	0	1
-518	15.20	2.44	3.00	0	1
-515	-0.20	2.04	3.00	0	1
-512	15.20	1.24	3.00	0	1
-509	-0.20	1.04	3.00	0	1
-506	15.20	0.58	3.00	0	1
-503	-0.20	0.44	3.00	0	1
-500	15.20	-0.07	3.00	0	1
-497	-0.20	-0.21	3.00	0	1
-494	15.20	4.13	2.50	0	1
-491	-0.20	4.04	2.50	0	1
-488	15.20	3.51	2.50	0	1
-485	-0.20	3.24	2.50	0	1
-482	15.20	2.84	2.50	0	1
-479	-0.20	2.44	2.50	0	1
-476	15.20	1.64	2.50	0	1
-473	-0.20	1.24	2.50	0	1
-470	15.20	0.84	2.50	0	1
-467	-0.20	0.58	2.50	0	1
-464	15.20	0.04	2.50	0	1
-461	-0.20	-0.07	2.50	0	1
-458	15.20	4.29	2.20	2	1
-455	-0.20	4.13	2.20	2	1
-452	15.20	3.64	2.20	2	1
-449	-0.20	3.51	2.20	2	1
-446	15.20	3.04	2.20	2	1
-443	-0.20	2.84	2.20	2	1
-440	15.20	2.04	2.20	2	1
-437	-0.20	1.64	2.20	2	1
-434	15.20	1.04	2.20	2	1
-431	-0.20	0.84	2.20	2	1
-428	15.20	0.44	2.20	2	1
-425	-0.20	0.04	2.20	2	1
-422	15.20	-0.21	2.20	2	1
-419	-0.20	4.29	1.70	0	1
-416	15.20	4.04	1.70	0	1
-413	-0.20	3.64	1.70	0	1
-410	15.20	3.24	1.70	0	1
-407	-0.20	3.04	1.70	0	1
-404	15.20	2.44	1.70	0	1
-401	-0.20	1.64	1.70	0	1
-398	15.20	1.04	1.70	0	1
-395	-0.20	0.84	1.70	0	1
-392	15.20	0.44	1.70	0	1
-389	-0.20	0.04	1.70	0	1
-386	15.20	-0.21	1.70	0	1
-383	1.55	3.64	1.50	0	1
-380	13.45	2.04	1.50	0	1
-377	1.55	1.24	1.50	0	1
-374	15.20	4.29	1.30	1	1
-371	-0.20	4.13	1.30	1	1
-368	15.20	3.64	1.30	1	1
-365	-0.20	3.51	1.30	1	1
-362	15.20	3.04	1.30	1	1
-359	-0.20	2.84	1.30	1	1
-356	15.20	2.04	1.30	1	1
-353	-0.20	1.64	1.30	1	1
-350	15.20	1.04	1.30	1	1
-347	-0.20	0.84	1.30	1	1
-344	15.20	0.44	1.30	1	1
-341	-0.20	0.04	1.30	1	1
-338	15.20	-0.21	1.30	1	1
-335	-0.20	4.29	1.00	0	1
-332	15.20	4.04	1.00	0	1
-329	-0.20	3.64	1.00	0	1
-326	15.20	3.24	1.00	0	1
-323	-0.20	3.04	1.00	0	1
-320	15.20	2.44	1.00	0	1
-317	-0.20	2.04	1.00	0	1

-593	4.50	0.04	3.20	0	1
-590	3.30	0.04	3.20	0	1
-587	2.50	0.04	3.20	0	1
-584	0.91	0.04	3.20	0	1
-581	15.20	-0.07	3.20	0	1
-535	-0.20	-0.21	3.20	0	1
-532	15.20	4.13	3.00	0	1
-529	-0.20	4.04	3.00	0	1
-526	15.20	3.51	3.00	0	1
-523	-0.20	3.24	3.00	0	1
-520	15.20	2.84	3.00	0	1
-517	-0.20	2.44	3.00	0	1
-514	15.20	1.64	3.00	0	1
-511	-0.20	1.24	3.00	0	1
-508	15.20	0.84	3.00	0	1
-505	-0.20	0.58	3.00	0	1
-502	15.20	0.04	3.00	0	1
-499	-0.20	-0.07	3.00	0	1
-496	15.20	4.29	2.50	0	1
-493	-0.20	4.13	2.50	0	1
-490	15.20	3.64	2.50	0	1
-487	-0.20	3.51	2.50	0	1
-484	15.20	3.04	2.50	0	1
-481	-0.20	2.84	2.50	0	1
-478	15.20	2.04	2.50	0	1
-475	-0.20	1.64	2.50	0	1
-472	15.20	1.04	2.50	0	1
-469	-0.20	0.84	2.50	0	1
-466	15.20	0.44	2.50	0	1
-463	-0.20	0.04	2.50	0	1
-460	15.20	-0.21	2.50	0	1
-457	-0.20	4.29	2.20	2	1
-454	15.20	4.04	2.20	2	1
-451	-0.20	3.64	2.20	2	1
-448	15.20	3.24	2.20	2	1
-445	-0.20	3.04	2.20	2	1
-442	15.20	2.44	2.20	2	1
-439	-0.20	2.04	2.20	2	1
-436	15.20	1.24	2.20	2	1
-433	-0.20	1.04	2.20	2	1
-430	15.20	0.58	2.20	2	1
-427	-0.20	0.44	2.20	2	1
-424	15.20	-0.07	2.20	2	1
-421	-0.20	-0.21	2.20	2	1
-418	15.20	4.13	1.70	0	1
-415	-0.20	4.04	1.70	0	1
-412	15.20	3.51	1.70	0	1
-409	-0.20	3.24	1.70	0	1
-406	15.20	2.84	1.70	0	1
-403	-0.20	2.44	1.70	0	1
-400	15.20	1.24	1.70	0	1
-397	-0.20	1.04	1.70	0	1
-394	15.20	0.58	1.70	0	1
-391	-0.20	0.44	1.70	0	1
-388	15.20	-0.07	1.70	0	1
-385	-0.20	-0.21	1.70	0	1
-382	13.45	2.84	1.50	0	1
-379	1.55	2.04	1.50	0	1
-376	13.45	0.44	1.50	0	1
-373	-0.20	4.29	1.30	1	1
-370	15.20	4.04	1.30	1	1
-367	-0.20	3.64	1.30	1	1
-364	15.20	3.24	1.30	1	1
-361	-0.20	3.04	1.30	1	1
-358	15.20	2.44	1.30	1	1
-355	-0.20	2.04	1.30	1	1
-352	15.20	1.24	1.30	1	1
-349	-0.20	1.04	1.30	1	1
-346	15.20	0.58	1.30	1	1
-343	-0.20	0.44	1.30	1	1
-340	15.20	-0.07	1.30	1	1
-337	-0.20	-0.21	1.30	1	1
-334	15.20	4.13	1.00	0	1
-331	-0.20	4.04	1.00	0	1
-328	15.20	3.51	1.00	0	1
-325	-0.20	3.24	1.00	0	1
-322	15.20	2.84	1.00	0	1
-319	-0.20	2.44	1.00	0	1
-316	15.20	1.64	1.00	0	1

-592	4.10	0.04	3.20	0	1
-589	2.90	0.04	3.20	0	1
-586	2.10	0.04	3.20	0	1
-583	0.51	0.04	3.20	0	1
-537	-0.20	-0.07	3.20	0	1
-534	15.20	4.29	3.00	0	1
-531	-0.20	4.13	3.00	0	1
-528	15.20	3.64	3.00	0	1
-525	-0.20	3.51	3.00	0	1
-522	15.20	3.04	3.00	0	1
-519	-0.20	2.84	3.00	0	1
-516	15.20	2.04	3.00	0	1
-513	-0.20	1.64	3.00	0	1
-510	15.20	1.04	3.00	0	1
-507	-0.20	0.84	3.00	0	1
-504	15.20	0.44	3.00	0	1
-501	-0.20	0.04	3.00	0	1
-498	15.20	-0.21	3.00	0	1
-495	-0.20	4.29	2.50	0	1
-492	15.20	4.04	2.50	0	1
-489	-0.20	3.64	2.50	0	1
-486	15.20	3.24	2.50	0	1
-483	-0.20	3.04	2.50	0	1
-480	15.20	2.44	2.50	0	1
-477	-0.20	2.04	2.50	0	1
-474	15.20	1.24	2.50	0	1
-471	-0.20	1.04	2.50	0	1
-468	15.20	0.58	2.50	0	1
-465	-0.20	0.44	2.50	0	1
-462	15.20	-0.07	2.50	0	1
-459	-0.20	-0.21	2.50	0	1
-456	15.20	4.13	2.20	2	1
-453	-0.20	4.04	2.20	2	1
-450	15.20	3.51	2.20	2	1
-447	-0.20	3.24	2.20	2	1
-444	15.20	2.84	2.20	2	1
-441	-0.20	2.44	2.20	2	1
-438	15.20	1.64	2.20	2	1
-435	-0.20	1.24	2.20	2	1
-432	15.20	0.84	2.20	2	1
-429	-0.20	0.58	2.20	2	1
-426	15.20	0.04	2.20	2	1
-423	-0.20	-0.07	2.20	2	1
-420	15.20	4.29	1.70	0	1
-417	-0.20	4.13	1.70	0	1
-414	15.20	3.64	1.70	0	1
-411	-0.20	3.51	1.70	0	1
-408	15.20	3.04	1.70	0	1
-405	-0.20	2.84	1.70	0	1
-402	15.20	1.64	1.70	0	1
-399	-0.20	1.24	1.70	0	1
-396	15.20	0.84	1.70	0	1
-393	-0.20	0.58	1.70	0	1
-390	15.20	0.04	1.70	0	1
-387	-0.20	-0.07	1.70	0	1
-384	13.45	3.64	1.50	0	1
-381	1.55	2.84	1.50	0	1
-378	13.45	1.24	1.50	0	1
-375	1.55	0.44	1.50	0	1
-372	15.20	4.13	1.30	1	1
-369	-0.20	4.04	1.30	1	1
-366	15.20	3.51	1.30	1	1
-363	-0.20	3.24	1.30	1	1
-360	15.20	2.84	1.30	1	1
-357	-0.20	2.44	1.30	1	1
-354	15.20	1.64	1.30	1	1
-351	-0.20	1.24	1.30	1	1
-348	15.20	0.84	1.30	1	1
-345	-0.20	0.58	1.30	1	1
-342	15.20	0.04	1.30	1	1
-339	-0.20	-0.07	1.30	1	1
-336	15.20	4.29	1.00	0	1
-333	-0.20	4.13	1.00	0	1
-330	15.20	3.64	1.00	0	1
-327	-0.20	3.51	1.00	0	1
-324	15.20	3.04	1.00	0	1
-321	-0.20	2.84	1.00	0	1
-318	15.20	2.04	1.00	0	1
-315	-0.20	1.64	1.00	0	1

-314	15.20	1.24	1.00	0	1	-313	-0.20	1.24	1.00	0	1	-312	15.20	1.04	1.00	0	1
-311	-0.20	1.04	1.00	0	1	-310	15.20	0.84	1.00	0	1	-309	-0.20	0.84	1.00	0	1
-308	15.20	0.58	1.00	0	1	-307	-0.20	0.58	1.00	0	1	-306	15.20	0.44	1.00	0	1
-305	-0.20	0.44	1.00	0	1	-304	15.20	0.04	1.00	0	1	-303	-0.20	0.04	1.00	0	1
-302	15.20	-0.07	1.00	0	1	-301	-0.20	-0.07	1.00	0	1	-300	15.20	-0.21	1.00	0	1
-299	-0.20	-0.21	1.00	0	1	-298	15.20	4.29	0.80	0	1	-297	-0.20	4.29	0.80	0	1
-296	15.20	4.13	0.80	0	1	-295	-0.20	4.13	0.80	0	1	-294	15.20	4.04	0.80	0	1
-293	-0.20	4.04	0.80	0	1	-292	15.20	3.64	0.80	0	1	-291	-0.20	3.64	0.80	0	1
-290	15.20	3.51	0.80	0	1	-289	-0.20	3.51	0.80	0	1	-288	15.20	3.24	0.80	0	1
-287	-0.20	3.24	0.80	0	1	-286	15.20	3.04	0.80	0	1	-285	-0.20	3.04	0.80	0	1
-284	15.20	2.84	0.80	0	1	-283	-0.20	2.84	0.80	0	1	-282	15.20	2.44	0.80	0	1
-281	-0.20	2.44	0.80	0	1	-280	15.20	2.04	0.80	0	1	-279	-0.20	2.04	0.80	0	1
-278	15.20	1.64	0.80	0	1	-277	-0.20	1.64	0.80	0	1	-276	15.20	1.24	0.80	0	1
-275	-0.20	1.24	0.80	0	1	-274	15.20	1.04	0.80	0	1	-273	-0.20	1.04	0.80	0	1
-272	15.20	0.84	0.80	0	1	-271	-0.20	0.84	0.80	0	1	-270	15.20	0.58	0.80	0	1
-269	-0.20	0.58	0.80	0	1	-268	15.20	0.44	0.80	0	1	-267	-0.20	0.44	0.80	0	1
-266	15.20	0.04	0.80	0	1	-265	-0.20	0.04	0.80	0	1	-264	15.20	-0.07	0.80	0	1
-263	-0.20	-0.07	0.80	0	1	-262	15.20	-0.21	0.80	0	1	-261	-0.20	-0.21	0.80	0	1
-260	15.20	4.29	0.40	0	1	-259	-0.20	4.29	0.40	0	1	-258	15.20	4.13	0.40	0	1
-257	-0.20	4.13	0.40	0	1	-256	15.20	4.04	0.40	0	1	-255	-0.20	4.04	0.40	0	1
-254	15.20	3.64	0.40	0	1	-253	-0.20	3.64	0.40	0	1	-252	15.20	3.51	0.40	0	1
-251	-0.20	3.51	0.40	0	1	-250	15.20	3.24	0.40	0	1	-249	-0.20	3.24	0.40	0	1
-248	15.20	3.04	0.40	0	1	-247	-0.20	3.04	0.40	0	1	-246	15.20	2.84	0.40	0	1
-245	-0.20	2.84	0.40	0	1	-244	15.20	2.44	0.40	0	1	-243	-0.20	2.44	0.40	0	1
-242	15.20	2.04	0.40	0	1	-241	-0.20	2.04	0.40	0	1	-240	15.20	1.64	0.40	0	1
-239	-0.20	1.64	0.40	0	1	-238	15.20	1.24	0.40	0	1	-237	-0.20	1.24	0.40	0	1
-236	15.20	1.04	0.40	0	1	-235	-0.20	1.04	0.40	0	1	-234	15.20	0.84	0.40	0	1
-233	-0.20	0.84	0.40	0	1	-232	15.20	0.58	0.40	0	1	-231	-0.20	0.58	0.40	0	1
-230	15.20	0.44	0.40	0	1	-229	-0.20	0.44	0.40	0	1	-228	15.20	0.04	0.40	0	1
-227	-0.20	0.04	0.40	0	1	-226	15.20	-0.07	0.40	0	1	-225	-0.20	-0.07	0.40	0	1
-224	15.20	-0.21	0.40	0	1	-223	-0.20	-0.21	0.40	0	1	-222	16.70	4.29	0.00	0	3
-221	16.20	4.29	0.00	0	3	-220	15.70	4.29	0.00	0	3	-219	15.30	4.29	0.00	0	3
-218	15.20	4.29	0.00	0	3	-217	14.80	4.29	0.00	0	3	-216	0.20	4.29	0.00	0	3
-215	-0.20	4.29	0.00	0	3	-214	-0.30	4.29	0.00	0	3	-213	-0.70	4.29	0.00	0	3
-212	-1.20	4.29	0.00	0	3	-211	-1.70	4.29	0.00	0	3	-210	16.70	4.13	0.00	0	3
-209	16.20	4.13	0.00	0	3	-208	15.70	4.13	0.00	0	3	-207	15.30	4.13	0.00	0	3
-206	15.20	4.13	0.00	0	3	-205	14.80	4.13	0.00	0	3	-204	0.20	4.13	0.00	0	3
-203	-0.20	4.13	0.00	0	3	-202	-0.30	4.13	0.00	0	3	-201	-0.70	4.13	0.00	0	3
-200	-1.20	4.13	0.00	0	3	-199	-1.70	4.13	0.00	0	3	-198	16.70	4.04	0.00	0	3
-197	16.20	4.04	0.00	0	3	-196	15.70	4.04	0.00	0	3	-195	15.30	4.04	0.00	0	3
-194	15.20	4.04	0.00	0	3	-193	14.80	4.04	0.00	0	3	-192	0.20	4.04	0.00	0	3
-191	-0.20	4.04	0.00	0	3	-190	-0.30	4.04	0.00	0	3	-189	-0.70	4.04	0.00	0	3
-188	-1.20	4.04	0.00	0	3	-187	-1.70	4.04	0.00	0	3	-186	16.70	3.64	0.00	0	3
-185	16.20	3.64	0.00	0	3	-184	15.70	3.64	0.00	0	3	-183	15.30	3.64	0.00	0	5
-182	15.20	3.64	0.00	0	3	-181	14.80	3.64	0.00	0	3	-180	0.20	3.64	0.00	0	3
-179	-0.20	3.64	0.00	0	3	-178	-0.30	3.64	0.00	0	5	-177	-0.70	3.64	0.00	0	3
-176	-1.20	3.64	0.00	0	3	-175	-1.70	3.64	0.00	0	3	-174	16.70	3.51	0.00	0	3
-173	16.20	3.51	0.00	0	3	-172	15.70	3.51	0.00	0	3	-171	15.30	3.51	0.00	0	3
-170	15.20	3.51	0.00	0	3	-169	14.80	3.51	0.00	0	3	-168	0.20	3.51	0.00	0	3
-167	-0.20	3.51	0.00	0	3	-166	-0.30	3.51	0.00	0	3	-165	-0.70	3.51	0.00	0	3
-164	-1.20	3.51	0.00	0	3	-163	-1.70	3.51	0.00	0	3	-162	16.70	3.24	0.00	0	3
-161	16.20	3.24	0.00	0	3	-160	15.70	3.24	0.00	0	3	-159	15.30	3.24	0.00	0	3
-158	15.20	3.24	0.00	0	3	-157	14.80	3.24	0.00	0	3	-156	0.20	3.24	0.00	0	3
-155	-0.20	3.24	0.00	0	3	-154	-0.30	3.24	0.00	0	3	-153	-0.70	3.24	0.00	0	3
-152	-1.20	3.24	0.00	0	3	-151	-1.70	3.24	0.00	0	3	-150	16.70	3.04	0.00	0	3
-149	16.20	3.04	0.00	0	3	-148	15.70	3.04	0.00	0	3	-147	15.30	3.04	0.00	0	3
-146	15.20	3.04	0.00	0	3	-145	14.80	3.04	0.00	0	3	-144	0.20	3.04	0.00	0	3
-143	-0.20	3.04	0.00	0	3	-142	-0.30	3.04	0.00	0	3	-141	-0.70	3.04	0.00	0	3
-140	-1.20	3.04	0.00	0	3	-139	-1.70	3.04	0.00	0	3	-138	16.70	2.84	0.00	0	3
-137	16.20	2.84	0.00	0	5	-136	15.70	2.84	0.00	0	3	-135	15.30	2.84	0.00	0	5
-134	14.80	2.84	0.00	0	3	-133	0.20	2.84	0.00	0	3	-132	-0.30	2.84	0.00	0	5
-131	-0.70	2.84	0.00	0	3	-130	-1.20	2.84	0.00	0	5	-129	-1.70	2.84	0.00	0	3
-128	16.70	2.44	0.00	0	3	-127	16.20	2.44	0.00	0	3	-126	15.70	2.44	0.00	0	3
-125	15.30	2.44	0.00	0	3	-124	15.20	2.44	0.00	0	3	-123	14.80	2.44	0.00	0	3
-122	0.20	2.44	0.00	0	3	-121	-0.20	2.44	0.00	0	3	-120	-0.30	2.44	0.00	0	3
-119	-0.70	2.44	0.00	0	3	-118	-1.20	2.44	0.00	0	3	-117	-1.70	2.44	0.00	0	3
-116	16.70	2.04	0.00	0	3	-115	16.20	2.04	0.00	0	5	-114	15.70	2.04	0.00	0	3
-113	15.30	2.04	0.00	0	5	-112	14.80	2.04	0.00	0	3	-111	0.20	2.04	0.00	0	3
-110	-0.30	2.04	0.00	0	5	-109	-0.70	2.04	0.00	0	3	-108	-1.20	2.04	0.00	0	5
-107	-1.70	2.04	0.00	0	3	-106	16.70	1.64	0.00	0	3	-105	16.20	1.64	0.00	0	3
-104	15.70	1.64	0.00	0	3	-103	15.30	1.64	0.00	0	3	-102	15.20	1.64	0.00	0	3
-101	14.80	1.64	0.00	0	3	-100	0.20	1.64	0.00	0	3	-99	-0.20	1.64	0.00	0	3
-98	-0.30	1.64	0.00	0	3	-97	-0.70	1.64	0.00	0	3	-96	-1.20	1.64	0.00	0	3
-95	-1.70	1.64	0.00	0	3	-94	16.70	1.24	0.00	0	3	-93	16.20	1.24	0.00	0	5
-92	15.70	1.24	0.00	0	3	-91	15.30	1.24	0.00	0	5	-90	14.80	1.24	0.00	0	3
-89	0.20	1.24	0.00	0	3	-88	-0.30	1.24	0.00	0	5	-87	-0.70	1.24	0.00	0	3
-86	-1.20	1.24	0.00	0	5	-85	-1.70	1.24	0.00	0	3	-84	16.70	1.04	0.00	0	3
-83	16.20	1.04	0.00	0	3	-82	15.70	1.04	0.00	0	3	-81	15.30	1.04	0.00	0	3
-80	15.20	1.04	0.00	0	3	-79	14.80	1.04	0.00	0	3	-78	0.20	1.04	0.00	0	3

-77	-0.20	1.04	0.00	0	3
-74	-1.20	1.04	0.00	0	3
-71	16.20	0.84	0.00	0	3
-68	15.20	0.84	0.00	0	3
-65	-0.20	0.84	0.00	0	3
-62	-1.20	0.84	0.00	0	3
-59	16.20	0.58	0.00	0	3
-56	15.20	0.58	0.00	0	3
-53	-0.20	0.58	0.00	0	3
-50	-1.20	0.58	0.00	0	3
-47	16.20	0.44	0.00	0	3
-44	15.20	0.44	0.00	0	3
-41	-0.20	0.44	0.00	0	3
-38	-1.20	0.44	0.00	0	3
-35	16.20	0.04	0.00	0	3
-32	15.20	0.04	0.00	0	3
-29	-0.20	0.04	0.00	0	3
-26	-1.20	0.04	0.00	0	3
-23	16.20	-0.07	0.00	0	3
-20	15.20	-0.07	0.00	0	3
-17	-0.20	-0.07	0.00	0	3
-14	-1.20	-0.07	0.00	0	3
-11	16.20	-0.21	0.00	0	3
-8	15.20	-0.21	0.00	0	3
-5	-0.20	-0.21	0.00	0	3
-2	-1.20	-0.21	0.00	0	3
11	11.70	0.44	3.00	0	1
14	3.30	2.04	3.00	0	1
17	11.70	2.84	3.00	0	1
20	-0.20	1.24	0.00	0	3
23	15.20	2.04	0.00	0	3
301	-0.20	0.04	3.20	0	1
304	5.70	0.04	3.20	0	1
307	11.30	0.04	3.20	0	1
310	3.30	0.44	3.20	0	1
313	11.70	1.24	3.20	0	1
316	3.30	2.84	3.20	0	1
319	11.70	3.64	3.20	0	1
322	3.70	4.04	3.20	0	1
325	9.30	4.04	3.20	0	1
328	15.20	4.04	3.20	0	1
331	3.30	3.51	3.20	0	1
402	1.71	0.04	4.70	0	1
405	7.50	0.04	4.70	0	1
408	13.29	0.04	4.70	0	1
421	1.71	4.04	4.70	0	1
424	7.50	4.04	4.70	0	1
427	13.29	4.04	4.70	0	1
430	3.30	2.04	3.42	0	1
433	3.30	2.84	3.42	0	1
436	11.70	0.44	3.42	0	1
439	11.70	2.84	3.42	0	1
442	11.70	1.24	3.42	0	1

-76	-0.30	1.04	0.00	0	3
-73	-1.70	1.04	0.00	0	3
-70	15.70	0.84	0.00	0	3
-67	14.80	0.84	0.00	0	3
-64	-0.30	0.84	0.00	0	3
-61	-1.70	0.84	0.00	0	3
-58	15.70	0.58	0.00	0	3
-55	14.80	0.58	0.00	0	3
-52	-0.30	0.58	0.00	0	3
-49	-1.70	0.58	0.00	0	3
-46	15.70	0.44	0.00	0	3
-43	14.80	0.44	0.00	0	3
-40	-0.30	0.44	0.00	0	5
-37	-1.70	0.44	0.00	0	3
-34	15.70	0.04	0.00	0	3
-31	14.80	0.04	0.00	0	3
-28	-0.30	0.04	0.00	0	3
-25	-1.70	0.04	0.00	0	3
-22	15.70	-0.07	0.00	0	3
-19	14.80	-0.07	0.00	0	3
-16	-0.30	-0.07	0.00	0	3
-13	-1.70	-0.07	0.00	0	3
-10	15.70	-0.21	0.00	0	3
-7	14.80	-0.21	0.00	0	3
-4	-0.30	-0.21	0.00	0	3
-1	-1.70	-0.21	0.00	0	3
12	3.30	1.24	3.00	0	1
15	11.70	2.04	3.00	0	1
18	3.30	3.64	3.00	0	1
21	15.20	1.24	0.00	0	3
24	-0.20	2.84	0.00	0	3
302	1.71	0.04	3.20	0	1
305	7.50	0.04	3.20	0	1
308	13.29	0.04	3.20	0	1
311	11.70	0.44	3.20	0	1
314	3.30	2.04	3.20	0	1
317	11.70	2.84	3.20	0	1
320	-0.20	4.04	3.20	0	1
323	5.70	4.04	3.20	0	1
326	11.30	4.04	3.20	0	1
329	3.30	0.58	3.20	0	1
332	11.70	3.51	3.20	0	1
403	3.70	0.04	4.70	0	1
406	9.30	0.04	4.70	0	1
409	15.20	0.04	4.70	0	1
422	3.70	4.04	4.70	0	1
425	9.30	4.04	4.70	0	1
428	15.20	4.04	4.70	0	1
431	3.30	0.44	3.42	0	1
434	11.70	3.64	3.42	0	1
437	3.30	3.51	3.42	0	1
440	3.30	1.24	3.42	0	1

-75	-0.70	1.04	0.00	0	3
-72	16.70	0.84	0.00	0	3
-69	15.30	0.84	0.00	0	3
-66	0.20	0.84	0.00	0	3
-63	-0.70	0.84	0.00	0	3
-60	16.70	0.58	0.00	0	3
-57	15.30	0.58	0.00	0	3
-54	0.20	0.58	0.00	0	3
-51	-0.70	0.58	0.00	0	3
-48	16.70	0.44	0.00	0	3
-45	15.30	0.44	0.00	0	5
-42	0.20	0.44	0.00	0	3
-39	-0.70	0.44	0.00	0	3
-36	16.70	0.04	0.00	0	3
-33	15.30	0.04	0.00	0	3
-30	0.20	0.04	0.00	0	3
-27	-0.70	0.04	0.00	0	3
-24	16.70	-0.07	0.00	0	3
-21	15.30	-0.07	0.00	0	3
-18	0.20	-0.07	0.00	0	3
-15	-0.70	-0.07	0.00	0	3
-12	16.70	-0.21	0.00	0	3
-9	15.30	-0.21	0.00	0	3
-6	0.20	-0.21	0.00	0	3
-3	-0.70	-0.21	0.00	0	3
10	3.30	0.44	3.00	0	1
13	11.70	1.24	3.00	0	1
16	3.30	2.84	3.00	0	1
19	11.70	3.64	3.00	0	1
22	-0.20	2.04	0.00	0	3
25	15.20	2.84	0.00	0	3
303	3.70	0.04	3.20	0	1
306	9.30	0.04	3.20	0	1
309	15.20	0.04	3.20	0	1
312	3.30	1.24	3.20	0	1
315	11.70	2.04	3.20	0	1
318	3.30	3.64	3.20	0	1
321	1.71	4.04	3.20	0	1
324	7.50	4.04	3.20	0	1
327	13.29	4.04	3.20	0	1
330	11.70	0.58	3.20	0	1
401	-0.20	0.04	4.70	0	1
404	5.70	0.04	4.70	0	1
407	11.30	0.04	4.70	0	1
420	-0.20	4.04	4.70	0	1
423	5.70	4.04	4.70	0	1
426	11.30	4.04	4.70	0	1
429	11.70	0.58	3.42	0	1
432	3.30	3.64	3.42	0	1
435	11.70	3.51	3.42	0	1
438	3.30	0.58	3.42	0	1
441	11.70	2.04	3.42	0	1

Elenco materiali

Simbologia

Mat. = Numero del materiale
Comm. = Commento
P = Peso specifico
E = Modulo elastico
G = Modulo elastico tangenziale
ν = Coeff. di Poisson
α = Coeff. di dilatazione termica

Mat.	Comm.	P <daN/mc>	E <daN/cmq>	G <daN/cmq>	ν	α
1	Calcestruzzo 28/35 t00	2500	118847.00	130000.00	0.1	1.000000E-05
2	Acciaio	7850	2100000.00	800000.00	0.3	1.000000E-05
7	Calcestruzzo 32/40	2500	336420.00	130000.00	0.1	1.000000E-05

Elenco sezioni aste

Simbologia

Sez. = Numero della sezione
Comm. = Commento
Tipo = Tipologia
2C = Doppia C lato labbri
2Cdx = Doppia C lato costola

2I = Doppia I
2L = Doppia L lato labbri
2Ldx = Doppia L lato costole
C = C
Cdx = C destra
Cir. = Circolare
Cir.c = Circolare cava
I = I
L = L
Ldx = L destra
Om. = Omega
Pg = Pi greco
Pr = Poligono regolare
Prc = Poligono regolare cavo
Pc = Per coordinate
Ia = Inerzie assegnate
R = Rettangolare
Rc = Rettangolare cava
T = T
U = U
Ur = U rovescia
V = V
Vr = V rovescia
Z = Z
Zdx = Z destra
Ts = T stondata
Ls = L stondata
Cs = C stondata
Is = I stondata
Dis. = Disegnata

Me = Membratura
G = Generica
T = Trave
P = Pilastro

Ver. = Verifica prevista
N = Nessuna
C = Cemento armato
A = Acciaio
L = Legno

B = Base
H = Altezza
s = Spessore ala
a = Spessore anima
r = Raggio raccordo anima-ala
r1 = Raggio in testa ala
R = Raggio
Ma = Numero del materiale
C = Numero del criterio di progetto
Crit. col. ini. = Numero del criterio di progetto collegamento iniziale
Crit. col. fin. = Numero del criterio di progetto collegamento finale

Sez.	Comm.	Tipo	Me	Ver.	B <cm>	H <cm>	s <cm>	a <cm>	r <cm>	r1 <cm>	R <cm>	Ma	C	Crit. col. ini.	Crit. col. fin.
1	IPE240 iimpalcato	Is	T	A	12.00	24.00	0.98	0.62	1.50	0.00		2	1	1	1
2	U160x8.5	Cs	T	A	6.60	16.00	0.85	1.05	1.05	0.55		2	1	10	10
3	HEB140	Is	T	A	14.00	14.00	1.20	0.70	1.20	0.00		2	1	10	10
4	IPE120	Is	T	A	6.40	12.00	0.63	0.44	0.70	0.00		2	10	1	1
5	HEA100 sez. generica	Is	G	A	10.00	9.60	0.80	0.50	1.20	0.00		2	10	10	10
6	HEB140 sicurvia	Is	G	N	14.00	14.00	1.20	0.70	1.20	0.00		2			
8	HEA120 comparato a lamina tre onde	Is	G	N	12.00	11.40	0.80	0.50	1.20	0.00		2			
10	BIELLA FITTIZIA	Cir.	G	N							1.50	2			

Elenco vincoli aste

Simbologia

Va = Numero del vincolo asta
Comm. = Commento
Tipo = Tipologia
SVI = Definizione di vincolamenti interni
ELA = Vincolo su suolo elastico alla Winkler
BIE-RTC = Biella resistente a trazione e a compressione
BIE-RC = Biella resistente solo a compressione
BIE-RT = Biella resistente solo a trazione
Ni = Sforzo normale nodo iniziale (0=sbloccato, 1=bloccato)
Tyi = Taglio in dir. Y locale nodo iniziale (0=sbloccato, 1=bloccato)
Tzi = Taglio in dir. Z locale nodo iniziale (0=sbloccato, 1=bloccato)
Mxi = Momento intorno all'asse X locale nodo iniziale (0=sbloccato, 1=bloccato)
Myi = Momento intorno all'asse Y locale nodo iniziale (0=sbloccato, 1=bloccato)
Mzi = Momento intorno all'asse Z locale nodo iniziale (0=sbloccato, 1=bloccato)
Nf = Sforzo normale nodo finale (0=sbloccato, 1=bloccato)
Tyf = Taglio in dir. Y locale nodo finale (0=sbloccato, 1=bloccato)
Tzf = Taglio in dir. Z locale nodo finale (0=sbloccato, 1=bloccato)
Mxf = Momento intorno all'asse X locale nodo finale (0=sbloccato, 1=bloccato)
Myf = Momento intorno all'asse Y locale nodo finale (0=sbloccato, 1=bloccato)

Mzf = Momento intorno all'asse Z locale nodo finale (0=sbloccato, 1=bloccato)
Kt = Coeff. di sottofondo su suolo elastico alla Winkler

Va	Comm.	Tipo	Ni	Tyi	Tzi	Mxi	Myi	Mzi	Nf	Tyf	Tzf	Mxf	Myf	Mzf	Kt <daN/cmc>
1	Inc+Inc	SVI	1	1	1	1	1	1	1	1	1	1	1	1	
5	Inc+CerY	SVI	1	1	1	1	1	1	1	1	1	1	0	1	
6	CerY+Inc	SVI	1	1	1	1	0	1	1	1	1	1	1	1	
7	CerY+CerY	SVI	1	1	1	1	0	1	1	1	1	1	0	1	
30	carr-inc	SVI	0	1	1	1	0	1	1	1	1	1	1	1	
31	inc-carr	SVI	1	1	1	1	1	1	0	1	1	1	0	1	

Elenco aste

Simbologia
Asta = Numero dell'asta
N1 = Nodo iniziale
N2 = Nodo finale
Sez. = Numero della sezione
Va = Numero del vincolo asta
Par. = Numero dei parametri aggiuntivi
Rot. = Rotazione
FF = Filo fisso
Dy1 = Scost. filo fisso Y1
Dy2 = Scost. filo fisso Y2
Dz1 = Scost. filo fisso Z1
Dz2 = Scost. filo fisso Z2
TC1 = Tipo collegamento iniziale
TC2 = Tipo collegamento finale
Kt = Coeff. di sottofondo su suolo elastico alla Winkler

Asta	N1	N2	Sez.	Va	Par.	Rot. <grad>	FF	Dy1 <cm>	Dy2 <cm>	Dz1 <cm>	Dz2 <cm>	TC1	TC2	Kt <daN/cmc>
0	-4	-16		1		0.00	22	0.00	0.00	0.00	0.00	ND	ND	
0	-16	-28		1		0.00	22	0.00	0.00	0.00	0.00	ND	ND	
0	-28	-40		1		0.00	22	0.00	0.00	0.00	0.00	ND	ND	
0	-40	-52		1		0.00	22	0.00	0.00	0.00	0.00	ND	ND	
0	-52	-64		1		0.00	22	0.00	0.00	0.00	0.00	ND	ND	
0	-64	-76		1		0.00	22	0.00	0.00	0.00	0.00	ND	ND	
0	-76	-88		1		0.00	22	0.00	0.00	0.00	0.00	ND	ND	
0	-337	-339		1		0.00	11	0.00	0.00	0.00	0.00	ND	ND	
0	-339	-341		1		0.00	11	0.00	0.00	0.00	0.00	ND	ND	
0	-88	-98		1		0.00	22	0.00	0.00	0.00	0.00	ND	ND	
0	-341	-343		1		0.00	11	0.00	0.00	0.00	0.00	ND	ND	
0	-343	-345		1		0.00	11	0.00	0.00	0.00	0.00	ND	ND	
0	-98	-110		1		0.00	22	0.00	0.00	0.00	0.00	ND	ND	
0	-345	-347		1		0.00	11	0.00	0.00	0.00	0.00	ND	ND	
0	-421	-423		1		0.00	11	0.00	0.00	0.00	0.00	ND	ND	
0	-423	-425		1		0.00	11	0.00	0.00	0.00	0.00	ND	ND	
0	-347	-349		1		0.00	11	0.00	0.00	0.00	0.00	ND	ND	
0	-110	-120		1		0.00	22	0.00	0.00	0.00	0.00	ND	ND	
0	-349	-351		1		0.00	11	0.00	0.00	0.00	0.00	ND	ND	
0	-425	-427		1		0.00	11	0.00	0.00	0.00	0.00	ND	ND	
0	-120	-132		1		0.00	22	0.00	0.00	0.00	0.00	ND	ND	
0	-427	-429		1		0.00	11	0.00	0.00	0.00	0.00	ND	ND	
0	-351	-353		1		0.00	11	0.00	0.00	0.00	0.00	ND	ND	
0	-429	-431		1		0.00	11	0.00	0.00	0.00	0.00	ND	ND	
0	-132	-142		1		0.00	22	0.00	0.00	0.00	0.00	ND	ND	
0	-142	-154		1		0.00	22	0.00	0.00	0.00	0.00	ND	ND	
0	-431	-433		1		0.00	11	0.00	0.00	0.00	0.00	ND	ND	
0	-353	-355		1		0.00	11	0.00	0.00	0.00	0.00	ND	ND	
0	-433	-435		1		0.00	11	0.00	0.00	0.00	0.00	ND	ND	
0	-582	-1617	10	1		0.00	11	0.00	0.00	0.00	0.00	ND	ND	
0	-154	-166		1		0.00	22	0.00	0.00	0.00	0.00	ND	ND	
0	-1617	-1606		1		0.00	11	0.00	0.00	0.00	0.00	ND	ND	
0	-583	-1606	10	1		0.00	11	0.00	0.00	0.00	0.00	ND	ND	
0	-355	-357		1		0.00	11	0.00	0.00	0.00	0.00	ND	ND	
0	-435	-437		1		0.00	11	0.00	0.00	0.00	0.00	ND	ND	
0	-619	-1608	10	1		0.00	11	0.00	0.00	0.00	0.00	ND	ND	
0	401	301	6	1		90.00	55	0.00	0.00	0.00	0.00	ND	ND	
0	-1606	-1605		1		0.00	11	0.00	0.00	0.00	0.00	ND	ND	
0	-584	-1605	10	1		0.00	11	0.00	0.00	0.00	0.00	ND	ND	
0	-620	-1543	10	1		0.00	11	0.00	0.00	0.00	0.00	ND	ND	
0	-1605	-1604		1		0.00	11	0.00	0.00	0.00	0.00	ND	ND	
0	-585	-1604	10	1		0.00	11	0.00	0.00	0.00	0.00	ND	ND	
0	-166	-178		1		0.00	22	0.00	0.00	0.00	0.00	ND	ND	
0	-705	-1607	10	1		0.00	11	0.00	0.00	0.00	0.00	ND	ND	
0	-621	-1542	10	1		0.00	11	0.00	0.00	0.00	0.00	ND	ND	
0	-706	-1840	10	1		0.00	11	0.00	0.00	0.00	0.00	ND	ND	
0	-1604	-1603		1		0.00	11	0.00	0.00	0.00	0.00	ND	ND	

0	-437	-439		1		0.00	11	0.00	0.00	0.00	0.00	ND	ND	
0	-795	-1611	10	1		0.00	11	0.00	0.00	0.00	0.00	ND	ND	
0	-622	-1541	10	1		0.00	11	0.00	0.00	0.00	0.00	ND	ND	
0	-707	-1697	10	1		0.00	11	0.00	0.00	0.00	0.00	ND	ND	
0	-1603	-1602		1		0.00	11	0.00	0.00	0.00	0.00	ND	ND	
0	-586	-1602	10	1		0.00	11	0.00	0.00	0.00	0.00	ND	ND	
0	-357	-359		1		0.00	11	0.00	0.00	0.00	0.00	ND	ND	
0	-624	-1855	10	1		0.00	11	0.00	0.00	0.00	0.00	ND	ND	
0	402	-1603	6	1		90.00	55	0.00	0.00	0.00	0.00	ND	ND	
0	-708	-1696	10	1		0.00	11	0.00	0.00	0.00	0.00	ND	ND	
0	-359	-361		1		0.00	11	0.00	0.00	0.00	0.00	ND	ND	
0	-361	-363		1		0.00	11	0.00	0.00	0.00	0.00	ND	ND	
0	-439	-441		1		0.00	11	0.00	0.00	0.00	0.00	ND	ND	
0	-796	-1564	10	1		0.00	11	0.00	0.00	0.00	0.00	ND	ND	
0	401	402	8	1		90.00	55	0.00	0.00	0.00	0.00	ND	ND	
0	-838	-1616	10	1		0.00	11	0.00	0.00	0.00	0.00	ND	ND	
0	-623	-1860	10	1		0.00	11	0.00	0.00	0.00	0.00	ND	ND	
0	-797	-1563	10	1		0.00	11	0.00	0.00	0.00	0.00	ND	ND	
0	-1602	-1601		1		0.00	11	0.00	0.00	0.00	0.00	ND	ND	
0	-587	-1601	10	1		0.00	11	0.00	0.00	0.00	0.00	ND	ND	
0	-589	-1600	10	1		0.00	11	0.00	0.00	0.00	0.00	ND	ND	
0	-625	-1854	10	1		0.00	11	0.00	0.00	0.00	0.00	ND	ND	
0	-178	-190		1		0.00	22	0.00	0.00	0.00	0.00	ND	ND	
0	-709	-1690	10	1		0.00	11	0.00	0.00	0.00	0.00	ND	ND	
0	-202	-214		1		0.00	22	0.00	0.00	0.00	0.00	ND	ND	
0	-363	-365		1		0.00	11	0.00	0.00	0.00	0.00	ND	ND	
0	-441	-443		1		0.00	11	0.00	0.00	0.00	0.00	ND	ND	
0	-839	-1599	10	1		0.00	11	0.00	0.00	0.00	0.00	ND	ND	
0	-840	-1598	10	1		0.00	11	0.00	0.00	0.00	0.00	ND	ND	
0	-1601	-1933		1		0.00	11	0.00	0.00	0.00	0.00	ND	ND	
0	-443	-445		1		0.00	11	0.00	0.00	0.00	0.00	ND	ND	
0	-445	-447		1		0.00	11	0.00	0.00	0.00	0.00	ND	ND	
0	-883	-1610	10	1		0.00	11	0.00	0.00	0.00	0.00	ND	ND	
0	-798	-1562	10	1		0.00	11	0.00	0.00	0.00	0.00	ND	ND	
0	-926	-1615	10	1		0.00	11	0.00	0.00	0.00	0.00	ND	ND	
0	-1933	-1600		1		0.00	11	0.00	0.00	0.00	0.00	ND	ND	
0	-710	-1685	10	1		0.00	11	0.00	0.00	0.00	0.00	ND	ND	
0	-799	-1561	10	1		0.00	11	0.00	0.00	0.00	0.00	ND	ND	
0	-1600	-1539		1		0.00	11	0.00	0.00	0.00	0.00	ND	ND	
0	-590	-1539	10	1		0.00	11	0.00	0.00	0.00	0.00	ND	ND	
0	-190	-202		1		0.00	22	0.00	0.00	0.00	0.00	ND	ND	
0	-365	-367		1		0.00	11	0.00	0.00	0.00	0.00	SA	SA	
0	-841	-1597	10	1		0.00	11	0.00	0.00	0.00	0.00	ND	ND	
0	-885	-1556	10	1		0.00	11	0.00	0.00	0.00	0.00	ND	ND	
0	-1539	-1822		1		0.00	11	0.00	0.00	0.00	0.00	ND	ND	
0	-367	-369		1		0.00	11	0.00	0.00	0.00	0.00	ND	ND	
0	-884	-1557	10	1		0.00	11	0.00	0.00	0.00	0.00	ND	ND	
0	-371	-373		1		0.00	11	0.00	0.00	0.00	0.00	ND	ND	
0	-447	-449		1		0.00	11	0.00	0.00	0.00	0.00	ND	ND	
0	-927	-1592	10	1		0.00	11	0.00	0.00	0.00	0.00	ND	ND	
0	-971	-1614	10	1		0.00	11	0.00	0.00	0.00	0.00	ND	ND	
0	-627	-1841	10	1		0.00	11	0.00	0.00	0.00	0.00	ND	ND	
0	-711	-1414	10	1		0.00	11	0.00	0.00	0.00	0.00	ND	ND	
0	-800	-1560	10	1		0.00	11	0.00	0.00	0.00	0.00	ND	ND	
0	-842	-1596	10	1		0.00	11	0.00	0.00	0.00	0.00	ND	ND	
0	-928	-1591	10	1		0.00	11	0.00	0.00	0.00	0.00	ND	ND	
0	-972	-1585	10	1		0.00	11	0.00	0.00	0.00	0.00	ND	ND	
0	-886	-1555	10	1		0.00	11	0.00	0.00	0.00	0.00	ND	ND	
0	310	431	10	1		0.00	11	0.00	0.00	0.00	0.00	ND	ND	
0	-713	-1618	10	1		0.00	11	0.00	0.00	0.00	0.00	ND	ND	
0	402	403	8	1		90.00	55	0.00	0.00	0.00	0.00	ND	ND	
0	-449	-451		1		0.00	11	0.00	0.00	0.00	0.00	ND	ND	
0	403	-1822	6	1		90.00	55	0.00	0.00	0.00	0.00	ND	ND	
0	-369	-371		1		0.00	11	0.00	0.00	0.00	0.00	ND	ND	
0	-451	-453		1		0.00	11	0.00	0.00	0.00	0.00	ND	ND	
0	-1059	-1613	10	1		0.00	11	0.00	0.00	0.00	0.00	ND	ND	
0	-801	-1559	10	1		0.00	11	0.00	0.00	0.00	0.00	ND	ND	
0	-843	-1595	10	1		0.00	11	0.00	0.00	0.00	0.00	ND	ND	
0	-929	-1590	10	1		0.00	11	0.00	0.00	0.00	0.00	ND	ND	
0	-973	-1584	10	1		0.00	11	0.00	0.00	0.00	0.00	ND	ND	
0	-887	-1554	10	1		0.00	11	0.00	0.00	0.00	0.00	ND	ND	
0	-1822	-1934		1		0.00	11	0.00	0.00	0.00	0.00	ND	ND	
0	-453	-455		1		0.00	11	0.00	0.00	0.00	0.00	ND	ND	
0	-455	-457		1		0.00	11	0.00	0.00	0.00	0.00	ND	ND	
0	-1060	-1578	10	1		0.00	11	0.00	0.00	0.00	0.00	ND	ND	
0	-1147	-1612	10	1		0.00	11	0.00	0.00	0.00	0.00	ND	ND	
0	420	320	6	1		90.00	55	0.00	0.00	0.00	0.00	ND	ND	
0	-592	-1821	10	1		0.00	11	0.00	0.00	0.00	0.00	ND	ND	
0	-1934	-1821		1		0.00	11	0.00	0.00	0.00	0.00	ND	ND	

0	-628	-1782	10	1		0.00	11	0.00	0.00	0.00	0.00	ND	ND	
0	-714	-1536	10	1		0.00	11	0.00	0.00	0.00	0.00	ND	ND	
0	-803	-1558	10	1		0.00	11	0.00	0.00	0.00	0.00	ND	ND	
0	-844	-1594	10	1		0.00	11	0.00	0.00	0.00	0.00	ND	ND	
0	-930	-1589	10	1		0.00	11	0.00	0.00	0.00	0.00	ND	ND	
0	-974	-1583	10	1		0.00	11	0.00	0.00	0.00	0.00	ND	ND	
0	-1061	-1577	10	1		0.00	11	0.00	0.00	0.00	0.00	ND	ND	
0	-888	-1553	10	1		0.00	11	0.00	0.00	0.00	0.00	ND	ND	
0	-1148	-1571	10	1		0.00	11	0.00	0.00	0.00	0.00	ND	ND	
0	-1189	-1609	10	1		0.00	11	0.00	0.00	0.00	0.00	ND	ND	
0	-1821	-1820		1		0.00	11	0.00	0.00	0.00	0.00	ND	ND	
0	-1609	-1550		1		0.00	11	0.00	0.00	0.00	0.00	ND	ND	
0	-630	-1781	10	1		0.00	11	0.00	0.00	0.00	0.00	ND	ND	
0	-593	-1820	10	1		0.00	11	0.00	0.00	0.00	0.00	ND	ND	
0	-715	-1838	10	1		0.00	11	0.00	0.00	0.00	0.00	ND	ND	
0	312	440	10	1		0.00	11	0.00	0.00	0.00	0.00	ND	ND	
0	-846	-1593	10	1		0.00	11	0.00	0.00	0.00	0.00	ND	ND	
0	-931	-1588	10	1		0.00	11	0.00	0.00	0.00	0.00	ND	ND	
0	-975	-1582	10	1		0.00	11	0.00	0.00	0.00	0.00	ND	ND	
0	-1062	-1576	10	1		0.00	11	0.00	0.00	0.00	0.00	ND	ND	
0	-889	-1552	10	1		0.00	11	0.00	0.00	0.00	0.00	ND	ND	
0	-1149	-1570	10	1		0.00	11	0.00	0.00	0.00	0.00	ND	ND	
0	-1190	-1550	10	1		0.00	11	0.00	0.00	0.00	0.00	ND	ND	
0	-1820	-1819		1		0.00	11	0.00	0.00	0.00	0.00	ND	ND	
0	-1550	-1549		1		0.00	11	0.00	0.00	0.00	0.00	ND	ND	
0	-717	-1837	10	1		0.00	11	0.00	0.00	0.00	0.00	ND	ND	
0	-847	-1531	10	1		0.00	11	0.00	0.00	0.00	0.00	ND	ND	
0	-594	-1819	10	1		0.00	11	0.00	0.00	0.00	0.00	ND	ND	
0	-804	-1725	10	1		0.00	11	0.00	0.00	0.00	0.00	ND	ND	
0	-631	-1780	10	1		0.00	11	0.00	0.00	0.00	0.00	ND	ND	
0	-932	-1587	10	1		0.00	11	0.00	0.00	0.00	0.00	ND	ND	
0	-976	-1581	10	1		0.00	11	0.00	0.00	0.00	0.00	ND	ND	
0	-1063	-1575	10	1		0.00	11	0.00	0.00	0.00	0.00	ND	ND	
0	-891	-1551	10	1		0.00	11	0.00	0.00	0.00	0.00	ND	ND	
0	-1150	-1569	10	1		0.00	11	0.00	0.00	0.00	0.00	ND	ND	
0	-1191	-1549	10	1		0.00	11	0.00	0.00	0.00	0.00	ND	ND	
0	-1819	-1818		1		0.00	11	0.00	0.00	0.00	0.00	ND	ND	
0	-1549	-1548		1		0.00	11	0.00	0.00	0.00	0.00	ND	ND	
0	-718	-1853	10	1		0.00	11	0.00	0.00	0.00	0.00	ND	ND	
0	-632	-1779	10	1		0.00	11	0.00	0.00	0.00	0.00	ND	ND	
0	-595	-1818	10	1		0.00	11	0.00	0.00	0.00	0.00	ND	ND	
0	-848	-1802	10	1		0.00	11	0.00	0.00	0.00	0.00	ND	ND	
0	-806	-1724	10	1		0.00	11	0.00	0.00	0.00	0.00	ND	ND	
0	403	404	8	1		90.00	55	0.00	0.00	0.00	0.00	ND	ND	
0	-934	-1586	10	1		0.00	11	0.00	0.00	0.00	0.00	ND	ND	
0	-977	-1580	10	1		0.00	11	0.00	0.00	0.00	0.00	ND	ND	
0	-1064	-1574	10	1		0.00	11	0.00	0.00	0.00	0.00	ND	ND	
0	314	430	10	1		0.00	11	0.00	0.00	0.00	0.00	ND	ND	
0	-1151	-1568	10	1		0.00	11	0.00	0.00	0.00	0.00	ND	ND	
0	-1192	-1548	10	1		0.00	11	0.00	0.00	0.00	0.00	ND	ND	
0	-1818	-1817		1		0.00	11	0.00	0.00	0.00	0.00	ND	ND	
0	-1548	-2071		1		0.00	11	0.00	0.00	0.00	0.00	ND	ND	
0	420	421	8	1		90.00	55	0.00	0.00	0.00	0.00	ND	ND	
0	-850	-1801	10	1		0.00	11	0.00	0.00	0.00	0.00	ND	ND	
0	-719	-1852	10	1		0.00	11	0.00	0.00	0.00	0.00	ND	ND	
0	-807	-1723	10	1		0.00	11	0.00	0.00	0.00	0.00	ND	ND	
0	-935	-1534	10	1		0.00	11	0.00	0.00	0.00	0.00	ND	ND	
0	-633	-1778	10	1		0.00	11	0.00	0.00	0.00	0.00	ND	ND	
0	-979	-1579	10	1		0.00	11	0.00	0.00	0.00	0.00	ND	ND	
0	-1065	-1573	10	1		0.00	11	0.00	0.00	0.00	0.00	ND	ND	
0	-1152	-1567	10	1		0.00	11	0.00	0.00	0.00	0.00	ND	ND	
0	321	-2071	10	1		0.00	11	0.00	0.00	0.00	0.00	ND	ND	
0	-2071	-1546		1		0.00	11	0.00	0.00	0.00	0.00	ND	ND	
0	421	-2071	6	1		90.00	55	0.00	0.00	0.00	0.00	ND	ND	
0	-1817	-1816		1		0.00	11	0.00	0.00	0.00	0.00	ND	ND	
0	-596	-1816	10	1		0.00	11	0.00	0.00	0.00	0.00	ND	ND	
0	-634	-1777	10	1		0.00	11	0.00	0.00	0.00	0.00	ND	ND	
0	404	-1817	6	1		90.00	55	0.00	0.00	0.00	0.00	ND	ND	
0	-892	-1452	10	1		0.00	11	0.00	0.00	0.00	0.00	ND	ND	
0	316	433	10	1		0.00	11	0.00	0.00	0.00	0.00	ND	ND	
0	-851	-1800	10	1		0.00	11	0.00	0.00	0.00	0.00	ND	ND	
0	-720	-1851	10	1		0.00	11	0.00	0.00	0.00	0.00	ND	ND	
0	-936	-1698	10	1		0.00	11	0.00	0.00	0.00	0.00	ND	ND	
0	-808	-1722	10	1		0.00	11	0.00	0.00	0.00	0.00	ND	ND	
0	-1067	-1572	10	1		0.00	11	0.00	0.00	0.00	0.00	ND	ND	
0	-1153	-1566	10	1		0.00	11	0.00	0.00	0.00	0.00	ND	ND	
0	-1193	-1546	10	1		0.00	11	0.00	0.00	0.00	0.00	ND	ND	
0	-894	-1450	10	1		0.00	11	0.00	0.00	0.00	0.00	ND	ND	
0	-1816	-1815		1		0.00	11	0.00	0.00	0.00	0.00	ND	ND	

0	-1546	-1545		1		0.00	11	0.00	0.00	0.00	0.00	ND	ND	
0	-809	-1721	10	1		0.00	11	0.00	0.00	0.00	0.00	ND	ND	
0	-1068	-1537	10	1		0.00	11	0.00	0.00	0.00	0.00	ND	ND	
0	-597	-1815	10	1		0.00	11	0.00	0.00	0.00	0.00	ND	ND	
0	-938	-1692	10	1		0.00	11	0.00	0.00	0.00	0.00	ND	ND	
0	-980	-1475	10	1		0.00	11	0.00	0.00	0.00	0.00	ND	ND	
0	-635	-1776	10	1		0.00	11	0.00	0.00	0.00	0.00	ND	ND	
0	-852	-1799	10	1		0.00	11	0.00	0.00	0.00	0.00	ND	ND	
0	-721	-1858	10	1		0.00	11	0.00	0.00	0.00	0.00	ND	ND	
0	-1155	-1565	10	1		0.00	11	0.00	0.00	0.00	0.00	ND	ND	
0	-1194	-1545	10	1		0.00	11	0.00	0.00	0.00	0.00	ND	ND	
0	-895	-1449	10	1		0.00	11	0.00	0.00	0.00	0.00	ND	ND	
0	-1815	-2087		1		0.00	11	0.00	0.00	0.00	0.00	ND	ND	
0	-1545	-1922		1		0.00	11	0.00	0.00	0.00	0.00	ND	ND	
0	-598	-1814	10	1		0.00	11	0.00	0.00	0.00	0.00	ND	ND	
0	-2087	-1814		1		0.00	11	0.00	0.00	0.00	0.00	ND	ND	
0	-722	-1856	10	1		0.00	11	0.00	0.00	0.00	0.00	ND	ND	
0	-982	-1474	10	1		0.00	11	0.00	0.00	0.00	0.00	ND	ND	
0	-810	-1720	10	1		0.00	11	0.00	0.00	0.00	0.00	ND	ND	
0	-636	-1775	10	1		0.00	11	0.00	0.00	0.00	0.00	ND	ND	
0	404	-1272	8	1		90.00	55	0.00	0.00	0.00	0.00	ND	ND	
0	-1922	-1544		1		0.00	11	0.00	0.00	0.00	0.00	ND	ND	
0	318	432	10	1		0.00	11	0.00	0.00	0.00	0.00	ND	ND	
0	-939	-1691	10	1		0.00	11	0.00	0.00	0.00	0.00	ND	ND	
0	-853	-1798	10	1		0.00	11	0.00	0.00	0.00	0.00	ND	ND	
0	-1069	-1705	10	1		0.00	11	0.00	0.00	0.00	0.00	ND	ND	
0	-1196	-1544	10	1		0.00	11	0.00	0.00	0.00	0.00	ND	ND	
0	-896	-1448	10	1		0.00	11	0.00	0.00	0.00	0.00	ND	ND	
0	-1544	-1540		1		0.00	11	0.00	0.00	0.00	0.00	ND	ND	
0	-599	-1813	10	1		0.00	11	0.00	0.00	0.00	0.00	ND	ND	
0	-1156	-1745	10	1		0.00	11	0.00	0.00	0.00	0.00	ND	ND	
0	421	422	8	1		90.00	55	0.00	0.00	0.00	0.00	ND	ND	
0	-1814	-2089		1		0.00	11	0.00	0.00	0.00	0.00	ND	ND	
0	-2089	-1813		1		0.00	11	0.00	0.00	0.00	0.00	ND	ND	
0	-983	-1473	10	1		0.00	11	0.00	0.00	0.00	0.00	ND	ND	
0	-811	-1719	10	1		0.00	11	0.00	0.00	0.00	0.00	ND	ND	
0	-723	-1695	10	1		0.00	11	0.00	0.00	0.00	0.00	ND	ND	
0	-1071	-1704	10	1		0.00	11	0.00	0.00	0.00	0.00	ND	ND	
0	-940	-1688	10	1		0.00	11	0.00	0.00	0.00	0.00	ND	ND	
0	-637	-1774	10	1		0.00	11	0.00	0.00	0.00	0.00	ND	ND	
0	-854	-1797	10	1		0.00	11	0.00	0.00	0.00	0.00	ND	ND	
0	-1197	-1540	10	1		0.00	11	0.00	0.00	0.00	0.00	ND	ND	
0	-897	-1446	10	1		0.00	11	0.00	0.00	0.00	0.00	ND	ND	
0	-1813	-1533		1		0.00	11	0.00	0.00	0.00	0.00	ND	ND	
0	-1540	-2069		1		0.00	11	0.00	0.00	0.00	0.00	ND	ND	
0	-600	-1812	10	1		0.00	11	0.00	0.00	0.00	0.00	ND	ND	
0	-1533	-1812		1		0.00	11	0.00	0.00	0.00	0.00	ND	ND	
0	-1072	-1703	10	1		0.00	11	0.00	0.00	0.00	0.00	ND	ND	
0	-984	-1472	10	1		0.00	11	0.00	0.00	0.00	0.00	ND	ND	
0	-638	-1773	10	1		0.00	11	0.00	0.00	0.00	0.00	ND	ND	
0	322	-2069	10	1		0.00	11	0.00	0.00	0.00	0.00	ND	ND	
0	-724	-1694	10	1		0.00	11	0.00	0.00	0.00	0.00	ND	ND	
0	-812	-1718	10	1		0.00	11	0.00	0.00	0.00	0.00	ND	ND	
0	-1158	-1744	10	1		0.00	11	0.00	0.00	0.00	0.00	ND	ND	
0	-855	-1796	10	1		0.00	11	0.00	0.00	0.00	0.00	ND	ND	
0	-941	-1411	10	1		0.00	11	0.00	0.00	0.00	0.00	ND	ND	
0	-898	-1445	10	1		0.00	11	0.00	0.00	0.00	0.00	ND	ND	
0	-2069	-1942		1		0.00	11	0.00	0.00	0.00	0.00	ND	ND	
0	-1812	-2091		1		0.00	11	0.00	0.00	0.00	0.00	ND	ND	
0	-1942	-1761		1		0.00	11	0.00	0.00	0.00	0.00	ND	ND	
0	422	-2069	6	1		90.00	55	0.00	0.00	0.00	0.00	ND	ND	
0	-601	-1811	10	1		0.00	11	0.00	0.00	0.00	0.00	ND	ND	
0	-2091	-1811		1		0.00	11	0.00	0.00	0.00	0.00	ND	ND	
0	-1159	-1743	10	1		0.00	11	0.00	0.00	0.00	0.00	ND	ND	
0	-640	-1772	10	1		0.00	11	0.00	0.00	0.00	0.00	ND	ND	
0	405	-1533	6	1		90.00	55	0.00	0.00	0.00	0.00	ND	ND	
0	-1199	-1761	10	1		0.00	11	0.00	0.00	0.00	0.00	ND	ND	
0	-813	-1717	10	1		0.00	11	0.00	0.00	0.00	0.00	ND	ND	
0	-1073	-1702	10	1		0.00	11	0.00	0.00	0.00	0.00	ND	ND	
0	-856	-1795	10	1		0.00	11	0.00	0.00	0.00	0.00	ND	ND	
0	-985	-1471	10	1		0.00	11	0.00	0.00	0.00	0.00	ND	ND	
0	-942	-1410	10	1		0.00	11	0.00	0.00	0.00	0.00	ND	ND	
0	-725	-1693	10	1		0.00	11	0.00	0.00	0.00	0.00	ND	ND	
0	-1811	-2093		1		0.00	11	0.00	0.00	0.00	0.00	ND	ND	
0	-1761	-1760		1		0.00	11	0.00	0.00	0.00	0.00	ND	ND	
0	-1160	-1742	10	1		0.00	11	0.00	0.00	0.00	0.00	ND	ND	
0	-641	-1771	10	1		0.00	11	0.00	0.00	0.00	0.00	ND	ND	
0	-986	-1470	10	1		0.00	11	0.00	0.00	0.00	0.00	ND	ND	
0	-602	-1810	10	1		0.00	11	0.00	0.00	0.00	0.00	ND	ND	

0	-1272	405	8	1		90.00	55	0.00	0.00	0.00	0.00	ND	ND	
0	-899	-1443	10	1		0.00	11	0.00	0.00	0.00	0.00	ND	ND	
0	-2093	-1810		1		0.00	11	0.00	0.00	0.00	0.00	ND	ND	
0	-1074	-1701	10	1		0.00	11	0.00	0.00	0.00	0.00	ND	ND	
0	-814	-1716	10	1		0.00	11	0.00	0.00	0.00	0.00	ND	ND	
0	-943	-1412	10	1		0.00	11	0.00	0.00	0.00	0.00	ND	ND	
0	-727	-1866	10	1		0.00	11	0.00	0.00	0.00	0.00	ND	ND	
0	-857	-1794	10	1		0.00	11	0.00	0.00	0.00	0.00	ND	ND	
0	-1200	-1760	10	1		0.00	11	0.00	0.00	0.00	0.00	ND	ND	
0	-900	-1442	10	1		0.00	11	0.00	0.00	0.00	0.00	ND	ND	
0	-1810	-1809		1		0.00	11	0.00	0.00	0.00	0.00	ND	ND	
0	-1760	-1759		1		0.00	11	0.00	0.00	0.00	0.00	ND	ND	
0	-1075	-1700	10	1		0.00	11	0.00	0.00	0.00	0.00	ND	ND	
0	-603	-1809	10	1		0.00	11	0.00	0.00	0.00	0.00	ND	ND	
0	-1201	-1759	10	1		0.00	11	0.00	0.00	0.00	0.00	ND	ND	
0	-944	-1835	10	1		0.00	11	0.00	0.00	0.00	0.00	ND	ND	
0	-816	-1715	10	1		0.00	11	0.00	0.00	0.00	0.00	ND	ND	
0	-1161	-1741	10	1		0.00	11	0.00	0.00	0.00	0.00	ND	ND	
0	422	423	8	1		90.00	55	0.00	0.00	0.00	0.00	ND	ND	
0	-858	-1793	10	1		0.00	11	0.00	0.00	0.00	0.00	ND	ND	
0	-987	-1469	10	1		0.00	11	0.00	0.00	0.00	0.00	ND	ND	
0	-642	-1770	10	1		0.00	11	0.00	0.00	0.00	0.00	ND	ND	
0	-728	-1865	10	1		0.00	11	0.00	0.00	0.00	0.00	ND	ND	
0	-901	-1441	10	1		0.00	11	0.00	0.00	0.00	0.00	ND	ND	
0	-1809	-1808		1		0.00	11	0.00	0.00	0.00	0.00	ND	ND	
0	-1759	-1758		1		0.00	11	0.00	0.00	0.00	0.00	ND	ND	
0	-643	-1769	10	1		0.00	11	0.00	0.00	0.00	0.00	ND	ND	
0	-817	-1714	10	1		0.00	11	0.00	0.00	0.00	0.00	ND	ND	
0	-729	-1864	10	1		0.00	11	0.00	0.00	0.00	0.00	ND	ND	
0	405	-1273	8	1		90.00	55	0.00	0.00	0.00	0.00	ND	ND	
0	-1273	406	8	1		90.00	55	0.00	0.00	0.00	0.00	ND	ND	
0	-1162	-1740	10	1		0.00	11	0.00	0.00	0.00	0.00	ND	ND	
0	-1076	-1497	10	1		0.00	11	0.00	0.00	0.00	0.00	ND	ND	
0	-945	-1834	10	1		0.00	11	0.00	0.00	0.00	0.00	ND	ND	
0	-988	-1468	10	1		0.00	11	0.00	0.00	0.00	0.00	ND	ND	
0	-1202	-1758	10	1		0.00	11	0.00	0.00	0.00	0.00	ND	ND	
0	-860	-1792	10	1		0.00	11	0.00	0.00	0.00	0.00	ND	ND	
0	-902	-1439	10	1		0.00	11	0.00	0.00	0.00	0.00	ND	ND	
0	-1758	-2067		1		0.00	11	0.00	0.00	0.00	0.00	ND	ND	
0	-1808	-1807		1		0.00	11	0.00	0.00	0.00	0.00	ND	ND	
0	-861	-1791	10	1		0.00	11	0.00	0.00	0.00	0.00	ND	ND	
0	-604	-1807	10	1		0.00	11	0.00	0.00	0.00	0.00	ND	ND	
0	323	-2067	10	1		0.00	11	0.00	0.00	0.00	0.00	ND	ND	
0	-818	-1713	10	1		0.00	11	0.00	0.00	0.00	0.00	ND	ND	
0	-989	-1467	10	1		0.00	11	0.00	0.00	0.00	0.00	ND	ND	
0	-644	-1768	10	1		0.00	11	0.00	0.00	0.00	0.00	ND	ND	
0	-946	-1833	10	1		0.00	11	0.00	0.00	0.00	0.00	ND	ND	
0	-1807	-1806		1		0.00	11	0.00	0.00	0.00	0.00	ND	ND	
0	406	-1808	6	1		90.00	55	0.00	0.00	0.00	0.00	ND	ND	
0	-730	-1861	10	1		0.00	11	0.00	0.00	0.00	0.00	ND	ND	
0	-1077	-1496	10	1		0.00	11	0.00	0.00	0.00	0.00	ND	ND	
0	-1163	-1739	10	1		0.00	11	0.00	0.00	0.00	0.00	ND	ND	
0	-904	-1438	10	1		0.00	11	0.00	0.00	0.00	0.00	ND	ND	
0	-2067	-1757		1		0.00	11	0.00	0.00	0.00	0.00	ND	ND	
0	-1203	-1757	10	1		0.00	11	0.00	0.00	0.00	0.00	ND	ND	
0	423	-2067	6	1		90.00	55	0.00	0.00	0.00	0.00	ND	ND	
0	-1164	-1738	10	1		0.00	11	0.00	0.00	0.00	0.00	ND	ND	
0	-645	-1767	10	1		0.00	11	0.00	0.00	0.00	0.00	ND	ND	
0	-862	-1790	10	1		0.00	11	0.00	0.00	0.00	0.00	ND	ND	
0	-819	-1712	10	1		0.00	11	0.00	0.00	0.00	0.00	ND	ND	
0	-605	-1806	10	1		0.00	11	0.00	0.00	0.00	0.00	ND	ND	
0	-731	-1857	10	1		0.00	11	0.00	0.00	0.00	0.00	ND	ND	
0	-948	-1832	10	1		0.00	11	0.00	0.00	0.00	0.00	ND	ND	
0	-990	-1466	10	1		0.00	11	0.00	0.00	0.00	0.00	ND	ND	
0	-1078	-1495	10	1		0.00	11	0.00	0.00	0.00	0.00	ND	ND	
0	-905	-1436	10	1		0.00	11	0.00	0.00	0.00	0.00	ND	ND	
0	-1757	-1756		1		0.00	11	0.00	0.00	0.00	0.00	ND	ND	
0	-1806	-1805		1		0.00	11	0.00	0.00	0.00	0.00	ND	ND	
0	-863	-1789	10	1		0.00	11	0.00	0.00	0.00	0.00	ND	ND	
0	-646	-1766	10	1		0.00	11	0.00	0.00	0.00	0.00	ND	ND	
0	-949	-1831	10	1		0.00	11	0.00	0.00	0.00	0.00	ND	ND	
0	-820	-1711	10	1		0.00	11	0.00	0.00	0.00	0.00	ND	ND	
0	-606	-1805	10	1		0.00	11	0.00	0.00	0.00	0.00	ND	ND	
0	-732	-1845	10	1		0.00	11	0.00	0.00	0.00	0.00	ND	ND	
0	406	407	8	1		90.00	55	0.00	0.00	0.00	0.00	ND	ND	
0	-1165	-1737	10	1		0.00	11	0.00	0.00	0.00	0.00	ND	ND	
0	-1079	-1494	10	1		0.00	11	0.00	0.00	0.00	0.00	ND	ND	
0	-1204	-1756	10	1		0.00	11	0.00	0.00	0.00	0.00	ND	ND	
0	-992	-1465	10	1		0.00	11	0.00	0.00	0.00	0.00	ND	ND	

0	-906	-1435	10	1		0.00	11	0.00	0.00	0.00	0.00	ND	ND	
0	-1756	-2115		1		0.00	11	0.00	0.00	0.00	0.00	ND	ND	
0	-1205	-1755	10	1		0.00	11	0.00	0.00	0.00	0.00	ND	ND	
0	-2115	-1755		1		0.00	11	0.00	0.00	0.00	0.00	ND	ND	
0	423	424	8	1		90.00	55	0.00	0.00	0.00	0.00	ND	ND	
0	-1805	-1804		1		0.00	11	0.00	0.00	0.00	0.00	ND	ND	
0	-1166	-1736	10	1		0.00	11	0.00	0.00	0.00	0.00	ND	ND	
0	-864	-1788	10	1		0.00	11	0.00	0.00	0.00	0.00	ND	ND	
0	-950	-1830	10	1		0.00	11	0.00	0.00	0.00	0.00	ND	ND	
0	-607	-1804	10	1		0.00	11	0.00	0.00	0.00	0.00	ND	ND	
0	-1081	-1493	10	1		0.00	11	0.00	0.00	0.00	0.00	ND	ND	
0	-733	-1844	10	1		0.00	11	0.00	0.00	0.00	0.00	ND	ND	
0	-821	-1710	10	1		0.00	11	0.00	0.00	0.00	0.00	ND	ND	
0	-647	-1765	10	1		0.00	11	0.00	0.00	0.00	0.00	ND	ND	
0	-993	-1464	10	1		0.00	11	0.00	0.00	0.00	0.00	ND	ND	
0	-907	-1434	10	1		0.00	11	0.00	0.00	0.00	0.00	ND	ND	
0	-1755	-2116		1		0.00	11	0.00	0.00	0.00	0.00	ND	ND	
0	-1804	-1950		1		0.00	11	0.00	0.00	0.00	0.00	ND	ND	
0	-1950	-1803		1		0.00	11	0.00	0.00	0.00	0.00	ND	ND	
0	-1206	-1754	10	1		0.00	11	0.00	0.00	0.00	0.00	ND	ND	
0	-2116	-1754		1		0.00	11	0.00	0.00	0.00	0.00	ND	ND	
0	-1082	-1492	10	1		0.00	11	0.00	0.00	0.00	0.00	ND	ND	
0	-734	-1843	10	1		0.00	11	0.00	0.00	0.00	0.00	ND	ND	
0	-822	-1709	10	1		0.00	11	0.00	0.00	0.00	0.00	ND	ND	
0	-1168	-1735	10	1		0.00	11	0.00	0.00	0.00	0.00	ND	ND	
0	-951	-1829	10	1		0.00	11	0.00	0.00	0.00	0.00	ND	ND	
0	-994	-1463	10	1		0.00	11	0.00	0.00	0.00	0.00	ND	ND	
0	-865	-1787	10	1		0.00	11	0.00	0.00	0.00	0.00	ND	ND	
0	-648	-1764	10	1		0.00	11	0.00	0.00	0.00	0.00	ND	ND	
0	-908	-1433	10	1		0.00	11	0.00	0.00	0.00	0.00	ND	ND	
0	-1803	-1687		1		0.00	11	0.00	0.00	0.00	0.00	ND	ND	
0	407	-1803	6	1		90.00	55	0.00	0.00	0.00	0.00	ND	ND	
0	-1754	-1689		1		0.00	11	0.00	0.00	0.00	0.00	ND	ND	
0	-1169	-1734	10	1		0.00	11	0.00	0.00	0.00	0.00	ND	ND	
0	-1207	-2065	10	1		0.00	11	0.00	0.00	0.00	0.00	ND	ND	
0	-1689	-2065		1		0.00	11	0.00	0.00	0.00	0.00	ND	ND	
0	-952	-1828	10	1		0.00	11	0.00	0.00	0.00	0.00	ND	ND	
0	-995	-1462	10	1		0.00	11	0.00	0.00	0.00	0.00	ND	ND	
0	-650	-1763	10	1		0.00	11	0.00	0.00	0.00	0.00	ND	ND	
0	-1083	-1491	10	1		0.00	11	0.00	0.00	0.00	0.00	ND	ND	
0	-2065	-2117		1		0.00	11	0.00	0.00	0.00	0.00	ND	ND	
0	-1208	-1753	10	1		0.00	11	0.00	0.00	0.00	0.00	ND	ND	
0	424	-1689	6	1		90.00	55	0.00	0.00	0.00	0.00	ND	ND	
0	-823	-1708	10	1		0.00	11	0.00	0.00	0.00	0.00	ND	ND	
0	-609	-1687	10	1		0.00	11	0.00	0.00	0.00	0.00	ND	ND	
0	-735	-1839	10	1		0.00	11	0.00	0.00	0.00	0.00	ND	ND	
0	-866	-1786	10	1		0.00	11	0.00	0.00	0.00	0.00	ND	ND	
0	-909	-1432	10	1		0.00	11	0.00	0.00	0.00	0.00	ND	ND	
0	-1687	-1625		1		0.00	11	0.00	0.00	0.00	0.00	ND	ND	
0	-2117	-1753		1		0.00	11	0.00	0.00	0.00	0.00	ND	ND	
0	-610	-1625	10	1		0.00	11	0.00	0.00	0.00	0.00	ND	ND	
0	-737	-1836	10	1		0.00	11	0.00	0.00	0.00	0.00	ND	ND	
0	-996	-1460	10	1		0.00	11	0.00	0.00	0.00	0.00	ND	ND	
0	-867	-1785	10	1		0.00	11	0.00	0.00	0.00	0.00	ND	ND	
0	-1170	-1733	10	1		0.00	11	0.00	0.00	0.00	0.00	ND	ND	
0	-824	-1707	10	1		0.00	11	0.00	0.00	0.00	0.00	ND	ND	
0	-953	-1827	10	1		0.00	11	0.00	0.00	0.00	0.00	ND	ND	
0	-1084	-1482	10	1		0.00	11	0.00	0.00	0.00	0.00	ND	ND	
0	311	436	10	1		0.00	11	0.00	0.00	0.00	0.00	ND	ND	
0	-910	-1431	10	1		0.00	11	0.00	0.00	0.00	0.00	ND	ND	
0	-1625	-1961		1		0.00	11	0.00	0.00	0.00	0.00	ND	ND	
0	-1753	-2119		1		0.00	11	0.00	0.00	0.00	0.00	ND	ND	
0	-1961	-1624		1		0.00	11	0.00	0.00	0.00	0.00	ND	ND	
0	407	408	8	1		90.00	55	0.00	0.00	0.00	0.00	ND	ND	
0	-1209	-1752	10	1		0.00	11	0.00	0.00	0.00	0.00	ND	ND	
0	-2119	-1752		1		0.00	11	0.00	0.00	0.00	0.00	ND	ND	
0	-651	-1362	10	1		0.00	11	0.00	0.00	0.00	0.00	ND	ND	
0	-1171	-1732	10	1		0.00	11	0.00	0.00	0.00	0.00	ND	ND	
0	-1085	-1481	10	1		0.00	11	0.00	0.00	0.00	0.00	ND	ND	
0	424	425	8	1		90.00	55	0.00	0.00	0.00	0.00	ND	ND	
0	-612	-1624	10	1		0.00	11	0.00	0.00	0.00	0.00	ND	ND	
0	-954	-1826	10	1		0.00	11	0.00	0.00	0.00	0.00	ND	ND	
0	-738	-1850	10	1		0.00	11	0.00	0.00	0.00	0.00	ND	ND	
0	-997	-1459	10	1		0.00	11	0.00	0.00	0.00	0.00	ND	ND	
0	-826	-1706	10	1		0.00	11	0.00	0.00	0.00	0.00	ND	ND	
0	-868	-1784	10	1		0.00	11	0.00	0.00	0.00	0.00	ND	ND	
0	-911	-1430	10	1		0.00	11	0.00	0.00	0.00	0.00	ND	ND	
0	-1624	-1623		1		0.00	11	0.00	0.00	0.00	0.00	ND	ND	
0	-1752	-1751		1		0.00	11	0.00	0.00	0.00	0.00	ND	ND	

0	-613	-1623	10	1		0.00	11	0.00	0.00	0.00	0.00	ND	ND	
0	-653	-1356	10	1		0.00	11	0.00	0.00	0.00	0.00	ND	ND	
0	-739	-1416	10	1		0.00	11	0.00	0.00	0.00	0.00	ND	ND	
0	-870	-1783	10	1		0.00	11	0.00	0.00	0.00	0.00	ND	ND	
0	-955	-1825	10	1		0.00	11	0.00	0.00	0.00	0.00	ND	ND	
0	-1172	-1731	10	1		0.00	11	0.00	0.00	0.00	0.00	ND	ND	
0	-1086	-1480	10	1		0.00	11	0.00	0.00	0.00	0.00	ND	ND	
0	-998	-1456	10	1		0.00	11	0.00	0.00	0.00	0.00	ND	ND	
0	-1210	-1751	10	1		0.00	11	0.00	0.00	0.00	0.00	ND	ND	
0	313	442	10	1		0.00	11	0.00	0.00	0.00	0.00	ND	ND	
0	-912	-1429	10	1		0.00	11	0.00	0.00	0.00	0.00	ND	ND	
0	-1623	-1622		1		0.00	11	0.00	0.00	0.00	0.00	ND	ND	
0	-1751	-1750		1		0.00	11	0.00	0.00	0.00	0.00	ND	ND	
0	-654	-1355	10	1		0.00	11	0.00	0.00	0.00	0.00	ND	ND	
0	408	-1622	6	1		90.00	55	0.00	0.00	0.00	0.00	ND	ND	
0	-741	-1415	10	1		0.00	11	0.00	0.00	0.00	0.00	ND	ND	
0	-827	-1667	10	1		0.00	11	0.00	0.00	0.00	0.00	ND	ND	
0	-1173	-1730	10	1		0.00	11	0.00	0.00	0.00	0.00	ND	ND	
0	-1087	-1479	10	1		0.00	11	0.00	0.00	0.00	0.00	ND	ND	
0	-871	-1863	10	1		0.00	11	0.00	0.00	0.00	0.00	ND	ND	
0	-956	-1824	10	1		0.00	11	0.00	0.00	0.00	0.00	ND	ND	
0	-999	-1455	10	1		0.00	11	0.00	0.00	0.00	0.00	ND	ND	
0	325	-1750	10	1		0.00	11	0.00	0.00	0.00	0.00	ND	ND	
0	-914	-1428	10	1		0.00	11	0.00	0.00	0.00	0.00	ND	ND	
0	-1622	-1621		1		0.00	11	0.00	0.00	0.00	0.00	ND	ND	
0	-1750	-2063		1		0.00	11	0.00	0.00	0.00	0.00	ND	ND	
0	-614	-1621	10	1		0.00	11	0.00	0.00	0.00	0.00	ND	ND	
0	-655	-1352	10	1		0.00	11	0.00	0.00	0.00	0.00	ND	ND	
0	-742	-1367	10	1		0.00	11	0.00	0.00	0.00	0.00	ND	ND	
0	-829	-1666	10	1		0.00	11	0.00	0.00	0.00	0.00	ND	ND	
0	-872	-1632	10	1		0.00	11	0.00	0.00	0.00	0.00	ND	ND	
0	-1211	-2063	10	1		0.00	11	0.00	0.00	0.00	0.00	ND	ND	
0	-958	-1823	10	1		0.00	11	0.00	0.00	0.00	0.00	ND	ND	
0	-1000	-1454	10	1		0.00	11	0.00	0.00	0.00	0.00	ND	ND	
0	-1174	-1729	10	1		0.00	11	0.00	0.00	0.00	0.00	ND	ND	
0	-2063	-1749		1		0.00	11	0.00	0.00	0.00	0.00	ND	ND	
0	425	-1750	6	1		90.00	55	0.00	0.00	0.00	0.00	ND	ND	
0	-1088	-1478	10	1		0.00	11	0.00	0.00	0.00	0.00	ND	ND	
0	315	441	10	1		0.00	11	0.00	0.00	0.00	0.00	ND	ND	
0	-1621	-1620		1		0.00	11	0.00	0.00	0.00	0.00	ND	ND	
0	-615	-1620	10	1		0.00	11	0.00	0.00	0.00	0.00	ND	ND	
0	-656	-1684	10	1		0.00	11	0.00	0.00	0.00	0.00	ND	ND	
0	-743	-1366	10	1		0.00	11	0.00	0.00	0.00	0.00	ND	ND	
0	-830	-1665	10	1		0.00	11	0.00	0.00	0.00	0.00	ND	ND	
0	-874	-1631	10	1		0.00	11	0.00	0.00	0.00	0.00	ND	ND	
0	-1212	-1749	10	1		0.00	11	0.00	0.00	0.00	0.00	ND	ND	
0	-1089	-1477	10	1		0.00	11	0.00	0.00	0.00	0.00	ND	ND	
0	-1175	-1728	10	1		0.00	11	0.00	0.00	0.00	0.00	ND	ND	
0	-1002	-1453	10	1		0.00	11	0.00	0.00	0.00	0.00	ND	ND	
0	-959	-1859	10	1		0.00	11	0.00	0.00	0.00	0.00	ND	ND	
0	-915	-1674	10	1		0.00	11	0.00	0.00	0.00	0.00	ND	ND	
0	-1749	-1748		1		0.00	11	0.00	0.00	0.00	0.00	ND	ND	
0	-1176	-1727	10	1		0.00	11	0.00	0.00	0.00	0.00	ND	ND	
0	425	426	8	1		90.00	55	0.00	0.00	0.00	0.00	ND	ND	
0	-338	-340		1		0.00	11	0.00	0.00	0.00	0.00	ND	ND	
0	-342	-344		1		0.00	11	0.00	0.00	0.00	0.00	ND	ND	
0	-344	-346		1		0.00	11	0.00	0.00	0.00	0.00	ND	ND	
0	-616	-1619	10	1		0.00	11	0.00	0.00	0.00	0.00	ND	ND	
0	-744	-1365	10	1		0.00	11	0.00	0.00	0.00	0.00	ND	ND	
0	-960	-1639	10	1		0.00	11	0.00	0.00	0.00	0.00	ND	ND	
0	-1213	-1748	10	1		0.00	11	0.00	0.00	0.00	0.00	ND	ND	
0	-346	-348		1		0.00	11	0.00	0.00	0.00	0.00	ND	ND	
0	-1620	-1619		1		0.00	11	0.00	0.00	0.00	0.00	ND	ND	
0	-657	-1683	10	1		0.00	11	0.00	0.00	0.00	0.00	ND	ND	
0	-831	-1664	10	1		0.00	11	0.00	0.00	0.00	0.00	ND	ND	
0	-875	-1630	10	1		0.00	11	0.00	0.00	0.00	0.00	ND	ND	
0	317	439	10	1		0.00	11	0.00	0.00	0.00	0.00	ND	ND	
0	-1091	-1476	10	1		0.00	11	0.00	0.00	0.00	0.00	ND	ND	
0	-917	-1673	10	1		0.00	11	0.00	0.00	0.00	0.00	ND	ND	
0	-1619	-1417		1		0.00	11	0.00	0.00	0.00	0.00	ND	ND	
0	-1748	-1747		1		0.00	11	0.00	0.00	0.00	0.00	ND	ND	
0	-658	-1682	10	1		0.00	11	0.00	0.00	0.00	0.00	ND	ND	
0	-876	-1629	10	1		0.00	11	0.00	0.00	0.00	0.00	ND	ND	
0	-962	-1638	10	1		0.00	11	0.00	0.00	0.00	0.00	ND	ND	
0	-1003	-1646	10	1		0.00	11	0.00	0.00	0.00	0.00	ND	ND	
0	-1178	-1726	10	1		0.00	11	0.00	0.00	0.00	0.00	ND	ND	
0	-1214	-1747	10	1		0.00	11	0.00	0.00	0.00	0.00	ND	ND	
0	-340	-342		1		0.00	11	0.00	0.00	0.00	0.00	ND	ND	
0	-617	-1417	10	1		0.00	11	0.00	0.00	0.00	0.00	ND	ND	

0	-832	-1663	10	1		0.00	11	0.00	0.00	0.00	0.00	ND	ND	
0	-1092	-1848	10	1		0.00	11	0.00	0.00	0.00	0.00	ND	ND	
0	-918	-1672	10	1		0.00	11	0.00	0.00	0.00	0.00	ND	ND	
0	-1747	-1957		1		0.00	11	0.00	0.00	0.00	0.00	ND	ND	
0	-422	-424		1		0.00	11	0.00	0.00	0.00	0.00	ND	ND	
0	-424	-426		1		0.00	11	0.00	0.00	0.00	0.00	ND	ND	
0	-536	-581		1		0.00	11	0.00	0.00	0.00	0.00	ND	ND	
0	-1957	-1746		1		0.00	11	0.00	0.00	0.00	0.00	ND	ND	
0	-659	-1426	10	1		0.00	11	0.00	0.00	0.00	0.00	ND	ND	
0	409	309	6	1		90.00	55	0.00	0.00	0.00	0.00	ND	ND	
0	-746	-1363	10	1		0.00	11	0.00	0.00	0.00	0.00	ND	ND	
0	-833	-1662	10	1		0.00	11	0.00	0.00	0.00	0.00	ND	ND	
0	-877	-1628	10	1		0.00	11	0.00	0.00	0.00	0.00	ND	ND	
0	-963	-1637	10	1		0.00	11	0.00	0.00	0.00	0.00	ND	ND	
0	-1005	-1645	10	1		0.00	11	0.00	0.00	0.00	0.00	ND	ND	
0	-1093	-1653	10	1		0.00	11	0.00	0.00	0.00	0.00	ND	ND	
0	-919	-1671	10	1		0.00	11	0.00	0.00	0.00	0.00	ND	ND	
0	319	434	10	1		0.00	11	0.00	0.00	0.00	0.00	ND	ND	
0	326	-1746	10	1		0.00	11	0.00	0.00	0.00	0.00	ND	ND	
0	-1746	-1686		1		0.00	11	0.00	0.00	0.00	0.00	ND	ND	
0	426	-1746	6	1		90.00	55	0.00	0.00	0.00	0.00	ND	ND	
0	-426	-428		1		0.00	11	0.00	0.00	0.00	0.00	ND	ND	
0	-1006	-1644	10	1		0.00	11	0.00	0.00	0.00	0.00	ND	ND	
0	-1095	-1652	10	1		0.00	11	0.00	0.00	0.00	0.00	ND	ND	
0	-1179	-1660	10	1		0.00	11	0.00	0.00	0.00	0.00	ND	ND	
0	-348	-350		1		0.00	11	0.00	0.00	0.00	0.00	ND	ND	
0	-428	-430		1		0.00	11	0.00	0.00	0.00	0.00	ND	ND	
0	-1686	-1681		1		0.00	11	0.00	0.00	0.00	0.00	ND	ND	
0	-1217	-1681	10	1		0.00	11	0.00	0.00	0.00	0.00	ND	ND	
0	-352	-354		1		0.00	11	0.00	0.00	0.00	0.00	ND	ND	
0	-430	-432		1		0.00	11	0.00	0.00	0.00	0.00	ND	ND	
0	-432	-434		1		0.00	11	0.00	0.00	0.00	0.00	ND	ND	
0	-581	309		1		0.00	11	0.00	0.00	0.00	0.00	ND	ND	
0	309	-660		1		0.00	11	0.00	0.00	0.00	0.00	ND	ND	
0	-660	-703		1		0.00	11	0.00	0.00	0.00	0.00	ND	ND	
0	-920	-1670	10	1		0.00	11	0.00	0.00	0.00	0.00	ND	ND	
0	-1096	-1651	10	1		0.00	11	0.00	0.00	0.00	0.00	ND	ND	
0	-1181	-1659	10	1		0.00	11	0.00	0.00	0.00	0.00	ND	ND	
0	-350	-352		1		0.00	11	0.00	0.00	0.00	0.00	ND	ND	
0	-1182	-1658	10	1		0.00	11	0.00	0.00	0.00	0.00	ND	ND	
0	-354	-356		1		0.00	11	0.00	0.00	0.00	0.00	ND	ND	
0	-434	-436		1		0.00	11	0.00	0.00	0.00	0.00	ND	ND	
0	-436	-438		1		0.00	11	0.00	0.00	0.00	0.00	ND	ND	
0	-745	-1364	10	1		0.00	11	0.00	0.00	0.00	0.00	ND	ND	
0	-747	-1427	10	1		0.00	11	0.00	0.00	0.00	0.00	ND	ND	
0	-878	-1627	10	1		0.00	11	0.00	0.00	0.00	0.00	ND	ND	
0	-1216	-1686	10	1		0.00	11	0.00	0.00	0.00	0.00	ND	ND	
0	-1680	-1679		1		0.00	11	0.00	0.00	0.00	0.00	ND	ND	
0	-1220	-1679	10	1		0.00	11	0.00	0.00	0.00	0.00	ND	ND	
0	-356	-358		1		0.00	11	0.00	0.00	0.00	0.00	ND	ND	
0	-358	-360		1		0.00	11	0.00	0.00	0.00	0.00	ND	ND	
0	-362	-364		1		0.00	11	0.00	0.00	0.00	0.00	ND	ND	
0	-440	-442		1		0.00	11	0.00	0.00	0.00	0.00	ND	ND	
0	-834	-1661	10	1		0.00	11	0.00	0.00	0.00	0.00	ND	ND	
0	-703	-748		1		0.00	11	0.00	0.00	0.00	0.00	ND	ND	
0	-438	-440		1		0.00	11	0.00	0.00	0.00	0.00	ND	ND	
0	-360	-362		1		0.00	11	0.00	0.00	0.00	0.00	ND	ND	
0	-835	-1423	10	1		0.00	11	0.00	0.00	0.00	0.00	ND	ND	
0	408	409	8	1		90.00	55	0.00	0.00	0.00	0.00	ND	ND	
0	-879	-1626	10	1		0.00	11	0.00	0.00	0.00	0.00	ND	ND	
0	-965	-1635	10	1		0.00	11	0.00	0.00	0.00	0.00	ND	ND	
0	-1007	-1643	10	1		0.00	11	0.00	0.00	0.00	0.00	ND	ND	
0	-748	-793		1		0.00	11	0.00	0.00	0.00	0.00	ND	ND	
0	-1681	-1964		1		0.00	11	0.00	0.00	0.00	0.00	ND	ND	
0	-1219	-1680	10	1		0.00	11	0.00	0.00	0.00	0.00	ND	ND	
0	-1964	-1680		1		0.00	11	0.00	0.00	0.00	0.00	ND	ND	
0	-364	-366		7		130.00	55	0.00	0.00	0.00	0.00	ND	ND	
0	-442	-444		1		0.00	11	0.00	0.00	0.00	0.00	ND	ND	
0	-366	-368		1		0.00	11	0.00	0.00	0.00	0.00	ND	ND	
0	-368	-370		1		0.00	11	0.00	0.00	0.00	0.00	ND	ND	
0	-370	-372		1		0.00	11	0.00	0.00	0.00	0.00	ND	ND	
0	-964	-1636	10	1		0.00	11	0.00	0.00	0.00	0.00	ND	ND	
0	-446	-448		1		0.00	11	0.00	0.00	0.00	0.00	ND	ND	
0	-921	-1669	10	1		0.00	11	0.00	0.00	0.00	0.00	ND	ND	
0	-372	-374		1		0.00	11	0.00	0.00	0.00	0.00	ND	ND	
0	-966	-1634	10	1		0.00	11	0.00	0.00	0.00	0.00	ND	ND	
0	-1008	-1642	10	1		0.00	11	0.00	0.00	0.00	0.00	ND	ND	
0	-1097	-1650	10	1		0.00	11	0.00	0.00	0.00	0.00	ND	ND	
0	-1183	-1657	10	1		0.00	11	0.00	0.00	0.00	0.00	ND	ND	

0	426	427	8	1		90.00	55	0.00	0.00	0.00	0.00	ND	ND	
0	-793	-836		1		0.00	11	0.00	0.00	0.00	0.00	ND	ND	
0	-880	-1418	10	1		0.00	11	0.00	0.00	0.00	0.00	ND	ND	
0	-922	-1668	10	1		0.00	11	0.00	0.00	0.00	0.00	ND	ND	
0	-967	-1633	10	1		0.00	11	0.00	0.00	0.00	0.00	ND	ND	
0	-1009	-1641	10	1		0.00	11	0.00	0.00	0.00	0.00	ND	ND	
0	-1098	-1649	10	1		0.00	11	0.00	0.00	0.00	0.00	ND	ND	
0	-923	-1424	10	1		0.00	11	0.00	0.00	0.00	0.00	ND	ND	
0	-881	-924		1		0.00	11	0.00	0.00	0.00	0.00	ND	ND	
0	-1679	-1678		1		0.00	11	0.00	0.00	0.00	0.00	ND	ND	
0	-968	-1419	10	1		0.00	11	0.00	0.00	0.00	0.00	ND	ND	
0	-1010	-1640	10	1		0.00	11	0.00	0.00	0.00	0.00	ND	ND	
0	-1099	-1648	10	1		0.00	11	0.00	0.00	0.00	0.00	ND	ND	
0	-1184	-1656	10	1		0.00	11	0.00	0.00	0.00	0.00	ND	ND	
0	327	-1678	10	1		0.00	11	0.00	0.00	0.00	0.00	ND	ND	
0	-1678	-1677		1		0.00	11	0.00	0.00	0.00	0.00	ND	ND	
0	427	-1678	6	1		90.00	55	0.00	0.00	0.00	0.00	ND	ND	
0	-924	-969		1		0.00	11	0.00	0.00	0.00	0.00	ND	ND	
0	-1100	-1647	10	1		0.00	11	0.00	0.00	0.00	0.00	ND	ND	
0	-1221	-1677	10	1		0.00	11	0.00	0.00	0.00	0.00	ND	ND	
0	-1677	-1676		1		0.00	11	0.00	0.00	0.00	0.00	ND	ND	
0	-444	-446		1		0.00	11	0.00	0.00	0.00	0.00	ND	ND	
0	-448	-450		1		0.00	11	0.00	0.00	0.00	0.00	ND	ND	
0	-450	-452		1		0.00	11	0.00	0.00	0.00	0.00	ND	ND	
0	-1011	-1420	10	1		0.00	11	0.00	0.00	0.00	0.00	ND	ND	
0	-969	-1012		1		0.00	11	0.00	0.00	0.00	0.00	ND	ND	
0	-452	-454		1		0.00	11	0.00	0.00	0.00	0.00	ND	ND	
0	-1186	-1654	10	1		0.00	11	0.00	0.00	0.00	0.00	ND	ND	
0	-1012	-1057		1		0.00	11	0.00	0.00	0.00	0.00	ND	ND	
0	-454	-456		1		0.00	11	0.00	0.00	0.00	0.00	ND	ND	
0	-1057	-1102		1		0.00	11	0.00	0.00	0.00	0.00	ND	ND	
0	-456	-458		1		0.00	11	0.00	0.00	0.00	0.00	ND	ND	
0	-1185	-1655	10	1		0.00	11	0.00	0.00	0.00	0.00	ND	ND	
0	-1101	-1421	10	1		0.00	11	0.00	0.00	0.00	0.00	ND	ND	
0	-1222	-1676	10	1		0.00	11	0.00	0.00	0.00	0.00	ND	ND	
0	-1676	-1675		1		0.00	11	0.00	0.00	0.00	0.00	ND	ND	
0	-1187	-1422	10	1		0.00	11	0.00	0.00	0.00	0.00	ND	ND	
0	-1223	-1675	10	1		0.00	11	0.00	0.00	0.00	0.00	ND	ND	
0	-1102	-1145		1		0.00	11	0.00	0.00	0.00	0.00	ND	ND	
0	-1675	-1425		1		0.00	11	0.00	0.00	0.00	0.00	ND	ND	
0	-1145	-1188		1		0.00	11	0.00	0.00	0.00	0.00	ND	ND	
0	-1224	-1425	10	1		0.00	11	0.00	0.00	0.00	0.00	ND	ND	
0	-1188	328		1		0.00	11	0.00	0.00	0.00	0.00	ND	ND	
0	328	-1269		1		0.00	11	0.00	0.00	0.00	0.00	ND	ND	
0	-1269	-1271		1		0.00	11	0.00	0.00	0.00	0.00	ND	ND	
0	427	428	8	1		90.00	55	0.00	0.00	0.00	0.00	ND	ND	
0	428	328	6	1		90.00	55	0.00	0.00	0.00	0.00	ND	ND	
2	-1603	302	10	1		90.00	55	0.00	0.00	0.00	0.00	ND	ND	
3	-1822	303	10	1		90.00	55	0.00	0.00	0.00	0.00	ND	ND	
4	-1817	304	10	1		90.00	55	0.00	0.00	0.00	0.00	ND	ND	
5	-1533	305	10	1		90.00	55	0.00	0.00	0.00	0.00	ND	ND	
6	-1808	306	10	1		90.00	55	0.00	0.00	0.00	0.00	ND	ND	
7	-1803	307	10	1		90.00	55	0.00	0.00	0.00	0.00	ND	ND	
8	-1622	308	10	1		90.00	55	0.00	0.00	0.00	0.00	ND	ND	
10	10	310	5	5		0.00	22	0.00	0.00	0.00	0.00	ND	ND	
11	11	311	5	5		0.00	88	0.00	0.00	0.00	0.00	ND	ND	
12	12	312	5	5		0.00	22	0.00	0.00	0.00	0.00	ND	ND	
13	13	313	5	5		0.00	88	0.00	0.00	0.00	0.00	ND	ND	
14	14	314	5	5		0.00	22	0.00	0.00	0.00	0.00	ND	ND	
15	15	315	5	5		0.00	88	0.00	0.00	0.00	0.00	ND	ND	
16	16	316	5	5		0.00	22	0.00	0.00	0.00	0.00	ND	ND	
17	17	317	5	5		0.00	88	0.00	0.00	0.00	0.00	ND	ND	
18	18	318	5	5		0.00	22	0.00	0.00	0.00	0.00	ND	ND	
19	19	319	5	5		0.00	88	0.00	0.00	0.00	0.00	ND	ND	
24	-1689	324	10	1		90.00	55	0.00	0.00	0.00	0.00	ND	ND	
301	301	-582	1	30		0.00	88	0.00	0.00	0.00	0.00	ND	ND	
301	-582	-583	1	1		0.00	88	0.00	0.00	0.00	0.00	ND	ND	
301	-583	-584	1	1		0.00	88	0.00	0.00	0.00	0.00	ND	ND	
301	-584	-585	1	1		0.00	88	0.00	0.00	0.00	0.00	ND	ND	
301	-585	302	1	1		0.00	88	0.00	0.00	0.00	0.00	ND	ND	
301	302	-586	1	1		0.00	88	0.00	0.00	0.00	0.00	ND	ND	
301	-586	-587	1	1		0.00	88	0.00	0.00	0.00	0.00	ND	ND	
301	-587	-588	1	1		0.00	88	0.00	0.00	0.00	0.00	ND	ND	
301	-588	-589	1	1		0.00	88	0.00	0.00	0.00	0.00	ND	ND	
301	-589	-590	1	1		0.00	88	0.00	0.00	0.00	0.00	ND	ND	
301	-590	303	1	1		0.00	88	0.00	0.00	0.00	0.00	ND	ND	
301	303	-591	1	1		0.00	88	0.00	0.00	0.00	0.00	ND	ND	
301	-591	-592	1	1		0.00	88	0.00	0.00	0.00	0.00	ND	ND	
301	-592	-593	1	1		0.00	88	0.00	0.00	0.00	0.00	ND	ND	

301	-593	-594	1	1		0.00	88	0.00	0.00	0.00	0.00	ND	CC	
301	-594	-595	1	1		0.00	88	0.00	0.00	0.00	0.00	CC	ND	
301	-595	304	1	1		0.00	88	0.00	0.00	0.00	0.00	ND	ND	
301	304	-596	1	1		0.00	88	0.00	0.00	0.00	0.00	ND	ND	
301	-596	-597	1	1		0.00	88	0.00	0.00	0.00	0.00	ND	ND	
301	-597	-1302	1	1		0.00	88	0.00	0.00	0.00	0.00	ND	ND	
301	-1302	-598	1	1		0.00	88	0.00	0.00	0.00	0.00	ND	ND	
301	-598	-1304	1	1		0.00	88	0.00	0.00	0.00	0.00	ND	ND	
301	-1304	-599	1	1		0.00	88	0.00	0.00	0.00	0.00	ND	ND	
301	-599	305	1	1		0.00	88	0.00	0.00	0.00	0.00	ND	ND	
301	305	-600	1	1		0.00	88	0.00	0.00	0.00	0.00	ND	ND	
301	-600	-1306	1	1		0.00	88	0.00	0.00	0.00	0.00	ND	ND	
301	-1306	-601	1	1		0.00	88	0.00	0.00	0.00	0.00	ND	ND	
301	-601	-1308	1	1		0.00	88	0.00	0.00	0.00	0.00	ND	ND	
301	-1308	-602	1	1		0.00	88	0.00	0.00	0.00	0.00	ND	ND	
301	-602	-603	1	1		0.00	88	0.00	0.00	0.00	0.00	ND	ND	
301	-603	306	1	1		0.00	88	0.00	0.00	0.00	0.00	ND	ND	
301	306	-604	1	1		0.00	88	0.00	0.00	0.00	0.00	ND	ND	
301	-604	-605	1	1		0.00	88	0.00	0.00	0.00	0.00	ND	CC	
301	-605	-606	1	1		0.00	88	0.00	0.00	0.00	0.00	CC	ND	
301	-606	-607	1	1		0.00	88	0.00	0.00	0.00	0.00	ND	ND	
301	-607	-608	1	1		0.00	88	0.00	0.00	0.00	0.00	ND	ND	
301	-608	307	1	1		0.00	88	0.00	0.00	0.00	0.00	ND	ND	
301	307	-609	1	1		0.00	88	0.00	0.00	0.00	0.00	ND	ND	
301	-609	-610	1	1		0.00	88	0.00	0.00	0.00	0.00	ND	ND	
301	-610	-611	1	1		0.00	88	0.00	0.00	0.00	0.00	ND	ND	
301	-611	-612	1	1		0.00	88	0.00	0.00	0.00	0.00	ND	ND	
301	-612	-613	1	1		0.00	88	0.00	0.00	0.00	0.00	ND	ND	
301	-613	308	1	1		0.00	88	0.00	0.00	0.00	0.00	ND	ND	
301	308	-614	1	1		0.00	88	0.00	0.00	0.00	0.00	ND	ND	
301	-614	-615	1	1		0.00	88	0.00	0.00	0.00	0.00	ND	ND	
301	-615	-616	1	1		0.00	88	0.00	0.00	0.00	0.00	ND	ND	
301	-616	-617	1	1		0.00	88	0.00	0.00	0.00	0.00	ND	ND	
301	-617	309	1	31		0.00	88	0.00	0.00	0.00	0.00	ND	ND	
302	-618	-619	1	30		0.00	88	0.00	0.00	0.00	0.00	ND	ND	
302	-619	-620	1	1		0.00	88	0.00	0.00	0.00	0.00	ND	ND	
302	-620	-621	1	1		0.00	88	0.00	0.00	0.00	0.00	ND	ND	
302	-621	-622	1	1		0.00	88	0.00	0.00	0.00	0.00	ND	ND	
302	-622	-623	1	1		0.00	88	0.00	0.00	0.00	0.00	ND	ND	
302	-623	-624	1	1		0.00	88	0.00	0.00	0.00	0.00	ND	ND	
302	-624	-625	1	1		0.00	88	0.00	0.00	0.00	0.00	ND	ND	
302	-625	-626	1	1		0.00	88	0.00	0.00	0.00	0.00	ND	ND	
302	-626	-627	1	1		0.00	88	0.00	0.00	0.00	0.00	ND	ND	
302	-627	310	1	1		0.00	88	0.00	0.00	0.00	0.00	ND	ND	
302	310	-628	1	1		0.00	88	0.00	0.00	0.00	0.00	ND	ND	
302	-628	-629	1	1		0.00	88	0.00	0.00	0.00	0.00	ND	ND	
302	-629	-630	1	1		0.00	88	0.00	0.00	0.00	0.00	ND	ND	
302	-630	-631	1	1		0.00	88	0.00	0.00	0.00	0.00	ND	ND	
302	-631	-632	1	1		0.00	88	0.00	0.00	0.00	0.00	ND	CC	
302	-632	-633	1	1		0.00	88	0.00	0.00	0.00	0.00	CC	ND	
302	-633	-634	1	1		0.00	88	0.00	0.00	0.00	0.00	ND	ND	
302	-634	-635	1	1		0.00	88	0.00	0.00	0.00	0.00	ND	ND	
302	-635	-636	1	1		0.00	88	0.00	0.00	0.00	0.00	ND	ND	
302	-636	-1303	1	1		0.00	88	0.00	0.00	0.00	0.00	ND	ND	
302	-1303	-637	1	1		0.00	88	0.00	0.00	0.00	0.00	ND	ND	
302	-637	-1305	1	1		0.00	88	0.00	0.00	0.00	0.00	ND	ND	
302	-1305	-638	1	1		0.00	88	0.00	0.00	0.00	0.00	ND	ND	
302	-638	-639	1	1		0.00	88	0.00	0.00	0.00	0.00	ND	ND	
302	-639	-640	1	1		0.00	88	0.00	0.00	0.00	0.00	ND	ND	
302	-640	-1307	1	1		0.00	88	0.00	0.00	0.00	0.00	ND	ND	
302	-1307	-641	1	1		0.00	88	0.00	0.00	0.00	0.00	ND	ND	
302	-641	-1309	1	1		0.00	88	0.00	0.00	0.00	0.00	ND	ND	
302	-1309	-642	1	1		0.00	88	0.00	0.00	0.00	0.00	ND	ND	
302	-642	-643	1	1		0.00	88	0.00	0.00	0.00	0.00	ND	ND	
302	-643	-644	1	1		0.00	88	0.00	0.00	0.00	0.00	ND	ND	
302	-644	-645	1	1		0.00	88	0.00	0.00	0.00	0.00	ND	ND	
302	-645	-646	1	1		0.00	88	0.00	0.00	0.00	0.00	ND	CC	
302	-646	-647	1	1		0.00	88	0.00	0.00	0.00	0.00	CC	ND	
302	-647	-648	1	1		0.00	88	0.00	0.00	0.00	0.00	ND	ND	
302	-648	-649	1	1		0.00	88	0.00	0.00	0.00	0.00	ND	ND	
302	-649	-650	1	1		0.00	88	0.00	0.00	0.00	0.00	ND	ND	
302	-650	311	1	1		0.00	88	0.00	0.00	0.00	0.00	ND	ND	
302	311	-651	1	1		0.00	88	0.00	0.00	0.00	0.00	ND	ND	
302	-651	-652	1	1		0.00	88	0.00	0.00	0.00	0.00	ND	ND	
302	-652	-653	1	1		0.00	88	0.00	0.00	0.00	0.00	ND	ND	
302	-653	-654	1	1		0.00	88	0.00	0.00	0.00	0.00	ND	ND	
302	-654	-655	1	1		0.00	88	0.00	0.00	0.00	0.00	ND	ND	
302	-655	-656	1	1		0.00	88	0.00	0.00	0.00	0.00	ND	ND	
302	-656	-657	1	1		0.00	88	0.00	0.00	0.00	0.00	ND	ND	

302	-657	-658	1	1		0.00	88	0.00	0.00	0.00	0.00	ND	ND	
302	-658	-659	1	1		0.00	88	0.00	0.00	0.00	0.00	ND	ND	
302	-659	-660	1	31		0.00	88	0.00	0.00	0.00	0.00	ND	ND	
303	-704	-705	1	30		0.00	88	0.00	0.00	0.00	0.00	ND	ND	
303	-705	-706	1	1		0.00	88	0.00	0.00	0.00	0.00	ND	ND	
303	-706	-707	1	1		0.00	88	0.00	0.00	0.00	0.00	ND	ND	
303	-707	-708	1	1		0.00	88	0.00	0.00	0.00	0.00	ND	ND	
303	-708	-709	1	1		0.00	88	0.00	0.00	0.00	0.00	ND	ND	
303	-709	-710	1	1		0.00	88	0.00	0.00	0.00	0.00	ND	ND	
303	-710	-711	1	1		0.00	88	0.00	0.00	0.00	0.00	ND	ND	
303	-711	-712	1	1		0.00	88	0.00	0.00	0.00	0.00	ND	ND	
303	-712	-713	1	1		0.00	88	0.00	0.00	0.00	0.00	ND	ND	
303	-713	-714	1	1		0.00	88	0.00	0.00	0.00	0.00	ND	ND	
303	-714	-715	1	1		0.00	88	0.00	0.00	0.00	0.00	ND	ND	
303	-715	-716	1	1		0.00	88	0.00	0.00	0.00	0.00	ND	ND	
303	-716	-717	1	1		0.00	88	0.00	0.00	0.00	0.00	ND	ND	
303	-717	-718	1	1		0.00	88	0.00	0.00	0.00	0.00	ND	ND	
303	-718	-719	1	1		0.00	88	0.00	0.00	0.00	0.00	ND	CC	
303	-719	-720	1	1		0.00	88	0.00	0.00	0.00	0.00	CC	ND	
303	-720	-721	1	1		0.00	88	0.00	0.00	0.00	0.00	ND	ND	
303	-721	-722	1	1		0.00	88	0.00	0.00	0.00	0.00	ND	ND	
303	-722	-723	1	1		0.00	88	0.00	0.00	0.00	0.00	ND	ND	
303	-723	-1298	1	1		0.00	88	0.00	0.00	0.00	0.00	ND	ND	
303	-1298	-724	1	1		0.00	88	0.00	0.00	0.00	0.00	ND	ND	
303	-724	-1299	1	1		0.00	88	0.00	0.00	0.00	0.00	ND	ND	
303	-1299	-725	1	1		0.00	88	0.00	0.00	0.00	0.00	ND	ND	
303	-725	-726	1	1		0.00	88	0.00	0.00	0.00	0.00	ND	ND	
303	-726	-727	1	1		0.00	88	0.00	0.00	0.00	0.00	ND	ND	
303	-727	-1300	1	1		0.00	88	0.00	0.00	0.00	0.00	ND	ND	
303	-1300	-728	1	1		0.00	88	0.00	0.00	0.00	0.00	ND	ND	
303	-728	-1301	1	1		0.00	88	0.00	0.00	0.00	0.00	ND	ND	
303	-1301	-729	1	1		0.00	88	0.00	0.00	0.00	0.00	ND	ND	
303	-729	-730	1	1		0.00	88	0.00	0.00	0.00	0.00	ND	ND	
303	-730	-731	1	1		0.00	88	0.00	0.00	0.00	0.00	ND	ND	
303	-731	-732	1	1		0.00	88	0.00	0.00	0.00	0.00	ND	ND	
303	-732	-733	1	1		0.00	88	0.00	0.00	0.00	0.00	ND	CC	
303	-733	-734	1	1		0.00	88	0.00	0.00	0.00	0.00	CC	ND	
303	-734	-735	1	1		0.00	88	0.00	0.00	0.00	0.00	ND	ND	
303	-735	-736	1	1		0.00	88	0.00	0.00	0.00	0.00	ND	ND	
303	-736	-737	1	1		0.00	88	0.00	0.00	0.00	0.00	ND	ND	
303	-737	-738	1	1		0.00	88	0.00	0.00	0.00	0.00	ND	ND	
303	-738	-739	1	1		0.00	88	0.00	0.00	0.00	0.00	ND	ND	
303	-739	-740	1	1		0.00	88	0.00	0.00	0.00	0.00	ND	ND	
303	-740	-741	1	1		0.00	88	0.00	0.00	0.00	0.00	ND	ND	
303	-741	-742	1	1		0.00	88	0.00	0.00	0.00	0.00	ND	ND	
303	-742	-743	1	1		0.00	88	0.00	0.00	0.00	0.00	ND	ND	
303	-743	-744	1	1		0.00	88	0.00	0.00	0.00	0.00	ND	ND	
303	-744	-745	1	1		0.00	88	0.00	0.00	0.00	0.00	ND	ND	
303	-745	-746	1	1		0.00	88	0.00	0.00	0.00	0.00	ND	ND	
303	-746	-747	1	1		0.00	88	0.00	0.00	0.00	0.00	ND	ND	
303	-747	-748	1	31		0.00	88	0.00	0.00	0.00	0.00	ND	ND	
304	-794	-795	1	30		0.00	88	0.00	0.00	0.00	0.00	ND	ND	
304	-795	-796	1	1		0.00	88	0.00	0.00	0.00	0.00	ND	ND	
304	-796	-797	1	1		0.00	88	0.00	0.00	0.00	0.00	ND	ND	
304	-797	-798	1	1		0.00	88	0.00	0.00	0.00	0.00	ND	ND	
304	-798	-799	1	1		0.00	88	0.00	0.00	0.00	0.00	ND	ND	
304	-799	-800	1	1		0.00	88	0.00	0.00	0.00	0.00	ND	ND	
304	-800	-801	1	1		0.00	88	0.00	0.00	0.00	0.00	ND	ND	
304	-801	-802	1	1		0.00	88	0.00	0.00	0.00	0.00	ND	ND	
304	-802	-803	1	1		0.00	88	0.00	0.00	0.00	0.00	ND	ND	
304	-803	312	1	1		0.00	88	0.00	0.00	0.00	0.00	ND	ND	
304	312	-804	1	1		0.00	88	0.00	0.00	0.00	0.00	ND	ND	
304	-804	-805	1	1		0.00	88	0.00	0.00	0.00	0.00	ND	ND	
304	-805	-806	1	1		0.00	88	0.00	0.00	0.00	0.00	ND	ND	
304	-806	-807	1	1		0.00	88	0.00	0.00	0.00	0.00	ND	ND	
304	-807	-808	1	1		0.00	88	0.00	0.00	0.00	0.00	ND	CC	
304	-808	-809	1	1		0.00	88	0.00	0.00	0.00	0.00	CC	ND	
304	-809	-810	1	1		0.00	88	0.00	0.00	0.00	0.00	ND	ND	
304	-810	-811	1	1		0.00	88	0.00	0.00	0.00	0.00	ND	ND	
304	-811	-812	1	1		0.00	88	0.00	0.00	0.00	0.00	ND	ND	
304	-812	-1295	1	1		0.00	88	0.00	0.00	0.00	0.00	ND	ND	
304	-1295	-813	1	1		0.00	88	0.00	0.00	0.00	0.00	ND	ND	
304	-813	-1293	1	1		0.00	88	0.00	0.00	0.00	0.00	ND	ND	
304	-1293	-814	1	1		0.00	88	0.00	0.00	0.00	0.00	ND	ND	
304	-814	-815	1	1		0.00	88	0.00	0.00	0.00	0.00	ND	ND	
304	-815	-816	1	1		0.00	88	0.00	0.00	0.00	0.00	ND	ND	
304	-816	-1288	1	1		0.00	88	0.00	0.00	0.00	0.00	ND	ND	
304	-1288	-817	1	1		0.00	88	0.00	0.00	0.00	0.00	ND	ND	
304	-817	-1286	1	1		0.00	88	0.00	0.00	0.00	0.00	ND	ND	

304	-1286	-818	1	1		0.00	88	0.00	0.00	0.00	0.00	ND	ND	
304	-818	-819	1	1		0.00	88	0.00	0.00	0.00	0.00	ND	ND	
304	-819	-820	1	1		0.00	88	0.00	0.00	0.00	0.00	ND	ND	
304	-820	-821	1	1		0.00	88	0.00	0.00	0.00	0.00	ND	ND	
304	-821	-822	1	1		0.00	88	0.00	0.00	0.00	0.00	ND	CC	
304	-822	-823	1	1		0.00	88	0.00	0.00	0.00	0.00	CC	ND	
304	-823	-824	1	1		0.00	88	0.00	0.00	0.00	0.00	ND	ND	
304	-824	-825	1	1		0.00	88	0.00	0.00	0.00	0.00	ND	ND	
304	-825	-826	1	1		0.00	88	0.00	0.00	0.00	0.00	ND	ND	
304	-826	313	1	1		0.00	88	0.00	0.00	0.00	0.00	ND	ND	
304	313	-827	1	1		0.00	88	0.00	0.00	0.00	0.00	ND	ND	
304	-827	-828	1	1		0.00	88	0.00	0.00	0.00	0.00	ND	ND	
304	-828	-829	1	1		0.00	88	0.00	0.00	0.00	0.00	ND	ND	
304	-829	-830	1	1		0.00	88	0.00	0.00	0.00	0.00	ND	ND	
304	-830	-831	1	1		0.00	88	0.00	0.00	0.00	0.00	ND	ND	
304	-831	-832	1	1		0.00	88	0.00	0.00	0.00	0.00	ND	ND	
304	-832	-833	1	1		0.00	88	0.00	0.00	0.00	0.00	ND	ND	
304	-833	-834	1	1		0.00	88	0.00	0.00	0.00	0.00	ND	ND	
304	-834	-835	1	1		0.00	88	0.00	0.00	0.00	0.00	ND	ND	
304	-835	-836	1	31		0.00	88	0.00	0.00	0.00	0.00	ND	ND	
305	-837	-838	1	30		0.00	88	0.00	0.00	0.00	0.00	ND	ND	
305	-838	-839	1	1		0.00	88	0.00	0.00	0.00	0.00	ND	ND	
305	-839	-840	1	1		0.00	88	0.00	0.00	0.00	0.00	ND	ND	
305	-840	-841	1	1		0.00	88	0.00	0.00	0.00	0.00	ND	ND	
305	-841	-842	1	1		0.00	88	0.00	0.00	0.00	0.00	ND	ND	
305	-842	-843	1	1		0.00	88	0.00	0.00	0.00	0.00	ND	ND	
305	-843	-844	1	1		0.00	88	0.00	0.00	0.00	0.00	ND	ND	
305	-844	-845	1	1		0.00	88	0.00	0.00	0.00	0.00	ND	ND	
305	-845	-846	1	1		0.00	88	0.00	0.00	0.00	0.00	ND	ND	
305	-846	-847	1	1		0.00	88	0.00	0.00	0.00	0.00	ND	ND	
305	-847	-848	1	1		0.00	88	0.00	0.00	0.00	0.00	ND	ND	
305	-848	-849	1	1		0.00	88	0.00	0.00	0.00	0.00	ND	ND	
305	-849	-850	1	1		0.00	88	0.00	0.00	0.00	0.00	ND	ND	
305	-850	-851	1	1		0.00	88	0.00	0.00	0.00	0.00	ND	ND	
305	-851	-852	1	1		0.00	88	0.00	0.00	0.00	0.00	ND	CC	
305	-852	-853	1	1		0.00	88	0.00	0.00	0.00	0.00	CC	ND	
305	-853	-854	1	1		0.00	88	0.00	0.00	0.00	0.00	ND	ND	
305	-854	-855	1	1		0.00	88	0.00	0.00	0.00	0.00	ND	ND	
305	-855	-856	1	1		0.00	88	0.00	0.00	0.00	0.00	ND	ND	
305	-856	-1297	1	1		0.00	88	0.00	0.00	0.00	0.00	ND	ND	
305	-1297	-857	1	1		0.00	88	0.00	0.00	0.00	0.00	ND	ND	
305	-857	-1296	1	1		0.00	88	0.00	0.00	0.00	0.00	ND	ND	
305	-1296	-858	1	1		0.00	88	0.00	0.00	0.00	0.00	ND	ND	
305	-858	-859	1	1		0.00	88	0.00	0.00	0.00	0.00	ND	ND	
305	-859	-860	1	1		0.00	88	0.00	0.00	0.00	0.00	ND	ND	
305	-860	-1289	1	1		0.00	88	0.00	0.00	0.00	0.00	ND	ND	
305	-1289	-861	1	1		0.00	88	0.00	0.00	0.00	0.00	ND	ND	
305	-861	-1287	1	1		0.00	88	0.00	0.00	0.00	0.00	ND	ND	
305	-1287	-862	1	1		0.00	88	0.00	0.00	0.00	0.00	ND	ND	
305	-862	-863	1	1		0.00	88	0.00	0.00	0.00	0.00	ND	ND	
305	-863	-864	1	1		0.00	88	0.00	0.00	0.00	0.00	ND	ND	
305	-864	-865	1	1		0.00	88	0.00	0.00	0.00	0.00	ND	ND	
305	-865	-866	1	1		0.00	88	0.00	0.00	0.00	0.00	ND	CC	
305	-866	-867	1	1		0.00	88	0.00	0.00	0.00	0.00	CC	ND	
305	-867	-868	1	1		0.00	88	0.00	0.00	0.00	0.00	ND	ND	
305	-868	-869	1	1		0.00	88	0.00	0.00	0.00	0.00	ND	ND	
305	-869	-870	1	1		0.00	88	0.00	0.00	0.00	0.00	ND	ND	
305	-870	-871	1	1		0.00	88	0.00	0.00	0.00	0.00	ND	ND	
305	-871	-872	1	1		0.00	88	0.00	0.00	0.00	0.00	ND	ND	
305	-872	-873	1	1		0.00	88	0.00	0.00	0.00	0.00	ND	ND	
305	-873	-874	1	1		0.00	88	0.00	0.00	0.00	0.00	ND	ND	
305	-874	-875	1	1		0.00	88	0.00	0.00	0.00	0.00	ND	ND	
305	-875	-876	1	1		0.00	88	0.00	0.00	0.00	0.00	ND	ND	
305	-876	-877	1	1		0.00	88	0.00	0.00	0.00	0.00	ND	ND	
305	-877	-878	1	1		0.00	88	0.00	0.00	0.00	0.00	ND	ND	
305	-878	-879	1	1		0.00	88	0.00	0.00	0.00	0.00	ND	ND	
305	-879	-880	1	1		0.00	88	0.00	0.00	0.00	0.00	ND	ND	
305	-880	-881	1	31		0.00	88	0.00	0.00	0.00	0.00	ND	ND	
306	-882	-883	1	30		0.00	88	0.00	0.00	0.00	0.00	ND	ND	
306	-883	-884	1	1		0.00	88	0.00	0.00	0.00	0.00	ND	ND	
306	-884	-885	1	1		0.00	88	0.00	0.00	0.00	0.00	ND	ND	
306	-885	-886	1	1		0.00	88	0.00	0.00	0.00	0.00	ND	ND	
306	-886	-887	1	1		0.00	88	0.00	0.00	0.00	0.00	ND	ND	
306	-887	-888	1	1		0.00	88	0.00	0.00	0.00	0.00	ND	ND	
306	-888	-889	1	1		0.00	88	0.00	0.00	0.00	0.00	ND	ND	
306	-889	-890	1	1		0.00	88	0.00	0.00	0.00	0.00	ND	ND	
306	-890	-891	1	1		0.00	88	0.00	0.00	0.00	0.00	ND	ND	
306	-891	314	1	1		0.00	88	0.00	0.00	0.00	0.00	ND	ND	
306	314	-892	1	1		0.00	88	0.00	0.00	0.00	0.00	ND	ND	

306	-892	-893	1	1		0.00	88	0.00	0.00	0.00	0.00	ND	ND	
306	-893	-894	1	1		0.00	88	0.00	0.00	0.00	0.00	ND	ND	
306	-894	-895	1	1		0.00	88	0.00	0.00	0.00	0.00	ND	ND	
306	-895	-896	1	1		0.00	88	0.00	0.00	0.00	0.00	ND	CC	
306	-896	-897	1	1		0.00	88	0.00	0.00	0.00	0.00	CC	ND	
306	-897	-898	1	1		0.00	88	0.00	0.00	0.00	0.00	ND	ND	
306	-898	-899	1	1		0.00	88	0.00	0.00	0.00	0.00	ND	ND	
306	-899	-900	1	1		0.00	88	0.00	0.00	0.00	0.00	ND	ND	
306	-900	-1317	1	1		0.00	88	0.00	0.00	0.00	0.00	ND	ND	
306	-1317	-901	1	1		0.00	88	0.00	0.00	0.00	0.00	ND	ND	
306	-901	-1316	1	1		0.00	88	0.00	0.00	0.00	0.00	ND	ND	
306	-1316	-902	1	1		0.00	88	0.00	0.00	0.00	0.00	ND	ND	
306	-902	-903	1	1		0.00	88	0.00	0.00	0.00	0.00	ND	ND	
306	-903	-904	1	1		0.00	88	0.00	0.00	0.00	0.00	ND	ND	
306	-904	-1315	1	1		0.00	88	0.00	0.00	0.00	0.00	ND	ND	
306	-1315	-905	1	1		0.00	88	0.00	0.00	0.00	0.00	ND	ND	
306	-905	-1314	1	1		0.00	88	0.00	0.00	0.00	0.00	ND	ND	
306	-1314	-906	1	1		0.00	88	0.00	0.00	0.00	0.00	ND	ND	
306	-906	-907	1	1		0.00	88	0.00	0.00	0.00	0.00	ND	ND	
306	-907	-908	1	1		0.00	88	0.00	0.00	0.00	0.00	ND	ND	
306	-908	-909	1	1		0.00	88	0.00	0.00	0.00	0.00	ND	ND	
306	-909	-910	1	1		0.00	88	0.00	0.00	0.00	0.00	ND	CC	
306	-910	-911	1	1		0.00	88	0.00	0.00	0.00	0.00	CC	ND	
306	-911	-912	1	1		0.00	88	0.00	0.00	0.00	0.00	ND	ND	
306	-912	-913	1	1		0.00	88	0.00	0.00	0.00	0.00	ND	ND	
306	-913	-914	1	1		0.00	88	0.00	0.00	0.00	0.00	ND	ND	
306	-914	315	1	1		0.00	88	0.00	0.00	0.00	0.00	ND	ND	
306	315	-915	1	1		0.00	88	0.00	0.00	0.00	0.00	ND	ND	
306	-915	-916	1	1		0.00	88	0.00	0.00	0.00	0.00	ND	ND	
306	-916	-917	1	1		0.00	88	0.00	0.00	0.00	0.00	ND	ND	
306	-917	-918	1	1		0.00	88	0.00	0.00	0.00	0.00	ND	ND	
306	-918	-919	1	1		0.00	88	0.00	0.00	0.00	0.00	ND	ND	
306	-919	-920	1	1		0.00	88	0.00	0.00	0.00	0.00	ND	ND	
306	-920	-921	1	1		0.00	88	0.00	0.00	0.00	0.00	ND	ND	
306	-921	-922	1	1		0.00	88	0.00	0.00	0.00	0.00	ND	ND	
306	-922	-923	1	1		0.00	88	0.00	0.00	0.00	0.00	ND	ND	
306	-923	-924	1	31		0.00	88	0.00	0.00	0.00	0.00	ND	ND	
307	-925	-926	1	30		0.00	88	0.00	0.00	0.00	0.00	ND	ND	
307	-926	-927	1	1		0.00	88	0.00	0.00	0.00	0.00	ND	ND	
307	-927	-928	1	1		0.00	88	0.00	0.00	0.00	0.00	ND	ND	
307	-928	-929	1	1		0.00	88	0.00	0.00	0.00	0.00	ND	ND	
307	-929	-930	1	1		0.00	88	0.00	0.00	0.00	0.00	ND	ND	
307	-930	-931	1	1		0.00	88	0.00	0.00	0.00	0.00	ND	ND	
307	-931	-932	1	1		0.00	88	0.00	0.00	0.00	0.00	ND	ND	
307	-932	-933	1	1		0.00	88	0.00	0.00	0.00	0.00	ND	ND	
307	-933	-934	1	1		0.00	88	0.00	0.00	0.00	0.00	ND	ND	
307	-934	-935	1	1		0.00	88	0.00	0.00	0.00	0.00	ND	ND	
307	-935	-936	1	1		0.00	88	0.00	0.00	0.00	0.00	ND	ND	
307	-936	-937	1	1		0.00	88	0.00	0.00	0.00	0.00	ND	ND	
307	-937	-938	1	1		0.00	88	0.00	0.00	0.00	0.00	ND	ND	
307	-938	-939	1	1		0.00	88	0.00	0.00	0.00	0.00	ND	ND	
307	-939	-940	1	1		0.00	88	0.00	0.00	0.00	0.00	ND	CC	
307	-940	-941	1	1		0.00	88	0.00	0.00	0.00	0.00	CC	ND	
307	-941	-942	1	1		0.00	88	0.00	0.00	0.00	0.00	ND	ND	
307	-942	-943	1	1		0.00	88	0.00	0.00	0.00	0.00	ND	ND	
307	-943	-944	1	1		0.00	88	0.00	0.00	0.00	0.00	ND	ND	
307	-944	-1284	1	1		0.00	88	0.00	0.00	0.00	0.00	ND	ND	
307	-1284	-945	1	1		0.00	88	0.00	0.00	0.00	0.00	ND	ND	
307	-945	-1282	1	1		0.00	88	0.00	0.00	0.00	0.00	ND	ND	
307	-1282	-946	1	1		0.00	88	0.00	0.00	0.00	0.00	ND	ND	
307	-946	-947	1	1		0.00	88	0.00	0.00	0.00	0.00	ND	ND	
307	-947	-948	1	1		0.00	88	0.00	0.00	0.00	0.00	ND	ND	
307	-948	-1280	1	1		0.00	88	0.00	0.00	0.00	0.00	ND	ND	
307	-1280	-949	1	1		0.00	88	0.00	0.00	0.00	0.00	ND	ND	
307	-949	-1278	1	1		0.00	88	0.00	0.00	0.00	0.00	ND	ND	
307	-1278	-950	1	1		0.00	88	0.00	0.00	0.00	0.00	ND	ND	
307	-950	-951	1	1		0.00	88	0.00	0.00	0.00	0.00	ND	ND	
307	-951	-952	1	1		0.00	88	0.00	0.00	0.00	0.00	ND	ND	
307	-952	-953	1	1		0.00	88	0.00	0.00	0.00	0.00	ND	ND	
307	-953	-954	1	1		0.00	88	0.00	0.00	0.00	0.00	ND	CC	
307	-954	-955	1	1		0.00	88	0.00	0.00	0.00	0.00	CC	ND	
307	-955	-956	1	1		0.00	88	0.00	0.00	0.00	0.00	ND	ND	
307	-956	-957	1	1		0.00	88	0.00	0.00	0.00	0.00	ND	ND	
307	-957	-958	1	1		0.00	88	0.00	0.00	0.00	0.00	ND	ND	
307	-958	-959	1	1		0.00	88	0.00	0.00	0.00	0.00	ND	ND	
307	-959	-960	1	1		0.00	88	0.00	0.00	0.00	0.00	ND	ND	
307	-960	-961	1	1		0.00	88	0.00	0.00	0.00	0.00	ND	ND	
307	-961	-962	1	1		0.00	88	0.00	0.00	0.00	0.00	ND	ND	
307	-962	-963	1	1		0.00	88	0.00	0.00	0.00	0.00	ND	ND	

307	-963	-964	1	1		0.00	88	0.00	0.00	0.00	0.00	ND	ND	
307	-964	-965	1	1		0.00	88	0.00	0.00	0.00	0.00	ND	ND	
307	-965	-966	1	1		0.00	88	0.00	0.00	0.00	0.00	ND	ND	
307	-966	-967	1	1		0.00	88	0.00	0.00	0.00	0.00	ND	ND	
307	-967	-968	1	1		0.00	88	0.00	0.00	0.00	0.00	ND	ND	
307	-968	-969	1	31		0.00	88	0.00	0.00	0.00	0.00	ND	ND	
308	-970	-971	1	30		0.00	88	0.00	0.00	0.00	0.00	ND	ND	
308	-971	-972	1	1		0.00	88	0.00	0.00	0.00	0.00	ND	ND	
308	-972	-973	1	1		0.00	88	0.00	0.00	0.00	0.00	ND	ND	
308	-973	-974	1	1		0.00	88	0.00	0.00	0.00	0.00	ND	ND	
308	-974	-975	1	1		0.00	88	0.00	0.00	0.00	0.00	ND	ND	
308	-975	-976	1	1		0.00	88	0.00	0.00	0.00	0.00	ND	ND	
308	-976	-977	1	1		0.00	88	0.00	0.00	0.00	0.00	ND	ND	
308	-977	-978	1	1		0.00	88	0.00	0.00	0.00	0.00	ND	ND	
308	-978	-979	1	1		0.00	88	0.00	0.00	0.00	0.00	ND	ND	
308	-979	316	1	1		0.00	88	0.00	0.00	0.00	0.00	ND	ND	
308	316	-980	1	1		0.00	88	0.00	0.00	0.00	0.00	ND	ND	
308	-980	-981	1	1		0.00	88	0.00	0.00	0.00	0.00	ND	ND	
308	-981	-982	1	1		0.00	88	0.00	0.00	0.00	0.00	ND	ND	
308	-982	-983	1	1		0.00	88	0.00	0.00	0.00	0.00	ND	ND	
308	-983	-984	1	1		0.00	88	0.00	0.00	0.00	0.00	ND	CC	
308	-984	-985	1	1		0.00	88	0.00	0.00	0.00	0.00	CC	ND	
308	-985	-986	1	1		0.00	88	0.00	0.00	0.00	0.00	ND	ND	
308	-986	-987	1	1		0.00	88	0.00	0.00	0.00	0.00	ND	ND	
308	-987	-988	1	1		0.00	88	0.00	0.00	0.00	0.00	ND	ND	
308	-988	-1285	1	1		0.00	88	0.00	0.00	0.00	0.00	ND	ND	
308	-1285	-989	1	1		0.00	88	0.00	0.00	0.00	0.00	ND	ND	
308	-989	-1283	1	1		0.00	88	0.00	0.00	0.00	0.00	ND	ND	
308	-1283	-990	1	1		0.00	88	0.00	0.00	0.00	0.00	ND	ND	
308	-990	-991	1	1		0.00	88	0.00	0.00	0.00	0.00	ND	ND	
308	-991	-992	1	1		0.00	88	0.00	0.00	0.00	0.00	ND	ND	
308	-992	-1281	1	1		0.00	88	0.00	0.00	0.00	0.00	ND	ND	
308	-1281	-993	1	1		0.00	88	0.00	0.00	0.00	0.00	ND	ND	
308	-993	-1279	1	1		0.00	88	0.00	0.00	0.00	0.00	ND	ND	
308	-1279	-994	1	1		0.00	88	0.00	0.00	0.00	0.00	ND	ND	
308	-994	-995	1	1		0.00	88	0.00	0.00	0.00	0.00	ND	ND	
308	-995	-996	1	1		0.00	88	0.00	0.00	0.00	0.00	ND	ND	
308	-996	-997	1	1		0.00	88	0.00	0.00	0.00	0.00	ND	ND	
308	-997	-998	1	1		0.00	88	0.00	0.00	0.00	0.00	ND	CC	
308	-998	-999	1	1		0.00	88	0.00	0.00	0.00	0.00	CC	ND	
308	-999	-1000	1	1		0.00	88	0.00	0.00	0.00	0.00	ND	ND	
308	-1000	-1001	1	1		0.00	88	0.00	0.00	0.00	0.00	ND	ND	
308	-1001	-1002	1	1		0.00	88	0.00	0.00	0.00	0.00	ND	ND	
308	-1002	317	1	1		0.00	88	0.00	0.00	0.00	0.00	ND	ND	
308	317	-1003	1	1		0.00	88	0.00	0.00	0.00	0.00	ND	ND	
308	-1003	-1004	1	1		0.00	88	0.00	0.00	0.00	0.00	ND	ND	
308	-1004	-1005	1	1		0.00	88	0.00	0.00	0.00	0.00	ND	ND	
308	-1005	-1006	1	1		0.00	88	0.00	0.00	0.00	0.00	ND	ND	
308	-1006	-1007	1	1		0.00	88	0.00	0.00	0.00	0.00	ND	ND	
308	-1007	-1008	1	1		0.00	88	0.00	0.00	0.00	0.00	ND	ND	
308	-1008	-1009	1	1		0.00	88	0.00	0.00	0.00	0.00	ND	ND	
308	-1009	-1010	1	1		0.00	88	0.00	0.00	0.00	0.00	ND	ND	
308	-1010	-1011	1	1		0.00	88	0.00	0.00	0.00	0.00	ND	ND	
308	-1011	-1012	1	31		0.00	88	0.00	0.00	0.00	0.00	ND	ND	
309	-1058	-1059	1	30		0.00	88	0.00	0.00	0.00	0.00	ND	ND	
309	-1059	-1060	1	1		0.00	88	0.00	0.00	0.00	0.00	ND	ND	
309	-1060	-1061	1	1		0.00	88	0.00	0.00	0.00	0.00	ND	ND	
309	-1061	-1062	1	1		0.00	88	0.00	0.00	0.00	0.00	ND	ND	
309	-1062	-1063	1	1		0.00	88	0.00	0.00	0.00	0.00	ND	ND	
309	-1063	-1064	1	1		0.00	88	0.00	0.00	0.00	0.00	ND	ND	
309	-1064	-1065	1	1		0.00	88	0.00	0.00	0.00	0.00	ND	ND	
309	-1065	-1066	1	1		0.00	88	0.00	0.00	0.00	0.00	ND	ND	
309	-1066	-1067	1	1		0.00	88	0.00	0.00	0.00	0.00	ND	ND	
309	-1067	-1068	1	1		0.00	88	0.00	0.00	0.00	0.00	ND	ND	
309	-1068	-1069	1	1		0.00	88	0.00	0.00	0.00	0.00	ND	ND	
309	-1069	-1070	1	1		0.00	88	0.00	0.00	0.00	0.00	ND	ND	
309	-1070	-1071	1	1		0.00	88	0.00	0.00	0.00	0.00	ND	ND	
309	-1071	-1072	1	1		0.00	88	0.00	0.00	0.00	0.00	ND	ND	
309	-1072	-1073	1	1		0.00	88	0.00	0.00	0.00	0.00	ND	CC	
309	-1073	-1074	1	1		0.00	88	0.00	0.00	0.00	0.00	CC	ND	
309	-1074	-1075	1	1		0.00	88	0.00	0.00	0.00	0.00	ND	ND	
309	-1075	-1076	1	1		0.00	88	0.00	0.00	0.00	0.00	ND	ND	
309	-1076	-1077	1	1		0.00	88	0.00	0.00	0.00	0.00	ND	ND	
309	-1077	-1320	1	1		0.00	88	0.00	0.00	0.00	0.00	ND	ND	
309	-1320	-1078	1	1		0.00	88	0.00	0.00	0.00	0.00	ND	ND	
309	-1078	-1322	1	1		0.00	88	0.00	0.00	0.00	0.00	ND	ND	
309	-1322	-1079	1	1		0.00	88	0.00	0.00	0.00	0.00	ND	ND	
309	-1079	-1080	1	1		0.00	88	0.00	0.00	0.00	0.00	ND	ND	
309	-1080	-1081	1	1		0.00	88	0.00	0.00	0.00	0.00	ND	ND	

309	-1081	-1275	1	1		0.00	88	0.00	0.00	0.00	0.00	ND	ND	
309	-1275	-1082	1	1		0.00	88	0.00	0.00	0.00	0.00	ND	ND	
309	-1082	-1277	1	1		0.00	88	0.00	0.00	0.00	0.00	ND	ND	
309	-1277	-1083	1	1		0.00	88	0.00	0.00	0.00	0.00	ND	ND	
309	-1083	-1084	1	1		0.00	88	0.00	0.00	0.00	0.00	ND	ND	
309	-1084	-1085	1	1		0.00	88	0.00	0.00	0.00	0.00	ND	ND	
309	-1085	-1086	1	1		0.00	88	0.00	0.00	0.00	0.00	ND	ND	
309	-1086	-1087	1	1		0.00	88	0.00	0.00	0.00	0.00	ND	CC	
309	-1087	-1088	1	1		0.00	88	0.00	0.00	0.00	0.00	CC	ND	
309	-1088	-1089	1	1		0.00	88	0.00	0.00	0.00	0.00	ND	ND	
309	-1089	-1090	1	1		0.00	88	0.00	0.00	0.00	0.00	ND	ND	
309	-1090	-1091	1	1		0.00	88	0.00	0.00	0.00	0.00	ND	ND	
309	-1091	-1092	1	1		0.00	88	0.00	0.00	0.00	0.00	ND	ND	
309	-1092	-1093	1	1		0.00	88	0.00	0.00	0.00	0.00	ND	ND	
309	-1093	-1094	1	1		0.00	88	0.00	0.00	0.00	0.00	ND	ND	
309	-1094	-1095	1	1		0.00	88	0.00	0.00	0.00	0.00	ND	ND	
309	-1095	-1096	1	1		0.00	88	0.00	0.00	0.00	0.00	ND	ND	
309	-1096	-1097	1	1		0.00	88	0.00	0.00	0.00	0.00	ND	ND	
309	-1097	-1098	1	1		0.00	88	0.00	0.00	0.00	0.00	ND	ND	
309	-1098	-1099	1	1		0.00	88	0.00	0.00	0.00	0.00	ND	ND	
309	-1099	-1100	1	1		0.00	88	0.00	0.00	0.00	0.00	ND	ND	
309	-1100	-1101	1	1		0.00	88	0.00	0.00	0.00	0.00	ND	ND	
309	-1101	-1102	1	31		0.00	88	0.00	0.00	0.00	0.00	ND	ND	
310	-1146	-1147	1	30		0.00	88	0.00	0.00	0.00	0.00	ND	ND	
310	-1147	-1148	1	1		0.00	88	0.00	0.00	0.00	0.00	ND	ND	
310	-1148	-1149	1	1		0.00	88	0.00	0.00	0.00	0.00	ND	ND	
310	-1149	-1150	1	1		0.00	88	0.00	0.00	0.00	0.00	ND	ND	
310	-1150	-1151	1	1		0.00	88	0.00	0.00	0.00	0.00	ND	ND	
310	-1151	-1152	1	1		0.00	88	0.00	0.00	0.00	0.00	ND	ND	
310	-1152	-1153	1	1		0.00	88	0.00	0.00	0.00	0.00	ND	ND	
310	-1153	-1154	1	1		0.00	88	0.00	0.00	0.00	0.00	ND	ND	
310	-1154	-1155	1	1		0.00	88	0.00	0.00	0.00	0.00	ND	ND	
310	-1155	318	1	1		0.00	88	0.00	0.00	0.00	0.00	ND	ND	
310	318	-1156	1	1		0.00	88	0.00	0.00	0.00	0.00	ND	ND	
310	-1156	-1157	1	1		0.00	88	0.00	0.00	0.00	0.00	ND	ND	
310	-1157	-1158	1	1		0.00	88	0.00	0.00	0.00	0.00	ND	ND	
310	-1158	-1159	1	1		0.00	88	0.00	0.00	0.00	0.00	ND	ND	
310	-1159	-1160	1	1		0.00	88	0.00	0.00	0.00	0.00	ND	CC	
310	-1160	-1161	1	1		0.00	88	0.00	0.00	0.00	0.00	CC	ND	
310	-1161	-1162	1	1		0.00	88	0.00	0.00	0.00	0.00	ND	ND	
310	-1162	-1163	1	1		0.00	88	0.00	0.00	0.00	0.00	ND	ND	
310	-1163	-1164	1	1		0.00	88	0.00	0.00	0.00	0.00	ND	ND	
310	-1164	-1326	1	1		0.00	88	0.00	0.00	0.00	0.00	ND	ND	
310	-1326	-1165	1	1		0.00	88	0.00	0.00	0.00	0.00	ND	ND	
310	-1165	-1327	1	1		0.00	88	0.00	0.00	0.00	0.00	ND	ND	
310	-1327	-1166	1	1		0.00	88	0.00	0.00	0.00	0.00	ND	ND	
310	-1166	-1167	1	1		0.00	88	0.00	0.00	0.00	0.00	ND	ND	
310	-1167	-1168	1	1		0.00	88	0.00	0.00	0.00	0.00	ND	ND	
310	-1168	-1328	1	1		0.00	88	0.00	0.00	0.00	0.00	ND	ND	
310	-1328	-1169	1	1		0.00	88	0.00	0.00	0.00	0.00	ND	ND	
310	-1169	-1329	1	1		0.00	88	0.00	0.00	0.00	0.00	ND	ND	
310	-1329	-1170	1	1		0.00	88	0.00	0.00	0.00	0.00	ND	ND	
310	-1170	-1171	1	1		0.00	88	0.00	0.00	0.00	0.00	ND	ND	
310	-1171	-1172	1	1		0.00	88	0.00	0.00	0.00	0.00	ND	ND	
310	-1172	-1173	1	1		0.00	88	0.00	0.00	0.00	0.00	ND	ND	
310	-1173	-1174	1	1		0.00	88	0.00	0.00	0.00	0.00	ND	CC	
310	-1174	-1175	1	1		0.00	88	0.00	0.00	0.00	0.00	CC	ND	
310	-1175	-1176	1	1		0.00	88	0.00	0.00	0.00	0.00	ND	ND	
310	-1176	-1177	1	1		0.00	88	0.00	0.00	0.00	0.00	ND	ND	
310	-1177	-1178	1	1		0.00	88	0.00	0.00	0.00	0.00	ND	ND	
310	-1178	319	1	1		0.00	88	0.00	0.00	0.00	0.00	ND	ND	
310	319	-1179	1	1		0.00	88	0.00	0.00	0.00	0.00	ND	ND	
310	-1179	-1180	1	1		0.00	88	0.00	0.00	0.00	0.00	ND	ND	
310	-1180	-1181	1	1		0.00	88	0.00	0.00	0.00	0.00	ND	ND	
310	-1181	-1182	1	1		0.00	88	0.00	0.00	0.00	0.00	ND	ND	
310	-1182	-1183	1	1		0.00	88	0.00	0.00	0.00	0.00	ND	ND	
310	-1183	-1184	1	1		0.00	88	0.00	0.00	0.00	0.00	ND	ND	
310	-1184	-1185	1	1		0.00	88	0.00	0.00	0.00	0.00	ND	ND	
310	-1185	-1186	1	1		0.00	88	0.00	0.00	0.00	0.00	ND	ND	
310	-1186	-1187	1	1		0.00	88	0.00	0.00	0.00	0.00	ND	ND	
310	-1187	-1188	1	31		0.00	88	0.00	0.00	0.00	0.00	ND	ND	
311	320	-1189	1	30		0.00	88	0.00	0.00	0.00	0.00	ND	ND	
311	-1189	-1190	1	1		0.00	88	0.00	0.00	0.00	0.00	ND	ND	
311	-1190	-1191	1	1		0.00	88	0.00	0.00	0.00	0.00	ND	ND	
311	-1191	-1192	1	1		0.00	88	0.00	0.00	0.00	0.00	ND	ND	
311	-1192	321	1	1		0.00	88	0.00	0.00	0.00	0.00	ND	ND	
311	321	-1193	1	1		0.00	88	0.00	0.00	0.00	0.00	ND	ND	
311	-1193	-1194	1	1		0.00	88	0.00	0.00	0.00	0.00	ND	ND	
311	-1194	-1195	1	1		0.00	88	0.00	0.00	0.00	0.00	ND	ND	

311	-1195	-1196	1	1		0.00	88	0.00	0.00	0.00	0.00	ND	ND	
311	-1196	-1197	1	1		0.00	88	0.00	0.00	0.00	0.00	ND	ND	
311	-1197	322	1	1		0.00	88	0.00	0.00	0.00	0.00	ND	ND	
311	322	-1198	1	1		0.00	88	0.00	0.00	0.00	0.00	ND	ND	
311	-1198	-1199	1	1		0.00	88	0.00	0.00	0.00	0.00	ND	ND	
311	-1199	-1200	1	1		0.00	88	0.00	0.00	0.00	0.00	ND	ND	
311	-1200	-1201	1	1		0.00	88	0.00	0.00	0.00	0.00	ND	CC	
311	-1201	-1202	1	1		0.00	88	0.00	0.00	0.00	0.00	CC	ND	
311	-1202	323	1	1		0.00	88	0.00	0.00	0.00	0.00	ND	ND	
311	323	-1203	1	1		0.00	88	0.00	0.00	0.00	0.00	ND	ND	
311	-1203	-1204	1	1		0.00	88	0.00	0.00	0.00	0.00	ND	ND	
311	-1204	-1330	1	1		0.00	88	0.00	0.00	0.00	0.00	ND	ND	
311	-1330	-1205	1	1		0.00	88	0.00	0.00	0.00	0.00	ND	ND	
311	-1205	-1331	1	1		0.00	88	0.00	0.00	0.00	0.00	ND	ND	
311	-1331	-1206	1	1		0.00	88	0.00	0.00	0.00	0.00	ND	ND	
311	-1206	324	1	1		0.00	88	0.00	0.00	0.00	0.00	ND	ND	
311	324	-1207	1	1		0.00	88	0.00	0.00	0.00	0.00	ND	ND	
311	-1207	-1332	1	1		0.00	88	0.00	0.00	0.00	0.00	ND	ND	
311	-1332	-1208	1	1		0.00	88	0.00	0.00	0.00	0.00	ND	ND	
311	-1208	-1334	1	1		0.00	88	0.00	0.00	0.00	0.00	ND	ND	
311	-1334	-1209	1	1		0.00	88	0.00	0.00	0.00	0.00	ND	ND	
311	-1209	-1210	1	1		0.00	88	0.00	0.00	0.00	0.00	ND	ND	
311	-1210	325	1	1		0.00	88	0.00	0.00	0.00	0.00	ND	ND	
311	325	-1211	1	1		0.00	88	0.00	0.00	0.00	0.00	ND	ND	
311	-1211	-1212	1	1		0.00	88	0.00	0.00	0.00	0.00	ND	CC	
311	-1212	-1213	1	1		0.00	88	0.00	0.00	0.00	0.00	CC	ND	
311	-1213	-1214	1	1		0.00	88	0.00	0.00	0.00	0.00	ND	ND	
311	-1214	-1215	1	1		0.00	88	0.00	0.00	0.00	0.00	ND	ND	
311	-1215	326	1	1		0.00	88	0.00	0.00	0.00	0.00	ND	ND	
311	326	-1216	1	1		0.00	88	0.00	0.00	0.00	0.00	ND	ND	
311	-1216	-1217	1	1		0.00	88	0.00	0.00	0.00	0.00	ND	ND	
311	-1217	-1218	1	1		0.00	88	0.00	0.00	0.00	0.00	ND	ND	
311	-1218	-1219	1	1		0.00	88	0.00	0.00	0.00	0.00	ND	ND	
311	-1219	-1220	1	1		0.00	88	0.00	0.00	0.00	0.00	ND	ND	
311	-1220	327	1	1		0.00	88	0.00	0.00	0.00	0.00	ND	ND	
311	327	-1221	1	1		0.00	88	0.00	0.00	0.00	0.00	ND	ND	
311	-1221	-1222	1	1		0.00	88	0.00	0.00	0.00	0.00	ND	ND	
311	-1222	-1223	1	1		0.00	88	0.00	0.00	0.00	0.00	ND	ND	
311	-1223	-1224	1	1		0.00	88	0.00	0.00	0.00	0.00	ND	ND	
311	-1224	328	1	31		0.00	88	0.00	0.00	0.00	0.00	ND	ND	
313	-590	310	4	1		0.00	33	0.00	0.00	0.00	0.00	ND	ND	
313	310	329	4	1		0.00	33	0.00	0.00	0.00	0.00	ND	ND	
313	329	-714	4	1		0.00	33	0.00	0.00	0.00	0.00	ND	ND	
313	-714	-759	4	1		0.00	33	0.00	0.00	0.00	0.00	ND	ND	
313	-759	312	4	1		0.00	33	0.00	0.00	0.00	0.00	ND	ND	
313	312	-847	4	1		0.00	33	0.00	0.00	0.00	0.00	ND	ND	
313	-847	314	4	1		0.00	33	0.00	0.00	0.00	0.00	ND	ND	
313	314	-935	4	1		0.00	33	0.00	0.00	0.00	0.00	ND	ND	
313	-935	316	4	1		0.00	33	0.00	0.00	0.00	0.00	ND	ND	
313	316	-1023	4	1		0.00	33	0.00	0.00	0.00	0.00	ND	ND	
313	-1023	-1068	4	1		0.00	33	0.00	0.00	0.00	0.00	ND	ND	
313	-1068	331	4	1		0.00	33	0.00	0.00	0.00	0.00	ND	ND	
313	331	318	4	1		0.00	33	0.00	0.00	0.00	0.00	ND	ND	
313	318	-1197	4	1		0.00	33	0.00	0.00	0.00	0.00	ND	ND	
314	-609	311	4	1		0.00	11	0.00	0.00	0.00	0.00	ND	ND	
314	311	330	4	1		0.00	11	0.00	0.00	0.00	0.00	ND	ND	
314	330	-738	4	1		0.00	11	0.00	0.00	0.00	0.00	ND	ND	
314	-738	-783	4	1		0.00	11	0.00	0.00	0.00	0.00	ND	ND	
314	-783	313	4	1		0.00	11	0.00	0.00	0.00	0.00	ND	ND	
314	313	-871	4	1		0.00	11	0.00	0.00	0.00	0.00	ND	ND	
314	-871	315	4	1		0.00	11	0.00	0.00	0.00	0.00	ND	ND	
314	315	-959	4	1		0.00	11	0.00	0.00	0.00	0.00	ND	ND	
314	-959	317	4	1		0.00	11	0.00	0.00	0.00	0.00	ND	ND	
314	317	-1047	4	1		0.00	11	0.00	0.00	0.00	0.00	ND	ND	
314	-1047	-1092	4	1		0.00	11	0.00	0.00	0.00	0.00	ND	ND	
314	-1092	332	4	1		0.00	11	0.00	0.00	0.00	0.00	ND	ND	
314	332	319	4	1		0.00	11	0.00	0.00	0.00	0.00	ND	ND	
314	319	-1216	4	1		0.00	11	0.00	0.00	0.00	0.00	ND	ND	
602	-503	-375	3	7		0.00	55	0.00	0.00	0.00	0.00	SA	SA	
604	-511	-377	3	7		0.00	55	0.00	0.00	0.00	0.00	SA	SA	
606	-515	-379	3	7		0.00	55	0.00	0.00	0.00	0.00	SA	SA	
608	-519	-381	3	7		0.00	55	0.00	0.00	0.00	0.00	SA	SA	
610	-527	-383	3	7		0.00	55	0.00	0.00	0.00	0.00	SA	SA	
612	-375	-377	2	7		230.00	44	0.00	0.00	0.00	0.00	ND	ND	
612	-377	-379	2	7		230.00	44	0.00	0.00	0.00	0.00	ND	ND	
612	-379	-381	2	7		230.00	44	0.00	0.00	0.00	0.00	ND	ND	
612	-381	-383	2	7		230.00	44	0.00	0.00	0.00	0.00	ND	ND	
615	-378	-376	2	7		230.00	44	0.00	0.00	0.00	0.00	ND	ND	
615	-380	-378	2	7		230.00	44	0.00	0.00	0.00	0.00	ND	ND	

615	-382	-380	2	7		230.00	44	0.00	0.00	0.00	0.00	ND	ND	
615	-384	-382	2	7		230.00	44	0.00	0.00	0.00	0.00	ND	ND	
617	-41	-375	3	6		0.00	55	0.00	0.00	0.00	0.00	PF	ND	
617	-375	10	3	5		0.00	55	0.00	0.00	0.00	0.00	ND	SAR	
619	12	-511	3	7		0.00	55	0.00	0.00	0.00	0.00	SAR	PF3	
621	22	-379	3	6		0.00	55	0.00	0.00	0.00	0.00	PF	ND	
621	-379	14	3	5		0.00	55	0.00	0.00	0.00	0.00	ND	ND	
623	16	-519	3	7		0.00	55	0.00	0.00	0.00	0.00	SAR	PF3	
625	-179	-383	3	6		0.00	55	0.00	0.00	0.00	0.00	PF	ND	
625	-383	18	3	5		0.00	55	0.00	0.00	0.00	0.00	ND	ND	
632	10	-503	3	7		0.00	55	0.00	0.00	0.00	0.00	SAR	PF3	
634	20	-377	3	6		0.00	55	0.00	0.00	0.00	0.00	PF	ND	
634	-377	12	3	5		0.00	55	0.00	0.00	0.00	0.00	ND	ND	
636	14	-515	3	7		0.00	55	0.00	0.00	0.00	0.00	SAR	PF3	
638	24	-381	3	6		0.00	55	0.00	0.00	0.00	0.00	PF	ND	
638	-381	16	3	5		0.00	55	0.00	0.00	0.00	0.00	ND	ND	
640	18	-527	3	7		0.00	55	0.00	0.00	0.00	0.00	SAR	PF3	
647	11	-504	3	7		0.00	55	0.00	0.00	0.00	0.00	SAR	PF3	
649	13	-512	3	7		0.00	55	0.00	0.00	0.00	0.00	SAR	PF3	
651	-380	15	3	5		0.00	55	0.00	0.00	0.00	0.00	ND	ND	
651	23	-380	3	6		0.00	55	0.00	0.00	0.00	0.00	PF	ND	
653	17	-520	3	7		0.00	55	0.00	0.00	0.00	0.00	SAR	PF3	
655	-384	19	3	5		0.00	55	0.00	0.00	0.00	0.00	ND	ND	
655	-182	-384	3	6		0.00	55	0.00	0.00	0.00	0.00	PF	ND	
662	-376	11	3	5		0.00	55	0.00	0.00	0.00	0.00	ND	ND	
662	-44	-376	3	6		0.00	55	0.00	0.00	0.00	0.00	PF	ND	
664	-378	13	3	5		0.00	55	0.00	0.00	0.00	0.00	ND	ND	
664	21	-378	3	6		0.00	55	0.00	0.00	0.00	0.00	PF	ND	
666	15	-516	3	7		0.00	55	0.00	0.00	0.00	0.00	SAR	PF3	
668	-382	17	3	5		0.00	55	0.00	0.00	0.00	0.00	ND	ND	
668	25	-382	3	6		0.00	55	0.00	0.00	0.00	0.00	PF	ND	
670	19	-528	3	7		0.00	55	0.00	0.00	0.00	0.00	SAR	PF3	
677	-376	-504	3	7		0.00	55	0.00	0.00	0.00	0.00	SA	SA	
679	-378	-512	3	7		0.00	55	0.00	0.00	0.00	0.00	SA	SA	
681	-380	-516	3	7		0.00	55	0.00	0.00	0.00	0.00	SA	SA	
683	-382	-520	3	7		0.00	55	0.00	0.00	0.00	0.00	SA	SA	
685	-384	-528	3	7		0.00	55	0.00	0.00	0.00	0.00	SA	SA	

Elenco tipi elementi bidimensionali

Simbologia

Tb = Numero del tipo muro/elemento bidimensionale
Comm. = Commento
Tipo = Tipologia
F = Membranale e Flessionale
M = Membranale
W-RC = Winkler resistente solo a compressione
W-RTC = Winkler resistente a trazione e a compressione
Uso = Utilizzo
G = Generico
P = Parete
S = Soletta/Platea
N = Nucleo
M = Muratura ordinaria
L = Pilastro
MA = Muratura armata
X = Pannello X-LAM
Mat. = Numero del materiale
Crit. = Numero del criterio di progetto
Spess. = Spessore
Kt = Coeff. di sottofondo su suolo elastico alla Winkler

Tb	Comm.	Tipo	Uso	Mat.	Crit.	Spess. <cm>	Kt <daN/cmc>
1	Soletta cls 15cm	F	S		1	15.00	
2	Soletta cls 12cm Cordolo laterale	F	S		1	15.00	
4	Calcestruzzo 70cm	F	P	7	1	70.00	
5	Soletta fondazione 90cm	W-RTC	S	7	1	90.00	f(strat.)
6	Calcestruzzo 50cm	F	P	7	1	50.00	

Elenco elementi bidimensionali

Simbologia

Bid. = Numero del muro/elemento bidimensionale
Tb = Numero del tipo muro/elemento bidimensionale
FF = Filo fisso
Dy1 = Scost. filo fisso Y1
Dy2 = Scost. filo fisso Y2
Kt = Coeff. di sottofondo su suolo elastico alla Winkler
NN = Nodi

Bid.	Tb	FF	Dy1 <cm>	Dy2 <cm>	Kt <daN/cmc>	NN
0	1	11	0.00	0.00		-1532 -1833 -1466 -1867
0	1	11	0.00	0.00		-1832 -1532 -1867 -1465
0	1	11	0.00	0.00		-1831 -1547 -2083 -1464
0	1	11	0.00	0.00		-1830 -1699 -1762 -1463
0	1	11	0.00	0.00		-1829 -1830 -1463 -1462
0	1	11	0.00	0.00		-1828 -1829 -1462 -1460
0	1	11	0.00	0.00		-1875 -1876 -1478 -1477
0	1	11	0.00	0.00		-1876 -1877 -1479 -1478
0	1	11	0.00	0.00		-1877 -1878 -1480 -1479
0	1	11	0.00	0.00		-1878 -1879 -1481 -1480
0	1	11	0.00	0.00		-1879 -1880 -1482 -1481
0	1	11	0.00	0.00		-1880 -1881 -1491 -1482
0	1	11	0.00	0.00		-1881 -1974 -1973 -1491
0	1	11	0.00	0.00		-1882 -1911 -1912 -1492
0	1	11	0.00	0.00		-1834 -2080 -2079 -1467
0	1	11	0.00	0.00		-1348 -1349 -1561 -1560
0	1	11	0.00	0.00		-1347 -1348 -1560 -1559
0	1	11	0.00	0.00		-1346 -1915 -1916 -1558
0	1	11	0.00	0.00		-1385 -1346 -1558 440
0	1	11	0.00	0.00		-1344 -1345 -1572 -1537
0	1	11	0.00	0.00		-1345 -1913 -1914 -1572
0	1	11	0.00	0.00		-1343 -1342 -1574 -1573
0	1	11	0.00	0.00		-1342 -1868 -1575 -1574
0	1	11	0.00	0.00		-1868 -1869 -1576 -1575
0	1	11	0.00	0.00		-1869 -1870 -1577 -1576
0	1	11	0.00	0.00		-1870 -1871 -1578 -1577
0	1	11	0.00	0.00		-1871 -1872 -1613 -1578
0	1	11	0.00	0.00		-1874 -1873 -1476 -1848
0	1	11	0.00	0.00		-1858 -1851 -1380 -1379
0	1	11	0.00	0.00		-1856 -1858 -1379 -1378
0	1	11	0.00	0.00		-1695 -1856 -1378 -1377
0	1	11	0.00	0.00		-1694 -2061 -2068 -1376
0	1	11	0.00	0.00		-1693 -2084 -2072 -1375
0	1	11	0.00	0.00		-1862 -1693 -1375 -1374
0	1	11	0.00	0.00		-1866 -1862 -1374 -1373
0	1	11	0.00	0.00		-1865 -2085 -2073 -1372
0	1	11	0.00	0.00		-1864 -2086 -2074 -1371
0	1	11	0.00	0.00		-1861 -1864 -1371 -1370
0	1	11	0.00	0.00		-1857 -1861 -1370 -1369
0	1	11	0.00	0.00		-1845 -1857 -1369 -1368
0	1	11	0.00	0.00		-1844 -1845 -1368 -1361
0	1	11	0.00	0.00		-1843 -1844 -1361 -1360
0	1	11	0.00	0.00		-1839 -1843 -1360 -1359
0	1	11	0.00	0.00		-1836 -1948 -1947 -1358
0	1	11	0.00	0.00		-1850 -1836 -1358 -1357
0	1	11	0.00	0.00		-1863 -1783 -1428 441
0	1	11	0.00	0.00		-1783 -1946 -1949 -1428
0	1	11	0.00	0.00		-1784 -1785 -1430 -1429
0	1	11	0.00	0.00		-1512 -1511 -1570 -1569
0	1	11	0.00	0.00		-1513 -1512 -1569 -1568
0	1	11	0.00	0.00		-1514 -1513 -1568 -1567
0	1	11	0.00	0.00		-1515 -1514 -1567 -1566
0	1	11	0.00	0.00		-1516 -1925 -1921 -1565
0	1	11	0.00	0.00		-1578 -1613 -1509 -1510
0	1	11	0.00	0.00		-1577 -1578 -1510 -1511
0	1	11	0.00	0.00		-1576 -1577 -1511 -1512
0	1	11	0.00	0.00		-1575 -1576 -1512 -1513
0	1	11	0.00	0.00		-1574 -1575 -1513 -1514
0	1	11	0.00	0.00		-1573 -1574 -1514 -1515
0	1	11	0.00	0.00		-1572 -1914 -1925 -1516
0	1	11	0.00	0.00		430 -1551 -1586 -1534
0	1	11	0.00	0.00		-1551 -1926 -1927 -1586
0	1	11	0.00	0.00		-1552 -1553 -1588 -1587
0	1	11	0.00	0.00		-1553 -1554 -1589 -1588
0	1	11	0.00	0.00		-1554 -1555 -1590 -1589
0	1	11	0.00	0.00		-1555 -1556 -1591 -1590
0	1	11	0.00	0.00		-1556 -1557 -1592 -1591
0	1	11	0.00	0.00		-1557 -1610 -1615 -1592
0	1	11	0.00	0.00		-1534 -1586 -1579 433
0	1	11	0.00	0.00		-1586 -1927 -1928 -1579
0	1	11	0.00	0.00		-1587 -1588 -1581 -1580
0	1	11	0.00	0.00		-1588 -1589 -1582 -1581
0	1	11	0.00	0.00		-1589 -1590 -1583 -1582
0	1	11	0.00	0.00		-1590 -1591 -1584 -1583
0	1	11	0.00	0.00		-1591 -1592 -1585 -1584
0	1	11	0.00	0.00		-1592 -1615 -1614 -1585

0	1	11	0.00	0.00		440 -1558 -1593 -1531
0	1	11	0.00	0.00		-1558 -1916 -1929 -1593
0	1	11	0.00	0.00		-1559 -1560 -1595 -1594
0	1	11	0.00	0.00		-1560 -1561 -1596 -1595
0	1	11	0.00	0.00		-1561 -1562 -1597 -1596
0	1	11	0.00	0.00		-1562 -1563 -1598 -1597
0	1	11	0.00	0.00		-1563 -1564 -1599 -1598
0	1	11	0.00	0.00		-1564 -1611 -1616 -1599
0	1	11	0.00	0.00		-1840 -1607 -1354 -1353
0	1	11	0.00	0.00		-1697 -1840 -1353 -1351
0	1	11	0.00	0.00		-1696 -1697 -1351 -1350
0	1	11	0.00	0.00		-1690 -1696 -1350 -1349
0	1	11	0.00	0.00		-1685 -1690 -1349 -1348
0	1	11	0.00	0.00		-1414 -1685 -1348 -1347
0	1	11	0.00	0.00		-1618 -1930 -1915 -1346
0	1	11	0.00	0.00		-1536 -1618 -1346 -1385
0	1	11	0.00	0.00		433 -1579 -1345 -1344
0	1	11	0.00	0.00		-1579 -1928 -1913 -1345
0	1	11	0.00	0.00		-1580 -1581 -1342 -1343
0	1	11	0.00	0.00		-1581 -1582 -1868 -1342
0	1	11	0.00	0.00		-1582 -1583 -1869 -1868
0	1	11	0.00	0.00		-1583 -1584 -1870 -1869
0	1	11	0.00	0.00		-1584 -1585 -1871 -1870
0	1	11	0.00	0.00		-1585 -1614 -1872 -1871
0	1	11	0.00	0.00		-1531 -1593 -1551 430
0	1	11	0.00	0.00		-1593 -1929 -1926 -1551
0	1	11	0.00	0.00		-1594 -1595 -1553 -1552
0	1	11	0.00	0.00		-1595 -1596 -1554 -1553
0	1	11	0.00	0.00		-1596 -1597 -1555 -1554
0	1	11	0.00	0.00		-1597 -1598 -1556 -1555
0	1	11	0.00	0.00		-1598 -1599 -1557 -1556
0	1	11	0.00	0.00		-1599 -1616 -1610 -1557
0	1	11	0.00	0.00		-1408 -1407 -1607 -1840
0	1	11	0.00	0.00		-1409 -1408 -1840 -1697
0	1	11	0.00	0.00		-1437 -1409 -1697 -1696
0	1	11	0.00	0.00		-1440 -1437 -1696 -1690
0	1	11	0.00	0.00		-1444 -1440 -1690 -1685
0	1	11	0.00	0.00		-1447 -1444 -1685 -1414
0	1	11	0.00	0.00		-1451 -1931 -1930 -1618
0	1	11	0.00	0.00		-1543 -1608 -1407 -1408
0	1	11	0.00	0.00		-1542 -1543 -1408 -1409
0	1	11	0.00	0.00		-1541 -1542 -1409 -1437
0	1	11	0.00	0.00		-1860 -1541 -1437 -1440
0	1	11	0.00	0.00		-1855 -1860 -1440 -1444
0	1	11	0.00	0.00		-1854 -1855 -1444 -1447
0	1	11	0.00	0.00		-1841 -1932 -1931 -1451
0	2	11	0.00	0.00		-1606 -1617 -2127 -2128
0	2	11	0.00	0.00		-1605 -1606 -2128 -2129
0	2	11	0.00	0.00		-1604 -1605 -2129 -2130
0	2	11	0.00	0.00		-1603 -1604 -2130 -2131
0	2	11	0.00	0.00		-1602 -1603 -2131 -2132
0	2	11	0.00	0.00		-1601 -1602 -2132 -2133
0	2	11	0.00	0.00		-1600 -1933 -2134 -2135
0	2	11	0.00	0.00		-1822 -1539 -2136 -2137
0	2	11	0.00	0.00		-1821 -1934 -2138 -2139
0	2	11	0.00	0.00		-1820 -1821 -2139 -2140
0	2	11	0.00	0.00		-1819 -1820 -2140 -2141
0	2	11	0.00	0.00		-1818 -1819 -2141 -2142
0	2	11	0.00	0.00		-1817 -1818 -2142 -2143
0	2	11	0.00	0.00		-1816 -1817 -2143 -2144
0	2	11	0.00	0.00		-1815 -1816 -2144 -2145
0	2	11	0.00	0.00		-1814 -2087 -2146 -2147
0	2	11	0.00	0.00		-1813 -2089 -2148 -2149
0	2	11	0.00	0.00		-1533 -1813 -2149 -2150
0	2	11	0.00	0.00		-1812 -1533 -2150 -2151
0	2	11	0.00	0.00		-1811 -2091 -2152 -2153
0	2	11	0.00	0.00		-1810 -2093 -2154 -2155
0	2	11	0.00	0.00		-1809 -1810 -2155 -2156
0	2	11	0.00	0.00		-1808 -1809 -2156 -2157
0	2	11	0.00	0.00		-1807 -1808 -2157 -2158
0	2	11	0.00	0.00		-1806 -1807 -2158 -2159
0	2	11	0.00	0.00		-1805 -1806 -2159 -2160
0	2	11	0.00	0.00		-1804 -1805 -2160 -2161
0	2	11	0.00	0.00		-1803 -1950 -2162 -2163
0	1	11	0.00	0.00		-1782 431 438 -1387
0	1	11	0.00	0.00		-1781 -1935 -1936 -1388
0	1	11	0.00	0.00		-1780 -1781 -1388 -1389
0	1	11	0.00	0.00		-1779 -1780 -1389 -1390
0	1	11	0.00	0.00		-1778 -1779 -1390 -1391

0	1	11	0.00	0.00		-1777 -1778 -1391 -1392
0	1	11	0.00	0.00		-1776 -1777 -1392 -1393
0	1	11	0.00	0.00		-1775 -1776 -1393 -1394
0	1	11	0.00	0.00		-1774 -2088 -2095 -1395
0	1	11	0.00	0.00		-1773 -2090 -2096 -1396
0	1	11	0.00	0.00		-1413 -1773 -1396 -1386
0	1	11	0.00	0.00		-1772 -1413 -1386 -1397
0	1	11	0.00	0.00		-1771 -2092 -2097 -1398
0	1	11	0.00	0.00		-1770 -2094 -2098 -1399
0	1	11	0.00	0.00		-1769 -1770 -1399 -1400
0	1	11	0.00	0.00		-1768 -1769 -1400 -1401
0	1	11	0.00	0.00		-1767 -1768 -1401 -1402
0	1	11	0.00	0.00		-1766 -1767 -1402 -1403
0	1	11	0.00	0.00		-1765 -1766 -1403 -1404
0	1	11	0.00	0.00		-1764 -1765 -1404 -1405
0	1	11	0.00	0.00		-1763 -1951 -1952 -1406
0	1	11	0.00	0.00		-1387 438 -1536 -1838
0	1	11	0.00	0.00		-1388 -1936 -1924 -1837
0	1	11	0.00	0.00		-1389 -1388 -1837 -1853
0	1	11	0.00	0.00		-1390 -1389 -1853 -1852
0	1	11	0.00	0.00		-1391 -1390 -1852 -1851
0	1	11	0.00	0.00		-1392 -1391 -1851 -1858
0	1	11	0.00	0.00		-1393 -1392 -1858 -1856
0	1	11	0.00	0.00		-1394 -1393 -1856 -1695
0	1	11	0.00	0.00		-1395 -2095 -2061 -1694
0	1	11	0.00	0.00		-1396 -2096 -2084 -1693
0	1	11	0.00	0.00		-1386 -1396 -1693 -1862
0	1	11	0.00	0.00		-1397 -1386 -1862 -1866
0	1	11	0.00	0.00		-1398 -2097 -2085 -1865
0	1	11	0.00	0.00		-1399 -2098 -2086 -1864
0	1	11	0.00	0.00		-1400 -1399 -1864 -1861
0	1	11	0.00	0.00		-1401 -1400 -1861 -1857
0	1	11	0.00	0.00		-1402 -1401 -1857 -1845
0	1	11	0.00	0.00		-1403 -1402 -1845 -1844
0	1	11	0.00	0.00		-1404 -1403 -1844 -1843
0	1	11	0.00	0.00		-1405 -1404 -1843 -1839
0	1	11	0.00	0.00		-1406 -1952 -1948 -1836
0	1	11	0.00	0.00		441 -1428 -1823 -1859
0	1	11	0.00	0.00		-1428 -1949 -1953 -1823
0	1	11	0.00	0.00		-1429 -1430 -1825 -1824
0	1	11	0.00	0.00		-1430 -1431 -1826 -1825
0	1	11	0.00	0.00		-1431 -1432 -1827 -1826
0	1	11	0.00	0.00		-1432 -1433 -1828 -1827
0	1	11	0.00	0.00		-1433 -1434 -1829 -1828
0	1	11	0.00	0.00		-1434 -1435 -1830 -1829
0	1	11	0.00	0.00		-1435 -2099 -1699 -1830
0	1	11	0.00	0.00		-1436 -2100 -1547 -1831
0	1	11	0.00	0.00		-1438 -1846 -1532 -1832
0	1	11	0.00	0.00		-1846 -1439 -1833 -1532
0	1	11	0.00	0.00		-1439 -2101 -2082 -1833
0	1	11	0.00	0.00		-1441 -2102 -2080 -1834
0	1	11	0.00	0.00		-1442 -1443 -1412 -1835
0	1	11	0.00	0.00		-1443 -1445 -1410 -1412
0	1	11	0.00	0.00		-1445 -1446 -1411 -1410
0	1	11	0.00	0.00		-1446 -1448 -1688 -1411
0	1	11	0.00	0.00		-1448 -1449 -1691 -1688
0	1	11	0.00	0.00		-1449 -1450 -1692 -1691
0	1	11	0.00	0.00		-1450 -1937 -1917 -1692
0	1	11	0.00	0.00		-1452 430 -1534 -1698
0	1	11	0.00	0.00		439 -1453 -1873 -1874
0	1	11	0.00	0.00		-1453 -1954 -1943 -1873
0	1	11	0.00	0.00		-1454 -1455 -1876 -1875
0	1	11	0.00	0.00		-1455 -1456 -1877 -1876
0	1	11	0.00	0.00		-1456 -1459 -1878 -1877
0	1	11	0.00	0.00		-1459 -1460 -1879 -1878
0	1	11	0.00	0.00		-1460 -1462 -1880 -1879
0	1	11	0.00	0.00		-1462 -1463 -1881 -1880
0	1	11	0.00	0.00		-1463 -1762 -1974 -1881
0	1	11	0.00	0.00		-1464 -2083 -1911 -1882
0	1	11	0.00	0.00		-1465 -1867 -1884 -1883
0	1	11	0.00	0.00		-1867 -1466 -1885 -1884
0	1	11	0.00	0.00		-1466 -2081 -2103 -1885
0	1	11	0.00	0.00		-1467 -2079 -2104 -1886
0	1	11	0.00	0.00		-1468 -1469 -1888 -1887
0	1	11	0.00	0.00		-1469 -1470 -1889 -1888
0	1	11	0.00	0.00		-1470 -1471 -1890 -1889
0	1	11	0.00	0.00		-1471 -1472 -1891 -1890
0	1	11	0.00	0.00		-1472 -1473 -1892 -1891
0	1	11	0.00	0.00		-1473 -1474 -1893 -1892

0	1	11	0.00	0.00		-1474 -1918 -1938 -1893
0	1	11	0.00	0.00		-1475 433 -1344 -1894
0	1	11	0.00	0.00		-1859 -1823 -1453 439
0	1	11	0.00	0.00		-1823 -1953 -1954 -1453
0	1	11	0.00	0.00		-1824 -1825 -1455 -1454
0	1	11	0.00	0.00		-1825 -1826 -1456 -1455
0	1	11	0.00	0.00		-1826 -1827 -1459 -1456
0	1	11	0.00	0.00		-1827 -1828 -1460 -1459
0	1	11	0.00	0.00		-1785 -1786 -1431 -1430
0	1	11	0.00	0.00		-1786 -1787 -1432 -1431
0	1	11	0.00	0.00		-1787 -1788 -1433 -1432
0	1	11	0.00	0.00		-1788 -1789 -1434 -1433
0	1	11	0.00	0.00		-1789 -1790 -1435 -1434
0	1	11	0.00	0.00		-1790 -2077 -2099 -1435
0	1	11	0.00	0.00		-1791 -2075 -2100 -1436
0	1	11	0.00	0.00		-1792 -1535 -1846 -1438
0	1	11	0.00	0.00		-1535 -1793 -1439 -1846
0	1	11	0.00	0.00		-1793 -2064 -2101 -1439
0	1	11	0.00	0.00		-1794 -2062 -2102 -1441
0	1	11	0.00	0.00		-1795 -1796 -1443 -1442
0	1	11	0.00	0.00		-1796 -1797 -1445 -1443
0	1	11	0.00	0.00		-1797 -1798 -1446 -1445
0	1	11	0.00	0.00		-1798 -1799 -1448 -1446
0	1	11	0.00	0.00		-1799 -1800 -1449 -1448
0	1	11	0.00	0.00		-1800 -1801 -1450 -1449
0	1	11	0.00	0.00		-1801 -1923 -1937 -1450
0	1	11	0.00	0.00		-1705 -1537 437 -1458
0	1	11	0.00	0.00		-1704 -1939 -1940 -1461
0	1	11	0.00	0.00		-1703 -1704 -1461 -1483
0	1	11	0.00	0.00		-1702 -1703 -1483 -1484
0	1	11	0.00	0.00		-1701 -1702 -1484 -1485
0	1	11	0.00	0.00		-1700 -1701 -1485 -1486
0	1	11	0.00	0.00		-1497 -1700 -1486 -1487
0	1	11	0.00	0.00		-1496 -1497 -1487 -1488
0	1	11	0.00	0.00		-1495 -2105 -2106 -1489
0	1	11	0.00	0.00		-1494 -2107 -2108 -1498
0	1	11	0.00	0.00		-1842 -1494 -1498 -1457
0	1	11	0.00	0.00		-1493 -1842 -1457 -1499
0	1	11	0.00	0.00		-1492 -1912 -2109 -1500
0	1	11	0.00	0.00		-1491 -1973 -2110 -1501
0	1	11	0.00	0.00		-1482 -1491 -1501 -1502
0	1	11	0.00	0.00		-1481 -1482 -1502 -1503
0	1	11	0.00	0.00		-1480 -1481 -1503 -1504
0	1	11	0.00	0.00		-1479 -1480 -1504 -1505
0	1	11	0.00	0.00		-1478 -1479 -1505 -1506
0	1	11	0.00	0.00		-1477 -1478 -1506 -1507
0	1	11	0.00	0.00		-1476 -1944 -1955 -1508
0	1	11	0.00	0.00		-1458 437 432 -1745
0	1	11	0.00	0.00		-1461 -1940 -1941 -1744
0	1	11	0.00	0.00		-1483 -1461 -1744 -1743
0	1	11	0.00	0.00		-1484 -1483 -1743 -1742
0	1	11	0.00	0.00		-1485 -1484 -1742 -1741
0	1	11	0.00	0.00		-1486 -1485 -1741 -1740
0	1	11	0.00	0.00		-1487 -1486 -1740 -1739
0	1	11	0.00	0.00		-1488 -1487 -1739 -1738
0	1	11	0.00	0.00		-1489 -2106 -2111 -1737
0	1	11	0.00	0.00		-1498 -2108 -2112 -1736
0	1	11	0.00	0.00		-1457 -1498 -1736 -1847
0	1	11	0.00	0.00		-1499 -1457 -1847 -1735
0	1	11	0.00	0.00		-1500 -2109 -2113 -1734
0	1	11	0.00	0.00		-1501 -2110 -2114 -1733
0	1	11	0.00	0.00		-1502 -1501 -1733 -1732
0	1	11	0.00	0.00		-1503 -1502 -1732 -1731
0	1	11	0.00	0.00		-1504 -1503 -1731 -1730
0	1	11	0.00	0.00		-1505 -1504 -1730 -1729
0	1	11	0.00	0.00		-1506 -1505 -1729 -1728
0	1	11	0.00	0.00		-1507 -1506 -1728 -1727
0	1	11	0.00	0.00		-1508 -1955 -1956 -1726
0	2	11	0.00	0.00		-2069 -1540 -1976 -2013
0	2	11	0.00	0.00		-1744 -1941 -2182 -2183
0	2	11	0.00	0.00		-1743 -1744 -2183 -2184
0	2	11	0.00	0.00		-1742 -1743 -2184 -2185
0	2	11	0.00	0.00		-1741 -1742 -2185 -2186
0	2	11	0.00	0.00		-2067 -1758 -2009 -2008
0	2	11	0.00	0.00		-1757 -2067 -2008 -2007
0	2	11	0.00	0.00		-1738 -1739 -2187 -2188
0	2	11	0.00	0.00		-1737 -2111 -2189 -2190
0	2	11	0.00	0.00		-1736 -2112 -2191 -2192
0	2	11	0.00	0.00		-1847 -1736 -2192 -2193

0	2	11	0.00	0.00		-2065 -1689 -1993 -2003
0	2	11	0.00	0.00		-1753 -2117 -2118 -2002
0	2	11	0.00	0.00		-1733 -2114 -2194 -2195
0	2	11	0.00	0.00		-1732 -1733 -2195 -2196
0	2	11	0.00	0.00		-1731 -1732 -2196 -2197
0	2	11	0.00	0.00		-2063 -1750 -1999 -1998
0	2	11	0.00	0.00		-1749 -2063 -1998 -1997
0	2	11	0.00	0.00		-1728 -1729 -2198 -2199
0	2	11	0.00	0.00		-1727 -1728 -2199 -2200
0	2	11	0.00	0.00		-1726 -1956 -2201 -2202
0	2	11	0.00	0.00		-1539 -1600 -2135 -2136
0	2	11	0.00	0.00		-1687 -1803 -2163 -2164
0	1	11	0.00	0.00		438 -1451 -1618 -1536
0	1	11	0.00	0.00		431 -1841 -1451 438
0	1	11	0.00	0.00		436 -1763 -1406 429
0	1	11	0.00	0.00		429 -1406 -1836 -1850
0	1	11	0.00	0.00		-1802 -1531 430 -1452
0	1	11	0.00	0.00		-1537 -1572 -1516 437
0	1	11	0.00	0.00		-1848 -1476 -1508 435
0	1	11	0.00	0.00		437 -1516 -1565 432
0	1	11	0.00	0.00		435 -1508 -1726 434
0	2	11	0.00	0.00		432 -1565 -2181 -2203
0	2	11	0.00	0.00		434 -1726 -2202 -2204
0	1	11	0.00	0.00		-1529 429 -1850 -1416
0	1	11	0.00	0.00		-1530 -1958 -1959 -1415
0	1	11	0.00	0.00		-1490 -1530 -1415 -1367
0	1	11	0.00	0.00		-1538 -1490 -1367 -1366
0	1	11	0.00	0.00		-1525 -1538 -1366 -1365
0	1	11	0.00	0.00		-1526 -1525 -1365 -1364
0	1	11	0.00	0.00		-1527 -1526 -1364 -1363
0	1	11	0.00	0.00		-1528 -1527 -1363 -1427
0	1	11	0.00	0.00		-1362 436 429 -1529
0	1	11	0.00	0.00		-1356 -1960 -1958 -1530
0	1	11	0.00	0.00		-1355 -1356 -1530 -1490
0	1	11	0.00	0.00		-1352 -1355 -1490 -1538
0	1	11	0.00	0.00		-1684 -1352 -1538 -1525
0	1	11	0.00	0.00		-1683 -1684 -1525 -1526
0	1	11	0.00	0.00		-1682 -1683 -1526 -1527
0	1	11	0.00	0.00		-1426 -1682 -1527 -1528
0	2	11	0.00	0.00		-1625 -1687 -2164 -2165
0	2	11	0.00	0.00		-1624 -1961 -2166 -2167
0	2	11	0.00	0.00		-1623 -1624 -2167 -2168
0	2	11	0.00	0.00		-1622 -1623 -2168 -2169
0	2	11	0.00	0.00		-1621 -1622 -2169 -2170
0	2	11	0.00	0.00		-1620 -1621 -2170 -2171
0	2	11	0.00	0.00		-1619 -1620 -2171 -2172
0	2	11	0.00	0.00		-1417 -1619 -2172 -2173
0	1	11	0.00	0.00		-1521 435 434 -1660
0	1	11	0.00	0.00		-1522 -1962 -1963 -1659
0	1	11	0.00	0.00		-1523 -1522 -1659 -1658
0	1	11	0.00	0.00		-1524 -1523 -1658 -1657
0	1	11	0.00	0.00		-1517 -1524 -1657 -1656
0	1	11	0.00	0.00		-1518 -1517 -1656 -1655
0	1	11	0.00	0.00		-1519 -1518 -1655 -1654
0	1	11	0.00	0.00		-1520 -1519 -1654 -1422
0	2	11	0.00	0.00		-1422 -1654 -2205 -2206
0	2	11	0.00	0.00		-1654 -1655 -2207 -2205
0	2	11	0.00	0.00		-1655 -1656 -2208 -2207
0	2	11	0.00	0.00		-1656 -1657 -2209 -2208
0	2	11	0.00	0.00		-1657 -1658 -2210 -2209
0	2	11	0.00	0.00		-1658 -1659 -2211 -2210
0	2	11	0.00	0.00		-1659 -1963 -2212 -2211
0	1	11	0.00	0.00		-1653 -1848 435 -1521
0	1	11	0.00	0.00		-1652 -1965 -1962 -1522
0	1	11	0.00	0.00		-1651 -1652 -1522 -1523
0	1	11	0.00	0.00		-1650 -1651 -1523 -1524
0	1	11	0.00	0.00		-1649 -1650 -1524 -1517
0	1	11	0.00	0.00		-1648 -1649 -1517 -1518
0	1	11	0.00	0.00		-1647 -1648 -1518 -1519
0	1	11	0.00	0.00		-1421 -1647 -1519 -1520
0	1	11	0.00	0.00		-1424 -1668 -1633 -1419
0	1	11	0.00	0.00		-1668 -1669 -1634 -1633
0	1	11	0.00	0.00		-1669 -1670 -1635 -1634
0	1	11	0.00	0.00		-1670 -1671 -1636 -1635
0	1	11	0.00	0.00		-1671 -1672 -1637 -1636
0	1	11	0.00	0.00		-1672 -1673 -1638 -1637
0	1	11	0.00	0.00		-1673 -1966 -1967 -1638
0	1	11	0.00	0.00		-1674 441 -1859 -1639
0	1	11	0.00	0.00		-1419 -1633 -1640 -1420

0	1	11	0.00	0.00		-1633 -1634 -1641 -1640
0	1	11	0.00	0.00		-1634 -1635 -1642 -1641
0	1	11	0.00	0.00		-1635 -1636 -1643 -1642
0	1	11	0.00	0.00		-1636 -1637 -1644 -1643
0	1	11	0.00	0.00		-1637 -1638 -1645 -1644
0	1	11	0.00	0.00		-1638 -1967 -1968 -1645
0	1	11	0.00	0.00		-1639 -1859 439 -1646
0	1	11	0.00	0.00		-1416 -1850 -1357 -1895
0	1	11	0.00	0.00		-1415 -1959 -1969 -1896
0	1	11	0.00	0.00		-1367 -1415 -1896 -1897
0	1	11	0.00	0.00		-1366 -1367 -1897 -1898
0	1	11	0.00	0.00		-1365 -1366 -1898 -1899
0	1	11	0.00	0.00		-1364 -1365 -1899 -1900
0	1	11	0.00	0.00		-1363 -1364 -1900 -1901
0	1	11	0.00	0.00		-1427 -1363 -1901 -1902
0	1	11	0.00	0.00		-1423 -1661 -1626 -1418
0	1	11	0.00	0.00		-1661 -1662 -1627 -1626
0	1	11	0.00	0.00		-1662 -1663 -1628 -1627
0	1	11	0.00	0.00		-1663 -1664 -1629 -1628
0	1	11	0.00	0.00		-1664 -1665 -1630 -1629
0	1	11	0.00	0.00		-1665 -1666 -1631 -1630
0	1	11	0.00	0.00		-1666 -1970 -1971 -1631
0	1	11	0.00	0.00		-1667 442 -1863 -1632
0	1	11	0.00	0.00		-1420 -1640 -1904 -1903
0	1	11	0.00	0.00		-1640 -1641 -1905 -1904
0	1	11	0.00	0.00		-1641 -1642 -1906 -1905
0	1	11	0.00	0.00		-1642 -1643 -1907 -1906
0	1	11	0.00	0.00		-1643 -1644 -1908 -1907
0	1	11	0.00	0.00		-1644 -1645 -1909 -1908
0	1	11	0.00	0.00		-1645 -1968 -1972 -1909
0	1	11	0.00	0.00		-1646 439 -1874 -1910
0	1	11	0.00	0.00		-1418 -1626 -1668 -1424
0	1	11	0.00	0.00		-1626 -1627 -1669 -1668
0	1	11	0.00	0.00		-1627 -1628 -1670 -1669
0	1	11	0.00	0.00		-1628 -1629 -1671 -1670
0	1	11	0.00	0.00		-1629 -1630 -1672 -1671
0	1	11	0.00	0.00		-1630 -1631 -1673 -1672
0	1	11	0.00	0.00		-1631 -1971 -1966 -1673
0	2	11	0.00	0.00		-1660 434 -2204 -2213
0	1	11	0.00	0.00		-1632 -1863 441 -1674
0	1	11	0.00	0.00		-1885 -2103 -2107 -1494
0	1	11	0.00	0.00		-1886 -2104 -2105 -1495
0	1	11	0.00	0.00		-1887 -1888 -1497 -1496
0	1	11	0.00	0.00		-1888 -1889 -1700 -1497
0	1	11	0.00	0.00		-1889 -1890 -1701 -1700
0	1	11	0.00	0.00		-1890 -1891 -1702 -1701
0	1	11	0.00	0.00		-1891 -1892 -1703 -1702
0	1	11	0.00	0.00		-1892 -1893 -1704 -1703
0	1	11	0.00	0.00		-1893 -1938 -1939 -1704
0	1	11	0.00	0.00		-1894 -1344 -1537 -1705
0	1	11	0.00	0.00		-1895 -1357 442 -1667
0	1	11	0.00	0.00		-1896 -1969 -1970 -1666
0	1	11	0.00	0.00		-1897 -1896 -1666 -1665
0	1	11	0.00	0.00		-1898 -1897 -1665 -1664
0	1	11	0.00	0.00		-1899 -1898 -1664 -1663
0	1	11	0.00	0.00		-1900 -1899 -1663 -1662
0	1	11	0.00	0.00		-1901 -1900 -1662 -1661
0	1	11	0.00	0.00		-1902 -1901 -1661 -1423
0	1	11	0.00	0.00		-1903 -1904 -1647 -1421
0	1	11	0.00	0.00		-1904 -1905 -1648 -1647
0	1	11	0.00	0.00		-1905 -1906 -1649 -1648
0	1	11	0.00	0.00		-1906 -1907 -1650 -1649
0	1	11	0.00	0.00		-1907 -1908 -1651 -1650
0	1	11	0.00	0.00		-1908 -1909 -1652 -1651
0	1	11	0.00	0.00		-1909 -1972 -1965 -1652
0	1	11	0.00	0.00		-1910 -1874 -1848 -1653
0	1	11	0.00	0.00		-1547 -1832 -1465 -2083
0	1	11	0.00	0.00		-1699 -1831 -1464 -1762
0	1	11	0.00	0.00		-1974 -1882 -1492 -1973
0	1	11	0.00	0.00		-1911 -1883 -1493 -1912
0	1	11	0.00	0.00		-2076 -1715 -1792 -2075
0	1	11	0.00	0.00		-2078 -1714 -1791 -2077
0	1	11	0.00	0.00		-2080 -1835 -1468 -2079
0	1	11	0.00	0.00		-2082 -1834 -1467 -2081
0	1	11	0.00	0.00		-1913 -1343 -1573 -1914
0	1	11	0.00	0.00		-1915 -1347 -1559 -1916
0	1	11	0.00	0.00		-1917 -1698 -1475 -1918
0	1	11	0.00	0.00		-1919 -1384 -1725 -1920
0	2	11	0.00	0.00		-1921 -1566 -2179 -2180

0	1	11	0.00	0.00		-1920 -1725 -1802 -1923
0	1	11	0.00	0.00		-1924 -1838 -1384 -1919
0	1	11	0.00	0.00		-1925 -1515 -1566 -1921
0	1	11	0.00	0.00		-1914 -1573 -1515 -1925
0	1	11	0.00	0.00		-1926 -1552 -1587 -1927
0	1	11	0.00	0.00		-1927 -1587 -1580 -1928
0	1	11	0.00	0.00		-1916 -1559 -1594 -1929
0	1	11	0.00	0.00		-1930 -1414 -1347 -1915
0	1	11	0.00	0.00		-1928 -1580 -1343 -1913
0	1	11	0.00	0.00		-1929 -1594 -1552 -1926
0	1	11	0.00	0.00		-1931 -1447 -1414 -1930
0	1	11	0.00	0.00		-1932 -1854 -1447 -1931
0	2	11	0.00	0.00		-1933 -1601 -2133 -2134
0	2	11	0.00	0.00		-1934 -1822 -2137 -2138
0	1	11	0.00	0.00		-1935 -1782 -1387 -1936
0	1	11	0.00	0.00		-1936 -1387 -1838 -1924
0	1	11	0.00	0.00		-1937 -1452 -1698 -1917
0	1	11	0.00	0.00		-1918 -1475 -1894 -1938
0	1	11	0.00	0.00		-1923 -1802 -1452 -1937
0	1	11	0.00	0.00		-1939 -1705 -1458 -1940
0	1	11	0.00	0.00		-1940 -1458 -1745 -1941
0	2	11	0.00	0.00		-1942 -2069 -2013 -2015
0	1	11	0.00	0.00		-1938 -1894 -1705 -1939
0	1	11	0.00	0.00		-1943 -1875 -1477 -1944
0	1	11	0.00	0.00		-1945 -1707 -1784 -1946
0	1	11	0.00	0.00		-1947 -1359 -1707 -1945
0	1	11	0.00	0.00		-1948 -1839 -1359 -1947
0	1	11	0.00	0.00		-1946 -1784 -1429 -1949
0	2	11	0.00	0.00		-1950 -1804 -2161 -2162
0	1	11	0.00	0.00		-1951 -1764 -1405 -1952
0	1	11	0.00	0.00		-1952 -1405 -1839 -1948
0	1	11	0.00	0.00		-1949 -1429 -1824 -1953
0	1	11	0.00	0.00		-1954 -1454 -1875 -1943
0	1	11	0.00	0.00		-1953 -1824 -1454 -1954
0	1	11	0.00	0.00		-1944 -1477 -1507 -1955
0	1	11	0.00	0.00		-1955 -1507 -1727 -1956
0	2	11	0.00	0.00		-1956 -1727 -2200 -2201
0	1	11	0.00	0.00		-1958 -1529 -1416 -1959
0	1	11	0.00	0.00		-1960 -1362 -1529 -1958
0	2	11	0.00	0.00		-1961 -1625 -2165 -2166
0	1	11	0.00	0.00		-1962 -1521 -1660 -1963
0	2	11	0.00	0.00		-1963 -1660 -2213 -2212
0	1	11	0.00	0.00		-1965 -1653 -1521 -1962
0	1	11	0.00	0.00		-1966 -1674 -1639 -1967
0	1	11	0.00	0.00		-1967 -1639 -1646 -1968
0	1	11	0.00	0.00		-1959 -1416 -1895 -1969
0	1	11	0.00	0.00		-1970 -1667 -1632 -1971
0	1	11	0.00	0.00		-1968 -1646 -1910 -1972
0	1	11	0.00	0.00		-1971 -1632 -1674 -1966
0	1	11	0.00	0.00		-1969 -1895 -1667 -1970
0	1	11	0.00	0.00		-1972 -1910 -1653 -1965
0	2	11	0.00	0.00		-2036 -2037 -1803 -1687
0	2	11	0.00	0.00		-2020 -2021 -1600 -1539
0	1	11	0.00	0.00		-1883 -1884 -1842 -1493
0	1	11	0.00	0.00		-1873 -1943 -1944 -1476
0	1	11	0.00	0.00		-1833 -2082 -2081 -1466
0	1	11	0.00	0.00		-1884 -1885 -1494 -1842
0	2	11	0.00	0.00		-2215 -2217 -2065 -2117
0	2	11	0.00	0.00		-2194 -2216 -1753 -2119
0	2	11	0.00	0.00		-2191 -2190 -1755 -2116
0	2	11	0.00	0.00		-2189 -2188 -1756 -2115
0	2	11	0.00	0.00		-2220 -2177 -1548 -2071
0	2	11	0.00	0.00		-2178 -2220 -2071 -1546
0	2	11	0.00	0.00		-2219 -2203 -1540 -2069
0	2	11	0.00	0.00		-2182 -2219 -2069 -1942
0	2	11	0.00	0.00		-2218 -2186 -1758 -2067
0	2	11	0.00	0.00		-2187 -2218 -2067 -1757
0	2	11	0.00	0.00		-2217 -2193 -1689 -2065
0	2	11	0.00	0.00		-2216 -2215 -2117 -1753
0	2	11	0.00	0.00		-2214 -2197 -1750 -2063
0	2	11	0.00	0.00		-2198 -2214 -2063 -1749
0	2	11	0.00	0.00		-2212 -2213 -1681 -1964
0	2	11	0.00	0.00		-2201 -2200 -1747 -1957
0	2	11	0.00	0.00		-2180 -2179 -1545 -1922
0	2	11	0.00	0.00		-2213 -2204 -1686 -1681
0	2	11	0.00	0.00		-2211 -2212 -1964 -1680
0	2	11	0.00	0.00		-2210 -2211 -1680 -1679
0	2	11	0.00	0.00		-2209 -2210 -1679 -1678
0	2	11	0.00	0.00		-2208 -2209 -1678 -1677

0	2	11	0.00	0.00		-2207 -2208 -1677 -1676
0	2	11	0.00	0.00		-2205 -2207 -1676 -1675
0	2	11	0.00	0.00		-2206 -2205 -1675 -1425
0	2	11	0.00	0.00		-2204 -2202 -1746 -1686
0	2	11	0.00	0.00		-2203 -2181 -1544 -1540
0	2	11	0.00	0.00		-2202 -2201 -1957 -1746
0	2	11	0.00	0.00		-2200 -2199 -1748 -1747
0	2	11	0.00	0.00		-2199 -2198 -1749 -1748
0	2	11	0.00	0.00		-2197 -2196 -1751 -1750
0	2	11	0.00	0.00		-2196 -2195 -1752 -1751
0	2	11	0.00	0.00		-2195 -2194 -2119 -1752
0	2	11	0.00	0.00		-2193 -2192 -1754 -1689
0	2	11	0.00	0.00		-2192 -2191 -2116 -1754
0	2	11	0.00	0.00		-2190 -2189 -2115 -1755
0	2	11	0.00	0.00		-2188 -2187 -1757 -1756
0	2	11	0.00	0.00		-2186 -2185 -1759 -1758
0	2	11	0.00	0.00		-2185 -2184 -1760 -1759
0	2	11	0.00	0.00		-2184 -2183 -1761 -1760
0	2	11	0.00	0.00		-2183 -2182 -1942 -1761
0	2	11	0.00	0.00		-2181 -2180 -1922 -1544
0	2	11	0.00	0.00		-2179 -2178 -1546 -1545
0	2	11	0.00	0.00		-2177 -2176 -1549 -1548
0	2	11	0.00	0.00		-2176 -2175 -1550 -1549
0	2	11	0.00	0.00		-2175 -2174 -1609 -1550
0	2	11	0.00	0.00		-2154 -2153 -1771 -2094
0	2	11	0.00	0.00		-2152 -2151 -1772 -2092
0	2	11	0.00	0.00		-2148 -2147 -1774 -2090
0	2	11	0.00	0.00		-2146 -2145 -1775 -2088
0	2	11	0.00	0.00		-2166 -2165 -1362 -1960
0	2	11	0.00	0.00		-2162 -2161 -1764 -1951
0	2	11	0.00	0.00		-2138 -2137 -1782 -1935
0	2	11	0.00	0.00		-2134 -2133 -1854 -1932
0	2	11	0.00	0.00		-2173 -2172 -1682 -1426
0	2	11	0.00	0.00		-2172 -2171 -1683 -1682
0	2	11	0.00	0.00		-2171 -2170 -1684 -1683
0	2	11	0.00	0.00		-2170 -2169 -1352 -1684
0	2	11	0.00	0.00		-2169 -2168 -1355 -1352
0	2	11	0.00	0.00		-2168 -2167 -1356 -1355
0	2	11	0.00	0.00		-2167 -2166 -1960 -1356
0	2	11	0.00	0.00		-2165 -2164 436 -1362
0	2	11	0.00	0.00		-2164 -2163 -1763 436
0	2	11	0.00	0.00		-2136 -2135 -1841 431
0	2	11	0.00	0.00		-2163 -2162 -1951 -1763
0	2	11	0.00	0.00		-2161 -2160 -1765 -1764
0	2	11	0.00	0.00		-2160 -2159 -1766 -1765
0	2	11	0.00	0.00		-2159 -2158 -1767 -1766
0	2	11	0.00	0.00		-2158 -2157 -1768 -1767
0	2	11	0.00	0.00		-2157 -2156 -1769 -1768
0	2	11	0.00	0.00		-2156 -2155 -1770 -1769
0	2	11	0.00	0.00		-2155 -2154 -2094 -1770
0	2	11	0.00	0.00		-2153 -2152 -2092 -1771
0	2	11	0.00	0.00		-2151 -2150 -1413 -1772
0	2	11	0.00	0.00		-2150 -2149 -1773 -1413
0	2	11	0.00	0.00		-2149 -2148 -2090 -1773
0	2	11	0.00	0.00		-2147 -2146 -2088 -1774
0	2	11	0.00	0.00		-2145 -2144 -1776 -1775
0	2	11	0.00	0.00		-2144 -2143 -1777 -1776
0	2	11	0.00	0.00		-2143 -2142 -1778 -1777
0	2	11	0.00	0.00		-2142 -2141 -1779 -1778
0	2	11	0.00	0.00		-2141 -2140 -1780 -1779
0	2	11	0.00	0.00		-2140 -2139 -1781 -1780
0	2	11	0.00	0.00		-2139 -2138 -1935 -1781
0	2	11	0.00	0.00		-2137 -2136 431 -1782
0	2	11	0.00	0.00		-2135 -2134 -1932 -1841
0	2	11	0.00	0.00		-2133 -2132 -1855 -1854
0	2	11	0.00	0.00		-2132 -2131 -1860 -1855
0	2	11	0.00	0.00		-2131 -2130 -1541 -1860
0	2	11	0.00	0.00		-2130 -2129 -1542 -1541
0	2	11	0.00	0.00		-2129 -2128 -1543 -1542
0	2	11	0.00	0.00		-2128 -2127 -1608 -1543
0	1	11	0.00	0.00		-1835 -1412 -1469 -1468
0	1	11	0.00	0.00		-1412 -1410 -1470 -1469
0	1	11	0.00	0.00		-1410 -1411 -1471 -1470
0	1	11	0.00	0.00		-1411 -1688 -1472 -1471
0	1	11	0.00	0.00		-1688 -1691 -1473 -1472
0	1	11	0.00	0.00		-1691 -1692 -1474 -1473
0	1	11	0.00	0.00		-1692 -1917 -1918 -1474
0	1	11	0.00	0.00		-1698 -1534 433 -1475
0	1	11	0.00	0.00		442 -1706 -1783 -1863

0	1	11	0.00	0.00		-1706 -1945 -1946 -1783
0	1	11	0.00	0.00		-1707 -1708 -1785 -1784
0	1	11	0.00	0.00		-1708 -1709 -1786 -1785
0	1	11	0.00	0.00		-1709 -1710 -1787 -1786
0	1	11	0.00	0.00		-1710 -1711 -1788 -1787
0	1	11	0.00	0.00		-1711 -1712 -1789 -1788
0	1	11	0.00	0.00		-1712 -1713 -1790 -1789
0	1	11	0.00	0.00		-1713 -2078 -2077 -1790
0	1	11	0.00	0.00		-1714 -2076 -2075 -1791
0	1	11	0.00	0.00		-1715 -1849 -1535 -1792
0	1	11	0.00	0.00		-1849 -1716 -1793 -1535
0	1	11	0.00	0.00		-1349 -1350 -1562 -1561
0	1	11	0.00	0.00		-1350 -1351 -1563 -1562
0	1	11	0.00	0.00		-1351 -1353 -1564 -1563
0	1	11	0.00	0.00		-1353 -1354 -1611 -1564
0	1	11	0.00	0.00		-1357 -1358 -1706 442
0	1	11	0.00	0.00		-1358 -1947 -1945 -1706
0	1	11	0.00	0.00		-1359 -1360 -1708 -1707
0	1	11	0.00	0.00		-1360 -1361 -1709 -1708
0	1	11	0.00	0.00		-1361 -1368 -1710 -1709
0	1	11	0.00	0.00		-1368 -1369 -1711 -1710
0	1	11	0.00	0.00		-1369 -1370 -1712 -1711
0	1	11	0.00	0.00		-1370 -1371 -1713 -1712
0	1	11	0.00	0.00		-1371 -2074 -2078 -1713
0	1	11	0.00	0.00		-1372 -2073 -2076 -1714
0	1	11	0.00	0.00		-1373 -1374 -1849 -1715
0	1	11	0.00	0.00		-1374 -1375 -1716 -1849
0	1	11	0.00	0.00		-1375 -2072 -2070 -1716
0	1	11	0.00	0.00		-1376 -2068 -2066 -1717
0	1	11	0.00	0.00		-1377 -1378 -1719 -1718
0	1	11	0.00	0.00		-1378 -1379 -1720 -1719
0	1	11	0.00	0.00		-1379 -1380 -1721 -1720
0	1	11	0.00	0.00		-1380 -1381 -1722 -1721
0	1	11	0.00	0.00		-1381 -1382 -1723 -1722
0	1	11	0.00	0.00		-1382 -1383 -1724 -1723
0	1	11	0.00	0.00		-1383 -1919 -1920 -1724
0	1	11	0.00	0.00		-1384 -1385 440 -1725
0	2	11	0.00	0.00		-1571 -1612 -2174 -2175
0	2	11	0.00	0.00		-1570 -1571 -2175 -2176
0	2	11	0.00	0.00		-1569 -1570 -2176 -2177
0	2	11	0.00	0.00		-2071 -1548 -1981 -1980
0	2	11	0.00	0.00		-1546 -2071 -1980 -1979
0	2	11	0.00	0.00		-1566 -1567 -2178 -2179
0	2	11	0.00	0.00		-1565 -1921 -2180 -2181
0	1	11	0.00	0.00		-1510 -1509 -1612 -1571
0	1	11	0.00	0.00		-1511 -1510 -1571 -1570
0	1	11	0.00	0.00		-1716 -2070 -2064 -1793
0	1	11	0.00	0.00		-1717 -2066 -2062 -1794
0	1	11	0.00	0.00		-1718 -1719 -1796 -1795
0	1	11	0.00	0.00		-1719 -1720 -1797 -1796
0	1	11	0.00	0.00		-1720 -1721 -1798 -1797
0	1	11	0.00	0.00		-1721 -1722 -1799 -1798
0	1	11	0.00	0.00		-1722 -1723 -1800 -1799
0	1	11	0.00	0.00		-1723 -1724 -1801 -1800
0	1	11	0.00	0.00		-1724 -1920 -1923 -1801
0	1	11	0.00	0.00		-1725 440 -1531 -1802
0	1	11	0.00	0.00		-1838 -1536 -1385 -1384
0	1	11	0.00	0.00		-1837 -1924 -1919 -1383
0	1	11	0.00	0.00		-1853 -1837 -1383 -1382
0	1	11	0.00	0.00		-1852 -1853 -1382 -1381
0	1	11	0.00	0.00		-1851 -1852 -1381 -1380
0	2	11	0.00	0.00		-1686 -1746 -1994 -1992
0	2	11	0.00	0.00		-1746 -1957 -2016 -1994
0	2	11	0.00	0.00		-1957 -1747 -1995 -2016
0	2	11	0.00	0.00		-1747 -1748 -1996 -1995
0	2	11	0.00	0.00		-1748 -1749 -1997 -1996
0	2	11	0.00	0.00		-1729 -1730 -2214 -2198
0	2	11	0.00	0.00		-1730 -1731 -2197 -2214
0	2	11	0.00	0.00		-1750 -1751 -2000 -1999
0	2	11	0.00	0.00		-1751 -1752 -2001 -2000
0	2	11	0.00	0.00		-1752 -2119 -2120 -2001
0	2	11	0.00	0.00		-1734 -2113 -2215 -2216
0	2	11	0.00	0.00		-1735 -1847 -2193 -2217
0	2	11	0.00	0.00		-1689 -1754 -2004 -1993
0	2	11	0.00	0.00		-1754 -2116 -2121 -2004
0	2	11	0.00	0.00		-1755 -2115 -2122 -2005
0	2	11	0.00	0.00		-1756 -1757 -2007 -2006
0	2	11	0.00	0.00		-1739 -1740 -2218 -2187
0	2	11	0.00	0.00		-1740 -1741 -2186 -2218

0	2	11	0.00	0.00		-1758 -1759 -2010 -2009
0	2	11	0.00	0.00		-1759 -1760 -2011 -2010
0	2	11	0.00	0.00		-1760 -1761 -2012 -2011
0	2	11	0.00	0.00		-1761 -1942 -2015 -2012
0	2	11	0.00	0.00		-1941 -1745 -2219 -2182
0	2	11	0.00	0.00		-1745 432 -2203 -2219
0	2	11	0.00	0.00		-1540 -1544 -1977 -1976
0	2	11	0.00	0.00		-1544 -1922 -2014 -1977
0	2	11	0.00	0.00		-1922 -1545 -1978 -2014
0	2	11	0.00	0.00		-1545 -1546 -1979 -1978
0	2	11	0.00	0.00		-1567 -1568 -2220 -2178
0	2	11	0.00	0.00		-1568 -1569 -2177 -2220
0	2	11	0.00	0.00		-1548 -1549 -1982 -1981
0	2	11	0.00	0.00		-1549 -1550 -1983 -1982
0	2	11	0.00	0.00		-1550 -1609 -1984 -1983
0	2	11	0.00	0.00		-1425 -1675 -1985 -1975
0	2	11	0.00	0.00		-1675 -1676 -1986 -1985
0	2	11	0.00	0.00		-1676 -1677 -1987 -1986
0	2	11	0.00	0.00		-1677 -1678 -1988 -1987
0	2	11	0.00	0.00		-1678 -1679 -1989 -1988
0	2	11	0.00	0.00		-1679 -1680 -1990 -1989
0	2	11	0.00	0.00		-1680 -1964 -2017 -1990
0	2	11	0.00	0.00		-1964 -1681 -1991 -2017
0	2	11	0.00	0.00		-1681 -1686 -1992 -1991
0	2	11	0.00	0.00		-2018 -2029 -1619 -1417
0	2	11	0.00	0.00		-2029 -2030 -1620 -1619
0	2	11	0.00	0.00		-2030 -2031 -1621 -1620
0	2	11	0.00	0.00		-2031 -2032 -1622 -1621
0	2	11	0.00	0.00		-2032 -2033 -1623 -1622
0	2	11	0.00	0.00		-2033 -2034 -1624 -1623
0	2	11	0.00	0.00		-2034 -2060 -1961 -1624
0	2	11	0.00	0.00		-2060 -2035 -1625 -1961
0	2	11	0.00	0.00		-2035 -2036 -1687 -1625
0	2	11	0.00	0.00		-2037 -2059 -1950 -1803
0	2	11	0.00	0.00		-2059 -2038 -1804 -1950
0	2	11	0.00	0.00		-2038 -2039 -1805 -1804
0	2	11	0.00	0.00		-2039 -2040 -1806 -1805
0	2	11	0.00	0.00		-2040 -2041 -1807 -1806
0	2	11	0.00	0.00		-2041 -2042 -1808 -1807
0	2	11	0.00	0.00		-2042 -2043 -1809 -1808
0	2	11	0.00	0.00		-2043 -2044 -1810 -1809
0	2	11	0.00	0.00		-2044 -2123 -2093 -1810
0	2	11	0.00	0.00		-2045 -2124 -2091 -1811
0	2	11	0.00	0.00		-2046 -2019 -1533 -1812
0	2	11	0.00	0.00		-2019 -2047 -1813 -1533
0	2	11	0.00	0.00		-2047 -2125 -2089 -1813
0	2	11	0.00	0.00		-2048 -2126 -2087 -1814
0	2	11	0.00	0.00		-2049 -2050 -1816 -1815
0	2	11	0.00	0.00		-2050 -2051 -1817 -1816
0	2	11	0.00	0.00		-2051 -2052 -1818 -1817
0	2	11	0.00	0.00		-2052 -2053 -1819 -1818
0	2	11	0.00	0.00		-2053 -2054 -1820 -1819
0	2	11	0.00	0.00		-2054 -2055 -1821 -1820
0	2	11	0.00	0.00		-2055 -2058 -1934 -1821
0	2	11	0.00	0.00		-2058 -2056 -1822 -1934
0	2	11	0.00	0.00		-2056 -2020 -1539 -1822
0	2	11	0.00	0.00		-2021 -2057 -1933 -1600
0	2	11	0.00	0.00		-2057 -2022 -1601 -1933
0	2	11	0.00	0.00		-2022 -2023 -1602 -1601
0	2	11	0.00	0.00		-2023 -2024 -1603 -1602
0	2	11	0.00	0.00		-2024 -2025 -1604 -1603
0	2	11	0.00	0.00		-2025 -2026 -1605 -1604
0	2	11	0.00	0.00		-2026 -2027 -1606 -1605
0	2	11	0.00	0.00		-2027 -2028 -1617 -1606
0	1	11	0.00	0.00		-2074 -1372 -1714 -2078
0	1	11	0.00	0.00		-2073 -1373 -1715 -2076
0	1	11	0.00	0.00		-2072 -1376 -1717 -2070
0	1	11	0.00	0.00		-2068 -1377 -1718 -2066
0	1	11	0.00	0.00		-2070 -1717 -1794 -2064
0	1	11	0.00	0.00		-2066 -1718 -1795 -2062
0	1	11	0.00	0.00		-2061 -1695 -1377 -2068
0	1	11	0.00	0.00		-2084 -1694 -1376 -2072
0	1	11	0.00	0.00		-2085 -1866 -1373 -2073
0	1	11	0.00	0.00		-2086 -1865 -1372 -2074
0	2	11	0.00	0.00		-2087 -1815 -2145 -2146
0	2	11	0.00	0.00		-2089 -1814 -2147 -2148
0	2	11	0.00	0.00		-2091 -1812 -2151 -2152
0	2	11	0.00	0.00		-2093 -1811 -2153 -2154
0	1	11	0.00	0.00		-2088 -1775 -1394 -2095

0	1	11	0.00	0.00		-2090 -1774 -1395 -2096
0	1	11	0.00	0.00		-2092 -1772 -1397 -2097
0	1	11	0.00	0.00		-2094 -1771 -1398 -2098
0	1	11	0.00	0.00		-2095 -1394 -1695 -2061
0	1	11	0.00	0.00		-2096 -1395 -1694 -2084
0	1	11	0.00	0.00		-2097 -1397 -1866 -2085
0	1	11	0.00	0.00		-2098 -1398 -1865 -2086
0	1	11	0.00	0.00		-2099 -1436 -1831 -1699
0	1	11	0.00	0.00		-2100 -1438 -1832 -1547
0	1	11	0.00	0.00		-2101 -1441 -1834 -2082
0	1	11	0.00	0.00		-2102 -1442 -1835 -2080
0	1	11	0.00	0.00		-1762 -1464 -1882 -1974
0	1	11	0.00	0.00		-2083 -1465 -1883 -1911
0	1	11	0.00	0.00		-2081 -1467 -1886 -2103
0	1	11	0.00	0.00		-2079 -1468 -1887 -2104
0	1	11	0.00	0.00		-2077 -1791 -1436 -2099
0	1	11	0.00	0.00		-2075 -1792 -1438 -2100
0	1	11	0.00	0.00		-2064 -1794 -1441 -2101
0	1	11	0.00	0.00		-2062 -1795 -1442 -2102
0	1	11	0.00	0.00		-2105 -1496 -1488 -2106
0	1	11	0.00	0.00		-2107 -1495 -1489 -2108
0	1	11	0.00	0.00		-1912 -1493 -1499 -2109
0	1	11	0.00	0.00		-1973 -1492 -1500 -2110
0	1	11	0.00	0.00		-2106 -1488 -1738 -2111
0	1	11	0.00	0.00		-2108 -1489 -1737 -2112
0	1	11	0.00	0.00		-2109 -1499 -1735 -2113
0	1	11	0.00	0.00		-2110 -1500 -1734 -2114
0	2	11	0.00	0.00		-2111 -1738 -2188 -2189
0	2	11	0.00	0.00		-2112 -1737 -2190 -2191
0	2	11	0.00	0.00		-2117 -2065 -2003 -2118
0	2	11	0.00	0.00		-2114 -1734 -2216 -2194
0	1	11	0.00	0.00		-2103 -1886 -1495 -2107
0	1	11	0.00	0.00		-2104 -1887 -1496 -2105
0	2	11	0.00	0.00		-2119 -1753 -2002 -2120
0	2	11	0.00	0.00		-2113 -1735 -2217 -2215
0	2	11	0.00	0.00		-2116 -1755 -2005 -2121
0	2	11	0.00	0.00		-2115 -1756 -2006 -2122
0	2	11	0.00	0.00		-2123 -2045 -1811 -2093
0	2	11	0.00	0.00		-2124 -2046 -1812 -2091
0	2	11	0.00	0.00		-2125 -2048 -1814 -2089
0	2	11	0.00	0.00		-2126 -2049 -1815 -2087
106	4	33	0.00	0.00		-203 -191 -255 -257
106	4	33	0.00	0.00		-179 -167 -251 -253
106	4	33	0.00	0.00		-237 -235 -273 -275
106	4	33	0.00	0.00		-333 -331 -369 -371
106	4	33	0.00	0.00		-255 -253 -291 -293
106	4	33	0.00	0.00		-329 -327 -365 -367
106	4	33	0.00	0.00		-155 -143 -247 -249
106	4	33	0.00	0.00		-143 24 -245 -247
106	4	33	0.00	0.00		-249 -247 -285 -287
106	4	33	0.00	0.00		-247 -245 -283 -285
106	4	33	0.00	0.00		-243 -241 -279 -281
106	4	33	0.00	0.00		-239 -237 -275 -277
106	4	33	0.00	0.00		-229 -227 -265 -267
106	4	33	0.00	0.00		-235 -233 -271 -273
106	4	33	0.00	0.00		-325 -323 -361 -363
106	4	33	0.00	0.00		-323 -321 -359 -361
106	4	33	0.00	0.00		-121 22 -241 -243
106	4	33	0.00	0.00		-295 -293 -331 -333
106	4	33	0.00	0.00		-301 -299 -337 -339
106	4	33	0.00	0.00		-311 -309 -347 -349
106	4	33	0.00	0.00		-319 -317 -355 -357
106	4	33	0.00	0.00		-257 -255 -293 -295
106	4	33	0.00	0.00		-315 -313 -351 -353
106	4	33	0.00	0.00		-327 -325 -363 -365
106	4	33	0.00	0.00		-313 -311 -349 -351
106	4	33	0.00	0.00		-307 -305 -343 -345
106	4	33	0.00	0.00		-41 -29 -227 -229
106	4	33	0.00	0.00		-167 -155 -249 -251
106	4	33	0.00	0.00		24 -121 -243 -245
106	4	33	0.00	0.00		22 -99 -239 -241
106	4	33	0.00	0.00		20 -77 -235 -237
106	4	33	0.00	0.00		-215 -203 -257 -259
106	4	33	0.00	0.00		-191 -179 -253 -255
106	4	33	0.00	0.00		-53 -41 -229 -231
106	4	33	0.00	0.00		-29 -17 -225 -227
106	4	33	0.00	0.00		-317 -315 -353 -355
106	4	33	0.00	0.00		-271 -269 -307 -309
106	4	33	0.00	0.00		-227 -225 -263 -265

106	4	33	0.00	0.00		-253 -251 -289 -291
106	4	33	0.00	0.00		-303 -301 -339 -341
106	4	33	0.00	0.00		-251 -249 -287 -289
106	4	33	0.00	0.00		-245 -243 -281 -283
106	4	33	0.00	0.00		-241 -239 -277 -279
106	4	33	0.00	0.00		-321 -319 -357 -359
106	4	33	0.00	0.00		-259 -257 -295 -297
106	4	33	0.00	0.00		-225 -223 -261 -263
106	4	33	0.00	0.00		-231 -229 -267 -269
106	4	33	0.00	0.00		-331 -329 -367 -369
106	4	33	0.00	0.00		-335 -333 -371 -373
106	4	33	0.00	0.00		-265 -263 -301 -303
106	4	33	0.00	0.00		-287 -285 -323 -325
106	4	33	0.00	0.00		-285 -283 -321 -323
106	4	33	0.00	0.00		-281 -279 -317 -319
106	4	33	0.00	0.00		-277 -275 -313 -315
106	4	33	0.00	0.00		-17 -5 -223 -225
106	4	33	0.00	0.00		-233 -231 -269 -271
106	4	33	0.00	0.00		-293 -291 -329 -331
106	4	33	0.00	0.00		-297 -295 -333 -335
106	4	33	0.00	0.00		-269 -267 -305 -307
106	4	33	0.00	0.00		-275 -273 -311 -313
106	4	33	0.00	0.00		-291 -289 -327 -329
106	4	33	0.00	0.00		-289 -287 -325 -327
106	4	33	0.00	0.00		-283 -281 -319 -321
106	4	33	0.00	0.00		-99 20 -237 -239
106	4	33	0.00	0.00		-267 -265 -303 -305
106	4	33	0.00	0.00		-279 -277 -315 -317
106	4	33	0.00	0.00		-309 -307 -345 -347
106	4	33	0.00	0.00		-305 -303 -341 -343
106	4	33	0.00	0.00		-77 -65 -233 -235
106	4	33	0.00	0.00		-263 -261 -299 -301
106	4	33	0.00	0.00		-273 -271 -309 -311
106	4	33	0.00	0.00		-65 -53 -231 -233
107	4	11	0.00	0.00		-316 -314 -352 -354
107	4	11	0.00	0.00		-330 -328 -366 -368
107	4	11	0.00	0.00		-328 -326 -364 -366
107	4	11	0.00	0.00		-236 -234 -272 -274
107	4	11	0.00	0.00		-228 -226 -264 -266
107	4	11	0.00	0.00		-230 -228 -266 -268
107	4	11	0.00	0.00		-314 -312 -350 -352
107	4	11	0.00	0.00		-158 -146 -248 -250
107	4	11	0.00	0.00		-308 -306 -344 -346
107	4	11	0.00	0.00		-334 -332 -370 -372
107	4	11	0.00	0.00		-304 -302 -340 -342
107	4	11	0.00	0.00		-288 -286 -324 -326
107	4	11	0.00	0.00		-234 -232 -270 -272
107	4	11	0.00	0.00		-282 -280 -318 -320
107	4	11	0.00	0.00		-286 -284 -322 -324
107	4	11	0.00	0.00		-322 -320 -358 -360
107	4	11	0.00	0.00		-290 -288 -326 -328
107	4	11	0.00	0.00		-264 -262 -300 -302
107	4	11	0.00	0.00		-318 -316 -354 -356
107	4	11	0.00	0.00		-326 -324 -362 -364
107	4	11	0.00	0.00		-256 -254 -292 -294
107	4	11	0.00	0.00		-260 -258 -296 -298
107	4	11	0.00	0.00		-272 -270 -308 -310
107	4	11	0.00	0.00		-312 -310 -348 -350
107	4	11	0.00	0.00		-182 -170 -252 -254
107	4	11	0.00	0.00		-320 -318 -356 -358
107	4	11	0.00	0.00		-102 21 -238 -240
107	4	11	0.00	0.00		-232 -230 -268 -270
107	4	11	0.00	0.00		-32 -20 -226 -228
107	4	11	0.00	0.00		-280 -278 -316 -318
107	4	11	0.00	0.00		-146 25 -246 -248
107	4	11	0.00	0.00		-292 -290 -328 -330
107	4	11	0.00	0.00		-336 -334 -372 -374
107	4	11	0.00	0.00		-270 -268 -306 -308
107	4	11	0.00	0.00		-242 -240 -278 -280
107	4	11	0.00	0.00		-206 -194 -256 -258
107	4	11	0.00	0.00		-268 -266 -304 -306
107	4	11	0.00	0.00		-274 -272 -310 -312
107	4	11	0.00	0.00		-248 -246 -284 -286
107	4	11	0.00	0.00		-250 -248 -286 -288
107	4	11	0.00	0.00		-20 -8 -224 -226
107	4	11	0.00	0.00		-252 -250 -288 -290
107	4	11	0.00	0.00		-124 23 -242 -244
107	4	11	0.00	0.00		-302 -300 -338 -340
107	4	11	0.00	0.00		21 -80 -236 -238

107	4	11	0.00	0.00		-310 -308 -346 -348
107	4	11	0.00	0.00		-194 -182 -254 -256
107	4	11	0.00	0.00		-56 -44 -230 -232
107	4	11	0.00	0.00		-278 -276 -314 -316
107	4	11	0.00	0.00		-68 -56 -232 -234
107	4	11	0.00	0.00		-332 -330 -368 -370
107	4	11	0.00	0.00		-170 -158 -250 -252
107	4	11	0.00	0.00		25 -124 -244 -246
107	4	11	0.00	0.00		23 -102 -240 -242
107	4	11	0.00	0.00		-294 -292 -330 -332
107	4	11	0.00	0.00		-218 -206 -258 -260
107	4	11	0.00	0.00		-244 -242 -280 -282
107	4	11	0.00	0.00		-246 -244 -282 -284
107	4	11	0.00	0.00		-254 -252 -290 -292
107	4	11	0.00	0.00		-276 -274 -312 -314
107	4	11	0.00	0.00		-284 -282 -320 -322
107	4	11	0.00	0.00		-238 -236 -274 -276
107	4	11	0.00	0.00		-324 -322 -360 -362
107	4	11	0.00	0.00		-258 -256 -294 -296
107	4	11	0.00	0.00		-306 -304 -342 -344
107	4	11	0.00	0.00		-80 -68 -234 -236
107	4	11	0.00	0.00		-266 -264 -302 -304
107	4	11	0.00	0.00		-226 -224 -262 -264
107	4	11	0.00	0.00		-240 -238 -276 -278
107	4	11	0.00	0.00		-44 -32 -228 -230
107	4	11	0.00	0.00		-296 -294 -332 -334
107	4	11	0.00	0.00		-298 -296 -334 -336
206	6	33	0.00	0.00		-339 -337 -385 -387
206	6	33	0.00	0.00		-389 -387 -423 -425
206	6	33	0.00	0.00		-345 -343 -391 -393
206	6	33	0.00	0.00		-393 -391 -427 -429
206	6	33	0.00	0.00		-401 -399 -435 -437
206	6	33	0.00	0.00		-391 -389 -425 -427
206	6	33	0.00	0.00		-353 -351 -399 -401
206	6	33	0.00	0.00		-399 -397 -433 -435
206	6	33	0.00	0.00		-387 -385 -421 -423
206	6	33	0.00	0.00		-395 -393 -429 -431
206	6	33	0.00	0.00		-397 -395 -431 -433
206	6	33	0.00	0.00		-351 -349 -397 -399
206	6	33	0.00	0.00		-341 -339 -387 -389
206	6	33	0.00	0.00		-349 -347 -395 -397
206	6	33	0.00	0.00		-343 -341 -389 -391
206	6	33	0.00	0.00		-347 -345 -393 -395
207	6	33	0.00	0.00		-367 -365 -411 -413
207	6	33	0.00	0.00		-409 -407 -445 -447
207	6	33	0.00	0.00		-363 -361 -407 -409
207	6	33	0.00	0.00		-419 -417 -455 -457
207	6	33	0.00	0.00		-371 -369 -415 -417
207	6	33	0.00	0.00		-369 -367 -413 -415
207	6	33	0.00	0.00		-411 -409 -447 -449
207	6	33	0.00	0.00		-365 -363 -409 -411
207	6	33	0.00	0.00		-417 -415 -453 -455
207	6	33	0.00	0.00		-413 -411 -449 -451
207	6	33	0.00	0.00		-361 -359 -405 -407
207	6	33	0.00	0.00		-359 -357 -403 -405
207	6	33	0.00	0.00		-405 -403 -441 -443
207	6	33	0.00	0.00		-407 -405 -443 -445
207	6	33	0.00	0.00		-373 -371 -417 -419
207	6	33	0.00	0.00		-415 -413 -451 -453
208	6	11	0.00	0.00		-374 -372 -418 -420
208	6	11	0.00	0.00		-406 -404 -442 -444
208	6	11	0.00	0.00		-418 -416 -454 -456
208	6	11	0.00	0.00		-372 -370 -416 -418
208	6	11	0.00	0.00		-420 -418 -456 -458
208	6	11	0.00	0.00		-416 -414 -452 -454
208	6	11	0.00	0.00		-362 -360 -406 -408
208	6	11	0.00	0.00		-360 -358 -404 -406
208	6	11	0.00	0.00		-412 -410 -448 -450
208	6	11	0.00	0.00		-410 -408 -446 -448
208	6	11	0.00	0.00		-414 -412 -450 -452
208	6	11	0.00	0.00		-408 -406 -444 -446
208	6	11	0.00	0.00		-364 -362 -408 -410
208	6	11	0.00	0.00		-370 -368 -414 -416
208	6	11	0.00	0.00		-366 -364 -410 -412
208	6	11	0.00	0.00		-368 -366 -412 -414
209	6	11	0.00	0.00		-390 -388 -424 -426
209	6	11	0.00	0.00		-354 -352 -400 -402
209	6	11	0.00	0.00		-352 -350 -398 -400
209	6	11	0.00	0.00		-392 -390 -426 -428

209	6	11	0.00	0.00		-350 -348 -396 -398
209	6	11	0.00	0.00		-398 -396 -432 -434
209	6	11	0.00	0.00		-342 -340 -388 -390
209	6	11	0.00	0.00		-400 -398 -434 -436
209	6	11	0.00	0.00		-348 -346 -394 -396
209	6	11	0.00	0.00		-344 -342 -390 -392
209	6	11	0.00	0.00		-402 -400 -436 -438
209	6	11	0.00	0.00		-340 -338 -386 -388
209	6	11	0.00	0.00		-394 -392 -428 -430
209	6	11	0.00	0.00		-388 -386 -422 -424
209	6	11	0.00	0.00		-396 -394 -430 -432
209	6	11	0.00	0.00		-346 -344 -392 -394
306	6	33	0.00	0.00		-467 -465 -503 -505
306	6	33	0.00	0.00		-517 -515 -882 -925
306	6	33	0.00	0.00		-501 -499 -537 301
306	6	33	0.00	0.00		-463 -461 -499 -501
306	6	33	0.00	0.00		-469 -467 -505 -507
306	6	33	0.00	0.00		-533 -531 -1225 -1270
306	6	33	0.00	0.00		-507 -505 -661 -704
306	6	33	0.00	0.00		-443 -441 -479 -481
306	6	33	0.00	0.00		-481 -479 -517 -519
306	6	33	0.00	0.00		-487 -485 -523 -525
306	6	33	0.00	0.00		-433 -431 -469 -471
306	6	33	0.00	0.00		-499 -497 -535 -537
306	6	33	0.00	0.00		-473 -471 -509 -511
306	6	33	0.00	0.00		-477 -475 -513 -515
306	6	33	0.00	0.00		-491 -489 -527 -529
306	6	33	0.00	0.00		-509 -507 -704 -749
306	6	33	0.00	0.00		-485 -483 -521 -523
306	6	33	0.00	0.00		-427 -425 -463 -465
306	6	33	0.00	0.00		-423 -421 -459 -461
306	6	33	0.00	0.00		-489 -487 -525 -527
306	6	33	0.00	0.00		-455 -453 -491 -493
306	6	33	0.00	0.00		-437 -435 -473 -475
306	6	33	0.00	0.00		-451 -449 -487 -489
306	6	33	0.00	0.00		-425 -423 -461 -463
306	6	33	0.00	0.00		-431 -429 -467 -469
306	6	33	0.00	0.00		-511 -509 -749 -794
306	6	33	0.00	0.00		-515 -513 -837 -882
306	6	33	0.00	0.00		-521 -519 -970 -1013
306	6	33	0.00	0.00		-513 -511 -794 -837
306	6	33	0.00	0.00		-439 -437 -475 -477
306	6	33	0.00	0.00		-529 -527 -1146 320
306	6	33	0.00	0.00		-447 -445 -483 -485
306	6	33	0.00	0.00		-525 -523 -1058 -1103
306	6	33	0.00	0.00		-457 -455 -493 -495
306	6	33	0.00	0.00		-495 -493 -531 -533
306	6	33	0.00	0.00		-531 -529 320 -1225
306	6	33	0.00	0.00		-471 -469 -507 -509
306	6	33	0.00	0.00		-449 -447 -485 -487
306	6	33	0.00	0.00		-441 -439 -477 -479
306	6	33	0.00	0.00		-503 -501 301 -618
306	6	33	0.00	0.00		-475 -473 -511 -513
306	6	33	0.00	0.00		-453 -451 -489 -491
306	6	33	0.00	0.00		-461 -459 -497 -499
306	6	33	0.00	0.00		-479 -477 -515 -517
306	6	33	0.00	0.00		-519 -517 -925 -970
306	6	33	0.00	0.00		-523 -521 -1013 -1058
306	6	33	0.00	0.00		-483 -481 -519 -521
306	6	33	0.00	0.00		-527 -525 -1103 -1146
306	6	33	0.00	0.00		-505 -503 -618 -661
306	6	33	0.00	0.00		-465 -463 -501 -503
306	6	33	0.00	0.00		-445 -443 -481 -483
306	6	33	0.00	0.00		-429 -427 -465 -467
306	6	33	0.00	0.00		-435 -433 -471 -473
306	6	33	0.00	0.00		-493 -491 -529 -531
307	6	11	0.00	0.00		-486 -484 -522 -524
307	6	11	0.00	0.00		-510 -508 -748 -793
307	6	11	0.00	0.00		-516 -514 -881 -924
307	6	11	0.00	0.00		-506 -504 -660 -703
307	6	11	0.00	0.00		-532 -530 328 -1269
307	6	11	0.00	0.00		-502 -500 -581 309
307	6	11	0.00	0.00		-434 -432 -470 -472
307	6	11	0.00	0.00		-440 -438 -476 -478
307	6	11	0.00	0.00		-512 -510 -793 -836
307	6	11	0.00	0.00		-476 -474 -512 -514
307	6	11	0.00	0.00		-526 -524 -1102 -1145
307	6	11	0.00	0.00		-446 -444 -482 -484
307	6	11	0.00	0.00		-518 -516 -924 -969

307	6	11	0.00	0.00		-508 -506 -703 -748
307	6	11	0.00	0.00		-500 -498 -536 -581
307	6	11	0.00	0.00		-478 -476 -514 -516
307	6	11	0.00	0.00		-514 -512 -836 -881
307	6	11	0.00	0.00		-490 -488 -526 -528
307	6	11	0.00	0.00		-534 -532 -1269 -1271
307	6	11	0.00	0.00		-442 -440 -478 -480
307	6	11	0.00	0.00		-426 -424 -462 -464
307	6	11	0.00	0.00		-528 -526 -1145 -1188
307	6	11	0.00	0.00		-484 -482 -520 -522
307	6	11	0.00	0.00		-488 -486 -524 -526
307	6	11	0.00	0.00		-472 -470 -508 -510
307	6	11	0.00	0.00		-432 -430 -468 -470
307	6	11	0.00	0.00		-456 -454 -492 -494
307	6	11	0.00	0.00		-464 -462 -500 -502
307	6	11	0.00	0.00		-480 -478 -516 -518
307	6	11	0.00	0.00		-504 -502 309 -660
307	6	11	0.00	0.00		-530 -528 -1188 328
307	6	11	0.00	0.00		-454 -452 -490 -492
307	6	11	0.00	0.00		-482 -480 -518 -520
307	6	11	0.00	0.00		-458 -456 -494 -496
307	6	11	0.00	0.00		-466 -464 -502 -504
307	6	11	0.00	0.00		-474 -472 -510 -512
307	6	11	0.00	0.00		-496 -494 -532 -534
307	6	11	0.00	0.00		-492 -490 -528 -530
307	6	11	0.00	0.00		-424 -422 -460 -462
307	6	11	0.00	0.00		-522 -520 -1012 -1057
307	6	11	0.00	0.00		-430 -428 -466 -468
307	6	11	0.00	0.00		-468 -466 -504 -506
307	6	11	0.00	0.00		-428 -426 -464 -466
307	6	11	0.00	0.00		-524 -522 -1057 -1102
307	6	11	0.00	0.00		-448 -446 -484 -486
307	6	11	0.00	0.00		-462 -460 -498 -500
307	6	11	0.00	0.00		-444 -442 -480 -482
307	6	11	0.00	0.00		-450 -448 -486 -488
307	6	11	0.00	0.00		-436 -434 -472 -474
307	6	11	0.00	0.00		-470 -468 -506 -508
307	6	11	0.00	0.00		-494 -492 -530 -532
307	6	11	0.00	0.00		-520 -518 -969 -1012
307	6	11	0.00	0.00		-452 -450 -488 -490
307	6	11	0.00	0.00		-438 -436 -474 -476
605	5	33	0.00	0.00	0.91	-154 -142 -141 -153
605	5	33	0.00	0.00	0.91	-98 -88 -87 -97
605	5	33	0.00	0.00	0.91	-119 -109 -108 -118
605	5	33	0.00	0.00	0.91	-39 -27 -26 -38
605	5	33	0.00	0.00	0.91	-50 -38 -37 -49
605	5	33	0.00	0.00	0.91	-166 -154 -153 -165
605	5	33	0.00	0.00	0.91	-14 -2 -1 -13
605	5	33	0.00	0.00	0.91	-152 -140 -139 -151
605	5	33	0.00	0.00	0.91	-131 -119 -118 -130
605	5	33	0.00	0.00	0.91	-26 -14 -13 -25
605	5	33	0.00	0.00	0.91	-178 -166 -165 -177
605	5	33	0.00	0.00	0.91	-120 -110 -109 -119
605	5	33	0.00	0.00	0.91	-52 -40 -39 -51
605	5	33	0.00	0.00	0.91	-74 -62 -61 -73
605	5	33	0.00	0.00	0.91	-176 -164 -163 -175
605	5	33	0.00	0.00	0.91	-38 -26 -25 -37
605	5	33	0.00	0.00	0.91	-203 -191 -190 -202
605	5	33	0.00	0.00	0.91	-201 -189 -188 -200
605	5	33	0.00	0.00	0.91	-75 -63 -62 -74
605	5	33	0.00	0.00	0.91	-202 -190 -189 -201
605	5	33	0.00	0.00	0.91	-97 -87 -86 -96
605	5	33	0.00	0.00	0.91	-141 -131 -130 -140
605	5	33	0.00	0.00	0.91	-63 -51 -50 -62
605	5	33	0.00	0.00	0.91	-177 -165 -164 -176
605	5	33	0.00	0.00	0.91	-132 -120 -119 -131
605	5	33	0.00	0.00	0.91	-27 -15 -14 -26
605	5	33	0.00	0.00	0.91	-51 -39 -38 -50
605	5	33	0.00	0.00	0.91	-87 -75 -74 -86
605	5	33	0.00	0.00	0.91	-109 -97 -96 -108
605	5	33	0.00	0.00	0.91	-16 -4 -3 -15
605	5	33	0.00	0.00	0.91	-53 -41 -40 -52
605	5	33	0.00	0.00	0.91	-40 -28 -27 -39
605	5	33	0.00	0.00	0.91	-153 -141 -140 -152
605	5	33	0.00	0.00	0.91	-62 -50 -49 -61
605	5	33	0.00	0.00	0.91	-76 -64 -63 -75
605	5	33	0.00	0.00	0.91	-64 -52 -51 -63
605	5	33	0.00	0.00	0.91	-200 -188 -187 -199
605	5	33	0.00	0.00	0.91	-28 -16 -15 -27

605	5	33	0.00	0.00	0.91	-18 -6 -5 -17
605	5	33	0.00	0.00	0.91	-17 -5 -4 -16
605	5	33	0.00	0.00	0.91	-88 -76 -75 -87
605	5	33	0.00	0.00	0.91	-110 -98 -97 -109
605	5	33	0.00	0.00	0.91	-54 -42 -41 -53
605	5	33	0.00	0.00	0.91	-89 -78 -77 20
605	5	33	0.00	0.00	0.91	-142 -132 -131 -141
605	5	33	0.00	0.00	0.91	-86 -74 -73 -85
605	5	33	0.00	0.00	0.91	-66 -54 -53 -65
605	5	33	0.00	0.00	0.91	-190 -178 -177 -189
605	5	33	0.00	0.00	0.91	-214 -202 -201 -213
605	5	33	0.00	0.00	0.91	-29 -17 -16 -28
605	5	33	0.00	0.00	0.91	-42 -30 -29 -41
605	5	33	0.00	0.00	0.91	20 -77 -76 -88
605	5	33	0.00	0.00	0.91	-100 -89 20 -99
605	5	33	0.00	0.00	0.91	-99 20 -88 -98
605	5	33	0.00	0.00	0.91	-121 22 -110 -120
605	5	33	0.00	0.00	0.91	-15 -3 -2 -14
605	5	33	0.00	0.00	0.91	-204 -192 -191 -203
605	5	33	0.00	0.00	0.91	-156 -144 -143 -155
605	5	33	0.00	0.00	0.91	-96 -86 -85 -95
605	5	33	0.00	0.00	0.91	-118 -108 -107 -117
605	5	33	0.00	0.00	0.91	-140 -130 -129 -139
605	5	33	0.00	0.00	0.91	-179 -167 -166 -178
605	5	33	0.00	0.00	0.91	-30 -18 -17 -29
605	5	33	0.00	0.00	0.91	-213 -201 -200 -212
605	5	33	0.00	0.00	0.91	-122 -111 22 -121
605	5	33	0.00	0.00	0.91	24 -121 -120 -132
605	5	33	0.00	0.00	0.91	-108 -96 -95 -107
605	5	33	0.00	0.00	0.91	-130 -118 -117 -129
605	5	33	0.00	0.00	0.91	-164 -152 -151 -163
605	5	33	0.00	0.00	0.91	-188 -176 -175 -187
605	5	33	0.00	0.00	0.91	-212 -200 -199 -211
605	5	33	0.00	0.00	0.91	-165 -153 -152 -164
605	5	33	0.00	0.00	0.91	-189 -177 -176 -188
605	5	33	0.00	0.00	0.91	-78 -66 -65 -77
605	5	33	0.00	0.00	0.91	22 -99 -98 -110
605	5	33	0.00	0.00	0.91	-155 -143 -142 -154
605	5	33	0.00	0.00	0.91	-144 -133 24 -143
605	5	33	0.00	0.00	0.91	-215 -203 -202 -214
605	5	33	0.00	0.00	0.91	-168 -156 -155 -167
605	5	33	0.00	0.00	0.91	-143 24 -132 -142
605	5	33	0.00	0.00	0.91	-77 -65 -64 -76
605	5	33	0.00	0.00	0.91	-180 -168 -167 -179
605	5	33	0.00	0.00	0.91	-41 -29 -28 -40
605	5	33	0.00	0.00	0.91	-216 -204 -203 -215
605	5	33	0.00	0.00	0.91	-65 -53 -52 -64
605	5	33	0.00	0.00	0.91	-133 -122 -121 24
605	5	33	0.00	0.00	0.91	-111 -100 -99 22
605	5	33	0.00	0.00	0.91	-192 -180 -179 -191
605	5	33	0.00	0.00	0.91	-191 -179 -178 -190
605	5	33	0.00	0.00	0.91	-167 -155 -154 -166
606	5	11	0.00	0.00	0.91	-57 -45 -46 -58
606	5	11	0.00	0.00	0.91	-79 -67 -68 -80
606	5	11	0.00	0.00	0.91	-159 -147 -148 -160
606	5	11	0.00	0.00	0.91	-221 -209 -210 -222
606	5	11	0.00	0.00	0.91	-67 -55 -56 -68
606	5	11	0.00	0.00	0.91	-183 -171 -172 -184
606	5	11	0.00	0.00	0.91	-81 -69 -70 -82
606	5	11	0.00	0.00	0.91	-209 -197 -198 -210
606	5	11	0.00	0.00	0.91	-146 25 -135 -147
606	5	11	0.00	0.00	0.91	-33 -21 -22 -34
606	5	11	0.00	0.00	0.91	-137 -127 -128 -138
606	5	11	0.00	0.00	0.91	-207 -195 -196 -208
606	5	11	0.00	0.00	0.91	-80 -68 -69 -81
606	5	11	0.00	0.00	0.91	-68 -56 -57 -69
606	5	11	0.00	0.00	0.91	-206 -194 -195 -207
606	5	11	0.00	0.00	0.91	-205 -193 -194 -206
606	5	11	0.00	0.00	0.91	-124 23 -113 -125
606	5	11	0.00	0.00	0.91	-147 -135 -136 -148
606	5	11	0.00	0.00	0.91	-93 -83 -84 -94
606	5	11	0.00	0.00	0.91	-157 -145 -146 -158
606	5	11	0.00	0.00	0.91	-145 -134 25 -146
606	5	11	0.00	0.00	0.91	-182 -170 -171 -183
606	5	11	0.00	0.00	0.91	-208 -196 -197 -209
606	5	11	0.00	0.00	0.91	-181 -169 -170 -182
606	5	11	0.00	0.00	0.91	-197 -185 -186 -198
606	5	11	0.00	0.00	0.91	-173 -161 -162 -174
606	5	11	0.00	0.00	0.91	-44 -32 -33 -45

606	5	11	0.00	0.00	0.91	-115 -105 -106 -116
606	5	11	0.00	0.00	0.91	-158 -146 -147 -159
606	5	11	0.00	0.00	0.91	-219 -207 -208 -220
606	5	11	0.00	0.00	0.91	-195 -183 -184 -196
606	5	11	0.00	0.00	0.91	-171 -159 -160 -172
606	5	11	0.00	0.00	0.91	-135 -125 -126 -136
606	5	11	0.00	0.00	0.91	-113 -103 -104 -114
606	5	11	0.00	0.00	0.91	-91 -81 -82 -92
606	5	11	0.00	0.00	0.91	-220 -208 -209 -221
606	5	11	0.00	0.00	0.91	-196 -184 -185 -197
606	5	11	0.00	0.00	0.91	-172 -160 -161 -173
606	5	11	0.00	0.00	0.91	-123 -112 23 -124
606	5	11	0.00	0.00	0.91	-125 -113 -114 -126
606	5	11	0.00	0.00	0.91	-103 -91 -92 -104
606	5	11	0.00	0.00	0.91	-45 -33 -34 -46
606	5	11	0.00	0.00	0.91	-34 -22 -23 -35
606	5	11	0.00	0.00	0.91	-69 -57 -58 -70
606	5	11	0.00	0.00	0.91	-102 21 -91 -103
606	5	11	0.00	0.00	0.91	-101 -90 21 -102
606	5	11	0.00	0.00	0.91	-126 -114 -115 -127
606	5	11	0.00	0.00	0.91	-104 -92 -93 -105
606	5	11	0.00	0.00	0.91	-43 -31 -32 -44
606	5	11	0.00	0.00	0.91	-82 -70 -71 -83
606	5	11	0.00	0.00	0.91	-70 -58 -59 -71
606	5	11	0.00	0.00	0.91	-59 -47 -48 -60
606	5	11	0.00	0.00	0.91	-35 -23 -24 -36
606	5	11	0.00	0.00	0.91	-185 -173 -174 -186
606	5	11	0.00	0.00	0.91	-161 -149 -150 -162
606	5	11	0.00	0.00	0.91	-149 -137 -138 -150
606	5	11	0.00	0.00	0.91	-127 -115 -116 -128
606	5	11	0.00	0.00	0.91	-105 -93 -94 -106
606	5	11	0.00	0.00	0.91	-47 -35 -36 -48
606	5	11	0.00	0.00	0.91	-83 -71 -72 -84
606	5	11	0.00	0.00	0.91	-71 -59 -60 -72
606	5	11	0.00	0.00	0.91	-218 -206 -207 -219
606	5	11	0.00	0.00	0.91	-194 -182 -183 -195
606	5	11	0.00	0.00	0.91	-170 -158 -159 -171
606	5	11	0.00	0.00	0.91	25 -124 -125 -135
606	5	11	0.00	0.00	0.91	23 -102 -103 -113
606	5	11	0.00	0.00	0.91	21 -80 -81 -91
606	5	11	0.00	0.00	0.91	-56 -44 -45 -57
606	5	11	0.00	0.00	0.91	-32 -20 -21 -33
606	5	11	0.00	0.00	0.91	-217 -205 -206 -218
606	5	11	0.00	0.00	0.91	-193 -181 -182 -194
606	5	11	0.00	0.00	0.91	-169 -157 -158 -170
606	5	11	0.00	0.00	0.91	-134 -123 -124 25
606	5	11	0.00	0.00	0.91	-112 -101 -102 23
606	5	11	0.00	0.00	0.91	-90 -79 -80 21
606	5	11	0.00	0.00	0.91	-55 -43 -44 -56
606	5	11	0.00	0.00	0.91	-31 -19 -20 -32
606	5	11	0.00	0.00	0.91	-20 -8 -9 -21
606	5	11	0.00	0.00	0.91	-19 -7 -8 -20
606	5	11	0.00	0.00	0.91	-136 -126 -127 -137
606	5	11	0.00	0.00	0.91	-114 -104 -105 -115
606	5	11	0.00	0.00	0.91	-92 -82 -83 -93
606	5	11	0.00	0.00	0.91	-58 -46 -47 -59
606	5	11	0.00	0.00	0.91	-22 -10 -11 -23
606	5	11	0.00	0.00	0.91	-184 -172 -173 -185
606	5	11	0.00	0.00	0.91	-160 -148 -149 -161
606	5	11	0.00	0.00	0.91	-148 -136 -137 -149
606	5	11	0.00	0.00	0.91	-21 -9 -10 -22
606	5	11	0.00	0.00	0.91	-23 -11 -12 -24
606	5	11	0.00	0.00	0.91	-46 -34 -35 -47

Elenco tipi plinti/pali

Simbologia

Tl = Numero del tipo plinto/palo
Tipo = Tipologia
- Gra = Gradoni
- Pir = Piramidale
- P = Palo
- T3 = Triangolare 3 pali
- T3B = Triangolare 3 pali + bicchiere
- R = Rettangolare
- RB = Rettangolare + bicchiere
- R1 = Rettangolare 1 palo
- R1B = Rettangolare 1 palo + bicchiere
- R2x = Rettangolare 2 pali dir. X
- R2xB = Rettangolare 2 pali dir. X + bicchiere

R2y = Rettangolare 2 pali dir. Y
R2B = Rettangolare 2 pali dir. Y + bicchiere
R4 = Rettangolare 4 pali
R4B = Rettangolare 4 pali + bicchiere
P5 = Pentagonale 5 pali
P5B = Pentagonale 5 pali + bicchiere
E6 = Esagonale 6 pali
E6B = Esagonale 6 pali + bicchiere
Tp = Tipo palo
ND = Non definito
BP = Battuto prefabbricato
BGO = Battuto gettato in opera
T = Trivellato
TEC = Trivellato con elica continua
MP = Micropalo
Comm. = Commento
Lp = Lunghezza pali
R = Rotazione testa
B = Bloccata
L = Libera
Dp = Diametro pali
Crit. = Numero del criterio di progetto

Tl	Tipo	Tp	Comm.	Lp <m>	R	Dp <m>	Crit.
1	P	T	Palo d400 dietro	8.50	L	0.40	1
2	P	T	Palo d400 davanti	9.50	L	0.40	1

Elenco plinti/pali

Simbologia
PL = Plinto/Palo
Tl = Numero del tipo plinto/palo
Nodo = Nodo plinto/palo
Kt = Coeff. di sottofondo su suolo elastico alla Winkler

PL	Tl	Nodo	Kt <daN/cmc>	PL	Tl	Nodo	Kt <daN/cmc>	PL	Tl	Nodo	Kt <daN/cmc>	PL	Tl	Nodo	Kt <daN/cmc>
1	2	-183	---	2	2	-40	---	3	1	-137	---	4	1	-93	---
5	1	-115	---	6	2	-135	---	7	2	-113	---	8	2	-91	---
9	2	-45	---	10	1	-130	---	11	1	-108	---	12	1	-86	---
13	2	-88	---	14	2	-110	---	15	2	-132	---	16	2	-178	---

Carichi

Condizioni di carico elementari

Simbologia
CCE = Numero della condizione di carico elementare
Comm. = Commento
Mx = Moltiplicatore della massa in dir. X
My = Moltiplicatore della massa in dir. Y
Mz = Moltiplicatore della massa in dir. Z
Jpx = Moltiplicatore del momento d'inerzia intorno all'asse X
Jpy = Moltiplicatore del momento d'inerzia intorno all'asse Y
Jpz = Moltiplicatore del momento d'inerzia intorno all'asse Z
Tipo CCE = Tipo di CCE per calcolo agli stati limite
Sicurezza = Contributo alla sicurezza
F = a favore
S = a sfavore
A = ambigua
Variabilità = Tipo di variabilità
B = di base
I = indipendente
A = ambigua

CCE	Comm.	Mx	My	Mz	Jpx	Jpy	Jpz	Tipo CCE	Sicurezza	Variabilità
1	G1	1.00	1.00	1.00	0.00	0.00	1.00	20 DM 08 PONTI Permanenti	S	--
2	G2 + terreno	1.00	1.00	1.00	0.00	0.00	1.00	21 DM 08 PONTI Perm non strutt	S	--
3	Schema 1 q1tandem mezz	1.00	1.00	0.00	0.00	0.00	1.00	22 DM 08 PONTI Variabili S1 Tandem	S	B
4	Schema 1 q1tandem dx	1.00	1.00	0.00	0.00	0.00	1.00	22 DM 08 PONTI Variabili S1 Tandem	S	B
5	Schema 1 q1tandem sx	1.00	1.00	0.00	0.00	0.00	1.00	22 DM 08 PONTI Variabili S1 Tandem	S	B
6	Schema 1 q1dist	1.00	1.00	0.00	0.00	0.00	1.00	23 DM 08 PONTI Var S1,5 e 6 Distr	S	B
7	Schema 2 q1tandem mezz	1.00	1.00	0.00	0.00	0.00	1.00	24 DM 08 PONTI Var S2	S	B
8	Schema 2 q1tandem dx	1.00	1.00	0.00	0.00	0.00	1.00	24 DM 08 PONTI Var S2	S	B
9	Schema 2 q1tandem sx	1.00	1.00	0.00	0.00	0.00	1.00	24 DM 08 PONTI Var S2	S	B
10	Schema 2 q1dis mezz	1.00	1.00	0.00	0.00	0.00	1.00	24 DM 08 PONTI Var S2	S	B
11	Schema 2 q3 tandem mezz	1.00	1.00	0.00	0.00	0.00	1.00	24 DM 08 PONTI Var S2	S	B
12	Schema 2 q3 tandemdx	1.00	1.00	0.00	0.00	0.00	1.00	24 DM 08 PONTI Var S2	S	B
13	Schema 2 q3 tandem sx	1.00	1.00	0.00	0.00	0.00	1.00	24 DM 08 PONTI Var S2	S	B
14	Schema 1 q1dist	1.00	1.00	0.00	0.00	0.00	1.00	23 DM 08 PONTI Var S1,5 e 6 Distr	S	B
15	q var neve	1.00	1.00	0.00	0.00	0.00	1.00	25 DM 08 PONTI Neve SLU-SLE	S	B
16	q8 Veicolo in svio	1.00	1.00	0.00	0.00	0.00	1.00	28 DM 08 PONTI Eccezionali schema 2	S	B
17	Ecc - Onda di Piena	1.00	1.00	0.00	0.00	0.00	1.00	28 DM 08 PONTI Eccezionali schema 2	S	B

Elenco carichi nodi
Condizione di carico n. 11: Schema 2 q3 tandem mezz
Carichi concentrati

Simbologia
Nodo = Numero del nodo
Px = Componente X della forza applicata
Py = Componente Y della forza applicata
Pz = Componente Z della forza applicata
Mx = Momento intorno all'asse X
My = Momento intorno all'asse Y
Mz = Momento intorno all'asse Z

Nodo	Px <daN>	Py <daN>	Pz <daN>	Mx <daNm>	My <daNm>	Mz <daNm>
-1886	7200.00	0.00	0.00	0.00	0.00	0.00
-1376	7200.00	0.00	0.00	0.00	0.00	0.00

Nodo	Px <daN>	Py <daN>	Pz <daN>	Mx <daNm>	My <daNm>	Mz <daNm>
-1882	7200.00	0.00	0.00	0.00	0.00	0.00
-1372	7200.00	0.00	0.00	0.00	0.00	0.00

Elenco carichi nodi
Condizione di carico n. 12: Schema 2 q3 tandemdx
Carichi concentrati

Nodo	Px <daN>	Py <daN>	Pz <daN>	Mx <daNm>	My <daNm>	Mz <daNm>
-1938	7200.00	0.00	0.00	0.00	0.00	0.00
-1915	7200.00	0.00	0.00	0.00	0.00	0.00

Nodo	Px <daN>	Py <daN>	Pz <daN>	Mx <daNm>	My <daNm>	Mz <daNm>
-1919	7200.00	0.00	0.00	0.00	0.00	0.00
-1913	7200.00	0.00	0.00	0.00	0.00	0.00

Elenco carichi nodi
Condizione di carico n. 13: Schema 2 q3 tandem sx
Carichi concentrati

Nodo	Px <daN>	Py <daN>	Pz <daN>	Mx <daNm>	My <daNm>	Mz <daNm>
-1972	7200.00	0.00	0.00	0.00	0.00	0.00
-1947	7200.00	0.00	0.00	0.00	0.00	0.00

Nodo	Px <daN>	Py <daN>	Pz <daN>	Mx <daNm>	My <daNm>	Mz <daNm>
-1969	7200.00	0.00	0.00	0.00	0.00	0.00
-1943	7200.00	0.00	0.00	0.00	0.00	0.00

Elenco carichi nodi
Condizione di carico n. 16: q8 Veicolo in svio
Carichi concentrati

Nodo	Px <daN>	Py <daN>	Pz <daN>	Mx <daNm>	My <daNm>	Mz <daNm>
-1832	0.00	0.00	20000.00	0.00	0.00	0.00

Nodo	Px <daN>	Py <daN>	Pz <daN>	Mx <daNm>	My <daNm>	Mz <daNm>
-1772	0.00	0.00	20000.00	0.00	0.00	0.00

Elenco carichi aste
Condizione di carico n. 1: G1
Elenco peso proprio aste

Simbologia
Sez. = Numero della sezione
Comm. = Commento
A = Area
Mat. = Materiale
P = Peso specifico
PL = Peso specifico a metro lineare

Sez.	Comm.	A <cmq>	Mat.	P <daN/mc>	PL <daN/m>
1	IPE240 iimpalcato	39.117500	Acciaio	7850.00	30.71
2	U160x8.5	26.578500	Acciaio	7850.00	20.86
3	HEB140	42.956800	Acciaio	7850.00	33.72
4	IPE120	13.210500	Acciaio	7850.00	10.37
5	HEA100 sez. generica	21.236900	Acciaio	7850.00	16.67
6	HEB140 sicurvia	42.956800	Acciaio	7850.00	33.72
8	HEA120 comparato a lamina tre onde	25.336900	Acciaio	7850.00	19.89
10	BIELLA FITTIZIA	7.068580	Acciaio	7850.00	5.55

Elenco carichi aste
Condizione di carico n. 2: G2 + terreno
Carichi distribuiti

Simbologia
Asta = Numero dell'asta
N1 = Nodo iniziale
N2 = Nodo finale
E = Elemento provenienza del carico
S = Solaio

T = Tamponatura
NE = Numero elemento di provenienza del carico
T = Tipo di carico
QA = Primo carico accidentale
QA2 = Secondo carico accidentale
QA3 = Terzo carico accidentale
QPS = Carico permanente strutturale
QPN = Carico permanente non strutturale
M = Manuale
DC = Direzione del carico
XG,YG,ZG = secondo gli assi globali
XL,YL,ZL = secondo gli assi locali
Xi = Distanza iniziale
Qi = Carico iniziale
Xf = Distanza finale
Qf = Carico finale

Asta	N1	N2	E	NE	T	DC	Xi <m>	Qi <daN/m>	Xf <m>	Qf <daN/m>
0	-1617	-1606	S	--	M	ZG	0.00	150.00	0.40	150.00
0	-1605	-1604	S	--	M	ZG	0.00	150.00	0.40	150.00
0	-1603	-1602	S	--	M	ZG	0.00	150.00	0.40	150.00
0	-1601	-1933	S	--	M	ZG	0.00	150.00	0.20	150.00
0	-1600	-1539	S	--	M	ZG	0.00	150.00	0.40	150.00
0	-1822	-1934	S	--	M	ZG	0.00	150.00	0.20	150.00
0	-1821	-1820	S	--	M	ZG	0.00	150.00	0.40	150.00
0	-1820	-1819	S	--	M	ZG	0.00	150.00	0.40	150.00
0	-1819	-1818	S	--	M	ZG	0.00	150.00	0.40	150.00
0	-1818	-1817	S	--	M	ZG	0.00	150.00	0.40	150.00
0	-2071	-1546	S	--	M	ZG	0.00	150.00	0.40	150.00
0	-1816	-1815	S	--	M	ZG	0.00	150.00	0.40	150.00
0	-1815	-2087	S	--	M	ZG	0.00	150.00	0.20	150.00
0	-2087	-1814	S	--	M	ZG	0.00	150.00	0.20	150.00
0	-1544	-1540	S	--	M	ZG	0.00	150.00	0.40	150.00
0	-2089	-1813	S	--	M	ZG	0.00	150.00	0.20	150.00
0	-1540	-2069	S	--	M	ZG	0.00	150.00	0.40	150.00
0	-2069	-1942	S	--	M	ZG	0.00	150.00	0.20	150.00
0	-1942	-1761	S	--	M	ZG	0.00	150.00	0.20	150.00
0	-1811	-2093	S	--	M	ZG	0.00	150.00	0.20	150.00
0	-2093	-1810	S	--	M	ZG	0.00	150.00	0.20	150.00
0	-1760	-1759	S	--	M	ZG	0.00	150.00	0.40	150.00
0	-1759	-1758	S	--	M	ZG	0.00	150.00	0.40	150.00
0	-1808	-1807	S	--	M	ZG	0.00	150.00	0.40	150.00
0	-2067	-1757	S	--	M	ZG	0.00	150.00	0.40	150.00
0	-1806	-1805	S	--	M	ZG	0.00	150.00	0.40	150.00
0	-2115	-1755	S	--	M	ZG	0.00	150.00	0.20	150.00
0	-1755	-2116	S	--	M	ZG	0.00	150.00	0.20	150.00
0	-1950	-1803	S	--	M	ZG	0.00	150.00	0.20	150.00
0	-1803	-1687	S	--	M	ZG	0.00	150.00	0.40	150.00
0	-1689	-2065	S	--	M	ZG	0.00	150.00	0.20	150.00
0	-1687	-1625	S	--	M	ZG	0.00	150.00	0.40	150.00
0	-1625	-1961	S	--	M	ZG	0.00	150.00	0.20	150.00
0	-1961	-1624	S	--	M	ZG	0.00	150.00	0.20	150.00
0	-1624	-1623	S	--	M	ZG	0.00	150.00	0.40	150.00
0	-1623	-1622	S	--	M	ZG	0.00	150.00	0.40	150.00
0	-1622	-1621	S	--	M	ZG	0.00	150.00	0.40	150.00
0	-2063	-1749	S	--	M	ZG	0.00	150.00	0.40	150.00
0	-1749	-1748	S	--	M	ZG	0.00	150.00	0.40	150.00
0	-1619	-1417	S	--	M	ZG	0.00	150.00	0.40	150.00
0	-1747	-1957	S	--	M	ZG	0.00	150.00	0.20	150.00
0	-1746	-1686	S	--	M	ZG	0.00	150.00	0.40	150.00
0	-1680	-1679	S	--	M	ZG	0.00	150.00	0.40	150.00
0	-1964	-1680	S	--	M	ZG	0.00	150.00	0.20	150.00
0	-1678	-1677	S	--	M	ZG	0.00	150.00	0.40	150.00
0	-1676	-1675	S	--	M	ZG	0.00	150.00	0.40	150.00

Asta	N1	N2	E	NE	T	DC	Xi <m>	Qi <daN/m>	Xf <m>	Qf <daN/m>
0	-1606	-1605	S	--	M	ZG	0.00	150.00	0.40	150.00
0	-1604	-1603	S	--	M	ZG	0.00	150.00	0.40	150.00
0	-1602	-1601	S	--	M	ZG	0.00	150.00	0.40	150.00
0	-1933	-1600	S	--	M	ZG	0.00	150.00	0.20	150.00
0	-1539	-1822	S	--	M	ZG	0.00	150.00	0.40	150.00
0	-1934	-1821	S	--	M	ZG	0.00	150.00	0.20	150.00
0	-1609	-1550	S	--	M	ZG	0.00	150.00	0.40	150.00
0	-1550	-1549	S	--	M	ZG	0.00	150.00	0.40	150.00
0	-1549	-1548	S	--	M	ZG	0.00	150.00	0.40	150.00
0	-1548	-2071	S	--	M	ZG	0.00	150.00	0.40	150.00
0	-1817	-1816	S	--	M	ZG	0.00	150.00	0.40	150.00
0	-1546	-1545	S	--	M	ZG	0.00	150.00	0.40	150.00
0	-1545	-1922	S	--	M	ZG	0.00	150.00	0.20	150.00
0	-1922	-1544	S	--	M	ZG	0.00	150.00	0.20	150.00
0	-1814	-2089	S	--	M	ZG	0.00	150.00	0.20	150.00
0	-1813	-1533	S	--	M	ZG	0.00	150.00	0.20	150.00
0	-1533	-1812	S	--	M	ZG	0.00	150.00	0.20	150.00
0	-1812	-2091	S	--	M	ZG	0.00	150.00	0.20	150.00
0	-2091	-1811	S	--	M	ZG	0.00	150.00	0.20	150.00
0	-1761	-1760	S	--	M	ZG	0.00	150.00	0.40	150.00
0	-1810	-1809	S	--	M	ZG	0.00	150.00	0.40	150.00
0	-1809	-1808	S	--	M	ZG	0.00	150.00	0.40	150.00
0	-1758	-2067	S	--	M	ZG	0.00	150.00	0.40	150.00
0	-1807	-1806	S	--	M	ZG	0.00	150.00	0.40	150.00
0	-1757	-1756	S	--	M	ZG	0.00	150.00	0.40	150.00
0	-1756	-2115	S	--	M	ZG	0.00	150.00	0.20	150.00
0	-1805	-1804	S	--	M	ZG	0.00	150.00	0.40	150.00
0	-1804	-1950	S	--	M	ZG	0.00	150.00	0.20	150.00
0	-2116	-1754	S	--	M	ZG	0.00	150.00	0.20	150.00
0	-1754	-1689	S	--	M	ZG	0.00	150.00	0.20	150.00
0	-2065	-2117	S	--	M	ZG	0.00	150.00	0.20	150.00
0	-2117	-1753	S	--	M	ZG	0.00	150.00	0.20	150.00
0	-1753	-2119	S	--	M	ZG	0.00	150.00	0.20	150.00
0	-2119	-1752	S	--	M	ZG	0.00	150.00	0.20	150.00
0	-1752	-1751	S	--	M	ZG	0.00	150.00	0.40	150.00
0	-1751	-1750	S	--	M	ZG	0.00	150.00	0.40	150.00
0	-1750	-2063	S	--	M	ZG	0.00	150.00	0.40	150.00
0	-1621	-1620	S	--	M	ZG	0.00	150.00	0.40	150.00
0	-1620	-1619	S	--	M	ZG	0.00	150.00	0.40	150.00
0	-1748	-1747	S	--	M	ZG	0.00	150.00	0.40	150.00
0	-1957	-1746	S	--	M	ZG	0.00	150.00	0.20	150.00
0	-1686	-1681	S	--	M	ZG	0.00	150.00	0.40	150.00
0	-1681	-1964	S	--	M	ZG	0.00	150.00	0.20	150.00
0	-1679	-1678	S	--	M	ZG	0.00	150.00	0.40	150.00
0	-1677	-1676	S	--	M	ZG	0.00	150.00	0.40	150.00
0	-1675	-1425	S	--	M	ZG	0.00	150.00	0.40	150.00

Elenco carichi aste
Condizione di carico n. 16: q8 Veicolo in svio
Carichi distribuiti

Asta	N1	N2	E	NE	T	DC	Xi <m>	Qi <daN/m>	Xf <m>	Qf <daN/m>
0	-1272	405	S	--	M	YG	0.00	6250.00	0.25	6250.00

Asta	N1	N2	E	NE	T	DC	Xi <m>	Qi <daN/m>	Xf <m>	Qf <daN/m>
0	405	-1273	S	--	M	YG	0.00	6250.00	0.25	6250.00

Elenco carichi aste
Condizione di carico n. 17: Ecc - Onda di Piena
Carichi distribuiti

Asta	N1	N2	E	NE	T	DC	Xi <m>	Qi <daN/m>	Xf <m>	Qf <daN/m>

Asta	N1	N2	E	NE	T	DC	Xi <m>	Qi <daN/m>	Xf <m>	Qf <daN/m>

0	401	402	S	--	M	YG	0.00	-472.20	1.91	-472.20
0	403	404	S	--	M	YG	0.00	-472.20	2.00	-472.20
0	-1272	405	S	--	M	YG	0.00	-472.20	0.25	-472.20
0	-1273	406	S	--	M	YG	0.00	-472.20	1.55	-472.20
0	407	408	S	--	M	YG	0.00	-472.20	2.00	-472.20
301	301	-582	S	--	M	YG	0.00	-661.08	0.31	-661.08
301	-583	-584	S	--	M	YG	0.00	-661.08	0.40	-661.08
301	-585	302	S	--	M	YG	0.00	-661.08	0.40	-661.08
301	-586	-587	S	--	M	YG	0.00	-661.08	0.40	-661.08
301	-588	-589	S	--	M	YG	0.00	-661.08	0.20	-661.08
301	-590	303	S	--	M	YG	0.00	-661.08	0.40	-661.08
301	-591	-592	S	--	M	YG	0.00	-661.08	0.20	-661.08
301	-593	-594	S	--	M	YG	0.00	-661.08	0.40	-661.08
301	-595	304	S	--	M	YG	0.00	-661.08	0.40	-661.08
301	-596	-597	S	--	M	YG	0.00	-661.08	0.40	-661.08
301	-1302	-598	S	--	M	YG	0.00	-661.08	0.20	-661.08
301	-1304	-599	S	--	M	YG	0.00	-661.08	0.20	-661.08
301	305	-600	S	--	M	YG	0.00	-661.08	0.20	-661.08
301	-1306	-601	S	--	M	YG	0.00	-661.08	0.20	-661.08
301	-1308	-602	S	--	M	YG	0.00	-661.08	0.20	-661.08
301	-603	306	S	--	M	YG	0.00	-661.08	0.40	-661.08
301	-604	-605	S	--	M	YG	0.00	-661.08	0.40	-661.08
301	-606	-607	S	--	M	YG	0.00	-661.08	0.40	-661.08
301	-608	307	S	--	M	YG	0.00	-661.08	0.20	-661.08
301	-609	-610	S	--	M	YG	0.00	-661.08	0.40	-661.08
301	-611	-612	S	--	M	YG	0.00	-661.08	0.20	-661.08
301	-613	308	S	--	M	YG	0.00	-661.08	0.40	-661.08
301	-614	-615	S	--	M	YG	0.00	-661.08	0.40	-661.08
301	-616	-617	S	--	M	YG	0.00	-661.08	0.40	-661.08

0	402	403	S	--	M	YG	0.00	-472.20	2.00	-472.20
0	404	-1272	S	--	M	YG	0.00	-472.20	1.55	-472.20
0	405	-1273	S	--	M	YG	0.00	-472.20	0.25	-472.20
0	406	407	S	--	M	YG	0.00	-472.20	2.00	-472.20
0	408	409	S	--	M	YG	0.00	-472.20	1.91	-472.20
301	-582	-583	S	--	M	YG	0.00	-661.08	0.40	-661.08
301	-584	-585	S	--	M	YG	0.00	-661.08	0.40	-661.08
301	302	-586	S	--	M	YG	0.00	-661.08	0.40	-661.08
301	-587	-588	S	--	M	YG	0.00	-661.08	0.20	-661.08
301	-589	-590	S	--	M	YG	0.00	-661.08	0.40	-661.08
301	303	-591	S	--	M	YG	0.00	-661.08	0.20	-661.08
301	-592	-593	S	--	M	YG	0.00	-661.08	0.40	-661.08
301	-594	-595	S	--	M	YG	0.00	-661.08	0.40	-661.08
301	304	-596	S	--	M	YG	0.00	-661.08	0.40	-661.08
301	-597	-1302	S	--	M	YG	0.00	-661.08	0.20	-661.08
301	-598	-1304	S	--	M	YG	0.00	-661.08	0.20	-661.08
301	-599	305	S	--	M	YG	0.00	-661.08	0.20	-661.08
301	-600	-1306	S	--	M	YG	0.00	-661.08	0.20	-661.08
301	-601	-1308	S	--	M	YG	0.00	-661.08	0.20	-661.08
301	-602	-603	S	--	M	YG	0.00	-661.08	0.40	-661.08
301	306	-604	S	--	M	YG	0.00	-661.08	0.40	-661.08
301	-605	-606	S	--	M	YG	0.00	-661.08	0.40	-661.08
301	-607	-608	S	--	M	YG	0.00	-661.08	0.20	-661.08
301	307	-609	S	--	M	YG	0.00	-661.08	0.40	-661.08
301	-610	-611	S	--	M	YG	0.00	-661.08	0.20	-661.08
301	-612	-613	S	--	M	YG	0.00	-661.08	0.40	-661.08
301	308	-614	S	--	M	YG	0.00	-661.08	0.40	-661.08
301	-615	-616	S	--	M	YG	0.00	-661.08	0.40	-661.08
301	-617	309	S	--	M	YG	0.00	-661.08	0.31	-661.08

Elenco peso proprio elementi bidimensionali

Simbologia
Tb = Numero del tipo muro/elemento bidimensionale
Comm. = Commento
Spess. = Spessore
Mat. = Materiale
P = Peso specifico
PQ = Peso specifico per unità di superficie

Tb	Comm.	Spess. <cm>	Mat.	P <daN/mc>	PQ <daN/mq>
1	Soletta cls 15cm	15.00	Calcestruzzo 28/35 t00	2500.00	375.00
2	Soletta cls 12cm Cordolo laterale	15.00	Calcestruzzo 28/35 t00	2500.00	375.00
4	Calcestruzzo 70cm	70.00	Calcestruzzo 32/40	2500.00	1750.00
5	Soletta fondazione 90cm	90.00	Calcestruzzo 32/40	2500.00	2250.00
6	Calcestruzzo 50cm	50.00	Calcestruzzo 32/40	2500.00	1250.00

Elenco carichi elementi bidimensionali
Condizione di carico n. 2: G2 + terreno
Carichi uniformi

Simbologia
Bid. = Numero del muro/elemento bidimensionale
N1 = Nodo1
N2 = Nodo2
N3 = Nodo3
N4 = Nodo4
T = Tipo di carico
PP = Peso proprio
M = Manuale
DC = Direzione del carico
G = secondo gli assi globali
L = secondo gli assi locali
Qx = Carico in dir. X
Qy = Carico in dir. Y
Qz = Carico in dir. Z

Bid.	N1	N2	N3	N4	T	DC	Qx <daN/mq>	Qy <daN/mq>	Qz <daN/mq>
0	-1532	-1833	-1466	-1867	M	G	0.00	0.00	216.00
0	-1832	-1532	-1867	-1465	M	G	0.00	0.00	216.00
0	-1831	-1547	-2083	-1464	M	G	0.00	0.00	216.00
0	-1830	-1699	-1762	-1463	M	G	0.00	0.00	216.00
0	-1829	-1830	-1463	-1462	M	G	0.00	0.00	216.00
0	-1828	-1829	-1462	-1460	M	G	0.00	0.00	216.00
0	-1875	-1876	-1478	-1477	M	G	0.00	0.00	216.00
0	-1876	-1877	-1479	-1478	M	G	0.00	0.00	216.00

0	-1877	-1878	-1480	-1479	M	G	0.00	0.00	216.00
0	-1878	-1879	-1481	-1480	M	G	0.00	0.00	216.00
0	-1879	-1880	-1482	-1481	M	G	0.00	0.00	216.00
0	-1880	-1881	-1491	-1482	M	G	0.00	0.00	216.00
0	-1881	-1974	-1973	-1491	M	G	0.00	0.00	216.00
0	-1882	-1911	-1912	-1492	M	G	0.00	0.00	216.00
0	-1834	-2080	-2079	-1467	M	G	0.00	0.00	216.00
0	-1348	-1349	-1561	-1560	M	G	0.00	0.00	216.00
0	-1347	-1348	-1560	-1559	M	G	0.00	0.00	216.00
0	-1346	-1915	-1916	-1558	M	G	0.00	0.00	216.00
0	-1385	-1346	-1558	440	M	G	0.00	0.00	216.00
0	-1344	-1345	-1572	-1537	M	G	0.00	0.00	216.00
0	-1345	-1913	-1914	-1572	M	G	0.00	0.00	216.00
0	-1343	-1342	-1574	-1573	M	G	0.00	0.00	216.00
0	-1342	-1868	-1575	-1574	M	G	0.00	0.00	216.00
0	-1868	-1869	-1576	-1575	M	G	0.00	0.00	216.00
0	-1869	-1870	-1577	-1576	M	G	0.00	0.00	216.00
0	-1870	-1871	-1578	-1577	M	G	0.00	0.00	216.00
0	-1871	-1872	-1613	-1578	M	G	0.00	0.00	216.00
0	-1874	-1873	-1476	-1848	M	G	0.00	0.00	216.00
0	-1858	-1851	-1380	-1379	M	G	0.00	0.00	216.00
0	-1856	-1858	-1379	-1378	M	G	0.00	0.00	216.00
0	-1695	-1856	-1378	-1377	M	G	0.00	0.00	216.00
0	-1694	-2061	-2068	-1376	M	G	0.00	0.00	216.00
0	-1693	-2084	-2072	-1375	M	G	0.00	0.00	216.00
0	-1862	-1693	-1375	-1374	M	G	0.00	0.00	216.00
0	-1866	-1862	-1374	-1373	M	G	0.00	0.00	216.00
0	-1865	-2085	-2073	-1372	M	G	0.00	0.00	216.00
0	-1864	-2086	-2074	-1371	M	G	0.00	0.00	216.00
0	-1861	-1864	-1371	-1370	M	G	0.00	0.00	216.00
0	-1857	-1861	-1370	-1369	M	G	0.00	0.00	216.00
0	-1845	-1857	-1369	-1368	M	G	0.00	0.00	216.00
0	-1844	-1845	-1368	-1361	M	G	0.00	0.00	216.00
0	-1843	-1844	-1361	-1360	M	G	0.00	0.00	216.00
0	-1839	-1843	-1360	-1359	M	G	0.00	0.00	216.00
0	-1836	-1948	-1947	-1358	M	G	0.00	0.00	216.00
0	-1850	-1836	-1358	-1357	M	G	0.00	0.00	216.00
0	-1863	-1783	-1428	441	M	G	0.00	0.00	216.00
0	-1783	-1946	-1949	-1428	M	G	0.00	0.00	216.00
0	-1784	-1785	-1430	-1429	M	G	0.00	0.00	216.00
0	-1512	-1511	-1570	-1569	M	G	0.00	0.00	216.00
0	-1513	-1512	-1569	-1568	M	G	0.00	0.00	216.00
0	-1514	-1513	-1568	-1567	M	G	0.00	0.00	216.00
0	-1515	-1514	-1567	-1566	M	G	0.00	0.00	216.00
0	-1516	-1925	-1921	-1565	M	G	0.00	0.00	216.00
0	-1578	-1613	-1509	-1510	M	G	0.00	0.00	216.00
0	-1577	-1578	-1510	-1511	M	G	0.00	0.00	216.00
0	-1576	-1577	-1511	-1512	M	G	0.00	0.00	216.00
0	-1575	-1576	-1512	-1513	M	G	0.00	0.00	216.00
0	-1574	-1575	-1513	-1514	M	G	0.00	0.00	216.00
0	-1573	-1574	-1514	-1515	M	G	0.00	0.00	216.00
0	-1572	-1914	-1925	-1516	M	G	0.00	0.00	216.00
0	430	-1551	-1586	-1534	M	G	0.00	0.00	216.00
0	-1551	-1926	-1927	-1586	M	G	0.00	0.00	216.00
0	-1552	-1553	-1588	-1587	M	G	0.00	0.00	216.00
0	-1553	-1554	-1589	-1588	M	G	0.00	0.00	216.00
0	-1554	-1555	-1590	-1589	M	G	0.00	0.00	216.00
0	-1555	-1556	-1591	-1590	M	G	0.00	0.00	216.00
0	-1556	-1557	-1592	-1591	M	G	0.00	0.00	216.00
0	-1557	-1610	-1615	-1592	M	G	0.00	0.00	216.00
0	-1534	-1586	-1579	433	M	G	0.00	0.00	216.00
0	-1586	-1927	-1928	-1579	M	G	0.00	0.00	216.00
0	-1587	-1588	-1581	-1580	M	G	0.00	0.00	216.00
0	-1588	-1589	-1582	-1581	M	G	0.00	0.00	216.00
0	-1589	-1590	-1583	-1582	M	G	0.00	0.00	216.00
0	-1590	-1591	-1584	-1583	M	G	0.00	0.00	216.00
0	-1591	-1592	-1585	-1584	M	G	0.00	0.00	216.00
0	-1592	-1615	-1614	-1585	M	G	0.00	0.00	216.00
0	440	-1558	-1593	-1531	M	G	0.00	0.00	216.00
0	-1558	-1916	-1929	-1593	M	G	0.00	0.00	216.00
0	-1559	-1560	-1595	-1594	M	G	0.00	0.00	216.00
0	-1560	-1561	-1596	-1595	M	G	0.00	0.00	216.00
0	-1561	-1562	-1597	-1596	M	G	0.00	0.00	216.00
0	-1562	-1563	-1598	-1597	M	G	0.00	0.00	216.00
0	-1563	-1564	-1599	-1598	M	G	0.00	0.00	216.00
0	-1564	-1611	-1616	-1599	M	G	0.00	0.00	216.00
0	-1840	-1607	-1354	-1353	M	G	0.00	0.00	216.00
0	-1697	-1840	-1353	-1351	M	G	0.00	0.00	216.00
0	-1696	-1697	-1351	-1350	M	G	0.00	0.00	216.00

0	-1690	-1696	-1350	-1349	M	G	0.00	0.00	216.00
0	-1685	-1690	-1349	-1348	M	G	0.00	0.00	216.00
0	-1414	-1685	-1348	-1347	M	G	0.00	0.00	216.00
0	-1618	-1930	-1915	-1346	M	G	0.00	0.00	216.00
0	-1536	-1618	-1346	-1385	M	G	0.00	0.00	216.00
0	433	-1579	-1345	-1344	M	G	0.00	0.00	216.00
0	-1579	-1928	-1913	-1345	M	G	0.00	0.00	216.00
0	-1580	-1581	-1342	-1343	M	G	0.00	0.00	216.00
0	-1581	-1582	-1868	-1342	M	G	0.00	0.00	216.00
0	-1582	-1583	-1869	-1868	M	G	0.00	0.00	216.00
0	-1583	-1584	-1870	-1869	M	G	0.00	0.00	216.00
0	-1584	-1585	-1871	-1870	M	G	0.00	0.00	216.00
0	-1585	-1614	-1872	-1871	M	G	0.00	0.00	216.00
0	-1531	-1593	-1551	430	M	G	0.00	0.00	216.00
0	-1593	-1929	-1926	-1551	M	G	0.00	0.00	216.00
0	-1594	-1595	-1553	-1552	M	G	0.00	0.00	216.00
0	-1595	-1596	-1554	-1553	M	G	0.00	0.00	216.00
0	-1596	-1597	-1555	-1554	M	G	0.00	0.00	216.00
0	-1597	-1598	-1556	-1555	M	G	0.00	0.00	216.00
0	-1598	-1599	-1557	-1556	M	G	0.00	0.00	216.00
0	-1599	-1616	-1610	-1557	M	G	0.00	0.00	216.00
0	-1408	-1407	-1607	-1840	M	G	0.00	0.00	216.00
0	-1409	-1408	-1840	-1697	M	G	0.00	0.00	216.00
0	-1437	-1409	-1697	-1696	M	G	0.00	0.00	216.00
0	-1440	-1437	-1696	-1690	M	G	0.00	0.00	216.00
0	-1444	-1440	-1690	-1685	M	G	0.00	0.00	216.00
0	-1447	-1444	-1685	-1414	M	G	0.00	0.00	216.00
0	-1451	-1931	-1930	-1618	M	G	0.00	0.00	216.00
0	-1543	-1608	-1407	-1408	M	G	0.00	0.00	216.00
0	-1542	-1543	-1408	-1409	M	G	0.00	0.00	216.00
0	-1541	-1542	-1409	-1437	M	G	0.00	0.00	216.00
0	-1860	-1541	-1437	-1440	M	G	0.00	0.00	216.00
0	-1855	-1860	-1440	-1444	M	G	0.00	0.00	216.00
0	-1854	-1855	-1444	-1447	M	G	0.00	0.00	216.00
0	-1841	-1932	-1931	-1451	M	G	0.00	0.00	216.00
0	-1606	-1617	-2127	-2128	M	G	0.00	0.00	400.00
0	-1605	-1606	-2128	-2129	M	G	0.00	0.00	400.00
0	-1604	-1605	-2129	-2130	M	G	0.00	0.00	400.00
0	-1603	-1604	-2130	-2131	M	G	0.00	0.00	400.00
0	-1602	-1603	-2131	-2132	M	G	0.00	0.00	400.00
0	-1601	-1602	-2132	-2133	M	G	0.00	0.00	400.00
0	-1600	-1933	-2134	-2135	M	G	0.00	0.00	400.00
0	-1822	-1539	-2136	-2137	M	G	0.00	0.00	400.00
0	-1821	-1934	-2138	-2139	M	G	0.00	0.00	400.00
0	-1820	-1821	-2139	-2140	M	G	0.00	0.00	400.00
0	-1819	-1820	-2140	-2141	M	G	0.00	0.00	400.00
0	-1818	-1819	-2141	-2142	M	G	0.00	0.00	400.00
0	-1817	-1818	-2142	-2143	M	G	0.00	0.00	400.00
0	-1816	-1817	-2143	-2144	M	G	0.00	0.00	400.00
0	-1815	-1816	-2144	-2145	M	G	0.00	0.00	400.00
0	-1814	-2087	-2146	-2147	M	G	0.00	0.00	400.00
0	-1813	-2089	-2148	-2149	M	G	0.00	0.00	400.00
0	-1533	-1813	-2149	-2150	M	G	0.00	0.00	400.00
0	-1812	-1533	-2150	-2151	M	G	0.00	0.00	400.00
0	-1811	-2091	-2152	-2153	M	G	0.00	0.00	400.00
0	-1810	-2093	-2154	-2155	M	G	0.00	0.00	400.00
0	-1809	-1810	-2155	-2156	M	G	0.00	0.00	400.00
0	-1808	-1809	-2156	-2157	M	G	0.00	0.00	400.00
0	-1807	-1808	-2157	-2158	M	G	0.00	0.00	400.00
0	-1806	-1807	-2158	-2159	M	G	0.00	0.00	400.00
0	-1805	-1806	-2159	-2160	M	G	0.00	0.00	400.00
0	-1804	-1805	-2160	-2161	M	G	0.00	0.00	400.00
0	-1803	-1950	-2162	-2163	M	G	0.00	0.00	400.00
0	-1782	431	438	-1387	M	G	0.00	0.00	216.00
0	-1781	-1935	-1936	-1388	M	G	0.00	0.00	216.00
0	-1780	-1781	-1388	-1389	M	G	0.00	0.00	216.00
0	-1779	-1780	-1389	-1390	M	G	0.00	0.00	216.00
0	-1778	-1779	-1390	-1391	M	G	0.00	0.00	216.00
0	-1777	-1778	-1391	-1392	M	G	0.00	0.00	216.00
0	-1776	-1777	-1392	-1393	M	G	0.00	0.00	216.00
0	-1775	-1776	-1393	-1394	M	G	0.00	0.00	216.00
0	-1774	-2088	-2095	-1395	M	G	0.00	0.00	216.00
0	-1773	-2090	-2096	-1396	M	G	0.00	0.00	216.00
0	-1413	-1773	-1396	-1386	M	G	0.00	0.00	216.00
0	-1772	-1413	-1386	-1397	M	G	0.00	0.00	216.00
0	-1771	-2092	-2097	-1398	M	G	0.00	0.00	216.00
0	-1770	-2094	-2098	-1399	M	G	0.00	0.00	216.00
0	-1769	-1770	-1399	-1400	M	G	0.00	0.00	216.00
0	-1768	-1769	-1400	-1401	M	G	0.00	0.00	216.00

0	-1767	-1768	-1401	-1402	M	G	0.00	0.00	216.00
0	-1766	-1767	-1402	-1403	M	G	0.00	0.00	216.00
0	-1765	-1766	-1403	-1404	M	G	0.00	0.00	216.00
0	-1764	-1765	-1404	-1405	M	G	0.00	0.00	216.00
0	-1763	-1951	-1952	-1406	M	G	0.00	0.00	216.00
0	-1387	438	-1536	-1838	M	G	0.00	0.00	216.00
0	-1388	-1936	-1924	-1837	M	G	0.00	0.00	216.00
0	-1389	-1388	-1837	-1853	M	G	0.00	0.00	216.00
0	-1390	-1389	-1853	-1852	M	G	0.00	0.00	216.00
0	-1391	-1390	-1852	-1851	M	G	0.00	0.00	216.00
0	-1392	-1391	-1851	-1858	M	G	0.00	0.00	216.00
0	-1393	-1392	-1858	-1856	M	G	0.00	0.00	216.00
0	-1394	-1393	-1856	-1695	M	G	0.00	0.00	216.00
0	-1395	-2095	-2061	-1694	M	G	0.00	0.00	216.00
0	-1396	-2096	-2084	-1693	M	G	0.00	0.00	216.00
0	-1386	-1396	-1693	-1862	M	G	0.00	0.00	216.00
0	-1397	-1386	-1862	-1866	M	G	0.00	0.00	216.00
0	-1398	-2097	-2085	-1865	M	G	0.00	0.00	216.00
0	-1399	-2098	-2086	-1864	M	G	0.00	0.00	216.00
0	-1400	-1399	-1864	-1861	M	G	0.00	0.00	216.00
0	-1401	-1400	-1861	-1857	M	G	0.00	0.00	216.00
0	-1402	-1401	-1857	-1845	M	G	0.00	0.00	216.00
0	-1403	-1402	-1845	-1844	M	G	0.00	0.00	216.00
0	-1404	-1403	-1844	-1843	M	G	0.00	0.00	216.00
0	-1405	-1404	-1843	-1839	M	G	0.00	0.00	216.00
0	-1406	-1952	-1948	-1836	M	G	0.00	0.00	216.00
0	441	-1428	-1823	-1859	M	G	0.00	0.00	216.00
0	-1428	-1949	-1953	-1823	M	G	0.00	0.00	216.00
0	-1429	-1430	-1825	-1824	M	G	0.00	0.00	216.00
0	-1430	-1431	-1826	-1825	M	G	0.00	0.00	216.00
0	-1431	-1432	-1827	-1826	M	G	0.00	0.00	216.00
0	-1432	-1433	-1828	-1827	M	G	0.00	0.00	216.00
0	-1433	-1434	-1829	-1828	M	G	0.00	0.00	216.00
0	-1434	-1435	-1830	-1829	M	G	0.00	0.00	216.00
0	-1435	-2099	-1699	-1830	M	G	0.00	0.00	216.00
0	-1436	-2100	-1547	-1831	M	G	0.00	0.00	216.00
0	-1438	-1846	-1532	-1832	M	G	0.00	0.00	216.00
0	-1846	-1439	-1833	-1532	M	G	0.00	0.00	216.00
0	-1439	-2101	-2082	-1833	M	G	0.00	0.00	216.00
0	-1441	-2102	-2080	-1834	M	G	0.00	0.00	216.00
0	-1442	-1443	-1412	-1835	M	G	0.00	0.00	216.00
0	-1443	-1445	-1410	-1412	M	G	0.00	0.00	216.00
0	-1445	-1446	-1411	-1410	M	G	0.00	0.00	216.00
0	-1446	-1448	-1688	-1411	M	G	0.00	0.00	216.00
0	-1448	-1449	-1691	-1688	M	G	0.00	0.00	216.00
0	-1449	-1450	-1692	-1691	M	G	0.00	0.00	216.00
0	-1450	-1937	-1917	-1692	M	G	0.00	0.00	216.00
0	-1452	430	-1534	-1698	M	G	0.00	0.00	216.00
0	439	-1453	-1873	-1874	M	G	0.00	0.00	216.00
0	-1453	-1954	-1943	-1873	M	G	0.00	0.00	216.00
0	-1454	-1455	-1876	-1875	M	G	0.00	0.00	216.00
0	-1455	-1456	-1877	-1876	M	G	0.00	0.00	216.00
0	-1456	-1459	-1878	-1877	M	G	0.00	0.00	216.00
0	-1459	-1460	-1879	-1878	M	G	0.00	0.00	216.00
0	-1460	-1462	-1880	-1879	M	G	0.00	0.00	216.00
0	-1462	-1463	-1881	-1880	M	G	0.00	0.00	216.00
0	-1463	-1762	-1974	-1881	M	G	0.00	0.00	216.00
0	-1464	-2083	-1911	-1882	M	G	0.00	0.00	216.00
0	-1465	-1867	-1884	-1883	M	G	0.00	0.00	216.00
0	-1867	-1466	-1885	-1884	M	G	0.00	0.00	216.00
0	-1466	-2081	-2103	-1885	M	G	0.00	0.00	216.00
0	-1467	-2079	-2104	-1886	M	G	0.00	0.00	216.00
0	-1468	-1469	-1888	-1887	M	G	0.00	0.00	216.00
0	-1469	-1470	-1889	-1888	M	G	0.00	0.00	216.00
0	-1470	-1471	-1890	-1889	M	G	0.00	0.00	216.00
0	-1471	-1472	-1891	-1890	M	G	0.00	0.00	216.00
0	-1472	-1473	-1892	-1891	M	G	0.00	0.00	216.00
0	-1473	-1474	-1893	-1892	M	G	0.00	0.00	216.00
0	-1474	-1918	-1938	-1893	M	G	0.00	0.00	216.00
0	-1475	433	-1344	-1894	M	G	0.00	0.00	216.00
0	-1859	-1823	-1453	439	M	G	0.00	0.00	216.00
0	-1823	-1953	-1954	-1453	M	G	0.00	0.00	216.00
0	-1824	-1825	-1455	-1454	M	G	0.00	0.00	216.00
0	-1825	-1826	-1456	-1455	M	G	0.00	0.00	216.00
0	-1826	-1827	-1459	-1456	M	G	0.00	0.00	216.00
0	-1827	-1828	-1460	-1459	M	G	0.00	0.00	216.00
0	-1785	-1786	-1431	-1430	M	G	0.00	0.00	216.00
0	-1786	-1787	-1432	-1431	M	G	0.00	0.00	216.00
0	-1787	-1788	-1433	-1432	M	G	0.00	0.00	216.00

0	-1788	-1789	-1434	-1433	M	G	0.00	0.00	216.00
0	-1789	-1790	-1435	-1434	M	G	0.00	0.00	216.00
0	-1790	-2077	-2099	-1435	M	G	0.00	0.00	216.00
0	-1791	-2075	-2100	-1436	M	G	0.00	0.00	216.00
0	-1792	-1535	-1846	-1438	M	G	0.00	0.00	216.00
0	-1535	-1793	-1439	-1846	M	G	0.00	0.00	216.00
0	-1793	-2064	-2101	-1439	M	G	0.00	0.00	216.00
0	-1794	-2062	-2102	-1441	M	G	0.00	0.00	216.00
0	-1795	-1796	-1443	-1442	M	G	0.00	0.00	216.00
0	-1796	-1797	-1445	-1443	M	G	0.00	0.00	216.00
0	-1797	-1798	-1446	-1445	M	G	0.00	0.00	216.00
0	-1798	-1799	-1448	-1446	M	G	0.00	0.00	216.00
0	-1799	-1800	-1449	-1448	M	G	0.00	0.00	216.00
0	-1800	-1801	-1450	-1449	M	G	0.00	0.00	216.00
0	-1801	-1923	-1937	-1450	M	G	0.00	0.00	216.00
0	-1705	-1537	437	-1458	M	G	0.00	0.00	216.00
0	-1704	-1939	-1940	-1461	M	G	0.00	0.00	216.00
0	-1703	-1704	-1461	-1483	M	G	0.00	0.00	216.00
0	-1702	-1703	-1483	-1484	M	G	0.00	0.00	216.00
0	-1701	-1702	-1484	-1485	M	G	0.00	0.00	216.00
0	-1700	-1701	-1485	-1486	M	G	0.00	0.00	216.00
0	-1497	-1700	-1486	-1487	M	G	0.00	0.00	216.00
0	-1496	-1497	-1487	-1488	M	G	0.00	0.00	216.00
0	-1495	-2105	-2106	-1489	M	G	0.00	0.00	216.00
0	-1494	-2107	-2108	-1498	M	G	0.00	0.00	216.00
0	-1842	-1494	-1498	-1457	M	G	0.00	0.00	216.00
0	-1493	-1842	-1457	-1499	M	G	0.00	0.00	216.00
0	-1492	-1912	-2109	-1500	M	G	0.00	0.00	216.00
0	-1491	-1973	-2110	-1501	M	G	0.00	0.00	216.00
0	-1482	-1491	-1501	-1502	M	G	0.00	0.00	216.00
0	-1481	-1482	-1502	-1503	M	G	0.00	0.00	216.00
0	-1480	-1481	-1503	-1504	M	G	0.00	0.00	216.00
0	-1479	-1480	-1504	-1505	M	G	0.00	0.00	216.00
0	-1478	-1479	-1505	-1506	M	G	0.00	0.00	216.00
0	-1477	-1478	-1506	-1507	M	G	0.00	0.00	216.00
0	-1476	-1944	-1955	-1508	M	G	0.00	0.00	216.00
0	-1458	437	432	-1745	M	G	0.00	0.00	216.00
0	-1461	-1940	-1941	-1744	M	G	0.00	0.00	216.00
0	-1483	-1461	-1744	-1743	M	G	0.00	0.00	216.00
0	-1484	-1483	-1743	-1742	M	G	0.00	0.00	216.00
0	-1485	-1484	-1742	-1741	M	G	0.00	0.00	216.00
0	-1486	-1485	-1741	-1740	M	G	0.00	0.00	216.00
0	-1487	-1486	-1740	-1739	M	G	0.00	0.00	216.00
0	-1488	-1487	-1739	-1738	M	G	0.00	0.00	216.00
0	-1489	-2106	-2111	-1737	M	G	0.00	0.00	216.00
0	-1498	-2108	-2112	-1736	M	G	0.00	0.00	216.00
0	-1457	-1498	-1736	-1847	M	G	0.00	0.00	216.00
0	-1499	-1457	-1847	-1735	M	G	0.00	0.00	216.00
0	-1500	-2109	-2113	-1734	M	G	0.00	0.00	216.00
0	-1501	-2110	-2114	-1733	M	G	0.00	0.00	216.00
0	-1502	-1501	-1733	-1732	M	G	0.00	0.00	216.00
0	-1503	-1502	-1732	-1731	M	G	0.00	0.00	216.00
0	-1504	-1503	-1731	-1730	M	G	0.00	0.00	216.00
0	-1505	-1504	-1730	-1729	M	G	0.00	0.00	216.00
0	-1506	-1505	-1729	-1728	M	G	0.00	0.00	216.00
0	-1507	-1506	-1728	-1727	M	G	0.00	0.00	216.00
0	-1508	-1955	-1956	-1726	M	G	0.00	0.00	216.00
0	-2069	-1540	-1976	-2013	M	G	0.00	0.00	400.00
0	-1744	-1941	-2182	-2183	M	G	0.00	0.00	400.00
0	-1743	-1744	-2183	-2184	M	G	0.00	0.00	400.00
0	-1742	-1743	-2184	-2185	M	G	0.00	0.00	400.00
0	-1741	-1742	-2185	-2186	M	G	0.00	0.00	400.00
0	-2067	-1758	-2009	-2008	M	G	0.00	0.00	400.00
0	-1757	-2067	-2008	-2007	M	G	0.00	0.00	400.00
0	-1738	-1739	-2187	-2188	M	G	0.00	0.00	400.00
0	-1737	-2111	-2189	-2190	M	G	0.00	0.00	400.00
0	-1736	-2112	-2191	-2192	M	G	0.00	0.00	400.00
0	-1847	-1736	-2192	-2193	M	G	0.00	0.00	400.00
0	-2065	-1689	-1993	-2003	M	G	0.00	0.00	400.00
0	-1753	-2117	-2118	-2002	M	G	0.00	0.00	400.00
0	-1733	-2114	-2194	-2195	M	G	0.00	0.00	400.00
0	-1732	-1733	-2195	-2196	M	G	0.00	0.00	400.00
0	-1731	-1732	-2196	-2197	M	G	0.00	0.00	400.00
0	-2063	-1750	-1999	-1998	M	G	0.00	0.00	400.00
0	-1749	-2063	-1998	-1997	M	G	0.00	0.00	400.00
0	-1728	-1729	-2198	-2199	M	G	0.00	0.00	400.00
0	-1727	-1728	-2199	-2200	M	G	0.00	0.00	400.00
0	-1726	-1956	-2201	-2202	M	G	0.00	0.00	400.00
0	-1539	-1600	-2135	-2136	M	G	0.00	0.00	400.00

0	-1687	-1803	-2163	-2164	M	G	0.00	0.00	400.00
0	438	-1451	-1618	-1536	M	G	0.00	0.00	216.00
0	431	-1841	-1451	438	M	G	0.00	0.00	216.00
0	436	-1763	-1406	429	M	G	0.00	0.00	216.00
0	429	-1406	-1836	-1850	M	G	0.00	0.00	216.00
0	-1802	-1531	430	-1452	M	G	0.00	0.00	216.00
0	-1537	-1572	-1516	437	M	G	0.00	0.00	216.00
0	-1848	-1476	-1508	435	M	G	0.00	0.00	216.00
0	437	-1516	-1565	432	M	G	0.00	0.00	216.00
0	435	-1508	-1726	434	M	G	0.00	0.00	216.00
0	432	-1565	-2181	-2203	M	G	0.00	0.00	400.00
0	434	-1726	-2202	-2204	M	G	0.00	0.00	400.00
0	-1529	429	-1850	-1416	M	G	0.00	0.00	216.00
0	-1530	-1958	-1959	-1415	M	G	0.00	0.00	216.00
0	-1490	-1530	-1415	-1367	M	G	0.00	0.00	216.00
0	-1538	-1490	-1367	-1366	M	G	0.00	0.00	216.00
0	-1525	-1538	-1366	-1365	M	G	0.00	0.00	216.00
0	-1526	-1525	-1365	-1364	M	G	0.00	0.00	216.00
0	-1527	-1526	-1364	-1363	M	G	0.00	0.00	216.00
0	-1528	-1527	-1363	-1427	M	G	0.00	0.00	216.00
0	-1362	436	429	-1529	M	G	0.00	0.00	216.00
0	-1356	-1960	-1958	-1530	M	G	0.00	0.00	216.00
0	-1355	-1356	-1530	-1490	M	G	0.00	0.00	216.00
0	-1352	-1355	-1490	-1538	M	G	0.00	0.00	216.00
0	-1684	-1352	-1538	-1525	M	G	0.00	0.00	216.00
0	-1683	-1684	-1525	-1526	M	G	0.00	0.00	216.00
0	-1682	-1683	-1526	-1527	M	G	0.00	0.00	216.00
0	-1426	-1682	-1527	-1528	M	G	0.00	0.00	216.00
0	-1625	-1687	-2164	-2165	M	G	0.00	0.00	400.00
0	-1624	-1961	-2166	-2167	M	G	0.00	0.00	400.00
0	-1623	-1624	-2167	-2168	M	G	0.00	0.00	400.00
0	-1622	-1623	-2168	-2169	M	G	0.00	0.00	400.00
0	-1621	-1622	-2169	-2170	M	G	0.00	0.00	400.00
0	-1620	-1621	-2170	-2171	M	G	0.00	0.00	400.00
0	-1619	-1620	-2171	-2172	M	G	0.00	0.00	400.00
0	-1417	-1619	-2172	-2173	M	G	0.00	0.00	400.00
0	-1521	435	434	-1660	M	G	0.00	0.00	216.00
0	-1522	-1962	-1963	-1659	M	G	0.00	0.00	216.00
0	-1523	-1522	-1659	-1658	M	G	0.00	0.00	216.00
0	-1524	-1523	-1658	-1657	M	G	0.00	0.00	216.00
0	-1517	-1524	-1657	-1656	M	G	0.00	0.00	216.00
0	-1518	-1517	-1656	-1655	M	G	0.00	0.00	216.00
0	-1519	-1518	-1655	-1654	M	G	0.00	0.00	216.00
0	-1520	-1519	-1654	-1422	M	G	0.00	0.00	216.00
0	-1422	-1654	-2205	-2206	M	G	0.00	0.00	400.00
0	-1654	-1655	-2207	-2205	M	G	0.00	0.00	400.00
0	-1655	-1656	-2208	-2207	M	G	0.00	0.00	400.00
0	-1656	-1657	-2209	-2208	M	G	0.00	0.00	400.00
0	-1657	-1658	-2210	-2209	M	G	0.00	0.00	400.00
0	-1658	-1659	-2211	-2210	M	G	0.00	0.00	400.00
0	-1659	-1963	-2212	-2211	M	G	0.00	0.00	400.00
0	-1653	-1848	435	-1521	M	G	0.00	0.00	216.00
0	-1652	-1965	-1962	-1522	M	G	0.00	0.00	216.00
0	-1651	-1652	-1522	-1523	M	G	0.00	0.00	216.00
0	-1650	-1651	-1523	-1524	M	G	0.00	0.00	216.00
0	-1649	-1650	-1524	-1517	M	G	0.00	0.00	216.00
0	-1648	-1649	-1517	-1518	M	G	0.00	0.00	216.00
0	-1647	-1648	-1518	-1519	M	G	0.00	0.00	216.00
0	-1421	-1647	-1519	-1520	M	G	0.00	0.00	216.00
0	-1424	-1668	-1633	-1419	M	G	0.00	0.00	216.00
0	-1668	-1669	-1634	-1633	M	G	0.00	0.00	216.00
0	-1669	-1670	-1635	-1634	M	G	0.00	0.00	216.00
0	-1670	-1671	-1636	-1635	M	G	0.00	0.00	216.00
0	-1671	-1672	-1637	-1636	M	G	0.00	0.00	216.00
0	-1672	-1673	-1638	-1637	M	G	0.00	0.00	216.00
0	-1673	-1966	-1967	-1638	M	G	0.00	0.00	216.00
0	-1674	441	-1859	-1639	M	G	0.00	0.00	216.00
0	-1419	-1633	-1640	-1420	M	G	0.00	0.00	216.00
0	-1633	-1634	-1641	-1640	M	G	0.00	0.00	216.00
0	-1634	-1635	-1642	-1641	M	G	0.00	0.00	216.00
0	-1635	-1636	-1643	-1642	M	G	0.00	0.00	216.00
0	-1636	-1637	-1644	-1643	M	G	0.00	0.00	216.00
0	-1637	-1638	-1645	-1644	M	G	0.00	0.00	216.00
0	-1638	-1967	-1968	-1645	M	G	0.00	0.00	216.00
0	-1639	-1859	439	-1646	M	G	0.00	0.00	216.00
0	-1416	-1850	-1357	-1895	M	G	0.00	0.00	216.00
0	-1415	-1959	-1969	-1896	M	G	0.00	0.00	216.00
0	-1367	-1415	-1896	-1897	M	G	0.00	0.00	216.00
0	-1366	-1367	-1897	-1898	M	G	0.00	0.00	216.00

0	-1365	-1366	-1898	-1899	M	G	0.00	0.00	216.00
0	-1364	-1365	-1899	-1900	M	G	0.00	0.00	216.00
0	-1363	-1364	-1900	-1901	M	G	0.00	0.00	216.00
0	-1427	-1363	-1901	-1902	M	G	0.00	0.00	216.00
0	-1423	-1661	-1626	-1418	M	G	0.00	0.00	216.00
0	-1661	-1662	-1627	-1626	M	G	0.00	0.00	216.00
0	-1662	-1663	-1628	-1627	M	G	0.00	0.00	216.00
0	-1663	-1664	-1629	-1628	M	G	0.00	0.00	216.00
0	-1664	-1665	-1630	-1629	M	G	0.00	0.00	216.00
0	-1665	-1666	-1631	-1630	M	G	0.00	0.00	216.00
0	-1666	-1970	-1971	-1631	M	G	0.00	0.00	216.00
0	-1667	442	-1863	-1632	M	G	0.00	0.00	216.00
0	-1420	-1640	-1904	-1903	M	G	0.00	0.00	216.00
0	-1640	-1641	-1905	-1904	M	G	0.00	0.00	216.00
0	-1641	-1642	-1906	-1905	M	G	0.00	0.00	216.00
0	-1642	-1643	-1907	-1906	M	G	0.00	0.00	216.00
0	-1643	-1644	-1908	-1907	M	G	0.00	0.00	216.00
0	-1644	-1645	-1909	-1908	M	G	0.00	0.00	216.00
0	-1645	-1968	-1972	-1909	M	G	0.00	0.00	216.00
0	-1646	439	-1874	-1910	M	G	0.00	0.00	216.00
0	-1418	-1626	-1668	-1424	M	G	0.00	0.00	216.00
0	-1626	-1627	-1669	-1668	M	G	0.00	0.00	216.00
0	-1627	-1628	-1670	-1669	M	G	0.00	0.00	216.00
0	-1628	-1629	-1671	-1670	M	G	0.00	0.00	216.00
0	-1629	-1630	-1672	-1671	M	G	0.00	0.00	216.00
0	-1630	-1631	-1673	-1672	M	G	0.00	0.00	216.00
0	-1631	-1971	-1966	-1673	M	G	0.00	0.00	216.00
0	-1660	434	-2204	-2213	M	G	0.00	0.00	400.00
0	-1632	-1863	441	-1674	M	G	0.00	0.00	216.00
0	-1885	-2103	-2107	-1494	M	G	0.00	0.00	216.00
0	-1886	-2104	-2105	-1495	M	G	0.00	0.00	216.00
0	-1887	-1888	-1497	-1496	M	G	0.00	0.00	216.00
0	-1888	-1889	-1700	-1497	M	G	0.00	0.00	216.00
0	-1889	-1890	-1701	-1700	M	G	0.00	0.00	216.00
0	-1890	-1891	-1702	-1701	M	G	0.00	0.00	216.00
0	-1891	-1892	-1703	-1702	M	G	0.00	0.00	216.00
0	-1892	-1893	-1704	-1703	M	G	0.00	0.00	216.00
0	-1893	-1938	-1939	-1704	M	G	0.00	0.00	216.00
0	-1894	-1344	-1537	-1705	M	G	0.00	0.00	216.00
0	-1895	-1357	442	-1667	M	G	0.00	0.00	216.00
0	-1896	-1969	-1970	-1666	M	G	0.00	0.00	216.00
0	-1897	-1896	-1666	-1665	M	G	0.00	0.00	216.00
0	-1898	-1897	-1665	-1664	M	G	0.00	0.00	216.00
0	-1899	-1898	-1664	-1663	M	G	0.00	0.00	216.00
0	-1900	-1899	-1663	-1662	M	G	0.00	0.00	216.00
0	-1901	-1900	-1662	-1661	M	G	0.00	0.00	216.00
0	-1902	-1901	-1661	-1423	M	G	0.00	0.00	216.00
0	-1903	-1904	-1647	-1421	M	G	0.00	0.00	216.00
0	-1904	-1905	-1648	-1647	M	G	0.00	0.00	216.00
0	-1905	-1906	-1649	-1648	M	G	0.00	0.00	216.00
0	-1906	-1907	-1650	-1649	M	G	0.00	0.00	216.00
0	-1907	-1908	-1651	-1650	M	G	0.00	0.00	216.00
0	-1908	-1909	-1652	-1651	M	G	0.00	0.00	216.00
0	-1909	-1972	-1965	-1652	M	G	0.00	0.00	216.00
0	-1910	-1874	-1848	-1653	M	G	0.00	0.00	216.00
0	-1547	-1832	-1465	-2083	M	G	0.00	0.00	216.00
0	-1699	-1831	-1464	-1762	M	G	0.00	0.00	216.00
0	-1974	-1882	-1492	-1973	M	G	0.00	0.00	216.00
0	-1911	-1883	-1493	-1912	M	G	0.00	0.00	216.00
0	-2076	-1715	-1792	-2075	M	G	0.00	0.00	216.00
0	-2078	-1714	-1791	-2077	M	G	0.00	0.00	216.00
0	-2080	-1835	-1468	-2079	M	G	0.00	0.00	216.00
0	-2082	-1834	-1467	-2081	M	G	0.00	0.00	216.00
0	-1913	-1343	-1573	-1914	M	G	0.00	0.00	216.00
0	-1915	-1347	-1559	-1916	M	G	0.00	0.00	216.00
0	-1917	-1698	-1475	-1918	M	G	0.00	0.00	216.00
0	-1919	-1384	-1725	-1920	M	G	0.00	0.00	216.00
0	-1921	-1566	-2179	-2180	M	G	0.00	0.00	400.00
0	-1920	-1725	-1802	-1923	M	G	0.00	0.00	216.00
0	-1924	-1838	-1384	-1919	M	G	0.00	0.00	216.00
0	-1925	-1515	-1566	-1921	M	G	0.00	0.00	216.00
0	-1914	-1573	-1515	-1925	M	G	0.00	0.00	216.00
0	-1926	-1552	-1587	-1927	M	G	0.00	0.00	216.00
0	-1927	-1587	-1580	-1928	M	G	0.00	0.00	216.00
0	-1916	-1559	-1594	-1929	M	G	0.00	0.00	216.00
0	-1930	-1414	-1347	-1915	M	G	0.00	0.00	216.00
0	-1928	-1580	-1343	-1913	M	G	0.00	0.00	216.00
0	-1929	-1594	-1552	-1926	M	G	0.00	0.00	216.00
0	-1931	-1447	-1414	-1930	M	G	0.00	0.00	216.00

0	-1932	-1854	-1447	-1931	M	G	0.00	0.00	216.00
0	-1933	-1601	-2133	-2134	M	G	0.00	0.00	400.00
0	-1934	-1822	-2137	-2138	M	G	0.00	0.00	400.00
0	-1935	-1782	-1387	-1936	M	G	0.00	0.00	216.00
0	-1936	-1387	-1838	-1924	M	G	0.00	0.00	216.00
0	-1937	-1452	-1698	-1917	M	G	0.00	0.00	216.00
0	-1918	-1475	-1894	-1938	M	G	0.00	0.00	216.00
0	-1923	-1802	-1452	-1937	M	G	0.00	0.00	216.00
0	-1939	-1705	-1458	-1940	M	G	0.00	0.00	216.00
0	-1940	-1458	-1745	-1941	M	G	0.00	0.00	216.00
0	-1942	-2069	-2013	-2015	M	G	0.00	0.00	400.00
0	-1938	-1894	-1705	-1939	M	G	0.00	0.00	216.00
0	-1943	-1875	-1477	-1944	M	G	0.00	0.00	216.00
0	-1945	-1707	-1784	-1946	M	G	0.00	0.00	216.00
0	-1947	-1359	-1707	-1945	M	G	0.00	0.00	216.00
0	-1948	-1839	-1359	-1947	M	G	0.00	0.00	216.00
0	-1946	-1784	-1429	-1949	M	G	0.00	0.00	216.00
0	-1950	-1804	-2161	-2162	M	G	0.00	0.00	400.00
0	-1951	-1764	-1405	-1952	M	G	0.00	0.00	216.00
0	-1952	-1405	-1839	-1948	M	G	0.00	0.00	216.00
0	-1949	-1429	-1824	-1953	M	G	0.00	0.00	216.00
0	-1954	-1454	-1875	-1943	M	G	0.00	0.00	216.00
0	-1953	-1824	-1454	-1954	M	G	0.00	0.00	216.00
0	-1944	-1477	-1507	-1955	M	G	0.00	0.00	216.00
0	-1955	-1507	-1727	-1956	M	G	0.00	0.00	216.00
0	-1956	-1727	-2200	-2201	M	G	0.00	0.00	400.00
0	-1958	-1529	-1416	-1959	M	G	0.00	0.00	216.00
0	-1960	-1362	-1529	-1958	M	G	0.00	0.00	216.00
0	-1961	-1625	-2165	-2166	M	G	0.00	0.00	400.00
0	-1962	-1521	-1660	-1963	M	G	0.00	0.00	216.00
0	-1963	-1660	-2213	-2212	M	G	0.00	0.00	400.00
0	-1965	-1653	-1521	-1962	M	G	0.00	0.00	216.00
0	-1966	-1674	-1639	-1967	M	G	0.00	0.00	216.00
0	-1967	-1639	-1646	-1968	M	G	0.00	0.00	216.00
0	-1959	-1416	-1895	-1969	M	G	0.00	0.00	216.00
0	-1970	-1667	-1632	-1971	M	G	0.00	0.00	216.00
0	-1968	-1646	-1910	-1972	M	G	0.00	0.00	216.00
0	-1971	-1632	-1674	-1966	M	G	0.00	0.00	216.00
0	-1969	-1895	-1667	-1970	M	G	0.00	0.00	216.00
0	-1972	-1910	-1653	-1965	M	G	0.00	0.00	216.00
0	-2036	-2037	-1803	-1687	M	G	0.00	0.00	400.00
0	-2020	-2021	-1600	-1539	M	G	0.00	0.00	400.00
0	-1883	-1884	-1842	-1493	M	G	0.00	0.00	216.00
0	-1873	-1943	-1944	-1476	M	G	0.00	0.00	216.00
0	-1833	-2082	-2081	-1466	M	G	0.00	0.00	216.00
0	-1884	-1885	-1494	-1842	M	G	0.00	0.00	216.00
0	-2215	-2217	-2065	-2117	M	G	0.00	0.00	400.00
0	-2194	-2216	-1753	-2119	M	G	0.00	0.00	400.00
0	-2191	-2190	-1755	-2116	M	G	0.00	0.00	400.00
0	-2189	-2188	-1756	-2115	M	G	0.00	0.00	400.00
0	-2220	-2177	-1548	-2071	M	G	0.00	0.00	400.00
0	-2178	-2220	-2071	-1546	M	G	0.00	0.00	400.00
0	-2219	-2203	-1540	-2069	M	G	0.00	0.00	400.00
0	-2182	-2219	-2069	-1942	M	G	0.00	0.00	400.00
0	-2218	-2186	-1758	-2067	M	G	0.00	0.00	400.00
0	-2187	-2218	-2067	-1757	M	G	0.00	0.00	400.00
0	-2217	-2193	-1689	-2065	M	G	0.00	0.00	400.00
0	-2216	-2215	-2117	-1753	M	G	0.00	0.00	400.00
0	-2214	-2197	-1750	-2063	M	G	0.00	0.00	400.00
0	-2198	-2214	-2063	-1749	M	G	0.00	0.00	400.00
0	-2212	-2213	-1681	-1964	M	G	0.00	0.00	400.00
0	-2201	-2200	-1747	-1957	M	G	0.00	0.00	400.00
0	-2180	-2179	-1545	-1922	M	G	0.00	0.00	400.00
0	-2213	-2204	-1686	-1681	M	G	0.00	0.00	400.00
0	-2211	-2212	-1964	-1680	M	G	0.00	0.00	400.00
0	-2210	-2211	-1680	-1679	M	G	0.00	0.00	400.00
0	-2209	-2210	-1679	-1678	M	G	0.00	0.00	400.00
0	-2208	-2209	-1678	-1677	M	G	0.00	0.00	400.00
0	-2207	-2208	-1677	-1676	M	G	0.00	0.00	400.00
0	-2205	-2207	-1676	-1675	M	G	0.00	0.00	400.00
0	-2206	-2205	-1675	-1425	M	G	0.00	0.00	400.00
0	-2204	-2202	-1746	-1686	M	G	0.00	0.00	400.00
0	-2203	-2181	-1544	-1540	M	G	0.00	0.00	400.00
0	-2202	-2201	-1957	-1746	M	G	0.00	0.00	400.00
0	-2200	-2199	-1748	-1747	M	G	0.00	0.00	400.00
0	-2199	-2198	-1749	-1748	M	G	0.00	0.00	400.00
0	-2197	-2196	-1751	-1750	M	G	0.00	0.00	400.00
0	-2196	-2195	-1752	-1751	M	G	0.00	0.00	400.00
0	-2195	-2194	-2119	-1752	M	G	0.00	0.00	400.00

0	-2193	-2192	-1754	-1689	M	G	0.00	0.00	400.00
0	-2192	-2191	-2116	-1754	M	G	0.00	0.00	400.00
0	-2190	-2189	-2115	-1755	M	G	0.00	0.00	400.00
0	-2188	-2187	-1757	-1756	M	G	0.00	0.00	400.00
0	-2186	-2185	-1759	-1758	M	G	0.00	0.00	400.00
0	-2185	-2184	-1760	-1759	M	G	0.00	0.00	400.00
0	-2184	-2183	-1761	-1760	M	G	0.00	0.00	400.00
0	-2183	-2182	-1942	-1761	M	G	0.00	0.00	400.00
0	-2181	-2180	-1922	-1544	M	G	0.00	0.00	400.00
0	-2179	-2178	-1546	-1545	M	G	0.00	0.00	400.00
0	-2177	-2176	-1549	-1548	M	G	0.00	0.00	400.00
0	-2176	-2175	-1550	-1549	M	G	0.00	0.00	400.00
0	-2175	-2174	-1609	-1550	M	G	0.00	0.00	400.00
0	-2154	-2153	-1771	-2094	M	G	0.00	0.00	400.00
0	-2152	-2151	-1772	-2092	M	G	0.00	0.00	400.00
0	-2148	-2147	-1774	-2090	M	G	0.00	0.00	400.00
0	-2146	-2145	-1775	-2088	M	G	0.00	0.00	400.00
0	-2166	-2165	-1362	-1960	M	G	0.00	0.00	400.00
0	-2162	-2161	-1764	-1951	M	G	0.00	0.00	400.00
0	-2138	-2137	-1782	-1935	M	G	0.00	0.00	400.00
0	-2134	-2133	-1854	-1932	M	G	0.00	0.00	400.00
0	-2173	-2172	-1682	-1426	M	G	0.00	0.00	400.00
0	-2172	-2171	-1683	-1682	M	G	0.00	0.00	400.00
0	-2171	-2170	-1684	-1683	M	G	0.00	0.00	400.00
0	-2170	-2169	-1352	-1684	M	G	0.00	0.00	400.00
0	-2169	-2168	-1355	-1352	M	G	0.00	0.00	400.00
0	-2168	-2167	-1356	-1355	M	G	0.00	0.00	400.00
0	-2167	-2166	-1960	-1356	M	G	0.00	0.00	400.00
0	-2165	-2164	436	-1362	M	G	0.00	0.00	400.00
0	-2164	-2163	-1763	436	M	G	0.00	0.00	400.00
0	-2136	-2135	-1841	431	M	G	0.00	0.00	400.00
0	-2163	-2162	-1951	-1763	M	G	0.00	0.00	400.00
0	-2161	-2160	-1765	-1764	M	G	0.00	0.00	400.00
0	-2160	-2159	-1766	-1765	M	G	0.00	0.00	400.00
0	-2159	-2158	-1767	-1766	M	G	0.00	0.00	400.00
0	-2158	-2157	-1768	-1767	M	G	0.00	0.00	400.00
0	-2157	-2156	-1769	-1768	M	G	0.00	0.00	400.00
0	-2156	-2155	-1770	-1769	M	G	0.00	0.00	400.00
0	-2155	-2154	-2094	-1770	M	G	0.00	0.00	400.00
0	-2153	-2152	-2092	-1771	M	G	0.00	0.00	400.00
0	-2151	-2150	-1413	-1772	M	G	0.00	0.00	400.00
0	-2150	-2149	-1773	-1413	M	G	0.00	0.00	400.00
0	-2149	-2148	-2090	-1773	M	G	0.00	0.00	400.00
0	-2147	-2146	-2088	-1774	M	G	0.00	0.00	400.00
0	-2145	-2144	-1776	-1775	M	G	0.00	0.00	400.00
0	-2144	-2143	-1777	-1776	M	G	0.00	0.00	400.00
0	-2143	-2142	-1778	-1777	M	G	0.00	0.00	400.00
0	-2142	-2141	-1779	-1778	M	G	0.00	0.00	400.00
0	-2141	-2140	-1780	-1779	M	G	0.00	0.00	400.00
0	-2140	-2139	-1781	-1780	M	G	0.00	0.00	400.00
0	-2139	-2138	-1935	-1781	M	G	0.00	0.00	400.00
0	-2137	-2136	431	-1782	M	G	0.00	0.00	400.00
0	-2135	-2134	-1932	-1841	M	G	0.00	0.00	400.00
0	-2133	-2132	-1855	-1854	M	G	0.00	0.00	400.00
0	-2132	-2131	-1860	-1855	M	G	0.00	0.00	400.00
0	-2131	-2130	-1541	-1860	M	G	0.00	0.00	400.00
0	-2130	-2129	-1542	-1541	M	G	0.00	0.00	400.00
0	-2129	-2128	-1543	-1542	M	G	0.00	0.00	400.00
0	-2128	-2127	-1608	-1543	M	G	0.00	0.00	400.00
0	-1835	-1412	-1469	-1468	M	G	0.00	0.00	216.00
0	-1412	-1410	-1470	-1469	M	G	0.00	0.00	216.00
0	-1410	-1411	-1471	-1470	M	G	0.00	0.00	216.00
0	-1411	-1688	-1472	-1471	M	G	0.00	0.00	216.00
0	-1688	-1691	-1473	-1472	M	G	0.00	0.00	216.00
0	-1691	-1692	-1474	-1473	M	G	0.00	0.00	216.00
0	-1692	-1917	-1918	-1474	M	G	0.00	0.00	216.00
0	-1698	-1534	433	-1475	M	G	0.00	0.00	216.00
0	442	-1706	-1783	-1863	M	G	0.00	0.00	216.00
0	-1706	-1945	-1946	-1783	M	G	0.00	0.00	216.00
0	-1707	-1708	-1785	-1784	M	G	0.00	0.00	216.00
0	-1708	-1709	-1786	-1785	M	G	0.00	0.00	216.00
0	-1709	-1710	-1787	-1786	M	G	0.00	0.00	216.00
0	-1710	-1711	-1788	-1787	M	G	0.00	0.00	216.00
0	-1711	-1712	-1789	-1788	M	G	0.00	0.00	216.00
0	-1712	-1713	-1790	-1789	M	G	0.00	0.00	216.00
0	-1713	-2078	-2077	-1790	M	G	0.00	0.00	216.00
0	-1714	-2076	-2075	-1791	M	G	0.00	0.00	216.00
0	-1715	-1849	-1535	-1792	M	G	0.00	0.00	216.00
0	-1849	-1716	-1793	-1535	M	G	0.00	0.00	216.00

0	-1349	-1350	-1562	-1561	M	G	0.00	0.00	216.00
0	-1350	-1351	-1563	-1562	M	G	0.00	0.00	216.00
0	-1351	-1353	-1564	-1563	M	G	0.00	0.00	216.00
0	-1353	-1354	-1611	-1564	M	G	0.00	0.00	216.00
0	-1357	-1358	-1706	442	M	G	0.00	0.00	216.00
0	-1358	-1947	-1945	-1706	M	G	0.00	0.00	216.00
0	-1359	-1360	-1708	-1707	M	G	0.00	0.00	216.00
0	-1360	-1361	-1709	-1708	M	G	0.00	0.00	216.00
0	-1361	-1368	-1710	-1709	M	G	0.00	0.00	216.00
0	-1368	-1369	-1711	-1710	M	G	0.00	0.00	216.00
0	-1369	-1370	-1712	-1711	M	G	0.00	0.00	216.00
0	-1370	-1371	-1713	-1712	M	G	0.00	0.00	216.00
0	-1371	-2074	-2078	-1713	M	G	0.00	0.00	216.00
0	-1372	-2073	-2076	-1714	M	G	0.00	0.00	216.00
0	-1373	-1374	-1849	-1715	M	G	0.00	0.00	216.00
0	-1374	-1375	-1716	-1849	M	G	0.00	0.00	216.00
0	-1375	-2072	-2070	-1716	M	G	0.00	0.00	216.00
0	-1376	-2068	-2066	-1717	M	G	0.00	0.00	216.00
0	-1377	-1378	-1719	-1718	M	G	0.00	0.00	216.00
0	-1378	-1379	-1720	-1719	M	G	0.00	0.00	216.00
0	-1379	-1380	-1721	-1720	M	G	0.00	0.00	216.00
0	-1380	-1381	-1722	-1721	M	G	0.00	0.00	216.00
0	-1381	-1382	-1723	-1722	M	G	0.00	0.00	216.00
0	-1382	-1383	-1724	-1723	M	G	0.00	0.00	216.00
0	-1383	-1919	-1920	-1724	M	G	0.00	0.00	216.00
0	-1384	-1385	440	-1725	M	G	0.00	0.00	216.00
0	-1571	-1612	-2174	-2175	M	G	0.00	0.00	400.00
0	-1570	-1571	-2175	-2176	M	G	0.00	0.00	400.00
0	-1569	-1570	-2176	-2177	M	G	0.00	0.00	400.00
0	-2071	-1548	-1981	-1980	M	G	0.00	0.00	400.00
0	-1546	-2071	-1980	-1979	M	G	0.00	0.00	400.00
0	-1566	-1567	-2178	-2179	M	G	0.00	0.00	400.00
0	-1565	-1921	-2180	-2181	M	G	0.00	0.00	400.00
0	-1510	-1509	-1612	-1571	M	G	0.00	0.00	216.00
0	-1511	-1510	-1571	-1570	M	G	0.00	0.00	216.00
0	-1716	-2070	-2064	-1793	M	G	0.00	0.00	216.00
0	-1717	-2066	-2062	-1794	M	G	0.00	0.00	216.00
0	-1718	-1719	-1796	-1795	M	G	0.00	0.00	216.00
0	-1719	-1720	-1797	-1796	M	G	0.00	0.00	216.00
0	-1720	-1721	-1798	-1797	M	G	0.00	0.00	216.00
0	-1721	-1722	-1799	-1798	M	G	0.00	0.00	216.00
0	-1722	-1723	-1800	-1799	M	G	0.00	0.00	216.00
0	-1723	-1724	-1801	-1800	M	G	0.00	0.00	216.00
0	-1724	-1920	-1923	-1801	M	G	0.00	0.00	216.00
0	-1725	440	-1531	-1802	M	G	0.00	0.00	216.00
0	-1838	-1536	-1385	-1384	M	G	0.00	0.00	216.00
0	-1837	-1924	-1919	-1383	M	G	0.00	0.00	216.00
0	-1853	-1837	-1383	-1382	M	G	0.00	0.00	216.00
0	-1852	-1853	-1382	-1381	M	G	0.00	0.00	216.00
0	-1851	-1852	-1381	-1380	M	G	0.00	0.00	216.00
0	-1686	-1746	-1994	-1992	M	G	0.00	0.00	400.00
0	-1746	-1957	-2016	-1994	M	G	0.00	0.00	400.00
0	-1957	-1747	-1995	-2016	M	G	0.00	0.00	400.00
0	-1747	-1748	-1996	-1995	M	G	0.00	0.00	400.00
0	-1748	-1749	-1997	-1996	M	G	0.00	0.00	400.00
0	-1729	-1730	-2214	-2198	M	G	0.00	0.00	400.00
0	-1730	-1731	-2197	-2214	M	G	0.00	0.00	400.00
0	-1750	-1751	-2000	-1999	M	G	0.00	0.00	400.00
0	-1751	-1752	-2001	-2000	M	G	0.00	0.00	400.00
0	-1752	-2119	-2120	-2001	M	G	0.00	0.00	400.00
0	-1734	-2113	-2215	-2216	M	G	0.00	0.00	400.00
0	-1735	-1847	-2193	-2217	M	G	0.00	0.00	400.00
0	-1689	-1754	-2004	-1993	M	G	0.00	0.00	400.00
0	-1754	-2116	-2121	-2004	M	G	0.00	0.00	400.00
0	-1755	-2115	-2122	-2005	M	G	0.00	0.00	400.00
0	-1756	-1757	-2007	-2006	M	G	0.00	0.00	400.00
0	-1739	-1740	-2218	-2187	M	G	0.00	0.00	400.00
0	-1740	-1741	-2186	-2218	M	G	0.00	0.00	400.00
0	-1758	-1759	-2010	-2009	M	G	0.00	0.00	400.00
0	-1759	-1760	-2011	-2010	M	G	0.00	0.00	400.00
0	-1760	-1761	-2012	-2011	M	G	0.00	0.00	400.00
0	-1761	-1942	-2015	-2012	M	G	0.00	0.00	400.00
0	-1941	-1745	-2219	-2182	M	G	0.00	0.00	400.00
0	-1745	432	-2203	-2219	M	G	0.00	0.00	400.00
0	-1540	-1544	-1977	-1976	M	G	0.00	0.00	400.00
0	-1544	-1922	-2014	-1977	M	G	0.00	0.00	400.00
0	-1922	-1545	-1978	-2014	M	G	0.00	0.00	400.00
0	-1545	-1546	-1979	-1978	M	G	0.00	0.00	400.00
0	-1567	-1568	-2220	-2178	M	G	0.00	0.00	400.00

0	-1568	-1569	-2177	-2220	M	G	0.00	0.00	400.00
0	-1548	-1549	-1982	-1981	M	G	0.00	0.00	400.00
0	-1549	-1550	-1983	-1982	M	G	0.00	0.00	400.00
0	-1550	-1609	-1984	-1983	M	G	0.00	0.00	400.00
0	-1425	-1675	-1985	-1975	M	G	0.00	0.00	400.00
0	-1675	-1676	-1986	-1985	M	G	0.00	0.00	400.00
0	-1676	-1677	-1987	-1986	M	G	0.00	0.00	400.00
0	-1677	-1678	-1988	-1987	M	G	0.00	0.00	400.00
0	-1678	-1679	-1989	-1988	M	G	0.00	0.00	400.00
0	-1679	-1680	-1990	-1989	M	G	0.00	0.00	400.00
0	-1680	-1964	-2017	-1990	M	G	0.00	0.00	400.00
0	-1964	-1681	-1991	-2017	M	G	0.00	0.00	400.00
0	-1681	-1686	-1992	-1991	M	G	0.00	0.00	400.00
0	-2018	-2029	-1619	-1417	M	G	0.00	0.00	400.00
0	-2029	-2030	-1620	-1619	M	G	0.00	0.00	400.00
0	-2030	-2031	-1621	-1620	M	G	0.00	0.00	400.00
0	-2031	-2032	-1622	-1621	M	G	0.00	0.00	400.00
0	-2032	-2033	-1623	-1622	M	G	0.00	0.00	400.00
0	-2033	-2034	-1624	-1623	M	G	0.00	0.00	400.00
0	-2034	-2060	-1961	-1624	M	G	0.00	0.00	400.00
0	-2060	-2035	-1625	-1961	M	G	0.00	0.00	400.00
0	-2035	-2036	-1687	-1625	M	G	0.00	0.00	400.00
0	-2037	-2059	-1950	-1803	M	G	0.00	0.00	400.00
0	-2059	-2038	-1804	-1950	M	G	0.00	0.00	400.00
0	-2038	-2039	-1805	-1804	M	G	0.00	0.00	400.00
0	-2039	-2040	-1806	-1805	M	G	0.00	0.00	400.00
0	-2040	-2041	-1807	-1806	M	G	0.00	0.00	400.00
0	-2041	-2042	-1808	-1807	M	G	0.00	0.00	400.00
0	-2042	-2043	-1809	-1808	M	G	0.00	0.00	400.00
0	-2043	-2044	-1810	-1809	M	G	0.00	0.00	400.00
0	-2044	-2123	-2093	-1810	M	G	0.00	0.00	400.00
0	-2045	-2124	-2091	-1811	M	G	0.00	0.00	400.00
0	-2046	-2019	-1533	-1812	M	G	0.00	0.00	400.00
0	-2019	-2047	-1813	-1533	M	G	0.00	0.00	400.00
0	-2047	-2125	-2089	-1813	M	G	0.00	0.00	400.00
0	-2048	-2126	-2087	-1814	M	G	0.00	0.00	400.00
0	-2049	-2050	-1816	-1815	M	G	0.00	0.00	400.00
0	-2050	-2051	-1817	-1816	M	G	0.00	0.00	400.00
0	-2051	-2052	-1818	-1817	M	G	0.00	0.00	400.00
0	-2052	-2053	-1819	-1818	M	G	0.00	0.00	400.00
0	-2053	-2054	-1820	-1819	M	G	0.00	0.00	400.00
0	-2054	-2055	-1821	-1820	M	G	0.00	0.00	400.00
0	-2055	-2058	-1934	-1821	M	G	0.00	0.00	400.00
0	-2058	-2056	-1822	-1934	M	G	0.00	0.00	400.00
0	-2056	-2020	-1539	-1822	M	G	0.00	0.00	400.00
0	-2021	-2057	-1933	-1600	M	G	0.00	0.00	400.00
0	-2057	-2022	-1601	-1933	M	G	0.00	0.00	400.00
0	-2022	-2023	-1602	-1601	M	G	0.00	0.00	400.00
0	-2023	-2024	-1603	-1602	M	G	0.00	0.00	400.00
0	-2024	-2025	-1604	-1603	M	G	0.00	0.00	400.00
0	-2025	-2026	-1605	-1604	M	G	0.00	0.00	400.00
0	-2026	-2027	-1606	-1605	M	G	0.00	0.00	400.00
0	-2027	-2028	-1617	-1606	M	G	0.00	0.00	400.00
0	-2074	-1372	-1714	-2078	M	G	0.00	0.00	216.00
0	-2073	-1373	-1715	-2076	M	G	0.00	0.00	216.00
0	-2072	-1376	-1717	-2070	M	G	0.00	0.00	216.00
0	-2068	-1377	-1718	-2066	M	G	0.00	0.00	216.00
0	-2070	-1717	-1794	-2064	M	G	0.00	0.00	216.00
0	-2066	-1718	-1795	-2062	M	G	0.00	0.00	216.00
0	-2061	-1695	-1377	-2068	M	G	0.00	0.00	216.00
0	-2084	-1694	-1376	-2072	M	G	0.00	0.00	216.00
0	-2085	-1866	-1373	-2073	M	G	0.00	0.00	216.00
0	-2086	-1865	-1372	-2074	M	G	0.00	0.00	216.00
0	-2087	-1815	-2145	-2146	M	G	0.00	0.00	400.00
0	-2089	-1814	-2147	-2148	M	G	0.00	0.00	400.00
0	-2091	-1812	-2151	-2152	M	G	0.00	0.00	400.00
0	-2093	-1811	-2153	-2154	M	G	0.00	0.00	400.00
0	-2088	-1775	-1394	-2095	M	G	0.00	0.00	216.00
0	-2090	-1774	-1395	-2096	M	G	0.00	0.00	216.00
0	-2092	-1772	-1397	-2097	M	G	0.00	0.00	216.00
0	-2094	-1771	-1398	-2098	M	G	0.00	0.00	216.00
0	-2095	-1394	-1695	-2061	M	G	0.00	0.00	216.00
0	-2096	-1395	-1694	-2084	M	G	0.00	0.00	216.00
0	-2097	-1397	-1866	-2085	M	G	0.00	0.00	216.00
0	-2098	-1398	-1865	-2086	M	G	0.00	0.00	216.00
0	-2099	-1436	-1831	-1699	M	G	0.00	0.00	216.00
0	-2100	-1438	-1832	-1547	M	G	0.00	0.00	216.00
0	-2101	-1441	-1834	-2082	M	G	0.00	0.00	216.00
0	-2102	-1442	-1835	-2080	M	G	0.00	0.00	216.00

0	-1762	-1464	-1882	-1974	M	G	0.00	0.00	216.00
0	-2083	-1465	-1883	-1911	M	G	0.00	0.00	216.00
0	-2081	-1467	-1886	-2103	M	G	0.00	0.00	216.00
0	-2079	-1468	-1887	-2104	M	G	0.00	0.00	216.00
0	-2077	-1791	-1436	-2099	M	G	0.00	0.00	216.00
0	-2075	-1792	-1438	-2100	M	G	0.00	0.00	216.00
0	-2064	-1794	-1441	-2101	M	G	0.00	0.00	216.00
0	-2062	-1795	-1442	-2102	M	G	0.00	0.00	216.00
0	-2105	-1496	-1488	-2106	M	G	0.00	0.00	216.00
0	-2107	-1495	-1489	-2108	M	G	0.00	0.00	216.00
0	-1912	-1493	-1499	-2109	M	G	0.00	0.00	216.00
0	-1973	-1492	-1500	-2110	M	G	0.00	0.00	216.00
0	-2106	-1488	-1738	-2111	M	G	0.00	0.00	216.00
0	-2108	-1489	-1737	-2112	M	G	0.00	0.00	216.00
0	-2109	-1499	-1735	-2113	M	G	0.00	0.00	216.00
0	-2110	-1500	-1734	-2114	M	G	0.00	0.00	216.00
0	-2111	-1738	-2188	-2189	M	G	0.00	0.00	400.00
0	-2112	-1737	-2190	-2191	M	G	0.00	0.00	400.00
0	-2117	-2065	-2003	-2118	M	G	0.00	0.00	400.00
0	-2114	-1734	-2216	-2194	M	G	0.00	0.00	400.00
0	-2103	-1886	-1495	-2107	M	G	0.00	0.00	216.00
0	-2104	-1887	-1496	-2105	M	G	0.00	0.00	216.00
0	-2119	-1753	-2002	-2120	M	G	0.00	0.00	400.00
0	-2113	-1735	-2217	-2215	M	G	0.00	0.00	400.00
0	-2116	-1755	-2005	-2121	M	G	0.00	0.00	400.00
0	-2115	-1756	-2006	-2122	M	G	0.00	0.00	400.00
0	-2123	-2045	-1811	-2093	M	G	0.00	0.00	400.00
0	-2124	-2046	-1812	-2091	M	G	0.00	0.00	400.00
0	-2125	-2048	-1814	-2089	M	G	0.00	0.00	400.00
0	-2126	-2049	-1815	-2087	M	G	0.00	0.00	400.00

Elenco carichi elementi bidimensionali
Condizione di carico n. 2: G2 + terreno
Carichi idrostatici

Simbologia

Bid. = Numero del muro/elemento bidimensionale
N1 = Nodo1
N2 = Nodo2
N3 = Nodo3
N4 = Nodo4
Zi = Coordinata Z globale d'inizio carico
QYi = Componente iniziale del carico in direzione Y locale dell'elemento bidimensionale
MY = Coordinata Z globale di fine carico
QYf = Componente finale del carico in direzione Y locale dell'elemento bidimensionale

Bid.	N1	N2	N3	N4	Zi <m>	QYi <daN/m>	MY <m>	QYf <daN/m>
106	-203	-191	-255	-257	3.20	0.00	0.00	-2814.44
106	-237	-235	-273	-275	3.20	0.00	0.00	-2814.44
106	-255	-253	-291	-293	3.20	0.00	0.00	-2814.44
106	-155	-143	-247	-249	3.20	0.00	0.00	-2814.44
106	-249	-247	-285	-287	3.20	0.00	0.00	-2814.44
106	-243	-241	-279	-281	3.20	0.00	0.00	-2814.44
106	-229	-227	-265	-267	3.20	0.00	0.00	-2814.44
106	-325	-323	-361	-363	3.20	0.00	0.00	-2814.44
106	-121	22	-241	-243	3.20	0.00	0.00	-2814.44
106	-301	-299	-337	-339	3.20	0.00	0.00	-2814.44
106	-319	-317	-355	-357	3.20	0.00	0.00	-2814.44
106	-315	-313	-351	-353	3.20	0.00	0.00	-2814.44
106	-313	-311	-349	-351	3.20	0.00	0.00	-2814.44
106	-41	-29	-227	-229	3.20	0.00	0.00	-2814.44
106	24	-121	-243	-245	3.20	0.00	0.00	-2814.44
106	20	-77	-235	-237	3.20	0.00	0.00	-2814.44
106	-191	-179	-253	-255	3.20	0.00	0.00	-2814.44
106	-29	-17	-225	-227	3.20	0.00	0.00	-2814.44
106	-271	-269	-307	-309	3.20	0.00	0.00	-2814.44
106	-253	-251	-289	-291	3.20	0.00	0.00	-2814.44
106	-251	-249	-287	-289	3.20	0.00	0.00	-2814.44
106	-241	-239	-277	-279	3.20	0.00	0.00	-2814.44
106	-259	-257	-295	-297	3.20	0.00	0.00	-2814.44
106	-231	-229	-267	-269	3.20	0.00	0.00	-2814.44
106	-335	-333	-371	-373	3.20	0.00	0.00	-2814.44
106	-287	-285	-323	-325	3.20	0.00	0.00	-2814.44
106	-281	-279	-317	-319	3.20	0.00	0.00	-2814.44
106	-17	-5	-223	-225	3.20	0.00	0.00	-2814.44
106	-293	-291	-329	-331	3.20	0.00	0.00	-2814.44
106	-269	-267	-305	-307	3.20	0.00	0.00	-2814.44

Bid.	N1	N2	N3	N4	Zi <m>	QYi <daN/m>	MY <m>	QYf <daN/m>
106	-179	-167	-251	-253	3.20	0.00	0.00	-2814.44
106	-333	-331	-369	-371	3.20	0.00	0.00	-2814.44
106	-329	-327	-365	-367	3.20	0.00	0.00	-2814.44
106	-143	24	-245	-247	3.20	0.00	0.00	-2814.44
106	-247	-245	-283	-285	3.20	0.00	0.00	-2814.44
106	-239	-237	-275	-277	3.20	0.00	0.00	-2814.44
106	-235	-233	-271	-273	3.20	0.00	0.00	-2814.44
106	-323	-321	-359	-361	3.20	0.00	0.00	-2814.44
106	-295	-293	-331	-333	3.20	0.00	0.00	-2814.44
106	-311	-309	-347	-349	3.20	0.00	0.00	-2814.44
106	-257	-255	-293	-295	3.20	0.00	0.00	-2814.44
106	-327	-325	-363	-365	3.20	0.00	0.00	-2814.44
106	-307	-305	-343	-345	3.20	0.00	0.00	-2814.44
106	-167	-155	-249	-251	3.20	0.00	0.00	-2814.44
106	22	-99	-239	-241	3.20	0.00	0.00	-2814.44
106	-215	-203	-257	-259	3.20	0.00	0.00	-2814.44
106	-53	-41	-229	-231	3.20	0.00	0.00	-2814.44
106	-317	-315	-353	-355	3.20	0.00	0.00	-2814.44
106	-227	-225	-263	-265	3.20	0.00	0.00	-2814.44
106	-303	-301	-339	-341	3.20	0.00	0.00	-2814.44
106	-245	-243	-281	-283	3.20	0.00	0.00	-2814.44
106	-321	-319	-357	-359	3.20	0.00	0.00	-2814.44
106	-225	-223	-261	-263	3.20	0.00	0.00	-2814.44
106	-331	-329	-367	-369	3.20	0.00	0.00	-2814.44
106	-265	-263	-301	-303	3.20	0.00	0.00	-2814.44
106	-285	-283	-321	-323	3.20	0.00	0.00	-2814.44
106	-277	-275	-313	-315	3.20	0.00	0.00	-2814.44
106	-233	-231	-269	-271	3.20	0.00	0.00	-2814.44
106	-297	-295	-333	-335	3.20	0.00	0.00	-2814.44
106	-275	-273	-311	-313	3.20	0.00	0.00	-2814.44

106	-291	-289	-327	-329	3.20	0.00	0.00	-2814.44
106	-283	-281	-319	-321	3.20	0.00	0.00	-2814.44
106	-267	-265	-303	-305	3.20	0.00	0.00	-2814.44
106	-309	-307	-345	-347	3.20	0.00	0.00	-2814.44
106	-77	-65	-233	-235	3.20	0.00	0.00	-2814.44
106	-273	-271	-309	-311	3.20	0.00	0.00	-2814.44
107	-316	-314	-352	-354	3.20	0.00	0.00	2814.44
107	-328	-326	-364	-366	3.20	0.00	0.00	2814.44
107	-228	-226	-264	-266	3.20	0.00	0.00	2814.44
107	-314	-312	-350	-352	3.20	0.00	0.00	2814.44
107	-308	-306	-344	-346	3.20	0.00	0.00	2814.44
107	-304	-302	-340	-342	3.20	0.00	0.00	2814.44
107	-234	-232	-270	-272	3.20	0.00	0.00	2814.44
107	-286	-284	-322	-324	3.20	0.00	0.00	2814.44
107	-290	-288	-326	-328	3.20	0.00	0.00	2814.44
107	-318	-316	-354	-356	3.20	0.00	0.00	2814.44
107	-256	-254	-292	-294	3.20	0.00	0.00	2814.44
107	-272	-270	-308	-310	3.20	0.00	0.00	2814.44
107	-182	-170	-252	-254	3.20	0.00	0.00	2814.44
107	-102	21	-238	-240	3.20	0.00	0.00	2814.44
107	-32	-20	-226	-228	3.20	0.00	0.00	2814.44
107	-146	25	-246	-248	3.20	0.00	0.00	2814.44
107	-336	-334	-372	-374	3.20	0.00	0.00	2814.44
107	-242	-240	-278	-280	3.20	0.00	0.00	2814.44
107	-268	-266	-304	-306	3.20	0.00	0.00	2814.44
107	-248	-246	-284	-286	3.20	0.00	0.00	2814.44
107	-20	-8	-224	-226	3.20	0.00	0.00	2814.44
107	-124	23	-242	-244	3.20	0.00	0.00	2814.44
107	21	-80	-236	-238	3.20	0.00	0.00	2814.44
107	-194	-182	-254	-256	3.20	0.00	0.00	2814.44
107	-278	-276	-314	-316	3.20	0.00	0.00	2814.44
107	-332	-330	-368	-370	3.20	0.00	0.00	2814.44
107	25	-124	-244	-246	3.20	0.00	0.00	2814.44
107	-294	-292	-330	-332	3.20	0.00	0.00	2814.44
107	-244	-242	-280	-282	3.20	0.00	0.00	2814.44
107	-254	-252	-290	-292	3.20	0.00	0.00	2814.44
107	-284	-282	-320	-322	3.20	0.00	0.00	2814.44
107	-324	-322	-360	-362	3.20	0.00	0.00	2814.44
107	-306	-304	-342	-344	3.20	0.00	0.00	2814.44
107	-266	-264	-302	-304	3.20	0.00	0.00	2814.44
107	-240	-238	-276	-278	3.20	0.00	0.00	2814.44
107	-296	-294	-332	-334	3.20	0.00	0.00	2814.44
206	-339	-337	-385	-387	3.20	0.00	0.00	-2814.44
206	-345	-343	-391	-393	3.20	0.00	0.00	-2814.44
206	-391	-389	-425	-427	3.20	0.00	0.00	-2814.44
206	-387	-385	-421	-423	3.20	0.00	0.00	-2814.44
206	-397	-395	-431	-433	3.20	0.00	0.00	-2814.44
206	-341	-339	-387	-389	3.20	0.00	0.00	-2814.44
206	-343	-341	-389	-391	3.20	0.00	0.00	-2814.44
207	-367	-365	-411	-413	3.20	0.00	0.00	-2814.44
207	-363	-361	-407	-409	3.20	0.00	0.00	-2814.44
207	-371	-369	-415	-417	3.20	0.00	0.00	-2814.44
207	-411	-409	-447	-449	3.20	0.00	0.00	-2814.44
207	-417	-415	-453	-455	3.20	0.00	0.00	-2814.44
207	-361	-359	-405	-407	3.20	0.00	0.00	-2814.44
207	-405	-403	-441	-443	3.20	0.00	0.00	-2814.44
207	-373	-371	-417	-419	3.20	0.00	0.00	-2814.44
208	-374	-372	-418	-420	3.20	0.00	0.00	2814.44
208	-418	-416	-454	-456	3.20	0.00	0.00	2814.44
208	-420	-418	-456	-458	3.20	0.00	0.00	2814.44
208	-362	-360	-406	-408	3.20	0.00	0.00	2814.44
208	-412	-410	-448	-450	3.20	0.00	0.00	2814.44
208	-414	-412	-450	-452	3.20	0.00	0.00	2814.44
208	-364	-362	-408	-410	3.20	0.00	0.00	2814.44
208	-366	-364	-410	-412	3.20	0.00	0.00	2814.44
209	-390	-388	-424	-426	3.20	0.00	0.00	2814.44
209	-392	-390	-426	-428	3.20	0.00	0.00	2814.44
209	-398	-396	-432	-434	3.20	0.00	0.00	2814.44
209	-400	-398	-434	-436	3.20	0.00	0.00	2814.44
209	-344	-342	-390	-392	3.20	0.00	0.00	2814.44
209	-394	-392	-428	-430	3.20	0.00	0.00	2814.44
209	-396	-394	-430	-432	3.20	0.00	0.00	2814.44
306	-467	-465	-503	-505	3.20	0.00	0.00	-2814.44
306	-501	-499	-537	301	3.20	0.00	0.00	-2814.44
306	-469	-467	-505	-507	3.20	0.00	0.00	-2814.44
306	-507	-505	-661	-704	3.20	0.00	0.00	-2814.44
306	-481	-479	-517	-519	3.20	0.00	0.00	-2814.44
306	-433	-431	-469	-471	3.20	0.00	0.00	-2814.44
306	-473	-471	-509	-511	3.20	0.00	0.00	-2814.44

106	-289	-287	-325	-327	3.20	0.00	0.00	-2814.44
106	-99	20	-237	-239	3.20	0.00	0.00	-2814.44
106	-279	-277	-315	-317	3.20	0.00	0.00	-2814.44
106	-305	-303	-341	-343	3.20	0.00	0.00	-2814.44
106	-263	-261	-299	-301	3.20	0.00	0.00	-2814.44
106	-65	-53	-231	-233	3.20	0.00	0.00	-2814.44
107	-330	-328	-366	-368	3.20	0.00	0.00	2814.44
107	-236	-234	-272	-274	3.20	0.00	0.00	2814.44
107	-230	-228	-266	-268	3.20	0.00	0.00	2814.44
107	-158	-146	-248	-250	3.20	0.00	0.00	2814.44
107	-334	-332	-370	-372	3.20	0.00	0.00	2814.44
107	-288	-286	-324	-326	3.20	0.00	0.00	2814.44
107	-282	-280	-318	-320	3.20	0.00	0.00	2814.44
107	-322	-320	-358	-360	3.20	0.00	0.00	2814.44
107	-264	-262	-300	-302	3.20	0.00	0.00	2814.44
107	-326	-324	-362	-364	3.20	0.00	0.00	2814.44
107	-260	-258	-296	-298	3.20	0.00	0.00	2814.44
107	-312	-310	-348	-350	3.20	0.00	0.00	2814.44
107	-320	-318	-356	-358	3.20	0.00	0.00	2814.44
107	-232	-230	-268	-270	3.20	0.00	0.00	2814.44
107	-280	-278	-316	-318	3.20	0.00	0.00	2814.44
107	-292	-290	-328	-330	3.20	0.00	0.00	2814.44
107	-270	-268	-306	-308	3.20	0.00	0.00	2814.44
107	-206	-194	-256	-258	3.20	0.00	0.00	2814.44
107	-274	-272	-310	-312	3.20	0.00	0.00	2814.44
107	-250	-248	-286	-288	3.20	0.00	0.00	2814.44
107	-252	-250	-288	-290	3.20	0.00	0.00	2814.44
107	-302	-300	-338	-340	3.20	0.00	0.00	2814.44
107	-310	-308	-346	-348	3.20	0.00	0.00	2814.44
107	-56	-44	-230	-232	3.20	0.00	0.00	2814.44
107	-68	-56	-232	-234	3.20	0.00	0.00	2814.44
107	-170	-158	-250	-252	3.20	0.00	0.00	2814.44
107	23	-102	-240	-242	3.20	0.00	0.00	2814.44
107	-218	-206	-258	-260	3.20	0.00	0.00	2814.44
107	-246	-244	-282	-284	3.20	0.00	0.00	2814.44
107	-276	-274	-312	-314	3.20	0.00	0.00	2814.44
107	-238	-236	-274	-276	3.20	0.00	0.00	2814.44
107	-258	-256	-294	-296	3.20	0.00	0.00	2814.44
107	-80	-68	-234	-236	3.20	0.00	0.00	2814.44
107	-226	-224	-262	-264	3.20	0.00	0.00	2814.44
107	-44	-32	-228	-230	3.20	0.00	0.00	2814.44
107	-298	-296	-334	-336	3.20	0.00	0.00	2814.44
206	-389	-387	-423	-425	3.20	0.00	0.00	-2814.44
206	-393	-391	-427	-429	3.20	0.00	0.00	-2814.44
206	-399	-397	-433	-435	3.20	0.00	0.00	-2814.44
206	-395	-393	-429	-431	3.20	0.00	0.00	-2814.44
206	-351	-349	-397	-399	3.20	0.00	0.00	-2814.44
206	-349	-347	-395	-397	3.20	0.00	0.00	-2814.44
206	-347	-345	-393	-395	3.20	0.00	0.00	-2814.44
207	-409	-407	-445	-447	3.20	0.00	0.00	-2814.44
207	-419	-417	-455	-457	3.20	0.00	0.00	-2814.44
207	-369	-367	-413	-415	3.20	0.00	0.00	-2814.44
207	-365	-363	-409	-411	3.20	0.00	0.00	-2814.44
207	-413	-411	-449	-451	3.20	0.00	0.00	-2814.44
207	-359	-357	-403	-405	3.20	0.00	0.00	-2814.44
207	-407	-405	-443	-445	3.20	0.00	0.00	-2814.44
207	-415	-413	-451	-453	3.20	0.00	0.00	-2814.44
208	-406	-404	-442	-444	3.20	0.00	0.00	2814.44
208	-372	-370	-416	-418	3.20	0.00	0.00	2814.44
208	-416	-414	-452	-454	3.20	0.00	0.00	2814.44
208	-360	-358	-404	-406	3.20	0.00	0.00	2814.44
208	-410	-408	-446	-448	3.20	0.00	0.00	2814.44
208	-408	-406	-444	-446	3.20	0.00	0.00	2814.44
208	-370	-368	-414	-416	3.20	0.00	0.00	2814.44
208	-368	-366	-412	-414	3.20	0.00	0.00	2814.44
209	-352	-350	-398	-400	3.20	0.00	0.00	2814.44
209	-350	-348	-396	-398	3.20	0.00	0.00	2814.44
209	-342	-340	-388	-390	3.20	0.00	0.00	2814.44
209	-348	-346	-394	-396	3.20	0.00	0.00	2814.44
209	-340	-338	-386	-388	3.20	0.00	0.00	2814.44
209	-388	-386	-422	-424	3.20	0.00	0.00	2814.44
209	-346	-344	-392	-394	3.20	0.00	0.00	2814.44
306	-517	-515	-882	-925	3.20	0.00	0.00	-2814.44
306	-463	-461	-499	-501	3.20	0.00	0.00	-2814.44
306	-533	-531	-1225	-1270	3.20	0.00	0.00	-2814.44
306	-443	-441	-479	-481	3.20	0.00	0.00	-2814.44
306	-487	-485	-523	-525	3.20	0.00	0.00	-2814.44
306	-499	-497	-535	-537	3.20	0.00	0.00	-2814.44
306	-477	-475	-513	-515	3.20	0.00	0.00	-2814.44

306	-491	-489	-527	-529	3.20	0.00	0.00	-2814.44
306	-485	-483	-521	-523	3.20	0.00	0.00	-2814.44
306	-423	-421	-459	-461	3.20	0.00	0.00	-2814.44
306	-455	-453	-491	-493	3.20	0.00	0.00	-2814.44
306	-451	-449	-487	-489	3.20	0.00	0.00	-2814.44
306	-431	-429	-467	-469	3.20	0.00	0.00	-2814.44
306	-515	-513	-837	-882	3.20	0.00	0.00	-2814.44
306	-513	-511	-794	-837	3.20	0.00	0.00	-2814.44
306	-529	-527	-1146	320	3.20	0.00	0.00	-2814.44
306	-525	-523	-1058	-1103	3.20	0.00	0.00	-2814.44
306	-495	-493	-531	-533	3.20	0.00	0.00	-2814.44
306	-471	-469	-507	-509	3.20	0.00	0.00	-2814.44
306	-441	-439	-477	-479	3.20	0.00	0.00	-2814.44
306	-475	-473	-511	-513	3.20	0.00	0.00	-2814.44
306	-461	-459	-497	-499	3.20	0.00	0.00	-2814.44
306	-519	-517	-925	-970	3.20	0.00	0.00	-2814.44
306	-483	-481	-519	-521	3.20	0.00	0.00	-2814.44
306	-505	-503	-618	-661	3.20	0.00	0.00	-2814.44
306	-445	-443	-481	-483	3.20	0.00	0.00	-2814.44
306	-435	-433	-471	-473	3.20	0.00	0.00	-2814.44
307	-486	-484	-522	-524	3.20	0.00	0.00	2814.44
307	-516	-514	-881	-924	3.20	0.00	0.00	2814.44
307	-532	-530	328	-1269	3.20	0.00	0.00	2814.44
307	-434	-432	-470	-472	3.20	0.00	0.00	2814.44
307	-512	-510	-793	-836	3.20	0.00	0.00	2814.44
307	-526	-524	-1102	-1145	3.20	0.00	0.00	2814.44
307	-518	-516	-924	-969	3.20	0.00	0.00	2814.44
307	-500	-498	-536	-581	3.20	0.00	0.00	2814.44
307	-514	-512	-836	-881	3.20	0.00	0.00	2814.44
307	-534	-532	-1269	-1271	3.20	0.00	0.00	2814.44
307	-426	-424	-462	-464	3.20	0.00	0.00	2814.44
307	-484	-482	-520	-522	3.20	0.00	0.00	2814.44
307	-472	-470	-508	-510	3.20	0.00	0.00	2814.44
307	-456	-454	-492	-494	3.20	0.00	0.00	2814.44
307	-480	-478	-516	-518	3.20	0.00	0.00	2814.44
307	-530	-528	-1188	328	3.20	0.00	0.00	2814.44
307	-482	-480	-518	-520	3.20	0.00	0.00	2814.44
307	-466	-464	-502	-504	3.20	0.00	0.00	2814.44
307	-496	-494	-532	-534	3.20	0.00	0.00	2814.44
307	-424	-422	-460	-462	3.20	0.00	0.00	2814.44
307	-430	-428	-466	-468	3.20	0.00	0.00	2814.44
307	-428	-426	-464	-466	3.20	0.00	0.00	2814.44
307	-448	-446	-484	-486	3.20	0.00	0.00	2814.44
307	-444	-442	-480	-482	3.20	0.00	0.00	2814.44
307	-436	-434	-472	-474	3.20	0.00	0.00	2814.44
307	-494	-492	-530	-532	3.20	0.00	0.00	2814.44
307	-452	-450	-488	-490	3.20	0.00	0.00	2814.44

306	-509	-507	-704	-749	3.20	0.00	0.00	-2814.44
306	-427	-425	-463	-465	3.20	0.00	0.00	-2814.44
306	-489	-487	-525	-527	3.20	0.00	0.00	-2814.44
306	-437	-435	-473	-475	3.20	0.00	0.00	-2814.44
306	-425	-423	-461	-463	3.20	0.00	0.00	-2814.44
306	-511	-509	-749	-794	3.20	0.00	0.00	-2814.44
306	-521	-519	-970	-1013	3.20	0.00	0.00	-2814.44
306	-439	-437	-475	-477	3.20	0.00	0.00	-2814.44
306	-447	-445	-483	-485	3.20	0.00	0.00	-2814.44
306	-457	-455	-493	-495	3.20	0.00	0.00	-2814.44
306	-531	-529	320	-1225	3.20	0.00	0.00	-2814.44
306	-449	-447	-485	-487	3.20	0.00	0.00	-2814.44
306	-503	-501	301	-618	3.20	0.00	0.00	-2814.44
306	-453	-451	-489	-491	3.20	0.00	0.00	-2814.44
306	-479	-477	-515	-517	3.20	0.00	0.00	-2814.44
306	-523	-521	-1013	-1058	3.20	0.00	0.00	-2814.44
306	-527	-525	-1103	-1146	3.20	0.00	0.00	-2814.44
306	-465	-463	-501	-503	3.20	0.00	0.00	-2814.44
306	-429	-427	-465	-467	3.20	0.00	0.00	-2814.44
306	-493	-491	-529	-531	3.20	0.00	0.00	-2814.44
307	-510	-508	-748	-793	3.20	0.00	0.00	2814.44
307	-506	-504	-660	-703	3.20	0.00	0.00	2814.44
307	-502	-500	-581	309	3.20	0.00	0.00	2814.44
307	-440	-438	-476	-478	3.20	0.00	0.00	2814.44
307	-476	-474	-512	-514	3.20	0.00	0.00	2814.44
307	-446	-444	-482	-484	3.20	0.00	0.00	2814.44
307	-508	-506	-703	-748	3.20	0.00	0.00	2814.44
307	-478	-476	-514	-516	3.20	0.00	0.00	2814.44
307	-490	-488	-526	-528	3.20	0.00	0.00	2814.44
307	-442	-440	-478	-480	3.20	0.00	0.00	2814.44
307	-528	-526	-1145	-1188	3.20	0.00	0.00	2814.44
307	-488	-486	-524	-526	3.20	0.00	0.00	2814.44
307	-432	-430	-468	-470	3.20	0.00	0.00	2814.44
307	-464	-462	-500	-502	3.20	0.00	0.00	2814.44
307	-504	-502	309	-660	3.20	0.00	0.00	2814.44
307	-454	-452	-490	-492	3.20	0.00	0.00	2814.44
307	-458	-456	-494	-496	3.20	0.00	0.00	2814.44
307	-474	-472	-510	-512	3.20	0.00	0.00	2814.44
307	-492	-490	-528	-530	3.20	0.00	0.00	2814.44
307	-522	-520	-1012	-1057	3.20	0.00	0.00	2814.44
307	-468	-466	-504	-506	3.20	0.00	0.00	2814.44
307	-524	-522	-1057	-1102	3.20	0.00	0.00	2814.44
307	-462	-460	-498	-500	3.20	0.00	0.00	2814.44
307	-450	-448	-486	-488	3.20	0.00	0.00	2814.44
307	-470	-468	-506	-508	3.20	0.00	0.00	2814.44
307	-520	-518	-969	-1012	3.20	0.00	0.00	2814.44
307	-438	-436	-474	-476	3.20	0.00	0.00	2814.44

Elenco carichi elementi bidimensionali
Condizione di carico n. 3: Schema 1 q1tandem mezz
Carichi uniformi

Bid.	N1	N2	N3	N4	T	DC	Qx <daN/mq>	Qy <daN/mq>	Qz <daN/mq>
0	-1882	-1911	-1912	-1492	M	G	0.00	0.00	75000.00
0	-1694	-2061	-2068	-1376	M	G	0.00	0.00	75000.00
0	-1865	-2085	-2073	-1372	M	G	0.00	0.00	75000.00
0	-1464	-2083	-1911	-1882	M	G	0.00	0.00	75000.00
0	-1467	-2079	-2104	-1886	M	G	0.00	0.00	75000.00
0	-1886	-2104	-2105	-1495	M	G	0.00	0.00	75000.00
0	-1974	-1882	-1492	-1973	M	G	0.00	0.00	75000.00
0	-1372	-2073	-2076	-1714	M	G	0.00	0.00	75000.00
0	-1376	-2068	-2066	-1717	M	G	0.00	0.00	75000.00
0	-2074	-1372	-1714	-2078	M	G	0.00	0.00	75000.00
0	-2072	-1376	-1717	-2070	M	G	0.00	0.00	75000.00
0	-2084	-1694	-1376	-2072	M	G	0.00	0.00	75000.00
0	-2086	-1865	-1372	-2074	M	G	0.00	0.00	75000.00
0	-1762	-1464	-1882	-1974	M	G	0.00	0.00	75000.00
0	-2081	-1467	-1886	-2103	M	G	0.00	0.00	75000.00
0	-2103	-1886	-1495	-2107	M	G	0.00	0.00	75000.00

Elenco carichi elementi bidimensionali
Condizione di carico n. 4: Schema 1 q1tandem dx
Carichi uniformi

Bid.	N1	N2	N3	N4	T	DC	Qx <daN/mq>	Qy <daN/mq>	Qz <daN/mq>
0	-1346	-1915	-1916	-1558	M	G	0.00	0.00	75000.00
0	-1345	-1913	-1914	-1572	M	G	0.00	0.00	75000.00

0	-1618	-1930	-1915	-1346	M	G	0.00	0.00	75000.00
0	-1579	-1928	-1913	-1345	M	G	0.00	0.00	75000.00
0	-1474	-1918	-1938	-1893	M	G	0.00	0.00	75000.00
0	-1893	-1938	-1939	-1704	M	G	0.00	0.00	75000.00
0	-1913	-1343	-1573	-1914	M	G	0.00	0.00	75000.00
0	-1915	-1347	-1559	-1916	M	G	0.00	0.00	75000.00
0	-1919	-1384	-1725	-1920	M	G	0.00	0.00	75000.00
0	-1924	-1838	-1384	-1919	M	G	0.00	0.00	75000.00
0	-1930	-1414	-1347	-1915	M	G	0.00	0.00	75000.00
0	-1928	-1580	-1343	-1913	M	G	0.00	0.00	75000.00
0	-1918	-1475	-1894	-1938	M	G	0.00	0.00	75000.00
0	-1938	-1894	-1705	-1939	M	G	0.00	0.00	75000.00
0	-1383	-1919	-1920	-1724	M	G	0.00	0.00	75000.00
0	-1837	-1924	-1919	-1383	M	G	0.00	0.00	75000.00

Elenco carichi elementi bidimensionali
Condizione di carico n. 5: Schema 1 q1tandem sx
Carichi uniformi

Bid.	N1	N2	N3	N4	T	DC	Qx <daN/mq>	Qy <daN/mq>	Qz <daN/mq>
0	-1836	-1948	-1947	-1358	M	G	0.00	0.00	75000.00
0	-1453	-1954	-1943	-1873	M	G	0.00	0.00	75000.00
0	-1415	-1959	-1969	-1896	M	G	0.00	0.00	75000.00
0	-1645	-1968	-1972	-1909	M	G	0.00	0.00	75000.00
0	-1896	-1969	-1970	-1666	M	G	0.00	0.00	75000.00
0	-1909	-1972	-1965	-1652	M	G	0.00	0.00	75000.00
0	-1943	-1875	-1477	-1944	M	G	0.00	0.00	75000.00
0	-1947	-1359	-1707	-1945	M	G	0.00	0.00	75000.00
0	-1948	-1839	-1359	-1947	M	G	0.00	0.00	75000.00
0	-1954	-1454	-1875	-1943	M	G	0.00	0.00	75000.00
0	-1959	-1416	-1895	-1969	M	G	0.00	0.00	75000.00
0	-1968	-1646	-1910	-1972	M	G	0.00	0.00	75000.00
0	-1969	-1895	-1667	-1970	M	G	0.00	0.00	75000.00
0	-1972	-1910	-1653	-1965	M	G	0.00	0.00	75000.00
0	-1873	-1943	-1944	-1476	M	G	0.00	0.00	75000.00
0	-1358	-1947	-1945	-1706	M	G	0.00	0.00	75000.00

Elenco carichi elementi bidimensionali
Condizione di carico n. 6: Schema 1 q1dist
Carichi uniformi

Bid.	N1	N2	N3	N4	T	DC	Qx <daN/mq>	Qy <daN/mq>	Qz <daN/mq>
0	-1532	-1833	-1466	-1867	M	G	0.00	0.00	720.00
0	-1832	-1532	-1867	-1465	M	G	0.00	0.00	720.00
0	-1831	-1547	-2083	-1464	M	G	0.00	0.00	720.00
0	-1830	-1699	-1762	-1463	M	G	0.00	0.00	720.00
0	-1829	-1830	-1463	-1462	M	G	0.00	0.00	720.00
0	-1828	-1829	-1462	-1460	M	G	0.00	0.00	720.00
0	-1875	-1876	-1478	-1477	M	G	0.00	0.00	720.00
0	-1876	-1877	-1479	-1478	M	G	0.00	0.00	720.00
0	-1877	-1878	-1480	-1479	M	G	0.00	0.00	720.00
0	-1878	-1879	-1481	-1480	M	G	0.00	0.00	720.00
0	-1879	-1880	-1482	-1481	M	G	0.00	0.00	720.00
0	-1880	-1881	-1491	-1482	M	G	0.00	0.00	720.00
0	-1881	-1974	-1973	-1491	M	G	0.00	0.00	720.00
0	-1882	-1911	-1912	-1492	M	G	0.00	0.00	720.00
0	-1834	-2080	-2079	-1467	M	G	0.00	0.00	720.00
0	-1348	-1349	-1561	-1560	M	G	0.00	0.00	720.00
0	-1347	-1348	-1560	-1559	M	G	0.00	0.00	720.00
0	-1346	-1915	-1916	-1558	M	G	0.00	0.00	720.00
0	-1385	-1346	-1558	440	M	G	0.00	0.00	720.00
0	-1344	-1345	-1572	-1537	M	G	0.00	0.00	720.00
0	-1345	-1913	-1914	-1572	M	G	0.00	0.00	720.00
0	-1343	-1342	-1574	-1573	M	G	0.00	0.00	720.00
0	-1342	-1868	-1575	-1574	M	G	0.00	0.00	720.00
0	-1868	-1869	-1576	-1575	M	G	0.00	0.00	720.00
0	-1869	-1870	-1577	-1576	M	G	0.00	0.00	720.00
0	-1870	-1871	-1578	-1577	M	G	0.00	0.00	720.00
0	-1871	-1872	-1613	-1578	M	G	0.00	0.00	720.00
0	-1874	-1873	-1476	-1848	M	G	0.00	0.00	720.00
0	-1858	-1851	-1380	-1379	M	G	0.00	0.00	720.00
0	-1856	-1858	-1379	-1378	M	G	0.00	0.00	720.00
0	-1695	-1856	-1378	-1377	M	G	0.00	0.00	720.00
0	-1694	-2061	-2068	-1376	M	G	0.00	0.00	720.00
0	-1693	-2084	-2072	-1375	M	G	0.00	0.00	720.00
0	-1862	-1693	-1375	-1374	M	G	0.00	0.00	720.00
0	-1866	-1862	-1374	-1373	M	G	0.00	0.00	720.00

0	-1865	-2085	-2073	-1372	M	G	0.00	0.00	720.00
0	-1864	-2086	-2074	-1371	M	G	0.00	0.00	720.00
0	-1861	-1864	-1371	-1370	M	G	0.00	0.00	720.00
0	-1857	-1861	-1370	-1369	M	G	0.00	0.00	720.00
0	-1845	-1857	-1369	-1368	M	G	0.00	0.00	720.00
0	-1844	-1845	-1368	-1361	M	G	0.00	0.00	720.00
0	-1843	-1844	-1361	-1360	M	G	0.00	0.00	720.00
0	-1839	-1843	-1360	-1359	M	G	0.00	0.00	720.00
0	-1836	-1948	-1947	-1358	M	G	0.00	0.00	720.00
0	-1850	-1836	-1358	-1357	M	G	0.00	0.00	720.00
0	-1863	-1783	-1428	441	M	G	0.00	0.00	720.00
0	-1783	-1946	-1949	-1428	M	G	0.00	0.00	720.00
0	-1784	-1785	-1430	-1429	M	G	0.00	0.00	720.00
0	-1512	-1511	-1570	-1569	M	G	0.00	0.00	720.00
0	-1513	-1512	-1569	-1568	M	G	0.00	0.00	720.00
0	-1514	-1513	-1568	-1567	M	G	0.00	0.00	720.00
0	-1515	-1514	-1567	-1566	M	G	0.00	0.00	720.00
0	-1516	-1925	-1921	-1565	M	G	0.00	0.00	720.00
0	-1578	-1613	-1509	-1510	M	G	0.00	0.00	720.00
0	-1577	-1578	-1510	-1511	M	G	0.00	0.00	720.00
0	-1576	-1577	-1511	-1512	M	G	0.00	0.00	720.00
0	-1575	-1576	-1512	-1513	M	G	0.00	0.00	720.00
0	-1574	-1575	-1513	-1514	M	G	0.00	0.00	720.00
0	-1573	-1574	-1514	-1515	M	G	0.00	0.00	720.00
0	-1572	-1914	-1925	-1516	M	G	0.00	0.00	720.00
0	430	-1551	-1586	-1534	M	G	0.00	0.00	720.00
0	-1551	-1926	-1927	-1586	M	G	0.00	0.00	720.00
0	-1552	-1553	-1588	-1587	M	G	0.00	0.00	720.00
0	-1553	-1554	-1589	-1588	M	G	0.00	0.00	720.00
0	-1554	-1555	-1590	-1589	M	G	0.00	0.00	720.00
0	-1555	-1556	-1591	-1590	M	G	0.00	0.00	720.00
0	-1556	-1557	-1592	-1591	M	G	0.00	0.00	720.00
0	-1557	-1610	-1615	-1592	M	G	0.00	0.00	720.00
0	-1534	-1586	-1579	433	M	G	0.00	0.00	720.00
0	-1586	-1927	-1928	-1579	M	G	0.00	0.00	720.00
0	-1587	-1588	-1581	-1580	M	G	0.00	0.00	720.00
0	-1588	-1589	-1582	-1581	M	G	0.00	0.00	720.00
0	-1589	-1590	-1583	-1582	M	G	0.00	0.00	720.00
0	-1590	-1591	-1584	-1583	M	G	0.00	0.00	720.00
0	-1591	-1592	-1585	-1584	M	G	0.00	0.00	720.00
0	-1592	-1615	-1614	-1585	M	G	0.00	0.00	720.00
0	440	-1558	-1593	-1531	M	G	0.00	0.00	720.00
0	-1558	-1916	-1929	-1593	M	G	0.00	0.00	720.00
0	-1559	-1560	-1595	-1594	M	G	0.00	0.00	720.00
0	-1560	-1561	-1596	-1595	M	G	0.00	0.00	720.00
0	-1561	-1562	-1597	-1596	M	G	0.00	0.00	720.00
0	-1562	-1563	-1598	-1597	M	G	0.00	0.00	720.00
0	-1563	-1564	-1599	-1598	M	G	0.00	0.00	720.00
0	-1564	-1611	-1616	-1599	M	G	0.00	0.00	720.00
0	-1840	-1607	-1354	-1353	M	G	0.00	0.00	720.00
0	-1697	-1840	-1353	-1351	M	G	0.00	0.00	720.00
0	-1696	-1697	-1351	-1350	M	G	0.00	0.00	720.00
0	-1690	-1696	-1350	-1349	M	G	0.00	0.00	720.00
0	-1685	-1690	-1349	-1348	M	G	0.00	0.00	720.00
0	-1414	-1685	-1348	-1347	M	G	0.00	0.00	720.00
0	-1618	-1930	-1915	-1346	M	G	0.00	0.00	720.00
0	-1536	-1618	-1346	-1385	M	G	0.00	0.00	720.00
0	433	-1579	-1345	-1344	M	G	0.00	0.00	720.00
0	-1579	-1928	-1913	-1345	M	G	0.00	0.00	720.00
0	-1580	-1581	-1342	-1343	M	G	0.00	0.00	720.00
0	-1581	-1582	-1868	-1342	M	G	0.00	0.00	720.00
0	-1582	-1583	-1869	-1868	M	G	0.00	0.00	720.00
0	-1583	-1584	-1870	-1869	M	G	0.00	0.00	720.00
0	-1584	-1585	-1871	-1870	M	G	0.00	0.00	720.00
0	-1585	-1614	-1872	-1871	M	G	0.00	0.00	720.00
0	-1531	-1593	-1551	430	M	G	0.00	0.00	720.00
0	-1593	-1929	-1926	-1551	M	G	0.00	0.00	720.00
0	-1594	-1595	-1553	-1552	M	G	0.00	0.00	720.00
0	-1595	-1596	-1554	-1553	M	G	0.00	0.00	720.00
0	-1596	-1597	-1555	-1554	M	G	0.00	0.00	720.00
0	-1597	-1598	-1556	-1555	M	G	0.00	0.00	720.00
0	-1598	-1599	-1557	-1556	M	G	0.00	0.00	720.00
0	-1599	-1616	-1610	-1557	M	G	0.00	0.00	720.00
0	-1408	-1407	-1607	-1840	M	G	0.00	0.00	720.00
0	-1409	-1408	-1840	-1697	M	G	0.00	0.00	720.00
0	-1437	-1409	-1697	-1696	M	G	0.00	0.00	720.00
0	-1440	-1437	-1696	-1690	M	G	0.00	0.00	720.00
0	-1444	-1440	-1690	-1685	M	G	0.00	0.00	720.00
0	-1447	-1444	-1685	-1414	M	G	0.00	0.00	720.00

0	-1451	-1931	-1930	-1618	M	G	0.00	0.00	720.00
0	-1543	-1608	-1407	-1408	M	G	0.00	0.00	720.00
0	-1542	-1543	-1408	-1409	M	G	0.00	0.00	720.00
0	-1541	-1542	-1409	-1437	M	G	0.00	0.00	720.00
0	-1860	-1541	-1437	-1440	M	G	0.00	0.00	720.00
0	-1855	-1860	-1440	-1444	M	G	0.00	0.00	720.00
0	-1854	-1855	-1444	-1447	M	G	0.00	0.00	720.00
0	-1841	-1932	-1931	-1451	M	G	0.00	0.00	720.00
0	-1782	431	438	-1387	M	G	0.00	0.00	720.00
0	-1781	-1935	-1936	-1388	M	G	0.00	0.00	720.00
0	-1780	-1781	-1388	-1389	M	G	0.00	0.00	720.00
0	-1779	-1780	-1389	-1390	M	G	0.00	0.00	720.00
0	-1778	-1779	-1390	-1391	M	G	0.00	0.00	720.00
0	-1777	-1778	-1391	-1392	M	G	0.00	0.00	720.00
0	-1776	-1777	-1392	-1393	M	G	0.00	0.00	720.00
0	-1775	-1776	-1393	-1394	M	G	0.00	0.00	720.00
0	-1774	-2088	-2095	-1395	M	G	0.00	0.00	720.00
0	-1773	-2090	-2096	-1396	M	G	0.00	0.00	720.00
0	-1413	-1773	-1396	-1386	M	G	0.00	0.00	720.00
0	-1772	-1413	-1386	-1397	M	G	0.00	0.00	720.00
0	-1771	-2092	-2097	-1398	M	G	0.00	0.00	720.00
0	-1770	-2094	-2098	-1399	M	G	0.00	0.00	720.00
0	-1769	-1770	-1399	-1400	M	G	0.00	0.00	720.00
0	-1768	-1769	-1400	-1401	M	G	0.00	0.00	720.00
0	-1767	-1768	-1401	-1402	M	G	0.00	0.00	720.00
0	-1766	-1767	-1402	-1403	M	G	0.00	0.00	720.00
0	-1765	-1766	-1403	-1404	M	G	0.00	0.00	720.00
0	-1764	-1765	-1404	-1405	M	G	0.00	0.00	720.00
0	-1763	-1951	-1952	-1406	M	G	0.00	0.00	720.00
0	-1387	438	-1536	-1838	M	G	0.00	0.00	720.00
0	-1388	-1936	-1924	-1837	M	G	0.00	0.00	720.00
0	-1389	-1388	-1837	-1853	M	G	0.00	0.00	720.00
0	-1390	-1389	-1853	-1852	M	G	0.00	0.00	720.00
0	-1391	-1390	-1852	-1851	M	G	0.00	0.00	720.00
0	-1392	-1391	-1851	-1858	M	G	0.00	0.00	720.00
0	-1393	-1392	-1858	-1856	M	G	0.00	0.00	720.00
0	-1394	-1393	-1856	-1695	M	G	0.00	0.00	720.00
0	-1395	-2095	-2061	-1694	M	G	0.00	0.00	720.00
0	-1396	-2096	-2084	-1693	M	G	0.00	0.00	720.00
0	-1386	-1396	-1693	-1862	M	G	0.00	0.00	720.00
0	-1397	-1386	-1862	-1866	M	G	0.00	0.00	720.00
0	-1398	-2097	-2085	-1865	M	G	0.00	0.00	720.00
0	-1399	-2098	-2086	-1864	M	G	0.00	0.00	720.00
0	-1400	-1399	-1864	-1861	M	G	0.00	0.00	720.00
0	-1401	-1400	-1861	-1857	M	G	0.00	0.00	720.00
0	-1402	-1401	-1857	-1845	M	G	0.00	0.00	720.00
0	-1403	-1402	-1845	-1844	M	G	0.00	0.00	720.00
0	-1404	-1403	-1844	-1843	M	G	0.00	0.00	720.00
0	-1405	-1404	-1843	-1839	M	G	0.00	0.00	720.00
0	-1406	-1952	-1948	-1836	M	G	0.00	0.00	720.00
0	441	-1428	-1823	-1859	M	G	0.00	0.00	720.00
0	-1428	-1949	-1953	-1823	M	G	0.00	0.00	720.00
0	-1429	-1430	-1825	-1824	M	G	0.00	0.00	720.00
0	-1430	-1431	-1826	-1825	M	G	0.00	0.00	720.00
0	-1431	-1432	-1827	-1826	M	G	0.00	0.00	720.00
0	-1432	-1433	-1828	-1827	M	G	0.00	0.00	720.00
0	-1433	-1434	-1829	-1828	M	G	0.00	0.00	720.00
0	-1434	-1435	-1830	-1829	M	G	0.00	0.00	720.00
0	-1435	-2099	-1699	-1830	M	G	0.00	0.00	720.00
0	-1436	-2100	-1547	-1831	M	G	0.00	0.00	720.00
0	-1438	-1846	-1532	-1832	M	G	0.00	0.00	720.00
0	-1846	-1439	-1833	-1532	M	G	0.00	0.00	720.00
0	-1439	-2101	-2082	-1833	M	G	0.00	0.00	720.00
0	-1441	-2102	-2080	-1834	M	G	0.00	0.00	720.00
0	-1442	-1443	-1412	-1835	M	G	0.00	0.00	720.00
0	-1443	-1445	-1410	-1412	M	G	0.00	0.00	720.00
0	-1445	-1446	-1411	-1410	M	G	0.00	0.00	720.00
0	-1446	-1448	-1688	-1411	M	G	0.00	0.00	720.00
0	-1448	-1449	-1691	-1688	M	G	0.00	0.00	720.00
0	-1449	-1450	-1692	-1691	M	G	0.00	0.00	720.00
0	-1450	-1937	-1917	-1692	M	G	0.00	0.00	720.00
0	-1452	430	-1534	-1698	M	G	0.00	0.00	720.00
0	439	-1453	-1873	-1874	M	G	0.00	0.00	720.00
0	-1453	-1954	-1943	-1873	M	G	0.00	0.00	720.00
0	-1454	-1455	-1876	-1875	M	G	0.00	0.00	720.00
0	-1455	-1456	-1877	-1876	M	G	0.00	0.00	720.00
0	-1456	-1459	-1878	-1877	M	G	0.00	0.00	720.00
0	-1459	-1460	-1879	-1878	M	G	0.00	0.00	720.00
0	-1460	-1462	-1880	-1879	M	G	0.00	0.00	720.00

0	-1462	-1463	-1881	-1880	M	G	0.00	0.00	720.00
0	-1463	-1762	-1974	-1881	M	G	0.00	0.00	720.00
0	-1464	-2083	-1911	-1882	M	G	0.00	0.00	720.00
0	-1465	-1867	-1884	-1883	M	G	0.00	0.00	720.00
0	-1867	-1466	-1885	-1884	M	G	0.00	0.00	720.00
0	-1466	-2081	-2103	-1885	M	G	0.00	0.00	720.00
0	-1467	-2079	-2104	-1886	M	G	0.00	0.00	720.00
0	-1468	-1469	-1888	-1887	M	G	0.00	0.00	720.00
0	-1469	-1470	-1889	-1888	M	G	0.00	0.00	720.00
0	-1470	-1471	-1890	-1889	M	G	0.00	0.00	720.00
0	-1471	-1472	-1891	-1890	M	G	0.00	0.00	720.00
0	-1472	-1473	-1892	-1891	M	G	0.00	0.00	720.00
0	-1473	-1474	-1893	-1892	M	G	0.00	0.00	720.00
0	-1474	-1918	-1938	-1893	M	G	0.00	0.00	720.00
0	-1475	433	-1344	-1894	M	G	0.00	0.00	720.00
0	-1859	-1823	-1453	439	M	G	0.00	0.00	720.00
0	-1823	-1953	-1954	-1453	M	G	0.00	0.00	720.00
0	-1824	-1825	-1455	-1454	M	G	0.00	0.00	720.00
0	-1825	-1826	-1456	-1455	M	G	0.00	0.00	720.00
0	-1826	-1827	-1459	-1456	M	G	0.00	0.00	720.00
0	-1827	-1828	-1460	-1459	M	G	0.00	0.00	720.00
0	-1785	-1786	-1431	-1430	M	G	0.00	0.00	720.00
0	-1786	-1787	-1432	-1431	M	G	0.00	0.00	720.00
0	-1787	-1788	-1433	-1432	M	G	0.00	0.00	720.00
0	-1788	-1789	-1434	-1433	M	G	0.00	0.00	720.00
0	-1789	-1790	-1435	-1434	M	G	0.00	0.00	720.00
0	-1790	-2077	-2099	-1435	M	G	0.00	0.00	720.00
0	-1791	-2075	-2100	-1436	M	G	0.00	0.00	720.00
0	-1792	-1535	-1846	-1438	M	G	0.00	0.00	720.00
0	-1535	-1793	-1439	-1846	M	G	0.00	0.00	720.00
0	-1793	-2064	-2101	-1439	M	G	0.00	0.00	720.00
0	-1794	-2062	-2102	-1441	M	G	0.00	0.00	720.00
0	-1795	-1796	-1443	-1442	M	G	0.00	0.00	720.00
0	-1796	-1797	-1445	-1443	M	G	0.00	0.00	720.00
0	-1797	-1798	-1446	-1445	M	G	0.00	0.00	720.00
0	-1798	-1799	-1448	-1446	M	G	0.00	0.00	720.00
0	-1799	-1800	-1449	-1448	M	G	0.00	0.00	720.00
0	-1800	-1801	-1450	-1449	M	G	0.00	0.00	720.00
0	-1801	-1923	-1937	-1450	M	G	0.00	0.00	720.00
0	-1705	-1537	437	-1458	M	G	0.00	0.00	720.00
0	-1704	-1939	-1940	-1461	M	G	0.00	0.00	720.00
0	-1703	-1704	-1461	-1483	M	G	0.00	0.00	720.00
0	-1702	-1703	-1483	-1484	M	G	0.00	0.00	720.00
0	-1701	-1702	-1484	-1485	M	G	0.00	0.00	720.00
0	-1700	-1701	-1485	-1486	M	G	0.00	0.00	720.00
0	-1497	-1700	-1486	-1487	M	G	0.00	0.00	720.00
0	-1496	-1497	-1487	-1488	M	G	0.00	0.00	720.00
0	-1495	-2105	-2106	-1489	M	G	0.00	0.00	720.00
0	-1494	-2107	-2108	-1498	M	G	0.00	0.00	720.00
0	-1842	-1494	-1498	-1457	M	G	0.00	0.00	720.00
0	-1493	-1842	-1457	-1499	M	G	0.00	0.00	720.00
0	-1492	-1912	-2109	-1500	M	G	0.00	0.00	720.00
0	-1491	-1973	-2110	-1501	M	G	0.00	0.00	720.00
0	-1482	-1491	-1501	-1502	M	G	0.00	0.00	720.00
0	-1481	-1482	-1502	-1503	M	G	0.00	0.00	720.00
0	-1480	-1481	-1503	-1504	M	G	0.00	0.00	720.00
0	-1479	-1480	-1504	-1505	M	G	0.00	0.00	720.00
0	-1478	-1479	-1505	-1506	M	G	0.00	0.00	720.00
0	-1477	-1478	-1506	-1507	M	G	0.00	0.00	720.00
0	-1476	-1944	-1955	-1508	M	G	0.00	0.00	720.00
0	-1458	437	432	-1745	M	G	0.00	0.00	720.00
0	-1461	-1940	-1941	-1744	M	G	0.00	0.00	720.00
0	-1483	-1461	-1744	-1743	M	G	0.00	0.00	720.00
0	-1484	-1483	-1743	-1742	M	G	0.00	0.00	720.00
0	-1485	-1484	-1742	-1741	M	G	0.00	0.00	720.00
0	-1486	-1485	-1741	-1740	M	G	0.00	0.00	720.00
0	-1487	-1486	-1740	-1739	M	G	0.00	0.00	720.00
0	-1488	-1487	-1739	-1738	M	G	0.00	0.00	720.00
0	-1489	-2106	-2111	-1737	M	G	0.00	0.00	720.00
0	-1498	-2108	-2112	-1736	M	G	0.00	0.00	720.00
0	-1457	-1498	-1736	-1847	M	G	0.00	0.00	720.00
0	-1499	-1457	-1847	-1735	M	G	0.00	0.00	720.00
0	-1500	-2109	-2113	-1734	M	G	0.00	0.00	720.00
0	-1501	-2110	-2114	-1733	M	G	0.00	0.00	720.00
0	-1502	-1501	-1733	-1732	M	G	0.00	0.00	720.00
0	-1503	-1502	-1732	-1731	M	G	0.00	0.00	720.00
0	-1504	-1503	-1731	-1730	M	G	0.00	0.00	720.00
0	-1505	-1504	-1730	-1729	M	G	0.00	0.00	720.00
0	-1506	-1505	-1729	-1728	M	G	0.00	0.00	720.00

0	-1507	-1506	-1728	-1727	M	G	0.00	0.00	720.00
0	-1508	-1955	-1956	-1726	M	G	0.00	0.00	720.00
0	-1744	-1941	-2182	-2183	M	G	0.00	0.00	250.00
0	-1743	-1744	-2183	-2184	M	G	0.00	0.00	250.00
0	-1742	-1743	-2184	-2185	M	G	0.00	0.00	250.00
0	-1741	-1742	-2185	-2186	M	G	0.00	0.00	250.00
0	-1738	-1739	-2187	-2188	M	G	0.00	0.00	250.00
0	-1737	-2111	-2189	-2190	M	G	0.00	0.00	250.00
0	-1736	-2112	-2191	-2192	M	G	0.00	0.00	250.00
0	-1847	-1736	-2192	-2193	M	G	0.00	0.00	250.00
0	-1733	-2114	-2194	-2195	M	G	0.00	0.00	250.00
0	-1732	-1733	-2195	-2196	M	G	0.00	0.00	250.00
0	-1731	-1732	-2196	-2197	M	G	0.00	0.00	250.00
0	-1728	-1729	-2198	-2199	M	G	0.00	0.00	250.00
0	-1727	-1728	-2199	-2200	M	G	0.00	0.00	250.00
0	-1726	-1956	-2201	-2202	M	G	0.00	0.00	250.00
0	438	-1451	-1618	-1536	M	G	0.00	0.00	720.00
0	431	-1841	-1451	438	M	G	0.00	0.00	720.00
0	436	-1763	-1406	429	M	G	0.00	0.00	720.00
0	429	-1406	-1836	-1850	M	G	0.00	0.00	720.00
0	-1802	-1531	430	-1452	M	G	0.00	0.00	720.00
0	-1537	-1572	-1516	437	M	G	0.00	0.00	720.00
0	-1848	-1476	-1508	435	M	G	0.00	0.00	720.00
0	437	-1516	-1565	432	M	G	0.00	0.00	720.00
0	435	-1508	-1726	434	M	G	0.00	0.00	720.00
0	432	-1565	-2181	-2203	M	G	0.00	0.00	250.00
0	434	-1726	-2202	-2204	M	G	0.00	0.00	250.00
0	-1529	429	-1850	-1416	M	G	0.00	0.00	720.00
0	-1530	-1958	-1959	-1415	M	G	0.00	0.00	720.00
0	-1490	-1530	-1415	-1367	M	G	0.00	0.00	720.00
0	-1538	-1490	-1367	-1366	M	G	0.00	0.00	720.00
0	-1525	-1538	-1366	-1365	M	G	0.00	0.00	720.00
0	-1526	-1525	-1365	-1364	M	G	0.00	0.00	720.00
0	-1527	-1526	-1364	-1363	M	G	0.00	0.00	720.00
0	-1528	-1527	-1363	-1427	M	G	0.00	0.00	720.00
0	-1362	436	429	-1529	M	G	0.00	0.00	720.00
0	-1356	-1960	-1958	-1530	M	G	0.00	0.00	720.00
0	-1355	-1356	-1530	-1490	M	G	0.00	0.00	720.00
0	-1352	-1355	-1490	-1538	M	G	0.00	0.00	720.00
0	-1684	-1352	-1538	-1525	M	G	0.00	0.00	720.00
0	-1683	-1684	-1525	-1526	M	G	0.00	0.00	720.00
0	-1682	-1683	-1526	-1527	M	G	0.00	0.00	720.00
0	-1426	-1682	-1527	-1528	M	G	0.00	0.00	720.00
0	-1521	435	434	-1660	M	G	0.00	0.00	720.00
0	-1522	-1962	-1963	-1659	M	G	0.00	0.00	720.00
0	-1523	-1522	-1659	-1658	M	G	0.00	0.00	720.00
0	-1524	-1523	-1658	-1657	M	G	0.00	0.00	720.00
0	-1517	-1524	-1657	-1656	M	G	0.00	0.00	720.00
0	-1518	-1517	-1656	-1655	M	G	0.00	0.00	720.00
0	-1519	-1518	-1655	-1654	M	G	0.00	0.00	720.00
0	-1520	-1519	-1654	-1422	M	G	0.00	0.00	720.00
0	-1422	-1654	-2205	-2206	M	G	0.00	0.00	250.00
0	-1654	-1655	-2207	-2205	M	G	0.00	0.00	250.00
0	-1655	-1656	-2208	-2207	M	G	0.00	0.00	250.00
0	-1656	-1657	-2209	-2208	M	G	0.00	0.00	250.00
0	-1657	-1658	-2210	-2209	M	G	0.00	0.00	250.00
0	-1658	-1659	-2211	-2210	M	G	0.00	0.00	250.00
0	-1659	-1963	-2212	-2211	M	G	0.00	0.00	250.00
0	-1653	-1848	435	-1521	M	G	0.00	0.00	720.00
0	-1652	-1965	-1962	-1522	M	G	0.00	0.00	720.00
0	-1651	-1652	-1522	-1523	M	G	0.00	0.00	720.00
0	-1650	-1651	-1523	-1524	M	G	0.00	0.00	720.00
0	-1649	-1650	-1524	-1517	M	G	0.00	0.00	720.00
0	-1648	-1649	-1517	-1518	M	G	0.00	0.00	720.00
0	-1647	-1648	-1518	-1519	M	G	0.00	0.00	720.00
0	-1421	-1647	-1519	-1520	M	G	0.00	0.00	720.00
0	-1424	-1668	-1633	-1419	M	G	0.00	0.00	720.00
0	-1668	-1669	-1634	-1633	M	G	0.00	0.00	720.00
0	-1669	-1670	-1635	-1634	M	G	0.00	0.00	720.00
0	-1670	-1671	-1636	-1635	M	G	0.00	0.00	720.00
0	-1671	-1672	-1637	-1636	M	G	0.00	0.00	720.00
0	-1672	-1673	-1638	-1637	M	G	0.00	0.00	720.00
0	-1673	-1966	-1967	-1638	M	G	0.00	0.00	720.00
0	-1674	441	-1859	-1639	M	G	0.00	0.00	720.00
0	-1419	-1633	-1640	-1420	M	G	0.00	0.00	720.00
0	-1633	-1634	-1641	-1640	M	G	0.00	0.00	720.00
0	-1634	-1635	-1642	-1641	M	G	0.00	0.00	720.00
0	-1635	-1636	-1643	-1642	M	G	0.00	0.00	720.00
0	-1636	-1637	-1644	-1643	M	G	0.00	0.00	720.00

0	-1637	-1638	-1645	-1644	M	G	0.00	0.00	720.00
0	-1638	-1967	-1968	-1645	M	G	0.00	0.00	720.00
0	-1639	-1859	439	-1646	M	G	0.00	0.00	720.00
0	-1416	-1850	-1357	-1895	M	G	0.00	0.00	720.00
0	-1415	-1959	-1969	-1896	M	G	0.00	0.00	720.00
0	-1367	-1415	-1896	-1897	M	G	0.00	0.00	720.00
0	-1366	-1367	-1897	-1898	M	G	0.00	0.00	720.00
0	-1365	-1366	-1898	-1899	M	G	0.00	0.00	720.00
0	-1364	-1365	-1899	-1900	M	G	0.00	0.00	720.00
0	-1363	-1364	-1900	-1901	M	G	0.00	0.00	720.00
0	-1427	-1363	-1901	-1902	M	G	0.00	0.00	720.00
0	-1423	-1661	-1626	-1418	M	G	0.00	0.00	720.00
0	-1661	-1662	-1627	-1626	M	G	0.00	0.00	720.00
0	-1662	-1663	-1628	-1627	M	G	0.00	0.00	720.00
0	-1663	-1664	-1629	-1628	M	G	0.00	0.00	720.00
0	-1664	-1665	-1630	-1629	M	G	0.00	0.00	720.00
0	-1665	-1666	-1631	-1630	M	G	0.00	0.00	720.00
0	-1666	-1970	-1971	-1631	M	G	0.00	0.00	720.00
0	-1667	442	-1863	-1632	M	G	0.00	0.00	720.00
0	-1420	-1640	-1904	-1903	M	G	0.00	0.00	720.00
0	-1640	-1641	-1905	-1904	M	G	0.00	0.00	720.00
0	-1641	-1642	-1906	-1905	M	G	0.00	0.00	720.00
0	-1642	-1643	-1907	-1906	M	G	0.00	0.00	720.00
0	-1643	-1644	-1908	-1907	M	G	0.00	0.00	720.00
0	-1644	-1645	-1909	-1908	M	G	0.00	0.00	720.00
0	-1645	-1968	-1972	-1909	M	G	0.00	0.00	720.00
0	-1646	439	-1874	-1910	M	G	0.00	0.00	720.00
0	-1418	-1626	-1668	-1424	M	G	0.00	0.00	720.00
0	-1626	-1627	-1669	-1668	M	G	0.00	0.00	720.00
0	-1627	-1628	-1670	-1669	M	G	0.00	0.00	720.00
0	-1628	-1629	-1671	-1670	M	G	0.00	0.00	720.00
0	-1629	-1630	-1672	-1671	M	G	0.00	0.00	720.00
0	-1630	-1631	-1673	-1672	M	G	0.00	0.00	720.00
0	-1631	-1971	-1966	-1673	M	G	0.00	0.00	720.00
0	-1660	434	-2204	-2213	M	G	0.00	0.00	250.00
0	-1632	-1863	441	-1674	M	G	0.00	0.00	720.00
0	-1885	-2103	-2107	-1494	M	G	0.00	0.00	720.00
0	-1886	-2104	-2105	-1495	M	G	0.00	0.00	720.00
0	-1887	-1888	-1497	-1496	M	G	0.00	0.00	720.00
0	-1888	-1889	-1700	-1497	M	G	0.00	0.00	720.00
0	-1889	-1890	-1701	-1700	M	G	0.00	0.00	720.00
0	-1890	-1891	-1702	-1701	M	G	0.00	0.00	720.00
0	-1891	-1892	-1703	-1702	M	G	0.00	0.00	720.00
0	-1892	-1893	-1704	-1703	M	G	0.00	0.00	720.00
0	-1893	-1938	-1939	-1704	M	G	0.00	0.00	720.00
0	-1894	-1344	-1537	-1705	M	G	0.00	0.00	720.00
0	-1895	-1357	442	-1667	M	G	0.00	0.00	720.00
0	-1896	-1969	-1970	-1666	M	G	0.00	0.00	720.00
0	-1897	-1896	-1666	-1665	M	G	0.00	0.00	720.00
0	-1898	-1897	-1665	-1664	M	G	0.00	0.00	720.00
0	-1899	-1898	-1664	-1663	M	G	0.00	0.00	720.00
0	-1900	-1899	-1663	-1662	M	G	0.00	0.00	720.00
0	-1901	-1900	-1662	-1661	M	G	0.00	0.00	720.00
0	-1902	-1901	-1661	-1423	M	G	0.00	0.00	720.00
0	-1903	-1904	-1647	-1421	M	G	0.00	0.00	720.00
0	-1904	-1905	-1648	-1647	M	G	0.00	0.00	720.00
0	-1905	-1906	-1649	-1648	M	G	0.00	0.00	720.00
0	-1906	-1907	-1650	-1649	M	G	0.00	0.00	720.00
0	-1907	-1908	-1651	-1650	M	G	0.00	0.00	720.00
0	-1908	-1909	-1652	-1651	M	G	0.00	0.00	720.00
0	-1909	-1972	-1965	-1652	M	G	0.00	0.00	720.00
0	-1910	-1874	-1848	-1653	M	G	0.00	0.00	720.00
0	-1547	-1832	-1465	-2083	M	G	0.00	0.00	720.00
0	-1699	-1831	-1464	-1762	M	G	0.00	0.00	720.00
0	-1974	-1882	-1492	-1973	M	G	0.00	0.00	720.00
0	-1911	-1883	-1493	-1912	M	G	0.00	0.00	720.00
0	-2076	-1715	-1792	-2075	M	G	0.00	0.00	720.00
0	-2078	-1714	-1791	-2077	M	G	0.00	0.00	720.00
0	-2080	-1835	-1468	-2079	M	G	0.00	0.00	720.00
0	-2082	-1834	-1467	-2081	M	G	0.00	0.00	720.00
0	-1913	-1343	-1573	-1914	M	G	0.00	0.00	720.00
0	-1915	-1347	-1559	-1916	M	G	0.00	0.00	720.00
0	-1917	-1698	-1475	-1918	M	G	0.00	0.00	720.00
0	-1919	-1384	-1725	-1920	M	G	0.00	0.00	720.00
0	-1921	-1566	-2179	-2180	M	G	0.00	0.00	250.00
0	-1920	-1725	-1802	-1923	M	G	0.00	0.00	720.00
0	-1924	-1838	-1384	-1919	M	G	0.00	0.00	720.00
0	-1925	-1515	-1566	-1921	M	G	0.00	0.00	720.00
0	-1914	-1573	-1515	-1925	M	G	0.00	0.00	720.00

0	-1926	-1552	-1587	-1927	M	G	0.00	0.00	720.00
0	-1927	-1587	-1580	-1928	M	G	0.00	0.00	720.00
0	-1916	-1559	-1594	-1929	M	G	0.00	0.00	720.00
0	-1930	-1414	-1347	-1915	M	G	0.00	0.00	720.00
0	-1928	-1580	-1343	-1913	M	G	0.00	0.00	720.00
0	-1929	-1594	-1552	-1926	M	G	0.00	0.00	720.00
0	-1931	-1447	-1414	-1930	M	G	0.00	0.00	720.00
0	-1932	-1854	-1447	-1931	M	G	0.00	0.00	720.00
0	-1935	-1782	-1387	-1936	M	G	0.00	0.00	720.00
0	-1936	-1387	-1838	-1924	M	G	0.00	0.00	720.00
0	-1937	-1452	-1698	-1917	M	G	0.00	0.00	720.00
0	-1918	-1475	-1894	-1938	M	G	0.00	0.00	720.00
0	-1923	-1802	-1452	-1937	M	G	0.00	0.00	720.00
0	-1939	-1705	-1458	-1940	M	G	0.00	0.00	720.00
0	-1940	-1458	-1745	-1941	M	G	0.00	0.00	720.00
0	-1938	-1894	-1705	-1939	M	G	0.00	0.00	720.00
0	-1943	-1875	-1477	-1944	M	G	0.00	0.00	720.00
0	-1945	-1707	-1784	-1946	M	G	0.00	0.00	720.00
0	-1947	-1359	-1707	-1945	M	G	0.00	0.00	720.00
0	-1948	-1839	-1359	-1947	M	G	0.00	0.00	720.00
0	-1946	-1784	-1429	-1949	M	G	0.00	0.00	720.00
0	-1951	-1764	-1405	-1952	M	G	0.00	0.00	720.00
0	-1952	-1405	-1839	-1948	M	G	0.00	0.00	720.00
0	-1949	-1429	-1824	-1953	M	G	0.00	0.00	720.00
0	-1954	-1454	-1875	-1943	M	G	0.00	0.00	720.00
0	-1953	-1824	-1454	-1954	M	G	0.00	0.00	720.00
0	-1944	-1477	-1507	-1955	M	G	0.00	0.00	720.00
0	-1955	-1507	-1727	-1956	M	G	0.00	0.00	720.00
0	-1956	-1727	-2200	-2201	M	G	0.00	0.00	250.00
0	-1958	-1529	-1416	-1959	M	G	0.00	0.00	720.00
0	-1960	-1362	-1529	-1958	M	G	0.00	0.00	720.00
0	-1962	-1521	-1660	-1963	M	G	0.00	0.00	720.00
0	-1963	-1660	-2213	-2212	M	G	0.00	0.00	250.00
0	-1965	-1653	-1521	-1962	M	G	0.00	0.00	720.00
0	-1966	-1674	-1639	-1967	M	G	0.00	0.00	720.00
0	-1967	-1639	-1646	-1968	M	G	0.00	0.00	720.00
0	-1959	-1416	-1895	-1969	M	G	0.00	0.00	720.00
0	-1970	-1667	-1632	-1971	M	G	0.00	0.00	720.00
0	-1968	-1646	-1910	-1972	M	G	0.00	0.00	720.00
0	-1971	-1632	-1674	-1966	M	G	0.00	0.00	720.00
0	-1969	-1895	-1667	-1970	M	G	0.00	0.00	720.00
0	-1972	-1910	-1653	-1965	M	G	0.00	0.00	720.00
0	-1883	-1884	-1842	-1493	M	G	0.00	0.00	720.00
0	-1873	-1943	-1944	-1476	M	G	0.00	0.00	720.00
0	-1833	-2082	-2081	-1466	M	G	0.00	0.00	720.00
0	-1884	-1885	-1494	-1842	M	G	0.00	0.00	720.00
0	-2154	-2153	-1771	-2094	M	G	0.00	0.00	250.00
0	-2152	-2151	-1772	-2092	M	G	0.00	0.00	250.00
0	-2148	-2147	-1774	-2090	M	G	0.00	0.00	250.00
0	-2146	-2145	-1775	-2088	M	G	0.00	0.00	250.00
0	-2166	-2165	-1362	-1960	M	G	0.00	0.00	250.00
0	-2162	-2161	-1764	-1951	M	G	0.00	0.00	250.00
0	-2138	-2137	-1782	-1935	M	G	0.00	0.00	250.00
0	-2134	-2133	-1854	-1932	M	G	0.00	0.00	250.00
0	-2173	-2172	-1682	-1426	M	G	0.00	0.00	250.00
0	-2172	-2171	-1683	-1682	M	G	0.00	0.00	250.00
0	-2171	-2170	-1684	-1683	M	G	0.00	0.00	250.00
0	-2170	-2169	-1352	-1684	M	G	0.00	0.00	250.00
0	-2169	-2168	-1355	-1352	M	G	0.00	0.00	250.00
0	-2168	-2167	-1356	-1355	M	G	0.00	0.00	250.00
0	-2167	-2166	-1960	-1356	M	G	0.00	0.00	250.00
0	-2165	-2164	436	-1362	M	G	0.00	0.00	250.00
0	-2164	-2163	-1763	436	M	G	0.00	0.00	250.00
0	-2136	-2135	-1841	431	M	G	0.00	0.00	250.00
0	-2163	-2162	-1951	-1763	M	G	0.00	0.00	250.00
0	-2161	-2160	-1765	-1764	M	G	0.00	0.00	250.00
0	-2160	-2159	-1766	-1765	M	G	0.00	0.00	250.00
0	-2159	-2158	-1767	-1766	M	G	0.00	0.00	250.00
0	-2158	-2157	-1768	-1767	M	G	0.00	0.00	250.00
0	-2157	-2156	-1769	-1768	M	G	0.00	0.00	250.00
0	-2156	-2155	-1770	-1769	M	G	0.00	0.00	250.00
0	-2155	-2154	-2094	-1770	M	G	0.00	0.00	250.00
0	-2153	-2152	-2092	-1771	M	G	0.00	0.00	250.00
0	-2151	-2150	-1413	-1772	M	G	0.00	0.00	250.00
0	-2150	-2149	-1773	-1413	M	G	0.00	0.00	250.00
0	-2149	-2148	-2090	-1773	M	G	0.00	0.00	250.00
0	-2147	-2146	-2088	-1774	M	G	0.00	0.00	250.00
0	-2145	-2144	-1776	-1775	M	G	0.00	0.00	250.00
0	-2144	-2143	-1777	-1776	M	G	0.00	0.00	250.00

0	-2143	-2142	-1778	-1777	M	G	0.00	0.00	250.00
0	-2142	-2141	-1779	-1778	M	G	0.00	0.00	250.00
0	-2141	-2140	-1780	-1779	M	G	0.00	0.00	250.00
0	-2140	-2139	-1781	-1780	M	G	0.00	0.00	250.00
0	-2139	-2138	-1935	-1781	M	G	0.00	0.00	250.00
0	-2137	-2136	431	-1782	M	G	0.00	0.00	250.00
0	-2135	-2134	-1932	-1841	M	G	0.00	0.00	250.00
0	-2133	-2132	-1855	-1854	M	G	0.00	0.00	250.00
0	-2132	-2131	-1860	-1855	M	G	0.00	0.00	250.00
0	-2131	-2130	-1541	-1860	M	G	0.00	0.00	250.00
0	-2130	-2129	-1542	-1541	M	G	0.00	0.00	250.00
0	-2129	-2128	-1543	-1542	M	G	0.00	0.00	250.00
0	-2128	-2127	-1608	-1543	M	G	0.00	0.00	250.00
0	-1835	-1412	-1469	-1468	M	G	0.00	0.00	720.00
0	-1412	-1410	-1470	-1469	M	G	0.00	0.00	720.00
0	-1410	-1411	-1471	-1470	M	G	0.00	0.00	720.00
0	-1411	-1688	-1472	-1471	M	G	0.00	0.00	720.00
0	-1688	-1691	-1473	-1472	M	G	0.00	0.00	720.00
0	-1691	-1692	-1474	-1473	M	G	0.00	0.00	720.00
0	-1692	-1917	-1918	-1474	M	G	0.00	0.00	720.00
0	-1698	-1534	433	-1475	M	G	0.00	0.00	720.00
0	442	-1706	-1783	-1863	M	G	0.00	0.00	720.00
0	-1706	-1945	-1946	-1783	M	G	0.00	0.00	720.00
0	-1707	-1708	-1785	-1784	M	G	0.00	0.00	720.00
0	-1708	-1709	-1786	-1785	M	G	0.00	0.00	720.00
0	-1709	-1710	-1787	-1786	M	G	0.00	0.00	720.00
0	-1710	-1711	-1788	-1787	M	G	0.00	0.00	720.00
0	-1711	-1712	-1789	-1788	M	G	0.00	0.00	720.00
0	-1712	-1713	-1790	-1789	M	G	0.00	0.00	720.00
0	-1713	-2078	-2077	-1790	M	G	0.00	0.00	720.00
0	-1714	-2076	-2075	-1791	M	G	0.00	0.00	720.00
0	-1715	-1849	-1535	-1792	M	G	0.00	0.00	720.00
0	-1849	-1716	-1793	-1535	M	G	0.00	0.00	720.00
0	-1349	-1350	-1562	-1561	M	G	0.00	0.00	720.00
0	-1350	-1351	-1563	-1562	M	G	0.00	0.00	720.00
0	-1351	-1353	-1564	-1563	M	G	0.00	0.00	720.00
0	-1353	-1354	-1611	-1564	M	G	0.00	0.00	720.00
0	-1357	-1358	-1706	442	M	G	0.00	0.00	720.00
0	-1358	-1947	-1945	-1706	M	G	0.00	0.00	720.00
0	-1359	-1360	-1708	-1707	M	G	0.00	0.00	720.00
0	-1360	-1361	-1709	-1708	M	G	0.00	0.00	720.00
0	-1361	-1368	-1710	-1709	M	G	0.00	0.00	720.00
0	-1368	-1369	-1711	-1710	M	G	0.00	0.00	720.00
0	-1369	-1370	-1712	-1711	M	G	0.00	0.00	720.00
0	-1370	-1371	-1713	-1712	M	G	0.00	0.00	720.00
0	-1371	-2074	-2078	-1713	M	G	0.00	0.00	720.00
0	-1372	-2073	-2076	-1714	M	G	0.00	0.00	720.00
0	-1373	-1374	-1849	-1715	M	G	0.00	0.00	720.00
0	-1374	-1375	-1716	-1849	M	G	0.00	0.00	720.00
0	-1375	-2072	-2070	-1716	M	G	0.00	0.00	720.00
0	-1376	-2068	-2066	-1717	M	G	0.00	0.00	720.00
0	-1377	-1378	-1719	-1718	M	G	0.00	0.00	720.00
0	-1378	-1379	-1720	-1719	M	G	0.00	0.00	720.00
0	-1379	-1380	-1721	-1720	M	G	0.00	0.00	720.00
0	-1380	-1381	-1722	-1721	M	G	0.00	0.00	720.00
0	-1381	-1382	-1723	-1722	M	G	0.00	0.00	720.00
0	-1382	-1383	-1724	-1723	M	G	0.00	0.00	720.00
0	-1383	-1919	-1920	-1724	M	G	0.00	0.00	720.00
0	-1384	-1385	440	-1725	M	G	0.00	0.00	720.00
0	-1571	-1612	-2174	-2175	M	G	0.00	0.00	250.00
0	-1570	-1571	-2175	-2176	M	G	0.00	0.00	250.00
0	-1569	-1570	-2176	-2177	M	G	0.00	0.00	250.00
0	-1566	-1567	-2178	-2179	M	G	0.00	0.00	250.00
0	-1565	-1921	-2180	-2181	M	G	0.00	0.00	250.00
0	-1510	-1509	-1612	-1571	M	G	0.00	0.00	720.00
0	-1511	-1510	-1571	-1570	M	G	0.00	0.00	720.00
0	-1716	-2070	-2064	-1793	M	G	0.00	0.00	720.00
0	-1717	-2066	-2062	-1794	M	G	0.00	0.00	720.00
0	-1718	-1719	-1796	-1795	M	G	0.00	0.00	720.00
0	-1719	-1720	-1797	-1796	M	G	0.00	0.00	720.00
0	-1720	-1721	-1798	-1797	M	G	0.00	0.00	720.00
0	-1721	-1722	-1799	-1798	M	G	0.00	0.00	720.00
0	-1722	-1723	-1800	-1799	M	G	0.00	0.00	720.00
0	-1723	-1724	-1801	-1800	M	G	0.00	0.00	720.00
0	-1724	-1920	-1923	-1801	M	G	0.00	0.00	720.00
0	-1725	440	-1531	-1802	M	G	0.00	0.00	720.00
0	-1838	-1536	-1385	-1384	M	G	0.00	0.00	720.00
0	-1837	-1924	-1919	-1383	M	G	0.00	0.00	720.00
0	-1853	-1837	-1383	-1382	M	G	0.00	0.00	720.00

0	-1852	-1853	-1382	-1381	M	G	0.00	0.00	720.00
0	-1851	-1852	-1381	-1380	M	G	0.00	0.00	720.00
0	-1729	-1730	-2214	-2198	M	G	0.00	0.00	250.00
0	-1730	-1731	-2197	-2214	M	G	0.00	0.00	250.00
0	-1734	-2113	-2215	-2216	M	G	0.00	0.00	250.00
0	-1735	-1847	-2193	-2217	M	G	0.00	0.00	250.00
0	-1739	-1740	-2218	-2187	M	G	0.00	0.00	250.00
0	-1740	-1741	-2186	-2218	M	G	0.00	0.00	250.00
0	-1941	-1745	-2219	-2182	M	G	0.00	0.00	250.00
0	-1745	432	-2203	-2219	M	G	0.00	0.00	250.00
0	-1567	-1568	-2220	-2178	M	G	0.00	0.00	250.00
0	-1568	-1569	-2177	-2220	M	G	0.00	0.00	250.00
0	-2074	-1372	-1714	-2078	M	G	0.00	0.00	720.00
0	-2073	-1373	-1715	-2076	M	G	0.00	0.00	720.00
0	-2072	-1376	-1717	-2070	M	G	0.00	0.00	720.00
0	-2068	-1377	-1718	-2066	M	G	0.00	0.00	720.00
0	-2070	-1717	-1794	-2064	M	G	0.00	0.00	720.00
0	-2066	-1718	-1795	-2062	M	G	0.00	0.00	720.00
0	-2061	-1695	-1377	-2068	M	G	0.00	0.00	720.00
0	-2084	-1694	-1376	-2072	M	G	0.00	0.00	720.00
0	-2085	-1866	-1373	-2073	M	G	0.00	0.00	720.00
0	-2086	-1865	-1372	-2074	M	G	0.00	0.00	720.00
0	-2088	-1775	-1394	-2095	M	G	0.00	0.00	720.00
0	-2090	-1774	-1395	-2096	M	G	0.00	0.00	720.00
0	-2092	-1772	-1397	-2097	M	G	0.00	0.00	720.00
0	-2094	-1771	-1398	-2098	M	G	0.00	0.00	720.00
0	-2095	-1394	-1695	-2061	M	G	0.00	0.00	720.00
0	-2096	-1395	-1694	-2084	M	G	0.00	0.00	720.00
0	-2097	-1397	-1866	-2085	M	G	0.00	0.00	720.00
0	-2098	-1398	-1865	-2086	M	G	0.00	0.00	720.00
0	-2099	-1436	-1831	-1699	M	G	0.00	0.00	720.00
0	-2100	-1438	-1832	-1547	M	G	0.00	0.00	720.00
0	-2101	-1441	-1834	-2082	M	G	0.00	0.00	720.00
0	-2102	-1442	-1835	-2080	M	G	0.00	0.00	720.00
0	-1762	-1464	-1882	-1974	M	G	0.00	0.00	720.00
0	-2083	-1465	-1883	-1911	M	G	0.00	0.00	720.00
0	-2081	-1467	-1886	-2103	M	G	0.00	0.00	720.00
0	-2079	-1468	-1887	-2104	M	G	0.00	0.00	720.00
0	-2077	-1791	-1436	-2099	M	G	0.00	0.00	720.00
0	-2075	-1792	-1438	-2100	M	G	0.00	0.00	720.00
0	-2064	-1794	-1441	-2101	M	G	0.00	0.00	720.00
0	-2062	-1795	-1442	-2102	M	G	0.00	0.00	720.00
0	-2105	-1496	-1488	-2106	M	G	0.00	0.00	720.00
0	-2107	-1495	-1489	-2108	M	G	0.00	0.00	720.00
0	-1912	-1493	-1499	-2109	M	G	0.00	0.00	720.00
0	-1973	-1492	-1500	-2110	M	G	0.00	0.00	720.00
0	-2106	-1488	-1738	-2111	M	G	0.00	0.00	720.00
0	-2108	-1489	-1737	-2112	M	G	0.00	0.00	720.00
0	-2109	-1499	-1735	-2113	M	G	0.00	0.00	720.00
0	-2110	-1500	-1734	-2114	M	G	0.00	0.00	720.00
0	-2111	-1738	-2188	-2189	M	G	0.00	0.00	250.00
0	-2112	-1737	-2190	-2191	M	G	0.00	0.00	250.00
0	-2114	-1734	-2216	-2194	M	G	0.00	0.00	250.00
0	-2103	-1886	-1495	-2107	M	G	0.00	0.00	720.00
0	-2104	-1887	-1496	-2105	M	G	0.00	0.00	720.00
0	-2113	-1735	-2217	-2215	M	G	0.00	0.00	250.00

Elenco carichi elementi bidimensionali
Condizione di carico n. 7: Schema 2 q1tandem mezz
Carichi uniformi

Bid.	N1	N2	N3	N4	T	DC	Qx <daN/mq>	Qy <daN/mq>	Qz <daN/mq>
0	-1882	-1911	-1912	-1492	M	G	0.00	0.00	75000.00
0	-1694	-2061	-2068	-1376	M	G	0.00	0.00	75000.00
0	-1865	-2085	-2073	-1372	M	G	0.00	0.00	75000.00
0	-1464	-2083	-1911	-1882	M	G	0.00	0.00	75000.00
0	-1467	-2079	-2104	-1886	M	G	0.00	0.00	75000.00
0	-1886	-2104	-2105	-1495	M	G	0.00	0.00	75000.00
0	-1974	-1882	-1492	-1973	M	G	0.00	0.00	75000.00
0	-1372	-2073	-2076	-1714	M	G	0.00	0.00	75000.00
0	-1376	-2068	-2066	-1717	M	G	0.00	0.00	75000.00
0	-2074	-1372	-1714	-2078	M	G	0.00	0.00	75000.00
0	-2072	-1376	-1717	-2070	M	G	0.00	0.00	75000.00
0	-2084	-1694	-1376	-2072	M	G	0.00	0.00	75000.00
0	-2086	-1865	-1372	-2074	M	G	0.00	0.00	75000.00
0	-1762	-1464	-1882	-1974	M	G	0.00	0.00	75000.00
0	-2081	-1467	-1886	-2103	M	G	0.00	0.00	75000.00
0	-2103	-1886	-1495	-2107	M	G	0.00	0.00	75000.00

Elenco carichi elementi bidimensionali
Condizione di carico n. 8: Schema 2 q1tandem dx
Carichi uniformi

Bid.	N1	N2	N3	N4	T	DC	Qx <daN/mq>	Qy <daN/mq>	Qz <daN/mq>
0	-1346	-1915	-1916	-1558	M	G	0.00	0.00	75000.00
0	-1345	-1913	-1914	-1572	M	G	0.00	0.00	75000.00
0	-1618	-1930	-1915	-1346	M	G	0.00	0.00	75000.00
0	-1579	-1928	-1913	-1345	M	G	0.00	0.00	75000.00
0	-1474	-1918	-1938	-1893	M	G	0.00	0.00	75000.00
0	-1893	-1938	-1939	-1704	M	G	0.00	0.00	75000.00
0	-1913	-1343	-1573	-1914	M	G	0.00	0.00	75000.00
0	-1915	-1347	-1559	-1916	M	G	0.00	0.00	75000.00
0	-1919	-1384	-1725	-1920	M	G	0.00	0.00	75000.00
0	-1924	-1838	-1384	-1919	M	G	0.00	0.00	75000.00
0	-1930	-1414	-1347	-1915	M	G	0.00	0.00	75000.00
0	-1928	-1580	-1343	-1913	M	G	0.00	0.00	75000.00
0	-1918	-1475	-1894	-1938	M	G	0.00	0.00	75000.00
0	-1938	-1894	-1705	-1939	M	G	0.00	0.00	75000.00
0	-1383	-1919	-1920	-1724	M	G	0.00	0.00	75000.00
0	-1837	-1924	-1919	-1383	M	G	0.00	0.00	75000.00

Elenco carichi elementi bidimensionali
Condizione di carico n. 9: Schema 2 q1tandem sx
Carichi uniformi

Bid.	N1	N2	N3	N4	T	DC	Qx <daN/mq>	Qy <daN/mq>	Qz <daN/mq>
0	-1836	-1948	-1947	-1358	M	G	0.00	0.00	75000.00
0	-1453	-1954	-1943	-1873	M	G	0.00	0.00	75000.00
0	-1415	-1959	-1969	-1896	M	G	0.00	0.00	75000.00
0	-1645	-1968	-1972	-1909	M	G	0.00	0.00	75000.00
0	-1896	-1969	-1970	-1666	M	G	0.00	0.00	75000.00
0	-1909	-1972	-1965	-1652	M	G	0.00	0.00	75000.00
0	-1943	-1875	-1477	-1944	M	G	0.00	0.00	75000.00
0	-1947	-1359	-1707	-1945	M	G	0.00	0.00	75000.00
0	-1948	-1839	-1359	-1947	M	G	0.00	0.00	75000.00
0	-1954	-1454	-1875	-1943	M	G	0.00	0.00	75000.00
0	-1959	-1416	-1895	-1969	M	G	0.00	0.00	75000.00
0	-1968	-1646	-1910	-1972	M	G	0.00	0.00	75000.00
0	-1969	-1895	-1667	-1970	M	G	0.00	0.00	75000.00
0	-1972	-1910	-1653	-1965	M	G	0.00	0.00	75000.00
0	-1873	-1943	-1944	-1476	M	G	0.00	0.00	75000.00
0	-1358	-1947	-1945	-1706	M	G	0.00	0.00	75000.00

Elenco carichi elementi bidimensionali
Condizione di carico n. 10: Schema 2 q1dis mezz
Carichi uniformi

Bid.	N1	N2	N3	N4	T	DC	Qx <daN/mq>	Qy <daN/mq>	Qz <daN/mq>
0	-1532	-1833	-1466	-1867	M	G	0.00	0.00	720.00
0	-1832	-1532	-1867	-1465	M	G	0.00	0.00	720.00
0	-1831	-1547	-2083	-1464	M	G	0.00	0.00	720.00
0	-1830	-1699	-1762	-1463	M	G	0.00	0.00	720.00
0	-1829	-1830	-1463	-1462	M	G	0.00	0.00	720.00
0	-1828	-1829	-1462	-1460	M	G	0.00	0.00	720.00
0	-1875	-1876	-1478	-1477	M	G	0.00	0.00	720.00
0	-1876	-1877	-1479	-1478	M	G	0.00	0.00	720.00
0	-1877	-1878	-1480	-1479	M	G	0.00	0.00	720.00
0	-1878	-1879	-1481	-1480	M	G	0.00	0.00	720.00
0	-1879	-1880	-1482	-1481	M	G	0.00	0.00	720.00
0	-1880	-1881	-1491	-1482	M	G	0.00	0.00	720.00
0	-1881	-1974	-1973	-1491	M	G	0.00	0.00	720.00
0	-1882	-1911	-1912	-1492	M	G	0.00	0.00	720.00
0	-1834	-2080	-2079	-1467	M	G	0.00	0.00	720.00
0	-1348	-1349	-1561	-1560	M	G	0.00	0.00	720.00
0	-1347	-1348	-1560	-1559	M	G	0.00	0.00	720.00
0	-1346	-1915	-1916	-1558	M	G	0.00	0.00	720.00
0	-1385	-1346	-1558	440	M	G	0.00	0.00	720.00
0	-1344	-1345	-1572	-1537	M	G	0.00	0.00	720.00
0	-1345	-1913	-1914	-1572	M	G	0.00	0.00	720.00
0	-1343	-1342	-1574	-1573	M	G	0.00	0.00	720.00
0	-1342	-1868	-1575	-1574	M	G	0.00	0.00	720.00
0	-1868	-1869	-1576	-1575	M	G	0.00	0.00	720.00
0	-1869	-1870	-1577	-1576	M	G	0.00	0.00	720.00
0	-1870	-1871	-1578	-1577	M	G	0.00	0.00	720.00

0	-1871	-1872	-1613	-1578	M	G	0.00	0.00	720.00
0	-1874	-1873	-1476	-1848	M	G	0.00	0.00	720.00
0	-1858	-1851	-1380	-1379	M	G	0.00	0.00	720.00
0	-1856	-1858	-1379	-1378	M	G	0.00	0.00	720.00
0	-1695	-1856	-1378	-1377	M	G	0.00	0.00	720.00
0	-1694	-2061	-2068	-1376	M	G	0.00	0.00	720.00
0	-1693	-2084	-2072	-1375	M	G	0.00	0.00	720.00
0	-1862	-1693	-1375	-1374	M	G	0.00	0.00	720.00
0	-1866	-1862	-1374	-1373	M	G	0.00	0.00	720.00
0	-1865	-2085	-2073	-1372	M	G	0.00	0.00	720.00
0	-1864	-2086	-2074	-1371	M	G	0.00	0.00	720.00
0	-1861	-1864	-1371	-1370	M	G	0.00	0.00	720.00
0	-1857	-1861	-1370	-1369	M	G	0.00	0.00	720.00
0	-1845	-1857	-1369	-1368	M	G	0.00	0.00	720.00
0	-1844	-1845	-1368	-1361	M	G	0.00	0.00	720.00
0	-1843	-1844	-1361	-1360	M	G	0.00	0.00	720.00
0	-1839	-1843	-1360	-1359	M	G	0.00	0.00	720.00
0	-1836	-1948	-1947	-1358	M	G	0.00	0.00	720.00
0	-1850	-1836	-1358	-1357	M	G	0.00	0.00	720.00
0	-1863	-1783	-1428	441	M	G	0.00	0.00	720.00
0	-1783	-1946	-1949	-1428	M	G	0.00	0.00	720.00
0	-1784	-1785	-1430	-1429	M	G	0.00	0.00	720.00
0	-1512	-1511	-1570	-1569	M	G	0.00	0.00	720.00
0	-1513	-1512	-1569	-1568	M	G	0.00	0.00	720.00
0	-1514	-1513	-1568	-1567	M	G	0.00	0.00	720.00
0	-1515	-1514	-1567	-1566	M	G	0.00	0.00	720.00
0	-1516	-1925	-1921	-1565	M	G	0.00	0.00	720.00
0	-1578	-1613	-1509	-1510	M	G	0.00	0.00	720.00
0	-1577	-1578	-1510	-1511	M	G	0.00	0.00	720.00
0	-1576	-1577	-1511	-1512	M	G	0.00	0.00	720.00
0	-1575	-1576	-1512	-1513	M	G	0.00	0.00	720.00
0	-1574	-1575	-1513	-1514	M	G	0.00	0.00	720.00
0	-1573	-1574	-1514	-1515	M	G	0.00	0.00	720.00
0	-1572	-1914	-1925	-1516	M	G	0.00	0.00	720.00
0	430	-1551	-1586	-1534	M	G	0.00	0.00	720.00
0	-1551	-1926	-1927	-1586	M	G	0.00	0.00	720.00
0	-1552	-1553	-1588	-1587	M	G	0.00	0.00	720.00
0	-1553	-1554	-1589	-1588	M	G	0.00	0.00	720.00
0	-1554	-1555	-1590	-1589	M	G	0.00	0.00	720.00
0	-1555	-1556	-1591	-1590	M	G	0.00	0.00	720.00
0	-1556	-1557	-1592	-1591	M	G	0.00	0.00	720.00
0	-1557	-1610	-1615	-1592	M	G	0.00	0.00	720.00
0	-1534	-1586	-1579	433	M	G	0.00	0.00	720.00
0	-1586	-1927	-1928	-1579	M	G	0.00	0.00	720.00
0	-1587	-1588	-1581	-1580	M	G	0.00	0.00	720.00
0	-1588	-1589	-1582	-1581	M	G	0.00	0.00	720.00
0	-1589	-1590	-1583	-1582	M	G	0.00	0.00	720.00
0	-1590	-1591	-1584	-1583	M	G	0.00	0.00	720.00
0	-1591	-1592	-1585	-1584	M	G	0.00	0.00	720.00
0	-1592	-1615	-1614	-1585	M	G	0.00	0.00	720.00
0	440	-1558	-1593	-1531	M	G	0.00	0.00	720.00
0	-1558	-1916	-1929	-1593	M	G	0.00	0.00	720.00
0	-1559	-1560	-1595	-1594	M	G	0.00	0.00	720.00
0	-1560	-1561	-1596	-1595	M	G	0.00	0.00	720.00
0	-1561	-1562	-1597	-1596	M	G	0.00	0.00	720.00
0	-1562	-1563	-1598	-1597	M	G	0.00	0.00	720.00
0	-1563	-1564	-1599	-1598	M	G	0.00	0.00	720.00
0	-1564	-1611	-1616	-1599	M	G	0.00	0.00	720.00
0	-1840	-1607	-1354	-1353	M	G	0.00	0.00	720.00
0	-1697	-1840	-1353	-1351	M	G	0.00	0.00	720.00
0	-1696	-1697	-1351	-1350	M	G	0.00	0.00	720.00
0	-1690	-1696	-1350	-1349	M	G	0.00	0.00	720.00
0	-1685	-1690	-1349	-1348	M	G	0.00	0.00	720.00
0	-1414	-1685	-1348	-1347	M	G	0.00	0.00	720.00
0	-1618	-1930	-1915	-1346	M	G	0.00	0.00	720.00
0	-1536	-1618	-1346	-1385	M	G	0.00	0.00	720.00
0	433	-1579	-1345	-1344	M	G	0.00	0.00	720.00
0	-1579	-1928	-1913	-1345	M	G	0.00	0.00	720.00
0	-1580	-1581	-1342	-1343	M	G	0.00	0.00	720.00
0	-1581	-1582	-1868	-1342	M	G	0.00	0.00	720.00
0	-1582	-1583	-1869	-1868	M	G	0.00	0.00	720.00
0	-1583	-1584	-1870	-1869	M	G	0.00	0.00	720.00
0	-1584	-1585	-1871	-1870	M	G	0.00	0.00	720.00
0	-1585	-1614	-1872	-1871	M	G	0.00	0.00	720.00
0	-1531	-1593	-1551	430	M	G	0.00	0.00	720.00
0	-1593	-1929	-1926	-1551	M	G	0.00	0.00	720.00
0	-1594	-1595	-1553	-1552	M	G	0.00	0.00	720.00
0	-1595	-1596	-1554	-1553	M	G	0.00	0.00	720.00
0	-1596	-1597	-1555	-1554	M	G	0.00	0.00	720.00

0	-1597	-1598	-1556	-1555	M	G	0.00	0.00	720.00
0	-1598	-1599	-1557	-1556	M	G	0.00	0.00	720.00
0	-1599	-1616	-1610	-1557	M	G	0.00	0.00	720.00
0	-1408	-1407	-1607	-1840	M	G	0.00	0.00	720.00
0	-1409	-1408	-1840	-1697	M	G	0.00	0.00	720.00
0	-1437	-1409	-1697	-1696	M	G	0.00	0.00	720.00
0	-1440	-1437	-1696	-1690	M	G	0.00	0.00	720.00
0	-1444	-1440	-1690	-1685	M	G	0.00	0.00	720.00
0	-1447	-1444	-1685	-1414	M	G	0.00	0.00	720.00
0	-1451	-1931	-1930	-1618	M	G	0.00	0.00	720.00
0	-1543	-1608	-1407	-1408	M	G	0.00	0.00	720.00
0	-1542	-1543	-1408	-1409	M	G	0.00	0.00	720.00
0	-1541	-1542	-1409	-1437	M	G	0.00	0.00	720.00
0	-1860	-1541	-1437	-1440	M	G	0.00	0.00	720.00
0	-1855	-1860	-1440	-1444	M	G	0.00	0.00	720.00
0	-1854	-1855	-1444	-1447	M	G	0.00	0.00	720.00
0	-1841	-1932	-1931	-1451	M	G	0.00	0.00	720.00
0	-1782	431	438	-1387	M	G	0.00	0.00	720.00
0	-1781	-1935	-1936	-1388	M	G	0.00	0.00	720.00
0	-1780	-1781	-1388	-1389	M	G	0.00	0.00	720.00
0	-1779	-1780	-1389	-1390	M	G	0.00	0.00	720.00
0	-1778	-1779	-1390	-1391	M	G	0.00	0.00	720.00
0	-1777	-1778	-1391	-1392	M	G	0.00	0.00	720.00
0	-1776	-1777	-1392	-1393	M	G	0.00	0.00	720.00
0	-1775	-1776	-1393	-1394	M	G	0.00	0.00	720.00
0	-1774	-2088	-2095	-1395	M	G	0.00	0.00	720.00
0	-1773	-2090	-2096	-1396	M	G	0.00	0.00	720.00
0	-1413	-1773	-1396	-1386	M	G	0.00	0.00	720.00
0	-1772	-1413	-1386	-1397	M	G	0.00	0.00	720.00
0	-1771	-2092	-2097	-1398	M	G	0.00	0.00	720.00
0	-1770	-2094	-2098	-1399	M	G	0.00	0.00	720.00
0	-1769	-1770	-1399	-1400	M	G	0.00	0.00	720.00
0	-1768	-1769	-1400	-1401	M	G	0.00	0.00	720.00
0	-1767	-1768	-1401	-1402	M	G	0.00	0.00	720.00
0	-1766	-1767	-1402	-1403	M	G	0.00	0.00	720.00
0	-1765	-1766	-1403	-1404	M	G	0.00	0.00	720.00
0	-1764	-1765	-1404	-1405	M	G	0.00	0.00	720.00
0	-1763	-1951	-1952	-1406	M	G	0.00	0.00	720.00
0	-1387	438	-1536	-1838	M	G	0.00	0.00	720.00
0	-1388	-1936	-1924	-1837	M	G	0.00	0.00	720.00
0	-1389	-1388	-1837	-1853	M	G	0.00	0.00	720.00
0	-1390	-1389	-1853	-1852	M	G	0.00	0.00	720.00
0	-1391	-1390	-1852	-1851	M	G	0.00	0.00	720.00
0	-1392	-1391	-1851	-1858	M	G	0.00	0.00	720.00
0	-1393	-1392	-1858	-1856	M	G	0.00	0.00	720.00
0	-1394	-1393	-1856	-1695	M	G	0.00	0.00	720.00
0	-1395	-2095	-2061	-1694	M	G	0.00	0.00	720.00
0	-1396	-2096	-2084	-1693	M	G	0.00	0.00	720.00
0	-1386	-1396	-1693	-1862	M	G	0.00	0.00	720.00
0	-1397	-1386	-1862	-1866	M	G	0.00	0.00	720.00
0	-1398	-2097	-2085	-1865	M	G	0.00	0.00	720.00
0	-1399	-2098	-2086	-1864	M	G	0.00	0.00	720.00
0	-1400	-1399	-1864	-1861	M	G	0.00	0.00	720.00
0	-1401	-1400	-1861	-1857	M	G	0.00	0.00	720.00
0	-1402	-1401	-1857	-1845	M	G	0.00	0.00	720.00
0	-1403	-1402	-1845	-1844	M	G	0.00	0.00	720.00
0	-1404	-1403	-1844	-1843	M	G	0.00	0.00	720.00
0	-1405	-1404	-1843	-1839	M	G	0.00	0.00	720.00
0	-1406	-1952	-1948	-1836	M	G	0.00	0.00	720.00
0	441	-1428	-1823	-1859	M	G	0.00	0.00	720.00
0	-1428	-1949	-1953	-1823	M	G	0.00	0.00	720.00
0	-1429	-1430	-1825	-1824	M	G	0.00	0.00	720.00
0	-1430	-1431	-1826	-1825	M	G	0.00	0.00	720.00
0	-1431	-1432	-1827	-1826	M	G	0.00	0.00	720.00
0	-1432	-1433	-1828	-1827	M	G	0.00	0.00	720.00
0	-1433	-1434	-1829	-1828	M	G	0.00	0.00	720.00
0	-1434	-1435	-1830	-1829	M	G	0.00	0.00	720.00
0	-1435	-2099	-1699	-1830	M	G	0.00	0.00	720.00
0	-1436	-2100	-1547	-1831	M	G	0.00	0.00	720.00
0	-1438	-1846	-1532	-1832	M	G	0.00	0.00	720.00
0	-1846	-1439	-1833	-1532	M	G	0.00	0.00	720.00
0	-1439	-2101	-2082	-1833	M	G	0.00	0.00	720.00
0	-1441	-2102	-2080	-1834	M	G	0.00	0.00	720.00
0	-1442	-1443	-1412	-1835	M	G	0.00	0.00	720.00
0	-1443	-1445	-1410	-1412	M	G	0.00	0.00	720.00
0	-1445	-1446	-1411	-1410	M	G	0.00	0.00	720.00
0	-1446	-1448	-1688	-1411	M	G	0.00	0.00	720.00
0	-1448	-1449	-1691	-1688	M	G	0.00	0.00	720.00
0	-1449	-1450	-1692	-1691	M	G	0.00	0.00	720.00

0	-1450	-1937	-1917	-1692	M	G	0.00	0.00	720.00
0	-1452	430	-1534	-1698	M	G	0.00	0.00	720.00
0	439	-1453	-1873	-1874	M	G	0.00	0.00	720.00
0	-1453	-1954	-1943	-1873	M	G	0.00	0.00	720.00
0	-1454	-1455	-1876	-1875	M	G	0.00	0.00	720.00
0	-1455	-1456	-1877	-1876	M	G	0.00	0.00	720.00
0	-1456	-1459	-1878	-1877	M	G	0.00	0.00	720.00
0	-1459	-1460	-1879	-1878	M	G	0.00	0.00	720.00
0	-1460	-1462	-1880	-1879	M	G	0.00	0.00	720.00
0	-1462	-1463	-1881	-1880	M	G	0.00	0.00	720.00
0	-1463	-1762	-1974	-1881	M	G	0.00	0.00	720.00
0	-1464	-2083	-1911	-1882	M	G	0.00	0.00	720.00
0	-1465	-1867	-1884	-1883	M	G	0.00	0.00	720.00
0	-1867	-1466	-1885	-1884	M	G	0.00	0.00	720.00
0	-1466	-2081	-2103	-1885	M	G	0.00	0.00	720.00
0	-1467	-2079	-2104	-1886	M	G	0.00	0.00	720.00
0	-1468	-1469	-1888	-1887	M	G	0.00	0.00	720.00
0	-1469	-1470	-1889	-1888	M	G	0.00	0.00	720.00
0	-1470	-1471	-1890	-1889	M	G	0.00	0.00	720.00
0	-1471	-1472	-1891	-1890	M	G	0.00	0.00	720.00
0	-1472	-1473	-1892	-1891	M	G	0.00	0.00	720.00
0	-1473	-1474	-1893	-1892	M	G	0.00	0.00	720.00
0	-1474	-1918	-1938	-1893	M	G	0.00	0.00	720.00
0	-1475	433	-1344	-1894	M	G	0.00	0.00	720.00
0	-1859	-1823	-1453	439	M	G	0.00	0.00	720.00
0	-1823	-1953	-1954	-1453	M	G	0.00	0.00	720.00
0	-1824	-1825	-1455	-1454	M	G	0.00	0.00	720.00
0	-1825	-1826	-1456	-1455	M	G	0.00	0.00	720.00
0	-1826	-1827	-1459	-1456	M	G	0.00	0.00	720.00
0	-1827	-1828	-1460	-1459	M	G	0.00	0.00	720.00
0	-1785	-1786	-1431	-1430	M	G	0.00	0.00	720.00
0	-1786	-1787	-1432	-1431	M	G	0.00	0.00	720.00
0	-1787	-1788	-1433	-1432	M	G	0.00	0.00	720.00
0	-1788	-1789	-1434	-1433	M	G	0.00	0.00	720.00
0	-1789	-1790	-1435	-1434	M	G	0.00	0.00	720.00
0	-1790	-2077	-2099	-1435	M	G	0.00	0.00	720.00
0	-1791	-2075	-2100	-1436	M	G	0.00	0.00	720.00
0	-1792	-1535	-1846	-1438	M	G	0.00	0.00	720.00
0	-1535	-1793	-1439	-1846	M	G	0.00	0.00	720.00
0	-1793	-2064	-2101	-1439	M	G	0.00	0.00	720.00
0	-1794	-2062	-2102	-1441	M	G	0.00	0.00	720.00
0	-1795	-1796	-1443	-1442	M	G	0.00	0.00	720.00
0	-1796	-1797	-1445	-1443	M	G	0.00	0.00	720.00
0	-1797	-1798	-1446	-1445	M	G	0.00	0.00	720.00
0	-1798	-1799	-1448	-1446	M	G	0.00	0.00	720.00
0	-1799	-1800	-1449	-1448	M	G	0.00	0.00	720.00
0	-1800	-1801	-1450	-1449	M	G	0.00	0.00	720.00
0	-1801	-1923	-1937	-1450	M	G	0.00	0.00	720.00
0	-1705	-1537	437	-1458	M	G	0.00	0.00	720.00
0	-1704	-1939	-1940	-1461	M	G	0.00	0.00	720.00
0	-1703	-1704	-1461	-1483	M	G	0.00	0.00	720.00
0	-1702	-1703	-1483	-1484	M	G	0.00	0.00	720.00
0	-1701	-1702	-1484	-1485	M	G	0.00	0.00	720.00
0	-1700	-1701	-1485	-1486	M	G	0.00	0.00	720.00
0	-1497	-1700	-1486	-1487	M	G	0.00	0.00	720.00
0	-1496	-1497	-1487	-1488	M	G	0.00	0.00	720.00
0	-1495	-2105	-2106	-1489	M	G	0.00	0.00	720.00
0	-1494	-2107	-2108	-1498	M	G	0.00	0.00	720.00
0	-1842	-1494	-1498	-1457	M	G	0.00	0.00	720.00
0	-1493	-1842	-1457	-1499	M	G	0.00	0.00	720.00
0	-1492	-1912	-2109	-1500	M	G	0.00	0.00	720.00
0	-1491	-1973	-2110	-1501	M	G	0.00	0.00	720.00
0	-1482	-1491	-1501	-1502	M	G	0.00	0.00	720.00
0	-1481	-1482	-1502	-1503	M	G	0.00	0.00	720.00
0	-1480	-1481	-1503	-1504	M	G	0.00	0.00	720.00
0	-1479	-1480	-1504	-1505	M	G	0.00	0.00	720.00
0	-1478	-1479	-1505	-1506	M	G	0.00	0.00	720.00
0	-1477	-1478	-1506	-1507	M	G	0.00	0.00	720.00
0	-1476	-1944	-1955	-1508	M	G	0.00	0.00	720.00
0	-1458	437	432	-1745	M	G	0.00	0.00	720.00
0	-1461	-1940	-1941	-1744	M	G	0.00	0.00	720.00
0	-1483	-1461	-1744	-1743	M	G	0.00	0.00	720.00
0	-1484	-1483	-1743	-1742	M	G	0.00	0.00	720.00
0	-1485	-1484	-1742	-1741	M	G	0.00	0.00	720.00
0	-1486	-1485	-1741	-1740	M	G	0.00	0.00	720.00
0	-1487	-1486	-1740	-1739	M	G	0.00	0.00	720.00
0	-1488	-1487	-1739	-1738	M	G	0.00	0.00	720.00
0	-1489	-2106	-2111	-1737	M	G	0.00	0.00	720.00
0	-1498	-2108	-2112	-1736	M	G	0.00	0.00	720.00

0	-1457	-1498	-1736	-1847	M	G	0.00	0.00	720.00
0	-1499	-1457	-1847	-1735	M	G	0.00	0.00	720.00
0	-1500	-2109	-2113	-1734	M	G	0.00	0.00	720.00
0	-1501	-2110	-2114	-1733	M	G	0.00	0.00	720.00
0	-1502	-1501	-1733	-1732	M	G	0.00	0.00	720.00
0	-1503	-1502	-1732	-1731	M	G	0.00	0.00	720.00
0	-1504	-1503	-1731	-1730	M	G	0.00	0.00	720.00
0	-1505	-1504	-1730	-1729	M	G	0.00	0.00	720.00
0	-1506	-1505	-1729	-1728	M	G	0.00	0.00	720.00
0	-1507	-1506	-1728	-1727	M	G	0.00	0.00	720.00
0	-1508	-1955	-1956	-1726	M	G	0.00	0.00	720.00
0	-1744	-1941	-2182	-2183	M	G	0.00	0.00	250.00
0	-1743	-1744	-2183	-2184	M	G	0.00	0.00	250.00
0	-1742	-1743	-2184	-2185	M	G	0.00	0.00	250.00
0	-1741	-1742	-2185	-2186	M	G	0.00	0.00	250.00
0	-1738	-1739	-2187	-2188	M	G	0.00	0.00	250.00
0	-1737	-2111	-2189	-2190	M	G	0.00	0.00	250.00
0	-1736	-2112	-2191	-2192	M	G	0.00	0.00	250.00
0	-1847	-1736	-2192	-2193	M	G	0.00	0.00	250.00
0	-1733	-2114	-2194	-2195	M	G	0.00	0.00	250.00
0	-1732	-1733	-2195	-2196	M	G	0.00	0.00	250.00
0	-1731	-1732	-2196	-2197	M	G	0.00	0.00	250.00
0	-1728	-1729	-2198	-2199	M	G	0.00	0.00	250.00
0	-1727	-1728	-2199	-2200	M	G	0.00	0.00	250.00
0	-1726	-1956	-2201	-2202	M	G	0.00	0.00	250.00
0	438	-1451	-1618	-1536	M	G	0.00	0.00	720.00
0	431	-1841	-1451	438	M	G	0.00	0.00	720.00
0	436	-1763	-1406	429	M	G	0.00	0.00	720.00
0	429	-1406	-1836	-1850	M	G	0.00	0.00	720.00
0	-1802	-1531	430	-1452	M	G	0.00	0.00	720.00
0	-1537	-1572	-1516	437	M	G	0.00	0.00	720.00
0	-1848	-1476	-1508	435	M	G	0.00	0.00	720.00
0	437	-1516	-1565	432	M	G	0.00	0.00	720.00
0	435	-1508	-1726	434	M	G	0.00	0.00	720.00
0	432	-1565	-2181	-2203	M	G	0.00	0.00	250.00
0	434	-1726	-2202	-2204	M	G	0.00	0.00	250.00
0	-1529	429	-1850	-1416	M	G	0.00	0.00	720.00
0	-1530	-1958	-1959	-1415	M	G	0.00	0.00	720.00
0	-1490	-1530	-1415	-1367	M	G	0.00	0.00	720.00
0	-1538	-1490	-1367	-1366	M	G	0.00	0.00	720.00
0	-1525	-1538	-1366	-1365	M	G	0.00	0.00	720.00
0	-1526	-1525	-1365	-1364	M	G	0.00	0.00	720.00
0	-1527	-1526	-1364	-1363	M	G	0.00	0.00	720.00
0	-1528	-1527	-1363	-1427	M	G	0.00	0.00	720.00
0	-1362	436	429	-1529	M	G	0.00	0.00	720.00
0	-1356	-1960	-1958	-1530	M	G	0.00	0.00	720.00
0	-1355	-1356	-1530	-1490	M	G	0.00	0.00	720.00
0	-1352	-1355	-1490	-1538	M	G	0.00	0.00	720.00
0	-1684	-1352	-1538	-1525	M	G	0.00	0.00	720.00
0	-1683	-1684	-1525	-1526	M	G	0.00	0.00	720.00
0	-1682	-1683	-1526	-1527	M	G	0.00	0.00	720.00
0	-1426	-1682	-1527	-1528	M	G	0.00	0.00	720.00
0	-1521	435	434	-1660	M	G	0.00	0.00	720.00
0	-1522	-1962	-1963	-1659	M	G	0.00	0.00	720.00
0	-1523	-1522	-1659	-1658	M	G	0.00	0.00	720.00
0	-1524	-1523	-1658	-1657	M	G	0.00	0.00	720.00
0	-1517	-1524	-1657	-1656	M	G	0.00	0.00	720.00
0	-1518	-1517	-1656	-1655	M	G	0.00	0.00	720.00
0	-1519	-1518	-1655	-1654	M	G	0.00	0.00	720.00
0	-1520	-1519	-1654	-1422	M	G	0.00	0.00	720.00
0	-1422	-1654	-2205	-2206	M	G	0.00	0.00	250.00
0	-1654	-1655	-2207	-2205	M	G	0.00	0.00	250.00
0	-1655	-1656	-2208	-2207	M	G	0.00	0.00	250.00
0	-1656	-1657	-2209	-2208	M	G	0.00	0.00	250.00
0	-1657	-1658	-2210	-2209	M	G	0.00	0.00	250.00
0	-1658	-1659	-2211	-2210	M	G	0.00	0.00	250.00
0	-1659	-1963	-2212	-2211	M	G	0.00	0.00	250.00
0	-1653	-1848	435	-1521	M	G	0.00	0.00	720.00
0	-1652	-1965	-1962	-1522	M	G	0.00	0.00	720.00
0	-1651	-1652	-1522	-1523	M	G	0.00	0.00	720.00
0	-1650	-1651	-1523	-1524	M	G	0.00	0.00	720.00
0	-1649	-1650	-1524	-1517	M	G	0.00	0.00	720.00
0	-1648	-1649	-1517	-1518	M	G	0.00	0.00	720.00
0	-1647	-1648	-1518	-1519	M	G	0.00	0.00	720.00
0	-1421	-1647	-1519	-1520	M	G	0.00	0.00	720.00
0	-1424	-1668	-1633	-1419	M	G	0.00	0.00	720.00
0	-1668	-1669	-1634	-1633	M	G	0.00	0.00	720.00
0	-1669	-1670	-1635	-1634	M	G	0.00	0.00	720.00
0	-1670	-1671	-1636	-1635	M	G	0.00	0.00	720.00

0	-1671	-1672	-1637	-1636	M	G	0.00	0.00	720.00
0	-1672	-1673	-1638	-1637	M	G	0.00	0.00	720.00
0	-1673	-1966	-1967	-1638	M	G	0.00	0.00	720.00
0	-1674	441	-1859	-1639	M	G	0.00	0.00	720.00
0	-1419	-1633	-1640	-1420	M	G	0.00	0.00	720.00
0	-1633	-1634	-1641	-1640	M	G	0.00	0.00	720.00
0	-1634	-1635	-1642	-1641	M	G	0.00	0.00	720.00
0	-1635	-1636	-1643	-1642	M	G	0.00	0.00	720.00
0	-1636	-1637	-1644	-1643	M	G	0.00	0.00	720.00
0	-1637	-1638	-1645	-1644	M	G	0.00	0.00	720.00
0	-1638	-1967	-1968	-1645	M	G	0.00	0.00	720.00
0	-1639	-1859	439	-1646	M	G	0.00	0.00	720.00
0	-1416	-1850	-1357	-1895	M	G	0.00	0.00	720.00
0	-1415	-1959	-1969	-1896	M	G	0.00	0.00	720.00
0	-1367	-1415	-1896	-1897	M	G	0.00	0.00	720.00
0	-1366	-1367	-1897	-1898	M	G	0.00	0.00	720.00
0	-1365	-1366	-1898	-1899	M	G	0.00	0.00	720.00
0	-1364	-1365	-1899	-1900	M	G	0.00	0.00	720.00
0	-1363	-1364	-1900	-1901	M	G	0.00	0.00	720.00
0	-1427	-1363	-1901	-1902	M	G	0.00	0.00	720.00
0	-1423	-1661	-1626	-1418	M	G	0.00	0.00	720.00
0	-1661	-1662	-1627	-1626	M	G	0.00	0.00	720.00
0	-1662	-1663	-1628	-1627	M	G	0.00	0.00	720.00
0	-1663	-1664	-1629	-1628	M	G	0.00	0.00	720.00
0	-1664	-1665	-1630	-1629	M	G	0.00	0.00	720.00
0	-1665	-1666	-1631	-1630	M	G	0.00	0.00	720.00
0	-1666	-1970	-1971	-1631	M	G	0.00	0.00	720.00
0	-1667	442	-1863	-1632	M	G	0.00	0.00	720.00
0	-1420	-1640	-1904	-1903	M	G	0.00	0.00	720.00
0	-1640	-1641	-1905	-1904	M	G	0.00	0.00	720.00
0	-1641	-1642	-1906	-1905	M	G	0.00	0.00	720.00
0	-1642	-1643	-1907	-1906	M	G	0.00	0.00	720.00
0	-1643	-1644	-1908	-1907	M	G	0.00	0.00	720.00
0	-1644	-1645	-1909	-1908	M	G	0.00	0.00	720.00
0	-1645	-1968	-1972	-1909	M	G	0.00	0.00	720.00
0	-1646	439	-1874	-1910	M	G	0.00	0.00	720.00
0	-1418	-1626	-1668	-1424	M	G	0.00	0.00	720.00
0	-1626	-1627	-1669	-1668	M	G	0.00	0.00	720.00
0	-1627	-1628	-1670	-1669	M	G	0.00	0.00	720.00
0	-1628	-1629	-1671	-1670	M	G	0.00	0.00	720.00
0	-1629	-1630	-1672	-1671	M	G	0.00	0.00	720.00
0	-1630	-1631	-1673	-1672	M	G	0.00	0.00	720.00
0	-1631	-1971	-1966	-1673	M	G	0.00	0.00	720.00
0	-1660	434	-2204	-2213	M	G	0.00	0.00	250.00
0	-1632	-1863	441	-1674	M	G	0.00	0.00	720.00
0	-1885	-2103	-2107	-1494	M	G	0.00	0.00	720.00
0	-1886	-2104	-2105	-1495	M	G	0.00	0.00	720.00
0	-1887	-1888	-1497	-1496	M	G	0.00	0.00	720.00
0	-1888	-1889	-1700	-1497	M	G	0.00	0.00	720.00
0	-1889	-1890	-1701	-1700	M	G	0.00	0.00	720.00
0	-1890	-1891	-1702	-1701	M	G	0.00	0.00	720.00
0	-1891	-1892	-1703	-1702	M	G	0.00	0.00	720.00
0	-1892	-1893	-1704	-1703	M	G	0.00	0.00	720.00
0	-1893	-1938	-1939	-1704	M	G	0.00	0.00	720.00
0	-1894	-1344	-1537	-1705	M	G	0.00	0.00	720.00
0	-1895	-1357	442	-1667	M	G	0.00	0.00	720.00
0	-1896	-1969	-1970	-1666	M	G	0.00	0.00	720.00
0	-1897	-1896	-1666	-1665	M	G	0.00	0.00	720.00
0	-1898	-1897	-1665	-1664	M	G	0.00	0.00	720.00
0	-1899	-1898	-1664	-1663	M	G	0.00	0.00	720.00
0	-1900	-1899	-1663	-1662	M	G	0.00	0.00	720.00
0	-1901	-1900	-1662	-1661	M	G	0.00	0.00	720.00
0	-1902	-1901	-1661	-1423	M	G	0.00	0.00	720.00
0	-1903	-1904	-1647	-1421	M	G	0.00	0.00	720.00
0	-1904	-1905	-1648	-1647	M	G	0.00	0.00	720.00
0	-1905	-1906	-1649	-1648	M	G	0.00	0.00	720.00
0	-1906	-1907	-1650	-1649	M	G	0.00	0.00	720.00
0	-1907	-1908	-1651	-1650	M	G	0.00	0.00	720.00
0	-1908	-1909	-1652	-1651	M	G	0.00	0.00	720.00
0	-1909	-1972	-1965	-1652	M	G	0.00	0.00	720.00
0	-1910	-1874	-1848	-1653	M	G	0.00	0.00	720.00
0	-1547	-1832	-1465	-2083	M	G	0.00	0.00	720.00
0	-1699	-1831	-1464	-1762	M	G	0.00	0.00	720.00
0	-1974	-1882	-1492	-1973	M	G	0.00	0.00	720.00
0	-1911	-1883	-1493	-1912	M	G	0.00	0.00	720.00
0	-2076	-1715	-1792	-2075	M	G	0.00	0.00	720.00
0	-2078	-1714	-1791	-2077	M	G	0.00	0.00	720.00
0	-2080	-1835	-1468	-2079	M	G	0.00	0.00	720.00
0	-2082	-1834	-1467	-2081	M	G	0.00	0.00	720.00

0	-1913	-1343	-1573	-1914	M	G	0.00	0.00	720.00
0	-1915	-1347	-1559	-1916	M	G	0.00	0.00	720.00
0	-1917	-1698	-1475	-1918	M	G	0.00	0.00	720.00
0	-1919	-1384	-1725	-1920	M	G	0.00	0.00	720.00
0	-1921	-1566	-2179	-2180	M	G	0.00	0.00	250.00
0	-1920	-1725	-1802	-1923	M	G	0.00	0.00	720.00
0	-1924	-1838	-1384	-1919	M	G	0.00	0.00	720.00
0	-1925	-1515	-1566	-1921	M	G	0.00	0.00	720.00
0	-1914	-1573	-1515	-1925	M	G	0.00	0.00	720.00
0	-1926	-1552	-1587	-1927	M	G	0.00	0.00	720.00
0	-1927	-1587	-1580	-1928	M	G	0.00	0.00	720.00
0	-1916	-1559	-1594	-1929	M	G	0.00	0.00	720.00
0	-1930	-1414	-1347	-1915	M	G	0.00	0.00	720.00
0	-1928	-1580	-1343	-1913	M	G	0.00	0.00	720.00
0	-1929	-1594	-1552	-1926	M	G	0.00	0.00	720.00
0	-1931	-1447	-1414	-1930	M	G	0.00	0.00	720.00
0	-1932	-1854	-1447	-1931	M	G	0.00	0.00	720.00
0	-1935	-1782	-1387	-1936	M	G	0.00	0.00	720.00
0	-1936	-1387	-1838	-1924	M	G	0.00	0.00	720.00
0	-1937	-1452	-1698	-1917	M	G	0.00	0.00	720.00
0	-1918	-1475	-1894	-1938	M	G	0.00	0.00	720.00
0	-1923	-1802	-1452	-1937	M	G	0.00	0.00	720.00
0	-1939	-1705	-1458	-1940	M	G	0.00	0.00	720.00
0	-1940	-1458	-1745	-1941	M	G	0.00	0.00	720.00
0	-1938	-1894	-1705	-1939	M	G	0.00	0.00	720.00
0	-1943	-1875	-1477	-1944	M	G	0.00	0.00	720.00
0	-1945	-1707	-1784	-1946	M	G	0.00	0.00	720.00
0	-1947	-1359	-1707	-1945	M	G	0.00	0.00	720.00
0	-1948	-1839	-1359	-1947	M	G	0.00	0.00	720.00
0	-1946	-1784	-1429	-1949	M	G	0.00	0.00	720.00
0	-1951	-1764	-1405	-1952	M	G	0.00	0.00	720.00
0	-1952	-1405	-1839	-1948	M	G	0.00	0.00	720.00
0	-1949	-1429	-1824	-1953	M	G	0.00	0.00	720.00
0	-1954	-1454	-1875	-1943	M	G	0.00	0.00	720.00
0	-1953	-1824	-1454	-1954	M	G	0.00	0.00	720.00
0	-1944	-1477	-1507	-1955	M	G	0.00	0.00	720.00
0	-1955	-1507	-1727	-1956	M	G	0.00	0.00	720.00
0	-1956	-1727	-2200	-2201	M	G	0.00	0.00	250.00
0	-1958	-1529	-1416	-1959	M	G	0.00	0.00	720.00
0	-1960	-1362	-1529	-1958	M	G	0.00	0.00	720.00
0	-1962	-1521	-1660	-1963	M	G	0.00	0.00	720.00
0	-1963	-1660	-2213	-2212	M	G	0.00	0.00	250.00
0	-1965	-1653	-1521	-1962	M	G	0.00	0.00	720.00
0	-1966	-1674	-1639	-1967	M	G	0.00	0.00	720.00
0	-1967	-1639	-1646	-1968	M	G	0.00	0.00	720.00
0	-1959	-1416	-1895	-1969	M	G	0.00	0.00	720.00
0	-1970	-1667	-1632	-1971	M	G	0.00	0.00	720.00
0	-1968	-1646	-1910	-1972	M	G	0.00	0.00	720.00
0	-1971	-1632	-1674	-1966	M	G	0.00	0.00	720.00
0	-1969	-1895	-1667	-1970	M	G	0.00	0.00	720.00
0	-1972	-1910	-1653	-1965	M	G	0.00	0.00	720.00
0	-1883	-1884	-1842	-1493	M	G	0.00	0.00	720.00
0	-1873	-1943	-1944	-1476	M	G	0.00	0.00	720.00
0	-1833	-2082	-2081	-1466	M	G	0.00	0.00	720.00
0	-1884	-1885	-1494	-1842	M	G	0.00	0.00	720.00
0	-2154	-2153	-1771	-2094	M	G	0.00	0.00	250.00
0	-2152	-2151	-1772	-2092	M	G	0.00	0.00	250.00
0	-2148	-2147	-1774	-2090	M	G	0.00	0.00	250.00
0	-2146	-2145	-1775	-2088	M	G	0.00	0.00	250.00
0	-2166	-2165	-1362	-1960	M	G	0.00	0.00	250.00
0	-2162	-2161	-1764	-1951	M	G	0.00	0.00	250.00
0	-2138	-2137	-1782	-1935	M	G	0.00	0.00	250.00
0	-2134	-2133	-1854	-1932	M	G	0.00	0.00	250.00
0	-2173	-2172	-1682	-1426	M	G	0.00	0.00	250.00
0	-2172	-2171	-1683	-1682	M	G	0.00	0.00	250.00
0	-2171	-2170	-1684	-1683	M	G	0.00	0.00	250.00
0	-2170	-2169	-1352	-1684	M	G	0.00	0.00	250.00
0	-2169	-2168	-1355	-1352	M	G	0.00	0.00	250.00
0	-2168	-2167	-1356	-1355	M	G	0.00	0.00	250.00
0	-2167	-2166	-1960	-1356	M	G	0.00	0.00	250.00
0	-2165	-2164	436	-1362	M	G	0.00	0.00	250.00
0	-2164	-2163	-1763	436	M	G	0.00	0.00	250.00
0	-2136	-2135	-1841	431	M	G	0.00	0.00	250.00
0	-2163	-2162	-1951	-1763	M	G	0.00	0.00	250.00
0	-2161	-2160	-1765	-1764	M	G	0.00	0.00	250.00
0	-2160	-2159	-1766	-1765	M	G	0.00	0.00	250.00
0	-2159	-2158	-1767	-1766	M	G	0.00	0.00	250.00
0	-2158	-2157	-1768	-1767	M	G	0.00	0.00	250.00
0	-2157	-2156	-1769	-1768	M	G	0.00	0.00	250.00

0	-2156	-2155	-1770	-1769	M	G	0.00	0.00	250.00
0	-2155	-2154	-2094	-1770	M	G	0.00	0.00	250.00
0	-2153	-2152	-2092	-1771	M	G	0.00	0.00	250.00
0	-2151	-2150	-1413	-1772	M	G	0.00	0.00	250.00
0	-2150	-2149	-1773	-1413	M	G	0.00	0.00	250.00
0	-2149	-2148	-2090	-1773	M	G	0.00	0.00	250.00
0	-2147	-2146	-2088	-1774	M	G	0.00	0.00	250.00
0	-2145	-2144	-1776	-1775	M	G	0.00	0.00	250.00
0	-2144	-2143	-1777	-1776	M	G	0.00	0.00	250.00
0	-2143	-2142	-1778	-1777	M	G	0.00	0.00	250.00
0	-2142	-2141	-1779	-1778	M	G	0.00	0.00	250.00
0	-2141	-2140	-1780	-1779	M	G	0.00	0.00	250.00
0	-2140	-2139	-1781	-1780	M	G	0.00	0.00	250.00
0	-2139	-2138	-1935	-1781	M	G	0.00	0.00	250.00
0	-2137	-2136	431	-1782	M	G	0.00	0.00	250.00
0	-2135	-2134	-1932	-1841	M	G	0.00	0.00	250.00
0	-2133	-2132	-1855	-1854	M	G	0.00	0.00	250.00
0	-2132	-2131	-1860	-1855	M	G	0.00	0.00	250.00
0	-2131	-2130	-1541	-1860	M	G	0.00	0.00	250.00
0	-2130	-2129	-1542	-1541	M	G	0.00	0.00	250.00
0	-2129	-2128	-1543	-1542	M	G	0.00	0.00	250.00
0	-2128	-2127	-1608	-1543	M	G	0.00	0.00	250.00
0	-1835	-1412	-1469	-1468	M	G	0.00	0.00	720.00
0	-1412	-1410	-1470	-1469	M	G	0.00	0.00	720.00
0	-1410	-1411	-1471	-1470	M	G	0.00	0.00	720.00
0	-1411	-1688	-1472	-1471	M	G	0.00	0.00	720.00
0	-1688	-1691	-1473	-1472	M	G	0.00	0.00	720.00
0	-1691	-1692	-1474	-1473	M	G	0.00	0.00	720.00
0	-1692	-1917	-1918	-1474	M	G	0.00	0.00	720.00
0	-1698	-1534	433	-1475	M	G	0.00	0.00	720.00
0	442	-1706	-1783	-1863	M	G	0.00	0.00	720.00
0	-1706	-1945	-1946	-1783	M	G	0.00	0.00	720.00
0	-1707	-1708	-1785	-1784	M	G	0.00	0.00	720.00
0	-1708	-1709	-1786	-1785	M	G	0.00	0.00	720.00
0	-1709	-1710	-1787	-1786	M	G	0.00	0.00	720.00
0	-1710	-1711	-1788	-1787	M	G	0.00	0.00	720.00
0	-1711	-1712	-1789	-1788	M	G	0.00	0.00	720.00
0	-1712	-1713	-1790	-1789	M	G	0.00	0.00	720.00
0	-1713	-2078	-2077	-1790	M	G	0.00	0.00	720.00
0	-1714	-2076	-2075	-1791	M	G	0.00	0.00	720.00
0	-1715	-1849	-1535	-1792	M	G	0.00	0.00	720.00
0	-1849	-1716	-1793	-1535	M	G	0.00	0.00	720.00
0	-1349	-1350	-1562	-1561	M	G	0.00	0.00	720.00
0	-1350	-1351	-1563	-1562	M	G	0.00	0.00	720.00
0	-1351	-1353	-1564	-1563	M	G	0.00	0.00	720.00
0	-1353	-1354	-1611	-1564	M	G	0.00	0.00	720.00
0	-1357	-1358	-1706	442	M	G	0.00	0.00	720.00
0	-1358	-1947	-1945	-1706	M	G	0.00	0.00	720.00
0	-1359	-1360	-1708	-1707	M	G	0.00	0.00	720.00
0	-1360	-1361	-1709	-1708	M	G	0.00	0.00	720.00
0	-1361	-1368	-1710	-1709	M	G	0.00	0.00	720.00
0	-1368	-1369	-1711	-1710	M	G	0.00	0.00	720.00
0	-1369	-1370	-1712	-1711	M	G	0.00	0.00	720.00
0	-1370	-1371	-1713	-1712	M	G	0.00	0.00	720.00
0	-1371	-2074	-2078	-1713	M	G	0.00	0.00	720.00
0	-1372	-2073	-2076	-1714	M	G	0.00	0.00	720.00
0	-1373	-1374	-1849	-1715	M	G	0.00	0.00	720.00
0	-1374	-1375	-1716	-1849	M	G	0.00	0.00	720.00
0	-1375	-2072	-2070	-1716	M	G	0.00	0.00	720.00
0	-1376	-2068	-2066	-1717	M	G	0.00	0.00	720.00
0	-1377	-1378	-1719	-1718	M	G	0.00	0.00	720.00
0	-1378	-1379	-1720	-1719	M	G	0.00	0.00	720.00
0	-1379	-1380	-1721	-1720	M	G	0.00	0.00	720.00
0	-1380	-1381	-1722	-1721	M	G	0.00	0.00	720.00
0	-1381	-1382	-1723	-1722	M	G	0.00	0.00	720.00
0	-1382	-1383	-1724	-1723	M	G	0.00	0.00	720.00
0	-1383	-1919	-1920	-1724	M	G	0.00	0.00	720.00
0	-1384	-1385	440	-1725	M	G	0.00	0.00	720.00
0	-1571	-1612	-2174	-2175	M	G	0.00	0.00	250.00
0	-1570	-1571	-2175	-2176	M	G	0.00	0.00	250.00
0	-1569	-1570	-2176	-2177	M	G	0.00	0.00	250.00
0	-1566	-1567	-2178	-2179	M	G	0.00	0.00	250.00
0	-1565	-1921	-2180	-2181	M	G	0.00	0.00	250.00
0	-1510	-1509	-1612	-1571	M	G	0.00	0.00	720.00
0	-1511	-1510	-1571	-1570	M	G	0.00	0.00	720.00
0	-1716	-2070	-2064	-1793	M	G	0.00	0.00	720.00
0	-1717	-2066	-2062	-1794	M	G	0.00	0.00	720.00
0	-1718	-1719	-1796	-1795	M	G	0.00	0.00	720.00
0	-1719	-1720	-1797	-1796	M	G	0.00	0.00	720.00

0	-1720	-1721	-1798	-1797	M	G	0.00	0.00	720.00
0	-1721	-1722	-1799	-1798	M	G	0.00	0.00	720.00
0	-1722	-1723	-1800	-1799	M	G	0.00	0.00	720.00
0	-1723	-1724	-1801	-1800	M	G	0.00	0.00	720.00
0	-1724	-1920	-1923	-1801	M	G	0.00	0.00	720.00
0	-1725	440	-1531	-1802	M	G	0.00	0.00	720.00
0	-1838	-1536	-1385	-1384	M	G	0.00	0.00	720.00
0	-1837	-1924	-1919	-1383	M	G	0.00	0.00	720.00
0	-1853	-1837	-1383	-1382	M	G	0.00	0.00	720.00
0	-1852	-1853	-1382	-1381	M	G	0.00	0.00	720.00
0	-1851	-1852	-1381	-1380	M	G	0.00	0.00	720.00
0	-1729	-1730	-2214	-2198	M	G	0.00	0.00	250.00
0	-1730	-1731	-2197	-2214	M	G	0.00	0.00	250.00
0	-1734	-2113	-2215	-2216	M	G	0.00	0.00	250.00
0	-1735	-1847	-2193	-2217	M	G	0.00	0.00	250.00
0	-1739	-1740	-2218	-2187	M	G	0.00	0.00	250.00
0	-1740	-1741	-2186	-2218	M	G	0.00	0.00	250.00
0	-1941	-1745	-2219	-2182	M	G	0.00	0.00	250.00
0	-1745	432	-2203	-2219	M	G	0.00	0.00	250.00
0	-1567	-1568	-2220	-2178	M	G	0.00	0.00	250.00
0	-1568	-1569	-2177	-2220	M	G	0.00	0.00	250.00
0	-2074	-1372	-1714	-2078	M	G	0.00	0.00	720.00
0	-2073	-1373	-1715	-2076	M	G	0.00	0.00	720.00
0	-2072	-1376	-1717	-2070	M	G	0.00	0.00	720.00
0	-2068	-1377	-1718	-2066	M	G	0.00	0.00	720.00
0	-2070	-1717	-1794	-2064	M	G	0.00	0.00	720.00
0	-2066	-1718	-1795	-2062	M	G	0.00	0.00	720.00
0	-2061	-1695	-1377	-2068	M	G	0.00	0.00	720.00
0	-2084	-1694	-1376	-2072	M	G	0.00	0.00	720.00
0	-2085	-1866	-1373	-2073	M	G	0.00	0.00	720.00
0	-2086	-1865	-1372	-2074	M	G	0.00	0.00	720.00
0	-2088	-1775	-1394	-2095	M	G	0.00	0.00	720.00
0	-2090	-1774	-1395	-2096	M	G	0.00	0.00	720.00
0	-2092	-1772	-1397	-2097	M	G	0.00	0.00	720.00
0	-2094	-1771	-1398	-2098	M	G	0.00	0.00	720.00
0	-2095	-1394	-1695	-2061	M	G	0.00	0.00	720.00
0	-2096	-1395	-1694	-2084	M	G	0.00	0.00	720.00
0	-2097	-1397	-1866	-2085	M	G	0.00	0.00	720.00
0	-2098	-1398	-1865	-2086	M	G	0.00	0.00	720.00
0	-2099	-1436	-1831	-1699	M	G	0.00	0.00	720.00
0	-2100	-1438	-1832	-1547	M	G	0.00	0.00	720.00
0	-2101	-1441	-1834	-2082	M	G	0.00	0.00	720.00
0	-2102	-1442	-1835	-2080	M	G	0.00	0.00	720.00
0	-1762	-1464	-1882	-1974	M	G	0.00	0.00	720.00
0	-2083	-1465	-1883	-1911	M	G	0.00	0.00	720.00
0	-2081	-1467	-1886	-2103	M	G	0.00	0.00	720.00
0	-2079	-1468	-1887	-2104	M	G	0.00	0.00	720.00
0	-2077	-1791	-1436	-2099	M	G	0.00	0.00	720.00
0	-2075	-1792	-1438	-2100	M	G	0.00	0.00	720.00
0	-2064	-1794	-1441	-2101	M	G	0.00	0.00	720.00
0	-2062	-1795	-1442	-2102	M	G	0.00	0.00	720.00
0	-2105	-1496	-1488	-2106	M	G	0.00	0.00	720.00
0	-2107	-1495	-1489	-2108	M	G	0.00	0.00	720.00
0	-1912	-1493	-1499	-2109	M	G	0.00	0.00	720.00
0	-1973	-1492	-1500	-2110	M	G	0.00	0.00	720.00
0	-2106	-1488	-1738	-2111	M	G	0.00	0.00	720.00
0	-2108	-1489	-1737	-2112	M	G	0.00	0.00	720.00
0	-2109	-1499	-1735	-2113	M	G	0.00	0.00	720.00
0	-2110	-1500	-1734	-2114	M	G	0.00	0.00	720.00
0	-2111	-1738	-2188	-2189	M	G	0.00	0.00	250.00
0	-2112	-1737	-2190	-2191	M	G	0.00	0.00	250.00
0	-2114	-1734	-2216	-2194	M	G	0.00	0.00	250.00
0	-2103	-1886	-1495	-2107	M	G	0.00	0.00	720.00
0	-2104	-1887	-1496	-2105	M	G	0.00	0.00	720.00
0	-2113	-1735	-2217	-2215	M	G	0.00	0.00	250.00

Elenco carichi elementi bidimensionali
Condizione di carico n. 14: Schema 1 q1dist
Carichi uniformi

Bid.	N1	N2	N3	N4	T	DC	Qx <daN/mq>	Qy <daN/mq>	Qz <daN/mq>
0	-1532	-1833	-1466	-1867	M	G	72.00	0.00	0.00
0	-1832	-1532	-1867	-1465	M	G	72.00	0.00	0.00
0	-1831	-1547	-2083	-1464	M	G	72.00	0.00	0.00
0	-1830	-1699	-1762	-1463	M	G	72.00	0.00	0.00
0	-1829	-1830	-1463	-1462	M	G	72.00	0.00	0.00
0	-1828	-1829	-1462	-1460	M	G	72.00	0.00	0.00
0	-1875	-1876	-1478	-1477	M	G	72.00	0.00	0.00

0	-1876	-1877	-1479	-1478	M	G	72.00	0.00	0.00
0	-1877	-1878	-1480	-1479	M	G	72.00	0.00	0.00
0	-1878	-1879	-1481	-1480	M	G	72.00	0.00	0.00
0	-1879	-1880	-1482	-1481	M	G	72.00	0.00	0.00
0	-1880	-1881	-1491	-1482	M	G	72.00	0.00	0.00
0	-1881	-1974	-1973	-1491	M	G	72.00	0.00	0.00
0	-1882	-1911	-1912	-1492	M	G	72.00	0.00	0.00
0	-1834	-2080	-2079	-1467	M	G	72.00	0.00	0.00
0	-1348	-1349	-1561	-1560	M	G	72.00	0.00	0.00
0	-1347	-1348	-1560	-1559	M	G	72.00	0.00	0.00
0	-1346	-1915	-1916	-1558	M	G	72.00	0.00	0.00
0	-1385	-1346	-1558	440	M	G	72.00	0.00	0.00
0	-1344	-1345	-1572	-1537	M	G	72.00	0.00	0.00
0	-1345	-1913	-1914	-1572	M	G	72.00	0.00	0.00
0	-1343	-1342	-1574	-1573	M	G	72.00	0.00	0.00
0	-1342	-1868	-1575	-1574	M	G	72.00	0.00	0.00
0	-1868	-1869	-1576	-1575	M	G	72.00	0.00	0.00
0	-1869	-1870	-1577	-1576	M	G	72.00	0.00	0.00
0	-1870	-1871	-1578	-1577	M	G	72.00	0.00	0.00
0	-1871	-1872	-1613	-1578	M	G	72.00	0.00	0.00
0	-1874	-1873	-1476	-1848	M	G	72.00	0.00	0.00
0	-1858	-1851	-1380	-1379	M	G	72.00	0.00	0.00
0	-1856	-1858	-1379	-1378	M	G	72.00	0.00	0.00
0	-1695	-1856	-1378	-1377	M	G	72.00	0.00	0.00
0	-1694	-2061	-2068	-1376	M	G	72.00	0.00	0.00
0	-1693	-2084	-2072	-1375	M	G	72.00	0.00	0.00
0	-1862	-1693	-1375	-1374	M	G	72.00	0.00	0.00
0	-1866	-1862	-1374	-1373	M	G	72.00	0.00	0.00
0	-1865	-2085	-2073	-1372	M	G	72.00	0.00	0.00
0	-1864	-2086	-2074	-1371	M	G	72.00	0.00	0.00
0	-1861	-1864	-1371	-1370	M	G	72.00	0.00	0.00
0	-1857	-1861	-1370	-1369	M	G	72.00	0.00	0.00
0	-1845	-1857	-1369	-1368	M	G	72.00	0.00	0.00
0	-1844	-1845	-1368	-1361	M	G	72.00	0.00	0.00
0	-1843	-1844	-1361	-1360	M	G	72.00	0.00	0.00
0	-1839	-1843	-1360	-1359	M	G	72.00	0.00	0.00
0	-1836	-1948	-1947	-1358	M	G	72.00	0.00	0.00
0	-1850	-1836	-1358	-1357	M	G	72.00	0.00	0.00
0	-1863	-1783	-1428	441	M	G	72.00	0.00	0.00
0	-1783	-1946	-1949	-1428	M	G	72.00	0.00	0.00
0	-1784	-1785	-1430	-1429	M	G	72.00	0.00	0.00
0	-1512	-1511	-1570	-1569	M	G	72.00	0.00	0.00
0	-1513	-1512	-1569	-1568	M	G	72.00	0.00	0.00
0	-1514	-1513	-1568	-1567	M	G	72.00	0.00	0.00
0	-1515	-1514	-1567	-1566	M	G	72.00	0.00	0.00
0	-1516	-1925	-1921	-1565	M	G	72.00	0.00	0.00
0	-1578	-1613	-1509	-1510	M	G	72.00	0.00	0.00
0	-1577	-1578	-1510	-1511	M	G	72.00	0.00	0.00
0	-1576	-1577	-1511	-1512	M	G	72.00	0.00	0.00
0	-1575	-1576	-1512	-1513	M	G	72.00	0.00	0.00
0	-1574	-1575	-1513	-1514	M	G	72.00	0.00	0.00
0	-1573	-1574	-1514	-1515	M	G	72.00	0.00	0.00
0	-1572	-1914	-1925	-1516	M	G	72.00	0.00	0.00
0	430	-1551	-1586	-1534	M	G	72.00	0.00	0.00
0	-1551	-1926	-1927	-1586	M	G	72.00	0.00	0.00
0	-1552	-1553	-1588	-1587	M	G	72.00	0.00	0.00
0	-1553	-1554	-1589	-1588	M	G	72.00	0.00	0.00
0	-1554	-1555	-1590	-1589	M	G	72.00	0.00	0.00
0	-1555	-1556	-1591	-1590	M	G	72.00	0.00	0.00
0	-1556	-1557	-1592	-1591	M	G	72.00	0.00	0.00
0	-1557	-1610	-1615	-1592	M	G	72.00	0.00	0.00
0	-1534	-1586	-1579	433	M	G	72.00	0.00	0.00
0	-1586	-1927	-1928	-1579	M	G	72.00	0.00	0.00
0	-1587	-1588	-1581	-1580	M	G	72.00	0.00	0.00
0	-1588	-1589	-1582	-1581	M	G	72.00	0.00	0.00
0	-1589	-1590	-1583	-1582	M	G	72.00	0.00	0.00
0	-1590	-1591	-1584	-1583	M	G	72.00	0.00	0.00
0	-1591	-1592	-1585	-1584	M	G	72.00	0.00	0.00
0	-1592	-1615	-1614	-1585	M	G	72.00	0.00	0.00
0	440	-1558	-1593	-1531	M	G	72.00	0.00	0.00
0	-1558	-1916	-1929	-1593	M	G	72.00	0.00	0.00
0	-1559	-1560	-1595	-1594	M	G	72.00	0.00	0.00
0	-1560	-1561	-1596	-1595	M	G	72.00	0.00	0.00
0	-1561	-1562	-1597	-1596	M	G	72.00	0.00	0.00
0	-1562	-1563	-1598	-1597	M	G	72.00	0.00	0.00
0	-1563	-1564	-1599	-1598	M	G	72.00	0.00	0.00
0	-1564	-1611	-1616	-1599	M	G	72.00	0.00	0.00
0	-1840	-1607	-1354	-1353	M	G	72.00	0.00	0.00
0	-1697	-1840	-1353	-1351	M	G	72.00	0.00	0.00

0	-1696	-1697	-1351	-1350	M	G	72.00	0.00	0.00
0	-1690	-1696	-1350	-1349	M	G	72.00	0.00	0.00
0	-1685	-1690	-1349	-1348	M	G	72.00	0.00	0.00
0	-1414	-1685	-1348	-1347	M	G	72.00	0.00	0.00
0	-1618	-1930	-1915	-1346	M	G	72.00	0.00	0.00
0	-1536	-1618	-1346	-1385	M	G	72.00	0.00	0.00
0	433	-1579	-1345	-1344	M	G	72.00	0.00	0.00
0	-1579	-1928	-1913	-1345	M	G	72.00	0.00	0.00
0	-1580	-1581	-1342	-1343	M	G	72.00	0.00	0.00
0	-1581	-1582	-1868	-1342	M	G	72.00	0.00	0.00
0	-1582	-1583	-1869	-1868	M	G	72.00	0.00	0.00
0	-1583	-1584	-1870	-1869	M	G	72.00	0.00	0.00
0	-1584	-1585	-1871	-1870	M	G	72.00	0.00	0.00
0	-1585	-1614	-1872	-1871	M	G	72.00	0.00	0.00
0	-1531	-1593	-1551	430	M	G	72.00	0.00	0.00
0	-1593	-1929	-1926	-1551	M	G	72.00	0.00	0.00
0	-1594	-1595	-1553	-1552	M	G	72.00	0.00	0.00
0	-1595	-1596	-1554	-1553	M	G	72.00	0.00	0.00
0	-1596	-1597	-1555	-1554	M	G	72.00	0.00	0.00
0	-1597	-1598	-1556	-1555	M	G	72.00	0.00	0.00
0	-1598	-1599	-1557	-1556	M	G	72.00	0.00	0.00
0	-1599	-1616	-1610	-1557	M	G	72.00	0.00	0.00
0	-1408	-1407	-1607	-1840	M	G	72.00	0.00	0.00
0	-1409	-1408	-1840	-1697	M	G	72.00	0.00	0.00
0	-1437	-1409	-1697	-1696	M	G	72.00	0.00	0.00
0	-1440	-1437	-1696	-1690	M	G	72.00	0.00	0.00
0	-1444	-1440	-1690	-1685	M	G	72.00	0.00	0.00
0	-1447	-1444	-1685	-1414	M	G	72.00	0.00	0.00
0	-1451	-1931	-1930	-1618	M	G	72.00	0.00	0.00
0	-1543	-1608	-1407	-1408	M	G	72.00	0.00	0.00
0	-1542	-1543	-1408	-1409	M	G	72.00	0.00	0.00
0	-1541	-1542	-1409	-1437	M	G	72.00	0.00	0.00
0	-1860	-1541	-1437	-1440	M	G	72.00	0.00	0.00
0	-1855	-1860	-1440	-1444	M	G	72.00	0.00	0.00
0	-1854	-1855	-1444	-1447	M	G	72.00	0.00	0.00
0	-1841	-1932	-1931	-1451	M	G	72.00	0.00	0.00
0	-1782	431	438	-1387	M	G	72.00	0.00	0.00
0	-1781	-1935	-1936	-1388	M	G	72.00	0.00	0.00
0	-1780	-1781	-1388	-1389	M	G	72.00	0.00	0.00
0	-1779	-1780	-1389	-1390	M	G	72.00	0.00	0.00
0	-1778	-1779	-1390	-1391	M	G	72.00	0.00	0.00
0	-1777	-1778	-1391	-1392	M	G	72.00	0.00	0.00
0	-1776	-1777	-1392	-1393	M	G	72.00	0.00	0.00
0	-1775	-1776	-1393	-1394	M	G	72.00	0.00	0.00
0	-1774	-2088	-2095	-1395	M	G	72.00	0.00	0.00
0	-1773	-2090	-2096	-1396	M	G	72.00	0.00	0.00
0	-1413	-1773	-1396	-1386	M	G	72.00	0.00	0.00
0	-1772	-1413	-1386	-1397	M	G	72.00	0.00	0.00
0	-1771	-2092	-2097	-1398	M	G	72.00	0.00	0.00
0	-1770	-2094	-2098	-1399	M	G	72.00	0.00	0.00
0	-1769	-1770	-1399	-1400	M	G	72.00	0.00	0.00
0	-1768	-1769	-1400	-1401	M	G	72.00	0.00	0.00
0	-1767	-1768	-1401	-1402	M	G	72.00	0.00	0.00
0	-1766	-1767	-1402	-1403	M	G	72.00	0.00	0.00
0	-1765	-1766	-1403	-1404	M	G	72.00	0.00	0.00
0	-1764	-1765	-1404	-1405	M	G	72.00	0.00	0.00
0	-1763	-1951	-1952	-1406	M	G	72.00	0.00	0.00
0	-1387	438	-1536	-1838	M	G	72.00	0.00	0.00
0	-1388	-1936	-1924	-1837	M	G	72.00	0.00	0.00
0	-1389	-1388	-1837	-1853	M	G	72.00	0.00	0.00
0	-1390	-1389	-1853	-1852	M	G	72.00	0.00	0.00
0	-1391	-1390	-1852	-1851	M	G	72.00	0.00	0.00
0	-1392	-1391	-1851	-1858	M	G	72.00	0.00	0.00
0	-1393	-1392	-1858	-1856	M	G	72.00	0.00	0.00
0	-1394	-1393	-1856	-1695	M	G	72.00	0.00	0.00
0	-1395	-2095	-2061	-1694	M	G	72.00	0.00	0.00
0	-1396	-2096	-2084	-1693	M	G	72.00	0.00	0.00
0	-1386	-1396	-1693	-1862	M	G	72.00	0.00	0.00
0	-1397	-1386	-1862	-1866	M	G	72.00	0.00	0.00
0	-1398	-2097	-2085	-1865	M	G	72.00	0.00	0.00
0	-1399	-2098	-2086	-1864	M	G	72.00	0.00	0.00
0	-1400	-1399	-1864	-1861	M	G	72.00	0.00	0.00
0	-1401	-1400	-1861	-1857	M	G	72.00	0.00	0.00
0	-1402	-1401	-1857	-1845	M	G	72.00	0.00	0.00
0	-1403	-1402	-1845	-1844	M	G	72.00	0.00	0.00
0	-1404	-1403	-1844	-1843	M	G	72.00	0.00	0.00
0	-1405	-1404	-1843	-1839	M	G	72.00	0.00	0.00
0	-1406	-1952	-1948	-1836	M	G	72.00	0.00	0.00
0	441	-1428	-1823	-1859	M	G	72.00	0.00	0.00

0	-1428	-1949	-1953	-1823	M	G	72.00	0.00	0.00
0	-1429	-1430	-1825	-1824	M	G	72.00	0.00	0.00
0	-1430	-1431	-1826	-1825	M	G	72.00	0.00	0.00
0	-1431	-1432	-1827	-1826	M	G	72.00	0.00	0.00
0	-1432	-1433	-1828	-1827	M	G	72.00	0.00	0.00
0	-1433	-1434	-1829	-1828	M	G	72.00	0.00	0.00
0	-1434	-1435	-1830	-1829	M	G	72.00	0.00	0.00
0	-1435	-2099	-1699	-1830	M	G	72.00	0.00	0.00
0	-1436	-2100	-1547	-1831	M	G	72.00	0.00	0.00
0	-1438	-1846	-1532	-1832	M	G	72.00	0.00	0.00
0	-1846	-1439	-1833	-1532	M	G	72.00	0.00	0.00
0	-1439	-2101	-2082	-1833	M	G	72.00	0.00	0.00
0	-1441	-2102	-2080	-1834	M	G	72.00	0.00	0.00
0	-1442	-1443	-1412	-1835	M	G	72.00	0.00	0.00
0	-1443	-1445	-1410	-1412	M	G	72.00	0.00	0.00
0	-1445	-1446	-1411	-1410	M	G	72.00	0.00	0.00
0	-1446	-1448	-1688	-1411	M	G	72.00	0.00	0.00
0	-1448	-1449	-1691	-1688	M	G	72.00	0.00	0.00
0	-1449	-1450	-1692	-1691	M	G	72.00	0.00	0.00
0	-1450	-1937	-1917	-1692	M	G	72.00	0.00	0.00
0	-1452	430	-1534	-1698	M	G	72.00	0.00	0.00
0	439	-1453	-1873	-1874	M	G	72.00	0.00	0.00
0	-1453	-1954	-1943	-1873	M	G	72.00	0.00	0.00
0	-1454	-1455	-1876	-1875	M	G	72.00	0.00	0.00
0	-1455	-1456	-1877	-1876	M	G	72.00	0.00	0.00
0	-1456	-1459	-1878	-1877	M	G	72.00	0.00	0.00
0	-1459	-1460	-1879	-1878	M	G	72.00	0.00	0.00
0	-1460	-1462	-1880	-1879	M	G	72.00	0.00	0.00
0	-1462	-1463	-1881	-1880	M	G	72.00	0.00	0.00
0	-1463	-1762	-1974	-1881	M	G	72.00	0.00	0.00
0	-1464	-2083	-1911	-1882	M	G	72.00	0.00	0.00
0	-1465	-1867	-1884	-1883	M	G	72.00	0.00	0.00
0	-1867	-1466	-1885	-1884	M	G	72.00	0.00	0.00
0	-1466	-2081	-2103	-1885	M	G	72.00	0.00	0.00
0	-1467	-2079	-2104	-1886	M	G	72.00	0.00	0.00
0	-1468	-1469	-1888	-1887	M	G	72.00	0.00	0.00
0	-1469	-1470	-1889	-1888	M	G	72.00	0.00	0.00
0	-1470	-1471	-1890	-1889	M	G	72.00	0.00	0.00
0	-1471	-1472	-1891	-1890	M	G	72.00	0.00	0.00
0	-1472	-1473	-1892	-1891	M	G	72.00	0.00	0.00
0	-1473	-1474	-1893	-1892	M	G	72.00	0.00	0.00
0	-1474	-1918	-1938	-1893	M	G	72.00	0.00	0.00
0	-1475	433	-1344	-1894	M	G	72.00	0.00	0.00
0	-1859	-1823	-1453	439	M	G	72.00	0.00	0.00
0	-1823	-1953	-1954	-1453	M	G	72.00	0.00	0.00
0	-1824	-1825	-1455	-1454	M	G	72.00	0.00	0.00
0	-1825	-1826	-1456	-1455	M	G	72.00	0.00	0.00
0	-1826	-1827	-1459	-1456	M	G	72.00	0.00	0.00
0	-1827	-1828	-1460	-1459	M	G	72.00	0.00	0.00
0	-1785	-1786	-1431	-1430	M	G	72.00	0.00	0.00
0	-1786	-1787	-1432	-1431	M	G	72.00	0.00	0.00
0	-1787	-1788	-1433	-1432	M	G	72.00	0.00	0.00
0	-1788	-1789	-1434	-1433	M	G	72.00	0.00	0.00
0	-1789	-1790	-1435	-1434	M	G	72.00	0.00	0.00
0	-1790	-2077	-2099	-1435	M	G	72.00	0.00	0.00
0	-1791	-2075	-2100	-1436	M	G	72.00	0.00	0.00
0	-1792	-1535	-1846	-1438	M	G	72.00	0.00	0.00
0	-1535	-1793	-1439	-1846	M	G	72.00	0.00	0.00
0	-1793	-2064	-2101	-1439	M	G	72.00	0.00	0.00
0	-1794	-2062	-2102	-1441	M	G	72.00	0.00	0.00
0	-1795	-1796	-1443	-1442	M	G	72.00	0.00	0.00
0	-1796	-1797	-1445	-1443	M	G	72.00	0.00	0.00
0	-1797	-1798	-1446	-1445	M	G	72.00	0.00	0.00
0	-1798	-1799	-1448	-1446	M	G	72.00	0.00	0.00
0	-1799	-1800	-1449	-1448	M	G	72.00	0.00	0.00
0	-1800	-1801	-1450	-1449	M	G	72.00	0.00	0.00
0	-1801	-1923	-1937	-1450	M	G	72.00	0.00	0.00
0	-1705	-1537	437	-1458	M	G	72.00	0.00	0.00
0	-1704	-1939	-1940	-1461	M	G	72.00	0.00	0.00
0	-1703	-1704	-1461	-1483	M	G	72.00	0.00	0.00
0	-1702	-1703	-1483	-1484	M	G	72.00	0.00	0.00
0	-1701	-1702	-1484	-1485	M	G	72.00	0.00	0.00
0	-1700	-1701	-1485	-1486	M	G	72.00	0.00	0.00
0	-1497	-1700	-1486	-1487	M	G	72.00	0.00	0.00
0	-1496	-1497	-1487	-1488	M	G	72.00	0.00	0.00
0	-1495	-2105	-2106	-1489	M	G	72.00	0.00	0.00
0	-1494	-2107	-2108	-1498	M	G	72.00	0.00	0.00
0	-1842	-1494	-1498	-1457	M	G	72.00	0.00	0.00
0	-1493	-1842	-1457	-1499	M	G	72.00	0.00	0.00

0	-1492	-1912	-2109	-1500	M	G	72.00	0.00	0.00
0	-1491	-1973	-2110	-1501	M	G	72.00	0.00	0.00
0	-1482	-1491	-1501	-1502	M	G	72.00	0.00	0.00
0	-1481	-1482	-1502	-1503	M	G	72.00	0.00	0.00
0	-1480	-1481	-1503	-1504	M	G	72.00	0.00	0.00
0	-1479	-1480	-1504	-1505	M	G	72.00	0.00	0.00
0	-1478	-1479	-1505	-1506	M	G	72.00	0.00	0.00
0	-1477	-1478	-1506	-1507	M	G	72.00	0.00	0.00
0	-1476	-1944	-1955	-1508	M	G	72.00	0.00	0.00
0	-1458	437	432	-1745	M	G	72.00	0.00	0.00
0	-1461	-1940	-1941	-1744	M	G	72.00	0.00	0.00
0	-1483	-1461	-1744	-1743	M	G	72.00	0.00	0.00
0	-1484	-1483	-1743	-1742	M	G	72.00	0.00	0.00
0	-1485	-1484	-1742	-1741	M	G	72.00	0.00	0.00
0	-1486	-1485	-1741	-1740	M	G	72.00	0.00	0.00
0	-1487	-1486	-1740	-1739	M	G	72.00	0.00	0.00
0	-1488	-1487	-1739	-1738	M	G	72.00	0.00	0.00
0	-1489	-2106	-2111	-1737	M	G	72.00	0.00	0.00
0	-1498	-2108	-2112	-1736	M	G	72.00	0.00	0.00
0	-1457	-1498	-1736	-1847	M	G	72.00	0.00	0.00
0	-1499	-1457	-1847	-1735	M	G	72.00	0.00	0.00
0	-1500	-2109	-2113	-1734	M	G	72.00	0.00	0.00
0	-1501	-2110	-2114	-1733	M	G	72.00	0.00	0.00
0	-1502	-1501	-1733	-1732	M	G	72.00	0.00	0.00
0	-1503	-1502	-1732	-1731	M	G	72.00	0.00	0.00
0	-1504	-1503	-1731	-1730	M	G	72.00	0.00	0.00
0	-1505	-1504	-1730	-1729	M	G	72.00	0.00	0.00
0	-1506	-1505	-1729	-1728	M	G	72.00	0.00	0.00
0	-1507	-1506	-1728	-1727	M	G	72.00	0.00	0.00
0	-1508	-1955	-1956	-1726	M	G	72.00	0.00	0.00
0	438	-1451	-1618	-1536	M	G	72.00	0.00	0.00
0	431	-1841	-1451	438	M	G	72.00	0.00	0.00
0	436	-1763	-1406	429	M	G	72.00	0.00	0.00
0	429	-1406	-1836	-1850	M	G	72.00	0.00	0.00
0	-1802	-1531	430	-1452	M	G	72.00	0.00	0.00
0	-1537	-1572	-1516	437	M	G	72.00	0.00	0.00
0	-1848	-1476	-1508	435	M	G	72.00	0.00	0.00
0	437	-1516	-1565	432	M	G	72.00	0.00	0.00
0	435	-1508	-1726	434	M	G	72.00	0.00	0.00
0	-1529	429	-1850	-1416	M	G	72.00	0.00	0.00
0	-1530	-1958	-1959	-1415	M	G	72.00	0.00	0.00
0	-1490	-1530	-1415	-1367	M	G	72.00	0.00	0.00
0	-1538	-1490	-1367	-1366	M	G	72.00	0.00	0.00
0	-1525	-1538	-1366	-1365	M	G	72.00	0.00	0.00
0	-1526	-1525	-1365	-1364	M	G	72.00	0.00	0.00
0	-1527	-1526	-1364	-1363	M	G	72.00	0.00	0.00
0	-1528	-1527	-1363	-1427	M	G	72.00	0.00	0.00
0	-1362	436	429	-1529	M	G	72.00	0.00	0.00
0	-1356	-1960	-1958	-1530	M	G	72.00	0.00	0.00
0	-1355	-1356	-1530	-1490	M	G	72.00	0.00	0.00
0	-1352	-1355	-1490	-1538	M	G	72.00	0.00	0.00
0	-1684	-1352	-1538	-1525	M	G	72.00	0.00	0.00
0	-1683	-1684	-1525	-1526	M	G	72.00	0.00	0.00
0	-1682	-1683	-1526	-1527	M	G	72.00	0.00	0.00
0	-1426	-1682	-1527	-1528	M	G	72.00	0.00	0.00
0	-1521	435	434	-1660	M	G	72.00	0.00	0.00
0	-1522	-1962	-1963	-1659	M	G	72.00	0.00	0.00
0	-1523	-1522	-1659	-1658	M	G	72.00	0.00	0.00
0	-1524	-1523	-1658	-1657	M	G	72.00	0.00	0.00
0	-1517	-1524	-1657	-1656	M	G	72.00	0.00	0.00
0	-1518	-1517	-1656	-1655	M	G	72.00	0.00	0.00
0	-1519	-1518	-1655	-1654	M	G	72.00	0.00	0.00
0	-1520	-1519	-1654	-1422	M	G	72.00	0.00	0.00
0	-1653	-1848	435	-1521	M	G	72.00	0.00	0.00
0	-1652	-1965	-1962	-1522	M	G	72.00	0.00	0.00
0	-1651	-1652	-1522	-1523	M	G	72.00	0.00	0.00
0	-1650	-1651	-1523	-1524	M	G	72.00	0.00	0.00
0	-1649	-1650	-1524	-1517	M	G	72.00	0.00	0.00
0	-1648	-1649	-1517	-1518	M	G	72.00	0.00	0.00
0	-1647	-1648	-1518	-1519	M	G	72.00	0.00	0.00
0	-1421	-1647	-1519	-1520	M	G	72.00	0.00	0.00
0	-1424	-1668	-1633	-1419	M	G	72.00	0.00	0.00
0	-1668	-1669	-1634	-1633	M	G	72.00	0.00	0.00
0	-1669	-1670	-1635	-1634	M	G	72.00	0.00	0.00
0	-1670	-1671	-1636	-1635	M	G	72.00	0.00	0.00
0	-1671	-1672	-1637	-1636	M	G	72.00	0.00	0.00
0	-1672	-1673	-1638	-1637	M	G	72.00	0.00	0.00
0	-1673	-1966	-1967	-1638	M	G	72.00	0.00	0.00
0	-1674	441	-1859	-1639	M	G	72.00	0.00	0.00

0	-1419	-1633	-1640	-1420	M	G	72.00	0.00	0.00
0	-1633	-1634	-1641	-1640	M	G	72.00	0.00	0.00
0	-1634	-1635	-1642	-1641	M	G	72.00	0.00	0.00
0	-1635	-1636	-1643	-1642	M	G	72.00	0.00	0.00
0	-1636	-1637	-1644	-1643	M	G	72.00	0.00	0.00
0	-1637	-1638	-1645	-1644	M	G	72.00	0.00	0.00
0	-1638	-1967	-1968	-1645	M	G	72.00	0.00	0.00
0	-1639	-1859	439	-1646	M	G	72.00	0.00	0.00
0	-1416	-1850	-1357	-1895	M	G	72.00	0.00	0.00
0	-1415	-1959	-1969	-1896	M	G	72.00	0.00	0.00
0	-1367	-1415	-1896	-1897	M	G	72.00	0.00	0.00
0	-1366	-1367	-1897	-1898	M	G	72.00	0.00	0.00
0	-1365	-1366	-1898	-1899	M	G	72.00	0.00	0.00
0	-1364	-1365	-1899	-1900	M	G	72.00	0.00	0.00
0	-1363	-1364	-1900	-1901	M	G	72.00	0.00	0.00
0	-1427	-1363	-1901	-1902	M	G	72.00	0.00	0.00
0	-1423	-1661	-1626	-1418	M	G	72.00	0.00	0.00
0	-1661	-1662	-1627	-1626	M	G	72.00	0.00	0.00
0	-1662	-1663	-1628	-1627	M	G	72.00	0.00	0.00
0	-1663	-1664	-1629	-1628	M	G	72.00	0.00	0.00
0	-1664	-1665	-1630	-1629	M	G	72.00	0.00	0.00
0	-1665	-1666	-1631	-1630	M	G	72.00	0.00	0.00
0	-1666	-1970	-1971	-1631	M	G	72.00	0.00	0.00
0	-1667	442	-1863	-1632	M	G	72.00	0.00	0.00
0	-1420	-1640	-1904	-1903	M	G	72.00	0.00	0.00
0	-1640	-1641	-1905	-1904	M	G	72.00	0.00	0.00
0	-1641	-1642	-1906	-1905	M	G	72.00	0.00	0.00
0	-1642	-1643	-1907	-1906	M	G	72.00	0.00	0.00
0	-1643	-1644	-1908	-1907	M	G	72.00	0.00	0.00
0	-1644	-1645	-1909	-1908	M	G	72.00	0.00	0.00
0	-1645	-1968	-1972	-1909	M	G	72.00	0.00	0.00
0	-1646	439	-1874	-1910	M	G	72.00	0.00	0.00
0	-1418	-1626	-1668	-1424	M	G	72.00	0.00	0.00
0	-1626	-1627	-1669	-1668	M	G	72.00	0.00	0.00
0	-1627	-1628	-1670	-1669	M	G	72.00	0.00	0.00
0	-1628	-1629	-1671	-1670	M	G	72.00	0.00	0.00
0	-1629	-1630	-1672	-1671	M	G	72.00	0.00	0.00
0	-1630	-1631	-1673	-1672	M	G	72.00	0.00	0.00
0	-1631	-1971	-1966	-1673	M	G	72.00	0.00	0.00
0	-1632	-1863	441	-1674	M	G	72.00	0.00	0.00
0	-1885	-2103	-2107	-1494	M	G	72.00	0.00	0.00
0	-1886	-2104	-2105	-1495	M	G	72.00	0.00	0.00
0	-1887	-1888	-1497	-1496	M	G	72.00	0.00	0.00
0	-1888	-1889	-1700	-1497	M	G	72.00	0.00	0.00
0	-1889	-1890	-1701	-1700	M	G	72.00	0.00	0.00
0	-1890	-1891	-1702	-1701	M	G	72.00	0.00	0.00
0	-1891	-1892	-1703	-1702	M	G	72.00	0.00	0.00
0	-1892	-1893	-1704	-1703	M	G	72.00	0.00	0.00
0	-1893	-1938	-1939	-1704	M	G	72.00	0.00	0.00
0	-1894	-1344	-1537	-1705	M	G	72.00	0.00	0.00
0	-1895	-1357	442	-1667	M	G	72.00	0.00	0.00
0	-1896	-1969	-1970	-1666	M	G	72.00	0.00	0.00
0	-1897	-1896	-1666	-1665	M	G	72.00	0.00	0.00
0	-1898	-1897	-1665	-1664	M	G	72.00	0.00	0.00
0	-1899	-1898	-1664	-1663	M	G	72.00	0.00	0.00
0	-1900	-1899	-1663	-1662	M	G	72.00	0.00	0.00
0	-1901	-1900	-1662	-1661	M	G	72.00	0.00	0.00
0	-1902	-1901	-1661	-1423	M	G	72.00	0.00	0.00
0	-1903	-1904	-1647	-1421	M	G	72.00	0.00	0.00
0	-1904	-1905	-1648	-1647	M	G	72.00	0.00	0.00
0	-1905	-1906	-1649	-1648	M	G	72.00	0.00	0.00
0	-1906	-1907	-1650	-1649	M	G	72.00	0.00	0.00
0	-1907	-1908	-1651	-1650	M	G	72.00	0.00	0.00
0	-1908	-1909	-1652	-1651	M	G	72.00	0.00	0.00
0	-1909	-1972	-1965	-1652	M	G	72.00	0.00	0.00
0	-1910	-1874	-1848	-1653	M	G	72.00	0.00	0.00
0	-1547	-1832	-1465	-2083	M	G	72.00	0.00	0.00
0	-1699	-1831	-1464	-1762	M	G	72.00	0.00	0.00
0	-1974	-1882	-1492	-1973	M	G	72.00	0.00	0.00
0	-1911	-1883	-1493	-1912	M	G	72.00	0.00	0.00
0	-2076	-1715	-1792	-2075	M	G	72.00	0.00	0.00
0	-2078	-1714	-1791	-2077	M	G	72.00	0.00	0.00
0	-2080	-1835	-1468	-2079	M	G	72.00	0.00	0.00
0	-2082	-1834	-1467	-2081	M	G	72.00	0.00	0.00
0	-1913	-1343	-1573	-1914	M	G	72.00	0.00	0.00
0	-1915	-1347	-1559	-1916	M	G	72.00	0.00	0.00
0	-1917	-1698	-1475	-1918	M	G	72.00	0.00	0.00
0	-1919	-1384	-1725	-1920	M	G	72.00	0.00	0.00
0	-1920	-1725	-1802	-1923	M	G	72.00	0.00	0.00

0	-1924	-1838	-1384	-1919	M	G	72.00	0.00	0.00
0	-1925	-1515	-1566	-1921	M	G	72.00	0.00	0.00
0	-1914	-1573	-1515	-1925	M	G	72.00	0.00	0.00
0	-1926	-1552	-1587	-1927	M	G	72.00	0.00	0.00
0	-1927	-1587	-1580	-1928	M	G	72.00	0.00	0.00
0	-1916	-1559	-1594	-1929	M	G	72.00	0.00	0.00
0	-1930	-1414	-1347	-1915	M	G	72.00	0.00	0.00
0	-1928	-1580	-1343	-1913	M	G	72.00	0.00	0.00
0	-1929	-1594	-1552	-1926	M	G	72.00	0.00	0.00
0	-1931	-1447	-1414	-1930	M	G	72.00	0.00	0.00
0	-1932	-1854	-1447	-1931	M	G	72.00	0.00	0.00
0	-1935	-1782	-1387	-1936	M	G	72.00	0.00	0.00
0	-1936	-1387	-1838	-1924	M	G	72.00	0.00	0.00
0	-1937	-1452	-1698	-1917	M	G	72.00	0.00	0.00
0	-1918	-1475	-1894	-1938	M	G	72.00	0.00	0.00
0	-1923	-1802	-1452	-1937	M	G	72.00	0.00	0.00
0	-1939	-1705	-1458	-1940	M	G	72.00	0.00	0.00
0	-1940	-1458	-1745	-1941	M	G	72.00	0.00	0.00
0	-1938	-1894	-1705	-1939	M	G	72.00	0.00	0.00
0	-1943	-1875	-1477	-1944	M	G	72.00	0.00	0.00
0	-1945	-1707	-1784	-1946	M	G	72.00	0.00	0.00
0	-1947	-1359	-1707	-1945	M	G	72.00	0.00	0.00
0	-1948	-1839	-1359	-1947	M	G	72.00	0.00	0.00
0	-1946	-1784	-1429	-1949	M	G	72.00	0.00	0.00
0	-1951	-1764	-1405	-1952	M	G	72.00	0.00	0.00
0	-1952	-1405	-1839	-1948	M	G	72.00	0.00	0.00
0	-1949	-1429	-1824	-1953	M	G	72.00	0.00	0.00
0	-1954	-1454	-1875	-1943	M	G	72.00	0.00	0.00
0	-1953	-1824	-1454	-1954	M	G	72.00	0.00	0.00
0	-1944	-1477	-1507	-1955	M	G	72.00	0.00	0.00
0	-1955	-1507	-1727	-1956	M	G	72.00	0.00	0.00
0	-1958	-1529	-1416	-1959	M	G	72.00	0.00	0.00
0	-1960	-1362	-1529	-1958	M	G	72.00	0.00	0.00
0	-1962	-1521	-1660	-1963	M	G	72.00	0.00	0.00
0	-1965	-1653	-1521	-1962	M	G	72.00	0.00	0.00
0	-1966	-1674	-1639	-1967	M	G	72.00	0.00	0.00
0	-1967	-1639	-1646	-1968	M	G	72.00	0.00	0.00
0	-1959	-1416	-1895	-1969	M	G	72.00	0.00	0.00
0	-1970	-1667	-1632	-1971	M	G	72.00	0.00	0.00
0	-1968	-1646	-1910	-1972	M	G	72.00	0.00	0.00
0	-1971	-1632	-1674	-1966	M	G	72.00	0.00	0.00
0	-1969	-1895	-1667	-1970	M	G	72.00	0.00	0.00
0	-1972	-1910	-1653	-1965	M	G	72.00	0.00	0.00
0	-1883	-1884	-1842	-1493	M	G	72.00	0.00	0.00
0	-1873	-1943	-1944	-1476	M	G	72.00	0.00	0.00
0	-1833	-2082	-2081	-1466	M	G	72.00	0.00	0.00
0	-1884	-1885	-1494	-1842	M	G	72.00	0.00	0.00
0	-1835	-1412	-1469	-1468	M	G	72.00	0.00	0.00
0	-1412	-1410	-1470	-1469	M	G	72.00	0.00	0.00
0	-1410	-1411	-1471	-1470	M	G	72.00	0.00	0.00
0	-1411	-1688	-1472	-1471	M	G	72.00	0.00	0.00
0	-1688	-1691	-1473	-1472	M	G	72.00	0.00	0.00
0	-1691	-1692	-1474	-1473	M	G	72.00	0.00	0.00
0	-1692	-1917	-1918	-1474	M	G	72.00	0.00	0.00
0	-1698	-1534	433	-1475	M	G	72.00	0.00	0.00
0	442	-1706	-1783	-1863	M	G	72.00	0.00	0.00
0	-1706	-1945	-1946	-1783	M	G	72.00	0.00	0.00
0	-1707	-1708	-1785	-1784	M	G	72.00	0.00	0.00
0	-1708	-1709	-1786	-1785	M	G	72.00	0.00	0.00
0	-1709	-1710	-1787	-1786	M	G	72.00	0.00	0.00
0	-1710	-1711	-1788	-1787	M	G	72.00	0.00	0.00
0	-1711	-1712	-1789	-1788	M	G	72.00	0.00	0.00
0	-1712	-1713	-1790	-1789	M	G	72.00	0.00	0.00
0	-1713	-2078	-2077	-1790	M	G	72.00	0.00	0.00
0	-1714	-2076	-2075	-1791	M	G	72.00	0.00	0.00
0	-1715	-1849	-1535	-1792	M	G	72.00	0.00	0.00
0	-1849	-1716	-1793	-1535	M	G	72.00	0.00	0.00
0	-1349	-1350	-1562	-1561	M	G	72.00	0.00	0.00
0	-1350	-1351	-1563	-1562	M	G	72.00	0.00	0.00
0	-1351	-1353	-1564	-1563	M	G	72.00	0.00	0.00
0	-1353	-1354	-1611	-1564	M	G	72.00	0.00	0.00
0	-1357	-1358	-1706	442	M	G	72.00	0.00	0.00
0	-1358	-1947	-1945	-1706	M	G	72.00	0.00	0.00
0	-1359	-1360	-1708	-1707	M	G	72.00	0.00	0.00
0	-1360	-1361	-1709	-1708	M	G	72.00	0.00	0.00
0	-1361	-1368	-1710	-1709	M	G	72.00	0.00	0.00
0	-1368	-1369	-1711	-1710	M	G	72.00	0.00	0.00
0	-1369	-1370	-1712	-1711	M	G	72.00	0.00	0.00
0	-1370	-1371	-1713	-1712	M	G	72.00	0.00	0.00

0	-1371	-2074	-2078	-1713	M	G	72.00	0.00	0.00
0	-1372	-2073	-2076	-1714	M	G	72.00	0.00	0.00
0	-1373	-1374	-1849	-1715	M	G	72.00	0.00	0.00
0	-1374	-1375	-1716	-1849	M	G	72.00	0.00	0.00
0	-1375	-2072	-2070	-1716	M	G	72.00	0.00	0.00
0	-1376	-2068	-2066	-1717	M	G	72.00	0.00	0.00
0	-1377	-1378	-1719	-1718	M	G	72.00	0.00	0.00
0	-1378	-1379	-1720	-1719	M	G	72.00	0.00	0.00
0	-1379	-1380	-1721	-1720	M	G	72.00	0.00	0.00
0	-1380	-1381	-1722	-1721	M	G	72.00	0.00	0.00
0	-1381	-1382	-1723	-1722	M	G	72.00	0.00	0.00
0	-1382	-1383	-1724	-1723	M	G	72.00	0.00	0.00
0	-1383	-1919	-1920	-1724	M	G	72.00	0.00	0.00
0	-1384	-1385	440	-1725	M	G	72.00	0.00	0.00
0	-1510	-1509	-1612	-1571	M	G	72.00	0.00	0.00
0	-1511	-1510	-1571	-1570	M	G	72.00	0.00	0.00
0	-1716	-2070	-2064	-1793	M	G	72.00	0.00	0.00
0	-1717	-2066	-2062	-1794	M	G	72.00	0.00	0.00
0	-1718	-1719	-1796	-1795	M	G	72.00	0.00	0.00
0	-1719	-1720	-1797	-1796	M	G	72.00	0.00	0.00
0	-1720	-1721	-1798	-1797	M	G	72.00	0.00	0.00
0	-1721	-1722	-1799	-1798	M	G	72.00	0.00	0.00
0	-1722	-1723	-1800	-1799	M	G	72.00	0.00	0.00
0	-1723	-1724	-1801	-1800	M	G	72.00	0.00	0.00
0	-1724	-1920	-1923	-1801	M	G	72.00	0.00	0.00
0	-1725	440	-1531	-1802	M	G	72.00	0.00	0.00
0	-1838	-1536	-1385	-1384	M	G	72.00	0.00	0.00
0	-1837	-1924	-1919	-1383	M	G	72.00	0.00	0.00
0	-1853	-1837	-1383	-1382	M	G	72.00	0.00	0.00
0	-1852	-1853	-1382	-1381	M	G	72.00	0.00	0.00
0	-1851	-1852	-1381	-1380	M	G	72.00	0.00	0.00
0	-2074	-1372	-1714	-2078	M	G	72.00	0.00	0.00
0	-2073	-1373	-1715	-2076	M	G	72.00	0.00	0.00
0	-2072	-1376	-1717	-2070	M	G	72.00	0.00	0.00
0	-2068	-1377	-1718	-2066	M	G	72.00	0.00	0.00
0	-2070	-1717	-1794	-2064	M	G	72.00	0.00	0.00
0	-2066	-1718	-1795	-2062	M	G	72.00	0.00	0.00
0	-2061	-1695	-1377	-2068	M	G	72.00	0.00	0.00
0	-2084	-1694	-1376	-2072	M	G	72.00	0.00	0.00
0	-2085	-1866	-1373	-2073	M	G	72.00	0.00	0.00
0	-2086	-1865	-1372	-2074	M	G	72.00	0.00	0.00
0	-2088	-1775	-1394	-2095	M	G	72.00	0.00	0.00
0	-2090	-1774	-1395	-2096	M	G	72.00	0.00	0.00
0	-2092	-1772	-1397	-2097	M	G	72.00	0.00	0.00
0	-2094	-1771	-1398	-2098	M	G	72.00	0.00	0.00
0	-2095	-1394	-1695	-2061	M	G	72.00	0.00	0.00
0	-2096	-1395	-1694	-2084	M	G	72.00	0.00	0.00
0	-2097	-1397	-1866	-2085	M	G	72.00	0.00	0.00
0	-2098	-1398	-1865	-2086	M	G	72.00	0.00	0.00
0	-2099	-1436	-1831	-1699	M	G	72.00	0.00	0.00
0	-2100	-1438	-1832	-1547	M	G	72.00	0.00	0.00
0	-2101	-1441	-1834	-2082	M	G	72.00	0.00	0.00
0	-2102	-1442	-1835	-2080	M	G	72.00	0.00	0.00
0	-1762	-1464	-1882	-1974	M	G	72.00	0.00	0.00
0	-2083	-1465	-1883	-1911	M	G	72.00	0.00	0.00
0	-2081	-1467	-1886	-2103	M	G	72.00	0.00	0.00
0	-2079	-1468	-1887	-2104	M	G	72.00	0.00	0.00
0	-2077	-1791	-1436	-2099	M	G	72.00	0.00	0.00
0	-2075	-1792	-1438	-2100	M	G	72.00	0.00	0.00
0	-2064	-1794	-1441	-2101	M	G	72.00	0.00	0.00
0	-2062	-1795	-1442	-2102	M	G	72.00	0.00	0.00
0	-2105	-1496	-1488	-2106	M	G	72.00	0.00	0.00
0	-2107	-1495	-1489	-2108	M	G	72.00	0.00	0.00
0	-1912	-1493	-1499	-2109	M	G	72.00	0.00	0.00
0	-1973	-1492	-1500	-2110	M	G	72.00	0.00	0.00
0	-2106	-1488	-1738	-2111	M	G	72.00	0.00	0.00
0	-2108	-1489	-1737	-2112	M	G	72.00	0.00	0.00
0	-2109	-1499	-1735	-2113	M	G	72.00	0.00	0.00
0	-2110	-1500	-1734	-2114	M	G	72.00	0.00	0.00
0	-2103	-1886	-1495	-2107	M	G	72.00	0.00	0.00
0	-2104	-1887	-1496	-2105	M	G	72.00	0.00	0.00

Elenco carichi elementi bidimensionali
Condizione di carico n. 15: q var neve
Carichi uniformi

Bid.	N1	N2	N3	N4	T	DC	Qx <daN/mq>	Qy <daN/mq>	Qz <daN/mq>
0	-1532	-1833	-1466	-1867	M	G	0.00	0.00	48.00

0	-1832	-1532	-1867	-1465	M	G	0.00	0.00	48.00
0	-1831	-1547	-2083	-1464	M	G	0.00	0.00	48.00
0	-1830	-1699	-1762	-1463	M	G	0.00	0.00	48.00
0	-1829	-1830	-1463	-1462	M	G	0.00	0.00	48.00
0	-1828	-1829	-1462	-1460	M	G	0.00	0.00	48.00
0	-1875	-1876	-1478	-1477	M	G	0.00	0.00	48.00
0	-1876	-1877	-1479	-1478	M	G	0.00	0.00	48.00
0	-1877	-1878	-1480	-1479	M	G	0.00	0.00	48.00
0	-1878	-1879	-1481	-1480	M	G	0.00	0.00	48.00
0	-1879	-1880	-1482	-1481	M	G	0.00	0.00	48.00
0	-1880	-1881	-1491	-1482	M	G	0.00	0.00	48.00
0	-1881	-1974	-1973	-1491	M	G	0.00	0.00	48.00
0	-1882	-1911	-1912	-1492	M	G	0.00	0.00	48.00
0	-1834	-2080	-2079	-1467	M	G	0.00	0.00	48.00
0	-1348	-1349	-1561	-1560	M	G	0.00	0.00	48.00
0	-1347	-1348	-1560	-1559	M	G	0.00	0.00	48.00
0	-1346	-1915	-1916	-1558	M	G	0.00	0.00	48.00
0	-1385	-1346	-1558	440	M	G	0.00	0.00	48.00
0	-1344	-1345	-1572	-1537	M	G	0.00	0.00	48.00
0	-1345	-1913	-1914	-1572	M	G	0.00	0.00	48.00
0	-1343	-1342	-1574	-1573	M	G	0.00	0.00	48.00
0	-1342	-1868	-1575	-1574	M	G	0.00	0.00	48.00
0	-1868	-1869	-1576	-1575	M	G	0.00	0.00	48.00
0	-1869	-1870	-1577	-1576	M	G	0.00	0.00	48.00
0	-1870	-1871	-1578	-1577	M	G	0.00	0.00	48.00
0	-1871	-1872	-1613	-1578	M	G	0.00	0.00	48.00
0	-1874	-1873	-1476	-1848	M	G	0.00	0.00	48.00
0	-1858	-1851	-1380	-1379	M	G	0.00	0.00	48.00
0	-1856	-1858	-1379	-1378	M	G	0.00	0.00	48.00
0	-1695	-1856	-1378	-1377	M	G	0.00	0.00	48.00
0	-1694	-2061	-2068	-1376	M	G	0.00	0.00	48.00
0	-1693	-2084	-2072	-1375	M	G	0.00	0.00	48.00
0	-1862	-1693	-1375	-1374	M	G	0.00	0.00	48.00
0	-1866	-1862	-1374	-1373	M	G	0.00	0.00	48.00
0	-1865	-2085	-2073	-1372	M	G	0.00	0.00	48.00
0	-1864	-2086	-2074	-1371	M	G	0.00	0.00	48.00
0	-1861	-1864	-1371	-1370	M	G	0.00	0.00	48.00
0	-1857	-1861	-1370	-1369	M	G	0.00	0.00	48.00
0	-1845	-1857	-1369	-1368	M	G	0.00	0.00	48.00
0	-1844	-1845	-1368	-1361	M	G	0.00	0.00	48.00
0	-1843	-1844	-1361	-1360	M	G	0.00	0.00	48.00
0	-1839	-1843	-1360	-1359	M	G	0.00	0.00	48.00
0	-1836	-1948	-1947	-1358	M	G	0.00	0.00	48.00
0	-1850	-1836	-1358	-1357	M	G	0.00	0.00	48.00
0	-1863	-1783	-1428	441	M	G	0.00	0.00	48.00
0	-1783	-1946	-1949	-1428	M	G	0.00	0.00	48.00
0	-1784	-1785	-1430	-1429	M	G	0.00	0.00	48.00
0	-1512	-1511	-1570	-1569	M	G	0.00	0.00	48.00
0	-1513	-1512	-1569	-1568	M	G	0.00	0.00	48.00
0	-1514	-1513	-1568	-1567	M	G	0.00	0.00	48.00
0	-1515	-1514	-1567	-1566	M	G	0.00	0.00	48.00
0	-1516	-1925	-1921	-1565	M	G	0.00	0.00	48.00
0	-1578	-1613	-1509	-1510	M	G	0.00	0.00	48.00
0	-1577	-1578	-1510	-1511	M	G	0.00	0.00	48.00
0	-1576	-1577	-1511	-1512	M	G	0.00	0.00	48.00
0	-1575	-1576	-1512	-1513	M	G	0.00	0.00	48.00
0	-1574	-1575	-1513	-1514	M	G	0.00	0.00	48.00
0	-1573	-1574	-1514	-1515	M	G	0.00	0.00	48.00
0	-1572	-1914	-1925	-1516	M	G	0.00	0.00	48.00
0	430	-1551	-1586	-1534	M	G	0.00	0.00	48.00
0	-1551	-1926	-1927	-1586	M	G	0.00	0.00	48.00
0	-1552	-1553	-1588	-1587	M	G	0.00	0.00	48.00
0	-1553	-1554	-1589	-1588	M	G	0.00	0.00	48.00
0	-1554	-1555	-1590	-1589	M	G	0.00	0.00	48.00
0	-1555	-1556	-1591	-1590	M	G	0.00	0.00	48.00
0	-1556	-1557	-1592	-1591	M	G	0.00	0.00	48.00
0	-1557	-1610	-1615	-1592	M	G	0.00	0.00	48.00
0	-1534	-1586	-1579	433	M	G	0.00	0.00	48.00
0	-1586	-1927	-1928	-1579	M	G	0.00	0.00	48.00
0	-1587	-1588	-1581	-1580	M	G	0.00	0.00	48.00
0	-1588	-1589	-1582	-1581	M	G	0.00	0.00	48.00
0	-1589	-1590	-1583	-1582	M	G	0.00	0.00	48.00
0	-1590	-1591	-1584	-1583	M	G	0.00	0.00	48.00
0	-1591	-1592	-1585	-1584	M	G	0.00	0.00	48.00
0	-1592	-1615	-1614	-1585	M	G	0.00	0.00	48.00
0	440	-1558	-1593	-1531	M	G	0.00	0.00	48.00
0	-1558	-1916	-1929	-1593	M	G	0.00	0.00	48.00
0	-1559	-1560	-1595	-1594	M	G	0.00	0.00	48.00
0	-1560	-1561	-1596	-1595	M	G	0.00	0.00	48.00

0	-1561	-1562	-1597	-1596	M	G	0.00	0.00	48.00
0	-1562	-1563	-1598	-1597	M	G	0.00	0.00	48.00
0	-1563	-1564	-1599	-1598	M	G	0.00	0.00	48.00
0	-1564	-1611	-1616	-1599	M	G	0.00	0.00	48.00
0	-1840	-1607	-1354	-1353	M	G	0.00	0.00	48.00
0	-1697	-1840	-1353	-1351	M	G	0.00	0.00	48.00
0	-1696	-1697	-1351	-1350	M	G	0.00	0.00	48.00
0	-1690	-1696	-1350	-1349	M	G	0.00	0.00	48.00
0	-1685	-1690	-1349	-1348	M	G	0.00	0.00	48.00
0	-1414	-1685	-1348	-1347	M	G	0.00	0.00	48.00
0	-1618	-1930	-1915	-1346	M	G	0.00	0.00	48.00
0	-1536	-1618	-1346	-1385	M	G	0.00	0.00	48.00
0	433	-1579	-1345	-1344	M	G	0.00	0.00	48.00
0	-1579	-1928	-1913	-1345	M	G	0.00	0.00	48.00
0	-1580	-1581	-1342	-1343	M	G	0.00	0.00	48.00
0	-1581	-1582	-1868	-1342	M	G	0.00	0.00	48.00
0	-1582	-1583	-1869	-1868	M	G	0.00	0.00	48.00
0	-1583	-1584	-1870	-1869	M	G	0.00	0.00	48.00
0	-1584	-1585	-1871	-1870	M	G	0.00	0.00	48.00
0	-1585	-1614	-1872	-1871	M	G	0.00	0.00	48.00
0	-1531	-1593	-1551	430	M	G	0.00	0.00	48.00
0	-1593	-1929	-1926	-1551	M	G	0.00	0.00	48.00
0	-1594	-1595	-1553	-1552	M	G	0.00	0.00	48.00
0	-1595	-1596	-1554	-1553	M	G	0.00	0.00	48.00
0	-1596	-1597	-1555	-1554	M	G	0.00	0.00	48.00
0	-1597	-1598	-1556	-1555	M	G	0.00	0.00	48.00
0	-1598	-1599	-1557	-1556	M	G	0.00	0.00	48.00
0	-1599	-1616	-1610	-1557	M	G	0.00	0.00	48.00
0	-1408	-1407	-1607	-1840	M	G	0.00	0.00	48.00
0	-1409	-1408	-1840	-1697	M	G	0.00	0.00	48.00
0	-1437	-1409	-1697	-1696	M	G	0.00	0.00	48.00
0	-1440	-1437	-1696	-1690	M	G	0.00	0.00	48.00
0	-1444	-1440	-1690	-1685	M	G	0.00	0.00	48.00
0	-1447	-1444	-1685	-1414	M	G	0.00	0.00	48.00
0	-1451	-1931	-1930	-1618	M	G	0.00	0.00	48.00
0	-1543	-1608	-1407	-1408	M	G	0.00	0.00	48.00
0	-1542	-1543	-1408	-1409	M	G	0.00	0.00	48.00
0	-1541	-1542	-1409	-1437	M	G	0.00	0.00	48.00
0	-1860	-1541	-1437	-1440	M	G	0.00	0.00	48.00
0	-1855	-1860	-1440	-1444	M	G	0.00	0.00	48.00
0	-1854	-1855	-1444	-1447	M	G	0.00	0.00	48.00
0	-1841	-1932	-1931	-1451	M	G	0.00	0.00	48.00
0	-1606	-1617	-2127	-2128	M	G	0.00	0.00	48.00
0	-1605	-1606	-2128	-2129	M	G	0.00	0.00	48.00
0	-1604	-1605	-2129	-2130	M	G	0.00	0.00	48.00
0	-1603	-1604	-2130	-2131	M	G	0.00	0.00	48.00
0	-1602	-1603	-2131	-2132	M	G	0.00	0.00	48.00
0	-1601	-1602	-2132	-2133	M	G	0.00	0.00	48.00
0	-1600	-1933	-2134	-2135	M	G	0.00	0.00	48.00
0	-1822	-1539	-2136	-2137	M	G	0.00	0.00	48.00
0	-1821	-1934	-2138	-2139	M	G	0.00	0.00	48.00
0	-1820	-1821	-2139	-2140	M	G	0.00	0.00	48.00
0	-1819	-1820	-2140	-2141	M	G	0.00	0.00	48.00
0	-1818	-1819	-2141	-2142	M	G	0.00	0.00	48.00
0	-1817	-1818	-2142	-2143	M	G	0.00	0.00	48.00
0	-1816	-1817	-2143	-2144	M	G	0.00	0.00	48.00
0	-1815	-1816	-2144	-2145	M	G	0.00	0.00	48.00
0	-1814	-2087	-2146	-2147	M	G	0.00	0.00	48.00
0	-1813	-2089	-2148	-2149	M	G	0.00	0.00	48.00
0	-1533	-1813	-2149	-2150	M	G	0.00	0.00	48.00
0	-1812	-1533	-2150	-2151	M	G	0.00	0.00	48.00
0	-1811	-2091	-2152	-2153	M	G	0.00	0.00	48.00
0	-1810	-2093	-2154	-2155	M	G	0.00	0.00	48.00
0	-1809	-1810	-2155	-2156	M	G	0.00	0.00	48.00
0	-1808	-1809	-2156	-2157	M	G	0.00	0.00	48.00
0	-1807	-1808	-2157	-2158	M	G	0.00	0.00	48.00
0	-1806	-1807	-2158	-2159	M	G	0.00	0.00	48.00
0	-1805	-1806	-2159	-2160	M	G	0.00	0.00	48.00
0	-1804	-1805	-2160	-2161	M	G	0.00	0.00	48.00
0	-1803	-1950	-2162	-2163	M	G	0.00	0.00	48.00
0	-1782	431	438	-1387	M	G	0.00	0.00	48.00
0	-1781	-1935	-1936	-1388	M	G	0.00	0.00	48.00
0	-1780	-1781	-1388	-1389	M	G	0.00	0.00	48.00
0	-1779	-1780	-1389	-1390	M	G	0.00	0.00	48.00
0	-1778	-1779	-1390	-1391	M	G	0.00	0.00	48.00
0	-1777	-1778	-1391	-1392	M	G	0.00	0.00	48.00
0	-1776	-1777	-1392	-1393	M	G	0.00	0.00	48.00
0	-1775	-1776	-1393	-1394	M	G	0.00	0.00	48.00
0	-1774	-2088	-2095	-1395	M	G	0.00	0.00	48.00

0	-1773	-2090	-2096	-1396	M	G	0.00	0.00	48.00
0	-1413	-1773	-1396	-1386	M	G	0.00	0.00	48.00
0	-1772	-1413	-1386	-1397	M	G	0.00	0.00	48.00
0	-1771	-2092	-2097	-1398	M	G	0.00	0.00	48.00
0	-1770	-2094	-2098	-1399	M	G	0.00	0.00	48.00
0	-1769	-1770	-1399	-1400	M	G	0.00	0.00	48.00
0	-1768	-1769	-1400	-1401	M	G	0.00	0.00	48.00
0	-1767	-1768	-1401	-1402	M	G	0.00	0.00	48.00
0	-1766	-1767	-1402	-1403	M	G	0.00	0.00	48.00
0	-1765	-1766	-1403	-1404	M	G	0.00	0.00	48.00
0	-1764	-1765	-1404	-1405	M	G	0.00	0.00	48.00
0	-1763	-1951	-1952	-1406	M	G	0.00	0.00	48.00
0	-1387	438	-1536	-1838	M	G	0.00	0.00	48.00
0	-1388	-1936	-1924	-1837	M	G	0.00	0.00	48.00
0	-1389	-1388	-1837	-1853	M	G	0.00	0.00	48.00
0	-1390	-1389	-1853	-1852	M	G	0.00	0.00	48.00
0	-1391	-1390	-1852	-1851	M	G	0.00	0.00	48.00
0	-1392	-1391	-1851	-1858	M	G	0.00	0.00	48.00
0	-1393	-1392	-1858	-1856	M	G	0.00	0.00	48.00
0	-1394	-1393	-1856	-1695	M	G	0.00	0.00	48.00
0	-1395	-2095	-2061	-1694	M	G	0.00	0.00	48.00
0	-1396	-2096	-2084	-1693	M	G	0.00	0.00	48.00
0	-1386	-1396	-1693	-1862	M	G	0.00	0.00	48.00
0	-1397	-1386	-1862	-1866	M	G	0.00	0.00	48.00
0	-1398	-2097	-2085	-1865	M	G	0.00	0.00	48.00
0	-1399	-2098	-2086	-1864	M	G	0.00	0.00	48.00
0	-1400	-1399	-1864	-1861	M	G	0.00	0.00	48.00
0	-1401	-1400	-1861	-1857	M	G	0.00	0.00	48.00
0	-1402	-1401	-1857	-1845	M	G	0.00	0.00	48.00
0	-1403	-1402	-1845	-1844	M	G	0.00	0.00	48.00
0	-1404	-1403	-1844	-1843	M	G	0.00	0.00	48.00
0	-1405	-1404	-1843	-1839	M	G	0.00	0.00	48.00
0	-1406	-1952	-1948	-1836	M	G	0.00	0.00	48.00
0	441	-1428	-1823	-1859	M	G	0.00	0.00	48.00
0	-1428	-1949	-1953	-1823	M	G	0.00	0.00	48.00
0	-1429	-1430	-1825	-1824	M	G	0.00	0.00	48.00
0	-1430	-1431	-1826	-1825	M	G	0.00	0.00	48.00
0	-1431	-1432	-1827	-1826	M	G	0.00	0.00	48.00
0	-1432	-1433	-1828	-1827	M	G	0.00	0.00	48.00
0	-1433	-1434	-1829	-1828	M	G	0.00	0.00	48.00
0	-1434	-1435	-1830	-1829	M	G	0.00	0.00	48.00
0	-1435	-2099	-1699	-1830	M	G	0.00	0.00	48.00
0	-1436	-2100	-1547	-1831	M	G	0.00	0.00	48.00
0	-1438	-1846	-1532	-1832	M	G	0.00	0.00	48.00
0	-1846	-1439	-1833	-1532	M	G	0.00	0.00	48.00
0	-1439	-2101	-2082	-1833	M	G	0.00	0.00	48.00
0	-1441	-2102	-2080	-1834	M	G	0.00	0.00	48.00
0	-1442	-1443	-1412	-1835	M	G	0.00	0.00	48.00
0	-1443	-1445	-1410	-1412	M	G	0.00	0.00	48.00
0	-1445	-1446	-1411	-1410	M	G	0.00	0.00	48.00
0	-1446	-1448	-1688	-1411	M	G	0.00	0.00	48.00
0	-1448	-1449	-1691	-1688	M	G	0.00	0.00	48.00
0	-1449	-1450	-1692	-1691	M	G	0.00	0.00	48.00
0	-1450	-1937	-1917	-1692	M	G	0.00	0.00	48.00
0	-1452	430	-1534	-1698	M	G	0.00	0.00	48.00
0	439	-1453	-1873	-1874	M	G	0.00	0.00	48.00
0	-1453	-1954	-1943	-1873	M	G	0.00	0.00	48.00
0	-1454	-1455	-1876	-1875	M	G	0.00	0.00	48.00
0	-1455	-1456	-1877	-1876	M	G	0.00	0.00	48.00
0	-1456	-1459	-1878	-1877	M	G	0.00	0.00	48.00
0	-1459	-1460	-1879	-1878	M	G	0.00	0.00	48.00
0	-1460	-1462	-1880	-1879	M	G	0.00	0.00	48.00
0	-1462	-1463	-1881	-1880	M	G	0.00	0.00	48.00
0	-1463	-1762	-1974	-1881	M	G	0.00	0.00	48.00
0	-1464	-2083	-1911	-1882	M	G	0.00	0.00	48.00
0	-1465	-1867	-1884	-1883	M	G	0.00	0.00	48.00
0	-1867	-1466	-1885	-1884	M	G	0.00	0.00	48.00
0	-1466	-2081	-2103	-1885	M	G	0.00	0.00	48.00
0	-1467	-2079	-2104	-1886	M	G	0.00	0.00	48.00
0	-1468	-1469	-1888	-1887	M	G	0.00	0.00	48.00
0	-1469	-1470	-1889	-1888	M	G	0.00	0.00	48.00
0	-1470	-1471	-1890	-1889	M	G	0.00	0.00	48.00
0	-1471	-1472	-1891	-1890	M	G	0.00	0.00	48.00
0	-1472	-1473	-1892	-1891	M	G	0.00	0.00	48.00
0	-1473	-1474	-1893	-1892	M	G	0.00	0.00	48.00
0	-1474	-1918	-1938	-1893	M	G	0.00	0.00	48.00
0	-1475	433	-1344	-1894	M	G	0.00	0.00	48.00
0	-1859	-1823	-1453	439	M	G	0.00	0.00	48.00
0	-1823	-1953	-1954	-1453	M	G	0.00	0.00	48.00

0	-1824	-1825	-1455	-1454	M	G	0.00	0.00	48.00
0	-1825	-1826	-1456	-1455	M	G	0.00	0.00	48.00
0	-1826	-1827	-1459	-1456	M	G	0.00	0.00	48.00
0	-1827	-1828	-1460	-1459	M	G	0.00	0.00	48.00
0	-1785	-1786	-1431	-1430	M	G	0.00	0.00	48.00
0	-1786	-1787	-1432	-1431	M	G	0.00	0.00	48.00
0	-1787	-1788	-1433	-1432	M	G	0.00	0.00	48.00
0	-1788	-1789	-1434	-1433	M	G	0.00	0.00	48.00
0	-1789	-1790	-1435	-1434	M	G	0.00	0.00	48.00
0	-1790	-2077	-2099	-1435	M	G	0.00	0.00	48.00
0	-1791	-2075	-2100	-1436	M	G	0.00	0.00	48.00
0	-1792	-1535	-1846	-1438	M	G	0.00	0.00	48.00
0	-1535	-1793	-1439	-1846	M	G	0.00	0.00	48.00
0	-1793	-2064	-2101	-1439	M	G	0.00	0.00	48.00
0	-1794	-2062	-2102	-1441	M	G	0.00	0.00	48.00
0	-1795	-1796	-1443	-1442	M	G	0.00	0.00	48.00
0	-1796	-1797	-1445	-1443	M	G	0.00	0.00	48.00
0	-1797	-1798	-1446	-1445	M	G	0.00	0.00	48.00
0	-1798	-1799	-1448	-1446	M	G	0.00	0.00	48.00
0	-1799	-1800	-1449	-1448	M	G	0.00	0.00	48.00
0	-1800	-1801	-1450	-1449	M	G	0.00	0.00	48.00
0	-1801	-1923	-1937	-1450	M	G	0.00	0.00	48.00
0	-1705	-1537	437	-1458	M	G	0.00	0.00	48.00
0	-1704	-1939	-1940	-1461	M	G	0.00	0.00	48.00
0	-1703	-1704	-1461	-1483	M	G	0.00	0.00	48.00
0	-1702	-1703	-1483	-1484	M	G	0.00	0.00	48.00
0	-1701	-1702	-1484	-1485	M	G	0.00	0.00	48.00
0	-1700	-1701	-1485	-1486	M	G	0.00	0.00	48.00
0	-1497	-1700	-1486	-1487	M	G	0.00	0.00	48.00
0	-1496	-1497	-1487	-1488	M	G	0.00	0.00	48.00
0	-1495	-2105	-2106	-1489	M	G	0.00	0.00	48.00
0	-1494	-2107	-2108	-1498	M	G	0.00	0.00	48.00
0	-1842	-1494	-1498	-1457	M	G	0.00	0.00	48.00
0	-1493	-1842	-1457	-1499	M	G	0.00	0.00	48.00
0	-1492	-1912	-2109	-1500	M	G	0.00	0.00	48.00
0	-1491	-1973	-2110	-1501	M	G	0.00	0.00	48.00
0	-1482	-1491	-1501	-1502	M	G	0.00	0.00	48.00
0	-1481	-1482	-1502	-1503	M	G	0.00	0.00	48.00
0	-1480	-1481	-1503	-1504	M	G	0.00	0.00	48.00
0	-1479	-1480	-1504	-1505	M	G	0.00	0.00	48.00
0	-1478	-1479	-1505	-1506	M	G	0.00	0.00	48.00
0	-1477	-1478	-1506	-1507	M	G	0.00	0.00	48.00
0	-1476	-1944	-1955	-1508	M	G	0.00	0.00	48.00
0	-1458	437	432	-1745	M	G	0.00	0.00	48.00
0	-1461	-1940	-1941	-1744	M	G	0.00	0.00	48.00
0	-1483	-1461	-1744	-1743	M	G	0.00	0.00	48.00
0	-1484	-1483	-1743	-1742	M	G	0.00	0.00	48.00
0	-1485	-1484	-1742	-1741	M	G	0.00	0.00	48.00
0	-1486	-1485	-1741	-1740	M	G	0.00	0.00	48.00
0	-1487	-1486	-1740	-1739	M	G	0.00	0.00	48.00
0	-1488	-1487	-1739	-1738	M	G	0.00	0.00	48.00
0	-1489	-2106	-2111	-1737	M	G	0.00	0.00	48.00
0	-1498	-2108	-2112	-1736	M	G	0.00	0.00	48.00
0	-1457	-1498	-1736	-1847	M	G	0.00	0.00	48.00
0	-1499	-1457	-1847	-1735	M	G	0.00	0.00	48.00
0	-1500	-2109	-2113	-1734	M	G	0.00	0.00	48.00
0	-1501	-2110	-2114	-1733	M	G	0.00	0.00	48.00
0	-1502	-1501	-1733	-1732	M	G	0.00	0.00	48.00
0	-1503	-1502	-1732	-1731	M	G	0.00	0.00	48.00
0	-1504	-1503	-1731	-1730	M	G	0.00	0.00	48.00
0	-1505	-1504	-1730	-1729	M	G	0.00	0.00	48.00
0	-1506	-1505	-1729	-1728	M	G	0.00	0.00	48.00
0	-1507	-1506	-1728	-1727	M	G	0.00	0.00	48.00
0	-1508	-1955	-1956	-1726	M	G	0.00	0.00	48.00
0	-2069	-1540	-1976	-2013	M	G	0.00	0.00	48.00
0	-1744	-1941	-2182	-2183	M	G	0.00	0.00	48.00
0	-1743	-1744	-2183	-2184	M	G	0.00	0.00	48.00
0	-1742	-1743	-2184	-2185	M	G	0.00	0.00	48.00
0	-1741	-1742	-2185	-2186	M	G	0.00	0.00	48.00
0	-2067	-1758	-2009	-2008	M	G	0.00	0.00	48.00
0	-1757	-2067	-2008	-2007	M	G	0.00	0.00	48.00
0	-1738	-1739	-2187	-2188	M	G	0.00	0.00	48.00
0	-1737	-2111	-2189	-2190	M	G	0.00	0.00	48.00
0	-1736	-2112	-2191	-2192	M	G	0.00	0.00	48.00
0	-1847	-1736	-2192	-2193	M	G	0.00	0.00	48.00
0	-2065	-1689	-1993	-2003	M	G	0.00	0.00	48.00
0	-1753	-2117	-2118	-2002	M	G	0.00	0.00	48.00
0	-1733	-2114	-2194	-2195	M	G	0.00	0.00	48.00
0	-1732	-1733	-2195	-2196	M	G	0.00	0.00	48.00

0	-1731	-1732	-2196	-2197	M	G	0.00	0.00	48.00
0	-2063	-1750	-1999	-1998	M	G	0.00	0.00	48.00
0	-1749	-2063	-1998	-1997	M	G	0.00	0.00	48.00
0	-1728	-1729	-2198	-2199	M	G	0.00	0.00	48.00
0	-1727	-1728	-2199	-2200	M	G	0.00	0.00	48.00
0	-1726	-1956	-2201	-2202	M	G	0.00	0.00	48.00
0	-1539	-1600	-2135	-2136	M	G	0.00	0.00	48.00
0	-1687	-1803	-2163	-2164	M	G	0.00	0.00	48.00
0	438	-1451	-1618	-1536	M	G	0.00	0.00	48.00
0	431	-1841	-1451	438	M	G	0.00	0.00	48.00
0	436	-1763	-1406	429	M	G	0.00	0.00	48.00
0	429	-1406	-1836	-1850	M	G	0.00	0.00	48.00
0	-1802	-1531	430	-1452	M	G	0.00	0.00	48.00
0	-1537	-1572	-1516	437	M	G	0.00	0.00	48.00
0	-1848	-1476	-1508	435	M	G	0.00	0.00	48.00
0	437	-1516	-1565	432	M	G	0.00	0.00	48.00
0	435	-1508	-1726	434	M	G	0.00	0.00	48.00
0	432	-1565	-2181	-2203	M	G	0.00	0.00	48.00
0	434	-1726	-2202	-2204	M	G	0.00	0.00	48.00
0	-1529	429	-1850	-1416	M	G	0.00	0.00	48.00
0	-1530	-1958	-1959	-1415	M	G	0.00	0.00	48.00
0	-1490	-1530	-1415	-1367	M	G	0.00	0.00	48.00
0	-1538	-1490	-1367	-1366	M	G	0.00	0.00	48.00
0	-1525	-1538	-1366	-1365	M	G	0.00	0.00	48.00
0	-1526	-1525	-1365	-1364	M	G	0.00	0.00	48.00
0	-1527	-1526	-1364	-1363	M	G	0.00	0.00	48.00
0	-1528	-1527	-1363	-1427	M	G	0.00	0.00	48.00
0	-1362	436	429	-1529	M	G	0.00	0.00	48.00
0	-1356	-1960	-1958	-1530	M	G	0.00	0.00	48.00
0	-1355	-1356	-1530	-1490	M	G	0.00	0.00	48.00
0	-1352	-1355	-1490	-1538	M	G	0.00	0.00	48.00
0	-1684	-1352	-1538	-1525	M	G	0.00	0.00	48.00
0	-1683	-1684	-1525	-1526	M	G	0.00	0.00	48.00
0	-1682	-1683	-1526	-1527	M	G	0.00	0.00	48.00
0	-1426	-1682	-1527	-1528	M	G	0.00	0.00	48.00
0	-1625	-1687	-2164	-2165	M	G	0.00	0.00	48.00
0	-1624	-1961	-2166	-2167	M	G	0.00	0.00	48.00
0	-1623	-1624	-2167	-2168	M	G	0.00	0.00	48.00
0	-1622	-1623	-2168	-2169	M	G	0.00	0.00	48.00
0	-1621	-1622	-2169	-2170	M	G	0.00	0.00	48.00
0	-1620	-1621	-2170	-2171	M	G	0.00	0.00	48.00
0	-1619	-1620	-2171	-2172	M	G	0.00	0.00	48.00
0	-1417	-1619	-2172	-2173	M	G	0.00	0.00	48.00
0	-1521	435	434	-1660	M	G	0.00	0.00	48.00
0	-1522	-1962	-1963	-1659	M	G	0.00	0.00	48.00
0	-1523	-1522	-1659	-1658	M	G	0.00	0.00	48.00
0	-1524	-1523	-1658	-1657	M	G	0.00	0.00	48.00
0	-1517	-1524	-1657	-1656	M	G	0.00	0.00	48.00
0	-1518	-1517	-1656	-1655	M	G	0.00	0.00	48.00
0	-1519	-1518	-1655	-1654	M	G	0.00	0.00	48.00
0	-1520	-1519	-1654	-1422	M	G	0.00	0.00	48.00
0	-1422	-1654	-2205	-2206	M	G	0.00	0.00	48.00
0	-1654	-1655	-2207	-2205	M	G	0.00	0.00	48.00
0	-1655	-1656	-2208	-2207	M	G	0.00	0.00	48.00
0	-1656	-1657	-2209	-2208	M	G	0.00	0.00	48.00
0	-1657	-1658	-2210	-2209	M	G	0.00	0.00	48.00
0	-1658	-1659	-2211	-2210	M	G	0.00	0.00	48.00
0	-1659	-1963	-2212	-2211	M	G	0.00	0.00	48.00
0	-1653	-1848	435	-1521	M	G	0.00	0.00	48.00
0	-1652	-1965	-1962	-1522	M	G	0.00	0.00	48.00
0	-1651	-1652	-1522	-1523	M	G	0.00	0.00	48.00
0	-1650	-1651	-1523	-1524	M	G	0.00	0.00	48.00
0	-1649	-1650	-1524	-1517	M	G	0.00	0.00	48.00
0	-1648	-1649	-1517	-1518	M	G	0.00	0.00	48.00
0	-1647	-1648	-1518	-1519	M	G	0.00	0.00	48.00
0	-1421	-1647	-1519	-1520	M	G	0.00	0.00	48.00
0	-1424	-1668	-1633	-1419	M	G	0.00	0.00	48.00
0	-1668	-1669	-1634	-1633	M	G	0.00	0.00	48.00
0	-1669	-1670	-1635	-1634	M	G	0.00	0.00	48.00
0	-1670	-1671	-1636	-1635	M	G	0.00	0.00	48.00
0	-1671	-1672	-1637	-1636	M	G	0.00	0.00	48.00
0	-1672	-1673	-1638	-1637	M	G	0.00	0.00	48.00
0	-1673	-1966	-1967	-1638	M	G	0.00	0.00	48.00
0	-1674	441	-1859	-1639	M	G	0.00	0.00	48.00
0	-1419	-1633	-1640	-1420	M	G	0.00	0.00	48.00
0	-1633	-1634	-1641	-1640	M	G	0.00	0.00	48.00
0	-1634	-1635	-1642	-1641	M	G	0.00	0.00	48.00
0	-1635	-1636	-1643	-1642	M	G	0.00	0.00	48.00
0	-1636	-1637	-1644	-1643	M	G	0.00	0.00	48.00

0	-1637	-1638	-1645	-1644	M	G	0.00	0.00	48.00
0	-1638	-1967	-1968	-1645	M	G	0.00	0.00	48.00
0	-1639	-1859	439	-1646	M	G	0.00	0.00	48.00
0	-1416	-1850	-1357	-1895	M	G	0.00	0.00	48.00
0	-1415	-1959	-1969	-1896	M	G	0.00	0.00	48.00
0	-1367	-1415	-1896	-1897	M	G	0.00	0.00	48.00
0	-1366	-1367	-1897	-1898	M	G	0.00	0.00	48.00
0	-1365	-1366	-1898	-1899	M	G	0.00	0.00	48.00
0	-1364	-1365	-1899	-1900	M	G	0.00	0.00	48.00
0	-1363	-1364	-1900	-1901	M	G	0.00	0.00	48.00
0	-1427	-1363	-1901	-1902	M	G	0.00	0.00	48.00
0	-1423	-1661	-1626	-1418	M	G	0.00	0.00	48.00
0	-1661	-1662	-1627	-1626	M	G	0.00	0.00	48.00
0	-1662	-1663	-1628	-1627	M	G	0.00	0.00	48.00
0	-1663	-1664	-1629	-1628	M	G	0.00	0.00	48.00
0	-1664	-1665	-1630	-1629	M	G	0.00	0.00	48.00
0	-1665	-1666	-1631	-1630	M	G	0.00	0.00	48.00
0	-1666	-1970	-1971	-1631	M	G	0.00	0.00	48.00
0	-1667	442	-1863	-1632	M	G	0.00	0.00	48.00
0	-1420	-1640	-1904	-1903	M	G	0.00	0.00	48.00
0	-1640	-1641	-1905	-1904	M	G	0.00	0.00	48.00
0	-1641	-1642	-1906	-1905	M	G	0.00	0.00	48.00
0	-1642	-1643	-1907	-1906	M	G	0.00	0.00	48.00
0	-1643	-1644	-1908	-1907	M	G	0.00	0.00	48.00
0	-1644	-1645	-1909	-1908	M	G	0.00	0.00	48.00
0	-1645	-1968	-1972	-1909	M	G	0.00	0.00	48.00
0	-1646	439	-1874	-1910	M	G	0.00	0.00	48.00
0	-1418	-1626	-1668	-1424	M	G	0.00	0.00	48.00
0	-1626	-1627	-1669	-1668	M	G	0.00	0.00	48.00
0	-1627	-1628	-1670	-1669	M	G	0.00	0.00	48.00
0	-1628	-1629	-1671	-1670	M	G	0.00	0.00	48.00
0	-1629	-1630	-1672	-1671	M	G	0.00	0.00	48.00
0	-1630	-1631	-1673	-1672	M	G	0.00	0.00	48.00
0	-1631	-1971	-1966	-1673	M	G	0.00	0.00	48.00
0	-1660	434	-2204	-2213	M	G	0.00	0.00	48.00
0	-1632	-1863	441	-1674	M	G	0.00	0.00	48.00
0	-1885	-2103	-2107	-1494	M	G	0.00	0.00	48.00
0	-1886	-2104	-2105	-1495	M	G	0.00	0.00	48.00
0	-1887	-1888	-1497	-1496	M	G	0.00	0.00	48.00
0	-1888	-1889	-1700	-1497	M	G	0.00	0.00	48.00
0	-1889	-1890	-1701	-1700	M	G	0.00	0.00	48.00
0	-1890	-1891	-1702	-1701	M	G	0.00	0.00	48.00
0	-1891	-1892	-1703	-1702	M	G	0.00	0.00	48.00
0	-1892	-1893	-1704	-1703	M	G	0.00	0.00	48.00
0	-1893	-1938	-1939	-1704	M	G	0.00	0.00	48.00
0	-1894	-1344	-1537	-1705	M	G	0.00	0.00	48.00
0	-1895	-1357	442	-1667	M	G	0.00	0.00	48.00
0	-1896	-1969	-1970	-1666	M	G	0.00	0.00	48.00
0	-1897	-1896	-1666	-1665	M	G	0.00	0.00	48.00
0	-1898	-1897	-1665	-1664	M	G	0.00	0.00	48.00
0	-1899	-1898	-1664	-1663	M	G	0.00	0.00	48.00
0	-1900	-1899	-1663	-1662	M	G	0.00	0.00	48.00
0	-1901	-1900	-1662	-1661	M	G	0.00	0.00	48.00
0	-1902	-1901	-1661	-1423	M	G	0.00	0.00	48.00
0	-1903	-1904	-1647	-1421	M	G	0.00	0.00	48.00
0	-1904	-1905	-1648	-1647	M	G	0.00	0.00	48.00
0	-1905	-1906	-1649	-1648	M	G	0.00	0.00	48.00
0	-1906	-1907	-1650	-1649	M	G	0.00	0.00	48.00
0	-1907	-1908	-1651	-1650	M	G	0.00	0.00	48.00
0	-1908	-1909	-1652	-1651	M	G	0.00	0.00	48.00
0	-1909	-1972	-1965	-1652	M	G	0.00	0.00	48.00
0	-1910	-1874	-1848	-1653	M	G	0.00	0.00	48.00
0	-1547	-1832	-1465	-2083	M	G	0.00	0.00	48.00
0	-1699	-1831	-1464	-1762	M	G	0.00	0.00	48.00
0	-1974	-1882	-1492	-1973	M	G	0.00	0.00	48.00
0	-1911	-1883	-1493	-1912	M	G	0.00	0.00	48.00
0	-2076	-1715	-1792	-2075	M	G	0.00	0.00	48.00
0	-2078	-1714	-1791	-2077	M	G	0.00	0.00	48.00
0	-2080	-1835	-1468	-2079	M	G	0.00	0.00	48.00
0	-2082	-1834	-1467	-2081	M	G	0.00	0.00	48.00
0	-1913	-1343	-1573	-1914	M	G	0.00	0.00	48.00
0	-1915	-1347	-1559	-1916	M	G	0.00	0.00	48.00
0	-1917	-1698	-1475	-1918	M	G	0.00	0.00	48.00
0	-1919	-1384	-1725	-1920	M	G	0.00	0.00	48.00
0	-1921	-1566	-2179	-2180	M	G	0.00	0.00	48.00
0	-1920	-1725	-1802	-1923	M	G	0.00	0.00	48.00
0	-1924	-1838	-1384	-1919	M	G	0.00	0.00	48.00
0	-1925	-1515	-1566	-1921	M	G	0.00	0.00	48.00
0	-1914	-1573	-1515	-1925	M	G	0.00	0.00	48.00

0	-1926	-1552	-1587	-1927	M	G	0.00	0.00	48.00
0	-1927	-1587	-1580	-1928	M	G	0.00	0.00	48.00
0	-1916	-1559	-1594	-1929	M	G	0.00	0.00	48.00
0	-1930	-1414	-1347	-1915	M	G	0.00	0.00	48.00
0	-1928	-1580	-1343	-1913	M	G	0.00	0.00	48.00
0	-1929	-1594	-1552	-1926	M	G	0.00	0.00	48.00
0	-1931	-1447	-1414	-1930	M	G	0.00	0.00	48.00
0	-1932	-1854	-1447	-1931	M	G	0.00	0.00	48.00
0	-1933	-1601	-2133	-2134	M	G	0.00	0.00	48.00
0	-1934	-1822	-2137	-2138	M	G	0.00	0.00	48.00
0	-1935	-1782	-1387	-1936	M	G	0.00	0.00	48.00
0	-1936	-1387	-1838	-1924	M	G	0.00	0.00	48.00
0	-1937	-1452	-1698	-1917	M	G	0.00	0.00	48.00
0	-1918	-1475	-1894	-1938	M	G	0.00	0.00	48.00
0	-1923	-1802	-1452	-1937	M	G	0.00	0.00	48.00
0	-1939	-1705	-1458	-1940	M	G	0.00	0.00	48.00
0	-1940	-1458	-1745	-1941	M	G	0.00	0.00	48.00
0	-1942	-2069	-2013	-2015	M	G	0.00	0.00	48.00
0	-1938	-1894	-1705	-1939	M	G	0.00	0.00	48.00
0	-1943	-1875	-1477	-1944	M	G	0.00	0.00	48.00
0	-1945	-1707	-1784	-1946	M	G	0.00	0.00	48.00
0	-1947	-1359	-1707	-1945	M	G	0.00	0.00	48.00
0	-1948	-1839	-1359	-1947	M	G	0.00	0.00	48.00
0	-1946	-1784	-1429	-1949	M	G	0.00	0.00	48.00
0	-1950	-1804	-2161	-2162	M	G	0.00	0.00	48.00
0	-1951	-1764	-1405	-1952	M	G	0.00	0.00	48.00
0	-1952	-1405	-1839	-1948	M	G	0.00	0.00	48.00
0	-1949	-1429	-1824	-1953	M	G	0.00	0.00	48.00
0	-1954	-1454	-1875	-1943	M	G	0.00	0.00	48.00
0	-1953	-1824	-1454	-1954	M	G	0.00	0.00	48.00
0	-1944	-1477	-1507	-1955	M	G	0.00	0.00	48.00
0	-1955	-1507	-1727	-1956	M	G	0.00	0.00	48.00
0	-1956	-1727	-2200	-2201	M	G	0.00	0.00	48.00
0	-1958	-1529	-1416	-1959	M	G	0.00	0.00	48.00
0	-1960	-1362	-1529	-1958	M	G	0.00	0.00	48.00
0	-1961	-1625	-2165	-2166	M	G	0.00	0.00	48.00
0	-1962	-1521	-1660	-1963	M	G	0.00	0.00	48.00
0	-1963	-1660	-2213	-2212	M	G	0.00	0.00	48.00
0	-1965	-1653	-1521	-1962	M	G	0.00	0.00	48.00
0	-1966	-1674	-1639	-1967	M	G	0.00	0.00	48.00
0	-1967	-1639	-1646	-1968	M	G	0.00	0.00	48.00
0	-1959	-1416	-1895	-1969	M	G	0.00	0.00	48.00
0	-1970	-1667	-1632	-1971	M	G	0.00	0.00	48.00
0	-1968	-1646	-1910	-1972	M	G	0.00	0.00	48.00
0	-1971	-1632	-1674	-1966	M	G	0.00	0.00	48.00
0	-1969	-1895	-1667	-1970	M	G	0.00	0.00	48.00
0	-1972	-1910	-1653	-1965	M	G	0.00	0.00	48.00
0	-2036	-2037	-1803	-1687	M	G	0.00	0.00	48.00
0	-2020	-2021	-1600	-1539	M	G	0.00	0.00	48.00
0	-1883	-1884	-1842	-1493	M	G	0.00	0.00	48.00
0	-1873	-1943	-1944	-1476	M	G	0.00	0.00	48.00
0	-1833	-2082	-2081	-1466	M	G	0.00	0.00	48.00
0	-1884	-1885	-1494	-1842	M	G	0.00	0.00	48.00
0	-2215	-2217	-2065	-2117	M	G	0.00	0.00	48.00
0	-2194	-2216	-1753	-2119	M	G	0.00	0.00	48.00
0	-2191	-2190	-1755	-2116	M	G	0.00	0.00	48.00
0	-2189	-2188	-1756	-2115	M	G	0.00	0.00	48.00
0	-2220	-2177	-1548	-2071	M	G	0.00	0.00	48.00
0	-2178	-2220	-2071	-1546	M	G	0.00	0.00	48.00
0	-2219	-2203	-1540	-2069	M	G	0.00	0.00	48.00
0	-2182	-2219	-2069	-1942	M	G	0.00	0.00	48.00
0	-2218	-2186	-1758	-2067	M	G	0.00	0.00	48.00
0	-2187	-2218	-2067	-1757	M	G	0.00	0.00	48.00
0	-2217	-2193	-1689	-2065	M	G	0.00	0.00	48.00
0	-2216	-2215	-2117	-1753	M	G	0.00	0.00	48.00
0	-2214	-2197	-1750	-2063	M	G	0.00	0.00	48.00
0	-2198	-2214	-2063	-1749	M	G	0.00	0.00	48.00
0	-2212	-2213	-1681	-1964	M	G	0.00	0.00	48.00
0	-2201	-2200	-1747	-1957	M	G	0.00	0.00	48.00
0	-2180	-2179	-1545	-1922	M	G	0.00	0.00	48.00
0	-2213	-2204	-1686	-1681	M	G	0.00	0.00	48.00
0	-2211	-2212	-1964	-1680	M	G	0.00	0.00	48.00
0	-2210	-2211	-1680	-1679	M	G	0.00	0.00	48.00
0	-2209	-2210	-1679	-1678	M	G	0.00	0.00	48.00
0	-2208	-2209	-1678	-1677	M	G	0.00	0.00	48.00
0	-2207	-2208	-1677	-1676	M	G	0.00	0.00	48.00
0	-2205	-2207	-1676	-1675	M	G	0.00	0.00	48.00
0	-2206	-2205	-1675	-1425	M	G	0.00	0.00	48.00
0	-2204	-2202	-1746	-1686	M	G	0.00	0.00	48.00

0	-2203	-2181	-1544	-1540	M	G	0.00	0.00	48.00
0	-2202	-2201	-1957	-1746	M	G	0.00	0.00	48.00
0	-2200	-2199	-1748	-1747	M	G	0.00	0.00	48.00
0	-2199	-2198	-1749	-1748	M	G	0.00	0.00	48.00
0	-2197	-2196	-1751	-1750	M	G	0.00	0.00	48.00
0	-2196	-2195	-1752	-1751	M	G	0.00	0.00	48.00
0	-2195	-2194	-2119	-1752	M	G	0.00	0.00	48.00
0	-2193	-2192	-1754	-1689	M	G	0.00	0.00	48.00
0	-2192	-2191	-2116	-1754	M	G	0.00	0.00	48.00
0	-2190	-2189	-2115	-1755	M	G	0.00	0.00	48.00
0	-2188	-2187	-1757	-1756	M	G	0.00	0.00	48.00
0	-2186	-2185	-1759	-1758	M	G	0.00	0.00	48.00
0	-2185	-2184	-1760	-1759	M	G	0.00	0.00	48.00
0	-2184	-2183	-1761	-1760	M	G	0.00	0.00	48.00
0	-2183	-2182	-1942	-1761	M	G	0.00	0.00	48.00
0	-2181	-2180	-1922	-1544	M	G	0.00	0.00	48.00
0	-2179	-2178	-1546	-1545	M	G	0.00	0.00	48.00
0	-2177	-2176	-1549	-1548	M	G	0.00	0.00	48.00
0	-2176	-2175	-1550	-1549	M	G	0.00	0.00	48.00
0	-2175	-2174	-1609	-1550	M	G	0.00	0.00	48.00
0	-2154	-2153	-1771	-2094	M	G	0.00	0.00	48.00
0	-2152	-2151	-1772	-2092	M	G	0.00	0.00	48.00
0	-2148	-2147	-1774	-2090	M	G	0.00	0.00	48.00
0	-2146	-2145	-1775	-2088	M	G	0.00	0.00	48.00
0	-2166	-2165	-1362	-1960	M	G	0.00	0.00	48.00
0	-2162	-2161	-1764	-1951	M	G	0.00	0.00	48.00
0	-2138	-2137	-1782	-1935	M	G	0.00	0.00	48.00
0	-2134	-2133	-1854	-1932	M	G	0.00	0.00	48.00
0	-2173	-2172	-1682	-1426	M	G	0.00	0.00	48.00
0	-2172	-2171	-1683	-1682	M	G	0.00	0.00	48.00
0	-2171	-2170	-1684	-1683	M	G	0.00	0.00	48.00
0	-2170	-2169	-1352	-1684	M	G	0.00	0.00	48.00
0	-2169	-2168	-1355	-1352	M	G	0.00	0.00	48.00
0	-2168	-2167	-1356	-1355	M	G	0.00	0.00	48.00
0	-2167	-2166	-1960	-1356	M	G	0.00	0.00	48.00
0	-2165	-2164	436	-1362	M	G	0.00	0.00	48.00
0	-2164	-2163	-1763	436	M	G	0.00	0.00	48.00
0	-2136	-2135	-1841	431	M	G	0.00	0.00	48.00
0	-2163	-2162	-1951	-1763	M	G	0.00	0.00	48.00
0	-2161	-2160	-1765	-1764	M	G	0.00	0.00	48.00
0	-2160	-2159	-1766	-1765	M	G	0.00	0.00	48.00
0	-2159	-2158	-1767	-1766	M	G	0.00	0.00	48.00
0	-2158	-2157	-1768	-1767	M	G	0.00	0.00	48.00
0	-2157	-2156	-1769	-1768	M	G	0.00	0.00	48.00
0	-2156	-2155	-1770	-1769	M	G	0.00	0.00	48.00
0	-2155	-2154	-2094	-1770	M	G	0.00	0.00	48.00
0	-2153	-2152	-2092	-1771	M	G	0.00	0.00	48.00
0	-2151	-2150	-1413	-1772	M	G	0.00	0.00	48.00
0	-2150	-2149	-1773	-1413	M	G	0.00	0.00	48.00
0	-2149	-2148	-2090	-1773	M	G	0.00	0.00	48.00
0	-2147	-2146	-2088	-1774	M	G	0.00	0.00	48.00
0	-2145	-2144	-1776	-1775	M	G	0.00	0.00	48.00
0	-2144	-2143	-1777	-1776	M	G	0.00	0.00	48.00
0	-2143	-2142	-1778	-1777	M	G	0.00	0.00	48.00
0	-2142	-2141	-1779	-1778	M	G	0.00	0.00	48.00
0	-2141	-2140	-1780	-1779	M	G	0.00	0.00	48.00
0	-2140	-2139	-1781	-1780	M	G	0.00	0.00	48.00
0	-2139	-2138	-1935	-1781	M	G	0.00	0.00	48.00
0	-2137	-2136	431	-1782	M	G	0.00	0.00	48.00
0	-2135	-2134	-1932	-1841	M	G	0.00	0.00	48.00
0	-2133	-2132	-1855	-1854	M	G	0.00	0.00	48.00
0	-2132	-2131	-1860	-1855	M	G	0.00	0.00	48.00
0	-2131	-2130	-1541	-1860	M	G	0.00	0.00	48.00
0	-2130	-2129	-1542	-1541	M	G	0.00	0.00	48.00
0	-2129	-2128	-1543	-1542	M	G	0.00	0.00	48.00
0	-2128	-2127	-1608	-1543	M	G	0.00	0.00	48.00
0	-1835	-1412	-1469	-1468	M	G	0.00	0.00	48.00
0	-1412	-1410	-1470	-1469	M	G	0.00	0.00	48.00
0	-1410	-1411	-1471	-1470	M	G	0.00	0.00	48.00
0	-1411	-1688	-1472	-1471	M	G	0.00	0.00	48.00
0	-1688	-1691	-1473	-1472	M	G	0.00	0.00	48.00
0	-1691	-1692	-1474	-1473	M	G	0.00	0.00	48.00
0	-1692	-1917	-1918	-1474	M	G	0.00	0.00	48.00
0	-1698	-1534	433	-1475	M	G	0.00	0.00	48.00
0	442	-1706	-1783	-1863	M	G	0.00	0.00	48.00
0	-1706	-1945	-1946	-1783	M	G	0.00	0.00	48.00
0	-1707	-1708	-1785	-1784	M	G	0.00	0.00	48.00
0	-1708	-1709	-1786	-1785	M	G	0.00	0.00	48.00
0	-1709	-1710	-1787	-1786	M	G	0.00	0.00	48.00

0	-1710	-1711	-1788	-1787	M	G	0.00	0.00	48.00
0	-1711	-1712	-1789	-1788	M	G	0.00	0.00	48.00
0	-1712	-1713	-1790	-1789	M	G	0.00	0.00	48.00
0	-1713	-2078	-2077	-1790	M	G	0.00	0.00	48.00
0	-1714	-2076	-2075	-1791	M	G	0.00	0.00	48.00
0	-1715	-1849	-1535	-1792	M	G	0.00	0.00	48.00
0	-1849	-1716	-1793	-1535	M	G	0.00	0.00	48.00
0	-1349	-1350	-1562	-1561	M	G	0.00	0.00	48.00
0	-1350	-1351	-1563	-1562	M	G	0.00	0.00	48.00
0	-1351	-1353	-1564	-1563	M	G	0.00	0.00	48.00
0	-1353	-1354	-1611	-1564	M	G	0.00	0.00	48.00
0	-1357	-1358	-1706	442	M	G	0.00	0.00	48.00
0	-1358	-1947	-1945	-1706	M	G	0.00	0.00	48.00
0	-1359	-1360	-1708	-1707	M	G	0.00	0.00	48.00
0	-1360	-1361	-1709	-1708	M	G	0.00	0.00	48.00
0	-1361	-1368	-1710	-1709	M	G	0.00	0.00	48.00
0	-1368	-1369	-1711	-1710	M	G	0.00	0.00	48.00
0	-1369	-1370	-1712	-1711	M	G	0.00	0.00	48.00
0	-1370	-1371	-1713	-1712	M	G	0.00	0.00	48.00
0	-1371	-2074	-2078	-1713	M	G	0.00	0.00	48.00
0	-1372	-2073	-2076	-1714	M	G	0.00	0.00	48.00
0	-1373	-1374	-1849	-1715	M	G	0.00	0.00	48.00
0	-1374	-1375	-1716	-1849	M	G	0.00	0.00	48.00
0	-1375	-2072	-2070	-1716	M	G	0.00	0.00	48.00
0	-1376	-2068	-2066	-1717	M	G	0.00	0.00	48.00
0	-1377	-1378	-1719	-1718	M	G	0.00	0.00	48.00
0	-1378	-1379	-1720	-1719	M	G	0.00	0.00	48.00
0	-1379	-1380	-1721	-1720	M	G	0.00	0.00	48.00
0	-1380	-1381	-1722	-1721	M	G	0.00	0.00	48.00
0	-1381	-1382	-1723	-1722	M	G	0.00	0.00	48.00
0	-1382	-1383	-1724	-1723	M	G	0.00	0.00	48.00
0	-1383	-1919	-1920	-1724	M	G	0.00	0.00	48.00
0	-1384	-1385	440	-1725	M	G	0.00	0.00	48.00
0	-1571	-1612	-2174	-2175	M	G	0.00	0.00	48.00
0	-1570	-1571	-2175	-2176	M	G	0.00	0.00	48.00
0	-1569	-1570	-2176	-2177	M	G	0.00	0.00	48.00
0	-2071	-1548	-1981	-1980	M	G	0.00	0.00	48.00
0	-1546	-2071	-1980	-1979	M	G	0.00	0.00	48.00
0	-1566	-1567	-2178	-2179	M	G	0.00	0.00	48.00
0	-1565	-1921	-2180	-2181	M	G	0.00	0.00	48.00
0	-1510	-1509	-1612	-1571	M	G	0.00	0.00	48.00
0	-1511	-1510	-1571	-1570	M	G	0.00	0.00	48.00
0	-1716	-2070	-2064	-1793	M	G	0.00	0.00	48.00
0	-1717	-2066	-2062	-1794	M	G	0.00	0.00	48.00
0	-1718	-1719	-1796	-1795	M	G	0.00	0.00	48.00
0	-1719	-1720	-1797	-1796	M	G	0.00	0.00	48.00
0	-1720	-1721	-1798	-1797	M	G	0.00	0.00	48.00
0	-1721	-1722	-1799	-1798	M	G	0.00	0.00	48.00
0	-1722	-1723	-1800	-1799	M	G	0.00	0.00	48.00
0	-1723	-1724	-1801	-1800	M	G	0.00	0.00	48.00
0	-1724	-1920	-1923	-1801	M	G	0.00	0.00	48.00
0	-1725	440	-1531	-1802	M	G	0.00	0.00	48.00
0	-1838	-1536	-1385	-1384	M	G	0.00	0.00	48.00
0	-1837	-1924	-1919	-1383	M	G	0.00	0.00	48.00
0	-1853	-1837	-1383	-1382	M	G	0.00	0.00	48.00
0	-1852	-1853	-1382	-1381	M	G	0.00	0.00	48.00
0	-1851	-1852	-1381	-1380	M	G	0.00	0.00	48.00
0	-1686	-1746	-1994	-1992	M	G	0.00	0.00	48.00
0	-1746	-1957	-2016	-1994	M	G	0.00	0.00	48.00
0	-1957	-1747	-1995	-2016	M	G	0.00	0.00	48.00
0	-1747	-1748	-1996	-1995	M	G	0.00	0.00	48.00
0	-1748	-1749	-1997	-1996	M	G	0.00	0.00	48.00
0	-1729	-1730	-2214	-2198	M	G	0.00	0.00	48.00
0	-1730	-1731	-2197	-2214	M	G	0.00	0.00	48.00
0	-1750	-1751	-2000	-1999	M	G	0.00	0.00	48.00
0	-1751	-1752	-2001	-2000	M	G	0.00	0.00	48.00
0	-1752	-2119	-2120	-2001	M	G	0.00	0.00	48.00
0	-1734	-2113	-2215	-2216	M	G	0.00	0.00	48.00
0	-1735	-1847	-2193	-2217	M	G	0.00	0.00	48.00
0	-1689	-1754	-2004	-1993	M	G	0.00	0.00	48.00
0	-1754	-2116	-2121	-2004	M	G	0.00	0.00	48.00
0	-1755	-2115	-2122	-2005	M	G	0.00	0.00	48.00
0	-1756	-1757	-2007	-2006	M	G	0.00	0.00	48.00
0	-1739	-1740	-2218	-2187	M	G	0.00	0.00	48.00
0	-1740	-1741	-2186	-2218	M	G	0.00	0.00	48.00
0	-1758	-1759	-2010	-2009	M	G	0.00	0.00	48.00
0	-1759	-1760	-2011	-2010	M	G	0.00	0.00	48.00
0	-1760	-1761	-2012	-2011	M	G	0.00	0.00	48.00
0	-1761	-1942	-2015	-2012	M	G	0.00	0.00	48.00

0	-1941	-1745	-2219	-2182	M	G	0.00	0.00	48.00
0	-1745	432	-2203	-2219	M	G	0.00	0.00	48.00
0	-1540	-1544	-1977	-1976	M	G	0.00	0.00	48.00
0	-1544	-1922	-2014	-1977	M	G	0.00	0.00	48.00
0	-1922	-1545	-1978	-2014	M	G	0.00	0.00	48.00
0	-1545	-1546	-1979	-1978	M	G	0.00	0.00	48.00
0	-1567	-1568	-2220	-2178	M	G	0.00	0.00	48.00
0	-1568	-1569	-2177	-2220	M	G	0.00	0.00	48.00
0	-1548	-1549	-1982	-1981	M	G	0.00	0.00	48.00
0	-1549	-1550	-1983	-1982	M	G	0.00	0.00	48.00
0	-1550	-1609	-1984	-1983	M	G	0.00	0.00	48.00
0	-1425	-1675	-1985	-1975	M	G	0.00	0.00	48.00
0	-1675	-1676	-1986	-1985	M	G	0.00	0.00	48.00
0	-1676	-1677	-1987	-1986	M	G	0.00	0.00	48.00
0	-1677	-1678	-1988	-1987	M	G	0.00	0.00	48.00
0	-1678	-1679	-1989	-1988	M	G	0.00	0.00	48.00
0	-1679	-1680	-1990	-1989	M	G	0.00	0.00	48.00
0	-1680	-1964	-2017	-1990	M	G	0.00	0.00	48.00
0	-1964	-1681	-1991	-2017	M	G	0.00	0.00	48.00
0	-1681	-1686	-1992	-1991	M	G	0.00	0.00	48.00
0	-2018	-2029	-1619	-1417	M	G	0.00	0.00	48.00
0	-2029	-2030	-1620	-1619	M	G	0.00	0.00	48.00
0	-2030	-2031	-1621	-1620	M	G	0.00	0.00	48.00
0	-2031	-2032	-1622	-1621	M	G	0.00	0.00	48.00
0	-2032	-2033	-1623	-1622	M	G	0.00	0.00	48.00
0	-2033	-2034	-1624	-1623	M	G	0.00	0.00	48.00
0	-2034	-2060	-1961	-1624	M	G	0.00	0.00	48.00
0	-2060	-2035	-1625	-1961	M	G	0.00	0.00	48.00
0	-2035	-2036	-1687	-1625	M	G	0.00	0.00	48.00
0	-2037	-2059	-1950	-1803	M	G	0.00	0.00	48.00
0	-2059	-2038	-1804	-1950	M	G	0.00	0.00	48.00
0	-2038	-2039	-1805	-1804	M	G	0.00	0.00	48.00
0	-2039	-2040	-1806	-1805	M	G	0.00	0.00	48.00
0	-2040	-2041	-1807	-1806	M	G	0.00	0.00	48.00
0	-2041	-2042	-1808	-1807	M	G	0.00	0.00	48.00
0	-2042	-2043	-1809	-1808	M	G	0.00	0.00	48.00
0	-2043	-2044	-1810	-1809	M	G	0.00	0.00	48.00
0	-2044	-2123	-2093	-1810	M	G	0.00	0.00	48.00
0	-2045	-2124	-2091	-1811	M	G	0.00	0.00	48.00
0	-2046	-2019	-1533	-1812	M	G	0.00	0.00	48.00
0	-2019	-2047	-1813	-1533	M	G	0.00	0.00	48.00
0	-2047	-2125	-2089	-1813	M	G	0.00	0.00	48.00
0	-2048	-2126	-2087	-1814	M	G	0.00	0.00	48.00
0	-2049	-2050	-1816	-1815	M	G	0.00	0.00	48.00
0	-2050	-2051	-1817	-1816	M	G	0.00	0.00	48.00
0	-2051	-2052	-1818	-1817	M	G	0.00	0.00	48.00
0	-2052	-2053	-1819	-1818	M	G	0.00	0.00	48.00
0	-2053	-2054	-1820	-1819	M	G	0.00	0.00	48.00
0	-2054	-2055	-1821	-1820	M	G	0.00	0.00	48.00
0	-2055	-2058	-1934	-1821	M	G	0.00	0.00	48.00
0	-2058	-2056	-1822	-1934	M	G	0.00	0.00	48.00
0	-2056	-2020	-1539	-1822	M	G	0.00	0.00	48.00
0	-2021	-2057	-1933	-1600	M	G	0.00	0.00	48.00
0	-2057	-2022	-1601	-1933	M	G	0.00	0.00	48.00
0	-2022	-2023	-1602	-1601	M	G	0.00	0.00	48.00
0	-2023	-2024	-1603	-1602	M	G	0.00	0.00	48.00
0	-2024	-2025	-1604	-1603	M	G	0.00	0.00	48.00
0	-2025	-2026	-1605	-1604	M	G	0.00	0.00	48.00
0	-2026	-2027	-1606	-1605	M	G	0.00	0.00	48.00
0	-2027	-2028	-1617	-1606	M	G	0.00	0.00	48.00
0	-2074	-1372	-1714	-2078	M	G	0.00	0.00	48.00
0	-2073	-1373	-1715	-2076	M	G	0.00	0.00	48.00
0	-2072	-1376	-1717	-2070	M	G	0.00	0.00	48.00
0	-2068	-1377	-1718	-2066	M	G	0.00	0.00	48.00
0	-2070	-1717	-1794	-2064	M	G	0.00	0.00	48.00
0	-2066	-1718	-1795	-2062	M	G	0.00	0.00	48.00
0	-2061	-1695	-1377	-2068	M	G	0.00	0.00	48.00
0	-2084	-1694	-1376	-2072	M	G	0.00	0.00	48.00
0	-2085	-1866	-1373	-2073	M	G	0.00	0.00	48.00
0	-2086	-1865	-1372	-2074	M	G	0.00	0.00	48.00
0	-2087	-1815	-2145	-2146	M	G	0.00	0.00	48.00
0	-2089	-1814	-2147	-2148	M	G	0.00	0.00	48.00
0	-2091	-1812	-2151	-2152	M	G	0.00	0.00	48.00
0	-2093	-1811	-2153	-2154	M	G	0.00	0.00	48.00
0	-2088	-1775	-1394	-2095	M	G	0.00	0.00	48.00
0	-2090	-1774	-1395	-2096	M	G	0.00	0.00	48.00
0	-2092	-1772	-1397	-2097	M	G	0.00	0.00	48.00
0	-2094	-1771	-1398	-2098	M	G	0.00	0.00	48.00
0	-2095	-1394	-1695	-2061	M	G	0.00	0.00	48.00

0	-2096	-1395	-1694	-2084	M	G	0.00	0.00	48.00
0	-2097	-1397	-1866	-2085	M	G	0.00	0.00	48.00
0	-2098	-1398	-1865	-2086	M	G	0.00	0.00	48.00
0	-2099	-1436	-1831	-1699	M	G	0.00	0.00	48.00
0	-2100	-1438	-1832	-1547	M	G	0.00	0.00	48.00
0	-2101	-1441	-1834	-2082	M	G	0.00	0.00	48.00
0	-2102	-1442	-1835	-2080	M	G	0.00	0.00	48.00
0	-1762	-1464	-1882	-1974	M	G	0.00	0.00	48.00
0	-2083	-1465	-1883	-1911	M	G	0.00	0.00	48.00
0	-2081	-1467	-1886	-2103	M	G	0.00	0.00	48.00
0	-2079	-1468	-1887	-2104	M	G	0.00	0.00	48.00
0	-2077	-1791	-1436	-2099	M	G	0.00	0.00	48.00
0	-2075	-1792	-1438	-2100	M	G	0.00	0.00	48.00
0	-2064	-1794	-1441	-2101	M	G	0.00	0.00	48.00
0	-2062	-1795	-1442	-2102	M	G	0.00	0.00	48.00
0	-2105	-1496	-1488	-2106	M	G	0.00	0.00	48.00
0	-2107	-1495	-1489	-2108	M	G	0.00	0.00	48.00
0	-1912	-1493	-1499	-2109	M	G	0.00	0.00	48.00
0	-1973	-1492	-1500	-2110	M	G	0.00	0.00	48.00
0	-2106	-1488	-1738	-2111	M	G	0.00	0.00	48.00
0	-2108	-1489	-1737	-2112	M	G	0.00	0.00	48.00
0	-2109	-1499	-1735	-2113	M	G	0.00	0.00	48.00
0	-2110	-1500	-1734	-2114	M	G	0.00	0.00	48.00
0	-2111	-1738	-2188	-2189	M	G	0.00	0.00	48.00
0	-2112	-1737	-2190	-2191	M	G	0.00	0.00	48.00
0	-2117	-2065	-2003	-2118	M	G	0.00	0.00	48.00
0	-2114	-1734	-2216	-2194	M	G	0.00	0.00	48.00
0	-2103	-1886	-1495	-2107	M	G	0.00	0.00	48.00
0	-2104	-1887	-1496	-2105	M	G	0.00	0.00	48.00
0	-2119	-1753	-2002	-2120	M	G	0.00	0.00	48.00
0	-2113	-1735	-2217	-2215	M	G	0.00	0.00	48.00
0	-2116	-1755	-2005	-2121	M	G	0.00	0.00	48.00
0	-2115	-1756	-2006	-2122	M	G	0.00	0.00	48.00
0	-2123	-2045	-1811	-2093	M	G	0.00	0.00	48.00
0	-2124	-2046	-1812	-2091	M	G	0.00	0.00	48.00
0	-2125	-2048	-1814	-2089	M	G	0.00	0.00	48.00
0	-2126	-2049	-1815	-2087	M	G	0.00	0.00	48.00
306	-517	-515	-882	-925	M	G	0.00	0.00	48.00
306	-501	-499	-537	301	M	G	0.00	0.00	48.00
306	-533	-531	-1225	-1270	M	G	0.00	0.00	48.00
306	-507	-505	-661	-704	M	G	0.00	0.00	48.00
306	-499	-497	-535	-537	M	G	0.00	0.00	48.00
306	-509	-507	-704	-749	M	G	0.00	0.00	48.00
306	-511	-509	-749	-794	M	G	0.00	0.00	48.00
306	-515	-513	-837	-882	M	G	0.00	0.00	48.00
306	-521	-519	-970	-1013	M	G	0.00	0.00	48.00
306	-513	-511	-794	-837	M	G	0.00	0.00	48.00
306	-529	-527	-1146	320	M	G	0.00	0.00	48.00
306	-525	-523	-1058	-1103	M	G	0.00	0.00	48.00
306	-531	-529	320	-1225	M	G	0.00	0.00	48.00
306	-503	-501	301	-618	M	G	0.00	0.00	48.00
306	-519	-517	-925	-970	M	G	0.00	0.00	48.00
306	-523	-521	-1013	-1058	M	G	0.00	0.00	48.00
306	-527	-525	-1103	-1146	M	G	0.00	0.00	48.00
306	-505	-503	-618	-661	M	G	0.00	0.00	48.00
307	-510	-508	-748	-793	M	G	0.00	0.00	48.00
307	-516	-514	-881	-924	M	G	0.00	0.00	48.00
307	-506	-504	-660	-703	M	G	0.00	0.00	48.00
307	-532	-530	328	-1269	M	G	0.00	0.00	48.00
307	-502	-500	-581	309	M	G	0.00	0.00	48.00
307	-512	-510	-793	-836	M	G	0.00	0.00	48.00
307	-526	-524	-1102	-1145	M	G	0.00	0.00	48.00
307	-518	-516	-924	-969	M	G	0.00	0.00	48.00
307	-508	-506	-703	-748	M	G	0.00	0.00	48.00
307	-500	-498	-536	-581	M	G	0.00	0.00	48.00
307	-514	-512	-836	-881	M	G	0.00	0.00	48.00
307	-534	-532	-1269	-1271	M	G	0.00	0.00	48.00
307	-528	-526	-1145	-1188	M	G	0.00	0.00	48.00
307	-504	-502	309	-660	M	G	0.00	0.00	48.00
307	-530	-528	-1188	328	M	G	0.00	0.00	48.00
307	-522	-520	-1012	-1057	M	G	0.00	0.00	48.00
307	-524	-522	-1057	-1102	M	G	0.00	0.00	48.00
307	-520	-518	-969	-1012	M	G	0.00	0.00	48.00

Analisi dei carichi da vento

Ponte

Calcolo delle azioni del vento

Normativa di riferimento:
Norme tecniche per le costruzioni D.M. 14 gennaio 2008 e Circolare 2 febbraio 2009, n. 617 del Ministero delle Infrastrutture e dei Trasporti

Area di ubicazione dell'edificio: Area 3
Toscana, Marche, Umbria, Lazio, Abruzzo, Molise, Puglia, Campania, Basilicata, Calabria(esclusa la Provincia di Reggio Calabria)

Tempo di ritorno 50 <anni>

Altitudine sul livello del mare: 147 <m>

Altezza dell'edificio: 3 <m>

Parametri derivati dall'area di ubicazione (tab. 3.3.I):
Vb,0 (Velocità media del vento): 27 <m/sec>
a0 (Altitudine media): 500 <m>
Ka: 0.020 <1/sec>

Velocità di riferimento: 27.00 <m/sec>

Classificazione della costruzione: Pianta rettangolare con coperture piane, a falde, inclinate o curve

Categoria di esposizione del sito: II

Parametri derivati dalla categoria di esposizione del sito (tab. 3.3.II):
kr: 0.19 <m>
z0: 0.05 <m>
zmin: 4 <m>

Classe di rugosità del terreno: D
Aree prive di ostacoli (aperta campagna, aeroporti, aree agricole, pascoli zone paludose o sabbiose, superfici innevate o ghiacciate, mari, laghi, ...)

Angolo alfa: 0.0 <grad>

Pressione del vento = qb*ce*cp*cd
qb (Pressione cinetica di riferimento): 45.56 <daN/mq>
ct (Coefficiente topografico): 1.00
ce (Coefficiente di esposizione): 1.80
cd (Coefficiente dinamico): 1.00

Tipologia di superficie:
Una parete con aperture di superficie minore di 1/3 di quella totale

Coefficiente di forma o aerodinamico interno cpi: 0.20
Coefficienti di forma o aerodinamici esterni cpe:
sopravento: 0.80 sopravento su falda: -0.40 sottovento su falda: -0.40 sottovento: -0.40

Pressione interna: 16.41 <daN/mq>
Pressioni esterne:
sopravento: 65.63 <daN/mq> sopravento su falda: -32.81 <daN/mq> sottovento su falda: -32.81 <daN/mq> sottovento: -32.81 <daN/mq>

Analisi dei carichi da neve

Ponte d'Arbia
Calcolo delle azioni della neve

Normativa di riferimento:
Norme tecniche per le costruzioni D.M. 14 gennaio 2008 e Circolare 2 febbraio 2009, n. 617 del Ministero delle Infrastrutture e dei Trasporti

Area di ubicazione dell'edificio: Area 3
Agrigento, Avellino, Benevento, Brindisi, Cagliari, Caltanisetta, Carbonia-Iglesias, Caserta, Catania, Catanzaro, Cosenza, Crotone, Enna, Frosinone, Grosseto, L 'Aquila, Latina, Lecce, Livorno, Matera, Medio Campidano, Messina, Napoli, Nuoro, Ogliastra, Olbia Tempio, Oristano, Palermo, Pisa, Potenza, Ragusa, Reggio Calabria, Rieti, Roma, Salerno, Sassari, Siena, Siracusa, Taranto, Terni, Trapani, Vibo Valentia, Viterbo

Altitudine sul livello del mare: 147 <m>

Tipologia di copertura: Ad una falda
Barriera o parapetto presente

Pressione della neve ps = μ1*qsk*Ce*Ct

Parametri d'input ed intermedi:
Categoria del coefficiente d'esposizione: Normale

Ce (Coefficiente d'esposizione): 1.0
Ct (Coefficiente termico): 1.0
Angolo d'inclinazione della falda: 0.0 <grad>
μ1 (Coefficiente di forma della copertura): 0.80

Carichi agenti:
qsk (Valore di riferimento del carico neve al suolo): 60.00 <daN/mq>
qss (Carico provocato dalla neve sulle coperture): 48.00 <daN/mq>

Risultati del calcolo

Parametri di calcolo

La modellazione della struttura e la rielaborazione dei risultati del calcolo sono stati effettuati con:
ModeSt ver. 8.12, prodotto da Tecnisoft s.a.s. - Prato

La struttura è stata calcolata utilizzando come solutore agli elementi finiti:
Xfinest ver. 2016, prodotto da Ce.A.S. S.r.l. - Milano

Tipo di normativa: stati limite D.M. 08
Tipo di calcolo: analisi sismica dinamica
Vincoli esterni: Considera sempre vincoli assegnati in modellazione
Schematizzazione piani rigidi: metodo Master-Slave
Modalità di recupero masse secondarie: trasferire all'impalcato più vicino con modifica XY baricentro

Generazione combinazioni

- Lineari: si
- Valuta spostamenti e non sollecitazioni: no
- Buckling: no

Opzioni di calcolo

- Sono state considerate infinitamente rigide le zone di connessione fra travi, pilastri ed elementi bidimensionali con una riduzione del 20%
- Calcolo con offset rigidi dai nodi: no
- Uniformare i carichi variabili: no
- Massimizzare i carichi variabili: no
- Minimo carico da considerare: 0.00 <daN/m>
- Recupero carichi zone rigide: taglio e momento flettente
- Modalità di combinazione momento torcente: disaccoppiare le azioni

Opzioni del solutore

- Tipo di elemento bidimensionale: QF46
- Calcolo sforzo nei nodi: No
- Trascura deformabilità a taglio delle aste: No
- Analisi dinamica con metodo di Lanczos: Sì
- Check sequenza di Sturm: Sì
- Soluzione matrice con metodo ver. 5.1: No
- Analisi non lineare con Newton modificato: No
- Usa formulazione secante per buckling: No
- Trascura buckling torsionale: No

Dati struttura

- Zona sismica: zona 2
- Sito di costruzione: Via del Magistrato, 194, 53014 Ponte D'arbia SI, Italia LON. 11.46250 LAT. 43.16360
  Contenuto tra ID reticolo: 22725 22726 22947 22948

Simbologia
TCC = Tipo di combinazione di carico
SLU = Stato limite ultimo
SLU S = Stato limite ultimo (azione sismica)
SLE R = Stato limite d'esercizio, combinazione rara
SLE F = Stato limite d'esercizio, combinazione frequente
SLE Q = Stato limite d'esercizio, combinazione quasi permanente
SLD = Stato limite di danno
SLV = Stato limite di salvaguardia della vita
SLC = Stato limite di prevenzione del collasso
SLO = Stato limite di operatività
SLU I = Stato limite di resistenza al fuoco
T_R = Periodo di ritorno <anni>
Ag = Accelerazione orizzontale massima al sito
FO = Valore massimo del fattore di amplificazione dello spettro in accelerazione orizzontale
TC* = Periodo di inizio del tratto a velocità costante dello spettro in accelerazione orizzontale <sec>
S_S = Coefficiente di amplificazione stratigrafica
C_C = Coefficiente funzione della categoria del suolo

TCC	T_R	Ag <g>	FO	TC*	S_S	C_C

SLD	75	0.0716	2.51	0.26	1.50	1.64
SLV	712	0.1605	2.51	0.28	1.46	1.60

- Edificio esistente: no
- Tipo di opera: Opera ordinaria
- Vita nominale V_N: 50.00
- Classe d'uso: Classe III
- SL Esercizio: SLO-Pvr no, SLD-Pvr 63.00
- SL Ultimi: SLV-Pvr 10.00, SLC-Pvr no
- Classe di duttilità: Classe B
- Quota di riferimento: 0.00 <m>
- Altezza della struttura: 4.70 <m>
- Numero piani edificio: 2
- Coefficiente θ: 0.00
- Edificio regolare in altezza: no
- Edificio regolare in pianta: si
- Forze orizzontali convenzionali per stati limite non sismici: 1.00%
- Genera stati limite per verifiche di resistenza al fuoco: no

Dati di piano

Simbologia
Imp. = Numero dell'impalcato
Lx = Dimensione del piano in dir. X
Ly = Dimensione del piano in dir. Y
Ex = Eccentricità in dir. X
Ey = Eccentricità in dir. Y
Ea = Eccentricità complessiva

Imp.	Lx <m>	Ly <m>	Ex <m>	Ey <m>	Ea <m>
1	15.40	4.50	0.77	0.23	0.80
2	15.40	4.50	0.77	0.23	0.80

Dati di calcolo

- Categoria del suolo di fondazione: C
- Tipologia edificio: c.a. o prefabbricato a telaio a più piani e più campate

Coeff. C_1: 0.075
Periodo T_1: 0.23941
Coeff. λ SLD: 1.00
Coeff. λ SLV: 1.00
Rapporto di sovraresistenza (α_u/α_1): 1.30
Valore di riferimento del fattore di struttura (q_0): 1.00
Fattore riduttivo (K_w): 1.00
Fattore riduttivo regolarità in altezza (KR): 0.80
Fattore di struttura (q): 1.00

- Categoria topografica: T1 - Superficie pianeggiante, pendii e rilievi isolati con inclinazione media i<=15°
- Coeff. amplificazione topografica S_T: 1.00
- Fattore di struttura per sisma verticale (qv): 1.00
- Modalità di calcolo modi di vibrare: Autovalori
- Numero modi: 6
- Modi da considerare: Tali da movimentare una percentuale di massa pari a 85.00%
- Trascura modi con massa movimentata minore di: no
- Smorzamento spettro: 5.00%

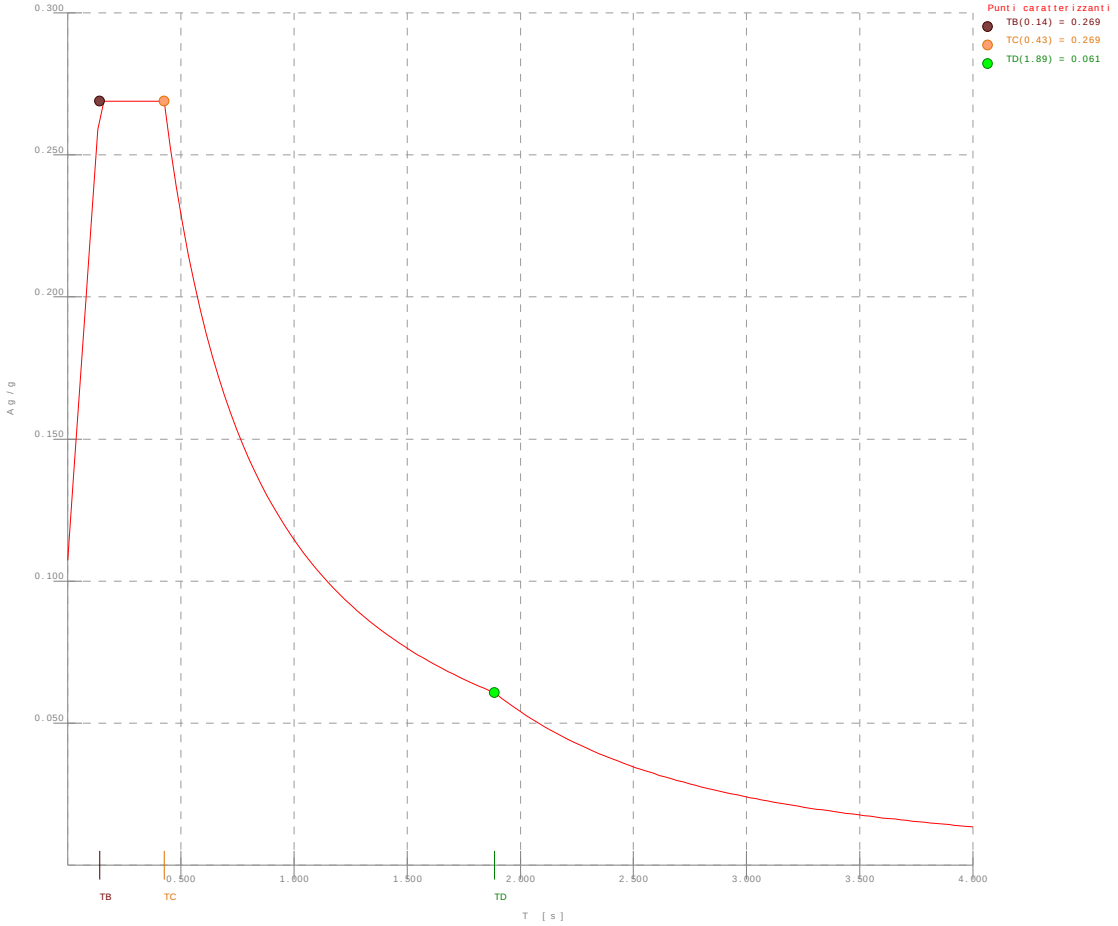


Figura numero 1: Spettro SLD

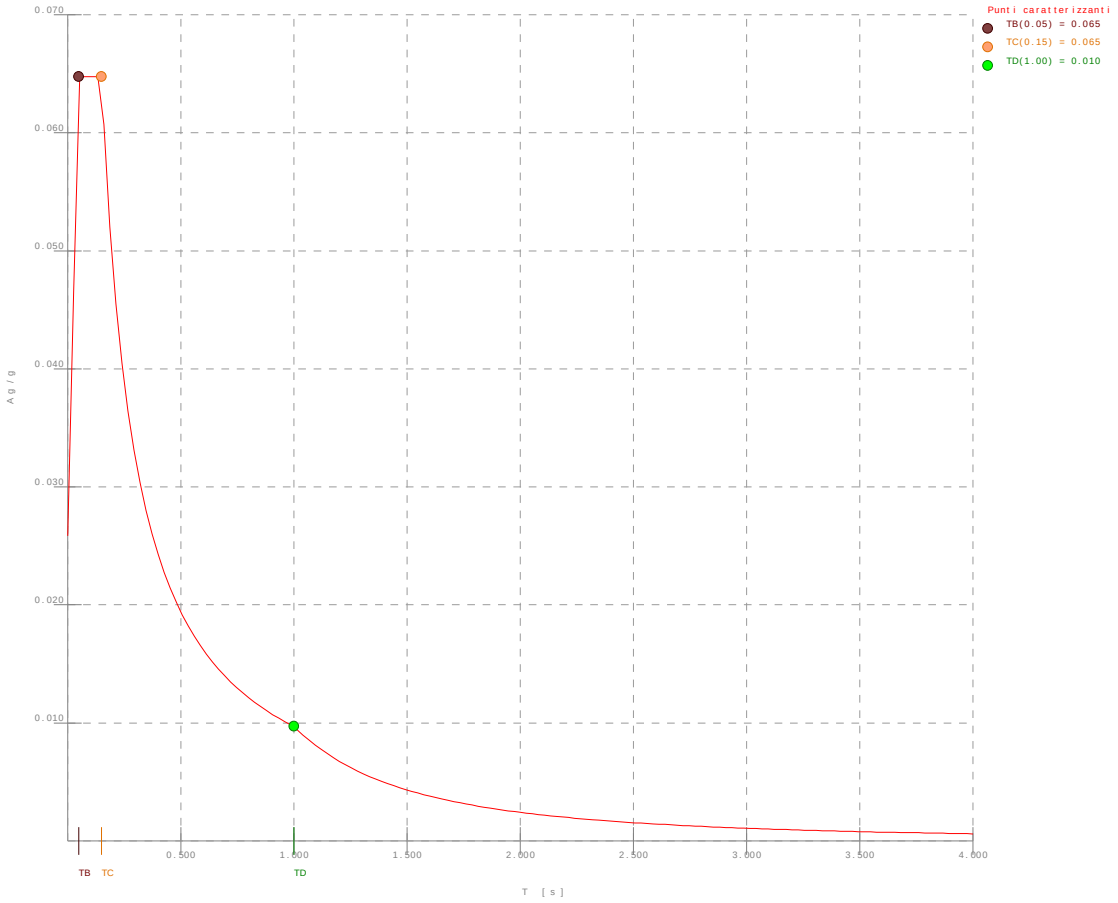


Figura numero 2: Spettro SLD Z

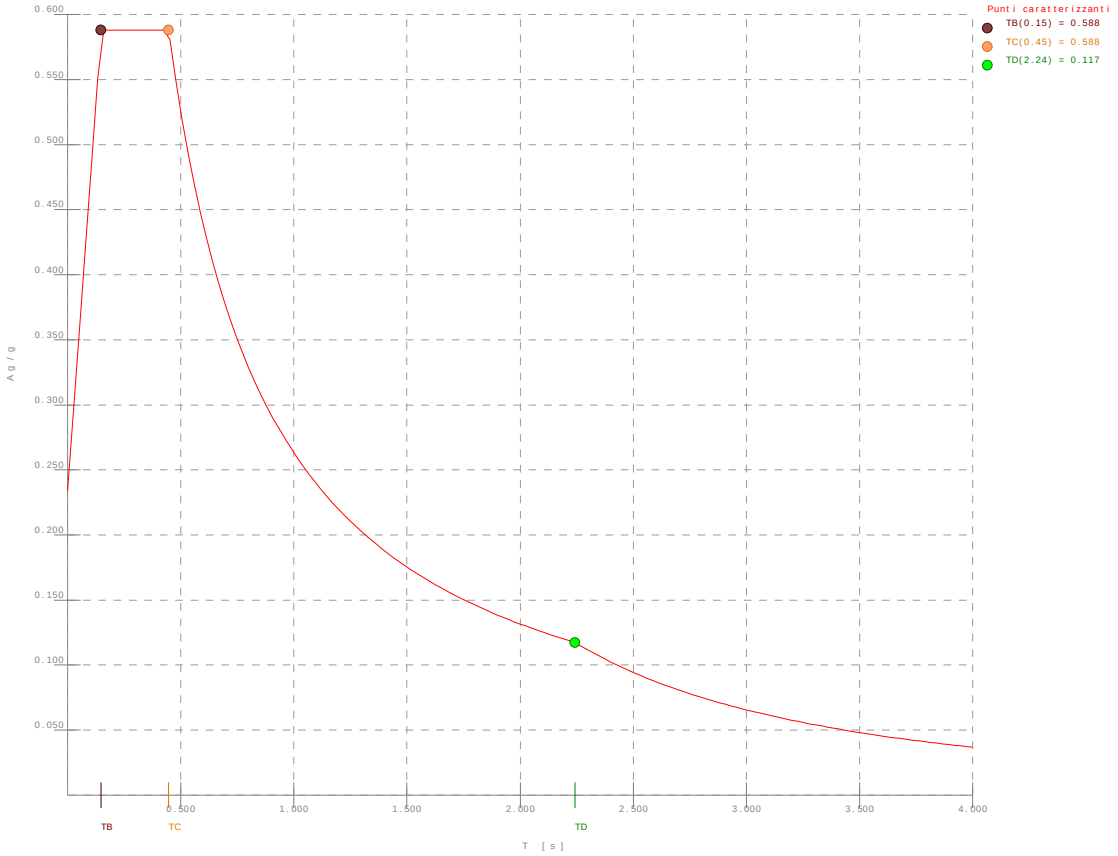


Figura numero 3: Spettro SLV

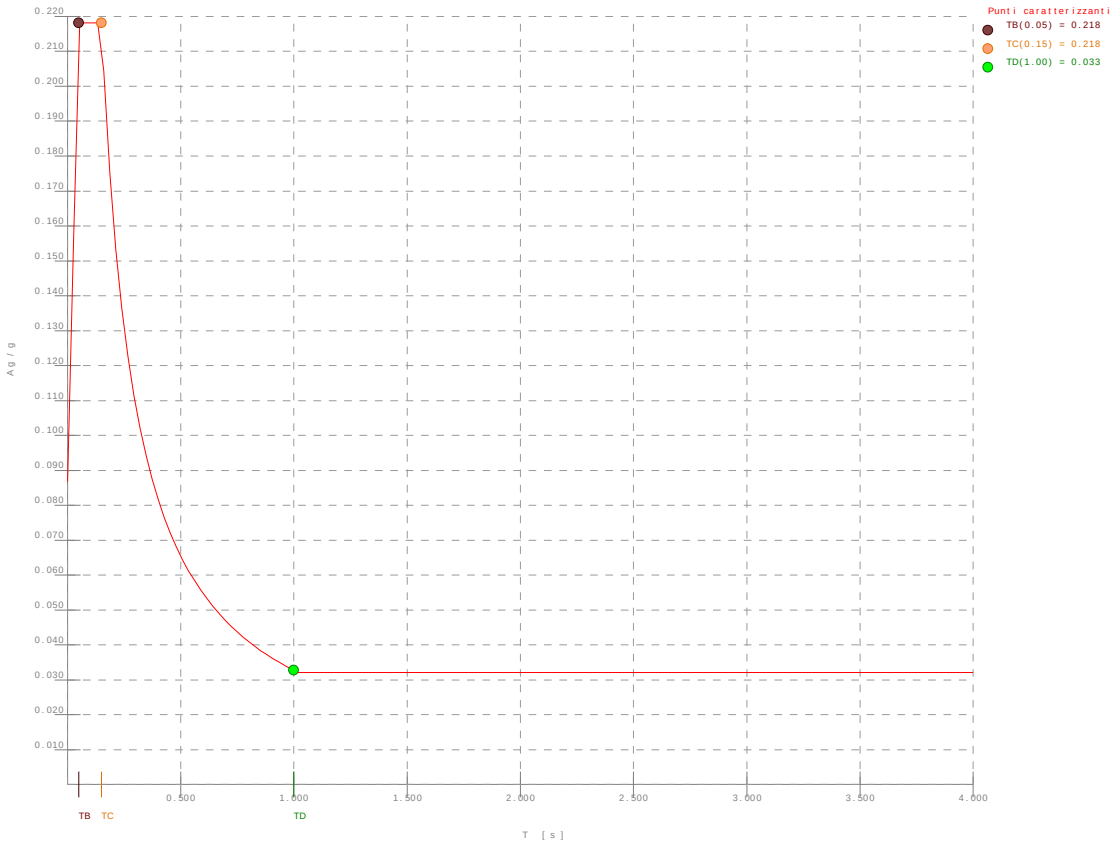


Figura numero 4: Spettro SLV Z

- Angolo di ingresso del sisma: 0.00 <grad>

Condizioni di carico elementari

Simbologia

CCE = Numero della condizione di carico elementare
Comm. = Commento
Mx = Moltiplicatore della massa in dir. X
My = Moltiplicatore della massa in dir. Y
Mz = Moltiplicatore della massa in dir. Z
Jpx = Moltiplicatore del momento d'inerzia intorno all'asse X
Jpy = Moltiplicatore del momento d'inerzia intorno all'asse Y
Jpz = Moltiplicatore del momento d'inerzia intorno all'asse Z
Tipo CCE = Tipo di CCE per calcolo agli stati limite
Sicurezza = Contributo alla sicurezza
F = a favore
S = a sfavore
A = ambigua
Variabilità = Tipo di variabilità
B = di base
I = indipendente
A = ambigua

CCE	Comm.	Mx	My	Mz	Jpx	Jpy	Jpz	Tipo CCE	Sicurezza	Variabilità
1	G1	1.00	1.00	1.00	0.00	0.00	1.00	20	S	--
2	G2 + terreno	1.00	1.00	1.00	0.00	0.00	1.00	21	S	--
3	Schema 1 q1tandem mezz	1.00	1.00	0.00	0.00	0.00	1.00	22	S	B
4	Schema 1 q1tandem dx	1.00	1.00	0.00	0.00	0.00	1.00	22	S	B
5	Schema 1 q1tandem sx	1.00	1.00	0.00	0.00	0.00	1.00	22	S	B
6	Schema 1 q1dist	1.00	1.00	0.00	0.00	0.00	1.00	23	S	B
7	Schema 2 q1tandem mezz	1.00	1.00	0.00	0.00	0.00	1.00	24	S	B
8	Schema 2 q1tandem dx	1.00	1.00	0.00	0.00	0.00	1.00	24	S	B
9	Schema 2 q1tandem sx	1.00	1.00	0.00	0.00	0.00	1.00	24	S	B
10	Schema 2 q1dis mezz	1.00	1.00	0.00	0.00	0.00	1.00	24	S	B
11	Schema 2 q3 tandem mezz	1.00	1.00	0.00	0.00	0.00	1.00	24	S	B
12	Schema 2 q3 tandemdx	1.00	1.00	0.00	0.00	0.00	1.00	24	S	B
13	Schema 2 q3 tandem sx	1.00	1.00	0.00	0.00	0.00	1.00	24	S	B
14	Schema 1 q1dist	1.00	1.00	0.00	0.00	0.00	1.00	23	S	B
15	q var neve	1.00	1.00	0.00	0.00	0.00	1.00	25	S	B
16	q8 Veicolo in svio	1.00	1.00	0.00	0.00	0.00	1.00	28	S	B
17	Ecc - Onda di Piena	1.00	1.00	0.00	0.00	0.00	1.00	28	S	B

Elenco tipi cce definiti

Simbologia

Tipo CCE = Tipo condizione di carico elementare
Comm. = Commento
Tipo = Tipologia
G = Permanente
Q = Variabile
I = Da ignorare
A = Azione eccezionale
P = Precompressione
Durata = Durata del carico
N = Non definita
P = Permanente
L = Lunga
M = Media
B = Breve
I = Istantanea
γ min. = Coeff. $\gamma_{min.}$
γ max = Coeff. γ_{max}
ψ_0 = Coeff. ψ_0
ψ_1 = Coeff. ψ_1
ψ_2 = Coeff. ψ_2
$\psi_{0,s}$ = Coeff. ψ_0 sismico (D.M. 96)

Tipo CCE	Comm.	Tipo	Durata	γ min.	γ max	ψ_0	ψ_1	ψ_2	$\psi_{0,s}$
24	DM 08 PONTI Var S2	Q	N	0.00	1.35	0.00	0.75	0.00	0.00
20	DM 08 PONTI Permanenti	G	N	1.00	1.35				
21	DM 08 PONTI Perm non strutt	G	N	0.00	1.50				
22	DM 08 PONTI Variabili S1 Tandem	Q	N	0.00	1.35	0.75	0.75	0.00	0.00
23	DM 08 PONTI Var S1,5 e 6 Distr	Q	N	0.00	1.35	0.40	0.40	0.00	0.00
25	DM 08 PONTI Neve SLU-SLE	Q	N	0.00	1.50	0.00	0.00	0.00	0.00
28	DM 08 PONTI Eccezionali schema 2	Q	N	0.00	1.35	0.00	0.75	0.00	0.00

Ambienti di carico

Simbologia

N Numero
Comm. Commento
1 G1
2 G2 + terreno
3 Schema 1 q1tandem mezz
4 Schema 1 q1tandem dx
5 Schema 1 q1tandem sx
6 Schema 1 q1dist
7 Schema 2 q1tandem mezz
8 Schema 2 q1tandem dx
9 Schema 2 q1tandem sx
10 Schema 2 q1dis mezz
11 Schema 2 q3 tandem mezz
12 Schema 2 q3 tandemdx
13 Schema 2 q3 tandem sx
14 Schema 1 q1dist
15 q var neve
16 q8 Veicolo in svio
17 Ecc - Onda di Piena
F azioni orizzontali convenzionali
SLU Stato limite ultimo
SLR Stato limite per combinazioni rare
SLF Stato limite per combinazioni frequenti
SLQ\D Stato limite per combinazioni quasi permanenti o di danno

N	Comm.	1	2	3	4	5	6	7	8	9	10	11	12	13	14	15	16	17	F	S	SLU	SLR	SLF	SLQ
1	Calcolo sismico	si	si	si	si	si	si	si	si	si	si	si	si	si	si	si	si	si	no	si	si	no	no	no
2	Calcolo statico	si	si	si	si	si	si	si	si	si	si	si	si	si	si	si	si	si	si	no	si	si	si	si

Elenco combinazioni di carico simboliche

Simbologia
CC = Numero della combinazione delle condizioni di carico elementari
Comm. = Commento
TCC = Tipo di combinazione di carico
SLU = Stato limite ultimo
SLU S = Stato limite ultimo (azione sismica)
SLE R = Stato limite d'esercizio, combinazione rara
SLE F = Stato limite d'esercizio, combinazione frequente
SLE Q = Stato limite d'esercizio, combinazione quasi permanente
SLD = Stato limite di danno
SLV = Stato limite di salvaguardia della vita
SLC = Stato limite di prevenzione del collasso
SLO = Stato limite di operatività
SLU I = Stato limite di resistenza al fuoco

CC	Comm.	TCC	1	2	3	4	5	6	7	8	9	10	11	12	13	14	15	16	17	F	S
1	Amb. 1 (Sisma)	SLU S	1	1	ψ_2	ψ_2	ψ_2	ψ_2	ψ_2	ψ_2	ψ_2	ψ_2	ψ_2	ψ_2	ψ_2	ψ_2	ψ_2	ψ_2	ψ_2	-----	1
2	Amb. 2 (SLU)	SLU	γ max	γ max	γ max	γ max	γ max	γ max	γ max	γ max	γ max	γ max	γ max	γ max	γ max	γ max	γ max	γ max	γ max	1	-----
3	Amb. 2 (SLE R)	SLE R	1	1	1	1	1	1	1	1	1	1	1	1	1	1	1	1	1	1	-----
4	Amb. 2 (SLE F)	SLE F	1	1	ψ_1	ψ_1	ψ_1	ψ_1	ψ_1	ψ_1	ψ_1	ψ_1	ψ_1	ψ_1	ψ_1	ψ_1	ψ_1	ψ_1	ψ_1	1	-----
5	Amb. 2 (SLE Q)	SLE Q	1	1	ψ_2	ψ_2	ψ_2	ψ_2	ψ_2	ψ_2	ψ_2	ψ_2	ψ_2	ψ_2	ψ_2	ψ_2	ψ_2	ψ_2	ψ_2	1	-----

Genera le combinazioni con un solo carico di tipo variabile come di base: no

Considera sollecitazioni dinamiche con segno dei modi principali: no

Combinazioni delle cce

Simbologia
CC = Numero della combinazione delle condizioni di carico elementari
Comm. = Commento
TCC = Tipo di combinazione di carico
SLU = Stato limite ultimo
SLU S = Stato limite ultimo (azione sismica)
SLE R = Stato limite d'esercizio, combinazione rara
SLE F = Stato limite d'esercizio, combinazione frequente
SLE Q = Stato limite d'esercizio, combinazione quasi permanente
SLD = Stato limite di danno
SLV = Stato limite di salvaguardia della vita
SLC = Stato limite di prevenzione del collasso
SLO = Stato limite di operatività
SLU I = Stato limite di resistenza al fuoco
An. = Tipo di analisi
L = Lineare
NL = Non lineare
Bk = Buckling
S = Si
N = No

CC	Comm.	TCC	An.	Bk	1	2	3	4	5	6	7	8	9	10	11	12	13	14	15	16	17	F X	F Y	Mt	±S X

1	CC 1 - Amb. 1 (SLU S) S Mt+X+0.3Y+0.3Z	SLV	L	N	1.00	1.00	0.00	0.00	0.00	0.00	0.00	0.00	0.00	0.00	0.00	0.00	0.00	0.00	0.00	0.00	0.00	0.00	1.00	1.00
2	CC 2 - Amb. 1 (SLE) S Mt+X+0.3Y+0.3Z	SLD	L	N	1.00	1.00	0.00	0.00	0.00	0.00	0.00	0.00	0.00	0.00	0.00	0.00	0.00	0.00	0.00	0.00	0.00	0.00	1.00	1.00
3	CC 1 - Amb. 1 (SLU S) S Mt+X+0.3Y-0.3Z	SLV	L	N	1.00	1.00	0.00	0.00	0.00	0.00	0.00	0.00	0.00	0.00	0.00	0.00	0.00	0.00	0.00	0.00	0.00	0.00	1.00	1.00
4	CC 2 - Amb. 1 (SLE) S Mt+X+0.3Y-0.3Z	SLD	L	N	1.00	1.00	0.00	0.00	0.00	0.00	0.00	0.00	0.00	0.00	0.00	0.00	0.00	0.00	0.00	0.00	0.00	0.00	1.00	1.00
5	CC 3 - Amb. 1 (SLU S) S Mt+X-0.3Y+0.3Z	SLV	L	N	1.00	1.00	0.00	0.00	0.00	0.00	0.00	0.00	0.00	0.00	0.00	0.00	0.00	0.00	0.00	0.00	0.00	0.00	1.00	1.00
6	CC 4 - Amb. 1 (SLE) S Mt+X-0.3Y+0.3Z	SLD	L	N	1.00	1.00	0.00	0.00	0.00	0.00	0.00	0.00	0.00	0.00	0.00	0.00	0.00	0.00	0.00	0.00	0.00	0.00	1.00	1.00
7	CC 3 - Amb. 1 (SLU S) S Mt+X-0.3Y-0.3Z	SLV	L	N	1.00	1.00	0.00	0.00	0.00	0.00	0.00	0.00	0.00	0.00	0.00	0.00	0.00	0.00	0.00	0.00	0.00	0.00	1.00	1.00
8	CC 4 - Amb. 1 (SLE) S Mt+X-0.3Y-0.3Z	SLD	L	N	1.00	1.00	0.00	0.00	0.00	0.00	0.00	0.00	0.00	0.00	0.00	0.00	0.00	0.00	0.00	0.00	0.00	0.00	1.00	1.00
9	CC 5 - Amb. 1 (SLU S) S Mt-X+0.3Y+0.3Z	SLV	L	N	1.00	1.00	0.00	0.00	0.00	0.00	0.00	0.00	0.00	0.00	0.00	0.00	0.00	0.00	0.00	0.00	0.00	0.00	1.00	-1.00
10	CC 6 - Amb. 1 (SLE) S Mt-X+0.3Y+0.3Z	SLD	L	N	1.00	1.00	0.00	0.00	0.00	0.00	0.00	0.00	0.00	0.00	0.00	0.00	0.00	0.00	0.00	0.00	0.00	0.00	1.00	-1.00
11	CC 5 - Amb. 1 (SLU S) S Mt-X+0.3Y-0.3Z	SLV	L	N	1.00	1.00	0.00	0.00	0.00	0.00	0.00	0.00	0.00	0.00	0.00	0.00	0.00	0.00	0.00	0.00	0.00	0.00	1.00	-1.00
12	CC 6 - Amb. 1 (SLE) S Mt-X+0.3Y-0.3Z	SLD	L	N	1.00	1.00	0.00	0.00	0.00	0.00	0.00	0.00	0.00	0.00	0.00	0.00	0.00	0.00	0.00	0.00	0.00	0.00	1.00	-1.00
13	CC 7 - Amb. 1 (SLU S) S Mt-X-0.3Y+0.3Z	SLV	L	N	1.00	1.00	0.00	0.00	0.00	0.00	0.00	0.00	0.00	0.00	0.00	0.00	0.00	0.00	0.00	0.00	0.00	0.00	1.00	-1.00
14	CC 8 - Amb. 1 (SLE) S Mt-X-0.3Y+0.3Z	SLD	L	N	1.00	1.00	0.00	0.00	0.00	0.00	0.00	0.00	0.00	0.00	0.00	0.00	0.00	0.00	0.00	0.00	0.00	0.00	1.00	-1.00
15	CC 7 - Amb. 1 (SLU S) S Mt-X-0.3Y-0.3Z	SLV	L	N	1.00	1.00	0.00	0.00	0.00	0.00	0.00	0.00	0.00	0.00	0.00	0.00	0.00	0.00	0.00	0.00	0.00	0.00	1.00	-1.00
16	CC 8 - Amb. 1 (SLE) S Mt-X-0.3Y-0.3Z	SLD	L	N	1.00	1.00	0.00	0.00	0.00	0.00	0.00	0.00	0.00	0.00	0.00	0.00	0.00	0.00	0.00	0.00	0.00	0.00	1.00	-1.00
17	CC 9 - Amb. 1 (SLU S) S Mt+0.3X+Y+0.3Z	SLV	L	N	1.00	1.00	0.00	0.00	0.00	0.00	0.00	0.00	0.00	0.00	0.00	0.00	0.00	0.00	0.00	0.00	0.00	0.00	1.00	0.30
18	CC 10 - Amb. 1 (SLE) S Mt+0.3X+Y+0.3Z	SLD	L	N	1.00	1.00	0.00	0.00	0.00	0.00	0.00	0.00	0.00	0.00	0.00	0.00	0.00	0.00	0.00	0.00	0.00	0.00	1.00	0.30
19	CC 9 - Amb. 1 (SLU S) S Mt+0.3X+Y-0.3Z	SLV	L	N	1.00	1.00	0.00	0.00	0.00	0.00	0.00	0.00	0.00	0.00	0.00	0.00	0.00	0.00	0.00	0.00	0.00	0.00	1.00	0.30
20	CC 10 - Amb. 1 (SLE) S Mt+0.3X+Y-0.3Z	SLD	L	N	1.00	1.00	0.00	0.00	0.00	0.00	0.00	0.00	0.00	0.00	0.00	0.00	0.00	0.00	0.00	0.00	0.00	0.00	1.00	0.30
21	CC 11 - Amb. 1 (SLU S) S Mt-0.3X+Y+0.3Z	SLV	L	N	1.00	1.00	0.00	0.00	0.00	0.00	0.00	0.00	0.00	0.00	0.00	0.00	0.00	0.00	0.00	0.00	0.00	0.00	1.00	-0.30
22	CC 12 - Amb. 1 (SLE) S Mt-0.3X+Y+0.3Z	SLD	L	N	1.00	1.00	0.00	0.00	0.00	0.00	0.00	0.00	0.00	0.00	0.00	0.00	0.00	0.00	0.00	0.00	0.00	0.00	1.00	-0.30
23	CC 11 - Amb. 1 (SLU S) S Mt-0.3X+Y-0.3Z	SLV	L	N	1.00	1.00	0.00	0.00	0.00	0.00	0.00	0.00	0.00	0.00	0.00	0.00	0.00	0.00	0.00	0.00	0.00	0.00	1.00	-0.30
24	CC 12 - Amb. 1 (SLE) S Mt-0.3X+Y-0.3Z	SLD	L	N	1.00	1.00	0.00	0.00	0.00	0.00	0.00	0.00	0.00	0.00	0.00	0.00	0.00	0.00	0.00	0.00	0.00	0.00	1.00	-0.30
25	CC 13 - Amb. 1 (SLU S) S Mt+0.3X-Y+0.3Z	SLV	L	N	1.00	1.00	0.00	0.00	0.00	0.00	0.00	0.00	0.00	0.00	0.00	0.00	0.00	0.00	0.00	0.00	0.00	0.00	1.00	0.30
26	CC 14 - Amb. 1 (SLE) S Mt+0.3X-Y+0.3Z	SLD	L	N	1.00	1.00	0.00	0.00	0.00	0.00	0.00	0.00	0.00	0.00	0.00	0.00	0.00	0.00	0.00	0.00	0.00	0.00	1.00	0.30
27	CC 13 - Amb. 1 (SLU S) S Mt+0.3X-Y-0.3Z	SLV	L	N	1.00	1.00	0.00	0.00	0.00	0.00	0.00	0.00	0.00	0.00	0.00	0.00	0.00	0.00	0.00	0.00	0.00	0.00	1.00	0.30
28	CC 14 - Amb. 1 (SLE) S Mt+0.3X-Y-0.3Z	SLD	L	N	1.00	1.00	0.00	0.00	0.00	0.00	0.00	0.00	0.00	0.00	0.00	0.00	0.00	0.00	0.00	0.00	0.00	0.00	1.00	0.30
29	CC 15 - Amb. 1 (SLU S) S Mt-0.3X-Y+0.3Z	SLV	L	N	1.00	1.00	0.00	0.00	0.00	0.00	0.00	0.00	0.00	0.00	0.00	0.00	0.00	0.00	0.00	0.00	0.00	0.00	1.00	-0.30
30	CC 16 - Amb. 1 (SLE) S Mt-0.3X-Y+0.3Z	SLD	L	N	1.00	1.00	0.00	0.00	0.00	0.00	0.00	0.00	0.00	0.00	0.00	0.00	0.00	0.00	0.00	0.00	0.00	0.00	1.00	-0.30
31	CC 15 - Amb. 1 (SLU S) S Mt-0.3X-Y-0.3Z	SLV	L	N	1.00	1.00	0.00	0.00	0.00	0.00	0.00	0.00	0.00	0.00	0.00	0.00	0.00	0.00	0.00	0.00	0.00	0.00	1.00	-0.30
32	CC 16 - Amb. 1 (SLE) S Mt-0.3X-Y-0.3Z	SLD	L	N	1.00	1.00	0.00	0.00	0.00	0.00	0.00	0.00	0.00	0.00	0.00	0.00	0.00	0.00	0.00	0.00	0.00	0.00	1.00	-0.30
33	CC 1 - Amb. 1 (SLU S) S Mt+0.3X+0.3Y+Z	SLV	L	N	1.00	1.00	0.00	0.00	0.00	0.00	0.00	0.00	0.00	0.00	0.00	0.00	0.00	0.00	0.00	0.00	0.00	0.00	1.00	0.30
34	CC 2 - Amb. 1 (SLE) S Mt+0.3X+0.3Y+Z	SLD	L	N	1.00	1.00	0.00	0.00	0.00	0.00	0.00	0.00	0.00	0.00	0.00	0.00	0.00	0.00	0.00	0.00	0.00	0.00	1.00	0.30
35	CC 1 - Amb. 1 (SLU S) S Mt+0.3X-0.3Y+Z	SLV	L	N	1.00	1.00	0.00	0.00	0.00	0.00	0.00	0.00	0.00	0.00	0.00	0.00	0.00	0.00	0.00	0.00	0.00	0.00	1.00	0.30
36	CC 2 - Amb. 1 (SLE) S Mt+0.3X-0.3Y+Z	SLD	L	N	1.00	1.00	0.00	0.00	0.00	0.00	0.00	0.00	0.00	0.00	0.00	0.00	0.00	0.00	0.00	0.00	0.00	0.00	1.00	0.30

37	CC 3 - Amb. 1 (SLU S) S Mt-0.3X-0.3Y+Z	SLV	L	N	1.00	1.00	0.00	0.00	0.00	0.00	0.00	0.00	0.00	0.00	0.00	0.00	0.00	0.00	0.00	0.00	0.00	0.00	1.00	-0.30
38	CC 4 - Amb. 1 (SLE) S Mt-0.3X-0.3Y+Z	SLD	L	N	1.00	1.00	0.00	0.00	0.00	0.00	0.00	0.00	0.00	0.00	0.00	0.00	0.00	0.00	0.00	0.00	0.00	0.00	1.00	-0.30
39	CC 3 - Amb. 1 (SLU S) S Mt-0.3X+0.3Y+Z	SLV	L	N	1.00	1.00	0.00	0.00	0.00	0.00	0.00	0.00	0.00	0.00	0.00	0.00	0.00	0.00	0.00	0.00	0.00	0.00	1.00	-0.30
40	CC 4 - Amb. 1 (SLE) S Mt-0.3X+0.3Y+Z	SLD	L	N	1.00	1.00	0.00	0.00	0.00	0.00	0.00	0.00	0.00	0.00	0.00	0.00	0.00	0.00	0.00	0.00	0.00	0.00	1.00	-0.30
41	CC 1 - Amb. 1 (SLU S) S Mt+0.3X+0.3Y-Z	SLV	L	N	1.00	1.00	0.00	0.00	0.00	0.00	0.00	0.00	0.00	0.00	0.00	0.00	0.00	0.00	0.00	0.00	0.00	0.00	1.00	0.30
42	CC 2 - Amb. 1 (SLE) S Mt+0.3X+0.3Y-Z	SLD	L	N	1.00	1.00	0.00	0.00	0.00	0.00	0.00	0.00	0.00	0.00	0.00	0.00	0.00	0.00	0.00	0.00	0.00	0.00	1.00	0.30
43	CC 1 - Amb. 1 (SLU S) S Mt+0.3X-0.3Y-Z	SLV	L	N	1.00	1.00	0.00	0.00	0.00	0.00	0.00	0.00	0.00	0.00	0.00	0.00	0.00	0.00	0.00	0.00	0.00	0.00	1.00	0.30
44	CC 2 - Amb. 1 (SLE) S Mt+0.3X-0.3Y-Z	SLD	L	N	1.00	1.00	0.00	0.00	0.00	0.00	0.00	0.00	0.00	0.00	0.00	0.00	0.00	0.00	0.00	0.00	0.00	0.00	1.00	0.30
45	CC 3 - Amb. 1 (SLU S) S Mt-0.3X-0.3Y-Z	SLV	L	N	1.00	1.00	0.00	0.00	0.00	0.00	0.00	0.00	0.00	0.00	0.00	0.00	0.00	0.00	0.00	0.00	0.00	0.00	1.00	-0.30
46	CC 4 - Amb. 1 (SLE) S Mt-0.3X-0.3Y-Z	SLD	L	N	1.00	1.00	0.00	0.00	0.00	0.00	0.00	0.00	0.00	0.00	0.00	0.00	0.00	0.00	0.00	0.00	0.00	0.00	1.00	-0.30
47	CC 3 - Amb. 1 (SLU S) S Mt-0.3X+0.3Y-Z	SLV	L	N	1.00	1.00	0.00	0.00	0.00	0.00	0.00	0.00	0.00	0.00	0.00	0.00	0.00	0.00	0.00	0.00	0.00	0.00	1.00	-0.30
48	CC 4 - Amb. 1 (SLE) S Mt-0.3X+0.3Y-Z	SLD	L	N	1.00	1.00	0.00	0.00	0.00	0.00	0.00	0.00	0.00	0.00	0.00	0.00	0.00	0.00	0.00	0.00	0.00	0.00	1.00	-0.30
49	CC 17 - Amb. 1 (SLU S) S -Mt+X+0.3Y+0.3Z	SLV	L	N	1.00	1.00	0.00	0.00	0.00	0.00	0.00	0.00	0.00	0.00	0.00	0.00	0.00	0.00	0.00	0.00	0.00	0.00	-1.00	1.00
50	CC 18 - Amb. 1 (SLE) S -Mt+X+0.3Y+0.3Z	SLD	L	N	1.00	1.00	0.00	0.00	0.00	0.00	0.00	0.00	0.00	0.00	0.00	0.00	0.00	0.00	0.00	0.00	0.00	0.00	-1.00	1.00
51	CC 17 - Amb. 1 (SLU S) S -Mt+X+0.3Y-0.3Z	SLV	L	N	1.00	1.00	0.00	0.00	0.00	0.00	0.00	0.00	0.00	0.00	0.00	0.00	0.00	0.00	0.00	0.00	0.00	0.00	-1.00	1.00
52	CC 18 - Amb. 1 (SLE) S -Mt+X+0.3Y-0.3Z	SLD	L	N	1.00	1.00	0.00	0.00	0.00	0.00	0.00	0.00	0.00	0.00	0.00	0.00	0.00	0.00	0.00	0.00	0.00	0.00	-1.00	1.00
53	CC 19 - Amb. 1 (SLU S) S -Mt+X-0.3Y+0.3Z	SLV	L	N	1.00	1.00	0.00	0.00	0.00	0.00	0.00	0.00	0.00	0.00	0.00	0.00	0.00	0.00	0.00	0.00	0.00	0.00	-1.00	1.00
54	CC 20 - Amb. 1 (SLE) S -Mt+X-0.3Y+0.3Z	SLD	L	N	1.00	1.00	0.00	0.00	0.00	0.00	0.00	0.00	0.00	0.00	0.00	0.00	0.00	0.00	0.00	0.00	0.00	0.00	-1.00	1.00
55	CC 19 - Amb. 1 (SLU S) S -Mt+X-0.3Y-0.3Z	SLV	L	N	1.00	1.00	0.00	0.00	0.00	0.00	0.00	0.00	0.00	0.00	0.00	0.00	0.00	0.00	0.00	0.00	0.00	0.00	-1.00	1.00
56	CC 20 - Amb. 1 (SLE) S -Mt+X-0.3Y-0.3Z	SLD	L	N	1.00	1.00	0.00	0.00	0.00	0.00	0.00	0.00	0.00	0.00	0.00	0.00	0.00	0.00	0.00	0.00	0.00	0.00	-1.00	1.00
57	CC 21 - Amb. 1 (SLU S) S -Mt-X+0.3Y+0.3Z	SLV	L	N	1.00	1.00	0.00	0.00	0.00	0.00	0.00	0.00	0.00	0.00	0.00	0.00	0.00	0.00	0.00	0.00	0.00	0.00	-1.00	-1.00
58	CC 22 - Amb. 1 (SLE) S -Mt-X+0.3Y+0.3Z	SLD	L	N	1.00	1.00	0.00	0.00	0.00	0.00	0.00	0.00	0.00	0.00	0.00	0.00	0.00	0.00	0.00	0.00	0.00	0.00	-1.00	-1.00
59	CC 21 - Amb. 1 (SLU S) S -Mt-X+0.3Y-0.3Z	SLV	L	N	1.00	1.00	0.00	0.00	0.00	0.00	0.00	0.00	0.00	0.00	0.00	0.00	0.00	0.00	0.00	0.00	0.00	0.00	-1.00	-1.00
60	CC 22 - Amb. 1 (SLE) S -Mt-X+0.3Y-0.3Z	SLD	L	N	1.00	1.00	0.00	0.00	0.00	0.00	0.00	0.00	0.00	0.00	0.00	0.00	0.00	0.00	0.00	0.00	0.00	0.00	-1.00	-1.00
61	CC 23 - Amb. 1 (SLU S) S -Mt-X-0.3Y+0.3Z	SLV	L	N	1.00	1.00	0.00	0.00	0.00	0.00	0.00	0.00	0.00	0.00	0.00	0.00	0.00	0.00	0.00	0.00	0.00	0.00	-1.00	-1.00
62	CC 24 - Amb. 1 (SLE) S -Mt-X-0.3Y+0.3Z	SLD	L	N	1.00	1.00	0.00	0.00	0.00	0.00	0.00	0.00	0.00	0.00	0.00	0.00	0.00	0.00	0.00	0.00	0.00	0.00	-1.00	-1.00
63	CC 23 - Amb. 1 (SLU S) S -Mt-X-0.3Y-0.3Z	SLV	L	N	1.00	1.00	0.00	0.00	0.00	0.00	0.00	0.00	0.00	0.00	0.00	0.00	0.00	0.00	0.00	0.00	0.00	0.00	-1.00	-1.00
64	CC 24 - Amb. 1 (SLE) S -Mt-X-0.3Y-0.3Z	SLD	L	N	1.00	1.00	0.00	0.00	0.00	0.00	0.00	0.00	0.00	0.00	0.00	0.00	0.00	0.00	0.00	0.00	0.00	0.00	-1.00	-1.00
65	CC 25 - Amb. 1 (SLU S) S -Mt+0.3X+Y+0.3Z	SLV	L	N	1.00	1.00	0.00	0.00	0.00	0.00	0.00	0.00	0.00	0.00	0.00	0.00	0.00	0.00	0.00	0.00	0.00	0.00	-1.00	0.30
66	CC 26 - Amb. 1 (SLE) S -Mt+0.3X+Y+0.3Z	SLD	L	N	1.00	1.00	0.00	0.00	0.00	0.00	0.00	0.00	0.00	0.00	0.00	0.00	0.00	0.00	0.00	0.00	0.00	0.00	-1.00	0.30
67	CC 25 - Amb. 1 (SLU S) S -Mt+0.3X+Y-0.3Z	SLV	L	N	1.00	1.00	0.00	0.00	0.00	0.00	0.00	0.00	0.00	0.00	0.00	0.00	0.00	0.00	0.00	0.00	0.00	0.00	-1.00	0.30
68	CC 26 - Amb. 1 (SLE) S -Mt+0.3X+Y-0.3Z	SLD	L	N	1.00	1.00	0.00	0.00	0.00	0.00	0.00	0.00	0.00	0.00	0.00	0.00	0.00	0.00	0.00	0.00	0.00	0.00	-1.00	0.30
69	CC 27 - Amb. 1 (SLU S) S -Mt-0.3X+Y+0.3Z	SLV	L	N	1.00	1.00	0.00	0.00	0.00	0.00	0.00	0.00	0.00	0.00	0.00	0.00	0.00	0.00	0.00	0.00	0.00	0.00	-1.00	-0.30
70	CC 28 - Amb. 1 (SLE) S -Mt-0.3X+Y+0.3Z	SLD	L	N	1.00	1.00	0.00	0.00	0.00	0.00	0.00	0.00	0.00	0.00	0.00	0.00	0.00	0.00	0.00	0.00	0.00	0.00	-1.00	-0.30
71	CC 27 - Amb. 1 (SLU S) S -Mt-0.3X+Y-0.3Z	SLV	L	N	1.00	1.00	0.00	0.00	0.00	0.00	0.00	0.00	0.00	0.00	0.00	0.00	0.00	0.00	0.00	0.00	0.00	0.00	-1.00	-0.30
72	CC 28 - Amb. 1 (SLE) S -Mt-0.3X+Y-0.3Z	SLD	L	N	1.00	1.00	0.00	0.00	0.00	0.00	0.00	0.00	0.00	0.00	0.00	0.00	0.00	0.00	0.00	0.00	0.00	0.00	-1.00	-0.30

73	CC 29 - Amb. 1 (SLU S) S -Mt+0.3X-Y+0.3Z	SLV	L	N	1.00	1.00	0.00	0.00	0.00	0.00	0.00	0.00	0.00	0.00	0.00	0.00	0.00	0.00	0.00	0.00	0.00	0.00	-1.00	0.30
74	CC 30 - Amb. 1 (SLE) S -Mt+0.3X-Y+0.3Z	SLD	L	N	1.00	1.00	0.00	0.00	0.00	0.00	0.00	0.00	0.00	0.00	0.00	0.00	0.00	0.00	0.00	0.00	0.00	0.00	-1.00	0.30
75	CC 29 - Amb. 1 (SLU S) S -Mt+0.3X-Y-0.3Z	SLV	L	N	1.00	1.00	0.00	0.00	0.00	0.00	0.00	0.00	0.00	0.00	0.00	0.00	0.00	0.00	0.00	0.00	0.00	0.00	-1.00	0.30
76	CC 30 - Amb. 1 (SLE) S -Mt+0.3X-Y-0.3Z	SLD	L	N	1.00	1.00	0.00	0.00	0.00	0.00	0.00	0.00	0.00	0.00	0.00	0.00	0.00	0.00	0.00	0.00	0.00	0.00	-1.00	0.30
77	CC 31 - Amb. 1 (SLU S) S -Mt-0.3X-Y+0.3Z	SLV	L	N	1.00	1.00	0.00	0.00	0.00	0.00	0.00	0.00	0.00	0.00	0.00	0.00	0.00	0.00	0.00	0.00	0.00	0.00	-1.00	-0.30
78	CC 32 - Amb. 1 (SLE) S -Mt-0.3X-Y+0.3Z	SLD	L	N	1.00	1.00	0.00	0.00	0.00	0.00	0.00	0.00	0.00	0.00	0.00	0.00	0.00	0.00	0.00	0.00	0.00	0.00	-1.00	-0.30
79	CC 31 - Amb. 1 (SLU S) S -Mt-0.3X-Y-0.3Z	SLV	L	N	1.00	1.00	0.00	0.00	0.00	0.00	0.00	0.00	0.00	0.00	0.00	0.00	0.00	0.00	0.00	0.00	0.00	0.00	-1.00	-0.30
80	CC 32 - Amb. 1 (SLE) S -Mt-0.3X-Y-0.3Z	SLD	L	N	1.00	1.00	0.00	0.00	0.00	0.00	0.00	0.00	0.00	0.00	0.00	0.00	0.00	0.00	0.00	0.00	0.00	0.00	-1.00	-0.30
81	CC 1 - Amb. 1 (SLU S) S -Mt+0.3X+0.3Y+Z	SLV	L	N	1.00	1.00	0.00	0.00	0.00	0.00	0.00	0.00	0.00	0.00	0.00	0.00	0.00	0.00	0.00	0.00	0.00	0.00	1.00	0.30
82	CC 2 - Amb. 1 (SLE) S -Mt+0.3X+0.3Y+Z	SLD	L	N	1.00	1.00	0.00	0.00	0.00	0.00	0.00	0.00	0.00	0.00	0.00	0.00	0.00	0.00	0.00	0.00	0.00	0.00	1.00	0.30
83	CC 1 - Amb. 1 (SLU S) S -Mt+0.3X-0.3Y+Z	SLV	L	N	1.00	1.00	0.00	0.00	0.00	0.00	0.00	0.00	0.00	0.00	0.00	0.00	0.00	0.00	0.00	0.00	0.00	0.00	1.00	0.30
84	CC 2 - Amb. 1 (SLE) S -Mt+0.3X-0.3Y+Z	SLD	L	N	1.00	1.00	0.00	0.00	0.00	0.00	0.00	0.00	0.00	0.00	0.00	0.00	0.00	0.00	0.00	0.00	0.00	0.00	1.00	0.30
85	CC 3 - Amb. 1 (SLU S) S -Mt-0.3X-0.3Y+Z	SLV	L	N	1.00	1.00	0.00	0.00	0.00	0.00	0.00	0.00	0.00	0.00	0.00	0.00	0.00	0.00	0.00	0.00	0.00	0.00	1.00	-0.30
86	CC 4 - Amb. 1 (SLE) S -Mt-0.3X-0.3Y+Z	SLD	L	N	1.00	1.00	0.00	0.00	0.00	0.00	0.00	0.00	0.00	0.00	0.00	0.00	0.00	0.00	0.00	0.00	0.00	0.00	1.00	-0.30
87	CC 3 - Amb. 1 (SLU S) S -Mt-0.3X+0.3Y+Z	SLV	L	N	1.00	1.00	0.00	0.00	0.00	0.00	0.00	0.00	0.00	0.00	0.00	0.00	0.00	0.00	0.00	0.00	0.00	0.00	1.00	-0.30
88	CC 4 - Amb. 1 (SLE) S -Mt-0.3X+0.3Y+Z	SLD	L	N	1.00	1.00	0.00	0.00	0.00	0.00	0.00	0.00	0.00	0.00	0.00	0.00	0.00	0.00	0.00	0.00	0.00	0.00	1.00	-0.30
89	CC 1 - Amb. 1 (SLU S) S -Mt+0.3X+0.3Y-Z	SLV	L	N	1.00	1.00	0.00	0.00	0.00	0.00	0.00	0.00	0.00	0.00	0.00	0.00	0.00	0.00	0.00	0.00	0.00	0.00	1.00	0.30
90	CC 2 - Amb. 1 (SLE) S -Mt+0.3X+0.3Y-Z	SLD	L	N	1.00	1.00	0.00	0.00	0.00	0.00	0.00	0.00	0.00	0.00	0.00	0.00	0.00	0.00	0.00	0.00	0.00	0.00	1.00	0.30
91	CC 1 - Amb. 1 (SLU S) S -Mt+0.3X-0.3Y-Z	SLV	L	N	1.00	1.00	0.00	0.00	0.00	0.00	0.00	0.00	0.00	0.00	0.00	0.00	0.00	0.00	0.00	0.00	0.00	0.00	1.00	0.30
92	CC 2 - Amb. 1 (SLE) S -Mt+0.3X-0.3Y-Z	SLD	L	N	1.00	1.00	0.00	0.00	0.00	0.00	0.00	0.00	0.00	0.00	0.00	0.00	0.00	0.00	0.00	0.00	0.00	0.00	1.00	0.30
93	CC 3 - Amb. 1 (SLU S) S -Mt-0.3X-0.3Y-Z	SLV	L	N	1.00	1.00	0.00	0.00	0.00	0.00	0.00	0.00	0.00	0.00	0.00	0.00	0.00	0.00	0.00	0.00	0.00	0.00	1.00	-0.30
94	CC 4 - Amb. 1 (SLE) S -Mt-0.3X-0.3Y-Z	SLD	L	N	1.00	1.00	0.00	0.00	0.00	0.00	0.00	0.00	0.00	0.00	0.00	0.00	0.00	0.00	0.00	0.00	0.00	0.00	1.00	-0.30
95	CC 3 - Amb. 1 (SLU S) S -Mt-0.3X+0.3Y-Z	SLV	L	N	1.00	1.00	0.00	0.00	0.00	0.00	0.00	0.00	0.00	0.00	0.00	0.00	0.00	0.00	0.00	0.00	0.00	0.00	1.00	-0.30
96	CC 4 - Amb. 1 (SLE) S -Mt-0.3X+0.3Y-Z	SLD	L	N	1.00	1.00	0.00	0.00	0.00	0.00	0.00	0.00	0.00	0.00	0.00	0.00	0.00	0.00	0.00	0.00	0.00	0.00	1.00	-0.30
97	SCH 1 - mezz	SLU	L	N	1.35	1.50	1.35	0.00	0.00	1.35	0.00	0.00	0.00	0.00	0.00	0.00	0.00	0.00	0.00	0.00	0.00	1.00	0.00	0.00	0.00
98	SCH 1 - mezz	SLU	L	N	1.35	1.50	1.35	0.00	0.00	1.35	0.00	0.00	0.00	0.00	0.00	0.00	0.00	0.00	0.00	0.00	0.00	-1.00	0.00	0.00	0.00
99	SCH 1 - mezz	SLU	L	N	1.35	1.50	1.35	0.00	0.00	1.35	0.00	0.00	0.00	0.00	0.00	0.00	0.00	0.00	0.00	0.00	0.00	0.00	1.00	0.00	0.00
100	SCH 1 - mezz	SLU	L	N	1.35	1.50	1.35	0.00	0.00	1.35	0.00	0.00	0.00	0.00	0.00	0.00	0.00	0.00	0.00	0.00	0.00	0.00	-1.00	0.00	0.00
101	SCH 1 - dx	SLU	L	N	1.35	1.50	0.00	1.35	0.00	1.35	0.00	0.00	0.00	0.00	0.00	0.00	0.00	0.00	0.00	0.00	0.00	1.00	0.00	0.00	0.00
102	SCH 1 - dx	SLU	L	N	1.35	1.50	0.00	1.35	0.00	1.35	0.00	0.00	0.00	0.00	0.00	0.00	0.00	0.00	0.00	0.00	0.00	-1.00	0.00	0.00	0.00
103	SCH 1 - dx	SLU	L	N	1.35	1.50	0.00	1.35	0.00	1.35	0.00	0.00	0.00	0.00	0.00	0.00	0.00	0.00	0.00	0.00	0.00	0.00	1.00	0.00	0.00
104	SCH 1 - dx	SLU	L	N	1.35	1.50	0.00	1.35	0.00	1.35	0.00	0.00	0.00	0.00	0.00	0.00	0.00	0.00	0.00	0.00	0.00	0.00	-1.00	0.00	0.00
105	SCH 1 - sx	SLU	L	N	1.35	1.50	0.00	0.00	1.35	1.35	0.00	0.00	0.00	0.00	0.00	0.00	0.00	0.00	0.00	0.00	0.00	1.00	0.00	0.00	0.00
106	SCH 1 - sx	SLU	L	N	1.35	1.50	0.00	0.00	1.35	1.35	0.00	0.00	0.00	0.00	0.00	0.00	0.00	0.00	0.00	0.00	0.00	-1.00	0.00	0.00	0.00
107	SCH 1 - sx	SLU	L	N	1.35	1.50	0.00	0.00	1.35	1.35	0.00	0.00	0.00	0.00	0.00	0.00	0.00	0.00	0.00	0.00	0.00	0.00	1.00	0.00	0.00
108	SCH 1 - sx	SLU	L	N	1.35	1.50	0.00	0.00	1.35	1.35	0.00	0.00	0.00	0.00	0.00	0.00	0.00	0.00	0.00	0.00	0.00	0.00	-1.00	0.00	0.00
109	SCH 1 - mezz neve	SLU	L	N	1.35	1.50	1.01	0.00	0.00	0.54	0.00	0.00	0.00	0.00	0.00	0.00	0.00	0.00	1.50	0.00	0.00	1.00	0.00	0.00	0.00
110	SCH 1 - mezz neve	SLU	L	N	1.35	1.50	1.01	0.00	0.00	0.54	0.00	0.00	0.00	0.00	0.00	0.00	0.00	0.00	1.50	0.00	0.00	-1.00	0.00	0.00	0.00
111	SCH 1 - mezz neve	SLU	L	N	1.35	1.50	1.01	0.00	0.00	0.54	0.00	0.00	0.00	0.00	0.00	0.00	0.00	0.00	1.50	0.00	0.00	0.00	1.00	0.00	0.00
112	SCH 1 - mezz neve	SLU	L	N	1.35	1.50	1.01	0.00	0.00	0.54	0.00	0.00	0.00	0.00	0.00	0.00	0.00	0.00	1.50	0.00	0.00	0.00	-1.00	0.00	0.00
113	SCH 1 - dx neve	SLU	L	N	1.35	1.50	0.00	1.01	0.00	0.54	0.00	0.00	0.00	0.00	0.00	0.00	0.00	0.00	1.50	0.00	0.00	1.00	0.00	0.00	0.00
114	SCH 1 - dx neve	SLU	L	N	1.35	1.50	0.00	1.01	0.00	0.54	0.00	0.00	0.00	0.00	0.00	0.00	0.00	0.00	1.50	0.00	0.00	-1.00	0.00	0.00	0.00
115	SCH 1 - dx neve	SLU	L	N	1.35	1.50	0.00	1.01	0.00	0.54	0.00	0.00	0.00	0.00	0.00	0.00	0.00	0.00	1.50	0.00	0.00	0.00	1.00	0.00	0.00
116	SCH 1 - dx neve	SLU	L	N	1.35	1.50	0.00	1.01	0.00	0.54	0.00	0.00	0.00	0.00	0.00	0.00	0.00	0.00	1.50	0.00	0.00	0.00	-1.00	0.00	0.00
117	SCH 1 - sx neve	SLU	L	N	1.35	1.50	0.00	0.00	1.01	0.54	0.00	0.00	0.00	0.00	0.00	0.00	0.00	0.00	1.50	0.00	0.00	1.00	0.00	0.00	0.00
118	SCH 1 - sx neve	SLU	L	N	1.35	1.50	0.00	0.00	1.01	0.54	0.00	0.00	0.00	0.00	0.00	0.00	0.00	0.00	1.50	0.00	0.00	-1.00	0.00	0.00	0.00
119	SCH 1 - sx neve	SLU	L	N	1.35	1.50	0.00	0.00	1.01	0.54	0.00	0.00	0.00	0.00	0.00	0.00	0.00	0.00	1.50	0.00	0.00	0.00	1.00	0.00	0.00
120	SCH 1 - sx neve	SLU	L	N	1.35	1.50	0.00	0.00	1.01	0.54	0.00	0.00	0.00	0.00	0.00	0.00	0.00	0.00	1.50	0.00	0.00	0.00	-1.00	0.00	0.00
121	SCH 2a mezz	SLU	L	N	1.35	1.50	0.00	0.00	0.00	0.00	1.01	0.00	0.00	0.54	0.54	0.00	0.00	0.54	0.00	0.00	0.00	1.00	0.00	0.00	0.00
122	SCH 2a mezz	SLU	L	N	1.35	1.50	0.00	0.00	0.00	0.00	1.01	0.00	0.00	0.54	0.54	0.00	0.00	0.54	0.00	0.00	0.00	-1.00	0.00	0.00	0.00
123	SCH 2a mezz	SLU	L	N	1.35	1.50	0.00	0.00	0.00	0.00	1.01	0.00	0.00	0.54	0.54	0.00	0.00	0.54	0.00	0.00	0.00	0.00	1.00	0.00	0.00
124	SCH 2a mezz	SLU	L	N	1.35	1.50	0.00	0.00	0.00	0.00	1.01	0.00	0.00	0.54	0.54	0.00	0.00	0.54	0.00	0.00	0.00	0.00	-1.00	0.00	0.00
125	SCH 2a dx	SLU	L	N	1.35	1.50	0.00	0.00	0.00	0.00	0.00	1.01	0.00	0.54	0.00	0.54	0.00	0.54	0.00	0.00	0.00	1.00	0.00	0.00	0.00
126	SCH 2a dx	SLU	L	N	1.35	1.50	0.00	0.00	0.00	0.00	0.00	1.01	0.00	0.54	0.00	0.54	0.00	0.54	0.00	0.00	0.00	-1.00	0.00	0.00	0.00
127	SCH 2a dx	SLU	L	N	1.35	1.50	0.00	0.00	0.00	0.00	0.00	1.01	0.00	0.54	0.00	0.54	0.00	0.54	0.00	0.00	0.00	0.00	1.00	0.00	0.00
128	SCH 2a dx	SLU	L	N	1.35	1.50	0.00	0.00	0.00	0.00	0.00	1.01	0.00	0.54	0.00	0.54	0.00	0.54	0.00	0.00	0.00	0.00	-1.00	0.00	0.00
129	SCH 2a sx	SLU	L	N	1.35	1.50	0.00	0.00	0.00	0.00	0.00	0.00	1.01	0.54	0.00	0.00	0.54	0.54	0.00	0.00	0.00	1.00	0.00	0.00	0.00
130	SCH 2a sx	SLU	L	N	1.35	1.50	0.00	0.00	0.00	0.00	0.00	0.00	1.01	0.54	0.00	0.00	0.54	0.54	0.00	0.00	0.00	-1.00	0.00	0.00	0.00
131	SCH 2a sx	SLU	L	N	1.35	1.50	0.00	0.00	0.00	0.00	0.00	0.00	1.01	0.54	0.00	0.00	0.54	0.54	0.00	0.00	0.00	0.00	1.00	0.00	0.00

132	SCH 2a sx	SLU	L	N	1.35	1.50	0.00	0.00	0.00	0.00	0.00	0.00	1.01	0.54	0.00	0.00	0.54	0.54	0.00	0.00	0.00	0.00	-1.00	0.00	0.00
133	SCH1 mezz	SLE R	L	N	1.00	1.00	1.00	0.00	0.00	1.00	0.00	0.00	0.00	0.00	0.00	0.00	0.00	0.00	0.00	0.00	0.00	1.00	0.00	0.00	0.00
134	SCH1 mezz	SLE R	L	N	1.00	1.00	1.00	0.00	0.00	1.00	0.00	0.00	0.00	0.00	0.00	0.00	0.00	0.00	0.00	0.00	0.00	-1.00	0.00	0.00	0.00
135	SCH1 mezz	SLE R	L	N	1.00	1.00	1.00	0.00	0.00	1.00	0.00	0.00	0.00	0.00	0.00	0.00	0.00	0.00	0.00	0.00	0.00	0.00	1.00	0.00	0.00
136	SCH1 mezz	SLE R	L	N	1.00	1.00	1.00	0.00	0.00	1.00	0.00	0.00	0.00	0.00	0.00	0.00	0.00	0.00	0.00	0.00	0.00	0.00	-1.00	0.00	0.00
137	SCH1 dx	SLE R	L	N	1.00	1.00	0.00	1.00	0.00	1.00	0.00	0.00	0.00	0.00	0.00	0.00	0.00	0.00	0.00	0.00	0.00	1.00	0.00	0.00	0.00
138	SCH1 dx	SLE R	L	N	1.00	1.00	0.00	1.00	0.00	1.00	0.00	0.00	0.00	0.00	0.00	0.00	0.00	0.00	0.00	0.00	0.00	-1.00	0.00	0.00	0.00
139	SCH1 dx	SLE R	L	N	1.00	1.00	0.00	1.00	0.00	1.00	0.00	0.00	0.00	0.00	0.00	0.00	0.00	0.00	0.00	0.00	0.00	0.00	1.00	0.00	0.00
140	SCH1 dx	SLE R	L	N	1.00	1.00	0.00	1.00	0.00	1.00	0.00	0.00	0.00	0.00	0.00	0.00	0.00	0.00	0.00	0.00	0.00	0.00	-1.00	0.00	0.00
141	SCH1 sx	SLE R	L	N	1.00	1.00	0.00	0.00	1.00	1.00	0.00	0.00	0.00	0.00	0.00	0.00	0.00	0.00	0.00	0.00	0.00	1.00	0.00	0.00	0.00
142	SCH1 sx	SLE R	L	N	1.00	1.00	0.00	0.00	1.00	1.00	0.00	0.00	0.00	0.00	0.00	0.00	0.00	0.00	0.00	0.00	0.00	-1.00	0.00	0.00	0.00
143	SCH1 sx	SLE R	L	N	1.00	1.00	0.00	0.00	1.00	1.00	0.00	0.00	0.00	0.00	0.00	0.00	0.00	0.00	0.00	0.00	0.00	0.00	1.00	0.00	0.00
144	SCH1 sx	SLE R	L	N	1.00	1.00	0.00	0.00	1.00	1.00	0.00	0.00	0.00	0.00	0.00	0.00	0.00	0.00	0.00	0.00	0.00	0.00	-1.00	0.00	0.00
145	SCH1 mezz	SLE F	L	N	1.00	1.00	0.75	0.00	0.00	0.40	0.00	0.00	0.00	0.00	0.00	0.00	0.00	0.00	0.00	0.00	0.00	1.00	0.00	0.00	0.00
146	SCH1 mezz	SLE F	L	N	1.00	1.00	0.75	0.00	0.00	0.40	0.00	0.00	0.00	0.00	0.00	0.00	0.00	0.00	0.00	0.00	0.00	-1.00	0.00	0.00	0.00
147	SCH1 mezz	SLE F	L	N	1.00	1.00	0.75	0.00	0.00	0.40	0.00	0.00	0.00	0.00	0.00	0.00	0.00	0.00	0.00	0.00	0.00	0.00	1.00	0.00	0.00
148	SCH1 mezz	SLE F	L	N	1.00	1.00	0.75	0.00	0.00	0.40	0.00	0.00	0.00	0.00	0.00	0.00	0.00	0.00	0.00	0.00	0.00	0.00	-1.00	0.00	0.00
149	SCH1 dx	SLE F	L	N	1.00	1.00	0.00	0.75	0.00	0.40	0.00	0.00	0.00	0.00	0.00	0.00	0.00	0.00	0.00	0.00	0.00	1.00	0.00	0.00	0.00
150	SCH1 dx	SLE F	L	N	1.00	1.00	0.00	0.75	0.00	0.40	0.00	0.00	0.00	0.00	0.00	0.00	0.00	0.00	0.00	0.00	0.00	-1.00	0.00	0.00	0.00
151	SCH1 dx	SLE F	L	N	1.00	1.00	0.00	0.75	0.00	0.40	0.00	0.00	0.00	0.00	0.00	0.00	0.00	0.00	0.00	0.00	0.00	0.00	1.00	0.00	0.00
152	SCH1 dx	SLE F	L	N	1.00	1.00	0.00	0.75	0.00	0.40	0.00	0.00	0.00	0.00	0.00	0.00	0.00	0.00	0.00	0.00	0.00	0.00	-1.00	0.00	0.00
153	SCH1 sx	SLE F	L	N	1.00	1.00	0.00	0.00	0.75	0.40	0.00	0.00	0.00	0.00	0.00	0.00	0.00	0.00	0.00	0.00	0.00	1.00	0.00	0.00	0.00
154	SCH1 sx	SLE F	L	N	1.00	1.00	0.00	0.00	0.75	0.40	0.00	0.00	0.00	0.00	0.00	0.00	0.00	0.00	0.00	0.00	0.00	-1.00	0.00	0.00	0.00
155	SCH1 sx	SLE F	L	N	1.00	1.00	0.00	0.00	0.75	0.40	0.00	0.00	0.00	0.00	0.00	0.00	0.00	0.00	0.00	0.00	0.00	0.00	1.00	0.00	0.00
156	SCH1 sx	SLE F	L	N	1.00	1.00	0.00	0.00	0.75	0.40	0.00	0.00	0.00	0.00	0.00	0.00	0.00	0.00	0.00	0.00	0.00	0.00	-1.00	0.00	0.00
157	SCH2 mezz	SLE F	L	N	1.00	1.00	0.00	0.00	0.00	0.00	0.75	0.00	0.00	0.40	0.75	0.00	0.00	0.75	0.00	0.00	0.00	1.00	0.00	0.00	0.00
158	SCH2 mezz	SLE F	L	N	1.00	1.00	0.00	0.00	0.00	0.00	0.75	0.00	0.00	0.40	0.75	0.00	0.00	0.75	0.00	0.00	0.00	-1.00	0.00	0.00	0.00
159	SCH2 mezz	SLE F	L	N	1.00	1.00	0.00	0.00	0.00	0.00	0.75	0.00	0.00	0.40	0.75	0.00	0.00	0.75	0.00	0.00	0.00	0.00	1.00	0.00	0.00
160	SCH2 mezz	SLE F	L	N	1.00	1.00	0.00	0.00	0.00	0.00	0.75	0.00	0.00	0.40	0.75	0.00	0.00	0.75	0.00	0.00	0.00	0.00	-1.00	0.00	0.00
161	SCH2 dx	SLE F	L	N	1.00	1.00	0.00	0.00	0.00	0.00	0.00	0.00	0.00	0.40	0.00	0.75	0.00	0.75	0.00	0.00	0.00	1.00	0.00	0.00	0.00
162	SCH2 dx	SLE F	L	N	1.00	1.00	0.00	0.00	0.00	0.00	0.00	0.00	0.00	0.40	0.00	0.75	0.00	0.75	0.00	0.00	0.00	-1.00	0.00	0.00	0.00
163	SCH2 dx	SLE F	L	N	1.00	1.00	0.00	0.00	0.00	0.00	0.00	0.00	0.00	0.40	0.00	0.75	0.00	0.75	0.00	0.00	0.00	0.00	1.00	0.00	0.00
164	SCH2 dx	SLE F	L	N	1.00	1.00	0.00	0.00	0.00	0.00	0.00	0.00	0.00	0.40	0.00	0.75	0.00	0.75	0.00	0.00	0.00	0.00	-1.00	0.00	0.00
165	SCH2 sx	SLE F	L	N	1.00	1.00	0.00	0.00	0.00	0.00	0.00	0.00	0.00	0.40	0.00	0.00	0.75	0.75	0.00	0.00	0.00	1.00	0.00	0.00	0.00
166	SCH2 sx	SLE F	L	N	1.00	1.00	0.00	0.00	0.00	0.00	0.00	0.00	0.00	0.40	0.00	0.00	0.75	0.75	0.00	0.00	0.00	-1.00	0.00	0.00	0.00
167	SCH2 sx	SLE F	L	N	1.00	1.00	0.00	0.00	0.00	0.00	0.00	0.00	0.00	0.40	0.00	0.00	0.75	0.75	0.00	0.00	0.00	0.00	1.00	0.00	0.00
168	SCH2 sx	SLE F	L	N	1.00	1.00	0.00	0.00	0.00	0.00	0.00	0.00	0.00	0.40	0.00	0.00	0.75	0.75	0.00	0.00	0.00	0.00	-1.00	0.00	0.00
169	CC 45 - Amb. 2 (SLE Q) F X	SLE Q	L	N	1.00	1.00	0.00	0.00	0.00	0.00	0.00	0.00	0.00	0.00	0.00	0.00	0.00	0.00	0.00	0.00	0.00	1.00	0.00	0.00	0.00
170	CC 46 - Amb. 2 (SLE Q) F -X	SLE Q	L	N	1.00	1.00	0.00	0.00	0.00	0.00	0.00	0.00	0.00	0.00	0.00	0.00	0.00	0.00	0.00	0.00	0.00	-1.00	0.00	0.00	0.00
171	CC 47 - Amb. 2 (SLE Q) F Y	SLE Q	L	N	1.00	1.00	0.00	0.00	0.00	0.00	0.00	0.00	0.00	0.00	0.00	0.00	0.00	0.00	0.00	0.00	0.00	0.00	1.00	0.00	0.00
172	CC 48 - Amb. 2 (SLE Q) F -Y	SLE Q	L	N	1.00	1.00	0.00	0.00	0.00	0.00	0.00	0.00	0.00	0.00	0.00	0.00	0.00	0.00	0.00	0.00	0.00	0.00	-1.00	0.00	0.00
173	ECC. URTO	SLU I	L	N	1.00	1.00	0.00	0.00	0.00	0.00	0.00	0.00	0.00	0.00	0.00	0.00	0.00	0.00	0.00	1.00	0.00	0.00	0.00	0.00	0.00
174	ECC. URTO	SLU I	L	N	1.00	1.00	0.00	0.00	0.00	0.00	0.00	0.00	0.00	0.00	0.00	0.00	0.00	0.00	0.00	1.00	0.00	0.00	0.00	0.00	0.00
175	ECC. URTO	SLU I	L	N	1.00	1.00	0.00	0.00	0.00	0.00	0.00	0.00	0.00	0.00	0.00	0.00	0.00	0.00	0.00	1.00	0.00	0.00	0.00	0.00	0.00
176	ECC. URTO	SLU I	L	N	1.00	1.00	0.00	0.00	0.00	0.00	0.00	0.00	0.00	0.00	0.00	0.00	0.00	0.00	0.00	1.00	0.00	0.00	0.00	0.00	0.00
177	ECC. Onda di piena	SLU I	L	N	1.00	1.00	0.00	0.00	0.00	0.00	0.00	0.00	0.00	0.00	0.00	0.00	0.00	0.00	0.00	0.00	1.00	0.00	0.00	0.00	0.00
178	ECC. Onda di piena	SLU I	L	N	1.00	1.00	0.00	0.00	0.00	0.00	0.00	0.00	0.00	0.00	0.00	0.00	0.00	0.00	0.00	0.00	1.00	0.00	0.00	0.00	0.00
179	ECC. Onda di piena	SLU I	L	N	1.00	1.00	0.00	0.00	0.00	0.00	0.00	0.00	0.00	0.00	0.00	0.00	0.00	0.00	0.00	0.00	1.00	0.00	0.00	0.00	0.00
180	ECC. Onda di piena	SLU I	L	N	1.00	1.00	0.00	0.00	0.00	0.00	0.00	0.00	0.00	0.00	0.00	0.00	0.00	0.00	0.00	0.00	1.00	0.00	0.00	0.00	0.00

Elenco baricentri e masse impalcati

Simbologia
Imp. = Numero dell'impalcato
X = Coordinata X
Y = Coordinata Y
Z = Coordinata Z
Mo = Massa orizzontale
Jpz = Momento d'inerzia polare intorno all'asse Z

Imp.	X <m>	Y <m>	Z <m>	Mo <kg>	Jpz <kg*mq>
1	7.50	2.04	1.30	19546.40	1192890.00

Imp.	X <m>	Y <m>	Z <m>	Mo <kg>	Jpz <kg*mq>
2	7.50	2.04	2.20	73474.00	2296250.00

Totali masse impalcati

Mo <kg>	Jpz <kg*mq>
93020.40	3489140.00

Elenco masse nodi

Simbologia
Nodo = Numero del nodo
Mz = Massa in dir. Z

Nodo	Mz <kg>	Nodo	Mz <kg>	Nodo	Mz <kg>	Nodo	Mz <kg>	Nodo	Mz <kg>	Nodo	Mz <kg>	Nodo	Mz <kg>	Nodo	Mz <kg>
-2220	63.00	-2219	47.40	-2218	63.20	-2217	31.60	-2216	31.60	-2215	31.60	-2214	63.20	-2213	47.25
-2212	31.50	-2211	47.25	-2210	63.00	-2209	63.00	-2208	63.00	-2207	63.00	-2206	31.50	-2205	63.00
-2204	63.10	-2203	63.10	-2202	47.40	-2201	31.60	-2200	47.40	-2199	63.20	-2198	63.20	-2197	63.20
-2196	63.20	-2195	47.40	-2194	31.60	-2193	31.60	-2192	31.60	-2191	31.60	-2190	31.60	-2189	31.60
-2188	47.40	-2187	63.20	-2186	63.20	-2185	63.20	-2184	63.20	-2183	47.40	-2182	31.60	-2181	47.25
-2180	31.50	-2179	47.25	-2178	63.00	-2177	63.00	-2176	63.00	-2175	63.00	-2174	31.50	-2173	31.50
-2172	63.00	-2171	63.00	-2170	63.00	-2169	63.00	-2168	63.00	-2167	47.25	-2166	31.50	-2165	47.25
-2164	63.10	-2163	47.40	-2162	31.60	-2161	47.40	-2160	63.20	-2159	63.20	-2158	63.20	-2157	63.20

-2156	63.20	-2155	47.40	-2154	31.60	-2153	31.60	-2152	31.60	-2151	31.60	-2150	31.60	-2149	31.60
-2148	31.60	-2147	31.60	-2146	31.60	-2145	47.40	-2144	63.20	-2143	63.20	-2142	63.20	-2141	63.20
-2140	63.20	-2139	47.40	-2138	31.60	-2137	47.40	-2136	63.10	-2135	47.25	-2134	31.50	-2133	47.25
-2132	63.00	-2131	63.00	-2130	63.00	-2129	63.00	-2128	63.00	-2127	31.50	-2126	8.30	-2125	8.30
-2124	8.30	-2123	8.30	-2122	7.51	-2121	7.51	-2120	7.51	-2119	53.89	-2118	7.51	-2117	53.89
-2116	53.89	-2115	53.89	-2114	23.92	-2113	23.92	-2112	23.92	-2111	23.92	-2110	24.10	-2109	24.10
-2108	24.10	-2107	28.03	-2106	24.10	-2105	28.03	-2104	24.10	-2103	24.10	-2102	48.20	-2101	48.20
-2100	48.20	-2099	48.20	-2098	24.10	-2097	24.10	-2096	24.10	-2095	24.10	-2094	24.49	-2093	54.68
-2092	24.49	-2091	54.68	-2090	24.49	-2089	54.68	-2088	24.49	-2087	54.68	-2086	27.46	-2085	27.46
-2084	27.46	-2083	36.15	-2082	47.91	-2081	36.15	-2080	47.91	-2079	36.15	-2078	36.15	-2077	48.48
-2076	36.15	-2075	48.48	-2074	24.10	-2073	24.10	-2072	24.10	-2071	130.01	-2070	36.15	-2069	103.41
-2068	24.10	-2067	130.35	-2066	36.15	-2065	54.52	-2064	48.48	-2063	108.40	-2062	48.48	-2061	27.46
-2060	8.27	-2059	8.30	-2058	8.30	-2057	8.27	-2056	12.44	-2055	12.44	-2054	16.59	-2053	16.59
-2052	16.59	-2051	16.59	-2050	16.59	-2049	12.44	-2048	8.30	-2047	8.30	-2046	8.30	-2045	8.30
-2044	12.44	-2043	16.59	-2042	16.59	-2041	16.59	-2040	16.59	-2039	16.59	-2038	12.44	-2037	12.44
-2036	16.56	-2035	12.40	-2034	12.40	-2033	16.54	-2032	16.54	-2031	16.54	-2030	16.54	-2029	16.54
-2028	8.27	-2027	16.54	-2026	16.54	-2025	16.54	-2024	16.54	-2023	16.54	-2022	12.40	-2021	12.40
-2020	16.56	-2019	8.30	-2018	8.27	-2017	7.48	-2016	7.51	-2015	7.51	-2014	7.48	-2013	11.26
-2012	11.26	-2011	15.01	-2010	15.01	-2009	15.01	-2008	15.01	-2007	15.01	-2006	11.26	-2005	7.51
-2004	7.51	-2003	7.51	-2002	7.51	-2001	11.26	-2000	15.01	-1999	15.01	-1998	15.01	-1997	15.01
-1996	15.01	-1995	11.26	-1994	11.26	-1993	7.51	-1992	14.99	-1991	11.22	-1990	11.22	-1989	14.96
-1988	14.96	-1987	14.96	-1986	14.96	-1985	14.96	-1984	7.48	-1983	14.96	-1982	14.96	-1981	14.96
-1980	14.96	-1979	14.96	-1978	11.22	-1977	11.22	-1976	14.99	-1975	7.48	-1974	24.10	-1973	28.03
-1972	24.02	-1971	48.33	-1970	36.03	-1969	24.02	-1968	36.03	-1967	47.76	-1966	48.05	-1965	27.94
-1964	53.72	-1963	23.85	-1962	24.02	-1961	54.51	-1960	24.41	-1959	27.37	-1958	24.02	-1957	53.89
-1956	23.92	-1955	24.10	-1954	36.15	-1953	47.91	-1952	24.10	-1951	24.49	-1950	54.68	-1949	48.20
-1948	27.46	-1947	24.10	-1946	48.48	-1945	36.15	-1944	28.03	-1943	24.10	-1942	53.89	-1941	23.92
-1940	24.10	-1939	28.03	-1938	24.10	-1937	48.20	-1936	24.10	-1935	24.49	-1934	54.68	-1933	54.51
-1932	24.41	-1931	24.02	-1930	27.37	-1929	48.33	-1928	36.03	-1927	47.76	-1926	48.05	-1925	24.02
-1924	27.46	-1923	48.48	-1922	53.72	-1921	23.85	-1920	36.15	-1919	24.10	-1918	36.15	-1917	47.91
-1916	36.03	-1915	24.02	-1914	27.94	-1913	24.02	-1912	28.03	-1911	24.10	-1910	36.03	-1909	36.03
-1908	48.05	-1907	48.05	-1906	48.05	-1905	48.05	-1904	48.05	-1903	24.02	-1902	24.02	-1901	48.05
-1900	48.05	-1899	48.05	-1898	48.05	-1897	48.05	-1896	36.03	-1895	36.03	-1894	36.15	-1893	36.15
-1892	48.20	-1891	48.20	-1890	48.20	-1889	48.20	-1888	48.20	-1887	36.15	-1886	24.10	-1885	24.10
-1884	24.10	-1883	24.10	-1882	24.10	-1881	36.15	-1880	48.20	-1879	48.20	-1878	48.20	-1877	48.20
-1876	48.20	-1875	36.15	-1874	48.12	-1873	36.15	-1872	24.02	-1871	48.05	-1870	48.05	-1869	48.05
-1868	48.05	-1867	36.15	-1866	28.09	-1865	28.09	-1864	41.82	-1863	97.44	-1862	27.46	-1861	55.55
-1860	49.45	-1859	96.31	-1858	55.55	-1857	55.55	-1856	55.55	-1855	49.45	-1854	37.25	-1853	55.55
-1852	55.55	-1851	55.55	-1850	55.46	-1849	36.15	-1848	56.59	-1847	23.92	-1846	48.20	-1845	55.55
-1844	55.55	-1843	55.55	-1842	28.03	-1841	37.25	-1840	55.38	-1839	41.82	-1838	41.82	-1837	41.82
-1836	41.82	-1835	72.50	-1834	48.54	-1833	48.54	-1832	48.54	-1831	48.54	-1830	72.50	-1829	96.46
-1828	96.46	-1827	96.46	-1826	96.46	-1825	96.46	-1824	72.50	-1823	72.50	-1822	104.59	-1821	82.65
-1820	109.98	-1819	109.98	-1818	109.98	-1817	131.93	-1816	109.98	-1815	82.65	-1814	55.31	-1813	55.31
-1812	55.31	-1811	55.31	-1810	82.65	-1809	109.98	-1808	131.93	-1807	109.98	-1806	109.98	-1805	109.98
-1804	82.65	-1803	104.59	-1802	73.35	-1801	73.35	-1800	97.59	-1799	97.59	-1798	97.59	-1797	97.59
-1796	97.59	-1795	73.35	-1794	49.11	-1793	49.11	-1792	49.11	-1791	49.11	-1790	73.35	-1789	97.59
-1788	97.59	-1787	97.59	-1786	97.59	-1785	97.59	-1784	73.35	-1783	73.35	-1782	37.36	-1781	37.36
-1780	49.61	-1779	49.61	-1778	49.61	-1777	49.61	-1776	49.61	-1775	37.36	-1774	25.12	-1773	25.12
-1772	25.12	-1771	25.12	-1770	37.36	-1769	49.61	-1768	49.61	-1767	49.61	-1766	49.61	-1765	49.61
-1764	37.36	-1763	37.36	-1762	36.15	-1761	81.46	-1760	108.40	-1759	108.40	-1758	108.40	-1757	108.40
-1756	81.46	-1755	54.52	-1754	54.52	-1753	54.52	-1752	81.46	-1751	108.40	-1750	130.35	-1749	108.40
-1748	108.40	-1747	81.46	-1746	103.41	-1745	36.51	-1744	36.51	-1743	48.47	-1742	48.47	-1741	48.47
-1740	48.47	-1739	48.47	-1738	36.51	-1737	24.55	-1736	24.55	-1735	24.55	-1734	24.55	-1733	36.51
-1732	48.47	-1731	48.47	-1730	48.47	-1729	48.47	-1728	48.47	-1727	36.51	-1726	36.51	-1725	54.85
-1724	54.85	-1723	72.92	-1722	72.92	-1721	72.92	-1720	72.92	-1719	72.92	-1718	54.85	-1717	36.78
-1716	36.78	-1715	36.78	-1714	36.78	-1713	54.85	-1712	72.92	-1711	72.92	-1710	72.92	-1709	72.92
-1708	72.92	-1707	54.85	-1706	54.85	-1705	42.67	-1704	42.67	-1703	56.68	-1702	56.68	-1701	56.68
-1700	56.68	-1699	47.91	-1698	72.50	-1697	55.38	-1696	55.38	-1695	41.82	-1694	28.09	-1693	28.09
-1692	72.50	-1691	96.46	-1690	55.38	-1689	76.46	-1688	96.46	-1687	109.81	-1686	108.23	-1685	55.38
-1684	49.45	-1683	49.45	-1682	49.45	-1681	81.21	-1680	81.21	-1679	108.07	-1678	130.01	-1677	108.07
-1676	108.07	-1675	108.07	-1674	72.70	-1673	72.70	-1672	96.72	-1671	96.72	-1670	96.72	-1669	96.72
-1668	96.72	-1667	54.68	-1666	54.68	-1665	72.70	-1664	72.70	-1663	72.70	-1662	72.70	-1661	72.70
-1660	36.40	-1659	36.40	-1658	48.32	-1657	48.32	-1656	48.32	-1655	48.32	-1654	48.32	-1653	42.54
-1652	42.54	-1651	56.51	-1650	56.51	-1649	56.51	-1648	56.51	-1647	56.51	-1646	54.68	-1645	54.68
-1644	72.70	-1643	72.70	-1642	72.70	-1641	72.70	-1640	72.70	-1639	72.27	-1638	72.28	-1637	96.16
-1636	96.16	-1635	96.16	-1634	96.16	-1633	96.16	-1632	73.12	-1631	73.12	-1630	97.29	-1629	97.29
-1628	97.29	-1627	97.29	-1626	97.29	-1625	82.39	-1624	82.39	-1623	109.64	-1622	131.59	-1621	109.64
-1620	109.64	-1619	109.64	-1618	41.69	-1617	55.14	-1616	48.96	-1615	48.39	-1614	36.66	-1613	28.57
-1612	24.48	-1611	36.66	-1610	48.68	-1609	54.35	-1608	25.04	-1607	28.00	-1606	109.64	-1605	109.64
-1604	109.64	-1603	131.59	-1602	109.64	-1601	82.39	-1600	82.39	-1599	97.29	-1598	97.29	-1597	97.29
-1596	97.29	-1595	97.29	-1594	73.12	-1593	73.12	-1592	96.16	-1591	96.16	-1590	96.16	-1589	96.16
-1588	96.16	-1587	72.27	-1586	72.27	-1585	72.70	-1584	72.70	-1583	72.70	-1582	72.70	-1581	72.70
-1580	54.68	-1579	54.68	-1578	56.51	-1577	56.51	-1576	56.51	-1575	56.51	-1574	56.51	-1573	42.54
-1572	42.54	-1571	48.32	-1570	48.32	-1569	48.32	-1568	48.32	-1567	48.32	-1566	36.40	-1565	36.40
-1564	72.70	-1563	72.70	-1562	72.70	-1561	72.70	-1560	72.70	-1559	54.68	-1558	54.68	-1557	96.72
-1556	96.72	-1555	96.72	-1554	96.72	-1553	96.72	-1552	72.70	-1551	72.70	-1550	108.07	-1549	108.07
-1548	108.07	-1547	47.91	-1546	108.07	-1545	81.21	-1544	81.21	-1543	49.45	-1542	49.45	-1541	49.45
-1540	108.23	-1539	109.81	-1538	48.05	-1537	56.59	-1536	55.46	-1535	48.48	-1534	96.31	-1533	77.25
-1532	47.91	-1531	97.44	-1530	36.03	-1529	36.03	-1528	24.02	-1527	48.05	-1526	48.05	-1525	48.05

-1524	48.05	-1523	48.05	-1522	36.03	-1521	36.03	-1520	24.02	-1519	48.05	-1518	48.05	-1517	48.05
-1516	36.03	-1515	36.03	-1514	48.05	-1513	48.05	-1512	48.05	-1511	48.05	-1510	48.05	-1509	24.02
-1508	36.15	-1507	36.15	-1506	48.20	-1505	48.20	-1504	48.20	-1503	48.20	-1502	48.20	-1501	36.15
-1500	24.10	-1499	24.10	-1498	24.10	-1497	56.68	-1496	42.67	-1495	28.66	-1494	28.66	-1493	28.66
-1492	28.66	-1491	42.67	-1490	48.05	-1489	24.10	-1488	36.15	-1487	48.20	-1486	48.20	-1485	48.20
-1484	48.20	-1483	48.20	-1482	56.68	-1481	56.68	-1480	56.68	-1479	56.68	-1478	56.68	-1477	42.67
-1476	42.67	-1475	54.85	-1474	54.85	-1473	72.92	-1472	72.92	-1471	72.92	-1470	72.92	-1469	72.92
-1468	54.85	-1467	36.78	-1466	36.78	-1465	36.78	-1464	36.78	-1463	54.85	-1462	72.92	-1461	36.15
-1460	72.92	-1459	72.92	-1458	36.15	-1457	24.10	-1456	72.92	-1455	72.92	-1454	54.85	-1453	54.85
-1452	72.92	-1451	36.03	-1450	72.92	-1449	97.02	-1448	97.02	-1447	36.03	-1446	97.02	-1445	97.02
-1444	48.05	-1443	97.02	-1442	72.92	-1441	48.83	-1440	48.05	-1439	48.83	-1438	48.83	-1437	48.05
-1436	48.83	-1435	72.92	-1434	97.02	-1433	97.02	-1432	97.02	-1431	97.02	-1430	97.02	-1429	72.92
-1428	72.92	-1427	28.00	-1426	25.04	-1425	54.35	-1424	48.68	-1423	36.66	-1422	24.48	-1421	28.57
-1420	36.66	-1419	48.39	-1418	48.96	-1417	55.14	-1416	41.69	-1415	41.69	-1414	41.69	-1413	24.49
-1412	96.46	-1411	96.46	-1410	96.46	-1409	48.05	-1408	48.05	-1407	24.02	-1406	36.15	-1405	36.15
-1404	48.20	-1403	48.20	-1402	48.20	-1401	48.20	-1400	48.20	-1399	36.15	-1398	24.10	-1397	24.10
-1396	24.10	-1395	24.10	-1394	36.15	-1393	48.20	-1392	48.20	-1391	48.20	-1390	48.20	-1389	48.20
-1388	36.15	-1387	36.15	-1386	24.10	-1385	48.12	-1384	36.15	-1383	36.15	-1382	48.20	-1381	48.20
-1380	48.20	-1379	48.20	-1378	48.20	-1377	36.15	-1376	24.10	-1375	24.10	-1374	24.10	-1373	24.10
-1372	24.10	-1371	36.15	-1370	48.20	-1369	48.20	-1368	48.20	-1367	55.38	-1366	55.38	-1365	55.38
-1364	55.38	-1363	55.38	-1362	37.25	-1361	48.20	-1360	48.20	-1359	36.15	-1358	36.15	-1357	48.12
-1356	37.25	-1355	49.45	-1354	24.02	-1353	48.05	-1352	49.45	-1351	48.05	-1350	48.05	-1349	48.05
-1348	48.05	-1347	36.03	-1346	36.03	-1345	36.03	-1344	48.12	-1343	36.03	-1342	48.05	-1334	6.26
-1332	6.26	-1331	6.26	-1330	6.26	-1329	6.26	-1328	6.26	-1327	6.26	-1326	6.26	-1322	6.26
-1320	6.26	-1317	6.26	-1316	6.26	-1315	6.26	-1314	6.26	-1309	6.26	-1308	6.26	-1307	6.26
-1306	6.26	-1305	6.26	-1304	6.26	-1303	6.26	-1302	6.26	-1301	6.26	-1300	6.26	-1299	6.26
-1298	6.26	-1297	6.26	-1296	6.26	-1295	6.26	-1293	6.26	-1289	6.26	-1288	6.26	-1287	6.26
-1286	6.26	-1285	6.26	-1284	6.26	-1283	6.26	-1282	6.26	-1281	6.26	-1280	6.26	-1279	6.26
-1278	6.26	-1277	6.26	-1275	6.26	-1273	18.25	-1272	18.25	-1271	9.88	-1270	9.88	-1269	15.93
-1225	15.93	-1224	11.72	-1223	13.11	-1222	13.11	-1221	13.11	-1220	13.11	-1219	9.99	-1218	6.24
-1217	9.99	-1216	15.25	-1215	6.26	-1214	10.02	-1213	13.15	-1212	13.15	-1211	13.15	-1210	13.15
-1209	10.02	-1208	6.89	-1207	6.89	-1206	6.89	-1205	6.89	-1204	10.02	-1203	13.15	-1202	13.15
-1201	13.15	-1200	13.15	-1199	10.02	-1198	6.26	-1197	15.25	-1196	9.99	-1195	6.24	-1194	9.99
-1193	13.11	-1192	13.11	-1191	13.11	-1190	13.11	-1189	11.72	-1188	38.92	-1187	11.72	-1186	13.11
-1185	13.11	-1184	13.11	-1183	13.11	-1182	13.11	-1181	9.99	-1180	6.24	-1179	9.99	-1178	10.02
-1177	6.26	-1176	10.02	-1175	13.15	-1174	13.15	-1173	13.15	-1172	13.15	-1171	13.15	-1170	10.02
-1169	6.89	-1168	6.89	-1167	6.26	-1166	6.89	-1165	6.89	-1164	10.02	-1163	13.15	-1162	13.15
-1161	13.15	-1160	13.15	-1159	13.15	-1158	10.02	-1157	6.26	-1156	10.02	-1155	9.99	-1154	6.24
-1153	9.99	-1152	13.11	-1151	13.11	-1150	13.11	-1149	13.11	-1148	13.11	-1147	11.72	-1146	38.92
-1145	25.48	-1103	25.48	-1102	34.49	-1101	11.72	-1100	13.11	-1099	13.11	-1098	13.11	-1097	13.11
-1096	13.11	-1095	9.99	-1094	6.24	-1093	9.99	-1092	15.59	-1091	10.02	-1090	6.26	-1089	10.02
-1088	13.15	-1087	13.15	-1086	13.15	-1085	13.15	-1084	13.15	-1083	10.02	-1082	6.89	-1081	6.89
-1080	6.26	-1079	6.89	-1078	6.89	-1077	10.02	-1076	13.15	-1075	13.15	-1074	13.15	-1073	13.15
-1072	13.15	-1071	10.02	-1070	6.26	-1069	10.02	-1068	15.59	-1067	9.99	-1066	6.24	-1065	9.99
-1064	13.11	-1063	13.11	-1062	13.11	-1061	13.11	-1060	13.11	-1059	11.72	-1058	34.49	-1057	25.48
-1047	2.11	-1023	2.11	-1013	25.48	-1012	43.08	-1011	11.72	-1010	13.11	-1009	13.11	-1008	13.11
-1007	13.11	-1006	13.11	-1005	9.99	-1004	6.24	-1003	9.99	-1002	10.02	-1001	6.26	-1000	10.02
-999	13.15	-998	13.15	-997	13.15	-996	13.15	-995	13.15	-994	10.02	-993	6.89	-992	6.89
-991	6.26	-990	6.89	-989	6.89	-988	10.02	-987	13.15	-986	13.15	-985	13.15	-984	13.15
-983	13.15	-982	10.02	-981	6.26	-980	10.02	-979	9.99	-978	6.24	-977	9.99	-976	13.11
-975	13.11	-974	13.11	-973	13.11	-972	13.11	-971	11.72	-970	43.08	-969	55.52	-968	11.72
-967	13.11	-966	13.11	-965	13.11	-964	13.11	-963	13.11	-962	9.99	-961	6.24	-960	9.99
-959	17.34	-958	10.02	-957	6.26	-956	10.02	-955	13.15	-954	13.15	-953	13.15	-952	13.15
-951	13.15	-950	10.02	-949	6.89	-948	6.89	-947	6.26	-946	6.89	-945	6.89	-944	10.02
-943	13.15	-942	13.15	-941	13.15	-940	13.15	-939	13.15	-938	10.02	-937	6.26	-936	10.02
-935	17.34	-934	9.99	-933	6.24	-932	9.99	-931	13.11	-930	13.11	-929	13.11	-928	13.11
-927	13.11	-926	11.72	-925	55.52	-924	55.82	-923	11.72	-922	13.11	-921	13.11	-920	13.11
-919	13.11	-918	13.11	-917	9.99	-916	6.24	-915	9.99	-914	10.02	-913	6.26	-912	10.02
-911	13.15	-910	13.15	-909	13.15	-908	13.15	-907	13.15	-906	10.02	-905	6.89	-904	6.89
-903	6.26	-902	6.89	-901	6.89	-900	10.02	-899	13.15	-898	13.15	-897	13.15	-896	13.15
-895	13.15	-894	10.02	-893	6.26	-892	10.02	-891	9.99	-890	6.24	-889	9.99	-888	13.11
-887	13.11	-886	13.11	-885	13.11	-884	13.11	-883	11.72	-882	55.82	-881	56.12	-880	11.72
-879	13.11	-878	13.11	-877	13.11	-876	13.11	-875	13.11	-874	9.99	-873	6.24	-872	9.99
-871	17.39	-870	10.02	-869	6.26	-868	10.02	-867	13.15	-866	13.15	-865	13.15	-864	13.15
-863	13.15	-862	10.02	-861	6.89	-860	6.89	-859	6.26	-858	6.89	-857	6.89	-856	10.02
-855	13.15	-854	13.15	-853	13.15	-852	13.15	-851	13.15	-850	10.02	-849	6.26	-848	10.02
-847	17.39	-846	9.99	-845	6.24	-844	9.99	-843	13.11	-842	13.11	-841	13.11	-840	13.11
-839	13.11	-838	11.72	-837	56.12	-836	43.08	-835	11.72	-834	13.11	-833	13.11	-832	13.11
-831	13.11	-830	13.11	-829	9.99	-828	6.24	-827	9.99	-826	10.02	-825	6.26	-824	10.02
-823	13.15	-822	13.15	-821	13.15	-820	13.15	-819	13.15	-818	10.02	-817	6.89	-816	6.89
-815	6.26	-814	6.89	-813	6.89	-812	10.02	-811	13.15	-810	13.15	-809	13.15	-808	13.15
-807	13.15	-806	10.02	-805	6.26	-804	10.02	-803	9.99	-802	6.24	-801	9.99	-800	13.11
-799	13.11	-798	13.11	-797	13.11	-796	13.11	-795	11.72	-794	43.08	-793	25.48	-783	2.11
-759	2.11	-749	25.48	-748	33.89	-747	11.72	-746	13.11	-745	13.11	-744	13.11	-743	13.11
-742	13.11	-741	9.99	-740	6.24	-739	9.99	-738	15.54	-737	10.02	-736	6.26	-735	10.02
-734	13.15	-733	13.15	-732	13.15	-731	13.15	-730	13.15	-729	10.02	-728	6.89	-727	6.89
-726	6.26	-725	6.89	-724	6.89	-723	10.02	-722	13.15	-721	13.15	-720	13.15	-719	13.15
-718	13.15	-717	10.02	-716	6.26	-715	10.02	-714	15.54	-713	9.99	-712	6.24	-711	9.99
-710	13.11	-709	13.11	-708	13.11	-707	13.11	-706	13.11	-705	11.72	-704	33.89	-703	25.48

-661	25.48	-660	39.52	-659	11.72	-658	13.11	-657	13.11	-656	13.11	-655	13.11	-654	13.11
-653	9.99	-652	6.24	-651	9.99	-650	10.02	-649	6.26	-648	10.02	-647	13.15	-646	13.15
-645	13.15	-644	13.15	-643	13.15	-642	10.02	-641	6.89	-640	6.89	-639	6.26	-638	6.89
-637	6.89	-636	10.02	-635	13.15	-634	13.15	-633	13.15	-632	13.15	-631	13.15	-630	10.02
-629	6.26	-628	10.02	-627	9.99	-626	6.24	-625	9.99	-624	13.11	-623	13.11	-622	13.11
-621	13.11	-620	13.11	-619	11.72	-618	39.52	-617	11.72	-616	13.11	-615	13.11	-614	13.11
-613	13.11	-612	9.99	-611	6.24	-610	9.99	-609	15.25	-608	6.26	-607	10.02	-606	13.15
-605	13.15	-604	13.15	-603	13.15	-602	10.02	-601	6.89	-600	6.89	-599	6.89	-598	6.89
-597	10.02	-596	13.15	-595	13.15	-594	13.15	-593	13.15	-592	10.02	-591	6.26	-590	15.25
-589	9.99	-588	6.24	-587	9.99	-586	13.11	-585	13.11	-584	13.11	-583	13.11	-582	11.72
-581	15.93	-537	15.93	-536	9.24	-535	9.24	-534	34.56	-533	34.56	-532	55.75	-531	55.75
-530	110.38	-529	110.38	-528	219.02	-527	219.02	-526	89.19	-525	89.19	-524	103.73	-523	103.73
-522	89.19	-521	89.19	-520	233.56	-519	233.56	-518	177.34	-517	177.34	-516	278.16	-515	278.16
-514	179.44	-513	179.44	-512	233.56	-511	233.56	-510	89.19	-509	89.19	-508	101.64	-507	101.64
-506	89.19	-505	89.19	-504	221.12	-503	221.12	-502	112.61	-501	112.61	-500	55.75	-499	55.75
-498	32.33	-497	32.33	-496	39.50	-495	39.50	-494	63.71	-493	63.71	-492	126.15	-491	126.15
-490	136.29	-489	136.29	-488	101.94	-487	101.94	-486	118.55	-485	118.55	-484	101.94	-483	101.94
-482	152.91	-481	152.91	-480	202.68	-479	202.68	-478	203.87	-477	203.87	-476	205.07	-475	205.07
-474	152.91	-473	152.91	-472	101.94	-471	101.94	-470	116.16	-469	116.16	-468	101.94	-467	101.94
-466	138.69	-465	138.69	-464	128.69	-463	128.69	-462	63.71	-461	63.71	-460	36.95	-459	36.95
-420	44.44	-419	44.44	-418	71.67	-417	71.67	-416	141.91	-415	141.91	-414	153.33	-413	153.33
-412	114.68	-411	114.68	-410	133.37	-409	133.37	-408	114.68	-407	114.68	-406	172.02	-405	172.02
-404	114.68	-403	114.68	-402	114.68	-401	114.68	-400	172.02	-399	172.02	-398	114.68	-397	114.68
-396	130.68	-395	130.68	-394	114.68	-393	114.68	-392	156.02	-391	156.02	-390	144.78	-389	144.78
-388	71.67	-387	71.67	-386	41.57	-385	41.57	-384	127.35	-383	127.35	-382	135.81	-381	135.81
-380	135.86	-379	135.86	-378	135.91	-377	135.91	-376	127.35	-375	127.35	-336	34.56	-335	34.56
-334	55.75	-333	55.75	-332	110.38	-331	110.38	-330	119.25	-329	119.25	-328	89.19	-327	89.19
-326	103.73	-325	103.73	-324	89.19	-323	89.19	-322	133.79	-321	133.79	-320	177.34	-319	177.34
-318	178.39	-317	178.39	-316	179.44	-315	179.44	-314	133.79	-313	133.79	-312	89.19	-311	89.19
-310	101.64	-309	101.64	-308	89.19	-307	89.19	-306	121.35	-305	121.35	-304	112.61	-303	112.61
-302	55.75	-301	55.75	-300	32.33	-299	32.33	-298	41.48	-297	41.48	-296	66.90	-295	66.90
-294	132.45	-293	132.45	-292	143.10	-291	143.10	-290	107.03	-289	107.03	-288	124.48	-287	124.48
-286	107.03	-285	107.03	-284	160.55	-283	160.55	-282	212.81	-281	212.81	-280	214.07	-279	214.07
-278	215.32	-277	215.32	-276	160.55	-275	160.55	-274	107.03	-273	107.03	-272	121.97	-271	121.97
-270	107.03	-269	107.03	-268	145.62	-267	145.62	-266	135.13	-265	135.13	-264	66.90	-263	66.90
-262	38.80	-261	38.80	-260	55.30	-259	55.30	-258	89.19	-257	89.19	-256	176.61	-255	176.61
-254	190.81	-253	190.81	-252	142.71	-251	142.71	-250	165.97	-249	165.97	-248	142.71	-247	142.71
-246	214.07	-245	214.07	-244	283.75	-243	283.75	-242	285.42	-241	285.42	-240	287.10	-239	287.10
-238	214.07	-237	214.07	-236	142.71	-235	142.71	-234	162.62	-233	162.62	-232	142.71	-231	142.71
-230	194.16	-229	194.16	-228	180.17	-227	180.17	-226	89.19	-225	89.19	-224	51.73	-223	51.73
10	101.47	11	101.47	12	101.47	13	101.47	14	101.47	15	101.47	16	101.47	17	101.47
18	101.47	19	101.47	301	62.81	302	13.11	303	10.02	304	13.15	305	6.89	306	13.15
307	10.02	308	13.11	309	62.81	310	17.71	311	17.71	312	18.00	313	18.00	314	19.06
315	19.06	316	18.00	317	18.00	318	17.66	319	17.66	320	62.17	321	13.11	322	10.02
323	13.15	324	6.89	325	13.15	326	10.02	327	13.11	328	62.17	329	2.11	330	2.11
331	2.11	332	2.11	401	45.09	402	61.48	403	62.45	404	57.94	405	27.02	406	57.94
407	62.45	408	61.48	409	45.09	420	45.09	421	61.48	422	62.45	423	60.47	424	58.44
425	60.47	426	62.45	427	61.48	428	45.09	429	48.12	430	96.87	431	49.53	432	48.40
433	72.81	434	48.40	435	48.12	436	49.53	437	48.12	438	48.12	439	72.81	440	72.81
441	96.87	442	72.81												

Totali masse nodi

Mz <kg>
84647.90

Elenco forze sismiche di impalcato allo SLD

Simbologia

Imp. = Numero dell'impalcato
cx = Coeff. c in dir. X
cy = Coeff. c in dir. Y
Mz = Momento intorno all'asse Z

Imp.	cx	cy	Mz <daNm>
1	0.14	0.14	2674.89
2	0.86	0.86	17015.80

Totali forze sismiche

Mz <daNm>
19690.70

Elenco forze sismiche di impalcato allo SLV

Imp.	cx	cy	Mz <daNm>
1	0.14	0.14	5848.06
2	0.86	0.86	37201.40

Totali forze sismiche

Mz <daNm>
43049.50

Elenco pesi e forze fittizie impalcati

Simbologia
Imp. = Numero dell'impalcato
Peso = Peso
Fx = Forza in dir. X
Fy = Forza in dir. Y

Imp.	Peso <daN>	Fx <daN>	Fy <daN>
1	19175.00	191.75	191.75
2	473906.00	4739.06	4739.06

Elenco modi di vibrare, masse partecipanti e coefficienti di partecipazione

Simbologia
Modo = Numero del modo di vibrare
C = * indica che il modo è stato considerato
Per. = Periodo
Diff. = Minima differenza percentuale dagli altri periodi
Φx = Coefficiente di partecipazione in dir. X
Φy = Coefficiente di partecipazione in dir. Y
Φz = Coefficiente di partecipazione in dir. Z
%Mx = Percentuale massa partecipante in dir. X
%My = Percentuale massa partecipante in dir. Y
%Mz = Percentuale massa partecipante in dir. Z
%Jpz = Percentuale momento d'inerzia polare partecipante intorno all'asse Z

Modo	C	Per.	Diff.	Φx	Φy	Φz	%Mx	%My	%Mz	%Jpz
1	*	0.18	18.84	-63.59	0.00	0.00	43.47	0.00	0.00	0.00
2	*	0.15	0.72	0.00	-8.95	-53.48	0.00	0.86	33.79	0.00
3	*	0.15	0.72	-0.00	-37.84	12.77	0.00	15.39	1.93	0.00
4	*	0.11	18.16	-0.00	-72.64	-0.20	0.00	56.72	0.00	0.00
5	*	0.09	18.16	-0.21	0.00	-0.00	0.00	0.00	0.00	37.15
6	*	0.07	35.23	0.00	-0.17	30.25	0.00	0.00	10.81	0.00
Tot.cons.							43.47	72.98	46.53	37.15

Elenco coefficienti di risposta

Simbologia
Modo = Numero del modo di vibrare
Sx = Coefficiente di risposta (moltiplicato per 100) in dir. X
Sy = Coefficiente di risposta (moltiplicato per 100) in dir. Y
Sz = Coefficiente di risposta (moltiplicato per 100) in dir. Z

Stato limite di danno

Modo	Sx	Sy	Sz
1	26.90	26.90	5.40
2	26.90	26.90	6.41
3	26.90	26.90	6.46
4	23.16	23.16	6.48
5	21.25	21.25	6.48
6	18.51	18.51	6.48

Stato limite di salvaguardia della vita

Modo	Sx	Sy	Sz
1	58.81	58.81	18.18
2	58.81	58.81	21.60
3	58.81	58.81	21.76
4	49.32	49.32	21.81
5	45.34	45.34	21.81
6	39.62	39.62	21.81

Spostamenti dei nodi allo stato limite ultimo

Simbologia
Nodo = Numero del nodo
Sx = Spostamento in dir. X
CC = Numero della combinazione delle condizioni di carico elementari
Sy = Spostamento in dir. Y

Sz = Spostamento in dir. Z
Rx = Rotazione intorno all'asse X
Ry = Rotazione intorno all'asse Y
Rz = Rotazione intorno all'asse Z

Nodo		Sx <cm>	CC	Sy <cm>	CC	Sz <cm>	CC	Rx <rad>	CC	Ry <rad>	CC	Rz <rad>	CC
-2220	Max	1.40	101	0.32	177	0.49	130	0.00	128	0.00	101	0.00	177
-2220	Min.	-5.19	162	-0.19	17	-1.27	101	-0.00	99	-0.00	130	0.00	65
-2219	Max	1.39	101	0.34	177	0.41	130	0.00	104	0.01	98	0.00	177
-2219	Min.	-5.19	162	-0.18	17	-1.85	101	-0.00	65	0.00	65	0.00	97
-2218	Max	1.38	101	0.35	177	-0.24	17	0.00	173	0.01	98	0.00	17
-2218	Min.	-5.18	162	-0.18	17	-3.21	97	-0.00	65	0.00	49	0.00	98
-2217	Max	1.37	101	0.36	177	-0.36	65	0.01	100	0.00	130	0.00	1
-2217	Min.	-5.18	166	-0.17	65	-4.11	99	-0.00	17	-0.00	101	0.00	130
-2216	Max	1.37	101	0.36	177	-0.34	65	0.01	100	0.00	130	0.00	101
-2216	Min.	-5.18	166	-0.17	65	-4.01	99	-0.00	17	-0.00	101	0.00	49
-2215	Max	1.37	101	0.36	177	-0.35	65	0.01	100	0.00	130	0.00	101
-2215	Min.	-5.18	166	-0.17	65	-4.07	99	-0.00	17	-0.00	101	0.00	130
-2214	Max	1.36	101	0.35	177	-0.20	49	0.00	173	0.00	17	0.00	97
-2214	Min.	-5.19	158	-0.18	65	-2.84	98	-0.00	17	-0.01	97	0.00	65
-2213	Max	1.37	101	0.34	177	0.34	101	0.00	108	0.00	17	0.00	17
-2213	Min.	-5.20	166	-0.18	65	-1.65	130	-0.00	123	-0.00	98	0.00	177
-2212	Max	1.37	101	0.33	177	0.35	101	0.00	108	0.00	17	0.00	17
-2212	Min.	-5.20	166	-0.18	65	-1.60	130	-0.00	123	-0.00	98	0.00	177
-2211	Max	1.37	101	0.33	177	0.35	101	0.00	108	0.00	49	0.00	17
-2211	Min.	-5.20	166	-0.18	65	-1.56	130	-0.00	123	-0.00	98	0.00	177
-2210	Max	1.37	101	0.33	177	0.32	101	0.00	108	0.00	101	0.00	130
-2210	Min.	-5.20	166	-0.19	65	-1.46	130	-0.00	123	-0.00	106	0.00	177
-2209	Max	1.37	101	0.32	177	0.26	101	0.00	108	0.00	101	0.00	130
-2209	Min.	-5.20	166	-0.19	65	-1.34	130	-0.00	123	-0.00	130	0.00	177
-2208	Max	1.38	101	0.32	177	0.19	101	0.00	65	0.00	101	0.00	130
-2208	Min.	-5.20	166	-0.19	65	-1.20	130	-0.00	159	-0.00	130	0.00	177
-2207	Max	1.38	101	0.32	177	0.09	101	0.00	65	0.00	101	0.00	130
-2207	Min.	-5.21	166	-0.19	65	-1.02	130	-0.00	159	-0.00	130	0.00	177
-2206	Max	1.38	101	0.31	177	-0.02	49	0.00	65	0.00	101	0.00	130
-2206	Min.	-5.21	166	-0.19	65	-0.63	107	0.00	17	-0.01	130	0.00	177
-2205	Max	1.38	101	0.31	177	0.03	49	0.00	65	0.00	101	0.00	130
-2205	Min.	-5.21	166	-0.19	65	-0.81	131	-0.00	159	-0.01	130	0.00	177
-2204	Max	1.37	101	0.34	177	0.26	101	0.00	108	0.00	17	0.00	98
-2204	Min.	-5.20	166	-0.18	65	-1.73	130	-0.00	123	-0.01	98	0.00	177
-2203	Max	1.40	101	0.34	177	0.54	130	0.00	104	0.01	97	0.00	177
-2203	Min.	-5.19	162	-0.18	17	-1.71	101	-0.00	99	0.00	65	0.00	97
-2202	Max	1.37	101	0.34	177	0.13	49	0.00	108	0.00	17	0.00	98
-2202	Min.	-5.20	158	-0.18	65	-1.85	106	-0.00	17	-0.01	97	0.00	177
-2201	Max	1.36	101	0.34	177	0.10	49	0.00	108	0.00	17	0.00	97
-2201	Min.	-5.20	158	-0.18	65	-1.92	106	-0.00	17	-0.01	97	0.00	177
-2200	Max	1.36	101	0.34	177	0.06	49	0.00	108	0.00	17	0.00	97
-2200	Min.	-5.20	158	-0.18	65	-1.99	106	-0.00	17	-0.01	97	0.00	177
-2199	Max	1.36	101	0.35	177	-0.02	49	0.00	173	0.00	17	0.00	97
-2199	Min.	-5.20	158	-0.18	65	-2.12	106	-0.00	17	-0.01	97	0.00	177
-2198	Max	1.36	101	0.35	177	-0.10	49	0.00	173	0.00	17	0.00	97
-2198	Min.	-5.20	158	-0.18	65	-2.41	98	-0.00	17	-0.01	97	0.00	177
-2197	Max	1.36	101	0.35	177	-0.24	65	0.00	173	0.00	130	0.00	97
-2197	Min.	-5.19	158	-0.18	65	-3.21	98	-0.00	17	-0.01	97	0.00	65
-2196	Max	1.36	101	0.35	177	-0.28	65	0.00	173	0.00	130	0.00	97
-2196	Min.	-5.19	158	-0.18	65	-3.54	98	-0.00	17	-0.01	97	0.00	65
-2195	Max	1.36	101	0.36	177	-0.31	65	0.01	173	0.00	130	0.00	97
-2195	Min.	-5.19	158	-0.18	65	-3.81	99	-0.00	17	-0.01	97	0.00	65
-2194	Max	1.37	101	0.36	177	-0.32	65	0.01	100	0.00	130	0.00	97
-2194	Min.	-5.19	166	-0.17	65	-3.92	99	-0.00	17	-0.01	101	0.00	65
-2193	Max	1.37	101	0.36	177	-0.37	17	0.01	100	0.00	130	0.00	101
-2193	Min.	-5.18	162	-0.17	17	-4.12	99	-0.00	17	-0.00	101	0.00	130
-2192	Max	1.37	101	0.36	177	-0.36	17	0.01	100	0.00	130	0.00	1
-2192	Min.	-5.18	162	-0.17	17	-4.11	99	-0.00	65	-0.00	101	0.00	130
-2191	Max	1.37	101	0.36	177	-0.35	17	0.01	100	0.00	130	0.00	1
-2191	Min.	-5.18	162	-0.17	17	-4.07	99	-0.00	65	-0.00	101	0.00	130
-2190	Max	1.37	101	0.36	177	-0.34	17	0.01	100	0.00	130	0.00	1
-2190	Min.	-5.18	162	-0.17	17	-4.01	99	-0.00	65	-0.00	101	0.00	130
-2189	Max	1.37	101	0.36	177	-0.32	17	0.01	100	0.01	106	0.00	17
-2189	Min.	-5.18	162	-0.17	17	-3.92	99	-0.00	65	-0.00	101	0.00	98
-2188	Max	1.38	101	0.36	177	-0.31	17	0.01	100	0.01	98	0.00	17
-2188	Min.	-5.18	162	-0.18	17	-3.81	99	-0.00	65	-0.00	101	0.00	98
-2187	Max	1.38	101	0.35	177	-0.28	17	0.00	100	0.01	98	0.00	17
-2187	Min.	-5.18	162	-0.18	17	-3.54	97	-0.00	65	0.00	49	0.00	98
-2186	Max	1.38	101	0.35	177	-0.20	1	0.00	173	0.01	98	0.00	17
-2186	Min.	-5.18	162	-0.18	17	-2.84	97	-0.00	65	0.00	65	0.00	98
-2185	Max	1.39	101	0.35	177	-0.10	1	0.00	173	0.01	98	0.00	177
-2185	Min.	-5.18	162	-0.18	17	-2.41	97	-0.00	65	0.00	65	0.00	98
-2184	Max	1.39	101	0.35	177	0.01	130	0.00	173	0.01	98	0.00	177

-2184	Min.	-5.18	162	-0.18	17	-2.12	101	-0.00	65	0.00	65	0.00	98
-2183	Max	1.39	101	0.34	177	0.22	130	0.00	104	0.01	98	0.00	177
-2183	Min.	-5.18	162	-0.18	17	-1.99	101	-0.00	65	0.00	65	0.00	98
-2182	Max	1.39	101	0.34	177	0.32	130	0.00	104	0.01	98	0.00	177
-2182	Min.	-5.18	162	-0.18	17	-1.92	101	-0.00	65	0.00	65	0.00	98
-2181	Max	1.40	101	0.34	177	0.60	130	0.00	104	0.00	97	0.00	177
-2181	Min.	-5.19	162	-0.18	17	-1.60	101	-0.00	99	0.00	65	0.00	65
-2180	Max	1.40	101	0.33	177	0.60	130	0.00	104	0.00	97	0.00	177
-2180	Min.	-5.19	162	-0.18	17	-1.55	101	-0.00	99	0.00	65	0.00	65
-2179	Max	1.40	101	0.33	177	0.60	130	0.00	104	0.00	97	0.00	177
-2179	Min.	-5.19	162	-0.18	17	-1.50	101	-0.00	99	0.00	130	0.00	65
-2178	Max	1.40	101	0.33	177	0.55	130	0.00	128	0.00	101	0.00	177
-2178	Min.	-5.19	162	-0.19	17	-1.39	101	-0.00	99	-0.00	130	0.00	65
-2177	Max	1.40	101	0.32	177	0.39	130	0.00	128	0.00	101	0.00	177
-2177	Min.	-5.19	162	-0.19	17	-1.14	101	-0.00	65	-0.00	130	0.00	49
-2176	Max	1.40	101	0.32	177	0.26	130	0.00	164	0.00	101	0.00	177
-2176	Min.	-5.19	162	-0.19	17	-0.98	101	-0.00	65	-0.00	130	0.00	49
-2175	Max	1.40	101	0.31	177	0.12	132	0.00	164	0.00	101	0.00	177
-2175	Min.	-5.19	162	-0.19	17	-0.81	103	0.00	65	-0.00	130	0.00	49
-2174	Max	1.40	101	0.31	177	-0.02	132	0.00	17	0.00	101	0.00	177
-2174	Min.	-5.19	162	-0.19	17	-0.63	103	0.00	65	-0.00	130	0.00	49
-2173	Max	1.38	101	0.31	177	-0.02	1	0.00	65	0.00	101	0.00	1
-2173	Min.	-5.21	166	-0.19	65	-0.63	108	0.00	177	-0.01	130	0.00	177
-2172	Max	1.38	101	0.31	177	0.03	1	0.00	160	0.00	101	0.00	1
-2172	Min.	-5.21	166	-0.19	65	-0.82	132	0.00	177	-0.01	130	0.00	177
-2171	Max	1.38	101	0.32	177	0.09	101	0.00	160	0.00	101	0.00	1
-2171	Min.	-5.21	166	-0.19	65	-1.02	130	0.00	177	-0.00	130	0.00	177
-2170	Max	1.38	101	0.32	177	0.18	101	0.00	160	0.00	101	0.00	1
-2170	Min.	-5.20	166	-0.19	65	-1.20	130	-0.00	177	-0.00	130	0.00	177
-2169	Max	1.37	101	0.33	177	0.26	101	0.00	124	0.00	101	0.00	17
-2169	Min.	-5.20	166	-0.19	65	-1.34	130	0.00	177	-0.00	130	0.00	177
-2168	Max	1.37	101	0.33	177	0.32	101	0.00	124	0.00	101	0.00	17
-2168	Min.	-5.20	166	-0.19	65	-1.46	130	-0.00	177	-0.00	106	0.00	177
-2167	Max	1.37	101	0.33	177	0.35	101	0.00	173	0.00	1	0.00	17
-2167	Min.	-5.20	166	-0.19	65	-1.56	130	0.00	107	-0.00	98	0.00	177
-2166	Max	1.37	101	0.33	177	0.35	101	0.00	173	0.00	65	0.00	17
-2166	Min.	-5.20	166	-0.18	65	-1.61	130	0.00	107	-0.00	98	0.00	177
-2165	Max	1.37	101	0.34	177	0.33	101	0.00	173	0.00	65	0.00	17
-2165	Min.	-5.20	166	-0.18	65	-1.65	130	0.00	177	-0.00	98	0.00	177
-2164	Max	1.37	101	0.34	177	0.26	101	0.00	173	0.00	65	0.00	17
-2164	Min.	-5.20	166	-0.18	65	-1.74	130	0.00	177	-0.01	98	0.00	177
-2163	Max	1.37	101	0.34	177	0.13	1	0.00	173	0.00	65	0.00	17
-2163	Min.	-5.20	158	-0.18	65	-1.85	106	0.00	107	-0.01	97	0.00	177
-2162	Max	1.37	101	0.34	177	0.09	1	0.00	173	0.00	65	0.00	17
-2162	Min.	-5.20	158	-0.18	65	-1.92	106	-0.00	107	-0.01	97	0.00	177
-2161	Max	1.36	101	0.34	177	0.06	1	0.00	173	0.00	65	0.00	17
-2161	Min.	-5.20	158	-0.18	65	-1.99	106	-0.00	107	-0.01	97	0.00	173
-2160	Max	1.36	101	0.35	177	-0.02	1	0.00	173	0.00	65	0.00	17
-2160	Min.	-5.20	158	-0.18	65	-2.12	106	-0.00	107	-0.01	97	0.00	173
-2159	Max	1.36	101	0.35	177	-0.11	1	0.00	173	0.00	65	0.00	17
-2159	Min.	-5.20	158	-0.18	65	-2.42	98	-0.00	107	-0.01	97	0.00	173
-2158	Max	1.36	101	0.35	177	-0.20	1	0.01	173	0.00	65	0.00	17
-2158	Min.	-5.19	158	-0.18	65	-2.84	98	-0.00	99	-0.01	97	0.00	173
-2157	Max	1.36	101	0.35	177	-0.25	17	0.01	173	0.00	130	0.00	17
-2157	Min.	-5.19	158	-0.18	65	-3.22	98	-0.00	99	-0.01	97	0.00	173
-2156	Max	1.36	101	0.35	177	-0.29	17	0.01	173	0.00	130	0.00	17
-2156	Min.	-5.19	158	-0.18	65	-3.55	98	-0.00	99	-0.01	97	0.00	173
-2155	Max	1.36	101	0.36	177	-0.32	17	0.01	173	0.00	130	0.00	17
-2155	Min.	-5.19	158	-0.18	65	-3.82	100	-0.01	99	-0.01	97	0.00	97
-2154	Max	1.37	101	0.36	177	-0.33	17	0.01	173	0.00	130	0.00	17
-2154	Min.	-5.19	166	-0.18	65	-3.93	100	-0.01	99	-0.01	101	0.00	97
-2153	Max	1.37	101	0.36	177	-0.35	17	0.01	173	0.00	130	0.00	1
-2153	Min.	-5.18	166	-0.18	65	-4.02	100	-0.01	99	-0.00	101	0.00	101
-2152	Max	1.37	101	0.36	177	-0.36	17	0.01	173	0.00	130	0.00	130
-2152	Min.	-5.18	166	-0.17	65	-4.08	100	-0.01	99	-0.00	101	0.00	101
-2151	Max	1.37	101	0.36	177	-0.37	17	0.01	173	0.00	130	0.00	130
-2151	Min.	-5.18	166	-0.17	65	-4.11	100	-0.01	99	-0.00	101	0.00	101
-2150	Max	1.37	101	0.36	177	-0.38	17	0.01	173	0.00	130	0.00	130
-2150	Min.	-5.18	162	-0.17	17	-4.13	100	-0.01	99	-0.00	101	0.00	101
-2149	Max	1.37	101	0.36	177	-0.37	65	0.01	173	0.00	130	0.00	130
-2149	Min.	-5.18	162	-0.17	17	-4.11	100	-0.01	99	-0.00	101	0.00	49
-2148	Max	1.37	101	0.36	177	-0.36	65	0.01	173	0.00	130	0.00	130
-2148	Min.	-5.18	162	-0.17	17	-4.08	100	-0.01	99	-0.00	101	0.00	49
-2147	Max	1.37	101	0.36	177	-0.35	65	0.01	173	0.00	130	0.00	130
-2147	Min.	-5.18	162	-0.18	17	-4.02	100	-0.01	99	-0.00	101	0.00	49
-2146	Max	1.38	101	0.36	177	-0.33	65	0.01	173	0.01	106	0.00	173
-2146	Min.	-5.18	162	-0.18	17	-3.93	100	-0.01	99	-0.00	101	0.00	65
-2145	Max	1.38	101	0.36	177	-0.32	65	0.01	173	0.01	98	0.00	98
-2145	Min.	-5.18	162	-0.18	17	-3.82	100	-0.01	99	-0.00	101	0.00	65

-2144	Max	1.38	101	0.35	177	-0.29	65	0.01	173	0.01	98	0.00	173
-2144	Min.	-5.18	162	-0.18	17	-3.55	97	-0.00	99	0.00	1	0.00	65
-2143	Max	1.38	101	0.35	177	-0.25	65	0.01	173	0.01	98	0.00	173
-2143	Min.	-5.18	162	-0.18	17	-3.22	97	-0.00	99	0.00	1	0.00	65
-2142	Max	1.38	101	0.35	177	-0.20	49	0.01	173	0.01	98	0.00	173
-2142	Min.	-5.18	162	-0.18	17	-2.84	97	-0.00	99	0.00	17	0.00	65
-2141	Max	1.39	101	0.35	177	-0.11	49	0.00	173	0.01	98	0.00	173
-2141	Min.	-5.18	162	-0.18	17	-2.42	97	-0.00	103	0.00	17	0.00	65
-2140	Max	1.39	101	0.35	177	0.00	130	0.00	173	0.01	98	0.00	173
-2140	Min.	-5.18	162	-0.18	17	-2.12	101	-0.00	103	0.00	17	0.00	65
-2139	Max	1.39	101	0.34	177	0.22	130	0.00	173	0.01	98	0.00	173
-2139	Min.	-5.18	162	-0.18	17	-1.99	101	-0.00	103	0.00	17	0.00	65
-2138	Max	1.39	101	0.34	177	0.31	130	0.00	173	0.01	98	0.00	177
-2138	Min.	-5.18	162	-0.18	17	-1.92	101	-0.00	103	0.00	17	0.00	65
-2137	Max	1.39	101	0.34	177	0.40	130	0.00	173	0.01	98	0.00	177
-2137	Min.	-5.19	162	-0.18	17	-1.85	101	0.00	103	0.00	17	0.00	65
-2136	Max	1.40	101	0.34	177	0.53	130	0.00	173	0.01	97	0.00	177
-2136	Min.	-5.19	162	-0.18	17	-1.72	101	0.00	177	0.00	17	0.00	65
-2135	Max	1.40	101	0.34	177	0.59	130	0.00	173	0.00	97	0.00	177
-2135	Min.	-5.19	162	-0.18	17	-1.61	101	0.00	177	0.00	17	0.00	65
-2134	Max	1.40	101	0.33	177	0.60	130	0.00	173	0.00	97	0.00	177
-2134	Min.	-5.19	162	-0.18	17	-1.56	101	0.00	103	0.00	17	0.00	65
-2133	Max	1.40	101	0.33	177	0.59	130	0.00	173	0.00	97	0.00	177
-2133	Min.	-5.19	162	-0.19	17	-1.51	101	0.00	103	0.00	130	0.00	65
-2132	Max	1.40	101	0.33	177	0.55	130	0.00	173	0.00	101	0.00	177
-2132	Min.	-5.19	162	-0.19	17	-1.39	101	-0.00	177	-0.00	130	0.00	65
-2131	Max	1.40	101	0.33	177	0.49	130	0.00	173	0.00	101	0.00	177
-2131	Min.	-5.19	162	-0.19	17	-1.28	101	0.00	177	-0.00	130	0.00	65
-2130	Max	1.40	101	0.32	177	0.39	130	0.00	17	0.00	101	0.00	177
-2130	Min.	-5.19	162	-0.19	17	-1.14	101	-0.00	177	-0.00	130	0.00	49
-2129	Max	1.40	101	0.32	177	0.26	130	0.00	17	0.00	101	0.00	177
-2129	Min.	-5.19	162	-0.19	17	-0.98	101	0.00	177	-0.00	130	0.00	130
-2128	Max	1.40	101	0.31	177	0.12	131	0.00	17	0.00	101	0.00	177
-2128	Min.	-5.19	162	-0.19	17	-0.81	104	0.00	177	-0.00	130	0.00	130
-2127	Max	1.40	101	0.31	177	-0.02	49	0.00	17	0.00	101	0.00	177
-2127	Min.	-5.19	162	-0.19	17	-0.63	104	0.00	177	-0.00	130	0.00	130
-2126	Max	1.38	101	0.36	177	-0.28	65	0.01	173	0.01	173	0.00	98
-2126	Min.	-5.18	162	-0.18	17	-3.77	100	-0.01	99	-0.00	101	0.00	49
-2125	Max	1.37	101	0.36	177	-0.31	65	0.01	173	0.00	130	0.00	130
-2125	Min.	-5.18	162	-0.17	17	-3.91	100	-0.01	99	-0.00	101	0.00	49
-2124	Max	1.37	101	0.36	177	-0.31	17	0.01	173	0.00	130	0.00	130
-2124	Min.	-5.18	166	-0.17	65	-3.91	100	-0.01	99	-0.00	101	0.00	101
-2123	Max	1.37	101	0.36	177	-0.28	17	0.01	173	0.00	130	0.00	1
-2123	Min.	-5.19	166	-0.18	65	-3.77	100	-0.01	99	-0.01	101	0.00	97
-2122	Max	1.38	101	0.36	177	-0.27	17	0.01	100	0.01	106	0.00	1
-2122	Min.	-5.18	162	-0.17	17	-3.77	99	-0.00	65	-0.00	101	0.00	98
-2121	Max	1.37	101	0.36	177	-0.30	17	0.01	100	0.00	130	0.00	1
-2121	Min.	-5.18	162	-0.17	17	-3.90	99	-0.00	65	-0.00	101	0.00	130
-2120	Max	1.37	101	0.36	177	-0.27	65	0.01	100	0.00	130	0.00	97
-2120	Min.	-5.19	166	-0.17	65	-3.77	99	-0.00	17	-0.01	101	0.00	49
-2119	Max	1.37	101	0.36	177	-0.29	65	0.01	100	0.00	130	0.00	97
-2119	Min.	-5.19	166	-0.17	65	-3.82	99	-0.00	17	-0.01	101	0.00	49
-2118	Max	1.37	101	0.36	177	-0.30	65	0.01	100	0.00	130	0.00	101
-2118	Min.	-5.18	166	-0.17	65	-3.90	99	-0.00	17	-0.00	101	0.00	130
-2117	Max	1.37	101	0.36	177	-0.31	65	0.01	100	0.00	130	0.00	101
-2117	Min.	-5.18	166	-0.17	65	-3.96	99	-0.00	17	-0.00	101	0.00	130
-2116	Max	1.37	101	0.36	177	-0.31	17	0.01	100	0.00	130	0.00	1
-2116	Min.	-5.18	162	-0.17	17	-3.96	99	-0.00	65	-0.00	101	0.00	130
-2115	Max	1.38	101	0.36	177	-0.29	17	0.01	100	0.01	106	0.00	1
-2115	Min.	-5.18	162	-0.17	17	-3.82	99	-0.00	65	-0.00	101	0.00	98
-2114	Max	1.37	101	0.36	177	-0.36	65	0.01	173	0.00	130	0.00	97
-2114	Min.	-5.19	166	-0.17	65	-4.03	99	-0.00	17	-0.01	101	0.00	65
-2113	Max	1.37	101	0.36	177	-0.38	65	0.01	100	0.00	130	0.00	1
-2113	Min.	-5.18	166	-0.17	65	-4.18	99	-0.00	17	-0.00	101	0.00	49
-2112	Max	1.37	101	0.36	177	-0.38	17	0.01	100	0.00	130	0.00	1
-2112	Min.	-5.18	162	-0.17	17	-4.18	99	-0.00	65	-0.00	101	0.00	130
-2111	Max	1.37	101	0.36	177	-0.36	17	0.01	100	0.01	106	0.00	17
-2111	Min.	-5.18	162	-0.17	17	-4.03	99	-0.00	65	-0.00	101	0.00	98
-2110	Max	1.37	101	0.36	177	-0.38	65	0.01	173	0.00	130	0.00	97
-2110	Min.	-5.19	158	-0.17	65	-4.10	99	-0.00	17	-0.01	97	0.00	65
-2109	Max	1.37	101	0.36	177	-0.41	65	0.01	173	0.00	130	0.00	1
-2109	Min.	-5.18	166	-0.17	65	-4.26	99	-0.00	17	-0.00	101	0.00	49
-2108	Max	1.37	101	0.36	177	-0.41	17	0.01	173	0.00	130	0.00	1
-2108	Min.	-5.18	162	-0.17	17	-4.26	99	-0.00	65	-0.00	101	0.00	130
-2107	Max	1.37	101	0.36	177	-0.46	17	0.01	173	0.00	130	0.00	1
-2107	Min.	-5.18	162	-0.17	17	-4.39	99	-0.00	65	-0.00	101	0.00	49
-2106	Max	1.37	101	0.36	177	-0.38	17	0.01	173	0.01	98	0.00	17
-2106	Min.	-5.18	162	-0.17	17	-4.10	99	-0.00	65	-0.00	101	0.00	98
-2105	Max	1.37	101	0.36	177	-0.43	17	0.01	173	0.01	98	0.00	17

-2105	Min.	-5.18	162	-0.17	17	-4.22	97	-0.00	65	-0.00	101	0.00	98
-2104	Max	1.37	101	0.36	177	-0.47	17	0.01	173	0.01	98	0.00	17
-2104	Min.	-5.18	162	-0.17	17	-4.29	97	-0.00	65	-0.00	101	0.00	98
-2103	Max	1.37	101	0.36	177	-0.50	17	0.01	173	0.00	130	0.00	1
-2103	Min.	-5.18	162	-0.17	17	-4.46	99	-0.00	65	-0.00	101	0.00	49
-2102	Max	1.37	101	0.36	177	-0.56	33	0.00	173	0.01	98	0.00	17
-2102	Min.	-5.18	162	-0.18	17	-4.38	97	-0.00	65	-0.00	101	0.00	65
-2101	Max	1.37	101	0.36	177	-0.59	33	0.00	173	0.00	130	0.00	17
-2101	Min.	-5.18	162	-0.17	17	-4.55	97	-0.00	65	-0.00	101	0.00	65
-2100	Max	1.37	101	0.36	177	-0.59	33	0.00	173	0.00	130	0.00	17
-2100	Min.	-5.18	166	-0.17	65	-4.55	98	-0.00	17	-0.00	101	0.00	65
-2099	Max	1.36	101	0.36	177	-0.56	33	0.00	173	0.00	130	0.00	17
-2099	Min.	-5.19	158	-0.18	65	-4.38	98	-0.00	17	-0.01	97	0.00	65
-2098	Max	1.37	101	0.36	177	-0.39	17	0.01	173	0.00	130	0.00	17
-2098	Min.	-5.19	158	-0.18	65	-4.11	100	-0.01	99	-0.01	97	0.00	97
-2097	Max	1.37	101	0.36	177	-0.42	17	0.01	173	0.00	130	0.00	1
-2097	Min.	-5.18	166	-0.17	65	-4.27	100	-0.01	99	-0.00	101	0.00	49
-2096	Max	1.37	101	0.36	177	-0.42	65	0.01	173	0.00	130	0.00	130
-2096	Min.	-5.18	162	-0.17	17	-4.27	100	-0.01	99	-0.00	101	0.00	49
-2095	Max	1.38	101	0.36	177	-0.39	65	0.01	173	0.01	98	0.00	98
-2095	Min.	-5.18	162	-0.18	17	-4.11	100	-0.01	99	-0.00	101	0.00	65
-2094	Max	1.37	101	0.36	177	-0.37	17	0.01	173	0.00	130	0.00	17
-2094	Min.	-5.19	166	-0.18	65	-4.03	100	-0.01	99	-0.01	101	0.00	173
-2093	Max	1.37	101	0.36	177	-0.30	17	0.01	173	0.00	130	0.00	1
-2093	Min.	-5.19	166	-0.18	65	-3.83	100	-0.01	99	-0.01	101	0.00	97
-2092	Max	1.37	101	0.36	177	-0.39	17	0.01	173	0.00	130	0.00	1
-2092	Min.	-5.18	166	-0.17	65	-4.19	100	-0.01	99	-0.00	101	0.00	49
-2091	Max	1.37	101	0.36	177	-0.32	17	0.01	173	0.00	130	0.00	130
-2091	Min.	-5.18	166	-0.17	65	-3.97	100	-0.01	99	-0.00	101	0.00	101
-2090	Max	1.37	101	0.36	177	-0.39	65	0.01	173	0.00	130	0.00	130
-2090	Min.	-5.18	162	-0.17	17	-4.19	100	-0.01	99	-0.00	101	0.00	49
-2089	Max	1.37	101	0.36	177	-0.32	65	0.01	173	0.00	130	0.00	130
-2089	Min.	-5.18	162	-0.17	17	-3.97	100	-0.01	99	-0.00	101	0.00	49
-2088	Max	1.38	101	0.36	177	-0.37	65	0.01	173	0.01	106	0.00	173
-2088	Min.	-5.18	162	-0.18	17	-4.03	100	-0.01	99	-0.00	101	0.00	65
-2087	Max	1.38	101	0.36	177	-0.30	65	0.01	173	0.01	173	0.00	98
-2087	Min.	-5.18	162	-0.18	17	-3.83	100	-0.01	99	-0.00	101	0.00	49
-2086	Max	1.37	101	0.36	177	-0.44	17	0.01	173	0.00	130	0.00	17
-2086	Min.	-5.19	158	-0.18	65	-4.23	98	-0.00	99	-0.01	97	0.00	97
-2085	Max	1.37	101	0.36	177	-0.47	17	0.01	173	0.00	130	0.00	1
-2085	Min.	-5.18	166	-0.17	65	-4.40	100	-0.00	99	-0.00	101	0.00	49
-2084	Max	1.37	101	0.36	177	-0.47	65	0.01	173	0.00	130	0.00	1
-2084	Min.	-5.18	162	-0.17	17	-4.40	100	-0.00	99	-0.00	101	0.00	49
-2083	Max	1.37	101	0.36	177	-0.54	65	0.01	173	0.00	130	0.00	1
-2083	Min.	-5.18	166	-0.17	65	-4.51	99	-0.00	17	-0.00	101	0.00	49
-2082	Max	1.37	101	0.36	177	-0.57	33	0.00	173	0.00	130	0.00	17
-2082	Min.	-5.18	162	-0.17	17	-4.54	97	-0.00	65	-0.00	101	0.00	65
-2081	Max	1.37	101	0.36	177	-0.54	17	0.01	173	0.00	130	0.00	1
-2081	Min.	-5.18	162	-0.17	17	-4.51	99	-0.00	65	-0.00	101	0.00	49
-2080	Max	1.37	101	0.36	177	-0.54	33	0.00	173	0.01	98	0.00	17
-2080	Min.	-5.18	162	-0.18	17	-4.37	97	-0.00	65	-0.00	101	0.00	65
-2079	Max	1.37	101	0.36	177	-0.50	17	0.00	173	0.01	98	0.00	17
-2079	Min.	-5.18	162	-0.17	17	-4.33	97	-0.00	65	-0.00	101	0.00	65
-2078	Max	1.36	101	0.36	177	-0.51	17	0.00	173	0.00	130	0.00	17
-2078	Min.	-5.19	158	-0.18	65	-4.34	98	-0.00	17	-0.01	97	0.00	65
-2077	Max	1.36	101	0.36	177	-0.54	33	0.00	173	0.00	130	0.00	17
-2077	Min.	-5.19	158	-0.18	65	-4.37	98	-0.00	17	-0.01	97	0.00	65
-2076	Max	1.37	101	0.36	177	-0.54	17	0.01	173	0.00	130	0.00	1
-2076	Min.	-5.18	166	-0.17	65	-4.51	100	-0.00	17	-0.00	101	0.00	49
-2075	Max	1.37	101	0.36	177	-0.57	33	0.00	173	0.00	130	0.00	17
-2075	Min.	-5.18	166	-0.17	65	-4.55	98	-0.00	17	-0.00	101	0.00	65
-2074	Max	1.37	101	0.36	177	-0.47	17	0.01	173	0.00	130	0.00	17
-2074	Min.	-5.19	158	-0.18	65	-4.30	98	-0.00	99	-0.01	97	0.00	97
-2073	Max	1.37	101	0.36	177	-0.51	17	0.01	173	0.00	130	0.00	1
-2073	Min.	-5.18	158	-0.17	65	-4.47	100	-0.00	99	-0.00	101	0.00	49
-2072	Max	1.37	101	0.36	177	-0.51	65	0.01	173	0.00	130	0.00	1
-2072	Min.	-5.18	162	-0.17	17	-4.47	100	-0.00	99	-0.00	101	0.00	49
-2071	Max	1.40	101	0.32	177	0.49	130	0.00	128	0.00	101	0.00	177
-2071	Min.	-5.19	162	-0.19	17	-1.26	101	-0.00	99	0.00	106	0.00	65
-2070	Max	1.37	101	0.36	177	-0.54	65	0.00	173	0.00	130	0.00	1
-2070	Min.	-5.18	162	-0.17	17	-4.51	100	-0.00	65	-0.00	101	0.00	49
-2069	Max	1.39	101	0.34	177	0.38	130	0.00	104	0.01	122	0.00	177
-2069	Min.	-5.18	162	-0.18	17	-1.83	101	-0.00	65	0.00	65	0.00	121
-2068	Max	1.37	101	0.36	177	-0.47	65	0.01	173	0.01	98	0.00	98
-2068	Min.	-5.18	162	-0.18	17	-4.30	97	-0.00	99	-0.00	101	0.00	65
-2067	Max	1.38	101	0.35	177	-0.22	17	0.00	173	0.01	122	0.00	17
-2067	Min.	-5.18	162	-0.18	17	-3.15	97	-0.00	65	0.00	49	0.00	98
-2066	Max	1.37	101	0.36	177	-0.51	65	0.00	173	0.01	98	0.00	17
-2066	Min.	-5.18	162	-0.18	17	-4.34	97	-0.00	65	-0.00	101	0.00	65

-2065	Max	1.37	101	0.36	177	-0.32	65	0.01	100	0.00	130	0.00	101
-2065	Min.	-5.18	166	-0.17	65	-3.99	99	-0.00	17	-0.00	101	0.00	130
-2064	Max	1.37	101	0.36	177	-0.57	33	0.00	173	0.00	130	0.00	17
-2064	Min.	-5.18	162	-0.17	17	-4.55	97	-0.00	65	-0.00	101	0.00	65
-2063	Max	1.36	101	0.35	177	-0.19	65	0.00	173	0.00	17	0.00	97
-2063	Min.	-5.19	158	-0.18	65	-2.80	98	-0.00	17	-0.01	97	0.00	65
-2062	Max	1.37	101	0.36	177	-0.54	33	0.00	173	0.01	98	0.00	17
-2062	Min.	-5.18	162	-0.18	17	-4.37	97	-0.00	65	-0.00	101	0.00	65
-2061	Max	1.37	101	0.36	177	-0.44	65	0.01	173	0.01	98	0.00	98
-2061	Min.	-5.18	162	-0.18	17	-4.23	97	-0.00	99	-0.00	101	0.00	65
-2060	Max	1.37	101	0.33	177	0.30	101	0.00	173	0.00	65	0.00	17
-2060	Min.	-5.20	166	-0.18	65	-1.61	130	0.00	177	-0.00	98	0.00	177
-2059	Max	1.37	101	0.34	177	0.08	1	0.00	173	0.00	65	0.00	17
-2059	Min.	-5.20	158	-0.18	65	-1.88	106	-0.00	177	-0.01	97	0.00	173
-2058	Max	1.39	101	0.34	177	0.27	130	0.00	173	0.01	98	0.00	98
-2058	Min.	-5.18	162	-0.18	17	-1.88	101	-0.00	177	0.00	17	0.00	65
-2057	Max	1.40	101	0.33	177	0.56	130	0.00	173	0.00	97	0.00	177
-2057	Min.	-5.19	162	-0.18	17	-1.54	101	0.00	177	0.00	17	0.00	65
-2056	Max	1.39	101	0.34	177	0.36	130	0.00	173	0.01	98	0.00	177
-2056	Min.	-5.18	162	-0.18	17	-1.83	101	-0.00	177	0.00	17	0.00	65
-2055	Max	1.39	101	0.34	177	0.18	130	0.00	173	0.01	98	0.00	98
-2055	Min.	-5.18	162	-0.18	17	-1.95	101	-0.00	177	0.00	17	0.00	65
-2054	Max	1.39	101	0.35	177	-0.03	49	0.00	173	0.01	98	0.00	98
-2054	Min.	-5.18	162	-0.18	17	-2.08	101	-0.00	103	0.00	17	0.00	65
-2053	Max	1.39	101	0.35	177	-0.11	49	0.00	173	0.01	98	0.00	98
-2053	Min.	-5.18	162	-0.18	17	-2.38	97	-0.00	103	0.00	17	0.00	65
-2052	Max	1.38	101	0.35	177	-0.18	65	0.01	173	0.01	98	0.00	98
-2052	Min.	-5.18	162	-0.18	17	-2.79	97	-0.00	99	0.00	17	0.00	65
-2051	Max	1.38	101	0.35	177	-0.21	65	0.01	173	0.01	98	0.00	98
-2051	Min.	-5.18	162	-0.18	17	-3.13	97	-0.00	99	0.00	1	0.00	65
-2050	Max	1.38	101	0.35	177	-0.24	65	0.01	173	0.01	98	0.00	98
-2050	Min.	-5.18	162	-0.18	17	-3.42	97	-0.00	99	0.00	1	0.00	65
-2049	Max	1.38	101	0.36	177	-0.27	65	0.01	173	0.01	173	0.00	98
-2049	Min.	-5.18	162	-0.18	17	-3.68	100	-0.00	99	-0.00	101	0.00	65
-2048	Max	1.37	101	0.36	177	-0.29	65	0.01	173	0.00	130	0.00	106
-2048	Min.	-5.18	162	-0.18	17	-3.85	100	-0.01	99	-0.00	101	0.00	49
-2047	Max	1.37	101	0.36	177	-0.32	65	0.01	173	0.00	130	0.00	130
-2047	Min.	-5.18	162	-0.17	17	-3.94	100	-0.01	99	-0.00	101	0.00	49
-2046	Max	1.37	101	0.36	177	-0.32	17	0.01	173	0.00	130	0.00	130
-2046	Min.	-5.18	166	-0.17	65	-3.94	100	-0.01	99	-0.00	101	0.00	101
-2045	Max	1.37	101	0.36	177	-0.29	17	0.01	173	0.00	130	0.00	1
-2045	Min.	-5.18	166	-0.18	65	-3.85	100	-0.01	99	-0.00	101	0.00	101
-2044	Max	1.36	101	0.36	177	-0.27	17	0.01	173	0.00	130	0.00	17
-2044	Min.	-5.19	166	-0.18	65	-3.68	100	-0.00	99	-0.01	97	0.00	97
-2043	Max	1.36	101	0.35	177	-0.24	17	0.01	173	0.00	130	0.00	17
-2043	Min.	-5.19	158	-0.18	65	-3.42	98	-0.00	99	-0.01	97	0.00	97
-2042	Max	1.36	101	0.35	177	-0.21	17	0.01	173	0.00	130	0.00	17
-2042	Min.	-5.19	158	-0.18	65	-3.13	98	-0.00	99	-0.01	97	0.00	97
-2041	Max	1.36	101	0.35	177	-0.18	17	0.01	173	0.00	65	0.00	17
-2041	Min.	-5.19	158	-0.18	65	-2.79	98	-0.00	99	-0.01	97	0.00	97
-2040	Max	1.36	101	0.35	177	-0.11	1	0.00	173	0.00	65	0.00	17
-2040	Min.	-5.20	158	-0.18	65	-2.38	98	-0.00	107	-0.01	97	0.00	97
-2039	Max	1.36	101	0.35	177	-0.03	1	0.00	173	0.00	65	0.00	17
-2039	Min.	-5.20	158	-0.18	65	-2.08	106	-0.00	107	-0.01	97	0.00	97
-2038	Max	1.36	101	0.34	177	0.05	1	0.00	173	0.00	65	0.00	17
-2038	Min.	-5.20	158	-0.18	65	-1.95	106	-0.00	177	-0.01	97	0.00	97
-2037	Max	1.37	101	0.34	177	0.11	1	0.00	173	0.00	65	0.00	17
-2037	Min.	-5.20	158	-0.18	65	-1.83	106	-0.00	177	-0.01	97	0.00	177
-2036	Max	1.37	101	0.34	177	0.19	101	0.00	173	0.00	65	0.00	17
-2036	Min.	-5.20	166	-0.18	65	-1.75	130	0.00	177	-0.01	98	0.00	177
-2035	Max	1.37	101	0.34	177	0.28	101	0.00	173	0.00	65	0.00	17
-2035	Min.	-5.20	166	-0.18	65	-1.66	130	0.00	177	-0.00	98	0.00	177
-2034	Max	1.37	101	0.33	177	0.30	101	0.00	173	0.00	1	0.00	17
-2034	Min.	-5.20	166	-0.19	65	-1.57	130	0.00	177	-0.00	98	0.00	177
-2033	Max	1.37	101	0.33	177	0.28	101	0.00	124	0.00	101	0.00	1
-2033	Min.	-5.20	166	-0.19	65	-1.46	130	-0.00	177	-0.00	106	0.00	177
-2032	Max	1.37	101	0.33	177	0.24	101	0.00	124	0.00	101	0.00	101
-2032	Min.	-5.20	166	-0.19	65	-1.36	130	-0.00	177	-0.00	106	0.00	177
-2031	Max	1.38	101	0.32	177	0.17	101	0.00	160	0.00	101	0.00	101
-2031	Min.	-5.20	166	-0.19	65	-1.23	130	-0.00	177	-0.00	130	0.00	177
-2030	Max	1.38	101	0.32	177	0.08	101	0.00	160	0.00	101	0.00	101
-2030	Min.	-5.21	166	-0.19	65	-1.04	130	0.00	177	-0.00	130	0.00	177
-2029	Max	1.38	101	0.31	177	0.03	1	0.00	160	0.00	101	0.00	101
-2029	Min.	-5.21	166	-0.19	65	-0.84	132	0.00	177	-0.01	130	0.00	177
-2028	Max	1.41	101	0.31	177	-0.01	65	0.00	17	0.00	101	0.00	177
-2028	Min.	-5.20	162	-0.19	17	-0.63	104	0.00	177	-0.00	130	0.00	130
-2027	Max	1.40	101	0.31	177	0.13	131	0.00	17	0.00	101	0.00	177
-2027	Min.	-5.19	162	-0.19	17	-0.81	104	0.00	177	-0.00	130	0.00	130
-2026	Max	1.40	101	0.32	177	0.27	130	0.00	17	0.00	101	0.00	177

-2026	Min.	-5.19	162	-0.19	17	-0.98	101	0.00	177	-0.00	130	0.00	130
-2025	Max	1.40	101	0.32	177	0.40	130	0.00	17	0.00	101	0.00	177
-2025	Min.	-5.19	162	-0.19	17	-1.14	101	-0.00	177	-0.00	130	0.00	130
-2024	Max	1.40	101	0.33	177	0.48	130	0.00	173	0.00	101	0.00	177
-2024	Min.	-5.19	162	-0.19	17	-1.26	101	-0.00	177	-0.00	106	0.00	106
-2023	Max	1.40	101	0.33	177	0.53	130	0.00	173	0.00	101	0.00	177
-2023	Min.	-5.19	162	-0.19	17	-1.37	101	-0.00	177	-0.00	130	0.00	49
-2022	Max	1.40	101	0.33	177	0.57	130	0.00	173	0.00	97	0.00	177
-2022	Min.	-5.19	162	-0.19	17	-1.48	101	0.00	177	0.00	130	0.00	65
-2021	Max	1.40	101	0.34	177	0.55	130	0.00	173	0.00	97	0.00	177
-2021	Min.	-5.19	162	-0.18	17	-1.59	101	0.00	177	0.00	17	0.00	65
-2020	Max	1.40	101	0.34	177	0.48	130	0.00	173	0.01	97	0.00	177
-2020	Min.	-5.19	162	-0.18	17	-1.71	101	0.00	177	0.00	17	0.00	65
-2019	Max	1.37	101	0.36	177	-0.33	17	0.01	173	0.00	130	0.00	130
-2019	Min.	-5.18	162	-0.17	17	-3.96	100	-0.01	99	-0.00	101	0.00	49
-2018	Max	1.38	101	0.31	177	-0.01	17	0.00	65	0.00	101	0.00	101
-2018	Min.	-5.21	166	-0.19	65	-0.63	108	0.00	177	-0.01	130	0.00	177
-2017	Max	1.37	101	0.33	177	0.30	101	0.00	108	0.00	17	0.00	130
-2017	Min.	-5.20	166	-0.18	65	-1.61	130	-0.00	123	-0.00	98	0.00	177
-2016	Max	1.37	101	0.34	177	0.09	49	0.00	108	0.00	17	0.00	97
-2016	Min.	-5.20	158	-0.18	65	-1.88	106	-0.00	17	-0.01	97	0.00	177
-2015	Max	1.39	101	0.34	177	0.28	130	0.00	104	0.01	98	0.00	177
-2015	Min.	-5.18	162	-0.18	17	-1.88	101	-0.00	65	0.00	65	0.00	98
-2014	Max	1.40	101	0.33	177	0.57	130	0.00	104	0.00	97	0.00	177
-2014	Min.	-5.19	162	-0.18	17	-1.53	101	-0.00	99	0.00	65	0.00	65
-2013	Max	1.39	101	0.34	177	0.36	130	0.00	104	0.01	98	0.00	177
-2013	Min.	-5.18	162	-0.18	17	-1.82	101	-0.00	65	0.00	65	0.00	122
-2012	Max	1.39	101	0.34	177	0.19	130	0.00	104	0.01	98	0.00	177
-2012	Min.	-5.18	162	-0.18	17	-1.95	101	-0.00	65	0.00	65	0.00	98
-2011	Max	1.39	101	0.35	177	-0.02	130	0.00	173	0.01	98	0.00	17
-2011	Min.	-5.18	162	-0.18	17	-2.08	101	-0.00	65	0.00	65	0.00	98
-2010	Max	1.39	101	0.35	177	-0.11	1	0.00	173	0.01	98	0.00	17
-2010	Min.	-5.18	162	-0.18	17	-2.37	97	-0.00	65	0.00	65	0.00	98
-2009	Max	1.38	101	0.35	177	-0.18	17	0.00	173	0.01	98	0.00	17
-2009	Min.	-5.18	162	-0.18	17	-2.78	97	-0.00	65	0.00	65	0.00	98
-2008	Max	1.38	101	0.35	177	-0.21	17	0.00	173	0.01	98	0.00	17
-2008	Min.	-5.18	162	-0.18	17	-3.12	97	-0.00	65	0.00	49	0.00	98
-2007	Max	1.38	101	0.35	177	-0.23	17	0.00	100	0.01	98	0.00	17
-2007	Min.	-5.18	162	-0.18	17	-3.41	97	-0.00	65	0.00	49	0.00	98
-2006	Max	1.38	101	0.35	177	-0.26	17	0.00	100	0.01	98	0.00	17
-2006	Min.	-5.18	162	-0.18	17	-3.67	99	-0.00	65	-0.00	101	0.00	98
-2005	Max	1.37	101	0.36	177	-0.28	17	0.01	100	0.00	130	0.00	1
-2005	Min.	-5.18	162	-0.17	17	-3.85	99	-0.00	65	-0.00	101	0.00	106
-2004	Max	1.37	101	0.36	177	-0.31	17	0.01	100	0.00	130	0.00	1
-2004	Min.	-5.18	162	-0.17	17	-3.94	99	-0.00	65	-0.00	101	0.00	130
-2003	Max	1.37	101	0.36	177	-0.31	65	0.01	100	0.00	130	0.00	101
-2003	Min.	-5.18	166	-0.17	65	-3.94	99	-0.00	17	-0.00	101	0.00	130
-2002	Max	1.37	101	0.36	177	-0.28	65	0.01	100	0.00	130	0.00	101
-2002	Min.	-5.18	166	-0.17	65	-3.85	99	-0.00	17	-0.00	101	0.00	49
-2001	Max	1.36	101	0.35	177	-0.26	65	0.01	173	0.00	130	0.00	97
-2001	Min.	-5.19	158	-0.18	65	-3.67	99	-0.00	17	-0.01	97	0.00	65
-2000	Max	1.36	101	0.35	177	-0.23	65	0.00	173	0.00	130	0.00	97
-2000	Min.	-5.19	158	-0.18	65	-3.41	98	-0.00	17	-0.01	97	0.00	65
-1999	Max	1.36	101	0.35	177	-0.21	65	0.00	173	0.00	130	0.00	97
-1999	Min.	-5.19	158	-0.18	65	-3.12	98	-0.00	17	-0.01	97	0.00	65
-1998	Max	1.36	101	0.35	177	-0.18	65	0.00	173	0.00	17	0.00	97
-1998	Min.	-5.19	158	-0.18	65	-2.78	98	-0.00	17	-0.01	97	0.00	65
-1997	Max	1.36	101	0.35	177	-0.11	49	0.00	173	0.00	17	0.00	97
-1997	Min.	-5.20	158	-0.18	65	-2.37	98	-0.00	17	-0.01	97	0.00	65
-1996	Max	1.36	101	0.35	177	-0.02	49	0.00	173	0.00	17	0.00	97
-1996	Min.	-5.20	158	-0.18	65	-2.08	106	-0.00	17	-0.01	97	0.00	65
-1995	Max	1.36	101	0.34	177	0.05	49	0.00	108	0.00	17	0.00	97
-1995	Min.	-5.20	158	-0.18	65	-1.95	106	-0.00	17	-0.01	97	0.00	177
-1994	Max	1.37	101	0.34	177	0.11	49	0.00	108	0.00	162	0.00	97
-1994	Min.	-5.20	158	-0.18	65	-1.82	106	-0.00	17	-0.01	97	0.00	177
-1993	Max	1.37	101	0.36	177	-0.32	17	0.01	100	0.00	130	0.00	1
-1993	Min.	-5.18	162	-0.17	17	-3.95	99	-0.00	17	-0.00	101	0.00	130
-1992	Max	1.37	101	0.34	177	0.20	101	0.00	144	0.00	17	0.00	98
-1992	Min.	-5.20	166	-0.18	65	-1.75	130	-0.00	123	-0.01	98	0.00	177
-1991	Max	1.37	101	0.34	177	0.28	101	0.00	108	0.00	17	0.00	98
-1991	Min.	-5.20	166	-0.18	65	-1.65	130	-0.00	123	-0.00	98	0.00	177
-1990	Max	1.37	101	0.33	177	0.31	101	0.00	108	0.00	49	0.00	130
-1990	Min.	-5.20	166	-0.18	65	-1.56	130	-0.00	123	-0.00	98	0.00	177
-1989	Max	1.37	101	0.33	177	0.29	101	0.00	108	0.00	101	0.00	130
-1989	Min.	-5.20	166	-0.19	65	-1.46	130	-0.00	123	-0.00	106	0.00	177
-1988	Max	1.37	101	0.32	177	0.24	101	0.00	108	0.00	101	0.00	130
-1988	Min.	-5.20	166	-0.19	65	-1.36	130	-0.00	123	-0.00	106	0.00	177
-1987	Max	1.38	101	0.32	177	0.17	101	0.00	65	0.00	101	0.00	130
-1987	Min.	-5.20	166	-0.19	65	-1.23	130	-0.00	159	-0.00	130	0.00	177

-1986	Max	1.38	101	0.32	177	0.08	101	0.00	65	0.00	101	0.00	130
-1986	Min.	-5.21	166	-0.19	65	-1.04	130	-0.00	159	-0.00	130	0.00	177
-1985	Max	1.38	101	0.31	177	0.03	49	0.00	65	0.00	101	0.00	130
-1985	Min.	-5.21	166	-0.19	65	-0.83	131	-0.00	159	-0.01	130	0.00	177
-1984	Max	1.41	101	0.31	177	-0.01	17	0.00	17	0.00	101	0.00	177
-1984	Min.	-5.20	162	-0.19	17	-0.63	103	0.00	177	-0.00	130	0.00	101
-1983	Max	1.40	101	0.31	177	0.13	132	0.00	164	0.00	101	0.00	177
-1983	Min.	-5.19	162	-0.19	17	-0.81	103	0.00	65	-0.00	130	0.00	101
-1982	Max	1.40	101	0.32	177	0.27	130	0.00	164	0.00	101	0.00	177
-1982	Min.	-5.19	162	-0.19	17	-0.98	101	-0.00	65	-0.00	130	0.00	101
-1981	Max	1.40	101	0.32	177	0.40	130	0.00	164	0.00	101	0.00	177
-1981	Min.	-5.19	162	-0.19	17	-1.14	101	-0.00	65	-0.00	130	0.00	101
-1980	Max	1.40	101	0.32	177	0.48	130	0.00	128	0.00	101	0.00	177
-1980	Min.	-5.19	162	-0.19	17	-1.26	101	-0.00	99	-0.00	106	0.00	101
-1979	Max	1.40	101	0.33	177	0.53	130	0.00	104	0.00	101	0.00	177
-1979	Min.	-5.19	162	-0.19	17	-1.37	101	-0.00	99	-0.00	130	0.00	101
-1978	Max	1.40	101	0.33	177	0.57	130	0.00	128	0.00	97	0.00	177
-1978	Min.	-5.19	162	-0.18	17	-1.48	101	-0.00	99	0.00	130	0.00	101
-1977	Max	1.40	101	0.34	177	0.56	130	0.00	104	0.00	97	0.00	177
-1977	Min.	-5.19	162	-0.18	17	-1.59	101	-0.00	99	0.00	65	0.00	97
-1976	Max	1.40	101	0.34	177	0.49	130	0.00	128	0.01	97	0.00	177
-1976	Min.	-5.19	162	-0.18	17	-1.71	101	-0.00	99	0.00	65	0.00	121
-1975	Max	1.38	101	0.31	177	-0.01	65	0.00	65	0.00	101	0.00	130
-1975	Min.	-5.21	166	-0.19	65	-0.63	107	0.00	177	-0.01	130	0.00	177
-1974	Max	1.37	101	0.36	177	-0.47	65	0.01	173	0.00	130	0.00	97
-1974	Min.	-5.19	158	-0.17	65	-4.29	98	-0.00	17	-0.01	97	0.00	65
-1973	Max	1.37	101	0.36	177	-0.43	65	0.01	173	0.00	130	0.00	97
-1973	Min.	-5.19	158	-0.17	65	-4.22	98	-0.00	17	-0.01	97	0.00	65
-1972	Max	1.37	101	0.33	177	0.43	101	0.00	65	0.00	49	0.00	17
-1972	Min.	-5.21	166	-0.18	65	-1.62	106	-0.00	123	-0.00	98	0.00	177
-1971	Max	1.37	101	0.33	177	0.45	101	0.00	108	0.00	1	0.00	17
-1971	Min.	-5.20	166	-0.18	65	-1.58	106	0.00	17	-0.00	98	0.00	177
-1970	Max	1.37	101	0.33	177	0.44	101	0.00	132	0.00	1	0.00	17
-1970	Min.	-5.20	166	-0.18	65	-1.62	106	0.00	17	-0.00	98	0.00	177
-1969	Max	1.37	101	0.33	177	0.43	101	0.00	173	0.00	1	0.00	17
-1969	Min.	-5.21	166	-0.18	65	-1.63	106	0.00	177	-0.00	98	0.00	177
-1968	Max	1.37	101	0.33	177	0.44	101	0.00	65	0.00	49	0.00	17
-1968	Min.	-5.20	166	-0.18	65	-1.61	106	0.00	131	-0.00	98	0.00	177
-1967	Max	1.37	101	0.33	177	0.45	101	0.00	65	0.00	49	0.00	17
-1967	Min.	-5.20	166	-0.18	65	-1.58	106	0.00	107	-0.00	98	0.00	177
-1966	Max	1.37	101	0.33	177	0.46	101	0.00	65	0.00	49	0.00	17
-1966	Min.	-5.20	166	-0.18	65	-1.56	106	0.00	17	-0.00	98	0.00	177
-1965	Max	1.37	101	0.33	177	0.42	101	0.00	108	0.00	49	0.00	166
-1965	Min.	-5.20	166	-0.18	65	-1.62	106	-0.00	123	-0.00	98	0.00	177
-1964	Max	1.37	101	0.33	177	0.32	101	0.00	108	0.00	17	0.00	17
-1964	Min.	-5.20	166	-0.18	65	-1.61	130	-0.00	123	-0.00	98	0.00	177
-1963	Max	1.37	101	0.33	177	0.38	101	0.00	108	0.00	1	0.00	17
-1963	Min.	-5.20	166	-0.18	65	-1.61	130	-0.00	123	-0.00	98	0.00	177
-1962	Max	1.37	101	0.33	177	0.39	101	0.00	108	0.00	49	0.00	17
-1962	Min.	-5.20	166	-0.18	65	-1.61	130	-0.00	123	-0.00	98	0.00	177
-1961	Max	1.37	101	0.33	177	0.31	101	0.00	173	0.00	65	0.00	17
-1961	Min.	-5.20	166	-0.18	65	-1.61	130	0.00	177	-0.00	98	0.00	177
-1960	Max	1.37	101	0.33	177	0.37	101	0.00	173	0.00	49	0.00	17
-1960	Min.	-5.20	166	-0.18	65	-1.61	130	-0.00	107	-0.00	98	0.00	177
-1959	Max	1.37	101	0.33	177	0.42	101	0.00	173	0.00	1	0.00	17
-1959	Min.	-5.20	166	-0.18	65	-1.62	106	0.00	107	-0.00	98	0.00	177
-1958	Max	1.37	101	0.33	177	0.39	101	0.00	173	0.00	1	0.00	17
-1958	Min.	-5.20	166	-0.18	65	-1.61	130	-0.00	107	-0.00	98	0.00	177
-1957	Max	1.37	101	0.34	177	0.09	49	0.00	108	0.00	17	0.00	97
-1957	Min.	-5.20	158	-0.18	65	-1.89	106	-0.00	17	-0.01	97	0.00	177
-1956	Max	1.36	101	0.34	177	0.10	49	0.00	108	0.00	17	0.00	97
-1956	Min.	-5.20	158	-0.18	65	-1.94	106	-0.00	17	-0.01	97	0.00	177
-1955	Max	1.36	101	0.34	177	0.11	49	0.00	108	0.00	17	0.00	97
-1955	Min.	-5.20	158	-0.18	65	-1.96	106	-0.00	17	-0.01	97	0.00	177
-1954	Max	1.36	101	0.34	177	0.11	49	0.00	173	0.00	17	0.00	17
-1954	Min.	-5.20	158	-0.18	65	-2.01	106	-0.00	17	-0.01	97	0.00	177
-1953	Max	1.36	101	0.34	177	0.11	101	0.00	173	-0.00	33	0.00	17
-1953	Min.	-5.20	158	-0.18	65	-1.98	106	0.00	17	-0.01	97	0.00	177
-1952	Max	1.36	101	0.34	177	0.10	1	0.00	173	0.00	65	0.00	17
-1952	Min.	-5.20	158	-0.18	65	-1.97	106	-0.00	107	-0.01	97	0.00	177
-1951	Max	1.36	101	0.34	177	0.10	1	0.00	173	0.00	65	0.00	17
-1951	Min.	-5.20	158	-0.18	65	-1.95	106	-0.00	107	-0.01	97	0.00	177
-1950	Max	1.37	101	0.34	177	0.09	1	0.00	173	0.00	65	0.00	17
-1950	Min.	-5.20	158	-0.18	65	-1.90	106	-0.00	177	-0.01	97	0.00	177
-1949	Max	1.36	101	0.34	177	0.11	101	0.00	173	-0.00	33	0.00	17
-1949	Min.	-5.20	158	-0.18	65	-1.97	106	0.00	17	-0.01	97	0.00	177
-1948	Max	1.36	101	0.34	177	0.11	1	0.00	173	0.00	65	0.00	17
-1948	Min.	-5.20	158	-0.18	65	-2.00	106	-0.00	107	-0.01	97	0.00	177
-1947	Max	1.36	101	0.34	177	0.11	1	0.00	173	0.00	65	0.00	17

-1947	Min.	-5.20	166	-0.18	65	-2.02	106	0.00	17	-0.01	97	0.00	177
-1946	Max	1.36	101	0.34	177	0.11	101	0.00	173	-0.00	33	0.00	17
-1946	Min.	-5.20	158	-0.18	65	-1.98	106	0.00	17	-0.01	97	0.00	177
-1945	Max	1.36	101	0.34	177	0.11	1	0.00	173	0.00	65	0.00	17
-1945	Min.	-5.20	158	-0.18	65	-2.01	106	0.00	17	-0.01	97	0.00	177
-1944	Max	1.36	101	0.34	177	0.11	49	0.00	108	0.00	17	0.00	97
-1944	Min.	-5.20	158	-0.18	65	-2.00	106	-0.00	17	-0.01	97	0.00	177
-1943	Max	1.36	101	0.34	177	0.11	49	0.00	173	0.00	17	0.00	17
-1943	Min.	-5.20	166	-0.18	65	-2.02	106	-0.00	17	-0.01	97	0.00	177
-1942	Max	1.39	101	0.34	177	0.29	130	0.00	104	0.01	98	0.00	177
-1942	Min.	-5.18	162	-0.18	17	-1.89	101	-0.00	65	0.00	65	0.00	98
-1941	Max	1.39	101	0.34	177	0.35	130	0.00	104	0.01	98	0.00	177
-1941	Min.	-5.19	162	-0.18	17	-1.94	101	-0.00	65	0.00	65	0.00	98
-1940	Max	1.39	101	0.34	177	0.36	130	0.00	104	0.01	98	0.00	177
-1940	Min.	-5.19	162	-0.18	17	-1.96	101	-0.00	65	0.00	65	0.00	98
-1939	Max	1.39	101	0.34	177	0.38	130	0.00	104	0.01	98	0.00	177
-1939	Min.	-5.19	162	-0.18	17	-2.00	101	-0.00	65	0.00	65	0.00	98
-1938	Max	1.39	101	0.34	177	0.40	130	0.00	173	0.01	98	0.00	177
-1938	Min.	-5.19	162	-0.18	17	-2.02	101	-0.00	65	0.00	65	0.00	65
-1937	Max	1.39	101	0.34	177	0.42	130	0.00	173	0.01	98	0.00	177
-1937	Min.	-5.19	162	-0.18	17	-1.97	101	0.00	65	0.00	33	0.00	65
-1936	Max	1.39	101	0.34	177	0.36	130	0.00	173	0.01	98	0.00	177
-1936	Min.	-5.19	162	-0.18	17	-1.97	101	-0.00	103	0.00	17	0.00	65
-1935	Max	1.39	101	0.34	177	0.34	130	0.00	173	0.01	98	0.00	177
-1935	Min.	-5.19	162	-0.18	17	-1.95	101	-0.00	103	0.00	17	0.00	65
-1934	Max	1.39	101	0.34	177	0.29	130	0.00	173	0.01	98	0.00	177
-1934	Min.	-5.18	162	-0.18	17	-1.90	101	-0.00	177	0.00	17	0.00	65
-1933	Max	1.40	101	0.33	177	0.58	130	0.00	173	0.00	97	0.00	177
-1933	Min.	-5.19	162	-0.18	17	-1.54	101	0.00	177	0.00	17	0.00	65
-1932	Max	1.40	101	0.33	177	0.62	130	0.00	173	0.00	97	0.00	177
-1932	Min.	-5.19	162	-0.18	17	-1.58	101	-0.00	103	0.00	1	0.00	65
-1931	Max	1.40	101	0.33	177	0.63	130	0.00	173	0.00	97	0.00	177
-1931	Min.	-5.19	162	-0.18	17	-1.59	101	-0.00	103	0.00	130	0.00	65
-1930	Max	1.40	101	0.33	177	0.64	130	0.00	173	0.00	97	0.00	177
-1930	Min.	-5.19	162	-0.18	17	-1.62	101	0.00	103	0.00	130	0.00	162
-1929	Max	1.40	101	0.33	177	0.67	130	0.00	104	0.00	97	0.00	177
-1929	Min.	-5.19	162	-0.18	17	-1.58	101	0.00	65	0.00	130	0.00	65
-1928	Max	1.40	101	0.33	177	0.66	130	0.00	17	0.00	97	0.00	177
-1928	Min.	-5.19	162	-0.18	17	-1.62	101	0.00	65	0.00	130	0.00	65
-1927	Max	1.40	101	0.33	177	0.67	130	0.00	17	0.00	97	0.00	177
-1927	Min.	-5.19	162	-0.18	17	-1.58	101	0.00	103	0.00	130	0.00	65
-1926	Max	1.40	101	0.33	177	0.67	130	0.00	17	0.00	97	0.00	177
-1926	Min.	-5.19	162	-0.18	17	-1.56	101	0.00	65	0.00	130	0.00	65
-1925	Max	1.40	101	0.33	177	0.63	130	0.00	104	0.00	97	0.00	177
-1925	Min.	-5.19	162	-0.18	17	-1.59	101	-0.00	99	0.00	130	0.00	65
-1924	Max	1.39	101	0.34	177	0.38	130	0.00	173	0.01	98	0.00	177
-1924	Min.	-5.19	162	-0.18	17	-2.00	101	-0.00	103	0.00	17	0.00	65
-1923	Max	1.39	101	0.34	177	0.42	130	0.00	173	0.01	98	0.00	177
-1923	Min.	-5.19	162	-0.18	17	-1.98	101	0.00	65	0.00	33	0.00	65
-1922	Max	1.40	101	0.33	177	0.58	130	0.00	104	0.00	97	0.00	177
-1922	Min.	-5.19	162	-0.18	17	-1.54	101	-0.00	99	0.00	65	0.00	65
-1921	Max	1.40	101	0.33	177	0.62	130	0.00	104	0.00	97	0.00	177
-1921	Min.	-5.19	162	-0.18	17	-1.57	101	-0.00	99	0.00	49	0.00	65
-1920	Max	1.39	101	0.34	177	0.40	130	0.00	173	0.01	98	0.00	177
-1920	Min.	-5.19	162	-0.18	17	-2.01	101	0.00	65	0.00	17	0.00	65
-1919	Max	1.39	101	0.34	177	0.39	130	0.00	173	0.01	98	0.00	177
-1919	Min.	-5.19	162	-0.18	17	-2.02	101	0.00	65	0.00	17	0.00	65
-1918	Max	1.39	101	0.34	177	0.41	130	0.00	173	0.01	98	0.00	177
-1918	Min.	-5.19	162	-0.18	17	-2.01	101	-0.00	65	0.00	65	0.00	65
-1917	Max	1.39	101	0.34	177	0.42	130	0.00	173	0.01	98	0.00	177
-1917	Min.	-5.19	162	-0.18	17	-1.98	101	0.00	65	0.00	33	0.00	65
-1916	Max	1.40	101	0.33	177	0.66	130	0.00	17	0.00	97	0.00	177
-1916	Min.	-5.19	162	-0.18	17	-1.62	101	0.00	65	0.00	130	0.00	65
-1915	Max	1.40	101	0.33	177	0.65	130	0.00	173	0.00	97	0.00	177
-1915	Min.	-5.19	162	-0.18	17	-1.63	101	0.00	177	0.00	130	0.00	65
-1914	Max	1.40	101	0.33	177	0.65	130	0.00	104	0.00	97	0.00	177
-1914	Min.	-5.19	162	-0.18	17	-1.62	101	-0.00	65	0.00	130	0.00	65
-1913	Max	1.40	101	0.33	177	0.66	130	0.00	17	0.00	97	0.00	177
-1913	Min.	-5.19	162	-0.18	17	-1.62	101	-0.00	65	0.00	130	0.00	65
-1912	Max	1.37	101	0.36	177	-0.46	65	0.01	173	0.00	130	0.00	1
-1912	Min.	-5.18	166	-0.17	65	-4.39	99	-0.00	17	-0.00	101	0.00	49
-1911	Max	1.37	101	0.36	177	-0.50	65	0.01	173	0.00	130	0.00	1
-1911	Min.	-5.18	158	-0.17	65	-4.46	99	-0.00	17	-0.00	101	0.00	49
-1910	Max	1.37	101	0.34	177	0.42	101	0.00	65	0.00	1	0.00	17
-1910	Min.	-5.20	166	-0.18	65	-1.67	106	-0.00	17	-0.00	98	0.00	177
-1909	Max	1.37	101	0.33	177	0.43	101	0.00	65	0.00	101	0.00	17
-1909	Min.	-5.20	166	-0.18	65	-1.57	106	-0.00	123	-0.00	106	0.00	177
-1908	Max	1.37	101	0.33	177	0.39	101	0.00	65	0.00	101	0.00	17
-1908	Min.	-5.20	166	-0.19	65	-1.44	106	-0.00	123	-0.00	106	0.00	177

-1907	Max	1.38	101	0.32	177	0.32	101	0.00	65	0.00	101	0.00	17
-1907	Min.	-5.20	166	-0.19	65	-1.30	106	-0.00	123	-0.00	130	0.00	177
-1906	Max	1.38	101	0.32	177	0.22	101	0.00	65	0.00	101	0.00	17
-1906	Min.	-5.21	166	-0.19	65	-1.15	106	-0.00	123	-0.00	130	0.00	177
-1905	Max	1.38	101	0.32	177	0.12	101	0.00	65	0.00	101	0.00	17
-1905	Min.	-5.21	166	-0.19	65	-0.99	106	0.00	123	-0.00	130	0.00	177
-1904	Max	1.38	101	0.31	177	0.02	49	0.00	65	0.00	101	0.00	17
-1904	Min.	-5.21	166	-0.19	65	-0.81	106	0.00	17	-0.00	130	0.00	177
-1903	Max	1.38	101	0.31	177	-0.04	49	0.00	65	0.00	101	0.00	17
-1903	Min.	-5.21	166	-0.19	65	-0.63	106	0.00	17	-0.01	130	0.00	177
-1902	Max	1.38	101	0.31	177	-0.04	1	0.00	65	0.00	101	0.00	17
-1902	Min.	-5.21	166	-0.19	65	-0.63	106	0.00	17	-0.01	130	0.00	177
-1901	Max	1.38	101	0.31	177	0.02	1	0.00	65	0.00	101	0.00	17
-1901	Min.	-5.21	166	-0.19	65	-0.81	106	0.00	17	-0.00	130	0.00	177
-1900	Max	1.38	101	0.32	177	0.12	101	0.00	124	0.00	101	0.00	17
-1900	Min.	-5.21	166	-0.19	65	-0.99	106	0.00	17	-0.00	130	0.00	177
-1899	Max	1.38	101	0.32	177	0.22	101	0.00	124	0.00	101	0.00	17
-1899	Min.	-5.21	166	-0.19	65	-1.15	106	0.00	17	-0.00	130	0.00	177
-1898	Max	1.38	101	0.32	177	0.31	101	0.00	124	0.00	101	0.00	17
-1898	Min.	-5.20	166	-0.19	65	-1.30	106	0.00	17	-0.00	130	0.00	177
-1897	Max	1.37	101	0.33	177	0.39	101	0.00	124	0.00	101	0.00	17
-1897	Min.	-5.20	166	-0.19	65	-1.44	106	0.00	17	-0.00	106	0.00	177
-1896	Max	1.37	101	0.33	177	0.43	101	0.00	124	0.00	101	0.00	17
-1896	Min.	-5.20	166	-0.19	65	-1.57	106	0.00	177	-0.00	106	0.00	177
-1895	Max	1.37	101	0.34	177	0.42	101	0.00	173	0.00	49	0.00	17
-1895	Min.	-5.20	166	-0.18	65	-1.67	106	0.00	177	-0.00	98	0.00	177
-1894	Max	1.39	101	0.34	177	0.48	130	0.00	173	0.01	98	0.00	177
-1894	Min.	-5.19	162	-0.18	17	-1.93	101	-0.00	65	0.00	65	0.00	65
-1893	Max	1.39	101	0.34	177	0.30	130	0.00	173	0.01	98	0.00	177
-1893	Min.	-5.19	162	-0.18	17	-2.09	101	-0.00	65	0.00	65	0.00	98
-1892	Max	1.39	101	0.35	177	0.08	130	0.00	173	0.01	98	0.00	177
-1892	Min.	-5.18	162	-0.18	17	-2.21	101	-0.00	65	0.00	65	0.00	98
-1891	Max	1.39	101	0.35	177	-0.10	1	0.00	173	0.01	98	0.00	177
-1891	Min.	-5.18	162	-0.18	17	-2.51	97	-0.00	65	0.00	49	0.00	98
-1890	Max	1.39	101	0.35	177	-0.20	1	0.00	173	0.01	98	0.00	17
-1890	Min.	-5.18	162	-0.18	17	-2.98	97	-0.00	65	0.00	49	0.00	98
-1889	Max	1.38	101	0.35	177	-0.30	1	0.00	173	0.01	98	0.00	17
-1889	Min.	-5.18	162	-0.18	17	-3.43	97	-0.00	65	0.00	49	0.00	98
-1888	Max	1.38	101	0.35	177	-0.40	1	0.00	173	0.01	98	0.00	17
-1888	Min.	-5.18	162	-0.18	17	-3.83	97	-0.00	65	0.00	49	0.00	98
-1887	Max	1.38	101	0.36	177	-0.45	17	0.00	173	0.01	98	0.00	17
-1887	Min.	-5.18	162	-0.18	17	-4.16	97	-0.00	65	-0.00	101	0.00	98
-1886	Max	1.37	101	0.36	177	-0.48	17	0.01	173	0.01	106	0.00	1
-1886	Min.	-5.18	162	-0.17	17	-4.39	97	-0.00	65	-0.00	101	0.00	49
-1885	Max	1.37	101	0.36	177	-0.51	17	0.01	173	0.00	130	0.00	1
-1885	Min.	-5.18	162	-0.17	17	-4.50	99	-0.00	65	-0.00	101	0.00	49
-1884	Max	1.37	101	0.36	177	-0.52	17	0.01	173	0.00	130	0.00	1
-1884	Min.	-5.18	162	-0.17	17	-4.51	99	-0.00	17	-0.00	101	0.00	49
-1883	Max	1.37	101	0.36	177	-0.51	65	0.01	173	0.00	130	0.00	1
-1883	Min.	-5.18	166	-0.17	65	-4.50	99	-0.00	17	-0.00	101	0.00	49
-1882	Max	1.37	101	0.36	177	-0.48	65	0.01	173	0.00	130	0.00	1
-1882	Min.	-5.19	158	-0.17	65	-4.39	98	-0.00	17	-0.01	101	0.00	49
-1881	Max	1.36	101	0.36	177	-0.45	65	0.01	173	0.00	130	0.00	97
-1881	Min.	-5.19	158	-0.18	65	-4.16	98	-0.00	17	-0.01	97	0.00	65
-1880	Max	1.36	101	0.35	177	-0.40	49	0.00	173	0.00	130	0.00	97
-1880	Min.	-5.19	158	-0.18	65	-3.83	98	-0.00	17	-0.01	97	0.00	65
-1879	Max	1.36	101	0.35	177	-0.30	49	0.00	173	0.00	130	0.00	97
-1879	Min.	-5.19	158	-0.18	65	-3.43	98	-0.00	17	-0.01	97	0.00	65
-1878	Max	1.36	101	0.35	177	-0.20	49	0.00	173	0.00	130	0.00	97
-1878	Min.	-5.20	158	-0.18	65	-2.98	98	-0.00	17	-0.01	97	0.00	65
-1877	Max	1.36	101	0.35	177	-0.10	49	0.00	173	0.00	1	0.00	97
-1877	Min.	-5.20	158	-0.18	65	-2.51	98	-0.00	17	-0.01	97	0.00	177
-1876	Max	1.36	101	0.35	177	-0.01	49	0.00	173	0.00	17	0.00	97
-1876	Min.	-5.20	158	-0.18	65	-2.21	106	-0.00	17	-0.01	97	0.00	177
-1875	Max	1.36	101	0.34	177	0.08	49	0.00	173	0.00	17	0.00	97
-1875	Min.	-5.20	158	-0.18	65	-2.09	106	-0.00	17	-0.01	97	0.00	177
-1874	Max	1.37	101	0.34	177	0.35	101	0.00	65	0.00	17	0.00	17
-1874	Min.	-5.20	166	-0.18	65	-1.78	106	-0.00	17	-0.01	98	0.00	177
-1873	Max	1.37	101	0.34	177	0.19	101	0.00	173	0.00	17	0.00	17
-1873	Min.	-5.20	166	-0.18	65	-1.93	106	-0.00	17	-0.01	97	0.00	177
-1872	Max	1.40	101	0.31	177	-0.03	130	0.00	17	0.00	101	0.00	177
-1872	Min.	-5.19	162	-0.19	17	-0.63	101	0.00	65	-0.00	130	0.00	65
-1871	Max	1.40	101	0.31	177	0.11	130	0.00	17	0.00	101	0.00	177
-1871	Min.	-5.19	162	-0.19	17	-0.81	101	0.00	65	-0.00	130	0.00	65
-1870	Max	1.40	101	0.32	177	0.25	130	0.00	17	0.00	101	0.00	177
-1870	Min.	-5.19	162	-0.19	17	-0.99	101	0.00	65	-0.00	130	0.00	65
-1869	Max	1.40	101	0.32	177	0.38	130	0.00	17	0.00	101	0.00	177
-1869	Min.	-5.19	162	-0.19	17	-1.15	101	0.00	65	-0.00	130	0.00	65
-1868	Max	1.40	101	0.32	177	0.50	130	0.00	17	0.00	101	0.00	177

-1868	Min.	-5.19	162	-0.19	17	-1.30	101	-0.00	65	-0.00	130	0.00	65
-1867	Max	1.37	101	0.36	177	-0.56	17	0.01	173	0.00	130	0.00	1
-1867	Min.	-5.18	162	-0.17	17	-4.56	99	-0.00	17	-0.00	101	0.00	49
-1866	Max	1.37	101	0.36	177	-0.48	17	0.01	173	0.00	130	0.00	1
-1866	Min.	-5.18	166	-0.17	65	-4.43	100	-0.00	99	-0.00	101	0.00	49
-1865	Max	1.37	101	0.36	177	-0.45	17	0.01	173	0.00	130	0.00	1
-1865	Min.	-5.19	158	-0.17	65	-4.33	100	-0.00	99	-0.01	101	0.00	157
-1864	Max	1.36	101	0.36	177	-0.42	17	0.01	173	0.00	130	0.00	17
-1864	Min.	-5.19	158	-0.18	65	-4.10	98	-0.00	99	-0.01	97	0.00	173
-1863	Max	1.37	101	0.34	177	0.37	101	0.00	173	0.00	33	0.00	17
-1863	Min.	-5.20	166	-0.18	65	-1.75	106	0.00	17	-0.01	98	0.00	177
-1862	Max	1.37	101	0.36	177	-0.49	17	0.01	173	0.00	130	0.00	1
-1862	Min.	-5.18	162	-0.17	17	-4.45	100	-0.00	99	-0.00	101	0.00	49
-1861	Max	1.36	101	0.35	177	-0.38	17	0.01	173	0.00	130	0.00	17
-1861	Min.	-5.19	158	-0.18	65	-3.78	98	-0.00	99	-0.01	97	0.00	173
-1860	Max	1.40	101	0.32	177	0.49	130	0.00	173	0.00	101	0.00	177
-1860	Min.	-5.19	162	-0.19	17	-1.29	101	0.00	127	-0.00	130	0.00	65
-1859	Max	1.37	101	0.34	177	0.37	101	0.00	65	0.00	33	0.00	17
-1859	Min.	-5.20	166	-0.18	65	-1.75	106	0.00	107	-0.01	98	0.00	177
-1858	Max	1.38	101	0.35	177	-0.30	49	0.00	173	0.01	98	0.00	173
-1858	Min.	-5.18	162	-0.18	17	-3.39	97	-0.00	99	0.00	1	0.00	65
-1857	Max	1.36	101	0.35	177	-0.30	1	0.00	173	0.00	130	0.00	17
-1857	Min.	-5.19	158	-0.18	65	-3.39	98	-0.00	99	-0.01	97	0.00	173
-1856	Max	1.38	101	0.35	177	-0.38	65	0.00	173	0.01	98	0.00	173
-1856	Min.	-5.18	162	-0.18	17	-3.78	97	-0.00	99	0.00	1	0.00	65
-1855	Max	1.40	101	0.33	177	0.56	130	0.00	173	0.00	101	0.00	177
-1855	Min.	-5.19	162	-0.19	17	-1.41	101	0.00	127	-0.00	130	0.00	65
-1854	Max	1.40	101	0.33	177	0.61	130	0.00	173	0.00	97	0.00	177
-1854	Min.	-5.19	162	-0.19	17	-1.52	101	-0.00	103	0.00	130	0.00	65
-1853	Max	1.39	101	0.35	177	0.06	130	0.00	173	0.01	98	0.00	177
-1853	Min.	-5.18	162	-0.18	17	-2.20	101	0.00	103	0.00	17	0.00	65
-1852	Max	1.39	101	0.35	177	-0.10	49	0.00	173	0.01	98	0.00	173
-1852	Min.	-5.18	162	-0.18	17	-2.49	97	-0.00	99	0.00	1	0.00	65
-1851	Max	1.39	101	0.35	177	-0.20	49	0.00	173	0.01	98	0.00	173
-1851	Min.	-5.18	162	-0.18	17	-2.96	97	-0.00	99	0.00	1	0.00	65
-1850	Max	1.37	101	0.34	177	0.33	101	0.00	173	0.00	65	0.00	17
-1850	Min.	-5.20	166	-0.18	65	-1.77	106	0.00	107	-0.01	98	0.00	177
-1849	Max	1.37	101	0.36	177	-0.57	17	0.01	173	0.00	130	0.00	1
-1849	Min.	-5.18	162	-0.17	17	-4.57	100	-0.00	17	-0.00	101	0.00	49
-1848	Max	1.37	101	0.34	177	0.33	101	0.00	108	0.00	17	0.00	17
-1848	Min.	-5.20	166	-0.18	65	-1.77	106	-0.00	17	-0.01	98	0.00	177
-1847	Max	1.37	101	0.36	177	-0.41	17	0.01	100	0.00	130	0.00	1
-1847	Min.	-5.18	162	-0.17	17	-4.23	99	-0.00	17	-0.00	101	0.00	130
-1846	Max	1.37	101	0.36	177	-0.62	33	0.00	173	0.00	130	0.00	1
-1846	Min.	-5.18	162	-0.17	17	-4.61	99	-0.00	17	-0.00	101	0.00	49
-1845	Max	1.36	101	0.35	177	-0.20	1	0.00	173	0.00	130	0.00	17
-1845	Min.	-5.20	158	-0.18	65	-2.96	98	-0.00	99	-0.01	97	0.00	173
-1844	Max	1.36	101	0.35	177	-0.10	1	0.00	173	0.00	49	0.00	17
-1844	Min.	-5.20	158	-0.18	65	-2.49	98	-0.00	99	-0.01	97	0.00	173
-1843	Max	1.36	101	0.35	177	-0.01	1	0.00	173	0.00	65	0.00	17
-1843	Min.	-5.20	158	-0.18	65	-2.20	106	0.00	107	-0.01	97	0.00	173
-1842	Max	1.37	101	0.36	177	-0.48	17	0.01	173	0.00	130	0.00	1
-1842	Min.	-5.18	162	-0.17	17	-4.44	99	-0.00	17	-0.00	101	0.00	49
-1841	Max	1.40	101	0.34	177	0.62	130	0.00	173	0.00	97	0.00	177
-1841	Min.	-5.19	162	-0.18	17	-1.62	101	-0.00	103	0.00	17	0.00	65
-1840	Max	1.40	101	0.31	177	0.11	130	0.00	17	0.00	101	0.00	177
-1840	Min.	-5.19	162	-0.19	17	-0.81	101	0.00	177	-0.00	130	0.00	65
-1839	Max	1.36	101	0.34	177	0.07	1	0.00	173	0.00	65	0.00	17
-1839	Min.	-5.20	158	-0.18	65	-2.08	106	-0.00	107	-0.01	97	0.00	177
-1838	Max	1.39	101	0.34	177	0.47	130	0.00	173	0.01	98	0.00	177
-1838	Min.	-5.19	162	-0.18	17	-1.92	101	0.00	103	0.00	17	0.00	65
-1837	Max	1.39	101	0.34	177	0.28	130	0.00	173	0.01	98	0.00	177
-1837	Min.	-5.19	162	-0.18	17	-2.08	101	-0.00	103	0.00	17	0.00	65
-1836	Max	1.37	101	0.34	177	0.18	101	0.00	173	0.00	65	0.00	17
-1836	Min.	-5.20	166	-0.18	65	-1.92	106	0.00	107	-0.01	97	0.00	177
-1835	Max	1.38	101	0.36	177	-0.52	33	0.00	173	0.01	98	0.00	17
-1835	Min.	-5.18	162	-0.18	17	-4.24	97	-0.00	65	-0.00	101	0.00	65
-1834	Max	1.37	101	0.36	177	-0.55	33	0.00	173	0.01	106	0.00	17
-1834	Min.	-5.18	162	-0.17	17	-4.47	97	-0.00	65	-0.00	101	0.00	65
-1833	Max	1.37	101	0.36	177	-0.58	33	0.00	173	0.00	130	0.00	1
-1833	Min.	-5.18	162	-0.17	17	-4.59	99	-0.00	65	-0.00	101	0.00	49
-1832	Max	1.37	101	0.36	177	-0.59	33	0.00	173	0.00	130	0.00	1
-1832	Min.	-5.18	166	-0.17	65	-4.59	99	-0.00	17	-0.00	101	0.00	49
-1831	Max	1.37	101	0.36	177	-0.56	33	0.00	173	0.00	130	0.00	17
-1831	Min.	-5.19	166	-0.17	65	-4.47	98	-0.00	17	-0.01	101	0.00	65
-1830	Max	1.36	101	0.36	177	-0.52	49	0.00	173	0.00	130	0.00	17
-1830	Min.	-5.19	158	-0.18	65	-4.24	98	-0.00	17	-0.01	97	0.00	65
-1829	Max	1.36	101	0.35	177	-0.42	49	0.00	173	0.00	130	0.00	17
-1829	Min.	-5.19	158	-0.18	65	-3.91	98	-0.00	17	-0.01	97	0.00	65

-1828	Max	1.36	101	0.35	177	-0.32	49	0.00	173	0.00	130	0.00	17
-1828	Min.	-5.19	158	-0.18	65	-3.51	98	-0.00	17	-0.01	97	0.00	65
-1827	Max	1.36	101	0.35	177	-0.21	49	0.00	173	0.00	130	0.00	17
-1827	Min.	-5.20	158	-0.18	65	-3.05	98	-0.00	17	-0.01	97	0.00	65
-1826	Max	1.36	101	0.35	177	-0.11	49	0.00	173	0.00	1	0.00	17
-1826	Min.	-5.20	158	-0.18	65	-2.55	98	-0.00	17	-0.01	97	0.00	177
-1825	Max	1.36	101	0.35	177	-0.02	49	0.00	173	-0.00	1	0.00	17
-1825	Min.	-5.20	158	-0.18	65	-2.21	106	-0.00	17	-0.01	97	0.00	177
-1824	Max	1.36	101	0.34	177	0.07	49	0.00	173	-0.00	33	0.00	17
-1824	Min.	-5.20	158	-0.18	65	-2.06	106	-0.00	17	-0.01	97	0.00	177
-1823	Max	1.37	101	0.34	177	0.21	101	0.00	173	-0.00	33	0.00	17
-1823	Min.	-5.20	158	-0.18	65	-1.90	106	0.00	17	-0.01	97	0.00	177
-1822	Max	1.39	101	0.34	177	0.37	130	0.00	173	0.01	122	0.00	177
-1822	Min.	-5.18	162	-0.18	17	-1.83	101	-0.00	177	0.00	17	0.00	65
-1821	Max	1.39	101	0.34	177	0.19	130	0.00	173	0.01	98	0.00	98
-1821	Min.	-5.18	162	-0.18	17	-1.97	101	-0.00	177	0.00	17	0.00	65
-1820	Max	1.39	101	0.35	177	-0.02	130	0.00	173	0.01	98	0.00	173
-1820	Min.	-5.18	162	-0.18	17	-2.10	101	-0.00	103	0.00	17	0.00	65
-1819	Max	1.39	101	0.35	177	-0.11	49	0.00	173	0.01	98	0.00	173
-1819	Min.	-5.18	162	-0.18	17	-2.39	97	-0.00	103	0.00	17	0.00	65
-1818	Max	1.38	101	0.35	177	-0.20	65	0.01	173	0.01	98	0.00	173
-1818	Min.	-5.18	162	-0.18	17	-2.81	97	-0.00	99	0.00	17	0.00	65
-1817	Max	1.38	101	0.35	177	-0.23	65	0.01	173	0.01	122	0.00	98
-1817	Min.	-5.18	162	-0.18	17	-3.16	97	-0.00	99	0.00	1	0.00	65
-1816	Max	1.38	101	0.35	177	-0.25	65	0.01	173	0.01	98	0.00	98
-1816	Min.	-5.18	162	-0.18	17	-3.46	97	-0.00	99	0.00	1	0.00	65
-1815	Max	1.38	101	0.36	177	-0.28	65	0.01	173	0.01	173	0.00	98
-1815	Min.	-5.18	162	-0.18	17	-3.73	100	-0.00	99	-0.00	101	0.00	65
-1814	Max	1.37	101	0.36	177	-0.31	65	0.01	173	0.00	130	0.00	130
-1814	Min.	-5.18	162	-0.18	17	-3.91	100	-0.01	99	-0.00	101	0.00	49
-1813	Max	1.37	101	0.36	177	-0.33	65	0.01	173	0.00	130	0.00	130
-1813	Min.	-5.18	162	-0.17	17	-4.00	100	-0.01	99	-0.00	101	0.00	49
-1812	Max	1.37	101	0.36	177	-0.33	17	0.01	173	0.00	130	0.00	130
-1812	Min.	-5.18	166	-0.17	65	-4.00	100	-0.01	99	-0.00	101	0.00	101
-1811	Max	1.37	101	0.36	177	-0.31	17	0.01	173	0.00	130	0.00	1
-1811	Min.	-5.18	166	-0.18	65	-3.91	100	-0.01	99	-0.00	101	0.00	101
-1810	Max	1.36	101	0.36	177	-0.28	17	0.01	173	0.00	130	0.00	17
-1810	Min.	-5.19	158	-0.18	65	-3.73	100	-0.00	99	-0.01	97	0.00	97
-1809	Max	1.36	101	0.35	177	-0.25	17	0.01	173	0.00	130	0.00	17
-1809	Min.	-5.19	158	-0.18	65	-3.46	98	-0.00	99	-0.01	97	0.00	97
-1808	Max	1.36	101	0.35	177	-0.23	17	0.01	173	0.00	130	0.00	17
-1808	Min.	-5.19	158	-0.18	65	-3.16	98	-0.00	99	-0.01	97	0.00	97
-1807	Max	1.36	101	0.35	177	-0.20	17	0.01	173	0.00	65	0.00	17
-1807	Min.	-5.19	158	-0.18	65	-2.81	98	-0.00	99	-0.01	97	0.00	173
-1806	Max	1.36	101	0.35	177	-0.11	1	0.00	173	0.00	65	0.00	17
-1806	Min.	-5.20	158	-0.18	65	-2.39	98	-0.00	107	-0.01	97	0.00	173
-1805	Max	1.36	101	0.35	177	-0.02	1	0.00	173	0.00	65	0.00	17
-1805	Min.	-5.20	158	-0.18	65	-2.09	106	-0.00	107	-0.01	97	0.00	173
-1804	Max	1.36	101	0.34	177	0.05	1	0.00	173	0.00	65	0.00	17
-1804	Min.	-5.20	158	-0.18	65	-1.97	106	-0.00	177	-0.01	97	0.00	173
-1803	Max	1.37	101	0.34	177	0.12	1	0.00	173	0.00	162	0.00	17
-1803	Min.	-5.20	158	-0.18	65	-1.83	106	-0.00	177	-0.01	97	0.00	177
-1802	Max	1.40	101	0.34	177	0.50	130	0.00	173	0.01	98	0.00	177
-1802	Min.	-5.19	162	-0.18	17	-1.90	101	0.00	65	0.00	33	0.00	65
-1801	Max	1.39	101	0.34	177	0.32	130	0.00	173	0.01	98	0.00	177
-1801	Min.	-5.19	162	-0.18	17	-2.06	101	0.00	65	0.00	33	0.00	65
-1800	Max	1.39	101	0.35	177	0.10	130	0.00	173	0.01	98	0.00	177
-1800	Min.	-5.18	162	-0.18	17	-2.21	101	0.00	65	0.00	1	0.00	65
-1799	Max	1.39	101	0.35	177	-0.11	49	0.00	173	0.01	98	0.00	177
-1799	Min.	-5.18	162	-0.18	17	-2.55	97	-0.00	65	0.00	1	0.00	65
-1798	Max	1.39	101	0.35	177	-0.22	49	0.00	173	0.01	98	0.00	17
-1798	Min.	-5.18	162	-0.18	17	-3.05	97	-0.00	65	0.00	1	0.00	65
-1797	Max	1.38	101	0.35	177	-0.32	49	0.00	173	0.01	98	0.00	17
-1797	Min.	-5.18	162	-0.18	17	-3.51	97	-0.00	65	0.00	1	0.00	65
-1796	Max	1.38	101	0.35	177	-0.42	49	0.00	173	0.01	98	0.00	17
-1796	Min.	-5.18	162	-0.18	17	-3.92	97	-0.00	65	0.00	1	0.00	65
-1795	Max	1.38	101	0.36	177	-0.52	49	0.00	173	0.01	98	0.00	17
-1795	Min.	-5.18	162	-0.18	17	-4.24	97	-0.00	65	-0.00	101	0.00	65
-1794	Max	1.37	101	0.36	177	-0.56	33	0.00	173	0.01	106	0.00	17
-1794	Min.	-5.18	162	-0.17	17	-4.47	97	-0.00	65	-0.00	101	0.00	65
-1793	Max	1.37	101	0.36	177	-0.59	33	0.00	173	0.00	130	0.00	1
-1793	Min.	-5.18	162	-0.17	17	-4.59	100	-0.00	65	-0.00	101	0.00	49
-1792	Max	1.37	101	0.36	177	-0.59	33	0.00	173	0.00	130	0.00	1
-1792	Min.	-5.18	166	-0.17	65	-4.59	100	-0.00	17	-0.00	101	0.00	49
-1791	Max	1.37	101	0.36	177	-0.56	33	0.00	173	0.00	130	0.00	17
-1791	Min.	-5.19	166	-0.17	65	-4.47	98	-0.00	17	-0.01	101	0.00	65
-1790	Max	1.36	101	0.36	177	-0.52	33	0.00	173	0.00	130	0.00	17
-1790	Min.	-5.19	158	-0.18	65	-4.24	98	-0.00	17	-0.01	97	0.00	65
-1789	Max	1.36	101	0.35	177	-0.42	1	0.00	173	0.00	130	0.00	17

-1789	Min.	-5.19	158	-0.18	65	-3.92	98	-0.00	17	-0.01	97	0.00	65
-1788	Max	1.36	101	0.35	177	-0.32	1	0.00	173	0.00	130	0.00	17
-1788	Min.	-5.19	158	-0.18	65	-3.51	98	-0.00	17	-0.01	97	0.00	65
-1787	Max	1.36	101	0.35	177	-0.22	1	0.00	173	0.00	130	0.00	17
-1787	Min.	-5.20	158	-0.18	65	-3.05	98	-0.00	17	-0.01	97	0.00	65
-1786	Max	1.36	101	0.35	177	-0.11	1	0.00	173	0.00	49	0.00	17
-1786	Min.	-5.20	158	-0.18	65	-2.55	98	-0.00	17	-0.01	97	0.00	177
-1785	Max	1.36	101	0.35	177	-0.02	1	0.00	173	-0.00	49	0.00	17
-1785	Min.	-5.20	158	-0.18	65	-2.21	106	0.00	17	-0.01	97	0.00	177
-1784	Max	1.36	101	0.34	177	0.07	1	0.00	173	-0.00	33	0.00	17
-1784	Min.	-5.20	158	-0.18	65	-2.06	106	0.00	17	-0.01	97	0.00	177
-1783	Max	1.37	101	0.34	177	0.21	101	0.00	173	-0.00	33	0.00	17
-1783	Min.	-5.20	158	-0.18	65	-1.90	106	0.00	17	-0.01	97	0.00	177
-1782	Max	1.39	101	0.34	177	0.43	130	0.00	173	0.01	98	0.00	177
-1782	Min.	-5.19	162	-0.18	17	-1.87	101	-0.00	103	0.00	17	0.00	65
-1781	Max	1.39	101	0.34	177	0.24	130	0.00	173	0.01	98	0.00	177
-1781	Min.	-5.18	162	-0.18	17	-2.02	101	-0.00	103	0.00	17	0.00	65
-1780	Max	1.39	101	0.35	177	0.03	130	0.00	173	0.01	98	0.00	173
-1780	Min.	-5.18	162	-0.18	17	-2.15	101	-0.00	103	0.00	17	0.00	65
-1779	Max	1.39	101	0.35	177	-0.11	49	0.00	173	0.01	98	0.00	173
-1779	Min.	-5.18	162	-0.18	17	-2.44	97	-0.00	103	0.00	17	0.00	65
-1778	Max	1.39	101	0.35	177	-0.20	49	0.00	173	0.01	98	0.00	173
-1778	Min.	-5.18	162	-0.18	17	-2.88	97	-0.00	99	0.00	1	0.00	65
-1777	Max	1.38	101	0.35	177	-0.28	65	0.00	173	0.01	98	0.00	173
-1777	Min.	-5.18	162	-0.18	17	-3.28	97	-0.00	99	0.00	1	0.00	65
-1776	Max	1.38	101	0.35	177	-0.32	65	0.01	173	0.01	98	0.00	173
-1776	Min.	-5.18	162	-0.18	17	-3.63	97	-0.00	99	0.00	1	0.00	65
-1775	Max	1.38	101	0.36	177	-0.35	65	0.01	173	0.01	98	0.00	173
-1775	Min.	-5.18	162	-0.18	17	-3.92	97	-0.00	99	-0.00	101	0.00	65
-1774	Max	1.37	101	0.36	177	-0.38	65	0.01	173	0.00	130	0.00	130
-1774	Min.	-5.18	162	-0.18	17	-4.13	100	-0.01	99	-0.00	101	0.00	49
-1773	Max	1.37	101	0.36	177	-0.41	65	0.01	173	0.00	130	0.00	130
-1773	Min.	-5.18	162	-0.17	17	-4.23	100	-0.01	99	-0.00	101	0.00	49
-1772	Max	1.37	101	0.36	177	-0.41	17	0.01	173	0.00	130	0.00	1
-1772	Min.	-5.18	166	-0.17	65	-4.23	100	-0.01	99	-0.00	101	0.00	49
-1771	Max	1.37	101	0.36	177	-0.38	17	0.01	173	0.00	130	0.00	1
-1771	Min.	-5.18	166	-0.18	65	-4.13	100	-0.01	99	-0.00	101	0.00	173
-1770	Max	1.36	101	0.36	177	-0.35	17	0.01	173	0.00	130	0.00	17
-1770	Min.	-5.19	158	-0.18	65	-3.92	98	-0.00	99	-0.01	97	0.00	173
-1769	Max	1.36	101	0.35	177	-0.32	17	0.01	173	0.00	130	0.00	17
-1769	Min.	-5.19	158	-0.18	65	-3.63	98	-0.00	99	-0.01	97	0.00	173
-1768	Max	1.36	101	0.35	177	-0.28	17	0.01	173	0.00	130	0.00	17
-1768	Min.	-5.19	158	-0.18	65	-3.28	98	-0.00	99	-0.01	97	0.00	173
-1767	Max	1.36	101	0.35	177	-0.20	1	0.00	173	0.00	49	0.00	17
-1767	Min.	-5.19	158	-0.18	65	-2.88	98	-0.00	99	-0.01	97	0.00	173
-1766	Max	1.36	101	0.35	177	-0.11	1	0.00	173	0.00	65	0.00	17
-1766	Min.	-5.20	158	-0.18	65	-2.44	98	-0.00	107	-0.01	97	0.00	173
-1765	Max	1.36	101	0.35	177	-0.02	1	0.00	173	0.00	65	0.00	17
-1765	Min.	-5.20	158	-0.18	65	-2.15	106	-0.00	107	-0.01	97	0.00	173
-1764	Max	1.36	101	0.34	177	0.06	1	0.00	173	0.00	65	0.00	17
-1764	Min.	-5.20	158	-0.18	65	-2.02	106	-0.00	107	-0.01	97	0.00	173
-1763	Max	1.37	101	0.34	177	0.14	101	0.00	173	0.00	65	0.00	17
-1763	Min.	-5.20	158	-0.18	65	-1.87	106	-0.00	107	-0.01	97	0.00	177
-1762	Max	1.36	101	0.36	177	-0.50	65	0.01	173	0.00	130	0.00	17
-1762	Min.	-5.19	158	-0.17	65	-4.33	98	-0.00	17	-0.01	97	0.00	65
-1761	Max	1.39	101	0.34	177	0.20	130	0.00	104	0.01	98	0.00	177
-1761	Min.	-5.18	162	-0.18	17	-1.96	101	-0.00	65	0.00	65	0.00	98
-1760	Max	1.39	101	0.35	177	-0.01	130	0.00	173	0.01	98	0.00	177
-1760	Min.	-5.18	162	-0.18	17	-2.09	101	-0.00	65	0.00	65	0.00	98
-1759	Max	1.39	101	0.35	177	-0.11	1	0.00	173	0.01	98	0.00	17
-1759	Min.	-5.18	162	-0.18	17	-2.39	97	-0.00	65	0.00	65	0.00	98
-1758	Max	1.38	101	0.35	177	-0.19	17	0.00	173	0.01	98	0.00	17
-1758	Min.	-5.18	162	-0.18	17	-2.80	97	-0.00	65	0.00	65	0.00	98
-1757	Max	1.38	101	0.35	177	-0.25	17	0.00	100	0.01	98	0.00	17
-1757	Min.	-5.18	162	-0.18	17	-3.45	97	-0.00	65	0.00	49	0.00	98
-1756	Max	1.38	101	0.35	177	-0.27	17	0.00	100	0.01	98	0.00	17
-1756	Min.	-5.18	162	-0.18	17	-3.72	99	-0.00	65	-0.00	101	0.00	98
-1755	Max	1.37	101	0.36	177	-0.30	17	0.01	100	0.00	130	0.00	1
-1755	Min.	-5.18	162	-0.17	17	-3.90	99	-0.00	65	-0.00	101	0.00	130
-1754	Max	1.37	101	0.36	177	-0.32	17	0.01	100	0.00	130	0.00	1
-1754	Min.	-5.18	162	-0.17	17	-3.99	99	-0.00	65	-0.00	101	0.00	130
-1753	Max	1.37	101	0.36	177	-0.30	65	0.01	100	0.00	130	0.00	101
-1753	Min.	-5.18	166	-0.17	65	-3.90	99	-0.00	17	-0.00	101	0.00	49
-1752	Max	1.36	101	0.35	177	-0.27	65	0.01	173	0.00	130	0.00	97
-1752	Min.	-5.19	158	-0.18	65	-3.72	99	-0.00	17	-0.01	97	0.00	65
-1751	Max	1.36	101	0.35	177	-0.25	65	0.00	173	0.00	130	0.00	97
-1751	Min.	-5.19	158	-0.18	65	-3.45	98	-0.00	17	-0.01	97	0.00	65
-1750	Max	1.36	101	0.35	177	-0.22	65	0.00	173	0.00	130	0.00	97
-1750	Min.	-5.19	158	-0.18	65	-3.15	98	-0.00	17	-0.01	97	0.00	65

-1749	Max	1.36	101	0.35	177	-0.11	49	0.00	173	0.00	17	0.00	97
-1749	Min.	-5.20	158	-0.18	65	-2.39	98	-0.00	17	-0.01	97	0.00	65
-1748	Max	1.36	101	0.35	177	-0.02	49	0.00	173	0.00	17	0.00	97
-1748	Min.	-5.20	158	-0.18	65	-2.09	106	-0.00	17	-0.01	97	0.00	177
-1747	Max	1.36	101	0.34	177	0.06	49	0.00	108	0.00	17	0.00	97
-1747	Min.	-5.20	158	-0.18	65	-1.96	106	-0.00	17	-0.01	97	0.00	177
-1746	Max	1.37	101	0.34	177	0.12	49	0.00	108	0.00	162	0.00	17
-1746	Min.	-5.20	158	-0.18	65	-1.83	106	-0.00	17	-0.01	97	0.00	177
-1745	Max	1.39	101	0.34	177	0.43	130	0.00	104	0.01	98	0.00	177
-1745	Min.	-5.19	162	-0.18	17	-1.87	101	-0.00	65	0.00	65	0.00	65
-1744	Max	1.39	101	0.34	177	0.25	130	0.00	104	0.01	98	0.00	177
-1744	Min.	-5.18	162	-0.18	17	-2.02	101	-0.00	65	0.00	65	0.00	65
-1743	Max	1.39	101	0.35	177	0.03	130	0.00	173	0.01	98	0.00	177
-1743	Min.	-5.18	162	-0.18	17	-2.15	101	-0.00	65	0.00	65	0.00	65
-1742	Max	1.39	101	0.35	177	-0.10	1	0.00	173	0.01	98	0.00	177
-1742	Min.	-5.18	162	-0.18	17	-2.44	97	-0.00	65	0.00	65	0.00	65
-1741	Max	1.39	101	0.35	177	-0.20	1	0.00	173	0.01	98	0.00	17
-1741	Min.	-5.18	162	-0.18	17	-2.88	97	-0.00	65	0.00	49	0.00	65
-1740	Max	1.38	101	0.35	177	-0.27	17	0.00	173	0.01	98	0.00	17
-1740	Min.	-5.18	162	-0.18	17	-3.28	97	-0.00	65	0.00	49	0.00	65
-1739	Max	1.38	101	0.35	177	-0.31	17	0.00	173	0.01	98	0.00	17
-1739	Min.	-5.18	162	-0.18	17	-3.63	97	-0.00	65	0.00	49	0.00	98
-1738	Max	1.38	101	0.36	177	-0.34	17	0.00	100	0.01	98	0.00	17
-1738	Min.	-5.18	162	-0.18	17	-3.91	97	-0.00	65	-0.00	101	0.00	98
-1737	Max	1.37	101	0.36	177	-0.37	17	0.01	100	0.00	130	0.00	1
-1737	Min.	-5.18	162	-0.17	17	-4.12	99	-0.00	65	-0.00	101	0.00	130
-1736	Max	1.37	101	0.36	177	-0.40	17	0.01	100	0.00	130	0.00	1
-1736	Min.	-5.18	162	-0.17	17	-4.22	99	-0.00	65	-0.00	101	0.00	130
-1735	Max	1.37	101	0.36	177	-0.40	65	0.01	100	0.00	130	0.00	1
-1735	Min.	-5.18	166	-0.17	65	-4.22	99	-0.00	17	-0.00	101	0.00	49
-1734	Max	1.37	101	0.36	177	-0.37	65	0.01	173	0.00	130	0.00	1
-1734	Min.	-5.18	166	-0.17	65	-4.12	99	-0.00	17	-0.00	101	0.00	49
-1733	Max	1.36	101	0.36	177	-0.34	65	0.01	173	0.00	130	0.00	97
-1733	Min.	-5.19	158	-0.18	65	-3.91	98	-0.00	17	-0.01	97	0.00	65
-1732	Max	1.36	101	0.35	177	-0.31	65	0.00	173	0.00	130	0.00	97
-1732	Min.	-5.19	158	-0.18	65	-3.63	98	-0.00	17	-0.01	97	0.00	65
-1731	Max	1.36	101	0.35	177	-0.27	65	0.00	173	0.00	130	0.00	17
-1731	Min.	-5.19	158	-0.18	65	-3.28	98	-0.00	17	-0.01	97	0.00	65
-1730	Max	1.36	101	0.35	177	-0.20	49	0.00	173	0.00	1	0.00	17
-1730	Min.	-5.19	158	-0.18	65	-2.88	98	-0.00	17	-0.01	97	0.00	65
-1729	Max	1.36	101	0.35	177	-0.10	49	0.00	173	0.00	17	0.00	17
-1729	Min.	-5.20	158	-0.18	65	-2.44	98	-0.00	17	-0.01	97	0.00	177
-1728	Max	1.36	101	0.35	177	-0.01	49	0.00	173	0.00	17	0.00	17
-1728	Min.	-5.20	158	-0.18	65	-2.15	106	-0.00	17	-0.01	97	0.00	177
-1727	Max	1.36	101	0.34	177	0.07	49	0.00	108	0.00	17	0.00	17
-1727	Min.	-5.20	158	-0.18	65	-2.02	106	-0.00	17	-0.01	97	0.00	177
-1726	Max	1.37	101	0.34	177	0.14	101	0.00	108	0.00	17	0.00	17
-1726	Min.	-5.20	158	-0.18	65	-1.87	106	-0.00	17	-0.01	97	0.00	177
-1725	Max	1.40	101	0.34	177	0.49	130	0.00	173	0.01	98	0.00	177
-1725	Min.	-5.19	162	-0.18	17	-1.93	101	0.00	65	0.00	17	0.00	65
-1724	Max	1.39	101	0.34	177	0.31	130	0.00	173	0.01	98	0.00	98
-1724	Min.	-5.19	162	-0.18	17	-2.09	101	0.00	65	0.00	17	0.00	65
-1723	Max	1.39	101	0.35	177	0.09	130	0.00	173	0.01	98	0.00	98
-1723	Min.	-5.18	162	-0.18	17	-2.22	101	0.00	65	0.00	1	0.00	65
-1722	Max	1.39	101	0.35	177	-0.11	49	0.00	173	0.01	98	0.00	98
-1722	Min.	-5.18	162	-0.18	17	-2.53	97	-0.00	65	0.00	1	0.00	65
-1721	Max	1.39	101	0.35	177	-0.21	49	0.00	173	0.01	98	0.00	98
-1721	Min.	-5.18	162	-0.18	17	-3.01	97	-0.00	65	0.00	1	0.00	65
-1720	Max	1.38	101	0.35	177	-0.31	49	0.00	173	0.01	98	0.00	98
-1720	Min.	-5.18	162	-0.18	17	-3.47	97	-0.00	65	0.00	1	0.00	65
-1719	Max	1.38	101	0.35	177	-0.41	49	0.00	173	0.01	98	0.00	98
-1719	Min.	-5.18	162	-0.18	17	-3.87	97	-0.00	65	0.00	1	0.00	65
-1718	Max	1.38	101	0.36	177	-0.49	65	0.00	173	0.01	98	0.00	98
-1718	Min.	-5.18	162	-0.18	17	-4.20	97	-0.00	65	-0.00	101	0.00	65
-1717	Max	1.37	101	0.36	177	-0.53	65	0.00	173	0.01	106	0.00	158
-1717	Min.	-5.18	162	-0.17	17	-4.44	97	-0.00	65	-0.00	101	0.00	49
-1716	Max	1.37	101	0.36	177	-0.56	65	0.01	173	0.00	130	0.00	1
-1716	Min.	-5.18	162	-0.17	17	-4.55	100	-0.00	65	-0.00	101	0.00	49
-1715	Max	1.37	101	0.36	177	-0.56	17	0.01	173	0.00	130	0.00	1
-1715	Min.	-5.18	166	-0.17	65	-4.55	100	-0.00	17	-0.00	101	0.00	49
-1714	Max	1.37	101	0.36	177	-0.53	17	0.01	173	0.00	130	0.00	1
-1714	Min.	-5.19	158	-0.17	65	-4.44	98	-0.00	17	-0.01	101	0.00	49
-1713	Max	1.36	101	0.36	177	-0.49	17	0.00	173	0.00	130	0.00	17
-1713	Min.	-5.19	158	-0.18	65	-4.20	98	-0.00	17	-0.01	97	0.00	97
-1712	Max	1.36	101	0.35	177	-0.41	1	0.00	173	0.00	130	0.00	17
-1712	Min.	-5.19	158	-0.18	65	-3.87	98	-0.00	17	-0.01	97	0.00	97
-1711	Max	1.36	101	0.35	177	-0.31	1	0.00	173	0.00	130	0.00	17
-1711	Min.	-5.19	158	-0.18	65	-3.47	98	-0.00	17	-0.01	97	0.00	97
-1710	Max	1.36	101	0.35	177	-0.21	1	0.00	173	0.00	130	0.00	17

-1710	Min.	-5.20	158	-0.18	65	-3.01	98	-0.00	17	-0.01	97	0.00	97
-1709	Max	1.36	101	0.35	177	-0.11	1	0.00	173	0.00	49	0.00	17
-1709	Min.	-5.20	158	-0.18	65	-2.53	98	-0.00	17	-0.01	97	0.00	97
-1708	Max	1.36	101	0.35	177	-0.01	1	0.00	173	0.00	49	0.00	17
-1708	Min.	-5.20	158	-0.18	65	-2.22	106	0.00	17	-0.01	97	0.00	97
-1707	Max	1.36	101	0.34	177	0.07	1	0.00	173	-0.00	65	0.00	17
-1707	Min.	-5.20	158	-0.18	65	-2.09	106	0.00	17	-0.01	97	0.00	97
-1706	Max	1.37	101	0.34	177	0.20	101	0.00	173	0.00	65	0.00	17
-1706	Min.	-5.20	166	-0.18	65	-1.93	106	0.00	17	-0.01	97	0.00	177
-1705	Max	1.39	101	0.34	177	0.47	130	0.00	104	0.01	98	0.00	177
-1705	Min.	-5.19	162	-0.18	17	-1.92	101	-0.00	65	0.00	65	0.00	65
-1704	Max	1.39	101	0.34	177	0.29	130	0.00	104	0.01	98	0.00	177
-1704	Min.	-5.19	162	-0.18	17	-2.07	101	-0.00	65	0.00	65	0.00	98
-1703	Max	1.39	101	0.35	177	0.07	130	0.00	173	0.01	98	0.00	177
-1703	Min.	-5.18	162	-0.18	17	-2.20	101	-0.00	65	0.00	65	0.00	98
-1702	Max	1.39	101	0.35	177	-0.10	1	0.00	173	0.01	98	0.00	177
-1702	Min.	-5.18	162	-0.18	17	-2.49	97	-0.00	65	0.00	49	0.00	98
-1701	Max	1.39	101	0.35	177	-0.20	1	0.00	173	0.01	98	0.00	17
-1701	Min.	-5.18	162	-0.18	17	-2.95	97	-0.00	65	0.00	49	0.00	98
-1700	Max	1.38	101	0.35	177	-0.30	1	0.00	173	0.01	98	0.00	17
-1700	Min.	-5.18	162	-0.18	17	-3.39	97	-0.00	65	0.00	49	0.00	98
-1699	Max	1.36	101	0.36	177	-0.54	33	0.00	173	0.00	130	0.00	17
-1699	Min.	-5.19	158	-0.18	65	-4.37	98	-0.00	17	-0.01	97	0.00	65
-1698	Max	1.40	101	0.34	177	0.50	130	0.00	173	0.01	98	0.00	177
-1698	Min.	-5.19	162	-0.18	17	-1.90	101	0.00	65	0.00	33	0.00	65
-1697	Max	1.40	101	0.32	177	0.25	130	0.00	17	0.00	101	0.00	177
-1697	Min.	-5.19	162	-0.19	17	-0.99	101	0.00	177	-0.00	130	0.00	65
-1696	Max	1.40	101	0.32	177	0.38	130	0.00	17	0.00	101	0.00	177
-1696	Min.	-5.19	162	-0.19	17	-1.15	101	0.00	127	-0.00	130	0.00	65
-1695	Max	1.38	101	0.36	177	-0.42	65	0.01	173	0.01	98	0.00	98
-1695	Min.	-5.18	162	-0.18	17	-4.10	97	-0.00	99	-0.00	101	0.00	65
-1694	Max	1.37	101	0.36	177	-0.45	65	0.01	173	0.01	130	0.00	1
-1694	Min.	-5.18	162	-0.17	17	-4.33	100	-0.00	99	-0.00	101	0.00	49
-1693	Max	1.37	101	0.36	177	-0.48	65	0.01	173	0.00	130	0.00	1
-1693	Min.	-5.18	162	-0.17	17	-4.43	100	-0.00	99	-0.00	101	0.00	49
-1692	Max	1.39	101	0.34	177	0.32	130	0.00	173	0.01	98	0.00	177
-1692	Min.	-5.19	162	-0.18	17	-2.06	101	-0.00	65	0.00	33	0.00	65
-1691	Max	1.39	101	0.35	177	0.10	130	0.00	173	0.01	98	0.00	177
-1691	Min.	-5.18	162	-0.18	17	-2.21	101	-0.00	65	0.00	49	0.00	65
-1690	Max	1.40	101	0.32	177	0.49	130	0.00	17	0.00	101	0.00	177
-1690	Min.	-5.19	162	-0.19	17	-1.30	101	0.00	127	-0.00	130	0.00	65
-1689	Max	1.37	101	0.36	177	-0.33	17	0.01	100	0.00	130	0.00	1
-1689	Min.	-5.18	162	-0.17	17	-4.00	99	-0.00	17	-0.00	101	0.00	130
-1688	Max	1.39	101	0.35	177	-0.11	1	0.00	173	0.01	98	0.00	177
-1688	Min.	-5.18	162	-0.18	17	-2.55	97	-0.00	65	0.00	49	0.00	65
-1687	Max	1.37	101	0.34	177	0.22	101	0.00	173	0.00	65	0.00	17
-1687	Min.	-5.20	166	-0.18	65	-1.75	130	0.00	177	-0.01	98	0.00	177
-1686	Max	1.37	101	0.34	177	0.22	101	0.00	108	0.00	17	0.00	98
-1686	Min.	-5.20	166	-0.18	65	-1.74	130	-0.00	123	-0.01	98	0.00	177
-1685	Max	1.40	101	0.33	177	0.58	130	0.00	173	0.00	101	0.00	177
-1685	Min.	-5.19	162	-0.19	17	-1.44	101	0.00	127	-0.00	130	0.00	65
-1684	Max	1.38	101	0.32	177	0.19	101	0.00	160	0.00	101	0.00	17
-1684	Min.	-5.20	166	-0.19	65	-1.18	130	0.00	177	-0.00	130	0.00	177
-1683	Max	1.38	101	0.32	177	0.10	101	0.00	160	0.00	101	0.00	17
-1683	Min.	-5.21	166	-0.19	65	-1.01	130	0.00	177	-0.00	130	0.00	177
-1682	Max	1.38	101	0.31	177	0.02	1	0.00	160	0.00	101	0.00	1
-1682	Min.	-5.21	166	-0.19	65	-0.81	106	0.00	177	-0.01	130	0.00	177
-1681	Max	1.37	101	0.34	177	0.30	101	0.00	108	0.00	17	0.00	98
-1681	Min.	-5.20	166	-0.18	65	-1.65	130	-0.00	123	-0.00	98	0.00	177
-1680	Max	1.37	101	0.33	177	0.32	101	0.00	108	0.00	49	0.00	130
-1680	Min.	-5.20	166	-0.18	65	-1.56	130	-0.00	123	-0.00	98	0.00	177
-1679	Max	1.37	101	0.33	177	0.30	101	0.00	108	0.00	101	0.00	130
-1679	Min.	-5.20	166	-0.19	65	-1.46	130	-0.00	123	-0.00	130	0.00	177
-1678	Max	1.37	101	0.32	177	0.25	101	0.00	108	0.00	125	0.00	17
-1678	Min.	-5.20	166	-0.19	65	-1.35	130	-0.00	123	-0.00	106	0.00	177
-1677	Max	1.38	101	0.32	177	0.18	101	0.00	65	0.00	101	0.00	130
-1677	Min.	-5.20	166	-0.19	65	-1.22	130	-0.00	159	-0.00	130	0.00	177
-1676	Max	1.38	101	0.32	177	0.09	101	0.00	65	0.00	101	0.00	130
-1676	Min.	-5.21	166	-0.19	65	-1.03	130	-0.00	159	-0.00	130	0.00	177
-1675	Max	1.38	101	0.31	177	0.03	49	0.00	65	0.00	101	0.00	130
-1675	Min.	-5.21	166	-0.19	65	-0.83	131	-0.00	159	-0.01	130	0.00	177
-1674	Max	1.37	101	0.34	177	0.45	101	0.00	65	0.00	49	0.00	17
-1674	Min.	-5.20	166	-0.18	65	-1.61	106	0.00	17	-0.00	98	0.00	177
-1673	Max	1.37	101	0.33	177	0.45	101	0.00	65	0.00	101	0.00	17
-1673	Min.	-5.20	166	-0.18	65	-1.51	106	0.00	17	-0.00	98	0.00	177
-1672	Max	1.37	101	0.33	177	0.41	101	0.00	65	0.00	101	0.00	17
-1672	Min.	-5.20	166	-0.19	65	-1.41	106	0.00	17	-0.00	130	0.00	177
-1671	Max	1.38	101	0.32	177	0.34	101	0.00	65	0.00	101	0.00	17
-1671	Min.	-5.20	166	-0.19	65	-1.29	106	0.00	17	-0.00	130	0.00	177

-1670	Max	1.38	101	0.32	177	0.24	101	0.00	65	0.00	101	0.00	17
-1670	Min.	-5.21	166	-0.19	65	-1.15	106	0.00	17	-0.00	130	0.00	177
-1669	Max	1.38	101	0.32	177	0.13	101	0.00	65	0.00	101	0.00	17
-1669	Min.	-5.21	166	-0.19	65	-0.99	106	0.00	17	-0.00	130	0.00	177
-1668	Max	1.38	101	0.31	177	0.02	137	0.00	65	0.00	101	0.00	17
-1668	Min.	-5.21	166	-0.19	65	-0.81	106	0.00	17	-0.00	130	0.00	177
-1667	Max	1.37	101	0.34	177	0.43	101	0.00	173	0.00	49	0.00	17
-1667	Min.	-5.20	166	-0.18	65	-1.66	106	0.00	17	-0.00	98	0.00	177
-1666	Max	1.37	101	0.33	177	0.44	101	0.00	65	0.00	101	0.00	17
-1666	Min.	-5.20	166	-0.19	65	-1.56	106	0.00	17	-0.00	106	0.00	177
-1665	Max	1.37	101	0.33	177	0.40	101	0.00	65	0.00	101	0.00	17
-1665	Min.	-5.20	166	-0.19	65	-1.44	106	0.00	17	-0.00	130	0.00	177
-1664	Max	1.38	101	0.32	177	0.32	101	0.00	124	0.00	101	0.00	17
-1664	Min.	-5.20	166	-0.19	65	-1.30	106	0.00	17	-0.00	130	0.00	177
-1663	Max	1.38	101	0.32	177	0.23	101	0.00	65	0.00	101	0.00	17
-1663	Min.	-5.21	166	-0.19	65	-1.15	106	0.00	17	-0.00	130	0.00	177
-1662	Max	1.38	101	0.32	177	0.12	101	0.00	65	0.00	101	0.00	17
-1662	Min.	-5.21	166	-0.19	65	-0.99	106	0.00	17	-0.00	130	0.00	177
-1661	Max	1.38	101	0.31	177	0.02	1	0.00	65	0.00	101	0.00	17
-1661	Min.	-5.21	166	-0.19	65	-0.81	106	0.00	17	-0.00	130	0.00	177
-1660	Max	1.37	101	0.34	177	0.37	101	0.00	108	0.00	17	0.00	17
-1660	Min.	-5.20	166	-0.18	65	-1.65	130	-0.00	123	-0.00	98	0.00	177
-1659	Max	1.37	101	0.33	177	0.37	101	0.00	108	0.00	101	0.00	17
-1659	Min.	-5.20	166	-0.18	65	-1.56	130	-0.00	123	-0.00	98	0.00	177
-1658	Max	1.37	101	0.33	177	0.34	101	0.00	108	0.00	101	0.00	17
-1658	Min.	-5.20	166	-0.19	65	-1.45	130	-0.00	123	-0.00	106	0.00	177
-1657	Max	1.38	101	0.32	177	0.28	101	0.00	108	0.00	101	0.00	17
-1657	Min.	-5.20	166	-0.19	65	-1.33	130	-0.00	123	-0.00	130	0.00	177
-1656	Max	1.38	101	0.32	177	0.20	101	0.00	65	0.00	101	0.00	17
-1656	Min.	-5.20	166	-0.19	65	-1.18	130	-0.00	159	-0.00	130	0.00	177
-1655	Max	1.38	101	0.32	177	0.10	101	0.00	65	0.00	101	0.00	17
-1655	Min.	-5.21	166	-0.19	65	-1.00	130	-0.00	159	-0.00	130	0.00	177
-1654	Max	1.38	101	0.31	177	0.02	49	0.00	65	0.00	101	0.00	17
-1654	Min.	-5.21	166	-0.19	65	-0.81	106	0.00	159	-0.01	130	0.00	177
-1653	Max	1.37	101	0.34	177	0.41	101	0.00	108	0.00	17	0.00	17
-1653	Min.	-5.20	166	-0.18	65	-1.66	106	-0.00	123	-0.00	98	0.00	177
-1652	Max	1.37	101	0.33	177	0.41	101	0.00	108	0.00	101	0.00	17
-1652	Min.	-5.20	166	-0.18	65	-1.56	130	-0.00	123	-0.00	106	0.00	177
-1651	Max	1.37	101	0.33	177	0.38	101	0.00	108	0.00	101	0.00	17
-1651	Min.	-5.20	166	-0.19	65	-1.45	130	-0.00	123	-0.00	106	0.00	177
-1650	Max	1.38	101	0.32	177	0.31	101	0.00	65	0.00	101	0.00	17
-1650	Min.	-5.20	166	-0.19	65	-1.31	130	-0.00	123	-0.00	130	0.00	177
-1649	Max	1.38	101	0.32	177	0.22	101	0.00	65	0.00	101	0.00	17
-1649	Min.	-5.21	166	-0.19	65	-1.15	130	-0.00	123	-0.00	130	0.00	177
-1648	Max	1.38	101	0.32	177	0.11	101	0.00	65	0.00	101	0.00	17
-1648	Min.	-5.21	166	-0.19	65	-0.99	106	-0.00	123	-0.00	130	0.00	177
-1647	Max	1.38	101	0.31	177	0.02	49	0.00	65	0.00	101	0.00	17
-1647	Min.	-5.21	166	-0.19	65	-0.81	106	0.00	17	-0.00	130	0.00	177
-1646	Max	1.37	101	0.34	177	0.43	101	0.00	65	0.00	1	0.00	17
-1646	Min.	-5.20	166	-0.18	65	-1.66	106	0.00	17	-0.00	98	0.00	177
-1645	Max	1.37	101	0.33	177	0.44	101	0.00	65	0.00	101	0.00	17
-1645	Min.	-5.20	166	-0.18	65	-1.56	106	0.00	17	-0.00	106	0.00	177
-1644	Max	1.37	101	0.33	177	0.40	101	0.00	65	0.00	101	0.00	17
-1644	Min.	-5.20	166	-0.19	65	-1.44	106	0.00	17	-0.00	130	0.00	177
-1643	Max	1.38	101	0.32	177	0.32	101	0.00	65	0.00	101	0.00	17
-1643	Min.	-5.20	166	-0.19	65	-1.30	106	0.00	123	-0.00	130	0.00	177
-1642	Max	1.38	101	0.32	177	0.23	101	0.00	65	0.00	101	0.00	17
-1642	Min.	-5.21	166	-0.19	65	-1.15	106	0.00	17	-0.00	130	0.00	177
-1641	Max	1.38	101	0.32	177	0.12	101	0.00	65	0.00	101	0.00	17
-1641	Min.	-5.21	166	-0.19	65	-0.99	106	0.00	17	-0.00	130	0.00	177
-1640	Max	1.38	101	0.31	177	0.02	49	0.00	65	0.00	101	0.00	17
-1640	Min.	-5.21	166	-0.19	65	-0.81	106	0.00	17	-0.00	130	0.00	177
-1639	Max	1.37	101	0.34	177	0.44	101	0.00	65	0.00	1	0.00	17
-1639	Min.	-5.20	166	-0.18	65	-1.63	106	0.00	107	-0.00	98	0.00	177
-1638	Max	1.37	101	0.33	177	0.45	101	0.00	65	0.00	101	0.00	17
-1638	Min.	-5.20	166	-0.18	65	-1.53	106	0.00	107	-0.00	98	0.00	177
-1637	Max	1.37	101	0.33	177	0.41	101	0.00	65	0.00	101	0.00	17
-1637	Min.	-5.20	166	-0.19	65	-1.42	106	0.00	17	-0.00	130	0.00	177
-1636	Max	1.38	101	0.32	177	0.34	101	0.00	65	0.00	101	0.00	17
-1636	Min.	-5.20	166	-0.19	65	-1.29	106	0.00	17	-0.00	130	0.00	177
-1635	Max	1.38	101	0.32	177	0.24	101	0.00	65	0.00	101	0.00	17
-1635	Min.	-5.21	166	-0.19	65	-1.15	106	0.00	17	-0.00	130	0.00	177
-1634	Max	1.38	101	0.32	177	0.13	101	0.00	65	0.00	101	0.00	17
-1634	Min.	-5.21	166	-0.19	65	-0.99	106	0.00	17	-0.00	130	0.00	177
-1633	Max	1.38	101	0.31	177	0.02	137	0.00	65	0.00	101	0.00	17
-1633	Min.	-5.21	166	-0.19	65	-0.81	106	0.00	17	-0.00	130	0.00	177
-1632	Max	1.37	101	0.34	177	0.44	101	0.00	108	0.00	49	0.00	17
-1632	Min.	-5.20	166	-0.18	65	-1.63	106	0.00	17	-0.00	98	0.00	177
-1631	Max	1.37	101	0.33	177	0.45	101	0.00	108	0.00	101	0.00	17

-1631	Min.	-5.20	166	-0.18	65	-1.53	106	0.00	17	-0.00	98	0.00	177
-1630	Max	1.37	101	0.33	177	0.41	101	0.00	65	0.00	101	0.00	17
-1630	Min.	-5.20	166	-0.19	65	-1.42	106	0.00	17	-0.00	130	0.00	177
-1629	Max	1.38	101	0.32	177	0.34	101	0.00	65	0.00	101	0.00	17
-1629	Min.	-5.20	166	-0.19	65	-1.29	106	0.00	17	-0.00	130	0.00	177
-1628	Max	1.38	101	0.32	177	0.24	101	0.00	65	0.00	101	0.00	17
-1628	Min.	-5.21	166	-0.19	65	-1.15	106	0.00	17	-0.00	130	0.00	177
-1627	Max	1.38	101	0.32	177	0.13	101	0.00	65	0.00	101	0.00	17
-1627	Min.	-5.21	166	-0.19	65	-0.99	106	0.00	17	-0.00	130	0.00	177
-1626	Max	1.38	101	0.31	177	0.02	137	0.00	65	0.00	101	0.00	17
-1626	Min.	-5.21	166	-0.19	65	-0.81	106	0.00	17	-0.00	130	0.00	177
-1625	Max	1.37	101	0.34	177	0.30	101	0.00	173	0.00	65	0.00	17
-1625	Min.	-5.20	166	-0.18	65	-1.65	130	0.00	177	-0.00	98	0.00	177
-1624	Max	1.37	101	0.33	177	0.32	101	0.00	173	0.00	1	0.00	17
-1624	Min.	-5.20	166	-0.19	65	-1.57	130	0.00	177	-0.00	98	0.00	177
-1623	Max	1.37	101	0.33	177	0.29	101	0.00	124	0.00	101	0.00	17
-1623	Min.	-5.20	166	-0.19	65	-1.46	130	0.00	177	-0.00	130	0.00	177
-1622	Max	1.37	101	0.33	177	0.24	101	0.00	124	0.00	125	0.00	1
-1622	Min.	-5.20	166	-0.19	65	-1.36	130	-0.00	177	-0.00	106	0.00	177
-1621	Max	1.38	101	0.32	177	0.17	101	0.00	160	0.00	101	0.00	1
-1621	Min.	-5.20	166	-0.19	65	-1.22	130	0.00	177	-0.00	130	0.00	177
-1620	Max	1.38	101	0.32	177	0.08	101	0.00	160	0.00	101	0.00	101
-1620	Min.	-5.21	166	-0.19	65	-1.03	130	0.00	177	-0.00	130	0.00	177
-1619	Max	1.38	101	0.31	177	0.03	1	0.00	160	0.00	101	0.00	101
-1619	Min.	-5.21	166	-0.19	65	-0.83	132	0.00	177	-0.01	130	0.00	177
-1618	Max	1.40	101	0.34	177	0.64	130	0.00	173	0.00	97	0.00	177
-1618	Min.	-5.19	162	-0.18	17	-1.67	101	0.00	103	0.00	17	0.00	65
-1617	Max	1.41	101	0.31	177	-0.02	65	0.00	17	0.00	101	0.00	177
-1617	Min.	-5.20	162	-0.19	17	-0.63	104	0.00	177	-0.00	130	0.00	130
-1616	Max	1.41	101	0.31	177	-0.04	130	0.00	17	0.00	101	0.00	177
-1616	Min.	-5.19	162	-0.19	17	-0.63	101	0.00	65	-0.00	130	0.00	65
-1615	Max	1.41	101	0.31	177	-0.04	130	0.00	17	0.00	101	0.00	177
-1615	Min.	-5.19	162	-0.19	17	-0.63	101	0.00	65	-0.00	130	0.00	65
-1614	Max	1.41	101	0.31	177	-0.04	130	0.00	17	0.00	101	0.00	177
-1614	Min.	-5.19	162	-0.19	17	-0.63	101	0.00	65	-0.00	130	0.00	49
-1613	Max	1.41	101	0.31	177	-0.03	132	0.00	17	0.00	101	0.00	177
-1613	Min.	-5.19	162	-0.19	17	-0.63	103	0.00	65	-0.00	130	0.00	65
-1612	Max	1.41	101	0.31	177	-0.03	1	0.00	17	0.00	101	0.00	177
-1612	Min.	-5.19	162	-0.19	17	-0.63	103	0.00	65	-0.00	130	0.00	65
-1611	Max	1.41	101	0.31	177	-0.04	130	0.00	17	0.00	101	0.00	177
-1611	Min.	-5.19	162	-0.19	17	-0.63	101	0.00	65	-0.00	130	0.00	130
-1610	Max	1.41	101	0.31	177	-0.04	130	0.00	17	0.00	101	0.00	177
-1610	Min.	-5.19	162	-0.19	17	-0.63	101	0.00	65	-0.00	130	0.00	65
-1609	Max	1.41	101	0.31	177	-0.02	17	0.00	17	0.00	101	0.00	177
-1609	Min.	-5.20	162	-0.19	17	-0.63	103	0.00	177	-0.00	130	0.00	101
-1608	Max	1.40	101	0.31	177	-0.03	49	0.00	17	0.00	101	0.00	177
-1608	Min.	-5.19	162	-0.19	17	-0.63	104	0.00	177	-0.00	130	0.00	65
-1607	Max	1.40	101	0.31	177	-0.03	131	0.00	17	0.00	101	0.00	177
-1607	Min.	-5.19	162	-0.19	17	-0.63	104	0.00	177	-0.00	130	0.00	65
-1606	Max	1.40	101	0.31	177	0.12	131	0.00	17	0.00	101	0.00	177
-1606	Min.	-5.19	162	-0.19	17	-0.81	104	0.00	177	-0.00	130	0.00	130
-1605	Max	1.40	101	0.32	177	0.26	130	0.00	17	0.00	101	0.00	177
-1605	Min.	-5.19	162	-0.19	17	-0.98	101	0.00	177	-0.00	130	0.00	130
-1604	Max	1.40	101	0.32	177	0.39	130	0.00	17	0.00	101	0.00	177
-1604	Min.	-5.19	162	-0.19	17	-1.14	101	0.00	177	-0.00	130	0.00	130
-1603	Max	1.40	101	0.33	177	0.48	130	0.00	173	0.00	101	0.00	177
-1603	Min.	-5.19	162	-0.19	17	-1.27	101	-0.00	177	0.00	106	0.00	49
-1602	Max	1.40	101	0.33	177	0.54	130	0.00	173	0.00	101	0.00	177
-1602	Min.	-5.19	162	-0.19	17	-1.38	101	0.00	177	-0.00	130	0.00	65
-1601	Max	1.40	101	0.33	177	0.57	130	0.00	173	0.00	97	0.00	177
-1601	Min.	-5.19	162	-0.19	17	-1.49	101	0.00	177	0.00	49	0.00	65
-1600	Max	1.40	101	0.34	177	0.56	130	0.00	173	0.00	97	0.00	177
-1600	Min.	-5.19	162	-0.18	17	-1.60	101	0.00	177	0.00	17	0.00	65
-1599	Max	1.40	101	0.31	177	0.11	130	0.00	17	0.00	101	0.00	177
-1599	Min.	-5.19	162	-0.19	17	-0.81	101	0.00	65	-0.00	130	0.00	65
-1598	Max	1.40	101	0.32	177	0.25	130	0.00	17	0.00	101	0.00	177
-1598	Min.	-5.19	162	-0.19	17	-0.99	101	0.00	65	-0.00	130	0.00	65
-1597	Max	1.40	101	0.32	177	0.39	130	0.00	17	0.00	101	0.00	177
-1597	Min.	-5.19	162	-0.19	17	-1.15	101	0.00	65	-0.00	130	0.00	65
-1596	Max	1.40	101	0.32	177	0.50	130	0.00	17	0.00	101	0.00	177
-1596	Min.	-5.19	162	-0.19	17	-1.29	101	0.00	65	-0.00	130	0.00	65
-1595	Max	1.40	101	0.33	177	0.59	130	0.00	17	0.00	101	0.00	177
-1595	Min.	-5.19	162	-0.19	17	-1.42	101	0.00	65	-0.00	130	0.00	65
-1594	Max	1.40	101	0.33	177	0.65	130	0.00	104	0.00	97	0.00	177
-1594	Min.	-5.19	162	-0.18	17	-1.53	101	0.00	65	0.00	130	0.00	65
-1593	Max	1.40	101	0.34	177	0.67	130	0.00	104	0.00	97	0.00	177
-1593	Min.	-5.19	162	-0.18	17	-1.63	101	0.00	65	0.00	1	0.00	65
-1592	Max	1.40	101	0.31	177	0.11	130	0.00	17	0.00	101	0.00	177
-1592	Min.	-5.19	162	-0.19	17	-0.81	101	0.00	65	-0.00	130	0.00	65

-1591	Max	1.40	101	0.32	177	0.25	130	0.00	17	0.00	101	0.00	177
-1591	Min.	-5.19	162	-0.19	17	-0.99	101	0.00	65	-0.00	130	0.00	65
-1590	Max	1.40	101	0.32	177	0.39	130	0.00	17	0.00	101	0.00	177
-1590	Min.	-5.19	162	-0.19	17	-1.15	101	0.00	65	-0.00	130	0.00	65
-1589	Max	1.40	101	0.32	177	0.50	130	0.00	17	0.00	101	0.00	177
-1589	Min.	-5.19	162	-0.19	17	-1.29	101	0.00	65	-0.00	130	0.00	65
-1588	Max	1.40	101	0.33	177	0.59	130	0.00	17	0.00	101	0.00	177
-1588	Min.	-5.19	162	-0.19	17	-1.42	101	0.00	65	-0.00	130	0.00	65
-1587	Max	1.40	101	0.33	177	0.65	130	0.00	17	0.00	97	0.00	177
-1587	Min.	-5.19	162	-0.18	17	-1.53	101	0.00	103	0.00	130	0.00	65
-1586	Max	1.40	101	0.34	177	0.67	130	0.00	17	0.00	97	0.00	177
-1586	Min.	-5.19	162	-0.18	17	-1.63	101	0.00	103	0.00	49	0.00	65
-1585	Max	1.40	101	0.31	177	0.11	130	0.00	17	0.00	101	0.00	177
-1585	Min.	-5.19	162	-0.19	17	-0.81	101	0.00	65	-0.00	130	0.00	65
-1584	Max	1.40	101	0.32	177	0.25	130	0.00	17	0.00	101	0.00	177
-1584	Min.	-5.19	162	-0.19	17	-0.99	101	0.00	65	-0.00	130	0.00	65
-1583	Max	1.40	101	0.32	177	0.38	130	0.00	17	0.00	101	0.00	177
-1583	Min.	-5.19	162	-0.19	17	-1.15	101	0.00	65	-0.00	130	0.00	65
-1582	Max	1.40	101	0.32	177	0.50	130	0.00	17	0.00	101	0.00	177
-1582	Min.	-5.19	162	-0.19	17	-1.30	101	0.00	65	-0.00	130	0.00	65
-1581	Max	1.40	101	0.33	177	0.59	130	0.00	17	0.00	101	0.00	177
-1581	Min.	-5.19	162	-0.19	17	-1.44	101	0.00	65	-0.00	130	0.00	65
-1580	Max	1.40	101	0.33	177	0.65	130	0.00	17	0.00	101	0.00	177
-1580	Min.	-5.19	162	-0.18	17	-1.56	101	0.00	65	0.00	130	0.00	65
-1579	Max	1.40	101	0.34	177	0.66	130	0.00	17	0.00	97	0.00	177
-1579	Min.	-5.19	162	-0.18	17	-1.66	101	0.00	65	0.00	49	0.00	65
-1578	Max	1.40	101	0.31	177	0.11	130	0.00	17	0.00	101	0.00	177
-1578	Min.	-5.19	162	-0.19	17	-0.81	101	0.00	65	-0.00	130	0.00	65
-1577	Max	1.40	101	0.32	177	0.25	130	0.00	164	0.00	101	0.00	177
-1577	Min.	-5.19	162	-0.19	17	-0.99	101	0.00	65	-0.00	130	0.00	65
-1576	Max	1.40	101	0.32	177	0.38	130	0.00	128	0.00	101	0.00	177
-1576	Min.	-5.19	162	-0.19	17	-1.15	101	-0.00	65	-0.00	130	0.00	65
-1575	Max	1.40	101	0.32	177	0.50	130	0.00	128	0.00	101	0.00	177
-1575	Min.	-5.19	162	-0.19	17	-1.30	101	-0.00	65	-0.00	130	0.00	65
-1574	Max	1.40	101	0.33	177	0.58	130	0.00	128	0.00	101	0.00	177
-1574	Min.	-5.19	162	-0.19	17	-1.43	101	-0.00	65	-0.00	130	0.00	65
-1573	Max	1.40	101	0.33	177	0.64	130	0.00	104	0.00	101	0.00	177
-1573	Min.	-5.19	162	-0.18	17	-1.56	101	-0.00	65	0.00	130	0.00	65
-1572	Max	1.40	101	0.34	177	0.65	130	0.00	104	0.00	97	0.00	177
-1572	Min.	-5.19	162	-0.18	17	-1.66	101	-0.00	65	0.00	65	0.00	65
-1571	Max	1.40	101	0.31	177	0.12	130	0.00	164	0.00	101	0.00	177
-1571	Min.	-5.19	162	-0.19	17	-0.81	101	0.00	65	-0.00	130	0.00	65
-1570	Max	1.40	101	0.32	177	0.26	130	0.00	164	0.00	101	0.00	177
-1570	Min.	-5.19	162	-0.19	17	-0.98	101	-0.00	65	-0.00	130	0.00	65
-1569	Max	1.40	101	0.32	177	0.39	130	0.00	128	0.00	101	0.00	177
-1569	Min.	-5.19	162	-0.19	17	-1.14	101	-0.00	65	-0.00	130	0.00	65
-1568	Max	1.40	101	0.32	177	0.49	130	0.00	128	0.00	101	0.00	177
-1568	Min.	-5.19	162	-0.19	17	-1.28	101	-0.00	99	-0.00	130	0.00	65
-1567	Max	1.40	101	0.33	177	0.57	130	0.00	128	0.00	101	0.00	177
-1567	Min.	-5.19	162	-0.19	17	-1.41	101	-0.00	99	-0.00	130	0.00	65
-1566	Max	1.40	101	0.33	177	0.61	130	0.00	104	0.00	97	0.00	177
-1566	Min.	-5.19	162	-0.18	17	-1.52	101	-0.00	99	0.00	130	0.00	65
-1565	Max	1.40	101	0.34	177	0.62	130	0.00	104	0.00	97	0.00	177
-1565	Min.	-5.19	162	-0.18	17	-1.62	101	-0.00	99	0.00	65	0.00	65
-1564	Max	1.40	101	0.31	177	0.11	130	0.00	17	0.00	101	0.00	177
-1564	Min.	-5.19	162	-0.19	17	-0.81	101	0.00	65	-0.00	130	0.00	65
-1563	Max	1.40	101	0.32	177	0.25	130	0.00	17	0.00	101	0.00	177
-1563	Min.	-5.19	162	-0.19	17	-0.99	101	0.00	65	-0.00	130	0.00	65
-1562	Max	1.40	101	0.32	177	0.38	130	0.00	17	0.00	101	0.00	177
-1562	Min.	-5.19	162	-0.19	17	-1.15	101	0.00	65	-0.00	130	0.00	65
-1561	Max	1.40	101	0.32	177	0.50	130	0.00	17	0.00	101	0.00	177
-1561	Min.	-5.19	162	-0.19	17	-1.30	101	0.00	65	-0.00	130	0.00	65
-1560	Max	1.40	101	0.33	177	0.59	130	0.00	17	0.00	101	0.00	177
-1560	Min.	-5.19	162	-0.19	17	-1.44	101	0.00	65	-0.00	130	0.00	65
-1559	Max	1.40	101	0.33	177	0.65	130	0.00	17	0.00	101	0.00	177
-1559	Min.	-5.19	162	-0.19	17	-1.56	101	0.00	65	0.00	130	0.00	65
-1558	Max	1.40	101	0.34	177	0.66	130	0.00	173	0.00	97	0.00	177
-1558	Min.	-5.19	162	-0.18	17	-1.66	101	0.00	65	0.00	1	0.00	65
-1557	Max	1.40	101	0.31	177	0.11	130	0.00	17	0.00	101	0.00	177
-1557	Min.	-5.19	162	-0.19	17	-0.81	101	0.00	65	-0.00	130	0.00	65
-1556	Max	1.40	101	0.32	177	0.25	130	0.00	17	0.00	101	0.00	177
-1556	Min.	-5.19	162	-0.19	17	-0.99	101	0.00	65	-0.00	130	0.00	65
-1555	Max	1.40	101	0.32	177	0.39	130	0.00	17	0.00	101	0.00	177
-1555	Min.	-5.19	162	-0.19	17	-1.15	101	0.00	65	-0.00	130	0.00	65
-1554	Max	1.40	101	0.32	177	0.50	130	0.00	17	0.00	101	0.00	177
-1554	Min.	-5.19	162	-0.19	17	-1.29	101	0.00	65	-0.00	130	0.00	65
-1553	Max	1.40	101	0.33	177	0.60	130	0.00	17	0.00	101	0.00	177
-1553	Min.	-5.19	162	-0.19	17	-1.41	101	0.00	65	-0.00	130	0.00	65
-1552	Max	1.40	101	0.33	177	0.66	130	0.00	17	0.00	97	0.00	177

-1552	Min.	-5.19	162	-0.18	17	-1.51	101	0.00	65	0.00	130	0.00	65
-1551	Max	1.40	101	0.34	177	0.67	130	0.00	17	0.00	97	0.00	177
-1551	Min.	-5.19	162	-0.18	17	-1.61	101	0.00	65	0.00	1	0.00	65
-1550	Max	1.40	101	0.31	177	0.13	132	0.00	164	0.00	101	0.00	177
-1550	Min.	-5.19	162	-0.19	17	-0.81	103	0.00	65	-0.00	130	0.00	101
-1549	Max	1.40	101	0.32	177	0.27	130	0.00	164	0.00	101	0.00	177
-1549	Min.	-5.19	162	-0.19	17	-0.98	101	-0.00	65	-0.00	130	0.00	101
-1548	Max	1.40	101	0.32	177	0.40	130	0.00	164	0.00	101	0.00	177
-1548	Min.	-5.19	162	-0.19	17	-1.14	101	-0.00	65	-0.00	130	0.00	101
-1547	Max	1.37	101	0.36	177	-0.57	33	0.00	173	0.00	130	0.00	17
-1547	Min.	-5.18	166	-0.17	65	-4.54	98	-0.00	17	-0.00	101	0.00	65
-1546	Max	1.40	101	0.33	177	0.54	130	0.00	104	0.00	101	0.00	177
-1546	Min.	-5.19	162	-0.19	17	-1.37	101	-0.00	99	-0.00	130	0.00	65
-1545	Max	1.40	101	0.33	177	0.58	130	0.00	104	0.00	97	0.00	177
-1545	Min.	-5.19	162	-0.18	17	-1.49	101	-0.00	99	0.00	1	0.00	101
-1544	Max	1.40	101	0.34	177	0.57	130	0.00	104	0.00	97	0.00	177
-1544	Min.	-5.19	162	-0.18	17	-1.59	101	-0.00	99	0.00	65	0.00	97
-1543	Max	1.40	101	0.31	177	0.12	130	0.00	17	0.00	101	0.00	177
-1543	Min.	-5.19	162	-0.19	17	-0.81	101	0.00	177	-0.00	130	0.00	49
-1542	Max	1.40	101	0.32	177	0.26	130	0.00	17	0.00	101	0.00	177
-1542	Min.	-5.19	162	-0.19	17	-0.99	101	0.00	177	-0.00	130	0.00	65
-1541	Max	1.40	101	0.32	177	0.38	130	0.00	17	0.00	101	0.00	177
-1541	Min.	-5.19	162	-0.19	17	-1.15	101	0.00	127	-0.00	130	0.00	65
-1540	Max	1.40	101	0.34	177	0.51	130	0.00	104	0.01	97	0.00	177
-1540	Min.	-5.19	162	-0.18	17	-1.71	101	-0.00	99	0.00	65	0.00	97
-1539	Max	1.40	101	0.34	177	0.50	130	0.00	173	0.01	97	0.00	177
-1539	Min.	-5.19	162	-0.18	17	-1.71	101	0.00	177	0.00	17	0.00	65
-1538	Max	1.38	101	0.32	177	0.29	101	0.00	124	0.00	101	0.00	17
-1538	Min.	-5.20	166	-0.19	65	-1.32	130	0.00	177	-0.00	130	0.00	177
-1537	Max	1.40	101	0.34	177	0.59	130	0.00	104	0.01	97	0.00	177
-1537	Min.	-5.19	162	-0.18	17	-1.77	101	-0.00	65	0.00	65	0.00	65
-1536	Max	1.40	101	0.34	177	0.59	130	0.00	173	0.01	97	0.00	177
-1536	Min.	-5.19	162	-0.18	17	-1.78	101	0.00	103	0.00	17	0.00	65
-1535	Max	1.37	101	0.36	177	-0.60	33	0.00	173	0.00	130	0.00	1
-1535	Min.	-5.18	162	-0.17	17	-4.60	100	-0.00	17	-0.00	101	0.00	49
-1534	Max	1.40	101	0.34	177	0.62	130	0.00	17	0.01	97	0.00	177
-1534	Min.	-5.19	162	-0.18	17	-1.75	101	0.00	103	0.00	33	0.00	65
-1533	Max	1.37	101	0.36	177	-0.34	17	0.01	173	0.00	130	0.00	130
-1533	Min.	-5.18	162	-0.17	17	-4.01	100	-0.01	99	-0.00	101	0.00	49
-1532	Max	1.37	101	0.36	177	-0.60	33	0.00	173	0.00	130	0.00	1
-1532	Min.	-5.18	162	-0.17	17	-4.60	99	-0.00	17	-0.00	101	0.00	49
-1531	Max	1.40	101	0.34	177	0.62	130	0.00	104	0.01	97	0.00	177
-1531	Min.	-5.19	162	-0.18	17	-1.75	101	0.00	65	0.00	33	0.00	65
-1530	Max	1.37	101	0.33	177	0.39	101	0.00	173	0.00	101	0.00	17
-1530	Min.	-5.20	166	-0.19	65	-1.56	130	-0.00	107	-0.00	98	0.00	177
-1529	Max	1.37	101	0.34	177	0.38	101	0.00	173	0.00	65	0.00	17
-1529	Min.	-5.20	166	-0.18	65	-1.65	130	-0.00	107	-0.00	98	0.00	177
-1528	Max	1.38	101	0.31	177	-0.03	1	0.00	65	0.00	101	0.00	101
-1528	Min.	-5.21	166	-0.19	65	-0.63	108	0.00	177	-0.01	130	0.00	177
-1527	Max	1.38	101	0.31	177	0.02	1	0.00	160	0.00	101	0.00	1
-1527	Min.	-5.21	166	-0.19	65	-0.81	106	0.00	177	-0.01	130	0.00	177
-1526	Max	1.38	101	0.32	177	0.10	101	0.00	160	0.00	101	0.00	1
-1526	Min.	-5.21	166	-0.19	65	-1.00	130	0.00	177	-0.00	130	0.00	177
-1525	Max	1.38	101	0.32	177	0.20	101	0.00	124	0.00	101	0.00	17
-1525	Min.	-5.20	166	-0.19	65	-1.17	130	0.00	177	-0.00	130	0.00	177
-1524	Max	1.38	101	0.32	177	0.29	101	0.00	108	0.00	101	0.00	17
-1524	Min.	-5.20	166	-0.19	65	-1.32	130	-0.00	123	-0.00	130	0.00	177
-1523	Max	1.37	101	0.33	177	0.35	101	0.00	108	0.00	101	0.00	17
-1523	Min.	-5.20	166	-0.19	65	-1.45	130	-0.00	123	-0.00	106	0.00	177
-1522	Max	1.37	101	0.33	177	0.39	101	0.00	108	0.00	101	0.00	17
-1522	Min.	-5.20	166	-0.18	65	-1.56	130	-0.00	123	-0.00	98	0.00	177
-1521	Max	1.37	101	0.34	177	0.38	101	0.00	108	0.00	17	0.00	17
-1521	Min.	-5.20	166	-0.18	65	-1.65	130	-0.00	123	-0.00	98	0.00	177
-1520	Max	1.38	101	0.31	177	-0.03	49	0.00	65	0.00	101	0.00	130
-1520	Min.	-5.21	166	-0.19	65	-0.63	107	0.00	17	-0.01	130	0.00	177
-1519	Max	1.38	101	0.31	177	0.02	49	0.00	65	0.00	101	0.00	130
-1519	Min.	-5.21	166	-0.19	65	-0.81	106	0.00	159	-0.01	130	0.00	177
-1518	Max	1.38	101	0.32	177	0.10	101	0.00	65	0.00	101	0.00	130
-1518	Min.	-5.21	166	-0.19	65	-0.99	130	-0.00	159	-0.00	130	0.00	177
-1517	Max	1.38	101	0.32	177	0.20	101	0.00	65	0.00	101	0.00	1
-1517	Min.	-5.20	166	-0.19	65	-1.17	130	-0.00	123	-0.00	130	0.00	177
-1516	Max	1.40	101	0.34	177	0.63	130	0.00	104	0.00	97	0.00	177
-1516	Min.	-5.19	162	-0.18	17	-1.64	101	-0.00	65	0.00	65	0.00	65
-1515	Max	1.40	101	0.33	177	0.62	130	0.00	104	0.00	97	0.00	177
-1515	Min.	-5.19	162	-0.18	17	-1.54	101	-0.00	99	0.00	130	0.00	65
-1514	Max	1.40	101	0.33	177	0.57	130	0.00	128	0.00	101	0.00	177
-1514	Min.	-5.19	162	-0.19	17	-1.42	101	-0.00	99	-0.00	130	0.00	65
-1513	Max	1.40	101	0.32	177	0.49	130	0.00	128	0.00	101	0.00	177
-1513	Min.	-5.19	162	-0.19	17	-1.29	101	-0.00	65	-0.00	130	0.00	65

-1512	Max	1.40	101	0.32	177	0.38	130	0.00	128	0.00	101	0.00	177
-1512	Min.	-5.19	162	-0.19	17	-1.15	101	-0.00	65	-0.00	130	0.00	49
-1511	Max	1.40	101	0.32	177	0.26	130	0.00	164	0.00	101	0.00	177
-1511	Min.	-5.19	162	-0.19	17	-0.99	101	-0.00	65	-0.00	130	0.00	49
-1510	Max	1.40	101	0.31	177	0.12	130	0.00	17	0.00	101	0.00	177
-1510	Min.	-5.19	162	-0.19	17	-0.81	101	0.00	65	-0.00	130	0.00	49
-1509	Max	1.40	101	0.31	177	-0.03	1	0.00	17	0.00	101	0.00	177
-1509	Min.	-5.19	162	-0.19	17	-0.63	103	0.00	65	-0.00	130	0.00	49
-1508	Max	1.37	101	0.34	177	0.16	101	0.00	108	0.00	17	0.00	97
-1508	Min.	-5.20	158	-0.18	65	-1.89	106	-0.00	17	-0.01	97	0.00	177
-1507	Max	1.36	101	0.34	177	0.07	49	0.00	108	0.00	17	0.00	97
-1507	Min.	-5.20	158	-0.18	65	-2.04	106	-0.00	17	-0.01	97	0.00	177
-1506	Max	1.36	101	0.35	177	-0.01	49	0.00	173	0.00	17	0.00	97
-1506	Min.	-5.20	158	-0.18	65	-2.16	106	-0.00	17	-0.01	97	0.00	177
-1505	Max	1.36	101	0.35	177	-0.10	49	0.00	173	0.00	17	0.00	97
-1505	Min.	-5.20	158	-0.18	65	-2.46	98	-0.00	17	-0.01	97	0.00	177
-1504	Max	1.36	101	0.35	177	-0.20	49	0.00	173	0.00	130	0.00	97
-1504	Min.	-5.19	158	-0.18	65	-2.90	98	-0.00	17	-0.01	97	0.00	65
-1503	Max	1.36	101	0.35	177	-0.29	65	0.00	173	0.00	130	0.00	97
-1503	Min.	-5.19	158	-0.18	65	-3.32	98	-0.00	17	-0.01	97	0.00	65
-1502	Max	1.36	101	0.35	177	-0.33	65	0.00	173	0.00	130	0.00	97
-1502	Min.	-5.19	158	-0.18	65	-3.68	98	-0.00	17	-0.01	97	0.00	65
-1501	Max	1.36	101	0.36	177	-0.36	65	0.01	173	0.00	130	0.00	97
-1501	Min.	-5.19	158	-0.18	65	-3.98	98	-0.00	17	-0.01	97	0.00	65
-1500	Max	1.37	101	0.36	177	-0.40	65	0.01	173	0.00	130	0.00	101
-1500	Min.	-5.18	166	-0.17	65	-4.19	99	-0.00	17	-0.00	101	0.00	49
-1499	Max	1.37	101	0.36	177	-0.42	65	0.01	173	0.00	130	0.00	1
-1499	Min.	-5.18	166	-0.17	65	-4.30	99	-0.00	17	-0.00	101	0.00	130
-1498	Max	1.37	101	0.36	177	-0.42	17	0.01	173	0.00	130	0.00	1
-1498	Min.	-5.18	162	-0.17	17	-4.30	99	-0.00	65	-0.00	101	0.00	130
-1497	Max	1.38	101	0.35	177	-0.37	17	0.00	173	0.01	98	0.00	17
-1497	Min.	-5.18	162	-0.18	17	-3.77	97	-0.00	65	0.00	49	0.00	98
-1496	Max	1.38	101	0.36	177	-0.41	17	0.00	173	0.01	98	0.00	17
-1496	Min.	-5.18	162	-0.18	17	-4.09	97	-0.00	65	-0.00	101	0.00	98
-1495	Max	1.37	101	0.36	177	-0.44	17	0.01	173	0.01	130	0.00	1
-1495	Min.	-5.18	162	-0.17	17	-4.32	99	-0.00	65	-0.00	101	0.00	49
-1494	Max	1.37	101	0.36	177	-0.47	17	0.01	173	0.00	130	0.00	1
-1494	Min.	-5.18	162	-0.17	17	-4.43	99	-0.00	65	-0.00	101	0.00	49
-1493	Max	1.37	101	0.36	177	-0.47	65	0.01	173	0.00	130	0.00	1
-1493	Min.	-5.18	166	-0.17	65	-4.43	99	-0.00	17	-0.00	101	0.00	49
-1492	Max	1.37	101	0.36	177	-0.44	65	0.01	173	0.00	130	0.00	157
-1492	Min.	-5.19	158	-0.17	65	-4.32	99	-0.00	17	-0.01	101	0.00	49
-1491	Max	1.36	101	0.36	177	-0.41	65	0.01	173	0.00	130	0.00	97
-1491	Min.	-5.19	158	-0.18	65	-4.09	98	-0.00	17	-0.01	97	0.00	65
-1490	Max	1.37	101	0.33	177	0.35	101	0.00	124	0.00	101	0.00	17
-1490	Min.	-5.20	166	-0.19	65	-1.45	130	0.00	107	-0.00	106	0.00	177
-1489	Max	1.37	101	0.36	177	-0.40	17	0.01	173	0.01	130	0.00	1
-1489	Min.	-5.18	162	-0.17	17	-4.19	99	-0.00	65	-0.00	101	0.00	130
-1488	Max	1.38	101	0.36	177	-0.36	17	0.00	173	0.01	98	0.00	17
-1488	Min.	-5.18	162	-0.18	17	-3.98	97	-0.00	65	-0.00	101	0.00	98
-1487	Max	1.38	101	0.35	177	-0.33	17	0.00	173	0.01	98	0.00	17
-1487	Min.	-5.18	162	-0.18	17	-3.68	97	-0.00	65	0.00	49	0.00	98
-1486	Max	1.38	101	0.35	177	-0.29	17	0.00	173	0.01	98	0.00	17
-1486	Min.	-5.18	162	-0.18	17	-3.32	97	-0.00	65	0.00	49	0.00	98
-1485	Max	1.39	101	0.35	177	-0.20	1	0.00	173	0.01	98	0.00	17
-1485	Min.	-5.18	162	-0.18	17	-2.90	97	-0.00	65	0.00	49	0.00	98
-1484	Max	1.39	101	0.35	177	-0.10	1	0.00	173	0.01	98	0.00	177
-1484	Min.	-5.18	162	-0.18	17	-2.46	97	-0.00	65	0.00	65	0.00	98
-1483	Max	1.39	101	0.35	177	0.04	130	0.00	173	0.01	98	0.00	177
-1483	Min.	-5.18	162	-0.18	17	-2.16	101	-0.00	65	0.00	65	0.00	98
-1482	Max	1.36	101	0.35	177	-0.37	65	0.00	173	0.00	130	0.00	97
-1482	Min.	-5.19	158	-0.18	65	-3.77	98	-0.00	17	-0.01	97	0.00	65
-1481	Max	1.36	101	0.35	177	-0.30	49	0.00	173	0.00	130	0.00	97
-1481	Min.	-5.19	158	-0.18	65	-3.39	98	-0.00	17	-0.01	97	0.00	65
-1480	Max	1.36	101	0.35	177	-0.20	49	0.00	173	0.00	130	0.00	97
-1480	Min.	-5.20	158	-0.18	65	-2.95	98	-0.00	17	-0.01	97	0.00	65
-1479	Max	1.36	101	0.35	177	-0.10	49	0.00	173	0.00	1	0.00	97
-1479	Min.	-5.20	158	-0.18	65	-2.49	98	-0.00	17	-0.01	97	0.00	177
-1478	Max	1.36	101	0.35	177	-0.01	49	0.00	173	0.00	17	0.00	97
-1478	Min.	-5.20	158	-0.18	65	-2.19	106	-0.00	17	-0.01	97	0.00	177
-1477	Max	1.36	101	0.34	177	0.07	49	0.00	173	0.00	17	0.00	97
-1477	Min.	-5.20	158	-0.18	65	-2.07	106	-0.00	17	-0.01	97	0.00	177
-1476	Max	1.37	101	0.34	177	0.18	101	0.00	108	0.00	17	0.00	17
-1476	Min.	-5.20	166	-0.18	65	-1.92	106	-0.00	17	-0.01	97	0.00	177
-1475	Max	1.40	101	0.34	177	0.49	130	0.00	173	0.01	98	0.00	177
-1475	Min.	-5.19	162	-0.18	17	-1.92	101	-0.00	65	0.00	65	0.00	65
-1474	Max	1.39	101	0.34	177	0.31	130	0.00	173	0.01	98	0.00	177
-1474	Min.	-5.19	162	-0.18	17	-2.08	101	-0.00	65	0.00	65	0.00	98
-1473	Max	1.39	101	0.35	177	0.09	130	0.00	173	0.01	98	0.00	177

-1473	Min.	-5.18	162	-0.18	17	-2.21	101	-0.00	65	0.00	49	0.00	98
-1472	Max	1.39	101	0.35	177	-0.10	1	0.00	173	0.01	98	0.00	177
-1472	Min.	-5.18	162	-0.18	17	-2.53	97	-0.00	65	0.00	49	0.00	98
-1471	Max	1.39	101	0.35	177	-0.20	1	0.00	173	0.01	98	0.00	17
-1471	Min.	-5.18	162	-0.18	17	-3.01	97	-0.00	65	0.00	49	0.00	98
-1470	Max	1.38	101	0.35	177	-0.30	1	0.00	173	0.01	98	0.00	17
-1470	Min.	-5.18	162	-0.18	17	-3.46	97	-0.00	65	0.00	49	0.00	98
-1469	Max	1.38	101	0.35	177	-0.40	1	0.00	173	0.01	98	0.00	17
-1469	Min.	-5.18	162	-0.18	17	-3.87	97	-0.00	65	0.00	49	0.00	98
-1468	Max	1.38	101	0.36	177	-0.48	17	0.00	173	0.01	98	0.00	17
-1468	Min.	-5.18	162	-0.18	17	-4.20	97	-0.00	65	-0.00	101	0.00	98
-1467	Max	1.37	101	0.36	177	-0.52	17	0.01	173	0.01	106	0.00	1
-1467	Min.	-5.18	162	-0.17	17	-4.44	97	-0.00	65	-0.00	101	0.00	158
-1466	Max	1.37	101	0.36	177	-0.55	17	0.01	173	0.00	130	0.00	1
-1466	Min.	-5.18	162	-0.17	17	-4.55	99	-0.00	65	-0.00	101	0.00	49
-1465	Max	1.37	101	0.36	177	-0.55	65	0.01	173	0.00	130	0.00	1
-1465	Min.	-5.18	166	-0.17	65	-4.55	99	-0.00	17	-0.00	101	0.00	49
-1464	Max	1.37	101	0.36	177	-0.52	65	0.01	173	0.00	130	0.00	1
-1464	Min.	-5.19	158	-0.17	65	-4.44	98	-0.00	17	-0.01	101	0.00	49
-1463	Max	1.36	101	0.36	177	-0.48	65	0.01	173	0.00	130	0.00	97
-1463	Min.	-5.19	158	-0.18	65	-4.20	98	-0.00	17	-0.01	97	0.00	65
-1462	Max	1.36	101	0.35	177	-0.40	49	0.00	173	0.00	130	0.00	97
-1462	Min.	-5.19	158	-0.18	65	-3.87	98	-0.00	17	-0.01	97	0.00	65
-1461	Max	1.39	101	0.34	177	0.26	130	0.00	104	0.01	98	0.00	177
-1461	Min.	-5.18	162	-0.18	17	-2.04	101	-0.00	65	0.00	65	0.00	98
-1460	Max	1.36	101	0.35	177	-0.30	49	0.00	173	0.00	130	0.00	97
-1460	Min.	-5.19	158	-0.18	65	-3.46	98	-0.00	17	-0.01	97	0.00	65
-1459	Max	1.36	101	0.35	177	-0.20	49	0.00	173	0.00	130	0.00	97
-1459	Min.	-5.20	158	-0.18	65	-3.01	98	-0.00	17	-0.01	97	0.00	65
-1458	Max	1.39	101	0.34	177	0.45	130	0.00	104	0.01	98	0.00	177
-1458	Min.	-5.19	162	-0.18	17	-1.89	101	-0.00	65	0.00	65	0.00	98
-1457	Max	1.37	101	0.36	177	-0.43	17	0.01	173	0.00	130	0.00	1
-1457	Min.	-5.18	162	-0.17	17	-4.31	99	-0.00	17	-0.00	101	0.00	130
-1456	Max	1.36	101	0.35	177	-0.10	49	0.00	173	0.00	1	0.00	97
-1456	Min.	-5.20	158	-0.18	65	-2.53	98	-0.00	17	-0.01	97	0.00	177
-1455	Max	1.36	101	0.35	177	-0.01	49	0.00	173	0.00	1	0.00	97
-1455	Min.	-5.20	158	-0.18	65	-2.21	106	-0.00	17	-0.01	97	0.00	177
-1454	Max	1.36	101	0.34	177	0.07	49	0.00	173	0.00	17	0.00	97
-1454	Min.	-5.20	158	-0.18	65	-2.08	106	-0.00	17	-0.01	97	0.00	177
-1453	Max	1.37	101	0.34	177	0.20	101	0.00	173	0.00	17	0.00	17
-1453	Min.	-5.20	166	-0.18	65	-1.92	106	-0.00	17	-0.01	97	0.00	177
-1452	Max	1.40	101	0.34	177	0.50	130	0.00	173	0.01	98	0.00	177
-1452	Min.	-5.19	162	-0.18	17	-1.88	101	0.00	65	0.00	33	0.00	65
-1451	Max	1.40	101	0.34	177	0.63	130	0.00	173	0.00	97	0.00	177
-1451	Min.	-5.19	162	-0.18	17	-1.64	101	-0.00	103	0.00	17	0.00	65
-1450	Max	1.39	101	0.34	177	0.32	130	0.00	173	0.01	98	0.00	177
-1450	Min.	-5.19	162	-0.18	17	-2.05	101	0.00	65	0.00	33	0.00	65
-1449	Max	1.39	101	0.35	177	0.11	130	0.00	173	0.01	98	0.00	177
-1449	Min.	-5.18	162	-0.18	17	-2.20	101	-0.00	65	0.00	49	0.00	65
-1448	Max	1.39	101	0.35	177	-0.13	1	0.00	173	0.01	98	0.00	177
-1448	Min.	-5.18	162	-0.18	17	-2.56	97	-0.00	65	0.00	49	0.00	65
-1447	Max	1.40	101	0.33	177	0.62	130	0.00	173	0.00	97	0.00	177
-1447	Min.	-5.19	162	-0.19	17	-1.54	101	-0.00	103	0.00	130	0.00	65
-1446	Max	1.39	101	0.35	177	-0.23	1	0.00	173	0.01	98	0.00	177
-1446	Min.	-5.18	162	-0.18	17	-3.06	97	-0.00	65	0.00	49	0.00	65
-1445	Max	1.38	101	0.35	177	-0.34	1	0.00	173	0.01	98	0.00	17
-1445	Min.	-5.18	162	-0.18	17	-3.52	97	-0.00	65	0.00	49	0.00	65
-1444	Max	1.40	101	0.33	177	0.57	130	0.00	173	0.00	101	0.00	177
-1444	Min.	-5.19	162	-0.19	17	-1.42	101	0.00	127	-0.00	130	0.00	65
-1443	Max	1.38	101	0.35	177	-0.44	1	0.00	173	0.01	98	0.00	17
-1443	Min.	-5.18	162	-0.18	17	-3.93	97	-0.00	65	0.00	137	0.00	65
-1442	Max	1.38	101	0.36	177	-0.54	33	0.00	173	0.01	98	0.00	17
-1442	Min.	-5.18	162	-0.18	17	-4.25	97	-0.00	65	-0.00	101	0.00	65
-1441	Max	1.37	101	0.36	177	-0.58	33	0.00	173	0.01	106	0.00	17
-1441	Min.	-5.18	162	-0.17	17	-4.48	97	-0.00	65	-0.00	101	0.00	65
-1440	Max	1.40	101	0.32	177	0.49	130	0.00	173	0.00	101	0.00	177
-1440	Min.	-5.19	162	-0.19	17	-1.29	101	0.00	127	-0.00	130	0.00	65
-1439	Max	1.37	101	0.36	177	-0.61	33	0.00	173	0.00	130	0.00	17
-1439	Min.	-5.18	162	-0.17	17	-4.59	97	-0.00	65	-0.00	101	0.00	65
-1438	Max	1.37	101	0.36	177	-0.61	33	0.00	173	0.00	130	0.00	17
-1438	Min.	-5.18	166	-0.17	65	-4.59	98	-0.00	17	-0.00	101	0.00	65
-1437	Max	1.40	101	0.32	177	0.38	130	0.00	17	0.00	101	0.00	177
-1437	Min.	-5.19	162	-0.19	17	-1.15	101	0.00	127	-0.00	130	0.00	65
-1436	Max	1.37	101	0.36	177	-0.58	33	0.00	173	0.00	130	0.00	17
-1436	Min.	-5.19	166	-0.17	65	-4.48	98	-0.00	17	-0.01	101	0.00	65
-1435	Max	1.36	101	0.36	177	-0.54	33	0.00	173	0.00	130	0.00	17
-1435	Min.	-5.19	158	-0.18	65	-4.25	98	-0.00	17	-0.01	97	0.00	65
-1434	Max	1.36	101	0.35	177	-0.44	49	0.00	173	0.00	130	0.00	17
-1434	Min.	-5.19	158	-0.18	65	-3.93	98	-0.00	17	-0.01	97	0.00	65

-1433	Max	1.36	101	0.35	177	-0.34	49	0.00	173	0.00	130	0.00	17
-1433	Min.	-5.19	158	-0.18	65	-3.52	98	-0.00	17	-0.01	97	0.00	65
-1432	Max	1.36	101	0.35	177	-0.23	49	0.00	173	0.00	130	0.00	17
-1432	Min.	-5.20	158	-0.18	65	-3.06	98	-0.00	17	-0.01	97	0.00	177
-1431	Max	1.36	101	0.35	177	-0.13	49	0.00	173	0.00	1	0.00	17
-1431	Min.	-5.20	158	-0.18	65	-2.56	98	-0.00	17	-0.01	97	0.00	177
-1430	Max	1.36	101	0.35	177	-0.03	49	0.00	173	-0.00	1	0.00	17
-1430	Min.	-5.20	158	-0.18	65	-2.20	106	-0.00	17	-0.01	97	0.00	177
-1429	Max	1.36	101	0.34	177	0.06	49	0.00	173	-0.00	33	0.00	17
-1429	Min.	-5.20	158	-0.18	65	-2.05	106	0.00	17	-0.01	97	0.00	177
-1428	Max	1.37	101	0.34	177	0.22	101	0.00	173	-0.00	33	0.00	17
-1428	Min.	-5.20	158	-0.18	65	-1.88	106	0.00	17	-0.01	97	0.00	177
-1427	Max	1.38	101	0.31	177	-0.03	1	0.00	65	0.00	101	0.00	17
-1427	Min.	-5.21	166	-0.19	65	-0.63	108	0.00	177	-0.01	130	0.00	177
-1426	Max	1.38	101	0.31	177	-0.03	1	0.00	65	0.00	101	0.00	17
-1426	Min.	-5.21	166	-0.19	65	-0.63	108	0.00	177	-0.01	130	0.00	177
-1425	Max	1.38	101	0.31	177	-0.02	65	0.00	65	0.00	101	0.00	130
-1425	Min.	-5.21	166	-0.19	65	-0.63	107	0.00	177	-0.01	130	0.00	177
-1424	Max	1.38	101	0.31	177	-0.06	49	0.00	65	0.00	101	0.00	17
-1424	Min.	-5.21	166	-0.19	65	-0.63	106	0.00	17	-0.00	130	0.00	177
-1423	Max	1.38	101	0.31	177	-0.04	1	0.00	65	0.00	101	0.00	1
-1423	Min.	-5.21	166	-0.19	65	-0.63	106	0.00	17	-0.00	130	0.00	177
-1422	Max	1.38	101	0.31	177	-0.03	49	0.00	65	0.00	101	0.00	17
-1422	Min.	-5.21	166	-0.19	65	-0.63	107	0.00	17	-0.01	130	0.00	177
-1421	Max	1.38	101	0.31	177	-0.03	49	0.00	65	0.00	101	0.00	17
-1421	Min.	-5.21	166	-0.19	65	-0.63	107	0.00	17	-0.01	130	0.00	177
-1420	Max	1.38	101	0.31	177	-0.04	49	0.00	65	0.00	101	0.00	130
-1420	Min.	-5.21	166	-0.19	65	-0.63	106	0.00	17	-0.00	130	0.00	177
-1419	Max	1.38	101	0.31	177	-0.05	49	0.00	65	0.00	101	0.00	17
-1419	Min.	-5.21	166	-0.19	65	-0.63	106	0.00	17	-0.00	130	0.00	177
-1418	Max	1.38	101	0.31	177	-0.05	1	0.00	65	0.00	101	0.00	17
-1418	Min.	-5.21	166	-0.19	65	-0.63	106	0.00	17	-0.00	130	0.00	177
-1417	Max	1.38	101	0.31	177	-0.02	17	0.00	65	0.00	101	0.00	101
-1417	Min.	-5.21	166	-0.19	65	-0.63	108	0.00	177	-0.01	130	0.00	177
-1416	Max	1.37	101	0.34	177	0.41	101	0.00	173	0.00	65	0.00	17
-1416	Min.	-5.20	166	-0.18	65	-1.67	106	0.00	107	-0.00	98	0.00	177
-1415	Max	1.37	101	0.33	177	0.41	101	0.00	173	0.00	101	0.00	17
-1415	Min.	-5.20	166	-0.19	65	-1.57	130	0.00	107	-0.00	106	0.00	177
-1414	Max	1.40	101	0.33	177	0.63	130	0.00	173	0.00	101	0.00	177
-1414	Min.	-5.19	162	-0.19	17	-1.56	101	0.00	103	0.00	130	0.00	65
-1413	Max	1.37	101	0.36	177	-0.42	17	0.01	173	0.00	130	0.00	130
-1413	Min.	-5.18	162	-0.17	17	-4.24	100	-0.01	99	-0.00	101	0.00	49
-1412	Max	1.38	101	0.35	177	-0.42	1	0.00	173	0.01	98	0.00	17
-1412	Min.	-5.18	162	-0.18	17	-3.91	97	-0.00	65	0.00	49	0.00	65
-1411	Max	1.39	101	0.35	177	-0.21	1	0.00	173	0.01	98	0.00	17
-1411	Min.	-5.18	162	-0.18	17	-3.05	97	-0.00	65	0.00	49	0.00	65
-1410	Max	1.38	101	0.35	177	-0.32	1	0.00	173	0.01	98	0.00	17
-1410	Min.	-5.18	162	-0.18	17	-3.51	97	-0.00	65	0.00	49	0.00	65
-1409	Max	1.40	101	0.32	177	0.26	130	0.00	17	0.00	101	0.00	177
-1409	Min.	-5.19	162	-0.19	17	-0.99	101	0.00	177	-0.00	130	0.00	130
-1408	Max	1.40	101	0.31	177	0.11	130	0.00	17	0.00	101	0.00	177
-1408	Min.	-5.19	162	-0.19	17	-0.81	101	0.00	177	-0.00	130	0.00	130
-1407	Max	1.40	101	0.31	177	-0.03	49	0.00	17	0.00	101	0.00	177
-1407	Min.	-5.19	162	-0.19	17	-0.63	104	0.00	177	-0.00	130	0.00	130
-1406	Max	1.37	101	0.34	177	0.16	101	0.00	173	0.00	65	0.00	17
-1406	Min.	-5.20	158	-0.18	65	-1.89	106	-0.00	107	-0.01	97	0.00	177
-1405	Max	1.36	101	0.34	177	0.07	1	0.00	173	0.00	65	0.00	17
-1405	Min.	-5.20	158	-0.18	65	-2.04	106	-0.00	107	-0.01	97	0.00	173
-1404	Max	1.36	101	0.35	177	-0.01	1	0.00	173	0.00	65	0.00	17
-1404	Min.	-5.20	158	-0.18	65	-2.17	106	-0.00	107	-0.01	97	0.00	97
-1403	Max	1.36	101	0.35	177	-0.10	1	0.00	173	0.00	65	0.00	17
-1403	Min.	-5.20	158	-0.18	65	-2.46	98	-0.00	107	-0.01	97	0.00	97
-1402	Max	1.36	101	0.35	177	-0.20	1	0.00	173	0.00	130	0.00	17
-1402	Min.	-5.19	158	-0.18	65	-2.91	98	-0.00	99	-0.01	97	0.00	97
-1401	Max	1.36	101	0.35	177	-0.30	1	0.00	173	0.00	130	0.00	17
-1401	Min.	-5.19	158	-0.18	65	-3.32	98	-0.00	99	-0.01	97	0.00	97
-1400	Max	1.36	101	0.35	177	-0.34	17	0.01	173	0.00	130	0.00	17
-1400	Min.	-5.19	158	-0.18	65	-3.69	98	-0.00	99	-0.01	97	0.00	97
-1399	Max	1.36	101	0.36	177	-0.37	17	0.01	173	0.00	130	0.00	17
-1399	Min.	-5.19	158	-0.18	65	-3.99	98	-0.00	99	-0.01	97	0.00	97
-1398	Max	1.37	101	0.36	177	-0.41	17	0.01	173	0.00	130	0.00	1
-1398	Min.	-5.18	166	-0.18	65	-4.20	100	-0.01	99	-0.00	101	0.00	101
-1397	Max	1.37	101	0.36	177	-0.43	17	0.01	173	0.00	130	0.00	130
-1397	Min.	-5.18	166	-0.17	65	-4.31	100	-0.01	99	-0.00	101	0.00	49
-1396	Max	1.37	101	0.36	177	-0.43	65	0.01	173	0.00	130	0.00	130
-1396	Min.	-5.18	162	-0.17	17	-4.31	100	-0.01	99	-0.00	101	0.00	49
-1395	Max	1.37	101	0.36	177	-0.41	65	0.01	173	0.01	130	0.00	130
-1395	Min.	-5.18	162	-0.18	17	-4.20	100	-0.01	99	-0.00	101	0.00	49
-1394	Max	1.38	101	0.36	177	-0.37	65	0.01	173	0.01	98	0.00	98

-1394	Min.	-5.18	162	-0.18	17	-3.99	97	-0.00	99	-0.00	101	0.00	65
-1393	Max	1.38	101	0.35	177	-0.34	65	0.01	173	0.01	98	0.00	98
-1393	Min.	-5.18	162	-0.18	17	-3.69	97	-0.00	99	0.00	1	0.00	65
-1392	Max	1.38	101	0.35	177	-0.30	49	0.00	173	0.01	98	0.00	98
-1392	Min.	-5.18	162	-0.18	17	-3.32	97	-0.00	99	0.00	1	0.00	65
-1391	Max	1.39	101	0.35	177	-0.20	49	0.00	173	0.01	98	0.00	98
-1391	Min.	-5.18	162	-0.18	17	-2.91	97	-0.00	99	0.00	1	0.00	65
-1390	Max	1.39	101	0.35	177	-0.10	49	0.00	173	0.01	98	0.00	98
-1390	Min.	-5.18	162	-0.18	17	-2.46	97	-0.00	103	0.00	17	0.00	65
-1389	Max	1.39	101	0.35	177	0.04	130	0.00	173	0.01	98	0.00	98
-1389	Min.	-5.18	162	-0.18	17	-2.17	101	-0.00	103	0.00	17	0.00	65
-1388	Max	1.39	101	0.34	177	0.26	130	0.00	173	0.01	98	0.00	98
-1388	Min.	-5.18	162	-0.18	17	-2.04	101	-0.00	103	0.00	17	0.00	65
-1387	Max	1.39	101	0.34	177	0.45	130	0.00	173	0.01	98	0.00	177
-1387	Min.	-5.19	162	-0.18	17	-1.89	101	-0.00	103	0.00	17	0.00	65
-1386	Max	1.37	101	0.36	177	-0.44	17	0.01	173	0.00	130	0.00	130
-1386	Min.	-5.18	162	-0.17	17	-4.32	100	-0.01	99	-0.00	101	0.00	49
-1385	Max	1.40	101	0.34	177	0.60	130	0.00	173	0.01	97	0.00	177
-1385	Min.	-5.19	162	-0.18	17	-1.78	101	0.00	177	0.00	17	0.00	65
-1384	Max	1.39	101	0.34	177	0.48	130	0.00	173	0.01	98	0.00	177
-1384	Min.	-5.19	162	-0.18	17	-1.93	101	0.00	65	0.00	17	0.00	65
-1383	Max	1.39	101	0.34	177	0.30	130	0.00	173	0.01	98	0.00	177
-1383	Min.	-5.19	162	-0.18	17	-2.09	101	0.00	65	0.00	17	0.00	65
-1382	Max	1.39	101	0.35	177	0.08	130	0.00	173	0.01	98	0.00	98
-1382	Min.	-5.18	162	-0.18	17	-2.21	101	0.00	65	0.00	17	0.00	65
-1381	Max	1.39	101	0.35	177	-0.10	49	0.00	173	0.01	98	0.00	98
-1381	Min.	-5.18	162	-0.18	17	-2.51	97	-0.00	65	0.00	1	0.00	65
-1380	Max	1.39	101	0.35	177	-0.20	49	0.00	173	0.01	98	0.00	98
-1380	Min.	-5.18	162	-0.18	17	-2.99	97	-0.00	99	0.00	1	0.00	65
-1379	Max	1.38	101	0.35	177	-0.30	49	0.00	173	0.01	98	0.00	98
-1379	Min.	-5.18	162	-0.18	17	-3.43	97	-0.00	99	0.00	1	0.00	65
-1378	Max	1.38	101	0.35	177	-0.40	49	0.00	173	0.01	98	0.00	98
-1378	Min.	-5.18	162	-0.18	17	-3.83	97	-0.00	99	0.00	1	0.00	65
-1377	Max	1.38	101	0.36	177	-0.45	65	0.00	173	0.01	98	0.00	98
-1377	Min.	-5.18	162	-0.18	17	-4.16	97	-0.00	99	-0.00	101	0.00	65
-1376	Max	1.37	101	0.36	177	-0.49	65	0.01	173	0.01	106	0.00	1
-1376	Min.	-5.18	162	-0.17	17	-4.40	97	-0.00	99	-0.00	101	0.00	49
-1375	Max	1.37	101	0.36	177	-0.52	65	0.01	173	0.00	130	0.00	1
-1375	Min.	-5.18	162	-0.17	17	-4.51	100	-0.00	99	-0.00	101	0.00	49
-1374	Max	1.37	101	0.36	177	-0.53	17	0.01	173	0.00	130	0.00	1
-1374	Min.	-5.18	162	-0.17	17	-4.52	100	-0.00	99	-0.00	101	0.00	49
-1373	Max	1.37	101	0.36	177	-0.52	17	0.01	173	0.00	130	0.00	1
-1373	Min.	-5.18	166	-0.17	65	-4.51	100	-0.00	99	-0.00	101	0.00	49
-1372	Max	1.37	101	0.36	177	-0.49	17	0.01	173	0.00	130	0.00	1
-1372	Min.	-5.19	158	-0.17	65	-4.40	98	-0.00	99	-0.01	101	0.00	49
-1371	Max	1.36	101	0.36	177	-0.45	17	0.01	173	0.00	130	0.00	17
-1371	Min.	-5.19	158	-0.18	65	-4.16	98	-0.00	99	-0.01	97	0.00	97
-1370	Max	1.36	101	0.35	177	-0.40	1	0.00	173	0.00	130	0.00	17
-1370	Min.	-5.19	158	-0.18	65	-3.83	98	-0.00	99	-0.01	97	0.00	97
-1369	Max	1.36	101	0.35	177	-0.30	1	0.00	173	0.00	130	0.00	17
-1369	Min.	-5.19	158	-0.18	65	-3.43	98	-0.00	99	-0.01	97	0.00	97
-1368	Max	1.36	101	0.35	177	-0.20	1	0.00	173	0.00	130	0.00	17
-1368	Min.	-5.20	158	-0.18	65	-2.99	98	-0.00	99	-0.01	97	0.00	97
-1367	Max	1.37	101	0.33	177	0.37	101	0.00	124	0.00	101	0.00	17
-1367	Min.	-5.20	166	-0.19	65	-1.45	130	0.00	177	-0.00	106	0.00	177
-1366	Max	1.38	101	0.32	177	0.30	101	0.00	124	0.00	101	0.00	17
-1366	Min.	-5.20	166	-0.19	65	-1.31	130	0.00	177	-0.00	130	0.00	177
-1365	Max	1.38	101	0.32	177	0.21	101	0.00	124	0.00	101	0.00	17
-1365	Min.	-5.21	166	-0.19	65	-1.16	130	0.00	177	-0.00	130	0.00	177
-1364	Max	1.38	101	0.32	177	0.11	101	0.00	124	0.00	101	0.00	17
-1364	Min.	-5.21	166	-0.19	65	-0.99	106	0.00	177	-0.00	130	0.00	177
-1363	Max	1.38	101	0.31	177	0.02	1	0.00	65	0.00	101	0.00	17
-1363	Min.	-5.21	166	-0.19	65	-0.81	106	0.00	177	-0.00	130	0.00	177
-1362	Max	1.37	101	0.34	177	0.37	101	0.00	173	0.00	65	0.00	17
-1362	Min.	-5.20	166	-0.18	65	-1.65	130	-0.00	107	-0.00	98	0.00	177
-1361	Max	1.36	101	0.35	177	-0.10	1	0.00	173	0.00	49	0.00	17
-1361	Min.	-5.20	158	-0.18	65	-2.51	98	-0.00	17	-0.01	97	0.00	97
-1360	Max	1.36	101	0.35	177	-0.01	1	0.00	173	0.00	65	0.00	17
-1360	Min.	-5.20	158	-0.18	65	-2.21	106	0.00	17	-0.01	97	0.00	173
-1359	Max	1.36	101	0.34	177	0.07	1	0.00	173	0.00	65	0.00	17
-1359	Min.	-5.20	158	-0.18	65	-2.09	106	0.00	17	-0.01	97	0.00	177
-1358	Max	1.37	101	0.34	177	0.19	101	0.00	173	0.00	65	0.00	17
-1358	Min.	-5.20	166	-0.18	65	-1.93	106	0.00	17	-0.01	97	0.00	177
-1357	Max	1.37	101	0.34	177	0.35	101	0.00	173	0.00	65	0.00	17
-1357	Min.	-5.20	166	-0.18	65	-1.78	106	0.00	177	-0.01	98	0.00	177
-1356	Max	1.37	101	0.33	177	0.37	101	0.00	173	0.00	101	0.00	17
-1356	Min.	-5.20	166	-0.19	65	-1.56	130	-0.00	107	-0.00	98	0.00	177
-1355	Max	1.37	101	0.33	177	0.34	101	0.00	124	0.00	101	0.00	17
-1355	Min.	-5.20	166	-0.19	65	-1.46	130	0.00	107	-0.00	106	0.00	177

-1354	Max	1.40	101	0.31	177	-0.04	130	0.00	17	0.00	101	0.00	177
-1354	Min.	-5.19	162	-0.19	17	-0.63	101	0.00	65	-0.00	130	0.00	65
-1353	Max	1.40	101	0.31	177	0.11	130	0.00	17	0.00	101	0.00	177
-1353	Min.	-5.19	162	-0.19	17	-0.81	101	0.00	65	-0.00	130	0.00	65
-1352	Max	1.38	101	0.32	177	0.28	101	0.00	124	0.00	101	0.00	17
-1352	Min.	-5.20	166	-0.19	65	-1.33	130	0.00	177	-0.00	130	0.00	177
-1351	Max	1.40	101	0.32	177	0.25	130	0.00	17	0.00	101	0.00	177
-1351	Min.	-5.19	162	-0.19	17	-0.99	101	0.00	65	-0.00	130	0.00	65
-1350	Max	1.40	101	0.32	177	0.38	130	0.00	17	0.00	101	0.00	177
-1350	Min.	-5.19	162	-0.19	17	-1.15	101	0.00	65	-0.00	130	0.00	65
-1349	Max	1.40	101	0.32	177	0.50	130	0.00	17	0.00	101	0.00	177
-1349	Min.	-5.19	162	-0.19	17	-1.30	101	0.00	65	-0.00	130	0.00	65
-1348	Max	1.40	101	0.33	177	0.59	130	0.00	17	0.00	101	0.00	177
-1348	Min.	-5.19	162	-0.19	17	-1.44	101	0.00	65	-0.00	130	0.00	65
-1347	Max	1.40	101	0.33	177	0.64	130	0.00	173	0.00	101	0.00	177
-1347	Min.	-5.19	162	-0.19	17	-1.57	101	0.00	177	0.00	130	0.00	65
-1346	Max	1.40	101	0.34	177	0.65	130	0.00	173	0.00	97	0.00	177
-1346	Min.	-5.19	162	-0.18	17	-1.67	101	0.00	177	0.00	1	0.00	65
-1345	Max	1.40	101	0.34	177	0.66	130	0.00	17	0.00	97	0.00	177
-1345	Min.	-5.19	162	-0.18	17	-1.67	101	-0.00	65	0.00	49	0.00	65
-1344	Max	1.40	101	0.34	177	0.61	130	0.00	17	0.01	97	0.00	177
-1344	Min.	-5.19	162	-0.18	17	-1.78	101	-0.00	65	0.00	65	0.00	65
-1343	Max	1.40	101	0.33	177	0.64	130	0.00	17	0.00	101	0.00	177
-1343	Min.	-5.19	162	-0.18	17	-1.57	101	-0.00	65	0.00	130	0.00	65
-1342	Max	1.40	101	0.33	177	0.59	130	0.00	17	0.00	101	0.00	177
-1342	Min.	-5.19	162	-0.19	17	-1.44	101	-0.00	65	-0.00	130	0.00	65
-1334	Max	1.40	101	0.34	177	-0.29	65	0.00	173	0.00	130	0.00	17
-1334	Min.	-5.20	166	-0.19	65	-3.82	99	-0.00	17	-0.01	101	0.00	97
-1332	Max	1.40	101	0.34	177	-0.31	65	0.01	100	0.00	130	0.00	106
-1332	Min.	-5.20	166	-0.19	65	-3.96	99	-0.00	17	-0.00	101	0.00	97
-1331	Max	1.39	101	0.34	177	-0.31	17	0.01	100	0.00	130	0.00	98
-1331	Min.	-5.20	162	-0.19	17	-3.96	99	-0.00	65	-0.00	101	0.00	101
-1330	Max	1.39	101	0.34	177	-0.29	17	0.00	100	0.01	106	0.00	98
-1330	Min.	-5.20	162	-0.19	17	-3.82	99	-0.00	65	-0.00	101	0.00	65
-1329	Max	1.40	101	0.34	177	-0.36	65	0.01	173	0.00	130	0.00	17
-1329	Min.	-5.19	166	-0.19	65	-4.02	99	-0.00	17	-0.01	101	0.00	97
-1328	Max	1.40	101	0.34	177	-0.38	65	0.01	173	0.00	130	0.00	106
-1328	Min.	-5.20	166	-0.19	65	-4.18	99	-0.00	17	-0.00	101	0.00	97
-1327	Max	1.39	101	0.34	177	-0.38	17	0.01	100	0.00	130	0.00	98
-1327	Min.	-5.20	162	-0.19	17	-4.18	99	-0.00	65	-0.00	101	0.00	101
-1326	Max	1.39	101	0.34	177	-0.36	17	0.00	173	0.01	106	0.00	98
-1326	Min.	-5.20	162	-0.19	17	-4.02	99	-0.00	65	-0.00	101	0.00	65
-1322	Max	1.39	101	0.34	177	-0.46	17	0.01	173	0.00	130	0.00	173
-1322	Min.	-5.20	162	-0.19	17	-4.39	99	-0.00	65	-0.00	101	0.00	101
-1320	Max	1.39	101	0.34	177	-0.43	17	0.01	173	0.01	98	0.00	173
-1320	Min.	-5.20	162	-0.19	17	-4.21	97	-0.00	65	-0.00	101	0.00	65
-1317	Max	1.39	101	0.34	177	-0.56	33	0.00	173	0.01	98	0.00	17
-1317	Min.	-5.20	162	-0.18	17	-4.38	97	-0.00	65	-0.00	101	0.00	65
-1316	Max	1.39	101	0.34	177	-0.59	33	0.00	173	0.00	130	0.00	17
-1316	Min.	-5.20	162	-0.18	17	-4.55	97	-0.00	65	-0.00	101	0.00	65
-1315	Max	1.40	101	0.34	177	-0.59	33	0.00	173	0.00	130	0.00	17
-1315	Min.	-5.20	166	-0.18	65	-4.55	98	-0.00	17	-0.00	101	0.00	65
-1314	Max	1.40	101	0.34	177	-0.56	33	0.00	173	0.00	130	0.00	17
-1314	Min.	-5.19	166	-0.18	65	-4.38	98	-0.00	17	-0.01	97	0.00	65
-1309	Max	1.40	101	0.32	177	-0.37	17	0.01	173	0.00	130	0.00	97
-1309	Min.	-5.19	166	-0.17	65	-4.03	100	-0.00	99	-0.01	101	0.00	173
-1308	Max	1.40	101	0.42	177	-0.30	17	0.01	173	0.00	130	0.00	97
-1308	Min.	-5.20	166	-0.17	65	-3.83	100	-0.00	99	-0.01	101	0.00	173
-1307	Max	1.40	101	0.32	177	-0.39	17	0.01	173	0.00	130	0.00	97
-1307	Min.	-5.20	166	-0.17	65	-4.19	100	-0.01	99	-0.00	101	0.00	106
-1306	Max	1.40	101	0.41	177	-0.32	17	0.01	173	0.00	130	0.00	177
-1306	Min.	-5.20	166	-0.17	65	-3.97	100	-0.01	99	-0.00	101	0.00	173
-1305	Max	1.39	101	0.32	177	-0.39	65	0.01	173	0.00	130	0.00	173
-1305	Min.	-5.20	162	-0.17	17	-4.19	100	-0.01	99	-0.00	101	0.00	98
-1304	Max	1.39	101	0.41	177	-0.32	65	0.01	173	0.00	130	0.00	173
-1304	Min.	-5.20	162	-0.17	17	-3.97	100	-0.01	99	-0.00	101	0.00	177
-1303	Max	1.39	101	0.32	177	-0.37	65	0.01	173	0.01	106	0.00	173
-1303	Min.	-5.20	162	-0.17	17	-4.03	100	-0.00	99	-0.00	101	0.00	98
-1302	Max	1.39	101	0.42	177	-0.30	65	0.01	173	0.01	106	0.00	173
-1302	Min.	-5.20	162	-0.17	17	-3.83	100	-0.00	99	-0.00	101	0.00	98
-1301	Max	1.40	101	0.33	177	-0.44	17	0.01	173	0.00	130	0.00	97
-1301	Min.	-5.19	166	-0.17	65	-4.22	98	-0.00	99	-0.01	97	0.00	173
-1300	Max	1.40	101	0.33	177	-0.47	17	0.01	173	0.00	130	0.00	97
-1300	Min.	-5.20	166	-0.17	65	-4.39	100	-0.00	99	-0.00	101	0.00	173
-1299	Max	1.39	101	0.33	177	-0.47	65	0.01	173	0.00	130	0.00	173
-1299	Min.	-5.20	162	-0.17	17	-4.39	100	-0.00	99	-0.00	101	0.00	98
-1298	Max	1.39	101	0.33	177	-0.44	65	0.01	173	0.01	98	0.00	173
-1298	Min.	-5.20	162	-0.17	17	-4.22	97	-0.00	99	-0.00	101	0.00	98
-1297	Max	1.39	101	0.34	177	-0.54	33	0.00	173	0.01	98	0.00	17

-1297	Min.	-5.20	162	-0.18	17	-4.37	97	-0.00	65	-0.00	101	0.00	65
-1296	Max	1.39	101	0.34	177	-0.57	33	0.00	173	0.00	130	0.00	17
-1296	Min.	-5.20	162	-0.18	17	-4.54	97	-0.00	65	-0.00	101	0.00	65
-1295	Max	1.39	101	0.34	177	-0.51	65	0.00	173	0.01	98	0.00	173
-1295	Min.	-5.20	162	-0.17	17	-4.33	97	-0.00	65	-0.00	101	0.00	65
-1293	Max	1.39	101	0.34	177	-0.54	65	0.00	173	0.00	130	0.00	173
-1293	Min.	-5.20	162	-0.17	17	-4.51	100	-0.00	65	-0.00	101	0.00	106
-1289	Max	1.40	101	0.34	177	-0.57	33	0.00	173	0.00	130	0.00	17
-1289	Min.	-5.20	166	-0.18	65	-4.54	98	-0.00	17	-0.00	101	0.00	65
-1288	Max	1.40	101	0.34	177	-0.54	17	0.00	173	0.00	130	0.00	101
-1288	Min.	-5.20	166	-0.17	65	-4.51	100	-0.00	17	-0.00	101	0.00	173
-1287	Max	1.40	101	0.34	177	-0.54	33	0.00	173	0.00	130	0.00	17
-1287	Min.	-5.19	166	-0.18	65	-4.37	98	-0.00	17	-0.01	97	0.00	65
-1286	Max	1.40	101	0.34	177	-0.51	17	0.00	173	0.00	130	0.00	17
-1286	Min.	-5.19	166	-0.17	65	-4.33	98	-0.00	17	-0.01	97	0.00	173
-1285	Max	1.39	101	0.34	177	-0.50	17	0.00	173	0.01	98	0.00	173
-1285	Min.	-5.20	162	-0.19	17	-4.33	97	-0.00	65	-0.00	101	0.00	65
-1284	Max	1.39	101	0.34	177	-0.54	33	0.00	173	0.01	98	0.00	173
-1284	Min.	-5.20	162	-0.18	17	-4.37	97	-0.00	65	-0.00	101	0.00	65
-1283	Max	1.39	101	0.34	177	-0.54	17	0.01	173	0.00	130	0.00	173
-1283	Min.	-5.20	162	-0.19	17	-4.50	99	-0.00	65	-0.00	101	0.00	65
-1282	Max	1.39	101	0.34	177	-0.57	33	0.00	173	0.00	130	0.00	173
-1282	Min.	-5.20	162	-0.18	17	-4.54	97	-0.00	65	-0.00	101	0.00	65
-1281	Max	1.40	101	0.34	177	-0.54	65	0.01	173	0.00	130	0.00	17
-1281	Min.	-5.20	166	-0.19	65	-4.50	99	-0.00	17	-0.00	101	0.00	173
-1280	Max	1.40	101	0.34	177	-0.57	33	0.00	173	0.00	130	0.00	17
-1280	Min.	-5.20	166	-0.18	65	-4.54	98	-0.00	17	-0.00	101	0.00	173
-1279	Max	1.40	101	0.34	177	-0.50	65	0.01	173	0.00	130	0.00	17
-1279	Min.	-5.19	166	-0.19	65	-4.33	98	-0.00	17	-0.01	97	0.00	173
-1278	Max	1.40	101	0.34	177	-0.54	33	0.00	173	0.00	130	0.00	17
-1278	Min.	-5.19	166	-0.18	65	-4.37	98	-0.00	17	-0.01	97	0.00	173
-1277	Max	1.40	101	0.34	177	-0.43	65	0.01	173	0.00	130	0.00	17
-1277	Min.	-5.19	166	-0.19	65	-4.21	98	-0.00	17	-0.01	97	0.00	97
-1275	Max	1.40	101	0.34	177	-0.46	65	0.01	173	0.00	130	0.00	106
-1275	Min.	-5.20	166	-0.19	65	-4.39	99	-0.00	17	-0.00	101	0.00	97
-1273	Max	1.26	101	0.97	177	-0.34	17	0.01	173	0.00	130	0.00	173
-1273	Min.	-4.49	166	-1.76	173	-3.97	100	-0.01	177	-0.00	101	0.00	101
-1272	Max	1.27	101	0.97	177	-0.34	65	0.01	173	0.00	130	0.00	106
-1272	Min.	-4.49	162	-1.76	173	-3.97	100	-0.01	177	-0.00	101	-0.00	173
-1271	Max	0.75	101	0.18	17	-0.01	65	0.00	65	0.00	101	0.00	162
-1271	Min.	-0.95	130	-0.18	65	-0.49	107	0.00	17	-0.00	130	0.00	105
-1270	Max	0.82	101	0.18	65	-0.01	17	0.00	17	0.00	101	0.00	126
-1270	Min.	-0.91	130	-0.18	17	-0.49	103	0.00	65	-0.00	130	0.00	65
-1269	Max	0.75	101	0.18	17	-0.02	65	0.00	65	0.00	101	0.00	162
-1269	Min.	-0.96	130	-0.18	65	-0.49	107	0.00	17	-0.00	130	0.00	105
-1225	Max	0.82	101	0.18	65	-0.02	17	0.00	17	0.00	101	0.00	126
-1225	Min.	-0.90	130	-0.18	17	-0.49	103	0.00	65	-0.00	130	0.00	65
-1224	Max	1.39	101	0.18	17	-0.02	65	0.00	173	0.00	101	0.00	173
-1224	Min.	-5.18	166	-0.18	65	-0.63	107	-0.01	177	-0.01	130	0.00	177
-1223	Max	1.39	101	0.22	177	0.03	49	0.00	173	0.00	101	0.00	173
-1223	Min.	-5.18	166	-0.18	65	-0.83	131	-0.01	177	-0.01	130	-0.00	177
-1222	Max	1.39	101	0.26	177	0.09	101	0.00	173	0.00	101	0.00	173
-1222	Min.	-5.18	166	-0.18	65	-1.03	130	-0.00	177	-0.00	130	0.00	177
-1221	Max	1.39	101	0.28	177	0.18	101	0.00	108	0.00	101	0.00	121
-1221	Min.	-5.18	166	-0.18	65	-1.21	130	-0.00	177	-0.00	130	0.00	177
-1220	Max	1.39	101	0.31	177	0.30	101	0.00	65	0.00	101	0.00	17
-1220	Min.	-5.18	166	-0.18	65	-1.46	130	-0.00	123	-0.00	106	0.00	177
-1219	Max	1.40	101	0.32	177	0.32	101	0.00	65	0.00	49	0.00	106
-1219	Min.	-5.19	166	-0.18	65	-1.56	130	-0.00	123	-0.00	98	0.00	121
-1218	Max	1.40	101	0.32	177	0.32	101	0.00	65	0.00	17	0.00	106
-1218	Min.	-5.19	166	-0.18	65	-1.61	130	0.00	17	-0.00	98	0.00	121
-1217	Max	1.40	101	0.32	177	0.30	101	0.00	65	0.00	17	0.00	106
-1217	Min.	-5.19	166	-0.18	65	-1.65	130	0.00	17	-0.00	98	0.00	121
-1216	Max	1.40	101	0.32	177	0.22	101	0.00	144	0.00	17	0.00	17
-1216	Min.	-5.19	166	-0.17	65	-1.74	130	-0.00	99	-0.01	98	0.00	173
-1215	Max	1.40	101	0.32	177	0.09	49	0.00	173	0.00	17	0.00	17
-1215	Min.	-5.19	166	-0.18	65	-1.90	106	-0.00	17	-0.01	97	0.00	106
-1214	Max	1.40	101	0.32	177	0.06	49	0.00	173	0.00	17	0.00	17
-1214	Min.	-5.19	166	-0.18	65	-1.96	106	-0.00	17	-0.01	97	0.00	173
-1213	Max	1.40	101	0.33	177	-0.02	49	0.00	173	0.00	17	0.00	17
-1213	Min.	-5.19	166	-0.18	65	-2.09	106	-0.00	17	-0.01	97	0.00	98
-1212	Max	1.40	101	0.33	177	-0.11	49	0.00	173	0.00	17	0.00	17
-1212	Min.	-5.19	166	-0.19	65	-2.39	98	-0.00	17	-0.01	97	0.00	98
-1211	Max	1.40	101	0.33	177	-0.19	65	0.00	173	0.00	17	0.00	17
-1211	Min.	-5.19	166	-0.19	65	-2.80	98	-0.00	17	-0.01	97	0.00	97
-1210	Max	1.40	101	0.33	177	-0.25	65	0.00	173	0.00	130	0.00	17
-1210	Min.	-5.19	166	-0.19	65	-3.46	98	-0.00	17	-0.01	97	0.00	97
-1209	Max	1.40	101	0.34	177	-0.27	65	0.00	173	0.00	130	0.00	17
-1209	Min.	-5.20	166	-0.19	65	-3.71	99	-0.00	17	-0.01	97	0.00	97

-1208	Max	1.40	101	0.34	177	-0.30	65	0.01	100	0.00	130	0.00	106
-1208	Min.	-5.20	166	-0.19	65	-3.90	99	-0.00	17	-0.00	101	0.00	97
-1207	Max	1.40	101	0.34	177	-0.32	65	0.01	100	0.00	130	0.00	106
-1207	Min.	-5.20	166	-0.19	65	-3.99	99	-0.00	17	-0.00	101	0.00	101
-1206	Max	1.39	101	0.34	177	-0.32	17	0.01	100	0.00	130	0.00	106
-1206	Min.	-5.20	162	-0.19	17	-3.99	99	-0.00	65	-0.00	101	0.00	101
-1205	Max	1.39	101	0.34	177	-0.30	17	0.01	100	0.00	130	0.00	98
-1205	Min.	-5.20	162	-0.19	17	-3.90	99	-0.00	65	-0.00	101	0.00	101
-1204	Max	1.39	101	0.34	177	-0.27	17	0.00	100	0.01	98	0.00	98
-1204	Min.	-5.20	162	-0.19	17	-3.71	99	-0.00	65	-0.00	101	0.00	65
-1203	Max	1.39	101	0.33	177	-0.25	17	0.00	173	0.01	98	0.00	98
-1203	Min.	-5.20	162	-0.19	17	-3.46	97	-0.00	65	0.00	49	0.00	65
-1202	Max	1.38	101	0.33	177	-0.19	17	0.00	173	0.01	98	0.00	98
-1202	Min.	-5.20	158	-0.19	17	-2.80	97	-0.00	65	0.00	65	0.00	65
-1201	Max	1.38	101	0.33	177	-0.11	1	0.00	173	0.01	98	0.00	97
-1201	Min.	-5.20	158	-0.19	17	-2.39	97	-0.00	65	0.00	65	0.00	65
-1200	Max	1.38	101	0.33	177	-0.01	130	0.00	173	0.01	98	0.00	97
-1200	Min.	-5.20	158	-0.18	17	-2.09	101	-0.00	65	0.00	65	0.00	65
-1199	Max	1.38	101	0.32	177	0.20	130	0.00	173	0.01	98	0.00	97
-1199	Min.	-5.20	158	-0.18	17	-1.96	101	-0.00	65	0.00	65	0.00	65
-1198	Max	1.37	101	0.32	177	0.29	130	0.00	173	0.01	98	0.00	101
-1198	Min.	-5.20	158	-0.18	17	-1.90	101	-0.00	65	0.00	65	0.00	65
-1197	Max	1.37	101	0.32	177	0.50	130	0.00	140	0.01	97	0.00	97
-1197	Min.	-5.20	158	-0.17	17	-1.71	101	-0.00	99	0.00	65	0.00	65
-1196	Max	1.37	101	0.32	177	0.57	130	0.00	17	0.00	97	0.00	98
-1196	Min.	-5.20	158	-0.18	17	-1.59	101	0.00	65	0.00	65	0.00	125
-1195	Max	1.37	101	0.32	177	0.58	130	0.00	17	0.00	97	0.00	173
-1195	Min.	-5.20	158	-0.18	17	-1.54	101	0.00	65	0.00	65	0.00	125
-1194	Max	1.37	101	0.32	177	0.58	130	0.00	17	0.00	97	0.00	173
-1194	Min.	-5.20	158	-0.18	17	-1.49	101	-0.00	65	0.00	1	0.00	125
-1193	Max	1.37	101	0.31	177	0.54	130	0.00	128	0.00	101	0.00	177
-1193	Min.	-5.20	158	-0.18	17	-1.38	101	-0.00	99	-0.00	130	0.00	162
-1192	Max	1.37	101	0.28	177	0.39	130	0.00	128	0.00	101	0.00	177
-1192	Min.	-5.20	162	-0.18	17	-1.13	101	-0.00	177	-0.00	130	0.00	173
-1191	Max	1.37	101	0.26	177	0.27	130	0.00	128	0.00	101	0.00	177
-1191	Min.	-5.20	162	-0.18	17	-0.98	101	-0.00	177	-0.00	130	0.00	173
-1190	Max	1.36	101	0.22	177	0.13	132	0.00	173	0.00	101	0.00	177
-1190	Min.	-5.19	162	-0.18	17	-0.81	103	-0.01	177	-0.00	130	0.00	173
-1189	Max	1.36	101	0.18	65	-0.02	17	0.00	173	0.00	101	0.00	177
-1189	Min.	-5.19	162	-0.18	17	-0.63	103	-0.01	177	-0.00	130	0.00	173
-1188	Max	0.75	101	0.18	17	-0.05	65	0.00	65	0.00	101	0.00	162
-1188	Min.	-0.96	130	-0.18	65	-0.48	107	0.00	17	-0.00	130	0.00	105
-1187	Max	1.39	101	0.18	17	-0.03	49	0.00	173	0.00	101	0.00	173
-1187	Min.	-5.18	166	-0.18	65	-0.63	107	-0.01	177	-0.01	130	0.00	177
-1186	Max	1.39	101	0.22	177	0.03	49	0.00	173	0.00	101	0.00	173
-1186	Min.	-5.18	166	-0.18	65	-0.81	106	-0.01	177	-0.01	130	-0.00	177
-1185	Max	1.39	101	0.26	177	0.10	101	0.00	173	0.00	101	0.00	173
-1185	Min.	-5.18	166	-0.18	65	-1.00	130	-0.00	177	-0.00	130	0.00	177
-1184	Max	1.39	101	0.28	177	0.20	101	0.00	108	0.00	101	0.00	173
-1184	Min.	-5.18	166	-0.18	65	-1.18	130	-0.00	177	-0.00	130	0.00	177
-1183	Max	1.39	101	0.30	177	0.28	101	0.00	108	0.00	101	0.00	17
-1183	Min.	-5.18	166	-0.18	65	-1.33	130	-0.00	123	-0.00	130	0.00	177
-1182	Max	1.39	101	0.31	177	0.34	101	0.00	65	0.00	101	0.00	17
-1182	Min.	-5.18	166	-0.18	65	-1.45	130	-0.00	123	-0.00	106	0.00	177
-1181	Max	1.39	101	0.32	177	0.38	101	0.00	65	0.00	49	0.00	106
-1181	Min.	-5.18	166	-0.18	65	-1.56	130	0.00	17	-0.00	98	0.00	121
-1180	Max	1.40	101	0.32	177	0.38	101	0.00	65	0.00	1	0.00	106
-1180	Min.	-5.18	166	-0.18	65	-1.60	130	0.00	17	-0.00	98	0.00	121
-1179	Max	1.40	101	0.32	177	0.37	101	0.00	173	0.00	17	0.00	106
-1179	Min.	-5.18	166	-0.18	65	-1.64	130	0.00	17	-0.00	98	0.00	121
-1178	Max	1.40	101	0.33	177	0.15	101	0.00	173	0.00	17	0.00	17
-1178	Min.	-5.19	166	-0.18	65	-1.86	106	0.00	17	-0.01	97	0.00	106
-1177	Max	1.40	101	0.33	177	0.10	49	0.00	173	0.00	17	0.00	17
-1177	Min.	-5.19	166	-0.18	65	-1.94	106	-0.00	17	-0.01	97	0.00	106
-1176	Max	1.40	101	0.33	177	0.07	49	0.00	173	0.00	17	0.00	17
-1176	Min.	-5.19	166	-0.18	65	-2.01	106	-0.00	17	-0.01	97	0.00	173
-1175	Max	1.40	101	0.33	177	-0.01	49	0.00	173	0.00	17	0.00	17
-1175	Min.	-5.19	166	-0.18	65	-2.14	106	-0.00	17	-0.01	97	0.00	98
-1174	Max	1.40	101	0.33	177	-0.10	49	0.00	173	0.00	17	0.00	17
-1174	Min.	-5.19	166	-0.19	65	-2.44	98	-0.00	17	-0.01	97	0.00	98
-1173	Max	1.40	101	0.33	177	-0.20	49	0.00	173	0.00	1	0.00	17
-1173	Min.	-5.19	166	-0.19	65	-2.87	98	-0.00	17	-0.01	97	0.00	97
-1172	Max	1.40	101	0.33	177	-0.27	65	0.00	173	0.00	130	0.00	17
-1172	Min.	-5.19	166	-0.19	65	-3.28	98	-0.00	17	-0.01	97	0.00	97
-1171	Max	1.40	101	0.34	177	-0.31	65	0.00	173	0.00	130	0.00	17
-1171	Min.	-5.19	166	-0.19	65	-3.63	98	-0.00	17	-0.01	97	0.00	97
-1170	Max	1.40	101	0.34	177	-0.34	65	0.00	173	0.00	130	0.00	17
-1170	Min.	-5.19	166	-0.19	65	-3.91	98	-0.00	17	-0.01	97	0.00	97
-1169	Max	1.40	101	0.34	177	-0.37	65	0.01	173	0.00	130	0.00	106

-1169	Min.	-5.19	166	-0.19	65	-4.12	99	-0.00	17	-0.00	101	0.00	97
-1168	Max	1.40	101	0.34	177	-0.40	65	0.01	100	0.00	130	0.00	106
-1168	Min.	-5.20	166	-0.19	65	-4.22	99	-0.00	17	-0.00	101	0.00	101
-1167	Max	1.39	101	0.34	177	-0.41	17	0.01	100	0.00	130	0.00	106
-1167	Min.	-5.20	162	-0.19	17	-4.23	99	-0.00	17	-0.00	101	0.00	101
-1166	Max	1.39	101	0.34	177	-0.40	17	0.01	100	0.00	130	0.00	173
-1166	Min.	-5.20	162	-0.19	17	-4.22	99	-0.00	65	-0.00	101	0.00	101
-1165	Max	1.39	101	0.34	177	-0.37	17	0.01	100	0.00	130	0.00	98
-1165	Min.	-5.20	162	-0.19	17	-4.12	99	-0.00	65	-0.00	101	0.00	101
-1164	Max	1.39	101	0.34	177	-0.34	17	0.00	173	0.01	98	0.00	98
-1164	Min.	-5.20	162	-0.19	17	-3.91	97	-0.00	65	-0.00	101	0.00	65
-1163	Max	1.39	101	0.34	177	-0.31	17	0.00	173	0.01	98	0.00	98
-1163	Min.	-5.20	162	-0.19	17	-3.63	97	-0.00	65	0.00	49	0.00	65
-1162	Max	1.38	101	0.33	177	-0.27	17	0.00	173	0.01	98	0.00	98
-1162	Min.	-5.20	158	-0.19	17	-3.28	97	-0.00	65	0.00	49	0.00	65
-1161	Max	1.38	101	0.33	177	-0.20	1	0.00	173	0.01	98	0.00	98
-1161	Min.	-5.20	158	-0.19	17	-2.87	97	-0.00	65	0.00	49	0.00	65
-1160	Max	1.38	101	0.33	177	-0.10	1	0.00	173	0.01	98	0.00	97
-1160	Min.	-5.20	158	-0.19	17	-2.44	97	-0.00	65	0.00	65	0.00	65
-1159	Max	1.38	101	0.33	177	0.03	130	0.00	173	0.01	98	0.00	97
-1159	Min.	-5.20	158	-0.18	17	-2.15	101	-0.00	65	0.00	65	0.00	65
-1158	Max	1.37	101	0.33	177	0.25	130	0.00	173	0.01	98	0.00	97
-1158	Min.	-5.20	158	-0.18	17	-2.01	101	-0.00	65	0.00	65	0.00	65
-1157	Max	1.37	101	0.33	177	0.35	130	0.00	173	0.01	98	0.00	101
-1157	Min.	-5.20	158	-0.18	17	-1.94	101	-0.00	65	0.00	65	0.00	65
-1156	Max	1.37	101	0.33	177	0.44	130	0.00	173	0.01	98	0.00	101
-1156	Min.	-5.20	158	-0.18	17	-1.86	101	0.00	65	0.00	65	0.00	65
-1155	Max	1.37	101	0.32	177	0.62	130	0.00	17	0.00	97	0.00	173
-1155	Min.	-5.20	158	-0.18	17	-1.62	101	0.00	65	0.00	65	0.00	125
-1154	Max	1.37	101	0.32	177	0.62	130	0.00	17	0.00	97	0.00	173
-1154	Min.	-5.20	158	-0.18	17	-1.57	101	0.00	65	0.00	49	0.00	125
-1153	Max	1.37	101	0.32	177	0.61	130	0.00	17	0.00	97	0.00	173
-1153	Min.	-5.20	158	-0.18	17	-1.52	101	0.00	65	0.00	130	0.00	125
-1152	Max	1.37	101	0.31	177	0.57	130	0.00	128	0.00	101	0.00	177
-1152	Min.	-5.20	158	-0.18	17	-1.41	101	-0.00	65	-0.00	130	0.00	162
-1151	Max	1.37	101	0.30	177	0.49	130	0.00	128	0.00	101	0.00	177
-1151	Min.	-5.20	158	-0.18	17	-1.28	101	-0.00	177	-0.00	130	0.00	65
-1150	Max	1.36	101	0.28	177	0.39	130	0.00	128	0.00	101	0.00	177
-1150	Min.	-5.19	162	-0.18	17	-1.14	101	-0.00	177	-0.00	130	0.00	173
-1149	Max	1.36	101	0.26	177	0.26	130	0.00	128	0.00	101	0.00	177
-1149	Min.	-5.19	162	-0.18	17	-0.98	101	-0.00	177	-0.00	130	0.00	173
-1148	Max	1.36	101	0.22	177	0.12	130	0.00	173	0.00	101	0.00	177
-1148	Min.	-5.19	162	-0.18	17	-0.81	101	-0.01	177	-0.00	130	0.00	173
-1147	Max	1.36	101	0.18	65	-0.03	1	0.00	173	0.00	101	0.00	177
-1147	Min.	-5.19	162	-0.18	17	-0.63	103	-0.01	177	-0.00	130	0.00	173
-1146	Max	0.82	101	0.18	65	-0.05	17	0.00	17	0.00	101	0.00	126
-1146	Min.	-0.90	130	-0.18	17	-0.48	103	0.00	65	-0.00	130	0.00	65
-1145	Max	0.75	101	0.18	17	-0.06	65	0.00	65	0.00	101	0.00	162
-1145	Min.	-0.95	130	-0.18	65	-0.48	107	0.00	17	-0.00	130	0.00	105
-1103	Max	0.82	101	0.18	65	-0.06	17	0.00	17	0.00	101	0.00	126
-1103	Min.	-0.89	130	-0.18	17	-0.48	103	0.00	65	-0.00	130	0.00	65
-1102	Max	0.74	101	0.18	17	-0.07	65	0.00	65	0.00	101	0.00	162
-1102	Min.	-0.95	130	-0.18	65	-0.48	107	0.00	17	-0.00	130	0.00	105
-1101	Max	1.39	101	0.18	17	-0.03	49	0.00	173	0.00	101	0.00	173
-1101	Min.	-5.18	166	-0.18	65	-0.63	107	-0.01	177	-0.01	130	0.00	177
-1100	Max	1.39	101	0.22	177	0.02	49	0.00	173	0.00	101	0.00	173
-1100	Min.	-5.18	166	-0.18	65	-0.81	106	-0.01	177	-0.00	130	-0.00	177
-1099	Max	1.39	101	0.26	177	0.11	101	0.00	173	0.00	101	0.00	173
-1099	Min.	-5.18	166	-0.18	65	-0.99	106	-0.00	177	-0.00	130	0.00	177
-1098	Max	1.39	101	0.29	177	0.22	101	0.00	65	0.00	101	0.00	173
-1098	Min.	-5.18	166	-0.18	65	-1.15	130	-0.00	177	-0.00	130	0.00	177
-1097	Max	1.39	101	0.30	177	0.31	101	0.00	65	0.00	101	0.00	17
-1097	Min.	-5.18	166	-0.18	65	-1.31	130	-0.00	123	-0.00	130	0.00	177
-1096	Max	1.39	101	0.31	177	0.38	101	0.00	65	0.00	101	0.00	17
-1096	Min.	-5.18	166	-0.18	65	-1.45	130	-0.00	123	-0.00	106	0.00	177
-1095	Max	1.39	101	0.32	177	0.41	101	0.00	65	0.00	49	0.00	17
-1095	Min.	-5.18	166	-0.18	65	-1.56	130	0.00	17	-0.00	98	0.00	173
-1094	Max	1.40	101	0.32	177	0.42	101	0.00	65	0.00	1	0.00	17
-1094	Min.	-5.18	166	-0.18	65	-1.61	130	0.00	17	-0.00	98	0.00	173
-1093	Max	1.40	101	0.32	177	0.41	101	0.00	173	0.00	17	0.00	17
-1093	Min.	-5.19	166	-0.17	65	-1.66	106	0.00	17	-0.00	98	0.00	173
-1092	Max	1.40	101	0.33	177	0.33	101	0.00	108	0.00	17	0.00	17
-1092	Min.	-5.19	166	-0.17	65	-1.77	106	-0.00	17	-0.01	98	0.00	173
-1091	Max	1.40	101	0.33	177	0.18	101	0.00	173	0.00	17	0.00	17
-1091	Min.	-5.19	166	-0.17	65	-1.92	106	0.00	17	-0.01	97	0.00	173
-1090	Max	1.40	101	0.33	177	0.11	49	0.00	173	0.00	17	0.00	17
-1090	Min.	-5.19	166	-0.18	65	-2.00	106	-0.00	17	-0.01	97	0.00	173
-1089	Max	1.40	101	0.33	177	0.07	49	0.00	173	0.00	17	0.00	17
-1089	Min.	-5.19	166	-0.18	65	-2.07	106	-0.00	17	-0.01	97	0.00	173

-1088	Max	1.40	101	0.33	177	-0.01	49	0.00	173	0.00	17	0.00	17
-1088	Min.	-5.19	166	-0.18	65	-2.19	106	-0.00	17	-0.01	97	0.00	173
-1087	Max	1.40	101	0.33	177	-0.10	49	0.00	173	0.00	1	0.00	17
-1087	Min.	-5.19	166	-0.18	65	-2.49	98	-0.00	17	-0.01	97	0.00	173
-1086	Max	1.40	101	0.33	177	-0.20	49	0.00	173	0.00	130	0.00	17
-1086	Min.	-5.19	166	-0.19	65	-2.95	98	-0.00	17	-0.01	97	0.00	173
-1085	Max	1.40	101	0.34	177	-0.30	49	0.00	173	0.00	130	0.00	17
-1085	Min.	-5.19	166	-0.19	65	-3.39	98	-0.00	17	-0.01	97	0.00	173
-1084	Max	1.40	101	0.34	177	-0.37	65	0.00	173	0.00	130	0.00	17
-1084	Min.	-5.19	166	-0.19	65	-3.77	98	-0.00	17	-0.01	97	0.00	173
-1083	Max	1.40	101	0.34	177	-0.41	65	0.01	173	0.00	130	0.00	17
-1083	Min.	-5.19	166	-0.19	65	-4.09	98	-0.00	17	-0.01	97	0.00	173
-1082	Max	1.40	101	0.34	177	-0.44	65	0.01	173	0.00	130	0.00	17
-1082	Min.	-5.19	166	-0.19	65	-4.32	99	-0.00	17	-0.01	101	0.00	97
-1081	Max	1.40	101	0.34	177	-0.47	65	0.01	173	0.00	130	0.00	106
-1081	Min.	-5.20	166	-0.19	65	-4.43	99	-0.00	17	-0.00	101	0.00	101
-1080	Max	1.40	101	0.34	177	-0.48	17	0.01	173	0.00	130	0.00	106
-1080	Min.	-5.20	162	-0.19	17	-4.44	99	-0.00	17	-0.00	101	0.00	101
-1079	Max	1.39	101	0.34	177	-0.47	17	0.01	173	0.00	130	0.00	173
-1079	Min.	-5.20	162	-0.19	17	-4.43	99	-0.00	65	-0.00	101	0.00	101
-1078	Max	1.39	101	0.34	177	-0.44	17	0.01	173	0.01	130	0.00	173
-1078	Min.	-5.20	162	-0.19	17	-4.32	99	-0.00	65	-0.00	101	0.00	65
-1077	Max	1.39	101	0.34	177	-0.41	17	0.00	173	0.01	98	0.00	173
-1077	Min.	-5.20	162	-0.19	17	-4.09	97	-0.00	65	-0.00	101	0.00	65
-1076	Max	1.39	101	0.34	177	-0.37	17	0.00	173	0.01	98	0.00	173
-1076	Min.	-5.20	158	-0.19	17	-3.77	97	-0.00	65	0.00	49	0.00	65
-1075	Max	1.38	101	0.34	177	-0.30	1	0.00	173	0.01	98	0.00	173
-1075	Min.	-5.20	158	-0.19	17	-3.39	97	-0.00	65	0.00	49	0.00	65
-1074	Max	1.38	101	0.33	177	-0.20	1	0.00	173	0.01	98	0.00	173
-1074	Min.	-5.20	158	-0.19	17	-2.95	97	-0.00	65	0.00	49	0.00	65
-1073	Max	1.38	101	0.33	177	-0.10	1	0.00	173	0.01	98	0.00	173
-1073	Min.	-5.20	158	-0.18	17	-2.49	97	-0.00	65	0.00	49	0.00	65
-1072	Max	1.38	101	0.33	177	0.07	130	0.00	173	0.01	98	0.00	173
-1072	Min.	-5.20	158	-0.18	17	-2.19	101	-0.00	65	0.00	65	0.00	65
-1071	Max	1.37	101	0.33	177	0.29	130	0.00	173	0.01	98	0.00	173
-1071	Min.	-5.20	158	-0.18	17	-2.07	101	-0.00	65	0.00	65	0.00	65
-1070	Max	1.37	101	0.33	177	0.38	130	0.00	173	0.01	98	0.00	173
-1070	Min.	-5.20	158	-0.18	17	-2.00	101	-0.00	65	0.00	65	0.00	65
-1069	Max	1.37	101	0.33	177	0.47	130	0.00	173	0.01	98	0.00	101
-1069	Min.	-5.20	158	-0.17	17	-1.92	101	0.00	65	0.00	65	0.00	65
-1068	Max	1.37	101	0.33	177	0.59	130	0.00	104	0.01	97	0.00	173
-1068	Min.	-5.20	158	-0.17	17	-1.77	101	-0.00	65	0.00	65	0.00	65
-1067	Max	1.37	101	0.32	177	0.64	130	0.00	17	0.00	97	0.00	173
-1067	Min.	-5.20	158	-0.17	17	-1.66	101	0.00	65	0.00	65	0.00	125
-1066	Max	1.37	101	0.32	177	0.65	130	0.00	17	0.00	97	0.00	173
-1066	Min.	-5.20	158	-0.18	17	-1.61	101	0.00	65	0.00	49	0.00	125
-1065	Max	1.37	101	0.32	177	0.64	130	0.00	17	0.00	97	0.00	173
-1065	Min.	-5.20	158	-0.18	17	-1.56	101	0.00	65	0.00	130	0.00	125
-1064	Max	1.37	101	0.31	177	0.58	130	0.00	17	0.00	101	0.00	177
-1064	Min.	-5.20	158	-0.18	17	-1.43	101	0.00	65	-0.00	130	0.00	65
-1063	Max	1.36	101	0.30	177	0.50	130	0.00	128	0.00	101	0.00	177
-1063	Min.	-5.20	158	-0.18	17	-1.30	101	-0.00	177	-0.00	130	0.00	65
-1062	Max	1.36	101	0.29	177	0.38	130	0.00	128	0.00	101	0.00	177
-1062	Min.	-5.19	158	-0.18	17	-1.15	101	-0.00	177	-0.00	130	0.00	173
-1061	Max	1.36	101	0.26	177	0.25	130	0.00	173	0.00	101	0.00	177
-1061	Min.	-5.19	162	-0.18	17	-0.99	101	-0.00	177	-0.00	130	0.00	173
-1060	Max	1.36	101	0.22	177	0.11	130	0.00	173	0.00	101	0.00	177
-1060	Min.	-5.19	162	-0.18	17	-0.81	101	-0.01	177	-0.00	130	0.00	173
-1059	Max	1.36	101	0.18	65	-0.03	132	0.00	173	0.00	101	0.00	177
-1059	Min.	-5.19	162	-0.18	17	-0.63	103	-0.01	177	-0.00	130	0.00	173
-1058	Max	0.83	101	0.18	65	-0.07	17	0.00	17	0.00	101	0.00	126
-1058	Min.	-0.89	130	-0.18	17	-0.48	103	0.00	65	-0.00	130	0.00	65
-1057	Max	0.74	101	0.18	17	-0.08	65	0.00	65	0.00	101	0.00	162
-1057	Min.	-0.95	130	-0.18	65	-0.48	107	0.00	17	-0.00	130	0.00	105
-1047	Max	1.40	101	0.33	177	0.35	101	0.00	65	0.00	17	0.00	173
-1047	Min.	-5.19	166	-0.17	65	-1.77	106	-0.00	17	-0.01	98	0.00	65
-1023	Max	1.37	101	0.33	177	0.61	130	0.00	17	0.01	97	0.00	17
-1023	Min.	-5.20	158	-0.17	17	-1.77	101	-0.00	65	0.00	65	0.00	173
-1013	Max	0.83	101	0.18	65	-0.08	17	0.00	17	0.00	101	0.00	126
-1013	Min.	-0.89	130	-0.18	17	-0.48	103	0.00	65	-0.00	130	0.00	65
-1012	Max	0.74	101	0.18	17	-0.09	49	0.00	65	0.00	101	0.00	162
-1012	Min.	-0.96	130	-0.18	65	-0.48	107	0.00	17	-0.00	130	0.00	105
-1011	Max	1.39	101	0.18	17	-0.04	49	0.00	173	0.00	101	0.00	173
-1011	Min.	-5.18	166	-0.18	65	-0.63	106	-0.01	177	-0.00	130	0.00	177
-1010	Max	1.39	101	0.22	177	0.02	49	0.00	173	0.00	101	0.00	173
-1010	Min.	-5.18	166	-0.18	65	-0.81	106	-0.01	177	-0.00	130	-0.00	177
-1009	Max	1.39	101	0.26	177	0.12	101	0.00	173	0.00	101	0.00	173
-1009	Min.	-5.18	166	-0.18	65	-0.99	106	-0.00	177	-0.00	130	0.00	177
-1008	Max	1.39	101	0.29	177	0.23	101	0.00	65	0.00	101	0.00	173

-1008	Min.	-5.18	166	-0.18	65	-1.15	106	-0.00	177	-0.00	130	0.00	177
-1007	Max	1.39	101	0.31	177	0.33	101	0.00	65	0.00	101	0.00	17
-1007	Min.	-5.18	166	-0.18	65	-1.30	106	0.00	177	-0.00	130	0.00	177
-1006	Max	1.39	101	0.32	177	0.40	101	0.00	65	0.00	101	0.00	17
-1006	Min.	-5.18	166	-0.18	65	-1.44	106	0.00	17	-0.00	130	0.00	177
-1005	Max	1.39	101	0.32	177	0.44	101	0.00	65	0.00	101	0.00	17
-1005	Min.	-5.18	166	-0.17	65	-1.56	106	0.00	17	-0.00	98	0.00	173
-1004	Max	1.40	101	0.32	177	0.44	101	0.00	65	0.00	1	0.00	17
-1004	Min.	-5.19	166	-0.17	65	-1.61	106	0.00	17	-0.00	98	0.00	173
-1003	Max	1.40	101	0.32	177	0.43	101	0.00	173	0.00	1	0.00	17
-1003	Min.	-5.19	166	-0.17	65	-1.66	106	0.00	17	-0.00	98	0.00	173
-1002	Max	1.40	101	0.33	177	0.21	101	0.00	173	0.00	17	0.00	17
-1002	Min.	-5.19	166	-0.17	65	-1.92	106	0.00	17	-0.01	97	0.00	173
-1001	Max	1.40	101	0.33	177	0.11	49	0.00	173	0.00	17	0.00	17
-1001	Min.	-5.19	166	-0.17	65	-2.00	106	-0.00	17	-0.01	97	0.00	173
-1000	Max	1.40	101	0.33	177	0.07	49	0.00	173	0.00	17	0.00	17
-1000	Min.	-5.19	166	-0.17	65	-2.08	106	-0.00	17	-0.01	97	0.00	173
-999	Max	1.40	101	0.33	177	-0.01	49	0.00	173	0.00	1	0.00	17
-999	Min.	-5.19	166	-0.18	65	-2.21	106	-0.00	17	-0.01	97	0.00	173
-998	Max	1.40	101	0.33	177	-0.10	49	0.00	173	0.00	1	0.00	17
-998	Min.	-5.19	166	-0.18	65	-2.53	98	-0.00	17	-0.01	97	0.00	173
-997	Max	1.40	101	0.34	177	-0.20	49	0.00	173	0.00	130	0.00	17
-997	Min.	-5.19	166	-0.18	65	-3.01	98	-0.00	17	-0.01	97	0.00	173
-996	Max	1.40	101	0.34	177	-0.30	49	0.00	173	0.00	130	0.00	17
-996	Min.	-5.19	166	-0.18	65	-3.46	98	-0.00	17	-0.01	97	0.00	173
-995	Max	1.40	101	0.34	177	-0.40	49	0.00	173	0.00	130	0.00	17
-995	Min.	-5.19	166	-0.18	65	-3.87	98	-0.00	17	-0.01	97	0.00	173
-994	Max	1.40	101	0.34	177	-0.48	65	0.01	173	0.00	130	0.00	17
-994	Min.	-5.19	166	-0.19	65	-4.20	98	-0.00	17	-0.01	97	0.00	173
-993	Max	1.40	101	0.34	177	-0.52	65	0.01	173	0.00	130	0.00	17
-993	Min.	-5.20	166	-0.19	65	-4.43	98	-0.00	17	-0.01	101	0.00	173
-992	Max	1.40	101	0.34	177	-0.55	65	0.01	173	0.00	130	0.00	106
-992	Min.	-5.20	166	-0.18	65	-4.55	99	-0.00	17	-0.00	101	0.00	101
-991	Max	1.40	101	0.34	177	-0.56	17	0.01	173	0.00	130	0.00	173
-991	Min.	-5.20	162	-0.18	17	-4.56	99	-0.00	17	-0.00	101	0.00	101
-990	Max	1.39	101	0.34	177	-0.55	17	0.01	173	0.00	130	0.00	173
-990	Min.	-5.20	162	-0.18	17	-4.55	99	-0.00	65	-0.00	101	0.00	101
-989	Max	1.39	101	0.34	177	-0.52	17	0.01	173	0.01	106	0.00	173
-989	Min.	-5.20	162	-0.19	17	-4.43	97	-0.00	65	-0.00	101	0.00	65
-988	Max	1.39	101	0.34	177	-0.48	17	0.00	173	0.01	98	0.00	173
-988	Min.	-5.20	162	-0.19	17	-4.20	97	-0.00	65	-0.00	101	0.00	65
-987	Max	1.39	101	0.34	177	-0.40	1	0.00	173	0.01	98	0.00	173
-987	Min.	-5.20	158	-0.18	17	-3.87	97	-0.00	65	0.00	49	0.00	65
-986	Max	1.38	101	0.34	177	-0.30	1	0.00	173	0.01	98	0.00	173
-986	Min.	-5.20	158	-0.18	17	-3.46	97	-0.00	65	0.00	49	0.00	65
-985	Max	1.38	101	0.34	177	-0.20	1	0.00	173	0.01	98	0.00	173
-985	Min.	-5.20	158	-0.18	17	-3.01	97	-0.00	65	0.00	49	0.00	65
-984	Max	1.38	101	0.33	177	-0.10	1	0.00	173	0.01	98	0.00	173
-984	Min.	-5.20	158	-0.18	17	-2.53	97	-0.00	65	0.00	49	0.00	65
-983	Max	1.38	101	0.33	177	0.09	130	0.00	173	0.01	98	0.00	173
-983	Min.	-5.20	158	-0.18	17	-2.21	101	-0.00	65	0.00	49	0.00	65
-982	Max	1.37	101	0.33	177	0.31	130	0.00	173	0.01	98	0.00	173
-982	Min.	-5.20	158	-0.17	17	-2.08	101	-0.00	65	0.00	65	0.00	65
-981	Max	1.37	101	0.33	177	0.41	130	0.00	173	0.01	98	0.00	173
-981	Min.	-5.20	158	-0.17	17	-2.00	101	-0.00	65	0.00	65	0.00	65
-980	Max	1.37	101	0.33	177	0.49	130	0.00	173	0.01	98	0.00	173
-980	Min.	-5.20	158	-0.17	17	-1.92	101	0.00	65	0.00	65	0.00	65
-979	Max	1.37	101	0.32	177	0.66	130	0.00	173	0.00	97	0.00	173
-979	Min.	-5.20	158	-0.17	17	-1.66	101	0.00	65	0.00	49	0.00	65
-978	Max	1.37	101	0.32	177	0.66	130	0.00	17	0.00	97	0.00	173
-978	Min.	-5.20	158	-0.17	17	-1.61	101	0.00	65	0.00	130	0.00	65
-977	Max	1.37	101	0.32	177	0.65	130	0.00	17	0.00	97	0.00	173
-977	Min.	-5.20	158	-0.17	17	-1.56	101	0.00	65	0.00	130	0.00	65
-976	Max	1.37	101	0.32	177	0.59	130	0.00	17	0.00	101	0.00	177
-976	Min.	-5.20	158	-0.18	17	-1.44	101	0.00	65	-0.00	130	0.00	65
-975	Max	1.36	101	0.31	177	0.50	130	0.00	17	0.00	101	0.00	177
-975	Min.	-5.20	158	-0.18	17	-1.30	101	0.00	177	-0.00	130	0.00	65
-974	Max	1.36	101	0.29	177	0.38	130	0.00	17	0.00	101	0.00	177
-974	Min.	-5.20	158	-0.18	17	-1.15	101	-0.00	177	-0.00	130	0.00	173
-973	Max	1.36	101	0.26	177	0.25	130	0.00	173	0.00	101	0.00	177
-973	Min.	-5.19	158	-0.18	17	-0.99	101	-0.00	177	-0.00	130	0.00	173
-972	Max	1.36	101	0.22	177	0.11	130	0.00	173	0.00	101	0.00	177
-972	Min.	-5.19	162	-0.18	17	-0.81	101	-0.01	177	-0.00	130	0.00	173
-971	Max	1.36	101	0.18	65	-0.04	130	0.00	173	0.00	101	0.00	177
-971	Min.	-5.19	162	-0.18	17	-0.63	101	-0.01	177	-0.00	130	0.00	173
-970	Max	0.83	101	0.18	65	-0.09	1	0.00	17	0.00	101	0.00	126
-970	Min.	-0.89	130	-0.18	17	-0.48	103	0.00	65	-0.00	130	0.00	65
-969	Max	0.74	101	0.18	17	-0.09	49	0.00	65	0.00	101	0.00	17
-969	Min.	-0.96	130	-0.18	65	-0.47	106	0.00	17	-0.00	130	0.00	65

-968	Max	1.39	101	0.18	17	-0.05	49	0.00	173	0.00	101	0.00	173
-968	Min.	-5.18	166	-0.18	65	-0.63	106	-0.01	177	-0.00	130	0.00	177
-967	Max	1.39	101	0.22	177	0.02	137	0.00	173	0.00	101	0.00	173
-967	Min.	-5.18	166	-0.18	65	-0.81	106	-0.01	177	-0.00	130	-0.00	177
-966	Max	1.39	101	0.26	177	0.13	101	0.00	173	0.00	101	0.00	173
-966	Min.	-5.18	166	-0.18	65	-0.99	106	-0.00	177	-0.00	130	0.00	177
-965	Max	1.39	101	0.29	177	0.24	101	0.00	65	0.00	101	0.00	173
-965	Min.	-5.18	166	-0.18	65	-1.15	106	-0.00	177	-0.00	130	0.00	177
-964	Max	1.39	101	0.31	177	0.34	101	0.00	65	0.00	101	0.00	17
-964	Min.	-5.18	166	-0.17	65	-1.29	106	0.00	177	-0.00	130	0.00	177
-963	Max	1.39	101	0.32	177	0.41	101	0.00	65	0.00	101	0.00	17
-963	Min.	-5.18	166	-0.17	65	-1.42	106	0.00	17	-0.00	130	0.00	177
-962	Max	1.39	101	0.32	177	0.45	101	0.00	65	0.00	101	0.00	17
-962	Min.	-5.18	166	-0.17	65	-1.53	106	0.00	17	-0.00	98	0.00	173
-961	Max	1.40	101	0.33	177	0.45	101	0.00	65	0.00	1	0.00	17
-961	Min.	-5.19	166	-0.17	65	-1.58	106	0.00	17	-0.00	98	0.00	173
-960	Max	1.40	101	0.33	177	0.44	101	0.00	173	0.00	1	0.00	17
-960	Min.	-5.19	166	-0.17	65	-1.63	106	0.00	17	-0.01	98	0.00	173
-959	Max	1.40	101	0.33	177	0.37	101	0.00	65	0.00	33	0.00	17
-959	Min.	-5.19	166	-0.17	65	-1.75	106	0.00	17	-0.01	98	0.00	173
-958	Max	1.40	101	0.33	177	0.21	101	0.00	173	0.00	33	0.00	17
-958	Min.	-5.19	166	-0.17	65	-1.90	106	0.00	17	-0.01	97	0.00	173
-957	Max	1.40	101	0.33	177	0.11	101	0.00	173	-0.00	33	0.00	17
-957	Min.	-5.19	166	-0.17	65	-1.98	106	0.00	17	-0.01	97	0.00	173
-956	Max	1.40	101	0.33	177	0.07	49	0.00	173	-0.00	33	0.00	17
-956	Min.	-5.19	166	-0.17	65	-2.06	106	-0.00	17	-0.01	97	0.00	173
-955	Max	1.40	101	0.33	177	-0.02	49	0.00	173	0.00	1	0.00	17
-955	Min.	-5.19	166	-0.17	65	-2.21	106	-0.00	17	-0.01	97	0.00	173
-954	Max	1.40	101	0.34	177	-0.11	49	0.00	173	0.00	1	0.00	17
-954	Min.	-5.19	166	-0.18	65	-2.55	98	-0.00	17	-0.01	97	0.00	173
-953	Max	1.40	101	0.34	177	-0.21	49	0.00	173	0.00	130	0.00	17
-953	Min.	-5.19	166	-0.18	65	-3.05	98	-0.00	17	-0.01	97	0.00	173
-952	Max	1.40	101	0.34	177	-0.32	49	0.00	173	0.00	130	0.00	17
-952	Min.	-5.19	166	-0.18	65	-3.51	98	-0.00	17	-0.01	97	0.00	173
-951	Max	1.40	101	0.34	177	-0.42	49	0.00	173	0.00	130	0.00	17
-951	Min.	-5.19	166	-0.18	65	-3.91	98	-0.00	17	-0.01	97	0.00	173
-950	Max	1.40	101	0.34	177	-0.52	49	0.00	173	0.00	130	0.00	17
-950	Min.	-5.19	166	-0.18	65	-4.24	98	-0.00	17	-0.01	97	0.00	173
-949	Max	1.40	101	0.34	177	-0.56	33	0.00	173	0.00	130	0.00	17
-949	Min.	-5.20	166	-0.18	65	-4.47	98	-0.00	17	-0.01	101	0.00	173
-948	Max	1.40	101	0.34	177	-0.59	33	0.00	173	0.00	130	0.00	17
-948	Min.	-5.20	166	-0.18	65	-4.59	99	-0.00	17	-0.00	101	0.00	65
-947	Max	1.40	101	0.34	177	-0.60	33	0.00	173	0.00	130	0.00	106
-947	Min.	-5.20	162	-0.18	17	-4.60	99	-0.00	17	-0.00	101	0.00	101
-946	Max	1.39	101	0.34	177	-0.58	33	0.00	173	0.00	130	0.00	173
-946	Min.	-5.20	162	-0.18	17	-4.59	99	-0.00	65	-0.00	101	0.00	65
-945	Max	1.39	101	0.34	177	-0.55	33	0.00	173	0.01	106	0.00	173
-945	Min.	-5.20	162	-0.18	17	-4.47	97	-0.00	65	-0.00	101	0.00	65
-944	Max	1.39	101	0.34	177	-0.52	33	0.00	173	0.01	98	0.00	173
-944	Min.	-5.20	162	-0.18	17	-4.24	97	-0.00	65	-0.00	101	0.00	65
-943	Max	1.39	101	0.34	177	-0.42	1	0.00	173	0.01	98	0.00	173
-943	Min.	-5.20	158	-0.18	17	-3.91	97	-0.00	65	0.00	49	0.00	65
-942	Max	1.38	101	0.34	177	-0.32	1	0.00	173	0.01	98	0.00	173
-942	Min.	-5.20	158	-0.18	17	-3.51	97	-0.00	65	0.00	49	0.00	65
-941	Max	1.38	101	0.34	177	-0.21	1	0.00	173	0.01	98	0.00	173
-941	Min.	-5.20	158	-0.18	17	-3.05	97	-0.00	65	0.00	49	0.00	65
-940	Max	1.38	101	0.34	177	-0.11	1	0.00	173	0.01	98	0.00	173
-940	Min.	-5.20	158	-0.18	17	-2.55	97	-0.00	65	0.00	49	0.00	65
-939	Max	1.38	101	0.33	177	0.10	130	0.00	173	0.01	98	0.00	173
-939	Min.	-5.21	158	-0.17	17	-2.21	101	-0.00	65	0.00	49	0.00	65
-938	Max	1.37	101	0.33	177	0.32	130	0.00	173	0.01	98	0.00	173
-938	Min.	-5.20	158	-0.17	17	-2.06	101	-0.00	65	0.00	33	0.00	65
-937	Max	1.37	101	0.33	177	0.42	130	0.00	173	0.01	98	0.00	173
-937	Min.	-5.20	158	-0.17	17	-1.98	101	0.00	65	0.00	33	0.00	65
-936	Max	1.37	101	0.33	177	0.50	130	0.00	173	0.01	98	0.00	173
-936	Min.	-5.20	158	-0.17	17	-1.90	101	0.00	65	0.00	33	0.00	65
-935	Max	1.37	101	0.33	177	0.62	130	0.00	17	0.01	97	0.00	173
-935	Min.	-5.20	158	-0.17	17	-1.75	101	0.00	65	0.00	33	0.00	65
-934	Max	1.37	101	0.33	177	0.67	130	0.00	173	0.01	97	0.00	173
-934	Min.	-5.20	158	-0.17	17	-1.63	101	0.00	65	0.00	49	0.00	65
-933	Max	1.37	101	0.33	177	0.67	130	0.00	17	0.00	97	0.00	173
-933	Min.	-5.20	158	-0.17	17	-1.58	101	0.00	65	0.00	130	0.00	65
-932	Max	1.37	101	0.32	177	0.65	130	0.00	17	0.00	97	0.00	173
-932	Min.	-5.20	158	-0.17	17	-1.53	101	0.00	65	0.00	130	0.00	65
-931	Max	1.37	101	0.32	177	0.60	130	0.00	17	0.00	101	0.00	177
-931	Min.	-5.20	158	-0.17	17	-1.42	101	0.00	65	-0.00	130	0.00	65
-930	Max	1.36	101	0.31	177	0.50	130	0.00	17	0.00	101	0.00	177
-930	Min.	-5.20	158	-0.17	17	-1.29	101	0.00	177	-0.00	130	0.00	65
-929	Max	1.36	101	0.29	177	0.39	130	0.00	17	0.00	101	0.00	177

-929	Min.	-5.20	158	-0.18	17	-1.15	101	-0.00	177	-0.00	130	0.00	173
-928	Max	1.36	101	0.26	177	0.25	130	0.00	173	0.00	101	0.00	177
-928	Min.	-5.19	158	-0.18	17	-0.99	101	-0.00	177	-0.00	130	0.00	173
-927	Max	1.36	101	0.22	177	0.11	130	0.00	173	0.00	101	0.00	177
-927	Min.	-5.19	158	-0.18	17	-0.81	101	-0.01	177	-0.00	130	0.00	173
-926	Max	1.36	101	0.18	65	-0.04	130	0.00	173	0.00	101	0.00	177
-926	Min.	-5.19	158	-0.18	17	-0.63	101	-0.01	177	-0.00	130	0.00	173
-925	Max	0.83	101	0.18	65	-0.09	1	0.00	17	0.00	101	0.00	17
-925	Min.	-0.89	130	-0.18	17	-0.47	101	0.00	65	-0.00	130	0.00	65
-924	Max	0.74	101	0.18	17	-0.10	49	0.00	65	0.00	101	0.00	17
-924	Min.	-0.96	130	-0.18	65	-0.47	106	0.00	17	-0.00	130	0.00	65
-923	Max	1.39	101	0.18	17	-0.06	49	0.00	173	0.00	101	0.00	173
-923	Min.	-5.18	166	-0.18	65	-0.63	106	-0.01	177	-0.00	130	-0.00	177
-922	Max	1.39	101	0.22	177	0.02	137	0.00	173	0.00	101	0.00	173
-922	Min.	-5.18	166	-0.18	65	-0.81	106	-0.01	177	-0.00	130	-0.00	177
-921	Max	1.39	101	0.26	177	0.13	101	0.00	173	0.00	101	0.00	173
-921	Min.	-5.18	166	-0.17	65	-0.99	106	-0.00	177	-0.00	130	0.00	177
-920	Max	1.39	101	0.29	177	0.24	101	0.00	65	0.00	101	0.00	173
-920	Min.	-5.18	166	-0.17	65	-1.15	106	-0.00	177	-0.00	130	0.00	177
-919	Max	1.39	101	0.31	177	0.34	101	0.00	65	0.00	101	0.00	17
-919	Min.	-5.18	166	-0.17	65	-1.29	106	0.00	177	-0.00	130	0.00	177
-918	Max	1.39	101	0.32	177	0.41	101	0.00	65	0.00	101	0.00	17
-918	Min.	-5.18	166	-0.17	65	-1.41	106	0.00	17	-0.00	130	0.00	177
-917	Max	1.39	101	0.33	177	0.45	101	0.00	65	0.00	101	0.00	17
-917	Min.	-5.18	166	-0.17	65	-1.51	106	0.00	17	-0.00	98	0.00	173
-916	Max	1.40	101	0.33	177	0.46	101	0.00	173	0.00	49	0.00	17
-916	Min.	-5.19	166	-0.17	65	-1.56	106	0.00	17	-0.00	98	0.00	173
-915	Max	1.40	101	0.33	177	0.45	101	0.00	173	0.00	1	0.00	17
-915	Min.	-5.19	166	-0.17	65	-1.61	106	0.00	17	-0.01	98	0.00	173
-914	Max	1.40	101	0.33	177	0.22	101	0.00	173	-0.00	33	0.00	17
-914	Min.	-5.19	166	-0.17	65	-1.88	106	0.00	17	-0.01	97	0.00	173
-913	Max	1.40	101	0.33	177	0.11	101	0.00	173	-0.00	33	0.00	17
-913	Min.	-5.19	166	-0.17	65	-1.97	106	0.00	17	-0.01	97	0.00	173
-912	Max	1.40	101	0.33	177	0.06	49	0.00	173	-0.00	33	0.00	17
-912	Min.	-5.19	166	-0.17	65	-2.05	106	0.00	17	-0.01	97	0.00	173
-911	Max	1.40	101	0.34	177	-0.03	49	0.00	173	-0.00	1	0.00	17
-911	Min.	-5.19	166	-0.17	65	-2.20	106	-0.00	17	-0.01	97	0.00	173
-910	Max	1.40	101	0.34	177	-0.13	49	0.00	173	0.00	1	0.00	17
-910	Min.	-5.19	166	-0.17	65	-2.56	98	-0.00	17	-0.01	97	0.00	173
-909	Max	1.40	101	0.34	177	-0.23	49	0.00	173	0.00	130	0.00	17
-909	Min.	-5.19	166	-0.17	65	-3.06	98	-0.00	17	-0.01	97	0.00	173
-908	Max	1.40	101	0.34	177	-0.34	49	0.00	173	0.00	130	0.00	17
-908	Min.	-5.19	166	-0.18	65	-3.52	98	-0.00	17	-0.01	97	0.00	65
-907	Max	1.40	101	0.34	177	-0.44	49	0.00	173	0.00	130	0.00	17
-907	Min.	-5.19	166	-0.18	65	-3.93	98	-0.00	17	-0.01	97	0.00	65
-906	Max	1.40	101	0.34	177	-0.54	33	0.00	173	0.00	130	0.00	17
-906	Min.	-5.19	166	-0.18	65	-4.25	98	-0.00	17	-0.01	97	0.00	65
-905	Max	1.40	101	0.34	177	-0.58	33	0.00	173	0.00	130	0.00	17
-905	Min.	-5.20	166	-0.18	65	-4.48	98	-0.00	17	-0.01	101	0.00	65
-904	Max	1.40	101	0.34	177	-0.61	33	0.00	173	0.00	130	0.00	17
-904	Min.	-5.20	166	-0.18	65	-4.59	98	-0.00	17	-0.00	101	0.00	65
-903	Max	1.40	101	0.34	177	-0.62	33	0.00	173	0.00	130	0.00	1
-903	Min.	-5.20	162	-0.18	17	-4.60	99	-0.00	17	-0.00	101	0.00	173
-902	Max	1.39	101	0.34	177	-0.61	33	0.00	173	0.00	130	0.00	17
-902	Min.	-5.20	162	-0.18	17	-4.59	97	-0.00	65	-0.00	101	0.00	173
-901	Max	1.39	101	0.34	177	-0.58	33	0.00	173	0.01	106	0.00	17
-901	Min.	-5.20	162	-0.18	17	-4.48	97	-0.00	65	-0.00	101	0.00	65
-900	Max	1.39	101	0.34	177	-0.54	33	0.00	173	0.01	98	0.00	17
-900	Min.	-5.20	162	-0.18	17	-4.25	97	-0.00	65	-0.00	101	0.00	65
-899	Max	1.39	101	0.34	177	-0.44	1	0.00	173	0.01	98	0.00	17
-899	Min.	-5.20	158	-0.18	17	-3.93	97	-0.00	65	0.00	137	0.00	65
-898	Max	1.38	101	0.34	177	-0.34	1	0.00	173	0.01	98	0.00	173
-898	Min.	-5.20	158	-0.18	17	-3.52	97	-0.00	65	0.00	49	0.00	65
-897	Max	1.38	101	0.34	177	-0.23	1	0.00	173	0.01	98	0.00	173
-897	Min.	-5.20	158	-0.17	17	-3.06	97	-0.00	65	0.00	49	0.00	65
-896	Max	1.38	101	0.34	177	-0.13	1	0.00	173	0.01	98	0.00	173
-896	Min.	-5.20	158	-0.17	17	-2.56	97	-0.00	65	0.00	49	0.00	65
-895	Max	1.38	101	0.34	177	0.11	130	0.00	173	0.01	98	0.00	173
-895	Min.	-5.21	158	-0.17	17	-2.20	101	-0.00	65	0.00	49	0.00	65
-894	Max	1.37	101	0.33	177	0.33	130	0.00	173	0.01	98	0.00	173
-894	Min.	-5.20	158	-0.17	17	-2.05	101	0.00	65	0.00	33	0.00	65
-893	Max	1.37	101	0.33	177	0.42	130	0.00	173	0.01	98	0.00	173
-893	Min.	-5.20	158	-0.17	17	-1.97	101	0.00	65	0.00	33	0.00	65
-892	Max	1.37	101	0.33	177	0.51	130	0.00	173	0.01	98	0.00	173
-892	Min.	-5.20	158	-0.17	17	-1.88	101	0.00	65	0.00	33	0.00	65
-891	Max	1.37	101	0.33	177	0.67	130	0.00	173	0.01	97	0.00	173
-891	Min.	-5.20	158	-0.17	17	-1.61	101	0.00	65	0.00	49	0.00	65
-890	Max	1.37	101	0.33	177	0.67	130	0.00	17	0.00	97	0.00	173
-890	Min.	-5.20	158	-0.17	17	-1.56	101	0.00	65	0.00	130	0.00	65

-889	Max	1.37	101	0.33	177	0.66	130	0.00	17	0.00	97	0.00	173
-889	Min.	-5.20	158	-0.17	17	-1.51	101	0.00	65	0.00	130	0.00	65
-888	Max	1.37	101	0.32	177	0.60	130	0.00	17	0.00	101	0.00	177
-888	Min.	-5.20	158	-0.17	17	-1.41	101	0.00	65	-0.00	130	0.00	65
-887	Max	1.36	101	0.31	177	0.50	130	0.00	17	0.00	101	0.00	177
-887	Min.	-5.20	158	-0.17	17	-1.29	101	0.00	177	-0.00	130	0.00	65
-886	Max	1.36	101	0.29	177	0.39	130	0.00	17	0.00	101	0.00	177
-886	Min.	-5.20	158	-0.17	17	-1.15	101	-0.00	177	-0.00	130	0.00	173
-885	Max	1.36	101	0.26	177	0.25	130	0.00	173	0.00	101	0.00	177
-885	Min.	-5.19	158	-0.17	17	-0.99	101	-0.00	177	-0.00	130	0.00	173
-884	Max	1.36	101	0.22	177	0.11	130	0.00	173	0.00	101	0.00	177
-884	Min.	-5.19	158	-0.18	17	-0.81	101	-0.01	177	-0.00	130	0.00	173
-883	Max	1.36	101	0.18	65	-0.04	130	0.00	173	0.00	101	0.00	177
-883	Min.	-5.19	158	-0.18	17	-0.63	101	-0.01	177	-0.00	130	0.00	173
-882	Max	0.84	101	0.18	65	-0.10	1	0.00	17	0.00	101	0.00	17
-882	Min.	-0.89	130	-0.18	17	-0.47	101	0.00	65	-0.00	130	0.00	65
-881	Max	0.74	101	0.18	17	-0.09	1	0.00	65	0.00	101	0.00	17
-881	Min.	-0.96	130	-0.18	65	-0.47	106	0.00	17	-0.00	130	0.00	65
-880	Max	1.39	101	0.18	17	-0.05	1	0.00	173	0.00	101	0.00	173
-880	Min.	-5.18	166	-0.18	65	-0.63	106	-0.01	177	-0.00	130	-0.00	177
-879	Max	1.39	101	0.22	177	0.02	137	0.00	173	0.00	101	0.00	173
-879	Min.	-5.18	166	-0.18	65	-0.81	106	-0.01	177	-0.00	130	-0.00	177
-878	Max	1.39	101	0.26	177	0.13	101	0.00	173	0.00	101	0.00	173
-878	Min.	-5.18	166	-0.17	65	-0.99	106	-0.00	177	-0.00	130	0.00	177
-877	Max	1.39	101	0.29	177	0.24	101	0.00	65	0.00	101	0.00	173
-877	Min.	-5.18	166	-0.17	65	-1.15	106	-0.00	177	-0.00	130	0.00	177
-876	Max	1.39	101	0.31	177	0.34	101	0.00	65	0.00	101	0.00	17
-876	Min.	-5.18	166	-0.17	65	-1.29	106	0.00	177	-0.00	130	0.00	177
-875	Max	1.39	101	0.32	177	0.41	101	0.00	65	0.00	101	0.00	17
-875	Min.	-5.18	166	-0.17	65	-1.42	106	0.00	17	-0.00	130	0.00	177
-874	Max	1.39	101	0.33	177	0.45	101	0.00	65	0.00	101	0.00	17
-874	Min.	-5.18	166	-0.17	65	-1.53	106	0.00	17	-0.00	98	0.00	173
-873	Max	1.40	101	0.33	177	0.45	101	0.00	173	0.00	49	0.00	17
-873	Min.	-5.19	166	-0.17	65	-1.58	106	0.00	17	-0.00	98	0.00	173
-872	Max	1.40	101	0.33	177	0.44	101	0.00	173	0.00	49	0.00	17
-872	Min.	-5.19	166	-0.17	65	-1.63	106	0.00	17	-0.01	98	0.00	173
-871	Max	1.40	101	0.33	177	0.37	101	0.00	173	0.00	33	0.00	17
-871	Min.	-5.19	166	-0.17	65	-1.75	106	0.00	17	-0.01	98	0.00	173
-870	Max	1.40	101	0.33	177	0.21	101	0.00	173	0.00	33	0.00	17
-870	Min.	-5.19	166	-0.17	65	-1.90	106	0.00	17	-0.01	97	0.00	173
-869	Max	1.40	101	0.33	177	0.11	101	0.00	173	-0.00	33	0.00	17
-869	Min.	-5.19	166	-0.17	65	-1.98	106	0.00	17	-0.01	97	0.00	173
-868	Max	1.40	101	0.33	177	0.07	1	0.00	173	-0.00	33	0.00	17
-868	Min.	-5.19	166	-0.17	65	-2.06	106	0.00	17	-0.01	97	0.00	173
-867	Max	1.40	101	0.34	177	-0.02	1	0.00	173	0.00	49	0.00	17
-867	Min.	-5.19	166	-0.17	65	-2.21	106	-0.00	17	-0.01	97	0.00	173
-866	Max	1.40	101	0.34	177	-0.11	1	0.00	173	0.00	49	0.00	17
-866	Min.	-5.19	166	-0.17	65	-2.55	98	-0.00	17	-0.01	97	0.00	173
-865	Max	1.40	101	0.34	177	-0.22	1	0.00	173	0.00	130	0.00	17
-865	Min.	-5.19	166	-0.17	65	-3.05	98	-0.00	17	-0.01	97	0.00	173
-864	Max	1.40	101	0.34	177	-0.32	1	0.00	173	0.00	130	0.00	17
-864	Min.	-5.19	166	-0.17	65	-3.51	98	-0.00	17	-0.01	97	0.00	173
-863	Max	1.40	101	0.34	177	-0.42	1	0.00	173	0.00	130	0.00	17
-863	Min.	-5.19	166	-0.17	65	-3.92	98	-0.00	17	-0.01	97	0.00	65
-862	Max	1.40	101	0.34	177	-0.52	33	0.00	173	0.00	130	0.00	17
-862	Min.	-5.19	166	-0.18	65	-4.24	98	-0.00	17	-0.01	97	0.00	65
-861	Max	1.40	101	0.34	177	-0.56	33	0.00	173	0.00	130	0.00	17
-861	Min.	-5.20	166	-0.18	65	-4.47	98	-0.00	17	-0.01	101	0.00	65
-860	Max	1.40	101	0.34	177	-0.59	33	0.00	173	0.00	130	0.00	17
-860	Min.	-5.20	166	-0.18	65	-4.59	100	-0.00	17	-0.00	101	0.00	65
-859	Max	1.40	101	0.34	177	-0.60	33	0.00	173	0.00	130	0.00	101
-859	Min.	-5.20	162	-0.18	17	-4.60	100	-0.00	17	-0.00	101	0.00	106
-858	Max	1.39	101	0.34	177	-0.59	33	0.00	173	0.00	130	0.00	17
-858	Min.	-5.20	162	-0.18	17	-4.59	100	-0.00	65	-0.00	101	0.00	65
-857	Max	1.39	101	0.34	177	-0.56	33	0.00	173	0.01	106	0.00	17
-857	Min.	-5.20	162	-0.18	17	-4.47	97	-0.00	65	-0.00	101	0.00	65
-856	Max	1.39	101	0.34	177	-0.52	49	0.00	173	0.01	98	0.00	17
-856	Min.	-5.20	162	-0.18	17	-4.24	97	-0.00	65	-0.00	101	0.00	65
-855	Max	1.39	101	0.34	177	-0.42	49	0.00	173	0.01	98	0.00	17
-855	Min.	-5.20	158	-0.17	17	-3.92	97	-0.00	65	0.00	137	0.00	65
-854	Max	1.38	101	0.34	177	-0.32	49	0.00	173	0.01	98	0.00	173
-854	Min.	-5.20	158	-0.17	17	-3.51	97	-0.00	65	0.00	1	0.00	65
-853	Max	1.38	101	0.34	177	-0.22	49	0.00	173	0.01	98	0.00	173
-853	Min.	-5.20	158	-0.17	17	-3.05	97	-0.00	65	0.00	1	0.00	65
-852	Max	1.38	101	0.34	177	-0.11	49	0.00	173	0.01	98	0.00	173
-852	Min.	-5.20	158	-0.17	17	-2.55	97	-0.00	65	0.00	1	0.00	65
-851	Max	1.38	101	0.34	177	0.10	130	0.00	173	0.01	98	0.00	173
-851	Min.	-5.21	158	-0.17	17	-2.21	101	-0.00	65	0.00	1	0.00	65
-850	Max	1.37	101	0.33	177	0.32	130	0.00	173	0.01	98	0.00	173

-850	Min.	-5.20	158	-0.17	17	-2.06	101	0.00	65	0.00	33	0.00	65
-849	Max	1.37	101	0.33	177	0.42	130	0.00	173	0.01	98	0.00	173
-849	Min.	-5.20	158	-0.17	17	-1.98	101	0.00	65	0.00	33	0.00	65
-848	Max	1.37	101	0.33	177	0.50	130	0.00	173	0.01	98	0.00	173
-848	Min.	-5.20	158	-0.17	17	-1.90	101	0.00	65	0.00	33	0.00	65
-847	Max	1.37	101	0.33	177	0.62	130	0.00	173	0.01	97	0.00	17
-847	Min.	-5.20	158	-0.17	17	-1.75	101	0.00	65	0.00	33	0.00	65
-846	Max	1.37	101	0.33	177	0.67	130	0.00	173	0.01	97	0.00	173
-846	Min.	-5.20	158	-0.17	17	-1.63	101	0.00	65	0.00	1	0.00	65
-845	Max	1.37	101	0.33	177	0.67	130	0.00	173	0.00	97	0.00	173
-845	Min.	-5.20	158	-0.17	17	-1.58	101	0.00	65	0.00	130	0.00	65
-844	Max	1.37	101	0.33	177	0.65	130	0.00	17	0.00	97	0.00	17
-844	Min.	-5.20	158	-0.17	17	-1.53	101	0.00	65	0.00	130	0.00	65
-843	Max	1.37	101	0.32	177	0.59	130	0.00	17	0.00	101	0.00	177
-843	Min.	-5.20	158	-0.17	17	-1.42	101	0.00	65	-0.00	130	0.00	65
-842	Max	1.36	101	0.31	177	0.50	130	0.00	17	0.00	101	0.00	177
-842	Min.	-5.20	158	-0.17	17	-1.29	101	0.00	177	-0.00	130	0.00	65
-841	Max	1.36	101	0.29	177	0.39	130	0.00	17	0.00	101	0.00	177
-841	Min.	-5.20	158	-0.17	17	-1.15	101	-0.00	177	-0.00	130	0.00	173
-840	Max	1.36	101	0.26	177	0.25	130	0.00	173	0.00	101	0.00	177
-840	Min.	-5.19	158	-0.17	17	-0.99	101	-0.00	177	-0.00	130	0.00	173
-839	Max	1.36	101	0.22	177	0.11	130	0.00	173	0.00	101	0.00	177
-839	Min.	-5.19	158	-0.18	17	-0.81	101	-0.01	177	-0.00	130	0.00	173
-838	Max	1.36	101	0.18	65	-0.04	130	0.00	173	0.00	101	0.00	177
-838	Min.	-5.19	158	-0.18	17	-0.63	101	-0.01	177	-0.00	130	0.00	173
-837	Max	0.83	101	0.18	65	-0.09	49	0.00	17	0.00	101	0.00	17
-837	Min.	-0.89	130	-0.18	17	-0.47	101	0.00	65	-0.00	130	0.00	65
-836	Max	0.74	101	0.18	17	-0.09	1	0.00	65	0.00	101	0.00	105
-836	Min.	-0.96	130	-0.18	65	-0.48	108	0.00	17	-0.00	130	0.00	162
-835	Max	1.39	101	0.18	17	-0.04	1	0.00	173	0.00	101	0.00	173
-835	Min.	-5.18	166	-0.18	65	-0.63	106	-0.01	177	-0.00	130	-0.00	177
-834	Max	1.39	101	0.22	177	0.02	1	0.00	173	0.00	101	0.00	173
-834	Min.	-5.18	166	-0.17	65	-0.81	106	-0.01	177	-0.00	130	-0.00	177
-833	Max	1.39	101	0.26	177	0.12	101	0.00	173	0.00	101	0.00	173
-833	Min.	-5.18	166	-0.17	65	-0.99	106	-0.00	177	-0.00	130	0.00	177
-832	Max	1.39	101	0.29	177	0.23	101	0.00	65	0.00	101	0.00	173
-832	Min.	-5.18	166	-0.17	65	-1.15	106	-0.00	177	-0.00	130	0.00	177
-831	Max	1.39	101	0.31	177	0.32	101	0.00	65	0.00	101	0.00	17
-831	Min.	-5.18	166	-0.17	65	-1.30	106	0.00	177	-0.00	130	0.00	177
-830	Max	1.39	101	0.32	177	0.40	101	0.00	65	0.00	101	0.00	17
-830	Min.	-5.18	166	-0.17	65	-1.44	106	0.00	17	-0.00	130	0.00	177
-829	Max	1.39	101	0.33	177	0.44	101	0.00	173	0.00	101	0.00	17
-829	Min.	-5.18	166	-0.17	65	-1.56	106	0.00	17	-0.00	98	0.00	65
-828	Max	1.40	101	0.33	177	0.44	101	0.00	173	0.00	49	0.00	17
-828	Min.	-5.19	166	-0.17	65	-1.61	106	0.00	17	-0.00	98	0.00	173
-827	Max	1.40	101	0.33	177	0.43	101	0.00	173	0.00	49	0.00	17
-827	Min.	-5.19	166	-0.17	65	-1.66	106	0.00	17	-0.00	98	0.00	173
-826	Max	1.40	101	0.33	177	0.20	101	0.00	173	0.00	65	0.00	17
-826	Min.	-5.19	166	-0.17	65	-1.92	106	0.00	17	-0.01	97	0.00	173
-825	Max	1.40	101	0.33	177	0.11	1	0.00	173	0.00	65	0.00	98
-825	Min.	-5.19	166	-0.17	65	-2.00	106	0.00	17	-0.01	97	0.00	173
-824	Max	1.40	101	0.33	177	0.07	1	0.00	173	0.00	65	0.00	98
-824	Min.	-5.19	166	-0.17	65	-2.08	106	0.00	17	-0.01	97	0.00	173
-823	Max	1.40	101	0.33	177	-0.01	1	0.00	173	0.00	49	0.00	98
-823	Min.	-5.19	166	-0.17	65	-2.22	106	0.00	17	-0.01	97	0.00	173
-822	Max	1.40	101	0.33	177	-0.11	1	0.00	173	0.00	49	0.00	98
-822	Min.	-5.19	166	-0.17	65	-2.53	98	-0.00	17	-0.01	97	0.00	173
-821	Max	1.40	101	0.34	177	-0.21	1	0.00	173	0.00	130	0.00	17
-821	Min.	-5.19	166	-0.17	65	-3.01	98	-0.00	17	-0.01	97	0.00	173
-820	Max	1.40	101	0.34	177	-0.31	1	0.00	173	0.00	130	0.00	17
-820	Min.	-5.19	166	-0.17	65	-3.47	98	-0.00	17	-0.01	97	0.00	173
-819	Max	1.40	101	0.34	177	-0.41	1	0.00	173	0.00	130	0.00	17
-819	Min.	-5.19	166	-0.17	65	-3.87	98	-0.00	17	-0.01	97	0.00	173
-818	Max	1.40	101	0.34	177	-0.49	17	0.00	173	0.00	130	0.00	17
-818	Min.	-5.19	166	-0.17	65	-4.20	98	-0.00	17	-0.01	97	0.00	173
-817	Max	1.40	101	0.34	177	-0.53	17	0.00	173	0.00	130	0.00	17
-817	Min.	-5.20	166	-0.17	65	-4.44	98	-0.00	17	-0.01	101	0.00	173
-816	Max	1.40	101	0.34	177	-0.56	17	0.00	173	0.00	130	0.00	101
-816	Min.	-5.20	166	-0.17	65	-4.55	100	-0.00	17	-0.00	101	0.00	106
-815	Max	1.40	101	0.34	177	-0.57	17	0.00	173	0.00	130	0.00	101
-815	Min.	-5.20	162	-0.17	17	-4.57	100	-0.00	17	-0.00	101	0.00	106
-814	Max	1.39	101	0.34	177	-0.56	65	0.00	173	0.00	130	0.00	173
-814	Min.	-5.20	162	-0.17	17	-4.55	100	-0.00	65	-0.00	101	0.00	106
-813	Max	1.39	101	0.34	177	-0.53	65	0.00	173	0.01	106	0.00	173
-813	Min.	-5.20	162	-0.17	17	-4.44	97	-0.00	65	-0.00	101	0.00	65
-812	Max	1.39	101	0.34	177	-0.49	65	0.00	173	0.01	98	0.00	173
-812	Min.	-5.20	162	-0.17	17	-4.20	97	-0.00	65	-0.00	101	0.00	65
-811	Max	1.39	101	0.34	177	-0.41	49	0.00	173	0.01	98	0.00	173
-811	Min.	-5.20	158	-0.17	17	-3.87	97	-0.00	65	0.00	1	0.00	65

-810	Max	1.38	101	0.34	177	-0.31	49	0.00	173	0.01	98	0.00	173
-810	Min.	-5.20	158	-0.17	17	-3.47	97	-0.00	65	0.00	1	0.00	65
-809	Max	1.38	101	0.34	177	-0.21	49	0.00	173	0.01	98	0.00	173
-809	Min.	-5.20	158	-0.17	17	-3.01	97	-0.00	65	0.00	1	0.00	65
-808	Max	1.38	101	0.33	177	-0.11	49	0.00	173	0.01	98	0.00	173
-808	Min.	-5.20	158	-0.17	17	-2.53	97	-0.00	65	0.00	1	0.00	97
-807	Max	1.38	101	0.33	177	0.09	130	0.00	173	0.01	98	0.00	173
-807	Min.	-5.20	158	-0.17	17	-2.22	101	0.00	65	0.00	1	0.00	97
-806	Max	1.37	101	0.33	177	0.31	130	0.00	173	0.01	98	0.00	173
-806	Min.	-5.20	158	-0.17	17	-2.08	101	0.00	65	0.00	17	0.00	97
-805	Max	1.37	101	0.33	177	0.41	130	0.00	173	0.01	98	0.00	173
-805	Min.	-5.20	158	-0.17	17	-2.00	101	0.00	65	0.00	17	0.00	97
-804	Max	1.37	101	0.33	177	0.49	130	0.00	173	0.01	98	0.00	173
-804	Min.	-5.20	158	-0.17	17	-1.92	101	0.00	65	0.00	17	0.00	65
-803	Max	1.37	101	0.33	177	0.66	130	0.00	173	0.00	97	0.00	17
-803	Min.	-5.20	158	-0.17	17	-1.66	101	0.00	65	0.00	1	0.00	65
-802	Max	1.37	101	0.33	177	0.66	130	0.00	173	0.00	97	0.00	17
-802	Min.	-5.20	158	-0.17	17	-1.61	101	0.00	65	0.00	130	0.00	65
-801	Max	1.37	101	0.33	177	0.65	130	0.00	173	0.00	97	0.00	17
-801	Min.	-5.20	158	-0.17	17	-1.56	101	0.00	65	0.00	130	0.00	65
-800	Max	1.37	101	0.32	177	0.59	130	0.00	17	0.00	101	0.00	177
-800	Min.	-5.20	158	-0.17	17	-1.44	101	0.00	65	-0.00	130	0.00	65
-799	Max	1.36	101	0.31	177	0.50	130	0.00	17	0.00	101	0.00	177
-799	Min.	-5.20	158	-0.17	17	-1.30	101	0.00	177	-0.00	130	0.00	65
-798	Max	1.36	101	0.29	177	0.38	130	0.00	17	0.00	101	0.00	177
-798	Min.	-5.20	158	-0.17	17	-1.15	101	-0.00	177	-0.00	130	0.00	173
-797	Max	1.36	101	0.26	177	0.25	130	0.00	173	0.00	101	0.00	177
-797	Min.	-5.19	158	-0.17	17	-0.99	101	-0.00	177	-0.00	130	0.00	173
-796	Max	1.36	101	0.22	177	0.11	130	0.00	173	0.00	101	0.00	177
-796	Min.	-5.19	158	-0.17	17	-0.81	101	-0.01	177	-0.00	130	0.00	173
-795	Max	1.36	101	0.18	65	-0.04	130	0.00	173	0.00	101	0.00	177
-795	Min.	-5.19	162	-0.18	17	-0.63	101	-0.01	177	-0.00	130	0.00	173
-794	Max	0.83	101	0.18	65	-0.09	49	0.00	17	0.00	101	0.00	17
-794	Min.	-0.89	130	-0.18	17	-0.48	104	0.00	65	-0.00	130	0.00	126
-793	Max	0.74	101	0.18	17	-0.08	17	0.00	65	0.00	101	0.00	105
-793	Min.	-0.95	130	-0.18	65	-0.48	108	0.00	17	-0.00	130	0.00	162
-783	Max	1.40	101	0.33	177	0.35	101	0.00	173	0.00	65	0.00	173
-783	Min.	-5.19	166	-0.17	65	-1.77	106	0.00	177	-0.01	98	0.00	65
-759	Max	1.37	101	0.33	177	0.61	130	0.00	173	0.01	97	0.00	17
-759	Min.	-5.20	158	-0.17	17	-1.77	101	0.00	177	0.00	17	0.00	173
-749	Max	0.83	101	0.18	65	-0.08	65	0.00	17	0.00	101	0.00	17
-749	Min.	-0.89	130	-0.18	17	-0.48	104	0.00	65	-0.00	130	0.00	126
-748	Max	0.74	101	0.18	17	-0.07	17	0.00	65	0.00	101	0.00	105
-748	Min.	-0.95	130	-0.18	65	-0.48	108	0.00	177	-0.00	130	0.00	162
-747	Max	1.39	101	0.18	17	-0.03	1	0.00	173	0.00	101	0.00	173
-747	Min.	-5.18	166	-0.18	65	-0.63	108	-0.01	177	-0.01	130	0.00	177
-746	Max	1.39	101	0.22	177	0.02	1	0.00	173	0.00	101	0.00	173
-746	Min.	-5.18	166	-0.17	65	-0.81	106	-0.01	177	-0.00	130	-0.00	177
-745	Max	1.39	101	0.26	177	0.11	101	0.00	173	0.00	101	0.00	173
-745	Min.	-5.18	166	-0.17	65	-0.99	106	-0.00	177	-0.00	130	0.00	177
-744	Max	1.39	101	0.29	177	0.21	101	0.00	173	0.00	101	0.00	106
-744	Min.	-5.18	166	-0.17	65	-1.15	130	-0.00	177	-0.00	130	0.00	177
-743	Max	1.39	101	0.31	177	0.30	101	0.00	124	0.00	101	0.00	17
-743	Min.	-5.18	166	-0.16	65	-1.31	130	0.00	177	-0.00	130	0.00	177
-742	Max	1.39	101	0.32	177	0.37	101	0.00	173	0.00	101	0.00	17
-742	Min.	-5.18	166	-0.16	65	-1.45	130	0.00	17	-0.00	106	0.00	177
-741	Max	1.39	101	0.33	177	0.41	101	0.00	173	0.00	1	0.00	121
-741	Min.	-5.18	166	-0.16	65	-1.56	130	0.00	17	-0.00	98	0.00	177
-740	Max	1.40	101	0.33	177	0.42	101	0.00	173	0.00	49	0.00	121
-740	Min.	-5.18	166	-0.17	65	-1.61	130	0.00	17	-0.00	98	0.00	177
-739	Max	1.40	101	0.33	177	0.40	101	0.00	173	0.00	65	0.00	121
-739	Min.	-5.19	166	-0.17	65	-1.67	106	0.00	17	-0.00	98	0.00	65
-738	Max	1.40	101	0.33	177	0.33	101	0.00	173	0.00	65	0.00	17
-738	Min.	-5.19	166	-0.17	65	-1.78	106	0.00	107	-0.01	98	0.00	173
-737	Max	1.40	101	0.33	177	0.18	101	0.00	173	0.00	65	0.00	106
-737	Min.	-5.19	166	-0.17	65	-1.92	106	0.00	17	-0.01	97	0.00	173
-736	Max	1.40	101	0.33	177	0.11	1	0.00	173	0.00	65	0.00	98
-736	Min.	-5.19	166	-0.17	65	-2.00	106	0.00	17	-0.01	97	0.00	173
-735	Max	1.40	101	0.33	177	0.07	1	0.00	173	0.00	65	0.00	98
-735	Min.	-5.19	166	-0.16	65	-2.07	106	0.00	17	-0.01	97	0.00	173
-734	Max	1.40	101	0.33	177	-0.01	1	0.00	173	0.00	65	0.00	98
-734	Min.	-5.19	166	-0.16	65	-2.20	106	0.00	17	-0.01	97	0.00	173
-733	Max	1.40	101	0.33	177	-0.10	1	0.00	173	0.00	49	0.00	98
-733	Min.	-5.19	166	-0.16	65	-2.49	98	-0.00	99	-0.01	97	0.00	173
-732	Max	1.40	101	0.33	177	-0.20	1	0.00	173	0.00	130	0.00	97
-732	Min.	-5.19	166	-0.17	65	-2.96	98	-0.00	99	-0.01	97	0.00	173
-731	Max	1.40	101	0.33	177	-0.30	1	0.00	173	0.00	130	0.00	97
-731	Min.	-5.19	166	-0.17	65	-3.39	98	-0.00	99	-0.01	97	0.00	173
-730	Max	1.40	101	0.33	177	-0.38	17	0.01	173	0.00	130	0.00	97

-730	Min.	-5.19	166	-0.17	65	-3.78	98	-0.00	99	-0.01	97	0.00	173
-729	Max	1.40	101	0.33	177	-0.42	17	0.01	173	0.00	130	0.00	97
-729	Min.	-5.19	166	-0.17	65	-4.10	98	-0.00	99	-0.01	97	0.00	173
-728	Max	1.40	101	0.33	177	-0.45	17	0.01	173	0.00	130	0.00	97
-728	Min.	-5.19	166	-0.17	65	-4.32	100	-0.00	99	-0.01	101	0.00	173
-727	Max	1.40	101	0.33	177	-0.48	17	0.01	173	0.00	130	0.00	101
-727	Min.	-5.20	166	-0.17	65	-4.43	100	-0.00	99	-0.00	101	0.00	106
-726	Max	1.40	101	0.33	177	-0.49	17	0.01	173	0.00	130	0.00	101
-726	Min.	-5.20	162	-0.17	17	-4.45	100	-0.00	99	-0.00	101	0.00	106
-725	Max	1.39	101	0.33	177	-0.48	65	0.01	173	0.00	130	0.00	173
-725	Min.	-5.20	162	-0.17	17	-4.43	100	-0.00	99	-0.00	101	0.00	106
-724	Max	1.39	101	0.33	177	-0.45	65	0.01	173	0.01	130	0.00	173
-724	Min.	-5.20	162	-0.17	17	-4.32	100	-0.00	99	-0.00	101	0.00	98
-723	Max	1.39	101	0.33	177	-0.42	65	0.01	173	0.01	98	0.00	173
-723	Min.	-5.20	162	-0.17	17	-4.10	97	-0.00	99	-0.00	101	0.00	98
-722	Max	1.39	101	0.33	177	-0.38	65	0.00	173	0.01	98	0.00	173
-722	Min.	-5.20	158	-0.17	17	-3.78	97	-0.00	99	0.00	1	0.00	98
-721	Max	1.38	101	0.33	177	-0.30	49	0.00	173	0.01	98	0.00	173
-721	Min.	-5.20	158	-0.17	17	-3.39	97	-0.00	99	0.00	1	0.00	98
-720	Max	1.38	101	0.33	177	-0.20	49	0.00	173	0.01	98	0.00	173
-720	Min.	-5.20	158	-0.17	17	-2.96	97	-0.00	99	0.00	1	0.00	98
-719	Max	1.38	101	0.33	177	-0.10	49	0.00	173	0.01	98	0.00	173
-719	Min.	-5.20	158	-0.16	17	-2.49	97	-0.00	99	0.00	1	0.00	97
-718	Max	1.38	101	0.33	177	0.06	130	0.00	173	0.01	98	0.00	173
-718	Min.	-5.20	158	-0.16	17	-2.20	101	0.00	65	0.00	17	0.00	97
-717	Max	1.37	101	0.33	177	0.28	130	0.00	173	0.01	98	0.00	173
-717	Min.	-5.20	158	-0.16	17	-2.07	101	0.00	65	0.00	17	0.00	97
-716	Max	1.37	101	0.33	177	0.38	130	0.00	173	0.01	98	0.00	173
-716	Min.	-5.20	158	-0.17	17	-2.00	101	0.00	65	0.00	17	0.00	97
-715	Max	1.37	101	0.33	177	0.46	130	0.00	173	0.01	98	0.00	173
-715	Min.	-5.20	158	-0.17	17	-1.92	101	0.00	65	0.00	17	0.00	101
-714	Max	1.37	101	0.33	177	0.59	130	0.00	173	0.01	97	0.00	17
-714	Min.	-5.20	158	-0.17	17	-1.78	101	0.00	103	0.00	17	0.00	65
-713	Max	1.37	101	0.33	177	0.64	130	0.00	173	0.00	97	0.00	125
-713	Min.	-5.20	158	-0.17	17	-1.67	101	0.00	65	0.00	17	0.00	65
-712	Max	1.37	101	0.33	177	0.64	130	0.00	173	0.00	97	0.00	125
-712	Min.	-5.20	158	-0.17	17	-1.61	101	0.00	65	0.00	1	0.00	65
-711	Max	1.37	101	0.33	177	0.63	130	0.00	173	0.00	97	0.00	177
-711	Min.	-5.20	158	-0.16	17	-1.56	101	0.00	65	0.00	130	0.00	65
-710	Max	1.37	101	0.32	177	0.58	130	0.00	173	0.00	101	0.00	177
-710	Min.	-5.20	158	-0.16	17	-1.44	101	0.00	65	-0.00	130	0.00	65
-709	Max	1.36	101	0.31	177	0.49	130	0.00	17	0.00	101	0.00	177
-709	Min.	-5.20	158	-0.16	17	-1.30	101	0.00	177	-0.00	130	0.00	65
-708	Max	1.36	101	0.29	177	0.38	130	0.00	173	0.00	101	0.00	177
-708	Min.	-5.19	158	-0.17	17	-1.15	101	-0.00	177	-0.00	130	0.00	125
-707	Max	1.36	101	0.26	177	0.25	130	0.00	173	0.00	101	0.00	177
-707	Min.	-5.19	162	-0.17	17	-0.99	101	-0.00	177	-0.00	130	0.00	173
-706	Max	1.36	101	0.22	177	0.11	130	0.00	173	0.00	101	0.00	177
-706	Min.	-5.19	162	-0.17	17	-0.81	101	-0.01	177	-0.00	130	0.00	173
-705	Max	1.36	101	0.18	65	-0.03	49	0.00	173	0.00	101	0.00	177
-705	Min.	-5.19	162	-0.18	17	-0.63	104	-0.01	177	-0.00	130	0.00	173
-704	Max	0.83	101	0.18	65	-0.07	65	0.00	17	0.00	101	0.00	17
-704	Min.	-0.89	130	-0.18	17	-0.48	104	0.00	177	-0.00	130	0.00	126
-703	Max	0.75	101	0.18	17	-0.06	17	0.00	65	0.00	101	0.00	105
-703	Min.	-0.95	130	-0.18	65	-0.48	108	0.00	177	-0.00	130	0.00	162
-661	Max	0.83	101	0.18	65	-0.06	65	0.00	17	0.00	101	0.00	17
-661	Min.	-0.89	130	-0.18	17	-0.48	104	0.00	177	-0.00	130	0.00	126
-660	Max	0.75	101	0.18	17	-0.05	17	0.00	65	0.00	101	0.00	105
-660	Min.	-0.96	130	-0.18	65	-0.48	108	0.00	177	-0.00	130	0.00	162
-659	Max	1.39	101	0.18	17	-0.03	1	0.00	173	0.00	101	0.00	173
-659	Min.	-5.18	166	-0.18	65	-0.63	108	-0.01	177	-0.01	130	0.00	177
-658	Max	1.39	101	0.22	177	0.02	1	0.00	173	0.00	101	0.00	173
-658	Min.	-5.18	166	-0.17	65	-0.81	106	-0.01	177	-0.01	130	-0.00	177
-657	Max	1.39	101	0.26	177	0.10	101	0.00	173	0.00	101	0.00	106
-657	Min.	-5.18	166	-0.17	65	-1.00	130	-0.00	177	-0.00	130	0.00	177
-656	Max	1.39	101	0.29	177	0.19	101	0.00	173	0.00	101	0.00	106
-656	Min.	-5.18	166	-0.16	65	-1.18	130	-0.00	177	-0.00	130	0.00	177
-655	Max	1.39	101	0.31	177	0.28	101	0.00	124	0.00	101	0.00	17
-655	Min.	-5.18	166	-0.16	65	-1.33	130	0.00	177	-0.00	130	0.00	177
-654	Max	1.39	101	0.32	177	0.34	101	0.00	124	0.00	101	0.00	158
-654	Min.	-5.18	166	-0.16	65	-1.46	130	0.00	177	-0.00	106	0.00	177
-653	Max	1.39	101	0.32	177	0.37	101	0.00	173	0.00	1	0.00	121
-653	Min.	-5.18	166	-0.16	65	-1.56	130	0.00	17	-0.00	98	0.00	177
-652	Max	1.40	101	0.33	177	0.38	101	0.00	173	0.00	49	0.00	121
-652	Min.	-5.18	166	-0.16	65	-1.60	130	0.00	17	-0.00	98	0.00	177
-651	Max	1.40	101	0.33	177	0.37	101	0.00	173	0.00	65	0.00	121
-651	Min.	-5.18	166	-0.16	65	-1.65	130	0.00	17	-0.00	98	0.00	177
-650	Max	1.40	101	0.33	177	0.14	101	0.00	173	0.00	65	0.00	106
-650	Min.	-5.19	166	-0.16	65	-1.87	106	0.00	17	-0.01	97	0.00	173

-649	Max	1.40	101	0.33	177	0.10	1	0.00	173	0.00	65	0.00	106
-649	Min.	-5.19	166	-0.16	65	-1.94	106	0.00	17	-0.01	97	0.00	173
-648	Max	1.40	101	0.33	177	0.07	1	0.00	173	0.00	65	0.00	98
-648	Min.	-5.19	166	-0.16	65	-2.02	106	0.00	17	-0.01	97	0.00	173
-647	Max	1.40	101	0.33	177	-0.02	1	0.00	173	0.00	65	0.00	98
-647	Min.	-5.19	166	-0.16	65	-2.15	106	0.00	107	-0.01	97	0.00	173
-646	Max	1.40	101	0.32	177	-0.11	1	0.00	173	0.00	65	0.00	98
-646	Min.	-5.19	166	-0.16	65	-2.44	98	-0.00	99	-0.01	97	0.00	173
-645	Max	1.40	101	0.32	177	-0.20	1	0.00	173	0.00	49	0.00	97
-645	Min.	-5.19	166	-0.16	65	-2.88	98	-0.00	99	-0.01	97	0.00	173
-644	Max	1.40	101	0.32	177	-0.28	17	0.01	173	0.00	130	0.00	97
-644	Min.	-5.19	166	-0.17	65	-3.28	98	-0.00	99	-0.01	97	0.00	173
-643	Max	1.40	101	0.32	177	-0.32	17	0.01	173	0.00	130	0.00	97
-643	Min.	-5.19	166	-0.17	65	-3.63	98	-0.00	99	-0.01	97	0.00	173
-642	Max	1.40	101	0.32	177	-0.35	17	0.01	173	0.00	130	0.00	97
-642	Min.	-5.19	166	-0.17	65	-3.92	98	-0.00	99	-0.01	97	0.00	173
-641	Max	1.40	101	0.32	177	-0.38	17	0.01	173	0.00	130	0.00	97
-641	Min.	-5.19	166	-0.17	65	-4.12	100	-0.01	99	-0.00	101	0.00	173
-640	Max	1.40	101	0.32	177	-0.41	17	0.01	173	0.00	130	0.00	101
-640	Min.	-5.20	166	-0.17	65	-4.23	100	-0.01	99	-0.00	101	0.00	106
-639	Max	1.39	101	0.32	177	-0.42	17	0.01	173	0.00	130	0.00	101
-639	Min.	-5.20	162	-0.17	17	-4.24	100	-0.01	99	-0.00	101	0.00	106
-638	Max	1.39	101	0.32	177	-0.41	65	0.01	173	0.00	130	0.00	101
-638	Min.	-5.20	162	-0.17	17	-4.23	100	-0.01	99	-0.00	101	0.00	106
-637	Max	1.39	101	0.32	177	-0.38	65	0.01	173	0.00	130	0.00	173
-637	Min.	-5.20	162	-0.17	17	-4.12	100	-0.01	99	-0.00	101	0.00	98
-636	Max	1.39	101	0.32	177	-0.35	65	0.01	173	0.01	98	0.00	173
-636	Min.	-5.20	162	-0.17	17	-3.92	97	-0.00	99	-0.00	101	0.00	98
-635	Max	1.39	101	0.32	177	-0.32	65	0.01	173	0.01	98	0.00	173
-635	Min.	-5.20	162	-0.17	17	-3.63	97	-0.00	99	0.00	1	0.00	98
-634	Max	1.38	101	0.32	177	-0.28	65	0.01	173	0.01	98	0.00	173
-634	Min.	-5.20	158	-0.17	17	-3.28	97	-0.00	99	0.00	1	0.00	98
-633	Max	1.38	101	0.32	177	-0.20	49	0.00	173	0.01	98	0.00	173
-633	Min.	-5.20	158	-0.16	17	-2.88	97	-0.00	99	0.00	1	0.00	98
-632	Max	1.38	101	0.32	177	-0.11	49	0.00	173	0.01	98	0.00	173
-632	Min.	-5.20	158	-0.16	17	-2.44	97	-0.00	99	0.00	17	0.00	97
-631	Max	1.38	101	0.33	177	0.03	130	0.00	173	0.01	98	0.00	173
-631	Min.	-5.20	158	-0.16	17	-2.15	101	0.00	103	0.00	17	0.00	97
-630	Max	1.37	101	0.33	177	0.24	130	0.00	173	0.01	98	0.00	173
-630	Min.	-5.20	158	-0.16	17	-2.02	101	0.00	65	0.00	17	0.00	97
-629	Max	1.37	101	0.33	177	0.34	130	0.00	173	0.01	98	0.00	173
-629	Min.	-5.20	158	-0.16	17	-1.94	101	0.00	65	0.00	17	0.00	101
-628	Max	1.37	101	0.33	177	0.43	130	0.00	173	0.01	98	0.00	173
-628	Min.	-5.20	158	-0.16	17	-1.87	101	0.00	65	0.00	17	0.00	101
-627	Max	1.37	101	0.33	177	0.62	130	0.00	173	0.00	97	0.00	125
-627	Min.	-5.20	158	-0.16	17	-1.62	101	0.00	65	0.00	17	0.00	98
-626	Max	1.37	101	0.33	177	0.62	130	0.00	173	0.00	97	0.00	125
-626	Min.	-5.20	158	-0.16	17	-1.57	101	0.00	65	0.00	1	0.00	98
-625	Max	1.37	101	0.32	177	0.61	130	0.00	173	0.00	97	0.00	177
-625	Min.	-5.20	158	-0.16	17	-1.52	101	0.00	65	0.00	130	0.00	65
-624	Max	1.37	101	0.32	177	0.56	130	0.00	173	0.00	101	0.00	177
-624	Min.	-5.20	158	-0.16	17	-1.41	101	0.00	127	-0.00	130	0.00	65
-623	Max	1.37	101	0.31	177	0.49	130	0.00	173	0.00	101	0.00	177
-623	Min.	-5.20	158	-0.16	17	-1.29	101	0.00	177	-0.00	130	0.00	65
-622	Max	1.36	101	0.29	177	0.38	130	0.00	173	0.00	101	0.00	177
-622	Min.	-5.19	162	-0.16	17	-1.15	101	-0.00	177	-0.00	130	0.00	101
-621	Max	1.36	101	0.26	177	0.26	130	0.00	173	0.00	101	0.00	177
-621	Min.	-5.19	162	-0.17	17	-0.99	101	-0.00	177	-0.00	130	0.00	125
-620	Max	1.36	101	0.22	177	0.12	130	0.00	173	0.00	101	0.00	177
-620	Min.	-5.19	162	-0.17	17	-0.81	101	-0.01	177	-0.00	130	0.00	125
-619	Max	1.36	101	0.18	65	-0.03	49	0.00	173	0.00	101	0.00	177
-619	Min.	-5.19	162	-0.18	17	-0.63	104	-0.01	177	-0.00	130	0.00	173
-618	Max	0.82	101	0.18	65	-0.05	65	0.00	17	0.00	101	0.00	17
-618	Min.	-0.90	130	-0.18	17	-0.48	104	0.00	177	-0.00	130	0.00	126
-617	Max	1.39	101	0.19	177	-0.02	17	0.00	173	0.00	101	0.00	173
-617	Min.	-5.18	166	-0.18	65	-0.63	108	-0.01	177	-0.01	130	-0.00	177
-616	Max	1.39	101	0.26	177	0.03	1	0.00	173	0.00	101	0.00	173
-616	Min.	-5.18	166	-0.17	65	-0.83	132	-0.00	177	-0.01	130	-0.00	177
-615	Max	1.39	101	0.34	177	0.08	101	0.00	177	0.00	101	0.00	106
-615	Min.	-5.18	166	-0.17	65	-1.03	130	0.00	17	-0.00	130	-0.00	177
-614	Max	1.39	101	0.38	177	0.17	101	0.00	177	0.00	101	0.00	106
-614	Min.	-5.18	166	-0.16	65	-1.22	130	0.00	107	-0.00	130	0.00	177
-613	Max	1.39	101	0.40	177	0.29	101	0.00	177	0.00	101	0.00	177
-613	Min.	-5.18	166	-0.16	65	-1.46	130	0.00	17	-0.00	106	0.00	65
-612	Max	1.40	101	0.38	177	0.32	101	0.00	177	0.00	1	0.00	177
-612	Min.	-5.19	166	-0.16	65	-1.57	130	0.00	17	-0.00	98	0.00	106
-611	Max	1.40	101	0.37	177	0.31	101	0.00	177	0.00	65	0.00	177
-611	Min.	-5.19	166	-0.16	65	-1.61	130	0.00	17	-0.00	98	0.00	106
-610	Max	1.40	101	0.35	177	0.30	101	0.00	177	0.00	65	0.00	177

-610	Min.	-5.19	166	-0.16	65	-1.66	130	0.00	17	-0.00	98	0.00	106
-609	Max	1.40	101	0.33	177	0.22	101	0.00	173	0.00	65	0.00	98
-609	Min.	-5.19	166	-0.17	65	-1.74	130	0.00	177	-0.01	98	0.00	173
-608	Max	1.40	101	0.36	177	0.09	1	0.00	177	0.00	65	0.00	106
-608	Min.	-5.19	166	-0.16	65	-1.90	106	0.00	17	-0.01	97	0.00	177
-607	Max	1.40	101	0.38	177	0.05	1	0.00	177	0.00	65	0.00	98
-607	Min.	-5.19	166	-0.16	65	-1.97	106	0.00	17	-0.01	97	0.00	177
-606	Max	1.40	101	0.41	177	-0.02	1	0.00	177	0.00	65	0.00	98
-606	Min.	-5.19	166	-0.16	65	-2.09	106	0.00	107	-0.01	97	0.00	177
-605	Max	1.40	101	0.42	177	-0.11	1	0.01	177	0.00	65	0.00	98
-605	Min.	-5.19	166	-0.16	65	-2.40	98	-0.00	99	-0.01	97	0.00	173
-604	Max	1.40	101	0.43	177	-0.20	17	0.01	177	0.00	65	0.00	97
-604	Min.	-5.19	166	-0.16	65	-2.80	98	-0.00	99	-0.01	97	0.00	173
-603	Max	1.40	101	0.43	177	-0.26	17	0.01	173	0.00	130	0.00	97
-603	Min.	-5.19	166	-0.17	65	-3.46	98	-0.00	99	-0.01	97	0.00	173
-602	Max	1.40	101	0.42	177	-0.28	17	0.01	173	0.00	130	0.00	97
-602	Min.	-5.20	166	-0.17	65	-3.72	100	-0.00	99	-0.01	97	0.00	173
-601	Max	1.40	101	0.41	177	-0.31	17	0.01	173	0.00	130	0.00	97
-601	Min.	-5.20	166	-0.17	65	-3.91	100	-0.01	99	-0.00	101	0.00	173
-600	Max	1.40	101	0.41	177	-0.33	17	0.01	173	0.00	130	0.00	177
-600	Min.	-5.20	166	-0.17	65	-4.00	100	-0.01	99	-0.00	101	0.00	173
-599	Max	1.39	101	0.41	177	-0.33	65	0.01	173	0.00	130	0.00	101
-599	Min.	-5.20	162	-0.17	17	-4.00	100	-0.01	99	-0.00	101	0.00	177
-598	Max	1.39	101	0.41	177	-0.31	65	0.01	173	0.00	130	0.00	173
-598	Min.	-5.20	162	-0.17	17	-3.91	100	-0.01	99	-0.00	101	0.00	98
-597	Max	1.39	101	0.42	177	-0.28	65	0.01	173	0.01	173	0.00	173
-597	Min.	-5.20	162	-0.17	17	-3.72	100	-0.00	99	-0.00	101	0.00	98
-596	Max	1.39	101	0.43	177	-0.26	65	0.01	173	0.01	98	0.00	173
-596	Min.	-5.20	162	-0.17	17	-3.46	97	-0.00	99	0.00	1	0.00	98
-595	Max	1.38	101	0.43	177	-0.20	65	0.01	177	0.01	98	0.00	173
-595	Min.	-5.20	158	-0.16	17	-2.80	97	-0.00	99	0.00	17	0.00	98
-594	Max	1.38	101	0.42	177	-0.11	49	0.01	177	0.01	98	0.00	173
-594	Min.	-5.20	158	-0.16	17	-2.40	97	-0.00	99	0.00	17	0.00	97
-593	Max	1.38	101	0.41	177	-0.02	130	0.00	177	0.01	98	0.00	177
-593	Min.	-5.20	158	-0.16	17	-2.09	101	0.00	103	0.00	17	0.00	97
-592	Max	1.38	101	0.38	177	0.19	130	0.00	177	0.01	98	0.00	177
-592	Min.	-5.20	158	-0.16	17	-1.97	101	0.00	65	0.00	17	0.00	97
-591	Max	1.37	101	0.36	177	0.29	130	0.00	177	0.01	98	0.00	177
-591	Min.	-5.20	158	-0.16	17	-1.90	101	0.00	65	0.00	17	0.00	101
-590	Max	1.37	101	0.33	177	0.50	130	0.00	173	0.01	97	0.00	173
-590	Min.	-5.20	158	-0.17	17	-1.71	101	0.00	177	0.00	17	0.00	97
-589	Max	1.37	101	0.35	177	0.56	130	0.00	177	0.00	97	0.00	125
-589	Min.	-5.20	158	-0.16	17	-1.60	101	0.00	65	0.00	17	0.00	177
-588	Max	1.37	101	0.37	177	0.57	130	0.00	177	0.00	97	0.00	125
-588	Min.	-5.20	158	-0.16	17	-1.54	101	0.00	65	0.00	17	0.00	177
-587	Max	1.37	101	0.38	177	0.57	130	0.00	177	0.00	97	0.00	125
-587	Min.	-5.20	158	-0.16	17	-1.49	101	0.00	65	0.00	49	0.00	177
-586	Max	1.37	101	0.40	177	0.54	130	0.00	177	0.00	101	0.00	162
-586	Min.	-5.20	158	-0.16	17	-1.38	101	0.00	127	-0.00	130	0.00	177
-585	Max	1.37	101	0.38	177	0.39	130	0.00	177	0.00	101	0.00	177
-585	Min.	-5.20	162	-0.16	17	-1.14	101	0.00	127	-0.00	130	0.00	101
-584	Max	1.37	101	0.34	177	0.27	130	0.00	177	0.00	101	0.00	177
-584	Min.	-5.20	162	-0.17	17	-0.98	101	0.00	127	-0.00	130	0.00	125
-583	Max	1.36	101	0.26	177	0.12	131	0.00	173	0.00	101	0.00	177
-583	Min.	-5.19	162	-0.17	17	-0.81	104	-0.00	177	-0.00	130	0.00	125
-582	Max	1.36	101	0.19	177	-0.02	65	0.00	173	0.00	101	0.00	177
-582	Min.	-5.19	162	-0.18	17	-0.63	104	-0.01	177	-0.00	130	0.00	126
-581	Max	0.75	101	0.18	17	-0.02	17	0.00	65	0.00	101	0.00	105
-581	Min.	-0.96	130	-0.18	65	-0.49	108	0.00	177	-0.00	130	0.00	162
-537	Max	0.82	101	0.18	65	-0.02	65	0.00	17	0.00	101	0.00	33
-537	Min.	-0.90	130	-0.18	17	-0.49	104	0.00	177	-0.00	130	0.00	126
-536	Max	0.75	101	0.18	17	-0.01	17	0.00	65	0.00	101	0.00	105
-536	Min.	-0.95	130	-0.18	65	-0.49	108	0.00	177	-0.00	130	0.00	162
-535	Max	0.82	101	0.18	65	-0.01	65	0.00	17	0.00	101	0.00	33
-535	Min.	-0.91	130	-0.18	17	-0.49	104	0.00	177	-0.00	130	0.00	126
-534	Max	0.71	101	0.17	17	-0.01	65	0.00	65	0.00	101	0.00	162
-534	Min.	-0.88	130	-0.17	65	-0.49	107	0.00	17	-0.00	130	0.00	105
-533	Max	0.76	101	0.17	65	-0.01	17	0.00	17	0.00	101	0.00	126
-533	Min.	-0.85	130	-0.17	17	-0.49	103	0.00	65	-0.00	130	0.00	65
-532	Max	0.71	101	0.17	17	-0.02	65	0.00	65	0.00	101	0.00	162
-532	Min.	-0.88	130	-0.17	65	-0.49	107	0.00	17	-0.00	130	0.00	105
-531	Max	0.76	101	0.17	65	-0.02	17	0.00	17	0.00	101	0.00	126
-531	Min.	-0.85	130	-0.17	17	-0.49	103	0.00	65	-0.00	130	0.00	65
-530	Max	0.71	101	0.17	17	-0.03	65	0.00	65	0.00	101	0.00	162
-530	Min.	-0.88	130	-0.17	65	-0.49	107	0.00	17	-0.00	130	0.00	105
-529	Max	0.76	101	0.17	65	-0.03	17	0.00	17	0.00	101	0.00	126
-529	Min.	-0.84	130	-0.17	17	-0.49	103	0.00	65	-0.00	130	0.00	65
-528	Max	0.70	101	0.17	17	-0.05	65	0.00	65	0.00	101	0.00	162
-528	Min.	-0.89	130	-0.17	65	-0.48	107	0.00	17	-0.00	130	0.00	105

-527	Max	0.76	101	0.17	65	-0.05	17	0.00	17	0.00	101	0.00	126
-527	Min.	-0.84	130	-0.17	17	-0.48	103	0.00	65	-0.00	130	0.00	65
-526	Max	0.70	101	0.17	17	-0.06	65	0.00	65	0.00	101	0.00	162
-526	Min.	-0.89	130	-0.17	65	-0.48	107	0.00	17	-0.00	130	0.00	105
-525	Max	0.76	101	0.17	65	-0.06	17	0.00	17	0.00	101	0.00	126
-525	Min.	-0.84	130	-0.17	17	-0.48	103	0.00	65	-0.00	130	0.00	65
-524	Max	0.70	101	0.17	17	-0.07	65	0.00	65	0.00	101	0.00	162
-524	Min.	-0.89	130	-0.17	65	-0.48	107	0.00	17	-0.00	130	0.00	105
-523	Max	0.77	101	0.17	65	-0.07	17	0.00	17	0.00	101	0.00	126
-523	Min.	-0.84	130	-0.17	17	-0.48	103	0.00	65	-0.00	130	0.00	65
-522	Max	0.70	101	0.17	17	-0.08	65	0.00	65	0.00	101	0.00	162
-522	Min.	-0.89	130	-0.17	65	-0.48	107	0.00	17	-0.00	130	0.00	105
-521	Max	0.77	101	0.17	65	-0.08	17	0.00	17	0.00	101	0.00	126
-521	Min.	-0.84	130	-0.17	17	-0.48	103	0.00	65	-0.00	130	0.00	65
-520	Max	0.70	101	0.17	17	-0.09	49	0.00	65	0.00	101	0.00	162
-520	Min.	-0.89	130	-0.17	65	-0.48	107	0.00	17	-0.00	130	0.00	105
-519	Max	0.77	101	0.17	65	-0.09	1	0.00	17	0.00	101	0.00	126
-519	Min.	-0.83	130	-0.17	17	-0.48	103	0.00	65	-0.00	130	0.00	65
-518	Max	0.70	101	0.17	17	-0.09	49	0.00	65	0.00	101	0.00	17
-518	Min.	-0.89	130	-0.17	65	-0.47	106	0.00	17	-0.00	130	0.00	65
-517	Max	0.77	101	0.17	65	-0.09	1	0.00	17	0.00	101	0.00	17
-517	Min.	-0.83	130	-0.17	17	-0.47	101	0.00	65	-0.00	130	0.00	65
-516	Max	0.70	101	0.17	17	-0.10	49	0.00	65	0.00	101	0.00	17
-516	Min.	-0.89	130	-0.17	65	-0.47	106	0.00	17	-0.00	130	0.00	65
-515	Max	0.77	101	0.17	65	-0.10	1	0.00	17	0.00	101	0.00	17
-515	Min.	-0.83	130	-0.17	17	-0.47	101	0.00	65	-0.00	130	0.00	65
-514	Max	0.70	101	0.17	17	-0.09	1	0.00	65	0.00	101	0.00	17
-514	Min.	-0.89	130	-0.17	65	-0.47	106	0.00	17	-0.00	130	0.00	65
-513	Max	0.77	101	0.17	65	-0.09	49	0.00	17	0.00	101	0.00	17
-513	Min.	-0.83	130	-0.17	17	-0.47	101	0.00	65	-0.00	130	0.00	65
-512	Max	0.70	101	0.17	17	-0.09	1	0.00	65	0.00	101	0.00	105
-512	Min.	-0.89	130	-0.17	65	-0.48	108	0.00	17	-0.00	130	0.00	162
-511	Max	0.77	101	0.17	65	-0.09	49	0.00	17	0.00	101	0.00	17
-511	Min.	-0.83	130	-0.17	17	-0.48	104	0.00	65	-0.00	130	0.00	126
-510	Max	0.70	101	0.17	17	-0.08	17	0.00	65	0.00	101	0.00	105
-510	Min.	-0.89	130	-0.17	65	-0.48	108	0.00	17	-0.00	130	0.00	162
-509	Max	0.77	101	0.17	65	-0.08	65	0.00	17	0.00	101	0.00	17
-509	Min.	-0.84	130	-0.17	17	-0.48	104	0.00	65	-0.00	130	0.00	126
-508	Max	0.70	101	0.17	17	-0.07	17	0.00	65	0.00	101	0.00	105
-508	Min.	-0.89	130	-0.17	65	-0.48	108	0.00	17	-0.00	130	0.00	162
-507	Max	0.77	101	0.17	65	-0.07	65	0.00	17	0.00	101	0.00	17
-507	Min.	-0.84	130	-0.17	17	-0.48	104	0.00	65	-0.00	130	0.00	126
-506	Max	0.70	101	0.17	17	-0.06	17	0.00	65	0.00	101	0.00	105
-506	Min.	-0.89	130	-0.17	65	-0.48	108	0.00	177	-0.00	130	0.00	162
-505	Max	0.76	101	0.17	65	-0.06	65	0.00	17	0.00	101	0.00	17
-505	Min.	-0.84	130	-0.17	17	-0.48	104	0.00	177	-0.00	130	0.00	126
-504	Max	0.70	101	0.17	17	-0.05	17	0.00	65	0.00	101	0.00	105
-504	Min.	-0.89	130	-0.17	65	-0.48	108	0.00	177	-0.00	130	0.00	162
-503	Max	0.76	101	0.17	65	-0.05	65	0.00	17	0.00	101	0.00	17
-503	Min.	-0.84	130	-0.17	17	-0.48	104	0.00	177	-0.00	130	0.00	126
-502	Max	0.71	101	0.17	17	-0.03	17	0.00	65	0.00	101	0.00	105
-502	Min.	-0.88	130	-0.17	65	-0.49	108	0.00	177	-0.00	130	0.00	162
-501	Max	0.76	101	0.17	65	-0.03	65	0.00	17	0.00	101	0.00	33
-501	Min.	-0.84	130	-0.17	17	-0.49	104	0.00	177	-0.00	130	0.00	126
-500	Max	0.71	101	0.17	17	-0.02	17	0.00	65	0.00	101	0.00	105
-500	Min.	-0.88	130	-0.17	65	-0.49	108	0.00	177	-0.00	130	0.00	162
-499	Max	0.76	101	0.17	65	-0.02	65	0.00	17	0.00	101	0.00	33
-499	Min.	-0.85	130	-0.17	17	-0.49	104	0.00	177	-0.00	130	0.00	126
-498	Max	0.71	101	0.17	17	-0.01	17	0.00	65	0.00	101	0.00	105
-498	Min.	-0.88	130	-0.17	65	-0.49	108	0.00	177	-0.00	130	0.00	162
-497	Max	0.76	101	0.17	65	-0.01	65	0.00	17	0.00	101	0.00	33
-497	Min.	-0.85	130	-0.17	17	-0.49	104	0.00	177	-0.00	130	0.00	126
-496	Max	0.60	101	0.14	17	-0.01	65	0.00	65	0.00	101	0.00	33
-496	Min.	-0.71	130	-0.14	65	-0.49	107	0.00	17	-0.00	130	0.00	105
-495	Max	0.61	101	0.14	65	-0.01	17	0.00	17	0.00	101	0.00	102
-495	Min.	-0.70	130	-0.14	17	-0.49	103	0.00	65	-0.00	130	0.00	65
-494	Max	0.60	101	0.14	17	-0.02	65	0.00	65	0.00	101	0.00	33
-494	Min.	-0.71	130	-0.14	65	-0.49	107	0.00	17	-0.00	130	0.00	105
-493	Max	0.61	101	0.14	65	-0.02	17	0.00	17	0.00	101	0.00	126
-493	Min.	-0.70	130	-0.14	17	-0.49	103	0.00	65	-0.00	130	0.00	65
-492	Max	0.60	101	0.14	17	-0.03	65	0.00	65	0.00	101	0.00	33
-492	Min.	-0.71	130	-0.14	65	-0.49	107	0.00	17	-0.00	130	0.00	105
-491	Max	0.61	101	0.14	65	-0.03	17	0.00	17	0.00	101	0.00	126
-491	Min.	-0.70	130	-0.14	17	-0.49	103	0.00	65	-0.00	130	0.00	65
-490	Max	0.60	101	0.14	17	-0.05	65	0.00	65	0.00	101	0.00	162
-490	Min.	-0.71	130	-0.14	65	-0.48	107	0.00	17	-0.00	130	0.00	105
-489	Max	0.61	101	0.14	65	-0.05	17	0.00	17	0.00	101	0.00	126
-489	Min.	-0.70	130	-0.14	17	-0.48	103	0.00	65	-0.00	130	0.00	65
-488	Max	0.60	101	0.14	17	-0.06	65	0.00	65	0.00	101	0.00	162

-488	Min.	-0.71	130	-0.14	65	-0.48	107	0.00	17	-0.00	130	0.00	105
-487	Max	0.61	101	0.14	65	-0.06	17	0.00	17	0.00	101	0.00	126
-487	Min.	-0.70	130	-0.14	17	-0.48	103	0.00	65	-0.00	130	0.00	65
-486	Max	0.60	101	0.14	17	-0.07	65	0.00	65	0.00	101	0.00	17
-486	Min.	-0.71	130	-0.14	65	-0.48	107	0.00	17	-0.00	130	0.00	105
-485	Max	0.62	101	0.14	65	-0.07	17	0.00	17	0.00	101	0.00	126
-485	Min.	-0.70	130	-0.14	17	-0.48	103	0.00	65	-0.00	130	0.00	65
-484	Max	0.60	101	0.14	17	-0.08	65	0.00	65	0.00	101	0.00	17
-484	Min.	-0.72	130	-0.14	65	-0.48	107	0.00	17	-0.00	130	0.00	105
-483	Max	0.62	101	0.14	65	-0.08	17	0.00	17	0.00	101	0.00	126
-483	Min.	-0.70	130	-0.14	17	-0.48	103	0.00	65	-0.00	130	0.00	65
-482	Max	0.60	101	0.14	17	-0.09	49	0.00	65	0.00	101	0.00	17
-482	Min.	-0.72	130	-0.14	65	-0.48	107	0.00	17	-0.00	130	0.00	105
-481	Max	0.62	101	0.14	65	-0.09	1	0.00	17	0.00	101	0.00	126
-481	Min.	-0.70	130	-0.14	17	-0.48	103	0.00	65	-0.00	130	0.00	65
-480	Max	0.59	101	0.14	17	-0.09	49	0.00	65	0.00	101	0.00	17
-480	Min.	-0.72	130	-0.14	65	-0.47	106	0.00	17	-0.00	130	0.00	65
-479	Max	0.62	101	0.14	65	-0.09	1	0.00	17	0.00	101	0.00	17
-479	Min.	-0.70	130	-0.14	17	-0.47	101	0.00	65	-0.00	130	0.00	65
-478	Max	0.59	101	0.14	17	-0.10	49	0.00	65	0.00	101	0.00	17
-478	Min.	-0.72	130	-0.14	65	-0.47	106	0.00	17	-0.00	130	0.00	65
-477	Max	0.62	101	0.14	65	-0.10	1	0.00	17	0.00	101	0.00	17
-477	Min.	-0.70	130	-0.14	17	-0.47	101	0.00	65	-0.00	130	0.00	65
-476	Max	0.59	101	0.14	17	-0.09	1	0.00	65	0.00	101	0.00	17
-476	Min.	-0.72	130	-0.14	65	-0.47	106	0.00	17	-0.00	130	0.00	65
-475	Max	0.62	101	0.14	65	-0.09	49	0.00	17	0.00	101	0.00	17
-475	Min.	-0.70	130	-0.14	17	-0.47	101	0.00	65	-0.00	130	0.00	65
-474	Max	0.60	101	0.14	17	-0.09	1	0.00	65	0.00	101	0.00	105
-474	Min.	-0.72	130	-0.14	65	-0.48	108	0.00	17	-0.00	130	0.00	65
-473	Max	0.62	101	0.14	65	-0.09	49	0.00	17	0.00	101	0.00	17
-473	Min.	-0.70	130	-0.14	17	-0.48	104	0.00	65	-0.00	130	0.00	126
-472	Max	0.60	101	0.14	17	-0.08	17	0.00	65	0.00	101	0.00	105
-472	Min.	-0.72	130	-0.14	65	-0.48	108	0.00	17	-0.00	130	0.00	65
-471	Max	0.62	101	0.14	65	-0.08	65	0.00	17	0.00	101	0.00	17
-471	Min.	-0.70	130	-0.14	17	-0.48	104	0.00	65	-0.00	130	0.00	126
-470	Max	0.60	101	0.14	17	-0.07	17	0.00	65	0.00	101	0.00	105
-470	Min.	-0.71	130	-0.14	65	-0.48	108	0.00	17	-0.00	130	0.00	65
-469	Max	0.62	101	0.14	65	-0.07	65	0.00	17	0.00	101	0.00	17
-469	Min.	-0.70	130	-0.14	17	-0.48	104	0.00	65	-0.00	130	0.00	126
-468	Max	0.60	101	0.14	17	-0.06	17	0.00	65	0.00	101	0.00	105
-468	Min.	-0.71	130	-0.14	65	-0.48	108	0.00	177	-0.00	130	0.00	162
-467	Max	0.61	101	0.14	65	-0.06	65	0.00	17	0.00	101	0.00	17
-467	Min.	-0.70	130	-0.14	17	-0.48	104	0.00	177	-0.00	130	0.00	126
-466	Max	0.60	101	0.14	17	-0.05	17	0.00	65	0.00	101	0.00	105
-466	Min.	-0.71	130	-0.14	65	-0.48	108	0.00	177	-0.00	130	0.00	162
-465	Max	0.61	101	0.14	65	-0.05	65	0.00	17	0.00	101	0.00	17
-465	Min.	-0.70	130	-0.14	17	-0.48	104	0.00	177	-0.00	130	0.00	126
-464	Max	0.60	101	0.14	17	-0.03	17	0.00	65	0.00	101	0.00	105
-464	Min.	-0.71	130	-0.14	65	-0.49	108	0.00	177	-0.00	130	0.00	49
-463	Max	0.61	101	0.14	65	-0.03	65	0.00	17	0.00	101	0.00	33
-463	Min.	-0.70	130	-0.14	17	-0.49	104	0.00	177	-0.00	130	0.00	126
-462	Max	0.60	101	0.14	17	-0.02	17	0.00	65	0.00	101	0.00	105
-462	Min.	-0.71	130	-0.14	65	-0.49	108	0.00	177	-0.00	130	0.00	65
-461	Max	0.61	101	0.14	65	-0.02	65	0.00	17	0.00	101	0.00	33
-461	Min.	-0.70	130	-0.14	17	-0.49	104	0.00	177	-0.00	130	0.00	126
-460	Max	0.60	101	0.14	17	-0.01	17	0.00	65	0.00	101	0.00	105
-460	Min.	-0.71	130	-0.14	65	-0.49	108	0.00	177	-0.00	130	0.00	65
-459	Max	0.61	101	0.14	65	-0.01	65	0.00	17	0.00	101	0.00	33
-459	Min.	-0.70	130	-0.14	17	-0.49	104	0.00	177	-0.00	130	0.00	102
-458	Max	0.53	101	0.12	17	-0.01	65	0.00	65	0.00	101	0.00	1
-458	Min.	-0.62	130	-0.12	65	-0.49	107	0.00	17	-0.00	130	0.00	49
-457	Max	0.53	101	0.12	65	-0.01	17	0.00	17	0.00	101	0.00	1
-457	Min.	-0.62	130	-0.12	17	-0.49	103	0.00	65	-0.00	130	0.00	49
-456	Max	0.53	101	0.12	17	-0.02	65	0.00	65	0.00	101	0.00	1
-456	Min.	-0.62	130	-0.12	65	-0.49	107	0.00	17	-0.00	130	0.00	49
-455	Max	0.53	101	0.12	65	-0.02	17	0.00	17	0.00	101	0.00	1
-455	Min.	-0.62	130	-0.12	17	-0.49	103	0.00	65	-0.00	130	0.00	49
-454	Max	0.53	101	0.12	17	-0.03	65	0.00	65	0.00	101	0.00	1
-454	Min.	-0.62	130	-0.12	65	-0.49	107	0.00	17	-0.00	130	0.00	49
-453	Max	0.53	101	0.12	65	-0.03	17	0.00	17	0.00	101	0.00	1
-453	Min.	-0.62	130	-0.12	17	-0.49	103	0.00	65	-0.00	130	0.00	49
-452	Max	0.53	101	0.12	17	-0.05	65	0.00	65	0.00	101	0.00	1
-452	Min.	-0.62	130	-0.12	65	-0.48	107	0.00	17	-0.00	130	0.00	49
-451	Max	0.53	101	0.12	65	-0.05	17	0.00	17	0.00	101	0.00	1
-451	Min.	-0.62	130	-0.12	17	-0.48	103	0.00	65	-0.00	130	0.00	49
-450	Max	0.53	101	0.12	17	-0.06	65	0.00	65	0.00	101	0.00	1
-450	Min.	-0.62	130	-0.12	65	-0.48	107	0.00	17	-0.00	130	0.00	49
-449	Max	0.53	101	0.12	65	-0.06	17	0.00	17	0.00	101	0.00	1
-449	Min.	-0.62	130	-0.12	17	-0.48	103	0.00	65	-0.00	130	0.00	49

-448	Max	0.53	101	0.12	17	-0.07	65	0.00	65	0.00	101	0.00	1
-448	Min.	-0.62	130	-0.12	65	-0.48	107	0.00	17	-0.00	130	0.00	49
-447	Max	0.53	101	0.12	65	-0.07	17	0.00	17	0.00	101	0.00	1
-447	Min.	-0.62	130	-0.12	17	-0.48	103	0.00	65	-0.00	130	0.00	49
-446	Max	0.53	101	0.12	17	-0.08	65	0.00	65	0.00	101	0.00	1
-446	Min.	-0.62	130	-0.12	65	-0.48	107	0.00	17	-0.00	130	0.00	49
-445	Max	0.53	101	0.12	65	-0.08	17	0.00	17	0.00	101	0.00	1
-445	Min.	-0.62	130	-0.12	17	-0.48	103	0.00	65	-0.00	130	0.00	49
-444	Max	0.53	101	0.12	17	-0.09	49	0.00	65	0.00	101	0.00	1
-444	Min.	-0.62	130	-0.12	65	-0.48	107	0.00	17	-0.00	130	0.00	49
-443	Max	0.53	101	0.12	65	-0.09	1	0.00	17	0.00	101	0.00	1
-443	Min.	-0.62	130	-0.12	17	-0.48	103	0.00	65	-0.00	130	0.00	49
-442	Max	0.53	101	0.12	17	-0.09	49	0.00	65	0.00	101	0.00	1
-442	Min.	-0.62	130	-0.12	65	-0.47	106	0.00	17	-0.00	130	0.00	49
-441	Max	0.53	101	0.12	65	-0.09	1	0.00	17	0.00	101	0.00	1
-441	Min.	-0.62	130	-0.12	17	-0.47	101	0.00	65	-0.00	130	0.00	49
-440	Max	0.53	101	0.12	17	-0.10	49	0.00	65	0.00	101	0.00	1
-440	Min.	-0.62	130	-0.12	65	-0.47	106	0.00	17	-0.00	130	0.00	49
-439	Max	0.53	101	0.12	65	-0.10	1	0.00	17	0.00	101	0.00	1
-439	Min.	-0.62	130	-0.12	17	-0.47	101	0.00	65	-0.00	130	0.00	49
-438	Max	0.53	101	0.12	17	-0.09	1	0.00	65	0.00	101	0.00	1
-438	Min.	-0.62	130	-0.12	65	-0.47	106	0.00	17	-0.00	130	0.00	49
-437	Max	0.53	101	0.12	65	-0.09	49	0.00	17	0.00	101	0.00	1
-437	Min.	-0.62	130	-0.12	17	-0.47	101	0.00	65	-0.00	130	0.00	49
-436	Max	0.53	101	0.12	17	-0.09	1	0.00	65	0.00	101	0.00	1
-436	Min.	-0.62	130	-0.12	65	-0.48	108	0.00	17	-0.00	130	0.00	49
-435	Max	0.53	101	0.12	65	-0.09	49	0.00	17	0.00	101	0.00	1
-435	Min.	-0.62	130	-0.12	17	-0.48	104	0.00	65	-0.00	130	0.00	49
-434	Max	0.53	101	0.12	17	-0.08	17	0.00	65	0.00	101	0.00	1
-434	Min.	-0.62	130	-0.12	65	-0.48	108	0.00	17	-0.00	130	0.00	49
-433	Max	0.53	101	0.12	65	-0.08	65	0.00	17	0.00	101	0.00	1
-433	Min.	-0.62	130	-0.12	17	-0.48	104	0.00	65	-0.00	130	0.00	49
-432	Max	0.53	101	0.12	17	-0.07	17	0.00	65	0.00	101	0.00	1
-432	Min.	-0.62	130	-0.12	65	-0.48	108	0.00	17	-0.00	130	0.00	49
-431	Max	0.53	101	0.12	65	-0.07	65	0.00	17	0.00	101	0.00	1
-431	Min.	-0.62	130	-0.12	17	-0.48	104	0.00	65	-0.00	130	0.00	49
-430	Max	0.53	101	0.12	17	-0.06	17	0.00	65	0.00	101	0.00	1
-430	Min.	-0.62	130	-0.12	65	-0.48	108	0.00	17	-0.00	130	0.00	49
-429	Max	0.53	101	0.12	65	-0.06	65	0.00	17	0.00	101	0.00	1
-429	Min.	-0.62	130	-0.12	17	-0.48	104	0.00	65	-0.00	130	0.00	49
-428	Max	0.53	101	0.12	17	-0.05	17	0.00	65	0.00	101	0.00	1
-428	Min.	-0.62	130	-0.12	65	-0.48	108	0.00	177	-0.00	130	0.00	49
-427	Max	0.53	101	0.12	65	-0.05	65	0.00	17	0.00	101	0.00	1
-427	Min.	-0.62	130	-0.12	17	-0.48	104	0.00	177	-0.00	130	0.00	49
-426	Max	0.53	101	0.12	17	-0.03	17	0.00	65	0.00	101	0.00	1
-426	Min.	-0.62	130	-0.12	65	-0.49	108	0.00	177	-0.00	130	0.00	49
-425	Max	0.53	101	0.12	65	-0.03	65	0.00	17	0.00	101	0.00	1
-425	Min.	-0.62	130	-0.12	17	-0.49	104	0.00	177	-0.00	130	0.00	49
-424	Max	0.53	101	0.12	17	-0.02	17	0.00	65	0.00	101	0.00	1
-424	Min.	-0.62	130	-0.12	65	-0.49	108	0.00	177	-0.00	130	0.00	49
-423	Max	0.53	101	0.12	65	-0.02	65	0.00	17	0.00	101	0.00	1
-423	Min.	-0.62	130	-0.12	17	-0.49	104	0.00	177	-0.00	130	0.00	49
-422	Max	0.53	101	0.12	17	-0.01	17	0.00	65	0.00	101	0.00	1
-422	Min.	-0.62	130	-0.12	65	-0.49	108	0.00	177	-0.00	130	0.00	49
-421	Max	0.53	101	0.12	65	-0.01	65	0.00	17	0.00	101	0.00	1
-421	Min.	-0.62	130	-0.12	17	-0.49	104	0.00	177	-0.00	130	0.00	49
-420	Max	0.41	101	0.09	17	-0.01	65	0.00	65	0.00	101	0.00	1
-420	Min.	-0.47	130	-0.09	65	-0.49	107	0.00	17	-0.00	130	0.00	130
-419	Max	0.40	101	0.09	65	-0.01	17	0.00	17	0.00	101	0.00	1
-419	Min.	-0.47	130	-0.09	17	-0.49	103	0.00	65	-0.00	130	0.00	49
-418	Max	0.41	101	0.09	17	-0.02	65	0.00	65	0.00	101	0.00	1
-418	Min.	-0.47	130	-0.09	65	-0.49	107	0.00	17	-0.00	130	0.00	49
-417	Max	0.40	101	0.09	65	-0.02	17	0.00	17	0.00	101	0.00	1
-417	Min.	-0.47	130	-0.09	17	-0.49	103	0.00	65	-0.00	130	0.00	49
-416	Max	0.41	101	0.09	17	-0.03	65	0.00	65	0.00	101	0.00	1
-416	Min.	-0.47	130	-0.09	65	-0.49	107	0.00	17	-0.00	130	0.00	49
-415	Max	0.40	101	0.09	65	-0.03	17	0.00	17	0.00	101	0.00	1
-415	Min.	-0.47	130	-0.09	17	-0.49	103	0.00	65	-0.00	130	0.00	49
-414	Max	0.41	101	0.09	17	-0.05	65	0.00	65	0.00	101	0.00	1
-414	Min.	-0.47	130	-0.09	65	-0.48	107	0.00	17	-0.00	130	0.00	49
-413	Max	0.40	101	0.09	65	-0.05	17	0.00	17	0.00	101	0.00	1
-413	Min.	-0.47	130	-0.09	17	-0.48	103	0.00	65	-0.00	130	0.00	49
-412	Max	0.41	101	0.09	17	-0.06	65	0.00	65	0.00	101	0.00	1
-412	Min.	-0.47	130	-0.09	65	-0.48	107	0.00	17	-0.00	130	0.00	49
-411	Max	0.40	101	0.09	65	-0.06	17	0.00	17	0.00	101	0.00	1
-411	Min.	-0.47	130	-0.09	17	-0.48	103	0.00	65	-0.00	130	0.00	49
-410	Max	0.41	101	0.09	17	-0.07	65	0.00	65	0.00	101	0.00	1
-410	Min.	-0.47	130	-0.09	65	-0.48	107	0.00	17	-0.00	130	0.00	49
-409	Max	0.40	101	0.09	65	-0.07	17	0.00	17	0.00	101	0.00	1

-409	Min.	-0.47	130	-0.09	17	-0.48	103	0.00	65	-0.00	130	0.00	49
-408	Max	0.41	101	0.09	17	-0.08	65	0.00	65	0.00	101	0.00	1
-408	Min.	-0.47	130	-0.09	65	-0.48	107	0.00	17	-0.00	130	0.00	49
-407	Max	0.40	101	0.09	65	-0.08	17	0.00	17	0.00	101	0.00	1
-407	Min.	-0.47	130	-0.09	17	-0.48	103	0.00	65	-0.00	130	0.00	49
-406	Max	0.41	101	0.09	17	-0.09	49	0.00	65	0.00	101	0.00	1
-406	Min.	-0.47	130	-0.09	65	-0.48	107	0.00	17	-0.00	130	0.00	49
-405	Max	0.40	101	0.09	65	-0.09	1	0.00	17	0.00	101	0.00	1
-405	Min.	-0.47	130	-0.09	17	-0.48	103	0.00	65	-0.00	130	0.00	49
-404	Max	0.41	101	0.09	17	-0.09	49	0.00	65	0.00	101	0.00	106
-404	Min.	-0.47	130	-0.09	65	-0.47	106	0.00	17	-0.00	130	0.00	49
-403	Max	0.40	101	0.09	65	-0.09	1	0.00	17	0.00	101	0.00	1
-403	Min.	-0.47	130	-0.09	17	-0.47	101	0.00	65	-0.00	130	0.00	101
-402	Max	0.41	101	0.09	17	-0.09	1	0.00	65	0.00	101	0.00	1
-402	Min.	-0.47	130	-0.09	65	-0.47	106	0.00	17	-0.00	130	0.00	106
-401	Max	0.40	101	0.09	65	-0.09	49	0.00	17	0.00	101	0.00	101
-401	Min.	-0.47	130	-0.09	17	-0.47	101	0.00	65	-0.00	130	0.00	49
-400	Max	0.41	101	0.09	17	-0.09	1	0.00	65	0.00	101	0.00	1
-400	Min.	-0.47	130	-0.09	65	-0.48	108	0.00	17	-0.00	130	0.00	49
-399	Max	0.40	101	0.09	65	-0.09	49	0.00	17	0.00	101	0.00	1
-399	Min.	-0.47	130	-0.09	17	-0.48	104	0.00	65	-0.00	130	0.00	49
-398	Max	0.41	101	0.09	17	-0.08	17	0.00	65	0.00	101	0.00	1
-398	Min.	-0.47	130	-0.09	65	-0.48	108	0.00	17	-0.00	130	0.00	49
-397	Max	0.40	101	0.09	65	-0.08	65	0.00	17	0.00	101	0.00	1
-397	Min.	-0.47	130	-0.09	17	-0.48	104	0.00	65	-0.00	130	0.00	49
-396	Max	0.41	101	0.09	17	-0.07	17	0.00	65	0.00	101	0.00	1
-396	Min.	-0.47	130	-0.09	65	-0.48	108	0.00	17	-0.00	130	0.00	49
-395	Max	0.40	101	0.09	65	-0.07	65	0.00	17	0.00	101	0.00	1
-395	Min.	-0.47	130	-0.09	17	-0.48	104	0.00	65	-0.00	130	0.00	49
-394	Max	0.41	101	0.09	17	-0.06	17	0.00	65	0.00	101	0.00	1
-394	Min.	-0.47	130	-0.09	65	-0.48	108	0.00	17	-0.00	130	0.00	49
-393	Max	0.40	101	0.09	65	-0.06	65	0.00	17	0.00	101	0.00	1
-393	Min.	-0.47	130	-0.09	17	-0.48	104	0.00	65	-0.00	130	0.00	49
-392	Max	0.41	101	0.09	17	-0.05	17	0.00	65	0.00	101	0.00	1
-392	Min.	-0.47	130	-0.09	65	-0.48	108	0.00	177	-0.00	130	0.00	49
-391	Max	0.40	101	0.09	65	-0.05	65	0.00	17	0.00	101	0.00	1
-391	Min.	-0.47	130	-0.09	17	-0.48	104	0.00	177	-0.00	130	0.00	49
-390	Max	0.41	101	0.09	17	-0.03	17	0.00	65	0.00	101	0.00	1
-390	Min.	-0.47	130	-0.09	65	-0.49	108	0.00	177	-0.00	130	0.00	49
-389	Max	0.40	101	0.09	65	-0.03	65	0.00	17	0.00	101	0.00	1
-389	Min.	-0.47	130	-0.09	17	-0.49	104	0.00	177	-0.00	130	0.00	49
-388	Max	0.41	101	0.09	17	-0.02	17	0.00	65	0.00	101	0.00	1
-388	Min.	-0.47	130	-0.09	65	-0.49	108	0.00	177	-0.00	130	0.00	49
-387	Max	0.40	101	0.09	65	-0.02	65	0.00	17	0.00	101	0.00	1
-387	Min.	-0.47	130	-0.09	17	-0.49	104	0.00	177	-0.00	130	0.00	49
-386	Max	0.41	101	0.09	17	-0.01	17	0.00	65	0.00	101	0.00	130
-386	Min.	-0.47	130	-0.09	65	-0.49	108	0.00	177	-0.00	130	0.00	49
-385	Max	0.40	101	0.09	65	-0.01	65	0.00	17	0.00	101	0.00	1
-385	Min.	-0.47	130	-0.09	17	-0.49	104	0.00	177	-0.00	130	0.00	49
-384	Max	0.40	101	0.11	177	0.15	101	0.00	65	0.00	101	0.00	17
-384	Min.	-0.41	130	-0.08	65	-0.98	130	0.00	177	-0.00	130	0.00	177
-383	Max	0.33	101	0.11	177	0.29	130	0.00	17	0.00	101	0.00	177
-383	Min.	-0.46	130	-0.08	17	-0.98	101	0.00	177	-0.00	130	0.00	65
-382	Max	0.39	101	0.11	177	0.16	101	0.00	65	0.00	101	0.00	17
-382	Min.	-0.41	130	-0.08	65	-0.99	106	0.00	177	-0.00	130	0.00	177
-381	Max	0.33	101	0.11	177	0.30	130	0.00	17	0.00	101	0.00	177
-381	Min.	-0.45	130	-0.08	17	-0.99	101	0.00	177	-0.00	130	0.00	65
-380	Max	0.38	101	0.11	177	0.16	101	0.00	65	0.00	101	0.00	17
-380	Min.	-0.41	130	-0.08	65	-0.98	106	0.00	177	-0.00	130	0.00	177
-379	Max	0.34	101	0.11	177	0.30	130	0.00	17	0.00	101	0.00	177
-379	Min.	-0.44	130	-0.08	17	-0.98	101	0.00	177	-0.00	130	0.00	65
-378	Max	0.39	101	0.11	177	0.16	101	0.00	65	0.00	101	0.00	17
-378	Min.	-0.41	130	-0.08	65	-0.99	106	0.00	177	-0.00	130	0.00	177
-377	Max	0.33	101	0.11	177	0.30	130	0.00	17	0.00	101	0.00	177
-377	Min.	-0.45	130	-0.08	17	-0.99	101	0.00	177	-0.00	130	0.00	65
-376	Max	0.40	101	0.11	177	0.15	101	0.00	65	0.00	101	0.00	17
-376	Min.	-0.41	130	-0.08	65	-0.98	130	0.00	177	-0.00	130	0.00	177
-375	Max	0.33	101	0.11	177	0.29	130	0.00	17	0.00	101	0.00	177
-375	Min.	-0.46	130	-0.08	17	-0.98	101	0.00	177	-0.00	130	0.00	65
-374	Max	0.31	101	0.07	17	-0.01	65	0.00	65	0.00	101	0.00	1
-374	Min.	-0.35	130	-0.07	65	-0.49	107	0.00	17	-0.00	130	0.00	49
-373	Max	0.31	101	0.07	65	-0.01	17	0.00	17	0.00	101	0.00	1
-373	Min.	-0.35	130	-0.07	17	-0.49	103	0.00	65	-0.00	130	0.00	49
-372	Max	0.31	101	0.07	17	-0.02	65	0.00	65	0.00	101	0.00	1
-372	Min.	-0.35	130	-0.07	65	-0.49	107	0.00	17	-0.00	130	0.00	49
-371	Max	0.31	101	0.07	65	-0.02	17	0.00	17	0.00	101	0.00	1
-371	Min.	-0.35	130	-0.07	17	-0.49	103	0.00	65	-0.00	130	0.00	49
-370	Max	0.31	101	0.07	17	-0.03	65	0.00	65	0.00	101	0.00	1
-370	Min.	-0.35	130	-0.07	65	-0.49	107	0.00	17	-0.00	130	0.00	49

-369	Max	0.31	101	0.07	65	-0.03	17	0.00	17	0.00	101	0.00	1
-369	Min.	-0.35	130	-0.07	17	-0.49	103	0.00	65	-0.00	130	0.00	49
-368	Max	0.31	101	0.07	17	-0.05	65	0.00	65	0.00	101	0.00	1
-368	Min.	-0.35	130	-0.07	65	-0.48	107	0.00	17	-0.00	130	0.00	49
-367	Max	0.31	101	0.07	65	-0.05	17	0.00	17	0.00	101	0.00	1
-367	Min.	-0.35	130	-0.07	17	-0.48	103	0.00	65	-0.00	130	0.00	49
-366	Max	0.31	101	0.07	17	-0.06	65	0.00	65	0.00	101	0.00	1
-366	Min.	-0.35	130	-0.07	65	-0.48	107	0.00	17	-0.00	130	0.00	49
-365	Max	0.31	101	0.07	65	-0.06	17	0.00	17	0.00	101	0.00	1
-365	Min.	-0.35	130	-0.07	17	-0.48	103	0.00	65	-0.00	130	0.00	49
-364	Max	0.31	101	0.07	17	-0.07	65	0.00	65	0.00	101	0.00	1
-364	Min.	-0.35	130	-0.07	65	-0.48	107	0.00	17	-0.00	130	0.00	49
-363	Max	0.31	101	0.07	65	-0.07	17	0.00	17	0.00	101	0.00	1
-363	Min.	-0.35	130	-0.07	17	-0.48	103	0.00	65	-0.00	130	0.00	49
-362	Max	0.31	101	0.07	17	-0.08	65	0.00	65	0.00	101	0.00	1
-362	Min.	-0.35	130	-0.07	65	-0.48	107	0.00	17	-0.00	130	0.00	49
-361	Max	0.31	101	0.07	65	-0.08	17	0.00	17	0.00	101	0.00	1
-361	Min.	-0.35	130	-0.07	17	-0.48	103	0.00	65	-0.00	130	0.00	49
-360	Max	0.31	101	0.07	17	-0.09	49	0.00	65	0.00	101	0.00	1
-360	Min.	-0.35	130	-0.07	65	-0.48	107	0.00	17	-0.00	130	0.00	49
-359	Max	0.31	101	0.07	65	-0.09	1	0.00	17	0.00	101	0.00	1
-359	Min.	-0.35	130	-0.07	17	-0.48	103	0.00	65	-0.00	130	0.00	49
-358	Max	0.31	101	0.07	17	-0.09	49	0.00	65	0.00	101	0.00	1
-358	Min.	-0.35	130	-0.07	65	-0.47	106	0.00	17	-0.00	130	0.00	49
-357	Max	0.31	101	0.07	65	-0.09	1	0.00	17	0.00	101	0.00	1
-357	Min.	-0.35	130	-0.07	17	-0.47	101	0.00	65	-0.00	130	0.00	49
-356	Max	0.31	101	0.07	17	-0.10	49	0.00	65	0.00	101	0.00	1
-356	Min.	-0.35	130	-0.07	65	-0.47	106	0.00	17	-0.00	130	0.00	49
-355	Max	0.31	101	0.07	65	-0.10	1	0.00	17	0.00	101	0.00	1
-355	Min.	-0.35	130	-0.07	17	-0.47	101	0.00	65	-0.00	130	0.00	49
-354	Max	0.31	101	0.07	17	-0.09	1	0.00	65	0.00	101	0.00	1
-354	Min.	-0.35	130	-0.07	65	-0.47	106	0.00	17	-0.00	130	0.00	49
-353	Max	0.31	101	0.07	65	-0.09	49	0.00	17	0.00	101	0.00	1
-353	Min.	-0.35	130	-0.07	17	-0.47	101	0.00	65	-0.00	130	0.00	49
-352	Max	0.31	101	0.07	17	-0.09	1	0.00	65	0.00	101	0.00	1
-352	Min.	-0.35	130	-0.07	65	-0.48	108	0.00	17	-0.00	130	0.00	49
-351	Max	0.31	101	0.07	65	-0.09	49	0.00	17	0.00	101	0.00	1
-351	Min.	-0.35	130	-0.07	17	-0.48	104	0.00	65	-0.00	130	0.00	49
-350	Max	0.31	101	0.07	17	-0.08	17	0.00	65	0.00	101	0.00	1
-350	Min.	-0.35	130	-0.07	65	-0.48	108	0.00	17	-0.00	130	0.00	49
-349	Max	0.31	101	0.07	65	-0.08	65	0.00	17	0.00	101	0.00	1
-349	Min.	-0.35	130	-0.07	17	-0.48	104	0.00	65	-0.00	130	0.00	49
-348	Max	0.31	101	0.07	17	-0.07	17	0.00	65	0.00	101	0.00	1
-348	Min.	-0.35	130	-0.07	65	-0.48	108	0.00	17	-0.00	130	0.00	49
-347	Max	0.31	101	0.07	65	-0.07	65	0.00	17	0.00	101	0.00	1
-347	Min.	-0.35	130	-0.07	17	-0.48	104	0.00	65	-0.00	130	0.00	49
-346	Max	0.31	101	0.07	17	-0.06	17	0.00	65	0.00	101	0.00	1
-346	Min.	-0.35	130	-0.07	65	-0.48	108	0.00	17	-0.00	130	0.00	49
-345	Max	0.31	101	0.07	65	-0.06	65	0.00	17	0.00	101	0.00	1
-345	Min.	-0.35	130	-0.07	17	-0.48	104	0.00	65	-0.00	130	0.00	49
-344	Max	0.31	101	0.07	17	-0.05	17	0.00	65	0.00	101	0.00	1
-344	Min.	-0.35	130	-0.07	65	-0.48	108	0.00	17	-0.00	130	0.00	49
-343	Max	0.31	101	0.07	65	-0.05	65	0.00	17	0.00	101	0.00	1
-343	Min.	-0.35	130	-0.07	17	-0.48	104	0.00	65	-0.00	130	0.00	49
-342	Max	0.31	101	0.07	17	-0.03	17	0.00	65	0.00	101	0.00	1
-342	Min.	-0.35	130	-0.07	65	-0.49	108	0.00	17	-0.00	130	0.00	49
-341	Max	0.31	101	0.07	65	-0.03	65	0.00	17	0.00	101	0.00	1
-341	Min.	-0.35	130	-0.07	17	-0.49	104	0.00	65	-0.00	130	0.00	49
-340	Max	0.31	101	0.07	17	-0.02	17	0.00	65	0.00	101	0.00	1
-340	Min.	-0.35	130	-0.07	65	-0.49	108	0.00	17	-0.00	130	0.00	49
-339	Max	0.31	101	0.07	65	-0.02	65	0.00	17	0.00	101	0.00	1
-339	Min.	-0.35	130	-0.07	17	-0.49	104	0.00	65	-0.00	130	0.00	49
-338	Max	0.31	101	0.07	17	-0.01	17	0.00	65	0.00	101	0.00	1
-338	Min.	-0.35	130	-0.07	65	-0.49	108	0.00	17	-0.00	130	0.00	49
-337	Max	0.31	101	0.07	65	-0.01	65	0.00	17	0.00	101	0.00	1
-337	Min.	-0.35	130	-0.07	17	-0.49	104	0.00	65	-0.00	130	0.00	49
-336	Max	0.23	101	0.06	17	-0.01	65	0.00	65	0.00	101	0.00	1
-336	Min.	-0.27	130	-0.06	65	-0.49	107	0.00	17	-0.00	130	0.00	49
-335	Max	0.23	101	0.06	65	-0.01	17	0.00	17	0.00	101	0.00	1
-335	Min.	-0.27	130	-0.06	17	-0.49	103	0.00	65	-0.00	130	0.00	49
-334	Max	0.23	101	0.06	17	-0.02	65	0.00	65	0.00	101	0.00	1
-334	Min.	-0.27	130	-0.06	65	-0.49	107	0.00	17	-0.00	130	0.00	49
-333	Max	0.23	101	0.06	65	-0.02	17	0.00	17	0.00	101	0.00	1
-333	Min.	-0.27	130	-0.06	17	-0.49	103	0.00	65	-0.00	130	0.00	49
-332	Max	0.23	101	0.06	17	-0.03	65	0.00	65	0.00	101	0.00	1
-332	Min.	-0.27	130	-0.06	65	-0.49	107	0.00	17	-0.00	130	0.00	49
-331	Max	0.23	101	0.06	65	-0.03	17	0.00	17	0.00	101	0.00	1
-331	Min.	-0.27	130	-0.06	17	-0.49	103	0.00	65	-0.00	130	0.00	49
-330	Max	0.23	101	0.06	17	-0.05	65	0.00	65	0.00	101	0.00	1

-330	Min.	-0.27	130	-0.06	65	-0.48	107	0.00	17	-0.00	130	0.00	49
-329	Max	0.23	101	0.06	65	-0.05	17	0.00	17	0.00	101	0.00	1
-329	Min.	-0.27	130	-0.06	17	-0.48	103	0.00	65	-0.00	130	0.00	49
-328	Max	0.23	101	0.06	17	-0.06	65	0.00	65	0.00	101	0.00	1
-328	Min.	-0.27	130	-0.06	65	-0.48	107	0.00	17	-0.00	130	0.00	49
-327	Max	0.23	101	0.06	65	-0.06	17	0.00	17	0.00	101	0.00	1
-327	Min.	-0.27	130	-0.06	17	-0.48	103	0.00	65	-0.00	130	0.00	49
-326	Max	0.23	101	0.06	17	-0.07	65	0.00	65	0.00	101	0.00	1
-326	Min.	-0.27	130	-0.06	65	-0.48	107	0.00	17	-0.00	130	0.00	49
-325	Max	0.23	101	0.06	65	-0.07	17	0.00	17	0.00	101	0.00	1
-325	Min.	-0.27	130	-0.06	17	-0.48	103	0.00	65	-0.00	130	0.00	49
-324	Max	0.23	101	0.06	17	-0.08	65	0.00	65	0.00	101	0.00	1
-324	Min.	-0.27	130	-0.06	65	-0.48	107	0.00	17	-0.00	130	0.00	49
-323	Max	0.23	101	0.06	65	-0.08	17	0.00	17	0.00	101	0.00	1
-323	Min.	-0.27	130	-0.06	17	-0.48	103	0.00	65	-0.00	130	0.00	49
-322	Max	0.23	101	0.06	17	-0.09	49	0.00	65	0.00	101	0.00	17
-322	Min.	-0.27	130	-0.06	65	-0.48	107	0.00	17	-0.00	130	0.00	65
-321	Max	0.23	101	0.06	65	-0.09	1	0.00	17	0.00	101	0.00	17
-321	Min.	-0.27	130	-0.06	17	-0.48	103	0.00	65	-0.00	130	0.00	65
-320	Max	0.23	101	0.06	17	-0.09	49	0.00	65	0.00	101	0.00	1
-320	Min.	-0.27	130	-0.06	65	-0.47	106	0.00	17	-0.00	130	0.00	49
-319	Max	0.23	101	0.06	65	-0.09	1	0.00	17	0.00	101	0.00	1
-319	Min.	-0.27	130	-0.06	17	-0.47	101	0.00	65	-0.00	130	0.00	49
-318	Max	0.23	101	0.06	17	-0.10	49	0.00	65	0.00	101	0.00	17
-318	Min.	-0.27	130	-0.06	65	-0.47	106	0.00	17	-0.00	130	0.00	65
-317	Max	0.23	101	0.06	65	-0.10	1	0.00	17	0.00	101	0.00	17
-317	Min.	-0.27	130	-0.06	17	-0.47	101	0.00	65	-0.00	130	0.00	65
-316	Max	0.23	101	0.06	17	-0.09	1	0.00	65	0.00	101	0.00	1
-316	Min.	-0.27	130	-0.06	65	-0.47	106	0.00	17	-0.00	130	0.00	49
-315	Max	0.23	101	0.06	65	-0.09	49	0.00	17	0.00	101	0.00	1
-315	Min.	-0.27	130	-0.06	17	-0.47	101	0.00	65	-0.00	130	0.00	49
-314	Max	0.23	101	0.05	17	-0.09	1	0.00	65	0.00	101	0.00	17
-314	Min.	-0.27	130	-0.06	65	-0.48	108	0.00	17	-0.00	130	0.00	65
-313	Max	0.23	101	0.05	65	-0.09	49	0.00	17	0.00	101	0.00	17
-313	Min.	-0.27	130	-0.06	17	-0.48	104	0.00	65	-0.00	130	0.00	65
-312	Max	0.23	101	0.05	17	-0.08	17	0.00	65	0.00	101	0.00	17
-312	Min.	-0.27	130	-0.06	65	-0.48	108	0.00	17	-0.00	130	0.00	65
-311	Max	0.23	101	0.05	65	-0.08	65	0.00	17	0.00	101	0.00	17
-311	Min.	-0.27	130	-0.06	17	-0.48	104	0.00	65	-0.00	130	0.00	65
-310	Max	0.23	101	0.05	17	-0.07	17	0.00	65	0.00	101	0.00	17
-310	Min.	-0.27	130	-0.06	65	-0.48	108	0.00	17	-0.00	130	0.00	65
-309	Max	0.23	101	0.05	65	-0.07	65	0.00	17	0.00	101	0.00	17
-309	Min.	-0.27	130	-0.06	17	-0.48	104	0.00	65	-0.00	130	0.00	65
-308	Max	0.23	101	0.05	17	-0.06	17	0.00	65	0.00	101	0.00	17
-308	Min.	-0.27	130	-0.06	65	-0.48	108	0.00	17	-0.00	130	0.00	65
-307	Max	0.23	101	0.05	65	-0.06	65	0.00	17	0.00	101	0.00	17
-307	Min.	-0.27	130	-0.06	17	-0.48	104	0.00	65	-0.00	130	0.00	65
-306	Max	0.23	101	0.05	17	-0.05	17	0.00	65	0.00	101	0.00	1
-306	Min.	-0.27	130	-0.06	65	-0.48	108	0.00	17	-0.00	130	0.00	49
-305	Max	0.23	101	0.05	65	-0.05	65	0.00	17	0.00	101	0.00	1
-305	Min.	-0.27	130	-0.06	17	-0.48	104	0.00	65	-0.00	130	0.00	49
-304	Max	0.23	101	0.05	17	-0.03	17	0.00	65	0.00	101	0.00	1
-304	Min.	-0.27	130	-0.06	65	-0.49	108	0.00	17	-0.00	130	0.00	49
-303	Max	0.23	101	0.05	65	-0.03	65	0.00	17	0.00	101	0.00	1
-303	Min.	-0.27	130	-0.06	17	-0.49	104	0.00	65	-0.00	130	0.00	49
-302	Max	0.23	101	0.05	17	-0.02	17	0.00	65	0.00	101	0.00	1
-302	Min.	-0.27	130	-0.06	65	-0.49	108	0.00	17	-0.00	130	0.00	49
-301	Max	0.23	101	0.05	65	-0.02	65	0.00	17	0.00	101	0.00	1
-301	Min.	-0.27	130	-0.06	17	-0.49	104	0.00	65	-0.00	130	0.00	49
-300	Max	0.23	101	0.05	17	-0.01	17	0.00	65	0.00	101	0.00	1
-300	Min.	-0.27	130	-0.06	65	-0.49	108	0.00	17	-0.00	130	0.00	49
-299	Max	0.23	101	0.05	65	-0.01	65	0.00	17	0.00	101	0.00	1
-299	Min.	-0.27	130	-0.06	17	-0.49	104	0.00	65	-0.00	130	0.00	49
-298	Max	0.18	101	0.04	17	-0.01	65	0.00	65	0.00	101	0.00	1
-298	Min.	-0.22	130	-0.04	65	-0.49	107	0.00	17	-0.00	130	0.00	49
-297	Max	0.19	101	0.04	65	-0.01	17	0.00	17	0.00	101	0.00	1
-297	Min.	-0.21	130	-0.04	17	-0.49	103	0.00	65	-0.00	130	0.00	130
-296	Max	0.18	101	0.04	17	-0.02	65	0.00	65	0.00	101	0.00	1
-296	Min.	-0.22	130	-0.04	65	-0.49	107	0.00	17	-0.00	130	0.00	49
-295	Max	0.19	101	0.04	65	-0.02	17	0.00	17	0.00	101	0.00	1
-295	Min.	-0.21	130	-0.04	17	-0.49	103	0.00	65	-0.00	130	0.00	49
-294	Max	0.18	101	0.04	17	-0.03	65	0.00	65	0.00	101	0.00	1
-294	Min.	-0.22	130	-0.04	65	-0.49	107	0.00	17	-0.00	130	0.00	49
-293	Max	0.19	101	0.04	65	-0.03	17	0.00	17	0.00	101	0.00	1
-293	Min.	-0.21	130	-0.04	17	-0.49	103	0.00	65	-0.00	130	0.00	49
-292	Max	0.18	101	0.04	17	-0.05	65	0.00	65	0.00	101	0.00	1
-292	Min.	-0.22	130	-0.04	65	-0.48	107	0.00	17	-0.00	130	0.00	49
-291	Max	0.19	101	0.04	65	-0.05	17	0.00	17	0.00	101	0.00	1
-291	Min.	-0.21	130	-0.04	17	-0.48	103	0.00	65	-0.00	130	0.00	49

-290	Max	0.18	101	0.04	17	-0.06	65	0.00	65	0.00	101	0.00	1
-290	Min.	-0.22	130	-0.04	65	-0.48	107	0.00	17	-0.00	130	0.00	49
-289	Max	0.19	101	0.04	65	-0.06	17	0.00	17	0.00	101	0.00	1
-289	Min.	-0.21	130	-0.04	17	-0.48	103	0.00	65	-0.00	130	0.00	49
-288	Max	0.18	101	0.04	17	-0.07	65	0.00	65	0.00	101	0.00	17
-288	Min.	-0.22	130	-0.04	65	-0.48	107	0.00	17	-0.00	130	0.00	65
-287	Max	0.19	101	0.04	65	-0.07	17	0.00	17	0.00	101	0.00	17
-287	Min.	-0.21	130	-0.04	17	-0.48	103	0.00	65	-0.00	130	0.00	65
-286	Max	0.18	101	0.04	17	-0.08	65	0.00	65	0.00	101	0.00	17
-286	Min.	-0.22	130	-0.04	65	-0.48	107	0.00	17	-0.00	130	0.00	65
-285	Max	0.19	101	0.04	65	-0.08	17	0.00	17	0.00	101	0.00	17
-285	Min.	-0.21	130	-0.04	17	-0.48	103	0.00	65	-0.00	130	0.00	65
-284	Max	0.18	101	0.04	17	-0.09	49	0.00	65	0.00	101	0.00	17
-284	Min.	-0.22	130	-0.04	65	-0.48	107	0.00	17	-0.00	130	0.00	65
-283	Max	0.19	101	0.04	65	-0.09	1	0.00	17	0.00	101	0.00	17
-283	Min.	-0.21	130	-0.04	17	-0.48	103	0.00	65	-0.00	130	0.00	65
-282	Max	0.18	101	0.04	17	-0.09	49	0.00	65	0.00	101	0.00	17
-282	Min.	-0.22	130	-0.04	65	-0.47	106	0.00	17	-0.00	130	0.00	65
-281	Max	0.19	101	0.04	65	-0.09	1	0.00	17	0.00	101	0.00	17
-281	Min.	-0.21	130	-0.04	17	-0.47	101	0.00	65	-0.00	130	0.00	65
-280	Max	0.18	101	0.04	17	-0.10	49	0.00	65	0.00	101	0.00	17
-280	Min.	-0.22	130	-0.04	65	-0.47	106	0.00	17	-0.00	130	0.00	65
-279	Max	0.19	101	0.04	65	-0.10	1	0.00	17	0.00	101	0.00	17
-279	Min.	-0.21	130	-0.04	17	-0.47	101	0.00	65	-0.00	130	0.00	65
-278	Max	0.18	101	0.04	17	-0.09	1	0.00	65	0.00	101	0.00	17
-278	Min.	-0.22	130	-0.04	65	-0.47	106	0.00	17	-0.00	130	0.00	65
-277	Max	0.19	101	0.04	65	-0.09	49	0.00	17	0.00	101	0.00	17
-277	Min.	-0.21	130	-0.04	17	-0.47	101	0.00	65	-0.00	130	0.00	65
-276	Max	0.18	101	0.04	17	-0.09	1	0.00	65	0.00	101	0.00	17
-276	Min.	-0.22	130	-0.04	65	-0.48	108	0.00	17	-0.00	130	0.00	65
-275	Max	0.19	101	0.04	65	-0.09	49	0.00	17	0.00	101	0.00	17
-275	Min.	-0.21	130	-0.04	17	-0.48	104	0.00	65	-0.00	130	0.00	65
-274	Max	0.18	101	0.04	17	-0.08	17	0.00	65	0.00	101	0.00	17
-274	Min.	-0.22	130	-0.04	65	-0.48	108	0.00	17	-0.00	130	0.00	65
-273	Max	0.19	101	0.04	65	-0.08	65	0.00	17	0.00	101	0.00	17
-273	Min.	-0.21	130	-0.04	17	-0.48	104	0.00	65	-0.00	130	0.00	65
-272	Max	0.18	101	0.04	17	-0.07	17	0.00	65	0.00	101	0.00	17
-272	Min.	-0.22	130	-0.04	65	-0.48	108	0.00	17	-0.00	130	0.00	65
-271	Max	0.19	101	0.04	65	-0.07	65	0.00	17	0.00	101	0.00	17
-271	Min.	-0.21	130	-0.04	17	-0.48	104	0.00	65	-0.00	130	0.00	65
-270	Max	0.18	101	0.04	17	-0.06	17	0.00	65	0.00	101	0.00	17
-270	Min.	-0.22	130	-0.04	65	-0.48	108	0.00	17	-0.00	130	0.00	65
-269	Max	0.19	101	0.04	65	-0.06	65	0.00	17	0.00	101	0.00	17
-269	Min.	-0.21	130	-0.04	17	-0.48	104	0.00	65	-0.00	130	0.00	65
-268	Max	0.18	101	0.04	17	-0.05	17	0.00	65	0.00	101	0.00	1
-268	Min.	-0.22	130	-0.04	65	-0.48	108	0.00	17	-0.00	130	0.00	49
-267	Max	0.19	101	0.04	65	-0.05	65	0.00	17	0.00	101	0.00	1
-267	Min.	-0.21	130	-0.04	17	-0.48	104	0.00	65	-0.00	130	0.00	49
-266	Max	0.18	101	0.04	17	-0.03	17	0.00	65	0.00	101	0.00	1
-266	Min.	-0.22	130	-0.04	65	-0.49	108	0.00	17	-0.00	130	0.00	49
-265	Max	0.19	101	0.04	65	-0.03	65	0.00	17	0.00	101	0.00	1
-265	Min.	-0.21	130	-0.04	17	-0.49	104	0.00	65	-0.00	130	0.00	49
-264	Max	0.18	101	0.04	17	-0.02	17	0.00	65	0.00	101	0.00	1
-264	Min.	-0.22	130	-0.04	65	-0.49	108	0.00	17	-0.00	130	0.00	49
-263	Max	0.19	101	0.04	65	-0.02	65	0.00	17	0.00	101	0.00	1
-263	Min.	-0.21	130	-0.04	17	-0.49	104	0.00	65	-0.00	130	0.00	49
-262	Max	0.18	101	0.04	17	-0.01	17	0.00	65	0.00	101	0.00	1
-262	Min.	-0.22	130	-0.04	65	-0.49	108	0.00	17	-0.00	130	0.00	49
-261	Max	0.19	101	0.04	65	-0.01	65	0.00	17	0.00	101	0.00	130
-261	Min.	-0.21	130	-0.04	17	-0.49	104	0.00	65	-0.00	130	0.00	49
-260	Max	0.09	101	0.02	17	-0.01	65	0.00	65	0.00	101	0.00	101
-260	Min.	-0.11	130	-0.02	65	-0.49	107	0.00	17	-0.00	130	0.00	130
-259	Max	0.09	101	0.02	65	-0.01	17	0.00	17	0.00	101	0.00	1
-259	Min.	-0.11	130	-0.02	17	-0.49	103	0.00	65	-0.00	130	0.00	130
-258	Max	0.09	101	0.02	17	-0.02	65	0.00	65	0.00	101	0.00	101
-258	Min.	-0.11	130	-0.02	65	-0.49	107	0.00	17	-0.00	130	0.00	49
-257	Max	0.09	101	0.02	65	-0.02	17	0.00	17	0.00	101	0.00	1
-257	Min.	-0.11	130	-0.02	17	-0.49	103	0.00	65	-0.00	130	0.00	130
-256	Max	0.09	101	0.02	17	-0.03	65	0.00	65	0.00	101	0.00	101
-256	Min.	-0.11	130	-0.02	65	-0.48	107	0.00	17	-0.00	130	0.00	49
-255	Max	0.09	101	0.02	65	-0.03	17	0.00	17	0.00	101	0.00	1
-255	Min.	-0.11	130	-0.02	17	-0.48	103	0.00	65	-0.00	130	0.00	130
-254	Max	0.09	101	0.02	17	-0.05	65	0.00	65	0.00	101	0.00	1
-254	Min.	-0.11	130	-0.02	65	-0.48	107	0.00	17	-0.00	130	0.00	49
-253	Max	0.09	101	0.02	65	-0.05	17	0.00	17	0.00	101	0.00	1
-253	Min.	-0.11	130	-0.02	17	-0.48	103	0.00	65	-0.00	130	0.00	49
-252	Max	0.09	101	0.02	17	-0.06	65	0.00	65	0.00	101	0.00	1
-252	Min.	-0.11	130	-0.02	65	-0.48	107	0.00	17	-0.00	130	0.00	49
-251	Max	0.09	101	0.02	65	-0.06	17	0.00	17	0.00	101	0.00	1

-251	Min.	-0.11	130	-0.02	17	-0.48	103	0.00	65	-0.00	130	0.00	49
-250	Max	0.09	101	0.02	17	-0.07	65	0.00	65	0.00	101	0.00	1
-250	Min.	-0.11	130	-0.02	65	-0.48	107	0.00	17	-0.00	130	0.00	49
-249	Max	0.09	101	0.02	65	-0.07	17	0.00	17	0.00	101	0.00	1
-249	Min.	-0.11	130	-0.02	17	-0.48	103	0.00	65	-0.00	130	0.00	49
-248	Max	0.09	101	0.02	17	-0.08	65	0.00	65	0.00	101	0.00	1
-248	Min.	-0.11	130	-0.02	65	-0.48	107	0.00	17	-0.00	130	0.00	49
-247	Max	0.09	101	0.02	65	-0.08	17	0.00	17	0.00	101	0.00	1
-247	Min.	-0.11	130	-0.02	17	-0.48	103	0.00	65	-0.00	130	0.00	49
-246	Max	0.09	101	0.02	17	-0.09	49	0.00	65	0.00	101	0.00	17
-246	Min.	-0.11	130	-0.02	65	-0.48	107	0.00	17	-0.00	130	0.00	65
-245	Max	0.09	101	0.02	65	-0.09	1	0.00	17	0.00	101	0.00	17
-245	Min.	-0.11	130	-0.02	17	-0.48	103	0.00	65	-0.00	130	0.00	65
-244	Max	0.09	101	0.02	17	-0.09	49	0.00	65	0.00	101	0.00	17
-244	Min.	-0.11	130	-0.02	65	-0.47	106	0.00	17	-0.00	130	0.00	65
-243	Max	0.09	101	0.02	65	-0.09	1	0.00	17	0.00	101	0.00	17
-243	Min.	-0.11	130	-0.02	17	-0.47	101	0.00	65	-0.00	130	0.00	65
-242	Max	0.09	101	0.02	17	-0.10	49	0.00	65	0.00	101	0.00	17
-242	Min.	-0.11	130	-0.02	65	-0.47	106	0.00	17	-0.00	130	0.00	65
-241	Max	0.09	101	0.02	65	-0.10	1	0.00	17	0.00	101	0.00	17
-241	Min.	-0.11	130	-0.02	17	-0.47	101	0.00	65	-0.00	130	0.00	65
-240	Max	0.09	101	0.02	17	-0.09	1	0.00	65	0.00	101	0.00	17
-240	Min.	-0.11	130	-0.02	65	-0.47	106	0.00	17	-0.00	130	0.00	65
-239	Max	0.09	101	0.02	65	-0.09	49	0.00	17	0.00	101	0.00	17
-239	Min.	-0.11	130	-0.02	17	-0.47	101	0.00	65	-0.00	130	0.00	65
-238	Max	0.09	101	0.02	17	-0.09	1	0.00	65	0.00	101	0.00	17
-238	Min.	-0.11	130	-0.02	65	-0.48	108	0.00	17	-0.00	130	0.00	65
-237	Max	0.09	101	0.02	65	-0.09	49	0.00	17	0.00	101	0.00	17
-237	Min.	-0.11	130	-0.02	17	-0.48	104	0.00	65	-0.00	130	0.00	65
-236	Max	0.09	101	0.02	17	-0.08	17	0.00	65	0.00	101	0.00	1
-236	Min.	-0.11	130	-0.02	65	-0.48	108	0.00	17	-0.00	130	0.00	49
-235	Max	0.09	101	0.02	65	-0.08	65	0.00	17	0.00	101	0.00	1
-235	Min.	-0.11	130	-0.02	17	-0.48	104	0.00	65	-0.00	130	0.00	49
-234	Max	0.09	101	0.02	17	-0.07	17	0.00	65	0.00	101	0.00	17
-234	Min.	-0.11	130	-0.02	65	-0.48	108	0.00	17	-0.00	130	0.00	65
-233	Max	0.09	101	0.02	65	-0.07	65	0.00	17	0.00	101	0.00	17
-233	Min.	-0.11	130	-0.02	17	-0.48	104	0.00	65	-0.00	130	0.00	65
-232	Max	0.09	101	0.02	17	-0.06	17	0.00	65	0.00	101	0.00	17
-232	Min.	-0.11	130	-0.02	65	-0.48	108	0.00	17	-0.00	130	0.00	65
-231	Max	0.09	101	0.02	65	-0.06	65	0.00	17	0.00	101	0.00	17
-231	Min.	-0.11	130	-0.02	17	-0.48	104	0.00	65	-0.00	130	0.00	65
-230	Max	0.09	101	0.02	17	-0.05	17	0.00	65	0.00	101	0.00	1
-230	Min.	-0.11	130	-0.02	65	-0.48	108	0.00	17	-0.00	130	0.00	49
-229	Max	0.09	101	0.02	65	-0.05	65	0.00	17	0.00	101	0.00	1
-229	Min.	-0.11	130	-0.02	17	-0.48	104	0.00	65	-0.00	130	0.00	49
-228	Max	0.09	101	0.02	17	-0.03	17	0.00	65	0.00	101	0.00	1
-228	Min.	-0.11	130	-0.02	65	-0.49	108	0.00	17	-0.00	130	0.00	101
-227	Max	0.09	101	0.02	65	-0.03	65	0.00	17	0.00	101	0.00	130
-227	Min.	-0.11	130	-0.02	17	-0.49	104	0.00	65	-0.00	130	0.00	49
-226	Max	0.09	101	0.02	17	-0.02	17	0.00	65	0.00	101	0.00	1
-226	Min.	-0.11	130	-0.02	65	-0.49	108	0.00	17	-0.00	130	0.00	101
-225	Max	0.09	101	0.02	65	-0.02	65	0.00	17	0.00	101	0.00	130
-225	Min.	-0.11	130	-0.02	17	-0.49	104	0.00	65	-0.00	130	0.00	49
-224	Max	0.09	101	0.02	17	-0.01	17	0.00	65	0.00	101	0.00	130
-224	Min.	-0.11	130	-0.02	65	-0.49	108	0.00	17	-0.00	130	0.00	101
-223	Max	0.09	101	0.02	65	-0.01	65	0.00	17	0.00	101	0.00	130
-223	Min.	-0.11	130	-0.02	17	-0.49	104	0.00	65	-0.00	130	0.00	49
-222	Max	0.00	1	0.00	1	0.00	65	0.00	65	0.00	101	0.00	1
-222	Min.	0.00	1	0.00	1	-0.54	103	0.00	17	-0.00	130	0.00	1
-221	Max	0.00	1	0.00	1	-0.01	65	0.00	65	0.00	101	0.00	1
-221	Min.	0.00	1	0.00	1	-0.43	103	0.00	17	-0.00	130	0.00	1
-220	Max	0.00	1	0.00	1	-0.03	65	0.00	65	0.00	101	0.00	1
-220	Min.	0.00	1	0.00	1	-0.38	107	0.00	17	-0.00	130	0.00	1
-219	Max	0.00	1	0.00	1	-0.02	65	0.00	65	0.00	101	0.00	1
-219	Min.	0.00	1	0.00	1	-0.46	107	0.00	17	-0.00	130	0.00	1
-218	Max	0.00	1	0.00	1	-0.01	65	0.00	65	0.00	101	0.00	1
-218	Min.	0.00	1	0.00	1	-0.49	107	0.00	17	-0.00	130	0.00	1
-217	Max	0.00	1	0.00	1	0.00	65	0.00	65	0.00	101	0.00	1
-217	Min.	0.00	1	0.00	1	-0.58	107	0.00	17	-0.00	130	0.00	1
-216	Max	0.00	1	0.00	1	0.00	17	0.00	17	0.00	101	0.00	1
-216	Min.	0.00	1	0.00	1	-0.58	103	0.00	65	-0.00	130	0.00	1
-215	Max	0.00	1	0.00	1	-0.01	17	0.00	17	0.00	101	0.00	1
-215	Min.	0.00	1	0.00	1	-0.49	103	0.00	65	-0.00	130	0.00	1
-214	Max	0.00	1	0.00	1	-0.02	17	0.00	17	0.00	101	0.00	1
-214	Min.	0.00	1	0.00	1	-0.46	103	0.00	65	-0.00	130	0.00	1
-213	Max	0.00	1	0.00	1	-0.03	17	0.00	17	0.00	101	0.00	1
-213	Min.	0.00	1	0.00	1	-0.38	103	0.00	65	-0.00	130	0.00	1
-212	Max	0.00	1	0.00	1	-0.01	17	0.00	17	0.00	101	0.00	1
-212	Min.	0.00	1	0.00	1	-0.43	107	0.00	65	-0.00	130	0.00	1

-211	Max	0.00	1	0.00	1	0.00	17	0.00	17	0.00	101	0.00	1
-211	Min.	0.00	1	0.00	1	-0.54	131	0.00	65	-0.00	130	0.00	1
-210	Max	0.00	1	0.00	1	-0.00	168	0.00	65	0.00	101	0.00	1
-210	Min.	0.00	1	0.00	1	-0.54	103	0.00	17	-0.00	130	0.00	1
-209	Max	0.00	1	0.00	1	-0.02	65	0.00	65	0.00	101	0.00	1
-209	Min.	0.00	1	0.00	1	-0.43	103	0.00	17	-0.00	130	0.00	1
-208	Max	0.00	1	0.00	1	-0.03	65	0.00	65	0.00	101	0.00	1
-208	Min.	0.00	1	0.00	1	-0.37	107	0.00	17	-0.00	130	0.00	1
-207	Max	0.00	1	0.00	1	-0.02	65	0.00	65	0.00	101	0.00	1
-207	Min.	0.00	1	0.00	1	-0.46	107	0.00	17	-0.00	130	0.00	1
-206	Max	0.00	1	0.00	1	-0.02	65	0.00	65	0.00	101	0.00	1
-206	Min.	0.00	1	0.00	1	-0.49	107	0.00	17	-0.00	130	0.00	1
-205	Max	0.00	1	0.00	1	-0.01	65	0.00	65	0.00	101	0.00	1
-205	Min.	0.00	1	0.00	1	-0.57	107	0.00	17	-0.00	130	0.00	1
-204	Max	0.00	1	0.00	1	-0.01	17	0.00	17	0.00	101	0.00	1
-204	Min.	0.00	1	0.00	1	-0.57	103	0.00	65	-0.00	130	0.00	1
-203	Max	0.00	1	0.00	1	-0.02	17	0.00	17	0.00	101	0.00	1
-203	Min.	0.00	1	0.00	1	-0.49	103	0.00	65	-0.00	130	0.00	1
-202	Max	0.00	1	0.00	1	-0.02	17	0.00	17	0.00	101	0.00	1
-202	Min.	0.00	1	0.00	1	-0.46	103	0.00	65	-0.00	130	0.00	1
-201	Max	0.00	1	0.00	1	-0.03	17	0.00	17	0.00	101	0.00	1
-201	Min.	0.00	1	0.00	1	-0.37	103	0.00	65	-0.00	130	0.00	1
-200	Max	0.00	1	0.00	1	-0.02	17	0.00	17	0.00	101	0.00	1
-200	Min.	0.00	1	0.00	1	-0.43	107	0.00	65	-0.00	130	0.00	1
-199	Max	0.00	1	0.00	1	-0.00	17	0.00	17	0.00	101	0.00	1
-199	Min.	0.00	1	0.00	1	-0.54	131	0.00	65	-0.00	130	0.00	1
-198	Max	0.00	1	0.00	1	-0.01	168	0.00	65	0.00	101	0.00	1
-198	Min.	0.00	1	0.00	1	-0.53	103	0.00	17	-0.00	130	0.00	1
-197	Max	0.00	1	0.00	1	-0.02	65	0.00	65	0.00	101	0.00	1
-197	Min.	0.00	1	0.00	1	-0.43	103	0.00	17	-0.00	130	0.00	1
-196	Max	0.00	1	0.00	1	-0.04	65	0.00	65	0.00	101	0.00	1
-196	Min.	0.00	1	0.00	1	-0.37	107	0.00	17	-0.00	130	0.00	1
-195	Max	0.00	1	0.00	1	-0.03	65	0.00	65	0.00	101	0.00	1
-195	Min.	0.00	1	0.00	1	-0.46	107	0.00	17	-0.00	130	0.00	1
-194	Max	0.00	1	0.00	1	-0.03	65	0.00	65	0.00	101	0.00	1
-194	Min.	0.00	1	0.00	1	-0.48	107	0.00	17	-0.00	130	0.00	1
-193	Max	0.00	1	0.00	1	-0.01	65	0.00	65	0.00	101	0.00	1
-193	Min.	0.00	1	0.00	1	-0.57	107	0.00	17	-0.00	130	0.00	1
-192	Max	0.00	1	0.00	1	-0.01	17	0.00	17	0.00	101	0.00	1
-192	Min.	0.00	1	0.00	1	-0.57	103	0.00	65	-0.00	130	0.00	1
-191	Max	0.00	1	0.00	1	-0.03	17	0.00	17	0.00	101	0.00	1
-191	Min.	0.00	1	0.00	1	-0.48	103	0.00	65	-0.00	130	0.00	1
-190	Max	0.00	1	0.00	1	-0.03	17	0.00	17	0.00	101	0.00	1
-190	Min.	0.00	1	0.00	1	-0.46	103	0.00	65	-0.00	130	0.00	1
-189	Max	0.00	1	0.00	1	-0.04	17	0.00	17	0.00	101	0.00	1
-189	Min.	0.00	1	0.00	1	-0.37	103	0.00	65	-0.00	130	0.00	1
-188	Max	0.00	1	0.00	1	-0.02	17	0.00	17	0.00	101	0.00	1
-188	Min.	0.00	1	0.00	1	-0.43	107	0.00	65	-0.00	130	0.00	1
-187	Max	0.00	1	0.00	1	-0.01	1	0.00	17	0.00	101	0.00	1
-187	Min.	0.00	1	0.00	1	-0.54	131	0.00	65	-0.00	130	0.00	1
-186	Max	0.00	1	0.00	1	-0.01	166	0.00	65	0.00	101	0.00	1
-186	Min.	0.00	1	0.00	1	-0.53	101	0.00	17	-0.00	130	0.00	1
-185	Max	0.00	1	0.00	1	-0.05	65	0.00	65	0.00	101	0.00	1
-185	Min.	0.00	1	0.00	1	-0.43	103	0.00	17	-0.00	130	0.00	1
-184	Max	0.00	1	0.00	1	-0.06	65	0.00	65	0.00	101	0.00	1
-184	Min.	0.00	1	0.00	1	-0.37	107	0.00	17	-0.00	130	0.00	1
-182	Max	0.00	1	0.00	1	-0.05	65	0.00	65	0.00	101	0.00	1
-182	Min.	0.00	1	0.00	1	-0.48	107	0.00	17	-0.00	130	0.00	1
-181	Max	0.00	1	0.00	1	-0.03	49	0.00	65	0.00	101	0.00	1
-181	Min.	0.00	1	0.00	1	-0.57	107	0.00	17	-0.00	130	0.00	1
-180	Max	0.00	1	0.00	1	-0.03	1	0.00	17	0.00	101	0.00	1
-180	Min.	0.00	1	0.00	1	-0.57	103	0.00	65	-0.00	130	0.00	1
-179	Max	0.00	1	0.00	1	-0.05	17	0.00	17	0.00	101	0.00	1
-179	Min.	0.00	1	0.00	1	-0.48	103	0.00	65	-0.00	130	0.00	1
-177	Max	0.00	1	0.00	1	-0.06	17	0.00	17	0.00	101	0.00	1
-177	Min.	0.00	1	0.00	1	-0.37	103	0.00	65	-0.00	130	0.00	1
-176	Max	0.00	1	0.00	1	-0.05	17	0.00	17	0.00	101	0.00	1
-176	Min.	0.00	1	0.00	1	-0.43	107	0.00	65	-0.00	130	0.00	1
-175	Max	0.00	1	0.00	1	-0.02	1	0.00	17	0.00	101	0.00	1
-175	Min.	0.00	1	0.00	1	-0.54	130	0.00	65	-0.00	130	0.00	1
-174	Max	0.00	1	0.00	1	-0.01	166	0.00	65	0.00	101	0.00	1
-174	Min.	0.00	1	0.00	1	-0.53	101	0.00	17	-0.00	130	0.00	1
-173	Max	0.00	1	0.00	1	-0.05	65	0.00	65	0.00	101	0.00	1
-173	Min.	0.00	1	0.00	1	-0.43	103	0.00	17	-0.00	130	0.00	1
-172	Max	0.00	1	0.00	1	-0.07	65	0.00	65	0.00	101	0.00	1
-172	Min.	0.00	1	0.00	1	-0.37	107	0.00	17	-0.00	130	0.00	1
-171	Max	0.00	1	0.00	1	-0.06	65	0.00	65	0.00	101	0.00	1
-171	Min.	0.00	1	0.00	1	-0.46	107	0.00	17	-0.00	130	0.00	1
-170	Max	0.00	1	0.00	1	-0.06	65	0.00	65	0.00	101	0.00	1

-170	Min.	0.00	1	0.00	1	-0.48	107	0.00	17	-0.00	130	0.00	1
-169	Max	0.00	1	0.00	1	-0.03	49	0.00	65	0.00	101	0.00	1
-169	Min.	0.00	1	0.00	1	-0.57	107	0.00	17	-0.00	130	0.00	1
-168	Max	0.00	1	0.00	1	-0.03	1	0.00	17	0.00	101	0.00	1
-168	Min.	0.00	1	0.00	1	-0.57	103	0.00	65	-0.00	130	0.00	1
-167	Max	0.00	1	0.00	1	-0.06	17	0.00	17	0.00	101	0.00	1
-167	Min.	0.00	1	0.00	1	-0.48	103	0.00	65	-0.00	130	0.00	1
-166	Max	0.00	1	0.00	1	-0.06	17	0.00	17	0.00	101	0.00	1
-166	Min.	0.00	1	0.00	1	-0.46	103	0.00	65	-0.00	130	0.00	1
-165	Max	0.00	1	0.00	1	-0.07	17	0.00	17	0.00	101	0.00	1
-165	Min.	0.00	1	0.00	1	-0.37	103	0.00	65	-0.00	130	0.00	1
-164	Max	0.00	1	0.00	1	-0.05	17	0.00	17	0.00	101	0.00	1
-164	Min.	0.00	1	0.00	1	-0.43	107	0.00	65	-0.00	130	0.00	1
-163	Max	0.00	1	0.00	1	-0.02	1	0.00	17	0.00	101	0.00	1
-163	Min.	0.00	1	0.00	1	-0.54	130	0.00	65	-0.00	130	0.00	1
-162	Max	0.00	1	0.00	1	-0.01	166	0.00	65	0.00	101	0.00	1
-162	Min.	0.00	1	0.00	1	-0.53	101	0.00	17	-0.00	130	0.00	1
-161	Max	0.00	1	0.00	1	-0.07	65	0.00	65	0.00	101	0.00	1
-161	Min.	0.00	1	0.00	1	-0.42	103	0.00	17	-0.00	130	0.00	1
-160	Max	0.00	1	0.00	1	-0.08	65	0.00	65	0.00	101	0.00	1
-160	Min.	0.00	1	0.00	1	-0.37	107	0.00	17	-0.00	130	0.00	1
-159	Max	0.00	1	0.00	1	-0.07	65	0.00	65	0.00	101	0.00	1
-159	Min.	0.00	1	0.00	1	-0.46	107	0.00	17	-0.00	130	0.00	1
-158	Max	0.00	1	0.00	1	-0.07	65	0.00	65	0.00	101	0.00	1
-158	Min.	0.00	1	0.00	1	-0.48	107	0.00	17	-0.00	130	0.00	1
-157	Max	0.00	1	0.00	1	-0.04	49	0.00	65	0.00	101	0.00	1
-157	Min.	0.00	1	0.00	1	-0.57	107	0.00	17	-0.00	130	0.00	1
-156	Max	0.00	1	0.00	1	-0.04	1	0.00	17	0.00	101	0.00	1
-156	Min.	0.00	1	0.00	1	-0.57	103	0.00	65	-0.00	130	0.00	1
-155	Max	0.00	1	0.00	1	-0.07	17	0.00	17	0.00	101	0.00	1
-155	Min.	0.00	1	0.00	1	-0.48	103	0.00	65	-0.00	130	0.00	1
-154	Max	0.00	1	0.00	1	-0.07	17	0.00	17	0.00	101	0.00	1
-154	Min.	0.00	1	0.00	1	-0.46	103	0.00	65	-0.00	130	0.00	1
-153	Max	0.00	1	0.00	1	-0.08	17	0.00	17	0.00	101	0.00	1
-153	Min.	0.00	1	0.00	1	-0.37	103	0.00	65	-0.00	130	0.00	1
-152	Max	0.00	1	0.00	1	-0.07	17	0.00	17	0.00	101	0.00	1
-152	Min.	0.00	1	0.00	1	-0.42	107	0.00	65	-0.00	130	0.00	1
-151	Max	0.00	1	0.00	1	-0.02	1	0.00	17	0.00	101	0.00	1
-151	Min.	0.00	1	0.00	1	-0.54	130	0.00	65	-0.00	130	0.00	1
-150	Max	0.00	1	0.00	1	-0.01	166	0.00	65	0.00	101	0.00	1
-150	Min.	0.00	1	0.00	1	-0.53	101	0.00	17	-0.00	130	0.00	1
-149	Max	0.00	1	0.00	1	-0.08	168	0.00	65	0.00	101	0.00	1
-149	Min.	0.00	1	0.00	1	-0.42	103	0.00	17	-0.00	130	0.00	1
-148	Max	0.00	1	0.00	1	-0.09	65	0.00	65	0.00	101	0.00	1
-148	Min.	0.00	1	0.00	1	-0.37	107	0.00	17	-0.00	130	0.00	1
-147	Max	0.00	1	0.00	1	-0.08	65	0.00	65	0.00	101	0.00	1
-147	Min.	0.00	1	0.00	1	-0.45	107	0.00	17	-0.00	130	0.00	1
-146	Max	0.00	1	0.00	1	-0.08	65	0.00	65	0.00	101	0.00	1
-146	Min.	0.00	1	0.00	1	-0.48	107	0.00	17	-0.00	130	0.00	1
-145	Max	0.00	1	0.00	1	-0.04	49	0.00	65	0.00	101	0.00	1
-145	Min.	0.00	1	0.00	1	-0.57	107	0.00	17	-0.00	130	0.00	1
-144	Max	0.00	1	0.00	1	-0.04	1	0.00	17	0.00	101	0.00	1
-144	Min.	0.00	1	0.00	1	-0.57	103	0.00	65	-0.00	130	0.00	1
-143	Max	0.00	1	0.00	1	-0.08	17	0.00	17	0.00	101	0.00	1
-143	Min.	0.00	1	0.00	1	-0.48	103	0.00	65	-0.00	130	0.00	1
-142	Max	0.00	1	0.00	1	-0.08	17	0.00	17	0.00	101	0.00	1
-142	Min.	0.00	1	0.00	1	-0.45	103	0.00	65	-0.00	130	0.00	1
-141	Max	0.00	1	0.00	1	-0.09	17	0.00	17	0.00	101	0.00	1
-141	Min.	0.00	1	0.00	1	-0.37	103	0.00	65	-0.00	130	0.00	1
-140	Max	0.00	1	0.00	1	-0.08	1	0.00	17	0.00	101	0.00	1
-140	Min.	0.00	1	0.00	1	-0.42	107	0.00	65	-0.00	130	0.00	1
-139	Max	0.00	1	0.00	1	-0.03	1	0.00	17	0.00	101	0.00	1
-139	Min.	0.00	1	0.00	1	-0.54	130	0.00	65	-0.00	130	0.00	1
-138	Max	0.00	1	0.00	1	-0.01	166	0.00	65	0.00	101	0.00	1
-138	Min.	0.00	1	0.00	1	-0.53	101	0.00	17	-0.00	130	0.00	1
-136	Max	0.00	1	0.00	1	-0.10	65	0.00	65	0.00	101	0.00	1
-136	Min.	0.00	1	0.00	1	-0.36	107	0.00	17	-0.00	130	0.00	1
-134	Max	0.00	1	0.00	1	-0.05	49	0.00	65	0.00	101	0.00	1
-134	Min.	0.00	1	0.00	1	-0.57	106	0.00	17	-0.00	130	0.00	1
-133	Max	0.00	1	0.00	1	-0.05	1	0.00	17	0.00	101	0.00	1
-133	Min.	0.00	1	0.00	1	-0.57	101	0.00	65	-0.00	130	0.00	1
-131	Max	0.00	1	0.00	1	-0.10	17	0.00	17	0.00	101	0.00	1
-131	Min.	0.00	1	0.00	1	-0.36	103	0.00	65	-0.00	130	0.00	1
-129	Max	0.00	1	0.00	1	-0.03	1	0.00	17	0.00	101	0.00	1
-129	Min.	0.00	1	0.00	1	-0.54	130	0.00	65	-0.00	130	0.00	1
-128	Max	0.00	1	0.00	1	-0.01	166	0.00	65	0.00	101	0.00	1
-128	Min.	0.00	1	0.00	1	-0.53	101	0.00	17	-0.00	130	0.00	1
-127	Max	0.00	1	0.00	1	-0.08	166	0.00	65	0.00	101	0.00	1
-127	Min.	0.00	1	0.00	1	-0.42	101	0.00	17	-0.00	130	0.00	1

-126	Max	0.00	1	0.00	1	-0.13	65	0.00	65	0.00	101	0.00	1
-126	Min.	0.00	1	0.00	1	-0.36	107	0.00	17	-0.00	130	0.00	1
-125	Max	0.00	1	0.00	1	-0.10	49	0.00	65	0.00	101	0.00	1
-125	Min.	0.00	1	0.00	1	-0.45	107	0.00	17	-0.00	130	0.00	1
-124	Max	0.00	1	0.00	1	-0.09	49	0.00	65	0.00	101	0.00	1
-124	Min.	0.00	1	0.00	1	-0.47	106	0.00	17	-0.00	130	0.00	1
-123	Max	0.00	1	0.00	1	-0.06	49	0.00	65	0.00	101	0.00	1
-123	Min.	0.00	1	0.00	1	-0.57	106	0.00	17	-0.00	130	0.00	1
-122	Max	0.00	1	0.00	1	-0.05	130	0.00	17	0.00	101	0.00	1
-122	Min.	0.00	1	0.00	1	-0.57	101	0.00	65	-0.00	130	0.00	1
-121	Max	0.00	1	0.00	1	-0.09	1	0.00	17	0.00	101	0.00	1
-121	Min.	0.00	1	0.00	1	-0.47	101	0.00	65	-0.00	130	0.00	1
-120	Max	0.00	1	0.00	1	-0.10	1	0.00	17	0.00	101	0.00	1
-120	Min.	0.00	1	0.00	1	-0.45	103	0.00	65	-0.00	130	0.00	1
-119	Max	0.00	1	0.00	1	-0.13	17	0.00	17	0.00	101	0.00	1
-119	Min.	0.00	1	0.00	1	-0.36	103	0.00	65	-0.00	130	0.00	1
-118	Max	0.00	1	0.00	1	-0.09	1	0.00	17	0.00	101	0.00	1
-118	Min.	0.00	1	0.00	1	-0.42	106	0.00	65	-0.00	130	0.00	1
-117	Max	0.00	1	0.00	1	-0.04	1	0.00	17	0.00	101	0.00	1
-117	Min.	0.00	1	0.00	1	-0.53	130	0.00	65	-0.00	130	0.00	1
-116	Max	0.00	1	0.00	1	-0.01	166	0.00	65	0.00	101	0.00	1
-116	Min.	0.00	1	0.00	1	-0.53	101	0.00	17	-0.00	130	0.00	1
-114	Max	0.00	1	0.00	1	-0.14	33	0.00	65	0.00	101	0.00	1
-114	Min.	0.00	1	0.00	1	-0.36	105	0.00	17	-0.00	130	0.00	1
-112	Max	0.00	1	0.00	1	-0.06	49	0.00	65	0.00	101	0.00	1
-112	Min.	0.00	1	0.00	1	-0.57	106	0.00	17	-0.00	130	0.00	1
-111	Max	0.00	1	0.00	1	-0.05	130	0.00	17	0.00	101	0.00	1
-111	Min.	0.00	1	0.00	1	-0.57	101	0.00	65	-0.00	130	0.00	1
-109	Max	0.00	1	0.00	1	-0.14	33	0.00	17	0.00	101	0.00	1
-109	Min.	0.00	1	0.00	1	-0.36	102	0.00	65	-0.00	130	0.00	1
-107	Max	0.00	1	0.00	1	-0.05	1	0.00	17	0.00	101	0.00	1
-107	Min.	0.00	1	0.00	1	-0.53	130	0.00	65	-0.00	130	0.00	1
-106	Max	0.00	1	0.00	1	-0.01	166	0.00	65	0.00	101	0.00	1
-106	Min.	0.00	1	0.00	1	-0.53	101	0.00	17	-0.00	130	0.00	1
-105	Max	0.00	1	0.00	1	-0.08	166	0.00	65	0.00	101	0.00	1
-105	Min.	0.00	1	0.00	1	-0.42	101	0.00	17	-0.00	130	0.00	1
-104	Max	0.00	1	0.00	1	-0.13	17	0.00	65	0.00	101	0.00	1
-104	Min.	0.00	1	0.00	1	-0.36	108	0.00	17	-0.00	130	0.00	1
-103	Max	0.00	1	0.00	1	-0.10	1	0.00	65	0.00	101	0.00	1
-103	Min.	0.00	1	0.00	1	-0.45	108	0.00	17	-0.00	130	0.00	1
-102	Max	0.00	1	0.00	1	-0.09	1	0.00	65	0.00	101	0.00	1
-102	Min.	0.00	1	0.00	1	-0.47	106	0.00	17	-0.00	130	0.00	1
-101	Max	0.00	1	0.00	1	-0.06	1	0.00	65	0.00	101	0.00	1
-101	Min.	0.00	1	0.00	1	-0.57	106	0.00	17	-0.00	130	0.00	1
-100	Max	0.00	1	0.00	1	-0.05	130	0.00	17	0.00	101	0.00	1
-100	Min.	0.00	1	0.00	1	-0.57	101	0.00	65	-0.00	130	0.00	1
-99	Max	0.00	1	0.00	1	-0.09	49	0.00	17	0.00	101	0.00	1
-99	Min.	0.00	1	0.00	1	-0.47	101	0.00	65	-0.00	130	0.00	1
-98	Max	0.00	1	0.00	1	-0.10	49	0.00	17	0.00	101	0.00	1
-98	Min.	0.00	1	0.00	1	-0.45	104	0.00	65	-0.00	130	0.00	1
-97	Max	0.00	1	0.00	1	-0.13	65	0.00	17	0.00	101	0.00	1
-97	Min.	0.00	1	0.00	1	-0.36	104	0.00	65	-0.00	130	0.00	1
-96	Max	0.00	1	0.00	1	-0.09	49	0.00	17	0.00	101	0.00	1
-96	Min.	0.00	1	0.00	1	-0.42	106	0.00	65	-0.00	130	0.00	1
-95	Max	0.00	1	0.00	1	-0.04	49	0.00	17	0.00	101	0.00	1
-95	Min.	0.00	1	0.00	1	-0.53	130	0.00	65	-0.00	130	0.00	1
-94	Max	0.00	1	0.00	1	-0.01	166	0.00	65	0.00	101	0.00	1
-94	Min.	0.00	1	0.00	1	-0.53	101	0.00	17	-0.00	130	0.00	1
-92	Max	0.00	1	0.00	1	-0.11	17	0.00	65	0.00	101	0.00	1
-92	Min.	0.00	1	0.00	1	-0.36	108	0.00	17	-0.00	130	0.00	1
-90	Max	0.00	1	0.00	1	-0.05	1	0.00	65	0.00	101	0.00	1
-90	Min.	0.00	1	0.00	1	-0.57	106	0.00	17	-0.00	130	0.00	1
-89	Max	0.00	1	0.00	1	-0.05	49	0.00	17	0.00	101	0.00	1
-89	Min.	0.00	1	0.00	1	-0.57	101	0.00	65	-0.00	130	0.00	1
-87	Max	0.00	1	0.00	1	-0.11	65	0.00	17	0.00	101	0.00	1
-87	Min.	0.00	1	0.00	1	-0.36	104	0.00	65	-0.00	130	0.00	1
-85	Max	0.00	1	0.00	1	-0.03	49	0.00	17	0.00	101	0.00	1
-85	Min.	0.00	1	0.00	1	-0.54	130	0.00	65	-0.00	130	0.00	1
-84	Max	0.00	1	0.00	1	-0.01	166	0.00	65	0.00	101	0.00	1
-84	Min.	0.00	1	0.00	1	-0.53	101	0.00	17	-0.00	130	0.00	1
-83	Max	0.00	1	0.00	1	-0.08	167	0.00	65	0.00	101	0.00	1
-83	Min.	0.00	1	0.00	1	-0.42	104	0.00	17	-0.00	130	0.00	1
-82	Max	0.00	1	0.00	1	-0.09	17	0.00	65	0.00	101	0.00	1
-82	Min.	0.00	1	0.00	1	-0.37	108	0.00	17	-0.00	130	0.00	1
-81	Max	0.00	1	0.00	1	-0.08	17	0.00	65	0.00	101	0.00	1
-81	Min.	0.00	1	0.00	1	-0.46	108	0.00	17	-0.00	130	0.00	1
-80	Max	0.00	1	0.00	1	-0.08	17	0.00	65	0.00	101	0.00	1
-80	Min.	0.00	1	0.00	1	-0.48	108	0.00	17	-0.00	130	0.00	1
-79	Max	0.00	1	0.00	1	-0.04	1	0.00	65	0.00	101	0.00	1

-79	Min.	0.00	1	0.00	1	-0.57	108	0.00	17	-0.00	130	0.00	1
-78	Max	0.00	1	0.00	1	-0.04	49	0.00	17	0.00	101	0.00	1
-78	Min.	0.00	1	0.00	1	-0.57	104	0.00	65	-0.00	130	0.00	1
-77	Max	0.00	1	0.00	1	-0.08	65	0.00	17	0.00	101	0.00	1
-77	Min.	0.00	1	0.00	1	-0.48	104	0.00	65	-0.00	130	0.00	1
-76	Max	0.00	1	0.00	1	-0.08	65	0.00	17	0.00	101	0.00	1
-76	Min.	0.00	1	0.00	1	-0.46	104	0.00	65	-0.00	130	0.00	1
-75	Max	0.00	1	0.00	1	-0.09	65	0.00	17	0.00	101	0.00	1
-75	Min.	0.00	1	0.00	1	-0.37	104	0.00	65	-0.00	130	0.00	1
-74	Max	0.00	1	0.00	1	-0.08	49	0.00	17	0.00	101	0.00	1
-74	Min.	0.00	1	0.00	1	-0.42	108	0.00	65	-0.00	130	0.00	1
-73	Max	0.00	1	0.00	1	-0.03	49	0.00	17	0.00	101	0.00	1
-73	Min.	0.00	1	0.00	1	-0.54	130	0.00	65	-0.00	130	0.00	1
-72	Max	0.00	1	0.00	1	-0.01	166	0.00	65	0.00	101	0.00	1
-72	Min.	0.00	1	0.00	1	-0.53	101	0.00	17	-0.00	130	0.00	1
-71	Max	0.00	1	0.00	1	-0.07	17	0.00	65	0.00	101	0.00	1
-71	Min.	0.00	1	0.00	1	-0.42	104	0.00	17	-0.00	130	0.00	1
-70	Max	0.00	1	0.00	1	-0.08	17	0.00	65	0.00	101	0.00	1
-70	Min.	0.00	1	0.00	1	-0.37	108	0.00	17	-0.00	130	0.00	1
-69	Max	0.00	1	0.00	1	-0.07	17	0.00	65	0.00	101	0.00	1
-69	Min.	0.00	1	0.00	1	-0.46	108	0.00	17	-0.00	130	0.00	1
-68	Max	0.00	1	0.00	1	-0.07	17	0.00	65	0.00	101	0.00	1
-68	Min.	0.00	1	0.00	1	-0.48	108	0.00	17	-0.00	130	0.00	1
-67	Max	0.00	1	0.00	1	-0.04	1	0.00	65	0.00	101	0.00	1
-67	Min.	0.00	1	0.00	1	-0.57	108	0.00	17	-0.00	130	0.00	1
-66	Max	0.00	1	0.00	1	-0.04	49	0.00	17	0.00	101	0.00	1
-66	Min.	0.00	1	0.00	1	-0.57	104	0.00	65	-0.00	130	0.00	1
-65	Max	0.00	1	0.00	1	-0.07	65	0.00	17	0.00	101	0.00	1
-65	Min.	0.00	1	0.00	1	-0.48	104	0.00	65	-0.00	130	0.00	1
-64	Max	0.00	1	0.00	1	-0.07	65	0.00	17	0.00	101	0.00	1
-64	Min.	0.00	1	0.00	1	-0.46	104	0.00	65	-0.00	130	0.00	1
-63	Max	0.00	1	0.00	1	-0.08	65	0.00	17	0.00	101	0.00	1
-63	Min.	0.00	1	0.00	1	-0.37	104	0.00	65	-0.00	130	0.00	1
-62	Max	0.00	1	0.00	1	-0.07	65	0.00	17	0.00	101	0.00	1
-62	Min.	0.00	1	0.00	1	-0.42	108	0.00	65	-0.00	130	0.00	1
-61	Max	0.00	1	0.00	1	-0.03	49	0.00	17	0.00	101	0.00	1
-61	Min.	0.00	1	0.00	1	-0.54	130	0.00	65	-0.00	130	0.00	1
-60	Max	0.00	1	0.00	1	-0.01	166	0.00	65	0.00	101	0.00	1
-60	Min.	0.00	1	0.00	1	-0.53	101	0.00	17	-0.00	130	0.00	1
-59	Max	0.00	1	0.00	1	-0.05	17	0.00	65	0.00	101	0.00	1
-59	Min.	0.00	1	0.00	1	-0.43	104	0.00	17	-0.00	130	0.00	1
-58	Max	0.00	1	0.00	1	-0.07	17	0.00	65	0.00	101	0.00	1
-58	Min.	0.00	1	0.00	1	-0.37	108	0.00	17	-0.00	130	0.00	1
-57	Max	0.00	1	0.00	1	-0.06	17	0.00	65	0.00	101	0.00	1
-57	Min.	0.00	1	0.00	1	-0.46	108	0.00	17	-0.00	130	0.00	1
-56	Max	0.00	1	0.00	1	-0.06	17	0.00	65	0.00	101	0.00	1
-56	Min.	0.00	1	0.00	1	-0.48	108	0.00	17	-0.00	130	0.00	1
-55	Max	0.00	1	0.00	1	-0.03	1	0.00	65	0.00	101	0.00	1
-55	Min.	0.00	1	0.00	1	-0.57	108	0.00	17	-0.00	130	0.00	1
-54	Max	0.00	1	0.00	1	-0.03	49	0.00	17	0.00	101	0.00	1
-54	Min.	0.00	1	0.00	1	-0.57	104	0.00	65	-0.00	130	0.00	1
-53	Max	0.00	1	0.00	1	-0.06	65	0.00	17	0.00	101	0.00	1
-53	Min.	0.00	1	0.00	1	-0.48	104	0.00	65	-0.00	130	0.00	1
-52	Max	0.00	1	0.00	1	-0.06	65	0.00	17	0.00	101	0.00	1
-52	Min.	0.00	1	0.00	1	-0.46	104	0.00	65	-0.00	130	0.00	1
-51	Max	0.00	1	0.00	1	-0.07	65	0.00	17	0.00	101	0.00	1
-51	Min.	0.00	1	0.00	1	-0.37	104	0.00	65	-0.00	130	0.00	1
-50	Max	0.00	1	0.00	1	-0.05	65	0.00	17	0.00	101	0.00	1
-50	Min.	0.00	1	0.00	1	-0.43	108	0.00	65	-0.00	130	0.00	1
-49	Max	0.00	1	0.00	1	-0.02	49	0.00	17	0.00	101	0.00	1
-49	Min.	0.00	1	0.00	1	-0.54	130	0.00	65	-0.00	130	0.00	1
-48	Max	0.00	1	0.00	1	-0.01	166	0.00	65	0.00	101	0.00	1
-48	Min.	0.00	1	0.00	1	-0.53	101	0.00	17	-0.00	130	0.00	1
-47	Max	0.00	1	0.00	1	-0.05	17	0.00	65	0.00	101	0.00	1
-47	Min.	0.00	1	0.00	1	-0.43	104	0.00	17	-0.00	130	0.00	1
-46	Max	0.00	1	0.00	1	-0.06	17	0.00	65	0.00	101	0.00	1
-46	Min.	0.00	1	0.00	1	-0.37	108	0.00	17	-0.00	130	0.00	1
-44	Max	0.00	1	0.00	1	-0.05	17	0.00	65	0.00	101	0.00	1
-44	Min.	0.00	1	0.00	1	-0.48	108	0.00	17	-0.00	130	0.00	1
-43	Max	0.00	1	0.00	1	-0.03	1	0.00	65	0.00	101	0.00	1
-43	Min.	0.00	1	0.00	1	-0.57	108	0.00	17	-0.00	130	0.00	1
-42	Max	0.00	1	0.00	1	-0.03	49	0.00	17	0.00	101	0.00	1
-42	Min.	0.00	1	0.00	1	-0.57	104	0.00	65	-0.00	130	0.00	1
-41	Max	0.00	1	0.00	1	-0.05	65	0.00	17	0.00	101	0.00	1
-41	Min.	0.00	1	0.00	1	-0.48	104	0.00	65	-0.00	130	0.00	1
-39	Max	0.00	1	0.00	1	-0.06	65	0.00	17	0.00	101	0.00	1
-39	Min.	0.00	1	0.00	1	-0.37	104	0.00	65	-0.00	130	0.00	1
-38	Max	0.00	1	0.00	1	-0.05	65	0.00	17	0.00	101	0.00	1
-38	Min.	0.00	1	0.00	1	-0.43	108	0.00	65	-0.00	130	0.00	1

-37	Max	0.00	1	0.00	1	-0.02	49	0.00	17	0.00	101	0.00	1
-37	Min.	0.00	1	0.00	1	-0.54	130	0.00	65	-0.00	130	0.00	1
-36	Max	0.00	1	0.00	1	-0.01	167	0.00	65	0.00	101	0.00	1
-36	Min.	0.00	1	0.00	1	-0.54	104	0.00	17	-0.00	130	0.00	1
-35	Max	0.00	1	0.00	1	-0.03	17	0.00	65	0.00	101	0.00	1
-35	Min.	0.00	1	0.00	1	-0.43	104	0.00	17	-0.00	130	0.00	1
-34	Max	0.00	1	0.00	1	-0.04	17	0.00	65	0.00	101	0.00	1
-34	Min.	0.00	1	0.00	1	-0.38	108	0.00	17	-0.00	130	0.00	1
-33	Max	0.00	1	0.00	1	-0.03	17	0.00	65	0.00	101	0.00	1
-33	Min.	0.00	1	0.00	1	-0.46	108	0.00	17	-0.00	130	0.00	1
-32	Max	0.00	1	0.00	1	-0.03	17	0.00	65	0.00	101	0.00	1
-32	Min.	0.00	1	0.00	1	-0.49	108	0.00	17	-0.00	130	0.00	1
-31	Max	0.00	1	0.00	1	-0.02	17	0.00	65	0.00	101	0.00	1
-31	Min.	0.00	1	0.00	1	-0.58	108	0.00	17	-0.00	130	0.00	1
-30	Max	0.00	1	0.00	1	-0.02	65	0.00	17	0.00	101	0.00	1
-30	Min.	0.00	1	0.00	1	-0.58	104	0.00	65	-0.00	130	0.00	1
-29	Max	0.00	1	0.00	1	-0.03	65	0.00	17	0.00	101	0.00	1
-29	Min.	0.00	1	0.00	1	-0.49	104	0.00	65	-0.00	130	0.00	1
-28	Max	0.00	1	0.00	1	-0.03	65	0.00	17	0.00	101	0.00	1
-28	Min.	0.00	1	0.00	1	-0.46	104	0.00	65	-0.00	130	0.00	1
-27	Max	0.00	1	0.00	1	-0.04	65	0.00	17	0.00	101	0.00	1
-27	Min.	0.00	1	0.00	1	-0.38	104	0.00	65	-0.00	130	0.00	1
-26	Max	0.00	1	0.00	1	-0.03	65	0.00	17	0.00	101	0.00	1
-26	Min.	0.00	1	0.00	1	-0.43	108	0.00	65	-0.00	130	0.00	1
-25	Max	0.00	1	0.00	1	-0.01	49	0.00	17	0.00	101	0.00	1
-25	Min.	0.00	1	0.00	1	-0.54	132	0.00	65	-0.00	130	0.00	1
-24	Max	0.00	1	0.00	1	-0.01	17	0.00	65	0.00	101	0.00	1
-24	Min.	0.00	1	0.00	1	-0.54	104	0.00	17	-0.00	130	0.00	1
-23	Max	0.00	1	0.00	1	-0.02	17	0.00	65	0.00	101	0.00	1
-23	Min.	0.00	1	0.00	1	-0.43	104	0.00	17	-0.00	130	0.00	1
-22	Max	0.00	1	0.00	1	-0.04	17	0.00	65	0.00	101	0.00	1
-22	Min.	0.00	1	0.00	1	-0.38	108	0.00	17	-0.00	130	0.00	1
-21	Max	0.00	1	0.00	1	-0.02	17	0.00	65	0.00	101	0.00	1
-21	Min.	0.00	1	0.00	1	-0.47	108	0.00	17	-0.00	130	0.00	1
-20	Max	0.00	1	0.00	1	-0.02	17	0.00	65	0.00	101	0.00	1
-20	Min.	0.00	1	0.00	1	-0.49	108	0.00	17	-0.00	130	0.00	1
-19	Max	0.00	1	0.00	1	-0.01	17	0.00	65	0.00	101	0.00	1
-19	Min.	0.00	1	0.00	1	-0.58	108	0.00	17	-0.00	130	0.00	1
-18	Max	0.00	1	0.00	1	-0.01	65	0.00	17	0.00	101	0.00	1
-18	Min.	0.00	1	0.00	1	-0.58	104	0.00	65	-0.00	130	0.00	1
-17	Max	0.00	1	0.00	1	-0.02	65	0.00	17	0.00	101	0.00	1
-17	Min.	0.00	1	0.00	1	-0.49	104	0.00	65	-0.00	130	0.00	1
-16	Max	0.00	1	0.00	1	-0.02	65	0.00	17	0.00	101	0.00	1
-16	Min.	0.00	1	0.00	1	-0.47	104	0.00	65	-0.00	130	0.00	1
-15	Max	0.00	1	0.00	1	-0.04	65	0.00	17	0.00	101	0.00	1
-15	Min.	0.00	1	0.00	1	-0.38	104	0.00	65	-0.00	130	0.00	1
-14	Max	0.00	1	0.00	1	-0.02	65	0.00	17	0.00	101	0.00	1
-14	Min.	0.00	1	0.00	1	-0.43	108	0.00	65	-0.00	130	0.00	1
-13	Max	0.00	1	0.00	1	-0.01	65	0.00	17	0.00	101	0.00	1
-13	Min.	0.00	1	0.00	1	-0.54	132	0.00	65	-0.00	130	0.00	1
-12	Max	0.00	1	0.00	1	0.00	17	0.00	65	0.00	101	0.00	1
-12	Min.	0.00	1	0.00	1	-0.54	104	0.00	17	-0.00	130	0.00	1
-11	Max	0.00	1	0.00	1	-0.01	17	0.00	65	0.00	101	0.00	1
-11	Min.	0.00	1	0.00	1	-0.43	104	0.00	17	-0.00	130	0.00	1
-10	Max	0.00	1	0.00	1	-0.03	17	0.00	65	0.00	101	0.00	1
-10	Min.	0.00	1	0.00	1	-0.38	108	0.00	17	-0.00	130	0.00	1
-9	Max	0.00	1	0.00	1	-0.02	17	0.00	65	0.00	101	0.00	1
-9	Min.	0.00	1	0.00	1	-0.47	108	0.00	17	-0.00	130	0.00	1
-8	Max	0.00	1	0.00	1	-0.01	17	0.00	65	0.00	101	0.00	1
-8	Min.	0.00	1	0.00	1	-0.49	108	0.00	17	-0.00	130	0.00	1
-7	Max	0.00	1	0.00	1	-0.00	17	0.00	65	0.00	101	0.00	1
-7	Min.	0.00	1	0.00	1	-0.58	108	0.00	17	-0.00	130	0.00	1
-6	Max	0.00	1	0.00	1	-0.00	65	0.00	17	0.00	101	0.00	1
-6	Min.	0.00	1	0.00	1	-0.58	104	0.00	65	-0.00	130	0.00	1
-5	Max	0.00	1	0.00	1	-0.01	65	0.00	17	0.00	101	0.00	1
-5	Min.	0.00	1	0.00	1	-0.49	104	0.00	65	-0.00	130	0.00	1
-4	Max	0.00	1	0.00	1	-0.02	65	0.00	17	0.00	101	0.00	1
-4	Min.	0.00	1	0.00	1	-0.47	104	0.00	65	-0.00	130	0.00	1
-3	Max	0.00	1	0.00	1	-0.03	65	0.00	17	0.00	101	0.00	1
-3	Min.	0.00	1	0.00	1	-0.38	104	0.00	65	-0.00	130	0.00	1
-2	Max	0.00	1	0.00	1	-0.01	65	0.00	17	0.00	101	0.00	1
-2	Min.	0.00	1	0.00	1	-0.43	108	0.00	65	-0.00	130	0.00	1
-1	Max	0.00	1	0.00	1	0.00	65	0.00	17	0.00	101	0.00	1
-1	Min.	0.00	1	0.00	1	-0.54	132	0.00	65	-0.00	130	0.00	1
10	Max	0.85	101	0.32	177	0.58	130	0.00	173	0.03	101	0.00	173
10	Min.	-0.78	130	-0.14	17	-1.71	101	0.00	177	-0.24	158	0.00	101
11	Max	0.62	101	0.32	177	0.32	101	0.00	173	0.04	101	0.00	106
11	Min.	-0.95	130	-0.14	65	-1.71	130	0.00	177	-0.23	166	0.00	173
12	Max	0.87	101	0.32	177	0.63	130	0.00	173	0.03	101	0.00	177

12	Min.	-0.78	130	-0.15	17	-1.75	101	0.00	177	-0.24	158	0.00	65
13	Max	0.64	101	0.32	177	0.37	101	0.00	173	0.04	101	0.00	17
13	Min.	-0.95	130	-0.15	65	-1.75	106	0.00	177	-0.24	166	0.00	177
14	Max	0.86	101	0.32	177	0.64	130	0.00	17	0.03	101	0.00	177
14	Min.	-0.78	130	-0.16	17	-1.71	101	0.00	65	-0.24	158	0.00	65
15	Max	0.64	101	0.32	177	0.39	101	0.00	65	0.04	101	0.00	17
15	Min.	-0.95	130	-0.16	65	-1.71	106	0.00	17	-0.24	166	0.00	177
16	Max	0.87	101	0.31	177	0.63	130	0.00	17	0.03	101	0.00	177
16	Min.	-0.78	130	-0.16	17	-1.74	101	0.00	65	-0.24	158	0.00	65
17	Max	0.64	101	0.31	177	0.38	101	0.00	65	0.04	101	0.00	17
17	Min.	-0.95	130	-0.16	65	-1.74	106	0.00	17	-0.24	166	0.00	177
18	Max	0.85	101	0.30	177	0.58	130	0.00	104	0.03	101	0.00	177
18	Min.	-0.78	130	-0.17	17	-1.70	101	-0.00	65	-0.24	158	0.00	98
19	Max	0.63	101	0.30	177	0.32	101	0.00	108	0.04	101	0.00	121
19	Min.	-0.95	130	-0.17	65	-1.71	130	-0.00	17	-0.23	166	0.00	177
20	Max	0.00	1	0.00	1	-0.09	49	0.00	17	0.00	101	0.00	1
20	Min.	0.00	1	0.00	1	-0.48	104	0.00	65	-0.00	130	0.00	1
21	Max	0.00	1	0.00	1	-0.09	1	0.00	65	0.00	101	0.00	1
21	Min.	0.00	1	0.00	1	-0.48	108	0.00	17	-0.00	130	0.00	1
22	Max	0.00	1	0.00	1	-0.10	1	0.00	17	0.00	101	0.00	1
22	Min.	0.00	1	0.00	1	-0.47	101	0.00	65	-0.00	130	0.00	1
23	Max	0.00	1	0.00	1	-0.10	49	0.00	65	0.00	101	0.00	1
23	Min.	0.00	1	0.00	1	-0.47	106	0.00	17	-0.00	130	0.00	1
24	Max	0.00	1	0.00	1	-0.09	1	0.00	17	0.00	101	0.00	1
24	Min.	0.00	1	0.00	1	-0.48	103	0.00	65	-0.00	130	0.00	1
25	Max	0.00	1	0.00	1	-0.09	49	0.00	65	0.00	101	0.00	1
25	Min.	0.00	1	0.00	1	-0.48	107	0.00	17	-0.00	130	0.00	1
301	Max	0.82	101	0.18	65	-0.03	65	0.00	17	0.00	101	0.00	177
301	Min.	-0.90	130	-0.18	17	-0.49	104	0.00	177	-0.00	130	0.00	126
302	Max	1.37	101	0.40	177	0.48	130	0.01	177	0.00	101	0.00	177
302	Min.	-5.20	162	-0.16	17	-1.27	101	0.00	127	-0.00	130	0.00	65
303	Max	1.37	101	0.35	177	0.37	130	0.00	173	0.01	98	0.00	177
303	Min.	-5.20	158	-0.16	17	-1.84	101	0.00	65	0.00	17	0.00	101
304	Max	1.38	101	0.43	177	-0.23	65	0.01	177	0.01	98	0.00	173
304	Min.	-5.20	158	-0.16	17	-3.16	97	-0.00	99	0.00	1	0.00	98
305	Max	1.40	101	0.40	177	-0.34	17	0.01	173	0.00	130	0.00	101
305	Min.	-5.20	162	-0.17	17	-4.01	100	-0.01	99	-0.00	101	0.00	106
306	Max	1.40	101	0.43	177	-0.23	17	0.01	177	0.00	130	0.00	97
306	Min.	-5.19	166	-0.16	65	-3.16	98	-0.00	99	-0.01	97	0.00	173
307	Max	1.40	101	0.35	177	0.12	1	0.00	173	0.00	65	0.00	106
307	Min.	-5.19	166	-0.16	65	-1.84	106	0.00	17	-0.01	97	0.00	177
308	Max	1.39	101	0.40	177	0.24	101	0.01	177	0.00	101	0.00	17
308	Min.	-5.18	166	-0.16	65	-1.35	130	0.00	107	-0.00	130	0.00	177
309	Max	0.75	101	0.18	17	-0.03	17	0.00	65	0.00	101	0.00	105
309	Min.	-0.96	130	-0.18	65	-0.49	108	0.00	177	-0.00	130	0.00	162
310	Max	1.37	101	0.33	177	0.57	130	0.00	173	0.01	97	0.00	173
310	Min.	-5.20	158	-0.17	17	-1.72	101	0.00	103	0.00	17	0.00	97
311	Max	1.40	101	0.33	177	0.31	101	0.00	173	0.00	65	0.00	122
311	Min.	-5.19	166	-0.17	65	-1.72	130	0.00	107	-0.01	98	0.00	173
312	Max	1.37	101	0.33	177	0.62	130	0.00	173	0.01	97	0.00	17
312	Min.	-5.20	158	-0.17	17	-1.76	101	0.00	65	0.00	17	0.00	65
313	Max	1.40	101	0.33	177	0.37	101	0.00	173	0.00	65	0.00	17
313	Min.	-5.19	166	-0.17	65	-1.76	106	0.00	17	-0.01	98	0.00	173
314	Max	1.37	101	0.33	177	0.63	130	0.00	17	0.01	97	0.00	173
314	Min.	-5.20	158	-0.17	17	-1.72	101	0.00	65	0.00	33	0.00	65
315	Max	1.40	101	0.33	177	0.38	101	0.00	65	0.00	33	0.00	17
315	Min.	-5.19	166	-0.17	65	-1.72	106	0.00	17	-0.01	98	0.00	173
316	Max	1.37	101	0.33	177	0.62	130	0.00	17	0.01	97	0.00	173
316	Min.	-5.20	158	-0.17	17	-1.75	101	0.00	65	0.00	65	0.00	65
317	Max	1.40	101	0.33	177	0.37	101	0.00	65	0.00	17	0.00	17
317	Min.	-5.19	166	-0.17	65	-1.75	106	0.00	17	-0.01	98	0.00	173
318	Max	1.37	101	0.33	177	0.57	130	0.00	104	0.01	97	0.00	173
318	Min.	-5.20	158	-0.17	17	-1.71	101	-0.00	65	0.00	65	0.00	65
319	Max	1.40	101	0.33	177	0.31	101	0.00	108	0.00	17	0.00	17
319	Min.	-5.19	166	-0.17	65	-1.72	130	-0.00	123	-0.01	98	0.00	173
320	Max	0.82	101	0.18	65	-0.03	17	0.00	17	0.00	101	0.00	126
320	Min.	-0.90	130	-0.18	17	-0.49	103	0.00	65	-0.00	130	0.00	65
321	Max	1.37	101	0.30	177	0.49	130	0.00	128	0.00	101	0.00	177
321	Min.	-5.20	162	-0.18	17	-1.26	101	-0.00	177	-0.00	130	0.00	122
322	Max	1.37	101	0.32	177	0.38	130	0.00	173	0.01	98	0.00	101
322	Min.	-5.20	158	-0.18	17	-1.83	101	-0.00	65	0.00	65	0.00	65
323	Max	1.38	101	0.33	177	-0.22	17	0.00	173	0.01	98	0.00	98
323	Min.	-5.20	158	-0.19	17	-3.15	97	-0.00	65	0.00	49	0.00	65
324	Max	1.40	101	0.34	177	-0.33	17	0.01	100	0.00	130	0.00	106
324	Min.	-5.20	162	-0.19	17	-4.00	99	-0.00	17	-0.00	101	0.00	101
325	Max	1.40	101	0.33	177	-0.22	65	0.00	173	0.00	130	0.00	17
325	Min.	-5.19	166	-0.19	65	-3.15	98	-0.00	17	-0.01	97	0.00	97
326	Max	1.40	101	0.32	177	0.12	49	0.00	173	0.00	17	0.00	17
326	Min.	-5.19	166	-0.18	65	-1.83	106	-0.00	17	-0.01	97	0.00	106

327	Max	1.39	101	0.30	177	0.25	101	0.00	108	0.00	101	0.00	17
327	Min.	-5.18	166	-0.18	65	-1.35	130	-0.00	123	-0.00	130	0.00	177
328	Max	0.75	101	0.18	17	-0.03	65	0.00	65	0.00	101	0.00	162
328	Min.	-0.96	130	-0.18	65	-0.49	107	0.00	17	-0.00	130	0.00	105
329	Max	1.37	101	0.33	177	0.58	130	0.00	173	0.01	97	0.00	97
329	Min.	-5.20	158	-0.17	17	-1.74	101	-0.00	103	0.00	17	0.00	173
330	Max	1.40	101	0.33	177	0.32	101	0.00	173	0.00	65	0.00	173
330	Min.	-5.19	166	-0.17	65	-1.74	106	-0.00	107	-0.01	98	0.00	98
331	Max	1.37	101	0.33	177	0.58	130	0.00	104	0.01	97	0.00	17
331	Min.	-5.20	158	-0.17	17	-1.73	101	-0.00	65	0.00	65	0.00	173
332	Max	1.40	101	0.33	177	0.32	101	0.00	108	0.00	17	0.00	173
332	Min.	-5.19	166	-0.17	65	-1.73	106	-0.00	17	-0.01	98	0.00	65
401	Max	1.30	101	0.46	177	-0.03	65	0.00	17	0.00	101	0.00	177
401	Min.	-4.43	162	-0.27	17	-0.49	104	-0.00	177	-0.03	158	0.00	98
402	Max	1.30	101	0.82	177	0.48	130	0.00	100	0.01	158	0.00	177
402	Min.	-4.45	162	-0.35	17	-1.27	101	-0.00	177	0.00	1	0.00	173
403	Max	1.29	101	0.91	177	0.37	130	0.00	173	0.00	158	0.00	97
403	Min.	-4.47	162	-0.54	173	-1.83	101	-0.01	177	0.00	1	-0.00	173
404	Max	1.28	101	0.95	177	-0.23	65	0.01	173	0.01	158	0.00	98
404	Min.	-4.48	162	-1.12	173	-3.16	97	-0.01	177	0.00	101	-0.00	173
405	Max	1.27	101	0.96	177	-0.34	17	0.01	173	0.00	158	0.00	106
405	Min.	-4.49	162	-1.78	173	-4.01	100	-0.01	177	-0.00	101	0.00	101
406	Max	1.26	101	0.95	177	-0.23	17	0.01	173	0.00	166	0.00	173
406	Min.	-4.49	158	-1.13	173	-3.16	98	-0.01	177	-0.00	101	-0.00	97
407	Max	1.25	101	0.91	177	0.12	1	0.00	173	0.00	166	0.00	173
407	Min.	-4.49	158	-0.56	173	-1.83	106	-0.01	177	-0.00	97	-0.00	98
408	Max	1.26	101	0.82	177	0.24	101	0.00	124	0.01	166	0.00	173
408	Min.	-4.48	158	-0.35	65	-1.36	130	-0.00	177	-0.00	101	-0.00	177
409	Max	1.26	101	0.46	177	-0.03	17	0.00	65	0.00	101	0.00	121
409	Min.	-4.45	158	-0.27	65	-0.49	108	-0.00	177	-0.03	166	-0.00	177
420	Max	1.30	101	0.27	65	-0.03	17	0.00	17	0.00	101	0.00	177
420	Min.	-4.43	162	-0.26	17	-0.49	103	0.00	177	-0.03	158	0.00	125
421	Max	1.30	101	0.43	177	0.49	130	0.00	128	0.01	158	0.00	177
421	Min.	-4.45	162	-0.21	17	-1.26	101	-0.00	99	0.00	49	0.00	101
422	Max	1.29	101	0.50	177	0.37	130	0.00	104	0.00	158	0.00	17
422	Min.	-4.47	162	-0.20	173	-1.83	101	-0.00	65	0.00	49	-0.00	97
423	Max	1.28	101	0.48	177	-0.22	17	0.00	173	0.01	158	0.00	17
423	Min.	-4.48	162	-0.56	173	-3.15	97	-0.00	65	0.00	101	-0.00	98
424	Max	1.27	101	0.46	177	-0.33	17	0.00	100	0.00	158	0.00	101
424	Min.	-4.49	162	-0.76	173	-4.00	99	-0.00	17	-0.00	101	0.00	106
425	Max	1.26	101	0.48	177	-0.22	65	0.00	173	0.00	166	0.00	97
425	Min.	-4.49	158	-0.60	173	-3.15	98	-0.00	17	-0.00	101	0.00	65
426	Max	1.25	101	0.50	177	0.12	49	0.00	108	0.00	166	0.00	98
426	Min.	-4.49	158	-0.23	173	-1.83	106	-0.00	17	-0.00	97	0.00	65
427	Max	1.26	101	0.43	177	0.25	101	0.00	108	0.01	166	0.00	106
427	Min.	-4.47	158	-0.21	65	-1.36	130	-0.00	123	-0.00	101	0.00	177
428	Max	1.26	101	0.27	17	-0.03	65	0.00	65	0.00	101	0.00	106
428	Min.	-4.45	158	-0.26	65	-0.49	107	0.00	177	-0.03	166	-0.00	121
429	Max	1.37	101	0.34	177	0.31	101	0.00	173	0.00	65	0.00	17
429	Min.	-5.20	166	-0.18	65	-1.75	106	-0.00	107	-0.01	98	0.00	177
430	Max	1.40	101	0.34	177	0.63	130	0.00	17	0.01	97	0.00	177
430	Min.	-5.19	162	-0.18	17	-1.73	101	0.00	65	0.00	33	0.00	65
431	Max	1.40	101	0.34	177	0.56	130	0.00	173	0.01	97	0.00	177
431	Min.	-5.19	162	-0.18	17	-1.73	101	0.00	103	0.00	17	0.00	65
432	Max	1.40	101	0.34	177	0.57	130	0.00	104	0.01	97	0.00	177
432	Min.	-5.19	162	-0.18	17	-1.73	101	-0.00	65	0.00	65	0.00	65
433	Max	1.40	101	0.34	177	0.62	130	0.00	17	0.01	97	0.00	177
433	Min.	-5.19	162	-0.18	17	-1.77	101	0.00	65	0.00	65	0.00	65
434	Max	1.37	101	0.34	177	0.30	101	0.00	108	0.00	17	0.00	17
434	Min.	-5.20	166	-0.18	65	-1.73	130	-0.00	123	-0.01	98	0.00	177
435	Max	1.37	101	0.34	177	0.31	101	0.00	108	0.00	17	0.00	98
435	Min.	-5.20	166	-0.18	65	-1.74	106	-0.00	17	-0.01	98	0.00	177
436	Max	1.37	101	0.34	177	0.30	101	0.00	173	0.00	65	0.00	17
436	Min.	-5.20	166	-0.18	65	-1.73	130	0.00	107	-0.01	98	0.00	177
437	Max	1.40	101	0.34	177	0.58	130	0.00	104	0.01	97	0.00	177
437	Min.	-5.19	162	-0.18	17	-1.74	101	-0.00	65	0.00	65	0.00	97
438	Max	1.40	101	0.34	177	0.57	130	0.00	173	0.01	97	0.00	177
438	Min.	-5.19	162	-0.18	17	-1.75	101	-0.00	103	0.00	17	0.00	65
439	Max	1.37	101	0.34	177	0.36	101	0.00	65	0.00	17	0.00	17
439	Min.	-5.20	166	-0.18	65	-1.77	106	0.00	17	-0.01	98	0.00	177
440	Max	1.40	101	0.34	177	0.61	130	0.00	173	0.01	97	0.00	177
440	Min.	-5.19	162	-0.18	17	-1.77	101	0.00	65	0.00	17	0.00	65
441	Max	1.37	101	0.34	177	0.37	101	0.00	65	0.00	33	0.00	17
441	Min.	-5.20	166	-0.18	65	-1.73	106	0.00	17	-0.01	98	0.00	177
442	Max	1.37	101	0.34	177	0.36	101	0.00	173	0.00	65	0.00	17
442	Min.	-5.20	166	-0.18	65	-1.77	106	0.00	17	-0.01	98	0.00	177

Min = -5.21
Max = 1.41

Reazioni vincolari

Simbologia
Nodo = Numero del nodo
Rx = Reazione vincolare (forza) in dir. X
CC = Numero della combinazione delle condizioni di carico elementari
Ry = Reazione vincolare (forza) in dir. Y
Rz = Reazione vincolare (forza) in dir. Z
Mx = Reazione vincolare (momento) intorno all'asse X
My = Reazione vincolare (momento) intorno all'asse Y
Mz = Reazione vincolare (momento) intorno all'asse Z

Nodo		Rx <daN>	CC	Ry <daN>	CC	Rz <daN>	CC	Mx <daNm>	CC	My <daNm>	CC	Mz <daNm>	CC
-222	Max	0.00	1	0.00	1	0.00	126	0.00	106	0.00	104	0.00	1
-222	Min.	0.00	1	0.00	1	0.00	97	0.00	129	0.00	107	0.00	1
-221	Max	0.00	1	0.00	1	0.00	65	0.00	168	0.00	101	0.00	1
-221	Min.	0.00	1	0.00	1	0.00	129	0.00	99	0.00	106	0.00	1
-220	Max	0.00	1	0.00	1	0.00	100	0.00	17	0.00	1	0.00	1
-220	Min.	0.00	1	0.00	1	0.00	177	0.00	65	0.00	125	0.00	1
-219	Max	0.00	1	0.00	1	0.00	104	0.00	17	0.00	129	0.00	1
-219	Min.	0.00	1	0.00	1	0.00	131	0.00	124	0.00	49	0.00	1
-218	Max	371.11	17	399.63	65	0.00	131	0.00	49	0.00	129	94.02	130
-218	Min.	-245.28	65	-107.77	17	0.00	108	0.00	132	0.00	106	-261.81	101
-217	Max	0.00	1	0.00	1	0.00	132	0.00	65	0.00	103	0.00	1
-217	Min.	0.00	1	0.00	1	0.00	167	0.00	107	0.00	49	0.00	1
-216	Max	0.00	1	0.00	1	0.00	166	0.00	107	0.00	17	0.00	1
-216	Min.	0.00	1	0.00	1	0.00	125	0.00	65	0.00	108	0.00	1
-215	Max	245.26	17	399.63	17	0.00	107	0.00	65	0.00	49	274.59	130
-215	Min.	-371.10	65	-107.77	65	0.00	140	0.00	17	0.00	1	-34.02	101
-214	Max	0.00	1	0.00	1	0.00	49	0.00	65	0.00	102	0.00	1
-214	Min.	0.00	1	0.00	1	0.00	104	0.00	17	0.00	105	0.00	1
-213	Max	0.00	1	0.00	1	0.00	65	0.00	140	0.00	132	0.00	1
-213	Min.	0.00	1	0.00	1	0.00	17	0.00	107	0.00	103	0.00	1
-212	Max	0.00	1	0.00	1	0.00	166	0.00	65	0.00	157	0.00	1
-212	Min.	0.00	1	0.00	1	0.00	157	0.00	132	0.00	102	0.00	1
-211	Max	0.00	1	0.00	1	0.00	132	0.00	49	0.00	129	0.00	1
-211	Min.	0.00	1	0.00	1	0.00	107	0.00	157	0.00	126	0.00	1
-210	Max	0.00	1	0.00	1	0.00	165	0.00	65	0.00	165	0.00	1
-210	Min.	0.00	1	0.00	1	0.00	177	0.00	17	0.00	106	0.00	1
-209	Max	0.00	1	0.00	1	0.00	65	0.00	17	0.00	106	0.00	1
-209	Min.	0.00	1	0.00	1	0.00	127	0.00	65	0.00	101	0.00	1
-208	Max	0.00	1	0.00	1	0.00	17	0.00	17	0.00	105	0.00	1
-208	Min.	0.00	1	0.00	1	0.00	103	0.00	177	0.00	49	0.00	1
-207	Max	0.00	1	0.00	1	0.00	131	0.00	107	0.00	130	0.00	1
-207	Min.	0.00	1	0.00	1	0.00	17	0.00	132	0.00	101	0.00	1
-206	Max	542.57	1	338.05	104	0.00	131	0.00	105	0.00	126	34.36	49
-206	Min.	-386.84	49	10.16	17	0.00	100	0.00	17	0.00	17	-74.01	101
-205	Max	0.00	1	0.00	1	0.00	103	0.00	105	0.00	1	0.00	1
-205	Min.	0.00	1	0.00	1	0.00	164	0.00	130	0.00	168	0.00	1
-204	Max	0.00	1	0.00	1	0.00	127	0.00	107	0.00	106	0.00	1
-204	Min.	0.00	1	0.00	1	0.00	124	0.00	128	0.00	101	0.00	1
-203	Max	386.83	1	338.04	108	0.00	100	0.00	177	0.00	101	77.97	130
-203	Min.	-542.57	49	10.16	65	0.00	115	0.00	173	0.00	130	-34.36	1
-202	Max	0.00	1	0.00	1	0.00	17	0.00	65	0.00	105	0.00	1
-202	Min.	0.00	1	0.00	1	0.00	65	0.00	17	0.00	102	0.00	1
-201	Max	0.00	1	0.00	1	0.00	17	0.00	65	0.00	106	0.00	1
-201	Min.	0.00	1	0.00	1	0.00	65	0.00	17	0.00	125	0.00	1
-200	Max	0.00	1	0.00	1	0.00	17	0.00	177	0.00	105	0.00	1
-200	Min.	0.00	1	0.00	1	0.00	131	0.00	65	0.00	1	0.00	1
-199	Max	0.00	1	0.00	1	0.00	17	0.00	65	0.00	125	0.00	1
-199	Min.	0.00	1	0.00	1	0.00	121	0.00	17	0.00	130	0.00	1
-198	Max	0.00	1	0.00	1	0.00	103	0.00	65	0.00	102	0.00	1
-198	Min.	0.00	1	0.00	1	0.00	164	0.00	17	0.00	165	0.00	1
-197	Max	0.00	1	0.00	1	0.00	65	0.00	65	0.00	49	0.00	1
-197	Min.	0.00	1	0.00	1	0.00	17	0.00	17	0.00	1	0.00	1
-196	Max	0.00	1	0.00	1	0.00	107	0.00	65	0.00	49	0.00	1
-196	Min.	0.00	1	0.00	1	0.00	65	0.00	177	0.00	106	0.00	1
-195	Max	0.00	1	0.00	1	0.00	65	0.00	17	0.00	129	0.00	1
-195	Min.	0.00	1	0.00	1	0.00	17	0.00	173	0.00	49	0.00	1
-194	Max	1041.68	1	505.91	65	0.00	132	0.00	17	0.00	129	109.84	65
-194	Min.	-874.02	49	-316.02	99	0.00	17	0.00	65	0.00	106	-114.31	17
-193	Max	0.00	1	0.00	1	0.00	104	0.00	65	0.00	101	0.00	1
-193	Min.	0.00	1	0.00	1	0.00	107	0.00	17	0.00	130	0.00	1
-192	Max	0.00	1	0.00	1	0.00	158	0.00	65	0.00	103	0.00	1
-192	Min.	0.00	1	0.00	1	0.00	101	0.00	17	0.00	108	0.00	1
-191	Max	874.01	1	505.91	17	0.00	65	0.00	17	0.00	1	114.31	65
-191	Min.	-1041.68	49	-316.02	99	0.00	103	0.00	65	0.00	157	-109.84	17
-190	Max	0.00	1	0.00	1	0.00	108	0.00	65	0.00	101	0.00	1

-190	Min.	0.00	1	0.00	1	0.00	65	0.00	17	0.00	130	0.00	1
-189	Max	0.00	1	0.00	1	0.00	17	0.00	65	0.00	130	0.00	1
-189	Min.	0.00	1	0.00	1	0.00	65	0.00	17	0.00	101	0.00	1
-188	Max	0.00	1	0.00	1	0.00	130	0.00	65	0.00	108	0.00	1
-188	Min.	0.00	1	0.00	1	0.00	1	0.00	17	0.00	49	0.00	1
-187	Max	0.00	1	0.00	1	0.00	127	0.00	132	0.00	1	0.00	1
-187	Min.	0.00	1	0.00	1	0.00	17	0.00	107	0.00	49	0.00	1
-186	Max	0.00	1	0.00	1	0.00	177	0.00	108	0.00	1	0.00	1
-186	Min.	0.00	1	0.00	1	0.00	127	0.00	127	0.00	104	0.00	1
-185	Max	0.00	1	0.00	1	0.00	65	0.00	1	0.00	102	0.00	1
-185	Min.	0.00	1	0.00	1	0.00	103	0.00	131	0.00	49	0.00	1
-184	Max	0.00	1	0.00	1	0.00	65	0.00	17	0.00	101	0.00	1
-184	Min.	0.00	1	0.00	1	0.00	17	0.00	65	0.00	49	0.00	1
-183	Max	0.00	1	0.00	1	25187.50	107	1272.05	17	6198.48	130	0.00	1
-183	Min.	0.00	1	0.00	1	2786.34	65	-1265.51	65	-5156.88	101	0.00	1
-182	Max	-3229.85	17	780.34	65	0.00	131	0.00	65	0.00	106	148.22	65
-182	Min.	-26657.60	97	-46.70	17	0.00	100	0.00	17	0.00	1	-122.63	17
-181	Max	0.00	1	0.00	1	0.00	100	0.00	65	0.00	106	0.00	1
-181	Min.	0.00	1	0.00	1	0.00	107	0.00	108	0.00	1	0.00	1
-180	Max	0.00	1	0.00	1	0.00	100	0.00	127	0.00	104	0.00	1
-180	Min.	0.00	1	0.00	1	0.00	1	0.00	1	0.00	163	0.00	1
-179	Max	26657.60	98	780.34	17	0.00	168	0.00	65	0.00	129	122.64	65
-179	Min.	3229.85	65	-46.70	65	0.00	103	0.00	104	0.00	106	-148.22	17
-178	Max	0.00	1	0.00	1	25188.10	103	1272.05	65	6005.24	130	0.00	1
-178	Min.	0.00	1	0.00	1	2786.33	17	-1265.51	17	-5399.60	101	0.00	1
-177	Max	0.00	1	0.00	1	0.00	65	0.00	132	0.00	101	0.00	1
-177	Min.	0.00	1	0.00	1	0.00	17	0.00	99	0.00	162	0.00	1
-176	Max	0.00	1	0.00	1	0.00	143	0.00	107	0.00	129	0.00	1
-176	Min.	0.00	1	0.00	1	0.00	132	0.00	1	0.00	49	0.00	1
-175	Max	0.00	1	0.00	1	0.00	49	0.00	167	0.00	49	0.00	1
-175	Min.	0.00	1	0.00	1	0.00	161	0.00	108	0.00	106	0.00	1
-174	Max	0.00	1	0.00	1	0.00	1	0.00	165	0.00	49	0.00	1
-174	Min.	0.00	1	0.00	1	0.00	49	0.00	102	0.00	1	0.00	1
-173	Max	0.00	1	0.00	1	0.00	103	0.00	177	0.00	106	0.00	1
-173	Min.	0.00	1	0.00	1	0.00	160	0.00	49	0.00	129	0.00	1
-172	Max	0.00	1	0.00	1	0.00	107	0.00	17	0.00	104	0.00	1
-172	Min.	0.00	1	0.00	1	0.00	177	0.00	65	0.00	107	0.00	1
-171	Max	0.00	1	0.00	1	0.00	65	0.00	108	0.00	49	0.00	1
-171	Min.	0.00	1	0.00	1	0.00	17	0.00	65	0.00	131	0.00	1
-170	Max	715.35	1	1551.24	100	0.00	167	0.00	17	0.00	129	135.65	49
-170	Min.	-1025.81	101	-202.56	17	0.00	108	0.00	65	0.00	126	-115.10	1
-169	Max	0.00	1	0.00	1	0.00	128	0.00	106	0.00	127	0.00	1
-169	Min.	0.00	1	0.00	1	0.00	107	0.00	129	0.00	108	0.00	1
-168	Max	0.00	1	0.00	1	0.00	65	0.00	104	0.00	1	0.00	1
-168	Min.	0.00	1	0.00	1	0.00	17	0.00	123	0.00	49	0.00	1
-167	Max	1025.76	106	1551.24	100	0.00	65	0.00	17	0.00	49	115.11	49
-167	Min.	-715.35	49	-202.56	65	0.00	101	0.00	177	0.00	1	-135.65	1
-166	Max	0.00	1	0.00	1	0.00	131	0.00	65	0.00	49	0.00	1
-166	Min.	0.00	1	0.00	1	0.00	104	0.00	17	0.00	102	0.00	1
-165	Max	0.00	1	0.00	1	0.00	104	0.00	65	0.00	108	0.00	1
-165	Min.	0.00	1	0.00	1	0.00	17	0.00	17	0.00	49	0.00	1
-164	Max	0.00	1	0.00	1	0.00	132	0.00	65	0.00	106	0.00	1
-164	Min.	0.00	1	0.00	1	0.00	143	0.00	17	0.00	101	0.00	1
-163	Max	0.00	1	0.00	1	0.00	106	0.00	108	0.00	132	0.00	1
-163	Min.	0.00	1	0.00	1	0.00	65	0.00	163	0.00	103	0.00	1
-162	Max	0.00	1	0.00	1	0.00	118	0.00	49	0.00	131	0.00	1
-162	Min.	0.00	1	0.00	1	0.00	137	0.00	104	0.00	128	0.00	1
-161	Max	0.00	1	0.00	1	0.00	100	0.00	177	0.00	131	0.00	1
-161	Min.	0.00	1	0.00	1	0.00	65	0.00	49	0.00	164	0.00	1
-160	Max	0.00	1	0.00	1	0.00	107	0.00	99	0.00	101	0.00	1
-160	Min.	0.00	1	0.00	1	0.00	65	0.00	132	0.00	130	0.00	1
-159	Max	0.00	1	0.00	1	0.00	17	0.00	65	0.00	130	0.00	1
-159	Min.	0.00	1	0.00	1	0.00	99	0.00	17	0.00	105	0.00	1
-158	Max	709.57	1	1224.36	65	0.00	65	0.00	65	0.00	125	157.13	65
-158	Min.	-1114.91	101	-192.65	17	0.00	107	0.00	17	0.00	49	-125.95	17
-157	Max	0.00	1	0.00	1	0.00	49	0.00	1	0.00	49	0.00	1
-157	Min.	0.00	1	0.00	1	0.00	101	0.00	49	0.00	105	0.00	1
-156	Max	0.00	1	0.00	1	0.00	65	0.00	159	0.00	168	0.00	1
-156	Min.	0.00	1	0.00	1	0.00	103	0.00	173	0.00	103	0.00	1
-155	Max	1114.85	106	1224.36	17	0.00	161	0.00	177	0.00	166	125.95	65
-155	Min.	-709.57	49	-192.65	65	0.00	158	0.00	128	0.00	105	-157.13	17
-154	Max	0.00	1	0.00	1	0.00	104	0.00	103	0.00	159	0.00	1
-154	Min.	0.00	1	0.00	1	0.00	177	0.00	173	0.00	108	0.00	1
-153	Max	0.00	1	0.00	1	0.00	65	0.00	17	0.00	1	0.00	1
-153	Min.	0.00	1	0.00	1	0.00	17	0.00	65	0.00	105	0.00	1
-152	Max	0.00	1	0.00	1	0.00	132	0.00	17	0.00	105	0.00	1
-152	Min.	0.00	1	0.00	1	0.00	107	0.00	65	0.00	158	0.00	1
-151	Max	0.00	1	0.00	1	0.00	165	0.00	1	0.00	161	0.00	1
-151	Min.	0.00	1	0.00	1	0.00	106	0.00	49	0.00	130	0.00	1

-150	Max	0.00	1	0.00	1	0.00	65	0.00	104	0.00	105	0.00	1
-150	Min.	0.00	1	0.00	1	0.00	102	0.00	173	0.00	98	0.00	1
-149	Max	0.00	1	0.00	1	0.00	49	0.00	65	0.00	49	0.00	1
-149	Min.	0.00	1	0.00	1	0.00	101	0.00	17	0.00	1	0.00	1
-148	Max	0.00	1	0.00	1	0.00	100	0.00	160	0.00	129	0.00	1
-148	Min.	0.00	1	0.00	1	0.00	65	0.00	103	0.00	102	0.00	1
-147	Max	0.00	1	0.00	1	0.00	1	0.00	108	0.00	1	0.00	1
-147	Min.	0.00	1	0.00	1	0.00	106	0.00	173	0.00	49	0.00	1
-146	Max	623.98	1	1037.11	65	0.00	65	0.00	65	0.00	103	150.36	49
-146	Min.	-1227.61	101	-333.39	17	0.00	131	0.00	17	0.00	49	-119.49	1
-145	Max	0.00	1	0.00	1	0.00	126	0.00	127	0.00	1	0.00	1
-145	Min.	0.00	1	0.00	1	0.00	65	0.00	108	0.00	49	0.00	1
-144	Max	0.00	1	0.00	1	0.00	103	0.00	17	0.00	162	0.00	1
-144	Min.	0.00	1	0.00	1	0.00	65	0.00	65	0.00	157	0.00	1
-143	Max	1227.55	106	1037.11	17	0.00	131	0.00	17	0.00	129	119.49	49
-143	Min.	-623.97	49	-333.39	65	0.00	100	0.00	65	0.00	49	-150.36	1
-142	Max	0.00	1	0.00	1	0.00	103	0.00	131	0.00	105	0.00	1
-142	Min.	0.00	1	0.00	1	0.00	49	0.00	17	0.00	1	0.00	1
-141	Max	0.00	1	0.00	1	0.00	17	0.00	17	0.00	1	0.00	1
-141	Min.	0.00	1	0.00	1	0.00	127	0.00	65	0.00	131	0.00	1
-140	Max	0.00	1	0.00	1	0.00	49	0.00	65	0.00	49	0.00	1
-140	Min.	0.00	1	0.00	1	0.00	124	0.00	131	0.00	1	0.00	1
-139	Max	0.00	1	0.00	1	0.00	107	0.00	17	0.00	162	0.00	1
-139	Min.	0.00	1	0.00	1	0.00	160	0.00	177	0.00	101	0.00	1
-138	Max	0.00	1	0.00	1	0.00	103	0.00	104	0.00	105	0.00	1
-138	Min.	0.00	1	0.00	1	0.00	164	0.00	167	0.00	126	0.00	1
-137	Max	0.00	1	0.00	1	12517.80	101	1259.42	17	6149.32	130	0.00	1
-137	Min.	0.00	1	0.00	1	2269.12	166	-1249.42	65	-5052.60	101	0.00	1
-136	Max	0.00	1	0.00	1	0.00	107	0.00	65	0.00	102	0.00	1
-136	Min.	0.00	1	0.00	1	0.00	17	0.00	17	0.00	1	0.00	1
-135	Max	0.00	1	0.00	1	24856.80	107	1264.93	17	6199.80	130	0.00	1
-135	Min.	0.00	1	0.00	1	5174.22	65	-1264.92	65	-5140.99	101	0.00	1
-134	Max	0.00	1	0.00	1	0.00	107	0.00	108	0.00	101	0.00	1
-134	Min.	0.00	1	0.00	1	0.00	104	0.00	131	0.00	130	0.00	1
-133	Max	0.00	1	0.00	1	0.00	163	0.00	104	0.00	106	0.00	1
-133	Min.	0.00	1	0.00	1	0.00	116	0.00	131	0.00	165	0.00	1
-132	Max	0.00	1	0.00	1	24857.50	103	1264.93	65	5989.32	130	0.00	1
-132	Min.	0.00	1	0.00	1	5174.21	17	-1264.92	17	-5404.42	101	0.00	1
-131	Max	0.00	1	0.00	1	0.00	17	0.00	103	0.00	166	0.00	1
-131	Min.	0.00	1	0.00	1	0.00	107	0.00	177	0.00	105	0.00	1
-130	Max	0.00	1	0.00	1	12517.50	106	1259.42	65	5894.91	130	0.00	1
-130	Min.	0.00	1	0.00	1	2443.48	1	-1249.43	17	-5372.90	101	0.00	1
-129	Max	0.00	1	0.00	1	0.00	49	0.00	177	0.00	103	0.00	1
-129	Min.	0.00	1	0.00	1	0.00	125	0.00	158	0.00	164	0.00	1
-128	Max	0.00	1	0.00	1	0.00	101	0.00	101	0.00	122	0.00	1
-128	Min.	0.00	1	0.00	1	0.00	106	0.00	49	0.00	129	0.00	1
-127	Max	0.00	1	0.00	1	0.00	103	0.00	49	0.00	106	0.00	1
-127	Min.	0.00	1	0.00	1	0.00	168	0.00	1	0.00	49	0.00	1
-126	Max	0.00	1	0.00	1	0.00	101	0.00	17	0.00	167	0.00	1
-126	Min.	0.00	1	0.00	1	0.00	162	0.00	104	0.00	49	0.00	1
-125	Max	0.00	1	0.00	1	0.00	165	0.00	177	0.00	106	0.00	1
-125	Min.	0.00	1	0.00	1	0.00	98	0.00	17	0.00	161	0.00	1
-124	Max	1702.96	130	2502.31	65	0.00	49	0.00	177	0.00	102	268.14	65
-124	Min.	-3257.10	101	-1674.16	17	0.00	105	0.00	17	0.00	157	-246.59	17
-123	Max	0.00	1	0.00	1	0.00	107	0.00	132	0.00	106	0.00	1
-123	Min.	0.00	1	0.00	1	0.00	128	0.00	107	0.00	101	0.00	1
-122	Max	0.00	1	0.00	1	0.00	106	0.00	103	0.00	106	0.00	1
-122	Min.	0.00	1	0.00	1	0.00	101	0.00	1	0.00	165	0.00	1
-121	Max	3256.94	106	2502.31	17	0.00	132	0.00	65	0.00	1	246.59	65
-121	Min.	-1156.42	49	-1674.16	65	0.00	103	0.00	17	0.00	165	-268.15	17
-120	Max	0.00	1	0.00	1	0.00	1	0.00	65	0.00	165	0.00	1
-120	Min.	0.00	1	0.00	1	0.00	104	0.00	17	0.00	126	0.00	1
-119	Max	0.00	1	0.00	1	0.00	65	0.00	65	0.00	98	0.00	1
-119	Min.	0.00	1	0.00	1	0.00	106	0.00	17	0.00	101	0.00	1
-118	Max	0.00	1	0.00	1	0.00	1	0.00	17	0.00	102	0.00	1
-118	Min.	0.00	1	0.00	1	0.00	132	0.00	65	0.00	129	0.00	1
-117	Max	0.00	1	0.00	1	0.00	1	0.00	132	0.00	106	0.00	1
-117	Min.	0.00	1	0.00	1	0.00	107	0.00	107	0.00	165	0.00	1
-116	Max	0.00	1	0.00	1	0.00	162	0.00	104	0.00	98	0.00	1
-116	Min.	0.00	1	0.00	1	0.00	49	0.00	159	0.00	125	0.00	1
-115	Max	0.00	1	0.00	1	12508.10	101	1243.44	17	6147.78	130	0.00	1
-115	Min.	0.00	1	0.00	1	2273.16	166	-1254.97	65	-5043.09	101	0.00	1
-114	Max	0.00	1	0.00	1	0.00	162	0.00	17	0.00	167	0.00	1
-114	Min.	0.00	1	0.00	1	0.00	97	0.00	65	0.00	108	0.00	1
-113	Max	0.00	1	0.00	1	24647.80	106	1257.29	17	6203.47	130	0.00	1
-113	Min.	0.00	1	0.00	1	6088.54	49	-1268.93	65	-5137.04	101	0.00	1
-112	Max	0.00	1	0.00	1	0.00	106	0.00	168	0.00	129	0.00	1
-112	Min.	0.00	1	0.00	1	0.00	101	0.00	123	0.00	102	0.00	1
-111	Max	0.00	1	0.00	1	0.00	49	0.00	17	0.00	49	0.00	1

-111	Min.	0.00	1	0.00	1	0.00	125	0.00	65	0.00	1	0.00	1
-110	Max	0.00	1	0.00	1	24648.50	101	1257.29	65	5985.84	130	0.00	1
-110	Min.	0.00	1	0.00	1	6088.53	1	-1268.93	17	-5408.98	101	0.00	1
-109	Max	0.00	1	0.00	1	0.00	125	0.00	17	0.00	105	0.00	1
-109	Min.	0.00	1	0.00	1	0.00	142	0.00	65	0.00	102	0.00	1
-108	Max	0.00	1	0.00	1	12507.80	106	1243.45	65	5885.07	130	0.00	1
-108	Min.	0.00	1	0.00	1	2910.69	1	-1254.97	17	-5373.33	101	0.00	1
-107	Max	0.00	1	0.00	1	0.00	130	0.00	131	0.00	49	0.00	1
-107	Min.	0.00	1	0.00	1	0.00	125	0.00	65	0.00	1	0.00	1
-106	Max	0.00	1	0.00	1	0.00	49	0.00	49	0.00	105	0.00	1
-106	Min.	0.00	1	0.00	1	0.00	1	0.00	1	0.00	126	0.00	1
-105	Max	0.00	1	0.00	1	0.00	49	0.00	49	0.00	105	0.00	1
-105	Min.	0.00	1	0.00	1	0.00	1	0.00	1	0.00	102	0.00	1
-104	Max	0.00	1	0.00	1	0.00	130	0.00	107	0.00	106	0.00	1
-104	Min.	0.00	1	0.00	1	0.00	1	0.00	65	0.00	161	0.00	1
-103	Max	0.00	1	0.00	1	0.00	98	0.00	65	0.00	105	0.00	1
-103	Min.	0.00	1	0.00	1	0.00	17	0.00	177	0.00	130	0.00	1
-102	Max	1717.57	130	1694.79	65	0.00	108	0.00	65	0.00	130	249.79	65
-102	Min.	-3281.82	101	-2532.78	17	0.00	49	0.00	17	0.00	105	-269.86	17
-101	Max	0.00	1	0.00	1	0.00	129	0.00	65	0.00	49	0.00	1
-101	Min.	0.00	1	0.00	1	0.00	106	0.00	17	0.00	1	0.00	1
-100	Max	0.00	1	0.00	1	0.00	132	0.00	17	0.00	1	0.00	1
-100	Min.	0.00	1	0.00	1	0.00	107	0.00	102	0.00	158	0.00	1
-99	Max	3281.66	106	1694.79	17	0.00	102	0.00	102	0.00	165	269.87	65
-99	Min.	-1170.21	1	-2532.78	65	0.00	49	0.00	17	0.00	102	-249.80	17
-98	Max	0.00	1	0.00	1	0.00	135	0.00	17	0.00	126	0.00	1
-98	Min.	0.00	1	0.00	1	0.00	104	0.00	65	0.00	165	0.00	1
-97	Max	0.00	1	0.00	1	0.00	97	0.00	99	0.00	1	0.00	1
-97	Min.	0.00	1	0.00	1	0.00	126	0.00	49	0.00	102	0.00	1
-96	Max	0.00	1	0.00	1	0.00	100	0.00	131	0.00	131	0.00	1
-96	Min.	0.00	1	0.00	1	0.00	163	0.00	177	0.00	49	0.00	1
-95	Max	0.00	1	0.00	1	0.00	123	0.00	105	0.00	159	0.00	1
-95	Min.	0.00	1	0.00	1	0.00	140	0.00	65	0.00	104	0.00	1
-94	Max	0.00	1	0.00	1	0.00	49	0.00	104	0.00	103	0.00	1
-94	Min.	0.00	1	0.00	1	0.00	104	0.00	17	0.00	108	0.00	1
-93	Max	0.00	1	0.00	1	12537.50	101	1237.01	17	6149.63	130	0.00	1
-93	Min.	0.00	1	0.00	1	2281.42	166	-1270.19	65	-5052.73	101	0.00	1
-92	Max	0.00	1	0.00	1	0.00	108	0.00	65	0.00	106	0.00	1
-92	Min.	0.00	1	0.00	1	0.00	159	0.00	108	0.00	165	0.00	1
-91	Max	0.00	1	0.00	1	24896.40	108	1252.92	17	6200.04	130	0.00	1
-91	Min.	0.00	1	0.00	1	5186.11	17	-1276.20	65	-5141.10	101	0.00	1
-90	Max	0.00	1	0.00	1	0.00	1	0.00	131	0.00	161	0.00	1
-90	Min.	0.00	1	0.00	1	0.00	106	0.00	100	0.00	130	0.00	1
-89	Max	0.00	1	0.00	1	0.00	49	0.00	106	0.00	101	0.00	1
-89	Min.	0.00	1	0.00	1	0.00	101	0.00	113	0.00	106	0.00	1
-88	Max	0.00	1	0.00	1	24897.10	104	1252.93	65	5989.44	130	0.00	1
-88	Min.	0.00	1	0.00	1	5186.10	65	-1276.20	17	-5404.64	101	0.00	1
-87	Max	0.00	1	0.00	1	0.00	17	0.00	65	0.00	101	0.00	1
-87	Min.	0.00	1	0.00	1	0.00	128	0.00	17	0.00	130	0.00	1
-86	Max	0.00	1	0.00	1	12537.20	106	1237.01	65	5895.07	130	0.00	1
-86	Min.	0.00	1	0.00	1	2456.50	49	-1270.20	17	-5373.18	101	0.00	1
-85	Max	0.00	1	0.00	1	0.00	129	0.00	173	0.00	1	0.00	1
-85	Min.	0.00	1	0.00	1	0.00	49	0.00	107	0.00	108	0.00	1
-84	Max	0.00	1	0.00	1	0.00	102	0.00	17	0.00	101	0.00	1
-84	Min.	0.00	1	0.00	1	0.00	129	0.00	65	0.00	162	0.00	1
-83	Max	0.00	1	0.00	1	0.00	104	0.00	17	0.00	101	0.00	1
-83	Min.	0.00	1	0.00	1	0.00	17	0.00	65	0.00	158	0.00	1
-82	Max	0.00	1	0.00	1	0.00	100	0.00	65	0.00	162	0.00	1
-82	Min.	0.00	1	0.00	1	0.00	49	0.00	17	0.00	101	0.00	1
-81	Max	0.00	1	0.00	1	0.00	107	0.00	173	0.00	105	0.00	1
-81	Min.	0.00	1	0.00	1	0.00	65	0.00	65	0.00	1	0.00	1
-80	Max	628.00	49	333.40	65	0.00	131	0.00	1	0.00	104	122.19	49
-80	Min.	-1224.13	101	-1036.90	17	0.00	1	0.00	132	0.00	163	-152.68	1
-79	Max	0.00	1	0.00	1	0.00	162	0.00	132	0.00	127	0.00	1
-79	Min.	0.00	1	0.00	1	0.00	17	0.00	17	0.00	49	0.00	1
-78	Max	0.00	1	0.00	1	0.00	17	0.00	1	0.00	129	0.00	1
-78	Min.	0.00	1	0.00	1	0.00	128	0.00	177	0.00	102	0.00	1
-77	Max	1224.07	106	333.40	17	0.00	1	0.00	65	0.00	157	152.68	49
-77	Min.	-627.99	1	-1036.90	65	0.00	101	0.00	17	0.00	106	-122.19	1
-76	Max	0.00	1	0.00	1	0.00	101	0.00	108	0.00	101	0.00	1
-76	Min.	0.00	1	0.00	1	0.00	65	0.00	167	0.00	162	0.00	1
-75	Max	0.00	1	0.00	1	0.00	17	0.00	17	0.00	166	0.00	1
-75	Min.	0.00	1	0.00	1	0.00	123	0.00	65	0.00	125	0.00	1
-74	Max	0.00	1	0.00	1	0.00	107	0.00	173	0.00	101	0.00	1
-74	Min.	0.00	1	0.00	1	0.00	173	0.00	177	0.00	130	0.00	1
-73	Max	0.00	1	0.00	1	0.00	125	0.00	168	0.00	130	0.00	1
-73	Min.	0.00	1	0.00	1	0.00	166	0.00	17	0.00	157	0.00	1
-72	Max	0.00	1	0.00	1	0.00	106	0.00	125	0.00	108	0.00	1
-72	Min.	0.00	1	0.00	1	0.00	165	0.00	17	0.00	159	0.00	1

-71	Max	0.00	1	0.00	1	0.00	1	0.00	17	0.00	159	0.00	1
-71	Min.	0.00	1	0.00	1	0.00	103	0.00	65	0.00	104	0.00	1
-70	Max	0.00	1	0.00	1	0.00	98	0.00	17	0.00	166	0.00	1
-70	Min.	0.00	1	0.00	1	0.00	129	0.00	65	0.00	157	0.00	1
-69	Max	0.00	1	0.00	1	0.00	49	0.00	65	0.00	161	0.00	1
-69	Min.	0.00	1	0.00	1	0.00	99	0.00	104	0.00	102	0.00	1
-68	Max	698.02	49	191.92	65	0.00	49	0.00	103	0.00	105	124.21	65
-68	Min.	-1087.49	101	-1196.59	17	0.00	108	0.00	65	0.00	130	-154.61	17
-67	Max	0.00	1	0.00	1	0.00	107	0.00	49	0.00	130	0.00	1
-67	Min.	0.00	1	0.00	1	0.00	124	0.00	108	0.00	105	0.00	1
-66	Max	0.00	1	0.00	1	0.00	158	0.00	107	0.00	107	0.00	1
-66	Min.	0.00	1	0.00	1	0.00	101	0.00	104	0.00	1	0.00	1
-65	Max	1087.43	106	191.92	17	0.00	65	0.00	17	0.00	101	154.62	65
-65	Min.	-698.02	1	-1196.59	65	0.00	99	0.00	65	0.00	162	-124.21	17
-64	Max	0.00	1	0.00	1	0.00	100	0.00	65	0.00	106	0.00	1
-64	Min.	0.00	1	0.00	1	0.00	177	0.00	17	0.00	1	0.00	1
-63	Max	0.00	1	0.00	1	0.00	17	0.00	17	0.00	49	0.00	1
-63	Min.	0.00	1	0.00	1	0.00	108	0.00	103	0.00	126	0.00	1
-62	Max	0.00	1	0.00	1	0.00	49	0.00	177	0.00	1	0.00	1
-62	Min.	0.00	1	0.00	1	0.00	1	0.00	17	0.00	126	0.00	1
-61	Max	0.00	1	0.00	1	0.00	49	0.00	65	0.00	17	0.00	1
-61	Min.	0.00	1	0.00	1	0.00	129	0.00	17	0.00	132	0.00	1
-60	Max	0.00	1	0.00	1	0.00	99	0.00	49	0.00	1	0.00	1
-60	Min.	0.00	1	0.00	1	0.00	164	0.00	1	0.00	105	0.00	1
-59	Max	0.00	1	0.00	1	0.00	103	0.00	177	0.00	49	0.00	1
-59	Min.	0.00	1	0.00	1	0.00	164	0.00	160	0.00	129	0.00	1
-58	Max	0.00	1	0.00	1	0.00	103	0.00	173	0.00	130	0.00	1
-58	Min.	0.00	1	0.00	1	0.00	65	0.00	17	0.00	49	0.00	1
-57	Max	0.00	1	0.00	1	0.00	100	0.00	65	0.00	129	0.00	1
-57	Min.	0.00	1	0.00	1	0.00	107	0.00	17	0.00	49	0.00	1
-56	Max	717.00	49	192.65	65	0.00	173	0.00	65	0.00	106	112.66	49
-56	Min.	-1019.03	101	-1544.66	99	0.00	108	0.00	17	0.00	101	-133.07	1
-55	Max	0.00	1	0.00	1	0.00	130	0.00	124	0.00	106	0.00	1
-55	Min.	0.00	1	0.00	1	0.00	17	0.00	177	0.00	101	0.00	1
-54	Max	0.00	1	0.00	1	0.00	161	0.00	102	0.00	106	0.00	1
-54	Min.	0.00	1	0.00	1	0.00	102	0.00	17	0.00	101	0.00	1
-53	Max	1018.97	106	192.65	17	0.00	65	0.00	65	0.00	106	133.07	49
-53	Min.	-717.00	1	-1544.66	99	0.00	103	0.00	17	0.00	165	-112.66	1
-52	Max	0.00	1	0.00	1	0.00	177	0.00	65	0.00	49	0.00	1
-52	Min.	0.00	1	0.00	1	0.00	104	0.00	100	0.00	1	0.00	1
-51	Max	0.00	1	0.00	1	0.00	17	0.00	131	0.00	105	0.00	1
-51	Min.	0.00	1	0.00	1	0.00	65	0.00	104	0.00	126	0.00	1
-50	Max	0.00	1	0.00	1	0.00	173	0.00	65	0.00	17	0.00	1
-50	Min.	0.00	1	0.00	1	0.00	65	0.00	17	0.00	102	0.00	1
-49	Max	0.00	1	0.00	1	0.00	102	0.00	65	0.00	107	0.00	1
-49	Min.	0.00	1	0.00	1	0.00	105	0.00	17	0.00	104	0.00	1
-48	Max	0.00	1	0.00	1	0.00	125	0.00	108	0.00	17	0.00	1
-48	Min.	0.00	1	0.00	1	0.00	49	0.00	65	0.00	125	0.00	1
-47	Max	0.00	1	0.00	1	0.00	104	0.00	177	0.00	165	0.00	1
-47	Min.	0.00	1	0.00	1	0.00	49	0.00	65	0.00	65	0.00	1
-46	Max	0.00	1	0.00	1	0.00	177	0.00	173	0.00	106	0.00	1
-46	Min.	0.00	1	0.00	1	0.00	130	0.00	65	0.00	125	0.00	1
-45	Max	0.00	1	0.00	1	25265.80	108	1253.38	17	6198.92	130	0.00	1
-45	Min.	0.00	1	0.00	1	2817.24	17	-1283.16	65	-5157.04	101	0.00	1
-44	Max	-3309.51	65	54.78	65	0.00	65	0.00	173	0.00	130	125.86	65
-44	Min.	-26789.20	97	-804.88	17	0.00	131	0.00	107	0.00	101	-151.63	17
-43	Max	0.00	1	0.00	1	0.00	49	0.00	17	0.00	177	0.00	1
-43	Min.	0.00	1	0.00	1	0.00	1	0.00	131	0.00	105	0.00	1
-42	Max	0.00	1	0.00	1	0.00	49	0.00	17	0.00	101	0.00	1
-42	Min.	0.00	1	0.00	1	0.00	1	0.00	65	0.00	106	0.00	1
-41	Max	26789.20	98	54.78	17	0.00	103	0.00	65	0.00	49	151.63	65
-41	Min.	3309.51	17	-804.88	65	0.00	173	0.00	17	0.00	1	-125.86	17
-40	Max	0.00	1	0.00	1	25266.40	104	1253.38	65	6005.41	130	0.00	1
-40	Min.	0.00	1	0.00	1	2817.23	65	-1283.17	17	-5400.02	101	0.00	1
-39	Max	0.00	1	0.00	1	0.00	99	0.00	17	0.00	106	0.00	1
-39	Min.	0.00	1	0.00	1	0.00	173	0.00	65	0.00	129	0.00	1
-38	Max	0.00	1	0.00	1	0.00	65	0.00	177	0.00	108	0.00	1
-38	Min.	0.00	1	0.00	1	0.00	173	0.00	108	0.00	49	0.00	1
-37	Max	0.00	1	0.00	1	0.00	158	0.00	17	0.00	1	0.00	1
-37	Min.	0.00	1	0.00	1	0.00	125	0.00	65	0.00	103	0.00	1
-36	Max	0.00	1	0.00	1	0.00	65	0.00	17	0.00	129	0.00	1
-36	Min.	0.00	1	0.00	1	0.00	103	0.00	65	0.00	102	0.00	1
-35	Max	0.00	1	0.00	1	0.00	128	0.00	65	0.00	101	0.00	1
-35	Min.	0.00	1	0.00	1	0.00	1	0.00	17	0.00	106	0.00	1
-34	Max	0.00	1	0.00	1	0.00	108	0.00	173	0.00	101	0.00	1
-34	Min.	0.00	1	0.00	1	0.00	17	0.00	17	0.00	162	0.00	1
-33	Max	0.00	1	0.00	1	0.00	65	0.00	17	0.00	129	0.00	1
-33	Min.	0.00	1	0.00	1	0.00	108	0.00	65	0.00	49	0.00	1
-32	Max	1074.69	49	330.16	173	0.00	107	0.00	17	0.00	105	116.79	65

-32	Min.	-900.12	1	-507.60	17	0.00	173	0.00	65	0.00	166	-111.42	17
-31	Max	0.00	1	0.00	1	0.00	108	0.00	108	0.00	1	0.00	1
-31	Min.	0.00	1	0.00	1	0.00	131	0.00	65	0.00	106	0.00	1
-30	Max	0.00	1	0.00	1	0.00	106	0.00	132	0.00	101	0.00	1
-30	Min.	0.00	1	0.00	1	0.00	17	0.00	103	0.00	106	0.00	1
-29	Max	900.12	49	303.03	100	0.00	103	0.00	103	0.00	101	111.43	65
-29	Min.	-1074.69	1	-507.60	65	0.00	17	0.00	17	0.00	162	-116.79	17
-28	Max	0.00	1	0.00	1	0.00	103	0.00	65	0.00	125	0.00	1
-28	Min.	0.00	1	0.00	1	0.00	17	0.00	17	0.00	49	0.00	1
-27	Max	0.00	1	0.00	1	0.00	104	0.00	122	0.00	105	0.00	1
-27	Min.	0.00	1	0.00	1	0.00	65	0.00	65	0.00	49	0.00	1
-26	Max	0.00	1	0.00	1	0.00	161	0.00	100	0.00	1	0.00	1
-26	Min.	0.00	1	0.00	1	0.00	17	0.00	177	0.00	49	0.00	1
-25	Max	0.00	1	0.00	1	0.00	107	0.00	49	0.00	130	0.00	1
-25	Min.	0.00	1	0.00	1	0.00	160	0.00	105	0.00	101	0.00	1
-24	Max	0.00	1	0.00	1	0.00	159	0.00	49	0.00	105	0.00	1
-24	Min.	0.00	1	0.00	1	0.00	108	0.00	1	0.00	49	0.00	1
-23	Max	0.00	1	0.00	1	0.00	104	0.00	65	0.00	49	0.00	1
-23	Min.	0.00	1	0.00	1	0.00	17	0.00	17	0.00	1	0.00	1
-22	Max	0.00	1	0.00	1	0.00	107	0.00	173	0.00	1	0.00	1
-22	Min.	0.00	1	0.00	1	0.00	173	0.00	17	0.00	101	0.00	1
-21	Max	0.00	1	0.00	1	0.00	177	0.00	65	0.00	101	0.00	1
-21	Min.	0.00	1	0.00	1	0.00	132	0.00	103	0.00	49	0.00	1
-20	Max	551.93	49	-3.33	65	0.00	65	0.00	17	0.00	129	74.70	101
-20	Min.	-394.20	1	-376.11	177	0.00	108	0.00	65	0.00	102	-33.63	1
-19	Max	0.00	1	0.00	1	0.00	17	0.00	107	0.00	106	0.00	1
-19	Min.	0.00	1	0.00	1	0.00	124	0.00	132	0.00	101	0.00	1
-18	Max	0.00	1	0.00	1	0.00	104	0.00	173	0.00	1	0.00	1
-18	Min.	0.00	1	0.00	1	0.00	17	0.00	177	0.00	104	0.00	1
-17	Max	394.19	49	-3.33	17	0.00	65	0.00	65	0.00	1	33.63	49
-17	Min.	-551.93	1	-376.11	177	0.00	17	0.00	17	0.00	125	-78.76	130
-16	Max	0.00	1	0.00	1	0.00	103	0.00	17	0.00	101	0.00	1
-16	Min.	0.00	1	0.00	1	0.00	160	0.00	104	0.00	158	0.00	1
-15	Max	0.00	1	0.00	1	0.00	177	0.00	65	0.00	106	0.00	1
-15	Min.	0.00	1	0.00	1	0.00	65	0.00	177	0.00	49	0.00	1
-14	Max	0.00	1	0.00	1	0.00	106	0.00	17	0.00	106	0.00	1
-14	Min.	0.00	1	0.00	1	0.00	65	0.00	173	0.00	157	0.00	1
-13	Max	0.00	1	0.00	1	0.00	106	0.00	173	0.00	108	0.00	1
-13	Min.	0.00	1	0.00	1	0.00	173	0.00	168	0.00	49	0.00	1
-12	Max	0.00	1	0.00	1	0.00	1	0.00	1	0.00	107	0.00	1
-12	Min.	0.00	1	0.00	1	0.00	101	0.00	49	0.00	104	0.00	1
-11	Max	0.00	1	0.00	1	0.00	65	0.00	17	0.00	106	0.00	1
-11	Min.	0.00	1	0.00	1	0.00	177	0.00	131	0.00	129	0.00	1
-10	Max	0.00	1	0.00	1	0.00	177	0.00	103	0.00	101	0.00	1
-10	Min.	0.00	1	0.00	1	0.00	131	0.00	17	0.00	166	0.00	1
-9	Max	0.00	1	0.00	1	0.00	108	0.00	131	0.00	130	0.00	1
-9	Min.	0.00	1	0.00	1	0.00	173	0.00	17	0.00	105	0.00	1
-8	Max	350.42	65	109.14	65	0.00	131	0.00	105	0.00	106	258.07	101
-8	Min.	-231.21	17	-378.59	17	0.00	136	0.00	173	0.00	129	-92.46	130
-7	Max	0.00	1	0.00	1	0.00	17	0.00	177	0.00	49	0.00	1
-7	Min.	0.00	1	0.00	1	0.00	129	0.00	130	0.00	1	0.00	1
-6	Max	0.00	1	0.00	1	0.00	65	0.00	17	0.00	102	0.00	1
-6	Min.	0.00	1	0.00	1	0.00	103	0.00	65	0.00	157	0.00	1
-5	Max	231.20	65	109.15	17	0.00	65	0.00	17	0.00	126	33.40	101
-5	Min.	-350.41	17	-378.59	65	0.00	104	0.00	65	0.00	129	-270.62	130
-4	Max	0.00	1	0.00	1	0.00	99	0.00	65	0.00	49	0.00	1
-4	Min.	0.00	1	0.00	1	0.00	173	0.00	17	0.00	106	0.00	1
-3	Max	0.00	1	0.00	1	0.00	103	0.00	17	0.00	49	0.00	1
-3	Min.	0.00	1	0.00	1	0.00	17	0.00	65	0.00	1	0.00	1
-2	Max	0.00	1	0.00	1	0.00	173	0.00	17	0.00	49	0.00	1
-2	Min.	0.00	1	0.00	1	0.00	166	0.00	65	0.00	1	0.00	1
-1	Max	0.00	1	0.00	1	0.00	168	0.00	107	0.00	107	0.00	1
-1	Min.	0.00	1	0.00	1	0.00	107	0.00	132	0.00	104	0.00	1
20	Max	24839.30	102	966.53	17	0.00	49	0.00	65	0.00	126	206.97	65
20	Min.	3441.76	17	-1872.75	65	0.00	108	0.00	17	0.00	129	-177.87	17
21	Max	-3441.76	65	966.52	65	0.00	102	0.00	17	0.00	166	177.86	65
21	Min.	-24838.60	105	-1872.75	17	0.00	161	0.00	132	0.00	101	-206.97	17
22	Max	22824.00	98	2252.55	17	0.00	49	0.00	49	0.00	1	262.82	65
22	Min.	2964.07	49	-2260.81	65	0.00	97	0.00	104	0.00	49	-263.71	17
23	Max	-2964.07	1	2252.55	65	0.00	98	0.00	17	0.00	106	263.71	65
23	Min.	-22824.00	97	-2260.80	17	0.00	129	0.00	65	0.00	165	-262.82	17
24	Max	24755.80	102	1872.58	17	0.00	65	0.00	17	0.00	108	178.34	65
24	Min.	3393.66	65	-965.85	65	0.00	104	0.00	65	0.00	103	-208.62	17
25	Max	-3393.65	17	1872.58	65	0.00	49	0.00	65	0.00	106	208.61	65
25	Min.	-24755.10	105	-965.85	17	0.00	130	0.00	17	0.00	125	-178.34	17

Tensioni sul terreno

Simbologia

Nodo = Numero del nodo
σ_t = Tensione sul terreno
CC = Numero della combinazione delle condizioni di carico elementari

Nodo		σ_t <daN/cmq>	CC
-222	Max	0.49	103
-220	Max	0.34	107
-218	Max	0.44	107
-216	Max	0.52	103
-214	Max	0.42	103
-212	Max	0.39	107
-210	Max	0.49	103
-208	Max	0.34	107
-206	Max	0.44	107
-204	Max	0.52	103
-202	Max	0.42	103
-200	Max	0.39	107
-198	Max	0.48	103
-196	Max	0.34	107
-194	Max	0.44	107
-192	Max	0.52	103
-190	Max	0.42	103
-188	Max	0.39	107
-186	Max	0.48	101
-184	Max	0.34	107
-182	Max	0.44	107
-180	Max	0.52	103
-178	Max	0.42	103
-176	Max	0.39	107
-174	Max	0.48	101
-172	Max	0.33	107
-170	Max	0.44	107
-168	Max	0.52	103
-166	Max	0.42	103
-164	Max	0.39	107
-162	Max	0.48	101
-160	Max	0.33	107
-158	Max	0.43	107
-156	Max	0.51	103
-154	Max	0.41	103
-152	Max	0.38	107
-150	Max	0.48	101
-148	Max	0.33	107
-146	Max	0.43	107
-144	Max	0.51	103
-142	Max	0.41	103
-140	Max	0.38	107
-138	Max	0.48	101
-136	Max	0.33	107
-134	Max	0.51	106
-132	Max	0.41	103
-130	Max	0.38	106
-128	Max	0.48	101
-126	Max	0.33	107
-124	Max	0.43	106
-122	Max	0.51	101
-120	Max	0.41	103
-118	Max	0.38	106
-116	Max	0.48	101
-114	Max	0.33	105
-112	Max	0.51	106
-110	Max	0.41	101
-108	Max	0.38	106
-106	Max	0.48	101
-104	Max	0.33	108
-102	Max	0.43	106
-100	Max	0.51	101
-98	Max	0.41	104
-96	Max	0.38	106
-94	Max	0.48	101
-92	Max	0.33	108
-90	Max	0.51	106
-88	Max	0.41	104
-86	Max	0.38	106
-84	Max	0.48	101
-82	Max	0.33	108
-80	Max	0.43	108
-78	Max	0.51	104

Nodo		σ_t <daN/cmq>	CC
-222	Min.	-0.00	65
-220	Min.	0.02	65
-218	Min.	0.01	65
-216	Min.	0.00	17
-214	Min.	0.01	17
-212	Min.	0.01	17
-210	Min.	0.00	168
-208	Min.	0.03	65
-206	Min.	0.02	65
-204	Min.	0.01	17
-202	Min.	0.02	17
-200	Min.	0.02	17
-198	Min.	0.00	168
-196	Min.	0.04	65
-194	Min.	0.02	65
-192	Min.	0.01	17
-190	Min.	0.03	17
-188	Min.	0.02	17
-186	Min.	0.01	166
-184	Min.	0.06	65
-182	Min.	0.04	65
-180	Min.	0.03	1
-178	Min.	0.05	17
-176	Min.	0.04	17
-174	Min.	0.01	166
-172	Min.	0.06	65
-170	Min.	0.05	65
-168	Min.	0.03	1
-166	Min.	0.05	17
-164	Min.	0.05	17
-162	Min.	0.01	166
-160	Min.	0.08	65
-158	Min.	0.06	65
-156	Min.	0.04	1
-154	Min.	0.07	17
-152	Min.	0.06	17
-150	Min.	0.01	166
-148	Min.	0.09	65
-146	Min.	0.07	65
-144	Min.	0.04	1
-142	Min.	0.08	17
-140	Min.	0.07	1
-138	Min.	0.01	166
-136	Min.	0.10	65
-134	Min.	0.04	49
-132	Min.	0.09	17
-130	Min.	0.07	1
-128	Min.	0.01	166
-126	Min.	0.11	65
-124	Min.	0.08	49
-122	Min.	0.05	130
-120	Min.	0.09	1
-118	Min.	0.08	1
-116	Min.	0.01	166
-114	Min.	0.13	33
-112	Min.	0.06	49
-110	Min.	0.10	1
-108	Min.	0.09	1
-106	Min.	0.01	166
-104	Min.	0.11	17
-102	Min.	0.08	1
-100	Min.	0.05	130
-98	Min.	0.09	49
-96	Min.	0.08	49
-94	Min.	0.01	166
-92	Min.	0.10	17
-90	Min.	0.04	1
-88	Min.	0.09	65
-86	Min.	0.07	49
-84	Min.	0.01	166
-82	Min.	0.09	17
-80	Min.	0.07	17
-78	Min.	0.04	49

Nodo		σ_t <daN/cmq>	CC
-221	Max	0.39	103
-219	Max	0.42	107
-217	Max	0.52	107
-215	Max	0.44	103
-213	Max	0.34	103
-211	Max	0.49	131
-209	Max	0.39	103
-207	Max	0.42	107
-205	Max	0.52	107
-203	Max	0.44	103
-201	Max	0.34	103
-199	Max	0.49	131
-197	Max	0.39	103
-195	Max	0.42	107
-193	Max	0.52	107
-191	Max	0.44	103
-189	Max	0.34	103
-187	Max	0.49	131
-185	Max	0.39	103
-183	Max	0.42	107
-181	Max	0.52	107
-179	Max	0.44	103
-177	Max	0.34	103
-175	Max	0.49	130
-173	Max	0.39	103
-171	Max	0.42	107
-169	Max	0.52	107
-167	Max	0.44	103
-165	Max	0.33	103
-163	Max	0.49	130
-161	Max	0.38	103
-159	Max	0.41	107
-157	Max	0.51	107
-155	Max	0.43	103
-153	Max	0.33	103
-151	Max	0.49	130
-149	Max	0.38	103
-147	Max	0.41	107
-145	Max	0.51	107
-143	Max	0.43	103
-141	Max	0.33	103
-139	Max	0.49	130
-137	Max	0.38	101
-135	Max	0.41	107
-133	Max	0.51	101
-131	Max	0.33	103
-129	Max	0.49	130
-127	Max	0.38	101
-125	Max	0.41	107
-123	Max	0.51	106
-121	Max	0.43	101
-119	Max	0.33	103
-117	Max	0.48	130
-115	Max	0.38	101
-113	Max	0.41	106
-111	Max	0.51	101
-109	Max	0.33	102
-107	Max	0.48	130
-105	Max	0.38	101
-103	Max	0.41	108
-101	Max	0.51	106
-99	Max	0.43	101
-97	Max	0.33	104
-95	Max	0.48	130
-93	Max	0.38	101
-91	Max	0.41	108
-89	Max	0.51	101
-87	Max	0.33	104
-85	Max	0.49	130
-83	Max	0.38	104
-81	Max	0.41	108
-79	Max	0.51	108
-77	Max	0.43	104

Nodo		σ_t <daN/cmq>	CC
-221	Min.	0.01	65
-219	Min.	0.01	65
-217	Min.	0.00	65
-215	Min.	0.01	17
-213	Min.	0.02	17
-211	Min.	-0.00	17
-209	Min.	0.02	65
-207	Min.	0.02	65
-205	Min.	0.01	65
-203	Min.	0.02	17
-201	Min.	0.03	17
-199	Min.	0.00	17
-197	Min.	0.02	65
-195	Min.	0.03	65
-193	Min.	0.01	65
-191	Min.	0.02	17
-189	Min.	0.04	17
-187	Min.	0.01	1
-185	Min.	0.04	65
-183	Min.	0.05	65
-181	Min.	0.03	49
-179	Min.	0.04	17
-177	Min.	0.06	17
-175	Min.	0.02	1
-173	Min.	0.05	65
-171	Min.	0.05	65
-169	Min.	0.03	49
-167	Min.	0.05	17
-165	Min.	0.06	17
-163	Min.	0.02	1
-161	Min.	0.06	65
-159	Min.	0.07	65
-157	Min.	0.04	49
-155	Min.	0.06	17
-153	Min.	0.08	17
-151	Min.	0.02	1
-149	Min.	0.07	168
-147	Min.	0.08	65
-145	Min.	0.04	49
-143	Min.	0.07	17
-141	Min.	0.09	17
-139	Min.	0.03	1
-137	Min.	0.07	166
-135	Min.	0.09	65
-133	Min.	0.04	1
-131	Min.	0.10	17
-129	Min.	0.03	1
-127	Min.	0.07	166
-125	Min.	0.09	49
-123	Min.	0.05	49
-121	Min.	0.08	1
-119	Min.	0.11	17
-117	Min.	0.04	1
-115	Min.	0.07	166
-113	Min.	0.10	49
-111	Min.	0.05	130
-109	Min.	0.13	33
-107	Min.	0.04	1
-105	Min.	0.07	166
-103	Min.	0.09	1
-101	Min.	0.05	1
-99	Min.	0.08	49
-97	Min.	0.11	65
-95	Min.	0.04	49
-93	Min.	0.07	166
-91	Min.	0.09	17
-89	Min.	0.04	49
-87	Min.	0.10	65
-85	Min.	0.03	49
-83	Min.	0.07	167
-81	Min.	0.08	17
-79	Min.	0.04	1
-77	Min.	0.07	65

-76	Max	0.41	104	-76	Min.	0.08	65	-75	Max	0.33	104	-75	Min.	0.09	65
-74	Max	0.38	108	-74	Min.	0.07	49	-73	Max	0.49	130	-73	Min.	0.03	49
-72	Max	0.48	101	-72	Min.	0.01	166	-71	Max	0.38	104	-71	Min.	0.06	17
-70	Max	0.33	108	-70	Min.	0.08	17	-69	Max	0.41	108	-69	Min.	0.07	17
-68	Max	0.44	108	-68	Min.	0.06	17	-67	Max	0.52	108	-67	Min.	0.04	1
-66	Max	0.52	104	-66	Min.	0.04	49	-65	Max	0.44	104	-65	Min.	0.06	65
-64	Max	0.41	104	-64	Min.	0.07	65	-63	Max	0.33	104	-63	Min.	0.08	65
-62	Max	0.38	108	-62	Min.	0.06	65	-61	Max	0.49	130	-61	Min.	0.02	49
-60	Max	0.48	101	-60	Min.	0.01	166	-59	Max	0.39	104	-59	Min.	0.05	17
-58	Max	0.34	108	-58	Min.	0.06	17	-57	Max	0.42	108	-57	Min.	0.05	17
-56	Max	0.44	108	-56	Min.	0.05	17	-55	Max	0.52	108	-55	Min.	0.03	1
-54	Max	0.52	104	-54	Min.	0.03	49	-53	Max	0.44	104	-53	Min.	0.05	65
-52	Max	0.42	104	-52	Min.	0.05	65	-51	Max	0.34	104	-51	Min.	0.06	65
-50	Max	0.39	108	-50	Min.	0.05	65	-49	Max	0.49	130	-49	Min.	0.02	49
-48	Max	0.48	101	-48	Min.	0.01	166	-47	Max	0.39	104	-47	Min.	0.04	17
-46	Max	0.34	108	-46	Min.	0.06	17	-45	Max	0.42	108	-45	Min.	0.05	17
-44	Max	0.44	108	-44	Min.	0.04	17	-43	Max	0.52	108	-43	Min.	0.03	1
-42	Max	0.52	104	-42	Min.	0.03	49	-41	Max	0.44	104	-41	Min.	0.04	65
-40	Max	0.42	104	-40	Min.	0.05	65	-39	Max	0.34	104	-39	Min.	0.06	65
-38	Max	0.39	108	-38	Min.	0.04	65	-37	Max	0.49	130	-37	Min.	0.02	49
-36	Max	0.49	104	-36	Min.	0.01	167	-35	Max	0.39	104	-35	Min.	0.02	17
-34	Max	0.34	108	-34	Min.	0.04	17	-33	Max	0.42	108	-33	Min.	0.03	17
-32	Max	0.44	108	-32	Min.	0.02	17	-31	Max	0.52	108	-31	Min.	0.01	17
-30	Max	0.52	104	-30	Min.	0.01	65	-29	Max	0.44	104	-29	Min.	0.02	65
-28	Max	0.42	104	-28	Min.	0.03	65	-27	Max	0.34	104	-27	Min.	0.04	65
-26	Max	0.39	108	-26	Min.	0.02	65	-25	Max	0.49	132	-25	Min.	0.01	49
-24	Max	0.49	104	-24	Min.	0.00	17	-23	Max	0.39	104	-23	Min.	0.02	17
-22	Max	0.34	108	-22	Min.	0.03	17	-21	Max	0.42	108	-21	Min.	0.02	17
-20	Max	0.44	108	-20	Min.	0.02	17	-19	Max	0.52	108	-19	Min.	0.01	17
-18	Max	0.52	104	-18	Min.	0.01	65	-17	Max	0.44	104	-17	Min.	0.02	65
-16	Max	0.42	104	-16	Min.	0.02	65	-15	Max	0.34	104	-15	Min.	0.03	65
-14	Max	0.39	108	-14	Min.	0.02	65	-13	Max	0.49	132	-13	Min.	0.00	65
-12	Max	0.49	104	-12	Min.	-0.00	17	-11	Max	0.39	104	-11	Min.	0.01	17
-10	Max	0.34	108	-10	Min.	0.02	17	-9	Max	0.42	108	-9	Min.	0.01	17
-8	Max	0.44	108	-8	Min.	0.01	17	-7	Max	0.52	108	-7	Min.	0.00	17
-6	Max	0.52	104	-6	Min.	0.00	65	-5	Max	0.44	104	-5	Min.	0.01	65
-4	Max	0.42	104	-4	Min.	0.01	65	-3	Max	0.34	104	-3	Min.	0.02	65
-2	Max	0.39	108	-2	Min.	0.01	65	-1	Max	0.49	132	-1	Min.	-0.00	65
20	Max	0.43	104	20	Min.	0.08	49	21	Max	0.43	108	21	Min.	0.08	1
22	Max	0.43	101	22	Min.	0.09	1	23	Max	0.43	106	23	Min.	0.09	49
24	Max	0.43	103	24	Min.	0.08	1	25	Max	0.43	107	25	Min.	0.08	49

Sollecitazioni aste

Simbologia

Asta = Numero dell'asta
N1 = Nodo1
N2 = Nodo2
X = Coordinata progressiva rispetto al nodo iniziale
N = Sforzo normale
CC = Numero della combinazione delle condizioni di carico elementari
Ty = Taglio in dir. Y
Mz = Momento flettente intorno all'asse Z
Tz = Taglio in dir. Z
My = Momento flettente intorno all'asse Y
Mx = Momento torcente intorno all'asse X

Asta	N1	N2		X <cm>	N <daN>	CC	Ty <daN>	CC	Mz <daNm>	CC	Tz <daN>	CC	My <daNm>	CC	Mx <daNm>	CC
0	-582	-1617	Max	0.00	585.72	158	64.57	173	22.73	177	767.83	130	60.75	101	0.44	101
0	-582	-1617	Max	22.30	586.96	158	64.57	173	10.65	173	767.83	130	85.14	130	0.44	101
0	-582	-1617	Min.	0.00	-580.50	1	-382.02	177	-3.75	173	-542.49	101	-86.09	130	-4.01	177
0	-582	-1617	Min.	22.30	-579.26	1	-382.02	177	-62.46	177	-542.49	101	-60.22	101	-4.01	177
0	-583	-1606	Max	0.00	25.69	137	26.51	173	1.66	177	759.72	130	57.48	101	0.37	125
0	-583	-1606	Max	22.30	27.07	101	26.51	173	5.71	173	759.72	130	85.14	130	0.37	125
0	-583	-1606	Min.	0.00	-437.78	130	-79.94	177	-0.21	173	-519.12	101	-84.28	130	-5.11	177
0	-583	-1606	Min.	22.30	-436.11	130	-79.94	177	-16.17	177	-519.12	101	-58.29	101	-5.11	177
0	-619	-1608	Max	0.00	399.24	158	72.04	173	21.74	177	741.02	130	60.25	101	0.33	125
0	-619	-1608	Max	22.30	400.48	158	72.04	173	12.07	173	741.02	130	82.29	130	0.33	125
0	-619	-1608	Min.	0.00	-626.27	101	-415.03	177	-3.99	173	-537.94	101	-82.96	130	-2.08	177
0	-619	-1608	Min.	22.30	-624.60	101	-415.03	177	-70.81	177	-537.94	101	-59.71	101	-2.08	177
0	401	301	Max	0.00	113.90	106	-19.58	173	2399.29	165	36.91	97	0.26	98	2.72	177
0	401	301	Max	150.00	45.62	106	-19.58	173	8.42	49	36.91	97	55.62	97	2.72	177
0	401	301	Min.	0.00	-1533.92	165	-6110.32	167	-18.01	173	-427.76	177	-0.46	177	-0.81	98
0	401	301	Min.	150.00	-1584.50	165	-6110.32	167	-6775.40	158	-427.76	177	-642.09	177	-0.81	98
0	-584	-1605	Max	0.00	56.14	101	105.94	177	0.34	162	696.11	130	49.96	101	0.32	101
0	-584	-1605	Max	22.30	57.81	101	105.94	177	20.50	177	696.11	130	77.67	130	0.32	101
0	-584	-1605	Min.	0.00	-715.02	130	-7.97	109	-3.12	177	-447.65	101	-77.57	130	-3.71	177
0	-584	-1605	Min.	22.30	-713.35	130	-7.97	109	-1.87	109	-447.65	101	-49.87	101	-3.71	177
0	-620	-1543	Max	0.00	37.65	101	29.70	173	2.12	177	731.83	130	57.01	101	0.34	125

0	-620	-1543	Max	22.30	39.32	101	29.70	173	6.39	173	731.83	130	81.89	130	0.34	125
0	-620	-1543	Min.	0.00	-357.29	130	-193.69	177	-0.23	173	-513.76	101	-81.30	130	-2.73	177
0	-620	-1543	Min.	22.30	-355.62	130	-193.69	177	-41.07	177	-513.76	101	-57.56	101	-2.73	177
0	-705	-1607	Max	0.00	367.95	122	77.38	173	22.52	177	730.30	130	60.15	101	0.31	173
0	-705	-1607	Max	22.30	369.62	122	77.38	173	13.04	173	730.30	130	81.13	130	0.31	173
0	-705	-1607	Min.	0.00	-654.00	101	-424.42	177	-4.22	173	-537.13	101	-81.72	130	-2.27	177
0	-705	-1607	Min.	22.30	-652.33	101	-424.42	177	-72.13	177	-537.13	101	-59.63	101	-2.27	177
0	-585	-1604	Max	0.00	1817.62	130	201.63	177	0.34	101	661.83	130	43.79	101	0.30	101
0	-585	-1604	Max	1.11					-0.19	69			-1.09	69		
0	-585	-1604	Max	22.30	1819.29	130	201.63	177	41.96	177	661.83	130	76.32	130	0.30	101
0	-585	-1604	Min.	0.00	-1668.15	101	-11.75	101	-3.01	177	-405.79	101	-71.26	130	-1.78	177
0	-585	-1604	Min.	1.11					-0.12	69			-5.23	69		
0	-585	-1604	Min.	22.30	-1666.48	101	-11.75	101	-2.28	101	-405.79	101	-46.70	101	-1.78	177
0	-621	-1542	Max	0.00	156.85	177	12.03	173	0.26	173	691.33	130	50.94	101	0.29	125
0	-621	-1542	Max	22.30	158.09	177	12.03	173	2.94	173	691.33	130	77.49	130	0.29	125
0	-621	-1542	Min.	0.00	-249.43	97	-83.09	177	-1.38	177	-458.65	101	-76.68	130	-2.08	177
0	-621	-1542	Min.	22.30	-247.76	97	-83.09	177	-19.91	177	-458.65	101	-51.34	101	-2.08	177
0	-706	-1840	Max	0.00	-12.00	149	33.04	173	2.16	177	725.20	130	57.15	101	0.31	173
0	-706	-1840	Max	22.30	-10.76	149	33.04	173	7.06	173	725.20	130	81.14	130	0.31	173
0	-706	-1840	Min.	0.00	-357.62	98	-196.67	177	-0.30	173	-514.82	101	-80.58	130	-2.90	177
0	-706	-1840	Min.	22.30	-355.95	98	-196.67	177	-41.70	177	-514.82	101	-57.66	101	-2.90	177
0	-795	-1611	Max	0.00	387.86	122	82.28	173	22.83	177	727.42	130	60.13	101	0.36	173
0	-795	-1611	Max	22.30	389.53	122	82.28	173	13.92	173	727.42	130	80.87	130	0.36	173
0	-795	-1611	Min.	0.00	-647.16	101	-430.66	177	-4.43	173	-537.60	101	-81.34	130	-2.38	177
0	-795	-1611	Min.	22.30	-645.49	101	-430.66	177	-73.21	177	-537.60	101	-59.75	101	-2.38	177
0	-622	-1541	Max	0.00	407.45	162	11.53	162	0.23	101	619.84	130	43.45	101	0.28	101
0	-622	-1541	Max	0.28					-0.15	7			14.59	7		
0	-622	-1541	Max	22.30	408.69	162	11.53	162	2.59	162	619.84	130	69.44	130	0.28	101
0	-622	-1541	Min.	0.00	-418.93	101	-24.28	177	-1.64	177	-389.84	101	-68.79	130	-1.20	177
0	-622	-1541	Min.	0.28					-0.11	7			-23.13	7		
0	-622	-1541	Min.	22.30	-417.26	101	-24.28	177	-7.06	177	-389.84	101	-43.48	101	-1.20	177
0	-707	-1697	Max	0.00	-26.98	162	12.96	173	0.28	173	691.61	130	51.63	101	0.18	125
0	-707	-1697	Max	22.30	-25.74	162	12.96	173	3.17	173	691.61	130	77.37	130	0.18	125
0	-707	-1697	Min.	0.00	-288.67	97	-86.21	177	-1.42	177	-463.84	101	-76.85	130	-2.20	177
0	-707	-1697	Min.	22.30	-287.00	97	-86.21	177	-20.64	177	-463.84	101	-51.80	101	-2.20	177
0	-796	-1564	Max	0.00	-9.03	149	35.61	173	2.16	177	722.98	130	56.99	101	0.43	173
0	-796	-1564	Max	22.30	-7.79	149	35.61	173	7.60	173	722.98	130	80.86	130	0.43	173
0	-796	-1564	Min.	0.00	-390.80	98	-199.32	177	-0.35	173	-513.44	101	-80.36	130	-2.97	177
0	-796	-1564	Min.	22.30	-389.13	98	-199.32	177	-42.29	177	-513.44	101	-57.51	101	-2.97	177
0	-838	-1616	Max	0.00	400.18	122	86.30	173	22.94	177	728.28	130	60.16	101	0.50	173
0	-838	-1616	Max	22.30	401.85	122	86.30	173	14.65	173	728.28	130	81.03	130	0.50	173
0	-838	-1616	Min.	0.00	-620.93	101	-433.28	177	-4.59	173	-538.51	101	-81.38	130	-2.42	177
0	-838	-1616	Min.	22.30	-619.26	101	-433.28	177	-73.68	177	-538.51	101	-59.93	101	-2.42	177
0	-586	-1602	Max	0.00	962.81	101	215.66	177	0.19	166	410.68	130	31.69	101	1.28	177
0	-586	-1602	Max	22.30	964.48	101	215.66	177	46.31	177	410.68	130	48.07	130	1.28	177
0	-586	-1602	Min.	0.00	-2018.93	130	-16.57	130	-1.79	177	-294.47	101	-43.51	130	-0.34	162
0	-586	-1602	Min.	22.30	-2017.26	130	-16.57	130	-3.75	130	-294.47	101	-33.98	101	-0.34	162
0	-623	-1860	Max	0.00	160.69	162	5.85	161	0.27	125	517.11	130	35.92	101	0.22	101
0	-623	-1860	Max	22.30	161.93	162	5.85	161	1.35	161	517.11	130	57.62	130	0.22	101
0	-623	-1860	Min.	0.00	-424.13	177	-3.95	110	-0.97	177	-320.13	101	-57.70	130	-0.54	177
0	-623	-1860	Min.	22.30	-422.89	177	-3.95	110	-1.34	110	-320.13	101	-35.47	101	-0.54	177
0	402	-1603	Max	0.00	2197.63	162	1718.44	130	813.32	101	95.28	158	0.31	177	1.00	177
0	402	-1603	Max	127.70	2154.57	162	1718.44	130	1667.13	130	95.28	158	121.62	158	1.00	177
0	402	-1603	Min.	0.00	-500.23	97	-1539.93	101	-527.33	130	-887.17	177	-0.43	98	-1.04	173
0	402	-1603	Min.	127.70	-558.36	97	-1539.93	101	-1153.17	101	-887.17	177	-1132.60	177	-1.04	173
0	-708	-1696	Max	0.00	-20.87	162	3.72	162	0.24	173	638.84	130	45.63	101	0.16	101
0	-708	-1696	Max	22.30	-19.63	162	3.72	162	0.91	162	638.84	130	71.51	130	0.16	101
0	-708	-1696	Min.	0.00	-316.44	97	-27.58	177	-1.68	177	-408.99	101	-70.95	130	-1.27	177
0	-708	-1696	Min.	22.30	-314.77	97	-27.58	177	-7.83	177	-408.99	101	-45.58	101	-1.27	177
0	-797	-1563	Max	0.00	-68.83	1	14.24	173	0.31	173	695.92	130	51.49	101	0.27	173
0	-797	-1563	Max	22.30	-67.60	1	14.24	173	3.49	173	695.92	130	77.87	130	0.27	173
0	-797	-1563	Min.	0.00	-294.34	98	-88.05	177	-1.44	177	-462.76	101	-77.32	130	-2.24	177
0	-797	-1563	Min.	22.30	-292.67	98	-88.05	177	-21.08	177	-462.76	101	-51.70	101	-2.24	177
0	-883	-1610	Max	0.00	415.23	122	90.27	173	22.92	177	727.37	130	60.13	101	0.59	173
0	-883	-1610	Max	4.46					-0.00	137			27.37	137		
0	-883	-1610	Max	22.30	416.90	122	90.27	173	15.39	173	727.37	130	80.90	130	0.59	173
0	-883	-1610	Min.	0.00	-629.25	101	-432.17	177	-4.74	173	-538.06	101	-81.30	130	-2.41	177
0	-883	-1610	Min.	4.46					-0.00	138			24.39	138		
0	-883	-1610	Min.	22.30	-627.58	101	-432.17	177	-73.46	177	-538.06	101	-59.86	101	-2.41	177
0	-624	-1855	Max	0.00	-23.88	1	16.03	101	0.30	125	412.20	130	30.40	101	0.19	65
0	-624	-1855	Max	22.30	-22.64	1	16.03	101	3.74	101	412.20	130	46.21	130	0.19	65
0	-624	-1855	Min.	0.00	-460.42	130	-12.64	106	-0.69	177	-272.46	101	-45.71	130	-0.28	162
0	-624	-1855	Min.	22.30	-458.75	130	-12.64	106	-3.13	106	-272.46	101	-30.36	101	-0.28	162
0	-709	-1690	Max	0.00	87.38	125	2.24	165	0.20	125	560.36	130	39.94	101	0.14	101
0	-709	-1690	Max	22.30	89.05	125	2.24	165	0.58	161	560.36	130	62.80	130	0.14	101
0	-709	-1690	Min.	0.00	-387.35	98	-4.69	98	-1.22	177	-356.95	101	-62.16	130	-0.55	177
0	-709	-1690	Min.	22.30	-385.68	98	-4.69	98	-1.39	98	-356.95	101	-39.66	101	-0.55	177
0	401	402	Max	0.00	-19.58	173	1533.92	165	18.01	173	427.76	177	0.81	98	0.26	98
0	401	402	Max	89.53					0.87	177			191.00	177		

0	401	402	Max	190.50	-19.58	173	1496.03	165	636.66	125	32.91	162	62.39	162	0.26	98
0	401	402	Min.	0.00	-6110.32	167	-113.90	106	-2399.29	165	-36.91	97	-2.72	177	-0.46	177
0	401	402	Min.	69.96					-11.95	109			-20.52	109		
0	401	402	Min.	190.50	-6110.32	167	-165.05	106	-267.19	106	-471.79	177	-69.52	97	-0.46	177
0	-839	-1599	Max	0.00	8.13	149	39.11	173	2.14	177	722.80	130	56.61	101	0.60	173
0	-839	-1599	Max	22.30	9.37	149	39.11	173	8.32	173	722.80	130	80.84	130	0.60	173
0	-839	-1599	Min.	0.00	-406.40	98	-199.61	177	-0.40	173	-510.38	101	-80.35	130	-2.97	177
0	-839	-1599	Min.	22.30	-404.73	98	-199.61	177	-42.37	177	-510.38	101	-57.21	101	-2.97	177
0	-587	-1601	Max	0.00	381.27	158	156.24	177	0.30	173	215.03	130	29.03	101	2.30	177
0	-587	-1601	Max	22.30	382.51	158	156.24	177	33.58	177	215.03	130	24.17	130	2.30	177
0	-587	-1601	Min.	0.00	-465.82	101	-38.99	173	-1.26	177	-254.44	101	-23.78	130	-0.29	126
0	-587	-1601	Min.	22.30	-464.15	101	-38.99	173	-8.40	173	-254.44	101	-27.71	101	-0.29	126
0	-798	-1562	Max	0.00	-59.36	1	3.39	173	0.35	173	650.06	130	45.43	101	0.09	173
0	-798	-1562	Max	22.30	-58.12	1	3.39	173	1.11	173	650.06	130	72.81	130	0.09	173
0	-798	-1562	Min.	0.00	-282.62	98	-27.78	177	-1.74	177	-407.32	101	-72.15	130	-1.29	177
0	-798	-1562	Min.	22.30	-280.95	98	-27.78	177	-7.94	177	-407.32	101	-45.41	101	-1.29	177
0	-840	-1598	Max	0.00	-70.24	1	16.52	173	0.35	173	698.72	130	50.49	101	0.44	173
0	-840	-1598	Max	22.30	-69.00	1	16.52	173	4.03	173	698.72	130	78.21	130	0.44	173
0	-840	-1598	Min.	0.00	-299.94	98	-88.22	177	-1.45	177	-454.44	101	-77.61	130	-2.24	177
0	-840	-1598	Min.	22.30	-298.27	98	-88.22	177	-21.13	177	-454.44	101	-50.85	101	-2.24	177
0	-926	-1615	Max	0.00	398.88	122	93.25	173	22.83	177	728.04	130	60.11	101	0.66	173
0	-926	-1615	Max	22.30	400.55	122	93.25	173	15.95	173	728.04	130	81.00	130	0.66	173
0	-926	-1615	Min.	0.00	-617.78	101	-430.10	177	-4.84	173	-538.01	101	-81.35	130	-2.37	177
0	-926	-1615	Min.	22.30	-616.11	101	-430.10	177	-73.08	177	-538.01	101	-59.87	101	-2.37	177
0	-884	-1557	Max	0.00	17.67	149	42.41	173	2.13	177	722.50	130	56.42	101	0.74	173
0	-884	-1557	Max	22.30	18.91	149	42.41	173	9.01	173	722.50	130	80.80	130	0.74	173
0	-884	-1557	Min.	0.00	-415.83	98	-198.74	177	-0.44	173	-508.88	101	-80.32	130	-2.94	177
0	-884	-1557	Min.	22.30	-414.16	98	-198.74	177	-42.19	177	-508.88	101	-57.06	101	-2.94	177
0	-589	-1600	Max	0.00	2023.42	98	76.40	177	6.04	173	44.33	65	47.07	97	2.29	177
0	-589	-1600	Max	22.30	2025.09	98	76.40	177	16.87	177	44.33	65	5.11	65	2.29	177
0	-589	-1600	Min.	0.00	53.14	177	-113.13	173	-0.33	137	-411.56	97	-4.77	65	-0.26	125
0	-589	-1600	Min.	22.30	54.38	177	-113.13	173	-19.19	173	-411.56	97	-44.71	97	-0.26	125
0	-625	-1854	Max	0.00	70.45	177	31.19	101	0.15	173	274.10	130	26.56	101	0.44	97
0	-625	-1854	Max	22.30	71.69	177	31.19	101	6.80	101	274.10	130	30.96	130	0.44	97
0	-625	-1854	Min.	0.00	-1274.37	102	-29.55	98	-0.42	177	-238.45	101	-30.17	130	-0.30	126
0	-625	-1854	Min.	22.30	-1272.70	102	-29.55	98	-6.65	98	-238.45	101	-26.61	101	-0.30	126
0	-710	-1685	Max	0.00	-81.71	149	10.90	177	0.26	125	449.86	130	35.56	101	0.18	65
0	-710	-1685	Max	22.30	-80.47	149	10.90	177	1.72	177	449.86	130	50.59	130	0.18	65
0	-710	-1685	Min.	0.00	-444.54	98	-8.76	98	-0.71	177	-320.02	101	-49.73	130	-0.17	166
0	-710	-1685	Min.	22.30	-442.87	98	-8.76	98	-2.28	98	-320.02	101	-35.80	101	-0.17	166
0	-799	-1561	Max	0.00	124.65	125	3.07	125	0.27	173	576.87	130	39.60	101	0.04	65
0	-799	-1561	Max	22.30	126.32	125	3.07	125	0.58	125	576.87	130	64.71	130	0.04	65
0	-799	-1561	Min.	0.00	-277.94	98	-3.79	98	-1.29	177	-354.41	101	-63.93	130	-0.54	177
0	-799	-1561	Min.	22.30	-276.27	98	-3.79	98	-1.20	177	-354.41	101	-39.43	101	-0.54	177
0	-927	-1592	Max	0.00	7.96	149	45.07	173	2.10	177	722.62	130	56.56	101	0.84	173
0	-927	-1592	Max	17.84					-0.01	161			20.57	161		
0	-927	-1592	Max	22.30	9.20	149	45.07	173	9.57	173	722.62	130	80.82	130	0.84	173
0	-927	-1592	Min.	0.00	-405.75	98	-196.67	177	-0.48	173	-509.93	101	-80.33	130	-2.89	177
0	-927	-1592	Min.	17.84					-0.01	161			20.57	161		
0	-927	-1592	Min.	22.30	-404.08	98	-196.67	177	-41.76	177	-509.93	101	-57.16	101	-2.89	177
0	-971	-1614	Max	0.00	386.97	122	94.38	173	22.64	177	727.21	130	60.04	101	0.73	173
0	-971	-1614	Max	22.30	388.64	122	94.38	173	16.17	173	727.21	130	80.85	130	0.73	173
0	-971	-1614	Min.	0.00	-645.97	101	-425.33	177	-4.88	173	-536.75	101	-81.32	130	-2.29	177
0	-971	-1614	Min.	22.30	-644.30	101	-425.33	177	-72.21	177	-536.75	101	-59.66	101	-2.29	177
0	-885	-1556	Max	0.00	-72.25	49	19.03	173	0.37	173	698.70	130	49.94	101	0.57	173
0	-885	-1556	Max	22.30	-71.01	49	19.03	173	4.62	173	698.70	130	78.20	130	0.57	173
0	-885	-1556	Min.	0.00	-300.66	98	-87.29	177	-1.46	177	-449.68	101	-77.61	130	-2.21	177
0	-885	-1556	Min.	22.30	-298.99	98	-87.29	177	-20.92	177	-449.68	101	-50.34	101	-2.21	177
0	-590	-1539	Max	0.00	1710.17	162	91.55	177	48.85	173	5.79	65	89.71	97	0.69	97
0	-590	-1539	Max	22.30	1711.41	162	91.55	177	10.64	177	5.79	65	0.58	65	0.69	97
0	-590	-1539	Min.	0.00	-1420.82	97	-434.64	173	-9.77	177	-835.70	97	-0.71	65	-0.19	173
0	-590	-1539	Min.	22.30	-1419.15	97	-434.64	173	-48.08	173	-835.70	97	-96.65	97	-0.19	173
0	-627	-1841	Max	0.00	-194.85	177	54.16	101	3.47	173	85.29	130	40.53	97	0.76	98
0	-627	-1841	Max	22.30	-193.62	177	54.16	101	9.85	101	85.29	130	10.16	130	0.76	98
0	-627	-1841	Min.	0.00	-2350.29	102	-73.13	173	-2.23	101	-356.34	97	-8.86	130	-0.34	125
0	-627	-1841	Min.	22.30	-2348.62	102	-73.13	173	-12.84	173	-356.34	97	-38.93	97	-0.34	125
0	-711	-1414	Max	0.00	-13.55	177	24.70	101	0.13	173	295.64	130	31.53	101	0.32	97
0	-711	-1414	Max	22.30	-12.31	177	24.70	101	5.29	101	295.64	130	33.56	130	0.32	97
0	-711	-1414	Min.	0.00	-1960.55	102	-17.08	110	-0.41	177	-283.76	101	-32.36	130	-0.18	162
0	-711	-1414	Min.	22.30	-1958.88	102	-17.08	110	-3.86	98	-283.76	101	-31.75	101	-0.18	162
0	-800	-1560	Max	0.00	4.47	125	9.48	177	0.17	173	469.24	130	34.71	101	0.16	65
0	-800	-1560	Max	22.30	6.14	125	9.48	177	1.35	177	469.24	130	52.78	130	0.16	65
0	-800	-1560	Min.	0.00	-264.15	98	-5.63	17	-0.76	177	-313.03	101	-51.86	130	-0.15	162
0	-800	-1560	Min.	22.30	-262.48	98	-5.63	17	-1.43	17	-313.03	101	-35.10	101	-0.15	162
0	-842	-1596	Max	0.00	-65.96	1	1.72	125	0.39	173	582.95	130	36.14	101	0.04	65
0	-842	-1596	Max	22.30	-64.73	1	1.72	125	0.54	173	582.95	130	65.44	130	0.04	65
0	-842	-1596	Min.	0.00	-376.35	102	-2.66	17	-1.31	177	-324.10	101	-64.56	130	-0.54	177
0	-842	-1596	Min.	22.30	-374.68	102	-2.66	17	-1.15	177	-324.10	101	-36.13	101	-0.54	177
0	-1059	-1613	Max	0.00	367.24	122	95.12	173	22.42	177	730.22	130	60.01	101	0.69	173

0	-1059	-1613	Max	22.30	368.91	122	95.12	173	16.30	173	730.22	130	81.13	130	0.69	173
0	-1059	-1613	Min.	0.00	-653.78	101	-420.21	177	-4.91	173	-535.91	101	-81.71	130	-2.20	177
0	-1059	-1613	Min.	22.30	-652.11	101	-420.21	177	-71.29	177	-535.91	101	-59.50	101	-2.20	177
0	-886	-1555	Max	0.00	-57.89	49	6.57	173	0.51	173	655.06	130	42.20	101	0.31	173
0	-886	-1555	Max	22.30	-56.66	49	6.57	173	1.98	173	655.06	130	73.40	130	0.31	173
0	-886	-1555	Min.	0.00	-323.49	102	-26.92	177	-1.75	177	-379.41	101	-72.68	130	-1.27	177
0	-886	-1555	Min.	22.30	-321.82	102	-26.92	177	-7.75	177	-379.41	101	-42.41	101	-1.27	177
0	-1147	-1612	Max	0.00	401.86	158	96.22	173	22.15	177	740.86	130	60.04	101	0.65	173
0	-1147	-1612	Max	22.30	403.09	158	96.22	173	16.49	173	740.86	130	82.27	130	0.65	173
0	-1147	-1612	Min.	0.00	-624.17	101	-414.38	177	-4.97	173	-536.00	101	-82.94	130	-2.04	177
0	-1147	-1612	Min.	22.30	-622.50	101	-414.38	177	-70.26	177	-536.00	101	-59.49	101	-2.04	177
0	-628	-1782	Max	0.00	-283.33	17	59.38	101	3.93	173	-64.34	17	136.73	98	0.71	101
0	-628	-1782	Max	22.30	-282.10	17	59.38	101	10.88	101	-64.34	17	-7.30	17	0.71	101
0	-628	-1782	Min.	0.00	-2208.87	102	-80.43	173	-2.36	101	-1232.40	98	7.04	17	-0.92	173
0	-628	-1782	Min.	22.30	-2207.20	102	-80.43	173	-14.01	173	-1232.40	98	-138.10	98	-0.92	173
0	403	-1822	Max	0.00	-17.27	137	1397.55	162	1562.76	97	-8.68	65	0.67	173	1.66	97
0	403	-1822	Max	127.70	-60.33	137	1397.55	162	953.92	162	-8.68	65	-11.12	65	1.66	97
0	403	-1822	Min.	0.00	-913.57	122	-3045.46	97	-830.75	162	-1005.50	177	-0.58	98	-2.03	173
0	403	-1822	Min.	127.70	-971.71	122	-3045.46	97	-2326.30	97	-1005.50	177	-1283.90	177	-2.03	173
0	-713	-1618	Max	0.00	1444.57	98	40.36	101	1.49	118	82.03	130	45.89	97	0.55	98
0	-713	-1618	Max	22.30	1446.24	98	40.36	101	7.49	101	82.03	130	9.85	130	0.55	98
0	-713	-1618	Min.	0.00	-66.98	137	-33.14	118	-1.51	101	-401.43	97	-8.44	130	-0.20	125
0	-713	-1618	Min.	22.30	-65.74	137	-33.14	118	-5.94	110	-401.43	97	-43.63	97	-0.20	125
0	-803	-1558	Max	0.00	-189.11	17	5.08	177	1.30	102	112.08	130	44.70	97	0.36	98
0	-803	-1558	Max	22.30	-187.87	17	5.08	177	0.97	177	112.08	130	13.09	130	0.36	98
0	-803	-1558	Min.	0.00	-2966.09	102	-38.41	102	-0.16	177	-392.30	97	-11.90	130	-0.15	173
0	-803	-1558	Min.	22.30	-2964.42	102	-38.41	102	-7.27	102	-392.30	97	-42.78	97	-0.15	173
0	402	403	Max	0.00	566.38	106	445.13	97	809.59	162	415.38	177	62.63	162	0.41	173
0	402	403	Max	87.40					-8.97	177			137.04	177		
0	402	403	Max	199.50	566.38	106	391.56	97	396.68	101	37.99	173	89.63	173	0.41	173
0	402	403	Min.	0.00	-4809.07	157	-722.51	162	-444.42	97	-78.38	158	-69.06	97	-0.17	97
0	402	403	Min.	55.72					0.74	117			-28.12	117		
0	402	403	Min.	199.50	-4809.07	157	-762.19	162	-671.39	162	-526.66	177	-182.86	98	-0.17	97
0	-841	-1597	Max	0.00	-63.89	1	4.79	173	0.44	173	654.62	130	43.34	101	0.22	173
0	-841	-1597	Max	22.30	-62.65	1	4.79	173	1.51	173	654.62	130	73.35	130	0.22	173
0	-841	-1597	Min.	0.00	-311.90	98	-27.53	177	-1.76	177	-389.40	101	-72.63	130	-1.29	177
0	-841	-1597	Min.	22.30	-310.23	98	-27.53	177	-7.90	177	-389.40	101	-43.50	101	-1.29	177
0	-928	-1591	Max	0.00	-69.87	49	21.19	173	0.39	173	698.52	130	50.44	101	0.67	173
0	-928	-1591	Max	22.30	-68.63	49	21.19	173	5.11	173	698.52	130	78.19	130	0.67	173
0	-928	-1591	Min.	0.00	-298.94	98	-86.01	177	-1.44	177	-453.98	101	-77.58	130	-2.16	177
0	-928	-1591	Min.	22.30	-297.27	98	-86.01	177	-20.62	177	-453.98	101	-50.80	101	-2.16	177
0	-972	-1585	Max	0.00	-8.91	149	46.88	173	2.10	177	722.76	130	56.90	101	0.93	173
0	-972	-1585	Max	22.30	-7.67	149	46.88	173	9.95	173	722.76	130	80.84	130	0.93	173
0	-972	-1585	Min.	0.00	-390.59	98	-194.77	177	-0.51	173	-512.61	101	-80.34	130	-2.81	177
0	-972	-1585	Min.	22.30	-388.92	98	-194.77	177	-41.34	177	-512.61	101	-57.42	101	-2.81	177
0	310	431	Max	0.00	-1306.33	17	151.69	101	27.58	173	-16.46	65	89.54	97	0.46	97
0	310	431	Max	22.30	-1305.10	17	151.69	101	17.33	101	-16.46	65	-1.83	65	0.46	97
0	310	431	Min.	0.00	-9445.10	98	-254.15	173	-16.50	101	-805.57	97	1.84	65	-0.13	162
0	310	431	Min.	22.30	-9443.43	98	-254.15	173	-29.10	173	-805.57	97	-90.10	97	-0.13	162
0	-801	-1559	Max	0.00	-100.45	17	8.84	177	0.17	126	315.69	130	29.80	101	0.26	65
0	-801	-1559	Max	22.30	-99.21	17	8.84	177	1.61	177	315.69	130	35.63	130	0.26	65
0	-801	-1559	Min.	0.00	-2396.38	102	-24.66	102	-0.36	177	-271.34	101	-34.77	130	-0.18	173
0	-801	-1559	Min.	22.30	-2394.71	102	-24.66	102	-5.35	102	-271.34	101	-30.71	101	-0.18	173
0	-843	-1595	Max	0.00	-60.41	1	9.30	177	0.29	173	473.71	130	30.14	101	0.14	65
0	-843	-1595	Max	17.84					-0.00	157			18.22	157		
0	-843	-1595	Max	22.30	-59.18	1	9.30	177	1.30	177	473.71	130	53.34	130	0.14	65
0	-843	-1595	Min.	0.00	-705.33	102	-7.74	102	-0.77	177	-269.26	101	-52.30	130	-0.16	173
0	-843	-1595	Min.	17.84					-0.00	157			18.22	157		
0	-843	-1595	Min.	22.30	-703.66	102	-7.74	102	-1.99	102	-269.26	101	-29.91	101	-0.16	173
0	-929	-1590	Max	0.00	-63.71	49	8.09	173	0.56	173	654.44	130	43.29	101	0.37	173
0	-929	-1590	Max	22.30	-62.48	49	8.09	173	2.37	173	654.44	130	73.33	130	0.37	173
0	-929	-1590	Min.	0.00	-311.40	98	-26.03	177	-1.71	177	-388.93	101	-72.61	130	-1.23	177
0	-929	-1590	Min.	22.30	-309.73	98	-26.03	177	-7.52	177	-388.93	101	-43.44	101	-1.23	177
0	-973	-1584	Max	0.00	-68.55	49	22.49	173	0.40	173	695.68	130	51.40	101	0.75	173
0	-973	-1584	Max	17.84					-0.01	137			-23.52	137		
0	-973	-1584	Max	22.30	-67.31	49	22.49	173	5.42	173	695.68	130	77.84	130	0.75	173
0	-973	-1584	Min.	0.00	-293.73	98	-84.59	177	-1.42	177	-461.97	101	-77.30	130	-2.08	177
0	-973	-1584	Min.	17.84					-0.01	137			-23.52	137		
0	-973	-1584	Min.	22.30	-292.06	98	-84.59	177	-20.28	177	-461.97	101	-51.62	101	-2.08	177
0	-1060	-1578	Max	0.00	-11.66	149	47.42	173	2.10	177	724.99	130	57.01	101	0.94	173
0	-1060	-1578	Max	22.30	-10.43	149	47.42	173	10.05	173	724.99	130	81.12	130	0.94	173
0	-1060	-1578	Min.	0.00	-357.85	98	-192.81	177	-0.52	173	-513.58	101	-80.55	130	-2.74	177
0	-1060	-1578	Min.	22.30	-356.18	98	-192.81	177	-40.90	177	-513.58	101	-57.52	101	-2.74	177
0	-887	-1554	Max	0.00	-46.62	49	2.40	173	0.48	173	583.38	130	34.27	101	0.05	65
0	-887	-1554	Max	22.30	-45.38	49	2.40	173	1.01	173	583.38	130	65.47	130	0.05	65
0	-887	-1554	Min.	0.00	-458.30	102	-1.90	17	-1.29	177	-307.35	101	-64.62	130	-0.53	177
0	-887	-1554	Min.	22.30	-456.63	102	-1.90	17	-1.05	177	-307.35	101	-34.27	101	-0.53	177
0	-844	-1594	Max	0.00	-32.61	1	7.95	173	0.09	102	317.11	130	27.01	101	0.24	17
0	-844	-1594	Max	1.06					-0.04	35			3.64	35		

0	-844	-1594	Max	22.30	-31.38	1	7.95	173	1.85	173	317.11	130	35.98	130	0.24	17
0	-844	-1594	Min.	0.00	-1094.27	102	-24.59	102	-0.35	177	-237.66	101	-34.73	130	-0.30	173
0	-844	-1594	Min.	1.06					0.00	35			-4.00	35		
0	-844	-1594	Min.	22.30	-1092.60	102	-24.59	102	-5.39	102	-237.66	101	-25.99	101	-0.30	173
0	-930	-1589	Max	0.00	-65.81	49	3.71	173	0.53	173	582.83	130	36.09	101	0.10	126
0	-930	-1589	Max	22.30	-64.57	49	3.71	173	1.36	173	582.83	130	65.42	130	0.10	126
0	-930	-1589	Min.	0.00	-376.30	102	-1.72	125	-1.25	177	-323.58	101	-64.55	130	-0.51	177
0	-930	-1589	Min.	22.30	-374.63	102	-1.72	125	-0.82	177	-323.58	101	-36.07	101	-0.51	177
0	-974	-1583	Max	0.00	-59.12	49	8.97	173	0.60	173	649.83	130	45.34	101	0.43	173
0	-974	-1583	Max	22.30	-57.88	49	8.97	173	2.60	173	649.83	130	72.79	130	0.43	173
0	-974	-1583	Min.	0.00	-282.30	98	-25.25	177	-1.67	177	-406.55	101	-72.12	130	-1.18	177
0	-974	-1583	Min.	22.30	-280.63	98	-25.25	177	-7.30	177	-406.55	101	-45.32	101	-1.18	177
0	-888	-1553	Max	0.00	-27.23	49	9.54	177	0.36	173	475.50	130	27.50	101	0.13	65
0	-888	-1553	Max	22.30	-26.00	49	9.54	177	1.41	173	475.50	130	53.51	130	0.13	65
0	-888	-1553	Min.	0.00	-614.07	101	-4.07	17	-0.76	177	-244.78	101	-52.53	130	-0.19	173
0	-888	-1553	Min.	22.30	-612.40	101	-4.07	17	-1.04	17	-244.78	101	-27.08	101	-0.19	173
0	-1189	-1609	Max	0.00	583.08	158	97.91	173	21.73	177	767.49	130	60.43	101	0.65	173
0	-1189	-1609	Max	22.30	584.32	158	97.91	173	16.80	173	767.49	130	85.09	130	0.65	173
0	-1189	-1609	Min.	0.00	-564.43	49	-403.02	177	-5.04	173	-539.66	101	-86.06	130	-1.91	177
0	-1189	-1609	Min.	22.30	-563.19	49	-403.02	177	-68.15	177	-539.66	101	-59.91	101	-1.91	177
0	420	320	Max	0.00	114.71	106	-36.99	17	2397.40	165	33.16	162	0.12	125	1.02	177
0	420	320	Max	150.00	46.42	106	-36.99	17	9.07	1	33.16	162	49.75	162	1.02	177
0	420	320	Min.	0.00	-1532.14	165	-6106.87	168	-17.61	1	-36.95	97	-0.26	98	-0.62	125
0	420	320	Min.	150.00	-1582.72	165	-6106.87	168	-6772.15	158	-36.95	97	-55.67	97	-0.62	125
0	-592	-1821	Max	0.00	2040.43	98	144.57	177	0.30	173	-30.46	17	150.98	98	1.07	97
0	-592	-1821	Max	22.30	2042.10	98	144.57	177	32.34	177	-30.46	17	-3.53	17	1.07	97
0	-592	-1821	Min.	0.00	-838.83	161	-29.46	130	-0.20	97	-1372.93	98	3.26	17	-1.87	177
0	-592	-1821	Min.	22.30	-837.59	161	-29.46	130	-6.37	130	-1372.93	98	-155.19	98	-1.87	177
0	-714	-1536	Max	0.00	1663.29	102	97.26	101	11.33	118	-38.18	65	94.16	97	0.38	97
0	-714	-1536	Max	22.30	1664.96	102	97.26	101	11.25	101	-38.18	65	-4.26	65	0.38	97
0	-714	-1536	Min.	0.00	196.24	17	-102.34	118	-10.44	101	-846.60	97	4.26	65	-0.13	173
0	-714	-1536	Min.	22.30	197.47	17	-102.34	118	-11.49	118	-846.60	97	-94.63	97	-0.13	173
0	-1061	-1577	Max	0.00	-25.50	162	22.82	173	0.40	173	691.35	130	51.51	101	0.76	173
0	-1061	-1577	Max	22.30	-24.26	162	22.82	173	5.49	173	691.35	130	77.35	130	0.76	173
0	-1061	-1577	Min.	0.00	-287.87	97	-83.40	177	-1.39	177	-462.74	101	-76.82	130	-2.02	177
0	-1061	-1577	Min.	22.30	-286.19	97	-83.40	177	-19.99	177	-462.74	101	-51.68	101	-2.02	177
0	-1148	-1571	Max	0.00	38.29	101	48.00	173	2.07	177	731.62	130	56.81	101	0.92	173
0	-1148	-1571	Max	22.30	39.96	101	48.00	173	10.16	173	731.62	130	81.87	130	0.92	173
0	-1148	-1571	Min.	0.00	-356.57	130	-189.72	177	-0.54	173	-511.98	101	-81.28	130	-2.62	177
0	-1148	-1571	Min.	22.30	-354.90	130	-189.72	177	-40.24	177	-511.98	101	-57.36	101	-2.62	177
0	-593	-1820	Max	0.00	12.47	162	198.82	177	0.26	101	-27.61	17	168.33	98	1.41	97
0	-593	-1820	Max	22.30	13.71	162	198.82	177	43.27	177	-27.61	17	-3.15	17	1.41	97
0	-593	-1820	Min.	0.00	-488.41	101	-8.72	118	-1.07	177	-1523.29	98	3.00	17	-1.28	177
0	-593	-1820	Min.	22.30	-486.74	101	-8.72	118	-2.31	118	-1523.29	98	-171.36	98	-1.28	177
0	312	440	Max	0.00	-1181.26	17	5.17	177	8.73	102	-60.82	65	97.89	97	0.33	97
0	312	440	Max	22.30	-1180.02	17	5.17	177	0.55	177	-60.82	65	-6.79	65	0.33	97
0	312	440	Min.	0.00	-8211.06	102	-80.37	102	-0.60	177	-880.30	97	6.77	65	-0.15	173
0	312	440	Min.	22.30	-8209.39	102	-80.37	102	-9.20	102	-880.30	97	-98.42	97	-0.15	173
0	-715	-1838	Max	0.00	1587.06	98	43.52	101	1.64	173	-89.78	17	141.06	98	0.50	101
0	-715	-1838	Max	22.30	1588.73	98	43.52	101	8.10	101	-89.78	17	-10.20	17	0.50	101
0	-715	-1838	Min.	0.00	-19.79	137	-34.76	173	-1.60	101	-1277.28	98	9.82	17	-0.68	173
0	-715	-1838	Min.	22.30	-18.55	137	-34.76	173	-6.11	173	-1277.28	98	-143.78	98	-0.68	173
0	-630	-1781	Max	0.00	-98.64	177	37.82	101	0.19	173	-70.41	17	165.66	98	0.85	97
0	-630	-1781	Max	22.30	-97.40	177	37.82	101	8.15	101	-70.41	17	-7.90	17	0.85	97
0	-630	-1781	Min.	0.00	-1175.76	126	-28.77	173	-0.43	97	-1492.97	98	7.80	17	-0.99	173
0	-630	-1781	Min.	22.30	-1174.09	126	-28.77	173	-6.22	173	-1492.97	98	-167.27	98	-0.99	173
0	-846	-1593	Max	0.00	1566.78	98	18.76	173	1.64	102	101.63	130	49.83	97	0.30	102
0	-846	-1593	Max	22.30	1568.46	98	18.76	173	3.42	173	101.63	130	12.02	130	0.30	102
0	-846	-1593	Min.	0.00	227.78	33	-44.09	102	-0.77	173	-437.19	97	-10.64	130	-0.32	173
0	-846	-1593	Min.	22.30	229.02	33	-44.09	102	-8.19	102	-437.19	97	-47.66	97	-0.32	173
0	-931	-1588	Max	0.00	-60.45	49	10.69	177	0.41	173	473.73	130	30.07	101	0.12	65
0	-931	-1588	Max	22.30	-59.21	49	10.69	177	1.98	102	473.73	130	53.34	130	0.12	65
0	-931	-1588	Min.	0.00	-705.87	102	-2.82	17	-0.73	177	-268.65	101	-52.30	130	-0.20	173
0	-931	-1588	Min.	22.30	-704.20	102	-2.82	17	-0.72	17	-268.65	101	-29.84	101	-0.20	173
0	-975	-1582	Max	0.00	124.52	125	4.56	173	0.58	173	576.69	130	39.52	101	0.16	130
0	-975	-1582	Max	22.30	126.19	125	4.56	173	1.60	173	576.69	130	64.69	130	0.16	130
0	-975	-1582	Min.	0.00	-278.15	98	-3.09	125	-1.20	177	-353.65	101	-63.91	130	-0.49	177
0	-975	-1582	Min.	22.30	-276.48	98	-3.09	125	-0.59	177	-353.65	101	-39.34	101	-0.49	177
0	-1062	-1576	Max	0.00	-20.79	162	9.12	173	0.62	173	638.51	130	45.52	101	0.44	173
0	-1062	-1576	Max	22.30	-19.55	162	9.12	173	2.66	173	638.51	130	71.48	130	0.44	173
0	-1062	-1576	Min.	0.00	-314.98	97	-24.68	177	-1.61	177	-408.02	101	-70.91	130	-1.13	177
0	-1062	-1576	Min.	22.30	-313.31	97	-24.68	177	-7.12	177	-408.02	101	-45.47	101	-1.13	177
0	-889	-1552	Max	0.00	-68.71	49	12.15	173	0.07	173	321.15	130	24.42	101	0.21	17
0	-889	-1552	Max	22.30	-67.48	49	12.15	173	2.78	173	321.15	130	36.27	130	0.21	17
0	-889	-1552	Min.	0.00	-972.94	102	-8.08	17	-0.35	177	-215.85	101	-35.35	130	-0.37	173
0	-889	-1552	Min.	22.30	-971.27	102	-8.08	17	-1.81	17	-215.85	101	-23.72	101	-0.37	173
0	-1149	-1570	Max	0.00	-9.36	162	22.78	173	0.41	173	691.04	130	50.77	101	0.75	173
0	-1149	-1570	Max	22.30	-8.12	162	22.78	173	5.49	173	691.04	130	77.46	130	0.75	173
0	-1149	-1570	Min.	0.00	-247.17	97	-82.09	177	-1.36	177	-457.15	101	-76.65	130	-1.94	177

0	-1149	-1570	Min.	22.30	-245.50	97	-82.09	177	-19.66	177	-457.15	101	-51.17	101	-1.94	177
0	-1190	-1550	Max	0.00	20.99	137	48.67	173	2.11	177	759.68	130	57.21	101	0.93	173
0	-1190	-1550	Max	22.30	22.23	137	48.67	173	10.29	173	759.68	130	85.14	130	0.93	173
0	-1190	-1550	Min.	0.00	-429.88	130	-186.21	177	-0.57	173	-516.75	101	-84.27	130	-2.54	177
0	-1190	-1550	Min.	22.30	-428.20	130	-186.21	177	-39.42	177	-516.75	101	-58.03	101	-2.54	177
0	-594	-1819	Max	0.00	601.90	173	237.97	177	0.27	101	-18.85	17	170.97	98	1.69	98
0	-594	-1819	Max	22.30	603.14	173	237.97	177	51.83	177	-18.85	17	-2.15	17	1.69	98
0	-594	-1819	Min.	0.00	-427.34	125	-1.59	110	-1.24	177	-1540.01	98	2.06	17	-0.71	173
0	-594	-1819	Min.	22.30	-425.67	125	-1.59	110	-0.86	110	-1540.01	98	-172.46	98	-0.71	173
0	-631	-1780	Max	0.00	168.80	177	14.47	101	0.34	101	-67.84	17	182.03	98	1.15	97
0	-631	-1780	Max	22.30	170.03	177	14.47	101	3.57	101	-67.84	17	-7.64	17	1.15	97
0	-631	-1780	Min.	0.00	-410.79	101	-12.54	173	-0.51	98	-1643.20	98	7.49	17	-0.90	173
0	-631	-1780	Min.	22.30	-409.12	101	-12.54	173	-3.08	173	-1643.20	98	-184.40	98	-0.90	173
0	-717	-1837	Max	0.00	-56.23	17	27.31	101	0.25	173	-105.50	17	173.72	98	0.77	97
0	-717	-1837	Max	22.30	-54.99	17	27.31	101	5.86	101	-105.50	17	-11.91	17	0.77	97
0	-717	-1837	Min.	0.00	-2005.60	102	-20.02	173	-0.23	101	-1569.26	98	11.62	17	-0.77	173
0	-717	-1837	Min.	22.30	-2003.93	102	-20.02	173	-4.21	173	-1569.26	98	-176.22	98	-0.77	173
0	-847	-1531	Max	0.00	1796.75	98	52.38	173	12.31	102	-72.03	33	100.37	97	0.19	177
0	-847	-1531	Max	22.30	1798.42	98	52.38	173	5.91	173	-72.03	33	-8.05	33	0.19	177
0	-847	-1531	Min.	0.00	278.41	33	-116.90	102	-5.77	173	-902.65	97	8.02	33	-0.20	173
0	-847	-1531	Min.	22.30	279.65	33	-116.90	102	-13.76	102	-902.65	97	-100.92	97	-0.20	173
0	-804	-1725	Max	0.00	-176.04	17	-0.95	177	1.23	102	-125.53	17	149.80	98	0.48	97
0	-804	-1725	Max	22.30	-174.80	17	-0.95	177	-0.23	177	-125.53	17	-14.19	17	0.48	97
0	-804	-1725	Min.	0.00	-2910.74	102	-36.46	102	-0.02	177	-1355.38	98	13.81	17	-0.47	173
0	-804	-1725	Min.	22.30	-2909.07	102	-36.46	102	-6.90	102	-1355.38	98	-152.45	98	-0.47	173
0	-932	-1587	Max	0.00	-33.96	49	24.51	102	0.08	173	317.29	130	26.93	101	0.17	17
0	-932	-1587	Max	22.30	-32.72	49	24.51	102	5.38	102	317.29	130	36.00	130	0.17	17
0	-932	-1587	Min.	0.00	-1100.94	102	-5.94	17	-0.34	177	-236.96	101	-34.76	130	-0.41	173
0	-932	-1587	Min.	22.30	-1099.27	102	-5.94	17	-1.34	17	-236.96	101	-25.91	101	-0.41	173
0	-976	-1581	Max	0.00	3.93	125	12.10	177	0.45	173	469.19	130	34.62	101	0.15	162
0	-976	-1581	Max	22.30	5.60	125	12.10	177	2.15	173	469.19	130	52.78	130	0.15	162
0	-976	-1581	Min.	0.00	-264.80	98	-0.80	161	-0.68	177	-312.28	101	-51.85	130	-0.21	173
0	-976	-1581	Min.	22.30	-263.13	98	-0.80	161	-0.21	17	-312.28	101	-35.02	101	-0.21	173
0	-891	-1551	Max	0.00	-165.54	49	26.14	173	0.62	17	116.23	130	47.68	97	0.24	17
0	-891	-1551	Max	17.84					-0.00	144			3.05	144		
0	-891	-1551	Max	22.30	-164.31	49	26.14	173	4.73	173	116.23	130	13.51	130	0.24	17
0	-891	-1551	Min.	0.00	-1781.40	102	-15.21	17	-1.10	173	-419.90	97	-12.41	130	-0.43	173
0	-891	-1551	Min.	13.38					-0.00	107			1.76	107		
0	-891	-1551	Min.	22.30	-1779.73	102	-15.21	17	-2.78	17	-419.90	97	-45.96	97	-0.43	173
0	-1150	-1569	Max	0.00	410.09	162	9.19	101	0.63	173	619.46	130	43.32	101	0.43	173
0	-1150	-1569	Max	22.30	411.32	162	9.19	101	2.62	173	619.46	130	69.39	130	0.43	173
0	-1150	-1569	Min.	0.00	-417.81	101	-24.72	177	-1.56	177	-388.63	101	-68.75	130	-1.08	177
0	-1150	-1569	Min.	22.30	-416.14	101	-24.72	177	-7.07	177	-388.63	101	-43.35	101	-1.08	177
0	-718	-1853	Max	0.00	-33.49	177	5.68	101	0.32	101	-106.63	17	192.20	98	0.98	97
0	-718	-1853	Max	22.30	-32.25	177	5.68	101	1.58	101	-106.63	17	-12.00	17	0.98	97
0	-718	-1853	Min.	0.00	-362.85	98	-11.34	173	-0.31	98	-1734.68	98	11.78	17	-0.74	173
0	-718	-1853	Min.	22.30	-361.18	98	-11.34	173	-2.60	173	-1734.68	98	-194.63	98	-0.74	173
0	-806	-1724	Max	0.00	-102.38	17	-1.60	177	0.19	173	-143.31	17	181.55	98	0.67	97
0	-806	-1724	Max	22.30	-101.15	17	-1.60	177	-0.34	177	-143.31	17	-16.11	17	0.67	97
0	-806	-1724	Min.	0.00	-2438.95	102	-22.94	102	-0.05	17	-1637.63	98	15.85	17	-0.56	173
0	-806	-1724	Min.	22.30	-2437.28	102	-22.94	102	-4.96	102	-1637.63	98	-183.64	98	-0.56	173
0	403	404	Max	0.00	29.15	49	1196.94	98	171.65	161	478.84	177	91.66	173	1.08	173
0	403	404	Max	101.41					4.12	177			86.06	177		
0	403	404	Max	200.00	29.15	49	1143.24	98	1155.31	98	131.23	98	250.47	173	1.08	173
0	403	404	Min.	0.00	-4555.83	121	-170.32	161	-1184.87	98	-3.67	65	-184.52	98	-0.75	98
0	403	404	Min.	45.49					8.80	125			-11.02	125		
0	403	404	Min.	200.00	-4555.83	121	-210.10	161	-208.77	161	-465.56	177	-143.44	177	-0.75	98
0	-1063	-1575	Max	0.00	88.21	125	4.82	173	0.62	173	560.08	130	39.84	101	0.21	130
0	-1063	-1575	Max	22.30	89.88	125	4.82	173	1.69	173	560.08	130	62.77	130	0.21	130
0	-1063	-1575	Min.	0.00	-386.00	98	-2.26	165	-1.13	177	-356.12	101	-62.12	130	-0.47	177
0	-1063	-1575	Min.	22.30	-384.33	98	-2.26	165	-0.58	161	-356.12	101	-39.57	101	-0.47	177
0	-1191	-1549	Max	0.00	72.07	101	22.67	173	0.39	173	695.46	130	49.71	101	0.77	173
0	-1191	-1549	Max	22.30	73.74	101	22.67	173	5.45	173	695.46	130	77.57	130	0.77	173
0	-1191	-1549	Min.	0.00	-738.18	130	-80.72	177	-1.33	177	-445.32	101	-77.52	130	-1.87	177
0	-1191	-1549	Min.	22.30	-736.51	130	-80.72	177	-19.33	177	-445.32	101	-49.60	101	-1.87	177
0	-848	-1802	Max	0.00	1713.91	98	10.16	173	1.61	102	-136.06	33	149.72	98	0.26	97
0	-848	-1802	Max	22.30	1715.58	98	10.16	173	1.82	173	-136.06	33	-15.40	33	0.26	97
0	-848	-1802	Min.	0.00	244.90	33	-43.25	102	-0.45	173	-1356.85	98	14.94	33	-0.39	173
0	-848	-1802	Min.	22.30	246.14	33	-43.25	102	-8.04	102	-1356.85	98	-152.86	98	-0.39	173
0	-632	-1779	Max	0.00	161.41	177	2.21	177	0.36	101	-56.80	17	185.78	98	1.41	98
0	-632	-1779	Max	22.30	162.64	177	2.21	177	0.62	101	-56.80	17	-6.38	17	1.41	98
0	-632	-1779	Min.	0.00	-428.62	173	-6.31	173	-0.39	98	-1676.43	98	6.28	17	-0.73	173
0	-632	-1779	Min.	22.30	-427.38	173	-6.31	173	-1.72	173	-1676.43	98	-188.06	98	-0.73	173
0	-595	-1818	Max	0.00	706.26	161	247.79	177	0.33	98	-6.39	17	166.88	98	1.85	98
0	-595	-1818	Max	2.39					-0.01	71			32.31	71		
0	-595	-1818	Max	22.30	707.50	161	247.79	177	55.19	177	-6.39	17	-0.75	17	1.85	98
0	-595	-1818	Min.	0.00	-3339.73	98	-21.20	98	-0.47	173	-1532.91	98	0.68	17	-0.56	173
0	-595	-1818	Min.	2.29					-0.14	23			11.63	23		
0	-595	-1818	Min.	22.30	-3338.05	98	-21.20	98	-4.40	98	-1532.91	98	-174.95	98	-0.56	173

0	-934	-1586	Max	0.00	1561.42	98	43.99	102	0.45	17	102.11	130	49.73	97	0.19	17
0	-934	-1586	Max	22.30	1563.09	98	43.99	102	8.17	102	102.11	130	12.08	130	0.19	17
0	-934	-1586	Min.	0.00	227.74	33	-11.43	17	-1.64	102	-436.16	97	-10.69	130	-0.51	173
0	-934	-1586	Min.	22.30	228.98	33	-11.43	17	-2.10	17	-436.16	97	-47.54	97	-0.51	173
0	-977	-1580	Max	0.00	-99.72	65	24.79	102	0.07	173	315.84	130	29.72	101	0.17	162
0	-977	-1580	Max	22.30	-98.49	65	24.79	102	5.38	102	315.84	130	35.65	130	0.17	162
0	-977	-1580	Min.	0.00	-2395.13	102	-1.56	17	-0.35	177	-270.57	101	-34.79	130	-0.45	173
0	-977	-1580	Min.	22.30	-2393.46	102	-1.56	17	-0.37	17	-270.57	101	-30.62	101	-0.45	173
0	-1064	-1574	Max	0.00	-80.86	149	14.09	177	0.49	173	449.68	130	35.48	101	0.17	166
0	-1064	-1574	Max	22.30	-79.62	149	14.09	177	2.53	177	449.68	130	50.57	130	0.17	166
0	-1064	-1574	Min.	0.00	-443.09	98	-4.10	101	-0.61	177	-319.27	101	-49.71	130	-0.23	173
0	-1064	-1574	Min.	22.30	-441.42	98	-4.10	101	-1.17	101	-319.27	101	-35.72	101	-0.23	173
0	-1151	-1568	Max	0.00	162.19	162	4.45	173	0.65	173	516.60	130	35.81	101	0.30	130
0	-1151	-1568	Max	22.30	163.43	162	4.45	173	1.64	173	516.60	130	57.55	130	0.30	130
0	-1151	-1568	Min.	0.00	-206.19	97	-5.91	161	-1.06	177	-319.13	101	-57.65	130	-0.44	177
0	-1151	-1568	Min.	22.30	-204.52	97	-5.91	161	-1.37	161	-319.13	101	-35.36	101	-0.44	177
0	-1192	-1548	Max	0.00	1851.45	130	12.02	101	0.59	173	662.92	130	43.66	101	0.52	98
0	-1192	-1548	Max	22.30	1853.12	130	12.02	101	2.53	173	662.92	130	76.50	130	0.52	98
0	-1192	-1548	Min.	0.00	-1683.42	101	-24.00	177	-1.58	177	-404.97	101	-71.33	130	-1.02	177
0	-1192	-1548	Min.	22.30	-1681.75	101	-24.00	177	-6.93	177	-404.97	101	-46.64	101	-1.02	177
0	-935	-1534	Max	0.00	1800.92	98	116.99	102	3.25	17	-71.44	33	100.29	97	0.15	177
0	-935	-1534	Max	22.30	1802.59	98	116.99	102	13.74	102	-71.44	33	-7.98	33	0.15	177
0	-935	-1534	Min.	0.00	279.97	33	-29.51	17	-12.35	102	-901.94	97	7.95	33	-0.29	173
0	-935	-1534	Min.	22.30	281.21	33	-29.51	17	-3.33	17	-901.94	97	-100.84	97	-0.29	173
0	-719	-1852	Max	0.00	62.36	101	1.10	177	0.25	101	-96.55	17	197.79	98	1.15	98
0	-719	-1852	Max	22.30	64.03	101	1.10	177	0.26	177	-96.55	17	-10.84	17	1.15	98
0	-719	-1852	Min.	0.00	-378.26	98	-6.28	173	-0.20	122	-1782.93	98	10.69	17	-0.65	173
0	-719	-1852	Min.	22.30	-376.60	98	-6.28	173	-1.50	173	-1782.93	98	-199.81	98	-0.65	173
0	-1152	-1567	Max	0.00	-22.71	49	14.77	177	0.55	173	411.88	130	30.31	101	0.28	162
0	-1152	-1567	Max	22.30	-21.47	49	14.77	177	3.13	106	411.88	130	46.17	130	0.28	162
0	-1152	-1567	Min.	0.00	-461.22	130	-16.07	101	-0.53	177	-271.71	101	-45.68	130	-0.25	173
0	-1152	-1567	Min.	22.30	-459.55	130	-16.07	101	-3.75	101	-271.71	101	-30.28	101	-0.25	173
0	420	421	Max	0.00	-36.99	17	1532.14	165	17.61	1	36.95	97	0.62	125	0.12	125
0	420	421	Max	66.57					-11.68	109			19.49	109		
0	420	421	Max	190.50	-36.99	17	1494.25	165	634.99	125	36.95	97	69.60	97	0.12	125
0	420	421	Min.	0.00	-6106.87	168	-114.71	106	-2397.40	165	-33.16	162	-1.02	177	-0.26	98
0	420	421	Min.	13.45					-5.83	147			2.41	147		
0	420	421	Min.	190.50	-6106.87	168	-165.86	106	-267.86	106	-33.16	162	-62.86	162	-0.26	98
0	314	430	Max	0.00	-1215.67	33	73.02	173	4.43	17	-77.88	33	101.25	97	0.15	177
0	314	430	Max	17.84					-0.01	108			-19.31	108		
0	314	430	Max	22.30	-1214.44	33	73.02	173	8.16	173	-77.88	33	-8.70	33	0.15	177
0	314	430	Min.	0.00	-8194.92	102	-39.85	17	-8.13	173	-910.56	97	8.66	33	-0.25	173
0	314	430	Min.	17.84					-0.01	108			-19.31	108		
0	314	430	Min.	22.30	-8193.24	102	-39.85	17	-4.45	17	-910.56	97	-101.81	97	-0.25	173
0	-807	-1723	Max	0.00	14.27	149	-0.83	133	0.03	173	-146.74	17	200.14	98	0.76	97
0	-807	-1723	Max	22.30	15.50	149	-0.83	133	-0.20	177	-146.74	17	-16.50	17	0.76	97
0	-807	-1723	Min.	0.00	-211.57	106	-5.81	173	-0.29	102	-1805.98	98	16.22	17	-0.59	173
0	-807	-1723	Min.	22.30	-209.90	106	-5.81	173	-1.27	173	-1805.98	98	-202.59	98	-0.59	173
0	-633	-1778	Max	0.00	58.11	161	3.62	161	0.28	101	-41.05	17	178.23	98	1.61	98
0	-633	-1778	Max	1.39					-0.09	55			31.93	55		
0	-633	-1778	Max	22.30	59.34	161	3.62	161	0.67	161	-41.05	17	-4.60	17	1.61	98
0	-633	-1778	Min.	0.00	-702.92	98	-12.23	98	-0.15	130	-1606.16	98	4.55	17	-0.56	173
0	-633	-1778	Min.	1.39					-0.03	7			16.90	7		
0	-633	-1778	Min.	22.30	-701.25	98	-12.23	98	-2.65	98	-1606.16	98	-179.94	98	-0.56	173
0	-850	-1801	Max	0.00	-44.06	1	1.26	173	0.12	173	-159.67	33	184.30	98	0.34	97
0	-850	-1801	Max	22.30	-42.82	1	1.26	173	0.40	173	-159.67	33	-18.00	33	0.34	97
0	-850	-1801	Min.	0.00	-1139.05	102	-23.79	102	-0.07	17	-1666.03	98	17.61	33	-0.51	173
0	-850	-1801	Min.	22.30	-1137.38	102	-23.79	102	-5.22	102	-1666.03	98	-187.23	98	-0.51	173
0	-979	-1579	Max	0.00	-185.73	65	38.88	102	0.01	17	112.46	130	44.60	97	0.14	161
0	-979	-1579	Max	22.30	-184.49	65	38.88	102	7.36	102	112.46	130	13.13	130	0.14	161
0	-979	-1579	Min.	0.00	-2954.12	102	-2.05	17	-1.51	173	-391.35	97	-11.94	130	-0.58	173
0	-979	-1579	Min.	22.30	-2952.45	102	-2.05	17	-0.45	17	-391.35	97	-42.67	97	-0.58	173
0	-1065	-1573	Max	0.00	-56.75	65	19.35	173	0.22	101	295.73	130	31.44	101	0.18	162
0	-1065	-1573	Max	22.30	-55.51	65	19.35	173	4.39	173	295.73	130	33.57	130	0.18	162
0	-1065	-1573	Min.	0.00	-1959.10	102	-24.57	101	-0.36	177	-282.99	101	-32.37	130	-0.50	173
0	-1065	-1573	Min.	22.30	-1957.43	102	-24.57	101	-5.26	101	-282.99	101	-31.66	101	-0.50	173
0	-892	-1452	Max	0.00	-151.55	49	17.75	173	0.40	17	-147.80	33	153.58	98	0.24	17
0	-892	-1452	Max	22.30	-150.32	49	17.75	173	3.18	173	-147.80	33	-16.67	33	0.24	17
0	-892	-1452	Min.	0.00	-1719.53	102	-8.85	17	-0.78	173	-1389.18	98	16.29	33	-0.37	173
0	-892	-1452	Min.	22.30	-1717.86	102	-8.85	17	-1.57	17	-1389.18	98	-156.21	98	-0.37	173
0	321	-2071	Max	0.00	715.89	161	2.89	118	0.66	173	394.12	106	25.59	101	0.40	130
0	321	-2071	Max	22.30	717.13	161	2.89	118	1.12	173	394.12	106	42.08	106	0.40	130
0	321	-2071	Min.	0.00	-443.94	102	-3.92	125	-0.95	177	-192.72	101	-45.81	106	-0.38	177
0	321	-2071	Min.	22.30	-442.27	102	-3.92	125	-1.19	125	-192.72	101	-17.39	101	-0.38	177
0	316	433	Max	0.00	-1163.09	65	98.91	173	-0.09	17	-59.36	17	97.74	97	0.12	177
0	316	433	Max	22.30	-1161.86	65	98.91	173	10.96	173	-59.36	17	-6.63	17	0.12	177
0	316	433	Min.	0.00	-8171.76	102	0.52	17	-11.10	173	-878.99	97	6.61	17	-0.33	97
0	316	433	Min.	22.30	-8170.09	102	0.52	17	0.03	17	-878.99	97	-98.27	97	-0.33	97
0	-808	-1722	Max	0.00	155.43	101	4.03	101	0.04	97	-118.01	1	206.24	98	0.77	98

0	-808	-1722	Max	17.84					-0.01	23			-16.76	23		
0	-808	-1722	Max	22.30	157.10	101	4.03	101	0.76	101	-118.01	1	-13.27	1	0.77	98
0	-808	-1722	Min.	0.00	-238.06	106	-3.68	173	-0.14	102	-1859.49	98	13.05	1	-0.56	173
0	-808	-1722	Min.	17.84					-0.44	23			-20.60	23		
0	-808	-1722	Min.	22.30	-236.39	106	-3.68	173	-0.87	173	-1859.49	98	-208.43	98	-0.56	173
0	-596	-1816	Max	0.00	2689.14	173	249.96	177	0.27	177	59.32	1	127.63	98	1.71	98
0	-596	-1816	Max	22.30	2690.37	173	249.96	177	56.01	177	59.32	1	6.58	1	1.71	98
0	-596	-1816	Min.	0.00	-952.42	161	-6.11	125	-1.21	173	-1179.54	98	-6.65	1	-0.29	173
0	-596	-1816	Min.	22.30	-951.19	161	-6.11	125	-1.22	125	-1179.54	98	-135.41	98	-0.29	173
0	-851	-1800	Max	0.00	-50.79	1	0.03	133	0.07	173	-161.88	1	204.10	98	0.39	17
0	-851	-1800	Max	22.30	-49.55	1	0.03	133	0.05	133	-161.88	1	-18.23	1	0.39	17
0	-851	-1800	Min.	0.00	-661.76	102	-7.01	102	-0.24	102	-1842.72	98	17.87	1	-0.58	173
0	-851	-1800	Min.	22.30	-660.09	102	-7.01	102	-1.80	102	-1842.72	98	-206.83	98	-0.58	173
0	-1067	-1572	Max	0.00	1444.01	98	40.65	173	1.49	101	82.55	130	45.74	97	0.19	125
0	-1067	-1572	Max	22.30	1445.68	98	40.65	173	7.31	173	82.55	130	9.90	130	0.19	125
0	-1067	-1572	Min.	0.00	-66.88	137	-40.08	101	-1.76	173	-400.14	97	-8.50	130	-0.64	173
0	-1067	-1572	Min.	22.30	-65.64	137	-40.08	101	-7.44	101	-400.14	97	-43.49	97	-0.64	173
0	-1193	-1546	Max	0.00	982.67	101	16.75	130	0.73	97	411.80	130	31.60	101	0.35	162
0	-1193	-1546	Max	22.30	984.35	101	16.75	130	3.78	130	411.80	130	48.25	130	0.35	162
0	-1193	-1546	Min.	0.00	-2047.33	130	-23.45	101	-0.52	177	-293.93	101	-43.58	130	-0.21	173
0	-1193	-1546	Min.	22.30	-2045.66	130	-23.45	101	-5.13	101	-293.93	101	-33.95	101	-0.21	173
0	421	-2071	Max	0.00	2196.75	162	1718.99	130	811.11	101	39.51	177	0.43	98	0.67	65
0	421	-2071	Max	127.70	2153.69	162	1718.99	130	1665.58	130	39.51	177	50.40	177	0.67	65
0	421	-2071	Min.	0.00	-499.95	97	-1534.15	101	-529.57	130	-95.74	158	-0.14	125	-0.29	101
0	421	-2071	Min.	127.70	-558.08	97	-1534.15	101	-1147.99	101	-95.74	158	-122.21	158	-0.29	101
0	-634	-1777	Max	0.00	198.93	173	6.96	173	0.23	177	2.64	1	161.44	98	1.67	98
0	-634	-1777	Max	22.30	200.17	173	6.96	173	1.22	173	2.64	1	0.28	1	1.67	98
0	-634	-1777	Min.	0.00	-451.52	177	-5.43	177	-0.33	173	-1450.95	98	-0.31	1	-0.44	173
0	-634	-1777	Min.	22.30	-450.29	177	-5.43	177	-0.98	177	-1450.95	98	-162.12	98	-0.44	173
0	-936	-1698	Max	0.00	1708.75	98	43.08	102	0.22	17	-135.84	33	149.66	98	0.28	17
0	-936	-1698	Max	22.30	1710.42	98	43.08	102	8.00	102	-135.84	33	-15.38	33	0.28	17
0	-936	-1698	Min.	0.00	244.74	33	-5.04	17	-1.61	102	-1356.44	98	14.91	33	-0.37	173
0	-936	-1698	Min.	22.30	245.98	33	-5.04	17	-0.90	17	-1356.44	98	-152.82	98	-0.37	173
0	-720	-1851	Max	0.00	-48.59	17	1.02	17	0.14	101	-61.08	1	192.74	98	1.25	98
0	-720	-1851	Max	22.30	-47.35	17	1.02	17	0.23	17	-61.08	1	-6.87	1	1.25	98
0	-720	-1851	Min.	0.00	-291.12	106	-2.94	98	-0.14	130	-1736.32	98	6.75	1	-0.58	173
0	-720	-1851	Min.	22.30	-289.44	106	-2.94	98	-0.73	98	-1736.32	98	-194.47	98	-0.58	173
0	-894	-1450	Max	0.00	-77.55	49	5.85	173	0.09	173	-170.08	33	186.38	98	0.34	17
0	-894	-1450	Max	22.30	-76.31	49	5.85	173	1.40	173	-170.08	33	-19.12	33	0.34	17
0	-894	-1450	Min.	0.00	-1012.22	102	-2.69	177	-0.08	17	-1682.00	98	18.81	33	-0.52	173
0	-894	-1450	Min.	22.30	-1010.55	102	-2.69	177	-0.57	177	-1682.00	98	-188.70	98	-0.52	173
0	-1068	-1537	Max	0.00	1665.53	102	117.45	173	10.34	101	-36.61	17	93.94	97	0.14	177
0	-1068	-1537	Max	22.30	1667.20	102	117.45	173	13.13	173	-36.61	17	-4.08	17	0.14	177
0	-1068	-1537	Min.	0.00	192.92	65	-96.52	101	-13.06	173	-844.63	97	4.08	17	-0.39	97
0	-1068	-1537	Min.	22.30	194.16	65	-96.52	101	-11.18	101	-844.63	97	-94.42	97	-0.39	97
0	-721	-1858	Max	0.00	20.12	97	3.66	173	0.09	101	-11.74	1	178.33	98	1.27	98
0	-721	-1858	Max	22.30	21.79	97	3.66	173	0.71	173	-11.74	1	-1.34	1	1.27	98
0	-721	-1858	Min.	0.00	-220.69	106	-2.58	97	-0.12	17	-1606.32	98	1.28	1	-0.54	173
0	-721	-1858	Min.	22.30	-219.01	106	-2.58	97	-0.53	97	-1606.32	98	-179.88	98	-0.54	173
0	-809	-1721	Max	0.00	-47.69	17	4.12	101	0.10	97	-74.96	1	201.57	98	0.72	98
0	-809	-1721	Max	17.84					-0.01	72			-17.07	72		
0	-809	-1721	Max	22.30	-46.46	17	4.12	101	0.94	101	-74.96	1	-8.43	1	0.72	98
0	-809	-1721	Min.	0.00	-237.11	106	-1.58	173	-0.09	17	-1816.94	98	8.28	1	-0.51	173
0	-809	-1721	Min.	17.84					-0.16	72			-18.14	72		
0	-809	-1721	Min.	22.30	-235.44	106	-1.58	173	-0.44	173	-1816.94	98	-203.61	98	-0.51	173
0	-980	-1475	Max	0.00	-172.89	65	36.87	102	-0.06	157	-123.23	65	149.62	98	0.34	17
0	-980	-1475	Max	22.30	-171.65	65	36.87	102	6.98	102	-123.23	65	-13.93	65	0.34	17
0	-980	-1475	Min.	0.00	-2898.98	102	2.09	157	-1.25	102	-1353.73	98	13.55	65	-0.48	97
0	-980	-1475	Min.	22.30	-2897.31	102	2.09	157	0.41	157	-1353.73	98	-152.26	98	-0.48	97
0	-635	-1776	Max	0.00	415.70	173	10.62	173	0.14	157	52.69	1	139.25	98	1.57	98
0	-635	-1776	Max	22.30	416.94	173	10.62	173	2.00	173	52.69	1	5.88	1	1.57	98
0	-635	-1776	Min.	0.00	-263.21	161	-3.83	125	-0.37	173	-1256.46	98	-5.87	1	-0.35	173
0	-635	-1776	Min.	22.30	-261.98	161	-3.83	125	-0.77	125	-1256.46	98	-140.94	98	-0.35	173
0	-597	-1815	Max	0.00	-18.74	161	236.66	177	0.61	98	113.73	101	102.92	173	1.39	98
0	-597	-1815	Max	22.30	-17.50	161	236.66	177	52.60	177	113.73	101	12.74	101	1.39	98
0	-597	-1815	Min.	0.00	-1317.72	98	-1.67	101	-0.17	177	-924.94	173	-12.62	101	-0.26	173
0	-597	-1815	Min.	22.30	-1316.05	98	-1.67	101	-0.25	101	-924.94	173	-103.34	173	-0.26	173
0	-852	-1799	Max	0.00	-56.29	1	2.46	101	0.09	97	-130.81	1	210.67	98	0.42	17
0	-852	-1799	Max	22.30	-55.05	1	2.46	101	0.35	101	-130.81	1	-14.72	1	0.42	17
0	-852	-1799	Min.	0.00	-338.84	102	-2.18	173	-0.20	102	-1900.74	98	14.45	1	-0.58	173
0	-852	-1799	Min.	22.30	-337.17	102	-2.18	173	-0.53	173	-1900.74	98	-213.20	98	-0.58	173
0	-938	-1692	Max	0.00	-45.15	49	23.65	102	0.12	173	-159.69	33	184.22	98	0.37	17
0	-938	-1692	Max	22.30	-43.92	49	23.65	102	5.18	102	-159.69	33	-18.00	33	0.37	17
0	-938	-1692	Min.	0.00	-1145.92	102	-1.54	177	-0.09	17	-1665.27	98	17.61	33	-0.57	173
0	-938	-1692	Min.	22.30	-1144.25	102	-1.54	177	-0.31	177	-1665.27	98	-187.14	98	-0.57	173
0	-1155	-1565	Max	0.00	-257.62	65	70.03	98	2.23	101	85.70	130	40.37	97	0.34	125
0	-1155	-1565	Max	22.30	-256.38	65	70.03	98	12.56	98	85.70	130	10.20	130	0.34	125
0	-1155	-1565	Min.	0.00	-2338.20	102	-54.35	101	-3.05	98	-354.91	97	-8.91	130	-0.76	98
0	-1155	-1565	Min.	22.30	-2336.52	102	-54.35	101	-9.89	101	-354.91	97	-38.78	97	-0.76	98

0	-1194	-1545	Max	0.00	403.10	158	31.86	98	0.10	173	214.96	130	28.85	101	0.30	126
0	-1194	-1545	Max	22.30	404.34	158	31.86	98	7.13	98	214.96	130	24.15	130	0.30	126
0	-1194	-1545	Min.	0.00	-481.40	101	-22.66	101	-0.39	177	-252.72	101	-23.79	130	-0.52	173
0	-1194	-1545	Min.	22.30	-479.73	101	-22.66	101	-5.05	101	-252.72	101	-27.51	101	-0.52	173
0	-895	-1449	Max	0.00	-17.28	173	1.61	173	0.10	173	-172.70	49	205.63	98	0.40	17
0	-895	-1449	Max	22.30	-16.04	173	1.61	173	0.46	173	-172.70	49	-19.43	49	0.40	17
0	-895	-1449	Min.	0.00	-571.87	101	-1.61	177	-0.07	17	-1856.16	98	19.08	49	-0.63	173
0	-895	-1449	Min.	22.30	-570.20	101	-1.61	177	-0.36	177	-1856.16	98	-208.29	98	-0.63	173
0	-1069	-1705	Max	0.00	1585.95	98	32.79	118	1.59	101	-87.31	65	140.78	98	0.43	17
0	-1069	-1705	Max	22.30	1587.62	98	32.79	118	5.81	118	-87.31	65	-9.92	65	0.43	17
0	-1069	-1705	Min.	0.00	-19.90	137	-43.31	101	-1.50	118	-1274.81	98	9.55	65	-0.51	101
0	-1069	-1705	Min.	22.30	-18.67	137	-43.31	101	-8.07	101	-1274.81	98	-143.50	98	-0.51	101
0	-636	-1775	Max	0.00	242.58	177	6.04	98	0.47	97	131.60	101	108.34	98	1.31	98
0	-636	-1775	Max	22.30	243.82	177	6.04	98	1.82	98	131.60	101	14.59	101	1.31	98
0	-636	-1775	Min.	0.00	-569.13	97	-1.05	125	-0.15	173	-980.42	98	-14.75	101	-0.26	173
0	-636	-1775	Min.	22.30	-567.46	97	-1.05	125	-0.20	125	-980.42	98	-110.30	98	-0.26	173
0	-598	-1814	Max	0.00	181.51	173	214.91	177	0.50	97	246.24	101	75.78	173	0.85	98
0	-598	-1814	Max	22.30	182.75	173	214.91	177	48.33	177	246.24	101	27.61	101	0.85	98
0	-598	-1814	Min.	0.00	-1018.54	98	-1.14	106	-0.60	173	-686.19	173	-27.30	101	-0.28	173
0	-598	-1814	Min.	22.30	-1016.87	98	-1.14	106	-0.25	65	-686.19	173	-77.24	173	-0.28	173
0	-853	-1798	Max	0.00	-53.17	1	4.65	101	0.11	97	-87.79	1	205.29	98	0.42	17
0	-853	-1798	Max	22.30	-51.93	1	4.65	101	0.98	101	-87.79	1	-9.88	1	0.42	17
0	-853	-1798	Min.	0.00	-253.37	106	-2.72	173	-0.13	173	-1851.76	98	9.70	1	-0.51	173
0	-853	-1798	Min.	22.30	-251.70	106	-2.72	173	-0.74	173	-1851.76	98	-207.65	98	-0.51	173
0	-724	-1694	Max	0.00	-20.36	177	15.19	97	0.13	65	280.36	101	76.82	122	0.64	98
0	-724	-1694	Max	22.30	-19.12	177	15.19	97	3.51	97	280.36	101	31.23	101	0.64	98
0	-724	-1694	Min.	0.00	-2646.38	98	-0.16	65	-0.39	173	-689.96	122	-31.29	101	-0.42	173
0	-724	-1694	Min.	22.30	-2644.71	98	-0.16	65	-0.12	65	-689.96	122	-77.04	122	-0.42	173
0	-858	-1793	Max	0.00	-48.37	33	5.29	173	0.14	65	448.25	101	68.17	130	0.13	106
0	-858	-1793	Max	22.30	-47.13	33	5.29	173	0.95	173	448.25	101	50.06	101	0.13	106
0	-858	-1793	Min.	0.00	-920.28	98	-1.52	97	-0.23	173	-612.55	130	-49.90	101	-0.09	101
0	-858	-1793	Min.	22.30	-918.61	98	-1.52	97	-0.46	97	-612.55	130	-68.43	130	-0.09	101
0	404	-1817	Max	0.00	438.29	97	953.54	161	1738.11	98	719.98	173	0.33	173	2.53	98
0	404	-1817	Max	127.70	380.16	97	953.54	161	687.10	161	719.98	173	919.75	173	2.53	98
0	404	-1817	Min.	0.00	-34.57	49	-3349.00	98	-530.56	161	-914.86	177	-0.11	17	-5.10	173
0	404	-1817	Min.	127.70	-77.63	49	-3349.00	98	-2538.55	98	-914.86	177	-1168.26	177	-5.10	173
0	-1153	-1566	Max	0.00	-132.75	65	29.50	98	0.15	101	274.12	130	26.47	101	0.30	126
0	-1153	-1566	Max	22.30	-131.52	65	29.50	98	6.64	98	274.12	130	30.96	130	0.30	126
0	-1153	-1566	Min.	0.00	-1270.97	102	-31.22	101	-0.36	177	-237.62	101	-30.17	130	-0.54	173
0	-1153	-1566	Min.	22.30	-1269.30	102	-31.22	101	-6.81	101	-237.62	101	-26.52	101	-0.54	173
0	-722	-1856	Max	0.00	304.42	97	6.46	173	0.24	97	40.87	1	155.10	98	1.21	98
0	-722	-1856	Max	22.30	306.09	97	6.46	173	1.31	173	40.87	1	4.56	1	1.21	98
0	-722	-1856	Min.	0.00	-193.33	106	-2.04	97	-0.14	173	-1399.02	98	-4.55	1	-0.50	173
0	-722	-1856	Min.	22.30	-191.66	106	-2.04	97	-0.23	157	-1399.02	98	-156.88	98	-0.50	173
0	-982	-1474	Max	0.00	-101.24	65	23.02	102	0.14	173	-140.61	65	181.35	98	0.42	17
0	-982	-1474	Max	22.30	-100.01	65	23.02	102	4.98	102	-140.61	65	-15.80	65	0.42	17
0	-982	-1474	Min.	0.00	-2437.70	102	1.76	177	-0.15	102	-1635.88	98	15.55	65	-0.68	97
0	-982	-1474	Min.	22.30	-2436.03	102	1.76	177	0.40	177	-1635.88	98	-183.45	98	-0.68	97
0	-810	-1720	Max	0.00	8.30	145	4.85	98	0.12	97	-24.67	1	186.82	98	0.61	98
0	-810	-1720	Max	17.84					-0.00	165			-31.51	165		
0	-810	-1720	Max	22.30	9.54	145	4.85	98	1.20	97	-24.67	1	-2.79	1	0.61	98
0	-810	-1720	Min.	0.00	-228.79	106	-0.79	65	-0.12	173	-1683.94	98	2.71	1	-0.45	173
0	-810	-1720	Min.	17.84					-0.01	154			-37.15	154		
0	-810	-1720	Min.	22.30	-227.12	106	-0.79	65	-0.28	65	-1683.94	98	-188.69	98	-0.45	173
0	404	-1272	Max	0.00	-272.70	65	767.53	173	365.14	125	449.31	177	255.56	173	1.41	173
0	404	-1272	Max	94.68					13.77	177			70.31	177		
0	404	-1272	Max	155.00	-272.70	65	736.70	173	533.78	173	102.15	98	233.83	97	1.41	173
0	404	-1272	Min.	0.00	-6978.51	97	-361.48	125	-632.00	173	-640.58	173	-143.45	177	-0.45	98
0	404	-1272	Min.	39.34					30.43	114			23.70	114		
0	404	-1272	Min.	155.00	-6978.51	97	-403.09	125	-227.40	125	-640.58	173	-737.34	173	-0.45	98
0	318	432	Max	0.00	-1275.99	65	224.95	98	16.53	101	-14.83	17	89.26	97	0.14	177
0	318	432	Max	22.30	-1274.75	65	224.95	98	25.68	98	-14.83	17	-1.65	17	0.14	177
0	318	432	Min.	0.00	-9396.44	98	-152.15	101	-24.48	98	-802.99	97	1.66	17	-0.46	97
0	318	432	Min.	22.30	-9394.77	98	-152.15	101	-17.40	101	-802.99	97	-89.81	97	-0.46	97
0	-939	-1691	Max	0.00	-50.74	49	6.93	102	0.24	102	-160.82	49	204.00	98	0.42	17
0	-939	-1691	Max	22.30	-49.50	49	6.93	102	1.78	102	-160.82	49	-18.11	49	0.42	17
0	-939	-1691	Min.	0.00	-662.18	102	-1.00	177	-0.05	17	-1841.82	98	17.76	49	-0.71	173
0	-939	-1691	Min.	22.30	-660.51	102	-1.00	177	-0.21	177	-1841.82	98	-206.73	98	-0.71	173
0	-1196	-1544	Max	0.00	2052.89	98	103.97	98	0.35	137	45.13	17	46.77	97	0.26	125
0	-1196	-1544	Max	22.30	2054.56	98	103.97	98	17.60	98	45.13	17	5.20	17	0.26	125
0	-1196	-1544	Min.	0.00	144.42	65	-21.21	101	-5.59	98	-408.61	97	-4.87	17	-0.97	98
0	-1196	-1544	Min.	22.30	145.66	65	-21.21	101	-4.47	101	-408.61	97	-44.35	97	-0.97	98
0	-1156	-1745	Max	0.00	-277.14	65	62.70	106	2.37	101	-61.57	65	136.30	98	0.53	17
0	-1156	-1745	Max	22.30	-275.90	65	62.70	106	11.07	106	-61.57	65	-6.99	65	0.53	17
0	-1156	-1745	Min.	0.00	-2198.09	102	-59.63	101	-2.91	106	-1228.44	98	6.74	65	-0.71	101
0	-1156	-1745	Min.	22.30	-2196.42	102	-59.63	101	-10.93	101	-1228.44	98	-137.65	98	-0.71	101
0	421	422	Max	0.00	568.27	106	443.96	97	810.46	162	78.63	158	69.15	97	0.24	173
0	421	422	Max	160.25					60.72	69			39.02	69		
0	421	422	Max	199.50	568.27	106	390.40	97	395.44	101	78.63	158	182.57	98	0.24	173

0	421	422	Min.	0.00	-4804.31	157	-723.42	162	-443.45	97	-10.28	177	-63.09	162	-0.20	17
0	421	422	Min.	160.73					17.66	21			5.72	21		
0	421	422	Min.	199.50	-4804.31	157	-763.10	162	-672.35	162	-10.28	177	-0.30	149	-0.20	17
0	-896	-1448	Max	0.00	-38.46	49	1.05	17	0.02	65	-141.60	49	211.80	98	0.42	17
0	-896	-1448	Max	22.30	-37.22	49	1.05	17	0.22	17	-141.60	49	-15.92	49	0.42	17
0	-896	-1448	Min.	0.00	-423.06	102	-1.04	65	-0.02	17	-1910.93	98	15.65	49	-0.65	173
0	-896	-1448	Min.	22.30	-421.38	102	-1.04	65	-0.21	65	-1910.93	98	-214.34	98	-0.65	173
0	-599	-1813	Max	0.00	1713.02	125	200.38	177	1.73	177	372.69	101	57.93	130	0.45	106
0	-599	-1813	Max	22.30	1714.69	125	200.38	177	46.42	177	372.69	101	41.90	101	0.45	106
0	-599	-1813	Min.	0.00	-1362.02	173	-6.09	106	-2.63	173	-518.38	130	-41.21	101	-0.36	101
0	-599	-1813	Min.	22.30	-1360.79	173	-6.09	106	-1.13	106	-518.38	130	-57.67	130	-0.36	101
0	-1071	-1704	Max	0.00	-55.30	65	15.74	118	0.23	101	-102.54	65	173.40	98	0.50	17
0	-1071	-1704	Max	22.30	-54.07	65	15.74	118	3.46	118	-102.54	65	-11.58	65	0.50	17
0	-1071	-1704	Min.	0.00	-2004.78	102	-27.23	101	-0.14	17	-1566.44	98	11.29	65	-0.79	97
0	-1071	-1704	Min.	22.30	-2003.11	102	-27.23	101	-5.84	101	-1566.44	98	-175.91	98	-0.79	97
0	-1197	-1540	Max	0.00	1732.48	162	423.80	98	0.91	137	7.57	17	89.47	97	0.15	177
0	-1197	-1540	Max	22.30	1733.72	162	423.80	98	46.43	98	7.57	17	0.78	17	0.15	177
0	-1197	-1540	Min.	0.00	-1474.00	97	-15.08	137	-48.08	98	-834.14	97	-0.91	17	-0.70	97
0	-1197	-1540	Min.	22.30	-1472.33	97	-15.08	137	-2.45	137	-834.14	97	-96.55	97	-0.70	97
0	-723	-1695	Max	0.00	31.20	173	6.24	173	0.37	97	138.19	101	122.20	98	1.03	98
0	-723	-1695	Max	22.30	32.44	173	6.24	173	1.20	173	138.19	101	15.35	101	1.03	98
0	-723	-1695	Min.	0.00	-455.46	97	0.13	125	-0.20	173	-1107.87	98	-15.47	101	-0.46	173
0	-723	-1695	Min.	22.30	-453.79	97	0.13	125	-0.02	17	-1107.87	98	-124.85	98	-0.46	173
0	-811	-1719	Max	0.00	244.59	97	6.95	98	0.11	101	29.81	1	162.43	98	0.47	98
0	-811	-1719	Max	22.30	246.26	97	6.95	98	1.58	98	29.81	1	3.32	1	0.47	98
0	-811	-1719	Min.	0.00	-228.12	106	-0.42	65	-0.15	173	-1465.70	98	-3.33	1	-0.38	173
0	-811	-1719	Min.	22.30	-226.45	106	-0.42	65	-0.20	65	-1465.70	98	-164.43	98	-0.38	173
0	-854	-1797	Max	0.00	-52.24	173	5.06	97	0.07	97	-36.63	1	188.92	98	0.38	17
0	-854	-1797	Max	22.30	-51.01	173	5.06	97	1.19	97	-36.63	1	-4.13	1	0.38	17
0	-854	-1797	Min.	0.00	-233.09	106	-3.45	173	-0.18	173	-1704.46	98	4.03	1	-0.39	173
0	-854	-1797	Min.	22.30	-231.42	106	-3.45	173	-0.95	173	-1704.46	98	-191.18	98	-0.39	173
0	-983	-1473	Max	0.00	13.85	149	4.26	118	0.30	102	-143.86	65	199.94	98	0.44	17
0	-983	-1473	Max	22.30	15.08	149	4.26	118	1.06	118	-143.86	65	-16.18	65	0.44	17
0	-983	-1473	Min.	0.00	-212.05	106	0.50	177	-0.01	17	-1804.11	98	15.90	65	-0.83	173
0	-983	-1473	Min.	22.30	-210.38	106	0.50	177	0.16	177	-1804.11	98	-202.38	98	-0.83	173
0	-940	-1688	Max	0.00	-56.05	49	1.70	17	0.20	102	-129.77	49	210.56	98	0.43	17
0	-940	-1688	Max	22.30	-54.81	49	1.70	17	0.39	17	-129.77	49	-14.60	49	0.43	17
0	-940	-1688	Min.	0.00	-338.92	102	-2.48	101	-0.09	97	-1899.70	98	14.34	49	-0.79	173
0	-940	-1688	Min.	22.30	-337.25	102	-2.48	101	-0.36	101	-1899.70	98	-213.08	98	-0.79	173
0	-637	-1774	Max	0.00	158.61	173	8.75	97	0.52	98	269.62	101	73.92	106	0.84	98
0	-637	-1774	Max	22.30	159.85	173	8.75	97	2.47	97	269.62	101	30.08	101	0.84	98
0	-637	-1774	Min.	0.00	-1285.62	98	-6.98	173	-0.07	173	-663.35	106	-30.04	101	-0.20	101
0	-637	-1774	Min.	22.30	-1283.95	98	-6.98	173	-1.63	173	-663.35	106	-74.01	106	-0.20	101
0	-897	-1446	Max	0.00	-49.40	49	1.20	17	0.04	65	-98.37	49	205.97	98	0.41	17
0	-897	-1446	Max	22.30	-48.16	49	1.20	17	0.30	17	-98.37	49	-11.06	49	0.41	17
0	-897	-1446	Min.	0.00	-272.71	102	-2.10	173	-0.14	173	-1858.24	98	10.87	49	-0.59	173
0	-897	-1446	Min.	22.30	-271.04	102	-2.10	173	-0.61	173	-1858.24	98	-208.42	98	-0.59	173
0	-638	-1773	Max	0.00	1045.20	173	7.51	121	0.67	98	401.05	101	62.83	130	0.39	106
0	-638	-1773	Max	3.04					-0.02	39			6.07	39		
0	-638	-1773	Max	22.30	1046.44	173	7.51	121	2.11	97	401.05	101	44.62	101	0.39	106
0	-638	-1773	Min.	0.00	-726.88	98	-2.35	106	-0.37	173	-563.17	130	-44.81	101	-0.31	101
0	-638	-1773	Min.	3.04					0.08	39			-2.08	39		
0	-638	-1773	Min.	22.30	-725.21	98	-2.35	106	-0.61	173	-563.17	130	-62.75	130	-0.31	101
0	-1158	-1744	Max	0.00	-102.93	65	24.68	130	0.44	97	-67.22	65	165.20	98	0.56	17
0	-1158	-1744	Max	22.30	-101.69	65	24.68	130	5.46	130	-67.22	65	-7.55	65	0.56	17
0	-1158	-1744	Min.	0.00	-1173.20	126	-37.97	101	-0.11	17	-1488.85	98	7.44	65	-0.84	97
0	-1158	-1744	Min.	22.30	-1171.53	126	-37.97	101	-8.18	101	-1488.85	98	-166.81	98	-0.84	97
0	-600	-1812	Max	0.00	903.44	106	200.38	177	1.73	177	498.26	101	47.11	130	0.36	130
0	-600	-1812	Max	22.30	905.11	106	200.38	177	46.42	177	498.26	101	55.76	101	0.36	130
0	-600	-1812	Min.	0.00	-2068.82	173	-10.74	125	-3.13	173	-422.26	130	-55.35	101	-0.45	101
0	-600	-1812	Min.	22.30	-2067.58	173	-10.74	125	-2.04	125	-422.26	130	-47.06	130	-0.45	101
0	405	-1533	Max	0.00	1358.56	173	1859.86	125	570.84	106	1846.27	173	0.90	100	0.54	106
0	405	-1533	Max	127.70	1315.50	173	1859.86	125	1339.97	125	1846.27	173	2354.87	173	0.54	106
0	405	-1533	Min.	0.00	73.98	17	-1033.86	106	-1035.06	125	-801.31	177	-2.81	173	-0.54	101
0	405	-1533	Min.	127.70	30.92	17	-1033.86	106	-749.40	106	-801.31	177	-1023.25	177	-0.54	101
0	-812	-1718	Max	0.00	-34.08	1	2.15	173	0.11	65	140.91	101	127.80	98	0.36	106
0	-812	-1718	Max	22.30	-32.84	1	2.15	173	0.50	98	140.91	101	15.67	101	0.36	106
0	-812	-1718	Min.	0.00	-523.79	97	-0.26	65	-0.21	173	-1158.86	98	-15.76	101	-0.29	173
0	-812	-1718	Min.	22.30	-522.12	97	-0.26	65	-0.17	65	-1158.86	98	-130.62	98	-0.29	173
0	-855	-1796	Max	0.00	-52.79	33	4.58	98	0.10	65	19.55	1	162.09	98	0.32	17
0	-855	-1796	Max	17.84					-0.00	153			-32.95	153		
0	-855	-1796	Max	22.30	-51.55	33	4.58	98	1.02	97	19.55	1	2.16	1	0.32	17
0	-855	-1796	Min.	0.00	-312.60	98	-4.08	173	-0.19	173	-1463.67	98	-2.19	1	-0.28	65
0	-855	-1796	Min.	17.84					-0.00	118			-49.09	118		
0	-855	-1796	Min.	22.30	-310.93	98	-4.08	173	-1.10	173	-1463.67	98	-164.31	98	-0.28	65
0	322	-2069	Max	0.00	1928.08	98	85.68	106	0.45	137	-11.91	65	102.47	98	0.60	17
0	322	-2069	Max	22.30	1929.75	98	85.68	106	14.21	106	-11.91	65	-1.08	65	0.60	17
0	322	-2069	Min.	0.00	9.06	161	-27.68	101	-5.08	98	-845.76	98	1.58	65	-0.65	101
0	322	-2069	Min.	22.30	10.29	161	-27.68	101	-5.79	101	-845.76	98	-88.46	122	-0.65	101

0	-984	-1472	Max	0.00	154.96	101	2.42	17	0.21	173	-116.62	49	206.03	98	0.41	17
0	-984	-1472	Max	22.30	156.63	101	2.42	17	0.60	17	-116.62	49	-13.11	49	0.41	17
0	-984	-1472	Min.	0.00	-238.09	106	-4.07	101	-0.04	97	-1857.60	98	12.89	49	-0.97	173
0	-984	-1472	Min.	22.30	-236.42	106	-4.07	101	-0.77	101	-1857.60	98	-208.22	98	-0.97	173
0	-1072	-1703	Max	0.00	-57.66	149	7.23	118	0.32	173	-103.48	65	191.87	98	0.47	17
0	-1072	-1703	Max	22.30	-56.43	149	7.23	118	1.81	118	-103.48	65	-11.65	65	0.47	17
0	-1072	-1703	Min.	0.00	-361.19	98	-5.69	101	-0.31	101	-1731.71	98	11.43	65	-1.00	97
0	-1072	-1703	Min.	22.30	-359.52	98	-5.69	101	-1.58	101	-1731.71	98	-194.31	98	-1.00	97
0	-941	-1411	Max	0.00	-52.83	49	1.40	17	0.06	65	-86.83	49	205.18	98	0.40	17
0	-941	-1411	Max	22.30	-51.59	49	1.40	17	0.37	17	-86.83	49	-9.77	49	0.40	17
0	-941	-1411	Min.	0.00	-252.81	106	-4.65	101	-0.11	97	-1850.70	98	9.59	49	-0.81	173
0	-941	-1411	Min.	22.30	-251.14	106	-4.65	101	-0.98	101	-1850.70	98	-207.53	98	-0.81	173
0	422	-2069	Max	0.00	-16.41	137	1401.73	162	1558.40	97	188.33	98	0.58	98	0.70	17
0	422	-2069	Max	127.70	-59.48	137	1401.73	162	956.04	162	188.33	98	241.08	98	0.70	17
0	422	-2069	Min.	0.00	-911.62	122	-3032.20	97	-833.97	162	8.82	17	-0.04	101	-1.68	97
0	422	-2069	Min.	127.70	-969.75	122	-3032.20	97	-2313.73	97	8.82	17	11.29	17	-1.68	97
0	-898	-1445	Max	0.00	-40.95	173	1.10	17	0.08	65	-46.31	49	188.75	98	0.36	17
0	-898	-1445	Max	22.30	-39.71	173	1.10	17	0.32	17	-46.31	49	-5.22	49	0.36	17
0	-898	-1445	Min.	0.00	-305.79	98	-4.15	173	-0.23	173	-1703.30	98	5.11	49	-0.46	173
0	-898	-1445	Min.	22.30	-304.12	98	-4.15	173	-1.16	173	-1703.30	98	-191.09	98	-0.46	173
0	-985	-1471	Max	0.00	-46.94	65	1.44	17	0.13	173	-73.73	49	201.37	98	0.36	17
0	-985	-1471	Max	22.30	-45.70	65	1.44	17	0.41	17	-73.73	49	-8.30	49	0.36	17
0	-985	-1471	Min.	0.00	-236.81	106	-4.15	101	-0.11	97	-1815.11	98	8.15	49	-1.07	173
0	-985	-1471	Min.	22.30	-235.14	106	-4.15	101	-0.94	101	-1815.11	98	-203.40	98	-1.07	173
0	-601	-1811	Max	0.00	-5.10	65	214.91	177	0.50	98	630.78	101	35.48	130	0.34	173
0	-601	-1811	Max	22.30	-3.86	65	214.91	177	48.33	177	630.78	101	70.51	101	0.34	173
0	-601	-1811	Min.	0.00	-1018.54	97	-2.46	125	-0.65	173	-317.59	130	-70.16	101	-0.85	97
0	-601	-1811	Min.	22.30	-1016.87	97	-2.46	125	-0.49	125	-317.59	130	-35.34	130	-0.85	97
0	-1159	-1743	Max	0.00	6.63	173	9.03	130	0.51	98	-64.50	65	181.57	98	0.49	17
0	-1159	-1743	Max	22.30	7.86	173	9.03	130	2.35	130	-64.50	65	-7.27	65	0.49	17
0	-1159	-1743	Min.	0.00	-410.43	101	-14.49	101	-0.34	101	-1639.00	98	7.12	65	-1.14	97
0	-1159	-1743	Min.	22.30	-408.76	101	-14.49	101	-3.58	101	-1639.00	98	-183.93	98	-1.14	97
0	-942	-1410	Max	0.00	-52.70	49	1.07	17	0.09	65	-35.82	49	188.81	98	0.35	17
0	-942	-1410	Max	22.30	-51.46	49	1.07	17	0.33	17	-35.82	49	-4.04	49	0.35	17
0	-942	-1410	Min.	0.00	-232.58	106	-5.06	97	-0.09	173	-1703.44	98	3.94	49	-0.76	173
0	-942	-1410	Min.	22.30	-230.91	106	-5.06	97	-1.20	97	-1703.44	98	-191.06	98	-0.76	173
0	-725	-1693	Max	0.00	-29.20	17	0.92	17	0.65	98	421.87	101	64.99	130	0.32	106
0	-725	-1693	Max	22.30	-27.96	17	0.92	17	0.82	97	421.87	101	47.01	101	0.32	106
0	-725	-1693	Min.	0.00	-830.65	173	-6.07	173	-0.43	173	-582.78	130	-47.07	101	-0.26	173
0	-725	-1693	Min.	22.30	-829.41	173	-6.07	173	-1.79	173	-582.78	130	-64.97	130	-0.26	173
0	-856	-1795	Max	0.00	-39.44	1	0.91	17	0.12	65	142.03	101	125.17	98	0.24	17
0	-856	-1795	Max	22.30	-38.20	1	0.91	17	0.32	17	142.03	101	15.82	101	0.24	17
0	-856	-1795	Min.	0.00	-711.18	97	-3.87	173	-0.15	173	-1131.54	98	-15.85	101	-0.20	65
0	-856	-1795	Min.	22.30	-709.51	97	-3.87	173	-1.01	173	-1131.54	98	-127.16	98	-0.20	65
0	-813	-1717	Max	0.00	-47.74	33	0.92	17	0.40	97	289.82	101	79.70	122	0.32	106
0	-813	-1717	Max	22.30	-46.50	33	0.92	17	0.33	17	289.82	101	32.32	101	0.32	106
0	-813	-1717	Min.	0.00	-2666.98	98	-10.57	97	-0.26	173	-716.65	122	-32.31	101	-0.23	173
0	-813	-1717	Min.	22.30	-2665.31	98	-10.57	97	-1.96	97	-716.65	122	-80.11	122	-0.23	173
0	-640	-1772	Max	0.00	24.90	49	6.50	98	0.67	97	533.13	101	51.67	130	0.31	106
0	-640	-1772	Max	3.07					-0.02	39			1.60	39		
0	-640	-1772	Max	22.30	26.13	49	6.50	98	2.11	98	533.13	101	59.33	101	0.31	106
0	-640	-1772	Min.	0.00	-6245.51	173	-4.47	125	-0.38	173	-463.13	130	-59.56	101	-0.39	101
0	-640	-1772	Min.	3.07					0.08	39			-6.53	39		
0	-640	-1772	Min.	22.30	-6244.27	173	-4.47	125	-0.81	125	-463.13	130	-51.61	130	-0.39	101
0	-1073	-1702	Max	0.00	63.24	101	3.47	17	0.23	173	-93.47	65	197.47	98	0.40	17
0	-1073	-1702	Max	17.84					-0.04	140			-17.07	140		
0	-1073	-1702	Max	22.30	64.91	101	3.47	17	0.90	17	-93.47	65	-10.50	65	0.40	17
0	-1073	-1702	Min.	0.00	-377.66	98	-0.37	65	-0.25	101	-1780.07	98	10.35	65	-1.16	98
0	-1073	-1702	Min.	17.84					-0.04	139			-17.07	139		
0	-1073	-1702	Min.	22.30	-375.99	98	-0.37	65	-0.03	65	-1780.07	98	-199.49	98	-1.16	98
0	-602	-1810	Max	0.00	-33.09	65	236.66	177	0.61	97	847.20	97	24.27	130	0.22	173
0	-602	-1810	Max	22.30	-31.85	65	236.66	177	52.60	177	847.20	97	94.55	97	0.22	173
0	-602	-1810	Min.	0.00	-1317.72	97	-1.67	106	-0.17	177	-219.23	130	-94.38	97	-1.39	97
0	-602	-1810	Min.	22.30	-1316.05	97	-1.67	106	-0.25	106	-219.23	130	-24.62	130	-1.39	97
0	-814	-1716	Max	0.00	-42.43	33	4.19	98	0.13	65	437.51	101	66.83	130	0.26	106
0	-814	-1716	Max	22.30	-41.19	33	4.19	98	0.84	98	437.51	101	48.81	101	0.26	106
0	-814	-1716	Min.	0.00	-687.47	173	-4.13	173	-0.22	173	-599.90	130	-48.75	101	-0.19	101
0	-814	-1716	Min.	22.30	-686.23	173	-4.13	173	-1.14	173	-599.90	130	-66.95	130	-0.19	101
0	-1160	-1742	Max	0.00	-35.72	161	4.07	98	0.39	98	-53.58	65	185.33	98	0.38	17
0	-1160	-1742	Max	22.30	-34.48	161	4.07	98	1.30	98	-53.58	65	-6.02	65	0.38	17
0	-1160	-1742	Min.	0.00	-356.31	98	-1.14	101	-0.37	101	-1672.38	98	5.93	65	-1.40	98
0	-1160	-1742	Min.	22.30	-354.64	98	-1.14	101	-0.62	101	-1672.38	98	-187.61	98	-1.40	98
0	-727	-1866	Max	0.00	-29.20	65	0.92	65	0.65	97	559.24	101	53.51	130	0.24	130
0	-727	-1866	Max	22.30	-27.96	65	0.92	65	0.82	98	559.24	101	62.34	101	0.24	130
0	-727	-1866	Min.	0.00	-1976.89	173	-22.15	173	-0.09	65	-479.77	130	-62.37	101	-0.32	101
0	-727	-1866	Min.	22.30	-1975.65	173	-22.15	173	-5.01	173	-479.77	130	-53.48	130	-0.32	101
0	-641	-1771	Max	0.00	101.94	177	8.75	98	0.52	97	663.38	101	39.79	130	0.24	130
0	-641	-1771	Max	22.30	103.18	177	8.75	98	2.47	98	663.38	101	74.01	101	0.24	130
0	-641	-1771	Min.	0.00	-1285.62	97	-7.95	173	-0.08	173	-356.35	130	-73.92	101	-0.84	97

0	-641	-1771	Min.	22.30	-1283.95	97	-7.95	173	-1.85	173	-356.35	130	-39.67	130	-0.84	97
0	-1200	-1760	Max	0.00	25.34	162	8.68	118	0.45	98	-24.30	65	167.72	98	0.40	17
0	-1200	-1760	Max	22.30	26.58	162	8.68	118	2.30	118	-24.30	65	-2.79	65	0.40	17
0	-1200	-1760	Min.	0.00	-496.34	101	-15.79	101	-0.26	101	-1517.76	98	2.63	65	-1.42	97
0	-1200	-1760	Min.	22.30	-494.67	101	-15.79	101	-3.78	101	-1517.76	98	-170.74	98	-1.42	97
0	-1161	-1741	Max	0.00	60.26	161	12.31	98	0.15	130	-38.13	65	177.82	98	0.27	17
0	-1161	-1741	Max	22.30	61.50	161	12.31	98	2.67	98	-38.13	65	-4.28	65	0.27	17
0	-1161	-1741	Min.	0.00	-702.75	98	-3.67	161	-0.28	101	-1602.48	98	4.23	65	-1.60	98
0	-1161	-1741	Min.	22.30	-701.08	98	-3.67	161	-0.68	161	-1602.48	98	-179.53	98	-1.60	98
0	-818	-1713	Max	0.00	-34.08	49	2.05	97	0.11	17	1158.87	97	29.78	130	0.27	173
0	-818	-1713	Max	22.30	-32.84	49	2.05	97	0.50	97	1158.87	97	130.62	97	0.27	173
0	-818	-1713	Min.	0.00	-523.79	98	-0.26	17	-0.27	173	-267.09	130	-127.80	97	-0.36	101
0	-818	-1713	Min.	22.30	-522.12	98	-0.26	17	-0.22	173	-267.09	130	-29.78	130	-0.36	101
0	-1272	405	Max	0.00	-272.70	65	736.70	173	533.78	173	102.15	98	233.83	97	1.41	173
0	-1272	405	Max	25.00	-272.70	65	731.73	173	717.33	173	921.92	173	259.29	98	1.41	173
0	-1272	405	Min.	0.00	-6978.51	97	-403.09	125	-227.40	125	-640.58	173	-737.34	173	-0.45	98
0	-1272	405	Min.	25.00	-6978.51	97	-409.81	125	-329.01	125	-400.65	177	-702.17	173	-0.45	98
0	-1074	-1701	Max	0.00	-47.42	65	2.90	98	0.14	130	-59.62	49	192.44	98	0.33	17
0	-1074	-1701	Max	22.30	-46.19	65	2.90	98	0.72	98	-59.62	49	-6.71	49	0.33	17
0	-1074	-1701	Min.	0.00	-289.53	106	-1.04	65	-0.14	101	-1733.66	98	6.59	49	-1.26	98
0	-1074	-1701	Min.	22.30	-287.86	106	-1.04	65	-0.24	65	-1733.66	98	-194.17	98	-1.26	98
0	-857	-1794	Max	0.00	-54.39	33	0.86	17	0.13	65	296.31	101	81.06	106	0.16	17
0	-857	-1794	Max	22.30	-53.15	33	0.86	17	0.32	17	296.31	101	33.08	101	0.16	17
0	-857	-1794	Min.	0.00	-1238.32	98	-5.47	97	-0.13	17	-728.60	106	-33.00	101	-0.13	65
0	-857	-1794	Min.	22.30	-1236.65	98	-5.47	97	-1.16	97	-728.60	106	-81.41	106	-0.13	65
0	-986	-1470	Max	0.00	8.55	145	1.34	173	0.11	65	-23.66	49	186.64	98	0.30	17
0	-986	-1470	Max	22.30	9.79	145	1.34	173	0.34	173	-23.66	49	-2.68	49	0.30	17
0	-986	-1470	Min.	0.00	-228.26	106	-4.88	98	-0.12	97	-1682.26	98	2.60	49	-1.11	173
0	-986	-1470	Min.	22.30	-226.59	106	-4.88	98	-1.21	97	-1682.26	98	-188.51	98	-1.11	173
0	-900	-1442	Max	0.00	154.33	173	0.80	17	0.12	65	142.24	101	123.39	98	0.22	17
0	-900	-1442	Max	4.46					-0.00	122			66.68	122		
0	-900	-1442	Max	22.30	155.57	173	0.80	17	0.30	17	142.24	101	15.85	101	0.22	17
0	-900	-1442	Min.	0.00	-637.99	97	-9.12	173	-0.18	173	-1113.94	98	-15.87	101	-0.22	65
0	-900	-1442	Min.	8.92					-0.00	109			17.53	109		
0	-900	-1442	Min.	22.30	-636.32	97	-9.12	173	-2.21	173	-1113.94	98	-125.02	98	-0.22	65
0	-816	-1715	Max	0.00	-42.47	33	4.19	97	0.13	17	579.70	101	55.05	130	0.20	130
0	-816	-1715	Max	22.30	-41.23	33	4.19	97	0.84	97	579.70	101	64.70	101	0.20	130
0	-816	-1715	Min.	0.00	-908.76	173	-5.07	173	-0.26	173	-494.09	130	-64.58	101	-0.26	101
0	-816	-1715	Min.	22.30	-907.52	173	-5.07	173	-1.39	173	-494.09	130	-55.13	130	-0.26	101
0	-1201	-1759	Max	0.00	304.13	98	1.35	122	0.59	98	-15.66	65	170.35	98	0.28	17
0	-1201	-1759	Max	22.30	305.80	98	1.35	122	0.79	110	-15.66	65	-1.79	65	0.28	17
0	-1201	-1759	Min.	0.00	-435.79	125	-5.41	101	-0.27	101	-1534.44	98	1.70	65	-1.69	98
0	-1201	-1759	Min.	22.30	-434.12	125	-5.41	101	-1.48	101	-1534.44	98	-171.82	98	-1.69	98
0	-987	-1469	Max	0.00	245.06	97	3.56	173	0.11	65	30.55	49	162.27	98	0.24	17
0	-987	-1469	Max	22.30	246.73	97	3.56	173	0.72	173	30.55	49	3.40	49	0.24	17
0	-987	-1469	Min.	0.00	-227.54	106	-6.96	98	-0.11	101	-1464.29	98	-3.41	49	-1.10	173
0	-987	-1469	Min.	22.30	-225.87	106	-6.96	98	-1.59	98	-1464.29	98	-164.27	98	-1.10	173
0	-728	-1865	Max	0.00	-20.36	177	15.19	98	0.13	17	688.06	101	41.40	130	0.29	173
0	-728	-1865	Max	22.30	-19.12	177	15.19	98	3.51	98	688.06	101	76.74	101	0.29	173
0	-728	-1865	Min.	0.00	-2646.38	97	-8.50	173	-0.37	173	-370.95	130	-76.69	101	-0.64	97
0	-728	-1865	Min.	22.30	-2644.71	97	-8.50	173	-2.27	173	-370.95	130	-41.32	130	-0.64	97
0	-1075	-1700	Max	0.00	20.55	97	2.56	97	0.12	65	-10.58	49	178.07	98	0.25	17
0	-1075	-1700	Max	22.30	22.22	97	2.56	97	0.52	97	-10.58	49	-1.21	49	0.25	17
0	-1075	-1700	Min.	0.00	-219.98	106	-1.28	106	-0.09	101	-1604.01	98	1.15	49	-1.28	98
0	-1075	-1700	Min.	22.30	-218.31	106	-1.28	106	-0.32	65	-1604.01	98	-179.63	98	-1.28	98
0	422	423	Max	0.00	34.33	1	1193.95	98	173.91	161	3.51	17	184.24	98	0.75	98
0	422	423	Max	36.02					10.46	125			12.55	125		
0	422	423	Max	200.00	34.33	1	1140.25	98	1152.34	98	3.51	17	19.10	65	0.75	98
0	422	423	Min.	0.00	-4540.10	121	-172.59	161	-1181.85	98	-131.18	98	-0.22	149	-0.17	17
0	422	423	Min.	77.17					4.43	126			7.44	126		
0	422	423	Min.	200.00	-4540.10	121	-212.37	161	-211.06	161	-131.18	98	-78.79	97	-0.17	17
0	-603	-1809	Max	0.00	2855.29	121	249.96	177	0.27	177	1179.54	97	10.80	130	0.21	173
0	-603	-1809	Max	22.30	2856.96	121	249.96	177	56.01	177	1179.54	97	135.41	97	0.21	173
0	-603	-1809	Min.	0.00	-54.86	49	0.17	142	-1.11	173	-83.31	130	-127.63	97	-1.71	97
0	-603	-1809	Min.	22.30	-53.62	49	0.17	142	0.05	142	-83.31	130	-7.78	130	-1.71	97
0	-944	-1835	Max	0.00	261.39	173	1.03	97	0.12	65	142.18	101	125.09	98	0.20	17
0	-944	-1835	Max	22.30	262.63	173	1.03	97	0.26	17	142.18	101	15.84	101	0.20	17
0	-944	-1835	Min.	0.00	-710.82	97	-1.79	173	-0.22	173	-1130.85	98	-15.87	101	-0.52	173
0	-944	-1835	Min.	22.30	-709.14	97	-1.79	173	-0.61	173	-1130.85	98	-127.08	98	-0.52	173
0	-642	-1770	Max	0.00	535.35	173	6.04	97	0.47	98	980.42	97	27.76	130	0.24	173
0	-642	-1770	Max	22.30	536.59	173	6.04	97	1.82	97	980.42	97	110.30	97	0.24	173
0	-642	-1770	Min.	0.00	-569.13	98	-0.89	106	-0.17	173	-247.70	130	-108.34	97	-1.31	97
0	-642	-1770	Min.	22.30	-567.46	98	-0.89	106	-0.35	173	-247.70	130	-27.48	130	-1.31	97
0	-643	-1769	Max	0.00	621.48	173	10.12	125	0.09	65	1256.46	97	16.47	130	0.34	173
0	-643	-1769	Max	22.30	622.72	173	10.12	125	2.17	121	1256.46	97	140.94	97	0.34	173
0	-643	-1769	Min.	0.00	-65.61	106	-0.97	106	-0.39	173	-147.72	130	-139.25	97	-1.57	97
0	-643	-1769	Min.	22.30	-63.94	106	-0.97	106	-0.17	106	-147.72	130	-16.47	130	-1.57	97
0	405	-1273	Max	0.00	-272.70	17	92.15	106	810.84	121	400.65	177	259.29	97	0.45	97
0	405	-1273	Max	25.00	-272.70	17	85.44	106	598.78	121	638.15	173	233.83	98	0.45	97

0	405	-1273	Min.	0.00	-6978.51	98	-844.88	121	-62.71	49	-924.35	173	-702.13	173	-1.40	173
0	405	-1273	Min.	25.00	-6978.51	98	-851.59	121	-41.35	49	-102.15	97	-737.90	173	-1.40	173
0	-1199	-1761	Max	0.00	2046.68	98	29.24	130	0.20	97	-27.42	65	150.53	98	0.51	17
0	-1199	-1761	Max	22.30	2048.35	98	29.24	130	6.32	130	-27.42	65	-3.20	65	0.51	17
0	-1199	-1761	Min.	0.00	-849.91	161	-31.10	101	-0.20	130	-1369.32	98	2.92	65	-1.08	97
0	-1199	-1761	Min.	22.30	-848.67	161	-31.10	101	-6.74	101	-1369.32	98	-154.83	98	-1.08	97
0	-899	-1443	Max	0.00	-20.72	173	0.94	17	0.10	65	11.30	49	160.85	98	0.30	17
0	-899	-1443	Max	22.30	-19.48	173	0.94	17	0.31	17	11.30	49	1.24	49	0.30	17
0	-899	-1443	Min.	0.00	-516.43	98	-6.78	173	-0.25	173	-1452.16	98	-1.28	49	-0.30	65
0	-899	-1443	Min.	22.30	-514.76	98	-6.78	173	-1.76	173	-1452.16	98	-162.98	98	-0.30	65
0	-943	-1412	Max	0.00	-26.65	173	0.80	17	0.11	65	20.16	49	161.99	98	0.28	17
0	-943	-1412	Max	22.30	-25.42	173	0.80	17	0.28	17	20.16	49	2.23	49	0.28	17
0	-943	-1412	Min.	0.00	-312.28	98	-4.59	98	-0.16	173	-1462.78	98	-2.26	49	-0.66	173
0	-943	-1412	Min.	22.30	-310.61	98	-4.59	98	-1.03	97	-1462.78	98	-164.21	98	-0.66	173
0	-901	-1441	Max	0.00	185.83	173	0.72	17	0.13	65	298.27	101	81.62	106	0.14	17
0	-901	-1441	Max	22.30	187.06	173	0.72	17	0.29	17	298.27	101	33.29	101	0.14	17
0	-901	-1441	Min.	0.00	-940.07	98	-8.79	173	-0.13	17	-733.42	106	-33.22	101	-0.14	65
0	-901	-1441	Min.	22.30	-938.39	98	-8.79	173	-1.93	173	-733.42	106	-81.93	106	-0.14	65
0	-1162	-1740	Max	0.00	-18.76	65	3.49	101	0.13	65	3.85	49	161.08	98	0.18	17
0	-1162	-1740	Max	22.30	-17.52	65	3.49	101	0.65	101	3.85	49	0.41	49	0.18	17
0	-1162	-1740	Min.	0.00	-192.96	106	-2.55	106	-0.13	101	-1447.68	98	-0.44	49	-1.66	98
0	-1162	-1740	Min.	22.30	-191.29	106	-2.55	106	-0.50	106	-1447.68	98	-161.75	98	-1.66	98
0	-945	-1834	Max	0.00	810.30	173	5.46	97	0.13	65	296.31	101	81.02	106	0.13	17
0	-945	-1834	Max	22.30	811.53	173	5.46	97	1.16	97	296.31	101	33.08	101	0.13	17
0	-945	-1834	Min.	0.00	-1238.03	98	-1.93	173	-0.25	173	-728.13	106	-33.00	101	-0.34	173
0	-945	-1834	Min.	22.30	-1236.36	98	-1.93	173	-0.68	173	-728.13	106	-81.36	106	-0.34	173
0	-860	-1792	Max	0.00	-48.38	33	1.61	173	0.14	17	593.87	101	56.18	130	0.09	130
0	-860	-1792	Max	22.30	-47.15	33	1.61	173	0.32	173	593.87	101	66.34	101	0.09	130
0	-860	-1792	Min.	0.00	-920.28	97	-1.52	98	-0.13	65	-504.75	130	-66.09	101	-0.13	101
0	-860	-1792	Min.	22.30	-918.61	97	-1.52	98	-0.46	98	-504.75	130	-56.37	130	-0.13	101
0	-817	-1714	Max	0.00	-47.95	33	0.92	65	0.40	98	714.36	97	42.57	130	0.16	173
0	-817	-1714	Max	22.30	-46.71	33	0.92	65	0.33	65	714.36	97	79.90	97	0.16	173
0	-817	-1714	Min.	0.00	-2666.98	97	-10.57	98	-0.22	173	-381.96	130	-79.40	97	-0.32	101
0	-817	-1714	Min.	22.30	-2665.31	97	-10.57	98	-1.96	98	-381.96	130	-42.61	130	-0.32	101
0	-729	-1864	Max	0.00	15.28	173	4.53	173	0.37	98	1107.88	97	29.10	130	0.44	173
0	-729	-1864	Max	22.30	16.51	173	4.53	173	1.09	97	1107.88	97	124.85	97	0.44	173
0	-729	-1864	Min.	0.00	-455.46	98	0.24	142	-0.41	173	-260.71	130	-122.20	97	-1.03	97
0	-729	-1864	Min.	22.30	-453.79	98	0.24	142	-0.02	65	-260.71	130	-29.04	130	-1.03	97
0	-1202	-1758	Max	0.00	726.20	161	21.78	98	0.23	161	-3.40	65	166.48	98	0.19	17
0	-1202	-1758	Max	22.30	727.43	161	21.78	98	4.51	98	-3.40	65	-0.41	65	0.19	17
0	-1202	-1758	Min.	0.00	-3376.91	98	-7.29	161	-0.35	98	-1530.01	98	0.34	65	-1.86	98
0	-1202	-1758	Min.	22.30	-3375.24	98	-7.29	161	-1.39	161	-1530.01	98	-174.71	98	-1.86	98
0	-902	-1439	Max	0.00	-52.21	33	2.33	173	0.14	173	451.47	101	68.58	130	0.14	173
0	-902	-1439	Max	22.30	-50.98	33	2.33	173	0.66	173	451.47	101	50.41	101	0.14	173
0	-902	-1439	Min.	0.00	-1042.31	98	-0.69	65	-0.13	17	-616.10	130	-50.27	101	-0.06	65
0	-902	-1439	Min.	22.30	-1040.64	98	-0.69	65	-0.29	65	-616.10	130	-68.81	130	-0.06	65
0	-989	-1467	Max	0.00	253.06	173	10.57	97	0.11	65	289.86	101	79.63	122	0.11	17
0	-989	-1467	Max	22.30	254.30	173	10.57	97	1.95	97	289.86	101	32.32	101	0.11	17
0	-989	-1467	Min.	0.00	-2666.30	98	-0.93	65	-0.55	173	-715.97	122	-32.32	101	-0.81	173
0	-989	-1467	Min.	22.30	-2664.63	98	-0.93	65	-0.33	65	-715.97	122	-80.04	122	-0.81	173
0	-1163	-1739	Max	0.00	263.04	98	3.87	125	0.17	17	53.49	49	138.97	98	0.12	17
0	-1163	-1739	Max	22.30	264.71	98	3.87	125	0.78	125	53.49	49	5.97	49	0.12	17
0	-1163	-1739	Min.	0.00	-264.50	161	-8.42	106	-0.14	157	-1253.95	98	-5.96	49	-1.57	98
0	-1163	-1739	Min.	22.30	-263.26	161	-8.42	106	-1.93	98	-1253.95	98	-140.66	98	-1.57	98
0	-644	-1768	Max	0.00	245.08	173	6.75	173	0.23	177	1450.95	97	5.36	130	0.45	173
0	-644	-1768	Max	22.30	246.31	173	6.75	173	1.15	173	1450.95	97	162.12	97	0.45	173
0	-644	-1768	Min.	0.00	-451.52	177	-5.43	177	-0.35	173	-49.70	130	-161.44	97	-1.67	97
0	-644	-1768	Min.	22.30	-450.29	177	-5.43	177	-0.98	177	-49.70	130	-5.72	130	-1.67	97
0	-1077	-1496	Max	0.00	-21.36	1	0.93	173	0.11	65	138.68	101	122.05	98	0.12	17
0	-1077	-1496	Max	22.30	-20.12	1	0.93	173	0.01	65	138.68	101	15.40	101	0.12	17
0	-1077	-1496	Min.	0.00	-455.23	97	-3.27	98	-0.37	97	-1106.48	98	-15.52	101	-1.04	98
0	-1077	-1496	Min.	22.30	-453.56	97	-3.27	98	-1.09	98	-1106.48	98	-124.70	98	-1.04	98
0	-946	-1833	Max	0.00	584.72	173	1.51	97	0.13	65	448.10	101	68.14	130	0.09	101
0	-946	-1833	Max	1.11					-0.04	35			10.15	35		
0	-946	-1833	Max	22.30	585.96	173	1.51	97	0.45	97	448.10	101	50.05	101	0.09	101
0	-946	-1833	Min.	0.00	-919.46	98	-2.27	173	-0.26	173	-612.24	130	-49.88	101	-0.15	173
0	-946	-1833	Min.	1.11					0.03	35			-4.15	35		
0	-946	-1833	Min.	22.30	-917.79	98	-2.27	173	-0.77	173	-612.24	130	-68.39	130	-0.15	173
0	-861	-1791	Max	0.00	-54.50	33	5.01	173	0.13	17	728.63	101	43.42	130	0.13	17
0	-861	-1791	Max	22.30	-53.27	33	5.01	173	0.89	173	728.63	101	81.42	101	0.13	17
0	-861	-1791	Min.	0.00	-1238.32	97	-5.47	98	-0.23	173	-389.98	130	-81.07	101	-0.16	65
0	-861	-1791	Min.	22.30	-1236.65	97	-5.47	98	-1.16	98	-389.98	130	-43.55	130	-0.16	65
0	-730	-1861	Max	0.00	304.42	98	7.95	173	0.24	98	1399.02	97	16.99	130	0.56	173
0	-730	-1861	Max	22.30	306.09	98	7.95	173	1.51	173	1399.02	97	156.88	97	0.56	173
0	-730	-1861	Min.	0.00	-193.33	101	-2.04	98	-0.26	173	-152.30	130	-155.11	97	-1.21	97
0	-730	-1861	Min.	22.30	-191.66	101	-2.04	98	-0.21	98	-152.30	130	-16.97	130	-1.21	97
0	-904	-1438	Max	0.00	-52.21	33	31.62	173	0.13	17	598.01	101	56.54	130	0.06	17
0	-904	-1438	Max	22.30	-50.98	33	31.62	173	6.38	173	598.01	101	66.79	101	0.06	17
0	-904	-1438	Min.	0.00	-2237.71	173	-0.69	17	-0.67	173	-507.82	130	-66.57	101	-0.06	65

0	-904	-1438	Min.	22.30	-2236.47	173	-0.69	17	-0.29	17	-507.82	130	-56.70	130	-0.06	65
0	-948	-1832	Max	0.00	-48.16	33	1.51	98	0.13	17	593.57	101	56.17	130	0.13	101
0	-948	-1832	Max	22.30	-46.93	33	1.51	98	0.45	98	593.57	101	66.31	101	0.13	101
0	-948	-1832	Min.	0.00	-6148.76	173	-1.63	173	-0.29	173	-504.58	130	-66.06	101	-0.09	130
0	-948	-1832	Min.	22.30	-6147.52	173	-1.63	173	-0.66	173	-504.58	130	-56.36	130	-0.09	130
0	-645	-1767	Max	0.00	-45.79	65	1.10	65	0.28	106	1606.16	97	-4.55	65	0.58	173
0	-645	-1767	Max	1.39					-0.09	55			-16.90	55		
0	-645	-1767	Max	22.30	-44.56	65	1.10	65	0.25	65	1606.16	97	179.94	97	0.58	173
0	-645	-1767	Min.	0.00	-726.83	121	-12.80	121	-0.11	65	41.05	65	-178.23	97	-1.61	97
0	-645	-1767	Min.	1.39					-0.03	7			-31.93	7		
0	-645	-1767	Min.	22.30	-725.16	121	-12.80	121	-2.77	121	41.05	65	4.60	65	-1.61	97
0	-821	-1710	Max	0.00	-47.69	65	4.12	106	0.10	98	1816.94	97	-6.70	130	0.54	173
0	-821	-1710	Max	17.84					-0.01	24			18.14	24		
0	-821	-1710	Max	22.30	-46.46	65	4.12	106	0.94	106	1816.94	97	203.61	97	0.54	173
0	-821	-1710	Min.	0.00	-237.11	101	-1.46	17	-0.10	173	61.27	130	-201.57	97	-0.72	97
0	-821	-1710	Min.	17.84					-0.16	24			17.07	24		
0	-821	-1710	Min.	22.30	-235.44	101	-1.46	17	-0.42	17	61.27	130	6.96	130	-0.72	97
0	-1273	406	Max	0.00	-272.70	17	89.47	49	598.78	121	638.15	173	233.83	98	0.45	97
0	-1273	406	Max	59.85					14.23	177			70.31	177		
0	-1273	406	Max	155.00	-272.70	17	58.64	49	84.08	106	638.15	173	251.24	173	0.45	97
0	-1273	406	Min.	0.00	-6978.51	98	-851.59	121	-41.35	49	-102.15	97	-737.90	173	-1.40	173
0	-1273	406	Min.	115.03					30.43	117			23.70	117		
0	-1273	406	Min.	155.00	-6978.51	98	-893.21	121	-756.79	157	-449.31	177	-143.45	177	-1.40	173
0	-1076	-1497	Max	0.00	304.21	97	2.04	97	0.12	65	41.67	49	154.89	98	0.19	17
0	-1076	-1497	Max	22.30	305.89	97	2.04	97	0.24	173	41.67	49	4.65	49	0.19	17
0	-1076	-1497	Min.	0.00	-193.36	106	-2.21	106	-0.24	97	-1397.10	98	-4.64	49	-1.22	98
0	-1076	-1497	Min.	22.30	-191.69	106	-2.21	106	-0.47	106	-1397.10	98	-156.66	98	-1.22	98
0	-988	-1468	Max	0.00	210.32	173	5.42	173	0.12	65	141.23	101	127.69	98	0.17	17
0	-988	-1468	Max	22.30	211.56	173	5.42	173	0.95	173	141.23	101	15.70	101	0.17	17
0	-988	-1468	Min.	0.00	-523.50	97	-2.05	98	-0.26	173	-1157.80	98	-15.79	101	-1.02	173
0	-988	-1468	Min.	22.30	-521.83	97	-2.05	98	-0.50	98	-1157.80	98	-130.50	98	-1.02	173
0	-604	-1807	Max	0.00	-62.77	65	247.79	177	0.38	157	1532.91	97	-0.68	65	0.52	173
0	-604	-1807	Max	2.29					-0.01	71			-11.63	71		
0	-604	-1807	Max	22.30	-61.53	65	247.79	177	55.19	177	1532.91	97	174.95	97	0.52	173
0	-604	-1807	Min.	0.00	-3565.68	121	-23.02	121	-0.51	173	6.39	65	-166.88	97	-1.85	97
0	-604	-1807	Min.	2.39					-0.15	23			-32.31	23		
0	-604	-1807	Min.	22.30	-3564.01	121	-23.02	121	-4.77	121	6.39	65	0.75	65	-1.85	97
0	423	-2067	Max	0.00	436.98	97	959.11	161	1733.56	98	-2.85	65	0.11	65	0.46	17
0	423	-2067	Max	127.70	378.85	97	959.11	161	690.56	161	-2.85	65	-3.54	65	0.46	17
0	423	-2067	Min.	0.00	-33.90	1	-3336.17	98	-534.21	161	-38.82	106	-0.30	97	-2.55	98
0	423	-2067	Min.	127.70	-76.96	1	-3336.17	98	-2526.73	98	-38.82	106	-49.54	106	-2.55	98
0	-819	-1712	Max	0.00	244.59	98	6.95	97	0.11	106	1465.70	97	17.09	130	0.39	173
0	-819	-1712	Max	22.30	246.26	98	6.95	97	1.58	97	1465.70	97	164.43	97	0.39	173
0	-819	-1712	Min.	0.00	-263.83	173	-0.42	17	-0.21	173	-153.13	130	-162.43	97	-0.47	97
0	-819	-1712	Min.	22.30	-262.59	173	-0.42	17	-0.20	17	-153.13	130	-17.06	130	-0.47	97
0	-905	-1436	Max	0.00	-58.48	33	2.10	173	0.14	173	733.45	101	43.69	130	0.14	17
0	-905	-1436	Max	22.30	-57.24	33	2.10	173	0.61	173	733.45	101	81.94	101	0.14	17
0	-905	-1436	Min.	0.00	-940.07	97	-0.73	17	-0.13	65	-392.30	130	-81.62	101	-0.14	65
0	-905	-1436	Min.	22.30	-938.39	97	-0.73	17	-0.29	17	-392.30	130	-43.79	130	-0.14	65
0	-820	-1711	Max	0.00	15.41	158	4.85	97	0.12	98	1683.94	97	4.77	130	0.48	173
0	-820	-1711	Max	17.84					-0.01	149			37.15	149		
0	-820	-1711	Max	22.30	16.65	158	4.85	97	1.20	98	1683.94	97	188.69	97	0.48	173
0	-820	-1711	Min.	0.00	-228.79	101	-0.79	17	-0.15	173	-42.16	130	-186.82	97	-0.61	97
0	-820	-1711	Min.	17.84					-0.01	151			36.08	151		
0	-820	-1711	Min.	22.30	-227.12	101	-0.79	17	-0.28	17	-42.16	130	-4.63	130	-0.61	97
0	-733	-1844	Max	0.00	62.36	106	1.10	177	0.25	106	1782.94	97	-10.69	65	0.71	173
0	-733	-1844	Max	22.30	64.03	106	1.10	177	0.26	177	1782.94	97	199.81	97	0.71	173
0	-733	-1844	Min.	0.00	-378.27	97	-5.14	173	-0.20	109	96.55	65	-197.79	97	-1.15	97
0	-733	-1844	Min.	22.30	-376.60	97	-5.14	173	-1.22	173	96.55	65	10.84	65	-1.15	97
0	406	-1808	Max	0.00	438.29	98	3711.64	121	-4.04	65	716.42	173	0.32	173	5.05	173
0	406	-1808	Max	127.70	380.16	98	3711.64	121	2785.68	121	716.42	173	915.19	173	5.05	173
0	406	-1808	Min.	0.00	-34.57	1	8.69	65	-1954.08	121	-914.86	177	-0.11	65	-2.53	97
0	406	-1808	Min.	127.70	-89.67	125	8.69	65	7.06	65	-914.86	177	-1168.26	177	-2.53	97
0	323	-2067	Max	0.00	-42.24	65	4.43	101	0.12	65	16.50	49	126.57	98	0.13	17
0	323	-2067	Max	22.30	-41.00	65	4.43	101	0.80	101	16.50	49	1.93	49	0.13	17
0	323	-2067	Min.	0.00	-320.39	98	-0.67	17	-0.19	101	-1064.18	98	-1.74	49	-1.82	98
0	323	-2067	Min.	22.30	-318.71	98	-0.67	17	-0.09	130	-1064.18	98	-111.44	122	-1.82	98
0	-1164	-1738	Max	0.00	-0.46	1	1.06	125	0.07	65	132.24	101	108.13	98	0.10	101
0	-1164	-1738	Max	22.30	0.78	1	1.06	125	0.20	125	132.24	101	14.66	101	0.10	101
0	-1164	-1738	Min.	0.00	-570.20	97	-6.02	98	-0.47	97	-978.56	98	-14.83	101	-1.30	98
0	-1164	-1738	Min.	22.30	-568.53	97	-6.02	98	-1.81	98	-978.56	98	-110.09	98	-1.30	98
0	-731	-1857	Max	0.00	20.12	98	6.05	173	0.09	106	1606.32	97	5.18	130	0.62	173
0	-731	-1857	Max	22.30	21.79	98	6.05	173	1.20	173	1606.32	97	179.88	97	0.62	173
0	-731	-1857	Min.	0.00	-220.69	101	-2.58	98	-0.15	173	-45.94	130	-178.33	97	-1.27	97
0	-731	-1857	Min.	22.30	-219.02	101	-2.58	98	-0.53	98	-45.94	130	-5.06	130	-1.27	97
0	-1078	-1495	Max	0.00	-35.08	65	0.15	17	0.09	65	280.46	101	76.72	122	0.15	101
0	-1078	-1495	Max	1.88					-0.14	71			10.42	71		
0	-1078	-1495	Max	22.30	-33.84	65	0.15	17	0.12	17	280.46	101	31.24	101	0.15	101
0	-1078	-1495	Min.	0.00	-2645.41	98	-15.18	97	-0.45	173	-689.10	122	-31.30	101	-0.75	173

0	-1078	-1495	Min.	7.29					0.08	23			2.09	23		
0	-1078	-1495	Min.	22.30	-2643.74	98	-15.18	97	-3.51	97	-689.10	122	-76.95	122	-0.75	173
0	-990	-1466	Max	0.00	-42.25	33	0.31	17	0.11	65	437.28	101	66.77	130	0.19	101
0	-990	-1466	Max	22.30	-41.01	33	0.31	17	0.18	17	437.28	101	48.79	101	0.19	101
0	-990	-1466	Min.	0.00	-785.27	173	-6.05	173	-0.73	173	-599.35	130	-48.72	101	-0.46	173
0	-990	-1466	Min.	22.30	-784.03	173	-6.05	173	-2.08	173	-599.35	130	-66.89	130	-0.46	173
0	-862	-1790	Max	0.00	-39.44	49	0.91	65	0.12	17	1131.54	97	30.23	130	0.20	17
0	-862	-1790	Max	22.30	-38.20	49	0.91	65	0.32	65	1131.54	97	127.16	97	0.20	17
0	-862	-1790	Min.	0.00	-711.18	98	-1.66	173	-0.12	65	-271.36	130	-125.17	97	-0.24	65
0	-862	-1790	Min.	22.30	-709.51	98	-1.66	173	-0.48	173	-271.36	130	-30.29	130	-0.24	65
0	-1203	-1757	Max	0.00	2444.13	98	6.29	125	0.34	106	60.14	49	127.38	98	0.07	17
0	-1203	-1757	Max	22.30	2445.80	98	6.29	125	1.25	125	60.14	49	6.68	49	0.07	17
0	-1203	-1757	Min.	0.00	-968.49	161	-22.06	98	-0.15	125	-1178.00	98	-6.74	49	-1.71	98
0	-1203	-1757	Min.	22.30	-967.25	161	-22.06	98	-4.70	98	-1178.00	98	-135.31	98	-1.71	98
0	-605	-1806	Max	0.00	597.53	173	237.97	177	0.27	106	1540.01	97	-2.06	65	0.69	173
0	-605	-1806	Max	22.30	598.76	173	237.97	177	51.83	177	1540.01	97	172.46	97	0.69	173
0	-605	-1806	Min.	0.00	-361.78	106	-1.71	121	-1.24	177	18.85	65	-170.97	97	-1.69	97
0	-605	-1806	Min.	22.30	-360.11	106	-1.71	121	-0.95	121	18.85	65	2.15	65	-1.69	97
0	-646	-1766	Max	0.00	161.41	177	2.21	177	0.36	106	1676.43	97	-6.28	65	0.75	173
0	-646	-1766	Max	22.30	162.64	177	2.21	177	0.62	106	1676.43	97	188.06	97	0.75	173
0	-646	-1766	Min.	0.00	-436.63	173	-5.98	173	-0.39	97	56.80	65	-185.78	97	-1.41	97
0	-646	-1766	Min.	22.30	-435.39	173	-5.98	173	-1.65	173	56.80	65	6.38	65	-1.41	97
0	-732	-1845	Max	0.00	-48.59	65	1.02	65	0.14	106	1736.33	97	-5.86	130	0.66	173
0	-732	-1845	Max	22.30	-47.35	65	1.02	65	0.23	65	1736.33	97	194.47	97	0.66	173
0	-732	-1845	Min.	0.00	-291.12	101	-2.94	97	-0.13	65	53.65	130	-192.74	97	-1.25	97
0	-732	-1845	Min.	22.30	-289.45	101	-2.94	97	-0.73	97	53.65	130	6.10	130	-1.25	97
0	-1079	-1494	Max	0.00	-28.56	65	0.38	17	0.09	65	421.56	101	64.90	130	0.24	101
0	-1079	-1494	Max	1.67					-0.06	5			22.88	5		
0	-1079	-1494	Max	22.30	-27.33	65	0.38	17	0.17	17	421.56	101	46.98	101	0.24	101
0	-1079	-1494	Min.	0.00	-527.03	173	-9.26	173	-0.65	98	-582.00	130	-47.03	101	-0.37	173
0	-1079	-1494	Min.	1.67					0.01	53			-17.56	53		
0	-1079	-1494	Min.	22.30	-525.79	173	-9.26	173	-2.53	173	-582.00	130	-64.89	130	-0.37	173
0	-606	-1805	Max	0.00	-6.50	1	198.82	177	0.26	106	1523.29	97	-3.00	65	1.28	177
0	-606	-1805	Max	22.30	-5.27	1	198.82	177	43.27	177	1523.29	97	171.36	97	1.28	177
0	-606	-1805	Min.	0.00	-488.40	106	-8.72	113	-1.07	177	27.61	65	-168.33	97	-1.41	98
0	-606	-1805	Min.	22.30	-486.73	106	-8.72	113	-2.31	113	27.61	65	3.15	65	-1.41	98
0	406	407	Max	0.00	1516.90	161	-10.98	65	1200.64	121	465.56	177	246.19	173	0.75	97
0	406	407	Max	97.32					6.40	177			86.03	177		
0	406	407	Max	200.00	1516.90	161	-50.76	65	-36.21	65	3.67	17	89.66	173	0.75	97
0	406	407	Min.	0.00	-3692.03	98	-1179.11	121	25.52	65	-131.23	97	-143.44	177	-1.08	173
0	406	407	Min.	97.32					6.40	177			86.03	177		
0	406	407	Min.	200.00	-3692.03	98	-1232.81	121	-1211.27	121	-478.84	177	-184.52	97	-1.08	173
0	-1204	-1756	Max	0.00	-6.97	161	1.75	101	0.01	65	114.64	101	94.04	98	0.12	101
0	-1204	-1756	Max	12.82					0.01	21			-1.40	21		
0	-1204	-1756	Max	22.30	-5.74	161	1.75	101	0.26	101	114.64	101	12.84	101	0.12	101
0	-1204	-1756	Min.	0.00	-1349.30	98	-4.82	98	-0.63	98	-844.08	98	-12.72	101	-1.39	98
0	-1204	-1756	Min.	12.82					-0.28	21			-2.97	21		
0	-1204	-1756	Min.	22.30	-1347.63	98	-4.82	98	-1.70	98	-844.08	98	-94.19	98	-1.39	98
0	-1165	-1737	Max	0.00	27.04	161	0.90	106	0.06	65	269.68	101	73.74	106	0.20	101
0	-1165	-1737	Max	0.70					-0.05	35			16.18	35		
0	-1165	-1737	Max	22.30	28.28	161	0.90	106	0.18	17	269.68	101	30.09	101	0.20	101
0	-1165	-1737	Min.	0.00	-1286.22	98	-8.74	97	-0.53	98	-661.68	106	-30.05	101	-0.84	98
0	-1165	-1737	Min.	17.84					-0.14	68			-7.60	68		
0	-1165	-1737	Min.	22.30	-1284.55	98	-8.74	97	-2.47	97	-661.68	106	-73.82	106	-0.84	98
0	-949	-1831	Max	0.00	565.57	173	5.46	98	0.13	17	728.16	101	43.42	130	0.26	173
0	-949	-1831	Max	13.52					-0.08	35			4.06	35		
0	-949	-1831	Max	22.30	566.81	173	5.46	98	1.16	98	728.16	101	81.36	101	0.26	173
0	-949	-1831	Min.	0.00	-1238.03	97	-2.39	173	-0.26	173	-389.96	130	-81.02	101	-0.13	65
0	-949	-1831	Min.	13.52					0.03	35			0.07	35		
0	-949	-1831	Min.	22.30	-1236.36	97	-2.39	173	-0.79	173	-389.96	130	-43.54	130	-0.13	65
0	-992	-1465	Max	0.00	-42.21	33	0.31	65	0.13	173	579.18	101	55.02	130	0.26	101
0	-992	-1465	Max	22.30	-40.97	33	0.31	65	0.18	65	579.18	101	64.64	101	0.26	101
0	-992	-1465	Min.	0.00	-2116.14	173	-37.42	173	-0.14	65	-493.83	130	-64.52	101	-0.20	130
0	-992	-1465	Min.	22.30	-2114.91	173	-37.42	173	-8.21	173	-493.83	130	-55.10	130	-0.20	130
0	-863	-1789	Max	0.00	-53.08	33	4.58	97	0.10	17	1463.68	97	16.97	130	0.28	17
0	-863	-1789	Max	17.84					-0.00	113			49.10	113		
0	-863	-1789	Max	22.30	-51.85	33	4.58	97	1.02	98	1463.68	97	164.31	97	0.28	17
0	-863	-1789	Min.	0.00	-312.60	97	-4.44	173	-0.14	173	-152.34	130	-162.09	97	-0.32	65
0	-863	-1789	Min.	17.84					-0.00	150			32.95	150		
0	-863	-1789	Min.	22.30	-310.93	97	-4.44	173	-1.13	173	-152.34	130	-17.00	130	-0.32	65
0	-906	-1435	Max	0.00	253.85	173	0.80	65	0.12	17	1113.94	97	30.36	130	0.22	17
0	-906	-1435	Max	8.92					-0.00	110			-17.53	110		
0	-906	-1435	Max	22.30	255.09	173	0.80	65	0.30	65	1113.94	97	125.02	97	0.22	17
0	-906	-1435	Min.	0.00	-637.99	98	-9.11	173	-0.12	65	-272.61	130	-123.39	97	-0.22	65
0	-906	-1435	Min.	4.46					-0.00	121			-44.11	121		
0	-906	-1435	Min.	22.30	-636.32	98	-9.11	173	-1.99	173	-272.61	130	-30.43	130	-0.22	65
0	-1166	-1736	Max	0.00	137.05	125	2.37	106	0.11	125	400.53	101	62.70	130	0.31	101
0	-1166	-1736	Max	2.68					-0.05	35			8.13	35		
0	-1166	-1736	Max	22.30	138.72	125	2.37	106	0.38	106	400.53	101	44.56	101	0.31	101

0	-1166	-1736	Min.	0.00	-725.38	98	-7.54	121	-0.67	98	-561.93	130	-44.75	101	-0.39	106
0	-1166	-1736	Min.	17.84					-0.09	54			-5.95	54		
0	-1166	-1736	Min.	22.30	-723.72	98	-7.54	121	-2.12	97	-561.93	130	-62.61	130	-0.39	106
0	-607	-1804	Max	0.00	2438.61	121	144.57	177	0.27	173	1372.94	97	-3.26	65	1.87	177
0	-607	-1804	Max	22.30	2440.28	121	144.57	177	32.34	177	1372.94	97	155.19	97	1.87	177
0	-607	-1804	Min.	0.00	46.34	65	-28.04	173	-0.21	158	30.46	65	-150.98	97	-1.07	98
0	-607	-1804	Min.	22.30	47.58	65	-28.04	173	-5.98	173	30.46	65	3.53	65	-1.07	98
0	-647	-1765	Max	0.00	168.80	177	14.47	106	0.34	106	1643.20	97	-7.49	65	0.92	173
0	-647	-1765	Max	22.30	170.03	177	14.47	106	3.57	106	1643.20	97	184.40	97	0.92	173
0	-647	-1765	Min.	0.00	-410.79	106	-12.07	173	-0.51	97	67.84	65	-182.03	97	-1.15	98
0	-647	-1765	Min.	22.30	-409.12	106	-12.07	173	-2.97	173	67.84	65	7.64	65	-1.15	98
0	-950	-1830	Max	0.00	877.77	173	1.03	98	0.12	17	1130.85	97	30.24	130	0.46	173
0	-950	-1830	Max	22.30	879.01	173	1.03	98	0.26	65	1130.85	97	127.08	97	0.46	173
0	-950	-1830	Min.	0.00	-710.82	98	-2.12	173	-0.24	173	-271.50	130	-125.09	97	-0.20	65
0	-950	-1830	Min.	22.30	-709.14	98	-2.12	173	-0.71	173	-271.50	130	-30.30	130	-0.20	65
0	-1081	-1493	Max	0.00	-28.56	17	0.38	65	0.09	17	558.53	101	53.47	130	0.32	101
0	-1081	-1493	Max	1.67					-0.06	5			17.56	5		
0	-1081	-1493	Max	22.30	-27.33	17	0.38	65	0.17	65	558.53	101	62.27	101	0.32	101
0	-1081	-1493	Min.	0.00	-626.37	173	-12.17	173	-0.65	97	-479.40	130	-62.29	101	-0.24	130
0	-1081	-1493	Min.	1.67					0.00	53			-22.88	53		
0	-1081	-1493	Min.	22.30	-625.14	173	-12.17	173	-3.19	173	-479.40	130	-53.44	130	-0.24	130
0	-1205	-1755	Max	0.00	-3.96	65	1.01	106	0.05	65	246.34	101	69.93	106	0.25	101
0	-1205	-1755	Max	22.30	-2.73	65	1.01	106	0.25	17	246.34	101	27.62	101	0.25	101
0	-1205	-1755	Min.	0.00	-1005.07	98	-7.31	97	-0.50	97	-628.72	106	-27.31	101	-0.85	98
0	-1205	-1755	Min.	22.30	-1003.40	98	-7.31	97	-2.13	97	-628.72	106	-70.28	106	-0.85	98
0	-907	-1434	Max	0.00	69.98	173	0.94	65	0.10	17	1452.16	97	16.89	130	0.30	17
0	-907	-1434	Max	22.30	71.22	173	0.94	65	0.31	65	1452.16	97	162.98	97	0.30	17
0	-907	-1434	Min.	0.00	-516.43	97	-9.52	173	-0.16	173	-151.70	130	-160.85	97	-0.30	65
0	-907	-1434	Min.	22.30	-514.76	97	-9.52	173	-2.28	173	-151.70	130	-16.94	130	-0.30	65
0	-1206	-1754	Max	0.00	1747.02	125	6.42	106	0.34	125	372.34	101	57.74	130	0.36	101
0	-1206	-1754	Max	3.07					-0.08	71			5.35	71		
0	-1206	-1754	Max	22.30	1748.69	125	6.42	106	1.19	106	372.34	101	41.87	101	0.36	101
0	-1206	-1754	Min.	0.00	-1241.41	106	-13.95	157	-0.24	106	-516.70	130	-41.16	101	-0.46	106
0	-1206	-1754	Min.	3.07					0.05	71			-1.62	71		
0	-1206	-1754	Min.	22.30	-1239.74	106	-13.95	157	-2.90	157	-516.70	130	-57.48	130	-0.46	106
0	-734	-1843	Max	0.00	-33.49	177	5.68	106	0.32	106	1734.69	97	-11.78	65	0.77	173
0	-734	-1843	Max	22.30	-32.25	177	5.68	106	1.58	106	1734.69	97	194.64	97	0.77	173
0	-734	-1843	Min.	0.00	-362.86	97	-10.70	173	-0.31	97	106.63	65	-192.20	97	-0.98	98
0	-734	-1843	Min.	22.30	-361.19	97	-10.70	173	-2.43	173	106.63	65	12.00	65	-0.98	98
0	-1168	-1735	Max	0.00	25.22	1	4.50	125	0.08	17	532.02	101	51.59	130	0.39	101
0	-1168	-1735	Max	17.84					-0.01	6			5.95	6		
0	-1168	-1735	Max	22.30	26.46	1	4.50	125	0.82	125	532.02	101	59.21	101	0.39	101
0	-1168	-1735	Min.	0.00	-725.38	97	-6.51	98	-0.67	97	-462.46	130	-59.43	101	-0.31	106
0	-1168	-1735	Min.	2.73					-0.01	35			-7.58	35		
0	-1168	-1735	Min.	22.30	-723.72	97	-6.51	98	-2.12	98	-462.46	130	-51.53	130	-0.31	106
0	-1207	-2065	Max	0.00	922.31	106	11.35	125	0.18	106	497.12	101	47.00	130	0.46	101
0	-1207	-2065	Max	3.07					-0.08	23			1.62	23		
0	-1207	-2065	Max	22.30	923.98	106	11.35	125	2.15	125	497.12	101	55.64	101	0.46	101
0	-1207	-2065	Min.	0.00	-1984.17	125	-8.82	98	-0.38	125	-421.32	130	-55.21	101	-0.36	130
0	-1207	-2065	Min.	3.07					0.05	23			-5.35	23		
0	-1207	-2065	Min.	22.30	-1982.50	125	-8.82	98	-2.11	98	-421.32	130	-46.95	130	-0.36	130
0	423	424	Max	0.00	-257.46	17	717.23	98	366.50	125	7.80	17	18.69	65	0.45	98
0	423	424	Max	35.25					30.99	114			-24.03	114		
0	423	424	Max	180.00	-257.46	17	668.90	98	666.30	98	7.80	17	29.90	17	0.45	98
0	423	424	Min.	0.00	-6948.14	97	-363.02	125	-581.22	98	-102.48	98	-76.26	97	-0.09	101
0	423	424	Min.	35.25					30.99	114			-24.03	114		
0	423	424	Min.	180.00	-6948.14	97	-411.36	125	-330.44	125	-102.48	98	-260.04	98	-0.09	101
0	-993	-1464	Max	0.00	-47.49	33	10.57	98	0.11	17	713.69	97	42.57	130	0.59	173
0	-993	-1464	Max	22.30	-46.25	33	10.57	98	1.95	98	713.69	97	79.83	97	0.59	173
0	-993	-1464	Min.	0.00	-2666.30	97	-6.08	173	-0.72	173	-381.98	130	-79.32	97	-0.14	130
0	-993	-1464	Min.	22.30	-2664.63	97	-6.08	173	-2.08	173	-381.98	130	-42.61	130	-0.14	130
0	-864	-1788	Max	0.00	-53.04	49	5.06	98	0.07	98	1704.46	97	3.91	130	0.35	17
0	-864	-1788	Max	22.30	-51.80	49	5.06	98	1.19	98	1704.46	97	191.18	97	0.35	17
0	-864	-1788	Min.	0.00	-233.09	101	-4.83	173	-0.16	173	-34.78	130	-188.92	97	-0.38	65
0	-864	-1788	Min.	22.30	-231.42	101	-4.83	173	-1.24	173	-34.78	130	-3.85	130	-0.38	65
0	-951	-1829	Max	0.00	172.76	173	0.80	65	0.11	17	1462.78	97	17.00	130	0.62	173
0	-951	-1829	Max	22.30	174.00	173	0.80	65	0.28	65	1462.78	97	164.21	97	0.62	173
0	-951	-1829	Min.	0.00	-312.28	97	-4.59	97	-0.19	173	-152.61	130	-161.99	97	-0.28	65
0	-951	-1829	Min.	22.30	-310.61	97	-4.59	97	-1.03	98	-152.61	130	-17.03	130	-0.28	65
0	-822	-1709	Max	0.00	155.43	106	4.03	106	0.04	98	1859.49	97	-13.05	49	0.59	173
0	-822	-1709	Max	17.84					-0.01	71			20.60	71		
0	-822	-1709	Max	22.30	157.10	106	4.03	106	0.76	106	1859.49	97	208.43	97	0.59	173
0	-822	-1709	Min.	0.00	-238.06	101	-3.11	173	-0.14	105	118.01	49	-206.24	97	-0.77	97
0	-822	-1709	Min.	17.84					-0.44	71			16.76	71		
0	-822	-1709	Min.	22.30	-236.39	101	-3.11	173	-0.73	173	118.01	49	13.27	49	-0.77	97
0	-1082	-1492	Max	0.00	-35.08	17	0.15	65	0.09	17	686.96	101	41.40	130	0.65	97
0	-1082	-1492	Max	7.29					-0.18	71			-2.09	71		
0	-1082	-1492	Max	22.30	-33.84	17	0.15	65	0.12	65	686.96	101	76.63	101	0.65	97
0	-1082	-1492	Min.	0.00	-2645.41	97	-15.18	98	-0.46	173	-370.99	130	-76.57	101	-0.18	130

0	-1082	-1492	Min.	1.88					0.08	23			-10.42	23		
0	-1082	-1492	Min.	22.30	-2643.74	97	-15.18	98	-3.51	98	-370.99	130	-41.33	130	-0.18	130
0	-865	-1787	Max	0.00	-53.17	49	4.65	106	0.11	98	1851.76	97	-8.62	130	0.47	173
0	-865	-1787	Max	17.84					-0.00	168			10.42	168		
0	-865	-1787	Max	22.30	-51.93	49	4.65	106	0.98	106	1851.76	97	207.65	97	0.47	173
0	-865	-1787	Min.	0.00	-253.37	101	-4.07	173	-0.14	173	77.94	130	-205.29	97	-0.42	65
0	-865	-1787	Min.	17.84					-0.00	167			10.42	167		
0	-865	-1787	Min.	22.30	-251.70	101	-4.07	173	-1.04	173	77.94	130	8.77	130	-0.42	65
0	-648	-1764	Max	0.00	215.23	158	37.82	106	0.19	173	1492.97	97	-7.80	65	1.00	173
0	-648	-1764	Max	22.30	216.47	158	37.82	106	8.15	106	1492.97	97	167.27	97	1.00	173
0	-648	-1764	Min.	0.00	-1149.23	105	-28.05	173	-0.43	98	70.41	65	-165.66	97	-0.85	98
0	-648	-1764	Min.	22.30	-1147.56	105	-28.05	173	-6.07	173	70.41	65	7.90	65	-0.85	98
0	-994	-1463	Max	0.00	310.00	173	4.59	173	0.12	17	1157.80	97	29.81	130	0.94	173
0	-994	-1463	Max	22.30	311.23	173	4.59	173	0.49	173	1157.80	97	130.50	97	0.94	173
0	-994	-1463	Min.	0.00	-523.50	98	-2.05	97	-0.53	173	-267.38	130	-127.69	97	-0.17	65
0	-994	-1463	Min.	22.30	-521.83	98	-2.05	97	-0.50	97	-267.38	130	-29.81	130	-0.17	65
0	-609	-1687	Max	0.00	126.86	17	91.55	177	49.69	173	835.70	98	0.71	17	0.20	173
0	-609	-1687	Max	22.30	128.10	17	91.55	177	10.64	177	835.70	98	96.65	98	0.20	173
0	-609	-1687	Min.	0.00	-2701.64	158	-442.20	173	-9.77	177	-5.79	17	-89.71	98	-0.69	98
0	-609	-1687	Min.	22.30	-2700.40	158	-442.20	173	-48.92	173	-5.79	17	-0.58	17	-0.69	98
0	407	-1803	Max	0.00	223.48	130	3791.49	122	-33.44	65	24.27	130	0.66	173	2.04	173
0	407	-1803	Max	127.70	165.35	130	3791.49	122	2819.01	122	24.27	130	31.02	130	2.04	173
0	407	-1803	Min.	0.00	-824.06	97	74.65	65	-2027.66	158	-1005.50	177	-0.58	97	-1.66	98
0	407	-1803	Min.	127.70	-882.19	97	74.65	65	61.88	65	-1005.50	177	-1283.89	177	-1.66	98
0	-908	-1433	Max	0.00	-2.16	173	1.10	65	0.08	17	1703.30	97	3.46	130	0.37	17
0	-908	-1433	Max	22.30	-0.92	173	1.10	65	0.32	65	1703.30	97	191.09	97	0.37	17
0	-908	-1433	Min.	0.00	-305.79	97	-7.35	173	-0.22	173	-30.94	130	-188.75	97	-0.36	65
0	-908	-1433	Min.	22.30	-304.12	97	-7.35	173	-1.86	173	-30.94	130	-3.44	130	-0.36	65
0	-1169	-1734	Max	0.00	-18.69	17	2.03	125	0.06	17	661.71	101	39.78	130	0.84	97
0	-1169	-1734	Max	17.84					-0.00	20			7.60	20		
0	-1169	-1734	Max	22.30	-17.45	17	2.03	125	0.35	125	661.71	101	73.82	101	0.84	97
0	-1169	-1734	Min.	0.00	-1286.22	97	-8.74	98	-0.53	97	-356.25	130	-73.74	101	-0.23	130
0	-1169	-1734	Min.	0.70					-0.02	35			-15.55	35		
0	-1169	-1734	Min.	22.30	-1284.55	97	-8.74	98	-2.47	98	-356.25	130	-39.66	130	-0.23	130
0	424	-1689	Max	0.00	1312.79	100	1858.33	125	570.39	106	14.02	17	0.12	17	0.54	101
0	424	-1689	Max	127.70	1254.65	100	1858.33	125	1337.50	125	14.02	17	18.02	17	0.54	101
0	424	-1689	Min.	0.00	68.93	17	-1031.69	106	-1035.59	125	-204.58	100	-0.90	99	-0.54	106
0	424	-1689	Min.	127.70	25.86	17	-1031.69	106	-747.08	106	-204.58	100	-262.15	100	-0.54	106
0	-952	-1828	Max	0.00	5.67	173	1.07	65	0.09	17	1703.44	97	3.95	130	0.74	173
0	-952	-1828	Max	22.30	6.91	173	1.07	65	0.33	65	1703.44	97	191.06	97	0.74	173
0	-952	-1828	Min.	0.00	-232.58	101	-5.06	98	-0.12	173	-35.15	130	-188.81	97	-0.35	65
0	-952	-1828	Min.	22.30	-230.91	101	-5.06	98	-1.20	98	-35.15	130	-3.89	130	-0.35	65
0	-735	-1839	Max	0.00	-56.23	65	27.31	106	0.27	173	1569.27	97	-11.62	65	0.78	173
0	-735	-1839	Max	22.30	-54.99	65	27.31	106	5.86	106	1569.27	97	176.23	97	0.78	173
0	-735	-1839	Min.	0.00	-2005.64	105	-19.43	173	-0.23	106	105.50	65	-173.72	97	-0.77	98
0	-735	-1839	Min.	22.30	-2003.96	105	-19.43	173	-4.06	173	105.50	65	11.91	65	-0.77	98
0	-650	-1763	Max	0.00	-283.33	65	59.37	106	3.93	173	1232.40	97	-7.04	65	0.92	173
0	-650	-1763	Max	22.30	-282.09	65	59.37	106	10.88	106	1232.40	97	138.10	97	0.92	173
0	-650	-1763	Min.	0.00	-2208.84	105	-80.23	173	-2.36	106	64.34	65	-136.73	97	-0.71	106
0	-650	-1763	Min.	22.30	-2207.17	105	-80.23	173	-13.96	173	64.34	65	7.30	65	-0.71	106
0	-866	-1786	Max	0.00	-56.29	49	2.46	106	0.09	98	1900.74	97	-14.45	49	0.55	173
0	-866	-1786	Max	22.30	-55.05	49	2.46	106	0.35	106	1900.74	97	213.20	97	0.55	173
0	-866	-1786	Min.	0.00	-338.84	105	-3.00	173	-0.20	105	130.81	49	-210.67	97	-0.42	65
0	-866	-1786	Min.	22.30	-337.17	105	-3.00	173	-0.73	173	130.81	49	14.72	49	-0.42	65
0	-995	-1462	Max	0.00	245.06	98	5.15	173	0.11	17	1464.29	97	17.15	130	1.12	173
0	-995	-1462	Max	22.30	246.73	98	5.15	173	0.92	173	1464.29	97	164.27	97	1.12	173
0	-995	-1462	Min.	0.00	-227.54	101	-6.96	97	-0.23	173	-153.68	130	-162.27	97	-0.24	65
0	-995	-1462	Min.	22.30	-225.87	101	-6.96	97	-1.59	97	-153.68	130	-17.12	130	-0.24	65
0	-823	-1708	Max	0.00	20.33	130	-0.83	134	0.04	173	1805.98	97	-16.22	65	0.60	173
0	-823	-1708	Max	22.30	22.00	130	-0.83	134	-0.20	177	1805.98	97	202.59	97	0.60	173
0	-823	-1708	Min.	0.00	-211.57	101	-5.35	173	-0.29	105	146.74	65	-200.14	97	-0.76	98
0	-823	-1708	Min.	22.30	-209.90	101	-5.35	173	-1.15	173	146.74	65	16.50	65	-0.76	98
0	-1083	-1491	Max	0.00	-21.36	49	-0.25	142	0.11	17	1106.48	97	29.15	130	1.04	97
0	-1083	-1491	Max	22.30	-20.12	49	-0.25	142	0.01	17	1106.48	97	124.70	97	1.04	97
0	-1083	-1491	Min.	0.00	-455.23	98	-3.27	97	-0.43	173	-261.15	130	-122.05	97	-0.12	65
0	-1083	-1491	Min.	22.30	-453.56	98	-3.27	97	-1.10	173	-261.15	130	-29.09	130	-0.12	65
0	-909	-1432	Max	0.00	-41.95	173	1.20	65	0.04	17	1858.25	97	-9.59	130	0.52	173
0	-909	-1432	Max	22.30	-40.71	173	1.20	65	0.30	65	1858.25	97	208.42	97	0.52	173
0	-909	-1432	Min.	0.00	-272.71	105	-4.45	173	-0.18	173	86.47	130	-205.97	97	-0.41	65
0	-909	-1432	Min.	22.30	-271.04	105	-4.45	173	-1.17	173	86.47	130	9.69	130	-0.41	65
0	-610	-1625	Max	0.00	2023.39	97	76.40	177	6.14	173	411.51	98	4.77	17	0.07	142
0	-610	-1625	Max	22.30	2025.06	97	76.40	177	16.87	177	411.51	98	44.70	98	0.07	142
0	-610	-1625	Min.	0.00	53.13	177	-114.80	173	-0.33	142	-44.33	17	-47.07	98	-2.29	177
0	-610	-1625	Min.	22.30	54.37	177	-114.80	173	-19.46	173	-44.33	17	-5.11	17	-2.29	177
0	-996	-1460	Max	0.00	50.27	173	3.41	173	0.11	17	1682.27	97	4.86	130	1.18	173
0	-996	-1460	Max	22.30	51.50	173	3.41	173	0.73	173	1682.27	97	188.51	97	1.18	173
0	-996	-1460	Min.	0.00	-228.26	101	-4.88	97	-0.12	98	-42.93	130	-186.64	97	-0.30	65
0	-996	-1460	Min.	22.30	-226.59	101	-4.88	97	-1.21	98	-42.93	130	-4.72	130	-0.30	65
0	311	436	Max	0.00	-1306.37	65	151.67	106	27.67	173	805.57	98	-1.84	17	0.12	173

0	311	436	Max	22.30	-1305.13	65	151.67	106	17.33	106	805.57	98	90.10	98	0.12	173
0	311	436	Min.	0.00	-9445.33	97	-255.13	173	-16.50	106	16.46	17	-89.54	98	-0.46	98
0	311	436	Min.	22.30	-9443.66	97	-255.13	173	-29.23	173	16.46	17	1.83	17	-0.46	98
0	-1170	-1733	Max	0.00	-0.46	49	0.90	106	0.07	17	978.56	97	27.81	130	1.30	97
0	-1170	-1733	Max	22.30	0.78	49	0.90	106	0.12	106	978.56	97	110.09	97	1.30	97
0	-1170	-1733	Min.	0.00	-570.20	98	-6.02	97	-0.47	98	-248.17	130	-108.13	97	-0.15	130
0	-1170	-1733	Min.	22.30	-568.53	98	-6.02	97	-1.81	97	-248.17	130	-27.53	130	-0.15	130
0	-953	-1827	Max	0.00	-52.83	1	1.40	65	0.06	17	1850.70	97	-8.57	130	0.81	173
0	-953	-1827	Max	22.30	-51.59	1	1.40	65	0.37	65	1850.70	97	207.53	97	0.81	173
0	-953	-1827	Min.	0.00	-252.81	101	-4.65	106	-0.11	98	77.50	130	-205.18	97	-0.40	65
0	-953	-1827	Min.	22.30	-251.14	101	-4.65	106	-0.98	106	77.50	130	8.72	130	-0.40	65
0	-824	-1707	Max	0.00	-102.38	65	-1.60	177	0.20	173	1637.63	97	-15.85	65	0.57	173
0	-824	-1707	Max	22.30	-101.14	65	-1.60	177	-0.34	177	1637.63	97	183.64	97	0.57	173
0	-824	-1707	Min.	0.00	-2438.96	105	-22.94	105	-0.05	65	143.31	65	-181.55	97	-0.67	98
0	-824	-1707	Min.	22.30	-2437.29	105	-22.94	105	-4.96	105	143.31	65	16.11	65	-0.67	98
0	-737	-1836	Max	0.00	1587.08	97	43.52	106	1.77	125	1277.28	97	-9.82	65	0.68	173
0	-737	-1836	Max	22.30	1588.75	97	43.52	106	8.10	106	1277.28	97	143.78	97	0.68	173
0	-737	-1836	Min.	0.00	-34.94	130	-36.90	125	-1.60	106	89.78	65	-141.06	97	-0.50	106
0	-737	-1836	Min.	22.30	-33.27	130	-36.90	125	-6.46	125	89.78	65	10.20	65	-0.50	106
0	-1084	-1482	Max	0.00	304.21	98	2.04	98	0.12	17	1397.11	97	17.08	130	1.22	97
0	-1084	-1482	Max	22.30	305.89	98	2.04	98	0.21	98	1397.11	97	156.66	97	1.22	97
0	-1084	-1482	Min.	0.00	-193.36	101	-2.29	125	-0.27	173	-153.12	130	-154.89	97	-0.19	65
0	-1084	-1482	Min.	22.30	-191.69	101	-2.29	125	-0.47	101	-153.12	130	-17.07	130	-0.19	65
0	-867	-1785	Max	0.00	-50.79	49	0.03	134	0.06	17	1842.72	97	-17.87	49	0.57	173
0	-867	-1785	Max	22.30	-49.55	49	0.03	134	0.05	134	1842.72	97	206.83	97	0.57	173
0	-867	-1785	Min.	0.00	-661.76	105	-7.01	105	-0.24	105	161.88	49	-204.10	97	-0.39	65
0	-867	-1785	Min.	22.30	-660.09	105	-7.01	105	-1.80	105	161.88	49	18.23	49	-0.39	65
0	-1208	-1753	Max	0.00	-3.96	17	2.25	125	0.05	17	628.74	101	35.46	130	0.85	97
0	-1208	-1753	Max	22.30	-2.73	17	2.25	125	0.46	125	628.74	101	70.28	101	0.85	97
0	-1208	-1753	Min.	0.00	-1005.07	97	-7.31	98	-0.50	98	-317.39	130	-69.93	101	-0.27	130
0	-1208	-1753	Min.	22.30	-1003.40	97	-7.31	98	-2.13	98	-317.39	130	-35.32	130	-0.27	130
0	-910	-1431	Max	0.00	-38.46	1	1.05	65	0.02	17	1910.93	97	-15.65	1	0.61	173
0	-910	-1431	Max	22.30	-37.22	1	1.05	65	0.22	65	1910.93	97	214.34	97	0.61	173
0	-910	-1431	Min.	0.00	-423.06	105	-1.74	173	-0.06	173	141.60	1	-211.80	97	-0.42	65
0	-910	-1431	Min.	22.30	-421.39	105	-1.74	173	-0.45	173	141.60	1	15.92	1	-0.42	65
0	-612	-1624	Max	0.00	296.42	101	156.23	177	0.31	173	254.43	106	22.59	101	0.07	105
0	-612	-1624	Max	22.30	298.09	101	156.23	177	33.58	177	254.43	106	27.71	106	0.07	105
0	-612	-1624	Min.	0.00	-524.98	130	-39.37	173	-1.26	177	-207.25	101	-29.03	106	-2.30	177
0	-612	-1624	Min.	22.30	-523.31	130	-39.37	173	-8.47	173	-207.25	101	-23.62	101	-2.30	177
0	-651	-1362	Max	0.00	-194.81	177	54.14	106	3.49	173	356.30	98	6.34	101	0.21	106
0	-651	-1362	Max	22.30	-193.58	177	54.14	106	9.85	106	356.30	98	38.93	98	0.21	106
0	-651	-1362	Min.	0.00	-2349.98	105	-77.26	121	-2.23	106	-63.39	101	-40.53	98	-0.90	121
0	-651	-1362	Min.	22.30	-2348.31	105	-77.26	121	-13.76	121	-63.39	101	-7.80	101	-0.90	121
0	-826	-1706	Max	0.00	-176.04	65	-0.95	177	1.33	129	1355.39	97	-13.81	65	0.46	173
0	-826	-1706	Max	22.30	-174.80	65	-0.95	177	-0.23	177	1355.39	97	152.45	97	0.46	173
0	-826	-1706	Min.	0.00	-2910.72	105	-36.46	105	-0.02	177	125.53	65	-149.80	97	-0.48	98
0	-826	-1706	Min.	22.30	-2909.05	105	-36.46	105	-6.90	105	125.53	65	14.19	65	-0.48	98
0	-997	-1459	Max	0.00	-14.13	173	1.44	65	0.11	173	1815.11	97	-6.60	130	1.16	173
0	-997	-1459	Max	22.30	-12.89	173	1.44	65	0.42	173	1815.11	97	203.40	97	1.16	173
0	-997	-1459	Min.	0.00	-236.81	101	-4.15	106	-0.11	98	60.32	130	-201.37	97	-0.36	65
0	-997	-1459	Min.	22.30	-235.14	101	-4.15	106	-0.94	106	60.32	130	6.85	130	-0.36	65
0	-954	-1826	Max	0.00	-56.05	1	1.70	65	0.20	105	1899.70	97	-14.34	1	0.82	173
0	-954	-1826	Max	22.30	-54.81	1	1.70	65	0.39	65	1899.70	97	213.08	97	0.82	173
0	-954	-1826	Min.	0.00	-338.92	105	-2.48	106	-0.09	98	129.77	1	-210.56	97	-0.43	65
0	-954	-1826	Min.	22.30	-337.25	105	-2.48	106	-0.36	106	129.77	1	14.60	1	-0.43	65
0	-1171	-1732	Max	0.00	424.78	157	0.97	106	0.21	125	1253.95	97	16.58	130	1.57	97
0	-1171	-1732	Max	22.30	426.01	157	0.97	106	0.17	106	1253.95	97	140.66	97	1.57	97
0	-1171	-1732	Min.	0.00	-65.70	106	-10.18	125	-0.20	173	-148.74	130	-138.97	97	-0.12	65
0	-1171	-1732	Min.	22.30	-64.03	106	-10.18	125	-2.19	121	-148.74	130	-16.59	130	-0.12	65
0	-1209	-1752	Max	0.00	-32.59	17	1.75	106	0.01	17	844.08	97	24.35	130	1.39	97
0	-1209	-1752	Max	12.82					0.01	69			2.97	69		
0	-1209	-1752	Max	22.30	-31.36	17	1.75	106	0.26	106	844.08	97	94.19	97	1.39	97
0	-1209	-1752	Min.	0.00	-1349.30	97	-4.82	97	-0.63	97	-220.08	130	-94.04	97	-0.18	130
0	-1209	-1752	Min.	12.82					-0.28	69			1.40	69		
0	-1209	-1752	Min.	22.30	-1347.63	97	-4.82	97	-1.70	97	-220.08	130	-24.73	130	-0.18	130
0	-738	-1850	Max	0.00	1663.32	105	97.24	106	13.37	125	846.61	98	-4.26	17	0.13	173
0	-738	-1850	Max	22.30	1664.99	105	97.24	106	11.25	106	846.61	98	94.63	98	0.13	173
0	-738	-1850	Min.	0.00	196.24	65	-120.64	125	-10.44	106	38.18	17	-94.16	98	-0.38	98
0	-738	-1850	Min.	22.30	197.48	65	-120.64	125	-13.54	125	38.18	17	4.26	17	-0.38	98
0	-1085	-1481	Max	0.00	20.55	98	2.56	98	0.12	17	1604.01	97	5.31	130	1.28	97
0	-1085	-1481	Max	22.30	22.22	98	2.56	98	0.52	98	1604.01	97	179.63	97	1.28	97
0	-1085	-1481	Min.	0.00	-219.98	101	-1.28	101	-0.10	173	-47.14	130	-178.07	97	-0.25	65
0	-1085	-1481	Min.	22.30	-218.31	101	-1.28	101	-0.32	17	-47.14	130	-5.20	130	-0.25	65
0	-868	-1784	Max	0.00	-44.06	49	1.81	173	0.10	173	1666.04	97	-17.70	33	0.51	173
0	-868	-1784	Max	22.30	-42.82	49	1.81	173	0.50	173	1666.04	97	187.23	97	0.51	173
0	-868	-1784	Min.	0.00	-1139.05	105	-23.79	105	-0.07	65	160.49	33	-184.30	97	-0.34	98
0	-868	-1784	Min.	22.30	-1137.38	105	-23.79	105	-5.22	105	160.49	33	18.09	33	-0.34	98
0	-911	-1430	Max	0.00	-12.09	173	1.27	173	0.08	17	1856.16	97	-19.08	1	0.62	173
0	-911	-1430	Max	22.30	-10.85	173	1.27	173	0.35	173	1856.16	97	208.30	97	0.62	173

0	-911	-1430	Min.	0.00	-571.86	106	-1.61	177	-0.07	65	172.70	1	-205.63	97	-0.40	65
0	-911	-1430	Min.	22.30	-570.19	106	-1.61	177	-0.36	177	172.70	1	19.43	1	-0.40	65
0	-613	-1623	Max	0.00	2091.20	130	215.66	177	-0.05	141	320.73	130	40.56	101	0.14	101
0	-613	-1623	Max	22.30	2092.87	130	215.66	177	46.30	177	320.73	130	37.88	130	0.14	101
0	-613	-1623	Min.	0.00	-903.53	101	-13.01	101	-1.79	177	-376.07	101	-33.64	130	-1.28	177
0	-613	-1623	Min.	22.30	-901.86	101	-13.01	101	-3.30	101	-376.07	101	-43.30	101	-1.28	177
0	-653	-1356	Max	0.00	70.45	177	31.18	106	0.15	173	238.44	106	28.82	101	0.12	105
0	-653	-1356	Max	22.30	71.69	177	31.18	106	6.80	106	238.44	106	26.61	106	0.12	105
0	-653	-1356	Min.	0.00	-1274.20	105	-31.84	121	-0.42	177	-262.46	101	-26.56	106	-0.68	122
0	-653	-1356	Min.	22.30	-1272.53	105	-31.84	121	-7.14	121	-262.46	101	-29.71	101	-0.68	122
0	-739	-1416	Max	0.00	1444.52	97	40.35	106	1.80	125	401.38	98	3.99	1	0.09	106
0	-739	-1416	Max	22.30	1446.19	97	40.35	106	7.49	106	401.38	98	43.62	98	0.09	106
0	-739	-1416	Min.	0.00	-116.38	130	-40.16	125	-1.51	106	-42.29	101	-45.89	98	-0.66	121
0	-739	-1416	Min.	22.30	-114.71	130	-40.16	125	-7.21	121	-42.29	101	-5.61	101	-0.66	121
0	-1086	-1480	Max	0.00	-47.42	17	2.90	97	0.13	17	1733.66	97	-5.69	130	1.26	97
0	-1086	-1480	Max	22.30	-46.18	17	2.90	97	0.72	97	1733.66	97	194.17	97	1.26	97
0	-1086	-1480	Min.	0.00	-289.54	101	-1.04	17	-0.14	106	52.11	130	-192.44	97	-0.33	65
0	-1086	-1480	Min.	22.30	-287.86	101	-1.04	17	-0.24	17	52.11	130	5.93	130	-0.33	65
0	-998	-1456	Max	0.00	154.96	106	2.42	65	0.22	173	1857.61	97	-12.89	1	1.07	173
0	-998	-1456	Max	22.30	156.63	106	2.42	65	0.60	65	1857.61	97	208.22	97	1.07	173
0	-998	-1456	Min.	0.00	-238.09	101	-4.07	106	-0.04	98	116.62	1	-206.03	97	-0.41	65
0	-998	-1456	Min.	22.30	-236.42	101	-4.07	106	-0.77	106	116.62	1	13.11	1	-0.41	65
0	313	442	Max	0.00	-1181.29	65	5.17	177	9.73	129	880.31	98	-6.77	17	0.15	173
0	313	442	Max	22.30	-1180.05	65	5.17	177	0.55	177	880.31	98	98.42	98	0.15	173
0	313	442	Min.	0.00	-8210.97	105	-89.55	129	-0.60	177	60.82	17	-97.89	98	-0.33	98
0	313	442	Min.	22.30	-8209.30	105	-89.55	129	-10.24	129	60.82	17	6.79	17	-0.33	98
0	-870	-1783	Max	0.00	1713.92	97	11.91	173	1.61	105	1356.86	97	-14.98	33	0.39	173
0	-870	-1783	Max	22.30	1715.60	97	11.91	173	2.12	173	1356.86	97	152.86	97	0.39	173
0	-870	-1783	Min.	0.00	246.58	33	-43.25	105	-0.54	173	136.47	33	-149.72	97	-0.26	98
0	-870	-1783	Min.	22.30	247.82	33	-43.25	105	-8.03	105	136.47	33	15.45	33	-0.26	98
0	-912	-1429	Max	0.00	-77.55	1	6.26	173	0.08	17	1682.00	97	-18.81	33	0.53	173
0	-912	-1429	Max	22.30	-76.31	1	6.26	173	1.46	173	1682.00	97	188.70	97	0.53	173
0	-912	-1429	Min.	0.00	-1012.20	105	-2.69	177	-0.08	65	170.07	33	-186.38	97	-0.34	65
0	-912	-1429	Min.	22.30	-1010.53	105	-2.69	177	-0.57	177	170.07	33	19.12	33	-0.34	65
0	-654	-1355	Max	0.00	133.81	166	16.03	106	0.16	106	281.65	130	44.28	101	0.16	177
0	-654	-1355	Max	22.30	135.05	166	16.03	106	3.74	106	281.65	130	31.30	130	0.16	177
0	-654	-1355	Min.	0.00	-386.45	101	-12.64	101	-0.75	121	-400.89	101	-31.51	130	-0.40	158
0	-654	-1355	Min.	22.30	-384.78	101	-12.64	101	-3.13	101	-400.89	101	-45.12	101	-0.40	158
0	-741	-1415	Max	0.00	-13.55	177	24.70	106	0.13	173	283.74	106	29.62	101	0.04	65
0	-741	-1415	Max	22.30	-12.31	177	24.70	106	5.29	106	283.74	106	31.74	106	0.04	65
0	-741	-1415	Min.	0.00	-1960.34	105	-20.50	121	-0.41	177	-272.51	101	-31.53	106	-0.51	122
0	-741	-1415	Min.	22.30	-1958.67	105	-20.50	121	-4.63	121	-272.51	101	-31.15	101	-0.51	122
0	-999	-1455	Max	0.00	19.84	130	4.36	125	0.30	105	1804.12	97	-15.90	17	0.91	173
0	-999	-1455	Max	22.30	21.51	130	4.36	125	1.08	125	1804.12	97	202.38	97	0.91	173
0	-999	-1455	Min.	0.00	-212.05	101	0.50	177	-0.01	65	143.86	17	-199.94	97	-0.44	65
0	-999	-1455	Min.	22.30	-210.38	101	0.50	177	0.16	177	143.86	17	16.18	17	-0.44	65
0	-655	-1352	Max	0.00	-42.56	49	0.29	142	0.25	106	358.86	130	54.42	101	0.54	177
0	-655	-1352	Max	22.30	-41.32	49	0.29	142	0.29	106	358.86	130	39.63	130	0.54	177
0	-655	-1352	Min.	0.00	-424.17	177	-10.05	157	-0.97	177	-490.02	101	-40.40	130	-0.28	130
0	-655	-1352	Min.	22.30	-422.93	177	-10.05	157	-2.79	157	-490.02	101	-54.85	101	-0.28	130
0	407	408	Max	0.00	4219.70	161	76.37	101	951.43	158	526.65	177	87.62	173	0.17	98
0	407	408	Max	111.53					-8.56	177			137.05	177		
0	407	408	Max	199.50	4219.70	161	36.52	1	46.65	1	57.35	97	17.67	17	0.17	98
0	407	408	Min.	0.00	-1723.29	106	-1028.01	158	-66.89	101	-37.65	162	-182.86	97	-0.42	173
0	407	408	Min.	139.83					0.76	114			-29.25	114		
0	407	408	Min.	199.50	-1723.29	106	-1067.69	158	-1139.03	158	-415.38	177	-113.84	158	-0.42	173
0	-1172	-1731	Max	0.00	-18.76	17	3.49	106	0.13	17	1447.68	97	5.54	130	1.66	97
0	-1172	-1731	Max	22.30	-17.52	17	3.49	106	0.65	106	1447.68	97	161.75	97	1.66	97
0	-1172	-1731	Min.	0.00	-192.96	101	-2.55	101	-0.13	106	-51.31	130	-161.08	97	-0.18	65
0	-1172	-1731	Min.	22.30	-191.29	101	-2.55	101	-0.50	101	-51.31	130	-5.90	130	-0.18	65
0	-1210	-1751	Max	0.00	2897.57	121	-0.19	142	0.45	125	1178.00	97	10.87	130	1.71	97
0	-1210	-1751	Max	22.30	2899.24	121	-0.19	142	-0.05	142	1178.00	97	135.31	97	1.71	97
0	-1210	-1751	Min.	0.00	-55.52	1	-24.11	121	-0.06	17	-83.73	130	-127.38	97	-0.13	130
0	-1210	-1751	Min.	22.30	-54.28	1	-24.11	121	-5.01	121	-83.73	130	-7.80	130	-0.13	130
0	424	425	Max	0.00	-257.46	65	94.53	1	809.91	121	102.48	97	29.90	65	0.09	106
0	424	425	Max	144.00					30.99	117			-24.03	117		
0	424	425	Max	180.00	-257.46	65	58.73	1	85.00	106	102.48	97	18.69	17	0.09	106
0	424	425	Min.	0.00	-6948.14	98	-844.36	157	-64.37	1	-7.80	65	-260.04	97	-0.45	97
0	424	425	Min.	144.00					30.99	117			-24.03	117		
0	424	425	Min.	180.00	-6948.14	98	-892.16	121	-756.41	157	-7.80	65	-79.70	173	-0.45	97
0	-955	-1825	Max	0.00	-50.74	1	6.93	105	0.24	105	1841.82	97	-17.76	1	0.75	173
0	-955	-1825	Max	22.30	-49.50	1	6.93	105	1.78	105	1841.82	97	206.73	97	0.75	173
0	-955	-1825	Min.	0.00	-662.18	105	-1.00	177	-0.05	65	160.82	1	-204.00	97	-0.42	65
0	-955	-1825	Min.	22.30	-660.51	105	-1.00	177	-0.21	177	160.82	1	18.11	1	-0.42	65
0	408	-1622	Max	0.00	8.74	65	2373.26	130	299.25	101	37.08	101	0.31	177	1.08	173
0	408	-1622	Max	127.70	-34.32	65	2373.26	130	2080.18	130	37.08	101	47.22	101	1.08	173
0	408	-1622	Min.	0.00	-2563.17	158	-749.88	101	-950.47	130	-887.17	177	-0.47	121	-1.00	177
0	408	-1622	Min.	127.70	-2606.23	158	-749.88	101	-658.35	101	-887.17	177	-1132.61	177	-1.00	177
0	-827	-1667	Max	0.00	-189.08	65	5.08	177	1.46	129	392.25	98	6.28	101	0.16	173

0	-827	-1667	Max	22.30	-187.84	65	5.08	177	0.97	177	392.25	98	42.77	98	0.16	173
0	-827	-1667	Min.	0.00	-2965.61	105	-39.40	129	-0.16	177	-63.14	101	-44.70	98	-0.43	129
0	-827	-1667	Min.	22.30	-2963.94	105	-39.40	129	-7.33	129	-63.14	101	-7.80	101	-0.43	129
0	-1087	-1479	Max	0.00	63.24	106	3.47	65	0.21	173	1780.07	97	-10.35	17	1.16	97
0	-1087	-1479	Max	17.84					-0.04	143			17.07	143		
0	-1087	-1479	Max	22.30	64.91	106	3.47	65	0.95	121	1780.07	97	199.49	97	1.16	97
0	-1087	-1479	Min.	0.00	-377.66	97	-0.37	17	-0.25	106	93.47	17	-197.47	97	-0.40	65
0	-1087	-1479	Min.	17.84					-0.04	144			17.07	144		
0	-1087	-1479	Min.	22.30	-375.99	97	-0.37	17	-0.03	17	93.47	17	10.50	17	-0.40	65
0	-956	-1824	Max	0.00	-45.15	1	23.65	105	0.11	173	1665.27	97	-17.52	33	0.61	173
0	-956	-1824	Max	22.30	-43.92	1	23.65	105	5.18	105	1665.27	97	187.14	97	0.61	173
0	-956	-1824	Min.	0.00	-1145.92	105	-1.54	177	-0.10	129	158.86	33	-184.22	97	-0.37	65
0	-956	-1824	Min.	22.30	-1144.25	105	-1.54	177	-0.31	177	158.86	33	17.91	33	-0.37	65
0	325	-1750	Max	0.00	-42.24	17	4.43	106	0.12	17	1064.18	97	10.40	130	1.82	97
0	325	-1750	Max	22.30	-41.00	17	4.43	106	0.80	106	1064.18	97	110.74	97	1.82	97
0	325	-1750	Min.	0.00	-320.39	97	-0.67	65	-0.20	173	-129.89	130	-126.57	97	-0.13	65
0	325	-1750	Min.	22.30	-318.71	97	-0.67	65	-0.08	49	-129.89	130	-18.57	130	-0.13	65
0	-871	-1863	Max	0.00	1796.81	97	58.63	173	12.31	105	902.65	98	-8.00	33	0.21	173
0	-871	-1863	Max	22.30	1798.48	97	58.63	173	6.61	173	902.65	98	100.92	98	0.21	173
0	-871	-1863	Min.	0.00	280.35	33	-116.89	105	-6.46	173	71.89	33	-100.37	98	-0.19	177
0	-871	-1863	Min.	22.30	281.59	33	-116.89	105	-13.75	105	71.89	33	8.03	33	-0.19	177
0	-1173	-1730	Max	0.00	-43.82	17	12.89	121	0.11	17	1602.48	97	-4.23	17	1.60	97
0	-1173	-1730	Max	22.30	-42.58	17	12.89	121	2.78	121	1602.48	97	179.53	97	1.60	97
0	-1173	-1730	Min.	0.00	-727.12	121	-1.12	17	-0.28	106	38.13	17	-177.82	97	-0.27	65
0	-1173	-1730	Min.	22.30	-725.45	121	-1.12	17	-0.25	17	38.13	17	4.28	17	-0.27	65
0	-914	-1428	Max	0.00	-151.55	1	19.14	173	0.40	65	1389.19	97	-16.28	33	0.39	173
0	-914	-1428	Max	22.30	-150.31	1	19.14	173	3.41	173	1389.19	97	156.21	97	0.39	173
0	-914	-1428	Min.	0.00	-1719.47	105	-8.85	65	-0.86	173	147.80	33	-153.58	97	-0.24	65
0	-914	-1428	Min.	22.30	-1717.80	105	-8.85	65	-1.57	65	147.80	33	16.67	33	-0.24	65
0	-614	-1621	Max	0.00	552.16	101	201.63	177	0.34	106	540.69	130	59.50	101	1.78	177
0	-614	-1621	Max	1.11					-0.19	21			5.23	21		
0	-614	-1621	Max	22.30	553.83	101	201.63	177	41.96	177	540.69	130	63.14	130	1.78	177
0	-614	-1621	Min.	0.00	-2725.86	130	-25.51	130	-3.01	177	-543.24	101	-57.43	130	-0.30	106
0	-614	-1621	Min.	1.11					-0.12	21			1.09	21		
0	-614	-1621	Min.	22.30	-2724.19	130	-25.51	130	-5.59	158	-543.24	101	-61.64	101	-0.30	106
0	-742	-1367	Max	0.00	-81.76	154	10.90	177	0.25	106	334.88	130	47.12	101	0.11	177
0	-742	-1367	Max	22.30	-80.53	154	10.90	177	1.72	177	334.88	130	37.43	130	0.11	177
0	-742	-1367	Min.	0.00	-444.59	97	-11.02	121	-0.71	177	-427.56	101	-37.24	130	-0.29	158
0	-742	-1367	Min.	22.30	-442.92	97	-11.02	121	-2.88	121	-427.56	101	-48.23	101	-0.29	158
0	-829	-1666	Max	0.00	-100.44	65	8.84	177	0.15	105	273.91	130	31.05	101	0.20	173
0	-829	-1666	Max	22.30	-99.20	65	8.84	177	1.61	177	273.91	130	30.91	130	0.20	173
0	-829	-1666	Min.	0.00	-2396.12	105	-24.66	105	-0.36	177	-283.28	101	-30.17	130	-0.34	130
0	-829	-1666	Min.	22.30	-2394.45	105	-24.66	105	-5.35	105	-283.28	101	-32.12	101	-0.34	130
0	-872	-1632	Max	0.00	1566.73	97	20.84	173	1.64	105	437.15	98	3.67	101	0.34	173
0	-872	-1632	Max	22.30	1568.40	97	20.84	173	3.79	173	437.15	98	47.66	98	0.34	173
0	-872	-1632	Min.	0.00	229.52	33	-44.09	105	-0.86	173	-40.61	101	-49.83	98	-0.31	129
0	-872	-1632	Min.	22.30	230.76	33	-44.09	105	-8.19	105	-40.61	101	-5.39	101	-0.31	129
0	-1211	-2063	Max	0.00	-55.54	17	23.66	121	0.08	1	1530.01	97	-0.34	17	1.86	97
0	-1211	-2063	Max	22.30	-54.30	17	23.66	121	4.89	121	1530.01	97	174.71	97	1.86	97
0	-1211	-2063	Min.	0.00	-3609.08	121	-1.40	17	-0.40	157	3.40	17	-166.48	97	-0.19	65
0	-1211	-2063	Min.	22.30	-3607.41	121	-1.40	17	-0.28	17	3.40	17	0.41	17	-0.19	65
0	425	-1750	Max	0.00	436.98	98	3700.43	121	-1.09	17	-2.85	17	0.11	17	2.55	97
0	425	-1750	Max	127.70	378.85	98	3700.43	121	2774.72	121	-2.85	17	-3.54	17	2.55	97
0	425	-1750	Min.	0.00	-33.90	49	2.92	17	-1950.72	121	-40.09	173	-0.31	173	-0.46	65
0	425	-1750	Min.	127.70	-90.92	125	2.92	17	2.64	17	-40.09	173	-51.50	173	-0.46	65
0	-1000	-1454	Max	0.00	-101.24	17	23.02	105	0.16	173	1635.88	97	-15.55	17	0.71	173
0	-1000	-1454	Max	22.30	-100.01	17	23.02	105	4.98	105	1635.88	97	183.45	97	0.71	173
0	-1000	-1454	Min.	0.00	-2437.71	105	1.76	177	-0.18	129	140.61	17	-181.35	97	-0.42	65
0	-1000	-1454	Min.	22.30	-2436.04	105	1.76	177	0.40	177	140.61	17	15.80	17	-0.42	65
0	-1088	-1478	Max	0.00	-57.67	154	7.23	113	0.32	173	1731.71	97	-11.43	17	1.00	98
0	-1088	-1478	Max	22.30	-56.43	154	7.23	113	1.81	113	1731.71	97	194.31	97	1.00	98
0	-1088	-1478	Min.	0.00	-361.19	97	-5.69	106	-0.31	106	103.48	17	-191.87	97	-0.47	65
0	-1088	-1478	Min.	22.30	-359.52	97	-5.69	106	-1.58	106	103.48	17	11.65	17	-0.47	65
0	-958	-1823	Max	0.00	1708.77	97	43.08	105	0.22	65	1356.44	97	-14.87	33	0.41	173
0	-958	-1823	Max	22.30	1710.44	97	43.08	105	8.00	105	1356.44	97	152.82	97	0.41	173
0	-958	-1823	Min.	0.00	243.06	33	-5.04	65	-1.61	105	135.43	33	-149.66	97	-0.28	65
0	-958	-1823	Min.	22.30	244.29	33	-5.04	65	-0.90	65	135.43	33	15.33	33	-0.28	65
0	-1174	-1729	Max	0.00	-42.98	17	4.75	121	0.39	97	1672.38	97	-5.93	17	1.40	97
0	-1174	-1729	Max	22.30	-41.74	17	4.75	121	1.42	121	1672.38	97	187.61	97	1.40	97
0	-1174	-1729	Min.	0.00	-356.31	97	-1.14	106	-0.37	106	53.58	17	-185.33	97	-0.38	65
0	-1174	-1729	Min.	22.30	-354.64	97	-1.14	106	-0.62	106	53.58	17	6.02	17	-0.38	65
0	315	441	Max	0.00	-1215.60	33	78.16	173	4.43	65	910.56	98	-8.66	33	0.27	173
0	315	441	Max	17.84					-0.01	158			35.59	158		
0	315	441	Max	22.30	-1214.36	33	78.16	173	8.73	173	910.56	98	101.81	98	0.27	173
0	315	441	Min.	0.00	-8194.88	105	-39.85	65	-8.70	173	77.88	33	-101.25	98	-0.15	177
0	315	441	Min.	17.84					-0.01	104			19.31	104		
0	315	441	Min.	22.30	-8193.21	105	-39.85	65	-4.45	65	77.88	33	8.70	33	-0.15	177
0	-615	-1620	Max	0.00	612.61	158	105.95	177	0.23	173	594.19	130	63.38	101	3.71	177
0	-615	-1620	Max	22.30	613.85	158	105.95	177	20.51	177	594.19	130	66.15	130	3.71	177

0	-615	-1620	Min.	0.00	-347.68	101	-13.61	122	-3.12	177	-569.71	101	-66.35	130	-0.32	106
0	-615	-1620	Min.	22.30	-346.00	101	-13.61	122	-3.46	158	-569.71	101	-63.66	101	-0.32	106
0	-656	-1684	Max	0.00	21.03	1	2.47	173	0.23	106	470.14	130	61.61	101	1.20	177
0	-656	-1684	Max	0.28					-0.15	55			23.13	55		
0	-656	-1684	Max	22.30	22.27	1	2.47	173	0.72	173	470.14	130	52.54	130	1.20	177
0	-656	-1684	Min.	0.00	-713.72	130	-24.28	177	-1.64	177	-555.12	101	-52.30	130	-0.28	106
0	-656	-1684	Min.	0.28					-0.11	55			-14.59	55		
0	-656	-1684	Min.	22.30	-712.05	130	-24.28	177	-7.06	177	-555.12	101	-62.18	101	-0.28	106
0	-743	-1366	Max	0.00	33.21	106	0.39	177	0.15	106	400.72	130	58.32	101	0.55	177
0	-743	-1366	Max	22.30	34.88	106	0.39	177	-0.18	17	400.72	130	44.60	130	0.55	177
0	-743	-1366	Min.	0.00	-387.39	97	-7.45	121	-1.22	177	-526.60	101	-44.76	130	-0.17	130
0	-743	-1366	Min.	22.30	-385.72	97	-7.45	121	-2.12	121	-526.60	101	-59.12	101	-0.17	130
0	-830	-1665	Max	0.00	-12.92	154	9.48	177	0.18	173	341.15	130	48.63	101	0.14	173
0	-830	-1665	Max	22.30	-11.68	154	9.48	177	1.35	177	341.15	130	38.23	130	0.14	173
0	-830	-1665	Min.	0.00	-264.18	97	-7.05	121	-0.76	177	-441.11	101	-37.84	130	-0.19	166
0	-830	-1665	Min.	22.30	-262.51	97	-7.05	121	-1.82	121	-441.11	101	-49.74	101	-0.19	166
0	-874	-1631	Max	0.00	-32.61	49	8.91	173	0.09	105	260.39	130	30.18	101	0.32	173
0	-874	-1631	Max	22.30	-31.37	49	8.91	173	2.06	173	260.39	130	28.73	130	0.32	173
0	-874	-1631	Min.	0.00	-1094.10	105	-24.58	105	-0.35	177	-277.49	101	-29.34	130	-0.24	65
0	-874	-1631	Min.	22.30	-1092.43	105	-24.58	105	-5.39	105	-277.49	101	-31.70	101	-0.24	65
0	-1175	-1728	Max	0.00	43.55	157	8.76	113	0.51	97	1639.00	97	-7.12	17	1.14	98
0	-1175	-1728	Max	22.30	44.79	157	8.76	113	2.29	113	1639.00	97	183.93	97	1.14	98
0	-1175	-1728	Min.	0.00	-410.43	106	-14.49	106	-0.34	106	64.50	17	-181.57	97	-0.49	65
0	-1175	-1728	Min.	22.30	-408.76	106	-14.49	106	-3.58	106	64.50	17	7.27	17	-0.49	65
0	-1089	-1477	Max	0.00	-55.30	17	16.25	125	0.23	106	1566.45	97	-11.29	17	0.79	98
0	-1089	-1477	Max	22.30	-54.07	17	16.25	125	3.56	125	1566.45	97	175.91	97	0.79	98
0	-1089	-1477	Min.	0.00	-2004.81	105	-27.23	106	-0.14	65	102.54	17	-173.41	97	-0.50	65
0	-1089	-1477	Min.	22.30	-2003.14	105	-27.23	106	-5.84	106	102.54	17	11.58	17	-0.50	65
0	-1002	-1453	Max	0.00	-172.88	17	36.87	105	-0.17	134	1353.73	97	-13.55	17	0.48	98
0	-1002	-1453	Max	22.30	-171.65	17	36.87	105	6.98	105	1353.73	97	152.26	97	0.48	98
0	-1002	-1453	Min.	0.00	-2898.97	105	3.86	134	-1.35	129	123.23	17	-149.62	97	-0.34	65
0	-1002	-1453	Min.	22.30	-2897.29	105	3.86	134	0.69	134	123.23	17	13.93	17	-0.34	65
0	-1212	-1749	Max	0.00	412.08	157	1.20	109	0.59	97	1534.44	97	-1.70	17	1.69	97
0	-1212	-1749	Max	22.30	413.32	157	1.20	109	0.84	121	1534.44	97	171.82	97	1.69	97
0	-1212	-1749	Min.	0.00	-352.20	106	-5.41	106	-0.27	106	15.66	17	-170.36	97	-0.28	65
0	-1212	-1749	Min.	22.30	-350.53	106	-5.41	106	-1.48	106	15.66	17	1.79	17	-0.28	65
0	-959	-1859	Max	0.00	1800.98	97	116.98	105	3.25	65	901.95	98	-7.96	33	0.31	173
0	-959	-1859	Max	22.30	1802.65	97	116.98	105	13.74	105	901.95	98	100.84	98	0.31	173
0	-959	-1859	Min.	0.00	278.01	33	-29.51	65	-12.35	105	71.58	33	-100.29	98	-0.15	177
0	-959	-1859	Min.	22.30	279.25	33	-29.51	65	-3.33	65	71.58	33	8.00	33	-0.15	177
0	-915	-1674	Max	0.00	-165.51	1	27.96	173	0.62	65	419.86	98	5.54	101	0.46	173
0	-915	-1674	Max	13.38					-0.00	123			7.88	123		
0	-915	-1674	Max	22.30	-164.28	1	27.96	173	5.06	173	419.86	98	45.95	98	0.46	173
0	-915	-1674	Min.	0.00	-1781.11	105	-15.21	65	-1.18	173	-55.86	101	-47.67	98	-0.24	65
0	-915	-1674	Min.	17.84					-0.00	140			-3.05	140		
0	-915	-1674	Min.	22.30	-1779.44	105	-15.21	65	-2.78	65	-55.86	101	-6.92	101	-0.24	65
0	425	426	Max	0.00	1525.64	161	-8.43	17	1198.25	121	131.18	97	19.10	17	0.17	65
0	425	426	Max	200.00	1525.64	161	-48.21	17	-33.68	17	131.18	97	184.24	97	0.17	65
0	425	426	Min.	0.00	-3674.35	98	-1176.66	121	22.97	17	-3.51	65	-81.56	173	-0.75	97
0	425	426	Min.	200.00	-3674.35	98	-1230.37	121	-1208.78	121	-3.51	65	-15.20	130	-0.75	97
0	-616	-1619	Max	0.00	188.40	130	25.98	173	1.66	177	700.10	130	66.35	101	5.11	177
0	-616	-1619	Max	22.30	190.07	130	25.98	173	5.60	173	700.10	130	78.59	130	5.11	177
0	-616	-1619	Min.	0.00	-327.64	101	-79.95	177	-0.20	173	-597.56	101	-77.53	130	-0.34	106
0	-616	-1619	Min.	22.30	-325.97	101	-79.95	177	-16.17	177	-597.56	101	-66.91	101	-0.34	106
0	-657	-1683	Max	0.00	156.85	177	11.55	173	0.26	173	570.05	130	65.85	101	2.08	177
0	-657	-1683	Max	22.30	158.09	177	11.55	173	2.83	173	570.05	130	63.93	130	2.08	177
0	-657	-1683	Min.	0.00	-279.38	130	-83.09	177	-1.38	177	-592.88	101	-63.19	130	-0.27	106
0	-657	-1683	Min.	22.30	-277.71	130	-83.09	177	-19.91	177	-592.88	101	-66.36	101	-0.27	106
0	-744	-1365	Max	0.00	-62.85	49	2.66	173	0.25	173	475.21	130	65.03	101	1.27	177
0	-744	-1365	Max	22.30	-61.61	49	2.66	173	0.84	173	475.21	130	53.03	130	1.27	177
0	-744	-1365	Min.	0.00	-328.19	122	-27.58	177	-1.68	177	-585.93	101	-52.94	130	-0.16	106
0	-744	-1365	Min.	22.30	-326.52	122	-27.58	177	-7.83	177	-585.93	101	-65.63	101	-0.16	106
0	-831	-1664	Max	0.00	116.33	106	2.55	106	0.28	173	402.63	130	60.10	101	0.54	177
0	-831	-1664	Max	22.30	118.00	106	2.55	106	0.36	106	402.63	130	44.89	130	0.54	177
0	-831	-1664	Min.	0.00	-277.96	97	-5.33	121	-1.29	177	-543.00	101	-44.90	130	-0.05	166
0	-831	-1664	Min.	22.30	-276.29	97	-5.33	121	-1.47	121	-543.00	101	-60.99	101	-0.05	166
0	-875	-1630	Max	0.00	-60.42	49	9.30	177	0.30	173	314.72	130	48.69	101	0.17	173
0	-875	-1630	Max	22.30	-59.19	49	9.30	177	1.30	177	314.72	130	35.08	130	0.17	173
0	-875	-1630	Min.	0.00	-705.37	105	-7.74	105	-0.77	177	-442.17	101	-35.10	130	-0.14	17
0	-875	-1630	Min.	22.30	-703.70	105	-7.74	105	-1.99	105	-442.17	101	-49.91	101	-0.14	17
0	-960	-1639	Max	0.00	1561.37	97	43.99	105	0.45	65	436.11	98	3.73	101	0.55	173
0	-960	-1639	Max	22.30	1563.04	97	43.99	105	8.17	105	436.11	98	47.53	98	0.55	173
0	-960	-1639	Min.	0.00	225.97	33	-11.43	65	-1.64	105	-41.19	101	-49.72	98	-0.19	65
0	-960	-1639	Min.	22.30	227.21	33	-11.43	65	-2.10	65	-41.19	101	-5.46	101	-0.19	65
0	-1091	-1476	Max	0.00	1585.97	97	36.92	125	1.59	106	1274.81	97	-9.55	17	0.51	106
0	-1091	-1476	Max	22.30	1587.64	97	36.92	125	6.46	125	1274.81	97	143.50	97	0.51	106
0	-1091	-1476	Min.	0.00	-36.09	130	-43.30	106	-1.77	125	87.31	17	-140.78	97	-0.43	65
0	-1091	-1476	Min.	22.30	-34.42	130	-43.30	106	-8.07	106	87.31	17	9.92	17	-0.43	65
0	-1213	-1748	Max	0.00	-10.36	49	8.68	113	0.45	97	1517.76	97	-2.63	17	1.42	98

0	-1213	-1748	Max	22.30	-9.12	49	8.68	113	2.30	113	1517.76	97	170.75	97	1.42	98
0	-1213	-1748	Min.	0.00	-496.33	106	-15.79	106	-0.26	106	24.30	17	-167.72	97	-0.40	65
0	-1213	-1748	Min.	22.30	-494.67	106	-15.79	106	-3.78	106	24.30	17	2.79	17	-0.40	65
0	-1176	-1727	Max	0.00	221.66	158	22.88	113	0.44	98	1488.86	97	-7.44	17	0.84	98
0	-1176	-1727	Max	22.30	222.89	158	22.88	113	5.10	113	1488.86	97	166.81	97	0.84	98
0	-1176	-1727	Min.	0.00	-1144.67	105	-37.97	106	-0.11	65	67.22	17	-165.20	97	-0.56	65
0	-1176	-1727	Min.	22.30	-1143.00	105	-37.97	106	-8.18	106	67.22	17	7.55	17	-0.56	65
0	317	439	Max	0.00	-1163.12	17	100.33	173	-0.09	65	878.99	98	-6.61	65	0.36	173
0	317	439	Max	22.30	-1161.88	17	100.33	173	11.11	173	878.99	98	98.27	98	0.36	173
0	317	439	Min.	0.00	-8171.67	105	0.52	65	-11.27	173	59.36	65	-97.74	98	-0.12	177
0	317	439	Min.	22.30	-8170.00	105	0.52	65	0.03	65	59.36	65	6.63	65	-0.12	177
0	-617	-1417	Max	0.00	262.21	177	64.29	173	22.73	177	734.83	130	66.54	101	4.01	177
0	-617	-1417	Max	22.30	263.45	177	64.29	173	10.58	173	734.83	130	81.37	130	4.01	177
0	-617	-1417	Min.	0.00	-1065.15	130	-382.01	177	-3.76	173	-594.45	101	-82.49	130	-0.44	106
0	-617	-1417	Min.	22.30	-1063.48	130	-382.01	177	-62.46	177	-594.45	101	-66.02	101	-0.44	106
0	-658	-1682	Max	0.00	129.17	130	29.31	173	2.12	177	642.88	130	67.92	101	2.73	177
0	-658	-1682	Max	22.30	130.84	130	29.31	173	6.31	173	642.88	130	72.06	130	2.73	177
0	-658	-1682	Min.	0.00	-325.03	101	-193.70	177	-0.22	173	-610.80	101	-71.30	130	-0.24	106
0	-658	-1682	Min.	22.30	-323.36	101	-193.70	177	-41.08	177	-610.80	101	-68.29	101	-0.24	106
0	-745	-1364	Max	0.00	-48.50	177	12.64	173	0.29	173	546.50	130	68.63	101	2.20	177
0	-745	-1364	Max	22.30	-47.26	177	12.64	173	3.10	173	546.50	130	61.11	130	2.20	177
0	-745	-1364	Min.	0.00	-291.68	122	-86.20	177	-1.42	177	-617.42	101	-60.76	130	-0.16	106
0	-745	-1364	Min.	22.30	-290.01	122	-86.20	177	-20.64	177	-617.42	101	-69.06	101	-0.16	106
0	-832	-1663	Max	0.00	-59.35	49	3.27	173	0.36	173	467.45	130	67.05	101	1.29	177
0	-832	-1663	Max	22.30	-58.12	49	3.27	173	1.09	173	467.45	130	52.19	130	1.29	177
0	-832	-1663	Min.	0.00	-282.60	97	-27.79	177	-1.74	177	-604.50	101	-52.06	130	-0.09	173
0	-832	-1663	Min.	22.30	-280.93	97	-27.79	177	-7.94	177	-604.50	101	-67.75	101	-0.09	173
0	408	409	Max	0.00	5994.82	160	1513.71	157	404.71	106	471.79	177	17.06	17	0.46	177
0	408	409	Max	99.91					0.94	177			191.03	177		
0	408	409	Max	190.50	5994.82	160	1475.82	157	2347.05	157	60.56	158	1.19	121	0.46	177
0	408	409	Min.	0.00	-183.46	103	-302.99	106	-519.26	125	-8.76	17	-114.23	158	-0.33	121
0	408	409	Min.	120.74					-11.95	110			-20.45	110		
0	408	409	Min.	190.50	-183.46	103	-354.14	106	-221.22	106	-427.75	177	-2.72	177	-0.33	121
0	-917	-1673	Max	0.00	-68.71	1	13.04	173	0.07	173	248.06	130	30.71	101	0.39	173
0	-917	-1673	Max	22.30	-67.47	1	13.04	173	2.98	173	248.06	130	27.46	130	0.39	173
0	-917	-1673	Min.	0.00	-972.80	105	-8.08	65	-0.35	177	-280.32	101	-27.85	130	-0.21	65
0	-917	-1673	Min.	22.30	-971.13	105	-8.08	65	-1.81	65	-280.32	101	-31.80	101	-0.21	65
0	-876	-1629	Max	0.00	-65.97	49	1.57	106	0.41	173	380.88	130	60.82	101	0.54	177
0	-876	-1629	Max	22.30	-64.73	49	1.57	106	0.57	173	380.88	130	42.54	130	0.54	177
0	-876	-1629	Min.	0.00	-376.38	105	-2.75	121	-1.31	177	-549.85	101	-42.40	130	-0.04	17
0	-876	-1629	Min.	22.30	-374.71	105	-2.75	121	-1.15	177	-549.85	101	-61.80	101	-0.04	17
0	-962	-1638	Max	0.00	-33.96	1	24.51	105	0.08	173	259.85	130	30.21	101	0.44	173
0	-962	-1638	Max	22.30	-32.72	1	24.51	105	5.38	105	259.85	130	28.67	130	0.44	173
0	-962	-1638	Min.	0.00	-1100.78	105	-5.94	65	-0.34	177	-277.75	101	-29.27	130	-0.17	65
0	-962	-1638	Min.	22.30	-1099.10	105	-5.94	65	-1.34	65	-277.75	101	-31.72	101	-0.17	65
0	-1003	-1646	Max	0.00	-185.70	17	39.80	129	0.01	65	391.30	98	6.33	101	0.62	173
0	-1003	-1646	Max	22.30	-184.46	17	39.80	129	7.40	129	391.30	98	42.67	98	0.62	173
0	-1003	-1646	Min.	0.00	-2953.64	105	-2.05	65	-1.54	173	-63.56	101	-44.59	98	-0.12	65
0	-1003	-1646	Min.	22.30	-2951.96	105	-2.05	65	-0.45	65	-63.56	101	-7.85	101	-0.12	65
0	-1092	-1848	Max	0.00	1665.57	105	120.85	125	10.34	106	844.64	98	-4.08	65	0.39	98
0	-1092	-1848	Max	22.30	1667.24	105	120.85	125	13.55	125	844.64	98	94.42	98	0.39	98
0	-1092	-1848	Min.	0.00	192.92	17	-96.50	106	-13.40	125	36.61	65	-93.94	98	-0.14	177
0	-1092	-1848	Min.	22.30	194.16	17	-96.50	106	-11.18	106	36.61	65	4.08	65	-0.14	177
0	-1178	-1726	Max	0.00	-277.14	17	66.71	125	2.37	106	1228.44	97	-6.74	17	0.71	106
0	-1178	-1726	Max	22.30	-275.90	17	66.71	125	11.59	125	1228.44	97	137.65	97	0.71	106
0	-1178	-1726	Min.	0.00	-2198.06	105	-59.63	106	-3.28	125	61.58	17	-136.30	97	-0.53	65
0	-1178	-1726	Min.	22.30	-2196.39	105	-59.63	106	-10.93	106	61.58	17	6.99	17	-0.53	65
0	-1214	-1747	Max	0.00	2450.90	121	26.12	113	0.22	158	1369.32	97	-2.92	17	1.08	98
0	-1214	-1747	Max	22.30	2452.57	121	26.12	113	5.72	113	1369.32	97	154.83	97	1.08	98
0	-1214	-1747	Min.	0.00	42.41	17	-31.10	106	-0.11	65	27.42	17	-150.53	97	-0.51	65
0	-1214	-1747	Min.	22.30	43.65	17	-31.10	106	-6.74	106	27.42	17	3.20	17	-0.51	65
0	-918	-1672	Max	0.00	-27.24	1	9.54	177	0.38	173	298.82	130	48.84	101	0.20	173
0	-918	-1672	Max	22.30	-26.00	1	9.54	177	1.52	173	298.82	130	33.24	130	0.20	173
0	-918	-1672	Min.	0.00	-614.06	106	-4.07	65	-0.76	177	-443.21	101	-33.40	130	-0.13	17
0	-918	-1672	Min.	22.30	-612.39	106	-4.07	65	-1.04	65	-443.21	101	-49.99	101	-0.13	17
0	-659	-1426	Max	0.00	234.79	173	72.07	173	21.74	177	674.62	130	68.17	101	2.08	177
0	-659	-1426	Max	22.30	236.03	173	72.07	173	12.06	173	674.62	130	74.93	130	2.08	177
0	-659	-1426	Min.	0.00	-674.86	130	-415.01	177	-4.01	173	-608.68	101	-75.51	130	-0.26	173
0	-659	-1426	Min.	22.30	-673.18	130	-415.01	177	-70.81	177	-608.68	101	-67.57	101	-0.26	173
0	409	309	Max	0.00	1475.82	157	183.46	103	2347.04	157	60.56	158	0.33	121	1.19	121
0	409	309	Max	150.00	1425.24	157	183.46	103	273.68	101	60.56	158	91.12	158	1.19	121
0	409	309	Min.	0.00	-354.14	106	-5994.82	160	-221.22	106	-427.75	177	-0.46	177	-2.72	177
0	409	309	Min.	150.00	-422.43	106	-5994.82	160	-6655.77	162	-427.75	177	-642.09	177	-2.72	177
0	-746	-1363	Max	0.00	11.20	130	32.87	173	2.16	177	607.09	130	70.35	101	2.90	177
0	-746	-1363	Max	22.30	12.87	130	32.87	173	7.03	173	607.09	130	68.04	130	2.90	177
0	-746	-1363	Min.	0.00	-357.60	97	-196.68	177	-0.30	173	-632.54	101	-67.34	130	-0.31	173
0	-746	-1363	Min.	22.30	-355.93	97	-196.68	177	-41.70	177	-632.54	101	-70.70	101	-0.31	173
0	-833	-1662	Max	0.00	-68.85	49	14.11	173	0.32	173	528.58	130	70.69	101	2.24	177
0	-833	-1662	Max	22.30	-67.61	49	14.11	173	3.47	173	528.58	130	59.10	130	2.24	177

0	-833	-1662	Min.	0.00	-294.38	97	-88.04	177	-1.44	177	-636.21	101	-58.77	130	-0.27	173
0	-833	-1662	Min.	22.30	-292.71	97	-88.04	177	-21.08	177	-636.21	101	-71.19	101	-0.27	173
0	-877	-1628	Max	0.00	-63.89	49	4.76	173	0.46	173	449.14	130	68.07	101	1.29	177
0	-877	-1628	Max	22.30	-62.65	49	4.76	173	1.52	173	449.14	130	50.21	130	1.29	177
0	-877	-1628	Min.	0.00	-311.88	97	-27.54	177	-1.76	177	-613.84	101	-49.94	130	-0.22	173
0	-877	-1628	Min.	22.30	-310.21	97	-27.54	177	-7.90	177	-613.84	101	-68.82	101	-0.22	173
0	-963	-1637	Max	0.00	-60.46	1	10.69	177	0.43	173	314.23	130	48.70	101	0.22	173
0	-963	-1637	Max	22.30	-59.22	1	10.69	177	1.98	105	314.23	130	35.03	130	0.22	173
0	-963	-1637	Min.	0.00	-705.91	105	-2.82	65	-0.73	177	-442.25	101	-35.05	130	-0.12	17
0	-963	-1637	Min.	22.30	-704.24	105	-2.82	65	-0.72	65	-442.25	101	-49.92	101	-0.12	17
0	-1005	-1645	Max	0.00	-99.72	17	24.79	105	0.07	173	273.27	130	31.08	101	0.48	173
0	-1005	-1645	Max	22.30	-98.48	17	24.79	105	5.38	105	273.27	130	30.84	130	0.48	173
0	-1005	-1645	Min.	0.00	-2394.86	105	-1.56	65	-0.35	177	-283.51	101	-30.10	130	-0.12	17
0	-1005	-1645	Min.	22.30	-2393.19	105	-1.56	65	-0.37	65	-283.51	101	-32.14	101	-0.12	17
0	-1093	-1653	Max	0.00	1443.97	97	40.47	173	1.49	106	400.09	98	4.03	49	0.67	173
0	-1093	-1653	Max	22.30	1445.64	97	40.47	173	7.29	173	400.09	98	43.48	98	0.67	173
0	-1093	-1653	Min.	0.00	-117.29	130	-40.07	106	-1.81	125	-42.87	101	-45.74	98	-0.08	106
0	-1093	-1653	Min.	22.30	-115.62	130	-40.07	106	-7.44	106	-42.87	101	-5.67	101	-0.08	106
0	-919	-1671	Max	0.00	-46.62	1	2.54	173	0.49	173	368.45	130	60.90	101	0.53	177
0	-919	-1671	Max	22.30	-45.39	1	2.54	173	1.06	173	368.45	130	41.16	130	0.53	177
0	-919	-1671	Min.	0.00	-458.31	105	-1.90	65	-1.29	177	-550.50	101	-41.01	130	-0.05	17
0	-919	-1671	Min.	22.30	-456.64	105	-1.90	65	-1.05	177	-550.50	101	-61.86	101	-0.05	17
0	319	434	Max	0.00	-1276.02	17	247.41	121	16.53	106	802.99	98	-1.66	65	0.46	98
0	319	434	Max	22.30	-1274.78	17	247.41	121	28.25	121	802.99	98	89.81	98	0.46	98
0	319	434	Min.	0.00	-9396.66	97	-152.13	106	-26.92	121	14.83	65	-89.26	98	-0.14	177
0	319	434	Min.	22.30	-9394.99	97	-152.13	106	-17.40	106	14.83	65	1.65	65	-0.14	177
0	326	-1746	Max	0.00	1928.10	97	91.20	125	0.45	142	845.77	97	0.34	166	0.65	106
0	326	-1746	Max	22.30	1929.77	97	91.20	125	15.23	125	845.77	97	86.14	97	0.65	106
0	326	-1746	Min.	0.00	158.92	17	-27.68	106	-5.26	121	-71.35	166	-102.47	97	-0.60	65
0	326	-1746	Min.	22.30	160.16	17	-27.68	106	-5.79	106	-71.35	166	-15.57	166	-0.60	65
0	426	-1746	Max	0.00	224.55	130	3778.59	122	-30.09	17	188.33	97	0.58	97	1.68	98
0	426	-1746	Max	127.70	166.41	130	3778.59	122	2806.10	122	188.33	97	241.08	97	1.68	98
0	426	-1746	Min.	0.00	-822.21	97	68.11	17	-2025.48	158	-24.63	130	-0.04	106	-0.70	65
0	426	-1746	Min.	127.70	-880.34	97	68.11	17	56.88	17	-24.63	130	-31.48	130	-0.70	65
0	-747	-1427	Max	0.00	337.80	173	77.64	173	22.52	177	631.54	130	70.44	101	2.27	177
0	-747	-1427	Max	22.30	339.03	173	77.64	173	13.07	173	631.54	130	70.19	130	2.27	177
0	-747	-1427	Min.	0.00	-653.96	106	-424.41	177	-4.24	173	-629.13	101	-70.64	130	-0.32	173
0	-747	-1427	Min.	22.30	-652.29	106	-424.41	177	-72.12	177	-629.13	101	-69.85	101	-0.32	173
0	-834	-1661	Max	0.00	18.36	130	35.65	173	2.16	177	580.36	130	72.30	101	2.97	177
0	-834	-1661	Max	22.30	20.03	130	35.65	173	7.61	173	580.36	130	65.02	130	2.97	177
0	-834	-1661	Min.	0.00	-390.78	97	-199.33	177	-0.34	173	-650.04	101	-64.40	130	-0.43	173
0	-834	-1661	Min.	22.30	-389.11	97	-199.33	177	-42.29	177	-650.04	101	-72.66	101	-0.43	173
0	-878	-1627	Max	0.00	-70.25	49	16.54	173	0.36	173	511.95	130	71.91	101	2.24	177
0	-878	-1627	Max	22.30	-69.02	49	16.54	173	4.04	173	511.95	130	57.30	130	2.24	177
0	-878	-1627	Min.	0.00	-299.98	97	-88.21	177	-1.45	177	-647.49	101	-56.87	130	-0.44	173
0	-878	-1627	Min.	22.30	-298.31	97	-88.21	177	-21.13	177	-647.49	101	-72.48	101	-0.44	173
0	-964	-1636	Max	0.00	-65.82	1	3.86	173	0.55	173	380.44	130	60.81	101	0.51	177
0	-964	-1636	Max	22.30	-64.58	1	3.86	173	1.41	173	380.44	130	42.49	130	0.51	177
0	-964	-1636	Min.	0.00	-376.33	105	-1.57	106	-1.25	177	-549.80	101	-42.35	130	-0.09	105
0	-964	-1636	Min.	22.30	-374.66	105	-1.57	106	-0.82	177	-549.80	101	-61.79	101	-0.09	105
0	-1006	-1644	Max	0.00	-13.18	154	12.10	177	0.46	173	340.51	130	48.63	101	0.23	173
0	-1006	-1644	Max	22.30	-11.95	154	12.10	177	2.22	173	340.51	130	38.16	130	0.23	173
0	-1006	-1644	Min.	0.00	-264.83	97	-0.79	65	-0.68	177	-441.16	101	-37.77	130	-0.10	17
0	-1006	-1644	Min.	22.30	-263.16	97	-0.79	65	-0.21	65	-441.16	101	-49.74	101	-0.10	17
0	-1095	-1652	Max	0.00	-56.74	17	20.54	121	0.22	106	282.97	106	29.64	101	0.53	173
0	-1095	-1652	Max	22.30	-55.50	17	20.54	121	4.64	121	282.97	106	31.66	106	0.53	173
0	-1095	-1652	Min.	0.00	-1958.89	105	-24.57	106	-0.36	177	-272.69	101	-31.44	106	-0.04	177
0	-1095	-1652	Min.	22.30	-1957.22	105	-24.57	106	-5.26	106	-272.69	101	-31.17	101	-0.04	177
0	-920	-1670	Max	0.00	-57.89	1	6.62	173	0.53	173	439.89	130	68.28	101	1.27	177
0	-920	-1670	Max	22.30	-56.65	1	6.62	173	2.00	173	439.89	130	49.20	130	1.27	177
0	-920	-1670	Min.	0.00	-323.49	105	-26.93	177	-1.75	177	-615.83	101	-48.90	130	-0.31	173
0	-920	-1670	Min.	22.30	-321.82	105	-26.93	177	-7.75	177	-615.83	101	-69.05	101	-0.31	173
0	-1179	-1660	Max	0.00	-257.59	17	76.99	121	2.23	106	354.87	98	6.40	101	0.90	121
0	-1179	-1660	Max	22.30	-256.35	17	76.99	121	13.71	121	354.87	98	38.77	98	0.90	121
0	-1179	-1660	Min.	0.00	-2337.89	105	-54.33	106	-3.46	121	-63.87	101	-40.36	98	-0.21	106
0	-1179	-1660	Min.	22.30	-2336.22	105	-54.33	106	-9.89	106	-63.87	101	-7.84	101	-0.21	106
0	-1216	-1686	Max	0.00	126.99	65	423.80	97	0.91	142	834.15	98	0.91	65	0.70	98
0	-1216	-1686	Max	22.30	128.23	65	423.80	97	46.52	121	834.15	98	96.55	98	0.70	98
0	-1216	-1686	Min.	0.00	-2761.54	158	-15.06	142	-48.08	97	-7.57	65	-89.47	98	-0.15	177
0	-1216	-1686	Min.	22.30	-2760.30	158	-15.06	142	-2.45	142	-7.57	65	-0.78	65	-0.15	177
0	-835	-1423	Max	0.00	352.63	97	82.77	173	22.83	177	602.92	130	72.49	101	2.38	177
0	-835	-1423	Max	22.30	354.30	97	82.77	173	14.00	173	602.92	130	67.08	130	2.38	177
0	-835	-1423	Min.	0.00	-647.11	106	-430.65	177	-4.46	173	-647.85	101	-67.37	130	-0.37	173
0	-835	-1423	Min.	22.30	-645.44	106	-430.65	177	-73.21	177	-647.85	101	-71.98	101	-0.37	173
0	-879	-1626	Max	0.00	48.36	130	39.32	173	2.14	177	562.89	130	73.56	101	2.97	177
0	-879	-1626	Max	22.30	50.03	130	39.32	173	8.37	173	562.89	130	63.08	130	2.97	177
0	-879	-1626	Min.	0.00	-406.38	97	-199.62	177	-0.40	173	-661.38	101	-62.45	130	-0.61	173
0	-879	-1626	Min.	22.30	-404.71	97	-199.62	177	-42.37	177	-661.38	101	-73.93	101	-0.61	173
0	-965	-1635	Max	0.00	-63.71	1	8.19	173	0.58	173	448.73	130	68.06	101	1.23	177

0	-965	-1635	Max	22.30	-62.47	1	8.19	173	2.40	173	448.73	130	50.17	130	1.23	177
0	-965	-1635	Min.	0.00	-311.38	97	-26.04	177	-1.71	177	-613.74	101	-49.90	130	-0.37	173
0	-965	-1635	Min.	22.30	-309.71	97	-26.04	177	-7.52	177	-613.74	101	-68.81	101	-0.37	173
0	-1007	-1643	Max	0.00	116.02	106	5.32	121	0.60	173	401.97	130	60.09	101	0.49	177
0	-1007	-1643	Max	22.30	117.69	106	5.32	121	1.64	173	401.97	130	44.81	130	0.49	177
0	-1007	-1643	Min.	0.00	-278.17	97	-2.57	106	-1.20	177	-542.93	101	-44.83	130	-0.15	101
0	-1007	-1643	Min.	22.30	-276.50	97	-2.57	106	-0.59	177	-542.93	101	-60.98	101	-0.15	101
0	-1096	-1651	Max	0.00	-80.92	154	14.09	177	0.50	173	334.17	130	47.11	101	0.29	158
0	-1096	-1651	Max	22.30	-79.68	154	14.09	177	2.89	121	334.17	130	37.36	130	0.29	158
0	-1096	-1651	Min.	0.00	-443.14	97	-4.10	106	-0.61	177	-427.50	101	-37.16	130	-0.07	17
0	-1096	-1651	Min.	22.30	-441.47	97	-4.10	106	-1.17	106	-427.50	101	-48.22	101	-0.07	17
0	-921	-1669	Max	0.00	-72.26	1	19.16	173	0.38	173	504.85	130	72.21	101	2.21	177
0	-921	-1669	Max	22.30	-71.03	1	19.16	173	4.65	173	504.85	130	56.52	130	2.21	177
0	-921	-1669	Min.	0.00	-300.71	97	-87.29	177	-1.46	177	-650.20	101	-56.06	130	-0.57	173
0	-921	-1669	Min.	22.30	-299.04	97	-87.29	177	-20.92	177	-650.20	101	-72.78	101	-0.57	173
0	-1181	-1659	Max	0.00	-98.96	162	31.76	121	0.15	106	237.61	106	28.84	101	0.69	122
0	-1181	-1659	Max	22.30	-97.72	162	31.76	121	7.12	121	237.61	106	26.52	106	0.69	122
0	-1181	-1659	Min.	0.00	-1270.79	105	-31.22	106	-0.36	177	-262.59	101	-26.47	106	-0.12	105
0	-1181	-1659	Min.	22.30	-1269.12	105	-31.22	106	-6.81	106	-262.59	101	-29.72	101	-0.12	105
0	-1217	-1681	Max	0.00	2052.86	97	105.41	121	0.35	142	408.57	98	4.87	65	1.09	121
0	-1217	-1681	Max	22.30	2054.54	97	105.41	121	17.95	121	408.57	98	44.35	98	1.09	121
0	-1217	-1681	Min.	0.00	144.41	17	-21.20	106	-5.59	97	-45.13	65	-46.76	98	-0.07	142
0	-1217	-1681	Min.	22.30	145.65	17	-21.20	106	-4.47	106	-45.13	65	-5.20	65	-0.07	142
0	426	427	Max	0.00	4220.63	161	77.22	101	950.77	158	38.01	162	182.57	97	0.20	65
0	426	427	Max	38.74					61.22	21			39.02	21		
0	426	427	Max	199.50	4220.63	161	36.98	49	47.09	49	38.01	162	114.27	158	0.20	65
0	426	427	Min.	0.00	-1716.53	106	-1027.44	158	-67.87	101	-57.15	97	-15.59	130	-0.27	173
0	426	427	Min.	38.35					17.71	69			5.78	69		
0	426	427	Min.	199.50	-1716.53	106	-1067.12	158	-1138.56	158	-57.15	97	-17.57	65	-0.27	173
0	-880	-1418	Max	0.00	383.94	97	86.99	173	22.94	177	586.85	130	73.94	101	2.42	177
0	-880	-1418	Max	22.30	385.61	97	86.99	173	14.77	173	586.85	130	65.36	130	2.42	177
0	-880	-1418	Min.	0.00	-620.89	106	-433.26	177	-4.63	173	-661.40	101	-65.51	130	-0.51	173
0	-880	-1418	Min.	22.30	-619.22	106	-433.26	177	-73.68	177	-661.40	101	-73.55	101	-0.51	173
0	-966	-1634	Max	0.00	-69.88	1	21.39	173	0.40	173	511.54	130	71.90	101	2.16	177
0	-966	-1634	Max	22.30	-68.64	1	21.39	173	5.17	173	511.54	130	57.25	130	2.16	177
0	-966	-1634	Min.	0.00	-298.98	97	-86.01	177	-1.44	177	-647.37	101	-56.82	130	-0.67	173
0	-966	-1634	Min.	22.30	-297.31	97	-86.01	177	-20.62	177	-647.37	101	-72.47	101	-0.67	173
0	-1008	-1642	Max	0.00	-59.12	1	9.11	173	0.61	173	466.77	130	67.04	101	1.18	177
0	-1008	-1642	Max	22.30	-57.88	1	9.11	173	2.64	173	466.77	130	52.11	130	1.18	177
0	-1008	-1642	Min.	0.00	-282.28	97	-25.26	177	-1.67	177	-604.38	101	-51.98	130	-0.42	173
0	-1008	-1642	Min.	22.30	-280.61	97	-25.26	177	-7.30	177	-604.38	101	-67.74	101	-0.42	173
0	-1097	-1650	Max	0.00	34.36	106	7.43	121	0.63	173	399.94	130	58.30	101	0.47	177
0	-1097	-1650	Max	22.30	36.03	106	7.43	121	2.12	121	399.94	130	44.52	130	0.47	177
0	-1097	-1650	Min.	0.00	-386.04	97	0.56	65	-1.13	177	-526.46	101	-44.67	130	-0.18	101
0	-1097	-1650	Min.	22.30	-384.37	97	0.56	65	-0.35	177	-526.46	101	-59.10	101	-0.18	101
0	-922	-1668	Max	0.00	63.97	130	42.76	173	2.13	177	556.87	130	73.94	101	2.94	177
0	-922	-1668	Max	22.30	65.64	130	42.76	173	9.09	173	556.87	130	62.41	130	2.94	177
0	-922	-1668	Min.	0.00	-415.81	97	-198.75	177	-0.44	173	-664.76	101	-61.77	130	-0.75	173
0	-922	-1668	Min.	22.30	-414.14	97	-198.75	177	-42.19	177	-664.76	101	-74.31	101	-0.75	173
0	-1182	-1658	Max	0.00	136.34	166	14.77	177	0.75	121	280.83	130	44.26	101	0.40	158
0	-1182	-1658	Max	22.30	137.57	166	14.77	177	3.13	101	280.83	130	31.21	130	0.40	158
0	-1182	-1658	Min.	0.00	-386.19	101	-16.07	106	-0.53	177	-400.71	101	-31.41	130	-0.05	101
0	-1182	-1658	Min.	22.30	-384.52	101	-16.07	106	-3.75	106	-400.71	101	-45.10	101	-0.05	101
0	-1219	-1680	Max	0.00	304.36	101	36.01	121	0.11	173	252.71	106	22.63	101	0.73	122
0	-1219	-1680	Max	22.30	306.04	101	36.01	121	7.95	121	252.71	106	27.51	106	0.73	122
0	-1219	-1680	Min.	0.00	-556.22	130	-22.66	106	-0.39	177	-207.54	101	-28.85	106	-0.07	105
0	-1219	-1680	Min.	22.30	-554.55	130	-22.66	106	-5.05	106	-207.54	101	-23.65	101	-0.07	105
0	-967	-1633	Max	0.00	48.18	130	45.51	173	2.10	177	562.49	130	73.55	101	2.89	177
0	-967	-1633	Max	22.30	49.85	130	45.51	173	9.67	173	562.49	130	63.03	130	2.89	177
0	-967	-1633	Min.	0.00	-405.73	97	-196.68	177	-0.48	173	-661.28	101	-62.40	130	-0.85	173
0	-967	-1633	Min.	22.30	-404.06	97	-196.68	177	-41.76	177	-661.28	101	-73.92	101	-0.85	173
0	-1009	-1641	Max	0.00	-68.56	1	22.74	173	0.41	173	527.87	130	70.68	101	2.08	177
0	-1009	-1641	Max	17.84					-0.01	142			23.52	142		
0	-1009	-1641	Max	22.30	-67.32	1	22.74	173	5.48	173	527.87	130	59.02	130	2.08	177
0	-1009	-1641	Min.	0.00	-293.77	97	-84.58	177	-1.42	177	-636.10	101	-58.69	130	-0.75	173
0	-1009	-1641	Min.	17.84					-0.01	142			23.52	142		
0	-1009	-1641	Min.	22.30	-292.10	97	-84.58	177	-20.28	177	-636.10	101	-71.17	101	-0.75	173
0	-1098	-1649	Max	0.00	-62.46	1	9.31	173	0.63	173	474.26	130	65.02	101	1.13	177
0	-1098	-1649	Max	22.30	-61.22	1	9.31	173	2.71	173	474.26	130	52.92	130	1.13	177
0	-1098	-1649	Min.	0.00	-326.05	122	-24.69	177	-1.61	177	-585.78	101	-52.84	130	-0.43	173
0	-1098	-1649	Min.	22.30	-324.38	122	-24.69	177	-7.12	177	-585.78	101	-65.61	101	-0.43	173
0	-923	-1424	Max	0.00	403.27	97	91.09	173	22.92	177	580.81	130	74.33	101	2.41	177
0	-923	-1424	Max	4.46					-0.00	141			-24.39	141		
0	-923	-1424	Max	22.30	404.94	97	91.09	173	15.53	173	580.81	130	64.66	130	2.41	177
0	-923	-1424	Min.	0.00	-629.21	106	-432.16	177	-4.78	173	-664.69	101	-64.86	130	-0.60	173
0	-923	-1424	Min.	4.46					-0.00	142			-27.37	142		
0	-923	-1424	Min.	22.30	-627.54	106	-432.16	177	-73.46	177	-664.69	101	-73.89	101	-0.60	173
0	-1183	-1657	Max	0.00	-41.99	1	10.07	157	0.66	173	357.76	130	54.39	101	0.44	177
0	-1183	-1657	Max	22.30	-40.76	1	10.07	157	2.79	157	357.76	130	39.50	130	0.44	177

0	-1183	-1657	Min.	0.00	-388.31	158	-0.29	142	-1.06	177	-489.73	101	-40.28	130	-0.26	101
0	-1183	-1657	Min.	22.30	-387.07	158	-0.29	142	-0.34	177	-489.73	101	-54.82	101	-0.26	101
0	-1220	-1679	Max	0.00	2127.99	130	14.82	177	0.97	122	320.72	130	40.61	101	0.43	166
0	-1220	-1679	Max	22.30	2129.67	130	14.82	177	3.29	101	320.72	130	37.94	130	0.43	166
0	-1220	-1679	Min.	0.00	-912.42	101	-23.45	106	-0.52	177	-376.69	101	-33.58	130	-0.14	101
0	-1220	-1679	Min.	22.30	-910.75	101	-23.45	106	-5.12	106	-376.69	101	-43.39	101	-0.14	101
0	-968	-1419	Max	0.00	382.82	97	94.15	173	22.83	177	586.40	130	73.93	101	2.37	177
0	-968	-1419	Max	22.30	384.49	97	94.15	173	16.11	173	586.40	130	65.31	130	2.37	177
0	-968	-1419	Min.	0.00	-617.74	106	-430.08	177	-4.88	173	-661.25	101	-65.46	130	-0.67	173
0	-968	-1419	Min.	22.30	-616.07	106	-430.08	177	-73.08	177	-661.25	101	-73.53	101	-0.67	173
0	-1010	-1640	Max	0.00	18.33	130	47.35	173	2.10	177	579.62	130	72.29	101	2.81	177
0	-1010	-1640	Max	22.30	20.00	130	47.35	173	10.05	173	579.62	130	64.93	130	2.81	177
0	-1010	-1640	Min.	0.00	-390.57	97	-194.78	177	-0.51	173	-649.95	101	-64.32	130	-0.93	173
0	-1010	-1640	Min.	22.30	-388.90	97	-194.78	177	-41.34	177	-649.95	101	-72.65	101	-0.93	173
0	-1099	-1648	Max	0.00	-61.38	1	23.14	173	0.41	173	545.44	130	68.62	101	2.02	177
0	-1099	-1648	Max	22.30	-60.14	1	23.14	173	5.57	173	545.44	130	60.99	130	2.02	177
0	-1099	-1648	Min.	0.00	-291.41	122	-83.40	177	-1.39	177	-617.33	101	-60.64	130	-0.75	173
0	-1099	-1648	Min.	22.30	-289.74	122	-83.40	177	-19.99	177	-617.33	101	-69.05	101	-0.75	173
0	-1184	-1656	Max	0.00	21.93	49	17.42	130	0.63	173	468.90	130	61.59	101	1.08	177
0	-1184	-1656	Max	22.30	23.17	49	17.42	130	3.95	158	468.90	130	52.40	130	1.08	177
0	-1184	-1656	Min.	0.00	-713.34	130	-24.72	177	-1.56	177	-554.90	101	-52.16	130	-0.42	173
0	-1184	-1656	Min.	22.30	-711.67	130	-24.72	177	-7.07	177	-554.90	101	-62.15	101	-0.42	173
0	327	-1678	Max	0.00	-74.38	17	4.90	125	0.73	121	192.70	106	45.81	101	0.38	177
0	327	-1678	Max	22.30	-73.15	17	4.90	125	1.72	121	192.70	106	17.38	106	0.38	177
0	327	-1678	Min.	0.00	-1113.76	157	-3.44	106	-0.96	177	-394.14	101	-25.59	106	-0.37	101
0	327	-1678	Min.	22.30	-1112.52	157	-3.44	106	-1.07	177	-394.14	101	-42.08	101	-0.37	101
0	-1011	-1420	Max	0.00	352.23	97	95.32	173	22.64	177	602.19	130	72.48	101	2.29	177
0	-1011	-1420	Max	22.30	353.90	97	95.32	173	16.33	173	602.19	130	67.00	130	2.29	177
0	-1011	-1420	Min.	0.00	-645.92	106	-425.32	177	-4.92	173	-647.77	101	-67.29	130	-0.73	173
0	-1011	-1420	Min.	22.30	-644.25	106	-425.32	177	-72.21	177	-647.77	101	-71.98	101	-0.73	173
0	-1100	-1647	Max	0.00	11.27	130	47.91	173	2.10	177	605.94	130	70.34	101	2.74	177
0	-1100	-1647	Max	22.30	12.94	130	47.91	173	10.16	173	605.94	130	67.91	130	2.74	177
0	-1100	-1647	Min.	0.00	-357.83	97	-192.82	177	-0.52	173	-632.48	101	-67.21	130	-0.94	173
0	-1100	-1647	Min.	22.30	-356.16	97	-192.82	177	-40.90	177	-632.48	101	-70.70	101	-0.94	173
0	-1185	-1655	Max	0.00	-44.16	49	23.13	173	0.42	173	568.51	130	65.84	101	1.94	177
0	-1185	-1655	Max	22.30	-42.92	49	23.13	173	5.57	173	568.51	130	63.76	130	1.94	177
0	-1185	-1655	Min.	0.00	-276.26	130	-82.08	177	-1.36	177	-592.77	101	-63.02	130	-0.74	173
0	-1185	-1655	Min.	22.30	-274.59	130	-82.08	177	-19.66	177	-592.77	101	-66.35	101	-0.74	173
0	-1221	-1677	Max	0.00	567.63	101	26.08	130	0.57	173	540.66	130	59.51	101	1.02	177
0	-1221	-1677	Max	22.30	569.30	101	26.08	130	5.68	158	540.66	130	63.20	130	1.02	177
0	-1221	-1677	Min.	0.00	-2759.29	130	-24.00	177	-1.58	177	-543.54	101	-57.37	130	-0.52	97
0	-1221	-1677	Min.	22.30	-2757.62	130	-24.00	177	-6.93	177	-543.54	101	-61.70	101	-0.52	97
0	427	-1678	Max	0.00	9.30	17	2367.55	130	300.63	101	82.86	166	0.47	121	0.29	106
0	427	-1678	Max	127.70	-33.76	17	2367.55	130	2074.07	130	82.86	166	106.08	166	0.29	106
0	427	-1678	Min.	0.00	-2562.01	158	-750.78	101	-949.30	130	-37.01	101	-0.05	177	-0.67	17
0	427	-1678	Min.	127.70	-2605.08	158	-750.78	101	-658.12	101	-37.01	101	-47.13	101	-0.67	17
0	-1101	-1421	Max	0.00	298.13	97	96.03	173	22.42	177	630.45	130	70.44	101	2.20	177
0	-1101	-1421	Max	22.30	299.80	97	96.03	173	16.46	173	630.45	130	70.07	130	2.20	177
0	-1101	-1421	Min.	0.00	-653.74	106	-420.20	177	-4.96	173	-629.16	101	-70.52	130	-0.70	173
0	-1101	-1421	Min.	22.30	-652.07	106	-420.20	177	-71.29	177	-629.16	101	-69.86	101	-0.70	173
0	-1186	-1654	Max	0.00	129.89	130	48.47	173	2.07	177	641.07	130	67.92	101	2.62	177
0	-1186	-1654	Max	22.30	131.56	130	48.47	173	10.27	173	641.07	130	71.85	130	2.62	177
0	-1186	-1654	Min.	0.00	-324.24	101	-189.73	177	-0.54	173	-610.79	101	-71.11	130	-0.91	173
0	-1186	-1654	Min.	22.30	-322.57	101	-189.73	177	-40.24	177	-610.79	101	-68.29	101	-0.91	173
0	-1222	-1676	Max	0.00	640.06	158	23.00	173	0.44	158	591.61	130	63.36	101	1.87	177
0	-1222	-1676	Max	22.30	641.29	158	23.00	173	5.54	173	591.61	130	65.84	130	1.87	177
0	-1222	-1676	Min.	0.00	-355.34	101	-80.71	177	-1.33	177	-569.45	101	-66.09	130	-0.75	173
0	-1222	-1676	Min.	22.30	-353.67	101	-80.71	177	-19.32	177	-569.45	101	-63.63	101	-0.75	173
0	-1187	-1422	Max	0.00	200.36	97	97.08	173	22.14	177	672.72	130	68.17	101	2.04	177
0	-1187	-1422	Max	22.30	202.03	97	97.08	173	16.64	173	672.72	130	74.72	130	2.04	177
0	-1187	-1422	Min.	0.00	-678.07	130	-414.37	177	-5.01	173	-608.70	101	-75.30	130	-0.65	173
0	-1187	-1422	Min.	22.30	-676.40	130	-414.37	177	-70.26	177	-608.70	101	-67.57	101	-0.65	173
0	-1223	-1675	Max	0.00	179.94	130	49.17	173	2.11	177	697.74	130	66.35	101	2.54	177
0	-1223	-1675	Max	22.30	181.61	130	49.17	173	10.40	173	697.74	130	78.33	130	2.54	177
0	-1223	-1675	Min.	0.00	-323.55	101	-186.22	177	-0.56	173	-597.63	101	-77.27	130	-0.92	173
0	-1223	-1675	Min.	22.30	-321.88	101	-186.22	177	-39.42	177	-597.63	101	-66.92	101	-0.92	173
0	-1224	-1425	Max	0.00	61.29	137	98.76	173	21.73	177	731.77	130	66.54	101	1.91	177
0	-1224	-1425	Max	22.30	62.53	137	98.76	173	16.95	173	731.77	130	81.03	130	1.91	177
0	-1224	-1425	Min.	0.00	-1043.02	130	-403.00	177	-5.08	173	-594.41	101	-82.15	130	-0.64	173
0	-1224	-1425	Min.	22.30	-1041.35	130	-403.00	177	-68.14	177	-594.41	101	-66.01	101	-0.64	173
0	427	428	Max	0.00	5992.65	159	1513.11	157	403.67	106	8.72	65	114.63	158	0.33	121
0	427	428	Max	91.14					-1.85	173			34.40	173		
0	427	428	Max	190.50	5992.65	159	1475.22	157	2346.32	157	8.72	65	0.43	106	0.33	121
0	427	428	Min.	0.00	-182.47	104	-301.96	106	-519.26	125	-60.77	158	-16.97	65	-0.11	106
0	427	428	Min.	176.36					-5.83	147			2.56	147		
0	427	428	Min.	190.50	-182.47	104	-353.11	106	-220.28	106	-60.77	158	-1.18	121	-0.11	106
0	428	328	Max	0.00	1475.22	157	182.47	104	2346.32	157	8.72	65	0.11	106	0.43	106
0	428	328	Max	150.00	1424.64	157	182.47	104	273.05	101	8.72	65	12.92	65	0.43	106
0	428	328	Min.	0.00	-353.11	106	-5992.65	159	-220.28	106	-60.77	158	-0.33	121	-1.18	121

0	428	328	Min.	150.00	-421.39	106	-5992.65	159	-6653.26	162	-60.77	158	-91.44	158	-1.18	121
2	-1603	302	Max	0.00	710.33	161	395.15	106	17.70	101	309.84	177	1.01	110	0.20	101
2	-1603	302	Max	22.30	709.09	161	395.15	106	45.89	106	309.84	177	4.90	177	0.20	101
2	-1603	302	Min.	0.00	-442.09	102	-195.16	101	-42.22	106	-2.84	118	-64.20	177	-0.41	130
2	-1603	302	Min.	22.30	-443.76	102	-195.16	101	-25.82	101	-2.84	118	-0.31	125	-0.41	130
3	-1822	303	Max	0.00	1903.01	98	-14.03	17	88.92	122	155.85	177	18.48	173	0.65	101
3	-1822	303	Max	22.30	1901.34	98	-14.03	17	-1.83	17	155.85	177	1.81	177	0.65	101
3	-1822	303	Min.	0.00	20.48	161	-852.33	98	1.30	17	-111.23	173	-32.94	177	-1.53	177
3	-1822	303	Min.	22.30	19.24	161	-852.33	98	-103.11	98	-111.23	173	-6.33	173	-1.53	177
4	-1817	304	Max	0.00	623.41	177	15.47	1	111.95	122	330.38	177	8.51	173	1.83	98
4	-1817	304	Max	17.84					-32.09	163			-0.01	163		
4	-1817	304	Max	22.30	622.17	177	15.47	1	1.62	1	330.38	177	2.25	177	1.83	98
4	-1817	304	Min.	0.00	-547.27	173	-1070.43	98	-1.83	1	-42.84	173	-71.43	177	-0.44	173
4	-1817	304	Min.	17.84					-53.62	106			-0.01	106		
4	-1817	304	Min.	22.30	-548.51	173	-1070.43	98	-127.19	98	-42.84	173	-1.05	173	-0.44	173
5	-1533	305	Max	0.00	402.55	177	350.87	101	55.89	130	280.59	177	28.29	173	0.41	130
5	-1533	305	Max	22.30	401.31	177	350.87	101	42.10	101	280.59	177	1.87	177	0.41	130
5	-1533	305	Min.	0.00	-1743.59	173	-493.73	130	-36.14	101	-151.11	173	-60.70	177	-0.39	101
5	-1533	305	Min.	22.30	-1744.83	173	-493.73	130	-54.21	130	-151.11	173	-5.41	173	-0.39	101
6	-1808	306	Max	0.00	623.41	177	1070.43	97	18.20	130	330.38	177	9.16	173	0.37	173
6	-1808	306	Max	17.84					53.62	101			-0.01	101		
6	-1808	306	Max	22.30	622.17	177	1070.43	97	127.19	97	330.38	177	2.25	177	0.37	173
6	-1808	306	Min.	0.00	-474.08	173	-127.04	130	-111.52	97	-45.75	173	-71.43	177	-1.83	97
6	-1808	306	Min.	17.84					53.62	101			-0.01	101		
6	-1808	306	Min.	22.30	-475.32	173	-127.04	130	-10.13	130	-45.75	173	-1.04	173	-1.83	97
7	-1803	307	Max	0.00	1903.03	97	852.33	97	14.98	166	155.85	177	18.61	173	1.53	177
7	-1803	307	Max	22.30	1901.36	97	852.33	97	103.11	97	155.85	177	1.81	177	1.53	177
7	-1803	307	Min.	0.00	162.13	65	-66.97	166	-86.96	97	-112.20	173	-32.94	177	-0.65	106
7	-1803	307	Min.	22.30	160.90	65	-66.97	166	0.05	166	-112.20	173	-6.41	173	-0.65	106
8	-1622	308	Max	0.00	549.03	177	195.14	106	42.23	101	309.85	177	1.70	121	0.38	101
8	-1622	308	Max	22.30	547.79	177	195.14	106	25.82	106	309.85	177	4.90	177	0.38	101
8	-1622	308	Min.	0.00	-1104.71	157	-395.17	101	-17.70	106	-4.78	125	-64.20	177	-0.29	130
8	-1622	308	Min.	22.30	-1105.94	157	-395.17	101	-45.90	101	-4.78	125	-0.20	106	-0.29	130
10	10	310	Max	0.00	-3169.55	17	13.26	101	30.68	101	0.00	161	0.00	158	0.48	101
10	10	310	Max	20.00	-3166.22	17	13.26	101	33.33	101	0.00	161	0.00	166	0.48	101
10	10	310	Min.	0.00	-22490.50	98	-30.17	173	-72.89	173	0.00	1	0.00	161	-1.26	177
10	10	310	Min.	20.00	-22486.00	98	-30.17	173	-78.92	173	0.00	1	0.00	109	-1.26	177
11	11	311	Max	0.00	-3169.55	65	13.25	106	30.68	106	0.00	165	0.00	1	1.29	121
11	11	311	Max	20.00	-3166.21	65	13.25	106	33.33	106	0.00	165	0.00	166	1.29	121
11	11	311	Min.	0.00	-22490.50	97	-30.95	173	-74.77	173	0.00	1	0.00	161	-0.48	106
11	11	311	Min.	20.00	-22486.00	97	-30.95	173	-80.95	173	0.00	1	0.00	1	-0.48	106
12	12	312	Max	0.00	-3018.43	17	-1.81	65	0.33	65	0.00	157	0.00	129	-0.03	65
12	12	312	Max	20.00	-3015.09	17	-1.81	65	-0.03	65	0.00	157	0.00	165	-0.03	65
12	12	312	Min.	0.00	-21715.00	102	-32.15	177	-26.57	173	0.00	1	0.00	157	-1.46	177
12	12	312	Min.	20.00	-21710.50	102	-32.15	177	-27.81	173	0.00	1	0.00	97	-1.46	177
13	13	313	Max	0.00	-3018.43	65	-1.81	17	0.33	17	0.00	157	0.00	165	1.46	177
13	13	313	Max	20.00	-3015.09	65	-1.81	17	-0.03	17	0.00	157	0.00	165	1.46	177
13	13	313	Min.	0.00	-21714.30	105	-32.15	177	-27.29	173	0.00	101	0.00	157	0.03	17
13	13	313	Min.	20.00	-21709.80	105	-32.15	177	-28.56	173	0.00	101	0.00	101	0.03	17
14	14	314	Max	0.00	-3021.19	33	5.40	173	5.41	65	0.00	161	0.00	165	0.19	173
14	14	314	Max	20.00	-3017.86	33	5.40	173	5.64	65	0.00	161	0.00	165	0.19	173
14	14	314	Min.	0.00	-19336.40	102	-30.95	177	-7.74	177	0.00	1	0.00	162	-1.41	177
14	14	314	Min.	20.00	-19331.90	102	-30.95	177	-13.93	177	0.00	1	0.00	102	-1.41	177
15	15	315	Max	0.00	-3021.00	33	5.21	173	5.41	17	0.00	157	0.00	161	1.41	177
15	15	315	Max	20.00	-3017.66	33	5.21	173	5.64	17	0.00	157	0.00	161	1.41	177
15	15	315	Min.	0.00	-19335.90	105	-30.95	177	-7.74	177	0.00	101	0.00	130	-0.17	173
15	15	315	Min.	20.00	-19331.40	105	-30.95	177	-13.93	177	0.00	101	0.00	102	-0.17	173
16	16	316	Max	0.00	-2975.06	65	11.39	173	16.92	65	0.00	161	0.00	129	0.43	173
16	16	316	Max	20.00	-2971.72	65	11.39	173	18.43	65	0.00	161	0.00	165	0.43	173
16	16	316	Min.	0.00	-21642.00	102	-26.48	177	-0.45	17	0.00	1	0.00	161	-1.22	177
16	16	316	Min.	20.00	-21637.50	102	-26.48	177	-5.40	177	0.00	1	0.00	1	-1.22	177
17	17	317	Max	0.00	-2975.05	17	10.83	173	18.71	125	0.00	157	0.00	165	1.22	177
17	17	317	Max	20.00	-2971.72	17	10.83	173	20.69	125	0.00	157	0.00	165	1.22	177
17	17	317	Min.	0.00	-21641.30	105	-26.48	177	-0.45	65	0.00	1	0.00	157	-0.48	121
17	17	317	Min.	20.00	-21636.80	105	-26.48	177	-5.40	177	0.00	1	0.00	49	-0.48	121
18	18	318	Max	0.00	-3091.54	65	26.12	98	46.68	98	0.00	157	0.00	106	1.21	98
18	18	318	Max	20.00	-3088.20	65	26.12	98	51.91	98	0.00	157	0.00	158	1.21	98
18	18	318	Min.	0.00	-22382.40	98	-18.64	177	-31.10	101	0.00	1	0.00	161	-0.89	177
18	18	318	Min.	20.00	-22377.90	98	-18.64	177	-33.77	101	0.00	1	0.00	169	-0.89	177
19	19	319	Max	0.00	-3091.53	17	27.60	121	53.96	121	0.00	157	0.00	162	0.89	177
19	19	319	Max	20.00	-3088.20	17	27.60	121	59.48	121	0.00	157	0.00	162	0.89	177
19	19	319	Min.	0.00	-22382.40	97	-18.64	177	-31.09	106	0.00	1	0.00	157	-1.29	121
19	19	319	Min.	20.00	-22377.90	97	-18.64	177	-33.77	106	0.00	1	0.00	1	-1.29	121
24	-1689	324	Max	0.00	26.18	108	349.05	101	55.81	130	12.12	100	0.05	17	0.39	101
24	-1689	324	Max	22.30	24.51	108	349.05	101	41.93	101	12.12	100	1.02	99	0.39	101
24	-1689	324	Min.	0.00	-115.73	99	-492.87	130	-35.91	101	-0.64	17	-1.69	100	-0.41	130
24	-1689	324	Min.	22.30	-117.40	99	-492.87	130	-54.10	130	-0.64	17	-0.09	17	-0.41	130
301	301	-582	Max	0.00	0.00	1	88.12	173	497.83	177	1314.25	101	0.00	1	3.65	173
301	301	-582	Max	31.00	0.00	1	88.12	173	152.46	177	1301.40	101	405.43	101	3.65	173

301	301	-582	Min.	0.00	0.00	1	-1216.55	177	-25.51	173	-1456.01	158	0.00	1	-14.98	177
301	301	-582	Min.	31.00	0.00	1	-1011.61	177	-0.26	161	-1465.52	158	-452.84	158	-14.98	177
301	-582	-583	Max	0.00	542.49	101	23.55	173	156.47	177	784.24	101	344.67	101	7.76	177
301	-582	-583	Max	39.88	542.49	101	23.55	173	11.05	173	767.71	101	654.09	101	7.76	177
301	-582	-583	Min.	0.00	-767.83	130	-629.59	177	-0.38	161	-879.80	158	-374.54	158	-0.52	125
301	-582	-583	Min.	39.88	-767.83	130	-365.98	177	-42.02	177	-892.04	158	-727.80	158	-0.52	125
301	-583	-584	Max	0.00	1061.61	101	9.35	161	10.96	173	793.11	101	596.62	101	9.41	177
301	-583	-584	Max	16.19					3.89	127			107.19	127		
301	-583	-584	Max	39.87	1061.61	101	9.35	161	9.78	173	776.58	101	909.58	101	9.41	177
301	-583	-584	Min.	0.00	-1527.55	130	-286.05	177	-36.90	177	-1298.18	158	-652.64	158	-0.39	125
301	-583	-584	Min.	16.27					3.88	128			107.04	128		
301	-583	-584	Min.	39.87	-1527.55	130	-25.62	98	-98.41	177	-1310.43	158	-1172.73	158	-0.39	125
301	-584	-585	Max	0.00	1509.27	101	7.95	125	9.87	173	832.73	101	859.62	101	6.29	177
301	-584	-585	Max	12.38					-1.77	37			203.13	37		
301	-584	-585	Max	39.88	1509.27	101	135.23	177	10.89	162	816.20	101	1188.38	101	6.29	177
301	-584	-585	Min.	0.00	-2223.66	130	-128.38	177	-94.69	177	-1964.62	158	-1106.25	158	-0.19	101
301	-584	-585	Min.	29.21					-4.06	54			-49.34	54		
301	-584	-585	Min.	39.88	-2223.66	130	-17.81	98	-93.33	177	-1976.86	158	-1892.08	158	-0.19	101
301	-585	302	Max	0.00	1915.06	101	15.09	101	11.08	162	186.11	162	1144.59	101	3.28	177
301	-585	302	Max	39.88	1915.06	101	197.20	177	9.22	125	173.87	162	801.57	101	3.28	177
301	-585	302	Min.	0.00	-2885.48	130	-66.41	177	-91.55	177	-1508.01	97	-1834.79	158	-0.07	162
301	-585	302	Min.	39.88	-2885.48	130	-22.40	130	-65.47	177	-1524.54	97	-1949.97	158	-0.07	162
301	302	-586	Max	0.00	2110.22	101	11.61	101	9.23	125	881.19	162	775.75	101	0.35	101
301	302	-586	Max	15.95					9.04	125			-170.87	125		
301	302	-586	Max	39.88	2110.22	101	150.97	177	10.41	101	868.95	162	255.32	1	0.35	101
301	302	-586	Min.	0.00	-3223.97	130	-112.64	177	-65.38	177	-1926.65	97	-1922.86	158	-1.62	177
301	302	-586	Min.	32.93					8.42	126			-237.63	126		
301	302	-586	Min.	39.88	-3223.97	130	-21.57	130	-57.74	177	-1943.18	97	-2267.01	98	-1.62	177
301	-586	-587	Max	0.00	2404.69	101	2.97	65	10.33	101	15.97	177	241.74	1	0.46	125
301	-586	-587	Max	39.88	2404.69	101	198.91	177	5.76	101	3.73	177	197.26	1	0.46	125
301	-586	-587	Min.	0.00	-3634.64	130	-64.69	177	-59.02	177	-1895.56	106	-2257.20	98	-3.40	177
301	-586	-587	Min.	39.88	-3634.64	130	-11.85	125	-32.26	177	-1912.09	106	-2938.48	98	-3.40	177
301	-587	-588	Max	0.00	2659.13	101	42.68	177	5.82	101	-260.62	1	186.22	1	0.42	125
301	-587	-588	Max	19.94	2659.13	101	174.48	177	-0.48	149	-266.75	1	130.12	1	0.42	125
301	-587	-588	Min.	0.00	-3849.68	130	-34.00	101	-34.56	177	-1615.68	106	-2952.78	98	-4.66	177
301	-587	-588	Min.	19.94	-3849.68	130	-34.00	101	-16.53	98	-1623.95	106	-3239.95	98	-4.66	177
301	-588	-589	Max	0.00	2659.13	101	174.48	177	-0.48	149	-269.24	1	130.12	1	0.42	125
301	-588	-589	Max	19.94	2659.13	101	306.28	177	35.01	177	-275.36	1	72.55	1	0.42	125
301	-588	-589	Min.	0.00	-3849.68	130	-34.00	101	-16.53	98	-1623.95	106	-3239.95	98	-4.66	177
301	-588	-589	Min.	19.94	-3849.68	130	-34.00	101	-11.52	98	-1632.21	106	-3528.77	98	-4.66	177
301	-589	-590	Max	0.00	2945.70	101	229.89	177	32.73	177	596.99	97	61.70	1	5.91	173
301	-589	-590	Max	10.94					7.49	3			-41.80	3		
301	-589	-590	Max	39.88	2945.70	101	493.49	177	176.95	177	580.46	97	48.49	1	5.91	173
301	-589	-590	Min.	0.00	-3873.17	130	-54.53	101	-12.49	98	-615.97	130	-3574.40	98	-4.83	177
301	-589	-590	Min.	10.94					5.66	3			-1223.97	3		
301	-589	-590	Min.	39.88	-3873.17	130	-54.53	101	-29.41	101	-632.50	130	-3350.16	98	-4.83	177
301	-590	303	Max	0.00	3386.39	101	69.40	101	171.58	177	1622.79	158	35.49	1	5.04	177
301	-590	303	Max	40.00	3386.39	101	69.40	101	56.88	177	1610.51	158	69.42	1	5.04	177
301	-590	303	Min.	0.00	-3688.10	130	-418.96	177	-36.25	101	-347.88	177	-3439.30	98	-5.93	98
301	-590	303	Min.	40.00	-3688.10	130	-154.53	177	-12.22	97	-360.16	177	-3235.12	98	-5.93	98
301	303	-591	Max	0.00	3715.39	101	42.38	101	58.41	177	2482.54	122	58.52	1	3.23	177
301	303	-591	Max	20.00	3715.39	101	42.38	101	9.56	177	2474.25	122	129.69	1	3.23	177
301	303	-591	Min.	0.00	-3200.00	130	-310.38	177	-12.77	97	201.86	17	-3338.22	98	-0.83	97
301	303	-591	Min.	20.00	-3200.00	130	-178.16	177	-14.46	98	195.72	17	-2858.35	98	-0.83	97
301	-591	-592	Max	0.00	3715.39	101	42.38	101	9.56	177	2474.25	122	129.69	1	3.23	177
301	-591	-592	Max	20.00	3715.39	101	42.38	101	7.81	101	2465.96	122	225.89	101	3.23	177
301	-591	-592	Min.	0.00	-3200.00	130	-178.16	177	-14.46	98	196.41	17	-2858.35	98	-0.83	97
301	-591	-592	Min.	20.00	-3200.00	130	-45.95	177	-16.25	98	190.27	17	-2380.13	98	-0.83	97
301	-592	-593	Max	0.00	4201.27	101	11.56	101	7.13	101	4427.36	98	185.55	1	3.33	177
301	-592	-593	Max	2.15					-3.97	35			-217.49	35		
301	-592	-593	Max	40.00	4201.27	101	73.92	177	11.75	101	4410.77	98	934.49	101	3.33	177
301	-592	-593	Min.	0.00	-2576.52	130	-190.52	177	-17.32	98	239.88	17	-2531.11	98	-1.03	97
301	-592	-593	Min.	2.15					-5.03	35			-569.77	35		
301	-592	-593	Min.	40.00	-2576.52	130	-14.07	173	-34.30	177	227.60	17	-1154.45	106	-1.03	97
301	-593	-594	Max	0.00	4657.00	101	12.00	122	11.25	101	4185.38	98	884.23	101	2.25	177
301	-593	-594	Max	40.00	4657.00	101	139.52	177	9.59	101	4168.80	98	1443.95	101	2.25	177
301	-593	-594	Min.	0.00	-1836.74	130	-124.91	177	-33.02	177	165.72	17	-1250.39	106	-1.48	97
301	-593	-594	Min.	40.00	-1836.74	130	-6.79	173	-30.09	177	153.44	17	-484.16	130	-1.48	97
301	-594	-595	Max	0.00	5035.60	101	13.55	122	9.30	101	4428.38	98	1401.99	101	1.40	173
301	-594	-595	Max	40.00	5035.60	101	165.99	177	5.52	101	4411.79	98	2374.72	97	1.40	173
301	-594	-595	Min.	0.00	-1038.64	130	-98.45	177	-29.55	177	99.45	17	-572.74	130	-2.04	98
301	-594	-595	Min.	40.00	-1038.64	130	-11.86	173	-16.04	177	87.17	17	-28.79	162	-2.04	98
301	-595	304	Max	0.00	6412.31	97	33.77	98	5.40	101	1541.47	158	2210.88	97	0.94	177
301	-595	304	Max	40.00	6412.31	97	182.63	177	4.10	177	1529.18	158	2633.32	97	0.94	177
301	-595	304	Min.	0.00	-212.06	130	-81.80	177	-16.06	177	-232.91	177	-81.94	162	-1.71	98
301	-595	304	Min.	40.00	-212.06	130	-7.68	173	-14.79	173	-245.19	177	29.13	65	-1.71	98
301	304	-596	Max	0.00	7458.00	97	36.29	98	3.79	177	1367.24	158	2509.05	97	1.98	173
301	304	-596	Max	32.00					1.49	3			876.72	3		
301	304	-596	Max	40.00	7458.00	97	116.69	177	15.69	98	1354.96	158	2798.52	97	1.98	173

301	304	-596	Min.	0.00	-7.07	177	-147.75	177	-14.35	173	-20.75	65	20.08	65	-1.58	98
301	304	-596	Min.	26.68					-0.54	51			123.63	51		
301	304	-596	Min.	40.00	-7.07	177	-3.83	125	-2.42	177	-35.46	101	19.53	65	-1.58	98
301	-596	-597	Max	0.00	8604.82	97	14.76	97	13.98	98	3125.66	98	2674.47	97	0.77	173
301	-596	-597	Max	22.89					0.34	53			745.72	53		
301	-596	-597	Max	40.00	8604.82	97	131.16	177	19.87	97	3109.08	98	3898.20	97	0.77	173
301	-596	-597	Min.	0.00	148.37	177	-133.27	177	-2.94	177	-144.61	125	9.21	65	-1.78	98
301	-596	-597	Min.	22.89					1.77	53			409.48	53		
301	-596	-597	Min.	40.00	148.37	177	-2.01	173	-3.36	177	-161.20	125	81.52	65	-1.78	98
301	-597	-1302	Max	0.00	9419.04	97	10.09	121	18.51	97	2944.94	173	3807.50	97	0.71	173
301	-597	-1302	Max	20.00	9419.04	97	26.72	177	20.43	97	2938.80	173	4154.01	97	0.71	173
301	-597	-1302	Min.	0.00	245.86	177	-105.50	177	-4.09	177	-340.97	125	71.96	65	-1.20	177
301	-597	-1302	Min.	20.00	245.86	177	-19.57	173	-11.97	177	-349.26	125	101.44	65	-1.20	177
301	-1302	-598	Max	0.00	9419.04	97	26.72	177	20.43	97	2938.80	173	4154.01	97	0.71	173
301	-1302	-598	Max	20.00	9419.04	97	158.93	177	22.36	97	2932.66	173	4498.87	97	0.71	173
301	-1302	-598	Min.	0.00	245.86	177	-19.57	173	-11.97	177	-349.26	125	101.44	65	-1.20	177
301	-1302	-598	Min.	20.00	245.86	177	-19.57	173	-8.37	173	-357.55	125	130.73	17	-1.20	177
301	-598	-1304	Max	0.00	9926.43	97	3.05	122	21.53	97	3114.17	173	4442.45	97	0.35	101
301	-598	-1304	Max	20.00	9926.43	97	76.24	177	22.03	97	3108.03	173	4586.45	98	0.35	101
301	-598	-1304	Min.	0.00	298.48	177	-55.98	177	-8.08	173	-472.95	101	122.18	65	-0.80	177
301	-598	-1304	Min.	20.00	298.48	177	-39.01	173	-15.89	173	-481.25	101	144.90	17	-0.80	177
301	-1304	-599	Max	0.00	9926.43	97	76.24	177	22.03	97	3108.03	173	4586.45	98	0.35	101
301	-1304	-599	Max	2.34					1.76	55			949.61	55		
301	-1304	-599	Max	20.00	9926.43	97	208.46	177	36.36	177	3101.89	173	5121.59	173	0.35	101
301	-1304	-599	Min.	0.00	298.48	177	-39.01	173	-15.89	173	-481.25	101	144.90	17	-0.80	177
301	-1304	-599	Min.	2.28					0.16	7			513.52	7		
301	-1304	-599	Min.	20.00	298.48	177	-39.01	173	-23.69	173	-489.54	101	130.21	17	-0.80	177
301	-599	305	Max	0.00	10083.60	97	8.08	177	35.96	177	1739.86	173	5083.69	173	0.93	177
301	-599	305	Max	16.00					4.84	69			1331.27	69		
301	-599	305	Max	20.00	10083.60	97	140.30	177	50.80	177	1733.72	173	5431.05	173	0.93	177
301	-599	305	Min.	0.00	302.94	177	-63.23	173	-23.62	173	-420.75	106	136.81	17	-2.52	173
301	-599	305	Min.	16.00					-3.12	21			154.32	21		
301	-599	305	Min.	20.00	302.94	177	-63.23	173	-36.27	173	-429.04	106	146.77	17	-2.52	173
301	305	-600	Max	0.00	10083.60	98	87.88	173	50.80	177	1375.46	165	5419.84	173	2.89	173
301	305	-600	Max	2.25					4.85	21			1332.04	21		
301	305	-600	Max	20.00	10083.60	98	87.88	173	35.96	177	1369.32	165	5417.01	173	2.89	173
301	305	-600	Min.	0.00	302.94	177	-140.30	177	-36.36	173	-405.64	106	146.77	65	-0.93	177
301	305	-600	Min.	2.25					-3.13	69			153.62	69		
301	305	-600	Min.	20.00	302.94	177	-9.04	125	-18.78	173	-413.93	106	136.81	65	-0.93	177
301	-600	-1306	Max	0.00	9926.42	98	43.49	173	36.36	177	489.51	106	5430.66	173	0.80	177
301	-600	-1306	Max	17.17					1.76	7			948.48	7		
301	-600	-1306	Max	20.00	9926.42	98	43.49	173	22.03	98	481.21	106	5012.83	173	0.80	177
301	-600	-1306	Min.	0.00	298.48	177	-208.46	177	-19.02	173	-2086.07	173	130.21	65	-0.35	106
301	-600	-1306	Min.	17.11					0.16	55			515.88	55		
301	-600	-1306	Min.	20.00	298.48	177	-76.24	177	-10.33	173	-2092.21	173	144.90	65	-0.35	106
301	-1306	-601	Max	0.00	9926.42	98	43.49	173	22.03	98	481.21	106	5012.83	173	0.80	177
301	-1306	-601	Max	20.00	9926.42	98	55.98	177	21.53	98	472.92	106	4593.77	173	0.80	177
301	-1306	-601	Min.	0.00	298.48	177	-76.24	177	-10.33	173	-2092.21	173	144.90	65	-0.35	106
301	-1306	-601	Min.	20.00	298.48	177	-2.56	97	-3.10	65	-2098.35	173	122.18	17	-0.35	106
301	-601	-1308	Max	0.00	9419.03	98	10.83	173	22.36	98	263.74	106	4653.06	173	1.20	177
301	-601	-1308	Max	20.00	9419.03	98	10.83	173	20.43	98	255.44	106	4154.01	98	1.20	177
301	-601	-1308	Min.	0.00	245.86	177	-158.93	177	-3.08	17	-3062.82	173	130.73	65	-0.90	173
301	-601	-1308	Min.	20.00	245.86	177	-26.72	177	-11.97	177	-3068.97	173	101.44	17	-0.90	173
301	-1308	-602	Max	0.00	9419.03	98	10.83	173	20.43	98	255.44	106	4154.01	98	1.20	177
301	-1308	-602	Max	2.51					1.66	131			1537.47	131		
301	-1308	-602	Max	20.00	9419.03	98	105.50	177	18.51	98	247.15	106	3807.50	98	1.20	177
301	-1308	-602	Min.	0.00	245.86	177	-26.72	177	-11.97	177	-3068.97	173	101.44	17	-0.90	173
301	-1308	-602	Min.	2.56					1.66	132			1537.44	132		
301	-1308	-602	Min.	20.00	245.86	177	-9.63	98	-4.09	177	-3075.11	173	71.96	17	-0.90	173
301	-602	-603	Max	0.00	8604.81	98	3.72	129	19.87	98	94.53	49	3898.20	98	1.78	97
301	-602	-603	Max	16.28					0.34	5			745.72	5		
301	-602	-603	Max	40.00	8604.81	98	133.27	177	13.98	97	82.25	49	2674.47	98	1.78	97
301	-602	-603	Min.	0.00	148.37	177	-131.16	177	-3.36	177	-3341.71	173	81.52	17	-0.75	173
301	-602	-603	Min.	16.28					1.79	5			416.48	5		
301	-602	-603	Min.	40.00	148.37	177	-14.76	98	-2.94	177	-3354.00	173	9.21	17	-0.75	173
301	-603	306	Max	0.00	7457.99	98	0.82	142	15.69	97	919.69	166	2798.52	98	1.58	97
301	-603	306	Max	8.00					1.49	51			876.72	51		
301	-603	306	Max	40.00	7457.99	98	147.75	177	3.79	177	907.40	166	2509.05	98	1.58	97
301	-603	306	Min.	0.00	-7.07	177	-116.69	177	-2.42	177	-718.00	97	19.53	17	-1.86	173
301	-603	306	Min.	12.65					-0.51	3			124.07	3		
301	-603	306	Min.	40.00	-7.07	177	-38.78	173	-15.84	173	-734.58	97	20.08	17	-1.86	173
301	306	-604	Max	0.00	6412.31	98	6.97	173	4.10	177	766.50	166	2633.32	98	1.71	97
301	306	-604	Max	40.00	6412.31	98	81.80	177	5.40	106	754.21	166	2210.88	98	1.71	97
301	306	-604	Min.	0.00	-120.70	177	-182.63	177	-16.21	173	-1188.58	173	29.13	17	-0.94	177
301	306	-604	Min.	40.00	-120.70	177	-33.77	97	-16.06	177	-1200.86	173	3.53	1	-0.94	177
301	-604	-605	Max	0.00	5035.47	106	12.70	173	5.52	106	-87.17	65	2374.72	98	2.04	97
301	-604	-605	Max	40.00	5035.47	106	98.44	177	9.30	106	-99.45	65	1401.95	106	2.04	97
301	-604	-605	Min.	0.00	-414.84	1	-165.99	177	-16.04	177	-4411.79	97	22.46	17	-1.33	173
301	-604	-605	Min.	40.00	-414.84	1	-12.57	97	-29.55	177	-4428.38	97	-392.41	101	-1.33	173

301	-605	-606	Max	0.00	4656.85	106	8.09	173	9.59	106	-153.44	65	1443.91	106	1.48	98
301	-605	-606	Max	40.00	4656.85	106	124.91	177	11.25	106	-165.72	65	884.18	106	1.48	98
301	-605	-606	Min.	0.00	-959.62	101	-139.52	177	-30.09	177	-4168.80	97	-290.28	101	-2.25	177
301	-605	-606	Min.	40.00	-959.62	101	-11.34	97	-33.02	177	-4185.38	97	-1250.44	101	-2.25	177
301	-606	-607	Max	0.00	4210.85	130	15.03	173	11.75	106	-227.60	65	934.44	106	1.03	98
301	-606	-607	Max	39.20					-3.84	35			-250.15	35		
301	-606	-607	Max	40.00	4210.85	130	190.51	177	7.13	106	-239.88	65	201.82	130	1.03	98
301	-606	-607	Min.	0.00	-1827.92	101	-73.92	177	-34.30	177	-4410.78	97	-1154.51	101	-3.33	177
301	-606	-607	Min.	39.20					-4.84	35			-604.64	35		
301	-606	-607	Min.	40.00	-1827.92	101	-11.56	106	-17.32	97	-4427.36	97	-2531.11	97	-3.33	177
301	-607	-608	Max	0.00	3906.67	130	45.95	177	7.81	106	222.75	166	234.45	130	0.83	98
301	-607	-608	Max	20.00	3906.67	130	178.16	177	9.56	177	216.61	166	162.74	130	0.83	98
301	-607	-608	Min.	0.00	-2563.23	101	-42.37	106	-16.25	97	-2386.93	97	-2380.13	97	-3.23	177
301	-607	-608	Min.	20.00	-2563.23	101	-42.37	106	-14.46	97	-2395.22	97	-2858.35	97	-3.23	177
301	-608	307	Max	0.00	3906.67	130	178.16	177	9.56	177	216.61	166	162.74	130	0.83	98
301	-608	307	Max	20.00	3906.67	130	310.38	177	58.41	177	210.47	166	89.37	130	0.83	98
301	-608	307	Min.	0.00	-2563.23	101	-42.37	106	-14.46	97	-2395.22	97	-2858.35	97	-3.23	177
301	-608	307	Min.	20.00	-2563.23	101	-42.37	106	-12.77	98	-2403.51	97	-3338.22	97	-3.23	177
301	307	-609	Max	0.00	3831.58	130	155.27	173	56.88	177	1123.71	166	104.89	130	5.93	97
301	307	-609	Max	40.00	3831.58	130	418.96	177	171.58	177	1111.43	166	389.52	130	5.93	97
301	307	-609	Min.	0.00	-2991.22	101	-69.39	106	-12.22	98	-673.18	101	-3235.12	97	-5.04	177
301	307	-609	Min.	40.00	-2991.22	101	-69.39	106	-36.25	106	-689.77	101	-3439.29	97	-5.04	177
301	-609	-610	Max	0.00	3481.42	130	54.52	106	176.95	177	303.68	101	420.88	130	4.83	177
301	-609	-610	Max	28.42					7.83	51			-41.79	51		
301	-609	-610	Max	39.88	3481.42	130	54.52	106	32.73	177	287.15	101	264.64	130	4.83	177
301	-609	-610	Min.	0.00	-3289.65	101	-493.49	177	-29.41	106	-813.78	158	-3350.15	97	-6.02	173
301	-609	-610	Min.	28.42					5.97	51			-1224.38	51		
301	-609	-610	Min.	39.88	-3289.65	101	-229.88	177	-12.49	97	-826.03	158	-3574.35	97	-6.02	173
301	-610	-611	Max	0.00	3270.41	130	33.99	106	35.00	177	1632.31	101	289.02	130	4.66	177
301	-610	-611	Max	19.94	3270.41	130	33.99	106	-0.48	154	1624.05	101	401.50	130	4.66	177
301	-610	-611	Min.	0.00	-3283.44	101	-306.25	177	-11.52	97	275.37	49	-3528.75	97	-0.24	106
301	-610	-611	Min.	19.94	-3283.44	101	-174.45	177	-16.53	97	269.25	49	-3239.91	97	-0.24	106
301	-611	-612	Max	0.00	3270.41	130	33.99	106	-0.48	154	1624.05	101	401.46	130	4.66	177
301	-611	-612	Max	19.94	3270.41	130	33.99	106	5.82	106	1615.78	101	512.30	130	4.66	177
301	-611	-612	Min.	0.00	-3283.44	101	-174.50	177	-16.53	97	266.76	49	-3240.02	97	-0.24	106
301	-611	-612	Min.	19.94	-3283.44	101	-42.70	177	-34.55	177	260.64	49	-2952.82	97	-0.24	106
301	-612	-613	Max	0.00	3048.73	130	11.46	106	5.76	106	1912.20	101	537.78	130	3.40	177
301	-612	-613	Max	39.88	3048.73	130	64.69	177	10.33	106	1895.67	101	545.18	130	3.40	177
301	-612	-613	Min.	0.00	-3076.18	101	-198.91	177	-32.26	177	-3.73	177	-2938.48	97	-0.25	106
301	-612	-613	Min.	39.88	-3076.18	101	-7.74	165	-59.02	177	-15.97	177	-2257.21	97	-0.25	106
301	-613	308	Max	0.00	2728.00	130	16.14	173	10.40	106	2547.45	122	578.82	130	1.62	177
301	-613	308	Max	39.88	2728.00	130	112.61	177	5.78	106	2530.92	122	1413.50	130	1.62	177
301	-613	308	Min.	0.00	-2700.12	101	-151.00	177	-57.74	177	31.73	177	-2267.10	97	-0.35	106
301	-613	308	Min.	39.88	-2700.12	101	-18.09	130	-65.39	177	19.49	177	-1498.34	97	-0.35	106
301	308	-614	Max	0.00	2569.81	130	18.15	101	5.98	106	1583.39	122	1438.43	130	-0.02	17
301	308	-614	Max	39.88	2569.81	130	66.40	177	4.10	173	1566.86	122	1876.57	130	-0.02	17
301	308	-614	Min.	0.00	-2304.95	101	-197.20	177	-65.48	177	132.90	17	-1527.63	97	-3.28	177
301	308	-614	Min.	39.88	-2304.95	101	-17.85	130	-91.56	177	120.65	17	-926.52	97	-3.28	177
301	-614	-615	Max	0.00	2029.12	130	23.44	121	3.90	173	1202.95	101	1934.05	130	0.19	106
301	-614	-615	Max	10.29					-3.12	6			187.83	6		
301	-614	-615	Max	39.88	2029.12	130	128.41	177	9.74	173	1186.42	101	1278.66	130	0.19	106
301	-614	-615	Min.	0.00	-1761.72	101	-135.19	177	-93.33	177	-1635.35	130	-964.34	101	-6.29	177
301	-614	-615	Min.	10.29					-4.08	6			-50.22	6		
301	-614	-615	Min.	39.88	-1761.72	101	-3.34	106	-94.68	177	-1651.88	130	-580.57	97	-6.29	177
301	-615	-616	Max	0.00	1434.93	130	36.92	121	9.65	173	904.16	97	1345.10	130	0.28	173
301	-615	-616	Max	39.87	1434.93	130	286.04	177	11.23	173	887.63	97	879.86	130	0.28	173
301	-615	-616	Min.	0.00	-1192.01	101	1.58	142	-98.40	177	-1158.48	130	-625.88	97	-9.41	177
301	-615	-616	Min.	39.87	-1192.01	101	1.58	142	-36.90	177	-1175.01	130	-268.64	97	-9.41	177
301	-616	-617	Max	0.00	734.83	130	366.03	177	11.32	173	614.96	97	957.33	130	0.30	106
301	-616	-617	Max	32.03					22.30	122			260.30	122		
301	-616	-617	Max	39.88	734.83	130	629.63	177	156.51	177	598.43	97	560.62	130	0.30	106
301	-616	-617	Min.	0.00	-594.45	101	-22.03	173	-42.00	177	-986.62	130	-317.46	97	-7.76	177
301	-616	-617	Min.	32.03					22.30	122			260.30	122		
301	-616	-617	Min.	39.88	-594.45	101	-22.03	173	2.54	173	-1003.15	130	-92.64	101	-7.76	177
301	-617	309	Max	0.00	0.00	1	1011.61	177	152.46	177	519.99	101	643.16	130	14.98	177
301	-617	309	Max	24.80					36.05	110			-4.08	110		
301	-617	309	Max	31.00	0.00	1	1216.54	177	497.83	177	507.13	101	0.00	130	14.98	177
301	-617	309	Min.	0.00	0.00	1	-86.31	173	2.70	173	-2068.30	130	-159.20	101	-3.67	173
301	-617	309	Min.	24.80					22.96	101			-31.52	101		
301	-617	309	Min.	31.00	0.00	1	-86.31	173	-24.05	173	-2081.15	130	0.00	101	-3.67	173
302	-618	-619	Max	0.00	0.00	1	101.32	173	290.28	177	1290.35	101	0.00	1	3.82	173
302	-618	-619	Max	31.00	0.00	1	101.32	173	79.20	177	1277.50	101	398.02	101	3.82	173
302	-618	-619	Min.	0.00	0.00	1	-680.89	177	-32.73	173	-1196.92	158	0.00	1	-18.69	177
302	-618	-619	Min.	31.00	0.00	1	-680.89	177	-1.32	173	-1206.44	158	-372.52	158	-18.69	177
302	-619	-620	Max	0.00	537.94	101	29.28	173	81.28	177	651.23	101	337.76	101	3.05	177
302	-619	-620	Max	39.88	537.94	101	29.28	173	10.10	173	634.70	101	594.15	101	3.05	177
302	-619	-620	Min.	0.00	-741.02	130	-265.87	177	-1.58	173	-807.19	158	-297.57	158	-0.44	125
302	-619	-620	Min.	39.88	-741.02	130	-265.87	177	-24.73	177	-819.44	158	-621.88	158	-0.44	125
302	-620	-621	Max	0.00	1051.71	101	9.12	161	9.91	173	672.35	101	537.13	101	5.17	177

302	-620	-621	Max	28.46					3.20	127			135.40	127		
302	-620	-621	Max	39.87	1051.71	101	9.12	161	9.74	173	655.82	101	801.94	101	5.17	177
302	-620	-621	Min.	0.00	-1472.85	130	-72.17	177	-22.00	177	-1145.19	158	-549.77	158	-0.41	173
302	-620	-621	Min.	15.05					0.09	22			65.93	22		
302	-620	-621	Min.	39.87	-1472.85	130	-72.17	177	-50.78	177	-1157.43	158	-1008.85	158	-0.41	173
302	-621	-622	Max	0.00	1510.35	101	10.92	177	9.72	173	407.12	101	751.00	101	3.79	177
302	-621	-622	Max	39.88	1510.35	101	10.92	177	8.76	162	390.59	101	910.04	101	3.79	177
302	-621	-622	Min.	0.00	-2164.18	130	-16.16	98	-48.70	177	-1227.48	122	-943.38	158	-0.23	125
302	-621	-622	Min.	39.88	-2164.18	130	-16.16	98	-44.35	177	-1244.01	122	-1415.49	158	-0.23	125
302	-622	-623	Max	0.00	1900.20	101	35.19	177	8.86	162	-3.94	149	866.59	101	2.15	177
302	-622	-623	Max	39.88	1900.20	101	35.19	177	9.15	125	-16.18	149	851.99	101	2.15	177
302	-622	-623	Min.	0.00	-2784.02	130	-15.55	173	-43.16	177	-1373.84	98	-1360.52	158	-0.03	125
302	-622	-623	Min.	39.88	-2784.02	130	-15.55	173	-29.12	177	-1390.37	98	-1732.86	122	-0.03	125
302	-623	-624	Max	0.00	2220.33	101	36.63	177	9.11	125	-6.35	125	816.07	101	1.17	177
302	-623	-624	Max	39.88	2220.33	101	36.63	177	10.76	101	-22.88	125	725.80	101	1.17	177
302	-623	-624	Min.	0.00	-3301.13	130	-16.86	130	-28.59	177	-1597.37	98	-1691.77	122	-0.22	65
302	-623	-624	Min.	39.88	-3301.13	130	-16.86	130	-16.68	98	-1613.90	98	-2134.03	98	-0.22	65
302	-624	-625	Max	0.00	2492.79	101	20.67	177	10.68	101	-246.00	149	695.40	101	0.53	125
302	-624	-625	Max	39.88	2492.79	101	20.67	177	9.80	101	-258.24	149	510.09	101	0.53	125
302	-624	-625	Min.	0.00	-3713.33	130	-8.83	161	-16.79	98	-1808.88	98	-2117.12	98	-0.64	98
302	-624	-625	Min.	39.88	-3713.33	130	-8.83	161	-15.88	98	-1825.41	98	-2841.70	98	-0.64	98
302	-625	-626	Max	0.00	2731.24	101	32.52	110	9.92	101	-411.45	17	483.53	101	0.45	125
302	-625	-626	Max	19.94	2731.24	101	32.52	110	3.26	101	-417.57	17	138.93	137	0.45	125
302	-625	-626	Min.	0.00	-3987.43	130	-33.39	101	-16.32	98	-2489.35	98	-2848.48	98	-0.70	98
302	-625	-626	Min.	19.94	-3987.43	130	-33.39	101	-9.97	98	-2497.61	98	-3345.62	98	-0.70	98
302	-626	-627	Max	0.00	2731.24	101	32.52	110	3.26	101	-417.97	17	138.93	137	0.45	125
302	-626	-627	Max	19.94	2731.24	101	32.52	110	2.38	173	-424.09	17	17.11	1	0.45	125
302	-626	-627	Min.	0.00	-3987.43	130	-33.39	101	-9.97	98	-2497.61	98	-3345.61	98	-0.70	98
302	-626	-627	Min.	19.94	-3987.43	130	-33.39	101	-5.26	177	-2505.88	98	-3844.39	98	-0.70	98
302	-627	310	Max	0.00	2956.67	101	102.10	98	2.08	173	-723.33	17	8.07	1	3.33	173
302	-627	310	Max	39.88	2956.67	101	102.10	98	41.44	173	-735.58	17	-395.89	17	3.33	173
302	-627	310	Min.	0.00	-4072.72	130	-87.55	101	-5.30	177	-4411.90	98	-3883.39	98	-1.94	101
302	-627	310	Min.	39.88	-4072.72	130	-87.55	101	-38.10	101	-4428.43	98	-5645.94	98	-1.94	101
302	310	-628	Max	0.00	3319.80	101	103.38	101	67.70	173	5828.52	98	-399.78	17	1.65	101
302	310	-628	Max	40.00	3319.80	101	103.38	101	16.49	173	5811.93	98	47.08	1	1.65	101
302	310	-628	Min.	0.00	-3833.76	130	-128.03	173	-47.65	101	724.78	17	-5735.09	98	-3.25	98
302	310	-628	Min.	40.00	-3833.76	130	-128.03	173	-14.41	97	712.50	17	-3407.00	98	-3.25	98
302	-628	-629	Max	0.00	3837.42	101	44.00	101	17.40	173	4043.25	98	30.86	1	1.72	173
302	-628	-629	Max	20.00	3837.42	101	44.00	101	7.88	173	4034.96	98	346.44	101	1.72	173
302	-628	-629	Min.	0.00	-3315.67	130	-47.59	173	-14.91	97	406.58	17	-3543.73	98	-0.72	101
302	-628	-629	Min.	20.00	-3315.67	130	-47.59	173	-15.64	98	400.43	17	-2735.90	98	-0.72	101
302	-629	-630	Max	0.00	3837.42	101	44.00	101	7.88	173	4034.96	98	346.44	101	1.72	173
302	-629	-630	Max	20.00	3837.42	101	44.00	101	10.60	101	4026.67	98	822.36	101	1.72	173
302	-629	-630	Min.	0.00	-3315.67	130	-47.59	173	-15.64	98	400.72	17	-2735.90	98	-0.72	101
302	-629	-630	Min.	20.00	-3315.67	130	-47.59	173	-16.50	98	394.58	17	-1929.74	98	-0.72	101
302	-630	-631	Max	0.00	4339.85	101	6.66	97	9.98	101	3695.35	98	766.51	101	1.91	173
302	-630	-631	Max	18.98					-3.57	35			14.54	35		
302	-630	-631	Max	40.00	4339.85	101	6.66	97	12.45	101	3678.77	98	1258.91	101	1.91	173
302	-630	-631	Min.	0.00	-2639.12	130	-18.82	173	-17.34	98	264.72	17	-2095.40	98	-1.01	97
302	-630	-631	Min.	18.98					-4.90	35			-311.76	35		
302	-630	-631	Min.	40.00	-2639.12	130	-18.82	173	-14.76	98	252.44	17	-1005.57	130	-1.01	97
302	-631	-632	Max	0.00	4786.12	101	10.33	98	12.04	101	3647.73	98	1209.39	101	1.63	173
302	-631	-632	Max	40.00	4786.12	101	10.33	98	8.72	101	3631.15	98	1530.84	101	1.63	173
302	-631	-632	Min.	0.00	-1853.02	130	-8.29	101	-15.91	98	198.40	17	-1092.73	130	-1.50	97
302	-631	-632	Min.	40.00	-1853.02	130	-8.29	101	-11.78	98	186.11	17	-457.10	130	-1.50	97
302	-632	-633	Max	0.00	5143.10	101	14.40	98	8.52	101	3274.16	98	1491.23	101	1.32	173
302	-632	-633	Max	40.00	5143.10	101	14.40	98	4.75	101	3257.58	98	1821.82	97	1.32	173
302	-632	-633	Min.	0.00	-1010.38	130	-9.42	101	-13.19	98	133.09	17	-550.60	130	-1.88	98
302	-632	-633	Min.	40.00	-1010.38	130	-9.42	101	-9.05	173	120.80	17	-48.90	49	-1.88	98
302	-633	-634	Max	0.00	6677.93	97	26.63	98	4.67	101	2554.66	98	1694.17	101	1.33	173
302	-633	-634	Max	40.00	6677.93	97	26.63	98	2.82	65	2538.08	98	2653.68	97	1.33	173
302	-633	-634	Min.	0.00	-152.63	130	-4.64	101	-9.04	98	80.78	17	-85.42	49	-1.80	98
302	-633	-634	Min.	40.00	-152.63	130	-4.64	101	-4.97	173	68.49	17	76.58	49	-1.80	98
302	-634	-635	Max	0.00	8098.44	97	29.42	98	2.82	101	2401.03	98	2495.63	97	1.00	173
302	-634	-635	Max	32.00					-0.11	166			559.04	166		
302	-634	-635	Max	40.00	8098.44	97	29.42	98	11.73	97	2384.45	98	3441.58	97	1.00	173
302	-634	-635	Min.	0.00	259.38	65	-2.22	125	-4.53	173	19.37	1	40.33	49	-1.74	98
302	-634	-635	Min.	32.00					-0.11	166			559.04	166		
302	-634	-635	Min.	40.00	259.38	65	-2.22	125	-3.80	173	7.09	1	133.76	65	-1.74	98
302	-635	-636	Max	0.00	9321.92	97	21.13	98	10.17	97	2644.94	98	3306.00	97	0.63	173
302	-635	-636	Max	40.00	9321.92	97	21.13	98	18.61	97	2628.35	98	4345.98	97	0.63	173
302	-635	-636	Min.	0.00	377.62	65	-8.79	173	-3.45	173	-57.10	1	120.63	65	-1.67	98
302	-635	-636	Min.	40.00	377.62	65	-8.79	173	-6.97	173	-69.39	1	182.52	65	-1.67	98
302	-636	-1303	Max	0.00	10267.70	97	15.11	97	17.32	97	2092.56	173	4241.49	97	0.49	173
302	-636	-1303	Max	12.00					1.08	126			1372.20	126		
302	-636	-1303	Max	20.00	10267.70	97	15.11	97	20.34	97	2086.42	173	4645.17	97	0.49	173
302	-636	-1303	Min.	0.00	484.79	65	-9.01	173	-6.70	173	-151.48	1	170.62	65	-1.20	98
302	-636	-1303	Min.	12.00					1.08	126			1372.20	126		
302	-636	-1303	Min.	20.00	484.79	65	-9.01	173	-8.50	173	-157.62	1	198.34	65	-1.20	98

302	-1303	-637	Max	0.00	10267.70	97	15.11	97	20.34	97	2086.42	173	4645.17	97	0.49	173
302	-1303	-637	Max	20.00	10267.70	97	15.11	97	23.36	97	2080.28	173	5047.18	97	0.49	173
302	-1303	-637	Min.	0.00	484.79	65	-9.01	173	-8.50	173	-156.61	1	198.34	65	-1.20	98
302	-1303	-637	Min.	20.00	484.79	65	-9.01	173	-10.31	173	-162.75	1	225.94	65	-1.20	98
302	-637	-1305	Max	0.00	10843.10	97	6.44	98	22.54	97	2238.89	173	4983.20	97	0.42	173
302	-637	-1305	Max	20.00	10843.10	97	6.44	98	23.81	97	2232.75	173	5128.38	97	0.42	173
302	-637	-1305	Min.	0.00	576.77	65	-2.27	177	-10.13	173	-227.41	101	215.70	65	-0.67	98
302	-637	-1305	Min.	20.00	576.77	65	-2.27	177	-10.53	173	-235.70	101	233.15	65	-0.67	98
302	-1305	-638	Max	0.00	10843.10	97	6.44	98	23.81	97	2232.75	173	5128.38	97	0.42	173
302	-1305	-638	Max	20.00	10843.10	97	6.44	98	25.08	97	2226.60	173	5272.07	98	0.42	173
302	-1305	-638	Min.	0.00	576.77	65	-2.27	177	-10.53	173	-235.70	101	233.15	65	-0.67	98
302	-1305	-638	Min.	20.00	576.77	65	-2.27	177	-10.94	173	-243.99	101	250.06	17	-0.67	98
302	-638	-639	Max	0.00	11021.20	99	3.06	106	24.81	97	3271.80	173	5251.91	97	0.28	101
302	-638	-639	Max	20.00	11021.20	99	3.06	106	24.78	100	3265.66	173	5250.85	99	0.28	101
302	-638	-639	Min.	0.00	651.41	17	-4.42	125	-10.84	173	-259.49	101	242.16	65	-0.30	130
302	-638	-639	Min.	20.00	651.41	17	-4.42	125	-11.03	173	-267.79	101	252.66	17	-0.30	130
302	-639	-640	Max	0.00	11021.20	99	3.06	106	24.78	100	3265.66	173	5250.85	99	0.28	101
302	-639	-640	Max	20.00	11021.20	99	3.06	106	24.81	98	3259.52	173	5642.45	173	0.28	101
302	-639	-640	Min.	0.00	651.41	17	-4.42	125	-11.03	173	-267.79	101	252.66	17	-0.30	130
302	-639	-640	Min.	20.00	651.41	17	-4.42	125	-11.22	173	-276.08	101	242.16	17	-0.30	130
302	-640	-1307	Max	0.00	10843.10	98	2.27	177	25.08	98	320.65	130	5649.85	173	0.67	97
302	-640	-1307	Max	20.00	10843.10	98	2.27	177	23.81	98	312.36	130	5128.38	98	0.67	97
302	-640	-1307	Min.	0.00	576.77	17	-6.44	97	-11.27	173	-2985.99	173	250.06	65	-0.34	173
302	-640	-1307	Min.	20.00	576.77	17	-6.44	97	-11.22	173	-2992.13	173	233.15	17	-0.34	173
302	-1307	-641	Max	0.00	10843.10	98	2.27	177	23.81	98	312.36	130	5128.38	98	0.67	97
302	-1307	-641	Max	20.00	10843.10	98	2.27	177	22.54	98	304.07	130	4983.20	98	0.67	97
302	-1307	-641	Min.	0.00	576.77	17	-6.44	97	-11.22	173	-2992.13	173	233.15	17	-0.34	173
302	-1307	-641	Min.	20.00	576.77	17	-6.44	97	-11.17	173	-2998.27	173	215.70	17	-0.34	173
302	-641	-1309	Max	0.00	10267.70	98	8.20	173	23.36	98	162.75	49	5047.18	98	1.20	97
302	-641	-1309	Max	20.00	10267.70	98	8.20	173	20.34	98	156.61	49	4645.17	98	1.20	97
302	-641	-1309	Min.	0.00	484.79	17	-15.11	98	-11.31	173	-3064.26	173	225.94	17	-0.42	173
302	-641	-1309	Min.	20.00	484.79	17	-15.11	98	-9.67	173	-3070.40	173	198.34	17	-0.42	173
302	-1309	-642	Max	0.00	10267.70	98	8.20	173	20.34	98	157.62	49	4645.17	98	1.20	97
302	-1309	-642	Max	20.00	10267.70	98	8.20	173	17.32	98	151.48	49	4241.49	98	1.20	97
302	-1309	-642	Min.	0.00	484.79	17	-15.11	98	-9.67	173	-3070.40	173	198.34	17	-0.42	173
302	-1309	-642	Min.	20.00	484.79	17	-15.11	98	-8.03	173	-3076.54	173	170.62	17	-0.42	173
302	-642	-643	Max	0.00	9321.91	98	9.00	173	18.61	98	69.38	49	4345.97	98	1.67	97
302	-642	-643	Max	5.21					1.69	130			1554.58	130		
302	-642	-643	Max	40.00	9321.91	98	9.00	173	10.17	98	57.10	49	3306.00	98	1.67	97
302	-642	-643	Min.	0.00	377.62	17	-21.13	97	-8.27	173	-2628.35	97	182.52	17	-0.59	173
302	-642	-643	Min.	5.21					1.69	130			1554.58	130		
302	-642	-643	Min.	40.00	377.62	17	-21.13	97	-4.66	173	-2644.94	97	120.63	17	-0.59	173
302	-643	-644	Max	0.00	8098.43	98	1.15	106	11.73	98	136.20	130	3441.58	98	1.74	97
302	-643	-644	Max	40.00	8098.43	98	1.15	106	2.82	106	119.62	130	2495.63	98	1.74	97
302	-643	-644	Min.	0.00	259.38	17	-29.42	97	-5.01	173	-2384.45	97	133.76	17	-0.98	173
302	-643	-644	Min.	40.00	259.38	17	-29.42	97	-5.36	173	-2401.03	97	40.33	1	-0.98	173
302	-644	-645	Max	0.00	6677.92	98	4.64	106	2.82	17	9.80	130	2653.68	98	1.80	97
302	-644	-645	Max	23.25					1.36	130			1582.56	130		
302	-644	-645	Max	40.00	6677.92	98	4.64	106	4.67	106	-6.78	130	1694.15	106	1.80	97
302	-644	-645	Min.	0.00	-48.74	1	-26.63	97	-5.81	173	-2538.08	97	76.58	1	-1.33	173
302	-644	-645	Min.	23.25					1.36	130			1582.56	130		
302	-644	-645	Min.	40.00	-48.74	1	-26.63	97	-9.04	97	-2554.66	97	-85.42	1	-1.33	173
302	-645	-646	Max	0.00	5142.96	106	9.42	106	4.75	106	-120.80	65	1821.82	98	1.88	97
302	-645	-646	Max	40.00	5142.96	106	9.42	106	8.52	106	-133.09	65	1491.19	106	1.88	97
302	-645	-646	Min.	0.00	-377.61	1	-14.40	97	-9.45	173	-3257.58	97	-48.90	1	-1.33	173
302	-645	-646	Min.	40.00	-377.61	1	-14.40	97	-13.19	97	-3274.16	97	-357.14	101	-1.33	173
302	-646	-647	Max	0.00	4785.96	106	8.70	130	8.72	106	-186.11	65	1530.81	106	1.50	98
302	-646	-647	Max	40.00	4785.96	106	8.70	130	12.04	106	-198.40	65	1209.35	106	1.50	98
302	-646	-647	Min.	0.00	-979.18	101	-10.33	97	-11.78	97	-3631.14	97	-249.44	101	-1.65	173
302	-646	-647	Min.	40.00	-979.18	101	-10.33	97	-15.91	97	-3647.73	97	-1082.24	101	-1.65	173
302	-647	-648	Max	0.00	4339.67	106	18.93	173	12.45	106	-252.44	65	1258.87	106	1.01	98
302	-647	-648	Max	22.10					-3.43	35			-6.80	35		
302	-647	-648	Max	40.00	4339.67	106	18.93	173	9.98	106	-264.72	65	862.59	130	1.01	98
302	-647	-648	Min.	0.00	-1898.37	101	-6.66	98	-14.76	97	-3678.76	97	-980.42	101	-1.93	173
302	-647	-648	Min.	22.10					-4.70	35			-335.08	35		
302	-647	-648	Min.	40.00	-1898.37	101	-6.66	98	-17.34	97	-3695.34	97	-2095.40	97	-1.93	173
302	-648	-649	Max	0.00	3943.41	130	46.98	173	10.60	106	-394.58	65	895.89	130	0.72	106
302	-648	-649	Max	20.00	3943.41	130	46.98	173	7.95	173	-400.72	65	592.55	130	0.72	106
302	-648	-649	Min.	0.00	-2695.79	101	-44.00	106	-16.50	97	-4026.66	97	-1929.74	97	-1.74	173
302	-648	-649	Min.	20.00	-2695.79	101	-44.00	106	-15.64	97	-4034.95	97	-2735.90	97	-1.74	173
302	-649	-650	Max	0.00	3943.41	130	46.98	173	7.95	173	-400.43	65	592.55	130	0.72	106
302	-649	-650	Max	20.00	3943.41	130	46.98	173	17.35	173	-406.57	65	287.56	130	0.72	106
302	-649	-650	Min.	0.00	-2695.79	101	-44.00	106	-15.64	97	-4034.95	97	-2735.90	97	-1.74	173
302	-649	-650	Min.	20.00	-2695.79	101	-44.00	106	-14.91	98	-4043.24	97	-3543.72	97	-1.74	173
302	-650	311	Max	0.00	3622.10	130	127.21	173	16.43	173	-712.49	65	323.08	130	3.33	121
302	-650	311	Max	40.00	3622.10	130	127.21	173	67.31	173	-724.77	65	-399.78	65	3.33	121
302	-650	311	Min.	0.00	-3302.88	101	-103.37	106	-14.41	98	-5811.92	97	-3406.99	97	-1.64	106
302	-650	311	Min.	40.00	-3302.88	101	-103.37	106	-47.64	106	-5828.50	97	-5735.07	97	-1.64	106
302	311	-651	Max	0.00	3394.90	130	87.53	106	48.82	121	4428.20	97	-395.89	65	1.94	106

302	311	-651	Max	39.88	3394.90	130	87.53	106	3.85	162	4411.67	97	347.99	130	1.94	106
302	311	-651	Min.	0.00	-3584.25	101	-120.80	121	-38.10	106	735.54	65	-5645.92	97	-3.36	173
302	311	-651	Min.	39.88	-3584.25	101	-120.80	121	-5.30	177	723.30	65	-3883.47	97	-3.36	173
302	-651	-652	Max	0.00	3219.85	130	33.39	106	4.41	162	2505.84	97	368.28	130	0.98	121
302	-651	-652	Max	19.94	3219.85	130	33.39	106	3.26	106	2497.58	97	618.96	130	0.98	121
302	-651	-652	Min.	0.00	-3520.86	101	-43.54	121	-5.25	177	424.08	65	-3844.27	97	-0.28	106
302	-651	-652	Min.	19.94	-3520.86	101	-43.54	121	-9.97	97	417.96	65	-3345.49	97	-0.28	106
302	-652	-653	Max	0.00	3219.85	130	33.39	106	3.26	106	2497.58	97	618.87	130	0.98	121
302	-652	-653	Max	19.94	3219.85	130	33.39	106	9.91	106	2489.32	97	867.90	130	0.98	121
302	-652	-653	Min.	0.00	-3520.86	101	-43.54	121	-9.97	97	417.57	65	-3345.68	97	-0.28	106
302	-652	-653	Min.	19.94	-3520.86	101	-43.54	121	-16.32	97	411.44	65	-2848.55	97	-0.28	106
302	-653	-654	Max	0.00	2998.20	130	3.13	173	9.80	106	1825.43	97	892.56	130	0.94	121
302	-653	-654	Max	39.88	2998.20	130	3.13	173	10.68	106	1808.90	97	1048.13	130	0.94	121
302	-653	-654	Min.	0.00	-3258.39	101	-20.67	177	-15.88	97	258.29	154	-2841.70	97	-0.48	177
302	-653	-654	Min.	39.88	-3258.39	101	-20.67	177	-19.81	121	246.05	154	-2117.11	97	-0.48	177
302	-654	-655	Max	0.00	2716.55	130	12.85	173	10.75	106	1613.90	97	1079.62	130	0.22	17
302	-654	-655	Max	39.88	2716.55	130	12.85	173	5.24	106	1597.37	97	1226.36	130	0.22	17
302	-654	-655	Min.	0.00	-2857.50	101	-36.63	177	-19.46	121	126.34	154	-2134.11	97	-1.17	177
302	-654	-655	Min.	39.88	-2857.50	101	-36.63	177	-28.58	177	114.10	154	-1493.86	97	-1.17	177
302	-655	-656	Max	0.00	2357.69	130	15.25	173	5.46	106	1390.36	97	1266.78	130	0.02	17
302	-655	-656	Max	39.88	2357.69	130	15.25	173	4.65	173	1373.83	97	1273.58	130	0.02	17
302	-655	-656	Min.	0.00	-2367.48	101	-35.19	177	-29.12	177	16.20	154	-1527.39	97	-2.15	177
302	-655	-656	Min.	39.88	-2367.48	101	-35.19	177	-43.15	177	3.96	154	-976.28	97	-2.15	177
302	-656	-657	Max	0.00	1887.55	130	20.77	121	4.55	173	1104.26	97	1325.88	130	0.21	106
302	-656	-657	Max	39.88	1887.55	130	20.77	121	9.64	173	1087.73	97	1041.48	130	0.21	106
302	-656	-657	Min.	0.00	-1812.37	101	-10.91	177	-44.35	177	-704.94	130	-1020.75	97	-3.79	177
302	-656	-657	Min.	39.88	-1812.37	101	-10.91	177	-48.70	177	-721.47	130	-583.73	97	-3.79	177
302	-657	-658	Max	0.00	1317.50	130	72.18	177	9.66	173	842.87	97	1104.71	130	0.39	173
302	-657	-658	Max	28.84					0.09	127			168.19	127		
302	-657	-658	Max	39.87	1317.50	130	72.18	177	10.15	173	826.34	97	702.33	130	0.39	173
302	-657	-658	Min.	0.00	-1219.49	101	0.95	142	-50.78	177	-1000.85	130	-634.99	97	-5.17	177
302	-657	-658	Min.	24.26					0.04	70			65.79	70		
302	-657	-658	Min.	39.87	-1219.49	101	0.95	142	-22.00	177	-1017.38	130	-302.19	97	-5.17	177
302	-658	-659	Max	0.00	674.62	130	265.88	177	10.34	173	508.89	97	773.58	130	0.26	106
302	-658	-659	Max	39.88	674.62	130	265.88	177	81.29	177	492.37	97	416.11	130	0.26	106
302	-658	-659	Min.	0.00	-608.68	101	-28.08	173	-24.72	177	-888.21	130	-357.21	97	-3.05	177
302	-658	-659	Min.	39.88	-608.68	101	-28.08	173	-0.86	173	-904.74	130	-159.10	173	-3.05	177
302	-659	-660	Max	0.00	0.00	1	680.90	177	79.20	177	696.27	97	491.67	130	18.69	177
302	-659	-660	Max	24.80					13.27	150			-14.56	150		
302	-659	-660	Max	31.00	0.00	1	680.90	177	290.28	177	683.42	97	0.00	130	18.69	177
302	-659	-660	Min.	0.00	0.00	1	-100.15	173	-0.59	173	-1579.59	130	-213.85	97	-3.84	173
302	-659	-660	Min.	24.80					33.63	97			-42.45	97		
302	-659	-660	Min.	31.00	0.00	1	-100.15	173	-31.64	173	-1592.44	130	0.00	173	-3.84	173
303	-704	-705	Max	0.00	0.00	1	115.41	173	299.10	177	1240.67	101	0.00	1	3.90	173
303	-704	-705	Max	31.00	0.00	1	115.41	173	82.35	177	1227.82	101	382.62	101	3.90	173
303	-704	-705	Min.	0.00	0.00	1	-699.19	177	-42.35	173	-1041.77	158	0.00	1	-19.36	177
303	-704	-705	Min.	31.00	0.00	1	-699.19	177	-6.58	173	-1051.29	158	-324.43	158	-19.36	177
303	-705	-706	Max	0.00	537.13	101	38.03	173	84.63	177	573.82	101	322.46	101	3.16	177
303	-705	-706	Max	39.88	537.13	101	38.03	173	8.28	173	557.29	101	547.98	101	3.16	177
303	-705	-706	Min.	0.00	-730.30	130	-274.76	177	-6.89	173	-705.83	158	-250.94	158	-0.32	173
303	-705	-706	Min.	39.88	-730.30	130	-274.76	177	-24.93	177	-718.07	158	-534.83	158	-0.32	173
303	-706	-707	Max	0.00	1051.95	101	4.99	173	7.97	173	519.68	101	490.83	101	5.32	177
303	-706	-707	Max	4.12					2.03	21			89.92	21		
303	-706	-707	Max	39.87	1051.95	101	4.99	173	9.96	173	503.15	101	694.76	101	5.32	177
303	-706	-707	Min.	0.00	-1455.51	130	-78.10	177	-22.03	177	-993.76	122	-463.63	158	-0.63	173
303	-706	-707	Min.	4.12					0.44	21			30.56	21		
303	-706	-707	Min.	39.87	-1455.51	130	-78.10	177	-53.17	177	-1010.29	122	-851.00	158	-0.63	173
303	-707	-708	Max	0.00	1515.79	101	8.11	177	9.81	173	259.95	101	643.13	101	3.91	177
303	-707	-708	Max	2.57					0.16	19			213.69	19		
303	-707	-708	Max	39.88	1515.79	101	8.11	177	6.63	173	243.42	101	743.49	101	3.91	177
303	-707	-708	Min.	0.00	-2147.11	130	-12.55	98	-50.98	177	-1179.62	98	-785.47	158	-0.35	173
303	-707	-708	Min.	2.57					-3.21	19			-108.76	19		
303	-707	-708	Min.	39.88	-2147.11	130	-12.55	98	-47.74	177	-1196.15	98	-1240.77	122	-0.35	173
303	-708	-709	Max	0.00	1924.78	101	35.69	177	6.63	173	39.97	137	697.85	101	2.23	177
303	-708	-709	Max	21.13					0.63	104			673.06	104		
303	-708	-709	Max	39.88	1924.78	101	35.69	177	4.76	125	27.73	137	706.67	101	2.23	177
303	-708	-709	Min.	0.00	-2785.95	130	-10.86	173	-46.48	177	-1511.50	98	-1182.31	122	-0.10	173
303	-708	-709	Min.	7.98					-1.94	113			531.59	113		
303	-708	-709	Min.	39.88	-2785.95	130	-10.86	173	-32.24	177	-1528.03	98	-1710.95	122	-0.10	173
303	-709	-710	Max	0.00	2281.73	101	35.30	177	4.71	125	59.22	137	666.73	101	1.01	177
303	-709	-710	Max	4.26					1.87	102			601.77	102		
303	-709	-710	Max	39.88	2281.73	101	35.30	177	5.99	125	46.98	137	682.21	101	1.01	177
303	-709	-710	Min.	0.00	-3346.31	130	-8.26	173	-31.70	177	-1915.38	98	-1665.08	122	-0.22	65
303	-709	-710	Min.	13.66					0.29	150			326.10	150		
303	-709	-710	Min.	39.88	-3346.31	130	-8.26	173	-17.62	177	-1931.91	98	-2381.12	98	-0.22	65
303	-710	-711	Max	0.00	2601.74	101	24.41	177	6.04	125	-44.44	149	646.65	101	0.43	125
303	-710	-711	Max	39.88	2601.74	101	24.41	177	6.68	101	-56.69	149	593.33	101	0.43	125
303	-710	-711	Min.	0.00	-3796.16	130	-5.51	165	-17.52	177	-2376.45	98	-2361.40	98	-0.41	65
303	-710	-711	Min.	39.88	-3796.16	130	-5.51	165	-10.05	98	-2392.98	98	-3312.31	98	-0.41	65

303	-711	-712	Max	0.00	2885.50	101	23.38	110	6.70	101	-424.39	17	561.80	101	0.28	125
303	-711	-712	Max	19.94	2885.50	101	23.38	110	2.65	101	-430.51	17	147.40	137	0.28	125
303	-711	-712	Min.	0.00	-4091.81	130	-20.35	101	-10.37	98	-2640.63	98	-3319.16	98	-0.46	98
303	-711	-712	Min.	19.94	-4091.81	130	-20.35	101	-5.88	98	-2648.89	98	-3846.46	98	-0.46	98
303	-712	-713	Max	0.00	2885.50	101	23.38	110	2.65	101	-431.16	17	147.40	137	0.28	125
303	-712	-713	Max	15.95					-0.64	148			-2319.21	148		
303	-712	-713	Max	19.94	2885.50	101	23.38	110	3.22	173	-437.29	17	-76.84	1	0.28	125
303	-712	-713	Min.	0.00	-4091.81	130	-20.35	101	-5.88	98	-2648.89	98	-3846.45	98	-0.46	98
303	-712	-713	Min.	15.95					-0.64	148			-2319.21	148		
303	-712	-713	Min.	19.94	-4091.81	130	-20.35	101	-3.58	177	-2657.16	98	-4375.40	98	-0.46	98
303	-713	-714	Max	0.00	3125.75	101	56.22	110	3.17	173	-241.12	17	-87.39	1	1.40	173
303	-713	-714	Max	39.88	3125.75	101	56.22	110	23.28	118	-253.36	17	-200.39	1	1.40	173
303	-713	-714	Min.	0.00	-4173.84	130	-60.71	101	-3.76	177	-2211.84	102	-4419.78	98	-1.34	101
303	-713	-714	Min.	39.88	-4173.84	130	-60.71	101	-25.53	101	-2228.37	102	-4906.60	98	-1.34	101
303	-714	-715	Max	0.00	3512.21	101	71.65	101	43.30	173	2842.29	102	-214.14	1	1.05	101
303	-714	-715	Max	40.00	3512.21	101	71.65	101	15.07	173	2825.71	102	-11.99	149	1.05	101
303	-714	-715	Min.	0.00	-3966.24	130	-70.59	173	-32.15	101	307.47	17	-5000.33	98	-1.60	98
303	-714	-715	Min.	40.00	-3966.24	130	-70.59	173	-9.79	97	295.19	17	-3875.15	98	-1.60	98
303	-715	-716	Max	0.00	4047.32	101	28.13	101	15.75	173	4391.72	98	-43.21	149	1.23	173
303	-715	-716	Max	20.00	4047.32	101	28.13	101	8.58	173	4383.43	98	399.37	101	1.23	173
303	-715	-716	Min.	0.00	-3482.98	130	-35.83	173	-10.28	97	491.21	17	-4016.21	98	-0.66	97
303	-715	-716	Min.	20.00	-3482.98	130	-35.83	173	-10.61	98	485.07	17	-3138.69	98	-0.66	97
303	-716	-717	Max	0.00	4047.32	101	28.13	101	8.58	173	4383.43	98	399.37	101	1.23	173
303	-716	-717	Max	20.00	4047.32	101	28.13	101	7.26	101	4375.14	98	956.07	101	1.23	173
303	-716	-717	Min.	0.00	-3482.98	130	-35.83	173	-10.61	98	485.01	17	-3138.69	98	-0.66	97
303	-716	-717	Min.	20.00	-3482.98	130	-35.83	173	-11.06	98	478.86	17	-2262.83	98	-0.66	97
303	-717	-718	Max	0.00	4524.87	101	5.95	97	6.81	101	4045.14	98	902.79	101	1.48	173
303	-717	-718	Max	40.00	4524.87	101	5.95	97	7.13	101	4028.56	98	1210.25	101	1.48	173
303	-717	-718	Min.	0.00	-2806.69	130	-15.81	173	-11.83	98	402.44	149	-2436.55	98	-0.86	97
303	-717	-718	Min.	40.00	-2806.69	130	-15.81	173	-9.54	98	390.15	149	-1159.23	130	-0.86	97
303	-718	-719	Max	0.00	4944.34	101	8.83	98	6.82	101	3665.71	98	1163.54	101	1.41	173
303	-718	-719	Max	6.39					-2.73	5			440.85	5		
303	-718	-719	Max	40.00	4944.34	101	8.83	98	4.87	101	3649.12	98	1418.17	101	1.41	173
303	-718	-719	Min.	0.00	-2007.97	130	-4.87	101	-10.52	98	306.06	17	-1247.68	130	-1.16	97
303	-718	-719	Min.	6.00					-3.60	53			-496.19	53		
303	-718	-719	Min.	40.00	-2007.97	130	-4.87	101	-6.98	98	293.77	17	-534.70	130	-1.16	97
303	-719	-720	Max	0.00	5290.64	101	11.75	98	4.67	101	3270.86	98	1379.85	101	1.31	173
303	-719	-720	Max	40.00	5290.64	101	11.75	98	3.23	101	3254.28	98	1652.79	101	1.31	173
303	-719	-720	Min.	0.00	-1145.42	130	-3.60	101	-8.13	98	219.61	17	-630.40	130	-1.34	97
303	-719	-720	Min.	40.00	-1145.42	130	-3.60	101	-5.04	17	207.32	17	-69.05	49	-1.34	97
303	-720	-721	Max	0.00	6949.61	97	14.69	98	3.11	101	3009.13	98	1625.49	101	1.21	173
303	-720	-721	Max	40.00	6949.61	97	14.69	98	2.87	65	2992.55	98	2604.65	97	1.21	173
303	-720	-721	Min.	0.00	-262.92	130	-1.42	101	-4.75	122	147.10	1	-128.59	130	-1.42	98
303	-720	-721	Min.	40.00	-262.92	130	-1.42	101	-4.53	17	134.81	1	96.38	49	-1.42	98
303	-721	-722	Max	0.00	8524.44	97	17.23	98	2.53	65	3011.27	98	2429.83	97	1.11	173
303	-721	-722	Max	40.00	8524.44	97	17.23	98	6.88	97	2994.69	98	3617.21	97	1.11	173
303	-721	-722	Min.	0.00	294.13	49	-0.87	173	-4.31	17	47.82	1	58.25	49	-1.38	98
303	-721	-722	Min.	40.00	294.13	49	-0.87	173	-4.04	17	35.54	1	226.33	65	-1.38	98
303	-722	-723	Max	0.00	9889.66	97	19.21	98	5.68	97	3297.76	98	3465.86	97	0.97	173
303	-722	-723	Max	36.66					-0.59	5			835.93	5		
303	-722	-723	Max	40.00	9889.66	97	19.21	98	13.33	97	3281.18	98	4768.38	97	0.97	173
303	-722	-723	Min.	0.00	567.57	65	-7.33	173	-3.89	17	-32.70	1	204.43	49	-1.14	98
303	-722	-723	Min.	36.66					1.42	5			533.59	5		
303	-722	-723	Min.	40.00	567.57	65	-7.33	173	-4.35	173	-44.98	1	281.79	65	-1.14	98
303	-723	-1298	Max	0.00	10962.20	97	15.98	98	12.32	97	2827.24	98	4650.11	97	0.78	173
303	-723	-1298	Max	20.00	10962.20	97	15.98	98	15.50	97	2818.95	98	5207.78	97	0.78	173
303	-723	-1298	Min.	0.00	694.31	65	-13.57	173	-3.89	173	-114.91	1	267.70	65	-0.77	98
303	-723	-1298	Min.	20.00	694.31	65	-13.57	173	-6.61	173	-121.05	1	298.05	65	-0.77	98
303	-1298	-724	Max	0.00	10962.20	97	15.98	98	15.50	97	2818.95	98	5207.78	97	0.78	173
303	-1298	-724	Max	18.00					1.72	114			1567.37	114		
303	-1298	-724	Max	20.00	10962.20	97	15.98	98	18.68	97	2810.66	98	5763.80	97	0.78	173
303	-1298	-724	Min.	0.00	694.31	65	-13.57	173	-6.61	173	-120.39	1	298.05	65	-0.77	98
303	-1298	-724	Min.	18.00					1.72	114			1567.37	114		
303	-1298	-724	Min.	20.00	694.31	65	-13.57	173	-9.32	173	-126.53	1	328.04	65	-0.77	98
303	-724	-1299	Max	0.00	11607.10	97	1.72	106	18.05	97	1808.18	173	5692.06	97	0.39	173
303	-724	-1299	Max	5.73					1.67	126			1444.85	126		
303	-724	-1299	Max	20.00	11607.10	97	1.72	106	18.20	97	1802.04	173	5717.61	97	0.39	173
303	-724	-1299	Min.	0.00	798.53	65	-17.90	173	-8.90	173	-234.16	101	316.43	65	-0.65	98
303	-724	-1299	Min.	5.73					1.67	126			1444.85	126		
303	-724	-1299	Min.	20.00	798.53	65	-17.90	173	-12.48	173	-242.45	101	338.38	65	-0.65	98
303	-1299	-725	Max	0.00	11607.10	97	1.72	106	18.20	97	1802.04	173	5717.61	97	0.39	173
303	-1299	-725	Max	20.00	11607.10	97	1.72	106	18.34	97	1795.90	173	5741.50	97	0.39	173
303	-1299	-725	Min.	0.00	798.53	65	-17.90	173	-12.48	173	-242.45	101	338.38	65	-0.65	98
303	-1299	-725	Min.	20.00	798.53	65	-17.90	173	-16.06	173	-250.74	101	359.98	65	-0.65	98
303	-725	-726	Max	0.00	11790.20	99	1.43	106	18.14	97	965.25	173	5720.40	97	0.27	101
303	-725	-726	Max	19.50					0.42	177			727.22	177		
303	-725	-726	Max	20.00	11790.20	99	1.43	106	18.13	100	959.10	173	5718.11	99	0.27	101
303	-725	-726	Min.	0.00	878.02	17	-11.82	173	-15.80	173	-418.94	101	351.12	65	-0.27	106
303	-725	-726	Min.	19.50					0.42	177			727.22	177		

303	-725	-726	Min.	20.00	878.02	17	-11.82	173	-18.16	173	-427.23	101	366.14	17	-0.27	106
303	-726	-727	Max	0.00	11790.20	99	1.43	106	18.13	100	959.10	173	5718.11	99	0.27	101
303	-726	-727	Max	19.50					0.42	177			726.63	177		
303	-726	-727	Max	20.00	11790.20	99	1.43	106	18.14	98	952.96	173	5720.40	98	0.27	101
303	-726	-727	Min.	0.00	878.02	17	-11.82	173	-18.16	173	-427.23	101	366.14	17	-0.27	106
303	-726	-727	Min.	19.50					0.42	177			726.63	177		
303	-726	-727	Min.	20.00	878.02	17	-11.82	173	-20.53	173	-435.52	101	351.12	17	-0.27	106
303	-727	-1300	Max	0.00	11607.10	98	10.32	173	18.34	98	337.23	130	5741.50	98	0.65	97
303	-727	-1300	Max	20.00	11607.10	98	10.32	173	18.20	98	328.94	130	5717.61	98	0.65	97
303	-727	-1300	Min.	0.00	798.53	17	-1.72	101	-20.55	173	-1023.93	173	359.98	17	-0.20	106
303	-727	-1300	Min.	20.00	798.53	17	-1.72	101	-18.49	173	-1030.07	173	338.38	17	-0.20	106
303	-1300	-728	Max	0.00	11607.10	98	10.32	173	18.20	98	328.94	130	5717.61	98	0.65	97
303	-1300	-728	Max	20.00	11607.10	98	10.32	173	18.05	98	320.65	130	5692.06	98	0.65	97
303	-1300	-728	Min.	0.00	798.53	17	-1.72	101	-18.49	173	-1030.07	173	338.38	17	-0.20	106
303	-1300	-728	Min.	20.00	798.53	17	-1.72	101	-16.42	173	-1036.21	173	316.43	17	-0.20	106
303	-728	-1301	Max	0.00	10962.20	98	18.83	173	18.68	98	188.07	130	5763.80	98	0.77	97
303	-728	-1301	Max	1.28					1.72	117			1567.37	117		
303	-728	-1301	Max	20.00	10962.20	98	18.83	173	15.50	98	179.78	130	5207.78	98	0.77	97
303	-728	-1301	Min.	0.00	694.31	17	-15.98	97	-16.72	173	-2810.66	97	328.04	17	-0.49	173
303	-728	-1301	Min.	1.28					1.72	117			1567.37	117		
303	-728	-1301	Min.	20.00	694.31	17	-15.98	97	-12.95	173	-2818.95	97	298.05	17	-0.49	173
303	-1301	-729	Max	0.00	10962.20	98	18.83	173	15.50	98	179.78	130	5207.78	98	0.77	97
303	-1301	-729	Max	20.00	10962.20	98	18.83	173	12.32	98	171.49	130	4650.11	98	0.77	97
303	-1301	-729	Min.	0.00	694.31	17	-15.98	97	-12.95	173	-2818.95	97	298.05	17	-0.49	173
303	-1301	-729	Min.	20.00	694.31	17	-15.98	97	-9.19	173	-2827.24	97	267.70	17	-0.49	173
303	-729	-730	Max	0.00	9889.66	98	14.29	173	13.33	98	46.07	130	4768.37	98	1.14	97
303	-729	-730	Max	31.08					1.51	129			1595.02	129		
303	-729	-730	Max	40.00	9889.66	98	14.29	173	5.68	98	32.70	49	3465.86	98	1.14	97
303	-729	-730	Min.	0.00	567.56	17	-19.21	97	-9.63	173	-3281.18	97	281.79	17	-0.90	173
303	-729	-730	Min.	3.16					1.42	53			534.42	53		
303	-729	-730	Min.	40.00	567.56	17	-19.21	97	-3.92	173	-3297.76	97	204.43	1	-0.90	173
303	-730	-731	Max	0.00	8524.43	98	6.34	173	6.88	98	-35.54	49	3617.21	98	1.38	97
303	-730	-731	Max	40.00	8524.43	98	6.34	173	2.53	17	-47.82	49	2429.83	98	1.38	97
303	-730	-731	Min.	0.00	294.13	1	-17.23	97	-4.48	173	-2994.69	97	226.33	17	-1.16	173
303	-730	-731	Min.	40.00	294.13	1	-17.23	97	-4.31	65	-3011.27	97	58.25	1	-1.16	173
303	-731	-732	Max	0.00	6949.61	98	1.42	106	2.87	17	-134.81	49	2604.65	98	1.42	97
303	-731	-732	Max	40.00	6949.61	98	1.42	106	3.11	106	-147.10	49	1625.47	106	1.42	97
303	-731	-732	Min.	0.00	-49.07	1	-14.69	97	-4.53	65	-2992.55	97	96.38	1	-1.32	173
303	-731	-732	Min.	40.00	-49.07	1	-14.69	97	-4.75	65	-3009.13	97	-107.25	1	-1.32	173
303	-732	-733	Max	0.00	5290.50	106	3.60	106	3.23	106	-207.32	65	1652.77	106	1.34	98
303	-732	-733	Max	40.00	5290.50	106	3.60	106	4.67	106	-219.61	65	1379.83	106	1.34	98
303	-732	-733	Min.	0.00	-393.07	1	-11.75	97	-5.04	65	-3254.28	97	-69.05	1	-1.41	173
303	-732	-733	Min.	40.00	-393.07	1	-11.75	97	-8.13	97	-3270.86	97	-455.58	101	-1.41	173
303	-733	-734	Max	0.00	4944.17	106	4.90	130	4.87	106	-293.77	65	1418.14	106	1.16	98
303	-733	-734	Max	32.00					-2.73	53			448.78	53		
303	-733	-734	Max	40.00	4944.17	106	4.90	130	6.82	106	-306.06	65	1220.35	130	1.16	98
303	-733	-734	Min.	0.00	-1102.11	101	-8.83	97	-6.98	97	-3649.12	97	-344.53	101	-1.48	173
303	-733	-734	Min.	32.35					-3.57	5			-482.54	5		
303	-733	-734	Min.	40.00	-1102.11	101	-8.83	97	-10.52	97	-3665.71	97	-1205.43	101	-1.48	173
303	-734	-735	Max	0.00	4524.68	106	15.20	173	7.13	106	-390.17	154	1244.24	130	0.86	98
303	-734	-735	Max	40.00	4524.68	106	15.20	173	6.81	106	-402.45	154	1074.85	130	0.86	98
303	-734	-735	Min.	0.00	-2045.16	101	-5.95	98	-9.54	97	-4028.56	97	-1101.02	101	-1.52	173
303	-734	-735	Min.	40.00	-2045.16	101	-5.95	98	-11.83	97	-4045.14	97	-2436.55	97	-1.52	173
303	-735	-736	Max	0.00	4073.67	130	34.63	173	7.26	106	-478.87	65	1105.71	130	0.66	98
303	-735	-736	Max	20.00	4073.67	130	34.63	173	9.17	173	-485.01	65	727.21	130	0.66	98
303	-735	-736	Min.	0.00	-2857.85	101	-28.13	106	-11.06	97	-4375.15	97	-2262.83	97	-1.25	173
303	-735	-736	Min.	20.00	-2857.85	101	-28.13	106	-10.61	97	-4383.44	97	-3138.69	97	-1.25	173
303	-736	-737	Max	0.00	4073.67	130	34.63	173	9.17	173	-485.07	65	727.21	130	0.66	98
303	-736	-737	Max	20.00	4073.67	130	34.63	173	16.10	173	-491.21	65	347.04	130	0.66	98
303	-736	-737	Min.	0.00	-2857.85	101	-28.13	106	-10.61	97	-4383.44	97	-3138.69	97	-1.25	173
303	-736	-737	Min.	20.00	-2857.85	101	-28.13	106	-10.28	98	-4391.73	97	-4016.21	97	-1.25	173
303	-737	-738	Max	0.00	3728.43	130	68.19	173	15.42	173	-295.18	65	384.05	130	1.79	121
303	-737	-738	Max	40.00	3728.43	130	68.19	173	42.70	173	-307.46	65	-214.14	49	1.79	121
303	-737	-738	Min.	0.00	-3455.24	101	-71.65	106	-9.79	98	-2825.83	105	-3875.15	97	-1.05	106
303	-737	-738	Min.	40.00	-3455.24	101	-71.65	106	-32.15	106	-2842.41	105	-5000.32	97	-1.05	106
303	-738	-739	Max	0.00	3460.77	130	60.70	106	31.47	125	2228.19	105	-200.38	49	1.34	106
303	-738	-739	Max	39.88	3460.77	130	60.70	106	3.30	125	2211.66	105	297.20	130	1.34	106
303	-738	-739	Min.	0.00	-3733.99	101	-72.61	121	-25.53	106	253.37	65	-4906.59	97	-1.35	173
303	-738	-739	Min.	39.88	-3733.99	101	-72.61	121	-3.76	177	241.13	65	-4419.74	97	-1.35	173
303	-739	-740	Max	0.00	3263.71	130	20.35	106	3.75	125	2657.20	97	320.75	130	0.67	121
303	-739	-740	Max	19.94	3263.71	130	20.35	106	2.65	106	2648.94	97	626.06	130	0.67	121
303	-739	-740	Min.	0.00	-3691.70	101	-32.67	121	-3.58	177	437.29	65	-4375.31	97	-0.17	106
303	-739	-740	Min.	19.94	-3691.70	101	-32.67	121	-5.88	97	431.17	65	-3846.36	97	-0.17	106
303	-740	-741	Max	0.00	3263.71	130	20.35	106	2.65	106	2648.94	97	625.95	130	0.67	121
303	-740	-741	Max	19.94	3263.71	130	20.35	106	6.70	106	2640.68	97	929.61	130	0.67	121
303	-740	-741	Min.	0.00	-3691.70	101	-32.67	121	-5.88	97	430.52	65	-3846.55	97	-0.17	106
303	-740	-741	Min.	19.94	-3691.70	101	-32.67	121	-10.93	121	424.40	65	-3319.25	97	-0.17	106
303	-741	-742	Max	0.00	2995.95	130	1.47	173	6.68	106	2393.04	97	959.41	130	0.61	121
303	-741	-742	Max	39.88	2995.95	130	1.47	173	4.94	106	2376.51	97	973.59	130	0.61	121

303	-741	-742	Min.	0.00	-3419.18	101	-24.40	177	-10.42	121	43.82	130	-3312.32	97	-0.39	106
303	-741	-742	Min.	39.88	-3419.18	101	-24.40	177	-17.52	177	27.29	130	-2361.39	97	-0.39	106
303	-742	-743	Max	0.00	2661.06	130	8.08	173	5.03	106	1931.93	97	1010.83	130	0.22	17
303	-742	-743	Max	35.30					1.90	105			601.68	105		
303	-742	-743	Max	39.88	2661.06	130	8.08	173	2.44	173	1915.40	97	958.65	130	0.22	17
303	-742	-743	Min.	0.00	-2991.63	101	-35.30	177	-17.62	177	-122.58	130	-2381.22	97	-1.01	177
303	-742	-743	Min.	24.37					0.37	153			326.04	153		
303	-742	-743	Min.	39.88	-2991.63	101	-35.30	177	-31.70	177	-139.11	130	-1614.16	97	-1.01	177
303	-743	-744	Max	0.00	2260.34	130	10.72	173	2.37	173	1528.01	97	1003.41	130	0.08	173
303	-743	-744	Max	18.40					0.65	108			672.98	108		
303	-743	-744	Max	39.88	2260.34	130	10.72	173	6.64	173	1511.48	97	926.69	130	0.08	173
303	-743	-744	Min.	0.00	-2465.03	101	-35.69	177	-32.24	177	-184.12	130	-1651.97	97	-2.23	177
303	-743	-744	Min.	31.90					-1.94	118			531.54	118		
303	-743	-744	Min.	39.88	-2465.03	101	-35.69	177	-46.47	177	-200.65	130	-1045.97	97	-2.23	177
303	-744	-745	Max	0.00	1785.13	130	14.44	121	6.64	173	1196.14	97	979.63	130	0.33	173
303	-744	-745	Max	36.87					0.15	67			213.68	67		
303	-744	-745	Max	39.88	1785.13	130	14.44	121	9.86	173	1179.61	97	796.12	130	0.33	173
303	-744	-745	Min.	0.00	-1879.09	101	-8.10	177	-47.74	177	-451.94	130	-1095.59	97	-3.91	177
303	-744	-745	Min.	36.87					-3.24	67			-109.91	67		
303	-744	-745	Min.	39.88	-1879.09	101	-8.10	177	-50.98	177	-468.47	130	-621.92	97	-3.91	177
303	-745	-746	Max	0.00	1238.63	130	78.10	177	10.00	173	892.19	97	856.91	130	0.62	173
303	-745	-746	Max	35.21					1.99	69			89.91	69		
303	-745	-746	Max	39.87	1238.63	130	78.10	177	8.18	173	875.66	97	563.80	130	0.62	173
303	-745	-746	Min.	0.00	-1261.67	101	-4.57	173	-53.17	177	-726.81	130	-678.83	97	-5.32	177
303	-745	-746	Min.	35.21					0.39	69			30.33	69		
303	-745	-746	Min.	39.87	-1261.67	101	-4.57	173	-22.03	177	-743.34	130	-326.36	97	-5.32	177
303	-746	-747	Max	0.00	631.54	130	274.78	177	8.49	173	518.06	97	631.10	130	0.32	173
303	-746	-747	Max	39.88	631.54	130	274.78	177	84.64	177	501.53	97	335.86	130	0.32	173
303	-746	-747	Min.	0.00	-629.13	101	-37.44	173	-24.93	177	-732.15	130	-387.22	97	-3.16	177
303	-746	-747	Min.	39.88	-629.13	101	-37.44	173	-6.44	173	-748.68	130	-183.94	97	-3.16	177
303	-747	-748	Max	0.00	0.00	1	699.19	177	82.35	177	800.75	97	406.54	130	19.36	177
303	-747	-748	Max	24.80					22.09	125			-0.13	125		
303	-747	-748	Max	31.00	0.00	1	699.19	177	299.10	177	787.90	97	0.00	130	19.36	177
303	-747	-748	Min.	0.00	0.00	1	-115.08	173	-6.11	173	-1305.00	130	-246.24	97	-3.92	173
303	-747	-748	Min.	24.80					27.21	97			-48.93	97		
303	-747	-748	Min.	31.00	0.00	1	-115.08	173	-41.79	173	-1317.85	130	0.00	97	-3.92	173
304	-794	-795	Max	0.00	0.00	1	129.00	173	303.90	177	1236.00	101	0.00	1	3.92	173
304	-794	-795	Max	31.00	0.00	1	129.00	173	83.72	177	1223.15	101	381.17	101	3.92	173
304	-794	-795	Min.	0.00	0.00	1	-710.26	177	-51.29	173	-1016.66	122	0.00	1	-19.57	177
304	-794	-795	Min.	31.00	0.00	1	-710.26	177	-11.30	173	-1029.51	122	-317.16	122	-19.57	177
304	-795	-796	Max	0.00	537.60	101	46.72	173	86.10	177	576.00	101	321.03	101	3.25	177
304	-795	-796	Max	39.88	537.60	101	46.72	173	6.97	173	559.47	101	547.41	101	3.25	177
304	-795	-796	Min.	0.00	-727.42	130	-279.60	177	-11.67	173	-641.65	122	-240.96	122	-0.51	173
304	-795	-796	Min.	39.88	-727.42	130	-279.60	177	-25.39	177	-658.18	122	-500.12	122	-0.51	173
304	-796	-797	Max	0.00	1051.04	101	11.11	173	6.54	173	523.62	101	490.43	101	5.42	177
304	-796	-797	Max	1.99					0.95	18			71.35	18		
304	-796	-797	Max	39.87	1051.04	101	11.11	173	10.97	173	507.09	101	695.92	101	5.42	177
304	-796	-797	Min.	0.00	-1450.39	130	-80.28	177	-22.42	177	-987.59	122	-426.05	122	-0.85	173
304	-796	-797	Min.	1.99					0.63	18			7.42	18		
304	-796	-797	Min.	39.87	-1450.39	130	-80.28	177	-54.44	177	-1004.12	122	-823.14	122	-0.85	173
304	-797	-798	Max	0.00	1513.80	101	7.76	177	10.70	173	270.95	101	644.43	101	3.97	177
304	-797	-798	Max	39.88	1513.80	101	7.76	177	9.45	173	254.43	101	749.18	101	3.97	177
304	-797	-798	Min.	0.00	-2146.31	130	-8.60	98	-52.20	177	-1259.39	98	-754.23	122	-0.54	173
304	-797	-798	Min.	39.88	-2146.31	130	-8.60	98	-49.10	177	-1275.92	98	-1231.86	122	-0.54	173
304	-798	-799	Max	0.00	1921.12	101	35.54	177	9.35	173	80.25	101	703.75	101	2.23	177
304	-798	-799	Max	39.88	1921.12	101	35.54	177	6.75	173	64.64	137	732.46	101	2.23	177
304	-798	-799	Min.	0.00	-2796.38	130	-6.95	102	-47.81	177	-1558.55	98	-1171.26	122	-0.19	173
304	-798	-799	Min.	39.88	-2796.38	130	-6.95	102	-33.63	177	-1575.08	98	-1759.93	98	-0.19	173
304	-799	-800	Max	0.00	2275.53	101	35.11	177	6.79	173	180.06	101	692.85	101	0.94	177
304	-799	-800	Max	39.88	2275.53	101	35.11	177	4.64	173	163.53	101	761.36	101	0.94	177
304	-799	-800	Min.	0.00	-3373.25	130	-9.46	102	-33.09	177	-1853.02	98	-1719.71	98	-0.21	65
304	-799	-800	Min.	39.88	-3373.25	130	-9.46	102	-19.09	177	-1869.55	98	-2461.90	98	-0.21	65
304	-800	-801	Max	0.00	2588.56	101	25.64	177	4.77	173	122.44	101	726.65	101	0.25	173
304	-800	-801	Max	39.88	2588.56	101	25.64	177	3.29	173	105.91	101	772.18	101	0.25	173
304	-800	-801	Min.	0.00	-3842.49	130	-7.14	125	-19.01	177	-2133.69	98	-2440.78	98	-0.39	102
304	-800	-801	Min.	39.88	-3842.49	130	-7.14	125	-9.12	102	-2150.22	98	-3294.88	98	-0.39	102
304	-801	-802	Max	0.00	2859.90	101	18.49	102	3.47	173	-435.32	17	742.37	101	0.35	173
304	-801	-802	Max	19.94	2859.90	101	18.49	102	2.79	173	-441.44	17	285.93	101	0.35	173
304	-801	-802	Min.	0.00	-4158.18	130	-3.41	173	-9.30	102	-2675.35	98	-3301.06	98	-0.38	17
304	-801	-802	Min.	19.94	-4158.18	130	-3.41	173	-5.61	102	-2683.61	98	-3835.28	98	-0.38	17
304	-802	-803	Max	0.00	2859.90	101	18.49	102	2.79	173	-442.21	17	285.94	101	0.35	173
304	-802	-803	Max	19.94	2859.90	101	18.49	102	2.11	173	-448.33	17	-38.68	149	0.35	173
304	-802	-803	Min.	0.00	-4158.18	130	-3.41	173	-5.61	102	-2683.61	98	-3835.27	98	-0.38	17
304	-802	-803	Min.	19.94	-4158.18	130	-3.41	173	-2.26	177	-2691.88	98	-4371.14	98	-0.38	17
304	-803	312	Max	0.00	3067.96	101	56.91	102	2.26	173	-659.21	17	-52.93	149	1.05	102
304	-803	312	Max	39.88	3067.96	101	56.91	102	20.46	102	-671.45	17	-375.69	1	1.05	102
304	-803	312	Min.	0.00	-4270.26	130	-4.25	173	-2.48	177	-5319.73	102	-4414.26	98	-0.35	177
304	-803	312	Min.	39.88	-4270.26	130	-4.25	173	-2.14	161	-5336.26	102	-5943.66	98	-0.35	177
304	312	-804	Max	0.00	3466.25	101	0.84	133	23.98	173	5982.33	102	-390.43	1	0.52	173

304	312	-804	Max	40.00	3466.25	101	0.84	133	12.24	173	5965.75	102	68.67	149	0.52	173
304	312	-804	Min.	0.00	-4074.62	130	-49.06	102	-5.85	97	781.43	17	-6041.09	98	-1.25	102
304	312	-804	Min.	40.00	-4074.62	130	-49.06	102	-6.16	97	769.15	17	-3839.18	98	-1.25	102
304	-804	-805	Max	0.00	4059.01	101	5.17	97	12.71	173	4492.49	98	34.28	149	0.94	173
304	-804	-805	Max	20.00	4059.01	101	5.17	97	8.48	173	4484.20	98	560.52	101	0.94	173
304	-804	-805	Min.	0.00	-3585.00	130	-21.13	173	-6.64	97	571.55	17	-3988.98	98	-0.54	97
304	-804	-805	Min.	20.00	-3585.00	130	-21.13	173	-6.33	102	565.41	17	-3091.31	98	-0.54	97
304	-805	-806	Max	0.00	4059.01	101	5.17	97	8.48	173	4484.20	98	560.52	101	0.94	173
304	-805	-806	Max	20.00	4059.01	101	5.17	97	4.26	173	4475.90	98	1159.42	101	0.94	173
304	-805	-806	Min.	0.00	-3585.00	130	-21.13	173	-6.33	102	565.06	17	-3091.31	98	-0.54	97
304	-805	-806	Min.	20.00	-3585.00	130	-21.13	173	-8.85	102	558.92	17	-2195.30	98	-0.54	97
304	-806	-807	Max	0.00	4572.71	101	10.50	101	4.82	173	3843.91	98	1101.81	101	1.13	173
304	-806	-807	Max	40.00	4572.71	101	10.50	101	-0.48	173	3827.33	98	1321.23	101	1.13	173
304	-806	-807	Min.	0.00	-2908.41	130	-13.26	173	-9.00	102	268.89	149	-2376.85	98	-0.59	97
304	-806	-807	Min.	40.00	-2908.41	130	-13.26	173	-4.86	102	256.60	149	-1205.57	130	-0.59	97
304	-807	-808	Max	0.00	5020.20	101	12.20	102	0.11	173	3641.57	98	1271.34	101	1.16	173
304	-807	-808	Max	22.52					-1.51	5			514.82	5		
304	-807	-808	Max	40.00	5020.20	101	12.20	102	1.16	97	3624.98	98	1487.61	101	1.16	173
304	-807	-808	Min.	0.00	-2105.08	130	-7.45	173	-5.13	102	270.87	149	-1294.52	130	-0.64	97
304	-807	-808	Min.	22.43					-1.94	53			-375.78	53		
304	-807	-808	Min.	40.00	-2105.08	130	-7.45	173	-3.94	130	258.58	149	-599.57	130	-0.64	97
304	-808	-809	Max	0.00	5388.07	101	9.66	98	0.43	133	3413.78	98	1446.88	101	1.11	173
304	-808	-809	Max	40.00	5388.07	101	9.66	98	4.22	97	3397.20	98	1718.68	101	1.11	173
304	-808	-809	Min.	0.00	-1232.38	130	-3.77	173	-4.10	130	291.22	1	-696.36	130	-0.60	97
304	-808	-809	Min.	40.00	-1232.38	130	-3.77	173	-3.94	17	278.93	1	-81.18	130	-0.60	97
304	-809	-810	Max	0.00	7164.17	97	7.51	98	3.50	97	3232.35	98	1689.54	101	1.02	173
304	-809	-810	Max	40.00	7164.17	97	7.51	98	6.46	97	3215.76	98	2697.12	97	1.02	173
304	-809	-810	Min.	0.00	-334.46	130	-2.19	173	-3.60	17	181.35	1	-180.85	130	-0.54	17
304	-809	-810	Min.	40.00	-334.46	130	-2.19	173	-4.32	17	169.07	1	109.22	49	-0.54	17
304	-810	-811	Max	0.00	8816.11	97	3.94	17	5.86	97	3215.69	98	2513.85	97	0.90	173
304	-810	-811	Max	40.00	8816.11	97	3.94	17	6.88	97	3199.11	98	3782.32	97	0.90	173
304	-810	-811	Min.	0.00	319.10	49	-2.51	173	-4.06	17	78.70	1	69.73	49	-0.49	17
304	-810	-811	Min.	40.00	319.10	49	-2.51	173	-4.75	173	66.41	1	267.70	49	-0.49	17
304	-811	-812	Max	0.00	10247.40	97	3.22	106	6.42	97	3441.48	98	3623.72	97	0.75	173
304	-811	-812	Max	40.00	10247.40	97	3.22	106	4.85	65	3424.89	98	4983.39	97	0.75	173
304	-811	-812	Min.	0.00	661.10	49	-4.38	97	-4.37	173	-8.34	1	229.72	49	-0.40	17
304	-811	-812	Min.	40.00	661.10	49	-4.38	97	-6.03	173	-20.62	1	382.82	65	-0.40	17
304	-812	-1295	Max	0.00	11370.30	97	2.58	106	4.64	65	2901.99	98	4859.59	97	0.55	173
304	-812	-1295	Max	12.25					2.40	114			1613.97	114		
304	-812	-1295	Max	20.00	11370.30	97	2.58	106	4.98	65	2893.70	98	5432.18	97	0.55	173
304	-812	-1295	Min.	0.00	915.64	65	-6.42	97	-5.74	173	-97.85	1	366.40	65	-0.31	98
304	-812	-1295	Min.	12.25					2.40	114			1613.97	114		
304	-812	-1295	Min.	20.00	915.64	65	-6.42	97	-7.00	173	-103.99	1	403.02	65	-0.31	98
304	-1295	-813	Max	0.00	11370.30	97	2.58	106	4.98	65	2893.70	98	5432.18	97	0.55	173
304	-1295	-813	Max	20.00	11370.30	97	2.58	106	5.31	65	2885.41	98	6003.11	97	0.55	173
304	-1295	-813	Min.	0.00	915.64	65	-6.42	97	-7.00	173	-103.68	1	403.02	65	-0.31	98
304	-1295	-813	Min.	20.00	915.64	65	-6.42	97	-8.26	173	-109.82	1	439.06	65	-0.31	98
304	-813	-1293	Max	0.00	12047.60	97	4.23	98	5.19	65	1085.86	173	5927.84	97	0.28	173
304	-813	-1293	Max	20.00	12047.60	97	4.23	98	5.35	65	1079.72	173	5963.95	97	0.28	173
304	-813	-1293	Min.	0.00	1032.93	65	-7.01	173	-8.03	173	-265.06	101	426.01	65	-0.25	106
304	-813	-1293	Min.	20.00	1032.93	65	-7.01	173	-9.43	173	-273.35	101	451.64	65	-0.25	106
304	-1293	-814	Max	0.00	12047.60	97	4.23	98	5.35	65	1079.72	173	5963.95	97	0.28	173
304	-1293	-814	Max	20.00	12047.60	97	4.23	98	5.51	17	1073.58	173	5998.41	97	0.28	173
304	-1293	-814	Min.	0.00	1032.93	65	-7.01	173	-9.43	173	-273.35	101	451.64	65	-0.25	106
304	-1293	-814	Min.	20.00	1032.93	65	-7.01	173	-10.83	173	-281.64	101	476.69	65	-0.25	106
304	-814	-815	Max	0.00	12241.80	99	2.10	106	5.48	65	509.30	130	5976.11	97	0.19	101
304	-814	-815	Max	19.50					0.42	172			775.62	172		
304	-814	-815	Max	20.00	12241.80	99	2.10	106	5.46	17	501.01	130	5973.59	99	0.19	101
304	-814	-815	Min.	0.00	1116.80	17	-2.88	173	-10.72	173	-459.86	101	467.35	65	-0.19	106
304	-814	-815	Min.	19.00					0.31	177			758.48	177		
304	-814	-815	Min.	20.00	1116.80	17	-2.88	173	-11.29	173	-468.15	101	483.01	17	-0.19	106
304	-815	-816	Max	0.00	12241.80	99	2.10	106	5.46	17	501.01	130	5973.59	99	0.19	101
304	-815	-816	Max	19.00					0.31	177			757.93	177		
304	-815	-816	Max	20.00	12241.80	99	2.10	106	5.48	17	492.72	130	5976.11	98	0.19	101
304	-815	-816	Min.	0.00	1116.80	17	-2.88	173	-11.29	173	-468.15	101	483.01	17	-0.19	106
304	-815	-816	Min.	19.00					0.31	177			757.93	177		
304	-815	-816	Min.	20.00	1116.80	17	-2.88	173	-11.87	173	-476.44	101	467.35	17	-0.19	106
304	-816	-1288	Max	0.00	12047.60	98	2.19	173	5.51	65	363.87	130	5998.41	98	0.25	101
304	-816	-1288	Max	20.00	12047.60	98	2.19	173	5.35	17	355.58	130	5963.95	98	0.25	101
304	-816	-1288	Min.	0.00	1032.93	17	-4.23	97	-11.90	173	-658.29	101	476.69	17	-0.20	173
304	-816	-1288	Min.	20.00	1032.93	17	-4.23	97	-11.46	173	-666.58	101	451.64	17	-0.20	173
304	-1288	-817	Max	0.00	12047.60	98	2.19	173	5.35	17	355.58	130	5963.95	98	0.25	101
304	-1288	-817	Max	6.03					1.26	123			4504.40	123		
304	-1288	-817	Max	20.00	12047.60	98	2.19	173	5.19	17	347.29	130	5927.84	98	0.25	101
304	-1288	-817	Min.	0.00	1032.93	17	-4.23	97	-11.46	173	-666.58	101	451.64	17	-0.20	173
304	-1288	-817	Min.	6.03					1.26	124			4504.39	124		
304	-1288	-817	Min.	20.00	1032.93	17	-4.23	97	-11.02	173	-674.87	101	426.01	17	-0.20	173
304	-817	-1286	Max	0.00	11370.30	98	6.97	173	5.31	17	216.16	130	6003.11	98	0.31	97
304	-817	-1286	Max	20.00	11370.30	98	6.97	173	4.98	17	207.87	130	5432.18	98	0.31	97

304	-817	-1286	Min.	0.00	915.64	17	-2.58	101	-11.18	173	-2885.41	97	439.06	17	-0.42	173
304	-817	-1286	Min.	20.00	915.64	17	-2.58	101	-9.79	173	-2893.70	97	403.02	17	-0.42	173
304	-1286	-818	Max	0.00	11370.30	98	6.97	173	4.98	17	207.87	130	5432.18	98	0.31	97
304	-1286	-818	Max	6.53					2.38	117			1613.96	117		
304	-1286	-818	Max	20.00	11370.30	98	6.97	173	4.64	17	199.58	130	4859.59	98	0.31	97
304	-1286	-818	Min.	0.00	915.64	17	-2.58	101	-9.79	173	-2893.70	97	403.02	17	-0.42	173
304	-1286	-818	Min.	6.53					2.38	117			1613.96	117		
304	-1286	-818	Min.	20.00	915.64	17	-2.58	101	-8.40	173	-2901.99	97	366.40	17	-0.42	173
304	-818	-819	Max	0.00	10247.40	98	6.75	173	4.85	17	52.07	130	4983.39	98	0.40	65
304	-818	-819	Max	40.00	10247.40	98	6.75	173	6.42	98	35.49	130	3623.71	98	0.40	65
304	-818	-819	Min.	0.00	661.10	1	-3.22	101	-8.67	173	-3424.89	97	382.82	17	-0.69	173
304	-818	-819	Min.	40.00	661.10	1	-3.22	101	-5.97	173	-3441.47	97	229.72	1	-0.69	173
304	-819	-820	Max	0.00	8816.10	98	5.07	173	6.88	98	-66.41	49	3782.32	98	0.49	65
304	-819	-820	Max	40.00	8816.10	98	5.07	173	5.86	98	-78.70	49	2513.85	98	0.49	65
304	-819	-820	Min.	0.00	319.09	1	-3.94	65	-6.36	173	-3199.11	97	267.70	1	-0.90	173
304	-819	-820	Min.	40.00	319.09	1	-3.94	65	-4.33	173	-3215.69	97	69.73	1	-0.90	173
304	-820	-821	Max	0.00	7164.16	98	3.93	173	6.46	98	-169.07	49	2697.12	98	0.54	65
304	-820	-821	Max	40.00	7164.16	98	3.93	173	3.50	98	-181.35	49	1689.51	106	0.54	65
304	-820	-821	Min.	0.00	-36.53	1	-7.51	97	-4.81	173	-3215.76	97	109.22	1	-1.06	173
304	-820	-821	Min.	40.00	-36.53	1	-7.51	97	-3.60	65	-3232.35	97	-111.31	1	-1.06	173
304	-821	-822	Max	0.00	5387.92	106	4.70	173	4.22	98	-278.93	49	1718.66	106	0.60	98
304	-821	-822	Max	40.00	5387.92	106	4.70	173	0.43	134	-291.22	49	1446.85	106	0.60	98
304	-821	-822	Min.	0.00	-393.12	1	-9.66	97	-3.94	65	-3397.20	97	-71.73	1	-1.15	173
304	-821	-822	Min.	40.00	-393.12	1	-9.66	97	-3.95	101	-3413.78	97	-513.55	101	-1.15	173
304	-822	-823	Max	0.00	5020.02	106	7.82	173	1.16	98	-218.38	130	1487.58	106	0.64	98
304	-822	-823	Max	17.14					-1.51	53			516.51	53		
304	-822	-823	Max	40.00	5020.02	106	7.82	173	0.64	173	-234.97	130	1322.01	130	0.64	98
304	-822	-823	Min.	0.00	-1176.12	101	-12.20	105	-3.77	113	-3624.98	97	-400.15	101	-1.19	173
304	-822	-823	Min.	17.30					-1.94	5			-373.76	5		
304	-822	-823	Min.	40.00	-1176.12	101	-12.20	105	-5.13	105	-3641.56	97	-1228.34	101	-1.19	173
304	-823	-824	Max	0.00	4572.52	106	13.16	173	0.03	173	-214.63	130	1347.78	130	0.59	98
304	-823	-824	Max	40.00	4572.52	106	13.16	173	5.30	173	-231.22	130	1258.61	130	0.59	98
304	-823	-824	Min.	0.00	-2136.06	101	-10.50	106	-4.86	105	-3827.32	97	-1122.03	101	-1.15	173
304	-823	-824	Min.	40.00	-2136.06	101	-10.50	106	-9.00	105	-3843.91	97	-2376.84	97	-1.15	173
304	-824	-825	Max	0.00	4064.54	130	20.33	173	4.73	173	-558.92	65	1292.56	130	0.54	98
304	-824	-825	Max	20.00	4064.54	130	20.33	173	8.80	173	-565.06	65	889.92	130	0.54	98
304	-824	-825	Min.	0.00	-2964.14	101	-5.17	98	-8.85	105	-4475.90	97	-2195.30	97	-0.95	173
304	-824	-825	Min.	20.00	-2964.14	101	-5.17	98	-6.33	105	-4484.19	97	-3091.30	97	-0.95	173
304	-825	-826	Max	0.00	4064.54	130	20.33	173	8.80	173	-565.41	65	889.92	130	0.54	98
304	-825	-826	Max	20.00	4064.54	130	20.33	173	12.87	173	-571.55	65	485.63	130	0.54	98
304	-825	-826	Min.	0.00	-2964.14	101	-5.17	98	-6.33	105	-4484.19	97	-3091.30	97	-0.95	173
304	-825	-826	Min.	20.00	-2964.14	101	-5.17	98	-6.64	98	-4492.48	97	-3988.97	97	-0.95	173
304	-826	313	Max	0.00	3673.65	130	50.81	129	12.41	173	-769.15	65	527.76	130	1.27	129
304	-826	313	Max	40.00	3673.65	130	50.81	129	23.13	173	-781.43	65	-390.42	49	1.27	129
304	-826	313	Min.	0.00	-3587.76	101	-0.84	134	-6.16	98	-5965.77	105	-3839.17	97	-0.60	173
304	-826	313	Min.	40.00	-3587.76	101	-0.84	134	-5.85	98	-5982.35	105	-6041.07	97	-0.60	173
304	313	-827	Max	0.00	3386.70	130	7.20	173	25.45	129	5335.67	105	-375.69	49	0.35	177
304	313	-827	Max	39.88	3386.70	130	7.20	173	2.45	125	5319.14	105	388.37	130	0.35	177
304	313	-827	Min.	0.00	-3869.13	101	-63.47	129	-0.76	173	671.42	65	-5943.65	97	-1.06	129
304	313	-827	Min.	39.88	-3869.13	101	-63.47	129	-2.48	177	659.18	65	-4414.31	97	-1.06	129
304	-827	-828	Max	0.00	3197.01	130	4.43	173	2.72	125	2691.87	97	411.09	130	0.40	129
304	-827	-828	Max	19.94	3197.01	130	4.43	173	2.83	173	2683.61	97	720.34	130	0.40	129
304	-827	-828	Min.	0.00	-3805.98	101	-24.07	129	-2.26	177	448.33	65	-4371.02	97	-0.38	173
304	-827	-828	Min.	19.94	-3805.98	101	-24.07	129	-5.61	105	442.20	65	-3835.15	97	-0.38	173
304	-828	-829	Max	0.00	3197.01	130	4.43	173	2.83	173	2683.61	97	720.22	130	0.40	129
304	-828	-829	Max	19.94	3197.01	130	4.43	173	3.71	173	2675.35	97	1027.83	130	0.40	129
304	-828	-829	Min.	0.00	-3805.98	101	-24.07	129	-5.61	105	441.44	65	-3835.35	97	-0.38	173
304	-828	-829	Min.	19.94	-3805.98	101	-24.07	129	-9.30	105	435.32	65	-3301.13	97	-0.38	173
304	-829	-830	Max	0.00	2923.10	130	6.21	106	3.51	173	2150.26	97	1058.03	130	0.48	129
304	-829	-830	Max	39.88	2923.10	130	6.21	106	5.07	173	2133.73	97	960.74	130	0.48	129
304	-829	-830	Min.	0.00	-3522.70	101	-25.63	177	-9.12	105	-235.73	130	-3294.89	97	-0.28	173
304	-829	-830	Min.	39.88	-3522.70	101	-25.63	177	-19.01	177	-252.26	130	-2440.77	97	-0.28	173
304	-830	-831	Max	0.00	2581.95	130	9.46	105	4.93	173	1869.55	97	998.60	130	0.21	17
304	-830	-831	Max	39.88	2581.95	130	9.46	105	7.03	173	1853.02	97	874.51	130	0.21	17
304	-830	-831	Min.	0.00	-3081.59	101	-35.11	177	-19.09	177	-302.91	130	-2461.99	97	-0.94	177
304	-830	-831	Min.	39.88	-3081.59	101	-35.11	177	-33.09	177	-319.44	130	-1719.81	97	-0.94	177
304	-831	-832	Max	0.00	2179.32	130	6.95	105	6.98	173	1575.06	97	919.40	130	0.17	173
304	-831	-832	Max	39.88	2179.32	130	6.95	105	9.52	173	1558.53	97	813.49	130	0.17	173
304	-831	-832	Min.	0.00	-2538.59	101	-35.54	177	-33.63	177	-257.33	130	-1759.93	97	-2.23	177
304	-831	-832	Min.	39.88	-2538.59	101	-35.54	177	-47.81	177	-273.86	130	-1135.17	97	-2.23	177
304	-832	-833	Max	0.00	1711.86	130	9.62	121	9.61	173	1275.92	97	865.54	130	0.53	173
304	-832	-833	Max	39.88	1711.86	130	9.62	121	10.85	173	1259.39	97	690.70	130	0.53	173
304	-832	-833	Min.	0.00	-1934.10	101	-7.76	177	-49.10	177	-430.21	130	-1188.06	97	-3.97	177
304	-832	-833	Min.	39.88	-1934.10	101	-7.76	177	-52.19	177	-446.74	130	-682.59	97	-3.97	177
304	-833	-834	Max	0.00	1183.28	130	80.29	177	11.12	173	965.01	97	749.49	130	0.85	173
304	-833	-834	Max	37.77					0.95	66			71.35	66		
304	-833	-834	Max	39.87	1183.28	130	80.29	177	6.73	173	948.49	97	490.39	106	0.85	173
304	-833	-834	Min.	0.00	-1297.89	101	-11.02	173	-54.44	177	-643.09	130	-743.46	97	-5.42	177
304	-833	-834	Min.	37.77					0.63	66			7.32	66		

304	-833	-834	Min.	39.87	-1297.89	101	-11.02	173	-22.42	177	-659.62	130	-361.96	97	-5.42	177
304	-834	-835	Max	0.00	602.92	130	279.61	177	7.16	173	557.70	97	554.13	130	0.51	173
304	-834	-835	Max	32.03					7.14	128			-9.99	128		
304	-834	-835	Max	39.88	602.92	130	279.61	177	86.11	177	541.17	97	320.98	106	0.51	173
304	-834	-835	Min.	0.00	-647.85	101	-46.67	173	-25.39	177	-641.26	130	-427.18	97	-3.25	177
304	-834	-835	Min.	18.46					4.87	157			-32.72	157		
304	-834	-835	Min.	39.88	-647.85	101	-46.67	173	-11.45	173	-657.79	130	-208.09	97	-3.25	177
304	-835	-836	Max	0.00	0.00	1	710.26	177	83.72	177	893.80	97	381.14	106	19.57	177
304	-835	-836	Max	24.80					18.20	158			-3.38	158		
304	-835	-836	Max	31.00	0.00	1	710.26	177	303.90	177	880.95	97	0.00	106	19.57	177
304	-835	-836	Min.	0.00	0.00	1	-129.44	173	-11.07	173	-1223.07	106	-275.09	97	-3.95	173
304	-835	-836	Min.	24.80					20.96	97			-54.70	97		
304	-835	-836	Min.	31.00	0.00	1	-129.44	173	-51.20	173	-1235.92	106	0.00	97	-3.95	173
305	-837	-838	Max	0.00	0.00	1	143.03	173	304.42	177	1283.24	101	0.00	1	3.94	173
305	-837	-838	Max	31.00	0.00	1	143.03	173	83.39	177	1270.39	101	395.81	101	3.94	173
305	-837	-838	Min.	0.00	0.00	1	-713.01	177	-60.54	173	-1023.88	122	0.00	1	-19.65	177
305	-837	-838	Min.	31.00	0.00	1	-713.01	177	-16.20	173	-1036.73	122	-319.39	122	-19.65	177
305	-838	-839	Max	0.00	538.51	101	56.72	173	85.80	177	649.46	101	335.65	101	3.29	177
305	-838	-839	Max	22.79					1.05	170			6.92	170		
305	-838	-839	Max	39.88	538.51	101	56.72	173	5.92	173	632.93	101	591.33	101	3.29	177
305	-838	-839	Min.	0.00	-728.28	130	-279.74	177	-16.70	173	-636.55	122	-242.05	122	-0.65	173
305	-838	-839	Min.	22.79					1.05	170			6.92	170		
305	-838	-839	Min.	39.88	-728.28	130	-279.74	177	-25.74	177	-653.08	122	-499.17	122	-0.65	173
305	-839	-840	Max	0.00	1048.90	101	17.61	173	5.33	173	626.34	101	534.72	101	5.43	177
305	-839	-840	Max	28.67					-0.37	8			68.65	8		
305	-839	-840	Max	39.87	1048.90	101	17.61	173	12.35	173	609.81	101	781.18	101	5.43	177
305	-839	-840	Min.	0.00	-1451.09	130	-80.13	177	-22.77	177	-1000.21	122	-424.08	122	-1.06	173
305	-839	-840	Min.	28.67					-0.17	8			-53.54	8		
305	-839	-840	Min.	39.87	-1451.09	130	-80.13	177	-54.72	177	-1016.74	122	-826.21	122	-1.06	173
305	-840	-841	Max	0.00	1503.34	101	8.09	177	11.91	173	371.21	101	730.69	101	3.98	177
305	-840	-841	Max	32.07					1.05	126			313.75	126		
305	-840	-841	Max	39.88	1503.34	101	8.09	177	12.35	173	354.68	101	875.41	101	3.98	177
305	-840	-841	Min.	0.00	-2149.81	130	-5.90	102	-52.48	177	-1316.48	98	-756.19	122	-0.71	173
305	-840	-841	Min.	32.07					1.05	126			313.75	126		
305	-840	-841	Min.	39.88	-2149.81	130	-5.90	102	-49.26	177	-1333.01	98	-1258.58	98	-0.71	173
305	-841	-842	Max	0.00	1892.74	101	35.62	177	12.14	173	77.82	101	832.07	101	2.22	177
305	-841	-842	Max	39.88	1892.74	101	35.62	177	10.66	173	63.26	137	859.81	101	2.22	177
305	-841	-842	Min.	0.00	-2804.43	130	-9.17	102	-47.96	177	-1644.91	98	-1203.86	98	-0.26	173
305	-841	-842	Min.	39.88	-2804.43	130	-9.17	102	-33.76	177	-1661.44	98	-1863.06	98	-0.26	173
305	-842	-843	Max	0.00	2216.84	101	34.93	177	10.65	173	-131.47	149	823.66	101	0.91	177
305	-842	-843	Max	39.88	2216.84	101	34.93	177	8.92	173	-143.71	149	695.32	101	0.91	177
305	-842	-843	Min.	0.00	-3387.37	130	-10.71	102	-33.22	177	-2016.12	98	-1821.86	98	-0.21	65
305	-842	-843	Min.	39.88	-3387.37	130	-10.71	102	-19.29	177	-2032.65	98	-2629.09	98	-0.21	65
305	-843	-844	Max	0.00	2486.09	101	25.63	177	9.08	173	-305.35	1	665.19	101	0.42	173
305	-843	-844	Max	39.88	2486.09	101	25.63	177	6.48	173	-317.60	1	249.48	101	0.42	173
305	-843	-844	Min.	0.00	-3861.09	130	-6.53	173	-19.23	177	-2403.93	98	-2608.26	98	-0.38	102
305	-843	-844	Min.	39.88	-3861.09	130	-6.53	173	-9.30	102	-2420.46	98	-3570.13	98	-0.38	102
305	-844	-845	Max	0.00	2723.75	101	21.61	102	6.77	173	-413.14	1	222.47	101	0.50	173
305	-844	-845	Max	14.50					-0.74	53			-82.90	53		
305	-844	-845	Max	19.94	2723.75	101	21.61	102	3.89	173	-419.26	1	-43.04	1	0.50	173
305	-844	-845	Min.	0.00	-4178.20	130	-14.48	173	-9.49	102	-2641.90	98	-3578.42	98	-0.36	17
305	-844	-845	Min.	14.50					0.56	53			-1099.89	53		
305	-844	-845	Min.	19.94	-4178.20	130	-14.48	173	-5.66	177	-2650.17	98	-4105.97	98	-0.36	17
305	-845	-846	Max	0.00	2723.75	101	21.61	102	3.89	173	-422.19	1	-43.04	1	0.50	173
305	-845	-846	Max	19.94	2723.75	101	21.61	102	1.00	173	-428.31	1	-128.27	1	0.50	173
305	-845	-846	Min.	0.00	-4178.20	130	-14.48	173	-5.66	177	-2650.17	98	-4105.96	98	-0.36	17
305	-845	-846	Min.	19.94	-4178.20	130	-14.48	173	-2.14	177	-2658.43	98	-4635.16	98	-0.36	17
305	-846	-847	Max	0.00	2985.42	101	65.70	102	1.32	173	-197.55	1	-140.42	1	1.35	102
305	-846	-847	Max	39.88	2985.42	101	65.70	102	25.03	102	-209.79	1	-223.17	1	1.35	102
305	-846	-847	Min.	0.00	-4279.82	130	-33.24	173	-2.36	177	-1418.60	102	-4683.43	98	-0.26	173
305	-846	-847	Min.	39.88	-4279.82	130	-33.24	173	-11.94	173	-1435.13	102	-5122.02	98	-0.26	173
305	-847	-848	Max	0.00	3391.42	101	6.16	97	22.91	102	2831.45	98	-238.79	1	1.22	173
305	-847	-848	Max	40.00	3391.42	101	6.16	97	10.35	173	2814.87	98	-57.20	1	1.22	173
305	-847	-848	Min.	0.00	-4091.03	130	-61.92	102	-5.20	97	376.57	33	-5221.91	98	-1.45	102
305	-847	-848	Min.	40.00	-4091.03	130	-61.92	102	-5.34	17	364.29	33	-4092.64	98	-1.45	102
305	-848	-849	Max	0.00	3947.69	101	5.71	97	10.74	173	4528.78	98	-76.05	1	0.78	173
305	-848	-849	Max	20.00	3947.69	101	5.71	97	8.45	173	4520.49	98	98.42	149	0.78	173
305	-848	-849	Min.	0.00	-3624.94	130	-18.66	102	-5.56	17	608.62	33	-4242.36	98	-0.41	17
305	-848	-849	Min.	20.00	-3624.94	130	-18.66	102	-5.45	102	602.48	33	-3337.43	98	-0.41	17
305	-849	-850	Max	0.00	3947.69	101	5.71	97	8.45	173	4520.49	98	98.42	149	0.78	173
305	-849	-850	Max	20.00	3947.69	101	5.71	97	6.15	173	4512.20	98	653.55	101	0.78	173
305	-849	-850	Min.	0.00	-3624.94	130	-18.66	102	-5.45	102	602.10	33	-3337.43	98	-0.41	17
305	-849	-850	Min.	20.00	-3624.94	130	-18.66	102	-9.18	102	595.96	33	-2434.16	98	-0.41	17
305	-850	-851	Max	0.00	4511.74	101	5.96	17	6.66	173	4212.14	98	591.35	101	0.90	173
305	-850	-851	Max	40.00	4511.74	101	5.96	17	1.57	173	4195.56	98	1283.46	101	0.90	173
305	-850	-851	Min.	0.00	-2957.30	130	-12.73	173	-9.15	102	520.31	33	-2618.46	98	-0.47	17
305	-850	-851	Min.	40.00	-2957.30	130	-12.73	173	-7.10	102	508.02	33	-1297.17	130	-0.47	17
305	-851	-852	Max	0.00	5017.37	101	12.15	101	2.15	173	3944.23	98	1227.42	101	0.96	173
305	-851	-852	Max	40.00	5017.37	101	12.15	101	3.15	97	3927.65	98	1649.03	101	0.96	173

305	-851	-852	Min.	0.00	-2156.22	130	-11.43	173	-7.23	102	429.52	33	-1385.83	130	-0.55	17
305	-851	-852	Min.	40.00	-2156.22	130	-11.43	173	-2.42	173	417.24	33	-658.27	130	-0.55	17
305	-852	-853	Max	0.00	5472.24	97	9.72	102	2.84	97	3682.37	98	1603.46	101	0.92	173
305	-852	-853	Max	40.00	5472.24	97	9.72	102	4.71	97	3665.79	98	1883.76	101	0.92	173
305	-852	-853	Min.	0.00	-1278.92	130	-9.25	173	-2.59	102	327.19	1	-755.51	130	-0.58	17
305	-852	-853	Min.	40.00	-1278.92	130	-9.25	173	-5.54	173	314.90	1	-120.18	130	-0.58	17
305	-853	-854	Max	0.00	7294.98	97	5.09	102	4.48	97	3469.96	98	1851.45	101	0.79	173
305	-853	-854	Max	40.00	7294.98	97	5.09	102	5.12	97	3453.38	98	2915.55	97	0.79	173
305	-853	-854	Min.	0.00	-372.52	130	-6.54	173	-5.03	173	211.40	1	-220.75	130	-0.56	17
305	-853	-854	Min.	40.00	-372.52	130	-6.54	173	-7.65	173	199.11	1	123.44	49	-0.56	17
305	-854	-855	Max	0.00	8967.15	97	3.64	17	4.98	97	3273.32	98	2730.22	97	0.61	173
305	-854	-855	Max	40.00	8967.15	97	3.64	17	4.20	65	3256.74	98	4021.40	97	0.61	173
305	-854	-855	Min.	0.00	356.86	49	-3.46	97	-7.26	173	104.59	1	82.75	49	-0.50	17
305	-854	-855	Min.	40.00	356.86	49	-3.46	97	-8.49	173	92.30	1	291.19	49	-0.50	17
305	-855	-856	Max	0.00	10396.10	97	2.66	17	3.92	65	2944.13	98	3863.17	97	0.43	173
305	-855	-856	Max	38.02					-1.47	7			795.65	7		
305	-855	-856	Max	40.00	10396.10	97	2.66	17	4.91	65	2927.55	98	5023.53	97	0.43	173
305	-855	-856	Min.	0.00	708.24	49	-8.05	97	-8.24	173	11.63	1	252.18	49	-0.40	17
305	-855	-856	Min.	38.02					1.44	7			600.01	7		
305	-855	-856	Min.	40.00	708.24	49	-8.05	97	-7.84	173	-0.65	1	428.33	33	-0.40	17
305	-856	-1297	Max	0.00	11491.10	97	4.87	173	4.70	65	2217.21	98	4902.42	97	0.28	173
305	-856	-1297	Max	20.00	11491.10	97	4.87	173	5.02	65	2208.92	98	5337.87	97	0.28	173
305	-856	-1297	Min.	0.00	1026.29	33	-7.01	97	-7.74	173	-101.34	101	397.40	49	-0.29	17
305	-856	-1297	Min.	20.00	1026.29	33	-7.01	97	-6.77	173	-109.63	101	450.04	33	-0.29	17
305	-1297	-857	Max	0.00	11491.10	97	4.87	173	5.02	65	2208.92	98	5337.87	97	0.28	173
305	-1297	-857	Max	20.00	11491.10	97	4.87	173	5.33	65	2200.63	98	5771.67	97	0.28	173
305	-1297	-857	Min.	0.00	1026.29	33	-7.01	97	-6.77	173	-109.63	101	450.04	33	-0.29	17
305	-1297	-857	Min.	20.00	1026.29	33	-7.01	97	-5.79	173	-117.92	101	488.30	33	-0.29	17
305	-857	-1296	Max	0.00	12165.80	97	6.07	173	5.21	65	1101.08	173	5696.85	97	0.17	173
305	-857	-1296	Max	20.00	12165.80	97	6.07	173	5.36	65	1094.94	173	5881.58	97	0.17	173
305	-857	-1296	Min.	0.00	1147.64	33	-1.80	101	-5.77	173	-294.53	101	474.81	33	-0.16	17
305	-857	-1296	Min.	20.00	1147.64	33	-1.80	101	-5.09	17	-302.82	101	501.49	33	-0.16	17
305	-1296	-858	Max	0.00	12165.80	97	6.07	173	5.36	65	1094.94	173	5881.58	97	0.17	173
305	-1296	-858	Max	20.00	12165.80	97	6.07	173	5.52	17	1088.80	173	6064.66	97	0.17	173
305	-1296	-858	Min.	0.00	1147.64	33	-1.80	101	-5.09	17	-302.82	101	501.49	33	-0.16	17
305	-1296	-858	Min.	20.00	1147.64	33	-1.80	101	-5.18	65	-311.11	101	527.44	33	-0.16	17
305	-858	-859	Max	0.00	12379.20	99	1.66	106	5.48	65	531.15	130	6040.88	97	0.09	101
305	-858	-859	Max	19.50					-2.46	111			4588.26	111		
305	-858	-859	Max	20.00	12379.20	99	1.66	106	5.47	17	522.86	130	6038.28	99	0.09	101
305	-858	-859	Min.	0.00	1231.54	33	-1.66	101	-5.15	17	-484.93	101	518.11	33	-0.09	106
305	-858	-859	Min.	19.00					-0.09	177			790.70	177		
305	-858	-859	Min.	20.00	1231.54	33	-1.66	101	-5.14	17	-493.22	101	533.67	33	-0.09	106
305	-859	-860	Max	0.00	12379.20	99	1.66	106	5.47	17	522.86	130	6038.28	99	0.09	101
305	-859	-860	Max	19.00					-0.09	177			790.15	177		
305	-859	-860	Max	20.00	12379.20	99	1.66	106	5.48	17	514.57	130	6040.88	98	0.09	101
305	-859	-860	Min.	0.00	1231.54	33	-1.66	101	-5.14	17	-493.22	101	533.67	33	-0.09	106
305	-859	-860	Min.	8.00					0.17	172			782.06	172		
305	-859	-860	Min.	20.00	1231.54	33	-1.66	101	-5.15	65	-501.51	101	517.92	33	-0.09	106
305	-860	-1289	Max	0.00	12165.80	98	1.80	106	5.52	65	388.32	130	6064.66	98	0.16	65
305	-860	-1289	Max	20.00	12165.80	98	1.80	106	5.36	17	380.03	130	5881.58	98	0.16	65
305	-860	-1289	Min.	0.00	1146.03	33	-1.57	101	-5.18	17	-945.72	97	527.43	33	-0.15	17
305	-860	-1289	Min.	20.00	1146.03	33	-1.57	101	-5.09	65	-954.01	97	501.29	33	-0.15	17
305	-1289	-861	Max	0.00	12165.80	98	1.80	106	5.36	17	380.03	130	5881.59	98	0.16	65
305	-1289	-861	Max	20.00	12165.80	98	1.80	106	5.21	17	371.74	130	5696.85	98	0.16	65
305	-1289	-861	Min.	0.00	1146.03	33	-1.57	101	-5.09	65	-954.01	97	501.29	33	-0.15	17
305	-1289	-861	Min.	20.00	1146.03	33	-1.57	101	-5.01	65	-962.30	97	474.41	33	-0.15	17
305	-861	-1287	Max	0.00	11491.10	98	7.01	98	5.33	17	248.34	130	5771.67	98	0.29	65
305	-861	-1287	Max	20.00	11491.10	98	7.01	98	5.02	17	240.05	130	5337.87	98	0.29	65
305	-861	-1287	Min.	0.00	1023.08	33	-5.85	173	-5.10	65	-2200.63	97	488.08	33	-0.32	173
305	-861	-1287	Min.	20.00	1023.08	33	-5.85	173	-4.92	65	-2208.92	97	449.61	33	-0.32	173
305	-1287	-862	Max	0.00	11491.10	98	7.01	98	5.02	17	240.05	130	5337.87	98	0.29	65
305	-1287	-862	Max	4.00					0.36	166			1080.09	166		
305	-1287	-862	Max	20.00	11491.10	98	7.01	98	4.70	17	231.76	130	4902.42	98	0.29	65
305	-1287	-862	Min.	0.00	1023.08	33	-5.85	173	-4.92	65	-2208.92	97	449.61	33	-0.32	173
305	-1287	-862	Min.	4.40					0.35	162			1065.17	162		
305	-1287	-862	Min.	20.00	1023.08	33	-5.85	173	-5.82	173	-2217.21	97	397.40	1	-0.32	173
305	-862	-863	Max	0.00	10396.10	98	8.05	98	4.91	17	99.89	130	5023.53	98	0.40	65
305	-862	-863	Max	1.94					-1.47	55			795.65	55		
305	-862	-863	Max	40.00	10396.10	98	8.05	98	3.92	17	83.31	130	3863.17	98	0.40	65
305	-862	-863	Min.	0.00	708.24	1	-4.19	173	-5.90	173	-2927.55	97	427.86	33	-0.43	173
305	-862	-863	Min.	1.94					1.44	55			600.23	55		
305	-862	-863	Min.	40.00	708.24	1	-4.19	173	-7.58	173	-2944.13	97	252.18	1	-0.43	173
305	-863	-864	Max	0.00	8967.15	98	3.46	98	4.20	17	-22.34	130	4021.40	98	0.50	65
305	-863	-864	Max	40.00	8967.15	98	3.46	98	4.98	98	-38.92	130	2730.22	98	0.50	65
305	-863	-864	Min.	0.00	356.85	1	-3.64	65	-7.78	173	-3256.74	97	291.19	1	-0.57	173
305	-863	-864	Min.	40.00	356.85	1	-3.64	65	-7.68	173	-3273.32	97	82.75	1	-0.57	173
305	-864	-865	Max	0.00	7294.97	98	5.08	173	5.12	98	-165.56	130	2915.55	98	0.56	65
305	-864	-865	Max	40.00	7294.97	98	5.08	173	4.48	98	-182.14	130	1851.41	106	0.56	65
305	-864	-865	Min.	0.00	-9.69	1	-5.09	105	-8.03	173	-3453.38	97	123.44	1	-0.73	173

305	-864	-865	Min.	40.00	-9.69	1	-5.09	105	-6.00	173	-3469.96	97	-108.99	1	-0.73	173
305	-865	-866	Max	0.00	5472.23	98	9.15	173	4.71	98	-314.90	49	1883.73	106	0.58	65
305	-865	-866	Max	40.00	5472.23	98	9.15	173	2.84	98	-327.19	49	1603.42	106	0.58	65
305	-865	-866	Min.	0.00	-377.63	1	-9.72	105	-6.47	173	-3665.79	97	-68.17	1	-0.87	173
305	-865	-866	Min.	40.00	-377.63	1	-9.72	105	-2.81	173	-3682.37	97	-568.07	101	-0.87	173
305	-866	-867	Max	0.00	5017.19	106	12.15	173	3.15	98	-420.02	33	1649.00	106	0.55	65
305	-866	-867	Max	40.00	5017.19	106	12.15	173	1.50	173	-432.31	33	1306.52	130	0.55	65
305	-866	-867	Min.	0.00	-1215.63	101	-12.15	106	-3.36	173	-3927.65	97	-453.42	101	-0.93	173
305	-866	-867	Min.	40.00	-1215.63	101	-12.15	106	-7.23	105	-3944.23	97	-1324.42	101	-0.93	173
305	-867	-868	Max	0.00	4511.54	106	13.63	173	1.21	98	-511.31	33	1336.72	130	0.47	65
305	-867	-868	Max	40.00	4511.54	106	13.63	173	6.38	173	-523.60	33	910.52	130	0.47	65
305	-867	-868	Min.	0.00	-2180.62	101	-5.96	65	-7.10	105	-4195.56	97	-1217.61	101	-0.88	173
305	-867	-868	Min.	40.00	-2180.62	101	-5.96	65	-9.15	105	-4212.15	97	-2618.46	97	-0.88	173
305	-868	-869	Max	0.00	3977.94	130	18.66	105	5.87	173	-599.65	33	948.27	130	0.41	65
305	-868	-869	Max	20.00	3977.94	130	18.66	105	8.23	173	-605.79	33	568.26	130	0.41	65
305	-868	-869	Min.	0.00	-3006.92	101	-5.71	98	-9.18	105	-4512.20	97	-2434.16	97	-0.78	173
305	-868	-869	Min.	20.00	-3006.92	101	-5.71	98	-5.45	105	-4520.49	97	-3337.43	97	-0.78	173
305	-869	-870	Max	0.00	3977.94	130	18.66	105	8.23	173	-606.16	33	568.26	130	0.41	65
305	-869	-870	Max	20.00	3977.94	130	18.66	105	10.60	173	-612.30	33	186.59	130	0.41	65
305	-869	-870	Min.	0.00	-3006.92	101	-5.71	98	-5.45	105	-4520.49	97	-3337.43	97	-0.78	173
305	-869	-870	Min.	20.00	-3006.92	101	-5.71	98	-5.56	65	-4528.78	97	-4242.36	97	-0.78	173
305	-870	-871	Max	0.00	3607.21	130	61.91	105	10.21	173	-366.30	33	226.96	130	1.45	105
305	-870	-871	Max	40.00	3607.21	130	61.91	105	22.91	105	-378.58	33	-238.79	49	1.45	105
305	-870	-871	Min.	0.00	-3611.64	101	-6.16	98	-5.34	65	-2814.86	97	-4092.64	97	-1.32	173
305	-870	-871	Min.	40.00	-3611.64	101	-6.16	98	-5.20	98	-2831.44	97	-5221.90	97	-1.32	173
305	-871	-872	Max	0.00	3307.44	130	36.56	173	25.03	105	1435.08	105	-223.17	49	0.32	173
305	-871	-872	Max	39.88	3307.44	130	36.56	173	1.19	125	1418.55	105	61.02	130	0.32	173
305	-871	-872	Min.	0.00	-3894.24	101	-65.70	105	-13.40	173	209.81	49	-5122.02	97	-1.35	105
305	-871	-872	Min.	39.88	-3894.24	101	-65.70	105	-2.36	177	197.57	49	-4683.39	97	-1.35	105
305	-872	-873	Max	0.00	3066.82	130	15.72	173	1.31	125	2658.49	97	88.74	130	0.36	65
305	-872	-873	Max	19.94	3066.82	130	15.72	173	3.98	173	2650.22	97	360.44	130	0.36	65
305	-872	-873	Min.	0.00	-3853.63	101	-21.61	105	-2.14	177	428.32	49	-4635.07	97	-0.54	173
305	-872	-873	Min.	19.94	-3853.63	101	-21.61	105	-5.66	177	422.20	49	-4105.86	97	-0.54	173
305	-873	-874	Max	0.00	3066.82	130	15.72	173	3.98	173	2650.22	97	360.33	130	0.36	65
305	-873	-874	Max	4.19					-0.67	5			-88.57	5		
305	-873	-874	Max	19.94	3066.82	130	15.72	173	7.11	173	2641.96	97	630.38	130	0.36	65
305	-873	-874	Min.	0.00	-3853.63	101	-21.61	105	-5.66	177	419.27	49	-4106.06	97	-0.54	173
305	-873	-874	Min.	4.19					0.56	5			-1108.50	5		
305	-873	-874	Min.	19.94	-3853.63	101	-21.61	105	-9.49	105	413.14	49	-3578.50	97	-0.54	173
305	-874	-875	Max	0.00	2806.43	130	6.81	173	6.80	173	2420.52	97	659.75	130	0.38	105
305	-874	-875	Max	39.88	2806.43	130	6.81	173	9.51	173	2403.99	97	875.46	130	0.38	105
305	-874	-875	Min.	0.00	-3576.13	101	-25.62	177	-9.30	105	317.61	49	-3570.14	97	-0.46	173
305	-874	-875	Min.	39.88	-3576.13	101	-25.62	177	-19.23	177	305.36	49	-2608.25	97	-0.46	173
305	-875	-876	Max	0.00	2491.71	130	10.71	105	9.34	173	2032.67	97	910.53	130	0.21	17
305	-875	-876	Max	39.88	2491.71	130	10.71	105	11.03	173	2016.14	97	914.80	130	0.21	17
305	-875	-876	Min.	0.00	-3133.96	101	-34.92	177	-19.29	177	18.96	130	-2629.19	97	-0.91	177
305	-875	-876	Min.	39.88	-3133.96	101	-34.92	177	-33.22	177	2.43	130	-1821.96	97	-0.91	177
305	-876	-877	Max	0.00	2110.83	130	9.17	105	11.03	173	1661.42	97	957.20	130	0.25	173
305	-876	-877	Max	39.88	2110.83	130	9.17	105	12.43	173	1644.89	97	846.88	130	0.25	173
305	-876	-877	Min.	0.00	-2584.12	101	-35.62	177	-33.76	177	-268.38	130	-1863.06	97	-2.22	177
305	-876	-877	Min.	39.88	-2584.12	101	-35.62	177	-47.96	177	-284.91	130	-1203.87	97	-2.22	177
305	-877	-878	Max	0.00	1661.70	130	5.91	129	12.64	173	1333.00	97	896.81	130	0.71	173
305	-877	-878	Max	39.88	1661.70	130	5.91	129	12.14	173	1316.47	97	730.61	106	0.71	173
305	-877	-878	Min.	0.00	-1970.28	101	-8.08	177	-49.26	177	-486.94	130	-1258.51	97	-3.98	177
305	-877	-878	Min.	39.88	-1970.28	101	-8.08	177	-52.48	177	-503.47	130	-730.27	97	-3.98	177
305	-878	-879	Max	0.00	1149.74	130	80.13	177	12.58	173	1016.49	97	781.11	106	1.06	173
305	-878	-879	Max	31.90					-0.42	163			222.90	163		
305	-878	-879	Max	39.87	1149.74	130	80.13	177	5.48	173	999.97	97	534.68	106	1.06	173
305	-878	-879	Min.	0.00	-1322.78	101	-17.80	173	-54.72	177	-675.07	130	-793.49	97	-5.43	177
305	-878	-879	Min.	10.58					-0.18	56			-54.45	56		
305	-878	-879	Min.	39.87	-1322.78	101	-17.80	173	-22.77	177	-691.60	130	-391.46	97	-5.43	177
305	-879	-880	Max	0.00	586.85	130	279.75	177	6.09	173	593.58	97	591.25	106	0.66	173
305	-879	-880	Max	17.04					1.05	169			6.92	169		
305	-879	-880	Max	39.88	586.85	130	279.75	177	85.81	177	577.05	97	335.60	106	0.66	173
305	-879	-880	Min.	0.00	-661.40	101	-57.12	173	-25.74	177	-643.24	130	-459.32	97	-3.29	177
305	-879	-880	Min.	17.04					1.05	169			6.92	169		
305	-879	-880	Min.	39.88	-661.40	101	-57.12	173	-16.69	173	-659.77	130	-225.93	97	-3.29	177
305	-880	-881	Max	0.00	0.00	1	713.01	177	83.38	177	960.99	97	395.79	106	19.65	177
305	-880	-881	Max	24.80					3.34	169			-0.33	169		
305	-880	-881	Max	31.00	0.00	1	713.01	177	304.42	177	948.14	97	0.00	106	19.65	177
305	-880	-881	Min.	0.00	0.00	1	-144.11	173	-16.18	173	-1270.30	106	-295.92	97	-3.97	173
305	-880	-881	Min.	24.80					11.52	97			-58.86	97		
305	-880	-881	Min.	31.00	0.00	1	-144.11	173	-60.85	173	-1283.15	106	0.00	97	-3.97	173
306	-882	-883	Max	0.00	0.00	1	155.96	173	301.75	177	1324.90	101	0.00	1	3.97	173
306	-882	-883	Max	31.00	0.00	1	155.96	173	81.88	177	1312.05	101	408.73	101	3.97	173
306	-882	-883	Min.	0.00	0.00	1	-709.24	177	-68.78	173	-1036.64	122	0.00	1	-19.65	177
306	-882	-883	Min.	31.00	0.00	1	-709.24	177	-20.44	173	-1049.49	122	-323.35	122	-19.65	177
306	-883	-884	Max	0.00	538.06	101	65.69	173	84.29	177	682.79	101	348.60	101	3.27	177
306	-883	-884	Max	2.08					-0.03	170			3.48	170		

306	-883	-884	Max	39.88	538.06	101	65.69	173	5.16	173	666.26	101	617.57	101	3.27	177
306	-883	-884	Min.	0.00	-727.37	130	-277.06	177	-21.03	173	-634.26	122	-245.71	122	-0.77	173
306	-883	-884	Min.	31.90					-0.01	122			-450.15	122		
306	-883	-884	Min.	39.88	-727.37	130	-277.06	177	-26.19	177	-650.79	122	-501.92	122	-0.77	173
306	-884	-885	Max	0.00	1046.94	101	23.28	173	4.43	173	676.66	101	561.15	101	5.40	177
306	-884	-885	Max	38.57					0.15	50			71.14	50		
306	-884	-885	Max	39.87	1046.94	101	23.28	173	13.71	173	660.13	101	827.67	101	5.40	177
306	-884	-885	Min.	0.00	-1449.87	130	-78.32	177	-23.25	177	-1021.04	98	-426.54	122	-1.21	173
306	-884	-885	Min.	38.57					-0.21	50			-86.26	50		
306	-884	-885	Min.	39.87	-1449.87	130	-78.32	177	-54.48	177	-1037.57	98	-831.75	122	-1.21	173
306	-885	-886	Max	0.00	1496.62	101	8.97	177	13.14	173	417.29	101	777.73	101	3.94	177
306	-885	-886	Max	31.90					-0.00	101			908.74	101		
306	-885	-886	Max	39.88	1496.62	101	8.97	177	14.84	173	400.76	101	940.83	101	3.94	177
306	-885	-886	Min.	0.00	-2148.57	130	-4.07	17	-52.27	177	-1338.23	98	-761.47	122	-0.84	173
306	-885	-886	Min.	31.90					-0.00	102			857.95	102		
306	-885	-886	Min.	39.88	-2148.57	130	-4.07	17	-48.69	177	-1354.76	98	-1287.49	98	-0.84	173
306	-886	-887	Max	0.00	1876.03	101	35.89	177	14.53	173	77.70	101	898.63	101	2.19	177
306	-886	-887	Max	0.80					0.02	114			593.08	114		
306	-886	-887	Max	39.88	1876.03	101	35.89	177	13.61	173	62.92	137	926.32	101	2.19	177
306	-886	-887	Min.	0.00	-2803.63	130	-2.97	17	-47.42	177	-1632.91	98	-1232.33	98	-0.32	173
306	-886	-887	Min.	31.90					-0.00	163			-587.13	163		
306	-886	-887	Min.	39.88	-2803.63	130	-2.97	17	-33.11	177	-1649.44	98	-1886.75	98	-0.32	173
306	-887	-888	Max	0.00	2183.38	101	34.80	177	13.56	173	-151.56	49	892.05	101	0.90	177
306	-887	-888	Max	39.88	2183.38	101	34.80	177	11.68	173	-163.80	49	730.51	101	0.90	177
306	-887	-888	Min.	0.00	-3387.02	130	-4.72	173	-32.58	177	-1904.34	98	-1845.39	98	-0.20	65
306	-887	-888	Min.	39.88	-3387.02	130	-4.72	173	-18.71	177	-1920.87	98	-2608.04	98	-0.20	65
306	-888	-889	Max	0.00	2428.15	101	25.26	177	11.87	173	-258.41	49	703.01	101	0.52	173
306	-888	-889	Max	39.88	2428.15	101	25.26	177	8.11	173	-270.65	49	290.02	101	0.52	173
306	-888	-889	Min.	0.00	-3862.52	130	-9.42	173	-18.64	177	-2127.77	98	-2587.11	98	-0.32	17
306	-888	-889	Min.	39.88	-3862.52	130	-9.42	173	-8.57	177	-2144.30	98	-3438.85	98	-0.32	17
306	-889	-890	Max	0.00	2644.00	101	17.25	177	8.48	173	-396.32	49	265.61	101	0.59	173
306	-889	-890	Max	19.94	2644.00	101	17.25	177	4.18	173	-402.44	49	-23.78	149	0.59	173
306	-889	-890	Min.	0.00	-4183.68	130	-21.56	173	-8.74	177	-2560.50	98	-3446.66	98	-0.33	17
306	-889	-890	Min.	19.94	-4183.68	130	-21.56	173	-5.30	177	-2568.76	98	-3957.98	98	-0.33	17
306	-890	-891	Max	0.00	2644.00	101	17.25	177	4.18	173	-405.39	49	-23.78	149	0.59	173
306	-890	-891	Max	19.94	2644.00	101	17.25	177	0.42	65	-411.51	49	-119.30	49	0.59	173
306	-890	-891	Min.	0.00	-4183.68	130	-21.56	173	-5.30	177	-2568.76	98	-3957.97	98	-0.33	17
306	-890	-891	Min.	19.94	-4183.68	130	-21.56	173	-1.86	177	-2577.03	98	-4470.94	98	-0.33	17
306	-891	314	Max	0.00	2884.44	101	26.16	17	0.31	173	-642.32	33	-131.39	49	0.30	17
306	-891	314	Max	39.88	2884.44	101	26.16	17	10.53	17	-654.57	33	-394.09	49	0.30	17
306	-891	314	Min.	0.00	-4299.91	130	-47.71	173	-2.05	177	-3861.22	102	-4517.03	98	-0.51	173
306	-891	314	Min.	39.88	-4299.91	130	-47.71	173	-18.71	173	-3877.75	102	-5960.06	98	-0.51	173
306	314	-892	Max	0.00	3293.78	101	12.15	173	4.90	65	5361.45	98	-410.39	49	1.49	173
306	314	-892	Max	40.00	3293.78	101	12.15	173	9.25	173	5344.87	98	-40.26	49	1.49	173
306	314	-892	Min.	0.00	-4113.32	130	-8.06	177	-5.02	17	803.89	33	-6060.82	98	-0.83	17
306	314	-892	Min.	40.00	-4113.32	130	-8.06	177	-6.00	17	791.61	33	-3919.56	98	-0.83	17
306	-892	-893	Max	0.00	3876.41	101	5.18	17	9.61	173	4474.83	98	-60.50	49	0.71	173
306	-892	-893	Max	20.00	3876.41	101	5.18	17	8.49	173	4466.54	98	149.14	101	0.71	173
306	-892	-893	Min.	0.00	-3637.22	130	-5.60	173	-6.24	17	614.18	33	-4073.13	98	-0.44	17
306	-892	-893	Min.	20.00	-3637.22	130	-5.60	173	-5.24	17	608.04	33	-3179.00	98	-0.44	17
306	-893	-894	Max	0.00	3876.41	101	5.18	17	8.49	173	4466.54	98	149.14	101	0.71	173
306	-893	-894	Max	20.00	3876.41	101	5.18	17	7.37	173	4458.25	98	700.33	101	0.71	173
306	-893	-894	Min.	0.00	-3637.22	130	-5.60	173	-5.24	17	607.63	33	-3179.00	98	-0.44	17
306	-893	-894	Min.	20.00	-3637.22	130	-5.60	173	-4.27	17	601.48	33	-2286.52	98	-0.44	17
306	-894	-895	Max	0.00	4467.38	101	6.80	17	7.90	173	3986.61	98	634.95	101	0.80	173
306	-894	-895	Max	40.00	4467.38	101	6.80	17	3.32	173	3970.03	98	1328.62	101	0.80	173
306	-894	-895	Min.	0.00	-2969.09	130	-11.45	173	-4.60	17	497.17	33	-2472.90	98	-0.52	17
306	-894	-895	Min.	40.00	-2969.09	130	-11.45	173	-1.92	17	484.88	33	-1283.92	130	-0.52	17
306	-895	-896	Max	0.00	5002.41	101	6.52	17	3.94	173	3906.04	98	1269.40	101	0.90	173
306	-895	-896	Max	40.00	5002.41	101	6.52	17	0.62	65	3889.46	98	1727.69	101	0.90	173
306	-895	-896	Min.	0.00	-2168.25	130	-13.06	173	-2.31	17	433.22	33	-1372.59	130	-0.59	17
306	-895	-896	Min.	40.00	-2168.25	130	-13.06	173	-1.56	177	420.94	33	-671.86	130	-0.59	17
306	-896	-897	Max	0.00	5506.71	97	5.47	17	0.41	65	3757.27	98	1679.77	101	0.89	173
306	-896	-897	Max	40.00	5506.71	97	5.47	17	2.22	65	3740.69	98	1962.54	101	0.89	173
306	-896	-897	Min.	0.00	-1290.85	130	-12.58	173	-1.60	177	345.05	49	-769.13	130	-0.61	17
306	-896	-897	Min.	40.00	-1290.85	130	-12.58	173	-5.67	173	332.76	49	-136.66	130	-0.61	17
306	-897	-898	Max	0.00	7335.91	97	4.27	17	1.84	65	3550.23	98	1928.71	101	0.74	173
306	-897	-898	Max	40.00	7335.91	97	4.27	17	3.47	65	3533.65	98	3014.87	97	0.74	173
306	-897	-898	Min.	0.00	-382.63	130	-10.48	173	-5.08	173	210.34	149	-237.44	130	-0.57	17
306	-897	-898	Min.	40.00	-382.63	130	-10.48	173	-9.27	173	198.05	149	139.09	1	-0.57	17
306	-898	-899	Max	0.00	9006.86	97	3.17	17	3.13	65	3227.85	98	2829.72	97	0.51	173
306	-898	-899	Max	40.00	9006.86	97	3.17	17	4.34	65	3211.27	98	4102.58	97	0.51	173
306	-898	-899	Min.	0.00	403.37	1	-6.34	173	-8.81	173	100.53	149	97.51	1	-0.50	17
306	-898	-899	Min.	40.00	403.37	1	-6.34	173	-11.35	173	88.24	149	312.70	1	-0.50	17
306	-899	-900	Max	0.00	10424.20	97	2.24	17	4.07	65	2694.84	98	3945.60	97	0.40	65
306	-899	-900	Max	40.00	10424.20	97	2.24	17	4.92	65	2678.26	98	5006.10	97	0.40	65
306	-899	-900	Min.	0.00	761.54	1	-2.28	65	-11.08	173	14.30	149	272.93	1	-0.40	17
306	-899	-900	Min.	40.00	761.54	1	-2.28	65	-10.91	173	2.02	149	454.44	33	-0.40	17
306	-900	-1317	Max	0.00	11501.50	97	9.56	173	4.72	65	2041.10	98	4886.78	97	0.28	65

306	-900	-1317	Max	20.00	11501.50	97	9.56	173	4.99	65	2032.81	98	5286.94	97	0.28	65
306	-900	-1317	Min.	0.00	1082.55	33	-1.46	65	-10.85	173	-123.67	101	422.93	1	-0.28	17
306	-900	-1317	Min.	20.00	1082.55	33	-1.46	65	-8.93	173	-131.96	101	477.43	33	-0.28	17
306	-1317	-901	Max	0.00	11501.50	97	9.56	173	4.99	65	2032.81	98	5286.94	97	0.28	65
306	-1317	-901	Max	16.00					-0.00	145			3078.87	145		
306	-1317	-901	Max	20.00	11501.50	97	9.56	173	5.26	65	2024.52	98	5685.44	97	0.28	65
306	-1317	-901	Min.	0.00	1082.55	33	-1.46	65	-8.93	173	-131.96	101	477.43	33	-0.28	17
306	-1317	-901	Min.	16.00					-0.00	158			2985.70	158		
306	-1317	-901	Min.	20.00	1082.55	33	-1.46	65	-7.02	173	-140.25	101	517.61	33	-0.28	17
306	-901	-1316	Max	0.00	12168.50	97	18.35	173	5.14	65	1919.23	173	5611.50	97	0.16	65
306	-901	-1316	Max	20.00	12168.50	97	18.35	173	5.27	65	1913.08	173	5820.60	97	0.16	65
306	-901	-1316	Min.	0.00	1208.21	33	-0.73	65	-7.11	173	-307.80	101	503.64	33	-0.15	17
306	-901	-1316	Min.	20.00	1208.21	33	-0.73	65	-5.32	17	-316.09	101	531.36	33	-0.15	17
306	-1316	-902	Max	0.00	12168.50	97	18.35	173	5.27	65	1913.08	173	5820.60	97	0.16	65
306	-1316	-902	Max	20.00	12168.50	97	18.35	173	5.40	17	1906.94	173	6028.04	97	0.16	65
306	-1316	-902	Min.	0.00	1208.21	33	-0.73	65	-5.32	17	-316.09	101	531.36	33	-0.15	17
306	-1316	-902	Min.	20.00	1208.21	33	-0.73	65	-5.46	65	-324.38	101	558.29	33	-0.15	17
306	-902	-903	Max	0.00	12383.90	97	16.02	173	5.37	65	1038.68	173	6004.19	97	0.25	173
306	-902	-903	Max	19.00					0.01	100			6001.56	100		
306	-902	-903	Max	20.00	12383.90	97	16.02	173	5.36	17	1032.54	173	6001.56	97	0.25	173
306	-902	-903	Min.	0.00	1294.11	33	-0.05	49	-5.42	17	-494.74	101	548.73	33	-0.02	1
306	-902	-903	Min.	19.50					-0.56	177			812.87	177		
306	-902	-903	Min.	20.00	1294.11	33	-0.05	49	-5.41	17	-503.03	101	564.43	33	-0.02	1
306	-903	-904	Max	0.00	12383.90	97	16.02	173	5.36	17	1032.54	173	6001.56	97	0.25	173
306	-903	-904	Max	18.50					0.01	100			6000.86	100		
306	-903	-904	Max	20.00	12383.90	97	16.02	173	6.50	173	1026.40	173	6004.19	98	0.25	173
306	-903	-904	Min.	0.00	1294.11	33	-0.05	49	-5.41	17	-503.03	101	564.43	33	-0.02	1
306	-903	-904	Min.	19.50					-0.03	172			783.27	172		
306	-903	-904	Min.	20.00	1294.11	33	-0.05	49	-5.42	65	-511.32	101	548.74	33	-0.02	1
306	-904	-1315	Max	0.00	12168.50	98	0.73	17	6.45	173	398.95	130	6028.04	98	0.15	65
306	-904	-1315	Max	20.00	12168.50	98	0.73	17	5.27	17	390.66	130	5820.60	98	0.15	65
306	-904	-1315	Min.	0.00	1208.22	33	-15.60	173	-5.46	17	-1211.31	173	558.29	33	-0.42	173
306	-904	-1315	Min.	20.00	1208.22	33	-15.60	173	-5.32	65	-1217.46	173	531.36	33	-0.42	173
306	-1315	-905	Max	0.00	12168.50	98	0.73	17	5.27	17	390.66	130	5820.60	98	0.15	65
306	-1315	-905	Max	20.00	12168.50	98	0.73	17	5.14	17	382.37	130	5611.50	98	0.15	65
306	-1315	-905	Min.	0.00	1208.22	33	-15.60	173	-5.32	65	-1217.46	173	531.36	33	-0.42	173
306	-1315	-905	Min.	20.00	1208.22	33	-15.60	173	-5.19	65	-1223.60	173	503.64	33	-0.42	173
306	-905	-1314	Max	0.00	11501.50	98	1.46	17	5.26	17	265.40	130	5685.45	98	0.28	65
306	-905	-1314	Max	14.60					-0.02	166			1084.10	166		
306	-905	-1314	Max	20.00	11501.50	98	1.46	17	4.99	17	257.11	130	5286.94	98	0.28	65
306	-905	-1314	Min.	0.00	1082.58	33	-17.70	173	-5.31	65	-2117.86	173	517.61	33	-0.28	17
306	-905	-1314	Min.	16.00					-0.03	162			1069.01	162		
306	-905	-1314	Min.	20.00	1082.58	33	-17.70	173	-5.04	65	-2124.00	173	477.43	33	-0.28	17
306	-1314	-906	Max	0.00	11501.50	98	1.46	17	4.99	17	257.11	130	5286.94	98	0.28	65
306	-1314	-906	Max	20.00	11501.50	98	1.46	17	4.72	17	248.82	130	4886.78	98	0.28	65
306	-1314	-906	Min.	0.00	1082.58	33	-17.70	173	-5.04	65	-2124.00	173	477.43	33	-0.28	17
306	-1314	-906	Min.	20.00	1082.58	33	-17.70	173	-6.83	173	-2130.14	173	422.93	49	-0.28	17
306	-906	-907	Max	0.00	10424.20	98	2.28	17	4.92	17	127.20	130	5006.10	98	0.40	65
306	-906	-907	Max	40.00	10424.20	98	2.28	17	4.07	17	110.61	130	3945.60	98	0.40	65
306	-906	-907	Min.	0.00	761.54	49	-8.60	173	-6.84	173	-2678.26	97	454.45	33	-0.40	17
306	-906	-907	Min.	40.00	761.54	49	-8.60	173	-10.28	173	-2694.84	97	272.93	49	-0.40	17
306	-907	-908	Max	0.00	9006.85	98	3.23	17	4.34	17	14.39	130	4102.58	98	0.50	65
306	-907	-908	Max	34.37					-0.03	130			1765.57	130		
306	-907	-908	Max	40.00	9006.85	98	3.23	17	3.13	17	-2.19	130	2829.72	98	0.50	65
306	-907	-908	Min.	0.00	403.36	49	-3.17	65	-10.44	173	-3211.27	97	312.70	49	-0.51	17
306	-907	-908	Min.	34.37					-0.03	130			1765.57	130		
306	-907	-908	Min.	40.00	403.36	49	-3.17	65	-10.07	173	-3227.85	97	97.51	49	-0.51	17
306	-908	-909	Max	0.00	7335.91	98	8.26	173	3.47	17	-132.02	130	3014.87	98	0.57	65
306	-908	-909	Max	40.00	7335.91	98	8.26	173	1.84	17	-148.60	130	1928.68	106	0.57	65
306	-908	-909	Min.	0.00	28.73	49	-4.27	65	-10.42	173	-3533.65	97	139.09	49	-0.61	173
306	-908	-909	Min.	40.00	28.73	49	-4.27	65	-7.12	173	-3550.23	97	-101.02	49	-0.61	173
306	-909	-910	Max	0.00	5506.71	98	12.71	173	2.22	17	-332.76	1	1962.52	106	0.61	65
306	-909	-910	Max	40.00	5506.71	98	12.71	173	0.41	17	-345.05	1	1679.73	106	0.61	65
306	-909	-910	Min.	0.00	-348.20	49	-5.47	65	-7.64	173	-3740.69	97	-59.20	49	-0.79	173
306	-909	-910	Min.	40.00	-348.20	49	-5.47	65	-2.55	173	-3757.27	97	-578.27	101	-0.79	173
306	-910	-911	Max	0.00	5002.23	106	14.46	173	0.62	17	-420.90	33	1727.65	106	0.59	65
306	-910	-911	Max	40.00	5002.23	106	14.46	173	2.62	173	-433.19	33	1337.27	130	0.59	65
306	-910	-911	Min.	0.00	-1223.22	101	-6.52	65	-3.16	173	-3889.46	97	-463.32	101	-0.85	173
306	-910	-911	Min.	40.00	-1223.22	101	-6.52	65	-2.31	65	-3906.04	97	-1302.41	101	-0.85	173
306	-911	-912	Max	0.00	4467.19	106	13.19	173	2.00	173	-484.85	33	1369.79	130	0.52	65
306	-911	-912	Max	40.00	4467.19	106	13.19	173	7.28	173	-497.13	33	936.54	130	0.52	65
306	-911	-912	Min.	0.00	-2190.84	101	-6.80	65	-1.92	65	-3970.03	97	-1195.27	101	-0.79	173
306	-911	-912	Min.	40.00	-2190.84	101	-6.80	65	-4.60	65	-3986.61	97	-2472.90	97	-0.79	173
306	-912	-913	Max	0.00	3923.56	130	6.93	173	6.74	173	-601.43	33	976.63	130	0.44	65
306	-912	-913	Max	20.00	3923.56	130	6.93	173	8.13	173	-607.57	33	616.92	130	0.44	65
306	-912	-913	Min.	0.00	-3021.08	101	-5.18	65	-4.27	65	-4458.24	97	-2286.52	97	-0.72	173
306	-912	-913	Min.	20.00	-3021.08	101	-5.18	65	-5.24	65	-4466.53	97	-3178.99	97	-0.72	173
306	-913	-914	Max	0.00	3923.56	130	6.93	173	8.13	173	-607.99	33	616.92	130	0.44	65
306	-913	-914	Max	20.00	3923.56	130	6.93	173	9.52	173	-614.13	33	255.54	130	0.44	65

306	-913	-914	Min.	0.00	-3021.08	101	-5.18	65	-5.24	65	-4466.53	97	-3178.99	97	-0.72	173
306	-913	-914	Min.	20.00	-3021.08	101	-5.18	65	-6.24	65	-4474.82	97	-4073.13	97	-0.72	173
306	-914	315	Max	0.00	3533.94	130	8.06	177	9.13	173	-791.53	33	298.35	130	0.83	65
306	-914	315	Max	40.00	3533.94	130	8.06	177	4.90	17	-803.82	33	-410.39	1	0.83	65
306	-914	315	Min.	0.00	-3641.84	101	-12.21	173	-6.00	65	-5344.85	97	-3919.55	97	-1.58	173
306	-914	315	Min.	40.00	-3641.84	101	-12.21	173	-5.02	65	-5361.44	97	-6060.80	97	-1.58	173
306	315	-915	Max	0.00	3228.29	130	50.75	173	10.53	65	3877.38	105	-388.46	162	0.55	173
306	315	-915	Max	31.90					-0.03	118			-687.69	118		
306	315	-915	Max	39.88	3228.29	130	50.75	173	0.26	173	3860.85	105	123.31	130	0.55	173
306	315	-915	Min.	0.00	-3925.38	101	-26.16	65	-19.98	173	654.47	33	-5960.05	97	-0.30	65
306	315	-915	Min.	31.90					-0.03	119			-747.36	119		
306	315	-915	Min.	39.88	-3925.38	101	-26.16	65	-2.05	177	642.23	33	-4517.08	97	-0.30	65
306	-915	-916	Max	0.00	2997.74	130	22.79	173	0.42	17	2577.03	97	149.65	130	0.33	65
306	-915	-916	Max	15.95					-0.01	126			-1550.00	126		
306	-915	-916	Max	19.94	2997.74	130	22.79	173	4.35	173	2568.76	97	396.69	130	0.33	65
306	-915	-916	Min.	0.00	-3869.52	101	-17.25	177	-1.86	177	411.51	1	-4470.83	97	-0.63	173
306	-915	-916	Min.	15.95					-0.00	100			-4006.03	100		
306	-915	-916	Min.	19.94	-3869.52	101	-17.25	177	-5.30	177	405.38	1	-3957.86	97	-0.63	173
306	-916	-917	Max	0.00	2997.74	130	22.79	173	4.34	173	2568.77	97	396.60	130	0.33	65
306	-916	-917	Max	3.99					-0.00	133			-2844.97	133		
306	-916	-917	Max	19.94	2997.74	130	22.79	173	8.89	173	2560.50	97	642.00	130	0.33	65
306	-916	-917	Min.	0.00	-3869.52	101	-17.25	177	-5.30	177	402.44	1	-3958.05	97	-0.63	173
306	-916	-917	Min.	3.99					-0.00	133			-2844.97	133		
306	-916	-917	Min.	19.94	-3869.52	101	-17.25	177	-8.74	177	396.32	1	-3446.73	97	-0.63	173
306	-917	-918	Max	0.00	2749.68	130	9.75	173	8.50	173	2144.33	97	669.89	130	0.32	65
306	-917	-918	Max	39.88	2749.68	130	9.75	173	12.38	173	2127.80	97	884.37	130	0.32	65
306	-917	-918	Min.	0.00	-3589.21	101	-25.26	177	-8.57	177	270.65	1	-3438.86	97	-0.56	173
306	-917	-918	Min.	39.88	-3589.21	101	-25.26	177	-18.64	177	258.41	1	-2587.10	97	-0.56	173
306	-918	-919	Max	0.00	2450.86	130	4.64	173	12.18	173	1920.86	97	917.74	130	0.20	17
306	-918	-919	Max	39.88	2450.86	130	4.64	173	14.03	173	1904.33	97	946.39	130	0.20	17
306	-918	-919	Min.	0.00	-3145.99	101	-34.80	177	-18.70	177	80.12	130	-2608.13	97	-0.90	177
306	-918	-919	Min.	39.88	-3145.99	101	-34.80	177	-32.58	177	63.59	130	-1845.49	97	-0.90	177
306	-919	-920	Max	0.00	2082.42	130	2.97	65	14.07	173	1649.42	97	987.40	130	0.31	173
306	-919	-920	Max	39.08					0.02	117			593.00	117		
306	-919	-920	Max	39.88	2082.42	130	2.97	65	14.91	173	1632.89	97	898.53	106	0.31	173
306	-919	-920	Min.	0.00	-2595.49	101	-35.89	177	-33.11	177	-267.65	130	-1886.75	97	-2.19	177
306	-919	-920	Min.	39.08					0.02	117			593.00	117		
306	-919	-920	Min.	39.88	-2595.49	101	-35.89	177	-47.42	177	-284.18	130	-1232.34	97	-2.19	177
306	-920	-921	Max	0.00	1642.53	130	4.07	65	15.21	173	1354.76	97	940.73	106	0.84	173
306	-920	-921	Max	39.88	1642.53	130	4.07	65	13.41	173	1338.23	97	777.64	106	0.84	173
306	-920	-921	Min.	0.00	-1979.66	101	-8.97	177	-48.69	177	-515.09	130	-1287.42	97	-3.94	177
306	-920	-921	Min.	39.88	-1979.66	101	-8.97	177	-52.27	177	-531.62	130	-750.51	97	-3.94	177
306	-921	-922	Max	0.00	1137.68	130	78.33	177	13.99	173	1037.52	97	827.60	106	1.22	173
306	-921	-922	Max	1.15					0.15	2			71.14	2		
306	-921	-922	Max	39.87	1137.68	130	78.33	177	4.55	173	1020.99	97	561.11	106	1.22	173
306	-921	-922	Min.	0.00	-1329.45	101	-23.67	173	-54.48	177	-698.87	130	-814.38	97	-5.40	177
306	-921	-922	Min.	0.92					-0.11	50			-86.91	50		
306	-921	-922	Min.	39.87	-1329.45	101	-23.67	173	-23.24	177	-715.40	130	-403.97	97	-5.40	177
306	-922	-923	Max	0.00	580.81	130	277.08	177	5.30	173	605.18	97	617.49	106	0.78	173
306	-922	-923	Max	37.59					-0.03	169			3.48	169		
306	-922	-923	Max	39.88	580.81	130	277.08	177	84.30	177	588.65	97	348.54	106	0.78	173
306	-922	-923	Min.	0.00	-664.69	101	-66.42	173	-26.18	177	-666.21	106	-472.66	97	-3.27	177
306	-922	-923	Min.	37.59					-0.03	169			3.48	169		
306	-922	-923	Min.	39.88	-664.69	101	-66.42	173	-21.19	173	-682.74	106	-234.64	97	-3.27	177
306	-923	-924	Max	0.00	0.00	1	709.24	177	81.88	177	991.92	97	408.70	106	19.65	177
306	-923	-924	Max	24.80					-0.08	169			-0.92	169		
306	-923	-924	Max	31.00	0.00	1	709.24	177	301.74	177	979.07	97	0.00	106	19.65	177
306	-923	-924	Min.	0.00	0.00	1	-157.51	173	-20.59	173	-1311.95	106	-305.50	97	-4.00	173
306	-923	-924	Min.	24.80					-0.12	97			-60.78	97		
306	-923	-924	Min.	31.00	0.00	1	-157.51	173	-69.42	173	-1324.80	106	0.00	97	-4.00	173
307	-925	-926	Max	0.00	0.00	1	165.99	173	297.45	177	1281.19	101	0.00	1	4.00	173
307	-925	-926	Max	31.00	0.00	1	165.99	173	79.70	177	1268.34	101	395.18	101	4.00	173
307	-925	-926	Min.	0.00	0.00	1	-702.42	177	-75.23	173	-1023.22	122	0.00	1	-19.61	177
307	-925	-926	Min.	31.00	0.00	1	-702.42	177	-23.77	173	-1036.07	122	-319.19	122	-19.61	177
307	-926	-927	Max	0.00	538.01	101	72.74	173	82.07	177	650.56	101	335.07	101	3.22	177
307	-926	-927	Max	22.16					-1.08	170			6.92	170		
307	-926	-927	Max	39.88	538.01	101	72.74	173	4.57	173	634.03	101	591.19	101	3.22	177
307	-926	-927	Min.	0.00	-728.04	130	-272.32	177	-24.43	173	-637.19	122	-241.84	122	-0.84	173
307	-926	-927	Min.	22.16					-1.08	170			6.92	170		
307	-926	-927	Min.	39.88	-728.04	130	-272.32	177	-26.51	177	-653.72	122	-499.22	122	-0.84	173
307	-927	-928	Max	0.00	1047.95	101	27.67	173	3.73	173	627.00	101	534.63	101	5.32	177
307	-927	-928	Max	28.23					0.18	56			68.51	56		
307	-927	-928	Max	39.87	1047.95	101	27.67	173	14.76	173	610.47	101	781.35	101	5.32	177
307	-927	-928	Min.	0.00	-1450.65	130	-75.65	177	-23.63	177	-1000.28	122	-424.13	122	-1.32	173
307	-927	-928	Min.	28.23					0.38	56			-52.87	56		
307	-927	-928	Min.	39.87	-1450.65	130	-75.65	177	-53.79	177	-1016.81	122	-826.28	122	-1.32	173
307	-928	-929	Max	0.00	1501.92	101	10.36	177	14.10	173	371.73	101	730.91	101	3.88	177
307	-928	-929	Max	34.85					-0.92	126			314.15	126		
307	-928	-929	Max	39.88	1501.92	101	10.36	177	16.68	173	355.20	101	875.84	101	3.88	177

307	-928	-929	Min.	0.00	-2149.18	130	-2.56	17	-51.63	177	-1315.54	98	-756.26	122	-0.93	173
307	-928	-929	Min.	34.85					-0.92	126			314.15	126		
307	-928	-929	Min.	39.88	-2149.18	130	-2.56	17	-47.50	177	-1332.07	98	-1258.32	98	-0.93	173
307	-929	-930	Max	0.00	1890.86	101	36.39	177	16.31	173	78.80	101	832.55	101	2.17	177
307	-929	-930	Max	0.80					0.81	114			548.19	114		
307	-929	-930	Max	39.88	1890.86	101	36.39	177	15.67	173	63.94	137	860.68	101	2.17	177
307	-929	-930	Min.	0.00	-2803.62	130	-2.31	17	-46.27	177	-1643.47	98	-1203.58	98	-0.37	173
307	-929	-930	Min.	0.80					0.81	114			548.19	114		
307	-929	-930	Min.	39.88	-2803.62	130	-2.31	17	-31.76	177	-1660.00	98	-1862.21	98	-0.37	173
307	-930	-931	Max	0.00	2214.44	101	34.47	177	15.59	173	-130.77	149	824.59	101	0.91	177
307	-930	-931	Max	39.88	2214.44	101	34.47	177	13.48	173	-143.02	149	696.66	101	0.91	177
307	-930	-931	Min.	0.00	-3386.45	130	-5.31	173	-31.25	177	-2014.49	98	-1820.97	98	-0.19	65
307	-930	-931	Min.	39.88	-3386.45	130	-5.31	173	-17.50	177	-2031.02	98	-2627.54	98	-0.19	65
307	-931	-932	Max	0.00	2483.08	101	23.78	177	13.68	173	-303.64	49	666.59	101	0.57	173
307	-931	-932	Max	39.88	2483.08	101	23.78	177	9.29	102	-315.88	49	251.09	101	0.57	173
307	-931	-932	Min.	0.00	-3860.18	130	-11.55	173	-17.42	177	-2403.26	98	-2606.67	98	-0.28	17
307	-931	-932	Min.	39.88	-3860.18	130	-11.55	173	-7.94	177	-2419.79	98	-3568.26	98	-0.28	17
307	-932	-933	Max	0.00	2720.05	101	13.94	177	9.48	173	-412.29	49	224.16	101	0.65	173
307	-932	-933	Max	19.94	2720.05	101	13.94	177	5.19	104	-418.42	49	-40.78	49	0.65	173
307	-932	-933	Min.	0.00	-4177.47	130	-25.99	173	-8.08	177	-2647.31	98	-3576.48	98	-0.29	17
307	-932	-933	Min.	19.94	-4177.47	130	-25.99	173	-5.30	177	-2655.58	98	-4105.11	98	-0.29	17
307	-933	-934	Max	0.00	2720.05	101	13.94	177	5.19	104	-421.35	49	-40.78	49	0.65	173
307	-933	-934	Max	19.94	2720.05	101	13.94	177	0.93	101	-427.47	49	-125.81	49	0.65	173
307	-933	-934	Min.	0.00	-4177.47	130	-25.99	173	-5.30	177	-2655.58	98	-4105.10	98	-0.29	17
307	-933	-934	Min.	19.94	-4177.47	130	-25.99	173	-2.52	177	-2663.84	98	-4635.37	98	-0.29	17
307	-934	-935	Max	0.00	2980.72	101	18.81	17	1.22	101	-198.99	49	-137.91	49	0.18	17
307	-934	-935	Max	39.88	2980.72	101	18.81	17	7.05	17	-211.23	49	-221.13	49	0.18	17
307	-934	-935	Min.	0.00	-4279.58	130	-65.51	102	-2.67	177	-1431.56	102	-4683.54	98	-1.35	102
307	-934	-935	Min.	39.88	-4279.58	130	-65.51	102	-24.92	102	-1448.09	102	-5126.43	98	-1.35	102
307	-935	-936	Max	0.00	3386.41	101	61.49	102	5.32	97	2841.81	98	-236.68	49	1.66	173
307	-935	-936	Max	40.00	3386.41	101	61.49	102	8.91	173	2825.23	98	-55.08	49	1.66	173
307	-935	-936	Min.	0.00	-4091.33	130	-6.29	97	-22.63	102	378.85	33	-5226.23	98	-0.70	17
307	-935	-936	Min.	40.00	-4091.33	130	-6.29	97	-7.04	17	366.57	33	-4092.83	98	-0.70	17
307	-936	-937	Max	0.00	3942.68	101	18.41	102	9.29	173	4533.98	98	-73.84	49	0.67	173
307	-936	-937	Max	20.00	3942.68	101	18.41	102	9.03	173	4525.69	98	98.86	149	0.67	173
307	-936	-937	Min.	0.00	-3625.60	130	-5.83	97	-7.32	17	610.73	33	-4242.49	98	-0.52	17
307	-936	-937	Min.	20.00	-3625.60	130	-5.83	97	-5.55	17	604.59	33	-3336.52	98	-0.52	17
307	-937	-938	Max	0.00	3942.68	101	18.41	102	9.03	173	4525.69	98	98.86	149	0.67	173
307	-937	-938	Max	20.00	3942.68	101	18.41	102	9.19	102	4517.40	98	655.10	101	0.67	173
307	-937	-938	Min.	0.00	-3625.60	130	-5.83	97	-5.55	17	604.22	33	-3336.53	98	-0.52	17
307	-937	-938	Min.	20.00	-3625.60	130	-5.83	97	-3.82	17	598.08	33	-2432.22	98	-0.52	17
307	-938	-939	Max	0.00	4506.44	101	8.22	17	9.33	173	4210.85	98	592.92	101	0.79	173
307	-938	-939	Max	40.00	4506.44	101	8.22	17	7.08	102	4194.27	98	1284.60	101	0.79	173
307	-938	-939	Min.	0.00	-2958.61	130	-8.70	173	-4.18	17	521.22	33	-2616.43	98	-0.61	17
307	-938	-939	Min.	40.00	-2958.61	130	-8.70	173	-1.20	97	508.94	33	-1296.44	130	-0.61	17
307	-939	-940	Max	0.00	5011.73	101	6.53	17	7.21	102	3942.24	98	1228.60	101	0.96	173
307	-939	-940	Max	40.00	5011.73	101	6.53	17	2.36	126	3925.66	98	1649.61	101	0.96	173
307	-939	-940	Min.	0.00	-2158.31	130	-12.18	101	-1.44	17	430.10	33	-1385.01	130	-0.66	17
307	-939	-940	Min.	40.00	-2158.31	130	-12.18	101	-3.16	97	417.81	33	-658.28	130	-0.66	17
307	-940	-941	Max	0.00	5465.68	97	4.88	17	2.99	173	3680.19	98	1604.08	101	1.06	173
307	-940	-941	Max	40.00	5465.68	97	4.88	17	2.99	65	3663.61	98	1883.75	101	1.06	173
307	-940	-941	Min.	0.00	-1281.88	130	-10.79	173	-2.83	97	324.92	49	-755.43	130	-0.64	17
307	-940	-941	Min.	40.00	-1281.88	130	-10.79	173	-4.72	97	312.64	49	-120.85	130	-0.64	17
307	-941	-942	Max	0.00	7287.37	97	3.51	17	2.62	65	3468.06	98	1851.48	101	1.05	173
307	-941	-942	Max	40.00	7287.37	97	3.51	17	3.92	65	3451.48	98	2914.96	97	1.05	173
307	-941	-942	Min.	0.00	-376.34	130	-9.64	173	-4.48	97	209.69	49	-221.33	130	-0.59	17
307	-941	-942	Min.	40.00	-376.34	130	-9.64	173	-5.13	97	197.40	49	121.80	1	-0.59	17
307	-942	-943	Max	0.00	8958.54	97	3.43	97	3.61	65	3271.51	98	2729.74	97	0.96	173
307	-942	-943	Max	40.00	8958.54	97	3.43	97	4.51	65	3254.93	98	4020.20	97	0.96	173
307	-942	-943	Min.	0.00	352.00	1	-8.11	173	-4.99	97	103.35	49	81.23	1	-0.50	17
307	-942	-943	Min.	40.00	352.00	1	-8.11	173	-6.86	173	91.06	49	289.10	1	-0.50	17
307	-943	-944	Max	0.00	10386.60	97	8.02	97	4.26	65	2942.65	98	3862.07	97	0.79	173
307	-943	-944	Max	34.69					-1.43	55			792.93	55		
307	-943	-944	Max	40.00	10386.60	97	8.02	97	4.86	65	2926.07	98	5021.84	97	0.79	173
307	-943	-944	Min.	0.00	702.51	1	-6.40	173	-6.20	173	10.83	49	250.18	1	-0.39	17
307	-943	-944	Min.	34.69					1.42	55			583.28	55		
307	-943	-944	Min.	40.00	702.51	1	-6.40	173	-8.76	173	-1.45	49	425.75	33	-0.39	17
307	-944	-1284	Max	0.00	11481.00	97	6.99	97	4.69	65	2216.10	98	4900.80	97	0.58	173
307	-944	-1284	Max	20.00	11481.00	97	6.99	97	4.87	65	2207.81	98	5336.03	97	0.58	173
307	-944	-1284	Min.	0.00	1017.68	33	-4.61	173	-8.24	173	-101.93	101	395.02	1	-0.27	17
307	-944	-1284	Min.	20.00	1017.68	33	-4.61	173	-9.16	173	-110.22	101	447.44	33	-0.27	17
307	-1284	-945	Max	0.00	11481.00	97	6.99	97	4.87	65	2207.81	98	5336.03	97	0.58	173
307	-1284	-945	Max	20.00	11481.00	97	6.99	97	5.05	65	2199.51	98	5769.61	97	0.58	173
307	-1284	-945	Min.	0.00	1017.68	33	-4.61	173	-9.16	173	-110.22	101	447.44	33	-0.27	17
307	-1284	-945	Min.	20.00	1017.68	33	-4.61	173	-10.08	173	-118.51	101	485.80	33	-0.27	17
307	-945	-1282	Max	0.00	12155.20	97	1.78	101	4.96	65	2426.34	173	5694.84	97	0.32	173
307	-945	-1282	Max	20.00	12155.20	97	1.78	101	5.04	65	2420.20	173	5879.41	97	0.32	173
307	-945	-1282	Min.	0.00	1140.29	33	-2.68	173	-9.74	173	-294.84	101	472.16	33	-0.15	17
307	-945	-1282	Min.	20.00	1140.29	33	-2.68	173	-10.28	173	-303.13	101	498.98	33	-0.15	17

307	-1282	-946	Max	0.00	12155.20	97	1.78	101	5.04	65	2420.20	173	5879.41	97	0.32	173
307	-1282	-946	Max	18.50					1.43	7			852.43	7		
307	-1282	-946	Max	20.00	12155.20	97	1.78	101	5.12	17	2414.06	173	6062.32	97	0.32	173
307	-1282	-946	Min.	0.00	1140.29	33	-2.68	173	-10.28	173	-303.13	101	498.98	33	-0.15	17
307	-1282	-946	Min.	18.50					-1.85	7			712.25	7		
307	-1282	-946	Min.	20.00	1140.29	33	-2.68	173	-10.81	173	-311.42	101	525.06	33	-0.15	17
307	-946	-947	Max	0.00	12368.40	100	1.65	101	5.10	65	2998.78	173	6038.56	97	0.09	106
307	-946	-947	Max	19.50					-1.05	177			822.45	177		
307	-946	-947	Max	20.00	12368.40	100	1.65	101	5.08	17	2992.64	173	6035.96	100	0.09	106
307	-946	-947	Min.	0.00	1225.65	33	-1.65	106	-10.66	173	-485.03	101	515.56	33	-0.09	101
307	-946	-947	Min.	6.25					-0.21	172			780.64	172		
307	-946	-947	Min.	20.00	1225.65	33	-1.65	106	-10.74	173	-493.32	101	531.30	33	-0.09	101
307	-947	-948	Max	0.00	12368.40	100	1.65	101	5.08	17	2992.64	173	6035.96	100	0.09	106
307	-947	-948	Max	2.50					3.02	100			6035.94	100		
307	-947	-948	Max	20.00	12368.40	100	1.65	101	5.10	17	2986.49	173	6038.56	98	0.09	106
307	-947	-948	Min.	0.00	1225.65	33	-1.65	106	-10.74	173	-493.32	101	531.30	33	-0.09	101
307	-947	-948	Min.	18.25					-0.21	172			780.42	172		
307	-947	-948	Min.	20.00	1225.65	33	-1.65	106	-10.83	173	-501.61	101	515.75	33	-0.09	101
307	-948	-1280	Max	0.00	12155.20	98	1.57	101	5.12	65	388.59	130	6062.32	98	0.15	65
307	-948	-1280	Max	2.50					1.56	39			1021.33	39		
307	-948	-1280	Max	20.00	12155.20	98	1.57	101	5.04	17	380.30	130	5879.41	98	0.15	65
307	-948	-1280	Min.	0.00	1141.89	33	-1.78	106	-10.88	173	-3162.26	173	525.07	33	-0.23	173
307	-948	-1280	Min.	2.50					-2.00	39			541.80	39		
307	-948	-1280	Min.	20.00	1141.89	33	-1.78	106	-10.64	173	-3168.40	173	499.18	33	-0.23	173
307	-1280	-949	Max	0.00	12155.20	98	1.57	101	5.04	17	380.30	130	5879.41	98	0.15	65
307	-1280	-949	Max	20.00	12155.20	98	1.57	101	4.96	17	372.00	130	5694.84	98	0.15	65
307	-1280	-949	Min.	0.00	1141.89	33	-1.78	106	-10.64	173	-3168.40	173	499.18	33	-0.23	173
307	-1280	-949	Min.	20.00	1141.89	33	-1.78	106	-10.40	173	-3174.55	173	472.56	33	-0.23	173
307	-949	-1278	Max	0.00	11481.00	98	3.61	173	5.05	17	248.86	130	5769.61	98	0.27	65
307	-949	-1278	Max	20.00	11481.00	98	3.61	173	4.87	17	240.57	130	5336.03	98	0.27	65
307	-949	-1278	Min.	0.00	1020.87	33	-6.99	98	-10.66	173	-2608.97	173	486.01	33	-0.49	173
307	-949	-1278	Min.	20.00	1020.87	33	-6.99	98	-9.94	173	-2615.12	173	447.87	33	-0.49	173
307	-1278	-950	Max	0.00	11481.00	98	3.61	173	4.87	17	240.57	130	5336.03	98	0.27	65
307	-1278	-950	Max	4.37					-0.40	166			1078.99	166		
307	-1278	-950	Max	20.00	11481.00	98	3.61	173	4.69	17	232.28	130	4900.80	98	0.27	65
307	-1278	-950	Min.	0.00	1020.87	33	-6.99	98	-9.94	173	-2615.12	173	447.87	33	-0.49	173
307	-1278	-950	Min.	6.18					-0.38	162			1064.05	162		
307	-1278	-950	Min.	20.00	1020.87	33	-6.99	98	-9.21	173	-2621.26	173	395.02	49	-0.49	173
307	-950	-951	Max	0.00	10386.60	98	5.73	173	4.86	17	100.58	130	5021.84	98	0.39	65
307	-950	-951	Max	4.61					-1.44	7			792.94	7		
307	-950	-951	Max	40.00	10386.60	98	5.73	173	4.26	17	84.00	130	3862.07	98	0.39	65
307	-950	-951	Min.	0.00	702.51	49	-8.02	98	-9.67	173	-2926.07	97	426.21	33	-0.73	173
307	-950	-951	Min.	4.61					1.42	7			586.88	7		
307	-950	-951	Min.	40.00	702.51	49	-8.02	98	-7.38	173	-2942.65	97	250.18	49	-0.73	173
307	-951	-952	Max	0.00	8958.53	98	7.84	173	4.51	17	-21.35	130	4020.20	98	0.50	65
307	-951	-952	Max	40.00	8958.53	98	7.84	173	3.61	17	-37.93	130	2729.74	98	0.50	65
307	-951	-952	Min.	0.00	352.00	49	-3.43	98	-8.00	173	-3254.93	97	289.10	49	-0.92	173
307	-951	-952	Min.	40.00	352.00	49	-3.43	98	-4.99	98	-3271.51	97	81.23	49	-0.92	173
307	-952	-953	Max	0.00	7287.36	98	9.86	173	3.92	17	-164.37	130	2914.96	98	0.59	65
307	-952	-953	Max	40.00	7287.36	98	9.86	173	2.62	17	-180.95	130	1851.45	106	0.59	65
307	-952	-953	Min.	0.00	-13.53	49	-3.51	65	-5.60	173	-3451.48	97	121.80	49	-1.04	173
307	-952	-953	Min.	40.00	-13.53	49	-3.51	65	-4.48	98	-3468.06	97	-109.90	49	-1.04	173
307	-953	-954	Max	0.00	5465.67	98	11.48	173	2.99	17	-312.64	1	1883.73	106	0.64	65
307	-953	-954	Max	40.00	5465.67	98	11.48	173	2.57	105	-324.92	1	1604.04	106	0.64	65
307	-953	-954	Min.	0.00	-380.38	49	-4.88	65	-4.72	98	-3663.61	97	-69.20	49	-1.07	173
307	-953	-954	Min.	40.00	-380.38	49	-4.88	65	-2.83	98	-3680.19	97	-567.83	101	-1.07	173
307	-954	-955	Max	0.00	5011.55	106	12.18	106	2.35	105	-415.03	33	1649.57	106	0.66	65
307	-954	-955	Max	40.00	5011.55	106	12.18	106	7.21	105	-427.31	33	1307.41	130	0.66	65
307	-954	-955	Min.	0.00	-1218.09	101	-6.53	65	-3.16	98	-3925.66	97	-453.27	101	-1.00	173
307	-954	-955	Min.	40.00	-1218.09	101	-6.53	65	-1.44	65	-3942.24	97	-1323.42	101	-1.00	173
307	-955	-956	Max	0.00	4506.24	106	9.98	173	7.08	105	-505.64	33	1337.57	130	0.61	65
307	-955	-956	Max	40.00	4506.24	106	9.98	173	9.34	173	-517.92	33	911.91	130	0.61	65
307	-955	-956	Min.	0.00	-2182.33	101	-8.22	65	-1.20	98	-4194.27	97	-1216.69	101	-0.83	173
307	-955	-956	Min.	40.00	-2182.33	101	-8.22	65	-4.18	65	-4210.85	97	-2616.43	97	-0.83	173
307	-956	-957	Max	0.00	3973.56	130	5.83	98	9.19	105	-594.38	33	949.62	130	0.52	65
307	-956	-957	Max	20.00	3973.56	130	5.83	98	9.23	173	-600.53	33	568.98	130	0.52	65
307	-956	-957	Min.	0.00	-3008.01	101	-18.41	105	-3.82	65	-4517.40	97	-2432.22	97	-0.72	173
307	-956	-957	Min.	20.00	-3008.01	101	-18.41	105	-5.55	65	-4525.69	97	-3336.52	97	-0.72	173
307	-957	-958	Max	0.00	3973.56	130	5.83	98	9.23	173	-600.89	33	568.98	130	0.52	65
307	-957	-958	Max	20.00	3973.56	130	5.83	98	9.73	173	-607.03	33	186.68	130	0.52	65
307	-957	-958	Min.	0.00	-3008.01	101	-18.41	105	-5.55	65	-4525.69	97	-3336.53	97	-0.72	173
307	-957	-958	Min.	20.00	-3008.01	101	-18.41	105	-7.32	65	-4533.98	97	-4242.50	97	-0.72	173
307	-958	-959	Max	0.00	3603.02	130	6.29	98	9.32	173	-364.56	33	227.02	130	0.70	65
307	-958	-959	Max	40.00	3603.02	130	6.29	98	5.32	98	-376.84	33	-236.68	1	0.70	65
307	-958	-959	Min.	0.00	-3612.42	101	-61.49	105	-7.04	65	-2825.21	97	-4092.83	97	-1.75	173
307	-958	-959	Min.	40.00	-3612.42	101	-61.49	105	-22.63	105	-2841.79	97	-5226.23	97	-1.75	173
307	-959	-960	Max	0.00	3303.52	130	65.51	105	7.05	65	1448.04	105	-221.13	1	1.35	105
307	-959	-960	Max	39.88	3303.52	130	65.51	105	1.22	106	1431.51	105	61.16	130	1.35	105
307	-959	-960	Min.	0.00	-3894.64	101	-18.81	65	-24.92	105	211.25	1	-5126.42	97	-0.18	65

307	-959	-960	Min.	39.88	-3894.64	101	-18.81	65	-2.67	177	199.00	1	-4683.50	97	-0.18	65
307	-960	-961	Max	0.00	3063.68	130	27.09	173	0.93	106	2663.89	97	88.80	130	0.29	65
307	-960	-961	Max	19.94	3063.68	130	27.09	173	5.19	108	2655.63	97	361.20	130	0.29	65
307	-960	-961	Min.	0.00	-3853.45	101	-13.94	177	-2.52	177	427.48	1	-4635.29	97	-0.69	173
307	-960	-961	Min.	19.94	-3853.45	101	-13.94	177	-5.30	177	421.35	1	-4105.00	97	-0.69	173
307	-961	-962	Max	0.00	3063.68	130	27.09	173	5.19	108	2655.63	97	361.10	130	0.29	65
307	-961	-962	Max	19.94	3063.68	130	27.09	173	9.92	173	2647.36	97	631.84	130	0.29	65
307	-961	-962	Min.	0.00	-3853.45	101	-13.94	177	-5.30	177	418.42	1	-4105.20	97	-0.69	173
307	-961	-962	Min.	19.94	-3853.45	101	-13.94	177	-8.08	177	412.30	1	-3576.56	97	-0.69	173
307	-962	-963	Max	0.00	2803.83	130	11.88	173	9.48	173	2419.85	97	661.15	130	0.28	65
307	-962	-963	Max	39.88	2803.83	130	11.88	173	14.22	173	2403.32	97	876.55	130	0.28	65
307	-962	-963	Min.	0.00	-3575.70	101	-23.78	177	-7.94	177	315.89	1	-3568.28	97	-0.61	173
307	-962	-963	Min.	39.88	-3575.70	101	-23.78	177	-17.42	177	303.65	1	-2606.66	97	-0.61	173
307	-963	-964	Max	0.00	2489.60	130	5.28	173	14.00	173	2031.04	97	911.57	130	0.19	17
307	-963	-964	Max	39.88	2489.60	130	5.28	173	16.10	173	2014.51	97	915.47	130	0.19	17
307	-963	-964	Min.	0.00	-3133.44	101	-34.47	177	-17.50	177	18.04	130	-2627.65	97	-0.91	177
307	-963	-964	Min.	39.88	-3133.44	101	-34.47	177	-31.24	177	1.51	130	-1821.07	97	-0.91	177
307	-964	-965	Max	0.00	2109.16	130	2.31	65	16.16	173	1659.98	97	957.82	130	0.36	173
307	-964	-965	Max	39.08					0.82	117			548.12	117		
307	-964	-965	Max	39.88	2109.16	130	2.31	65	16.73	173	1643.45	97	847.21	130	0.36	173
307	-964	-965	Min.	0.00	-2583.64	101	-36.39	177	-31.76	177	-269.11	130	-1862.21	97	-2.17	177
307	-964	-965	Min.	39.08					0.82	117			548.12	117		
307	-964	-965	Min.	39.88	-2583.64	101	-36.39	177	-46.27	177	-285.64	130	-1203.59	97	-2.17	177
307	-965	-966	Max	0.00	1660.43	130	2.56	65	17.10	173	1332.06	97	897.10	130	0.94	173
307	-965	-966	Max	39.88	1660.43	130	2.56	65	14.40	173	1315.53	97	730.83	106	0.94	173
307	-965	-966	Min.	0.00	-1969.90	101	-10.35	177	-47.51	177	-487.23	130	-1258.25	97	-3.88	177
307	-965	-966	Min.	39.88	-1969.90	101	-10.35	177	-51.63	177	-503.76	130	-730.39	97	-3.88	177
307	-966	-967	Max	0.00	1148.89	130	75.65	177	15.07	173	1016.56	97	781.29	106	1.33	173
307	-966	-967	Max	11.05					0.20	8			68.51	8		
307	-966	-967	Max	39.87	1148.89	130	75.65	177	3.84	173	1000.03	97	534.60	106	1.33	173
307	-966	-967	Min.	0.00	-1322.53	101	-28.16	173	-53.79	177	-675.44	130	-793.63	97	-5.32	177
307	-966	-967	Min.	11.05					0.40	8			-53.73	8		
307	-966	-967	Min.	39.87	-1322.53	101	-28.16	173	-23.62	177	-691.97	130	-391.57	97	-5.32	177
307	-967	-968	Max	0.00	586.40	130	272.33	177	4.69	173	594.29	97	591.11	106	0.85	173
307	-967	-968	Max	15.95					-1.00	169			6.91	169		
307	-967	-968	Max	39.88	586.40	130	272.33	177	82.09	177	577.76	97	335.02	106	0.85	173
307	-967	-968	Min.	0.00	-661.25	101	-73.68	173	-26.51	177	-643.79	130	-459.46	97	-3.22	177
307	-967	-968	Min.	15.95					-1.00	169			6.91	169		
307	-967	-968	Min.	39.88	-661.25	101	-73.68	173	-24.69	173	-660.32	130	-225.78	97	-3.22	177
307	-968	-969	Max	0.00	0.00	1	702.42	177	79.70	177	960.58	97	395.15	106	19.61	177
307	-968	-969	Max	24.80					-3.42	169			-0.32	169		
307	-968	-969	Max	31.00	0.00	1	702.42	177	297.45	177	947.73	97	0.00	106	19.61	177
307	-968	-969	Min.	0.00	0.00	1	-167.82	173	-24.02	173	-1268.25	106	-295.79	97	-4.03	173
307	-968	-969	Min.	24.80					-11.58	97			-58.84	97		
307	-968	-969	Min.	31.00	0.00	1	-167.82	173	-76.05	173	-1281.10	106	0.00	97	-4.03	173
308	-970	-971	Max	0.00	0.00	1	171.90	173	292.07	177	1234.62	101	0.00	1	3.98	173
308	-970	-971	Max	31.00	0.00	1	171.90	173	77.37	177	1221.77	101	380.74	101	3.98	173
308	-970	-971	Min.	0.00	0.00	1	-692.56	177	-79.25	173	-1016.41	122	0.00	1	-19.52	177
308	-970	-971	Min.	31.00	0.00	1	-692.56	177	-25.96	173	-1029.26	122	-317.08	122	-19.52	177
308	-971	-972	Max	0.00	536.75	101	77.51	173	79.67	177	575.80	101	320.70	101	3.12	177
308	-971	-972	Max	39.88	536.75	101	77.51	173	4.22	173	559.27	101	547.01	101	3.12	177
308	-971	-972	Min.	0.00	-727.21	130	-267.23	177	-26.69	173	-642.29	122	-240.86	122	-0.90	173
308	-971	-972	Min.	39.88	-727.21	130	-267.23	177	-26.89	177	-658.82	122	-500.27	122	-0.90	173
308	-972	-973	Max	0.00	1049.36	101	30.63	173	3.29	173	523.58	101	490.11	101	5.22	177
308	-972	-973	Max	1.94					-0.62	66			71.32	66		
308	-972	-973	Max	39.87	1049.36	101	30.63	173	15.51	173	507.05	101	695.59	101	5.22	177
308	-972	-973	Min.	0.00	-1449.97	130	-72.46	177	-24.08	177	-987.83	122	-426.18	122	-1.41	173
308	-972	-973	Min.	1.94					-0.94	66			7.33	66		
308	-972	-973	Min.	39.87	-1449.97	130	-72.46	177	-52.97	177	-1004.36	122	-823.37	122	-1.41	173
308	-973	-974	Max	0.00	1511.33	101	12.12	177	14.76	173	271.19	101	644.19	101	3.80	177
308	-973	-974	Max	39.88	1511.33	101	12.12	177	18.01	173	254.66	101	749.03	101	3.80	177
308	-973	-974	Min.	0.00	-2145.65	130	-0.43	17	-50.89	177	-1259.08	98	-754.44	122	-1.01	173
308	-973	-974	Min.	39.88	-2145.65	130	-0.43	17	-46.06	177	-1275.61	98	-1231.88	122	-1.01	173
308	-974	-975	Max	0.00	1917.88	101	37.38	177	17.57	173	80.56	101	703.69	101	2.13	177
308	-974	-975	Max	0.80					1.33	114			464.79	114		
308	-974	-975	Max	39.88	1917.88	101	37.38	177	17.24	173	64.83	137	732.52	101	2.13	177
308	-974	-975	Min.	0.00	-2795.48	130	-0.95	17	-44.88	177	-1557.91	98	-1171.27	122	-0.41	173
308	-974	-975	Min.	0.80					1.33	114			464.79	114		
308	-974	-975	Min.	39.88	-2795.48	130	-0.95	17	-29.98	177	-1574.44	98	-1759.69	98	-0.41	173
308	-975	-976	Max	0.00	2271.54	101	34.68	177	17.15	173	180.06	101	693.00	101	0.93	177
308	-975	-976	Max	39.88	2271.54	101	34.68	177	15.00	173	163.53	101	761.50	101	0.93	177
308	-975	-976	Min.	0.00	-3372.17	130	-5.39	173	-29.49	177	-1852.59	98	-1719.41	98	-0.16	65
308	-975	-976	Min.	39.88	-3372.17	130	-5.39	173	-15.66	177	-1869.12	98	-2461.42	98	-0.16	65
308	-976	-977	Max	0.00	2583.81	101	22.57	177	15.21	173	121.69	101	726.88	101	0.62	173
308	-976	-977	Max	39.88	2583.81	101	22.57	177	10.02	173	105.16	101	772.10	101	0.62	173
308	-976	-977	Min.	0.00	-3841.36	130	-13.00	173	-15.57	177	-2133.92	98	-2440.23	98	-0.18	17
308	-976	-977	Min.	39.88	-3841.36	130	-13.00	173	-6.57	177	-2150.45	98	-3294.43	98	-0.18	17
308	-977	-978	Max	0.00	2854.39	101	9.75	177	10.47	173	-431.03	65	742.38	101	0.69	173
308	-977	-978	Max	19.94	2854.39	101	9.75	177	5.68	102	-437.16	65	286.04	101	0.69	173

308	-977	-978	Min.	0.00	-4157.20	130	-30.00	173	-6.66	177	-2674.70	98	-3300.51	98	-0.21	17
308	-977	-978	Min.	19.94	-4157.20	130	-30.00	173	-4.72	177	-2682.96	98	-3834.60	98	-0.21	17
308	-978	-979	Max	0.00	2854.39	101	9.75	177	5.68	102	-437.93	65	286.05	101	0.69	173
308	-978	-979	Max	19.94	2854.39	101	9.75	177	2.01	101	-444.05	65	-37.99	149	0.69	173
308	-978	-979	Min.	0.00	-4157.20	130	-30.00	173	-4.72	177	-2682.96	98	-3834.59	98	-0.21	17
308	-978	-979	Min.	19.94	-4157.20	130	-30.00	173	-2.78	177	-2691.23	98	-4370.32	98	-0.21	17
308	-979	316	Max	0.00	3061.75	101	3.53	17	2.32	101	-651.39	65	-52.19	149	-0.13	133
308	-979	316	Max	39.88	3061.75	101	3.53	17	1.94	161	-663.64	65	-369.98	49	-0.13	133
308	-979	316	Min.	0.00	-4269.66	130	-64.98	173	-2.86	177	-5307.28	102	-4413.34	98	-1.07	102
308	-979	316	Min.	39.88	-4269.66	130	-64.98	173	-26.82	173	-5323.81	102	-5938.48	98	-1.07	102
308	316	-980	Max	0.00	3459.09	101	49.40	102	5.80	97	5969.22	102	-384.62	49	1.82	173
308	316	-980	Max	40.00	3459.09	101	49.40	102	9.23	173	5952.64	102	69.26	149	1.82	173
308	316	-980	Min.	0.00	-4074.84	130	-0.63	133	-17.65	114	769.73	65	-6035.75	98	-0.34	17
308	316	-980	Min.	40.00	-4074.84	130	-0.63	133	-7.94	17	757.45	65	-3838.32	98	-0.34	17
308	-980	-981	Max	0.00	4050.68	101	14.87	17	9.63	173	4490.93	98	34.96	149	0.67	173
308	-980	-981	Max	20.00	4050.68	101	14.87	17	10.12	173	4482.63	98	560.49	101	0.67	173
308	-980	-981	Min.	0.00	-3586.50	130	-5.22	97	-8.28	17	563.31	65	-3987.94	98	-0.61	17
308	-980	-981	Min.	20.00	-3586.50	130	-5.22	97	-5.35	17	557.17	65	-3090.58	98	-0.61	17
308	-981	-982	Max	0.00	4050.68	101	14.87	17	10.12	173	4482.63	98	560.49	101	0.67	173
308	-981	-982	Max	14.59					4.27	19			-131.45	19		
308	-981	-982	Max	20.00	4050.68	101	14.87	17	10.62	173	4474.34	98	1159.11	101	0.67	173
308	-981	-982	Min.	0.00	-3586.50	130	-5.22	97	-5.35	17	556.85	65	-3090.58	98	-0.61	17
308	-981	-982	Min.	12.25					-3.16	67			-581.50	67		
308	-981	-982	Min.	20.00	-3586.50	130	-5.22	97	-2.51	17	550.70	65	-2194.89	98	-0.61	17
308	-982	-983	Max	0.00	4563.29	101	9.49	17	11.25	173	3843.08	98	1101.62	101	0.81	173
308	-982	-983	Max	22.04					2.07	3			309.32	3		
308	-982	-983	Max	40.00	4563.29	101	9.49	17	8.68	173	3826.49	98	1320.99	101	0.81	173
308	-982	-983	Min.	0.00	-2911.39	130	-10.63	101	-2.91	17	268.19	149	-2376.24	98	-0.73	17
308	-982	-983	Min.	22.04					0.61	3			-653.61	3		
308	-982	-983	Min.	40.00	-2911.39	130	-10.63	101	0.42	177	255.91	149	-1205.59	130	-0.73	17
308	-983	-984	Max	0.00	5009.69	101	5.75	17	9.50	173	3639.70	98	1271.23	101	1.08	173
308	-983	-984	Max	21.24					2.14	53			507.70	53		
308	-983	-984	Max	40.00	5009.69	101	5.75	17	5.89	173	3623.12	98	1487.06	101	1.08	173
308	-983	-984	Min.	0.00	-2109.71	130	-12.33	102	0.22	17	269.76	149	-1294.37	130	-0.73	17
308	-983	-984	Min.	21.24					1.54	53			-378.73	53		
308	-983	-984	Min.	40.00	-2109.71	130	-12.33	102	-1.17	97	257.47	149	-600.45	130	-0.73	17
308	-984	-985	Max	0.00	5376.55	101	3.44	17	6.87	173	3411.40	98	1446.44	101	1.29	173
308	-984	-985	Max	40.00	5376.55	101	3.44	17	3.91	65	3394.82	98	1717.62	101	1.29	173
308	-984	-985	Min.	0.00	-1238.70	130	-9.72	98	-0.43	133	288.50	49	-697.05	130	-0.66	17
308	-984	-985	Min.	40.00	-1238.70	130	-9.72	98	-4.24	97	276.22	49	-82.86	130	-0.66	17
308	-985	-986	Max	0.00	7148.84	97	2.08	17	4.27	173	3229.82	98	1688.58	101	1.42	173
308	-985	-986	Max	40.00	7148.84	97	2.08	17	4.28	65	3213.24	98	2695.31	97	1.42	173
308	-985	-986	Min.	0.00	-342.42	130	-9.12	173	-3.51	97	179.28	49	-182.35	130	-0.57	17
308	-985	-986	Min.	40.00	-342.42	130	-9.12	173	-6.49	97	166.99	49	107.11	1	-0.57	17
308	-986	-987	Max	0.00	8799.12	97	1.32	17	4.02	65	3213.47	98	2512.23	97	1.46	173
308	-986	-987	Max	40.00	8799.12	97	1.32	17	4.43	65	3196.89	98	3779.81	97	1.46	173
308	-986	-987	Min.	0.00	311.89	1	-10.47	173	-5.88	97	77.27	49	67.77	1	-0.47	17
308	-986	-987	Min.	40.00	311.89	1	-10.47	173	-6.90	97	64.98	49	265.00	1	-0.47	17
308	-987	-988	Max	0.00	10229.00	97	4.38	97	4.24	65	3439.73	98	3621.36	97	1.38	173
308	-987	-988	Max	40.00	10229.00	97	4.38	97	4.50	65	3423.14	98	4980.34	97	1.38	173
308	-987	-988	Min.	0.00	652.67	1	-14.02	173	-6.43	97	-9.21	49	227.15	1	-0.36	17
308	-987	-988	Min.	40.00	652.67	1	-14.02	173	-6.96	173	-21.49	49	375.80	17	-0.36	17
308	-988	-1285	Max	0.00	11350.90	97	6.42	97	4.39	65	2900.53	98	4856.66	97	1.12	173
308	-988	-1285	Max	11.29					-2.46	114			1610.98	114		
308	-988	-1285	Max	20.00	11350.90	97	6.42	97	4.48	65	2892.24	98	5428.95	97	1.12	173
308	-988	-1285	Min.	0.00	897.57	17	-19.44	173	-5.94	173	-98.27	49	359.55	17	-0.25	17
308	-988	-1285	Min.	11.29					-2.46	114			1610.98	114		
308	-988	-1285	Min.	20.00	897.57	17	-19.44	173	-9.83	173	-104.41	49	395.79	17	-0.25	17
308	-1285	-989	Max	0.00	11350.90	97	6.42	97	4.48	65	2892.24	98	5428.95	97	1.12	173
308	-1285	-989	Max	20.00	11350.90	97	6.42	97	4.57	65	2883.95	98	5999.59	97	1.12	173
308	-1285	-989	Min.	0.00	897.57	17	-19.44	173	-9.83	173	-104.08	49	395.79	17	-0.25	17
308	-1285	-989	Min.	20.00	897.57	17	-19.44	173	-13.72	173	-110.22	49	431.46	17	-0.25	17
308	-989	-1283	Max	0.00	12027.50	97	1.98	101	4.51	65	1789.76	173	5924.39	97	0.57	173
308	-989	-1283	Max	20.00	12027.50	97	1.98	101	4.54	65	1783.62	173	5960.35	97	0.57	173
308	-989	-1283	Min.	0.00	1013.89	17	-24.24	173	-12.91	173	-265.51	101	418.52	17	-0.14	17
308	-989	-1283	Min.	20.00	1013.89	17	-24.24	173	-17.75	173	-273.81	101	443.96	17	-0.14	17
308	-1283	-990	Max	0.00	12027.50	97	1.98	101	4.54	65	1783.62	173	5960.35	97	0.57	173
308	-1283	-990	Max	16.00					1.35	39			1043.04	39		
308	-1283	-990	Max	20.00	12027.50	97	1.98	101	4.59	17	1777.48	173	5994.66	97	0.57	173
308	-1283	-990	Min.	0.00	1013.89	17	-24.24	173	-17.75	173	-273.81	101	443.96	17	-0.14	17
308	-1283	-990	Min.	16.00					-2.28	39			502.29	39		
308	-1283	-990	Min.	20.00	1013.89	17	-24.24	173	-22.60	173	-282.10	101	468.82	17	-0.14	17
308	-990	-991	Max	0.00	12221.60	100	2.10	101	4.58	65	992.21	173	5972.38	97	0.19	106
308	-990	-991	Max	16.00					-1.56	177			820.60	177		
308	-990	-991	Max	20.00	12221.60	100	2.10	101	4.56	17	986.07	173	5969.86	100	0.19	106
308	-990	-991	Min.	0.00	1097.36	17	-18.19	173	-22.15	173	-459.97	101	459.53	17	-0.19	101
308	-990	-991	Min.	14.25					-0.46	172			773.18	172		
308	-990	-991	Min.	20.00	1097.36	17	-18.19	173	-25.78	173	-468.26	101	475.16	17	-0.19	101
308	-991	-992	Max	0.00	12221.60	100	2.10	101	4.56	17	986.07	173	5969.86	100	0.19	106

308	-991	-992	Max	16.00					-1.56	177			820.23	177		
308	-991	-992	Max	20.00	12221.60	100	2.10	101	4.58	17	979.92	173	5972.38	98	0.19	106
308	-991	-992	Min.	0.00	1097.36	17	-18.19	173	-25.78	173	-468.26	101	475.16	17	-0.19	101
308	-991	-992	Min.	16.00					-0.92	4			750.84	4		
308	-991	-992	Min.	20.00	1097.36	17	-18.19	173	-29.42	173	-476.55	101	459.53	65	-0.19	101
308	-992	-1281	Max	0.00	12027.50	98	19.24	173	4.59	65	364.27	130	5994.66	98	0.14	65
308	-992	-1281	Max	2.25					1.11	7			875.82	7		
308	-992	-1281	Max	20.00	12027.50	98	19.24	173	4.54	17	355.98	130	5960.36	98	0.14	65
308	-992	-1281	Min.	0.00	1013.89	65	-1.98	106	-29.49	173	-1136.22	173	468.82	65	-0.25	101
308	-992	-1281	Min.	2.25					-2.05	7			672.42	7		
308	-992	-1281	Min.	20.00	1013.89	65	-1.98	106	-25.64	173	-1142.36	173	443.96	65	-0.25	101
308	-1281	-993	Max	0.00	12027.50	98	19.24	173	4.54	17	355.98	130	5960.35	98	0.14	65
308	-1281	-993	Max	7.25					-1.24	124			4500.86	124		
308	-1281	-993	Max	20.00	12027.50	98	19.24	173	4.51	17	347.69	130	5924.39	98	0.14	65
308	-1281	-993	Min.	0.00	1013.89	65	-1.98	106	-25.64	173	-1142.36	173	443.96	65	-0.25	101
308	-1281	-993	Min.	7.25					-1.24	123			4500.85	123		
308	-1281	-993	Min.	20.00	1013.89	65	-1.98	106	-21.79	173	-1148.50	173	418.52	65	-0.25	101
308	-993	-1279	Max	0.00	11350.90	98	25.32	173	4.57	17	216.92	130	5999.59	98	0.25	65
308	-993	-1279	Max	20.00	11350.90	98	25.32	173	4.48	17	208.63	130	5428.96	98	0.25	65
308	-993	-1279	Min.	0.00	897.57	65	-6.42	98	-22.38	173	-2883.95	97	431.46	65	-0.74	173
308	-993	-1279	Min.	20.00	897.57	65	-6.42	98	-17.32	173	-2892.24	97	395.79	65	-0.74	173
308	-1279	-994	Max	0.00	11350.90	98	25.32	173	4.48	17	208.63	130	5428.96	98	0.25	65
308	-1279	-994	Max	8.00					-2.45	117			1610.97	117		
308	-1279	-994	Max	20.00	11350.90	98	25.32	173	4.39	17	200.34	130	4856.66	98	0.25	65
308	-1279	-994	Min.	0.00	897.57	65	-6.42	98	-17.32	173	-2892.24	97	395.79	65	-0.74	173
308	-1279	-994	Min.	8.00					-2.45	117			1610.97	117		
308	-1279	-994	Min.	20.00	897.57	65	-6.42	98	-12.25	173	-2900.53	97	359.55	65	-0.74	173
308	-994	-995	Max	0.00	10229.00	98	20.73	173	4.50	17	53.15	130	4980.34	98	0.36	65
308	-994	-995	Max	40.00	10229.00	98	20.73	173	4.24	17	36.57	130	3621.36	98	0.36	65
308	-994	-995	Min.	0.00	652.67	49	-4.38	98	-13.20	173	-3423.14	97	375.79	65	-1.27	173
308	-994	-995	Min.	40.00	652.67	49	-4.38	98	-6.43	98	-3439.73	97	227.15	49	-1.27	173
308	-995	-996	Max	0.00	8799.12	98	15.58	173	4.43	17	-64.98	1	3779.81	98	0.47	65
308	-995	-996	Max	40.00	8799.12	98	15.58	173	4.02	17	-77.27	1	2512.23	98	0.47	65
308	-995	-996	Min.	0.00	311.88	49	-1.32	65	-6.90	98	-3196.89	97	265.00	49	-1.50	173
308	-995	-996	Min.	40.00	311.88	49	-1.32	65	-5.88	98	-3213.47	97	67.77	49	-1.50	173
308	-996	-997	Max	0.00	7148.83	98	12.16	173	4.28	17	-166.99	1	2695.31	98	0.57	65
308	-996	-997	Max	40.00	7148.83	98	12.16	173	3.89	173	-179.28	1	1688.55	106	0.57	65
308	-996	-997	Min.	0.00	-42.34	49	-2.08	65	-6.49	98	-3213.24	97	107.11	49	-1.54	173
308	-996	-997	Min.	40.00	-42.34	49	-2.08	65	-3.51	98	-3229.82	97	-112.50	49	-1.54	173
308	-997	-998	Max	0.00	5376.40	106	10.76	173	3.91	17	-276.22	1	1717.60	106	0.66	65
308	-997	-998	Max	40.00	5376.40	106	10.76	173	7.04	173	-288.50	1	1446.41	106	0.66	65
308	-997	-998	Min.	0.00	-397.43	49	-3.44	65	-4.24	98	-3394.82	97	-73.08	49	-1.43	173
308	-997	-998	Min.	40.00	-397.43	49	-3.44	65	-0.43	134	-3411.40	97	-514.13	101	-1.43	173
308	-998	-999	Max	0.00	5009.51	106	12.33	105	5.97	173	-216.65	130	1487.03	106	0.73	65
308	-998	-999	Max	16.00					1.94	53			515.48	53		
308	-998	-999	Max	40.00	5009.51	106	12.33	105	9.97	173	-233.23	130	1322.07	130	0.73	65
308	-998	-999	Min.	0.00	-1181.56	101	-5.75	65	-1.17	98	-3623.11	97	-400.92	101	-1.21	173
308	-998	-999	Min.	18.83					1.54	5			-379.24	5		
308	-998	-999	Min.	40.00	-1181.56	101	-5.75	65	0.22	65	-3639.70	97	-1228.14	101	-1.21	173
308	-999	-1000	Max	0.00	4563.09	106	10.63	106	9.05	173	-213.38	130	1347.72	130	0.73	65
308	-999	-1000	Max	16.00					2.07	51			321.23	51		
308	-999	-1000	Max	40.00	4563.09	106	10.63	106	11.99	173	-229.97	130	1259.05	130	0.73	65
308	-999	-1000	Min.	0.00	-2139.88	101	-9.49	65	0.42	177	-3826.49	97	-1122.02	101	-0.93	173
308	-999	-1000	Min.	16.00					0.70	51			-637.62	51		
308	-999	-1000	Min.	40.00	-2139.88	101	-9.49	65	-2.91	65	-3843.07	97	-2376.23	97	-0.93	173
308	-1000	-1001	Max	0.00	4056.97	130	5.22	98	11.28	173	-550.70	17	1292.86	130	0.61	65
308	-1000	-1001	Max	4.41					4.27	67			-124.71	67		
308	-1000	-1001	Max	20.00	4056.97	130	5.22	98	11.02	173	-556.84	17	890.70	130	0.61	65
308	-1000	-1001	Min.	0.00	-2966.50	101	-15.16	129	-2.51	65	-4474.34	97	-2194.88	97	-0.76	173
308	-1000	-1001	Min.	7.75					-3.16	19			-581.50	19		
308	-1000	-1001	Min.	20.00	-2966.50	101	-15.16	129	-5.35	65	-4482.63	97	-3090.58	97	-0.76	173
308	-1001	-1002	Max	0.00	4056.97	130	5.22	98	11.02	173	-557.17	17	890.70	130	0.61	65
308	-1001	-1002	Max	20.00	4056.97	130	5.22	98	10.76	173	-563.31	17	486.88	130	0.61	65
308	-1001	-1002	Min.	0.00	-2966.50	101	-15.16	129	-5.35	65	-4482.63	97	-3090.58	97	-0.76	173
308	-1001	-1002	Min.	20.00	-2966.50	101	-15.16	129	-8.28	65	-4490.92	97	-3987.94	97	-0.76	173
308	-1002	317	Max	0.00	3667.26	130	0.63	134	10.30	173	-757.45	17	528.88	130	0.34	65
308	-1002	317	Max	40.00	3667.26	130	0.63	134	5.80	98	-769.73	17	-384.62	1	0.34	65
308	-1002	317	Min.	0.00	-3588.83	101	-51.10	129	-7.94	65	-5952.65	105	-3838.32	97	-1.90	173
308	-1002	317	Min.	40.00	-3588.83	101	-51.10	129	-19.82	129	-5969.23	105	-6035.73	97	-1.90	173
308	317	-1003	Max	0.00	3381.24	130	66.48	173	0.37	65	5323.22	105	-369.98	1	1.07	105
308	317	-1003	Max	39.88	3381.24	130	66.48	173	2.32	106	5306.69	105	389.62	130	1.07	105
308	317	-1003	Min.	0.00	-3869.36	101	-3.53	65	-27.25	173	663.61	17	-5938.46	97	0.13	134
308	317	-1003	Min.	39.88	-3869.36	101	-3.53	65	-2.87	177	651.37	17	-4413.40	97	0.13	134
308	-1003	-1004	Max	0.00	3192.19	130	30.75	173	2.02	106	2691.22	97	412.27	130	0.21	65
308	-1003	-1004	Max	19.94	3192.19	130	30.75	173	5.68	105	2682.96	97	721.21	130	0.21	65
308	-1003	-1004	Min.	0.00	-3805.79	101	-9.75	177	-2.78	177	444.05	17	-4370.21	97	-0.73	173
308	-1003	-1004	Min.	19.94	-3805.79	101	-9.75	177	-4.72	177	437.92	17	-3834.47	97	-0.73	173
308	-1004	-1005	Max	0.00	3192.19	130	30.75	173	5.68	105	2682.96	97	721.10	130	0.21	65
308	-1004	-1005	Max	19.94	3192.19	130	30.75	173	10.90	173	2674.69	97	1028.39	130	0.21	65

308	-1004	-1005	Min.	0.00	-3805.79	101	-9.75	177	-4.72	177	437.16	17	-3834.67	97	-0.73	173
308	-1004	-1005	Min.	19.94	-3805.79	101	-9.75	177	-6.66	177	431.03	17	-3300.58	97	-0.73	173
308	-1005	-1006	Max	0.00	2918.93	130	13.27	173	10.41	173	2150.49	97	1058.53	130	0.18	65
308	-1005	-1006	Max	39.88	2918.93	130	13.27	173	15.71	173	2133.96	97	961.11	130	0.18	65
308	-1005	-1006	Min.	0.00	-3522.29	101	-22.57	177	-6.57	177	-236.04	130	-3294.43	97	-0.66	173
308	-1005	-1006	Min.	39.88	-3522.29	101	-22.57	177	-15.57	177	-252.57	130	-2440.22	97	-0.66	173
308	-1006	-1007	Max	0.00	2578.41	130	5.42	173	15.47	173	1869.12	97	998.89	130	0.16	17
308	-1006	-1007	Max	39.88	2578.41	130	5.42	173	17.63	173	1852.59	97	874.64	130	0.16	17
308	-1006	-1007	Min.	0.00	-3081.13	101	-34.68	177	-15.66	177	-303.35	130	-2461.52	97	-0.93	177
308	-1006	-1007	Min.	39.88	-3081.13	101	-34.68	177	-29.48	177	-319.88	130	-1719.50	97	-0.93	177
308	-1007	-1008	Max	0.00	2176.44	130	0.95	65	17.72	173	1574.42	97	919.45	130	0.40	173
308	-1007	-1008	Max	39.08					1.33	117			464.73	117		
308	-1007	-1008	Max	39.88	2176.44	130	0.95	65	18.00	173	1557.89	97	813.43	130	0.40	173
308	-1007	-1008	Min.	0.00	-2538.19	101	-37.38	177	-29.97	177	-257.60	130	-1759.69	97	-2.13	177
308	-1007	-1008	Min.	39.08					1.33	117			464.73	117		
308	-1007	-1008	Min.	39.88	-2538.19	101	-37.38	177	-44.88	177	-274.13	130	-1135.18	97	-2.13	177
308	-1008	-1009	Max	0.00	1709.67	130	0.43	65	18.43	173	1275.61	97	865.40	130	1.01	173
308	-1008	-1009	Max	39.88	1709.67	130	0.43	65	15.08	173	1259.08	97	690.55	130	1.01	173
308	-1008	-1009	Min.	0.00	-1933.81	101	-12.12	177	-46.06	177	-430.22	130	-1188.13	97	-3.80	177
308	-1008	-1009	Min.	39.88	-1933.81	101	-12.12	177	-50.89	177	-446.75	130	-682.77	97	-3.80	177
308	-1009	-1010	Max	0.00	1181.81	130	72.47	177	15.83	173	965.31	97	749.27	130	1.42	173
308	-1009	-1010	Max	37.87					-0.62	18			71.32	18		
308	-1009	-1010	Max	39.87	1181.81	130	72.47	177	3.42	173	948.78	97	490.08	106	1.42	173
308	-1009	-1010	Min.	0.00	-1297.71	101	-31.13	173	-52.97	177	-642.85	130	-743.71	97	-5.22	177
308	-1009	-1010	Min.	37.87					-0.94	18			7.27	18		
308	-1009	-1010	Min.	39.87	-1297.71	101	-31.13	173	-24.08	177	-659.38	130	-362.08	97	-5.22	177
308	-1010	-1011	Max	0.00	602.19	130	267.24	177	4.35	173	558.20	97	553.92	130	0.91	173
308	-1010	-1011	Max	31.90					-7.12	127			-9.91	127		
308	-1010	-1011	Max	39.88	602.19	130	267.24	177	79.68	177	541.67	97	320.65	106	0.91	173
308	-1010	-1011	Min.	0.00	-647.77	101	-78.48	173	-26.88	177	-641.05	130	-427.35	97	-3.12	177
308	-1010	-1011	Min.	19.19					-5.10	157			-32.64	157		
308	-1010	-1011	Min.	39.88	-647.77	101	-78.48	173	-26.94	173	-657.58	130	-208.07	97	-3.12	177
308	-1011	-1012	Max	0.00	0.00	1	692.56	177	77.37	177	893.90	97	380.71	106	19.52	177
308	-1011	-1012	Max	24.80					-18.31	158			-3.36	158		
308	-1011	-1012	Max	31.00	0.00	1	692.56	177	292.07	177	881.05	97	0.00	106	19.52	177
308	-1011	-1012	Min.	0.00	0.00	1	-173.80	173	-26.21	173	-1221.69	106	-275.12	97	-4.01	173
308	-1011	-1012	Min.	24.80					-21.09	97			-54.71	97		
308	-1011	-1012	Min.	31.00	0.00	1	-173.80	173	-80.09	173	-1234.54	106	0.00	97	-4.01	173
309	-1058	-1059	Max	0.00	0.00	1	174.55	173	286.82	177	1238.87	101	0.00	1	3.97	173
309	-1058	-1059	Max	31.00	0.00	1	174.55	173	75.24	177	1226.01	101	382.06	101	3.97	173
309	-1058	-1059	Min.	0.00	0.00	1	-682.50	177	-81.11	173	-1042.88	158	0.00	1	-19.42	177
309	-1058	-1059	Min.	31.00	0.00	1	-682.50	177	-27.00	173	-1052.40	158	-324.77	158	-19.42	177
309	-1059	-1060	Max	0.00	535.91	101	79.43	173	77.44	177	572.24	101	322.04	101	3.00	177
309	-1059	-1060	Max	39.88	535.91	101	79.43	173	3.98	173	555.71	101	546.93	101	3.00	177
309	-1059	-1060	Min.	0.00	-730.22	130	-262.29	177	-27.70	173	-706.85	158	-251.25	158	-0.94	173
309	-1059	-1060	Min.	39.88	-730.22	130	-262.29	177	-27.15	177	-719.10	158	-535.55	158	-0.94	173
309	-1060	-1061	Max	0.00	1049.50	101	32.01	173	3.04	173	518.65	101	489.92	101	5.09	177
309	-1060	-1061	Max	3.54					-0.47	69			89.85	69		
309	-1060	-1061	Max	39.87	1049.50	101	32.01	173	15.81	173	502.12	101	693.43	101	5.09	177
309	-1060	-1061	Min.	0.00	-1455.21	130	-69.48	177	-24.41	177	-994.86	122	-464.33	158	-1.47	173
309	-1060	-1061	Min.	3.54					-2.05	69			30.38	69		
309	-1060	-1061	Min.	39.87	-1455.21	130	-69.48	177	-52.11	177	-1011.39	122	-851.95	158	-1.47	173
309	-1061	-1062	Max	0.00	1512.24	101	13.93	177	15.05	173	259.46	101	641.92	101	3.71	177
309	-1061	-1062	Max	7.60					3.53	67			213.51	67		
309	-1061	-1062	Max	39.88	1512.24	101	13.93	177	18.71	173	242.93	101	742.09	101	3.71	177
309	-1061	-1062	Min.	0.00	-2146.55	130	-2.67	125	-50.09	177	-1180.24	98	-786.40	158	-1.06	173
309	-1061	-1062	Min.	7.60					0.01	67			-123.26	67		
309	-1061	-1062	Min.	39.88	-2146.55	130	-2.67	125	-44.54	177	-1196.77	98	-1241.67	122	-1.06	173
309	-1062	-1063	Max	0.00	1920.25	101	38.61	177	18.28	173	40.75	137	696.57	101	2.10	177
309	-1062	-1063	Max	23.93					-0.77	103			672.02	103		
309	-1062	-1063	Max	39.88	1920.25	101	38.61	177	18.30	173	28.50	137	705.83	101	2.10	177
309	-1062	-1063	Min.	0.00	-2785.07	130	-5.89	101	-43.41	177	-1510.69	98	-1183.18	122	-0.44	173
309	-1062	-1063	Min.	10.50					1.86	113			530.56	113		
309	-1062	-1063	Min.	39.88	-2785.07	130	-5.89	101	-28.01	177	-1527.22	98	-1711.36	122	-0.44	173
309	-1063	-1064	Max	0.00	2276.38	101	35.15	177	18.21	173	60.79	137	665.99	101	0.97	177
309	-1063	-1064	Max	7.98					-2.14	102			601.18	102		
309	-1063	-1064	Max	39.88	2276.38	101	35.15	177	16.32	173	48.54	137	682.37	101	0.97	177
309	-1063	-1064	Min.	0.00	-3345.15	130	-8.44	101	-27.54	177	-1913.22	98	-1665.46	122	-0.17	125
309	-1063	-1064	Min.	18.61					-0.50	150			325.98	150		
309	-1063	-1064	Min.	39.88	-3345.15	130	-8.44	101	-13.52	177	-1929.75	98	-2380.86	98	-0.17	125
309	-1064	-1065	Max	0.00	2595.65	101	21.06	177	16.55	173	-41.86	149	646.90	101	0.67	173
309	-1064	-1065	Max	39.88	2595.65	101	21.06	177	11.24	173	-54.11	149	594.93	101	0.67	173
309	-1064	-1065	Min.	0.00	-3794.83	130	-13.31	173	-13.41	177	-2372.84	98	-2361.06	98	-0.43	125
309	-1064	-1065	Min.	39.88	-3794.83	130	-13.31	173	-6.61	101	-2389.37	98	-3310.52	98	-0.43	125
309	-1065	-1066	Max	0.00	2878.64	101	20.24	101	11.74	173	-418.25	65	563.49	101	0.74	173
309	-1065	-1066	Max	19.94	2878.64	101	20.24	101	5.90	98	-424.37	65	149.21	137	0.74	173
309	-1065	-1066	Min.	0.00	-4090.55	130	-32.66	173	-6.63	101	-2635.97	98	-3317.27	98	-0.28	125
309	-1065	-1066	Min.	19.94	-4090.55	130	-32.66	173	-4.30	177	-2644.23	98	-3843.64	98	-0.28	125
309	-1066	-1067	Max	0.00	2878.64	101	20.24	101	5.90	98	-425.02	65	149.22	137	0.74	173

309	-1066	-1067	Max	19.94	2878.64	101	20.24	101	2.64	157	-431.14	65	-72.35	49	0.74	173
309	-1066	-1067	Min.	0.00	-4090.55	130	-32.66	173	-4.30	177	-2644.23	98	-3843.63	98	-0.28	125
309	-1066	-1067	Min.	19.94	-4090.55	130	-32.66	173	-3.55	177	-2652.50	98	-4371.64	98	-0.28	125
309	-1067	-1068	Max	0.00	3118.00	101	60.31	101	2.72	157	-238.30	65	-82.85	49	1.33	101
309	-1067	-1068	Max	39.88	3118.00	101	60.31	101	25.40	101	-250.55	65	-194.52	49	1.33	101
309	-1067	-1068	Min.	0.00	-4173.10	130	-73.31	173	-3.58	177	-2206.92	102	-4415.88	98	-1.24	118
309	-1067	-1068	Min.	39.88	-4173.10	130	-73.31	173	-29.88	173	-2223.45	102	-4901.07	98	-1.24	118
309	-1068	-1069	Max	0.00	3503.01	101	52.94	118	32.18	101	2836.49	102	-208.16	49	2.05	173
309	-1068	-1069	Max	40.00	3503.01	101	52.94	118	9.89	173	2819.91	102	-9.28	149	2.05	173
309	-1068	-1069	Min.	0.00	-3966.71	130	-71.48	101	-26.03	17	300.77	65	-4994.58	98	-1.03	101
309	-1068	-1069	Min.	40.00	-3966.71	130	-71.48	101	-8.90	17	288.49	65	-3871.29	98	-1.03	101
309	-1069	-1070	Max	0.00	4036.26	101	22.71	17	10.34	97	4385.88	98	-40.36	149	0.68	173
309	-1069	-1070	Max	20.00	4036.26	101	22.71	17	11.24	173	4377.59	98	401.91	101	0.68	173
309	-1069	-1070	Min.	0.00	-3485.38	130	-28.17	101	-9.33	17	481.10	65	-4012.07	98	-0.73	17
309	-1069	-1070	Min.	20.00	-3485.38	130	-28.17	101	-4.84	17	474.95	65	-3135.73	98	-0.73	17
309	-1070	-1071	Max	0.00	4036.26	101	22.71	17	11.24	173	4377.59	98	401.91	101	0.68	173
309	-1070	-1071	Max	20.00	4036.26	101	22.71	17	12.20	173	4369.30	98	957.40	101	0.68	173
309	-1070	-1071	Min.	0.00	-3485.38	130	-28.17	101	-4.84	17	474.91	65	-3135.73	98	-0.73	17
309	-1070	-1071	Min.	20.00	-3485.38	130	-28.17	101	-7.17	101	468.77	65	-2261.04	98	-0.73	17
309	-1071	-1072	Max	0.00	4511.84	101	10.90	17	12.84	173	4039.12	98	904.33	101	0.87	97
309	-1071	-1072	Max	40.00	4511.84	101	10.90	17	10.39	173	4022.54	98	1209.71	101	0.87	97
309	-1071	-1072	Min.	0.00	-2811.42	130	-6.11	173	-6.71	101	394.22	65	-2434.44	98	-0.87	17
309	-1071	-1072	Min.	40.00	-2811.42	130	-6.11	173	-7.08	101	381.93	65	-1159.50	130	-0.87	17
309	-1072	-1073	Max	0.00	4929.31	101	4.75	101	11.25	173	3661.35	98	1163.22	101	1.17	173
309	-1072	-1073	Max	2.32					3.77	53			417.45	53		
309	-1072	-1073	Max	40.00	4929.31	101	4.75	101	7.28	173	3644.77	98	1416.40	101	1.17	173
309	-1072	-1073	Min.	0.00	-2015.25	130	-9.92	173	-6.76	101	298.78	65	-1247.67	130	-0.79	17
309	-1072	-1073	Min.	2.73					2.63	5			-520.96	5		
309	-1072	-1073	Min.	40.00	-2015.25	130	-9.92	173	-4.86	101	286.50	65	-536.57	130	-0.79	17
309	-1073	-1074	Max	0.00	5273.80	101	3.51	101	8.32	173	3267.11	98	1378.29	101	1.41	173
309	-1073	-1074	Max	40.00	5273.80	101	3.51	101	5.00	65	3250.52	98	1650.13	101	1.41	173
309	-1073	-1074	Min.	0.00	-1155.26	130	-11.83	98	-4.65	101	213.90	65	-631.98	130	-0.66	17
309	-1073	-1074	Min.	40.00	-1155.26	130	-11.83	98	-3.25	101	201.61	65	-70.88	1	-0.66	17
309	-1074	-1075	Max	0.00	6926.84	97	1.36	101	4.83	173	3007.15	98	1623.01	101	1.52	173
309	-1074	-1075	Max	40.00	6926.84	97	1.36	101	4.48	65	2990.56	98	2601.29	97	1.52	173
309	-1074	-1075	Min.	0.00	-275.20	130	-14.72	98	-3.12	101	144.96	49	-131.35	130	-0.53	17
309	-1074	-1075	Min.	40.00	-275.20	130	-14.72	98	-2.89	17	132.67	49	93.78	1	-0.53	17
309	-1075	-1076	Max	0.00	8499.38	97	0.03	137	4.27	65	3009.72	98	2426.72	97	1.52	173
309	-1075	-1076	Max	40.00	8499.38	97	0.03	137	3.99	65	2993.14	98	3613.47	97	1.52	173
309	-1075	-1076	Min.	0.00	284.84	1	-17.25	98	-2.55	17	46.45	49	55.84	1	-0.42	17
309	-1075	-1076	Min.	40.00	284.84	1	-17.25	98	-6.90	97	34.16	49	219.73	17	-0.42	17
309	-1076	-1077	Max	0.00	9862.73	97	0.12	17	3.85	65	3295.99	98	3462.34	97	1.38	173
309	-1076	-1077	Max	32.18					-1.35	53			830.40	53		
309	-1076	-1077	Max	40.00	9862.73	97	0.12	17	3.79	65	3279.41	98	4764.15	97	1.38	173
309	-1076	-1077	Min.	0.00	548.96	17	-19.23	98	-5.70	97	-33.48	49	201.42	1	-0.30	17
309	-1076	-1077	Min.	32.18					0.58	53			512.09	53		
309	-1076	-1077	Min.	40.00	548.96	17	-19.23	98	-13.35	97	-45.76	49	274.40	17	-0.30	17
309	-1077	-1320	Max	0.00	10933.90	97	0.50	17	3.72	65	2825.70	98	4646.03	97	1.07	173
309	-1077	-1320	Max	20.00	10933.90	97	0.50	17	3.78	65	2817.41	98	5203.40	97	1.07	173
309	-1077	-1320	Min.	0.00	674.06	17	-17.31	173	-12.33	97	-115.22	49	260.49	17	-0.20	17
309	-1077	-1320	Min.	20.00	674.06	17	-17.31	173	-15.51	97	-121.36	49	290.45	17	-0.20	17
309	-1320	-1078	Max	0.00	10933.90	97	0.50	17	3.78	65	2817.41	98	5203.40	97	1.07	173
309	-1320	-1078	Max	16.00					-1.77	114			1562.58	114		
309	-1320	-1078	Max	20.00	10933.90	97	0.50	17	3.85	65	2809.12	98	5759.12	97	1.07	173
309	-1320	-1078	Min.	0.00	674.06	17	-17.31	173	-15.51	97	-120.68	49	290.45	17	-0.20	17
309	-1320	-1078	Min.	16.00					-1.77	114			1562.58	114		
309	-1320	-1078	Min.	20.00	674.06	17	-17.31	173	-18.69	97	-126.82	49	320.07	17	-0.20	17
309	-1078	-1322	Max	0.00	11578.00	97	0.70	101	3.81	65	798.48	173	5687.47	97	0.65	98
309	-1078	-1322	Max	4.00					-1.72	126			1440.37	126		
309	-1078	-1322	Max	20.00	11578.00	97	0.70	101	3.85	65	792.34	173	5712.90	97	0.65	98
309	-1078	-1322	Min.	0.00	777.22	17	-14.84	173	-18.06	97	-234.49	101	308.58	17	-0.20	101
309	-1078	-1322	Min.	4.00					-1.72	126			1440.37	126		
309	-1078	-1322	Min.	20.00	777.22	17	-14.84	173	-18.57	173	-242.78	101	330.32	17	-0.20	101
309	-1322	-1079	Max	0.00	11578.00	97	0.70	101	3.85	65	792.34	173	5712.90	97	0.65	98
309	-1322	-1079	Max	20.00	11578.00	97	0.70	101	3.90	17	786.20	173	5736.68	97	0.65	98
309	-1322	-1079	Min.	0.00	777.22	17	-14.84	173	-18.57	173	-242.78	101	330.32	17	-0.20	101
309	-1322	-1079	Min.	20.00	777.22	17	-14.84	173	-21.54	173	-251.07	101	351.73	17	-0.20	101
309	-1079	-1080	Max	0.00	11760.90	100	1.43	101	3.90	65	485.89	130	5715.61	97	0.27	106
309	-1079	-1080	Max	18.25					-2.06	177			808.78	177		
309	-1079	-1080	Max	20.00	11760.90	100	1.43	101	3.87	17	477.60	130	5713.32	100	0.27	106
309	-1079	-1080	Min.	0.00	856.25	17	-5.58	173	-21.17	173	-419.22	101	342.92	17	-0.27	101
309	-1079	-1080	Min.	18.25					-2.06	177			808.78	177		
309	-1079	-1080	Min.	20.00	856.25	17	-5.58	173	-22.29	173	-427.51	101	357.90	17	-0.27	101
309	-1080	-1081	Max	0.00	11760.90	100	1.43	101	3.87	17	477.60	130	5713.32	100	0.27	106
309	-1080	-1081	Max	7.50					-2.06	177			808.70	177		
309	-1080	-1081	Max	20.00	11760.90	100	1.43	101	3.90	17	469.31	130	5715.61	98	0.27	106
309	-1080	-1081	Min.	0.00	856.25	17	-5.58	173	-22.29	173	-427.51	101	357.90	17	-0.27	101
309	-1080	-1081	Min.	7.50					-2.06	177			808.70	177		
309	-1080	-1081	Min.	20.00	856.25	17	-5.58	173	-23.40	173	-435.80	101	342.92	65	-0.27	101

309	-1081	-1275	Max	0.00	11578.00	98	6.59	173	3.90	65	337.62	130	5736.68	98	0.20	106
309	-1081	-1275	Max	20.00	11578.00	98	6.59	173	3.85	17	329.33	130	5712.90	98	0.20	106
309	-1081	-1275	Min.	0.00	777.22	65	-0.75	130	-23.47	173	-629.10	101	351.73	65	-0.65	97
309	-1081	-1275	Min.	20.00	777.22	65	-0.75	130	-22.15	173	-637.39	101	330.32	65	-0.65	97
309	-1275	-1082	Max	0.00	11578.00	98	6.59	173	3.85	17	329.33	130	5712.91	98	0.20	106
309	-1275	-1082	Max	20.00	11578.00	98	6.59	173	3.81	17	321.04	130	5687.47	98	0.20	106
309	-1275	-1082	Min.	0.00	777.22	65	-0.75	130	-22.15	173	-637.39	101	330.32	65	-0.65	97
309	-1275	-1082	Min.	20.00	777.22	65	-0.75	130	-20.84	173	-645.68	101	308.58	65	-0.65	97
309	-1082	-1277	Max	0.00	10933.90	98	15.97	97	3.85	17	188.87	130	5759.12	98	0.20	65
309	-1082	-1277	Max	3.30					-1.77	117			1562.58	117		
309	-1082	-1277	Max	20.00	10933.90	98	15.97	97	3.78	17	180.58	130	5203.41	98	0.20	65
309	-1082	-1277	Min.	0.00	674.06	65	-0.50	65	-21.35	173	-2809.12	97	320.07	65	-0.79	173
309	-1082	-1277	Min.	3.30					-1.77	117			1562.58	117		
309	-1082	-1277	Min.	20.00	674.06	65	-0.50	65	-18.18	173	-2817.41	97	290.45	65	-0.79	173
309	-1277	-1083	Max	0.00	10933.90	98	15.97	97	3.78	17	180.58	130	5203.41	98	0.20	65
309	-1277	-1083	Max	20.00	10933.90	98	15.97	97	3.72	17	172.29	130	4646.04	98	0.20	65
309	-1277	-1083	Min.	0.00	674.06	65	-0.50	65	-18.18	173	-2817.41	97	290.45	65	-0.79	173
309	-1277	-1083	Min.	20.00	674.06	65	-0.50	65	-15.00	173	-2825.70	97	260.49	65	-0.79	173
309	-1083	-1084	Max	0.00	9862.72	98	19.23	97	3.79	17	47.45	130	4764.15	98	0.30	65
309	-1083	-1084	Max	32.44					-1.54	129			1591.29	129		
309	-1083	-1084	Max	40.00	9862.72	98	19.23	97	3.85	17	33.48	1	3462.34	98	0.30	65
309	-1083	-1084	Min.	0.00	548.96	65	-0.12	65	-15.89	173	-3279.41	97	274.40	65	-1.22	173
309	-1083	-1084	Min.	7.21					0.57	5			514.91	5		
309	-1083	-1084	Min.	40.00	548.96	65	-0.12	65	-8.34	173	-3295.99	97	201.42	49	-1.22	173
309	-1084	-1085	Max	0.00	8499.38	98	18.39	173	3.99	17	-34.16	1	3613.48	98	0.42	65
309	-1084	-1085	Max	32.00					-1.37	100			2643.80	100		
309	-1084	-1085	Max	40.00	8499.38	98	18.39	173	4.27	17	-46.45	1	2426.72	98	0.42	65
309	-1084	-1085	Min.	0.00	284.83	49	-0.03	142	-9.46	173	-2993.14	97	219.73	65	-1.49	173
309	-1084	-1085	Min.	32.00					-1.37	99			2643.79	99		
309	-1084	-1085	Min.	40.00	284.83	49	-0.03	142	-2.55	65	-3009.72	97	55.84	49	-1.49	173
309	-1085	-1086	Max	0.00	6926.83	98	16.41	173	4.48	17	-132.67	1	2601.29	98	0.53	65
309	-1085	-1086	Max	40.00	6926.83	98	16.41	173	4.72	109	-144.96	1	1622.98	106	0.53	65
309	-1085	-1086	Min.	0.00	-56.61	49	-1.36	106	-3.32	173	-2990.56	97	93.78	49	-1.59	173
309	-1085	-1086	Min.	40.00	-56.61	49	-1.36	106	-3.12	106	-3007.15	97	-108.88	49	-1.59	173
309	-1086	-1087	Max	0.00	5273.66	106	14.19	173	5.00	17	-201.61	17	1650.11	106	0.66	65
309	-1086	-1087	Max	40.00	5273.66	106	14.19	173	8.14	97	-213.90	17	1378.26	106	0.66	65
309	-1086	-1087	Min.	0.00	-398.72	49	-3.50	106	-3.25	106	-3250.52	97	-70.88	49	-1.53	173
309	-1086	-1087	Min.	40.00	-398.72	49	-3.50	106	-4.65	106	-3267.11	97	-457.10	101	-1.53	173
309	-1087	-1088	Max	0.00	4929.14	106	11.88	173	6.97	97	-286.50	17	1416.38	106	0.79	65
309	-1087	-1088	Max	37.50					3.77	5			418.48	5		
309	-1087	-1088	Max	40.00	4929.14	106	11.88	173	11.31	173	-298.78	17	1220.28	130	0.79	65
309	-1087	-1088	Min.	0.00	-1110.50	101	-4.80	130	-4.86	106	-3644.77	97	-346.33	101	-1.33	173
309	-1087	-1088	Min.	36.87					2.62	53			-517.88	53		
309	-1087	-1088	Min.	40.00	-1110.50	101	-4.80	130	-6.76	106	-3661.35	97	-1205.42	101	-1.33	173
309	-1088	-1089	Max	0.00	4511.65	106	7.97	173	10.34	173	-381.93	17	1243.94	130	0.87	65
309	-1088	-1089	Max	40.00	4511.65	106	7.97	173	13.53	173	-394.22	17	1076.79	130	0.87	65
309	-1088	-1089	Min.	0.00	-2051.02	101	-10.90	65	-7.08	106	-4022.54	97	-1101.30	101	-1.01	173
309	-1088	-1089	Min.	40.00	-2051.02	101	-10.90	65	-6.71	106	-4039.12	97	-2434.44	97	-1.01	173
309	-1089	-1090	Max	0.00	4063.08	130	28.17	106	12.79	173	-468.77	17	1107.43	130	0.73	65
309	-1089	-1090	Max	20.00	4063.08	130	28.17	106	12.31	173	-474.91	17	730.16	130	0.73	65
309	-1089	-1090	Min.	0.00	-2861.37	101	-22.72	65	-7.17	106	-4369.30	97	-2261.04	97	-0.81	173
309	-1089	-1090	Min.	20.00	-2861.37	101	-22.72	65	-4.84	65	-4377.59	97	-3135.72	97	-0.81	173
309	-1090	-1091	Max	0.00	4063.08	130	28.17	106	12.31	173	-474.95	17	730.16	130	0.73	65
309	-1090	-1091	Max	20.00	4063.08	130	28.17	106	11.83	173	-481.10	17	351.22	130	0.73	65
309	-1090	-1091	Min.	0.00	-2861.37	101	-22.72	65	-4.84	65	-4377.59	97	-3135.73	97	-0.81	173
309	-1090	-1091	Min.	20.00	-2861.37	101	-22.72	65	-9.33	65	-4385.88	97	-4012.08	97	-0.81	173
309	-1091	-1092	Max	0.00	3719.65	130	71.47	106	11.36	173	-288.49	17	388.02	130	1.03	106
309	-1091	-1092	Max	40.00	3719.65	130	71.47	106	32.18	106	-300.77	17	-208.16	1	1.03	106
309	-1091	-1092	Min.	0.00	-3456.83	101	-58.33	125	-8.90	65	-2820.02	105	-3871.29	97	-2.12	173
309	-1091	-1092	Min.	40.00	-3456.83	101	-58.33	125	-26.91	125	-2836.61	105	-4994.57	97	-2.12	173
309	-1092	-1093	Max	0.00	3453.44	130	73.22	173	25.40	106	2223.27	105	-194.52	1	1.31	125
309	-1092	-1093	Max	39.88	3453.44	130	73.22	173	2.00	98	2206.74	105	301.38	130	1.31	125
309	-1092	-1093	Min.	0.00	-3734.29	101	-60.30	106	-31.54	125	250.56	17	-4901.06	97	-1.33	106
309	-1092	-1093	Min.	39.88	-3734.29	101	-60.30	106	-3.58	177	238.32	17	-4415.84	97	-1.33	106
309	-1093	-1094	Max	0.00	3257.24	130	32.75	173	1.45	98	2652.55	97	324.83	130	0.17	106
309	-1093	-1094	Max	19.94	3257.24	130	32.75	173	5.90	97	2644.28	97	629.14	130	0.17	106
309	-1093	-1094	Min.	0.00	-3691.42	101	-20.23	106	-3.75	125	431.15	17	-4371.56	97	-0.78	173
309	-1093	-1094	Min.	19.94	-3691.42	101	-20.23	106	-4.30	177	425.03	17	-3843.54	97	-0.78	173
309	-1094	-1095	Max	0.00	3257.24	130	32.75	173	5.90	97	2644.29	97	629.02	130	0.17	106
309	-1094	-1095	Max	19.94	3257.24	130	32.75	173	12.08	173	2636.02	97	931.68	130	0.17	106
309	-1094	-1095	Min.	0.00	-3691.42	101	-20.23	106	-4.30	177	424.38	17	-3843.73	97	-0.78	173
309	-1094	-1095	Min.	19.94	-3691.42	101	-20.23	106	-6.63	106	418.25	17	-3317.35	97	-0.78	173
309	-1095	-1096	Max	0.00	2990.20	130	13.46	173	11.56	173	2389.43	97	961.40	130	0.38	106
309	-1095	-1096	Max	39.88	2990.20	130	13.46	173	16.92	173	2372.90	97	974.14	130	0.38	106
309	-1095	-1096	Min.	0.00	-3418.72	101	-21.06	177	-6.61	106	40.21	130	-3310.54	97	-0.70	173
309	-1095	-1096	Min.	39.88	-3418.72	101	-21.06	177	-13.41	177	23.68	130	-2361.05	97	-0.70	173
309	-1096	-1097	Max	0.00	2656.02	130	9.93	130	16.66	173	1929.77	97	1011.30	130	0.13	106
309	-1096	-1097	Max	30.35					-2.27	105			601.09	105		
309	-1096	-1097	Max	39.88	2656.02	130	9.93	130	18.62	173	1913.24	97	958.03	130	0.13	106

309	-1096	-1097	Min.	0.00	-2991.22	101	-35.15	177	-13.52	177	-125.33	130	-2380.96	97	-0.97	177
309	-1096	-1097	Min.	20.75					-0.52	153			325.92	153		
309	-1096	-1097	Min.	39.88	-2991.22	101	-35.15	177	-27.53	177	-141.86	130	-1614.76	97	-0.97	177
309	-1097	-1098	Max	0.00	2256.09	130	5.89	106	18.69	173	1527.20	97	1002.69	130	0.43	173
309	-1097	-1098	Max	16.08					-0.76	107			671.94	107		
309	-1097	-1098	Max	39.88	2256.09	130	5.89	106	18.70	173	1510.67	97	925.57	130	0.43	173
309	-1097	-1098	Min.	0.00	-2464.76	101	-38.61	177	-28.01	177	-185.15	130	-1652.65	97	-2.10	177
309	-1097	-1098	Min.	28.94					1.85	118			530.51	118		
309	-1097	-1098	Min.	39.88	-2464.76	101	-38.61	177	-43.40	177	-201.68	130	-1046.98	97	-2.10	177
309	-1098	-1099	Max	0.00	1781.83	130	1.45	106	19.12	173	1196.76	97	978.40	130	1.06	173
309	-1098	-1099	Max	32.03					3.54	19			213.51	19		
309	-1098	-1099	Max	39.88	1781.83	130	1.45	106	15.41	173	1180.23	97	795.39	130	1.06	173
309	-1098	-1099	Min.	0.00	-1878.97	101	-14.42	121	-44.54	177	-450.70	130	-1096.68	97	-3.71	177
309	-1098	-1099	Min.	32.03					0.02	19			-123.92	19		
309	-1098	-1099	Min.	39.88	-1878.97	101	-14.42	121	-50.09	177	-467.23	130	-622.76	97	-3.71	177
309	-1099	-1100	Max	0.00	1236.39	130	69.48	177	16.16	173	893.63	97	856.05	130	1.48	173
309	-1099	-1100	Max	2.03					8.24	159			96.19	159		
309	-1099	-1100	Max	39.87	1236.39	130	69.48	177	3.22	173	877.10	97	563.46	130	1.48	173
309	-1099	-1100	Min.	0.00	-1261.64	101	-32.45	173	-52.11	177	-725.50	130	-679.75	97	-5.09	177
309	-1099	-1100	Min.	35.92					-2.02	21			30.20	21		
309	-1099	-1100	Min.	39.87	-1261.64	101	-32.45	173	-24.41	177	-742.03	130	-326.71	97	-5.09	177
309	-1100	-1101	Max	0.00	630.45	130	262.30	177	4.16	173	519.27	97	630.64	130	0.95	173
309	-1100	-1101	Max	39.88	630.45	130	262.30	177	77.45	177	502.74	97	335.95	130	0.95	173
309	-1100	-1101	Min.	0.00	-629.16	101	-80.36	173	-27.14	177	-730.77	130	-387.65	97	-3.00	177
309	-1100	-1101	Min.	39.88	-629.16	101	-80.36	173	-27.88	173	-747.30	130	-183.89	97	-3.00	177
309	-1101	-1102	Max	0.00	0.00	1	682.50	177	75.24	177	800.88	97	406.51	130	19.42	177
309	-1101	-1102	Max	24.80					-22.07	125			-0.05	125		
309	-1101	-1102	Max	31.00	0.00	1	682.50	177	286.81	177	788.02	97	0.00	130	19.42	177
309	-1101	-1102	Min.	0.00	0.00	1	-176.39	173	-27.18	173	-1304.88	130	-246.28	97	-4.00	173
309	-1101	-1102	Min.	24.80					-27.27	97			-48.94	97		
309	-1101	-1102	Min.	31.00	0.00	1	-176.39	173	-81.86	173	-1317.73	130	0.00	97	-4.00	173
310	-1146	-1147	Max	0.00	0.00	1	176.85	173	281.30	177	1285.89	101	0.00	1	4.00	173
310	-1146	-1147	Max	31.00	0.00	1	176.85	173	73.21	177	1273.04	101	396.63	101	4.00	173
310	-1146	-1147	Min.	0.00	0.00	1	-671.27	177	-82.70	173	-1200.74	158	0.00	1	-19.25	177
310	-1146	-1147	Min.	31.00	0.00	1	-671.27	177	-27.87	173	-1210.26	158	-373.70	158	-19.25	177
310	-1147	-1148	Max	0.00	536.00	101	80.64	173	75.25	177	648.87	101	336.60	101	2.90	177
310	-1147	-1148	Max	39.88	536.00	101	80.64	173	3.63	173	632.34	101	592.03	101	2.90	177
310	-1147	-1148	Min.	0.00	-740.86	130	-256.90	177	-28.52	173	-808.40	158	-298.72	158	-0.97	173
310	-1147	-1148	Min.	39.88	-740.86	130	-256.90	177	-27.19	177	-820.64	158	-623.51	158	-0.97	173
310	-1148	-1149	Max	0.00	1047.99	101	32.64	173	2.72	173	670.63	101	535.22	101	4.97	177
310	-1148	-1149	Max	24.09					-2.89	128			132.90	128		
310	-1148	-1149	Max	39.87	1047.99	101	32.64	173	15.73	173	654.10	101	799.34	101	4.97	177
310	-1148	-1149	Min.	0.00	-1472.48	130	-67.17	177	-24.58	177	-1145.94	158	-551.37	158	-1.51	173
310	-1148	-1149	Min.	10.40					-1.22	70			66.12	70		
310	-1148	-1149	Min.	39.87	-1472.48	130	-67.17	177	-51.36	177	-1158.18	158	-1010.75	158	-1.51	173
310	-1149	-1150	Max	0.00	1505.13	101	16.11	98	14.98	173	407.15	101	748.56	101	3.61	177
310	-1149	-1150	Max	39.88	1505.13	101	16.11	98	18.92	173	390.62	101	907.62	101	3.61	177
310	-1149	-1150	Min.	0.00	-2163.52	130	-7.90	125	-49.42	177	-1228.18	122	-945.25	158	-1.10	173
310	-1149	-1150	Min.	39.88	-2163.52	130	-7.90	125	-43.47	177	-1244.71	122	-1417.67	158	-1.10	173
310	-1150	-1151	Max	0.00	1893.76	101	39.63	177	18.48	173	-2.94	149	864.30	101	2.05	177
310	-1150	-1151	Max	39.88	1893.76	101	39.63	177	18.86	173	-15.19	149	850.16	101	2.05	177
310	-1150	-1151	Min.	0.00	-2782.98	130	-14.03	101	-42.39	177	-1372.55	98	-1362.68	158	-0.47	173
310	-1150	-1151	Min.	39.88	-2782.98	130	-14.03	101	-26.59	177	-1389.08	98	-1734.59	122	-0.47	173
310	-1151	-1152	Max	0.00	2212.90	101	36.41	177	18.78	173	-1.94	125	814.36	101	0.99	177
310	-1151	-1152	Max	39.88	2212.90	101	36.41	177	17.38	173	-18.47	125	725.43	101	0.99	177
310	-1151	-1152	Min.	0.00	-3299.59	130	-13.84	101	-26.15	177	-1594.32	98	-1693.46	122	-0.27	101
310	-1151	-1152	Min.	39.88	-3299.59	130	-13.84	101	-11.63	177	-1610.85	98	-2134.56	98	-0.27	101
310	-1152	-1153	Max	0.00	2484.61	101	21.64	177	17.64	173	-242.51	149	695.12	101	0.72	173
310	-1152	-1153	Max	39.88	2484.61	101	21.64	177	15.85	98	-254.76	149	511.83	101	0.72	173
310	-1152	-1153	Min.	0.00	-3711.46	130	-12.26	173	-11.52	177	-1804.92	98	-2117.55	98	-0.53	125
310	-1152	-1153	Min.	39.88	-3711.46	130	-12.26	173	-9.80	101	-1821.45	98	-2840.56	98	-0.53	125
310	-1153	-1154	Max	0.00	2722.23	101	33.44	101	16.29	98	-404.08	65	485.36	101	0.80	173
310	-1153	-1154	Max	19.94	2722.23	101	33.44	101	9.96	98	-410.20	65	141.37	137	0.80	173
310	-1153	-1154	Min.	0.00	-3985.58	130	-34.82	173	-9.92	101	-2481.01	98	-2847.22	98	-0.45	125
310	-1153	-1154	Min.	19.94	-3985.58	130	-34.82	173	-3.25	101	-2489.28	98	-3342.69	98	-0.45	125
310	-1154	-1155	Max	0.00	2722.23	101	33.44	101	9.96	98	-410.60	65	141.38	137	0.80	173
310	-1154	-1155	Max	19.94	2722.23	101	33.44	101	5.06	158	-416.72	65	21.50	49	0.80	173
310	-1154	-1155	Min.	0.00	-3985.58	130	-34.82	173	-3.25	101	-2489.28	98	-3342.68	98	-0.45	125
310	-1154	-1155	Min.	19.94	-3985.58	130	-34.82	173	-3.09	177	-2497.54	98	-3839.80	98	-0.45	125
310	-1155	318	Max	0.00	2946.71	101	87.79	101	5.20	158	-707.78	65	12.51	49	1.95	101
310	-1155	318	Max	39.88	2946.71	101	87.79	101	38.22	101	-720.03	65	-381.75	65	1.95	101
310	-1155	318	Min.	0.00	-4071.28	130	-101.78	98	-3.05	177	-4388.63	98	-3878.64	98	-2.49	106
310	-1155	318	Min.	39.88	-4071.28	130	-101.78	98	-37.60	110	-4405.16	98	-5631.90	98	-2.49	106
310	318	-1156	Max	0.00	3307.93	101	89.16	118	47.92	101	5805.17	98	-385.44	65	3.25	98
310	318	-1156	Max	40.00	3307.93	101	89.16	118	14.46	97	5788.59	98	51.25	49	3.25	98
310	318	-1156	Min.	0.00	-3833.88	130	-103.83	101	-37.82	17	706.08	65	-5720.77	98	-1.64	101
310	318	-1156	Min.	40.00	-3833.88	130	-103.83	101	-8.46	17	693.79	65	-3402.02	98	-1.64	101
310	-1156	-1157	Max	0.00	3822.68	101	28.75	17	14.96	97	4030.58	98	35.25	49	0.73	101
310	-1156	-1157	Max	20.00	3822.68	101	28.75	17	15.66	98	4022.29	98	349.71	101	0.73	101

310	-1156	-1157	Min.	0.00	-3318.59	130	-44.20	101	-8.99	17	395.12	65	-3538.31	98	-0.90	17
310	-1156	-1157	Min.	20.00	-3318.59	130	-44.20	101	-3.27	17	388.98	65	-2733.03	98	-0.90	17
310	-1157	-1158	Max	0.00	3822.68	101	28.75	17	15.66	98	4022.29	98	349.71	101	0.73	101
310	-1157	-1158	Max	20.00	3822.68	101	28.75	17	16.48	98	4014.00	98	823.50	101	0.73	101
310	-1157	-1158	Min.	0.00	-3318.59	130	-44.20	101	-3.27	17	389.29	65	-2733.03	98	-0.90	17
310	-1157	-1158	Min.	20.00	-3318.59	130	-44.20	101	-10.58	101	383.15	65	-1929.40	98	-0.90	17
310	-1158	-1159	Max	0.00	4322.18	101	10.79	17	17.32	98	3689.93	98	767.98	101	1.02	97
310	-1158	-1159	Max	40.00	4322.18	101	10.79	17	14.76	98	3673.35	98	1257.91	101	1.02	97
310	-1158	-1159	Min.	0.00	-2645.34	130	-7.19	173	-9.96	101	256.22	65	-2094.60	98	-1.01	17
310	-1158	-1159	Min.	40.00	-2645.34	130	-7.19	173	-12.45	101	243.93	65	-1006.63	130	-1.01	17
310	-1159	-1160	Max	0.00	4765.53	101	8.26	101	15.89	98	3643.11	98	1208.72	101	1.51	97
310	-1159	-1160	Max	40.00	4765.53	101	8.26	101	11.78	98	3626.53	98	1527.85	101	1.51	97
310	-1159	-1160	Min.	0.00	-1862.77	130	-11.02	173	-12.04	101	191.03	65	-1093.40	130	-0.82	17
310	-1159	-1160	Min.	40.00	-1862.77	130	-11.02	173	-8.74	101	178.75	65	-460.15	130	-0.82	17
310	-1160	-1161	Max	0.00	5119.85	101	9.40	101	13.19	98	3270.22	98	1488.53	101	1.89	98
310	-1160	-1161	Max	40.00	5119.85	101	9.40	101	7.45	98	3253.64	98	1817.96	97	1.89	98
310	-1160	-1161	Min.	0.00	-1023.62	130	-14.34	98	-8.53	101	127.13	65	-553.27	130	-0.60	17
310	-1160	-1161	Min.	40.00	-1023.62	130	-14.34	98	-4.77	101	114.84	65	-51.12	1	-0.60	17
310	-1161	-1162	Max	0.00	6646.86	97	4.62	101	9.06	98	2550.89	98	1690.14	101	1.81	98
310	-1161	-1162	Max	40.00	6646.86	97	4.62	101	4.36	65	2534.31	98	2648.73	97	1.81	98
310	-1161	-1162	Min.	0.00	-169.15	130	-26.65	98	-4.69	101	76.91	65	-87.39	1	-0.50	17
310	-1161	-1162	Min.	40.00	-169.15	130	-26.65	98	-2.84	17	64.63	65	73.56	1	-0.50	17
310	-1162	-1163	Max	0.00	8064.14	97	2.23	125	4.22	65	2398.66	98	2491.04	97	1.74	98
310	-1162	-1163	Max	40.00	8064.14	97	2.23	125	2.89	65	2382.07	98	3436.04	97	1.74	98
310	-1162	-1163	Min.	0.00	241.07	17	-29.46	98	-2.84	101	18.38	49	37.54	1	-0.37	17
310	-1162	-1163	Min.	40.00	241.07	17	-29.46	98	-11.75	97	6.09	49	127.03	17	-0.37	17
310	-1163	-1164	Max	0.00	9285.15	97	0.38	17	2.78	65	2645.12	98	3300.74	97	1.67	98
310	-1163	-1164	Max	40.00	9285.15	97	0.38	17	2.86	65	2628.54	98	4340.78	97	1.67	98
310	-1163	-1164	Min.	0.00	357.03	17	-21.11	98	-10.19	97	-57.92	49	114.16	17	-0.22	17
310	-1163	-1164	Min.	40.00	357.03	17	-21.11	98	-18.62	97	-70.20	49	175.00	17	-0.22	17
310	-1164	-1326	Max	0.00	10229.10	97	1.13	17	2.83	65	2062.52	98	4236.50	97	1.20	98
310	-1164	-1326	Max	8.00					-1.01	126			1366.65	126		
310	-1164	-1326	Max	20.00	10229.10	97	1.13	17	3.03	65	2054.23	98	4639.99	97	1.20	98
310	-1164	-1326	Min.	0.00	462.44	17	-15.11	97	-17.34	97	-151.78	49	163.29	17	-0.24	101
310	-1164	-1326	Min.	8.00					-1.01	126			1366.65	126		
310	-1164	-1326	Min.	20.00	462.44	17	-15.11	97	-20.36	97	-157.92	49	190.59	17	-0.24	101
310	-1326	-1165	Max	0.00	10229.10	97	1.13	17	3.03	65	2054.23	98	4639.99	97	1.20	98
310	-1326	-1165	Max	20.00	10229.10	97	1.13	17	3.24	65	2045.94	98	5041.83	97	1.20	98
310	-1326	-1165	Min.	0.00	462.44	17	-15.11	97	-20.36	97	-156.89	49	190.59	17	-0.24	101
310	-1326	-1165	Min.	20.00	462.44	17	-15.11	97	-23.38	97	-163.03	49	217.78	17	-0.24	101
310	-1165	-1327	Max	0.00	10803.30	97	0.75	17	3.23	65	759.72	98	4977.97	97	0.68	98
310	-1165	-1327	Max	20.00	10803.30	97	0.75	17	3.32	65	751.43	98	5122.85	97	0.68	98
310	-1165	-1327	Min.	0.00	553.26	17	-8.10	173	-22.56	97	-227.90	101	207.67	17	-0.29	101
310	-1165	-1327	Min.	20.00	553.26	17	-8.10	173	-23.83	97	-236.19	101	224.90	17	-0.29	101
310	-1327	-1166	Max	0.00	10803.30	97	0.75	17	3.32	65	751.43	98	5122.85	97	0.68	98
310	-1327	-1166	Max	20.00	10803.30	97	0.75	17	3.43	17	743.14	98	5266.24	98	0.68	98
310	-1327	-1166	Min.	0.00	553.26	17	-8.10	173	-23.83	97	-236.19	101	224.90	17	-0.29	101
310	-1327	-1166	Min.	20.00	553.26	17	-8.10	173	-25.11	97	-244.48	101	241.60	65	-0.29	101
310	-1166	-1167	Max	0.00	10981.00	100	4.45	125	3.44	65	493.42	130	5246.13	97	0.30	130
310	-1166	-1167	Max	3.50					-2.37	177			791.74	177		
310	-1166	-1167	Max	20.00	10981.00	100	4.45	125	3.34	17	485.13	130	5245.07	100	0.30	130
310	-1166	-1167	Min.	0.00	627.36	17	-3.06	106	-24.84	97	-259.30	101	233.77	17	-0.28	101
310	-1166	-1167	Min.	3.50					-2.37	177			791.74	177		
310	-1166	-1167	Min.	20.00	627.36	17	-3.06	106	-24.81	99	-267.59	101	244.22	17	-0.28	101
310	-1167	-1168	Max	0.00	10981.00	100	4.45	125	3.34	17	485.13	130	5245.07	100	0.30	130
310	-1167	-1168	Max	3.50					-2.37	177			792.14	177		
310	-1167	-1168	Max	20.00	10981.00	100	4.45	125	3.44	17	476.84	130	5246.13	98	0.30	130
310	-1167	-1168	Min.	0.00	627.36	17	-3.06	106	-24.81	99	-267.59	101	244.22	17	-0.28	101
310	-1167	-1168	Min.	3.50					-2.37	177			792.14	177		
310	-1167	-1168	Min.	20.00	627.36	17	-3.06	106	-24.84	98	-275.88	101	233.77	65	-0.28	101
310	-1168	-1328	Max	0.00	10803.30	98	6.44	97	3.43	65	321.11	130	5266.24	97	0.29	106
310	-1168	-1328	Max	20.00	10803.30	98	6.44	97	3.32	17	312.82	130	5122.85	98	0.29	106
310	-1168	-1328	Min.	0.00	553.26	65	-0.75	65	-25.11	98	-743.14	97	241.60	17	-0.68	97
310	-1168	-1328	Min.	20.00	553.26	65	-0.75	65	-23.83	98	-751.43	97	224.90	65	-0.68	97
310	-1328	-1169	Max	0.00	10803.30	98	6.44	97	3.32	17	312.82	130	5122.85	98	0.29	106
310	-1328	-1169	Max	20.00	10803.30	98	6.44	97	3.23	17	304.52	130	4977.97	98	0.29	106
310	-1328	-1169	Min.	0.00	553.26	65	-0.75	65	-23.83	98	-751.43	97	224.90	65	-0.68	97
310	-1328	-1169	Min.	20.00	553.26	65	-0.75	65	-22.56	98	-759.72	97	207.67	65	-0.68	97
310	-1169	-1329	Max	0.00	10229.10	98	15.11	98	3.24	17	163.03	1	5041.83	98	0.24	106
310	-1169	-1329	Max	20.00	10229.10	98	15.11	98	3.03	17	156.89	1	4639.99	98	0.24	106
310	-1169	-1329	Min.	0.00	462.44	65	-2.52	165	-23.38	98	-2045.94	97	217.78	65	-1.20	97
310	-1169	-1329	Min.	20.00	462.44	65	-2.52	165	-20.36	98	-2054.23	97	190.59	65	-1.20	97
310	-1329	-1170	Max	0.00	10229.10	98	15.11	98	3.03	17	157.92	1	4639.99	98	0.24	106
310	-1329	-1170	Max	20.00	10229.10	98	15.11	98	2.83	17	151.78	1	4236.50	98	0.24	106
310	-1329	-1170	Min.	0.00	462.44	65	-2.52	165	-20.36	98	-2054.23	97	190.59	65	-1.20	97
310	-1329	-1170	Min.	20.00	462.44	65	-2.52	165	-17.34	98	-2062.52	97	163.29	65	-1.20	97
310	-1170	-1171	Max	0.00	9285.15	98	21.11	97	2.86	17	70.20	1	4340.78	98	0.22	65
310	-1170	-1171	Max	7.34					-1.75	130			1549.17	130		
310	-1170	-1171	Max	40.00	9285.15	98	21.11	97	2.78	17	57.92	1	3300.74	98	0.22	65

310	-1170	-1171	Min.	0.00	357.02	65	-1.24	130	-18.62	98	-2628.54	97	175.00	65	-1.67	97
310	-1170	-1171	Min.	7.34					-1.75	130			1549.17	130		
310	-1170	-1171	Min.	40.00	357.02	65	-1.24	130	-10.46	173	-2645.12	97	114.15	65	-1.67	97
310	-1171	-1172	Max	0.00	8064.13	98	29.46	97	2.89	17	138.05	130	3436.04	98	0.37	65
310	-1171	-1172	Max	40.00	8064.13	98	29.46	97	4.22	17	121.47	130	2491.04	98	0.37	65
310	-1171	-1172	Min.	0.00	241.06	65	-1.13	106	-11.75	98	-2382.07	97	127.03	65	-1.74	97
310	-1171	-1172	Min.	40.00	241.06	65	-1.13	106	-4.34	173	-2398.66	97	37.54	49	-1.74	97
310	-1172	-1173	Max	0.00	6646.85	98	26.65	97	4.36	17	12.50	130	2648.73	98	0.50	65
310	-1172	-1173	Max	30.16					-1.42	130			1578.63	130		
310	-1172	-1173	Max	40.00	6646.85	98	26.65	97	9.06	97	-4.08	130	1690.11	106	0.50	65
310	-1172	-1173	Min.	0.00	-57.98	49	-4.62	106	-5.49	173	-2534.31	97	73.56	49	-1.81	97
310	-1172	-1173	Min.	30.16					-1.42	130			1578.63	130		
310	-1172	-1173	Min.	40.00	-57.98	49	-4.62	106	-4.69	106	-2550.89	97	-87.39	49	-1.81	97
310	-1173	-1174	Max	0.00	5119.71	106	14.99	173	7.90	121	-114.84	17	1817.96	98	0.60	65
310	-1173	-1174	Max	40.00	5119.71	106	14.99	173	13.19	97	-127.13	17	1488.50	106	0.60	65
310	-1173	-1174	Min.	0.00	-384.56	49	-9.40	106	-4.77	106	-3253.64	97	-51.12	49	-1.89	97
310	-1173	-1174	Min.	40.00	-384.56	49	-9.40	106	-8.53	106	-3270.22	97	-359.61	101	-1.89	97
310	-1174	-1175	Max	0.00	4765.37	106	13.10	173	11.78	97	-178.75	17	1527.82	106	0.82	65
310	-1174	-1175	Max	40.00	4765.37	106	13.10	173	15.89	97	-191.03	17	1208.68	106	0.82	65
310	-1174	-1175	Min.	0.00	-990.52	101	-8.69	130	-8.74	106	-3626.53	97	-252.29	101	-1.51	98
310	-1174	-1175	Min.	40.00	-990.52	101	-8.69	130	-12.04	106	-3643.11	97	-1083.08	101	-1.51	98
310	-1175	-1176	Max	0.00	4322.00	106	9.64	173	14.76	97	-243.93	17	1257.87	106	1.01	65
310	-1175	-1176	Max	40.00	4322.00	106	9.64	173	17.32	97	-256.22	17	863.82	130	1.01	65
310	-1175	-1176	Min.	0.00	-1906.19	101	-10.79	65	-12.45	106	-3673.35	97	-981.66	101	-1.03	173
310	-1175	-1176	Min.	40.00	-1906.19	101	-10.79	65	-9.95	106	-3689.93	97	-2094.60	97	-1.03	173
310	-1176	-1177	Max	0.00	3928.41	130	44.20	106	16.48	97	-383.15	17	896.81	130	0.90	65
310	-1176	-1177	Max	20.00	3928.41	130	44.20	106	15.66	97	-389.29	17	595.64	130	0.90	65
310	-1176	-1177	Min.	0.00	-2700.29	101	-28.75	65	-10.58	106	-4013.99	97	-1929.39	97	-0.77	173
310	-1176	-1177	Min.	20.00	-2700.29	101	-28.75	65	-3.62	130	-4022.28	97	-2733.02	97	-0.77	173
310	-1177	-1178	Max	0.00	3928.41	130	44.20	106	15.66	97	-388.98	17	595.64	130	0.90	65
310	-1177	-1178	Max	20.00	3928.41	130	44.20	106	14.96	98	-395.12	17	292.81	130	0.90	65
310	-1177	-1178	Min.	0.00	-2700.29	101	-28.75	65	-3.62	130	-4022.28	97	-2733.02	97	-0.77	173
310	-1177	-1178	Min.	20.00	-2700.29	101	-28.75	65	-8.99	65	-4030.57	97	-3538.31	97	-0.77	173
310	-1178	319	Max	0.00	3609.90	130	103.83	106	14.46	98	-693.79	17	328.02	130	1.64	106
310	-1178	319	Max	40.00	3609.90	130	103.83	106	47.92	106	-706.07	17	-385.44	17	1.64	106
310	-1178	319	Min.	0.00	-3304.40	101	-93.10	125	-8.46	65	-5788.57	97	-3402.01	97	-3.33	121
310	-1178	319	Min.	40.00	-3304.40	101	-93.10	125	-40.28	125	-5805.16	97	-5720.75	97	-3.33	121
310	319	-1179	Max	0.00	3384.67	130	120.42	121	38.21	106	4404.93	97	-381.74	17	2.58	125
310	319	-1179	Max	39.88	3384.67	130	120.42	121	4.39	97	4388.40	97	353.58	130	2.58	125
310	319	-1179	Min.	0.00	-3584.05	101	-87.77	106	-48.65	121	720.00	17	-5631.89	97	-1.95	106
310	319	-1179	Min.	39.88	-3584.05	101	-87.77	106	-3.83	162	707.75	17	-3878.72	97	-1.95	106
310	-1179	-1180	Max	0.00	3210.60	130	43.43	121	3.64	97	2497.51	97	373.76	130	0.28	106
310	-1179	-1180	Max	19.94	3210.60	130	43.43	121	9.97	97	2489.25	97	622.72	130	0.28	106
310	-1179	-1180	Min.	0.00	-3520.18	101	-33.44	106	-4.40	162	416.71	17	-3839.68	97	-0.98	121
310	-1179	-1180	Min.	19.94	-3520.18	101	-33.44	106	-3.25	106	410.59	17	-3342.56	97	-0.98	121
310	-1180	-1181	Max	0.00	3210.60	130	43.43	121	9.96	97	2489.25	97	622.63	130	0.28	106
310	-1180	-1181	Max	19.94	3210.60	130	43.43	121	16.29	97	2480.98	97	869.94	130	0.28	106
310	-1180	-1181	Min.	0.00	-3520.18	101	-33.44	106	-3.25	106	410.19	17	-3342.75	97	-0.98	121
310	-1180	-1181	Min.	19.94	-3520.18	101	-33.44	106	-9.92	106	404.07	17	-2847.28	97	-0.98	121
310	-1181	-1182	Max	0.00	2989.80	130	13.33	157	15.85	97	1821.47	97	894.51	130	0.43	106
310	-1181	-1182	Max	39.88	2989.80	130	13.33	157	19.76	121	1804.94	97	1048.00	130	0.43	106
310	-1181	-1182	Min.	0.00	-3257.60	101	-21.64	177	-9.80	106	254.81	154	-2840.56	97	-0.94	121
310	-1181	-1182	Min.	39.88	-3257.60	101	-21.64	177	-11.52	177	242.56	154	-2117.54	97	-0.94	121
310	-1182	-1183	Max	0.00	2708.97	130	18.63	130	19.41	121	1610.85	97	1079.39	130	0.27	106
310	-1182	-1183	Max	39.88	2708.97	130	18.63	130	20.20	121	1594.32	97	1225.18	130	0.27	106
310	-1182	-1183	Min.	0.00	-2856.89	101	-36.41	177	-11.63	177	123.96	154	-2134.64	97	-0.99	177
310	-1182	-1183	Min.	39.88	-2856.89	101	-36.41	177	-26.14	177	111.72	154	-1495.61	97	-0.99	177
310	-1183	-1184	Max	0.00	2351.21	130	14.03	106	20.23	121	1389.06	97	1265.47	130	0.47	173
310	-1183	-1184	Max	39.88	2351.21	130	14.03	106	18.95	173	1372.53	97	1271.95	130	0.47	173
310	-1183	-1184	Min.	0.00	-2367.16	101	-39.63	177	-26.59	177	15.20	154	-1529.23	97	-2.05	177
310	-1183	-1184	Min.	39.88	-2367.16	101	-39.63	177	-42.39	177	2.96	154	-978.63	97	-2.05	177
310	-1184	-1185	Max	0.00	1882.31	130	4.84	106	19.36	173	1104.86	97	1324.12	130	1.10	173
310	-1184	-1185	Max	39.88	1882.31	130	4.84	106	15.42	173	1088.33	97	1039.56	130	1.10	173
310	-1184	-1185	Min.	0.00	-1812.26	101	-20.77	121	-43.47	177	-705.36	130	-1023.21	97	-3.61	177
310	-1184	-1185	Min.	39.88	-1812.26	101	-20.77	121	-49.42	177	-721.89	130	-585.94	97	-3.61	177
310	-1185	-1186	Max	0.00	1313.79	130	67.17	177	16.16	173	845.70	97	1102.62	130	1.52	173
310	-1185	-1186	Max	34.78					-1.61	128			167.42	128		
310	-1185	-1186	Max	39.87	1313.79	130	67.17	177	3.00	173	829.16	97	701.31	130	1.52	173
310	-1185	-1186	Min.	0.00	-1219.49	101	-34.46	121	-51.36	177	-998.15	130	-637.31	97	-4.97	177
310	-1185	-1186	Min.	29.03					-1.18	22			66.01	22		
310	-1185	-1186	Min.	39.87	-1219.49	101	-34.46	121	-24.57	177	-1014.68	130	-303.39	97	-4.97	177
310	-1186	-1187	Max	0.00	672.72	130	256.91	177	3.91	173	512.49	97	772.37	130	0.98	173
310	-1186	-1187	Max	39.88	672.72	130	256.91	177	75.26	177	495.96	97	416.26	130	0.98	173
310	-1186	-1187	Min.	0.00	-608.70	101	-81.49	173	-27.19	177	-884.79	130	-358.53	97	-2.90	177
310	-1186	-1187	Min.	39.88	-608.70	101	-81.49	173	-28.58	173	-901.32	130	-157.48	97	-2.90	177
310	-1187	-1188	Max	0.00	0.00	1	671.27	177	73.21	177	696.32	97	491.60	130	19.24	177
310	-1187	-1188	Max	24.80					-72.22	173			-12.79	173		
310	-1187	-1188	Max	31.00	0.00	1	671.27	177	281.30	177	683.47	97	0.00	130	19.24	177
310	-1187	-1188	Min.	0.00	0.00	1	-178.57	173	-27.93	173	-1579.39	130	-213.87	97	-4.03	173

310	-1187	-1188	Min.	24.80					-33.58	97			-42.45	97		
310	-1187	-1188	Min.	31.00	0.00	1	-178.57	173	-83.29	173	-1592.24	130	0.00	97	-4.03	173
311	320	-1189	Max	0.00	0.00	1	178.89	173	275.45	177	1301.73	101	0.00	1	4.07	173
311	320	-1189	Max	31.00	0.00	1	178.89	173	72.16	177	1288.88	101	401.54	101	4.07	173
311	320	-1189	Min.	0.00	0.00	1	-655.77	177	-83.98	173	-1457.55	158	0.00	1	-18.94	177
311	320	-1189	Min.	31.00	0.00	1	-655.77	177	-28.52	173	-1467.07	158	-453.31	158	-18.94	177
311	-1189	-1190	Max	0.00	539.66	101	80.98	173	74.07	177	785.94	101	341.11	101	2.78	177
311	-1189	-1190	Max	39.88	539.66	101	80.98	173	3.12	173	769.41	101	651.21	101	2.78	177
311	-1189	-1190	Min.	0.00	-767.49	130	-252.75	177	-29.17	173	-883.99	158	-375.00	158	-0.97	173
311	-1189	-1190	Min.	39.88	-767.49	130	-252.75	177	-26.72	177	-896.23	158	-729.93	158	-0.97	173
311	-1190	-1191	Max	0.00	1056.41	101	32.31	173	2.19	173	788.60	101	594.00	101	4.89	177
311	-1190	-1191	Max	15.57					-3.80	128			104.84	128		
311	-1190	-1191	Max	39.87	1056.41	101	32.31	173	15.08	173	772.07	101	905.16	101	4.89	177
311	-1190	-1191	Min.	0.00	-1527.17	130	-66.55	177	-24.18	177	-1295.51	158	-654.71	158	-1.53	173
311	-1190	-1191	Min.	15.57					-3.78	127			104.69	127		
311	-1190	-1191	Min.	39.87	-1527.17	130	-66.55	177	-50.71	177	-1307.76	158	-1173.74	158	-1.53	173
311	-1191	-1192	Max	0.00	1501.73	101	17.80	98	14.31	173	844.14	101	855.45	101	3.56	177
311	-1191	-1192	Max	38.16					4.62	6			186.07	6		
311	-1191	-1192	Max	39.88	1501.73	101	17.80	98	18.15	173	827.61	101	1188.76	101	3.56	177
311	-1191	-1192	Min.	0.00	-2222.63	130	-8.19	125	-48.84	177	-1983.03	158	-1107.23	158	-1.14	173
311	-1191	-1192	Min.	38.16					3.59	6			-71.98	6		
311	-1191	-1192	Min.	39.88	-2222.63	130	-8.19	125	-43.19	177	-1995.27	158	-1900.41	158	-1.14	173
311	-1192	321	Max	0.00	1906.70	101	38.17	177	17.69	173	198.62	162	1145.10	101	1.98	177
311	-1192	321	Max	39.88	1906.70	101	38.17	177	18.06	173	186.38	162	800.55	101	1.98	177
311	-1192	321	Min.	0.00	-2885.55	130	-15.28	101	-42.17	177	-1504.58	97	-1842.99	158	-0.55	173
311	-1192	321	Min.	39.88	-2885.55	130	-15.28	101	-26.95	177	-1521.11	97	-1953.38	158	-0.55	173
311	321	-1193	Max	0.00	2099.42	101	38.70	177	17.94	173	900.38	162	774.96	101	1.03	177
311	321	-1193	Max	32.77					6.04	7			12.73	7		
311	321	-1193	Max	39.88	2099.42	101	38.70	177	18.20	98	888.13	162	254.71	49	1.03	177
311	321	-1193	Min.	0.00	-3221.59	130	-11.83	101	-26.57	177	-1925.43	97	-1926.38	158	-0.35	101
311	321	-1193	Min.	32.77					7.28	7			-476.32	7		
311	321	-1193	Min.	39.88	-3221.59	130	-11.83	101	-11.14	177	-1941.96	97	-2267.25	98	-0.35	101
311	-1193	-1194	Max	0.00	2393.35	101	23.87	177	18.25	98	-86.28	49	241.16	49	0.69	98
311	-1193	-1194	Max	39.88	2393.35	101	23.87	177	21.01	98	-98.52	49	200.24	49	0.69	98
311	-1193	-1194	Min.	0.00	-3633.39	130	-6.77	173	-11.08	177	-1896.34	106	-2257.31	98	-0.46	125
311	-1193	-1194	Min.	39.88	-3633.39	130	-6.77	173	-5.84	101	-1912.87	106	-2935.36	98	-0.46	125
311	-1194	-1195	Max	0.00	2646.07	101	34.28	101	21.47	98	-258.42	49	189.27	49	0.78	173
311	-1194	-1195	Max	19.94	2646.07	101	34.28	101	16.50	98	-264.54	49	133.75	49	0.78	173
311	-1194	-1195	Min.	0.00	-3848.35	130	-30.75	118	-5.90	101	-1608.52	106	-2949.47	98	-0.42	125
311	-1194	-1195	Min.	19.94	-3848.35	130	-30.75	118	-1.77	177	-1616.79	106	-3236.80	98	-0.42	125
311	-1195	-1196	Max	0.00	2646.07	101	34.28	101	16.50	98	-267.04	49	133.75	49	0.78	173
311	-1195	-1196	Max	19.94	2646.07	101	34.28	101	11.52	98	-273.16	49	76.74	49	0.78	173
311	-1195	-1196	Min.	0.00	-3848.35	130	-30.75	118	-1.77	177	-1616.79	106	-3236.79	98	-0.42	125
311	-1195	-1196	Min.	19.94	-3848.35	130	-30.75	118	-1.95	177	-1625.05	106	-3525.76	98	-0.42	125
311	-1196	-1197	Max	0.00	2930.56	101	55.49	101	12.50	98	625.70	97	66.00	49	0.15	137
311	-1196	-1197	Max	33.01					-18.50	51			-34.81	51		
311	-1196	-1197	Max	39.88	2930.56	101	55.49	101	29.83	101	609.17	97	54.94	49	0.15	137
311	-1196	-1197	Min.	0.00	-3872.84	130	-128.91	98	-1.89	177	-616.64	130	-3571.10	98	-4.88	98
311	-1196	-1197	Min.	10.21					-7.15	3			-1247.31	3		
311	-1196	-1197	Min.	39.88	-3872.84	130	-128.91	98	-45.10	118	-633.17	130	-3335.41	98	-4.88	98
311	-1197	322	Max	0.00	3370.05	101	111.71	118	36.76	101	1619.96	158	42.09	49	5.91	98
311	-1197	322	Max	40.00	3370.05	101	111.71	118	12.23	97	1607.67	158	73.37	49	5.91	98
311	-1197	322	Min.	0.00	-3689.88	130	-70.43	101	-45.60	118	47.72	65	-3424.30	98	0.11	137
311	-1197	322	Min.	40.00	-3689.88	130	-70.43	101	-5.88	17	35.44	65	-3232.43	98	0.11	137
311	322	-1198	Max	0.00	3695.09	101	28.77	130	12.77	97	2478.63	122	62.69	49	0.85	97
311	322	-1198	Max	20.00	3695.09	101	28.77	130	14.46	98	2470.34	122	132.71	49	0.85	97
311	322	-1198	Min.	0.00	-3203.85	130	-42.75	101	-6.47	17	195.22	65	-3334.90	98	-0.94	17
311	322	-1198	Min.	20.00	-3203.85	130	-42.75	101	-1.04	17	189.08	65	-2855.83	98	-0.94	17
311	-1198	-1199	Max	0.00	3695.09	101	28.77	130	14.46	98	2470.34	122	132.71	49	0.85	97
311	-1198	-1199	Max	20.00	3695.09	101	28.77	130	16.26	98	2462.05	122	227.70	101	0.85	97
311	-1198	-1199	Min.	0.00	-3203.85	130	-42.75	101	-1.04	17	189.80	65	-2855.83	98	-0.94	17
311	-1198	-1199	Min.	20.00	-3203.85	130	-42.75	101	-7.86	101	183.66	65	-2378.42	98	-0.94	17
311	-1199	-1200	Max	0.00	4178.18	101	8.13	17	17.33	98	4429.59	98	187.65	49	1.04	97
311	-1199	-1200	Max	40.00	4178.18	101	8.13	17	15.15	98	4413.00	98	935.09	101	1.04	97
311	-1199	-1200	Min.	0.00	-2584.44	130	-11.65	101	-7.17	101	229.32	65	-2528.94	98	-1.05	17
311	-1199	-1200	Min.	40.00	-2584.44	130	-11.65	101	-11.83	101	217.03	65	-1153.76	106	-1.05	17
311	-1200	-1201	Max	0.00	4630.23	101	4.14	101	16.56	98	4159.84	98	885.23	101	1.48	97
311	-1200	-1201	Max	40.00	4630.23	101	4.14	101	11.97	98	4143.26	98	1440.22	101	1.48	97
311	-1200	-1201	Min.	0.00	-1848.87	130	-12.05	122	-11.32	101	155.89	65	-1249.20	106	-0.82	17
311	-1200	-1201	Min.	40.00	-1848.87	130	-12.05	122	-9.66	101	143.60	65	-488.20	130	-0.82	17
311	-1201	-1202	Max	0.00	5005.53	101	9.55	101	13.66	98	4447.39	98	1398.63	101	2.06	98
311	-1201	-1202	Max	40.00	5005.53	101	9.55	101	8.77	98	4430.81	98	2376.30	97	2.06	98
311	-1201	-1202	Min.	0.00	-1055.18	130	-13.40	122	-9.36	101	90.66	65	-576.29	130	-0.52	17
311	-1201	-1202	Min.	40.00	-1055.18	130	-13.40	122	-5.54	101	78.38	65	-35.22	162	-0.52	17
311	-1202	323	Max	0.00	6374.15	97	6.73	125	10.62	98	1540.14	158	2212.86	97	1.71	98
311	-1202	323	Max	40.00	6374.15	97	6.73	125	4.13	65	1527.86	158	2628.14	97	1.71	98
311	-1202	323	Min.	0.00	-232.53	130	-34.01	98	-5.41	101	30.68	65	-88.03	162	-0.49	17
311	-1202	323	Min.	40.00	-232.53	130	-34.01	98	-3.37	101	18.40	65	23.14	17	-0.49	17
311	323	-1203	Max	0.00	7413.68	97	3.90	125	4.06	65	1366.44	158	2504.47	97	1.58	98

311	323	-1203	Max	26.73					0.56	51			873.17	51		
311	323	-1203	Max	40.00	7413.68	97	3.90	125	2.08	65	1354.15	158	2787.02	97	1.58	98
311	323	-1203	Min.	0.00	78.00	17	-36.58	98	-3.36	101	-22.05	17	14.38	17	-0.38	17
311	323	-1203	Min.	22.64					-0.99	3			115.89	3		
311	323	-1203	Min.	40.00	78.00	17	-36.58	98	-15.79	98	-37.93	101	12.92	17	-0.38	17
311	-1203	-1204	Max	0.00	8558.99	97	1.59	17	2.03	65	3144.49	98	2663.22	97	1.80	98
311	-1203	-1204	Max	32.60					0.32	39			855.72	39		
311	-1203	-1204	Max	40.00	8558.99	97	1.59	17	2.45	65	3127.91	98	3894.32	97	1.80	98
311	-1203	-1204	Min.	0.00	170.55	17	-14.57	97	-14.08	98	-153.81	125	2.85	17	-0.23	125
311	-1203	-1204	Min.	17.20					-0.42	5			359.01	5		
311	-1203	-1204	Min.	40.00	170.55	17	-14.57	97	-19.89	97	-170.39	125	73.83	17	-0.23	125
311	-1204	-1330	Max	0.00	9370.17	97	1.60	17	2.47	65	1778.60	98	3803.95	97	1.17	98
311	-1204	-1330	Max	20.00	9370.17	97	1.60	17	2.76	65	1770.31	98	4147.95	97	1.17	98
311	-1204	-1330	Min.	0.00	254.57	17	-10.21	121	-18.52	97	-340.75	125	64.47	17	-0.27	101
311	-1204	-1330	Min.	20.00	254.57	17	-10.21	121	-20.48	97	-349.04	125	93.36	17	-0.27	101
311	-1330	-1205	Max	0.00	9370.17	97	1.60	17	2.76	65	1770.31	98	4147.95	97	1.17	98
311	-1330	-1205	Max	20.00	9370.17	97	1.60	17	3.05	17	1762.02	98	4490.29	97	1.17	98
311	-1330	-1205	Min.	0.00	254.57	17	-10.21	121	-20.48	97	-349.04	125	93.36	17	-0.27	101
311	-1330	-1205	Min.	20.00	254.57	17	-10.21	121	-22.44	97	-357.33	125	122.08	65	-0.27	101
311	-1205	-1331	Max	0.00	9876.07	97	0.74	17	3.07	65	824.85	106	4434.05	97	0.67	98
311	-1205	-1331	Max	8.00					-2.65	165			690.42	165		
311	-1205	-1331	Max	20.00	9876.07	97	0.74	17	3.19	17	816.56	106	4578.16	98	0.67	98
311	-1205	-1331	Min.	0.00	333.07	17	-3.45	173	-21.61	97	-480.55	101	113.65	17	-0.35	101
311	-1205	-1331	Min.	10.01					-2.70	161			676.91	161		
311	-1205	-1331	Min.	20.00	333.07	17	-3.45	173	-22.11	97	-488.84	101	136.56	65	-0.35	101
311	-1331	-1206	Max	0.00	9876.07	97	0.74	17	3.19	17	816.56	106	4578.16	98	0.67	98
311	-1331	-1206	Max	1.86					-0.20	7			945.26	7		
311	-1331	-1206	Max	20.00	9876.07	97	0.74	17	3.33	17	808.27	106	4727.06	98	0.67	98
311	-1331	-1206	Min.	0.00	333.07	17	-3.45	173	-22.11	97	-488.84	101	136.56	65	-0.35	101
311	-1331	-1206	Min.	1.72					-1.78	55			506.32	55		
311	-1331	-1206	Min.	20.00	333.07	17	-3.45	173	-22.60	97	-497.13	101	121.51	65	-0.35	101
311	-1206	324	Max	0.00	10032.80	97	10.89	157	3.34	17	1442.63	157	4705.75	98	0.54	122
311	-1206	324	Max	18.00					3.09	21			1329.69	21		
311	-1206	324	Max	20.00	10032.80	97	10.89	157	3.11	17	1436.49	157	4714.75	98	0.54	122
311	-1206	324	Min.	0.00	402.44	17	-5.84	106	-22.33	97	-433.14	106	128.11	65	-0.17	101
311	-1206	324	Min.	18.00					-4.85	69			145.38	69		
311	-1206	324	Min.	20.00	402.44	17	-5.84	106	-21.07	98	-441.43	106	138.67	65	-0.17	101
311	324	-1207	Max	0.00	10032.80	98	9.48	125	3.11	65	1393.44	165	4714.75	97	0.30	130
311	324	-1207	Max	1.25					3.10	69			1330.01	69		
311	324	-1207	Max	20.00	10032.80	98	9.48	125	3.34	65	1387.30	165	4705.75	97	0.30	130
311	324	-1207	Min.	0.00	402.44	65	-7.04	106	-21.07	97	-416.92	106	138.67	17	-0.51	97
311	324	-1207	Min.	1.25					-4.85	21			145.07	21		
311	324	-1207	Min.	20.00	402.44	65	-7.04	106	-22.33	98	-425.21	106	128.11	17	-0.51	97
311	-1207	-1332	Max	0.00	9876.07	98	2.52	97	3.33	65	497.10	106	4727.06	97	0.35	106
311	-1207	-1332	Max	17.35					-0.19	55			943.39	55		
311	-1207	-1332	Max	20.00	9876.07	98	2.52	97	3.19	65	488.81	106	4578.16	97	0.35	106
311	-1207	-1332	Min.	0.00	333.07	65	-2.40	166	-22.60	98	-808.30	101	121.51	17	-0.67	97
311	-1207	-1332	Min.	17.35					-1.77	55			511.64	55		
311	-1207	-1332	Min.	20.00	333.07	65	-2.40	166	-22.11	98	-816.60	101	136.56	17	-0.67	97
311	-1332	-1208	Max	0.00	9876.07	98	2.52	97	3.19	65	488.81	106	4578.16	97	0.35	106
311	-1332	-1208	Max	20.00	9876.07	98	2.52	97	3.07	17	480.52	106	4434.05	98	0.35	106
311	-1332	-1208	Min.	0.00	333.07	65	-2.40	166	-22.11	98	-816.60	101	136.56	17	-0.67	97
311	-1332	-1208	Min.	20.00	333.07	65	-2.40	166	-21.61	98	-824.89	101	113.65	65	-0.67	97
311	-1208	-1334	Max	0.00	9370.17	98	9.79	98	3.05	65	266.66	106	4490.29	98	0.27	106
311	-1208	-1334	Max	20.00	9370.17	98	9.79	98	2.76	17	258.37	106	4147.95	98	0.27	106
311	-1208	-1334	Min.	0.00	254.57	65	-4.25	165	-22.44	98	-1762.02	97	122.08	17	-1.17	97
311	-1208	-1334	Min.	20.00	254.57	65	-4.25	165	-20.48	98	-1770.31	97	93.36	65	-1.17	97
311	-1334	-1209	Max	0.00	9370.17	98	9.79	98	2.76	17	258.37	106	4147.95	98	0.27	106
311	-1334	-1209	Max	16.00					-2.02	132			1532.22	132		
311	-1334	-1209	Max	20.00	9370.17	98	9.79	98	2.47	17	250.08	106	3803.95	98	0.27	106
311	-1334	-1209	Min.	0.00	254.57	65	-4.25	165	-20.48	98	-1770.31	97	93.36	65	-1.17	97
311	-1334	-1209	Min.	16.00					-0.53	35			547.59	35		
311	-1334	-1209	Min.	20.00	254.57	65	-4.25	165	-18.52	98	-1778.60	97	64.47	65	-1.17	97
311	-1209	-1210	Max	0.00	8558.98	98	14.57	98	2.45	17	95.89	1	3894.32	98	0.15	65
311	-1209	-1210	Max	8.00					0.36	39			855.87	39		
311	-1209	-1210	Max	40.00	8558.98	98	14.57	98	2.03	17	83.61	1	2663.22	98	0.15	65
311	-1209	-1210	Min.	0.00	170.55	65	-3.87	129	-19.89	98	-3127.91	97	73.83	65	-1.80	97
311	-1209	-1210	Min.	22.73					-0.42	53			359.59	53		
311	-1209	-1210	Min.	40.00	170.55	65	-3.87	129	-14.08	97	-3144.49	97	2.85	65	-1.80	97
311	-1210	325	Max	0.00	7413.68	98	36.58	97	2.08	17	932.43	166	2787.02	98	0.38	65
311	-1210	325	Max	32.00					-1.65	145			1393.82	145		
311	-1210	325	Max	40.00	7413.68	98	36.58	97	4.06	17	920.15	166	2504.48	98	0.38	65
311	-1210	325	Min.	0.00	78.00	65	-0.81	142	-15.79	97	-700.36	97	12.92	65	-1.58	97
311	-1210	325	Min.	17.26					-0.99	51			115.95	51		
311	-1210	325	Min.	40.00	78.00	65	-0.81	142	-4.23	173	-716.94	97	14.38	65	-1.58	97
311	325	-1211	Max	0.00	6374.14	98	34.01	97	4.13	17	778.80	166	2628.14	98	0.49	65
311	325	-1211	Max	40.00	6374.14	98	34.01	97	11.13	121	766.51	166	2212.86	98	0.49	65
311	325	-1211	Min.	0.00	-98.62	49	-5.09	106	-5.37	173	-1037.32	97	23.14	65	-1.71	97
311	325	-1211	Min.	40.00	-98.62	49	-5.09	106	-5.41	106	-1053.91	97	2.01	49	-1.71	97

311	-1211	-1212	Max	0.00	5005.40	106	12.85	173	9.84	121	-78.38	17	2376.31	98	0.52	65
311	-1211	-1212	Max	40.00	5005.40	106	12.85	173	13.66	97	-90.66	17	1398.59	106	0.52	65
311	-1211	-1212	Min.	0.00	-422.58	49	-9.55	106	-5.54	106	-4430.81	97	17.12	65	-2.06	97
311	-1211	-1212	Min.	40.00	-422.58	49	-9.55	106	-9.36	106	-4447.39	97	-398.09	101	-2.06	97
311	-1212	-1213	Max	0.00	4630.07	106	12.04	173	11.97	97	-143.60	17	1440.19	106	0.82	65
311	-1212	-1213	Max	40.00	4630.07	106	12.04	173	16.56	97	-155.89	17	885.17	106	0.82	65
311	-1212	-1213	Min.	0.00	-973.74	101	-5.97	130	-9.66	106	-4143.26	97	-296.48	101	-1.48	98
311	-1212	-1213	Min.	40.00	-973.74	101	-5.97	130	-11.32	106	-4159.84	97	-1249.26	101	-1.48	98
311	-1213	-1214	Max	0.00	4187.38	130	11.65	106	15.15	97	-217.03	17	935.04	106	1.05	65
311	-1213	-1214	Max	40.00	4187.38	130	11.65	106	17.33	97	-229.32	17	202.48	130	1.05	65
311	-1213	-1214	Min.	0.00	-1837.61	101	-8.13	65	-11.83	106	-4413.01	97	-1153.81	101	-1.04	98
311	-1213	-1214	Min.	40.00	-1837.61	101	-8.13	65	-7.17	106	-4429.59	97	-2528.94	97	-1.04	98
311	-1214	-1215	Max	0.00	3885.34	130	42.75	106	16.26	97	228.85	166	234.83	130	0.94	65
311	-1214	-1215	Max	16.00					-0.73	154			39.35	154		
311	-1214	-1215	Max	20.00	3885.34	130	42.75	106	14.46	97	222.71	166	164.95	130	0.94	65
311	-1214	-1215	Min.	0.00	-2569.49	101	-28.73	113	-7.86	106	-2382.91	97	-2378.42	97	-0.94	173
311	-1214	-1215	Min.	16.00					-0.73	154			39.35	154		
311	-1214	-1215	Min.	20.00	-2569.49	101	-28.73	113	-1.90	130	-2391.20	97	-2855.83	97	-0.94	173
311	-1215	326	Max	0.00	3885.34	130	42.75	106	14.46	97	222.71	166	164.95	130	0.94	65
311	-1215	326	Max	20.00	3885.34	130	42.75	106	12.77	98	216.57	166	93.41	130	0.94	65
311	-1215	326	Min.	0.00	-2569.49	101	-28.73	113	-1.90	130	-2391.20	97	-2855.83	97	-0.94	173
311	-1215	326	Min.	20.00	-2569.49	101	-28.73	113	-6.47	65	-2399.49	97	-3334.90	97	-0.94	173
311	326	-1216	Max	0.00	3815.21	130	70.43	106	12.23	98	1146.09	166	108.46	130	-0.11	142
311	326	-1216	Max	40.00	3815.21	130	70.43	106	36.76	106	1133.80	166	402.68	130	-0.11	142
311	326	-1216	Min.	0.00	-2993.67	101	-119.17	125	-5.88	65	-658.90	101	-3232.43	97	-5.91	97
311	326	-1216	Min.	40.00	-2993.67	101	-119.17	125	-50.50	125	-675.48	101	-3424.30	97	-5.91	97
311	-1216	-1217	Max	0.00	3465.39	130	143.99	121	29.83	106	290.04	101	433.89	130	4.88	97
311	-1216	-1217	Max	6.92					-18.46	3			-34.81	3		
311	-1216	-1217	Max	39.88	3465.39	130	143.99	121	12.49	97	273.51	101	267.64	130	4.88	97
311	-1216	-1217	Min.	0.00	-3291.05	101	-55.48	106	-55.25	125	-845.94	158	-3335.40	97	-0.15	142
311	-1216	-1217	Min.	29.48					-7.27	51			-1247.45	51		
311	-1216	-1217	Min.	39.88	-3291.05	101	-55.48	106	-1.89	177	-858.18	158	-3571.04	97	-0.15	142
311	-1217	-1218	Max	0.00	3256.67	130	41.13	125	11.53	97	1625.15	101	291.78	130	0.24	106
311	-1217	-1218	Max	19.94	3256.67	130	41.13	125	16.50	97	1616.89	101	405.82	130	0.24	106
311	-1217	-1218	Min.	0.00	-3283.41	101	-34.28	106	-2.36	162	273.17	1	-3525.75	97	-0.99	121
311	-1217	-1218	Min.	19.94	-3283.41	101	-34.28	106	-1.77	177	267.05	1	-3236.75	97	-0.99	121
311	-1218	-1219	Max	0.00	3256.67	130	41.13	125	16.50	97	1616.89	101	405.77	130	0.24	106
311	-1218	-1219	Max	19.94	3256.67	130	41.13	125	21.47	97	1608.62	101	518.16	130	0.24	106
311	-1218	-1219	Min.	0.00	-3283.41	101	-34.28	106	-1.77	177	264.55	1	-3236.86	97	-0.99	121
311	-1218	-1219	Min.	19.94	-3283.41	101	-34.28	106	-5.90	106	258.43	1	-2949.51	97	-0.99	121
311	-1219	-1220	Max	0.00	3036.98	130	7.62	165	21.01	97	1912.99	101	543.43	130	0.25	106
311	-1219	-1220	Max	8.10					-0.83	130			543.57	130		
311	-1219	-1220	Max	39.88	3036.98	130	7.62	165	20.35	121	1896.46	101	541.47	130	0.25	106
311	-1219	-1220	Min.	0.00	-3075.87	101	-23.87	177	-5.84	106	3.35	130	-2935.36	97	-1.08	121
311	-1219	-1220	Min.	8.10					-0.83	130			543.57	130		
311	-1219	-1220	Min.	39.88	-3075.87	101	-23.87	177	-11.08	177	-13.18	130	-2257.31	97	-1.08	121
311	-1220	327	Max	0.00	2716.26	130	18.42	130	20.04	121	2556.71	122	575.06	130	0.35	106
311	-1220	327	Max	5.99					6.11	55			5.06	55		
311	-1220	327	Max	39.88	2716.26	130	18.42	130	20.19	121	2540.18	122	1415.04	130	0.35	106
311	-1220	327	Min.	0.00	-2699.18	101	-38.69	177	-11.14	177	219.95	17	-2267.34	97	-1.03	177
311	-1220	327	Min.	5.99					7.28	55			-479.58	55		
311	-1220	327	Min.	39.88	-2699.18	101	-38.69	177	-26.57	177	207.70	17	-1499.23	97	-1.03	177
311	327	-1221	Max	0.00	2561.78	130	18.09	130	20.32	121	1586.60	122	1439.65	130	0.62	122
311	327	-1221	Max	39.88	2561.78	130	18.09	130	20.42	158	1570.07	122	1881.32	130	0.62	122
311	327	-1221	Min.	0.00	-2305.04	101	-38.17	177	-26.95	177	128.47	65	-1528.65	97	-1.98	177
311	327	-1221	Min.	39.88	-2305.04	101	-38.17	177	-42.17	177	116.23	65	-929.12	97	-1.98	177
311	-1221	-1222	Max	0.00	2021.12	130	3.25	106	20.74	158	1208.23	101	1938.74	130	1.13	173
311	-1221	-1222	Max	14.65					3.70	37			201.87	37		
311	-1221	-1222	Max	39.88	2021.12	130	3.25	106	14.78	173	1191.70	101	1273.55	130	1.13	173
311	-1221	-1222	Min.	0.00	-1761.49	101	-23.68	121	-43.19	177	-1659.93	130	-969.11	101	-3.56	177
311	-1221	-1222	Min.	1.25					3.61	54			-73.08	54		
311	-1221	-1222	Min.	39.88	-1761.49	101	-23.68	121	-48.84	177	-1676.46	130	-585.12	97	-3.56	177
311	-1222	-1223	Max	0.00	1429.51	130	66.55	177	15.53	173	905.09	97	1339.73	130	1.54	173
311	-1222	-1223	Max	39.87	1429.51	130	66.55	177	2.54	173	888.56	97	876.33	130	1.54	173
311	-1222	-1223	Min.	0.00	-1192.04	101	-36.87	121	-50.71	177	-1153.87	130	-630.57	97	-4.89	177
311	-1222	-1223	Min.	39.87	-1192.04	101	-36.87	121	-24.17	177	-1170.40	130	-272.96	97	-4.89	177
311	-1223	-1224	Max	0.00	731.77	130	252.77	177	3.46	173	616.84	97	953.54	130	0.97	173
311	-1223	-1224	Max	29.19					-20.62	122			254.93	122		
311	-1223	-1224	Max	39.88	731.77	130	252.77	177	74.08	177	600.31	97	555.29	130	0.97	173
311	-1223	-1224	Min.	0.00	-594.41	101	-81.73	173	-26.71	177	-990.46	130	-321.93	97	-2.78	177
311	-1223	-1224	Min.	29.19					-20.62	122			254.93	122		
311	-1223	-1224	Min.	39.88	-594.41	101	-81.73	173	-29.13	173	-1006.99	130	-95.56	101	-2.78	177
311	-1224	328	Max	0.00	0.00	1	655.77	177	72.16	177	529.40	101	637.50	130	18.94	177
311	-1224	328	Max	24.80					-35.76	110			-4.93	110		
311	-1224	328	Max	31.00	0.00	1	655.77	177	275.45	177	516.55	101	0.00	130	18.94	177
311	-1224	328	Min.	0.00	0.00	1	-180.49	173	-28.48	173	-2050.01	130	-162.12	101	-4.10	173
311	-1224	328	Min.	24.80					-22.63	101			-32.11	101		
311	-1224	328	Min.	31.00	0.00	1	-180.49	173	-84.44	173	-2062.86	130	0.00	101	-4.10	173
313	-590	310	Max	0.00	128.16	101	74.13	173	15.32	97	53.95	177	59.15	173	0.11	97

313	-590	310	Max	40.00	128.16	101	74.13	173	14.24	173	49.80	177	1.11	177	0.11	97
313	-590	310	Min.	0.00	-820.91	177	-72.12	97	-15.41	173	-1352.93	98	-19.64	177	-0.09	173
313	-590	310	Min.	40.00	-820.91	177	-72.12	97	-13.53	97	-1358.53	98	-483.36	98	-0.09	173
313	310	329	Max	0.00	457.52	101	65.31	173	11.05	97	1975.01	102	-5.86	177	0.09	97
313	310	329	Max	14.42	457.52	101	65.31	173	3.22	97	1972.99	102	27.66	177	0.09	97
313	310	329	Min.	0.00	-1185.80	173	-54.31	97	-13.13	173	183.93	17	-400.88	98	-0.09	173
313	310	329	Min.	14.42	-1185.80	173	-54.31	97	-3.71	173	182.44	17	-195.49	98	-0.09	173
313	329	-714	Max	0.00	457.52	101	65.31	173	3.22	97	1972.99	102	27.66	177	0.09	97
313	329	-714	Max	25.58	457.52	101	65.31	173	12.99	173	1969.41	102	443.42	102	0.09	97
313	329	-714	Min.	0.00	-1185.80	173	-54.31	97	-3.71	173	182.28	17	-195.49	98	-0.09	173
313	329	-714	Min.	25.58	-1185.80	173	-54.31	97	-10.67	97	179.63	17	15.69	33	-0.09	173
313	-714	-759	Max	0.00	687.13	101	60.54	173	8.66	97	-205.23	17	431.04	102	0.07	97
313	-714	-759	Max	20.00	687.13	101	60.54	173	0.34	97	-207.30	17	144.61	101	0.07	97
313	-714	-759	Min.	0.00	-1381.88	173	-41.61	97	-12.08	173	-1437.96	102	22.35	33	-0.09	173
313	-714	-759	Min.	20.00	-1381.88	173	-41.61	97	-0.23	162	-1440.76	102	-81.15	173	-0.09	173
313	-759	312	Max	0.00	687.13	101	60.54	173	0.34	97	-207.51	17	144.61	101	0.07	97
313	-759	312	Max	20.00	687.13	101	60.54	173	12.13	173	-209.58	17	-52.04	17	0.07	97
313	-759	312	Min.	0.00	-1381.88	173	-41.61	97	-0.23	162	-1440.76	102	-81.15	173	-0.09	173
313	-759	312	Min.	20.00	-1381.88	173	-41.61	97	-7.98	97	-1443.56	102	-289.38	98	-0.09	173
313	312	-847	Max	0.00	511.02	101	57.29	173	7.33	17	1147.53	98	-42.60	177	0.06	17
313	312	-847	Max	40.00	511.02	101	57.29	173	11.51	173	1141.93	98	186.47	98	0.06	17
313	312	-847	Min.	0.00	-1406.94	173	-36.67	17	-11.41	173	163.28	17	-271.42	98	-0.09	173
313	312	-847	Min.	40.00	-1406.94	173	-36.67	17	-7.34	17	159.14	17	16.52	33	-0.09	173
313	-847	314	Max	0.00	267.92	101	55.13	173	7.39	17	-162.89	33	187.04	102	0.06	17
313	-847	314	Max	40.47	267.92	101	55.13	173	11.20	173	-167.09	33	-47.62	33	0.06	17
313	-847	314	Min.	0.00	-1322.62	173	-36.46	17	-11.11	173	-1335.49	102	16.77	33	-0.09	173
313	-847	314	Min.	40.47	-1322.62	173	-36.46	17	-7.37	17	-1341.16	102	-354.58	102	-0.09	173
313	314	-935	Max	0.00	268.63	101	58.11	173	7.66	17	1369.77	102	-46.71	33	0.06	17
313	314	-935	Max	39.53	268.63	101	58.11	173	11.51	173	1364.24	102	186.16	98	0.06	17
313	314	-935	Min.	0.00	-1278.49	118	-38.78	17	-11.46	173	168.14	33	-354.67	102	-0.09	173
313	314	-935	Min.	39.53	-1278.49	118	-38.78	17	-7.67	17	164.04	33	16.51	33	-0.09	173
313	-935	316	Max	0.00	511.20	101	59.51	173	7.81	17	-156.12	65	185.52	98	0.06	17
313	-935	316	Max	40.00	511.20	101	59.51	173	11.91	173	-160.27	65	-42.40	65	0.06	17
313	-935	316	Min.	0.00	-1247.41	106	-39.08	17	-11.90	173	-1137.43	98	16.31	33	-0.09	173
313	-935	316	Min.	40.00	-1247.41	106	-39.08	17	-7.82	17	-1143.03	98	-270.57	98	-0.09	173
313	316	-1023	Max	0.00	689.75	101	62.10	173	7.97	17	1440.35	102	-51.21	65	0.06	17
313	316	-1023	Max	20.00	689.75	101	62.10	173	0.34	97	1437.55	102	144.56	101	0.06	17
313	316	-1023	Min.	0.00	-1169.28	98	-39.63	17	-12.33	173	207.21	65	-288.46	98	-0.10	173
313	316	-1023	Min.	20.00	-1169.28	98	-39.63	17	-0.23	162	205.14	65	-54.04	98	-0.10	173
313	-1023	-1068	Max	0.00	689.75	101	62.10	173	0.34	97	1437.55	102	144.56	101	0.06	17
313	-1023	-1068	Max	20.00	689.75	101	62.10	173	12.50	173	1434.75	102	430.34	102	0.06	17
313	-1023	-1068	Min.	0.00	-1169.28	98	-39.63	17	-0.23	162	204.94	65	-54.04	98	-0.10	173
313	-1023	-1068	Min.	20.00	-1169.28	98	-39.63	17	-7.88	17	202.86	65	22.25	33	-0.10	173
313	-1068	331	Max	0.00	461.45	101	64.09	173	7.96	17	-175.17	65	442.60	102	0.06	17
313	-1068	331	Max	26.52	461.45	101	64.09	173	4.21	173	-177.92	65	-23.43	65	0.06	17
313	-1068	331	Min.	0.00	-1002.61	98	-39.62	17	-12.79	173	-1959.66	102	15.68	33	-0.10	173
313	-1068	331	Min.	26.52	-1002.61	98	-39.62	17	-2.55	17	-1963.37	102	-207.72	98	-0.10	173
313	331	318	Max	0.00	461.45	101	64.09	173	4.21	173	-178.08	65	-23.43	65	0.06	17
313	331	318	Max	13.48	461.45	101	64.09	173	12.84	173	-179.47	65	-47.77	65	0.06	17
313	331	318	Min.	0.00	-1002.61	98	-39.62	17	-2.55	17	-1963.37	102	-207.72	98	-0.10	173
313	331	318	Min.	13.48	-1002.61	98	-39.62	17	-7.89	17	-1965.26	102	-398.88	98	-0.10	173
313	318	-1197	Max	0.00	131.04	101	72.36	173	8.16	17	1352.15	98	-63.97	65	0.05	17
313	318	-1197	Max	40.00	131.04	101	72.36	173	15.36	97	1346.55	98	58.87	98	0.05	17
313	318	-1197	Min.	0.00	-640.73	98	-42.12	17	-13.74	173	194.21	65	-480.87	98	-0.11	97
313	318	-1197	Min.	40.00	-640.73	98	-42.12	17	-8.69	17	190.06	65	-0.95	137	-0.11	97
314	-609	311	Max	0.00	128.13	106	73.61	122	14.68	173	53.95	177	60.17	173	0.09	173
314	-609	311	Max	40.00	128.13	106	73.61	122	13.98	122	49.80	177	1.11	177	0.09	173
314	-609	311	Min.	0.00	-820.90	177	-70.37	173	-15.46	122	-1352.93	97	-19.64	177	-0.11	98
314	-609	311	Min.	40.00	-820.90	177	-70.37	173	-13.47	173	-1358.53	97	-483.37	97	-0.11	98
314	311	330	Max	0.00	457.44	106	54.31	98	13.38	173	1974.94	105	-5.86	177	0.09	173
314	311	330	Max	14.42	457.44	106	54.31	98	3.82	173	1972.93	105	27.66	177	0.09	173
314	311	330	Min.	0.00	-1196.11	173	-66.34	173	-11.05	98	183.93	65	-400.89	97	-0.09	98
314	311	330	Min.	14.42	-1196.11	173	-66.34	173	-3.22	98	182.44	65	-199.91	173	-0.09	98
314	330	-738	Max	0.00	457.44	106	54.31	98	3.82	173	1972.93	105	27.66	177	0.09	173
314	330	-738	Max	25.58	457.44	106	54.31	98	10.67	98	1969.34	105	443.40	105	0.09	173
314	330	-738	Min.	0.00	-1196.11	173	-66.34	173	-3.22	98	182.28	65	-199.91	173	-0.09	98
314	330	-738	Min.	25.58	-1196.11	173	-66.34	173	-13.15	173	179.63	65	9.32	162	-0.09	98
314	-738	-783	Max	0.00	687.03	106	41.61	98	12.28	173	-205.23	65	431.01	105	0.09	173
314	-738	-783	Max	20.00	687.03	106	41.61	98	0.03	17	-207.30	65	144.60	106	0.09	173
314	-738	-783	Min.	0.00	-1383.52	173	-61.59	173	-8.66	98	-1437.93	105	19.24	162	-0.07	98
314	-738	-783	Min.	20.00	-1383.52	173	-61.59	173	-0.42	158	-1440.73	105	-82.62	173	-0.07	98
314	-783	313	Max	0.00	687.03	106	41.61	98	0.03	17	-207.51	65	144.60	106	0.09	173
314	-783	313	Max	20.00	687.03	106	41.61	98	7.98	98	-209.58	65	-52.04	65	0.09	173
314	-783	313	Min.	0.00	-1383.52	173	-61.59	173	-0.42	158	-1440.73	105	-82.62	173	-0.07	98
314	-783	313	Min.	20.00	-1383.52	173	-61.59	173	-12.36	173	-1443.53	105	-289.38	97	-0.07	98
314	313	-871	Max	0.00	510.94	106	36.67	65	11.69	173	1147.54	97	-42.60	177	0.09	173
314	313	-871	Max	40.00	510.94	106	36.67	65	7.34	65	1141.94	97	186.47	97	0.09	173
314	313	-871	Min.	0.00	-1428.18	125	-58.80	173	-7.33	65	163.29	65	-271.43	97	-0.06	65
314	313	-871	Min.	40.00	-1428.18	125	-58.80	173	-11.83	173	159.14	65	12.51	162	-0.06	65

314	-871	315	Max	0.00	267.85	106	36.46	65	11.53	173	-159.48	33	187.04	105	0.09	173
314	-871	315	Max	40.47	267.85	106	36.46	65	7.37	65	-163.67	33	-46.62	33	0.09	173
314	-871	315	Min.	0.00	-1479.48	125	-57.37	173	-7.39	65	-1335.46	105	14.59	162	-0.06	65
314	-871	315	Min.	40.47	-1479.48	125	-57.37	173	-11.69	173	-1341.13	105	-354.57	105	-0.06	65
314	315	-959	Max	0.00	268.56	106	38.78	65	12.09	173	1369.74	105	-47.71	33	0.10	173
314	315	-959	Max	31.62					-0.00	115			35.56	115		
314	315	-959	Max	39.53	268.56	106	38.78	65	7.67	65	1364.20	105	186.16	97	0.10	173
314	315	-959	Min.	0.00	-1478.44	125	-61.45	173	-7.66	65	171.61	33	-354.66	105	-0.06	65
314	315	-959	Min.	31.62					-0.00	151			25.16	151		
314	315	-959	Min.	39.53	-1478.44	125	-61.45	173	-12.20	173	167.51	33	14.54	162	-0.06	65
314	-959	317	Max	0.00	511.11	106	39.08	65	12.74	173	-156.12	17	185.52	97	0.10	173
314	-959	317	Max	40.00	511.11	106	39.08	65	7.82	65	-160.27	17	-42.40	17	0.10	173
314	-959	317	Min.	0.00	-1425.22	125	-63.93	173	-7.81	65	-1137.45	97	12.36	162	-0.06	65
314	-959	317	Min.	40.00	-1425.22	125	-63.93	173	-12.83	173	-1143.05	97	-270.58	97	-0.06	65
314	317	-1047	Max	0.00	689.65	106	39.63	65	13.42	173	1440.31	105	-51.21	17	0.11	173
314	317	-1047	Max	20.00	689.65	106	39.63	65	0.03	65	1437.51	105	144.55	106	0.11	173
314	317	-1047	Min.	0.00	-1307.94	121	-67.70	173	-7.97	65	207.21	17	-288.46	97	-0.06	65
314	317	-1047	Min.	20.00	-1307.94	121	-67.70	173	-0.42	158	205.14	17	-61.61	121	-0.06	65
314	-1047	-1092	Max	0.00	689.65	106	39.63	65	0.03	65	1437.51	105	144.55	106	0.11	173
314	-1047	-1092	Max	16.00					-0.00	152			41.00	152		
314	-1047	-1092	Max	20.00	689.65	106	39.63	65	7.88	65	1434.71	105	430.32	105	0.11	173
314	-1047	-1092	Min.	0.00	-1307.94	121	-67.70	173	-0.42	158	204.94	17	-61.61	121	-0.06	65
314	-1047	-1092	Min.	16.00					-0.00	152			41.00	152		
314	-1047	-1092	Min.	20.00	-1307.94	121	-67.70	173	-13.66	173	202.86	17	19.32	162	-0.06	65
314	-1092	332	Max	0.00	461.37	106	39.62	65	14.07	173	-175.17	17	442.58	105	0.11	173
314	-1092	332	Max	26.52	461.37	106	39.62	65	2.55	65	-177.92	17	-23.43	17	0.11	173
314	-1092	332	Min.	0.00	-1080.60	121	-70.52	173	-7.96	65	-1959.59	105	9.38	162	-0.06	65
314	-1092	332	Min.	26.52	-1080.60	121	-70.52	173	-4.64	173	-1963.30	105	-207.72	97	-0.06	65
314	332	319	Max	0.00	461.37	106	39.62	65	2.55	65	-178.08	17	-23.43	17	0.11	173
314	332	319	Max	13.48	461.37	106	39.62	65	7.89	65	-179.48	17	-47.77	17	0.11	173
314	332	319	Min.	0.00	-1080.60	121	-70.52	173	-4.64	173	-1963.30	105	-207.72	97	-0.06	65
314	332	319	Min.	13.48	-1080.60	121	-70.52	173	-14.14	173	-1965.19	105	-398.88	97	-0.06	65
314	319	-1216	Max	0.00	131.01	106	42.12	65	15.28	173	1352.15	97	-63.97	17	0.12	173
314	319	-1216	Max	40.00	131.01	106	42.12	65	8.69	65	1346.55	97	58.87	97	0.12	173
314	319	-1216	Min.	0.00	-665.37	121	-80.34	173	-8.16	65	194.21	17	-480.88	97	-0.05	65
314	319	-1216	Min.	40.00	-665.37	121	-80.34	173	-16.85	173	190.06	17	-0.95	142	-0.05	65
602	-503	-375	Max	0.00	441.65	98	4.91	17	48.51	177	39.83	97	0.00	1	0.02	101
602	-503	-375	Max	114.38					2.77	97			22.95	97		
602	-503	-375	Max	230.49	373.37	98	4.91	17	3.68	17	-29.51	1	0.00	1	0.02	101
602	-503	-375	Min.	0.00	148.42	17	-28.46	177	-7.86	65	29.51	1	0.00	1	-0.15	177
602	-503	-375	Min.	114.38					2.06	1			17.00	1		
602	-503	-375	Min.	230.49	97.84	17	-28.46	177	-17.10	177	-39.83	97	0.00	97	-0.15	177
604	-511	-377	Max	0.00	417.64	102	5.88	17	37.51	177	39.83	97	0.00	1	0.02	65
604	-511	-377	Max	114.38					1.91	97			22.95	97		
604	-511	-377	Max	230.49	349.35	102	5.88	17	5.73	17	-29.51	1	0.00	1	0.02	65
604	-511	-377	Min.	0.00	156.89	1	-25.71	177	-7.83	17	29.51	1	0.00	1	-0.25	177
604	-511	-377	Min.	114.38					1.42	1			17.00	1		
604	-511	-377	Min.	230.49	106.31	1	-25.71	177	-21.74	177	-39.83	97	0.00	97	-0.25	177
606	-515	-379	Max	0.00	410.48	102	5.44	17	33.71	177	39.83	97	0.00	1	0.04	65
606	-515	-379	Max	114.38					0.03	97			22.95	97		
606	-515	-379	Max	230.49	342.20	102	5.44	17	4.72	17	-29.51	1	0.00	1	0.04	65
606	-515	-379	Min.	0.00	151.90	1	-22.61	177	-7.82	17	29.51	1	0.00	1	-0.24	177
606	-515	-379	Min.	114.38					0.70	1			17.00	1		
606	-515	-379	Min.	230.49	101.32	1	-22.61	177	-18.39	177	-39.83	97	0.00	97	-0.24	177
608	-519	-381	Max	0.00	416.71	102	9.41	127	33.13	177	39.83	97	0.00	1	0.06	65
608	-519	-381	Max	114.38					-1.88	97			22.95	97		
608	-519	-381	Max	230.49	348.42	102	9.41	127	9.21	127	-29.51	1	0.00	1	0.06	65
608	-519	-381	Min.	0.00	156.56	49	-22.96	177	-12.48	127	29.51	1	0.00	1	-0.22	177
608	-519	-381	Min.	114.38					0.13	1			17.00	1		
608	-519	-381	Min.	230.49	105.98	49	-22.96	177	-19.79	177	-39.83	97	0.00	97	-0.22	177
610	-527	-383	Max	0.00	440.34	98	13.55	127	28.97	177	39.83	97	0.00	1	0.13	98
610	-527	-383	Max	114.38					-2.68	97			22.95	97		
610	-527	-383	Max	230.49	372.06	98	13.55	127	11.77	125	-29.51	1	0.00	1	0.13	98
610	-527	-383	Min.	0.00	147.53	65	-18.03	177	-19.45	127	29.51	1	0.00	1	-0.17	177
610	-527	-383	Min.	114.38					0.40	1			17.00	1		
610	-527	-383	Min.	230.49	96.95	65	-18.03	177	-12.60	177	-39.83	97	0.00	97	-0.17	177
612	-375	-377	Max	0.00	51.52	101	3.52	17	16.92	177	-5.36	1	0.00	1	0.08	101
612	-375	-377	Max	80.00	51.52	101	16.30	17	4.42	17	7.24	97	0.00	1	0.08	101
612	-375	-377	Min.	0.00	-76.29	173	-42.38	177	-3.50	17	-7.24	97	0.00	1	-0.21	173
612	-375	-377	Min.	80.00	-76.29	173	-29.60	177	-11.87	177	5.36	1	0.00	97	-0.21	173
612	-377	-379	Max	0.00	45.70	101	-1.01	17	9.90	177	-5.40	1	0.00	97	0.02	65
612	-377	-379	Max	80.47	45.70	101	11.85	17	3.12	17	7.28	97	0.00	1	0.02	65
612	-377	-379	Min.	0.00	-90.24	173	-29.56	177	-1.24	17	-7.28	97	0.00	1	-0.08	173
612	-377	-379	Min.	80.47	-90.24	173	-16.70	177	-8.71	177	5.40	1	0.00	97	-0.08	173
612	-379	-381	Max	0.00	45.84	101	0.16	17	9.71	177	-5.33	1	0.00	1	0.06	102
612	-379	-381	Max	79.53	45.84	101	14.41	99	3.51	17	7.20	97	0.00	1	0.06	102
612	-379	-381	Min.	0.00	-80.07	118	-28.22	177	-1.85	159	-7.20	97	0.00	1	-0.02	173
612	-379	-381	Min.	79.53	-80.07	118	-15.51	177	-7.68	177	5.33	1	0.00	97	-0.02	173
612	-381	-383	Max	0.00	51.74	101	15.68	125	12.00	177	-5.36	1	0.00	1	0.12	65

612	-381	-383	Max	80.00	51.74	101	32.94	125	11.37	127	7.24	97	0.00	1	0.12	65
612	-381	-383	Min.	0.00	-60.70	110	-36.76	177	-8.08	125	-7.24	97	0.00	1	-0.08	101
612	-381	-383	Min.	80.00	-60.70	110	-23.98	177	-12.29	177	5.36	1	0.00	97	-0.08	101
615	-378	-376	Max	0.00	51.52	106	29.59	177	7.49	165	-5.36	1	0.00	1	0.21	173
615	-378	-376	Max	80.00	51.52	106	42.38	177	16.92	177	7.24	97	0.00	1	0.21	173
615	-378	-376	Min.	0.00	-78.39	121	-24.56	167	-11.87	177	-7.24	97	0.00	1	-0.08	106
615	-378	-376	Min.	80.00	-78.39	121	-11.77	167	-7.05	167	5.36	1	0.00	97	-0.08	106
615	-380	-378	Max	0.00	45.69	106	16.70	177	3.12	65	-5.40	1	0.00	97	0.08	173
615	-380	-378	Max	80.47	45.69	106	29.56	177	9.90	177	7.28	97	0.00	1	0.08	173
615	-380	-378	Min.	0.00	-107.08	125	-11.85	65	-8.71	177	-7.28	97	0.00	1	-0.02	17
615	-380	-378	Min.	80.47	-107.08	125	1.01	65	-1.24	65	5.40	1	0.00	97	-0.02	17
615	-382	-380	Max	0.00	45.83	106	15.51	177	3.51	65	-5.33	1	0.00	1	0.03	173
615	-382	-380	Max	79.53	45.83	106	28.22	177	9.71	177	7.20	97	0.00	1	0.03	173
615	-382	-380	Min.	0.00	-106.87	125	-14.41	99	-7.68	177	-7.20	97	0.00	1	-0.06	129
615	-382	-380	Min.	79.53	-106.87	125	-0.16	65	-1.67	65	5.33	1	0.00	97	-0.06	129
615	-384	-382	Max	0.00	51.74	106	23.98	177	9.76	107	-5.36	1	0.00	1	0.08	106
615	-384	-382	Max	80.00	51.74	106	36.76	177	12.00	177	7.24	97	0.00	1	0.08	106
615	-384	-382	Min.	0.00	-78.19	121	-29.41	106	-12.29	177	-7.24	97	0.00	1	-0.13	125
615	-384	-382	Min.	80.00	-78.19	121	-12.15	106	-6.87	106	5.36	1	0.00	97	-0.13	125
617	-41	-375	Max	0.00	-5135.71	17	19.77	98	9.62	101	4.39	17	0.00	1	0.08	177
617	-41	-375	Max	16.31					1.71	17			0.38	17		
617	-41	-375	Max	230.49	-5085.13	17	19.77	98	32.38	173	-54.62	17	-57.88	17	0.08	177
617	-41	-375	Min.	0.00	-34808.90	98	-12.22	101	-14.60	98	-96.46	98	0.00	1	-0.04	65
617	-41	-375	Min.	16.31					-8.88	17			-4.83	17		
617	-41	-375	Min.	230.49	-34740.60	98	-12.22	101	-18.56	101	-176.12	98	-314.13	98	-0.04	65
617	-375	10	Max	0.00	-5026.16	17	28.88	101	32.71	173	176.16	98	-57.88	17	1.08	173
617	-375	10	Max	184.39					-4.95	17			-0.70	17		
617	-375	10	Max	230.49	-4975.58	17	28.88	101	46.30	101	96.50	98	0.00	173	1.08	173
617	-375	10	Min.	0.00	-34636.80	98	-61.77	173	-20.25	101	54.62	17	-314.23	98	-0.40	101
617	-375	10	Min.	184.39					-50.55	98			-48.16	98		
617	-375	10	Min.	230.49	-34568.50	98	-61.77	173	-109.66	173	-4.39	17	0.00	103	-0.40	101
619	12	-511	Max	0.00	25286.40	102	12.40	173	0.32	65	79.67	97	0.00	1	0.29	173
619	12	-511	Max	173.69					-6.81	97			69.70	97		
619	12	-511	Max	350.00	25286.40	102	12.40	173	13.65	173	-59.01	1	0.00	1	0.29	173
619	12	-511	Min.	0.00	3612.08	17	-11.01	177	-29.76	173	59.01	1	0.00	1	-0.03	65
619	12	-511	Min.	173.69					-2.65	1			51.63	1		
619	12	-511	Min.	350.00	3612.08	17	-11.01	177	-46.98	177	-79.67	97	0.00	97	-0.03	65
621	22	-379	Max	0.00	-4925.11	33	13.84	177	11.93	173	5.32	33	0.00	1	0.04	177
621	22	-379	Max	20.51					4.32	33			0.55	33		
621	22	-379	Max	230.49	-4874.52	33	13.84	177	37.12	177	-53.70	33	-55.76	33	0.04	177
621	22	-379	Min.	0.00	-29986.40	102	-9.82	173	-10.41	65	-78.07	102	0.00	1	-0.03	65
621	22	-379	Min.	184.39					-0.01	168			-70.98	168		
621	22	-379	Min.	230.49	-29918.20	102	-9.82	173	-10.71	173	-157.73	102	-271.74	102	-0.03	65
621	-379	14	Max	0.00	-4808.09	33	2.57	65	34.35	177	157.68	102	-55.73	33	0.25	177
621	-379	14	Max	184.39					1.17	33			-0.26	33		
621	-379	14	Max	230.49	-4757.51	33	2.57	65	8.07	65	78.01	102	0.00	106	0.25	177
621	-379	14	Min.	0.00	-29811.80	102	-19.94	177	-11.27	173	53.69	33	-271.62	102	-0.11	65
621	-379	14	Min.	184.39					-0.03	102			-39.63	102		
621	-379	14	Min.	230.49	-29743.50	102	-19.94	177	-11.61	177	-5.33	33	0.00	109	-0.11	65
623	16	-519	Max	0.00	25201.90	102	0.97	161	18.78	65	79.67	97	0.00	1	0.03	17
623	16	-519	Max	173.69					6.76	97			69.70	97		
623	16	-519	Max	350.00	25201.90	102	0.97	161	6.24	173	-59.01	1	0.00	1	0.03	17
623	16	-519	Min.	0.00	3561.66	65	-13.84	177	-0.45	17	59.01	1	0.00	1	-0.17	65
623	16	-519	Min.	173.69					4.53	1			51.63	1		
623	16	-519	Min.	350.00	3561.66	65	-13.84	177	-47.22	177	-79.67	97	0.00	97	-0.17	65
625	-179	-383	Max	0.00	-5016.19	65	12.20	101	18.99	173	4.83	65	0.00	1	0.07	177
625	-179	-383	Max	18.56					8.79	65			0.46	65		
625	-179	-383	Max	230.49	-4965.61	65	12.20	101	21.46	177	-54.18	65	-56.87	65	0.07	177
625	-179	-383	Min.	0.00	-34643.30	98	-19.82	98	-9.50	101	-95.85	98	0.00	1	-0.03	65
625	-179	-383	Min.	18.56					-1.84	65			-5.51	65		
625	-179	-383	Min.	230.49	-34575.10	98	-19.82	98	-30.94	98	-175.52	98	-312.74	98	-0.03	65
625	-383	18	Max	0.00	-4906.57	65	43.90	98	20.31	101	175.56	98	-56.87	65	0.40	101
625	-383	18	Max	184.39					45.61	65			-0.49	65		
625	-383	18	Max	230.49	-4855.99	65	43.90	98	70.29	98	95.89	98	0.00	17	0.40	101
625	-383	18	Min.	0.00	-34471.40	98	-29.17	101	-30.89	98	54.18	65	-312.83	98	-0.71	98
625	-383	18	Min.	184.39					50.05	98			-47.88	98		
625	-383	18	Min.	230.49	-34403.10	98	-29.17	101	-46.93	101	-4.83	65	0.00	118	-0.71	98
632	10	-503	Max	0.00	26183.60	98	31.59	173	34.42	101	79.67	97	0.00	1	0.70	173
632	10	-503	Max	173.69					-20.46	97			69.70	97		
632	10	-503	Max	350.00	26183.60	98	31.59	173	29.25	173	-59.01	1	0.00	1	0.70	173
632	10	-503	Min.	0.00	3780.60	17	-15.78	177	-81.33	173	59.01	1	0.00	1	-0.25	101
632	10	-503	Min.	173.69					-6.88	1			51.63	1		
632	10	-503	Min.	350.00	3780.60	17	-15.78	177	-51.68	177	-79.67	97	0.00	97	-0.25	101
634	20	-377	Max	0.00	-4922.29	17	14.84	177	7.38	17	5.30	17	0.00	1	0.04	177
634	20	-377	Max	20.45					7.20	17			0.55	17		
634	20	-377	Max	230.49	-4871.70	17	14.84	177	38.74	177	-53.71	17	-55.79	17	0.04	177
634	20	-377	Min.	0.00	-33626.50	102	-1.04	173	-12.21	65	-91.52	102	0.00	1	-0.03	65
634	20	-377	Min.	20.45					-7.01	17			-1.97	17		
634	20	-377	Min.	230.49	-33558.20	102	-1.04	173	1.90	161	-171.19	102	-302.75	102	-0.03	65

634	-377	12	Max	0.00	-4803.42	17	-1.34	161	35.43	177	171.25	102	-55.77	17	0.41	173
634	-377	12	Max	184.39					0.15	17			-0.27	17		
634	-377	12	Max	230.49	-4752.84	17	-1.34	161	0.42	65	91.58	102	0.00	134	0.41	173
634	-377	12	Min.	0.00	-33450.90	102	-21.15	177	0.83	161	53.70	17	-302.89	102	-0.04	65
634	-377	12	Min.	184.39					-12.01	102			-45.89	102		
634	-377	12	Min.	230.49	-33382.60	102	-21.15	177	-39.91	173	-5.31	17	0.00	101	-0.04	65
636	14	-515	Max	0.00	22532.20	102	4.21	173	5.97	65	79.67	97	0.00	1	0.11	173
636	14	-515	Max	173.69					-0.03	97			69.70	97		
636	14	-515	Max	350.00	22532.20	102	4.21	173	8.14	173	-59.01	1	0.00	1	0.11	173
636	14	-515	Min.	0.00	3615.63	33	-11.01	177	-7.25	177	59.01	1	0.00	1	-0.07	65
636	14	-515	Min.	280.00					-0.01	144			33.05	144		
636	14	-515	Min.	350.00	3615.63	33	-11.01	177	-45.79	177	-79.67	97	0.00	97	-0.07	65
638	24	-381	Max	0.00	-4855.42	65	10.65	177	15.09	173	5.54	65	0.00	1	0.04	177
638	24	-381	Max	20.95					7.15	65			0.60	65		
638	24	-381	Max	230.49	-4804.84	65	10.65	177	32.02	177	-53.47	65	-55.23	65	0.04	177
638	24	-381	Min.	0.00	-33514.60	102	-14.26	173	-7.26	65	-91.11	102	0.00	1	-0.03	65
638	24	-381	Min.	20.95					-7.08	65			-2.03	65		
638	24	-381	Min.	230.49	-33446.30	102	-14.26	173	-17.77	173	-170.78	102	-301.81	102	-0.03	65
638	-381	16	Max	0.00	-4736.81	65	14.38	118	29.00	177	170.84	102	-55.21	65	0.14	177
638	-381	16	Max	184.39					19.19	65			-0.16	65		
638	-381	16	Max	230.49	-4686.23	65	14.38	118	25.41	65	91.17	102	0.00	65	0.14	177
638	-381	16	Min.	0.00	-33339.20	102	-12.64	177	-18.51	173	53.46	65	-301.95	102	-0.28	65
638	-381	16	Min.	184.39					11.75	102			-45.70	102		
638	-381	16	Min.	230.49	-33270.90	102	-12.64	177	-0.60	17	-5.55	65	0.00	130	-0.28	65
640	18	-527	Max	0.00	26058.40	98	15.81	101	51.70	98	79.67	97	0.00	1	0.25	101
640	18	-527	Max	173.69					20.33	97			69.70	97		
640	18	-527	Max	350.00	26058.40	98	15.81	101	21.12	125	-59.01	1	0.00	1	0.25	101
640	18	-527	Min.	0.00	3690.09	65	-20.17	177	-34.89	101	59.01	1	0.00	1	-0.41	98
640	18	-527	Min.	173.69					11.89	1			51.63	1		
640	18	-527	Min.	350.00	3690.09	65	-20.17	177	-52.24	177	-79.67	97	0.00	97	-0.41	98
647	11	-504	Max	0.00	26183.60	97	15.78	177	83.40	173	79.67	97	0.00	1	0.25	106
647	11	-504	Max	173.69					20.96	97			69.70	97		
647	11	-504	Max	350.00	26183.60	97	15.78	177	51.68	177	-59.01	1	0.00	1	0.25	106
647	11	-504	Min.	0.00	3780.59	65	-32.20	173	-34.42	106	59.01	1	0.00	1	-0.72	173
647	11	-504	Min.	173.69					12.12	1			51.63	1		
647	11	-504	Min.	350.00	3780.59	65	-32.20	173	-29.30	173	-79.67	97	0.00	97	-0.72	173
649	13	-512	Max	0.00	25285.60	105	11.00	177	30.53	173	79.67	97	0.00	1	0.03	17
649	13	-512	Max	173.69					7.01	97			69.70	97		
649	13	-512	Max	350.00	25285.60	105	11.00	177	46.98	177	-59.01	1	0.00	1	0.03	17
649	13	-512	Min.	0.00	3612.08	65	-12.54	173	-0.32	17	59.01	1	0.00	1	-0.30	173
649	13	-512	Min.	173.69					4.62	1			51.63	1		
649	13	-512	Min.	350.00	3612.08	65	-12.54	173	-13.37	173	-79.67	97	0.00	97	-0.30	173
651	-380	15	Max	0.00	-4807.79	33	19.94	177	11.53	173	157.67	105	-55.73	33	0.11	17
651	-380	15	Max	184.39					1.23	33			-0.26	33		
651	-380	15	Max	230.49	-4757.21	33	19.94	177	11.61	177	78.01	105	0.00	33	0.11	17
651	-380	15	Min.	0.00	-29811.00	105	-2.57	17	-34.35	177	53.68	33	-271.61	105	-0.25	177
651	-380	15	Min.	184.39					0.03	105			-39.63	105		
651	-380	15	Min.	230.49	-29742.70	105	-2.57	17	-8.07	17	-5.33	33	0.00	98	-0.25	177
651	23	-380	Max	0.00	-4924.81	33	10.66	173	10.41	17	5.32	33	0.00	1	0.03	17
651	23	-380	Max	20.52					4.14	33			0.55	33		
651	23	-380	Max	230.49	-4874.23	33	10.66	173	10.91	173	-53.70	33	-55.75	33	0.03	17
651	23	-380	Min.	0.00	-29985.60	105	-13.84	177	-13.66	173	-78.06	105	0.00	1	-0.04	177
651	23	-380	Min.	20.52					-0.77	33			-0.88	33		
651	23	-380	Min.	230.49	-29917.30	105	-13.84	177	-37.12	177	-157.73	105	-271.74	105	-0.04	177
653	17	-520	Max	0.00	25201.10	105	13.84	177	0.45	65	79.67	97	0.00	1	0.17	17
653	17	-520	Max	173.69					-6.96	97			69.70	97		
653	17	-520	Max	350.00	25201.10	105	13.84	177	47.22	177	-59.01	1	0.00	1	0.17	17
653	17	-520	Min.	0.00	3561.66	17	-1.06	173	-20.83	125	59.01	1	0.00	1	-0.04	173
653	17	-520	Min.	173.69					-2.61	1			51.63	1		
653	17	-520	Min.	350.00	3561.66	17	-1.06	173	-6.52	173	-79.67	97	0.00	97	-0.04	173
655	-384	19	Max	0.00	-4906.57	17	29.17	106	35.77	121	175.56	97	-56.87	17	0.77	121
655	-384	19	Max	184.39					-4.61	17			-0.49	17		
655	-384	19	Max	230.49	-4855.99	17	29.17	106	46.92	106	95.89	97	0.00	173	0.77	121
655	-384	19	Min.	0.00	-34471.40	97	-50.80	121	-20.31	106	54.18	17	-312.83	97	-0.40	106
655	-384	19	Min.	184.39					-50.05	97			-47.88	97		
655	-384	19	Min.	230.49	-34403.10	97	-50.80	121	-81.32	121	-4.83	17	0.00	125	-0.40	106
655	-182	-384	Max	0.00	-5016.18	17	22.31	121	9.50	106	4.83	17	0.00	1	0.03	17
655	-182	-384	Max	18.56					1.85	17			0.46	17		
655	-182	-384	Max	230.49	-4965.60	17	22.31	121	34.76	121	-54.18	17	-56.87	17	0.03	17
655	-182	-384	Min.	0.00	-34643.30	97	-12.20	106	-20.07	173	-95.85	97	0.00	1	-0.07	177
655	-182	-384	Min.	18.56					-8.79	17			-5.51	17		
655	-182	-384	Min.	230.49	-34575.10	97	-12.20	106	-21.46	177	-175.52	97	-312.74	97	-0.07	177
662	-376	11	Max	0.00	-5026.15	65	63.15	173	20.25	106	176.16	97	-57.88	65	0.40	106
662	-376	11	Max	184.39					46.20	65			-0.70	65		
662	-376	11	Max	230.49	-4975.57	65	63.15	173	112.48	173	96.50	97	0.00	173	0.40	106
662	-376	11	Min.	0.00	-34636.80	97	-28.87	106	-35.85	121	54.62	65	-314.23	97	-1.12	173
662	-376	11	Min.	184.39					50.56	97			-48.16	97		
662	-376	11	Min.	230.49	-34568.50	97	-28.87	106	-46.30	106	-4.39	65	0.00	65	-1.12	173
662	-44	-376	Max	0.00	-5135.70	65	12.22	106	16.56	121	4.39	65	0.00	1	0.04	17

662	-44	-376	Max	16.31					8.88	65			0.38	65		
662	-44	-376	Max	230.49	-5085.12	65	12.22	106	18.56	106	-54.62	65	-57.88	65	0.04	17
662	-44	-376	Min.	0.00	-34808.90	97	-22.30	121	-9.62	106	-96.46	97	0.00	1	-0.08	177
662	-44	-376	Min.	16.31					-1.71	65			-4.83	65		
662	-44	-376	Min.	230.49	-34740.60	97	-22.30	121	-34.84	121	-176.12	97	-314.13	97	-0.08	177
664	-378	13	Max	0.00	-4803.42	65	21.15	177	-2.54	173	171.24	105	-55.77	65	0.04	17
664	-378	13	Max	184.39					19.43	65			-0.27	65		
664	-378	13	Max	230.49	-4752.84	65	21.15	177	40.97	173	91.58	105	0.00	134	0.04	17
664	-378	13	Min.	0.00	-33449.90	105	2.31	17	-35.43	177	53.70	65	-302.89	105	-0.42	173
664	-378	13	Min.	184.39					12.01	105			-45.89	105		
664	-378	13	Min.	230.49	-33381.60	105	2.31	17	-0.42	17	-5.31	65	0.00	105	-0.42	173
664	21	-378	Max	0.00	-4922.28	65	1.92	173	12.21	17	5.30	65	0.00	1	0.03	17
664	21	-378	Max	20.45					7.01	65			0.55	65		
664	21	-378	Max	230.49	-4871.70	65	1.92	173	-2.79	173	-53.71	65	-55.79	65	0.03	17
664	21	-378	Min.	0.00	-33625.50	105	-14.84	177	-7.39	65	-91.52	105	0.00	1	-0.04	177
664	21	-378	Min.	20.45					-7.20	65			-1.97	65		
664	21	-378	Min.	230.49	-33557.20	105	-14.84	177	-38.74	177	-171.18	105	-302.75	105	-0.04	177
666	15	-516	Max	0.00	22531.60	105	11.01	177	7.53	173	79.67	97	0.00	1	0.07	17
666	15	-516	Max	173.69					0.03	97			69.70	97		
666	15	-516	Max	350.00	22531.60	105	11.01	177	45.78	177	-59.01	1	0.00	1	0.07	17
666	15	-516	Min.	0.00	3615.41	33	-4.46	173	-5.97	17	59.01	1	0.00	1	-0.12	173
666	15	-516	Min.	280.00					-0.00	166			33.05	166		
666	15	-516	Min.	350.00	3615.41	33	-4.46	173	-8.07	173	-79.67	97	0.00	97	-0.12	173
668	-382	17	Max	0.00	-4736.81	17	12.64	177	18.27	173	170.83	105	-55.21	17	0.28	17
668	-382	17	Max	184.39					0.29	17			-0.16	17		
668	-382	17	Max	230.49	-4686.23	17	12.64	177	0.60	65	91.17	105	0.00	17	0.28	17
668	-382	17	Min.	0.00	-33338.20	105	-17.94	125	-29.00	177	53.46	17	-301.94	105	-0.14	177
668	-382	17	Min.	184.39					-11.75	105			-45.70	105		
668	-382	17	Min.	230.49	-33269.90	105	-17.94	125	-28.21	125	-5.55	17	0.00	102	-0.14	177
668	25	-382	Max	0.00	-4855.42	17	14.79	173	7.26	17	5.54	17	0.00	1	0.03	17
668	25	-382	Max	20.95					7.08	17			0.60	17		
668	25	-382	Max	230.49	-4804.84	17	14.79	173	17.50	173	-53.47	17	-55.23	17	0.03	17
668	25	-382	Min.	0.00	-33513.50	105	-10.65	177	-16.60	173	-91.11	105	0.00	1	-0.04	177
668	25	-382	Min.	20.95					-7.15	17			-2.03	17		
668	25	-382	Min.	230.49	-33445.30	105	-10.65	177	-32.02	177	-170.77	105	-301.80	105	-0.04	177
670	19	-528	Max	0.00	26058.40	97	23.21	121	34.88	106	79.67	97	0.00	1	0.45	121
670	19	-528	Max	173.69					-20.82	97			69.70	97		
670	19	-528	Max	350.00	26058.40	97	23.21	121	52.24	177	-59.01	1	0.00	1	0.45	121
670	19	-528	Min.	0.00	3690.08	17	-15.81	106	-59.96	121	59.01	1	0.00	1	-0.25	106
670	19	-528	Min.	173.69					-6.77	1			51.63	1		
670	19	-528	Min.	350.00	3690.08	17	-15.81	106	-20.45	106	-79.67	97	0.00	97	-0.25	106
677	-376	-504	Max	0.00	373.37	97	28.46	177	7.63	165	39.83	97	0.00	1	0.16	173
677	-376	-504	Max	114.38					2.78	97			22.95	97		
677	-376	-504	Max	230.49	441.65	97	28.46	177	48.51	177	-29.51	1	0.00	1	0.16	173
677	-376	-504	Min.	0.00	97.84	65	-8.66	167	-17.10	177	29.51	1	0.00	1	-0.02	106
677	-376	-504	Min.	114.38					1.78	1			17.00	1		
677	-376	-504	Min.	230.49	148.42	65	-8.66	167	-12.33	163	-39.83	97	0.00	97	-0.02	106
679	-378	-512	Max	0.00	349.34	105	25.71	177	7.13	167	39.83	97	0.00	1	0.25	177
679	-378	-512	Max	114.38					1.88	97			22.95	97		
679	-378	-512	Max	230.49	417.63	105	25.71	177	37.51	177	-29.51	1	0.00	1	0.25	177
679	-378	-512	Min.	0.00	106.31	49	-5.99	163	-21.74	177	29.51	1	0.00	1	-0.02	17
679	-378	-512	Min.	114.38					1.14	1			17.00	1		
679	-378	-512	Min.	230.49	156.89	49	-5.99	163	-7.83	65	-39.83	97	0.00	97	-0.02	17
681	-380	-516	Max	0.00	342.19	105	22.61	177	4.72	65	39.83	97	0.00	1	0.24	177
681	-380	-516	Max	114.38					0.03	97			22.95	97		
681	-380	-516	Max	230.49	410.48	105	22.61	177	33.71	177	-29.51	1	0.00	1	0.24	177
681	-380	-516	Min.	0.00	101.32	49	-5.44	65	-18.39	177	29.51	1	0.00	1	-0.04	17
681	-380	-516	Min.	114.38					0.39	1			17.00	1		
681	-380	-516	Min.	230.49	151.90	49	-5.44	65	-7.82	65	-39.83	97	0.00	97	-0.04	17
683	-382	-520	Max	0.00	348.42	105	22.96	177	7.51	107	39.83	97	0.00	1	0.22	177
683	-382	-520	Max	114.38					-1.85	97			22.95	97		
683	-382	-520	Max	230.49	416.70	105	22.96	177	33.13	177	-29.51	1	0.00	1	0.22	177
683	-382	-520	Min.	0.00	105.98	1	-7.83	107	-19.79	177	29.51	1	0.00	1	-0.06	17
683	-382	-520	Min.	114.38					-0.17	1			17.00	1		
683	-382	-520	Min.	230.49	156.56	1	-7.83	107	-10.53	107	-39.83	97	0.00	97	-0.06	17
685	-384	-528	Max	0.00	372.06	97	18.03	177	10.27	106	39.83	97	0.00	1	0.17	177
685	-384	-528	Max	114.38					-2.69	97			22.95	97		
685	-384	-528	Max	230.49	440.34	97	18.03	177	28.97	177	-29.51	1	0.00	1	0.17	177
685	-384	-528	Min.	0.00	96.95	17	-10.41	107	-12.59	177	29.51	1	0.00	1	-0.13	97
685	-384	-528	Min.	114.38					0.12	1			17.00	1		
685	-384	-528	Min.	230.49	147.53	17	-10.41	107	-13.71	107	-39.83	97	0.00	97	-0.13	97

Sollecitazioni elementi bidimensionali

Simbologia

Bid. = Numero del muro/elemento bidimensionale
Nodo = Numero del nodo
σ_{xx} = Tensione normale sulle facce perp. all'asse X
CC = Numero della combinazione delle condizioni di carico elementari

σ_{zz} = Tensione normale sulle facce perp. all'asse Z
τ_{xz} = Tensione in dir. Z sulle facce perp. all'asse X
Mxx = Momento che provoca variazione di tensione sulle facce perp. all'asse X
Mzz = Momento che provoca variazione di tensione sulle facce perp. all'asse Z
Mxz = Momento che provoca variazione di tensione tangenziale sulle facce perp. all'asse X
τ_{zy} = Tensione in dir. Y sulle facce perp. all'asse Z
τ_{xy} = Tensione in dir. Y sulle facce perp. all'asse X

Bid.		Nodo	σ_{xx} <daN/mq>	CC	σ_{zz} <daN/mq>	CC	τ_{xz} <daN/mq>	CC	Mxx <daNm/m>	CC	Mzz <daNm/m>	CC	Mxz <daNm/m>	CC	τ_{zy} <daN/mq>	CC	τ_{xy} <daN/mq>	CC
0	Max	-1532	-17372.10	177	4263.49	97	6769.48	158	-195.21	33	164.69	33	344.74	173	25894.90	173	25849.10	173
0	Max	-1833	-17372.10	177	4263.49	97	6769.48	158	-195.21	33	164.69	33	344.74	173	25894.90	173	25849.10	173
0	Max	-1466	-17372.10	177	4263.49	97	6769.48	158	-195.21	33	164.69	33	344.74	173	25894.90	173	25849.10	173
0	Max	-1867	-17372.10	177	4263.49	97	6769.48	158	-195.21	33	164.69	33	344.74	173	25894.90	173	25849.10	173
0	Min.	-1532	-185091.00	97	-1825.78	177	-1744.12	125	-2468.13	97	-1513.72	97	-47.54	101	-19122.10	98	-3231.26	101
0	Min.	-1833	-185091.00	97	-1825.78	177	-1744.12	125	-2468.13	97	-1513.72	97	-47.54	101	-19122.10	98	-3231.26	101
0	Min.	-1466	-185091.00	97	-1825.78	177	-1744.12	125	-2468.13	97	-1513.72	97	-47.54	101	-19122.10	98	-3231.26	101
0	Min.	-1867	-185091.00	97	-1825.78	177	-1744.12	125	-2468.13	97	-1513.72	97	-47.54	101	-19122.10	98	-3231.26	101
0	Max	-1832	-17372.10	177	4263.49	98	6672.03	158	-195.49	33	164.57	33	203.07	173	75698.60	173	44671.10	173
0	Max	-1532	-17372.10	177	4263.49	98	6672.03	158	-195.49	33	164.57	33	203.07	173	75698.60	173	44671.10	173
0	Max	-1867	-17372.10	177	4263.49	98	6672.03	158	-195.49	33	164.57	33	203.07	173	75698.60	173	44671.10	173
0	Max	-1465	-17372.10	177	4263.49	98	6672.03	158	-195.49	33	164.57	33	203.07	173	75698.60	173	44671.10	173
0	Min.	-1832	-185091.00	98	-1825.79	177	-1791.31	125	-2468.13	98	-1750.75	173	-71.89	97	-19122.10	97	-5823.36	101
0	Min.	-1532	-185091.00	98	-1825.79	177	-1791.31	125	-2468.13	98	-1750.75	173	-71.89	97	-19122.10	97	-5823.36	101
0	Min.	-1867	-185091.00	98	-1825.79	177	-1791.31	125	-2468.13	98	-1750.75	173	-71.89	97	-19122.10	97	-5823.36	101
0	Min.	-1465	-185091.00	98	-1825.79	177	-1791.31	125	-2468.13	98	-1750.75	173	-71.89	97	-19122.10	97	-5823.36	101
0	Max	-1831	-16837.40	177	3430.42	98	4750.90	158	-177.48	33	167.24	33	57.42	65	25853.30	173	2692.34	130
0	Max	-1547	-16837.40	177	3430.42	98	4750.90	158	-177.48	33	167.24	33	57.42	65	25853.30	173	2692.34	130
0	Max	-2083	-16837.40	177	3430.42	98	4750.90	158	-177.48	33	167.24	33	57.42	65	25853.30	173	2692.34	130
0	Max	-1464	-16837.40	177	3430.42	98	4750.90	158	-177.48	33	167.24	33	57.42	65	25853.30	173	2692.34	130
0	Min.	-1831	-180895.00	98	-1903.93	177	-2182.02	125	-2714.75	98	-1396.54	173	-402.09	173	-28916.30	97	-26874.30	173
0	Min.	-1547	-180895.00	98	-1903.93	177	-2182.02	125	-2714.75	98	-1396.54	173	-402.09	173	-28916.30	97	-26874.30	173
0	Min.	-2083	-180895.00	98	-1903.93	177	-2182.02	125	-2714.75	98	-1396.54	173	-402.09	173	-28916.30	97	-26874.30	173
0	Min.	-1464	-180895.00	98	-1903.93	177	-2182.02	125	-2714.75	98	-1396.54	173	-402.09	173	-28916.30	97	-26874.30	173
0	Max	-1830	-15381.80	49	4112.61	158	5656.94	158	-153.03	49	169.65	33	145.45	98	6697.55	173	1552.37	130
0	Max	-1699	-15381.80	49	4112.61	158	5656.94	158	-153.03	49	169.65	33	145.45	98	6697.55	173	1552.37	130
0	Max	-1762	-15381.80	49	4112.61	158	5656.94	158	-153.03	49	169.65	33	145.45	98	6697.55	173	1552.37	130
0	Max	-1463	-15381.80	49	4112.61	158	5656.94	158	-153.03	49	169.65	33	145.45	98	6697.55	173	1552.37	130
0	Min.	-1830	-169852.00	98	-1891.77	177	-2580.63	173	-2304.79	98	-1284.14	98	-351.20	173	-21054.10	97	-25859.70	97
0	Min.	-1699	-169852.00	98	-1891.77	177	-2580.63	173	-2304.79	98	-1284.14	98	-351.20	173	-21054.10	97	-25859.70	97
0	Min.	-1762	-169852.00	98	-1891.77	177	-2580.63	173	-2304.79	98	-1284.14	98	-351.20	173	-21054.10	97	-25859.70	97
0	Min.	-1463	-169852.00	98	-1891.77	177	-2580.63	173	-2304.79	98	-1284.14	98	-351.20	173	-21054.10	97	-25859.70	97
0	Max	-1829	-10778.60	49	3868.39	97	2786.20	177	-131.97	49	171.50	33	122.94	65	3775.36	173	1758.23	130
0	Max	-1830	-10778.60	49	3868.39	97	2786.20	177	-131.97	49	171.50	33	122.94	65	3775.36	173	1758.23	130
0	Max	-1463	-10778.60	49	3868.39	97	2786.20	177	-131.97	49	171.50	33	122.94	65	3775.36	173	1758.23	130
0	Max	-1462	-10778.60	49	3868.39	97	2786.20	177	-131.97	49	171.50	33	122.94	65	3775.36	173	1758.23	130
0	Min.	-1829	-154591.00	98	-1749.80	177	-2845.96	173	-1870.57	98	-1161.86	98	-379.11	173	-10237.70	97	-17911.60	97
0	Min.	-1830	-154591.00	98	-1749.80	177	-2845.96	173	-1870.57	98	-1161.86	98	-379.11	173	-10237.70	97	-17911.60	97
0	Min.	-1463	-154591.00	98	-1749.80	177	-2845.96	173	-1870.57	98	-1161.86	98	-379.11	173	-10237.70	97	-17911.60	97
0	Min.	-1462	-154591.00	98	-1749.80	177	-2845.96	173	-1870.57	98	-1161.86	98	-379.11	173	-10237.70	97	-17911.60	97
0	Max	-1828	-5148.12	49	2274.19	98	3769.72	177	-64.47	49	175.73	33	156.78	65	711.43	173	282.47	130
0	Max	-1829	-5148.12	49	2274.19	98	3769.72	177	-64.47	49	175.73	33	156.78	65	711.43	173	282.47	130
0	Max	-1462	-5148.12	49	2274.19	98	3769.72	177	-64.47	49	175.73	33	156.78	65	711.43	173	282.47	130
0	Max	-1460	-5148.12	49	2274.19	98	3769.72	177	-64.47	49	175.73	33	156.78	65	711.43	173	282.47	130
0	Min.	-1828	-132030.00	98	-1932.54	177	-3413.06	173	-1422.54	98	-939.43	98	-416.11	173	-3825.05	97	-19733.70	97
0	Min.	-1829	-132030.00	98	-1932.54	177	-3413.06	173	-1422.54	98	-939.43	98	-416.11	173	-3825.05	97	-19733.70	97
0	Min.	-1462	-132030.00	98	-1932.54	177	-3413.06	173	-1422.54	98	-939.43	98	-416.11	173	-3825.05	97	-19733.70	97
0	Min.	-1460	-132030.00	98	-1932.54	177	-3413.06	173	-1422.54	98	-939.43	98	-416.11	173	-3825.05	97	-19733.70	97
0	Max	-1875	36440.40	101	9372.15	165	6722.08	177	660.74	101	310.18	113	206.10	65	16140.40	106	10537.30	106
0	Max	-1876	36440.40	101	9372.15	165	6722.08	177	660.74	101	310.18	113	206.10	65	16140.40	106	10537.30	106
0	Max	-1478	36440.40	101	9372.15	165	6722.08	177	660.74	101	310.18	113	206.10	65	16140.40	106	10537.30	106
0	Max	-1477	36440.40	101	9372.15	165	6722.08	177	660.74	101	310.18	113	206.10	65	16140.40	106	10537.30	106
0	Min.	-1875	-96272.90	130	0.91	177	-9894.40	166	-536.81	130	-1057.39	106	-472.92	173	-864.43	173	-19656.00	97
0	Min.	-1876	-96272.90	130	0.91	177	-9894.40	166	-536.81	130	-1057.39	106	-472.92	173	-864.43	173	-19656.00	97
0	Min.	-1478	-96272.90	130	0.91	177	-9894.40	166	-536.81	130	-1057.39	106	-472.92	173	-864.43	173	-19656.00	97
0	Min.	-1477	-96272.90	130	0.91	177	-9894.40	166	-536.81	130	-1057.39	106	-472.92	173	-864.43	173	-19656.00	97
0	Max	-1876	21408.20	101	5029.51	166	5779.81	177	313.98	101	254.76	113	200.57	65	3134.63	98	-1120.79	17
0	Max	-1877	21408.20	101	5029.51	166	5779.81	177	313.98	101	254.76	113	200.57	65	3134.63	98	-1120.79	17
0	Max	-1479	21408.20	101	5029.51	166	5779.81	177	313.98	101	254.76	113	200.57	65	3134.63	98	-1120.79	17
0	Max	-1478	21408.20	101	5029.51	166	5779.81	177	313.98	101	254.76	113	200.57	65	3134.63	98	-1120.79	17
0	Min.	-1876	-92602.80	130	-711.81	177	-6296.86	166	-518.46	106	-658.81	106	-512.07	173	-417.78	117	-19264.20	97
0	Min.	-1877	-92602.80	130	-711.81	177	-6296.86	166	-518.46	106	-658.81	106	-512.07	173	-417.78	117	-19264.20	97
0	Min.	-1479	-92602.80	130	-711.81	177	-6296.86	166	-518.46	106	-658.81	106	-512.07	173	-417.78	117	-19264.20	97
0	Min.	-1478	-92602.80	130	-711.81	177	-6296.86	166	-518.46	106	-658.81	106	-512.07	173	-417.78	117	-19264.20	97
0	Max	-1877	7176.99	49	1403.58	166	5257.18	177	83.07	49	190.82	113	177.40	65	3571.16	98	520.54	130
0	Max	-1878	7176.99	49	1403.58	166	5257.18	177	83.07	49	190.82	113	177.40	65	3571.16	98	520.54	130
0	Max	-1480	7176.99	49	1403.58	166	5257.18	177	83.07	49	190.82	113	177.40	65	3571.16	98	520.54	130
0	Max	-1479	7176.99	49	1403.58	166	5257.18	177	83.07	49	190.82	113	177.40	65	3571.16	98	520.54	130
0	Min.	-1877	-91958.00	130	-2451.36	157	-5326.21	166	-696.70	106	-485.90	106	-551.30	173	-270.04	33	-19109.30	97
0	Min.	-1878	-91958.00	130	-2451.36	157	-5326.21	166	-696.70	106	-485.90	106	-551.30	173	-270.04	33	-19109.30	97
0	Min.	-1480	-91958.00	130	-2451.36	157	-5326.21	166	-696.70	106	-485.90	106	-551.30	173	-270.04	33	-19109.30	97
0	Min.	-1479	-91958.00	130	-2451.36	157	-5326.21	166	-696.70	106	-485.90	106	-551.30	173	-270.04	33	-19109.30	97
0	Max	-1878	2265.22	177	643.55	130	4716.26	177	8.78	49	141.78	33	151.39	65	3815.79	98	-4.99	130
0	Max	-1879	2265.22	177	643.55	130	4716.26	177	8.78	49	141.78	33	151.39	65	3815.79	98	-4.99	130
0	Max	-1481	2265.22	177	643.55	130	4716.26	177	8.78	49	141.78	33	151.39	65	3815.79	98	-4.99	130
0	Max	-1480	2265.22	177	643.55	130	4716.26	177	8.78	49	141.78	33	151.39	65	3815.79	98	-4.99	130
0	Min.	-1878	-104392.00	98	-2659.63	157	-4034.98	166	-908.85	98	-673.54	98	-574.33	173	-503.11	33	-19877.30	97
0	Min.	-1879	-104392.00	98	-2659.63	157	-4034.98	166	-908.85	98	-673.54	98	-574.33	173	-503.11	33	-19877.30	97
0	Min.	-1481	-104392.00	98	-2659.63	157	-4034.98	166	-908.85	98	-673.54	98	-574.33	173	-503.11	33	-19877.30	97
0	Min.	-1480	-104392.00	98	-2659.63	157	-4034.98	166	-908.85	98	-673.54	98	-574.33	173	-503.11	33	-19877.30	97
0	Max	-1879	-1063.18	177	2656.97	97	3853.34	177	-56.84	49	123.20	33	125.71	65	4366.02	173	354.00	130
0	Max	-1880	-1063.18	177	2656.97	97	3853.34	177	-56.84	49	123.20	33	125.71	65	4366.02	173	354.00	130
0	Max	-1482	-1063.18	177	2656.97	97	3853.34	177	-56.84	49	123.20	33	125.71	65	4366.02	173	354.00	130
0	Max	-1481	-1063.18	177	2656.97	97	3853.34	177	-56.84	49	123.20	33	125.71	65	4366.02	173	354.00	130
0	Min.	-1879	-130158.00	98	-894.98	158	-3860.81	166	-1334.67	98	-1076.84	98	-574.35	173	-827.66	17	-19571.30	97
0	Min.	-1880	-130158.00	98	-894.98	158	-3860.81	166	-1334.67	98	-1076.84	98	-574.35	173	-827.66	17	-19571.30	97
0	Min.	-1482	-130158.00	98	-894.98	158	-3860.81	166	-1334.67	98	-1076.84	98	-574.35	173	-827.66	17	-19571.30	97
0	Min.	-1481	-130158.00	98	-894.98	158	-3860.81	166	-1334.67	98	-1076.84	98	-574.35	173	-827.66	17	-19571.30	97
0	Max	-1880	-3696.02	177	4119.79	97	2844.74	177	-102.01	65	113.86	33	100.44	65	8295.32	173	1479.00	130
0	Max	-1881	-3696.02	177	4119.79	97	2844.74	177	-102.01	65	113.86	33	100.44	65	8295.32	173	1479.00	130
0	Max	-1491	-3696.02	177	4119.79	97	2844.74	177	-102.01	65	113.86	33	100.44	65	8295.32	173	1479.00	130
0	Max	-1482	-3696.02	177	4119.79	97	2844.74	177	-102.01	65	113.86	33	100.44	65	8295.32	173	1479.00	130

0	Min.	-1880	-151774.00	98	-1917.72	158	-5937.13	158	-1738.89	98	-1600.50	98	-541.46	173	-825.73	17	-20281.00	97
0	Min.	-1881	-151774.00	98	-1917.72	158	-5937.13	158	-1738.89	98	-1600.50	98	-541.46	173	-825.73	17	-20281.00	97
0	Min.	-1491	-151774.00	98	-1917.72	158	-5937.13	158	-1738.89	98	-1600.50	98	-541.46	173	-825.73	17	-20281.00	97
0	Min.	-1482	-151774.00	98	-1917.72	158	-5937.13	158	-1738.89	98	-1600.50	98	-541.46	173	-825.73	17	-20281.00	97
0	Max	-1881	-5750.11	177	3804.13	97	1815.36	177	-113.89	65	112.05	33	83.55	65	18636.60	98	1462.56	130
0	Max	-1974	-5750.11	177	3804.13	97	1815.36	177	-113.89	65	112.05	33	83.55	65	18636.60	98	1462.56	130
0	Max	-1973	-5750.11	177	3804.13	97	1815.36	177	-113.89	65	112.05	33	83.55	65	18636.60	98	1462.56	130
0	Max	-1491	-5750.11	177	3804.13	97	1815.36	177	-113.89	65	112.05	33	83.55	65	18636.60	98	1462.56	130
0	Min.	-1881	-168744.00	98	-5738.87	158	-11994.50	158	-2312.55	98	-2136.13	98	-489.81	173	-1036.74	17	-44313.60	97
0	Min.	-1974	-168744.00	98	-5738.87	158	-11994.50	158	-2312.55	98	-2136.13	98	-489.81	173	-1036.74	17	-44313.60	97
0	Min.	-1973	-168744.00	98	-5738.87	158	-11994.50	158	-2312.55	98	-2136.13	98	-489.81	173	-1036.74	17	-44313.60	97
0	Min.	-1491	-168744.00	98	-5738.87	158	-11994.50	158	-2312.55	98	-2136.13	98	-489.81	173	-1036.74	17	-44313.60	97
0	Max	-1882	-6813.37	177	3236.13	98	1109.12	177	-130.08	65	112.50	33	61.90	130	46130.80	97	3643.54	122
0	Max	-1911	-6813.37	177	3236.13	98	1109.12	177	-130.08	65	112.50	33	61.90	130	46130.80	97	3643.54	122
0	Max	-1912	-6813.37	177	3236.13	98	1109.12	177	-130.08	65	112.50	33	61.90	130	46130.80	97	3643.54	122
0	Max	-1492	-6813.37	177	3236.13	98	1109.12	177	-130.08	65	112.50	33	61.90	130	46130.80	97	3643.54	122
0	Min.	-1882	-178324.00	98	-5589.71	157	-32299.50	158	-3028.03	98	-2635.21	98	-315.06	173	-751.40	17	-5472.75	101
0	Min.	-1911	-178324.00	98	-5589.71	157	-32299.50	158	-3028.03	98	-2635.21	98	-315.06	173	-751.40	17	-5472.75	101
0	Min.	-1912	-178324.00	98	-5589.71	157	-32299.50	158	-3028.03	98	-2635.21	98	-315.06	173	-751.40	17	-5472.75	101
0	Min.	-1492	-178324.00	98	-5589.71	157	-32299.50	158	-3028.03	98	-2635.21	98	-315.06	173	-751.40	17	-5472.75	101
0	Max	-1834	-12858.70	162	5737.99	98	5136.72	158	-189.86	33	166.45	33	317.89	173	4853.33	173	12393.60	173
0	Max	-2080	-12858.70	162	5737.99	98	5136.72	158	-189.86	33	166.45	33	317.89	173	4853.33	173	12393.60	173
0	Max	-2079	-12858.70	162	5737.99	98	5136.72	158	-189.86	33	166.45	33	317.89	173	4853.33	173	12393.60	173
0	Max	-1467	-12858.70	162	5737.99	98	5136.72	158	-189.86	33	166.45	33	317.89	173	4853.33	173	12393.60	173
0	Min.	-1834	-173257.00	97	-1546.92	177	-1979.93	161	-2744.67	97	-1328.66	97	-77.12	17	-27518.80	98	-3002.32	101
0	Min.	-2080	-173257.00	97	-1546.92	177	-1979.93	161	-2744.67	97	-1328.66	97	-77.12	17	-27518.80	98	-3002.32	101
0	Min.	-2079	-173257.00	97	-1546.92	177	-1979.93	161	-2744.67	97	-1328.66	97	-77.12	17	-27518.80	98	-3002.32	101
0	Min.	-1467	-173257.00	97	-1546.92	177	-1979.93	161	-2744.67	97	-1328.66	97	-77.12	17	-27518.80	98	-3002.32	101
0	Max	-1348	55326.60	130	5515.95	162	3656.93	173	854.26	98	400.85	173	87.41	126	1976.62	177	1109.30	101
0	Max	-1349	55326.60	130	5515.95	162	3656.93	173	854.26	98	400.85	173	87.41	126	1976.62	177	1109.30	101
0	Max	-1561	55326.60	130	5515.95	162	3656.93	173	854.26	98	400.85	173	87.41	126	1976.62	177	1109.30	101
0	Max	-1560	55326.60	130	5515.95	162	3656.93	173	854.26	98	400.85	173	87.41	126	1976.62	177	1109.30	101
0	Min.	-1348	-35796.50	101	-5864.68	177	-12242.00	177	-252.98	101	-468.83	101	-18.87	65	-617.99	173	-6316.17	98
0	Min.	-1349	-35796.50	101	-5864.68	177	-12242.00	177	-252.98	101	-468.83	101	-18.87	65	-617.99	173	-6316.17	98
0	Min.	-1561	-35796.50	101	-5864.68	177	-12242.00	177	-252.98	101	-468.83	101	-18.87	65	-617.99	173	-6316.17	98
0	Min.	-1560	-35796.50	101	-5864.68	177	-12242.00	177	-252.98	101	-468.83	101	-18.87	65	-617.99	173	-6316.17	98
0	Max	-1347	62589.40	130	8125.64	162	3503.83	130	1206.70	98	473.98	173	151.46	126	19632.10	101	13512.50	101
0	Max	-1348	62589.40	130	8125.64	162	3503.83	130	1206.70	98	473.98	173	151.46	126	19632.10	101	13512.50	101
0	Max	-1560	62589.40	130	8125.64	162	3503.83	130	1206.70	98	473.98	173	151.46	126	19632.10	101	13512.50	101
0	Max	-1559	62589.40	130	8125.64	162	3503.83	130	1206.70	98	473.98	173	151.46	126	19632.10	101	13512.50	101
0	Min.	-1347	-40194.70	101	-5023.13	177	-11180.10	177	-329.62	101	-876.28	101	-52.09	65	-783.18	173	-7703.46	98
0	Min.	-1348	-40194.70	101	-5023.13	177	-11180.10	177	-329.62	101	-876.28	101	-52.09	65	-783.18	173	-7703.46	98
0	Min.	-1560	-40194.70	101	-5023.13	177	-11180.10	177	-329.62	101	-876.28	101	-52.09	65	-783.18	173	-7703.46	98
0	Min.	-1559	-40194.70	101	-5023.13	177	-11180.10	177	-329.62	101	-876.28	101	-52.09	65	-783.18	173	-7703.46	98
0	Max	-1346	74780.80	162	9206.00	162	2868.18	166	1684.30	98	617.64	98	149.09	173	39616.20	101	-1910.85	17
0	Max	-1915	74780.80	162	9206.00	162	2868.18	166	1684.30	98	617.64	98	149.09	173	39616.20	101	-1910.85	17
0	Max	-1916	74780.80	162	9206.00	162	2868.18	166	1684.30	98	617.64	98	149.09	173	39616.20	101	-1910.85	17
0	Max	-1558	74780.80	162	9206.00	162	2868.18	166	1684.30	98	617.64	98	149.09	173	39616.20	101	-1910.85	17
0	Min.	-1346	-42673.50	101	-4400.54	177	-26107.60	161	-732.84	101	-1161.43	101	-88.40	17	-1937.63	173	-40770.40	102
0	Min.	-1915	-42673.50	101	-4400.54	177	-26107.60	161	-732.84	101	-1161.43	101	-88.40	17	-1937.63	173	-40770.40	102
0	Min.	-1916	-42673.50	101	-4400.54	177	-26107.60	161	-732.84	101	-1161.43	101	-88.40	17	-1937.63	173	-40770.40	102
0	Min.	-1558	-42673.50	101	-4400.54	177	-26107.60	161	-732.84	101	-1161.43	101	-88.40	17	-1937.63	173	-40770.40	102
0	Max	-1385	67333.50	130	3040.18	173	2428.76	166	2433.54	98	919.52	98	216.00	173	52214.10	102	-3543.03	17
0	Max	-1346	67333.50	130	3040.18	173	2428.76	166	2433.54	98	919.52	98	216.00	173	52214.10	102	-3543.03	17
0	Max	-1558	67333.50	130	3040.18	173	2428.76	166	2433.54	98	919.52	98	216.00	173	52214.10	102	-3543.03	17
0	Max	440	67333.50	130	3040.18	173	2428.76	166	2433.54	98	919.52	98	216.00	173	52214.10	102	-3543.03	17
0	Min.	-1385	-45545.50	101	-5062.04	177	-10753.50	177	153.29	1	-526.51	101	-114.84	17	5207.95	33	-41722.20	102
0	Min.	-1346	-45545.50	101	-5062.04	177	-10753.50	177	153.29	1	-526.51	101	-114.84	17	5207.95	33	-41722.20	102
0	Min.	-1558	-45545.50	101	-5062.04	177	-10753.50	177	153.29	1	-526.51	101	-114.84	17	5207.95	33	-41722.20	102
0	Min.	440	-45545.50	101	-5062.04	177	-10753.50	177	153.29	1	-526.51	101	-114.84	17	5207.95	33	-41722.20	102
0	Max	-1344	67294.30	130	3686.77	130	2895.64	173	2276.66	98	268.18	110	196.53	173	-2544.93	33	-1503.29	49
0	Max	-1345	67294.30	130	3686.77	130	2895.64	173	2276.66	98	268.18	110	196.53	173	-2544.93	33	-1503.29	49
0	Max	-1572	67294.30	130	3686.77	130	2895.64	173	2276.66	98	268.18	110	196.53	173	-2544.93	33	-1503.29	49
0	Max	-1537	67294.30	130	3686.77	130	2895.64	173	2276.66	98	268.18	110	196.53	173	-2544.93	33	-1503.29	49
0	Min.	-1344	-46406.10	101	-3119.22	101	-9435.29	162	125.52	49	-1367.07	101	-131.48	126	-17821.10	98	-26738.80	102
0	Min.	-1345	-46406.10	101	-3119.22	101	-9435.29	162	125.52	49	-1367.07	101	-131.48	126	-17821.10	98	-26738.80	102
0	Min.	-1572	-46406.10	101	-3119.22	101	-9435.29	162	125.52	49	-1367.07	101	-131.48	126	-17821.10	98	-26738.80	102
0	Min.	-1537	-46406.10	101	-3119.22	101	-9435.29	162	125.52	49	-1367.07	101	-131.48	126	-17821.10	98	-26738.80	102
0	Max	-1345	74545.10	162	9142.78	162	3201.95	173	1717.89	98	454.92	98	136.51	173	21135.70	101	-1378.21	65
0	Max	-1913	74545.10	162	9142.78	162	3201.95	173	1717.89	98	454.92	98	136.51	173	21135.70	101	-1378.21	65
0	Max	-1914	74545.10	162	9142.78	162	3201.95	173	1717.89	98	454.92	98	136.51	173	21135.70	101	-1378.21	65
0	Max	-1572	74545.10	162	9142.78	162	3201.95	173	1717.89	98	454.92	98	136.51	173	21135.70	101	-1378.21	65
0	Min.	-1345	-43170.70	101	-2195.04	101	-31593.60	162	-676.58	101	-1474.65	101	-146.58	126	-8130.04	98	-38094.90	102
0	Min.	-1913	-43170.70	101	-2195.04	101	-31593.60	162	-676.58	101	-1474.65	101	-146.58	126	-8130.04	98	-38094.90	102
0	Min.	-1914	-43170.70	101	-2195.04	101	-31593.60	162	-676.58	101	-1474.65	101	-146.58	126	-8130.04	98	-38094.90	102
0	Min.	-1572	-43170.70	101	-2195.04	101	-31593.60	162	-676.58	101	-1474.65	101	-146.58	126	-8130.04	98	-38094.90	102
0	Max	-1343	62878.90	130	7292.63	161	3710.11	173	1167.01	98	459.97	98	125.45	101	15488.60	102	15831.10	101
0	Max	-1342	62878.90	130	7292.63	161	3710.11	173	1167.01	98	459.97	98	125.45	101	15488.60	102	15831.10	101
0	Max	-1574	62878.90	130	7292.63	161	3710.11	173	1167.01	98	459.97	98	125.45	101	15488.60	102	15831.10	101
0	Max	-1573	62878.90	130	7292.63	161	3710.11	173	1167.01	98	459.97	98	125.45	101	15488.60	102	15831.10	101
0	Min.	-1343	-40568.70	101	-342.40	102	-10615.80	177	-339.84	101	-938.70	101	-104.88	130	-1132.61	173	-7288.27	106
0	Min.	-1342	-40568.70	101	-342.40	102	-10615.80	177	-339.84	101	-938.70	101	-104.88	130	-1132.61	173	-7288.27	106
0	Min.	-1574	-40568.70	101	-342.40	102	-10615.80	177	-339.84	101	-938.70	101	-104.88	130	-1132.61	173	-7288.27	106
0	Min.	-1573	-40568.70	101	-342.40	102	-10615.80	177	-339.84	101	-938.70	101	-104.88	130	-1132.61	173	-7288.27	106
0	Max	-1342	55876.90	130	5364.75	162	4005.19	173	831.59	98	380.57	98	71.20	101	1320.56	130	2054.59	101
0	Max	-1868	55876.90	130	5364.75	162	4005.19	173	831.59	98	380.57	98	71.20	101	1320.56	130	2054.59	101
0	Max	-1575	55876.90	130	5364.75	162	4005.19	173	831.59	98	380.57	98	71.20	101	1320.56	130	2054.59	101
0	Max	-1574	55876.90	130	5364.75	162	4005.19	173	831.59	98	380.57	98	71.20	101	1320.56	130	2054.59	101
0	Min.	-1342	-36245.00	101	-666.00	177	-11411.00	177	-248.17	101	-499.40	101	-113.62	130	-1299.03	101	-7474.99	98
0	Min.	-1868	-36245.00	101	-666.00	177	-11411.00	177	-248.17	101	-499.40	101	-113.62	130	-1299.03	101	-7474.99	98
0	Min.	-1575	-36245.00	101	-666.00	177	-11411.00	177	-248.17	101	-499.40	101	-113.62	130	-1299.03	101	-7474.99	98
0	Min.	-1574	-36245.00	101	-666.00	177	-11411.00	177	-248.17	101	-499.40	101	-113.62	130	-1299.03	101	-7474.99	98
0	Max	-1868	46496.80	130	4892.23	162	4195.51	173	587.03	122	287.09	98	41.67	101	682.16	161	4458.83	101
0	Max	-1869	46496.80	130	4892.23	162	4195.51	173	587.03	122	287.09	98	41.67	101	682.16	161	4458.83	101
0	Max	-1576	46496.80	130	4892.23	162	4195.51	173	587.03	122	287.09	98	41.67	101	682.16	161	4458.83	101
0	Max	-1575	46496.80	130	4892.23	162	4195.51	173	587.03	122	287.09	98	41.67	101	682.16	161	4458.83	101
0	Min.	-1868	-30816.00	101	-1835.86	101	-12049.20	177	-340.65	101	-308.47	125	-104.99	98	-974.56	173	-6641.08	98
0	Min.	-1869	-30816.00	101	-1835.86	101	-12049.20	177	-340.65	101	-308.47	125	-104.99	98	-974.56	173	-6641.08	98
0	Min.	-1576	-30816.00	101	-1835.86	101	-12049.20	177	-340.65	101	-308.47	125	-104.99	98	-974.56	173	-6641.08	98
0	Min.	-1575	-30816.00	101	-1835.86	101	-12049.20	177	-340.65	101	-308.47	125	-104.99	98	-974.56	173	-6641.08	98
0	Max	-1869	35880.00	130	4120.96	162	4220.73	173	408.14	122	202.65	98	47.30	125	1110.61	101	3593.24	101
0	Max	-1870	35880.00	130	4120.96	162	4220.73	173	408.14	122	202.65	98	47.30	125	1110.61	101	3593.24	101
0	Max	-1577	35880.00	130	4120.96	162	4220.73	173	408.14	122	202.65	98	47.30	125	1110.61	101	3593.24	101
0	Max	-1576	35880.00	130	4120.96	162	4220.73	173	408.14	122	202.65	98	47.30	125	1110.61	101	3593.24	101
0	Min.	-1869	-24510.10	101	-2728.12	177	-12187.10	177	-323.26	101	-219.20	125	-141.62	98	-780.58	173	-6008.19	98

0	Min.	-1870	-24510.10	101	-2728.12	177	-12187.10	177	-323.26	101	-219.20	125	-141.62	98	-780.58	173	-6008.19	98
0	Min.	-1577	-24510.10	101	-2728.12	177	-12187.10	177	-323.26	101	-219.20	125	-141.62	98	-780.58	173	-6008.19	98
0	Min.	-1576	-24510.10	101	-2728.12	177	-12187.10	177	-323.26	101	-219.20	125	-141.62	98	-780.58	173	-6008.19	98
0	Max	-1870	24346.70	130	2473.80	162	3784.58	173	251.79	122	133.74	110	71.64	125	1124.94	166	3956.72	101
0	Max	-1871	24346.70	130	2473.80	162	3784.58	173	251.79	122	133.74	110	71.64	125	1124.94	166	3956.72	101
0	Max	-1578	24346.70	130	2473.80	162	3784.58	173	251.79	122	133.74	110	71.64	125	1124.94	166	3956.72	101
0	Max	-1577	24346.70	130	2473.80	162	3784.58	173	251.79	122	133.74	110	71.64	125	1124.94	166	3956.72	101
0	Min.	-1870	-17218.70	101	-5010.45	177	-11392.50	177	-277.56	101	-143.84	125	-160.83	98	-1016.11	173	-5531.61	98
0	Min.	-1871	-17218.70	101	-5010.45	177	-11392.50	177	-277.56	101	-143.84	125	-160.83	98	-1016.11	173	-5531.61	98
0	Min.	-1578	-17218.70	101	-5010.45	177	-11392.50	177	-277.56	101	-143.84	125	-160.83	98	-1016.11	173	-5531.61	98
0	Min.	-1577	-17218.70	101	-5010.45	177	-11392.50	177	-277.56	101	-143.84	125	-160.83	98	-1016.11	173	-5531.61	98
0	Max	-1871	12337.90	130	1469.92	49	4058.65	130	47.95	158	119.31	177	81.51	125	5652.47	177	7834.64	101
0	Max	-1872	12337.90	130	1469.92	49	4058.65	130	47.95	158	119.31	177	81.51	125	5652.47	177	7834.64	101
0	Max	-1613	12337.90	130	1469.92	49	4058.65	130	47.95	158	119.31	177	81.51	125	5652.47	177	7834.64	101
0	Max	-1578	12337.90	130	1469.92	49	4058.65	130	47.95	158	119.31	177	81.51	125	5652.47	177	7834.64	101
0	Min.	-1871	-8972.15	101	-6216.31	177	-7964.15	177	-85.73	101	-82.22	162	-169.46	98	-1572.26	158	-7339.21	122
0	Min.	-1872	-8972.15	101	-6216.31	177	-7964.15	177	-85.73	101	-82.22	162	-169.46	98	-1572.26	158	-7339.21	122
0	Min.	-1613	-8972.15	101	-6216.31	177	-7964.15	177	-85.73	101	-82.22	162	-169.46	98	-1572.26	158	-7339.21	122
0	Min.	-1578	-8972.15	101	-6216.31	177	-7964.15	177	-85.73	101	-82.22	162	-169.46	98	-1572.26	158	-7339.21	122
0	Max	-1874	58986.80	101	3204.33	113	8215.37	177	2154.58	97	257.57	125	155.63	65	-2620.23	33	-2054.00	17
0	Max	-1873	58986.80	101	3204.33	113	8215.37	177	2154.58	97	257.57	125	155.63	65	-2620.23	33	-2054.00	17
0	Max	-1476	58986.80	101	3204.33	113	8215.37	177	2154.58	97	257.57	125	155.63	65	-2620.23	33	-2054.00	17
0	Max	-1848	58986.80	101	3204.33	113	8215.37	177	2154.58	97	257.57	125	155.63	65	-2620.23	33	-2054.00	17
0	Min.	-1874	-60406.30	130	-2924.80	130	-8836.20	166	113.09	1	-1397.87	106	-350.94	173	-17519.50	97	-32393.80	105
0	Min.	-1873	-60406.30	130	-2924.80	130	-8836.20	166	113.09	1	-1397.87	106	-350.94	173	-17519.50	97	-32393.80	105
0	Min.	-1476	-60406.30	130	-2924.80	130	-8836.20	166	113.09	1	-1397.87	106	-350.94	173	-17519.50	97	-32393.80	105
0	Min.	-1848	-60406.30	130	-2924.80	130	-8836.20	166	113.09	1	-1397.87	106	-350.94	173	-17519.50	97	-32393.80	105
0	Max	-1858	15183.10	162	1909.99	173	7113.84	158	7.99	49	435.34	173	276.90	173	1007.15	177	20029.00	98
0	Max	-1851	15183.10	162	1909.99	173	7113.84	158	7.99	49	435.34	173	276.90	173	1007.15	177	20029.00	98
0	Max	-1380	15183.10	162	1909.99	173	7113.84	158	7.99	49	435.34	173	276.90	173	1007.15	177	20029.00	98
0	Max	-1379	15183.10	162	1909.99	173	7113.84	158	7.99	49	435.34	173	276.90	173	1007.15	177	20029.00	98
0	Min.	-1858	-103921.00	97	-7316.42	177	-3977.33	177	-909.91	97	-672.53	97	-478.58	98	-3843.49	97	442.68	149
0	Min.	-1851	-103921.00	97	-7316.42	177	-3977.33	177	-909.91	97	-672.53	97	-478.58	98	-3843.49	97	442.68	149
0	Min.	-1380	-103921.00	97	-7316.42	177	-3977.33	177	-909.91	97	-672.53	97	-478.58	98	-3843.49	97	442.68	149
0	Min.	-1379	-103921.00	97	-7316.42	177	-3977.33	177	-909.91	97	-672.53	97	-478.58	98	-3843.49	97	442.68	149
0	Max	-1856	5667.29	162	4732.49	173	7353.90	158	-57.86	49	410.39	173	286.17	173	1066.92	177	19716.40	98
0	Max	-1858	5667.29	162	4732.49	173	7353.90	158	-57.86	49	410.39	173	286.17	173	1066.92	177	19716.40	98
0	Max	-1379	5667.29	162	4732.49	173	7353.90	158	-57.86	49	410.39	173	286.17	173	1066.92	177	19716.40	98
0	Max	-1378	5667.29	162	4732.49	173	7353.90	158	-57.86	49	410.39	173	286.17	173	1066.92	177	19716.40	98
0	Min.	-1856	-129513.00	97	-6934.54	177	-2275.32	177	-1335.81	97	-1076.32	97	-457.06	98	-2434.41	97	159.67	1
0	Min.	-1858	-129513.00	97	-6934.54	177	-2275.32	177	-1335.81	97	-1076.32	97	-457.06	98	-2434.41	97	159.67	1
0	Min.	-1379	-129513.00	97	-6934.54	177	-2275.32	177	-1335.81	97	-1076.32	97	-457.06	98	-2434.41	97	159.67	1
0	Min.	-1378	-129513.00	97	-6934.54	177	-2275.32	177	-1335.81	97	-1076.32	97	-457.06	98	-2434.41	97	159.67	1
0	Max	-1695	-3143.06	162	6439.30	158	9111.75	158	-104.93	65	429.85	173	298.53	173	1171.39	177	20417.10	98
0	Max	-1856	-3143.06	162	6439.30	158	9111.75	158	-104.93	65	429.85	173	298.53	173	1171.39	177	20417.10	98
0	Max	-1378	-3143.06	162	6439.30	158	9111.75	158	-104.93	65	429.85	173	298.53	173	1171.39	177	20417.10	98
0	Max	-1377	-3143.06	162	6439.30	158	9111.75	158	-104.93	65	429.85	173	298.53	173	1171.39	177	20417.10	98
0	Min.	-1695	-151011.00	97	-5459.48	177	-1488.51	177	-1740.24	97	-1599.40	97	-435.82	98	-7612.59	97	-431.41	101
0	Min.	-1856	-151011.00	97	-5459.48	177	-1488.51	177	-1740.24	97	-1599.40	97	-435.82	98	-7612.59	97	-431.41	101
0	Min.	-1378	-151011.00	97	-5459.48	177	-1488.51	177	-1740.24	97	-1599.40	97	-435.82	98	-7612.59	97	-431.41	101
0	Min.	-1377	-151011.00	97	-5459.48	177	-1488.51	177	-1740.24	97	-1599.40	97	-435.82	98	-7612.59	97	-431.41	101
0	Max	-1694	-11600.10	162	5109.92	173	33126.00	158	-140.17	65	495.52	173	308.94	173	4630.62	173	21375.60	98
0	Max	-2061	-11600.10	162	5109.92	173	33126.00	158	-140.17	65	495.52	173	308.94	173	4630.62	173	21375.60	98
0	Max	-2068	-11600.10	162	5109.92	173	33126.00	158	-140.17	65	495.52	173	308.94	173	4630.62	173	21375.60	98
0	Max	-1376	-11600.10	162	5109.92	173	33126.00	158	-140.17	65	495.52	173	308.94	173	4630.62	173	21375.60	98
0	Min.	-1694	-166943.00	97	-5450.20	177	-1828.31	177	-3028.85	97	-2527.27	97	-311.46	98	-44680.60	97	-2271.82	101
0	Min.	-2061	-166943.00	97	-5450.20	177	-1828.31	177	-3028.85	97	-2527.27	97	-311.46	98	-44680.60	97	-2271.82	101
0	Min.	-2068	-166943.00	97	-5450.20	177	-1828.31	177	-3028.85	97	-2527.27	97	-311.46	98	-44680.60	97	-2271.82	101
0	Min.	-1376	-166943.00	97	-5450.20	177	-1828.31	177	-3028.85	97	-2527.27	97	-311.46	98	-44680.60	97	-2271.82	101
0	Max	-1693	-14776.10	65	7124.98	173	11756.90	158	-152.49	17	600.03	173	340.33	173	7036.47	173	3688.08	130
0	Max	-2084	-14776.10	65	7124.98	173	11756.90	158	-152.49	17	600.03	173	340.33	173	7036.47	173	3688.08	130
0	Max	-2072	-14776.10	65	7124.98	173	11756.90	158	-152.49	17	600.03	173	340.33	173	7036.47	173	3688.08	130
0	Max	-1375	-14776.10	65	7124.98	173	11756.90	158	-152.49	17	600.03	173	340.33	173	7036.47	173	3688.08	130
0	Min.	-1693	-177230.00	97	-6662.56	177	-1284.16	177	-2691.64	97	-2489.13	97	-115.61	106	-18638.60	98	-24868.80	97
0	Min.	-2084	-177230.00	97	-6662.56	177	-1284.16	177	-2691.64	97	-2489.13	97	-115.61	106	-18638.60	98	-24868.80	97
0	Min.	-2072	-177230.00	97	-6662.56	177	-1284.16	177	-2691.64	97	-2489.13	97	-115.61	106	-18638.60	98	-24868.80	97
0	Min.	-1375	-177230.00	97	-6662.56	177	-1284.16	177	-2691.64	97	-2489.13	97	-115.61	106	-18638.60	98	-24868.80	97
0	Max	-1862	-16119.70	17	7877.58	173	7996.68	158	-147.42	65	754.80	173	296.58	173	11463.80	173	7374.37	173
0	Max	-1693	-16119.70	17	7877.58	173	7996.68	158	-147.42	65	754.80	173	296.58	173	11463.80	173	7374.37	173
0	Max	-1375	-16119.70	17	7877.58	173	7996.68	158	-147.42	65	754.80	173	296.58	173	11463.80	173	7374.37	173
0	Max	-1374	-16119.70	17	7877.58	173	7996.68	158	-147.42	65	754.80	173	296.58	173	11463.80	173	7374.37	173
0	Min.	-1862	-180302.00	98	-7198.71	177	-1028.46	101	-2278.76	97	-2325.37	97	-109.76	106	-10951.60	98	-5765.43	97
0	Min.	-1693	-180302.00	98	-7198.71	177	-1028.46	101	-2278.76	97	-2325.37	97	-109.76	106	-10951.60	98	-5765.43	97
0	Min.	-1375	-180302.00	98	-7198.71	177	-1028.46	101	-2278.76	97	-2325.37	97	-109.76	106	-10951.60	98	-5765.43	97
0	Min.	-1374	-180302.00	98	-7198.71	177	-1028.46	101	-2278.76	97	-2325.37	97	-109.76	106	-10951.60	98	-5765.43	97
0	Max	-1866	-16119.70	65	8079.38	173	7505.76	158	-147.42	17	894.08	173	109.77	101	8591.79	173	5765.42	98
0	Max	-1862	-16119.70	65	8079.38	173	7505.76	158	-147.42	17	894.08	173	109.77	101	8591.79	173	5765.42	98
0	Max	-1374	-16119.70	65	8079.38	173	7505.76	158	-147.42	17	894.08	173	109.77	101	8591.79	173	5765.42	98
0	Max	-1373	-16119.70	65	8079.38	173	7505.76	158	-147.42	17	894.08	173	109.77	101	8591.79	173	5765.42	98
0	Min.	-1866	-180302.00	97	-7198.71	177	-1301.27	101	-2278.76	98	-2325.37	98	-93.61	106	-10951.60	97	-9898.51	173
0	Min.	-1862	-180302.00	97	-7198.71	177	-1301.27	101	-2278.76	98	-2325.37	98	-93.61	106	-10951.60	97	-9898.51	173
0	Min.	-1374	-180302.00	97	-7198.71	177	-1301.27	101	-2278.76	98	-2325.37	98	-93.61	106	-10951.60	97	-9898.51	173
0	Min.	-1373	-180302.00	97	-7198.71	177	-1301.27	101	-2278.76	98	-2325.37	98	-93.61	106	-10951.60	97	-9898.51	173
0	Max	-1865	-14789.90	17	5817.88	173	32261.70	158	-133.27	17	781.83	173	126.25	101	11155.00	173	3540.96	122
0	Max	-2085	-14789.90	17	5817.88	173	32261.70	158	-133.27	17	781.83	173	126.25	101	11155.00	173	3540.96	122
0	Max	-2073	-14789.90	17	5817.88	173	32261.70	158	-133.27	17	781.83	173	126.25	101	11155.00	173	3540.96	122
0	Max	-1372	-14789.90	17	5817.88	173	32261.70	158	-133.27	17	781.83	173	126.25	101	11155.00	173	3540.96	122
0	Min.	-1865	-177495.00	98	-5936.65	177	-3556.05	173	-3028.96	98	-2634.09	98	-325.08	173	-46179.70	97	-8779.52	173
0	Min.	-2085	-177495.00	98	-5936.65	177	-3556.05	173	-3028.96	98	-2634.09	98	-325.08	173	-46179.70	97	-8779.52	173
0	Min.	-2073	-177495.00	98	-5936.65	177	-3556.05	173	-3028.96	98	-2634.09	98	-325.08	173	-46179.70	97	-8779.52	173
0	Min.	-1372	-177495.00	98	-5936.65	177	-3556.05	173	-3028.96	98	-2634.09	98	-325.08	173	-46179.70	97	-8779.52	173
0	Max	-1864	-13071.40	17	4578.83	173	11941.20	158	-116.90	17	526.62	173	402.41	97	7583.74	173	1465.04	130
0	Max	-2086	-13071.40	17	4578.83	173	11941.20	158	-116.90	17	526.62	173	402.41	97	7583.74	173	1465.04	130
0	Max	-2074	-13071.40	17	4578.83	173	11941.20	158	-116.90	17	526.62	173	402.41	97	7583.74	173	1465.04	130
0	Max	-1371	-13071.40	17	4578.83	173	11941.20	158	-116.90	17	526.62	173	402.41	97	7583.74	173	1465.04	130
0	Min.	-1864	-167972.00	98	-5697.02	158	-3363.48	173	-2313.41	98	-2134.81	98	-388.88	173	-18660.20	98	-44510.30	97
0	Min.	-2086	-167972.00	98	-5697.02	158	-3363.48	173	-2313.41	98	-2134.81	98	-388.88	173	-18660.20	98	-44510.30	97
0	Min.	-2074	-167972.00	98	-5697.02	158	-3363.48	173	-2313.41	98	-2134.81	98	-388.88	173	-18660.20	98	-44510.30	97
0	Min.	-1371	-167972.00	98	-5697.02	158	-3363.48	173	-2313.41	98	-2134.81	98	-388.88	173	-18660.20	98	-44510.30	97
0	Max	-1861	-9646.61	1	4973.23	173	5876.01	158	-104.93	17	450.13	173	435.82	97	4579.54	173	1491.69	130
0	Max	-1864	-9646.61	1	4973.23	173	5876.01	158	-104.93	17	450.13	173	435.82	97	4579.54	173	1491.69	130
0	Max	-1371	-9646.61	1	4973.23	173	5876.01	158	-104.93	17	450.13	173	435.82	97	4579.54	173	1491.69	130
0	Max	-1370	-9646.61	1	4973.23	173	5876.01	158	-104.93	17	450.13	173	435.82	97	4579.54	173	1491.69	130
0	Min.	-1861	-151011.00	98	-5459.48	177	-4972.94	173	-1740.24	98	-1599.40	98	-362.88	173	-7612.59	98	-20417.10	97
0	Min.	-1864	-151011.00	98	-5459.48	177	-4972.94	173	-1740.24	98	-1599.40	98	-362.88	173	-7612.59	98	-20417.10	97

0	Min.	-1371	-151011.00	98	-5459.48	177	-4972.94	173	-1740.24	98	-1599.40	98	-362.88	173	-7612.59	98	-20417.10	97
0	Min.	-1370	-151011.00	98	-5459.48	177	-4972.94	173	-1740.24	98	-1599.40	98	-362.88	173	-7612.59	98	-20417.10	97
0	Max	-1857	-4281.17	1	4673.50	173	3897.74	166	-57.86	1	415.34	173	457.06	97	1586.02	173	350.99	130
0	Max	-1861	-4281.17	1	4673.50	173	3897.74	166	-57.86	1	415.34	173	457.06	97	1586.02	173	350.99	130
0	Max	-1370	-4281.17	1	4673.50	173	3897.74	166	-57.86	1	415.34	173	457.06	97	1586.02	173	350.99	130
0	Max	-1369	-4281.17	1	4673.50	173	3897.74	166	-57.86	1	415.34	173	457.06	97	1586.02	173	350.99	130
0	Min.	-1857	-129513.00	98	-6934.54	177	-6114.44	173	-1335.82	98	-1076.32	98	-337.18	173	-2434.41	98	-19716.40	97
0	Min.	-1861	-129513.00	98	-6934.54	177	-6114.44	173	-1335.82	98	-1076.32	98	-337.18	173	-2434.41	98	-19716.40	97
0	Min.	-1370	-129513.00	98	-6934.54	177	-6114.44	173	-1335.82	98	-1076.32	98	-337.18	173	-2434.41	98	-19716.40	97
0	Min.	-1369	-129513.00	98	-6934.54	177	-6114.44	173	-1335.82	98	-1076.32	98	-337.18	173	-2434.41	98	-19716.40	97
0	Max	-1845	1440.71	1	1951.77	173	4061.67	166	7.99	1	435.33	173	478.58	97	1007.15	177	-14.31	130
0	Max	-1857	1440.71	1	1951.77	173	4061.67	166	7.99	1	435.33	173	478.58	97	1007.15	177	-14.31	130
0	Max	-1369	1440.71	1	1951.77	173	4061.67	166	7.99	1	435.33	173	478.58	97	1007.15	177	-14.31	130
0	Max	-1368	1440.71	1	1951.77	173	4061.67	166	7.99	1	435.33	173	478.58	97	1007.15	177	-14.31	130
0	Min.	-1845	-103921.00	98	-7316.42	177	-7087.12	173	-909.91	98	-672.53	98	-311.40	173	-3843.49	98	-20029.00	97
0	Min.	-1857	-103921.00	98	-7316.42	177	-7087.12	173	-909.91	98	-672.53	98	-311.40	173	-3843.49	98	-20029.00	97
0	Min.	-1369	-103921.00	98	-7316.42	177	-7087.12	173	-909.91	98	-672.53	98	-311.40	173	-3843.49	98	-20029.00	97
0	Min.	-1368	-103921.00	98	-7316.42	177	-7087.12	173	-909.91	98	-672.53	98	-311.40	173	-3843.49	98	-20029.00	97
0	Max	-1844	7055.07	1	1530.81	166	5277.33	166	82.70	1	481.13	173	462.80	97	1158.33	177	494.44	130
0	Max	-1845	7055.07	1	1530.81	166	5277.33	166	82.70	1	481.13	173	462.80	97	1158.33	177	494.44	130
0	Max	-1368	7055.07	1	1530.81	166	5277.33	166	82.70	1	481.13	173	462.80	97	1158.33	177	494.44	130
0	Max	-1361	7055.07	1	1530.81	166	5277.33	166	82.70	1	481.13	173	462.80	97	1158.33	177	494.44	130
0	Min.	-1844	-91557.10	130	-5899.98	177	-6183.61	173	-697.36	106	-485.17	106	-315.45	173	-3591.00	98	-19288.10	97
0	Min.	-1845	-91557.10	130	-5899.98	177	-6183.61	173	-697.36	106	-485.17	106	-315.45	173	-3591.00	98	-19288.10	97
0	Min.	-1368	-91557.10	130	-5899.98	177	-6183.61	173	-697.36	106	-485.17	106	-315.45	173	-3591.00	98	-19288.10	97
0	Min.	-1361	-91557.10	130	-5899.98	177	-6183.61	173	-697.36	106	-485.17	106	-315.45	173	-3591.00	98	-19288.10	97
0	Max	-1843	21192.00	101	5069.17	166	6229.44	166	313.80	101	513.56	173	418.28	97	1487.05	177	-1165.65	65
0	Max	-1844	21192.00	101	5069.17	166	6229.44	166	313.80	101	513.56	173	418.28	97	1487.05	177	-1165.65	65
0	Max	-1361	21192.00	101	5069.17	166	6229.44	166	313.80	101	513.56	173	418.28	97	1487.05	177	-1165.65	65
0	Max	-1360	21192.00	101	5069.17	166	6229.44	166	313.80	101	513.56	173	418.28	97	1487.05	177	-1165.65	65
0	Min.	-1843	-92159.50	130	-4731.68	177	-4977.00	173	-518.88	106	-657.73	106	-343.12	173	-3164.45	98	-19423.50	97
0	Min.	-1844	-92159.50	130	-4731.68	177	-4977.00	173	-518.88	106	-657.73	106	-343.12	173	-3164.45	98	-19423.50	97
0	Min.	-1361	-92159.50	130	-4731.68	177	-4977.00	173	-518.88	106	-657.73	106	-343.12	173	-3164.45	98	-19423.50	97
0	Min.	-1360	-92159.50	130	-4731.68	177	-4977.00	173	-518.88	106	-657.73	106	-343.12	173	-3164.45	98	-19423.50	97
0	Max	-1839	36159.90	101	9254.57	165	9858.22	166	661.36	101	535.03	173	392.44	98	1453.33	177	10472.00	106
0	Max	-1843	36159.90	101	9254.57	165	9858.22	166	661.36	101	535.03	173	392.44	98	1453.33	177	10472.00	106
0	Max	-1360	36159.90	101	9254.57	165	9858.22	166	661.36	101	535.03	173	392.44	98	1453.33	177	10472.00	106
0	Max	-1359	36159.90	101	9254.57	165	9858.22	166	661.36	101	535.03	173	392.44	98	1453.33	177	10472.00	106
0	Min.	-1839	-95816.80	130	-4742.90	177	-5626.61	173	-536.15	130	-1055.57	106	-338.32	173	-16259.00	106	-19850.90	97
0	Min.	-1843	-95816.80	130	-4742.90	177	-5626.61	173	-536.15	130	-1055.57	106	-338.32	173	-16259.00	106	-19850.90	97
0	Min.	-1360	-95816.80	130	-4742.90	177	-5626.61	173	-536.15	130	-1055.57	106	-338.32	173	-16259.00	106	-19850.90	97
0	Min.	-1359	-95816.80	130	-4742.90	177	-5626.61	173	-536.15	130	-1055.57	106	-338.32	173	-16259.00	106	-19850.90	97
0	Max	-1836	48668.50	101	9781.65	165	31460.00	166	1548.90	97	535.02	173	342.47	98	7379.40	97	-1801.15	65
0	Max	-1948	48668.50	101	9781.65	165	31460.00	166	1548.90	97	535.02	173	342.47	98	7379.40	97	-1801.15	65
0	Max	-1947	48668.50	101	9781.65	165	31460.00	166	1548.90	97	535.02	173	342.47	98	7379.40	97	-1801.15	65
0	Max	-1358	48668.50	101	9781.65	165	31460.00	166	1548.90	97	535.02	173	342.47	98	7379.40	97	-1801.15	65
0	Min.	-1836	-60943.70	106	-6222.52	177	-4009.18	173	-728.32	106	-1539.81	106	-307.44	173	-21549.20	106	-42929.00	105
0	Min.	-1948	-60943.70	106	-6222.52	177	-4009.18	173	-728.32	106	-1539.81	106	-307.44	173	-21549.20	106	-42929.00	105
0	Min.	-1947	-60943.70	106	-6222.52	177	-4009.18	173	-728.32	106	-1539.81	106	-307.44	173	-21549.20	106	-42929.00	105
0	Min.	-1358	-60943.70	106	-6222.52	177	-4009.18	173	-728.32	106	-1539.81	106	-307.44	173	-21549.20	106	-42929.00	105
0	Max	-1850	58610.70	101	3990.71	173	8885.55	166	2157.22	97	437.57	173	310.31	98	17446.80	97	-2112.46	65
0	Max	-1836	58610.70	101	3990.71	173	8885.55	166	2157.22	97	437.57	173	310.31	98	17446.80	97	-2112.46	65
0	Max	-1358	58610.70	101	3990.71	173	8885.55	166	2157.22	97	437.57	173	310.31	98	17446.80	97	-2112.46	65
0	Max	-1357	58610.70	101	3990.71	173	8885.55	166	2157.22	97	437.57	173	310.31	98	17446.80	97	-2112.46	65
0	Min.	-1850	-60016.80	130	-6386.04	177	-5530.08	173	115.95	49	-1391.39	106	-232.64	173	2559.21	33	-32514.50	105
0	Min.	-1836	-60016.80	130	-6386.04	177	-5530.08	173	115.95	49	-1391.39	106	-232.64	173	2559.21	33	-32514.50	105
0	Min.	-1358	-60016.80	130	-6386.04	177	-5530.08	173	115.95	49	-1391.39	106	-232.64	173	2559.21	33	-32514.50	105
0	Min.	-1357	-60016.80	130	-6386.04	177	-5530.08	173	115.95	49	-1391.39	106	-232.64	173	2559.21	33	-32514.50	105
0	Max	-1863	60200.40	101	3544.52	173	10738.70	177	2258.24	97	661.01	105	168.66	65	37228.40	105	-3669.17	33
0	Max	-1783	60200.40	101	3544.52	173	10738.70	177	2258.24	97	661.01	105	168.66	65	37228.40	105	-3669.17	33
0	Max	-1428	60200.40	101	3544.52	173	10738.70	177	2258.24	97	661.01	105	168.66	65	37228.40	105	-3669.17	33
0	Max	441	60200.40	101	3544.52	173	10738.70	177	2258.24	97	661.01	105	168.66	65	37228.40	105	-3669.17	33
0	Min.	-1863	-68400.00	130	-3144.78	177	-4735.34	173	132.36	49	63.80	177	-277.44	173	3810.98	17	-27843.80	97
0	Min.	-1783	-68400.00	130	-3144.78	177	-4735.34	173	132.36	49	63.80	177	-277.44	173	3810.98	17	-27843.80	97
0	Min.	-1428	-68400.00	130	-3144.78	177	-4735.34	173	132.36	49	63.80	177	-277.44	173	3810.98	17	-27843.80	97
0	Min.	441	-68400.00	130	-3144.78	177	-4735.34	173	132.36	49	63.80	177	-277.44	173	3810.98	17	-27843.80	97
0	Max	-1783	50147.10	101	2701.80	173	9841.97	177	1558.69	97	598.62	105	196.65	65	8173.35	105	-2162.25	33
0	Max	-1946	50147.10	101	2701.80	173	9841.97	177	1558.69	97	598.62	105	196.65	65	8173.35	105	-2162.25	33
0	Max	-1949	50147.10	101	2701.80	173	9841.97	177	1558.69	97	598.62	105	196.65	65	8173.35	105	-2162.25	33
0	Max	-1428	50147.10	101	2701.80	173	9841.97	177	1558.69	97	598.62	105	196.65	65	8173.35	105	-2162.25	33
0	Min.	-1783	-75591.90	130	-3372.39	177	-4392.06	173	-193.85	130	43.86	177	-333.10	173	-1333.38	173	-18760.90	97
0	Min.	-1946	-75591.90	130	-3372.39	177	-4392.06	173	-193.85	130	43.86	177	-333.10	173	-1333.38	173	-18760.90	97
0	Min.	-1949	-75591.90	130	-3372.39	177	-4392.06	173	-193.85	130	43.86	177	-333.10	173	-1333.38	173	-18760.90	97
0	Min.	-1428	-75591.90	130	-3372.39	177	-4392.06	173	-193.85	130	43.86	177	-333.10	173	-1333.38	173	-18760.90	97
0	Max	-1784	37719.10	101	2708.12	173	8447.30	177	704.06	97	343.04	117	216.77	65	5320.34	106	-1988.48	33
0	Max	-1785	37719.10	101	2708.12	173	8447.30	177	704.06	97	343.04	117	216.77	65	5320.34	106	-1988.48	33
0	Max	-1430	37719.10	101	2708.12	173	8447.30	177	704.06	97	343.04	117	216.77	65	5320.34	106	-1988.48	33
0	Max	-1429	37719.10	101	2708.12	173	8447.30	177	704.06	97	343.04	117	216.77	65	5320.34	106	-1988.48	33
0	Min.	-1784	-84254.90	130	-3290.33	177	-3929.89	173	-469.85	130	-115.74	98	-378.06	173	-2224.99	173	-20820.90	97
0	Min.	-1785	-84254.90	130	-3290.33	177	-3929.89	173	-469.85	130	-115.74	98	-378.06	173	-2224.99	173	-20820.90	97
0	Min.	-1430	-84254.90	130	-3290.33	177	-3929.89	173	-469.85	130	-115.74	98	-378.06	173	-2224.99	173	-20820.90	97
0	Min.	-1429	-84254.90	130	-3290.33	177	-3929.89	173	-469.85	130	-115.74	98	-378.06	173	-2224.99	173	-20820.90	97
0	Max	-1512	39558.30	130	2634.03	162	4260.91	98	475.65	158	131.49	97	130.01	125	2459.51	125	3599.21	101
0	Max	-1511	39558.30	130	2634.03	162	4260.91	98	475.65	158	131.49	97	130.01	125	2459.51	125	3599.21	101
0	Max	-1570	39558.30	130	2634.03	162	4260.91	98	475.65	158	131.49	97	130.01	125	2459.51	125	3599.21	101
0	Max	-1569	39558.30	130	2634.03	162	4260.91	98	475.65	158	131.49	97	130.01	125	2459.51	125	3599.21	101
0	Min.	-1512	-27297.80	101	-2183.88	177	-7857.46	177	-376.26	101	-177.10	126	-202.71	98	-998.45	173	-6042.36	130
0	Min.	-1511	-27297.80	101	-2183.88	177	-7857.46	177	-376.26	101	-177.10	126	-202.71	98	-998.45	173	-6042.36	130
0	Min.	-1570	-27297.80	101	-2183.88	177	-7857.46	177	-376.26	101	-177.10	126	-202.71	98	-998.45	173	-6042.36	130
0	Min.	-1569	-27297.80	101	-2183.88	177	-7857.46	177	-376.26	101	-177.10	126	-202.71	98	-998.45	173	-6042.36	130
0	Max	-1513	48662.30	130	3678.05	162	3651.75	98	654.77	158	187.05	99	204.98	101	3618.94	101	3673.82	101
0	Max	-1512	48662.30	130	3678.05	162	3651.75	98	654.77	158	187.05	99	204.98	101	3618.94	101	3673.82	101
0	Max	-1569	48662.30	130	3678.05	162	3651.75	98	654.77	158	187.05	99	204.98	101	3618.94	101	3673.82	101
0	Max	-1568	48662.30	130	3678.05	162	3651.75	98	654.77	158	187.05	99	204.98	101	3618.94	101	3673.82	101
0	Min.	-1513	-32475.30	101	-1891.39	101	-7735.43	177	-391.04	101	-232.53	128	-218.80	130	-1592.93	110	-7568.37	130
0	Min.	-1512	-32475.30	101	-1891.39	101	-7735.43	177	-391.04	101	-232.53	128	-218.80	130	-1592.93	110	-7568.37	130
0	Min.	-1569	-32475.30	101	-1891.39	101	-7735.43	177	-391.04	101	-232.53	128	-218.80	130	-1592.93	110	-7568.37	130
0	Min.	-1568	-32475.30	101	-1891.39	101	-7735.43	177	-391.04	101	-232.53	128	-218.80	130	-1592.93	110	-7568.37	130
0	Max	-1514	55857.40	130	1860.57	125	3313.15	98	772.58	122	258.19	98	260.91	101	5004.65	125	2109.38	101
0	Max	-1513	55857.40	130	1860.57	125	3313.15	98	772.58	122	258.19	98	260.91	101	5004.65	125	2109.38	101
0	Max	-1568	55857.40	130	1860.57	125	3313.15	98	772.58	122	258.19	98	260.91	101	5004.65	125	2109.38	101
0	Max	-1567	55857.40	130	1860.57	125	3313.15	98	772.58	122	258.19	98	260.91	101	5004.65	125	2109.38	101
0	Min.	-1514	-36395.30	101	-428.75	130	-7443.76	177	-295.52	101	-225.21	101	-288.46	130	-2734.48	110	-8238.23	130
0	Min.	-1513	-36395.30	101	-428.75	130	-7443.76	177	-295.52	101	-225.21	101	-288.46	130	-2734.48	110	-8238.23	130
0	Min.	-1568	-36395.30	101	-428.75	130	-7443.76	177	-295.52	101	-225.21	101	-288.46	130	-2734.48	110	-8238.23	130

0	Min.	-1567	-36395.30	101	-428.75	130	-7443.76	177	-295.52	101	-225.21	101	-288.46	130	-2734.48	110	-8238.23	130
0	Max	-1515	61429.80	130	944.47	49	2767.51	173	1084.91	98	428.35	98	203.91	101	18180.40	101	-1353.50	65
0	Max	-1514	61429.80	130	944.47	49	2767.51	173	1084.91	98	428.35	98	203.91	101	18180.40	101	-1353.50	65
0	Max	-1567	61429.80	130	944.47	49	2767.51	173	1084.91	98	428.35	98	203.91	101	18180.40	101	-1353.50	65
0	Max	-1566	61429.80	130	944.47	49	2767.51	173	1084.91	98	428.35	98	203.91	101	18180.40	101	-1353.50	65
0	Min.	-1515	-39781.70	101	-531.84	130	-8166.94	161	-263.56	101	-80.07	101	-190.04	130	-1318.79	173	-9710.38	106
0	Min.	-1514	-39781.70	101	-531.84	130	-8166.94	161	-263.56	101	-80.07	101	-190.04	130	-1318.79	173	-9710.38	106
0	Min.	-1567	-39781.70	101	-531.84	130	-8166.94	161	-263.56	101	-80.07	101	-190.04	130	-1318.79	173	-9710.38	106
0	Min.	-1566	-39781.70	101	-531.84	130	-8166.94	161	-263.56	101	-80.07	101	-190.04	130	-1318.79	173	-9710.38	106
0	Max	-1516	65472.20	130	3199.69	130	3211.20	101	1495.66	98	873.60	98	145.23	173	18625.50	101	-2792.27	65
0	Max	-1925	65472.20	130	3199.69	130	3211.20	101	1495.66	98	873.60	98	145.23	173	18625.50	101	-2792.27	65
0	Max	-1921	65472.20	130	3199.69	130	3211.20	101	1495.66	98	873.60	98	145.23	173	18625.50	101	-2792.27	65
0	Max	-1565	65472.20	130	3199.69	130	3211.20	101	1495.66	98	873.60	98	145.23	173	18625.50	101	-2792.27	65
0	Min.	-1516	-43331.40	101	-2512.21	101	-9387.72	162	-208.78	101	85.07	65	-116.86	17	-1540.63	173	-16287.60	102
0	Min.	-1925	-43331.40	101	-2512.21	101	-9387.72	162	-208.78	101	85.07	65	-116.86	17	-1540.63	173	-16287.60	102
0	Min.	-1921	-43331.40	101	-2512.21	101	-9387.72	162	-208.78	101	85.07	65	-116.86	17	-1540.63	173	-16287.60	102
0	Min.	-1565	-43331.40	101	-2512.21	101	-9387.72	162	-208.78	101	85.07	65	-116.86	17	-1540.63	173	-16287.60	102
0	Max	-1578	11292.10	130	2423.44	173	3126.37	101	54.99	158	66.16	109	124.15	162	6060.67	177	7759.50	101
0	Max	-1613	11292.10	130	2423.44	173	3126.37	101	54.99	158	66.16	109	124.15	162	6060.67	177	7759.50	101
0	Max	-1509	11292.10	130	2423.44	173	3126.37	101	54.99	158	66.16	109	124.15	162	6060.67	177	7759.50	101
0	Max	-1510	11292.10	130	2423.44	173	3126.37	101	54.99	158	66.16	109	124.15	162	6060.67	177	7759.50	101
0	Min.	-1578	-8187.78	101	-11838.80	177	-7343.14	177	-87.15	101	-79.60	162	-155.32	109	-3275.61	125	-7170.75	122
0	Min.	-1613	-8187.78	101	-11838.80	177	-7343.14	177	-87.15	101	-79.60	162	-155.32	109	-3275.61	125	-7170.75	122
0	Min.	-1509	-8187.78	101	-11838.80	177	-7343.14	177	-87.15	101	-79.60	162	-155.32	109	-3275.61	125	-7170.75	122
0	Min.	-1510	-8187.78	101	-11838.80	177	-7343.14	177	-87.15	101	-79.60	162	-155.32	109	-3275.61	125	-7170.75	122
0	Max	-1577	24996.60	130	2249.62	162	2591.39	101	271.01	158	113.81	109	100.76	161	1568.54	161	3929.21	101
0	Max	-1578	24996.60	130	2249.62	162	2591.39	101	271.01	158	113.81	109	100.76	161	1568.54	161	3929.21	101
0	Max	-1510	24996.60	130	2249.62	162	2591.39	101	271.01	158	113.81	109	100.76	161	1568.54	161	3929.21	101
0	Max	-1511	24996.60	130	2249.62	162	2591.39	101	271.01	158	113.81	109	100.76	161	1568.54	161	3929.21	101
0	Min.	-1577	-17634.00	101	-3072.80	177	-9445.94	177	-284.36	101	-136.40	126	-168.41	98	-2974.74	98	-5220.10	122
0	Min.	-1578	-17634.00	101	-3072.80	177	-9445.94	177	-284.36	101	-136.40	126	-168.41	98	-2974.74	98	-5220.10	122
0	Min.	-1510	-17634.00	101	-3072.80	177	-9445.94	177	-284.36	101	-136.40	126	-168.41	98	-2974.74	98	-5220.10	122
0	Min.	-1511	-17634.00	101	-3072.80	177	-9445.94	177	-284.36	101	-136.40	126	-168.41	98	-2974.74	98	-5220.10	122
0	Max	-1576	37075.10	130	4115.14	162	2787.41	101	430.25	158	172.02	97	83.17	125	1112.02	161	3193.22	101
0	Max	-1577	37075.10	130	4115.14	162	2787.41	101	430.25	158	172.02	97	83.17	125	1112.02	161	3193.22	101
0	Max	-1511	37075.10	130	4115.14	162	2787.41	101	430.25	158	172.02	97	83.17	125	1112.02	161	3193.22	101
0	Max	-1512	37075.10	130	4115.14	162	2787.41	101	430.25	158	172.02	97	83.17	125	1112.02	161	3193.22	101
0	Min.	-1576	-25336.60	101	-2704.92	101	-9977.40	177	-345.11	101	-207.04	126	-147.17	98	-2202.34	98	-5744.28	98
0	Min.	-1577	-25336.60	101	-2704.92	101	-9977.40	177	-345.11	101	-207.04	126	-147.17	98	-2202.34	98	-5744.28	98
0	Min.	-1511	-25336.60	101	-2704.92	101	-9977.40	177	-345.11	101	-207.04	126	-147.17	98	-2202.34	98	-5744.28	98
0	Min.	-1512	-25336.60	101	-2704.92	101	-9977.40	177	-345.11	101	-207.04	126	-147.17	98	-2202.34	98	-5744.28	98
0	Max	-1575	47121.50	130	4484.39	162	2387.75	173	605.03	122	247.29	98	112.43	101	1694.74	125	3610.52	101
0	Max	-1576	47121.50	130	4484.39	162	2387.75	173	605.03	122	247.29	98	112.43	101	1694.74	125	3610.52	101
0	Max	-1512	47121.50	130	4484.39	162	2387.75	173	605.03	122	247.29	98	112.43	101	1694.74	125	3610.52	101
0	Max	-1513	47121.50	130	4484.39	162	2387.75	173	605.03	122	247.29	98	112.43	101	1694.74	125	3610.52	101
0	Min.	-1575	-31322.00	101	-2139.62	101	-9899.47	177	-354.50	101	-281.87	125	-124.17	106	-3295.57	98	-6390.59	98
0	Min.	-1576	-31322.00	101	-2139.62	101	-9899.47	177	-354.50	101	-281.87	125	-124.17	106	-3295.57	98	-6390.59	98
0	Min.	-1512	-31322.00	101	-2139.62	101	-9899.47	177	-354.50	101	-281.87	125	-124.17	106	-3295.57	98	-6390.59	98
0	Min.	-1513	-31322.00	101	-2139.62	101	-9899.47	177	-354.50	101	-281.87	125	-124.17	106	-3295.57	98	-6390.59	98
0	Max	-1574	55839.90	130	2163.54	162	2730.52	101	796.24	122	342.05	98	177.86	101	4392.88	125	2516.90	101
0	Max	-1575	55839.90	130	2163.54	162	2730.52	101	796.24	122	342.05	98	177.86	101	4392.88	125	2516.90	101
0	Max	-1513	55839.90	130	2163.54	162	2730.52	101	796.24	122	342.05	98	177.86	101	4392.88	125	2516.90	101
0	Max	-1514	55839.90	130	2163.54	162	2730.52	101	796.24	122	342.05	98	177.86	101	4392.88	125	2516.90	101
0	Min.	-1574	-36443.40	101	-355.15	177	-9406.44	177	-286.59	101	-387.53	101	-162.98	130	-3929.09	98	-7417.29	106
0	Min.	-1575	-36443.40	101	-355.15	177	-9406.44	177	-286.59	101	-387.53	101	-162.98	130	-3929.09	98	-7417.29	106
0	Min.	-1513	-36443.40	101	-355.15	177	-9406.44	177	-286.59	101	-387.53	101	-162.98	130	-3929.09	98	-7417.29	106
0	Min.	-1514	-36443.40	101	-355.15	177	-9406.44	177	-286.59	101	-387.53	101	-162.98	130	-3929.09	98	-7417.29	106
0	Max	-1573	62140.50	130	1519.06	97	4148.24	101	1122.17	98	461.88	98	233.10	101	11963.00	101	4364.09	101
0	Max	-1574	62140.50	130	1519.06	97	4148.24	101	1122.17	98	461.88	98	233.10	101	11963.00	101	4364.09	101
0	Max	-1514	62140.50	130	1519.06	97	4148.24	101	1122.17	98	461.88	98	233.10	101	11963.00	101	4364.09	101
0	Max	-1515	62140.50	130	1519.06	97	4148.24	101	1122.17	98	461.88	98	233.10	101	11963.00	101	4364.09	101
0	Min.	-1573	-40325.30	101	-42.39	162	-12144.00	162	-312.89	101	-478.82	101	-128.17	130	-3023.83	98	-7838.62	98
0	Min.	-1574	-40325.30	101	-42.39	162	-12144.00	162	-312.89	101	-478.82	101	-128.17	130	-3023.83	98	-7838.62	98
0	Min.	-1514	-40325.30	101	-42.39	162	-12144.00	162	-312.89	101	-478.82	101	-128.17	130	-3023.83	98	-7838.62	98
0	Min.	-1515	-40325.30	101	-42.39	162	-12144.00	162	-312.89	101	-478.82	101	-128.17	130	-3023.83	98	-7838.62	98
0	Max	-1572	66059.30	130	2296.68	130	4370.44	97	1634.14	98	592.10	98	168.72	173	38701.10	102	-1525.10	65
0	Max	-1914	66059.30	130	2296.68	130	4370.44	97	1634.14	98	592.10	98	168.72	173	38701.10	102	-1525.10	65
0	Max	-1925	66059.30	130	2296.68	130	4370.44	97	1634.14	98	592.10	98	168.72	173	38701.10	102	-1525.10	65
0	Max	-1516	66059.30	130	2296.68	130	4370.44	97	1634.14	98	592.10	98	168.72	173	38701.10	102	-1525.10	65
0	Min.	-1572	-44469.40	101	-1242.05	101	-11864.80	162	-388.19	101	-539.31	101	-72.41	17	643.38	65	-22094.20	102
0	Min.	-1914	-44469.40	101	-1242.05	101	-11864.80	162	-388.19	101	-539.31	101	-72.41	17	643.38	65	-22094.20	102
0	Min.	-1925	-44469.40	101	-1242.05	101	-11864.80	162	-388.19	101	-539.31	101	-72.41	17	643.38	65	-22094.20	102
0	Min.	-1516	-44469.40	101	-1242.05	101	-11864.80	162	-388.19	101	-539.31	101	-72.41	17	643.38	65	-22094.20	102
0	Max	430	68073.60	130	3407.19	130	4389.07	173	2394.22	98	706.33	102	187.01	173	-3800.61	17	-2387.91	49
0	Max	-1551	68073.60	130	3407.19	130	4389.07	173	2394.22	98	706.33	102	187.01	173	-3800.61	17	-2387.91	49
0	Max	-1586	68073.60	130	3407.19	130	4389.07	173	2394.22	98	706.33	102	187.01	173	-3800.61	17	-2387.91	49
0	Max	-1534	68073.60	130	3407.19	130	4389.07	173	2394.22	98	706.33	102	187.01	173	-3800.61	17	-2387.91	49
0	Min.	430	-45552.00	101	-1819.92	177	-11843.70	177	150.02	49	75.31	161	-122.60	17	-37730.20	102	-15083.80	102
0	Min.	-1551	-45552.00	101	-1819.92	177	-11843.70	177	150.02	49	75.31	161	-122.60	17	-37730.20	102	-15083.80	102
0	Min.	-1586	-45552.00	101	-1819.92	177	-11843.70	177	150.02	49	75.31	161	-122.60	17	-37730.20	102	-15083.80	102
0	Min.	-1534	-45552.00	101	-1819.92	177	-11843.70	177	150.02	49	75.31	161	-122.60	17	-37730.20	102	-15083.80	102
0	Max	-1551	66193.80	130	3082.30	130	4257.38	173	1742.80	98	682.26	102	133.60	173	1033.60	17	-1033.48	49
0	Max	-1926	66193.80	130	3082.30	130	4257.38	173	1742.80	98	682.26	102	133.60	173	1033.60	17	-1033.48	49
0	Max	-1927	66193.80	130	3082.30	130	4257.38	173	1742.80	98	682.26	102	133.60	173	1033.60	17	-1033.48	49
0	Max	-1586	66193.80	130	3082.30	130	4257.38	173	1742.80	98	682.26	102	133.60	173	1033.60	17	-1033.48	49
0	Min.	-1551	-42435.50	101	-1970.50	177	-12812.60	177	24.26	149	30.52	161	-86.13	17	-8253.55	102	-8752.11	102
0	Min.	-1926	-42435.50	101	-1970.50	177	-12812.60	177	24.26	149	30.52	161	-86.13	17	-8253.55	102	-8752.11	102
0	Min.	-1927	-42435.50	101	-1970.50	177	-12812.60	177	24.26	149	30.52	161	-86.13	17	-8253.55	102	-8752.11	102
0	Min.	-1586	-42435.50	101	-1970.50	177	-12812.60	177	24.26	149	30.52	161	-86.13	17	-8253.55	102	-8752.11	102
0	Max	-1552	62474.20	130	2654.54	130	4273.63	173	1263.14	98	503.79	102	68.90	173	1420.50	17	-373.64	49
0	Max	-1553	62474.20	130	2654.54	130	4273.63	173	1263.14	98	503.79	102	68.90	173	1420.50	17	-373.64	49
0	Max	-1588	62474.20	130	2654.54	130	4273.63	173	1263.14	98	503.79	102	68.90	173	1420.50	17	-373.64	49
0	Max	-1587	62474.20	130	2654.54	130	4273.63	173	1263.14	98	503.79	102	68.90	173	1420.50	17	-373.64	49
0	Min.	-1552	-39119.20	101	-2429.34	177	-14397.70	177	-205.95	101	-16.71	161	-90.60	102	-5444.40	101	-6704.66	106
0	Min.	-1553	-39119.20	101	-2429.34	177	-14397.70	177	-205.95	101	-16.71	161	-90.60	102	-5444.40	101	-6704.66	106
0	Min.	-1588	-39119.20	101	-2429.34	177	-14397.70	177	-205.95	101	-16.71	161	-90.60	102	-5444.40	101	-6704.66	106
0	Min.	-1587	-39119.20	101	-2429.34	177	-14397.70	177	-205.95	101	-16.71	161	-90.60	102	-5444.40	101	-6704.66	106
0	Max	-1553	54969.70	130	2633.67	130	4278.03	173	916.54	98	351.02	98	22.81	173	1296.22	17	-58.52	49
0	Max	-1554	54969.70	130	2633.67	130	4278.03	173	916.54	98	351.02	98	22.81	173	1296.22	17	-58.52	49
0	Max	-1589	54969.70	130	2633.67	130	4278.03	173	916.54	98	351.02	98	22.81	173	1296.22	17	-58.52	49
0	Max	-1588	54969.70	130	2633.67	130	4278.03	173	916.54	98	351.02	98	22.81	173	1296.22	17	-58.52	49
0	Min.	-1553	-35243.70	101	-2667.23	177	-15642.30	177	-328.41	101	-46.01	161	-88.34	102	-3295.13	101	-6545.76	98
0	Min.	-1554	-35243.70	101	-2667.23	177	-15642.30	177	-328.41	101	-46.01	161	-88.34	102	-3295.13	101	-6545.76	98
0	Min.	-1589	-35243.70	101	-2667.23	177	-15642.30	177	-328.41	101	-46.01	161	-88.34	102	-3295.13	101	-6545.76	98
0	Min.	-1588	-35243.70	101	-2667.23	177	-15642.30	177	-328.41	101	-46.01	161	-88.34	102	-3295.13	101	-6545.76	98

0	Max	-1554	45443.30	130	2833.68	162	4241.63	173	636.08	98	313.07	98	3.11	17	964.49	17	215.23	49
0	Max	-1555	45443.30	130	2833.68	162	4241.63	173	636.08	98	313.07	98	3.11	17	964.49	17	215.23	49
0	Max	-1590	45443.30	130	2833.68	162	4241.63	173	636.08	98	313.07	98	3.11	17	964.49	17	215.23	49
0	Max	-1589	45443.30	130	2833.68	162	4241.63	173	636.08	98	313.07	98	3.11	17	964.49	17	215.23	49
0	Min.	-1554	-30185.00	101	-2770.13	177	-16575.80	177	-368.41	101	-63.76	161	-54.24	102	-1852.17	101	-6649.16	98
0	Min.	-1555	-30185.00	101	-2770.13	177	-16575.80	177	-368.41	101	-63.76	161	-54.24	102	-1852.17	101	-6649.16	98
0	Min.	-1590	-30185.00	101	-2770.13	177	-16575.80	177	-368.41	101	-63.76	161	-54.24	102	-1852.17	101	-6649.16	98
0	Min.	-1589	-30185.00	101	-2770.13	177	-16575.80	177	-368.41	101	-63.76	161	-54.24	102	-1852.17	101	-6649.16	98
0	Max	-1555	34771.60	130	3198.24	162	3994.95	173	414.11	98	256.11	98	15.52	17	1166.71	177	1599.11	101
0	Max	-1556	34771.60	130	3198.24	162	3994.95	173	414.11	98	256.11	98	15.52	17	1166.71	177	1599.11	101
0	Max	-1591	34771.60	130	3198.24	162	3994.95	173	414.11	98	256.11	98	15.52	17	1166.71	177	1599.11	101
0	Max	-1590	34771.60	130	3198.24	162	3994.95	173	414.11	98	256.11	98	15.52	17	1166.71	177	1599.11	101
0	Min.	-1555	-24015.70	101	-2756.27	177	-16620.30	177	-358.75	101	-68.31	161	-38.44	173	-1096.58	173	-6392.82	98
0	Min.	-1556	-24015.70	101	-2756.27	177	-16620.30	177	-358.75	101	-68.31	161	-38.44	173	-1096.58	173	-6392.82	98
0	Min.	-1591	-24015.70	101	-2756.27	177	-16620.30	177	-358.75	101	-68.31	161	-38.44	173	-1096.58	173	-6392.82	98
0	Min.	-1590	-24015.70	101	-2756.27	177	-16620.30	177	-358.75	101	-68.31	161	-38.44	173	-1096.58	173	-6392.82	98
0	Max	-1556	23657.30	130	2764.18	162	3379.32	173	251.70	122	184.23	98	26.82	17	1191.76	177	3118.19	101
0	Max	-1557	23657.30	130	2764.18	162	3379.32	173	251.70	122	184.23	98	26.82	17	1191.76	177	3118.19	101
0	Max	-1592	23657.30	130	2764.18	162	3379.32	173	251.70	122	184.23	98	26.82	17	1191.76	177	3118.19	101
0	Max	-1591	23657.30	130	2764.18	162	3379.32	173	251.70	122	184.23	98	26.82	17	1191.76	177	3118.19	101
0	Min.	-1556	-16952.00	101	-2853.75	177	-14686.30	177	-304.56	101	-59.02	161	-57.42	173	-1277.44	173	-6257.75	98
0	Min.	-1557	-16952.00	101	-2853.75	177	-14686.30	177	-304.56	101	-59.02	161	-57.42	173	-1277.44	173	-6257.75	98
0	Min.	-1592	-16952.00	101	-2853.75	177	-14686.30	177	-304.56	101	-59.02	161	-57.42	173	-1277.44	173	-6257.75	98
0	Min.	-1591	-16952.00	101	-2853.75	177	-14686.30	177	-304.56	101	-59.02	161	-57.42	173	-1277.44	173	-6257.75	98
0	Max	-1557	12347.10	130	2073.20	162	2023.64	173	42.89	122	102.93	98	30.84	17	4685.12	177	7906.00	101
0	Max	-1610	12347.10	130	2073.20	162	2023.64	173	42.89	122	102.93	98	30.84	17	4685.12	177	7906.00	101
0	Max	-1615	12347.10	130	2073.20	162	2023.64	173	42.89	122	102.93	98	30.84	17	4685.12	177	7906.00	101
0	Max	-1592	12347.10	130	2073.20	162	2023.64	173	42.89	122	102.93	98	30.84	17	4685.12	177	7906.00	101
0	Min.	-1557	-9077.62	101	-3317.05	177	-9113.81	177	-96.92	101	-41.27	161	-62.55	173	-532.27	17	-8007.17	122
0	Min.	-1610	-9077.62	101	-3317.05	177	-9113.81	177	-96.92	101	-41.27	161	-62.55	173	-532.27	17	-8007.17	122
0	Min.	-1615	-9077.62	101	-3317.05	177	-9113.81	177	-96.92	101	-41.27	161	-62.55	173	-532.27	17	-8007.17	122
0	Min.	-1592	-9077.62	101	-3317.05	177	-9113.81	177	-96.92	101	-41.27	161	-62.55	173	-532.27	17	-8007.17	122
0	Max	-1534	67616.00	130	5043.43	162	7858.19	161	2399.54	98	439.06	98	215.11	173	30163.40	98	-2841.20	49
0	Max	-1586	67616.00	130	5043.43	162	7858.19	161	2399.54	98	439.06	98	215.11	173	30163.40	98	-2841.20	49
0	Max	-1579	67616.00	130	5043.43	162	7858.19	161	2399.54	98	439.06	98	215.11	173	30163.40	98	-2841.20	49
0	Max	433	67616.00	130	5043.43	162	7858.19	161	2399.54	98	439.06	98	215.11	173	30163.40	98	-2841.20	49
0	Min.	-1534	-46038.80	101	-1464.35	101	-10820.70	177	145.10	49	-72.43	101	-109.50	17	3664.76	65	-24015.70	102
0	Min.	-1586	-46038.80	101	-1464.35	101	-10820.70	177	145.10	49	-72.43	101	-109.50	17	3664.76	65	-24015.70	102
0	Min.	-1579	-46038.80	101	-1464.35	101	-10820.70	177	145.10	49	-72.43	101	-109.50	17	3664.76	65	-24015.70	102
0	Min.	433	-46038.80	101	-1464.35	101	-10820.70	177	145.10	49	-72.43	101	-109.50	17	3664.76	65	-24015.70	102
0	Max	-1586	66557.50	130	2799.79	130	5210.58	161	1709.51	98	441.06	98	165.04	173	5226.48	98	-1279.37	49
0	Max	-1927	66557.50	130	2799.79	130	5210.58	161	1709.51	98	441.06	98	165.04	173	5226.48	98	-1279.37	49
0	Max	-1928	66557.50	130	2799.79	130	5210.58	161	1709.51	98	441.06	98	165.04	173	5226.48	98	-1279.37	49
0	Max	-1579	66557.50	130	2799.79	130	5210.58	161	1709.51	98	441.06	98	165.04	173	5226.48	98	-1279.37	49
0	Min.	-1586	-43174.90	101	-1123.50	101	-11766.40	177	-302.10	101	-81.65	101	-70.41	17	-24284.20	101	-22686.60	102
0	Min.	-1927	-43174.90	101	-1123.50	101	-11766.40	177	-302.10	101	-81.65	101	-70.41	17	-24284.20	101	-22686.60	102
0	Min.	-1928	-43174.90	101	-1123.50	101	-11766.40	177	-302.10	101	-81.65	101	-70.41	17	-24284.20	101	-22686.60	102
0	Min.	-1579	-43174.90	101	-1123.50	101	-11766.40	177	-302.10	101	-81.65	101	-70.41	17	-24284.20	101	-22686.60	102
0	Max	-1587	62522.00	130	2375.14	130	5628.36	161	1236.68	98	423.80	98	73.98	173	1613.62	17	1579.72	101
0	Max	-1588	62522.00	130	2375.14	130	5628.36	161	1236.68	98	423.80	98	73.98	173	1613.62	17	1579.72	101
0	Max	-1581	62522.00	130	2375.14	130	5628.36	161	1236.68	98	423.80	98	73.98	173	1613.62	17	1579.72	101
0	Max	-1580	62522.00	130	2375.14	130	5628.36	161	1236.68	98	423.80	98	73.98	173	1613.62	17	1579.72	101
0	Min.	-1587	-39690.30	101	-1301.53	177	-13343.70	177	-274.31	101	-123.88	125	-217.46	102	-16107.00	101	-7842.48	106
0	Min.	-1588	-39690.30	101	-1301.53	177	-13343.70	177	-274.31	101	-123.88	125	-217.46	102	-16107.00	101	-7842.48	106
0	Min.	-1581	-39690.30	101	-1301.53	177	-13343.70	177	-274.31	101	-123.88	125	-217.46	102	-16107.00	101	-7842.48	106
0	Min.	-1580	-39690.30	101	-1301.53	177	-13343.70	177	-274.31	101	-123.88	125	-217.46	102	-16107.00	101	-7842.48	106
0	Max	-1588	55143.20	130	3457.21	162	4090.10	173	889.81	98	378.04	98	20.34	17	925.27	17	1116.70	101
0	Max	-1589	55143.20	130	3457.21	162	4090.10	173	889.81	98	378.04	98	20.34	17	925.27	17	1116.70	101
0	Max	-1582	55143.20	130	3457.21	162	4090.10	173	889.81	98	378.04	98	20.34	17	925.27	17	1116.70	101
0	Max	-1581	55143.20	130	3457.21	162	4090.10	173	889.81	98	378.04	98	20.34	17	925.27	17	1116.70	101
0	Min.	-1588	-35538.60	101	-1695.31	177	-14482.20	177	-297.43	101	-159.61	125	-157.62	102	-8792.23	101	-7314.14	106
0	Min.	-1589	-35538.60	101	-1695.31	177	-14482.20	177	-297.43	101	-159.61	125	-157.62	102	-8792.23	101	-7314.14	106
0	Min.	-1582	-35538.60	101	-1695.31	177	-14482.20	177	-297.43	101	-159.61	125	-157.62	102	-8792.23	101	-7314.14	106
0	Min.	-1581	-35538.60	101	-1695.31	177	-14482.20	177	-297.43	101	-159.61	125	-157.62	102	-8792.23	101	-7314.14	106
0	Max	-1589	45603.40	130	4012.47	162	4003.16	173	613.95	98	318.76	98	-5.07	17	670.32	17	2388.65	101
0	Max	-1590	45603.40	130	4012.47	162	4003.16	173	613.95	98	318.76	98	-5.07	17	670.32	17	2388.65	101
0	Max	-1583	45603.40	130	4012.47	162	4003.16	173	613.95	98	318.76	98	-5.07	17	670.32	17	2388.65	101
0	Max	-1582	45603.40	130	4012.47	162	4003.16	173	613.95	98	318.76	98	-5.07	17	670.32	17	2388.65	101
0	Min.	-1589	-30219.00	101	-2049.45	177	-15335.40	177	-347.46	101	-142.92	125	-88.97	102	-3723.25	102	-7290.52	98
0	Min.	-1590	-30219.00	101	-2049.45	177	-15335.40	177	-347.46	101	-142.92	125	-88.97	102	-3723.25	102	-7290.52	98
0	Min.	-1583	-30219.00	101	-2049.45	177	-15335.40	177	-347.46	101	-142.92	125	-88.97	102	-3723.25	102	-7290.52	98
0	Min.	-1582	-30219.00	101	-2049.45	177	-15335.40	177	-347.46	101	-142.92	125	-88.97	102	-3723.25	102	-7290.52	98
0	Max	-1590	34935.70	130	3666.06	162	3747.33	173	404.30	122	250.81	98	10.56	161	890.35	177	3356.34	101
0	Max	-1591	34935.70	130	3666.06	162	3747.33	173	404.30	122	250.81	98	10.56	161	890.35	177	3356.34	101
0	Max	-1584	34935.70	130	3666.06	162	3747.33	173	404.30	122	250.81	98	10.56	161	890.35	177	3356.34	101
0	Max	-1583	34935.70	130	3666.06	162	3747.33	173	404.30	122	250.81	98	10.56	161	890.35	177	3356.34	101
0	Min.	-1590	-23964.30	101	-2637.85	177	-15391.80	177	-336.68	101	-117.90	125	-66.48	98	-1287.46	102	-7110.06	98
0	Min.	-1591	-23964.30	101	-2637.85	177	-15391.80	177	-336.68	101	-117.90	125	-66.48	98	-1287.46	102	-7110.06	98
0	Min.	-1584	-23964.30	101	-2637.85	177	-15391.80	177	-336.68	101	-117.90	125	-66.48	98	-1287.46	102	-7110.06	98
0	Min.	-1583	-23964.30	101	-2637.85	177	-15391.80	177	-336.68	101	-117.90	125	-66.48	98	-1287.46	102	-7110.06	98
0	Max	-1591	23465.00	130	2655.70	162	3085.88	173	252.64	122	177.45	98	30.26	161	643.40	177	3862.09	101
0	Max	-1592	23465.00	130	2655.70	162	3085.88	173	252.64	122	177.45	98	30.26	161	643.40	177	3862.09	101
0	Max	-1585	23465.00	130	2655.70	162	3085.88	173	252.64	122	177.45	98	30.26	161	643.40	177	3862.09	101
0	Max	-1584	23465.00	130	2655.70	162	3085.88	173	252.64	122	177.45	98	30.26	161	643.40	177	3862.09	101
0	Min.	-1591	-16670.20	101	-3981.84	177	-13793.30	177	-290.87	101	-89.49	125	-88.88	173	-1346.13	173	-6625.98	98
0	Min.	-1592	-16670.20	101	-3981.84	177	-13793.30	177	-290.87	101	-89.49	125	-88.88	173	-1346.13	173	-6625.98	98
0	Min.	-1585	-16670.20	101	-3981.84	177	-13793.30	177	-290.87	101	-89.49	125	-88.88	173	-1346.13	173	-6625.98	98
0	Min.	-1584	-16670.20	101	-3981.84	177	-13793.30	177	-290.87	101	-89.49	125	-88.88	173	-1346.13	173	-6625.98	98
0	Max	-1592	11606.10	130	1826.18	162	1980.52	173	37.22	122	92.55	99	38.64	161	5346.48	177	9345.75	101
0	Max	-1615	11606.10	130	1826.18	162	1980.52	173	37.22	122	92.55	99	38.64	161	5346.48	177	9345.75	101
0	Max	-1614	11606.10	130	1826.18	162	1980.52	173	37.22	122	92.55	99	38.64	161	5346.48	177	9345.75	101
0	Max	-1585	11606.10	130	1826.18	162	1980.52	173	37.22	122	92.55	99	38.64	161	5346.48	177	9345.75	101
0	Min.	-1592	-8463.51	101	-5939.66	177	-8902.56	177	-86.61	101	-55.41	164	-99.14	173	-1145.31	162	-9545.02	122
0	Min.	-1615	-8463.51	101	-5939.66	177	-8902.56	177	-86.61	101	-55.41	164	-99.14	173	-1145.31	162	-9545.02	122
0	Min.	-1614	-8463.51	101	-5939.66	177	-8902.56	177	-86.61	101	-55.41	164	-99.14	173	-1145.31	162	-9545.02	122
0	Min.	-1585	-8463.51	101	-5939.66	177	-8902.56	177	-86.61	101	-55.41	164	-99.14	173	-1145.31	162	-9545.02	122
0	Max	440	67373.00	130	5018.42	162	3478.68	173	2398.32	98	466.08	173	157.84	173	-3816.27	17	-2844.92	1
0	Max	-1558	67373.00	130	5018.42	162	3478.68	173	2398.32	98	466.08	173	157.84	173	-3816.27	17	-2844.92	1
0	Max	-1593	67373.00	130	5018.42	162	3478.68	173	2398.32	98	466.08	173	157.84	173	-3816.27	17	-2844.92	1
0	Max	-1531	67373.00	130	5018.42	162	3478.68	173	2398.32	98	466.08	173	157.84	173	-3816.27	17	-2844.92	1
0	Min.	440	-45904.80	101	-4233.86	177	-11428.70	177	146.66	1	-82.36	101	-149.41	101	-30609.30	98	-23946.00	102
0	Min.	-1558	-45904.80	101	-4233.86	177	-11428.70	177	146.66	1	-82.36	101	-149.41	101	-30609.30	98	-23946.00	102
0	Min.	-1593	-45904.80	101	-4233.86	177	-11428.70	177	146.66	1	-82.36	101	-149.41	101	-30609.30	98	-23946.00	102
0	Min.	-1531	-45904.80	101	-4233.86	177	-11428.70	177	146.66	1	-82.36	101	-149.41	101	-30609.30	98	-23946.00	102
0	Max	-1558	66301.60	130	2817.40	173	3290.35	173	1710.42	98	436.66	98	93.67	173	24071.80	101	-1276.57	1

0	Max	-1916	66301.60	130	2817.40	173	3290.35	173	1710.42	98	436.66	98	93.67	173	24071.80	101	-1276.57	1
0	Max	-1929	66301.60	130	2817.40	173	3290.35	173	1710.42	98	436.66	98	93.67	173	24071.80	101	-1276.57	1
0	Max	-1593	66301.60	130	2817.40	173	3290.35	173	1710.42	98	436.66	98	93.67	173	24071.80	101	-1276.57	1
0	Min.	-1558	-43039.80	101	-4159.51	177	-12147.30	177	-301.63	101	-89.56	101	-116.72	97	-5702.99	173	-22614.20	102
0	Min.	-1916	-43039.80	101	-4159.51	177	-12147.30	177	-301.63	101	-89.56	101	-116.72	97	-5702.99	173	-22614.20	102
0	Min.	-1929	-43039.80	101	-4159.51	177	-12147.30	177	-301.63	101	-89.56	101	-116.72	97	-5702.99	173	-22614.20	102
0	Min.	-1593	-43039.80	101	-4159.51	177	-12147.30	177	-301.63	101	-89.56	101	-116.72	97	-5702.99	173	-22614.20	102
0	Max	-1559	62284.60	130	2360.63	130	3519.86	173	1236.98	98	421.74	98	218.02	102	16010.80	101	1609.66	101
0	Max	-1560	62284.60	130	2360.63	130	3519.86	173	1236.98	98	421.74	98	218.02	102	16010.80	101	1609.66	101
0	Max	-1595	62284.60	130	2360.63	130	3519.86	173	1236.98	98	421.74	98	218.02	102	16010.80	101	1609.66	101
0	Max	-1594	62284.60	130	2360.63	130	3519.86	173	1236.98	98	421.74	98	218.02	102	16010.80	101	1609.66	101
0	Min.	-1559	-39559.50	101	-4548.78	177	-13164.90	177	-274.54	101	-126.75	125	-52.62	65	-2635.89	173	-7819.07	106
0	Min.	-1560	-39559.50	101	-4548.78	177	-13164.90	177	-274.54	101	-126.75	125	-52.62	65	-2635.89	173	-7819.07	106
0	Min.	-1595	-39559.50	101	-4548.78	177	-13164.90	177	-274.54	101	-126.75	125	-52.62	65	-2635.89	173	-7819.07	106
0	Min.	-1594	-39559.50	101	-4548.78	177	-13164.90	177	-274.54	101	-126.75	125	-52.62	65	-2635.89	173	-7819.07	106
0	Max	-1560	54945.30	130	3449.48	162	3536.78	173	890.05	98	377.11	98	158.30	102	8743.78	101	1132.34	101
0	Max	-1561	54945.30	130	3449.48	162	3536.78	173	890.05	98	377.11	98	158.30	102	8743.78	101	1132.34	101
0	Max	-1596	54945.30	130	3449.48	162	3536.78	173	890.05	98	377.11	98	158.30	102	8743.78	101	1132.34	101
0	Max	-1595	54945.30	130	3449.48	162	3536.78	173	890.05	98	377.11	98	158.30	102	8743.78	101	1132.34	101
0	Min.	-1560	-35428.90	101	-4913.87	177	-14359.90	177	-297.50	101	-161.19	125	-20.04	65	-1326.71	173	-7296.38	106
0	Min.	-1561	-35428.90	101	-4913.87	177	-14359.90	177	-297.50	101	-161.19	125	-20.04	65	-1326.71	173	-7296.38	106
0	Min.	-1596	-35428.90	101	-4913.87	177	-14359.90	177	-297.50	101	-161.19	125	-20.04	65	-1326.71	173	-7296.38	106
0	Min.	-1595	-35428.90	101	-4913.87	177	-14359.90	177	-297.50	101	-161.19	125	-20.04	65	-1326.71	173	-7296.38	106
0	Max	-1561	45459.90	130	3982.11	162	3581.75	173	614.01	98	318.44	98	89.91	102	3692.09	102	2393.55	101
0	Max	-1562	45459.90	130	3982.11	162	3581.75	173	614.01	98	318.44	98	89.91	102	3692.09	102	2393.55	101
0	Max	-1597	45459.90	130	3982.11	162	3581.75	173	614.01	98	318.44	98	89.91	102	3692.09	102	2393.55	101
0	Max	-1596	45459.90	130	3982.11	162	3581.75	173	614.01	98	318.44	98	89.91	102	3692.09	102	2393.55	101
0	Min.	-1561	-30144.30	101	-4581.09	177	-15603.70	177	-347.56	101	-143.56	125	5.46	65	-879.54	173	-7273.11	98
0	Min.	-1562	-30144.30	101	-4581.09	177	-15603.70	177	-347.56	101	-143.56	125	5.46	65	-879.54	173	-7273.11	98
0	Min.	-1597	-30144.30	101	-4581.09	177	-15603.70	177	-347.56	101	-143.56	125	5.46	65	-879.54	173	-7273.11	98
0	Min.	-1596	-30144.30	101	-4581.09	177	-15603.70	177	-347.56	101	-143.56	125	5.46	65	-879.54	173	-7273.11	98
0	Max	-1562	34840.40	130	3639.68	162	3492.29	173	404.34	122	250.70	98	67.66	98	1800.17	177	3355.19	101
0	Max	-1563	34840.40	130	3639.68	162	3492.29	173	404.34	122	250.70	98	67.66	98	1800.17	177	3355.19	101
0	Max	-1598	34840.40	130	3639.68	162	3492.29	173	404.34	122	250.70	98	67.66	98	1800.17	177	3355.19	101
0	Max	-1597	34840.40	130	3639.68	162	3492.29	173	404.34	122	250.70	98	67.66	98	1800.17	177	3355.19	101
0	Min.	-1562	-23918.00	101	-3082.03	177	-15943.40	177	-336.84	101	-117.99	125	-10.03	161	-711.47	173	-7093.20	98
0	Min.	-1563	-23918.00	101	-3082.03	177	-15943.40	177	-336.84	101	-117.99	125	-10.03	161	-711.47	173	-7093.20	98
0	Min.	-1598	-23918.00	101	-3082.03	177	-15943.40	177	-336.84	101	-117.99	125	-10.03	161	-711.47	173	-7093.20	98
0	Min.	-1597	-23918.00	101	-3082.03	177	-15943.40	177	-336.84	101	-117.99	125	-10.03	161	-711.47	173	-7093.20	98
0	Max	-1563	23393.00	130	2673.79	162	3150.87	173	252.48	122	177.37	98	87.03	98	1733.90	177	3861.13	101
0	Max	-1564	23393.00	130	2673.79	162	3150.87	173	252.48	122	177.37	98	87.03	98	1733.90	177	3861.13	101
0	Max	-1599	23393.00	130	2673.79	162	3150.87	173	252.48	122	177.37	98	87.03	98	1733.90	177	3861.13	101
0	Max	-1598	23393.00	130	2673.79	162	3150.87	173	252.48	122	177.37	98	87.03	98	1733.90	177	3861.13	101
0	Min.	-1563	-16632.60	101	-1506.02	101	-14275.50	177	-290.94	101	-89.37	125	-29.64	161	-352.46	173	-6611.93	98
0	Min.	-1564	-16632.60	101	-1506.02	101	-14275.50	177	-290.94	101	-89.37	125	-29.64	161	-352.46	173	-6611.93	98
0	Min.	-1599	-16632.60	101	-1506.02	101	-14275.50	177	-290.94	101	-89.37	125	-29.64	161	-352.46	173	-6611.93	98
0	Min.	-1598	-16632.60	101	-1506.02	101	-14275.50	177	-290.94	101	-89.37	125	-29.64	161	-352.46	173	-6611.93	98
0	Max	-1564	11621.60	130	2989.43	177	1809.38	173	38.23	173	94.14	173	92.42	98	4845.99	177	9330.00	101
0	Max	-1611	11621.60	130	2989.43	177	1809.38	173	38.23	173	94.14	173	92.42	98	4845.99	177	9330.00	101
0	Max	-1616	11621.60	130	2989.43	177	1809.38	173	38.23	173	94.14	173	92.42	98	4845.99	177	9330.00	101
0	Max	-1599	11621.60	130	2989.43	177	1809.38	173	38.23	173	94.14	173	92.42	98	4845.99	177	9330.00	101
0	Min.	-1564	-8484.10	101	-1346.97	101	-9112.42	177	-86.74	101	-54.98	163	-37.93	161	-1619.63	173	-9514.46	122
0	Min.	-1611	-8484.10	101	-1346.97	101	-9112.42	177	-86.74	101	-54.98	163	-37.93	161	-1619.63	173	-9514.46	122
0	Min.	-1616	-8484.10	101	-1346.97	101	-9112.42	177	-86.74	101	-54.98	163	-37.93	161	-1619.63	173	-9514.46	122
0	Min.	-1599	-8484.10	101	-1346.97	101	-9112.42	177	-86.74	101	-54.98	163	-37.93	161	-1619.63	173	-9514.46	122
0	Max	-1840	12312.10	130	3610.62	177	2841.75	101	47.59	158	107.08	173	171.28	98	4192.12	177	7929.28	101
0	Max	-1607	12312.10	130	3610.62	177	2841.75	101	47.59	158	107.08	173	171.28	98	4192.12	177	7929.28	101
0	Max	-1354	12312.10	130	3610.62	177	2841.75	101	47.59	158	107.08	173	171.28	98	4192.12	177	7929.28	101
0	Max	-1353	12312.10	130	3610.62	177	2841.75	101	47.59	158	107.08	173	171.28	98	4192.12	177	7929.28	101
0	Min.	-1840	-8971.17	101	-2341.22	173	-8867.88	177	-85.55	101	-143.51	177	-80.19	125	-2732.77	17	-7442.51	122
0	Min.	-1607	-8971.17	101	-2341.22	173	-8867.88	177	-85.55	101	-143.51	177	-80.19	125	-2732.77	17	-7442.51	122
0	Min.	-1354	-8971.17	101	-2341.22	173	-8867.88	177	-85.55	101	-143.51	177	-80.19	125	-2732.77	17	-7442.51	122
0	Min.	-1353	-8971.17	101	-2341.22	173	-8867.88	177	-85.55	101	-143.51	177	-80.19	125	-2732.77	17	-7442.51	122
0	Max	-1697	24266.00	130	2468.20	162	998.64	125	251.76	122	171.49	173	162.47	98	1995.23	177	3986.09	101
0	Max	-1840	24266.00	130	2468.20	162	998.64	125	251.76	122	171.49	173	162.47	98	1995.23	177	3986.09	101
0	Max	-1353	24266.00	130	2468.20	162	998.64	125	251.76	122	171.49	173	162.47	98	1995.23	177	3986.09	101
0	Max	-1351	24266.00	130	2468.20	162	998.64	125	251.76	122	171.49	173	162.47	98	1995.23	177	3986.09	101
0	Min.	-1697	-17196.30	101	-1428.68	101	-12765.80	177	-278.00	101	-142.21	125	-70.41	125	-1133.30	166	-5565.91	98
0	Min.	-1840	-17196.30	101	-1428.68	101	-12765.80	177	-278.00	101	-142.21	125	-70.41	125	-1133.30	166	-5565.91	98
0	Min.	-1353	-17196.30	101	-1428.68	101	-12765.80	177	-278.00	101	-142.21	125	-70.41	125	-1133.30	166	-5565.91	98
0	Min.	-1351	-17196.30	101	-1428.68	101	-12765.80	177	-278.00	101	-142.21	125	-70.41	125	-1133.30	166	-5565.91	98
0	Max	-1696	35716.70	130	4032.42	162	1317.55	125	407.95	122	248.62	173	142.94	98	1941.44	177	3643.15	101
0	Max	-1697	35716.70	130	4032.42	162	1317.55	125	407.95	122	248.62	173	142.94	98	1941.44	177	3643.15	101
0	Max	-1351	35716.70	130	4032.42	162	1317.55	125	407.95	122	248.62	173	142.94	98	1941.44	177	3643.15	101
0	Max	-1350	35716.70	130	4032.42	162	1317.55	125	407.95	122	248.62	173	142.94	98	1941.44	177	3643.15	101
0	Min.	-1696	-24449.20	101	-3122.67	177	-13901.00	177	-323.59	101	-217.26	125	-46.61	125	-1138.13	101	-6049.88	98
0	Min.	-1697	-24449.20	101	-3122.67	177	-13901.00	177	-323.59	101	-217.26	125	-46.61	125	-1138.13	101	-6049.88	98
0	Min.	-1351	-24449.20	101	-3122.67	177	-13901.00	177	-323.59	101	-217.26	125	-46.61	125	-1138.13	101	-6049.88	98
0	Min.	-1350	-24449.20	101	-3122.67	177	-13901.00	177	-323.59	101	-217.26	125	-46.61	125	-1138.13	101	-6049.88	98
0	Max	-1690	46218.20	130	4830.84	162	1568.02	125	587.10	122	332.47	173	107.19	173	1516.03	177	4493.40	101
0	Max	-1696	46218.20	130	4830.84	162	1568.02	125	587.10	122	332.47	173	107.19	173	1516.03	177	4493.40	101
0	Max	-1350	46218.20	130	4830.84	162	1568.02	125	587.10	122	332.47	173	107.19	173	1516.03	177	4493.40	101
0	Max	-1349	46218.20	130	4830.84	162	1568.02	125	587.10	122	332.47	173	107.19	173	1516.03	177	4493.40	101
0	Min.	-1690	-30684.20	101	-6322.62	177	-13140.00	177	-341.00	101	-306.46	125	-41.66	101	-697.57	161	-6671.63	98
0	Min.	-1696	-30684.20	101	-6322.62	177	-13140.00	177	-341.00	101	-306.46	125	-41.66	101	-697.57	161	-6671.63	98
0	Min.	-1350	-30684.20	101	-6322.62	177	-13140.00	177	-341.00	101	-306.46	125	-41.66	101	-697.57	161	-6671.63	98
0	Min.	-1349	-30684.20	101	-6322.62	177	-13140.00	177	-341.00	101	-306.46	125	-41.66	101	-697.57	161	-6671.63	98
0	Max	-1685	55495.30	130	5396.31	162	1956.04	161	831.70	98	424.46	173	114.38	130	1394.57	177	2094.01	101
0	Max	-1690	55495.30	130	5396.31	162	1956.04	161	831.70	98	424.46	173	114.38	130	1394.57	177	2094.01	101
0	Max	-1349	55495.30	130	5396.31	162	1956.04	161	831.70	98	424.46	173	114.38	130	1394.57	177	2094.01	101
0	Max	-1348	55495.30	130	5396.31	162	1956.04	161	831.70	98	424.46	173	114.38	130	1394.57	177	2094.01	101
0	Min.	-1685	-36041.80	101	-6746.64	177	-11296.40	177	-248.21	101	-498.30	101	-71.52	101	-1359.24	130	-7498.98	98
0	Min.	-1690	-36041.80	101	-6746.64	177	-11296.40	177	-248.21	101	-498.30	101	-71.52	101	-1359.24	130	-7498.98	98
0	Min.	-1349	-36041.80	101	-6746.64	177	-11296.40	177	-248.21	101	-498.30	101	-71.52	101	-1359.24	130	-7498.98	98
0	Min.	-1348	-36041.80	101	-6746.64	177	-11296.40	177	-248.21	101	-498.30	101	-71.52	101	-1359.24	130	-7498.98	98
0	Max	-1414	62451.80	130	7275.53	161	7528.79	161	1167.41	98	509.44	173	105.24	130	1563.86	177	15864.00	101
0	Max	-1685	62451.80	130	7275.53	161	7528.79	161	1167.41	98	509.44	173	105.24	130	1563.86	177	15864.00	101
0	Max	-1348	62451.80	130	7275.53	161	7528.79	161	1167.41	98	509.44	173	105.24	130	1563.86	177	15864.00	101
0	Max	-1347	62451.80	130	7275.53	161	7528.79	161	1167.41	98	509.44	173	105.24	130	1563.86	177	15864.00	101
0	Min.	-1414	-40319.30	101	-5223.43	177	-10192.60	177	-339.27	101	-936.79	101	-125.86	101	-15610.40	102	-7331.28	106
0	Min.	-1685	-40319.30	101	-5223.43	177	-10192.60	177	-339.27	101	-936.79	101	-125.86	101	-15610.40	102	-7331.28	106
0	Min.	-1348	-40319.30	101	-5223.43	177	-10192.60	177	-339.27	101	-936.79	101	-125.86	101	-15610.40	102	-7331.28	106
0	Min.	-1347	-40319.30	101	-5223.43	177	-10192.60	177	-339.27	101	-936.79	101	-125.86	101	-15610.40	102	-7331.28	106
0	Max	-1618	74220.90	162	9089.89	162	31517.10	162	1718.39	98	541.30	173	147.32	126	8120.07	98	-1385.30	17
0	Max	-1930	74220.90	162	9089.89	162	31517.10	162	1718.39	98	541.30	173	147.32	126	8120.07	98	-1385.30	17

0	Max	-1915	74220.90	162	9089.89	162	31517.10	162	1718.39	98	541.30	173	147.32	126	8120.07	98	-1385.30	17
0	Max	-1346	74220.90	162	9089.89	162	31517.10	162	1718.39	98	541.30	173	147.32	126	8120.07	98	-1385.30	17
0	Min.	-1618	-42897.30	101	-4556.34	177	-9972.19	177	-676.53	101	-1472.08	101	-88.23	17	-21123.80	101	-38196.90	102
0	Min.	-1930	-42897.30	101	-4556.34	177	-9972.19	177	-676.53	101	-1472.08	101	-88.23	17	-21123.80	101	-38196.90	102
0	Min.	-1915	-42897.30	101	-4556.34	177	-9972.19	177	-676.53	101	-1472.08	101	-88.23	17	-21123.80	101	-38196.90	102
0	Min.	-1346	-42897.30	101	-4556.34	177	-9972.19	177	-676.53	101	-1472.08	101	-88.23	17	-21123.80	101	-38196.90	102
0	Max	-1536	66871.50	130	3609.54	130	9444.65	162	2279.86	98	445.74	173	192.61	173	17752.40	98	-1511.34	1
0	Max	-1618	66871.50	130	3609.54	130	9444.65	162	2279.86	98	445.74	173	192.61	173	17752.40	98	-1511.34	1
0	Max	-1346	66871.50	130	3609.54	130	9444.65	162	2279.86	98	445.74	173	192.61	173	17752.40	98	-1511.34	1
0	Max	-1385	66871.50	130	3609.54	130	9444.65	162	2279.86	98	445.74	173	192.61	173	17752.40	98	-1511.34	1
0	Min.	-1536	-46145.80	101	-5102.68	177	-9701.01	177	128.55	1	-1360.58	101	-127.43	97	2543.05	33	-26768.70	102
0	Min.	-1618	-46145.80	101	-5102.68	177	-9701.01	177	128.55	1	-1360.58	101	-127.43	97	2543.05	33	-26768.70	102
0	Min.	-1346	-46145.80	101	-5102.68	177	-9701.01	177	128.55	1	-1360.58	101	-127.43	97	2543.05	33	-26768.70	102
0	Min.	-1385	-46145.80	101	-5102.68	177	-9701.01	177	128.55	1	-1360.58	101	-127.43	97	2543.05	33	-26768.70	102
0	Max	433	67668.90	130	3073.37	130	5613.62	97	2431.26	98	914.11	98	183.68	173	-5206.71	33	-3492.72	65
0	Max	-1579	67668.90	130	3073.37	130	5613.62	97	2431.26	98	914.11	98	183.68	173	-5206.71	33	-3492.72	65
0	Max	-1345	67668.90	130	3073.37	130	5613.62	97	2431.26	98	914.11	98	183.68	173	-5206.71	33	-3492.72	65
0	Max	-1344	67668.90	130	3073.37	130	5613.62	97	2431.26	98	914.11	98	183.68	173	-5206.71	33	-3492.72	65
0	Min.	433	-45767.70	101	-2978.53	101	-9130.76	177	150.61	49	-531.18	101	-135.71	17	-52258.40	102	-41585.00	102
0	Min.	-1579	-45767.70	101	-2978.53	101	-9130.76	177	150.61	49	-531.18	101	-135.71	17	-52258.40	102	-41585.00	102
0	Min.	-1345	-45767.70	101	-2978.53	101	-9130.76	177	150.61	49	-531.18	101	-135.71	17	-52258.40	102	-41585.00	102
0	Min.	-1344	-45767.70	101	-2978.53	101	-9130.76	177	150.61	49	-531.18	101	-135.71	17	-52258.40	102	-41585.00	102
0	Max	-1579	74982.80	162	9231.96	162	26073.60	161	1684.16	98	615.45	98	133.18	173	1102.55	17	-1887.22	65
0	Max	-1928	74982.80	162	9231.96	162	26073.60	161	1684.16	98	615.45	98	133.18	173	1102.55	17	-1887.22	65
0	Max	-1913	74982.80	162	9231.96	162	26073.60	161	1684.16	98	615.45	98	133.18	173	1102.55	17	-1887.22	65
0	Max	-1345	74982.80	162	9231.96	162	26073.60	161	1684.16	98	615.45	98	133.18	173	1102.55	17	-1887.22	65
0	Min.	-1579	-42886.40	101	-2591.29	101	-10319.00	177	-732.36	101	-1162.56	101	-95.97	17	-39756.90	101	-40710.10	102
0	Min.	-1928	-42886.40	101	-2591.29	101	-10319.00	177	-732.36	101	-1162.56	101	-95.97	17	-39756.90	101	-40710.10	102
0	Min.	-1913	-42886.40	101	-2591.29	101	-10319.00	177	-732.36	101	-1162.56	101	-95.97	17	-39756.90	101	-40710.10	102
0	Min.	-1345	-42886.40	101	-2591.29	101	-10319.00	177	-732.36	101	-1162.56	101	-95.97	17	-39756.90	101	-40710.10	102
0	Max	-1580	62931.30	130	8122.55	162	3781.12	125	1206.25	98	451.12	98	70.27	173	541.86	17	13521.90	101
0	Max	-1581	62931.30	130	8122.55	162	3781.12	125	1206.25	98	451.12	98	70.27	173	541.86	17	13521.90	101
0	Max	-1342	62931.30	130	8122.55	162	3781.12	125	1206.25	98	451.12	98	70.27	173	541.86	17	13521.90	101
0	Max	-1343	62931.30	130	8122.55	162	3781.12	125	1206.25	98	451.12	98	70.27	173	541.86	17	13521.90	101
0	Min.	-1580	-40393.80	101	-816.87	101	-11787.50	177	-329.91	101	-875.25	101	-151.50	126	-19712.00	101	-7697.71	98
0	Min.	-1581	-40393.80	101	-816.87	101	-11787.50	177	-329.91	101	-875.25	101	-151.50	126	-19712.00	101	-7697.71	98
0	Min.	-1342	-40393.80	101	-816.87	101	-11787.50	177	-329.91	101	-875.25	101	-151.50	126	-19712.00	101	-7697.71	98
0	Min.	-1343	-40393.80	101	-816.87	101	-11787.50	177	-329.91	101	-875.25	101	-151.50	126	-19712.00	101	-7697.71	98
0	Max	-1581	55625.30	130	5518.35	162	3138.15	173	854.11	98	369.52	98	19.14	17	446.94	17	1104.79	101
0	Max	-1582	55625.30	130	5518.35	162	3138.15	173	854.11	98	369.52	98	19.14	17	446.94	17	1104.79	101
0	Max	-1868	55625.30	130	5518.35	162	3138.15	173	854.11	98	369.52	98	19.14	17	446.94	17	1104.79	101
0	Max	-1342	55625.30	130	5518.35	162	3138.15	173	854.11	98	369.52	98	19.14	17	446.94	17	1104.79	101
0	Min.	-1581	-35961.50	101	-1182.08	177	-12948.90	177	-252.90	101	-468.06	101	-87.32	126	-1484.25	173	-6324.35	98
0	Min.	-1582	-35961.50	101	-1182.08	177	-12948.90	177	-252.90	101	-468.06	101	-87.32	126	-1484.25	173	-6324.35	98
0	Min.	-1868	-35961.50	101	-1182.08	177	-12948.90	177	-252.90	101	-468.06	101	-87.32	126	-1484.25	173	-6324.35	98
0	Min.	-1342	-35961.50	101	-1182.08	177	-12948.90	177	-252.90	101	-468.06	101	-87.32	126	-1484.25	173	-6324.35	98
0	Max	-1582	46136.20	130	4726.76	162	2790.57	173	588.38	122	295.36	98	-8.66	17	31.29	17	3263.70	101
0	Max	-1583	46136.20	130	4726.76	162	2790.57	173	588.38	122	295.36	98	-8.66	17	31.29	17	3263.70	101
0	Max	-1869	46136.20	130	4726.76	162	2790.57	173	588.38	122	295.36	98	-8.66	17	31.29	17	3263.70	101
0	Max	-1868	46136.20	130	4726.76	162	2790.57	173	588.38	122	295.36	98	-8.66	17	31.29	17	3263.70	101
0	Min.	-1582	-30567.60	101	-1720.72	101	-13744.30	177	-338.66	101	-282.58	125	-61.95	98	-1925.73	98	-5988.01	98
0	Min.	-1583	-30567.60	101	-1720.72	101	-13744.30	177	-338.66	101	-282.58	125	-61.95	98	-1925.73	98	-5988.01	98
0	Min.	-1869	-30567.60	101	-1720.72	101	-13744.30	177	-338.66	101	-282.58	125	-61.95	98	-1925.73	98	-5988.01	98
0	Min.	-1868	-30567.60	101	-1720.72	101	-13744.30	177	-338.66	101	-282.58	125	-61.95	98	-1925.73	98	-5988.01	98
0	Max	-1583	35379.50	130	4067.84	162	2790.71	101	404.53	122	221.64	98	22.14	165	139.71	177	2484.26	101
0	Max	-1584	35379.50	130	4067.84	162	2790.71	101	404.53	122	221.64	98	22.14	165	139.71	177	2484.26	101
0	Max	-1870	35379.50	130	4067.84	162	2790.71	101	404.53	122	221.64	98	22.14	165	139.71	177	2484.26	101
0	Max	-1869	35379.50	130	4067.84	162	2790.71	101	404.53	122	221.64	98	22.14	165	139.71	177	2484.26	101
0	Min.	-1583	-24222.50	101	-2074.81	101	-13882.90	177	-323.49	101	-196.78	125	-90.93	98	-1960.21	98	-5096.97	98
0	Min.	-1584	-24222.50	101	-2074.81	101	-13882.90	177	-323.49	101	-196.78	125	-90.93	98	-1960.21	98	-5096.97	98
0	Min.	-1870	-24222.50	101	-2074.81	101	-13882.90	177	-323.49	101	-196.78	125	-90.93	98	-1960.21	98	-5096.97	98
0	Min.	-1869	-24222.50	101	-2074.81	101	-13882.90	177	-323.49	101	-196.78	125	-90.93	98	-1960.21	98	-5096.97	98
0	Max	-1584	24308.70	130	2518.31	162	3087.03	101	245.49	122	146.26	98	54.87	161	302.51	177	3267.53	101
0	Max	-1585	24308.70	130	2518.31	162	3087.03	101	245.49	122	146.26	98	54.87	161	302.51	177	3267.53	101
0	Max	-1871	24308.70	130	2518.31	162	3087.03	101	245.49	122	146.26	98	54.87	161	302.51	177	3267.53	101
0	Max	-1870	24308.70	130	2518.31	162	3087.03	101	245.49	122	146.26	98	54.87	161	302.51	177	3267.53	101
0	Min.	-1584	-17271.60	101	-3445.62	177	-12587.70	177	-275.08	101	-128.89	125	-118.91	98	-2913.00	98	-5120.58	98
0	Min.	-1585	-17271.60	101	-3445.62	177	-12587.70	177	-275.08	101	-128.89	125	-118.91	98	-2913.00	98	-5120.58	98
0	Min.	-1871	-17271.60	101	-3445.62	177	-12587.70	177	-275.08	101	-128.89	125	-118.91	98	-2913.00	98	-5120.58	98
0	Min.	-1870	-17271.60	101	-3445.62	177	-12587.70	177	-275.08	101	-128.89	125	-118.91	98	-2913.00	98	-5120.58	98
0	Max	-1585	12099.20	130	1578.56	1	4005.87	101	50.98	122	85.57	111	77.67	166	4938.77	177	5808.26	101
0	Max	-1614	12099.20	130	1578.56	1	4005.87	101	50.98	122	85.57	111	77.67	166	4938.77	177	5808.26	101
0	Max	-1872	12099.20	130	1578.56	1	4005.87	101	50.98	122	85.57	111	77.67	166	4938.77	177	5808.26	101
0	Max	-1871	12099.20	130	1578.56	1	4005.87	101	50.98	122	85.57	111	77.67	166	4938.77	177	5808.26	101
0	Min.	-1585	-8918.44	101	-9762.90	177	-8438.54	177	-92.71	101	-75.97	128	-113.54	97	-3018.32	125	-5186.41	122
0	Min.	-1614	-8918.44	101	-9762.90	177	-8438.54	177	-92.71	101	-75.97	128	-113.54	97	-3018.32	125	-5186.41	122
0	Min.	-1872	-8918.44	101	-9762.90	177	-8438.54	177	-92.71	101	-75.97	128	-113.54	97	-3018.32	125	-5186.41	122
0	Min.	-1871	-8918.44	101	-9762.90	177	-8438.54	177	-92.71	101	-75.97	128	-113.54	97	-3018.32	125	-5186.41	122
0	Max	-1531	67908.00	130	3437.04	130	4218.40	173	2392.08	98	693.94	102	190.02	173	37305.70	102	-2372.44	1
0	Max	-1593	67908.00	130	3437.04	130	4218.40	173	2392.08	98	693.94	102	190.02	173	37305.70	102	-2372.44	1
0	Max	-1551	67908.00	130	3437.04	130	4218.40	173	2392.08	98	693.94	102	190.02	173	37305.70	102	-2372.44	1
0	Max	430	67908.00	130	3437.04	130	4218.40	173	2392.08	98	693.94	102	190.02	173	37305.70	102	-2372.44	1
0	Min.	-1531	-45549.80	101	-3084.96	177	-11962.90	177	150.97	1	72.44	161	-119.42	17	3679.00	65	-14971.50	102
0	Min.	-1593	-45549.80	101	-3084.96	177	-11962.90	177	150.97	1	72.44	161	-119.42	17	3679.00	65	-14971.50	102
0	Min.	-1551	-45549.80	101	-3084.96	177	-11962.90	177	150.97	1	72.44	161	-119.42	17	3679.00	65	-14971.50	102
0	Min.	430	-45549.80	101	-3084.96	177	-11962.90	177	150.97	1	72.44	161	-119.42	17	3679.00	65	-14971.50	102
0	Max	-1593	66099.60	130	3072.02	130	4036.73	173	1743.87	98	674.13	102	130.41	173	8288.17	102	-1028.56	1
0	Max	-1929	66099.60	130	3072.02	130	4036.73	173	1743.87	98	674.13	102	130.41	173	8288.17	102	-1028.56	1
0	Max	-1926	66099.60	130	3072.02	130	4036.73	173	1743.87	98	674.13	102	130.41	173	8288.17	102	-1028.56	1
0	Max	-1551	66099.60	130	3072.02	130	4036.73	173	1743.87	98	674.13	102	130.41	173	8288.17	102	-1028.56	1
0	Min.	-1593	-42467.60	101	-3160.00	177	-12887.20	177	24.79	149	29.07	161	-87.56	17	-1339.98	173	-8684.55	102
0	Min.	-1929	-42467.60	101	-3160.00	177	-12887.20	177	24.79	149	29.07	161	-87.56	17	-1339.98	173	-8684.55	102
0	Min.	-1926	-42467.60	101	-3160.00	177	-12887.20	177	24.79	149	29.07	161	-87.56	17	-1339.98	173	-8684.55	102
0	Min.	-1551	-42467.60	101	-3160.00	177	-12887.20	177	24.79	149	29.07	161	-87.56	17	-1339.98	173	-8684.55	102
0	Max	-1594	62358.50	130	2670.21	130	4084.03	173	1263.22	98	499.61	102	90.88	102	5443.32	101	-377.27	1
0	Max	-1595	62358.50	130	2670.21	130	4084.03	173	1263.22	98	499.61	102	90.88	102	5443.32	101	-377.27	1
0	Max	-1553	62358.50	130	2670.21	130	4084.03	173	1263.22	98	499.61	102	90.88	102	5443.32	101	-377.27	1
0	Max	-1552	62358.50	130	2670.21	130	4084.03	173	1263.22	98	499.61	102	90.88	102	5443.32	101	-377.27	1
0	Min.	-1594	-39069.60	101	-3532.13	177	-14358.40	177	-206.26	101	-17.02	161	-48.42	65	-2265.23	173	-6674.45	106
0	Min.	-1595	-39069.60	101	-3532.13	177	-14358.40	177	-206.26	101	-17.02	161	-48.42	65	-2265.23	173	-6674.45	106
0	Min.	-1553	-39069.60	101	-3532.13	177	-14358.40	177	-206.26	101	-17.02	161	-48.42	65	-2265.23	173	-6674.45	106
0	Min.	-1552	-39069.60	101	-3532.13	177	-14358.40	177	-206.26	101	-17.02	161	-48.42	65	-2265.23	173	-6674.45	106
0	Max	-1595	54870.00	130	2639.34	130	4112.52	173	916.70	98	350.04	98	88.36	102	3294.66	101	-66.05	1
0	Max	-1596	54870.00	130	2639.34	130	4112.52	173	916.70	98	350.04	98	88.36	102	3294.66	101	-66.05	1
0	Max	-1554	54870.00	130	2639.34	130	4112.52	173	916.70	98	350.04	98	88.36	102	3294.66	101	-66.05	1

0	Max	-1553	54870.00	130	2639.34	130	4112.52	173	916.70	98	350.04	98	88.36	102	3294.66	101	-66.05	1
0	Min.	-1595	-35189.70	101	-3748.75	177	-15625.30	177	-328.43	101	-45.97	161	-19.77	65	-2082.89	173	-6528.13	98
0	Min.	-1596	-35189.70	101	-3748.75	177	-15625.30	177	-328.43	101	-45.97	161	-19.77	65	-2082.89	173	-6528.13	98
0	Min.	-1554	-35189.70	101	-3748.75	177	-15625.30	177	-328.43	101	-45.97	161	-19.77	65	-2082.89	173	-6528.13	98
0	Min.	-1553	-35189.70	101	-3748.75	177	-15625.30	177	-328.43	101	-45.97	161	-19.77	65	-2082.89	173	-6528.13	98
0	Max	-1596	45373.00	130	2828.91	162	4096.04	173	636.09	98	312.44	98	54.76	102	1857.52	101	206.00	1
0	Max	-1597	45373.00	130	2828.91	162	4096.04	173	636.09	98	312.44	98	54.76	102	1857.52	101	206.00	1
0	Max	-1555	45373.00	130	2828.91	162	4096.04	173	636.09	98	312.44	98	54.76	102	1857.52	101	206.00	1
0	Max	-1554	45373.00	130	2828.91	162	4096.04	173	636.09	98	312.44	98	54.76	102	1857.52	101	206.00	1
0	Min.	-1596	-30138.40	101	-3585.22	177	-16666.90	177	-368.45	101	-63.61	161	-2.97	65	-1487.47	173	-6629.88	98
0	Min.	-1597	-30138.40	101	-3585.22	177	-16666.90	177	-368.45	101	-63.61	161	-2.97	65	-1487.47	173	-6629.88	98
0	Min.	-1555	-30138.40	101	-3585.22	177	-16666.90	177	-368.45	101	-63.61	161	-2.97	65	-1487.47	173	-6629.88	98
0	Min.	-1554	-30138.40	101	-3585.22	177	-16666.90	177	-368.45	101	-63.61	161	-2.97	65	-1487.47	173	-6629.88	98
0	Max	-1597	34723.00	130	3195.98	162	3962.01	173	414.09	98	255.56	98	31.00	17	1439.09	177	1583.76	101
0	Max	-1598	34723.00	130	3195.98	162	3962.01	173	414.09	98	255.56	98	31.00	17	1439.09	177	1583.76	101
0	Max	-1556	34723.00	130	3195.98	162	3962.01	173	414.09	98	255.56	98	31.00	17	1439.09	177	1583.76	101
0	Max	-1555	34723.00	130	3195.98	162	3962.01	173	414.09	98	255.56	98	31.00	17	1439.09	177	1583.76	101
0	Min.	-1597	-23976.80	101	-2853.43	177	-16790.40	177	-358.83	101	-68.19	161	-15.50	65	-1102.02	173	-6370.25	98
0	Min.	-1598	-23976.80	101	-2853.43	177	-16790.40	177	-358.83	101	-68.19	161	-15.50	65	-1102.02	173	-6370.25	98
0	Min.	-1556	-23976.80	101	-2853.43	177	-16790.40	177	-358.83	101	-68.19	161	-15.50	65	-1102.02	173	-6370.25	98
0	Min.	-1555	-23976.80	101	-2853.43	177	-16790.40	177	-358.83	101	-68.19	161	-15.50	65	-1102.02	173	-6370.25	98
0	Max	-1598	23595.50	130	2776.38	162	3381.22	173	251.53	122	183.75	98	48.08	17	1538.06	177	3107.67	101
0	Max	-1599	23595.50	130	2776.38	162	3381.22	173	251.53	122	183.75	98	48.08	17	1538.06	177	3107.67	101
0	Max	-1557	23595.50	130	2776.38	162	3381.22	173	251.53	122	183.75	98	48.08	17	1538.06	177	3107.67	101
0	Max	-1556	23595.50	130	2776.38	162	3381.22	173	251.53	122	183.75	98	48.08	17	1538.06	177	3107.67	101
0	Min.	-1598	-16900.30	101	-1641.29	101	-14854.10	177	-304.52	101	-58.99	161	-26.84	65	-851.02	173	-6239.32	98
0	Min.	-1599	-16900.30	101	-1641.29	101	-14854.10	177	-304.52	101	-58.99	161	-26.84	65	-851.02	173	-6239.32	98
0	Min.	-1557	-16900.30	101	-1641.29	101	-14854.10	177	-304.52	101	-58.99	161	-26.84	65	-851.02	173	-6239.32	98
0	Min.	-1556	-16900.30	101	-1641.29	101	-14854.10	177	-304.52	101	-58.99	161	-26.84	65	-851.02	173	-6239.32	98
0	Max	-1599	12063.50	130	2108.83	162	1960.97	173	43.08	122	102.83	98	53.62	17	4465.04	177	7869.57	101
0	Max	-1616	12063.50	130	2108.83	162	1960.97	173	43.08	122	102.83	98	53.62	17	4465.04	177	7869.57	101
0	Max	-1610	12063.50	130	2108.83	162	1960.97	173	43.08	122	102.83	98	53.62	17	4465.04	177	7869.57	101
0	Max	-1557	12063.50	130	2108.83	162	1960.97	173	43.08	122	102.83	98	53.62	17	4465.04	177	7869.57	101
0	Min.	-1599	-8865.69	101	-1245.87	101	-9176.05	177	-97.09	101	-41.34	161	-30.89	65	-1035.10	17	-7958.96	122
0	Min.	-1616	-8865.69	101	-1245.87	101	-9176.05	177	-97.09	101	-41.34	161	-30.89	65	-1035.10	17	-7958.96	122
0	Min.	-1610	-8865.69	101	-1245.87	101	-9176.05	177	-97.09	101	-41.34	161	-30.89	65	-1035.10	17	-7958.96	122
0	Min.	-1557	-8865.69	101	-1245.87	101	-9176.05	177	-97.09	101	-41.34	161	-30.89	65	-1035.10	17	-7958.96	122
0	Max	-1408	11405.10	130	9923.48	177	4144.88	130	54.55	158	77.09	173	156.57	109	5629.76	177	7786.17	101
0	Max	-1407	11405.10	130	9923.48	177	4144.88	130	54.55	158	77.09	173	156.57	109	5629.76	177	7786.17	101
0	Max	-1607	11405.10	130	9923.48	177	4144.88	130	54.55	158	77.09	173	156.57	109	5629.76	177	7786.17	101
0	Max	-1840	11405.10	130	9923.48	177	4144.88	130	54.55	158	77.09	173	156.57	109	5629.76	177	7786.17	101
0	Min.	-1408	-8296.57	101	-2788.58	173	-7386.92	177	-87.16	101	-78.48	162	-123.05	162	-4120.58	173	-7201.13	122
0	Min.	-1407	-8296.57	101	-2788.58	173	-7386.92	177	-87.16	101	-78.48	162	-123.05	162	-4120.58	173	-7201.13	122
0	Min.	-1607	-8296.57	101	-2788.58	173	-7386.92	177	-87.16	101	-78.48	162	-123.05	162	-4120.58	173	-7201.13	122
0	Min.	-1840	-8296.57	101	-2788.58	173	-7386.92	177	-87.16	101	-78.48	162	-123.05	162	-4120.58	173	-7201.13	122
0	Max	-1409	24874.10	130	2246.86	162	3008.61	130	270.34	158	147.66	173	169.45	98	3032.63	98	3945.77	101
0	Max	-1408	24874.10	130	2246.86	162	3008.61	130	270.34	158	147.66	173	169.45	98	3032.63	98	3945.77	101
0	Max	-1840	24874.10	130	2246.86	162	3008.61	130	270.34	158	147.66	173	169.45	98	3032.63	98	3945.77	101
0	Max	-1697	24874.10	130	2246.86	162	3008.61	130	270.34	158	147.66	173	169.45	98	3032.63	98	3945.77	101
0	Min.	-1409	-17599.10	101	-1591.28	101	-10469.60	177	-284.81	101	-140.00	177	-99.22	161	-1509.29	161	-5243.60	122
0	Min.	-1408	-17599.10	101	-1591.28	101	-10469.60	177	-284.81	101	-140.00	177	-99.22	161	-1509.29	161	-5243.60	122
0	Min.	-1840	-17599.10	101	-1591.28	101	-10469.60	177	-284.81	101	-140.00	177	-99.22	161	-1509.29	161	-5243.60	122
0	Min.	-1697	-17599.10	101	-1591.28	101	-10469.60	177	-284.81	101	-140.00	177	-99.22	161	-1509.29	161	-5243.60	122
0	Max	-1437	36767.30	130	4002.35	162	3537.70	162	428.76	158	214.77	173	147.28	98	3115.57	177	3204.52	101
0	Max	-1409	36767.30	130	4002.35	162	3537.70	162	428.76	158	214.77	173	147.28	98	3115.57	177	3204.52	101
0	Max	-1697	36767.30	130	4002.35	162	3537.70	162	428.76	158	214.77	173	147.28	98	3115.57	177	3204.52	101
0	Max	-1696	36767.30	130	4002.35	162	3537.70	162	428.76	158	214.77	173	147.28	98	3115.57	177	3204.52	101
0	Min.	-1437	-25195.00	101	-4739.79	177	-11559.90	177	-344.97	101	-205.47	126	-81.07	125	-1093.66	161	-5768.89	98
0	Min.	-1409	-25195.00	101	-4739.79	177	-11559.90	177	-344.97	101	-205.47	126	-81.07	125	-1093.66	161	-5768.89	98
0	Min.	-1697	-25195.00	101	-4739.79	177	-11559.90	177	-344.97	101	-205.47	126	-81.07	125	-1093.66	161	-5768.89	98
0	Min.	-1696	-25195.00	101	-4739.79	177	-11559.90	177	-344.97	101	-205.47	126	-81.07	125	-1093.66	161	-5768.89	98
0	Max	-1440	46743.00	130	4348.62	162	3924.83	162	603.66	122	294.38	173	134.81	173	3749.91	177	3620.76	101
0	Max	-1437	46743.00	130	4348.62	162	3924.83	162	603.66	122	294.38	173	134.81	173	3749.91	177	3620.76	101
0	Max	-1696	46743.00	130	4348.62	162	3924.83	162	603.66	122	294.38	173	134.81	173	3749.91	177	3620.76	101
0	Max	-1690	46743.00	130	4348.62	162	3924.83	162	603.66	122	294.38	173	134.81	173	3749.91	177	3620.76	101
0	Min.	-1440	-31143.80	101	-7686.47	177	-10741.90	177	-354.03	101	-280.05	125	-110.10	101	-1689.59	125	-6411.20	98
0	Min.	-1437	-31143.80	101	-7686.47	177	-10741.90	177	-354.03	101	-280.05	125	-110.10	101	-1689.59	125	-6411.20	98
0	Min.	-1696	-31143.80	101	-7686.47	177	-10741.90	177	-354.03	101	-280.05	125	-110.10	101	-1689.59	125	-6411.20	98
0	Min.	-1690	-31143.80	101	-7686.47	177	-10741.90	177	-354.03	101	-280.05	125	-110.10	101	-1689.59	125	-6411.20	98
0	Max	-1444	55361.00	130	2194.55	162	5945.82	162	796.99	122	391.37	173	160.77	130	3946.63	98	2531.28	101
0	Max	-1440	55361.00	130	2194.55	162	5945.82	162	796.99	122	391.37	173	160.77	130	3946.63	98	2531.28	101
0	Max	-1690	55361.00	130	2194.55	162	5945.82	162	796.99	122	391.37	173	160.77	130	3946.63	98	2531.28	101
0	Max	-1685	55361.00	130	2194.55	162	5945.82	162	796.99	122	391.37	173	160.77	130	3946.63	98	2531.28	101
0	Min.	-1444	-36182.70	101	-7611.90	177	-8222.20	177	-286.60	101	-388.91	101	-176.05	101	-4401.71	125	-7455.43	106
0	Min.	-1440	-36182.70	101	-7611.90	177	-8222.20	177	-286.60	101	-388.91	101	-176.05	101	-4401.71	125	-7455.43	106
0	Min.	-1690	-36182.70	101	-7611.90	177	-8222.20	177	-286.60	101	-388.91	101	-176.05	101	-4401.71	125	-7455.43	106
0	Min.	-1685	-36182.70	101	-7611.90	177	-8222.20	177	-286.60	101	-388.91	101	-176.05	101	-4401.71	125	-7455.43	106
0	Max	-1447	61652.50	130	1752.93	173	12228.20	162	1123.48	98	513.79	173	148.83	173	3049.77	98	4506.89	101
0	Max	-1444	61652.50	130	1752.93	173	12228.20	162	1123.48	98	513.79	173	148.83	173	3049.77	98	4506.89	101
0	Max	-1685	61652.50	130	1752.93	173	12228.20	162	1123.48	98	513.79	173	148.83	173	3049.77	98	4506.89	101
0	Max	-1414	61652.50	130	1752.93	173	12228.20	162	1123.48	98	513.79	173	148.83	173	3049.77	98	4506.89	101
0	Min.	-1447	-40049.20	101	-5103.21	177	-7376.11	177	-313.94	101	-484.50	101	-234.03	101	-11874.40	101	-7814.07	98
0	Min.	-1444	-40049.20	101	-5103.21	177	-7376.11	177	-313.94	101	-484.50	101	-234.03	101	-11874.40	101	-7814.07	98
0	Min.	-1685	-40049.20	101	-5103.21	177	-7376.11	177	-313.94	101	-484.50	101	-234.03	101	-11874.40	101	-7814.07	98
0	Min.	-1414	-40049.20	101	-5103.21	177	-7376.11	177	-313.94	101	-484.50	101	-234.03	101	-11874.40	101	-7814.07	98
0	Max	-1451	65550.80	130	2325.93	173	11887.00	162	1639.40	98	676.27	173	114.53	173	-693.60	17	-1532.20	17
0	Max	-1931	65550.80	130	2325.93	173	11887.00	162	1639.40	98	676.27	173	114.53	173	-693.60	17	-1532.20	17
0	Max	-1930	65550.80	130	2325.93	173	11887.00	162	1639.40	98	676.27	173	114.53	173	-693.60	17	-1532.20	17
0	Max	-1618	65550.80	130	2325.93	173	11887.00	162	1639.40	98	676.27	173	114.53	173	-693.60	17	-1532.20	17
0	Min.	-1451	-44078.70	101	-4003.28	177	-8530.16	177	-389.44	101	-553.79	101	-147.10	97	-39216.80	102	-22253.80	102
0	Min.	-1931	-44078.70	101	-4003.28	177	-8530.16	177	-389.44	101	-553.79	101	-147.10	97	-39216.80	102	-22253.80	102
0	Min.	-1930	-44078.70	101	-4003.28	177	-8530.16	177	-389.44	101	-553.79	101	-147.10	97	-39216.80	102	-22253.80	102
0	Min.	-1618	-44078.70	101	-4003.28	177	-8530.16	177	-389.44	101	-553.79	101	-147.10	97	-39216.80	102	-22253.80	102
0	Max	-1543	13803.80	130	2675.28	101	4009.32	101	62.28	158	94.93	173	214.65	98	4452.89	177	8903.00	101
0	Max	-1608	13803.80	130	2675.28	101	4009.32	101	62.28	158	94.93	173	214.65	98	4452.89	177	8903.00	101
0	Max	-1407	13803.80	130	2675.28	101	4009.32	101	62.28	158	94.93	173	214.65	98	4452.89	177	8903.00	101
0	Max	-1408	13803.80	130	2675.28	101	4009.32	101	62.28	158	94.93	173	214.65	98	4452.89	177	8903.00	101
0	Min.	-1543	-10049.50	101	-4001.47	130	-7541.65	177	-90.17	101	-178.79	177	-128.01	125	-3692.66	1	-8759.00	158
0	Min.	-1608	-10049.50	101	-4001.47	130	-7541.65	177	-90.17	101	-178.79	177	-128.01	125	-3692.66	1	-8759.00	158
0	Min.	-1407	-10049.50	101	-4001.47	130	-7541.65	177	-90.17	101	-178.79	177	-128.01	125	-3692.66	1	-8759.00	158
0	Min.	-1408	-10049.50	101	-4001.47	130	-7541.65	177	-90.17	101	-178.79	177	-128.01	125	-3692.66	1	-8759.00	158
0	Max	-1542	26784.40	130	1132.94	162	1170.67	101	283.10	158	120.29	173	207.52	98	1465.82	1	4091.18	101
0	Max	-1543	26784.40	130	1132.94	162	1170.67	101	283.10	158	120.29	173	207.52	98	1465.82	1	4091.18	101
0	Max	-1408	26784.40	130	1132.94	162	1170.67	101	283.10	158	120.29	173	207.52	98	1465.82	1	4091.18	101
0	Max	-1409	26784.40	130	1132.94	162	1170.67	101	283.10	158	120.29	173	207.52	98	1465.82	1	4091.18	101

0	Min.	-1542	-19114.90	101	-780.52	173	-9505.69	177	-289.25	101	-180.75	177	-129.47	125	-3189.33	162	-5440.21	122
0	Min.	-1543	-19114.90	101	-780.52	173	-9505.69	177	-289.25	101	-180.75	177	-129.47	125	-3189.33	162	-5440.21	122
0	Min.	-1408	-19114.90	101	-780.52	173	-9505.69	177	-289.25	101	-180.75	177	-129.47	125	-3189.33	162	-5440.21	122
0	Min.	-1409	-19114.90	101	-780.52	173	-9505.69	177	-289.25	101	-180.75	177	-129.47	125	-3189.33	162	-5440.21	122
0	Max	-1541	39032.80	130	2693.49	162	1684.11	125	474.04	158	169.17	173	202.03	98	2720.02	177	3531.84	101
0	Max	-1542	39032.80	130	2693.49	162	1684.11	125	474.04	158	169.17	173	202.03	98	2720.02	177	3531.84	101
0	Max	-1409	39032.80	130	2693.49	162	1684.11	125	474.04	158	169.17	173	202.03	98	2720.02	177	3531.84	101
0	Max	-1437	39032.80	130	2693.49	162	1684.11	125	474.04	158	169.17	173	202.03	98	2720.02	177	3531.84	101
0	Min.	-1541	-27011.10	101	-2847.87	177	-10685.40	177	-376.38	101	-285.55	177	-127.24	125	-2421.54	125	-5946.65	130
0	Min.	-1542	-27011.10	101	-2847.87	177	-10685.40	177	-376.38	101	-285.55	177	-127.24	125	-2421.54	125	-5946.65	130
0	Min.	-1409	-27011.10	101	-2847.87	177	-10685.40	177	-376.38	101	-285.55	177	-127.24	125	-2421.54	125	-5946.65	130
0	Min.	-1437	-27011.10	101	-2847.87	177	-10685.40	177	-376.38	101	-285.55	177	-127.24	125	-2421.54	125	-5946.65	130
0	Max	-1860	48094.00	130	3595.41	162	2532.96	161	652.13	158	229.02	173	216.44	130	3587.95	177	3602.01	101
0	Max	-1541	48094.00	130	3595.41	162	2532.96	161	652.13	158	229.02	173	216.44	130	3587.95	177	3602.01	101
0	Max	-1437	48094.00	130	3595.41	162	2532.96	161	652.13	158	229.02	173	216.44	130	3587.95	177	3602.01	101
0	Max	-1440	48094.00	130	3595.41	162	2532.96	161	652.13	158	229.02	173	216.44	130	3587.95	177	3602.01	101
0	Min.	-1860	-32189.90	101	-8465.60	177	-10028.80	177	-390.56	101	-280.20	177	-201.39	101	-3565.81	101	-7477.93	130
0	Min.	-1541	-32189.90	101	-8465.60	177	-10028.80	177	-390.56	101	-280.20	177	-201.39	101	-3565.81	101	-7477.93	130
0	Min.	-1437	-32189.90	101	-8465.60	177	-10028.80	177	-390.56	101	-280.20	177	-201.39	101	-3565.81	101	-7477.93	130
0	Min.	-1440	-32189.90	101	-8465.60	177	-10028.80	177	-390.56	101	-280.20	177	-201.39	101	-3565.81	101	-7477.93	130
0	Max	-1855	55245.20	130	1751.88	125	5364.23	161	773.37	122	307.57	173	284.74	130	3638.81	177	2032.47	101
0	Max	-1860	55245.20	130	1751.88	125	5364.23	161	773.37	122	307.57	173	284.74	130	3638.81	177	2032.47	101
0	Max	-1440	55245.20	130	1751.88	125	5364.23	161	773.37	122	307.57	173	284.74	130	3638.81	177	2032.47	101
0	Max	-1444	55245.20	130	1751.88	125	5364.23	161	773.37	122	307.57	173	284.74	130	3638.81	177	2032.47	101
0	Min.	-1855	-36091.30	101	-8878.21	177	-6563.45	177	-295.80	101	-279.69	177	-258.25	101	-5040.73	101	-8175.46	130
0	Min.	-1860	-36091.30	101	-8878.21	177	-6563.45	177	-295.80	101	-279.69	177	-258.25	101	-5040.73	101	-8175.46	130
0	Min.	-1440	-36091.30	101	-8878.21	177	-6563.45	177	-295.80	101	-279.69	177	-258.25	101	-5040.73	101	-8175.46	130
0	Min.	-1444	-36091.30	101	-8878.21	177	-6563.45	177	-295.80	101	-279.69	177	-258.25	101	-5040.73	101	-8175.46	130
0	Max	-1854	60823.90	130	1009.57	173	8199.49	161	1086.68	98	469.02	173	212.78	173	1797.38	177	-1377.56	17
0	Max	-1855	60823.90	130	1009.57	173	8199.49	161	1086.68	98	469.02	173	212.78	173	1797.38	177	-1377.56	17
0	Max	-1444	60823.90	130	1009.57	173	8199.49	161	1086.68	98	469.02	173	212.78	173	1797.38	177	-1377.56	17
0	Max	-1447	60823.90	130	1009.57	173	8199.49	161	1086.68	98	469.02	173	212.78	173	1797.38	177	-1377.56	17
0	Min.	-1854	-39490.90	101	-4602.99	177	-5801.27	177	-264.18	101	-261.84	177	-204.35	101	-18068.40	101	-9691.45	98
0	Min.	-1855	-39490.90	101	-4602.99	177	-5801.27	177	-264.18	101	-261.84	177	-204.35	101	-18068.40	101	-9691.45	98
0	Min.	-1444	-39490.90	101	-4602.99	177	-5801.27	177	-264.18	101	-261.84	177	-204.35	101	-18068.40	101	-9691.45	98
0	Min.	-1447	-39490.90	101	-4602.99	177	-5801.27	177	-264.18	101	-261.84	177	-204.35	101	-18068.40	101	-9691.45	98
0	Max	-1841	64739.70	130	3121.64	130	9488.72	162	1500.76	98	873.70	98	202.19	173	831.61	110	-2643.17	177
0	Max	-1932	64739.70	130	3121.64	130	9488.72	162	1500.76	98	873.70	98	202.19	173	831.61	110	-2643.17	177
0	Max	-1931	64739.70	130	3121.64	130	9488.72	162	1500.76	98	873.70	98	202.19	173	831.61	110	-2643.17	177
0	Max	-1451	64739.70	130	3121.64	130	9488.72	162	1500.76	98	873.70	98	202.19	173	831.61	110	-2643.17	177
0	Min.	-1841	-42999.80	101	-3747.42	177	-7225.45	177	-209.80	101	-120.73	177	-92.67	17	-19250.70	101	-16447.20	102
0	Min.	-1932	-42999.80	101	-3747.42	177	-7225.45	177	-209.80	101	-120.73	177	-92.67	17	-19250.70	101	-16447.20	102
0	Min.	-1931	-42999.80	101	-3747.42	177	-7225.45	177	-209.80	101	-120.73	177	-92.67	17	-19250.70	101	-16447.20	102
0	Min.	-1451	-42999.80	101	-3747.42	177	-7225.45	177	-209.80	101	-120.73	177	-92.67	17	-19250.70	101	-16447.20	102
0	Max	-1606	14266.70	130	554.42	130	4767.05	101	71.70	158	74.57	173	192.37	98	4871.32	177	8601.61	101
0	Max	-1617	14266.70	130	554.42	130	4767.05	101	71.70	158	74.57	173	192.37	98	4871.32	177	8601.61	101
0	Max	-2127	14266.70	130	554.42	130	4767.05	101	71.70	158	74.57	173	192.37	98	4871.32	177	8601.61	101
0	Max	-2128	14266.70	130	554.42	130	4767.05	101	71.70	158	74.57	173	192.37	98	4871.32	177	8601.61	101
0	Min.	-1606	-10197.00	101	-1809.73	177	-7010.58	130	-97.05	101	-157.02	177	-128.41	125	-3685.54	109	-10223.20	158
0	Min.	-1617	-10197.00	101	-1809.73	177	-7010.58	130	-97.05	101	-157.02	177	-128.41	125	-3685.54	109	-10223.20	158
0	Min.	-2127	-10197.00	101	-1809.73	177	-7010.58	130	-97.05	101	-157.02	177	-128.41	125	-3685.54	109	-10223.20	158
0	Min.	-2128	-10197.00	101	-1809.73	177	-7010.58	130	-97.05	101	-157.02	177	-128.41	125	-3685.54	109	-10223.20	158
0	Max	-1605	30706.60	130	857.56	158	2528.67	101	360.44	158	32.65	173	191.58	98	1674.04	1	5362.15	101
0	Max	-1606	30706.60	130	857.56	158	2528.67	101	360.44	158	32.65	173	191.58	98	1674.04	1	5362.15	101
0	Max	-2128	30706.60	130	857.56	158	2528.67	101	360.44	158	32.65	173	191.58	98	1674.04	1	5362.15	101
0	Max	-2129	30706.60	130	857.56	158	2528.67	101	360.44	158	32.65	173	191.58	98	1674.04	1	5362.15	101
0	Min.	-1605	-22023.40	101	-1125.57	177	-4526.61	130	-339.45	101	-52.87	177	-134.69	125	-2957.51	166	-8266.72	130
0	Min.	-1606	-22023.40	101	-1125.57	177	-4526.61	130	-339.45	101	-52.87	177	-134.69	125	-2957.51	166	-8266.72	130
0	Min.	-2128	-22023.40	101	-1125.57	177	-4526.61	130	-339.45	101	-52.87	177	-134.69	125	-2957.51	166	-8266.72	130
0	Min.	-2129	-22023.40	101	-1125.57	177	-4526.61	130	-339.45	101	-52.87	177	-134.69	125	-2957.51	166	-8266.72	130
0	Max	-1604	44814.60	130	2139.62	130	1644.70	101	356.79	98	51.49	173	243.75	97	1246.05	97	8220.95	162
0	Max	-1605	44814.60	130	2139.62	130	1644.70	101	356.79	98	51.49	173	243.75	97	1246.05	97	8220.95	162
0	Max	-2129	44814.60	130	2139.62	130	1644.70	101	356.79	98	51.49	173	243.75	97	1246.05	97	8220.95	162
0	Max	-2130	44814.60	130	2139.62	130	1644.70	101	356.79	98	51.49	173	243.75	97	1246.05	97	8220.95	162
0	Min.	-1604	-31767.30	101	-3694.48	177	-5197.38	177	-262.48	101	-76.15	162	-222.77	162	-14092.00	177	-6832.61	97
0	Min.	-1605	-31767.30	101	-3694.48	177	-5197.38	177	-262.48	101	-76.15	162	-222.77	162	-14092.00	177	-6832.61	97
0	Min.	-2129	-31767.30	101	-3694.48	177	-5197.38	177	-262.48	101	-76.15	162	-222.77	162	-14092.00	177	-6832.61	97
0	Min.	-2130	-31767.30	101	-3694.48	177	-5197.38	177	-262.48	101	-76.15	162	-222.77	162	-14092.00	177	-6832.61	97
0	Max	-1603	61925.50	130	3190.76	130	7513.43	162	1622.00	158	165.02	158	609.95	130	19230.30	177	39078.20	101
0	Max	-1604	61925.50	130	3190.76	130	7513.43	162	1622.00	158	165.02	158	609.95	130	19230.30	177	39078.20	101
0	Max	-2130	61925.50	130	3190.76	130	7513.43	162	1622.00	158	165.02	158	609.95	130	19230.30	177	39078.20	101
0	Max	-2131	61925.50	130	3190.76	130	7513.43	162	1622.00	158	165.02	158	609.95	130	19230.30	177	39078.20	101
0	Min.	-1603	-43805.00	101	-9184.89	177	-9201.12	177	-1055.25	101	-1021.60	177	-457.15	101	-14360.80	162	-65505.90	130
0	Min.	-1604	-43805.00	101	-9184.89	177	-9201.12	177	-1055.25	101	-1021.60	177	-457.15	101	-14360.80	162	-65505.90	130
0	Min.	-2130	-43805.00	101	-9184.89	177	-9201.12	177	-1055.25	101	-1021.60	177	-457.15	101	-14360.80	162	-65505.90	130
0	Min.	-2131	-43805.00	101	-9184.89	177	-9201.12	177	-1055.25	101	-1021.60	177	-457.15	101	-14360.80	162	-65505.90	130
0	Max	-1602	42797.00	106	1681.02	101	8096.39	162	906.35	97	122.65	122	674.75	130	18714.70	177	35998.40	101
0	Max	-1603	42797.00	106	1681.02	101	8096.39	162	906.35	97	122.65	122	674.75	130	18714.70	177	35998.40	101
0	Max	-2131	42797.00	106	1681.02	101	8096.39	162	906.35	97	122.65	122	674.75	130	18714.70	177	35998.40	101
0	Max	-2132	42797.00	106	1681.02	101	8096.39	162	906.35	97	122.65	122	674.75	130	18714.70	177	35998.40	101
0	Min.	-1602	-24905.70	101	-9344.54	177	-6310.50	101	-379.11	162	-1015.31	177	-448.75	101	-6799.95	101	-52915.20	130
0	Min.	-1603	-24905.70	101	-9344.54	177	-6310.50	101	-379.11	162	-1015.31	177	-448.75	101	-6799.95	101	-52915.20	130
0	Min.	-2131	-24905.70	101	-9344.54	177	-6310.50	101	-379.11	162	-1015.31	177	-448.75	101	-6799.95	101	-52915.20	130
0	Min.	-2132	-24905.70	101	-9344.54	177	-6310.50	101	-379.11	162	-1015.31	177	-448.75	101	-6799.95	101	-52915.20	130
0	Max	-1601	56039.20	130	1331.35	97	3171.64	161	1075.60	122	132.67	173	357.94	173	6646.41	122	7500.80	162
0	Max	-1602	56039.20	130	1331.35	97	3171.64	161	1075.60	122	132.67	173	357.94	173	6646.41	122	7500.80	162
0	Max	-2132	56039.20	130	1331.35	97	3171.64	161	1075.60	122	132.67	173	357.94	173	6646.41	122	7500.80	162
0	Max	-2133	56039.20	130	1331.35	97	3171.64	161	1075.60	122	132.67	173	357.94	173	6646.41	122	7500.80	162
0	Min.	-1601	-35730.10	101	-4260.72	177	-2339.85	177	-301.85	101	-8.28	17	-20.49	65	-13880.50	177	-9325.66	101
0	Min.	-1602	-35730.10	101	-4260.72	177	-2339.85	177	-301.85	101	-8.28	17	-20.49	65	-13880.50	177	-9325.66	101
0	Min.	-2132	-35730.10	101	-4260.72	177	-2339.85	177	-301.85	101	-8.28	17	-20.49	65	-13880.50	177	-9325.66	101
0	Min.	-2133	-35730.10	101	-4260.72	177	-2339.85	177	-301.85	101	-8.28	17	-20.49	65	-13880.50	177	-9325.66	101
0	Max	-1600	63897.30	130	3413.57	173	4869.31	162	1392.29	98	238.33	173	431.44	173	18340.70	98	965.25	173
0	Max	-1933	63897.30	130	3413.57	173	4869.31	162	1392.29	98	238.33	173	431.44	173	18340.70	98	965.25	173
0	Max	-2134	63897.30	130	3413.57	173	4869.31	162	1392.29	98	238.33	173	431.44	173	18340.70	98	965.25	173
0	Max	-2135	63897.30	130	3413.57	173	4869.31	162	1392.29	98	238.33	173	431.44	173	18340.70	98	965.25	173
0	Min.	-1600	-44596.60	101	-2025.13	177	-3257.99	177	-55.44	1	-55.77	177	-42.73	17	2495.85	17	-5313.04	126
0	Min.	-1933	-44596.60	101	-2025.13	177	-3257.99	177	-55.44	1	-55.77	177	-42.73	17	2495.85	17	-5313.04	126
0	Min.	-2134	-44596.60	101	-2025.13	177	-3257.99	177	-55.44	1	-55.77	177	-42.73	17	2495.85	17	-5313.04	126
0	Min.	-2135	-44596.60	101	-2025.13	177	-3257.99	177	-55.44	1	-55.77	177	-42.73	17	2495.85	17	-5313.04	126
0	Max	-1822	66094.30	130	2920.00	130	12134.20	162	1478.66	130	113.98	173	259.87	161	57673.60	98	109711.00	98
0	Max	-1539	66094.30	130	2920.00	130	12134.20	162	1478.66	130	113.98	173	259.87	161	57673.60	98	109711.00	98
0	Max	-2136	66094.30	130	2920.00	130	12134.20	162	1478.66	130	113.98	173	259.87	161	57673.60	98	109711.00	98
0	Max	-2137	66094.30	130	2920.00	130	12134.20	162	1478.66	130	113.98	173	259.87	161	57673.60	98	109711.00	98
0	Min.	-1822	-64853.00	101	-6938.13	177	-13011.40	97	-339.13	101	-1339.38	177	-1322.50	98	6668.91	17	-24313.60	161

0	Min.	-1539	-64853.00	101	-6938.13	177	-13011.40	97	-339.13	101	-1339.38	177	-1322.50	98	6668.91	17	-24313.60	161
0	Min.	-2136	-64853.00	101	-6938.13	177	-13011.40	97	-339.13	101	-1339.38	177	-1322.50	98	6668.91	17	-24313.60	161
0	Min.	-2137	-64853.00	101	-6938.13	177	-13011.40	97	-339.13	101	-1339.38	177	-1322.50	98	6668.91	17	-24313.60	161
0	Max	-1821	52956.90	106	3702.35	173	7991.33	162	1304.36	98	145.71	173	284.82	173	10781.90	162	49179.70	98
0	Max	-1934	52956.90	106	3702.35	173	7991.33	162	1304.36	98	145.71	173	284.82	173	10781.90	162	49179.70	98
0	Max	-2138	52956.90	106	3702.35	173	7991.33	162	1304.36	98	145.71	173	284.82	173	10781.90	162	49179.70	98
0	Max	-2139	52956.90	106	3702.35	173	7991.33	162	1304.36	98	145.71	173	284.82	173	10781.90	162	49179.70	98
0	Min.	-1821	-50926.00	101	-4751.24	177	-1649.51	97	-79.99	125	-325.07	177	-465.38	98	-24647.10	177	-10073.30	161
0	Min.	-1934	-50926.00	101	-4751.24	177	-1649.51	97	-79.99	125	-325.07	177	-465.38	98	-24647.10	177	-10073.30	161
0	Min.	-2138	-50926.00	101	-4751.24	177	-1649.51	97	-79.99	125	-325.07	177	-465.38	98	-24647.10	177	-10073.30	161
0	Min.	-2139	-50926.00	101	-4751.24	177	-1649.51	97	-79.99	125	-325.07	177	-465.38	98	-24647.10	177	-10073.30	161
0	Max	-1820	38190.60	130	2026.58	173	7785.28	158	610.11	106	137.63	173	322.42	173	15408.40	173	13645.70	98
0	Max	-1821	38190.60	130	2026.58	173	7785.28	158	610.11	106	137.63	173	322.42	173	15408.40	173	13645.70	98
0	Max	-2139	38190.60	130	2026.58	173	7785.28	158	610.11	106	137.63	173	322.42	173	15408.40	173	13645.70	98
0	Max	-2140	38190.60	130	2026.58	173	7785.28	158	610.11	106	137.63	173	322.42	173	15408.40	173	13645.70	98
0	Min.	-1820	-61700.30	101	-2790.19	177	-709.35	177	-368.92	101	-128.17	177	-540.17	98	-3593.02	177	-87.67	177
0	Min.	-1821	-61700.30	101	-2790.19	177	-709.35	177	-368.92	101	-128.17	177	-540.17	98	-3593.02	177	-87.67	177
0	Min.	-2139	-61700.30	101	-2790.19	177	-709.35	177	-368.92	101	-128.17	177	-540.17	98	-3593.02	177	-87.67	177
0	Min.	-2140	-61700.30	101	-2790.19	177	-709.35	177	-368.92	101	-128.17	177	-540.17	98	-3593.02	177	-87.67	177
0	Max	-1819	27179.70	162	746.69	173	7185.01	158	321.47	130	132.24	173	334.74	173	2329.07	162	19484.50	98
0	Max	-1820	27179.70	162	746.69	173	7185.01	158	321.47	130	132.24	173	334.74	173	2329.07	162	19484.50	98
0	Max	-2140	27179.70	162	746.69	173	7185.01	158	321.47	130	132.24	173	334.74	173	2329.07	162	19484.50	98
0	Max	-2141	27179.70	162	746.69	173	7185.01	158	321.47	130	132.24	173	334.74	173	2329.07	162	19484.50	98
0	Min.	-1819	-72491.60	101	-4175.58	177	-885.99	177	-546.86	101	-34.28	177	-654.06	98	-5976.31	101	161.92	17
0	Min.	-1820	-72491.60	101	-4175.58	177	-885.99	177	-546.86	101	-34.28	177	-654.06	98	-5976.31	101	161.92	17
0	Min.	-2140	-72491.60	101	-4175.58	177	-885.99	177	-546.86	101	-34.28	177	-654.06	98	-5976.31	101	161.92	17
0	Min.	-2141	-72491.60	101	-4175.58	177	-885.99	177	-546.86	101	-34.28	177	-654.06	98	-5976.31	101	161.92	17
0	Max	-1818	23126.20	162	879.27	165	7719.39	173	172.49	106	199.72	173	751.36	173	16246.60	173	8592.36	161
0	Max	-1819	23126.20	162	879.27	165	7719.39	173	172.49	106	199.72	173	751.36	173	16246.60	173	8592.36	161
0	Max	-2141	23126.20	162	879.27	165	7719.39	173	172.49	106	199.72	173	751.36	173	16246.60	173	8592.36	161
0	Max	-2142	23126.20	162	879.27	165	7719.39	173	172.49	106	199.72	173	751.36	173	16246.60	173	8592.36	161
0	Min.	-1818	-87630.60	97	-6093.92	177	-1553.38	177	-633.96	101	-55.87	125	-363.98	97	-15595.20	177	-3485.83	173
0	Min.	-1819	-87630.60	97	-6093.92	177	-1553.38	177	-633.96	101	-55.87	125	-363.98	97	-15595.20	177	-3485.83	173
0	Min.	-2141	-87630.60	97	-6093.92	177	-1553.38	177	-633.96	101	-55.87	125	-363.98	97	-15595.20	177	-3485.83	173
0	Min.	-2142	-87630.60	97	-6093.92	177	-1553.38	177	-633.96	101	-55.87	125	-363.98	97	-15595.20	177	-3485.83	173
0	Max	-1817	19794.00	162	1175.24	165	9615.27	161	290.22	161	906.02	173	182.01	125	19757.50	177	93685.30	98
0	Max	-1818	19794.00	162	1175.24	165	9615.27	161	290.22	161	906.02	173	182.01	125	19757.50	177	93685.30	98
0	Max	-2142	19794.00	162	1175.24	165	9615.27	161	290.22	161	906.02	173	182.01	125	19757.50	177	93685.30	98
0	Max	-2143	19794.00	162	1175.24	165	9615.27	161	290.22	161	906.02	173	182.01	125	19757.50	177	93685.30	98
0	Min.	-1817	-128123.00	97	-10764.10	177	-8276.88	98	-2365.69	98	-1061.59	177	-1395.89	98	-6642.45	173	-19055.40	161
0	Min.	-1818	-128123.00	97	-10764.10	177	-8276.88	98	-2365.69	98	-1061.59	177	-1395.89	98	-6642.45	173	-19055.40	161
0	Min.	-2142	-128123.00	97	-10764.10	177	-8276.88	98	-2365.69	98	-1061.59	177	-1395.89	98	-6642.45	173	-19055.40	161
0	Min.	-2143	-128123.00	97	-10764.10	177	-8276.88	98	-2365.69	98	-1061.59	177	-1395.89	98	-6642.45	173	-19055.40	161
0	Max	-1816	2846.16	49	8331.13	173	8928.24	161	656.30	173	994.32	173	169.99	125	16998.00	177	99555.80	173
0	Max	-1817	2846.16	49	8331.13	173	8928.24	161	656.30	173	994.32	173	169.99	125	16998.00	177	99555.80	173
0	Max	-2143	2846.16	49	8331.13	173	8928.24	161	656.30	173	994.32	173	169.99	125	16998.00	177	99555.80	173
0	Max	-2144	2846.16	49	8331.13	173	8928.24	161	656.30	173	994.32	173	169.99	125	16998.00	177	99555.80	173
0	Min.	-1816	-100852.00	97	-9310.98	177	-10272.20	173	-834.53	125	-1050.15	177	-1397.70	98	-22185.70	173	-18446.10	161
0	Min.	-1817	-100852.00	97	-9310.98	177	-10272.20	173	-834.53	125	-1050.15	177	-1397.70	98	-22185.70	173	-18446.10	161
0	Min.	-2143	-100852.00	97	-9310.98	177	-10272.20	173	-834.53	125	-1050.15	177	-1397.70	98	-22185.70	173	-18446.10	161
0	Min.	-2144	-100852.00	97	-9310.98	177	-10272.20	173	-834.53	125	-1050.15	177	-1397.70	98	-22185.70	173	-18446.10	161
0	Max	-1815	-3873.54	65	3072.16	173	8007.01	158	-53.08	65	21.94	17	446.90	173	11263.30	173	7111.98	161
0	Max	-1816	-3873.54	65	3072.16	173	8007.01	158	-53.08	65	21.94	17	446.90	173	11263.30	173	7111.98	161
0	Max	-2144	-3873.54	65	3072.16	173	8007.01	158	-53.08	65	21.94	17	446.90	173	11263.30	173	7111.98	161
0	Max	-2145	-3873.54	65	3072.16	173	8007.01	158	-53.08	65	21.94	17	446.90	173	11263.30	173	7111.98	161
0	Min.	-1815	-133765.00	97	-4573.98	177	-719.05	101	-1811.42	97	-191.92	98	-364.66	121	-17258.30	177	-8299.02	98
0	Min.	-1816	-133765.00	97	-4573.98	177	-719.05	101	-1811.42	97	-191.92	98	-364.66	121	-17258.30	177	-8299.02	98
0	Min.	-2144	-133765.00	97	-4573.98	177	-719.05	101	-1811.42	97	-191.92	98	-364.66	121	-17258.30	177	-8299.02	98
0	Min.	-2145	-133765.00	97	-4573.98	177	-719.05	101	-1811.42	97	-191.92	98	-364.66	121	-17258.30	177	-8299.02	98
0	Max	-1814	-5956.72	65	621.70	158	7066.42	158	-57.70	65	75.22	173	303.83	173	2518.97	173	9416.01	173
0	Max	-2087	-5956.72	65	621.70	158	7066.42	158	-57.70	65	75.22	173	303.83	173	2518.97	173	9416.01	173
0	Max	-2146	-5956.72	65	621.70	158	7066.42	158	-57.70	65	75.22	173	303.83	173	2518.97	173	9416.01	173
0	Max	-2147	-5956.72	65	621.70	158	7066.42	158	-57.70	65	75.22	173	303.83	173	2518.97	173	9416.01	173
0	Min.	-1814	-154517.00	97	-3934.07	177	-1568.54	177	-1962.88	97	-69.50	97	-371.89	98	-15639.80	98	-2856.98	101
0	Min.	-2087	-154517.00	97	-3934.07	177	-1568.54	177	-1962.88	97	-69.50	97	-371.89	98	-15639.80	98	-2856.98	101
0	Min.	-2146	-154517.00	97	-3934.07	177	-1568.54	177	-1962.88	97	-69.50	97	-371.89	98	-15639.80	98	-2856.98	101
0	Min.	-2147	-154517.00	97	-3934.07	177	-1568.54	177	-1962.88	97	-69.50	97	-371.89	98	-15639.80	98	-2856.98	101
0	Max	-1813	-7696.25	65	4796.38	173	9239.42	158	-56.40	17	344.18	173	281.23	173	33612.00	173	7258.83	177
0	Max	-2089	-7696.25	65	4796.38	173	9239.42	158	-56.40	17	344.18	173	281.23	173	33612.00	173	7258.83	177
0	Max	-2148	-7696.25	65	4796.38	173	9239.42	158	-56.40	17	344.18	173	281.23	173	33612.00	173	7258.83	177
0	Max	-2149	-7696.25	65	4796.38	173	9239.42	158	-56.40	17	344.18	173	281.23	173	33612.00	173	7258.83	177
0	Min.	-1813	-166108.00	97	-6394.76	177	-4108.12	177	-2078.38	98	-241.13	177	-200.57	177	-20060.70	177	-11902.60	173
0	Min.	-2089	-166108.00	97	-6394.76	177	-4108.12	177	-2078.38	98	-241.13	177	-200.57	177	-20060.70	177	-11902.60	173
0	Min.	-2148	-166108.00	97	-6394.76	177	-4108.12	177	-2078.38	98	-241.13	177	-200.57	177	-20060.70	177	-11902.60	173
0	Min.	-2149	-166108.00	97	-6394.76	177	-4108.12	177	-2078.38	98	-241.13	177	-200.57	177	-20060.70	177	-11902.60	173
0	Max	-1533	-7635.05	17	25171.70	173	18382.00	157	685.84	125	3022.28	173	678.98	125	36195.80	177	40721.70	106
0	Max	-1813	-7635.05	17	25171.70	173	18382.00	157	685.84	125	3022.28	173	678.98	125	36195.80	177	40721.70	106
0	Max	-2149	-7635.05	17	25171.70	173	18382.00	157	685.84	125	3022.28	173	678.98	125	36195.80	177	40721.70	106
0	Max	-2150	-7635.05	17	25171.70	173	18382.00	157	685.84	125	3022.28	173	678.98	125	36195.80	177	40721.70	106
0	Min.	-1533	-169437.00	98	-17819.70	177	-6725.53	177	-1999.38	173	-1375.68	177	-488.44	106	-131346.00	173	-70731.40	125
0	Min.	-1813	-169437.00	98	-17819.70	177	-6725.53	177	-1999.38	173	-1375.68	177	-488.44	106	-131346.00	173	-70731.40	125
0	Min.	-2149	-169437.00	98	-17819.70	177	-6725.53	177	-1999.38	173	-1375.68	177	-488.44	106	-131346.00	173	-70731.40	125
0	Min.	-2150	-169437.00	98	-17819.70	177	-6725.53	177	-1999.38	173	-1375.68	177	-488.44	106	-131346.00	173	-70731.40	125
0	Max	-1812	-7635.06	65	25650.30	173	15703.00	157	114.43	49	3196.92	173	692.72	125	36195.80	177	72847.00	173
0	Max	-1533	-7635.06	65	25650.30	173	15703.00	157	114.43	49	3196.92	173	692.72	125	36195.80	177	72847.00	173
0	Max	-2150	-7635.06	65	25650.30	173	15703.00	157	114.43	49	3196.92	173	692.72	125	36195.80	177	72847.00	173
0	Max	-2151	-7635.06	65	25650.30	173	15703.00	157	114.43	49	3196.92	173	692.72	125	36195.80	177	72847.00	173
0	Min.	-1812	-169437.00	97	-17819.70	177	-15900.10	173	-2196.54	121	-1375.68	177	-1416.19	173	-147595.00	173	-68014.60	125
0	Min.	-1533	-169437.00	97	-17819.70	177	-15900.10	173	-2196.54	121	-1375.68	177	-1416.19	173	-147595.00	173	-68014.60	125
0	Min.	-2150	-169437.00	97	-17819.70	177	-15900.10	173	-2196.54	121	-1375.68	177	-1416.19	173	-147595.00	173	-68014.60	125
0	Min.	-2151	-169437.00	97	-17819.70	177	-15900.10	173	-2196.54	121	-1375.68	177	-1416.19	173	-147595.00	173	-68014.60	125
0	Max	-1811	-7603.60	17	385.06	106	5783.27	158	-57.41	17	33.08	17	252.82	97	560.68	49	2749.32	106
0	Max	-2091	-7603.60	17	385.06	106	5783.27	158	-57.41	17	33.08	17	252.82	97	560.68	49	2749.32	106
0	Max	-2152	-7603.60	17	385.06	106	5783.27	158	-57.41	17	33.08	17	252.82	97	560.68	49	2749.32	106
0	Max	-2153	-7603.60	17	385.06	106	5783.27	158	-57.41	17	33.08	17	252.82	97	560.68	49	2749.32	106
0	Min.	-1811	-165298.00	98	-3857.83	177	-4764.16	173	-2116.07	173	-141.47	177	-100.84	130	-22480.10	173	-27828.10	173
0	Min.	-2091	-165298.00	98	-3857.83	177	-4764.16	173	-2116.07	173	-141.47	177	-100.84	130	-22480.10	173	-27828.10	173
0	Min.	-2152	-165298.00	98	-3857.83	177	-4764.16	173	-2116.07	173	-141.47	177	-100.84	130	-22480.10	173	-27828.10	173
0	Min.	-2153	-165298.00	98	-3857.83	177	-4764.16	173	-2116.07	173	-141.47	177	-100.84	130	-22480.10	173	-27828.10	173
0	Max	-1810	-5710.90	17	93.45	49	5071.09	158	-36.22	17	30.52	17	546.61	97	2244.45	125	299.16	65
0	Max	-2093	-5710.90	17	93.45	49	5071.09	158	-36.22	17	30.52	17	546.61	97	2244.45	125	299.16	65
0	Max	-2154	-5710.90	17	93.45	49	5071.09	158	-36.22	17	30.52	17	546.61	97	2244.45	125	299.16	65
0	Max	-2155	-5710.90	17	93.45	49	5071.09	158	-36.22	17	30.52	17	546.61	97	2244.45	125	299.16	65
0	Min.	-1810	-151358.00	98	-4494.03	177	-2967.29	173	-1712.35	98	-69.57	177	-92.01	173	-6605.66	98	-14458.60	173
0	Min.	-2093	-151358.00	98	-4494.03	177	-2967.29	173	-1712.35	98	-69.57	177	-92.01	173	-6605.66	98	-14458.60	173

0	Min.	-2154	-151358.00	98	-4494.03	177	-2967.29	173	-1712.35	98	-69.57	177	-92.01	173	-6605.66	98	-14458.60	173
0	Min.	-2155	-151358.00	98	-4494.03	177	-2967.29	173	-1712.35	98	-69.57	177	-92.01	173	-6605.66	98	-14458.60	173
0	Max	-1809	-3873.51	17	2935.40	173	4101.73	158	-53.08	17	21.94	65	350.55	98	8137.89	173	13530.80	157
0	Max	-1810	-3873.51	17	2935.40	173	4101.73	158	-53.08	17	21.94	65	350.55	98	8137.89	173	13530.80	157
0	Max	-2155	-3873.51	17	2935.40	173	4101.73	158	-53.08	17	21.94	65	350.55	98	8137.89	173	13530.80	157
0	Max	-2156	-3873.51	17	2935.40	173	4101.73	158	-53.08	17	21.94	65	350.55	98	8137.89	173	13530.80	157
0	Min.	-1809	-133765.00	98	-4573.98	177	-4799.86	173	-1811.42	98	-191.92	97	-362.72	173	-17258.30	177	553.37	65
0	Min.	-1810	-133765.00	98	-4573.98	177	-4799.86	173	-1811.42	98	-191.92	97	-362.72	173	-17258.30	177	553.37	65
0	Min.	-2155	-133765.00	98	-4573.98	177	-4799.86	173	-1811.42	98	-191.92	97	-362.72	173	-17258.30	177	553.37	65
0	Min.	-2156	-133765.00	98	-4573.98	177	-4799.86	173	-1811.42	98	-191.92	97	-362.72	173	-17258.30	177	553.37	65
0	Max	-1808	2846.21	1	8116.38	173	17208.60	157	886.35	125	943.38	173	1397.70	97	16998.00	177	3384.86	177
0	Max	-1809	2846.21	1	8116.38	173	17208.60	157	886.35	125	943.38	173	1397.70	97	16998.00	177	3384.86	177
0	Max	-2156	2846.21	1	8116.38	173	17208.60	157	886.35	125	943.38	173	1397.70	97	16998.00	177	3384.86	177
0	Max	-2157	2846.21	1	8116.38	173	17208.60	157	886.35	125	943.38	173	1397.70	97	16998.00	177	3384.86	177
0	Min.	-1808	-100852.00	98	-9310.98	177	-2387.01	177	-521.79	106	-1050.15	177	-158.22	177	-23381.60	173	-100438.00	173
0	Min.	-1809	-100852.00	98	-9310.98	177	-2387.01	177	-521.79	106	-1050.15	177	-158.22	177	-23381.60	173	-100438.00	173
0	Min.	-2156	-100852.00	98	-9310.98	177	-2387.01	177	-521.79	106	-1050.15	177	-158.22	177	-23381.60	173	-100438.00	173
0	Min.	-2157	-100852.00	98	-9310.98	177	-2387.01	177	-521.79	106	-1050.15	177	-158.22	177	-23381.60	173	-100438.00	173
0	Max	-1807	-3085.22	17	138.75	65	15791.90	157	-96.07	65	882.85	173	1395.89	97	19757.50	177	539.52	65
0	Max	-1808	-3085.22	17	138.75	65	15791.90	157	-96.07	65	882.85	173	1395.89	97	19757.50	177	539.52	65
0	Max	-2157	-3085.22	17	138.75	65	15791.90	157	-96.07	65	882.85	173	1395.89	97	19757.50	177	539.52	65
0	Max	-2158	-3085.22	17	138.75	65	15791.90	157	-96.07	65	882.85	173	1395.89	97	19757.50	177	539.52	65
0	Min.	-1807	-128123.00	98	-10764.10	177	-21.08	65	-2387.22	121	-1061.59	177	21.25	154	-7154.56	173	-98306.80	121
0	Min.	-1808	-128123.00	98	-10764.10	177	-21.08	65	-2387.22	121	-1061.59	177	21.25	154	-7154.56	173	-98306.80	121
0	Min.	-2157	-128123.00	98	-10764.10	177	-21.08	65	-2387.22	121	-1061.59	177	21.25	154	-7154.56	173	-98306.80	121
0	Min.	-2158	-128123.00	98	-10764.10	177	-21.08	65	-2387.22	121	-1061.59	177	21.25	154	-7154.56	173	-98306.80	121
0	Max	-1806	4887.95	1	0.91	65	3576.01	166	172.51	101	190.92	173	363.98	98	16200.60	173	9997.35	157
0	Max	-1807	4887.95	1	0.91	65	3576.01	166	172.51	101	190.92	173	363.98	98	16200.60	173	9997.35	157
0	Max	-2158	4887.95	1	0.91	65	3576.01	166	172.51	101	190.92	173	363.98	98	16200.60	173	9997.35	157
0	Max	-2159	4887.95	1	0.91	65	3576.01	166	172.51	101	190.92	173	363.98	98	16200.60	173	9997.35	157
0	Min.	-1806	-91128.10	130	-6093.92	177	-8017.66	173	-633.94	106	-44.70	106	-749.89	173	-15595.20	177	-866.71	106
0	Min.	-1807	-91128.10	130	-6093.92	177	-8017.66	173	-633.94	106	-44.70	106	-749.89	173	-15595.20	177	-866.71	106
0	Min.	-2158	-91128.10	130	-6093.92	177	-8017.66	173	-633.94	106	-44.70	106	-749.89	173	-15595.20	177	-866.71	106
0	Min.	-2159	-91128.10	130	-6093.92	177	-8017.66	173	-633.94	106	-44.70	106	-749.89	173	-15595.20	177	-866.71	106
0	Max	-1805	17068.70	101	697.54	173	4211.36	166	270.15	101	131.53	173	654.06	97	291.26	33	-161.92	65
0	Max	-1806	17068.70	101	697.54	173	4211.36	166	270.15	101	131.53	173	654.06	97	291.26	33	-161.92	65
0	Max	-2159	17068.70	101	697.54	173	4211.36	166	270.15	101	131.53	173	654.06	97	291.26	33	-161.92	65
0	Max	-2160	17068.70	101	697.54	173	4211.36	166	270.15	101	131.53	173	654.06	97	291.26	33	-161.92	65
0	Min.	-1805	-81954.00	130	-4175.59	177	-6894.89	173	-546.84	106	-34.28	177	-341.58	173	-5976.22	106	-19484.50	97
0	Min.	-1806	-81954.00	130	-4175.59	177	-6894.89	173	-546.84	106	-34.28	177	-341.58	173	-5976.22	106	-19484.50	97
0	Min.	-2159	-81954.00	130	-4175.59	177	-6894.89	173	-546.84	106	-34.28	177	-341.58	173	-5976.22	106	-19484.50	97
0	Min.	-2160	-81954.00	130	-4175.59	177	-6894.89	173	-546.84	106	-34.28	177	-341.58	173	-5976.22	106	-19484.50	97
0	Max	-1804	37473.60	101	2080.47	121	5330.18	166	610.14	101	139.17	173	540.17	97	15912.90	173	87.66	177
0	Max	-1805	37473.60	101	2080.47	121	5330.18	166	610.14	101	139.17	173	540.17	97	15912.90	173	87.66	177
0	Max	-2160	37473.60	101	2080.47	121	5330.18	166	610.14	101	139.17	173	540.17	97	15912.90	173	87.66	177
0	Max	-2161	37473.60	101	2080.47	121	5330.18	166	610.14	101	139.17	173	540.17	97	15912.90	173	87.66	177
0	Min.	-1804	-69263.50	130	-2790.20	177	-6169.28	173	-413.71	130	-128.17	177	-328.23	173	-3593.01	177	-13645.70	97
0	Min.	-1805	-69263.50	130	-2790.20	177	-6169.28	173	-413.71	130	-128.17	177	-328.23	173	-3593.01	177	-13645.70	97
0	Min.	-2160	-69263.50	130	-2790.20	177	-6169.28	173	-413.71	130	-128.17	177	-328.23	173	-3593.01	177	-13645.70	97
0	Min.	-2161	-69263.50	130	-2790.20	177	-6169.28	173	-413.71	130	-128.17	177	-328.23	173	-3593.01	177	-13645.70	97
0	Max	-1803	56584.30	101	7301.13	157	22831.10	158	3510.37	121	310.34	173	1721.16	121	33263.20	177	16697.40	177
0	Max	-1950	56584.30	101	7301.13	157	22831.10	158	3510.37	121	310.34	173	1721.16	121	33263.20	177	16697.40	177
0	Max	-2162	56584.30	101	7301.13	157	22831.10	158	3510.37	121	310.34	173	1721.16	121	33263.20	177	16697.40	177
0	Max	-2163	56584.30	101	7301.13	157	22831.10	158	3510.37	121	310.34	173	1721.16	121	33263.20	177	16697.40	177
0	Min.	-1803	-50936.80	130	-15696.50	177	-3400.57	177	98.28	65	-1554.05	177	-192.80	177	-17026.90	158	-101552.00	122
0	Min.	-1950	-50936.80	130	-15696.50	177	-3400.57	177	98.28	65	-1554.05	177	-192.80	177	-17026.90	158	-101552.00	122
0	Min.	-2162	-50936.80	130	-15696.50	177	-3400.57	177	98.28	65	-1554.05	177	-192.80	177	-17026.90	158	-101552.00	122
0	Min.	-2163	-50936.80	130	-15696.50	177	-3400.57	177	98.28	65	-1554.05	177	-192.80	177	-17026.90	158	-101552.00	122
0	Max	-1782	62800.50	130	2619.05	130	12927.80	162	2186.58	98	1406.71	98	179.20	173	-5061.76	17	47081.30	98
0	Max	431	62800.50	130	2619.05	130	12927.80	162	2186.58	98	1406.71	98	179.20	173	-5061.76	17	47081.30	98
0	Max	438	62800.50	130	2619.05	130	12927.80	162	2186.58	98	1406.71	98	179.20	173	-5061.76	17	47081.30	98
0	Max	-1387	62800.50	130	2619.05	130	12927.80	162	2186.58	98	1406.71	98	179.20	173	-5061.76	17	47081.30	98
0	Min.	-1782	-52737.20	101	-8478.72	177	-6385.32	177	144.47	1	-52.56	177	-399.00	97	-56247.40	102	5152.59	17
0	Min.	431	-52737.20	101	-8478.72	177	-6385.32	177	144.47	1	-52.56	177	-399.00	97	-56247.40	102	5152.59	17
0	Min.	438	-52737.20	101	-8478.72	177	-6385.32	177	144.47	1	-52.56	177	-399.00	97	-56247.40	102	5152.59	17
0	Min.	-1387	-52737.20	101	-8478.72	177	-6385.32	177	144.47	1	-52.56	177	-399.00	97	-56247.40	102	5152.59	17
0	Max	-1781	54550.70	130	4126.25	173	10118.40	162	977.76	98	546.27	173	249.30	173	6088.26	177	15683.30	98
0	Max	-1935	54550.70	130	4126.25	173	10118.40	162	977.76	98	546.27	173	249.30	173	6088.26	177	15683.30	98
0	Max	-1936	54550.70	130	4126.25	173	10118.40	162	977.76	98	546.27	173	249.30	173	6088.26	177	15683.30	98
0	Max	-1388	54550.70	130	4126.25	173	10118.40	162	977.76	98	546.27	173	249.30	173	6088.26	177	15683.30	98
0	Min.	-1781	-58071.80	101	-6894.91	177	-2657.39	177	-437.26	101	-328.01	177	-529.07	98	-20500.20	101	-2899.55	177
0	Min.	-1935	-58071.80	101	-6894.91	177	-2657.39	177	-437.26	101	-328.01	177	-529.07	98	-20500.20	101	-2899.55	177
0	Min.	-1936	-58071.80	101	-6894.91	177	-2657.39	177	-437.26	101	-328.01	177	-529.07	98	-20500.20	101	-2899.55	177
0	Min.	-1388	-58071.80	101	-6894.91	177	-2657.39	177	-437.26	101	-328.01	177	-529.07	98	-20500.20	101	-2899.55	177
0	Max	-1780	41204.20	130	3071.51	173	12706.30	162	643.19	106	470.17	173	303.08	173	745.60	173	22865.90	98
0	Max	-1781	41204.20	130	3071.51	173	12706.30	162	643.19	106	470.17	173	303.08	173	745.60	173	22865.90	98
0	Max	-1388	41204.20	130	3071.51	173	12706.30	162	643.19	106	470.17	173	303.08	173	745.60	173	22865.90	98
0	Max	-1389	41204.20	130	3071.51	173	12706.30	162	643.19	106	470.17	173	303.08	173	745.60	173	22865.90	98
0	Min.	-1780	-66816.80	101	-4239.95	177	-2597.19	177	-441.20	101	-312.79	177	-540.24	98	-19045.10	101	1470.08	17
0	Min.	-1781	-66816.80	101	-4239.95	177	-2597.19	177	-441.20	101	-312.79	177	-540.24	98	-19045.10	101	1470.08	17
0	Min.	-1388	-66816.80	101	-4239.95	177	-2597.19	177	-441.20	101	-312.79	177	-540.24	98	-19045.10	101	1470.08	17
0	Min.	-1389	-66816.80	101	-4239.95	177	-2597.19	177	-441.20	101	-312.79	177	-540.24	98	-19045.10	101	1470.08	17
0	Max	-1779	32909.90	162	846.51	173	11097.10	162	334.00	130	456.37	173	363.77	173	2781.77	173	18152.40	98
0	Max	-1780	32909.90	162	846.51	173	11097.10	162	334.00	130	456.37	173	363.77	173	2781.77	173	18152.40	98
0	Max	-1389	32909.90	162	846.51	173	11097.10	162	334.00	130	456.37	173	363.77	173	2781.77	173	18152.40	98
0	Max	-1390	32909.90	162	846.51	173	11097.10	162	334.00	130	456.37	173	363.77	173	2781.77	173	18152.40	98
0	Min.	-1779	-74399.10	101	-4096.90	177	-3784.92	177	-581.75	101	-284.98	177	-555.33	98	-7089.19	101	722.22	17
0	Min.	-1780	-74399.10	101	-4096.90	177	-3784.92	177	-581.75	101	-284.98	177	-555.33	98	-7089.19	101	722.22	17
0	Min.	-1389	-74399.10	101	-4096.90	177	-3784.92	177	-581.75	101	-284.98	177	-555.33	98	-7089.19	101	722.22	17
0	Min.	-1390	-74399.10	101	-4096.90	177	-3784.92	177	-581.75	101	-284.98	177	-555.33	98	-7089.19	101	722.22	17
0	Max	-1778	23956.30	162	618.94	165	9154.83	162	106.55	130	585.62	173	325.19	173	1299.21	177	18108.20	98
0	Max	-1779	23956.30	162	618.94	165	9154.83	162	106.55	130	585.62	173	325.19	173	1299.21	177	18108.20	98
0	Max	-1390	23956.30	162	618.94	165	9154.83	162	106.55	130	585.62	173	325.19	173	1299.21	177	18108.20	98
0	Max	-1391	23956.30	162	618.94	165	9154.83	162	106.55	130	585.62	173	325.19	173	1299.21	177	18108.20	98
0	Min.	-1778	-80794.90	101	-5638.31	177	-4535.67	177	-690.42	101	-337.49	177	-628.46	98	-4844.65	101	414.01	17
0	Min.	-1779	-80794.90	101	-5638.31	177	-4535.67	177	-690.42	101	-337.49	177	-628.46	98	-4844.65	101	414.01	17
0	Min.	-1390	-80794.90	101	-5638.31	177	-4535.67	177	-690.42	101	-337.49	177	-628.46	98	-4844.65	101	414.01	17
0	Min.	-1391	-80794.90	101	-5638.31	177	-4535.67	177	-690.42	101	-337.49	177	-628.46	98	-4844.65	101	414.01	17
0	Max	-1777	14278.20	162	1708.82	173	8977.52	158	-7.82	49	561.37	173	156.93	173	2285.10	177	19754.50	98
0	Max	-1778	14278.20	162	1708.82	173	8977.52	158	-7.82	49	561.37	173	156.93	173	2285.10	177	19754.50	98
0	Max	-1391	14278.20	162	1708.82	173	8977.52	158	-7.82	49	561.37	173	156.93	173	2285.10	177	19754.50	98
0	Max	-1392	14278.20	162	1708.82	173	8977.52	158	-7.82	49	561.37	173	156.93	173	2285.10	177	19754.50	98
0	Min.	-1777	-104675.00	97	-9739.34	177	-3614.81	177	-976.00	97	-342.65	177	-823.19	98	-7589.18	97	225.36	17
0	Min.	-1778	-104675.00	97	-9739.34	177	-3614.81	177	-976.00	97	-342.65	177	-823.19	98	-7589.18	97	225.36	17
0	Min.	-1391	-104675.00	97	-9739.34	177	-3614.81	177	-976.00	97	-342.65	177	-823.19	98	-7589.18	97	225.36	17

0	Min.	-1392	-104675.00	97	-9739.34	177	-3614.81	177	-976.00	97	-342.65	177	-823.19	98	-7589.18	97	225.36	17
0	Max	-1776	5116.42	162	7388.19	173	9833.73	158	-33.79	49	365.11	173	222.77	173	2490.25	177	17786.00	98
0	Max	-1777	5116.42	162	7388.19	173	9833.73	158	-33.79	49	365.11	173	222.77	173	2490.25	177	17786.00	98
0	Max	-1392	5116.42	162	7388.19	173	9833.73	158	-33.79	49	365.11	173	222.77	173	2490.25	177	17786.00	98
0	Max	-1393	5116.42	162	7388.19	173	9833.73	158	-33.79	49	365.11	173	222.77	173	2490.25	177	17786.00	98
0	Min.	-1776	-126353.00	97	-8876.92	177	-322.78	177	-1213.17	97	-668.94	97	-839.78	98	-8418.32	97	-4.29	1
0	Min.	-1777	-126353.00	97	-8876.92	177	-322.78	177	-1213.17	97	-668.94	97	-839.78	98	-8418.32	97	-4.29	1
0	Min.	-1392	-126353.00	97	-8876.92	177	-322.78	177	-1213.17	97	-668.94	97	-839.78	98	-8418.32	97	-4.29	1
0	Min.	-1393	-126353.00	97	-8876.92	177	-322.78	177	-1213.17	97	-668.94	97	-839.78	98	-8418.32	97	-4.29	1
0	Max	-1775	-3211.87	162	4578.73	173	12692.80	158	-63.53	65	327.97	173	335.10	173	1023.54	177	13956.40	98
0	Max	-1776	-3211.87	162	4578.73	173	12692.80	158	-63.53	65	327.97	173	335.10	173	1023.54	177	13956.40	98
0	Max	-1393	-3211.87	162	4578.73	173	12692.80	158	-63.53	65	327.97	173	335.10	173	1023.54	177	13956.40	98
0	Max	-1394	-3211.87	162	4578.73	173	12692.80	158	-63.53	65	327.97	173	335.10	173	1023.54	177	13956.40	98
0	Min.	-1775	-144567.00	97	-4856.96	177	-894.77	101	-1631.93	97	-779.96	97	-680.19	98	-19482.80	97	-742.00	177
0	Min.	-1776	-144567.00	97	-4856.96	177	-894.77	101	-1631.93	97	-779.96	97	-680.19	98	-19482.80	97	-742.00	177
0	Min.	-1393	-144567.00	97	-4856.96	177	-894.77	101	-1631.93	97	-779.96	97	-680.19	98	-19482.80	97	-742.00	177
0	Min.	-1394	-144567.00	97	-4856.96	177	-894.77	101	-1631.93	97	-779.96	97	-680.19	98	-19482.80	97	-742.00	177
0	Max	-1774	-8993.08	65	1999.43	173	11352.10	158	-97.24	65	251.62	173	275.07	173	6512.97	173	8019.36	173
0	Max	-2088	-8993.08	65	1999.43	173	11352.10	158	-97.24	65	251.62	173	275.07	173	6512.97	173	8019.36	173
0	Max	-2095	-8993.08	65	1999.43	173	11352.10	158	-97.24	65	251.62	173	275.07	173	6512.97	173	8019.36	173
0	Max	-1395	-8993.08	65	1999.43	173	11352.10	158	-97.24	65	251.62	173	275.07	173	6512.97	173	8019.36	173
0	Min.	-1774	-159190.00	97	-5246.07	177	-1602.00	177	-2323.11	97	-672.49	97	-446.10	98	-30567.50	97	-2583.93	101
0	Min.	-2088	-159190.00	97	-5246.07	177	-1602.00	177	-2323.11	97	-672.49	97	-446.10	98	-30567.50	97	-2583.93	101
0	Min.	-2095	-159190.00	97	-5246.07	177	-1602.00	177	-2323.11	97	-672.49	97	-446.10	98	-30567.50	97	-2583.93	101
0	Min.	-1395	-159190.00	97	-5246.07	177	-1602.00	177	-2323.11	97	-672.49	97	-446.10	98	-30567.50	97	-2583.93	101
0	Max	-1773	-10638.20	65	7318.66	173	12816.10	158	-104.27	17	85.92	65	110.18	101	1217.99	177	14873.70	173
0	Max	-2090	-10638.20	65	7318.66	173	12816.10	158	-104.27	17	85.92	65	110.18	101	1217.99	177	14873.70	173
0	Max	-2096	-10638.20	65	7318.66	173	12816.10	158	-104.27	17	85.92	65	110.18	101	1217.99	177	14873.70	173
0	Max	-1396	-10638.20	65	7318.66	173	12816.10	158	-104.27	17	85.92	65	110.18	101	1217.99	177	14873.70	173
0	Min.	-1773	-170773.00	97	-7992.08	177	-2671.02	177	-2344.02	98	-784.81	97	-150.94	106	-29870.40	98	-2209.65	101
0	Min.	-2090	-170773.00	97	-7992.08	177	-2671.02	177	-2344.02	98	-784.81	97	-150.94	106	-29870.40	98	-2209.65	101
0	Min.	-2096	-170773.00	97	-7992.08	177	-2671.02	177	-2344.02	98	-784.81	97	-150.94	106	-29870.40	98	-2209.65	101
0	Min.	-1396	-170773.00	97	-7992.08	177	-2671.02	177	-2344.02	98	-784.81	97	-150.94	106	-29870.40	98	-2209.65	101
0	Max	-1413	-11917.20	17	13072.70	173	14159.90	158	-99.87	65	82.99	65	179.66	173	1805.69	177	29779.90	173
0	Max	-1773	-11917.20	17	13072.70	173	14159.90	158	-99.87	65	82.99	65	179.66	173	1805.69	177	29779.90	173
0	Max	-1396	-11917.20	17	13072.70	173	14159.90	158	-99.87	65	82.99	65	179.66	173	1805.69	177	29779.90	173
0	Max	-1386	-11917.20	17	13072.70	173	14159.90	158	-99.87	65	82.99	65	179.66	173	1805.69	177	29779.90	173
0	Min.	-1413	-175004.00	98	-10576.80	177	-1337.74	101	-2211.29	97	-887.29	97	-187.79	106	-30109.70	98	-4248.71	101
0	Min.	-1773	-175004.00	98	-10576.80	177	-1337.74	101	-2211.29	97	-887.29	97	-187.79	106	-30109.70	98	-4248.71	101
0	Min.	-1396	-175004.00	98	-10576.80	177	-1337.74	101	-2211.29	97	-887.29	97	-187.79	106	-30109.70	98	-4248.71	101
0	Min.	-1386	-175004.00	98	-10576.80	177	-1337.74	101	-2211.29	97	-887.29	97	-187.79	106	-30109.70	98	-4248.71	101
0	Max	-1772	-11917.30	65	12807.20	173	13052.20	158	-99.87	17	82.99	17	308.46	173	91989.80	173	93607.30	173
0	Max	-1413	-11917.30	65	12807.20	173	13052.20	158	-99.87	17	82.99	17	308.46	173	91989.80	173	93607.30	173
0	Max	-1386	-11917.30	65	12807.20	173	13052.20	158	-99.87	17	82.99	17	308.46	173	91989.80	173	93607.30	173
0	Max	-1397	-11917.30	65	12807.20	173	13052.20	158	-99.87	17	82.99	17	308.46	173	91989.80	173	93607.30	173
0	Min.	-1772	-175004.00	97	-10576.80	177	-2340.54	173	-2917.13	173	-1416.53	173	-164.71	106	-30109.70	97	-6644.57	101
0	Min.	-1413	-175004.00	97	-10576.80	177	-2340.54	173	-2917.13	173	-1416.53	173	-164.71	106	-30109.70	97	-6644.57	101
0	Min.	-1386	-175004.00	97	-10576.80	177	-2340.54	173	-2917.13	173	-1416.53	173	-164.71	106	-30109.70	97	-6644.57	101
0	Min.	-1397	-175004.00	97	-10576.80	177	-2340.54	173	-2917.13	173	-1416.53	173	-164.71	106	-30109.70	97	-6644.57	101
0	Max	-1771	-10968.70	17	5255.41	173	10635.60	158	-90.73	17	84.91	17	269.61	97	4462.54	173	2459.32	106
0	Max	-2092	-10968.70	17	5255.41	173	10635.60	158	-90.73	17	84.91	17	269.61	97	4462.54	173	2459.32	106
0	Max	-2097	-10968.70	17	5255.41	173	10635.60	158	-90.73	17	84.91	17	269.61	97	4462.54	173	2459.32	106
0	Max	-1398	-10968.70	17	5255.41	173	10635.60	158	-90.73	17	84.91	17	269.61	97	4462.54	173	2459.32	106
0	Min.	-1771	-171739.00	98	-5980.29	177	-6738.72	173	-2296.36	98	-685.01	98	-303.43	173	-34605.10	98	-24168.60	173
0	Min.	-2092	-171739.00	98	-5980.29	177	-6738.72	173	-2296.36	98	-685.01	98	-303.43	173	-34605.10	98	-24168.60	173
0	Min.	-2097	-171739.00	98	-5980.29	177	-6738.72	173	-2296.36	98	-685.01	98	-303.43	173	-34605.10	98	-24168.60	173
0	Min.	-1398	-171739.00	98	-5980.29	177	-6738.72	173	-2296.36	98	-685.01	98	-303.43	173	-34605.10	98	-24168.60	173
0	Max	-1770	-9371.51	17	4094.89	97	11667.50	158	-76.52	17	77.13	17	569.07	97	9743.27	173	1118.19	130
0	Max	-2094	-9371.51	17	4094.89	97	11667.50	158	-76.52	17	77.13	17	569.07	97	9743.27	173	1118.19	130
0	Max	-2098	-9371.51	17	4094.89	97	11667.50	158	-76.52	17	77.13	17	569.07	97	9743.27	173	1118.19	130
0	Max	-1399	-9371.51	17	4094.89	97	11667.50	158	-76.52	17	77.13	17	569.07	97	9743.27	173	1118.19	130
0	Min.	-1770	-161831.00	98	-4447.46	177	-2654.37	173	-2049.48	98	-693.10	98	-345.43	173	-23089.10	98	-13830.20	97
0	Min.	-2094	-161831.00	98	-4447.46	177	-2654.37	173	-2049.48	98	-693.10	98	-345.43	173	-23089.10	98	-13830.20	97
0	Min.	-2098	-161831.00	98	-4447.46	177	-2654.37	173	-2049.48	98	-693.10	98	-345.43	173	-23089.10	98	-13830.20	97
0	Min.	-1399	-161831.00	98	-4447.46	177	-2654.37	173	-2049.48	98	-693.10	98	-345.43	173	-23089.10	98	-13830.20	97
0	Max	-1769	-7312.98	17	4564.08	97	10940.40	158	-63.53	17	102.94	173	680.19	97	4482.00	173	1616.48	130
0	Max	-1770	-7312.98	17	4564.08	97	10940.40	158	-63.53	17	102.94	173	680.19	97	4482.00	173	1616.48	130
0	Max	-1399	-7312.98	17	4564.08	97	10940.40	158	-63.53	17	102.94	173	680.19	97	4482.00	173	1616.48	130
0	Max	-1400	-7312.98	17	4564.08	97	10940.40	158	-63.53	17	102.94	173	680.19	97	4482.00	173	1616.48	130
0	Min.	-1769	-144567.00	98	-4856.96	177	-3470.75	173	-1631.93	98	-779.96	98	-353.99	173	-19482.80	98	-15280.30	173
0	Min.	-1770	-144567.00	98	-4856.96	177	-3470.75	173	-1631.93	98	-779.96	98	-353.99	173	-19482.80	98	-15280.30	173
0	Min.	-1399	-144567.00	98	-4856.96	177	-3470.75	173	-1631.93	98	-779.96	98	-353.99	173	-19482.80	98	-15280.30	173
0	Min.	-1400	-144567.00	98	-4856.96	177	-3470.75	173	-1631.93	98	-779.96	98	-353.99	173	-19482.80	98	-15280.30	173
0	Max	-1768	-3218.28	1	7382.70	173	6782.17	158	-33.79	1	261.08	173	839.78	97	2490.25	177	4.28	49
0	Max	-1769	-3218.28	1	7382.70	173	6782.17	158	-33.79	1	261.08	173	839.78	97	2490.25	177	4.28	49
0	Max	-1400	-3218.28	1	7382.70	173	6782.17	158	-33.79	1	261.08	173	839.78	97	2490.25	177	4.28	49
0	Max	-1401	-3218.28	1	7382.70	173	6782.17	158	-33.79	1	261.08	173	839.78	97	2490.25	177	4.28	49
0	Min.	-1768	-126352.00	98	-8876.92	177	-4714.83	173	-1213.17	98	-668.94	98	-241.53	173	-8418.32	98	-17786.00	97
0	Min.	-1769	-126352.00	98	-8876.92	177	-4714.83	173	-1213.17	98	-668.94	98	-241.53	173	-8418.32	98	-17786.00	97
0	Min.	-1400	-126352.00	98	-8876.92	177	-4714.83	173	-1213.17	98	-668.94	98	-241.53	173	-8418.32	98	-17786.00	97
0	Min.	-1401	-126352.00	98	-8876.92	177	-4714.83	173	-1213.17	98	-668.94	98	-241.53	173	-8418.32	98	-17786.00	97
0	Max	-1767	1596.45	1	1816.34	173	5668.90	166	-7.82	1	518.10	173	823.19	97	2285.10	177	-225.36	65
0	Max	-1768	1596.45	1	1816.34	173	5668.90	166	-7.82	1	518.10	173	823.19	97	2285.10	177	-225.36	65
0	Max	-1401	1596.45	1	1816.34	173	5668.90	166	-7.82	1	518.10	173	823.19	97	2285.10	177	-225.36	65
0	Max	-1402	1596.45	1	1816.34	173	5668.90	166	-7.82	1	518.10	173	823.19	97	2285.10	177	-225.36	65
0	Min.	-1767	-104675.00	98	-9739.34	177	-7490.01	173	-976.00	98	-342.65	177	-173.36	173	-7589.18	98	-19754.50	97
0	Min.	-1768	-104675.00	98	-9739.34	177	-7490.01	173	-976.00	98	-342.65	177	-173.36	173	-7589.18	98	-19754.50	97
0	Min.	-1401	-104675.00	98	-9739.34	177	-7490.01	173	-976.00	98	-342.65	177	-173.36	173	-7589.18	98	-19754.50	97
0	Min.	-1402	-104675.00	98	-9739.34	177	-7490.01	173	-976.00	98	-342.65	177	-173.36	173	-7589.18	98	-19754.50	97
0	Max	-1766	6558.36	1	272.60	49	7725.69	166	65.04	1	571.73	173	628.46	97	1299.21	177	-414.01	65
0	Max	-1767	6558.36	1	272.60	49	7725.69	166	65.04	1	571.73	173	628.46	97	1299.21	177	-414.01	65
0	Max	-1402	6558.36	1	272.60	49	7725.69	166	65.04	1	571.73	173	628.46	97	1299.21	177	-414.01	65
0	Max	-1403	6558.36	1	272.60	49	7725.69	166	65.04	1	571.73	173	628.46	97	1299.21	177	-414.01	65
0	Min.	-1766	-90147.50	130	-5638.31	177	-6223.24	173	-690.40	106	-337.49	177	-337.07	173	-4844.63	106	-18108.20	97
0	Min.	-1767	-90147.50	130	-5638.31	177	-6223.24	173	-690.40	106	-337.49	177	-337.07	173	-4844.63	106	-18108.20	97
0	Min.	-1402	-90147.50	130	-5638.31	177	-6223.24	173	-690.40	106	-337.49	177	-337.07	173	-4844.63	106	-18108.20	97
0	Min.	-1403	-90147.50	130	-5638.31	177	-6223.24	173	-690.40	106	-337.49	177	-337.07	173	-4844.63	106	-18108.20	97
0	Max	-1765	19171.60	101	2714.36	166	9929.90	166	285.94	101	456.39	173	555.33	97	2684.45	173	-722.22	65
0	Max	-1766	19171.60	101	2714.36	166	9929.90	166	285.94	101	456.39	173	555.33	97	2684.45	173	-722.22	65
0	Max	-1403	19171.60	101	2714.36	166	9929.90	166	285.94	101	456.39	173	555.33	97	2684.45	173	-722.22	65
0	Max	-1404	19171.60	101	2714.36	166	9929.90	166	285.94	101	456.39	173	555.33	97	2684.45	173	-722.22	65
0	Min.	-1765	-87203.30	130	-4096.90	177	-5068.45	173	-581.74	106	-284.98	177	-373.35	173	-7089.10	106	-18152.40	97
0	Min.	-1766	-87203.30	130	-4096.90	177	-5068.45	173	-581.74	106	-284.98	177	-373.35	173	-7089.10	106	-18152.40	97
0	Min.	-1403	-87203.30	130	-4096.90	177	-5068.45	173	-581.74	106	-284.98	177	-373.35	173	-7089.10	106	-18152.40	97
0	Min.	-1404	-87203.30	130	-4096.90	177	-5068.45	173	-581.74	106	-284.98	177	-373.35	173	-7089.10	106	-18152.40	97

0	Max	-1764	35769.70	101	3641.12	166	11274.50	166	643.21	101	475.35	173	540.24	97	627.17	177	-1470.07	65
0	Max	-1765	35769.70	101	3641.12	166	11274.50	166	643.21	101	475.35	173	540.24	97	627.17	177	-1470.07	65
0	Max	-1404	35769.70	101	3641.12	166	11274.50	166	643.21	101	475.35	173	540.24	97	627.17	177	-1470.07	65
0	Max	-1405	35769.70	101	3641.12	166	11274.50	166	643.21	101	475.35	173	540.24	97	627.17	177	-1470.07	65
0	Min.	-1764	-80328.90	130	-4239.94	177	-5267.19	173	-450.66	130	-312.79	177	-309.31	173	-19044.90	106	-22865.90	97
0	Min.	-1765	-80328.90	130	-4239.94	177	-5267.19	173	-450.66	130	-312.79	177	-309.31	173	-19044.90	106	-22865.90	97
0	Min.	-1404	-80328.90	130	-4239.94	177	-5267.19	173	-450.66	130	-312.79	177	-309.31	173	-19044.90	106	-22865.90	97
0	Min.	-1405	-80328.90	130	-4239.94	177	-5267.19	173	-450.66	130	-312.79	177	-309.31	173	-19044.90	106	-22865.90	97
0	Max	-1763	46782.90	101	7128.53	173	9965.71	166	1411.28	97	821.40	173	534.43	98	5354.85	177	-3120.62	65
0	Max	-1951	46782.90	101	7128.53	173	9965.71	166	1411.28	97	821.40	173	534.43	98	5354.85	177	-3120.62	65
0	Max	-1952	46782.90	101	7128.53	173	9965.71	166	1411.28	97	821.40	173	534.43	98	5354.85	177	-3120.62	65
0	Max	-1406	46782.90	101	7128.53	173	9965.71	166	1411.28	97	821.40	173	534.43	98	5354.85	177	-3120.62	65
0	Min.	-1763	-75159.50	130	-8877.20	177	-2536.98	173	-255.86	130	-199.97	177	-179.81	173	-19720.80	106	-29076.60	97
0	Min.	-1951	-75159.50	130	-8877.20	177	-2536.98	173	-255.86	130	-199.97	177	-179.81	173	-19720.80	106	-29076.60	97
0	Min.	-1952	-75159.50	130	-8877.20	177	-2536.98	173	-255.86	130	-199.97	177	-179.81	173	-19720.80	106	-29076.60	97
0	Min.	-1406	-75159.50	130	-8877.20	177	-2536.98	173	-255.86	130	-199.97	177	-179.81	173	-19720.80	106	-29076.60	97
0	Max	-1387	62122.00	130	3946.91	173	12272.90	161	2144.76	98	678.35	173	326.43	173	-1707.21	177	23829.90	98
0	Max	438	62122.00	130	3946.91	173	12272.90	161	2144.76	98	678.35	173	326.43	173	-1707.21	177	23829.90	98
0	Max	-1536	62122.00	130	3946.91	173	12272.90	161	2144.76	98	678.35	173	326.43	173	-1707.21	177	23829.90	98
0	Max	-1838	62122.00	130	3946.91	173	12272.90	161	2144.76	98	678.35	173	326.43	173	-1707.21	177	23829.90	98
0	Min.	-1387	-52007.10	101	-7172.59	177	-8833.94	98	124.49	1	-701.52	101	-192.77	97	-39386.20	102	2431.11	17
0	Min.	438	-52007.10	101	-7172.59	177	-8833.94	98	124.49	1	-701.52	101	-192.77	97	-39386.20	102	2431.11	17
0	Min.	-1536	-52007.10	101	-7172.59	177	-8833.94	98	124.49	1	-701.52	101	-192.77	97	-39386.20	102	2431.11	17
0	Min.	-1838	-52007.10	101	-7172.59	177	-8833.94	98	124.49	1	-701.52	101	-192.77	97	-39386.20	102	2431.11	17
0	Max	-1388	52688.40	130	6319.88	173	9813.02	161	991.17	98	576.89	173	350.30	173	3640.42	177	18671.40	98
0	Max	-1936	52688.40	130	6319.88	173	9813.02	161	991.17	98	576.89	173	350.30	173	3640.42	177	18671.40	98
0	Max	-1924	52688.40	130	6319.88	173	9813.02	161	991.17	98	576.89	173	350.30	173	3640.42	177	18671.40	98
0	Max	-1837	52688.40	130	6319.88	173	9813.02	161	991.17	98	576.89	173	350.30	173	3640.42	177	18671.40	98
0	Min.	-1388	-61539.80	101	-5842.37	177	-8766.62	98	-719.80	101	-608.76	101	-362.16	97	-30056.10	101	-8750.83	101
0	Min.	-1936	-61539.80	101	-5842.37	177	-8766.62	98	-719.80	101	-608.76	101	-362.16	97	-30056.10	101	-8750.83	101
0	Min.	-1924	-61539.80	101	-5842.37	177	-8766.62	98	-719.80	101	-608.76	101	-362.16	97	-30056.10	101	-8750.83	101
0	Min.	-1837	-61539.80	101	-5842.37	177	-8766.62	98	-719.80	101	-608.76	101	-362.16	97	-30056.10	101	-8750.83	101
0	Max	-1389	45914.20	162	4080.96	173	10788.90	161	648.96	106	533.83	173	395.91	173	2350.84	177	19115.30	98
0	Max	-1388	45914.20	162	4080.96	173	10788.90	161	648.96	106	533.83	173	395.91	173	2350.84	177	19115.30	98
0	Max	-1837	45914.20	162	4080.96	173	10788.90	161	648.96	106	533.83	173	395.91	173	2350.84	177	19115.30	98
0	Max	-1853	45914.20	162	4080.96	173	10788.90	161	648.96	106	533.83	173	395.91	173	2350.84	177	19115.30	98
0	Min.	-1389	-68168.00	101	-4583.50	177	-12579.00	98	-490.64	101	-578.42	101	-364.32	97	-12905.50	101	-130.21	137
0	Min.	-1388	-68168.00	101	-4583.50	177	-12579.00	98	-490.64	101	-578.42	101	-364.32	97	-12905.50	101	-130.21	137
0	Min.	-1837	-68168.00	101	-4583.50	177	-12579.00	98	-490.64	101	-578.42	101	-364.32	97	-12905.50	101	-130.21	137
0	Min.	-1853	-68168.00	101	-4583.50	177	-12579.00	98	-490.64	101	-578.42	101	-364.32	97	-12905.50	101	-130.21	137
0	Max	-1390	35124.30	162	1051.53	173	6113.86	161	353.39	130	524.10	173	399.85	173	2708.52	130	18851.30	98
0	Max	-1389	35124.30	162	1051.53	173	6113.86	161	353.39	130	524.10	173	399.85	173	2708.52	130	18851.30	98
0	Max	-1853	35124.30	162	1051.53	173	6113.86	161	353.39	130	524.10	173	399.85	173	2708.52	130	18851.30	98
0	Max	-1852	35124.30	162	1051.53	173	6113.86	161	353.39	130	524.10	173	399.85	173	2708.52	130	18851.30	98
0	Min.	-1390	-74963.70	101	-4648.43	177	-12365.40	98	-555.70	101	-503.80	101	-413.66	98	-5919.34	101	1083.35	17
0	Min.	-1389	-74963.70	101	-4648.43	177	-12365.40	98	-555.70	101	-503.80	101	-413.66	98	-5919.34	101	1083.35	17
0	Min.	-1853	-74963.70	101	-4648.43	177	-12365.40	98	-555.70	101	-503.80	101	-413.66	98	-5919.34	101	1083.35	17
0	Min.	-1852	-74963.70	101	-4648.43	177	-12365.40	98	-555.70	101	-503.80	101	-413.66	98	-5919.34	101	1083.35	17
0	Max	-1391	24574.70	162	653.37	165	4142.68	161	123.24	130	538.41	173	354.03	173	2110.13	130	17594.40	98
0	Max	-1390	24574.70	162	653.37	165	4142.68	161	123.24	130	538.41	173	354.03	173	2110.13	130	17594.40	98
0	Max	-1852	24574.70	162	653.37	165	4142.68	161	123.24	130	538.41	173	354.03	173	2110.13	130	17594.40	98
0	Max	-1851	24574.70	162	653.37	165	4142.68	161	123.24	130	538.41	173	354.03	173	2110.13	130	17594.40	98
0	Min.	-1391	-80786.40	101	-6245.18	177	-11700.20	98	-688.93	101	-397.97	101	-481.96	98	-2679.81	101	551.98	149
0	Min.	-1390	-80786.40	101	-6245.18	177	-11700.20	98	-688.93	101	-397.97	101	-481.96	98	-2679.81	101	551.98	149
0	Min.	-1852	-80786.40	101	-6245.18	177	-11700.20	98	-688.93	101	-397.97	101	-481.96	98	-2679.81	101	551.98	149
0	Min.	-1851	-80786.40	101	-6245.18	177	-11700.20	98	-688.93	101	-397.97	101	-481.96	98	-2679.81	101	551.98	149
0	Max	-1392	14710.00	162	1364.03	173	2959.03	161	4.18	49	488.86	173	299.98	173	2693.78	177	18974.30	98
0	Max	-1391	14710.00	162	1364.03	173	2959.03	161	4.18	49	488.86	173	299.98	173	2693.78	177	18974.30	98
0	Max	-1851	14710.00	162	1364.03	173	2959.03	161	4.18	49	488.86	173	299.98	173	2693.78	177	18974.30	98
0	Max	-1858	14710.00	162	1364.03	173	2959.03	161	4.18	49	488.86	173	299.98	173	2693.78	177	18974.30	98
0	Min.	-1392	-103439.00	97	-8566.66	177	-9247.51	98	-921.69	97	-514.25	97	-571.20	98	-4327.27	97	464.19	149
0	Min.	-1391	-103439.00	97	-8566.66	177	-9247.51	98	-921.69	97	-514.25	97	-571.20	98	-4327.27	97	464.19	149
0	Min.	-1851	-103439.00	97	-8566.66	177	-9247.51	98	-921.69	97	-514.25	97	-571.20	98	-4327.27	97	464.19	149
0	Min.	-1858	-103439.00	97	-8566.66	177	-9247.51	98	-921.69	97	-514.25	97	-571.20	98	-4327.27	97	464.19	149
0	Max	-1393	5637.63	162	5445.77	173	2778.56	161	-49.82	49	399.64	173	322.00	173	2701.99	177	18141.50	98
0	Max	-1392	5637.63	162	5445.77	173	2778.56	161	-49.82	49	399.64	173	322.00	173	2701.99	177	18141.50	98
0	Max	-1858	5637.63	162	5445.77	173	2778.56	161	-49.82	49	399.64	173	322.00	173	2701.99	177	18141.50	98
0	Max	-1856	5637.63	162	5445.77	173	2778.56	161	-49.82	49	399.64	173	322.00	173	2701.99	177	18141.50	98
0	Min.	-1393	-127751.00	97	-7948.28	177	-8058.48	98	-1290.87	97	-893.45	97	-591.27	98	-8087.74	97	116.05	1
0	Min.	-1392	-127751.00	97	-7948.28	177	-8058.48	98	-1290.87	97	-893.45	97	-591.27	98	-8087.74	97	116.05	1
0	Min.	-1858	-127751.00	97	-7948.28	177	-8058.48	98	-1290.87	97	-893.45	97	-591.27	98	-8087.74	97	116.05	1
0	Min.	-1856	-127751.00	97	-7948.28	177	-8058.48	98	-1290.87	97	-893.45	97	-591.27	98	-8087.74	97	116.05	1
0	Max	-1394	-2847.15	162	4930.68	173	4570.52	157	-83.06	65	374.44	173	379.91	173	1621.93	65	16538.30	98
0	Max	-1393	-2847.15	162	4930.68	173	4570.52	157	-83.06	65	374.44	173	379.91	173	1621.93	65	16538.30	98
0	Max	-1856	-2847.15	162	4930.68	173	4570.52	157	-83.06	65	374.44	173	379.91	173	1621.93	65	16538.30	98
0	Max	-1695	-2847.15	162	4930.68	173	4570.52	157	-83.06	65	374.44	173	379.91	173	1621.93	65	16538.30	98
0	Min.	-1394	-147517.00	97	-5529.58	177	-8721.59	98	-1700.79	97	-1223.61	97	-561.25	98	-13790.70	97	-497.04	101
0	Min.	-1393	-147517.00	97	-5529.58	177	-8721.59	98	-1700.79	97	-1223.61	97	-561.25	98	-13790.70	97	-497.04	101
0	Min.	-1856	-147517.00	97	-5529.58	177	-8721.59	98	-1700.79	97	-1223.61	97	-561.25	98	-13790.70	97	-497.04	101
0	Min.	-1695	-147517.00	97	-5529.58	177	-8721.59	98	-1700.79	97	-1223.61	97	-561.25	98	-13790.70	97	-497.04	101
0	Max	-1395	-11115.70	65	6634.36	158	9188.44	157	-116.62	65	362.66	173	336.68	173	4448.26	173	5929.44	98
0	Max	-2095	-11115.70	65	6634.36	158	9188.44	157	-116.62	65	362.66	173	336.68	173	4448.26	173	5929.44	98
0	Max	-2061	-11115.70	65	6634.36	158	9188.44	157	-116.62	65	362.66	173	336.68	173	4448.26	173	5929.44	98
0	Max	-1694	-11115.70	65	6634.36	158	9188.44	157	-116.62	65	362.66	173	336.68	173	4448.26	173	5929.44	98
0	Min.	-1395	-164453.00	97	-5182.75	177	-5115.78	98	-2637.08	97	-1455.76	97	-392.95	98	-34012.50	97	-2269.56	101
0	Min.	-2095	-164453.00	97	-5182.75	177	-5115.78	98	-2637.08	97	-1455.76	97	-392.95	98	-34012.50	97	-2269.56	101
0	Min.	-2061	-164453.00	97	-5182.75	177	-5115.78	98	-2637.08	97	-1455.76	97	-392.95	98	-34012.50	97	-2269.56	101
0	Min.	-1694	-164453.00	97	-5182.75	177	-5115.78	98	-2637.08	97	-1455.76	97	-392.95	98	-34012.50	97	-2269.56	101
0	Max	-1396	-12757.70	65	8078.96	158	13916.70	157	-127.43	17	197.45	173	341.14	173	12625.60	173	7130.72	173
0	Max	-2096	-12757.70	65	8078.96	158	13916.70	157	-127.43	17	197.45	173	341.14	173	12625.60	173	7130.72	173
0	Max	-2084	-12757.70	65	8078.96	158	13916.70	157	-127.43	17	197.45	173	341.14	173	12625.60	173	7130.72	173
0	Max	-1693	-12757.70	65	8078.96	158	13916.70	157	-127.43	17	197.45	173	341.14	173	12625.60	173	7130.72	173
0	Min.	-1396	-174222.00	97	-7419.96	177	-3142.66	106	-2540.03	98	-1639.06	97	-112.11	106	-33401.10	98	-9072.38	97
0	Min.	-2096	-174222.00	97	-7419.96	177	-3142.66	106	-2540.03	98	-1639.06	97	-112.11	106	-33401.10	98	-9072.38	97
0	Min.	-2084	-174222.00	97	-7419.96	177	-3142.66	106	-2540.03	98	-1639.06	97	-112.11	106	-33401.10	98	-9072.38	97
0	Min.	-1693	-174222.00	97	-7419.96	177	-3142.66	106	-2540.03	98	-1639.06	97	-112.11	106	-33401.10	98	-9072.38	97
0	Max	-1386	-13803.40	65	9292.54	173	11091.50	157	-121.16	65	94.77	65	420.29	173	29811.70	173	24933.70	173
0	Max	-1396	-13803.40	65	9292.54	173	11091.50	157	-121.16	65	94.77	65	420.29	173	29811.70	173	24933.70	173
0	Max	-1693	-13803.40	65	9292.54	173	11091.50	157	-121.16	65	94.77	65	420.29	173	29811.70	173	24933.70	173
0	Max	-1862	-13803.40	65	9292.54	173	11091.50	157	-121.16	65	94.77	65	420.29	173	29811.70	173	24933.70	173
0	Min.	-1386	-176743.00	97	-8644.26	177	-2722.33	106	-2264.80	97	-1671.34	97	-107.71	106	-23356.40	97	-3565.06	97
0	Min.	-1396	-176743.00	97	-8644.26	177	-2722.33	106	-2264.80	97	-1671.34	97	-107.71	106	-23356.40	97	-3565.06	97
0	Min.	-1693	-176743.00	97	-8644.26	177	-2722.33	106	-2264.80	97	-1671.34	97	-107.71	106	-23356.40	97	-3565.06	97
0	Min.	-1862	-176743.00	97	-8644.26	177	-2722.33	106	-2264.80	97	-1671.34	97	-107.71	106	-23356.40	97	-3565.06	97
0	Max	-1397	-13803.30	17	9510.64	173	12109.20	157	-121.16	17	172.41	173	282.30	173	50293.80	173	5685.72	173

0	Max	-1386	-13803.30	17	9510.64	173	12109.20	157	-121.16	17	172.41	173	282.30	173	50293.80	173	5685.72	173
0	Max	-1862	-13803.30	17	9510.64	173	12109.20	157	-121.16	17	172.41	173	282.30	173	50293.80	173	5685.72	173
0	Max	-1866	-13803.30	17	9510.64	173	12109.20	157	-121.16	17	172.41	173	282.30	173	50293.80	173	5685.72	173
0	Min.	-1397	-176743.00	98	-8644.26	177	-2042.40	106	-2309.24	173	-1671.34	98	-100.32	106	-23356.40	98	-4506.60	101
0	Min.	-1386	-176743.00	98	-8644.26	177	-2042.40	106	-2309.24	173	-1671.34	98	-100.32	106	-23356.40	98	-4506.60	101
0	Min.	-1862	-176743.00	98	-8644.26	177	-2042.40	106	-2309.24	173	-1671.34	98	-100.32	106	-23356.40	98	-4506.60	101
0	Min.	-1866	-176743.00	98	-8644.26	177	-2042.40	106	-2309.24	173	-1671.34	98	-100.32	106	-23356.40	98	-4506.60	101
0	Max	-1398	-12444.10	17	4886.99	173	14020.10	157	-110.08	17	109.18	173	145.57	97	33028.90	173	2090.47	130
0	Max	-2097	-12444.10	17	4886.99	173	14020.10	157	-110.08	17	109.18	173	145.57	97	33028.90	173	2090.47	130
0	Max	-2085	-12444.10	17	4886.99	173	14020.10	157	-110.08	17	109.18	173	145.57	97	33028.90	173	2090.47	130
0	Max	-1865	-12444.10	17	4886.99	173	14020.10	157	-110.08	17	109.18	173	145.57	97	33028.90	173	2090.47	130
0	Min.	-1398	-172704.00	98	-6291.01	177	-1446.46	106	-2628.93	98	-1527.10	98	-460.22	173	-35248.60	98	-25726.30	173
0	Min.	-2097	-172704.00	98	-6291.01	177	-1446.46	106	-2628.93	98	-1527.10	98	-460.22	173	-35248.60	98	-25726.30	173
0	Min.	-2085	-172704.00	98	-6291.01	177	-1446.46	106	-2628.93	98	-1527.10	98	-460.22	173	-35248.60	98	-25726.30	173
0	Min.	-1865	-172704.00	98	-6291.01	177	-1446.46	106	-2628.93	98	-1527.10	98	-460.22	173	-35248.60	98	-25726.30	173
0	Max	-1399	-10728.00	17	3540.34	158	18232.40	157	-94.63	17	232.02	173	554.55	97	8797.85	173	1337.39	130
0	Max	-2098	-10728.00	17	3540.34	158	18232.40	157	-94.63	17	232.02	173	554.55	97	8797.85	173	1337.39	130
0	Max	-2086	-10728.00	17	3540.34	158	18232.40	157	-94.63	17	232.02	173	554.55	97	8797.85	173	1337.39	130
0	Max	-1864	-10728.00	17	3540.34	158	18232.40	157	-94.63	17	232.02	173	554.55	97	8797.85	173	1337.39	130
0	Min.	-1399	-161894.00	98	-5086.04	177	-490.49	106	-2194.10	98	-1390.85	98	-432.93	173	-27753.20	98	-26902.20	97
0	Min.	-2098	-161894.00	98	-5086.04	177	-490.49	106	-2194.10	98	-1390.85	98	-432.93	173	-27753.20	98	-26902.20	97
0	Min.	-2086	-161894.00	98	-5086.04	177	-490.49	106	-2194.10	98	-1390.85	98	-432.93	173	-27753.20	98	-26902.20	97
0	Min.	-1864	-161894.00	98	-5086.04	177	-490.49	106	-2194.10	98	-1390.85	98	-432.93	173	-27753.20	98	-26902.20	97
0	Max	-1400	-8796.45	1	4772.63	173	13929.20	157	-83.06	17	266.15	173	561.25	97	4858.65	173	1596.57	130
0	Max	-1399	-8796.45	1	4772.63	173	13929.20	157	-83.06	17	266.15	173	561.25	97	4858.65	173	1596.57	130
0	Max	-1864	-8796.45	1	4772.63	173	13929.20	157	-83.06	17	266.15	173	561.25	97	4858.65	173	1596.57	130
0	Max	-1861	-8796.45	1	4772.63	173	13929.20	157	-83.06	17	266.15	173	561.25	97	4858.65	173	1596.57	130
0	Min.	-1400	-147517.00	98	-5529.58	177	-266.93	49	-1700.79	98	-1223.61	98	-431.56	173	-13790.70	98	-16538.30	97
0	Min.	-1399	-147517.00	98	-5529.58	177	-266.93	49	-1700.79	98	-1223.61	98	-431.56	173	-13790.70	98	-16538.30	97
0	Min.	-1864	-147517.00	98	-5529.58	177	-266.93	49	-1700.79	98	-1223.61	98	-431.56	173	-13790.70	98	-16538.30	97
0	Min.	-1861	-147517.00	98	-5529.58	177	-266.93	49	-1700.79	98	-1223.61	98	-431.56	173	-13790.70	98	-16538.30	97
0	Max	-1401	-3779.47	1	5306.24	173	9937.34	157	-49.82	1	336.71	173	591.27	97	2701.99	177	261.10	130
0	Max	-1400	-3779.47	1	5306.24	173	9937.34	157	-49.82	1	336.71	173	591.27	97	2701.99	177	261.10	130
0	Max	-1861	-3779.47	1	5306.24	173	9937.34	157	-49.82	1	336.71	173	591.27	97	2701.99	177	261.10	130
0	Max	-1857	-3779.47	1	5306.24	173	9937.34	157	-49.82	1	336.71	173	591.27	97	2701.99	177	261.10	130
0	Min.	-1401	-127751.00	98	-7948.28	177	66.37	49	-1290.87	98	-893.45	98	-364.35	173	-8087.75	98	-18141.50	97
0	Min.	-1400	-127751.00	98	-7948.28	177	66.37	49	-1290.87	98	-893.45	98	-364.35	173	-8087.75	98	-18141.50	97
0	Min.	-1861	-127751.00	98	-7948.28	177	66.37	49	-1290.87	98	-893.45	98	-364.35	173	-8087.75	98	-18141.50	97
0	Min.	-1857	-127751.00	98	-7948.28	177	66.37	49	-1290.87	98	-893.45	98	-364.35	173	-8087.75	98	-18141.50	97
0	Max	-1402	1637.06	1	1349.98	173	10094.00	121	4.18	1	460.14	173	571.20	97	2693.78	177	-224.24	130
0	Max	-1401	1637.06	1	1349.98	173	10094.00	121	4.18	1	460.14	173	571.20	97	2693.78	177	-224.24	130
0	Max	-1857	1637.06	1	1349.98	173	10094.00	121	4.18	1	460.14	173	571.20	97	2693.78	177	-224.24	130
0	Max	-1845	1637.06	1	1349.98	173	10094.00	121	4.18	1	460.14	173	571.20	97	2693.78	177	-224.24	130
0	Min.	-1402	-103439.00	98	-8566.66	177	316.15	49	-921.69	98	-514.25	98	-328.68	173	-4327.27	98	-18974.40	97
0	Min.	-1401	-103439.00	98	-8566.66	177	316.15	49	-921.69	98	-514.25	98	-328.68	173	-4327.27	98	-18974.40	97
0	Min.	-1857	-103439.00	98	-8566.66	177	316.15	49	-921.69	98	-514.25	98	-328.68	173	-4327.27	98	-18974.40	97
0	Min.	-1845	-103439.00	98	-8566.66	177	316.15	49	-921.69	98	-514.25	98	-328.68	173	-4327.27	98	-18974.40	97
0	Max	-1403	6959.52	1	145.54	65	12403.50	121	75.09	1	528.33	173	481.96	97	1847.86	177	169.66	130
0	Max	-1402	6959.52	1	145.54	65	12403.50	121	75.09	1	528.33	173	481.96	97	1847.86	177	169.66	130
0	Max	-1845	6959.52	1	145.54	65	12403.50	121	75.09	1	528.33	173	481.96	97	1847.86	177	169.66	130
0	Max	-1844	6959.52	1	145.54	65	12403.50	121	75.09	1	528.33	173	481.96	97	1847.86	177	169.66	130
0	Min.	-1403	-90098.30	130	-6245.18	177	563.57	65	-688.92	106	-397.96	106	-373.32	173	-2679.80	106	-17594.40	97
0	Min.	-1402	-90098.30	130	-6245.18	177	563.57	65	-688.92	106	-397.96	106	-373.32	173	-2679.80	106	-17594.40	97
0	Min.	-1845	-90098.30	130	-6245.18	177	563.57	65	-688.92	106	-397.96	106	-373.32	173	-2679.80	106	-17594.40	97
0	Min.	-1844	-90098.30	130	-6245.18	177	563.57	65	-688.92	106	-397.96	106	-373.32	173	-2679.80	106	-17594.40	97
0	Max	-1404	20144.60	101	2144.86	166	13186.70	121	297.24	101	523.22	173	413.66	97	2455.40	113	-963.65	130
0	Max	-1403	20144.60	101	2144.86	166	13186.70	121	297.24	101	523.22	173	413.66	97	2455.40	113	-963.65	130
0	Max	-1844	20144.60	101	2144.86	166	13186.70	121	297.24	101	523.22	173	413.66	97	2455.40	113	-963.65	130
0	Max	-1843	20144.60	101	2144.86	166	13186.70	121	297.24	101	523.22	173	413.66	97	2455.40	113	-963.65	130
0	Min.	-1404	-89088.60	130	-4648.43	177	775.73	65	-555.68	106	-503.78	106	-413.22	173	-5919.28	106	-18851.30	97
0	Min.	-1403	-89088.60	130	-4648.43	177	775.73	65	-555.68	106	-503.78	106	-413.22	173	-5919.28	106	-18851.30	97
0	Min.	-1844	-89088.60	130	-4648.43	177	775.73	65	-555.68	106	-503.78	106	-413.22	173	-5919.28	106	-18851.30	97
0	Min.	-1843	-89088.60	130	-4648.43	177	775.73	65	-555.68	106	-503.78	106	-413.22	173	-5919.28	106	-18851.30	97
0	Max	-1405	35291.90	101	4382.17	121	15796.00	165	648.99	101	537.16	173	364.32	98	2350.84	177	820.12	130
0	Max	-1404	35291.90	101	4382.17	121	15796.00	165	648.99	101	537.16	173	364.32	98	2350.84	177	820.12	130
0	Max	-1843	35291.90	101	4382.17	121	15796.00	165	648.99	101	537.16	173	364.32	98	2350.84	177	820.12	130
0	Max	-1839	35291.90	101	4382.17	121	15796.00	165	648.99	101	537.16	173	364.32	98	2350.84	177	820.12	130
0	Min.	-1405	-87519.20	130	-4583.50	177	1065.05	65	-499.35	130	-578.40	106	-405.93	173	-12905.30	106	-19115.30	97
0	Min.	-1404	-87519.20	130	-4583.50	177	1065.05	65	-499.35	130	-578.40	106	-405.93	173	-12905.30	106	-19115.30	97
0	Min.	-1843	-87519.20	130	-4583.50	177	1065.05	65	-499.35	130	-578.40	106	-405.93	173	-12905.30	106	-19115.30	97
0	Min.	-1839	-87519.20	130	-4583.50	177	1065.05	65	-499.35	130	-578.40	106	-405.93	173	-12905.30	106	-19115.30	97
0	Max	-1406	49342.20	101	3521.18	173	13002.40	165	1483.21	97	659.07	173	285.79	98	1667.25	177	-1895.50	65
0	Max	-1952	49342.20	101	3521.18	173	13002.40	165	1483.21	97	659.07	173	285.79	98	1667.25	177	-1895.50	65
0	Max	-1948	49342.20	101	3521.18	173	13002.40	165	1483.21	97	659.07	173	285.79	98	1667.25	177	-1895.50	65
0	Max	-1836	49342.20	101	3521.18	173	13002.40	165	1483.21	97	659.07	173	285.79	98	1667.25	177	-1895.50	65
0	Min.	-1406	-73140.60	130	-7531.73	177	987.23	33	-478.82	130	-622.14	106	-365.87	173	-39507.00	105	-26896.40	105
0	Min.	-1952	-73140.60	130	-7531.73	177	987.23	33	-478.82	130	-622.14	106	-365.87	173	-39507.00	105	-26896.40	105
0	Min.	-1948	-73140.60	130	-7531.73	177	987.23	33	-478.82	130	-622.14	106	-365.87	173	-39507.00	105	-26896.40	105
0	Min.	-1836	-73140.60	130	-7531.73	177	987.23	33	-478.82	130	-622.14	106	-365.87	173	-39507.00	105	-26896.40	105
0	Max	441	60372.60	101	3169.41	113	10504.90	177	2260.14	97	673.39	105	169.92	65	-3931.54	65	-3677.03	33
0	Max	-1428	60372.60	101	3169.41	113	10504.90	177	2260.14	97	673.39	105	169.92	65	-3931.54	65	-3677.03	33
0	Max	-1823	60372.60	101	3169.41	113	10504.90	177	2260.14	97	673.39	105	169.92	65	-3931.54	65	-3677.03	33
0	Max	-1859	60372.60	101	3169.41	113	10504.90	177	2260.14	97	673.39	105	169.92	65	-3931.54	65	-3677.03	33
0	Min.	441	-68457.10	130	-1804.87	177	-5319.87	173	131.47	1	82.97	33	-291.96	173	-37649.80	105	-28016.60	97
0	Min.	-1428	-68457.10	130	-1804.87	177	-5319.87	173	131.47	1	82.97	33	-291.96	173	-37649.80	105	-28016.60	97
0	Min.	-1823	-68457.10	130	-1804.87	177	-5319.87	173	131.47	1	82.97	33	-291.96	173	-37649.80	105	-28016.60	97
0	Min.	-1859	-68457.10	130	-1804.87	177	-5319.87	173	131.47	1	82.97	33	-291.96	173	-37649.80	105	-28016.60	97
0	Max	-1428	50091.50	101	2700.85	125	9524.53	177	1558.37	97	606.75	105	202.63	65	751.34	65	-2159.53	33
0	Max	-1949	50091.50	101	2700.85	125	9524.53	177	1558.37	97	606.75	105	202.63	65	751.34	65	-2159.53	33
0	Max	-1953	50091.50	101	2700.85	125	9524.53	177	1558.37	97	606.75	105	202.63	65	751.34	65	-2159.53	33
0	Max	-1823	50091.50	101	2700.85	125	9524.53	177	1558.37	97	606.75	105	202.63	65	751.34	65	-2159.53	33
0	Min.	-1428	-75797.60	130	-2119.28	177	-5375.37	173	-194.33	130	69.23	33	-343.94	173	-8134.85	105	-18850.70	97
0	Min.	-1949	-75797.60	130	-2119.28	177	-5375.37	173	-194.33	130	69.23	33	-343.94	173	-8134.85	105	-18850.70	97
0	Min.	-1953	-75797.60	130	-2119.28	177	-5375.37	173	-194.33	130	69.23	33	-343.94	173	-8134.85	105	-18850.70	97
0	Min.	-1823	-75797.60	130	-2119.28	177	-5375.37	173	-194.33	130	69.23	33	-343.94	173	-8134.85	105	-18850.70	97
0	Max	-1429	37796.20	101	2261.53	173	8174.59	177	704.14	97	345.81	117	228.18	65	858.06	177	-1981.88	33
0	Max	-1430	37796.20	101	2261.53	173	8174.59	177	704.14	97	345.81	117	228.18	65	858.06	177	-1981.88	33
0	Max	-1825	37796.20	101	2261.53	173	8174.59	177	704.14	97	345.81	117	228.18	65	858.06	177	-1981.88	33
0	Max	-1824	37796.20	101	2261.53	173	8174.59	177	704.14	97	345.81	117	228.18	65	858.06	177	-1981.88	33
0	Min.	-1429	-84372.80	130	-2239.63	177	-4796.48	173	-469.61	130	-113.83	98	-382.88	173	-5317.65	106	-20919.40	97
0	Min.	-1430	-84372.80	130	-2239.63	177	-4796.48	173	-469.61	130	-113.83	98	-382.88	173	-5317.65	106	-20919.40	97
0	Min.	-1825	-84372.80	130	-2239.63	177	-4796.48	173	-469.61	130	-113.83	98	-382.88	173	-5317.65	106	-20919.40	97
0	Min.	-1824	-84372.80	130	-2239.63	177	-4796.48	173	-469.61	130	-113.83	98	-382.88	173	-5317.65	106	-20919.40	97
0	Max	-1430	22695.00	101	1681.39	173	7176.42	177	352.19	101	201.18	113	229.15	65	1366.70	97	-1678.81	33
0	Max	-1431	22695.00	101	1681.39	173	7176.42	177	352.19	101	201.18	113	229.15	65	1366.70	97	-1678.81	33

0	Max	-1826	22695.00	101	1681.39	173	7176.42	177	352.19	101	201.18	113	229.15	65	1366.70	97	-1678.81	33
0	Max	-1825	22695.00	101	1681.39	173	7176.42	177	352.19	101	201.18	113	229.15	65	1366.70	97	-1678.81	33
0	Min.	-1430	-89858.00	130	-2570.97	177	-4422.20	173	-627.19	106	-298.46	98	-393.70	173	-3119.77	106	-20110.80	97
0	Min.	-1431	-89858.00	130	-2570.97	177	-4422.20	173	-627.19	106	-298.46	98	-393.70	173	-3119.77	106	-20110.80	97
0	Min.	-1826	-89858.00	130	-2570.97	177	-4422.20	173	-627.19	106	-298.46	98	-393.70	173	-3119.77	106	-20110.80	97
0	Min.	-1825	-89858.00	130	-2570.97	177	-4422.20	173	-627.19	106	-298.46	98	-393.70	173	-3119.77	106	-20110.80	97
0	Max	-1431	6407.46	101	1470.51	173	6219.44	177	88.03	49	193.71	33	217.75	65	893.66	177	-1285.10	1
0	Max	-1432	6407.46	101	1470.51	173	6219.44	177	88.03	49	193.71	33	217.75	65	893.66	177	-1285.10	1
0	Max	-1827	6407.46	101	1470.51	173	6219.44	177	88.03	49	193.71	33	217.75	65	893.66	177	-1285.10	1
0	Max	-1826	6407.46	101	1470.51	173	6219.44	177	88.03	49	193.71	33	217.75	65	893.66	177	-1285.10	1
0	Min.	-1431	-92285.40	130	-2859.63	177	-4013.26	173	-762.23	106	-471.35	98	-374.64	173	-1636.16	106	-19242.20	97
0	Min.	-1432	-92285.40	130	-2859.63	177	-4013.26	173	-762.23	106	-471.35	98	-374.64	173	-1636.16	106	-19242.20	97
0	Min.	-1827	-92285.40	130	-2859.63	177	-4013.26	173	-762.23	106	-471.35	98	-374.64	173	-1636.16	106	-19242.20	97
0	Min.	-1826	-92285.40	130	-2859.63	177	-4013.26	173	-762.23	106	-471.35	98	-374.64	173	-1636.16	106	-19242.20	97
0	Max	-1432	235.08	49	1785.13	173	5247.99	177	3.07	49	194.81	33	196.19	65	819.14	177	-845.29	1
0	Max	-1433	235.08	49	1785.13	173	5247.99	177	3.07	49	194.81	33	196.19	65	819.14	177	-845.29	1
0	Max	-1828	235.08	49	1785.13	173	5247.99	177	3.07	49	194.81	33	196.19	65	819.14	177	-845.29	1
0	Max	-1827	235.08	49	1785.13	173	5247.99	177	3.07	49	194.81	33	196.19	65	819.14	177	-845.29	1
0	Min.	-1432	-106232.00	98	-2997.06	177	-3486.58	173	-1001.75	98	-605.60	98	-325.96	173	-1718.30	173	-17620.20	97
0	Min.	-1433	-106232.00	98	-2997.06	177	-3486.58	173	-1001.75	98	-605.60	98	-325.96	173	-1718.30	173	-17620.20	97
0	Min.	-1828	-106232.00	98	-2997.06	177	-3486.58	173	-1001.75	98	-605.60	98	-325.96	173	-1718.30	173	-17620.20	97
0	Min.	-1827	-106232.00	98	-2997.06	177	-3486.58	173	-1001.75	98	-605.60	98	-325.96	173	-1718.30	173	-17620.20	97
0	Max	-1433	-5907.15	49	2572.41	98	4214.12	177	-72.79	49	193.89	33	167.05	65	794.24	177	-27.47	130
0	Max	-1434	-5907.15	49	2572.41	98	4214.12	177	-72.79	49	193.89	33	167.05	65	794.24	177	-27.47	130
0	Max	-1829	-5907.15	49	2572.41	98	4214.12	177	-72.79	49	193.89	33	167.05	65	794.24	177	-27.47	130
0	Max	-1828	-5907.15	49	2572.41	98	4214.12	177	-72.79	49	193.89	33	167.05	65	794.24	177	-27.47	130
0	Min.	-1433	-133027.00	98	-2926.41	177	-2873.70	173	-1479.59	98	-664.29	98	-244.60	173	-2933.48	173	-14891.70	97
0	Min.	-1434	-133027.00	98	-2926.41	177	-2873.70	173	-1479.59	98	-664.29	98	-244.60	173	-2933.48	173	-14891.70	97
0	Min.	-1829	-133027.00	98	-2926.41	177	-2873.70	173	-1479.59	98	-664.29	98	-244.60	173	-2933.48	173	-14891.70	97
0	Min.	-1828	-133027.00	98	-2926.41	177	-2873.70	173	-1479.59	98	-664.29	98	-244.60	173	-2933.48	173	-14891.70	97
0	Max	-1434	-11767.60	49	3773.64	98	3144.38	177	-142.16	49	191.57	33	131.89	65	783.75	65	1300.87	130
0	Max	-1435	-11767.60	49	3773.64	98	3144.38	177	-142.16	49	191.57	33	131.89	65	783.75	65	1300.87	130
0	Max	-1830	-11767.60	49	3773.64	98	3144.38	177	-142.16	49	191.57	33	131.89	65	783.75	65	1300.87	130
0	Max	-1829	-11767.60	49	3773.64	98	3144.38	177	-142.16	49	191.57	33	131.89	65	783.75	65	1300.87	130
0	Min.	-1434	-156001.00	98	-2786.73	177	-2224.71	173	-1925.28	98	-619.86	98	-139.62	173	-6205.53	173	-11647.50	173
0	Min.	-1435	-156001.00	98	-2786.73	177	-2224.71	173	-1925.28	98	-619.86	98	-139.62	173	-6205.53	173	-11647.50	173
0	Min.	-1830	-156001.00	98	-2786.73	177	-2224.71	173	-1925.28	98	-619.86	98	-139.62	173	-6205.53	173	-11647.50	173
0	Min.	-1829	-156001.00	98	-2786.73	177	-2224.71	173	-1925.28	98	-619.86	98	-139.62	173	-6205.53	173	-11647.50	173
0	Max	-1435	-16971.60	49	3576.53	98	2333.94	177	-170.26	49	190.08	33	103.12	65	916.89	65	1475.98	130
0	Max	-2099	-16971.60	49	3576.53	98	2333.94	177	-170.26	49	190.08	33	103.12	65	916.89	65	1475.98	130
0	Max	-1699	-16971.60	49	3576.53	98	2333.94	177	-170.26	49	190.08	33	103.12	65	916.89	65	1475.98	130
0	Max	-1830	-16971.60	49	3576.53	98	2333.94	177	-170.26	49	190.08	33	103.12	65	916.89	65	1475.98	130
0	Min.	-1435	-172525.00	98	-2846.29	177	-1738.59	173	-2213.44	98	-734.98	173	-107.38	17	-9249.44	173	-10271.20	97
0	Min.	-2099	-172525.00	98	-2846.29	177	-1738.59	173	-2213.44	98	-734.98	173	-107.38	17	-9249.44	173	-10271.20	97
0	Min.	-1699	-172525.00	98	-2846.29	177	-1738.59	173	-2213.44	98	-734.98	173	-107.38	17	-9249.44	173	-10271.20	97
0	Min.	-1830	-172525.00	98	-2846.29	177	-1738.59	173	-2213.44	98	-734.98	173	-107.38	17	-9249.44	173	-10271.20	97
0	Max	-1436	-19096.30	33	4439.00	98	1304.46	177	-193.96	33	187.02	33	198.12	173	1022.96	65	2416.30	130
0	Max	-2100	-19096.30	33	4439.00	98	1304.46	177	-193.96	33	187.02	33	198.12	173	1022.96	65	2416.30	130
0	Max	-1547	-19096.30	33	4439.00	98	1304.46	177	-193.96	33	187.02	33	198.12	173	1022.96	65	2416.30	130
0	Max	-1831	-19096.30	33	4439.00	98	1304.46	177	-193.96	33	187.02	33	198.12	173	1022.96	65	2416.30	130
0	Min.	-1436	-183686.00	98	-2784.63	177	-968.73	173	-2455.70	98	-1225.81	173	-63.86	17	-28600.50	173	-24067.20	173
0	Min.	-2100	-183686.00	98	-2784.63	177	-968.73	173	-2455.70	98	-1225.81	173	-63.86	17	-28600.50	173	-24067.20	173
0	Min.	-1547	-183686.00	98	-2784.63	177	-968.73	173	-2455.70	98	-1225.81	173	-63.86	17	-28600.50	173	-24067.20	173
0	Min.	-1831	-183686.00	98	-2784.63	177	-968.73	173	-2455.70	98	-1225.81	173	-63.86	17	-28600.50	173	-24067.20	173
0	Max	-1438	-20455.90	33	4840.57	98	2849.69	158	-212.17	33	184.11	33	18.09	65	1069.73	65	47332.90	173
0	Max	-1846	-20455.90	33	4840.57	98	2849.69	158	-212.17	33	184.11	33	18.09	65	1069.73	65	47332.90	173
0	Max	-1532	-20455.90	33	4840.57	98	2849.69	158	-212.17	33	184.11	33	18.09	65	1069.73	65	47332.90	173
0	Max	-1832	-20455.90	33	4840.57	98	2849.69	158	-212.17	33	184.11	33	18.09	65	1069.73	65	47332.90	173
0	Min.	-1438	-186942.00	97	-2771.72	177	-627.04	125	-2557.00	98	-1559.48	173	-205.58	173	-79634.10	173	-5788.54	97
0	Min.	-1846	-186942.00	97	-2771.72	177	-627.04	125	-2557.00	98	-1559.48	173	-205.58	173	-79634.10	173	-5788.54	97
0	Min.	-1532	-186942.00	97	-2771.72	177	-627.04	125	-2557.00	98	-1559.48	173	-205.58	173	-79634.10	173	-5788.54	97
0	Min.	-1832	-186942.00	97	-2771.72	177	-627.04	125	-2557.00	98	-1559.48	173	-205.58	173	-79634.10	173	-5788.54	97
0	Max	-1846	-20454.10	33	4840.57	97	2915.57	158	-212.12	33	184.15	33	18.44	65	1069.73	17	23075.70	173
0	Max	-1439	-20454.10	33	4840.57	97	2915.57	158	-212.12	33	184.15	33	18.44	65	1069.73	17	23075.70	173
0	Max	-1833	-20454.10	33	4840.57	97	2915.57	158	-212.12	33	184.15	33	18.44	65	1069.73	17	23075.70	173
0	Max	-1532	-20454.10	33	4840.57	97	2915.57	158	-212.12	33	184.15	33	18.44	65	1069.73	17	23075.70	173
0	Min.	-1846	-186942.00	98	-2771.72	177	-593.44	125	-2557.00	97	-1232.81	173	-250.70	173	-28564.20	173	-2953.99	101
0	Min.	-1439	-186942.00	98	-2771.72	177	-593.44	125	-2557.00	97	-1232.81	173	-250.70	173	-28564.20	173	-2953.99	101
0	Min.	-1833	-186942.00	98	-2771.72	177	-593.44	125	-2557.00	97	-1232.81	173	-250.70	173	-28564.20	173	-2953.99	101
0	Min.	-1532	-186942.00	98	-2771.72	177	-593.44	125	-2557.00	97	-1232.81	173	-250.70	173	-28564.20	173	-2953.99	101
0	Max	-1439	-19053.10	33	5190.68	98	2120.80	158	-216.68	33	184.10	33	41.35	65	1056.49	17	12561.50	173
0	Max	-2101	-19053.10	33	5190.68	98	2120.80	158	-216.68	33	184.10	33	41.35	65	1056.49	17	12561.50	173
0	Max	-2082	-19053.10	33	5190.68	98	2120.80	158	-216.68	33	184.10	33	41.35	65	1056.49	17	12561.50	173
0	Max	-1833	-19053.10	33	5190.68	98	2120.80	158	-216.68	33	184.10	33	41.35	65	1056.49	17	12561.50	173
0	Min.	-1439	-183528.00	97	-2706.91	177	-786.25	177	-2568.77	97	-955.99	173	-111.00	173	-13898.50	173	-3646.99	101
0	Min.	-2101	-183528.00	97	-2706.91	177	-786.25	177	-2568.77	97	-955.99	173	-111.00	173	-13898.50	173	-3646.99	101
0	Min.	-2082	-183528.00	97	-2706.91	177	-786.25	177	-2568.77	97	-955.99	173	-111.00	173	-13898.50	173	-3646.99	101
0	Min.	-1833	-183528.00	97	-2706.91	177	-786.25	177	-2568.77	97	-955.99	173	-111.00	173	-13898.50	173	-3646.99	101
0	Max	-1441	-12157.60	162	5420.55	98	1338.85	173	-201.55	33	186.67	33	85.95	65	983.23	17	11397.00	173
0	Max	-2102	-12157.60	162	5420.55	98	1338.85	173	-201.55	33	186.67	33	85.95	65	983.23	17	11397.00	173
0	Max	-2080	-12157.60	162	5420.55	98	1338.85	173	-201.55	33	186.67	33	85.95	65	983.23	17	11397.00	173
0	Max	-1834	-12157.60	162	5420.55	98	1338.85	173	-201.55	33	186.67	33	85.95	65	983.23	17	11397.00	173
0	Min.	-1441	-172758.00	97	-2609.23	177	-1816.54	177	-2449.71	97	-596.70	173	-82.07	17	-7051.30	173	-2391.83	101
0	Min.	-2102	-172758.00	97	-2609.23	177	-1816.54	177	-2449.71	97	-596.70	173	-82.07	17	-7051.30	173	-2391.83	101
0	Min.	-2080	-172758.00	97	-2609.23	177	-1816.54	177	-2449.71	97	-596.70	173	-82.07	17	-7051.30	173	-2391.83	101
0	Min.	-1834	-172758.00	97	-2609.23	177	-1816.54	177	-2449.71	97	-596.70	173	-82.07	17	-7051.30	173	-2391.83	101
0	Max	-1442	-3605.06	162	3773.64	97	2283.11	173	-142.16	1	192.03	33	200.70	173	783.75	17	11463.40	98
0	Max	-1443	-3605.06	162	3773.64	97	2283.11	173	-142.16	1	192.03	33	200.70	173	783.75	17	11463.40	98
0	Max	-1412	-3605.06	162	3773.64	97	2283.11	173	-142.16	1	192.03	33	200.70	173	783.75	17	11463.40	98
0	Max	-1835	-3605.06	162	3773.64	97	2283.11	173	-142.16	1	192.03	33	200.70	173	783.75	17	11463.40	98
0	Min.	-1442	-156001.00	97	-2786.73	177	-3144.39	177	-1925.28	97	-619.86	97	-131.89	17	-4926.15	98	-241.94	149
0	Min.	-1443	-156001.00	97	-2786.73	177	-3144.39	177	-1925.28	97	-619.86	97	-131.89	17	-4926.15	98	-241.94	149
0	Min.	-1412	-156001.00	97	-2786.73	177	-3144.39	177	-1925.28	97	-619.86	97	-131.89	17	-4926.15	98	-241.94	149
0	Min.	-1835	-156001.00	97	-2786.73	177	-3144.39	177	-1925.28	97	-619.86	97	-131.89	17	-4926.15	98	-241.94	149
0	Max	-1443	5569.31	162	2572.41	97	2975.89	173	-72.79	1	194.51	33	286.33	173	794.25	177	14891.70	98
0	Max	-1445	5569.31	162	2572.41	97	2975.89	173	-72.79	1	194.51	33	286.33	173	794.25	177	14891.70	98
0	Max	-1410	5569.31	162	2572.41	97	2975.89	173	-72.79	1	194.51	33	286.33	173	794.25	177	14891.70	98
0	Max	-1412	5569.31	162	2572.41	97	2975.89	173	-72.79	1	194.51	33	286.33	173	794.25	177	14891.70	98
0	Min.	-1443	-133027.00	97	-2926.41	177	-4214.12	177	-1479.59	97	-664.29	97	-167.05	17	-2598.83	98	362.24	49
0	Min.	-1445	-133027.00	97	-2926.41	177	-4214.12	177	-1479.59	97	-664.29	97	-167.05	17	-2598.83	98	362.24	49
0	Min.	-1410	-133027.00	97	-2926.41	177	-4214.12	177	-1479.59	97	-664.29	97	-167.05	17	-2598.83	98	362.24	49
0	Min.	-1412	-133027.00	97	-2926.41	177	-4214.12	177	-1479.59	97	-664.29	97	-167.05	17	-2598.83	98	362.24	49
0	Max	-1445	15235.90	162	1593.92	173	3605.38	173	3.07	1	195.62	33	345.03	173	819.14	177	17620.20	98
0	Max	-1446	15235.90	162	1593.92	173	3605.38	173	3.07	1	195.62	33	345.03	173	819.14	177	17620.20	98
0	Max	-1411	15235.90	162	1593.92	173	3605.38	173	3.07	1	195.62	33	345.03	173	819.14	177	17620.20	98

0	Max	-1410	15235.90	162	1593.92	173	3605.38	173	3.07	1	195.62	33	345.03	173	819.14	177	17620.20	98
0	Min.	-1445	-106232.00	97	-2997.06	177	-5248.00	177	-1001.75	97	-605.60	97	-196.19	17	-1173.26	173	845.28	49
0	Min.	-1446	-106232.00	97	-2997.06	177	-5248.00	177	-1001.75	97	-605.60	97	-196.19	17	-1173.26	173	845.28	49
0	Min.	-1411	-106232.00	97	-2997.06	177	-5248.00	177	-1001.75	97	-605.60	97	-196.19	17	-1173.26	173	845.28	49
0	Min.	-1410	-106232.00	97	-2997.06	177	-5248.00	177	-1001.75	97	-605.60	97	-196.19	17	-1173.26	173	845.28	49
0	Max	-1446	24987.90	162	1287.24	173	4120.17	173	183.72	130	194.68	33	376.39	173	893.66	177	19242.20	98
0	Max	-1448	24987.90	162	1287.24	173	4120.17	173	183.72	130	194.68	33	376.39	173	893.66	177	19242.20	98
0	Max	-1688	24987.90	162	1287.24	173	4120.17	173	183.72	130	194.68	33	376.39	173	893.66	177	19242.20	98
0	Max	-1411	24987.90	162	1287.24	173	4120.17	173	183.72	130	194.68	33	376.39	173	893.66	177	19242.20	98
0	Min.	-1446	-83634.50	101	-2859.63	177	-6219.44	177	-762.25	101	-471.35	97	-217.75	17	-1636.15	101	1285.09	49
0	Min.	-1448	-83634.50	101	-2859.63	177	-6219.44	177	-762.25	101	-471.35	97	-217.75	17	-1636.15	101	1285.09	49
0	Min.	-1688	-83634.50	101	-2859.63	177	-6219.44	177	-762.25	101	-471.35	97	-217.75	17	-1636.15	101	1285.09	49
0	Min.	-1411	-83634.50	101	-2859.63	177	-6219.44	177	-762.25	101	-471.35	97	-217.75	17	-1636.15	101	1285.09	49
0	Max	-1448	33886.50	162	1536.54	173	4502.49	173	421.98	130	219.28	130	383.11	173	1366.69	98	20110.80	98
0	Max	-1449	33886.50	162	1536.54	173	4502.49	173	421.98	130	219.28	130	383.11	173	1366.69	98	20110.80	98
0	Max	-1691	33886.50	162	1536.54	173	4502.49	173	421.98	130	219.28	130	383.11	173	1366.69	98	20110.80	98
0	Max	-1688	33886.50	162	1536.54	173	4502.49	173	421.98	130	219.28	130	383.11	173	1366.69	98	20110.80	98
0	Min.	-1448	-77420.50	101	-2570.97	177	-7176.42	177	-627.21	101	-298.46	97	-229.15	17	-3119.80	101	1686.20	33
0	Min.	-1449	-77420.50	101	-2570.97	177	-7176.42	177	-627.21	101	-298.46	97	-229.15	17	-3119.80	101	1686.20	33
0	Min.	-1691	-77420.50	101	-2570.97	177	-7176.42	177	-627.21	101	-298.46	97	-229.15	17	-3119.80	101	1686.20	33
0	Min.	-1688	-77420.50	101	-2570.97	177	-7176.42	177	-627.21	101	-298.46	97	-229.15	17	-3119.80	101	1686.20	33
0	Max	-1449	44792.20	130	2172.24	173	4835.29	173	708.23	122	356.87	126	365.22	173	858.06	177	20919.40	98
0	Max	-1450	44792.20	130	2172.24	173	4835.29	173	708.23	122	356.87	126	365.22	173	858.06	177	20919.40	98
0	Max	-1692	44792.20	130	2172.24	173	4835.29	173	708.23	122	356.87	126	365.22	173	858.06	177	20919.40	98
0	Max	-1691	44792.20	130	2172.24	173	4835.29	173	708.23	122	356.87	126	365.22	173	858.06	177	20919.40	98
0	Min.	-1449	-69553.10	101	-2239.62	177	-8174.59	177	-407.69	101	-113.83	97	-228.18	17	-5317.81	101	1988.09	33
0	Min.	-1450	-69553.10	101	-2239.62	177	-8174.59	177	-407.69	101	-113.83	97	-228.18	17	-5317.81	101	1988.09	33
0	Min.	-1692	-69553.10	101	-2239.62	177	-8174.59	177	-407.69	101	-113.83	97	-228.18	17	-5317.81	101	1988.09	33
0	Min.	-1691	-69553.10	101	-2239.62	177	-8174.59	177	-407.69	101	-113.83	97	-228.18	17	-5317.81	101	1988.09	33
0	Max	-1450	55430.70	130	3200.88	173	5112.05	173	1060.03	98	531.54	102	340.43	173	1210.90	17	17309.90	98
0	Max	-1937	55430.70	130	3200.88	173	5112.05	173	1060.03	98	531.54	102	340.43	173	1210.90	17	17309.90	98
0	Max	-1917	55430.70	130	3200.88	173	5112.05	173	1060.03	98	531.54	102	340.43	173	1210.90	17	17309.90	98
0	Max	-1692	55430.70	130	3200.88	173	5112.05	173	1060.03	98	531.54	102	340.43	173	1210.90	17	17309.90	98
0	Min.	-1450	-60703.70	101	-1809.97	177	-8937.19	177	-269.89	101	-4.81	133	-219.41	17	-3899.79	101	1565.25	33
0	Min.	-1937	-60703.70	101	-1809.97	177	-8937.19	177	-269.89	101	-4.81	133	-219.41	17	-3899.79	101	1565.25	33
0	Min.	-1917	-60703.70	101	-1809.97	177	-8937.19	177	-269.89	101	-4.81	133	-219.41	17	-3899.79	101	1565.25	33
0	Min.	-1692	-60703.70	101	-1809.97	177	-8937.19	177	-269.89	101	-4.81	133	-219.41	17	-3899.79	101	1565.25	33
0	Max	-1452	64397.10	130	3169.39	118	5272.09	173	2260.13	98	673.42	102	273.17	173	-3931.60	17	28016.30	98
0	Max	430	64397.10	130	3169.39	118	5272.09	173	2260.13	98	673.42	102	273.17	173	-3931.60	17	28016.30	98
0	Max	-1534	64397.10	130	3169.39	118	5272.09	173	2260.13	98	673.42	102	273.17	173	-3931.60	17	28016.30	98
0	Max	-1698	64397.10	130	3169.39	118	5272.09	173	2260.13	98	673.42	102	273.17	173	-3931.60	17	28016.30	98
0	Min.	-1452	-51733.30	101	-1804.86	177	-10505.00	177	131.47	49	83.84	33	-169.92	17	-37651.40	102	3680.57	33
0	Min.	430	-51733.30	101	-1804.86	177	-10505.00	177	131.47	49	83.84	33	-169.92	17	-37651.40	102	3680.57	33
0	Min.	-1534	-51733.30	101	-1804.86	177	-10505.00	177	131.47	49	83.84	33	-169.92	17	-37651.40	102	3680.57	33
0	Min.	-1698	-51733.30	101	-1804.86	177	-10505.00	177	131.47	49	83.84	33	-169.92	17	-37651.40	102	3680.57	33
0	Max	439	59306.40	101	2693.49	113	7187.28	177	2315.02	97	832.59	97	167.51	65	-5210.81	33	-3901.87	17
0	Max	-1453	59306.40	101	2693.49	113	7187.28	177	2315.02	97	832.59	97	167.51	65	-5210.81	33	-3901.87	17
0	Max	-1873	59306.40	101	2693.49	113	7187.28	177	2315.02	97	832.59	97	167.51	65	-5210.81	33	-3901.87	17
0	Max	-1874	59306.40	101	2693.49	113	7187.28	177	2315.02	97	832.59	97	167.51	65	-5210.81	33	-3901.87	17
0	Min.	439	-60552.50	130	-3258.25	130	-8856.44	98	137.88	1	-562.12	106	-315.88	173	-52218.20	105	-45596.10	105
0	Min.	-1453	-60552.50	130	-3258.25	130	-8856.44	98	137.88	1	-562.12	106	-315.88	173	-52218.20	105	-45596.10	105
0	Min.	-1873	-60552.50	130	-3258.25	130	-8856.44	98	137.88	1	-562.12	106	-315.88	173	-52218.20	105	-45596.10	105
0	Min.	-1874	-60552.50	130	-3258.25	130	-8856.44	98	137.88	1	-562.12	106	-315.88	173	-52218.20	105	-45596.10	105
0	Max	-1453	49176.50	101	9773.56	165	24665.00	166	1472.27	97	447.39	101	201.88	65	665.22	65	-2269.82	17
0	Max	-1954	49176.50	101	9773.56	165	24665.00	166	1472.27	97	447.39	101	201.88	65	665.22	65	-2269.82	17
0	Max	-1943	49176.50	101	9773.56	165	24665.00	166	1472.27	97	447.39	101	201.88	65	665.22	65	-2269.82	17
0	Max	-1873	49176.50	101	9773.56	165	24665.00	166	1472.27	97	447.39	101	201.88	65	665.22	65	-2269.82	17
0	Min.	-1453	-62005.80	106	-188.35	142	-8196.50	97	-805.37	106	-1235.08	106	-375.66	173	-39637.30	105	-44611.70	105
0	Min.	-1954	-62005.80	106	-188.35	142	-8196.50	97	-805.37	106	-1235.08	106	-375.66	173	-39637.30	105	-44611.70	105
0	Min.	-1943	-62005.80	106	-188.35	142	-8196.50	97	-805.37	106	-1235.08	106	-375.66	173	-39637.30	105	-44611.70	105
0	Min.	-1873	-62005.80	106	-188.35	142	-8196.50	97	-805.37	106	-1235.08	106	-375.66	173	-39637.30	105	-44611.70	105
0	Max	-1454	37108.10	101	9398.02	165	4652.12	177	673.88	97	299.71	113	236.31	65	-45.08	65	9696.14	106
0	Max	-1455	37108.10	101	9398.02	165	4652.12	177	673.88	97	299.71	113	236.31	65	-45.08	65	9696.14	106
0	Max	-1876	37108.10	101	9398.02	165	4652.12	177	673.88	97	299.71	113	236.31	65	-45.08	65	9696.14	106
0	Max	-1875	37108.10	101	9398.02	165	4652.12	177	673.88	97	299.71	113	236.31	65	-45.08	65	9696.14	106
0	Min.	-1454	-96815.70	130	-329.71	177	-13179.10	97	-544.33	130	-1012.31	106	-417.97	173	-18941.90	105	-17235.80	97
0	Min.	-1455	-96815.70	130	-329.71	177	-13179.10	97	-544.33	130	-1012.31	106	-417.97	173	-18941.90	105	-17235.80	97
0	Min.	-1876	-96815.70	130	-329.71	177	-13179.10	97	-544.33	130	-1012.31	106	-417.97	173	-18941.90	105	-17235.80	97
0	Min.	-1875	-96815.70	130	-329.71	177	-13179.10	97	-544.33	130	-1012.31	106	-417.97	173	-18941.90	105	-17235.80	97
0	Max	-1455	21837.80	101	4961.73	166	3961.22	177	324.48	101	238.35	113	226.77	65	895.67	98	-1072.28	17
0	Max	-1456	21837.80	101	4961.73	166	3961.22	177	324.48	101	238.35	113	226.77	65	895.67	98	-1072.28	17
0	Max	-1877	21837.80	101	4961.73	166	3961.22	177	324.48	101	238.35	113	226.77	65	895.67	98	-1072.28	17
0	Max	-1876	21837.80	101	4961.73	166	3961.22	177	324.48	101	238.35	113	226.77	65	895.67	98	-1072.28	17
0	Min.	-1455	-93429.60	130	-990.22	177	-13070.00	97	-530.66	106	-652.28	106	-462.50	173	-754.81	173	-16265.50	97
0	Min.	-1456	-93429.60	130	-990.22	177	-13070.00	97	-530.66	106	-652.28	106	-462.50	173	-754.81	173	-16265.50	97
0	Min.	-1877	-93429.60	130	-990.22	177	-13070.00	97	-530.66	106	-652.28	106	-462.50	173	-754.81	173	-16265.50	97
0	Min.	-1876	-93429.60	130	-990.22	177	-13070.00	97	-530.66	106	-652.28	106	-462.50	173	-754.81	173	-16265.50	97
0	Max	-1456	7089.65	49	1862.91	166	3369.16	177	86.47	49	180.12	113	207.78	65	1139.53	98	349.85	130
0	Max	-1459	7089.65	49	1862.91	166	3369.16	177	86.47	49	180.12	113	207.78	65	1139.53	98	349.85	130
0	Max	-1878	7089.65	49	1862.91	166	3369.16	177	86.47	49	180.12	113	207.78	65	1139.53	98	349.85	130
0	Max	-1877	7089.65	49	1862.91	166	3369.16	177	86.47	49	180.12	113	207.78	65	1139.53	98	349.85	130
0	Min.	-1456	-92615.40	130	-1670.86	157	-12232.90	97	-708.29	106	-492.06	106	-488.59	173	-909.49	33	-16173.60	97
0	Min.	-1459	-92615.40	130	-1670.86	157	-12232.90	97	-708.29	106	-492.06	106	-488.59	173	-909.49	33	-16173.60	97
0	Min.	-1878	-92615.40	130	-1670.86	157	-12232.90	97	-708.29	106	-492.06	106	-488.59	173	-909.49	33	-16173.60	97
0	Min.	-1877	-92615.40	130	-1670.86	157	-12232.90	97	-708.29	106	-492.06	106	-488.59	173	-909.49	33	-16173.60	97
0	Max	-1459	1299.35	49	1198.48	130	2912.60	177	8.85	49	159.41	33	179.74	65	1249.29	173	-50.60	130
0	Max	-1460	1299.35	49	1198.48	130	2912.60	177	8.85	49	159.41	33	179.74	65	1249.29	173	-50.60	130
0	Max	-1879	1299.35	49	1198.48	130	2912.60	177	8.85	49	159.41	33	179.74	65	1249.29	173	-50.60	130
0	Max	-1878	1299.35	49	1198.48	130	2912.60	177	8.85	49	159.41	33	179.74	65	1249.29	173	-50.60	130
0	Min.	-1459	-104927.00	98	-1868.27	157	-10319.20	97	-924.40	98	-731.92	98	-507.31	173	-1308.88	17	-16595.90	97
0	Min.	-1460	-104927.00	98	-1868.27	157	-10319.20	97	-924.40	98	-731.92	98	-507.31	173	-1308.88	17	-16595.90	97
0	Min.	-1879	-104927.00	98	-1868.27	157	-10319.20	97	-924.40	98	-731.92	98	-507.31	173	-1308.88	17	-16595.90	97
0	Min.	-1878	-104927.00	98	-1868.27	157	-10319.20	97	-924.40	98	-731.92	98	-507.31	173	-1308.88	17	-16595.90	97
0	Max	-1460	-4537.53	49	2710.98	98	2322.41	177	-60.73	49	146.60	33	148.77	65	3965.02	173	261.76	130
0	Max	-1462	-4537.53	49	2710.98	98	2322.41	177	-60.73	49	146.60	33	148.77	65	3965.02	173	261.76	130
0	Max	-1880	-4537.53	49	2710.98	98	2322.41	177	-60.73	49	146.60	33	148.77	65	3965.02	173	261.76	130
0	Max	-1879	-4537.53	49	2710.98	98	2322.41	177	-60.73	49	146.60	33	148.77	65	3965.02	173	261.76	130
0	Min.	-1460	-131074.00	98	-1122.11	177	-8824.20	97	-1368.21	98	-1110.17	98	-516.54	173	-1541.15	17	-16474.60	97
0	Min.	-1462	-131074.00	98	-1122.11	177	-8824.20	97	-1368.21	98	-1110.17	98	-516.54	173	-1541.15	17	-16474.60	97
0	Min.	-1880	-131074.00	98	-1122.11	177	-8824.20	97	-1368.21	98	-1110.17	98	-516.54	173	-1541.15	17	-16474.60	97
0	Min.	-1879	-131074.00	98	-1122.11	177	-8824.20	97	-1368.21	98	-1110.17	98	-516.54	173	-1541.15	17	-16474.60	97
0	Max	-1462	-7837.14	177	3938.88	98	1511.51	177	-120.53	65	139.70	33	117.56	65	7979.88	173	796.80	130
0	Max	-1463	-7837.14	177	3938.88	98	1511.51	177	-120.53	65	139.70	33	117.56	65	7979.88	173	796.80	130
0	Max	-1881	-7837.14	177	3938.88	98	1511.51	177	-120.53	65	139.70	33	117.56	65	7979.88	173	796.80	130
0	Max	-1880	-7837.14	177	3938.88	98	1511.51	177	-120.53	65	139.70	33	117.56	65	7979.88	173	796.80	130

0	Min.	-1462	-153733.00	98	-1984.77	157	-8511.99	97	-1783.56	98	-1627.33	98	-504.26	173	-3069.10	97	-17743.10	97
0	Min.	-1463	-153733.00	98	-1984.77	157	-8511.99	97	-1783.56	98	-1627.33	98	-504.26	173	-3069.10	97	-17743.10	97
0	Min.	-1881	-153733.00	98	-1984.77	157	-8511.99	97	-1783.56	98	-1627.33	98	-504.26	173	-3069.10	97	-17743.10	97
0	Min.	-1880	-153733.00	98	-1984.77	157	-8511.99	97	-1783.56	98	-1627.33	98	-504.26	173	-3069.10	97	-17743.10	97
0	Max	-1463	-10084.80	177	5982.83	97	1193.94	177	-136.68	65	137.16	33	90.41	65	11650.60	173	1161.39	130
0	Max	-1762	-10084.80	177	5982.83	97	1193.94	177	-136.68	65	137.16	33	90.41	65	11650.60	173	1161.39	130
0	Max	-1974	-10084.80	177	5982.83	97	1193.94	177	-136.68	65	137.16	33	90.41	65	11650.60	173	1161.39	130
0	Max	-1881	-10084.80	177	5982.83	97	1193.94	177	-136.68	65	137.16	33	90.41	65	11650.60	173	1161.39	130
0	Min.	-1463	-171996.00	98	-5122.03	158	-5978.30	97	-2378.14	98	-2160.27	98	-495.00	173	-14381.90	97	-41322.10	97
0	Min.	-1762	-171996.00	98	-5122.03	158	-5978.30	97	-2378.14	98	-2160.27	98	-495.00	173	-14381.90	97	-41322.10	97
0	Min.	-1974	-171996.00	98	-5122.03	158	-5978.30	97	-2378.14	98	-2160.27	98	-495.00	173	-14381.90	97	-41322.10	97
0	Min.	-1881	-171996.00	98	-5122.03	158	-5978.30	97	-2378.14	98	-2160.27	98	-495.00	173	-14381.90	97	-41322.10	97
0	Max	-1464	-11123.30	177	5602.26	97	24713.90	158	-155.40	65	134.89	33	55.86	65	22082.30	173	6274.92	98
0	Max	-2083	-11123.30	177	5602.26	97	24713.90	158	-155.40	65	134.89	33	55.86	65	22082.30	173	6274.92	98
0	Max	-1911	-11123.30	177	5602.26	97	24713.90	158	-155.40	65	134.89	33	55.86	65	22082.30	173	6274.92	98
0	Max	-1882	-11123.30	177	5602.26	97	24713.90	158	-155.40	65	134.89	33	55.86	65	22082.30	173	6274.92	98
0	Min.	-1464	-181221.00	98	-4566.11	158	-4844.78	125	-3098.51	98	-2664.88	98	-467.25	173	-41157.80	97	-11995.20	173
0	Min.	-2083	-181221.00	98	-4566.11	158	-4844.78	125	-3098.51	98	-2664.88	98	-467.25	173	-41157.80	97	-11995.20	173
0	Min.	-1911	-181221.00	98	-4566.11	158	-4844.78	125	-3098.51	98	-2664.88	98	-467.25	173	-41157.80	97	-11995.20	173
0	Min.	-1882	-181221.00	98	-4566.11	158	-4844.78	125	-3098.51	98	-2664.88	98	-467.25	173	-41157.80	97	-11995.20	173
0	Max	-1465	-11400.70	177	4224.14	97	2596.73	106	-170.42	65	132.70	33	164.62	173	7063.04	173	6589.48	98
0	Max	-1867	-11400.70	177	4224.14	97	2596.73	106	-170.42	65	132.70	33	164.62	173	7063.04	173	6589.48	98
0	Max	-1884	-11400.70	177	4224.14	97	2596.73	106	-170.42	65	132.70	33	164.62	173	7063.04	173	6589.48	98
0	Max	-1883	-11400.70	177	4224.14	97	2596.73	106	-170.42	65	132.70	33	164.62	173	7063.04	173	6589.48	98
0	Min.	-1465	-183530.00	97	-1141.24	177	-3676.78	125	-2342.06	98	-2361.07	98	-67.64	101	-5084.75	97	-16423.20	173
0	Min.	-1867	-183530.00	97	-1141.24	177	-3676.78	125	-2342.06	98	-2361.07	98	-67.64	101	-5084.75	97	-16423.20	173
0	Min.	-1884	-183530.00	97	-1141.24	177	-3676.78	125	-2342.06	98	-2361.07	98	-67.64	101	-5084.75	97	-16423.20	173
0	Min.	-1883	-183530.00	97	-1141.24	177	-3676.78	125	-2342.06	98	-2361.07	98	-67.64	101	-5084.75	97	-16423.20	173
0	Max	-1867	-11400.70	177	4224.14	98	3362.53	106	-170.42	17	132.85	33	409.78	173	22296.70	173	11441.90	173
0	Max	-1466	-11400.70	177	4224.14	98	3362.53	106	-170.42	17	132.85	33	409.78	173	22296.70	173	11441.90	173
0	Max	-1885	-11400.70	177	4224.14	98	3362.53	106	-170.42	17	132.85	33	409.78	173	22296.70	173	11441.90	173
0	Max	-1884	-11400.70	177	4224.14	98	3362.53	106	-170.42	17	132.85	33	409.78	173	22296.70	173	11441.90	173
0	Min.	-1867	-183530.00	98	-1141.24	177	-3130.41	125	-2342.06	97	-2361.07	97	-61.42	101	-5084.75	98	-6589.48	97
0	Min.	-1466	-183530.00	98	-1141.24	177	-3130.41	125	-2342.06	97	-2361.07	97	-61.42	101	-5084.75	98	-6589.48	97
0	Min.	-1885	-183530.00	98	-1141.24	177	-3130.41	125	-2342.06	97	-2361.07	97	-61.42	101	-5084.75	98	-6589.48	97
0	Min.	-1884	-183530.00	98	-1141.24	177	-3130.41	125	-2342.06	97	-2361.07	97	-61.42	101	-5084.75	98	-6589.48	97
0	Max	-1466	-10862.70	177	2766.92	97	7063.60	158	-169.83	17	133.53	33	462.88	173	13345.70	173	4333.89	173
0	Max	-2081	-10862.70	177	2766.92	97	7063.60	158	-169.83	17	133.53	33	462.88	173	13345.70	173	4333.89	173
0	Max	-2103	-10862.70	177	2766.92	97	7063.60	158	-169.83	17	133.53	33	462.88	173	13345.70	173	4333.89	173
0	Max	-1885	-10862.70	177	2766.92	97	7063.60	158	-169.83	17	133.53	33	462.88	173	13345.70	173	4333.89	173
0	Min.	-1466	-179974.00	97	-3232.18	158	-3124.82	125	-2735.69	97	-2516.96	97	-48.65	101	-13649.90	98	-23177.00	97
0	Min.	-2081	-179974.00	97	-3232.18	158	-3124.82	125	-2735.69	97	-2516.96	97	-48.65	101	-13649.90	98	-23177.00	97
0	Min.	-2103	-179974.00	97	-3232.18	158	-3124.82	125	-2735.69	97	-2516.96	97	-48.65	101	-13649.90	98	-23177.00	97
0	Min.	-1885	-179974.00	97	-3232.18	158	-3124.82	125	-2735.69	97	-2516.96	97	-48.65	101	-13649.90	98	-23177.00	97
0	Max	-1467	-9535.93	177	2128.94	101	29199.50	158	-155.89	17	135.55	33	454.74	173	9330.72	173	21779.30	98
0	Max	-2079	-9535.93	177	2128.94	101	29199.50	158	-155.89	17	135.55	33	454.74	173	9330.72	173	21779.30	98
0	Max	-2104	-9535.93	177	2128.94	101	29199.50	158	-155.89	17	135.55	33	454.74	173	9330.72	173	21779.30	98
0	Max	-1886	-9535.93	177	2128.94	101	29199.50	158	-155.89	17	135.55	33	454.74	173	9330.72	173	21779.30	98
0	Min.	-1467	-169113.00	97	-2749.87	158	-2961.44	125	-3057.02	97	-2554.94	97	-73.42	17	-39955.50	98	-1563.52	101
0	Min.	-2079	-169113.00	97	-2749.87	158	-2961.44	125	-3057.02	97	-2554.94	97	-73.42	17	-39955.50	98	-1563.52	101
0	Min.	-2104	-169113.00	97	-2749.87	158	-2961.44	125	-3057.02	97	-2554.94	97	-73.42	17	-39955.50	98	-1563.52	101
0	Min.	-1886	-169113.00	97	-2749.87	158	-2961.44	125	-3057.02	97	-2554.94	97	-73.42	17	-39955.50	98	-1563.52	101
0	Max	-1468	-3390.56	162	6220.52	157	8511.98	98	-120.53	17	141.25	33	467.93	173	4028.84	173	17743.10	98
0	Max	-1469	-3390.56	162	6220.52	157	8511.98	98	-120.53	17	141.25	33	467.93	173	4028.84	173	17743.10	98
0	Max	-1888	-3390.56	162	6220.52	157	8511.98	98	-120.53	17	141.25	33	467.93	173	4028.84	173	17743.10	98
0	Max	-1887	-3390.56	162	6220.52	157	8511.98	98	-120.53	17	141.25	33	467.93	173	4028.84	173	17743.10	98
0	Min.	-1468	-153733.00	97	-995.07	177	-2179.65	125	-1783.56	97	-1627.33	97	-117.56	17	-3069.10	98	-166.24	49
0	Min.	-1469	-153733.00	97	-995.07	177	-2179.65	125	-1783.56	97	-1627.33	97	-117.56	17	-3069.10	98	-166.24	49
0	Min.	-1888	-153733.00	97	-995.07	177	-2179.65	125	-1783.56	97	-1627.33	97	-117.56	17	-3069.10	98	-166.24	49
0	Min.	-1887	-153733.00	97	-995.07	177	-2179.65	125	-1783.56	97	-1627.33	97	-117.56	17	-3069.10	98	-166.24	49
0	Max	-1469	5844.97	162	3862.02	157	8824.19	98	-60.73	1	148.76	33	475.16	173	1480.46	97	16474.60	98
0	Max	-1470	5844.97	162	3862.02	157	8824.19	98	-60.73	1	148.76	33	475.16	173	1480.46	97	16474.60	98
0	Max	-1889	5844.97	162	3862.02	157	8824.19	98	-60.73	1	148.76	33	475.16	173	1480.46	97	16474.60	98
0	Max	-1888	5844.97	162	3862.02	157	8824.19	98	-60.73	1	148.76	33	475.16	173	1480.46	97	16474.60	98
0	Min.	-1469	-131074.00	97	-1122.11	177	-2322.41	177	-1368.21	97	-1110.17	97	-148.77	17	-1541.15	65	196.25	149
0	Min.	-1470	-131074.00	97	-1122.11	177	-2322.41	177	-1368.21	97	-1110.17	97	-148.77	17	-1541.15	65	196.25	149
0	Min.	-1889	-131074.00	97	-1122.11	177	-2322.41	177	-1368.21	97	-1110.17	97	-148.77	17	-1541.15	65	196.25	149
0	Min.	-1888	-131074.00	97	-1122.11	177	-2322.41	177	-1368.21	97	-1110.17	97	-148.77	17	-1541.15	65	196.25	149
0	Max	-1470	15561.10	162	2064.68	157	10319.20	98	8.85	1	162.28	33	467.28	173	675.10	97	16595.90	98
0	Max	-1471	15561.10	162	2064.68	157	10319.20	98	8.85	1	162.28	33	467.28	173	675.10	97	16595.90	98
0	Max	-1890	15561.10	162	2064.68	157	10319.20	98	8.85	1	162.28	33	467.28	173	675.10	97	16595.90	98
0	Max	-1889	15561.10	162	2064.68	157	10319.20	98	8.85	1	162.28	33	467.28	173	675.10	97	16595.90	98
0	Min.	-1470	-104928.00	97	-1433.93	177	-2912.61	177	-924.40	97	-731.92	97	-179.74	17	-1308.88	65	389.63	149
0	Min.	-1471	-104928.00	97	-1433.93	177	-2912.61	177	-924.40	97	-731.92	97	-179.74	17	-1308.88	65	389.63	149
0	Min.	-1890	-104928.00	97	-1433.93	177	-2912.61	177	-924.40	97	-731.92	97	-179.74	17	-1308.88	65	389.63	149
0	Min.	-1889	-104928.00	97	-1433.93	177	-2912.61	177	-924.40	97	-731.92	97	-179.74	17	-1308.88	65	389.63	149
0	Max	-1471	26490.00	162	925.62	157	12232.90	98	155.07	130	192.68	130	450.36	173	1139.53	97	16173.60	98
0	Max	-1472	26490.00	162	925.62	157	12232.90	98	155.07	130	192.68	130	450.36	173	1139.53	97	16173.60	98
0	Max	-1891	26490.00	162	925.62	157	12232.90	98	155.07	130	192.68	130	450.36	173	1139.53	97	16173.60	98
0	Max	-1890	26490.00	162	925.62	157	12232.90	98	155.07	130	192.68	130	450.36	173	1139.53	97	16173.60	98
0	Min.	-1471	-82569.50	101	-1837.76	162	-3369.16	177	-708.30	101	-492.08	101	-207.78	17	-1069.59	126	125.77	149
0	Min.	-1472	-82569.50	101	-1837.76	162	-3369.16	177	-708.30	101	-492.08	101	-207.78	17	-1069.59	126	125.77	149
0	Min.	-1891	-82569.50	101	-1837.76	162	-3369.16	177	-708.30	101	-492.08	101	-207.78	17	-1069.59	126	125.77	149
0	Min.	-1890	-82569.50	101	-1837.76	162	-3369.16	177	-708.30	101	-492.08	101	-207.78	17	-1069.59	126	125.77	149
0	Max	-1472	39339.70	162	942.16	49	13070.00	98	388.69	130	252.89	130	424.76	173	895.66	97	16265.50	98
0	Max	-1473	39339.70	162	942.16	49	13070.00	98	388.69	130	252.89	130	424.76	173	895.66	97	16265.50	98
0	Max	-1892	39339.70	162	942.16	49	13070.00	98	388.69	130	252.89	130	424.76	173	895.66	97	16265.50	98
0	Max	-1891	39339.70	162	942.16	49	13070.00	98	388.69	130	252.89	130	424.76	173	895.66	97	16265.50	98
0	Min.	-1472	-76843.70	101	-3943.79	162	-3961.23	177	-530.67	101	-652.30	101	-226.77	17	-989.04	173	1072.28	65
0	Min.	-1473	-76843.70	101	-3943.79	162	-3961.23	177	-530.67	101	-652.30	101	-226.77	17	-989.04	173	1072.28	65
0	Min.	-1892	-76843.70	101	-3943.79	162	-3961.23	177	-530.67	101	-652.30	101	-226.77	17	-989.04	173	1072.28	65
0	Min.	-1891	-76843.70	101	-3943.79	162	-3961.23	177	-530.67	101	-652.30	101	-226.77	17	-989.04	173	1072.28	65
0	Max	-1473	57447.70	162	2734.51	98	13179.10	98	677.62	130	314.23	130	381.57	173	-45.08	17	17235.80	98
0	Max	-1474	57447.70	162	2734.51	98	13179.10	98	677.62	130	314.23	130	381.57	173	-45.08	17	17235.80	98
0	Max	-1893	57447.70	162	2734.51	98	13179.10	98	677.62	130	314.23	130	381.57	173	-45.08	17	17235.80	98
0	Max	-1892	57447.70	162	2734.51	98	13179.10	98	677.62	130	314.23	130	381.57	173	-45.08	17	17235.80	98
0	Min.	-1473	-69570.70	101	-6940.79	161	-4652.12	177	-521.90	101	-1012.33	101	-236.31	17	-18942.00	102	-9696.37	101
0	Min.	-1474	-69570.70	101	-6940.79	161	-4652.12	177	-521.90	101	-1012.33	101	-236.31	17	-18942.00	102	-9696.37	101
0	Min.	-1893	-69570.70	101	-6940.79	161	-4652.12	177	-521.90	101	-1012.33	101	-236.31	17	-18942.00	102	-9696.37	101
0	Min.	-1892	-69570.70	101	-6940.79	161	-4652.12	177	-521.90	101	-1012.33	101	-236.31	17	-18942.00	102	-9696.37	101
0	Max	-1474	84548.60	162	3041.76	162	27718.50	162	1049.46	98	354.66	130	354.10	173	668.25	17	13959.30	98
0	Max	-1918	84548.60	162	3041.76	162	27718.50	162	1049.46	98	354.66	130	354.10	173	668.25	17	13959.30	98
0	Max	-1938	84548.60	162	3041.76	162	27718.50	162	1049.46	98	354.66	130	354.10	173	668.25	17	13959.30	98
0	Max	-1893	84548.60	162	3041.76	162	27718.50	162	1049.46	98	354.66	130	354.10	173	668.25	17	13959.30	98
0	Min.	-1474	-60821.40	101	-1535.58	101	-5944.90	177	-1047.62	101	-1354.24	101	-227.28	17	-38291.10	102	-25669.30	101

0	Min.	-1918	-60821.40	101	-1535.58	101	-5944.90	177	-1047.62	101	-1354.24	101	-227.28	17	-38291.10	102	-25669.30	101
0	Min.	-1938	-60821.40	101	-1535.58	101	-5944.90	177	-1047.62	101	-1354.24	101	-227.28	17	-38291.10	102	-25669.30	101
0	Min.	-1893	-60821.40	101	-1535.58	101	-5944.90	177	-1047.62	101	-1354.24	101	-227.28	17	-38291.10	102	-25669.30	101
0	Max	-1475	63650.70	130	4127.91	162	8856.49	97	2315.01	98	832.59	98	287.75	173	-5205.75	33	45595.80	102
0	Max	433	63650.70	130	4127.91	162	8856.49	97	2315.01	98	832.59	98	287.75	173	-5205.75	33	45595.80	102
0	Max	-1344	63650.70	130	4127.91	162	8856.49	97	2315.01	98	832.59	98	287.75	173	-5205.75	33	45595.80	102
0	Max	-1894	63650.70	130	4127.91	162	8856.49	97	2315.01	98	832.59	98	287.75	173	-5205.75	33	45595.80	102
0	Min.	-1475	-52136.80	101	-2822.78	101	-7187.27	177	137.87	49	-562.17	101	-167.51	17	-52220.20	102	3901.85	65
0	Min.	433	-52136.80	101	-2822.78	101	-7187.27	177	137.87	49	-562.17	101	-167.51	17	-52220.20	102	3901.85	65
0	Min.	-1344	-52136.80	101	-2822.78	101	-7187.27	177	137.87	49	-562.17	101	-167.51	17	-52220.20	102	3901.85	65
0	Min.	-1894	-52136.80	101	-2822.78	101	-7187.27	177	137.87	49	-562.17	101	-167.51	17	-52220.20	102	3901.85	65
0	Max	-1859	59788.10	101	4647.03	165	9555.44	177	2260.54	97	362.75	101	185.66	65	30379.40	97	-4109.26	17
0	Max	-1823	59788.10	101	4647.03	165	9555.44	177	2260.54	97	362.75	101	185.66	65	30379.40	97	-4109.26	17
0	Max	-1453	59788.10	101	4647.03	165	9555.44	177	2260.54	97	362.75	101	185.66	65	30379.40	97	-4109.26	17
0	Max	439	59788.10	101	4647.03	165	9555.44	177	2260.54	97	362.75	101	185.66	65	30379.40	97	-4109.26	17
0	Min.	-1859	-66524.00	130	-886.75	106	-5438.11	173	127.54	1	-105.08	106	-285.15	173	3799.81	17	-32370.20	97
0	Min.	-1823	-66524.00	130	-886.75	106	-5438.11	173	127.54	1	-105.08	106	-285.15	173	3799.81	17	-32370.20	97
0	Min.	-1453	-66524.00	130	-886.75	106	-5438.11	173	127.54	1	-105.08	106	-285.15	173	3799.81	17	-32370.20	97
0	Min.	439	-66524.00	130	-886.75	106	-5438.11	173	127.54	1	-105.08	106	-285.15	173	3799.81	17	-32370.20	97
0	Max	-1823	50921.80	101	2596.66	125	8566.86	177	1554.23	97	322.70	101	222.77	65	5763.34	97	-2377.69	17
0	Max	-1953	50921.80	101	2596.66	125	8566.86	177	1554.23	97	322.70	101	222.77	65	5763.34	97	-2377.69	17
0	Max	-1954	50921.80	101	2596.66	125	8566.86	177	1554.23	97	322.70	101	222.77	65	5763.34	97	-2377.69	17
0	Max	-1453	50921.80	101	2596.66	125	8566.86	177	1554.23	97	322.70	101	222.77	65	5763.34	97	-2377.69	17
0	Min.	-1823	-74026.10	130	-1289.71	106	-5736.25	173	-464.34	130	-154.39	106	-334.92	173	-24209.10	106	-28528.70	105
0	Min.	-1953	-74026.10	130	-1289.71	106	-5736.25	173	-464.34	130	-154.39	106	-334.92	173	-24209.10	106	-28528.70	105
0	Min.	-1954	-74026.10	130	-1289.71	106	-5736.25	173	-464.34	130	-154.39	106	-334.92	173	-24209.10	106	-28528.70	105
0	Min.	-1453	-74026.10	130	-1289.71	106	-5736.25	173	-464.34	130	-154.39	106	-334.92	173	-24209.10	106	-28528.70	105
0	Max	-1824	37229.20	101	2238.79	125	7254.29	177	700.35	97	273.87	113	231.31	65	2035.91	97	-2175.31	17
0	Max	-1825	37229.20	101	2238.79	125	7254.29	177	700.35	97	273.87	113	231.31	65	2035.91	97	-2175.31	17
0	Max	-1455	37229.20	101	2238.79	125	7254.29	177	700.35	97	273.87	113	231.31	65	2035.91	97	-2175.31	17
0	Max	-1454	37229.20	101	2238.79	125	7254.29	177	700.35	97	273.87	113	231.31	65	2035.91	97	-2175.31	17
0	Min.	-1824	-88520.80	130	-1242.38	177	-5346.51	173	-510.06	130	-262.29	106	-409.51	173	-15724.70	106	-24015.80	97
0	Min.	-1825	-88520.80	130	-1242.38	177	-5346.51	173	-510.06	130	-262.29	106	-409.51	173	-15724.70	106	-24015.80	97
0	Min.	-1455	-88520.80	130	-1242.38	177	-5346.51	173	-510.06	130	-262.29	106	-409.51	173	-15724.70	106	-24015.80	97
0	Min.	-1454	-88520.80	130	-1242.38	177	-5346.51	173	-510.06	130	-262.29	106	-409.51	173	-15724.70	106	-24015.80	97
0	Max	-1825	22401.60	101	2413.03	166	6254.67	177	339.40	101	229.33	113	227.40	65	950.30	98	-1725.75	17
0	Max	-1826	22401.60	101	2413.03	166	6254.67	177	339.40	101	229.33	113	227.40	65	950.30	98	-1725.75	17
0	Max	-1456	22401.60	101	2413.03	166	6254.67	177	339.40	101	229.33	113	227.40	65	950.30	98	-1725.75	17
0	Max	-1455	22401.60	101	2413.03	166	6254.67	177	339.40	101	229.33	113	227.40	65	950.30	98	-1725.75	17
0	Min.	-1825	-91388.40	130	-1632.24	177	-5184.74	173	-588.52	106	-336.96	106	-438.35	173	-8223.87	105	-22408.50	97
0	Min.	-1826	-91388.40	130	-1632.24	177	-5184.74	173	-588.52	106	-336.96	106	-438.35	173	-8223.87	105	-22408.50	97
0	Min.	-1456	-91388.40	130	-1632.24	177	-5184.74	173	-588.52	106	-336.96	106	-438.35	173	-8223.87	105	-22408.50	97
0	Min.	-1455	-91388.40	130	-1632.24	177	-5184.74	173	-588.52	106	-336.96	106	-438.35	173	-8223.87	105	-22408.50	97
0	Max	-1826	6790.86	49	1600.65	166	5460.69	177	88.79	49	192.00	33	210.42	65	821.51	98	-1334.35	1
0	Max	-1827	6790.86	49	1600.65	166	5460.69	177	88.79	49	192.00	33	210.42	65	821.51	98	-1334.35	1
0	Max	-1459	6790.86	49	1600.65	166	5460.69	177	88.79	49	192.00	33	210.42	65	821.51	98	-1334.35	1
0	Max	-1456	6790.86	49	1600.65	166	5460.69	177	88.79	49	192.00	33	210.42	65	821.51	98	-1334.35	1
0	Min.	-1826	-92531.90	130	-1996.03	177	-4621.99	173	-729.51	106	-453.96	98	-448.22	173	-3042.42	105	-22199.20	97
0	Min.	-1827	-92531.90	130	-1996.03	177	-4621.99	173	-729.51	106	-453.96	98	-448.22	173	-3042.42	105	-22199.20	97
0	Min.	-1459	-92531.90	130	-1996.03	177	-4621.99	173	-729.51	106	-453.96	98	-448.22	173	-3042.42	105	-22199.20	97
0	Min.	-1456	-92531.90	130	-1996.03	177	-4621.99	173	-729.51	106	-453.96	98	-448.22	173	-3042.42	105	-22199.20	97
0	Max	-1827	867.24	49	1213.71	173	4676.94	177	7.34	49	182.62	33	186.54	65	482.44	177	-580.82	130
0	Max	-1828	867.24	49	1213.71	173	4676.94	177	7.34	49	182.62	33	186.54	65	482.44	177	-580.82	130
0	Max	-1460	867.24	49	1213.71	173	4676.94	177	7.34	49	182.62	33	186.54	65	482.44	177	-580.82	130
0	Max	-1459	867.24	49	1213.71	173	4676.94	177	7.34	49	182.62	33	186.54	65	482.44	177	-580.82	130
0	Min.	-1827	-105418.00	98	-2078.81	177	-3959.60	173	-960.96	98	-691.43	98	-438.56	173	-664.70	117	-21374.40	97
0	Min.	-1828	-105418.00	98	-2078.81	177	-3959.60	173	-960.96	98	-691.43	98	-438.56	173	-664.70	117	-21374.40	97
0	Min.	-1460	-105418.00	98	-2078.81	177	-3959.60	173	-960.96	98	-691.43	98	-438.56	173	-664.70	117	-21374.40	97
0	Min.	-1459	-105418.00	98	-2078.81	177	-3959.60	173	-960.96	98	-691.43	98	-438.56	173	-664.70	117	-21374.40	97
0	Max	-1785	22634.00	101	2005.06	173	7513.98	177	352.27	101	201.04	113	222.11	65	3125.33	106	-1690.33	33
0	Max	-1786	22634.00	101	2005.06	173	7513.98	177	352.27	101	201.04	113	222.11	65	3125.33	106	-1690.33	33
0	Max	-1431	22634.00	101	2005.06	173	7513.98	177	352.27	101	201.04	113	222.11	65	3125.33	106	-1690.33	33
0	Max	-1430	22634.00	101	2005.06	173	7513.98	177	352.27	101	201.04	113	222.11	65	3125.33	106	-1690.33	33
0	Min.	-1785	-89722.70	130	-3530.33	177	-3591.71	173	-627.23	106	-299.41	98	-373.72	173	-2243.00	173	-20035.50	97
0	Min.	-1786	-89722.70	130	-3530.33	177	-3591.71	173	-627.23	106	-299.41	98	-373.72	173	-2243.00	173	-20035.50	97
0	Min.	-1431	-89722.70	130	-3530.33	177	-3591.71	173	-627.23	106	-299.41	98	-373.72	173	-2243.00	173	-20035.50	97
0	Min.	-1430	-89722.70	130	-3530.33	177	-3591.71	173	-627.23	106	-299.41	98	-373.72	173	-2243.00	173	-20035.50	97
0	Max	-1786	6371.42	101	1750.29	173	6568.99	177	87.68	1	195.30	33	214.64	65	1646.90	106	-1291.95	49
0	Max	-1787	6371.42	101	1750.29	173	6568.99	177	87.68	1	195.30	33	214.64	65	1646.90	106	-1291.95	49
0	Max	-1432	6371.42	101	1750.29	173	6568.99	177	87.68	1	195.30	33	214.64	65	1646.90	106	-1291.95	49
0	Max	-1431	6371.42	101	1750.29	173	6568.99	177	87.68	1	195.30	33	214.64	65	1646.90	106	-1291.95	49
0	Min.	-1786	-92169.40	130	-3855.61	177	-3348.04	173	-762.35	106	-472.07	98	-339.99	173	-2061.53	173	-19169.30	97
0	Min.	-1787	-92169.40	130	-3855.61	177	-3348.04	173	-762.35	106	-472.07	98	-339.99	173	-2061.53	173	-19169.30	97
0	Min.	-1432	-92169.40	130	-3855.61	177	-3348.04	173	-762.35	106	-472.07	98	-339.99	173	-2061.53	173	-19169.30	97
0	Min.	-1431	-92169.40	130	-3855.61	177	-3348.04	173	-762.35	106	-472.07	98	-339.99	173	-2061.53	173	-19169.30	97
0	Max	-1787	171.05	1	2126.95	173	5483.03	177	2.46	1	196.13	33	196.60	65	1083.09	177	-853.04	49
0	Max	-1788	171.05	1	2126.95	173	5483.03	177	2.46	1	196.13	33	196.60	65	1083.09	177	-853.04	49
0	Max	-1433	171.05	1	2126.95	173	5483.03	177	2.46	1	196.13	33	196.60	65	1083.09	177	-853.04	49
0	Max	-1432	171.05	1	2126.95	173	5483.03	177	2.46	1	196.13	33	196.60	65	1083.09	177	-853.04	49
0	Min.	-1787	-106100.00	98	-4084.92	177	-3098.54	173	-1001.90	98	-606.52	98	-273.55	173	-2741.89	173	-17552.50	97
0	Min.	-1788	-106100.00	98	-4084.92	177	-3098.54	173	-1001.90	98	-606.52	98	-273.55	173	-2741.89	173	-17552.50	97
0	Min.	-1433	-106100.00	98	-4084.92	177	-3098.54	173	-1001.90	98	-606.52	98	-273.55	173	-2741.89	173	-17552.50	97
0	Min.	-1432	-106100.00	98	-4084.92	177	-3098.54	173	-1001.90	98	-606.52	98	-273.55	173	-2741.89	173	-17552.50	97
0	Max	-1788	-5974.03	1	2966.64	173	4327.09	177	-73.63	1	194.26	33	169.47	65	2597.64	97	-31.60	130
0	Max	-1789	-5974.03	1	2966.64	173	4327.09	177	-73.63	1	194.26	33	169.47	65	2597.64	97	-31.60	130
0	Max	-1434	-5974.03	1	2966.64	173	4327.09	177	-73.63	1	194.26	33	169.47	65	2597.64	97	-31.60	130
0	Max	-1433	-5974.03	1	2966.64	173	4327.09	177	-73.63	1	194.26	33	169.47	65	2597.64	97	-31.60	130
0	Min.	-1788	-132838.00	98	-4039.39	177	-2628.35	173	-1479.92	98	-665.71	98	-173.69	173	-5024.43	173	-14833.50	97
0	Min.	-1789	-132838.00	98	-4039.39	177	-2628.35	173	-1479.92	98	-665.71	98	-173.69	173	-5024.43	173	-14833.50	97
0	Min.	-1434	-132838.00	98	-4039.39	177	-2628.35	173	-1479.92	98	-665.71	98	-173.69	173	-5024.43	173	-14833.50	97
0	Min.	-1433	-132838.00	98	-4039.39	177	-2628.35	173	-1479.92	98	-665.71	98	-173.69	173	-5024.43	173	-14833.50	97
0	Max	-1789	-11840.50	1	3769.27	173	3235.16	177	-143.13	1	191.35	33	135.10	65	4898.26	97	1288.83	130
0	Max	-1790	-11840.50	1	3769.27	173	3235.16	177	-143.13	1	191.35	33	135.10	65	4898.26	97	1288.83	130
0	Max	-1435	-11840.50	1	3769.27	173	3235.16	177	-143.13	1	191.35	33	135.10	65	4898.26	97	1288.83	130
0	Max	-1434	-11840.50	1	3769.27	173	3235.16	177	-143.13	1	191.35	33	135.10	65	4898.26	97	1288.83	130
0	Min.	-1789	-155785.00	98	-3837.71	177	-1968.55	173	-1925.83	98	-621.97	98	-133.23	17	-9164.90	173	-11415.30	97
0	Min.	-1790	-155785.00	98	-3837.71	177	-1968.55	173	-1925.83	98	-621.97	98	-133.23	17	-9164.90	173	-11415.30	97
0	Min.	-1435	-155785.00	98	-3837.71	177	-1968.55	173	-1925.83	98	-621.97	98	-133.23	17	-9164.90	173	-11415.30	97
0	Min.	-1434	-155785.00	98	-3837.71	177	-1968.55	173	-1925.83	98	-621.97	98	-133.23	17	-9164.90	173	-11415.30	97
0	Max	-1790	-16959.70	1	3792.93	173	2478.79	177	-171.46	1	189.61	33	106.24	65	5281.60	97	1467.42	130
0	Max	-2077	-16959.70	1	3792.93	173	2478.79	177	-171.46	1	189.61	33	106.24	65	5281.60	97	1467.42	130
0	Max	-2099	-16959.70	1	3792.93	173	2478.79	177	-171.46	1	189.61	33	106.24	65	5281.60	97	1467.42	130
0	Max	-1435	-16959.70	1	3792.93	173	2478.79	177	-171.46	1	189.61	33	106.24	65	5281.60	97	1467.42	130
0	Min.	-1790	-172019.00	98	-3874.97	177	-1415.73	173	-2214.34	98	-536.41	98	-104.10	17	-12797.00	173	-10224.10	97
0	Min.	-2077	-172019.00	98	-3874.97	177	-1415.73	173	-2214.34	98	-536.41	98	-104.10	17	-12797.00	173	-10224.10	97

0	Min.	-2099	-172019.00	98	-3874.97	177	-1415.73	173	-2214.34	98	-536.41	98	-104.10	17	-12797.00	173	-10224.10	97
0	Min.	-1435	-172019.00	98	-3874.97	177	-1415.73	173	-2214.34	98	-536.41	98	-104.10	17	-12797.00	173	-10224.10	97
0	Max	-1791	-19113.50	33	4576.60	173	1436.61	177	-195.00	33	344.16	173	174.60	173	6547.25	97	2403.33	130
0	Max	-2075	-19113.50	33	4576.60	173	1436.61	177	-195.00	33	344.16	173	174.60	173	6547.25	97	2403.33	130
0	Max	-2100	-19113.50	33	4576.60	173	1436.61	177	-195.00	33	344.16	173	174.60	173	6547.25	97	2403.33	130
0	Max	-1436	-19113.50	33	4576.60	173	1436.61	177	-195.00	33	344.16	173	174.60	173	6547.25	97	2403.33	130
0	Min.	-1791	-183245.00	98	-3846.12	177	-1257.23	158	-2456.82	98	-471.83	98	-61.78	17	-20801.90	173	-11335.50	173
0	Min.	-2075	-183245.00	98	-3846.12	177	-1257.23	158	-2456.82	98	-471.83	98	-61.78	17	-20801.90	173	-11335.50	173
0	Min.	-2100	-183245.00	98	-3846.12	177	-1257.23	158	-2456.82	98	-471.83	98	-61.78	17	-20801.90	173	-11335.50	173
0	Min.	-1436	-183245.00	98	-3846.12	177	-1257.23	158	-2456.82	98	-471.83	98	-61.78	17	-20801.90	173	-11335.50	173
0	Max	-1792	-20506.80	33	5198.35	173	628.43	165	-213.28	33	568.79	173	18.17	65	9483.25	97	3326.24	130
0	Max	-1535	-20506.80	33	5198.35	173	628.43	165	-213.28	33	568.79	173	18.17	65	9483.25	97	3326.24	130
0	Max	-1846	-20506.80	33	5198.35	173	628.43	165	-213.28	33	568.79	173	18.17	65	9483.25	97	3326.24	130
0	Max	-1438	-20506.80	33	5198.35	173	628.43	165	-213.28	33	568.79	173	18.17	65	9483.25	97	3326.24	130
0	Min.	-1792	-186627.00	98	-3891.29	177	-2791.64	158	-2557.99	98	-515.03	98	-122.82	173	-9987.59	173	-13254.60	173
0	Min.	-1535	-186627.00	98	-3891.29	177	-2791.64	158	-2557.99	98	-515.03	98	-122.82	173	-9987.59	173	-13254.60	173
0	Min.	-1846	-186627.00	98	-3891.29	177	-2791.64	158	-2557.99	98	-515.03	98	-122.82	173	-9987.59	173	-13254.60	173
0	Min.	-1438	-186627.00	98	-3891.29	177	-2791.64	158	-2557.99	98	-515.03	98	-122.82	173	-9987.59	173	-13254.60	173
0	Max	-1535	-20508.50	33	4957.08	173	609.09	161	-213.33	33	336.77	173	18.06	65	9483.25	98	10297.20	173
0	Max	-1793	-20508.50	33	4957.08	173	609.09	161	-213.33	33	336.77	173	18.06	65	9483.25	98	10297.20	173
0	Max	-1439	-20508.50	33	4957.08	173	609.09	161	-213.33	33	336.77	173	18.06	65	9483.25	98	10297.20	173
0	Max	-1846	-20508.50	33	4957.08	173	609.09	161	-213.33	33	336.77	173	18.06	65	9483.25	98	10297.20	173
0	Min.	-1535	-186627.00	97	-3891.29	177	-2850.21	158	-2557.99	97	-515.03	97	-221.79	173	-20810.80	173	-2941.13	101
0	Min.	-1793	-186627.00	97	-3891.29	177	-2850.21	158	-2557.99	97	-515.03	97	-221.79	173	-20810.80	173	-2941.13	101
0	Min.	-1439	-186627.00	97	-3891.29	177	-2850.21	158	-2557.99	97	-515.03	97	-221.79	173	-20810.80	173	-2941.13	101
0	Min.	-1846	-186627.00	97	-3891.29	177	-2850.21	158	-2557.99	97	-515.03	97	-221.79	173	-20810.80	173	-2941.13	101
0	Max	-1793	-19156.60	33	5222.25	173	616.75	161	-217.75	33	183.06	33	39.65	65	7606.76	98	4160.92	130
0	Max	-2064	-19156.60	33	5222.25	173	616.75	161	-217.75	33	183.06	33	39.65	65	7606.76	98	4160.92	130
0	Max	-2101	-19156.60	33	5222.25	173	616.75	161	-217.75	33	183.06	33	39.65	65	7606.76	98	4160.92	130
0	Max	-1439	-19156.60	33	5222.25	173	616.75	161	-217.75	33	183.06	33	39.65	65	7606.76	98	4160.92	130
0	Min.	-1793	-183353.00	97	-3810.65	177	-2070.70	158	-2569.41	97	-490.61	97	-196.18	173	-16214.60	173	-3625.11	101
0	Min.	-2064	-183353.00	97	-3810.65	177	-2070.70	158	-2569.41	97	-490.61	97	-196.18	173	-16214.60	173	-3625.11	101
0	Min.	-2101	-183353.00	97	-3810.65	177	-2070.70	158	-2569.41	97	-490.61	97	-196.18	173	-16214.60	173	-3625.11	101
0	Min.	-1439	-183353.00	97	-3810.65	177	-2070.70	158	-2569.41	97	-490.61	97	-196.18	173	-16214.60	173	-3625.11	101
0	Max	-1794	-12259.90	162	5435.34	98	988.42	173	-202.61	33	185.56	33	82.81	65	5713.09	98	4764.02	106
0	Max	-2062	-12259.90	162	5435.34	98	988.42	173	-202.61	33	185.56	33	82.81	65	5713.09	98	4764.02	106
0	Max	-2102	-12259.90	162	5435.34	98	988.42	173	-202.61	33	185.56	33	82.81	65	5713.09	98	4764.02	106
0	Max	-1441	-12259.90	162	5435.34	98	988.42	173	-202.61	33	185.56	33	82.81	65	5713.09	98	4764.02	106
0	Min.	-1794	-172743.00	97	-3659.32	177	-1974.91	177	-2449.99	97	-497.51	97	-85.00	17	-10080.00	173	-2375.58	101
0	Min.	-2062	-172743.00	97	-3659.32	177	-1974.91	177	-2449.99	97	-497.51	97	-85.00	17	-10080.00	173	-2375.58	101
0	Min.	-2102	-172743.00	97	-3659.32	177	-1974.91	177	-2449.99	97	-497.51	97	-85.00	17	-10080.00	173	-2375.58	101
0	Min.	-1441	-172743.00	97	-3659.32	177	-1974.91	177	-2449.99	97	-497.51	97	-85.00	17	-10080.00	173	-2375.58	101
0	Max	-1795	-3608.15	162	3757.50	173	1998.70	173	-143.13	49	190.90	33	133.24	65	4898.26	98	11415.30	98
0	Max	-1796	-3608.15	162	3757.50	173	1998.70	173	-143.13	49	190.90	33	133.24	65	4898.26	98	11415.30	98
0	Max	-1443	-3608.15	162	3757.50	173	1998.70	173	-143.13	49	190.90	33	133.24	65	4898.26	98	11415.30	98
0	Max	-1442	-3608.15	162	3757.50	173	1998.70	173	-143.13	49	190.90	33	133.24	65	4898.26	98	11415.30	98
0	Min.	-1795	-155785.00	97	-3837.71	177	-3235.16	177	-1925.83	97	-621.97	97	-135.11	17	-4968.21	173	-237.85	149
0	Min.	-1796	-155785.00	97	-3837.71	177	-3235.16	177	-1925.83	97	-621.97	97	-135.11	17	-4968.21	173	-237.85	149
0	Min.	-1443	-155785.00	97	-3837.71	177	-3235.16	177	-1925.83	97	-621.97	97	-135.11	17	-4968.21	173	-237.85	149
0	Min.	-1442	-155785.00	97	-3837.71	177	-3235.16	177	-1925.83	97	-621.97	97	-135.11	17	-4968.21	173	-237.85	149
0	Max	-1796	5560.85	162	2907.19	173	2731.96	173	-73.63	49	193.64	33	229.27	173	2597.64	98	14833.50	98
0	Max	-1797	5560.85	162	2907.19	173	2731.96	173	-73.63	49	193.64	33	229.27	173	2597.64	98	14833.50	98
0	Max	-1445	5560.85	162	2907.19	173	2731.96	173	-73.63	49	193.64	33	229.27	173	2597.64	98	14833.50	98
0	Max	-1443	5560.85	162	2907.19	173	2731.96	173	-73.63	49	193.64	33	229.27	173	2597.64	98	14833.50	98
0	Min.	-1796	-132838.00	97	-4039.39	177	-4327.09	177	-1479.91	97	-665.71	97	-169.47	17	-2633.02	173	370.17	1
0	Min.	-1797	-132838.00	97	-4039.39	177	-4327.09	177	-1479.91	97	-665.71	97	-169.47	17	-2633.02	173	370.17	1
0	Min.	-1445	-132838.00	97	-4039.39	177	-4327.09	177	-1479.91	97	-665.71	97	-169.47	17	-2633.02	173	370.17	1
0	Min.	-1443	-132838.00	97	-4039.39	177	-4327.09	177	-1479.91	97	-665.71	97	-169.47	17	-2633.02	173	370.17	1
0	Max	-1797	15217.00	162	1999.77	173	3221.37	173	2.46	49	195.33	33	303.70	173	1083.09	177	17552.50	98
0	Max	-1798	15217.00	162	1999.77	173	3221.37	173	2.46	49	195.33	33	303.70	173	1083.09	177	17552.50	98
0	Max	-1446	15217.00	162	1999.77	173	3221.37	173	2.46	49	195.33	33	303.70	173	1083.09	177	17552.50	98
0	Max	-1445	15217.00	162	1999.77	173	3221.37	173	2.46	49	195.33	33	303.70	173	1083.09	177	17552.50	98
0	Min.	-1797	-106100.00	97	-4084.92	177	-5483.03	177	-1001.90	97	-606.52	97	-196.60	17	-1702.55	173	853.04	1
0	Min.	-1798	-106100.00	97	-4084.92	177	-5483.03	177	-1001.90	97	-606.52	97	-196.60	17	-1702.55	173	853.04	1
0	Min.	-1446	-106100.00	97	-4084.92	177	-5483.03	177	-1001.90	97	-606.52	97	-196.60	17	-1702.55	173	853.04	1
0	Min.	-1445	-106100.00	97	-4084.92	177	-5483.03	177	-1001.90	97	-606.52	97	-196.60	17	-1702.55	173	853.04	1
0	Max	-1798	24944.20	162	1585.47	173	3468.11	173	183.62	130	194.34	33	349.83	173	1646.89	101	19169.30	98
0	Max	-1799	24944.20	162	1585.47	173	3468.11	173	183.62	130	194.34	33	349.83	173	1646.89	101	19169.30	98
0	Max	-1448	24944.20	162	1585.47	173	3468.11	173	183.62	130	194.34	33	349.83	173	1646.89	101	19169.30	98
0	Max	-1446	24944.20	162	1585.47	173	3468.11	173	183.62	130	194.34	33	349.83	173	1646.89	101	19169.30	98
0	Min.	-1798	-83526.30	101	-3855.61	177	-6568.99	177	-762.36	101	-472.07	97	-214.64	17	-1665.46	173	1291.95	1
0	Min.	-1799	-83526.30	101	-3855.61	177	-6568.99	177	-762.36	101	-472.07	97	-214.64	17	-1665.46	173	1291.95	1
0	Min.	-1448	-83526.30	101	-3855.61	177	-6568.99	177	-762.36	101	-472.07	97	-214.64	17	-1665.46	173	1291.95	1
0	Min.	-1446	-83526.30	101	-3855.61	177	-6568.99	177	-762.36	101	-472.07	97	-214.64	17	-1665.46	173	1291.95	1
0	Max	-1799	33804.20	162	1841.39	173	3682.69	173	422.06	130	219.05	130	370.23	173	3125.36	101	20035.50	98
0	Max	-1800	33804.20	162	1841.39	173	3682.69	173	422.06	130	219.05	130	370.23	173	3125.36	101	20035.50	98
0	Max	-1449	33804.20	162	1841.39	173	3682.69	173	422.06	130	219.05	130	370.23	173	3125.36	101	20035.50	98
0	Max	-1448	33804.20	162	1841.39	173	3682.69	173	422.06	130	219.05	130	370.23	173	3125.36	101	20035.50	98
0	Min.	-1799	-77317.30	101	-3530.33	177	-7513.98	177	-627.25	101	-299.41	97	-222.11	17	-2097.12	173	1683.18	33
0	Min.	-1800	-77317.30	101	-3530.33	177	-7513.98	177	-627.25	101	-299.41	97	-222.11	17	-2097.12	173	1683.18	33
0	Min.	-1449	-77317.30	101	-3530.33	177	-7513.98	177	-627.25	101	-299.41	97	-222.11	17	-2097.12	173	1683.18	33
0	Min.	-1448	-77317.30	101	-3530.33	177	-7513.98	177	-627.25	101	-299.41	97	-222.11	17	-2097.12	173	1683.18	33
0	Max	-1800	44701.60	130	2575.27	173	3981.04	173	708.22	122	353.98	126	366.92	173	5320.50	101	20820.90	98
0	Max	-1801	44701.60	130	2575.27	173	3981.04	173	708.22	122	353.98	126	366.92	173	5320.50	101	20820.90	98
0	Max	-1450	44701.60	130	2575.27	173	3981.04	173	708.22	122	353.98	126	366.92	173	5320.50	101	20820.90	98
0	Max	-1449	44701.60	130	2575.27	173	3981.04	173	708.22	122	353.98	126	366.92	173	5320.50	101	20820.90	98
0	Min.	-1800	-69459.90	101	-3290.33	177	-8447.30	177	-408.12	101	-115.74	97	-216.77	17	-2163.64	173	1982.56	33
0	Min.	-1801	-69459.90	101	-3290.33	177	-8447.30	177	-408.12	101	-115.74	97	-216.77	17	-2163.64	173	1982.56	33
0	Min.	-1450	-69459.90	101	-3290.33	177	-8447.30	177	-408.12	101	-115.74	97	-216.77	17	-2163.64	173	1982.56	33
0	Min.	-1449	-69459.90	101	-3290.33	177	-8447.30	177	-408.12	101	-115.74	97	-216.77	17	-2163.64	173	1982.56	33
0	Max	-1801	55147.50	130	3865.60	173	4162.54	173	1061.25	98	525.63	102	350.45	173	3953.51	101	17282.00	98
0	Max	-1923	55147.50	130	3865.60	173	4162.54	173	1061.25	98	525.63	102	350.45	173	3953.51	101	17282.00	98
0	Max	-1937	55147.50	130	3865.60	173	4162.54	173	1061.25	98	525.63	102	350.45	173	3953.51	101	17282.00	98
0	Max	-1450	55147.50	130	3865.60	173	4162.54	173	1061.25	98	525.63	102	350.45	173	3953.51	101	17282.00	98
0	Min.	-1801	-60794.90	101	-3011.81	177	-9227.82	177	-269.29	101	-7.08	133	-205.89	17	-2589.59	173	1568.23	33
0	Min.	-1923	-60794.90	101	-3011.81	177	-9227.82	177	-269.29	101	-7.08	133	-205.89	17	-2589.59	173	1568.23	33
0	Min.	-1937	-60794.90	101	-3011.81	177	-9227.82	177	-269.29	101	-7.08	133	-205.89	17	-2589.59	173	1568.23	33
0	Min.	-1450	-60794.90	101	-3011.81	177	-9227.82	177	-269.29	101	-7.08	133	-205.89	17	-2589.59	173	1568.23	33
0	Max	-1705	62609.90	130	3912.77	130	8511.44	98	2142.04	98	480.31	98	265.42	173	39695.80	102	24187.60	98
0	Max	-1537	62609.90	130	3912.77	130	8511.44	98	2142.04	98	480.31	98	265.42	173	39695.80	102	24187.60	98
0	Max	437	62609.90	130	3912.77	130	8511.44	98	2142.04	98	480.31	98	265.42	173	39695.80	102	24187.60	98
0	Max	-1458	62609.90	130	3912.77	130	8511.44	98	2142.04	98	480.31	98	265.42	173	39695.80	102	24187.60	98
0	Min.	-1705	-52403.50	101	-2223.56	101	-12242.20	161	121.48	49	-674.55	101	-193.98	17	2605.25	65	2422.34	65
0	Min.	-1537	-52403.50	101	-2223.56	101	-12242.20	161	121.48	49	-674.55	101	-193.98	17	2605.25	65	2422.34	65
0	Min.	437	-52403.50	101	-2223.56	101	-12242.20	161	121.48	49	-674.55	101	-193.98	17	2605.25	65	2422.34	65

0	Min.	-1458	-52403.50	101	-2223.56	101	-12242.20	161	121.48	49	-674.55	101	-193.98	17	2605.25	65	2422.34	65
0	Max	-1704	52949.20	130	6447.63	98	8570.42	98	990.85	98	404.07	130	383.52	173	29715.60	101	18534.10	98
0	Max	-1939	52949.20	130	6447.63	98	8570.42	98	990.85	98	404.07	130	383.52	173	29715.60	101	18534.10	98
0	Max	-1940	52949.20	130	6447.63	98	8570.42	98	990.85	98	404.07	130	383.52	173	29715.60	101	18534.10	98
0	Max	-1461	52949.20	130	6447.63	98	8570.42	98	990.85	98	404.07	130	383.52	173	29715.60	101	18534.10	98
0	Min.	-1704	-62101.90	101	-3561.56	161	-9771.45	161	-714.37	101	-599.28	101	-201.96	17	-1466.86	173	-8583.10	101
0	Min.	-1939	-62101.90	101	-3561.56	161	-9771.45	161	-714.37	101	-599.28	101	-201.96	17	-1466.86	173	-8583.10	101
0	Min.	-1940	-62101.90	101	-3561.56	161	-9771.45	161	-714.37	101	-599.28	101	-201.96	17	-1466.86	173	-8583.10	101
0	Min.	-1461	-62101.90	101	-3561.56	161	-9771.45	161	-714.37	101	-599.28	101	-201.96	17	-1466.86	173	-8583.10	101
0	Max	-1703	45959.90	162	3820.34	98	12269.40	98	648.41	106	333.42	130	406.98	173	12992.30	101	19046.40	98
0	Max	-1704	45959.90	162	3820.34	98	12269.40	98	648.41	106	333.42	130	406.98	173	12992.30	101	19046.40	98
0	Max	-1461	45959.90	162	3820.34	98	12269.40	98	648.41	106	333.42	130	406.98	173	12992.30	101	19046.40	98
0	Max	-1483	45959.90	162	3820.34	98	12269.40	98	648.41	106	333.42	130	406.98	173	12992.30	101	19046.40	98
0	Min.	-1703	-68596.10	101	-903.80	165	-10838.90	161	-489.50	101	-571.89	101	-211.92	17	-2244.30	130	-51.26	137
0	Min.	-1704	-68596.10	101	-903.80	165	-10838.90	161	-489.50	101	-571.89	101	-211.92	17	-2244.30	130	-51.26	137
0	Min.	-1461	-68596.10	101	-903.80	165	-10838.90	161	-489.50	101	-571.89	101	-211.92	17	-2244.30	130	-51.26	137
0	Min.	-1483	-68596.10	101	-903.80	165	-10838.90	161	-489.50	101	-571.89	101	-211.92	17	-2244.30	130	-51.26	137
0	Max	-1702	35282.30	162	548.83	49	12108.10	98	353.29	130	241.81	130	450.15	173	5924.55	101	18750.20	98
0	Max	-1703	35282.30	162	548.83	49	12108.10	98	353.29	130	241.81	130	450.15	173	5924.55	101	18750.20	98
0	Max	-1483	35282.30	162	548.83	49	12108.10	98	353.29	130	241.81	130	450.15	173	5924.55	101	18750.20	98
0	Max	-1484	35282.30	162	548.83	49	12108.10	98	353.29	130	241.81	130	450.15	173	5924.55	101	18750.20	98
0	Min.	-1702	-75394.50	101	-1616.00	162	-6272.73	161	-555.89	101	-500.74	101	-204.71	17	-2692.94	130	1035.23	65
0	Min.	-1703	-75394.50	101	-1616.00	162	-6272.73	161	-555.89	101	-500.74	101	-204.71	17	-2692.94	130	1035.23	65
0	Min.	-1483	-75394.50	101	-1616.00	162	-6272.73	161	-555.89	101	-500.74	101	-204.71	17	-2692.94	130	1035.23	65
0	Min.	-1484	-75394.50	101	-1616.00	162	-6272.73	161	-555.89	101	-500.74	101	-204.71	17	-2692.94	130	1035.23	65
0	Max	-1701	24777.70	162	709.43	165	11427.60	98	123.78	130	185.73	118	491.89	173	2706.08	101	17510.00	98
0	Max	-1702	24777.70	162	709.43	165	11427.60	98	123.78	130	185.73	118	491.89	173	2706.08	101	17510.00	98
0	Max	-1484	24777.70	162	709.43	165	11427.60	98	123.78	130	185.73	118	491.89	173	2706.08	101	17510.00	98
0	Max	-1485	24777.70	162	709.43	165	11427.60	98	123.78	130	185.73	118	491.89	173	2706.08	101	17510.00	98
0	Min.	-1701	-81235.20	101	-2943.73	98	-4290.23	161	-688.04	101	-396.64	101	-180.00	17	-2079.39	130	540.98	149
0	Min.	-1702	-81235.20	101	-2943.73	98	-4290.23	161	-688.04	101	-396.64	101	-180.00	17	-2079.39	130	540.98	149
0	Min.	-1484	-81235.20	101	-2943.73	98	-4290.23	161	-688.04	101	-396.64	101	-180.00	17	-2079.39	130	540.98	149
0	Min.	-1485	-81235.20	101	-2943.73	98	-4290.23	161	-688.04	101	-396.64	101	-180.00	17	-2079.39	130	540.98	149
0	Max	-1700	14880.90	162	1142.24	157	8847.16	98	4.75	1	120.36	33	578.86	98	4412.65	97	18900.60	98
0	Max	-1701	14880.90	162	1142.24	157	8847.16	98	4.75	1	120.36	33	578.86	98	4412.65	97	18900.60	98
0	Max	-1485	14880.90	162	1142.24	157	8847.16	98	4.75	1	120.36	33	578.86	98	4412.65	97	18900.60	98
0	Max	-1486	14880.90	162	1142.24	157	8847.16	98	4.75	1	120.36	33	578.86	98	4412.65	97	18900.60	98
0	Min.	-1700	-103989.00	97	-2307.25	98	-3041.02	161	-921.80	97	-510.33	97	-140.31	17	-1496.76	65	454.07	149
0	Min.	-1701	-103989.00	97	-2307.25	98	-3041.02	161	-921.80	97	-510.33	97	-140.31	17	-1496.76	65	454.07	149
0	Min.	-1485	-103989.00	97	-2307.25	98	-3041.02	161	-921.80	97	-510.33	97	-140.31	17	-1496.76	65	454.07	149
0	Min.	-1486	-103989.00	97	-2307.25	98	-3041.02	161	-921.80	97	-510.33	97	-140.31	17	-1496.76	65	454.07	149
0	Max	-1497	5802.11	162	2540.10	122	7705.19	98	-48.28	1	90.78	33	598.34	98	8064.72	97	18061.40	98
0	Max	-1700	5802.11	162	2540.10	122	7705.19	98	-48.28	1	90.78	33	598.34	98	8064.72	97	18061.40	98
0	Max	-1486	5802.11	162	2540.10	122	7705.19	98	-48.28	1	90.78	33	598.34	98	8064.72	97	18061.40	98
0	Max	-1487	5802.11	162	2540.10	122	7705.19	98	-48.28	1	90.78	33	598.34	98	8064.72	97	18061.40	98
0	Min.	-1497	-128506.00	97	-1026.58	161	-2847.77	161	-1287.48	97	-889.66	97	-114.56	17	-1648.07	17	100.34	49
0	Min.	-1700	-128506.00	97	-1026.58	161	-2847.77	161	-1287.48	97	-889.66	97	-114.56	17	-1648.07	17	100.34	49
0	Min.	-1486	-128506.00	97	-1026.58	161	-2847.77	161	-1287.48	97	-889.66	97	-114.56	17	-1648.07	17	100.34	49
0	Min.	-1487	-128506.00	97	-1026.58	161	-2847.77	161	-1287.48	97	-889.66	97	-114.56	17	-1648.07	17	100.34	49
0	Max	-1496	1439.55	177	3737.03	98	8535.97	98	-79.71	17	87.04	17	564.75	98	13895.80	97	16413.50	98
0	Max	-1497	1439.55	177	3737.03	98	8535.97	98	-79.71	17	87.04	17	564.75	98	13895.80	97	16413.50	98
0	Max	-1487	1439.55	177	3737.03	98	8535.97	98	-79.71	17	87.04	17	564.75	98	13895.80	97	16413.50	98
0	Max	-1488	1439.55	177	3737.03	98	8535.97	98	-79.71	17	87.04	17	564.75	98	13895.80	97	16413.50	98
0	Min.	-1496	-148304.00	97	-738.41	161	-4769.05	157	-1696.97	97	-1215.15	97	-104.33	17	-1570.65	17	-495.19	101
0	Min.	-1497	-148304.00	97	-738.41	161	-4769.05	157	-1696.97	97	-1215.15	97	-104.33	17	-1570.65	17	-495.19	101
0	Min.	-1487	-148304.00	97	-738.41	161	-4769.05	157	-1696.97	97	-1215.15	97	-104.33	17	-1570.65	17	-495.19	101
0	Min.	-1488	-148304.00	97	-738.41	161	-4769.05	157	-1696.97	97	-1215.15	97	-104.33	17	-1570.65	17	-495.19	101
0	Max	-1495	-447.40	177	6514.72	158	5032.15	98	-112.72	17	94.31	17	406.63	173	33862.70	97	5829.23	98
0	Max	-2105	-447.40	177	6514.72	158	5032.15	98	-112.72	17	94.31	17	406.63	173	33862.70	97	5829.23	98
0	Max	-2106	-447.40	177	6514.72	158	5032.15	98	-112.72	17	94.31	17	406.63	173	33862.70	97	5829.23	98
0	Max	-1489	-447.40	177	6514.72	158	5032.15	98	-112.72	17	94.31	17	406.63	173	33862.70	97	5829.23	98
0	Min.	-1495	-165534.00	97	-241.35	177	-9231.87	157	-2628.14	97	-1440.51	97	-69.44	17	-1441.07	17	-2259.99	101
0	Min.	-2105	-165534.00	97	-241.35	177	-9231.87	157	-2628.14	97	-1440.51	97	-69.44	17	-1441.07	17	-2259.99	101
0	Min.	-2106	-165534.00	97	-241.35	177	-9231.87	157	-2628.14	97	-1440.51	97	-69.44	17	-1441.07	17	-2259.99	101
0	Min.	-1489	-165534.00	97	-241.35	177	-9231.87	157	-2628.14	97	-1440.51	97	-69.44	17	-1441.07	17	-2259.99	101
0	Max	-1494	-1618.01	177	8121.87	158	3024.67	106	-123.46	65	100.58	173	271.45	173	33283.00	98	3511.59	130
0	Max	-2107	-1618.01	177	8121.87	158	3024.67	106	-123.46	65	100.58	173	271.45	173	33283.00	98	3511.59	130
0	Max	-2108	-1618.01	177	8121.87	158	3024.67	106	-123.46	65	100.58	173	271.45	173	33283.00	98	3511.59	130
0	Max	-1498	-1618.01	177	8121.87	158	3024.67	106	-123.46	65	100.58	173	271.45	173	33283.00	98	3511.59	130
0	Min.	-1494	-175266.00	97	-481.83	177	-13848.90	157	-2533.23	98	-1622.22	97	-78.49	101	-1450.12	65	-8905.65	97
0	Min.	-2107	-175266.00	97	-481.83	177	-13848.90	157	-2533.23	98	-1622.22	97	-78.49	101	-1450.12	65	-8905.65	97
0	Min.	-2108	-175266.00	97	-481.83	177	-13848.90	157	-2533.23	98	-1622.22	97	-78.49	101	-1450.12	65	-8905.65	97
0	Min.	-1498	-175266.00	97	-481.83	177	-13848.90	157	-2533.23	98	-1622.22	97	-78.49	101	-1450.12	65	-8905.65	97
0	Max	-1842	-1974.79	177	2121.14	121	2586.04	106	-117.24	17	153.88	173	156.21	173	23490.30	97	4498.92	106
0	Max	-1494	-1974.79	177	2121.14	121	2586.04	106	-117.24	17	153.88	173	156.21	173	23490.30	97	4498.92	106
0	Max	-1498	-1974.79	177	2121.14	121	2586.04	106	-117.24	17	153.88	173	156.21	173	23490.30	97	4498.92	106
0	Max	-1457	-1974.79	177	2121.14	121	2586.04	106	-117.24	17	153.88	173	156.21	173	23490.30	97	4498.92	106
0	Min.	-1842	-177716.00	97	-748.38	106	-11113.70	157	-2261.03	97	-1655.69	97	-101.44	101	-1474.44	65	-3457.48	97
0	Min.	-1494	-177716.00	97	-748.38	106	-11113.70	157	-2261.03	97	-1655.69	97	-101.44	101	-1474.44	65	-3457.48	97
0	Min.	-1498	-177716.00	97	-748.38	106	-11113.70	157	-2261.03	97	-1655.69	97	-101.44	101	-1474.44	65	-3457.48	97
0	Min.	-1457	-177716.00	97	-748.38	106	-11113.70	157	-2261.03	97	-1655.69	97	-101.44	101	-1474.44	65	-3457.48	97
0	Max	-1493	-1974.79	177	2057.95	98	1935.85	106	-117.24	65	183.47	173	101.43	106	23490.30	98	3457.47	98
0	Max	-1842	-1974.79	177	2057.95	98	1935.85	106	-117.24	65	183.47	173	101.43	106	23490.30	98	3457.47	98
0	Max	-1457	-1974.79	177	2057.95	98	1935.85	106	-117.24	65	183.47	173	101.43	106	23490.30	98	3457.47	98
0	Max	-1499	-1974.79	177	2057.95	98	1935.85	106	-117.24	65	183.47	173	101.43	106	23490.30	98	3457.47	98
0	Min.	-1493	-177716.00	98	-855.66	125	-12080.40	157	-2261.03	98	-1655.69	98	-109.37	101	-1474.44	17	-4499.10	101
0	Min.	-1842	-177716.00	98	-855.66	125	-12080.40	157	-2261.03	98	-1655.69	98	-109.37	101	-1474.44	17	-4499.10	101
0	Min.	-1457	-177716.00	98	-855.66	125	-12080.40	157	-2261.03	98	-1655.69	98	-109.37	101	-1474.44	17	-4499.10	101
0	Min.	-1499	-177716.00	98	-855.66	125	-12080.40	157	-2261.03	98	-1655.69	98	-109.37	101	-1474.44	17	-4499.10	101
0	Max	-1492	-1468.77	177	1593.00	106	1398.78	106	-106.40	65	155.59	173	58.64	130	35170.10	98	2079.84	130
0	Max	-1912	-1468.77	177	1593.00	106	1398.78	106	-106.40	65	155.59	173	58.64	130	35170.10	98	2079.84	130
0	Max	-2109	-1468.77	177	1593.00	106	1398.78	106	-106.40	65	155.59	173	58.64	130	35170.10	98	2079.84	130
0	Max	-1500	-1468.77	177	1593.00	106	1398.78	106	-106.40	65	155.59	173	58.64	130	35170.10	98	2079.84	130
0	Min.	-1492	-173489.00	98	-1868.40	125	-13941.70	157	-2620.37	98	-1510.73	98	-212.03	173	-1503.81	65	-9243.60	97
0	Min.	-1912	-173489.00	98	-1868.40	125	-13941.70	157	-2620.37	98	-1510.73	98	-212.03	173	-1503.81	65	-9243.60	97
0	Min.	-2109	-173489.00	98	-1868.40	125	-13941.70	157	-2620.37	98	-1510.73	98	-212.03	173	-1503.81	65	-9243.60	97
0	Min.	-1500	-173489.00	98	-1868.40	125	-13941.70	157	-2620.37	98	-1510.73	98	-212.03	173	-1503.81	65	-9243.60	97
0	Max	-1491	-233.73	177	3464.61	158	679.22	177	-91.17	65	92.92	65	86.41	65	27645.60	98	1340.26	130
0	Max	-1973	-233.73	177	3464.61	158	679.22	177	-91.17	65	92.92	65	86.41	65	27645.60	98	1340.26	130
0	Max	-2110	-233.73	177	3464.61	158	679.22	177	-91.17	65	92.92	65	86.41	65	27645.60	98	1340.26	130
0	Max	-1501	-233.73	177	3464.61	158	679.22	177	-91.17	65	92.92	65	86.41	65	27645.60	98	1340.26	130
0	Min.	-1491	-162476.00	98	-458.73	177	-18158.90	157	-2189.51	98	-1377.07	98	-555.22	97	-1213.96	17	-26636.50	97
0	Min.	-1973	-162476.00	98	-458.73	177	-18158.90	157	-2189.51	98	-1377.07	98	-555.22	97	-1213.96	17	-26636.50	97
0	Min.	-2110	-162476.00	98	-458.73	177	-18158.90	157	-2189.51	98	-1377.07	98	-555.22	97	-1213.96	17	-26636.50	97
0	Min.	-1501	-162476.00	98	-458.73	177	-18158.90	157	-2189.51	98	-1377.07	98	-555.22	97	-1213.96	17	-26636.50	97

0	Max	-1482	1439.57	177	3737.03	97	835.79	177	-79.71	65	87.04	65	104.33	65	13895.80	98	1587.54	130
0	Max	-1491	1439.57	177	3737.03	97	835.79	177	-79.71	65	87.04	65	104.33	65	13895.80	98	1587.54	130
0	Max	-1501	1439.57	177	3737.03	97	835.79	177	-79.71	65	87.04	65	104.33	65	13895.80	98	1587.54	130
0	Max	-1502	1439.57	177	3737.03	97	835.79	177	-79.71	65	87.04	65	104.33	65	13895.80	98	1587.54	130
0	Min.	-1482	-148304.00	98	-124.61	177	-13924.70	157	-1696.97	98	-1215.15	98	-564.75	97	-1570.65	65	-16413.50	97
0	Min.	-1491	-148304.00	98	-124.61	177	-13924.70	157	-1696.97	98	-1215.15	98	-564.75	97	-1570.65	65	-16413.50	97
0	Min.	-1501	-148304.00	98	-124.61	177	-13924.70	157	-1696.97	98	-1215.15	98	-564.75	97	-1570.65	65	-16413.50	97
0	Min.	-1502	-148304.00	98	-124.61	177	-13924.70	157	-1696.97	98	-1215.15	98	-564.75	97	-1570.65	65	-16413.50	97
0	Max	-1481	3752.11	177	2507.53	97	1619.78	177	-48.28	49	88.87	33	114.56	65	8064.73	98	266.57	130
0	Max	-1482	3752.11	177	2507.53	97	1619.78	177	-48.28	49	88.87	33	114.56	65	8064.73	98	266.57	130
0	Max	-1502	3752.11	177	2507.53	97	1619.78	177	-48.28	49	88.87	33	114.56	65	8064.73	98	266.57	130
0	Max	-1503	3752.11	177	2507.53	97	1619.78	177	-48.28	49	88.87	33	114.56	65	8064.73	98	266.57	130
0	Min.	-1481	-128506.00	98	-280.08	177	-9764.35	157	-1287.48	98	-889.66	98	-598.34	97	-1648.07	65	-18061.40	97
0	Min.	-1482	-128506.00	98	-280.08	177	-9764.35	157	-1287.48	98	-889.66	98	-598.34	97	-1648.07	65	-18061.40	97
0	Min.	-1502	-128506.00	98	-280.08	177	-9764.35	157	-1287.48	98	-889.66	98	-598.34	97	-1648.07	65	-18061.40	97
0	Min.	-1503	-128506.00	98	-280.08	177	-9764.35	157	-1287.48	98	-889.66	98	-598.34	97	-1648.07	65	-18061.40	97
0	Max	-1480	6809.50	177	105.12	17	2057.02	177	4.75	49	129.47	125	140.31	65	4412.65	98	-219.93	130
0	Max	-1481	6809.50	177	105.12	17	2057.02	177	4.75	49	129.47	125	140.31	65	4412.65	98	-219.93	130
0	Max	-1503	6809.50	177	105.12	17	2057.02	177	4.75	49	129.47	125	140.31	65	4412.65	98	-219.93	130
0	Max	-1504	6809.50	177	105.12	17	2057.02	177	4.75	49	129.47	125	140.31	65	4412.65	98	-219.93	130
0	Min.	-1480	-103989.00	98	-3695.37	157	-9795.41	121	-921.80	98	-510.33	98	-578.86	97	-1496.76	17	-18900.60	97
0	Min.	-1481	-103989.00	98	-3695.37	157	-9795.41	121	-921.80	98	-510.33	98	-578.86	97	-1496.76	17	-18900.60	97
0	Min.	-1503	-103989.00	98	-3695.37	157	-9795.41	121	-921.80	98	-510.33	98	-578.86	97	-1496.76	17	-18900.60	97
0	Min.	-1504	-103989.00	98	-3695.37	157	-9795.41	121	-921.80	98	-510.33	98	-578.86	97	-1496.76	17	-18900.60	97
0	Max	-1479	10180.70	177	140.69	17	2166.02	177	75.28	49	200.21	125	180.00	65	2706.07	106	179.62	130
0	Max	-1480	10180.70	177	140.69	17	2166.02	177	75.28	49	200.21	125	180.00	65	2706.07	106	179.62	130
0	Max	-1504	10180.70	177	140.69	17	2166.02	177	75.28	49	200.21	125	180.00	65	2706.07	106	179.62	130
0	Max	-1505	10180.70	177	140.69	17	2166.02	177	75.28	49	200.21	125	180.00	65	2706.07	106	179.62	130
0	Min.	-1479	-90586.00	130	-3593.14	121	-12248.90	121	-688.03	106	-396.63	106	-535.26	173	-1806.92	113	-17510.00	97
0	Min.	-1480	-90586.00	130	-3593.14	121	-12248.90	121	-688.03	106	-396.63	106	-535.26	173	-1806.92	113	-17510.00	97
0	Min.	-1504	-90586.00	130	-3593.14	121	-12248.90	121	-688.03	106	-396.63	106	-535.26	173	-1806.92	113	-17510.00	97
0	Min.	-1505	-90586.00	130	-3593.14	121	-12248.90	121	-688.03	106	-396.63	106	-535.26	173	-1806.92	113	-17510.00	97
0	Max	-1478	20380.80	101	2139.03	166	2531.83	177	297.32	101	235.90	113	204.71	65	5924.50	106	-949.79	130
0	Max	-1479	20380.80	101	2139.03	166	2531.83	177	297.32	101	235.90	113	204.71	65	5924.50	106	-949.79	130
0	Max	-1505	20380.80	101	2139.03	166	2531.83	177	297.32	101	235.90	113	204.71	65	5924.50	106	-949.79	130
0	Max	-1506	20380.80	101	2139.03	166	2531.83	177	297.32	101	235.90	113	204.71	65	5924.50	106	-949.79	130
0	Min.	-1478	-89521.70	130	-416.03	177	-13046.70	121	-555.88	106	-500.72	106	-494.47	173	-2438.35	113	-18750.20	97
0	Min.	-1479	-89521.70	130	-416.03	177	-13046.70	121	-555.88	106	-500.72	106	-494.47	173	-2438.35	113	-18750.20	97
0	Min.	-1505	-89521.70	130	-416.03	177	-13046.70	121	-555.88	106	-500.72	106	-494.47	173	-2438.35	113	-18750.20	97
0	Min.	-1506	-89521.70	130	-416.03	177	-13046.70	121	-555.88	106	-500.72	106	-494.47	173	-2438.35	113	-18750.20	97
0	Max	-1477	35615.50	101	4619.54	121	2910.73	177	648.43	101	305.15	113	211.92	65	12992.10	106	741.77	130
0	Max	-1478	35615.50	101	4619.54	121	2910.73	177	648.43	101	305.15	113	211.92	65	12992.10	106	741.77	130
0	Max	-1506	35615.50	101	4619.54	121	2910.73	177	648.43	101	305.15	113	211.92	65	12992.10	106	741.77	130
0	Max	-1507	35615.50	101	4619.54	121	2910.73	177	648.43	101	305.15	113	211.92	65	12992.10	106	741.77	130
0	Min.	-1477	-87858.60	130	451.45	177	-15709.70	165	-498.42	130	-571.87	106	-449.62	173	-1893.23	113	-19046.40	97
0	Min.	-1478	-87858.60	130	451.45	177	-15709.70	165	-498.42	130	-571.87	106	-449.62	173	-1893.23	113	-19046.40	97
0	Min.	-1506	-87858.60	130	451.45	177	-15709.70	165	-498.42	130	-571.87	106	-449.62	173	-1893.23	113	-19046.40	97
0	Min.	-1507	-87858.60	130	451.45	177	-15709.70	165	-498.42	130	-571.87	106	-449.62	173	-1893.23	113	-19046.40	97
0	Max	-1476	49888.30	101	3162.68	125	4473.80	177	1478.09	97	444.78	101	213.99	65	38990.60	105	-1861.14	17
0	Max	-1944	49888.30	101	3162.68	125	4473.80	177	1478.09	97	444.78	101	213.99	65	38990.60	105	-1861.14	17
0	Max	-1955	49888.30	101	3162.68	125	4473.80	177	1478.09	97	444.78	101	213.99	65	38990.60	105	-1861.14	17
0	Max	-1508	49888.30	101	3162.68	125	4473.80	177	1478.09	97	444.78	101	213.99	65	38990.60	105	-1861.14	17
0	Min.	-1476	-73556.20	130	-1140.00	106	-12821.50	165	-476.80	130	-607.97	106	-374.38	173	739.26	17	-26704.70	105
0	Min.	-1944	-73556.20	130	-1140.00	106	-12821.50	165	-476.80	130	-607.97	106	-374.38	173	739.26	17	-26704.70	105
0	Min.	-1955	-73556.20	130	-1140.00	106	-12821.50	165	-476.80	130	-607.97	106	-374.38	173	739.26	17	-26704.70	105
0	Min.	-1508	-73556.20	130	-1140.00	106	-12821.50	165	-476.80	130	-607.97	106	-374.38	173	739.26	17	-26704.70	105
0	Max	-1458	63489.70	130	2523.53	130	2156.15	173	2181.40	98	1423.78	98	410.31	97	56536.60	102	47670.00	98
0	Max	437	63489.70	130	2523.53	130	2156.15	173	2181.40	98	1423.78	98	410.31	97	56536.60	102	47670.00	98
0	Max	432	63489.70	130	2523.53	130	2156.15	173	2181.40	98	1423.78	98	410.31	97	56536.60	102	47670.00	98
0	Max	-1745	63489.70	130	2523.53	130	2156.15	173	2181.40	98	1423.78	98	410.31	97	56536.60	102	47670.00	98
0	Min.	-1458	-53173.30	101	-2769.89	101	-12935.60	162	140.59	49	166.27	65	-139.27	162	5007.69	65	5078.22	65
0	Min.	437	-53173.30	101	-2769.89	101	-12935.60	162	140.59	49	166.27	65	-139.27	162	5007.69	65	5078.22	65
0	Min.	432	-53173.30	101	-2769.89	101	-12935.60	162	140.59	49	166.27	65	-139.27	162	5007.69	65	5078.22	65
0	Min.	-1745	-53173.30	101	-2769.89	101	-12935.60	162	140.59	49	166.27	65	-139.27	162	5007.69	65	5078.22	65
0	Max	-1461	55392.90	130	1963.14	17	2350.19	173	975.52	98	449.24	130	536.90	98	20285.50	101	15610.60	98
0	Max	-1940	55392.90	130	1963.14	17	2350.19	173	975.52	98	449.24	130	536.90	98	20285.50	101	15610.60	98
0	Max	-1941	55392.90	130	1963.14	17	2350.19	173	975.52	98	449.24	130	536.90	98	20285.50	101	15610.60	98
0	Max	-1744	55392.90	130	1963.14	17	2350.19	173	975.52	98	449.24	130	536.90	98	20285.50	101	15610.60	98
0	Min.	-1461	-58380.30	101	-3122.27	161	-10081.30	162	-432.90	101	16.35	137	-142.60	17	-1651.21	173	512.84	65
0	Min.	-1940	-58380.30	101	-3122.27	161	-10081.30	162	-432.90	101	16.35	137	-142.60	17	-1651.21	173	512.84	65
0	Min.	-1941	-58380.30	101	-3122.27	161	-10081.30	162	-432.90	101	16.35	137	-142.60	17	-1651.21	173	512.84	65
0	Min.	-1744	-58380.30	101	-3122.27	161	-10081.30	162	-432.90	101	16.35	137	-142.60	17	-1651.21	173	512.84	65
0	Max	-1483	41685.40	130	2112.03	97	812.23	173	642.64	106	305.70	130	548.96	98	19153.70	101	23092.60	98
0	Max	-1461	41685.40	130	2112.03	97	812.23	173	642.64	106	305.70	130	548.96	98	19153.70	101	23092.60	98
0	Max	-1744	41685.40	130	2112.03	97	812.23	173	642.64	106	305.70	130	548.96	98	19153.70	101	23092.60	98
0	Max	-1743	41685.40	130	2112.03	97	812.23	173	642.64	106	305.70	130	548.96	98	19153.70	101	23092.60	98
0	Min.	-1483	-67274.40	101	-2208.32	162	-12850.40	162	-440.21	101	-139.44	101	-156.28	17	-791.26	173	1415.71	65
0	Min.	-1461	-67274.40	101	-2208.32	162	-12850.40	162	-440.21	101	-139.44	101	-156.28	17	-791.26	173	1415.71	65
0	Min.	-1744	-67274.40	101	-2208.32	162	-12850.40	162	-440.21	101	-139.44	101	-156.28	17	-791.26	173	1415.71	65
0	Min.	-1743	-67274.40	101	-2208.32	162	-12850.40	162	-440.21	101	-139.44	101	-156.28	17	-791.26	173	1415.71	65
0	Max	-1484	33157.70	162	646.32	101	983.00	173	334.04	130	180.38	130	563.34	98	7057.76	101	18274.30	98
0	Max	-1483	33157.70	162	646.32	101	983.00	173	334.04	130	180.38	130	563.34	98	7057.76	101	18274.30	98
0	Max	-1743	33157.70	162	646.32	101	983.00	173	334.04	130	180.38	130	563.34	98	7057.76	101	18274.30	98
0	Max	-1742	33157.70	162	646.32	101	983.00	173	334.04	130	180.38	130	563.34	98	7057.76	101	18274.30	98
0	Min.	-1484	-74919.90	101	-2261.15	162	-11247.60	162	-582.00	101	-276.40	101	-165.64	17	-1934.69	130	675.05	65
0	Min.	-1483	-74919.90	101	-2261.15	162	-11247.60	162	-582.00	101	-276.40	101	-165.64	17	-1934.69	130	675.05	65
0	Min.	-1743	-74919.90	101	-2261.15	162	-11247.60	162	-582.00	101	-276.40	101	-165.64	17	-1934.69	130	675.05	65
0	Min.	-1742	-74919.90	101	-2261.15	162	-11247.60	162	-582.00	101	-276.40	101	-165.64	17	-1934.69	130	675.05	65
0	Max	-1485	24223.00	162	638.64	165	607.90	173	107.33	130	170.22	118	635.92	98	4885.82	101	18286.20	98
0	Max	-1484	24223.00	162	638.64	165	607.90	173	107.33	130	170.22	118	635.92	98	4885.82	101	18286.20	98
0	Max	-1742	24223.00	162	638.64	165	607.90	173	107.33	130	170.22	118	635.92	98	4885.82	101	18286.20	98
0	Max	-1741	24223.00	162	638.64	165	607.90	173	107.33	130	170.22	118	635.92	98	4885.82	101	18286.20	98
0	Min.	-1485	-81389.00	101	-2170.37	98	-9311.47	162	-689.18	101	-272.99	101	-148.85	17	-926.97	33	372.61	65
0	Min.	-1484	-81389.00	101	-2170.37	98	-9311.47	162	-689.18	101	-272.99	101	-148.85	17	-926.97	33	372.61	65
0	Min.	-1742	-81389.00	101	-2170.37	98	-9311.47	162	-689.18	101	-272.99	101	-148.85	17	-926.97	33	372.61	65
0	Min.	-1741	-81389.00	101	-2170.37	98	-9311.47	162	-689.18	101	-272.99	101	-148.85	17	-926.97	33	372.61	65
0	Max	-1486	14487.90	162	1007.57	165	73.58	49	-7.21	1	124.00	118	834.09	98	7668.05	97	19954.90	98
0	Max	-1485	14487.90	162	1007.57	165	73.58	49	-7.21	1	124.00	118	834.09	98	7668.05	97	19954.90	98
0	Max	-1741	14487.90	162	1007.57	165	73.58	49	-7.21	1	124.00	118	834.09	98	7668.05	97	19954.90	98
0	Max	-1740	14487.90	162	1007.57	165	73.58	49	-7.21	1	124.00	118	834.09	98	7668.05	97	19954.90	98
0	Min.	-1486	-105475.00	97	-2203.50	98	-9255.24	158	-976.24	97	-300.60	97	-92.29	17	-471.44	33	184.84	65
0	Min.	-1485	-105475.00	97	-2203.50	98	-9255.24	158	-976.24	97	-300.60	97	-92.29	17	-471.44	33	184.84	65
0	Min.	-1741	-105475.00	97	-2203.50	98	-9255.24	158	-976.24	97	-300.60	97	-92.29	17	-471.44	33	184.84	65
0	Min.	-1740	-105475.00	97	-2203.50	98	-9255.24	158	-976.24	97	-300.60	97	-92.29	17	-471.44	33	184.84	65
0	Max	-1487	7969.03	177	4544.08	98	256.93	49	-32.11	1	63.79	17	849.65	98	8385.70	97	17955.10	98

0	Max	-1486	7969.03	177	4544.08	98	256.93	49	-32.11	1	63.79	17	849.65	98	8385.70	97	17955.10	98
0	Max	-1740	7969.03	177	4544.08	98	256.93	49	-32.11	1	63.79	17	849.65	98	8385.70	97	17955.10	98
0	Max	-1739	7969.03	177	4544.08	98	256.93	49	-32.11	1	63.79	17	849.65	98	8385.70	97	17955.10	98
0	Min.	-1487	-127325.00	97	-716.97	161	-10070.90	158	-1209.01	97	-667.04	97	-72.43	17	-1062.05	17	-24.88	49
0	Min.	-1486	-127325.00	97	-716.97	161	-10070.90	158	-1209.01	97	-667.04	97	-72.43	17	-1062.05	17	-24.88	49
0	Min.	-1740	-127325.00	97	-716.97	161	-10070.90	158	-1209.01	97	-667.04	97	-72.43	17	-1062.05	17	-24.88	49
0	Min.	-1739	-127325.00	97	-716.97	161	-10070.90	158	-1209.01	97	-667.04	97	-72.43	17	-1062.05	17	-24.88	49
0	Max	-1488	5994.97	177	4917.17	98	948.50	101	-60.29	17	67.43	17	684.88	98	19593.90	97	14059.80	98
0	Max	-1487	5994.97	177	4917.17	98	948.50	101	-60.29	17	67.43	17	684.88	98	19593.90	97	14059.80	98
0	Max	-1739	5994.97	177	4917.17	98	948.50	101	-60.29	17	67.43	17	684.88	98	19593.90	97	14059.80	98
0	Max	-1738	5994.97	177	4917.17	98	948.50	101	-60.29	17	67.43	17	684.88	98	19593.90	97	14059.80	98
0	Min.	-1488	-145587.00	97	-183.17	161	-12924.00	158	-1628.13	97	-773.28	97	-91.09	17	-466.99	33	-609.54	49
0	Min.	-1487	-145587.00	97	-183.17	161	-12924.00	158	-1628.13	97	-773.28	97	-91.09	17	-466.99	33	-609.54	49
0	Min.	-1739	-145587.00	97	-183.17	161	-12924.00	158	-1628.13	97	-773.28	97	-91.09	17	-466.99	33	-609.54	49
0	Min.	-1738	-145587.00	97	-183.17	161	-12924.00	158	-1628.13	97	-773.28	97	-91.09	17	-466.99	33	-609.54	49
0	Max	-1489	4523.60	177	1362.73	125	1079.01	101	-93.56	17	80.67	173	448.75	98	30489.00	97	4018.04	130
0	Max	-2106	4523.60	177	1362.73	125	1079.01	101	-93.56	17	80.67	173	448.75	98	30489.00	97	4018.04	130
0	Max	-2111	4523.60	177	1362.73	125	1079.01	101	-93.56	17	80.67	173	448.75	98	30489.00	97	4018.04	130
0	Max	-1737	4523.60	177	1362.73	125	1079.01	101	-93.56	17	80.67	173	448.75	98	30489.00	97	4018.04	130
0	Min.	-1489	-160206.00	97	-1464.56	106	-11451.80	158	-2315.87	97	-658.33	97	-59.89	17	-637.87	33	-2636.14	101
0	Min.	-2106	-160206.00	97	-1464.56	106	-11451.80	158	-2315.87	97	-658.33	97	-59.89	17	-637.87	33	-2636.14	101
0	Min.	-2111	-160206.00	97	-1464.56	106	-11451.80	158	-2315.87	97	-658.33	97	-59.89	17	-637.87	33	-2636.14	101
0	Min.	-1737	-160206.00	97	-1464.56	106	-11451.80	158	-2315.87	97	-658.33	97	-59.89	17	-637.87	33	-2636.14	101
0	Max	-1498	2987.97	177	2276.29	157	1472.53	101	-100.12	65	174.11	173	226.29	173	29734.30	98	4005.51	130
0	Max	-2108	2987.97	177	2276.29	157	1472.53	101	-100.12	65	174.11	173	226.29	173	29734.30	98	4005.51	130
0	Max	-2112	2987.97	177	2276.29	157	1472.53	101	-100.12	65	174.11	173	226.29	173	29734.30	98	4005.51	130
0	Max	-1736	2987.97	177	2276.29	157	1472.53	101	-100.12	65	174.11	173	226.29	173	29734.30	98	4005.51	130
0	Min.	-1498	-172022.00	97	-1754.83	106	-12873.30	158	-2338.36	98	-769.54	97	-110.76	101	-518.72	33	-2247.63	101
0	Min.	-2108	-172022.00	97	-1754.83	106	-12873.30	158	-2338.36	98	-769.54	97	-110.76	101	-518.72	33	-2247.63	101
0	Min.	-2112	-172022.00	97	-1754.83	106	-12873.30	158	-2338.36	98	-769.54	97	-110.76	101	-518.72	33	-2247.63	101
0	Min.	-1736	-172022.00	97	-1754.83	106	-12873.30	158	-2338.36	98	-769.54	97	-110.76	101	-518.72	33	-2247.63	101
0	Max	-1457	2336.29	177	3510.67	158	1481.45	101	-95.80	17	200.25	173	190.98	106	30186.50	98	6780.07	106
0	Max	-1498	2336.29	177	3510.67	158	1481.45	101	-95.80	17	200.25	173	190.98	106	30186.50	98	6780.07	106
0	Max	-1736	2336.29	177	3510.67	158	1481.45	101	-95.80	17	200.25	173	190.98	106	30186.50	98	6780.07	106
0	Max	-1847	2336.29	177	3510.67	158	1481.45	101	-95.80	17	200.25	173	190.98	106	30186.50	98	6780.07	106
0	Min.	-1457	-176406.00	98	-487.33	101	-14140.30	158	-2206.79	97	-874.16	97	-166.92	101	-633.12	49	-4318.50	101
0	Min.	-1498	-176406.00	98	-487.33	101	-14140.30	158	-2206.79	97	-874.16	97	-166.92	101	-633.12	49	-4318.50	101
0	Min.	-1736	-176406.00	98	-487.33	101	-14140.30	158	-2206.79	97	-874.16	97	-166.92	101	-633.12	49	-4318.50	101
0	Min.	-1847	-176406.00	98	-487.33	101	-14140.30	158	-2206.79	97	-874.16	97	-166.92	101	-633.12	49	-4318.50	101
0	Max	-1499	2336.29	177	2263.77	97	2102.46	101	-95.80	65	213.18	173	166.91	106	30186.50	97	4318.22	106
0	Max	-1457	2336.29	177	2263.77	97	2102.46	101	-95.80	65	213.18	173	166.91	106	30186.50	97	4318.22	106
0	Max	-1847	2336.29	177	2263.77	97	2102.46	101	-95.80	65	213.18	173	166.91	106	30186.50	97	4318.22	106
0	Max	-1735	2336.29	177	2263.77	97	2102.46	101	-95.80	65	213.18	173	166.91	106	30186.50	97	4318.22	106
0	Min.	-1499	-176406.00	97	-1398.89	130	-12951.70	158	-2206.79	98	-874.16	98	-190.99	101	-644.83	33	-6780.36	101
0	Min.	-1457	-176406.00	97	-1398.89	130	-12951.70	158	-2206.79	98	-874.16	98	-190.99	101	-644.83	33	-6780.36	101
0	Min.	-1847	-176406.00	97	-1398.89	130	-12951.70	158	-2206.79	98	-874.16	98	-190.99	101	-644.83	33	-6780.36	101
0	Min.	-1735	-176406.00	97	-1398.89	130	-12951.70	158	-2206.79	98	-874.16	98	-190.99	101	-644.83	33	-6780.36	101
0	Max	-1500	2613.54	177	2713.81	97	1995.27	97	-86.83	65	206.34	173	87.74	130	34593.00	98	2505.26	106
0	Max	-2109	2613.54	177	2713.81	97	1995.27	97	-86.83	65	206.34	173	87.74	130	34593.00	98	2505.26	106
0	Max	-2113	2613.54	177	2713.81	97	1995.27	97	-86.83	65	206.34	173	87.74	130	34593.00	98	2505.26	106
0	Max	-1734	2613.54	177	2713.81	97	1995.27	97	-86.83	65	206.34	173	87.74	130	34593.00	98	2505.26	106
0	Min.	-1500	-173188.00	98	-2122.45	162	-10543.10	158	-2286.18	98	-669.30	98	-273.69	97	-305.10	33	-10969.50	97
0	Min.	-2109	-173188.00	98	-2122.45	162	-10543.10	158	-2286.18	98	-669.30	98	-273.69	97	-305.10	33	-10969.50	97
0	Min.	-2113	-173188.00	98	-2122.45	162	-10543.10	158	-2286.18	98	-669.30	98	-273.69	97	-305.10	33	-10969.50	97
0	Min.	-1734	-173188.00	98	-2122.45	162	-10543.10	158	-2286.18	98	-669.30	98	-273.69	97	-305.10	33	-10969.50	97
0	Max	-1501	3760.89	177	4563.21	97	1201.14	177	-72.86	65	120.58	173	81.35	65	22860.20	98	1122.57	130
0	Max	-2110	3760.89	177	4563.21	97	1201.14	177	-72.86	65	120.58	173	81.35	65	22860.20	98	1122.57	130
0	Max	-2114	3760.89	177	4563.21	97	1201.14	177	-72.86	65	120.58	173	81.35	65	22860.20	98	1122.57	130
0	Max	-1733	3760.89	177	4563.21	97	1201.14	177	-72.86	65	120.58	173	81.35	65	22860.20	98	1122.57	130
0	Min.	-1501	-163264.00	98	-176.55	130	-11643.10	158	-2043.64	98	-680.18	98	-570.52	97	-785.73	33	-13762.70	97
0	Min.	-2110	-163264.00	98	-176.55	130	-11643.10	158	-2043.64	98	-680.18	98	-570.52	97	-785.73	33	-13762.70	97
0	Min.	-2114	-163264.00	98	-176.55	130	-11643.10	158	-2043.64	98	-680.18	98	-570.52	97	-785.73	33	-13762.70	97
0	Min.	-1733	-163264.00	98	-176.55	130	-11643.10	158	-2043.64	98	-680.18	98	-570.52	97	-785.73	33	-13762.70	97
0	Max	-1502	5994.99	177	4917.16	97	2206.18	101	-60.29	65	67.43	65	91.09	65	19593.90	98	1655.56	130
0	Max	-1501	5994.99	177	4917.16	97	2206.18	101	-60.29	65	67.43	65	91.09	65	19593.90	98	1655.56	130
0	Max	-1733	5994.99	177	4917.16	97	2206.18	101	-60.29	65	67.43	65	91.09	65	19593.90	98	1655.56	130
0	Max	-1732	5994.99	177	4917.16	97	2206.18	101	-60.29	65	67.43	65	91.09	65	19593.90	98	1655.56	130
0	Min.	-1502	-145587.00	98	170.31	17	-10934.00	158	-1628.13	98	-773.28	98	-684.88	97	-466.14	33	-14059.80	97
0	Min.	-1501	-145587.00	98	170.31	17	-10934.00	158	-1628.13	98	-773.28	98	-684.88	97	-466.14	33	-14059.80	97
0	Min.	-1733	-145587.00	98	170.31	17	-10934.00	158	-1628.13	98	-773.28	98	-684.88	97	-466.14	33	-14059.80	97
0	Min.	-1732	-145587.00	98	170.31	17	-10934.00	158	-1628.13	98	-773.28	98	-684.88	97	-466.14	33	-14059.80	97
0	Max	-1503	7969.07	177	4544.08	97	3075.07	97	-32.11	49	63.79	65	72.43	65	8385.70	98	24.88	1
0	Max	-1502	7969.07	177	4544.08	97	3075.07	97	-32.11	49	63.79	65	72.43	65	8385.70	98	24.88	1
0	Max	-1732	7969.07	177	4544.08	97	3075.07	97	-32.11	49	63.79	65	72.43	65	8385.70	98	24.88	1
0	Max	-1731	7969.07	177	4544.08	97	3075.07	97	-32.11	49	63.79	65	72.43	65	8385.70	98	24.88	1
0	Min.	-1503	-127324.00	98	240.30	17	-6561.55	158	-1209.01	98	-667.04	98	-849.65	97	-1062.05	65	-17955.10	97
0	Min.	-1502	-127324.00	98	240.30	17	-6561.55	158	-1209.01	98	-667.04	98	-849.65	97	-1062.05	65	-17955.10	97
0	Min.	-1732	-127324.00	98	240.30	17	-6561.55	158	-1209.01	98	-667.04	98	-849.65	97	-1062.05	65	-17955.10	97
0	Min.	-1731	-127324.00	98	240.30	17	-6561.55	158	-1209.01	98	-667.04	98	-849.65	97	-1062.05	65	-17955.10	97
0	Max	-1504	10500.80	177	293.29	1	3954.44	97	-7.21	49	159.53	125	92.29	65	7668.05	98	-184.84	17
0	Max	-1503	10500.80	177	293.29	1	3954.44	97	-7.21	49	159.53	125	92.29	65	7668.05	98	-184.84	17
0	Max	-1731	10500.80	177	293.29	1	3954.44	97	-7.21	49	159.53	125	92.29	65	7668.05	98	-184.84	17
0	Max	-1730	10500.80	177	293.29	1	3954.44	97	-7.21	49	159.53	125	92.29	65	7668.05	98	-184.84	17
0	Min.	-1504	-105475.00	98	-3049.98	157	-5580.08	166	-976.24	98	-300.60	98	-834.09	97	-474.79	33	-19955.00	97
0	Min.	-1503	-105475.00	98	-3049.98	157	-5580.08	166	-976.24	98	-300.60	98	-834.09	97	-474.79	33	-19955.00	97
0	Min.	-1731	-105475.00	98	-3049.98	157	-5580.08	166	-976.24	98	-300.60	98	-834.09	97	-474.79	33	-19955.00	97
0	Min.	-1730	-105475.00	98	-3049.98	157	-5580.08	166	-976.24	98	-300.60	98	-834.09	97	-474.79	33	-19955.00	97
0	Max	-1505	13593.50	177	306.75	1	3910.99	177	65.31	49	205.61	125	148.85	65	4885.80	106	-372.61	17
0	Max	-1504	13593.50	177	306.75	1	3910.99	177	65.31	49	205.61	125	148.85	65	4885.80	106	-372.61	17
0	Max	-1730	13593.50	177	306.75	1	3910.99	177	65.31	49	205.61	125	148.85	65	4885.80	106	-372.61	17
0	Max	-1729	13593.50	177	306.75	1	3910.99	177	65.31	49	205.61	125	148.85	65	4885.80	106	-372.61	17
0	Min.	-1505	-90815.70	130	-2449.64	121	-7752.53	166	-689.17	106	-272.98	106	-635.92	97	-922.08	33	-18286.20	97
0	Min.	-1504	-90815.70	130	-2449.64	121	-7752.53	166	-689.17	106	-272.98	106	-635.92	97	-922.08	33	-18286.20	97
0	Min.	-1730	-90815.70	130	-2449.64	121	-7752.53	166	-689.17	106	-272.98	106	-635.92	97	-922.08	33	-18286.20	97
0	Min.	-1729	-90815.70	130	-2449.64	121	-7752.53	166	-689.17	106	-272.98	106	-635.92	97	-922.08	33	-18286.20	97
0	Max	-1506	19467.10	101	2888.87	166	4301.03	177	286.12	101	178.95	113	165.64	65	7057.67	106	-675.05	17
0	Max	-1505	19467.10	101	2888.87	166	4301.03	177	286.12	101	178.95	113	165.64	65	7057.67	106	-675.05	17
0	Max	-1729	19467.10	101	2888.87	166	4301.03	177	286.12	101	178.95	113	165.64	65	7057.67	106	-675.05	17
0	Max	-1728	19467.10	101	2888.87	166	4301.03	177	286.12	101	178.95	113	165.64	65	7057.67	106	-675.05	17
0	Min.	-1506	-87769.00	130	-93.72	177	-9939.77	166	-581.99	106	-276.39	106	-563.34	97	-1613.45	113	-18274.30	97
0	Min.	-1505	-87769.00	130	-93.72	177	-9939.77	166	-581.99	106	-276.39	106	-563.34	97	-1613.45	113	-18274.30	97
0	Min.	-1729	-87769.00	130	-93.72	177	-9939.77	166	-581.99	106	-276.39	106	-563.34	97	-1613.45	113	-18274.30	97
0	Min.	-1728	-87769.00	130	-93.72	177	-9939.77	166	-581.99	106	-276.39	106	-563.34	97	-1613.45	113	-18274.30	97
0	Max	-1507	36260.90	101	3880.15	166	4977.54	177	642.67	101	275.39	101	156.28	65	19153.50	106	-1415.71	17
0	Max	-1506	36260.90	101	3880.15	166	4977.54	177	642.67	101	275.39	101	156.28	65	19153.50	106	-1415.71	17

0	Max	-1728	36260.90	101	3880.15	166	4977.54	177	642.67	101	275.39	101	156.28	65	19153.50	106	-1415.71	17
0	Max	-1727	36260.90	101	3880.15	166	4977.54	177	642.67	101	275.39	101	156.28	65	19153.50	106	-1415.71	17
0	Min.	-1507	-80760.90	130	187.57	17	-11255.10	166	-449.90	130	-139.42	106	-548.96	97	-594.41	173	-23092.60	97
0	Min.	-1506	-80760.90	130	187.57	17	-11255.10	166	-449.90	130	-139.42	106	-548.96	97	-594.41	173	-23092.60	97
0	Min.	-1728	-80760.90	130	187.57	17	-11255.10	166	-449.90	130	-139.42	106	-548.96	97	-594.41	173	-23092.60	97
0	Min.	-1727	-80760.90	130	187.57	17	-11255.10	166	-449.90	130	-139.42	106	-548.96	97	-594.41	173	-23092.60	97
0	Max	-1508	47270.80	101	7131.00	121	4633.99	177	1409.38	97	667.00	97	128.11	65	19091.10	106	-3049.64	17
0	Max	-1955	47270.80	101	7131.00	121	4633.99	177	1409.38	97	667.00	97	128.11	65	19091.10	106	-3049.64	17
0	Max	-1956	47270.80	101	7131.00	121	4633.99	177	1409.38	97	667.00	97	128.11	65	19091.10	106	-3049.64	17
0	Max	-1726	47270.80	101	7131.00	121	4633.99	177	1409.38	97	667.00	97	128.11	65	19091.10	106	-3049.64	17
0	Min.	-1508	-75911.30	130	51.79	142	-9674.45	166	-252.33	130	91.72	17	-547.08	98	-1940.23	173	-29151.40	97
0	Min.	-1955	-75911.30	130	51.79	142	-9674.45	166	-252.33	130	91.72	17	-547.08	98	-1940.23	173	-29151.40	97
0	Min.	-1956	-75911.30	130	51.79	142	-9674.45	166	-252.33	130	91.72	17	-547.08	98	-1940.23	173	-29151.40	97
0	Min.	-1726	-75911.30	130	51.79	142	-9674.45	166	-252.33	130	91.72	17	-547.08	98	-1940.23	173	-29151.40	97
0	Max	-2069	70818.30	130	5217.27	98	4205.94	166	1519.69	162	27.79	161	238.64	162	2418.87	98	64950.50	97
0	Max	-1540	70818.30	130	5217.27	98	4205.94	166	1519.69	162	27.79	161	238.64	162	2418.87	98	64950.50	97
0	Max	-1976	70818.30	130	5217.27	98	4205.94	166	1519.69	162	27.79	161	238.64	162	2418.87	98	64950.50	97
0	Max	-2013	70818.30	130	5217.27	98	4205.94	166	1519.69	162	27.79	161	238.64	162	2418.87	98	64950.50	97
0	Min.	-2069	-73317.90	101	-1599.31	161	-1647.24	101	-783.46	101	-86.36	98	-233.95	17	-786.59	161	-30867.10	162
0	Min.	-1540	-73317.90	101	-1599.31	161	-1647.24	101	-783.46	101	-86.36	98	-233.95	17	-786.59	161	-30867.10	162
0	Min.	-1976	-73317.90	101	-1599.31	161	-1647.24	101	-783.46	101	-86.36	98	-233.95	17	-786.59	161	-30867.10	162
0	Min.	-2013	-73317.90	101	-1599.31	161	-1647.24	101	-783.46	101	-86.36	98	-233.95	17	-786.59	161	-30867.10	162
0	Max	-1744	52171.10	130	8416.75	98	12153.00	98	1241.13	98	331.49	106	564.33	98	8354.74	101	25258.80	98
0	Max	-1941	52171.10	130	8416.75	98	12153.00	98	1241.13	98	331.49	106	564.33	98	8354.74	101	25258.80	98
0	Max	-2182	52171.10	130	8416.75	98	12153.00	98	1241.13	98	331.49	106	564.33	98	8354.74	101	25258.80	98
0	Max	-2183	52171.10	130	8416.75	98	12153.00	98	1241.13	98	331.49	106	564.33	98	8354.74	101	25258.80	98
0	Min.	-1744	-57423.70	101	-2698.19	161	-7952.43	161	-167.55	101	37.06	65	-116.81	17	-10768.80	162	-2323.91	161
0	Min.	-1941	-57423.70	101	-2698.19	161	-7952.43	161	-167.55	101	37.06	65	-116.81	17	-10768.80	162	-2323.91	161
0	Min.	-2182	-57423.70	101	-2698.19	161	-7952.43	161	-167.55	101	37.06	65	-116.81	17	-10768.80	162	-2323.91	161
0	Min.	-2183	-57423.70	101	-2698.19	161	-7952.43	161	-167.55	101	37.06	65	-116.81	17	-10768.80	162	-2323.91	161
0	Max	-1743	40138.90	130	4096.06	98	13635.10	98	621.36	106	227.13	130	430.09	98	2515.27	101	24695.30	98
0	Max	-1744	40138.90	130	4096.06	98	13635.10	98	621.36	106	227.13	130	430.09	98	2515.27	101	24695.30	98
0	Max	-2183	40138.90	130	4096.06	98	13635.10	98	621.36	106	227.13	130	430.09	98	2515.27	101	24695.30	98
0	Max	-2184	40138.90	130	4096.06	98	13635.10	98	621.36	106	227.13	130	430.09	98	2515.27	101	24695.30	98
0	Min.	-1743	-65267.40	101	-945.25	165	-5744.38	161	-400.42	101	11.62	137	-178.89	17	-6515.32	130	1554.13	65
0	Min.	-1744	-65267.40	101	-945.25	165	-5744.38	161	-400.42	101	11.62	137	-178.89	17	-6515.32	130	1554.13	65
0	Min.	-2183	-65267.40	101	-945.25	165	-5744.38	161	-400.42	101	11.62	137	-178.89	17	-6515.32	130	1554.13	65
0	Min.	-2184	-65267.40	101	-945.25	165	-5744.38	161	-400.42	101	11.62	137	-178.89	17	-6515.32	130	1554.13	65
0	Max	-1742	30028.60	162	174.83	49	11526.00	98	335.23	130	127.99	118	482.04	98	4130.01	101	12337.30	98
0	Max	-1743	30028.60	162	174.83	49	11526.00	98	335.23	130	127.99	118	482.04	98	4130.01	101	12337.30	98
0	Max	-2184	30028.60	162	174.83	49	11526.00	98	335.23	130	127.99	118	482.04	98	4130.01	101	12337.30	98
0	Max	-2185	30028.60	162	174.83	49	11526.00	98	335.23	130	127.99	118	482.04	98	4130.01	101	12337.30	98
0	Min.	-1742	-73981.90	101	-318.03	162	-5188.97	161	-571.98	101	-137.95	101	-185.47	17	-2350.21	130	700.68	65
0	Min.	-1743	-73981.90	101	-318.03	162	-5188.97	161	-571.98	101	-137.95	101	-185.47	17	-2350.21	130	700.68	65
0	Min.	-2184	-73981.90	101	-318.03	162	-5188.97	161	-571.98	101	-137.95	101	-185.47	17	-2350.21	130	700.68	65
0	Min.	-2185	-73981.90	101	-318.03	162	-5188.97	161	-571.98	101	-137.95	101	-185.47	17	-2350.21	130	700.68	65
0	Max	-1741	24208.30	162	691.10	165	13478.00	98	91.75	130	109.47	118	497.28	98	3164.42	125	28153.50	98
0	Max	-1742	24208.30	162	691.10	165	13478.00	98	91.75	130	109.47	118	497.28	98	3164.42	125	28153.50	98
0	Max	-2185	24208.30	162	691.10	165	13478.00	98	91.75	130	109.47	118	497.28	98	3164.42	125	28153.50	98
0	Max	-2186	24208.30	162	691.10	165	13478.00	98	91.75	130	109.47	118	497.28	98	3164.42	125	28153.50	98
0	Min.	-1741	-85100.40	97	-2911.18	98	-4440.33	161	-697.04	101	-170.07	101	-191.72	17	-5993.16	106	560.29	65
0	Min.	-1742	-85100.40	97	-2911.18	98	-4440.33	161	-697.04	101	-170.07	101	-191.72	17	-5993.16	106	560.29	65
0	Min.	-2185	-85100.40	97	-2911.18	98	-4440.33	161	-697.04	101	-170.07	101	-191.72	17	-5993.16	106	560.29	65
0	Min.	-2186	-85100.40	97	-2911.18	98	-4440.33	161	-697.04	101	-170.07	101	-191.72	17	-5993.16	106	560.29	65
0	Max	-2067	24444.50	162	1478.34	106	1871.63	165	478.62	161	18.21	161	134.89	157	1019.15	161	65380.80	98
0	Max	-1758	24444.50	162	1478.34	106	1871.63	165	478.62	161	18.21	161	134.89	157	1019.15	161	65380.80	98
0	Max	-2009	24444.50	162	1478.34	106	1871.63	165	478.62	161	18.21	161	134.89	157	1019.15	161	65380.80	98
0	Max	-2008	24444.50	162	1478.34	106	1871.63	165	478.62	161	18.21	161	134.89	157	1019.15	161	65380.80	98
0	Min.	-2067	-146286.00	97	-977.30	125	-1559.85	98	-3043.22	98	-72.03	98	-247.63	17	-4239.51	98	-22402.90	161
0	Min.	-1758	-146286.00	97	-977.30	125	-1559.85	98	-3043.22	98	-72.03	98	-247.63	17	-4239.51	98	-22402.90	161
0	Min.	-2009	-146286.00	97	-977.30	125	-1559.85	98	-3043.22	98	-72.03	98	-247.63	17	-4239.51	98	-22402.90	161
0	Min.	-2008	-146286.00	97	-977.30	125	-1559.85	98	-3043.22	98	-72.03	98	-247.63	17	-4239.51	98	-22402.90	161
0	Max	-1757	26125.20	177	1000.28	161	1855.40	165	1022.75	106	65.46	98	154.91	157	4189.28	98	62897.20	98
0	Max	-2067	26125.20	177	1000.28	161	1855.40	165	1022.75	106	65.46	98	154.91	157	4189.28	98	62897.20	98
0	Max	-2008	26125.20	177	1000.28	161	1855.40	165	1022.75	106	65.46	98	154.91	157	4189.28	98	62897.20	98
0	Max	-2007	26125.20	177	1000.28	161	1855.40	165	1022.75	106	65.46	98	154.91	157	4189.28	98	62897.20	98
0	Min.	-1757	-86369.90	97	-5378.66	98	-1829.81	98	-975.82	125	-17.59	161	-224.89	17	-1118.09	161	-23958.00	161
0	Min.	-2067	-86369.90	97	-5378.66	98	-1829.81	98	-975.82	125	-17.59	161	-224.89	17	-1118.09	161	-23958.00	161
0	Min.	-2008	-86369.90	97	-5378.66	98	-1829.81	98	-975.82	125	-17.59	161	-224.89	17	-1118.09	161	-23958.00	161
0	Min.	-2007	-86369.90	97	-5378.66	98	-1829.81	98	-975.82	125	-17.59	161	-224.89	17	-1118.09	161	-23958.00	161
0	Max	-1738	10644.50	177	1954.84	98	11266.50	98	-42.51	17	50.17	17	528.72	98	15197.70	98	21169.40	98
0	Max	-1739	10644.50	177	1954.84	98	11266.50	98	-42.51	17	50.17	17	528.72	98	15197.70	98	21169.40	98
0	Max	-2187	10644.50	177	1954.84	98	11266.50	98	-42.51	17	50.17	17	528.72	98	15197.70	98	21169.40	98
0	Max	-2188	10644.50	177	1954.84	98	11266.50	98	-42.51	17	50.17	17	528.72	98	15197.70	98	21169.40	98
0	Min.	-1738	-138761.00	97	-821.21	161	-3546.28	125	-1511.46	97	-423.98	97	-124.20	17	-2316.92	161	-1253.60	125
0	Min.	-1739	-138761.00	97	-821.21	161	-3546.28	125	-1511.46	97	-423.98	97	-124.20	17	-2316.92	161	-1253.60	125
0	Min.	-2187	-138761.00	97	-821.21	161	-3546.28	125	-1511.46	97	-423.98	97	-124.20	17	-2316.92	161	-1253.60	125
0	Min.	-2188	-138761.00	97	-821.21	161	-3546.28	125	-1511.46	97	-423.98	97	-124.20	17	-2316.92	161	-1253.60	125
0	Max	-1737	8288.45	177	1933.72	158	4465.22	98	-75.39	17	93.33	173	379.67	98	11415.30	97	3865.24	130
0	Max	-2111	8288.45	177	1933.72	158	4465.22	98	-75.39	17	93.33	173	379.67	98	11415.30	97	3865.24	130
0	Max	-2189	8288.45	177	1933.72	158	4465.22	98	-75.39	17	93.33	173	379.67	98	11415.30	97	3865.24	130
0	Max	-2190	8288.45	177	1933.72	158	4465.22	98	-75.39	17	93.33	173	379.67	98	11415.30	97	3865.24	130
0	Min.	-1737	-158627.00	97	-95.26	177	-5028.58	157	-2120.78	97	-301.82	97	-69.66	17	-1257.16	33	-2405.68	101
0	Min.	-2111	-158627.00	97	-95.26	177	-5028.58	157	-2120.78	97	-301.82	97	-69.66	17	-1257.16	33	-2405.68	101
0	Min.	-2189	-158627.00	97	-95.26	177	-5028.58	157	-2120.78	97	-301.82	97	-69.66	17	-1257.16	33	-2405.68	101
0	Min.	-2190	-158627.00	97	-95.26	177	-5028.58	157	-2120.78	97	-301.82	97	-69.66	17	-1257.16	33	-2405.68	101
0	Max	-1736	6833.14	177	5287.72	157	3859.93	106	-70.87	65	194.52	173	188.97	173	17509.90	97	5618.96	106
0	Max	-2112	6833.14	177	5287.72	157	3859.93	106	-70.87	65	194.52	173	188.97	173	17509.90	97	5618.96	106
0	Max	-2191	6833.14	177	5287.72	157	3859.93	106	-70.87	65	194.52	173	188.97	173	17509.90	97	5618.96	106
0	Max	-2192	6833.14	177	5287.72	157	3859.93	106	-70.87	65	194.52	173	188.97	173	17509.90	97	5618.96	106
0	Min.	-1736	-169714.00	97	-922.72	106	-9823.48	157	-2206.20	98	-291.72	97	-92.29	101	-3227.85	118	-6605.49	101
0	Min.	-2112	-169714.00	97	-922.72	106	-9823.48	157	-2206.20	98	-291.72	97	-92.29	101	-3227.85	118	-6605.49	101
0	Min.	-2191	-169714.00	97	-922.72	106	-9823.48	157	-2206.20	98	-291.72	97	-92.29	101	-3227.85	118	-6605.49	101
0	Min.	-2192	-169714.00	97	-922.72	106	-9823.48	157	-2206.20	98	-291.72	97	-92.29	101	-3227.85	118	-6605.49	101
0	Max	-1847	6290.85	177	1600.27	97	3185.41	106	-67.04	17	209.18	173	148.82	106	19695.30	97	16218.00	125
0	Max	-1736	6290.85	177	1600.27	97	3185.41	106	-67.04	17	209.18	173	148.82	106	19695.30	97	16218.00	125
0	Max	-2192	6290.85	177	1600.27	97	3185.41	106	-67.04	17	209.18	173	148.82	106	19695.30	97	16218.00	125
0	Max	-2193	6290.85	177	1600.27	97	3185.41	106	-67.04	17	209.18	173	148.82	106	19695.30	97	16218.00	125
0	Min.	-1847	-173741.00	98	-442.00	130	-9176.59	157	-2080.68	97	-355.07	97	-137.09	125	-2756.99	1	-6009.65	106
0	Min.	-1736	-173741.00	98	-442.00	130	-9176.59	157	-2080.68	97	-355.07	97	-137.09	125	-2756.99	1	-6009.65	106
0	Min.	-2192	-173741.00	98	-442.00	130	-9176.59	157	-2080.68	97	-355.07	97	-137.09	125	-2756.99	1	-6009.65	106
0	Min.	-2193	-173741.00	98	-442.00	130	-9176.59	157	-2080.68	97	-355.07	97	-137.09	125	-2756.99	1	-6009.65	106
0	Max	-2065	14302.90	177	2704.41	125	5849.24	157	219.78	1	9.12	101	446.10	157	2003.81	157	36054.00	106
0	Max	-1689	14302.90	177	2704.41	125	5849.24	157	219.78	1	9.12	101	446.10	157	2003.81	157	36054.00	106
0	Max	-1993	14302.90	177	2704.41	125	5849.24	157	219.78	1	9.12	101	446.10	157	2003.81	157	36054.00	106

0	Max	-2003	14302.90	177	2704.41	125	5849.24	157	219.78	1	9.12	101	446.10	157	2003.81	157	36054.00	106
0	Min.	-2065	-171007.00	97	-1999.60	106	-1201.21	106	-2415.04	121	-26.43	98	-206.14	106	-2011.44	106	-59650.90	125
0	Min.	-1689	-171007.00	97	-1999.60	106	-1201.21	106	-2415.04	121	-26.43	98	-206.14	106	-2011.44	106	-59650.90	125
0	Min.	-1993	-171007.00	97	-1999.60	106	-1201.21	106	-2415.04	121	-26.43	98	-206.14	106	-2011.44	106	-59650.90	125
0	Min.	-2003	-171007.00	97	-1999.60	106	-1201.21	106	-2415.04	121	-26.43	98	-206.14	106	-2011.44	106	-59650.90	125
0	Max	-1753	14546.60	177	1131.06	101	720.06	106	-36.00	65	31.55	98	61.04	161	1813.10	106	4719.10	173
0	Max	-2117	14546.60	177	1131.06	101	720.06	106	-36.00	65	31.55	98	61.04	161	1813.10	106	4719.10	173
0	Max	-2118	14546.60	177	1131.06	101	720.06	106	-36.00	65	31.55	98	61.04	161	1813.10	106	4719.10	173
0	Max	-2002	14546.60	177	1131.06	101	720.06	106	-36.00	65	31.55	98	61.04	161	1813.10	106	4719.10	173
0	Min.	-1753	-168525.00	98	-1226.94	130	-2047.90	121	-1859.91	98	-8.21	161	-110.34	98	-3578.50	157	-8369.59	125
0	Min.	-2117	-168525.00	98	-1226.94	130	-2047.90	121	-1859.91	98	-8.21	161	-110.34	98	-3578.50	157	-8369.59	125
0	Min.	-2118	-168525.00	98	-1226.94	130	-2047.90	121	-1859.91	98	-8.21	161	-110.34	98	-3578.50	157	-8369.59	125
0	Min.	-2002	-168525.00	98	-1226.94	130	-2047.90	121	-1859.91	98	-8.21	161	-110.34	98	-3578.50	157	-8369.59	125
0	Max	-1733	8128.12	177	602.77	130	414.57	106	-62.12	65	108.93	173	95.24	65	9988.11	98	3642.75	130
0	Max	-2114	8128.12	177	602.77	130	414.57	106	-62.12	65	108.93	173	95.24	65	9988.11	98	3642.75	130
0	Max	-2194	8128.12	177	602.77	130	414.57	106	-62.12	65	108.93	173	95.24	65	9988.11	98	3642.75	130
0	Max	-2195	8128.12	177	602.77	130	414.57	106	-62.12	65	108.93	173	95.24	65	9988.11	98	3642.75	130
0	Min.	-1733	-157460.00	98	-122.91	177	-10411.90	157	-1999.16	98	-355.03	98	-469.17	97	-2206.16	125	-6370.88	97
0	Min.	-2114	-157460.00	98	-122.91	177	-10411.90	157	-1999.16	98	-355.03	98	-469.17	97	-2206.16	125	-6370.88	97
0	Min.	-2194	-157460.00	98	-122.91	177	-10411.90	157	-1999.16	98	-355.03	98	-469.17	97	-2206.16	125	-6370.88	97
0	Min.	-2195	-157460.00	98	-122.91	177	-10411.90	157	-1999.16	98	-355.03	98	-469.17	97	-2206.16	125	-6370.88	97
0	Max	-1732	10644.60	177	2338.03	121	314.26	1	-42.51	65	57.08	173	124.20	65	15197.70	97	446.17	1
0	Max	-1733	10644.60	177	2338.03	121	314.26	1	-42.51	65	57.08	173	124.20	65	15197.70	97	446.17	1
0	Max	-2195	10644.60	177	2338.03	121	314.26	1	-42.51	65	57.08	173	124.20	65	15197.70	97	446.17	1
0	Max	-2196	10644.60	177	2338.03	121	314.26	1	-42.51	65	57.08	173	124.20	65	15197.70	97	446.17	1
0	Min.	-1732	-138761.00	98	-41.47	1	-14213.30	157	-1511.46	98	-423.98	98	-528.72	97	-605.47	1	-21169.40	97
0	Min.	-1733	-138761.00	98	-41.47	1	-14213.30	157	-1511.46	98	-423.98	98	-528.72	97	-605.47	1	-21169.40	97
0	Min.	-2195	-138761.00	98	-41.47	1	-14213.30	157	-1511.46	98	-423.98	98	-528.72	97	-605.47	1	-21169.40	97
0	Min.	-2196	-138761.00	98	-41.47	1	-14213.30	157	-1511.46	98	-423.98	98	-528.72	97	-605.47	1	-21169.40	97
0	Max	-1731	12101.30	177	4448.47	121	-88.94	1	-9.19	49	53.88	65	85.66	65	18006.70	97	10486.60	157
0	Max	-1732	12101.30	177	4448.47	121	-88.94	1	-9.19	49	53.88	65	85.66	65	18006.70	97	10486.60	157
0	Max	-2196	12101.30	177	4448.47	121	-88.94	1	-9.19	49	53.88	65	85.66	65	18006.70	97	10486.60	157
0	Max	-2197	12101.30	177	4448.47	121	-88.94	1	-9.19	49	53.88	65	85.66	65	18006.70	97	10486.60	157
0	Min.	-1731	-123607.00	98	-14.93	1	-13760.50	121	-1098.11	98	-376.60	98	-779.39	97	-262.74	1	-512.67	17
0	Min.	-1732	-123607.00	98	-14.93	1	-13760.50	121	-1098.11	98	-376.60	98	-779.39	97	-262.74	1	-512.67	17
0	Min.	-2196	-123607.00	98	-14.93	1	-13760.50	121	-1098.11	98	-376.60	98	-779.39	97	-262.74	1	-512.67	17
0	Min.	-2197	-123607.00	98	-14.93	1	-13760.50	121	-1098.11	98	-376.60	98	-779.39	97	-262.74	1	-512.67	17
0	Max	-2063	14418.80	177	1811.86	125	3009.49	157	-91.86	17	0.57	17	348.75	125	-85.47	17	9936.30	17
0	Max	-1750	14418.80	177	1811.86	125	3009.49	157	-91.86	17	0.57	17	348.75	125	-85.47	17	9936.30	17
0	Max	-1999	14418.80	177	1811.86	125	3009.49	157	-91.86	17	0.57	17	348.75	125	-85.47	17	9936.30	17
0	Max	-1998	14418.80	177	1811.86	125	3009.49	157	-91.86	17	0.57	17	348.75	125	-85.47	17	9936.30	17
0	Min.	-2063	-146285.00	98	-544.83	106	138.68	1	-3134.39	121	-77.67	121	-122.67	173	-4677.53	121	-81639.00	121
0	Min.	-1750	-146285.00	98	-544.83	106	138.68	1	-3134.39	121	-77.67	121	-122.67	173	-4677.53	121	-81639.00	121
0	Min.	-1999	-146285.00	98	-544.83	106	138.68	1	-3134.39	121	-77.67	121	-122.67	173	-4677.53	121	-81639.00	121
0	Min.	-1998	-146285.00	98	-544.83	106	138.68	1	-3134.39	121	-77.67	121	-122.67	173	-4677.53	121	-81639.00	121
0	Max	-1749	21688.00	177	-276.27	17	-71.37	17	318.84	101	142.27	121	96.96	65	-230.11	154	29596.00	173
0	Max	-2063	21688.00	177	-276.27	17	-71.37	17	318.84	101	142.27	121	96.96	65	-230.11	154	29596.00	173
0	Max	-1998	21688.00	177	-276.27	17	-71.37	17	318.84	101	142.27	121	96.96	65	-230.11	154	29596.00	173
0	Max	-1997	21688.00	177	-276.27	17	-71.37	17	318.84	101	142.27	121	96.96	65	-230.11	154	29596.00	173
0	Min.	-1749	-94685.40	98	-4839.15	121	-6916.88	97	-592.94	106	5.09	17	-351.05	97	-2869.81	125	-13727.30	65
0	Min.	-2063	-94685.40	98	-4839.15	121	-6916.88	97	-592.94	106	5.09	17	-351.05	97	-2869.81	125	-13727.30	65
0	Min.	-1998	-94685.40	98	-4839.15	121	-6916.88	97	-592.94	106	5.09	17	-351.05	97	-2869.81	125	-13727.30	65
0	Min.	-1997	-94685.40	98	-4839.15	121	-6916.88	97	-592.94	106	5.09	17	-351.05	97	-2869.81	125	-13727.30	65
0	Max	-1728	20604.60	177	432.38	166	682.60	177	311.95	101	129.09	125	185.47	65	4129.90	106	1316.85	166
0	Max	-1729	20604.60	177	432.38	166	682.60	177	311.95	101	129.09	125	185.47	65	4129.90	106	1316.85	166
0	Max	-2198	20604.60	177	432.38	166	682.60	177	311.95	101	129.09	125	185.47	65	4129.90	106	1316.85	166
0	Max	-2199	20604.60	177	432.38	166	682.60	177	311.95	101	129.09	125	185.47	65	4129.90	106	1316.85	166
0	Min.	-1728	-84910.40	130	-134.82	177	-12132.90	121	-571.97	106	-137.94	106	-490.49	173	-2140.73	65	-12337.30	97
0	Min.	-1729	-84910.40	130	-134.82	177	-12132.90	121	-571.97	106	-137.94	106	-490.49	173	-2140.73	65	-12337.30	97
0	Min.	-2198	-84910.40	130	-134.82	177	-12132.90	121	-571.97	106	-137.94	106	-490.49	173	-2140.73	65	-12337.30	97
0	Min.	-2199	-84910.40	130	-134.82	177	-12132.90	121	-571.97	106	-137.94	106	-490.49	173	-2140.73	65	-12337.30	97
0	Max	-1727	36451.70	101	4711.30	121	410.56	177	621.39	101	220.07	101	178.89	65	3127.86	130	-1554.12	17
0	Max	-1728	36451.70	101	4711.30	121	410.56	177	621.39	101	220.07	101	178.89	65	3127.86	130	-1554.12	17
0	Max	-2199	36451.70	101	4711.30	121	410.56	177	621.39	101	220.07	101	178.89	65	3127.86	130	-1554.12	17
0	Max	-2200	36451.70	101	4711.30	121	410.56	177	621.39	101	220.07	101	178.89	65	3127.86	130	-1554.12	17
0	Min.	-1727	-76015.80	130	324.04	17	-14450.70	121	-428.67	130	11.63	142	-450.49	173	-4426.53	101	-24695.30	97
0	Min.	-1728	-76015.80	130	324.04	17	-14450.70	121	-428.67	130	11.63	142	-450.49	173	-4426.53	101	-24695.30	97
0	Min.	-2199	-76015.80	130	324.04	17	-14450.70	121	-428.67	130	11.63	142	-450.49	173	-4426.53	101	-24695.30	97
0	Min.	-2200	-76015.80	130	324.04	17	-14450.70	121	-428.67	130	11.63	142	-450.49	173	-4426.53	101	-24695.30	97
0	Max	-1726	49672.70	101	2896.24	165	1191.92	177	1306.36	97	530.94	101	26.92	65	7100.79	130	18742.90	158
0	Max	-1956	49672.70	101	2896.24	165	1191.92	177	1306.36	97	530.94	101	26.92	65	7100.79	130	18742.90	158
0	Max	-2201	49672.70	101	2896.24	165	1191.92	177	1306.36	97	530.94	101	26.92	65	7100.79	130	18742.90	158
0	Max	-2202	49672.70	101	2896.24	165	1191.92	177	1306.36	97	530.94	101	26.92	65	7100.79	130	18742.90	158
0	Min.	-1726	-72565.40	130	-114.91	173	-12185.70	121	-176.97	130	64.51	17	-811.04	97	-8289.04	101	-6991.25	105
0	Min.	-1956	-72565.40	130	-114.91	173	-12185.70	121	-176.97	130	64.51	17	-811.04	97	-8289.04	101	-6991.25	105
0	Min.	-2201	-72565.40	130	-114.91	173	-12185.70	121	-176.97	130	64.51	17	-811.04	97	-8289.04	101	-6991.25	105
0	Min.	-2202	-72565.40	130	-114.91	173	-12185.70	121	-176.97	130	64.51	17	-811.04	97	-8289.04	101	-6991.25	105
0	Max	-1539	67615.70	130	3305.68	130	5903.07	161	2189.02	98	309.69	173	639.47	173	31762.10	98	4340.70	161
0	Max	-1600	67615.70	130	3305.68	130	5903.07	161	2189.02	98	309.69	173	639.47	173	31762.10	98	4340.70	161
0	Max	-2135	67615.70	130	3305.68	130	5903.07	161	2189.02	98	309.69	173	639.47	173	31762.10	98	4340.70	161
0	Max	-2136	67615.70	130	3305.68	130	5903.07	161	2189.02	98	309.69	173	639.47	173	31762.10	98	4340.70	161
0	Min.	-1539	-51644.00	101	-2693.90	177	-3663.18	177	84.55	17	13.54	17	-85.69	177	-10179.10	177	-24884.70	98
0	Min.	-1600	-51644.00	101	-2693.90	177	-3663.18	177	84.55	17	13.54	17	-85.69	177	-10179.10	177	-24884.70	98
0	Min.	-2135	-51644.00	101	-2693.90	177	-3663.18	177	84.55	17	13.54	17	-85.69	177	-10179.10	177	-24884.70	98
0	Min.	-2136	-51644.00	101	-2693.90	177	-3663.18	177	84.55	17	13.54	17	-85.69	177	-10179.10	177	-24884.70	98
0	Max	-1687	48266.30	101	1156.16	113	20061.60	158	837.18	101	119.84	129	1349.55	121	57673.40	97	-4729.77	65
0	Max	-1803	48266.30	101	1156.16	113	20061.60	158	837.18	101	119.84	129	1349.55	121	57673.40	97	-4729.77	65
0	Max	-2163	48266.30	101	1156.16	113	20061.60	158	837.18	101	119.84	129	1349.55	121	57673.40	97	-4729.77	65
0	Max	-2164	48266.30	101	1156.16	113	20061.60	158	837.18	101	119.84	129	1349.55	121	57673.40	97	-4729.77	65
0	Min.	-1687	-86980.00	130	-6938.16	177	1082.90	65	-1089.67	130	-1339.38	177	130.07	33	6668.89	65	-119360.00	121
0	Min.	-1803	-86980.00	130	-6938.16	177	1082.90	65	-1089.67	130	-1339.38	177	130.07	33	6668.89	65	-119360.00	121
0	Min.	-2163	-86980.00	130	-6938.16	177	1082.90	65	-1089.67	130	-1339.38	177	130.07	33	6668.89	65	-119360.00	121
0	Min.	-2164	-86980.00	130	-6938.16	177	1082.90	65	-1089.67	130	-1339.38	177	130.07	33	6668.89	65	-119360.00	121
0	Max	438	65911.40	130	4937.78	162	14129.00	162	2268.06	98	691.73	173	151.72	173	-2572.92	17	-2004.37	17
0	Max	-1451	65911.40	130	4937.78	162	14129.00	162	2268.06	98	691.73	173	151.72	173	-2572.92	17	-2004.37	17
0	Max	-1618	65911.40	130	4937.78	162	14129.00	162	2268.06	98	691.73	173	151.72	173	-2572.92	17	-2004.37	17
0	Max	-1536	65911.40	130	4937.78	162	14129.00	162	2268.06	98	691.73	173	151.72	173	-2572.92	17	-2004.37	17
0	Min.	438	-46557.00	101	-4806.50	177	-9118.47	177	136.19	1	-672.08	101	-225.33	97	-39228.80	102	-16851.80	102
0	Min.	-1451	-46557.00	101	-4806.50	177	-9118.47	177	136.19	1	-672.08	101	-225.33	97	-39228.80	102	-16851.80	102
0	Min.	-1618	-46557.00	101	-4806.50	177	-9118.47	177	136.19	1	-672.08	101	-225.33	97	-39228.80	102	-16851.80	102
0	Min.	-1536	-46557.00	101	-4806.50	177	-9118.47	177	136.19	1	-672.08	101	-225.33	97	-39228.80	102	-16851.80	102
0	Max	431	66690.10	130	3619.30	162	12679.00	162	2348.32	98	1463.38	98	198.10	173	-4981.86	17	-4822.87	17
0	Max	-1841	66690.10	130	3619.30	162	12679.00	162	2348.32	98	1463.38	98	198.10	173	-4981.86	17	-4822.87	17
0	Max	-1451	66690.10	130	3619.30	162	12679.00	162	2348.32	98	1463.38	98	198.10	173	-4981.86	17	-4822.87	17
0	Max	438	66690.10	130	3619.30	162	12679.00	162	2348.32	98	1463.38	98	198.10	173	-4981.86	17	-4822.87	17

0	Min.	431	-47564.50	101	-4254.27	177	-8235.00	177	157.78	17	-52.46	177	-203.87	97	-56099.00	102	-30209.10	98
0	Min.	-1841	-47564.50	101	-4254.27	177	-8235.00	177	157.78	17	-52.46	177	-203.87	97	-56099.00	102	-30209.10	98
0	Min.	-1451	-47564.50	101	-4254.27	177	-8235.00	177	157.78	17	-52.46	177	-203.87	97	-56099.00	102	-30209.10	98
0	Min.	438	-47564.50	101	-4254.27	177	-8235.00	177	157.78	17	-52.46	177	-203.87	97	-56099.00	102	-30209.10	98
0	Max	436	57574.50	101	2089.26	173	12641.20	166	2186.59	97	1406.71	97	399.00	98	-5061.70	65	-5152.61	65
0	Max	-1763	57574.50	101	2089.26	173	12641.20	166	2186.59	97	1406.71	97	399.00	98	-5061.70	65	-5152.61	65
0	Max	-1406	57574.50	101	2089.26	173	12641.20	166	2186.59	97	1406.71	97	399.00	98	-5061.70	65	-5152.61	65
0	Max	429	57574.50	101	2089.26	173	12641.20	166	2186.59	97	1406.71	97	399.00	98	-5061.70	65	-5152.61	65
0	Min.	436	-68670.50	130	-8478.68	177	-3921.19	173	144.48	49	-52.56	177	-176.34	173	-56245.30	105	-47081.50	97
0	Min.	-1763	-68670.50	130	-8478.68	177	-3921.19	173	144.48	49	-52.56	177	-176.34	173	-56245.30	105	-47081.50	97
0	Min.	-1406	-68670.50	130	-8478.68	177	-3921.19	173	144.48	49	-52.56	177	-176.34	173	-56245.30	105	-47081.50	97
0	Min.	429	-68670.50	130	-8478.68	177	-3921.19	173	144.48	49	-52.56	177	-176.34	173	-56245.30	105	-47081.50	97
0	Max	429	57370.10	101	3957.57	173	15869.50	165	2144.76	97	691.16	173	207.56	158	-1707.21	177	-2431.17	65
0	Max	-1406	57370.10	101	3957.57	173	15869.50	165	2144.76	97	691.16	173	207.56	158	-1707.21	177	-2431.17	65
0	Max	-1836	57370.10	101	3957.57	173	15869.50	165	2144.76	97	691.16	173	207.56	158	-1707.21	177	-2431.17	65
0	Max	-1850	57370.10	101	3957.57	173	15869.50	165	2144.76	97	691.16	173	207.56	158	-1707.21	177	-2431.17	65
0	Min.	429	-64617.70	130	-7172.57	177	995.41	33	124.49	49	-701.46	106	-331.65	173	-39384.70	105	-23830.30	97
0	Min.	-1406	-64617.70	130	-7172.57	177	995.41	33	124.49	49	-701.46	106	-331.65	173	-39384.70	105	-23830.30	97
0	Min.	-1836	-64617.70	130	-7172.57	177	995.41	33	124.49	49	-701.46	106	-331.65	173	-39384.70	105	-23830.30	97
0	Min.	-1850	-64617.70	130	-7172.57	177	995.41	33	124.49	49	-701.46	106	-331.65	173	-39384.70	105	-23830.30	97
0	Max	-1802	64232.90	130	3552.75	173	4718.78	173	2258.23	98	661.04	102	264.60	173	37230.00	102	27843.50	98
0	Max	-1531	64232.90	130	3552.75	173	4718.78	173	2258.23	98	661.04	102	264.60	173	37230.00	102	27843.50	98
0	Max	430	64232.90	130	3552.75	173	4718.78	173	2258.23	98	661.04	102	264.60	173	37230.00	102	27843.50	98
0	Max	-1452	64232.90	130	3552.75	173	4718.78	173	2258.23	98	661.04	102	264.60	173	37230.00	102	27843.50	98
0	Min.	-1802	-51732.90	101	-3144.78	177	-10738.70	177	132.35	1	63.80	177	-168.66	17	3811.04	65	3666.05	33
0	Min.	-1531	-51732.90	101	-3144.78	177	-10738.70	177	132.35	1	63.80	177	-168.66	17	3811.04	65	3666.05	33
0	Min.	430	-51732.90	101	-3144.78	177	-10738.70	177	132.35	1	63.80	177	-168.66	17	3811.04	65	3666.05	33
0	Min.	-1452	-51732.90	101	-3144.78	177	-10738.70	177	132.35	1	63.80	177	-168.66	17	3811.04	65	3666.05	33
0	Max	-1537	66407.20	130	5203.89	162	5833.84	97	2266.20	98	557.70	98	230.79	173	39533.90	102	-2029.51	65
0	Max	-1572	66407.20	130	5203.89	162	5833.84	97	2266.20	98	557.70	98	230.79	173	39533.90	102	-2029.51	65
0	Max	-1516	66407.20	130	5203.89	162	5833.84	97	2266.20	98	557.70	98	230.79	173	39533.90	102	-2029.51	65
0	Max	437	66407.20	130	5203.89	162	5833.84	97	2266.20	98	557.70	98	230.79	173	39533.90	102	-2029.51	65
0	Min.	-1537	-46953.00	101	-2551.93	101	-14114.20	162	133.22	49	-645.28	101	-96.43	17	2543.80	65	-17089.40	102
0	Min.	-1572	-46953.00	101	-2551.93	101	-14114.20	162	133.22	49	-645.28	101	-96.43	17	2543.80	65	-17089.40	102
0	Min.	-1516	-46953.00	101	-2551.93	101	-14114.20	162	133.22	49	-645.28	101	-96.43	17	2543.80	65	-17089.40	102
0	Min.	437	-46953.00	101	-2551.93	101	-14114.20	162	133.22	49	-645.28	101	-96.43	17	2543.80	65	-17089.40	102
0	Max	-1848	57825.20	101	3434.73	101	4811.80	177	2142.05	97	480.32	97	193.98	65	39694.20	105	-2422.39	17
0	Max	-1476	57825.20	101	3434.73	101	4811.80	177	2142.05	97	480.32	97	193.98	65	39694.20	105	-2422.39	17
0	Max	-1508	57825.20	101	3434.73	101	4811.80	177	2142.05	97	480.32	97	193.98	65	39694.20	105	-2422.39	17
0	Max	435	57825.20	101	3434.73	101	4811.80	177	2142.05	97	480.32	97	193.98	65	39694.20	105	-2422.39	17
0	Min.	-1848	-65181.40	130	-2223.23	106	-15704.40	165	121.48	1	-674.49	106	-298.70	173	2605.23	17	-24188.00	97
0	Min.	-1476	-65181.40	130	-2223.23	106	-15704.40	165	121.48	1	-674.49	106	-298.70	173	2605.23	17	-24188.00	97
0	Min.	-1508	-65181.40	130	-2223.23	106	-15704.40	165	121.48	1	-674.49	106	-298.70	173	2605.23	17	-24188.00	97
0	Min.	435	-65181.40	130	-2223.23	106	-15704.40	165	121.48	1	-674.49	106	-298.70	173	2605.23	17	-24188.00	97
0	Max	437	67413.20	130	3466.57	162	2270.73	173	2345.49	98	1479.50	98	221.01	173	56415.40	102	-4781.60	65
0	Max	-1516	67413.20	130	3466.57	162	2270.73	173	2345.49	98	1479.50	98	221.01	173	56415.40	102	-4781.60	65
0	Max	-1565	67413.20	130	3466.57	162	2270.73	173	2345.49	98	1479.50	98	221.01	173	56415.40	102	-4781.60	65
0	Max	432	67413.20	130	3466.57	162	2270.73	173	2345.49	98	1479.50	98	221.01	173	56415.40	102	-4781.60	65
0	Min.	437	-47999.60	101	-2907.57	101	-12713.80	162	152.13	65	160.79	65	-119.62	17	4930.00	65	-30474.00	98
0	Min.	-1516	-47999.60	101	-2907.57	101	-12713.80	162	152.13	65	160.79	65	-119.62	17	4930.00	65	-30474.00	98
0	Min.	-1565	-47999.60	101	-2907.57	101	-12713.80	162	152.13	65	160.79	65	-119.62	17	4930.00	65	-30474.00	98
0	Min.	432	-47999.60	101	-2907.57	101	-12713.80	162	152.13	65	160.79	65	-119.62	17	4930.00	65	-30474.00	98
0	Max	435	58217.40	101	1768.22	113	5512.38	177	2181.41	97	1423.78	97	127.88	65	56534.50	105	-5078.24	17
0	Max	-1508	58217.40	101	1768.22	113	5512.38	177	2181.41	97	1423.78	97	127.88	65	56534.50	105	-5078.24	17
0	Max	-1726	58217.40	101	1768.22	113	5512.38	177	2181.41	97	1423.78	97	127.88	65	56534.50	105	-5078.24	17
0	Max	434	58217.40	101	1768.22	113	5512.38	177	2181.41	97	1423.78	97	127.88	65	56534.50	105	-5078.24	17
0	Min.	435	-69286.10	130	-2769.60	106	-12502.40	166	140.59	1	166.27	17	-410.31	98	5007.63	17	-47670.20	97
0	Min.	-1508	-69286.10	130	-2769.60	106	-12502.40	166	140.59	1	166.27	17	-410.31	98	5007.63	17	-47670.20	97
0	Min.	-1726	-69286.10	130	-2769.60	106	-12502.40	166	140.59	1	166.27	17	-410.31	98	5007.63	17	-47670.20	97
0	Min.	434	-69286.10	130	-2769.60	106	-12502.40	166	140.59	1	166.27	17	-410.31	98	5007.63	17	-47670.20	97
0	Max	432	67202.90	130	3683.09	130	7364.80	97	2146.47	98	1258.13	98	131.63	173	-7334.27	65	-3788.49	65
0	Max	-1565	67202.90	130	3683.09	130	7364.80	97	2146.47	98	1258.13	98	131.63	173	-7334.27	65	-3788.49	65
0	Max	-2181	67202.90	130	3683.09	130	7364.80	97	2146.47	98	1258.13	98	131.63	173	-7334.27	65	-3788.49	65
0	Max	-2203	67202.90	130	3683.09	130	7364.80	97	2146.47	98	1258.13	98	131.63	173	-7334.27	65	-3788.49	65
0	Min.	432	-50414.30	101	-1258.93	101	-9538.41	162	122.62	49	141.38	65	-222.82	17	-53373.20	98	-21577.00	130
0	Min.	-1565	-50414.30	101	-1258.93	101	-9538.41	162	122.62	49	141.38	65	-222.82	17	-53373.20	98	-21577.00	130
0	Min.	-2181	-50414.30	101	-1258.93	101	-9538.41	162	122.62	49	141.38	65	-222.82	17	-53373.20	98	-21577.00	130
0	Min.	-2203	-50414.30	101	-1258.93	101	-9538.41	162	122.62	49	141.38	65	-222.82	17	-53373.20	98	-21577.00	130
0	Max	434	56288.10	101	1964.28	113	969.55	177	1984.81	97	1170.88	97	81.01	65	-8043.09	17	6904.47	166
0	Max	-1726	56288.10	101	1964.28	113	969.55	177	1984.81	97	1170.88	97	81.01	65	-8043.09	17	6904.47	166
0	Max	-2202	56288.10	101	1964.28	113	969.55	177	1984.81	97	1170.88	97	81.01	65	-8043.09	17	6904.47	166
0	Max	-2204	56288.10	101	1964.28	113	969.55	177	1984.81	97	1170.88	97	81.01	65	-8043.09	17	6904.47	166
0	Min.	434	-70544.00	130	-2346.05	106	-14491.50	121	107.62	1	138.00	17	-505.90	98	-59800.10	97	-25502.00	97
0	Min.	-1726	-70544.00	130	-2346.05	106	-14491.50	121	107.62	1	138.00	17	-505.90	98	-59800.10	97	-25502.00	97
0	Min.	-2202	-70544.00	130	-2346.05	106	-14491.50	121	107.62	1	138.00	17	-505.90	98	-59800.10	97	-25502.00	97
0	Min.	-2204	-70544.00	130	-2346.05	106	-14491.50	121	107.62	1	138.00	17	-505.90	98	-59800.10	97	-25502.00	97
0	Max	-1529	61125.40	101	3106.18	173	15476.00	166	2268.01	97	707.23	173	231.21	122	-2572.74	65	16851.40	105
0	Max	429	61125.40	101	3106.18	173	15476.00	166	2268.01	97	707.23	173	231.21	122	-2572.74	65	16851.40	105
0	Max	-1850	61125.40	101	3106.18	173	15476.00	166	2268.01	97	707.23	173	231.21	122	-2572.74	65	16851.40	105
0	Max	-1416	61125.40	101	3106.18	173	15476.00	166	2268.01	97	707.23	173	231.21	122	-2572.74	65	16851.40	105
0	Min.	-1529	-63802.40	130	-4806.38	177	-263.68	1	136.18	49	-672.00	106	-154.12	173	-39225.70	105	2004.47	65
0	Min.	429	-63802.40	130	-4806.38	177	-263.68	1	136.18	49	-672.00	106	-154.12	173	-39225.70	105	2004.47	65
0	Min.	-1850	-63802.40	130	-4806.38	177	-263.68	1	136.18	49	-672.00	106	-154.12	173	-39225.70	105	2004.47	65
0	Min.	-1416	-63802.40	130	-4806.38	177	-263.68	1	136.18	49	-672.00	106	-154.12	173	-39225.70	105	2004.47	65
0	Max	-1530	60161.90	101	1805.19	173	12053.90	166	1414.55	97	634.41	173	185.12	130	1381.98	157	7673.94	97
0	Max	-1958	60161.90	101	1805.19	173	12053.90	166	1414.55	97	634.41	173	185.12	130	1381.98	157	7673.94	97
0	Max	-1959	60161.90	101	1805.19	173	12053.90	166	1414.55	97	634.41	173	185.12	130	1381.98	157	7673.94	97
0	Max	-1415	60161.90	101	1805.19	173	12053.90	166	1414.55	97	634.41	173	185.12	130	1381.98	157	7673.94	97
0	Min.	-1530	-51282.20	130	-4029.85	177	-961.85	173	-616.93	130	-510.15	106	-150.41	173	-29666.00	106	-13276.90	106
0	Min.	-1958	-51282.20	130	-4029.85	177	-961.85	173	-616.93	130	-510.15	106	-150.41	173	-29666.00	106	-13276.90	106
0	Min.	-1959	-51282.20	130	-4029.85	177	-961.85	173	-616.93	130	-510.15	106	-150.41	173	-29666.00	106	-13276.90	106
0	Min.	-1415	-51282.20	130	-4029.85	177	-961.85	173	-616.93	130	-510.15	106	-150.41	173	-29666.00	106	-13276.90	106
0	Max	-1490	56342.60	101	1854.81	173	12401.30	166	1123.51	97	524.80	173	242.44	130	3894.27	121	7813.71	97
0	Max	-1530	56342.60	101	1854.81	173	12401.30	166	1123.51	97	524.80	173	242.44	130	3894.27	121	7813.71	97
0	Max	-1415	56342.60	101	1854.81	173	12401.30	166	1123.51	97	524.80	173	242.44	130	3894.27	121	7813.71	97
0	Max	-1367	56342.60	101	1854.81	173	12401.30	166	1123.51	97	524.80	173	242.44	130	3894.27	121	7813.71	97
0	Min.	-1490	-44089.90	130	-5103.19	177	-1437.01	101	-424.76	130	-484.44	106	-152.50	173	-11874.30	106	-4506.93	106
0	Min.	-1530	-44089.90	130	-5103.19	177	-1437.01	101	-424.76	130	-484.44	106	-152.50	173	-11874.30	106	-4506.93	106
0	Min.	-1415	-44089.90	130	-5103.19	177	-1437.01	101	-424.76	130	-484.44	106	-152.50	173	-11874.30	106	-4506.93	106
0	Min.	-1367	-44089.90	130	-5103.19	177	-1437.01	101	-424.76	130	-484.44	106	-152.50	173	-11874.30	106	-4506.93	106
0	Max	-1538	49800.50	101	1014.96	173	8222.18	177	796.71	97	410.63	121	189.38	130	5013.33	121	7455.79	101
0	Max	-1490	49800.50	101	1014.96	173	8222.18	177	796.71	97	410.63	121	189.38	130	5013.33	121	7455.79	101
0	Max	-1367	49800.50	101	1014.96	173	8222.18	177	796.71	97	410.63	121	189.38	130	5013.33	121	7455.79	101
0	Max	-1366	49800.50	101	1014.96	173	8222.18	177	796.71	97	410.63	121	189.38	130	5013.33	121	7455.79	101
0	Min.	-1538	-41476.20	130	-7611.74	177	-2139.92	173	-409.61	130	-388.87	106	-139.52	173	-4357.16	106	-3294.62	130

0	Min.	-1490	-41476.20	130	-7611.74	177	-2139.92	173	-409.61	130	-388.87	106	-139.52	173	-4357.16	106	-3294.62	130
0	Min.	-1367	-41476.20	130	-7611.74	177	-2139.92	173	-409.61	130	-388.87	106	-139.52	173	-4357.16	106	-3294.62	130
0	Min.	-1366	-41476.20	130	-7611.74	177	-2139.92	173	-409.61	130	-388.87	106	-139.52	173	-4357.16	106	-3294.62	130
0	Max	-1525	41373.30	101	1343.95	101	10742.00	177	535.78	97	386.62	121	110.08	106	4421.18	121	6411.19	97
0	Max	-1538	41373.30	101	1343.95	101	10742.00	177	535.78	97	386.62	121	110.08	106	4421.18	121	6411.19	97
0	Max	-1366	41373.30	101	1343.95	101	10742.00	177	535.78	97	386.62	121	110.08	106	4421.18	121	6411.19	97
0	Max	-1365	41373.30	101	1343.95	101	10742.00	177	535.78	97	386.62	121	110.08	106	4421.18	121	6411.19	97
0	Min.	-1525	-36746.30	130	-7686.19	177	-2367.45	173	-467.02	130	-227.66	106	-136.54	173	-1031.29	106	-3974.11	130
0	Min.	-1538	-36746.30	130	-7686.19	177	-2367.45	173	-467.02	130	-227.66	106	-136.54	173	-1031.29	106	-3974.11	130
0	Min.	-1366	-36746.30	130	-7686.19	177	-2367.45	173	-467.02	130	-227.66	106	-136.54	173	-1031.29	106	-3974.11	130
0	Min.	-1365	-36746.30	130	-7686.19	177	-2367.45	173	-467.02	130	-227.66	106	-136.54	173	-1031.29	106	-3974.11	130
0	Max	-1526	31823.30	101	1360.33	101	11559.80	177	339.73	97	331.90	158	51.27	106	3488.82	121	5768.58	97
0	Max	-1525	31823.30	101	1360.33	101	11559.80	177	339.73	97	331.90	158	51.27	106	3488.82	121	5768.58	97
0	Max	-1365	31823.30	101	1360.33	101	11559.80	177	339.73	97	331.90	158	51.27	106	3488.82	121	5768.58	97
0	Max	-1364	31823.30	101	1360.33	101	11559.80	177	339.73	97	331.90	158	51.27	106	3488.82	121	5768.58	97
0	Min.	-1526	-30290.80	130	-4901.78	130	-2359.49	173	-430.18	130	-179.15	177	-202.36	121	220.93	142	-3204.00	106
0	Min.	-1525	-30290.80	130	-4901.78	130	-2359.49	173	-430.18	130	-179.15	177	-202.36	121	220.93	142	-3204.00	106
0	Min.	-1365	-30290.80	130	-4901.78	130	-2359.49	173	-430.18	130	-179.15	177	-202.36	121	220.93	142	-3204.00	106
0	Min.	-1364	-30290.80	130	-4901.78	130	-2359.49	173	-430.18	130	-179.15	177	-202.36	121	220.93	142	-3204.00	106
0	Max	-1527	21142.30	101	630.44	101	10469.70	177	191.49	97	235.66	158	20.04	106	4586.63	121	5115.70	97
0	Max	-1526	21142.30	101	630.44	101	10469.70	177	191.49	97	235.66	158	20.04	106	4586.63	121	5115.70	97
0	Max	-1364	21142.30	101	630.44	101	10469.70	177	191.49	97	235.66	158	20.04	106	4586.63	121	5115.70	97
0	Max	-1363	21142.30	101	630.44	101	10469.70	177	191.49	97	235.66	158	20.04	106	4586.63	121	5115.70	97
0	Min.	-1527	-21339.30	130	-2717.14	130	-2381.61	173	-329.30	130	-139.99	177	-278.64	121	30.08	142	-4069.08	130
0	Min.	-1526	-21339.30	130	-2717.14	130	-2381.61	173	-329.30	130	-139.99	177	-278.64	121	30.08	142	-4069.08	130
0	Min.	-1364	-21339.30	130	-2717.14	130	-2381.61	173	-329.30	130	-139.99	177	-278.64	121	30.08	142	-4069.08	130
0	Min.	-1363	-21339.30	130	-2717.14	130	-2381.61	173	-329.30	130	-139.99	177	-278.64	121	30.08	142	-4069.08	130
0	Max	-1528	9671.32	101	9923.23	177	7386.66	177	39.45	173	150.59	158	18.17	177	5630.35	177	6198.57	97
0	Max	-1527	9671.32	101	9923.23	177	7386.66	177	39.45	173	150.59	158	18.17	177	5630.35	177	6198.57	97
0	Max	-1363	9671.32	101	9923.23	177	7386.66	177	39.45	173	150.59	158	18.17	177	5630.35	177	6198.57	97
0	Max	-1427	9671.32	101	9923.23	177	7386.66	177	39.45	173	150.59	158	18.17	177	5630.35	177	6198.57	97
0	Min.	-1528	-9980.17	130	-2696.77	173	-3244.59	101	-93.80	130	-41.46	177	-294.17	158	-5779.39	121	-7878.52	130
0	Min.	-1527	-9980.17	130	-2696.77	173	-3244.59	101	-93.80	130	-41.46	177	-294.17	158	-5779.39	121	-7878.52	130
0	Min.	-1363	-9980.17	130	-2696.77	173	-3244.59	101	-93.80	130	-41.46	177	-294.17	158	-5779.39	121	-7878.52	130
0	Min.	-1427	-9980.17	130	-2696.77	173	-3244.59	101	-93.80	130	-41.46	177	-294.17	158	-5779.39	121	-7878.52	130
0	Max	-1362	60845.10	101	2019.49	113	12640.30	166	2348.25	97	1463.33	97	203.85	98	-4981.39	65	30208.80	97
0	Max	436	60845.10	101	2019.49	113	12640.30	166	2348.25	97	1463.33	97	203.85	98	-4981.39	65	30208.80	97
0	Max	429	60845.10	101	2019.49	113	12640.30	166	2348.25	97	1463.33	97	203.85	98	-4981.39	65	30208.80	97
0	Max	-1529	60845.10	101	2019.49	113	12640.30	166	2348.25	97	1463.33	97	203.85	98	-4981.39	65	30208.80	97
0	Min.	-1362	-61652.00	130	-4253.98	177	-2549.85	173	157.77	65	-52.47	177	-200.00	173	-56093.10	105	4822.82	65
0	Min.	436	-61652.00	130	-4253.98	177	-2549.85	173	157.77	65	-52.47	177	-200.00	173	-56093.10	105	4822.82	65
0	Min.	429	-61652.00	130	-4253.98	177	-2549.85	173	157.77	65	-52.47	177	-200.00	173	-56093.10	105	4822.82	65
0	Min.	-1529	-61652.00	130	-4253.98	177	-2549.85	173	157.77	65	-52.47	177	-200.00	173	-56093.10	105	4822.82	65
0	Max	-1356	59723.40	101	2368.48	173	8858.93	166	1343.81	97	683.14	173	125.36	130	406.27	157	6087.18	97
0	Max	-1960	59723.40	101	2368.48	173	8858.93	166	1343.81	97	683.14	173	125.36	130	406.27	157	6087.18	97
0	Max	-1958	59723.40	101	2368.48	173	8858.93	166	1343.81	97	683.14	173	125.36	130	406.27	157	6087.18	97
0	Max	-1530	59723.40	101	2368.48	173	8858.93	166	1343.81	97	683.14	173	125.36	130	406.27	157	6087.18	97
0	Min.	-1356	-54960.40	130	-3725.26	177	-1060.27	173	-442.17	130	-165.53	177	-244.37	173	-20680.80	106	-978.67	106
0	Min.	-1960	-54960.40	130	-3725.26	177	-1060.27	173	-442.17	130	-165.53	177	-244.37	173	-20680.80	106	-978.67	106
0	Min.	-1958	-54960.40	130	-3725.26	177	-1060.27	173	-442.17	130	-165.53	177	-244.37	173	-20680.80	106	-978.67	106
0	Min.	-1530	-54960.40	130	-3725.26	177	-1060.27	173	-442.17	130	-165.53	177	-244.37	173	-20680.80	106	-978.67	106
0	Max	-1355	55443.00	101	1198.26	162	8971.41	165	1086.71	97	477.84	173	220.12	130	2773.44	157	9691.22	97
0	Max	-1356	55443.00	101	1198.26	162	8971.41	165	1086.71	97	477.84	173	220.12	130	2773.44	157	9691.22	97
0	Max	-1530	55443.00	101	1198.26	162	8971.41	165	1086.71	97	477.84	173	220.12	130	2773.44	157	9691.22	97
0	Max	-1490	55443.00	101	1198.26	162	8971.41	165	1086.71	97	477.84	173	220.12	130	2773.44	157	9691.22	97
0	Min.	-1355	-48392.70	130	-4602.95	177	-1064.76	173	-381.28	130	-261.84	177	-216.39	173	-18067.40	106	1377.54	65
0	Min.	-1356	-48392.70	130	-4602.95	177	-1064.76	173	-381.28	130	-261.84	177	-216.39	173	-18067.40	106	1377.54	65
0	Min.	-1530	-48392.70	130	-4602.95	177	-1064.76	173	-381.28	130	-261.84	177	-216.39	173	-18067.40	106	1377.54	65
0	Min.	-1490	-48392.70	130	-4602.95	177	-1064.76	173	-381.28	130	-261.84	177	-216.39	173	-18067.40	106	1377.54	65
0	Max	-1352	49312.50	101	860.45	106	6563.39	177	765.57	97	313.24	173	303.61	130	4677.95	121	7525.67	101
0	Max	-1355	49312.50	101	860.45	106	6563.39	177	765.57	97	313.24	173	303.61	130	4677.95	121	7525.67	101
0	Max	-1490	49312.50	101	860.45	106	6563.39	177	765.57	97	313.24	173	303.61	130	4677.95	121	7525.67	101
0	Max	-1538	49312.50	101	860.45	106	6563.39	177	765.57	97	313.24	173	303.61	130	4677.95	121	7525.67	101
0	Min.	-1352	-43039.50	130	-8877.67	177	-501.63	49	-425.28	130	-279.69	177	-202.46	101	-5041.04	106	-3600.84	130
0	Min.	-1355	-43039.50	130	-8877.67	177	-501.63	49	-425.28	130	-279.69	177	-202.46	101	-5041.04	106	-3600.84	130
0	Min.	-1490	-43039.50	130	-8877.67	177	-501.63	49	-425.28	130	-279.69	177	-202.46	101	-5041.04	106	-3600.84	130
0	Min.	-1538	-43039.50	130	-8877.67	177	-501.63	49	-425.28	130	-279.69	177	-202.46	101	-5041.04	106	-3600.84	130
0	Max	-1684	41606.00	101	1237.27	101	10028.80	177	510.45	97	351.41	157	201.36	106	3588.17	177	6904.56	101
0	Max	-1352	41606.00	101	1237.27	101	10028.80	177	510.45	97	351.41	157	201.36	106	3588.17	177	6904.56	101
0	Max	-1538	41606.00	101	1237.27	101	10028.80	177	510.45	97	351.41	157	201.36	106	3588.17	177	6904.56	101
0	Max	-1525	41606.00	101	1237.27	101	10028.80	177	510.45	97	351.41	157	201.36	106	3588.17	177	6904.56	101
0	Min.	-1684	-39527.40	130	-8465.26	177	-760.36	49	-565.64	130	-280.20	177	-199.63	101	-3565.36	106	-4665.50	130
0	Min.	-1352	-39527.40	130	-8465.26	177	-760.36	49	-565.64	130	-280.20	177	-199.63	101	-3565.36	106	-4665.50	130
0	Min.	-1538	-39527.40	130	-8465.26	177	-760.36	49	-565.64	130	-280.20	177	-199.63	101	-3565.36	106	-4665.50	130
0	Min.	-1525	-39527.40	130	-8465.26	177	-760.36	49	-565.64	130	-280.20	177	-199.63	101	-3565.36	106	-4665.50	130
0	Max	-1683	32587.50	101	1147.19	101	10685.30	177	322.88	97	294.48	158	93.73	106	2719.79	177	5522.16	101
0	Max	-1684	32587.50	101	1147.19	101	10685.30	177	322.88	97	294.48	158	93.73	106	2719.79	177	5522.16	101
0	Max	-1525	32587.50	101	1147.19	101	10685.30	177	322.88	97	294.48	158	93.73	106	2719.79	177	5522.16	101
0	Max	-1526	32587.50	101	1147.19	101	10685.30	177	322.88	97	294.48	158	93.73	106	2719.79	177	5522.16	101
0	Min.	-1683	-34049.80	130	-3391.64	130	-851.18	49	-502.07	130	-285.55	177	-260.98	121	-2280.53	106	-4234.46	130
0	Min.	-1684	-34049.80	130	-3391.64	130	-851.18	49	-502.07	130	-285.55	177	-260.98	121	-2280.53	106	-4234.46	130
0	Min.	-1525	-34049.80	130	-3391.64	130	-851.18	49	-502.07	130	-285.55	177	-260.98	121	-2280.53	106	-4234.46	130
0	Min.	-1526	-34049.80	130	-3391.64	130	-851.18	49	-502.07	130	-285.55	177	-260.98	121	-2280.53	106	-4234.46	130
0	Max	-1682	21975.60	101	233.94	113	9505.73	177	185.81	97	178.09	158	53.00	106	4047.39	158	4966.26	97
0	Max	-1683	21975.60	101	233.94	113	9505.73	177	185.81	97	178.09	158	53.00	106	4047.39	158	4966.26	97
0	Max	-1526	21975.60	101	233.94	113	9505.73	177	185.81	97	178.09	158	53.00	106	4047.39	158	4966.26	97
0	Max	-1527	21975.60	101	233.94	113	9505.73	177	185.81	97	178.09	158	53.00	106	4047.39	158	4966.26	97
0	Min.	-1682	-24158.90	130	-1162.14	130	-1170.56	106	-352.93	130	-180.74	177	-318.34	121	-1182.20	101	-4643.40	130
0	Min.	-1683	-24158.90	130	-1162.14	130	-1170.56	106	-352.93	130	-180.74	177	-318.34	121	-1182.20	101	-4643.40	130
0	Min.	-1526	-24158.90	130	-1162.14	130	-1170.56	106	-352.93	130	-180.74	177	-318.34	121	-1182.20	101	-4643.40	130
0	Min.	-1527	-24158.90	130	-1162.14	130	-1170.56	106	-352.93	130	-180.74	177	-318.34	121	-1182.20	101	-4643.40	130
0	Max	-1426	11344.40	101	3707.70	130	7541.58	177	38.22	173	139.18	158	57.37	106	4453.39	177	6177.69	97
0	Max	-1682	11344.40	101	3707.70	130	7541.58	177	38.22	173	139.18	158	57.37	106	4453.39	177	6177.69	97
0	Max	-1527	11344.40	101	3707.70	130	7541.58	177	38.22	173	139.18	158	57.37	106	4453.39	177	6177.69	97
0	Max	-1528	11344.40	101	3707.70	130	7541.58	177	38.22	173	139.18	158	57.37	106	4453.39	177	6177.69	97
0	Min.	-1426	-12542.60	130	-3166.27	101	-4739.41	130	-106.88	130	-178.80	177	-326.58	121	-6870.11	158	-10443.80	130
0	Min.	-1682	-12542.60	130	-3166.27	101	-4739.41	130	-106.88	130	-178.80	177	-326.58	121	-6870.11	158	-10443.80	130
0	Min.	-1527	-12542.60	130	-3166.27	101	-4739.41	130	-106.88	130	-178.80	177	-326.58	121	-6870.11	158	-10443.80	130
0	Min.	-1528	-12542.60	130	-3166.27	101	-4739.41	130	-106.88	130	-178.80	177	-326.58	121	-6870.11	158	-10443.80	130
0	Max	-1625	57901.50	101	2045.95	101	4091.76	165	2188.96	97	321.22	173	85.68	177	31760.60	97	27139.00	121
0	Max	-1687	57901.50	101	2045.95	101	4091.76	165	2188.96	97	321.22	173	85.68	177	31760.60	97	27139.00	121
0	Max	-2164	57901.50	101	2045.95	101	4091.76	165	2188.96	97	321.22	173	85.68	177	31760.60	97	27139.00	121
0	Max	-2165	57901.50	101	2045.95	101	4091.76	165	2188.96	97	321.22	173	85.68	177	31760.60	97	27139.00	121
0	Min.	-1625	-68091.70	130	-2693.48	177	-4424.88	173	84.54	65	13.54	65	-662.22	173	-10178.00	177	2629.63	65
0	Min.	-1687	-68091.70	130	-2693.48	177	-4424.88	173	84.54	65	13.54	65	-662.22	173	-10178.00	177	2629.63	65

0	Min.	-2164	-68091.70	130	-2693.48	177	-4424.88	173	84.54	65	13.54	65	-662.22	173	-10178.00	177	2629.63	65
0	Min.	-2165	-68091.70	130	-2693.48	177	-4424.88	173	84.54	65	13.54	65	-662.22	173	-10178.00	177	2629.63	65
0	Max	-1624	55548.10	101	1256.70	101	3973.52	165	1296.42	97	230.98	173	35.66	65	14679.40	121	9438.14	101
0	Max	-1961	55548.10	101	1256.70	101	3973.52	165	1296.42	97	230.98	173	35.66	65	14679.40	121	9438.14	101
0	Max	-2166	55548.10	101	1256.70	101	3973.52	165	1296.42	97	230.98	173	35.66	65	14679.40	121	9438.14	101
0	Max	-2167	55548.10	101	1256.70	101	3973.52	165	1296.42	97	230.98	173	35.66	65	14679.40	121	9438.14	101
0	Min.	-1624	-54538.00	130	-2470.31	177	-1089.07	173	-213.28	130	-33.08	177	-432.85	173	1044.38	177	-384.98	130
0	Min.	-1961	-54538.00	130	-2470.31	177	-1089.07	173	-213.28	130	-33.08	177	-432.85	173	1044.38	177	-384.98	130
0	Min.	-2166	-54538.00	130	-2470.31	177	-1089.07	173	-213.28	130	-33.08	177	-432.85	173	1044.38	177	-384.98	130
0	Min.	-2167	-54538.00	130	-2470.31	177	-1089.07	173	-213.28	130	-33.08	177	-432.85	173	1044.38	177	-384.98	130
0	Max	-1623	51917.30	101	1873.63	158	3417.72	165	1008.62	97	133.21	173	20.49	17	6351.22	97	14205.00	130
0	Max	-1624	51917.30	101	1873.63	158	3417.72	165	1008.62	97	133.21	173	20.49	17	6351.22	97	14205.00	130
0	Max	-2167	51917.30	101	1873.63	158	3417.72	165	1008.62	97	133.21	173	20.49	17	6351.22	97	14205.00	130
0	Max	-2168	51917.30	101	1873.63	158	3417.72	165	1008.62	97	133.21	173	20.49	17	6351.22	97	14205.00	130
0	Min.	-1623	-46160.10	130	-4261.53	177	-1047.35	173	-549.85	130	-8.28	65	-375.84	173	-13880.60	177	-28.17	1
0	Min.	-1624	-46160.10	130	-4261.53	177	-1047.35	173	-549.85	130	-8.28	65	-375.84	173	-13880.60	177	-28.17	1
0	Min.	-2167	-46160.10	130	-4261.53	177	-1047.35	173	-549.85	130	-8.28	65	-375.84	173	-13880.60	177	-28.17	1
0	Min.	-2168	-46160.10	130	-4261.53	177	-1047.35	173	-549.85	130	-8.28	65	-375.84	173	-13880.60	177	-28.17	1
0	Max	-1622	42798.90	101	2185.40	130	11272.80	130	1037.62	122	96.67	97	706.62	130	18710.70	177	27050.10	101
0	Max	-1623	42798.90	101	2185.40	130	11272.80	130	1037.62	122	96.67	97	706.62	130	18710.70	177	27050.10	101
0	Max	-2168	42798.90	101	2185.40	130	11272.80	130	1037.62	122	96.67	97	706.62	130	18710.70	177	27050.10	101
0	Max	-2169	42798.90	101	2185.40	130	11272.80	130	1037.62	122	96.67	97	706.62	130	18710.70	177	27050.10	101
0	Min.	-1622	-30209.00	130	-9342.67	177	-672.30	1	-69.65	17	-1015.23	177	-371.83	101	-6799.05	106	-60227.80	130
0	Min.	-1623	-30209.00	130	-9342.67	177	-672.30	1	-69.65	17	-1015.23	177	-371.83	101	-6799.05	106	-60227.80	130
0	Min.	-2168	-30209.00	130	-9342.67	177	-672.30	1	-69.65	17	-1015.23	177	-371.83	101	-6799.05	106	-60227.80	130
0	Min.	-2169	-30209.00	130	-9342.67	177	-672.30	1	-69.65	17	-1015.23	177	-371.83	101	-6799.05	106	-60227.80	130
0	Max	-1621	46841.30	101	1473.36	101	10340.90	130	753.44	101	87.19	101	642.47	130	19226.30	177	26560.30	101
0	Max	-1622	46841.30	101	1473.36	101	10340.90	130	753.44	101	87.19	101	642.47	130	19226.30	177	26560.30	101
0	Max	-2169	46841.30	101	1473.36	101	10340.90	130	753.44	101	87.19	101	642.47	130	19226.30	177	26560.30	101
0	Max	-2170	46841.30	101	1473.36	101	10340.90	130	753.44	101	87.19	101	642.47	130	19226.30	177	26560.30	101
0	Min.	-1621	-60649.60	130	-9182.97	177	-421.15	1	-1869.31	130	-1021.52	177	-375.15	101	-2443.37	101	-76335.20	130
0	Min.	-1622	-60649.60	130	-9182.97	177	-421.15	1	-1869.31	130	-1021.52	177	-375.15	101	-2443.37	101	-76335.20	130
0	Min.	-2169	-60649.60	130	-9182.97	177	-421.15	1	-1869.31	130	-1021.52	177	-375.15	101	-2443.37	101	-76335.20	130
0	Min.	-2170	-60649.60	130	-9182.97	177	-421.15	1	-1869.31	130	-1021.52	177	-375.15	101	-2443.37	101	-76335.20	130
0	Max	-1620	34828.00	101	1022.81	101	5197.21	177	356.79	97	106.84	158	155.68	177	3621.83	158	13135.40	158
0	Max	-1621	34828.00	101	1022.81	101	5197.21	177	356.79	97	106.84	158	155.68	177	3621.83	158	13135.40	158
0	Max	-2170	34828.00	101	1022.81	101	5197.21	177	356.79	97	106.84	158	155.68	177	3621.83	158	13135.40	158
0	Max	-2171	34828.00	101	1022.81	101	5197.21	177	356.79	97	106.84	158	155.68	177	3621.83	158	13135.40	158
0	Min.	-1620	-42919.70	130	-3695.20	177	-1644.86	106	-309.55	130	-11.65	65	-454.96	158	-14092.40	177	-306.96	1
0	Min.	-1621	-42919.70	130	-3695.20	177	-1644.86	106	-309.55	130	-11.65	65	-454.96	158	-14092.40	177	-306.96	1
0	Min.	-2170	-42919.70	130	-3695.20	177	-1644.86	106	-309.55	130	-11.65	65	-454.96	158	-14092.40	177	-306.96	1
0	Min.	-2171	-42919.70	130	-3695.20	177	-1644.86	106	-309.55	130	-11.65	65	-454.96	158	-14092.40	177	-306.96	1
0	Max	-1619	23781.90	101	617.36	101	3939.85	101	173.16	97	33.11	173	86.32	106	4734.69	158	5316.27	101
0	Max	-1620	23781.90	101	617.36	101	3939.85	101	173.16	97	33.11	173	86.32	106	4734.69	158	5316.27	101
0	Max	-2171	23781.90	101	617.36	101	3939.85	101	173.16	97	33.11	173	86.32	106	4734.69	158	5316.27	101
0	Max	-2172	23781.90	101	617.36	101	3939.85	101	173.16	97	33.11	173	86.32	106	4734.69	158	5316.27	101
0	Min.	-1619	-29585.40	130	-1125.80	177	-3286.21	130	-470.13	130	-52.88	177	-285.99	121	-1163.69	105	-8432.68	130
0	Min.	-1620	-29585.40	130	-1125.80	177	-3286.21	130	-470.13	130	-52.88	177	-285.99	121	-1163.69	105	-8432.68	130
0	Min.	-2171	-29585.40	130	-1125.80	177	-3286.21	130	-470.13	130	-52.88	177	-285.99	121	-1163.69	105	-8432.68	130
0	Min.	-2172	-29585.40	130	-1125.80	177	-3286.21	130	-470.13	130	-52.88	177	-285.99	121	-1163.69	105	-8432.68	130
0	Max	-1417	11164.60	101	445.40	97	5533.77	101	35.27	173	106.90	158	41.66	106	4872.19	177	5526.29	101
0	Max	-1619	11164.60	101	445.40	97	5533.77	101	35.27	173	106.90	158	41.66	106	4872.19	177	5526.29	101
0	Max	-2172	11164.60	101	445.40	97	5533.77	101	35.27	173	106.90	158	41.66	106	4872.19	177	5526.29	101
0	Max	-2173	11164.60	101	445.40	97	5533.77	101	35.27	173	106.90	158	41.66	106	4872.19	177	5526.29	101
0	Min.	-1417	-13558.60	130	-1807.65	177	-6401.39	130	-126.89	130	-157.03	177	-317.94	121	-7050.40	158	-13096.50	130
0	Min.	-1619	-13558.60	130	-1807.65	177	-6401.39	130	-126.89	130	-157.03	177	-317.94	121	-7050.40	158	-13096.50	130
0	Min.	-2172	-13558.60	130	-1807.65	177	-6401.39	130	-126.89	130	-157.03	177	-317.94	121	-7050.40	158	-13096.50	130
0	Min.	-2173	-13558.60	130	-1807.65	177	-6401.39	130	-126.89	130	-157.03	177	-317.94	121	-7050.40	158	-13096.50	130
0	Max	-1521	61464.60	101	1838.52	113	6214.92	177	2345.42	97	1479.45	97	119.62	65	56409.40	105	30473.70	97
0	Max	435	61464.60	101	1838.52	113	6214.92	177	2345.42	97	1479.45	97	119.62	65	56409.40	105	30473.70	97
0	Max	434	61464.60	101	1838.52	113	6214.92	177	2345.42	97	1479.45	97	119.62	65	56409.40	105	30473.70	97
0	Max	-1660	61464.60	101	1838.52	113	6214.92	177	2345.42	97	1479.45	97	119.62	65	56409.40	105	30473.70	97
0	Min.	-1521	-62223.70	130	-3507.16	130	-12664.20	166	152.12	17	160.78	17	-246.77	173	4929.53	17	4781.54	17
0	Min.	435	-62223.70	130	-3507.16	130	-12664.20	166	152.12	17	160.78	17	-246.77	173	4929.53	17	4781.54	17
0	Min.	434	-62223.70	130	-3507.16	130	-12664.20	166	152.12	17	160.78	17	-246.77	173	4929.53	17	4781.54	17
0	Min.	-1660	-62223.70	130	-3507.16	130	-12664.20	166	152.12	17	160.78	17	-246.77	173	4929.53	17	4781.54	17
0	Max	-1522	60419.00	101	1869.07	122	6422.91	177	1341.28	97	640.22	97	134.42	65	20465.40	106	6012.28	97
0	Max	-1962	60419.00	101	1869.07	122	6422.91	177	1341.28	97	640.22	97	134.42	65	20465.40	106	6012.28	97
0	Max	-1963	60419.00	101	1869.07	122	6422.91	177	1341.28	97	640.22	97	134.42	65	20465.40	106	6012.28	97
0	Max	-1659	60419.00	101	1869.07	122	6422.91	177	1341.28	97	640.22	97	134.42	65	20465.40	106	6012.28	97
0	Min.	-1522	-55569.60	130	-420.43	129	-8739.01	166	-440.05	130	52.62	17	-124.96	130	-828.90	173	-937.22	106
0	Min.	-1962	-55569.60	130	-420.43	129	-8739.01	166	-440.05	130	52.62	17	-124.96	130	-828.90	173	-937.22	106
0	Min.	-1963	-55569.60	130	-420.43	129	-8739.01	166	-440.05	130	52.62	17	-124.96	130	-828.90	173	-937.22	106
0	Min.	-1659	-55569.60	130	-420.43	129	-8739.01	166	-440.05	130	52.62	17	-124.96	130	-828.90	173	-937.22	106
0	Max	-1523	56001.30	101	1249.91	162	7029.06	177	1084.94	97	428.36	97	139.30	101	18179.30	106	9710.56	101
0	Max	-1522	56001.30	101	1249.91	162	7029.06	177	1084.94	97	428.36	97	139.30	101	18179.30	106	9710.56	101
0	Max	-1659	56001.30	101	1249.91	162	7029.06	177	1084.94	97	428.36	97	139.30	101	18179.30	106	9710.56	101
0	Max	-1658	56001.30	101	1249.91	162	7029.06	177	1084.94	97	428.36	97	139.30	101	18179.30	106	9710.56	101
0	Min.	-1523	-48894.70	130	-160.97	101	-8957.18	165	-380.73	130	-80.03	106	-220.10	130	-2761.32	157	1353.48	17
0	Min.	-1522	-48894.70	130	-160.97	101	-8957.18	165	-380.73	130	-80.03	106	-220.10	130	-2761.32	157	1353.48	17
0	Min.	-1659	-48894.70	130	-160.97	101	-8957.18	165	-380.73	130	-80.03	106	-220.10	130	-2761.32	157	1353.48	17
0	Min.	-1658	-48894.70	130	-160.97	101	-8957.18	165	-380.73	130	-80.03	106	-220.10	130	-2761.32	157	1353.48	17
0	Max	-1524	49843.40	101	1037.49	106	7443.73	177	765.15	97	286.74	121	204.63	101	4996.49	106	7557.93	101
0	Max	-1523	49843.40	101	1037.49	106	7443.73	177	765.15	97	286.74	121	204.63	101	4996.49	106	7557.93	101
0	Max	-1658	49843.40	101	1037.49	106	7443.73	177	765.15	97	286.74	121	204.63	101	4996.49	106	7557.93	101
0	Max	-1657	49843.40	101	1037.49	106	7443.73	177	765.15	97	286.74	121	204.63	101	4996.49	106	7557.93	101
0	Min.	-1524	-43529.60	130	-1148.54	165	-6236.11	165	-425.02	130	-225.18	106	-308.15	130	-4664.65	121	-3703.76	130
0	Min.	-1523	-43529.60	130	-1148.54	165	-6236.11	165	-425.02	130	-225.18	106	-308.15	130	-4664.65	121	-3703.76	130
0	Min.	-1658	-43529.60	130	-1148.54	165	-6236.11	165	-425.02	130	-225.18	106	-308.15	130	-4664.65	121	-3703.76	130
0	Min.	-1657	-43529.60	130	-1148.54	165	-6236.11	165	-425.02	130	-225.18	106	-308.15	130	-4664.65	121	-3703.76	130
0	Max	-1517	42074.10	101	1249.35	101	7735.45	177	510.45	97	351.21	159	201.20	101	3618.49	106	6972.17	101
0	Max	-1524	42074.10	101	1249.35	101	7735.45	177	510.45	97	351.21	159	201.20	101	3618.49	106	6972.17	101
0	Max	-1657	42074.10	101	1249.35	101	7735.45	177	510.45	97	351.21	159	201.20	101	3618.49	106	6972.17	101
0	Max	-1656	42074.10	101	1249.35	101	7735.45	177	510.45	97	351.21	159	201.20	101	3618.49	106	6972.17	101
0	Min.	-1517	-39979.70	130	-4132.86	130	-3651.66	97	-568.07	130	-130.34	108	-204.95	106	-2572.39	121	-4762.99	130
0	Min.	-1524	-39979.70	130	-4132.86	130	-3651.66	97	-568.07	130	-130.34	108	-204.95	106	-2572.39	121	-4762.99	130
0	Min.	-1657	-39979.70	130	-4132.86	130	-3651.66	97	-568.07	130	-130.34	108	-204.95	106	-2572.39	121	-4762.99	130
0	Min.	-1656	-39979.70	130	-4132.86	130	-3651.66	97	-568.07	130	-130.34	108	-204.95	106	-2572.39	121	-4762.99	130
0	Max	-1518	32981.40	101	1123.96	101	7857.42	177	323.20	97	292.62	158	261.81	121	2348.34	106	5597.38	101
0	Max	-1517	32981.40	101	1123.96	101	7857.42	177	323.20	97	292.62	158	261.81	121	2348.34	106	5597.38	101
0	Max	-1656	32981.40	101	1123.96	101	7857.42	177	323.20	97	292.62	158	261.81	121	2348.34	106	5597.38	101
0	Max	-1655	32981.40	101	1123.96	101	7857.42	177	323.20	97	292.62	158	261.81	121	2348.34	106	5597.38	101
0	Min.	-1518	-34505.30	130	-3312.45	130	-4260.95	97	-503.07	130	-75.15	105	-95.86	106	-2349.10	157	-4326.43	130
0	Min.	-1517	-34505.30	130	-3312.45	130	-4260.95	97	-503.07	130	-75.15	105	-95.86	106	-2349.10	157	-4326.43	130
0	Min.	-1656	-34505.30	130	-3312.45	130	-4260.95	97	-503.07	130	-75.15	105	-95.86	106	-2349.10	157	-4326.43	130

0	Min.	-1655	-34505.30	130	-3312.45	130	-4260.95	97	-503.07	130	-75.15	105	-95.86	106	-2349.10	157	-4326.43	130
0	Max	-1519	22196.30	101	208.31	173	7859.48	177	186.41	97	173.83	158	317.33	121	1260.43	101	5015.48	97
0	Max	-1518	22196.30	101	208.31	173	7859.48	177	186.41	97	173.83	158	317.33	121	1260.43	101	5015.48	97
0	Max	-1655	22196.30	101	208.31	173	7859.48	177	186.41	97	173.83	158	317.33	121	1260.43	101	5015.48	97
0	Max	-1654	22196.30	101	208.31	173	7859.48	177	186.41	97	173.83	158	317.33	121	1260.43	101	5015.48	97
0	Min.	-1519	-24440.80	130	-2561.49	177	-3544.05	97	-352.90	130	-70.70	105	-55.62	106	-4077.67	158	-4678.56	130
0	Min.	-1518	-24440.80	130	-2561.49	177	-3544.05	97	-352.90	130	-70.70	105	-55.62	106	-4077.67	158	-4678.56	130
0	Min.	-1655	-24440.80	130	-2561.49	177	-3544.05	97	-352.90	130	-70.70	105	-55.62	106	-4077.67	158	-4678.56	130
0	Min.	-1654	-24440.80	130	-2561.49	177	-3544.05	97	-352.90	130	-70.70	105	-55.62	106	-4077.67	158	-4678.56	130
0	Max	-1520	11509.10	101	4534.74	130	6621.83	177	22.51	97	156.71	177	325.04	121	6957.64	177	6282.41	97
0	Max	-1519	11509.10	101	4534.74	130	6621.83	177	22.51	97	156.71	177	325.04	121	6957.64	177	6282.41	97
0	Max	-1654	11509.10	101	4534.74	130	6621.83	177	22.51	97	156.71	177	325.04	121	6957.64	177	6282.41	97
0	Max	-1422	11509.10	101	4534.74	130	6621.83	177	22.51	97	156.71	177	325.04	121	6957.64	177	6282.41	97
0	Min.	-1520	-12737.00	130	-3869.06	101	-5382.05	101	-106.85	130	-30.34	105	-61.57	106	430.29	49	-10658.50	130
0	Min.	-1519	-12737.00	130	-3869.06	101	-5382.05	101	-106.85	130	-30.34	105	-61.57	106	430.29	49	-10658.50	130
0	Min.	-1654	-12737.00	130	-3869.06	101	-5382.05	101	-106.85	130	-30.34	105	-61.57	106	430.29	49	-10658.50	130
0	Min.	-1422	-12737.00	130	-3869.06	101	-5382.05	101	-106.85	130	-30.34	105	-61.57	106	430.29	49	-10658.50	130
0	Max	-1422	10369.70	101	2713.43	173	4945.27	177	19.60	97	114.35	158	340.98	158	5960.61	177	6024.91	101
0	Max	-1654	10369.70	101	2713.43	173	4945.27	177	19.60	97	114.35	158	340.98	158	5960.61	177	6024.91	101
0	Max	-2205	10369.70	101	2713.43	173	4945.27	177	19.60	97	114.35	158	340.98	158	5960.61	177	6024.91	101
0	Max	-2206	10369.70	101	2713.43	173	4945.27	177	19.60	97	114.35	158	340.98	158	5960.61	177	6024.91	101
0	Min.	-1422	-11981.70	130	-12604.10	177	-4764.40	130	-140.94	130	-24.15	105	-12.01	141	-3085.83	106	-11063.40	130
0	Min.	-1654	-11981.70	130	-12604.10	177	-4764.40	130	-140.94	130	-24.15	105	-12.01	141	-3085.83	106	-11063.40	130
0	Min.	-2205	-11981.70	130	-12604.10	177	-4764.40	130	-140.94	130	-24.15	105	-12.01	141	-3085.83	106	-11063.40	130
0	Min.	-2206	-11981.70	130	-12604.10	177	-4764.40	130	-140.94	130	-24.15	105	-12.01	141	-3085.83	106	-11063.40	130
0	Max	-1654	22674.30	101	891.18	101	5366.97	177	188.26	97	138.48	158	331.90	158	1461.50	106	5164.39	97
0	Max	-1655	22674.30	101	891.18	101	5366.97	177	188.26	97	138.48	158	331.90	158	1461.50	106	5164.39	97
0	Max	-2207	22674.30	101	891.18	101	5366.97	177	188.26	97	138.48	158	331.90	158	1461.50	106	5164.39	97
0	Max	-2205	22674.30	101	891.18	101	5366.97	177	188.26	97	138.48	158	331.90	158	1461.50	106	5164.39	97
0	Min.	-1654	-26412.00	130	-2149.71	130	-2609.38	130	-347.93	130	-44.25	105	-33.42	105	-3999.67	121	-2052.00	106
0	Min.	-1655	-26412.00	130	-2149.71	130	-2609.38	130	-347.93	130	-44.25	105	-33.42	105	-3999.67	121	-2052.00	106
0	Min.	-2207	-26412.00	130	-2149.71	130	-2609.38	130	-347.93	130	-44.25	105	-33.42	105	-3999.67	121	-2052.00	106
0	Min.	-2205	-26412.00	130	-2149.71	130	-2609.38	130	-347.93	130	-44.25	105	-33.42	105	-3999.67	121	-2052.00	106
0	Max	-1655	34340.00	101	1206.39	101	5516.94	177	313.60	97	172.22	158	292.38	160	781.78	101	7888.45	101
0	Max	-1656	34340.00	101	1206.39	101	5516.94	177	313.60	97	172.22	158	292.38	160	781.78	101	7888.45	101
0	Max	-2208	34340.00	101	1206.39	101	5516.94	177	313.60	97	172.22	158	292.38	160	781.78	101	7888.45	101
0	Max	-2207	34340.00	101	1206.39	101	5516.94	177	313.60	97	172.22	158	292.38	160	781.78	101	7888.45	101
0	Min.	-1655	-39573.10	130	-3488.77	130	-6120.88	130	-581.60	130	-54.52	105	-55.24	107	-10438.40	158	-12480.50	130
0	Min.	-1656	-39573.10	130	-3488.77	130	-6120.88	130	-581.60	130	-54.52	105	-55.24	107	-10438.40	158	-12480.50	130
0	Min.	-2208	-39573.10	130	-3488.77	130	-6120.88	130	-581.60	130	-54.52	105	-55.24	107	-10438.40	158	-12480.50	130
0	Min.	-2207	-39573.10	130	-3488.77	130	-6120.88	130	-581.60	130	-54.52	105	-55.24	107	-10438.40	158	-12480.50	130
0	Max	-1656	42541.20	101	1847.60	101	5419.45	177	485.96	97	197.48	157	179.25	101	1237.39	101	11594.00	158
0	Max	-1657	42541.20	101	1847.60	101	5419.45	177	485.96	97	197.48	157	179.25	101	1237.39	101	11594.00	158
0	Max	-2209	42541.20	101	1847.60	101	5419.45	177	485.96	97	197.48	157	179.25	101	1237.39	101	11594.00	158
0	Max	-2208	42541.20	101	1847.60	101	5419.45	177	485.96	97	197.48	157	179.25	101	1237.39	101	11594.00	158
0	Min.	-1656	-43637.30	130	-5165.09	130	-7267.81	130	-706.57	130	-85.39	106	-193.92	106	-16201.20	158	-71.95	65
0	Min.	-1657	-43637.30	130	-5165.09	130	-7267.81	130	-706.57	130	-85.39	106	-193.92	106	-16201.20	158	-71.95	65
0	Min.	-2209	-43637.30	130	-5165.09	130	-7267.81	130	-706.57	130	-85.39	106	-193.92	106	-16201.20	158	-71.95	65
0	Min.	-2208	-43637.30	130	-5165.09	130	-7267.81	130	-706.57	130	-85.39	106	-193.92	106	-16201.20	158	-71.95	65
0	Max	-1657	48656.20	101	2138.09	158	5332.41	177	758.87	97	197.28	121	201.15	101	7368.99	106	17241.80	158
0	Max	-1658	48656.20	101	2138.09	158	5332.41	177	758.87	97	197.28	121	201.15	101	7368.99	106	17241.80	158
0	Max	-2210	48656.20	101	2138.09	158	5332.41	177	758.87	97	197.28	121	201.15	101	7368.99	106	17241.80	158
0	Max	-2209	48656.20	101	2138.09	158	5332.41	177	758.87	97	197.28	121	201.15	101	7368.99	106	17241.80	158
0	Min.	-1657	-43922.10	130	-253.19	49	-8268.85	130	-398.36	130	-89.10	106	-283.39	130	-4727.85	101	129.13	49
0	Min.	-1658	-43922.10	130	-253.19	49	-8268.85	130	-398.36	130	-89.10	106	-283.39	130	-4727.85	101	129.13	49
0	Min.	-2210	-43922.10	130	-253.19	49	-8268.85	130	-398.36	130	-89.10	106	-283.39	130	-4727.85	101	129.13	49
0	Min.	-2209	-43922.10	130	-253.19	49	-8268.85	130	-398.36	130	-89.10	106	-283.39	130	-4727.85	101	129.13	49
0	Max	-1658	53842.50	101	1828.58	122	4786.26	177	1067.92	97	341.98	97	166.57	97	2637.08	130	11816.90	101
0	Max	-1659	53842.50	101	1828.58	122	4786.26	177	1067.92	97	341.98	97	166.57	97	2637.08	130	11816.90	101
0	Max	-2211	53842.50	101	1828.58	122	4786.26	177	1067.92	97	341.98	97	166.57	97	2637.08	130	11816.90	101
0	Max	-2210	53842.50	101	1828.58	122	4786.26	177	1067.92	97	341.98	97	166.57	97	2637.08	130	11816.90	101
0	Min.	-1658	-47172.70	130	151.82	49	-9233.52	130	-288.99	130	12.81	17	-95.41	130	-8250.46	101	-4812.60	162
0	Min.	-1659	-47172.70	130	151.82	49	-9233.52	130	-288.99	130	12.81	17	-95.41	130	-8250.46	101	-4812.60	162
0	Min.	-2211	-47172.70	130	151.82	49	-9233.52	130	-288.99	130	12.81	17	-95.41	130	-8250.46	101	-4812.60	162
0	Min.	-2210	-47172.70	130	151.82	49	-9233.52	130	-288.99	130	12.81	17	-95.41	130	-8250.46	101	-4812.60	162
0	Max	-1659	58846.20	101	1226.05	97	4527.83	177	1278.19	97	519.34	97	178.21	65	-281.63	142	7836.82	121
0	Max	-1963	58846.20	101	1226.05	97	4527.83	177	1278.19	97	519.34	97	178.21	65	-281.63	142	7836.82	121
0	Max	-2212	58846.20	101	1226.05	97	4527.83	177	1278.19	97	519.34	97	178.21	65	-281.63	142	7836.82	121
0	Max	-2211	58846.20	101	1226.05	97	4527.83	177	1278.19	97	519.34	97	178.21	65	-281.63	142	7836.82	121
0	Min.	-1659	-55601.00	130	-89.95	142	-7351.49	130	-434.56	130	40.33	17	-65.98	173	-10067.30	97	1005.59	17
0	Min.	-1963	-55601.00	130	-89.95	142	-7351.49	130	-434.56	130	40.33	17	-65.98	173	-10067.30	97	1005.59	17
0	Min.	-2212	-55601.00	130	-89.95	142	-7351.49	130	-434.56	130	40.33	17	-65.98	173	-10067.30	97	1005.59	17
0	Min.	-2211	-55601.00	130	-89.95	142	-7351.49	130	-434.56	130	40.33	17	-65.98	173	-10067.30	97	1005.59	17
0	Max	-1653	61558.90	101	3160.74	101	6579.52	177	2266.15	97	557.70	97	96.43	65	39530.80	105	17089.00	105
0	Max	-1848	61558.90	101	3160.74	101	6579.52	177	2266.15	97	557.70	97	96.43	65	39530.80	105	17089.00	105
0	Max	435	61558.90	101	3160.74	101	6579.52	177	2266.15	97	557.70	97	96.43	65	39530.80	105	17089.00	105
0	Max	-1521	61558.90	101	3160.74	101	6579.52	177	2266.15	97	557.70	97	96.43	65	39530.80	105	17089.00	105
0	Min.	-1653	-64209.20	130	-3945.28	130	-15440.20	166	133.20	1	-645.20	106	-253.05	173	2543.63	17	2029.60	17
0	Min.	-1848	-64209.20	130	-3945.28	130	-15440.20	166	133.20	1	-645.20	106	-253.05	173	2543.63	17	2029.60	17
0	Min.	435	-64209.20	130	-3945.28	130	-15440.20	166	133.20	1	-645.20	106	-253.05	173	2543.63	17	2029.60	17
0	Min.	-1521	-64209.20	130	-3945.28	130	-15440.20	166	133.20	1	-645.20	106	-253.05	173	2543.63	17	2029.60	17
0	Max	-1652	60524.00	101	1648.07	113	7913.56	177	1411.77	97	559.33	97	88.36	17	29362.60	106	7599.87	97
0	Max	-1965	60524.00	101	1648.07	113	7913.56	177	1411.77	97	559.33	97	88.36	17	29362.60	106	7599.87	97
0	Max	-1962	60524.00	101	1648.07	113	7913.56	177	1411.77	97	559.33	97	88.36	17	29362.60	106	7599.87	97
0	Max	-1522	60524.00	101	1648.07	113	7913.56	177	1411.77	97	559.33	97	88.36	17	29362.60	106	7599.87	97
0	Min.	-1652	-51632.00	130	-2967.75	130	-12007.70	166	-614.71	130	-499.93	106	-183.85	130	-1512.32	173	-13089.70	106
0	Min.	-1965	-51632.00	130	-2967.75	130	-12007.70	166	-614.71	130	-499.93	106	-183.85	130	-1512.32	173	-13089.70	106
0	Min.	-1962	-51632.00	130	-2967.75	130	-12007.70	166	-614.71	130	-499.93	106	-183.85	130	-1512.32	173	-13089.70	106
0	Min.	-1522	-51632.00	130	-2967.75	130	-12007.70	166	-614.71	130	-499.93	106	-183.85	130	-1512.32	173	-13089.70	106
0	Max	-1651	56763.00	101	1707.51	122	8579.78	177	1122.19	97	461.89	97	89.02	17	11962.80	106	7838.26	97
0	Max	-1652	56763.00	101	1707.51	122	8579.78	177	1122.19	97	461.89	97	89.02	17	11962.80	106	7838.26	97
0	Max	-1522	56763.00	101	1707.51	122	8579.78	177	1122.19	97	461.89	97	89.02	17	11962.80	106	7838.26	97
0	Max	-1523	56763.00	101	1707.51	122	8579.78	177	1122.19	97	461.89	97	89.02	17	11962.80	106	7838.26	97
0	Min.	-1651	-44643.50	130	172.96	177	-12324.90	166	-423.98	130	-478.77	106	-242.08	130	-3882.87	121	-4364.12	106
0	Min.	-1652	-44643.50	130	172.96	177	-12324.90	166	-423.98	130	-478.77	106	-242.08	130	-3882.87	121	-4364.12	106
0	Min.	-1522	-44643.50	130	172.96	177	-12324.90	166	-423.98	130	-478.77	106	-242.08	130	-3882.87	121	-4364.12	106
0	Min.	-1523	-44643.50	130	172.96	177	-12324.90	166	-423.98	130	-478.77	106	-242.08	130	-3882.87	121	-4364.12	106
0	Max	-1650	50201.20	101	993.77	97	9406.38	177	796.07	97	405.20	121	117.50	101	4339.80	106	7417.65	101
0	Max	-1651	50201.20	101	993.77	97	9406.38	177	796.07	97	405.20	121	117.50	101	4339.80	106	7417.65	101
0	Max	-1523	50201.20	101	993.77	97	9406.38	177	796.07	97	405.20	121	117.50	101	4339.80	106	7417.65	101
0	Max	-1524	50201.20	101	993.77	97	9406.38	177	796.07	97	405.20	121	117.50	101	4339.80	106	7417.65	101
0	Min.	-1650	-41927.70	130	-1457.99	166	-5958.58	130	-409.82	130	-387.49	106	-192.29	130	-5004.30	121	-3292.70	130
0	Min.	-1651	-41927.70	130	-1457.99	166	-5958.58	130	-409.82	130	-387.49	106	-192.29	130	-5004.30	121	-3292.70	130
0	Min.	-1523	-41927.70	130	-1457.99	166	-5958.58	130	-409.82	130	-387.49	106	-192.29	130	-5004.30	121	-3292.70	130
0	Min.	-1524	-41927.70	130	-1457.99	166	-5958.58	130	-409.82	130	-387.49	106	-192.29	130	-5004.30	121	-3292.70	130

0	Max	-1649	41700.70	101	1449.53	101	9899.49	177	535.64	97	383.27	121	124.17	101	1077.96	106	6390.58	97
0	Max	-1650	41700.70	101	1449.53	101	9899.49	177	535.64	97	383.27	121	124.17	101	1077.96	106	6390.58	97
0	Max	-1524	41700.70	101	1449.53	101	9899.49	177	535.64	97	383.27	121	124.17	101	1077.96	106	6390.58	97
0	Max	-1517	41700.70	101	1449.53	101	9899.49	177	535.64	97	383.27	121	124.17	101	1077.96	106	6390.58	97
0	Min.	-1649	-37034.30	130	-4847.12	130	-4180.23	130	-469.18	130	-227.07	106	-112.41	106	-4353.99	121	-3968.41	130
0	Min.	-1650	-37034.30	130	-4847.12	130	-4180.23	130	-469.18	130	-227.07	106	-112.41	106	-4353.99	121	-3968.41	130
0	Min.	-1524	-37034.30	130	-4847.12	130	-4180.23	130	-469.18	130	-227.07	106	-112.41	106	-4353.99	121	-3968.41	130
0	Min.	-1517	-37034.30	130	-4847.12	130	-4180.23	130	-469.18	130	-227.07	106	-112.41	106	-4353.99	121	-3968.41	130
0	Max	-1648	32070.50	101	1457.57	101	9977.35	177	339.80	97	329.81	158	202.44	121	-178.87	142	5743.96	97
0	Max	-1649	32070.50	101	1457.57	101	9977.35	177	339.80	97	329.81	158	202.44	121	-178.87	142	5743.96	97
0	Max	-1517	32070.50	101	1457.57	101	9977.35	177	339.80	97	329.81	158	202.44	121	-178.87	142	5743.96	97
0	Max	-1518	32070.50	101	1457.57	101	9977.35	177	339.80	97	329.81	158	202.44	121	-178.87	142	5743.96	97
0	Min.	-1648	-30528.60	130	-5084.84	130	-4386.00	130	-431.49	130	-121.74	105	-52.94	106	-3455.15	121	-3192.70	106
0	Min.	-1649	-30528.60	130	-5084.84	130	-4386.00	130	-431.49	130	-121.74	105	-52.94	106	-3455.15	121	-3192.70	106
0	Min.	-1517	-30528.60	130	-5084.84	130	-4386.00	130	-431.49	130	-121.74	105	-52.94	106	-3455.15	121	-3192.70	106
0	Min.	-1518	-30528.60	130	-5084.84	130	-4386.00	130	-431.49	130	-121.74	105	-52.94	106	-3455.15	121	-3192.70	106
0	Max	-1647	21231.80	101	635.05	101	9446.00	177	191.72	97	232.94	158	277.76	121	-20.24	142	5097.33	97
0	Max	-1648	21231.80	101	635.05	101	9446.00	177	191.72	97	232.94	158	277.76	121	-20.24	142	5097.33	97
0	Max	-1518	21231.80	101	635.05	101	9446.00	177	191.72	97	232.94	158	277.76	121	-20.24	142	5097.33	97
0	Max	-1519	21231.80	101	635.05	101	9446.00	177	191.72	97	232.94	158	277.76	121	-20.24	142	5097.33	97
0	Min.	-1647	-21426.10	130	-3073.31	177	-3730.29	130	-329.55	130	-74.51	105	-21.99	106	-4572.54	121	-4054.87	130
0	Min.	-1648	-21426.10	130	-3073.31	177	-3730.29	130	-329.55	130	-74.51	105	-21.99	106	-4572.54	121	-4054.87	130
0	Min.	-1518	-21426.10	130	-3073.31	177	-3730.29	130	-329.55	130	-74.51	105	-21.99	106	-4572.54	121	-4054.87	130
0	Min.	-1519	-21426.10	130	-3073.31	177	-3730.29	130	-329.55	130	-74.51	105	-21.99	106	-4572.54	121	-4054.87	130
0	Max	-1421	9575.56	101	2495.02	173	7342.97	177	26.57	97	149.47	158	293.37	158	6061.40	177	6153.34	97
0	Max	-1647	9575.56	101	2495.02	173	7342.97	177	26.57	97	149.47	158	293.37	158	6061.40	177	6153.34	97
0	Max	-1519	9575.56	101	2495.02	173	7342.97	177	26.57	97	149.47	158	293.37	158	6061.40	177	6153.34	97
0	Max	-1520	9575.56	101	2495.02	173	7342.97	177	26.57	97	149.47	158	293.37	158	6061.40	177	6153.34	97
0	Min.	-1421	-9861.91	130	-11838.60	177	-4012.45	130	-94.23	130	-31.06	105	-8.71	141	-2360.12	106	-7883.93	130
0	Min.	-1647	-9861.91	130	-11838.60	177	-4012.45	130	-94.23	130	-31.06	105	-8.71	141	-2360.12	106	-7883.93	130
0	Min.	-1519	-9861.91	130	-11838.60	177	-4012.45	130	-94.23	130	-31.06	105	-8.71	141	-2360.12	106	-7883.93	130
0	Min.	-1520	-9861.91	130	-11838.60	177	-4012.45	130	-94.23	130	-31.06	105	-8.71	141	-2360.12	106	-7883.93	130
0	Max	-1424	11237.60	101	1058.40	1	9113.40	177	39.46	97	146.98	121	64.15	173	4685.56	177	7962.64	97
0	Max	-1668	11237.60	101	1058.40	1	9113.40	177	39.46	97	146.98	121	64.15	173	4685.56	177	7962.64	97
0	Max	-1633	11237.60	101	1058.40	1	9113.40	177	39.46	97	146.98	121	64.15	173	4685.56	177	7962.64	97
0	Max	-1419	11237.60	101	1058.40	1	9113.40	177	39.46	97	146.98	121	64.15	173	4685.56	177	7962.64	97
0	Min.	-1424	-9873.09	130	-3317.09	177	-2037.78	173	-96.90	106	-6.86	142	-30.84	65	-532.36	65	-7905.66	106
0	Min.	-1668	-9873.09	130	-3317.09	177	-2037.78	173	-96.90	106	-6.86	142	-30.84	65	-532.36	65	-7905.66	106
0	Min.	-1633	-9873.09	130	-3317.09	177	-2037.78	173	-96.90	106	-6.86	142	-30.84	65	-532.36	65	-7905.66	106
0	Min.	-1419	-9873.09	130	-3317.09	177	-2037.78	173	-96.90	106	-6.86	142	-30.84	65	-532.36	65	-7905.66	106
0	Max	-1668	21773.60	101	585.66	113	14686.20	177	241.00	97	247.10	121	58.56	173	1191.81	177	6258.17	97
0	Max	-1669	21773.60	101	585.66	113	14686.20	177	241.00	97	247.10	121	58.56	173	1191.81	177	6258.17	97
0	Max	-1634	21773.60	101	585.66	113	14686.20	177	241.00	97	247.10	121	58.56	173	1191.81	177	6258.17	97
0	Max	-1633	21773.60	101	585.66	113	14686.20	177	241.00	97	247.10	121	58.56	173	1191.81	177	6258.17	97
0	Min.	-1668	-18412.20	130	-2861.47	130	-3405.16	173	-304.52	106	-8.89	142	-26.82	65	-1330.60	173	-3118.27	106
0	Min.	-1669	-18412.20	130	-2861.47	130	-3405.16	173	-304.52	106	-8.89	142	-26.82	65	-1330.60	173	-3118.27	106
0	Min.	-1634	-18412.20	130	-2861.47	130	-3405.16	173	-304.52	106	-8.89	142	-26.82	65	-1330.60	173	-3118.27	106
0	Min.	-1633	-18412.20	130	-2861.47	130	-3405.16	173	-304.52	106	-8.89	142	-26.82	65	-1330.60	173	-3118.27	106
0	Max	-1669	32311.10	101	630.77	101	16620.30	177	414.10	97	331.89	121	38.60	173	1166.71	177	6392.48	97
0	Max	-1670	32311.10	101	630.77	101	16620.30	177	414.10	97	331.89	121	38.60	173	1166.71	177	6392.48	97
0	Max	-1635	32311.10	101	630.77	101	16620.30	177	414.10	97	331.89	121	38.60	173	1166.71	177	6392.48	97
0	Max	-1634	32311.10	101	630.77	101	16620.30	177	414.10	97	331.89	121	38.60	173	1166.71	177	6392.48	97
0	Min.	-1669	-26300.90	130	-3553.16	130	-4021.83	173	-358.71	106	19.13	142	-15.52	65	-1163.46	173	-1944.40	130
0	Min.	-1670	-26300.90	130	-3553.16	130	-4021.83	173	-358.71	106	19.13	142	-15.52	65	-1163.46	173	-1944.40	130
0	Min.	-1635	-26300.90	130	-3553.16	130	-4021.83	173	-358.71	106	19.13	142	-15.52	65	-1163.46	173	-1944.40	130
0	Min.	-1634	-26300.90	130	-3553.16	130	-4021.83	173	-358.71	106	19.13	142	-15.52	65	-1163.46	173	-1944.40	130
0	Max	-1670	42551.60	101	853.84	101	16575.80	177	636.05	97	389.01	121	54.24	105	964.48	65	6649.20	97
0	Max	-1671	42551.60	101	853.84	101	16575.80	177	636.05	97	389.01	121	54.24	105	964.48	65	6649.20	97
0	Max	-1636	42551.60	101	853.84	101	16575.80	177	636.05	97	389.01	121	54.24	105	964.48	65	6649.20	97
0	Max	-1635	42551.60	101	853.84	101	16575.80	177	636.05	97	389.01	121	54.24	105	964.48	65	6649.20	97
0	Min.	-1670	-33661.10	130	-3218.55	130	-4263.71	173	-368.37	106	74.62	33	-3.11	65	-1851.93	106	-908.70	130
0	Min.	-1671	-33661.10	130	-3218.55	130	-4263.71	173	-368.37	106	74.62	33	-3.11	65	-1851.93	106	-908.70	130
0	Min.	-1636	-33661.10	130	-3218.55	130	-4263.71	173	-368.37	106	74.62	33	-3.11	65	-1851.93	106	-908.70	130
0	Min.	-1635	-33661.10	130	-3218.55	130	-4263.71	173	-368.37	106	74.62	33	-3.11	65	-1851.93	106	-908.70	130
0	Max	-1671	51833.90	101	1056.15	113	15642.20	177	916.57	97	415.42	121	88.33	105	1296.24	65	6545.98	97
0	Max	-1672	51833.90	101	1056.15	113	15642.20	177	916.57	97	415.42	121	88.33	105	1296.24	65	6545.98	97
0	Max	-1637	51833.90	101	1056.15	113	15642.20	177	916.57	97	415.42	121	88.33	105	1296.24	65	6545.98	97
0	Max	-1636	51833.90	101	1056.15	113	15642.20	177	916.57	97	415.42	121	88.33	105	1296.24	65	6545.98	97
0	Min.	-1671	-40523.90	130	-2667.23	177	-4298.42	173	-367.19	130	81.59	33	-25.99	173	-3294.85	106	-300.51	162
0	Min.	-1672	-40523.90	130	-2667.23	177	-4298.42	173	-367.19	130	81.59	33	-25.99	173	-3294.85	106	-300.51	162
0	Min.	-1637	-40523.90	130	-2667.23	177	-4298.42	173	-367.19	130	81.59	33	-25.99	173	-3294.85	106	-300.51	162
0	Min.	-1636	-40523.90	130	-2667.23	177	-4298.42	173	-367.19	130	81.59	33	-25.99	173	-3294.85	106	-300.51	162
0	Max	-1672	59322.90	101	1500.53	113	14397.60	177	1263.17	97	513.58	129	90.59	105	1420.55	65	6704.52	101
0	Max	-1673	59322.90	101	1500.53	113	14397.60	177	1263.17	97	513.58	129	90.59	105	1420.55	65	6704.52	101
0	Max	-1638	59322.90	101	1500.53	113	14397.60	177	1263.17	97	513.58	129	90.59	105	1420.55	65	6704.52	101
0	Max	-1637	59322.90	101	1500.53	113	14397.60	177	1263.17	97	513.58	129	90.59	105	1420.55	65	6704.52	101
0	Min.	-1672	-47449.40	130	-2429.33	177	-4297.18	173	-311.59	130	83.16	33	-74.71	173	-5443.75	106	-201.49	162
0	Min.	-1673	-47449.40	130	-2429.33	177	-4297.18	173	-311.59	130	83.16	33	-74.71	173	-5443.75	106	-201.49	162
0	Min.	-1638	-47449.40	130	-2429.33	177	-4297.18	173	-311.59	130	83.16	33	-74.71	173	-5443.75	106	-201.49	162
0	Min.	-1637	-47449.40	130	-2429.33	177	-4297.18	173	-311.59	130	83.16	33	-74.71	173	-5443.75	106	-201.49	162
0	Max	-1673	63313.30	101	2234.02	113	13384.50	177	1559.17	97	648.15	105	63.79	17	1632.62	65	4979.96	101
0	Max	-1966	63313.30	101	2234.02	113	13384.50	177	1559.17	97	648.15	105	63.79	17	1632.62	65	4979.96	101
0	Max	-1967	63313.30	101	2234.02	113	13384.50	177	1559.17	97	648.15	105	63.79	17	1632.62	65	4979.96	101
0	Max	-1638	63313.30	101	2234.02	113	13384.50	177	1559.17	97	648.15	105	63.79	17	1632.62	65	4979.96	101
0	Min.	-1673	-52676.70	130	-2212.46	177	-4425.71	173	-236.84	130	81.92	33	-117.76	173	-3990.15	106	-533.38	162
0	Min.	-1966	-52676.70	130	-2212.46	177	-4425.71	173	-236.84	130	81.92	33	-117.76	173	-3990.15	106	-533.38	162
0	Min.	-1967	-52676.70	130	-2212.46	177	-4425.71	173	-236.84	130	81.92	33	-117.76	173	-3990.15	106	-533.38	162
0	Min.	-1638	-52676.70	130	-2212.46	177	-4425.71	173	-236.84	130	81.92	33	-117.76	173	-3990.15	106	-533.38	162
0	Max	-1674	64864.20	101	3069.75	113	11843.70	177	2394.17	97	706.28	105	122.60	65	-3800.18	65	15083.60	105
0	Max	441	64864.20	101	3069.75	113	11843.70	177	2394.17	97	706.28	105	122.60	65	-3800.18	65	15083.60	105
0	Max	-1859	64864.20	101	3069.75	113	11843.70	177	2394.17	97	706.28	105	122.60	65	-3800.18	65	15083.60	105
0	Max	-1639	64864.20	101	3069.75	113	11843.70	177	2394.17	97	706.28	105	122.60	65	-3800.18	65	15083.60	105
0	Min.	-1674	-59701.00	130	-1819.98	177	-4410.18	173	150.01	1	87.99	33	-200.47	173	-37726.30	105	1649.89	162
0	Min.	441	-59701.00	130	-1819.98	177	-4410.18	173	150.01	1	87.99	33	-200.47	173	-37726.30	105	1649.89	162
0	Min.	-1859	-59701.00	130	-1819.98	177	-4410.18	173	150.01	1	87.99	33	-200.47	173	-37726.30	105	1649.89	162
0	Min.	-1639	-59701.00	130	-1819.98	177	-4410.18	173	150.01	1	87.99	33	-200.47	173	-37726.30	105	1649.89	162
0	Max	-1419	10471.60	101	1040.78	173	8902.25	177	31.03	97	151.35	123	134.52	121	5347.07	177	9108.35	97
0	Max	-1633	10471.60	101	1040.78	173	8902.25	177	31.03	97	151.35	123	134.52	121	5347.07	177	9108.35	97
0	Max	-1640	10471.60	101	1040.78	173	8902.25	177	31.03	97	151.35	123	134.52	121	5347.07	177	9108.35	97
0	Max	-1420	10471.60	101	1040.78	173	8902.25	177	31.03	97	151.35	123	134.52	121	5347.07	177	9108.35	97
0	Min.	-1419	-9339.75	130	-5940.02	177	-2008.40	173	-86.58	106	-5.20	144	-5.23	65	-133.97	65	-9345.43	106
0	Min.	-1633	-9339.75	130	-5940.02	177	-2008.40	173	-86.58	106	-5.20	144	-5.23	65	-133.97	65	-9345.43	106
0	Min.	-1640	-9339.75	130	-5940.02	177	-2008.40	173	-86.58	106	-5.20	144	-5.23	65	-133.97	65	-9345.43	106
0	Min.	-1420	-9339.75	130	-5940.02	177	-2008.40	173	-86.58	106	-5.20	144	-5.23	65	-133.97	65	-9345.43	106
0	Max	-1633	21367.10	101	431.51	113	13793.10	177	231.07	97	258.83	121	122.14	121	643.47	177	6626.40	97

0	Max	-1634	21367.10	101	431.51	113	13793.10	177	231.07	97	258.83	121	122.14	121	643.47	177	6626.40	97
0	Max	-1641	21367.10	101	431.51	113	13793.10	177	231.07	97	258.83	121	122.14	121	643.47	177	6626.40	97
0	Max	-1640	21367.10	101	431.51	113	13793.10	177	231.07	97	258.83	121	122.14	121	643.47	177	6626.40	97
0	Min.	-1633	-18347.00	130	-3981.87	177	-3150.07	173	-290.83	106	-37.31	106	-2.58	65	-1401.46	173	-3862.11	106
0	Min.	-1634	-18347.00	130	-3981.87	177	-3150.07	173	-290.83	106	-37.31	106	-2.58	65	-1401.46	173	-3862.11	106
0	Min.	-1641	-18347.00	130	-3981.87	177	-3150.07	173	-290.83	106	-37.31	106	-2.58	65	-1401.46	173	-3862.11	106
0	Min.	-1640	-18347.00	130	-3981.87	177	-3150.07	173	-290.83	106	-37.31	106	-2.58	65	-1401.46	173	-3862.11	106
0	Max	-1634	32119.80	101	812.85	101	15391.70	177	395.89	97	348.14	121	84.16	121	890.37	177	7109.74	97
0	Max	-1635	32119.80	101	812.85	101	15391.70	177	395.89	97	348.14	121	84.16	121	890.37	177	7109.74	97
0	Max	-1642	32119.80	101	812.85	101	15391.70	177	395.89	97	348.14	121	84.16	121	890.37	177	7109.74	97
0	Max	-1641	32119.80	101	812.85	101	15391.70	177	395.89	97	348.14	121	84.16	121	890.37	177	7109.74	97
0	Min.	-1634	-26381.70	130	-4050.35	130	-3796.68	173	-336.65	106	-56.62	106	3.76	65	-1287.24	105	-3567.99	130
0	Min.	-1635	-26381.70	130	-4050.35	130	-3796.68	173	-336.65	106	-56.62	106	3.76	65	-1287.24	105	-3567.99	130
0	Min.	-1642	-26381.70	130	-4050.35	130	-3796.68	173	-336.65	106	-56.62	106	3.76	65	-1287.24	105	-3567.99	130
0	Min.	-1641	-26381.70	130	-4050.35	130	-3796.68	173	-336.65	106	-56.62	106	3.76	65	-1287.24	105	-3567.99	130
0	Max	-1635	42274.20	101	980.92	101	15335.40	177	613.92	97	412.53	121	88.96	105	670.31	65	7290.52	97
0	Max	-1636	42274.20	101	980.92	101	15335.40	177	613.92	97	412.53	121	88.96	105	670.31	65	7290.52	97
0	Max	-1643	42274.20	101	980.92	101	15335.40	177	613.92	97	412.53	121	88.96	105	670.31	65	7290.52	97
0	Max	-1642	42274.20	101	980.92	101	15335.40	177	613.92	97	412.53	121	88.96	105	670.31	65	7290.52	97
0	Min.	-1635	-33330.40	130	-4128.18	130	-4039.92	173	-366.45	130	-89.86	106	5.07	65	-3722.82	105	-3058.97	130
0	Min.	-1636	-33330.40	130	-4128.18	130	-4039.92	173	-366.45	130	-89.86	106	5.07	65	-3722.82	105	-3058.97	130
0	Min.	-1643	-33330.40	130	-4128.18	130	-4039.92	173	-366.45	130	-89.86	106	5.07	65	-3722.82	105	-3058.97	130
0	Min.	-1642	-33330.40	130	-4128.18	130	-4039.92	173	-366.45	130	-89.86	106	5.07	65	-3722.82	105	-3058.97	130
0	Max	-1636	51498.80	101	1042.39	101	14482.10	177	889.84	97	451.29	121	157.61	105	925.30	65	7314.46	101
0	Max	-1637	51498.80	101	1042.39	101	14482.10	177	889.84	97	451.29	121	157.61	105	925.30	65	7314.46	101
0	Max	-1644	51498.80	101	1042.39	101	14482.10	177	889.84	97	451.29	121	157.61	105	925.30	65	7314.46	101
0	Max	-1643	51498.80	101	1042.39	101	14482.10	177	889.84	97	451.29	121	157.61	105	925.30	65	7314.46	101
0	Min.	-1636	-39280.40	130	-3062.89	130	-4135.25	173	-357.58	130	-128.81	106	-23.47	173	-8792.02	106	-2238.76	130
0	Min.	-1637	-39280.40	130	-3062.89	130	-4135.25	173	-357.58	130	-128.81	106	-23.47	173	-8792.02	106	-2238.76	130
0	Min.	-1644	-39280.40	130	-3062.89	130	-4135.25	173	-357.58	130	-128.81	106	-23.47	173	-8792.02	106	-2238.76	130
0	Min.	-1643	-39280.40	130	-3062.89	130	-4135.25	173	-357.58	130	-128.81	106	-23.47	173	-8792.02	106	-2238.76	130
0	Max	-1637	58882.80	101	1443.12	113	13343.70	177	1236.71	97	464.77	121	217.44	105	1613.64	65	7842.41	101
0	Max	-1638	58882.80	101	1443.12	113	13343.70	177	1236.71	97	464.77	121	217.44	105	1613.64	65	7842.41	101
0	Max	-1645	58882.80	101	1443.12	113	13343.70	177	1236.71	97	464.77	121	217.44	105	1613.64	65	7842.41	101
0	Max	-1644	58882.80	101	1443.12	113	13343.70	177	1236.71	97	464.77	121	217.44	105	1613.64	65	7842.41	101
0	Min.	-1637	-44171.30	130	-1301.53	177	-4178.42	173	-370.83	130	-110.67	106	-81.77	173	-16106.60	106	-2641.79	130
0	Min.	-1638	-44171.30	130	-1301.53	177	-4178.42	173	-370.83	130	-110.67	106	-81.77	173	-16106.60	106	-2641.79	130
0	Min.	-1645	-44171.30	130	-1301.53	177	-4178.42	173	-370.83	130	-110.67	106	-81.77	173	-16106.60	106	-2641.79	130
0	Min.	-1644	-44171.30	130	-1301.53	177	-4178.42	173	-370.83	130	-110.67	106	-81.77	173	-16106.60	106	-2641.79	130
0	Max	-1638	62675.80	101	2183.33	113	12354.30	177	1535.54	97	463.19	121	123.70	105	1877.22	65	5355.89	101
0	Max	-1967	62675.80	101	2183.33	113	12354.30	177	1535.54	97	463.19	121	123.70	105	1877.22	65	5355.89	101
0	Max	-1968	62675.80	101	2183.33	113	12354.30	177	1535.54	97	463.19	121	123.70	105	1877.22	65	5355.89	101
0	Max	-1645	62675.80	101	2183.33	113	12354.30	177	1535.54	97	463.19	121	123.70	105	1877.22	65	5355.89	101
0	Min.	-1638	-49670.30	130	-2286.15	130	-4415.32	173	-514.93	130	-79.13	106	-129.54	173	-28288.60	106	-12653.10	106
0	Min.	-1967	-49670.30	130	-2286.15	130	-4415.32	173	-514.93	130	-79.13	106	-129.54	173	-28288.60	106	-12653.10	106
0	Min.	-1968	-49670.30	130	-2286.15	130	-4415.32	173	-514.93	130	-79.13	106	-129.54	173	-28288.60	106	-12653.10	106
0	Min.	-1645	-49670.30	130	-2286.15	130	-4415.32	173	-514.93	130	-79.13	106	-129.54	173	-28288.60	106	-12653.10	106
0	Max	-1639	64161.50	101	3281.57	113	10820.70	177	2399.49	97	439.06	97	109.50	65	30161.30	97	24014.80	105
0	Max	-1859	64161.50	101	3281.57	113	10820.70	177	2399.49	97	439.06	97	109.50	65	30161.30	97	24014.80	105
0	Max	439	64161.50	101	3281.57	113	10820.70	177	2399.49	97	439.06	97	109.50	65	30161.30	97	24014.80	105
0	Max	-1646	64161.50	101	3281.57	113	10820.70	177	2399.49	97	439.06	97	109.50	65	30161.30	97	24014.80	105
0	Min.	-1639	-61978.00	130	-2690.66	130	-4573.63	173	145.09	1	-72.42	106	-233.11	173	3664.42	17	2483.93	162
0	Min.	-1859	-61978.00	130	-2690.66	130	-4573.63	173	145.09	1	-72.42	106	-233.11	173	3664.42	17	2483.93	162
0	Min.	439	-61978.00	130	-2690.66	130	-4573.63	173	145.09	1	-72.42	106	-233.11	173	3664.42	17	2483.93	162
0	Min.	-1646	-61978.00	130	-2690.66	130	-4573.63	173	145.09	1	-72.42	106	-233.11	173	3664.42	17	2483.93	162
0	Max	-1416	62879.60	101	3219.32	173	9701.01	177	2279.81	97	452.17	173	163.94	158	17751.40	97	26766.60	105
0	Max	-1850	62879.60	101	3219.32	173	9701.01	177	2279.81	97	452.17	173	163.94	158	17751.40	97	26766.60	105
0	Max	-1357	62879.60	101	3219.32	173	9701.01	177	2279.81	97	452.17	173	163.94	158	17751.40	97	26766.60	105
0	Max	-1895	62879.60	101	3219.32	173	9701.01	177	2279.81	97	452.17	173	163.94	158	17751.40	97	26766.60	105
0	Min.	-1416	-67955.40	130	-5102.56	177	-4146.53	173	128.54	49	-1360.44	106	-195.22	173	2511.20	33	1467.49	162
0	Min.	-1850	-67955.40	130	-5102.56	177	-4146.53	173	128.54	49	-1360.44	106	-195.22	173	2511.20	33	1467.49	162
0	Min.	-1357	-67955.40	130	-5102.56	177	-4146.53	173	128.54	49	-1360.44	106	-195.22	173	2511.20	33	1467.49	162
0	Min.	-1895	-67955.40	130	-5102.56	177	-4146.53	173	128.54	49	-1360.44	106	-195.22	173	2511.20	33	1467.49	162
0	Max	-1415	61982.30	101	4042.70	165	31479.90	166	1475.69	97	571.97	173	123.47	158	1800.91	177	7295.69	97
0	Max	-1959	61982.30	101	4042.70	165	31479.90	166	1475.69	97	571.97	173	123.47	158	1800.91	177	7295.69	97
0	Max	-1969	61982.30	101	4042.70	165	31479.90	166	1475.69	97	571.97	173	123.47	158	1800.91	177	7295.69	97
0	Max	-1896	61982.30	101	4042.70	165	31479.90	166	1475.69	97	571.97	173	123.47	158	1800.91	177	7295.69	97
0	Min.	-1415	-43890.20	106	-4539.02	177	-2171.26	173	-868.76	106	-1380.38	106	-115.67	173	-32127.00	105	-29515.50	106
0	Min.	-1959	-43890.20	106	-4539.02	177	-2171.26	173	-868.76	106	-1380.38	106	-115.67	173	-32127.00	105	-29515.50	106
0	Min.	-1969	-43890.20	106	-4539.02	177	-2171.26	173	-868.76	106	-1380.38	106	-115.67	173	-32127.00	105	-29515.50	106
0	Min.	-1896	-43890.20	106	-4539.02	177	-2171.26	173	-868.76	106	-1380.38	106	-115.67	173	-32127.00	105	-29515.50	106
0	Max	-1367	57671.70	101	1455.64	173	10192.60	177	1167.44	97	521.26	173	155.63	130	1563.83	177	7331.17	101
0	Max	-1415	57671.70	101	1455.64	173	10192.60	177	1167.44	97	521.26	173	155.63	130	1563.83	177	7331.17	101
0	Max	-1896	57671.70	101	1455.64	173	10192.60	177	1167.44	97	521.26	173	155.63	130	1563.83	177	7331.17	101
0	Max	-1897	57671.70	101	1455.64	173	10192.60	177	1167.44	97	521.26	173	155.63	130	1563.83	177	7331.17	101
0	Min.	-1367	-40315.60	106	-6056.67	165	-2236.29	173	-439.07	130	-936.72	106	-103.51	173	-15610.80	105	-15865.10	106
0	Min.	-1415	-40315.60	106	-6056.67	165	-2236.29	173	-439.07	130	-936.72	106	-103.51	173	-15610.80	105	-15865.10	106
0	Min.	-1896	-40315.60	106	-6056.67	165	-2236.29	173	-439.07	130	-936.72	106	-103.51	173	-15610.80	105	-15865.10	106
0	Min.	-1897	-40315.60	106	-6056.67	165	-2236.29	173	-439.07	130	-936.72	106	-103.51	173	-15610.80	105	-15865.10	106
0	Max	-1366	50598.50	101	710.86	173	11296.30	177	831.73	97	465.75	121	90.10	130	1663.34	130	7499.19	97
0	Max	-1367	50598.50	101	710.86	173	11296.30	177	831.73	97	465.75	121	90.10	130	1663.34	130	7499.19	97
0	Max	-1897	50598.50	101	710.86	173	11296.30	177	831.73	97	465.75	121	90.10	130	1663.34	130	7499.19	97
0	Max	-1898	50598.50	101	710.86	173	11296.30	177	831.73	97	465.75	121	90.10	130	1663.34	130	7499.19	97
0	Min.	-1366	-38662.70	130	-6746.51	177	-1811.71	173	-358.79	130	-498.27	106	-105.34	173	-1341.12	101	-2903.82	130
0	Min.	-1367	-38662.70	130	-6746.51	177	-1811.71	173	-358.79	130	-498.27	106	-105.34	173	-1341.12	101	-2903.82	130
0	Min.	-1897	-38662.70	130	-6746.51	177	-1811.71	173	-358.79	130	-498.27	106	-105.34	173	-1341.12	101	-2903.82	130
0	Min.	-1898	-38662.70	130	-6746.51	177	-1811.71	173	-358.79	130	-498.27	106	-105.34	173	-1341.12	101	-2903.82	130
0	Max	-1365	41653.30	101	1102.04	101	13140.10	177	561.88	97	417.27	121	41.65	106	1516.09	177	6671.61	97
0	Max	-1366	41653.30	101	1102.04	101	13140.10	177	561.88	97	417.27	121	41.65	106	1516.09	177	6671.61	97
0	Max	-1898	41653.30	101	1102.04	101	13140.10	177	561.88	97	417.27	121	41.65	106	1516.09	177	6671.61	97
0	Max	-1899	41653.30	101	1102.04	101	13140.10	177	561.88	97	417.27	121	41.65	106	1516.09	177	6671.61	97
0	Min.	-1365	-34547.80	130	-6322.49	177	-1499.74	173	-409.00	130	-280.93	106	-108.13	173	-664.89	106	-4625.61	130
0	Min.	-1366	-34547.80	130	-6322.49	177	-1499.74	173	-409.00	130	-280.93	106	-108.13	173	-664.89	106	-4625.61	130
0	Min.	-1898	-34547.80	130	-6322.49	177	-1499.74	173	-409.00	130	-280.93	106	-108.13	173	-664.89	106	-4625.61	130
0	Min.	-1899	-34547.80	130	-6322.49	177	-1499.74	173	-409.00	130	-280.93	106	-108.13	173	-664.89	106	-4625.61	130
0	Max	-1364	31736.30	101	1138.54	101	13901.00	177	358.80	97	346.98	157	35.58	106	1941.46	177	6049.59	97
0	Max	-1365	31736.30	101	1138.54	101	13901.00	177	358.80	97	346.98	157	35.58	106	1941.46	177	6049.59	97
0	Max	-1899	31736.30	101	1138.54	101	13901.00	177	358.80	97	346.98	157	35.58	106	1941.46	177	6049.59	97
0	Max	-1900	31736.30	101	1138.54	101	13901.00	177	358.80	97	346.98	157	35.58	106	1941.46	177	6049.59	97
0	Min.	-1364	-28184.80	130	-4549.75	130	-1089.83	173	-369.74	130	-151.45	106	-167.88	121	-1138.11	106	-3642.58	106
0	Min.	-1365	-28184.80	130	-4549.75	130	-1089.83	173	-369.74	130	-151.45	106	-167.88	121	-1138.11	106	-3642.58	106
0	Min.	-1899	-28184.80	130	-4549.75	130	-1089.83	173	-369.74	130	-151.45	106	-167.88	121	-1138.11	106	-3642.58	106
0	Min.	-1900	-28184.80	130	-4549.75	130	-1089.83	173	-369.74	130	-151.45	106	-167.88	121	-1138.11	106	-3642.58	106
0	Max	-1363	21254.20	101	1050.16	177	12765.70	177	200.28	97	256.27	157	19.46	106	1995.24	177	5566.21	97
0	Max	-1364	21254.20	101	1050.16	177	12765.70	177	200.28	97	256.27	157	19.46	106	1995.24	177	5566.21	97

0	Max	-1900	21254.20	101	1050.16	177	12765.70	177	200.28	97	256.27	157	19.46	106	1995.24	177	5566.21	97
0	Max	-1901	21254.20	101	1050.16	177	12765.70	177	200.28	97	256.27	157	19.46	106	1995.24	177	5566.21	97
0	Min.	-1363	-19979.30	130	-2664.42	130	-919.76	173	-298.57	130	-119.05	177	-235.07	121	-409.41	101	-3986.03	106
0	Min.	-1364	-19979.30	130	-2664.42	130	-919.76	173	-298.57	130	-119.05	177	-235.07	121	-409.41	101	-3986.03	106
0	Min.	-1900	-19979.30	130	-2664.42	130	-919.76	173	-298.57	130	-119.05	177	-235.07	121	-409.41	101	-3986.03	106
0	Min.	-1901	-19979.30	130	-2664.42	130	-919.76	173	-298.57	130	-119.05	177	-235.07	121	-409.41	101	-3986.03	106
0	Max	-1427	10681.40	101	3612.30	177	8867.62	177	42.46	173	156.49	158	24.57	106	4192.45	177	6561.16	97
0	Max	-1363	10681.40	101	3612.30	177	8867.62	177	42.46	173	156.49	158	24.57	106	4192.45	177	6561.16	97
0	Max	-1901	10681.40	101	3612.30	177	8867.62	177	42.46	173	156.49	158	24.57	106	4192.45	177	6561.16	97
0	Max	-1902	10681.40	101	3612.30	177	8867.62	177	42.46	173	156.49	158	24.57	106	4192.45	177	6561.16	97
0	Min.	-1427	-10429.90	130	-2209.34	173	-2972.51	130	-85.53	106	-143.51	177	-251.92	121	-4728.78	162	-7928.97	106
0	Min.	-1363	-10429.90	130	-2209.34	173	-2972.51	130	-85.53	106	-143.51	177	-251.92	121	-4728.78	162	-7928.97	106
0	Min.	-1901	-10429.90	130	-2209.34	173	-2972.51	130	-85.53	106	-143.51	177	-251.92	121	-4728.78	162	-7928.97	106
0	Min.	-1902	-10429.90	130	-2209.34	173	-2972.51	130	-85.53	106	-143.51	177	-251.92	121	-4728.78	162	-7928.97	106
0	Max	-1423	10482.70	101	2989.86	177	9112.09	177	40.44	173	151.41	124	5.01	17	4846.42	177	9072.96	97
0	Max	-1661	10482.70	101	2989.86	177	9112.09	177	40.44	173	151.41	124	5.01	17	4846.42	177	9072.96	97
0	Max	-1626	10482.70	101	2989.86	177	9112.09	177	40.44	173	151.41	124	5.01	17	4846.42	177	9072.96	97
0	Max	-1418	10482.70	101	2989.86	177	9112.09	177	40.44	173	151.41	124	5.01	17	4846.42	177	9072.96	97
0	Min.	-1423	-9360.75	130	-1673.99	130	-1801.71	173	-86.71	106	-18.38	177	-135.36	121	-2803.69	158	-9329.69	106
0	Min.	-1661	-9360.75	130	-1673.99	130	-1801.71	173	-86.71	106	-18.38	177	-135.36	121	-2803.69	158	-9329.69	106
0	Min.	-1626	-9360.75	130	-1673.99	130	-1801.71	173	-86.71	106	-18.38	177	-135.36	121	-2803.69	158	-9329.69	106
0	Min.	-1418	-9360.75	130	-1673.99	130	-1801.71	173	-86.71	106	-18.38	177	-135.36	121	-2803.69	158	-9329.69	106
0	Max	-1661	21294.70	101	454.12	113	14275.30	177	230.83	97	259.07	121	2.35	17	1733.93	177	6612.35	97
0	Max	-1662	21294.70	101	454.12	113	14275.30	177	230.83	97	259.07	121	2.35	17	1733.93	177	6612.35	97
0	Max	-1627	21294.70	101	454.12	113	14275.30	177	230.83	97	259.07	121	2.35	17	1733.93	177	6612.35	97
0	Max	-1626	21294.70	101	454.12	113	14275.30	177	230.83	97	259.07	121	2.35	17	1733.93	177	6612.35	97
0	Min.	-1661	-18303.60	130	-2773.64	130	-3116.09	173	-290.90	106	-38.02	106	-123.09	121	-375.41	173	-3861.14	106
0	Min.	-1662	-18303.60	130	-2773.64	130	-3116.09	173	-290.90	106	-38.02	106	-123.09	121	-375.41	173	-3861.14	106
0	Min.	-1627	-18303.60	130	-2773.64	130	-3116.09	173	-290.90	106	-38.02	106	-123.09	121	-375.41	173	-3861.14	106
0	Min.	-1626	-18303.60	130	-2773.64	130	-3116.09	173	-290.90	106	-38.02	106	-123.09	121	-375.41	173	-3861.14	106
0	Max	-1662	32024.90	101	796.50	101	15943.40	177	395.84	97	348.53	121	-4.01	17	1800.17	177	7092.88	97
0	Max	-1663	32024.90	101	796.50	101	15943.40	177	395.84	97	348.53	121	-4.01	17	1800.17	177	7092.88	97
0	Max	-1628	32024.90	101	796.50	101	15943.40	177	395.84	97	348.53	121	-4.01	17	1800.17	177	7092.88	97
0	Max	-1627	32024.90	101	796.50	101	15943.40	177	395.84	97	348.53	121	-4.01	17	1800.17	177	7092.88	97
0	Min.	-1662	-26323.70	130	-4013.54	130	-3479.01	173	-336.81	106	-57.83	106	-85.09	121	-755.14	173	-3560.74	130
0	Min.	-1663	-26323.70	130	-4013.54	130	-3479.01	173	-336.81	106	-57.83	106	-85.09	121	-755.14	173	-3560.74	130
0	Min.	-1628	-26323.70	130	-4013.54	130	-3479.01	173	-336.81	106	-57.83	106	-85.09	121	-755.14	173	-3560.74	130
0	Min.	-1627	-26323.70	130	-4013.54	130	-3479.01	173	-336.81	106	-57.83	106	-85.09	121	-755.14	173	-3560.74	130
0	Max	-1663	42139.00	101	950.09	101	15603.80	177	613.99	97	412.94	121	-5.46	17	3691.66	105	7273.12	97
0	Max	-1664	42139.00	101	950.09	101	15603.80	177	613.99	97	412.94	121	-5.46	17	3691.66	105	7273.12	97
0	Max	-1629	42139.00	101	950.09	101	15603.80	177	613.99	97	412.94	121	-5.46	17	3691.66	105	7273.12	97
0	Max	-1628	42139.00	101	950.09	101	15603.80	177	613.99	97	412.94	121	-5.46	17	3691.66	105	7273.12	97
0	Min.	-1663	-33229.90	130	-4581.01	177	-3582.42	173	-366.48	130	-91.93	106	-89.90	105	-925.20	173	-3056.44	130
0	Min.	-1664	-33229.90	130	-4581.01	177	-3582.42	173	-366.48	130	-91.93	106	-89.90	105	-925.20	173	-3056.44	130
0	Min.	-1629	-33229.90	130	-4581.01	177	-3582.42	173	-366.48	130	-91.93	106	-89.90	105	-925.20	173	-3056.44	130
0	Min.	-1628	-33229.90	130	-4581.01	177	-3582.42	173	-366.48	130	-91.93	106	-89.90	105	-925.20	173	-3056.44	130
0	Max	-1664	51320.90	101	1018.17	101	14359.80	177	890.08	97	451.43	121	20.04	17	8743.56	106	7296.71	101
0	Max	-1665	51320.90	101	1018.17	101	14359.80	177	890.08	97	451.43	121	20.04	17	8743.56	106	7296.71	101
0	Max	-1630	51320.90	101	1018.17	101	14359.80	177	890.08	97	451.43	121	20.04	17	8743.56	106	7296.71	101
0	Max	-1629	51320.90	101	1018.17	101	14359.80	177	890.08	97	451.43	121	20.04	17	8743.56	106	7296.71	101
0	Min.	-1664	-39124.30	130	-4913.87	177	-3518.94	173	-357.56	130	-132.20	106	-158.29	105	-1377.34	173	-2244.01	130
0	Min.	-1665	-39124.30	130	-4913.87	177	-3518.94	173	-357.56	130	-132.20	106	-158.29	105	-1377.34	173	-2244.01	130
0	Min.	-1630	-39124.30	130	-4913.87	177	-3518.94	173	-357.56	130	-132.20	106	-158.29	105	-1377.34	173	-2244.01	130
0	Min.	-1629	-39124.30	130	-4913.87	177	-3518.94	173	-357.56	130	-132.20	106	-158.29	105	-1377.34	173	-2244.01	130
0	Max	-1665	58669.20	101	1528.97	173	13164.80	177	1237.01	97	464.24	121	58.88	158	16010.40	106	7819.00	101
0	Max	-1666	58669.20	101	1528.97	173	13164.80	177	1237.01	97	464.24	121	58.88	158	16010.40	106	7819.00	101
0	Max	-1631	58669.20	101	1528.97	173	13164.80	177	1237.01	97	464.24	121	58.88	158	16010.40	106	7819.00	101
0	Max	-1630	58669.20	101	1528.97	173	13164.80	177	1237.01	97	464.24	121	58.88	158	16010.40	106	7819.00	101
0	Min.	-1665	-43980.90	130	-4548.78	177	-5579.28	165	-370.82	130	-115.76	106	-218.00	105	-2734.16	173	-2656.35	130
0	Min.	-1666	-43980.90	130	-4548.78	177	-5579.28	165	-370.82	130	-115.76	106	-218.00	105	-2734.16	173	-2656.35	130
0	Min.	-1631	-43980.90	130	-4548.78	177	-5579.28	165	-370.82	130	-115.76	106	-218.00	105	-2734.16	173	-2656.35	130
0	Min.	-1630	-43980.90	130	-4548.78	177	-5579.28	165	-370.82	130	-115.76	106	-218.00	105	-2734.16	173	-2656.35	130
0	Max	-1666	62449.90	101	2170.56	113	12446.20	177	1536.28	97	461.91	121	85.71	158	28180.10	106	5351.75	101
0	Max	-1970	62449.90	101	2170.56	113	12446.20	177	1536.28	97	461.91	121	85.71	158	28180.10	106	5351.75	101
0	Max	-1971	62449.90	101	2170.56	113	12446.20	177	1536.28	97	461.91	121	85.71	158	28180.10	106	5351.75	101
0	Max	-1631	62449.90	101	2170.56	113	12446.20	177	1536.28	97	461.91	121	85.71	158	28180.10	106	5351.75	101
0	Min.	-1666	-49486.60	130	-4139.66	177	-4613.96	165	-514.44	130	-85.65	106	-123.99	105	-3310.06	173	-12642.10	106
0	Min.	-1970	-49486.60	130	-4139.66	177	-4613.96	165	-514.44	130	-85.65	106	-123.99	105	-3310.06	173	-12642.10	106
0	Min.	-1971	-49486.60	130	-4139.66	177	-4613.96	165	-514.44	130	-85.65	106	-123.99	105	-3310.06	173	-12642.10	106
0	Min.	-1631	-49486.60	130	-4139.66	177	-4613.96	165	-514.44	130	-85.65	106	-123.99	105	-3310.06	173	-12642.10	106
0	Max	-1667	63926.70	101	3615.56	173	11428.80	177	2398.27	97	470.42	173	149.39	106	-3815.92	65	23945.10	105
0	Max	442	63926.70	101	3615.56	173	11428.80	177	2398.27	97	470.42	173	149.39	106	-3815.92	65	23945.10	105
0	Max	-1863	63926.70	101	3615.56	173	11428.80	177	2398.27	97	470.42	173	149.39	106	-3815.92	65	23945.10	105
0	Max	-1632	63926.70	101	3615.56	173	11428.80	177	2398.27	97	470.42	173	149.39	106	-3815.92	65	23945.10	105
0	Min.	-1667	-61794.40	130	-4233.85	177	-7510.42	165	146.65	49	-82.35	106	-162.99	173	-30607.10	97	2485.52	162
0	Min.	442	-61794.40	130	-4233.85	177	-7510.42	165	146.65	49	-82.35	106	-162.99	173	-30607.10	97	2485.52	162
0	Min.	-1863	-61794.40	130	-4233.85	177	-7510.42	165	146.65	49	-82.35	106	-162.99	173	-30607.10	97	2485.52	162
0	Min.	-1632	-61794.40	130	-4233.85	177	-7510.42	165	146.65	49	-82.35	106	-162.99	173	-30607.10	97	2485.52	162
0	Max	-1420	10691.50	101	1578.70	49	8438.17	177	37.51	97	159.95	159	199.47	158	4939.31	177	5022.04	97
0	Max	-1640	10691.50	101	1578.70	49	8438.17	177	37.51	97	159.95	159	199.47	158	4939.31	177	5022.04	97
0	Max	-1904	10691.50	101	1578.70	49	8438.17	177	37.51	97	159.95	159	199.47	158	4939.31	177	5022.04	97
0	Max	-1903	10691.50	101	1578.70	49	8438.17	177	37.51	97	159.95	159	199.47	158	4939.31	177	5022.04	97
0	Min.	-1420	-10086.50	130	-9762.35	177	-4868.36	130	-92.68	106	-35.45	108	3.85	141	-2619.63	106	-5807.89	106
0	Min.	-1640	-10086.50	130	-9762.35	177	-4868.36	130	-92.68	106	-35.45	108	3.85	141	-2619.63	106	-5807.89	106
0	Min.	-1904	-10086.50	130	-9762.35	177	-4868.36	130	-92.68	106	-35.45	108	3.85	141	-2619.63	106	-5807.89	106
0	Min.	-1903	-10086.50	130	-9762.35	177	-4868.36	130	-92.68	106	-35.45	108	3.85	141	-2619.63	106	-5807.89	106
0	Max	-1640	21689.70	101	341.43	113	12587.70	177	209.35	97	255.06	157	183.18	121	302.62	177	5120.88	97
0	Max	-1641	21689.70	101	341.43	113	12587.70	177	209.35	97	255.06	157	183.18	121	302.62	177	5120.88	97
0	Max	-1905	21689.70	101	341.43	113	12587.70	177	209.35	97	255.06	157	183.18	121	302.62	177	5120.88	97
0	Max	-1904	21689.70	101	341.43	113	12587.70	177	209.35	97	255.06	157	183.18	121	302.62	177	5120.88	97
0	Min.	-1640	-19514.80	130	-3446.07	177	-4112.67	130	-275.92	130	-71.44	106	5.19	142	-2989.83	121	-3267.50	106
0	Min.	-1641	-19514.80	130	-3446.07	177	-4112.67	130	-275.92	130	-71.44	106	5.19	142	-2989.83	121	-3267.50	106
0	Min.	-1905	-19514.80	130	-3446.07	177	-4112.67	130	-275.92	130	-71.44	106	5.19	142	-2989.83	121	-3267.50	106
0	Min.	-1904	-19514.80	130	-3446.07	177	-4112.67	130	-275.92	130	-71.44	106	5.19	142	-2989.83	121	-3267.50	106
0	Max	-1641	31962.70	101	1027.44	101	13882.90	177	376.14	97	346.88	121	125.13	121	139.72	177	5096.63	97
0	Max	-1642	31962.70	101	1027.44	101	13882.90	177	376.14	97	346.88	121	125.13	121	139.72	177	5096.63	97
0	Max	-1906	31962.70	101	1027.44	101	13882.90	177	376.14	97	346.88	121	125.13	121	139.72	177	5096.63	97
0	Max	-1905	31962.70	101	1027.44	101	13882.90	177	376.14	97	346.88	121	125.13	121	139.72	177	5096.63	97
0	Min.	-1641	-27209.20	130	-4448.29	130	-3790.34	130	-344.48	130	-141.91	106	15.43	65	-1960.26	97	-2483.79	106
0	Min.	-1642	-27209.20	130	-4448.29	130	-3790.34	130	-344.48	130	-141.91	106	15.43	65	-1960.26	97	-2483.79	106
0	Min.	-1906	-27209.20	130	-4448.29	130	-3790.34	130	-344.48	130	-141.91	106	15.43	65	-1960.26	97	-2483.79	106
0	Min.	-1905	-27209.20	130	-4448.29	130	-3790.34	130	-344.48	130	-141.91	106	15.43	65	-1960.26	97	-2483.79	106
0	Max	-1642	42123.70	101	1028.58	101	13744.30	177	585.52	97	413.38	121	63.07	121	31.31	65	5988.01	97
0	Max	-1643	42123.70	101	1028.58	101	13744.30	177	585.52	97	413.38	121	63.07	121	31.31	65	5988.01	97
0	Max	-1907	42123.70	101	1028.58	101	13744.30	177	585.52	97	413.38	121	63.07	121	31.31	65	5988.01	97

0	Max	-1906	42123.70	101	1028.58	101	13744.30	177	585.52	97	413.38	121	63.07	121	31.31	65	5988.01	97
0	Min.	-1642	-33796.60	130	-4753.67	166	-2965.26	173	-382.46	130	-261.22	106	8.66	65	-1981.88	121	-3279.38	130
0	Min.	-1643	-33796.60	130	-4753.67	166	-2965.26	173	-382.46	130	-261.22	106	8.66	65	-1981.88	121	-3279.38	130
0	Min.	-1907	-33796.60	130	-4753.67	166	-2965.26	173	-382.46	130	-261.22	106	8.66	65	-1981.88	121	-3279.38	130
0	Min.	-1906	-33796.60	130	-4753.67	166	-2965.26	173	-382.46	130	-261.22	106	8.66	65	-1981.88	121	-3279.38	130
0	Max	-1643	51260.80	101	754.98	113	12948.90	177	854.14	97	457.63	121	80.64	105	446.93	65	6324.72	97
0	Max	-1644	51260.80	101	754.98	113	12948.90	177	854.14	97	457.63	121	80.64	105	446.93	65	6324.72	97
0	Max	-1908	51260.80	101	754.98	113	12948.90	177	854.14	97	457.63	121	80.64	105	446.93	65	6324.72	97
0	Max	-1907	51260.80	101	754.98	113	12948.90	177	854.14	97	457.63	121	80.64	105	446.93	65	6324.72	97
0	Min.	-1643	-37991.20	130	-5013.07	166	-3323.35	173	-343.40	130	-468.04	106	-20.76	173	-1599.48	173	-1820.45	130
0	Min.	-1644	-37991.20	130	-5013.07	166	-3323.35	173	-343.40	130	-468.04	106	-20.76	173	-1599.48	173	-1820.45	130
0	Min.	-1908	-37991.20	130	-5013.07	166	-3323.35	173	-343.40	130	-468.04	106	-20.76	173	-1599.48	173	-1820.45	130
0	Min.	-1907	-37991.20	130	-5013.07	166	-3323.35	173	-343.40	130	-468.04	106	-20.76	173	-1599.48	173	-1820.45	130
0	Max	-1644	58622.20	101	1155.22	113	11787.50	177	1206.28	97	493.22	121	144.20	105	541.89	65	7697.32	97
0	Max	-1645	58622.20	101	1155.22	113	11787.50	177	1206.28	97	493.22	121	144.20	105	541.89	65	7697.32	97
0	Max	-1909	58622.20	101	1155.22	113	11787.50	177	1206.28	97	493.22	121	144.20	105	541.89	65	7697.32	97
0	Max	-1908	58622.20	101	1155.22	113	11787.50	177	1206.28	97	493.22	121	144.20	105	541.89	65	7697.32	97
0	Min.	-1644	-40390.10	106	-6916.84	166	-3878.35	173	-423.32	130	-875.19	106	-78.70	173	-19712.10	106	-13522.90	106
0	Min.	-1645	-40390.10	106	-6916.84	166	-3878.35	173	-423.32	130	-875.19	106	-78.70	173	-19712.10	106	-13522.90	106
0	Min.	-1909	-40390.10	106	-6916.84	166	-3878.35	173	-423.32	130	-875.19	106	-78.70	173	-19712.10	106	-13522.90	106
0	Min.	-1908	-40390.10	106	-6916.84	166	-3878.35	173	-423.32	130	-875.19	106	-78.70	173	-19712.10	106	-13522.90	106
0	Max	-1645	63467.50	101	4015.75	165	25436.30	165	1489.06	97	516.06	121	89.50	105	1115.06	65	4497.12	101
0	Max	-1968	63467.50	101	4015.75	165	25436.30	165	1489.06	97	516.06	121	89.50	105	1115.06	65	4497.12	101
0	Max	-1972	63467.50	101	4015.75	165	25436.30	165	1489.06	97	516.06	121	89.50	105	1115.06	65	4497.12	101
0	Max	-1909	63467.50	101	4015.75	165	25436.30	165	1489.06	97	516.06	121	89.50	105	1115.06	65	4497.12	101
0	Min.	-1645	-44096.20	106	-973.39	106	-4544.97	158	-879.69	106	-1249.35	106	-128.97	173	-38860.50	106	-29557.00	106
0	Min.	-1968	-44096.20	106	-973.39	106	-4544.97	158	-879.69	106	-1249.35	106	-128.97	173	-38860.50	106	-29557.00	106
0	Min.	-1972	-44096.20	106	-973.39	106	-4544.97	158	-879.69	106	-1249.35	106	-128.97	173	-38860.50	106	-29557.00	106
0	Min.	-1909	-44096.20	106	-973.39	106	-4544.97	158	-879.69	106	-1249.35	106	-128.97	173	-38860.50	106	-29557.00	106
0	Max	-1646	63995.70	101	3196.75	165	9130.86	177	2431.20	97	914.08	97	135.71	65	-5213.94	33	41581.40	105
0	Max	439	63995.70	101	3196.75	165	9130.86	177	2431.20	97	914.08	97	135.71	65	-5213.94	33	41581.40	105
0	Max	-1874	63995.70	101	3196.75	165	9130.86	177	2431.20	97	914.08	97	135.71	65	-5213.94	33	41581.40	105
0	Max	-1910	63995.70	101	3196.75	165	9130.86	177	2431.20	97	914.08	97	135.71	65	-5213.94	33	41581.40	105
0	Min.	-1646	-67898.10	130	-2978.01	106	-6129.12	122	150.60	1	-531.12	106	-203.08	173	-52252.20	105	3492.70	17
0	Min.	439	-67898.10	130	-2978.01	106	-6129.12	122	150.60	1	-531.12	106	-203.08	173	-52252.20	105	3492.70	17
0	Min.	-1874	-67898.10	130	-2978.01	106	-6129.12	122	150.60	1	-531.12	106	-203.08	173	-52252.20	105	3492.70	17
0	Min.	-1910	-67898.10	130	-2978.01	106	-6129.12	122	150.60	1	-531.12	106	-203.08	173	-52252.20	105	3492.70	17
0	Max	-1418	10979.90	101	1043.78	1	9175.64	177	41.66	173	147.10	121	30.89	17	4465.43	177	7914.52	97
0	Max	-1626	10979.90	101	1043.78	1	9175.64	177	41.66	173	147.10	121	30.89	17	4465.43	177	7914.52	97
0	Max	-1668	10979.90	101	1043.78	1	9175.64	177	41.66	173	147.10	121	30.89	17	4465.43	177	7914.52	97
0	Max	-1424	10979.90	101	1043.78	1	9175.64	177	41.66	173	147.10	121	30.89	17	4465.43	177	7914.52	97
0	Min.	-1418	-9642.57	130	-1707.22	130	-1963.78	173	-97.07	106	-7.32	142	-53.62	65	-1035.25	65	-7869.22	106
0	Min.	-1626	-9642.57	130	-1707.22	130	-1963.78	173	-97.07	106	-7.32	142	-53.62	65	-1035.25	65	-7869.22	106
0	Min.	-1668	-9642.57	130	-1707.22	130	-1963.78	173	-97.07	106	-7.32	142	-53.62	65	-1035.25	65	-7869.22	106
0	Min.	-1424	-9642.57	130	-1707.22	130	-1963.78	173	-97.07	106	-7.32	142	-53.62	65	-1035.25	65	-7869.22	106
0	Max	-1626	21718.50	101	597.65	113	14854.00	177	240.78	97	246.88	121	26.84	17	1538.10	177	6239.73	97
0	Max	-1627	21718.50	101	597.65	113	14854.00	177	240.78	97	246.88	121	26.84	17	1538.10	177	6239.73	97
0	Max	-1669	21718.50	101	597.65	113	14854.00	177	240.78	97	246.88	121	26.84	17	1538.10	177	6239.73	97
0	Max	-1668	21718.50	101	597.65	113	14854.00	177	240.78	97	246.88	121	26.84	17	1538.10	177	6239.73	97
0	Min.	-1626	-18356.30	130	-2881.61	130	-3376.92	173	-304.48	106	-9.36	142	-48.08	65	-898.22	173	-3107.75	106
0	Min.	-1627	-18356.30	130	-2881.61	130	-3376.92	173	-304.48	106	-9.36	142	-48.08	65	-898.22	173	-3107.75	106
0	Min.	-1669	-18356.30	130	-2881.61	130	-3376.92	173	-304.48	106	-9.36	142	-48.08	65	-898.22	173	-3107.75	106
0	Min.	-1668	-18356.30	130	-2881.61	130	-3376.92	173	-304.48	106	-9.36	142	-48.08	65	-898.22	173	-3107.75	106
0	Max	-1627	32267.10	101	630.74	101	16790.30	177	414.07	97	331.64	121	15.50	17	1439.09	177	6369.92	97
0	Max	-1628	32267.10	101	630.74	101	16790.30	177	414.07	97	331.64	121	15.50	17	1439.09	177	6369.92	97
0	Max	-1670	32267.10	101	630.74	101	16790.30	177	414.07	97	331.64	121	15.50	17	1439.09	177	6369.92	97
0	Max	-1669	32267.10	101	630.74	101	16790.30	177	414.07	97	331.64	121	15.50	17	1439.09	177	6369.92	97
0	Min.	-1627	-26258.40	130	-3552.83	130	-3962.71	173	-358.80	106	18.44	142	-34.12	129	-1162.35	173	-1925.63	130
0	Min.	-1628	-26258.40	130	-3552.83	130	-3962.71	173	-358.80	106	18.44	142	-34.12	129	-1162.35	173	-1925.63	130
0	Min.	-1670	-26258.40	130	-3552.83	130	-3962.71	173	-358.80	106	18.44	142	-34.12	129	-1162.35	173	-1925.63	130
0	Min.	-1669	-26258.40	130	-3552.83	130	-3962.71	173	-358.80	106	18.44	142	-34.12	129	-1162.35	173	-1925.63	130
0	Max	-1628	42488.40	101	850.65	101	16666.90	177	636.07	97	388.76	121	2.97	17	1857.29	106	6629.91	97
0	Max	-1629	42488.40	101	850.65	101	16666.90	177	636.07	97	388.76	121	2.97	17	1857.29	106	6629.91	97
0	Max	-1671	42488.40	101	850.65	101	16666.90	177	636.07	97	388.76	121	2.97	17	1857.29	106	6629.91	97
0	Max	-1670	42488.40	101	850.65	101	16666.90	177	636.07	97	388.76	121	2.97	17	1857.29	106	6629.91	97
0	Min.	-1628	-33612.60	130	-3585.19	177	-4102.05	173	-368.40	106	54.12	177	-54.76	105	-1568.59	173	-894.17	130
0	Min.	-1629	-33612.60	130	-3585.19	177	-4102.05	173	-368.40	106	54.12	177	-54.76	105	-1568.59	173	-894.17	130
0	Min.	-1671	-33612.60	130	-3585.19	177	-4102.05	173	-368.40	106	54.12	177	-54.76	105	-1568.59	173	-894.17	130
0	Min.	-1670	-33612.60	130	-3585.19	177	-4102.05	173	-368.40	106	54.12	177	-54.76	105	-1568.59	173	-894.17	130
0	Max	-1629	51743.60	101	1061.24	113	15625.20	177	916.73	97	414.99	121	19.78	17	3294.39	106	6528.35	97
0	Max	-1630	51743.60	101	1061.24	113	15625.20	177	916.73	97	414.99	121	19.78	17	3294.39	106	6528.35	97
0	Max	-1672	51743.60	101	1061.24	113	15625.20	177	916.73	97	414.99	121	19.78	17	3294.39	106	6528.35	97
0	Max	-1671	51743.60	101	1061.24	113	15625.20	177	916.73	97	414.99	121	19.78	17	3294.39	106	6528.35	97
0	Min.	-1629	-40475.10	130	-3748.76	177	-4113.33	173	-367.19	130	62.20	177	-88.35	105	-2186.28	173	-293.36	162
0	Min.	-1630	-40475.10	130	-3748.76	177	-4113.33	173	-367.19	130	62.20	177	-88.35	105	-2186.28	173	-293.36	162
0	Min.	-1672	-40475.10	130	-3748.76	177	-4113.33	173	-367.19	130	62.20	177	-88.35	105	-2186.28	173	-293.36	162
0	Min.	-1671	-40475.10	130	-3748.76	177	-4113.33	173	-367.19	130	62.20	177	-88.35	105	-2186.28	173	-293.36	162
0	Max	-1630	59213.70	101	1513.34	113	14358.30	177	1263.26	97	510.88	129	48.42	17	5442.68	106	6674.31	101
0	Max	-1631	59213.70	101	1513.34	113	14358.30	177	1263.26	97	510.88	129	48.42	17	5442.68	106	6674.31	101
0	Max	-1673	59213.70	101	1513.34	113	14358.30	177	1263.26	97	510.88	129	48.42	17	5442.68	106	6674.31	101
0	Max	-1672	59213.70	101	1513.34	113	14358.30	177	1263.26	97	510.88	129	48.42	17	5442.68	106	6674.31	101
0	Min.	-1630	-47383.80	130	-3532.13	177	-4068.77	173	-311.76	130	66.92	177	-90.87	105	-2373.81	173	-197.32	162
0	Min.	-1631	-47383.80	130	-3532.13	177	-4068.77	173	-311.76	130	66.92	177	-90.87	105	-2373.81	173	-197.32	162
0	Min.	-1673	-47383.80	130	-3532.13	177	-4068.77	173	-311.76	130	66.92	177	-90.87	105	-2373.81	173	-197.32	162
0	Min.	-1672	-47383.80	130	-3532.13	177	-4068.77	173	-311.76	130	66.92	177	-90.87	105	-2373.81	173	-197.32	162
0	Max	-1631	63124.60	101	2240.57	113	13420.50	177	1559.64	97	642.18	105	72.36	17	4042.51	106	4988.67	101
0	Max	-1971	63124.60	101	2240.57	113	13420.50	177	1559.64	97	642.18	105	72.36	17	4042.51	106	4988.67	101
0	Max	-1966	63124.60	101	2240.57	113	13420.50	177	1559.64	97	642.18	105	72.36	17	4042.51	106	4988.67	101
0	Max	-1673	63124.60	101	2240.57	113	13420.50	177	1559.64	97	642.18	105	72.36	17	4042.51	106	4988.67	101
0	Min.	-1631	-52525.40	130	-3300.00	177	-4080.82	173	-236.60	130	67.94	177	-96.85	173	-2804.19	173	-521.27	162
0	Min.	-1971	-52525.40	130	-3300.00	177	-4080.82	173	-236.60	130	67.94	177	-96.85	173	-2804.19	173	-521.27	162
0	Min.	-1966	-52525.40	130	-3300.00	177	-4080.82	173	-236.60	130	67.94	177	-96.85	173	-2804.19	173	-521.27	162
0	Min.	-1673	-52525.40	130	-3300.00	177	-4080.82	173	-236.60	130	67.94	177	-96.85	173	-2804.19	173	-521.27	162
0	Max	-1660	58206.60	101	3062.51	101	3367.06	177	2146.42	97	1258.09	97	222.82	65	-7333.81	17	20138.40	101
0	Max	434	58206.60	101	3062.51	101	3367.06	177	2146.42	97	1258.09	97	222.82	65	-7333.81	17	20138.40	101
0	Max	-2204	58206.60	101	3062.51	101	3367.06	177	2146.42	97	1258.09	97	222.82	65	-7333.81	17	20138.40	101
0	Max	-2213	58206.60	101	3062.51	101	3367.06	177	2146.42	97	1258.09	97	222.82	65	-7333.81	17	20138.40	101
0	Min.	-1660	-66867.20	130	-1824.19	130	-11426.00	166	121.89	162	141.37	17	-157.39	173	-53369.40	97	-534.33	162
0	Min.	434	-66867.20	130	-1824.19	130	-11426.00	166	121.89	162	141.37	17	-157.39	173	-53369.40	97	-534.33	162
0	Min.	-2204	-66867.20	130	-1824.19	130	-11426.00	166	121.89	162	141.37	17	-157.39	173	-53369.40	97	-534.33	162
0	Min.	-2213	-66867.20	130	-1824.19	130	-11426.00	166	121.89	162	141.37	17	-157.39	173	-53369.40	97	-534.33	162
0	Max	-1632	64691.80	101	3164.70	173	11963.00	177	2392.03	97	693.89	105	119.42	65	37301.90	105	14971.30	105
0	Max	-1863	64691.80	101	3164.70	173	11963.00	177	2392.03	97	693.89	105	119.42	65	37301.90	105	14971.30	105
0	Max	441	64691.80	101	3164.70	173	11963.00	177	2392.03	97	693.89	105	119.42	65	37301.90	105	14971.30	105
0	Max	-1674	64691.80	101	3164.70	173	11963.00	177	2392.03	97	693.89	105	119.42	65	37301.90	105	14971.30	105

0	Min.	-1632	-59668.80	130	-3085.00	177	-4187.35	173	150.96	49	74.22	177	-200.28	173	3678.59	17	1636.23	162
0	Min.	-1863	-59668.80	130	-3085.00	177	-4187.35	173	150.96	49	74.22	177	-200.28	173	3678.59	17	1636.23	162
0	Min.	441	-59668.80	130	-3085.00	177	-4187.35	173	150.96	49	74.22	177	-200.28	173	3678.59	17	1636.23	162
0	Min.	-1674	-59668.80	130	-3085.00	177	-4187.35	173	150.96	49	74.22	177	-200.28	173	3678.59	17	1636.23	162
0	Max	-1885	-6670.67	177	3002.01	97	1142.41	101	-148.89	65	110.47	33	378.63	173	18601.90	98	3646.87	130
0	Max	-2103	-6670.67	177	3002.01	97	1142.41	101	-148.89	65	110.47	33	378.63	173	18601.90	98	3646.87	130
0	Max	-2107	-6670.67	177	3002.01	97	1142.41	101	-148.89	65	110.47	33	378.63	173	18601.90	98	3646.87	130
0	Max	-1494	-6670.67	177	3002.01	97	1142.41	101	-148.89	65	110.47	33	378.63	173	18601.90	98	3646.87	130
0	Min.	-1885	-178076.00	97	-1800.32	158	-11677.70	158	-2689.42	97	-2490.46	97	-81.27	101	-808.69	65	-24784.60	97
0	Min.	-2103	-178076.00	97	-1800.32	158	-11677.70	158	-2689.42	97	-2490.46	97	-81.27	101	-808.69	65	-24784.60	97
0	Min.	-2107	-178076.00	97	-1800.32	158	-11677.70	158	-2689.42	97	-2490.46	97	-81.27	101	-808.69	65	-24784.60	97
0	Min.	-1494	-178076.00	97	-1800.32	158	-11677.70	158	-2689.42	97	-2490.46	97	-81.27	101	-808.69	65	-24784.60	97
0	Max	-1886	-5413.30	177	2979.71	97	936.81	173	-136.67	17	111.99	33	472.25	173	44655.10	97	21398.60	98
0	Max	-2104	-5413.30	177	2979.71	97	936.81	173	-136.67	17	111.99	33	472.25	173	44655.10	97	21398.60	98
0	Max	-2105	-5413.30	177	2979.71	97	936.81	173	-136.67	17	111.99	33	472.25	173	44655.10	97	21398.60	98
0	Max	-1495	-5413.30	177	2979.71	97	936.81	173	-136.67	17	111.99	33	472.25	173	44655.10	97	21398.60	98
0	Min.	-1886	-167720.00	97	-878.35	158	-33082.00	158	-3026.23	97	-2528.02	97	-67.93	17	-895.23	65	-2237.75	101
0	Min.	-2104	-167720.00	97	-878.35	158	-33082.00	158	-3026.23	97	-2528.02	97	-67.93	17	-895.23	65	-2237.75	101
0	Min.	-2105	-167720.00	97	-878.35	158	-33082.00	158	-3026.23	97	-2528.02	97	-67.93	17	-895.23	65	-2237.75	101
0	Min.	-1495	-167720.00	97	-878.35	158	-33082.00	158	-3026.23	97	-2528.02	97	-67.93	17	-895.23	65	-2237.75	101
0	Max	-1887	-3052.68	162	6367.34	158	436.03	173	-102.01	17	115.39	33	525.71	173	7550.32	97	20281.00	98
0	Max	-1888	-3052.68	162	6367.34	158	436.03	173	-102.01	17	115.39	33	525.71	173	7550.32	97	20281.00	98
0	Max	-1497	-3052.68	162	6367.34	158	436.03	173	-102.01	17	115.39	33	525.71	173	7550.32	97	20281.00	98
0	Max	-1496	-3052.68	162	6367.34	158	436.03	173	-102.01	17	115.39	33	525.71	173	7550.32	97	20281.00	98
0	Min.	-1887	-151774.00	97	-529.47	177	-9060.19	158	-1738.89	97	-1600.50	97	-100.44	17	-825.73	65	-426.40	101
0	Min.	-1888	-151774.00	97	-529.47	177	-9060.19	158	-1738.89	97	-1600.50	97	-100.44	17	-825.73	65	-426.40	101
0	Min.	-1497	-151774.00	97	-529.47	177	-9060.19	158	-1738.89	97	-1600.50	97	-100.44	17	-825.73	65	-426.40	101
0	Min.	-1496	-151774.00	97	-529.47	177	-9060.19	158	-1738.89	97	-1600.50	97	-100.44	17	-825.73	65	-426.40	101
0	Max	-1888	5798.52	162	3756.70	158	564.55	173	-56.84	1	125.41	33	537.65	173	2425.61	97	19571.30	98
0	Max	-1889	5798.52	162	3756.70	158	564.55	173	-56.84	1	125.41	33	537.65	173	2425.61	97	19571.30	98
0	Max	-1700	5798.52	162	3756.70	158	564.55	173	-56.84	1	125.41	33	537.65	173	2425.61	97	19571.30	98
0	Max	-1497	5798.52	162	3756.70	158	564.55	173	-56.84	1	125.41	33	537.65	173	2425.61	97	19571.30	98
0	Min.	-1888	-130158.00	97	-797.65	161	-7291.65	158	-1334.67	97	-1076.84	97	-125.71	17	-827.66	65	146.25	49
0	Min.	-1889	-130158.00	97	-797.65	161	-7291.65	158	-1334.67	97	-1076.84	97	-125.71	17	-827.66	65	146.25	49
0	Min.	-1700	-130158.00	97	-797.65	161	-7291.65	158	-1334.67	97	-1076.84	97	-125.71	17	-827.66	65	146.25	49
0	Min.	-1497	-130158.00	97	-797.65	161	-7291.65	158	-1334.67	97	-1076.84	97	-125.71	17	-827.66	65	146.25	49
0	Max	-1889	15319.80	162	1831.60	157	778.33	173	8.78	1	144.85	33	531.62	173	3815.79	97	19877.30	98
0	Max	-1890	15319.80	162	1831.60	157	778.33	173	8.78	1	144.85	33	531.62	173	3815.79	97	19877.30	98
0	Max	-1701	15319.80	162	1831.60	157	778.33	173	8.78	1	144.85	33	531.62	173	3815.79	97	19877.30	98
0	Max	-1700	15319.80	162	1831.60	157	778.33	173	8.78	1	144.85	33	531.62	173	3815.79	97	19877.30	98
0	Min.	-1889	-104392.00	97	-1184.02	177	-7035.21	158	-908.85	97	-673.54	97	-151.39	17	-487.64	33	427.67	149
0	Min.	-1890	-104392.00	97	-1184.02	177	-7035.21	158	-908.85	97	-673.54	97	-151.39	17	-487.64	33	427.67	149
0	Min.	-1701	-104392.00	97	-1184.02	177	-7035.21	158	-908.85	97	-673.54	97	-151.39	17	-487.64	33	427.67	149
0	Min.	-1700	-104392.00	97	-1184.02	177	-7035.21	158	-908.85	97	-673.54	97	-151.39	17	-487.64	33	427.67	149
0	Max	-1890	26143.40	162	778.42	157	1566.51	173	141.55	130	193.19	130	507.26	173	3571.16	97	19109.30	98
0	Max	-1891	26143.40	162	778.42	157	1566.51	173	141.55	130	193.19	130	507.26	173	3571.16	97	19109.30	98
0	Max	-1702	26143.40	162	778.42	157	1566.51	173	141.55	130	193.19	130	507.26	173	3571.16	97	19109.30	98
0	Max	-1701	26143.40	162	778.42	157	1566.51	173	141.55	130	193.19	130	507.26	173	3571.16	97	19109.30	98
0	Min.	-1890	-81962.60	101	-1790.22	162	-6662.24	158	-696.71	101	-485.91	101	-177.40	17	-247.27	33	187.06	149
0	Min.	-1891	-81962.60	101	-1790.22	162	-6662.24	158	-696.71	101	-485.91	101	-177.40	17	-247.27	33	187.06	149
0	Min.	-1702	-81962.60	101	-1790.22	162	-6662.24	158	-696.71	101	-485.91	101	-177.40	17	-247.27	33	187.06	149
0	Min.	-1701	-81962.60	101	-1790.22	162	-6662.24	158	-696.71	101	-485.91	101	-177.40	17	-247.27	33	187.06	149
0	Max	-1891	38842.70	162	787.94	49	2296.34	173	374.41	130	266.13	130	468.81	173	3134.62	97	19264.20	98
0	Max	-1892	38842.70	162	787.94	49	2296.34	173	374.41	130	266.13	130	468.81	173	3134.62	97	19264.20	98
0	Max	-1703	38842.70	162	787.94	49	2296.34	173	374.41	130	266.13	130	468.81	173	3134.62	97	19264.20	98
0	Max	-1702	38842.70	162	787.94	49	2296.34	173	374.41	130	266.13	130	468.81	173	3134.62	97	19264.20	98
0	Min.	-1891	-76224.90	101	-4245.81	162	-7007.88	162	-518.48	101	-658.83	101	-200.57	17	-682.63	126	1120.79	65
0	Min.	-1892	-76224.90	101	-4245.81	162	-7007.88	162	-518.48	101	-658.83	101	-200.57	17	-682.63	126	1120.79	65
0	Min.	-1703	-76224.90	101	-4245.81	162	-7007.88	162	-518.48	101	-658.83	101	-200.57	17	-682.63	126	1120.79	65
0	Min.	-1702	-76224.90	101	-4245.81	162	-7007.88	162	-518.48	101	-658.83	101	-200.57	17	-682.63	126	1120.79	65
0	Max	-1892	56809.20	162	2801.90	98	2179.99	173	660.71	106	330.92	130	431.05	173	16140.30	101	19656.00	98
0	Max	-1893	56809.20	162	2801.90	98	2179.99	173	660.71	106	330.92	130	431.05	173	16140.30	101	19656.00	98
0	Max	-1704	56809.20	162	2801.90	98	2179.99	173	660.71	106	330.92	130	431.05	173	16140.30	101	19656.00	98
0	Max	-1703	56809.20	162	2801.90	98	2179.99	173	660.71	106	330.92	130	431.05	173	16140.30	101	19656.00	98
0	Min.	-1892	-69413.90	101	-7022.94	161	-11003.90	162	-521.72	101	-1057.42	101	-206.10	17	-910.60	173	-10537.70	101
0	Min.	-1893	-69413.90	101	-7022.94	161	-11003.90	162	-521.72	101	-1057.42	101	-206.10	17	-910.60	173	-10537.70	101
0	Min.	-1704	-69413.90	101	-7022.94	161	-11003.90	162	-521.72	101	-1057.42	101	-206.10	17	-910.60	173	-10537.70	101
0	Min.	-1703	-69413.90	101	-7022.94	161	-11003.90	162	-521.72	101	-1057.42	101	-206.10	17	-910.60	173	-10537.70	101
0	Max	-1893	83204.30	162	3394.82	162	3389.57	173	1016.07	98	359.16	130	384.69	173	32364.90	101	18585.60	98
0	Max	-1938	83204.30	162	3394.82	162	3389.57	173	1016.07	98	359.16	130	384.69	173	32364.90	101	18585.60	98
0	Max	-1939	83204.30	162	3394.82	162	3389.57	173	1016.07	98	359.16	130	384.69	173	32364.90	101	18585.60	98
0	Max	-1704	83204.30	162	3394.82	162	3389.57	173	1016.07	98	359.16	130	384.69	173	32364.90	101	18585.60	98
0	Min.	-1893	-61274.40	101	-378.28	137	-31952.50	162	-1046.38	101	-1478.43	101	-210.19	17	-1368.75	173	-24848.70	101
0	Min.	-1938	-61274.40	101	-378.28	137	-31952.50	162	-1046.38	101	-1478.43	101	-210.19	17	-1368.75	173	-24848.70	101
0	Min.	-1939	-61274.40	101	-378.28	137	-31952.50	162	-1046.38	101	-1478.43	101	-210.19	17	-1368.75	173	-24848.70	101
0	Min.	-1704	-61274.40	101	-378.28	137	-31952.50	162	-1046.38	101	-1478.43	101	-210.19	17	-1368.75	173	-24848.70	101
0	Max	-1894	63449.30	130	3881.28	162	2987.64	173	2154.57	98	242.63	118	318.44	173	-2592.75	33	32392.70	102
0	Max	-1344	63449.30	130	3881.28	162	2987.64	173	2154.57	98	242.63	118	318.44	173	-2592.75	33	32392.70	102
0	Max	-1537	63449.30	130	3881.28	162	2987.64	173	2154.57	98	242.63	118	318.44	173	-2592.75	33	32392.70	102
0	Max	-1705	63449.30	130	3881.28	162	2987.64	173	2154.57	98	242.63	118	318.44	173	-2592.75	33	32392.70	102
0	Min.	-1894	-52340.10	101	-2821.37	101	-9596.23	162	113.08	49	-1397.96	101	-155.63	17	-17519.60	98	2053.94	65
0	Min.	-1344	-52340.10	101	-2821.37	101	-9596.23	162	113.08	49	-1397.96	101	-155.63	17	-17519.60	98	2053.94	65
0	Min.	-1537	-52340.10	101	-2821.37	101	-9596.23	162	113.08	49	-1397.96	101	-155.63	17	-17519.60	98	2053.94	65
0	Min.	-1705	-52340.10	101	-2821.37	101	-9596.23	162	113.08	49	-1397.96	101	-155.63	17	-17519.60	98	2053.94	65
0	Max	-1895	63677.10	101	3240.93	165	10753.40	177	2433.48	97	919.49	97	115.71	158	52207.90	105	41718.60	105
0	Max	-1357	63677.10	101	3240.93	165	10753.40	177	2433.48	97	919.49	97	115.71	158	52207.90	105	41718.60	105
0	Max	442	63677.10	101	3240.93	165	10753.40	177	2433.48	97	919.49	97	115.71	158	52207.90	105	41718.60	105
0	Max	-1667	63677.10	101	3240.93	165	10753.40	177	2433.48	97	919.49	97	115.71	158	52207.90	105	41718.60	105
0	Min.	-1895	-67606.00	130	-5062.04	177	-2439.64	165	153.28	49	-526.45	106	-221.92	173	5199.40	33	3543.00	65
0	Min.	-1357	-67606.00	130	-5062.04	177	-2439.64	165	153.28	49	-526.45	106	-221.92	173	5199.40	33	3543.00	65
0	Min.	442	-67606.00	130	-5062.04	177	-2439.64	165	153.28	49	-526.45	106	-221.92	173	5199.40	33	3543.00	65
0	Min.	-1667	-67606.00	130	-5062.04	177	-2439.64	165	153.28	49	-526.45	106	-221.92	173	5199.40	33	3543.00	65
0	Max	-1896	63154.60	101	4024.37	165	10937.60	177	1489.52	97	537.33	173	112.93	158	38744.70	106	4492.23	101
0	Max	-1969	63154.60	101	4024.37	165	10937.60	177	1489.52	97	537.33	173	112.93	158	38744.70	106	4492.23	101
0	Max	-1970	63154.60	101	4024.37	165	10937.60	177	1489.52	97	537.33	173	112.93	158	38744.70	106	4492.23	101
0	Max	-1666	63154.60	101	4024.37	165	10937.60	177	1489.52	97	537.33	173	112.93	158	38744.70	106	4492.23	101
0	Min.	-1896	-43895.80	106	-4424.97	177	-25495.10	165	-879.78	106	-1249.85	106	-99.95	173	-1928.74	173	-29579.60	106
0	Min.	-1969	-43895.80	106	-4424.97	177	-25495.10	165	-879.78	106	-1249.85	106	-99.95	173	-1928.74	173	-29579.60	106
0	Min.	-1970	-43895.80	106	-4424.97	177	-25495.10	165	-879.78	106	-1249.85	106	-99.95	173	-1928.74	173	-29579.60	106
0	Min.	-1666	-43895.80	106	-4424.97	177	-25495.10	165	-879.78	106	-1249.85	106	-99.95	173	-1928.74	173	-29579.60	106
0	Max	-1897	58320.90	101	1272.25	173	11180.00	177	1206.73	97	494.63	121	74.57	158	19632.20	106	7703.08	97
0	Max	-1896	58320.90	101	1272.25	173	11180.00	177	1206.73	97	494.63	121	74.57	158	19632.20	106	7703.08	97
0	Max	-1666	58320.90	101	1272.25	173	11180.00	177	1206.73	97	494.63	121	74.57	158	19632.20	106	7703.08	97
0	Max	-1665	58320.90	101	1272.25	173	11180.00	177	1206.73	97	494.63	121	74.57	158	19632.20	106	7703.08	97
0	Min.	-1897	-40191.10	106	-6944.85	166	-2654.72	173	-422.85	130	-876.22	106	-144.05	105	-815.11	173	-13513.50	106

0	Min.	-1896	-40191.10	106	-6944.85	166	-2654.72	173	-422.85	130	-876.22	106	-144.05	105	-815.11	173	-13513.50	106
0	Min.	-1666	-40191.10	106	-6944.85	166	-2654.72	173	-422.85	130	-876.22	106	-144.05	105	-815.11	173	-13513.50	106
0	Min.	-1665	-40191.10	106	-6944.85	166	-2654.72	173	-422.85	130	-876.22	106	-144.05	105	-815.11	173	-13513.50	106
0	Max	-1898	50997.80	101	724.46	113	12242.00	177	854.29	97	459.06	121	20.07	166	1976.63	177	6316.53	97
0	Max	-1897	50997.80	101	724.46	113	12242.00	177	854.29	97	459.06	121	20.07	166	1976.63	177	6316.53	97
0	Max	-1665	50997.80	101	724.46	113	12242.00	177	854.29	97	459.06	121	20.07	166	1976.63	177	6316.53	97
0	Max	-1664	50997.80	101	724.46	113	12242.00	177	854.29	97	459.06	121	20.07	166	1976.63	177	6316.53	97
0	Min.	-1898	-37756.50	130	-5864.65	177	-3491.96	173	-343.37	130	-468.80	106	-80.63	105	-649.36	173	-1822.73	130
0	Min.	-1897	-37756.50	130	-5864.65	177	-3491.96	173	-343.37	130	-468.80	106	-80.63	105	-649.36	173	-1822.73	130
0	Min.	-1665	-37756.50	130	-5864.65	177	-3491.96	173	-343.37	130	-468.80	106	-80.63	105	-649.36	173	-1822.73	130
0	Min.	-1664	-37756.50	130	-5864.65	177	-3491.96	173	-343.37	130	-468.80	106	-80.63	105	-649.36	173	-1822.73	130
0	Max	-1899	41925.60	101	966.61	101	13732.80	177	585.55	97	414.97	121	-9.02	17	2149.64	177	5983.78	97
0	Max	-1898	41925.60	101	966.61	101	13732.80	177	585.55	97	414.97	121	-9.02	17	2149.64	177	5983.78	97
0	Max	-1664	41925.60	101	966.61	101	13732.80	177	585.55	97	414.97	121	-9.02	17	2149.64	177	5983.78	97
0	Max	-1663	41925.60	101	966.61	101	13732.80	177	585.55	97	414.97	121	-9.02	17	2149.64	177	5983.78	97
0	Min.	-1899	-33648.90	130	-5638.00	177	-3957.33	173	-382.57	130	-261.53	106	-68.59	173	-48.27	17	-3285.77	130
0	Min.	-1898	-33648.90	130	-5638.00	177	-3957.33	173	-382.57	130	-261.53	106	-68.59	173	-48.27	17	-3285.77	130
0	Min.	-1664	-33648.90	130	-5638.00	177	-3957.33	173	-382.57	130	-261.53	106	-68.59	173	-48.27	17	-3285.77	130
0	Min.	-1663	-33648.90	130	-5638.00	177	-3957.33	173	-382.57	130	-261.53	106	-68.59	173	-48.27	17	-3285.77	130
0	Max	-1900	31834.50	101	978.95	101	14366.20	177	376.05	97	348.33	121	-15.76	17	2517.16	177	5095.79	97
0	Max	-1899	31834.50	101	978.95	101	14366.20	177	376.05	97	348.33	121	-15.76	17	2517.16	177	5095.79	97
0	Max	-1663	31834.50	101	978.95	101	14366.20	177	376.05	97	348.33	121	-15.76	17	2517.16	177	5095.79	97
0	Max	-1662	31834.50	101	978.95	101	14366.20	177	376.05	97	348.33	121	-15.76	17	2517.16	177	5095.79	97
0	Min.	-1900	-27130.40	130	-4361.88	130	-4145.52	173	-344.60	130	-141.87	106	-126.16	121	159.49	17	-2485.21	106
0	Min.	-1899	-27130.40	130	-4361.88	130	-4145.52	173	-344.60	130	-141.87	106	-126.16	121	159.49	17	-2485.21	106
0	Min.	-1663	-27130.40	130	-4361.88	130	-4145.52	173	-344.60	130	-141.87	106	-126.16	121	159.49	17	-2485.21	106
0	Min.	-1662	-27130.40	130	-4361.88	130	-4145.52	173	-344.60	130	-141.87	106	-126.16	121	159.49	17	-2485.21	106
0	Max	-1901	21639.90	101	358.62	113	12988.10	177	209.30	97	255.50	157	-6.07	142	2983.83	121	5123.38	97
0	Max	-1900	21639.90	101	358.62	113	12988.10	177	209.30	97	255.50	157	-6.07	142	2983.83	121	5123.38	97
0	Max	-1662	21639.90	101	358.62	113	12988.10	177	209.30	97	255.50	157	-6.07	142	2983.83	121	5123.38	97
0	Max	-1661	21639.90	101	358.62	113	12988.10	177	209.30	97	255.50	157	-6.07	142	2983.83	121	5123.38	97
0	Min.	-1901	-19498.30	130	-2576.40	130	-3949.16	173	-276.02	130	-71.19	106	-184.32	121	349.63	142	-3272.52	106
0	Min.	-1900	-19498.30	130	-2576.40	130	-3949.16	173	-276.02	130	-71.19	106	-184.32	121	349.63	142	-3272.52	106
0	Min.	-1662	-19498.30	130	-2576.40	130	-3949.16	173	-276.02	130	-71.19	106	-184.32	121	349.63	142	-3272.52	106
0	Min.	-1661	-19498.30	130	-2576.40	130	-3949.16	173	-276.02	130	-71.19	106	-184.32	121	349.63	142	-3272.52	106
0	Max	-1902	10679.60	101	6925.77	177	8256.08	177	44.98	173	160.03	160	-4.90	141	5317.91	177	5024.89	97
0	Max	-1901	10679.60	101	6925.77	177	8256.08	177	44.98	173	160.03	160	-4.90	141	5317.91	177	5024.89	97
0	Max	-1661	10679.60	101	6925.77	177	8256.08	177	44.98	173	160.03	160	-4.90	141	5317.91	177	5024.89	97
0	Max	-1423	10679.60	101	6925.77	177	8256.08	177	44.98	173	160.03	160	-4.90	141	5317.91	177	5024.89	97
0	Min.	-1902	-10086.70	130	-3190.88	173	-4383.43	101	-92.73	106	-35.07	107	-200.14	158	-4452.12	121	-5813.60	106
0	Min.	-1901	-10086.70	130	-3190.88	173	-4383.43	101	-92.73	106	-35.07	107	-200.14	158	-4452.12	121	-5813.60	106
0	Min.	-1661	-10086.70	130	-3190.88	173	-4383.43	101	-92.73	106	-35.07	107	-200.14	158	-4452.12	121	-5813.60	106
0	Min.	-1423	-10086.70	130	-3190.88	173	-4383.43	101	-92.73	106	-35.07	107	-200.14	158	-4452.12	121	-5813.60	106
0	Max	-1903	10704.00	101	1497.25	162	7963.89	177	28.95	97	156.19	158	250.49	121	5653.05	177	6476.27	97
0	Max	-1904	10704.00	101	1497.25	162	7963.89	177	28.95	97	156.19	158	250.49	121	5653.05	177	6476.27	97
0	Max	-1647	10704.00	101	1497.25	162	7963.89	177	28.95	97	156.19	158	250.49	121	5653.05	177	6476.27	97
0	Max	-1421	10704.00	101	1497.25	162	7963.89	177	28.95	97	156.19	158	250.49	121	5653.05	177	6476.27	97
0	Min.	-1903	-10437.70	130	-6217.93	177	-3881.93	97	-85.71	106	-34.35	105	-25.48	106	276.17	65	-7834.33	106
0	Min.	-1904	-10437.70	130	-6217.93	177	-3881.93	97	-85.71	106	-34.35	105	-25.48	106	276.17	65	-7834.33	106
0	Min.	-1647	-10437.70	130	-6217.93	177	-3881.93	97	-85.71	106	-34.35	105	-25.48	106	276.17	65	-7834.33	106
0	Min.	-1421	-10437.70	130	-6217.93	177	-3881.93	97	-85.71	106	-34.35	105	-25.48	106	276.17	65	-7834.33	106
0	Max	-1904	21328.10	101	649.19	173	11392.50	177	200.27	97	255.59	157	233.61	121	771.07	177	5531.90	97
0	Max	-1905	21328.10	101	649.19	173	11392.50	177	200.27	97	255.59	157	233.61	121	771.07	177	5531.90	97
0	Max	-1648	21328.10	101	649.19	173	11392.50	177	200.27	97	255.59	157	233.61	121	771.07	177	5531.90	97
0	Max	-1647	21328.10	101	649.19	173	11392.50	177	200.27	97	255.59	157	233.61	121	771.07	177	5531.90	97
0	Min.	-1904	-20021.30	130	-5010.21	177	-3742.42	173	-298.34	130	-81.73	106	-20.46	106	-1464.29	158	-3956.67	106
0	Min.	-1905	-20021.30	130	-5010.21	177	-3742.42	173	-298.34	130	-81.73	106	-20.46	106	-1464.29	158	-3956.67	106
0	Min.	-1648	-20021.30	130	-5010.21	177	-3742.42	173	-298.34	130	-81.73	106	-20.46	106	-1464.29	158	-3956.67	106
0	Min.	-1647	-20021.30	130	-5010.21	177	-3742.42	173	-298.34	130	-81.73	106	-20.46	106	-1464.29	158	-3956.67	106
0	Max	-1905	31889.70	101	1220.71	101	12187.00	177	359.03	97	345.73	157	166.56	121	1110.59	106	6007.89	97
0	Max	-1906	31889.70	101	1220.71	101	12187.00	177	359.03	97	345.73	157	166.56	121	1110.59	106	6007.89	97
0	Max	-1649	31889.70	101	1220.71	101	12187.00	177	359.03	97	345.73	157	166.56	121	1110.59	106	6007.89	97
0	Max	-1648	31889.70	101	1220.71	101	12187.00	177	359.03	97	345.73	157	166.56	121	1110.59	106	6007.89	97
0	Min.	-1905	-28285.90	130	-4686.95	130	-4152.66	173	-369.56	130	-152.47	106	-36.18	106	-826.63	173	-3592.68	106
0	Min.	-1906	-28285.90	130	-4686.95	130	-4152.66	173	-369.56	130	-152.47	106	-36.18	106	-826.63	173	-3592.68	106
0	Min.	-1649	-28285.90	130	-4686.95	130	-4152.66	173	-369.56	130	-152.47	106	-36.18	106	-826.63	173	-3592.68	106
0	Min.	-1648	-28285.90	130	-4686.95	130	-4152.66	173	-369.56	130	-152.47	106	-36.18	106	-826.63	173	-3592.68	106
0	Max	-1906	41907.60	101	1182.71	101	12049.30	177	562.02	97	414.79	121	105.00	97	634.10	102	6641.06	97
0	Max	-1907	41907.60	101	1182.71	101	12049.30	177	562.02	97	414.79	121	105.00	97	634.10	102	6641.06	97
0	Max	-1650	41907.60	101	1182.71	101	12049.30	177	562.02	97	414.79	121	105.00	97	634.10	102	6641.06	97
0	Max	-1649	41907.60	101	1182.71	101	12049.30	177	562.02	97	414.79	121	105.00	97	634.10	102	6641.06	97
0	Min.	-1906	-34749.20	130	-4943.02	166	-4105.04	173	-408.67	130	-282.00	106	-41.66	106	-1043.34	173	-4591.11	130
0	Min.	-1907	-34749.20	130	-4943.02	166	-4105.04	173	-408.67	130	-282.00	106	-41.66	106	-1043.34	173	-4591.11	130
0	Min.	-1650	-34749.20	130	-4943.02	166	-4105.04	173	-408.67	130	-282.00	106	-41.66	106	-1043.34	173	-4591.11	130
0	Min.	-1649	-34749.20	130	-4943.02	166	-4105.04	173	-408.67	130	-282.00	106	-41.66	106	-1043.34	173	-4591.11	130
0	Max	-1907	50932.80	101	671.85	113	11410.90	177	831.62	97	463.46	121	87.53	101	1302.65	101	7475.20	97
0	Max	-1908	50932.80	101	671.85	113	11410.90	177	831.62	97	463.46	121	87.53	101	1302.65	101	7475.20	97
0	Max	-1651	50932.80	101	671.85	113	11410.90	177	831.62	97	463.46	121	87.53	101	1302.65	101	7475.20	97
0	Max	-1650	50932.80	101	671.85	113	11410.90	177	831.62	97	463.46	121	87.53	101	1302.65	101	7475.20	97
0	Min.	-1907	-38950.80	130	-4776.99	166	-3935.59	173	-358.88	130	-499.37	106	-89.96	130	-1694.20	130	-2872.77	130
0	Min.	-1908	-38950.80	130	-4776.99	166	-3935.59	173	-358.88	130	-499.37	106	-89.96	130	-1694.20	130	-2872.77	130
0	Min.	-1651	-38950.80	130	-4776.99	166	-3935.59	173	-358.88	130	-499.37	106	-89.96	130	-1694.20	130	-2872.77	130
0	Min.	-1650	-38950.80	130	-4776.99	166	-3935.59	173	-358.88	130	-499.37	106	-89.96	130	-1694.20	130	-2872.77	130
0	Max	-1908	58044.90	101	998.36	33	10615.70	177	1167.04	97	491.58	121	67.78	17	15489.00	105	7288.16	101
0	Max	-1909	58044.90	101	998.36	33	10615.70	177	1167.04	97	491.58	121	67.78	17	15489.00	105	7288.16	101
0	Max	-1652	58044.90	101	998.36	33	10615.70	177	1167.04	97	491.58	121	67.78	17	15489.00	105	7288.16	101
0	Max	-1651	58044.90	101	998.36	33	10615.70	177	1167.04	97	491.58	121	67.78	17	15489.00	105	7288.16	101
0	Min.	-1908	-40564.90	106	-6045.15	165	-8042.10	165	-439.78	130	-938.63	106	-155.60	130	-1304.76	173	-15832.20	106
0	Min.	-1909	-40564.90	106	-6045.15	165	-8042.10	165	-439.78	130	-938.63	106	-155.60	130	-1304.76	173	-15832.20	106
0	Min.	-1652	-40564.90	106	-6045.15	165	-8042.10	165	-439.78	130	-938.63	106	-155.60	130	-1304.76	173	-15832.20	106
0	Min.	-1651	-40564.90	106	-6045.15	165	-8042.10	165	-439.78	130	-938.63	106	-155.60	130	-1304.76	173	-15832.20	106
0	Max	-1909	62356.30	101	4051.00	165	9799.65	177	1474.75	97	504.66	121	74.82	17	32077.90	105	7311.83	97
0	Max	-1972	62356.30	101	4051.00	165	9799.65	177	1474.75	97	504.66	121	74.82	17	32077.90	105	7311.83	97
0	Max	-1965	62356.30	101	4051.00	165	9799.65	177	1474.75	97	504.66	121	74.82	17	32077.90	105	7311.83	97
0	Max	-1652	62356.30	101	4051.00	165	9799.65	177	1474.75	97	504.66	121	74.82	17	32077.90	105	7311.83	97
0	Min.	-1909	-44148.90	106	-1343.79	106	-31559.70	166	-869.21	106	-1382.29	106	-124.42	173	-1516.16	173	-29343.50	106
0	Min.	-1972	-44148.90	106	-1343.79	106	-31559.70	166	-869.21	106	-1382.29	106	-124.42	173	-1516.16	173	-29343.50	106
0	Min.	-1965	-44148.90	106	-1343.79	106	-31559.70	166	-869.21	106	-1382.29	106	-124.42	173	-1516.16	173	-29343.50	106
0	Min.	-1652	-44148.90	106	-1343.79	106	-31559.70	166	-869.21	106	-1382.29	106	-124.42	173	-1516.16	173	-29343.50	106
0	Max	-1910	63283.40	101	2942.94	113	9124.25	177	2276.61	97	311.55	121	124.45	65	-2575.85	33	26736.60	105
0	Max	-1874	63283.40	101	2942.94	113	9124.25	177	2276.61	97	311.55	121	124.45	65	-2575.85	33	26736.60	105
0	Max	-1848	63283.40	101	2942.94	113	9124.25	177	2276.61	97	311.55	121	124.45	65	-2575.85	33	26736.60	105
0	Max	-1653	63283.40	101	2942.94	113	9124.25	177	2276.61	97	311.55	121	124.45	65	-2575.85	33	26736.60	105
0	Min.	-1910	-68301.60	130	-3118.68	106	-9020.79	166	125.51	1	-1366.93	106	-218.49	173	-17820.10	97	1466.04	162
0	Min.	-1874	-68301.60	130	-3118.68	106	-9020.79	166	125.51	1	-1366.93	106	-218.49	173	-17820.10	97	1466.04	162

0	Min.	-1848	-68301.60	130	-3118.68	106	-9020.79	166	125.51	1	-1366.93	106	-218.49	173	-17820.10	97	1466.04	162
0	Min.	-1653	-68301.60	130	-3118.68	106	-9020.79	166	125.51	1	-1366.93	106	-218.49	173	-17820.10	97	1466.04	162
0	Max	-1547	-17055.70	177	5033.64	97	7962.58	158	-203.56	33	163.98	33	40.12	106	75673.60	173	8439.92	98
0	Max	-1832	-17055.70	177	5033.64	97	7962.58	158	-203.56	33	163.98	33	40.12	106	75673.60	173	8439.92	98
0	Max	-1465	-17055.70	177	5033.64	97	7962.58	158	-203.56	33	163.98	33	40.12	106	75673.60	173	8439.92	98
0	Max	-2083	-17055.70	177	5033.64	97	7962.58	158	-203.56	33	163.98	33	40.12	106	75673.60	173	8439.92	98
0	Min.	-1547	-182766.00	98	-1980.26	158	-2025.63	125	-2702.02	97	-1750.05	173	-260.93	173	-26356.20	97	-45662.70	173
0	Min.	-1832	-182766.00	98	-1980.26	158	-2025.63	125	-2702.02	97	-1750.05	173	-260.93	173	-26356.20	97	-45662.70	173
0	Min.	-1465	-182766.00	98	-1980.26	158	-2025.63	125	-2702.02	97	-1750.05	173	-260.93	173	-26356.20	97	-45662.70	173
0	Min.	-2083	-182766.00	98	-1980.26	158	-2025.63	125	-2702.02	97	-1750.05	173	-260.93	173	-26356.20	97	-45662.70	173
0	Max	-1699	-15879.10	177	5737.99	97	3938.96	158	-189.89	33	165.79	33	77.12	65	11809.50	173	3507.50	130
0	Max	-1831	-15879.10	177	5737.99	97	3938.96	158	-189.89	33	165.79	33	77.12	65	11809.50	173	3507.50	130
0	Max	-1464	-15879.10	177	5737.99	97	3938.96	158	-189.89	33	165.79	33	77.12	65	11809.50	173	3507.50	130
0	Max	-1762	-15879.10	177	5737.99	97	3938.96	158	-189.89	33	165.79	33	77.12	65	11809.50	173	3507.50	130
0	Min.	-1699	-173257.00	98	-1546.92	177	-2415.87	165	-2744.67	98	-1328.66	98	-359.86	173	-27518.80	97	-13370.10	173
0	Min.	-1831	-173257.00	98	-1546.92	177	-2415.87	165	-2744.67	98	-1328.66	98	-359.86	173	-27518.80	97	-13370.10	173
0	Min.	-1464	-173257.00	98	-1546.92	177	-2415.87	165	-2744.67	98	-1328.66	98	-359.86	173	-27518.80	97	-13370.10	173
0	Min.	-1762	-173257.00	98	-1546.92	177	-2415.87	165	-2744.67	98	-1328.66	98	-359.86	173	-27518.80	97	-13370.10	173
0	Max	-1974	-5413.29	177	4048.80	158	1404.63	177	-136.67	65	111.00	33	67.93	65	44655.10	98	2782.55	130
0	Max	-1882	-5413.29	177	4048.80	158	1404.63	177	-136.67	65	111.00	33	67.93	65	44655.10	98	2782.55	130
0	Max	-1492	-5413.29	177	4048.80	158	1404.63	177	-136.67	65	111.00	33	67.93	65	44655.10	98	2782.55	130
0	Max	-1973	-5413.29	177	4048.80	158	1404.63	177	-136.67	65	111.00	33	67.93	65	44655.10	98	2782.55	130
0	Min.	-1974	-167720.00	98	-743.16	177	-33007.10	158	-3026.23	98	-2528.02	98	-438.24	173	-895.23	17	-21398.60	97
0	Min.	-1882	-167720.00	98	-743.16	177	-33007.10	158	-3026.23	98	-2528.02	98	-438.24	173	-895.23	17	-21398.60	97
0	Min.	-1492	-167720.00	98	-743.16	177	-33007.10	158	-3026.23	98	-2528.02	98	-438.24	173	-895.23	17	-21398.60	97
0	Min.	-1973	-167720.00	98	-743.16	177	-33007.10	158	-3026.23	98	-2528.02	98	-438.24	173	-895.23	17	-21398.60	97
0	Max	-1911	-6670.66	177	4974.55	158	928.28	101	-148.89	17	109.98	33	81.26	106	18601.90	97	24784.60	98
0	Max	-1883	-6670.66	177	4974.55	158	928.28	101	-148.89	17	109.98	33	81.26	106	18601.90	97	24784.60	98
0	Max	-1493	-6670.66	177	4974.55	158	928.28	101	-148.89	17	109.98	33	81.26	106	18601.90	97	24784.60	98
0	Max	-1912	-6670.66	177	4974.55	158	928.28	101	-148.89	17	109.98	33	81.26	106	18601.90	97	24784.60	98
0	Min.	-1911	-178076.00	98	-848.86	177	-11850.90	158	-2689.42	98	-2490.46	98	-115.81	101	-808.69	17	-3567.69	101
0	Min.	-1883	-178076.00	98	-848.86	177	-11850.90	158	-2689.42	98	-2490.46	98	-115.81	101	-808.69	17	-3567.69	101
0	Min.	-1493	-178076.00	98	-848.86	177	-11850.90	158	-2689.42	98	-2490.46	98	-115.81	101	-808.69	17	-3567.69	101
0	Min.	-1912	-178076.00	98	-848.86	177	-11850.90	158	-2689.42	98	-2490.46	98	-115.81	101	-808.69	17	-3567.69	101
0	Max	-2076	-18165.30	33	6028.75	173	2034.96	165	-204.76	33	944.65	173	138.81	97	26281.90	97	8422.98	98
0	Max	-1715	-18165.30	33	6028.75	173	2034.96	165	-204.76	33	944.65	173	138.81	97	26281.90	97	8422.98	98
0	Max	-1792	-18165.30	33	6028.75	173	2034.96	165	-204.76	33	944.65	173	138.81	97	26281.90	97	8422.98	98
0	Max	-2075	-18165.30	33	6028.75	173	2034.96	165	-204.76	33	944.65	173	138.81	97	26281.90	97	8422.98	98
0	Min.	-2076	-182264.00	98	-4953.67	177	-7956.17	158	-2703.56	97	-1480.48	98	-55.89	173	-4635.04	173	-4568.57	101
0	Min.	-1715	-182264.00	98	-4953.67	177	-7956.17	158	-2703.56	97	-1480.48	98	-55.89	173	-4635.04	173	-4568.57	101
0	Min.	-1792	-182264.00	98	-4953.67	177	-7956.17	158	-2703.56	97	-1480.48	98	-55.89	173	-4635.04	173	-4568.57	101
0	Min.	-2075	-182264.00	98	-4953.67	177	-7956.17	158	-2703.56	97	-1480.48	98	-55.89	173	-4635.04	173	-4568.57	101
0	Max	-2078	-16282.00	33	5799.05	173	2431.76	165	-190.89	33	836.58	173	86.74	65	27459.90	97	3495.32	130
0	Max	-1714	-16282.00	33	5799.05	173	2431.76	165	-190.89	33	836.58	173	86.74	65	27459.90	97	3495.32	130
0	Max	-1791	-16282.00	33	5799.05	173	2431.76	165	-190.89	33	836.58	173	86.74	65	27459.90	97	3495.32	130
0	Max	-2077	-16282.00	33	5799.05	173	2431.76	165	-190.89	33	836.58	173	86.74	65	27459.90	97	3495.32	130
0	Min.	-2078	-172761.00	98	-4564.27	177	-3992.95	158	-2745.88	98	-1332.08	98	-97.26	173	-2781.37	173	-5340.25	101
0	Min.	-1714	-172761.00	98	-4564.27	177	-3992.95	158	-2745.88	98	-1332.08	98	-97.26	173	-2781.37	173	-5340.25	101
0	Min.	-1791	-172761.00	98	-4564.27	177	-3992.95	158	-2745.88	98	-1332.08	98	-97.26	173	-2781.37	173	-5340.25	101
0	Min.	-2077	-172761.00	98	-4564.27	177	-3992.95	158	-2745.88	98	-1332.08	98	-97.26	173	-2781.37	173	-5340.25	101
0	Max	-2080	-10516.30	162	2987.42	97	7361.67	158	-153.03	1	170.55	33	340.34	173	2520.49	173	25859.70	98
0	Max	-1835	-10516.30	162	2987.42	97	7361.67	158	-153.03	1	170.55	33	340.34	173	2520.49	173	25859.70	98
0	Max	-1468	-10516.30	162	2987.42	97	7361.67	158	-153.03	1	170.55	33	340.34	173	2520.49	173	25859.70	98
0	Max	-2079	-10516.30	162	2987.42	97	7361.67	158	-153.03	1	170.55	33	340.34	173	2520.49	173	25859.70	98
0	Min.	-2080	-169852.00	97	-1891.77	177	-1975.86	177	-2304.79	97	-1284.14	97	-145.45	97	-21054.10	98	-393.96	149
0	Min.	-1835	-169852.00	97	-1891.77	177	-1975.86	177	-2304.79	97	-1284.14	97	-145.45	97	-21054.10	98	-393.96	149
0	Min.	-1468	-169852.00	97	-1891.77	177	-1975.86	177	-2304.79	97	-1284.14	97	-145.45	97	-21054.10	98	-393.96	149
0	Min.	-2079	-169852.00	97	-1891.77	177	-1975.86	177	-2304.79	97	-1284.14	97	-145.45	97	-21054.10	98	-393.96	149
0	Max	-2082	-16837.40	177	3430.42	97	5594.20	158	-177.03	33	167.75	33	298.12	173	6978.14	173	12268.40	98
0	Max	-1834	-16837.40	177	3430.42	97	5594.20	158	-177.03	33	167.75	33	298.12	173	6978.14	173	12268.40	98
0	Max	-1467	-16837.40	177	3430.42	97	5594.20	158	-177.03	33	167.75	33	298.12	173	6978.14	173	12268.40	98
0	Max	-2081	-16837.40	177	3430.42	97	5594.20	158	-177.03	33	167.75	33	298.12	173	6978.14	173	12268.40	98
0	Min.	-2082	-180895.00	97	-1903.93	177	-1894.93	161	-2714.75	97	-1376.51	97	-57.42	17	-28916.30	98	-1751.05	101
0	Min.	-1834	-180895.00	97	-1903.93	177	-1894.93	161	-2714.75	97	-1376.51	97	-57.42	17	-28916.30	98	-1751.05	101
0	Min.	-1467	-180895.00	97	-1903.93	177	-1894.93	161	-2714.75	97	-1376.51	97	-57.42	17	-28916.30	98	-1751.05	101
0	Min.	-2081	-180895.00	97	-1903.93	177	-1894.93	161	-2714.75	97	-1376.51	97	-57.42	17	-28916.30	98	-1751.05	101
0	Max	-1913	66993.60	130	2174.69	130	3732.30	173	1474.74	98	501.24	98	111.09	173	32080.00	102	29354.90	101
0	Max	-1343	66993.60	130	2174.69	130	3732.30	173	1474.74	98	501.24	98	111.09	173	32080.00	102	29354.90	101
0	Max	-1573	66993.60	130	2174.69	130	3732.30	173	1474.74	98	501.24	98	111.09	173	32080.00	102	29354.90	101
0	Max	-1914	66993.60	130	2174.69	130	3732.30	173	1474.74	98	501.24	98	111.09	173	32080.00	102	29354.90	101
0	Min.	-1913	-44152.90	101	-2694.86	125	-31044.40	162	-869.32	101	-1382.42	101	-93.60	166	-1324.54	173	-7312.29	98
0	Min.	-1343	-44152.90	101	-2694.86	125	-31044.40	162	-869.32	101	-1382.42	101	-93.60	166	-1324.54	173	-7312.29	98
0	Min.	-1573	-44152.90	101	-2694.86	125	-31044.40	162	-869.32	101	-1382.42	101	-93.60	166	-1324.54	173	-7312.29	98
0	Min.	-1914	-44152.90	101	-2694.86	125	-31044.40	162	-869.32	101	-1382.42	101	-93.60	166	-1324.54	173	-7312.29	98
0	Max	-1915	67306.80	130	2478.69	173	3196.48	130	1489.52	98	526.08	173	119.84	126	38746.10	101	29591.20	101
0	Max	-1347	67306.80	130	2478.69	173	3196.48	130	1489.52	98	526.08	173	119.84	126	38746.10	101	29591.20	101
0	Max	-1559	67306.80	130	2478.69	173	3196.48	130	1489.52	98	526.08	173	119.84	126	38746.10	101	29591.20	101
0	Max	-1916	67306.80	130	2478.69	173	3196.48	130	1489.52	98	526.08	173	119.84	126	38746.10	101	29591.20	101
0	Min.	-1915	-43899.70	101	-4424.81	177	-25713.50	161	-879.89	101	-1250.00	101	-78.03	65	-1864.33	173	-4491.85	106
0	Min.	-1347	-43899.70	101	-4424.81	177	-25713.50	161	-879.89	101	-1250.00	101	-78.03	65	-1864.33	173	-4491.85	106
0	Min.	-1559	-43899.70	101	-4424.81	177	-25713.50	161	-879.89	101	-1250.00	101	-78.03	65	-1864.33	173	-4491.85	106
0	Min.	-1916	-43899.70	101	-4424.81	177	-25713.50	161	-879.89	101	-1250.00	101	-78.03	65	-1864.33	173	-4491.85	106
0	Max	-1917	56510.40	130	2134.15	118	5665.09	173	1554.23	98	322.70	106	307.30	173	5763.22	98	28528.50	102
0	Max	-1698	56510.40	130	2134.15	118	5665.09	173	1554.23	98	322.70	106	307.30	173	5763.22	98	28528.50	102
0	Max	-1475	56510.40	130	2134.15	118	5665.09	173	1554.23	98	322.70	106	307.30	173	5763.22	98	28528.50	102
0	Max	-1918	56510.40	130	2134.15	118	5665.09	173	1554.23	98	322.70	106	307.30	173	5763.22	98	28528.50	102
0	Min.	-1917	-60175.60	101	-1289.86	101	-8566.86	177	-348.56	101	-154.41	101	-222.77	17	-24209.70	101	2377.69	65
0	Min.	-1698	-60175.60	101	-1289.86	101	-8566.86	177	-348.56	101	-154.41	101	-222.77	17	-24209.70	101	2377.69	65
0	Min.	-1475	-60175.60	101	-1289.86	101	-8566.86	177	-348.56	101	-154.41	101	-222.77	17	-24209.70	101	2377.69	65
0	Min.	-1918	-60175.60	101	-1289.86	101	-8566.86	177	-348.56	101	-154.41	101	-222.77	17	-24209.70	101	2377.69	65
0	Max	-1919	54862.10	130	6137.82	173	1054.46	165	1472.56	98	587.83	173	318.43	173	39496.10	102	44682.80	102
0	Max	-1384	54862.10	130	6137.82	173	1054.46	165	1472.56	98	587.83	173	318.43	173	39496.10	102	44682.80	102
0	Max	-1725	54862.10	130	6137.82	173	1054.46	165	1472.56	98	587.83	173	318.43	173	39496.10	102	44682.80	102
0	Max	-1920	54862.10	130	6137.82	173	1054.46	165	1472.56	98	587.83	173	318.43	173	39496.10	102	44682.80	102
0	Min.	-1919	-61742.90	101	-5392.78	161	-27823.50	162	-805.84	101	-1234.11	101	-253.43	97	-1598.43	173	2317.03	17
0	Min.	-1384	-61742.90	101	-5392.78	161	-27823.50	162	-805.84	101	-1234.11	101	-253.43	97	-1598.43	173	2317.03	17
0	Min.	-1725	-61742.90	101	-5392.78	161	-27823.50	162	-805.84	101	-1234.11	101	-253.43	97	-1598.43	173	2317.03	17
0	Min.	-1920	-61742.90	101	-5392.78	161	-27823.50	162	-805.84	101	-1234.11	101	-253.43	97	-1598.43	173	2317.03	17
0	Max	-1921	64828.40	130	1226.19	98	3311.54	101	1278.18	98	519.31	98	49.70	173	95.47	125	1266.97	161
0	Max	-1566	64828.40	130	1226.19	98	3311.54	101	1278.18	98	519.31	98	49.70	173	95.47	125	1266.97	161
0	Max	-2179	64828.40	130	1226.19	98	3311.54	101	1278.18	98	519.31	98	49.70	173	95.47	125	1266.97	161
0	Max	-2180	64828.40	130	1226.19	98	3311.54	101	1278.18	98	519.31	98	49.70	173	95.47	125	1266.97	161
0	Min.	-1921	-43635.60	101	-89.86	137	-6990.67	162	-241.83	101	40.33	65	-194.96	130	-10067.10	98	-6933.42	98
0	Min.	-1566	-43635.60	101	-89.86	137	-6990.67	162	-241.83	101	40.33	65	-194.96	130	-10067.10	98	-6933.42	98
0	Min.	-2179	-43635.60	101	-89.86	137	-6990.67	162	-241.83	101	40.33	65	-194.96	130	-10067.10	98	-6933.42	98

0	Min.	-2180	-43635.60	101	-89.86	137	-6990.67	162	-241.83	101	40.33	65	-194.96	130	-10067.10	98	-6933.42	98
0	Max	-1920	56264.90	130	2735.35	173	3374.05	173	1554.77	98	432.23	173	353.13	173	23999.00	101	28447.00	102
0	Max	-1725	56264.90	130	2735.35	173	3374.05	173	1554.77	98	432.23	173	353.13	173	23999.00	101	28447.00	102
0	Max	-1802	56264.90	130	2735.35	173	3374.05	173	1554.77	98	432.23	173	353.13	173	23999.00	101	28447.00	102
0	Max	-1923	56264.90	130	2735.35	173	3374.05	173	1554.77	98	432.23	173	353.13	173	23999.00	101	28447.00	102
0	Min.	-1920	-60014.80	101	-4741.06	177	-9236.66	177	-348.26	101	-162.38	101	-180.59	17	-5919.79	98	2398.52	17
0	Min.	-1725	-60014.80	101	-4741.06	177	-9236.66	177	-348.26	101	-162.38	101	-180.59	17	-5919.79	98	2398.52	17
0	Min.	-1802	-60014.80	101	-4741.06	177	-9236.66	177	-348.26	101	-162.38	101	-180.59	17	-5919.79	98	2398.52	17
0	Min.	-1923	-60014.80	101	-4741.06	177	-9236.66	177	-348.26	101	-162.38	101	-180.59	17	-5919.79	98	2398.52	17
0	Max	-1924	54599.50	130	4801.29	173	31344.90	162	1548.90	98	531.50	173	303.43	173	7379.31	98	42928.50	102
0	Max	-1838	54599.50	130	4801.29	173	31344.90	162	1548.90	98	531.50	173	303.43	173	7379.31	98	42928.50	102
0	Max	-1384	54599.50	130	4801.29	173	31344.90	162	1548.90	98	531.50	173	303.43	173	7379.31	98	42928.50	102
0	Max	-1919	54599.50	130	4801.29	173	31344.90	162	1548.90	98	531.50	173	303.43	173	7379.31	98	42928.50	102
0	Min.	-1924	-60947.00	101	-6334.75	161	-6889.21	177	-728.34	101	-1539.86	101	-342.47	97	-21548.80	101	1801.16	17
0	Min.	-1838	-60947.00	101	-6334.75	161	-6889.21	177	-728.34	101	-1539.86	101	-342.47	97	-21548.80	101	1801.16	17
0	Min.	-1384	-60947.00	101	-6334.75	161	-6889.21	177	-728.34	101	-1539.86	101	-342.47	97	-21548.80	101	1801.16	17
0	Min.	-1919	-60947.00	101	-6334.75	161	-6889.21	177	-728.34	101	-1539.86	101	-342.47	97	-21548.80	101	1801.16	17
0	Max	-1925	66043.10	130	1758.28	97	2778.82	97	1341.28	98	640.20	98	94.28	101	20467.20	101	939.70	101
0	Max	-1515	66043.10	130	1758.28	97	2778.82	97	1341.28	98	640.20	98	94.28	101	20467.20	101	939.70	101
0	Max	-1566	66043.10	130	1758.28	97	2778.82	97	1341.28	98	640.20	98	94.28	101	20467.20	101	939.70	101
0	Max	-1921	66043.10	130	1758.28	97	2778.82	97	1341.28	98	640.20	98	94.28	101	20467.20	101	939.70	101
0	Min.	-1925	-43934.30	101	-266.50	102	-8135.25	162	-315.86	101	52.62	65	-149.28	130	-788.99	173	-6011.31	98
0	Min.	-1515	-43934.30	101	-266.50	102	-8135.25	162	-315.86	101	52.62	65	-149.28	130	-788.99	173	-6011.31	98
0	Min.	-1566	-43934.30	101	-266.50	102	-8135.25	162	-315.86	101	52.62	65	-149.28	130	-788.99	173	-6011.31	98
0	Min.	-1921	-43934.30	101	-266.50	102	-8135.25	162	-315.86	101	52.62	65	-149.28	130	-788.99	173	-6011.31	98
0	Max	-1914	65735.10	130	4477.01	162	4061.34	101	1411.76	98	559.33	98	159.80	101	29363.90	101	13095.60	101
0	Max	-1573	65735.10	130	4477.01	162	4061.34	101	1411.76	98	559.33	98	159.80	101	29363.90	101	13095.60	101
0	Max	-1515	65735.10	130	4477.01	162	4061.34	101	1411.76	98	559.33	98	159.80	101	29363.90	101	13095.60	101
0	Max	-1925	65735.10	130	4477.01	162	4061.34	101	1411.76	98	559.33	98	159.80	101	29363.90	101	13095.60	101
0	Min.	-1914	-43756.20	101	-1014.50	101	-11503.00	162	-560.11	101	-500.00	101	-100.06	162	-1410.36	173	-7600.33	98
0	Min.	-1573	-43756.20	101	-1014.50	101	-11503.00	162	-560.11	101	-500.00	101	-100.06	162	-1410.36	173	-7600.33	98
0	Min.	-1515	-43756.20	101	-1014.50	101	-11503.00	162	-560.11	101	-500.00	101	-100.06	162	-1410.36	173	-7600.33	98
0	Min.	-1925	-43756.20	101	-1014.50	101	-11503.00	162	-560.11	101	-500.00	101	-100.06	162	-1410.36	173	-7600.33	98
0	Max	-1926	66585.40	130	3200.57	130	4389.78	173	1559.17	98	648.20	102	109.54	173	1632.70	17	-127.40	49
0	Max	-1552	66585.40	130	3200.57	130	4389.78	173	1559.17	98	648.20	102	109.54	173	1632.70	17	-127.40	49
0	Max	-1587	66585.40	130	3200.57	130	4389.78	173	1559.17	98	648.20	102	109.54	173	1632.70	17	-127.40	49
0	Max	-1927	66585.40	130	3200.57	130	4389.78	173	1559.17	98	648.20	102	109.54	173	1632.70	17	-127.40	49
0	Min.	-1926	-42434.60	101	-2212.44	177	-13384.60	177	-76.50	101	9.12	161	-63.79	65	-3990.20	101	-5004.47	130
0	Min.	-1552	-42434.60	101	-2212.44	177	-13384.60	177	-76.50	101	9.12	161	-63.79	65	-3990.20	101	-5004.47	130
0	Min.	-1587	-42434.60	101	-2212.44	177	-13384.60	177	-76.50	101	9.12	161	-63.79	65	-3990.20	101	-5004.47	130
0	Min.	-1927	-42434.60	101	-2212.44	177	-13384.60	177	-76.50	101	9.12	161	-63.79	65	-3990.20	101	-5004.47	130
0	Max	-1927	66293.00	130	3396.21	162	4764.77	161	1535.54	98	448.68	98	118.92	173	1877.11	17	12658.80	101
0	Max	-1587	66293.00	130	3396.21	162	4764.77	161	1535.54	98	448.68	98	118.92	173	1877.11	17	12658.80	101
0	Max	-1580	66293.00	130	3396.21	162	4764.77	161	1535.54	98	448.68	98	118.92	173	1877.11	17	12658.80	101
0	Max	-1928	66293.00	130	3396.21	162	4764.77	161	1535.54	98	448.68	98	118.92	173	1877.11	17	12658.80	101
0	Min.	-1927	-42739.90	101	-1521.93	101	-12354.40	177	-443.58	101	-79.85	125	-126.37	126	-28291.40	101	-5385.87	130
0	Min.	-1587	-42739.90	101	-1521.93	101	-12354.40	177	-443.58	101	-79.85	125	-126.37	126	-28291.40	101	-5385.87	130
0	Min.	-1580	-42739.90	101	-1521.93	101	-12354.40	177	-443.58	101	-79.85	125	-126.37	126	-28291.40	101	-5385.87	130
0	Min.	-1928	-42739.90	101	-1521.93	101	-12354.40	177	-443.58	101	-79.85	125	-126.37	126	-28291.40	101	-5385.87	130
0	Max	-1916	66050.30	130	3383.44	162	3495.19	173	1536.28	98	445.43	98	126.76	126	28182.80	101	12647.80	101
0	Max	-1559	66050.30	130	3383.44	162	3495.19	173	1536.28	98	445.43	98	126.76	126	28182.80	101	12647.80	101
0	Max	-1594	66050.30	130	3383.44	162	3495.19	173	1536.28	98	445.43	98	126.76	126	28182.80	101	12647.80	101
0	Max	-1929	66050.30	130	3383.44	162	3495.19	173	1536.28	98	445.43	98	126.76	126	28182.80	101	12647.80	101
0	Min.	-1916	-42612.30	101	-4139.59	177	-12446.20	177	-443.23	101	-85.68	101	-78.08	65	-3193.34	173	-5379.45	130
0	Min.	-1559	-42612.30	101	-4139.59	177	-12446.20	177	-443.23	101	-85.68	101	-78.08	65	-3193.34	173	-5379.45	130
0	Min.	-1594	-42612.30	101	-4139.59	177	-12446.20	177	-443.23	101	-85.68	101	-78.08	65	-3193.34	173	-5379.45	130
0	Min.	-1929	-42612.30	101	-4139.59	177	-12446.20	177	-443.23	101	-85.68	101	-78.08	65	-3193.34	173	-5379.45	130
0	Max	-1930	66577.70	130	2188.34	173	30983.50	162	1475.69	98	559.70	173	113.92	173	1800.71	177	29526.90	101
0	Max	-1414	66577.70	130	2188.34	173	30983.50	162	1475.69	98	559.70	173	113.92	173	1800.71	177	29526.90	101
0	Max	-1347	66577.70	130	2188.34	173	30983.50	162	1475.69	98	559.70	173	113.92	173	1800.71	177	29526.90	101
0	Max	-1915	66577.70	130	2188.34	173	30983.50	162	1475.69	98	559.70	173	113.92	173	1800.71	177	29526.90	101
0	Min.	-1930	-43894.20	101	-4538.97	177	-9899.78	177	-868.87	101	-1380.51	101	-75.27	65	-32129.00	102	-7296.15	98
0	Min.	-1414	-43894.20	101	-4538.97	177	-9899.78	177	-868.87	101	-1380.51	101	-75.27	65	-32129.00	102	-7296.15	98
0	Min.	-1347	-43894.20	101	-4538.97	177	-9899.78	177	-868.87	101	-1380.51	101	-75.27	65	-32129.00	102	-7296.15	98
0	Min.	-1915	-43894.20	101	-4538.97	177	-9899.78	177	-868.87	101	-1380.51	101	-75.27	65	-32129.00	102	-7296.15	98
0	Max	-1928	67652.70	130	2027.12	130	25669.20	161	1489.06	98	513.00	98	117.12	173	1115.06	17	29568.50	101
0	Max	-1580	67652.70	130	2027.12	130	25669.20	161	1489.06	98	513.00	98	117.12	173	1115.06	17	29568.50	101
0	Max	-1343	67652.70	130	2027.12	130	25669.20	161	1489.06	98	513.00	98	117.12	173	1115.06	17	29568.50	101
0	Max	-1913	67652.70	130	2027.12	130	25669.20	161	1489.06	98	513.00	98	117.12	173	1115.06	17	29568.50	101
0	Min.	-1928	-44100.20	101	-2377.95	125	-10908.20	177	-879.80	101	-1249.50	101	-119.91	126	-38861.90	101	-4496.75	106
0	Min.	-1580	-44100.20	101	-2377.95	125	-10908.20	177	-879.80	101	-1249.50	101	-119.91	126	-38861.90	101	-4496.75	106
0	Min.	-1343	-44100.20	101	-2377.95	125	-10908.20	177	-879.80	101	-1249.50	101	-119.91	126	-38861.90	101	-4496.75	106
0	Min.	-1913	-44100.20	101	-2377.95	125	-10908.20	177	-879.80	101	-1249.50	101	-119.91	126	-38861.90	101	-4496.75	106
0	Max	-1929	66382.60	130	3207.69	130	4108.46	173	1559.64	98	642.23	102	91.18	173	4042.55	101	-137.97	1
0	Max	-1594	66382.60	130	3207.69	130	4108.46	173	1559.64	98	642.23	102	91.18	173	4042.55	101	-137.97	1
0	Max	-1552	66382.60	130	3207.69	130	4108.46	173	1559.64	98	642.23	102	91.18	173	4042.55	101	-137.97	1
0	Max	-1926	66382.60	130	3207.69	130	4108.46	173	1559.64	98	642.23	102	91.18	173	4042.55	101	-137.97	1
0	Min.	-1929	-42333.70	101	-3299.97	177	-13420.50	177	-76.22	101	8.35	161	-72.36	65	-2687.84	173	-5007.47	130
0	Min.	-1594	-42333.70	101	-3299.97	177	-13420.50	177	-76.22	101	8.35	161	-72.36	65	-2687.84	173	-5007.47	130
0	Min.	-1552	-42333.70	101	-3299.97	177	-13420.50	177	-76.22	101	8.35	161	-72.36	65	-2687.84	173	-5007.47	130
0	Min.	-1926	-42333.70	101	-3299.97	177	-13420.50	177	-76.22	101	8.35	161	-72.36	65	-2687.84	173	-5007.47	130
0	Max	-1931	65304.20	130	4641.10	162	11549.90	162	1414.54	98	619.90	173	146.55	173	813.51	17	13282.90	101
0	Max	-1447	65304.20	130	4641.10	162	11549.90	162	1414.54	98	619.90	173	146.55	173	813.51	17	13282.90	101
0	Max	-1414	65304.20	130	4641.10	162	11549.90	162	1414.54	98	619.90	173	146.55	173	813.51	17	13282.90	101
0	Max	-1930	65304.20	130	4641.10	162	11549.90	162	1414.54	98	619.90	173	146.55	173	813.51	17	13282.90	101
0	Min.	-1931	-43518.30	101	-4029.76	177	-7897.82	177	-563.90	101	-510.22	101	-161.56	101	-29667.20	101	-7674.42	98
0	Min.	-1447	-43518.30	101	-4029.76	177	-7897.82	177	-563.90	101	-510.22	101	-161.56	101	-29667.20	101	-7674.42	98
0	Min.	-1414	-43518.30	101	-4029.76	177	-7897.82	177	-563.90	101	-510.22	101	-161.56	101	-29667.20	101	-7674.42	98
0	Min.	-1930	-43518.30	101	-4029.76	177	-7897.82	177	-563.90	101	-510.22	101	-161.56	101	-29667.20	101	-7674.42	98
0	Max	-1932	65298.70	130	2262.70	173	8249.52	162	1343.81	98	665.58	173	238.35	173	378.00	17	981.18	101
0	Max	-1854	65298.70	130	2262.70	173	8249.52	162	1343.81	98	665.58	173	238.35	173	378.00	17	981.18	101
0	Max	-1447	65298.70	130	2262.70	173	8249.52	162	1343.81	98	665.58	173	238.35	173	378.00	17	981.18	101
0	Max	-1931	65298.70	130	2262.70	173	8249.52	162	1343.81	98	665.58	173	238.35	173	378.00	17	981.18	101
0	Min.	-1932	-43552.30	101	-3725.23	177	-6278.53	177	-319.57	101	-165.54	177	-95.07	101	-20682.60	101	-6086.23	98
0	Min.	-1854	-43552.30	101	-3725.23	177	-6278.53	177	-319.57	101	-165.54	177	-95.07	101	-20682.60	101	-6086.23	98
0	Min.	-1447	-43552.30	101	-3725.23	177	-6278.53	177	-319.57	101	-165.54	177	-95.07	101	-20682.60	101	-6086.23	98
0	Min.	-1931	-43552.30	101	-3725.23	177	-6278.53	177	-319.57	101	-165.54	177	-95.07	101	-20682.60	101	-6086.23	98
0	Max	-1933	61464.40	130	1256.53	106	3869.84	161	1296.43	98	223.01	173	423.47	173	13027.60	98	322.89	177
0	Max	-1601	61464.40	130	1256.53	106	3869.84	161	1296.43	98	223.01	173	423.47	173	13027.60	98	322.89	177
0	Max	-2133	61464.40	130	1256.53	106	3869.84	161	1296.43	98	223.01	173	423.47	173	13027.60	98	322.89	177
0	Max	-2134	61464.40	130	1256.53	106	3869.84	161	1296.43	98	223.01	173	423.47	173	13027.60	98	322.89	177
0	Min.	-1933	-42056.30	101	-2470.10	177	-2219.90	177	-65.55	1	-33.09	177	-35.66	17	-1949.35	161	-9439.42	106
0	Min.	-1601	-42056.30	101	-2470.10	177	-2219.90	177	-65.55	1	-33.09	177	-35.66	17	-1949.35	161	-9439.42	106
0	Min.	-2133	-42056.30	101	-2470.10	177	-2219.90	177	-65.55	1	-33.09	177	-35.66	17	-1949.35	161	-9439.42	106
0	Min.	-2134	-42056.30	101	-2470.10	177	-2219.90	177	-65.55	1	-33.09	177	-35.66	17	-1949.35	161	-9439.42	106

0	Max	-1934	56581.30	106	6082.71	173	13331.60	162	3461.19	98	296.57	173	354.14	161	33263.40	177	84181.30	97
0	Max	-1822	56581.30	106	6082.71	173	13331.60	162	3461.19	98	296.57	173	354.14	161	33263.40	177	84181.30	97
0	Max	-2137	56581.30	106	6082.71	173	13331.60	162	3461.19	98	296.57	173	354.14	161	33263.40	177	84181.30	97
0	Max	-2138	56581.30	106	6082.71	173	13331.60	162	3461.19	98	296.57	173	354.14	161	33263.40	177	84181.30	97
0	Min.	-1934	-47555.40	101	-15696.50	177	-14094.20	97	-476.88	161	-1554.06	177	-1637.92	98	-993.13	101	-32358.30	162
0	Min.	-1822	-47555.40	101	-15696.50	177	-14094.20	97	-476.88	161	-1554.06	177	-1637.92	98	-993.13	101	-32358.30	162
0	Min.	-2137	-47555.40	101	-15696.50	177	-14094.20	97	-476.88	161	-1554.06	177	-1637.92	98	-993.13	101	-32358.30	162
0	Min.	-2138	-47555.40	101	-15696.50	177	-14094.20	97	-476.88	161	-1554.06	177	-1637.92	98	-993.13	101	-32358.30	162
0	Max	-1935	52447.90	130	6924.72	173	9544.09	162	1411.28	98	804.12	173	182.90	173	5354.90	177	29076.50	98
0	Max	-1782	52447.90	130	6924.72	173	9544.09	162	1411.28	98	804.12	173	182.90	173	5354.90	177	29076.50	98
0	Max	-1387	52447.90	130	6924.72	173	9544.09	162	1411.28	98	804.12	173	182.90	173	5354.90	177	29076.50	98
0	Max	-1936	52447.90	130	6924.72	173	9544.09	162	1411.28	98	804.12	173	182.90	173	5354.90	177	29076.50	98
0	Min.	-1935	-60843.90	101	-8877.25	177	-3706.86	177	-203.53	101	-199.97	177	-534.43	97	-19721.30	101	3120.61	17
0	Min.	-1782	-60843.90	101	-8877.25	177	-3706.86	177	-203.53	101	-199.97	177	-534.43	97	-19721.30	101	3120.61	17
0	Min.	-1387	-60843.90	101	-8877.25	177	-3706.86	177	-203.53	101	-199.97	177	-534.43	97	-19721.30	101	3120.61	17
0	Min.	-1936	-60843.90	101	-8877.25	177	-3706.86	177	-203.53	101	-199.97	177	-534.43	97	-19721.30	101	3120.61	17
0	Max	-1936	55040.60	130	3451.29	173	9789.31	161	1483.21	98	649.27	173	360.53	173	1667.30	177	26895.90	102
0	Max	-1387	55040.60	130	3451.29	173	9789.31	161	1483.21	98	649.27	173	360.53	173	1667.30	177	26895.90	102
0	Max	-1838	55040.60	130	3451.29	173	9789.31	161	1483.21	98	649.27	173	360.53	173	1667.30	177	26895.90	102
0	Max	-1924	55040.60	130	3451.29	173	9789.31	161	1483.21	98	649.27	173	360.53	173	1667.30	177	26895.90	102
0	Min.	-1936	-60103.50	101	-7531.75	177	-7580.17	98	-428.22	101	-622.19	101	-285.79	97	-39507.60	102	1895.51	17
0	Min.	-1387	-60103.50	101	-7531.75	177	-7580.17	98	-428.22	101	-622.19	101	-285.79	97	-39507.60	102	1895.51	17
0	Min.	-1838	-60103.50	101	-7531.75	177	-7580.17	98	-428.22	101	-622.19	101	-285.79	97	-39507.60	102	1895.51	17
0	Min.	-1924	-60103.50	101	-7531.75	177	-7580.17	98	-428.22	101	-622.19	101	-285.79	97	-39507.60	102	1895.51	17
0	Max	-1937	55784.40	130	2357.08	118	5344.35	173	1558.37	98	606.77	102	323.08	173	751.36	17	18850.70	98
0	Max	-1452	55784.40	130	2357.08	118	5344.35	173	1558.37	98	606.77	102	323.08	173	751.36	17	18850.70	98
0	Max	-1698	55784.40	130	2357.08	118	5344.35	173	1558.37	98	606.77	102	323.08	173	751.36	17	18850.70	98
0	Max	-1917	55784.40	130	2357.08	118	5344.35	173	1558.37	98	606.77	102	323.08	173	751.36	17	18850.70	98
0	Min.	-1937	-60880.30	101	-2119.27	177	-9524.54	177	-8.29	149	70.40	33	-202.63	17	-8135.15	102	2165.02	33
0	Min.	-1452	-60880.30	101	-2119.27	177	-9524.54	177	-8.29	149	70.40	33	-202.63	17	-8135.15	102	2165.02	33
0	Min.	-1698	-60880.30	101	-2119.27	177	-9524.54	177	-8.29	149	70.40	33	-202.63	17	-8135.15	102	2165.02	33
0	Min.	-1917	-60880.30	101	-2119.27	177	-9524.54	177	-8.29	149	70.40	33	-202.63	17	-8135.15	102	2165.02	33
0	Max	-1918	55190.80	130	5806.39	98	27884.50	162	1472.27	98	447.38	106	342.19	173	665.23	17	44611.30	102
0	Max	-1475	55190.80	130	5806.39	98	27884.50	162	1472.27	98	447.38	106	342.19	173	665.23	17	44611.30	102
0	Max	-1894	55190.80	130	5806.39	98	27884.50	162	1472.27	98	447.38	106	342.19	173	665.23	17	44611.30	102
0	Max	-1938	55190.80	130	5806.39	98	27884.50	162	1472.27	98	447.38	106	342.19	173	665.23	17	44611.30	102
0	Min.	-1918	-62009.20	101	-5389.22	161	-6571.55	177	-805.39	101	-1235.12	101	-201.88	17	-39637.40	102	2269.80	65
0	Min.	-1475	-62009.20	101	-5389.22	161	-6571.55	177	-805.39	101	-1235.12	101	-201.88	17	-39637.40	102	2269.80	65
0	Min.	-1894	-62009.20	101	-5389.22	161	-6571.55	177	-805.39	101	-1235.12	101	-201.88	17	-39637.40	102	2269.80	65
0	Min.	-1938	-62009.20	101	-5389.22	161	-6571.55	177	-805.39	101	-1235.12	101	-201.88	17	-39637.40	102	2269.80	65
0	Max	-1923	55797.50	130	2698.34	173	4395.95	173	1558.69	98	598.63	102	319.05	173	8173.65	102	18760.80	98
0	Max	-1802	55797.50	130	2698.34	173	4395.95	173	1558.69	98	598.63	102	319.05	173	8173.65	102	18760.80	98
0	Max	-1452	55797.50	130	2698.34	173	4395.95	173	1558.69	98	598.63	102	319.05	173	8173.65	102	18760.80	98
0	Max	-1937	55797.50	130	2698.34	173	4395.95	173	1558.69	98	598.63	102	319.05	173	8173.65	102	18760.80	98
0	Min.	-1923	-60679.50	101	-3372.39	177	-9841.98	177	-7.95	149	43.86	177	-196.65	17	-1313.11	173	2157.08	33
0	Min.	-1802	-60679.50	101	-3372.39	177	-9841.98	177	-7.95	149	43.86	177	-196.65	17	-1313.11	173	2157.08	33
0	Min.	-1452	-60679.50	101	-3372.39	177	-9841.98	177	-7.95	149	43.86	177	-196.65	17	-1313.11	173	2157.08	33
0	Min.	-1937	-60679.50	101	-3372.39	177	-9841.98	177	-7.95	149	43.86	177	-196.65	17	-1313.11	173	2157.08	33
0	Max	-1939	55632.80	130	2148.55	118	7311.18	98	1478.09	98	444.77	106	334.55	173	38991.20	102	26704.20	102
0	Max	-1705	55632.80	130	2148.55	118	7311.18	98	1478.09	98	444.77	106	334.55	173	38991.20	102	26704.20	102
0	Max	-1458	55632.80	130	2148.55	118	7311.18	98	1478.09	98	444.77	106	334.55	173	38991.20	102	26704.20	102
0	Max	-1940	55632.80	130	2148.55	118	7311.18	98	1478.09	98	444.77	106	334.55	173	38991.20	102	26704.20	102
0	Min.	-1939	-60383.10	101	-1145.13	125	-9724.36	161	-426.47	101	-608.01	101	-213.99	17	739.25	65	1861.14	65
0	Min.	-1705	-60383.10	101	-1145.13	125	-9724.36	161	-426.47	101	-608.01	101	-213.99	17	739.25	65	1861.14	65
0	Min.	-1458	-60383.10	101	-1145.13	125	-9724.36	161	-426.47	101	-608.01	101	-213.99	17	739.25	65	1861.14	65
0	Min.	-1940	-60383.10	101	-1145.13	125	-9724.36	161	-426.47	101	-608.01	101	-213.99	17	739.25	65	1861.14	65
0	Max	-1940	52988.00	130	6838.75	98	2620.39	173	1409.38	98	667.00	98	547.08	97	19091.60	101	29151.30	98
0	Max	-1458	52988.00	130	6838.75	98	2620.39	173	1409.38	98	667.00	98	547.08	97	19091.60	101	29151.30	98
0	Max	-1745	52988.00	130	6838.75	98	2620.39	173	1409.38	98	667.00	98	547.08	97	19091.60	101	29151.30	98
0	Max	-1941	52988.00	130	6838.75	98	2620.39	173	1409.38	98	667.00	98	547.08	97	19091.60	101	29151.30	98
0	Min.	-1940	-61466.70	101	-501.42	125	-9400.05	162	-200.53	101	91.72	65	-128.11	17	-1920.56	173	3049.63	65
0	Min.	-1458	-61466.70	101	-501.42	125	-9400.05	162	-200.53	101	91.72	65	-128.11	17	-1920.56	173	3049.63	65
0	Min.	-1745	-61466.70	101	-501.42	125	-9400.05	162	-200.53	101	91.72	65	-128.11	17	-1920.56	173	3049.63	65
0	Min.	-1941	-61466.70	101	-501.42	125	-9400.05	162	-200.53	101	91.72	65	-128.11	17	-1920.56	173	3049.63	65
0	Max	-1942	63585.90	106	832.42	162	2402.62	166	4466.64	98	159.35	97	178.65	162	3777.43	162	49782.80	97
0	Max	-2069	63585.90	106	832.42	162	2402.62	166	4466.64	98	159.35	97	178.65	162	3777.43	162	49782.80	97
0	Max	-2013	63585.90	106	832.42	162	2402.62	166	4466.64	98	159.35	97	178.65	162	3777.43	162	49782.80	97
0	Max	-2015	63585.90	106	832.42	162	2402.62	166	4466.64	98	159.35	97	178.65	162	3777.43	162	49782.80	97
0	Min.	-1942	-40221.00	101	-2240.56	97	-6414.25	97	-824.48	161	-59.02	162	-282.88	97	-11325.60	97	-25448.00	162
0	Min.	-2069	-40221.00	101	-2240.56	97	-6414.25	97	-824.48	161	-59.02	162	-282.88	97	-11325.60	97	-25448.00	162
0	Min.	-2013	-40221.00	101	-2240.56	97	-6414.25	97	-824.48	161	-59.02	162	-282.88	97	-11325.60	97	-25448.00	162
0	Min.	-2015	-40221.00	101	-2240.56	97	-6414.25	97	-824.48	161	-59.02	162	-282.88	97	-11325.60	97	-25448.00	162
0	Max	-1938	54979.80	130	3501.31	98	3782.09	173	1546.56	98	335.85	130	366.43	173	21557.40	101	42782.90	102
0	Max	-1894	54979.80	130	3501.31	98	3782.09	173	1546.56	98	335.85	130	366.43	173	21557.40	101	42782.90	102
0	Max	-1705	54979.80	130	3501.31	98	3782.09	173	1546.56	98	335.85	130	366.43	173	21557.40	101	42782.90	102
0	Max	-1939	54979.80	130	3501.31	98	3782.09	173	1546.56	98	335.85	130	366.43	173	21557.40	101	42782.90	102
0	Min.	-1938	-61304.80	101	-6319.93	161	-31305.60	162	-729.25	101	-1542.36	101	-194.74	17	-7393.13	98	1762.63	65
0	Min.	-1894	-61304.80	101	-6319.93	161	-31305.60	162	-729.25	101	-1542.36	101	-194.74	17	-7393.13	98	1762.63	65
0	Min.	-1705	-61304.80	101	-6319.93	161	-31305.60	162	-729.25	101	-1542.36	101	-194.74	17	-7393.13	98	1762.63	65
0	Min.	-1939	-61304.80	101	-6319.93	161	-31305.60	162	-729.25	101	-1542.36	101	-194.74	17	-7393.13	98	1762.63	65
0	Max	-1943	49612.10	101	4123.94	121	6827.81	177	1016.07	97	342.48	113	210.19	65	32365.00	106	24848.50	106
0	Max	-1875	49612.10	101	4123.94	121	6827.81	177	1016.07	97	342.48	113	210.19	65	32365.00	106	24848.50	106
0	Max	-1477	49612.10	101	4123.94	121	6827.81	177	1016.07	97	342.48	113	210.19	65	32365.00	106	24848.50	106
0	Max	-1944	49612.10	101	4123.94	121	6827.81	177	1016.07	97	342.48	113	210.19	65	32365.00	106	24848.50	106
0	Min.	-1943	-105327.00	130	-968.67	130	-31831.90	166	-1046.36	106	-1478.40	106	-424.42	173	-1436.47	173	-18585.60	97
0	Min.	-1875	-105327.00	130	-968.67	130	-31831.90	166	-1046.36	106	-1478.40	106	-424.42	173	-1436.47	173	-18585.60	97
0	Min.	-1477	-105327.00	130	-968.67	130	-31831.90	166	-1046.36	106	-1478.40	106	-424.42	173	-1436.47	173	-18585.60	97
0	Min.	-1944	-105327.00	130	-968.67	130	-31831.90	166	-1046.36	106	-1478.40	106	-424.42	173	-1436.47	173	-18585.60	97
0	Max	-1945	48370.40	101	5117.88	173	8690.29	177	1025.03	97	398.22	173	198.46	106	28010.20	106	6810.00	106
0	Max	-1707	48370.40	101	5117.88	173	8690.29	177	1025.03	97	398.22	173	198.46	106	28010.20	106	6810.00	106
0	Max	-1784	48370.40	101	5117.88	173	8690.29	177	1025.03	97	398.22	173	198.46	106	28010.20	106	6810.00	106
0	Max	-1946	48370.40	101	5117.88	173	8690.29	177	1025.03	97	398.22	173	198.46	106	28010.20	106	6810.00	106
0	Min.	-1945	-81780.70	130	-4082.84	177	-3928.43	166	-658.63	130	-200.37	106	-365.61	173	-3298.49	173	-18432.70	97
0	Min.	-1707	-81780.70	130	-4082.84	177	-3928.43	166	-658.63	130	-200.37	106	-365.61	173	-3298.49	173	-18432.70	97
0	Min.	-1784	-81780.70	130	-4082.84	177	-3928.43	166	-658.63	130	-200.37	106	-365.61	173	-3298.49	173	-18432.70	97
0	Min.	-1946	-81780.70	130	-4082.84	177	-3928.43	166	-658.63	130	-200.37	106	-365.61	173	-3298.49	173	-18432.70	97
0	Max	-1947	50672.00	101	2485.88	173	9274.57	97	1049.86	97	517.67	173	229.21	98	38179.60	105	25682.10	106
0	Max	-1359	50672.00	101	2485.88	173	9274.57	97	1049.86	97	517.67	173	229.21	98	38179.60	105	25682.10	106
0	Max	-1707	50672.00	101	2485.88	173	9274.57	97	1049.86	97	517.67	173	229.21	98	38179.60	105	25682.10	106
0	Max	-1945	50672.00	101	2485.88	173	9274.57	97	1049.86	97	517.67	173	229.21	98	38179.60	105	25682.10	106
0	Min.	-1947	-105329.00	130	-5608.28	177	-24110.50	166	-1047.82	106	-1354.90	106	-374.20	173	-2135.01	173	-13962.40	97
0	Min.	-1359	-105329.00	130	-5608.28	177	-24110.50	166	-1047.82	106	-1354.90	106	-374.20	173	-2135.01	173	-13962.40	97
0	Min.	-1707	-105329.00	130	-5608.28	177	-24110.50	166	-1047.82	106	-1354.90	106	-374.20	173	-2135.01	173	-13962.40	97
0	Min.	-1945	-105329.00	130	-5608.28	177	-24110.50	166	-1047.82	106	-1354.90	106	-374.20	173	-2135.01	173	-13962.40	97
0	Max	-1948	49299.90	101	4938.82	173	31818.90	166	1015.67	97	548.36	173	336.58	98	1935.21	177	24961.90	106

0	Max	-1839	49299.90	101	4938.82	173	31818.90	166	1015.67	97	548.36	173	336.58	98	1935.21	177	24961.90	106
0	Max	-1359	49299.90	101	4938.82	173	31818.90	166	1015.67	97	548.36	173	336.58	98	1935.21	177	24961.90	106
0	Max	-1947	49299.90	101	4938.82	173	31818.90	166	1015.67	97	548.36	173	336.58	98	1935.21	177	24961.90	106
0	Min.	-1948	-104845.00	130	-5703.17	177	-4193.34	173	-1046.67	106	-1476.96	106	-343.17	173	-32407.70	106	-18681.50	97
0	Min.	-1839	-104845.00	130	-5703.17	177	-4193.34	173	-1046.67	106	-1476.96	106	-343.17	173	-32407.70	106	-18681.50	97
0	Min.	-1359	-104845.00	130	-5703.17	177	-4193.34	173	-1046.67	106	-1476.96	106	-343.17	173	-32407.70	106	-18681.50	97
0	Min.	-1947	-104845.00	130	-5703.17	177	-4193.34	173	-1046.67	106	-1476.96	106	-343.17	173	-32407.70	106	-18681.50	97
0	Max	-1946	49855.90	101	3990.36	173	9227.81	177	1061.25	97	525.62	105	205.89	65	3953.31	106	-1574.63	33
0	Max	-1784	49855.90	101	3990.36	173	9227.81	177	1061.25	97	525.62	105	205.89	65	3953.31	106	-1574.63	33
0	Max	-1429	49855.90	101	3990.36	173	9227.81	177	1061.25	97	525.62	105	205.89	65	3953.31	106	-1574.63	33
0	Max	-1949	49855.90	101	3990.36	173	9227.81	177	1061.25	97	525.62	105	205.89	65	3953.31	106	-1574.63	33
0	Min.	-1946	-77816.00	130	-3011.81	177	-4134.22	173	-386.05	130	-7.08	134	-364.54	173	-2654.61	173	-17282.00	97
0	Min.	-1784	-77816.00	130	-3011.81	177	-4134.22	173	-386.05	130	-7.08	134	-364.54	173	-2654.61	173	-17282.00	97
0	Min.	-1429	-77816.00	130	-3011.81	177	-4134.22	173	-386.05	130	-7.08	134	-364.54	173	-2654.61	173	-17282.00	97
0	Min.	-1949	-77816.00	130	-3011.81	177	-4134.22	173	-386.05	130	-7.08	134	-364.54	173	-2654.61	173	-17282.00	97
0	Max	-1950	52959.90	101	3835.38	173	8622.38	166	1304.36	97	148.01	173	465.38	97	49.21	17	657.90	177
0	Max	-1804	52959.90	101	3835.38	173	8622.38	166	1304.36	97	148.01	173	465.38	97	49.21	17	657.90	177
0	Max	-2161	52959.90	101	3835.38	173	8622.38	166	1304.36	97	148.01	173	465.38	97	49.21	17	657.90	177
0	Max	-2162	52959.90	101	3835.38	173	8622.38	166	1304.36	97	148.01	173	465.38	97	49.21	17	657.90	177
0	Min.	-1950	-58041.60	130	-4751.24	177	-265.63	177	-43.44	49	-325.07	177	-293.39	173	-24647.10	177	-53029.80	121
0	Min.	-1804	-58041.60	130	-4751.24	177	-265.63	177	-43.44	49	-325.07	177	-293.39	173	-24647.10	177	-53029.80	121
0	Min.	-2161	-58041.60	130	-4751.24	177	-265.63	177	-43.44	49	-325.07	177	-293.39	173	-24647.10	177	-53029.80	121
0	Min.	-2162	-58041.60	130	-4751.24	177	-265.63	177	-43.44	49	-325.07	177	-293.39	173	-24647.10	177	-53029.80	121
0	Max	-1951	50428.10	101	4983.27	165	10314.30	166	977.75	97	553.63	173	529.07	97	6088.26	177	2899.54	177
0	Max	-1764	50428.10	101	4983.27	165	10314.30	166	977.75	97	553.63	173	529.07	97	6088.26	177	2899.54	177
0	Max	-1405	50428.10	101	4983.27	165	10314.30	166	977.75	97	553.63	173	529.07	97	6088.26	177	2899.54	177
0	Max	-1952	50428.10	101	4983.27	165	10314.30	166	977.75	97	553.63	173	529.07	97	6088.26	177	2899.54	177
0	Min.	-1951	-73427.80	130	-6894.89	177	-2504.63	173	-437.24	106	-328.01	177	-251.74	173	-20499.80	106	-15683.30	97
0	Min.	-1764	-73427.80	130	-6894.89	177	-2504.63	173	-437.24	106	-328.01	177	-251.74	173	-20499.80	106	-15683.30	97
0	Min.	-1405	-73427.80	130	-6894.89	177	-2504.63	173	-437.24	106	-328.01	177	-251.74	173	-20499.80	106	-15683.30	97
0	Min.	-1952	-73427.80	130	-6894.89	177	-2504.63	173	-437.24	106	-328.01	177	-251.74	173	-20499.80	106	-15683.30	97
0	Max	-1952	47099.00	101	7613.23	165	13352.20	165	991.17	97	582.88	173	362.16	98	3640.41	177	8750.63	106
0	Max	-1405	47099.00	101	7613.23	165	13352.20	165	991.17	97	582.88	173	362.16	98	3640.41	177	8750.63	106
0	Max	-1839	47099.00	101	7613.23	165	13352.20	165	991.17	97	582.88	173	362.16	98	3640.41	177	8750.63	106
0	Max	-1948	47099.00	101	7613.23	165	13352.20	165	991.17	97	582.88	173	362.16	98	3640.41	177	8750.63	106
0	Min.	-1952	-80178.50	130	-5842.36	177	1014.97	33	-719.78	106	-608.72	106	-356.45	173	-30055.80	106	-18671.40	97
0	Min.	-1405	-80178.50	130	-5842.36	177	1014.97	33	-719.78	106	-608.72	106	-356.45	173	-30055.80	106	-18671.40	97
0	Min.	-1839	-80178.50	130	-5842.36	177	1014.97	33	-719.78	106	-608.72	106	-356.45	173	-30055.80	106	-18671.40	97
0	Min.	-1948	-80178.50	130	-5842.36	177	1014.97	33	-719.78	106	-608.72	106	-356.45	173	-30055.80	106	-18671.40	97
0	Max	-1949	50172.60	101	3298.10	121	8937.19	177	1060.03	97	531.54	105	219.41	65	1210.89	65	-1558.70	33
0	Max	-1429	50172.60	101	3298.10	121	8937.19	177	1060.03	97	531.54	105	219.41	65	1210.89	65	-1558.70	33
0	Max	-1824	50172.60	101	3298.10	121	8937.19	177	1060.03	97	531.54	105	219.41	65	1210.89	65	-1558.70	33
0	Max	-1953	50172.60	101	3298.10	121	8937.19	177	1060.03	97	531.54	105	219.41	65	1210.89	65	-1558.70	33
0	Min.	-1949	-77793.00	130	-1809.97	177	-5113.62	173	-386.53	130	-4.81	134	-360.80	173	-3899.60	106	-17309.90	97
0	Min.	-1429	-77793.00	130	-1809.97	177	-5113.62	173	-386.53	130	-4.81	134	-360.80	173	-3899.60	106	-17309.90	97
0	Min.	-1824	-77793.00	130	-1809.97	177	-5113.62	173	-386.53	130	-4.81	134	-360.80	173	-3899.60	106	-17309.90	97
0	Min.	-1953	-77793.00	130	-1809.97	177	-5113.62	173	-386.53	130	-4.81	134	-360.80	173	-3899.60	106	-17309.90	97
0	Max	-1954	50913.10	101	2402.06	125	24091.90	166	1049.45	97	345.03	101	227.28	65	668.26	65	25669.00	106
0	Max	-1454	50913.10	101	2402.06	125	24091.90	166	1049.45	97	345.03	101	227.28	65	668.26	65	25669.00	106
0	Max	-1875	50913.10	101	2402.06	125	24091.90	166	1049.45	97	345.03	101	227.28	65	668.26	65	25669.00	106
0	Max	-1943	50913.10	101	2402.06	125	24091.90	166	1049.45	97	345.03	101	227.28	65	668.26	65	25669.00	106
0	Min.	-1954	-105697.00	130	-2125.18	130	-9428.72	97	-1047.60	106	-1354.20	106	-389.31	173	-38290.90	105	-13959.40	97
0	Min.	-1454	-105697.00	130	-2125.18	130	-9428.72	97	-1047.60	106	-1354.20	106	-389.31	173	-38290.90	105	-13959.40	97
0	Min.	-1875	-105697.00	130	-2125.18	130	-9428.72	97	-1047.60	106	-1354.20	106	-389.31	173	-38290.90	105	-13959.40	97
0	Min.	-1943	-105697.00	130	-2125.18	130	-9428.72	97	-1047.60	106	-1354.20	106	-389.31	173	-38290.90	105	-13959.40	97
0	Max	-1953	48542.70	101	4220.20	121	7951.39	177	1023.91	97	297.86	113	226.36	65	1931.48	97	6811.86	106
0	Max	-1824	48542.70	101	4220.20	121	7951.39	177	1023.91	97	297.86	113	226.36	65	1931.48	97	6811.86	106
0	Max	-1454	48542.70	101	4220.20	121	7951.39	177	1023.91	97	297.86	113	226.36	65	1931.48	97	6811.86	106
0	Max	-1954	48542.70	101	4220.20	121	7951.39	177	1023.91	97	297.86	113	226.36	65	1931.48	97	6811.86	106
0	Min.	-1953	-82034.70	130	-508.36	177	-5688.19	173	-659.18	130	-193.83	106	-375.91	173	-28113.90	106	-18460.50	97
0	Min.	-1824	-82034.70	130	-508.36	177	-5688.19	173	-659.18	130	-193.83	106	-375.91	173	-28113.90	106	-18460.50	97
0	Min.	-1454	-82034.70	130	-508.36	177	-5688.19	173	-659.18	130	-193.83	106	-375.91	173	-28113.90	106	-18460.50	97
0	Min.	-1954	-82034.70	130	-508.36	177	-5688.19	173	-659.18	130	-193.83	106	-375.91	173	-28113.90	106	-18460.50	97
0	Max	-1944	47253.20	101	7654.68	165	3996.56	177	990.85	97	381.09	101	201.96	65	29715.30	106	8582.91	106
0	Max	-1477	47253.20	101	7654.68	165	3996.56	177	990.85	97	381.09	101	201.96	65	29715.30	106	8582.91	106
0	Max	-1507	47253.20	101	7654.68	165	3996.56	177	990.85	97	381.09	101	201.96	65	29715.30	106	8582.91	106
0	Max	-1955	47253.20	101	7654.68	165	3996.56	177	990.85	97	381.09	101	201.96	65	29715.30	106	8582.91	106
0	Min.	-1944	-80812.80	130	798.36	17	-13226.80	165	-714.35	106	-599.25	106	-425.03	173	-1427.20	173	-18534.10	97
0	Min.	-1477	-80812.80	130	798.36	17	-13226.80	165	-714.35	106	-599.25	106	-425.03	173	-1427.20	173	-18534.10	97
0	Min.	-1507	-80812.80	130	798.36	17	-13226.80	165	-714.35	106	-599.25	106	-425.03	173	-1427.20	173	-18534.10	97
0	Min.	-1955	-80812.80	130	798.36	17	-13226.80	165	-714.35	106	-599.25	106	-425.03	173	-1427.20	173	-18534.10	97
0	Max	-1955	51305.90	101	5113.01	165	4500.27	177	975.52	97	406.21	101	142.60	65	20285.10	106	-512.84	17
0	Max	-1507	51305.90	101	5113.01	165	4500.27	177	975.52	97	406.21	101	142.60	65	20285.10	106	-512.84	17
0	Max	-1727	51305.90	101	5113.01	165	4500.27	177	975.52	97	406.21	101	142.60	65	20285.10	106	-512.84	17
0	Max	-1956	51305.90	101	5113.01	165	4500.27	177	975.52	97	406.21	101	142.60	65	20285.10	106	-512.84	17
0	Min.	-1955	-73804.00	130	-417.53	106	-10164.80	166	-432.88	106	15.10	130	-536.90	97	-1587.12	173	-15610.60	97
0	Min.	-1507	-73804.00	130	-417.53	106	-10164.80	166	-432.88	106	15.10	130	-536.90	97	-1587.12	173	-15610.60	97
0	Min.	-1727	-73804.00	130	-417.53	106	-10164.80	166	-432.88	106	15.10	130	-536.90	97	-1587.12	173	-15610.60	97
0	Min.	-1956	-73804.00	130	-417.53	106	-10164.80	166	-432.88	106	15.10	130	-536.90	97	-1587.12	173	-15610.60	97
0	Max	-1956	50562.70	101	9850.06	121	912.90	177	1241.13	97	331.49	101	116.81	65	12960.50	130	-924.42	17
0	Max	-1727	50562.70	101	9850.06	121	912.90	177	1241.13	97	331.49	101	116.81	65	12960.50	130	-924.42	17
0	Max	-2200	50562.70	101	9850.06	121	912.90	177	1241.13	97	331.49	101	116.81	65	12960.50	130	-924.42	17
0	Max	-2201	50562.70	101	9850.06	121	912.90	177	1241.13	97	331.49	101	116.81	65	12960.50	130	-924.42	17
0	Min.	-1956	-69486.00	130	478.67	17	-14849.90	121	-167.52	106	37.06	17	-564.33	97	-2388.92	113	-25258.90	97
0	Min.	-1727	-69486.00	130	478.67	17	-14849.90	121	-167.52	106	37.06	17	-564.33	97	-2388.92	113	-25258.90	97
0	Min.	-2200	-69486.00	130	478.67	17	-14849.90	121	-167.52	106	37.06	17	-564.33	97	-2388.92	113	-25258.90	97
0	Min.	-2201	-69486.00	130	478.67	17	-14849.90	121	-167.52	106	37.06	17	-564.33	97	-2388.92	113	-25258.90	97
0	Max	-1958	60687.60	101	2382.94	173	12556.30	166	1639.36	97	692.02	173	173.64	122	-693.58	65	22255.40	105
0	Max	-1529	60687.60	101	2382.94	173	12556.30	166	1639.36	97	692.02	173	173.64	122	-693.58	65	22255.40	105
0	Max	-1416	60687.60	101	2382.94	173	12556.30	166	1639.36	97	692.02	173	173.64	122	-693.58	65	22255.40	105
0	Max	-1959	60687.60	101	2382.94	173	12556.30	166	1639.36	97	692.02	173	173.64	122	-693.58	65	22255.40	105
0	Min.	-1958	-58128.70	130	-4003.38	177	-642.53	113	-499.81	130	-553.71	106	-117.02	173	-39213.50	105	1532.16	65
0	Min.	-1529	-58128.70	130	-4003.38	177	-642.53	113	-499.81	130	-553.71	106	-117.02	173	-39213.50	105	1532.16	65
0	Min.	-1416	-58128.70	130	-4003.38	177	-642.53	113	-499.81	130	-553.71	106	-117.02	173	-39213.50	105	1532.16	65
0	Min.	-1959	-58128.70	130	-4003.38	177	-642.53	113	-499.81	130	-553.71	106	-117.02	173	-39213.50	105	1532.16	65
0	Max	-1960	58674.00	101	2735.18	101	9568.17	166	1500.69	97	891.03	173	120.88	158	1854.54	157	16445.20	105
0	Max	-1362	58674.00	101	2735.18	101	9568.17	166	1500.69	97	891.03	173	120.88	158	1854.54	157	16445.20	105
0	Max	-1529	58674.00	101	2735.18	101	9568.17	166	1500.69	97	891.03	173	120.88	158	1854.54	157	16445.20	105
0	Max	-1958	58674.00	101	2735.18	101	9568.17	166	1500.69	97	891.03	173	120.88	158	1854.54	157	16445.20	105
0	Min.	-1960	-56145.70	130	-3747.74	177	-1771.04	173	-360.07	130	-120.74	177	-206.50	173	-19246.50	106	2642.83	177
0	Min.	-1362	-56145.70	130	-3747.74	177	-1771.04	173	-360.07	130	-120.74	177	-206.50	173	-19246.50	106	2642.83	177
0	Min.	-1529	-56145.70	130	-3747.74	177	-1771.04	173	-360.07	130	-120.74	177	-206.50	173	-19246.50	106	2642.83	177
0	Min.	-1958	-56145.70	130	-3747.74	177	-1771.04	173	-360.07	130	-120.74	177	-206.50	173	-19246.50	106	2642.83	177
0	Max	-1961	55791.60	101	3527.86	173	4094.66	166	1392.21	97	244.35	173	42.73	65	18340.80	97	3797.41	105
0	Max	-1625	55791.60	101	3527.86	173	4094.66	166	1392.21	97	244.35	173	42.73	65	18340.80	97	3797.41	105

0	Max	-2165	55791.60	101	3527.86	173	4094.66	166	1392.21	97	244.35	173	42.73	65	18340.80	97	3797.41	105
0	Max	-2166	55791.60	101	3527.86	173	4094.66	166	1392.21	97	244.35	173	42.73	65	18340.80	97	3797.41	105
0	Min.	-1961	-59732.60	130	-2024.86	177	-2190.84	173	-225.18	130	-55.77	177	-442.23	173	1390.16	162	-3446.72	158
0	Min.	-1625	-59732.60	130	-2024.86	177	-2190.84	173	-225.18	130	-55.77	177	-442.23	173	1390.16	162	-3446.72	158
0	Min.	-2165	-59732.60	130	-2024.86	177	-2190.84	173	-225.18	130	-55.77	177	-442.23	173	1390.16	162	-3446.72	158
0	Min.	-2166	-59732.60	130	-2024.86	177	-2190.84	173	-225.18	130	-55.77	177	-442.23	173	1390.16	162	-3446.72	158
0	Max	-1962	59287.60	101	2838.77	101	6499.23	177	1495.59	97	873.58	97	116.86	65	18621.20	106	16285.50	105
0	Max	-1521	59287.60	101	2838.77	101	6499.23	177	1495.59	97	873.58	97	116.86	65	18621.20	106	16285.50	105
0	Max	-1660	59287.60	101	2838.77	101	6499.23	177	1495.59	97	873.58	97	116.86	65	18621.20	106	16285.50	105
0	Max	-1963	59287.60	101	2838.77	101	6499.23	177	1495.59	97	873.58	97	116.86	65	18621.20	106	16285.50	105
0	Min.	-1962	-56613.00	130	-2512.22	106	-9447.37	166	-359.74	130	85.06	17	-164.66	173	-2082.38	157	2792.14	17
0	Min.	-1521	-56613.00	130	-2512.22	106	-9447.37	166	-359.74	130	85.06	17	-164.66	173	-2082.38	157	2792.14	17
0	Min.	-1660	-56613.00	130	-2512.22	106	-9447.37	166	-359.74	130	85.06	17	-164.66	173	-2082.38	157	2792.14	17
0	Min.	-1963	-56613.00	130	-2512.22	106	-9447.37	166	-359.74	130	85.06	17	-164.66	173	-2082.38	157	2792.14	17
0	Max	-1963	59138.30	101	995.17	101	4615.22	177	1546.87	97	772.94	97	229.51	65	744.80	142	21724.20	97
0	Max	-1660	59138.30	101	995.17	101	4615.22	177	1546.87	97	772.94	97	229.51	65	744.80	142	21724.20	97
0	Max	-2213	59138.30	101	995.17	101	4615.22	177	1546.87	97	772.94	97	229.51	65	744.80	142	21724.20	97
0	Max	-2212	59138.30	101	995.17	101	4615.22	177	1546.87	97	772.94	97	229.51	65	744.80	142	21724.20	97
0	Min.	-1963	-58033.70	130	-1140.45	130	-7827.46	130	-185.87	130	74.36	17	-70.23	173	-8669.84	97	2993.88	17
0	Min.	-1660	-58033.70	130	-1140.45	130	-7827.46	130	-185.87	130	74.36	17	-70.23	173	-8669.84	97	2993.88	17
0	Min.	-2213	-58033.70	130	-1140.45	130	-7827.46	130	-185.87	130	74.36	17	-70.23	173	-8669.84	97	2993.88	17
0	Min.	-2212	-58033.70	130	-1140.45	130	-7827.46	130	-185.87	130	74.36	17	-70.23	173	-8669.84	97	2993.88	17
0	Max	-1965	61118.50	101	1732.96	113	7516.52	177	1634.10	97	592.10	97	72.41	65	38697.80	105	22095.70	105
0	Max	-1653	61118.50	101	1732.96	113	7516.52	177	1634.10	97	592.10	97	72.41	65	38697.80	105	22095.70	105
0	Max	-1521	61118.50	101	1732.96	113	7516.52	177	1634.10	97	592.10	97	72.41	65	38697.80	105	22095.70	105
0	Max	-1962	61118.50	101	1732.96	113	7516.52	177	1634.10	97	592.10	97	72.41	65	38697.80	105	22095.70	105
0	Min.	-1965	-58658.60	130	-1241.98	106	-12542.50	166	-499.38	130	-539.24	106	-184.93	173	643.36	17	1525.05	17
0	Min.	-1653	-58658.60	130	-1241.98	106	-12542.50	166	-499.38	130	-539.24	106	-184.93	173	643.36	17	1525.05	17
0	Min.	-1521	-58658.60	130	-1241.98	106	-12542.50	166	-499.38	130	-539.24	106	-184.93	173	643.36	17	1525.05	17
0	Min.	-1962	-58658.60	130	-1241.98	106	-12542.50	166	-499.38	130	-539.24	106	-184.93	173	643.36	17	1525.05	17
0	Max	-1966	63266.40	101	2484.67	113	12812.60	177	1742.75	97	682.20	105	86.13	65	1033.85	65	8750.89	105
0	Max	-1674	63266.40	101	2484.67	113	12812.60	177	1742.75	97	682.20	105	86.13	65	1033.85	65	8750.89	105
0	Max	-1639	63266.40	101	2484.67	113	12812.60	177	1742.75	97	682.20	105	86.13	65	1033.85	65	8750.89	105
0	Max	-1967	63266.40	101	2484.67	113	12812.60	177	1742.75	97	682.20	105	86.13	65	1033.85	65	8750.89	105
0	Min.	-1966	-55009.00	130	-1970.52	177	-4284.45	173	-147.22	130	80.59	33	-143.46	173	-8251.48	105	344.63	162
0	Min.	-1674	-55009.00	130	-1970.52	177	-4284.45	173	-147.22	130	80.59	33	-143.46	173	-8251.48	105	344.63	162
0	Min.	-1639	-55009.00	130	-1970.52	177	-4284.45	173	-147.22	130	80.59	33	-143.46	173	-8251.48	105	344.63	162
0	Min.	-1967	-55009.00	130	-1970.52	177	-4284.45	173	-147.22	130	80.59	33	-143.46	173	-8251.48	105	344.63	162
0	Max	-1967	63253.40	101	2261.05	113	11766.40	177	1709.46	97	442.14	121	70.40	65	5225.26	97	22687.10	105
0	Max	-1639	63253.40	101	2261.05	113	11766.40	177	1709.46	97	442.14	121	70.40	65	5225.26	97	22687.10	105
0	Max	-1646	63253.40	101	2261.05	113	11766.40	177	1709.46	97	442.14	121	70.40	65	5225.26	97	22687.10	105
0	Max	-1968	63253.40	101	2261.05	113	11766.40	177	1709.46	97	442.14	121	70.40	65	5225.26	97	22687.10	105
0	Min.	-1967	-57149.50	130	-1123.39	106	-4403.98	173	-432.98	130	-81.63	106	-178.36	173	-24282.70	106	781.25	162
0	Min.	-1639	-57149.50	130	-1123.39	106	-4403.98	173	-432.98	130	-81.63	106	-178.36	173	-24282.70	106	781.25	162
0	Min.	-1646	-57149.50	130	-1123.39	106	-4403.98	173	-432.98	130	-81.63	106	-178.36	173	-24282.70	106	781.25	162
0	Min.	-1968	-57149.50	130	-1123.39	106	-4403.98	173	-432.98	130	-81.63	106	-178.36	173	-24282.70	106	781.25	162
0	Max	-1959	61800.50	101	2693.79	173	31505.80	166	1718.35	97	552.10	173	133.70	158	8120.12	97	38203.40	105
0	Max	-1416	61800.50	101	2693.79	173	31505.80	166	1718.35	97	552.10	173	133.70	158	8120.12	97	38203.40	105
0	Max	-1895	61800.50	101	2693.79	173	31505.80	166	1718.35	97	552.10	173	133.70	158	8120.12	97	38203.40	105
0	Max	-1969	61800.50	101	2693.79	173	31505.80	166	1718.35	97	552.10	173	133.70	158	8120.12	97	38203.40	105
0	Min.	-1959	-79786.90	130	-6702.82	166	-2939.61	173	-711.98	130	-1471.92	106	-144.20	173	-21121.80	106	1385.28	65
0	Min.	-1416	-79786.90	130	-6702.82	166	-2939.61	173	-711.98	130	-1471.92	106	-144.20	173	-21121.80	106	1385.28	65
0	Min.	-1895	-79786.90	130	-6702.82	166	-2939.61	173	-711.98	130	-1471.92	106	-144.20	173	-21121.80	106	1385.28	65
0	Min.	-1969	-79786.90	130	-6702.82	166	-2939.61	173	-711.98	130	-1471.92	106	-144.20	173	-21121.80	106	1385.28	65
0	Max	-1970	63011.70	101	2835.98	173	12147.30	177	1710.37	97	440.91	173	122.82	122	24070.30	106	22614.70	105
0	Max	-1667	63011.70	101	2835.98	173	12147.30	177	1710.37	97	440.91	173	122.82	122	24070.30	106	22614.70	105
0	Max	-1632	63011.70	101	2835.98	173	12147.30	177	1710.37	97	440.91	173	122.82	122	24070.30	106	22614.70	105
0	Max	-1971	63011.70	101	2835.98	173	12147.30	177	1710.37	97	440.91	173	122.82	122	24070.30	106	22614.70	105
0	Min.	-1970	-56960.20	130	-4159.52	177	-4948.76	165	-432.31	130	-89.54	106	-97.02	173	-5919.04	173	780.24	162
0	Min.	-1667	-56960.20	130	-4159.52	177	-4948.76	165	-432.31	130	-89.54	106	-97.02	173	-5919.04	173	780.24	162
0	Min.	-1632	-56960.20	130	-4159.52	177	-4948.76	165	-432.31	130	-89.54	106	-97.02	173	-5919.04	173	780.24	162
0	Min.	-1971	-56960.20	130	-4159.52	177	-4948.76	165	-432.31	130	-89.54	106	-97.02	173	-5919.04	173	780.24	162
0	Max	-1968	63136.00	101	2553.10	113	25539.90	165	1684.10	97	615.44	97	95.97	65	1103.02	65	40715.30	105
0	Max	-1646	63136.00	101	2553.10	113	25539.90	165	1684.10	97	615.44	97	95.97	65	1103.02	65	40715.30	105
0	Max	-1910	63136.00	101	2553.10	113	25539.90	165	1684.10	97	615.44	97	95.97	65	1103.02	65	40715.30	105
0	Max	-1972	63136.00	101	2553.10	113	25539.90	165	1684.10	97	615.44	97	95.97	65	1103.02	65	40715.30	105
0	Min.	-1968	-79963.80	130	-7165.62	130	-5052.93	158	-750.27	130	-1162.44	106	-147.38	173	-39752.10	106	1887.13	17
0	Min.	-1646	-79963.80	130	-7165.62	130	-5052.93	158	-750.27	130	-1162.44	106	-147.38	173	-39752.10	106	1887.13	17
0	Min.	-1910	-79963.80	130	-7165.62	130	-5052.93	158	-750.27	130	-1162.44	106	-147.38	173	-39752.10	106	1887.13	17
0	Min.	-1972	-79963.80	130	-7165.62	130	-5052.93	158	-750.27	130	-1162.44	106	-147.38	173	-39752.10	106	1887.13	17
0	Max	-1971	63158.20	101	2627.52	173	12887.30	177	1743.83	97	674.08	105	87.56	65	8286.14	105	8683.34	105
0	Max	-1632	63158.20	101	2627.52	173	12887.30	177	1743.83	97	674.08	105	87.56	65	8286.14	105	8683.34	105
0	Max	-1674	63158.20	101	2627.52	173	12887.30	177	1743.83	97	674.08	105	87.56	65	8286.14	105	8683.34	105
0	Max	-1966	63158.20	101	2627.52	173	12887.30	177	1743.83	97	674.08	105	87.56	65	8286.14	105	8683.34	105
0	Min.	-1971	-55038.30	130	-3160.02	177	-3993.88	173	-146.48	130	67.51	177	-138.00	173	-1394.34	173	339.85	162
0	Min.	-1632	-55038.30	130	-3160.02	177	-3993.88	173	-146.48	130	67.51	177	-138.00	173	-1394.34	173	339.85	162
0	Min.	-1674	-55038.30	130	-3160.02	177	-3993.88	173	-146.48	130	67.51	177	-138.00	173	-1394.34	173	339.85	162
0	Min.	-1966	-55038.30	130	-3160.02	177	-3993.88	173	-146.48	130	67.51	177	-138.00	173	-1394.34	173	339.85	162
0	Max	-1969	62818.50	101	2527.10	113	10969.00	177	1684.24	97	617.62	97	107.75	158	39611.50	106	40775.60	105
0	Max	-1895	62818.50	101	2527.10	113	10969.00	177	1684.24	97	617.62	97	107.75	158	39611.50	106	40775.60	105
0	Max	-1667	62818.50	101	2527.10	113	10969.00	177	1684.24	97	617.62	97	107.75	158	39611.50	106	40775.60	105
0	Max	-1970	62818.50	101	2527.10	113	10969.00	177	1684.24	97	617.62	97	107.75	158	39611.50	106	40775.60	105
0	Min.	-1969	-79680.40	130	-7142.62	130	-25591.70	165	-750.11	130	-1161.31	106	-153.27	173	-2024.12	173	1910.76	65
0	Min.	-1895	-79680.40	130	-7142.62	130	-25591.70	165	-750.11	130	-1161.31	106	-153.27	173	-2024.12	173	1910.76	65
0	Min.	-1667	-79680.40	130	-7142.62	130	-25591.70	165	-750.11	130	-1161.31	106	-153.27	173	-2024.12	173	1910.76	65
0	Min.	-1970	-79680.40	130	-7142.62	130	-25591.70	165	-750.11	130	-1161.31	106	-153.27	173	-2024.12	173	1910.76	65
0	Max	-1972	62169.60	101	2499.74	113	9623.38	177	1717.86	97	463.45	121	105.03	105	21133.70	106	38101.40	105
0	Max	-1910	62169.60	101	2499.74	113	9623.38	177	1717.86	97	463.45	121	105.03	105	21133.70	106	38101.40	105
0	Max	-1653	62169.60	101	2499.74	113	9623.38	177	1717.86	97	463.45	121	105.03	105	21133.70	106	38101.40	105
0	Max	-1965	62169.60	101	2499.74	113	9623.38	177	1717.86	97	463.45	121	105.03	105	21133.70	106	38101.40	105
0	Min.	-1972	-80201.10	130	-6726.70	166	-31599.90	166	-712.62	130	-1474.49	106	-151.84	173	-8130.08	97	1378.19	17
0	Min.	-1910	-80201.10	130	-6726.70	166	-31599.90	166	-712.62	130	-1474.49	106	-151.84	173	-8130.08	97	1378.19	17
0	Min.	-1653	-80201.10	130	-6726.70	166	-31599.90	166	-712.62	130	-1474.49	106	-151.84	173	-8130.08	97	1378.19	17
0	Min.	-1965	-80201.10	130	-6726.70	166	-31599.90	166	-712.62	130	-1474.49	106	-151.84	173	-8130.08	97	1378.19	17
0	Max	-2036	44188.70	101	5775.30	121	4251.68	177	495.63	101	226.32	177	531.12	177	15880.00	177	52432.80	177
0	Max	-2037	44188.70	101	5775.30	121	4251.68	177	495.63	101	226.32	177	531.12	177	15880.00	177	52432.80	177
0	Max	-1803	44188.70	101	5775.30	121	4251.68	177	495.63	101	226.32	177	531.12	177	15880.00	177	52432.80	177
0	Max	-1687	44188.70	101	5775.30	121	4251.68	177	495.63	101	226.32	177	531.12	177	15880.00	177	52432.80	177
0	Min.	-2036	-97960.80	130	-6677.53	177	-4635.27	158	-1770.95	158	-101.75	121	-550.45	173	-4403.36	121	-91529.60	173
0	Min.	-2037	-97960.80	130	-6677.53	177	-4635.27	158	-1770.95	158	-101.75	121	-550.45	173	-4403.36	121	-91529.60	173
0	Min.	-1803	-97960.80	130	-6677.53	177	-4635.27	158	-1770.95	158	-101.75	121	-550.45	173	-4403.36	121	-91529.60	173
0	Min.	-1687	-97960.80	130	-6677.53	177	-4635.27	158	-1770.95	158	-101.75	121	-550.45	173	-4403.36	121	-91529.60	173
0	Max	-2020	69548.40	130	3499.84	130	2493.69	162	2152.38	98	79.35	173	215.25	173	2790.30	173	18405.60	173
0	Max	-2021	69548.40	130	3499.84	130	2493.69	162	2152.38	98	79.35	173	215.25	173	2790.30	173	18405.60	173
0	Max	-1600	69548.40	130	3499.84	130	2493.69	162	2152.38	98	79.35	173	215.25	173	2790.30	173	18405.60	173

0	Max	-1539	69548.40	130	3499.84	130	2493.69	162	2152.38	98	79.35	173	215.25	173	2790.30	173	18405.60	173
0	Min.	-2020	-54657.70	101	-1909.65	101	-3338.47	97	58.06	17	-166.23	177	-93.26	177	-11785.30	177	-7007.43	17
0	Min.	-2021	-54657.70	101	-1909.65	101	-3338.47	97	58.06	17	-166.23	177	-93.26	177	-11785.30	177	-7007.43	17
0	Min.	-1600	-54657.70	101	-1909.65	101	-3338.47	97	58.06	17	-166.23	177	-93.26	177	-11785.30	177	-7007.43	17
0	Min.	-1539	-54657.70	101	-1909.65	101	-3338.47	97	58.06	17	-166.23	177	-93.26	177	-11785.30	177	-7007.43	17
0	Max	-1883	-7151.27	177	3165.07	98	1269.47	101	-144.05	65	109.87	33	93.21	106	13827.20	173	5794.89	98
0	Max	-1884	-7151.27	177	3165.07	98	1269.47	101	-144.05	65	109.87	33	93.21	106	13827.20	173	5794.89	98
0	Max	-1842	-7151.27	177	3165.07	98	1269.47	101	-144.05	65	109.87	33	93.21	106	13827.20	173	5794.89	98
0	Max	-1493	-7151.27	177	3165.07	98	1269.47	101	-144.05	65	109.87	33	93.21	106	13827.20	173	5794.89	98
0	Min.	-1883	-181163.00	97	-863.49	177	-7473.01	158	-2277.41	98	-2327.18	98	-109.55	101	-794.27	17	-4628.53	101
0	Min.	-1884	-181163.00	97	-863.49	177	-7473.01	158	-2277.41	98	-2327.18	98	-109.55	101	-794.27	17	-4628.53	101
0	Min.	-1842	-181163.00	97	-863.49	177	-7473.01	158	-2277.41	98	-2327.18	98	-109.55	101	-794.27	17	-4628.53	101
0	Min.	-1493	-181163.00	97	-863.49	177	-7473.01	158	-2277.41	98	-2327.18	98	-109.55	101	-794.27	17	-4628.53	101
0	Max	-1873	48994.70	101	9827.16	165	7117.41	177	1546.56	97	333.80	101	194.74	65	21557.80	106	-1762.62	17
0	Max	-1943	48994.70	101	9827.16	165	7117.41	177	1546.56	97	333.80	101	194.74	65	21557.80	106	-1762.62	17
0	Max	-1944	48994.70	101	9827.16	165	7117.41	177	1546.56	97	333.80	101	194.74	65	21557.80	106	-1762.62	17
0	Max	-1476	48994.70	101	9827.16	165	7117.41	177	1546.56	97	333.80	101	194.74	65	21557.80	106	-1762.62	17
0	Min.	-1873	-61301.50	106	-1117.17	106	-31457.20	166	-729.23	106	-1542.30	106	-404.65	173	-7393.21	97	-42783.40	105
0	Min.	-1943	-61301.50	106	-1117.17	106	-31457.20	166	-729.23	106	-1542.30	106	-404.65	173	-7393.21	97	-42783.40	105
0	Min.	-1944	-61301.50	106	-1117.17	106	-31457.20	166	-729.23	106	-1542.30	106	-404.65	173	-7393.21	97	-42783.40	105
0	Min.	-1476	-61301.50	106	-1117.17	106	-31457.20	166	-729.23	106	-1542.30	106	-404.65	173	-7393.21	97	-42783.40	105
0	Max	-1833	-17055.70	177	7313.18	158	8721.95	158	-203.68	33	164.25	33	303.33	173	11949.90	173	12665.50	173
0	Max	-2082	-17055.70	177	7313.18	158	8721.95	158	-203.68	33	164.25	33	303.33	173	11949.90	173	12665.50	173
0	Max	-2081	-17055.70	177	7313.18	158	8721.95	158	-203.68	33	164.25	33	303.33	173	11949.90	173	12665.50	173
0	Max	-1466	-17055.70	177	7313.18	158	8721.95	158	-203.68	33	164.25	33	303.33	173	11949.90	173	12665.50	173
0	Min.	-1833	-182766.00	97	-1692.67	177	-1744.18	161	-2702.02	98	-1476.46	97	-40.12	101	-26356.20	98	-8439.92	97
0	Min.	-2082	-182766.00	97	-1692.67	177	-1744.18	161	-2702.02	98	-1476.46	97	-40.12	101	-26356.20	98	-8439.92	97
0	Min.	-2081	-182766.00	97	-1692.67	177	-1744.18	161	-2702.02	98	-1476.46	97	-40.12	101	-26356.20	98	-8439.92	97
0	Min.	-1466	-182766.00	97	-1692.67	177	-1744.18	161	-2702.02	98	-1476.46	97	-40.12	101	-26356.20	98	-8439.92	97
0	Max	-1884	-7151.27	177	3165.07	97	1008.15	101	-144.05	17	110.09	33	254.42	173	13713.10	173	4628.35	106
0	Max	-1885	-7151.27	177	3165.07	97	1008.15	101	-144.05	17	110.09	33	254.42	173	13713.10	173	4628.35	106
0	Max	-1494	-7151.27	177	3165.07	97	1008.15	101	-144.05	17	110.09	33	254.42	173	13713.10	173	4628.35	106
0	Max	-1842	-7151.27	177	3165.07	97	1008.15	101	-144.05	17	110.09	33	254.42	173	13713.10	173	4628.35	106
0	Min.	-1884	-181163.00	98	-863.49	177	-7947.07	158	-2277.41	97	-2327.18	97	-93.22	101	-794.27	65	-5794.89	97
0	Min.	-1885	-181163.00	98	-863.49	177	-7947.07	158	-2277.41	97	-2327.18	97	-93.22	101	-794.27	65	-5794.89	97
0	Min.	-1494	-181163.00	98	-863.49	177	-7947.07	158	-2277.41	97	-2327.18	97	-93.22	101	-794.27	65	-5794.89	97
0	Min.	-1842	-181163.00	98	-863.49	177	-7947.07	158	-2277.41	97	-2327.18	97	-93.22	101	-794.27	65	-5794.89	97
0	Max	-2215	11499.70	177	159.99	173	1561.70	101	-52.76	17	115.64	173	105.19	130	6488.91	98	4454.67	98
0	Max	-2217	11499.70	177	159.99	173	1561.70	101	-52.76	17	115.64	173	105.19	130	6488.91	98	4454.67	98
0	Max	-2065	11499.70	177	159.99	173	1561.70	101	-52.76	17	115.64	173	105.19	130	6488.91	98	4454.67	98
0	Max	-2117	11499.70	177	159.99	173	1561.70	101	-52.76	17	115.64	173	105.19	130	6488.91	98	4454.67	98
0	Min.	-2215	-167991.00	98	-1092.37	158	-8059.38	158	-2076.81	97	-74.59	106	-135.80	97	-7577.30	125	-2772.17	101
0	Min.	-2217	-167991.00	98	-1092.37	158	-8059.38	158	-2076.81	97	-74.59	106	-135.80	97	-7577.30	125	-2772.17	101
0	Min.	-2065	-167991.00	98	-1092.37	158	-8059.38	158	-2076.81	97	-74.59	106	-135.80	97	-7577.30	125	-2772.17	101
0	Min.	-2117	-167991.00	98	-1092.37	158	-8059.38	158	-2076.81	97	-74.59	106	-135.80	97	-7577.30	125	-2772.17	101
0	Max	-2194	13094.90	177	284.46	101	2947.91	101	-54.28	65	74.62	173	97.20	130	15698.20	97	2905.04	130
0	Max	-2216	13094.90	177	284.46	101	2947.91	101	-54.28	65	74.62	173	97.20	130	15698.20	97	2905.04	130
0	Max	-1753	13094.90	177	284.46	101	2947.91	101	-54.28	65	74.62	173	97.20	130	15698.20	97	2905.04	130
0	Max	-2119	13094.90	177	284.46	101	2947.91	101	-54.28	65	74.62	173	97.20	130	15698.20	97	2905.04	130
0	Min.	-2194	-156295.00	98	-685.55	158	-4717.34	158	-1958.43	98	-78.23	98	-372.74	97	-237.27	17	-2941.15	101
0	Min.	-2216	-156295.00	98	-685.55	158	-4717.34	158	-1958.43	98	-78.23	98	-372.74	97	-237.27	17	-2941.15	101
0	Min.	-1753	-156295.00	98	-685.55	158	-4717.34	158	-1958.43	98	-78.23	98	-372.74	97	-237.27	17	-2941.15	101
0	Min.	-2119	-156295.00	98	-685.55	158	-4717.34	158	-1958.43	98	-78.23	98	-372.74	97	-237.27	17	-2941.15	101
0	Max	-2191	11445.70	177	875.70	125	658.64	101	-53.86	17	83.21	173	252.38	98	12278.40	98	8803.95	98
0	Max	-2190	11445.70	177	875.70	125	658.64	101	-53.86	17	83.21	173	252.38	98	12278.40	98	8803.95	98
0	Max	-1755	11445.70	177	875.70	125	658.64	101	-53.86	17	83.21	173	252.38	98	12278.40	98	8803.95	98
0	Max	-2116	11445.70	177	875.70	125	658.64	101	-53.86	17	83.21	173	252.38	98	12278.40	98	8803.95	98
0	Min.	-2191	-167146.00	97	-970.58	106	-8561.92	158	-1963.29	97	-43.44	101	-53.63	101	-971.68	161	-3733.20	125
0	Min.	-2190	-167146.00	97	-970.58	106	-8561.92	158	-1963.29	97	-43.44	101	-53.63	101	-971.68	161	-3733.20	125
0	Min.	-1755	-167146.00	97	-970.58	106	-8561.92	158	-1963.29	97	-43.44	101	-53.63	101	-971.68	161	-3733.20	125
0	Min.	-2116	-167146.00	97	-970.58	106	-8561.92	158	-1963.29	97	-43.44	101	-53.63	101	-971.68	161	-3733.20	125
0	Max	-2189	13201.70	177	97.44	49	666.26	101	-33.18	17	51.52	173	552.10	98	6635.29	97	13740.60	98
0	Max	-2188	13201.70	177	97.44	49	666.26	101	-33.18	17	51.52	173	552.10	98	6635.29	97	13740.60	98
0	Max	-1756	13201.70	177	97.44	49	666.26	101	-33.18	17	51.52	173	552.10	98	6635.29	97	13740.60	98
0	Max	-2115	13201.70	177	97.44	49	666.26	101	-33.18	17	51.52	173	552.10	98	6635.29	97	13740.60	98
0	Min.	-2189	-152937.00	97	-1662.25	98	-6139.90	158	-1708.51	97	-47.57	97	-53.31	17	-1243.90	1	-479.53	65
0	Min.	-2188	-152937.00	97	-1662.25	98	-6139.90	158	-1708.51	97	-47.57	97	-53.31	17	-1243.90	1	-479.53	65
0	Min.	-1756	-152937.00	97	-1662.25	98	-6139.90	158	-1708.51	97	-47.57	97	-53.31	17	-1243.90	1	-479.53	65
0	Min.	-2115	-152937.00	97	-1662.25	98	-6139.90	158	-1708.51	97	-47.57	97	-53.31	17	-1243.90	1	-479.53	65
0	Max	-2220	63069.20	130	3783.08	130	5516.19	101	1638.30	158	159.66	158	460.63	101	14413.30	162	39093.40	101
0	Max	-2177	63069.20	130	3783.08	130	5516.19	101	1638.30	158	159.66	158	460.63	101	14413.30	162	39093.40	101
0	Max	-1548	63069.20	130	3783.08	130	5516.19	101	1638.30	158	159.66	158	460.63	101	14413.30	162	39093.40	101
0	Max	-2071	63069.20	130	3783.08	130	5516.19	101	1638.30	158	159.66	158	460.63	101	14413.30	162	39093.40	101
0	Min.	-2220	-44459.30	101	-2662.86	101	-7518.66	162	-1063.66	101	-51.08	101	-612.71	130	-3153.13	97	-65779.90	130
0	Min.	-2177	-44459.30	101	-2662.86	101	-7518.66	162	-1063.66	101	-51.08	101	-612.71	130	-3153.13	97	-65779.90	130
0	Min.	-1548	-44459.30	101	-2662.86	101	-7518.66	162	-1063.66	101	-51.08	101	-612.71	130	-3153.13	97	-65779.90	130
0	Min.	-2071	-44459.30	101	-2662.86	101	-7518.66	162	-1063.66	101	-51.08	101	-612.71	130	-3153.13	97	-65779.90	130
0	Max	-2178	43352.30	106	2166.82	101	6301.81	101	908.53	97	119.66	158	453.25	101	6833.68	101	36045.70	101
0	Max	-2220	43352.30	106	2166.82	101	6301.81	101	908.53	97	119.66	158	453.25	101	6833.68	101	36045.70	101
0	Max	-2071	43352.30	106	2166.82	101	6301.81	101	908.53	97	119.66	158	453.25	101	6833.68	101	36045.70	101
0	Max	-1546	43352.30	106	2166.82	101	6301.81	101	908.53	97	119.66	158	453.25	101	6833.68	101	36045.70	101
0	Min.	-2178	-25000.80	101	-1518.99	130	-8102.48	162	-394.58	162	-30.62	65	-677.02	130	-3300.97	106	-53057.10	130
0	Min.	-2220	-25000.80	101	-1518.99	130	-8102.48	162	-394.58	162	-30.62	65	-677.02	130	-3300.97	106	-53057.10	130
0	Min.	-2071	-25000.80	101	-1518.99	130	-8102.48	162	-394.58	162	-30.62	65	-677.02	130	-3300.97	106	-53057.10	130
0	Min.	-1546	-25000.80	101	-1518.99	130	-8102.48	162	-394.58	162	-30.62	65	-677.02	130	-3300.97	106	-53057.10	130
0	Max	-2219	67211.40	130	3227.19	166	12876.10	97	1482.00	130	111.20	102	1330.98	98	-6489.93	65	109315.00	98
0	Max	-2203	67211.40	130	3227.19	166	12876.10	97	1482.00	130	111.20	102	1330.98	98	-6489.93	65	109315.00	98
0	Max	-1540	67211.40	130	3227.19	166	12876.10	97	1482.00	130	111.20	102	1330.98	98	-6489.93	65	109315.00	98
0	Max	-2069	67211.40	130	3227.19	166	12876.10	97	1482.00	130	111.20	102	1330.98	98	-6489.93	65	109315.00	98
0	Min.	-2219	-65625.20	101	-3182.70	101	-12235.90	162	-350.88	101	-121.62	97	-262.91	161	-57515.50	98	-24712.50	161
0	Min.	-2203	-65625.20	101	-3182.70	101	-12235.90	162	-350.88	101	-121.62	97	-262.91	161	-57515.50	98	-24712.50	161
0	Min.	-1540	-65625.20	101	-3182.70	101	-12235.90	162	-350.88	101	-121.62	97	-262.91	161	-57515.50	98	-24712.50	161
0	Min.	-2069	-65625.20	101	-3182.70	101	-12235.90	162	-350.88	101	-121.62	97	-262.91	161	-57515.50	98	-24712.50	161
0	Max	-2182	57500.30	106	4766.84	98	13875.10	97	3489.68	98	213.70	102	1647.86	98	1063.80	101	82912.00	97
0	Max	-2219	57500.30	106	4766.84	98	13875.10	97	3489.68	98	213.70	102	1647.86	98	1063.80	101	82912.00	97
0	Max	-2069	57500.30	106	4766.84	98	13875.10	97	3489.68	98	213.70	102	1647.86	98	1063.80	101	82912.00	97
0	Max	-1942	57500.30	106	4766.84	98	13875.10	97	3489.68	98	213.70	102	1647.86	98	1063.80	101	82912.00	97
0	Min.	-2182	-48031.40	101	-3924.14	161	-13560.90	162	-497.54	161	-116.66	157	-364.03	161	-22957.80	130	-32531.70	162
0	Min.	-2219	-48031.40	101	-3924.14	161	-13560.90	162	-497.54	161	-116.66	157	-364.03	161	-22957.80	130	-32531.70	162
0	Min.	-2069	-48031.40	101	-3924.14	161	-13560.90	162	-497.54	161	-116.66	157	-364.03	161	-22957.80	130	-32531.70	162
0	Min.	-1942	-48031.40	101	-3924.14	161	-13560.90	162	-497.54	161	-116.66	157	-364.03	161	-22957.80	130	-32531.70	162
0	Max	-2218	20311.40	162	1491.86	161	8052.53	98	300.94	161	41.29	17	1400.42	98	4736.88	125	93098.50	98
0	Max	-2186	20311.40	162	1491.86	161	8052.53	98	300.94	161	41.29	17	1400.42	98	4736.88	125	93098.50	98
0	Max	-1758	20311.40	162	1491.86	161	8052.53	98	300.94	161	41.29	17	1400.42	98	4736.88	125	93098.50	98
0	Max	-2067	20311.40	162	1491.86	161	8052.53	98	300.94	161	41.29	17	1400.42	98	4736.88	125	93098.50	98

0	Min.	-2218	-129758.00	97	-5524.97	98	-9789.54	161	-2383.34	98	-108.45	97	-182.59	125	-4026.41	106	-19437.90	161
0	Min.	-2186	-129758.00	97	-5524.97	98	-9789.54	161	-2383.34	98	-108.45	97	-182.59	125	-4026.41	106	-19437.90	161
0	Min.	-1758	-129758.00	97	-5524.97	98	-9789.54	161	-2383.34	98	-108.45	97	-182.59	125	-4026.41	106	-19437.90	161
0	Min.	-2067	-129758.00	97	-5524.97	98	-9789.54	161	-2383.34	98	-108.45	97	-182.59	125	-4026.41	106	-19437.90	161
0	Max	-2187	20210.40	177	4231.60	98	9507.47	98	608.17	106	74.41	106	1402.06	98	17816.10	98	93971.70	98
0	Max	-2218	20210.40	177	4231.60	98	9507.47	98	608.17	106	74.41	106	1402.06	98	17816.10	98	93971.70	98
0	Max	-2067	20210.40	177	4231.60	98	9507.47	98	608.17	106	74.41	106	1402.06	98	17816.10	98	93971.70	98
0	Max	-1757	20210.40	177	4231.60	98	9507.47	98	608.17	106	74.41	106	1402.06	98	17816.10	98	93971.70	98
0	Min.	-2187	-101559.00	97	-1568.21	161	-9104.43	161	-840.35	125	-38.67	157	-170.77	125	-1588.47	161	-18850.20	161
0	Min.	-2218	-101559.00	97	-1568.21	161	-9104.43	161	-840.35	125	-38.67	157	-170.77	125	-1588.47	161	-18850.20	161
0	Min.	-2067	-101559.00	97	-1568.21	161	-9104.43	161	-840.35	125	-38.67	157	-170.77	125	-1588.47	161	-18850.20	161
0	Min.	-1757	-101559.00	97	-1568.21	161	-9104.43	161	-840.35	125	-38.67	157	-170.77	125	-1588.47	161	-18850.20	161
0	Max	-2217	10969.60	177	2351.49	98	2579.52	98	119.55	1	319.17	173	475.26	106	30879.90	98	44983.40	106
0	Max	-2193	10969.60	177	2351.49	98	2579.52	98	119.55	1	319.17	173	475.26	106	30879.90	98	44983.40	106
0	Max	-1689	10969.60	177	2351.49	98	2579.52	98	119.55	1	319.17	173	475.26	106	30879.90	98	44983.40	106
0	Max	-2065	10969.60	177	2351.49	98	2579.52	98	119.55	1	319.17	173	475.26	106	30879.90	98	44983.40	106
0	Min.	-2217	-171326.00	97	-4390.05	125	-15753.20	157	-2204.76	121	-50.06	65	-701.52	125	-7165.74	125	-68400.00	125
0	Min.	-2193	-171326.00	97	-4390.05	125	-15753.20	157	-2204.76	121	-50.06	65	-701.52	125	-7165.74	125	-68400.00	125
0	Min.	-1689	-171326.00	97	-4390.05	125	-15753.20	157	-2204.76	121	-50.06	65	-701.52	125	-7165.74	125	-68400.00	125
0	Min.	-2065	-171326.00	97	-4390.05	125	-15753.20	157	-2204.76	121	-50.06	65	-701.52	125	-7165.74	125	-68400.00	125
0	Max	-2216	11445.70	177	385.54	106	2574.42	97	-53.86	65	100.54	173	100.19	130	12278.40	97	2638.95	106
0	Max	-2215	11445.70	177	385.54	106	2574.42	97	-53.86	65	100.54	173	100.19	130	12278.40	97	2638.95	106
0	Max	-2117	11445.70	177	385.54	106	2574.42	97	-53.86	65	100.54	173	100.19	130	12278.40	97	2638.95	106
0	Max	-1753	11445.70	177	385.54	106	2574.42	97	-53.86	65	100.54	173	100.19	130	12278.40	97	2638.95	106
0	Min.	-2216	-167146.00	98	-1443.87	157	-5748.68	158	-1963.29	98	-43.44	106	-252.38	97	-545.50	1	-8803.96	97
0	Min.	-2215	-167146.00	98	-1443.87	157	-5748.68	158	-1963.29	98	-43.44	106	-252.38	97	-545.50	1	-8803.96	97
0	Min.	-2117	-167146.00	98	-1443.87	157	-5748.68	158	-1963.29	98	-43.44	106	-252.38	97	-545.50	1	-8803.96	97
0	Min.	-1753	-167146.00	98	-1443.87	157	-5748.68	158	-1963.29	98	-43.44	106	-252.38	97	-545.50	1	-8803.96	97
0	Max	-2214	14051.70	177	142.66	17	142.28	177	-91.19	17	41.29	65	-22.71	154	3463.16	106	971.89	17
0	Max	-2197	14051.70	177	142.66	17	142.28	177	-91.19	17	41.29	65	-22.71	154	3463.16	106	971.89	17
0	Max	-1750	14051.70	177	142.66	17	142.28	177	-91.19	17	41.29	65	-22.71	154	3463.16	106	971.89	17
0	Max	-2063	14051.70	177	142.66	17	142.28	177	-91.19	17	41.29	65	-22.71	154	3463.16	106	971.89	17
0	Min.	-2214	-129758.00	98	-6148.65	121	-15786.80	157	-2408.08	121	-108.45	98	-1400.42	97	-6683.20	125	-98102.10	121
0	Min.	-2197	-129758.00	98	-6148.65	121	-15786.80	157	-2408.08	121	-108.45	98	-1400.42	97	-6683.20	125	-98102.10	121
0	Min.	-1750	-129758.00	98	-6148.65	121	-15786.80	157	-2408.08	121	-108.45	98	-1400.42	97	-6683.20	125	-98102.10	121
0	Min.	-2063	-129758.00	98	-6148.65	121	-15786.80	157	-2408.08	121	-108.45	98	-1400.42	97	-6683.20	125	-98102.10	121
0	Max	-2198	19627.40	177	-1.56	17	6292.85	97	180.18	101	101.97	125	233.68	65	3557.52	106	10363.50	157
0	Max	-2214	19627.40	177	-1.56	17	6292.85	97	180.18	101	101.97	125	233.68	65	3557.52	106	10363.50	157
0	Max	-2063	19627.40	177	-1.56	17	6292.85	97	180.18	101	101.97	125	233.68	65	3557.52	106	10363.50	157
0	Max	-1749	19627.40	177	-1.56	17	6292.85	97	180.18	101	101.97	125	233.68	65	3557.52	106	10363.50	157
0	Min.	-2198	-92177.90	130	-3742.82	121	-3473.59	166	-631.52	106	-46.83	106	-433.07	173	-3837.08	125	-972.96	106
0	Min.	-2214	-92177.90	130	-3742.82	121	-3473.59	166	-631.52	106	-46.83	106	-433.07	173	-3837.08	125	-972.96	106
0	Min.	-2063	-92177.90	130	-3742.82	121	-3473.59	166	-631.52	106	-46.83	106	-433.07	173	-3837.08	125	-972.96	106
0	Min.	-1749	-92177.90	130	-3742.82	121	-3473.59	166	-631.52	106	-46.83	106	-433.07	173	-3837.08	125	-972.96	106
0	Max	-2212	56648.00	101	3541.23	97	3227.52	177	1389.64	97	219.06	97	268.58	101	-1294.21	162	3515.48	105
0	Max	-2213	56648.00	101	3541.23	97	3227.52	177	1389.64	97	219.06	97	268.58	101	-1294.21	162	3515.48	105
0	Max	-1681	56648.00	101	3541.23	97	3227.52	177	1389.64	97	219.06	97	268.58	101	-1294.21	162	3515.48	105
0	Max	-1964	56648.00	101	3541.23	97	3227.52	177	1389.64	97	219.06	97	268.58	101	-1294.21	162	3515.48	105
0	Min.	-2212	-60437.40	130	127.44	142	-3884.32	165	-226.18	130	13.47	17	-73.60	173	-18274.30	97	-3510.78	158
0	Min.	-2213	-60437.40	130	127.44	142	-3884.32	165	-226.18	130	13.47	17	-73.60	173	-18274.30	97	-3510.78	158
0	Min.	-1681	-60437.40	130	127.44	142	-3884.32	165	-226.18	130	13.47	17	-73.60	173	-18274.30	97	-3510.78	158
0	Min.	-1964	-60437.40	130	127.44	142	-3884.32	165	-226.18	130	13.47	17	-73.60	173	-18274.30	97	-3510.78	158
0	Max	-2201	53833.90	101	4265.13	121	1794.70	177	1308.89	97	93.00	105	122.81	65	24335.00	158	-1165.27	17
0	Max	-2200	53833.90	101	4265.13	121	1794.70	177	1308.89	97	93.00	105	122.81	65	24335.00	158	-1165.27	17
0	Max	-1747	53833.90	101	4265.13	121	1794.70	177	1308.89	97	93.00	105	122.81	65	24335.00	158	-1165.27	17
0	Max	-1957	53833.90	101	4265.13	121	1794.70	177	1308.89	97	93.00	105	122.81	65	24335.00	158	-1165.27	17
0	Min.	-2201	-58344.60	130	169.06	17	-8711.63	166	-44.02	1	-28.66	173	-447.46	97	-22.76	65	-53719.20	121
0	Min.	-2200	-58344.60	130	169.06	17	-8711.63	166	-44.02	1	-28.66	173	-447.46	97	-22.76	65	-53719.20	121
0	Min.	-1747	-58344.60	130	169.06	17	-8711.63	166	-44.02	1	-28.66	173	-447.46	97	-22.76	65	-53719.20	121
0	Min.	-1957	-58344.60	130	169.06	17	-8711.63	166	-44.02	1	-28.66	173	-447.46	97	-22.76	65	-53719.20	121
0	Max	-2180	62337.80	130	1343.73	106	995.20	173	1291.75	98	213.43	98	37.01	65	2027.10	161	-79.86	49
0	Max	-2179	62337.80	130	1343.73	106	995.20	173	1291.75	98	213.43	98	37.01	65	2027.10	161	-79.86	49
0	Max	-1545	62337.80	130	1343.73	106	995.20	173	1291.75	98	213.43	98	37.01	65	2027.10	161	-79.86	49
0	Max	-1922	62337.80	130	1343.73	106	995.20	173	1291.75	98	213.43	98	37.01	65	2027.10	161	-79.86	49
0	Min.	-2180	-42448.70	101	-923.84	101	-3735.93	161	-66.82	49	9.80	65	-338.59	130	-13105.40	98	-8946.11	106
0	Min.	-2179	-42448.70	101	-923.84	101	-3735.93	161	-66.82	49	9.80	65	-338.59	130	-13105.40	98	-8946.11	106
0	Min.	-1545	-42448.70	101	-923.84	101	-3735.93	161	-66.82	49	9.80	65	-338.59	130	-13105.40	98	-8946.11	106
0	Min.	-1922	-42448.70	101	-923.84	101	-3735.93	161	-66.82	49	9.80	65	-338.59	130	-13105.40	98	-8946.11	106
0	Max	-2213	58779.90	101	2110.36	101	3613.90	177	2196.61	97	321.30	97	332.04	121	-3981.09	17	27184.00	121
0	Max	-2204	58779.90	101	2110.36	101	3613.90	177	2196.61	97	321.30	97	332.04	121	-3981.09	17	27184.00	121
0	Max	-1686	58779.90	101	2110.36	101	3613.90	177	2196.61	97	321.30	97	332.04	121	-3981.09	17	27184.00	121
0	Max	-1681	58779.90	101	2110.36	101	3613.90	177	2196.61	97	321.30	97	332.04	121	-3981.09	17	27184.00	121
0	Min.	-2213	-69048.70	130	-2449.84	130	-4001.69	165	80.07	17	14.29	17	-75.40	17	-31156.70	97	2718.92	17
0	Min.	-2204	-69048.70	130	-2449.84	130	-4001.69	165	80.07	17	14.29	17	-75.40	17	-31156.70	97	2718.92	17
0	Min.	-1686	-69048.70	130	-2449.84	130	-4001.69	165	80.07	17	14.29	17	-75.40	17	-31156.70	97	2718.92	17
0	Min.	-1681	-69048.70	130	-2449.84	130	-4001.69	165	80.07	17	14.29	17	-75.40	17	-31156.70	97	2718.92	17
0	Max	-2211	56359.00	101	1343.90	101	2821.43	177	1291.73	97	213.43	97	286.63	101	-1244.73	17	8944.82	101
0	Max	-2212	56359.00	101	1343.90	101	2821.43	177	1291.73	97	213.43	97	286.63	101	-1244.73	17	8944.82	101
0	Max	-1964	56359.00	101	1343.90	101	2821.43	177	1291.73	97	213.43	97	286.63	101	-1244.73	17	8944.82	101
0	Max	-1680	56359.00	101	1343.90	101	2821.43	177	1291.73	97	213.43	97	286.63	101	-1244.73	17	8944.82	101
0	Min.	-2211	-55119.10	130	-923.56	106	-3803.37	165	-216.74	130	9.80	17	-41.26	162	-14765.00	121	-541.27	130
0	Min.	-2212	-55119.10	130	-923.56	106	-3803.37	165	-216.74	130	9.80	17	-41.26	162	-14765.00	121	-541.27	130
0	Min.	-1964	-55119.10	130	-923.56	106	-3803.37	165	-216.74	130	9.80	17	-41.26	162	-14765.00	121	-541.27	130
0	Min.	-1680	-55119.10	130	-923.56	106	-3803.37	165	-216.74	130	9.80	17	-41.26	162	-14765.00	121	-541.27	130
0	Max	-2210	52616.50	101	1977.56	158	3164.72	177	1007.19	97	120.28	101	239.33	122	2717.12	130	14237.80	130
0	Max	-2211	52616.50	101	1977.56	158	3164.72	177	1007.19	97	120.28	101	239.33	122	2717.12	130	14237.80	130
0	Max	-1680	52616.50	101	1977.56	158	3164.72	177	1007.19	97	120.28	101	239.33	122	2717.12	130	14237.80	130
0	Max	-1679	52616.50	101	1977.56	158	3164.72	177	1007.19	97	120.28	101	239.33	122	2717.12	130	14237.80	130
0	Min.	-2210	-46470.40	130	-31.02	49	-3344.56	165	-558.87	130	-8.58	17	-21.63	65	-6330.22	97	-135.29	49
0	Min.	-2211	-46470.40	130	-31.02	49	-3344.56	165	-558.87	130	-8.58	17	-21.63	65	-6330.22	97	-135.29	49
0	Min.	-1680	-46470.40	130	-31.02	49	-3344.56	165	-558.87	130	-8.58	17	-21.63	65	-6330.22	97	-135.29	49
0	Min.	-1679	-46470.40	130	-31.02	49	-3344.56	165	-558.87	130	-8.58	17	-21.63	65	-6330.22	97	-135.29	49
0	Max	-2209	43354.20	101	2944.28	130	2874.50	177	1049.90	122	94.29	97	370.43	101	6832.78	106	26981.80	101
0	Max	-2210	43354.20	101	2944.28	130	2874.50	177	1049.90	122	94.29	97	370.43	101	6832.78	106	26981.80	101
0	Max	-1679	43354.20	101	2944.28	130	2874.50	177	1049.90	122	94.29	97	370.43	101	6832.78	106	26981.80	101
0	Max	-1678	43354.20	101	2944.28	130	2874.50	177	1049.90	122	94.29	97	370.43	101	6832.78	106	26981.80	101
0	Min.	-2209	-30313.30	130	-381.71	49	-11286.80	130	-71.66	65	-39.36	162	-714.38	130	-5317.33	125	-60508.20	130
0	Min.	-2210	-30313.30	130	-381.71	49	-11286.80	130	-71.66	65	-39.36	162	-714.38	130	-5317.33	125	-60508.20	130
0	Min.	-1679	-30313.30	130	-381.71	49	-11286.80	130	-71.66	65	-39.36	162	-714.38	130	-5317.33	125	-60508.20	130
0	Min.	-1678	-30313.30	130	-381.71	49	-11286.80	130	-71.66	65	-39.36	162	-714.38	130	-5317.33	125	-60508.20	130
0	Max	-2208	47653.40	101	1730.69	101	2617.10	177	760.64	101	84.63	101	375.38	101	2504.73	101	26485.20	101
0	Max	-2209	47653.40	101	1730.69	101	2617.10	177	760.64	101	84.63	101	375.38	101	2504.73	101	26485.20	101
0	Max	-1678	47653.40	101	1730.69	101	2617.10	177	760.64	101	84.63	101	375.38	101	2504.73	101	26485.20	101
0	Max	-1677	47653.40	101	1730.69	101	2617.10	177	760.64	101	84.63	101	375.38	101	2504.73	101	26485.20	101
0	Min.	-2208	-61668.00	130	-4735.60	130	-10347.80	130	-1887.47	130	-137.31	130	-648.78	130	-17185.50	158	-76725.50	130

0	Min.	-2209	-61668.00	130	-4735.60	130	-10347.80	130	-1887.47	130	-137.31	130	-648.78	130	-17185.50	158	-76725.50	130
0	Min.	-1678	-61668.00	130	-4735.60	130	-10347.80	130	-1887.47	130	-137.31	130	-648.78	130	-17185.50	158	-76725.50	130
0	Min.	-1677	-61668.00	130	-4735.60	130	-10347.80	130	-1887.47	130	-137.31	130	-648.78	130	-17185.50	158	-76725.50	130
0	Max	-2207	35482.00	101	1058.83	101	3323.31	177	359.20	97	109.62	158	459.26	158	868.88	101	12735.00	158
0	Max	-2208	35482.00	101	1058.83	101	3323.31	177	359.20	97	109.62	158	459.26	158	868.88	101	12735.00	158
0	Max	-1677	35482.00	101	1058.83	101	3323.31	177	359.20	97	109.62	158	459.26	158	868.88	101	12735.00	158
0	Max	-1676	35482.00	101	1058.83	101	3323.31	177	359.20	97	109.62	158	459.26	158	868.88	101	12735.00	158
0	Min.	-2207	-43716.40	130	-2815.86	130	-3869.41	101	-298.85	130	-11.65	101	5.40	141	-3526.37	158	-372.39	49
0	Min.	-2208	-43716.40	130	-2815.86	130	-3869.41	101	-298.85	130	-11.65	101	5.40	141	-3526.37	158	-372.39	49
0	Min.	-1677	-43716.40	130	-2815.86	130	-3869.41	101	-298.85	130	-11.65	101	5.40	141	-3526.37	158	-372.39	49
0	Min.	-1676	-43716.40	130	-2815.86	130	-3869.41	101	-298.85	130	-11.65	101	5.40	141	-3526.37	158	-372.39	49
0	Max	-2205	24315.40	101	636.87	97	3664.78	130	174.27	97	47.75	177	281.83	121	1222.69	105	5197.82	101
0	Max	-2207	24315.40	101	636.87	97	3664.78	130	174.27	97	47.75	177	281.83	121	1222.69	105	5197.82	101
0	Max	-1676	24315.40	101	636.87	97	3664.78	130	174.27	97	47.75	177	281.83	121	1222.69	105	5197.82	101
0	Max	-1675	24315.40	101	636.87	97	3664.78	130	174.27	97	47.75	177	281.83	121	1222.69	105	5197.82	101
0	Min.	-2205	-30154.90	130	-2177.27	177	-4233.14	101	-471.64	130	-42.20	106	-89.23	106	-4646.67	158	-8657.68	130
0	Min.	-2207	-30154.90	130	-2177.27	177	-4233.14	101	-471.64	130	-42.20	106	-89.23	106	-4646.67	158	-8657.68	130
0	Min.	-1676	-30154.90	130	-2177.27	177	-4233.14	101	-471.64	130	-42.20	106	-89.23	106	-4646.67	158	-8657.68	130
0	Min.	-1675	-30154.90	130	-2177.27	177	-4233.14	101	-471.64	130	-42.20	106	-89.23	106	-4646.67	158	-8657.68	130
0	Max	-2206	11346.60	101	738.93	177	6601.97	130	23.23	97	174.09	177	317.89	157	7961.58	177	5551.42	101
0	Max	-2205	11346.60	101	738.93	177	6601.97	130	23.23	97	174.09	177	317.89	157	7961.58	177	5551.42	101
0	Max	-1675	11346.60	101	738.93	177	6601.97	130	23.23	97	174.09	177	317.89	157	7961.58	177	5551.42	101
0	Max	-1425	11346.60	101	738.93	177	6601.97	130	23.23	97	174.09	177	317.89	157	7961.58	177	5551.42	101
0	Min.	-2206	-13749.50	130	-763.33	130	-5705.25	101	-126.70	130	-17.69	105	-41.94	106	736.58	141	-13177.30	130
0	Min.	-2205	-13749.50	130	-763.33	130	-5705.25	101	-126.70	130	-17.69	105	-41.94	106	736.58	141	-13177.30	130
0	Min.	-1675	-13749.50	130	-763.33	130	-5705.25	101	-126.70	130	-17.69	105	-41.94	106	736.58	141	-13177.30	130
0	Min.	-1425	-13749.50	130	-763.33	130	-5705.25	101	-126.70	130	-17.69	105	-41.94	106	736.58	141	-13177.30	130
0	Max	-2204	49061.20	101	895.73	113	64.49	177	827.58	101	124.38	129	-135.11	33	-6489.91	17	-4236.77	17
0	Max	-2202	49061.20	101	895.73	113	64.49	177	827.58	101	124.38	129	-135.11	33	-6489.91	17	-4236.77	17
0	Max	-1746	49061.20	101	895.73	113	64.49	177	827.58	101	124.38	129	-135.11	33	-6489.91	17	-4236.77	17
0	Max	-1686	49061.20	101	895.73	113	64.49	177	827.58	101	124.38	129	-135.11	33	-6489.91	17	-4236.77	17
0	Min.	-2204	-88114.30	130	-4490.71	158	-20104.80	158	-1110.23	130	-137.36	173	-1359.65	121	-57515.20	97	-119238.00	121
0	Min.	-2202	-88114.30	130	-4490.71	158	-20104.80	158	-1110.23	130	-137.36	173	-1359.65	121	-57515.20	97	-119238.00	121
0	Min.	-1746	-88114.30	130	-4490.71	158	-20104.80	158	-1110.23	130	-137.36	173	-1359.65	121	-57515.20	97	-119238.00	121
0	Min.	-1686	-88114.30	130	-4490.71	158	-20104.80	158	-1110.23	130	-137.36	173	-1359.65	121	-57515.20	97	-119238.00	121
0	Max	-2203	68728.40	130	3426.37	130	-41.04	17	2196.67	98	321.31	98	75.40	65	-3981.25	65	4627.02	161
0	Max	-2181	68728.40	130	3426.37	130	-41.04	17	2196.67	98	321.31	98	75.40	65	-3981.25	65	4627.02	161
0	Max	-1544	68728.40	130	3426.37	130	-41.04	17	2196.67	98	321.31	98	75.40	65	-3981.25	65	4627.02	161
0	Max	-1540	68728.40	130	3426.37	130	-41.04	17	2196.67	98	321.31	98	75.40	65	-3981.25	65	4627.02	161
0	Min.	-2203	-52292.40	101	-1699.56	101	-5871.96	161	80.08	65	14.29	65	-321.99	98	-31158.20	98	-24864.20	98
0	Min.	-2181	-52292.40	101	-1699.56	101	-5871.96	161	80.08	65	14.29	65	-321.99	98	-31158.20	98	-24864.20	98
0	Min.	-1544	-52292.40	101	-1699.56	101	-5871.96	161	80.08	65	14.29	65	-321.99	98	-31158.20	98	-24864.20	98
0	Min.	-1540	-52292.40	101	-1699.56	101	-5871.96	161	80.08	65	14.29	65	-321.99	98	-31158.20	98	-24864.20	98
0	Max	-2202	57503.40	101	8314.72	157	-557.09	17	3546.92	121	294.64	129	-188.26	33	17198.20	158	-919.25	17
0	Max	-2201	57503.40	101	8314.72	157	-557.09	17	3546.92	121	294.64	129	-188.26	33	17198.20	158	-919.25	17
0	Max	-1957	57503.40	101	8314.72	157	-557.09	17	3546.92	121	294.64	129	-188.26	33	17198.20	158	-919.25	17
0	Max	-1746	57503.40	101	8314.72	157	-557.09	17	3546.92	121	294.64	129	-188.26	33	17198.20	158	-919.25	17
0	Min.	-2202	-51458.50	130	124.11	17	-22900.90	158	92.47	17	-87.19	173	-1737.57	121	-11106.50	101	-100465.00	122
0	Min.	-2201	-51458.50	130	124.11	17	-22900.90	158	92.47	17	-87.19	173	-1737.57	121	-11106.50	101	-100465.00	122
0	Min.	-1957	-51458.50	130	124.11	17	-22900.90	158	92.47	17	-87.19	173	-1737.57	121	-11106.50	101	-100465.00	122
0	Min.	-1746	-51458.50	130	124.11	17	-22900.90	158	92.47	17	-87.19	173	-1737.57	121	-11106.50	101	-100465.00	122
0	Max	-2200	38233.30	101	2130.74	121	5450.74	97	606.22	101	71.10	101	130.65	65	-951.18	17	160.39	17
0	Max	-2199	38233.30	101	2130.74	121	5450.74	97	606.22	101	71.10	101	130.65	65	-951.18	17	160.39	17
0	Max	-1748	38233.30	101	2130.74	121	5450.74	97	606.22	101	71.10	101	130.65	65	-951.18	17	160.39	17
0	Max	-1747	38233.30	101	2130.74	121	5450.74	97	606.22	101	71.10	101	130.65	65	-951.18	17	160.39	17
0	Min.	-2200	-69724.10	130	87.51	17	-5198.00	166	-421.74	130	-12.49	173	-536.68	97	-15682.00	121	-12749.40	97
0	Min.	-2199	-69724.10	130	87.51	17	-5198.00	166	-421.74	130	-12.49	173	-536.68	97	-15682.00	121	-12749.40	97
0	Min.	-1748	-69724.10	130	87.51	17	-5198.00	166	-421.74	130	-12.49	173	-536.68	97	-15682.00	121	-12749.40	97
0	Min.	-1747	-69724.10	130	87.51	17	-5198.00	166	-421.74	130	-12.49	173	-536.68	97	-15682.00	121	-12749.40	97
0	Max	-2199	24443.10	177	383.56	101	6146.35	97	269.97	101	33.00	113	122.79	65	5999.49	106	197.17	17
0	Max	-2198	24443.10	177	383.56	101	6146.35	97	269.97	101	33.00	113	122.79	65	5999.49	106	197.17	17
0	Max	-1749	24443.10	177	383.56	101	6146.35	97	269.97	101	33.00	113	122.79	65	5999.49	106	197.17	17
0	Max	-1748	24443.10	177	383.56	101	6146.35	97	269.97	101	33.00	113	122.79	65	5999.49	106	197.17	17
0	Min.	-2199	-82727.70	130	-384.11	106	-3966.80	166	-545.83	106	-33.88	98	-659.14	97	-263.27	65	-18716.10	97
0	Min.	-2198	-82727.70	130	-384.11	106	-3966.80	166	-545.83	106	-33.88	98	-659.14	97	-263.27	65	-18716.10	97
0	Min.	-1749	-82727.70	130	-384.11	106	-3966.80	166	-545.83	106	-33.88	98	-659.14	97	-263.27	65	-18716.10	97
0	Min.	-1748	-82727.70	130	-384.11	106	-3966.80	166	-545.83	106	-33.88	98	-659.14	97	-263.27	65	-18716.10	97
0	Max	-2197	20210.40	177	4911.25	121	-264.37	17	904.95	125	85.23	173	-29.59	154	17816.10	97	101.49	17
0	Max	-2196	20210.40	177	4911.25	121	-264.37	17	904.95	125	85.23	173	-29.59	154	17816.10	97	101.49	17
0	Max	-1751	20210.40	177	4911.25	121	-264.37	17	904.95	125	85.23	173	-29.59	154	17816.10	97	101.49	17
0	Max	-1750	20210.40	177	4911.25	121	-264.37	17	904.95	125	85.23	173	-29.59	154	17816.10	97	101.49	17
0	Min.	-2197	-101559.00	98	-111.74	1	-17226.50	157	-518.43	106	-26.81	98	-1402.06	97	482.86	17	-98284.30	121
0	Min.	-2196	-101559.00	98	-111.74	1	-17226.50	157	-518.43	106	-26.81	98	-1402.06	97	482.86	17	-98284.30	121
0	Min.	-1751	-101559.00	98	-111.74	1	-17226.50	157	-518.43	106	-26.81	98	-1402.06	97	482.86	17	-98284.30	121
0	Min.	-1750	-101559.00	98	-111.74	1	-17226.50	157	-518.43	106	-26.81	98	-1402.06	97	482.86	17	-98284.30	121
0	Max	-2196	15646.40	177	2544.98	157	3872.02	101	-50.44	65	20.41	17	207.77	129	12166.80	98	13926.70	157
0	Max	-2195	15646.40	177	2544.98	157	3872.02	101	-50.44	65	20.41	17	207.77	129	12166.80	98	13926.70	157
0	Max	-1752	15646.40	177	2544.98	157	3872.02	101	-50.44	65	20.41	17	207.77	129	12166.80	98	13926.70	157
0	Max	-1751	15646.40	177	2544.98	157	3872.02	101	-50.44	65	20.41	17	207.77	129	12166.80	98	13926.70	157
0	Min.	-2196	-134943.00	98	-81.45	1	-3934.16	158	-1819.46	98	-197.83	97	-344.01	98	-420.55	65	705.96	65
0	Min.	-2195	-134943.00	98	-81.45	1	-3934.16	158	-1819.46	98	-197.83	97	-344.01	98	-420.55	65	705.96	65
0	Min.	-1752	-134943.00	98	-81.45	1	-3934.16	158	-1819.46	98	-197.83	97	-344.01	98	-420.55	65	705.96	65
0	Min.	-1751	-134943.00	98	-81.45	1	-3934.16	158	-1819.46	98	-197.83	97	-344.01	98	-420.55	65	705.96	65
0	Max	-2195	13201.70	177	97.44	1	1763.25	101	-33.18	65	76.77	173	53.30	65	6635.29	98	479.53	17
0	Max	-2194	13201.70	177	97.44	1	1763.25	101	-33.18	65	76.77	173	53.30	65	6635.29	98	479.53	17
0	Max	-2119	13201.70	177	97.44	1	1763.25	101	-33.18	65	76.77	173	53.30	65	6635.29	98	479.53	17
0	Max	-1752	13201.70	177	97.44	1	1763.25	101	-33.18	65	76.77	173	53.30	65	6635.29	98	479.53	17
0	Min.	-2195	-152937.00	98	-1662.25	97	-4775.24	158	-1708.51	98	-47.57	98	-552.10	97	-2184.31	125	-13740.60	97
0	Min.	-2194	-152937.00	98	-1662.25	97	-4775.24	158	-1708.51	98	-47.57	98	-552.10	97	-2184.31	125	-13740.60	97
0	Min.	-2119	-152937.00	98	-1662.25	97	-4775.24	158	-1708.51	98	-47.57	98	-552.10	97	-2184.31	125	-13740.60	97
0	Min.	-1752	-152937.00	98	-1662.25	97	-4775.24	158	-1708.51	98	-47.57	98	-552.10	97	-2184.31	125	-13740.60	97
0	Max	-2193	10969.60	177	5549.76	157	1315.43	106	705.51	125	312.86	173	492.64	106	30879.90	97	40799.40	106
0	Max	-2192	10969.60	177	5549.76	157	1315.43	106	705.51	125	312.86	173	492.64	106	30879.90	97	40799.40	106
0	Max	-1754	10969.60	177	5549.76	157	1315.43	106	705.51	125	312.86	173	492.64	106	30879.90	97	40799.40	106
0	Max	-1689	10969.60	177	5549.76	157	1315.43	106	705.51	125	312.86	173	492.64	106	30879.90	97	40799.40	106
0	Min.	-2193	-171327.00	98	-1872.74	106	-18515.50	157	-1937.57	98	-50.06	17	-687.81	125	-1990.86	1	-71146.70	125
0	Min.	-2192	-171327.00	98	-1872.74	106	-18515.50	157	-1937.57	98	-50.06	17	-687.81	125	-1990.86	1	-71146.70	125
0	Min.	-1754	-171327.00	98	-1872.74	106	-18515.50	157	-1937.57	98	-50.06	17	-687.81	125	-1990.86	1	-71146.70	125
0	Min.	-1689	-171327.00	98	-1872.74	106	-18515.50	157	-1937.57	98	-50.06	17	-687.81	125	-1990.86	1	-71146.70	125
0	Max	-2192	11499.70	177	1186.41	158	905.66	101	-52.76	65	108.33	173	169.30	158	9419.89	157	2771.98	106
0	Max	-2191	11499.70	177	1186.41	158	905.66	101	-52.76	65	108.33	173	169.30	158	9419.89	157	2771.98	106
0	Max	-2116	11499.70	177	1186.41	158	905.66	101	-52.76	65	108.33	173	169.30	158	9419.89	157	2771.98	106
0	Max	-1754	11499.70	177	1186.41	158	905.66	101	-52.76	65	108.33	173	169.30	158	9419.89	157	2771.98	106
0	Min.	-2192	-167991.00	97	-195.48	101	-9393.65	158	-2076.81	98	-90.54	125	-43.34	101	-3419.15	106	-4454.67	97
0	Min.	-2191	-167991.00	97	-195.48	101	-9393.65	158	-2076.81	98	-90.54	125	-43.34	101	-3419.15	106	-4454.67	97

0	Min.	-2116	-167991.00	97	-195.48	101	-9393.65	158	-2076.81	98	-90.54	125	-43.34	101	-3419.15	106	-4454.67	97
0	Min.	-1754	-167991.00	97	-195.48	101	-9393.65	158	-2076.81	98	-90.54	125	-43.34	101	-3419.15	106	-4454.67	97
0	Max	-2190	13094.90	177	628.11	158	1143.49	101	-54.28	17	51.87	173	372.74	98	15698.20	98	3145.79	130
0	Max	-2189	13094.90	177	628.11	158	1143.49	101	-54.28	17	51.87	173	372.74	98	15698.20	98	3145.79	130
0	Max	-2115	13094.90	177	628.11	158	1143.49	101	-54.28	17	51.87	173	372.74	98	15698.20	98	3145.79	130
0	Max	-1755	13094.90	177	628.11	158	1143.49	101	-54.28	17	51.87	173	372.74	98	15698.20	98	3145.79	130
0	Min.	-2190	-156295.00	97	-199.17	101	-7175.67	158	-1958.43	97	-78.23	97	-59.14	17	-670.72	161	-2776.82	101
0	Min.	-2189	-156295.00	97	-199.17	101	-7175.67	158	-1958.43	97	-78.23	97	-59.14	17	-670.72	161	-2776.82	101
0	Min.	-2115	-156295.00	97	-199.17	101	-7175.67	158	-1958.43	97	-78.23	97	-59.14	17	-670.72	161	-2776.82	101
0	Min.	-1755	-156295.00	97	-199.17	101	-7175.67	158	-1958.43	97	-78.23	97	-59.14	17	-670.72	161	-2776.82	101
0	Max	-2188	15646.40	177	1906.07	98	761.23	101	-50.44	17	20.41	65	362.67	121	12166.80	97	7050.85	161
0	Max	-2187	15646.40	177	1906.07	98	761.23	101	-50.44	17	20.41	65	362.67	121	12166.80	97	7050.85	161
0	Max	-1757	15646.40	177	1906.07	98	761.23	101	-50.44	17	20.41	65	362.67	121	12166.80	97	7050.85	161
0	Max	-1756	15646.40	177	1906.07	98	761.23	101	-50.44	17	20.41	65	362.67	121	12166.80	97	7050.85	161
0	Min.	-2188	-134943.00	97	-1064.34	161	-8141.95	158	-1819.46	97	-197.83	98	-169.54	17	-420.55	17	-9102.84	98
0	Min.	-2187	-134943.00	97	-1064.34	161	-8141.95	158	-1819.46	97	-197.83	98	-169.54	17	-420.55	17	-9102.84	98
0	Min.	-1757	-134943.00	97	-1064.34	161	-8141.95	158	-1819.46	97	-197.83	98	-169.54	17	-420.55	17	-9102.84	98
0	Min.	-1756	-134943.00	97	-1064.34	161	-8141.95	158	-1819.46	97	-197.83	98	-169.54	17	-420.55	17	-9102.84	98
0	Max	-2186	23608.90	162	923.97	165	22.24	65	180.16	106	79.10	106	402.72	173	3557.68	101	8516.08	161
0	Max	-2185	23608.90	162	923.97	165	22.24	65	180.16	106	79.10	106	402.72	173	3557.68	101	8516.08	161
0	Max	-1759	23608.90	162	923.97	165	22.24	65	180.16	106	79.10	106	402.72	173	3557.68	101	8516.08	161
0	Max	-1758	23608.90	162	923.97	165	22.24	65	180.16	106	79.10	106	402.72	173	3557.68	101	8516.08	161
0	Min.	-2186	-88715.60	97	-3360.96	98	-7906.48	122	-631.54	101	-57.98	125	-233.68	17	-2818.44	106	-2922.33	98
0	Min.	-2185	-88715.60	97	-3360.96	98	-7906.48	122	-631.54	101	-57.98	125	-233.68	17	-2818.44	106	-2922.33	98
0	Min.	-1759	-88715.60	97	-3360.96	98	-7906.48	122	-631.54	101	-57.98	125	-233.68	17	-2818.44	106	-2922.33	98
0	Min.	-1758	-88715.60	97	-3360.96	98	-7906.48	122	-631.54	101	-57.98	125	-233.68	17	-2818.44	106	-2922.33	98
0	Max	-2185	27547.20	162	383.55	106	70.68	65	321.33	130	39.79	130	659.14	98	5999.58	101	18716.10	98
0	Max	-2184	27547.20	162	383.55	106	70.68	65	321.33	130	39.79	130	659.14	98	5999.58	101	18716.10	98
0	Max	-1760	27547.20	162	383.55	106	70.68	65	321.33	130	39.79	130	659.14	98	5999.58	101	18716.10	98
0	Max	-1759	27547.20	162	383.55	106	70.68	65	321.33	130	39.79	130	659.14	98	5999.58	101	18716.10	98
0	Min.	-2185	-73182.50	101	-384.13	101	-7622.87	122	-545.85	101	-33.88	97	-122.79	17	-2325.94	162	-197.17	65
0	Min.	-2184	-73182.50	101	-384.13	101	-7622.87	122	-545.85	101	-33.88	97	-122.79	17	-2325.94	162	-197.17	65
0	Min.	-1760	-73182.50	101	-384.13	101	-7622.87	122	-545.85	101	-33.88	97	-122.79	17	-2325.94	162	-197.17	65
0	Min.	-1759	-73182.50	101	-384.13	101	-7622.87	122	-545.85	101	-33.88	97	-122.79	17	-2325.94	162	-197.17	65
0	Max	-2184	38784.20	130	2091.29	98	176.08	65	606.19	106	71.48	130	536.68	98	2128.81	161	12749.40	98
0	Max	-2183	38784.20	130	2091.29	98	176.08	65	606.19	106	71.48	130	536.68	98	2128.81	161	12749.40	98
0	Max	-1761	38784.20	130	2091.29	98	176.08	65	606.19	106	71.48	130	536.68	98	2128.81	161	12749.40	98
0	Max	-1760	38784.20	130	2091.29	98	176.08	65	606.19	106	71.48	130	536.68	98	2128.81	161	12749.40	98
0	Min.	-2184	-62180.60	101	-140.10	165	-8043.98	158	-374.09	101	-6.16	173	-130.65	17	-14096.50	98	-160.39	65
0	Min.	-2183	-62180.60	101	-140.10	165	-8043.98	158	-374.09	101	-6.16	173	-130.65	17	-14096.50	98	-160.39	65
0	Min.	-1761	-62180.60	101	-140.10	165	-8043.98	158	-374.09	101	-6.16	173	-130.65	17	-14096.50	98	-160.39	65
0	Min.	-1760	-62180.60	101	-140.10	165	-8043.98	158	-374.09	101	-6.16	173	-130.65	17	-14096.50	98	-160.39	65
0	Max	-2183	53830.80	106	4078.52	98	1463.01	97	1308.89	98	115.36	126	447.46	98	19945.10	97	49416.00	98
0	Max	-2182	53830.80	106	4078.52	98	1463.01	97	1308.89	98	115.36	126	447.46	98	19945.10	97	49416.00	98
0	Max	-1942	53830.80	106	4078.52	98	1463.01	97	1308.89	98	115.36	126	447.46	98	19945.10	97	49416.00	98
0	Max	-1761	53830.80	106	4078.52	98	1463.01	97	1308.89	98	115.36	126	447.46	98	19945.10	97	49416.00	98
0	Min.	-2183	-51318.40	101	-278.44	161	-8166.17	162	-84.13	125	-18.71	173	-122.81	17	-10802.20	162	-10710.20	161
0	Min.	-2182	-51318.40	101	-278.44	161	-8166.17	162	-84.13	125	-18.71	173	-122.81	17	-10802.20	162	-10710.20	161
0	Min.	-1942	-51318.40	101	-278.44	161	-8166.17	162	-84.13	125	-18.71	173	-122.81	17	-10802.20	162	-10710.20	161
0	Min.	-1761	-51318.40	101	-278.44	161	-8166.17	162	-84.13	125	-18.71	173	-122.81	17	-10802.20	162	-10710.20	161
0	Max	-2181	64850.10	130	3540.94	98	798.57	102	1389.72	98	219.06	98	50.28	173	-2399.36	65	751.70	97
0	Max	-2180	64850.10	130	3540.94	98	798.57	102	1389.72	98	219.06	98	50.28	173	-2399.36	65	751.70	97
0	Max	-1922	64850.10	130	3540.94	98	798.57	102	1389.72	98	219.06	98	50.28	173	-2399.36	65	751.70	97
0	Max	-1544	64850.10	130	3540.94	98	798.57	102	1389.72	98	219.06	98	50.28	173	-2399.36	65	751.70	97
0	Min.	-2181	-45094.70	101	127.25	137	-4724.15	161	-56.73	49	13.47	65	-330.54	130	-18274.20	98	-5002.02	126
0	Min.	-2180	-45094.70	101	127.25	137	-4724.15	161	-56.73	49	13.47	65	-330.54	130	-18274.20	98	-5002.02	126
0	Min.	-1922	-45094.70	101	127.25	137	-4724.15	161	-56.73	49	13.47	65	-330.54	130	-18274.20	98	-5002.02	126
0	Min.	-1544	-45094.70	101	127.25	137	-4724.15	161	-56.73	49	13.47	65	-330.54	130	-18274.20	98	-5002.02	126
0	Max	-2179	56683.20	130	1418.12	97	1518.47	106	1078.51	122	127.62	130	21.63	17	2560.10	101	7825.89	162
0	Max	-2178	56683.20	130	1418.12	97	1518.47	106	1078.51	122	127.62	130	21.63	17	2560.10	101	7825.89	162
0	Max	-1546	56683.20	130	1418.12	97	1518.47	106	1078.51	122	127.62	130	21.63	17	2560.10	101	7825.89	162
0	Max	-1545	56683.20	130	1418.12	97	1518.47	106	1078.51	122	127.62	130	21.63	17	2560.10	101	7825.89	162
0	Min.	-2179	-35956.90	101	-857.55	162	-3164.66	177	-307.74	101	-8.58	65	-235.96	97	-6619.66	122	-9269.93	101
0	Min.	-2178	-35956.90	101	-857.55	162	-3164.66	177	-307.74	101	-8.58	65	-235.96	97	-6619.66	122	-9269.93	101
0	Min.	-1546	-35956.90	101	-857.55	162	-3164.66	177	-307.74	101	-8.58	65	-235.96	97	-6619.66	122	-9269.93	101
0	Min.	-1545	-35956.90	101	-857.55	162	-3164.66	177	-307.74	101	-8.58	65	-235.96	97	-6619.66	122	-9269.93	101
0	Max	-2177	45711.90	130	2210.52	130	3895.32	130	359.20	98	37.11	177	229.71	162	2526.04	162	8126.91	162
0	Max	-2176	45711.90	130	2210.52	130	3895.32	130	359.20	98	37.11	177	229.71	162	2526.04	162	8126.91	162
0	Max	-1549	45711.90	130	2210.52	130	3895.32	130	359.20	98	37.11	177	229.71	162	2526.04	162	8126.91	162
0	Max	-1548	45711.90	130	2210.52	130	3895.32	130	359.20	98	37.11	177	229.71	162	2526.04	162	8126.91	162
0	Min.	-2177	-32305.90	101	-1751.12	101	-3323.38	177	-256.43	101	-81.18	162	-242.44	97	-1212.28	97	-6555.34	97
0	Min.	-2176	-32305.90	101	-1751.12	101	-3323.38	177	-256.43	101	-81.18	162	-242.44	97	-1212.28	97	-6555.34	97
0	Min.	-1549	-32305.90	101	-1751.12	101	-3323.38	177	-256.43	101	-81.18	162	-242.44	97	-1212.28	97	-6555.34	97
0	Min.	-1548	-32305.90	101	-1751.12	101	-3323.38	177	-256.43	101	-81.18	162	-242.44	97	-1212.28	97	-6555.34	97
0	Max	-2176	31392.90	130	881.92	158	4919.58	130	363.38	158	47.75	177	136.07	125	2975.16	166	5290.13	101
0	Max	-2175	31392.90	130	881.92	158	4919.58	130	363.38	158	47.75	177	136.07	125	2975.16	166	5290.13	101
0	Max	-1550	31392.90	130	881.92	158	4919.58	130	363.38	158	47.75	177	136.07	125	2975.16	166	5290.13	101
0	Max	-1549	31392.90	130	881.92	158	4919.58	130	363.38	158	47.75	177	136.07	125	2975.16	166	5290.13	101
0	Min.	-2176	-22415.60	101	-2177.93	177	-2796.37	177	-339.67	101	-42.21	101	-188.61	98	-1588.15	49	-8349.38	130
0	Min.	-2175	-22415.60	101	-2177.93	177	-2796.37	177	-339.67	101	-42.21	101	-188.61	98	-1588.15	49	-8349.38	130
0	Min.	-1550	-22415.60	101	-2177.93	177	-2796.37	177	-339.67	101	-42.21	101	-188.61	98	-1588.15	49	-8349.38	130
0	Min.	-1549	-22415.60	101	-2177.93	177	-2796.37	177	-339.67	101	-42.21	101	-188.61	98	-1588.15	49	-8349.38	130
0	Max	-2175	14506.00	130	798.25	130	7236.93	130	71.91	158	174.08	177	130.58	125	7960.55	177	8539.80	101
0	Max	-2174	14506.00	130	798.25	130	7236.93	130	71.91	158	174.08	177	130.58	125	7960.55	177	8539.80	101
0	Max	-1609	14506.00	130	798.25	130	7236.93	130	71.91	158	174.08	177	130.58	125	7960.55	177	8539.80	101
0	Max	-1550	14506.00	130	798.25	130	7236.93	130	71.91	158	174.08	177	130.58	125	7960.55	177	8539.80	101
0	Min.	-2175	-10319.60	101	-562.85	101	-4904.12	101	-96.57	101	-55.49	162	-190.45	98	-2459.37	166	-10352.10	158
0	Min.	-2174	-10319.60	101	-562.85	101	-4904.12	101	-96.57	101	-55.49	162	-190.45	98	-2459.37	166	-10352.10	158
0	Min.	-1609	-10319.60	101	-562.85	101	-4904.12	101	-96.57	101	-55.49	162	-190.45	98	-2459.37	166	-10352.10	158
0	Min.	-1550	-10319.60	101	-562.85	101	-4904.12	101	-96.57	101	-55.49	162	-190.45	98	-2459.37	166	-10352.10	158
0	Max	-2154	-7649.13	17	1197.64	97	9823.24	157	-78.79	17	58.38	17	377.54	97	1922.33	173	3319.07	130
0	Max	-2153	-7649.13	17	1197.64	97	9823.24	157	-78.79	17	58.38	17	377.54	97	1922.33	173	3319.07	130
0	Max	-1771	-7649.13	17	1197.64	97	9823.24	157	-78.79	17	58.38	17	377.54	97	1922.33	173	3319.07	130
0	Max	-2094	-7649.13	17	1197.64	97	9823.24	157	-78.79	17	58.38	17	377.54	97	1922.33	173	3319.07	130
0	Min.	-2154	-157219.00	98	-4228.60	177	-1577.08	106	-2122.95	98	-296.27	98	-208.10	173	-11488.00	98	-15036.60	173
0	Min.	-2153	-157219.00	98	-4228.60	177	-1577.08	106	-2122.95	98	-296.27	98	-208.10	173	-11488.00	98	-15036.60	173
0	Min.	-1771	-157219.00	98	-4228.60	177	-1577.08	106	-2122.95	98	-296.27	98	-208.10	173	-11488.00	98	-15036.60	173
0	Min.	-2094	-157219.00	98	-4228.60	177	-1577.08	106	-2122.95	98	-296.27	98	-208.10	173	-11488.00	98	-15036.60	173
0	Max	-2152	-9246.96	17	8227.83	173	10598.20	157	-74.41	65	68.71	17	149.99	97	7777.40	125	6599.10	106
0	Max	-2151	-9246.96	17	8227.83	173	10598.20	157	-74.41	65	68.71	17	149.99	97	7777.40	125	6599.10	106
0	Max	-1772	-9246.96	17	8227.83	173	10598.20	157	-74.41	65	68.71	17	149.99	97	7777.40	125	6599.10	106
0	Max	-2092	-9246.96	17	8227.83	173	10598.20	157	-74.41	65	68.71	17	149.99	97	7777.40	125	6599.10	106
0	Min.	-2152	-168181.00	98	-8308.81	177	-7333.27	173	-3151.10	173	-707.63	173	-92.78	106	-101443.00	173	-67145.20	173
0	Min.	-2151	-168181.00	98	-8308.81	177	-7333.27	173	-3151.10	173	-707.63	173	-92.78	106	-101443.00	173	-67145.20	173
0	Min.	-1772	-168181.00	98	-8308.81	177	-7333.27	173	-3151.10	173	-707.63	173	-92.78	106	-101443.00	173	-67145.20	173

0	Min.	-2092	-168181.00	98	-8308.81	177	-7333.27	173	-3151.10	173	-707.63	173	-92.78	106	-101443.00	173	-67145.20	173
0	Max	-2148	-9236.62	65	2408.81	157	6325.87	157	-75.12	65	225.12	173	240.20	173	3647.69	173	10508.80	98
0	Max	-2147	-9236.62	65	2408.81	157	6325.87	157	-75.12	65	225.12	173	240.20	173	3647.69	173	10508.80	98
0	Max	-1774	-9236.62	65	2408.81	157	6325.87	157	-75.12	65	225.12	173	240.20	173	3647.69	173	10508.80	98
0	Max	-2090	-9236.62	65	2408.81	157	6325.87	157	-75.12	65	225.12	173	240.20	173	3647.69	173	10508.80	98
0	Min.	-2148	-167736.00	97	-5378.75	177	-4353.50	106	-2117.59	97	-336.93	177	-238.35	98	-11052.40	97	-2835.48	101
0	Min.	-2147	-167736.00	97	-5378.75	177	-4353.50	106	-2117.59	97	-336.93	177	-238.35	98	-11052.40	97	-2835.48	101
0	Min.	-1774	-167736.00	97	-5378.75	177	-4353.50	106	-2117.59	97	-336.93	177	-238.35	98	-11052.40	97	-2835.48	101
0	Min.	-2090	-167736.00	97	-5378.75	177	-4353.50	106	-2117.59	97	-336.93	177	-238.35	98	-11052.40	97	-2835.48	101
0	Max	-2146	-7547.06	65	1040.85	173	4540.36	157	-65.37	65	196.31	173	351.48	173	8233.32	173	7510.73	122
0	Max	-2145	-7547.06	65	1040.85	173	4540.36	157	-65.37	65	196.31	173	351.48	173	8233.32	173	7510.73	122
0	Max	-1775	-7547.06	65	1040.85	173	4540.36	157	-65.37	65	196.31	173	351.48	173	8233.32	173	7510.73	122
0	Max	-2088	-7547.06	65	1040.85	173	4540.36	157	-65.37	65	196.31	173	351.48	173	8233.32	173	7510.73	122
0	Min.	-2146	-156185.00	97	-4436.31	177	-5537.18	98	-1999.61	97	-350.45	97	-466.53	98	-10050.00	97	-1017.36	101
0	Min.	-2145	-156185.00	97	-4436.31	177	-5537.18	98	-1999.61	97	-350.45	97	-466.53	98	-10050.00	97	-1017.36	101
0	Min.	-1775	-156185.00	97	-4436.31	177	-5537.18	98	-1999.61	97	-350.45	97	-466.53	98	-10050.00	97	-1017.36	101
0	Min.	-2088	-156185.00	97	-4436.31	177	-5537.18	98	-1999.61	97	-350.45	97	-466.53	98	-10050.00	97	-1017.36	101
0	Max	-2166	58445.10	101	1139.16	173	7938.46	130	1546.02	97	776.67	97	55.93	65	8829.95	97	21582.80	97
0	Max	-2165	58445.10	101	1139.16	173	7938.46	130	1546.02	97	776.67	97	55.93	65	8829.95	97	21582.80	97
0	Max	-1362	58445.10	101	1139.16	173	7938.46	130	1546.02	97	776.67	97	55.93	65	8829.95	97	21582.80	97
0	Max	-1960	58445.10	101	1139.16	173	7938.46	130	1546.02	97	776.67	97	55.93	65	8829.95	97	21582.80	97
0	Min.	-2166	-57412.00	130	-2373.83	177	-1239.18	113	-186.35	130	-54.68	177	-447.52	173	-2142.75	177	3059.36	65
0	Min.	-2165	-57412.00	130	-2373.83	177	-1239.18	113	-186.35	130	-54.68	177	-447.52	173	-2142.75	177	3059.36	65
0	Min.	-1362	-57412.00	130	-2373.83	177	-1239.18	113	-186.35	130	-54.68	177	-447.52	173	-2142.75	177	3059.36	65
0	Min.	-1960	-57412.00	130	-2373.83	177	-1239.18	113	-186.35	130	-54.68	177	-447.52	173	-2142.75	177	3059.36	65
0	Max	-2162	49961.20	101	9175.44	121	14974.60	121	1238.18	97	475.65	173	563.97	97	3965.65	177	8048.11	177
0	Max	-2161	49961.20	101	9175.44	121	14974.60	121	1238.18	97	475.65	173	563.97	97	3965.65	177	8048.11	177
0	Max	-1764	49961.20	101	9175.44	121	14974.60	121	1238.18	97	475.65	173	563.97	97	3965.65	177	8048.11	177
0	Max	-1951	49961.20	101	9175.44	121	14974.60	121	1238.18	97	475.65	173	563.97	97	3965.65	177	8048.11	177
0	Min.	-2162	-68874.90	130	-5951.68	177	821.82	65	-167.70	106	-527.77	177	-226.97	173	-12961.20	130	-25341.70	97
0	Min.	-2161	-68874.90	130	-5951.68	177	821.82	65	-167.70	106	-527.77	177	-226.97	173	-12961.20	130	-25341.70	97
0	Min.	-1764	-68874.90	130	-5951.68	177	821.82	65	-167.70	106	-527.77	177	-226.97	173	-12961.20	130	-25341.70	97
0	Min.	-1951	-68874.90	130	-5951.68	177	821.82	65	-167.70	106	-527.77	177	-226.97	173	-12961.20	130	-25341.70	97
0	Max	-2138	53222.60	130	2424.50	173	6735.23	161	1306.19	98	668.16	173	44.91	161	20449.80	177	18256.00	162
0	Max	-2137	53222.60	130	2424.50	173	6735.23	161	1306.19	98	668.16	173	44.91	161	20449.80	177	18256.00	162
0	Max	-1782	53222.60	130	2424.50	173	6735.23	161	1306.19	98	668.16	173	44.91	161	20449.80	177	18256.00	162
0	Max	-1935	53222.60	130	2424.50	173	6735.23	161	1306.19	98	668.16	173	44.91	161	20449.80	177	18256.00	162
0	Min.	-2138	-59414.60	101	-10785.50	177	-10697.50	98	-108.35	101	-549.84	177	-807.61	98	-3240.55	101	-20119.80	177
0	Min.	-2137	-59414.60	101	-10785.50	177	-10697.50	98	-108.35	101	-549.84	177	-807.61	98	-3240.55	101	-20119.80	177
0	Min.	-1782	-59414.60	101	-10785.50	177	-10697.50	98	-108.35	101	-549.84	177	-807.61	98	-3240.55	101	-20119.80	177
0	Min.	-1935	-59414.60	101	-10785.50	177	-10697.50	98	-108.35	101	-549.84	177	-807.61	98	-3240.55	101	-20119.80	177
0	Max	-2134	64099.70	130	1528.35	173	7036.06	162	1280.26	98	528.60	173	332.31	173	10102.80	98	1286.02	161
0	Max	-2133	64099.70	130	1528.35	173	7036.06	162	1280.26	98	528.60	173	332.31	173	10102.80	98	1286.02	161
0	Max	-1854	64099.70	130	1528.35	173	7036.06	162	1280.26	98	528.60	173	332.31	173	10102.80	98	1286.02	161
0	Max	-1932	64099.70	130	1528.35	173	7036.06	162	1280.26	98	528.60	173	332.31	173	10102.80	98	1286.02	161
0	Min.	-2134	-43268.90	101	-2805.13	177	-3952.00	177	-239.21	101	-103.96	177	-45.75	17	-2087.46	177	-6804.93	98
0	Min.	-2133	-43268.90	101	-2805.13	177	-3952.00	177	-239.21	101	-103.96	177	-45.75	17	-2087.46	177	-6804.93	98
0	Min.	-1854	-43268.90	101	-2805.13	177	-3952.00	177	-239.21	101	-103.96	177	-45.75	17	-2087.46	177	-6804.93	98
0	Min.	-1932	-43268.90	101	-2805.13	177	-3952.00	177	-239.21	101	-103.96	177	-45.75	17	-2087.46	177	-6804.93	98
0	Max	-2173	10351.40	101	10941.40	177	4861.28	177	30.07	173	119.72	158	60.05	177	6265.58	177	5949.14	101
0	Max	-2172	10351.40	101	10941.40	177	4861.28	177	30.07	173	119.72	158	60.05	177	6265.58	177	5949.14	101
0	Max	-1682	10351.40	101	10941.40	177	4861.28	177	30.07	173	119.72	158	60.05	177	6265.58	177	5949.14	101
0	Max	-1426	10351.40	101	10941.40	177	4861.28	177	30.07	173	119.72	158	60.05	177	6265.58	177	5949.14	101
0	Min.	-2173	-12005.80	130	-2728.10	173	-3717.70	101	-140.57	130	-25.36	177	-342.67	158	-4927.82	121	-11085.50	130
0	Min.	-2172	-12005.80	130	-2728.10	173	-3717.70	101	-140.57	130	-25.36	177	-342.67	158	-4927.82	121	-11085.50	130
0	Min.	-1682	-12005.80	130	-2728.10	173	-3717.70	101	-140.57	130	-25.36	177	-342.67	158	-4927.82	121	-11085.50	130
0	Min.	-1426	-12005.80	130	-2728.10	173	-3717.70	101	-140.57	130	-25.36	177	-342.67	158	-4927.82	121	-11085.50	130
0	Max	-2172	22376.00	101	814.18	101	6159.19	177	187.26	97	142.23	158	75.68	177	4049.63	121	5078.61	97
0	Max	-2171	22376.00	101	814.18	101	6159.19	177	187.26	97	142.23	158	75.68	177	4049.63	121	5078.61	97
0	Max	-1683	22376.00	101	814.18	101	6159.19	177	187.26	97	142.23	158	75.68	177	4049.63	121	5078.61	97
0	Max	-1682	22376.00	101	814.18	101	6159.19	177	187.26	97	142.23	158	75.68	177	4049.63	121	5078.61	97
0	Min.	-2172	-26096.40	130	-2035.47	130	-1251.95	101	-349.73	130	-110.72	177	-332.14	158	-2483.43	177	-2052.49	106
0	Min.	-2171	-26096.40	130	-2035.47	130	-1251.95	101	-349.73	130	-110.72	177	-332.14	158	-2483.43	177	-2052.49	106
0	Min.	-1683	-26096.40	130	-2035.47	130	-1251.95	101	-349.73	130	-110.72	177	-332.14	158	-2483.43	177	-2052.49	106
0	Min.	-1682	-26096.40	130	-2035.47	130	-1251.95	101	-349.73	130	-110.72	177	-332.14	158	-2483.43	177	-2052.49	106
0	Max	-2171	33844.70	101	1121.22	101	7732.75	177	312.56	97	172.53	158	76.01	177	10490.70	158	7830.39	101
0	Max	-2170	33844.70	101	1121.22	101	7732.75	177	312.56	97	172.53	158	76.01	177	10490.70	158	7830.39	101
0	Max	-1684	33844.70	101	1121.22	101	7732.75	177	312.56	97	172.53	158	76.01	177	10490.70	158	7830.39	101
0	Max	-1683	33844.70	101	1121.22	101	7732.75	177	312.56	97	172.53	158	76.01	177	10490.70	158	7830.39	101
0	Min.	-2171	-39005.60	130	-4743.46	177	-2317.75	101	-582.42	130	-271.46	177	-290.81	159	-2172.23	177	-12462.10	130
0	Min.	-2170	-39005.60	130	-4743.46	177	-2317.75	101	-582.42	130	-271.46	177	-290.81	159	-2172.23	177	-12462.10	130
0	Min.	-1684	-39005.60	130	-4743.46	177	-2317.75	101	-582.42	130	-271.46	177	-290.81	159	-2172.23	177	-12462.10	130
0	Min.	-1683	-39005.60	130	-4743.46	177	-2317.75	101	-582.42	130	-271.46	177	-290.81	159	-2172.23	177	-12462.10	130
0	Max	-2170	42012.80	101	1689.10	101	8068.59	177	485.45	97	197.32	121	192.27	106	16232.10	158	11527.40	158
0	Max	-2169	42012.80	101	1689.10	101	8068.59	177	485.45	97	197.32	121	192.27	106	16232.10	158	11527.40	158
0	Max	-1352	42012.80	101	1689.10	101	8068.59	177	485.45	97	197.32	121	192.27	106	16232.10	158	11527.40	158
0	Max	-1684	42012.80	101	1689.10	101	8068.59	177	485.45	97	197.32	121	192.27	106	16232.10	158	11527.40	158
0	Min.	-2170	-43188.50	130	-10329.90	177	-2466.13	101	-705.42	130	-483.76	177	-180.26	101	-1190.83	101	-14890.80	177
0	Min.	-2169	-43188.50	130	-10329.90	177	-2466.13	101	-705.42	130	-483.76	177	-180.26	101	-1190.83	101	-14890.80	177
0	Min.	-1352	-43188.50	130	-10329.90	177	-2466.13	101	-705.42	130	-483.76	177	-180.26	101	-1190.83	101	-14890.80	177
0	Min.	-1684	-43188.50	130	-10329.90	177	-2466.13	101	-705.42	130	-483.76	177	-180.26	101	-1190.83	101	-14890.80	177
0	Max	-2169	48057.30	101	1845.62	122	8426.64	130	758.42	97	213.19	173	280.77	130	11060.40	177	18359.30	177
0	Max	-2168	48057.30	101	1845.62	122	8426.64	130	758.42	97	213.19	173	280.77	130	11060.40	177	18359.30	177
0	Max	-1355	48057.30	101	1845.62	122	8426.64	130	758.42	97	213.19	173	280.77	130	11060.40	177	18359.30	177
0	Max	-1352	48057.30	101	1845.62	122	8426.64	130	758.42	97	213.19	173	280.77	130	11060.40	177	18359.30	177
0	Min.	-2169	-43451.60	130	-9753.02	177	-2307.42	101	-399.75	130	-484.76	177	-208.24	173	-7357.46	106	137.84	1
0	Min.	-2168	-43451.60	130	-9753.02	177	-2307.42	101	-399.75	130	-484.76	177	-208.24	173	-7357.46	106	137.84	1
0	Min.	-1355	-43451.60	130	-9753.02	177	-2307.42	101	-399.75	130	-484.76	177	-208.24	173	-7357.46	106	137.84	1
0	Min.	-1352	-43451.60	130	-9753.02	177	-2307.42	101	-399.75	130	-484.76	177	-208.24	173	-7357.46	106	137.84	1
0	Max	-2168	53237.80	101	1690.41	122	9215.78	130	1069.03	97	369.42	173	94.42	130	8261.54	101	11769.30	101
0	Max	-2167	53237.80	101	1690.41	122	9215.78	130	1069.03	97	369.42	173	94.42	130	8261.54	101	11769.30	101
0	Max	-1356	53237.80	101	1690.41	122	9215.78	130	1069.03	97	369.42	173	94.42	130	8261.54	101	11769.30	101
0	Max	-1355	53237.80	101	1690.41	122	9215.78	130	1069.03	97	369.42	173	94.42	130	8261.54	101	11769.30	101
0	Min.	-2168	-46806.90	130	-3873.80	177	-2293.80	101	-288.05	130	-274.31	177	-305.05	173	-2817.98	177	-4719.90	162
0	Min.	-2167	-46806.90	130	-3873.80	177	-2293.80	101	-288.05	130	-274.31	177	-305.05	173	-2817.98	177	-4719.90	162
0	Min.	-1356	-46806.90	130	-3873.80	177	-2293.80	101	-288.05	130	-274.31	177	-305.05	173	-2817.98	177	-4719.90	162
0	Min.	-1355	-46806.90	130	-3873.80	177	-2293.80	101	-288.05	130	-274.31	177	-305.05	173	-2817.98	177	-4719.90	162
0	Max	-2167	58168.40	101	1559.94	173	7459.92	130	1280.27	97	542.21	173	45.75	65	10103.00	97	7731.76	121
0	Max	-2166	58168.40	101	1559.94	173	7459.92	130	1280.27	97	542.21	173	45.75	65	10103.00	97	7731.76	121
0	Max	-1960	58168.40	101	1559.94	173	7459.92	130	1280.27	97	542.21	173	45.75	65	10103.00	97	7731.76	121
0	Max	-1356	58168.40	101	1559.94	173	7459.92	130	1280.27	97	542.21	173	45.75	65	10103.00	97	7731.76	121
0	Min.	-2167	-55081.20	130	-2805.04	177	-1003.09	101	-430.82	130	-103.95	177	-343.34	173	-2087.44	177	1021.61	65
0	Min.	-2166	-55081.20	130	-2805.04	177	-1003.09	101	-430.82	130	-103.95	177	-343.34	173	-2087.44	177	1021.61	65
0	Min.	-1960	-55081.20	130	-2805.04	177	-1003.09	101	-430.82	130	-103.95	177	-343.34	173	-2087.44	177	1021.61	65
0	Min.	-1356	-55081.20	130	-2805.04	177	-1003.09	101	-430.82	130	-103.95	177	-343.34	173	-2087.44	177	1021.61	65

0	Max	-2165	57519.10	101	2970.75	101	11367.20	166	2151.42	97	1260.75	97	91.91	65	53853.30	97	20130.70	101
0	Max	-2164	57519.10	101	2970.75	101	11367.20	166	2151.42	97	1260.75	97	91.91	65	53853.30	97	20130.70	101
0	Max	436	57519.10	101	2970.75	101	11367.20	166	2151.42	97	1260.75	97	91.91	65	53853.30	97	20130.70	101
0	Max	-1362	57519.10	101	2970.75	101	11367.20	166	2151.42	97	1260.75	97	91.91	65	53853.30	97	20130.70	101
0	Min.	-2165	-66103.70	130	-2666.11	177	-235.79	1	125.69	162	-127.60	177	-433.37	173	7545.19	65	-450.25	162
0	Min.	-2164	-66103.70	130	-2666.11	177	-235.79	1	125.69	162	-127.60	177	-433.37	173	7545.19	65	-450.25	162
0	Min.	436	-66103.70	130	-2666.11	177	-235.79	1	125.69	162	-127.60	177	-433.37	173	7545.19	65	-450.25	162
0	Min.	-1362	-66103.70	130	-2666.11	177	-235.79	1	125.69	162	-127.60	177	-433.37	173	7545.19	65	-450.25	162
0	Max	-2164	55546.20	101	2006.79	113	14684.40	121	1991.83	97	1174.74	97	503.97	98	60168.60	97	6862.12	166
0	Max	-2163	55546.20	101	2006.79	113	14684.40	121	1991.83	97	1174.74	97	503.97	98	60168.60	97	6862.12	166
0	Max	-1763	55546.20	101	2006.79	113	14684.40	121	1991.83	97	1174.74	97	503.97	98	60168.60	97	6862.12	166
0	Max	436	55546.20	101	2006.79	113	14684.40	121	1991.83	97	1174.74	97	503.97	98	60168.60	97	6862.12	166
0	Min.	-2164	-69870.10	130	-9202.59	177	1227.69	65	111.91	49	-319.52	177	-108.36	173	8245.27	65	-25251.60	97
0	Min.	-2163	-69870.10	130	-9202.59	177	1227.69	65	111.91	49	-319.52	177	-108.36	173	8245.27	65	-25251.60	97
0	Min.	-1763	-69870.10	130	-9202.59	177	1227.69	65	111.91	49	-319.52	177	-108.36	173	8245.27	65	-25251.60	97
0	Min.	436	-69870.10	130	-9202.59	177	1227.69	65	111.91	49	-319.52	177	-108.36	173	8245.27	65	-25251.60	97
0	Max	-2136	66348.90	130	3530.61	130	9473.59	162	2151.47	98	1260.79	98	420.47	173	53857.10	98	-3863.60	17
0	Max	-2135	66348.90	130	3530.61	130	9473.59	162	2151.47	98	1260.79	98	420.47	173	53857.10	98	-3863.60	17
0	Max	-1841	66348.90	130	3530.61	130	9473.59	162	2151.47	98	1260.79	98	420.47	173	53857.10	98	-3863.60	17
0	Max	431	66348.90	130	3530.61	130	9473.59	162	2151.47	98	1260.79	98	420.47	173	53857.10	98	-3863.60	17
0	Min.	-2136	-49867.80	101	-2666.32	177	-7378.76	97	126.70	1	-127.60	177	-91.91	17	7545.66	17	-21545.50	130
0	Min.	-2135	-49867.80	101	-2666.32	177	-7378.76	97	126.70	1	-127.60	177	-91.91	17	7545.66	17	-21545.50	130
0	Min.	-1841	-49867.80	101	-2666.32	177	-7378.76	97	126.70	1	-127.60	177	-91.91	17	7545.66	17	-21545.50	130
0	Min.	431	-49867.80	101	-2666.32	177	-7378.76	97	126.70	1	-127.60	177	-91.91	17	7545.66	17	-21545.50	130
0	Max	-2163	49011.80	101	2654.78	165	12584.00	121	1306.19	97	684.78	173	807.61	97	20449.80	177	20119.80	177
0	Max	-2162	49011.80	101	2654.78	165	12584.00	121	1306.19	97	684.78	173	807.61	97	20449.80	177	20119.80	177
0	Max	-1951	49011.80	101	2654.78	165	12584.00	121	1306.19	97	684.78	173	807.61	97	20449.80	177	20119.80	177
0	Max	-1763	49011.80	101	2654.78	165	12584.00	121	1306.19	97	684.78	173	807.61	97	20449.80	177	20119.80	177
0	Min.	-2163	-71876.50	130	-10785.50	177	1053.54	65	-177.00	130	-549.84	177	-29.14	17	-7106.16	130	-6902.87	105
0	Min.	-2162	-71876.50	130	-10785.50	177	1053.54	65	-177.00	130	-549.84	177	-29.14	17	-7106.16	130	-6902.87	105
0	Min.	-1951	-71876.50	130	-10785.50	177	1053.54	65	-177.00	130	-549.84	177	-29.14	17	-7106.16	130	-6902.87	105
0	Min.	-1763	-71876.50	130	-10785.50	177	1053.54	65	-177.00	130	-549.84	177	-29.14	17	-7106.16	130	-6902.87	105
0	Max	-2161	35875.50	101	4438.72	121	14542.00	121	623.08	101	377.95	173	429.48	97	4480.61	101	-1559.64	65
0	Max	-2160	35875.50	101	4438.72	121	14542.00	121	623.08	101	377.95	173	429.48	97	4480.61	101	-1559.64	65
0	Max	-1765	35875.50	101	4438.72	121	14542.00	121	623.08	101	377.95	173	429.48	97	4480.61	101	-1559.64	65
0	Max	-1764	35875.50	101	4438.72	121	14542.00	121	623.08	101	377.95	173	429.48	97	4480.61	101	-1559.64	65
0	Min.	-2161	-75497.20	130	-3602.36	177	882.11	65	-426.12	130	-294.51	177	-415.98	173	-3085.95	130	-24459.20	97
0	Min.	-2160	-75497.20	130	-3602.36	177	882.11	65	-426.12	130	-294.51	177	-415.98	173	-3085.95	130	-24459.20	97
0	Min.	-1765	-75497.20	130	-3602.36	177	882.11	65	-426.12	130	-294.51	177	-415.98	173	-3085.95	130	-24459.20	97
0	Min.	-1764	-75497.20	130	-3602.36	177	882.11	65	-426.12	130	-294.51	177	-415.98	173	-3085.95	130	-24459.20	97
0	Max	-2160	18309.60	101	480.96	166	12343.90	121	310.94	101	335.60	173	478.15	97	4741.62	173	1243.72	166
0	Max	-2159	18309.60	101	480.96	166	12343.90	121	310.94	101	335.60	173	478.15	97	4741.62	173	1243.72	166
0	Max	-1766	18309.60	101	480.96	166	12343.90	121	310.94	101	335.60	173	478.15	97	4741.62	173	1243.72	166
0	Max	-1765	18309.60	101	480.96	166	12343.90	121	310.94	101	335.60	173	478.15	97	4741.62	173	1243.72	166
0	Min.	-2160	-84218.40	130	-4056.55	177	569.17	65	-572.45	106	-192.91	177	-477.97	173	-4875.63	177	-12260.90	97
0	Min.	-2159	-84218.40	130	-4056.55	177	569.17	65	-572.45	106	-192.91	177	-477.97	173	-4875.63	177	-12260.90	97
0	Min.	-1766	-84218.40	130	-4056.55	177	569.17	65	-572.45	106	-192.91	177	-477.97	173	-4875.63	177	-12260.90	97
0	Min.	-1765	-84218.40	130	-4056.55	177	569.17	65	-572.45	106	-192.91	177	-477.97	173	-4875.63	177	-12260.90	97
0	Max	-2159	5539.97	1	9.22	65	14277.00	121	51.32	1	471.89	173	495.54	97	11308.90	173	-562.34	65
0	Max	-2158	5539.97	1	9.22	65	14277.00	121	51.32	1	471.89	173	495.54	97	11308.90	173	-562.34	65
0	Max	-1767	5539.97	1	9.22	65	14277.00	121	51.32	1	471.89	173	495.54	97	11308.90	173	-562.34	65
0	Max	-1766	5539.97	1	9.22	65	14277.00	121	51.32	1	471.89	173	495.54	97	11308.90	173	-562.34	65
0	Min.	-2159	-90955.50	130	-5314.25	177	344.67	65	-698.63	106	-321.17	177	-535.33	173	-2992.26	177	-27943.90	97
0	Min.	-2158	-90955.50	130	-5314.25	177	344.67	65	-698.63	106	-321.17	177	-535.33	173	-2992.26	177	-27943.90	97
0	Min.	-1767	-90955.50	130	-5314.25	177	344.67	65	-698.63	106	-321.17	177	-535.33	173	-2992.26	177	-27943.90	97
0	Min.	-1766	-90955.50	130	-5314.25	177	344.67	65	-698.63	106	-321.17	177	-535.33	173	-2992.26	177	-27943.90	97
0	Max	-2158	1157.36	1	462.33	173	13929.20	121	-24.30	17	578.42	173	758.59	97	12123.40	177	17552.50	173
0	Max	-2157	1157.36	1	462.33	173	13929.20	121	-24.30	17	578.42	173	758.59	97	12123.40	177	17552.50	173
0	Max	-1768	1157.36	1	462.33	173	13929.20	121	-24.30	17	578.42	173	758.59	97	12123.40	177	17552.50	173
0	Max	-1767	1157.36	1	462.33	173	13929.20	121	-24.30	17	578.42	173	758.59	97	12123.40	177	17552.50	173
0	Min.	-2158	-107036.00	98	-11196.80	177	189.06	65	-1067.35	98	-533.15	177	-265.15	173	-1604.28	106	-16305.70	177
0	Min.	-2157	-107036.00	98	-11196.80	177	189.06	65	-1067.35	98	-533.15	177	-265.15	173	-1604.28	106	-16305.70	177
0	Min.	-1768	-107036.00	98	-11196.80	177	189.06	65	-1067.35	98	-533.15	177	-265.15	173	-1604.28	106	-16305.70	177
0	Min.	-1767	-107036.00	98	-11196.80	177	189.06	65	-1067.35	98	-533.15	177	-265.15	173	-1604.28	106	-16305.70	177
0	Max	-2157	-2257.51	1	8380.00	173	14022.40	121	-10.65	1	432.36	173	775.63	97	9033.37	177	17843.90	177
0	Max	-2156	-2257.51	1	8380.00	173	14022.40	121	-10.65	1	432.36	173	775.63	97	9033.37	177	17843.90	177
0	Max	-1769	-2257.51	1	8380.00	173	14022.40	121	-10.65	1	432.36	173	775.63	97	9033.37	177	17843.90	177
0	Max	-1768	-2257.51	1	8380.00	173	14022.40	121	-10.65	1	432.36	173	775.63	97	9033.37	177	17843.90	177
0	Min.	-2157	-122531.00	98	-9899.22	177	86.23	49	-1101.65	98	-554.97	177	-268.23	173	-17978.60	97	-9585.09	173
0	Min.	-2156	-122531.00	98	-9899.22	177	86.23	49	-1101.65	98	-554.97	177	-268.23	173	-17978.60	97	-9585.09	173
0	Min.	-1769	-122531.00	98	-9899.22	177	86.23	49	-1101.65	98	-554.97	177	-268.23	173	-17978.60	97	-9585.09	173
0	Min.	-1768	-122531.00	98	-9899.22	177	86.23	49	-1101.65	98	-554.97	177	-268.23	173	-17978.60	97	-9585.09	173
0	Max	-2156	-5576.08	17	2364.58	173	14146.70	157	-45.21	17	102.24	173	527.33	97	610.92	49	434.61	49
0	Max	-2155	-5576.08	17	2364.58	173	14146.70	157	-45.21	17	102.24	173	527.33	97	610.92	49	434.61	49
0	Max	-1770	-5576.08	17	2364.58	173	14146.70	157	-45.21	17	102.24	173	527.33	97	610.92	49	434.61	49
0	Max	-1769	-5576.08	17	2364.58	173	14146.70	157	-45.21	17	102.24	173	527.33	97	610.92	49	434.61	49
0	Min.	-2156	-137726.00	98	-4586.12	177	-325.99	49	-1513.36	98	-419.03	98	-352.27	173	-15205.50	97	-22071.50	173
0	Min.	-2155	-137726.00	98	-4586.12	177	-325.99	49	-1513.36	98	-419.03	98	-352.27	173	-15205.50	97	-22071.50	173
0	Min.	-1770	-137726.00	98	-4586.12	177	-325.99	49	-1513.36	98	-419.03	98	-352.27	173	-15205.50	97	-22071.50	173
0	Min.	-1769	-137726.00	98	-4586.12	177	-325.99	49	-1513.36	98	-419.03	98	-352.27	173	-15205.50	97	-22071.50	173
0	Max	-2155	-7547.05	17	971.81	173	10488.60	157	-65.37	17	54.66	17	466.53	97	3429.29	173	3598.97	130
0	Max	-2154	-7547.05	17	971.81	173	10488.60	157	-65.37	17	54.66	17	466.53	97	3429.29	173	3598.97	130
0	Max	-2094	-7547.05	17	971.81	173	10488.60	157	-65.37	17	54.66	17	466.53	97	3429.29	173	3598.97	130
0	Max	-1770	-7547.05	17	971.81	173	10488.60	157	-65.37	17	54.66	17	466.53	97	3429.29	173	3598.97	130
0	Min.	-2155	-156185.00	98	-4436.31	177	-444.29	106	-1999.61	98	-350.45	98	-285.13	173	-10050.00	98	-6313.27	97
0	Min.	-2154	-156185.00	98	-4436.31	177	-444.29	106	-1999.61	98	-350.45	98	-285.13	173	-10050.00	98	-6313.27	97
0	Min.	-2094	-156185.00	98	-4436.31	177	-444.29	106	-1999.61	98	-350.45	98	-285.13	173	-10050.00	98	-6313.27	97
0	Min.	-1770	-156185.00	98	-4436.31	177	-444.29	106	-1999.61	98	-350.45	98	-285.13	173	-10050.00	98	-6313.27	97
0	Max	-2153	-9236.61	17	2383.33	173	10162.90	157	-75.12	17	65.37	17	238.35	97	2499.39	125	2835.21	106
0	Max	-2152	-9236.61	17	2383.33	173	10162.90	157	-75.12	17	65.37	17	238.35	97	2499.39	125	2835.21	106
0	Max	-2092	-9236.61	17	2383.33	173	10162.90	157	-75.12	17	65.37	17	238.35	97	2499.39	125	2835.21	106
0	Max	-1771	-9236.61	17	2383.33	173	10162.90	157	-75.12	17	65.37	17	238.35	97	2499.39	125	2835.21	106
0	Min.	-2153	-167736.00	98	-5378.75	177	-1933.09	106	-2117.59	98	-491.36	173	-76.15	130	-11052.40	98	-24042.30	173
0	Min.	-2152	-167736.00	98	-5378.75	177	-1933.09	106	-2117.59	98	-491.36	173	-76.15	130	-11052.40	98	-24042.30	173
0	Min.	-2092	-167736.00	98	-5378.75	177	-1933.09	106	-2117.59	98	-491.36	173	-76.15	130	-11052.40	98	-24042.30	173
0	Min.	-1771	-167736.00	98	-5378.75	177	-1933.09	106	-2117.59	98	-491.36	173	-76.15	130	-11052.40	98	-24042.30	173
0	Max	-2151	-10289.60	65	16650.50	173	9982.19	157	-70.50	17	67.57	17	148.70	101	11905.90	177	126053.00	173
0	Max	-2150	-10289.60	65	16650.50	173	9982.19	157	-70.50	17	67.57	17	148.70	101	11905.90	177	126053.00	173
0	Max	-1413	-10289.60	65	16650.50	173	9982.19	157	-70.50	17	67.57	17	148.70	101	11905.90	177	126053.00	173
0	Max	-1772	-10289.60	65	16650.50	173	9982.19	157	-70.50	17	67.57	17	148.70	101	11905.90	177	126053.00	173
0	Min.	-2151	-172152.00	97	-13016.40	177	-4146.21	173	-2757.29	173	-720.51	173	-129.89	106	-119268.00	173	-17761.20	177
0	Min.	-2150	-172152.00	97	-13016.40	177	-4146.21	173	-2757.29	173	-720.51	173	-129.89	106	-119268.00	173	-17761.20	177
0	Min.	-1413	-172152.00	97	-13016.40	177	-4146.21	173	-2757.29	173	-720.51	173	-129.89	106	-119268.00	173	-17761.20	177
0	Min.	-1772	-172152.00	97	-13016.40	177	-4146.21	173	-2757.29	173	-720.51	173	-129.89	106	-119268.00	173	-17761.20	177
0	Max	-2150	-10289.50	17	16534.60	173	9247.88	157	-70.50	65	67.57	65	137.16	125	11905.90	177	17761.20	177

0	Max	-2149	-10289.50	17	16534.60	173	9247.88	157	-70.50	65	67.57	65	137.16	125	11905.90	177	17761.20	177
0	Max	-1773	-10289.50	17	16534.60	173	9247.88	157	-70.50	65	67.57	65	137.16	125	11905.90	177	17761.20	177
0	Max	-1413	-10289.50	17	16534.60	173	9247.88	157	-70.50	65	67.57	65	137.16	125	11905.90	177	17761.20	177
0	Min.	-2150	-172152.00	98	-13016.40	177	-3314.86	106	-2083.40	97	-512.30	177	-382.70	173	-42344.60	173	-17101.20	173
0	Min.	-2149	-172152.00	98	-13016.40	177	-3314.86	106	-2083.40	97	-512.30	177	-382.70	173	-42344.60	173	-17101.20	173
0	Min.	-1773	-172152.00	98	-13016.40	177	-3314.86	106	-2083.40	97	-512.30	177	-382.70	173	-42344.60	173	-17101.20	173
0	Min.	-1413	-172152.00	98	-13016.40	177	-3314.86	106	-2083.40	97	-512.30	177	-382.70	173	-42344.60	173	-17101.20	173
0	Max	-2149	-9246.98	65	8168.09	173	9742.51	157	-74.41	17	368.26	173	92.79	101	4330.11	177	7201.11	177
0	Max	-2148	-9246.98	65	8168.09	173	9742.51	157	-74.41	17	368.26	173	92.79	101	4330.11	177	7201.11	177
0	Max	-2090	-9246.98	65	8168.09	173	9742.51	157	-74.41	17	368.26	173	92.79	101	4330.11	177	7201.11	177
0	Max	-1773	-9246.98	65	8168.09	173	9742.51	157	-74.41	17	368.26	173	92.79	101	4330.11	177	7201.11	177
0	Min.	-2149	-168181.00	97	-8308.81	177	-4252.79	177	-2207.48	98	-502.38	177	-149.99	98	-18979.40	173	-6599.42	101
0	Min.	-2148	-168181.00	97	-8308.81	177	-4252.79	177	-2207.48	98	-502.38	177	-149.99	98	-18979.40	173	-6599.42	101
0	Min.	-2090	-168181.00	97	-8308.81	177	-4252.79	177	-2207.48	98	-502.38	177	-149.99	98	-18979.40	173	-6599.42	101
0	Min.	-1773	-168181.00	97	-8308.81	177	-4252.79	177	-2207.48	98	-502.38	177	-149.99	98	-18979.40	173	-6599.42	101
0	Max	-2147	-7649.15	65	1919.87	158	4898.29	157	-78.79	65	193.67	173	314.82	173	2630.39	173	7738.58	173
0	Max	-2146	-7649.15	65	1919.87	158	4898.29	157	-78.79	65	193.67	173	314.82	173	2630.39	173	7738.58	173
0	Max	-2088	-7649.15	65	1919.87	158	4898.29	157	-78.79	65	193.67	173	314.82	173	2630.39	173	7738.58	173
0	Max	-1774	-7649.15	65	1919.87	158	4898.29	157	-78.79	65	193.67	173	314.82	173	2630.39	173	7738.58	173
0	Min.	-2147	-157219.00	97	-4228.61	177	-4623.73	98	-2122.95	97	-296.27	97	-377.54	98	-11488.00	97	-2389.56	101
0	Min.	-2146	-157219.00	97	-4228.61	177	-4623.73	98	-2122.95	97	-296.27	97	-377.54	98	-11488.00	97	-2389.56	101
0	Min.	-2088	-157219.00	97	-4228.61	177	-4623.73	98	-2122.95	97	-296.27	97	-377.54	98	-11488.00	97	-2389.56	101
0	Min.	-1774	-157219.00	97	-4228.61	177	-4623.73	98	-2122.95	97	-296.27	97	-377.54	98	-11488.00	97	-2389.56	101
0	Max	-2145	-3825.64	162	2485.38	173	3493.94	125	-45.21	65	312.53	173	397.59	173	2315.18	161	20952.20	98
0	Max	-2144	-3825.64	162	2485.38	173	3493.94	125	-45.21	65	312.53	173	397.59	173	2315.18	161	20952.20	98
0	Max	-1776	-3825.64	162	2485.38	173	3493.94	125	-45.21	65	312.53	173	397.59	173	2315.18	161	20952.20	98
0	Max	-1775	-3825.64	162	2485.38	173	3493.94	125	-45.21	65	312.53	173	397.59	173	2315.18	161	20952.20	98
0	Min.	-2145	-137726.00	97	-4586.12	177	-11286.80	98	-1513.35	97	-419.03	97	-527.34	98	-15205.50	98	-1212.44	125
0	Min.	-2144	-137726.00	97	-4586.12	177	-11286.80	98	-1513.35	97	-419.03	97	-527.34	98	-15205.50	98	-1212.44	125
0	Min.	-1776	-137726.00	97	-4586.12	177	-11286.80	98	-1513.35	97	-419.03	97	-527.34	98	-15205.50	98	-1212.44	125
0	Min.	-1775	-137726.00	97	-4586.12	177	-11286.80	98	-1513.35	97	-419.03	97	-527.34	98	-15205.50	98	-1212.44	125
0	Max	-2144	4460.47	162	8566.36	173	3218.61	161	-10.65	49	528.95	173	280.97	173	9033.37	177	8323.63	161
0	Max	-2143	4460.47	162	8566.36	173	3218.61	161	-10.65	49	528.95	173	280.97	173	9033.37	177	8323.63	161
0	Max	-1777	4460.47	162	8566.36	173	3218.61	161	-10.65	49	528.95	173	280.97	173	9033.37	177	8323.63	161
0	Max	-1776	4460.47	162	8566.36	173	3218.61	161	-10.65	49	528.95	173	280.97	173	9033.37	177	8323.63	161
0	Min.	-2144	-122532.00	97	-9899.22	177	-12038.00	98	-1101.65	97	-554.97	177	-775.63	98	-17978.60	98	-17843.90	177
0	Min.	-2143	-122532.00	97	-9899.22	177	-12038.00	98	-1101.65	97	-554.97	177	-775.63	98	-17978.60	98	-17843.90	177
0	Min.	-1777	-122532.00	97	-9899.22	177	-12038.00	98	-1101.65	97	-554.97	177	-775.63	98	-17978.60	98	-17843.90	177
0	Min.	-1776	-122532.00	97	-9899.22	177	-12038.00	98	-1101.65	97	-554.97	177	-775.63	98	-17978.60	98	-17843.90	177
0	Max	-2143	14599.60	162	1234.03	165	3486.08	161	-24.30	65	618.71	173	262.54	173	12123.40	177	16305.70	177
0	Max	-2142	14599.60	162	1234.03	165	3486.08	161	-24.30	65	618.71	173	262.54	173	12123.40	177	16305.70	177
0	Max	-1778	14599.60	162	1234.03	165	3486.08	161	-24.30	65	618.71	173	262.54	173	12123.40	177	16305.70	177
0	Max	-1777	14599.60	162	1234.03	165	3486.08	161	-24.30	65	618.71	173	262.54	173	12123.40	177	16305.70	177
0	Min.	-2143	-107036.00	97	-11196.80	177	-12890.60	98	-1067.35	97	-533.15	177	-758.59	98	-3300.67	125	-18793.30	173
0	Min.	-2142	-107036.00	97	-11196.80	177	-12890.60	98	-1067.35	97	-533.15	177	-758.59	98	-3300.67	125	-18793.30	173
0	Min.	-1778	-107036.00	97	-11196.80	177	-12890.60	98	-1067.35	97	-533.15	177	-758.59	98	-3300.67	125	-18793.30	173
0	Min.	-1777	-107036.00	97	-11196.80	177	-12890.60	98	-1067.35	97	-533.15	177	-758.59	98	-3300.67	125	-18793.30	173
0	Max	-2142	23836.10	162	636.26	165	4341.77	161	90.33	130	484.42	173	527.83	173	11399.60	173	27943.90	98
0	Max	-2141	23836.10	162	636.26	165	4341.77	161	90.33	130	484.42	173	527.83	173	11399.60	173	27943.90	98
0	Max	-1779	23836.10	162	636.26	165	4341.77	161	90.33	130	484.42	173	527.83	173	11399.60	173	27943.90	98
0	Max	-1778	23836.10	162	636.26	165	4341.77	161	90.33	130	484.42	173	527.83	173	11399.60	173	27943.90	98
0	Min.	-2142	-84273.00	97	-5314.25	177	-13622.20	98	-698.64	101	-321.17	177	-495.54	98	-3119.86	125	562.34	17
0	Min.	-2141	-84273.00	97	-5314.25	177	-13622.20	98	-698.64	101	-321.17	177	-495.54	98	-3119.86	125	562.34	17
0	Min.	-1779	-84273.00	97	-5314.25	177	-13622.20	98	-698.64	101	-321.17	177	-495.54	98	-3119.86	125	562.34	17
0	Min.	-1778	-84273.00	97	-5314.25	177	-13622.20	98	-698.64	101	-321.17	177	-495.54	98	-3119.86	125	562.34	17
0	Max	-2141	29684.10	162	194.80	1	5119.80	161	334.58	130	336.32	173	468.01	173	4606.57	173	12260.90	98
0	Max	-2140	29684.10	162	194.80	1	5119.80	161	334.58	130	336.32	173	468.01	173	4606.57	173	12260.90	98
0	Max	-1780	29684.10	162	194.80	1	5119.80	161	334.58	130	336.32	173	468.01	173	4606.57	173	12260.90	98
0	Max	-1779	29684.10	162	194.80	1	5119.80	161	334.58	130	336.32	173	468.01	173	4606.57	173	12260.90	98
0	Min.	-2141	-73384.40	101	-4056.55	177	-11810.20	98	-572.47	101	-192.91	177	-478.15	98	-4875.64	177	681.25	17
0	Min.	-2140	-73384.40	101	-4056.55	177	-11810.20	98	-572.47	101	-192.91	177	-478.15	98	-4875.64	177	681.25	17
0	Min.	-1780	-73384.40	101	-4056.55	177	-11810.20	98	-572.47	101	-192.91	177	-478.15	98	-4875.64	177	681.25	17
0	Min.	-1779	-73384.40	101	-4056.55	177	-11810.20	98	-572.47	101	-192.91	177	-478.15	98	-4875.64	177	681.25	17
0	Max	-2140	39617.50	130	3809.41	98	5653.16	161	623.05	106	372.59	173	404.98	173	6553.29	130	24459.20	98
0	Max	-2139	39617.50	130	3809.41	98	5653.16	161	623.05	106	372.59	173	404.98	173	6553.29	130	24459.20	98
0	Max	-1781	39617.50	130	3809.41	98	5653.16	161	623.05	106	372.59	173	404.98	173	6553.29	130	24459.20	98
0	Max	-1780	39617.50	130	3809.41	98	5653.16	161	623.05	106	372.59	173	404.98	173	6553.29	130	24459.20	98
0	Min.	-2140	-64766.50	101	-3602.36	177	-13815.70	98	-398.58	101	-294.52	177	-429.48	98	-3026.89	177	1559.64	17
0	Min.	-2139	-64766.50	101	-3602.36	177	-13815.70	98	-398.58	101	-294.52	177	-429.48	98	-3026.89	177	1559.64	17
0	Min.	-1781	-64766.50	101	-3602.36	177	-13815.70	98	-398.58	101	-294.52	177	-429.48	98	-3026.89	177	1559.64	17
0	Min.	-1780	-64766.50	101	-3602.36	177	-13815.70	98	-398.58	101	-294.52	177	-429.48	98	-3026.89	177	1559.64	17
0	Max	-2139	51579.50	130	7795.85	98	7829.52	161	1238.18	98	466.04	173	224.50	173	10762.10	162	25341.70	98
0	Max	-2138	51579.50	130	7795.85	98	7829.52	161	1238.18	98	466.04	173	224.50	173	10762.10	162	25341.70	98
0	Max	-1935	51579.50	130	7795.85	98	7829.52	161	1238.18	98	466.04	173	224.50	173	10762.10	162	25341.70	98
0	Max	-1781	51579.50	130	7795.85	98	7829.52	161	1238.18	98	466.04	173	224.50	173	10762.10	162	25341.70	98
0	Min.	-2139	-56881.50	101	-5951.69	177	-12398.70	98	-167.72	101	-527.77	177	-563.97	98	-8394.73	101	-8048.14	177
0	Min.	-2138	-56881.50	101	-5951.69	177	-12398.70	98	-167.72	101	-527.77	177	-563.97	98	-8394.73	101	-8048.14	177
0	Min.	-1935	-56881.50	101	-5951.69	177	-12398.70	98	-167.72	101	-527.77	177	-563.97	98	-8394.73	101	-8048.14	177
0	Min.	-1781	-56881.50	101	-5951.69	177	-12398.70	98	-167.72	101	-527.77	177	-563.97	98	-8394.73	101	-8048.14	177
0	Max	-2137	62180.00	130	2995.96	130	7307.82	161	1991.82	98	1174.74	98	111.27	173	60169.30	98	30406.10	122
0	Max	-2136	62180.00	130	2995.96	130	7307.82	161	1991.82	98	1174.74	98	111.27	173	60169.30	98	30406.10	122
0	Max	431	62180.00	130	2995.96	130	7307.82	161	1991.82	98	1174.74	98	111.27	173	60169.30	98	30406.10	122
0	Max	-1782	62180.00	130	2995.96	130	7307.82	161	1991.82	98	1174.74	98	111.27	173	60169.30	98	30406.10	122
0	Min.	-2137	-53675.40	101	-9202.67	177	-13737.20	98	111.91	1	-319.52	177	-503.97	97	8245.36	17	4408.40	17
0	Min.	-2136	-53675.40	101	-9202.67	177	-13737.20	98	111.91	1	-319.52	177	-503.97	97	8245.36	17	4408.40	17
0	Min.	431	-53675.40	101	-9202.67	177	-13737.20	98	111.91	1	-319.52	177	-503.97	97	8245.36	17	4408.40	17
0	Min.	-1782	-53675.40	101	-9202.67	177	-13737.20	98	111.91	1	-319.52	177	-503.97	97	8245.36	17	4408.40	17
0	Max	-2135	64755.00	130	1923.52	162	7749.50	162	1546.05	98	776.68	98	433.96	173	8832.46	98	-3059.43	17
0	Max	-2134	64755.00	130	1923.52	162	7749.50	162	1546.05	98	776.68	98	433.96	173	8832.46	98	-3059.43	17
0	Max	-1932	64755.00	130	1923.52	162	7749.50	162	1546.05	98	776.68	98	433.96	173	8832.46	98	-3059.43	17
0	Max	-1841	64755.00	130	1923.52	162	7749.50	162	1546.05	98	776.68	98	433.96	173	8832.46	98	-3059.43	17
0	Min.	-2135	-44334.20	101	-2373.51	177	-5395.60	177	-51.79	137	-54.69	177	-55.94	17	-2142.09	177	-21582.50	98
0	Min.	-2134	-44334.20	101	-2373.51	177	-5395.60	177	-51.79	137	-54.69	177	-55.94	17	-2142.09	177	-21582.50	98
0	Min.	-1932	-44334.20	101	-2373.51	177	-5395.60	177	-51.79	137	-54.69	177	-55.94	17	-2142.09	177	-21582.50	98
0	Min.	-1841	-44334.20	101	-2373.51	177	-5395.60	177	-51.79	137	-54.69	177	-55.94	17	-2142.09	177	-21582.50	98
0	Max	-2133	57778.40	130	1383.33	173	7783.53	162	1069.00	98	361.79	173	294.17	173	8774.31	130	471.63	1
0	Max	-2132	57778.40	130	1383.33	173	7783.53	162	1069.00	98	361.79	173	294.17	173	8774.31	130	471.63	1
0	Max	-1855	57778.40	130	1383.33	173	7783.53	162	1069.00	98	361.79	173	294.17	173	8774.31	130	471.63	1
0	Max	-1854	57778.40	130	1383.33	173	7783.53	162	1069.00	98	361.79	173	294.17	173	8774.31	130	471.63	1
0	Min.	-2133	-37104.10	101	-3873.68	177	-4986.98	101	-184.50	101	-274.33	177	-65.55	101	-2817.18	177	-14314.40	130
0	Min.	-2132	-37104.10	101	-3873.68	177	-4986.98	101	-184.50	101	-274.33	177	-65.55	101	-2817.18	177	-14314.40	130
0	Min.	-1855	-37104.10	101	-3873.68	177	-4986.98	101	-184.50	101	-274.33	177	-65.55	101	-2817.18	177	-14314.40	130
0	Min.	-1854	-37104.10	101	-3873.68	177	-4986.98	101	-184.50	101	-274.33	177	-65.55	101	-2817.18	177	-14314.40	130
0	Max	-2132	53721.50	130	1538.60	101	7095.32	162	763.90	122	207.76	173	299.10	130	11061.20	177	10188.20	162
0	Max	-2131	53721.50	130	1538.60	101	7095.32	162	763.90	122	207.76	173	299.10	130	11061.20	177	10188.20	162

0	Max	-1860	53721.50	130	1538.60	101	7095.32	162	763.90	122	207.76	173	299.10	130	11061.20	177	10188.20	162
0	Max	-1855	53721.50	130	1538.60	101	7095.32	162	763.90	122	207.76	173	299.10	130	11061.20	177	10188.20	162
0	Min.	-2132	-34789.00	101	-9753.70	177	-4576.66	101	-258.31	101	-484.76	177	-212.14	101	-7358.23	101	-18360.50	177
0	Min.	-2131	-34789.00	101	-9753.70	177	-4576.66	101	-258.31	101	-484.76	177	-212.14	101	-7358.23	101	-18360.50	177
0	Min.	-1860	-34789.00	101	-9753.70	177	-4576.66	101	-258.31	101	-484.76	177	-212.14	101	-7358.23	101	-18360.50	177
0	Min.	-1855	-34789.00	101	-9753.70	177	-4576.66	101	-258.31	101	-484.76	177	-212.14	101	-7358.23	101	-18360.50	177
0	Max	-2131	49915.30	130	3863.90	162	5994.66	162	764.89	158	142.32	173	182.09	130	11603.80	177	14891.80	177
0	Max	-2130	49915.30	130	3863.90	162	5994.66	162	764.89	158	142.32	173	182.09	130	11603.80	177	14891.80	177
0	Max	-1541	49915.30	130	3863.90	162	5994.66	162	764.89	158	142.32	173	182.09	130	11603.80	177	14891.80	177
0	Max	-1860	49915.30	130	3863.90	162	5994.66	162	764.89	158	142.32	173	182.09	130	11603.80	177	14891.80	177
0	Min.	-2131	-33692.20	101	-10330.70	177	-8068.66	177	-443.79	101	-483.76	177	-192.29	101	-11681.00	162	-8104.15	97
0	Min.	-2130	-33692.20	101	-10330.70	177	-8068.66	177	-443.79	101	-483.76	177	-192.29	101	-11681.00	162	-8104.15	97
0	Min.	-1541	-33692.20	101	-10330.70	177	-8068.66	177	-443.79	101	-483.76	177	-192.29	101	-11681.00	162	-8104.15	97
0	Min.	-1860	-33692.20	101	-10330.70	177	-8068.66	177	-443.79	101	-483.76	177	-192.29	101	-11681.00	162	-8104.15	97
0	Max	-2130	42346.00	130	2442.54	162	4559.06	162	525.60	158	103.95	173	181.95	99	3375.48	1	7888.31	101
0	Max	-2129	42346.00	130	2442.54	162	4559.06	162	525.60	158	103.95	173	181.95	99	3375.48	1	7888.31	101
0	Max	-1542	42346.00	130	2442.54	162	4559.06	162	525.60	158	103.95	173	181.95	99	3375.48	1	7888.31	101
0	Max	-1541	42346.00	130	2442.54	162	4559.06	162	525.60	158	103.95	173	181.95	99	3375.48	1	7888.31	101
0	Min.	-2130	-29690.70	101	-4743.34	177	-7732.99	177	-417.35	101	-271.48	177	-137.47	128	-6895.79	162	-12499.60	130
0	Min.	-2129	-29690.70	101	-4743.34	177	-7732.99	177	-417.35	101	-271.48	177	-137.47	128	-6895.79	162	-12499.60	130
0	Min.	-1542	-29690.70	101	-4743.34	177	-7732.99	177	-417.35	101	-271.48	177	-137.47	128	-6895.79	162	-12499.60	130
0	Min.	-1541	-29690.70	101	-4743.34	177	-7732.99	177	-417.35	101	-271.48	177	-137.47	128	-6895.79	162	-12499.60	130
0	Max	-2129	28019.30	130	1547.48	130	2055.58	130	277.42	158	85.58	173	185.35	97	3089.62	110	2052.21	101
0	Max	-2128	28019.30	130	1547.48	130	2055.58	130	277.42	158	85.58	173	185.35	97	3089.62	110	2052.21	101
0	Max	-1543	28019.30	130	1547.48	130	2055.58	130	277.42	158	85.58	173	185.35	97	3089.62	110	2052.21	101
0	Max	-1542	28019.30	130	1547.48	130	2055.58	130	277.42	158	85.58	173	185.35	97	3089.62	110	2052.21	101
0	Min.	-2129	-19998.20	101	-1312.87	101	-6159.01	177	-280.23	101	-110.72	177	-134.67	126	-2483.75	177	-5078.38	98
0	Min.	-2128	-19998.20	101	-1312.87	101	-6159.01	177	-280.23	101	-110.72	177	-134.67	126	-2483.75	177	-5078.38	98
0	Min.	-1543	-19998.20	101	-1312.87	101	-6159.01	177	-280.23	101	-110.72	177	-134.67	126	-2483.75	177	-5078.38	98
0	Min.	-1542	-19998.20	101	-1312.87	101	-6159.01	177	-280.23	101	-110.72	177	-134.67	126	-2483.75	177	-5078.38	98
0	Max	-2128	12870.50	130	10941.80	177	4763.65	130	85.13	158	55.85	173	167.62	109	6264.79	177	8854.20	101
0	Max	-2127	12870.50	130	10941.80	177	4763.65	130	85.13	158	55.85	173	167.62	109	6264.79	177	8854.20	101
0	Max	-1608	12870.50	130	10941.80	177	4763.65	130	85.13	158	55.85	173	167.62	109	6264.79	177	8854.20	101
0	Max	-1543	12870.50	130	10941.80	177	4763.65	130	85.13	158	55.85	173	167.62	109	6264.79	177	8854.20	101
0	Min.	-2128	-9321.91	101	-2814.88	173	-4861.42	177	-104.92	101	-62.24	126	-157.17	166	-4043.06	173	-9125.33	158
0	Min.	-2127	-9321.91	101	-2814.88	173	-4861.42	177	-104.92	101	-62.24	126	-157.17	166	-4043.06	173	-9125.33	158
0	Min.	-1608	-9321.91	101	-2814.88	173	-4861.42	177	-104.92	101	-62.24	126	-157.17	166	-4043.06	173	-9125.33	158
0	Min.	-1543	-9321.91	101	-2814.88	173	-4861.42	177	-104.92	101	-62.24	126	-157.17	166	-4043.06	173	-9125.33	158
0	Max	-1835	-3339.87	162	3868.39	98	2877.84	158	-131.97	1	172.71	33	370.80	173	1009.61	101	17911.60	98
0	Max	-1412	-3339.87	162	3868.39	98	2877.84	158	-131.97	1	172.71	33	370.80	173	1009.61	101	17911.60	98
0	Max	-1469	-3339.87	162	3868.39	98	2877.84	158	-131.97	1	172.71	33	370.80	173	1009.61	101	17911.60	98
0	Max	-1468	-3339.87	162	3868.39	98	2877.84	158	-131.97	1	172.71	33	370.80	173	1009.61	101	17911.60	98
0	Min.	-1835	-154591.00	97	-1749.80	177	-2786.20	177	-1870.57	97	-1161.86	97	-122.94	17	-10237.70	98	-447.80	49
0	Min.	-1412	-154591.00	97	-1749.80	177	-2786.20	177	-1870.57	97	-1161.86	97	-122.94	17	-10237.70	98	-447.80	49
0	Min.	-1469	-154591.00	97	-1749.80	177	-2786.20	177	-1870.57	97	-1161.86	97	-122.94	17	-10237.70	98	-447.80	49
0	Min.	-1468	-154591.00	97	-1749.80	177	-2786.20	177	-1870.57	97	-1161.86	97	-122.94	17	-10237.70	98	-447.80	49
0	Max	-1412	5740.69	162	2488.68	121	3420.73	173	-64.47	1	177.41	33	402.95	173	601.12	101	19733.70	98
0	Max	-1410	5740.69	162	2488.68	121	3420.73	173	-64.47	1	177.41	33	402.95	173	601.12	101	19733.70	98
0	Max	-1470	5740.69	162	2488.68	121	3420.73	173	-64.47	1	177.41	33	402.95	173	601.12	101	19733.70	98
0	Max	-1469	5740.69	162	2488.68	121	3420.73	173	-64.47	1	177.41	33	402.95	173	601.12	101	19733.70	98
0	Min.	-1412	-132030.00	97	-1932.54	177	-3769.73	177	-1422.54	97	-939.42	97	-156.78	17	-3825.05	98	272.20	49
0	Min.	-1410	-132030.00	97	-1932.54	177	-3769.73	177	-1422.54	97	-939.42	97	-156.78	17	-3825.05	98	272.20	49
0	Min.	-1470	-132030.00	97	-1932.54	177	-3769.73	177	-1422.54	97	-939.42	97	-156.78	17	-3825.05	98	272.20	49
0	Min.	-1469	-132030.00	97	-1932.54	177	-3769.73	177	-1422.54	97	-939.42	97	-156.78	17	-3825.05	98	272.20	49
0	Max	-1410	15603.50	162	1578.58	157	3982.24	173	7.34	1	184.80	33	422.50	173	482.44	177	21374.40	98
0	Max	-1411	15603.50	162	1578.58	157	3982.24	173	7.34	1	184.80	33	422.50	173	482.44	177	21374.40	98
0	Max	-1471	15603.50	162	1578.58	157	3982.24	173	7.34	1	184.80	33	422.50	173	482.44	177	21374.40	98
0	Max	-1470	15603.50	162	1578.58	157	3982.24	173	7.34	1	184.80	33	422.50	173	482.44	177	21374.40	98
0	Min.	-1410	-105418.00	97	-2078.81	177	-4676.94	177	-960.96	97	-691.43	97	-186.54	17	-814.13	126	797.72	49
0	Min.	-1411	-105418.00	97	-2078.81	177	-4676.94	177	-960.96	97	-691.43	97	-186.54	17	-814.13	126	797.72	49
0	Min.	-1471	-105418.00	97	-2078.81	177	-4676.94	177	-960.96	97	-691.43	97	-186.54	17	-814.13	126	797.72	49
0	Min.	-1470	-105418.00	97	-2078.81	177	-4676.94	177	-960.96	97	-691.43	97	-186.54	17	-814.13	126	797.72	49
0	Max	-1411	25964.10	162	911.70	157	4652.19	173	171.97	130	199.75	130	426.89	173	821.52	97	22199.20	98
0	Max	-1688	25964.10	162	911.70	157	4652.19	173	171.97	130	199.75	130	426.89	173	821.52	97	22199.20	98
0	Max	-1472	25964.10	162	911.70	157	4652.19	173	171.97	130	199.75	130	426.89	173	821.52	97	22199.20	98
0	Max	-1471	25964.10	162	911.70	157	4652.19	173	171.97	130	199.75	130	426.89	173	821.52	97	22199.20	98
0	Min.	-1411	-83029.70	101	-1996.03	177	-5460.69	177	-729.52	101	-453.96	97	-210.42	17	-3042.42	102	1334.35	49
0	Min.	-1688	-83029.70	101	-1996.03	177	-5460.69	177	-729.52	101	-453.96	97	-210.42	17	-3042.42	102	1334.35	49
0	Min.	-1472	-83029.70	101	-1996.03	177	-5460.69	177	-729.52	101	-453.96	97	-210.42	17	-3042.42	102	1334.35	49
0	Min.	-1471	-83029.70	101	-1996.03	177	-5460.69	177	-729.52	101	-453.96	97	-210.42	17	-3042.42	102	1334.35	49
0	Max	-1688	36433.10	162	1195.16	173	5203.09	173	406.83	130	246.33	130	412.57	173	950.31	97	22408.50	98
0	Max	-1691	36433.10	162	1195.16	173	5203.09	173	406.83	130	246.33	130	412.57	173	950.31	97	22408.50	98
0	Max	-1473	36433.10	162	1195.16	173	5203.09	173	406.83	130	246.33	130	412.57	173	950.31	97	22408.50	98
0	Max	-1472	36433.10	162	1195.16	173	5203.09	173	406.83	130	246.33	130	412.57	173	950.31	97	22408.50	98
0	Min.	-1688	-77022.10	101	-1632.24	177	-6254.67	177	-588.54	101	-336.97	101	-227.40	17	-8223.94	102	1725.75	65
0	Min.	-1691	-77022.10	101	-1632.24	177	-6254.67	177	-588.54	101	-336.97	101	-227.40	17	-8223.94	102	1725.75	65
0	Min.	-1473	-77022.10	101	-1632.24	177	-6254.67	177	-588.54	101	-336.97	101	-227.40	17	-8223.94	102	1725.75	65
0	Min.	-1472	-77022.10	101	-1632.24	177	-6254.67	177	-588.54	101	-336.97	101	-227.40	17	-8223.94	102	1725.75	65
0	Max	-1691	45603.50	162	1735.98	173	5344.10	173	701.53	122	285.72	130	381.12	173	2035.94	98	24015.80	98
0	Max	-1692	45603.50	162	1735.98	173	5344.10	173	701.53	122	285.72	130	381.12	173	2035.94	98	24015.80	98
0	Max	-1474	45603.50	162	1735.98	173	5344.10	173	701.53	122	285.72	130	381.12	173	2035.94	98	24015.80	98
0	Max	-1473	45603.50	162	1735.98	173	5344.10	173	701.53	122	285.72	130	381.12	173	2035.94	98	24015.80	98
0	Min.	-1691	-69761.30	101	-1242.38	177	-7254.30	177	-467.27	101	-262.30	101	-231.31	17	-15724.90	101	2175.31	65
0	Min.	-1692	-69761.30	101	-1242.38	177	-7254.30	177	-467.27	101	-262.30	101	-231.31	17	-15724.90	101	2175.31	65
0	Min.	-1474	-69761.30	101	-1242.38	177	-7254.30	177	-467.27	101	-262.30	101	-231.31	17	-15724.90	101	2175.31	65
0	Min.	-1473	-69761.30	101	-1242.38	177	-7254.30	177	-467.27	101	-262.30	101	-231.31	17	-15724.90	101	2175.31	65
0	Max	-1692	54175.50	130	4176.83	98	5641.75	173	1023.91	98	302.87	130	347.16	173	1931.47	98	18460.40	98
0	Max	-1917	54175.50	130	4176.83	98	5641.75	173	1023.91	98	302.87	130	347.16	173	1931.47	98	18460.40	98
0	Max	-1918	54175.50	130	4176.83	98	5641.75	173	1023.91	98	302.87	130	347.16	173	1931.47	98	18460.40	98
0	Max	-1474	54175.50	130	4176.83	98	5641.75	173	1023.91	98	302.87	130	347.16	173	1931.47	98	18460.40	98
0	Min.	-1692	-62060.40	101	-508.36	177	-7951.40	177	-644.17	101	-193.85	101	-226.36	17	-28114.30	101	-6811.97	101
0	Min.	-1917	-62060.40	101	-508.36	177	-7951.40	177	-644.17	101	-193.85	101	-226.36	17	-28114.30	101	-6811.97	101
0	Min.	-1918	-62060.40	101	-508.36	177	-7951.40	177	-644.17	101	-193.85	101	-226.36	17	-28114.30	101	-6811.97	101
0	Min.	-1474	-62060.40	101	-508.36	177	-7951.40	177	-644.17	101	-193.85	101	-226.36	17	-28114.30	101	-6811.97	101
0	Max	-1698	63962.10	130	3611.12	118	7874.82	161	2260.53	98	362.74	106	261.09	173	30379.70	98	32369.90	98
0	Max	-1534	63962.10	130	3611.12	118	7874.82	161	2260.53	98	362.74	106	261.09	173	30379.70	98	32369.90	98
0	Max	433	63962.10	130	3611.12	118	7874.82	161	2260.53	98	362.74	106	261.09	173	30379.70	98	32369.90	98
0	Max	-1475	63962.10	130	3611.12	118	7874.82	161	2260.53	98	362.74	106	261.09	173	30379.70	98	32369.90	98
0	Min.	-1698	-51994.90	101	-1760.39	125	-9555.45	177	127.54	49	-105.10	101	-185.66	17	3799.86	65	4109.21	65
0	Min.	-1534	-51994.90	101	-1760.39	125	-9555.45	177	127.54	49	-105.10	101	-185.66	17	3799.86	65	4109.21	65
0	Min.	433	-51994.90	101	-1760.39	125	-9555.45	177	127.54	49	-105.10	101	-185.66	17	3799.86	65	4109.21	65
0	Min.	-1475	-51994.90	101	-1760.39	125	-9555.45	177	127.54	49	-105.10	101	-185.66	17	3799.86	65	4109.21	65
0	Max	442	59568.20	101	4666.95	165	10127.80	177	2259.47	97	459.00	173	156.97	65	-3950.93	65	-4146.08	65
0	Max	-1706	59568.20	101	4666.95	165	10127.80	177	2259.47	97	459.00	173	156.97	65	-3950.93	65	-4146.08	65
0	Max	-1783	59568.20	101	4666.95	165	10127.80	177	2259.47	97	459.00	173	156.97	65	-3950.93	65	-4146.08	65

0	Max	-1863	59568.20	101	4666.95	165	10127.80	177	2259.47	97	459.00	173	156.97	65	-3950.93	65	-4146.08	65
0	Min.	442	-66313.60	130	-4413.35	177	-7303.22	165	129.02	49	-115.03	106	-299.82	173	-30823.50	97	-32270.70	97
0	Min.	-1706	-66313.60	130	-4413.35	177	-7303.22	165	129.02	49	-115.03	106	-299.82	173	-30823.50	97	-32270.70	97
0	Min.	-1783	-66313.60	130	-4413.35	177	-7303.22	165	129.02	49	-115.03	106	-299.82	173	-30823.50	97	-32270.70	97
0	Min.	-1863	-66313.60	130	-4413.35	177	-7303.22	165	129.02	49	-115.03	106	-299.82	173	-30823.50	97	-32270.70	97
0	Max	-1706	50698.00	101	2762.86	173	9236.66	177	1554.77	97	426.08	173	180.59	65	23998.40	106	-2398.52	65
0	Max	-1945	50698.00	101	2762.86	173	9236.66	177	1554.77	97	426.08	173	180.59	65	23998.40	106	-2398.52	65
0	Max	-1946	50698.00	101	2762.86	173	9236.66	177	1554.77	97	426.08	173	180.59	65	23998.40	106	-2398.52	65
0	Max	-1783	50698.00	101	2762.86	173	9236.66	177	1554.77	97	426.08	173	180.59	65	23998.40	106	-2398.52	65
0	Min.	-1706	-73802.30	130	-4741.06	177	-4501.93	166	-463.75	130	-162.37	106	-363.64	173	-5919.92	97	-28447.10	105
0	Min.	-1945	-73802.30	130	-4741.06	177	-4501.93	166	-463.75	130	-162.37	106	-363.64	173	-5919.92	97	-28447.10	105
0	Min.	-1946	-73802.30	130	-4741.06	177	-4501.93	166	-463.75	130	-162.37	106	-363.64	173	-5919.92	97	-28447.10	105
0	Min.	-1783	-73802.30	130	-4741.06	177	-4501.93	166	-463.75	130	-162.37	106	-363.64	173	-5919.92	97	-28447.10	105
0	Max	-1707	37063.40	101	2971.09	173	7975.60	177	700.52	97	377.68	173	289.87	106	15632.90	106	-2205.99	65
0	Max	-1708	37063.40	101	2971.09	173	7975.60	177	700.52	97	377.68	173	289.87	106	15632.90	106	-2205.99	65
0	Max	-1785	37063.40	101	2971.09	173	7975.60	177	700.52	97	377.68	173	289.87	106	15632.90	106	-2205.99	65
0	Max	-1784	37063.40	101	2971.09	173	7975.60	177	700.52	97	377.68	173	289.87	106	15632.90	106	-2205.99	65
0	Min.	-1707	-88272.80	130	-4256.83	177	-4158.53	166	-510.12	130	-267.43	106	-371.16	173	-2944.05	173	-23955.00	97
0	Min.	-1708	-88272.80	130	-4256.83	177	-4158.53	166	-510.12	130	-267.43	106	-371.16	173	-2944.05	173	-23955.00	97
0	Min.	-1785	-88272.80	130	-4256.83	177	-4158.53	166	-510.12	130	-267.43	106	-371.16	173	-2944.05	173	-23955.00	97
0	Min.	-1784	-88272.80	130	-4256.83	177	-4158.53	166	-510.12	130	-267.43	106	-371.16	173	-2944.05	173	-23955.00	97
0	Max	-1708	22272.30	101	2422.01	166	7358.70	177	339.45	101	339.61	173	220.62	106	8179.15	105	-1755.65	65
0	Max	-1709	22272.30	101	2422.01	166	7358.70	177	339.45	101	339.61	173	220.62	106	8179.15	105	-1755.65	65
0	Max	-1786	22272.30	101	2422.01	166	7358.70	177	339.45	101	339.61	173	220.62	106	8179.15	105	-1755.65	65
0	Max	-1785	22272.30	101	2422.01	166	7358.70	177	339.45	101	339.61	173	220.62	106	8179.15	105	-1755.65	65
0	Min.	-1708	-91144.00	130	-4357.43	177	-2339.09	173	-588.73	106	-340.40	106	-363.31	173	-2038.57	173	-22360.40	97
0	Min.	-1709	-91144.00	130	-4357.43	177	-2339.09	173	-588.73	106	-340.40	106	-363.31	173	-2038.57	173	-22360.40	97
0	Min.	-1786	-91144.00	130	-4357.43	177	-2339.09	173	-588.73	106	-340.40	106	-363.31	173	-2038.57	173	-22360.40	97
0	Min.	-1785	-91144.00	130	-4357.43	177	-2339.09	173	-588.73	106	-340.40	106	-363.31	173	-2038.57	173	-22360.40	97
0	Max	-1709	6706.42	1	1637.77	166	6553.57	177	88.49	1	314.38	173	211.29	65	3017.80	105	-1347.57	49
0	Max	-1710	6706.42	1	1637.77	166	6553.57	177	88.49	1	314.38	173	211.29	65	3017.80	105	-1347.57	49
0	Max	-1787	6706.42	1	1637.77	166	6553.57	177	88.49	1	314.38	173	211.29	65	3017.80	105	-1347.57	49
0	Max	-1786	6706.42	1	1637.77	166	6553.57	177	88.49	1	314.38	173	211.29	65	3017.80	105	-1347.57	49
0	Min.	-1709	-92296.20	130	-4878.85	177	-2669.20	173	-729.84	106	-455.03	98	-333.58	173	-1947.76	173	-22161.90	97
0	Min.	-1710	-92296.20	130	-4878.85	177	-2669.20	173	-729.84	106	-455.03	98	-333.58	173	-1947.76	173	-22161.90	97
0	Min.	-1787	-92296.20	130	-4878.85	177	-2669.20	173	-729.84	106	-455.03	98	-333.58	173	-1947.76	173	-22161.90	97
0	Min.	-1786	-92296.20	130	-4878.85	177	-2669.20	173	-729.84	106	-455.03	98	-333.58	173	-1947.76	173	-22161.90	97
0	Max	-1710	785.66	1	2184.49	173	5373.52	177	6.71	1	321.40	173	195.40	65	1263.47	177	-583.51	130
0	Max	-1711	785.66	1	2184.49	173	5373.52	177	6.71	1	321.40	173	195.40	65	1263.47	177	-583.51	130
0	Max	-1788	785.66	1	2184.49	173	5373.52	177	6.71	1	321.40	173	195.40	65	1263.47	177	-583.51	130
0	Max	-1787	785.66	1	2184.49	173	5373.52	177	6.71	1	321.40	173	195.40	65	1263.47	177	-583.51	130
0	Min.	-1710	-105150.00	98	-5324.53	177	-2960.43	173	-961.43	98	-692.78	98	-291.31	173	-2087.61	173	-21343.90	97
0	Min.	-1711	-105150.00	98	-5324.53	177	-2960.43	173	-961.43	98	-692.78	98	-291.31	173	-2087.61	173	-21343.90	97
0	Min.	-1788	-105150.00	98	-5324.53	177	-2960.43	173	-961.43	98	-692.78	98	-291.31	173	-2087.61	173	-21343.90	97
0	Min.	-1787	-105150.00	98	-5324.53	177	-2960.43	173	-961.43	98	-692.78	98	-291.31	173	-2087.61	173	-21343.90	97
0	Max	-1711	-5221.97	1	3360.36	173	4051.90	177	-65.36	1	390.43	173	170.05	65	3792.27	97	275.58	130
0	Max	-1712	-5221.97	1	3360.36	173	4051.90	177	-65.36	1	390.43	173	170.05	65	3792.27	97	275.58	130
0	Max	-1789	-5221.97	1	3360.36	173	4051.90	177	-65.36	1	390.43	173	170.05	65	3792.27	97	275.58	130
0	Max	-1788	-5221.97	1	3360.36	173	4051.90	177	-65.36	1	390.43	173	170.05	65	3792.27	97	275.58	130
0	Min.	-1711	-131665.00	98	-5238.14	177	-2641.15	173	-1423.36	98	-941.44	98	-237.14	173	-2324.40	173	-19710.70	97
0	Min.	-1712	-131665.00	98	-5238.14	177	-2641.15	173	-1423.36	98	-941.44	98	-237.14	173	-2324.40	173	-19710.70	97
0	Min.	-1789	-131665.00	98	-5238.14	177	-2641.15	173	-1423.36	98	-941.44	98	-237.14	173	-2324.40	173	-19710.70	97
0	Min.	-1788	-131665.00	98	-5238.14	177	-2641.15	173	-1423.36	98	-941.44	98	-237.14	173	-2324.40	173	-19710.70	97
0	Max	-1712	-10844.90	1	4348.74	173	3004.02	177	-133.06	1	543.64	173	136.85	65	10184.40	97	1747.44	130
0	Max	-1713	-10844.90	1	4348.74	173	3004.02	177	-133.06	1	543.64	173	136.85	65	10184.40	97	1747.44	130
0	Max	-1790	-10844.90	1	4348.74	173	3004.02	177	-133.06	1	543.64	173	136.85	65	10184.40	97	1747.44	130
0	Max	-1789	-10844.90	1	4348.74	173	3004.02	177	-133.06	1	543.64	173	136.85	65	10184.40	97	1747.44	130
0	Min.	-1712	-154148.00	98	-4797.85	177	-2086.49	173	-1871.77	98	-1164.65	98	-172.81	173	-2802.68	173	-17895.30	97
0	Min.	-1713	-154148.00	98	-4797.85	177	-2086.49	173	-1871.77	98	-1164.65	98	-172.81	173	-2802.68	173	-17895.30	97
0	Min.	-1790	-154148.00	98	-4797.85	177	-2086.49	173	-1871.77	98	-1164.65	98	-172.81	173	-2802.68	173	-17895.30	97
0	Min.	-1789	-154148.00	98	-4797.85	177	-2086.49	173	-1871.77	98	-1164.65	98	-172.81	173	-2802.68	173	-17895.30	97
0	Max	-1713	-15453.90	1	4126.97	158	2515.98	165	-154.29	1	708.54	173	107.99	65	21005.00	97	1542.98	130
0	Max	-2078	-15453.90	1	4126.97	158	2515.98	165	-154.29	1	708.54	173	107.99	65	21005.00	97	1542.98	130
0	Max	-2077	-15453.90	1	4126.97	158	2515.98	165	-154.29	1	708.54	173	107.99	65	21005.00	97	1542.98	130
0	Max	-1790	-15453.90	1	4126.97	158	2515.98	165	-154.29	1	708.54	173	107.99	65	21005.00	97	1542.98	130
0	Min.	-1713	-169400.00	98	-4792.65	177	-5724.21	158	-2306.22	98	-1287.37	98	-146.66	98	-2864.37	173	-25832.10	97
0	Min.	-2078	-169400.00	98	-4792.65	177	-5724.21	158	-2306.22	98	-1287.37	98	-146.66	98	-2864.37	173	-25832.10	97
0	Min.	-2077	-169400.00	98	-4792.65	177	-5724.21	158	-2306.22	98	-1287.37	98	-146.66	98	-2864.37	173	-25832.10	97
0	Min.	-1790	-169400.00	98	-4792.65	177	-5724.21	158	-2306.22	98	-1287.37	98	-146.66	98	-2864.37	173	-25832.10	97
0	Max	-1714	-17708.80	33	4986.04	173	2206.34	165	-178.12	33	944.85	173	74.54	97	28846.70	97	2681.43	130
0	Max	-2076	-17708.80	33	4986.04	173	2206.34	165	-178.12	33	944.85	173	74.54	97	28846.70	97	2681.43	130
0	Max	-2075	-17708.80	33	4986.04	173	2206.34	165	-178.12	33	944.85	173	74.54	97	28846.70	97	2681.43	130
0	Max	-1791	-17708.80	33	4986.04	173	2206.34	165	-178.12	33	944.85	173	74.54	97	28846.70	97	2681.43	130
0	Min.	-1714	-180415.00	98	-4969.50	177	-4776.71	158	-2716.53	98	-1380.26	98	-77.28	173	-1139.62	173	-12235.30	97
0	Min.	-2076	-180415.00	98	-4969.50	177	-4776.71	158	-2716.53	98	-1380.26	98	-77.28	173	-1139.62	173	-12235.30	97
0	Min.	-2075	-180415.00	98	-4969.50	177	-4776.71	158	-2716.53	98	-1380.26	98	-77.28	173	-1139.62	173	-12235.30	97
0	Min.	-1791	-180415.00	98	-4969.50	177	-4776.71	158	-2716.53	98	-1380.26	98	-77.28	173	-1139.62	173	-12235.30	97
0	Max	-1715	-19157.20	33	5988.47	173	1829.56	165	-196.34	33	942.19	173	71.79	97	19034.20	97	3741.44	130
0	Max	-1849	-19157.20	33	5988.47	173	1829.56	165	-196.34	33	942.19	173	71.79	97	19034.20	97	3741.44	130
0	Max	-1535	-19157.20	33	5988.47	173	1829.56	165	-196.34	33	942.19	173	71.79	97	19034.20	97	3741.44	130
0	Max	-1792	-19157.20	33	5988.47	173	1829.56	165	-196.34	33	942.19	173	71.79	97	19034.20	97	3741.44	130
0	Min.	-1715	-184595.00	98	-5164.27	177	-6628.01	158	-2469.94	98	-1518.00	98	-47.64	106	-4646.39	173	-5808.45	101
0	Min.	-1849	-184595.00	98	-5164.27	177	-6628.01	158	-2469.94	98	-1518.00	98	-47.64	106	-4646.39	173	-5808.45	101
0	Min.	-1535	-184595.00	98	-5164.27	177	-6628.01	158	-2469.94	98	-1518.00	98	-47.64	106	-4646.39	173	-5808.45	101
0	Min.	-1792	-184595.00	98	-5164.27	177	-6628.01	158	-2469.94	98	-1518.00	98	-47.64	106	-4646.39	173	-5808.45	101
0	Max	-1849	-19167.00	33	5808.14	173	1806.26	161	-196.62	33	933.35	173	47.64	101	19034.20	98	5808.23	106
0	Max	-1716	-19167.00	33	5808.14	173	1806.26	161	-196.62	33	933.35	173	47.64	101	19034.20	98	5808.23	106
0	Max	-1793	-19167.00	33	5808.14	173	1806.26	161	-196.62	33	933.35	173	47.64	101	19034.20	98	5808.23	106
0	Max	-1535	-19167.00	33	5808.14	173	1806.26	161	-196.62	33	933.35	173	47.64	101	19034.20	98	5808.23	106
0	Min.	-1849	-184595.00	97	-5164.27	177	-6703.22	158	-2469.94	97	-1518.00	97	-71.79	98	-1066.10	173	-3222.43	101
0	Min.	-1716	-184595.00	97	-5164.27	177	-6703.22	158	-2469.94	97	-1518.00	97	-71.79	98	-1066.10	173	-3222.43	101
0	Min.	-1793	-184595.00	97	-5164.27	177	-6703.22	158	-2469.94	97	-1518.00	97	-71.79	98	-1066.10	173	-3222.43	101
0	Min.	-1535	-184595.00	97	-5164.27	177	-6703.22	158	-2469.94	97	-1518.00	97	-71.79	98	-1066.10	173	-3222.43	101
0	Max	-1349	45922.20	130	4669.20	162	4092.30	173	588.54	122	327.13	173	66.29	173	2149.63	177	3275.28	101
0	Max	-1350	45922.20	130	4669.20	162	4092.30	173	588.54	122	327.13	173	66.29	173	2149.63	177	3275.28	101
0	Max	-1562	45922.20	130	4669.20	162	4092.30	173	588.54	122	327.13	173	66.29	173	2149.63	177	3275.28	101
0	Max	-1561	45922.20	130	4669.20	162	4092.30	173	588.54	122	327.13	173	66.29	173	2149.63	177	3275.28	101
0	Min.	-1349	-30463.60	101	-5638.09	177	-13732.70	177	-338.84	101	-281.66	125	9.02	65	-48.25	65	-5983.78	98
0	Min.	-1350	-30463.60	101	-5638.09	177	-13732.70	177	-338.84	101	-281.66	125	9.02	65	-48.25	65	-5983.78	98
0	Min.	-1562	-30463.60	101	-5638.09	177	-13732.70	177	-338.84	101	-281.66	125	9.02	65	-48.25	65	-5983.78	98
0	Min.	-1561	-30463.60	101	-5638.09	177	-13732.70	177	-338.84	101	-281.66	125	9.02	65	-48.25	65	-5983.78	98
0	Max	-1350	35247.90	130	4011.30	162	4300.33	173	404.51	122	250.51	173	91.97	98	2517.14	177	2485.68	101
0	Max	-1351	35247.90	130	4011.30	162	4300.33	173	404.51	122	250.51	173	91.97	98	2517.14	177	2485.68	101
0	Max	-1563	35247.90	130	4011.30	162	4300.33	173	404.51	122	250.51	173	91.97	98	2517.14	177	2485.68	101
0	Max	-1562	35247.90	130	4011.30	162	4300.33	173	404.51	122	250.51	173	91.97	98	2517.14	177	2485.68	101

0	Min.	-1350	-24169.40	101	-3943.64	177	-14366.30	177	-323.71	101	-195.69	125	-21.61	165	159.46	65	-5096.13	98
0	Min.	-1351	-24169.40	101	-3943.64	177	-14366.30	177	-323.71	101	-195.69	125	-21.61	165	159.46	65	-5096.13	98
0	Min.	-1563	-24169.40	101	-3943.64	177	-14366.30	177	-323.71	101	-195.69	125	-21.61	165	159.46	65	-5096.13	98
0	Min.	-1562	-24169.40	101	-3943.64	177	-14366.30	177	-323.71	101	-195.69	125	-21.61	165	159.46	65	-5096.13	98
0	Max	-1351	24261.40	130	2530.73	162	4120.13	173	245.46	122	170.81	173	120.14	98	2904.96	98	3272.54	101
0	Max	-1353	24261.40	130	2530.73	162	4120.13	173	245.46	122	170.81	173	120.14	98	2904.96	98	3272.54	101
0	Max	-1564	24261.40	130	2530.73	162	4120.13	173	245.46	122	170.81	173	120.14	98	2904.96	98	3272.54	101
0	Max	-1563	24261.40	130	2530.73	162	4120.13	173	245.46	122	170.81	173	120.14	98	2904.96	98	3272.54	101
0	Min.	-1351	-17265.50	101	-1277.04	101	-12988.10	177	-275.33	101	-127.80	125	-54.10	161	-3.00	161	-5123.08	98
0	Min.	-1353	-17265.50	101	-1277.04	101	-12988.10	177	-275.33	101	-127.80	125	-54.10	161	-3.00	161	-5123.08	98
0	Min.	-1564	-17265.50	101	-1277.04	101	-12988.10	177	-275.33	101	-127.80	125	-54.10	161	-3.00	161	-5123.08	98
0	Min.	-1563	-17265.50	101	-1277.04	101	-12988.10	177	-275.33	101	-127.80	125	-54.10	161	-3.00	161	-5123.08	98
0	Max	-1353	12088.90	130	6926.30	177	5250.28	130	50.94	122	91.94	173	114.70	97	5317.51	177	5813.97	101
0	Max	-1354	12088.90	130	6926.30	177	5250.28	130	50.94	122	91.94	173	114.70	97	5317.51	177	5813.97	101
0	Max	-1611	12088.90	130	6926.30	177	5250.28	130	50.94	122	91.94	173	114.70	97	5317.51	177	5813.97	101
0	Max	-1564	12088.90	130	6926.30	177	5250.28	130	50.94	122	91.94	173	114.70	97	5317.51	177	5813.97	101
0	Min.	-1353	-8921.89	101	-3317.58	173	-8256.53	177	-92.75	101	-75.07	127	-76.81	166	-3214.40	173	-5191.39	122
0	Min.	-1354	-8921.89	101	-3317.58	173	-8256.53	177	-92.75	101	-75.07	127	-76.81	166	-3214.40	173	-5191.39	122
0	Min.	-1611	-8921.89	101	-3317.58	173	-8256.53	177	-92.75	101	-75.07	127	-76.81	166	-3214.40	173	-5191.39	122
0	Min.	-1564	-8921.89	101	-3317.58	173	-8256.53	177	-92.75	101	-75.07	127	-76.81	166	-3214.40	173	-5191.39	122
0	Max	-1357	59000.70	101	3512.31	173	10069.10	177	2317.30	97	837.87	97	211.04	98	52172.30	105	-3976.22	65
0	Max	-1358	59000.70	101	3512.31	173	10069.10	177	2317.30	97	837.87	97	211.04	98	52172.30	105	-3976.22	65
0	Max	-1706	59000.70	101	3512.31	173	10069.10	177	2317.30	97	837.87	97	211.04	98	52172.30	105	-3976.22	65
0	Max	442	59000.70	101	3512.31	173	10069.10	177	2317.30	97	837.87	97	211.04	98	52172.30	105	-3976.22	65
0	Min.	-1357	-60241.30	130	-5782.10	177	-1754.14	165	140.47	49	-557.47	106	-268.57	173	5203.02	33	-45734.80	105
0	Min.	-1358	-60241.30	130	-5782.10	177	-1754.14	165	140.47	49	-557.47	106	-268.57	173	5203.02	33	-45734.80	105
0	Min.	-1706	-60241.30	130	-5782.10	177	-1754.14	165	140.47	49	-557.47	106	-268.57	173	5203.02	33	-45734.80	105
0	Min.	442	-60241.30	130	-5782.10	177	-1754.14	165	140.47	49	-557.47	106	-268.57	173	5203.02	33	-45734.80	105
0	Max	-1358	48888.80	101	9760.01	165	8904.52	177	1472.56	97	590.65	173	253.43	98	39495.90	105	-2317.05	65
0	Max	-1947	48888.80	101	9760.01	165	8904.52	177	1472.56	97	590.65	173	253.43	98	39495.90	105	-2317.05	65
0	Max	-1945	48888.80	101	9760.01	165	8904.52	177	1472.56	97	590.65	173	253.43	98	39495.90	105	-2317.05	65
0	Max	-1706	48888.80	101	9760.01	165	8904.52	177	1472.56	97	590.65	173	253.43	98	39495.90	105	-2317.05	65
0	Min.	-1358	-61739.50	106	-5005.99	177	-24657.10	166	-805.82	106	-1234.07	106	-325.14	173	-1761.68	173	-44683.10	105
0	Min.	-1947	-61739.50	106	-5005.99	177	-24657.10	166	-805.82	106	-1234.07	106	-325.14	173	-1761.68	173	-44683.10	105
0	Min.	-1945	-61739.50	106	-5005.99	177	-24657.10	166	-805.82	106	-1234.07	106	-325.14	173	-1761.68	173	-44683.10	105
0	Min.	-1706	-61739.50	106	-5005.99	177	-24657.10	166	-805.82	106	-1234.07	106	-325.14	173	-1761.68	173	-44683.10	105
0	Max	-1359	36884.70	101	9345.03	165	12954.20	97	674.30	101	485.35	173	236.66	98	18862.90	105	9690.54	106
0	Max	-1360	36884.70	101	9345.03	165	12954.20	97	674.30	101	485.35	173	236.66	98	18862.90	105	9690.54	106
0	Max	-1708	36884.70	101	9345.03	165	12954.20	97	674.30	101	485.35	173	236.66	98	18862.90	105	9690.54	106
0	Max	-1707	36884.70	101	9345.03	165	12954.20	97	674.30	101	485.35	173	236.66	98	18862.90	105	9690.54	106
0	Min.	-1359	-96439.70	130	-4590.94	177	350.51	166	-543.94	130	-1013.45	106	-397.78	173	-1301.77	173	-17236.60	97
0	Min.	-1360	-96439.70	130	-4590.94	177	350.51	166	-543.94	130	-1013.45	106	-397.78	173	-1301.77	173	-17236.60	97
0	Min.	-1708	-96439.70	130	-4590.94	177	350.51	166	-543.94	130	-1013.45	106	-397.78	173	-1301.77	173	-17236.60	97
0	Min.	-1707	-96439.70	130	-4590.94	177	350.51	166	-543.94	130	-1013.45	106	-397.78	173	-1301.77	173	-17236.60	97
0	Max	-1360	21651.10	101	4981.18	166	12809.10	97	324.41	101	444.69	173	273.95	98	1902.18	177	-1102.29	65
0	Max	-1361	21651.10	101	4981.18	166	12809.10	97	324.41	101	444.69	173	273.95	98	1902.18	177	-1102.29	65
0	Max	-1709	21651.10	101	4981.18	166	12809.10	97	324.41	101	444.69	173	273.95	98	1902.18	177	-1102.29	65
0	Max	-1708	21651.10	101	4981.18	166	12809.10	97	324.41	101	444.69	173	273.95	98	1902.18	177	-1102.29	65
0	Min.	-1360	-93072.10	130	-4666.17	177	1081.05	33	-530.97	106	-653.15	106	-384.83	173	-1792.47	173	-16273.00	97
0	Min.	-1361	-93072.10	130	-4666.17	177	1081.05	33	-530.97	106	-653.15	106	-384.83	173	-1792.47	173	-16273.00	97
0	Min.	-1709	-93072.10	130	-4666.17	177	1081.05	33	-530.97	106	-653.15	106	-384.83	173	-1792.47	173	-16273.00	97
0	Min.	-1708	-93072.10	130	-4666.17	177	1081.05	33	-530.97	106	-653.15	106	-384.83	173	-1792.47	173	-16273.00	97
0	Max	-1361	6982.66	1	1937.87	166	12004.80	97	86.14	1	418.39	173	279.36	97	1784.30	177	351.33	130
0	Max	-1368	6982.66	1	1937.87	166	12004.80	97	86.14	1	418.39	173	279.36	97	1784.30	177	351.33	130
0	Max	-1710	6982.66	1	1937.87	166	12004.80	97	86.14	1	418.39	173	279.36	97	1784.30	177	351.33	130
0	Max	-1709	6982.66	1	1937.87	166	12004.80	97	86.14	1	418.39	173	279.36	97	1784.30	177	351.33	130
0	Min.	-1361	-92277.90	130	-5522.39	177	777.52	49	-708.80	106	-492.58	106	-368.96	173	-1520.68	173	-16171.40	97
0	Min.	-1368	-92277.90	130	-5522.39	177	777.52	49	-708.80	106	-492.58	106	-368.96	173	-1520.68	173	-16171.40	97
0	Min.	-1710	-92277.90	130	-5522.39	177	777.52	49	-708.80	106	-492.58	106	-368.96	173	-1520.68	173	-16171.40	97
0	Min.	-1709	-92277.90	130	-5522.39	177	777.52	49	-708.80	106	-492.58	106	-368.96	173	-1520.68	173	-16171.40	97
0	Max	-1368	1200.35	1	2252.70	173	10168.90	97	8.16	1	415.93	173	267.31	97	1756.72	177	-57.44	130
0	Max	-1369	1200.35	1	2252.70	173	10168.90	97	8.16	1	415.93	173	267.31	97	1756.72	177	-57.44	130
0	Max	-1711	1200.35	1	2252.70	173	10168.90	97	8.16	1	415.93	173	267.31	97	1756.72	177	-57.44	130
0	Max	-1710	1200.35	1	2252.70	173	10168.90	97	8.16	1	415.93	173	267.31	97	1756.72	177	-57.44	130
0	Min.	-1368	-104543.00	98	-6383.08	177	417.82	49	-925.13	98	-731.98	98	-352.02	173	-696.90	98	-16610.20	97
0	Min.	-1369	-104543.00	98	-6383.08	177	417.82	49	-925.13	98	-731.98	98	-352.02	173	-696.90	98	-16610.20	97
0	Min.	-1711	-104543.00	98	-6383.08	177	417.82	49	-925.13	98	-731.98	98	-352.02	173	-696.90	98	-16610.20	97
0	Min.	-1710	-104543.00	98	-6383.08	177	417.82	49	-925.13	98	-731.98	98	-352.02	173	-696.90	98	-16610.20	97
0	Max	-1369	-4618.91	1	4205.32	173	8707.21	97	-61.73	1	466.25	173	219.62	97	1716.47	177	256.06	130
0	Max	-1370	-4618.91	1	4205.32	173	8707.21	97	-61.73	1	466.25	173	219.62	97	1716.47	177	256.06	130
0	Max	-1712	-4618.91	1	4205.32	173	8707.21	97	-61.73	1	466.25	173	219.62	97	1716.47	177	256.06	130
0	Max	-1711	-4618.91	1	4205.32	173	8707.21	97	-61.73	1	466.25	173	219.62	97	1716.47	177	256.06	130
0	Min.	-1369	-130544.00	98	-6151.79	177	85.47	49	-1369.29	98	-1110.42	98	-345.15	173	-1506.27	98	-16487.00	97
0	Min.	-1370	-130544.00	98	-6151.79	177	85.47	49	-1369.29	98	-1110.42	98	-345.15	173	-1506.27	98	-16487.00	97
0	Min.	-1712	-130544.00	98	-6151.79	177	85.47	49	-1369.29	98	-1110.42	98	-345.15	173	-1506.27	98	-16487.00	97
0	Min.	-1711	-130544.00	98	-6151.79	177	85.47	49	-1369.29	98	-1110.42	98	-345.15	173	-1506.27	98	-16487.00	97
0	Max	-1370	-10282.00	1	4776.35	173	8376.46	97	-123.40	17	593.55	173	132.52	65	4797.76	173	794.05	130
0	Max	-1371	-10282.00	1	4776.35	173	8376.46	97	-123.40	17	593.55	173	132.52	65	4797.76	173	794.05	130
0	Max	-1713	-10282.00	1	4776.35	173	8376.46	97	-123.40	17	593.55	173	132.52	65	4797.76	173	794.05	130
0	Max	-1712	-10282.00	1	4776.35	173	8376.46	97	-123.40	17	593.55	173	132.52	65	4797.76	173	794.05	130
0	Min.	-1370	-153114.00	98	-5297.17	177	-378.33	106	-1784.75	98	-1627.75	98	-336.66	173	-346.01	106	-17735.30	97
0	Min.	-1371	-153114.00	98	-5297.17	177	-378.33	106	-1784.75	98	-1627.75	98	-336.66	173	-346.01	106	-17735.30	97
0	Min.	-1713	-153114.00	98	-5297.17	177	-378.33	106	-1784.75	98	-1627.75	98	-336.66	173	-346.01	106	-17735.30	97
0	Min.	-1712	-153114.00	98	-5297.17	177	-378.33	106	-1784.75	98	-1627.75	98	-336.66	173	-346.01	106	-17735.30	97
0	Max	-1371	-15000.20	17	6072.18	97	5851.16	97	-139.80	17	731.77	173	105.76	65	14319.10	97	1159.22	130
0	Max	-2074	-15000.20	17	6072.18	97	5851.16	97	-139.80	17	731.77	173	105.76	65	14319.10	97	1159.22	130
0	Max	-2078	-15000.20	17	6072.18	97	5851.16	97	-139.80	17	731.77	173	105.76	65	14319.10	97	1159.22	130
0	Max	-1713	-15000.20	17	6072.18	97	5851.16	97	-139.80	17	731.77	173	105.76	65	14319.10	97	1159.22	130
0	Min.	-1371	-171364.00	98	-5084.76	158	-1250.87	158	-2379.63	98	-2160.66	98	-313.31	173	-711.63	106	-41338.20	97
0	Min.	-2074	-171364.00	98	-5084.76	158	-1250.87	158	-2379.63	98	-2160.66	98	-313.31	173	-711.63	106	-41338.20	97
0	Min.	-2078	-171364.00	98	-5084.76	158	-1250.87	158	-2379.63	98	-2160.66	98	-313.31	173	-711.63	106	-41338.20	97
0	Min.	-1713	-171364.00	98	-5084.76	158	-1250.87	158	-2379.63	98	-2160.66	98	-313.31	173	-711.63	106	-41338.20	97
0	Max	-1372	-16798.20	17	6768.04	173	4796.62	125	-158.74	17	945.96	173	140.60	97	41110.10	97	6274.65	98
0	Max	-2073	-16798.20	17	6768.04	173	4796.62	125	-158.74	17	945.96	173	140.60	97	41110.10	97	6274.65	98
0	Max	-2076	-16798.20	17	6768.04	173	4796.62	125	-158.74	17	945.96	173	140.60	97	41110.10	97	6274.65	98
0	Max	-1714	-16798.20	17	6768.04	173	4796.62	125	-158.74	17	945.96	173	140.60	97	41110.10	97	6274.65	98
0	Min.	-1372	-180557.00	98	-5347.83	177	-24745.60	158	-3100.28	98	-2665.37	98	-207.40	173	-533.75	106	-4063.22	101
0	Min.	-2073	-180557.00	98	-5347.83	177	-24745.60	158	-3100.28	98	-2665.37	98	-207.40	173	-533.75	106	-4063.22	101
0	Min.	-2076	-180557.00	98	-5347.83	177	-24745.60	158	-3100.28	98	-2665.37	98	-207.40	173	-533.75	106	-4063.22	101
0	Min.	-1714	-180557.00	98	-5347.83	177	-24745.60	158	-3100.28	98	-2665.37	98	-207.40	173	-533.75	106	-4063.22	101
0	Max	-1373	-17976.20	65	6924.47	173	3675.84	125	-173.89	17	1024.25	173	67.40	101	11110.90	173	6588.30	98
0	Max	-1374	-17976.20	65	6924.47	173	3675.84	125	-173.89	17	1024.25	173	67.40	101	11110.90	173	6588.30	98
0	Max	-1849	-17976.20	65	6924.47	173	3675.84	125	-173.89	17	1024.25	173	67.40	101	11110.90	173	6588.30	98
0	Max	-1715	-17976.20	65	6924.47	173	3675.84	125	-173.89	17	1024.25	173	67.40	101	11110.90	173	6588.30	98
0	Min.	-1373	-182837.00	97	-6228.32	177	-2546.65	106	-2343.66	98	-2361.56	98	-61.50	106	-569.77	17	-3309.37	101

0	Min.	-1374	-182837.00	97	-6228.32	177	-2546.65	106	-2343.66	98	-2361.56	98	-61.50	106	-569.77	17	-3309.37	101
0	Min.	-1849	-182837.00	97	-6228.32	177	-2546.65	106	-2343.66	98	-2361.56	98	-61.50	106	-569.77	17	-3309.37	101
0	Min.	-1715	-182837.00	97	-6228.32	177	-2546.65	106	-2343.66	98	-2361.56	98	-61.50	106	-569.77	17	-3309.37	101
0	Max	-1374	-17976.20	17	7513.92	173	3138.00	125	-173.89	65	931.34	173	170.30	173	8233.98	173	3309.24	106
0	Max	-1375	-17976.20	17	7513.92	173	3138.00	125	-173.89	65	931.34	173	170.30	173	8233.98	173	3309.24	106
0	Max	-1716	-17976.20	17	7513.92	173	3138.00	125	-173.89	65	931.34	173	170.30	173	8233.98	173	3309.24	106
0	Max	-1849	-17976.20	17	7513.92	173	3138.00	125	-173.89	65	931.34	173	170.30	173	8233.98	173	3309.24	106
0	Min.	-1374	-182837.00	98	-6228.32	177	-3300.75	106	-2343.66	97	-2361.56	97	-67.40	106	-569.77	65	-6588.30	97
0	Min.	-1375	-182837.00	98	-6228.32	177	-3300.75	106	-2343.66	97	-2361.56	97	-67.40	106	-569.77	65	-6588.30	97
0	Min.	-1716	-182837.00	98	-6228.32	177	-3300.75	106	-2343.66	97	-2361.56	97	-67.40	106	-569.77	65	-6588.30	97
0	Min.	-1849	-182837.00	98	-6228.32	177	-3300.75	106	-2343.66	97	-2361.56	97	-67.40	106	-569.77	65	-6588.30	97
0	Max	-1375	-16563.70	65	5445.47	173	3130.38	125	-173.27	65	823.10	173	241.47	173	13584.10	98	2979.99	106
0	Max	-2072	-16563.70	65	5445.47	173	3130.38	125	-173.27	65	823.10	173	241.47	173	13584.10	98	2979.99	106
0	Max	-2070	-16563.70	65	5445.47	173	3130.38	125	-173.27	65	823.10	173	241.47	173	13584.10	98	2979.99	106
0	Max	-1716	-16563.70	65	5445.47	173	3130.38	125	-173.27	65	823.10	173	241.47	173	13584.10	98	2979.99	106
0	Min.	-1375	-179280.00	97	-6109.67	177	-6992.70	158	-2737.43	97	-2517.40	97	-163.18	98	-567.54	65	-23173.40	97
0	Min.	-2072	-179280.00	97	-6109.67	177	-6992.70	158	-2737.43	97	-2517.40	97	-163.18	98	-567.54	65	-23173.40	97
0	Min.	-2070	-179280.00	97	-6109.67	177	-6992.70	158	-2737.43	97	-2517.40	97	-163.18	98	-567.54	65	-23173.40	97
0	Min.	-1716	-179280.00	97	-6109.67	177	-6992.70	158	-2737.43	97	-2517.40	97	-163.18	98	-567.54	65	-23173.40	97
0	Max	-1376	-11507.80	162	3529.17	173	2950.98	125	-159.22	65	625.33	173	274.82	173	39911.20	98	21784.10	98
0	Max	-2068	-11507.80	162	3529.17	173	2950.98	125	-159.22	65	625.33	173	274.82	173	39911.20	98	21784.10	98
0	Max	-2066	-11507.80	162	3529.17	173	2950.98	125	-159.22	65	625.33	173	274.82	173	39911.20	98	21784.10	98
0	Max	-1717	-11507.80	162	3529.17	173	2950.98	125	-159.22	65	625.33	173	274.82	173	39911.20	98	21784.10	98
0	Min.	-1376	-168438.00	97	-5540.88	177	-29138.30	158	-3058.69	97	-2555.40	97	-86.53	106	-545.71	65	-1562.44	101
0	Min.	-2068	-168438.00	97	-5540.88	177	-29138.30	158	-3058.69	97	-2555.40	97	-86.53	106	-545.71	65	-1562.44	101
0	Min.	-2066	-168438.00	97	-5540.88	177	-29138.30	158	-3058.69	97	-2555.40	97	-86.53	106	-545.71	65	-1562.44	101
0	Min.	-1717	-168438.00	97	-5540.88	177	-29138.30	158	-3058.69	97	-2555.40	97	-86.53	106	-545.71	65	-1562.44	101
0	Max	-1377	-3461.47	162	6266.02	157	2182.05	125	-123.40	65	462.67	173	298.16	173	3033.60	98	17735.30	98
0	Max	-1378	-3461.47	162	6266.02	157	2182.05	125	-123.40	65	462.67	173	298.16	173	3033.60	98	17735.30	98
0	Max	-1719	-3461.47	162	6266.02	157	2182.05	125	-123.40	65	462.67	173	298.16	173	3033.60	98	17735.30	98
0	Max	-1718	-3461.47	162	6266.02	157	2182.05	125	-123.40	65	462.67	173	298.16	173	3033.60	98	17735.30	98
0	Min.	-1377	-153114.00	97	-5297.17	177	-8376.45	98	-1784.75	97	-1627.75	97	-132.52	17	-346.03	101	-157.75	1
0	Min.	-1378	-153114.00	97	-5297.17	177	-8376.45	98	-1784.75	97	-1627.75	97	-132.52	17	-346.03	101	-157.75	1
0	Min.	-1719	-153114.00	97	-5297.17	177	-8376.45	98	-1784.75	97	-1627.75	97	-132.52	17	-346.03	101	-157.75	1
0	Min.	-1718	-153114.00	97	-5297.17	177	-8376.45	98	-1784.75	97	-1627.75	97	-132.52	17	-346.03	101	-157.75	1
0	Max	-1378	5746.86	162	4182.56	173	1443.96	125	-61.73	49	395.55	173	309.28	173	1716.47	177	16487.00	98
0	Max	-1379	5746.86	162	4182.56	173	1443.96	125	-61.73	49	395.55	173	309.28	173	1716.47	177	16487.00	98
0	Max	-1720	5746.86	162	4182.56	173	1443.96	125	-61.73	49	395.55	173	309.28	173	1716.47	177	16487.00	98
0	Max	-1719	5746.86	162	4182.56	173	1443.96	125	-61.73	49	395.55	173	309.28	173	1716.47	177	16487.00	98
0	Min.	-1378	-130544.00	97	-6151.79	177	-8707.21	98	-1369.29	97	-1110.42	97	-219.62	98	-1506.27	97	198.85	149
0	Min.	-1379	-130544.00	97	-6151.79	177	-8707.21	98	-1369.29	97	-1110.42	97	-219.62	98	-1506.27	97	198.85	149
0	Min.	-1720	-130544.00	97	-6151.79	177	-8707.21	98	-1369.29	97	-1110.42	97	-219.62	98	-1506.27	97	198.85	149
0	Min.	-1719	-130544.00	97	-6151.79	177	-8707.21	98	-1369.29	97	-1110.42	97	-219.62	98	-1506.27	97	198.85	149
0	Max	-1379	15448.00	162	2159.49	173	954.81	161	8.16	49	386.90	173	327.06	173	1756.72	177	16610.20	98
0	Max	-1380	15448.00	162	2159.49	173	954.81	161	8.16	49	386.90	173	327.06	173	1756.72	177	16610.20	98
0	Max	-1721	15448.00	162	2159.49	173	954.81	161	8.16	49	386.90	173	327.06	173	1756.72	177	16610.20	98
0	Max	-1720	15448.00	162	2159.49	173	954.81	161	8.16	49	386.90	173	327.06	173	1756.72	177	16610.20	98
0	Min.	-1379	-104544.00	97	-6383.08	177	-10168.90	98	-925.13	97	-731.98	97	-267.31	98	-1104.94	173	392.52	149
0	Min.	-1380	-104544.00	97	-6383.08	177	-10168.90	98	-925.13	97	-731.98	97	-267.31	98	-1104.94	173	392.52	149
0	Min.	-1721	-104544.00	97	-6383.08	177	-10168.90	98	-925.13	97	-731.98	97	-267.31	98	-1104.94	173	392.52	149
0	Min.	-1720	-104544.00	97	-6383.08	177	-10168.90	98	-925.13	97	-731.98	97	-267.31	98	-1104.94	173	392.52	149
0	Max	-1380	26349.20	162	947.54	157	888.10	161	154.62	130	412.61	173	352.29	173	1784.30	177	16171.40	98
0	Max	-1381	26349.20	162	947.54	157	888.10	161	154.62	130	412.61	173	352.29	173	1784.30	177	16171.40	98
0	Max	-1722	26349.20	162	947.54	157	888.10	161	154.62	130	412.61	173	352.29	173	1784.30	177	16171.40	98
0	Max	-1721	26349.20	162	947.54	157	888.10	161	154.62	130	412.61	173	352.29	173	1784.30	177	16171.40	98
0	Min.	-1380	-82250.90	101	-5522.39	177	-12004.80	98	-708.81	101	-492.59	101	-279.36	98	-1576.51	173	125.13	149
0	Min.	-1381	-82250.90	101	-5522.39	177	-12004.80	98	-708.81	101	-492.59	101	-279.36	98	-1576.51	173	125.13	149
0	Min.	-1722	-82250.90	101	-5522.39	177	-12004.80	98	-708.81	101	-492.59	101	-279.36	98	-1576.51	173	125.13	149
0	Min.	-1721	-82250.90	101	-5522.39	177	-12004.80	98	-708.81	101	-492.59	101	-279.36	98	-1576.51	173	125.13	149
0	Max	-1381	39162.30	162	1738.69	173	928.31	165	388.63	130	448.35	173	373.10	173	1902.19	177	16273.00	98
0	Max	-1382	39162.30	162	1738.69	173	928.31	165	388.63	130	448.35	173	373.10	173	1902.19	177	16273.00	98
0	Max	-1723	39162.30	162	1738.69	173	928.31	165	388.63	130	448.35	173	373.10	173	1902.19	177	16273.00	98
0	Max	-1722	39162.30	162	1738.69	173	928.31	165	388.63	130	448.35	173	373.10	173	1902.19	177	16273.00	98
0	Min.	-1381	-76530.20	101	-4666.17	177	-12809.10	98	-530.98	101	-653.16	101	-273.95	97	-1604.87	173	1102.29	17
0	Min.	-1382	-76530.20	101	-4666.17	177	-12809.10	98	-530.98	101	-653.16	101	-273.95	97	-1604.87	173	1102.29	17
0	Min.	-1723	-76530.20	101	-4666.17	177	-12809.10	98	-530.98	101	-653.16	101	-273.95	97	-1604.87	173	1102.29	17
0	Min.	-1722	-76530.20	101	-4666.17	177	-12809.10	98	-530.98	101	-653.16	101	-273.95	97	-1604.87	173	1102.29	17
0	Max	-1382	57240.50	162	3634.95	173	588.77	165	678.12	130	489.76	173	387.96	173	18863.10	102	17236.60	98
0	Max	-1383	57240.50	162	3634.95	173	588.77	165	678.12	130	489.76	173	387.96	173	18863.10	102	17236.60	98
0	Max	-1724	57240.50	162	3634.95	173	588.77	165	678.12	130	489.76	173	387.96	173	18863.10	102	17236.60	98
0	Max	-1723	57240.50	162	3634.95	173	588.77	165	678.12	130	489.76	173	387.96	173	18863.10	102	17236.60	98
0	Min.	-1382	-69261.40	101	-6921.04	161	-12954.20	98	-521.74	101	-1013.48	101	-236.66	97	-1087.30	173	-9690.77	101
0	Min.	-1383	-69261.40	101	-6921.04	161	-12954.20	98	-521.74	101	-1013.48	101	-236.66	97	-1087.30	173	-9690.77	101
0	Min.	-1724	-69261.40	101	-6921.04	161	-12954.20	98	-521.74	101	-1013.48	101	-236.66	97	-1087.30	173	-9690.77	101
0	Min.	-1723	-69261.40	101	-6921.04	161	-12954.20	98	-521.74	101	-1013.48	101	-236.66	97	-1087.30	173	-9690.77	101
0	Max	-1383	84350.00	162	3050.78	162	994.16	165	1049.86	98	519.59	173	366.01	173	38179.80	102	13962.40	98
0	Max	-1919	84350.00	162	3050.78	162	994.16	165	1049.86	98	519.59	173	366.01	173	38179.80	102	13962.40	98
0	Max	-1920	84350.00	162	3050.78	162	994.16	165	1049.86	98	519.59	173	366.01	173	38179.80	102	13962.40	98
0	Max	-1724	84350.00	162	3050.78	162	994.16	165	1049.86	98	519.59	173	366.01	173	38179.80	102	13962.40	98
0	Min.	-1383	-60518.90	101	-5608.29	177	-27671.30	162	-1047.83	101	-1354.94	101	-229.21	97	-1934.48	173	-25682.40	101
0	Min.	-1919	-60518.90	101	-5608.29	177	-27671.30	162	-1047.83	101	-1354.94	101	-229.21	97	-1934.48	173	-25682.40	101
0	Min.	-1920	-60518.90	101	-5608.29	177	-27671.30	162	-1047.83	101	-1354.94	101	-229.21	97	-1934.48	173	-25682.40	101
0	Min.	-1724	-60518.90	101	-5608.29	177	-27671.30	162	-1047.83	101	-1354.94	101	-229.21	97	-1934.48	173	-25682.40	101
0	Max	-1384	63323.30	130	4072.43	162	966.59	166	2317.29	98	837.87	98	262.91	173	52174.30	102	45734.50	102
0	Max	-1385	63323.30	130	4072.43	162	966.59	166	2317.29	98	837.87	98	262.91	173	52174.30	102	45734.50	102
0	Max	440	63323.30	130	4072.43	162	966.59	166	2317.29	98	837.87	98	262.91	173	52174.30	102	45734.50	102
0	Max	-1725	63323.30	130	4072.43	162	966.59	166	2317.29	98	837.87	98	262.91	173	52174.30	102	45734.50	102
0	Min.	-1384	-51891.40	101	-5782.09	177	-10069.10	177	140.47	1	-557.52	101	-211.05	97	5208.69	33	3976.20	17
0	Min.	-1385	-51891.40	101	-5782.09	177	-10069.10	177	140.47	1	-557.52	101	-211.05	97	5208.69	33	3976.20	17
0	Min.	440	-51891.40	101	-5782.09	177	-10069.10	177	140.47	1	-557.52	101	-211.05	97	5208.69	33	3976.20	17
0	Min.	-1725	-51891.40	101	-5782.09	177	-10069.10	177	140.47	1	-557.52	101	-211.05	97	5208.69	33	3976.20	17
0	Max	-1571	12886.60	130	2623.53	173	3682.78	101	85.87	158	49.82	109	159.25	166	5959.86	177	8871.15	101
0	Max	-1612	12886.60	130	2623.53	173	3682.78	101	85.87	158	49.82	109	159.25	166	5959.86	177	8871.15	101
0	Max	-2174	12886.60	130	2623.53	173	3682.78	101	85.87	158	49.82	109	159.25	166	5959.86	177	8871.15	101
0	Max	-2175	12886.60	130	2623.53	173	3682.78	101	85.87	158	49.82	109	159.25	166	5959.86	177	8871.15	101
0	Min.	-1571	-9296.08	101	-12604.50	177	-4945.31	177	-104.90	101	-62.36	126	-164.63	109	-3499.03	125	-9160.80	158
0	Min.	-1612	-9296.08	101	-12604.50	177	-4945.31	177	-104.90	101	-62.36	126	-164.63	109	-3499.03	125	-9160.80	158
0	Min.	-2174	-9296.08	101	-12604.50	177	-4945.31	177	-104.90	101	-62.36	126	-164.63	109	-3499.03	125	-9160.80	158
0	Min.	-2175	-9296.08	101	-12604.50	177	-4945.31	177	-104.90	101	-62.36	126	-164.63	109	-3499.03	125	-9160.80	158
0	Max	-1570	28411.20	130	1658.17	130	1863.27	101	277.33	158	61.41	97	137.09	126	1461.65	101	2051.73	101
0	Max	-1571	28411.20	130	1658.17	130	1863.27	101	277.33	158	61.41	97	137.09	126	1461.65	101	2051.73	101
0	Max	-2175	28411.20	130	1658.17	130	1863.27	101	277.33	158	61.41	97	137.09	126	1461.65	101	2051.73	101
0	Max	-2176	28411.20	130	1658.17	130	1863.27	101	277.33	158	61.41	97	137.09	126	1461.65	101	2051.73	101
0	Min.	-1570	-20204.90	101	-1773.28	177	-5366.81	177	-278.76	101	-89.09	126	-183.47	97	-3046.81	110	-5164.16	98
0	Min.	-1571	-20204.90	101	-1773.28	177	-5366.81	177	-278.76	101	-89.09	126	-183.47	97	-3046.81	110	-5164.16	98

0	Min.	-2175	-20204.90	101	-1773.28	177	-5366.81	177	-278.76	101	-89.09	126	-183.47	97	-3046.81	110	-5164.16	98
0	Min.	-2176	-20204.90	101	-1773.28	177	-5366.81	177	-278.76	101	-89.09	126	-183.47	97	-3046.81	110	-5164.16	98
0	Max	-1569	43010.80	130	2548.13	162	3869.37	101	526.36	158	86.09	97	140.01	127	6901.65	162	7942.47	101
0	Max	-1570	43010.80	130	2548.13	162	3869.37	101	526.36	158	86.09	97	140.01	127	6901.65	162	7942.47	101
0	Max	-2176	43010.80	130	2548.13	162	3869.37	101	526.36	158	86.09	97	140.01	127	6901.65	162	7942.47	101
0	Max	-2177	43010.80	130	2548.13	162	3869.37	101	526.36	158	86.09	97	140.01	127	6901.65	162	7942.47	101
0	Min.	-1569	-30061.60	101	-2040.45	101	-5517.03	177	-416.40	101	-111.42	126	-181.10	100	-3330.12	97	-12536.00	130
0	Min.	-1570	-30061.60	101	-2040.45	101	-5517.03	177	-416.40	101	-111.42	126	-181.10	100	-3330.12	97	-12536.00	130
0	Min.	-2176	-30061.60	101	-2040.45	101	-5517.03	177	-416.40	101	-111.42	126	-181.10	100	-3330.12	97	-12536.00	130
0	Min.	-2177	-30061.60	101	-2040.45	101	-5517.03	177	-416.40	101	-111.42	126	-181.10	100	-3330.12	97	-12536.00	130
0	Max	-2071	72208.10	130	1959.12	98	938.11	166	2058.56	130	62.34	162	233.59	162	1400.95	130	35848.50	101
0	Max	-1548	72208.10	130	1959.12	98	938.11	166	2058.56	130	62.34	162	233.59	162	1400.95	130	35848.50	101
0	Max	-1981	72208.10	130	1959.12	98	938.11	166	2058.56	130	62.34	162	233.59	162	1400.95	130	35848.50	101
0	Max	-1980	72208.10	130	1959.12	98	938.11	166	2058.56	130	62.34	162	233.59	162	1400.95	130	35848.50	101
0	Min.	-2071	-52125.10	101	-249.28	65	-1382.47	101	-1369.57	101	-34.26	101	-168.42	97	-1759.53	101	-62721.10	162
0	Min.	-1548	-52125.10	101	-249.28	65	-1382.47	101	-1369.57	101	-34.26	101	-168.42	97	-1759.53	101	-62721.10	162
0	Min.	-1981	-52125.10	101	-249.28	65	-1382.47	101	-1369.57	101	-34.26	101	-168.42	97	-1759.53	101	-62721.10	162
0	Min.	-1980	-52125.10	101	-249.28	65	-1382.47	101	-1369.57	101	-34.26	101	-168.42	97	-1759.53	101	-62721.10	162
0	Max	-1546	44471.80	98	3587.57	130	2035.43	166	991.36	97	36.80	101	226.47	162	1324.97	101	32303.40	101
0	Max	-2071	44471.80	98	3587.57	130	2035.43	166	991.36	97	36.80	101	226.47	162	1324.97	101	32303.40	101
0	Max	-1980	44471.80	98	3587.57	130	2035.43	166	991.36	97	36.80	101	226.47	162	1324.97	101	32303.40	101
0	Max	-1979	44471.80	98	3587.57	130	2035.43	166	991.36	97	36.80	101	226.47	162	1324.97	101	32303.40	101
0	Min.	-1546	-17475.00	101	-2279.94	101	-1381.46	101	-785.06	162	-28.17	130	-149.34	97	-4202.90	162	-49424.10	130
0	Min.	-2071	-17475.00	101	-2279.94	101	-1381.46	101	-785.06	162	-28.17	130	-149.34	97	-4202.90	162	-49424.10	130
0	Min.	-1980	-17475.00	101	-2279.94	101	-1381.46	101	-785.06	162	-28.17	130	-149.34	97	-4202.90	162	-49424.10	130
0	Min.	-1979	-17475.00	101	-2279.94	101	-1381.46	101	-785.06	162	-28.17	130	-149.34	97	-4202.90	162	-49424.10	130
0	Max	-1566	58379.30	130	1454.20	97	4982.01	101	1067.90	98	341.97	98	66.62	101	2360.25	101	497.09	49
0	Max	-1567	58379.30	130	1454.20	97	4982.01	101	1067.90	98	341.97	98	66.62	101	2360.25	101	497.09	49
0	Max	-2178	58379.30	130	1454.20	97	4982.01	101	1067.90	98	341.97	98	66.62	101	2360.25	101	497.09	49
0	Max	-2179	58379.30	130	1454.20	97	4982.01	101	1067.90	98	341.97	98	66.62	101	2360.25	101	497.09	49
0	Min.	-1566	-37358.20	101	-599.71	162	-7802.85	162	-185.82	101	12.81	65	-195.55	122	-8769.78	130	-14410.50	130
0	Min.	-1567	-37358.20	101	-599.71	162	-7802.85	162	-185.82	101	12.81	65	-195.55	122	-8769.78	130	-14410.50	130
0	Min.	-2178	-37358.20	101	-599.71	162	-7802.85	162	-185.82	101	12.81	65	-195.55	122	-8769.78	130	-14410.50	130
0	Min.	-2179	-37358.20	101	-599.71	162	-7802.85	162	-185.82	101	12.81	65	-195.55	122	-8769.78	130	-14410.50	130
0	Max	-1565	65528.40	130	1949.62	162	3645.11	101	1546.90	98	772.96	98	57.53	65	743.88	137	-2993.94	65
0	Max	-1921	65528.40	130	1949.62	162	3645.11	101	1546.90	98	772.96	98	57.53	65	743.88	137	-2993.94	65
0	Max	-2180	65528.40	130	1949.62	162	3645.11	101	1546.90	98	772.96	98	57.53	65	743.88	137	-2993.94	65
0	Max	-2181	65528.40	130	1949.62	162	3645.11	101	1546.90	98	772.96	98	57.53	65	743.88	137	-2993.94	65
0	Min.	-1565	-44784.80	101	-425.86	101	-7711.91	162	-51.94	137	74.36	65	-245.67	130	-8672.34	98	-21723.90	98
0	Min.	-1921	-44784.80	101	-425.86	101	-7711.91	162	-51.94	137	74.36	65	-245.67	130	-8672.34	98	-21723.90	98
0	Min.	-2180	-44784.80	101	-425.86	101	-7711.91	162	-51.94	137	74.36	65	-245.67	130	-8672.34	98	-21723.90	98
0	Min.	-2181	-44784.80	101	-425.86	101	-7711.91	162	-51.94	137	74.36	65	-245.67	130	-8672.34	98	-21723.90	98
0	Max	-1510	14022.10	130	3324.77	101	6136.39	130	62.37	158	156.69	177	130.91	125	6956.86	177	9031.34	101
0	Max	-1509	14022.10	130	3324.77	101	6136.39	130	62.37	158	156.69	177	130.91	125	6956.86	177	9031.34	101
0	Max	-1612	14022.10	130	3324.77	101	6136.39	130	62.37	158	156.69	177	130.91	125	6956.86	177	9031.34	101
0	Max	-1571	14022.10	130	3324.77	101	6136.39	130	62.37	158	156.69	177	130.91	125	6956.86	177	9031.34	101
0	Min.	-1510	-10183.70	101	-4882.73	130	-6621.88	177	-89.73	101	-75.81	162	-214.75	98	-2429.08	166	-8965.37	158
0	Min.	-1509	-10183.70	101	-4882.73	130	-6621.88	177	-89.73	101	-75.81	162	-214.75	98	-2429.08	166	-8965.37	158
0	Min.	-1612	-10183.70	101	-4882.73	130	-6621.88	177	-89.73	101	-75.81	162	-214.75	98	-2429.08	166	-8965.37	158
0	Min.	-1571	-10183.70	101	-4882.73	130	-6621.88	177	-89.73	101	-75.81	162	-214.75	98	-2429.08	166	-8965.37	158
0	Max	-1511	27098.90	130	985.53	162	3544.12	98	283.94	158	87.62	177	132.05	125	3270.04	166	4121.64	101
0	Max	-1510	27098.90	130	985.53	162	3544.12	98	283.94	158	87.62	177	132.05	125	3270.04	166	4121.64	101
0	Max	-1571	27098.90	130	985.53	162	3544.12	98	283.94	158	87.62	177	132.05	125	3270.04	166	4121.64	101
0	Max	-1570	27098.90	130	985.53	162	3544.12	98	283.94	158	87.62	177	132.05	125	3270.04	166	4121.64	101
0	Min.	-1511	-19286.70	101	-2561.76	177	-7859.42	177	-288.57	101	-114.11	126	-206.87	98	-1470.20	49	-5489.82	122
0	Min.	-1510	-19286.70	101	-2561.76	177	-7859.42	177	-288.57	101	-114.11	126	-206.87	98	-1470.20	49	-5489.82	122
0	Min.	-1571	-19286.70	101	-2561.76	177	-7859.42	177	-288.57	101	-114.11	126	-206.87	98	-1470.20	49	-5489.82	122
0	Min.	-1570	-19286.70	101	-2561.76	177	-7859.42	177	-288.57	101	-114.11	126	-206.87	98	-1470.20	49	-5489.82	122
0	Max	-1716	-18190.40	33	7336.06	158	1817.23	161	-204.64	33	824.75	173	54.12	173	26281.90	98	4700.86	130
0	Max	-2070	-18190.40	33	7336.06	158	1817.23	161	-204.64	33	824.75	173	54.12	173	26281.90	98	4700.86	130
0	Max	-2064	-18190.40	33	7336.06	158	1817.23	161	-204.64	33	824.75	173	54.12	173	26281.90	98	4700.86	130
0	Max	-1793	-18190.40	33	7336.06	158	1817.23	161	-204.64	33	824.75	173	54.12	173	26281.90	98	4700.86	130
0	Min.	-1716	-182264.00	97	-4953.67	177	-8640.82	158	-2703.56	98	-1480.48	97	-138.81	98	-2825.19	173	-8422.99	97
0	Min.	-2070	-182264.00	97	-4953.67	177	-8640.82	158	-2703.56	98	-1480.48	97	-138.81	98	-2825.19	173	-8422.99	97
0	Min.	-2064	-182264.00	97	-4953.67	177	-8640.82	158	-2703.56	98	-1480.48	97	-138.81	98	-2825.19	173	-8422.99	97
0	Min.	-1793	-182264.00	97	-4953.67	177	-8640.82	158	-2703.56	98	-1480.48	97	-138.81	98	-2825.19	173	-8422.99	97
0	Max	-1717	-12854.30	162	6104.79	173	2048.35	161	-190.92	33	563.70	173	107.84	173	27459.90	98	5340.05	106
0	Max	-2066	-12854.30	162	6104.79	173	2048.35	161	-190.92	33	563.70	173	107.84	173	27459.90	98	5340.05	106
0	Max	-2062	-12854.30	162	6104.79	173	2048.35	161	-190.92	33	563.70	173	107.84	173	27459.90	98	5340.05	106
0	Max	-1794	-12854.30	162	6104.79	173	2048.35	161	-190.92	33	563.70	173	107.84	173	27459.90	98	5340.05	106
0	Min.	-1717	-172761.00	97	-4564.27	177	-5034.13	158	-2745.88	97	-1332.08	97	-86.74	17	-2998.76	173	-2991.73	101
0	Min.	-2066	-172761.00	97	-4564.27	177	-5034.13	158	-2745.88	97	-1332.08	97	-86.74	17	-2998.76	173	-2991.73	101
0	Min.	-2062	-172761.00	97	-4564.27	177	-5034.13	158	-2745.88	97	-1332.08	97	-86.74	17	-2998.76	173	-2991.73	101
0	Min.	-1794	-172761.00	97	-4564.27	177	-5034.13	158	-2745.88	97	-1332.08	97	-86.74	17	-2998.76	173	-2991.73	101
0	Max	-1718	-3377.16	162	4468.36	173	2173.38	161	-133.06	49	372.24	173	187.98	173	10184.40	98	17895.30	98
0	Max	-1719	-3377.16	162	4468.36	173	2173.38	161	-133.06	49	372.24	173	187.98	173	10184.40	98	17895.30	98
0	Max	-1796	-3377.16	162	4468.36	173	2173.38	161	-133.06	49	372.24	173	187.98	173	10184.40	98	17895.30	98
0	Max	-1795	-3377.16	162	4468.36	173	2173.38	161	-133.06	49	372.24	173	187.98	173	10184.40	98	17895.30	98
0	Min.	-1718	-154148.00	97	-4797.85	177	-3004.02	177	-1871.77	97	-1164.65	97	-136.85	17	-2537.44	173	-437.62	1
0	Min.	-1719	-154148.00	97	-4797.85	177	-3004.02	177	-1871.77	97	-1164.65	97	-136.85	17	-2537.44	173	-437.62	1
0	Min.	-1796	-154148.00	97	-4797.85	177	-3004.02	177	-1871.77	97	-1164.65	97	-136.85	17	-2537.44	173	-437.62	1
0	Min.	-1795	-154148.00	97	-4797.85	177	-3004.02	177	-1871.77	97	-1164.65	97	-136.85	17	-2537.44	173	-437.62	1
0	Max	-1719	5679.40	162	3385.25	173	2588.88	173	-65.36	49	300.81	173	246.61	173	3792.27	98	19710.70	98
0	Max	-1720	5679.40	162	3385.25	173	2588.88	173	-65.36	49	300.81	173	246.61	173	3792.27	98	19710.70	98
0	Max	-1797	5679.40	162	3385.25	173	2588.88	173	-65.36	49	300.81	173	246.61	173	3792.27	98	19710.70	98
0	Max	-1796	5679.40	162	3385.25	173	2588.88	173	-65.36	49	300.81	173	246.61	173	3792.27	98	19710.70	98
0	Min.	-1719	-131665.00	97	-5238.14	177	-4051.90	177	-1423.36	97	-941.44	97	-170.05	17	-2014.20	173	283.52	1
0	Min.	-1720	-131665.00	97	-5238.14	177	-4051.90	177	-1423.36	97	-941.44	97	-170.05	17	-2014.20	173	283.52	1
0	Min.	-1797	-131665.00	97	-5238.14	177	-4051.90	177	-1423.36	97	-941.44	97	-170.05	17	-2014.20	173	283.52	1
0	Min.	-1796	-131665.00	97	-5238.14	177	-4051.90	177	-1423.36	97	-941.44	97	-170.05	17	-2014.20	173	283.52	1
0	Max	-1720	15526.60	162	2121.78	173	2970.12	173	6.71	49	289.21	173	294.79	173	1263.47	177	21343.90	98
0	Max	-1721	15526.60	162	2121.78	173	2970.12	173	6.71	49	289.21	173	294.79	173	1263.47	177	21343.90	98
0	Max	-1798	15526.60	162	2121.78	173	2970.12	173	6.71	49	289.21	173	294.79	173	1263.47	177	21343.90	98
0	Max	-1797	15526.60	162	2121.78	173	2970.12	173	6.71	49	289.21	173	294.79	173	1263.47	177	21343.90	98
0	Min.	-1720	-105150.00	97	-5324.53	177	-5373.52	177	-961.43	97	-692.78	97	-195.40	17	-1811.67	173	810.23	1
0	Min.	-1721	-105150.00	97	-5324.53	177	-5373.52	177	-961.43	97	-692.78	97	-195.40	17	-1811.67	173	810.23	1
0	Min.	-1798	-105150.00	97	-5324.53	177	-5373.52	177	-961.43	97	-692.78	97	-195.40	17	-1811.67	173	810.23	1
0	Min.	-1797	-105150.00	97	-5324.53	177	-5373.52	177	-961.43	97	-692.78	97	-195.40	17	-1811.67	173	810.23	1
0	Max	-1721	25868.40	162	1452.47	173	2713.61	173	171.69	130	313.62	173	331.56	173	3017.80	102	22161.80	98
0	Max	-1722	25868.40	162	1452.47	173	2713.61	173	171.69	130	313.62	173	331.56	173	3017.80	102	22161.80	98
0	Max	-1799	25868.40	162	1452.47	173	2713.61	173	171.69	130	313.62	173	331.56	173	3017.80	102	22161.80	98
0	Max	-1798	25868.40	162	1452.47	173	2713.61	173	171.69	130	313.62	173	331.56	173	3017.80	102	22161.80	98
0	Min.	-1721	-82806.20	101	-4878.85	177	-6553.57	177	-729.85	101	-455.03	97	-211.29	17	-1747.83	173	1347.56	1
0	Min.	-1722	-82806.20	101	-4878.85	177	-6553.57	177	-729.85	101	-455.03	97	-211.29	17	-1747.83	173	1347.56	1
0	Min.	-1799	-82806.20	101	-4878.85	177	-6553.57	177	-729.85	101	-455.03	97	-211.29	17	-1747.83	173	1347.56	1

0	Min.	-1798	-82806.20	101	-4878.85	177	-6553.57	177	-729.85	101	-455.03	97	-211.29	17	-1747.83	173	1347.56	1
0	Max	-1722	36316.40	162	1974.77	173	2391.56	173	406.89	130	351.08	173	357.12	173	8179.22	102	22360.40	98
0	Max	-1723	36316.40	162	1974.77	173	2391.56	173	406.89	130	351.08	173	357.12	173	8179.22	102	22360.40	98
0	Max	-1800	36316.40	162	1974.77	173	2391.56	173	406.89	130	351.08	173	357.12	173	8179.22	102	22360.40	98
0	Max	-1799	36316.40	162	1974.77	173	2391.56	173	406.89	130	351.08	173	357.12	173	8179.22	102	22360.40	98
0	Min.	-1722	-76804.10	101	-4357.43	177	-7358.71	177	-588.75	101	-340.42	101	-220.62	101	-1882.05	173	1755.65	17
0	Min.	-1723	-76804.10	101	-4357.43	177	-7358.71	177	-588.75	101	-340.42	101	-220.62	101	-1882.05	173	1755.65	17
0	Min.	-1800	-76804.10	101	-4357.43	177	-7358.71	177	-588.75	101	-340.42	101	-220.62	101	-1882.05	173	1755.65	17
0	Min.	-1799	-76804.10	101	-4357.43	177	-7358.71	177	-588.75	101	-340.42	101	-220.62	101	-1882.05	173	1755.65	17
0	Max	-1723	45462.80	162	2814.74	173	2801.26	173	701.78	122	389.99	173	362.45	173	15633.10	101	23955.00	98
0	Max	-1724	45462.80	162	2814.74	173	2801.26	173	701.78	122	389.99	173	362.45	173	15633.10	101	23955.00	98
0	Max	-1801	45462.80	162	2814.74	173	2801.26	173	701.78	122	389.99	173	362.45	173	15633.10	101	23955.00	98
0	Max	-1800	45462.80	162	2814.74	173	2801.26	173	701.78	122	389.99	173	362.45	173	15633.10	101	23955.00	98
0	Min.	-1723	-69556.80	101	-4256.83	177	-7975.61	177	-467.63	101	-267.44	101	-289.88	101	-2781.12	173	2205.99	17
0	Min.	-1724	-69556.80	101	-4256.83	177	-7975.61	177	-467.63	101	-267.44	101	-289.88	101	-2781.12	173	2205.99	17
0	Min.	-1801	-69556.80	101	-4256.83	177	-7975.61	177	-467.63	101	-267.44	101	-289.88	101	-2781.12	173	2205.99	17
0	Min.	-1800	-69556.80	101	-4256.83	177	-7975.61	177	-467.63	101	-267.44	101	-289.88	101	-2781.12	173	2205.99	17
0	Max	-1724	53968.10	130	4919.77	173	2926.31	173	1025.03	98	407.95	173	355.69	173	28010.50	101	18432.60	98
0	Max	-1920	53968.10	130	4919.77	173	2926.31	173	1025.03	98	407.95	173	355.69	173	28010.50	101	18432.60	98
0	Max	-1923	53968.10	130	4919.77	173	2926.31	173	1025.03	98	407.95	173	355.69	173	28010.50	101	18432.60	98
0	Max	-1801	53968.10	130	4919.77	173	2926.31	173	1025.03	98	407.95	173	355.69	173	28010.50	101	18432.60	98
0	Min.	-1724	-61855.40	101	-4082.85	177	-8690.29	177	-643.74	101	-200.39	101	-198.47	101	-3139.91	173	-6810.11	101
0	Min.	-1920	-61855.40	101	-4082.85	177	-8690.29	177	-643.74	101	-200.39	101	-198.47	101	-3139.91	173	-6810.11	101
0	Min.	-1923	-61855.40	101	-4082.85	177	-8690.29	177	-643.74	101	-200.39	101	-198.47	101	-3139.91	173	-6810.11	101
0	Min.	-1801	-61855.40	101	-4082.85	177	-8690.29	177	-643.74	101	-200.39	101	-198.47	101	-3139.91	173	-6810.11	101
0	Max	-1725	63727.70	130	4531.54	173	3982.91	173	2259.46	98	460.04	173	290.66	173	-3950.98	17	32270.40	98
0	Max	440	63727.70	130	4531.54	173	3982.91	173	2259.46	98	460.04	173	290.66	173	-3950.98	17	32270.40	98
0	Max	-1531	63727.70	130	4531.54	173	3982.91	173	2259.46	98	460.04	173	290.66	173	-3950.98	17	32270.40	98
0	Max	-1802	63727.70	130	4531.54	173	3982.91	173	2259.46	98	460.04	173	290.66	173	-3950.98	17	32270.40	98
0	Min.	-1725	-51839.30	101	-4413.35	177	-10127.80	177	129.02	1	-115.05	101	-156.97	17	-30823.90	98	4146.03	17
0	Min.	440	-51839.30	101	-4413.35	177	-10127.80	177	129.02	1	-115.05	101	-156.97	17	-30823.90	98	4146.03	17
0	Min.	-1531	-51839.30	101	-4413.35	177	-10127.80	177	129.02	1	-115.05	101	-156.97	17	-30823.90	98	4146.03	17
0	Min.	-1802	-51839.30	101	-4413.35	177	-10127.80	177	129.02	1	-115.05	101	-156.97	17	-30823.90	98	4146.03	17
0	Max	-1838	63047.10	130	3970.54	173	9676.29	162	2157.22	98	434.59	173	230.64	173	17446.90	98	32513.40	102
0	Max	-1536	63047.10	130	3970.54	173	9676.29	162	2157.22	98	434.59	173	230.64	173	17446.90	98	32513.40	102
0	Max	-1385	63047.10	130	3970.54	173	9676.29	162	2157.22	98	434.59	173	230.64	173	17446.90	98	32513.40	102
0	Max	-1384	63047.10	130	3970.54	173	9676.29	162	2157.22	98	434.59	173	230.64	173	17446.90	98	32513.40	102
0	Min.	-1838	-52031.10	101	-6386.06	177	-7994.01	177	115.95	1	-1391.48	101	-310.31	97	2587.29	33	2112.40	17
0	Min.	-1536	-52031.10	101	-6386.06	177	-7994.01	177	115.95	1	-1391.48	101	-310.31	97	2587.29	33	2112.40	17
0	Min.	-1385	-52031.10	101	-6386.06	177	-7994.01	177	115.95	1	-1391.48	101	-310.31	97	2587.29	33	2112.40	17
0	Min.	-1384	-52031.10	101	-6386.06	177	-7994.01	177	115.95	1	-1391.48	101	-310.31	97	2587.29	33	2112.40	17
0	Max	-1837	82903.50	162	4774.85	173	31983.40	162	1015.67	98	546.13	173	337.24	173	1935.22	177	18681.50	98
0	Max	-1924	82903.50	162	4774.85	173	31983.40	162	1015.67	98	546.13	173	337.24	173	1935.22	177	18681.50	98
0	Max	-1919	82903.50	162	4774.85	173	31983.40	162	1015.67	98	546.13	173	337.24	173	1935.22	177	18681.50	98
0	Max	-1383	82903.50	162	4774.85	173	31983.40	162	1015.67	98	546.13	173	337.24	173	1935.22	177	18681.50	98
0	Min.	-1837	-60908.60	101	-5703.18	177	-6105.29	177	-1046.68	101	-1477.00	101	-336.58	97	-32407.60	101	-24962.10	101
0	Min.	-1924	-60908.60	101	-5703.18	177	-6105.29	177	-1046.68	101	-1477.00	101	-336.58	97	-32407.60	101	-24962.10	101
0	Min.	-1919	-60908.60	101	-5703.18	177	-6105.29	177	-1046.68	101	-1477.00	101	-336.58	97	-32407.60	101	-24962.10	101
0	Min.	-1383	-60908.60	101	-5703.18	177	-6105.29	177	-1046.68	101	-1477.00	101	-336.58	97	-32407.60	101	-24962.10	101
0	Max	-1853	56547.30	162	3652.11	173	11049.40	162	661.33	106	534.49	173	330.98	173	1453.34	177	19850.90	98
0	Max	-1837	56547.30	162	3652.11	173	11049.40	162	661.33	106	534.49	173	330.98	173	1453.34	177	19850.90	98
0	Max	-1383	56547.30	162	3652.11	173	11049.40	162	661.33	106	534.49	173	330.98	173	1453.34	177	19850.90	98
0	Max	-1382	56547.30	162	3652.11	173	11049.40	162	661.33	106	534.49	173	330.98	173	1453.34	177	19850.90	98
0	Min.	-1853	-69044.20	101	-6956.44	161	-5312.30	177	-521.16	101	-1055.60	101	-392.44	97	-16258.90	101	-10472.40	101
0	Min.	-1837	-69044.20	101	-6956.44	161	-5312.30	177	-521.16	101	-1055.60	101	-392.44	97	-16258.90	101	-10472.40	101
0	Min.	-1383	-69044.20	101	-6956.44	161	-5312.30	177	-521.16	101	-1055.60	101	-392.44	97	-16258.90	101	-10472.40	101
0	Min.	-1382	-69044.20	101	-6956.44	161	-5312.30	177	-521.16	101	-1055.60	101	-392.44	97	-16258.90	101	-10472.40	101
0	Max	-1852	38624.20	162	1407.01	173	7031.37	162	374.23	130	514.68	173	330.61	173	1487.06	177	19423.50	98
0	Max	-1853	38624.20	162	1407.01	173	7031.37	162	374.23	130	514.68	173	330.61	173	1487.06	177	19423.50	98
0	Max	-1382	38624.20	162	1407.01	173	7031.37	162	374.23	130	514.68	173	330.61	173	1487.06	177	19423.50	98
0	Max	-1381	38624.20	162	1407.01	173	7031.37	162	374.23	130	514.68	173	330.61	173	1487.06	177	19423.50	98
0	Min.	-1852	-75839.00	101	-4731.68	177	-5480.29	177	-518.90	101	-657.75	101	-418.28	98	-3164.44	97	1165.66	17
0	Min.	-1853	-75839.00	101	-4731.68	177	-5480.29	177	-518.90	101	-657.75	101	-418.28	98	-3164.44	97	1165.66	17
0	Min.	-1382	-75839.00	101	-4731.68	177	-5480.29	177	-518.90	101	-657.75	101	-418.28	98	-3164.44	97	1165.66	17
0	Min.	-1381	-75839.00	101	-4731.68	177	-5480.29	177	-518.90	101	-657.75	101	-418.28	98	-3164.44	97	1165.66	17
0	Max	-1851	25985.60	162	801.48	157	6753.23	158	140.92	130	482.29	173	295.12	173	1158.33	177	19288.10	98
0	Max	-1852	25985.60	162	801.48	157	6753.23	158	140.92	130	482.29	173	295.12	173	1158.33	177	19288.10	98
0	Max	-1381	25985.60	162	801.48	157	6753.23	158	140.92	130	482.29	173	295.12	173	1158.33	177	19288.10	98
0	Max	-1380	25985.60	162	801.48	157	6753.23	158	140.92	130	482.29	173	295.12	173	1158.33	177	19288.10	98
0	Min.	-1851	-81575.80	101	-5899.98	177	-5210.17	177	-697.37	101	-485.18	101	-462.80	98	-3591.00	97	208.99	149
0	Min.	-1852	-81575.80	101	-5899.98	177	-5210.17	177	-697.37	101	-485.18	101	-462.80	98	-3591.00	97	208.99	149
0	Min.	-1381	-81575.80	101	-5899.98	177	-5210.17	177	-697.37	101	-485.18	101	-462.80	98	-3591.00	97	208.99	149
0	Min.	-1380	-81575.80	101	-5899.98	177	-5210.17	177	-697.37	101	-485.18	101	-462.80	98	-3591.00	97	208.99	149
0	Max	-1686	44461.50	101	6753.37	121	4494.84	158	457.23	101	-1.99	17	421.82	158	2809.74	121	9275.10	17
0	Max	-1746	44461.50	101	6753.37	121	4494.84	158	457.23	101	-1.99	17	421.82	158	2809.74	121	9275.10	17
0	Max	-1994	44461.50	101	6753.37	121	4494.84	158	457.23	101	-1.99	17	421.82	158	2809.74	121	9275.10	17
0	Max	-1992	44461.50	101	6753.37	121	4494.84	158	457.23	101	-1.99	17	421.82	158	2809.74	121	9275.10	17
0	Min.	-1686	-100946.00	130	504.62	17	-715.91	101	-1892.68	158	-101.22	121	-105.20	17	-87.97	17	-86832.00	122
0	Min.	-1746	-100946.00	130	504.62	17	-715.91	101	-1892.68	158	-101.22	121	-105.20	17	-87.97	17	-86832.00	122
0	Min.	-1994	-100946.00	130	504.62	17	-715.91	101	-1892.68	158	-101.22	121	-105.20	17	-87.97	17	-86832.00	122
0	Min.	-1992	-100946.00	130	504.62	17	-715.91	101	-1892.68	158	-101.22	121	-105.20	17	-87.97	17	-86832.00	122
0	Max	-1746	63588.90	101	-313.59	49	7437.30	122	4675.12	121	185.84	122	411.98	158	-455.61	17	8781.76	17
0	Max	-1957	63588.90	101	-313.59	49	7437.30	122	4675.12	121	185.84	122	411.98	158	-455.61	17	8781.76	17
0	Max	-2016	63588.90	101	-313.59	49	7437.30	122	4675.12	121	185.84	122	411.98	158	-455.61	17	8781.76	17
0	Max	-1994	63588.90	101	-313.59	49	7437.30	122	4675.12	121	185.84	122	411.98	158	-455.61	17	8781.76	17
0	Min.	-1746	-40217.60	106	-2883.78	122	306.55	65	137.84	17	4.63	17	-82.22	17	-12978.00	122	-65909.30	122
0	Min.	-1957	-40217.60	106	-2883.78	122	306.55	65	137.84	17	4.63	17	-82.22	17	-12978.00	122	-65909.30	122
0	Min.	-2016	-40217.60	106	-2883.78	122	306.55	65	137.84	17	4.63	17	-82.22	17	-12978.00	122	-65909.30	122
0	Min.	-1994	-40217.60	106	-2883.78	122	306.55	65	137.84	17	4.63	17	-82.22	17	-12978.00	122	-65909.30	122
0	Max	-1957	62391.70	101	6026.44	121	-163.77	17	1457.63	97	-10.05	65	18.10	65	661.55	173	9506.20	17
0	Max	-1747	62391.70	101	6026.44	121	-163.77	17	1457.63	97	-10.05	65	18.10	65	661.55	173	9506.20	17
0	Max	-1995	62391.70	101	6026.44	121	-163.77	17	1457.63	97	-10.05	65	18.10	65	661.55	173	9506.20	17
0	Max	-2016	62391.70	101	6026.44	121	-163.77	17	1457.63	97	-10.05	65	18.10	65	661.55	173	9506.20	17
0	Min.	-1957	-45112.00	130	180.02	65	-5833.07	121	-17.46	1	-163.77	122	-441.69	97	-4507.25	129	-77657.40	122
0	Min.	-1747	-45112.00	130	180.02	65	-5833.07	121	-17.46	1	-163.77	122	-441.69	97	-4507.25	129	-77657.40	122
0	Min.	-1995	-45112.00	130	180.02	65	-5833.07	121	-17.46	1	-163.77	122	-441.69	97	-4507.25	129	-77657.40	122
0	Min.	-2016	-45112.00	130	180.02	65	-5833.07	121	-17.46	1	-163.77	122	-441.69	97	-4507.25	129	-77657.40	122
0	Max	-1747	39374.60	101	3020.19	97	-182.30	17	593.51	101	12.84	101	121.95	65	11321.50	122	24663.80	173
0	Max	-1748	39374.60	101	3020.19	97	-182.30	17	593.51	101	12.84	101	121.95	65	11321.50	122	24663.80	173
0	Max	-1996	39374.60	101	3020.19	97	-182.30	17	593.51	101	12.84	101	121.95	65	11321.50	122	24663.80	173
0	Max	-1995	39374.60	101	3020.19	97	-182.30	17	593.51	101	12.84	101	121.95	65	11321.50	122	24663.80	173
0	Min.	-1747	-65842.60	130	59.20	17	-5922.63	97	-442.10	130	-17.17	158	-233.33	173	61.33	65	-14676.30	65
0	Min.	-1748	-65842.60	130	59.20	17	-5922.63	97	-442.10	130	-17.17	158	-233.33	173	61.33	65	-14676.30	65
0	Min.	-1996	-65842.60	130	59.20	17	-5922.63	97	-442.10	130	-17.17	158	-233.33	173	61.33	65	-14676.30	65
0	Min.	-1995	-65842.60	130	59.20	17	-5922.63	97	-442.10	130	-17.17	158	-233.33	173	61.33	65	-14676.30	65

0	Max	-1748	27358.10	177	25.20	49	-68.21	17	248.77	101	3.46	106	125.35	65	-132.99	17	23519.10	173
0	Max	-1749	27358.10	177	25.20	49	-68.21	17	248.77	101	3.46	106	125.35	65	-132.99	17	23519.10	173
0	Max	-1997	27358.10	177	25.20	49	-68.21	17	248.77	101	3.46	106	125.35	65	-132.99	17	23519.10	173
0	Max	-1996	27358.10	177	25.20	49	-68.21	17	248.77	101	3.46	106	125.35	65	-132.99	17	23519.10	173
0	Min.	-1748	-81721.60	130	-1513.37	130	-3204.39	97	-527.94	130	-47.31	121	-267.47	173	-3075.29	122	-18660.70	65
0	Min.	-1749	-81721.60	130	-1513.37	130	-3204.39	97	-527.94	130	-47.31	121	-267.47	173	-3075.29	122	-18660.70	65
0	Min.	-1997	-81721.60	130	-1513.37	130	-3204.39	97	-527.94	130	-47.31	121	-267.47	173	-3075.29	122	-18660.70	65
0	Min.	-1996	-81721.60	130	-1513.37	130	-3204.39	97	-527.94	130	-47.31	121	-267.47	173	-3075.29	122	-18660.70	65
0	Max	-1729	16139.90	177	3.23	17	135.10	177	51.98	49	131.62	125	191.72	65	2467.21	106	-560.30	17
0	Max	-1730	16139.90	177	3.23	17	135.10	177	51.98	49	131.62	125	191.72	65	2467.21	106	-560.30	17
0	Max	-2214	16139.90	177	3.23	17	135.10	177	51.98	49	131.62	125	191.72	65	2467.21	106	-560.30	17
0	Max	-2198	16139.90	177	3.23	17	135.10	177	51.98	49	131.62	125	191.72	65	2467.21	106	-560.30	17
0	Min.	-1729	-91782.70	130	-3293.74	121	-14217.50	121	-697.03	106	-170.06	106	-500.48	173	-7698.73	125	-28153.50	97
0	Min.	-1730	-91782.70	130	-3293.74	121	-14217.50	121	-697.03	106	-170.06	106	-500.48	173	-7698.73	125	-28153.50	97
0	Min.	-2214	-91782.70	130	-3293.74	121	-14217.50	121	-697.03	106	-170.06	106	-500.48	173	-7698.73	125	-28153.50	97
0	Min.	-2198	-91782.70	130	-3293.74	121	-14217.50	121	-697.03	106	-170.06	106	-500.48	173	-7698.73	125	-28153.50	97
0	Max	-1730	13533.90	177	106.84	17	29.18	177	-22.01	65	95.08	125	109.43	65	1641.49	106	10603.60	165
0	Max	-1731	13533.90	177	106.84	17	29.18	177	-22.01	65	95.08	125	109.43	65	1641.49	106	10603.60	165
0	Max	-2197	13533.90	177	106.84	17	29.18	177	-22.01	65	95.08	125	109.43	65	1641.49	106	10603.60	165
0	Max	-2214	13533.90	177	106.84	17	29.18	177	-22.01	65	95.08	125	109.43	65	1641.49	106	10603.60	165
0	Min.	-1730	-107898.00	98	-5902.90	121	-13636.40	121	-1067.33	98	-206.65	98	-762.28	97	-8975.78	125	141.64	17
0	Min.	-1731	-107898.00	98	-5902.90	121	-13636.40	121	-1067.33	98	-206.65	98	-762.28	97	-8975.78	125	141.64	17
0	Min.	-2197	-107898.00	98	-5902.90	121	-13636.40	121	-1067.33	98	-206.65	98	-762.28	97	-8975.78	125	141.64	17
0	Min.	-2214	-107898.00	98	-5902.90	121	-13636.40	121	-1067.33	98	-206.65	98	-762.28	97	-8975.78	125	141.64	17
0	Max	-1750	26125.20	177	43.51	17	2976.62	157	1478.09	157	71.13	121	310.05	125	4510.12	121	11065.90	17
0	Max	-1751	26125.20	177	43.51	17	2976.62	157	1478.09	157	71.13	121	310.05	125	4510.12	121	11065.90	17
0	Max	-2000	26125.20	177	43.51	17	2976.62	157	1478.09	157	71.13	121	310.05	125	4510.12	121	11065.90	17
0	Max	-1999	26125.20	177	43.51	17	2976.62	157	1478.09	157	71.13	121	310.05	125	4510.12	121	11065.90	17
0	Min.	-1750	-86369.80	98	-5448.24	121	-66.86	17	-405.32	106	0.69	1	-140.50	173	-97.84	17	-78822.90	121
0	Min.	-1751	-86369.80	98	-5448.24	121	-66.86	17	-405.32	106	0.69	1	-140.50	173	-97.84	17	-78822.90	121
0	Min.	-2000	-86369.80	98	-5448.24	121	-66.86	17	-405.32	106	0.69	1	-140.50	173	-97.84	17	-78822.90	121
0	Min.	-1999	-86369.80	98	-5448.24	121	-66.86	17	-405.32	106	0.69	1	-140.50	173	-97.84	17	-78822.90	121
0	Max	-1751	19814.20	177	1606.02	161	269.73	1	-53.97	17	7.16	17	58.25	65	2747.63	157	34327.90	98
0	Max	-1752	19814.20	177	1606.02	161	269.73	1	-53.97	17	7.16	17	58.25	65	2747.63	157	34327.90	98
0	Max	-2001	19814.20	177	1606.02	161	269.73	1	-53.97	17	7.16	17	58.25	65	2747.63	157	34327.90	98
0	Max	-2000	19814.20	177	1606.02	161	269.73	1	-53.97	17	7.16	17	58.25	65	2747.63	157	34327.90	98
0	Min.	-1751	-129950.00	98	-167.70	173	-6132.49	97	-1986.08	98	-116.59	121	-339.08	97	-547.75	173	-6996.10	65
0	Min.	-1752	-129950.00	98	-167.70	173	-6132.49	97	-1986.08	98	-116.59	121	-339.08	97	-547.75	173	-6996.10	65
0	Min.	-2001	-129950.00	98	-167.70	173	-6132.49	97	-1986.08	98	-116.59	121	-339.08	97	-547.75	173	-6996.10	65
0	Min.	-2000	-129950.00	98	-167.70	173	-6132.49	97	-1986.08	98	-116.59	121	-339.08	97	-547.75	173	-6996.10	65
0	Max	-1752	15983.00	177	134.80	125	129.71	106	-16.08	65	80.85	121	71.54	65	52.49	142	13045.10	173
0	Max	-2119	15983.00	177	134.80	125	129.71	106	-16.08	65	80.85	121	71.54	65	52.49	142	13045.10	173
0	Max	-2120	15983.00	177	134.80	125	129.71	106	-16.08	65	80.85	121	71.54	65	52.49	142	13045.10	173
0	Max	-2001	15983.00	177	134.80	125	129.71	106	-16.08	65	80.85	121	71.54	65	52.49	142	13045.10	173
0	Min.	-1752	-156016.00	98	-1051.70	98	-732.80	121	-1553.29	98	1.55	1	-200.33	98	-2182.29	121	-10025.40	65
0	Min.	-2119	-156016.00	98	-1051.70	98	-732.80	121	-1553.29	98	1.55	1	-200.33	98	-2182.29	121	-10025.40	65
0	Min.	-2120	-156016.00	98	-1051.70	98	-732.80	121	-1553.29	98	1.55	1	-200.33	98	-2182.29	121	-10025.40	65
0	Min.	-2001	-156016.00	98	-1051.70	98	-732.80	121	-1553.29	98	1.55	1	-200.33	98	-2182.29	121	-10025.40	65
0	Max	-1734	6753.33	177	899.02	106	1903.43	106	-71.70	65	182.60	173	75.62	130	10963.40	98	2846.42	106
0	Max	-2113	6753.33	177	899.02	106	1903.43	106	-71.70	65	182.60	173	75.62	130	10963.40	98	2846.42	106
0	Max	-2215	6753.33	177	899.02	106	1903.43	106	-71.70	65	182.60	173	75.62	130	10963.40	98	2846.42	106
0	Max	-2216	6753.33	177	899.02	106	1903.43	106	-71.70	65	182.60	173	75.62	130	10963.40	98	2846.42	106
0	Min.	-1734	-169271.00	98	-2571.56	157	-10191.70	157	-2115.19	98	-286.61	98	-239.34	97	-2467.07	125	-10667.50	97
0	Min.	-2113	-169271.00	98	-2571.56	157	-10191.70	157	-2115.19	98	-286.61	98	-239.34	97	-2467.07	125	-10667.50	97
0	Min.	-2215	-169271.00	98	-2571.56	157	-10191.70	157	-2115.19	98	-286.61	98	-239.34	97	-2467.07	125	-10667.50	97
0	Min.	-2216	-169271.00	98	-2571.56	157	-10191.70	157	-2115.19	98	-286.61	98	-239.34	97	-2467.07	125	-10667.50	97
0	Max	-1735	6290.85	177	1600.26	98	2519.99	106	-67.04	65	217.98	173	129.56	106	19695.30	98	15191.90	157
0	Max	-1847	6290.85	177	1600.26	98	2519.99	106	-67.04	65	217.98	173	129.56	106	19695.30	98	15191.90	157
0	Max	-2193	6290.85	177	1600.26	98	2519.99	106	-67.04	65	217.98	173	129.56	106	19695.30	98	15191.90	157
0	Max	-2217	6290.85	177	1600.26	98	2519.99	106	-67.04	65	217.98	173	129.56	106	19695.30	98	15191.90	157
0	Min.	-1735	-173741.00	97	-343.08	101	-9883.47	157	-2080.68	98	-355.07	98	-148.82	101	-6704.59	125	-7346.34	106
0	Min.	-1847	-173741.00	97	-343.08	101	-9883.47	157	-2080.68	98	-355.07	98	-148.82	101	-6704.59	125	-7346.34	106
0	Min.	-2193	-173741.00	97	-343.08	101	-9883.47	157	-2080.68	98	-355.07	98	-148.82	101	-6704.59	125	-7346.34	106
0	Min.	-2217	-173741.00	97	-343.08	101	-9883.47	157	-2080.68	98	-355.07	98	-148.82	101	-6704.59	125	-7346.34	106
0	Max	-1689	14302.90	177	1981.74	106	5890.93	161	1095.71	125	10.75	130	409.53	125	1306.09	173	33033.50	106
0	Max	-1754	14302.90	177	1981.74	106	5890.93	161	1095.71	125	10.75	130	409.53	125	1306.09	173	33033.50	106
0	Max	-2004	14302.90	177	1981.74	106	5890.93	161	1095.71	125	10.75	130	409.53	125	1306.09	173	33033.50	106
0	Max	-1993	14302.90	177	1981.74	106	5890.93	161	1095.71	125	10.75	130	409.53	125	1306.09	173	33033.50	106
0	Min.	-1689	-171007.00	98	-2735.65	125	-864.72	106	-1915.04	98	-26.43	97	-233.12	106	-2625.02	125	-62028.60	125
0	Min.	-1754	-171007.00	98	-2735.65	125	-864.72	106	-1915.04	98	-26.43	97	-233.12	106	-2625.02	125	-62028.60	125
0	Min.	-2004	-171007.00	98	-2735.65	125	-864.72	106	-1915.04	98	-26.43	97	-233.12	106	-2625.02	125	-62028.60	125
0	Min.	-1993	-171007.00	98	-2735.65	125	-864.72	106	-1915.04	98	-26.43	97	-233.12	106	-2625.02	125	-62028.60	125
0	Max	-1754	15010.40	177	3484.74	125	1889.25	106	-32.29	65	73.12	98	95.10	106	2827.94	125	7595.75	1
0	Max	-2116	15010.40	177	3484.74	125	1889.25	106	-32.29	65	73.12	98	95.10	106	2827.94	125	7595.75	1
0	Max	-2121	15010.40	177	3484.74	125	1889.25	106	-32.29	65	73.12	98	95.10	106	2827.94	125	7595.75	1
0	Max	-2004	15010.40	177	3484.74	125	1889.25	106	-32.29	65	73.12	98	95.10	106	2827.94	125	7595.75	1
0	Min.	-1754	-167303.00	97	-2887.49	106	-2624.13	125	-2041.00	98	-104.24	125	-101.74	125	-4236.29	98	-18226.50	157
0	Min.	-2116	-167303.00	97	-2887.49	106	-2624.13	125	-2041.00	98	-104.24	125	-101.74	125	-4236.29	98	-18226.50	157
0	Min.	-2121	-167303.00	97	-2887.49	106	-2624.13	125	-2041.00	98	-104.24	125	-101.74	125	-4236.29	98	-18226.50	157
0	Min.	-2004	-167303.00	97	-2887.49	106	-2624.13	125	-2041.00	98	-104.24	125	-101.74	125	-4236.29	98	-18226.50	157
0	Max	-1755	16928.80	177	268.55	101	2100.49	106	-46.76	17	13.75	173	194.35	97	-210.68	65	6009.31	17
0	Max	-2115	16928.80	177	268.55	101	2100.49	106	-46.76	17	13.75	173	194.35	97	-210.68	65	6009.31	17
0	Max	-2122	16928.80	177	268.55	101	2100.49	106	-46.76	17	13.75	173	194.35	97	-210.68	65	6009.31	17
0	Max	-2005	16928.80	177	268.55	101	2100.49	106	-46.76	17	13.75	173	194.35	97	-210.68	65	6009.31	17
0	Min.	-1755	-153983.00	97	-2145.60	122	-856.15	125	-1887.32	97	-11.06	125	-45.06	17	-2884.26	97	-19731.60	97
0	Min.	-2115	-153983.00	97	-2145.60	122	-856.15	125	-1887.32	97	-11.06	125	-45.06	17	-2884.26	97	-19731.60	97
0	Min.	-2122	-153983.00	97	-2145.60	122	-856.15	125	-1887.32	97	-11.06	125	-45.06	17	-2884.26	97	-19731.60	97
0	Min.	-2005	-153983.00	97	-2145.60	122	-856.15	125	-1887.32	97	-11.06	125	-45.06	17	-2884.26	97	-19731.60	97
0	Max	-1756	19814.20	177	103.13	177	6132.49	98	-53.97	65	34.23	161	339.08	98	1725.43	98	6996.12	17
0	Max	-1757	19814.20	177	103.13	177	6132.49	98	-53.97	65	34.23	161	339.08	98	1725.43	98	6996.12	17
0	Max	-2007	19814.20	177	103.13	177	6132.49	98	-53.97	65	34.23	161	339.08	98	1725.43	98	6996.12	17
0	Max	-2006	19814.20	177	103.13	177	6132.49	98	-53.97	65	34.23	161	339.08	98	1725.43	98	6996.12	17
0	Min.	-1756	-129950.00	97	-1684.35	165	-764.33	125	-1986.08	97	-102.48	98	-58.25	17	-1586.08	161	-34328.00	97
0	Min.	-1757	-129950.00	97	-1684.35	165	-764.33	125	-1986.08	97	-102.48	98	-58.25	17	-1586.08	161	-34328.00	97
0	Min.	-2007	-129950.00	97	-1684.35	165	-764.33	125	-1986.08	97	-102.48	98	-58.25	17	-1586.08	161	-34328.00	97
0	Min.	-2006	-129950.00	97	-1684.35	165	-764.33	125	-1986.08	97	-102.48	98	-58.25	17	-1586.08	161	-34328.00	97
0	Max	-1739	12101.20	177	4273.94	98	11735.80	98	-9.19	1	53.88	17	779.39	98	18006.70	98	8402.58	161
0	Max	-1740	12101.20	177	4273.94	98	11735.80	98	-9.19	1	53.88	17	779.39	98	18006.70	98	8402.58	161
0	Max	-2218	12101.20	177	4273.94	98	11735.80	98	-9.19	1	53.88	17	779.39	98	18006.70	98	8402.58	161
0	Max	-2187	12101.20	177	4273.94	98	11735.80	98	-9.19	1	53.88	17	779.39	98	18006.70	98	8402.58	161
0	Min.	-1739	-123607.00	97	-1495.81	161	-3257.48	161	-1098.11	97	-376.60	97	-85.66	17	-2716.03	161	-2623.26	106
0	Min.	-1740	-123607.00	97	-1495.81	161	-3257.48	161	-1098.11	97	-376.60	97	-85.66	17	-2716.03	161	-2623.26	106
0	Min.	-2218	-123607.00	97	-1495.81	161	-3257.48	161	-1098.11	97	-376.60	97	-85.66	17	-2716.03	161	-2623.26	106
0	Min.	-2187	-123607.00	97	-1495.81	161	-3257.48	161	-1098.11	97	-376.60	97	-85.66	17	-2716.03	161	-2623.26	106
0	Max	-1740	14857.10	162	1373.36	165	12546.30	98	-22.01	17	77.59	118	762.28	98	3356.56	125	8451.43	157

0	Max	-1741	14857.10	162	1373.36	165	12546.30	98	-22.01	17	77.59	118	762.28	98	3356.56	125	8451.43	157
0	Max	-2186	14857.10	162	1373.36	165	12546.30	98	-22.01	17	77.59	118	762.28	98	3356.56	125	8451.43	157
0	Max	-2218	14857.10	162	1373.36	165	12546.30	98	-22.01	17	77.59	118	762.28	98	3356.56	125	8451.43	157
0	Min.	-1740	-107898.00	97	-5069.32	98	-3523.93	161	-1067.33	97	-206.65	97	-109.43	17	-6406.13	106	-3344.42	106
0	Min.	-1741	-107898.00	97	-5069.32	98	-3523.93	161	-1067.33	97	-206.65	97	-109.43	17	-6406.13	106	-3344.42	106
0	Min.	-2186	-107898.00	97	-5069.32	98	-3523.93	161	-1067.33	97	-206.65	97	-109.43	17	-6406.13	106	-3344.42	106
0	Min.	-2218	-107898.00	97	-5069.32	98	-3523.93	161	-1067.33	97	-206.65	97	-109.43	17	-6406.13	106	-3344.42	106
0	Max	-1758	24348.70	162	1355.26	161	6916.87	98	318.81	106	128.74	98	351.05	98	446.10	125	13727.30	17
0	Max	-1759	24348.70	162	1355.26	161	6916.87	98	318.81	106	128.74	98	351.05	98	446.10	125	13727.30	17
0	Max	-2010	24348.70	162	1355.26	161	6916.87	98	318.81	106	128.74	98	351.05	98	446.10	125	13727.30	17
0	Max	-2009	24348.70	162	1355.26	161	6916.87	98	318.81	106	128.74	98	351.05	98	446.10	125	13727.30	17
0	Min.	-1758	-94685.60	97	-4438.30	98	-464.80	161	-592.96	101	-31.25	161	-96.96	17	-2622.24	106	-27918.60	173
0	Min.	-1759	-94685.60	97	-4438.30	98	-464.80	161	-592.96	101	-31.25	161	-96.96	17	-2622.24	106	-27918.60	173
0	Min.	-2010	-94685.60	97	-4438.30	98	-464.80	161	-592.96	101	-31.25	161	-96.96	17	-2622.24	106	-27918.60	173
0	Min.	-2009	-94685.60	97	-4438.30	98	-464.80	161	-592.96	101	-31.25	161	-96.96	17	-2622.24	106	-27918.60	173
0	Max	-1759	27358.10	177	881.97	166	3204.39	98	310.47	130	14.86	125	245.41	173	759.30	162	18660.70	17
0	Max	-1760	27358.10	177	881.97	166	3204.39	98	310.47	130	14.86	125	245.41	173	759.30	162	18660.70	17
0	Max	-2011	27358.10	177	881.97	166	3204.39	98	310.47	130	14.86	125	245.41	173	759.30	162	18660.70	17
0	Max	-2010	27358.10	177	881.97	166	3204.39	98	310.47	130	14.86	125	245.41	173	759.30	162	18660.70	17
0	Min.	-1759	-72976.90	101	-1000.97	101	68.21	65	-522.86	101	-47.09	98	-125.35	17	-2450.65	97	-21182.40	173
0	Min.	-1760	-72976.90	101	-1000.97	101	68.21	65	-522.86	101	-47.09	98	-125.35	17	-2450.65	97	-21182.40	173
0	Min.	-2011	-72976.90	101	-1000.97	101	68.21	65	-522.86	101	-47.09	98	-125.35	17	-2450.65	97	-21182.40	173
0	Min.	-2010	-72976.90	101	-1000.97	101	68.21	65	-522.86	101	-47.09	98	-125.35	17	-2450.65	97	-21182.40	173
0	Max	-1760	39371.70	106	3020.20	98	5922.62	98	613.01	130	21.37	130	212.65	173	9439.94	97	14676.30	17
0	Max	-1761	39371.70	106	3020.20	98	5922.62	98	613.01	130	21.37	130	212.65	173	9439.94	97	14676.30	17
0	Max	-2012	39371.70	106	3020.20	98	5922.62	98	613.01	130	21.37	130	212.65	173	9439.94	97	14676.30	17
0	Max	-2011	39371.70	106	3020.20	98	5922.62	98	613.01	130	21.37	130	212.65	173	9439.94	97	14676.30	17
0	Min.	-1760	-60313.70	101	59.20	65	182.29	65	-370.62	101	-6.15	97	-121.95	17	-4367.35	162	-22279.50	173
0	Min.	-1761	-60313.70	101	59.20	65	182.29	65	-370.62	101	-6.15	97	-121.95	17	-4367.35	162	-22279.50	173
0	Min.	-2012	-60313.70	101	59.20	65	182.29	65	-370.62	101	-6.15	97	-121.95	17	-4367.35	162	-22279.50	173
0	Min.	-2011	-60313.70	101	59.20	65	182.29	65	-370.62	101	-6.15	97	-121.95	17	-4367.35	162	-22279.50	173
0	Max	-1761	62388.60	106	5449.76	98	5353.25	98	1457.63	98	37.25	162	441.69	98	1750.10	161	58780.90	97
0	Max	-1942	62388.60	106	5449.76	98	5353.25	98	1457.63	98	37.25	162	441.69	98	1750.10	161	58780.90	97
0	Max	-2015	62388.60	106	5449.76	98	5353.25	98	1457.63	98	37.25	162	441.69	98	1750.10	161	58780.90	97
0	Max	-2012	62388.60	106	5449.76	98	5353.25	98	1457.63	98	37.25	162	441.69	98	1750.10	161	58780.90	97
0	Min.	-1761	-43063.70	101	-1997.96	161	-1698.99	161	-63.77	125	-158.30	97	-18.10	17	-3078.52	102	-28992.30	162
0	Min.	-1942	-43063.70	101	-1997.96	161	-1698.99	161	-63.77	125	-158.30	97	-18.10	17	-3078.52	102	-28992.30	162
0	Min.	-2015	-43063.70	101	-1997.96	161	-1698.99	161	-63.77	125	-158.30	97	-18.10	17	-3078.52	102	-28992.30	162
0	Min.	-2012	-43063.70	101	-1997.96	161	-1698.99	161	-63.77	125	-158.30	97	-18.10	17	-3078.52	102	-28992.30	162
0	Max	-1941	53947.20	130	1328.44	17	10262.30	98	1306.36	98	530.93	106	811.04	98	3223.01	101	18243.40	162
0	Max	-1745	53947.20	130	1328.44	17	10262.30	98	1306.36	98	530.93	106	811.04	98	3223.01	101	18243.40	162
0	Max	-2219	53947.20	130	1328.44	17	10262.30	98	1306.36	98	530.93	106	811.04	98	3223.01	101	18243.40	162
0	Max	-2182	53947.20	130	1328.44	17	10262.30	98	1306.36	98	530.93	106	811.04	98	3223.01	101	18243.40	162
0	Min.	-1941	-59958.90	101	-1692.72	161	-6697.50	161	-108.94	101	64.51	65	-45.38	161	-12602.40	130	-4062.94	97
0	Min.	-1745	-59958.90	101	-1692.72	161	-6697.50	161	-108.94	101	64.51	65	-45.38	161	-12602.40	130	-4062.94	97
0	Min.	-2219	-59958.90	101	-1692.72	161	-6697.50	161	-108.94	101	64.51	65	-45.38	161	-12602.40	130	-4062.94	97
0	Min.	-2182	-59958.90	101	-1692.72	161	-6697.50	161	-108.94	101	64.51	65	-45.38	161	-12602.40	130	-4062.94	97
0	Max	-1745	62977.40	130	3156.25	130	13529.20	98	1984.81	98	1170.89	98	505.91	97	-8043.18	65	30603.80	122
0	Max	432	62977.40	130	3156.25	130	13529.20	98	1984.81	98	1170.89	98	505.91	97	-8043.18	65	30603.80	122
0	Max	-2203	62977.40	130	3156.25	130	13529.20	98	1984.81	98	1170.89	98	505.91	97	-8043.18	65	30603.80	122
0	Max	-2219	62977.40	130	3156.25	130	13529.20	98	1984.81	98	1170.89	98	505.91	97	-8043.18	65	30603.80	122
0	Min.	-1745	-54176.80	101	-2346.26	101	-7287.57	161	107.62	49	138.00	65	-98.07	162	-59800.80	98	4395.57	65
0	Min.	432	-54176.80	101	-2346.26	101	-7287.57	161	107.62	49	138.00	65	-98.07	162	-59800.80	98	4395.57	65
0	Min.	-2203	-54176.80	101	-2346.26	101	-7287.57	161	107.62	49	138.00	65	-98.07	162	-59800.80	98	4395.57	65
0	Min.	-2219	-54176.80	101	-2346.26	101	-7287.57	161	107.62	49	138.00	65	-98.07	162	-59800.80	98	4395.57	65
0	Max	-1540	70929.10	130	3523.77	130	3085.56	97	2213.01	98	57.32	97	104.04	173	2901.00	162	12914.30	162
0	Max	-1544	70929.10	130	3523.77	130	3085.56	97	2213.01	98	57.32	97	104.04	173	2901.00	162	12914.30	162
0	Max	-1977	70929.10	130	3523.77	130	3085.56	97	2213.01	98	57.32	97	104.04	173	2901.00	162	12914.30	162
0	Max	-1976	70929.10	130	3523.77	130	3085.56	97	2213.01	98	57.32	97	104.04	173	2901.00	162	12914.30	162
0	Min.	-1540	-55264.90	101	-1742.19	101	-2461.66	162	56.98	65	-73.09	162	-136.41	162	-1238.59	17	-13263.00	173
0	Min.	-1544	-55264.90	101	-1742.19	101	-2461.66	162	56.98	65	-73.09	162	-136.41	162	-1238.59	17	-13263.00	173
0	Min.	-1977	-55264.90	101	-1742.19	101	-2461.66	162	56.98	65	-73.09	162	-136.41	162	-1238.59	17	-13263.00	173
0	Min.	-1976	-55264.90	101	-1742.19	101	-2461.66	162	56.98	65	-73.09	162	-136.41	162	-1238.59	17	-13263.00	173
0	Max	-1544	64984.80	130	692.54	166	450.55	101	1310.37	98	41.43	162	26.01	65	1204.98	98	20077.60	98
0	Max	-1922	64984.80	130	692.54	166	450.55	101	1310.37	98	41.43	162	26.01	65	1204.98	98	20077.60	98
0	Max	-2014	64984.80	130	692.54	166	450.55	101	1310.37	98	41.43	162	26.01	65	1204.98	98	20077.60	98
0	Max	-1977	64984.80	130	692.54	166	450.55	101	1310.37	98	41.43	162	26.01	65	1204.98	98	20077.60	98
0	Min.	-1544	-43582.70	101	-1147.03	97	-780.91	177	-66.70	49	-77.64	97	-226.64	98	-712.28	125	-3806.67	65
0	Min.	-1922	-43582.70	101	-1147.03	97	-780.91	177	-66.70	49	-77.64	97	-226.64	98	-712.28	125	-3806.67	65
0	Min.	-2014	-43582.70	101	-1147.03	97	-780.91	177	-66.70	49	-77.64	97	-226.64	98	-712.28	125	-3806.67	65
0	Min.	-1977	-43582.70	101	-1147.03	97	-780.91	177	-66.70	49	-77.64	97	-226.64	98	-712.28	125	-3806.67	65
0	Max	-1922	63748.90	130	397.32	157	575.39	97	1303.93	98	73.47	101	17.87	65	59.62	173	13934.40	17
0	Max	-1545	63748.90	130	397.32	157	575.39	97	1303.93	98	73.47	101	17.87	65	59.62	173	13934.40	17
0	Max	-1978	63748.90	130	397.32	157	575.39	97	1303.93	98	73.47	101	17.87	65	59.62	173	13934.40	17
0	Max	-2014	63748.90	130	397.32	157	575.39	97	1303.93	98	73.47	101	17.87	65	59.62	173	13934.40	17
0	Min.	-1922	-43767.40	101	-328.68	118	-455.07	177	-49.39	49	-42.16	162	-157.46	98	-2385.42	101	-3374.29	65
0	Min.	-1545	-43767.40	101	-328.68	118	-455.07	177	-49.39	49	-42.16	162	-157.46	98	-2385.42	101	-3374.29	65
0	Min.	-1978	-43767.40	101	-328.68	118	-455.07	177	-49.39	49	-42.16	162	-157.46	98	-2385.42	101	-3374.29	65
0	Min.	-2014	-43767.40	101	-328.68	118	-455.07	177	-49.39	49	-42.16	162	-157.46	98	-2385.42	101	-3374.29	65
0	Max	-1545	53678.00	130	1231.06	97	2409.34	101	1155.08	122	92.74	130	15.34	65	251.62	65	17551.80	130
0	Max	-1546	53678.00	130	1231.06	97	2409.34	101	1155.08	122	92.74	130	15.34	65	251.62	65	17551.80	130
0	Max	-1979	53678.00	130	1231.06	97	2409.34	101	1155.08	122	92.74	130	15.34	65	251.62	65	17551.80	130
0	Max	-1978	53678.00	130	1231.06	97	2409.34	101	1155.08	122	92.74	130	15.34	65	251.62	65	17551.80	130
0	Min.	-1545	-33252.90	101	-741.34	166	-2715.87	130	-368.93	101	-32.23	101	-183.11	130	-3224.64	130	-4810.40	101
0	Min.	-1546	-33252.90	101	-741.34	166	-2715.87	130	-368.93	101	-32.23	101	-183.11	130	-3224.64	130	-4810.40	101
0	Min.	-1979	-33252.90	101	-741.34	166	-2715.87	130	-368.93	101	-32.23	101	-183.11	130	-3224.64	130	-4810.40	101
0	Min.	-1978	-33252.90	101	-741.34	166	-2715.87	130	-368.93	101	-32.23	101	-183.11	130	-3224.64	130	-4810.40	101
0	Max	-1567	54392.60	130	1744.78	101	4459.29	101	763.36	122	190.42	98	214.03	101	7369.75	101	10250.60	162
0	Max	-1568	54392.60	130	1744.78	101	4459.29	101	763.36	122	190.42	98	214.03	101	7369.75	101	10250.60	162
0	Max	-2220	54392.60	130	1744.78	101	4459.29	101	763.36	122	190.42	98	214.03	101	7369.75	101	10250.60	162
0	Max	-2178	54392.60	130	1744.78	101	4459.29	101	763.36	122	190.42	98	214.03	101	7369.75	101	10250.60	162
0	Min.	-1567	-35111.90	101	-942.41	130	-6994.95	162	-257.39	101	-89.13	101	-298.82	130	-4727.32	106	-8423.26	97
0	Min.	-1568	-35111.90	101	-942.41	130	-6994.95	162	-257.39	101	-89.13	101	-298.82	130	-4727.32	106	-8423.26	97
0	Min.	-2220	-35111.90	101	-942.41	130	-6994.95	162	-257.39	101	-89.13	101	-298.82	130	-4727.32	106	-8423.26	97
0	Min.	-2178	-35111.90	101	-942.41	130	-6994.95	162	-257.39	101	-89.13	101	-298.82	130	-4727.32	106	-8423.26	97
0	Max	-1568	50535.50	130	4118.05	162	4139.12	101	766.88	158	130.25	98	193.95	101	11713.00	162	5247.27	162
0	Max	-1569	50535.50	130	4118.05	162	4139.12	101	766.88	158	130.25	98	193.95	101	11713.00	162	5247.27	162
0	Max	-2177	50535.50	130	4118.05	162	4139.12	101	766.88	158	130.25	98	193.95	101	11713.00	162	5247.27	162
0	Max	-2220	50535.50	130	4118.05	162	4139.12	101	766.88	158	130.25	98	193.95	101	11713.00	162	5247.27	162
0	Min.	-1568	-33990.10	101	-2706.72	101	-5871.67	162	-443.79	101	-132.60	125	-180.97	130	-4441.13	97	-8169.77	97
0	Min.	-1569	-33990.10	101	-2706.72	101	-5871.67	162	-443.79	101	-132.60	125	-180.97	130	-4441.13	97	-8169.77	97
0	Min.	-2177	-33990.10	101	-2706.72	101	-5871.67	162	-443.79	101	-132.60	125	-180.97	130	-4441.13	97	-8169.77	97
0	Min.	-2220	-33990.10	101	-2706.72	101	-5871.67	162	-443.79	101	-132.60	125	-180.97	130	-4441.13	97	-8169.77	97
0	Max	-1548	49233.90	130	2863.32	130	2446.85	101	386.26	98	62.01	101	76.97	125	1775.64	162	5759.50	65
0	Max	-1549	49233.90	130	2863.32	130	2446.85	101	386.26	98	62.01	101	76.97	125	1775.64	162	5759.50	65

0	Max	-1982	49233.90	130	2863.32	130	2446.85	101	386.26	98	62.01	101	76.97	125	1775.64	162	5759.50	65
0	Max	-1981	49233.90	130	2863.32	130	2446.85	101	386.26	98	62.01	101	76.97	125	1775.64	162	5759.50	65
0	Min.	-1548	-35349.70	101	-2318.10	101	-2974.46	130	-160.20	101	-78.29	130	-89.31	98	-1849.54	101	-6902.71	101
0	Min.	-1549	-35349.70	101	-2318.10	101	-2974.46	130	-160.20	101	-78.29	130	-89.31	98	-1849.54	101	-6902.71	101
0	Min.	-1982	-35349.70	101	-2318.10	101	-2974.46	130	-160.20	101	-78.29	130	-89.31	98	-1849.54	101	-6902.71	101
0	Min.	-1981	-35349.70	101	-2318.10	101	-2974.46	130	-160.20	101	-78.29	130	-89.31	98	-1849.54	101	-6902.71	101
0	Max	-1549	33714.40	130	1251.27	130	463.59	101	421.89	158	52.65	130	115.90	166	1288.91	101	10298.00	49
0	Max	-1550	33714.40	130	1251.27	130	463.59	101	421.89	158	52.65	130	115.90	166	1288.91	101	10298.00	49
0	Max	-1983	33714.40	130	1251.27	130	463.59	101	421.89	158	52.65	130	115.90	166	1288.91	101	10298.00	49
0	Max	-1982	33714.40	130	1251.27	130	463.59	101	421.89	158	52.65	130	115.90	166	1288.91	101	10298.00	49
0	Min.	-1549	-23950.30	101	-3713.31	177	-766.21	177	-381.68	101	-38.53	101	-100.78	97	-2064.86	158	-15204.10	166
0	Min.	-1550	-23950.30	101	-3713.31	177	-766.21	177	-381.68	101	-38.53	101	-100.78	97	-2064.86	158	-15204.10	166
0	Min.	-1983	-23950.30	101	-3713.31	177	-766.21	177	-381.68	101	-38.53	101	-100.78	97	-2064.86	158	-15204.10	166
0	Min.	-1982	-23950.30	101	-3713.31	177	-766.21	177	-381.68	101	-38.53	101	-100.78	97	-2064.86	158	-15204.10	166
0	Max	-1550	21454.70	130	1604.63	101	2289.61	101	48.43	158	32.23	49	98.89	166	2370.40	166	13062.40	49
0	Max	-1609	21454.70	130	1604.63	101	2289.61	101	48.43	158	32.23	49	98.89	166	2370.40	166	13062.40	49
0	Max	-1984	21454.70	130	1604.63	101	2289.61	101	48.43	158	32.23	49	98.89	166	2370.40	166	13062.40	49
0	Max	-1983	21454.70	130	1604.63	101	2289.61	101	48.43	158	32.23	49	98.89	166	2370.40	166	13062.40	49
0	Min.	-1550	-15168.80	101	-8705.10	177	-3208.65	130	-79.34	101	-41.88	166	-75.96	49	-2304.99	49	-18672.70	158
0	Min.	-1609	-15168.80	101	-8705.10	177	-3208.65	130	-79.34	101	-41.88	166	-75.96	49	-2304.99	49	-18672.70	158
0	Min.	-1984	-15168.80	101	-8705.10	177	-3208.65	130	-79.34	101	-41.88	166	-75.96	49	-2304.99	49	-18672.70	158
0	Min.	-1983	-15168.80	101	-8705.10	177	-3208.65	130	-79.34	101	-41.88	166	-75.96	49	-2304.99	49	-18672.70	158
0	Max	-1425	16264.10	101	2623.04	130	2466.13	101	15.88	97	72.58	158	174.05	158	-153.21	137	4935.73	101
0	Max	-1675	16264.10	101	2623.04	130	2466.13	101	15.88	97	72.58	158	174.05	158	-153.21	137	4935.73	101
0	Max	-1985	16264.10	101	2623.04	130	2466.13	101	15.88	97	72.58	158	174.05	158	-153.21	137	4935.73	101
0	Max	-1975	16264.10	101	2623.04	130	2466.13	101	15.88	97	72.58	158	174.05	158	-153.21	137	4935.73	101
0	Min.	-1425	-21031.40	130	-8704.45	177	-3136.53	130	-101.65	130	-2.07	137	-3.57	137	-4711.44	158	-26357.30	162
0	Min.	-1675	-21031.40	130	-8704.45	177	-3136.53	130	-101.65	130	-2.07	137	-3.57	137	-4711.44	158	-26357.30	162
0	Min.	-1985	-21031.40	130	-8704.45	177	-3136.53	130	-101.65	130	-2.07	137	-3.57	137	-4711.44	158	-26357.30	162
0	Min.	-1975	-21031.40	130	-8704.45	177	-3136.53	130	-101.65	130	-2.07	137	-3.57	137	-4711.44	158	-26357.30	162
0	Max	-1675	25727.40	101	1094.75	173	765.90	177	173.75	101	22.97	101	228.60	158	2468.48	130	773.10	137
0	Max	-1676	25727.40	101	1094.75	173	765.90	177	173.75	101	22.97	101	228.60	158	2468.48	130	773.10	137
0	Max	-1986	25727.40	101	1094.75	173	765.90	177	173.75	101	22.97	101	228.60	158	2468.48	130	773.10	137
0	Max	-1985	25727.40	101	1094.75	173	765.90	177	173.75	101	22.97	101	228.60	158	2468.48	130	773.10	137
0	Min.	-1675	-32827.20	130	-3713.06	177	-560.79	130	-550.16	130	-68.54	130	-0.92	141	-943.22	101	-24999.10	158
0	Min.	-1676	-32827.20	130	-3713.06	177	-560.79	130	-550.16	130	-68.54	130	-0.92	141	-943.22	101	-24999.10	158
0	Min.	-1986	-32827.20	130	-3713.06	177	-560.79	130	-550.16	130	-68.54	130	-0.92	141	-943.22	101	-24999.10	158
0	Min.	-1985	-32827.20	130	-3713.06	177	-560.79	130	-550.16	130	-68.54	130	-0.92	141	-943.22	101	-24999.10	158
0	Max	-1676	37009.50	101	1817.43	101	1822.02	101	386.27	97	106.76	130	125.25	121	231.54	49	6904.65	106
0	Max	-1677	37009.50	101	1817.43	101	1822.02	101	386.27	97	106.76	130	125.25	121	231.54	49	6904.65	106
0	Max	-1987	37009.50	101	1817.43	101	1822.02	101	386.27	97	106.76	130	125.25	121	231.54	49	6904.65	106
0	Max	-1986	37009.50	101	1817.43	101	1822.02	101	386.27	97	106.76	130	125.25	121	231.54	49	6904.65	106
0	Min.	-1676	-48760.00	130	-3176.11	130	-3550.13	130	-160.11	106	-24.22	101	-70.57	106	-3007.22	130	-8901.30	121
0	Min.	-1677	-48760.00	130	-3176.11	130	-3550.13	130	-160.11	106	-24.22	101	-70.57	106	-3007.22	130	-8901.30	121
0	Min.	-1987	-48760.00	130	-3176.11	130	-3550.13	130	-160.11	106	-24.22	101	-70.57	106	-3007.22	130	-8901.30	121
0	Min.	-1986	-48760.00	130	-3176.11	130	-3550.13	130	-160.11	106	-24.22	101	-70.57	106	-3007.22	130	-8901.30	121
0	Max	-1677	51404.00	101	1959.06	97	1998.59	158	927.56	101	18.13	101	389.84	158	909.47	101	16412.20	101
0	Max	-1678	51404.00	101	1959.06	97	1998.59	158	927.56	101	18.13	101	389.84	158	909.47	101	16412.20	101
0	Max	-1988	51404.00	101	1959.06	97	1998.59	158	927.56	101	18.13	101	389.84	158	909.47	101	16412.20	101
0	Max	-1987	51404.00	101	1959.06	97	1998.59	158	927.56	101	18.13	101	389.84	158	909.47	101	16412.20	101
0	Min.	-1677	-74677.30	130	-249.28	17	-131.44	49	-2457.90	130	-72.29	130	-32.89	49	-2202.62	130	-82630.10	158
0	Min.	-1678	-74677.30	130	-249.28	17	-131.44	49	-2457.90	130	-72.29	130	-32.89	49	-2202.62	130	-82630.10	158
0	Min.	-1988	-74677.30	130	-249.28	17	-131.44	49	-2457.90	130	-72.29	130	-32.89	49	-2202.62	130	-82630.10	158
0	Min.	-1987	-74677.30	130	-249.28	17	-131.44	49	-2457.90	130	-72.29	130	-32.89	49	-2202.62	130	-82630.10	158
0	Max	-1678	44471.50	97	2165.47	101	2890.81	158	1470.60	158	47.30	130	370.03	158	4298.77	158	21467.00	101
0	Max	-1679	44471.50	97	2165.47	101	2890.81	158	1470.60	158	47.30	130	370.03	158	4298.77	158	21467.00	101
0	Max	-1989	44471.50	97	2165.47	101	2890.81	158	1470.60	158	47.30	130	370.03	158	4298.77	158	21467.00	101
0	Max	-1988	44471.50	97	2165.47	101	2890.81	158	1470.60	158	47.30	130	370.03	158	4298.77	158	21467.00	101
0	Min.	-1678	-20005.90	130	-3869.97	130	-427.65	101	-95.54	65	-14.00	101	-37.63	101	-1401.05	101	-61046.30	130
0	Min.	-1679	-20005.90	130	-3869.97	130	-427.65	101	-95.54	65	-14.00	101	-37.63	101	-1401.05	101	-61046.30	130
0	Min.	-1989	-20005.90	130	-3869.97	130	-427.65	101	-95.54	65	-14.00	101	-37.63	101	-1401.05	101	-61046.30	130
0	Min.	-1988	-20005.90	130	-3869.97	130	-427.65	101	-95.54	65	-14.00	101	-37.63	101	-1401.05	101	-61046.30	130
0	Max	-1679	51046.70	101	1706.72	158	1564.00	101	985.88	97	48.18	101	134.27	101	1425.66	166	11419.80	130
0	Max	-1680	51046.70	101	1706.72	158	1564.00	101	985.88	97	48.18	101	134.27	101	1425.66	166	11419.80	130
0	Max	-1990	51046.70	101	1706.72	158	1564.00	101	985.88	97	48.18	101	134.27	101	1425.66	166	11419.80	130
0	Max	-1989	51046.70	101	1706.72	158	1564.00	101	985.88	97	48.18	101	134.27	101	1425.66	166	11419.80	130
0	Min.	-1679	-43490.80	130	73.13	65	-3452.05	130	-701.68	130	-81.55	158	-75.02	130	-2396.42	101	-11188.20	101
0	Min.	-1680	-43490.80	130	73.13	65	-3452.05	130	-701.68	130	-81.55	158	-75.02	130	-2396.42	101	-11188.20	101
0	Min.	-1990	-43490.80	130	73.13	65	-3452.05	130	-701.68	130	-81.55	158	-75.02	130	-2396.42	101	-11188.20	101
0	Min.	-1989	-43490.80	130	73.13	65	-3452.05	130	-701.68	130	-81.55	158	-75.02	130	-2396.42	101	-11188.20	101
0	Max	-1680	57507.90	101	175.02	177	455.12	177	1303.88	97	98.33	130	157.47	97	80.53	173	3447.99	173
0	Max	-1964	57507.90	101	175.02	177	455.12	177	1303.88	97	98.33	130	157.47	97	80.53	173	3447.99	173
0	Max	-2017	57507.90	101	175.02	177	455.12	177	1303.88	97	98.33	130	157.47	97	80.53	173	3447.99	173
0	Max	-1990	57507.90	101	175.02	177	455.12	177	1303.88	97	98.33	130	157.47	97	80.53	173	3447.99	173
0	Min.	-1680	-56895.90	130	-790.06	165	-607.78	166	-122.30	130	-1.69	49	-17.87	17	-2385.13	106	-13935.80	65
0	Min.	-1964	-56895.90	130	-790.06	165	-607.78	166	-122.30	130	-1.69	49	-17.87	17	-2385.13	106	-13935.80	65
0	Min.	-2017	-56895.90	130	-790.06	165	-607.78	166	-122.30	130	-1.69	49	-17.87	17	-2385.13	106	-13935.80	65
0	Min.	-1990	-56895.90	130	-790.06	165	-607.78	166	-122.30	130	-1.69	49	-17.87	17	-2385.13	106	-13935.80	65
0	Max	-1964	57607.30	101	-115.94	17	781.03	177	1310.28	97	-4.64	65	226.65	97	1320.63	121	3806.55	17
0	Max	-1681	57607.30	101	-115.94	17	781.03	177	1310.28	97	-4.64	65	226.65	97	1320.63	121	3806.55	17
0	Max	-1991	57607.30	101	-115.94	17	781.03	177	1310.28	97	-4.64	65	226.65	97	1320.63	121	3806.55	17
0	Max	-2017	57607.30	101	-115.94	17	781.03	177	1310.28	97	-4.64	65	226.65	97	1320.63	121	3806.55	17
0	Min.	-1964	-58629.10	130	-1928.91	158	-450.42	106	-235.44	130	-101.82	158	-26.01	17	-382.60	106	-20079.10	97
0	Min.	-1681	-58629.10	130	-1928.91	158	-450.42	106	-235.44	130	-101.82	158	-26.01	17	-382.60	106	-20079.10	97
0	Min.	-1991	-58629.10	130	-1928.91	158	-450.42	106	-235.44	130	-101.82	158	-26.01	17	-382.60	106	-20079.10	97
0	Min.	-2017	-58629.10	130	-1928.91	158	-450.42	106	-235.44	130	-101.82	158	-26.01	17	-382.60	106	-20079.10	97
0	Max	-1681	57919.80	101	1792.56	101	396.88	65	2212.96	97	119.68	158	116.19	65	847.02	173	15648.20	158
0	Max	-1686	57919.80	101	1792.56	101	396.88	65	2212.96	97	119.68	158	116.19	65	847.02	173	15648.20	158
0	Max	-1992	57919.80	101	1792.56	101	396.88	65	2212.96	97	119.68	158	116.19	65	847.02	173	15648.20	158
0	Max	-1991	57919.80	101	1792.56	101	396.88	65	2212.96	97	119.68	158	116.19	65	847.02	173	15648.20	158
0	Min.	-1681	-73985.00	130	-2876.54	130	-4017.78	158	56.97	17	-9.35	17	-120.43	173	-3289.87	166	-10104.10	65
0	Min.	-1686	-73985.00	130	-2876.54	130	-4017.78	158	56.97	17	-9.35	17	-120.43	173	-3289.87	166	-10104.10	65
0	Min.	-1992	-73985.00	130	-2876.54	130	-4017.78	158	56.97	17	-9.35	17	-120.43	173	-3289.87	166	-10104.10	65
0	Min.	-1991	-73985.00	130	-2876.54	130	-4017.78	158	56.97	17	-9.35	17	-120.43	173	-3289.87	166	-10104.10	65
0	Max	-2018	15204.70	101	9651.83	177	3384.64	130	27.73	173	80.06	158	4.50	177	4745.34	158	4445.32	101
0	Max	-2029	15204.70	101	9651.83	177	3384.64	130	27.73	173	80.06	158	4.50	177	4745.34	158	4445.32	101
0	Max	-1619	15204.70	101	9651.83	177	3384.64	130	27.73	173	80.06	158	4.50	177	4745.34	158	4445.32	101
0	Max	-1417	15204.70	101	9651.83	177	3384.64	130	27.73	173	80.06	158	4.50	177	4745.34	158	4445.32	101
0	Min.	-2018	-19758.40	130	-2497.64	173	-2649.41	101	-110.85	130	-10.10	177	-175.38	158	-573.48	177	-24628.50	162
0	Min.	-2029	-19758.40	130	-2497.64	173	-2649.41	101	-110.85	130	-10.10	177	-175.38	158	-573.48	177	-24628.50	162
0	Min.	-1619	-19758.40	130	-2497.64	173	-2649.41	101	-110.85	130	-10.10	177	-175.38	158	-573.48	177	-24628.50	162
0	Min.	-1417	-19758.40	130	-2497.64	173	-2649.41	101	-110.85	130	-10.10	177	-175.38	158	-573.48	177	-24628.50	162
0	Max	-2029	25050.60	101	4953.60	177	714.49	130	174.17	97	22.48	101	53.08	177	1732.49	177	5838.69	177
0	Max	-2030	25050.60	101	4953.60	177	714.49	130	174.17	97	22.48	101	53.08	177	1732.49	177	5838.69	177
0	Max	-1620	25050.60	101	4953.60	177	714.49	130	174.17	97	22.48	101	53.08	177	1732.49	177	5838.69	177

0	Max	-1619	25050.60	101	4953.60	177	714.49	130	174.17	97	22.48	101	53.08	177	1732.49	177	5838.69	177
0	Min.	-2029	-32099.00	130	-1386.82	130	-711.34	101	-532.27	130	-65.15	130	-243.63	158	-1996.12	130	-23002.90	158
0	Min.	-2030	-32099.00	130	-1386.82	130	-711.34	101	-532.27	130	-65.15	130	-243.63	158	-1996.12	130	-23002.90	158
0	Min.	-1620	-32099.00	130	-1386.82	130	-711.34	101	-532.27	130	-65.15	130	-243.63	158	-1996.12	130	-23002.90	158
0	Min.	-1619	-32099.00	130	-1386.82	130	-711.34	101	-532.27	130	-65.15	130	-243.63	158	-1996.12	130	-23002.90	158
0	Max	-2030	36257.30	101	1804.46	101	3764.87	130	379.67	97	100.51	130	108.64	177	2718.00	130	7476.96	177
0	Max	-2031	36257.30	101	1804.46	101	3764.87	130	379.67	97	100.51	130	108.64	177	2718.00	130	7476.96	177
0	Max	-1621	36257.30	101	1804.46	101	3764.87	130	379.67	97	100.51	130	108.64	177	2718.00	130	7476.96	177
0	Max	-1620	36257.30	101	1804.46	101	3764.87	130	379.67	97	100.51	130	108.64	177	2718.00	130	7476.96	177
0	Min.	-2030	-47958.10	130	-3488.82	130	-1961.40	101	-185.34	106	-123.42	177	-133.77	121	-8611.10	177	-9959.40	158
0	Min.	-2031	-47958.10	130	-3488.82	130	-1961.40	101	-185.34	106	-123.42	177	-133.77	121	-8611.10	177	-9959.40	158
0	Min.	-1621	-47958.10	130	-3488.82	130	-1961.40	101	-185.34	106	-123.42	177	-133.77	121	-8611.10	177	-9959.40	158
0	Min.	-1620	-47958.10	130	-3488.82	130	-1961.40	101	-185.34	106	-123.42	177	-133.77	121	-8611.10	177	-9959.40	158
0	Max	-2031	49981.20	101	1758.19	97	4786.10	177	899.94	101	123.56	177	441.61	177	8669.83	177	52306.70	177
0	Max	-2032	49981.20	101	1758.19	97	4786.10	177	899.94	101	123.56	177	441.61	177	8669.83	177	52306.70	177
0	Max	-1622	49981.20	101	1758.19	97	4786.10	177	899.94	101	123.56	177	441.61	177	8669.83	177	52306.70	177
0	Max	-1621	49981.20	101	1758.19	97	4786.10	177	899.94	101	123.56	177	441.61	177	8669.83	177	52306.70	177
0	Min.	-2031	-72062.40	130	-5752.45	177	-2157.22	158	-2377.10	130	-71.06	158	-375.91	158	-550.33	101	-75329.70	158
0	Min.	-2032	-72062.40	130	-5752.45	177	-2157.22	158	-2377.10	130	-71.06	158	-375.91	158	-550.33	101	-75329.70	158
0	Min.	-1622	-72062.40	130	-5752.45	177	-2157.22	158	-2377.10	130	-71.06	158	-375.91	158	-550.33	101	-75329.70	158
0	Min.	-1621	-72062.40	130	-5752.45	177	-2157.22	158	-2377.10	130	-71.06	158	-375.91	158	-550.33	101	-75329.70	158
0	Max	-2032	43205.60	97	1897.32	101	404.94	101	1397.02	158	124.95	177	27.95	1	8306.47	177	19271.40	101
0	Max	-2033	43205.60	97	1897.32	101	404.94	101	1397.02	158	124.95	177	27.95	1	8306.47	177	19271.40	101
0	Max	-1623	43205.60	97	1897.32	101	404.94	101	1397.02	158	124.95	177	27.95	1	8306.47	177	19271.40	101
0	Max	-1622	43205.60	97	1897.32	101	404.94	101	1397.02	158	124.95	177	27.95	1	8306.47	177	19271.40	101
0	Min.	-2032	-21329.40	130	-6071.46	177	-4390.16	177	-90.78	17	-12.33	101	-466.33	177	-3396.66	158	-55366.60	177
0	Min.	-2033	-21329.40	130	-6071.46	177	-4390.16	177	-90.78	17	-12.33	101	-466.33	177	-3396.66	158	-55366.60	177
0	Min.	-1623	-21329.40	130	-6071.46	177	-4390.16	177	-90.78	17	-12.33	101	-466.33	177	-3396.66	158	-55366.60	177
0	Min.	-1622	-21329.40	130	-6071.46	177	-4390.16	177	-90.78	17	-12.33	101	-466.33	177	-3396.66	158	-55366.60	177
0	Max	-2033	50150.30	101	2164.66	158	3623.22	130	992.81	97	49.69	101	76.59	130	2508.99	101	8979.40	130
0	Max	-2034	50150.30	101	2164.66	158	3623.22	130	992.81	97	49.69	101	76.59	130	2508.99	101	8979.40	130
0	Max	-1624	50150.30	101	2164.66	158	3623.22	130	992.81	97	49.69	101	76.59	130	2508.99	101	8979.40	130
0	Max	-1623	50150.30	101	2164.66	158	3623.22	130	992.81	97	49.69	101	76.59	130	2508.99	101	8979.40	130
0	Min.	-2033	-43064.40	130	37.32	1	-1626.37	101	-658.21	130	-126.62	177	-227.04	173	-8466.13	177	-18753.80	173
0	Min.	-2034	-43064.40	130	37.32	1	-1626.37	101	-658.21	130	-126.62	177	-227.04	173	-8466.13	177	-18753.80	173
0	Min.	-1624	-43064.40	130	37.32	1	-1626.37	101	-658.21	130	-126.62	177	-227.04	173	-8466.13	177	-18753.80	173
0	Min.	-1623	-43064.40	130	37.32	1	-1626.37	101	-658.21	130	-126.62	177	-227.04	173	-8466.13	177	-18753.80	173
0	Max	-2034	56358.10	101	2418.55	177	673.90	166	1301.20	97	92.57	130	18.89	65	1855.71	106	3184.86	65
0	Max	-2060	56358.10	101	2418.55	177	673.90	166	1301.20	97	92.57	130	18.89	65	1855.71	106	3184.86	65
0	Max	-1961	56358.10	101	2418.55	177	673.90	166	1301.20	97	92.57	130	18.89	65	1855.71	106	3184.86	65
0	Max	-1624	56358.10	101	2418.55	177	673.90	166	1301.20	97	92.57	130	18.89	65	1855.71	106	3184.86	65
0	Min.	-2034	-56166.40	130	-557.30	165	-24.88	1	-145.38	130	-1.52	65	-292.35	173	-435.41	157	-25043.40	173
0	Min.	-2060	-56166.40	130	-557.30	165	-24.88	1	-145.38	130	-1.52	65	-292.35	173	-435.41	157	-25043.40	173
0	Min.	-1961	-56166.40	130	-557.30	165	-24.88	1	-145.38	130	-1.52	65	-292.35	173	-435.41	157	-25043.40	173
0	Min.	-1624	-56166.40	130	-557.30	165	-24.88	1	-145.38	130	-1.52	65	-292.35	173	-435.41	157	-25043.40	173
0	Max	-2060	56583.20	101	3456.72	177	903.72	177	1348.20	97	25.14	177	26.35	65	2881.99	177	3645.02	65
0	Max	-2035	56583.20	101	3456.72	177	903.72	177	1348.20	97	25.14	177	26.35	65	2881.99	177	3645.02	65
0	Max	-1625	56583.20	101	3456.72	177	903.72	177	1348.20	97	25.14	177	26.35	65	2881.99	177	3645.02	65
0	Max	-1961	56583.20	101	3456.72	177	903.72	177	1348.20	97	25.14	177	26.35	65	2881.99	177	3645.02	65
0	Min.	-2060	-58150.10	130	-1584.89	158	-654.70	125	-202.07	130	-90.74	122	-389.92	173	-524.65	97	-32362.80	173
0	Min.	-2035	-58150.10	130	-1584.89	158	-654.70	125	-202.07	130	-90.74	122	-389.92	173	-524.65	97	-32362.80	173
0	Min.	-1625	-58150.10	130	-1584.89	158	-654.70	125	-202.07	130	-90.74	122	-389.92	173	-524.65	97	-32362.80	173
0	Min.	-1961	-58150.10	130	-1584.89	158	-654.70	125	-202.07	130	-90.74	122	-389.92	173	-524.65	97	-32362.80	173
0	Max	-2035	56721.90	101	1466.43	101	4211.11	158	2152.34	97	109.68	158	123.29	158	3168.14	166	12201.40	158
0	Max	-2036	56721.90	101	1466.43	101	4211.11	158	2152.34	97	109.68	158	123.29	158	3168.14	166	12201.40	158
0	Max	-1687	56721.90	101	1466.43	101	4211.11	158	2152.34	97	109.68	158	123.29	158	3168.14	166	12201.40	158
0	Max	-1625	56721.90	101	1466.43	101	4211.11	158	2152.34	97	109.68	158	123.29	158	3168.14	166	12201.40	158
0	Min.	-2035	-73057.80	130	-3266.90	130	-384.36	17	58.05	65	-166.22	177	-221.35	173	-11784.00	177	-19240.50	173
0	Min.	-2036	-73057.80	130	-3266.90	130	-384.36	17	58.05	65	-166.22	177	-221.35	173	-11784.00	177	-19240.50	173
0	Min.	-1687	-73057.80	130	-3266.90	130	-384.36	17	58.05	65	-166.22	177	-221.35	173	-11784.00	177	-19240.50	173
0	Min.	-1625	-73057.80	130	-3266.90	130	-384.36	17	58.05	65	-166.22	177	-221.35	173	-11784.00	177	-19240.50	173
0	Max	-2037	61738.50	101	-366.93	65	-293.01	17	4473.98	121	234.91	177	89.63	65	16988.90	177	8224.01	65
0	Max	-2059	61738.50	101	-366.93	65	-293.01	17	4473.98	121	234.91	177	89.63	65	16988.90	177	8224.01	65
0	Max	-1950	61738.50	101	-366.93	65	-293.01	17	4473.98	121	234.91	177	89.63	65	16988.90	177	8224.01	65
0	Max	-1803	61738.50	101	-366.93	65	-293.01	17	4473.98	121	234.91	177	89.63	65	16988.90	177	8224.01	65
0	Min.	-2037	-40983.30	106	-3903.74	177	-8643.65	177	140.34	65	5.33	65	-756.73	177	546.06	65	-80876.80	177
0	Min.	-2059	-40983.30	106	-3903.74	177	-8643.65	177	140.34	65	5.33	65	-756.73	177	546.06	65	-80876.80	177
0	Min.	-1950	-40983.30	106	-3903.74	177	-8643.65	177	140.34	65	5.33	65	-756.73	177	546.06	65	-80876.80	177
0	Min.	-1803	-40983.30	106	-3903.74	177	-8643.65	177	140.34	65	5.33	65	-756.73	177	546.06	65	-80876.80	177
0	Max	-2059	60227.20	101	5874.48	121	5717.32	121	1490.08	97	-10.15	33	472.69	97	6008.06	173	8774.03	65
0	Max	-2038	60227.20	101	5874.48	121	5717.32	121	1490.08	97	-10.15	33	472.69	97	6008.06	173	8774.03	65
0	Max	-1804	60227.20	101	5874.48	121	5717.32	121	1490.08	97	-10.15	33	472.69	97	6008.06	173	8774.03	65
0	Max	-1950	60227.20	101	5874.48	121	5717.32	121	1490.08	97	-10.15	33	472.69	97	6008.06	173	8774.03	65
0	Min.	-2059	-46047.90	130	194.19	65	179.61	65	-11.78	49	-306.66	177	-181.79	177	-19181.60	177	-86671.50	173
0	Min.	-2038	-46047.90	130	194.19	65	179.61	65	-11.78	49	-306.66	177	-181.79	177	-19181.60	177	-86671.50	173
0	Min.	-1804	-46047.90	130	194.19	65	179.61	65	-11.78	49	-306.66	177	-181.79	177	-19181.60	177	-86671.50	173
0	Min.	-1950	-46047.90	130	194.19	65	179.61	65	-11.78	49	-306.66	177	-181.79	177	-19181.60	177	-86671.50	173
0	Max	-2038	38520.70	101	3014.88	97	6321.06	97	594.89	101	16.17	173	203.26	97	-96.10	17	14773.90	98
0	Max	-2039	38520.70	101	3014.88	97	6321.06	97	594.89	101	16.17	173	203.26	97	-96.10	17	14773.90	98
0	Max	-1805	38520.70	101	3014.88	97	6321.06	97	594.89	101	16.17	173	203.26	97	-96.10	17	14773.90	98
0	Max	-1804	38520.70	101	3014.88	97	6321.06	97	594.89	101	16.17	173	203.26	97	-96.10	17	14773.90	98
0	Min.	-2038	-65169.80	130	71.09	65	203.07	65	-432.66	130	-33.76	177	-327.03	173	-12125.90	122	-35649.60	173
0	Min.	-2039	-65169.80	130	71.09	65	203.07	65	-432.66	130	-33.76	177	-327.03	173	-12125.90	122	-35649.60	173
0	Min.	-1805	-65169.80	130	71.09	65	203.07	65	-432.66	130	-33.76	177	-327.03	173	-12125.90	122	-35649.60	173
0	Min.	-1804	-65169.80	130	71.09	65	203.07	65	-432.66	130	-33.76	177	-327.03	173	-12125.90	122	-35649.60	173
0	Max	-2039	16657.50	101	1517.20	177	3662.86	97	259.39	101	6.52	177	246.25	98	3688.30	122	11705.30	65
0	Max	-2040	16657.50	101	1517.20	177	3662.86	97	259.39	101	6.52	177	246.25	98	3688.30	122	11705.30	65
0	Max	-1806	16657.50	101	1517.20	177	3662.86	97	259.39	101	6.52	177	246.25	98	3688.30	122	11705.30	65
0	Max	-1805	16657.50	101	1517.20	177	3662.86	97	259.39	101	6.52	177	246.25	98	3688.30	122	11705.30	65
0	Min.	-2039	-80714.50	130	-2082.50	173	78.29	65	-522.57	130	-42.50	173	-377.38	173	182.10	65	-47653.00	173
0	Min.	-2040	-80714.50	130	-2082.50	173	78.29	65	-522.57	130	-42.50	173	-377.38	173	182.10	65	-47653.00	173
0	Min.	-1806	-80714.50	130	-2082.50	173	78.29	65	-522.57	130	-42.50	173	-377.38	173	182.10	65	-47653.00	173
0	Min.	-1805	-80714.50	130	-2082.50	173	78.29	65	-522.57	130	-42.50	173	-377.38	173	182.10	65	-47653.00	173
0	Max	-2040	3710.21	1	1021.96	177	7360.72	97	286.95	101	221.85	173	375.47	97	9617.99	173	23178.90	98
0	Max	-2041	3710.21	1	1021.96	177	7360.72	97	286.95	101	221.85	173	375.47	97	9617.99	173	23178.90	98
0	Max	-1807	3710.21	1	1021.96	177	7360.72	97	286.95	101	221.85	173	375.47	97	9617.99	173	23178.90	98
0	Max	-1806	3710.21	1	1021.96	177	7360.72	97	286.95	101	221.85	173	375.47	97	9617.99	173	23178.90	98
0	Min.	-2040	-93601.80	98	-5411.80	121	80.47	65	-600.96	106	-120.25	177	-342.78	173	-9303.37	177	-41152.90	173
0	Min.	-2041	-93601.80	98	-5411.80	121	80.47	65	-600.96	106	-120.25	177	-342.78	173	-9303.37	177	-41152.90	173
0	Min.	-1807	-93601.80	98	-5411.80	121	80.47	65	-600.96	106	-120.25	177	-342.78	173	-9303.37	177	-41152.90	173
0	Min.	-1806	-93601.80	98	-5411.80	121	80.47	65	-600.96	106	-120.25	177	-342.78	173	-9303.37	177	-41152.90	173
0	Max	-2041	-3226.74	17	5536.85	173	4668.46	177	-97.70	65	117.80	177	441.63	177	9235.89	177	46433.50	177
0	Max	-2042	-3226.74	17	5536.85	173	4668.46	177	-97.70	65	117.80	177	441.63	177	9235.89	177	46433.50	177
0	Max	-1808	-3226.74	17	5536.85	173	4668.46	177	-97.70	65	117.80	177	441.63	177	9235.89	177	46433.50	177
0	Max	-1807	-3226.74	17	5536.85	173	4668.46	177	-97.70	65	117.80	177	441.63	177	9235.89	177	46433.50	177

0	Min.	-2041	-142405.00	98	-5437.93	177	-5129.55	173	-3031.53	121	-159.93	173	-1039.38	173	-3992.49	173	-154627.00	173
0	Min.	-2042	-142405.00	98	-5437.93	177	-5129.55	173	-3031.53	121	-159.93	173	-1039.38	173	-3992.49	173	-154627.00	173
0	Min.	-1808	-142405.00	98	-5437.93	177	-5129.55	173	-3031.53	121	-159.93	173	-1039.38	173	-3992.49	173	-154627.00	173
0	Min.	-1807	-142405.00	98	-5437.93	177	-5129.55	173	-3031.53	121	-159.93	173	-1039.38	173	-3992.49	173	-154627.00	173
0	Max	-2042	7095.03	125	43.28	65	1800.19	173	1375.45	157	136.16	177	105.58	65	8176.62	177	10288.20	65
0	Max	-2043	7095.03	125	43.28	65	1800.19	173	1375.45	157	136.16	177	105.58	65	8176.62	177	10288.20	65
0	Max	-1809	7095.03	125	43.28	65	1800.19	173	1375.45	157	136.16	177	105.58	65	8176.62	177	10288.20	65
0	Max	-1808	7095.03	125	43.28	65	1800.19	173	1375.45	157	136.16	177	105.58	65	8176.62	177	10288.20	65
0	Min.	-2042	-87386.50	98	-6844.57	177	-4898.82	177	-421.00	106	-47.56	173	-484.95	177	-9369.68	173	-70928.30	121
0	Min.	-2043	-87386.50	98	-6844.57	177	-4898.82	177	-421.00	106	-47.56	173	-484.95	177	-9369.68	173	-70928.30	121
0	Min.	-1809	-87386.50	98	-6844.57	177	-4898.82	177	-421.00	106	-47.56	173	-484.95	177	-9369.68	173	-70928.30	121
0	Min.	-1808	-87386.50	98	-6844.57	177	-4898.82	177	-421.00	106	-47.56	173	-484.95	177	-9369.68	173	-70928.30	121
0	Max	-2043	-2366.80	17	2105.53	157	6424.63	97	-53.72	65	8.02	65	360.81	97	2310.47	173	29946.10	98
0	Max	-2044	-2366.80	17	2105.53	157	6424.63	97	-53.72	65	8.02	65	360.81	97	2310.47	173	29946.10	98
0	Max	-1810	-2366.80	17	2105.53	157	6424.63	97	-53.72	65	8.02	65	360.81	97	2310.47	173	29946.10	98
0	Max	-1809	-2366.80	17	2105.53	157	6424.63	97	-53.72	65	8.02	65	360.81	97	2310.47	173	29946.10	98
0	Min.	-2043	-128306.00	98	-1291.22	173	-277.40	49	-1935.54	98	-151.77	177	-100.23	173	-9454.39	177	-20458.30	173
0	Min.	-2044	-128306.00	98	-1291.22	173	-277.40	49	-1935.54	98	-151.77	177	-100.23	173	-9454.39	177	-20458.30	173
0	Min.	-1810	-128306.00	98	-1291.22	173	-277.40	49	-1935.54	98	-151.77	177	-100.23	173	-9454.39	177	-20458.30	173
0	Min.	-1809	-128306.00	98	-1291.22	173	-277.40	49	-1935.54	98	-151.77	177	-100.23	173	-9454.39	177	-20458.30	173
0	Max	-2044	-4702.40	17	2594.50	177	992.56	121	-21.00	17	75.68	121	203.54	98	2918.03	177	12029.30	98
0	Max	-2123	-4702.40	17	2594.50	177	992.56	121	-21.00	17	75.68	121	203.54	98	2918.03	177	12029.30	98
0	Max	-2093	-4702.40	17	2594.50	177	992.56	121	-21.00	17	75.68	121	203.54	98	2918.03	177	12029.30	98
0	Max	-1810	-4702.40	17	2594.50	177	992.56	121	-21.00	17	75.68	121	203.54	98	2918.03	177	12029.30	98
0	Min.	-2044	-153462.00	98	-1650.01	173	-1167.60	177	-1589.12	98	-1.64	173	-166.23	173	-2837.18	173	-20915.70	173
0	Min.	-2123	-153462.00	98	-1650.01	173	-1167.60	177	-1589.12	98	-1.64	173	-166.23	173	-2837.18	173	-20915.70	173
0	Min.	-2093	-153462.00	98	-1650.01	173	-1167.60	177	-1589.12	98	-1.64	173	-166.23	173	-2837.18	173	-20915.70	173
0	Min.	-1810	-153462.00	98	-1650.01	173	-1167.60	177	-1589.12	98	-1.64	173	-166.23	173	-2837.18	173	-20915.70	173
0	Max	-2045	-6586.27	17	1093.34	101	2204.21	125	-39.68	17	36.97	98	163.96	177	4079.28	125	7546.26	177
0	Max	-2124	-6586.27	17	1093.34	101	2204.21	125	-39.68	17	36.97	98	163.96	177	4079.28	125	7546.26	177
0	Max	-2091	-6586.27	17	1093.34	101	2204.21	125	-39.68	17	36.97	98	163.96	177	4079.28	125	7546.26	177
0	Max	-1811	-6586.27	17	1093.34	101	2204.21	125	-39.68	17	36.97	98	163.96	177	4079.28	125	7546.26	177
0	Min.	-2045	-166029.00	98	-1032.03	130	-952.71	177	-1978.70	173	-11.00	173	-180.62	173	-2279.23	173	-29226.70	173
0	Min.	-2124	-166029.00	98	-1032.03	130	-952.71	177	-1978.70	173	-11.00	173	-180.62	173	-2279.23	173	-29226.70	173
0	Min.	-2091	-166029.00	98	-1032.03	130	-952.71	177	-1978.70	173	-11.00	173	-180.62	173	-2279.23	173	-29226.70	173
0	Min.	-1811	-166029.00	98	-1032.03	130	-952.71	177	-1978.70	173	-11.00	173	-180.62	173	-2279.23	173	-29226.70	173
0	Max	-2046	-5420.52	65	6442.41	173	5775.92	177	194.98	49	346.99	177	680.22	177	24364.90	177	64960.70	177
0	Max	-2019	-5420.52	65	6442.41	173	5775.92	177	194.98	49	346.99	177	680.22	177	24364.90	177	64960.70	177
0	Max	-1533	-5420.52	65	6442.41	173	5775.92	177	194.98	49	346.99	177	680.22	177	24364.90	177	64960.70	177
0	Max	-1812	-5420.52	65	6442.41	173	5775.92	177	194.98	49	346.99	177	680.22	177	24364.90	177	64960.70	177
0	Min.	-2046	-168717.00	97	-3915.77	177	-12374.40	173	-2521.84	173	-714.67	173	-1602.47	173	-47729.90	173	-142036.00	173
0	Min.	-2019	-168717.00	97	-3915.77	177	-12374.40	173	-2521.84	173	-714.67	173	-1602.47	173	-47729.90	173	-142036.00	173
0	Min.	-1533	-168717.00	97	-3915.77	177	-12374.40	173	-2521.84	173	-714.67	173	-1602.47	173	-47729.90	173	-142036.00	173
0	Min.	-1812	-168717.00	97	-3915.77	177	-12374.40	173	-2521.84	173	-714.67	173	-1602.47	173	-47729.90	173	-142036.00	173
0	Max	-2019	465.03	161	7410.34	173	12496.90	173	998.53	125	346.99	177	1436.53	173	24364.90	177	136506.00	173
0	Max	-2047	465.03	161	7410.34	173	12496.90	173	998.53	125	346.99	177	1436.53	173	24364.90	177	136506.00	173
0	Max	-1813	465.03	161	7410.34	173	12496.90	173	998.53	125	346.99	177	1436.53	173	24364.90	177	136506.00	173
0	Max	-1533	465.03	161	7410.34	173	12496.90	173	998.53	125	346.99	177	1436.53	173	24364.90	177	136506.00	173
0	Min.	-2019	-168717.00	98	-3915.77	177	-5985.94	161	-2834.67	173	-793.24	173	-680.22	177	-55743.60	173	-64960.70	177
0	Min.	-2047	-168717.00	98	-3915.77	177	-5985.94	161	-2834.67	173	-793.24	173	-680.22	177	-55743.60	173	-64960.70	177
0	Min.	-1813	-168717.00	98	-3915.77	177	-5985.94	161	-2834.67	173	-793.24	173	-680.22	177	-55743.60	173	-64960.70	177
0	Min.	-1533	-168717.00	98	-3915.77	177	-5985.94	161	-2834.67	173	-793.24	173	-680.22	177	-55743.60	173	-64960.70	177
0	Max	-2047	-805.22	162	3438.40	177	2390.22	125	-33.94	17	629.29	173	307.68	173	43819.50	173	62088.40	173
0	Max	-2125	-805.22	162	3438.40	177	2390.22	125	-33.94	17	629.29	173	307.68	173	43819.50	173	62088.40	173
0	Max	-2089	-805.22	162	3438.40	177	2390.22	125	-33.94	17	629.29	173	307.68	173	43819.50	173	62088.40	173
0	Max	-1813	-805.22	162	3438.40	177	2390.22	125	-33.94	17	629.29	173	307.68	173	43819.50	173	62088.40	173
0	Min.	-2047	-165109.00	97	-8122.76	173	-1929.17	106	-2033.59	98	-293.04	177	-171.09	177	-20688.70	177	-27003.70	177
0	Min.	-2125	-165109.00	97	-8122.76	173	-1929.17	106	-2033.59	98	-293.04	177	-171.09	177	-20688.70	177	-27003.70	177
0	Min.	-2089	-165109.00	97	-8122.76	173	-1929.17	106	-2033.59	98	-293.04	177	-171.09	177	-20688.70	177	-27003.70	177
0	Min.	-1813	-165109.00	97	-8122.76	173	-1929.17	106	-2033.59	98	-293.04	177	-171.09	177	-20688.70	177	-27003.70	177
0	Max	-2048	-4111.29	162	240.52	1	923.29	125	-48.58	65	21.54	173	226.96	173	3486.47	98	35350.60	173
0	Max	-2126	-4111.29	162	240.52	1	923.29	125	-48.58	65	21.54	173	226.96	173	3486.47	98	35350.60	173
0	Max	-2087	-4111.29	162	240.52	1	923.29	125	-48.58	65	21.54	173	226.96	173	3486.47	98	35350.60	173
0	Max	-1814	-4111.29	162	240.52	1	923.29	125	-48.58	65	21.54	173	226.96	173	3486.47	98	35350.60	173
0	Min.	-2048	-152274.00	97	-1827.77	122	-2235.01	106	-1881.87	97	-49.65	177	-205.10	97	-2105.79	177	-18450.60	97
0	Min.	-2126	-152274.00	97	-1827.77	122	-2235.01	106	-1881.87	97	-49.65	177	-205.10	97	-2105.79	177	-18450.60	97
0	Min.	-2087	-152274.00	97	-1827.77	122	-2235.01	106	-1881.87	97	-49.65	177	-205.10	97	-2105.79	177	-18450.60	97
0	Min.	-1814	-152274.00	97	-1827.77	122	-2235.01	106	-1881.87	97	-49.65	177	-205.10	97	-2105.79	177	-18450.60	97
0	Max	-2049	-2366.83	65	592.13	177	782.04	125	-53.72	17	33.44	161	164.33	173	3002.81	173	26751.60	173
0	Max	-2050	-2366.83	65	592.13	177	782.04	125	-53.72	17	33.44	161	164.33	173	3002.81	173	26751.60	173
0	Max	-1816	-2366.83	65	592.13	177	782.04	125	-53.72	17	33.44	161	164.33	173	3002.81	173	26751.60	173
0	Max	-1815	-2366.83	65	592.13	177	782.04	125	-53.72	17	33.44	161	164.33	173	3002.81	173	26751.60	173
0	Min.	-2049	-128306.00	97	-1788.98	165	-6424.62	98	-1935.54	97	-151.77	177	-360.81	98	-9454.39	177	-29946.10	97
0	Min.	-2050	-128306.00	97	-1788.98	165	-6424.62	98	-1935.54	97	-151.77	177	-360.81	98	-9454.39	177	-29946.10	97
0	Min.	-1816	-128306.00	97	-1788.98	165	-6424.62	98	-1935.54	97	-151.77	177	-360.81	98	-9454.39	177	-29946.10	97
0	Min.	-1815	-128306.00	97	-1788.98	165	-6424.62	98	-1935.54	97	-151.77	177	-360.81	98	-9454.39	177	-29946.10	97
0	Max	-2050	6232.92	49	888.90	161	4898.82	177	987.53	173	136.16	177	484.95	177	8176.62	177	67727.90	173
0	Max	-2051	6232.92	49	888.90	161	4898.82	177	987.53	173	136.16	177	484.95	177	8176.62	177	67727.90	173
0	Max	-1817	6232.92	49	888.90	161	4898.82	177	987.53	173	136.16	177	484.95	177	8176.62	177	67727.90	173
0	Max	-1816	6232.92	49	888.90	161	4898.82	177	987.53	173	136.16	177	484.95	177	8176.62	177	67727.90	173
0	Min.	-2050	-87386.60	97	-6844.57	177	-1993.88	165	-953.38	125	-39.93	173	-168.34	157	-8928.13	173	-21397.70	161
0	Min.	-2051	-87386.60	97	-6844.57	177	-1993.88	165	-953.38	125	-39.93	173	-168.34	157	-8928.13	173	-21397.70	161
0	Min.	-1817	-87386.60	97	-6844.57	177	-1993.88	165	-953.38	125	-39.93	173	-168.34	157	-8928.13	173	-21397.70	161
0	Min.	-1816	-87386.60	97	-6844.57	177	-1993.88	165	-953.38	125	-39.93	173	-168.34	157	-8928.13	173	-21397.70	161
0	Max	-2051	23292.10	162	5771.40	173	5232.41	173	445.77	161	117.80	177	1053.08	173	9235.89	177	156222.00	173
0	Max	-2052	23292.10	162	5771.40	173	5232.41	173	445.77	161	117.80	177	1053.08	173	9235.89	177	156222.00	173
0	Max	-1818	23292.10	162	5771.40	173	5232.41	173	445.77	161	117.80	177	1053.08	173	9235.89	177	156222.00	173
0	Max	-1817	23292.10	162	5771.40	173	5232.41	173	445.77	161	117.80	177	1053.08	173	9235.89	177	156222.00	173
0	Min.	-2051	-142406.00	97	-5437.93	177	-4668.46	177	-2951.40	98	-158.69	173	-441.63	177	-3890.91	173	-46433.50	177
0	Min.	-2052	-142406.00	97	-5437.93	177	-4668.46	177	-2951.40	98	-158.69	173	-441.63	177	-3890.91	173	-46433.50	177
0	Min.	-1818	-142406.00	97	-5437.93	177	-4668.46	177	-2951.40	98	-158.69	173	-441.63	177	-3890.91	173	-46433.50	177
0	Min.	-1817	-142406.00	97	-5437.93	177	-4668.46	177	-2951.40	98	-158.69	173	-441.63	177	-3890.91	173	-46433.50	177
0	Max	-2052	23795.50	162	1466.38	161	441.91	161	286.93	106	226.42	173	339.68	173	9920.99	173	40018.00	173
0	Max	-2053	23795.50	162	1466.38	161	441.91	161	286.93	106	226.42	173	339.68	173	9920.99	173	40018.00	173
0	Max	-1819	23795.50	162	1466.38	161	441.91	161	286.93	106	226.42	173	339.68	173	9920.99	173	40018.00	173
0	Max	-1818	23795.50	162	1466.38	161	441.91	161	286.93	106	226.42	173	339.68	173	9920.99	173	40018.00	173
0	Min.	-2052	-93601.90	97	-4996.96	173	-7360.71	98	-600.98	101	-120.25	177	-375.47	98	-9303.37	177	-23178.90	97
0	Min.	-2053	-93601.90	97	-4996.96	173	-7360.71	98	-600.98	101	-120.25	177	-375.47	98	-9303.37	177	-23178.90	97
0	Min.	-1819	-93601.90	97	-4996.96	173	-7360.71	98	-600.98	101	-120.25	177	-375.47	98	-9303.37	177	-23178.90	97
0	Min.	-1818	-93601.90	97	-4996.96	173	-7360.71	98	-600.98	101	-120.25	177	-375.47	98	-9303.37	177	-23178.90	97
0	Max	-2053	25576.20	162	1517.20	177	-78.29	17	314.15	130	15.18	125	371.73	173	3006.27	97	46328.70	173
0	Max	-2054	25576.20	162	1517.20	177	-78.29	17	314.15	130	15.18	125	371.73	173	3006.27	97	46328.70	173
0	Max	-1820	25576.20	162	1517.20	177	-78.29	17	314.15	130	15.18	125	371.73	173	3006.27	97	46328.70	173
0	Max	-1819	25576.20	162	1517.20	177	-78.29	17	314.15	130	15.18	125	371.73	173	3006.27	97	46328.70	173
0	Min.	-2053	-72121.40	101	-1978.56	173	-3662.86	98	-521.52	101	-43.32	173	-246.25	97	-861.76	162	-11705.40	17

0	Min.	-2054	-72121.40	101	-1978.56	173	-3662.86	98	-521.52	101	-43.32	173	-246.25	97	-861.76	162	-11705.40	17
0	Min.	-1820	-72121.40	101	-1978.56	173	-3662.86	98	-521.52	101	-43.32	173	-246.25	97	-861.76	162	-11705.40	17
0	Min.	-1819	-72121.40	101	-1978.56	173	-3662.86	98	-521.52	101	-43.32	173	-246.25	97	-861.76	162	-11705.40	17
0	Max	-2054	38517.80	106	3014.89	98	-202.05	161	610.52	130	22.69	130	316.48	173	4615.23	162	34506.50	173
0	Max	-2055	38517.80	106	3014.89	98	-202.05	161	610.52	130	22.69	130	316.48	173	4615.23	162	34506.50	173
0	Max	-1821	38517.80	106	3014.89	98	-202.05	161	610.52	130	22.69	130	316.48	173	4615.23	162	34506.50	173
0	Max	-1820	38517.80	106	3014.89	98	-202.05	161	610.52	130	22.69	130	316.48	173	4615.23	162	34506.50	173
0	Min.	-2054	-59685.50	101	71.09	17	-6321.05	98	-363.57	101	-33.76	177	-203.26	98	-10150.10	97	-14773.90	97
0	Min.	-2055	-59685.50	101	71.09	17	-6321.05	98	-363.57	101	-33.76	177	-203.26	98	-10150.10	97	-14773.90	97
0	Min.	-1821	-59685.50	101	71.09	17	-6321.05	98	-363.57	101	-33.76	177	-203.26	98	-10150.10	97	-14773.90	97
0	Min.	-1820	-59685.50	101	71.09	17	-6321.05	98	-363.57	101	-33.76	177	-203.26	98	-10150.10	97	-14773.90	97
0	Max	-2055	60224.20	106	5366.98	98	1486.99	161	1490.08	98	30.20	162	181.79	177	5736.78	173	82436.10	173
0	Max	-2058	60224.20	106	5366.98	98	1486.99	161	1490.08	98	30.20	162	181.79	177	5736.78	173	82436.10	173
0	Max	-1934	60224.20	106	5366.98	98	1486.99	161	1490.08	98	30.20	162	181.79	177	5736.78	173	82436.10	173
0	Max	-1821	60224.20	106	5366.98	98	1486.99	161	1490.08	98	30.20	162	181.79	177	5736.78	173	82436.10	173
0	Min.	-2055	-43638.30	101	-1842.50	161	-5382.94	98	-58.39	125	-306.66	177	-472.69	98	-19181.60	177	-26599.60	162
0	Min.	-2058	-43638.30	101	-1842.50	161	-5382.94	98	-58.39	125	-306.66	177	-472.69	98	-19181.60	177	-26599.60	162
0	Min.	-1934	-43638.30	101	-1842.50	161	-5382.94	98	-58.39	125	-306.66	177	-472.69	98	-19181.60	177	-26599.60	162
0	Min.	-1821	-43638.30	101	-1842.50	161	-5382.94	98	-58.39	125	-306.66	177	-472.69	98	-19181.60	177	-26599.60	162
0	Max	-2058	61735.50	106	685.21	162	8643.69	177	4302.06	98	234.91	177	756.74	177	16989.10	177	80876.90	177
0	Max	-2056	61735.50	106	685.21	162	8643.69	177	4302.06	98	234.91	177	756.74	177	16989.10	177	80876.90	177
0	Max	-1822	61735.50	106	685.21	162	8643.69	177	4302.06	98	234.91	177	756.74	177	16989.10	177	80876.90	177
0	Max	-1934	61735.50	106	685.21	162	8643.69	177	4302.06	98	234.91	177	756.74	177	16989.10	177	80876.90	177
0	Min.	-2058	-40986.80	101	-3903.77	177	-2668.03	166	-747.35	161	-58.31	162	-176.43	162	-4547.00	162	-22482.60	162
0	Min.	-2056	-40986.80	101	-3903.77	177	-2668.03	166	-747.35	161	-58.31	162	-176.43	162	-4547.00	162	-22482.60	162
0	Min.	-1822	-40986.80	101	-3903.77	177	-2668.03	166	-747.35	161	-58.31	162	-176.43	162	-4547.00	162	-22482.60	162
0	Min.	-1934	-40986.80	101	-3903.77	177	-2668.03	166	-747.35	161	-58.31	162	-176.43	162	-4547.00	162	-22482.60	162
0	Max	-2056	69051.10	130	5269.91	173	1669.28	101	1473.48	162	226.32	177	523.93	173	15879.50	177	87046.70	173
0	Max	-2020	69051.10	130	5269.91	173	1669.28	101	1473.48	162	226.32	177	523.93	173	15879.50	177	87046.70	173
0	Max	-1539	69051.10	130	5269.91	173	1669.28	101	1473.48	162	226.32	177	523.93	173	15879.50	177	87046.70	173
0	Max	-1822	69051.10	130	5269.91	173	1669.28	101	1473.48	162	226.32	177	523.93	173	15879.50	177	87046.70	173
0	Min.	-2056	-71544.70	101	-6677.39	177	-4271.38	166	-736.05	101	-88.04	98	-531.13	177	-3736.05	98	-52432.90	177
0	Min.	-2020	-71544.70	101	-6677.39	177	-4271.38	166	-736.05	101	-88.04	98	-531.13	177	-3736.05	98	-52432.90	177
0	Min.	-1539	-71544.70	101	-6677.39	177	-4271.38	166	-736.05	101	-88.04	98	-531.13	177	-3736.05	98	-52432.90	177
0	Min.	-1822	-71544.70	101	-6677.39	177	-4271.38	166	-736.05	101	-88.04	98	-531.13	177	-3736.05	98	-52432.90	177
0	Max	-2021	63921.10	130	3456.27	177	588.51	106	1348.28	98	35.96	162	376.31	173	2881.39	177	30933.40	173
0	Max	-2057	63921.10	130	3456.27	177	588.51	106	1348.28	98	35.96	162	376.31	173	2881.39	177	30933.40	173
0	Max	-1933	63921.10	130	3456.27	177	588.51	106	1348.28	98	35.96	162	376.31	173	2881.39	177	30933.40	173
0	Max	-1600	63921.10	130	3456.27	177	588.51	106	1348.28	98	35.96	162	376.31	173	2881.39	177	30933.40	173
0	Min.	-2021	-43360.10	101	-1500.25	173	-903.58	177	-59.53	1	-70.50	97	-26.35	17	-523.90	98	-3645.12	17
0	Min.	-2057	-43360.10	101	-1500.25	173	-903.58	177	-59.53	1	-70.50	97	-26.35	17	-523.90	98	-3645.12	17
0	Min.	-1933	-43360.10	101	-1500.25	173	-903.58	177	-59.53	1	-70.50	97	-26.35	17	-523.90	98	-3645.12	17
0	Min.	-1600	-43360.10	101	-1500.25	173	-903.58	177	-59.53	1	-70.50	97	-26.35	17	-523.90	98	-3645.12	17
0	Max	-2057	62576.50	130	2419.09	177	447.95	162	1301.24	98	72.16	101	280.93	173	1896.42	125	23896.70	173
0	Max	-2022	62576.50	130	2419.09	177	447.95	162	1301.24	98	72.16	101	280.93	173	1896.42	125	23896.70	173
0	Max	-1601	62576.50	130	2419.09	177	447.95	162	1301.24	98	72.16	101	280.93	173	1896.42	125	23896.70	173
0	Max	-1933	62576.50	130	2419.09	177	447.95	162	1301.24	98	72.16	101	280.93	173	1896.42	125	23896.70	173
0	Min.	-2057	-43175.30	101	-250.41	49	-628.38	97	-54.71	1	-35.35	162	-18.89	17	-55.93	134	-3185.03	17
0	Min.	-2022	-43175.30	101	-250.41	49	-628.38	97	-54.71	1	-35.35	162	-18.89	17	-55.93	134	-3185.03	17
0	Min.	-1601	-43175.30	101	-250.41	49	-628.38	97	-54.71	1	-35.35	162	-18.89	17	-55.93	134	-3185.03	17
0	Min.	-1933	-43175.30	101	-250.41	49	-628.38	97	-54.71	1	-35.35	162	-18.89	17	-55.93	134	-3185.03	17
0	Max	-2022	52817.60	130	1265.67	97	2827.80	130	1137.99	122	92.44	130	220.81	173	3257.22	130	18074.10	173
0	Max	-2023	52817.60	130	1265.67	97	2827.80	130	1137.99	122	92.44	130	220.81	173	3257.22	130	18074.10	173
0	Max	-1602	52817.60	130	1265.67	97	2827.80	130	1137.99	122	92.44	130	220.81	173	3257.22	130	18074.10	173
0	Max	-1601	52817.60	130	1265.67	97	2827.80	130	1137.99	122	92.44	130	220.81	173	3257.22	130	18074.10	173
0	Min.	-2022	-32942.70	101	-1128.87	166	-2529.43	101	-342.15	101	-126.63	177	-15.09	17	-8466.58	177	-3577.55	101
0	Min.	-2023	-32942.70	101	-1128.87	166	-2529.43	101	-342.15	101	-126.63	177	-15.09	17	-8466.58	177	-3577.55	101
0	Min.	-1602	-32942.70	101	-1128.87	166	-2529.43	101	-342.15	101	-126.63	177	-15.09	17	-8466.58	177	-3577.55	101
0	Min.	-1601	-32942.70	101	-1128.87	166	-2529.43	101	-342.15	101	-126.63	177	-15.09	17	-8466.58	177	-3577.55	101
0	Max	-2023	43205.80	98	3156.81	130	4390.50	177	978.84	97	124.98	177	466.38	177	8309.09	177	55370.90	177
0	Max	-2024	43205.80	98	3156.81	130	4390.50	177	978.84	97	124.98	177	466.38	177	8309.09	177	55370.90	177
0	Max	-1603	43205.80	98	3156.81	130	4390.50	177	978.84	97	124.98	177	466.38	177	8309.09	177	55370.90	177
0	Max	-1602	43205.80	98	3156.81	130	4390.50	177	978.84	97	124.98	177	466.38	177	8309.09	177	55370.90	177
0	Min.	-2023	-18265.20	101	-6070.92	177	-2090.98	166	-719.73	162	-23.70	130	-205.78	162	-686.49	101	-44171.00	130
0	Min.	-2024	-18265.20	101	-6070.92	177	-2090.98	166	-719.73	162	-23.70	130	-205.78	162	-686.49	101	-44171.00	130
0	Min.	-1603	-18265.20	101	-6070.92	177	-2090.98	166	-719.73	162	-23.70	130	-205.78	162	-686.49	101	-44171.00	130
0	Min.	-1602	-18265.20	101	-6070.92	177	-2090.98	166	-719.73	162	-23.70	130	-205.78	162	-686.49	101	-44171.00	130
0	Max	-2024	69786.50	130	1758.23	98	1435.43	101	1990.01	158	123.60	177	172.26	97	8672.43	177	32322.10	101
0	Max	-2025	69786.50	130	1758.23	98	1435.43	101	1990.01	158	123.60	177	172.26	97	8672.43	177	32322.10	101
0	Max	-1604	69786.50	130	1758.23	98	1435.43	101	1990.01	158	123.60	177	172.26	97	8672.43	177	32322.10	101
0	Max	-1603	69786.50	130	1758.23	98	1435.43	101	1990.01	158	123.60	177	172.26	97	8672.43	177	32322.10	101
0	Min.	-2024	-50440.90	101	-5751.95	177	-4786.33	177	-1326.69	101	-32.58	101	-441.65	177	-550.21	106	-56849.90	162
0	Min.	-2025	-50440.90	101	-5751.95	177	-4786.33	177	-1326.69	101	-32.58	101	-441.65	177	-550.21	106	-56849.90	162
0	Min.	-1604	-50440.90	101	-5751.95	177	-4786.33	177	-1326.69	101	-32.58	101	-441.65	177	-550.21	106	-56849.90	162
0	Min.	-1603	-50440.90	101	-5751.95	177	-4786.33	177	-1326.69	101	-32.58	101	-441.65	177	-550.21	106	-56849.90	162
0	Max	-2025	48257.50	130	3006.62	130	3172.40	130	379.66	98	59.36	101	97.67	98	1716.56	101	5891.02	1
0	Max	-2026	48257.50	130	3006.62	130	3172.40	130	379.66	98	59.36	101	97.67	98	1716.56	101	5891.02	1
0	Max	-1605	48257.50	130	3006.62	130	3172.40	130	379.66	98	59.36	101	97.67	98	1716.56	101	5891.02	1
0	Max	-1604	48257.50	130	3006.62	130	3172.40	130	379.66	98	59.36	101	97.67	98	1716.56	101	5891.02	1
0	Min.	-2025	-34772.70	101	-2509.39	101	-2592.76	101	-185.42	101	-123.43	177	-108.65	177	-8611.48	177	-7478.81	177
0	Min.	-2026	-34772.70	101	-2509.39	101	-2592.76	101	-185.42	101	-123.43	177	-108.65	177	-8611.48	177	-7478.81	177
0	Min.	-1605	-34772.70	101	-2509.39	101	-2592.76	101	-185.42	101	-123.43	177	-108.65	177	-8611.48	177	-7478.81	177
0	Min.	-1604	-34772.70	101	-2509.39	101	-2592.76	101	-185.42	101	-123.43	177	-108.65	177	-8611.48	177	-7478.81	177
0	Max	-2026	32843.50	130	4953.75	177	793.76	130	406.34	158	50.09	130	109.39	97	1740.15	158	9749.68	1
0	Max	-2027	32843.50	130	4953.75	177	793.76	130	406.34	158	50.09	130	109.39	97	1740.15	158	9749.68	1
0	Max	-1606	32843.50	130	4953.75	177	793.76	130	406.34	158	50.09	130	109.39	97	1740.15	158	9749.68	1
0	Max	-1605	32843.50	130	4953.75	177	793.76	130	406.34	158	50.09	130	109.39	97	1740.15	158	9749.68	1
0	Min.	-2026	-23427.20	101	-1194.25	101	-576.36	101	-372.82	101	-36.92	101	-121.67	166	-1047.08	101	-13719.70	166
0	Min.	-2027	-23427.20	101	-1194.25	101	-576.36	101	-372.82	101	-36.92	101	-121.67	166	-1047.08	101	-13719.70	166
0	Min.	-1606	-23427.20	101	-1194.25	101	-576.36	101	-372.82	101	-36.92	101	-121.67	166	-1047.08	101	-13719.70	166
0	Min.	-1605	-23427.20	101	-1194.25	101	-576.36	101	-372.82	101	-36.92	101	-121.67	166	-1047.08	101	-13719.70	166
0	Max	-2027	20071.50	130	9652.28	177	3451.05	130	55.43	158	36.22	1	76.68	1	2389.61	1	12331.30	1
0	Max	-2028	20071.50	130	9652.28	177	3451.05	130	55.43	158	36.22	1	76.68	1	2389.61	1	12331.30	1
0	Max	-1617	20071.50	130	9652.28	177	3451.05	130	55.43	158	36.22	1	76.68	1	2389.61	1	12331.30	1
0	Max	-1606	20071.50	130	9652.28	177	3451.05	130	55.43	158	36.22	1	76.68	1	2389.61	1	12331.30	1
0	Min.	-2027	-14257.60	101	-2611.12	173	-2468.87	101	-85.49	101	-43.93	166	-95.42	166	-2244.92	166	-17301.70	158
0	Min.	-2028	-14257.60	101	-2611.12	173	-2468.87	101	-85.49	101	-43.93	166	-95.42	166	-2244.92	166	-17301.70	158
0	Min.	-1617	-14257.60	101	-2611.12	173	-2468.87	101	-85.49	101	-43.93	166	-95.42	166	-2244.92	166	-17301.70	158
0	Min.	-1606	-14257.60	101	-2611.12	173	-2468.87	101	-85.49	101	-43.93	166	-95.42	166	-2244.92	166	-17301.70	158
0	Max	-2074	-14647.60	17	4164.86	158	5126.64	125	-159.22	17	836.83	173	86.53	101	39911.20	97	1915.94	130
0	Max	-1372	-14647.60	17	4164.86	158	5126.64	125	-159.22	17	836.83	173	86.53	101	39911.20	97	1915.94	130
0	Max	-1714	-14647.60	17	4164.86	158	5126.64	125	-159.22	17	836.83	173	86.53	101	39911.20	97	1915.94	130
0	Max	-2078	-14647.60	17	4164.86	158	5126.64	125	-159.22	17	836.83	173	86.53	101	39911.20	97	1915.94	130
0	Min.	-2074	-168438.00	98	-5540.88	177	-23930.40	158	-3058.69	98	-2555.40	98	-290.79	173	-545.71	17	-21784.10	97
0	Min.	-1372	-168438.00	98	-5540.88	177	-23930.40	158	-3058.69	98	-2555.40	98	-290.79	173	-545.71	17	-21784.10	97

0	Min.	-1714	-168438.00	98	-5540.88	177	-23930.40	158	-3058.69	98	-2555.40	98	-290.79	173	-545.71	17	-21784.10	97
0	Min.	-2078	-168438.00	98	-5540.88	177	-23930.40	158	-3058.69	98	-2555.40	98	-290.79	173	-545.71	17	-21784.10	97
0	Max	-2073	-16563.70	17	6161.57	158	4034.89	125	-173.27	17	1030.12	173	163.18	97	13584.10	97	23173.40	98
0	Max	-1373	-16563.70	17	6161.57	158	4034.89	125	-173.27	17	1030.12	173	163.18	97	13584.10	97	23173.40	98
0	Max	-1715	-16563.70	17	6161.57	158	4034.89	125	-173.27	17	1030.12	173	163.18	97	13584.10	97	23173.40	98
0	Max	-2076	-16563.70	17	6161.57	158	4034.89	125	-173.27	17	1030.12	173	163.18	97	13584.10	97	23173.40	98
0	Min.	-2073	-179280.00	98	-6109.67	177	-4985.38	158	-2737.43	98	-2517.40	98	-65.31	173	-567.54	17	-2980.12	101
0	Min.	-1373	-179280.00	98	-6109.67	177	-4985.38	158	-2737.43	98	-2517.40	98	-65.31	173	-567.54	17	-2980.12	101
0	Min.	-1715	-179280.00	98	-6109.67	177	-4985.38	158	-2737.43	98	-2517.40	98	-65.31	173	-567.54	17	-2980.12	101
0	Min.	-2076	-179280.00	98	-6109.67	177	-4985.38	158	-2737.43	98	-2517.40	98	-65.31	173	-567.54	17	-2980.12	101
0	Max	-2072	-16798.20	65	10578.70	158	2869.16	125	-158.74	65	722.25	173	266.40	173	41110.10	98	4063.10	106
0	Max	-1376	-16798.20	65	10578.70	158	2869.16	125	-158.74	65	722.25	173	266.40	173	41110.10	98	4063.10	106
0	Max	-1717	-16798.20	65	10578.70	158	2869.16	125	-158.74	65	722.25	173	266.40	173	41110.10	98	4063.10	106
0	Max	-2070	-16798.20	65	10578.70	158	2869.16	125	-158.74	65	722.25	173	266.40	173	41110.10	98	4063.10	106
0	Min.	-2072	-180557.00	97	-5347.83	177	-29346.10	158	-3100.28	97	-2665.37	97	-140.60	98	-533.76	101	-6274.65	97
0	Min.	-1376	-180557.00	97	-5347.83	177	-29346.10	158	-3100.28	97	-2665.37	97	-140.60	98	-533.76	101	-6274.65	97
0	Min.	-1717	-180557.00	97	-5347.83	177	-29346.10	158	-3100.28	97	-2665.37	97	-140.60	98	-533.76	101	-6274.65	97
0	Min.	-2070	-180557.00	97	-5347.83	177	-29346.10	158	-3100.28	97	-2665.37	97	-140.60	98	-533.76	101	-6274.65	97
0	Max	-2068	-11734.90	162	11609.80	158	2643.65	125	-139.80	65	549.69	173	275.90	173	14319.10	98	41338.20	98
0	Max	-1377	-11734.90	162	11609.80	158	2643.65	125	-139.80	65	549.69	173	275.90	173	14319.10	98	41338.20	98
0	Max	-1718	-11734.90	162	11609.80	158	2643.65	125	-139.80	65	549.69	173	275.90	173	14319.10	98	41338.20	98
0	Max	-2066	-11734.90	162	11609.80	158	2643.65	125	-139.80	65	549.69	173	275.90	173	14319.10	98	41338.20	98
0	Min.	-2068	-171364.00	97	-4858.71	177	-7481.30	158	-2379.63	97	-2160.66	97	-105.76	17	-711.64	101	-331.61	101
0	Min.	-1377	-171364.00	97	-4858.71	177	-7481.30	158	-2379.63	97	-2160.66	97	-105.76	17	-711.64	101	-331.61	101
0	Min.	-1718	-171364.00	97	-4858.71	177	-7481.30	158	-2379.63	97	-2160.66	97	-105.76	17	-711.64	101	-331.61	101
0	Min.	-2066	-171364.00	97	-4858.71	177	-7481.30	158	-2379.63	97	-2160.66	97	-105.76	17	-711.64	101	-331.61	101
0	Max	-2070	-17699.30	162	4745.75	173	1964.59	161	-178.57	33	695.20	173	74.39	173	28846.70	98	12235.30	98
0	Max	-1717	-17699.30	162	4745.75	173	1964.59	161	-178.57	33	695.20	173	74.39	173	28846.70	98	12235.30	98
0	Max	-1794	-17699.30	162	4745.75	173	1964.59	161	-178.57	33	695.20	173	74.39	173	28846.70	98	12235.30	98
0	Max	-2064	-17699.30	162	4745.75	173	1964.59	161	-178.57	33	695.20	173	74.39	173	28846.70	98	12235.30	98
0	Min.	-2070	-180415.00	97	-4969.50	177	-5506.71	158	-2716.53	97	-1380.26	97	-74.54	98	-3082.28	173	-1744.01	101
0	Min.	-1717	-180415.00	97	-4969.50	177	-5506.71	158	-2716.53	97	-1380.26	97	-74.54	98	-3082.28	173	-1744.01	101
0	Min.	-1794	-180415.00	97	-4969.50	177	-5506.71	158	-2716.53	97	-1380.26	97	-74.54	98	-3082.28	173	-1744.01	101
0	Min.	-2064	-180415.00	97	-4969.50	177	-5506.71	158	-2716.53	97	-1380.26	97	-74.54	98	-3082.28	173	-1744.01	101
0	Max	-2066	-10541.60	162	4022.57	173	2003.55	161	-154.29	49	471.74	173	146.66	97	21005.00	98	25832.10	98
0	Max	-1718	-10541.60	162	4022.57	173	2003.55	161	-154.29	49	471.74	173	146.66	97	21005.00	98	25832.10	98
0	Max	-1795	-10541.60	162	4022.57	173	2003.55	161	-154.29	49	471.74	173	146.66	97	21005.00	98	25832.10	98
0	Max	-2062	-10541.60	162	4022.57	173	2003.55	161	-154.29	49	471.74	173	146.66	97	21005.00	98	25832.10	98
0	Min.	-2066	-169400.00	97	-4792.65	177	-7242.85	158	-2306.22	97	-1287.37	97	-107.99	17	-2793.78	173	-389.85	149
0	Min.	-1718	-169400.00	97	-4792.65	177	-7242.85	158	-2306.22	97	-1287.37	97	-107.99	17	-2793.78	173	-389.85	149
0	Min.	-1795	-169400.00	97	-4792.65	177	-7242.85	158	-2306.22	97	-1287.37	97	-107.99	17	-2793.78	173	-389.85	149
0	Min.	-2062	-169400.00	97	-4792.65	177	-7242.85	158	-2306.22	97	-1287.37	97	-107.99	17	-2793.78	173	-389.85	149
0	Max	-2061	-11046.70	162	9883.78	158	12294.90	158	-116.90	65	476.30	173	318.76	173	2719.61	173	44510.30	98
0	Max	-1695	-11046.70	162	9883.78	158	12294.90	158	-116.90	65	476.30	173	318.76	173	2719.61	173	44510.30	98
0	Max	-1377	-11046.70	162	9883.78	158	12294.90	158	-116.90	65	476.30	173	318.76	173	2719.61	173	44510.30	98
0	Max	-2068	-11046.70	162	9883.78	158	12294.90	158	-116.90	65	476.30	173	318.76	173	2719.61	173	44510.30	98
0	Min.	-2061	-167972.00	97	-5168.68	177	-1751.65	177	-2313.41	97	-2134.81	97	-402.41	98	-18660.20	97	-404.62	101
0	Min.	-1695	-167972.00	97	-5168.68	177	-1751.65	177	-2313.41	97	-2134.81	97	-402.41	98	-18660.20	97	-404.62	101
0	Min.	-1377	-167972.00	97	-5168.68	177	-1751.65	177	-2313.41	97	-2134.81	97	-402.41	98	-18660.20	97	-404.62	101
0	Min.	-2068	-167972.00	97	-5168.68	177	-1751.65	177	-2313.41	97	-2134.81	97	-402.41	98	-18660.20	97	-404.62	101
0	Max	-2084	-14789.90	65	9032.88	157	33377.80	158	-133.27	65	533.24	173	308.62	173	6207.00	173	5558.02	106
0	Max	-1694	-14789.90	65	9032.88	157	33377.80	158	-133.27	65	533.24	173	308.62	173	6207.00	173	5558.02	106
0	Max	-1376	-14789.90	65	9032.88	157	33377.80	158	-133.27	65	533.24	173	308.62	173	6207.00	173	5558.02	106
0	Max	-2072	-14789.90	65	9032.88	157	33377.80	158	-133.27	65	533.24	173	308.62	173	6207.00	173	5558.02	106
0	Min.	-2084	-177495.00	97	-5936.65	177	-1620.05	177	-3028.96	97	-2634.09	97	-126.25	106	-46179.70	98	-3222.94	97
0	Min.	-1694	-177495.00	97	-5936.65	177	-1620.05	177	-3028.96	97	-2634.09	97	-126.25	106	-46179.70	98	-3222.94	97
0	Min.	-1376	-177495.00	97	-5936.65	177	-1620.05	177	-3028.96	97	-2634.09	97	-126.25	106	-46179.70	98	-3222.94	97
0	Min.	-2072	-177495.00	97	-5936.65	177	-1620.05	177	-3028.96	97	-2634.09	97	-126.25	106	-46179.70	98	-3222.94	97
0	Max	-2085	-14776.10	17	7150.09	173	11892.60	158	-152.49	65	903.94	173	115.61	101	8886.87	173	24868.80	98
0	Max	-1866	-14776.10	17	7150.09	173	11892.60	158	-152.49	65	903.94	173	115.61	101	8886.87	173	24868.80	98
0	Max	-1373	-14776.10	17	7150.09	173	11892.60	158	-152.49	65	903.94	173	115.61	101	8886.87	173	24868.80	98
0	Max	-2073	-14776.10	17	7150.09	173	11892.60	158	-152.49	65	903.94	173	115.61	101	8886.87	173	24868.80	98
0	Min.	-2085	-177230.00	98	-6662.56	177	-1989.86	173	-2691.64	98	-2489.13	98	-112.64	173	-18638.60	97	-3599.50	101
0	Min.	-1866	-177230.00	98	-6662.56	177	-1989.86	173	-2691.64	98	-2489.13	98	-112.64	173	-18638.60	97	-3599.50	101
0	Min.	-1373	-177230.00	98	-6662.56	177	-1989.86	173	-2691.64	98	-2489.13	98	-112.64	173	-18638.60	97	-3599.50	101
0	Min.	-2073	-177230.00	98	-6662.56	177	-1989.86	173	-2691.64	98	-2489.13	98	-112.64	173	-18638.60	97	-3599.50	101
0	Max	-2086	-13009.40	17	5115.84	173	32934.60	158	-140.17	17	619.69	173	311.46	97	7462.25	173	2820.34	130
0	Max	-1865	-13009.40	17	5115.84	173	32934.60	158	-140.17	17	619.69	173	311.46	97	7462.25	173	2820.34	130
0	Max	-1372	-13009.40	17	5115.84	173	32934.60	158	-140.17	17	619.69	173	311.46	97	7462.25	173	2820.34	130
0	Max	-2074	-13009.40	17	5115.84	173	32934.60	158	-140.17	17	619.69	173	311.46	97	7462.25	173	2820.34	130
0	Min.	-2086	-166943.00	98	-5450.20	177	-3430.74	173	-3028.85	98	-2527.27	98	-388.39	173	-44680.60	98	-21375.60	97
0	Min.	-1865	-166943.00	98	-5450.20	177	-3430.74	173	-3028.85	98	-2527.27	98	-388.39	173	-44680.60	98	-21375.60	97
0	Min.	-1372	-166943.00	98	-5450.20	177	-3430.74	173	-3028.85	98	-2527.27	98	-388.39	173	-44680.60	98	-21375.60	97
0	Min.	-2074	-166943.00	98	-5450.20	177	-3430.74	173	-3028.85	98	-2527.27	98	-388.39	173	-44680.60	98	-21375.60	97
0	Max	-2087	-5710.93	65	93.45	1	6039.33	158	-36.22	65	132.86	173	232.82	173	4473.62	173	14442.80	98
0	Max	-1815	-5710.93	65	93.45	1	6039.33	158	-36.22	65	132.86	173	232.82	173	4473.62	173	14442.80	98
0	Max	-2145	-5710.93	65	93.45	1	6039.33	158	-36.22	65	132.86	173	232.82	173	4473.62	173	14442.80	98
0	Max	-2146	-5710.93	65	93.45	1	6039.33	158	-36.22	65	132.86	173	232.82	173	4473.62	173	14442.80	98
0	Min.	-2087	-151358.00	97	-4494.03	177	-622.96	101	-1712.35	97	-69.57	177	-546.60	98	-6605.66	97	-299.16	17
0	Min.	-1815	-151358.00	97	-4494.03	177	-622.96	101	-1712.35	97	-69.57	177	-546.60	98	-6605.66	97	-299.16	17
0	Min.	-2145	-151358.00	97	-4494.03	177	-622.96	101	-1712.35	97	-69.57	177	-546.60	98	-6605.66	97	-299.16	17
0	Min.	-2146	-151358.00	97	-4494.03	177	-622.96	101	-1712.35	97	-69.57	177	-546.60	98	-6605.66	97	-299.16	17
0	Max	-2089	-7603.62	65	855.09	125	8421.29	158	-57.41	65	223.53	173	344.97	173	1021.90	161	9091.81	98
0	Max	-1814	-7603.62	65	855.09	125	8421.29	158	-57.41	65	223.53	173	344.97	173	1021.90	161	9091.81	98
0	Max	-2147	-7603.62	65	855.09	125	8421.29	158	-57.41	65	223.53	173	344.97	173	1021.90	161	9091.81	98
0	Max	-2148	-7603.62	65	855.09	125	8421.29	158	-57.41	65	223.53	173	344.97	173	1021.90	161	9091.81	98
0	Min.	-2089	-165298.00	97	-3857.83	177	-589.14	101	-1964.66	97	-141.47	177	-252.82	98	-12421.70	98	-3792.20	125
0	Min.	-1814	-165298.00	97	-3857.83	177	-589.14	101	-1964.66	97	-141.47	177	-252.82	98	-12421.70	98	-3792.20	125
0	Min.	-2147	-165298.00	97	-3857.83	177	-589.14	101	-1964.66	97	-141.47	177	-252.82	98	-12421.70	98	-3792.20	125
0	Min.	-2148	-165298.00	97	-3857.83	177	-589.14	101	-1964.66	97	-141.47	177	-252.82	98	-12421.70	98	-3792.20	125
0	Max	-2091	-7696.23	17	4351.92	173	8014.38	158	-56.40	65	374.77	173	200.57	177	7651.00	125	27110.60	173
0	Max	-1812	-7696.23	17	4351.92	173	8014.38	158	-56.40	65	374.77	173	200.57	177	7651.00	125	27110.60	173
0	Max	-2151	-7696.23	17	4351.92	173	8014.38	158	-56.40	65	374.77	173	200.57	177	7651.00	125	27110.60	173
0	Max	-2152	-7696.23	17	4351.92	173	8014.38	158	-56.40	65	374.77	173	200.57	177	7651.00	125	27110.60	173
0	Min.	-2091	-166108.00	98	-6394.76	177	-6410.49	173	-2602.48	173	-241.13	177	-271.24	173	-20060.70	177	-7258.83	177
0	Min.	-1812	-166108.00	98	-6394.76	177	-6410.49	173	-2602.48	173	-241.13	177	-271.24	173	-20060.70	177	-7258.83	177
0	Min.	-2151	-166108.00	98	-6394.76	177	-6410.49	173	-2602.48	173	-241.13	177	-271.24	173	-20060.70	177	-7258.83	177
0	Min.	-2152	-166108.00	98	-6394.76	177	-6410.49	173	-2602.48	173	-241.13	177	-271.24	173	-20060.70	177	-7258.83	177
0	Max	-2093	-5956.70	17	231.76	101	4882.61	158	-57.70	17	28.01	17	371.89	97	214.57	65	3117.38	130
0	Max	-1811	-5956.70	17	231.76	101	4882.61	158	-57.70	17	28.01	17	371.89	97	214.57	65	3117.38	130
0	Max	-2153	-5956.70	17	231.76	101	4882.61	158	-57.70	17	28.01	17	371.89	97	214.57	65	3117.38	130
0	Max	-2154	-5956.70	17	231.76	101	4882.61	158	-57.70	17	28.01	17	371.89	97	214.57	65	3117.38	130
0	Min.	-2093	-154517.00	98	-3934.07	177	-3773.67	173	-1962.88	98	-127.25	173	-98.90	130	-15639.80	97	-8493.27	173
0	Min.	-1811	-154517.00	98	-3934.07	177	-3773.67	173	-1962.88	98	-127.25	173	-98.90	130	-15639.80	97	-8493.27	173
0	Min.	-2153	-154517.00	98	-3934.07	177	-3773.67	173	-1962.88	98	-127.25	173	-98.90	130	-15639.80	97	-8493.27	173

0	Min.	-2154	-154517.00	98	-3934.07	177	-3773.67	173	-1962.88	98	-127.25	173	-98.90	130	-15639.80	97	-8493.27	173
0	Max	-2088	-9371.55	65	4094.89	98	11042.00	158	-76.52	65	320.80	173	335.56	173	3486.88	173	13830.20	98
0	Max	-1775	-9371.55	65	4094.89	98	11042.00	158	-76.52	65	320.80	173	335.56	173	3486.88	173	13830.20	98
0	Max	-1394	-9371.55	65	4094.89	98	11042.00	158	-76.52	65	320.80	173	335.56	173	3486.88	173	13830.20	98
0	Max	-2095	-9371.55	65	4094.89	98	11042.00	158	-76.52	65	320.80	173	335.56	173	3486.88	173	13830.20	98
0	Min.	-2088	-161831.00	97	-4447.46	177	-977.30	177	-2049.48	97	-693.10	97	-569.07	98	-23089.10	97	-403.65	1
0	Min.	-1775	-161831.00	97	-4447.46	177	-977.30	177	-2049.48	97	-693.10	97	-569.07	98	-23089.10	97	-403.65	1
0	Min.	-1394	-161831.00	97	-4447.46	177	-977.30	177	-2049.48	97	-693.10	97	-569.07	98	-23089.10	97	-403.65	1
0	Min.	-2095	-161831.00	97	-4447.46	177	-977.30	177	-2049.48	97	-693.10	97	-569.07	98	-23089.10	97	-403.65	1
0	Max	-2090	-10968.70	65	5343.59	173	12636.50	158	-90.73	65	203.18	173	195.57	173	3527.87	173	10750.20	98
0	Max	-1774	-10968.70	65	5343.59	173	12636.50	158	-90.73	65	203.18	173	195.57	173	3527.87	173	10750.20	98
0	Max	-1395	-10968.70	65	5343.59	173	12636.50	158	-90.73	65	203.18	173	195.57	173	3527.87	173	10750.20	98
0	Max	-2096	-10968.70	65	5343.59	173	12636.50	158	-90.73	65	203.18	173	195.57	173	3527.87	173	10750.20	98
0	Min.	-2090	-171739.00	97	-5980.29	177	-2458.09	177	-2296.36	97	-685.01	97	-269.61	98	-34605.10	97	-2459.57	101
0	Min.	-1774	-171739.00	97	-5980.29	177	-2458.09	177	-2296.36	97	-685.01	97	-269.61	98	-34605.10	97	-2459.57	101
0	Min.	-1395	-171739.00	97	-5980.29	177	-2458.09	177	-2296.36	97	-685.01	97	-269.61	98	-34605.10	97	-2459.57	101
0	Min.	-2096	-171739.00	97	-5980.29	177	-2458.09	177	-2296.36	97	-685.01	97	-269.61	98	-34605.10	97	-2459.57	101
0	Max	-2092	-10638.10	17	7762.51	173	12556.10	158	-104.27	65	85.92	17	150.95	101	93360.60	173	4508.98	158
0	Max	-1772	-10638.10	17	7762.51	173	12556.10	158	-104.27	65	85.92	17	150.95	101	93360.60	173	4508.98	158
0	Max	-1397	-10638.10	17	7762.51	173	12556.10	158	-104.27	65	85.92	17	150.95	101	93360.60	173	4508.98	158
0	Max	-2097	-10638.10	17	7762.51	173	12556.10	158	-104.27	65	85.92	17	150.95	101	93360.60	173	4508.98	158
0	Min.	-2092	-170773.00	98	-7992.08	177	-4746.29	173	-3129.23	173	-1353.41	173	-188.18	173	-29870.40	97	-92205.90	173
0	Min.	-1772	-170773.00	98	-7992.08	177	-4746.29	173	-3129.23	173	-1353.41	173	-188.18	173	-29870.40	97	-92205.90	173
0	Min.	-1397	-170773.00	98	-7992.08	177	-4746.29	173	-3129.23	173	-1353.41	173	-188.18	173	-29870.40	97	-92205.90	173
0	Min.	-2097	-170773.00	98	-7992.08	177	-4746.29	173	-3129.23	173	-1353.41	173	-188.18	173	-29870.40	97	-92205.90	173
0	Max	-2094	-8993.06	17	2214.69	173	10771.60	158	-97.24	17	79.35	17	446.10	97	7903.83	173	3747.92	130
0	Max	-1771	-8993.06	17	2214.69	173	10771.60	158	-97.24	17	79.35	17	446.10	97	7903.83	173	3747.92	130
0	Max	-1398	-8993.06	17	2214.69	173	10771.60	158	-97.24	17	79.35	17	446.10	97	7903.83	173	3747.92	130
0	Max	-2098	-8993.06	17	2214.69	173	10771.60	158	-97.24	17	79.35	17	446.10	97	7903.83	173	3747.92	130
0	Min.	-2094	-159190.00	98	-5246.07	177	-4631.83	173	-2323.11	98	-672.49	98	-293.26	173	-30567.50	98	-14666.90	173
0	Min.	-1771	-159190.00	98	-5246.07	177	-4631.83	173	-2323.11	98	-672.49	98	-293.26	173	-30567.50	98	-14666.90	173
0	Min.	-1398	-159190.00	98	-5246.07	177	-4631.83	173	-2323.11	98	-672.49	98	-293.26	173	-30567.50	98	-14666.90	173
0	Min.	-2098	-159190.00	98	-5246.07	177	-4631.83	173	-2323.11	98	-672.49	98	-293.26	173	-30567.50	98	-14666.90	173
0	Max	-2095	-9674.26	162	3205.50	173	11652.50	157	-94.63	65	386.44	173	365.02	173	3239.00	173	26902.20	98
0	Max	-1394	-9674.26	162	3205.50	173	11652.50	157	-94.63	65	386.44	173	365.02	173	3239.00	173	26902.20	98
0	Max	-1695	-9674.26	162	3205.50	173	11652.50	157	-94.63	65	386.44	173	365.02	173	3239.00	173	26902.20	98
0	Max	-2061	-9674.26	162	3205.50	173	11652.50	157	-94.63	65	386.44	173	365.02	173	3239.00	173	26902.20	98
0	Min.	-2095	-161894.00	97	-5086.04	177	-6152.60	98	-2194.10	97	-1390.85	97	-554.55	98	-27753.20	97	-369.95	1
0	Min.	-1394	-161894.00	97	-5086.04	177	-6152.60	98	-2194.10	97	-1390.85	97	-554.55	98	-27753.20	97	-369.95	1
0	Min.	-1695	-161894.00	97	-5086.04	177	-6152.60	98	-2194.10	97	-1390.85	97	-554.55	98	-27753.20	97	-369.95	1
0	Min.	-2061	-161894.00	97	-5086.04	177	-6152.60	98	-2194.10	97	-1390.85	97	-554.55	98	-27753.20	97	-369.95	1
0	Max	-2096	-12444.20	65	4754.01	173	9793.37	157	-110.08	65	308.97	173	313.79	173	6023.58	173	9278.35	98
0	Max	-1395	-12444.20	65	4754.01	173	9793.37	157	-110.08	65	308.97	173	313.79	173	6023.58	173	9278.35	98
0	Max	-1694	-12444.20	65	4754.01	173	9793.37	157	-110.08	65	308.97	173	313.79	173	6023.58	173	9278.35	98
0	Max	-2084	-12444.20	65	4754.01	173	9793.37	157	-110.08	65	308.97	173	313.79	173	6023.58	173	9278.35	98
0	Min.	-2096	-172704.00	97	-6291.01	177	-4065.50	106	-2628.93	97	-1527.10	97	-145.57	98	-35248.60	97	-1409.83	101
0	Min.	-1395	-172704.00	97	-6291.01	177	-4065.50	106	-2628.93	97	-1527.10	97	-145.57	98	-35248.60	97	-1409.83	101
0	Min.	-1694	-172704.00	97	-6291.01	177	-4065.50	106	-2628.93	97	-1527.10	97	-145.57	98	-35248.60	97	-1409.83	101
0	Min.	-2084	-172704.00	97	-6291.01	177	-4065.50	106	-2628.93	97	-1527.10	97	-145.57	98	-35248.60	97	-1409.83	101
0	Max	-2097	-12757.70	17	7725.27	173	15694.40	157	-127.43	65	189.05	173	112.11	101	51163.40	173	9072.37	98
0	Max	-1397	-12757.70	17	7725.27	173	15694.40	157	-127.43	65	189.05	173	112.11	101	51163.40	173	9072.37	98
0	Max	-1866	-12757.70	17	7725.27	173	15694.40	157	-127.43	65	189.05	173	112.11	101	51163.40	173	9072.37	98
0	Max	-2085	-12757.70	17	7725.27	173	15694.40	157	-127.43	65	189.05	173	112.11	101	51163.40	173	9072.37	98
0	Min.	-2097	-174222.00	98	-7419.96	177	-2587.21	173	-2540.03	97	-1639.06	98	-259.27	173	-33401.10	97	-4666.63	173
0	Min.	-1397	-174222.00	98	-7419.96	177	-2587.21	173	-2540.03	97	-1639.06	98	-259.27	173	-33401.10	97	-4666.63	173
0	Min.	-1866	-174222.00	98	-7419.96	177	-2587.21	173	-2540.03	97	-1639.06	98	-259.27	173	-33401.10	97	-4666.63	173
0	Min.	-2085	-174222.00	98	-7419.96	177	-2587.21	173	-2540.03	97	-1639.06	98	-259.27	173	-33401.10	97	-4666.63	173
0	Max	-2098	-11115.70	17	4828.84	173	14632.50	157	-116.62	17	178.60	173	392.95	97	16554.80	173	2743.20	130
0	Max	-1398	-11115.70	17	4828.84	173	14632.50	157	-116.62	17	178.60	173	392.95	97	16554.80	173	2743.20	130
0	Max	-1865	-11115.70	17	4828.84	173	14632.50	157	-116.62	17	178.60	173	392.95	97	16554.80	173	2743.20	130
0	Max	-2086	-11115.70	17	4828.84	173	14632.50	157	-116.62	17	178.60	173	392.95	97	16554.80	173	2743.20	130
0	Min.	-2098	-164453.00	98	-5182.75	177	-1280.39	106	-2637.08	98	-1455.76	98	-451.35	173	-34012.50	98	-5929.45	97
0	Min.	-1398	-164453.00	98	-5182.75	177	-1280.39	106	-2637.08	98	-1455.76	98	-451.35	173	-34012.50	98	-5929.45	97
0	Min.	-1865	-164453.00	98	-5182.75	177	-1280.39	106	-2637.08	98	-1455.76	98	-451.35	173	-34012.50	98	-5929.45	97
0	Min.	-2086	-164453.00	98	-5182.75	177	-1280.39	106	-2637.08	98	-1455.76	98	-451.35	173	-34012.50	98	-5929.45	97
0	Max	-2099	-17017.10	49	5420.55	97	1816.53	177	-201.60	33	186.42	33	82.07	65	983.23	65	2857.97	130
0	Max	-1436	-17017.10	49	5420.55	97	1816.53	177	-201.60	33	186.42	33	82.07	65	983.23	65	2857.97	130
0	Max	-1831	-17017.10	49	5420.55	97	1816.53	177	-201.60	33	186.42	33	82.07	65	983.23	65	2857.97	130
0	Max	-1699	-17017.10	49	5420.55	97	1816.53	177	-201.60	33	186.42	33	82.07	65	983.23	65	2857.97	130
0	Min.	-2099	-172758.00	98	-2609.23	177	-1355.82	173	-2449.71	98	-947.08	173	-85.95	17	-13897.00	173	-13241.50	173
0	Min.	-1436	-172758.00	98	-2609.23	177	-1355.82	173	-2449.71	98	-947.08	173	-85.95	17	-13897.00	173	-13241.50	173
0	Min.	-1831	-172758.00	98	-2609.23	177	-1355.82	173	-2449.71	98	-947.08	173	-85.95	17	-13897.00	173	-13241.50	173
0	Min.	-1699	-172758.00	98	-2609.23	177	-1355.82	173	-2449.71	98	-947.08	173	-85.95	17	-13897.00	173	-13241.50	173
0	Max	-2100	-19063.40	33	5190.68	97	1970.33	158	-216.69	33	184.00	33	152.70	173	1056.49	65	3843.15	130
0	Max	-1438	-19063.40	33	5190.68	97	1970.33	158	-216.69	33	184.00	33	152.70	173	1056.49	65	3843.15	130
0	Max	-1832	-19063.40	33	5190.68	97	1970.33	158	-216.69	33	184.00	33	152.70	173	1056.49	65	3843.15	130
0	Max	-1547	-19063.40	33	5190.68	97	1970.33	158	-216.69	33	184.00	33	152.70	173	1056.49	65	3843.15	130
0	Min.	-2100	-183528.00	98	-2706.91	177	-674.81	125	-2568.77	98	-1558.23	173	-41.35	17	-79639.00	173	-48316.80	173
0	Min.	-1438	-183528.00	98	-2706.91	177	-674.81	125	-2568.77	98	-1558.23	173	-41.35	17	-79639.00	173	-48316.80	173
0	Min.	-1832	-183528.00	98	-2706.91	177	-674.81	125	-2568.77	98	-1558.23	173	-41.35	17	-79639.00	173	-48316.80	173
0	Min.	-1547	-183528.00	98	-2706.91	177	-674.81	125	-2568.77	98	-1558.23	173	-41.35	17	-79639.00	173	-48316.80	173
0	Max	-2101	-18696.70	162	4439.00	97	1533.40	158	-193.86	33	187.20	33	63.86	65	1022.96	17	9514.41	98
0	Max	-1441	-18696.70	162	4439.00	97	1533.40	158	-193.86	33	187.20	33	63.86	65	1022.96	17	9514.41	98
0	Max	-1834	-18696.70	162	4439.00	97	1533.40	158	-193.86	33	187.20	33	63.86	65	1022.96	17	9514.41	98
0	Max	-2082	-18696.70	162	4439.00	97	1533.40	158	-193.86	33	187.20	33	63.86	65	1022.96	17	9514.41	98
0	Min.	-2101	-183686.00	97	-2784.63	177	-1304.46	177	-2455.70	97	-747.52	173	-61.29	17	-9274.58	173	-1679.41	101
0	Min.	-1441	-183686.00	97	-2784.63	177	-1304.46	177	-2455.70	97	-747.52	173	-61.29	17	-9274.58	173	-1679.41	101
0	Min.	-1834	-183686.00	97	-2784.63	177	-1304.46	177	-2455.70	97	-747.52	173	-61.29	17	-9274.58	173	-1679.41	101
0	Min.	-2082	-183686.00	97	-2784.63	177	-1304.46	177	-2455.70	97	-747.52	173	-61.29	17	-9274.58	173	-1679.41	101
0	Max	-2102	-11372.40	162	3576.53	97	1743.27	173	-170.26	1	190.42	33	121.71	173	916.89	17	10271.20	98
0	Max	-1442	-11372.40	162	3576.53	97	1743.27	173	-170.26	1	190.42	33	121.71	173	916.89	17	10271.20	98
0	Max	-1835	-11372.40	162	3576.53	97	1743.27	173	-170.26	1	190.42	33	121.71	173	916.89	17	10271.20	98
0	Max	-2080	-11372.40	162	3576.53	97	1743.27	173	-170.26	1	190.42	33	121.71	173	916.89	17	10271.20	98
0	Min.	-2102	-172525.00	97	-2846.29	177	-2333.95	177	-2213.44	97	-533.71	97	-103.12	17	-5313.33	98	-447.07	101
0	Min.	-1442	-172525.00	97	-2846.29	177	-2333.95	177	-2213.44	97	-533.71	97	-103.12	17	-5313.33	98	-447.07	101
0	Min.	-1835	-172525.00	97	-2846.29	177	-2333.95	177	-2213.44	97	-533.71	97	-103.12	17	-5313.33	98	-447.07	101
0	Min.	-2080	-172525.00	97	-2846.29	177	-2333.95	177	-2213.44	97	-533.71	97	-103.12	17	-5313.33	98	-447.07	101
0	Max	-1762	-9535.93	177	4105.19	158	23871.60	158	-155.89	65	134.66	33	73.42	65	13254.60	173	1919.18	130
0	Max	-1464	-9535.93	177	4105.19	158	23871.60	158	-155.89	65	134.66	33	73.42	65	13254.60	173	1919.18	130
0	Max	-1882	-9535.93	177	4105.19	158	23871.60	158	-155.89	65	134.66	33	73.42	65	13254.60	173	1919.18	130
0	Max	-1974	-9535.93	177	4105.19	158	23871.60	158	-155.89	65	134.66	33	73.42	65	13254.60	173	1919.18	130
0	Min.	-1762	-169113.00	98	-1409.56	177	-5194.64	125	-3057.02	98	-2554.94	98	-517.35	173	-39955.50	97	-21779.30	97
0	Min.	-1464	-169113.00	98	-1409.56	177	-5194.64	125	-3057.02	98	-2554.94	98	-517.35	173	-39955.50	97	-21779.30	97
0	Min.	-1882	-169113.00	98	-1409.56	177	-5194.64	125	-3057.02	98	-2554.94	98	-517.35	173	-39955.50	97	-21779.30	97
0	Min.	-1974	-169113.00	98	-1409.56	177	-5194.64	125	-3057.02	98	-2554.94	98	-517.35	173	-39955.50	97	-21779.30	97

0	Max	-2083	-10862.70	177	6062.86	158	4998.79	158	-169.83	65	133.12	33	48.65	106	7047.65	173	23177.00	98
0	Max	-1465	-10862.70	177	6062.86	158	4998.79	158	-169.83	65	133.12	33	48.65	106	7047.65	173	23177.00	98
0	Max	-1883	-10862.70	177	6062.86	158	4998.79	158	-169.83	65	133.12	33	48.65	106	7047.65	173	23177.00	98
0	Max	-1911	-10862.70	177	6062.86	158	4998.79	158	-169.83	65	133.12	33	48.65	106	7047.65	173	23177.00	98
0	Min.	-2083	-179974.00	98	-1318.73	177	-4056.88	125	-2735.69	98	-2516.96	98	-222.96	173	-13649.90	97	-2978.37	101
0	Min.	-1465	-179974.00	98	-1318.73	177	-4056.88	125	-2735.69	98	-2516.96	98	-222.96	173	-13649.90	97	-2978.37	101
0	Min.	-1883	-179974.00	98	-1318.73	177	-4056.88	125	-2735.69	98	-2516.96	98	-222.96	173	-13649.90	97	-2978.37	101
0	Min.	-1911	-179974.00	98	-1318.73	177	-4056.88	125	-2735.69	98	-2516.96	98	-222.96	173	-13649.90	97	-2978.37	101
0	Max	-2081	-11123.30	177	10539.00	158	29411.10	158	-155.40	17	135.57	33	437.98	173	11757.00	173	4571.78	173
0	Max	-1467	-11123.30	177	10539.00	158	29411.10	158	-155.40	17	135.57	33	437.98	173	11757.00	173	4571.78	173
0	Max	-1886	-11123.30	177	10539.00	158	29411.10	158	-155.40	17	135.57	33	437.98	173	11757.00	173	4571.78	173
0	Max	-2103	-11123.30	177	10539.00	158	29411.10	158	-155.40	17	135.57	33	437.98	173	11757.00	173	4571.78	173
0	Min.	-2081	-181221.00	97	-875.51	177	-2871.79	125	-3098.51	97	-2664.88	97	-55.86	17	-41157.80	98	-6274.92	97
0	Min.	-1467	-181221.00	97	-875.51	177	-2871.79	125	-3098.51	97	-2664.88	97	-55.86	17	-41157.80	98	-6274.92	97
0	Min.	-1886	-181221.00	97	-875.51	177	-2871.79	125	-3098.51	97	-2664.88	97	-55.86	17	-41157.80	98	-6274.92	97
0	Min.	-2103	-181221.00	97	-875.51	177	-2871.79	125	-3098.51	97	-2664.88	97	-55.86	17	-41157.80	98	-6274.92	97
0	Max	-2079	-10084.80	177	11547.80	158	7554.63	158	-136.68	17	138.32	33	464.98	173	6841.35	173	41322.10	98
0	Max	-1468	-10084.80	177	11547.80	158	7554.63	158	-136.68	17	138.32	33	464.98	173	6841.35	173	41322.10	98
0	Max	-1887	-10084.80	177	11547.80	158	7554.63	158	-136.68	17	138.32	33	464.98	173	6841.35	173	41322.10	98
0	Max	-2104	-10084.80	177	11547.80	158	7554.63	158	-136.68	17	138.32	33	464.98	173	6841.35	173	41322.10	98
0	Min.	-2079	-171996.00	97	-753.56	177	-2654.79	125	-2378.14	97	-2160.27	97	-90.41	17	-14381.90	98	-332.99	101
0	Min.	-1468	-171996.00	97	-753.56	177	-2654.79	125	-2378.14	97	-2160.27	97	-90.41	17	-14381.90	98	-332.99	101
0	Min.	-1887	-171996.00	97	-753.56	177	-2654.79	125	-2378.14	97	-2160.27	97	-90.41	17	-14381.90	98	-332.99	101
0	Min.	-2104	-171996.00	97	-753.56	177	-2654.79	125	-2378.14	97	-2160.27	97	-90.41	17	-14381.90	98	-332.99	101
0	Max	-2077	-17145.10	33	5435.34	97	1974.91	177	-202.55	33	186.08	173	148.40	173	5713.09	97	2839.85	130
0	Max	-1791	-17145.10	33	5435.34	97	1974.91	177	-202.55	33	186.08	173	148.40	173	5713.09	97	2839.85	130
0	Max	-1436	-17145.10	33	5435.34	97	1974.91	177	-202.55	33	186.08	173	148.40	173	5713.09	97	2839.85	130
0	Max	-2099	-17145.10	33	5435.34	97	1974.91	177	-202.55	33	186.08	173	148.40	173	5713.09	97	2839.85	130
0	Min.	-2077	-172743.00	98	-3659.32	177	-1109.91	173	-2449.99	98	-497.51	98	-82.81	17	-16127.60	173	-4764.19	101
0	Min.	-1791	-172743.00	98	-3659.32	177	-1109.91	173	-2449.99	98	-497.51	98	-82.81	17	-16127.60	173	-4764.19	101
0	Min.	-1436	-172743.00	98	-3659.32	177	-1109.91	173	-2449.99	98	-497.51	98	-82.81	17	-16127.60	173	-4764.19	101
0	Min.	-2099	-172743.00	98	-3659.32	177	-1109.91	173	-2449.99	98	-497.51	98	-82.81	17	-16127.60	173	-4764.19	101
0	Max	-2075	-19147.10	33	5209.88	173	879.35	177	-217.74	33	570.26	173	75.46	173	7606.76	97	12189.40	173
0	Max	-1792	-19147.10	33	5209.88	173	879.35	177	-217.74	33	570.26	173	75.46	173	7606.76	97	12189.40	173
0	Max	-1438	-19147.10	33	5209.88	173	879.35	177	-217.74	33	570.26	173	75.46	173	7606.76	97	12189.40	173
0	Max	-2100	-19147.10	33	5209.88	173	879.35	177	-217.74	33	570.26	173	75.46	173	7606.76	97	12189.40	173
0	Min.	-2075	-183353.00	98	-3810.65	177	-1932.32	158	-2569.41	98	-490.61	98	-39.65	17	-10004.90	173	-4121.08	101
0	Min.	-1792	-183353.00	98	-3810.65	177	-1932.32	158	-2569.41	98	-490.61	98	-39.65	17	-10004.90	173	-4121.08	101
0	Min.	-1438	-183353.00	98	-3810.65	177	-1932.32	158	-2569.41	98	-490.61	98	-39.65	17	-10004.90	173	-4121.08	101
0	Min.	-2100	-183353.00	98	-3810.65	177	-1932.32	158	-2569.41	98	-490.61	98	-39.65	17	-10004.90	173	-4121.08	101
0	Max	-2064	-18572.10	162	4490.16	173	637.94	161	-195.10	33	186.10	33	61.78	65	6547.25	98	9452.34	98
0	Max	-1794	-18572.10	162	4490.16	173	637.94	161	-195.10	33	186.10	33	61.78	65	6547.25	98	9452.34	98
0	Max	-1441	-18572.10	162	4490.16	173	637.94	161	-195.10	33	186.10	33	61.78	65	6547.25	98	9452.34	98
0	Max	-2101	-18572.10	162	4490.16	173	637.94	161	-195.10	33	186.10	33	61.78	65	6547.25	98	9452.34	98
0	Min.	-2064	-183245.00	97	-3846.12	177	-1491.68	158	-2456.82	97	-471.83	97	-103.88	173	-12808.50	173	-1671.77	101
0	Min.	-1794	-183245.00	97	-3846.12	177	-1491.68	158	-2456.82	97	-471.83	97	-103.88	173	-12808.50	173	-1671.77	101
0	Min.	-1441	-183245.00	97	-3846.12	177	-1491.68	158	-2456.82	97	-471.83	97	-103.88	173	-12808.50	173	-1671.77	101
0	Min.	-2101	-183245.00	97	-3846.12	177	-1491.68	158	-2456.82	97	-471.83	97	-103.88	173	-12808.50	173	-1671.77	101
0	Max	-2062	-11254.00	162	3732.81	173	1329.04	173	-171.46	49	189.27	33	104.10	65	5281.60	98	10224.10	98
0	Max	-1795	-11254.00	162	3732.81	173	1329.04	173	-171.46	49	189.27	33	104.10	65	5281.60	98	10224.10	98
0	Max	-1442	-11254.00	162	3732.81	173	1329.04	173	-171.46	49	189.27	33	104.10	65	5281.60	98	10224.10	98
0	Max	-2102	-11254.00	162	3732.81	173	1329.04	173	-171.46	49	189.27	33	104.10	65	5281.60	98	10224.10	98
0	Min.	-2062	-172019.00	97	-3874.97	177	-2478.79	177	-2214.34	97	-536.41	97	-106.24	17	-7577.89	173	-444.08	101
0	Min.	-1795	-172019.00	97	-3874.97	177	-2478.79	177	-2214.34	97	-536.41	97	-106.24	17	-7577.89	173	-444.08	101
0	Min.	-1442	-172019.00	97	-3874.97	177	-2478.79	177	-2214.34	97	-536.41	97	-106.24	17	-7577.89	173	-444.08	101
0	Min.	-2102	-172019.00	97	-3874.97	177	-2478.79	177	-2214.34	97	-536.41	97	-106.24	17	-7577.89	173	-444.08	101
0	Max	-2105	-233.75	177	1769.95	97	6109.33	98	-91.17	17	92.92	17	555.22	98	27645.60	97	26636.50	98
0	Max	-1496	-233.75	177	1769.95	97	6109.33	98	-91.17	17	92.92	17	555.22	98	27645.60	97	26636.50	98
0	Max	-1488	-233.75	177	1769.95	97	6109.33	98	-91.17	17	92.92	17	555.22	98	27645.60	97	26636.50	98
0	Max	-2106	-233.75	177	1769.95	97	6109.33	98	-91.17	17	92.92	17	555.22	98	27645.60	97	26636.50	98
0	Min.	-2105	-162476.00	97	-1598.44	158	-11626.60	157	-2189.51	97	-1377.07	97	-86.41	17	-1213.96	65	-377.99	49
0	Min.	-1496	-162476.00	97	-1598.44	158	-11626.60	157	-2189.51	97	-1377.07	97	-86.41	17	-1213.96	65	-377.99	49
0	Min.	-1488	-162476.00	97	-1598.44	158	-11626.60	157	-2189.51	97	-1377.07	97	-86.41	17	-1213.96	65	-377.99	49
0	Min.	-2106	-162476.00	97	-1598.44	158	-11626.60	157	-2189.51	97	-1377.07	97	-86.41	17	-1213.96	65	-377.99	49
0	Max	-2107	-1468.77	177	1924.48	125	3939.90	106	-106.40	17	97.84	17	351.13	173	35170.10	97	9243.60	98
0	Max	-1495	-1468.77	177	1924.48	125	3939.90	106	-106.40	17	97.84	17	351.13	173	35170.10	97	9243.60	98
0	Max	-1489	-1468.77	177	1924.48	125	3939.90	106	-106.40	17	97.84	17	351.13	173	35170.10	97	9243.60	98
0	Max	-2108	-1468.77	177	1924.48	125	3939.90	106	-106.40	17	97.84	17	351.13	173	35170.10	97	9243.60	98
0	Min.	-2107	-173489.00	97	-1200.06	106	-9848.70	157	-2620.37	97	-1510.73	97	-56.33	101	-1503.81	17	-1427.08	101
0	Min.	-1495	-173489.00	97	-1200.06	106	-9848.70	157	-2620.37	97	-1510.73	97	-56.33	101	-1503.81	17	-1427.08	101
0	Min.	-1489	-173489.00	97	-1200.06	106	-9848.70	157	-2620.37	97	-1510.73	97	-56.33	101	-1503.81	17	-1427.08	101
0	Min.	-2108	-173489.00	97	-1200.06	106	-9848.70	157	-2620.37	97	-1510.73	97	-56.33	101	-1503.81	17	-1427.08	101
0	Max	-1912	-1618.00	177	2615.41	97	1843.29	106	-123.46	17	184.11	173	78.49	106	33283.00	97	8905.65	98
0	Max	-1493	-1618.00	177	2615.41	97	1843.29	106	-123.46	17	184.11	173	78.49	106	33283.00	97	8905.65	98
0	Max	-1499	-1618.00	177	2615.41	97	1843.29	106	-123.46	17	184.11	173	78.49	106	33283.00	97	8905.65	98
0	Max	-2109	-1618.00	177	2615.41	97	1843.29	106	-123.46	17	184.11	173	78.49	106	33283.00	97	8905.65	98
0	Min.	-1912	-175266.00	98	-5339.78	158	-15579.80	157	-2533.23	97	-1622.22	98	-113.28	101	-1450.12	17	-3238.43	101
0	Min.	-1493	-175266.00	98	-5339.78	158	-15579.80	157	-2533.23	97	-1622.22	98	-113.28	101	-1450.12	17	-3238.43	101
0	Min.	-1499	-175266.00	98	-5339.78	158	-15579.80	157	-2533.23	97	-1622.22	98	-113.28	101	-1450.12	17	-3238.43	101
0	Min.	-2109	-175266.00	98	-5339.78	158	-15579.80	157	-2533.23	97	-1622.22	98	-113.28	101	-1450.12	17	-3238.43	101
0	Max	-1973	-447.39	177	3739.35	97	1230.04	106	-112.72	65	96.65	173	69.44	65	33862.70	98	2743.04	130
0	Max	-1492	-447.39	177	3739.35	97	1230.04	106	-112.72	65	96.65	173	69.44	65	33862.70	98	2743.04	130
0	Max	-1500	-447.39	177	3739.35	97	1230.04	106	-112.72	65	96.65	173	69.44	65	33862.70	98	2743.04	130
0	Max	-2110	-447.39	177	3739.35	97	1230.04	106	-112.72	65	96.65	173	69.44	65	33862.70	98	2743.04	130
0	Min.	-1973	-165534.00	98	-2485.18	158	-14585.50	157	-2628.14	98	-1440.51	98	-394.77	97	-1441.07	65	-5829.23	97
0	Min.	-1492	-165534.00	98	-2485.18	158	-14585.50	157	-2628.14	98	-1440.51	98	-394.77	97	-1441.07	65	-5829.23	97
0	Min.	-1500	-165534.00	98	-2485.18	158	-14585.50	157	-2628.14	98	-1440.51	98	-394.77	97	-1441.07	65	-5829.23	97
0	Min.	-2110	-165534.00	98	-2485.18	158	-14585.50	157	-2628.14	98	-1440.51	98	-394.77	97	-1441.07	65	-5829.23	97
0	Max	-2106	3760.89	177	4676.88	122	923.32	173	-72.86	17	76.26	17	570.52	98	22860.20	97	13762.70	98
0	Max	-1488	3760.89	177	4676.88	122	923.32	173	-72.86	17	76.26	17	570.52	98	22860.20	97	13762.70	98
0	Max	-1738	3760.89	177	4676.88	122	923.32	173	-72.86	17	76.26	17	570.52	98	22860.20	97	13762.70	98
0	Max	-2111	3760.89	177	4676.88	122	923.32	173	-72.86	17	76.26	17	570.52	98	22860.20	97	13762.70	98
0	Min.	-2106	-163264.00	97	-56.25	49	-11140.10	158	-2043.64	97	-680.18	97	-81.35	17	-790.31	33	-416.91	49
0	Min.	-1488	-163264.00	97	-56.25	49	-11140.10	158	-2043.64	97	-680.18	97	-81.35	17	-790.31	33	-416.91	49
0	Min.	-1738	-163264.00	97	-56.25	49	-11140.10	158	-2043.64	97	-680.18	97	-81.35	17	-790.31	33	-416.91	49
0	Min.	-2111	-163264.00	97	-56.25	49	-11140.10	158	-2043.64	97	-680.18	97	-81.35	17	-790.31	33	-416.91	49
0	Max	-2108	2613.53	177	5007.56	158	610.11	101	-86.83	17	141.06	173	310.14	173	34593.00	97	10969.50	98
0	Max	-1489	2613.53	177	5007.56	158	610.11	101	-86.83	17	141.06	173	310.14	173	34593.00	97	10969.50	98
0	Max	-1737	2613.53	177	5007.56	158	610.11	101	-86.83	17	141.06	173	310.14	173	34593.00	97	10969.50	98
0	Max	-2112	2613.53	177	5007.56	158	610.11	101	-86.83	17	141.06	173	310.14	173	34593.00	97	10969.50	98
0	Min.	-2108	-173188.00	97	-97.48	177	-12750.00	158	-2286.18	97	-669.30	97	-69.40	101	-308.94	33	-2505.51	101
0	Min.	-1489	-173188.00	97	-97.48	177	-12750.00	158	-2286.18	97	-669.30	97	-69.40	101	-308.94	33	-2505.51	101
0	Min.	-1737	-173188.00	97	-97.48	177	-12750.00	158	-2286.18	97	-669.30	97	-69.40	101	-308.94	33	-2505.51	101
0	Min.	-2112	-173188.00	97	-97.48	177	-12750.00	158	-2286.18	97	-669.30	97	-69.40	101	-308.94	33	-2505.51	101
0	Max	-2109	2987.97	177	1729.45	106	1505.52	101	-100.12	17	217.69	173	110.75	106	29734.40	97	4567.20	158

0	Max	-1499	2987.97	177	1729.45	106	1505.52	101	-100.12	17	217.69	173	110.75	106	29734.40	97	4567.20	158
0	Max	-1735	2987.97	177	1729.45	106	1505.52	101	-100.12	17	217.69	173	110.75	106	29734.40	97	4567.20	158
0	Max	-2113	2987.97	177	1729.45	106	1505.52	101	-100.12	17	217.69	173	110.75	106	29734.40	97	4567.20	158
0	Min.	-2109	-172022.00	98	-2431.28	125	-12542.90	158	-2338.36	97	-769.54	98	-152.62	101	-521.69	33	-2032.97	101
0	Min.	-1499	-172022.00	98	-2431.28	125	-12542.90	158	-2338.36	97	-769.54	98	-152.62	101	-521.69	33	-2032.97	101
0	Min.	-1735	-172022.00	98	-2431.28	125	-12542.90	158	-2338.36	97	-769.54	98	-152.62	101	-521.69	33	-2032.97	101
0	Min.	-2113	-172022.00	98	-2431.28	125	-12542.90	158	-2338.36	97	-769.54	98	-152.62	101	-521.69	33	-2032.97	101
0	Max	-2110	4523.61	177	1346.98	106	1527.74	101	-93.56	65	161.85	173	89.51	130	30489.00	98	3833.31	130
0	Max	-1500	4523.61	177	1346.98	106	1527.74	101	-93.56	65	161.85	173	89.51	130	30489.00	98	3833.31	130
0	Max	-1734	4523.61	177	1346.98	106	1527.74	101	-93.56	65	161.85	173	89.51	130	30489.00	98	3833.31	130
0	Max	-2114	4523.61	177	1346.98	106	1527.74	101	-93.56	65	161.85	173	89.51	130	30489.00	98	3833.31	130
0	Min.	-2110	-160206.00	98	-1594.29	125	-10684.30	158	-2315.87	98	-658.33	98	-448.75	97	-640.67	33	-2853.07	101
0	Min.	-1500	-160206.00	98	-1594.29	125	-10684.30	158	-2315.87	98	-658.33	98	-448.75	97	-640.67	33	-2853.07	101
0	Min.	-1734	-160206.00	98	-1594.29	125	-10684.30	158	-2315.87	98	-658.33	98	-448.75	97	-640.67	33	-2853.07	101
0	Min.	-2114	-160206.00	98	-1594.29	125	-10684.30	158	-2315.87	98	-658.33	98	-448.75	97	-640.67	33	-2853.07	101
0	Max	-2111	8128.11	177	481.63	101	5359.42	98	-62.12	17	53.63	17	469.17	98	9988.11	97	7576.87	122
0	Max	-1738	8128.11	177	481.63	101	5359.42	98	-62.12	17	53.63	17	469.17	98	9988.11	97	7576.87	122
0	Max	-2188	8128.11	177	481.63	101	5359.42	98	-62.12	17	53.63	17	469.17	98	9988.11	97	7576.87	122
0	Max	-2189	8128.11	177	481.63	101	5359.42	98	-62.12	17	53.63	17	469.17	98	9988.11	97	7576.87	122
0	Min.	-2111	-157460.00	97	-264.03	162	-4657.40	157	-1999.16	97	-355.03	97	-95.24	17	-1885.14	17	-1034.34	101
0	Min.	-1738	-157460.00	97	-264.03	162	-4657.40	157	-1999.16	97	-355.03	97	-95.24	17	-1885.14	17	-1034.34	101
0	Min.	-2188	-157460.00	97	-264.03	162	-4657.40	157	-1999.16	97	-355.03	97	-95.24	17	-1885.14	17	-1034.34	101
0	Min.	-2189	-157460.00	97	-264.03	162	-4657.40	157	-1999.16	97	-355.03	97	-95.24	17	-1885.14	17	-1034.34	101
0	Max	-2112	6753.33	177	2419.97	157	4250.04	106	-71.70	17	140.84	173	247.81	173	10963.40	97	10667.50	98
0	Max	-1737	6753.33	177	2419.97	157	4250.04	106	-71.70	17	140.84	173	247.81	173	10963.40	97	10667.50	98
0	Max	-2190	6753.33	177	2419.97	157	4250.04	106	-71.70	17	140.84	173	247.81	173	10963.40	97	10667.50	98
0	Max	-2191	6753.33	177	2419.97	157	4250.04	106	-71.70	17	140.84	173	247.81	173	10963.40	97	10667.50	98
0	Min.	-2112	-169271.00	97	-1164.14	106	-6457.93	157	-2115.19	97	-286.61	97	-56.66	17	-1718.25	1	-2846.69	101
0	Min.	-1737	-169271.00	97	-1164.14	106	-6457.93	157	-2115.19	97	-286.61	97	-56.66	17	-1718.25	1	-2846.69	101
0	Min.	-2190	-169271.00	97	-1164.14	106	-6457.93	157	-2115.19	97	-286.61	97	-56.66	17	-1718.25	1	-2846.69	101
0	Min.	-2191	-169271.00	97	-1164.14	106	-6457.93	157	-2115.19	97	-286.61	97	-56.66	17	-1718.25	1	-2846.69	101
0	Max	-2117	15010.40	177	1912.21	106	1714.63	106	-32.29	17	124.61	157	78.73	106	1730.57	106	10494.40	106
0	Max	-2065	15010.40	177	1912.21	106	1714.63	106	-32.29	17	124.61	157	78.73	106	1730.57	106	10494.40	106
0	Max	-2003	15010.40	177	1912.21	106	1714.63	106	-32.29	17	124.61	157	78.73	106	1730.57	106	10494.40	106
0	Max	-2118	15010.40	177	1912.21	106	1714.63	106	-32.29	17	124.61	157	78.73	106	1730.57	106	10494.40	106
0	Min.	-2117	-167303.00	98	-4205.29	125	-2739.76	125	-2041.00	97	-57.22	106	-109.84	125	-4664.93	121	-15805.50	125
0	Min.	-2065	-167303.00	98	-4205.29	125	-2739.76	125	-2041.00	97	-57.22	106	-109.84	125	-4664.93	121	-15805.50	125
0	Min.	-2003	-167303.00	98	-4205.29	125	-2739.76	125	-2041.00	97	-57.22	106	-109.84	125	-4664.93	121	-15805.50	125
0	Min.	-2118	-167303.00	98	-4205.29	125	-2739.76	125	-2041.00	97	-57.22	106	-109.84	125	-4664.93	121	-15805.50	125
0	Max	-2114	8288.47	177	1075.40	97	1558.64	106	-75.39	65	148.28	173	69.66	65	11415.30	98	3369.54	130
0	Max	-1734	8288.47	177	1075.40	97	1558.64	106	-75.39	65	148.28	173	69.66	65	11415.30	98	3369.54	130
0	Max	-2216	8288.47	177	1075.40	97	1558.64	106	-75.39	65	148.28	173	69.66	65	11415.30	98	3369.54	130
0	Max	-2194	8288.47	177	1075.40	97	1558.64	106	-75.39	65	148.28	173	69.66	65	11415.30	98	3369.54	130
0	Min.	-2114	-158627.00	98	-969.60	162	-9780.33	157	-2120.78	98	-301.82	98	-379.67	97	-1242.98	33	-3032.01	101
0	Min.	-1734	-158627.00	98	-969.60	162	-9780.33	157	-2120.78	98	-301.82	98	-379.67	97	-1242.98	33	-3032.01	101
0	Min.	-2216	-158627.00	98	-969.60	162	-9780.33	157	-2120.78	98	-301.82	98	-379.67	97	-1242.98	33	-3032.01	101
0	Min.	-2194	-158627.00	98	-969.60	162	-9780.33	157	-2120.78	98	-301.82	98	-379.67	97	-1242.98	33	-3032.01	101
0	Max	-2103	-6813.37	177	9029.39	157	711.44	101	-130.08	17	113.35	33	441.71	173	46130.80	98	5472.58	106
0	Max	-1886	-6813.37	177	9029.39	157	711.44	101	-130.08	17	113.35	33	441.71	173	46130.80	98	5472.58	106
0	Max	-1495	-6813.37	177	9029.39	157	711.44	101	-130.08	17	113.35	33	441.71	173	46130.80	98	5472.58	106
0	Max	-2107	-6813.37	177	9029.39	157	711.44	101	-130.08	17	113.35	33	441.71	173	46130.80	98	5472.58	106
0	Min.	-2103	-178324.00	97	-779.13	177	-33334.30	158	-3028.03	97	-2635.21	97	-60.72	101	-751.40	65	-3369.12	97
0	Min.	-1886	-178324.00	97	-779.13	177	-33334.30	158	-3028.03	97	-2635.21	97	-60.72	101	-751.40	65	-3369.12	97
0	Min.	-1495	-178324.00	97	-779.13	177	-33334.30	158	-3028.03	97	-2635.21	97	-60.72	101	-751.40	65	-3369.12	97
0	Min.	-2107	-178324.00	97	-779.13	177	-33334.30	158	-3028.03	97	-2635.21	97	-60.72	101	-751.40	65	-3369.12	97
0	Max	-2104	-5750.11	177	9827.82	158	1281.70	173	-113.89	17	113.25	33	492.68	173	18636.60	97	44313.60	98
0	Max	-1887	-5750.11	177	9827.82	158	1281.70	173	-113.89	17	113.25	33	492.68	173	18636.60	97	44313.60	98
0	Max	-1496	-5750.11	177	9827.82	158	1281.70	173	-113.89	17	113.25	33	492.68	173	18636.60	97	44313.60	98
0	Max	-2105	-5750.11	177	9827.82	158	1281.70	173	-113.89	17	113.25	33	492.68	173	18636.60	97	44313.60	98
0	Min.	-2104	-168744.00	97	-623.18	177	-12229.30	158	-2312.55	97	-2136.13	97	-83.55	17	-1036.74	65	-407.26	101
0	Min.	-1887	-168744.00	97	-623.18	177	-12229.30	158	-2312.55	97	-2136.13	97	-83.55	17	-1036.74	65	-407.26	101
0	Min.	-1496	-168744.00	97	-623.18	177	-12229.30	158	-2312.55	97	-2136.13	97	-83.55	17	-1036.74	65	-407.26	101
0	Min.	-2105	-168744.00	97	-623.18	177	-12229.30	158	-2312.55	97	-2136.13	97	-83.55	17	-1036.74	65	-407.26	101
0	Max	-2119	16928.80	177	824.12	130	805.00	106	-46.76	65	17.49	173	45.06	65	-210.25	33	19731.60	98
0	Max	-1753	16928.80	177	824.12	130	805.00	106	-46.76	65	17.49	173	45.06	65	-210.25	33	19731.60	98
0	Max	-2002	16928.80	177	824.12	130	805.00	106	-46.76	65	17.49	173	45.06	65	-210.25	33	19731.60	98
0	Max	-2120	16928.80	177	824.12	130	805.00	106	-46.76	65	17.49	173	45.06	65	-210.25	33	19731.60	98
0	Min.	-2119	-153983.00	98	-1988.39	97	-2100.57	101	-1887.32	98	-8.77	17	-194.35	98	-2884.26	98	-6009.29	65
0	Min.	-1753	-153983.00	98	-1988.39	97	-2100.57	101	-1887.32	98	-8.77	17	-194.35	98	-2884.26	98	-6009.29	65
0	Min.	-2002	-153983.00	98	-1988.39	97	-2100.57	101	-1887.32	98	-8.77	17	-194.35	98	-2884.26	98	-6009.29	65
0	Min.	-2120	-153983.00	98	-1988.39	97	-2100.57	101	-1887.32	98	-8.77	17	-194.35	98	-2884.26	98	-6009.29	65
0	Max	-2113	6833.14	177	1078.66	98	3111.12	106	-70.87	17	222.59	173	92.28	106	17509.90	98	6605.17	106
0	Max	-1735	6833.14	177	1078.66	98	3111.12	106	-70.87	17	222.59	173	92.28	106	17509.90	98	6605.17	106
0	Max	-2217	6833.14	177	1078.66	98	3111.12	106	-70.87	17	222.59	173	92.28	106	17509.90	98	6605.17	106
0	Max	-2215	6833.14	177	1078.66	98	3111.12	106	-70.87	17	222.59	173	92.28	106	17509.90	98	6605.17	106
0	Min.	-2113	-169714.00	98	-4184.75	157	-10581.90	157	-2206.20	97	-291.72	98	-150.33	97	-7763.98	125	-5928.71	125
0	Min.	-1735	-169714.00	98	-4184.75	157	-10581.90	157	-2206.20	97	-291.72	98	-150.33	97	-7763.98	125	-5928.71	125
0	Min.	-2217	-169714.00	98	-4184.75	157	-10581.90	157	-2206.20	97	-291.72	98	-150.33	97	-7763.98	125	-5928.71	125
0	Min.	-2215	-169714.00	98	-4184.75	157	-10581.90	157	-2206.20	97	-291.72	98	-150.33	97	-7763.98	125	-5928.71	125
0	Max	-2116	14546.60	177	1515.59	130	2032.94	106	-36.00	17	32.20	121	122.25	121	3113.38	125	7304.22	1
0	Max	-1755	14546.60	177	1515.59	130	2032.94	106	-36.00	17	32.20	121	122.25	121	3113.38	125	7304.22	1
0	Max	-2005	14546.60	177	1515.59	130	2032.94	106	-36.00	17	32.20	121	122.25	121	3113.38	125	7304.22	1
0	Max	-2121	14546.60	177	1515.59	130	2032.94	106	-36.00	17	32.20	121	122.25	121	3113.38	125	7304.22	1
0	Min.	-2116	-168525.00	97	-747.43	101	-1027.63	125	-1859.91	97	-0.47	17	-41.70	1	-2355.50	106	-9664.35	173
0	Min.	-1755	-168525.00	97	-747.43	101	-1027.63	125	-1859.91	97	-0.47	17	-41.70	1	-2355.50	106	-9664.35	173
0	Min.	-2005	-168525.00	97	-747.43	101	-1027.63	125	-1859.91	97	-0.47	17	-41.70	1	-2355.50	106	-9664.35	173
0	Min.	-2121	-168525.00	97	-747.43	101	-1027.63	125	-1859.91	97	-0.47	17	-41.70	1	-2355.50	106	-9664.35	173
0	Max	-2115	15983.00	177	89.64	1	612.04	98	-16.08	17	79.44	98	200.33	97	897.71	161	10025.40	17
0	Max	-1756	15983.00	177	89.64	1	612.04	98	-16.08	17	79.44	98	200.33	97	897.71	161	10025.40	17
0	Max	-2006	15983.00	177	89.64	1	612.04	98	-16.08	17	79.44	98	200.33	97	897.71	161	10025.40	17
0	Max	-2122	15983.00	177	89.64	1	612.04	98	-16.08	17	79.44	98	200.33	97	897.71	161	10025.40	17
0	Min.	-2115	-156016.00	97	-1051.70	97	-245.34	125	-1553.29	97	-15.46	161	-71.54	17	-1691.59	98	-16618.80	173
0	Min.	-1756	-156016.00	97	-1051.70	97	-245.34	125	-1553.29	97	-15.46	161	-71.54	17	-1691.59	98	-16618.80	173
0	Min.	-2006	-156016.00	97	-1051.70	97	-245.34	125	-1553.29	97	-15.46	161	-71.54	17	-1691.59	98	-16618.80	173
0	Min.	-2122	-156016.00	97	-1051.70	97	-245.34	125	-1553.29	97	-15.46	161	-71.54	17	-1691.59	98	-16618.80	173
0	Max	-2123	-4483.43	17	704.08	130	2235.10	101	-48.58	17	25.39	173	205.10	98	4160.46	173	18450.60	98
0	Max	-2045	-4483.43	17	704.08	130	2235.10	101	-48.58	17	25.39	173	205.10	98	4160.46	173	18450.60	98
0	Max	-1811	-4483.43	17	704.08	130	2235.10	101	-48.58	17	25.39	173	205.10	98	4160.46	173	18450.60	98
0	Max	-2093	-4483.43	17	704.08	130	2235.10	101	-48.58	17	25.39	173	205.10	98	4160.46	173	18450.60	98
0	Min.	-2123	-152274.00	98	-1689.71	97	-849.78	106	-1881.87	98	-49.65	177	-82.84	173	-2105.79	177	-18791.00	173
0	Min.	-2045	-152274.00	98	-1689.71	97	-849.78	106	-1881.87	98	-49.65	177	-82.84	173	-2105.79	177	-18791.00	173
0	Min.	-1811	-152274.00	98	-1689.71	97	-849.78	106	-1881.87	98	-49.65	177	-82.84	173	-2105.79	177	-18791.00	173
0	Min.	-2093	-152274.00	98	-1689.71	97	-849.78	106	-1881.87	98	-49.65	177	-82.84	173	-2105.79	177	-18791.00	173
0	Max	-2124	-6490.08	17	3438.40	177	2568.09	125	-33.94	65	698.15	173	171.09	177	47453.90	173	27003.70	177
0	Max	-2046	-6490.08	17	3438.40	177	2568.09	125	-33.94	65	698.15	173	171.09	177	47453.90	173	27003.70	177

0	Max	-1812	-6490.08	17	3438.40	177	2568.09	125	-33.94	65	698.15	173	171.09	177	47453.90	173	27003.70	177
0	Max	-2091	-6490.08	17	3438.40	177	2568.09	125	-33.94	65	698.15	173	171.09	177	47453.90	173	27003.70	177
0	Min.	-2124	-165109.00	98	-7309.28	173	-1676.85	106	-2339.24	173	-293.04	177	-446.25	173	-20688.70	177	-47303.40	173
0	Min.	-2046	-165109.00	98	-7309.28	173	-1676.85	106	-2339.24	173	-293.04	177	-446.25	173	-20688.70	177	-47303.40	173
0	Min.	-1812	-165109.00	98	-7309.28	173	-1676.85	106	-2339.24	173	-293.04	177	-446.25	173	-20688.70	177	-47303.40	173
0	Min.	-2091	-165109.00	98	-7309.28	173	-1676.85	106	-2339.24	173	-293.04	177	-446.25	173	-20688.70	177	-47303.40	173
0	Max	-2125	-6586.29	65	1328.61	130	1155.20	125	-39.68	65	36.97	97	340.09	173	2646.00	106	28839.60	173
0	Max	-2048	-6586.29	65	1328.61	130	1155.20	125	-39.68	65	36.97	97	340.09	173	2646.00	106	28839.60	173
0	Max	-1814	-6586.29	65	1328.61	130	1155.20	125	-39.68	65	36.97	97	340.09	173	2646.00	106	28839.60	173
0	Max	-2089	-6586.29	65	1328.61	130	1155.20	125	-39.68	65	36.97	97	340.09	173	2646.00	106	28839.60	173
0	Min.	-2125	-166029.00	97	-700.81	101	-2203.70	106	-1862.56	97	-56.28	173	-163.96	177	-3651.21	125	-7546.26	177
0	Min.	-2048	-166029.00	97	-700.81	101	-2203.70	106	-1862.56	97	-56.28	173	-163.96	177	-3651.21	125	-7546.26	177
0	Min.	-1814	-166029.00	97	-700.81	101	-2203.70	106	-1862.56	97	-56.28	173	-163.96	177	-3651.21	125	-7546.26	177
0	Min.	-2089	-166029.00	97	-700.81	101	-2203.70	106	-1862.56	97	-56.28	173	-163.96	177	-3651.21	125	-7546.26	177
0	Max	-2126	-4702.42	65	2594.50	177	1167.60	177	-21.00	65	75.47	98	277.25	173	2918.03	177	30098.40	173
0	Max	-2049	-4702.42	65	2594.50	177	1167.60	177	-21.00	65	75.47	98	277.25	173	2918.03	177	30098.40	173
0	Max	-1815	-4702.42	65	2594.50	177	1167.60	177	-21.00	65	75.47	98	277.25	173	2918.03	177	30098.40	173
0	Max	-2087	-4702.42	65	2594.50	177	1167.60	177	-21.00	65	75.47	98	277.25	173	2918.03	177	30098.40	173
0	Min.	-2126	-153462.00	97	-1439.35	173	-920.26	98	-1589.12	97	-13.57	161	-203.54	97	-711.35	161	-12029.30	97
0	Min.	-2049	-153462.00	97	-1439.35	173	-920.26	98	-1589.12	97	-13.57	161	-203.54	97	-711.35	161	-12029.30	97
0	Min.	-1815	-153462.00	97	-1439.35	173	-920.26	98	-1589.12	97	-13.57	161	-203.54	97	-711.35	161	-12029.30	97
0	Min.	-2087	-153462.00	97	-1439.35	173	-920.26	98	-1589.12	97	-13.57	161	-203.54	97	-711.35	161	-12029.30	97
106	Max	-203	2023.21	132	12597.40	17	4719.51	108	1066.81	130	17491.20	130	442.94	49	5274.38	49	1583.76	130
106	Max	-191	2023.21	132	12597.40	17	4719.51	108	1066.81	130	17491.20	130	442.94	49	5274.38	49	1583.76	130
106	Max	-255	2023.21	132	12597.40	17	4719.51	108	1066.81	130	17491.20	130	442.94	49	5274.38	49	1583.76	130
106	Max	-257	2023.21	132	12597.40	17	4719.51	108	1066.81	130	17491.20	130	442.94	49	5274.38	49	1583.76	130
106	Min.	-203	-303.45	65	-15541.90	65	1066.80	65	-198.30	49	-3170.36	49	-329.09	1	-5491.52	1	-499.78	101
106	Min.	-191	-303.45	65	-15541.90	65	1066.80	65	-198.30	49	-3170.36	49	-329.09	1	-5491.52	1	-499.78	101
106	Min.	-255	-303.45	65	-15541.90	65	1066.80	65	-198.30	49	-3170.36	49	-329.09	1	-5491.52	1	-499.78	101
106	Min.	-257	-303.45	65	-15541.90	65	1066.80	65	-198.30	49	-3170.36	49	-329.09	1	-5491.52	1	-499.78	101
106	Max	-179	583.54	17	7889.74	17	15898.30	100	1727.20	130	19575.10	130	639.35	49	4825.30	49	1084.27	130
106	Max	-167	583.54	17	7889.74	17	15898.30	100	1727.20	130	19575.10	130	639.35	49	4825.30	49	1084.27	130
106	Max	-251	583.54	17	7889.74	17	15898.30	100	1727.20	130	19575.10	130	639.35	49	4825.30	49	1084.27	130
106	Max	-253	583.54	17	7889.74	17	15898.30	100	1727.20	130	19575.10	130	639.35	49	4825.30	49	1084.27	130
106	Min.	-179	-1700.93	99	-16354.10	65	553.94	65	-292.04	49	-3435.95	101	-705.22	1	-8906.91	106	-222.26	1
106	Min.	-167	-1700.93	99	-16354.10	65	553.94	65	-292.04	49	-3435.95	101	-705.22	1	-8906.91	106	-222.26	1
106	Min.	-251	-1700.93	99	-16354.10	65	553.94	65	-292.04	49	-3435.95	101	-705.22	1	-8906.91	106	-222.26	1
106	Min.	-253	-1700.93	99	-16354.10	65	553.94	65	-292.04	49	-3435.95	101	-705.22	1	-8906.91	106	-222.26	1
106	Max	-237	1768.31	177	-3954.31	65	2696.91	17	1724.99	130	17325.90	130	659.42	49	2252.13	1	685.29	132
106	Max	-235	1768.31	177	-3954.31	65	2696.91	17	1724.99	130	17325.90	130	659.42	49	2252.13	1	685.29	132
106	Max	-273	1768.31	177	-3954.31	65	2696.91	17	1724.99	130	17325.90	130	659.42	49	2252.13	1	685.29	132
106	Max	-275	1768.31	177	-3954.31	65	2696.91	17	1724.99	130	17325.90	130	659.42	49	2252.13	1	685.29	132
106	Min.	-237	-654.22	17	-14417.50	104	-8670.14	65	-210.29	101	-2517.51	101	-628.26	1	-11096.40	106	-1035.38	103
106	Min.	-235	-654.22	17	-14417.50	104	-8670.14	65	-210.29	101	-2517.51	101	-628.26	1	-11096.40	106	-1035.38	103
106	Min.	-273	-654.22	17	-14417.50	104	-8670.14	65	-210.29	101	-2517.51	101	-628.26	1	-11096.40	106	-1035.38	103
106	Min.	-275	-654.22	17	-14417.50	104	-8670.14	65	-210.29	101	-2517.51	101	-628.26	1	-11096.40	106	-1035.38	103
106	Max	-333	593.18	17	7286.43	17	1972.34	119	778.19	130	13587.50	130	494.94	49	2342.91	49	878.79	130
106	Max	-331	593.18	17	7286.43	17	1972.34	119	778.19	130	13587.50	130	494.94	49	2342.91	49	878.79	130
106	Max	-369	593.18	17	7286.43	17	1972.34	119	778.19	130	13587.50	130	494.94	49	2342.91	49	878.79	130
106	Max	-371	593.18	17	7286.43	17	1972.34	119	778.19	130	13587.50	130	494.94	49	2342.91	49	878.79	130
106	Min.	-333	-1030.61	65	-12921.80	65	1156.05	160	-305.86	101	-4237.49	101	-592.95	1	-11923.20	106	-82.02	1
106	Min.	-331	-1030.61	65	-12921.80	65	1156.05	160	-305.86	101	-4237.49	101	-592.95	1	-11923.20	106	-82.02	1
106	Min.	-369	-1030.61	65	-12921.80	65	1156.05	160	-305.86	101	-4237.49	101	-592.95	1	-11923.20	106	-82.02	1
106	Min.	-371	-1030.61	65	-12921.80	65	1156.05	160	-305.86	101	-4237.49	101	-592.95	1	-11923.20	106	-82.02	1
106	Max	-255	518.33	17	8244.87	17	4374.60	17	810.50	130	17064.60	130	535.99	49	3169.55	49	3177.98	130
106	Max	-253	518.33	17	8244.87	17	4374.60	17	810.50	130	17064.60	130	535.99	49	3169.55	49	3177.98	130
106	Max	-291	518.33	17	8244.87	17	4374.60	17	810.50	130	17064.60	130	535.99	49	3169.55	49	3177.98	130
106	Max	-293	518.33	17	8244.87	17	4374.60	17	810.50	130	17064.60	130	535.99	49	3169.55	49	3177.98	130
106	Min.	-255	-1027.92	99	-14059.10	65	413.84	65	-122.00	101	-2998.01	101	-549.98	1	-8285.29	106	-532.81	1
106	Min.	-253	-1027.92	99	-14059.10	65	413.84	65	-122.00	101	-2998.01	101	-549.98	1	-8285.29	106	-532.81	1
106	Min.	-291	-1027.92	99	-14059.10	65	413.84	65	-122.00	101	-2998.01	101	-549.98	1	-8285.29	106	-532.81	1
106	Min.	-293	-1027.92	99	-14059.10	65	413.84	65	-122.00	101	-2998.01	101	-549.98	1	-8285.29	106	-532.81	1
106	Max	-329	361.64	17	2080.80	17	6082.22	17	1287.36	130	13955.30	130	745.24	65	494.85	49	838.67	130
106	Max	-327	361.64	17	2080.80	17	6082.22	17	1287.36	130	13955.30	130	745.24	65	494.85	49	838.67	130
106	Max	-365	361.64	17	2080.80	17	6082.22	17	1287.36	130	13955.30	130	745.24	65	494.85	49	838.67	130
106	Max	-367	361.64	17	2080.80	17	6082.22	17	1287.36	130	13955.30	130	745.24	65	494.85	49	838.67	130
106	Min.	-329	-1005.19	65	-10622.20	103	-457.58	65	-381.08	101	-3998.98	101	-704.23	17	-10102.20	106	-71.58	1
106	Min.	-327	-1005.19	65	-10622.20	103	-457.58	65	-381.08	101	-3998.98	101	-704.23	17	-10102.20	106	-71.58	1
106	Min.	-365	-1005.19	65	-10622.20	103	-457.58	65	-381.08	101	-3998.98	101	-704.23	17	-10102.20	106	-71.58	1
106	Min.	-367	-1005.19	65	-10622.20	103	-457.58	65	-381.08	101	-3998.98	101	-704.23	17	-10102.20	106	-71.58	1
106	Max	-155	1189.16	100	-2517.24	17	7984.23	17	2021.98	130	19339.20	130	577.15	65	3523.03	49	709.84	108
106	Max	-143	1189.16	100	-2517.24	17	7984.23	17	2021.98	130	19339.20	130	577.15	65	3523.03	49	709.84	108
106	Max	-247	1189.16	100	-2517.24	17	7984.23	17	2021.98	130	19339.20	130	577.15	65	3523.03	49	709.84	108
106	Max	-249	1189.16	100	-2517.24	17	7984.23	17	2021.98	130	19339.20	130	577.15	65	3523.03	49	709.84	108
106	Min.	-155	-929.63	65	-19855.50	103	-1393.98	65	-315.80	101	-2703.90	49	-715.37	17	-8507.53	106	-314.78	17
106	Min.	-143	-929.63	65	-19855.50	103	-1393.98	65	-315.80	101	-2703.90	49	-715.37	17	-8507.53	106	-314.78	17
106	Min.	-247	-929.63	65	-19855.50	103	-1393.98	65	-315.80	101	-2703.90	49	-715.37	17	-8507.53	106	-314.78	17
106	Min.	-249	-929.63	65	-19855.50	103	-1393.98	65	-315.80	101	-2703.90	49	-715.37	17	-8507.53	106	-314.78	17
106	Max	-143	499.14	17	-2920.29	17	7337.05	17	2017.31	130	20405.40	130	643.43	49	3971.28	49	636.22	65
106	Max	24	499.14	17	-2920.29	17	7337.05	17	2017.31	130	20405.40	130	643.43	49	3971.28	49	636.22	65
106	Max	-245	499.14	17	-2920.29	17	7337.05	17	2017.31	130	20405.40	130	643.43	49	3971.28	49	636.22	65
106	Max	-247	499.14	17	-2920.29	17	7337.05	17	2017.31	130	20405.40	130	643.43	49	3971.28	49	636.22	65
106	Min.	-143	-1196.83	103	-15372.40	65	-4290.15	103	-272.31	101	-3159.55	101	-790.09	1	-11172.00	106	-350.57	17
106	Min.	24	-1196.83	103	-15372.40	65	-4290.15	103	-272.31	101	-3159.55	101	-790.09	1	-11172.00	106	-350.57	17
106	Min.	-245	-1196.83	103	-15372.40	65	-4290.15	103	-272.31	101	-3159.55	101	-790.09	1	-11172.00	106	-350.57	17
106	Min.	-247	-1196.83	103	-15372.40	65	-4290.15	103	-272.31	101	-3159.55	101	-790.09	1	-11172.00	106	-350.57	17
106	Max	-249	1094.28	17	-1660.54	17	7860.66	17	1823.90	130	17390.60	130	617.61	65	2246.03	49	1057.75	65
106	Max	-247	1094.28	17	-1660.54	17	7860.66	17	1823.90	130	17390.60	130	617.61	65	2246.03	49	1057.75	65
106	Max	-285	1094.28	17	-1660.54	17	7860.66	17	1823.90	130	17390.60	130	617.61	65	2246.03	49	1057.75	65
106	Max	-287	1094.28	17	-1660.54	17	7860.66	17	1823.90	130	17390.60	130	617.61	65	2246.03	49	1057.75	65
106	Min.	-249	-539.17	65	-14154.60	103	-1939.51	65	-312.33	101	-2698.60	101	-645.78	17	-10028.40	106	-436.95	17
106	Min.	-247	-539.17	65	-14154.60	103	-1939.51	65	-312.33	101	-2698.60	101	-645.78	17	-10028.40	106	-436.95	17
106	Min.	-285	-539.17	65	-14154.60	103	-1939.51	65	-312.33	101	-2698.60	101	-645.78	17	-10028.40	106	-436.95	17
106	Min.	-287	-539.17	65	-14154.60	103	-1939.51	65	-312.33	101	-2698.60	101	-645.78	17	-10028.40	106	-436.95	17
106	Max	-247	1197.88	17	-3972.35	17	8672.99	17	1724.91	130	17321.00	130	620.76	65	2221.23	49	1030.01	104
106	Max	-245	1197.88	17	-3972.35	17	8672.99	17	1724.91	130	17321.00	130	620.76	65	2221.23	49	1030.01	104
106	Max	-283	1197.88	17	-3972.35	17	8672.99	17	1724.91	130	17321.00	130	620.76	65	2221.23	49	1030.01	104
106	Max	-285	1197.88	17	-3972.35	17	8672.99	17	1724.91	130	17321.00	130	620.76	65	2221.23	49	1030.01	104
106	Min.	-247	-648.86	65	-14462.40	103	-2696.17	65	-213.88	101	-2530.99	101	-652.91	17	-11135.40	106	-682.17	131
106	Min.	-245	-648.86	65	-14462.40	103	-2696.17	65	-213.88	101	-2530.99	101	-652.91	17	-11135.40	106	-682.17	131
106	Min.	-283	-648.86	65	-14462.40	103	-2696.17	65	-213.88	101	-2530.99	101	-652.91	17	-11135.40	106	-682.17	131
106	Min.	-285	-648.86	65	-14462.40	103	-2696.17	65	-213.88	101	-2530.99	101	-652.91	17	-11135.40	106	-682.17	131
106	Max	-243	334.81	160	-5389.42	158	10212.70	17	1522.14	130	16292.50	130	633.47	65	2365.34	49	879.78	65
106	Max	-241	334.81	160	-5389.42	158	10212.70	17	1522.14	130	16292.50	130	633.47	65	2365.34	49	879.78	65
106	Max	-279	334.81	160	-5389.42	158	10212.70	17	1522.14	130	16292.50	130	633.47	65	2365.34	49	879.78	65

106	Max	-281	334.81	160	-5389.42	158	10212.70	17	1522.14	130	16292.50	130	633.47	65	2365.34	49	879.78	65
106	Min.	-243	-1244.86	103	-13361.50	101	-7922.05	65	-119.50	49	-2039.46	101	-657.48	17	-17419.00	106	-1701.68	131
106	Min.	-241	-1244.86	103	-13361.50	101	-7922.05	65	-119.50	49	-2039.46	101	-657.48	17	-17419.00	106	-1701.68	131
106	Min.	-279	-1244.86	103	-13361.50	101	-7922.05	65	-119.50	49	-2039.46	101	-657.48	17	-17419.00	106	-1701.68	131
106	Min.	-281	-1244.86	103	-13361.50	101	-7922.05	65	-119.50	49	-2039.46	101	-657.48	17	-17419.00	106	-1701.68	131
106	Max	-239	1233.24	177	-5011.52	158	4781.27	17	1628.22	130	16914.80	130	692.22	49	2285.49	1	2677.33	132
106	Max	-237	1233.24	177	-5011.52	158	4781.27	17	1628.22	130	16914.80	130	692.22	49	2285.49	1	2677.33	132
106	Max	-275	1233.24	177	-5011.52	158	4781.27	17	1628.22	130	16914.80	130	692.22	49	2285.49	1	2677.33	132
106	Max	-277	1233.24	177	-5011.52	158	4781.27	17	1628.22	130	16914.80	130	692.22	49	2285.49	1	2677.33	132
106	Min.	-239	-1089.29	17	-14370.90	101	-9801.58	65	-169.62	101	-2277.26	101	-648.31	1	-13784.10	106	-1327.02	103
106	Min.	-237	-1089.29	17	-14370.90	101	-9801.58	65	-169.62	101	-2277.26	101	-648.31	1	-13784.10	106	-1327.02	103
106	Min.	-275	-1089.29	17	-14370.90	101	-9801.58	65	-169.62	101	-2277.26	101	-648.31	1	-13784.10	106	-1327.02	103
106	Min.	-277	-1089.29	17	-14370.90	101	-9801.58	65	-169.62	101	-2277.26	101	-648.31	1	-13784.10	106	-1327.02	103
106	Max	-229	590.34	177	8243.45	65	-402.85	17	809.63	130	17070.00	130	561.20	49	3220.21	1	525.15	49
106	Max	-227	590.34	177	8243.45	65	-402.85	17	809.63	130	17070.00	130	561.20	49	3220.21	1	525.15	49
106	Max	-265	590.34	177	8243.45	65	-402.85	17	809.63	130	17070.00	130	561.20	49	3220.21	1	525.15	49
106	Max	-267	590.34	177	8243.45	65	-402.85	17	809.63	130	17070.00	130	561.20	49	3220.21	1	525.15	49
106	Min.	-229	-1040.91	173	-14093.90	17	-4354.50	65	-121.27	101	-2988.63	101	-547.44	1	-8282.91	106	-3178.98	130
106	Min.	-227	-1040.91	173	-14093.90	17	-4354.50	65	-121.27	101	-2988.63	101	-547.44	1	-8282.91	106	-3178.98	130
106	Min.	-265	-1040.91	173	-14093.90	17	-4354.50	65	-121.27	101	-2988.63	101	-547.44	1	-8282.91	106	-3178.98	130
106	Min.	-267	-1040.91	173	-14093.90	17	-4354.50	65	-121.27	101	-2988.63	101	-547.44	1	-8282.91	106	-3178.98	130
106	Max	-235	1598.23	177	-1651.58	65	1942.17	17	1823.46	130	17395.70	130	656.45	49	2277.16	1	430.13	65
106	Max	-233	1598.23	177	-1651.58	65	1942.17	17	1823.46	130	17395.70	130	656.45	49	2277.16	1	430.13	65
106	Max	-271	1598.23	177	-1651.58	65	1942.17	17	1823.46	130	17395.70	130	656.45	49	2277.16	1	430.13	65
106	Max	-273	1598.23	177	-1651.58	65	1942.17	17	1823.46	130	17395.70	130	656.45	49	2277.16	1	430.13	65
106	Min.	-235	-541.01	17	-14127.80	104	-7852.52	65	-309.15	101	-2685.78	101	-629.34	1	-9997.95	106	-1057.57	17
106	Min.	-233	-541.01	17	-14127.80	104	-7852.52	65	-309.15	101	-2685.78	101	-629.34	1	-9997.95	106	-1057.57	17
106	Min.	-271	-541.01	17	-14127.80	104	-7852.52	65	-309.15	101	-2685.78	101	-629.34	1	-9997.95	106	-1057.57	17
106	Min.	-273	-541.01	17	-14127.80	104	-7852.52	65	-309.15	101	-2685.78	101	-629.34	1	-9997.95	106	-1057.57	17
106	Max	-325	220.17	17	-1184.85	160	7724.95	17	1454.50	130	14280.10	130	789.83	65	266.81	49	691.92	104
106	Max	-323	220.17	17	-1184.85	160	7724.95	17	1454.50	130	14280.10	130	789.83	65	266.81	49	691.92	104
106	Max	-361	220.17	17	-1184.85	160	7724.95	17	1454.50	130	14280.10	130	789.83	65	266.81	49	691.92	104
106	Max	-363	220.17	17	-1184.85	160	7724.95	17	1454.50	130	14280.10	130	789.83	65	266.81	49	691.92	104
106	Min.	-325	-813.25	103	-12350.00	103	-1948.74	65	-336.69	101	-3496.01	101	-702.82	17	-9906.97	106	-44.34	17
106	Min.	-323	-813.25	103	-12350.00	103	-1948.74	65	-336.69	101	-3496.01	101	-702.82	17	-9906.97	106	-44.34	17
106	Min.	-361	-813.25	103	-12350.00	103	-1948.74	65	-336.69	101	-3496.01	101	-702.82	17	-9906.97	106	-44.34	17
106	Min.	-363	-813.25	103	-12350.00	103	-1948.74	65	-336.69	101	-3496.01	101	-702.82	17	-9906.97	106	-44.34	17
106	Max	-323	367.81	17	-1860.62	158	7874.33	17	1354.61	130	14783.00	130	821.12	65	163.87	49	903.48	101
106	Max	-321	367.81	17	-1860.62	158	7874.33	17	1354.61	130	14783.00	130	821.12	65	163.87	49	903.48	101
106	Max	-359	367.81	17	-1860.62	158	7874.33	17	1354.61	130	14783.00	130	821.12	65	163.87	49	903.48	101
106	Max	-361	367.81	17	-1860.62	158	7874.33	17	1354.61	130	14783.00	130	821.12	65	163.87	49	903.48	101
106	Min.	-323	-1154.27	103	-12807.00	101	-2353.06	65	-288.36	101	-3110.87	101	-678.06	17	-8810.31	106	-849.49	130
106	Min.	-321	-1154.27	103	-12807.00	101	-2353.06	65	-288.36	101	-3110.87	101	-678.06	17	-8810.31	106	-849.49	130
106	Min.	-359	-1154.27	103	-12807.00	101	-2353.06	65	-288.36	101	-3110.87	101	-678.06	17	-8810.31	106	-849.49	130
106	Min.	-361	-1154.27	103	-12807.00	101	-2353.06	65	-288.36	101	-3110.87	101	-678.06	17	-8810.31	106	-849.49	130
106	Max	-121	-412.34	160	-7980.58	160	8752.82	17	1988.86	130	20720.70	130	651.62	65	3713.98	101	536.35	65
106	Max	22	-412.34	160	-7980.58	160	8752.82	17	1988.86	130	20720.70	130	651.62	65	3713.98	101	536.35	65
106	Max	-241	-412.34	160	-7980.58	160	8752.82	17	1988.86	130	20720.70	130	651.62	65	3713.98	101	536.35	65
106	Max	-243	-412.34	160	-7980.58	160	8752.82	17	1988.86	130	20720.70	130	651.62	65	3713.98	101	536.35	65
106	Min.	-121	-1868.50	103	-18159.60	103	-7838.50	65	-239.26	101	-2837.70	101	-705.05	17	-14198.90	106	-489.79	17
106	Min.	22	-1868.50	103	-18159.60	103	-7838.50	65	-239.26	101	-2837.70	101	-705.05	17	-14198.90	106	-489.79	17
106	Min.	-241	-1868.50	103	-18159.60	103	-7838.50	65	-239.26	101	-2837.70	101	-705.05	17	-14198.90	106	-489.79	17
106	Min.	-243	-1868.50	103	-18159.60	103	-7838.50	65	-239.26	101	-2837.70	101	-705.05	17	-14198.90	106	-489.79	17
106	Max	-295	654.22	100	9237.75	17	2033.60	108	190.26	130	15420.10	130	450.50	49	3021.12	49	1966.51	130
106	Max	-293	654.22	100	9237.75	17	2033.60	108	190.26	130	15420.10	130	450.50	49	3021.12	49	1966.51	130
106	Max	-331	654.22	100	9237.75	17	2033.60	108	190.26	130	15420.10	130	450.50	49	3021.12	49	1966.51	130
106	Max	-333	654.22	100	9237.75	17	2033.60	108	190.26	130	15420.10	130	450.50	49	3021.12	49	1966.51	130
106	Min.	-295	-281.27	65	-13978.10	65	1006.41	65	-73.79	101	-3575.97	101	-501.28	1	-10381.10	106	-195.64	1
106	Min.	-293	-281.27	65	-13978.10	65	1006.41	65	-73.79	101	-3575.97	101	-501.28	1	-10381.10	106	-195.64	1
106	Min.	-331	-281.27	65	-13978.10	65	1006.41	65	-73.79	101	-3575.97	101	-501.28	1	-10381.10	106	-195.64	1
106	Min.	-333	-281.27	65	-13978.10	65	1006.41	65	-73.79	101	-3575.97	101	-501.28	1	-10381.10	106	-195.64	1
106	Max	-301	938.09	65	9572.71	177	-5.26	65	579.66	130	13598.50	130	460.10	130	4325.85	1	33.39	49
106	Max	-299	938.09	65	9572.71	177	-5.26	65	579.66	130	13598.50	130	460.10	130	4325.85	1	33.39	49
106	Max	-337	938.09	65	9572.71	177	-5.26	65	579.66	130	13598.50	130	460.10	130	4325.85	1	33.39	49
106	Max	-339	938.09	65	9572.71	177	-5.26	65	579.66	130	13598.50	130	460.10	130	4325.85	1	33.39	49
106	Min.	-301	-1741.67	17	-15368.30	17	-1573.39	17	-238.28	101	-4422.73	101	-292.35	1	-15181.70	106	-453.65	130
106	Min.	-299	-1741.67	17	-15368.30	17	-1573.39	17	-238.28	101	-4422.73	101	-292.35	1	-15181.70	106	-453.65	130
106	Min.	-337	-1741.67	17	-15368.30	17	-1573.39	17	-238.28	101	-4422.73	101	-292.35	1	-15181.70	106	-453.65	130
106	Min.	-339	-1741.67	17	-15368.30	17	-1573.39	17	-238.28	101	-4422.73	101	-292.35	1	-15181.70	106	-453.65	130
106	Max	-311	1491.07	177	-1189.61	159	1951.04	17	1456.47	130	14297.50	130	704.75	65	297.97	1	38.08	65
106	Max	-309	1491.07	177	-1189.61	159	1951.04	17	1456.47	130	14297.50	130	704.75	65	297.97	1	38.08	65
106	Max	-347	1491.07	177	-1189.61	159	1951.04	17	1456.47	130	14297.50	130	704.75	65	297.97	1	38.08	65
106	Max	-349	1491.07	177	-1189.61	159	1951.04	17	1456.47	130	14297.50	130	704.75	65	297.97	1	38.08	65
106	Min.	-311	-818.99	104	-12346.90	104	-7719.04	65	-333.69	101	-3479.01	101	-797.65	17	-9873.67	106	-703.60	103
106	Min.	-309	-818.99	104	-12346.90	104	-7719.04	65	-333.69	101	-3479.01	101	-797.65	17	-9873.67	106	-703.60	103
106	Min.	-347	-818.99	104	-12346.90	104	-7719.04	65	-333.69	101	-3479.01	101	-797.65	17	-9873.67	106	-703.60	103
106	Min.	-349	-818.99	104	-12346.90	104	-7719.04	65	-333.69	101	-3479.01	101	-797.65	17	-9873.67	106	-703.60	103
106	Max	-319	100.87	65	-1154.21	65	13272.90	17	862.96	130	6498.47	130	949.32	49	1831.21	101	711.89	101
106	Max	-317	100.87	65	-1154.21	65	13272.90	17	862.96	130	6498.47	130	949.32	49	1831.21	101	711.89	101
106	Max	-355	100.87	65	-1154.21	65	13272.90	17	862.96	130	6498.47	130	949.32	49	1831.21	101	711.89	101
106	Max	-357	100.87	65	-1154.21	65	13272.90	17	862.96	130	6498.47	130	949.32	49	1831.21	101	711.89	101
106	Min.	-319	-1851.05	104	-4925.48	104	-8858.79	65	-108.30	101	-934.44	101	-2100.20	130	-27081.80	130	-3091.57	130
106	Min.	-317	-1851.05	104	-4925.48	104	-8858.79	65	-108.30	101	-934.44	101	-2100.20	130	-27081.80	130	-3091.57	130
106	Min.	-355	-1851.05	104	-4925.48	104	-8858.79	65	-108.30	101	-934.44	101	-2100.20	130	-27081.80	130	-3091.57	130
106	Min.	-357	-1851.05	104	-4925.48	104	-8858.79	65	-108.30	101	-934.44	101	-2100.20	130	-27081.80	130	-3091.57	130
106	Max	-257	8.32	17	11896.60	17	2050.28	17	237.66	130	16911.70	130	398.83	49	3968.66	49	2671.48	130
106	Max	-255	8.32	17	11896.60	17	2050.28	17	237.66	130	16911.70	130	398.83	49	3968.66	49	2671.48	130
106	Max	-293	8.32	17	11896.60	17	2050.28	17	237.66	130	16911.70	130	398.83	49	3968.66	49	2671.48	130
106	Max	-295	8.32	17	11896.60	17	2050.28	17	237.66	130	16911.70	130	398.83	49	3968.66	49	2671.48	130
106	Min.	-257	-778.46	99	-14275.60	65	-58.57	135	-46.33	101	-3015.46	101	-413.84	1	-7662.47	1	-621.71	101
106	Min.	-255	-778.46	99	-14275.60	65	-58.57	135	-46.33	101	-3015.46	101	-413.84	1	-7662.47	1	-621.71	101
106	Min.	-293	-778.46	99	-14275.60	65	-58.57	135	-46.33	101	-3015.46	101	-413.84	1	-7662.47	1	-621.71	101
106	Min.	-295	-778.46	99	-14275.60	65	-58.57	135	-46.33	101	-3015.46	101	-413.84	1	-7662.47	1	-621.71	101
106	Max	-315	1023.76	177	-2017.28	160	3582.11	17	1073.17	130	12969.20	130	1509.24	130	445.98	1	3294.67	130
106	Max	-313	1023.76	177	-2017.28	160	3582.11	17	1073.17	130	12969.20	130	1509.24	130	445.98	1	3294.67	130
106	Max	-351	1023.76	177	-2017.28	160	3582.11	17	1073.17	130	12969.20	130	1509.24	130	445.98	1	3294.67	130
106	Max	-353	1023.76	177	-2017.28	160	3582.11	17	1073.17	130	12969.20	130	1509.24	130	445.98	1	3294.67	130
106	Min.	-315	-110.03	17	-14708.00	103	-9372.38	65	-187.97	101	-2258.65	101	-883.87	1	-12833.80	106	-1051.37	101
106	Min.	-313	-110.03	17	-14708.00	103	-9372.38	65	-187.97	101	-2258.65	101	-883.87	1	-12833.80	106	-1051.37	101
106	Min.	-351	-110.03	17	-14708.00	103	-9372.38	65	-187.97	101	-2258.65	101	-883.87	1	-12833.80	106	-1051.37	101
106	Min.	-353	-110.03	17	-14708.00	103	-9372.38	65	-187.97	101	-2258.65	101	-883.87	1	-12833.80	106	-1051.37	101
106	Max	-327	224.28	17	327.41	17	7030.61	17	1387.79	130	14114.90	130	771.55	65	395.73	49	555.19	130
106	Max	-325	224.28	17	327.41	17	7030.61	17	1387.79	130	14114.90	130	771.55	65	395.73	49	555.19	130
106	Max	-363	224.28	17	327.41	17	7030.61	17	1387.79	130	14114.90	130	771.55	65	395.73	49	555.19	130
106	Max	-365	224.28	17	327.41	17	7030.61	17	1387.79	130	14114.90	130	771.55	65	395.73	49	555.19	130

106	Min.	-327	-854.09	103	-11410.20	103	-1197.75	65	-371.97	101	-3773.50	101	-697.62	17	-10182.30	106	-27.94	1
106	Min.	-325	-854.09	103	-11410.20	103	-1197.75	65	-371.97	101	-3773.50	101	-697.62	17	-10182.30	106	-27.94	1
106	Min.	-363	-854.09	103	-11410.20	103	-1197.75	65	-371.97	101	-3773.50	101	-697.62	17	-10182.30	106	-27.94	1
106	Min.	-365	-854.09	103	-11410.20	103	-1197.75	65	-371.97	101	-3773.50	101	-697.62	17	-10182.30	106	-27.94	1
106	Max	-313	1175.96	177	-1866.59	158	2353.11	17	1355.75	130	14816.20	130	678.39	65	212.61	1	843.59	130
106	Max	-311	1175.96	177	-1866.59	158	2353.11	17	1355.75	130	14816.20	130	678.39	65	212.61	1	843.59	130
106	Max	-349	1175.96	177	-1866.59	158	2353.11	17	1355.75	130	14816.20	130	678.39	65	212.61	1	843.59	130
106	Max	-351	1175.96	177	-1866.59	158	2353.11	17	1355.75	130	14816.20	130	678.39	65	212.61	1	843.59	130
106	Min.	-313	-1159.40	104	-12798.80	101	-7872.16	65	-285.06	101	-3081.29	101	-830.56	17	-8742.70	106	-914.52	101
106	Min.	-311	-1159.40	104	-12798.80	101	-7872.16	65	-285.06	101	-3081.29	101	-830.56	17	-8742.70	106	-914.52	101
106	Min.	-349	-1159.40	104	-12798.80	101	-7872.16	65	-285.06	101	-3081.29	101	-830.56	17	-8742.70	106	-914.52	101
106	Min.	-351	-1159.40	104	-12798.80	101	-7872.16	65	-285.06	101	-3081.29	101	-830.56	17	-8742.70	106	-914.52	101
106	Max	-307	3564.61	177	2041.67	65	484.13	17	1291.02	130	13968.30	130	713.31	49	516.36	1	66.00	49
106	Max	-305	3564.61	177	2041.67	65	484.13	17	1291.02	130	13968.30	130	713.31	49	516.36	1	66.00	49
106	Max	-343	3564.61	177	2041.67	65	484.13	17	1291.02	130	13968.30	130	713.31	49	516.36	1	66.00	49
106	Max	-345	3564.61	177	2041.67	65	484.13	17	1291.02	130	13968.30	130	713.31	49	516.36	1	66.00	49
106	Min.	-307	-992.88	17	-10646.50	104	-6097.96	65	-379.87	101	-3984.93	101	-757.08	1	-10096.60	106	-837.19	130
106	Min.	-305	-992.88	17	-10646.50	104	-6097.96	65	-379.87	101	-3984.93	101	-757.08	1	-10096.60	106	-837.19	130
106	Min.	-343	-992.88	17	-10646.50	104	-6097.96	65	-379.87	101	-3984.93	101	-757.08	1	-10096.60	106	-837.19	130
106	Min.	-345	-992.88	17	-10646.50	104	-6097.96	65	-379.87	101	-3984.93	101	-757.08	1	-10096.60	106	-837.19	130
106	Max	-41	1389.32	65	10751.00	65	2561.86	100	1417.01	130	18737.00	130	561.68	49	5246.28	1	431.43	101
106	Max	-29	1389.32	65	10751.00	65	2561.86	100	1417.01	130	18737.00	130	561.68	49	5246.28	1	431.43	101
106	Max	-227	1389.32	65	10751.00	65	2561.86	100	1417.01	130	18737.00	130	561.68	49	5246.28	1	431.43	101
106	Max	-229	1389.32	65	10751.00	65	2561.86	100	1417.01	130	18737.00	130	561.68	49	5246.28	1	431.43	101
106	Min.	-41	-1010.39	17	-15694.70	17	-3287.45	65	-254.56	1	-3374.23	1	-525.17	1	-6591.12	106	-1899.75	130
106	Min.	-29	-1010.39	17	-15694.70	17	-3287.45	65	-254.56	1	-3374.23	1	-525.17	1	-6591.12	106	-1899.75	130
106	Min.	-227	-1010.39	17	-15694.70	17	-3287.45	65	-254.56	1	-3374.23	1	-525.17	1	-6591.12	106	-1899.75	130
106	Min.	-229	-1010.39	17	-15694.70	17	-3287.45	65	-254.56	1	-3374.23	1	-525.17	1	-6591.12	106	-1899.75	130
106	Max	-167	1104.52	17	921.42	17	7712.95	17	1908.37	130	19123.60	130	566.27	65	3918.79	49	736.27	108
106	Max	-155	1104.52	17	921.42	17	7712.95	17	1908.37	130	19123.60	130	566.27	65	3918.79	49	736.27	108
106	Max	-249	1104.52	17	921.42	17	7712.95	17	1908.37	130	19123.60	130	566.27	65	3918.79	49	736.27	108
106	Max	-251	1104.52	17	921.42	17	7712.95	17	1908.37	130	19123.60	130	566.27	65	3918.79	49	736.27	108
106	Min.	-167	-1359.82	65	-18035.00	103	-1653.62	65	-310.56	101	-2931.68	49	-675.99	17	-7907.43	106	-227.95	17
106	Min.	-155	-1359.82	65	-18035.00	103	-1653.62	65	-310.56	101	-2931.68	49	-675.99	17	-7907.43	106	-227.95	17
106	Min.	-249	-1359.82	65	-18035.00	103	-1653.62	65	-310.56	101	-2931.68	49	-675.99	17	-7907.43	106	-227.95	17
106	Min.	-251	-1359.82	65	-18035.00	103	-1653.62	65	-310.56	101	-2931.68	49	-675.99	17	-7907.43	106	-227.95	17
106	Max	24	400.74	17	-6153.76	17	10086.90	17	2032.69	130	20486.20	130	654.13	49	3722.70	49	580.72	65
106	Max	-121	400.74	17	-6153.76	17	10086.90	17	2032.69	130	20486.20	130	654.13	49	3722.70	49	580.72	65
106	Max	-243	400.74	17	-6153.76	17	10086.90	17	2032.69	130	20486.20	130	654.13	49	3722.70	49	580.72	65
106	Max	-245	400.74	17	-6153.76	17	10086.90	17	2032.69	130	20486.20	130	654.13	49	3722.70	49	580.72	65
106	Min.	24	-1670.99	65	-15711.30	103	-4796.25	65	-266.68	101	-2923.70	101	-703.79	1	-12523.00	106	-588.06	131
106	Min.	-121	-1670.99	65	-15711.30	103	-4796.25	65	-266.68	101	-2923.70	101	-703.79	1	-12523.00	106	-588.06	131
106	Min.	-243	-1670.99	65	-15711.30	103	-4796.25	65	-266.68	101	-2923.70	101	-703.79	1	-12523.00	106	-588.06	131
106	Min.	-245	-1670.99	65	-15711.30	103	-4796.25	65	-266.68	101	-2923.70	101	-703.79	1	-12523.00	106	-588.06	131
106	Max	22	-424.74	159	-7975.97	159	7826.70	17	1988.90	130	20710.40	130	707.27	65	3703.84	101	495.70	65
106	Max	-99	-424.74	159	-7975.97	159	7826.70	17	1988.90	130	20710.40	130	707.27	65	3703.84	101	495.70	65
106	Max	-239	-424.74	159	-7975.97	159	7826.70	17	1988.90	130	20710.40	130	707.27	65	3703.84	101	495.70	65
106	Max	-241	-424.74	159	-7975.97	159	7826.70	17	1988.90	130	20710.40	130	707.27	65	3703.84	101	495.70	65
106	Min.	22	-1895.54	104	-18063.00	104	-8779.40	65	-238.56	101	-2830.16	101	-658.01	17	-14163.30	106	-530.92	17
106	Min.	-99	-1895.54	104	-18063.00	104	-8779.40	65	-238.56	101	-2830.16	101	-658.01	17	-14163.30	106	-530.92	17
106	Min.	-239	-1895.54	104	-18063.00	104	-8779.40	65	-238.56	101	-2830.16	101	-658.01	17	-14163.30	106	-530.92	17
106	Min.	-241	-1895.54	104	-18063.00	104	-8779.40	65	-238.56	101	-2830.16	101	-658.01	17	-14163.30	106	-530.92	17
106	Max	20	1220.82	177	-2897.38	65	4331.45	104	2016.49	130	20401.50	130	802.07	49	3997.94	1	349.51	65
106	Max	-77	1220.82	177	-2897.38	65	4331.45	104	2016.49	130	20401.50	130	802.07	49	3997.94	1	349.51	65
106	Max	-235	1220.82	177	-2897.38	65	4331.45	104	2016.49	130	20401.50	130	802.07	49	3997.94	1	349.51	65
106	Max	-237	1220.82	177	-2897.38	65	4331.45	104	2016.49	130	20401.50	130	802.07	49	3997.94	1	349.51	65
106	Min.	20	-1221.13	104	-15363.60	17	-7322.93	65	-270.26	101	-3152.54	101	-657.14	1	-11141.70	106	-632.67	17
106	Min.	-77	-1221.13	104	-15363.60	17	-7322.93	65	-270.26	101	-3152.54	101	-657.14	1	-11141.70	106	-632.67	17
106	Min.	-235	-1221.13	104	-15363.60	17	-7322.93	65	-270.26	101	-3152.54	101	-657.14	1	-11141.70	106	-632.67	17
106	Min.	-237	-1221.13	104	-15363.60	17	-7322.93	65	-270.26	101	-3152.54	101	-657.14	1	-11141.70	106	-632.67	17
106	Max	-215	1668.43	17	18319.90	17	3152.92	108	832.50	130	17559.70	130	607.75	130	5864.50	65	745.85	130
106	Max	-203	1668.43	17	18319.90	17	3152.92	108	832.50	130	17559.70	130	607.75	130	5864.50	65	745.85	130
106	Max	-257	1668.43	17	18319.90	17	3152.92	108	832.50	130	17559.70	130	607.75	130	5864.50	65	745.85	130
106	Max	-259	1668.43	17	18319.90	17	3152.92	108	832.50	130	17559.70	130	607.75	130	5864.50	65	745.85	130
106	Min.	-215	-265.35	65	-14537.10	65	-287.03	65	-155.55	49	-3092.49	49	-229.12	1	-5484.99	17	-230.49	101
106	Min.	-203	-265.35	65	-14537.10	65	-287.03	65	-155.55	49	-3092.49	49	-229.12	1	-5484.99	17	-230.49	101
106	Min.	-257	-265.35	65	-14537.10	65	-287.03	65	-155.55	49	-3092.49	49	-229.12	1	-5484.99	17	-230.49	101
106	Min.	-259	-265.35	65	-14537.10	65	-287.03	65	-155.55	49	-3092.49	49	-229.12	1	-5484.99	17	-230.49	101
106	Max	-191	1392.90	17	10756.60	17	3315.42	17	1417.46	130	18733.80	130	513.82	49	5189.07	49	1899.79	130
106	Max	-179	1392.90	17	10756.60	17	3315.42	17	1417.46	130	18733.80	130	513.82	49	5189.07	49	1899.79	130
106	Max	-253	1392.90	17	10756.60	17	3315.42	17	1417.46	130	18733.80	130	513.82	49	5189.07	49	1899.79	130
106	Max	-255	1392.90	17	10756.60	17	3315.42	17	1417.46	130	18733.80	130	513.82	49	5189.07	49	1899.79	130
106	Min.	-191	-1000.16	65	-15656.10	65	-2535.59	99	-253.49	49	-3358.79	49	-550.46	1	-6594.22	106	-433.07	101
106	Min.	-179	-1000.16	65	-15656.10	65	-2535.59	99	-253.49	49	-3358.79	49	-550.46	1	-6594.22	106	-433.07	101
106	Min.	-253	-1000.16	65	-15656.10	65	-2535.59	99	-253.49	49	-3358.79	49	-550.46	1	-6594.22	106	-433.07	101
106	Min.	-255	-1000.16	65	-15656.10	65	-2535.59	99	-253.49	49	-3358.79	49	-550.46	1	-6594.22	106	-433.07	101
106	Max	-53	1792.16	177	7731.93	65	-450.65	17	1731.89	130	19563.70	130	693.06	49	4838.48	1	212.14	49
106	Max	-41	1792.16	177	7731.93	65	-450.65	17	1731.89	130	19563.70	130	693.06	49	4838.48	1	212.14	49
106	Max	-229	1792.16	177	7731.93	65	-450.65	17	1731.89	130	19563.70	130	693.06	49	4838.48	1	212.14	49
106	Max	-231	1792.16	177	7731.93	65	-450.65	17	1731.89	130	19563.70	130	693.06	49	4838.48	1	212.14	49
106	Min.	-53	-1607.13	100	-16334.60	17	-15546.20	99	-293.60	1	-3410.06	101	-626.98	1	-8868.60	106	-1065.05	130
106	Min.	-41	-1607.13	100	-16334.60	17	-15546.20	99	-293.60	1	-3410.06	101	-626.98	1	-8868.60	106	-1065.05	130
106	Min.	-229	-1607.13	100	-16334.60	17	-15546.20	99	-293.60	1	-3410.06	101	-626.98	1	-8868.60	106	-1065.05	130
106	Min.	-231	-1607.13	100	-16334.60	17	-15546.20	99	-293.60	1	-3410.06	101	-626.98	1	-8868.60	106	-1065.05	130
106	Max	-29	3076.12	177	12768.90	65	-981.03	17	1056.89	130	17494.50	130	319.41	49	5377.51	1	489.29	101
106	Max	-17	3076.12	177	12768.90	65	-981.03	17	1056.89	130	17494.50	130	319.41	49	5377.51	1	489.29	101
106	Max	-225	3076.12	177	12768.90	65	-981.03	17	1056.89	130	17494.50	130	319.41	49	5377.51	1	489.29	101
106	Max	-227	3076.12	177	12768.90	65	-981.03	17	1056.89	130	17494.50	130	319.41	49	5377.51	1	489.29	101
106	Min.	-29	-357.81	17	-15569.10	17	-4635.73	107	-197.34	1	-3185.81	1	-436.86	1	-5566.63	49	-1553.78	130
106	Min.	-17	-357.81	17	-15569.10	17	-4635.73	107	-197.34	1	-3185.81	1	-436.86	1	-5566.63	49	-1553.78	130
106	Min.	-225	-357.81	17	-15569.10	17	-4635.73	107	-197.34	1	-3185.81	1	-436.86	1	-5566.63	49	-1553.78	130
106	Min.	-227	-357.81	17	-15569.10	17	-4635.73	107	-197.34	1	-3185.81	1	-436.86	1	-5566.63	49	-1553.78	130
106	Max	-317	80.42	17	-1177.17	17	8878.89	17	862.58	130	6494.95	130	2058.58	130	1867.13	101	3036.95	130
106	Max	-315	80.42	17	-1177.17	17	8878.89	17	862.58	130	6494.95	130	2058.58	130	1867.13	101	3036.95	130
106	Max	-353	80.42	17	-1177.17	17	8878.89	17	862.58	130	6494.95	130	2058.58	130	1867.13	101	3036.95	130
106	Max	-355	80.42	17	-1177.17	17	8878.89	17	862.58	130	6494.95	130	2058.58	130	1867.13	101	3036.95	130
106	Min.	-317	-1863.19	103	-4805.77	103	-13216.60	65	-106.57	101	-916.33	101	-953.41	1	-27083.30	130	-670.11	101
106	Min.	-315	-1863.19	103	-4805.77	103	-13216.60	65	-106.57	101	-916.33	101	-953.41	1	-27083.30	130	-670.11	101
106	Min.	-353	-1863.19	103	-4805.77	103	-13216.60	65	-106.57	101	-916.33	101	-953.41	1	-27083.30	130	-670.11	101
106	Min.	-355	-1863.19	103	-4805.77	103	-13216.60	65	-106.57	101	-916.33	101	-953.41	1	-27083.30	130	-670.11	101
106	Max	-271	1613.96	177	750.31	65	1031.19	17	1490.25	130	15610.10	130	679.48	49	1249.67	1	131.25	49
106	Max	-269	1613.96	177	750.31	65	1031.19	17	1490.25	130	15610.10	130	679.48	49	1249.67	1	131.25	49
106	Max	-307	1613.96	177	750.31	65	1031.19	17	1490.25	130	15610.10	130	679.48	49	1249.67	1	131.25	49
106	Max	-309	1613.96	177	750.31	65	1031.19	17	1490.25	130	15610.10	130	679.48	49	1249.67	1	131.25	49
106	Min.	-271	-542.83	17	-12397.60	104	-6975.58	65	-295.97	101	-3127.13	101	-724.06	1	-9752.40	106	-1260.07	130

106	Min.	-269	-542.83	17	-12397.60	104	-6975.58	65	-295.97	101	-3127.13	101	-724.06	1	-9752.40	106	-1260.07	130
106	Min.	-307	-542.83	17	-12397.60	104	-6975.58	65	-295.97	101	-3127.13	101	-724.06	1	-9752.40	106	-1260.07	130
106	Min.	-309	-542.83	17	-12397.60	104	-6975.58	65	-295.97	101	-3127.13	101	-724.06	1	-9752.40	106	-1260.07	130
106	Max	-227	1160.76	177	11911.00	65	317.04	173	225.06	130	16904.80	130	417.61	49	4092.15	1	611.43	101
106	Max	-225	1160.76	177	11911.00	65	317.04	173	225.06	130	16904.80	130	417.61	49	4092.15	1	611.43	101
106	Max	-263	1160.76	177	11911.00	65	317.04	173	225.06	130	16904.80	130	417.61	49	4092.15	1	611.43	101
106	Max	-265	1160.76	177	11911.00	65	317.04	173	225.06	130	16904.80	130	417.61	49	4092.15	1	611.43	101
106	Min.	-227	-744.62	100	-14317.60	17	-1985.17	65	-43.90	101	-3002.91	101	-401.87	1	-7781.11	49	-2628.52	130
106	Min.	-225	-744.62	100	-14317.60	17	-1985.17	65	-43.90	101	-3002.91	101	-401.87	1	-7781.11	49	-2628.52	130
106	Min.	-263	-744.62	100	-14317.60	17	-1985.17	65	-43.90	101	-3002.91	101	-401.87	1	-7781.11	49	-2628.52	130
106	Min.	-265	-744.62	100	-14317.60	17	-1985.17	65	-43.90	101	-3002.91	101	-401.87	1	-7781.11	49	-2628.52	130
106	Max	-253	842.66	17	4368.03	17	5917.00	17	1354.60	130	17208.40	130	601.39	49	2631.33	49	2245.57	130
106	Max	-251	842.66	17	4368.03	17	5917.00	17	1354.60	130	17208.40	130	601.39	49	2631.33	49	2245.57	130
106	Max	-289	842.66	17	4368.03	17	5917.00	17	1354.60	130	17208.40	130	601.39	49	2631.33	49	2245.57	130
106	Max	-291	842.66	17	4368.03	17	5917.00	17	1354.60	130	17208.40	130	601.39	49	2631.33	49	2245.57	130
106	Min.	-253	-474.60	65	-13601.30	65	-438.62	65	-215.67	101	-2949.88	101	-626.32	1	-9067.08	106	-398.64	1
106	Min.	-251	-474.60	65	-13601.30	65	-438.62	65	-215.67	101	-2949.88	101	-626.32	1	-9067.08	106	-398.64	1
106	Min.	-289	-474.60	65	-13601.30	65	-438.62	65	-215.67	101	-2949.88	101	-626.32	1	-9067.08	106	-398.64	1
106	Min.	-291	-474.60	65	-13601.30	65	-438.62	65	-215.67	101	-2949.88	101	-626.32	1	-9067.08	106	-398.64	1
106	Max	-303	645.63	65	7700.51	177	-356.86	177	770.46	130	13595.30	130	595.01	49	2476.90	1	78.55	49
106	Max	-301	645.63	65	7700.51	177	-356.86	177	770.46	130	13595.30	130	595.01	49	2476.90	1	78.55	49
106	Max	-339	645.63	65	7700.51	177	-356.86	177	770.46	130	13595.30	130	595.01	49	2476.90	1	78.55	49
106	Max	-341	645.63	65	7700.51	177	-356.86	177	770.46	130	13595.30	130	595.01	49	2476.90	1	78.55	49
106	Min.	-303	-1188.42	17	-13024.30	17	-1943.48	120	-303.60	101	-4233.13	101	-498.60	1	-12039.40	106	-866.19	130
106	Min.	-301	-1188.42	17	-13024.30	17	-1943.48	120	-303.60	101	-4233.13	101	-498.60	1	-12039.40	106	-866.19	130
106	Min.	-339	-1188.42	17	-13024.30	17	-1943.48	120	-303.60	101	-4233.13	101	-498.60	1	-12039.40	106	-866.19	130
106	Min.	-341	-1188.42	17	-13024.30	17	-1943.48	120	-303.60	101	-4233.13	101	-498.60	1	-12039.40	106	-866.19	130
106	Max	-251	1020.07	17	1582.99	17	7415.53	17	1675.99	130	17315.40	130	610.80	65	2420.57	49	1436.64	132
106	Max	-249	1020.07	17	1582.99	17	7415.53	17	1675.99	130	17315.40	130	610.80	65	2420.57	49	1436.64	132
106	Max	-287	1020.07	17	1582.99	17	7415.53	17	1675.99	130	17315.40	130	610.80	65	2420.57	49	1436.64	132
106	Max	-289	1020.07	17	1582.99	17	7415.53	17	1675.99	130	17315.40	130	610.80	65	2420.57	49	1436.64	132
106	Min.	-251	-576.28	65	-13221.10	103	-765.51	65	-305.39	101	-2852.35	101	-634.01	17	-9411.40	106	-318.37	1
106	Min.	-249	-576.28	65	-13221.10	103	-765.51	65	-305.39	101	-2852.35	101	-634.01	17	-9411.40	106	-318.37	1
106	Min.	-287	-576.28	65	-13221.10	103	-765.51	65	-305.39	101	-2852.35	101	-634.01	17	-9411.40	106	-318.37	1
106	Min.	-289	-576.28	65	-13221.10	103	-765.51	65	-305.39	101	-2852.35	101	-634.01	17	-9411.40	106	-318.37	1
106	Max	-245	1211.99	17	-4999.73	158	9795.23	17	1627.07	130	16912.10	130	633.24	49	2263.10	49	1336.52	104
106	Max	-243	1211.99	17	-4999.73	158	9795.23	17	1627.07	130	16912.10	130	633.24	49	2263.10	49	1336.52	104
106	Max	-281	1211.99	17	-4999.73	158	9795.23	17	1627.07	130	16912.10	130	633.24	49	2263.10	49	1336.52	104
106	Max	-283	1211.99	17	-4999.73	158	9795.23	17	1627.07	130	16912.10	130	633.24	49	2263.10	49	1336.52	104
106	Min.	-245	-1079.11	65	-14407.90	101	-4787.32	65	-172.34	101	-2290.19	101	-677.40	1	-13835.40	106	-2670.95	131
106	Min.	-243	-1079.11	65	-14407.90	101	-4787.32	65	-172.34	101	-2290.19	101	-677.40	1	-13835.40	106	-2670.95	131
106	Min.	-281	-1079.11	65	-14407.90	101	-4787.32	65	-172.34	101	-2290.19	101	-677.40	1	-13835.40	106	-2670.95	131
106	Min.	-283	-1079.11	65	-14407.90	101	-4787.32	65	-172.34	101	-2290.19	101	-677.40	1	-13835.40	106	-2670.95	131
106	Max	-241	337.65	159	-5406.68	158	7938.94	17	1524.56	130	16293.20	130	661.79	65	2369.68	1	1671.39	132
106	Max	-239	337.65	159	-5406.68	158	7938.94	17	1524.56	130	16293.20	130	661.79	65	2369.68	1	1671.39	132
106	Max	-277	337.65	159	-5406.68	158	7938.94	17	1524.56	130	16293.20	130	661.79	65	2369.68	1	1671.39	132
106	Max	-279	337.65	159	-5406.68	158	7938.94	17	1524.56	130	16293.20	130	661.79	65	2369.68	1	1671.39	132
106	Min.	-241	-1253.74	104	-13342.50	101	-10215.20	65	-118.88	1	-2033.48	101	-637.27	17	-17389.30	106	-863.25	17
106	Min.	-239	-1253.74	104	-13342.50	101	-10215.20	65	-118.88	1	-2033.48	101	-637.27	17	-17389.30	106	-863.25	17
106	Min.	-277	-1253.74	104	-13342.50	101	-10215.20	65	-118.88	1	-2033.48	101	-637.27	17	-17389.30	106	-863.25	17
106	Min.	-279	-1253.74	104	-13342.50	101	-10215.20	65	-118.88	1	-2033.48	101	-637.27	17	-17389.30	106	-863.25	17
106	Max	-321	583.01	17	-2012.24	159	9367.41	17	1070.63	130	12949.70	130	869.61	49	391.11	49	1058.37	101
106	Max	-319	583.01	17	-2012.24	159	9367.41	17	1070.63	130	12949.70	130	869.61	49	391.11	49	1058.37	101
106	Max	-357	583.01	17	-2012.24	159	9367.41	17	1070.63	130	12949.70	130	869.61	49	391.11	49	1058.37	101
106	Max	-359	583.01	17	-2012.24	159	9367.41	17	1070.63	130	12949.70	130	869.61	49	391.11	49	1058.37	101
106	Min.	-321	-245.44	177	-14717.50	104	-3586.92	65	-190.97	101	-2295.98	101	-1497.03	130	-12882.50	106	-3289.43	130
106	Min.	-319	-245.44	177	-14717.50	104	-3586.92	65	-190.97	101	-2295.98	101	-1497.03	130	-12882.50	106	-3289.43	130
106	Min.	-357	-245.44	177	-14717.50	104	-3586.92	65	-190.97	101	-2295.98	101	-1497.03	130	-12882.50	106	-3289.43	130
106	Min.	-359	-245.44	177	-14717.50	104	-3586.92	65	-190.97	101	-2295.98	101	-1497.03	130	-12882.50	106	-3289.43	130
106	Max	-259	267.32	17	12593.20	17	658.12	17	18.04	49	16560.40	130	210.23	49	5337.46	49	1301.85	130
106	Max	-257	267.32	17	12593.20	17	658.12	17	18.04	49	16560.40	130	210.23	49	5337.46	49	1301.85	130
106	Max	-295	267.32	17	12593.20	17	658.12	17	18.04	49	16560.40	130	210.23	49	5337.46	49	1301.85	130
106	Max	-297	267.32	17	12593.20	17	658.12	17	18.04	49	16560.40	130	210.23	49	5337.46	49	1301.85	130
106	Min.	-259	-17.21	65	-14081.60	65	62.89	135	-23.40	1	-2929.46	101	-252.17	1	-8991.01	1	-319.27	101
106	Min.	-257	-17.21	65	-14081.60	65	62.89	135	-23.40	1	-2929.46	101	-252.17	1	-8991.01	1	-319.27	101
106	Min.	-295	-17.21	65	-14081.60	65	62.89	135	-23.40	1	-2929.46	101	-252.17	1	-8991.01	1	-319.27	101
106	Min.	-297	-17.21	65	-14081.60	65	62.89	135	-23.40	1	-2929.46	101	-252.17	1	-8991.01	1	-319.27	101
106	Max	-225	295.93	65	12597.00	65	48.51	173	20.40	1	16550.50	130	248.55	49	5500.54	1	303.79	101
106	Max	-223	295.93	65	12597.00	65	48.51	173	20.40	1	16550.50	130	248.55	49	5500.54	1	303.79	101
106	Max	-261	295.93	65	12597.00	65	48.51	173	20.40	1	16550.50	130	248.55	49	5500.54	1	303.79	101
106	Max	-263	295.93	65	12597.00	65	48.51	173	20.40	1	16550.50	130	248.55	49	5500.54	1	303.79	101
106	Min.	-225	-26.42	17	-14128.90	17	-598.10	65	-34.17	106	-2916.61	101	-205.19	1	-9147.80	49	-1235.71	130
106	Min.	-223	-26.42	17	-14128.90	17	-598.10	65	-34.17	106	-2916.61	101	-205.19	1	-9147.80	49	-1235.71	130
106	Min.	-261	-26.42	17	-14128.90	17	-598.10	65	-34.17	106	-2916.61	101	-205.19	1	-9147.80	49	-1235.71	130
106	Min.	-263	-26.42	17	-14128.90	17	-598.10	65	-34.17	106	-2916.61	101	-205.19	1	-9147.80	49	-1235.71	130
106	Max	-231	1754.00	177	4303.45	65	436.68	17	1362.90	130	17216.30	130	638.95	49	2657.90	1	381.61	49
106	Max	-229	1754.00	177	4303.45	65	436.68	17	1362.90	130	17216.30	130	638.95	49	2657.90	1	381.61	49
106	Max	-267	1754.00	177	4303.45	65	436.68	17	1362.90	130	17216.30	130	638.95	49	2657.90	1	381.61	49
106	Max	-269	1754.00	177	4303.45	65	436.68	17	1362.90	130	17216.30	130	638.95	49	2657.90	1	381.61	49
106	Min.	-231	-506.65	17	-13598.70	17	-5962.58	65	-216.78	101	-2937.11	101	-614.67	1	-9060.77	106	-2220.14	130
106	Min.	-229	-506.65	17	-13598.70	17	-5962.58	65	-216.78	101	-2937.11	101	-614.67	1	-9060.77	106	-2220.14	130
106	Min.	-267	-506.65	17	-13598.70	17	-5962.58	65	-216.78	101	-2937.11	101	-614.67	1	-9060.77	106	-2220.14	130
106	Min.	-269	-506.65	17	-13598.70	17	-5962.58	65	-216.78	101	-2937.11	101	-614.67	1	-9060.77	106	-2220.14	130
106	Max	-331	483.68	17	4488.72	17	3963.12	17	1054.98	130	13756.40	130	667.18	49	1203.71	49	998.56	130
106	Max	-329	483.68	17	4488.72	17	3963.12	17	1054.98	130	13756.40	130	667.18	49	1203.71	49	998.56	130
106	Max	-367	483.68	17	4488.72	17	3963.12	17	1054.98	130	13756.40	130	667.18	49	1203.71	49	998.56	130
106	Max	-369	483.68	17	4488.72	17	3963.12	17	1054.98	130	13756.40	130	667.18	49	1203.71	49	998.56	130
106	Min.	-331	-1155.39	65	-10841.30	65	503.77	65	-353.03	101	-4164.46	101	-698.98	1	-10655.00	106	-96.73	1
106	Min.	-329	-1155.39	65	-10841.30	65	503.77	65	-353.03	101	-4164.46	101	-698.98	1	-10655.00	106	-96.73	1
106	Min.	-367	-1155.39	65	-10841.30	65	503.77	65	-353.03	101	-4164.46	101	-698.98	1	-10655.00	106	-96.73	1
106	Min.	-369	-1155.39	65	-10841.30	65	503.77	65	-353.03	101	-4164.46	101	-698.98	1	-10655.00	106	-96.73	1
106	Max	-335	984.57	17	9308.24	17	1564.46	65	588.98	130	13589.50	130	297.26	49	4152.32	49	476.26	130
106	Max	-333	984.57	17	9308.24	17	1564.46	65	588.98	130	13589.50	130	297.26	49	4152.32	49	476.26	130
106	Max	-371	984.57	17	9308.24	17	1564.46	65	588.98	130	13589.50	130	297.26	49	4152.32	49	476.26	130
106	Max	-373	984.57	17	9308.24	17	1564.46	65	588.98	130	13589.50	130	297.26	49	4152.32	49	476.26	130
106	Min.	-335	-1796.46	65	-15188.70	65	61.85	17	-240.66	101	-4420.74	101	-465.32	130	-15039.30	106	-36.86	1
106	Min.	-333	-1796.46	65	-15188.70	65	61.85	17	-240.66	101	-4420.74	101	-465.32	130	-15039.30	106	-36.86	1
106	Min.	-371	-1796.46	65	-15188.70	65	61.85	17	-240.66	101	-4420.74	101	-465.32	130	-15039.30	106	-36.86	1
106	Min.	-373	-1796.46	65	-15188.70	65	61.85	17	-240.66	101	-4420.74	101	-465.32	130	-15039.30	106	-36.86	1
106	Max	-265	529.32	99	9251.91	65	-972.13	17	180.09	130	15420.10	130	502.36	49	3153.70	1	189.66	49
106	Max	-263	529.32	99	9251.91	65	-972.13	17	180.09	130	15420.10	130	502.36	49	3153.70	1	189.66	49
106	Max	-301	529.32	99	9251.91	65	-972.13	17	180.09	130	15420.10	130	502.36	49	3153.70	1	189.66	49
106	Max	-303	529.32	99	9251.91	65	-972.13	17	180.09	130	15420.10	130	502.36	49	3153.70	1	189.66	49
106	Min.	-265	-1484.04	177	-13993.50	17	-1964.06	107	-71.35	101	-3567.31	101	-452.31	1	-10449.00	106	-1940.94	130
106	Min.	-263	-1484.04	177	-13993.50	17	-1964.06	107	-71.35	101	-3567.31	101	-452.31	1	-10449.00	106	-1940.94	130

106	Min.	-301	-1484.04	177	-13993.50	17	-1964.06	107	-71.35	101	-3567.31	101	-452.31	1	-10449.00	106	-1940.94	130
106	Min.	-303	-1484.04	177	-13993.50	17	-1964.06	107	-71.35	101	-3567.31	101	-452.31	1	-10449.00	106	-1940.94	130
106	Max	-287	712.72	17	-1854.60	17	7808.71	17	1592.30	130	15690.20	130	728.07	65	1113.09	49	1356.69	104
106	Max	-285	712.72	17	-1854.60	17	7808.71	17	1592.30	130	15690.20	130	728.07	65	1113.09	49	1356.69	104
106	Max	-323	712.72	17	-1854.60	17	7808.71	17	1592.30	130	15690.20	130	728.07	65	1113.09	49	1356.69	104
106	Max	-325	712.72	17	-1854.60	17	7808.71	17	1592.30	130	15690.20	130	728.07	65	1113.09	49	1356.69	104
106	Min.	-287	-418.95	65	-13214.30	103	-1733.87	65	-267.74	101	-2908.72	101	-668.44	17	-9865.23	106	-185.78	17
106	Min.	-285	-418.95	65	-13214.30	103	-1733.87	65	-267.74	101	-2908.72	101	-668.44	17	-9865.23	106	-185.78	17
106	Min.	-323	-418.95	65	-13214.30	103	-1733.87	65	-267.74	101	-2908.72	101	-668.44	17	-9865.23	106	-185.78	17
106	Min.	-325	-418.95	65	-13214.30	103	-1733.87	65	-267.74	101	-2908.72	101	-668.44	17	-9865.23	106	-185.78	17
106	Max	-285	648.81	17	-2761.48	160	8180.38	17	1452.68	130	15603.30	130	731.20	49	1031.54	49	1722.65	104
106	Max	-283	648.81	17	-2761.48	160	8180.38	17	1452.68	130	15603.30	130	731.20	49	1031.54	49	1722.65	104
106	Max	-321	648.81	17	-2761.48	160	8180.38	17	1452.68	130	15603.30	130	731.20	49	1031.54	49	1722.65	104
106	Max	-323	648.81	17	-2761.48	160	8180.38	17	1452.68	130	15603.30	130	731.20	49	1031.54	49	1722.65	104
106	Min.	-285	-184.54	65	-13370.50	103	-2407.47	65	-245.37	101	-2636.76	101	-709.27	1	-10081.10	106	-1845.98	131
106	Min.	-283	-184.54	65	-13370.50	103	-2407.47	65	-245.37	101	-2636.76	101	-709.27	1	-10081.10	106	-1845.98	131
106	Min.	-321	-184.54	65	-13370.50	103	-2407.47	65	-245.37	101	-2636.76	101	-709.27	1	-10081.10	106	-1845.98	131
106	Min.	-323	-184.54	65	-13370.50	103	-2407.47	65	-245.37	101	-2636.76	101	-709.27	1	-10081.10	106	-1845.98	131
106	Max	-281	430.90	17	-3217.66	159	11495.00	17	1383.74	130	11945.20	130	765.53	49	1846.42	101	1176.31	101
106	Max	-279	430.90	17	-3217.66	159	11495.00	17	1383.74	130	11945.20	130	765.53	49	1846.42	101	1176.31	101
106	Max	-317	430.90	17	-3217.66	159	11495.00	17	1383.74	130	11945.20	130	765.53	49	1846.42	101	1176.31	101
106	Max	-319	430.90	17	-3217.66	159	11495.00	17	1383.74	130	11945.20	130	765.53	49	1846.42	101	1176.31	101
106	Min.	-281	-1755.98	103	-9291.57	104	-8545.23	65	-124.40	101	-1504.38	101	-863.58	1	-22063.40	130	-4668.07	130
106	Min.	-279	-1755.98	103	-9291.57	104	-8545.23	65	-124.40	101	-1504.38	101	-863.58	1	-22063.40	130	-4668.07	130
106	Min.	-317	-1755.98	103	-9291.57	104	-8545.23	65	-124.40	101	-1504.38	101	-863.58	1	-22063.40	130	-4668.07	130
106	Min.	-319	-1755.98	103	-9291.57	104	-8545.23	65	-124.40	101	-1504.38	101	-863.58	1	-22063.40	130	-4668.07	130
106	Max	-277	1548.96	177	-3493.68	160	4294.85	17	1160.27	130	14321.00	130	885.97	49	1273.81	1	5384.54	130
106	Max	-275	1548.96	177	-3493.68	160	4294.85	17	1160.27	130	14321.00	130	885.97	49	1273.81	1	5384.54	130
106	Max	-313	1548.96	177	-3493.68	160	4294.85	17	1160.27	130	14321.00	130	885.97	49	1273.81	1	5384.54	130
106	Max	-315	1548.96	177	-3493.68	160	4294.85	17	1160.27	130	14321.00	130	885.97	49	1273.81	1	5384.54	130
106	Min.	-277	-1048.01	17	-13782.70	103	-9961.67	65	-141.34	101	-2109.74	101	-795.10	1	-13883.20	106	-1849.28	101
106	Min.	-275	-1048.01	17	-13782.70	103	-9961.67	65	-141.34	101	-2109.74	101	-795.10	1	-13883.20	106	-1849.28	101
106	Min.	-313	-1048.01	17	-13782.70	103	-9961.67	65	-141.34	101	-2109.74	101	-795.10	1	-13883.20	106	-1849.28	101
106	Min.	-315	-1048.01	17	-13782.70	103	-9961.67	65	-141.34	101	-2109.74	101	-795.10	1	-13883.20	106	-1849.28	101
106	Max	-17	1571.70	65	18505.20	65	344.28	17	821.29	130	17566.10	130	218.35	49	5991.03	1	217.33	101
106	Max	-5	1571.70	65	18505.20	65	344.28	17	821.29	130	17566.10	130	218.35	49	5991.03	1	217.33	101
106	Max	-223	1571.70	65	18505.20	65	344.28	17	821.29	130	17566.10	130	218.35	49	5991.03	1	217.33	101
106	Max	-225	1571.70	65	18505.20	65	344.28	17	821.29	130	17566.10	130	218.35	49	5991.03	1	217.33	101
106	Min.	-17	-258.00	17	-14585.30	17	-3074.59	131	-154.09	1	-3106.97	1	-612.78	130	-5580.29	49	-705.28	130
106	Min.	-5	-258.00	17	-14585.30	17	-3074.59	131	-154.09	1	-3106.97	1	-612.78	130	-5580.29	49	-705.28	130
106	Min.	-223	-258.00	17	-14585.30	17	-3074.59	131	-154.09	1	-3106.97	1	-612.78	130	-5580.29	49	-705.28	130
106	Min.	-225	-258.00	17	-14585.30	17	-3074.59	131	-154.09	1	-3106.97	1	-612.78	130	-5580.29	49	-705.28	130
106	Max	-233	1293.47	177	1524.14	65	786.51	17	1684.31	130	17322.60	130	635.41	65	2445.34	1	310.67	65
106	Max	-231	1293.47	177	1524.14	65	786.51	17	1684.31	130	17322.60	130	635.41	65	2445.34	1	310.67	65
106	Max	-269	1293.47	177	1524.14	65	786.51	17	1684.31	130	17322.60	130	635.41	65	2445.34	1	310.67	65
106	Max	-271	1293.47	177	1524.14	65	786.51	17	1684.31	130	17322.60	130	635.41	65	2445.34	1	310.67	65
106	Min.	-233	-585.91	17	-13259.20	104	-7439.17	65	-305.82	101	-2838.18	101	-613.17	17	-9395.96	106	-1422.39	131
106	Min.	-231	-585.91	17	-13259.20	104	-7439.17	65	-305.82	101	-2838.18	101	-613.17	17	-9395.96	106	-1422.39	131
106	Min.	-269	-585.91	17	-13259.20	104	-7439.17	65	-305.82	101	-2838.18	101	-613.17	17	-9395.96	106	-1422.39	131
106	Min.	-271	-585.91	17	-13259.20	104	-7439.17	65	-305.82	101	-2838.18	101	-613.17	17	-9395.96	106	-1422.39	131
106	Max	-293	413.28	17	6356.78	17	3913.31	17	787.63	130	15483.20	130	619.94	49	1959.85	49	2276.75	130
106	Max	-291	413.28	17	6356.78	17	3913.31	17	787.63	130	15483.20	130	619.94	49	1959.85	49	2276.75	130
106	Max	-329	413.28	17	6356.78	17	3913.31	17	787.63	130	15483.20	130	619.94	49	1959.85	49	2276.75	130
106	Max	-331	413.28	17	6356.78	17	3913.31	17	787.63	130	15483.20	130	619.94	49	1959.85	49	2276.75	130
106	Min.	-293	-707.47	65	-12517.60	65	555.06	65	-206.03	101	-3439.00	101	-642.67	1	-9655.14	106	-247.27	1
106	Min.	-291	-707.47	65	-12517.60	65	555.06	65	-206.03	101	-3439.00	101	-642.67	1	-9655.14	106	-247.27	1
106	Min.	-329	-707.47	65	-12517.60	65	555.06	65	-206.03	101	-3439.00	101	-642.67	1	-9655.14	106	-247.27	1
106	Min.	-331	-707.47	65	-12517.60	65	555.06	65	-206.03	101	-3439.00	101	-642.67	1	-9655.14	106	-247.27	1
106	Max	-297	81.80	17	10489.60	17	759.60	108	10.58	17	15181.90	130	199.94	49	4768.79	49	1032.26	130
106	Max	-295	81.80	17	10489.60	17	759.60	108	10.58	17	15181.90	130	199.94	49	4768.79	49	1032.26	130
106	Max	-333	81.80	17	10489.60	17	759.60	108	10.58	17	15181.90	130	199.94	49	4768.79	49	1032.26	130
106	Max	-335	81.80	17	10489.60	17	759.60	108	10.58	17	15181.90	130	199.94	49	4768.79	49	1032.26	130
106	Min.	-297	-318.18	65	-13819.00	65	225.66	65	-5.49	65	-3525.46	101	-225.94	1	-12116.80	106	-106.75	101
106	Min.	-295	-318.18	65	-13819.00	65	225.66	65	-5.49	65	-3525.46	101	-225.94	1	-12116.80	106	-106.75	101
106	Min.	-333	-318.18	65	-13819.00	65	225.66	65	-5.49	65	-3525.46	101	-225.94	1	-12116.80	106	-106.75	101
106	Min.	-335	-318.18	65	-13819.00	65	225.66	65	-5.49	65	-3525.46	101	-225.94	1	-12116.80	106	-106.75	101
106	Max	-269	3536.74	177	3003.68	65	260.32	17	1314.00	130	15540.60	130	687.16	49	1330.21	1	235.40	49
106	Max	-267	3536.74	177	3003.68	65	260.32	17	1314.00	130	15540.60	130	687.16	49	1330.21	1	235.40	49
106	Max	-305	3536.74	177	3003.68	65	260.32	17	1314.00	130	15540.60	130	687.16	49	1330.21	1	235.40	49
106	Max	-307	3536.74	177	3003.68	65	260.32	17	1314.00	130	15540.60	130	687.16	49	1330.21	1	235.40	49
106	Min.	-269	-1024.05	100	-11552.90	17	-6066.32	65	-307.76	101	-3277.97	101	-710.52	1	-9474.58	106	-1992.28	130
106	Min.	-267	-1024.05	100	-11552.90	17	-6066.32	65	-307.76	101	-3277.97	101	-710.52	1	-9474.58	106	-1992.28	130
106	Min.	-305	-1024.05	100	-11552.90	17	-6066.32	65	-307.76	101	-3277.97	101	-710.52	1	-9474.58	106	-1992.28	130
106	Min.	-307	-1024.05	100	-11552.90	17	-6066.32	65	-307.76	101	-3277.97	101	-710.52	1	-9474.58	106	-1992.28	130
106	Max	-275	1490.73	177	-2764.92	159	2407.05	17	1452.04	130	15618.40	130	725.03	49	1071.65	1	1839.20	132
106	Max	-273	1490.73	177	-2764.92	159	2407.05	17	1452.04	130	15618.40	130	725.03	49	1071.65	1	1839.20	132
106	Max	-311	1490.73	177	-2764.92	159	2407.05	17	1452.04	130	15618.40	130	725.03	49	1071.65	1	1839.20	132
106	Max	-313	1490.73	177	-2764.92	159	2407.05	17	1452.04	130	15618.40	130	725.03	49	1071.65	1	1839.20	132
106	Min.	-275	-188.42	104	-13352.10	104	-8179.33	65	-242.10	101	-2616.30	101	-748.88	1	-10030.70	106	-1737.74	103
106	Min.	-273	-188.42	104	-13352.10	104	-8179.33	65	-242.10	101	-2616.30	101	-748.88	1	-10030.70	106	-1737.74	103
106	Min.	-311	-188.42	104	-13352.10	104	-8179.33	65	-242.10	101	-2616.30	101	-748.88	1	-10030.70	106	-1737.74	103
106	Min.	-313	-188.42	104	-13352.10	104	-8179.33	65	-242.10	101	-2616.30	101	-748.88	1	-10030.70	106	-1737.74	103
106	Max	-291	601.67	17	3048.10	17	6058.20	17	1308.97	130	15530.70	130	695.64	65	1304.76	49	1999.97	130
106	Max	-289	601.67	17	3048.10	17	6058.20	17	1308.97	130	15530.70	130	695.64	65	1304.76	49	1999.97	130
106	Max	-327	601.67	17	3048.10	17	6058.20	17	1308.97	130	15530.70	130	695.64	65	1304.76	49	1999.97	130
106	Max	-329	601.67	17	3048.10	17	6058.20	17	1308.97	130	15530.70	130	695.64	65	1304.76	49	1999.97	130
106	Min.	-291	-1082.12	99	-11547.00	65	-233.95	65	-309.55	101	-3291.75	101	-673.99	17	-9478.93	106	-247.88	1
106	Min.	-289	-1082.12	99	-11547.00	65	-233.95	65	-309.55	101	-3291.75	101	-673.99	17	-9478.93	106	-247.88	1
106	Min.	-327	-1082.12	99	-11547.00	65	-233.95	65	-309.55	101	-3291.75	101	-673.99	17	-9478.93	106	-247.88	1
106	Min.	-329	-1082.12	99	-11547.00	65	-233.95	65	-309.55	101	-3291.75	101	-673.99	17	-9478.93	106	-247.88	1
106	Max	-289	606.07	17	801.58	17	6963.53	17	1484.57	130	15598.40	130	714.66	65	1223.51	49	1268.79	130
106	Max	-287	606.07	17	801.58	17	6963.53	17	1484.57	130	15598.40	130	714.66	65	1223.51	49	1268.79	130
106	Max	-325	606.07	17	801.58	17	6963.53	17	1484.57	130	15598.40	130	714.66	65	1223.51	49	1268.79	130
106	Max	-327	606.07	17	801.58	17	6963.53	17	1484.57	130	15598.40	130	714.66	65	1223.51	49	1268.79	130
106	Min.	-289	-539.42	65	-12387.60	103	-1006.11	65	-298.63	101	-3142.53	101	-672.60	17	-9764.52	106	-148.04	1
106	Min.	-287	-539.42	65	-12387.60	103	-1006.11	65	-298.63	101	-3142.53	101	-672.60	17	-9764.52	106	-148.04	1
106	Min.	-325	-539.42	65	-12387.60	103	-1006.11	65	-298.63	101	-3142.53	101	-672.60	17	-9764.52	106	-148.04	1
106	Min.	-327	-539.42	65	-12387.60	103	-1006.11	65	-298.63	101	-3142.53	101	-672.60	17	-9764.52	106	-148.04	1
106	Max	-283	1486.80	17	-3486.10	159	9955.08	17	1158.16	130	14307.00	130	780.05	49	1235.57	49	1863.87	101
106	Max	-281	1486.80	17	-3486.10	159	9955.08	17	1158.16	130	14307.00	130	780.05	49	1235.57	49	1863.87	101
106	Max	-319	1486.80	17	-3486.10	159	9955.08	17	1158.16	130	14307.00	130	780.05	49	1235.57	49	1863.87	101
106	Max	-321	1486.80	17	-3486.10	159	9955.08	17	1158.16	130	14307.00	130	780.05	49	1235.57	49	1863.87	101
106	Min.	-283	-1042.34	65	-13807.50	104	-4300.72	65	-143.33	101	-2129.55	101	-868.28	1	-13933.90	106	-5378.70	130
106	Min.	-281	-1042.34	65	-13807.50	104	-4300.72	65	-143.33	101	-2129.55	101	-868.28	1	-13933.90	106	-5378.70	130
106	Min.	-319	-1042.34	65	-13807.50	104	-4300.72	65	-143.33	101	-2129.55	101	-868.28	1	-13933.90	106	-5378.70	130

106	Min.	-321	-1042.34	65	-13807.50	104	-4300.72	65	-143.33	101	-2129.55	101	-868.28	1	-13933.90	106	-5378.70	130
106	Max	-99	424.63	177	-6120.98	65	4794.64	17	2032.18	130	20473.50	130	694.75	65	3734.76	1	593.76	132
106	Max	20	424.63	177	-6120.98	65	4794.64	17	2032.18	130	20473.50	130	694.75	65	3734.76	1	593.76	132
106	Max	-237	424.63	177	-6120.98	65	4794.64	17	2032.18	130	20473.50	130	694.75	65	3734.76	1	593.76	132
106	Max	-239	424.63	177	-6120.98	65	4794.64	17	2032.18	130	20473.50	130	694.75	65	3734.76	1	593.76	132
106	Min.	-99	-1678.87	17	-15605.00	104	-10091.30	65	-264.88	101	-2912.39	101	-648.38	17	-12470.30	106	-579.49	17
106	Min.	20	-1678.87	17	-15605.00	104	-10091.30	65	-264.88	101	-2912.39	101	-648.38	17	-12470.30	106	-579.49	17
106	Min.	-237	-1678.87	17	-15605.00	104	-10091.30	65	-264.88	101	-2912.39	101	-648.38	17	-12470.30	106	-579.49	17
106	Min.	-239	-1678.87	17	-15605.00	104	-10091.30	65	-264.88	101	-2912.39	101	-648.38	17	-12470.30	106	-579.49	17
106	Max	-267	709.32	177	6351.56	65	-553.35	17	786.99	130	15490.00	130	656.61	49	2004.64	1	240.71	49
106	Max	-265	709.32	177	6351.56	65	-553.35	17	786.99	130	15490.00	130	656.61	49	2004.64	1	240.71	49
106	Max	-303	709.32	177	6351.56	65	-553.35	17	786.99	130	15490.00	130	656.61	49	2004.64	1	240.71	49
106	Max	-305	709.32	177	6351.56	65	-553.35	17	786.99	130	15490.00	130	656.61	49	2004.64	1	240.71	49
106	Min.	-267	-710.43	17	-12554.30	17	-3905.66	65	-205.24	101	-3429.21	101	-634.34	1	-9653.32	106	-2279.42	130
106	Min.	-265	-710.43	17	-12554.30	17	-3905.66	65	-205.24	101	-3429.21	101	-634.34	1	-9653.32	106	-2279.42	130
106	Min.	-303	-710.43	17	-12554.30	17	-3905.66	65	-205.24	101	-3429.21	101	-634.34	1	-9653.32	106	-2279.42	130
106	Min.	-305	-710.43	17	-12554.30	17	-3905.66	65	-205.24	101	-3429.21	101	-634.34	1	-9653.32	106	-2279.42	130
106	Max	-279	407.77	65	-3224.20	160	8577.45	17	1385.64	130	11951.70	130	880.37	49	1866.76	101	4590.34	130
106	Max	-277	407.77	65	-3224.20	160	8577.45	17	1385.64	130	11951.70	130	880.37	49	1866.76	101	4590.34	130
106	Max	-315	407.77	65	-3224.20	160	8577.45	17	1385.64	130	11951.70	130	880.37	49	1866.76	101	4590.34	130
106	Max	-317	407.77	65	-3224.20	160	8577.45	17	1385.64	130	11951.70	130	880.37	49	1866.76	101	4590.34	130
106	Min.	-279	-1765.56	104	-9239.29	103	-11487.20	65	-123.58	101	-1495.73	101	-776.26	1	-22041.40	130	-1102.32	101
106	Min.	-277	-1765.56	104	-9239.29	103	-11487.20	65	-123.58	101	-1495.73	101	-776.26	1	-22041.40	130	-1102.32	101
106	Min.	-315	-1765.56	104	-9239.29	103	-11487.20	65	-123.58	101	-1495.73	101	-776.26	1	-22041.40	130	-1102.32	101
106	Min.	-317	-1765.56	104	-9239.29	103	-11487.20	65	-123.58	101	-1495.73	101	-776.26	1	-22041.40	130	-1102.32	101
106	Max	-309	1209.67	177	286.41	65	1217.32	17	1391.74	130	14130.40	130	700.75	65	417.53	1	19.96	49
106	Max	-307	1209.67	177	286.41	65	1217.32	17	1391.74	130	14130.40	130	700.75	65	417.53	1	19.96	49
106	Max	-345	1209.67	177	286.41	65	1217.32	17	1391.74	130	14130.40	130	700.75	65	417.53	1	19.96	49
106	Max	-347	1209.67	177	286.41	65	1217.32	17	1391.74	130	14130.40	130	700.75	65	417.53	1	19.96	49
106	Min.	-309	-858.88	104	-11434.90	104	-7041.72	65	-369.88	101	-3757.03	101	-778.47	17	-10170.10	106	-554.18	130
106	Min.	-307	-858.88	104	-11434.90	104	-7041.72	65	-369.88	101	-3757.03	101	-778.47	17	-10170.10	106	-554.18	130
106	Min.	-345	-858.88	104	-11434.90	104	-7041.72	65	-369.88	101	-3757.03	101	-778.47	17	-10170.10	106	-554.18	130
106	Min.	-347	-858.88	104	-11434.90	104	-7041.72	65	-369.88	101	-3757.03	101	-778.47	17	-10170.10	106	-554.18	130
106	Max	-305	738.01	177	4563.09	177	-496.21	17	1055.17	130	13765.10	130	713.68	49	1246.10	1	93.79	49
106	Max	-303	738.01	177	4563.09	177	-496.21	17	1055.17	130	13765.10	130	713.68	49	1246.10	1	93.79	49
106	Max	-341	738.01	177	4563.09	177	-496.21	17	1055.17	130	13765.10	130	713.68	49	1246.10	1	93.79	49
106	Max	-343	738.01	177	4563.09	177	-496.21	17	1055.17	130	13765.10	130	713.68	49	1246.10	1	93.79	49
106	Min.	-305	-1158.78	17	-10869.20	17	-3953.41	65	-352.31	101	-4156.49	101	-682.25	1	-10656.70	106	-1000.19	130
106	Min.	-303	-1158.78	17	-10869.20	17	-3953.41	65	-352.31	101	-4156.49	101	-682.25	1	-10656.70	106	-1000.19	130
106	Min.	-341	-1158.78	17	-10869.20	17	-3953.41	65	-352.31	101	-4156.49	101	-682.25	1	-10656.70	106	-1000.19	130
106	Min.	-343	-1158.78	17	-10869.20	17	-3953.41	65	-352.31	101	-4156.49	101	-682.25	1	-10656.70	106	-1000.19	130
106	Max	-77	1517.78	177	-2499.18	65	1390.44	17	2021.09	130	19338.20	130	720.05	49	3553.36	1	312.85	65
106	Max	-65	1517.78	177	-2499.18	65	1390.44	17	2021.09	130	19338.20	130	720.05	49	3553.36	1	312.85	65
106	Max	-233	1517.78	177	-2499.18	65	1390.44	17	2021.09	130	19338.20	130	720.05	49	3553.36	1	312.85	65
106	Max	-235	1517.78	177	-2499.18	65	1390.44	17	2021.09	130	19338.20	130	720.05	49	3553.36	1	312.85	65
106	Min.	-77	-941.45	17	-19810.30	104	-7987.10	65	-313.88	101	-2711.40	1	-583.67	1	-8484.82	106	-707.80	107
106	Min.	-65	-941.45	17	-19810.30	104	-7987.10	65	-313.88	101	-2711.40	1	-583.67	1	-8484.82	106	-707.80	107
106	Min.	-233	-941.45	17	-19810.30	104	-7987.10	65	-313.88	101	-2711.40	1	-583.67	1	-8484.82	106	-707.80	107
106	Min.	-235	-941.45	17	-19810.30	104	-7987.10	65	-313.88	101	-2711.40	1	-583.67	1	-8484.82	106	-707.80	107
106	Max	-263	141.47	65	10529.30	65	-188.37	17	9.97	65	15178.30	130	216.46	49	4944.44	1	100.76	101
106	Max	-261	141.47	65	10529.30	65	-188.37	17	9.97	65	15178.30	130	216.46	49	4944.44	1	100.76	101
106	Max	-299	141.47	65	10529.30	65	-188.37	17	9.97	65	15178.30	130	216.46	49	4944.44	1	100.76	101
106	Max	-301	141.47	65	10529.30	65	-188.37	17	9.97	65	15178.30	130	216.46	49	4944.44	1	100.76	101
106	Min.	-263	-373.40	17	-13887.30	17	-701.08	131	-13.70	107	-3513.42	101	-192.20	1	-12199.60	106	-984.07	130
106	Min.	-261	-373.40	17	-13887.30	17	-701.08	131	-13.70	107	-3513.42	101	-192.20	1	-12199.60	106	-984.07	130
106	Min.	-299	-373.40	17	-13887.30	17	-701.08	131	-13.70	107	-3513.42	101	-192.20	1	-12199.60	106	-984.07	130
106	Min.	-301	-373.40	17	-13887.30	17	-701.08	131	-13.70	107	-3513.42	101	-192.20	1	-12199.60	106	-984.07	130
106	Max	-273	1882.98	177	-1842.20	65	1739.38	17	1593.69	130	15703.50	130	670.40	65	1145.84	1	176.87	65
106	Max	-271	1882.98	177	-1842.20	65	1739.38	17	1593.69	130	15703.50	130	670.40	65	1145.84	1	176.87	65
106	Max	-309	1882.98	177	-1842.20	65	1739.38	17	1593.69	130	15703.50	130	670.40	65	1145.84	1	176.87	65
106	Max	-311	1882.98	177	-1842.20	65	1739.38	17	1593.69	130	15703.50	130	670.40	65	1145.84	1	176.87	65
106	Min.	-273	-421.28	17	-13206.20	104	-7803.90	65	-264.16	101	-2892.63	101	-733.45	17	-9830.10	106	-1375.67	103
106	Min.	-271	-421.28	17	-13206.20	104	-7803.90	65	-264.16	101	-2892.63	101	-733.45	17	-9830.10	106	-1375.67	103
106	Min.	-309	-421.28	17	-13206.20	104	-7803.90	65	-264.16	101	-2892.63	101	-733.45	17	-9830.10	106	-1375.67	103
106	Min.	-311	-421.28	17	-13206.20	104	-7803.90	65	-264.16	101	-2892.63	101	-733.45	17	-9830.10	106	-1375.67	103
106	Max	-65	1419.37	177	792.10	65	1674.14	17	1912.47	130	19109.50	130	672.17	65	3925.99	1	227.45	65
106	Max	-53	1419.37	177	792.10	65	1674.14	17	1912.47	130	19109.50	130	672.17	65	3925.99	1	227.45	65
106	Max	-231	1419.37	177	792.10	65	1674.14	17	1912.47	130	19109.50	130	672.17	65	3925.99	1	227.45	65
106	Max	-233	1419.37	177	792.10	65	1674.14	17	1912.47	130	19109.50	130	672.17	65	3925.99	1	227.45	65
106	Min.	-65	-1347.57	17	-18152.30	104	-7681.04	65	-310.46	101	-2930.35	1	-562.47	17	-7857.61	106	-729.66	107
106	Min.	-53	-1347.57	17	-18152.30	104	-7681.04	65	-310.46	101	-2930.35	1	-562.47	17	-7857.61	106	-729.66	107
106	Min.	-231	-1347.57	17	-18152.30	104	-7681.04	65	-310.46	101	-2930.35	1	-562.47	17	-7857.61	106	-729.66	107
106	Min.	-233	-1347.57	17	-18152.30	104	-7681.04	65	-310.46	101	-2930.35	1	-562.47	17	-7857.61	106	-729.66	107
107	Max	-316	1023.75	177	-2871.30	65	3582.10	65	495.39	130	6088.89	130	932.92	130	12834.20	101	2075.62	130
107	Max	-314	1023.75	177	-2871.30	65	3582.10	65	495.39	130	6088.89	130	932.92	130	12834.20	101	2075.62	130
107	Max	-352	1023.75	177	-2871.30	65	3582.10	65	495.39	130	6088.89	130	932.92	130	12834.20	101	2075.62	130
107	Max	-354	1023.75	177	-2871.30	65	3582.10	65	495.39	130	6088.89	130	932.92	130	12834.20	101	2075.62	130
107	Min.	-316	-110.03	65	-14707.70	107	-9372.37	17	-937.39	101	-11273.80	101	-1257.04	101	-445.99	49	-2729.58	101
107	Min.	-314	-110.03	65	-14707.70	107	-9372.37	17	-937.39	101	-11273.80	101	-1257.04	101	-445.99	49	-2729.58	101
107	Min.	-352	-110.03	65	-14707.70	107	-9372.37	17	-937.39	101	-11273.80	101	-1257.04	101	-445.99	49	-2729.58	101
107	Min.	-354	-110.03	65	-14707.70	107	-9372.37	17	-937.39	101	-11273.80	101	-1257.04	101	-445.99	49	-2729.58	101
107	Max	-330	361.64	65	2080.77	65	6082.21	65	742.81	130	7833.85	130	704.25	65	10102.50	101	222.47	162
107	Max	-328	361.64	65	2080.77	65	6082.21	65	742.81	130	7833.85	130	704.25	65	10102.50	101	222.47	162
107	Max	-366	361.64	65	2080.77	65	6082.21	65	742.81	130	7833.85	130	704.25	65	10102.50	101	222.47	162
107	Max	-368	361.64	65	2080.77	65	6082.21	65	742.81	130	7833.85	130	704.25	65	10102.50	101	222.47	162
107	Min.	-330	-1088.32	131	-10621.90	107	-457.58	17	-1098.18	101	-11993.50	101	-745.25	17	-494.87	1	-735.37	101
107	Min.	-328	-1088.32	131	-10621.90	107	-457.58	17	-1098.18	101	-11993.50	101	-745.25	17	-494.87	1	-735.37	101
107	Min.	-366	-1088.32	131	-10621.90	107	-457.58	17	-1098.18	101	-11993.50	101	-745.25	17	-494.87	1	-735.37	101
107	Min.	-368	-1088.32	131	-10621.90	107	-457.58	17	-1098.18	101	-11993.50	101	-745.25	17	-494.87	1	-735.37	101
107	Max	-328	224.28	65	327.40	65	7030.60	65	767.81	130	7741.95	130	697.63	65	10182.50	101	67.42	162
107	Max	-326	224.28	65	327.40	65	7030.60	65	767.81	130	7741.95	130	697.63	65	10182.50	101	67.42	162
107	Max	-364	224.28	65	327.40	65	7030.60	65	767.81	130	7741.95	130	697.63	65	10182.50	101	67.42	162
107	Max	-366	224.28	65	327.40	65	7030.60	65	767.81	130	7741.95	130	697.63	65	10182.50	101	67.42	162
107	Min.	-328	-885.13	131	-11409.90	107	-1197.74	17	-1187.71	101	-12117.50	101	-771.57	17	-395.75	1	-512.46	101
107	Min.	-326	-885.13	131	-11409.90	107	-1197.74	17	-1187.71	101	-12117.50	101	-771.57	17	-395.75	1	-512.46	101
107	Min.	-364	-885.13	131	-11409.90	107	-1197.74	17	-1187.71	101	-12117.50	101	-771.57	17	-395.75	1	-512.46	101
107	Min.	-366	-885.13	131	-11409.90	107	-1197.74	17	-1187.71	101	-12117.50	101	-771.57	17	-395.75	1	-512.46	101
107	Max	-236	1598.23	177	-1651.59	17	1942.17	65	739.56	130	6735.11	130	629.34	49	9998.31	101	1057.58	65
107	Max	-234	1598.23	177	-1651.59	17	1942.17	65	739.56	130	6735.11	130	629.34	49	9998.31	101	1057.58	65
107	Max	-272	1598.23	177	-1651.59	17	1942.17	65	739.56	130	6735.11	130	629.34	49	9998.31	101	1057.58	65
107	Max	-274	1598.23	177	-1651.59	17	1942.17	65	739.56	130	6735.11	130	629.34	49	9998.31	101	1057.58	65
107	Min.	-236	-541.00	65	-14127.40	108	-7852.51	17	-1668.85	101	-16019.40	101	-656.44	1	-2277.17	49	-430.14	17
107	Min.	-234	-541.00	65	-14127.40	108	-7852.51	17	-1668.85	101	-16019.40	101	-656.44	1	-2277.17	49	-430.14	17
107	Min.	-272	-541.00	65	-14127.40	108	-7852.51	17	-1668.85	101	-16019.40	101	-656.44	1	-2277.17	49	-430.14	17
107	Min.	-274	-541.00	65	-14127.40	108	-7852.51	17	-1668.85	101	-16019.40	101	-656.44	1	-2277.17	49	-430.14	17

107	Max	-228	1160.76	177	11910.90	17	409.66	173	92.68	130	6885.98	130	401.88	49	7781.15	1	2387.78	101
107	Max	-226	1160.76	177	11910.90	17	409.66	173	92.68	130	6885.98	130	401.88	49	7781.15	1	2387.78	101
107	Max	-264	1160.76	177	11910.90	17	409.66	173	92.68	130	6885.98	130	401.88	49	7781.15	1	2387.78	101
107	Max	-266	1160.76	177	11910.90	17	409.66	173	92.68	130	6885.98	130	401.88	49	7781.15	1	2387.78	101
107	Min.	-228	-744.62	100	-14317.60	65	-1985.17	17	-204.21	101	-15537.00	101	-417.61	1	-4092.19	49	-1213.70	130
107	Min.	-226	-744.62	100	-14317.60	65	-1985.17	17	-204.21	101	-15537.00	101	-417.61	1	-4092.19	49	-1213.70	130
107	Min.	-264	-744.62	100	-14317.60	65	-1985.17	17	-204.21	101	-15537.00	101	-417.61	1	-4092.19	49	-1213.70	130
107	Min.	-266	-744.62	100	-14317.60	65	-1985.17	17	-204.21	101	-15537.00	101	-417.61	1	-4092.19	49	-1213.70	130
107	Max	-230	590.34	177	8243.41	17	-402.85	65	313.64	130	6919.78	130	547.44	49	8283.19	101	2901.42	101
107	Max	-228	590.34	177	8243.41	17	-402.85	65	313.64	130	6919.78	130	547.44	49	8283.19	101	2901.42	101
107	Max	-266	590.34	177	8243.41	17	-402.85	65	313.64	130	6919.78	130	547.44	49	8283.19	101	2901.42	101
107	Max	-268	590.34	177	8243.41	17	-402.85	65	313.64	130	6919.78	130	547.44	49	8283.19	101	2901.42	101
107	Min.	-230	-1119.97	173	-14093.80	65	-4354.49	17	-740.31	101	-15687.40	101	-561.20	1	-3220.23	49	-1218.78	130
107	Min.	-228	-1119.97	173	-14093.80	65	-4354.49	17	-740.31	101	-15687.40	101	-561.20	1	-3220.23	49	-1218.78	130
107	Min.	-266	-1119.97	173	-14093.80	65	-4354.49	17	-740.31	101	-15687.40	101	-561.20	1	-3220.23	49	-1218.78	130
107	Min.	-268	-1119.97	173	-14093.80	65	-4354.49	17	-740.31	101	-15687.40	101	-561.20	1	-3220.23	49	-1218.78	130
107	Max	-314	1175.95	177	-3017.48	133	2353.10	65	678.92	130	7445.99	130	830.57	65	8742.90	101	1093.69	130
107	Max	-312	1175.95	177	-3017.48	133	2353.10	65	678.92	130	7445.99	130	830.57	65	8742.90	101	1093.69	130
107	Max	-350	1175.95	177	-3017.48	133	2353.10	65	678.92	130	7445.99	130	830.57	65	8742.90	101	1093.69	130
107	Max	-352	1175.95	177	-3017.48	133	2353.10	65	678.92	130	7445.99	130	830.57	65	8742.90	101	1093.69	130
107	Min.	-314	-1195.88	132	-12798.50	106	-7872.15	17	-1170.99	101	-12769.60	101	-678.41	17	-212.62	49	-610.07	101
107	Min.	-312	-1195.88	132	-12798.50	106	-7872.15	17	-1170.99	101	-12769.60	101	-678.41	17	-212.62	49	-610.07	101
107	Min.	-350	-1195.88	132	-12798.50	106	-7872.15	17	-1170.99	101	-12769.60	101	-678.41	17	-212.62	49	-610.07	101
107	Min.	-352	-1195.88	132	-12798.50	106	-7872.15	17	-1170.99	101	-12769.60	101	-678.41	17	-212.62	49	-610.07	101
107	Max	-158	1189.16	100	-2517.26	65	7984.23	65	755.25	130	6817.50	130	715.35	65	8507.91	101	314.79	65
107	Max	-146	1189.16	100	-2517.26	65	7984.23	65	755.25	130	6817.50	130	715.35	65	8507.91	101	314.79	65
107	Max	-248	1189.16	100	-2517.26	65	7984.23	65	755.25	130	6817.50	130	715.35	65	8507.91	101	314.79	65
107	Max	-250	1189.16	100	-2517.26	65	7984.23	65	755.25	130	6817.50	130	715.35	65	8507.91	101	314.79	65
107	Min.	-158	-929.63	17	-19855.10	107	-1393.97	17	-1907.81	101	-18346.30	101	-577.13	17	-3523.04	1	-709.87	104
107	Min.	-146	-929.63	17	-19855.10	107	-1393.97	17	-1907.81	101	-18346.30	101	-577.13	17	-3523.04	1	-709.87	104
107	Min.	-248	-929.63	17	-19855.10	107	-1393.97	17	-1907.81	101	-18346.30	101	-577.13	17	-3523.04	1	-709.87	104
107	Min.	-250	-929.63	17	-19855.10	107	-1393.97	17	-1907.81	101	-18346.30	101	-577.13	17	-3523.04	1	-709.87	104
107	Max	-308	3564.60	177	2041.65	17	484.13	65	742.31	130	7822.25	130	757.09	49	10096.90	101	734.97	101
107	Max	-306	3564.60	177	2041.65	17	484.13	65	742.31	130	7822.25	130	757.09	49	10096.90	101	734.97	101
107	Max	-344	3564.60	177	2041.65	17	484.13	65	742.31	130	7822.25	130	757.09	49	10096.90	101	734.97	101
107	Max	-346	3564.60	177	2041.65	17	484.13	65	742.31	130	7822.25	130	757.09	49	10096.90	101	734.97	101
107	Min.	-308	-1056.22	132	-10646.20	108	-6097.96	17	-1101.58	101	-12006.10	101	-713.31	1	-516.38	49	-216.04	162
107	Min.	-306	-1056.22	132	-10646.20	108	-6097.96	17	-1101.58	101	-12006.10	101	-713.31	1	-516.38	49	-216.04	162
107	Min.	-344	-1056.22	132	-10646.20	108	-6097.96	17	-1101.58	101	-12006.10	101	-713.31	1	-516.38	49	-216.04	162
107	Min.	-346	-1056.22	132	-10646.20	108	-6097.96	17	-1101.58	101	-12006.10	101	-713.31	1	-516.38	49	-216.04	162
107	Max	-334	593.18	65	7286.39	65	2027.11	127	522.32	130	7793.99	130	592.95	49	11923.50	101	315.29	130
107	Max	-332	593.18	65	7286.39	65	2027.11	127	522.32	130	7793.99	130	592.95	49	11923.50	101	315.29	130
107	Max	-370	593.18	65	7286.39	65	2027.11	127	522.32	130	7793.99	130	592.95	49	11923.50	101	315.29	130
107	Max	-372	593.18	65	7286.39	65	2027.11	127	522.32	130	7793.99	130	592.95	49	11923.50	101	315.29	130
107	Min.	-334	-1030.61	17	-12921.80	17	1199.07	136	-646.97	101	-11768.80	101	-494.95	1	-2342.94	1	-778.17	101
107	Min.	-332	-1030.61	17	-12921.80	17	1199.07	136	-646.97	101	-11768.80	101	-494.95	1	-2342.94	1	-778.17	101
107	Min.	-370	-1030.61	17	-12921.80	17	1199.07	136	-646.97	101	-11768.80	101	-494.95	1	-2342.94	1	-778.17	101
107	Min.	-372	-1030.61	17	-12921.80	17	1199.07	136	-646.97	101	-11768.80	101	-494.95	1	-2342.94	1	-778.17	101
107	Max	-304	645.62	17	7700.51	177	-356.87	177	517.80	130	7788.38	130	498.61	49	12039.70	101	768.06	101
107	Max	-302	645.62	17	7700.51	177	-356.87	177	517.80	130	7788.38	130	498.61	49	12039.70	101	768.06	101
107	Max	-340	645.62	17	7700.51	177	-356.87	177	517.80	130	7788.38	130	498.61	49	12039.70	101	768.06	101
107	Max	-342	645.62	17	7700.51	177	-356.87	177	517.80	130	7788.38	130	498.61	49	12039.70	101	768.06	101
107	Min.	-304	-1188.42	65	-13024.20	65	-1994.54	128	-640.20	101	-11776.40	101	-595.02	1	-2476.94	49	-307.88	130
107	Min.	-302	-1188.42	65	-13024.20	65	-1994.54	128	-640.20	101	-11776.40	101	-595.02	1	-2476.94	49	-307.88	130
107	Min.	-340	-1188.42	65	-13024.20	65	-1994.54	128	-640.20	101	-11776.40	101	-595.02	1	-2476.94	49	-307.88	130
107	Min.	-342	-1188.42	65	-13024.20	65	-1994.54	128	-640.20	101	-11776.40	101	-595.02	1	-2476.94	49	-307.88	130
107	Max	-288	712.72	65	-1854.60	65	7808.70	65	687.48	130	6945.80	130	668.46	65	9865.52	101	185.79	65
107	Max	-286	712.72	65	-1854.60	65	7808.70	65	687.48	130	6945.80	130	668.46	65	9865.52	101	185.79	65
107	Max	-324	712.72	65	-1854.60	65	7808.70	65	687.48	130	6945.80	130	668.46	65	9865.52	101	185.79	65
107	Max	-326	712.72	65	-1854.60	65	7808.70	65	687.48	130	6945.80	130	668.46	65	9865.52	101	185.79	65
107	Min.	-288	-418.94	17	-13213.90	107	-1733.86	17	-1420.62	101	-13997.00	101	-728.09	17	-1113.10	1	-1356.64	108
107	Min.	-286	-418.94	17	-13213.90	107	-1733.86	17	-1420.62	101	-13997.00	101	-728.09	17	-1113.10	1	-1356.64	108
107	Min.	-324	-418.94	17	-13213.90	107	-1733.86	17	-1420.62	101	-13997.00	101	-728.09	17	-1113.10	1	-1356.64	108
107	Min.	-326	-418.94	17	-13213.90	107	-1733.86	17	-1420.62	101	-13997.00	101	-728.09	17	-1113.10	1	-1356.64	108
107	Max	-234	1293.47	177	1524.12	17	786.51	65	703.51	130	6855.67	130	613.15	65	9396.29	101	1404.15	103
107	Max	-232	1293.47	177	1524.12	17	786.51	65	703.51	130	6855.67	130	613.15	65	9396.29	101	1404.15	103
107	Max	-270	1293.47	177	1524.12	17	786.51	65	703.51	130	6855.67	130	613.15	65	9396.29	101	1404.15	103
107	Max	-272	1293.47	177	1524.12	17	786.51	65	703.51	130	6855.67	130	613.15	65	9396.29	101	1404.15	103
107	Min.	-234	-585.90	65	-13258.80	108	-7439.16	17	-1537.28	101	-15931.90	101	-635.39	17	-2445.35	49	-310.68	17
107	Min.	-232	-585.90	65	-13258.80	108	-7439.16	17	-1537.28	101	-15931.90	101	-635.39	17	-2445.35	49	-310.68	17
107	Min.	-270	-585.90	65	-13258.80	108	-7439.16	17	-1537.28	101	-15931.90	101	-635.39	17	-2445.35	49	-310.68	17
107	Min.	-272	-585.90	65	-13258.80	108	-7439.16	17	-1537.28	101	-15931.90	101	-635.39	17	-2445.35	49	-310.68	17
107	Max	-282	430.90	65	-3610.09	1	11495.00	65	478.81	130	4412.33	130	863.59	49	21510.50	101	3908.31	101
107	Max	-280	430.90	65	-3610.09	1	11495.00	65	478.81	130	4412.33	130	863.59	49	21510.50	101	3908.31	101
107	Max	-318	430.90	65	-3610.09	1	11495.00	65	478.81	130	4412.33	130	863.59	49	21510.50	101	3908.31	101
107	Max	-320	430.90	65	-3610.09	1	11495.00	65	478.81	130	4412.33	130	863.59	49	21510.50	101	3908.31	101
107	Min.	-282	-1755.92	107	-9291.40	108	-8545.20	17	-1262.87	101	-10914.00	101	-765.53	1	-5765.96	130	-2687.01	130
107	Min.	-280	-1755.92	107	-9291.40	108	-8545.20	17	-1262.87	101	-10914.00	101	-765.53	1	-5765.96	130	-2687.01	130
107	Min.	-318	-1755.92	107	-9291.40	108	-8545.20	17	-1262.87	101	-10914.00	101	-765.53	1	-5765.96	130	-2687.01	130
107	Min.	-320	-1755.92	107	-9291.40	108	-8545.20	17	-1262.87	101	-10914.00	101	-765.53	1	-5765.96	130	-2687.01	130
107	Max	-286	648.80	65	-3795.00	136	8180.37	65	611.31	130	6688.30	130	709.27	49	10081.40	101	1370.24	103
107	Max	-284	648.80	65	-3795.00	136	8180.37	65	611.31	130	6688.30	130	709.27	49	10081.40	101	1370.24	103
107	Max	-322	648.80	65	-3795.00	136	8180.37	65	611.31	130	6688.30	130	709.27	49	10081.40	101	1370.24	103
107	Max	-324	648.80	65	-3795.00	136	8180.37	65	611.31	130	6688.30	130	709.27	49	10081.40	101	1370.24	103
107	Min.	-286	-184.53	17	-13370.20	107	-2407.46	17	-1305.95	101	-13950.90	101	-731.20	1	-1031.55	1	-2165.86	132
107	Min.	-284	-184.53	17	-13370.20	107	-2407.46	17	-1305.95	101	-13950.90	101	-731.20	1	-1031.55	1	-2165.86	132
107	Min.	-322	-184.53	17	-13370.20	107	-2407.46	17	-1305.95	101	-13950.90	101	-731.20	1	-1031.55	1	-2165.86	132
107	Min.	-324	-184.53	17	-13370.20	107	-2407.46	17	-1305.95	101	-13950.90	101	-731.20	1	-1031.55	1	-2165.86	132
107	Max	-322	583.01	65	-2872.38	17	9367.40	65	498.48	130	6131.79	130	1244.52	101	12882.90	101	2724.01	101
107	Max	-320	583.01	65	-2872.38	17	9367.40	65	498.48	130	6131.79	130	1244.52	101	12882.90	101	2724.01	101
107	Max	-358	583.01	65	-2872.38	17	9367.40	65	498.48	130	6131.79	130	1244.52	101	12882.90	101	2724.01	101
107	Max	-360	583.01	65	-2872.38	17	9367.40	65	498.48	130	6131.79	130	1244.52	101	12882.90	101	2724.01	101
107	Min.	-322	-245.43	177	-14717.20	108	-3586.90	17	-934.80	101	-11251.50	101	-931.91	130	-391.12	1	-2083.42	130
107	Min.	-320	-245.43	177	-14717.20	108	-3586.90	17	-934.80	101	-11251.50	101	-931.91	130	-391.12	1	-2083.42	130
107	Min.	-358	-245.43	177	-14717.20	108	-3586.90	17	-934.80	101	-11251.50	101	-931.91	130	-391.12	1	-2083.42	130
107	Min.	-360	-245.43	177	-14717.20	108	-3586.90	17	-934.80	101	-11251.50	101	-931.91	130	-391.12	1	-2083.42	130
107	Max	-290	606.06	65	801.56	65	6963.52	65	687.76	130	7099.18	130	672.62	65	9764.80	101	148.04	49
107	Max	-288	606.06	65	801.56	65	6963.52	65	687.76	130	7099.18	130	672.62	65	9764.80	101	148.04	49
107	Max	-326	606.06	65	801.56	65	6963.52	65	687.76	130	7099.18	130	672.62	65	9764.80	101	148.04	49
107	Max	-328	606.06	65	801.56	65	6963.52	65	687.76	130	7099.18	130	672.62	65	9764.80	101	148.04	49
107	Min.	-290	-539.41	17	-12387.30	107	-1006.10	17	-1314.31	101	-13902.60	101	-714.67	17	-1223.52	1	-1199.02	101
107	Min.	-288	-539.41	17	-12387.30	107	-1006.10	17	-1314.31	101	-13902.60	101	-714.67	17	-1223.52	1	-1199.02	101
107	Min.	-326	-539.41	17	-12387.30	107	-1006.10	17	-1314.31	101	-13902.60	101	-714.67	17	-1223.52	1	-1199.02	101
107	Min.	-328	-539.41	17	-12387.30	107	-1006.10	17	-1314.31	101	-13902.60	101	-714.67	17	-1223.52	1	-1199.02	101
107	Max	-264	141.47	17	10529.30	17	-188.37	65	13.70	103	7212.00	130	192.20	49	12200.00	101	888.22	101

107	Max	-262	141.47	17	10529.30	17	-188.37	65	13.70	103	7212.00	130	192.20	49	12200.00	101	888.22	101
107	Max	-300	141.47	17	10529.30	17	-188.37	65	13.70	103	7212.00	130	192.20	49	12200.00	101	888.22	101
107	Max	-302	141.47	17	10529.30	17	-188.37	65	13.70	103	7212.00	130	192.20	49	12200.00	101	888.22	101
107	Min.	-264	-373.40	65	-13887.20	65	-698.53	103	-10.53	132	-13555.20	101	-216.46	1	-4944.50	49	-370.63	130
107	Min.	-262	-373.40	65	-13887.20	65	-698.53	103	-10.53	132	-13555.20	101	-216.46	1	-4944.50	49	-370.63	130
107	Min.	-300	-373.40	65	-13887.20	65	-698.53	103	-10.53	132	-13555.20	101	-216.46	1	-4944.50	49	-370.63	130
107	Min.	-302	-373.40	65	-13887.20	65	-698.53	103	-10.53	132	-13555.20	101	-216.46	1	-4944.50	49	-370.63	130
107	Max	-318	80.41	65	-1177.18	65	8878.87	65	350.81	130	2655.94	130	1098.87	130	25874.80	101	1649.94	130
107	Max	-316	80.41	65	-1177.18	65	8878.87	65	350.81	130	2655.94	130	1098.87	130	25874.80	101	1649.94	130
107	Max	-354	80.41	65	-1177.18	65	8878.87	65	350.81	130	2655.94	130	1098.87	130	25874.80	101	1649.94	130
107	Max	-356	80.41	65	-1177.18	65	8878.87	65	350.81	130	2655.94	130	1098.87	130	25874.80	101	1649.94	130
107	Min.	-318	-1863.14	107	-4805.67	107	-13216.60	17	-765.25	101	-5800.49	101	-1736.06	101	-7083.56	130	-2556.41	101
107	Min.	-316	-1863.14	107	-4805.67	107	-13216.60	17	-765.25	101	-5800.49	101	-1736.06	101	-7083.56	130	-2556.41	101
107	Min.	-354	-1863.14	107	-4805.67	107	-13216.60	17	-765.25	101	-5800.49	101	-1736.06	101	-7083.56	130	-2556.41	101
107	Min.	-356	-1863.14	107	-4805.67	107	-13216.60	17	-765.25	101	-5800.49	101	-1736.06	101	-7083.56	130	-2556.41	101
107	Max	-326	220.17	65	-1835.74	65	7724.94	65	759.18	130	7612.29	130	702.84	65	9907.21	101	44.34	65
107	Max	-324	220.17	65	-1835.74	65	7724.94	65	759.18	130	7612.29	130	702.84	65	9907.21	101	44.34	65
107	Max	-362	220.17	65	-1835.74	65	7724.94	65	759.18	130	7612.29	130	702.84	65	9907.21	101	44.34	65
107	Max	-364	220.17	65	-1835.74	65	7724.94	65	759.18	130	7612.29	130	702.84	65	9907.21	101	44.34	65
107	Min.	-326	-885.46	131	-12349.70	107	-1948.73	17	-1251.54	101	-12250.30	101	-789.85	17	-266.82	1	-691.89	108
107	Min.	-324	-885.46	131	-12349.70	107	-1948.73	17	-1251.54	101	-12250.30	101	-789.85	17	-266.82	1	-691.89	108
107	Min.	-362	-885.46	131	-12349.70	107	-1948.73	17	-1251.54	101	-12250.30	101	-789.85	17	-266.82	1	-691.89	108
107	Min.	-364	-885.46	131	-12349.70	107	-1948.73	17	-1251.54	101	-12250.30	101	-789.85	17	-266.82	1	-691.89	108
107	Max	-256	518.32	65	8244.83	65	4374.59	65	314.76	130	6931.44	130	549.97	49	8285.56	101	1223.92	130
107	Max	-254	518.32	65	8244.83	65	4374.59	65	314.76	130	6931.44	130	549.97	49	8285.56	101	1223.92	130
107	Max	-292	518.32	65	8244.83	65	4374.59	65	314.76	130	6931.44	130	549.97	49	8285.56	101	1223.92	130
107	Max	-294	518.32	65	8244.83	65	4374.59	65	314.76	130	6931.44	130	549.97	49	8285.56	101	1223.92	130
107	Min.	-256	-1027.92	99	-14059.10	17	413.85	17	-741.03	101	-15680.20	101	-535.98	1	-3169.58	1	-2900.67	101
107	Min.	-254	-1027.92	99	-14059.10	17	413.85	17	-741.03	101	-15680.20	101	-535.98	1	-3169.58	1	-2900.67	101
107	Min.	-292	-1027.92	99	-14059.10	17	413.85	17	-741.03	101	-15680.20	101	-535.98	1	-3169.58	1	-2900.67	101
107	Min.	-294	-1027.92	99	-14059.10	17	413.85	17	-741.03	101	-15680.20	101	-535.98	1	-3169.58	1	-2900.67	101
107	Max	-260	267.31	65	12593.10	65	658.12	65	23.40	49	6743.46	130	252.18	49	8991.07	49	613.85	130
107	Max	-258	267.31	65	12593.10	65	658.12	65	23.40	49	6743.46	130	252.18	49	8991.07	49	613.85	130
107	Max	-296	267.31	65	12593.10	65	658.12	65	23.40	49	6743.46	130	252.18	49	8991.07	49	613.85	130
107	Max	-298	267.31	65	12593.10	65	658.12	65	23.40	49	6743.46	130	252.18	49	8991.07	49	613.85	130
107	Min.	-260	-17.21	17	-14081.60	17	62.89	135	-18.04	1	-15216.90	101	-210.23	1	-5337.52	1	-1182.20	101
107	Min.	-258	-17.21	17	-14081.60	17	62.89	135	-18.04	1	-15216.90	101	-210.23	1	-5337.52	1	-1182.20	101
107	Min.	-296	-17.21	17	-14081.60	17	62.89	135	-18.04	1	-15216.90	101	-210.23	1	-5337.52	1	-1182.20	101
107	Min.	-298	-17.21	17	-14081.60	17	62.89	135	-18.04	1	-15216.90	101	-210.23	1	-5337.52	1	-1182.20	101
107	Max	-272	1613.96	177	750.29	17	1031.18	65	686.04	130	7083.99	130	724.07	49	9752.68	101	1193.54	101
107	Max	-270	1613.96	177	750.29	17	1031.18	65	686.04	130	7083.99	130	724.07	49	9752.68	101	1193.54	101
107	Max	-308	1613.96	177	750.29	17	1031.18	65	686.04	130	7083.99	130	724.07	49	9752.68	101	1193.54	101
107	Max	-310	1613.96	177	750.29	17	1031.18	65	686.04	130	7083.99	130	724.07	49	9752.68	101	1193.54	101
107	Min.	-272	-542.83	65	-12397.20	108	-6975.58	17	-1319.79	101	-13914.80	101	-679.49	1	-1249.68	49	-131.25	1
107	Min.	-270	-542.83	65	-12397.20	108	-6975.58	17	-1319.79	101	-13914.80	101	-679.49	1	-1249.68	49	-131.25	1
107	Min.	-308	-542.83	65	-12397.20	108	-6975.58	17	-1319.79	101	-13914.80	101	-679.49	1	-1249.68	49	-131.25	1
107	Min.	-310	-542.83	65	-12397.20	108	-6975.58	17	-1319.79	101	-13914.80	101	-679.49	1	-1249.68	49	-131.25	1
107	Max	-312	1491.06	177	-1829.80	17	1951.03	65	755.87	130	7594.39	130	797.67	65	9873.91	101	703.57	107
107	Max	-310	1491.06	177	-1829.80	17	1951.03	65	755.87	130	7594.39	130	797.67	65	9873.91	101	703.57	107
107	Max	-348	1491.06	177	-1829.80	17	1951.03	65	755.87	130	7594.39	130	797.67	65	9873.91	101	703.57	107
107	Max	-350	1491.06	177	-1829.80	17	1951.03	65	755.87	130	7594.39	130	797.67	65	9873.91	101	703.57	107
107	Min.	-312	-890.54	132	-12346.50	108	-7719.03	17	-1253.66	101	-12267.90	101	-704.77	17	-297.98	49	-38.08	17
107	Min.	-310	-890.54	132	-12346.50	108	-7719.03	17	-1253.66	101	-12267.90	101	-704.77	17	-297.98	49	-38.08	17
107	Min.	-348	-890.54	132	-12346.50	108	-7719.03	17	-1253.66	101	-12267.90	101	-704.77	17	-297.98	49	-38.08	17
107	Min.	-350	-890.54	132	-12346.50	108	-7719.03	17	-1253.66	101	-12267.90	101	-704.77	17	-297.98	49	-38.08	17
107	Max	-182	583.54	65	7889.72	65	15898.30	100	639.84	130	7609.37	130	705.21	49	8907.32	101	222.26	49
107	Max	-170	583.54	65	7889.72	65	15898.30	100	639.84	130	7609.37	130	705.21	49	8907.32	101	222.26	49
107	Max	-252	583.54	65	7889.72	65	15898.30	100	639.84	130	7609.37	130	705.21	49	8907.32	101	222.26	49
107	Max	-254	583.54	65	7889.72	65	15898.30	100	639.84	130	7609.37	130	705.21	49	8907.32	101	222.26	49
107	Min.	-182	-1700.93	99	-16354.10	17	553.95	17	-1634.86	101	-18479.20	101	-639.35	1	-4825.32	1	-1043.23	101
107	Min.	-170	-1700.93	99	-16354.10	17	553.95	17	-1634.86	101	-18479.20	101	-639.35	1	-4825.32	1	-1043.23	101
107	Min.	-252	-1700.93	99	-16354.10	17	553.95	17	-1634.86	101	-18479.20	101	-639.35	1	-4825.32	1	-1043.23	101
107	Min.	-254	-1700.93	99	-16354.10	17	553.95	17	-1634.86	101	-18479.20	101	-639.35	1	-4825.32	1	-1043.23	101
107	Max	-320	100.86	17	-1154.22	17	13272.90	65	353.08	130	2680.32	130	1767.63	101	25878.90	101	2598.28	101
107	Max	-318	100.86	17	-1154.22	17	13272.90	65	353.08	130	2680.32	130	1767.63	101	25878.90	101	2598.28	101
107	Max	-356	100.86	17	-1154.22	17	13272.90	65	353.08	130	2680.32	130	1767.63	101	25878.90	101	2598.28	101
107	Max	-358	100.86	17	-1154.22	17	13272.90	65	353.08	130	2680.32	130	1767.63	101	25878.90	101	2598.28	101
107	Min.	-320	-1851.00	108	-4925.38	108	-8858.76	17	-765.37	101	-5800.89	101	-1137.88	130	-7035.95	130	-1717.10	130
107	Min.	-318	-1851.00	108	-4925.38	108	-8858.76	17	-765.37	101	-5800.89	101	-1137.88	130	-7035.95	130	-1717.10	130
107	Min.	-356	-1851.00	108	-4925.38	108	-8858.76	17	-765.37	101	-5800.89	101	-1137.88	130	-7035.95	130	-1717.10	130
107	Min.	-358	-1851.00	108	-4925.38	108	-8858.76	17	-765.37	101	-5800.89	101	-1137.88	130	-7035.95	130	-1717.10	130
107	Max	-102	424.63	177	-6120.98	17	4794.63	65	701.30	130	7301.61	130	648.37	65	12470.90	101	708.56	131
107	Max	21	424.63	177	-6120.98	17	4794.63	65	701.30	130	7301.61	130	648.37	65	12470.90	101	708.56	131
107	Max	-238	424.63	177	-6120.98	17	4794.63	65	701.30	130	7301.61	130	648.37	65	12470.90	101	708.56	131
107	Max	-240	424.63	177	-6120.98	17	4794.63	65	701.30	130	7301.61	130	648.37	65	12470.90	101	708.56	131
107	Min.	-102	-1678.86	65	-15961.50	132	-10091.30	17	-1930.28	101	-19403.30	101	-694.73	17	-5106.28	130	-469.13	17
107	Min.	21	-1678.86	65	-15961.50	132	-10091.30	17	-1930.28	101	-19403.30	101	-694.73	17	-5106.28	130	-469.13	17
107	Min.	-238	-1678.86	65	-15961.50	132	-10091.30	17	-1930.28	101	-19403.30	101	-694.73	17	-5106.28	130	-469.13	17
107	Min.	-240	-1678.86	65	-15961.50	132	-10091.30	17	-1930.28	101	-19403.30	101	-694.73	17	-5106.28	130	-469.13	17
107	Max	-232	1753.99	177	4303.42	17	436.68	65	543.34	130	6915.46	130	614.66	49	9061.08	101	2080.60	101
107	Max	-230	1753.99	177	4303.42	17	436.68	65	543.34	130	6915.46	130	614.66	49	9061.08	101	2080.60	101
107	Max	-268	1753.99	177	4303.42	17	436.68	65	543.34	130	6915.46	130	614.66	49	9061.08	101	2080.60	101
107	Max	-270	1753.99	177	4303.42	17	436.68	65	543.34	130	6915.46	130	614.66	49	9061.08	101	2080.60	101
107	Min.	-232	-515.64	173	-13598.70	65	-5962.58	17	-1245.34	101	-15824.00	101	-638.94	1	-2657.92	49	-381.61	1
107	Min.	-230	-515.64	173	-13598.70	65	-5962.58	17	-1245.34	101	-15824.00	101	-638.94	1	-2657.92	49	-381.61	1
107	Min.	-268	-515.64	173	-13598.70	65	-5962.58	17	-1245.34	101	-15824.00	101	-638.94	1	-2657.92	49	-381.61	1
107	Min.	-270	-515.64	173	-13598.70	65	-5962.58	17	-1245.34	101	-15824.00	101	-638.94	1	-2657.92	49	-381.61	1
107	Max	-32	3076.11	177	12768.80	17	-981.04	65	378.88	130	6278.86	130	436.85	49	5566.67	1	1423.47	101
107	Max	-20	3076.11	177	12768.80	17	-981.04	65	378.88	130	6278.86	130	436.85	49	5566.67	1	1423.47	101
107	Max	-226	3076.11	177	12768.80	17	-981.04	65	378.88	130	6278.86	130	436.85	49	5566.67	1	1423.47	101
107	Max	-228	3076.11	177	12768.80	17	-981.04	65	378.88	130	6278.86	130	436.85	49	5566.67	1	1423.47	101
107	Min.	-32	-357.80	65	-15569.00	65	-4635.77	103	-1010.13	101	-16594.20	101	-319.41	1	-5377.55	49	-802.86	130
107	Min.	-20	-357.80	65	-15569.00	65	-4635.77	103	-1010.13	101	-16594.20	101	-319.41	1	-5377.55	49	-802.86	130
107	Min.	-226	-357.80	65	-15569.00	65	-4635.77	103	-1010.13	101	-16594.20	101	-319.41	1	-5377.55	49	-802.86	130
107	Min.	-228	-357.80	65	-15569.00	65	-4635.77	103	-1010.13	101	-16594.20	101	-319.41	1	-5377.55	49	-802.86	130
107	Max	-280	407.77	17	-3607.75	49	8577.43	65	478.41	130	4402.99	130	776.26	49	21488.10	101	2574.86	130
107	Max	-278	407.77	17	-3607.75	49	8577.43	65	478.41	130	4402.99	130	776.26	49	21488.10	101	2574.86	130
107	Max	-316	407.77	17	-3607.75	49	8577.43	65	478.41	130	4402.99	130	776.26	49	21488.10	101	2574.86	130
107	Max	-318	407.77	17	-3607.75	49	8577.43	65	478.41	130	4402.99	130	776.26	49	21488.10	101	2574.86	130
107	Min.	-280	-1765.50	108	-9239.13	107	-11487.20	17	-1264.57	101	-10921.00	101	-880.37	1	-5787.62	130	-3850.48	101
107	Min.	-278	-1765.50	108	-9239.13	107	-11487.20	17	-1264.57	101	-10921.00	101	-880.37	1	-5787.62	130	-3850.48	101
107	Min.	-316	-1765.50	108	-9239.13	107	-11487.20	17	-1264.57	101	-10921.00	101	-880.37	1	-5787.62	130	-3850.48	101
107	Min.	-318	-1765.50	108	-9239.13	107	-11487.20	17	-1264.57	101	-10921.00	101	-880.37	1	-5787.62	130	-3850.48	101
107	Max	-146	499.14	65	-2920.30	65	7337.04	65	713.49	130	7515.64	130	790.08	49	11172.50	101	350.58	65
107	Max	25	499.14	65	-2920.30	65	7337.04	65	713.49	130	7515.64	130	790.08	49	11172.50	101	350.58	65

107	Max	-246	499.14	65	-2920.30	65	7337.04	65	713.49	130	7515.64	130	790.08	49	11172.50	101	350.58	65
107	Max	-248	499.14	65	-2920.30	65	7337.04	65	713.49	130	7515.64	130	790.08	49	11172.50	101	350.58	65
107	Min.	-146	-1196.77	107	-15372.40	17	-4289.91	107	-1909.33	101	-19311.20	101	-643.42	1	-4457.69	130	-636.23	17
107	Min.	25	-1196.77	107	-15372.40	17	-4289.91	107	-1909.33	101	-19311.20	101	-643.42	1	-4457.69	130	-636.23	17
107	Min.	-246	-1196.77	107	-15372.40	17	-4289.91	107	-1909.33	101	-19311.20	101	-643.42	1	-4457.69	130	-636.23	17
107	Min.	-248	-1196.77	107	-15372.40	17	-4289.91	107	-1909.33	101	-19311.20	101	-643.42	1	-4457.69	130	-636.23	17
107	Max	-292	601.66	65	3048.08	65	6058.19	65	646.89	130	7185.60	130	674.01	65	9479.18	101	492.08	162
107	Max	-290	601.66	65	3048.08	65	6058.19	65	646.89	130	7185.60	130	674.01	65	9479.18	101	492.08	162
107	Max	-328	601.66	65	3048.08	65	6058.19	65	646.89	130	7185.60	130	674.01	65	9479.18	101	492.08	162
107	Max	-330	601.66	65	3048.08	65	6058.19	65	646.89	130	7185.60	130	674.01	65	9479.18	101	492.08	162
107	Min.	-292	-1131.84	123	-11547.00	17	-233.95	17	-1152.51	101	-13844.50	101	-695.66	17	-1304.77	1	-1794.90	101
107	Min.	-290	-1131.84	123	-11547.00	17	-233.95	17	-1152.51	101	-13844.50	101	-695.66	17	-1304.77	1	-1794.90	101
107	Min.	-328	-1131.84	123	-11547.00	17	-233.95	17	-1152.51	101	-13844.50	101	-695.66	17	-1304.77	1	-1794.90	101
107	Min.	-330	-1131.84	123	-11547.00	17	-233.95	17	-1152.51	101	-13844.50	101	-695.66	17	-1304.77	1	-1794.90	101
107	Max	-336	984.56	65	9308.18	65	1564.46	17	403.98	130	7981.55	130	357.33	101	15039.80	101	157.36	130
107	Max	-334	984.56	65	9308.18	65	1564.46	17	403.98	130	7981.55	130	357.33	101	15039.80	101	157.36	130
107	Max	-372	984.56	65	9308.18	65	1564.46	17	403.98	130	7981.55	130	357.33	101	15039.80	101	157.36	130
107	Max	-374	984.56	65	9308.18	65	1564.46	17	403.98	130	7981.55	130	357.33	101	15039.80	101	157.36	130
107	Min.	-336	-1796.46	17	-15188.70	17	61.86	65	-487.83	101	-11707.20	101	-403.74	130	-4152.37	1	-435.52	101
107	Min.	-334	-1796.46	17	-15188.70	17	61.86	65	-487.83	101	-11707.20	101	-403.74	130	-4152.37	1	-435.52	101
107	Min.	-372	-1796.46	17	-15188.70	17	61.86	65	-487.83	101	-11707.20	101	-403.74	130	-4152.37	1	-435.52	101
107	Min.	-374	-1796.46	17	-15188.70	17	61.86	65	-487.83	101	-11707.20	101	-403.74	130	-4152.37	1	-435.52	101
107	Max	-270	3536.73	177	3003.66	17	260.31	65	646.11	130	7172.00	130	710.52	49	9474.84	101	1789.63	101
107	Max	-268	3536.73	177	3003.66	17	260.31	65	646.11	130	7172.00	130	710.52	49	9474.84	101	1789.63	101
107	Max	-306	3536.73	177	3003.66	17	260.31	65	646.11	130	7172.00	130	710.52	49	9474.84	101	1789.63	101
107	Max	-308	3536.73	177	3003.66	17	260.31	65	646.11	130	7172.00	130	710.52	49	9474.84	101	1789.63	101
107	Min.	-270	-1045.85	124	-11552.90	65	-6066.31	17	-1157.29	101	-13855.00	101	-687.17	1	-1330.23	49	-478.06	162
107	Min.	-268	-1045.85	124	-11552.90	65	-6066.31	17	-1157.29	101	-13855.00	101	-687.17	1	-1330.23	49	-478.06	162
107	Min.	-306	-1045.85	124	-11552.90	65	-6066.31	17	-1157.29	101	-13855.00	101	-687.17	1	-1330.23	49	-478.06	162
107	Min.	-308	-1045.85	124	-11552.90	65	-6066.31	17	-1157.29	101	-13855.00	101	-687.17	1	-1330.23	49	-478.06	162
107	Max	-242	310.64	17	-6142.39	49	7938.92	65	456.23	130	5733.00	130	637.25	65	17390.00	101	1051.05	131
107	Max	-240	310.64	17	-6142.39	49	7938.92	65	456.23	130	5733.00	130	637.25	65	17390.00	101	1051.05	131
107	Max	-278	310.64	17	-6142.39	49	7938.92	65	456.23	130	5733.00	130	637.25	65	17390.00	101	1051.05	131
107	Max	-280	310.64	17	-6142.39	49	7938.92	65	456.23	130	5733.00	130	637.25	65	17390.00	101	1051.05	131
107	Min.	-242	-1284.26	132	-13342.30	106	-10215.20	17	-1439.58	101	-15168.00	101	-661.76	17	-5132.94	130	-1368.74	104
107	Min.	-240	-1284.26	132	-13342.30	106	-10215.20	17	-1439.58	101	-15168.00	101	-661.76	17	-5132.94	130	-1368.74	104
107	Min.	-278	-1284.26	132	-13342.30	106	-10215.20	17	-1439.58	101	-15168.00	101	-661.76	17	-5132.94	130	-1368.74	104
107	Min.	-280	-1284.26	132	-13342.30	106	-10215.20	17	-1439.58	101	-15168.00	101	-661.76	17	-5132.94	130	-1368.74	104
107	Max	-206	2022.44	104	12597.30	65	4719.55	104	383.87	130	6294.68	130	329.09	49	5491.56	49	819.55	130
107	Max	-194	2022.44	104	12597.30	65	4719.55	104	383.87	130	6294.68	130	329.09	49	5491.56	49	819.55	130
107	Max	-256	2022.44	104	12597.30	65	4719.55	104	383.87	130	6294.68	130	329.09	49	5491.56	49	819.55	130
107	Max	-258	2022.44	104	12597.30	65	4719.55	104	383.87	130	6294.68	130	329.09	49	5491.56	49	819.55	130
107	Min.	-206	-303.45	17	-15541.80	17	1066.81	17	-1019.25	101	-16587.20	101	-442.93	1	-5274.43	1	-1450.74	101
107	Min.	-194	-303.45	17	-15541.80	17	1066.81	17	-1019.25	101	-16587.20	101	-442.93	1	-5274.43	1	-1450.74	101
107	Min.	-256	-303.45	17	-15541.80	17	1066.81	17	-1019.25	101	-16587.20	101	-442.93	1	-5274.43	1	-1450.74	101
107	Min.	-258	-303.45	17	-15541.80	17	1066.81	17	-1019.25	101	-16587.20	101	-442.93	1	-5274.43	1	-1450.74	101
107	Max	-268	709.32	177	6351.53	17	-553.36	65	410.77	130	7257.26	130	634.35	49	9653.58	101	2020.15	101
107	Max	-266	709.32	177	6351.53	17	-553.36	65	410.77	130	7257.26	130	634.35	49	9653.58	101	2020.15	101
107	Max	-304	709.32	177	6351.53	17	-553.36	65	410.77	130	7257.26	130	634.35	49	9653.58	101	2020.15	101
107	Max	-306	709.32	177	6351.53	17	-553.36	65	410.77	130	7257.26	130	634.35	49	9653.58	101	2020.15	101
107	Min.	-268	-710.42	65	-12554.20	65	-3905.66	17	-682.77	101	-13821.80	101	-656.61	1	-2004.66	49	-664.13	162
107	Min.	-266	-710.42	65	-12554.20	65	-3905.66	17	-682.77	101	-13821.80	101	-656.61	1	-2004.66	49	-664.13	162
107	Min.	-304	-710.42	65	-12554.20	65	-3905.66	17	-682.77	101	-13821.80	101	-656.61	1	-2004.66	49	-664.13	162
107	Min.	-306	-710.42	65	-12554.20	65	-3905.66	17	-682.77	101	-13821.80	101	-656.61	1	-2004.66	49	-664.13	162
107	Max	-274	1882.97	177	-1842.21	17	1739.37	65	683.32	130	6928.45	130	733.46	65	9830.38	101	1375.61	107
107	Max	-272	1882.97	177	-1842.21	17	1739.37	65	683.32	130	6928.45	130	733.46	65	9830.38	101	1375.61	107
107	Max	-310	1882.97	177	-1842.21	17	1739.37	65	683.32	130	6928.45	130	733.46	65	9830.38	101	1375.61	107
107	Max	-312	1882.97	177	-1842.21	17	1739.37	65	683.32	130	6928.45	130	733.46	65	9830.38	101	1375.61	107
107	Min.	-274	-421.28	65	-13205.90	108	-7803.89	17	-1422.33	101	-14011.10	101	-670.42	17	-1145.85	49	-176.88	17
107	Min.	-272	-421.28	65	-13205.90	108	-7803.89	17	-1422.33	101	-14011.10	101	-670.42	17	-1145.85	49	-176.88	17
107	Min.	-310	-421.28	65	-13205.90	108	-7803.89	17	-1422.33	101	-14011.10	101	-670.42	17	-1145.85	49	-176.88	17
107	Min.	-312	-421.28	65	-13205.90	108	-7803.89	17	-1422.33	101	-14011.10	101	-670.42	17	-1145.85	49	-176.88	17
107	Max	-248	1197.87	65	-3972.35	65	8672.98	65	625.91	130	6568.08	130	652.89	65	11135.80	101	564.40	65
107	Max	-246	1197.87	65	-3972.35	65	8672.98	65	625.91	130	6568.08	130	652.89	65	11135.80	101	564.40	65
107	Max	-284	1197.87	65	-3972.35	65	8672.98	65	625.91	130	6568.08	130	652.89	65	11135.80	101	564.40	65
107	Max	-286	1197.87	65	-3972.35	65	8672.98	65	625.91	130	6568.08	130	652.89	65	11135.80	101	564.40	65
107	Min.	-248	-648.86	17	-14462.10	107	-2696.16	17	-1591.01	101	-15978.40	101	-620.73	17	-2221.24	1	-1272.65	132
107	Min.	-246	-648.86	17	-14462.10	107	-2696.16	17	-1591.01	101	-15978.40	101	-620.73	17	-2221.24	1	-1272.65	132
107	Min.	-284	-648.86	17	-14462.10	107	-2696.16	17	-1591.01	101	-15978.40	101	-620.73	17	-2221.24	1	-1272.65	132
107	Min.	-286	-648.86	17	-14462.10	107	-2696.16	17	-1591.01	101	-15978.40	101	-620.73	17	-2221.24	1	-1272.65	132
107	Max	-250	1094.28	65	-1660.54	65	7860.65	65	743.45	130	6750.09	130	645.75	65	10028.80	101	436.97	65
107	Max	-248	1094.28	65	-1660.54	65	7860.65	65	743.45	130	6750.09	130	645.75	65	10028.80	101	436.97	65
107	Max	-286	1094.28	65	-1660.54	65	7860.65	65	743.45	130	6750.09	130	645.75	65	10028.80	101	436.97	65
107	Max	-288	1094.28	65	-1660.54	65	7860.65	65	743.45	130	6750.09	130	645.75	65	10028.80	101	436.97	65
107	Min.	-250	-539.16	17	-14154.30	107	-1939.50	17	-1668.88	101	-16012.80	101	-617.59	17	-2246.04	1	-1057.76	17
107	Min.	-248	-539.16	17	-14154.30	107	-1939.50	17	-1668.88	101	-16012.80	101	-617.59	17	-2246.04	1	-1057.76	17
107	Min.	-286	-539.16	17	-14154.30	107	-1939.50	17	-1668.88	101	-16012.80	101	-617.59	17	-2246.04	1	-1057.76	17
107	Min.	-288	-539.16	17	-14154.30	107	-1939.50	17	-1668.88	101	-16012.80	101	-617.59	17	-2246.04	1	-1057.76	17
107	Max	-20	1571.70	17	18505.10	17	344.27	65	278.88	130	6208.59	130	579.64	101	5580.35	1	649.89	101
107	Max	-8	1571.70	17	18505.10	17	344.27	65	278.88	130	6208.59	130	579.64	101	5580.35	1	649.89	101
107	Max	-224	1571.70	17	18505.10	17	344.27	65	278.88	130	6208.59	130	579.64	101	5580.35	1	649.89	101
107	Max	-226	1571.70	17	18505.10	17	344.27	65	278.88	130	6208.59	130	579.64	101	5580.35	1	649.89	101
107	Min.	-20	-257.99	65	-14585.20	65	-3073.27	103	-789.03	101	-16673.20	101	-218.35	1	-5991.09	49	-358.93	130
107	Min.	-8	-257.99	65	-14585.20	65	-3073.27	103	-789.03	101	-16673.20	101	-218.35	1	-5991.09	49	-358.93	130
107	Min.	-224	-257.99	65	-14585.20	65	-3073.27	103	-789.03	101	-16673.20	101	-218.35	1	-5991.09	49	-358.93	130
107	Min.	-226	-257.99	65	-14585.20	65	-3073.27	103	-789.03	101	-16673.20	101	-218.35	1	-5991.09	49	-358.93	130
107	Max	-252	1020.06	65	1582.97	65	7415.52	65	701.75	130	6871.12	130	633.98	65	9411.72	101	318.37	49
107	Max	-250	1020.06	65	1582.97	65	7415.52	65	701.75	130	6871.12	130	633.98	65	9411.72	101	318.37	49
107	Max	-288	1020.06	65	1582.97	65	7415.52	65	701.75	130	6871.12	130	633.98	65	9411.72	101	318.37	49
107	Max	-290	1020.06	65	1582.97	65	7415.52	65	701.75	130	6871.12	130	633.98	65	9411.72	101	318.37	49
107	Min.	-252	-576.28	17	-13220.70	107	-765.51	17	-1529.48	101	-15923.10	101	-610.78	17	-2420.58	1	-1416.25	104
107	Min.	-250	-576.28	17	-13220.70	107	-765.51	17	-1529.48	101	-15923.10	101	-610.78	17	-2420.58	1	-1416.25	104
107	Min.	-288	-576.28	17	-13220.70	107	-765.51	17	-1529.48	101	-15923.10	101	-610.78	17	-2420.58	1	-1416.25	104
107	Min.	-290	-576.28	17	-13220.70	107	-765.51	17	-1529.48	101	-15923.10	101	-610.78	17	-2420.58	1	-1416.25	104
107	Max	-124	-525.43	49	-8508.14	49	8752.81	65	658.60	130	7288.02	130	705.03	65	14199.60	101	489.79	65
107	Max	23	-525.43	49	-8508.14	49	8752.81	65	658.60	130	7288.02	130	705.03	65	14199.60	101	489.79	65
107	Max	-242	-525.43	49	-8508.14	49	8752.81	65	658.60	130	7288.02	130	705.03	65	14199.60	101	489.79	65
107	Max	-244	-525.43	49	-8508.14	49	8752.81	65	658.60	130	7288.02	130	705.03	65	14199.60	101	489.79	65
107	Min.	-124	-1868.45	107	-18159.40	107	-7838.49	17	-1899.06	101	-19645.20	101	-651.60	17	-6113.70	130	-536.36	17
107	Min.	23	-1868.45	107	-18159.40	107	-7838.49	17	-1899.06	101	-19645.20	101	-651.60	17	-6113.70	130	-536.36	17
107	Min.	-242	-1868.45	107	-18159.40	107	-7838.49	17	-1899.06	101	-19645.20	101	-651.60	17	-6113.70	130	-536.36	17
107	Min.	-244	-1868.45	107	-18159.40	107	-7838.49	17	-1899.06	101	-19645.20	101	-651.60	17	-6113.70	130	-536.36	17
107	Max	-302	938.08	17	9572.70	177	-5.26	17	398.99	130	7983.13	130	409.76	130	15182.10	101	416.26	101
107	Max	-300	938.08	17	9572.70	177	-5.26	17	398.99	130	7983.13	130	409.76	130	15182.10	101	416.26	101
107	Max	-338	938.08	17	9572.70	177	-5.26	17	398.99	130	7983.13	130	409.76	130	15182.10	101	416.26	101

107	Max	-340	938.08	17	9572.70	177	-5.26	17	398.99	130	7983.13	130	409.76	130	15182.10	101	416.26	101
107	Min.	-302	-1741.67	65	-15368.20	65	-1573.39	65	-479.52	101	-11713.50	101	-349.39	101	-4325.91	49	-146.46	130
107	Min.	-300	-1741.67	65	-15368.20	65	-1573.39	65	-479.52	101	-11713.50	101	-349.39	101	-4325.91	49	-146.46	130
107	Min.	-338	-1741.67	65	-15368.20	65	-1573.39	65	-479.52	101	-11713.50	101	-349.39	101	-4325.91	49	-146.46	130
107	Min.	-340	-1741.67	65	-15368.20	65	-1573.39	65	-479.52	101	-11713.50	101	-349.39	101	-4325.91	49	-146.46	130
107	Max	21	1220.82	177	-2897.39	17	4331.22	108	710.94	130	7505.77	130	657.14	49	11142.20	101	632.67	65
107	Max	-80	1220.82	177	-2897.39	17	4331.22	108	710.94	130	7505.77	130	657.14	49	11142.20	101	632.67	65
107	Max	-236	1220.82	177	-2897.39	17	4331.22	108	710.94	130	7505.77	130	657.14	49	11142.20	101	632.67	65
107	Max	-238	1220.82	177	-2897.39	17	4331.22	108	710.94	130	7505.77	130	657.14	49	11142.20	101	632.67	65
107	Min.	21	-1221.07	108	-15363.50	65	-7322.93	17	-1908.83	101	-19309.10	101	-802.06	1	-4472.35	130	-349.52	17
107	Min.	-80	-1221.07	108	-15363.50	65	-7322.93	17	-1908.83	101	-19309.10	101	-802.06	1	-4472.35	130	-349.52	17
107	Min.	-236	-1221.07	108	-15363.50	65	-7322.93	17	-1908.83	101	-19309.10	101	-802.06	1	-4472.35	130	-349.52	17
107	Min.	-238	-1221.07	108	-15363.50	65	-7322.93	17	-1908.83	101	-19309.10	101	-802.06	1	-4472.35	130	-349.52	17
107	Max	-310	1209.67	177	286.39	17	1217.31	65	766.38	130	7727.83	130	778.49	65	10170.30	101	512.90	101
107	Max	-308	1209.67	177	286.39	17	1217.31	65	766.38	130	7727.83	130	778.49	65	10170.30	101	512.90	101
107	Max	-346	1209.67	177	286.39	17	1217.31	65	766.38	130	7727.83	130	778.49	65	10170.30	101	512.90	101
107	Max	-348	1209.67	177	286.39	17	1217.31	65	766.38	130	7727.83	130	778.49	65	10170.30	101	512.90	101
107	Min.	-310	-891.10	132	-11434.50	108	-7041.71	17	-1191.46	101	-12132.40	101	-700.77	17	-417.54	49	-58.12	162
107	Min.	-308	-891.10	132	-11434.50	108	-7041.71	17	-1191.46	101	-12132.40	101	-700.77	17	-417.54	49	-58.12	162
107	Min.	-346	-891.10	132	-11434.50	108	-7041.71	17	-1191.46	101	-12132.40	101	-700.77	17	-417.54	49	-58.12	162
107	Min.	-348	-891.10	132	-11434.50	108	-7041.71	17	-1191.46	101	-12132.40	101	-700.77	17	-417.54	49	-58.12	162
107	Max	-194	1392.89	65	10756.60	65	3315.41	65	516.39	130	7177.15	130	550.46	49	6594.53	101	837.51	130
107	Max	-182	1392.89	65	10756.60	65	3315.41	65	516.39	130	7177.15	130	550.46	49	6594.53	101	837.51	130
107	Max	-254	1392.89	65	10756.60	65	3315.41	65	516.39	130	7177.15	130	550.46	49	6594.53	101	837.51	130
107	Max	-256	1392.89	65	10756.60	65	3315.41	65	516.39	130	7177.15	130	550.46	49	6594.53	101	837.51	130
107	Min.	-194	-1000.15	17	-15656.10	17	-2535.59	99	-1347.90	101	-17703.10	101	-513.82	1	-5189.10	1	-1750.17	101
107	Min.	-182	-1000.15	17	-15656.10	17	-2535.59	99	-1347.90	101	-17703.10	101	-513.82	1	-5189.10	1	-1750.17	101
107	Min.	-254	-1000.15	17	-15656.10	17	-2535.59	99	-1347.90	101	-17703.10	101	-513.82	1	-5189.10	1	-1750.17	101
107	Min.	-256	-1000.15	17	-15656.10	17	-2535.59	99	-1347.90	101	-17703.10	101	-513.82	1	-5189.10	1	-1750.17	101
107	Max	-56	1792.16	177	7731.90	17	-450.65	65	640.87	130	7578.99	130	626.98	49	8869.02	101	1025.93	101
107	Max	-44	1792.16	177	7731.90	17	-450.65	65	640.87	130	7578.99	130	626.98	49	8869.02	101	1025.93	101
107	Max	-230	1792.16	177	7731.90	17	-450.65	65	640.87	130	7578.99	130	626.98	49	8869.02	101	1025.93	101
107	Max	-232	1792.16	177	7731.90	17	-450.65	65	640.87	130	7578.99	130	626.98	49	8869.02	101	1025.93	101
107	Min.	-56	-1657.63	173	-16334.60	65	-15546.20	99	-1639.41	101	-18472.90	101	-693.06	1	-4838.49	49	-212.15	1
107	Min.	-44	-1657.63	173	-16334.60	65	-15546.20	99	-1639.41	101	-18472.90	101	-693.06	1	-4838.49	49	-212.15	1
107	Min.	-230	-1657.63	173	-16334.60	65	-15546.20	99	-1639.41	101	-18472.90	101	-693.06	1	-4838.49	49	-212.15	1
107	Min.	-232	-1657.63	173	-16334.60	65	-15546.20	99	-1639.41	101	-18472.90	101	-693.06	1	-4838.49	49	-212.15	1
107	Max	-278	1548.96	177	-4592.56	136	4294.83	65	416.92	130	5770.29	130	795.11	49	13883.60	101	3533.13	130
107	Max	-276	1548.96	177	-4592.56	136	4294.83	65	416.92	130	5770.29	130	795.11	49	13883.60	101	3533.13	130
107	Max	-314	1548.96	177	-4592.56	136	4294.83	65	416.92	130	5770.29	130	795.11	49	13883.60	101	3533.13	130
107	Max	-316	1548.96	177	-4592.56	136	4294.83	65	416.92	130	5770.29	130	795.11	49	13883.60	101	3533.13	130
107	Min.	-278	-1048.00	65	-13782.40	107	-9961.66	17	-1063.11	101	-12903.40	101	-885.98	1	-1273.81	49	-4427.42	101
107	Min.	-276	-1048.00	65	-13782.40	107	-9961.66	17	-1063.11	101	-12903.40	101	-885.98	1	-1273.81	49	-4427.42	101
107	Min.	-314	-1048.00	65	-13782.40	107	-9961.66	17	-1063.11	101	-12903.40	101	-885.98	1	-1273.81	49	-4427.42	101
107	Min.	-316	-1048.00	65	-13782.40	107	-9961.66	17	-1063.11	101	-12903.40	101	-885.98	1	-1273.81	49	-4427.42	101
107	Max	-68	1419.37	177	792.08	17	1674.13	65	724.23	130	6903.28	130	562.45	65	7857.97	101	729.68	103
107	Max	-56	1419.37	177	792.08	17	1674.13	65	724.23	130	6903.28	130	562.45	65	7857.97	101	729.68	103
107	Max	-232	1419.37	177	792.08	17	1674.13	65	724.23	130	6903.28	130	562.45	65	7857.97	101	729.68	103
107	Max	-234	1419.37	177	792.08	17	1674.13	65	724.23	130	6903.28	130	562.45	65	7857.97	101	729.68	103
107	Min.	-68	-1347.56	65	-18151.90	108	-7681.04	17	-1804.93	101	-18109.30	101	-672.15	17	-3926.01	49	-227.46	17
107	Min.	-56	-1347.56	65	-18151.90	108	-7681.04	17	-1804.93	101	-18109.30	101	-672.15	17	-3926.01	49	-227.46	17
107	Min.	-232	-1347.56	65	-18151.90	108	-7681.04	17	-1804.93	101	-18109.30	101	-672.15	17	-3926.01	49	-227.46	17
107	Min.	-234	-1347.56	65	-18151.90	108	-7681.04	17	-1804.93	101	-18109.30	101	-672.15	17	-3926.01	49	-227.46	17
107	Max	-332	483.68	65	4488.69	65	3963.11	65	646.73	130	7846.07	130	698.98	49	10655.30	101	318.70	162
107	Max	-330	483.68	65	4488.69	65	3963.11	65	646.73	130	7846.07	130	698.98	49	10655.30	101	318.70	162
107	Max	-368	483.68	65	4488.69	65	3963.11	65	646.73	130	7846.07	130	698.98	49	10655.30	101	318.70	162
107	Max	-370	483.68	65	4488.69	65	3963.11	65	646.73	130	7846.07	130	698.98	49	10655.30	101	318.70	162
107	Min.	-332	-1155.39	17	-10841.20	17	503.77	17	-892.82	101	-11863.30	101	-667.19	1	-1203.73	1	-866.94	101
107	Min.	-330	-1155.39	17	-10841.20	17	503.77	17	-892.82	101	-11863.30	101	-667.19	1	-1203.73	1	-866.94	101
107	Min.	-368	-1155.39	17	-10841.20	17	503.77	17	-892.82	101	-11863.30	101	-667.19	1	-1203.73	1	-866.94	101
107	Min.	-370	-1155.39	17	-10841.20	17	503.77	17	-892.82	101	-11863.30	101	-667.19	1	-1203.73	1	-866.94	101
107	Max	-170	1104.51	65	921.40	65	7712.95	65	723.82	130	6934.08	130	675.97	65	7907.79	101	227.96	65
107	Max	-158	1104.51	65	921.40	65	7712.95	65	723.82	130	6934.08	130	675.97	65	7907.79	101	227.96	65
107	Max	-250	1104.51	65	921.40	65	7712.95	65	723.82	130	6934.08	130	675.97	65	7907.79	101	227.96	65
107	Max	-252	1104.51	65	921.40	65	7712.95	65	723.82	130	6934.08	130	675.97	65	7907.79	101	227.96	65
107	Min.	-170	-1359.81	17	-18034.60	107	-1653.61	17	-1800.91	101	-18118.30	101	-566.25	17	-3918.81	1	-736.29	104
107	Min.	-158	-1359.81	17	-18034.60	107	-1653.61	17	-1800.91	101	-18118.30	101	-566.25	17	-3918.81	1	-736.29	104
107	Min.	-250	-1359.81	17	-18034.60	107	-1653.61	17	-1800.91	101	-18118.30	101	-566.25	17	-3918.81	1	-736.29	104
107	Min.	-252	-1359.81	17	-18034.60	107	-1653.61	17	-1800.91	101	-18118.30	101	-566.25	17	-3918.81	1	-736.29	104
107	Max	25	400.74	65	-6153.76	65	10086.90	65	703.41	130	7316.36	130	703.78	49	12523.50	101	463.67	65
107	Max	-124	400.74	65	-6153.76	65	10086.90	65	703.41	130	7316.36	130	703.78	49	12523.50	101	463.67	65
107	Max	-244	400.74	65	-6153.76	65	10086.90	65	703.41	130	7316.36	130	703.78	49	12523.50	101	463.67	65
107	Max	-246	400.74	65	-6153.76	65	10086.90	65	703.41	130	7316.36	130	703.78	49	12523.50	101	463.67	65
107	Min.	25	-1670.98	17	-16068.70	131	-4796.24	17	-1930.57	101	-19413.70	101	-654.12	1	-5116.18	130	-711.69	132
107	Min.	-124	-1670.98	17	-16068.70	131	-4796.24	17	-1930.57	101	-19413.70	101	-654.12	1	-5116.18	130	-711.69	132
107	Min.	-244	-1670.98	17	-16068.70	131	-4796.24	17	-1930.57	101	-19413.70	101	-654.12	1	-5116.18	130	-711.69	132
107	Min.	-246	-1670.98	17	-16068.70	131	-4796.24	17	-1930.57	101	-19413.70	101	-654.12	1	-5116.18	130	-711.69	132
107	Max	23	-542.55	1	-8483.53	1	7826.68	65	657.87	130	7278.47	130	657.99	65	14164.00	101	530.93	65
107	Max	-102	-542.55	1	-8483.53	1	7826.68	65	657.87	130	7278.47	130	657.99	65	14164.00	101	530.93	65
107	Max	-240	-542.55	1	-8483.53	1	7826.68	65	657.87	130	7278.47	130	657.99	65	14164.00	101	530.93	65
107	Max	-242	-542.55	1	-8483.53	1	7826.68	65	657.87	130	7278.47	130	657.99	65	14164.00	101	530.93	65
107	Min.	23	-1895.50	108	-18062.70	108	-8779.39	17	-1899.14	101	-19636.30	101	-707.25	17	-6097.96	130	-495.71	17
107	Min.	-102	-1895.50	108	-18062.70	108	-8779.39	17	-1899.14	101	-19636.30	101	-707.25	17	-6097.96	130	-495.71	17
107	Min.	-240	-1895.50	108	-18062.70	108	-8779.39	17	-1899.14	101	-19636.30	101	-707.25	17	-6097.96	130	-495.71	17
107	Min.	-242	-1895.50	108	-18062.70	108	-8779.39	17	-1899.14	101	-19636.30	101	-707.25	17	-6097.96	130	-495.71	17
107	Max	-294	413.27	65	6356.75	65	3913.30	65	411.93	130	7268.61	130	642.68	49	9655.40	101	670.16	130
107	Max	-292	413.27	65	6356.75	65	3913.30	65	411.93	130	7268.61	130	642.68	49	9655.40	101	670.16	130
107	Max	-330	413.27	65	6356.75	65	3913.30	65	411.93	130	7268.61	130	642.68	49	9655.40	101	670.16	130
107	Max	-332	413.27	65	6356.75	65	3913.30	65	411.93	130	7268.61	130	642.68	49	9655.40	101	670.16	130
107	Min.	-294	-707.46	17	-12517.50	17	555.07	17	-683.29	101	-13813.80	101	-619.95	1	-1959.87	1	-2017.44	101
107	Min.	-292	-707.46	17	-12517.50	17	555.07	17	-683.29	101	-13813.80	101	-619.95	1	-1959.87	1	-2017.44	101
107	Min.	-330	-707.46	17	-12517.50	17	555.07	17	-683.29	101	-13813.80	101	-619.95	1	-1959.87	1	-2017.44	101
107	Min.	-332	-707.46	17	-12517.50	17	555.07	17	-683.29	101	-13813.80	101	-619.95	1	-1959.87	1	-2017.44	101
107	Max	-218	1668.43	65	18319.80	65	3152.97	104	284.19	130	6222.66	130	229.12	49	5485.17	65	380.44	130
107	Max	-206	1668.43	65	18319.80	65	3152.97	104	284.19	130	6222.66	130	229.12	49	5485.17	65	380.44	130
107	Max	-258	1668.43	65	18319.80	65	3152.97	104	284.19	130	6222.66	130	229.12	49	5485.17	65	380.44	130
107	Max	-260	1668.43	65	18319.80	65	3152.97	104	284.19	130	6222.66	130	229.12	49	5485.17	65	380.44	130
107	Min.	-218	-265.34	17	-14537.00	17	-287.01	17	-799.42	101	-16663.50	101	-575.07	101	-5864.68	17	-686.91	101
107	Min.	-206	-265.34	17	-14537.00	17	-287.01	17	-799.42	101	-16663.50	101	-575.07	101	-5864.68	17	-686.91	101
107	Min.	-258	-265.34	17	-14537.00	17	-287.01	17	-799.42	101	-16663.50	101	-575.07	101	-5864.68	17	-686.91	101
107	Min.	-260	-265.34	17	-14537.00	17	-287.01	17	-799.42	101	-16663.50	101	-575.07	101	-5864.68	17	-686.91	101
107	Max	-244	330.80	65	-6144.19	1	10212.60	65	456.29	130	5739.56	130	657.46	65	17419.70	101	1388.66	103
107	Max	-242	330.80	65	-6144.19	1	10212.60	65	456.29	130	5739.56	130	657.46	65	17419.70	101	1388.66	103
107	Max	-280	330.80	65	-6144.19	1	10212.60	65	456.29	130	5739.56	130	657.46	65	17419.70	101	1388.66	103
107	Max	-282	330.80	65	-6144.19	1	10212.60	65	456.29	130	5739.56	130	657.46	65	17419.70	101	1388.66	103

107	Min.	-244	-1269.12	131	-13361.30	106	-7922.04	17	-1437.40	101	-15166.80	101	-633.45	17	-5133.17	130	-1118.14	132
107	Min.	-242	-1269.12	131	-13361.30	106	-7922.04	17	-1437.40	101	-15166.80	101	-633.45	17	-5133.17	130	-1118.14	132
107	Min.	-280	-1269.12	131	-13361.30	106	-7922.04	17	-1437.40	101	-15166.80	101	-633.45	17	-5133.17	130	-1118.14	132
107	Min.	-282	-1269.12	131	-13361.30	106	-7922.04	17	-1437.40	101	-15166.80	101	-633.45	17	-5133.17	130	-1118.14	132
107	Max	-246	1211.99	65	-5874.46	1	9795.22	65	545.36	130	6194.15	130	677.39	49	13835.90	101	2124.01	103
107	Max	-244	1211.99	65	-5874.46	1	9795.22	65	545.36	130	6194.15	130	677.39	49	13835.90	101	2124.01	103
107	Max	-282	1211.99	65	-5874.46	1	9795.22	65	545.36	130	6194.15	130	677.39	49	13835.90	101	2124.01	103
107	Max	-284	1211.99	65	-5874.46	1	9795.22	65	545.36	130	6194.15	130	677.39	49	13835.90	101	2124.01	103
107	Min.	-246	-1079.11	17	-14407.60	106	-4787.31	17	-1518.26	101	-15664.50	101	-633.23	1	-2811.84	130	-2172.84	132
107	Min.	-244	-1079.11	17	-14407.60	106	-4787.31	17	-1518.26	101	-15664.50	101	-633.23	1	-2811.84	130	-2172.84	132
107	Min.	-282	-1079.11	17	-14407.60	106	-4787.31	17	-1518.26	101	-15664.50	101	-633.23	1	-2811.84	130	-2172.84	132
107	Min.	-284	-1079.11	17	-14407.60	106	-4787.31	17	-1518.26	101	-15664.50	101	-633.23	1	-2811.84	130	-2172.84	132
107	Max	-254	842.66	65	4368.00	65	5916.99	65	540.76	130	6929.44	130	626.31	49	9067.39	101	398.65	49
107	Max	-252	842.66	65	4368.00	65	5916.99	65	540.76	130	6929.44	130	626.31	49	9067.39	101	398.65	49
107	Max	-290	842.66	65	4368.00	65	5916.99	65	540.76	130	6929.44	130	626.31	49	9067.39	101	398.65	49
107	Max	-292	842.66	65	4368.00	65	5916.99	65	540.76	130	6929.44	130	626.31	49	9067.39	101	398.65	49
107	Min.	-254	-474.60	17	-13601.30	17	-438.61	17	-1237.61	101	-15814.40	101	-601.39	1	-2631.35	1	-2102.76	101
107	Min.	-252	-474.60	17	-13601.30	17	-438.61	17	-1237.61	101	-15814.40	101	-601.39	1	-2631.35	1	-2102.76	101
107	Min.	-290	-474.60	17	-13601.30	17	-438.61	17	-1237.61	101	-15814.40	101	-601.39	1	-2631.35	1	-2102.76	101
107	Min.	-292	-474.60	17	-13601.30	17	-438.61	17	-1237.61	101	-15814.40	101	-601.39	1	-2631.35	1	-2102.76	101
107	Max	-276	1490.72	177	-3793.76	135	2407.04	65	607.08	130	6666.13	130	748.88	49	10031.00	101	2181.66	131
107	Max	-274	1490.72	177	-3793.76	135	2407.04	65	607.08	130	6666.13	130	748.88	49	10031.00	101	2181.66	131
107	Max	-312	1490.72	177	-3793.76	135	2407.04	65	607.08	130	6666.13	130	748.88	49	10031.00	101	2181.66	131
107	Max	-314	1490.72	177	-3793.76	135	2407.04	65	607.08	130	6666.13	130	748.88	49	10031.00	101	2181.66	131
107	Min.	-276	-188.40	108	-13351.80	108	-8179.32	17	-1305.79	101	-13967.00	101	-725.03	1	-1071.66	49	-1363.01	104
107	Min.	-274	-188.40	108	-13351.80	108	-8179.32	17	-1305.79	101	-13967.00	101	-725.03	1	-1071.66	49	-1363.01	104
107	Min.	-312	-188.40	108	-13351.80	108	-8179.32	17	-1305.79	101	-13967.00	101	-725.03	1	-1071.66	49	-1363.01	104
107	Min.	-314	-188.40	108	-13351.80	108	-8179.32	17	-1305.79	101	-13967.00	101	-725.03	1	-1071.66	49	-1363.01	104
107	Max	-284	1486.79	65	-4592.25	135	9955.07	65	418.65	130	5791.88	130	868.28	49	13934.40	101	4420.01	101
107	Max	-282	1486.79	65	-4592.25	135	9955.07	65	418.65	130	5791.88	130	868.28	49	13934.40	101	4420.01	101
107	Max	-320	1486.79	65	-4592.25	135	9955.07	65	418.65	130	5791.88	130	868.28	49	13934.40	101	4420.01	101
107	Max	-322	1486.79	65	-4592.25	135	9955.07	65	418.65	130	5791.88	130	868.28	49	13934.40	101	4420.01	101
107	Min.	-284	-1042.33	17	-13807.20	108	-4300.71	17	-1061.10	101	-12888.40	101	-780.05	1	-1235.58	1	-3550.94	130
107	Min.	-282	-1042.33	17	-13807.20	108	-4300.71	17	-1061.10	101	-12888.40	101	-780.05	1	-1235.58	1	-3550.94	130
107	Min.	-320	-1042.33	17	-13807.20	108	-4300.71	17	-1061.10	101	-12888.40	101	-780.05	1	-1235.58	1	-3550.94	130
107	Min.	-322	-1042.33	17	-13807.20	108	-4300.71	17	-1061.10	101	-12888.40	101	-780.05	1	-1235.58	1	-3550.94	130
107	Max	-238	1768.30	177	-3954.32	17	2696.90	65	621.76	130	6552.49	130	628.26	49	11096.80	101	1277.38	131
107	Max	-236	1768.30	177	-3954.32	17	2696.90	65	621.76	130	6552.49	130	628.26	49	11096.80	101	1277.38	131
107	Max	-274	1768.30	177	-3954.32	17	2696.90	65	621.76	130	6552.49	130	628.26	49	11096.80	101	1277.38	131
107	Max	-276	1768.30	177	-3954.32	17	2696.90	65	621.76	130	6552.49	130	628.26	49	11096.80	101	1277.38	131
107	Min.	-238	-654.21	65	-14417.30	108	-8670.13	17	-1591.45	101	-15984.60	101	-659.41	1	-2252.14	49	-567.20	17
107	Min.	-236	-654.21	65	-14417.30	108	-8670.13	17	-1591.45	101	-15984.60	101	-659.41	1	-2252.14	49	-567.20	17
107	Min.	-274	-654.21	65	-14417.30	108	-8670.13	17	-1591.45	101	-15984.60	101	-659.41	1	-2252.14	49	-567.20	17
107	Min.	-276	-654.21	65	-14417.30	108	-8670.13	17	-1591.45	101	-15984.60	101	-659.41	1	-2252.14	49	-567.20	17
107	Max	-324	367.81	65	-3014.58	133	7874.32	65	682.85	130	7475.44	130	678.08	65	8810.51	101	616.50	101
107	Max	-322	367.81	65	-3014.58	133	7874.32	65	682.85	130	7475.44	130	678.08	65	8810.51	101	616.50	101
107	Max	-360	367.81	65	-3014.58	133	7874.32	65	682.85	130	7475.44	130	678.08	65	8810.51	101	616.50	101
107	Max	-362	367.81	65	-3014.58	133	7874.32	65	682.85	130	7475.44	130	678.08	65	8810.51	101	616.50	101
107	Min.	-324	-1190.49	131	-12806.60	106	-2353.05	17	-1169.55	101	-12736.50	101	-821.13	17	-163.88	1	-1081.84	130
107	Min.	-322	-1190.49	131	-12806.60	106	-2353.05	17	-1169.55	101	-12736.50	101	-821.13	17	-163.88	1	-1081.84	130
107	Min.	-360	-1190.49	131	-12806.60	106	-2353.05	17	-1169.55	101	-12736.50	101	-821.13	17	-163.88	1	-1081.84	130
107	Min.	-362	-1190.49	131	-12806.60	106	-2353.05	17	-1169.55	101	-12736.50	101	-821.13	17	-163.88	1	-1081.84	130
107	Max	-258	8.32	65	11896.60	65	2050.28	65	97.91	130	6903.43	130	413.84	49	7662.51	49	1234.41	130
107	Max	-256	8.32	65	11896.60	65	2050.28	65	97.91	130	6903.43	130	413.84	49	7662.51	49	1234.41	130
107	Max	-294	8.32	65	11896.60	65	2050.28	65	97.91	130	6903.43	130	413.84	49	7662.51	49	1234.41	130
107	Max	-296	8.32	65	11896.60	65	2050.28	65	97.91	130	6903.43	130	413.84	49	7662.51	49	1234.41	130
107	Min.	-258	-778.46	99	-14275.60	17	-58.57	135	-215.87	101	-15540.90	101	-398.84	1	-3968.69	1	-2426.96	101
107	Min.	-256	-778.46	99	-14275.60	17	-58.57	135	-215.87	101	-15540.90	101	-398.84	1	-3968.69	1	-2426.96	101
107	Min.	-294	-778.46	99	-14275.60	17	-58.57	135	-215.87	101	-15540.90	101	-398.84	1	-3968.69	1	-2426.96	101
107	Min.	-296	-778.46	99	-14275.60	17	-58.57	135	-215.87	101	-15540.90	101	-398.84	1	-3968.69	1	-2426.96	101
107	Max	-306	738.01	177	4563.09	177	-496.22	65	645.81	130	7837.49	130	682.26	49	10656.90	101	868.63	101
107	Max	-304	738.01	177	4563.09	177	-496.22	65	645.81	130	7837.49	130	682.26	49	10656.90	101	868.63	101
107	Max	-342	738.01	177	4563.09	177	-496.22	65	645.81	130	7837.49	130	682.26	49	10656.90	101	868.63	101
107	Max	-344	738.01	177	4563.09	177	-496.22	65	645.81	130	7837.49	130	682.26	49	10656.90	101	868.63	101
107	Min.	-306	-1158.77	65	-10869.20	65	-3953.41	17	-893.06	101	-11872.50	101	-713.69	1	-1246.13	49	-316.76	162
107	Min.	-304	-1158.77	65	-10869.20	65	-3953.41	17	-893.06	101	-11872.50	101	-713.69	1	-1246.13	49	-316.76	162
107	Min.	-342	-1158.77	65	-10869.20	65	-3953.41	17	-893.06	101	-11872.50	101	-713.69	1	-1246.13	49	-316.76	162
107	Min.	-344	-1158.77	65	-10869.20	65	-3953.41	17	-893.06	101	-11872.50	101	-713.69	1	-1246.13	49	-316.76	162
107	Max	-80	1517.78	177	-2499.19	17	1390.43	65	752.80	130	6807.86	130	583.67	49	8485.20	101	707.82	103
107	Max	-68	1517.78	177	-2499.19	17	1390.43	65	752.80	130	6807.86	130	583.67	49	8485.20	101	707.82	103
107	Max	-234	1517.78	177	-2499.19	17	1390.43	65	752.80	130	6807.86	130	583.67	49	8485.20	101	707.82	103
107	Max	-236	1517.78	177	-2499.19	17	1390.43	65	752.80	130	6807.86	130	583.67	49	8485.20	101	707.82	103
107	Min.	-80	-941.45	65	-19809.90	108	-7987.09	17	-1907.28	101	-18347.20	101	-720.05	1	-3553.37	49	-312.85	17
107	Min.	-68	-941.45	65	-19809.90	108	-7987.09	17	-1907.28	101	-18347.20	101	-720.05	1	-3553.37	49	-312.85	17
107	Min.	-234	-941.45	65	-19809.90	108	-7987.09	17	-1907.28	101	-18347.20	101	-720.05	1	-3553.37	49	-312.85	17
107	Min.	-236	-941.45	65	-19809.90	108	-7987.09	17	-1907.28	101	-18347.20	101	-720.05	1	-3553.37	49	-312.85	17
107	Max	-266	529.32	99	9251.86	17	-972.13	65	126.02	130	7339.66	130	452.31	49	10449.30	101	1732.37	101
107	Max	-264	529.32	99	9251.86	17	-972.13	65	126.02	130	7339.66	130	452.31	49	10449.30	101	1732.37	101
107	Max	-302	529.32	99	9251.86	17	-972.13	65	126.02	130	7339.66	130	452.31	49	10449.30	101	1732.37	101
107	Max	-304	529.32	99	9251.86	17	-972.13	65	126.02	130	7339.66	130	452.31	49	10449.30	101	1732.37	101
107	Min.	-266	-1484.02	177	-13993.40	65	-1964.07	103	-138.06	101	-13757.00	101	-502.36	1	-3153.74	49	-718.71	130
107	Min.	-264	-1484.02	177	-13993.40	65	-1964.07	103	-138.06	101	-13757.00	101	-502.36	1	-3153.74	49	-718.71	130
107	Min.	-302	-1484.02	177	-13993.40	65	-1964.07	103	-138.06	101	-13757.00	101	-502.36	1	-3153.74	49	-718.71	130
107	Min.	-304	-1484.02	177	-13993.40	65	-1964.07	103	-138.06	101	-13757.00	101	-502.36	1	-3153.74	49	-718.71	130
107	Max	-226	295.93	17	12597.00	17	67.10	173	34.17	101	6725.14	130	205.19	49	9147.85	1	1121.86	101
107	Max	-224	295.93	17	12597.00	17	67.10	173	34.17	101	6725.14	130	205.19	49	9147.85	1	1121.86	101
107	Max	-262	295.93	17	12597.00	17	67.10	173	34.17	101	6725.14	130	205.19	49	9147.85	1	1121.86	101
107	Max	-264	295.93	17	12597.00	17	67.10	173	34.17	101	6725.14	130	205.19	49	9147.85	1	1121.86	101
107	Min.	-226	-26.41	65	-14128.90	65	-598.10	17	-20.40	49	-15210.20	101	-248.55	1	-5500.60	49	-583.10	130
107	Min.	-224	-26.41	65	-14128.90	65	-598.10	17	-20.40	49	-15210.20	101	-248.55	1	-5500.60	49	-583.10	130
107	Min.	-262	-26.41	65	-14128.90	65	-598.10	17	-20.40	49	-15210.20	101	-248.55	1	-5500.60	49	-583.10	130
107	Min.	-264	-26.41	65	-14128.90	65	-598.10	17	-20.40	49	-15210.20	101	-248.55	1	-5500.60	49	-583.10	130
107	Max	-240	1233.24	177	-5867.83	49	4781.26	65	542.47	130	6179.52	130	648.30	49	13784.60	101	2159.76	131
107	Max	-238	1233.24	177	-5867.83	49	4781.26	65	542.47	130	6179.52	130	648.30	49	13784.60	101	2159.76	131
107	Max	-276	1233.24	177	-5867.83	49	4781.26	65	542.47	130	6179.52	130	648.30	49	13784.60	101	2159.76	131
107	Max	-278	1233.24	177	-5867.83	49	4781.26	65	542.47	130	6179.52	130	648.30	49	13784.60	101	2159.76	131
107	Min.	-240	-1089.28	65	-14370.60	106	-9801.57	17	-1519.55	101	-15668.40	101	-692.21	1	-2822.21	130	-2132.16	104
107	Min.	-238	-1089.28	65	-14370.60	106	-9801.57	17	-1519.55	101	-15668.40	101	-692.21	1	-2822.21	130	-2132.16	104
107	Min.	-276	-1089.28	65	-14370.60	106	-9801.57	17	-1519.55	101	-15668.40	101	-692.21	1	-2822.21	130	-2132.16	104
107	Min.	-278	-1089.28	65	-14370.60	106	-9801.57	17	-1519.55	101	-15668.40	101	-692.21	1	-2822.21	130	-2132.16	104
107	Max	-44	1389.32	17	10751.00	17	2625.02	173	515.21	130	7165.24	130	525.17	49	6591.42	101	1749.90	101
107	Max	-32	1389.32	17	10751.00	17	2625.02	173	515.21	130	7165.24	130	525.17	49	6591.42	101	1749.90	101
107	Max	-228	1389.32	17	10751.00	17	2625.02	173	515.21	130	7165.24	130	525.17	49	6591.42	101	1749.90	101
107	Max	-230	1389.32	17	10751.00	17	2625.02	173	515.21	130	7165.24	130	525.17	49	6591.42	101	1749.90	101
107	Min.	-44	-1010.38	65	-15694.60	65	-3287.44	17	-1347.73	101	-17709.30	101	-561.67	1	-5246.31	49	-835.88	130

107	Min.	-32	-1010.38	65	-15694.60	65	-3287.44	17	-1347.73	101	-17709.30	101	-561.67	1	-5246.31	49	-835.88	130
107	Min.	-228	-1010.38	65	-15694.60	65	-3287.44	17	-1347.73	101	-17709.30	101	-561.67	1	-5246.31	49	-835.88	130
107	Min.	-230	-1010.38	65	-15694.60	65	-3287.44	17	-1347.73	101	-17709.30	101	-561.67	1	-5246.31	49	-835.88	130
107	Max	-296	654.22	100	9237.70	65	2033.60	104	131.28	130	7351.94	130	501.28	49	10381.40	101	730.15	130
107	Max	-294	654.22	100	9237.70	65	2033.60	104	131.28	130	7351.94	130	501.28	49	10381.40	101	730.15	130
107	Max	-332	654.22	100	9237.70	65	2033.60	104	131.28	130	7351.94	130	501.28	49	10381.40	101	730.15	130
107	Max	-334	654.22	100	9237.70	65	2033.60	104	131.28	130	7351.94	130	501.28	49	10381.40	101	730.15	130
107	Min.	-296	-281.26	17	-13978.10	17	1006.41	17	-146.86	101	-13755.20	101	-450.50	1	-3021.15	1	-1754.39	101
107	Min.	-294	-281.26	17	-13978.10	17	1006.41	17	-146.86	101	-13755.20	101	-450.50	1	-3021.15	1	-1754.39	101
107	Min.	-332	-281.26	17	-13978.10	17	1006.41	17	-146.86	101	-13755.20	101	-450.50	1	-3021.15	1	-1754.39	101
107	Min.	-334	-281.26	17	-13978.10	17	1006.41	17	-146.86	101	-13755.20	101	-450.50	1	-3021.15	1	-1754.39	101
107	Max	-298	81.80	65	10489.50	65	759.60	104	5.49	17	7228.84	130	225.94	49	12117.20	101	390.78	130
107	Max	-296	81.80	65	10489.50	65	759.60	104	5.49	17	7228.84	130	225.94	49	12117.20	101	390.78	130
107	Max	-334	81.80	65	10489.50	65	759.60	104	5.49	17	7228.84	130	225.94	49	12117.20	101	390.78	130
107	Max	-336	81.80	65	10489.50	65	759.60	104	5.49	17	7228.84	130	225.94	49	12117.20	101	390.78	130
107	Min.	-298	-318.18	17	-13818.90	17	225.67	17	-10.58	65	-13555.40	101	-199.94	1	-4768.85	1	-930.82	101
107	Min.	-296	-318.18	17	-13818.90	17	225.67	17	-10.58	65	-13555.40	101	-199.94	1	-4768.85	1	-930.82	101
107	Min.	-334	-318.18	17	-13818.90	17	225.67	17	-10.58	65	-13555.40	101	-199.94	1	-4768.85	1	-930.82	101
107	Min.	-336	-318.18	17	-13818.90	17	225.67	17	-10.58	65	-13555.40	101	-199.94	1	-4768.85	1	-930.82	101
206	Max	-339	576.23	65	11898.40	177	2625.07	17	633.49	130	8176.28	130	437.09	101	-4350.51	1	1250.81	104
206	Max	-337	576.23	65	11898.40	177	2625.07	17	633.49	130	8176.28	130	437.09	101	-4350.51	1	1250.81	104
206	Max	-385	576.23	65	11898.40	177	2625.07	17	633.49	130	8176.28	130	437.09	101	-4350.51	1	1250.81	104
206	Max	-387	576.23	65	11898.40	177	2625.07	17	633.49	130	8176.28	130	437.09	101	-4350.51	1	1250.81	104
206	Min.	-339	-1348.63	177	-17420.70	17	-2001.90	65	-47.27	101	-8520.59	101	-191.23	162	-59646.10	106	-207.93	163
206	Min.	-337	-1348.63	177	-17420.70	17	-2001.90	65	-47.27	101	-8520.59	101	-191.23	162	-59646.10	106	-207.93	163
206	Min.	-385	-1348.63	177	-17420.70	17	-2001.90	65	-47.27	101	-8520.59	101	-191.23	162	-59646.10	106	-207.93	163
206	Min.	-387	-1348.63	177	-17420.70	17	-2001.90	65	-47.27	101	-8520.59	101	-191.23	162	-59646.10	106	-207.93	163
206	Max	-389	590.16	17	7888.74	177	3829.82	17	85.65	161	2781.32	161	254.13	158	-5234.87	1	2635.68	102
206	Max	-387	590.16	17	7888.74	177	3829.82	17	85.65	161	2781.32	161	254.13	158	-5234.87	1	2635.68	102
206	Max	-423	590.16	17	7888.74	177	3829.82	17	85.65	161	2781.32	161	254.13	158	-5234.87	1	2635.68	102
206	Max	-425	590.16	17	7888.74	177	3829.82	17	85.65	161	2781.32	161	254.13	158	-5234.87	1	2635.68	102
206	Min.	-389	-1028.44	65	-10932.80	101	-4972.79	65	-1070.28	102	-16466.50	102	-187.78	1	-58528.60	106	17.62	161
206	Min.	-387	-1028.44	65	-10932.80	101	-4972.79	65	-1070.28	102	-16466.50	102	-187.78	1	-58528.60	106	17.62	161
206	Min.	-423	-1028.44	65	-10932.80	101	-4972.79	65	-1070.28	102	-16466.50	102	-187.78	1	-58528.60	106	17.62	161
206	Min.	-425	-1028.44	65	-10932.80	101	-4972.79	65	-1070.28	102	-16466.50	102	-187.78	1	-58528.60	106	17.62	161
206	Max	-345	4688.00	177	1593.32	65	7485.19	17	828.92	130	8104.35	130	228.56	65	-6859.67	1	3360.15	102
206	Max	-343	4688.00	177	1593.32	65	7485.19	17	828.92	130	8104.35	130	228.56	65	-6859.67	1	3360.15	102
206	Max	-391	4688.00	177	1593.32	65	7485.19	17	828.92	130	8104.35	130	228.56	65	-6859.67	1	3360.15	102
206	Max	-393	4688.00	177	1593.32	65	7485.19	17	828.92	130	8104.35	130	228.56	65	-6859.67	1	3360.15	102
206	Min.	-345	-1642.97	104	-13687.60	104	-9418.52	65	-779.31	101	-8683.03	101	-283.58	17	-62667.40	106	281.55	65
206	Min.	-343	-1642.97	104	-13687.60	104	-9418.52	65	-779.31	101	-8683.03	101	-283.58	17	-62667.40	106	281.55	65
206	Min.	-391	-1642.97	104	-13687.60	104	-9418.52	65	-779.31	101	-8683.03	101	-283.58	17	-62667.40	106	281.55	65
206	Min.	-393	-1642.97	104	-13687.60	104	-9418.52	65	-779.31	101	-8683.03	101	-283.58	17	-62667.40	106	281.55	65
206	Max	-393	4612.15	177	821.59	159	7207.87	17	143.56	161	1336.82	161	593.89	126	-8325.61	1	3360.15	102
206	Max	-391	4612.15	177	821.59	159	7207.87	17	143.56	161	1336.82	161	593.89	126	-8325.61	1	3360.15	102
206	Max	-427	4612.15	177	821.59	159	7207.87	17	143.56	161	1336.82	161	593.89	126	-8325.61	1	3360.15	102
206	Max	-429	4612.15	177	821.59	159	7207.87	17	143.56	161	1336.82	161	593.89	126	-8325.61	1	3360.15	102
206	Min.	-393	-1570.39	103	-12163.90	104	-9503.32	65	-1760.50	102	-18496.50	102	-159.26	17	-64750.40	106	281.55	65
206	Min.	-391	-1570.39	103	-12163.90	104	-9503.32	65	-1760.50	102	-18496.50	102	-159.26	17	-64750.40	106	281.55	65
206	Min.	-427	-1570.39	103	-12163.90	104	-9503.32	65	-1760.50	102	-18496.50	102	-159.26	17	-64750.40	106	281.55	65
206	Min.	-429	-1570.39	103	-12163.90	104	-9503.32	65	-1760.50	102	-18496.50	102	-159.26	17	-64750.40	106	281.55	65
206	Max	-401	3421.62	65	1230.17	159	7281.77	17	-263.03	161	-1767.45	161	2073.54	102	-12565.30	49	3585.99	102
206	Max	-399	3421.62	65	1230.17	159	7281.77	17	-263.03	161	-1767.45	161	2073.54	102	-12565.30	49	3585.99	102
206	Max	-435	3421.62	65	1230.17	159	7281.77	17	-263.03	161	-1767.45	161	2073.54	102	-12565.30	49	3585.99	102
206	Max	-437	3421.62	65	1230.17	159	7281.77	17	-263.03	161	-1767.45	161	2073.54	102	-12565.30	49	3585.99	102
206	Min.	-401	-4961.49	17	-19638.20	104	-7507.97	65	-1824.21	102	-24833.80	102	174.28	33	-88430.90	98	348.59	65
206	Min.	-399	-4961.49	17	-19638.20	104	-7507.97	65	-1824.21	102	-24833.80	102	174.28	33	-88430.90	98	348.59	65
206	Min.	-435	-4961.49	17	-19638.20	104	-7507.97	65	-1824.21	102	-24833.80	102	174.28	33	-88430.90	98	348.59	65
206	Min.	-437	-4961.49	17	-19638.20	104	-7507.97	65	-1824.21	102	-24833.80	102	174.28	33	-88430.90	98	348.59	65
206	Max	-391	829.75	177	3477.66	177	5836.60	17	146.53	161	2144.25	161	450.66	126	-6912.56	1	3463.34	102
206	Max	-389	829.75	177	3477.66	177	5836.60	17	146.53	161	2144.25	161	450.66	126	-6912.56	1	3463.34	102
206	Max	-425	829.75	177	3477.66	177	5836.60	17	146.53	161	2144.25	161	450.66	126	-6912.56	1	3463.34	102
206	Max	-427	829.75	177	3477.66	177	5836.60	17	146.53	161	2144.25	161	450.66	126	-6912.56	1	3463.34	102
206	Min.	-391	-1228.66	103	-11499.60	104	-7621.27	65	-1459.43	102	-17369.50	102	-168.85	17	-61380.30	106	431.27	49
206	Min.	-389	-1228.66	103	-11499.60	104	-7621.27	65	-1459.43	102	-17369.50	102	-168.85	17	-61380.30	106	431.27	49
206	Min.	-425	-1228.66	103	-11499.60	104	-7621.27	65	-1459.43	102	-17369.50	102	-168.85	17	-61380.30	106	431.27	49
206	Min.	-427	-1228.66	103	-11499.60	104	-7621.27	65	-1459.43	102	-17369.50	102	-168.85	17	-61380.30	106	431.27	49
206	Max	-353	2835.79	17	-1228.40	160	5879.57	17	864.48	130	8975.92	130	265.27	130	-11186.10	49	3585.99	102
206	Max	-351	2835.79	17	-1228.40	160	5879.57	17	864.48	130	8975.92	130	265.27	130	-11186.10	49	3585.99	102
206	Max	-399	2835.79	17	-1228.40	160	5879.57	17	864.48	130	8975.92	130	265.27	130	-11186.10	49	3585.99	102
206	Max	-401	2835.79	17	-1228.40	160	5879.57	17	864.48	130	8975.92	130	265.27	130	-11186.10	49	3585.99	102
206	Min.	-353	-6220.06	65	-21460.90	103	-8457.58	65	-246.99	101	-9073.53	101	-834.96	101	-82749.60	98	348.59	65
206	Min.	-351	-6220.06	65	-21460.90	103	-8457.58	65	-246.99	101	-9073.53	101	-834.96	101	-82749.60	98	348.59	65
206	Min.	-399	-6220.06	65	-21460.90	103	-8457.58	65	-246.99	101	-9073.53	101	-834.96	101	-82749.60	98	348.59	65
206	Min.	-401	-6220.06	65	-21460.90	103	-8457.58	65	-246.99	101	-9073.53	101	-834.96	101	-82749.60	98	348.59	65
206	Max	-399	1430.93	177	582.23	158	8624.03	17	-102.14	161	-532.70	161	516.07	126	-9561.03	1	3619.76	102
206	Max	-397	1430.93	177	582.23	158	8624.03	17	-102.14	161	-532.70	161	516.07	126	-9561.03	1	3619.76	102
206	Max	-433	1430.93	177	582.23	158	8624.03	17	-102.14	161	-532.70	161	516.07	126	-9561.03	1	3619.76	102
206	Max	-435	1430.93	177	582.23	158	8624.03	17	-102.14	161	-532.70	161	516.07	126	-9561.03	1	3619.76	102
206	Min.	-399	-2064.89	104	-15547.40	101	-10911.00	65	-2072.48	102	-20914.50	102	-220.21	17	-70235.10	98	137.97	65
206	Min.	-397	-2064.89	104	-15547.40	101	-10911.00	65	-2072.48	102	-20914.50	102	-220.21	17	-70235.10	98	137.97	65
206	Min.	-433	-2064.89	104	-15547.40	101	-10911.00	65	-2072.48	102	-20914.50	102	-220.21	17	-70235.10	98	137.97	65
206	Min.	-435	-2064.89	104	-15547.40	101	-10911.00	65	-2072.48	102	-20914.50	102	-220.21	17	-70235.10	98	137.97	65
206	Max	-387	575.09	17	8692.78	177	1848.81	17	8.77	161	2711.45	161	56.94	163	-3454.46	1	1250.81	104
206	Max	-385	575.09	17	8692.78	177	1848.81	17	8.77	161	2711.45	161	56.94	163	-3454.46	1	1250.81	104
206	Max	-421	575.09	17	8692.78	177	1848.81	17	8.77	161	2711.45	161	56.94	163	-3454.46	1	1250.81	104
206	Max	-423	575.09	17	8692.78	177	1848.81	17	8.77	161	2711.45	161	56.94	163	-3454.46	1	1250.81	104
206	Min.	-387	-2400.56	177	-10632.00	103	-2616.21	65	-891.51	98	-16433.80	102	-412.11	104	-58342.70	106	-207.93	163
206	Min.	-385	-2400.56	177	-10632.00	103	-2616.21	65	-891.51	98	-16433.80	102	-412.11	104	-58342.70	106	-207.93	163
206	Min.	-421	-2400.56	177	-10632.00	103	-2616.21	65	-891.51	98	-16433.80	102	-412.11	104	-58342.70	106	-207.93	163
206	Min.	-423	-2400.56	177	-10632.00	103	-2616.21	65	-891.51	98	-16433.80	102	-412.11	104	-58342.70	106	-207.93	163
206	Max	-395	2337.99	177	888.22	159	7859.76	17	74.20	161	687.64	161	591.04	126	-8931.66	1	3172.42	126
206	Max	-393	2337.99	177	888.22	159	7859.76	17	74.20	161	687.64	161	591.04	126	-8931.66	1	3172.42	126
206	Max	-429	2337.99	177	888.22	159	7859.76	17	74.20	161	687.64	161	591.04	126	-8931.66	1	3172.42	126
206	Max	-431	2337.99	177	888.22	159	7859.76	17	74.20	161	687.64	161	591.04	126	-8931.66	1	3172.42	126
206	Min.	-395	-1791.24	101	-12899.90	104	-10384.90	65	-1877.12	102	-19387.60	102	-187.47	17	-66830.20	106	73.64	65
206	Min.	-393	-1791.24	101	-12899.90	104	-10384.90	65	-1877.12	102	-19387.60	102	-187.47	17	-66830.20	106	73.64	65
206	Min.	-429	-1791.24	101	-12899.90	104	-10384.90	65	-1877.12	102	-19387.60	102	-187.47	17	-66830.20	106	73.64	65
206	Min.	-431	-1791.24	101	-12899.90	104	-10384.90	65	-1877.12	102	-19387.60	102	-187.47	17	-66830.20	106	73.64	65
206	Max	-397	1962.12	177	801.84	159	8397.11	17	-15.86	161	-38.46	161	594.27	126	-9447.53	1	3141.21	126
206	Max	-395	1962.12	177	801.84	159	8397.11	17	-15.86	161	-38.46	161	594.27	126	-9447.53	1	3141.21	126
206	Max	-431	1962.12	177	801.84	159	8397.11	17	-15.86	161	-38.46	161	594.27	126	-9447.53	1	3141.21	126
206	Max	-433	1962.12	177	801.84	159	8397.11	17	-15.86	161	-38.46	161	594.27	126	-9447.53	1	3141.21	126
206	Min.	-397	-2007.08	101	-14046.10	104	-10954.00	65	-1973.14	102	-20353.00	102	-200.04	17	-69092.50	98	-31.78	65
206	Min.	-395	-2007.08	101	-14046.10	104	-10954.00	65	-1973.14	102	-20353.00	102	-200.04	17	-69092.50	98	-31.78	65

206	Min.	-431	-2007.08	101	-14046.10	104	-10954.00	65	-1973.14	102	-20353.00	102	-200.04	17	-69092.50	98	-31.78	65
206	Min.	-433	-2007.08	101	-14046.10	104	-10954.00	65	-1973.14	102	-20353.00	102	-200.04	17	-69092.50	98	-31.78	65
206	Max	-351	742.05	177	-952.43	158	8804.90	17	732.95	130	7869.03	130	237.11	65	-9717.70	1	3619.76	102
206	Max	-349	742.05	177	-952.43	158	8804.90	17	732.95	130	7869.03	130	237.11	65	-9717.70	1	3619.76	102
206	Max	-397	742.05	177	-952.43	158	8804.90	17	732.95	130	7869.03	130	237.11	65	-9717.70	1	3619.76	102
206	Max	-399	742.05	177	-952.43	158	8804.90	17	732.95	130	7869.03	130	237.11	65	-9717.70	1	3619.76	102
206	Min.	-351	-2270.56	101	-17522.20	101	-10705.80	65	-896.42	101	-9165.48	101	-298.14	17	-72551.60	98	137.97	65
206	Min.	-349	-2270.56	101	-17522.20	101	-10705.80	65	-896.42	101	-9165.48	101	-298.14	17	-72551.60	98	137.97	65
206	Min.	-397	-2270.56	101	-17522.20	101	-10705.80	65	-896.42	101	-9165.48	101	-298.14	17	-72551.60	98	137.97	65
206	Min.	-399	-2270.56	101	-17522.20	101	-10705.80	65	-896.42	101	-9165.48	101	-298.14	17	-72551.60	98	137.97	65
206	Max	-341	873.46	177	9211.53	177	4472.38	17	672.67	130	8070.92	130	239.76	49	-4995.40	1	2635.68	102
206	Max	-339	873.46	177	9211.53	177	4472.38	17	672.67	130	8070.92	130	239.76	49	-4995.40	1	2635.68	102
206	Max	-387	873.46	177	9211.53	177	4472.38	17	672.67	130	8070.92	130	239.76	49	-4995.40	1	2635.68	102
206	Max	-389	873.46	177	9211.53	177	4472.38	17	672.67	130	8070.92	130	239.76	49	-4995.40	1	2635.68	102
206	Min.	-341	-1489.72	17	-14704.00	17	-4420.09	65	-282.14	101	-8605.79	101	-178.79	162	-59124.70	106	17.62	161
206	Min.	-339	-1489.72	17	-14704.00	17	-4420.09	65	-282.14	101	-8605.79	101	-178.79	162	-59124.70	106	17.62	161
206	Min.	-387	-1489.72	17	-14704.00	17	-4420.09	65	-282.14	101	-8605.79	101	-178.79	162	-59124.70	106	17.62	161
206	Min.	-389	-1489.72	17	-14704.00	17	-4420.09	65	-282.14	101	-8605.79	101	-178.79	162	-59124.70	106	17.62	161
206	Max	-349	1589.61	177	-472.50	159	8629.04	17	804.32	130	8059.76	130	222.92	65	-8579.80	1	3141.21	126
206	Max	-347	1589.61	177	-472.50	159	8629.04	17	804.32	130	8059.76	130	222.92	65	-8579.80	1	3141.21	126
206	Max	-395	1589.61	177	-472.50	159	8629.04	17	804.32	130	8059.76	130	222.92	65	-8579.80	1	3141.21	126
206	Max	-397	1589.61	177	-472.50	159	8629.04	17	804.32	130	8059.76	130	222.92	65	-8579.80	1	3141.21	126
206	Min.	-349	-2173.77	101	-15783.30	104	-10729.00	65	-825.06	101	-8873.03	101	-307.14	17	-68006.20	98	-31.78	65
206	Min.	-347	-2173.77	101	-15783.30	104	-10729.00	65	-825.06	101	-8873.03	101	-307.14	17	-68006.20	98	-31.78	65
206	Min.	-395	-2173.77	101	-15783.30	104	-10729.00	65	-825.06	101	-8873.03	101	-307.14	17	-68006.20	98	-31.78	65
206	Min.	-397	-2173.77	101	-15783.30	104	-10729.00	65	-825.06	101	-8873.03	101	-307.14	17	-68006.20	98	-31.78	65
206	Max	-343	1044.98	177	5168.27	177	6326.69	17	768.10	130	8088.48	130	238.90	65	-5902.07	1	3463.34	102
206	Max	-341	1044.98	177	5168.27	177	6326.69	17	768.10	130	8088.48	130	238.90	65	-5902.07	1	3463.34	102
206	Max	-389	1044.98	177	5168.27	177	6326.69	17	768.10	130	8088.48	130	238.90	65	-5902.07	1	3463.34	102
206	Max	-391	1044.98	177	5168.27	177	6326.69	17	768.10	130	8088.48	130	238.90	65	-5902.07	1	3463.34	102
206	Min.	-343	-1597.41	17	-12844.40	104	-7382.76	65	-585.30	101	-8635.18	101	-235.71	17	-60512.40	106	431.27	49
206	Min.	-341	-1597.41	17	-12844.40	104	-7382.76	65	-585.30	101	-8635.18	101	-235.71	17	-60512.40	106	431.27	49
206	Min.	-389	-1597.41	17	-12844.40	104	-7382.76	65	-585.30	101	-8635.18	101	-235.71	17	-60512.40	106	431.27	49
206	Min.	-391	-1597.41	17	-12844.40	104	-7382.76	65	-585.30	101	-8635.18	101	-235.71	17	-60512.40	106	431.27	49
206	Max	-347	1639.93	177	85.29	159	8102.34	17	823.20	130	8086.50	130	227.53	65	-7632.84	1	3172.42	126
206	Max	-345	1639.93	177	85.29	159	8102.34	17	823.20	130	8086.50	130	227.53	65	-7632.84	1	3172.42	126
206	Max	-393	1639.93	177	85.29	159	8102.34	17	823.20	130	8086.50	130	227.53	65	-7632.84	1	3172.42	126
206	Max	-395	1639.93	177	85.29	159	8102.34	17	823.20	130	8086.50	130	227.53	65	-7632.84	1	3172.42	126
206	Min.	-347	-1938.40	104	-14506.00	104	-10232.70	65	-814.59	101	-8760.71	101	-295.21	17	-64824.70	106	73.64	65
206	Min.	-345	-1938.40	104	-14506.00	104	-10232.70	65	-814.59	101	-8760.71	101	-295.21	17	-64824.70	106	73.64	65
206	Min.	-393	-1938.40	104	-14506.00	104	-10232.70	65	-814.59	101	-8760.71	101	-295.21	17	-64824.70	106	73.64	65
206	Min.	-395	-1938.40	104	-14506.00	104	-10232.70	65	-814.59	101	-8760.71	101	-295.21	17	-64824.70	106	73.64	65
207	Max	-367	22.41	160	1630.89	17	9392.98	17	826.68	130	8108.17	130	281.05	65	-6746.38	49	-300.25	17
207	Max	-365	22.41	160	1630.89	17	9392.98	17	826.68	130	8108.17	130	281.05	65	-6746.38	49	-300.25	17
207	Max	-411	22.41	160	1630.89	17	9392.98	17	826.68	130	8108.17	130	281.05	65	-6746.38	49	-300.25	17
207	Max	-413	22.41	160	1630.89	17	9392.98	17	826.68	130	8108.17	130	281.05	65	-6746.38	49	-300.25	17
207	Min.	-367	-1611.18	103	-13648.60	103	-7465.77	65	-780.92	101	-8677.21	101	-228.46	17	-62504.50	106	-3387.80	102
207	Min.	-365	-1611.18	103	-13648.60	103	-7465.77	65	-780.92	101	-8677.21	101	-228.46	17	-62504.50	106	-3387.80	102
207	Min.	-411	-1611.18	103	-13648.60	103	-7465.77	65	-780.92	101	-8677.21	101	-228.46	17	-62504.50	106	-3387.80	102
207	Min.	-413	-1611.18	103	-13648.60	103	-7465.77	65	-780.92	101	-8677.21	101	-228.46	17	-62504.50	106	-3387.80	102
207	Max	-409	17.75	158	811.94	160	10959.90	17	-19.70	161	-20.38	161	204.13	65	-9416.85	49	48.87	17
207	Max	-407	17.75	158	811.94	160	10959.90	17	-19.70	161	-20.38	161	204.13	65	-9416.85	49	48.87	17
207	Max	-445	17.75	158	811.94	160	10959.90	17	-19.70	161	-20.38	161	204.13	65	-9416.85	49	48.87	17
207	Max	-447	17.75	158	811.94	160	10959.90	17	-19.70	161	-20.38	161	204.13	65	-9416.85	49	48.87	17
207	Min.	-409	-2008.08	101	-14037.20	103	-8401.67	65	-1979.82	102	-20330.70	102	-589.68	126	-69120.30	98	-3111.89	126
207	Min.	-407	-2008.08	101	-14037.20	103	-8401.67	65	-1979.82	102	-20330.70	102	-589.68	126	-69120.30	98	-3111.89	126
207	Min.	-445	-2008.08	101	-14037.20	103	-8401.67	65	-1979.82	102	-20330.70	102	-589.68	126	-69120.30	98	-3111.89	126
207	Min.	-447	-2008.08	101	-14037.20	103	-8401.67	65	-1979.82	102	-20330.70	102	-589.68	126	-69120.30	98	-3111.89	126
207	Max	-363	-64.61	158	-462.72	160	10726.50	17	796.41	130	8066.11	130	299.60	65	-8410.99	49	48.87	17
207	Max	-361	-64.61	158	-462.72	160	10726.50	17	796.41	130	8066.11	130	299.60	65	-8410.99	49	48.87	17
207	Max	-407	-64.61	158	-462.72	160	10726.50	17	796.41	130	8066.11	130	299.60	65	-8410.99	49	48.87	17
207	Max	-409	-64.61	158	-462.72	160	10726.50	17	796.41	130	8066.11	130	299.60	65	-8410.99	49	48.87	17
207	Min.	-363	-2171.64	101	-15779.20	103	-8626.17	65	-833.23	101	-8865.77	101	-226.83	17	-67811.50	98	-3111.89	126
207	Min.	-361	-2171.64	101	-15779.20	103	-8626.17	65	-833.23	101	-8865.77	101	-226.83	17	-67811.50	98	-3111.89	126
207	Min.	-407	-2171.64	101	-15779.20	103	-8626.17	65	-833.23	101	-8865.77	101	-226.83	17	-67811.50	98	-3111.89	126
207	Min.	-409	-2171.64	101	-15779.20	103	-8626.17	65	-833.23	101	-8865.77	101	-226.83	17	-67811.50	98	-3111.89	126
207	Max	-419	620.81	65	-280.35	159	2715.22	17	14.27	161	2733.58	161	393.32	103	-3478.88	49	208.30	164
207	Max	-417	620.81	65	-280.35	159	2715.22	17	14.27	161	2733.58	161	393.32	103	-3478.88	49	208.30	164
207	Max	-455	620.81	65	-280.35	159	2715.22	17	14.27	161	2733.58	161	393.32	103	-3478.88	49	208.30	164
207	Max	-457	620.81	65	-280.35	159	2715.22	17	14.27	161	2733.58	161	393.32	103	-3478.88	49	208.30	164
207	Min.	-419	-886.42	17	-11112.00	177	-1941.40	65	-896.65	98	-16405.10	102	-66.12	164	-58200.60	106	-1319.60	103
207	Min.	-417	-886.42	17	-11112.00	177	-1941.40	65	-896.65	98	-16405.10	102	-66.12	164	-58200.60	106	-1319.60	103
207	Min.	-455	-886.42	17	-11112.00	177	-1941.40	65	-896.65	98	-16405.10	102	-66.12	164	-58200.60	106	-1319.60	103
207	Min.	-457	-886.42	17	-11112.00	177	-1941.40	65	-896.65	98	-16405.10	102	-66.12	164	-58200.60	106	-1319.60	103
207	Max	-371	660.59	17	5906.73	17	4505.72	17	674.66	130	8070.91	130	177.96	162	-4944.40	49	-30.90	161
207	Max	-369	660.59	17	5906.73	17	4505.72	17	674.66	130	8070.91	130	177.96	162	-4944.40	49	-30.90	161
207	Max	-415	660.59	17	5906.73	17	4505.72	17	674.66	130	8070.91	130	177.96	162	-4944.40	49	-30.90	161
207	Max	-417	660.59	17	5906.73	17	4505.72	17	674.66	130	8070.91	130	177.96	162	-4944.40	49	-30.90	161
207	Min.	-371	-1372.05	65	-15762.10	177	-4529.01	65	-291.71	101	-8604.15	101	-243.94	1	-58972.30	106	-2682.24	102
207	Min.	-369	-1372.05	65	-15762.10	177	-4529.01	65	-291.71	101	-8604.15	101	-243.94	1	-58972.30	106	-2682.24	102
207	Min.	-415	-1372.05	65	-15762.10	177	-4529.01	65	-291.71	101	-8604.15	101	-243.94	1	-58972.30	106	-2682.24	102
207	Min.	-417	-1372.05	65	-15762.10	177	-4529.01	65	-291.71	101	-8604.15	101	-243.94	1	-58972.30	106	-2682.24	102
207	Max	-369	334.32	17	3486.97	17	7381.12	17	767.26	130	8091.21	130	237.13	65	-5815.26	49	-437.78	1
207	Max	-367	334.32	17	3486.97	17	7381.12	17	767.26	130	8091.21	130	237.13	65	-5815.26	49	-437.78	1
207	Max	-413	334.32	17	3486.97	17	7381.12	17	767.26	130	8091.21	130	237.13	65	-5815.26	49	-437.78	1
207	Max	-415	334.32	17	3486.97	17	7381.12	17	767.26	130	8091.21	130	237.13	65	-5815.26	49	-437.78	1
207	Min.	-369	-1623.95	177	-12927.60	177	-6327.05	65	-586.78	101	-8631.65	101	-240.58	17	-60388.40	106	-3474.82	102
207	Min.	-367	-1623.95	177	-12927.60	177	-6327.05	65	-586.78	101	-8631.65	101	-240.58	17	-60388.40	106	-3474.82	102
207	Min.	-413	-1623.95	177	-12927.60	177	-6327.05	65	-586.78	101	-8631.65	101	-240.58	17	-60388.40	106	-3474.82	102
207	Min.	-415	-1623.95	177	-12927.60	177	-6327.05	65	-586.78	101	-8631.65	101	-240.58	17	-60388.40	106	-3474.82	102
207	Max	-411	-53.28	158	900.75	160	10373.10	17	74.10	161	721.39	161	187.97	65	-8832.22	49	-88.55	17
207	Max	-409	-53.28	158	900.75	160	10373.10	17	74.10	161	721.39	161	187.97	65	-8832.22	49	-88.55	17
207	Max	-447	-53.28	158	900.75	160	10373.10	17	74.10	161	721.39	161	187.97	65	-8832.22	49	-88.55	17
207	Max	-449	-53.28	158	900.75	160	10373.10	17	74.10	161	721.39	161	187.97	65	-8832.22	49	-88.55	17
207	Min.	-411	-1778.87	101	-12863.40	103	-7850.15	65	-1877.74	102	-19342.20	102	-589.97	126	-66692.30	106	-3187.17	126
207	Min.	-409	-1778.87	101	-12863.40	103	-7850.15	65	-1877.74	102	-19342.20	102	-589.97	126	-66692.30	106	-3187.17	126
207	Min.	-447	-1778.87	101	-12863.40	103	-7850.15	65	-1877.74	102	-19342.20	102	-589.97	126	-66692.30	106	-3187.17	126
207	Min.	-449	-1778.87	101	-12863.40	103	-7850.15	65	-1877.74	102	-19342.20	102	-589.97	126	-66692.30	106	-3187.17	126
207	Max	-365	-119.39	160	108.17	160	10212.30	17	818.31	130	8091.22	130	290.70	65	-7502.42	49	-88.55	17
207	Max	-363	-119.39	160	108.17	160	10212.30	17	818.31	130	8091.22	130	290.70	65	-7502.42	49	-88.55	17
207	Max	-409	-119.39	160	108.17	160	10212.30	17	818.31	130	8091.22	130	290.70	65	-7502.42	49	-88.55	17
207	Max	-411	-119.39	160	108.17	160	10212.30	17	818.31	130	8091.22	130	290.70	65	-7502.42	49	-88.55	17
207	Min.	-365	-1928.81	103	-14469.90	103	-8085.11	65	-819.08	101	-8753.93	101	-228.83	17	-64643.10	106	-3187.17	126
207	Min.	-363	-1928.81	103	-14469.90	103	-8085.11	65	-819.08	101	-8753.93	101	-228.83	17	-64643.10	106	-3187.17	126
207	Min.	-409	-1928.81	103	-14469.90	103	-8085.11	65	-819.08	101	-8753.93	101	-228.83	17	-64643.10	106	-3187.17	126

207	Min.	-411	-1928.81	103	-14469.90	103	-8085.11	65	-819.08	101	-8753.93	101	-228.83	17	-64643.10	106	-3187.17	126
207	Max	-417	613.68	65	-80.91	158	5055.22	17	90.85	161	2801.51	161	182.81	49	-5221.92	49	-30.90	161
207	Max	-415	613.68	65	-80.91	158	5055.22	17	90.85	161	2801.51	161	182.81	49	-5221.92	49	-30.90	161
207	Max	-453	613.68	65	-80.91	158	5055.22	17	90.85	161	2801.51	161	182.81	49	-5221.92	49	-30.90	161
207	Max	-455	613.68	65	-80.91	158	5055.22	17	90.85	161	2801.51	161	182.81	49	-5221.92	49	-30.90	161
207	Min.	-417	-978.65	17	-11285.70	177	-3905.28	65	-1077.23	102	-16439.10	102	-263.35	158	-58392.90	106	-2682.24	102
207	Min.	-415	-978.65	17	-11285.70	177	-3905.28	65	-1077.23	102	-16439.10	102	-263.35	158	-58392.90	106	-2682.24	102
207	Min.	-453	-978.65	17	-11285.70	177	-3905.28	65	-1077.23	102	-16439.10	102	-263.35	158	-58392.90	106	-2682.24	102
207	Min.	-455	-978.65	17	-11285.70	177	-3905.28	65	-1077.23	102	-16439.10	102	-263.35	158	-58392.90	106	-2682.24	102
207	Max	-413	2.24	159	831.33	160	9486.38	17	145.41	161	1371.70	161	157.66	65	-8207.54	49	-300.25	17
207	Max	-411	2.24	159	831.33	160	9486.38	17	145.41	161	1371.70	161	157.66	65	-8207.54	49	-300.25	17
207	Max	-449	2.24	159	831.33	160	9486.38	17	145.41	161	1371.70	161	157.66	65	-8207.54	49	-300.25	17
207	Max	-451	2.24	159	831.33	160	9486.38	17	145.41	161	1371.70	161	157.66	65	-8207.54	49	-300.25	17
207	Min.	-413	-1547.69	104	-12124.90	103	-7196.32	65	-1757.89	102	-18448.50	102	-595.17	126	-64573.40	106	-3387.80	102
207	Min.	-411	-1547.69	104	-12124.90	103	-7196.32	65	-1757.89	102	-18448.50	102	-595.17	126	-64573.40	106	-3387.80	102
207	Min.	-449	-1547.69	104	-12124.90	103	-7196.32	65	-1757.89	102	-18448.50	102	-595.17	126	-64573.40	106	-3387.80	102
207	Min.	-451	-1547.69	104	-12124.90	103	-7196.32	65	-1757.89	102	-18448.50	102	-595.17	126	-64573.40	106	-3387.80	102
207	Max	-361	-31.98	158	-943.91	158	10703.00	17	728.33	130	7881.08	130	287.75	65	-9415.01	49	-39.72	17
207	Max	-359	-31.98	158	-943.91	158	10703.00	17	728.33	130	7881.08	130	287.75	65	-9415.01	49	-39.72	17
207	Max	-405	-31.98	158	-943.91	158	10703.00	17	728.33	130	7881.08	130	287.75	65	-9415.01	49	-39.72	17
207	Max	-407	-31.98	158	-943.91	158	10703.00	17	728.33	130	7881.08	130	287.75	65	-9415.01	49	-39.72	17
207	Min.	-361	-2269.67	101	-17524.30	101	-8802.14	65	-900.30	101	-9152.60	101	-243.75	17	-72152.80	98	-3456.99	102
207	Min.	-359	-2269.67	101	-17524.30	101	-8802.14	65	-900.30	101	-9152.60	101	-243.75	17	-72152.80	98	-3456.99	102
207	Min.	-405	-2269.67	101	-17524.30	101	-8802.14	65	-900.30	101	-9152.60	101	-243.75	17	-72152.80	98	-3456.99	102
207	Min.	-407	-2269.67	101	-17524.30	101	-8802.14	65	-900.30	101	-9152.60	101	-243.75	17	-72152.80	98	-3456.99	102
207	Max	-359	2837.96	65	-1219.53	159	8460.05	17	863.42	130	8983.00	130	820.79	101	-10578.40	1	-300.76	17
207	Max	-357	2837.96	65	-1219.53	159	8460.05	17	863.42	130	8983.00	130	820.79	101	-10578.40	1	-300.76	17
207	Max	-403	2837.96	65	-1219.53	159	8460.05	17	863.42	130	8983.00	130	820.79	101	-10578.40	1	-300.76	17
207	Max	-405	2837.96	65	-1219.53	159	8460.05	17	863.42	130	8983.00	130	820.79	101	-10578.40	1	-300.76	17
207	Min.	-359	-6219.50	17	-21468.50	104	-5883.43	65	-247.15	101	-9060.02	101	-274.12	130	-81909.10	98	-3487.46	102
207	Min.	-357	-6219.50	17	-21468.50	104	-5883.43	65	-247.15	101	-9060.02	101	-274.12	130	-81909.10	98	-3487.46	102
207	Min.	-403	-6219.50	17	-21468.50	104	-5883.43	65	-247.15	101	-9060.02	101	-274.12	130	-81909.10	98	-3487.46	102
207	Min.	-405	-6219.50	17	-21468.50	104	-5883.43	65	-247.15	101	-9060.02	101	-274.12	130	-81909.10	98	-3487.46	102
207	Max	-405	3416.62	17	1238.32	160	7505.38	17	-262.13	161	-1746.45	161	-181.08	65	-12835.90	1	-300.76	17
207	Max	-403	3416.62	17	1238.32	160	7505.38	17	-262.13	161	-1746.45	161	-181.08	65	-12835.90	1	-300.76	17
207	Max	-441	3416.62	17	1238.32	160	7505.38	17	-262.13	161	-1746.45	161	-181.08	65	-12835.90	1	-300.76	17
207	Max	-443	3416.62	17	1238.32	160	7505.38	17	-262.13	161	-1746.45	161	-181.08	65	-12835.90	1	-300.76	17
207	Min.	-405	-4956.99	65	-19651.00	103	-7278.42	65	-1821.89	102	-24795.60	102	-2056.70	102	-88895.00	98	-3487.46	102
207	Min.	-403	-4956.99	65	-19651.00	103	-7278.42	65	-1821.89	102	-24795.60	102	-2056.70	102	-88895.00	98	-3487.46	102
207	Min.	-441	-4956.99	65	-19651.00	103	-7278.42	65	-1821.89	102	-24795.60	102	-2056.70	102	-88895.00	98	-3487.46	102
207	Min.	-443	-4956.99	65	-19651.00	103	-7278.42	65	-1821.89	102	-24795.60	102	-2056.70	102	-88895.00	98	-3487.46	102
207	Max	-407	164.42	160	591.39	158	10913.70	17	-104.23	161	-514.04	161	227.06	65	-9646.20	49	-39.72	17
207	Max	-405	164.42	160	591.39	158	10913.70	17	-104.23	161	-514.04	161	227.06	65	-9646.20	49	-39.72	17
207	Max	-443	164.42	160	591.39	158	10913.70	17	-104.23	161	-514.04	161	227.06	65	-9646.20	49	-39.72	17
207	Max	-445	164.42	160	591.39	158	10913.70	17	-104.23	161	-514.04	161	227.06	65	-9646.20	49	-39.72	17
207	Min.	-407	-2066.15	103	-15547.60	101	-8625.16	65	-2075.57	102	-20893.70	102	-508.39	126	-70455.50	98	-3456.99	102
207	Min.	-405	-2066.15	103	-15547.60	101	-8625.16	65	-2075.57	102	-20893.70	102	-508.39	126	-70455.50	98	-3456.99	102
207	Min.	-443	-2066.15	103	-15547.60	101	-8625.16	65	-2075.57	102	-20893.70	102	-508.39	126	-70455.50	98	-3456.99	102
207	Min.	-445	-2066.15	103	-15547.60	101	-8625.16	65	-2075.57	102	-20893.70	102	-508.39	126	-70455.50	98	-3456.99	102
207	Max	-373	646.54	17	8237.21	17	2107.52	17	635.18	130	8174.65	130	191.65	162	-4328.40	49	208.30	164
207	Max	-371	646.54	17	8237.21	17	2107.52	17	635.18	130	8174.65	130	191.65	162	-4328.40	49	208.30	164
207	Max	-417	646.54	17	8237.21	17	2107.52	17	635.18	130	8174.65	130	191.65	162	-4328.40	49	208.30	164
207	Max	-419	646.54	17	8237.21	17	2107.52	17	635.18	130	8174.65	130	191.65	162	-4328.40	49	208.30	164
207	Min.	-373	-1350.99	65	-18254.80	177	-2700.62	65	-58.94	101	-8520.96	101	-428.11	101	-59479.40	106	-1319.60	103
207	Min.	-371	-1350.99	65	-18254.80	177	-2700.62	65	-58.94	101	-8520.96	101	-428.11	101	-59479.40	106	-1319.60	103
207	Min.	-417	-1350.99	65	-18254.80	177	-2700.62	65	-58.94	101	-8520.96	101	-428.11	101	-59479.40	106	-1319.60	103
207	Min.	-419	-1350.99	65	-18254.80	177	-2700.62	65	-58.94	101	-8520.96	101	-428.11	101	-59479.40	106	-1319.60	103
207	Max	-415	154.14	65	543.46	17	7625.72	17	148.04	161	2165.11	161	166.68	65	-6818.48	49	-437.78	1
207	Max	-413	154.14	65	543.46	17	7625.72	17	148.04	161	2165.11	161	166.68	65	-6818.48	49	-437.78	1
207	Max	-451	154.14	65	543.46	17	7625.72	17	148.04	161	2165.11	161	166.68	65	-6818.48	49	-437.78	1
207	Max	-453	154.14	65	543.46	17	7625.72	17	148.04	161	2165.11	161	166.68	65	-6818.48	49	-437.78	1
207	Min.	-415	-1218.23	104	-11466.90	103	-5838.61	65	-1458.23	102	-17339.10	102	-452.13	126	-61235.00	106	-3474.82	102
207	Min.	-413	-1218.23	104	-11466.90	103	-5838.61	65	-1458.23	102	-17339.10	102	-452.13	126	-61235.00	106	-3474.82	102
207	Min.	-451	-1218.23	104	-11466.90	103	-5838.61	65	-1458.23	102	-17339.10	102	-452.13	126	-61235.00	106	-3474.82	102
207	Min.	-453	-1218.23	104	-11466.90	103	-5838.61	65	-1458.23	102	-17339.10	102	-452.13	126	-61235.00	106	-3474.82	102
208	Max	-374	646.54	65	8237.15	65	2107.51	65	201.83	130	11225.30	130	526.69	130	59481.00	101	1373.12	131
208	Max	-372	646.54	65	8237.15	65	2107.51	65	201.83	130	11225.30	130	526.69	130	59481.00	101	1373.12	131
208	Max	-418	646.54	65	8237.15	65	2107.51	65	201.83	130	11225.30	130	526.69	130	59481.00	101	1373.12	131
208	Max	-420	646.54	65	8237.15	65	2107.51	65	201.83	130	11225.30	130	526.69	130	59481.00	101	1373.12	131
208	Min.	-374	-1350.98	17	-18254.80	177	-2700.61	17	-628.31	101	-4647.33	101	-76.71	1	4328.40	1	108.03	1
208	Min.	-372	-1350.98	17	-18254.80	177	-2700.61	17	-628.31	101	-4647.33	101	-76.71	1	4328.40	1	108.03	1
208	Min.	-418	-1350.98	17	-18254.80	177	-2700.61	17	-628.31	101	-4647.33	101	-76.71	1	4328.40	1	108.03	1
208	Min.	-420	-1350.98	17	-18254.80	177	-2700.61	17	-628.31	101	-4647.33	101	-76.71	1	4328.40	1	108.03	1
208	Max	-406	3416.60	65	-785.37	65	7505.35	65	1821.84	105	24794.90	105	2056.64	105	88895.00	97	3487.35	105
208	Max	-404	3416.60	65	-785.37	65	7505.35	65	1821.84	105	24794.90	105	2056.64	105	88895.00	97	3487.35	105
208	Max	-442	3416.60	65	-785.37	65	7505.35	65	1821.84	105	24794.90	105	2056.64	105	88895.00	97	3487.35	105
208	Max	-444	3416.60	65	-785.37	65	7505.35	65	1821.84	105	24794.90	105	2056.64	105	88895.00	97	3487.35	105
208	Min.	-406	-4956.98	17	-19650.30	107	-7278.39	17	319.34	33	3971.65	33	166.05	33	12835.90	49	300.76	65
208	Min.	-404	-4956.98	17	-19650.30	107	-7278.39	17	319.34	33	3971.65	33	166.05	33	12835.90	49	300.76	65
208	Min.	-442	-4956.98	17	-19650.30	107	-7278.39	17	319.34	33	3971.65	33	166.05	33	12835.90	49	300.76	65
208	Min.	-444	-4956.98	17	-19650.30	107	-7278.39	17	319.34	33	3971.65	33	166.05	33	12835.90	49	300.76	65
208	Max	-418	613.68	17	-438.97	49	5055.21	65	1125.26	129	17856.60	129	188.60	49	58394.50	101	2682.15	105
208	Max	-416	613.68	17	-438.97	49	5055.21	65	1125.26	129	17856.60	129	188.60	49	58394.50	101	2682.15	105
208	Max	-454	613.68	17	-438.97	49	5055.21	65	1125.26	129	17856.60	129	188.60	49	58394.50	101	2682.15	105
208	Max	-456	613.68	17	-438.97	49	5055.21	65	1125.26	129	17856.60	129	188.60	49	58394.50	101	2682.15	105
208	Min.	-418	-978.65	65	-11285.70	177	-3905.26	17	161.74	17	2126.44	17	-232.62	162	5221.92	1	282.92	1
208	Min.	-416	-978.65	65	-11285.70	177	-3905.26	17	161.74	17	2126.44	17	-232.62	162	5221.92	1	282.92	1
208	Min.	-454	-978.65	65	-11285.70	177	-3905.26	17	161.74	17	2126.44	17	-232.62	162	5221.92	1	282.92	1
208	Min.	-456	-978.65	65	-11285.70	177	-3905.26	17	161.74	17	2126.44	17	-232.62	162	5221.92	1	282.92	1
208	Max	-372	660.58	65	5906.68	65	4505.70	65	464.87	130	11273.00	130	322.71	130	58974.00	101	2682.15	105
208	Max	-370	660.58	65	5906.68	65	4505.70	65	464.87	130	11273.00	130	322.71	130	58974.00	101	2682.15	105
208	Max	-416	660.58	65	5906.68	65	4505.70	65	464.87	130	11273.00	130	322.71	130	58974.00	101	2682.15	105
208	Max	-418	660.58	65	5906.68	65	4505.70	65	464.87	130	11273.00	130	322.71	130	58974.00	101	2682.15	105
208	Min.	-372	-1372.05	17	-15762.10	177	-4528.99	17	-571.78	101	-4532.73	101	-170.76	1	4944.40	1	282.92	1
208	Min.	-370	-1372.05	17	-15762.10	177	-4528.99	17	-571.78	101	-4532.73	101	-170.76	1	4944.40	1	282.92	1
208	Min.	-416	-1372.05	17	-15762.10	177	-4528.99	17	-571.78	101	-4532.73	101	-170.76	1	4944.40	1	282.92	1
208	Min.	-418	-1372.05	17	-15762.10	177	-4528.99	17	-571.78	101	-4532.73	101	-170.76	1	4944.40	1	282.92	1
208	Max	-420	620.81	17	-439.60	139	2715.21	65	896.65	97	17782.40	129	44.12	49	58202.30	101	1373.12	131
208	Max	-418	620.81	17	-439.60	139	2715.21	65	896.65	97	17782.40	129	44.12	49	58202.30	101	1373.12	131
208	Max	-456	620.81	17	-439.60	139	2715.21	65	896.65	97	17782.40	129	44.12	49	58202.30	101	1373.12	131
208	Max	-458	620.81	17	-439.60	139	2715.21	65	896.65	97	17782.40	129	44.12	49	58202.30	101	1373.12	131
208	Min.	-420	-886.42	65	-11112.00	177	-1941.39	17	137.60	17	2128.21	17	-417.49	131	3478.89	1	108.03	1
208	Min.	-418	-886.42	65	-11112.00	177	-1941.39	17	137.60	17	2128.21	17	-417.49	131	3478.89	1	108.03	1
208	Min.	-456	-886.42	65	-11112.00	177	-1941.39	17	137.60	17	2128.21	17	-417.49	131	3478.89	1	108.03	1
208	Min.	-458	-886.42	65	-11112.00	177	-1941.39	17	137.60	17	2128.21	17	-417.49	131	3478.89	1	108.03	1

208	Max	-416	154.14	17	543.43	65	7625.69	65	1518.67	129	18221.10	129	351.78	105	61236.70	101	3474.71	105
208	Max	-414	154.14	17	543.43	65	7625.69	65	1518.67	129	18221.10	129	351.78	105	61236.70	101	3474.71	105
208	Max	-452	154.14	17	543.43	65	7625.69	65	1518.67	129	18221.10	129	351.78	105	61236.70	101	3474.71	105
208	Max	-454	154.14	17	543.43	65	7625.69	65	1518.67	129	18221.10	129	351.78	105	61236.70	101	3474.71	105
208	Min.	-416	-1234.94	132	-11466.50	107	-5838.58	17	204.45	17	2337.70	17	-188.67	162	6818.47	1	437.78	49
208	Min.	-414	-1234.94	132	-11466.50	107	-5838.58	17	204.45	17	2337.70	17	-188.67	162	6818.47	1	437.78	49
208	Min.	-452	-1234.94	132	-11466.50	107	-5838.58	17	204.45	17	2337.70	17	-188.67	162	6818.47	1	437.78	49
208	Min.	-454	-1234.94	132	-11466.50	107	-5838.58	17	204.45	17	2337.70	17	-188.67	162	6818.47	1	437.78	49
208	Max	-362	-411.22	49	-2835.61	133	10703.00	65	1116.27	130	11671.60	130	243.75	65	72152.80	97	3456.88	105
208	Max	-360	-411.22	49	-2835.61	133	10703.00	65	1116.27	130	11671.60	130	243.75	65	72152.80	97	3456.88	105
208	Max	-406	-411.22	49	-2835.61	133	10703.00	65	1116.27	130	11671.60	130	243.75	65	72152.80	97	3456.88	105
208	Max	-408	-411.22	49	-2835.61	133	10703.00	65	1116.27	130	11671.60	130	243.75	65	72152.80	97	3456.88	105
208	Min.	-362	-2305.37	130	-17523.80	106	-8802.10	17	-397.96	101	-4289.01	101	-287.75	17	9415.00	1	-344.19	162
208	Min.	-360	-2305.37	130	-17523.80	106	-8802.10	17	-397.96	101	-4289.01	101	-287.75	17	9415.00	1	-344.19	162
208	Min.	-406	-2305.37	130	-17523.80	106	-8802.10	17	-397.96	101	-4289.01	101	-287.75	17	9415.00	1	-344.19	162
208	Min.	-408	-2305.37	130	-17523.80	106	-8802.10	17	-397.96	101	-4289.01	101	-287.75	17	9415.00	1	-344.19	162
208	Max	-360	2837.94	17	-3507.87	135	8460.02	65	527.95	130	11947.80	130	193.49	49	81909.10	97	3487.35	105
208	Max	-358	2837.94	17	-3507.87	135	8460.02	65	527.95	130	11947.80	130	193.49	49	81909.10	97	3487.35	105
208	Max	-404	2837.94	17	-3507.87	135	8460.02	65	527.95	130	11947.80	130	193.49	49	81909.10	97	3487.35	105
208	Max	-406	2837.94	17	-3507.87	135	8460.02	65	527.95	130	11947.80	130	193.49	49	81909.10	97	3487.35	105
208	Min.	-360	-6219.48	65	-21467.90	108	-5883.41	17	-704.98	101	-5313.01	101	-862.30	130	10578.40	49	300.76	65
208	Min.	-358	-6219.48	65	-21467.90	108	-5883.41	17	-704.98	101	-5313.01	101	-862.30	130	10578.40	49	300.76	65
208	Min.	-404	-6219.48	65	-21467.90	108	-5883.41	17	-704.98	101	-5313.01	101	-862.30	130	10578.40	49	300.76	65
208	Min.	-406	-6219.48	65	-21467.90	108	-5883.41	17	-704.98	101	-5313.01	101	-862.30	130	10578.40	49	300.76	65
208	Max	-412	-336.01	49	-572.53	136	10373.00	65	1877.68	105	19341.60	105	549.52	105	66694.00	101	3037.14	105
208	Max	-410	-336.01	49	-572.53	136	10373.00	65	1877.68	105	19341.60	105	549.52	105	66694.00	101	3037.14	105
208	Max	-448	-336.01	49	-572.53	136	10373.00	65	1877.68	105	19341.60	105	549.52	105	66694.00	101	3037.14	105
208	Max	-450	-336.01	49	-572.53	136	10373.00	65	1877.68	105	19341.60	105	549.52	105	66694.00	101	3037.14	105
208	Min.	-412	-1859.61	130	-12862.90	107	-7850.11	17	271.10	17	2826.55	17	-187.97	17	8832.21	1	-729.88	162
208	Min.	-410	-1859.61	130	-12862.90	107	-7850.11	17	271.10	17	2826.55	17	-187.97	17	8832.21	1	-729.88	162
208	Min.	-448	-1859.61	130	-12862.90	107	-7850.11	17	271.10	17	2826.55	17	-187.97	17	8832.21	1	-729.88	162
208	Min.	-450	-1859.61	130	-12862.90	107	-7850.11	17	271.10	17	2826.55	17	-187.97	17	8832.21	1	-729.88	162
208	Max	-410	-321.26	49	-952.99	136	10959.80	65	1979.76	105	20330.10	105	563.70	105	69120.30	97	2909.26	105
208	Max	-408	-321.26	49	-952.99	136	10959.80	65	1979.76	105	20330.10	105	563.70	105	69120.30	97	2909.26	105
208	Max	-446	-321.26	49	-952.99	136	10959.80	65	1979.76	105	20330.10	105	563.70	105	69120.30	97	2909.26	105
208	Max	-448	-321.26	49	-952.99	136	10959.80	65	1979.76	105	20330.10	105	563.70	105	69120.30	97	2909.26	105
208	Min.	-410	-2094.58	130	-14036.70	107	-8401.63	17	302.88	17	3091.21	17	-204.14	17	9416.84	1	-813.40	162
208	Min.	-408	-2094.58	130	-14036.70	107	-8401.63	17	302.88	17	3091.21	17	-204.14	17	9416.84	1	-813.40	162
208	Min.	-446	-2094.58	130	-14036.70	107	-8401.63	17	302.88	17	3091.21	17	-204.14	17	9416.84	1	-813.40	162
208	Min.	-448	-2094.58	130	-14036.70	107	-8401.63	17	302.88	17	3091.21	17	-204.14	17	9416.84	1	-813.40	162
208	Max	-414	-279.90	1	103.82	65	9486.35	65	1792.44	129	18657.60	129	559.32	105	64575.00	101	3387.69	105
208	Max	-412	-279.90	1	103.82	65	9486.35	65	1792.44	129	18657.60	129	559.32	105	64575.00	101	3387.69	105
208	Max	-450	-279.90	1	103.82	65	9486.35	65	1792.44	129	18657.60	129	559.32	105	64575.00	101	3387.69	105
208	Max	-452	-279.90	1	103.82	65	9486.35	65	1792.44	129	18657.60	129	559.32	105	64575.00	101	3387.69	105
208	Min.	-414	-1828.24	132	-12124.40	107	-7196.29	17	243.86	17	2601.29	17	-157.66	17	8207.53	1	-301.72	162
208	Min.	-412	-1828.24	132	-12124.40	107	-7196.29	17	243.86	17	2601.29	17	-157.66	17	8207.53	1	-301.72	162
208	Min.	-450	-1828.24	132	-12124.40	107	-7196.29	17	243.86	17	2601.29	17	-157.66	17	8207.53	1	-301.72	162
208	Min.	-452	-1828.24	132	-12124.40	107	-7196.29	17	243.86	17	2601.29	17	-157.66	17	8207.53	1	-301.72	162
208	Max	-408	-92.18	65	-1403.55	133	10913.70	65	2075.51	105	20893.10	105	499.48	105	70455.50	97	3456.88	105
208	Max	-406	-92.18	65	-1403.55	133	10913.70	65	2075.51	105	20893.10	105	499.48	105	70455.50	97	3456.88	105
208	Max	-444	-92.18	65	-1403.55	133	10913.70	65	2075.51	105	20893.10	105	499.48	105	70455.50	97	3456.88	105
208	Max	-446	-92.18	65	-1403.55	133	10913.70	65	2075.51	105	20893.10	105	499.48	105	70455.50	97	3456.88	105
208	Min.	-408	-2109.14	131	-15547.10	106	-8625.12	17	333.08	33	3249.26	1	-227.06	17	9646.20	1	-344.19	162
208	Min.	-406	-2109.14	131	-15547.10	106	-8625.12	17	333.08	33	3249.26	1	-227.06	17	9646.20	1	-344.19	162
208	Min.	-444	-2109.14	131	-15547.10	106	-8625.12	17	333.08	33	3249.26	1	-227.06	17	9646.20	1	-344.19	162
208	Min.	-446	-2109.14	131	-15547.10	106	-8625.12	17	333.08	33	3249.26	1	-227.06	17	9646.20	1	-344.19	162
208	Max	-364	-384.96	49	-2079.70	65	10726.40	65	1084.56	130	11469.40	130	226.83	65	67811.50	97	2909.26	105
208	Max	-362	-384.96	49	-2079.70	65	10726.40	65	1084.56	130	11469.40	130	226.83	65	67811.50	97	2909.26	105
208	Max	-408	-384.96	49	-2079.70	65	10726.40	65	1084.56	130	11469.40	130	226.83	65	67811.50	97	2909.26	105
208	Max	-410	-384.96	49	-2079.70	65	10726.40	65	1084.56	130	11469.40	130	226.83	65	67811.50	97	2909.26	105
208	Min.	-364	-2245.84	130	-15778.70	107	-8626.13	17	-466.39	101	-4518.87	101	-299.60	17	8410.98	1	-813.40	162
208	Min.	-362	-2245.84	130	-15778.70	107	-8626.13	17	-466.39	101	-4518.87	101	-299.60	17	8410.98	1	-813.40	162
208	Min.	-408	-2245.84	130	-15778.70	107	-8626.13	17	-466.39	101	-4518.87	101	-299.60	17	8410.98	1	-813.40	162
208	Min.	-410	-2245.84	130	-15778.70	107	-8626.13	17	-466.39	101	-4518.87	101	-299.60	17	8410.98	1	-813.40	162
208	Max	-370	334.32	65	3486.93	65	7381.09	65	825.92	130	11300.60	130	240.57	65	60390.10	101	3474.71	105
208	Max	-368	334.32	65	3486.93	65	7381.09	65	825.92	130	11300.60	130	240.57	65	60390.10	101	3474.71	105
208	Max	-414	334.32	65	3486.93	65	7381.09	65	825.92	130	11300.60	130	240.57	65	60390.10	101	3474.71	105
208	Max	-416	334.32	65	3486.93	65	7381.09	65	825.92	130	11300.60	130	240.57	65	60390.10	101	3474.71	105
208	Min.	-370	-1623.95	177	-12927.60	177	-6327.02	17	-521.10	101	-4548.89	101	-237.13	17	5815.26	1	437.78	49
208	Min.	-368	-1623.95	177	-12927.60	177	-6327.02	17	-521.10	101	-4548.89	101	-237.13	17	5815.26	1	437.78	49
208	Min.	-414	-1623.95	177	-12927.60	177	-6327.02	17	-521.10	101	-4548.89	101	-237.13	17	5815.26	1	437.78	49
208	Min.	-416	-1623.95	177	-12927.60	177	-6327.02	17	-521.10	101	-4548.89	101	-237.13	17	5815.26	1	437.78	49
208	Max	-366	-302.11	49	15.64	65	10212.30	65	1088.28	130	11386.70	130	228.83	65	64644.80	101	3037.14	105
208	Max	-364	-302.11	49	15.64	65	10212.30	65	1088.28	130	11386.70	130	228.83	65	64644.80	101	3037.14	105
208	Max	-410	-302.11	49	15.64	65	10212.30	65	1088.28	130	11386.70	130	228.83	65	64644.80	101	3037.14	105
208	Max	-412	-302.11	49	15.64	65	10212.30	65	1088.28	130	11386.70	130	228.83	65	64644.80	101	3037.14	105
208	Min.	-366	-1965.66	131	-14469.40	107	-8085.08	17	-478.47	101	-4551.35	101	-290.69	17	7502.41	1	-729.88	162
208	Min.	-364	-1965.66	131	-14469.40	107	-8085.08	17	-478.47	101	-4551.35	101	-290.69	17	7502.41	1	-729.88	162
208	Min.	-410	-1965.66	131	-14469.40	107	-8085.08	17	-478.47	101	-4551.35	101	-290.69	17	7502.41	1	-729.88	162
208	Min.	-412	-1965.66	131	-14469.40	107	-8085.08	17	-478.47	101	-4551.35	101	-290.69	17	7502.41	1	-729.88	162
208	Max	-368	-126.28	65	1630.86	65	9392.94	65	1060.46	130	11336.20	130	228.46	65	62506.20	101	3387.69	105
208	Max	-366	-126.28	65	1630.86	65	9392.94	65	1060.46	130	11336.20	130	228.46	65	62506.20	101	3387.69	105
208	Max	-412	-126.28	65	1630.86	65	9392.94	65	1060.46	130	11336.20	130	228.46	65	62506.20	101	3387.69	105
208	Max	-414	-126.28	65	1630.86	65	9392.94	65	1060.46	130	11336.20	130	228.46	65	62506.20	101	3387.69	105
208	Min.	-368	-1908.36	131	-13648.20	107	-7465.73	17	-489.30	101	-4566.50	101	-281.05	17	6746.38	1	-301.72	162
208	Min.	-366	-1908.36	131	-13648.20	107	-7465.73	17	-489.30	101	-4566.50	101	-281.05	17	6746.38	1	-301.72	162
208	Min.	-412	-1908.36	131	-13648.20	107	-7465.73	17	-489.30	101	-4566.50	101	-281.05	17	6746.38	1	-301.72	162
208	Min.	-414	-1908.36	131	-13648.20	107	-7465.73	17	-489.30	101	-4566.50	101	-281.05	17	6746.38	1	-301.72	162
209	Max	-390	590.16	65	7888.72	177	3829.80	65	1116.39	129	17886.20	129	234.39	162	58530.20	101	-277.02	49
209	Max	-388	590.16	65	7888.72	177	3829.80	65	1116.39	129	17886.20	129	234.39	162	58530.20	101	-277.02	49
209	Max	-424	590.16	65	7888.72	177	3829.80	65	1116.39	129	17886.20	129	234.39	162	58530.20	101	-277.02	49
209	Max	-426	590.16	65	7888.72	177	3829.80	65	1116.39	129	17886.20	129	234.39	162	58530.20	101	-277.02	49
209	Min.	-390	-1028.43	17	-10932.40	106	-4972.77	17	163.49	65	2160.92	65	-187.29	1	5234.87	49	-2635.58	105
209	Min.	-388	-1028.43	17	-10932.40	106	-4972.77	17	163.49	65	2160.92	65	-187.29	1	5234.87	49	-2635.58	105
209	Min.	-424	-1028.43	17	-10932.40	106	-4972.77	17	163.49	65	2160.92	65	-187.29	1	5234.87	49	-2635.58	105
209	Min.	-426	-1028.43	17	-10932.40	106	-4972.77	17	163.49	65	2160.92	65	-187.29	1	5234.87	49	-2635.58	105
209	Max	-354	2835.77	65	-3513.36	136	5879.54	65	527.83	130	11963.00	130	876.72	130	82749.60	97	-348.59	17
209	Max	-352	2835.77	65	-3513.36	136	5879.54	65	527.83	130	11963.00	130	876.72	130	82749.60	97	-348.59	17
209	Max	-400	2835.77	65	-3513.36	136	5879.54	65	527.83	130	11963.00	130	876.72	130	82749.60	97	-348.59	17
209	Max	-402	2835.77	65	-3513.36	136	5879.54	65	527.83	130	11963.00	130	876.72	130	82749.60	97	-348.59	17
209	Min.	-354	-6220.04	17	-21460.30	107	-8457.55	17	-705.90	101	-5305.27	101	-191.09	1	11186.10	1	-3585.88	105
209	Min.	-352	-6220.04	17	-21460.30	107	-8457.55	17	-705.90	101	-5305.27	101	-191.09	1	11186.10	1	-3585.88	105
209	Min.	-400	-6220.04	17	-21460.30	107	-8457.55	17	-705.90	101	-5305.27	101	-191.09	1	11186.10	1	-3585.88	105
209	Min.	-402	-6220.04	17	-21460.30	107	-8457.55	17	-705.90	101	-5305.27	101	-191.09	1	11186.10	1	-3585.88	105
209	Max	-352	742.05	177	-2841.92	133	8804.86	65	1112.28	130	11684.40	130	298.14	65	72551.60	97	237.89	162

209	Max	-350	742.05	177	-2841.92	133	8804.86	65	1112.28	130	11684.40	130	298.14	65	72551.60	97	237.89	162
209	Max	-398	742.05	177	-2841.92	133	8804.86	65	1112.28	130	11684.40	130	298.14	65	72551.60	97	237.89	162
209	Max	-400	742.05	177	-2841.92	133	8804.86	65	1112.28	130	11684.40	130	298.14	65	72551.60	97	237.89	162
209	Min.	-352	-2306.32	130	-17521.60	106	-10705.80	17	-402.31	101	-4276.42	101	-237.11	17	9717.69	49	-3619.64	105
209	Min.	-350	-2306.32	130	-17521.60	106	-10705.80	17	-402.31	101	-4276.42	101	-237.11	17	9717.69	49	-3619.64	105
209	Min.	-398	-2306.32	130	-17521.60	106	-10705.80	17	-402.31	101	-4276.42	101	-237.11	17	9717.69	49	-3619.64	105
209	Min.	-400	-2306.32	130	-17521.60	106	-10705.80	17	-402.31	101	-4276.42	101	-237.11	17	9717.69	49	-3619.64	105
209	Max	-392	829.75	177	3477.66	177	5836.57	65	1519.74	129	18252.60	129	189.60	162	61381.90	101	-431.27	1
209	Max	-390	829.75	177	3477.66	177	5836.57	65	1519.74	129	18252.60	129	189.60	162	61381.90	101	-431.27	1
209	Max	-426	829.75	177	3477.66	177	5836.57	65	1519.74	129	18252.60	129	189.60	162	61381.90	101	-431.27	1
209	Max	-428	829.75	177	3477.66	177	5836.57	65	1519.74	129	18252.60	129	189.60	162	61381.90	101	-431.27	1
209	Min.	-392	-1248.68	131	-11499.20	108	-7621.24	17	206.85	65	2373.43	65	-349.37	105	6912.55	49	-3463.22	105
209	Min.	-390	-1248.68	131	-11499.20	108	-7621.24	17	206.85	65	2373.43	65	-349.37	105	6912.55	49	-3463.22	105
209	Min.	-426	-1248.68	131	-11499.20	108	-7621.24	17	206.85	65	2373.43	65	-349.37	105	6912.55	49	-3463.22	105
209	Min.	-428	-1248.68	131	-11499.20	108	-7621.24	17	206.85	65	2373.43	65	-349.37	105	6912.55	49	-3463.22	105
209	Max	-350	1589.60	177	-2075.63	17	8629.00	65	1076.47	130	11477.20	130	307.14	65	68006.20	97	792.06	162
209	Max	-348	1589.60	177	-2075.63	17	8629.00	65	1076.47	130	11477.20	130	307.14	65	68006.20	97	792.06	162
209	Max	-396	1589.60	177	-2075.63	17	8629.00	65	1076.47	130	11477.20	130	307.14	65	68006.20	97	792.06	162
209	Max	-398	1589.60	177	-2075.63	17	8629.00	65	1076.47	130	11477.20	130	307.14	65	68006.20	97	792.06	162
209	Min.	-350	-2247.60	130	-15782.80	108	-10728.90	17	-474.38	101	-4512.20	101	-222.92	17	8579.79	49	-2938.99	105
209	Min.	-348	-2247.60	130	-15782.80	108	-10728.90	17	-474.38	101	-4512.20	101	-222.92	17	8579.79	49	-2938.99	105
209	Min.	-396	-2247.60	130	-15782.80	108	-10728.90	17	-474.38	101	-4512.20	101	-222.92	17	8579.79	49	-2938.99	105
209	Min.	-398	-2247.60	130	-15782.80	108	-10728.90	17	-474.38	101	-4512.20	101	-222.92	17	8579.79	49	-2938.99	105
209	Max	-398	1962.11	177	-961.86	135	8397.07	65	1973.08	105	20352.40	105	200.04	65	69092.50	97	792.06	162
209	Max	-396	1962.11	177	-961.86	135	8397.07	65	1973.08	105	20352.40	105	200.04	65	69092.50	97	792.06	162
209	Max	-432	1962.11	177	-961.86	135	8397.07	65	1973.08	105	20352.40	105	200.04	65	69092.50	97	792.06	162
209	Max	-434	1962.11	177	-961.86	135	8397.07	65	1973.08	105	20352.40	105	200.04	65	69092.50	97	792.06	162
209	Min.	-398	-2094.37	130	-14045.60	108	-10954.00	17	300.88	65	3128.74	65	-567.80	105	9447.53	49	-2938.99	105
209	Min.	-396	-2094.37	130	-14045.60	108	-10954.00	17	300.88	65	3128.74	65	-567.80	105	9447.53	49	-2938.99	105
209	Min.	-432	-2094.37	130	-14045.60	108	-10954.00	17	300.88	65	3128.74	65	-567.80	105	9447.53	49	-2938.99	105
209	Min.	-434	-2094.37	130	-14045.60	108	-10954.00	17	300.88	65	3128.74	65	-567.80	105	9447.53	49	-2938.99	105
209	Max	-342	873.47	177	9211.52	177	4472.36	65	453.31	130	11276.10	130	163.21	49	59126.40	101	-277.02	49
209	Max	-340	873.47	177	9211.52	177	4472.36	65	453.31	130	11276.10	130	163.21	49	59126.40	101	-277.02	49
209	Max	-388	873.47	177	9211.52	177	4472.36	65	453.31	130	11276.10	130	163.21	49	59126.40	101	-277.02	49
209	Max	-390	873.47	177	9211.52	177	4472.36	65	453.31	130	11276.10	130	163.21	49	59126.40	101	-277.02	49
209	Min.	-342	-1489.72	65	-14703.90	65	-4420.06	17	-574.18	101	-4532.69	101	-330.94	130	4995.39	49	-2635.58	105
209	Min.	-340	-1489.72	65	-14703.90	65	-4420.06	17	-574.18	101	-4532.69	101	-330.94	130	4995.39	49	-2635.58	105
209	Min.	-388	-1489.72	65	-14703.90	65	-4420.06	17	-574.18	101	-4532.69	101	-330.94	130	4995.39	49	-2635.58	105
209	Min.	-390	-1489.72	65	-14703.90	65	-4420.06	17	-574.18	101	-4532.69	101	-330.94	130	4995.39	49	-2635.58	105
209	Max	-400	1430.92	177	-1410.84	133	8623.99	65	2072.42	105	20913.80	105	220.21	65	70235.10	97	237.89	162
209	Max	-398	1430.92	177	-1410.84	133	8623.99	65	2072.42	105	20913.80	105	220.21	65	70235.10	97	237.89	162
209	Max	-434	1430.92	177	-1410.84	133	8623.99	65	2072.42	105	20913.80	105	220.21	65	70235.10	97	237.89	162
209	Max	-436	1430.92	177	-1410.84	133	8623.99	65	2072.42	105	20913.80	105	220.21	65	70235.10	97	237.89	162
209	Min.	-400	-2108.36	132	-15546.80	106	-10911.00	17	335.83	49	3273.73	49	-506.35	105	9561.02	49	-3619.64	105
209	Min.	-398	-2108.36	132	-15546.80	106	-10911.00	17	335.83	49	3273.73	49	-506.35	105	9561.02	49	-3619.64	105
209	Min.	-434	-2108.36	132	-15546.80	106	-10911.00	17	335.83	49	3273.73	49	-506.35	105	9561.02	49	-3619.64	105
209	Min.	-436	-2108.36	132	-15546.80	106	-10911.00	17	335.83	49	3273.73	49	-506.35	105	9561.02	49	-3619.64	105
209	Max	-348	1639.92	177	-20.65	17	8102.30	65	1083.59	130	11393.30	130	295.21	65	64826.40	101	744.36	162
209	Max	-346	1639.92	177	-20.65	17	8102.30	65	1083.59	130	11393.30	130	295.21	65	64826.40	101	744.36	162
209	Max	-394	1639.92	177	-20.65	17	8102.30	65	1083.59	130	11393.30	130	295.21	65	64826.40	101	744.36	162
209	Max	-396	1639.92	177	-20.65	17	8102.30	65	1083.59	130	11393.30	130	295.21	65	64826.40	101	744.36	162
209	Min.	-348	-1978.63	132	-14505.50	108	-10232.70	17	-483.41	101	-4546.40	101	-227.53	17	7632.83	49	-3015.79	105
209	Min.	-346	-1978.63	132	-14505.50	108	-10232.70	17	-483.41	101	-4546.40	101	-227.53	17	7632.83	49	-3015.79	105
209	Min.	-394	-1978.63	132	-14505.50	108	-10232.70	17	-483.41	101	-4546.40	101	-227.53	17	7632.83	49	-3015.79	105
209	Min.	-396	-1978.63	132	-14505.50	108	-10232.70	17	-483.41	101	-4546.40	101	-227.53	17	7632.83	49	-3015.79	105
209	Max	-344	1044.97	177	5168.27	177	6326.66	65	824.25	130	11304.70	130	235.71	65	60514.10	101	-431.27	1
209	Max	-342	1044.97	177	5168.27	177	6326.66	65	824.25	130	11304.70	130	235.71	65	60514.10	101	-431.27	1
209	Max	-390	1044.97	177	5168.27	177	6326.66	65	824.25	130	11304.70	130	235.71	65	60514.10	101	-431.27	1
209	Max	-392	1044.97	177	5168.27	177	6326.66	65	824.25	130	11304.70	130	235.71	65	60514.10	101	-431.27	1
209	Min.	-344	-1597.40	65	-12843.90	108	-7382.73	17	-522.24	101	-4545.82	101	-238.89	17	5902.06	49	-3463.22	105
209	Min.	-342	-1597.40	65	-12843.90	108	-7382.73	17	-522.24	101	-4545.82	101	-238.89	17	5902.06	49	-3463.22	105
209	Min.	-390	-1597.40	65	-12843.90	108	-7382.73	17	-522.24	101	-4545.82	101	-238.89	17	5902.06	49	-3463.22	105
209	Min.	-392	-1597.40	65	-12843.90	108	-7382.73	17	-522.24	101	-4545.82	101	-238.89	17	5902.06	49	-3463.22	105
209	Max	-402	3421.60	17	-777.41	17	7281.74	65	1824.16	105	24833.10	105	-187.83	65	88430.90	97	-348.59	17
209	Max	-400	3421.60	17	-777.41	17	7281.74	65	1824.16	105	24833.10	105	-187.83	65	88430.90	97	-348.59	17
209	Max	-436	3421.60	17	-777.41	17	7281.74	65	1824.16	105	24833.10	105	-187.83	65	88430.90	97	-348.59	17
209	Max	-438	3421.60	17	-777.41	17	7281.74	65	1824.16	105	24833.10	105	-187.83	65	88430.90	97	-348.59	17
209	Min.	-402	-4961.47	65	-19637.60	108	-7507.94	17	336.19	33	4071.52	49	-2073.48	105	12565.30	1	-3585.88	105
209	Min.	-400	-4961.47	65	-19637.60	108	-7507.94	17	336.19	33	4071.52	49	-2073.48	105	12565.30	1	-3585.88	105
209	Min.	-436	-4961.47	65	-19637.60	108	-7507.94	17	336.19	33	4071.52	49	-2073.48	105	12565.30	1	-3585.88	105
209	Min.	-438	-4961.47	65	-19637.60	108	-7507.94	17	336.19	33	4071.52	49	-2073.48	105	12565.30	1	-3585.88	105
209	Max	-340	576.22	17	11898.40	177	2625.06	65	188.13	130	11226.90	130	69.52	49	59647.70	101	-101.81	49
209	Max	-338	576.22	17	11898.40	177	2625.06	65	188.13	130	11226.90	130	69.52	49	59647.70	101	-101.81	49
209	Max	-386	576.22	17	11898.40	177	2625.06	65	188.13	130	11226.90	130	69.52	49	59647.70	101	-101.81	49
209	Max	-388	576.22	17	11898.40	177	2625.06	65	188.13	130	11226.90	130	69.52	49	59647.70	101	-101.81	49
209	Min.	-340	-1348.62	177	-17420.70	65	-2001.89	17	-631.64	101	-4649.29	101	-534.95	130	4350.52	49	-1309.72	132
209	Min.	-338	-1348.62	177	-17420.70	65	-2001.89	17	-631.64	101	-4649.29	101	-534.95	130	4350.52	49	-1309.72	132
209	Min.	-386	-1348.62	177	-17420.70	65	-2001.89	17	-631.64	101	-4649.29	101	-534.95	130	4350.52	49	-1309.72	132
209	Min.	-388	-1348.62	177	-17420.70	65	-2001.89	17	-631.64	101	-4649.29	101	-534.95	130	4350.52	49	-1309.72	132
209	Max	-394	4612.13	177	88.67	17	7207.84	65	1793.59	129	18694.00	129	159.27	65	64752.00	101	323.67	162
209	Max	-392	4612.13	177	88.67	17	7207.84	65	1793.59	129	18694.00	129	159.27	65	64752.00	101	323.67	162
209	Max	-428	4612.13	177	88.67	17	7207.84	65	1793.59	129	18694.00	129	159.27	65	64752.00	101	323.67	162
209	Max	-430	4612.13	177	88.67	17	7207.84	65	1793.59	129	18694.00	129	159.27	65	64752.00	101	323.67	162
209	Min.	-394	-1791.46	131	-12163.50	108	-9503.28	17	246.07	65	2642.46	65	-557.50	105	8325.60	49	-3360.03	105
209	Min.	-392	-1791.46	131	-12163.50	108	-9503.28	17	246.07	65	2642.46	65	-557.50	105	8325.60	49	-3360.03	105
209	Min.	-428	-1791.46	131	-12163.50	108	-9503.28	17	246.07	65	2642.46	65	-557.50	105	8325.60	49	-3360.03	105
209	Min.	-430	-1791.46	131	-12163.50	108	-9503.28	17	246.07	65	2642.46	65	-557.50	105	8325.60	49	-3360.03	105
209	Max	-388	575.09	65	8692.75	177	1848.80	65	891.51	97	17811.90	129	428.87	132	58344.40	101	-101.81	49
209	Max	-386	575.09	65	8692.75	177	1848.80	65	891.51	97	17811.90	129	428.87	132	58344.40	101	-101.81	49
209	Max	-422	575.09	65	8692.75	177	1848.80	65	891.51	97	17811.90	129	428.87	132	58344.40	101	-101.81	49
209	Max	-424	575.09	65	8692.75	177	1848.80	65	891.51	97	17811.90	129	428.87	132	58344.40	101	-101.81	49
209	Min.	-388	-2400.55	177	-10631.70	107	-2616.20	17	138.24	65	2163.20	65	-38.48	1	3454.46	49	-1309.72	132
209	Min.	-386	-2400.55	177	-10631.70	107	-2616.20	17	138.24	65	2163.20	65	-38.48	1	3454.46	49	-1309.72	132
209	Min.	-422	-2400.55	177	-10631.70	107	-2616.20	17	138.24	65	2163.20	65	-38.48	1	3454.46	49	-1309.72	132
209	Min.	-424	-2400.55	177	-10631.70	107	-2616.20	17	138.24	65	2163.20	65	-38.48	1	3454.46	49	-1309.72	132
209	Max	-396	2337.98	177	-593.02	135	7859.72	65	1877.07	105	19387.10	105	187.47	65	66831.90	101	744.36	162
209	Max	-394	2337.98	177	-593.02	135	7859.72	65	1877.07	105	19387.10	105	187.47	65	66831.90	101	744.36	162
209	Max	-430	2337.98	177	-593.02	135	7859.72	65	1877.07	105	19387.10	105	187.47	65	66831.90	101	744.36	162
209	Max	-432	2337.98	177	-593.02	135	7859.72	65	1877.07	105	19387.10	105	187.47	65	66831.90	101	744.36	162
209	Min.	-396	-1873.31	130	-12899.40	108	-10384.80	17	271.57	65	2868.19	65	-549.98	105	8931.65	49	-3015.79	105
209	Min.	-394	-1873.31	130	-12899.40	108	-10384.80	17	271.57	65	2868.19	65	-549.98	105	8931.65	49	-3015.79	105
209	Min.	-430	-1873.31	130	-12899.40	108	-10384.80	17	271.57	65	2868.19	65	-549.98	105	8931.65	49	-3015.79	105
209	Min.	-432	-1873.31	130	-12899.40	108	-10384.80	17	271.57	65	2868.19	65	-549.98	105	8931.65	49	-3015.79	105
209	Max	-346	4687.97	177	1593.29	17	7485.15	65	1058.53	130	11341.80	130	283.58	65	62669.10	101	323.67	162
209	Max	-344	4687.97	177	1593.29	17	7485.15	65	1058.53	130	11341.80	130	283.58	65	62669.10	101	323.67	162

209	Max	-392	4687.97	177	1593.29	17	7485.15	65	1058.53	130	11341.80	130	283.58	65	62669.10	101	323.67	162
209	Max	-394	4687.97	177	1593.29	17	7485.15	65	1058.53	130	11341.80	130	283.58	65	62669.10	101	323.67	162
209	Min.	-346	-1875.25	132	-13687.20	108	-9418.49	17	-491.53	101	-4562.39	101	-228.56	17	6859.66	49	-3360.03	105
209	Min.	-344	-1875.25	132	-13687.20	108	-9418.49	17	-491.53	101	-4562.39	101	-228.56	17	6859.66	49	-3360.03	105
209	Min.	-392	-1875.25	132	-13687.20	108	-9418.49	17	-491.53	101	-4562.39	101	-228.56	17	6859.66	49	-3360.03	105
209	Min.	-394	-1875.25	132	-13687.20	108	-9418.49	17	-491.53	101	-4562.39	101	-228.56	17	6859.66	49	-3360.03	105
306	Max	-467	7065.03	177	2814.69	158	939.54	65	2350.09	158	1960.69	161	5339.73	158	74867.50	98	32820.90	98
306	Max	-465	7065.03	177	2814.69	158	939.54	65	2350.09	158	1960.69	161	5339.73	158	74867.50	98	32820.90	98
306	Max	-503	7065.03	177	2814.69	158	939.54	65	2350.09	158	1960.69	161	5339.73	158	74867.50	98	32820.90	98
306	Max	-505	7065.03	177	2814.69	158	939.54	65	2350.09	158	1960.69	161	5339.73	158	74867.50	98	32820.90	98
306	Min.	-467	-1372.24	65	-9919.13	101	-9949.92	177	-66.76	177	-7286.78	102	41.48	17	11891.90	17	4980.81	65
306	Min.	-465	-1372.24	65	-9919.13	101	-9949.92	177	-66.76	177	-7286.78	102	41.48	17	11891.90	17	4980.81	65
306	Min.	-503	-1372.24	65	-9919.13	101	-9949.92	177	-66.76	177	-7286.78	102	41.48	17	11891.90	17	4980.81	65
306	Min.	-505	-1372.24	65	-9919.13	101	-9949.92	177	-66.76	177	-7286.78	102	41.48	17	11891.90	17	4980.81	65
306	Max	-517	3520.39	123	4415.54	122	760.95	173	3454.63	126	278.49	158	444.50	65	243.53	17	27465.20	102
306	Max	-515	3520.39	123	4415.54	122	760.95	173	3454.63	126	278.49	158	444.50	65	243.53	17	27465.20	102
306	Max	-882	3520.39	123	4415.54	122	760.95	173	3454.63	126	278.49	158	444.50	65	243.53	17	27465.20	102
306	Max	-925	3520.39	123	4415.54	122	760.95	173	3454.63	126	278.49	158	444.50	65	243.53	17	27465.20	102
306	Min.	-517	-4887.43	104	-6270.70	101	-4879.57	177	349.47	33	-9.26	17	-310.96	177	-2874.84	158	-1502.49	65
306	Min.	-515	-4887.43	104	-6270.70	101	-4879.57	177	349.47	33	-9.26	17	-310.96	177	-2874.84	158	-1502.49	65
306	Min.	-882	-4887.43	104	-6270.70	101	-4879.57	177	349.47	33	-9.26	17	-310.96	177	-2874.84	158	-1502.49	65
306	Min.	-925	-4887.43	104	-6270.70	101	-4879.57	177	349.47	33	-9.26	17	-310.96	177	-2874.84	158	-1502.49	65
306	Max	-501	6007.07	17	82808.40	177	5995.18	101	1745.36	158	17668.50	162	740.54	101	19585.00	98	21198.80	161
306	Max	-499	6007.07	17	82808.40	177	5995.18	101	1745.36	158	17668.50	162	740.54	101	19585.00	98	21198.80	161
306	Max	-537	6007.07	17	82808.40	177	5995.18	101	1745.36	158	17668.50	162	740.54	101	19585.00	98	21198.80	161
306	Max	301	6007.07	17	82808.40	177	5995.18	101	1745.36	158	17668.50	162	740.54	101	19585.00	98	21198.80	161
306	Min.	-501	-85888.60	177	-16413.80	101	-12947.30	177	-39.95	101	-984.67	101	-8562.02	162	2963.64	17	-17516.90	98
306	Min.	-499	-85888.60	177	-16413.80	101	-12947.30	177	-39.95	101	-984.67	101	-8562.02	162	2963.64	17	-17516.90	98
306	Min.	-537	-85888.60	177	-16413.80	101	-12947.30	177	-39.95	101	-984.67	101	-8562.02	162	2963.64	17	-17516.90	98
306	Min.	301	-85888.60	177	-16413.80	101	-12947.30	177	-39.95	101	-984.67	101	-8562.02	162	2963.64	17	-17516.90	98
306	Max	-463	1856.12	97	12365.80	177	2973.14	177	1.10	17	8661.83	161	3167.72	126	32166.30	98	43.51	65
306	Max	-461	1856.12	97	12365.80	177	2973.14	177	1.10	17	8661.83	161	3167.72	126	32166.30	98	43.51	65
306	Max	-499	1856.12	97	12365.80	177	2973.14	177	1.10	17	8661.83	161	3167.72	126	32166.30	98	43.51	65
306	Max	-501	1856.12	97	12365.80	177	2973.14	177	1.10	17	8661.83	161	3167.72	126	32166.30	98	43.51	65
306	Min.	-463	-21500.80	177	-8984.60	103	-1382.71	17	-1636.76	158	-7540.36	102	333.22	177	4969.79	17	-10112.70	158
306	Min.	-461	-21500.80	177	-8984.60	103	-1382.71	17	-1636.76	158	-7540.36	102	333.22	177	4969.79	17	-10112.70	158
306	Min.	-499	-21500.80	177	-8984.60	103	-1382.71	17	-1636.76	158	-7540.36	102	333.22	177	4969.79	17	-10112.70	158
306	Min.	-501	-21500.80	177	-8984.60	103	-1382.71	17	-1636.76	158	-7540.36	102	333.22	177	4969.79	17	-10112.70	158
306	Max	-469	1906.10	17	3583.92	158	962.60	65	1101.09	161	417.81	161	4119.10	126	56698.80	98	11807.90	98
306	Max	-467	1906.10	17	3583.92	158	962.60	65	1101.09	161	417.81	161	4119.10	126	56698.80	98	11807.90	98
306	Max	-505	1906.10	17	3583.92	158	962.60	65	1101.09	161	417.81	161	4119.10	126	56698.80	98	11807.90	98
306	Max	-507	1906.10	17	3583.92	158	962.60	65	1101.09	161	417.81	161	4119.10	126	56698.80	98	11807.90	98
306	Min.	-469	-5603.81	177	-9162.38	101	-4979.47	177	-885.25	102	-7840.06	102	-173.25	17	7633.25	161	560.71	177
306	Min.	-467	-5603.81	177	-9162.38	101	-4979.47	177	-885.25	102	-7840.06	102	-173.25	17	7633.25	161	560.71	177
306	Min.	-505	-5603.81	177	-9162.38	101	-4979.47	177	-885.25	102	-7840.06	102	-173.25	17	7633.25	161	560.71	177
306	Min.	-507	-5603.81	177	-9162.38	101	-4979.47	177	-885.25	102	-7840.06	102	-173.25	17	7633.25	161	560.71	177
306	Max	-533	481.99	17	129.06	142	274.05	106	42.32	65	4765.64	161	1372.78	161	9748.03	98	4838.95	98
306	Max	-531	481.99	17	129.06	142	274.05	106	42.32	65	4765.64	161	1372.78	161	9748.03	98	4838.95	98
306	Max	-1225	481.99	17	129.06	142	274.05	106	42.32	65	4765.64	161	1372.78	161	9748.03	98	4838.95	98
306	Max	-1270	481.99	17	129.06	142	274.05	106	42.32	65	4765.64	161	1372.78	161	9748.03	98	4838.95	98
306	Min.	-533	-1325.96	177	-2172.06	177	-1222.76	177	-125.59	177	-854.42	102	-271.24	102	-24910.00	161	-14234.60	161
306	Min.	-531	-1325.96	177	-2172.06	177	-1222.76	177	-125.59	177	-854.42	102	-271.24	102	-24910.00	161	-14234.60	161
306	Min.	-1225	-1325.96	177	-2172.06	177	-1222.76	177	-125.59	177	-854.42	102	-271.24	102	-24910.00	161	-14234.60	161
306	Min.	-1270	-1325.96	177	-2172.06	177	-1222.76	177	-125.59	177	-854.42	102	-271.24	102	-24910.00	161	-14234.60	161
306	Max	-507	4312.94	17	3170.65	177	2158.58	103	1259.05	166	300.55	161	2265.15	126	12109.50	102	16504.00	173
306	Max	-505	4312.94	17	3170.65	177	2158.58	103	1259.05	166	300.55	161	2265.15	126	12109.50	102	16504.00	173
306	Max	-661	4312.94	17	3170.65	177	2158.58	103	1259.05	166	300.55	161	2265.15	126	12109.50	102	16504.00	173
306	Max	-704	4312.94	17	3170.65	177	2158.58	103	1259.05	166	300.55	161	2265.15	126	12109.50	102	16504.00	173
306	Min.	-507	-6729.66	177	-4341.08	101	-2237.82	124	-341.00	101	-374.12	102	-97.14	177	-3235.09	161	-30203.00	161
306	Min.	-505	-6729.66	177	-4341.08	101	-2237.82	124	-341.00	101	-374.12	102	-97.14	177	-3235.09	161	-30203.00	161
306	Min.	-661	-6729.66	177	-4341.08	101	-2237.82	124	-341.00	101	-374.12	102	-97.14	177	-3235.09	161	-30203.00	161
306	Min.	-704	-6729.66	177	-4341.08	101	-2237.82	124	-341.00	101	-374.12	102	-97.14	177	-3235.09	161	-30203.00	161
306	Max	-443	547.03	124	2735.96	160	1272.34	173	124.41	161	-3456.91	161	-62.06	65	77106.20	102	15036.90	102
306	Max	-441	547.03	124	2735.96	160	1272.34	173	124.41	161	-3456.91	161	-62.06	65	77106.20	102	15036.90	102
306	Max	-479	547.03	124	2735.96	160	1272.34	173	124.41	161	-3456.91	161	-62.06	65	77106.20	102	15036.90	102
306	Max	-481	547.03	124	2735.96	160	1272.34	173	124.41	161	-3456.91	161	-62.06	65	77106.20	102	15036.90	102
306	Min.	-443	-97.74	103	-14738.00	103	-5717.25	177	-1386.83	98	-20235.70	102	-3884.31	102	14328.60	33	2008.39	161
306	Min.	-441	-97.74	103	-14738.00	103	-5717.25	177	-1386.83	98	-20235.70	102	-3884.31	102	14328.60	33	2008.39	161
306	Min.	-479	-97.74	103	-14738.00	103	-5717.25	177	-1386.83	98	-20235.70	102	-3884.31	102	14328.60	33	2008.39	161
306	Min.	-481	-97.74	103	-14738.00	103	-5717.25	177	-1386.83	98	-20235.70	102	-3884.31	102	14328.60	33	2008.39	161
306	Max	-481	2720.63	65	3115.05	160	1457.64	173	1811.75	126	-664.14	161	439.05	65	63500.90	102	2251.85	173
306	Max	-479	2720.63	65	3115.05	160	1457.64	173	1811.75	126	-664.14	161	439.05	65	63500.90	102	2251.85	173
306	Max	-517	2720.63	65	3115.05	160	1457.64	173	1811.75	126	-664.14	161	439.05	65	63500.90	102	2251.85	173
306	Max	-519	2720.63	65	3115.05	160	1457.64	173	1811.75	126	-664.14	161	439.05	65	63500.90	102	2251.85	173
306	Min.	-481	-2354.27	17	-9577.23	103	-5708.97	177	-45.81	17	-6326.71	102	-2261.42	126	10702.90	65	-2142.85	163
306	Min.	-479	-2354.27	17	-9577.23	103	-5708.97	177	-45.81	17	-6326.71	102	-2261.42	126	10702.90	65	-2142.85	163
306	Min.	-517	-2354.27	17	-9577.23	103	-5708.97	177	-45.81	17	-6326.71	102	-2261.42	126	10702.90	65	-2142.85	163
306	Min.	-519	-2354.27	17	-9577.23	103	-5708.97	177	-45.81	17	-6326.71	102	-2261.42	126	10702.90	65	-2142.85	163
306	Max	-487	2377.83	177	3584.27	158	1968.79	65	1111.94	161	455.64	161	154.44	65	57010.60	98	-1549.44	17
306	Max	-485	2377.83	177	3584.27	158	1968.79	65	1111.94	161	455.64	161	154.44	65	57010.60	98	-1549.44	17
306	Max	-523	2377.83	177	3584.27	158	1968.79	65	1111.94	161	455.64	161	154.44	65	57010.60	98	-1549.44	17
306	Max	-525	2377.83	177	3584.27	158	1968.79	65	1111.94	161	455.64	161	154.44	65	57010.60	98	-1549.44	17
306	Min.	-487	-1821.14	17	-9140.89	101	-2427.39	177	-855.43	102	-7819.99	102	-4154.43	126	7656.29	161	-12179.80	98
306	Min.	-485	-1821.14	17	-9140.89	101	-2427.39	177	-855.43	102	-7819.99	102	-4154.43	126	7656.29	161	-12179.80	98
306	Min.	-523	-1821.14	17	-9140.89	101	-2427.39	177	-855.43	102	-7819.99	102	-4154.43	126	7656.29	161	-12179.80	98
306	Min.	-525	-1821.14	17	-9140.89	101	-2427.39	177	-855.43	102	-7819.99	102	-4154.43	126	7656.29	161	-12179.80	98
306	Max	-433	1927.14	177	2125.10	158	840.13	65	65.62	161	-2174.24	161	3368.85	126	76853.70	102	3556.77	158
306	Max	-431	1927.14	177	2125.10	158	840.13	65	65.62	161	-2174.24	161	3368.85	126	76853.70	102	3556.77	158
306	Max	-469	1927.14	177	2125.10	158	840.13	65	65.62	161	-2174.24	161	3368.85	126	76853.70	102	3556.77	158
306	Max	-471	1927.14	177	2125.10	158	840.13	65	65.62	161	-2174.24	161	3368.85	126	76853.70	102	3556.77	158
306	Min.	-433	-1016.41	103	-12324.70	101	-4693.84	177	-2079.66	102	-21166.20	102	-169.77	17	13465.10	17	-77.42	65
306	Min.	-431	-1016.41	103	-12324.70	101	-4693.84	177	-2079.66	102	-21166.20	102	-169.77	17	13465.10	17	-77.42	65
306	Min.	-469	-1016.41	103	-12324.70	101	-4693.84	177	-2079.66	102	-21166.20	102	-169.77	17	13465.10	17	-77.42	65
306	Min.	-471	-1016.41	103	-12324.70	101	-4693.84	177	-2079.66	102	-21166.20	102	-169.77	17	13465.10	17	-77.42	65
306	Max	-499	5638.94	177	4947.35	177	562.44	125	214.14	177	4364.44	161	246.21	102	9413.92	98	13679.40	161
306	Max	-497	5638.94	177	4947.35	177	562.44	125	214.14	177	4364.44	161	246.21	102	9413.92	98	13679.40	161
306	Max	-535	5638.94	177	4947.35	177	562.44	125	214.14	177	4364.44	161	246.21	102	9413.92	98	13679.40	161
306	Max	-537	5638.94	177	4947.35	177	562.44	125	214.14	177	4364.44	161	246.21	102	9413.92	98	13679.40	161
306	Min.	-499	-902.73	17	-1553.06	101	-2100.69	177	-142.74	161	-846.77	102	-1147.43	161	-25934.70	161	-4414.92	98
306	Min.	-497	-902.73	17	-1553.06	101	-2100.69	177	-142.74	161	-846.77	102	-1147.43	161	-25934.70	161	-4414.92	98
306	Min.	-535	-902.73	17	-1553.06	101	-2100.69	177	-142.74	161	-846.77	102	-1147.43	161	-25934.70	161	-4414.92	98
306	Min.	-537	-902.73	17	-1553.06	101	-2100.69	177	-142.74	161	-846.77	102	-1147.43	161	-25934.70	161	-4414.92	98
306	Max	-473	2369.61	17	3241.03	159	1565.33	103	1549.84	160	-535.33	161	3358.99	126	75796.60	102	-4958.43	33
306	Max	-471	2369.61	17	3241.03	159	1565.33	103	1549.84	160	-535.33	161	3358.99	126	75796.60	102	-4958.43	33
306	Max	-509	2369.61	17	3241.03	159	1565.33	103	1549.84	160	-535.33	161	3358.99	126	75796.60	102	-4958.43	33

306	Max	-511	2369.61	17	3241.03	159	1565.33	103	1549.84	160	-535.33	161	3358.99	126	75796.60	102	-4958.43	33
306	Min.	-473	-2916.89	177	-10399.30	104	-4405.13	177	-208.53	65	-7559.25	102	-281.04	17	12669.40	17	-35005.90	102
306	Min.	-471	-2916.89	177	-10399.30	104	-4405.13	177	-208.53	65	-7559.25	102	-281.04	17	12669.40	17	-35005.90	102
306	Min.	-509	-2916.89	177	-10399.30	104	-4405.13	177	-208.53	65	-7559.25	102	-281.04	17	12669.40	17	-35005.90	102
306	Min.	-511	-2916.89	177	-10399.30	104	-4405.13	177	-208.53	65	-7559.25	102	-281.04	17	12669.40	17	-35005.90	102
306	Max	-477	1802.43	160	2638.34	159	4414.91	17	2112.28	126	-445.74	161	1001.35	102	41163.00	102	-4921.47	33
306	Max	-475	1802.43	160	2638.34	159	4414.91	17	2112.28	126	-445.74	161	1001.35	102	41163.00	102	-4921.47	33
306	Max	-513	1802.43	160	2638.34	159	4414.91	17	2112.28	126	-445.74	161	1001.35	102	41163.00	102	-4921.47	33
306	Max	-515	1802.43	160	2638.34	159	4414.91	17	2112.28	126	-445.74	161	1001.35	102	41163.00	102	-4921.47	33
306	Min.	-477	-3149.83	103	-7051.15	104	-7172.09	177	158.41	33	-4037.46	102	-597.04	17	6936.76	33	-31007.70	102
306	Min.	-475	-3149.83	103	-7051.15	104	-7172.09	177	158.41	33	-4037.46	102	-597.04	17	6936.76	33	-31007.70	102
306	Min.	-513	-3149.83	103	-7051.15	104	-7172.09	177	158.41	33	-4037.46	102	-597.04	17	6936.76	33	-31007.70	102
306	Min.	-515	-3149.83	103	-7051.15	104	-7172.09	177	158.41	33	-4037.46	102	-597.04	17	6936.76	33	-31007.70	102
306	Max	-491	1237.37	65	1014.84	158	1979.95	65	987.18	98	5921.10	161	-506.22	65	61870.20	98	19198.80	98
306	Max	-489	1237.37	65	1014.84	158	1979.95	65	987.18	98	5921.10	161	-506.22	65	61870.20	98	19198.80	98
306	Max	-527	1237.37	65	1014.84	158	1979.95	65	987.18	98	5921.10	161	-506.22	65	61870.20	98	19198.80	98
306	Max	-529	1237.37	65	1014.84	158	1979.95	65	987.18	98	5921.10	161	-506.22	65	61870.20	98	19198.80	98
306	Min.	-491	-1203.03	17	-9596.37	101	-1520.33	17	-5.82	17	-7256.99	102	-5799.38	158	9535.30	65	181.47	161
306	Min.	-489	-1203.03	17	-9596.37	101	-1520.33	17	-5.82	17	-7256.99	102	-5799.38	158	9535.30	65	181.47	161
306	Min.	-527	-1203.03	17	-9596.37	101	-1520.33	17	-5.82	17	-7256.99	102	-5799.38	158	9535.30	65	181.47	161
306	Min.	-529	-1203.03	17	-9596.37	101	-1520.33	17	-5.82	17	-7256.99	102	-5799.38	158	9535.30	65	181.47	161
306	Max	-509	5326.25	17	5003.31	158	2964.51	158	1456.33	161	177.91	161	1776.60	126	14298.50	102	773.34	17
306	Max	-507	5326.25	17	5003.31	158	2964.51	158	1456.33	161	177.91	161	1776.60	126	14298.50	102	773.34	17
306	Max	-704	5326.25	17	5003.31	158	2964.51	158	1456.33	161	177.91	161	1776.60	126	14298.50	102	773.34	17
306	Max	-749	5326.25	17	5003.31	158	2964.51	158	1456.33	161	177.91	161	1776.60	126	14298.50	102	773.34	17
306	Min.	-509	-9088.19	177	-6760.12	101	-3174.00	101	-958.17	98	-507.30	98	-192.53	17	641.59	161	-43780.60	126
306	Min.	-507	-9088.19	177	-6760.12	101	-3174.00	101	-958.17	98	-507.30	98	-192.53	17	641.59	161	-43780.60	126
306	Min.	-704	-9088.19	177	-6760.12	101	-3174.00	101	-958.17	98	-507.30	98	-192.53	17	641.59	161	-43780.60	126
306	Min.	-749	-9088.19	177	-6760.12	101	-3174.00	101	-958.17	98	-507.30	98	-192.53	17	641.59	161	-43780.60	126
306	Max	-485	2251.98	177	3549.23	158	1296.63	65	985.10	161	-281.24	161	213.22	65	56511.30	102	11276.00	102
306	Max	-483	2251.98	177	3549.23	158	1296.63	65	985.10	161	-281.24	161	213.22	65	56511.30	102	11276.00	102
306	Max	-521	2251.98	177	3549.23	158	1296.63	65	985.10	161	-281.24	161	213.22	65	56511.30	102	11276.00	102
306	Max	-523	2251.98	177	3549.23	158	1296.63	65	985.10	161	-281.24	161	213.22	65	56511.30	102	11276.00	102
306	Min.	-485	-1869.46	17	-9323.27	101	-3299.61	177	-1264.83	98	-8049.47	102	-3829.43	126	9581.63	65	183.84	177
306	Min.	-483	-1869.46	17	-9323.27	101	-3299.61	177	-1264.83	98	-8049.47	102	-3829.43	126	9581.63	65	183.84	177
306	Min.	-521	-1869.46	17	-9323.27	101	-3299.61	177	-1264.83	98	-8049.47	102	-3829.43	126	9581.63	65	183.84	177
306	Min.	-523	-1869.46	17	-9323.27	101	-3299.61	177	-1264.83	98	-8049.47	102	-3829.43	126	9581.63	65	183.84	177
306	Max	-427	1127.08	177	750.20	158	1744.97	65	124.54	161	1334.47	161	3699.03	126	53341.50	98	8906.07	158
306	Max	-425	1127.08	177	750.20	158	1744.97	65	124.54	161	1334.47	161	3699.03	126	53341.50	98	8906.07	158
306	Max	-463	1127.08	177	750.20	158	1744.97	65	124.54	161	1334.47	161	3699.03	126	53341.50	98	8906.07	158
306	Max	-465	1127.08	177	750.20	158	1744.97	65	124.54	161	1334.47	161	3699.03	126	53341.50	98	8906.07	158
306	Min.	-427	-1128.53	65	-10387.80	101	-2203.81	177	-1471.66	102	-18559.70	98	416.57	33	8528.90	17	1196.16	65
306	Min.	-425	-1128.53	65	-10387.80	101	-2203.81	177	-1471.66	102	-18559.70	98	416.57	33	8528.90	17	1196.16	65
306	Min.	-463	-1128.53	65	-10387.80	101	-2203.81	177	-1471.66	102	-18559.70	98	416.57	33	8528.90	17	1196.16	65
306	Min.	-465	-1128.53	65	-10387.80	101	-2203.81	177	-1471.66	102	-18559.70	98	416.57	33	8528.90	17	1196.16	65
306	Max	-423	1819.08	17	10453.10	177	3291.72	177	-95.04	161	3182.70	161	2265.75	126	19140.10	98	1097.95	157
306	Max	-421	1819.08	17	10453.10	177	3291.72	177	-95.04	161	3182.70	161	2265.75	126	19140.10	98	1097.95	157
306	Max	-459	1819.08	17	10453.10	177	3291.72	177	-95.04	161	3182.70	161	2265.75	126	19140.10	98	1097.95	157
306	Max	-461	1819.08	17	10453.10	177	3291.72	177	-95.04	161	3182.70	161	2265.75	126	19140.10	98	1097.95	157
306	Min.	-423	-3851.88	177	-10959.30	103	-1811.73	17	-1029.84	98	-17183.20	98	341.70	33	-3233.18	161	-350.39	173
306	Min.	-421	-3851.88	177	-10959.30	103	-1811.73	17	-1029.84	98	-17183.20	98	341.70	33	-3233.18	161	-350.39	173
306	Min.	-459	-3851.88	177	-10959.30	103	-1811.73	17	-1029.84	98	-17183.20	98	341.70	33	-3233.18	161	-350.39	173
306	Min.	-461	-3851.88	177	-10959.30	103	-1811.73	17	-1029.84	98	-17183.20	98	341.70	33	-3233.18	161	-350.39	173
306	Max	-489	1286.36	65	2820.76	158	2171.88	65	2381.85	158	2009.30	161	-60.63	65	75101.50	98	-4975.79	17
306	Max	-487	1286.36	65	2820.76	158	2171.88	65	2381.85	158	2009.30	161	-60.63	65	75101.50	98	-4975.79	17
306	Max	-525	1286.36	65	2820.76	158	2171.88	65	2381.85	158	2009.30	161	-60.63	65	75101.50	98	-4975.79	17
306	Max	-527	1286.36	65	2820.76	158	2171.88	65	2381.85	158	2009.30	161	-60.63	65	75101.50	98	-4975.79	17
306	Min.	-489	-1333.73	17	-9924.61	101	-2493.05	177	-22.80	17	-7265.94	102	-5400.91	158	11743.70	65	-33310.30	98
306	Min.	-487	-1333.73	17	-9924.61	101	-2493.05	177	-22.80	17	-7265.94	102	-5400.91	158	11743.70	65	-33310.30	98
306	Min.	-525	-1333.73	17	-9924.61	101	-2493.05	177	-22.80	17	-7265.94	102	-5400.91	158	11743.70	65	-33310.30	98
306	Min.	-527	-1333.73	17	-9924.61	101	-2493.05	177	-22.80	17	-7265.94	102	-5400.91	158	11743.70	65	-33310.30	98
306	Max	-455	1273.73	99	58.29	159	2068.85	65	336.82	161	2570.21	161	-500.69	65	44053.60	98	1231.60	98
306	Max	-453	1273.73	99	58.29	159	2068.85	65	336.82	161	2570.21	161	-500.69	65	44053.60	98	1231.60	98
306	Max	-491	1273.73	99	58.29	159	2068.85	65	336.82	161	2570.21	161	-500.69	65	44053.60	98	1231.60	98
306	Max	-493	1273.73	99	58.29	159	2068.85	65	336.82	161	2570.21	161	-500.69	65	44053.60	98	1231.60	98
306	Min.	-455	-1244.17	128	-9895.33	104	-2200.55	17	-1057.98	102	-17060.00	98	-3435.49	126	6354.43	65	-4279.76	161
306	Min.	-453	-1244.17	128	-9895.33	104	-2200.55	17	-1057.98	102	-17060.00	98	-3435.49	126	6354.43	65	-4279.76	161
306	Min.	-491	-1244.17	128	-9895.33	104	-2200.55	17	-1057.98	102	-17060.00	98	-3435.49	126	6354.43	65	-4279.76	161
306	Min.	-493	-1244.17	128	-9895.33	104	-2200.55	17	-1057.98	102	-17060.00	98	-3435.49	126	6354.43	65	-4279.76	161
306	Max	-437	546.75	123	2730.94	159	3002.34	101	123.30	161	-3442.27	161	3876.29	102	76761.30	102	-2008.43	161
306	Max	-435	546.75	123	2730.94	159	3002.34	101	123.30	161	-3442.27	161	3876.29	102	76761.30	102	-2008.43	161
306	Max	-473	546.75	123	2730.94	159	3002.34	101	123.30	161	-3442.27	161	3876.29	102	76761.30	102	-2008.43	161
306	Max	-475	546.75	123	2730.94	159	3002.34	101	123.30	161	-3442.27	161	3876.29	102	76761.30	102	-2008.43	161
306	Min.	-437	-102.12	104	-14726.80	104	-4165.85	177	-1391.11	98	-20185.40	102	46.98	17	13846.20	33	-15021.10	102
306	Min.	-435	-102.12	104	-14726.80	104	-4165.85	177	-1391.11	98	-20185.40	102	46.98	17	13846.20	33	-15021.10	102
306	Min.	-473	-102.12	104	-14726.80	104	-4165.85	177	-1391.11	98	-20185.40	102	46.98	17	13846.20	33	-15021.10	102
306	Min.	-475	-102.12	104	-14726.80	104	-4165.85	177	-1391.11	98	-20185.40	102	46.98	17	13846.20	33	-15021.10	102
306	Max	-451	483.50	167	1433.16	158	2077.05	65	-34.77	161	205.38	161	-110.27	65	61391.00	98	4910.37	98
306	Max	-449	483.50	167	1433.16	158	2077.05	65	-34.77	161	205.38	161	-110.27	65	61391.00	98	4910.37	98
306	Max	-487	483.50	167	1433.16	158	2077.05	65	-34.77	161	205.38	161	-110.27	65	61391.00	98	4910.37	98
306	Max	-489	483.50	167	1433.16	158	2077.05	65	-34.77	161	205.38	161	-110.27	65	61391.00	98	4910.37	98
306	Min.	-451	-1312.82	104	-10761.10	101	-1354.76	177	-1805.00	102	-19846.40	98	-3592.35	126	10210.40	65	-5428.86	161
306	Min.	-449	-1312.82	104	-10761.10	101	-1354.76	177	-1805.00	102	-19846.40	98	-3592.35	126	10210.40	65	-5428.86	161
306	Min.	-487	-1312.82	104	-10761.10	101	-1354.76	177	-1805.00	102	-19846.40	98	-3592.35	126	10210.40	65	-5428.86	161
306	Min.	-489	-1312.82	104	-10761.10	101	-1354.76	177	-1805.00	102	-19846.40	98	-3592.35	126	10210.40	65	-5428.86	161
306	Max	-425	951.85	100	7893.31	177	2204.58	65	310.03	161	2575.21	161	3409.86	126	43358.90	98	4044.93	161
306	Max	-423	951.85	100	7893.31	177	2204.58	65	310.03	161	2575.21	161	3409.86	126	43358.90	98	4044.93	161
306	Max	-461	951.85	100	7893.31	177	2204.58	65	310.03	161	2575.21	161	3409.86	126	43358.90	98	4044.93	161
306	Max	-463	951.85	100	7893.31	177	2204.58	65	310.03	161	2575.21	161	3409.86	126	43358.90	98	4044.93	161
306	Min.	-425	-6621.99	177	-9955.98	103	-2064.91	17	-1059.89	102	-17094.90	98	453.80	33	6344.01	17	-1756.43	173
306	Min.	-423	-6621.99	177	-9955.98	103	-2064.91	17	-1059.89	102	-17094.90	98	453.80	33	6344.01	17	-1756.43	173
306	Min.	-461	-6621.99	177	-9955.98	103	-2064.91	17	-1059.89	102	-17094.90	98	453.80	33	6344.01	17	-1756.43	173
306	Min.	-463	-6621.99	177	-9955.98	103	-2064.91	17	-1059.89	102	-17094.90	98	453.80	33	6344.01	17	-1756.43	173
306	Max	-431	2663.53	177	1815.93	158	927.23	65	187.39	161	-900.47	161	3552.37	126	70207.80	102	6395.13	158
306	Max	-429	2663.53	177	1815.93	158	927.23	65	187.39	161	-900.47	161	3552.37	126	70207.80	102	6395.13	158
306	Max	-467	2663.53	177	1815.93	158	927.23	65	187.39	161	-900.47	161	3552.37	126	70207.80	102	6395.13	158
306	Max	-469	2663.53	177	1815.93	158	927.23	65	187.39	161	-900.47	161	3552.37	126	70207.80	102	6395.13	158
306	Min.	-431	-1095.92	103	-11371.10	101	-4191.86	177	-1922.18	102	-20324.30	102	-76.03	17	12080.80	17	428.82	65
306	Min.	-429	-1095.92	103	-11371.10	101	-4191.86	177	-1922.18	102	-20324.30	102	-76.03	17	12080.80	17	428.82	65
306	Min.	-467	-1095.92	103	-11371.10	101	-4191.86	177	-1922.18	102	-20324.30	102	-76.03	17	12080.80	17	428.82	65
306	Min.	-469	-1095.92	103	-11371.10	101	-4191.86	177	-1922.18	102	-20324.30	102	-76.03	17	12080.80	17	428.82	65
306	Max	-511	5791.02	17	6309.88	122	3808.84	101	3100.23	126	739.70	126	1233.28	158	-1273.87	65	-4963.07	17
306	Max	-509	5791.02	17	6309.88	122	3808.84	101	3100.23	126	739.70	126	1233.28	158	-1273.87	65	-4963.07	17
306	Max	-749	5791.02	17	6309.88	122	3808.84	101	3100.23	126	739.70	126	1233.28	158	-1273.87	65	-4963.07	17
306	Max	-794	5791.02	17	6309.88	122	3808.84	101	3100.23	126	739.70	126	1233.28	158	-1273.87	65	-4963.07	17

306	Min.	-511	-7858.62	177	-8093.79	101	-2279.84	177	-2.61	65	61.40	65	-309.43	17	-11942.90	102	-59527.70	102
306	Min.	-509	-7858.62	177	-8093.79	101	-2279.84	177	-2.61	65	61.40	65	-309.43	17	-11942.90	102	-59527.70	102
306	Min.	-749	-7858.62	177	-8093.79	101	-2279.84	177	-2.61	65	61.40	65	-309.43	17	-11942.90	102	-59527.70	102
306	Min.	-794	-7858.62	177	-8093.79	101	-2279.84	177	-2.61	65	61.40	65	-309.43	17	-11942.90	102	-59527.70	102
306	Max	-515	3488.58	124	4127.42	122	1250.45	173	3417.72	126	272.81	158	271.29	65	263.21	65	1659.81	17
306	Max	-513	3488.58	124	4127.42	122	1250.45	173	3417.72	126	272.81	158	271.29	65	263.21	65	1659.81	17
306	Max	-837	3488.58	124	4127.42	122	1250.45	173	3417.72	126	272.81	158	271.29	65	263.21	65	1659.81	17
306	Max	-882	3488.58	124	4127.42	122	1250.45	173	3417.72	126	272.81	158	271.29	65	263.21	65	1659.81	17
306	Min.	-515	-4806.17	103	-5902.90	101	-4368.48	177	368.34	33	-11.80	65	-547.53	173	-2831.68	158	-27317.00	102
306	Min.	-513	-4806.17	103	-5902.90	101	-4368.48	177	368.34	33	-11.80	65	-547.53	173	-2831.68	158	-27317.00	102
306	Min.	-837	-4806.17	103	-5902.90	101	-4368.48	177	368.34	33	-11.80	65	-547.53	173	-2831.68	158	-27317.00	102
306	Min.	-882	-4806.17	103	-5902.90	101	-4368.48	177	368.34	33	-11.80	65	-547.53	173	-2831.68	158	-27317.00	102
306	Max	-521	6181.77	177	6296.03	122	2004.34	122	3088.23	126	734.33	126	300.04	65	-1239.38	17	59814.10	102
306	Max	-519	6181.77	177	6296.03	122	2004.34	122	3088.23	126	734.33	126	300.04	65	-1239.38	17	59814.10	102
306	Max	-970	6181.77	177	6296.03	122	2004.34	122	3088.23	126	734.33	126	300.04	65	-1239.38	17	59814.10	102
306	Max	-1013	6181.77	177	6296.03	122	2004.34	122	3088.23	126	734.33	126	300.04	65	-1239.38	17	59814.10	102
306	Min.	-521	-4333.82	17	-8068.28	101	-3801.63	101	-11.33	17	59.27	17	-1242.79	158	-11853.70	102	5154.55	65
306	Min.	-519	-4333.82	17	-8068.28	101	-3801.63	101	-11.33	17	59.27	17	-1242.79	158	-11853.70	102	5154.55	65
306	Min.	-970	-4333.82	17	-8068.28	101	-3801.63	101	-11.33	17	59.27	17	-1242.79	158	-11853.70	102	5154.55	65
306	Min.	-1013	-4333.82	17	-8068.28	101	-3801.63	101	-11.33	17	59.27	17	-1242.79	158	-11853.70	102	5154.55	65
306	Max	-513	5527.64	17	2785.45	122	607.21	173	2910.25	126	472.29	126	1063.13	126	-374.90	65	16709.70	173
306	Max	-511	5527.64	17	2785.45	122	607.21	173	2910.25	126	472.29	126	1063.13	126	-374.90	65	16709.70	173
306	Max	-794	5527.64	17	2785.45	122	607.21	173	2910.25	126	472.29	126	1063.13	126	-374.90	65	16709.70	173
306	Max	-837	5527.64	17	2785.45	122	607.21	173	2910.25	126	472.29	126	1063.13	126	-374.90	65	16709.70	173
306	Min.	-513	-7171.60	177	-4826.72	101	-4556.98	177	44.38	65	22.18	65	-280.38	177	-6446.86	126	-5198.40	161
306	Min.	-511	-7171.60	177	-4826.72	101	-4556.98	177	44.38	65	22.18	65	-280.38	177	-6446.86	126	-5198.40	161
306	Min.	-794	-7171.60	177	-4826.72	101	-4556.98	177	44.38	65	22.18	65	-280.38	177	-6446.86	126	-5198.40	161
306	Min.	-837	-7171.60	177	-4826.72	101	-4556.98	177	44.38	65	22.18	65	-280.38	177	-6446.86	126	-5198.40	161
306	Max	-439	654.25	159	1405.81	65	7226.22	17	308.58	161	-1365.01	161	4854.85	102	17930.40	102	-1076.36	161
306	Max	-437	654.25	159	1405.81	65	7226.22	17	308.58	161	-1365.01	161	4854.85	102	17930.40	102	-1076.36	161
306	Max	-475	654.25	159	1405.81	65	7226.22	17	308.58	161	-1365.01	161	4854.85	102	17930.40	102	-1076.36	161
306	Max	-477	654.25	159	1405.81	65	7226.22	17	308.58	161	-1365.01	161	4854.85	102	17930.40	102	-1076.36	161
306	Min.	-439	-2427.57	104	-3994.85	104	-8561.07	177	-240.35	98	-7550.19	102	228.77	17	2597.12	33	-9469.00	102
306	Min.	-437	-2427.57	104	-3994.85	104	-8561.07	177	-240.35	98	-7550.19	102	228.77	17	2597.12	33	-9469.00	102
306	Min.	-475	-2427.57	104	-3994.85	104	-8561.07	177	-240.35	98	-7550.19	102	228.77	17	2597.12	33	-9469.00	102
306	Min.	-477	-2427.57	104	-3994.85	104	-8561.07	177	-240.35	98	-7550.19	102	228.77	17	2597.12	33	-9469.00	102
306	Max	-529	3453.95	177	4747.13	97	2199.98	127	2626.41	122	12033.30	158	-90.18	65	-535.60	17	91310.90	158
306	Max	-527	3453.95	177	4747.13	97	2199.98	127	2626.41	122	12033.30	158	-90.18	65	-535.60	17	91310.90	158
306	Max	-1146	3453.95	177	4747.13	97	2199.98	127	2626.41	122	12033.30	158	-90.18	65	-535.60	17	91310.90	158
306	Max	320	3453.95	177	4747.13	97	2199.98	127	2626.41	122	12033.30	158	-90.18	65	-535.60	17	91310.90	158
306	Min.	-529	-2229.43	104	-4752.00	162	-3153.33	177	210.18	17	19.27	17	-7511.08	158	-7024.05	122	7578.57	65
306	Min.	-527	-2229.43	104	-4752.00	162	-3153.33	177	210.18	17	19.27	17	-7511.08	158	-7024.05	122	7578.57	65
306	Min.	-1146	-2229.43	104	-4752.00	162	-3153.33	177	210.18	17	19.27	17	-7511.08	158	-7024.05	122	7578.57	65
306	Min.	320	-2229.43	104	-4752.00	162	-3153.33	177	210.18	17	19.27	17	-7511.08	158	-7024.05	122	7578.57	65
306	Max	-447	359.36	159	2129.74	158	1554.31	65	65.43	161	-2163.22	161	156.80	65	76822.40	102	49.77	17
306	Max	-445	359.36	159	2129.74	158	1554.31	65	65.43	161	-2163.22	161	156.80	65	76822.40	102	49.77	17
306	Max	-483	359.36	159	2129.74	158	1554.31	65	65.43	161	-2163.22	161	156.80	65	76822.40	102	49.77	17
306	Max	-485	359.36	159	2129.74	158	1554.31	65	65.43	161	-2163.22	161	156.80	65	76822.40	102	49.77	17
306	Min.	-447	-1030.65	104	-12314.10	101	-3251.73	177	-2081.39	102	-21154.80	102	-3385.31	126	13325.30	65	-3579.82	158
306	Min.	-445	-1030.65	104	-12314.10	101	-3251.73	177	-2081.39	102	-21154.80	102	-3385.31	126	13325.30	65	-3579.82	158
306	Min.	-483	-1030.65	104	-12314.10	101	-3251.73	177	-2081.39	102	-21154.80	102	-3385.31	126	13325.30	65	-3579.82	158
306	Min.	-485	-1030.65	104	-12314.10	101	-3251.73	177	-2081.39	102	-21154.80	102	-3385.31	126	13325.30	65	-3579.82	158
306	Max	-525	5570.97	177	2802.70	158	2136.33	123	1247.69	166	263.48	161	-8.83	65	11667.90	102	30482.40	161
306	Max	-523	5570.97	177	2802.70	158	2136.33	123	1247.69	166	263.48	161	-8.83	65	11667.90	102	30482.40	161
306	Max	-1058	5570.97	177	2802.70	158	2136.33	123	1247.69	166	263.48	161	-8.83	65	11667.90	102	30482.40	161
306	Max	-1103	5570.97	177	2802.70	158	2136.33	123	1247.69	166	263.48	161	-8.83	65	11667.90	102	30482.40	161
306	Min.	-525	-2867.88	17	-4858.17	177	-2985.57	177	-309.62	173	-352.07	102	-2270.52	126	-3552.53	161	-9760.66	65
306	Min.	-523	-2867.88	17	-4858.17	177	-2985.57	177	-309.62	173	-352.07	102	-2270.52	126	-3552.53	161	-9760.66	65
306	Min.	-1058	-2867.88	17	-4858.17	177	-2985.57	177	-309.62	173	-352.07	102	-2270.52	126	-3552.53	161	-9760.66	65
306	Min.	-1103	-2867.88	17	-4858.17	177	-2985.57	177	-309.62	173	-352.07	102	-2270.52	126	-3552.53	161	-9760.66	65
306	Max	-457	1941.40	65	573.20	143	1843.87	65	-81.11	161	3175.82	161	-366.95	65	19909.40	98	231.56	65
306	Max	-455	1941.40	65	573.20	143	1843.87	65	-81.11	161	3175.82	161	-366.95	65	19909.40	98	231.56	65
306	Max	-493	1941.40	65	573.20	143	1843.87	65	-81.11	161	3175.82	161	-366.95	65	19909.40	98	231.56	65
306	Max	-495	1941.40	65	573.20	143	1843.87	65	-81.11	161	3175.82	161	-366.95	65	19909.40	98	231.56	65
306	Min.	-457	-2743.47	17	-10813.70	104	-2155.22	17	-1028.94	98	-17141.30	98	-2331.29	126	-2883.54	161	-1211.11	157
306	Min.	-455	-2743.47	17	-10813.70	104	-2155.22	17	-1028.94	98	-17141.30	98	-2331.29	126	-2883.54	161	-1211.11	157
306	Min.	-493	-2743.47	17	-10813.70	104	-2155.22	17	-1028.94	98	-17141.30	98	-2331.29	126	-2883.54	161	-1211.11	157
306	Min.	-495	-2743.47	17	-10813.70	104	-2155.22	17	-1028.94	98	-17141.30	98	-2331.29	126	-2883.54	161	-1211.11	157
306	Max	-495	537.65	65	678.38	107	373.19	107	27.54	65	7855.51	161	-216.93	65	17218.50	98	5162.56	166
306	Max	-493	537.65	65	678.38	107	373.19	107	27.54	65	7855.51	161	-216.93	65	17218.50	98	5162.56	166
306	Max	-531	537.65	65	678.38	107	373.19	107	27.54	65	7855.51	161	-216.93	65	17218.50	98	5162.56	166
306	Max	-533	537.65	65	678.38	107	373.19	107	27.54	65	7855.51	161	-216.93	65	17218.50	98	5162.56	166
306	Min.	-495	-558.45	17	-7648.61	177	-720.68	104	-186.73	157	-7326.28	98	-1299.98	102	-6164.65	161	-469.26	101
306	Min.	-493	-558.45	17	-7648.61	177	-720.68	104	-186.73	157	-7326.28	98	-1299.98	102	-6164.65	161	-469.26	101
306	Min.	-531	-558.45	17	-7648.61	177	-720.68	104	-186.73	157	-7326.28	98	-1299.98	102	-6164.65	161	-469.26	101
306	Min.	-533	-558.45	17	-7648.61	177	-720.68	104	-186.73	157	-7326.28	98	-1299.98	102	-6164.65	161	-469.26	101
306	Max	-531	13116.00	177	6038.70	130	2144.03	106	1839.50	158	18222.30	162	9021.89	162	19973.20	98	18117.90	98
306	Max	-529	13116.00	177	6038.70	130	2144.03	106	1839.50	158	18222.30	162	9021.89	162	19973.20	98	18117.90	98
306	Max	320	13116.00	177	6038.70	130	2144.03	106	1839.50	158	18222.30	162	9021.89	162	19973.20	98	18117.90	98
306	Max	-1225	13116.00	177	6038.70	130	2144.03	106	1839.50	158	18222.30	162	9021.89	162	19973.20	98	18117.90	98
306	Min.	-531	-7906.54	166	-17114.10	101	-6312.54	101	-427.08	177	-985.17	101	-753.02	101	2978.12	65	-21275.90	161
306	Min.	-529	-7906.54	166	-17114.10	101	-6312.54	101	-427.08	177	-985.17	101	-753.02	101	2978.12	65	-21275.90	161
306	Min.	320	-7906.54	166	-17114.10	101	-6312.54	101	-427.08	177	-985.17	101	-753.02	101	2978.12	65	-21275.90	161
306	Min.	-1225	-7906.54	166	-17114.10	101	-6312.54	101	-427.08	177	-985.17	101	-753.02	101	2978.12	65	-21275.90	161
306	Max	-471	2128.66	17	3550.14	158	1031.58	65	992.53	161	-280.67	161	3811.01	126	56595.80	102	-329.75	17
306	Max	-469	2128.66	17	3550.14	158	1031.58	65	992.53	161	-280.67	161	3811.01	126	56595.80	102	-329.75	17
306	Max	-507	2128.66	17	3550.14	158	1031.58	65	992.53	161	-280.67	161	3811.01	126	56595.80	102	-329.75	17
306	Max	-509	2128.66	17	3550.14	158	1031.58	65	992.53	161	-280.67	161	3811.01	126	56595.80	102	-329.75	17
306	Min.	-471	-3871.28	177	-9338.93	101	-4216.80	177	-1253.42	98	-8049.94	102	-229.02	17	9687.56	17	-11219.80	102
306	Min.	-469	-3871.28	177	-9338.93	101	-4216.80	177	-1253.42	98	-8049.94	102	-229.02	17	9687.56	17	-11219.80	102
306	Min.	-507	-3871.28	177	-9338.93	101	-4216.80	177	-1253.42	98	-8049.94	102	-229.02	17	9687.56	17	-11219.80	102
306	Min.	-509	-3871.28	177	-9338.93	101	-4216.80	177	-1253.42	98	-8049.94	102	-229.02	17	9687.56	17	-11219.80	102
306	Max	-449	215.97	159	1824.83	158	1915.12	65	185.11	161	-854.99	161	60.84	65	69881.80	102	-403.90	17
306	Max	-447	215.97	159	1824.83	158	1915.12	65	185.11	161	-854.99	161	60.84	65	69881.80	102	-403.90	17
306	Max	-485	215.97	159	1824.83	158	1915.12	65	185.11	161	-854.99	161	60.84	65	69881.80	102	-403.90	17
306	Max	-487	215.97	159	1824.83	158	1915.12	65	185.11	161	-854.99	161	60.84	65	69881.80	102	-403.90	17
306	Min.	-449	-1088.10	104	-11320.80	101	-2350.96	177	-1920.07	102	-20292.00	102	-3567.78	126	11877.90	65	-6398.03	158
306	Min.	-447	-1088.10	104	-11320.80	101	-2350.96	177	-1920.07	102	-20292.00	102	-3567.78	126	11877.90	65	-6398.03	158
306	Min.	-485	-1088.10	104	-11320.80	101	-2350.96	177	-1920.07	102	-20292.00	102	-3567.78	126	11877.90	65	-6398.03	158
306	Min.	-487	-1088.10	104	-11320.80	101	-2350.96	177	-1920.07	102	-20292.00	102	-3567.78	126	11877.90	65	-6398.03	158
306	Max	-441	656.82	17	1475.03	17	4906.15	17	309.59	161	-1379.05	161	-273.84	65	18196.10	102	9677.37	102
306	Max	-439	656.82	17	1475.03	17	4906.15	17	309.59	161	-1379.05	161	-273.84	65	18196.10	102	9677.37	102
306	Max	-477	656.82	17	1475.03	17	4906.15	17	309.59	161	-1379.05	161	-273.84	65	18196.10	102	9677.37	102
306	Max	-479	656.82	17	1475.03	17	4906.15	17	309.59	161	-1379.05	161	-273.84	65	18196.10	102	9677.37	102
306	Min.	-441	-2420.10	103	-4163.65	103	-11182.70	177	-236.27	98	-7600.13	102	-4981.48	102	2663.41	65	1099.57	161

306	Min.	-439	-2420.10	103	-4163.65	103	-11182.70	177	-236.27	98	-7600.13	102	-4981.48	102	2663.41	65	1099.57	161
306	Min.	-477	-2420.10	103	-4163.65	103	-11182.70	177	-236.27	98	-7600.13	102	-4981.48	102	2663.41	65	1099.57	161
306	Min.	-479	-2420.10	103	-4163.65	103	-11182.70	177	-236.27	98	-7600.13	102	-4981.48	102	2663.41	65	1099.57	161
306	Max	-503	1570.17	160	4723.77	97	308.19	107	2650.17	122	12007.50	158	7498.95	158	-558.59	65	-7701.41	17
306	Max	-501	1570.17	160	4723.77	97	308.19	107	2650.17	122	12007.50	158	7498.95	158	-558.59	65	-7701.41	17
306	Max	301	1570.17	160	4723.77	97	308.19	107	2650.17	122	12007.50	158	7498.95	158	-558.59	65	-7701.41	17
306	Max	-618	1570.17	160	4723.77	97	308.19	107	2650.17	122	12007.50	158	7498.95	158	-558.59	65	-7701.41	17
306	Min.	-503	-10524.50	177	-61024.30	177	-10650.40	177	-73.19	177	22.32	65	-470.31	177	-7105.24	122	-91463.20	158
306	Min.	-501	-10524.50	177	-61024.30	177	-10650.40	177	-73.19	177	22.32	65	-470.31	177	-7105.24	122	-91463.20	158
306	Min.	301	-10524.50	177	-61024.30	177	-10650.40	177	-73.19	177	22.32	65	-470.31	177	-7105.24	122	-91463.20	158
306	Min.	-618	-10524.50	177	-61024.30	177	-10650.40	177	-73.19	177	22.32	65	-470.31	177	-7105.24	122	-91463.20	158
306	Max	-475	2715.72	17	3100.69	159	2221.11	104	1790.62	126	-663.93	161	2241.76	126	63361.20	102	2273.54	128
306	Max	-473	2715.72	17	3100.69	159	2221.11	104	1790.62	126	-663.93	161	2241.76	126	63361.20	102	2273.54	128
306	Max	-511	2715.72	17	3100.69	159	2221.11	104	1790.62	126	-663.93	161	2241.76	126	63361.20	102	2273.54	128
306	Max	-513	2715.72	17	3100.69	159	2221.11	104	1790.62	126	-663.93	161	2241.76	126	63361.20	102	2273.54	128
306	Min.	-475	-3604.58	177	-9551.47	104	-5104.39	177	-47.44	65	-6327.17	102	-456.09	17	10730.70	33	-1495.80	65
306	Min.	-473	-3604.58	177	-9551.47	104	-5104.39	177	-47.44	65	-6327.17	102	-456.09	17	10730.70	33	-1495.80	65
306	Min.	-511	-3604.58	177	-9551.47	104	-5104.39	177	-47.44	65	-6327.17	102	-456.09	17	10730.70	33	-1495.80	65
306	Min.	-513	-3604.58	177	-9551.47	104	-5104.39	177	-47.44	65	-6327.17	102	-456.09	17	10730.70	33	-1495.80	65
306	Max	-453	607.60	65	778.41	158	2188.74	65	124.99	161	1360.08	161	-453.57	65	53182.70	98	-1143.03	33
306	Max	-451	607.60	65	778.41	158	2188.74	65	124.99	161	1360.08	161	-453.57	65	53182.70	98	-1143.03	33
306	Max	-489	607.60	65	778.41	158	2188.74	65	124.99	161	1360.08	161	-453.57	65	53182.70	98	-1143.03	33
306	Max	-491	607.60	65	778.41	158	2188.74	65	124.99	161	1360.08	161	-453.57	65	53182.70	98	-1143.03	33
306	Min.	-453	-1127.52	17	-10368.10	101	-1747.29	17	-1473.48	102	-18520.30	98	-3705.89	126	8380.21	65	-8916.83	158
306	Min.	-451	-1127.52	17	-10368.10	101	-1747.29	17	-1473.48	102	-18520.30	98	-3705.89	126	8380.21	65	-8916.83	158
306	Min.	-489	-1127.52	17	-10368.10	101	-1747.29	17	-1473.48	102	-18520.30	98	-3705.89	126	8380.21	65	-8916.83	158
306	Min.	-491	-1127.52	17	-10368.10	101	-1747.29	17	-1473.48	102	-18520.30	98	-3705.89	126	8380.21	65	-8916.83	158
306	Max	-461	621.39	17	15186.10	177	720.40	103	49.16	173	7797.65	161	1227.77	102	16698.30	98	469.23	101
306	Max	-459	621.39	17	15186.10	177	720.40	103	49.16	173	7797.65	161	1227.77	102	16698.30	98	469.23	101
306	Max	-497	621.39	17	15186.10	177	720.40	103	49.16	173	7797.65	161	1227.77	102	16698.30	98	469.23	101
306	Max	-499	621.39	17	15186.10	177	720.40	103	49.16	173	7797.65	161	1227.77	102	16698.30	98	469.23	101
306	Min.	-461	-595.14	65	-7644.53	103	-365.16	108	-127.23	157	-7330.19	98	107.56	177	-7144.54	161	-4920.46	166
306	Min.	-459	-595.14	65	-7644.53	103	-365.16	108	-127.23	157	-7330.19	98	107.56	177	-7144.54	161	-4920.46	166
306	Min.	-497	-595.14	65	-7644.53	103	-365.16	108	-127.23	157	-7330.19	98	107.56	177	-7144.54	161	-4920.46	166
306	Min.	-499	-595.14	65	-7644.53	103	-365.16	108	-127.23	157	-7330.19	98	107.56	177	-7144.54	161	-4920.46	166
306	Max	-479	1785.52	159	2674.91	160	3150.91	17	2138.32	126	-444.62	161	581.79	65	41326.80	102	31459.80	102
306	Max	-477	1785.52	159	2674.91	160	3150.91	17	2138.32	126	-444.62	161	581.79	65	41326.80	102	31459.80	102
306	Max	-515	1785.52	159	2674.91	160	3150.91	17	2138.32	126	-444.62	161	581.79	65	41326.80	102	31459.80	102
306	Max	-517	1785.52	159	2674.91	160	3150.91	17	2138.32	126	-444.62	161	581.79	65	41326.80	102	31459.80	102
306	Min.	-479	-3089.64	104	-7144.40	103	-8483.04	177	144.57	33	-4032.31	102	-1252.99	173	7084.33	33	5389.25	65
306	Min.	-477	-3089.64	104	-7144.40	103	-8483.04	177	144.57	33	-4032.31	102	-1252.99	173	7084.33	33	5389.25	65
306	Min.	-515	-3089.64	104	-7144.40	103	-8483.04	177	144.57	33	-4032.31	102	-1252.99	173	7084.33	33	5389.25	65
306	Min.	-517	-3089.64	104	-7144.40	103	-8483.04	177	144.57	33	-4032.31	102	-1252.99	173	7084.33	33	5389.25	65
306	Max	-519	5515.23	65	2766.73	122	1328.45	173	2939.73	126	476.20	126	260.25	65	-362.88	17	5469.03	161
306	Max	-517	5515.23	65	2766.73	122	1328.45	173	2939.73	126	476.20	126	260.25	65	-362.88	17	5469.03	161
306	Max	-925	5515.23	65	2766.73	122	1328.45	173	2939.73	126	476.20	126	260.25	65	-362.88	17	5469.03	161
306	Max	-970	5515.23	65	2766.73	122	1328.45	173	2939.73	126	476.20	126	260.25	65	-362.88	17	5469.03	161
306	Min.	-519	-4538.20	17	-4805.63	101	-4436.36	177	45.79	17	22.64	17	-1069.20	126	-6426.00	126	-10007.40	65
306	Min.	-517	-4538.20	17	-4805.63	101	-4436.36	177	45.79	17	22.64	17	-1069.20	126	-6426.00	126	-10007.40	65
306	Min.	-925	-4538.20	17	-4805.63	101	-4436.36	177	45.79	17	22.64	17	-1069.20	126	-6426.00	126	-10007.40	65
306	Min.	-970	-4538.20	17	-4805.63	101	-4436.36	177	45.79	17	22.64	17	-1069.20	126	-6426.00	126	-10007.40	65
306	Max	-523	7437.64	177	5056.08	158	3191.14	101	1450.39	161	183.73	161	184.46	65	14365.50	102	43992.40	126
306	Max	-521	7437.64	177	5056.08	158	3191.14	101	1450.39	161	183.73	161	184.46	65	14365.50	102	43992.40	126
306	Max	-1013	7437.64	177	5056.08	158	3191.14	101	1450.39	161	183.73	161	184.46	65	14365.50	102	43992.40	126
306	Max	-1058	7437.64	177	5056.08	158	3191.14	101	1450.39	161	183.73	161	184.46	65	14365.50	102	43992.40	126
306	Min.	-523	-3849.86	17	-6799.58	101	-2978.60	158	-976.26	98	-513.65	98	-1789.04	126	662.43	161	-605.59	65
306	Min.	-521	-3849.86	17	-6799.58	101	-2978.60	158	-976.26	98	-513.65	98	-1789.04	126	662.43	161	-605.59	65
306	Min.	-1013	-3849.86	17	-6799.58	101	-2978.60	158	-976.26	98	-513.65	98	-1789.04	126	662.43	161	-605.59	65
306	Min.	-1058	-3849.86	17	-6799.58	101	-2978.60	158	-976.26	98	-513.65	98	-1789.04	126	662.43	161	-605.59	65
306	Max	-483	2366.22	65	3246.36	160	1136.38	173	1545.64	159	-536.04	161	264.44	65	75745.50	102	35033.00	102
306	Max	-481	2366.22	65	3246.36	160	1136.38	173	1545.64	159	-536.04	161	264.44	65	75745.50	102	35033.00	102
306	Max	-519	2366.22	65	3246.36	160	1136.38	173	1545.64	159	-536.04	161	264.44	65	75745.50	102	35033.00	102
306	Max	-521	2366.22	65	3246.36	160	1136.38	173	1545.64	159	-536.04	161	264.44	65	75745.50	102	35033.00	102
306	Min.	-483	-1877.93	17	-10395.40	103	-4361.93	177	-269.38	173	-7564.50	102	-3379.50	126	12556.70	65	5136.30	65
306	Min.	-481	-1877.93	17	-10395.40	103	-4361.93	177	-269.38	173	-7564.50	102	-3379.50	126	12556.70	65	5136.30	65
306	Min.	-519	-1877.93	17	-10395.40	103	-4361.93	177	-269.38	173	-7564.50	102	-3379.50	126	12556.70	65	5136.30	65
306	Min.	-521	-1877.93	17	-10395.40	103	-4361.93	177	-269.38	173	-7564.50	102	-3379.50	126	12556.70	65	5136.30	65
306	Max	-527	6385.61	127	9297.92	158	5425.74	101	3332.80	98	713.54	98	-235.59	65	-1804.70	17	38331.50	161
306	Max	-525	6385.61	127	9297.92	158	5425.74	101	3332.80	98	713.54	98	-235.59	65	-1804.70	17	38331.50	161
306	Max	-1103	6385.61	127	9297.92	158	5425.74	101	3332.80	98	713.54	98	-235.59	65	-1804.70	17	38331.50	161
306	Max	-1146	6385.61	127	9297.92	158	5425.74	101	3332.80	98	713.54	98	-235.59	65	-1804.70	17	38331.50	161
306	Min.	-527	-4049.91	100	-12821.10	101	-4440.82	158	214.69	17	-2354.34	161	-1987.92	102	-24390.10	158	-25337.60	98
306	Min.	-525	-4049.91	100	-12821.10	101	-4440.82	158	214.69	17	-2354.34	161	-1987.92	102	-24390.10	158	-25337.60	98
306	Min.	-1103	-4049.91	100	-12821.10	101	-4440.82	158	214.69	17	-2354.34	161	-1987.92	102	-24390.10	158	-25337.60	98
306	Min.	-1146	-4049.91	100	-12821.10	101	-4440.82	158	214.69	17	-2354.34	161	-1987.92	102	-24390.10	158	-25337.60	98
306	Max	-505	20490.80	177	8657.69	158	9435.36	177	3387.92	173	693.84	173	1970.86	102	-1766.85	65	28632.60	173
306	Max	-503	20490.80	177	8657.69	158	9435.36	177	3387.92	173	693.84	173	1970.86	102	-1766.85	65	28632.60	173
306	Max	-618	20490.80	177	8657.69	158	9435.36	177	3387.92	173	693.84	173	1970.86	102	-1766.85	65	28632.60	173
306	Max	-661	20490.80	177	8657.69	158	9435.36	177	3387.92	173	693.84	173	1970.86	102	-1766.85	65	28632.60	173
306	Min.	-505	-3524.41	99	-12296.40	101	-5215.97	101	-244.82	177	-2260.10	161	5.82	177	-23800.60	158	-37836.60	161
306	Min.	-503	-3524.41	99	-12296.40	101	-5215.97	101	-244.82	177	-2260.10	161	5.82	177	-23800.60	158	-37836.60	161
306	Min.	-618	-3524.41	99	-12296.40	101	-5215.97	101	-244.82	177	-2260.10	161	5.82	177	-23800.60	158	-37836.60	161
306	Min.	-661	-3524.41	99	-12296.40	101	-5215.97	101	-244.82	177	-2260.10	161	5.82	177	-23800.60	158	-37836.60	161
306	Max	-465	1280.95	177	999.46	158	1518.20	65	1198.73	173	5924.07	161	5802.54	158	62049.40	98	-233.81	161
306	Max	-463	1280.95	177	999.46	158	1518.20	65	1198.73	173	5924.07	161	5802.54	158	62049.40	98	-233.81	161
306	Max	-501	1280.95	177	999.46	158	1518.20	65	1198.73	173	5924.07	161	5802.54	158	62049.40	98	-233.81	161
306	Max	-503	1280.95	177	999.46	158	1518.20	65	1198.73	173	5924.07	161	5802.54	158	62049.40	98	-233.81	161
306	Min.	-465	-1194.52	65	-9643.98	101	-1990.37	17	2.36	65	-7264.16	102	441.06	177	9709.53	17	-19310.10	98
306	Min.	-463	-1194.52	65	-9643.98	101	-1990.37	17	2.36	65	-7264.16	102	441.06	177	9709.53	17	-19310.10	98
306	Min.	-501	-1194.52	65	-9643.98	101	-1990.37	17	2.36	65	-7264.16	102	441.06	177	9709.53	17	-19310.10	98
306	Min.	-503	-1194.52	65	-9643.98	101	-1990.37	17	2.36	65	-7264.16	102	441.06	177	9709.53	17	-19310.10	98
306	Max	-445	712.38	159	2258.37	160	1486.96	173	-9.80	161	-3213.39	161	212.15	65	80798.90	102	-419.69	17
306	Max	-443	712.38	159	2258.37	160	1486.96	173	-9.80	161	-3213.39	161	212.15	65	80798.90	102	-419.69	17
306	Max	-481	712.38	159	2258.37	160	1486.96	173	-9.80	161	-3213.39	161	212.15	65	80798.90	102	-419.69	17
306	Max	-483	712.38	159	2258.37	160	1486.96	173	-9.80	161	-3213.39	161	212.15	65	80798.90	102	-419.69	17
306	Min.	-445	-1532.41	104	-12869.90	103	-3681.41	177	-2178.56	98	-22617.40	102	-3086.19	126	14633.50	65	-4913.20	126
306	Min.	-443	-1532.41	104	-12869.90	103	-3681.41	177	-2178.56	98	-22617.40	102	-3086.19	126	14633.50	65	-4913.20	126
306	Min.	-481	-1532.41	104	-12869.90	103	-3681.41	177	-2178.56	98	-22617.40	102	-3086.19	126	14633.50	65	-4913.20	126
306	Min.	-483	-1532.41	104	-12869.90	103	-3681.41	177	-2178.56	98	-22617.40	102	-3086.19	126	14633.50	65	-4913.20	126
306	Max	-429	8998.99	177	1445.11	158	1204.18	65	-20.31	161	160.74	161	3583.42	126	61762.70	98	5481.58	161
306	Max	-427	8998.99	177	1445.11	158	1204.18	65	-20.31	161	160.74	161	3583.42	126	61762.70	98	5481.58	161
306	Max	-465	8998.99	177	1445.11	158	1204.18	65	-20.31	161	160.74	161	3583.42	126	61762.70	98	5481.58	161
306	Max	-467	8998.99	177	1445.11	158	1204.18	65	-20.31	161	160.74	161	3583.42	126	61762.70	98	5481.58	161
306	Min.	-429	-1331.25	103	-10785.50	101	-2542.52	177	-1804.66	102	-19883.70	98	94.49	17	10412.10	17	-4694.92	173
306	Min.	-427	-1331.25	103	-10785.50	101	-2542.52	177	-1804.66	102	-19883.70	98	94.49	17	10412.10	17	-4694.92	173

306	Min.	-465	-1331.25	103	-10785.50	101	-2542.52	177	-1804.66	102	-19883.70	98	94.49	17	10412.10	17	-4694.92	173
306	Min.	-467	-1331.25	103	-10785.50	101	-2542.52	177	-1804.66	102	-19883.70	98	94.49	17	10412.10	17	-4694.92	173
306	Max	-435	711.71	17	2247.85	159	1063.96	65	-8.88	161	-3215.83	161	3069.99	126	80723.10	102	4920.31	126
306	Max	-433	711.71	17	2247.85	159	1063.96	65	-8.88	161	-3215.83	161	3069.99	126	80723.10	102	4920.31	126
306	Max	-471	711.71	17	2247.85	159	1063.96	65	-8.88	161	-3215.83	161	3069.99	126	80723.10	102	4920.31	126
306	Max	-473	711.71	17	2247.85	159	1063.96	65	-8.88	161	-3215.83	161	3069.99	126	80723.10	102	4920.31	126
306	Min.	-435	-1521.91	103	-12865.30	104	-4240.42	177	-2177.04	98	-22619.30	102	-224.74	17	14727.80	17	404.33	65
306	Min.	-433	-1521.91	103	-12865.30	104	-4240.42	177	-2177.04	98	-22619.30	102	-224.74	17	14727.80	17	404.33	65
306	Min.	-471	-1521.91	103	-12865.30	104	-4240.42	177	-2177.04	98	-22619.30	102	-224.74	17	14727.80	17	404.33	65
306	Min.	-473	-1521.91	103	-12865.30	104	-4240.42	177	-2177.04	98	-22619.30	102	-224.74	17	14727.80	17	404.33	65
306	Max	-493	3677.58	177	1040.23	107	1436.55	65	3.20	177	8703.99	161	-464.07	65	32603.00	98	10251.80	158
306	Max	-491	3677.58	177	1040.23	107	1436.55	65	3.20	177	8703.99	161	-464.07	65	32603.00	98	10251.80	158
306	Max	-529	3677.58	177	1040.23	107	1436.55	65	3.20	177	8703.99	161	-464.07	65	32603.00	98	10251.80	158
306	Max	-531	3677.58	177	1040.23	107	1436.55	65	3.20	177	8703.99	161	-464.07	65	32603.00	98	10251.80	158
306	Min.	-493	-1820.27	162	-8992.48	104	-1245.28	17	-1719.66	158	-7534.72	102	-3281.65	126	4975.57	65	-56.19	17
306	Min.	-491	-1820.27	162	-8992.48	104	-1245.28	17	-1719.66	158	-7534.72	102	-3281.65	126	4975.57	65	-56.19	17
306	Min.	-529	-1820.27	162	-8992.48	104	-1245.28	17	-1719.66	158	-7534.72	102	-3281.65	126	4975.57	65	-56.19	17
306	Min.	-531	-1820.27	162	-8992.48	104	-1245.28	17	-1719.66	158	-7534.72	102	-3281.65	126	4975.57	65	-56.19	17
307	Max	-486	2251.98	177	1782.38	97	1296.62	17	2057.38	157	8049.26	105	2950.01	105	-9581.63	17	-183.84	177
307	Max	-484	2251.98	177	1782.38	97	1296.62	17	2057.38	157	8049.26	105	2950.01	105	-9581.63	17	-183.84	177
307	Max	-522	2251.98	177	1782.38	97	1296.62	17	2057.38	157	8049.26	105	2950.01	105	-9581.63	17	-183.84	177
307	Max	-524	2251.98	177	1782.38	97	1296.62	17	2057.38	157	8049.26	105	2950.01	105	-9581.63	17	-183.84	177
307	Min.	-486	-1869.45	65	-9435.83	130	-3299.61	177	122.03	17	1466.49	17	-1881.13	162	-56509.80	105	-11275.50	105
307	Min.	-484	-1869.45	65	-9435.83	130	-3299.61	177	122.03	17	1466.49	17	-1881.13	162	-56509.80	105	-11275.50	105
307	Min.	-522	-1869.45	65	-9435.83	130	-3299.61	177	122.03	17	1466.49	17	-1881.13	162	-56509.80	105	-11275.50	105
307	Min.	-524	-1869.45	65	-9435.83	130	-3299.61	177	122.03	17	1466.49	17	-1881.13	162	-56509.80	105	-11275.50	105
307	Max	-510	5326.23	65	4191.01	173	2529.37	173	2272.97	157	625.56	121	1158.63	162	-2491.09	65	37723.90	105
307	Max	-508	5326.23	65	4191.01	173	2529.37	173	2272.97	157	625.56	121	1158.63	162	-2491.09	65	37723.90	105
307	Max	-748	5326.23	65	4191.01	173	2529.37	173	2272.97	157	625.56	121	1158.63	162	-2491.09	65	37723.90	105
307	Max	-793	5326.23	65	4191.01	173	2529.37	173	2272.97	157	625.56	121	1158.63	162	-2491.09	65	37723.90	105
307	Min.	-510	-9088.19	177	-7210.03	130	-3608.29	130	-13.02	65	102.65	65	-1179.51	105	-14298.10	105	-17174.90	162
307	Min.	-508	-9088.19	177	-7210.03	130	-3608.29	130	-13.02	65	102.65	65	-1179.51	105	-14298.10	105	-17174.90	162
307	Min.	-748	-9088.19	177	-7210.03	130	-3608.29	130	-13.02	65	102.65	65	-1179.51	105	-14298.10	105	-17174.90	162
307	Min.	-793	-9088.19	177	-7210.03	130	-3608.29	130	-13.02	65	102.65	65	-1179.51	105	-14298.10	105	-17174.90	162
307	Max	-516	2783.32	100	3789.71	97	1275.01	173	915.87	162	195.67	162	607.58	173	1826.53	105	27316.30	105
307	Max	-514	2783.32	100	3789.71	97	1275.01	173	915.87	162	195.67	162	607.58	173	1826.53	105	27316.30	105
307	Max	-881	2783.32	100	3789.71	97	1275.01	173	915.87	162	195.67	162	607.58	173	1826.53	105	27316.30	105
307	Max	-924	2783.32	100	3789.71	97	1275.01	173	915.87	162	195.67	162	607.58	173	1826.53	105	27316.30	105
307	Min.	-516	-4805.87	107	-5902.50	106	-4368.49	177	-3226.85	105	-163.06	105	-271.29	17	-1688.90	162	-1659.82	65
307	Min.	-514	-4805.87	107	-5902.50	106	-4368.49	177	-3226.85	105	-163.06	105	-271.29	17	-1688.90	162	-1659.82	65
307	Min.	-881	-4805.87	107	-5902.50	106	-4368.49	177	-3226.85	105	-163.06	105	-271.29	17	-1688.90	162	-1659.82	65
307	Min.	-924	-4805.87	107	-5902.50	106	-4368.49	177	-3226.85	105	-163.06	105	-271.29	17	-1688.90	162	-1659.82	65
307	Max	-506	20490.70	177	5734.63	173	9435.29	177	244.82	177	-28.21	177	161.65	162	14978.30	97	895.33	177
307	Max	-504	20490.70	177	5734.63	173	9435.29	177	244.82	177	-28.21	177	161.65	162	14978.30	97	895.33	177
307	Max	-660	20490.70	177	5734.63	173	9435.29	177	244.82	177	-28.21	177	161.65	162	14978.30	97	895.33	177
307	Max	-703	20490.70	177	5734.63	173	9435.29	177	244.82	177	-28.21	177	161.65	162	14978.30	97	895.33	177
307	Min.	-506	-6035.73	159	-14171.10	130	-7234.03	130	-3512.30	173	-2896.16	157	-1970.80	105	-10027.80	162	-61987.70	157
307	Min.	-504	-6035.73	159	-14171.10	130	-7234.03	130	-3512.30	173	-2896.16	157	-1970.80	105	-10027.80	162	-61987.70	157
307	Min.	-660	-6035.73	159	-14171.10	130	-7234.03	130	-3512.30	173	-2896.16	157	-1970.80	105	-10027.80	162	-61987.70	157
307	Min.	-703	-6035.73	159	-14171.10	130	-7234.03	130	-3512.30	173	-2896.16	157	-1970.80	105	-10027.80	162	-61987.70	157
307	Max	-532	13704.00	158	4898.18	101	2144.28	101	1669.03	162	18862.80	158	9446.33	158	-2978.12	17	-1349.08	177
307	Max	-530	13704.00	158	4898.18	101	2144.28	101	1669.03	162	18862.80	158	9446.33	158	-2978.12	17	-1349.08	177
307	Max	328	13704.00	158	4898.18	101	2144.28	101	1669.03	162	18862.80	158	9446.33	158	-2978.12	17	-1349.08	177
307	Max	-1269	13704.00	158	4898.18	101	2144.28	101	1669.03	162	18862.80	158	9446.33	158	-2978.12	17	-1349.08	177
307	Min.	-532	-3037.69	65	-19595.20	130	-6312.25	106	-182.48	101	-51.71	1	-15.26	1	-19973.20	97	-36960.80	157
307	Min.	-530	-3037.69	65	-19595.20	130	-6312.25	106	-182.48	101	-51.71	1	-15.26	1	-19973.20	97	-36960.80	157
307	Min.	328	-3037.69	65	-19595.20	130	-6312.25	106	-182.48	101	-51.71	1	-15.26	1	-19973.20	97	-36960.80	157
307	Min.	-1269	-3037.69	65	-19595.20	130	-6312.25	106	-182.48	101	-51.71	1	-15.26	1	-19973.20	97	-36960.80	157
307	Max	-502	11802.10	158	82807.90	177	5994.92	106	1574.04	162	18315.20	158	567.63	177	-2963.64	65	36389.70	157
307	Max	-500	11802.10	158	82807.90	177	5994.92	106	1574.04	162	18315.20	158	567.63	177	-2963.64	65	36389.70	157
307	Max	-581	11802.10	158	82807.90	177	5994.92	106	1574.04	162	18315.20	158	567.63	177	-2963.64	65	36389.70	157
307	Max	309	11802.10	158	82807.90	177	5994.92	106	1574.04	162	18315.20	158	567.63	177	-2963.64	65	36389.70	157
307	Min.	-502	-85888.10	177	-19044.10	130	-12947.20	177	-795.50	177	-42.65	49	-8984.54	158	-19585.00	97	2486.15	65
307	Min.	-500	-85888.10	177	-19044.10	130	-12947.20	177	-795.50	177	-42.65	49	-8984.54	158	-19585.00	97	2486.15	65
307	Min.	-581	-85888.10	177	-19044.10	130	-12947.20	177	-795.50	177	-42.65	49	-8984.54	158	-19585.00	97	2486.15	65
307	Min.	309	-85888.10	177	-19044.10	130	-12947.20	177	-795.50	177	-42.65	49	-8984.54	158	-19585.00	97	2486.15	65
307	Max	-434	1927.13	177	146.79	133	840.12	17	2079.61	105	21165.60	105	1255.90	162	-13465.10	65	2658.85	162
307	Max	-432	1927.13	177	146.79	133	840.12	17	2079.61	105	21165.60	105	1255.90	162	-13465.10	65	2658.85	162
307	Max	-470	1927.13	177	146.79	133	840.12	17	2079.61	105	21165.60	105	1255.90	162	-13465.10	65	2658.85	162
307	Max	-472	1927.13	177	146.79	133	840.12	17	2079.61	105	21165.60	105	1255.90	162	-13465.10	65	2658.85	162
307	Min.	-434	-1181.43	131	-12324.20	106	-4693.83	177	433.51	65	3843.57	65	-2897.20	105	-76851.70	105	-1036.66	97
307	Min.	-432	-1181.43	131	-12324.20	106	-4693.83	177	433.51	65	3843.57	65	-2897.20	105	-76851.70	105	-1036.66	97
307	Min.	-470	-1181.43	131	-12324.20	106	-4693.83	177	433.51	65	3843.57	65	-2897.20	105	-76851.70	105	-1036.66	97
307	Min.	-472	-1181.43	131	-12324.20	106	-4693.83	177	433.51	65	3843.57	65	-2897.20	105	-76851.70	105	-1036.66	97
307	Max	-440	635.28	17	1405.81	17	7226.20	65	553.51	157	7549.99	105	-228.76	65	173.94	162	9468.76	105
307	Max	-438	635.28	17	1405.81	17	7226.20	65	553.51	157	7549.99	105	-228.76	65	173.94	162	9468.76	105
307	Max	-476	635.28	17	1405.81	17	7226.20	65	553.51	157	7549.99	105	-228.76	65	173.94	162	9468.76	105
307	Max	-478	635.28	17	1405.81	17	7226.20	65	553.51	157	7549.99	105	-228.76	65	173.94	162	9468.76	105
307	Min.	-440	-2427.47	108	-3994.67	108	-8561.07	177	64.26	177	1462.03	33	-4854.71	105	-17929.90	105	1731.61	65
307	Min.	-438	-2427.47	108	-3994.67	108	-8561.07	177	64.26	177	1462.03	33	-4854.71	105	-17929.90	105	1731.61	65
307	Min.	-476	-2427.47	108	-3994.67	108	-8561.07	177	64.26	177	1462.03	33	-4854.71	105	-17929.90	105	1731.61	65
307	Min.	-478	-2427.47	108	-3994.67	108	-8561.07	177	64.26	177	1462.03	33	-4854.71	105	-17929.90	105	1731.61	65
307	Max	-512	5791.00	65	5465.95	97	3808.62	106	1516.97	162	180.53	162	968.07	162	11942.50	105	59525.70	105
307	Max	-510	5791.00	65	5465.95	97	3808.62	106	1516.97	162	180.53	162	968.07	162	11942.50	105	59525.70	105
307	Max	-793	5791.00	65	5465.95	97	3808.62	106	1516.97	162	180.53	162	968.07	162	11942.50	105	59525.70	105
307	Max	-836	5791.00	65	5465.95	97	3808.62	106	1516.97	162	180.53	162	968.07	162	11942.50	105	59525.70	105
307	Min.	-512	-7858.57	177	-8093.25	106	-2279.85	177	-2354.73	105	-691.62	105	-713.17	105	-1255.08	162	-5713.49	162
307	Min.	-510	-7858.57	177	-8093.25	106	-2279.85	177	-2354.73	105	-691.62	105	-713.17	105	-1255.08	162	-5713.49	162
307	Min.	-793	-7858.57	177	-8093.25	106	-2279.85	177	-2354.73	105	-691.62	105	-713.17	105	-1255.08	162	-5713.49	162
307	Min.	-836	-7858.57	177	-8093.25	106	-2279.85	177	-2354.73	105	-691.62	105	-713.17	105	-1255.08	162	-5713.49	162
307	Max	-476	2715.71	65	1959.19	99	2220.99	108	1160.51	162	6327.00	105	808.93	162	-10753.20	65	2896.89	159
307	Max	-474	2715.71	65	1959.19	99	2220.99	108	1160.51	162	6327.00	105	808.93	162	-10753.20	65	2896.89	159
307	Max	-512	2715.71	65	1959.19	99	2220.99	108	1160.51	162	6327.00	105	808.93	162	-10753.20	65	2896.89	159
307	Max	-514	2715.71	65	1959.19	99	2220.99	108	1160.51	162	6327.00	105	808.93	162	-10753.20	65	2896.89	159
307	Min.	-476	-3604.58	177	-9551.00	108	-5104.39	177	-1212.66	105	1239.41	65	-1964.23	105	-63359.40	105	-1927.75	173
307	Min.	-474	-3604.58	177	-9551.00	108	-5104.39	177	-1212.66	105	1239.41	65	-1964.23	105	-63359.40	105	-1927.75	173
307	Min.	-512	-3604.58	177	-9551.00	108	-5104.39	177	-1212.66	105	1239.41	65	-1964.23	105	-63359.40	105	-1927.75	173
307	Min.	-514	-3604.58	177	-9551.00	108	-5104.39	177	-1212.66	105	1239.41	65	-1964.23	105	-63359.40	105	-1927.75	173
307	Max	-526	5570.95	177	2135.37	97	2087.10	99	1030.05	162	500.22	129	1609.86	105	-1984.46	17	36834.90	157
307	Max	-524	5570.95	177	2135.37	97	2087.10	99	1030.05	162	500.22	129	1609.86	105	-1984.46	17	36834.90	157
307	Max	-1102	5570.95	177	2135.37	97	2087.10	99	1030.05	162	500.22	129	1609.86	105	-1984.46	17	36834.90	157
307	Max	-1145	5570.95	177	2135.37	97	2087.10	99	1030.05	162	500.22	129	1609.86	105	-1984.46	17	36834.90	157
307	Min.	-526	-2867.87	65	-4858.13	177	-2985.57	177	-567.58	17	17.36	17	-1235.97	162	-13787.60	129	-6042.67	106
307	Min.	-524	-2867.87	65	-4858.13	177	-2985.57	177	-567.58	17	17.36	17	-1235.97	162	-13787.60	129	-6042.67	106
307	Min.	-1102	-2867.87	65	-4858.13	177	-2985.57	177	-567.58	17	17.36	17	-1235.97	162	-13787.60	129	-6042.67	106

307	Min.	-1145	-2867.87	65	-4858.13	177	-2985.57	177	-567.58	17	17.36	17	-1235.97	162	-13787.60	129	-6042.67	106
307	Max	-446	708.21	17	307.68	136	1481.70	173	2178.56	97	22616.80	105	2825.60	105	-14633.50	17	3878.89	105
307	Max	-444	708.21	17	307.68	136	1481.70	173	2178.56	97	22616.80	105	2825.60	105	-14633.50	17	3878.89	105
307	Max	-482	708.21	17	307.68	136	1481.70	173	2178.56	97	22616.80	105	2825.60	105	-14633.50	17	3878.89	105
307	Max	-484	708.21	17	307.68	136	1481.70	173	2178.56	97	22616.80	105	2825.60	105	-14633.50	17	3878.89	105
307	Min.	-446	-1688.22	132	-12869.30	107	-3681.41	177	425.19	33	4157.51	33	-925.36	162	-80796.70	105	-1974.69	162
307	Min.	-444	-1688.22	132	-12869.30	107	-3681.41	177	425.19	33	4157.51	33	-925.36	162	-80796.70	105	-1974.69	162
307	Min.	-482	-1688.22	132	-12869.30	107	-3681.41	177	425.19	33	4157.51	33	-925.36	162	-80796.70	105	-1974.69	162
307	Min.	-484	-1688.22	132	-12869.30	107	-3681.41	177	425.19	33	4157.51	33	-925.36	162	-80796.70	105	-1974.69	162
307	Max	-518	2811.56	99	4057.57	97	782.86	173	907.93	162	193.29	162	310.96	177	1900.70	105	1502.51	17
307	Max	-516	2811.56	99	4057.57	97	782.86	173	907.93	162	193.29	162	310.96	177	1900.70	105	1502.51	17
307	Max	-924	2811.56	99	4057.57	97	782.86	173	907.93	162	193.29	162	310.96	177	1900.70	105	1502.51	17
307	Max	-969	2811.56	99	4057.57	97	782.86	173	907.93	162	193.29	162	310.96	177	1900.70	105	1502.51	17
307	Min.	-518	-4887.13	108	-6270.27	106	-4879.57	177	-3274.44	105	-173.24	105	-444.50	17	-1670.96	162	-27464.40	105
307	Min.	-516	-4887.13	108	-6270.27	106	-4879.57	177	-3274.44	105	-173.24	105	-444.50	17	-1670.96	162	-27464.40	105
307	Min.	-924	-4887.13	108	-6270.27	106	-4879.57	177	-3274.44	105	-173.24	105	-444.50	17	-1670.96	162	-27464.40	105
307	Min.	-969	-4887.13	108	-6270.27	106	-4879.57	177	-3274.44	105	-173.24	105	-444.50	17	-1670.96	162	-27464.40	105
307	Max	-508	4312.92	65	3170.61	177	2158.41	107	1095.29	158	553.26	157	1259.38	162	-2077.78	65	6315.71	106
307	Max	-506	4312.92	65	3170.61	177	2158.41	107	1095.29	158	553.26	157	1259.38	162	-2077.78	65	6315.71	106
307	Max	-703	4312.92	65	3170.61	177	2158.41	107	1095.29	158	553.26	157	1259.38	162	-2077.78	65	6315.71	106
307	Max	-748	4312.92	65	3170.61	177	2158.41	107	1095.29	158	553.26	157	1259.38	162	-2077.78	65	6315.71	106
307	Min.	-508	-6729.64	177	-4530.65	130	-2163.94	100	-810.73	173	26.02	65	-1590.78	105	-14026.90	129	-36415.80	157
307	Min.	-506	-6729.64	177	-4530.65	130	-2163.94	100	-810.73	173	26.02	65	-1590.78	105	-14026.90	129	-36415.80	157
307	Min.	-703	-6729.64	177	-4530.65	130	-2163.94	100	-810.73	173	26.02	65	-1590.78	105	-14026.90	129	-36415.80	157
307	Min.	-748	-6729.64	177	-4530.65	130	-2163.94	100	-810.73	173	26.02	65	-1590.78	105	-14026.90	129	-36415.80	157
307	Max	-500	5638.91	177	4947.33	177	498.80	106	4.47	17	5045.91	157	235.07	177	-1277.77	65	17515.80	157
307	Max	-498	5638.91	177	4947.33	177	498.80	106	4.47	17	5045.91	157	235.07	177	-1277.77	65	17515.80	157
307	Max	-536	5638.91	177	4947.33	177	498.80	106	4.47	17	5045.91	157	235.07	177	-1277.77	65	17515.80	157
307	Max	-581	5638.91	177	4947.33	177	498.80	106	4.47	17	5045.91	157	235.07	177	-1277.77	65	17515.80	157
307	Min.	-500	-902.73	65	-1553.02	106	-2100.69	177	-214.14	177	17.35	177	-1319.90	157	-34044.40	157	537.63	65
307	Min.	-498	-902.73	65	-1553.02	106	-2100.69	177	-214.14	177	17.35	177	-1319.90	157	-34044.40	157	537.63	65
307	Min.	-536	-902.73	65	-1553.02	106	-2100.69	177	-214.14	177	17.35	177	-1319.90	157	-34044.40	157	537.63	65
307	Min.	-581	-902.73	65	-1553.02	106	-2100.69	177	-214.14	177	17.35	177	-1319.90	157	-34044.40	157	537.63	65
307	Max	-478	1161.02	100	2221.58	99	4414.89	65	869.27	162	4037.35	105	687.87	173	-7068.28	33	31006.90	105
307	Max	-476	1161.02	100	2221.58	99	4414.89	65	869.27	162	4037.35	105	687.87	173	-7068.28	33	31006.90	105
307	Max	-514	1161.02	100	2221.58	99	4414.89	65	869.27	162	4037.35	105	687.87	173	-7068.28	33	31006.90	105
307	Max	-516	1161.02	100	2221.58	99	4414.89	65	869.27	162	4037.35	105	687.87	173	-7068.28	33	31006.90	105
307	Min.	-478	-3149.67	107	-7050.76	108	-7172.09	177	-1801.35	105	802.41	33	-1001.32	105	-41161.90	105	5224.01	65
307	Min.	-476	-3149.67	107	-7050.76	108	-7172.09	177	-1801.35	105	802.41	33	-1001.32	105	-41161.90	105	5224.01	65
307	Min.	-514	-3149.67	107	-7050.76	108	-7172.09	177	-1801.35	105	802.41	33	-1001.32	105	-41161.90	105	5224.01	65
307	Min.	-516	-3149.67	107	-7050.76	108	-7172.09	177	-1801.35	105	802.41	33	-1001.32	105	-41161.90	105	5224.01	65
307	Max	-514	5527.62	65	2524.41	97	618.86	173	1359.94	162	162.46	162	591.17	162	6325.72	105	4295.04	177
307	Max	-512	5527.62	65	2524.41	97	618.86	173	1359.94	162	162.46	162	591.17	162	6325.72	105	4295.04	177
307	Max	-836	5527.62	65	2524.41	97	618.86	173	1359.94	162	162.46	162	591.17	162	6325.72	105	4295.04	177
307	Max	-881	5527.62	65	2524.41	97	618.86	173	1359.94	162	162.46	162	591.17	162	6325.72	105	4295.04	177
307	Min.	-514	-7171.59	177	-4826.42	106	-4556.98	177	-2317.05	105	-414.06	105	-803.36	105	-1241.05	162	-17824.80	173
307	Min.	-512	-7171.59	177	-4826.42	106	-4556.98	177	-2317.05	105	-414.06	105	-803.36	105	-1241.05	162	-17824.80	173
307	Min.	-836	-7171.59	177	-4826.42	106	-4556.98	177	-2317.05	105	-414.06	105	-803.36	105	-1241.05	162	-17824.80	173
307	Min.	-881	-7171.59	177	-4826.42	106	-4556.98	177	-2317.05	105	-414.06	105	-803.36	105	-1241.05	162	-17824.80	173
307	Max	-490	1286.36	17	1354.83	97	2171.88	17	1046.73	162	8506.71	129	2893.94	105	-11743.70	17	33310.30	97
307	Max	-488	1286.36	17	1354.83	97	2171.88	17	1046.73	162	8506.71	129	2893.94	105	-11743.70	17	33310.30	97
307	Max	-526	1286.36	17	1354.83	97	2171.88	17	1046.73	162	8506.71	129	2893.94	105	-11743.70	17	33310.30	97
307	Max	-528	1286.36	17	1354.83	97	2171.88	17	1046.73	162	8506.71	129	2893.94	105	-11743.70	17	33310.30	97
307	Min.	-490	-1664.26	160	-9952.51	130	-2493.03	177	-1356.92	97	1238.64	17	-3605.34	162	-75101.50	97	4975.78	65
307	Min.	-488	-1664.26	160	-9952.51	130	-2493.03	177	-1356.92	97	1238.64	17	-3605.34	162	-75101.50	97	4975.78	65
307	Min.	-526	-1664.26	160	-9952.51	130	-2493.03	177	-1356.92	97	1238.64	17	-3605.34	162	-75101.50	97	4975.78	65
307	Min.	-528	-1664.26	160	-9952.51	130	-2493.03	177	-1356.92	97	1238.64	17	-3605.34	162	-75101.50	97	4975.78	65
307	Max	-534	481.99	65	129.10	137	274.08	101	125.59	177	5448.28	157	1560.68	157	-110.87	177	357.02	177
307	Max	-532	481.99	65	129.10	137	274.08	101	125.59	177	5448.28	157	1560.68	157	-110.87	177	357.02	177
307	Max	-1269	481.99	65	129.10	137	274.08	101	125.59	177	5448.28	157	1560.68	157	-110.87	177	357.02	177
307	Max	-1271	481.99	65	129.10	137	274.08	101	125.59	177	5448.28	157	1560.68	157	-110.87	177	357.02	177
307	Min.	-534	-1325.95	177	-2172.05	177	-1222.76	177	-125.51	157	98.61	17	27.03	33	-33297.30	157	-18430.10	157
307	Min.	-532	-1325.95	177	-2172.05	177	-1222.76	177	-125.51	157	98.61	17	27.03	33	-33297.30	157	-18430.10	157
307	Min.	-1269	-1325.95	177	-2172.05	177	-1222.76	177	-125.51	157	98.61	17	27.03	33	-33297.30	157	-18430.10	157
307	Min.	-1271	-1325.95	177	-2172.05	177	-1222.76	177	-125.51	157	98.61	17	27.03	33	-33297.30	157	-18430.10	157
307	Max	-442	656.81	65	1475.02	65	4906.13	65	551.80	157	7599.92	105	4981.34	105	76.42	162	-1775.64	17
307	Max	-440	656.81	65	1475.02	65	4906.13	65	551.80	157	7599.92	105	4981.34	105	76.42	162	-1775.64	17
307	Max	-478	656.81	65	1475.02	65	4906.13	65	551.80	157	7599.92	105	4981.34	105	76.42	162	-1775.64	17
307	Max	-480	656.81	65	1475.02	65	4906.13	65	551.80	157	7599.92	105	4981.34	105	76.42	162	-1775.64	17
307	Min.	-442	-2420.00	107	-4163.46	107	-11182.70	177	53.37	177	1380.77	33	273.83	17	-18195.60	105	-9677.12	105
307	Min.	-440	-2420.00	107	-4163.46	107	-11182.70	177	53.37	177	1380.77	33	273.83	17	-18195.60	105	-9677.12	105
307	Min.	-478	-2420.00	107	-4163.46	107	-11182.70	177	53.37	177	1380.77	33	273.83	17	-18195.60	105	-9677.12	105
307	Min.	-480	-2420.00	107	-4163.46	107	-11182.70	177	53.37	177	1380.77	33	273.83	17	-18195.60	105	-9677.12	105
307	Max	-426	951.85	100	7893.28	177	2204.57	17	1252.82	129	18742.00	121	770.58	162	-6344.01	65	5225.57	157
307	Max	-424	951.85	100	7893.28	177	2204.57	17	1252.82	129	18742.00	121	770.58	162	-6344.01	65	5225.57	157
307	Max	-462	951.85	100	7893.28	177	2204.57	17	1252.82	129	18742.00	121	770.58	162	-6344.01	65	5225.57	157
307	Max	-464	951.85	100	7893.28	177	2204.57	17	1252.82	129	18742.00	121	770.58	162	-6344.01	65	5225.57	157
307	Min.	-426	-6621.95	177	-9955.63	107	-2064.90	65	174.66	65	2730.93	65	-3030.87	105	-43358.90	97	-209.13	177
307	Min.	-424	-6621.95	177	-9955.63	107	-2064.90	65	174.66	65	2730.93	65	-3030.87	105	-43358.90	97	-209.13	177
307	Min.	-462	-6621.95	177	-9955.63	107	-2064.90	65	174.66	65	2730.93	65	-3030.87	105	-43358.90	97	-209.13	177
307	Min.	-464	-6621.95	177	-9955.63	107	-2064.90	65	174.66	65	2730.93	65	-3030.87	105	-43358.90	97	-209.13	177
307	Max	-528	4326.01	107	5158.02	97	7560.31	130	-214.69	65	-42.52	65	1987.86	105	15592.00	97	62357.40	157
307	Max	-526	4326.01	107	5158.02	97	7560.31	130	-214.69	65	-42.52	65	1987.86	105	15592.00	97	62357.40	157
307	Max	-1145	4326.01	107	5158.02	97	7560.31	130	-214.69	65	-42.52	65	1987.86	105	15592.00	97	62357.40	157
307	Max	-1188	4326.01	107	5158.02	97	7560.31	130	-214.69	65	-42.52	65	1987.86	105	15592.00	97	62357.40	157
307	Min.	-528	-6412.97	160	-14991.10	130	-1192.09	49	-3332.80	97	-3007.63	157	-101.84	162	-10109.60	162	905.83	65
307	Min.	-526	-6412.97	160	-14991.10	130	-1192.09	49	-3332.80	97	-3007.63	157	-101.84	162	-10109.60	162	905.83	65
307	Min.	-1145	-6412.97	160	-14991.10	130	-1192.09	49	-3332.80	97	-3007.63	157	-101.84	162	-10109.60	162	905.83	65
307	Min.	-1188	-6412.97	160	-14991.10	130	-1192.09	49	-3332.80	97	-3007.63	157	-101.84	162	-10109.60	162	905.83	65
307	Max	-484	2366.21	17	1572.04	100	1128.03	173	1475.21	164	7564.30	105	2815.03	105	-12556.70	17	-4942.70	33
307	Max	-482	2366.21	17	1572.04	100	1128.03	173	1475.21	164	7564.30	105	2815.03	105	-12556.70	17	-4942.70	33
307	Max	-520	2366.21	17	1572.04	100	1128.03	173	1475.21	164	7564.30	105	2815.03	105	-12556.70	17	-4942.70	33
307	Max	-522	2366.21	17	1572.04	100	1128.03	173	1475.21	164	7564.30	105	2815.03	105	-12556.70	17	-4942.70	33
307	Min.	-484	-1877.92	65	-10394.90	107	-4361.93	177	-651.35	107	1412.01	33	-1388.00	162	-75743.40	105	-35031.80	105
307	Min.	-482	-1877.92	65	-10394.90	107	-4361.93	177	-651.35	107	1412.01	33	-1388.00	162	-75743.40	105	-35031.80	105
307	Min.	-520	-1877.92	65	-10394.90	107	-4361.93	177	-651.35	107	1412.01	33	-1388.00	162	-75743.40	105	-35031.80	105
307	Min.	-522	-1877.92	65	-10394.90	107	-4361.93	177	-651.35	107	1412.01	33	-1388.00	162	-75743.40	105	-35031.80	105
307	Max	-488	2377.82	177	1435.84	97	1968.79	17	1540.01	157	7936.72	129	2773.76	105	-9445.81	17	12179.80	97
307	Max	-486	2377.82	177	1435.84	97	1968.79	17	1540.01	157	7936.72	129	2773.76	105	-9445.81	17	12179.80	97
307	Max	-524	2377.82	177	1435.84	97	1968.79	17	1540.01	157	7936.72	129	2773.76	105	-9445.81	17	12179.80	97
307	Max	-526	2377.82	177	1435.84	97	1968.79	17	1540.01	157	7936.72	129	2773.76	105	-9445.81	17	12179.80	97
307	Min.	-488	-1821.13	65	-9643.89	130	-2427.39	177	-216.75	17	1376.77	17	-2537.40	162	-57010.60	97	1549.44	65
307	Min.	-486	-1821.13	65	-9643.89	130	-2427.39	177	-216.75	17	1376.77	17	-2537.40	162	-57010.60	97	1549.44	65
307	Min.	-524	-1821.13	65	-9643.89	130	-2427.39	177	-216.75	17	1376.77	17	-2537.40	162	-57010.60	97	1549.44	65
307	Min.	-526	-1821.13	65	-9643.89	130	-2427.39	177	-216.75	17	1376.77	17	-2537.40	162	-57010.60	97	1549.44	65

307	Max	-472	2128.66	65	1777.46	97	1031.57	17	2051.86	157	8049.73	105	1894.72	162	-9687.56	65	11219.40	105
307	Max	-470	2128.66	65	1777.46	97	1031.57	17	2051.86	157	8049.73	105	1894.72	162	-9687.56	65	11219.40	105
307	Max	-508	2128.66	65	1777.46	97	1031.57	17	2051.86	157	8049.73	105	1894.72	162	-9687.56	65	11219.40	105
307	Max	-510	2128.66	65	1777.46	97	1031.57	17	2051.86	157	8049.73	105	1894.72	162	-9687.56	65	11219.40	105
307	Min.	-472	-3871.27	177	-9449.33	130	-4216.80	177	115.42	65	1477.90	65	-2927.75	105	-56594.30	105	329.74	65
307	Min.	-470	-3871.27	177	-9449.33	130	-4216.80	177	115.42	65	1477.90	65	-2927.75	105	-56594.30	105	329.74	65
307	Min.	-508	-3871.27	177	-9449.33	130	-4216.80	177	115.42	65	1477.90	65	-2927.75	105	-56594.30	105	329.74	65
307	Min.	-510	-3871.27	177	-9449.33	130	-4216.80	177	115.42	65	1477.90	65	-2927.75	105	-56594.30	105	329.74	65
307	Max	-432	2663.51	177	274.76	133	927.22	17	1971.20	129	20323.80	105	1555.37	162	-12080.80	65	3863.16	162
307	Max	-430	2663.51	177	274.76	133	927.22	17	1971.20	129	20323.80	105	1555.37	162	-12080.80	65	3863.16	162
307	Max	-468	2663.51	177	274.76	133	927.22	17	1971.20	129	20323.80	105	1555.37	162	-12080.80	65	3863.16	162
307	Max	-470	2663.51	177	274.76	133	927.22	17	1971.20	129	20323.80	105	1555.37	162	-12080.80	65	3863.16	162
307	Min.	-432	-1274.21	131	-11370.60	106	-4191.86	177	375.47	65	3590.24	65	-2840.16	105	-70206.00	105	-2974.64	97
307	Min.	-430	-1274.21	131	-11370.60	106	-4191.86	177	375.47	65	3590.24	65	-2840.16	105	-70206.00	105	-2974.64	97
307	Min.	-468	-1274.21	131	-11370.60	106	-4191.86	177	375.47	65	3590.24	65	-2840.16	105	-70206.00	105	-2974.64	97
307	Min.	-470	-1274.21	131	-11370.60	106	-4191.86	177	375.47	65	3590.24	65	-2840.16	105	-70206.00	105	-2974.64	97
307	Max	-456	1322.40	123	26.80	139	2068.84	17	1268.43	129	18684.90	121	3060.75	105	-6354.43	17	82.86	17
307	Max	-454	1322.40	123	26.80	139	2068.84	17	1268.43	129	18684.90	121	3060.75	105	-6354.43	17	82.86	17
307	Max	-492	1322.40	123	26.80	139	2068.84	17	1268.43	129	18684.90	121	3060.75	105	-6354.43	17	82.86	17
307	Max	-494	1322.40	123	26.80	139	2068.84	17	1268.43	129	18684.90	121	3060.75	105	-6354.43	17	82.86	17
307	Min.	-456	-953.98	108	-9894.99	108	-2200.54	65	172.25	17	2690.84	17	-769.50	162	-44053.60	97	-5506.74	157
307	Min.	-454	-953.98	108	-9894.99	108	-2200.54	65	172.25	17	2690.84	17	-769.50	162	-44053.60	97	-5506.74	157
307	Min.	-492	-953.98	108	-9894.99	108	-2200.54	65	172.25	17	2690.84	17	-769.50	162	-44053.60	97	-5506.74	157
307	Min.	-494	-953.98	108	-9894.99	108	-2200.54	65	172.25	17	2690.84	17	-769.50	162	-44053.60	97	-5506.74	157
307	Max	-464	2968.23	158	12365.80	177	2973.12	177	397.99	105	15106.60	157	887.90	162	-3503.80	162	2824.01	173
307	Max	-462	2968.23	158	12365.80	177	2973.12	177	397.99	105	15106.60	157	887.90	162	-3503.80	162	2824.01	173
307	Max	-500	2968.23	158	12365.80	177	2973.12	177	397.99	105	15106.60	157	887.90	162	-3503.80	162	2824.01	173
307	Max	-502	2968.23	158	12365.80	177	2973.12	177	397.99	105	15106.60	157	887.90	162	-3503.80	162	2824.01	173
307	Min.	-464	-21500.60	177	-8984.25	107	-1382.71	65	-1395.19	162	1177.65	65	-2677.93	105	-32166.30	97	-8067.61	162
307	Min.	-462	-21500.60	177	-8984.25	107	-1382.71	65	-1395.19	162	1177.65	65	-2677.93	105	-32166.30	97	-8067.61	162
307	Min.	-500	-21500.60	177	-8984.25	107	-1382.71	65	-1395.19	162	1177.65	65	-2677.93	105	-32166.30	97	-8067.61	162
307	Min.	-502	-21500.60	177	-8984.25	107	-1382.71	65	-1395.19	162	1177.65	65	-2677.93	105	-32166.30	97	-8067.61	162
307	Max	-480	1147.97	99	2250.80	100	3150.90	65	863.90	162	4032.20	105	1393.50	173	-6949.74	33	-5043.85	33
307	Max	-478	1147.97	99	2250.80	100	3150.90	65	863.90	162	4032.20	105	1393.50	173	-6949.74	33	-5043.85	33
307	Max	-516	1147.97	99	2250.80	100	3150.90	65	863.90	162	4032.20	105	1393.50	173	-6949.74	33	-5043.85	33
307	Max	-518	1147.97	99	2250.80	100	3150.90	65	863.90	162	4032.20	105	1393.50	173	-6949.74	33	-5043.85	33
307	Min.	-480	-3089.48	108	-7144.01	107	-8483.03	177	-1834.87	105	773.70	33	-581.80	17	-41325.70	105	-31458.90	105
307	Min.	-478	-3089.48	108	-7144.01	107	-8483.03	177	-1834.87	105	773.70	33	-581.80	17	-41325.70	105	-31458.90	105
307	Min.	-516	-3089.48	108	-7144.01	107	-8483.03	177	-1834.87	105	773.70	33	-581.80	17	-41325.70	105	-31458.90	105
307	Min.	-518	-3089.48	108	-7144.01	107	-8483.03	177	-1834.87	105	773.70	33	-581.80	17	-41325.70	105	-31458.90	105
307	Max	-504	1287.79	173	7803.54	158	1742.53	159	73.19	177	11639.50	162	6690.44	162	7150.13	173	45181.40	97
307	Max	-502	1287.79	173	7803.54	158	1742.53	159	73.19	177	11639.50	162	6690.44	162	7150.13	173	45181.40	97
307	Max	309	1287.79	173	7803.54	158	1742.53	159	73.19	177	11639.50	162	6690.44	162	7150.13	173	45181.40	97
307	Max	-660	1287.79	173	7803.54	158	1742.53	159	73.19	177	11639.50	162	6690.44	162	7150.13	173	45181.40	97
307	Min.	-504	-10524.50	177	-61023.90	177	-10650.30	177	-2610.75	97	-612.64	101	-1247.79	105	512.40	162	-51798.00	162
307	Min.	-502	-10524.50	177	-61023.90	177	-10650.30	177	-2610.75	97	-612.64	101	-1247.79	105	512.40	162	-51798.00	162
307	Min.	309	-10524.50	177	-61023.90	177	-10650.30	177	-2610.75	97	-612.64	101	-1247.79	105	512.40	162	-51798.00	162
307	Min.	-660	-10524.50	177	-61023.90	177	-10650.30	177	-2610.75	97	-612.64	101	-1247.79	105	512.40	162	-51798.00	162
307	Max	-530	3453.94	177	8048.47	158	1042.89	17	-110.41	162	11672.30	162	1254.67	105	6917.51	97	51835.80	162
307	Max	-528	3453.94	177	8048.47	158	1042.89	17	-110.41	162	11672.30	162	1254.67	105	6917.51	97	51835.80	162
307	Max	-1188	3453.94	177	8048.47	158	1042.89	17	-110.41	162	11672.30	162	1254.67	105	6917.51	97	51835.80	162
307	Max	328	3453.94	177	8048.47	158	1042.89	17	-110.41	162	11672.30	162	1254.67	105	6917.51	97	51835.80	162
307	Min.	-530	-2517.25	132	-1470.23	65	-3153.31	177	-2582.18	97	-607.93	101	-6695.17	162	535.59	65	-45031.10	97
307	Min.	-528	-2517.25	132	-1470.23	65	-3153.31	177	-2582.18	97	-607.93	101	-6695.17	162	535.59	65	-45031.10	97
307	Min.	-1188	-2517.25	132	-1470.23	65	-3153.31	177	-2582.18	97	-607.93	101	-6695.17	162	535.59	65	-45031.10	97
307	Min.	328	-2517.25	132	-1470.23	65	-3153.31	177	-2582.18	97	-607.93	101	-6695.17	162	535.59	65	-45031.10	97
307	Max	-454	607.60	17	75.52	133	2188.73	17	1498.58	129	19226.40	121	3341.14	105	-8380.21	17	6121.22	105
307	Max	-452	607.60	17	75.52	133	2188.73	17	1498.58	129	19226.40	121	3341.14	105	-8380.21	17	6121.22	105
307	Max	-490	607.60	17	75.52	133	2188.73	17	1498.58	129	19226.40	121	3341.14	105	-8380.21	17	6121.22	105
307	Max	-492	607.60	17	75.52	133	2188.73	17	1498.58	129	19226.40	121	3341.14	105	-8380.21	17	6121.22	105
307	Min.	-454	-1127.52	65	-10367.70	106	-1747.29	65	244.25	33	3025.29	17	-871.00	162	-53182.70	97	-3812.01	162
307	Min.	-452	-1127.52	65	-10367.70	106	-1747.29	65	244.25	33	3025.29	17	-871.00	162	-53182.70	97	-3812.01	162
307	Min.	-490	-1127.52	65	-10367.70	106	-1747.29	65	244.25	33	3025.29	17	-871.00	162	-53182.70	97	-3812.01	162
307	Min.	-492	-1127.52	65	-10367.70	106	-1747.29	65	244.25	33	3025.29	17	-871.00	162	-53182.70	97	-3812.01	162
307	Max	-482	2720.62	17	1974.00	100	1458.08	173	1156.92	162	6326.55	105	1984.81	105	-10702.90	17	1170.12	17
307	Max	-480	2720.62	17	1974.00	100	1458.08	173	1156.92	162	6326.55	105	1984.81	105	-10702.90	17	1170.12	17
307	Max	-518	2720.62	17	1974.00	100	1458.08	173	1156.92	162	6326.55	105	1984.81	105	-10702.90	17	1170.12	17
307	Max	-520	2720.62	17	1974.00	100	1458.08	173	1156.92	162	6326.55	105	1984.81	105	-10702.90	17	1170.12	17
307	Min.	-482	-2354.27	65	-9576.76	107	-5708.97	177	-1241.43	105	1184.39	33	-795.45	162	-63499.10	105	-3058.92	160
307	Min.	-480	-2354.27	65	-9576.76	107	-5708.97	177	-1241.43	105	1184.39	33	-795.45	162	-63499.10	105	-3058.92	160
307	Min.	-518	-2354.27	65	-9576.76	107	-5708.97	177	-1241.43	105	1184.39	33	-795.45	162	-63499.10	105	-3058.92	160
307	Min.	-520	-2354.27	65	-9576.76	107	-5708.97	177	-1241.43	105	1184.39	33	-795.45	162	-63499.10	105	-3058.92	160
307	Max	-458	1941.39	17	573.40	139	1843.86	17	1028.94	97	19199.60	121	2167.27	105	-2180.42	17	244.51	106
307	Max	-456	1941.39	17	573.40	139	1843.86	17	1028.94	97	19199.60	121	2167.27	105	-2180.42	17	244.51	106
307	Max	-494	1941.39	17	573.40	139	1843.86	17	1028.94	97	19199.60	121	2167.27	105	-2180.42	17	244.51	106
307	Max	-496	1941.39	17	573.40	139	1843.86	17	1028.94	97	19199.60	121	2167.27	105	-2180.42	17	244.51	106
307	Min.	-458	-2743.46	65	-10813.40	108	-2155.22	65	167.84	17	2701.01	17	-386.97	162	-23415.60	121	-1255.98	161
307	Min.	-456	-2743.46	65	-10813.40	108	-2155.22	65	167.84	17	2701.01	17	-386.97	162	-23415.60	121	-1255.98	161
307	Min.	-494	-2743.46	65	-10813.40	108	-2155.22	65	167.84	17	2701.01	17	-386.97	162	-23415.60	121	-1255.98	161
307	Min.	-496	-2743.46	65	-10813.40	108	-2155.22	65	167.84	17	2701.01	17	-386.97	162	-23415.60	121	-1255.98	161
307	Max	-466	1280.93	177	810.15	97	1518.19	17	-2.36	17	12063.50	157	3322.38	162	-9709.52	65	19560.60	121
307	Max	-464	1280.93	177	810.15	97	1518.19	17	-2.36	17	12063.50	157	3322.38	162	-9709.52	65	19560.60	121
307	Max	-502	1280.93	177	810.15	97	1518.19	17	-2.36	17	12063.50	157	3322.38	162	-9709.52	65	19560.60	121
307	Max	-504	1280.93	177	810.15	97	1518.19	17	-2.36	17	12063.50	157	3322.38	162	-9709.52	65	19560.60	121
307	Min.	-466	-1194.51	17	-9643.54	106	-1990.36	65	-1247.76	173	1183.90	65	-3347.24	105	-62049.40	97	2310.87	65
307	Min.	-464	-1194.51	17	-9643.54	106	-1990.36	65	-1247.76	173	1183.90	65	-3347.24	105	-62049.40	97	2310.87	65
307	Min.	-502	-1194.51	17	-9643.54	106	-1990.36	65	-1247.76	173	1183.90	65	-3347.24	105	-62049.40	97	2310.87	65
307	Min.	-504	-1194.51	17	-9643.54	106	-1990.36	65	-1247.76	173	1183.90	65	-3347.24	105	-62049.40	97	2310.87	65
307	Max	-474	2369.60	65	1567.47	99	1565.25	107	1470.13	163	7559.06	105	1400.17	162	-12669.40	65	35004.80	105
307	Max	-472	2369.60	65	1567.47	99	1565.25	107	1470.13	163	7559.06	105	1400.17	162	-12669.40	65	35004.80	105
307	Max	-510	2369.60	65	1567.47	99	1565.25	107	1470.13	163	7559.06	105	1400.17	162	-12669.40	65	35004.80	105
307	Max	-512	2369.60	65	1567.47	99	1565.25	107	1470.13	163	7559.06	105	1400.17	162	-12669.40	65	35004.80	105
307	Min.	-474	-2916.88	177	-10398.80	108	-4405.13	177	-659.44	108	1439.95	65	-2792.63	105	-75794.50	105	5179.55	65
307	Min.	-472	-2916.88	177	-10398.80	108	-4405.13	177	-659.44	108	1439.95	65	-2792.63	105	-75794.50	105	5179.55	65
307	Min.	-510	-2916.88	177	-10398.80	108	-4405.13	177	-659.44	108	1439.95	65	-2792.63	105	-75794.50	105	5179.55	65
307	Min.	-512	-2916.88	177	-10398.80	108	-4405.13	177	-659.44	108	1439.95	65	-2792.63	105	-75794.50	105	5179.55	65
307	Max	-496	537.65	17	678.62	103	373.21	103	56.52	106	14123.60	157	1299.94	105	-952.09	177	4937.88	158
307	Max	-494	537.65	17	678.62	103	373.21	103	56.52	106	14123.60	157	1299.94	105	-952.09	177	4937.88	158
307	Max	-532	537.65	17	678.62	103	373.21	103	56.52	106	14123.60	157	1299.94	105	-952.09	177	4937.88	158
307	Max	-534	537.65	17	678.62	103	373.21	103	56.52	106	14123.60	157	1299.94	105	-952.09	177	4937.88	158
307	Min.	-496	-558.45	65	-7648.61	177	-720.64	108	-181.00	161	1125.82	17	174.79	162	-22162.30	121	-517.43	17
307	Min.	-494	-558.45	65	-7648.61	177	-720.64	108	-181.00	161	1125.82	17	174.79	162	-22162.30	121	-517.43	17
307	Min.	-532	-558.45	65	-7648.61	177	-720.64	108	-181.00	161	1125.82	17	174.79	162	-22162.30	121	-517.43	17
307	Min.	-534	-558.45	65	-7648.61	177	-720.64	108	-181.00	161	1125.82	17	174.79	162	-22162.30	121	-517.43	17
307	Max	-492	1237.36	17	848.08	97	1979.94	17	5.82	65	12047.60	157	3354.46	105	-9535.30	17	-2238.60	17

307	Max	-490	1237.36	17	848.08	97	1979.94	17	5.82	65	12047.60	157	3354.46	105	-9535.30	17	-2238.60	17
307	Max	-528	1237.36	17	848.08	97	1979.94	17	5.82	65	12047.60	157	3354.46	105	-9535.30	17	-2238.60	17
307	Max	-530	1237.36	17	848.08	97	1979.94	17	5.82	65	12047.60	157	3354.46	105	-9535.30	17	-2238.60	17
307	Min.	-492	-1203.03	65	-9595.93	106	-1520.32	65	-987.18	97	1169.49	17	-3312.86	162	-61870.20	97	-19445.00	121
307	Min.	-490	-1203.03	65	-9595.93	106	-1520.32	65	-987.18	97	1169.49	17	-3312.86	162	-61870.20	97	-19445.00	121
307	Min.	-528	-1203.03	65	-9595.93	106	-1520.32	65	-987.18	97	1169.49	17	-3312.86	162	-61870.20	97	-19445.00	121
307	Min.	-530	-1203.03	65	-9595.93	106	-1520.32	65	-987.18	97	1169.49	17	-3312.86	162	-61870.20	97	-19445.00	121
307	Max	-424	1819.07	65	10453.00	177	3291.70	177	1029.84	97	19264.80	121	361.14	162	-2088.09	17	1126.93	161
307	Max	-422	1819.07	65	10453.00	177	3291.70	177	1029.84	97	19264.80	121	361.14	162	-2088.09	17	1126.93	161
307	Max	-460	1819.07	65	10453.00	177	3291.70	177	1029.84	97	19264.80	121	361.14	162	-2088.09	17	1126.93	161
307	Max	-462	1819.07	65	10453.00	177	3291.70	177	1029.84	97	19264.80	121	361.14	162	-2088.09	17	1126.93	161
307	Min.	-424	-3851.86	177	-10959.00	107	-1811.72	65	169.85	65	2742.70	65	-2116.08	105	-22988.80	121	-267.42	177
307	Min.	-422	-3851.86	177	-10959.00	107	-1811.72	65	169.85	65	2742.70	65	-2116.08	105	-22988.80	121	-267.42	177
307	Min.	-460	-3851.86	177	-10959.00	107	-1811.72	65	169.85	65	2742.70	65	-2116.08	105	-22988.80	121	-267.42	177
307	Min.	-462	-3851.86	177	-10959.00	107	-1811.72	65	169.85	65	2742.70	65	-2116.08	105	-22988.80	121	-267.42	177
307	Max	-522	6181.73	177	5454.97	97	1742.39	97	1525.06	162	181.45	162	728.78	105	11853.20	105	5582.28	162
307	Max	-520	6181.73	177	5454.97	97	1742.39	97	1525.06	162	181.45	162	728.78	105	11853.20	105	5582.28	162
307	Max	-1012	6181.73	177	5454.97	97	1742.39	97	1525.06	162	181.45	162	728.78	105	11853.20	105	5582.28	162
307	Max	-1057	6181.73	177	5454.97	97	1742.39	97	1525.06	162	181.45	162	728.78	105	11853.20	105	5582.28	162
307	Min.	-522	-4333.81	65	-8067.74	106	-3801.41	106	-2341.36	105	-685.66	105	-960.39	162	-1272.73	162	-59812.10	105
307	Min.	-520	-4333.81	65	-8067.74	106	-3801.41	106	-2341.36	105	-685.66	105	-960.39	162	-1272.73	162	-59812.10	105
307	Min.	-1012	-4333.81	65	-8067.74	106	-3801.41	106	-2341.36	105	-685.66	105	-960.39	162	-1272.73	162	-59812.10	105
307	Min.	-1057	-4333.81	65	-8067.74	106	-3801.41	106	-2341.36	105	-685.66	105	-960.39	162	-1272.73	162	-59812.10	105
307	Max	-430	8998.94	177	205.06	133	1204.17	17	1804.61	105	19883.70	97	1394.94	162	-10412.10	65	9704.69	157
307	Max	-428	8998.94	177	205.06	133	1204.17	17	1804.61	105	19883.70	97	1394.94	162	-10412.10	65	9704.69	157
307	Max	-466	8998.94	177	205.06	133	1204.17	17	1804.61	105	19883.70	97	1394.94	162	-10412.10	65	9704.69	157
307	Max	-468	8998.94	177	205.06	133	1204.17	17	1804.61	105	19883.70	97	1394.94	162	-10412.10	65	9704.69	157
307	Min.	-430	-1732.01	131	-10785.00	106	-2542.51	177	338.40	65	3415.45	65	-2936.62	105	-61762.70	97	144.40	65
307	Min.	-428	-1732.01	131	-10785.00	106	-2542.51	177	338.40	65	3415.45	65	-2936.62	105	-61762.70	97	144.40	65
307	Min.	-466	-1732.01	131	-10785.00	106	-2542.51	177	338.40	65	3415.45	65	-2936.62	105	-61762.70	97	144.40	65
307	Min.	-468	-1732.01	131	-10785.00	106	-2542.51	177	338.40	65	3415.45	65	-2936.62	105	-61762.70	97	144.40	65
307	Max	-468	7064.98	177	1343.22	97	939.53	17	1037.26	162	8497.53	129	3574.84	162	-11891.90	65	-4980.80	17
307	Max	-466	7064.98	177	1343.22	97	939.53	17	1037.26	162	8497.53	129	3574.84	162	-11891.90	65	-4980.80	17
307	Max	-504	7064.98	177	1343.22	97	939.53	17	1037.26	162	8497.53	129	3574.84	162	-11891.90	65	-4980.80	17
307	Max	-506	7064.98	177	1343.22	97	939.53	17	1037.26	162	8497.53	129	3574.84	162	-11891.90	65	-4980.80	17
307	Min.	-468	-1372.24	17	-9945.08	130	-9949.88	177	-1758.27	173	1255.50	65	-2868.32	105	-74867.50	97	-32820.90	97
307	Min.	-466	-1372.24	17	-9945.08	130	-9949.88	177	-1758.27	173	1255.50	65	-2868.32	105	-74867.50	97	-32820.90	97
307	Min.	-504	-1372.24	17	-9945.08	130	-9949.88	177	-1758.27	173	1255.50	65	-2868.32	105	-74867.50	97	-32820.90	97
307	Min.	-506	-1372.24	17	-9945.08	130	-9949.88	177	-1758.27	173	1255.50	65	-2868.32	105	-74867.50	97	-32820.90	97
307	Max	-428	1127.08	177	412.36	177	1744.97	17	1497.15	129	19266.20	121	871.13	162	-8528.89	65	3815.84	162
307	Max	-426	1127.08	177	412.36	177	1744.97	17	1497.15	129	19266.20	121	871.13	162	-8528.89	65	3815.84	162
307	Max	-464	1127.08	177	412.36	177	1744.97	17	1497.15	129	19266.20	121	871.13	162	-8528.89	65	3815.84	162
307	Max	-466	1127.08	177	412.36	177	1744.97	17	1497.15	129	19266.20	121	871.13	162	-8528.89	65	3815.84	162
307	Min.	-428	-1128.53	17	-10387.40	106	-2203.81	177	257.38	65	3068.32	65	-3334.02	105	-53341.50	97	-6103.57	105
307	Min.	-426	-1128.53	17	-10387.40	106	-2203.81	177	257.38	65	3068.32	65	-3334.02	105	-53341.50	97	-6103.57	105
307	Min.	-464	-1128.53	17	-10387.40	106	-2203.81	177	257.38	65	3068.32	65	-3334.02	105	-53341.50	97	-6103.57	105
307	Min.	-466	-1128.53	17	-10387.40	106	-2203.81	177	257.38	65	3068.32	65	-3334.02	105	-53341.50	97	-6103.57	105
307	Max	-524	7437.64	177	3769.89	177	3631.00	130	2286.71	157	636.10	121	1191.06	105	-2480.75	17	17040.00	162
307	Max	-522	7437.64	177	3769.89	177	3631.00	130	2286.71	157	636.10	121	1191.06	105	-2480.75	17	17040.00	162
307	Max	-1057	7437.64	177	3769.89	177	3631.00	130	2286.71	157	636.10	121	1191.06	105	-2480.75	17	17040.00	162
307	Max	-1102	7437.64	177	3769.89	177	3631.00	130	2286.71	157	636.10	121	1191.06	105	-2480.75	17	17040.00	162
307	Min.	-524	-3849.84	65	-7268.78	130	-2914.36	177	-316.54	177	64.93	177	-1154.96	162	-14365.10	105	-37979.40	105
307	Min.	-522	-3849.84	65	-7268.78	130	-2914.36	177	-316.54	177	64.93	177	-1154.96	162	-14365.10	105	-37979.40	105
307	Min.	-1057	-3849.84	65	-7268.78	130	-2914.36	177	-316.54	177	64.93	177	-1154.96	162	-14365.10	105	-37979.40	105
307	Min.	-1102	-3849.84	65	-7268.78	130	-2914.36	177	-316.54	177	64.93	177	-1154.96	162	-14365.10	105	-37979.40	105
307	Max	-448	149.51	17	150.49	133	1554.31	17	2081.33	105	21154.20	105	2915.74	105	-13325.30	17	1084.48	97
307	Max	-446	149.51	17	150.49	133	1554.31	17	2081.33	105	21154.20	105	2915.74	105	-13325.30	17	1084.48	97
307	Max	-484	149.51	17	150.49	133	1554.31	17	2081.33	105	21154.20	105	2915.74	105	-13325.30	17	1084.48	97
307	Max	-486	149.51	17	150.49	133	1554.31	17	2081.33	105	21154.20	105	2915.74	105	-13325.30	17	1084.48	97
307	Min.	-448	-1196.12	132	-12313.60	106	-3251.73	177	397.93	33	3809.35	17	-1247.87	162	-76820.40	105	-2627.46	162
307	Min.	-446	-1196.12	132	-12313.60	106	-3251.73	177	397.93	33	3809.35	17	-1247.87	162	-76820.40	105	-2627.46	162
307	Min.	-484	-1196.12	132	-12313.60	106	-3251.73	177	397.93	33	3809.35	17	-1247.87	162	-76820.40	105	-2627.46	162
307	Min.	-486	-1196.12	132	-12313.60	106	-3251.73	177	397.93	33	3809.35	17	-1247.87	162	-76820.40	105	-2627.46	162
307	Max	-462	621.39	65	15186.10	177	720.36	107	38.76	106	14076.90	157	-107.56	177	-2135.82	65	743.88	173
307	Max	-460	621.39	65	15186.10	177	720.36	107	38.76	106	14076.90	157	-107.56	177	-2135.82	65	743.88	173
307	Max	-498	621.39	65	15186.10	177	720.36	107	38.76	106	14076.90	157	-107.56	177	-2135.82	65	743.88	173
307	Max	-500	621.39	65	15186.10	177	720.36	107	38.76	106	14076.90	157	-107.56	177	-2135.82	65	743.88	173
307	Min.	-462	-595.14	17	-7644.26	107	-365.19	104	-134.20	161	1140.74	65	-1227.73	105	-22406.50	121	-4723.82	158
307	Min.	-460	-595.14	17	-7644.26	107	-365.19	104	-134.20	161	1140.74	65	-1227.73	105	-22406.50	121	-4723.82	158
307	Min.	-498	-595.14	17	-7644.26	107	-365.19	104	-134.20	161	1140.74	65	-1227.73	105	-22406.50	121	-4723.82	158
307	Min.	-500	-595.14	17	-7644.26	107	-365.19	104	-134.20	161	1140.74	65	-1227.73	105	-22406.50	121	-4723.82	158
307	Max	-444	389.73	100	2069.55	65	1260.52	173	1468.76	121	20235.20	105	3884.20	105	-13903.20	33	-2536.49	17
307	Max	-442	389.73	100	2069.55	65	1260.52	173	1468.76	121	20235.20	105	3884.20	105	-13903.20	33	-2536.49	17
307	Max	-480	389.73	100	2069.55	65	1260.52	173	1468.76	121	20235.20	105	3884.20	105	-13903.20	33	-2536.49	17
307	Max	-482	389.73	100	2069.55	65	1260.52	173	1468.76	121	20235.20	105	3884.20	105	-13903.20	33	-2536.49	17
307	Min.	-444	-152.68	131	-14737.40	107	-5717.25	177	283.39	33	3717.26	33	62.06	17	-77104.10	105	-15036.50	105
307	Min.	-442	-152.68	131	-14737.40	107	-5717.25	177	283.39	33	3717.26	33	62.06	17	-77104.10	105	-15036.50	105
307	Min.	-480	-152.68	131	-14737.40	107	-5717.25	177	283.39	33	3717.26	33	62.06	17	-77104.10	105	-15036.50	105
307	Min.	-482	-152.68	131	-14737.40	107	-5717.25	177	283.39	33	3717.26	33	62.06	17	-77104.10	105	-15036.50	105
307	Max	-450	30.45	17	285.48	133	1915.11	17	1967.30	129	20291.40	105	2857.88	105	-11877.90	17	2897.88	97
307	Max	-448	30.45	17	285.48	133	1915.11	17	1967.30	129	20291.40	105	2857.88	105	-11877.90	17	2897.88	97
307	Max	-486	30.45	17	285.48	133	1915.11	17	1967.30	129	20291.40	105	2857.88	105	-11877.90	17	2897.88	97
307	Max	-488	30.45	17	285.48	133	1915.11	17	1967.30	129	20291.40	105	2857.88	105	-11877.90	17	2897.88	97
307	Min.	-450	-1256.79	132	-11320.40	106	-2350.95	177	336.21	33	3547.75	17	-1546.41	162	-69880.10	105	-3928.79	162
307	Min.	-448	-1256.79	132	-11320.40	106	-2350.95	177	336.21	33	3547.75	17	-1546.41	162	-69880.10	105	-3928.79	162
307	Min.	-486	-1256.79	132	-11320.40	106	-2350.95	177	336.21	33	3547.75	17	-1546.41	162	-69880.10	105	-3928.79	162
307	Min.	-488	-1256.79	132	-11320.40	106	-2350.95	177	336.21	33	3547.75	17	-1546.41	162	-69880.10	105	-3928.79	162
307	Max	-436	711.71	65	298.12	135	1063.95	17	2177.04	97	22618.60	105	934.36	162	-14727.80	65	1992.84	162
307	Max	-434	711.71	65	298.12	135	1063.95	17	2177.04	97	22618.60	105	934.36	162	-14727.80	65	1992.84	162
307	Max	-472	711.71	65	298.12	135	1063.95	17	2177.04	97	22618.60	105	934.36	162	-14727.80	65	1992.84	162
307	Max	-474	711.71	65	298.12	135	1063.95	17	2177.04	97	22618.60	105	934.36	162	-14727.80	65	1992.84	162
307	Min.	-436	-1677.43	131	-12864.70	108	-4240.42	177	459.56	65	4200.86	65	-2806.80	105	-80721.00	105	-3888.60	105
307	Min.	-434	-1677.43	131	-12864.70	108	-4240.42	177	459.56	65	4200.86	65	-2806.80	105	-80721.00	105	-3888.60	105
307	Min.	-472	-1677.43	131	-12864.70	108	-4240.42	177	459.56	65	4200.86	65	-2806.80	105	-80721.00	105	-3888.60	105
307	Min.	-474	-1677.43	131	-12864.70	108	-4240.42	177	459.56	65	4200.86	65	-2806.80	105	-80721.00	105	-3888.60	105
307	Max	-470	1906.09	65	1554.31	173	962.59	17	1559.35	157	7934.18	129	2528.82	162	-9522.53	65	-560.71	177
307	Max	-468	1906.09	65	1554.31	173	962.59	17	1559.35	157	7934.18	129	2528.82	162	-9522.53	65	-560.71	177
307	Max	-506	1906.09	65	1554.31	173	962.59	17	1559.35	157	7934.18	129	2528.82	162	-9522.53	65	-560.71	177
307	Max	-508	1906.09	65	1554.31	173	962.59	17	1559.35	157	7934.18	129	2528.82	162	-9522.53	65	-560.71	177
307	Min.	-470	-5603.79	177	-9646.86	130	-4979.46	177	-248.64	173	1393.51	65	-2751.14	105	-56698.80	97	-11807.90	97
307	Min.	-468	-5603.79	177	-9646.86	130	-4979.46	177	-248.64	173	1393.51	65	-2751.14	105	-56698.80	97	-11807.90	97
307	Min.	-506	-5603.79	177	-9646.86	130	-4979.46	177	-248.64	173	1393.51	65	-2751.14	105	-56698.80	97	-11807.90	97
307	Min.	-508	-5603.79	177	-9646.86	130	-4979.46	177	-248.64	173	1393.51	65	-2751.14	105	-56698.80	97	-11807.90	97
307	Max	-494	3816.14	158	1040.51	103	1436.55	17	420.69	105	15134.50	157	2726.78	105	-2840.93	162	8187.30	162
307	Max	-492	3816.14	158	1040.51	103	1436.55	17	420.69	105	15134.50	157	2726.78	105	-2840.93	162	8187.30	162

307	Max	-530	3816.14	158	1040.51	103	1436.55	17	420.69	105	15134.50	157	2726.78	105	-2840.93	162	8187.30	162
307	Max	-532	3816.14	158	1040.51	103	1436.55	17	420.69	105	15134.50	157	2726.78	105	-2840.93	162	8187.30	162
307	Min.	-494	-407.75	65	-8992.12	108	-1245.28	65	-1460.76	162	1161.94	17	-982.86	162	-32603.00	97	-2020.19	97
307	Min.	-492	-407.75	65	-8992.12	108	-1245.28	65	-1460.76	162	1161.94	17	-982.86	162	-32603.00	97	-2020.19	97
307	Min.	-530	-407.75	65	-8992.12	108	-1245.28	65	-1460.76	162	1161.94	17	-982.86	162	-32603.00	97	-2020.19	97
307	Min.	-532	-407.75	65	-8992.12	108	-1245.28	65	-1460.76	162	1161.94	17	-982.86	162	-32603.00	97	-2020.19	97
307	Max	-520	5515.21	17	2505.84	97	1345.62	173	1355.94	162	161.46	162	809.16	105	6305.37	105	13391.30	157
307	Max	-518	5515.21	17	2505.84	97	1345.62	173	1355.94	162	161.46	162	809.16	105	6305.37	105	13391.30	157
307	Max	-969	5515.21	17	2505.84	97	1345.62	173	1355.94	162	161.46	162	809.16	105	6305.37	105	13391.30	157
307	Max	-1012	5515.21	17	2505.84	97	1345.62	173	1355.94	162	161.46	162	809.16	105	6305.37	105	13391.30	157
307	Min.	-520	-4538.18	65	-4805.33	106	-4436.36	177	-2356.69	105	-419.42	105	-585.20	162	-1247.65	162	-5773.33	173
307	Min.	-518	-4538.18	65	-4805.33	106	-4436.36	177	-2356.69	105	-419.42	105	-585.20	162	-1247.65	162	-5773.33	173
307	Min.	-969	-4538.18	65	-4805.33	106	-4436.36	177	-2356.69	105	-419.42	105	-585.20	162	-1247.65	162	-5773.33	173
307	Min.	-1012	-4538.18	65	-4805.33	106	-4436.36	177	-2356.69	105	-419.42	105	-585.20	162	-1247.65	162	-5773.33	173
307	Max	-452	-49.75	1	220.08	133	2077.05	17	1804.95	105	19846.40	97	2957.22	105	-10210.40	17	-175.40	17
307	Max	-450	-49.75	1	220.08	133	2077.05	17	1804.95	105	19846.40	97	2957.22	105	-10210.40	17	-175.40	17
307	Max	-488	-49.75	1	220.08	133	2077.05	17	1804.95	105	19846.40	97	2957.22	105	-10210.40	17	-175.40	17
307	Max	-490	-49.75	1	220.08	133	2077.05	17	1804.95	105	19846.40	97	2957.22	105	-10210.40	17	-175.40	17
307	Min.	-452	-1852.24	132	-10760.60	106	-1354.76	177	307.06	33	3369.00	17	-1374.11	162	-61391.00	97	-9958.29	157
307	Min.	-450	-1852.24	132	-10760.60	106	-1354.76	177	307.06	33	3369.00	17	-1374.11	162	-61391.00	97	-9958.29	157
307	Min.	-488	-1852.24	132	-10760.60	106	-1354.76	177	307.06	33	3369.00	17	-1374.11	162	-61391.00	97	-9958.29	157
307	Min.	-490	-1852.24	132	-10760.60	106	-1354.76	177	307.06	33	3369.00	17	-1374.11	162	-61391.00	97	-9958.29	157
307	Max	-438	507.39	177	2083.09	17	3002.19	106	1470.74	121	20184.80	105	-46.98	65	-14269.50	33	15020.70	105
307	Max	-436	507.39	177	2083.09	17	3002.19	106	1470.74	121	20184.80	105	-46.98	65	-14269.50	33	15020.70	105
307	Max	-474	507.39	177	2083.09	17	3002.19	106	1470.74	121	20184.80	105	-46.98	65	-14269.50	33	15020.70	105
307	Max	-476	507.39	177	2083.09	17	3002.19	106	1470.74	121	20184.80	105	-46.98	65	-14269.50	33	15020.70	105
307	Min.	-438	-156.53	132	-14726.20	108	-4165.85	177	311.31	65	3880.80	33	-3876.17	105	-76759.20	105	2559.35	65
307	Min.	-436	-156.53	132	-14726.20	108	-4165.85	177	311.31	65	3880.80	33	-3876.17	105	-76759.20	105	2559.35	65
307	Min.	-474	-156.53	132	-14726.20	108	-4165.85	177	311.31	65	3880.80	33	-3876.17	105	-76759.20	105	2559.35	65
307	Min.	-476	-156.53	132	-14726.20	108	-4165.85	177	311.31	65	3880.80	33	-3876.17	105	-76759.20	105	2559.35	65
605	Max	-154	0.00	1	0.00	1	0.00	1	832.37	65	2557.99	101	801.07	49	15272.60	106	3692.39	65
605	Max	-142	0.00	1	0.00	1	0.00	1	832.37	65	2557.99	101	801.07	49	15272.60	106	3692.39	65
605	Max	-141	0.00	1	0.00	1	0.00	1	832.37	65	2557.99	101	801.07	49	15272.60	106	3692.39	65
605	Max	-153	0.00	1	0.00	1	0.00	1	832.37	65	2557.99	101	801.07	49	15272.60	106	3692.39	65
605	Min.	-154	0.00	1	0.00	1	0.00	1	-518.54	17	-12321.10	130	-2757.33	130	1554.32	49	-1468.44	17
605	Min.	-142	0.00	1	0.00	1	0.00	1	-518.54	17	-12321.10	130	-2757.33	130	1554.32	49	-1468.44	17
605	Min.	-141	0.00	1	0.00	1	0.00	1	-518.54	17	-12321.10	130	-2757.33	130	1554.32	49	-1468.44	17
605	Min.	-153	0.00	1	0.00	1	0.00	1	-518.54	17	-12321.10	130	-2757.33	130	1554.32	49	-1468.44	17
605	Max	-98	0.00	1	0.00	1	0.00	1	836.63	99	1510.77	1	1721.73	103	11512.80	106	7325.28	103
605	Max	-88	0.00	1	0.00	1	0.00	1	836.63	99	1510.77	1	1721.73	103	11512.80	106	7325.28	103
605	Max	-87	0.00	1	0.00	1	0.00	1	836.63	99	1510.77	1	1721.73	103	11512.80	106	7325.28	103
605	Max	-97	0.00	1	0.00	1	0.00	1	836.63	99	1510.77	1	1721.73	103	11512.80	106	7325.28	103
605	Min.	-98	0.00	1	0.00	1	0.00	1	397.34	65	-10826.00	130	-640.24	1	1115.76	1	1625.77	65
605	Min.	-88	0.00	1	0.00	1	0.00	1	397.34	65	-10826.00	130	-640.24	1	1115.76	1	1625.77	65
605	Min.	-87	0.00	1	0.00	1	0.00	1	397.34	65	-10826.00	130	-640.24	1	1115.76	1	1625.77	65
605	Min.	-97	0.00	1	0.00	1	0.00	1	397.34	65	-10826.00	130	-640.24	1	1115.76	1	1625.77	65
605	Max	-119	0.00	1	0.00	1	0.00	1	2501.83	107	4771.43	101	1699.33	65	13251.10	106	4074.12	107
605	Max	-109	0.00	1	0.00	1	0.00	1	2501.83	107	4771.43	101	1699.33	65	13251.10	106	4074.12	107
605	Max	-108	0.00	1	0.00	1	0.00	1	2501.83	107	4771.43	101	1699.33	65	13251.10	106	4074.12	107
605	Max	-118	0.00	1	0.00	1	0.00	1	2501.83	107	4771.43	101	1699.33	65	13251.10	106	4074.12	107
605	Min.	-119	0.00	1	0.00	1	0.00	1	514.36	17	-7611.96	130	-1971.36	132	2643.06	49	120.21	65
605	Min.	-109	0.00	1	0.00	1	0.00	1	514.36	17	-7611.96	130	-1971.36	132	2643.06	49	120.21	65
605	Min.	-108	0.00	1	0.00	1	0.00	1	514.36	17	-7611.96	130	-1971.36	132	2643.06	49	120.21	65
605	Min.	-118	0.00	1	0.00	1	0.00	1	514.36	17	-7611.96	130	-1971.36	132	2643.06	49	120.21	65
605	Max	-39	0.00	1	0.00	1	0.00	1	479.50	104	1004.47	1	1986.18	131	7382.89	130	499.12	65
605	Max	-27	0.00	1	0.00	1	0.00	1	479.50	104	1004.47	1	1986.18	131	7382.89	130	499.12	65
605	Max	-26	0.00	1	0.00	1	0.00	1	479.50	104	1004.47	1	1986.18	131	7382.89	130	499.12	65
605	Max	-38	0.00	1	0.00	1	0.00	1	479.50	104	1004.47	1	1986.18	131	7382.89	130	499.12	65
605	Min.	-39	0.00	1	0.00	1	0.00	1	-429.31	131	-5011.07	130	-543.96	1	-1529.47	1	-1071.60	132
605	Min.	-27	0.00	1	0.00	1	0.00	1	-429.31	131	-5011.07	130	-543.96	1	-1529.47	1	-1071.60	132
605	Min.	-26	0.00	1	0.00	1	0.00	1	-429.31	131	-5011.07	130	-543.96	1	-1529.47	1	-1071.60	132
605	Min.	-38	0.00	1	0.00	1	0.00	1	-429.31	131	-5011.07	130	-543.96	1	-1529.47	1	-1071.60	132
605	Max	-50	0.00	1	0.00	1	0.00	1	715.17	17	458.90	101	1460.20	130	4330.05	130	906.61	101
605	Max	-38	0.00	1	0.00	1	0.00	1	715.17	17	458.90	101	1460.20	130	4330.05	130	906.61	101
605	Max	-37	0.00	1	0.00	1	0.00	1	715.17	17	458.90	101	1460.20	130	4330.05	130	906.61	101
605	Max	-49	0.00	1	0.00	1	0.00	1	715.17	17	458.90	101	1460.20	130	4330.05	130	906.61	101
605	Min.	-50	0.00	1	0.00	1	0.00	1	-520.64	65	-1321.59	130	-420.25	1	-940.19	1	-7609.03	130
605	Min.	-38	0.00	1	0.00	1	0.00	1	-520.64	65	-1321.59	130	-420.25	1	-940.19	1	-7609.03	130
605	Min.	-37	0.00	1	0.00	1	0.00	1	-520.64	65	-1321.59	130	-420.25	1	-940.19	1	-7609.03	130
605	Min.	-49	0.00	1	0.00	1	0.00	1	-520.64	65	-1321.59	130	-420.25	1	-940.19	1	-7609.03	130
605	Max	-166	0.00	1	0.00	1	0.00	1	310.54	65	2190.49	49	157.21	65	13528.20	106	743.41	65
605	Max	-154	0.00	1	0.00	1	0.00	1	310.54	65	2190.49	49	157.21	65	13528.20	106	743.41	65
605	Max	-153	0.00	1	0.00	1	0.00	1	310.54	65	2190.49	49	157.21	65	13528.20	106	743.41	65
605	Max	-165	0.00	1	0.00	1	0.00	1	310.54	65	2190.49	49	157.21	65	13528.20	106	743.41	65
605	Min.	-166	0.00	1	0.00	1	0.00	1	-386.85	108	-10941.10	130	-1793.41	108	431.91	49	-2462.39	132
605	Min.	-154	0.00	1	0.00	1	0.00	1	-386.85	108	-10941.10	130	-1793.41	108	431.91	49	-2462.39	132
605	Min.	-153	0.00	1	0.00	1	0.00	1	-386.85	108	-10941.10	130	-1793.41	108	431.91	49	-2462.39	132
605	Min.	-165	0.00	1	0.00	1	0.00	1	-386.85	108	-10941.10	130	-1793.41	108	431.91	49	-2462.39	132
605	Max	-14	0.00	1	0.00	1	0.00	1	16.72	17	266.75	1	141.41	131	2507.74	130	111.29	101
605	Max	-2	0.00	1	0.00	1	0.00	1	16.72	17	266.75	1	141.41	131	2507.74	130	111.29	101
605	Max	-1	0.00	1	0.00	1	0.00	1	16.72	17	266.75	1	141.41	131	2507.74	130	111.29	101
605	Max	-13	0.00	1	0.00	1	0.00	1	16.72	17	266.75	1	141.41	131	2507.74	130	111.29	101
605	Min.	-14	0.00	1	0.00	1	0.00	1	-14.53	65	-1187.04	130	-33.02	1	-808.07	101	-429.09	130
605	Min.	-2	0.00	1	0.00	1	0.00	1	-14.53	65	-1187.04	130	-33.02	1	-808.07	101	-429.09	130
605	Min.	-1	0.00	1	0.00	1	0.00	1	-14.53	65	-1187.04	130	-33.02	1	-808.07	101	-429.09	130
605	Min.	-13	0.00	1	0.00	1	0.00	1	-14.53	65	-1187.04	130	-33.02	1	-808.07	101	-429.09	130
605	Max	-152	0.00	1	0.00	1	0.00	1	1934.64	131	791.11	101	1125.79	101	1833.36	130	13078.10	130
605	Max	-140	0.00	1	0.00	1	0.00	1	1934.64	131	791.11	101	1125.79	101	1833.36	130	13078.10	130
605	Max	-139	0.00	1	0.00	1	0.00	1	1934.64	131	791.11	101	1125.79	101	1833.36	130	13078.10	130
605	Max	-151	0.00	1	0.00	1	0.00	1	1934.64	131	791.11	101	1125.79	101	1833.36	130	13078.10	130
605	Min.	-152	0.00	1	0.00	1	0.00	1	-647.80	17	-811.52	130	-2108.47	130	-640.58	49	-793.54	49
605	Min.	-140	0.00	1	0.00	1	0.00	1	-647.80	17	-811.52	130	-2108.47	130	-640.58	49	-793.54	49
605	Min.	-139	0.00	1	0.00	1	0.00	1	-647.80	17	-811.52	130	-2108.47	130	-640.58	49	-793.54	49
605	Min.	-151	0.00	1	0.00	1	0.00	1	-647.80	17	-811.52	130	-2108.47	130	-640.58	49	-793.54	49
605	Max	-131	0.00	1	0.00	1	0.00	1	2162.61	107	4825.94	101	1239.88	65	12849.70	106	471.01	17
605	Max	-119	0.00	1	0.00	1	0.00	1	2162.61	107	4825.94	101	1239.88	65	12849.70	106	471.01	17
605	Max	-118	0.00	1	0.00	1	0.00	1	2162.61	107	4825.94	101	1239.88	65	12849.70	106	471.01	17
605	Max	-130	0.00	1	0.00	1	0.00	1	2162.61	107	4825.94	101	1239.88	65	12849.70	106	471.01	17
605	Min.	-131	0.00	1	0.00	1	0.00	1	588.11	17	-7770.02	130	-1937.53	17	2531.31	49	-2608.78	132
605	Min.	-119	0.00	1	0.00	1	0.00	1	588.11	17	-7770.02	130	-1937.53	17	2531.31	49	-2608.78	132
605	Min.	-118	0.00	1	0.00	1	0.00	1	588.11	17	-7770.02	130	-1937.53	17	2531.31	49	-2608.78	132
605	Min.	-130	0.00	1	0.00	1	0.00	1	588.11	17	-7770.02	130	-1937.53	17	2531.31	49	-2608.78	132
605	Max	-26	0.00	1	0.00	1	0.00	1	62.13	17	297.39	1	445.36	131	3279.35	130	423.87	101
605	Max	-14	0.00	1	0.00	1	0.00	1	62.13	17	297.39	1	445.36	131	3279.35	130	423.87	101
605	Max	-13	0.00	1	0.00	1	0.00	1	62.13	17	297.39	1	445.36	131	3279.35	130	423.87	101

605	Max	-25	0.00	1	0.00	1	0.00	1	62.13	17	297.39	1	445.36	131	3279.35	130	423.87	101
605	Min.	-26	0.00	1	0.00	1	0.00	1	-86.90	131	-1344.54	130	-112.84	17	-820.06	1	-1346.28	130
605	Min.	-14	0.00	1	0.00	1	0.00	1	-86.90	131	-1344.54	130	-112.84	17	-820.06	1	-1346.28	130
605	Min.	-13	0.00	1	0.00	1	0.00	1	-86.90	131	-1344.54	130	-112.84	17	-820.06	1	-1346.28	130
605	Min.	-25	0.00	1	0.00	1	0.00	1	-86.90	131	-1344.54	130	-112.84	17	-820.06	1	-1346.28	130
605	Max	-178	0.00	1	0.00	1	0.00	1	1257.42	104	1052.46	49	937.06	130	5313.34	106	-4396.69	17
605	Max	-166	0.00	1	0.00	1	0.00	1	1257.42	104	1052.46	49	937.06	130	5313.34	106	-4396.69	17
605	Max	-165	0.00	1	0.00	1	0.00	1	1257.42	104	1052.46	49	937.06	130	5313.34	106	-4396.69	17
605	Max	-177	0.00	1	0.00	1	0.00	1	1257.42	104	1052.46	49	937.06	130	5313.34	106	-4396.69	17
605	Min.	-178	0.00	1	0.00	1	0.00	1	-558.54	131	-6818.02	106	-3430.87	101	-2422.62	49	-15351.00	103
605	Min.	-166	0.00	1	0.00	1	0.00	1	-558.54	131	-6818.02	106	-3430.87	101	-2422.62	49	-15351.00	103
605	Min.	-165	0.00	1	0.00	1	0.00	1	-558.54	131	-6818.02	106	-3430.87	101	-2422.62	49	-15351.00	103
605	Min.	-177	0.00	1	0.00	1	0.00	1	-558.54	131	-6818.02	106	-3430.87	101	-2422.62	49	-15351.00	103
605	Max	-120	0.00	1	0.00	1	0.00	1	1318.20	65	1549.58	49	1305.24	101	13002.00	106	8638.75	103
605	Max	-110	0.00	1	0.00	1	0.00	1	1318.20	65	1549.58	49	1305.24	101	13002.00	106	8638.75	103
605	Max	-109	0.00	1	0.00	1	0.00	1	1318.20	65	1549.58	49	1305.24	101	13002.00	106	8638.75	103
605	Max	-119	0.00	1	0.00	1	0.00	1	1318.20	65	1549.58	49	1305.24	101	13002.00	106	8638.75	103
605	Min.	-120	0.00	1	0.00	1	0.00	1	10.06	17	-11666.70	130	-2005.30	130	1773.66	49	962.12	17
605	Min.	-110	0.00	1	0.00	1	0.00	1	10.06	17	-11666.70	130	-2005.30	130	1773.66	49	962.12	17
605	Min.	-109	0.00	1	0.00	1	0.00	1	10.06	17	-11666.70	130	-2005.30	130	1773.66	49	962.12	17
605	Min.	-119	0.00	1	0.00	1	0.00	1	10.06	17	-11666.70	130	-2005.30	130	1773.66	49	962.12	17
605	Max	-52	0.00	1	0.00	1	0.00	1	1204.67	103	1093.89	1	3331.06	101	5527.00	106	14732.30	104
605	Max	-40	0.00	1	0.00	1	0.00	1	1204.67	103	1093.89	1	3331.06	101	5527.00	106	14732.30	104
605	Max	-39	0.00	1	0.00	1	0.00	1	1204.67	103	1093.89	1	3331.06	101	5527.00	106	14732.30	104
605	Max	-51	0.00	1	0.00	1	0.00	1	1204.67	103	1093.89	1	3331.06	101	5527.00	106	14732.30	104
605	Min.	-52	0.00	1	0.00	1	0.00	1	-567.54	132	-6913.43	106	-820.73	130	-2347.06	1	4290.47	49
605	Min.	-40	0.00	1	0.00	1	0.00	1	-567.54	132	-6913.43	106	-820.73	130	-2347.06	1	4290.47	49
605	Min.	-39	0.00	1	0.00	1	0.00	1	-567.54	132	-6913.43	106	-820.73	130	-2347.06	1	4290.47	49
605	Min.	-51	0.00	1	0.00	1	0.00	1	-567.54	132	-6913.43	106	-820.73	130	-2347.06	1	4290.47	49
605	Max	-74	0.00	1	0.00	1	0.00	1	1928.50	132	788.84	101	2107.56	130	1821.28	130	812.00	1
605	Max	-62	0.00	1	0.00	1	0.00	1	1928.50	132	788.84	101	2107.56	130	1821.28	130	812.00	1
605	Max	-61	0.00	1	0.00	1	0.00	1	1928.50	132	788.84	101	2107.56	130	1821.28	130	812.00	1
605	Max	-73	0.00	1	0.00	1	0.00	1	1928.50	132	788.84	101	2107.56	130	1821.28	130	812.00	1
605	Min.	-74	0.00	1	0.00	1	0.00	1	-641.09	65	-811.68	130	-1127.11	101	-646.14	1	-13053.70	130
605	Min.	-62	0.00	1	0.00	1	0.00	1	-641.09	65	-811.68	130	-1127.11	101	-646.14	1	-13053.70	130
605	Min.	-61	0.00	1	0.00	1	0.00	1	-641.09	65	-811.68	130	-1127.11	101	-646.14	1	-13053.70	130
605	Min.	-73	0.00	1	0.00	1	0.00	1	-641.09	65	-811.68	130	-1127.11	101	-646.14	1	-13053.70	130
605	Max	-176	0.00	1	0.00	1	0.00	1	704.80	65	455.44	101	409.41	49	4339.68	130	7552.71	130
605	Max	-164	0.00	1	0.00	1	0.00	1	704.80	65	455.44	101	409.41	49	4339.68	130	7552.71	130
605	Max	-163	0.00	1	0.00	1	0.00	1	704.80	65	455.44	101	409.41	49	4339.68	130	7552.71	130
605	Max	-175	0.00	1	0.00	1	0.00	1	704.80	65	455.44	101	409.41	49	4339.68	130	7552.71	130
605	Min.	-176	0.00	1	0.00	1	0.00	1	-520.16	17	-1324.85	130	-1450.95	130	-939.39	49	-936.82	101
605	Min.	-164	0.00	1	0.00	1	0.00	1	-520.16	17	-1324.85	130	-1450.95	130	-939.39	49	-936.82	101
605	Min.	-163	0.00	1	0.00	1	0.00	1	-520.16	17	-1324.85	130	-1450.95	130	-939.39	49	-936.82	101
605	Min.	-175	0.00	1	0.00	1	0.00	1	-520.16	17	-1324.85	130	-1450.95	130	-939.39	49	-936.82	101
605	Max	-38	0.00	1	0.00	1	0.00	1	364.19	17	339.32	101	1037.46	130	3908.19	130	368.31	1
605	Max	-26	0.00	1	0.00	1	0.00	1	364.19	17	339.32	101	1037.46	130	3908.19	130	368.31	1
605	Max	-25	0.00	1	0.00	1	0.00	1	364.19	17	339.32	101	1037.46	130	3908.19	130	368.31	1
605	Max	-37	0.00	1	0.00	1	0.00	1	364.19	17	339.32	101	1037.46	130	3908.19	130	368.31	1
605	Min.	-38	0.00	1	0.00	1	0.00	1	-317.69	65	-1356.11	130	-266.90	1	-924.72	1	-4214.98	130
605	Min.	-26	0.00	1	0.00	1	0.00	1	-317.69	65	-1356.11	130	-266.90	1	-924.72	1	-4214.98	130
605	Min.	-25	0.00	1	0.00	1	0.00	1	-317.69	65	-1356.11	130	-266.90	1	-924.72	1	-4214.98	130
605	Min.	-37	0.00	1	0.00	1	0.00	1	-317.69	65	-1356.11	130	-266.90	1	-924.72	1	-4214.98	130
605	Max	-203	0.00	1	0.00	1	0.00	1	111.55	49	2174.07	49	-226.06	65	3124.42	65	1374.57	65
605	Max	-191	0.00	1	0.00	1	0.00	1	111.55	49	2174.07	49	-226.06	65	3124.42	65	1374.57	65
605	Max	-190	0.00	1	0.00	1	0.00	1	111.55	49	2174.07	49	-226.06	65	3124.42	65	1374.57	65
605	Max	-202	0.00	1	0.00	1	0.00	1	111.55	49	2174.07	49	-226.06	65	3124.42	65	1374.57	65
605	Min.	-203	0.00	1	0.00	1	0.00	1	-928.93	130	-11169.80	130	-1355.28	103	-10557.20	104	-4212.51	108
605	Min.	-191	0.00	1	0.00	1	0.00	1	-928.93	130	-11169.80	130	-1355.28	103	-10557.20	104	-4212.51	108
605	Min.	-190	0.00	1	0.00	1	0.00	1	-928.93	130	-11169.80	130	-1355.28	103	-10557.20	104	-4212.51	108
605	Min.	-202	0.00	1	0.00	1	0.00	1	-928.93	130	-11169.80	130	-1355.28	103	-10557.20	104	-4212.51	108
605	Max	-201	0.00	1	0.00	1	0.00	1	180.21	65	1135.57	49	469.26	101	6203.77	130	1394.55	65
605	Max	-189	0.00	1	0.00	1	0.00	1	180.21	65	1135.57	49	469.26	101	6203.77	130	1394.55	65
605	Max	-188	0.00	1	0.00	1	0.00	1	180.21	65	1135.57	49	469.26	101	6203.77	130	1394.55	65
605	Max	-200	0.00	1	0.00	1	0.00	1	180.21	65	1135.57	49	469.26	101	6203.77	130	1394.55	65
605	Min.	-201	0.00	1	0.00	1	0.00	1	-131.51	17	-5101.50	130	-1547.94	130	-2014.67	49	-193.26	17
605	Min.	-189	0.00	1	0.00	1	0.00	1	-131.51	17	-5101.50	130	-1547.94	130	-2014.67	49	-193.26	17
605	Min.	-188	0.00	1	0.00	1	0.00	1	-131.51	17	-5101.50	130	-1547.94	130	-2014.67	49	-193.26	17
605	Min.	-200	0.00	1	0.00	1	0.00	1	-131.51	17	-5101.50	130	-1547.94	130	-2014.67	49	-193.26	17
605	Max	-75	0.00	1	0.00	1	0.00	1	1574.11	17	2350.77	101	3525.36	130	10404.80	106	-572.91	17
605	Max	-63	0.00	1	0.00	1	0.00	1	1574.11	17	2350.77	101	3525.36	130	10404.80	106	-572.91	17
605	Max	-62	0.00	1	0.00	1	0.00	1	1574.11	17	2350.77	101	3525.36	130	10404.80	106	-572.91	17
605	Max	-74	0.00	1	0.00	1	0.00	1	1574.11	17	2350.77	101	3525.36	130	10404.80	106	-572.91	17
605	Min.	-75	0.00	1	0.00	1	0.00	1	-616.03	65	-5517.94	130	-1065.84	1	-78.00	1	-5048.18	100
605	Min.	-63	0.00	1	0.00	1	0.00	1	-616.03	65	-5517.94	130	-1065.84	1	-78.00	1	-5048.18	100
605	Min.	-62	0.00	1	0.00	1	0.00	1	-616.03	65	-5517.94	130	-1065.84	1	-78.00	1	-5048.18	100
605	Min.	-74	0.00	1	0.00	1	0.00	1	-616.03	65	-5517.94	130	-1065.84	1	-78.00	1	-5048.18	100
605	Max	-202	0.00	1	0.00	1	0.00	1	-118.78	65	2725.65	49	224.35	65	9941.65	107	544.29	65
605	Max	-190	0.00	1	0.00	1	0.00	1	-118.78	65	2725.65	49	224.35	65	9941.65	107	544.29	65
605	Max	-189	0.00	1	0.00	1	0.00	1	-118.78	65	2725.65	49	224.35	65	9941.65	107	544.29	65
605	Max	-201	0.00	1	0.00	1	0.00	1	-118.78	65	2725.65	49	224.35	65	9941.65	107	544.29	65
605	Min.	-202	0.00	1	0.00	1	0.00	1	-469.76	104	-11490.30	130	-1197.55	108	-2837.91	17	-3066.71	100
605	Min.	-190	0.00	1	0.00	1	0.00	1	-469.76	104	-11490.30	130	-1197.55	108	-2837.91	17	-3066.71	100
605	Min.	-189	0.00	1	0.00	1	0.00	1	-469.76	104	-11490.30	130	-1197.55	108	-2837.91	17	-3066.71	100
605	Min.	-201	0.00	1	0.00	1	0.00	1	-469.76	104	-11490.30	130	-1197.55	108	-2837.91	17	-3066.71	100
605	Max	-97	0.00	1	0.00	1	0.00	1	2135.13	108	4808.91	101	1923.19	65	12867.30	106	2642.15	131
605	Max	-87	0.00	1	0.00	1	0.00	1	2135.13	108	4808.91	101	1923.19	65	12867.30	106	2642.15	131
605	Max	-86	0.00	1	0.00	1	0.00	1	2135.13	108	4808.91	101	1923.19	65	12867.30	106	2642.15	131
605	Max	-96	0.00	1	0.00	1	0.00	1	2135.13	108	4808.91	101	1923.19	65	12867.30	106	2642.15	131
605	Min.	-97	0.00	1	0.00	1	0.00	1	583.37	65	-7764.14	130	-1239.99	17	2512.17	1	-448.81	65
605	Min.	-87	0.00	1	0.00	1	0.00	1	583.37	65	-7764.14	130	-1239.99	17	2512.17	1	-448.81	65
605	Min.	-86	0.00	1	0.00	1	0.00	1	583.37	65	-7764.14	130	-1239.99	17	2512.17	1	-448.81	65
605	Min.	-96	0.00	1	0.00	1	0.00	1	583.37	65	-7764.14	130	-1239.99	17	2512.17	1	-448.81	65
605	Max	-141	0.00	1	0.00	1	0.00	1	2222.06	65	5158.11	101	1957.61	101	12456.80	107	7471.99	107
605	Max	-131	0.00	1	0.00	1	0.00	1	2222.06	65	5158.11	101	1957.61	101	12456.80	107	7471.99	107
605	Max	-130	0.00	1	0.00	1	0.00	1	2222.06	65	5158.11	101	1957.61	101	12456.80	107	7471.99	107
605	Max	-140	0.00	1	0.00	1	0.00	1	2222.06	65	5158.11	101	1957.61	101	12456.80	107	7471.99	107
605	Min.	-141	0.00	1	0.00	1	0.00	1	-465.93	17	-8352.61	130	-4399.50	130	2712.05	65	651.98	65
605	Min.	-131	0.00	1	0.00	1	0.00	1	-465.93	17	-8352.61	130	-4399.50	130	2712.05	65	651.98	65
605	Min.	-130	0.00	1	0.00	1	0.00	1	-465.93	17	-8352.61	130	-4399.50	130	2712.05	65	651.98	65
605	Min.	-140	0.00	1	0.00	1	0.00	1	-465.93	17	-8352.61	130	-4399.50	130	2712.05	65	651.98	65
605	Max	-63	0.00	1	0.00	1	0.00	1	1097.54	17	1334.68	101	2691.22	130	9137.25	130	82.11	17
605	Max	-51	0.00	1	0.00	1	0.00	1	1097.54	17	1334.68	101	2691.22	130	9137.25	130	82.11	17
605	Max	-50	0.00	1	0.00	1	0.00	1	1097.54	17	1334.68	101	2691.22	130	9137.25	130	82.11	17
605	Max	-62	0.00	1	0.00	1	0.00	1	1097.54	17	1334.68	101	2691.22	130	9137.25	130	82.11	17

605	Min.	-63	0.00	1	0.00	1	0.00	1	-624.02	65	-4951.50	130	-587.07	1	-1119.29	1	-2815.64	104
605	Min.	-51	0.00	1	0.00	1	0.00	1	-624.02	65	-4951.50	130	-587.07	1	-1119.29	1	-2815.64	104
605	Min.	-50	0.00	1	0.00	1	0.00	1	-624.02	65	-4951.50	130	-587.07	1	-1119.29	1	-2815.64	104
605	Min.	-62	0.00	1	0.00	1	0.00	1	-624.02	65	-4951.50	130	-587.07	1	-1119.29	1	-2815.64	104
605	Max	-177	0.00	1	0.00	1	0.00	1	992.07	65	963.33	49	616.92	49	8263.79	130	4416.00	103
605	Max	-165	0.00	1	0.00	1	0.00	1	992.07	65	963.33	49	616.92	49	8263.79	130	4416.00	103
605	Max	-164	0.00	1	0.00	1	0.00	1	992.07	65	963.33	49	616.92	49	8263.79	130	4416.00	103
605	Max	-176	0.00	1	0.00	1	0.00	1	992.07	65	963.33	49	616.92	49	8263.79	130	4416.00	103
605	Min.	-177	0.00	1	0.00	1	0.00	1	-761.71	17	-4843.73	130	-2786.18	130	-1198.46	49	47.75	17
605	Min.	-165	0.00	1	0.00	1	0.00	1	-761.71	17	-4843.73	130	-2786.18	130	-1198.46	49	47.75	17
605	Min.	-164	0.00	1	0.00	1	0.00	1	-761.71	17	-4843.73	130	-2786.18	130	-1198.46	49	47.75	17
605	Min.	-176	0.00	1	0.00	1	0.00	1	-761.71	17	-4843.73	130	-2786.18	130	-1198.46	49	47.75	17
605	Max	-132	0.00	1	0.00	1	0.00	1	858.15	104	1508.45	49	650.50	49	11490.20	106	-1605.84	17
605	Max	-120	0.00	1	0.00	1	0.00	1	858.15	104	1508.45	49	650.50	49	11490.20	106	-1605.84	17
605	Max	-119	0.00	1	0.00	1	0.00	1	858.15	104	1508.45	49	650.50	49	11490.20	106	-1605.84	17
605	Max	-131	0.00	1	0.00	1	0.00	1	858.15	104	1508.45	49	650.50	49	11490.20	106	-1605.84	17
605	Min.	-132	0.00	1	0.00	1	0.00	1	412.17	17	-10823.20	130	-1718.17	104	1131.77	49	-7301.60	104
605	Min.	-120	0.00	1	0.00	1	0.00	1	412.17	17	-10823.20	130	-1718.17	104	1131.77	49	-7301.60	104
605	Min.	-119	0.00	1	0.00	1	0.00	1	412.17	17	-10823.20	130	-1718.17	104	1131.77	49	-7301.60	104
605	Min.	-131	0.00	1	0.00	1	0.00	1	412.17	17	-10823.20	130	-1718.17	104	1131.77	49	-7301.60	104
605	Max	-27	0.00	1	0.00	1	0.00	1	173.97	17	1149.83	1	1507.74	130	6158.06	130	194.69	65
605	Max	-15	0.00	1	0.00	1	0.00	1	173.97	17	1149.83	1	1507.74	130	6158.06	130	194.69	65
605	Max	-14	0.00	1	0.00	1	0.00	1	173.97	17	1149.83	1	1507.74	130	6158.06	130	194.69	65
605	Max	-26	0.00	1	0.00	1	0.00	1	173.97	17	1149.83	1	1507.74	130	6158.06	130	194.69	65
605	Min.	-27	0.00	1	0.00	1	0.00	1	-126.47	65	-5105.40	130	-454.81	101	-2001.14	1	-1351.79	17
605	Min.	-15	0.00	1	0.00	1	0.00	1	-126.47	65	-5105.40	130	-454.81	101	-2001.14	1	-1351.79	17
605	Min.	-14	0.00	1	0.00	1	0.00	1	-126.47	65	-5105.40	130	-454.81	101	-2001.14	1	-1351.79	17
605	Min.	-26	0.00	1	0.00	1	0.00	1	-126.47	65	-5105.40	130	-454.81	101	-2001.14	1	-1351.79	17
605	Max	-51	0.00	1	0.00	1	0.00	1	993.72	17	975.52	1	2762.36	130	8282.79	130	-39.94	65
605	Max	-39	0.00	1	0.00	1	0.00	1	993.72	17	975.52	1	2762.36	130	8282.79	130	-39.94	65
605	Max	-38	0.00	1	0.00	1	0.00	1	993.72	17	975.52	1	2762.36	130	8282.79	130	-39.94	65
605	Max	-50	0.00	1	0.00	1	0.00	1	993.72	17	975.52	1	2762.36	130	8282.79	130	-39.94	65
605	Min.	-51	0.00	1	0.00	1	0.00	1	-752.95	65	-4842.58	130	-618.13	1	-1202.15	1	-4299.92	104
605	Min.	-39	0.00	1	0.00	1	0.00	1	-752.95	65	-4842.58	130	-618.13	1	-1202.15	1	-4299.92	104
605	Min.	-38	0.00	1	0.00	1	0.00	1	-752.95	65	-4842.58	130	-618.13	1	-1202.15	1	-4299.92	104
605	Min.	-50	0.00	1	0.00	1	0.00	1	-752.95	65	-4842.58	130	-618.13	1	-1202.15	1	-4299.92	104
605	Max	-87	0.00	1	0.00	1	0.00	1	2220.68	17	5153.17	101	4389.65	130	12465.70	108	-656.56	17
605	Max	-75	0.00	1	0.00	1	0.00	1	2220.68	17	5153.17	101	4389.65	130	12465.70	108	-656.56	17
605	Max	-74	0.00	1	0.00	1	0.00	1	2220.68	17	5153.17	101	4389.65	130	12465.70	108	-656.56	17
605	Max	-86	0.00	1	0.00	1	0.00	1	2220.68	17	5153.17	101	4389.65	130	12465.70	108	-656.56	17
605	Min.	-87	0.00	1	0.00	1	0.00	1	-459.38	65	-8351.06	130	-1972.34	101	2719.17	17	-7468.78	108
605	Min.	-75	0.00	1	0.00	1	0.00	1	-459.38	65	-8351.06	130	-1972.34	101	2719.17	17	-7468.78	108
605	Min.	-74	0.00	1	0.00	1	0.00	1	-459.38	65	-8351.06	130	-1972.34	101	2719.17	17	-7468.78	108
605	Min.	-86	0.00	1	0.00	1	0.00	1	-459.38	65	-8351.06	130	-1972.34	101	2719.17	17	-7468.78	108
605	Max	-109	0.00	1	0.00	1	0.00	1	2489.09	108	4758.29	101	1960.13	131	13260.10	106	-149.74	17
605	Max	-97	0.00	1	0.00	1	0.00	1	2489.09	108	4758.29	101	1960.13	131	13260.10	106	-149.74	17
605	Max	-96	0.00	1	0.00	1	0.00	1	2489.09	108	4758.29	101	1960.13	131	13260.10	106	-149.74	17
605	Max	-108	0.00	1	0.00	1	0.00	1	2489.09	108	4758.29	101	1960.13	131	13260.10	106	-149.74	17
605	Min.	-109	0.00	1	0.00	1	0.00	1	514.34	65	-7604.38	130	-1711.02	17	2621.71	1	-4106.96	108
605	Min.	-97	0.00	1	0.00	1	0.00	1	514.34	65	-7604.38	130	-1711.02	17	2621.71	1	-4106.96	108
605	Min.	-96	0.00	1	0.00	1	0.00	1	514.34	65	-7604.38	130	-1711.02	17	2621.71	1	-4106.96	108
605	Min.	-108	0.00	1	0.00	1	0.00	1	514.34	65	-7604.38	130	-1711.02	17	2621.71	1	-4106.96	108
605	Max	-16	0.00	1	0.00	1	0.00	1	-19.18	1	2534.36	1	649.57	107	6207.16	132	808.21	65
605	Max	-4	0.00	1	0.00	1	0.00	1	-19.18	1	2534.36	1	649.57	107	6207.16	132	808.21	65
605	Max	-3	0.00	1	0.00	1	0.00	1	-19.18	1	2534.36	1	649.57	107	6207.16	132	808.21	65
605	Max	-15	0.00	1	0.00	1	0.00	1	-19.18	1	2534.36	1	649.57	107	6207.16	132	808.21	65
605	Min.	-16	0.00	1	0.00	1	0.00	1	-137.72	106	-10975.60	130	-88.61	17	-5017.95	65	-372.36	17
605	Min.	-4	0.00	1	0.00	1	0.00	1	-137.72	106	-10975.60	130	-88.61	17	-5017.95	65	-372.36	17
605	Min.	-3	0.00	1	0.00	1	0.00	1	-137.72	106	-10975.60	130	-88.61	17	-5017.95	65	-372.36	17
605	Min.	-15	0.00	1	0.00	1	0.00	1	-137.72	106	-10975.60	130	-88.61	17	-5017.95	65	-372.36	17
605	Max	-53	0.00	1	0.00	1	0.00	1	1536.68	103	8668.12	101	3655.32	103	64517.00	104	11747.90	101
605	Max	-41	0.00	1	0.00	1	0.00	1	1536.68	103	8668.12	101	3655.32	103	64517.00	104	11747.90	101
605	Max	-40	0.00	1	0.00	1	0.00	1	1536.68	103	8668.12	101	3655.32	103	64517.00	104	11747.90	101
605	Max	-52	0.00	1	0.00	1	0.00	1	1536.68	103	8668.12	101	3655.32	103	64517.00	104	11747.90	101
605	Min.	-53	0.00	1	0.00	1	0.00	1	-1571.00	132	-22843.20	130	-2861.93	132	8713.50	65	472.26	173
605	Min.	-41	0.00	1	0.00	1	0.00	1	-1571.00	132	-22843.20	130	-2861.93	132	8713.50	65	472.26	173
605	Min.	-40	0.00	1	0.00	1	0.00	1	-1571.00	132	-22843.20	130	-2861.93	132	8713.50	65	472.26	173
605	Min.	-52	0.00	1	0.00	1	0.00	1	-1571.00	132	-22843.20	130	-2861.93	132	8713.50	65	472.26	173
605	Max	-40	0.00	1	0.00	1	0.00	1	1263.82	17	1472.34	1	3843.17	130	5142.87	106	1980.52	65
605	Max	-28	0.00	1	0.00	1	0.00	1	1263.82	17	1472.34	1	3843.17	130	5142.87	106	1980.52	65
605	Max	-27	0.00	1	0.00	1	0.00	1	1263.82	17	1472.34	1	3843.17	130	5142.87	106	1980.52	65
605	Max	-39	0.00	1	0.00	1	0.00	1	1263.82	17	1472.34	1	3843.17	130	5142.87	106	1980.52	65
605	Min.	-40	0.00	1	0.00	1	0.00	1	-939.06	65	-7760.97	130	-1423.36	101	-2533.81	1	-9130.53	104
605	Min.	-28	0.00	1	0.00	1	0.00	1	-939.06	65	-7760.97	130	-1423.36	101	-2533.81	1	-9130.53	104
605	Min.	-27	0.00	1	0.00	1	0.00	1	-939.06	65	-7760.97	130	-1423.36	101	-2533.81	1	-9130.53	104
605	Min.	-39	0.00	1	0.00	1	0.00	1	-939.06	65	-7760.97	130	-1423.36	101	-2533.81	1	-9130.53	104
605	Max	-153	0.00	1	0.00	1	0.00	1	1574.85	65	2354.25	101	1049.26	49	10401.20	106	5036.89	99
605	Max	-141	0.00	1	0.00	1	0.00	1	1574.85	65	2354.25	101	1049.26	49	10401.20	106	5036.89	99
605	Max	-140	0.00	1	0.00	1	0.00	1	1574.85	65	2354.25	101	1049.26	49	10401.20	106	5036.89	99
605	Max	-152	0.00	1	0.00	1	0.00	1	1574.85	65	2354.25	101	1049.26	49	10401.20	106	5036.89	99
605	Min.	-153	0.00	1	0.00	1	0.00	1	-621.26	17	-5519.61	130	-3528.43	130	-83.03	49	564.89	65
605	Min.	-141	0.00	1	0.00	1	0.00	1	-621.26	17	-5519.61	130	-3528.43	130	-83.03	49	564.89	65
605	Min.	-140	0.00	1	0.00	1	0.00	1	-621.26	17	-5519.61	130	-3528.43	130	-83.03	49	564.89	65
605	Min.	-152	0.00	1	0.00	1	0.00	1	-621.26	17	-5519.61	130	-3528.43	130	-83.03	49	564.89	65
605	Max	-62	0.00	1	0.00	1	0.00	1	1206.71	17	605.80	101	1768.15	130	3929.34	130	797.31	1
605	Max	-50	0.00	1	0.00	1	0.00	1	1206.71	17	605.80	101	1768.15	130	3929.34	130	797.31	1
605	Max	-49	0.00	1	0.00	1	0.00	1	1206.71	17	605.80	101	1768.15	130	3929.34	130	797.31	1
605	Max	-61	0.00	1	0.00	1	0.00	1	1206.71	17	605.80	101	1768.15	130	3929.34	130	797.31	1
605	Min.	-62	0.00	1	0.00	1	0.00	1	-637.04	65	-1197.75	130	-591.92	101	-799.07	1	-10385.70	130
605	Min.	-50	0.00	1	0.00	1	0.00	1	-637.04	65	-1197.75	130	-591.92	101	-799.07	1	-10385.70	130
605	Min.	-49	0.00	1	0.00	1	0.00	1	-637.04	65	-1197.75	130	-591.92	101	-799.07	1	-10385.70	130
605	Min.	-61	0.00	1	0.00	1	0.00	1	-637.04	65	-1197.75	130	-591.92	101	-799.07	1	-10385.70	130
605	Max	-76	0.00	1	0.00	1	0.00	1	832.75	17	2546.19	101	2750.76	130	15254.40	106	1458.36	65
605	Max	-64	0.00	1	0.00	1	0.00	1	832.75	17	2546.19	101	2750.76	130	15254.40	106	1458.36	65
605	Max	-63	0.00	1	0.00	1	0.00	1	832.75	17	2546.19	101	2750.76	130	15254.40	106	1458.36	65
605	Max	-75	0.00	1	0.00	1	0.00	1	832.75	17	2546.19	101	2750.76	130	15254.40	106	1458.36	65
605	Min.	-76	0.00	1	0.00	1	0.00	1	-516.66	65	-12306.80	130	-814.53	1	1548.12	1	-3687.44	17
605	Min.	-64	0.00	1	0.00	1	0.00	1	-516.66	65	-12306.80	130	-814.53	1	1548.12	1	-3687.44	17
605	Min.	-63	0.00	1	0.00	1	0.00	1	-516.66	65	-12306.80	130	-814.53	1	1548.12	1	-3687.44	17
605	Min.	-75	0.00	1	0.00	1	0.00	1	-516.66	65	-12306.80	130	-814.53	1	1548.12	1	-3687.44	17
605	Max	-64	0.00	1	0.00	1	0.00	1	304.25	17	2220.92	1	1830.78	107	13706.60	106	2357.52	131
605	Max	-52	0.00	1	0.00	1	0.00	1	304.25	17	2220.92	1	1830.78	107	13706.60	106	2357.52	131
605	Max	-51	0.00	1	0.00	1	0.00	1	304.25	17	2220.92	1	1830.78	107	13706.60	106	2357.52	131
605	Max	-63	0.00	1	0.00	1	0.00	1	304.25	17	2220.92	1	1830.78	107	13706.60	106	2357.52	131
605	Min.	-64	0.00	1	0.00	1	0.00	1	-394.28	107	-11020.50	130	-181.86	1	492.52	1	-879.65	17

605	Min.	-52	0.00	1	0.00	1	0.00	1	-394.28	107	-11020.50	130	-181.86	1	492.52	1	-879.65	17
605	Min.	-51	0.00	1	0.00	1	0.00	1	-394.28	107	-11020.50	130	-181.86	1	492.52	1	-879.65	17
605	Min.	-63	0.00	1	0.00	1	0.00	1	-394.28	107	-11020.50	130	-181.86	1	492.52	1	-879.65	17
605	Max	-200	0.00	1	0.00	1	0.00	1	64.06	65	295.93	49	114.36	65	3312.02	130	1387.30	130
605	Max	-188	0.00	1	0.00	1	0.00	1	64.06	65	295.93	49	114.36	65	3312.02	130	1387.30	130
605	Max	-187	0.00	1	0.00	1	0.00	1	64.06	65	295.93	49	114.36	65	3312.02	130	1387.30	130
605	Max	-199	0.00	1	0.00	1	0.00	1	64.06	65	295.93	49	114.36	65	3312.02	130	1387.30	130
605	Min.	-200	0.00	1	0.00	1	0.00	1	-92.01	132	-1352.36	130	-456.09	132	-818.91	49	-441.91	101
605	Min.	-188	0.00	1	0.00	1	0.00	1	-92.01	132	-1352.36	130	-456.09	132	-818.91	49	-441.91	101
605	Min.	-187	0.00	1	0.00	1	0.00	1	-92.01	132	-1352.36	130	-456.09	132	-818.91	49	-441.91	101
605	Min.	-199	0.00	1	0.00	1	0.00	1	-92.01	132	-1352.36	130	-456.09	132	-818.91	49	-441.91	101
605	Max	-28	0.00	1	0.00	1	0.00	1	-113.90	17	2728.43	1	1190.42	107	9815.18	108	2929.16	99
605	Max	-16	0.00	1	0.00	1	0.00	1	-113.90	17	2728.43	1	1190.42	107	9815.18	108	2929.16	99
605	Max	-15	0.00	1	0.00	1	0.00	1	-113.90	17	2728.43	1	1190.42	107	9815.18	108	2929.16	99
605	Max	-27	0.00	1	0.00	1	0.00	1	-113.90	17	2728.43	1	1190.42	107	9815.18	108	2929.16	99
605	Min.	-28	0.00	1	0.00	1	0.00	1	-446.94	103	-11466.20	130	-223.53	17	-2901.18	65	-557.90	17
605	Min.	-16	0.00	1	0.00	1	0.00	1	-446.94	103	-11466.20	130	-223.53	17	-2901.18	65	-557.90	17
605	Min.	-15	0.00	1	0.00	1	0.00	1	-446.94	103	-11466.20	130	-223.53	17	-2901.18	65	-557.90	17
605	Min.	-27	0.00	1	0.00	1	0.00	1	-446.94	103	-11466.20	130	-223.53	17	-2901.18	65	-557.90	17
605	Max	-18	0.00	1	0.00	1	0.00	1	160.56	132	1936.80	131	396.47	130	5262.20	131	2105.95	131
605	Max	-6	0.00	1	0.00	1	0.00	1	160.56	132	1936.80	131	396.47	130	5262.20	131	2105.95	131
605	Max	-5	0.00	1	0.00	1	0.00	1	160.56	132	1936.80	131	396.47	130	5262.20	131	2105.95	131
605	Max	-17	0.00	1	0.00	1	0.00	1	160.56	132	1936.80	131	396.47	130	5262.20	131	2105.95	131
605	Min.	-18	0.00	1	0.00	1	0.00	1	-30.42	17	-511.10	1	-23.89	1	-2034.66	17	-968.44	17
605	Min.	-6	0.00	1	0.00	1	0.00	1	-30.42	17	-511.10	1	-23.89	1	-2034.66	17	-968.44	17
605	Min.	-5	0.00	1	0.00	1	0.00	1	-30.42	17	-511.10	1	-23.89	1	-2034.66	17	-968.44	17
605	Min.	-17	0.00	1	0.00	1	0.00	1	-30.42	17	-511.10	1	-23.89	1	-2034.66	17	-968.44	17
605	Max	-17	0.00	1	0.00	1	0.00	1	94.70	1	3044.65	1	1008.15	130	6418.69	17	2566.33	107
605	Max	-5	0.00	1	0.00	1	0.00	1	94.70	1	3044.65	1	1008.15	130	6418.69	17	2566.33	107
605	Max	-4	0.00	1	0.00	1	0.00	1	94.70	1	3044.65	1	1008.15	130	6418.69	17	2566.33	107
605	Max	-16	0.00	1	0.00	1	0.00	1	94.70	1	3044.65	1	1008.15	130	6418.69	17	2566.33	107
605	Min.	-17	0.00	1	0.00	1	0.00	1	-721.75	130	-13946.70	130	8.49	1	-9380.43	65	-822.20	17
605	Min.	-5	0.00	1	0.00	1	0.00	1	-721.75	130	-13946.70	130	8.49	1	-9380.43	65	-822.20	17
605	Min.	-4	0.00	1	0.00	1	0.00	1	-721.75	130	-13946.70	130	8.49	1	-9380.43	65	-822.20	17
605	Min.	-16	0.00	1	0.00	1	0.00	1	-721.75	130	-13946.70	130	8.49	1	-9380.43	65	-822.20	17
605	Max	-88	0.00	1	0.00	1	0.00	1	2036.18	17	1203.54	1	4336.47	130	7945.23	106	-647.84	65
605	Max	-76	0.00	1	0.00	1	0.00	1	2036.18	17	1203.54	1	4336.47	130	7945.23	106	-647.84	65
605	Max	-75	0.00	1	0.00	1	0.00	1	2036.18	17	1203.54	1	4336.47	130	7945.23	106	-647.84	65
605	Max	-87	0.00	1	0.00	1	0.00	1	2036.18	17	1203.54	1	4336.47	130	7945.23	106	-647.84	65
605	Min.	-88	0.00	1	0.00	1	0.00	1	-781.19	65	-9224.93	130	-1936.14	101	-355.41	1	-14111.60	104
605	Min.	-76	0.00	1	0.00	1	0.00	1	-781.19	65	-9224.93	130	-1936.14	101	-355.41	1	-14111.60	104
605	Min.	-75	0.00	1	0.00	1	0.00	1	-781.19	65	-9224.93	130	-1936.14	101	-355.41	1	-14111.60	104
605	Min.	-87	0.00	1	0.00	1	0.00	1	-781.19	65	-9224.93	130	-1936.14	101	-355.41	1	-14111.60	104
605	Max	-110	0.00	1	0.00	1	0.00	1	1308.94	17	1549.18	1	1997.64	130	13041.20	106	-966.79	65
605	Max	-98	0.00	1	0.00	1	0.00	1	1308.94	17	1549.18	1	1997.64	130	13041.20	106	-966.79	65
605	Max	-97	0.00	1	0.00	1	0.00	1	1308.94	17	1549.18	1	1997.64	130	13041.20	106	-966.79	65
605	Max	-109	0.00	1	0.00	1	0.00	1	1308.94	17	1549.18	1	1997.64	130	13041.20	106	-966.79	65
605	Min.	-110	0.00	1	0.00	1	0.00	1	12.80	65	-11673.10	130	-1304.63	101	1774.10	1	-8564.64	104
605	Min.	-98	0.00	1	0.00	1	0.00	1	12.80	65	-11673.10	130	-1304.63	101	1774.10	1	-8564.64	104
605	Min.	-97	0.00	1	0.00	1	0.00	1	12.80	65	-11673.10	130	-1304.63	101	1774.10	1	-8564.64	104
605	Min.	-109	0.00	1	0.00	1	0.00	1	12.80	65	-11673.10	130	-1304.63	101	1774.10	1	-8564.64	104
605	Max	-54	0.00	1	0.00	1	0.00	1	754.09	132	574.13	101	1191.09	103	765.45	65	3086.28	65
605	Max	-42	0.00	1	0.00	1	0.00	1	754.09	132	574.13	101	1191.09	103	765.45	65	3086.28	65
605	Max	-41	0.00	1	0.00	1	0.00	1	754.09	132	574.13	101	1191.09	103	765.45	65	3086.28	65
605	Max	-53	0.00	1	0.00	1	0.00	1	754.09	132	574.13	101	1191.09	103	765.45	65	3086.28	65
605	Min.	-54	0.00	1	0.00	1	0.00	1	-427.91	65	-1090.76	130	-496.36	17	-3037.14	106	-5196.95	100
605	Min.	-42	0.00	1	0.00	1	0.00	1	-427.91	65	-1090.76	130	-496.36	17	-3037.14	106	-5196.95	100
605	Min.	-41	0.00	1	0.00	1	0.00	1	-427.91	65	-1090.76	130	-496.36	17	-3037.14	106	-5196.95	100
605	Min.	-53	0.00	1	0.00	1	0.00	1	-427.91	65	-1090.76	130	-496.36	17	-3037.14	106	-5196.95	100
605	Max	-89	0.00	1	0.00	1	0.00	1	1255.39	132	250.85	49	1589.52	131	485.97	49	7204.36	107
605	Max	-78	0.00	1	0.00	1	0.00	1	1255.39	132	250.85	49	1589.52	131	485.97	49	7204.36	107
605	Max	-77	0.00	1	0.00	1	0.00	1	1255.39	132	250.85	49	1589.52	131	485.97	49	7204.36	107
605	Max	20	0.00	1	0.00	1	0.00	1	1255.39	132	250.85	49	1589.52	131	485.97	49	7204.36	107
605	Min.	-89	0.00	1	0.00	1	0.00	1	-86.59	65	-895.97	130	-775.25	1	-1872.99	106	-3793.08	17
605	Min.	-78	0.00	1	0.00	1	0.00	1	-86.59	65	-895.97	130	-775.25	1	-1872.99	106	-3793.08	17
605	Min.	-77	0.00	1	0.00	1	0.00	1	-86.59	65	-895.97	130	-775.25	1	-1872.99	106	-3793.08	17
605	Min.	20	0.00	1	0.00	1	0.00	1	-86.59	65	-895.97	130	-775.25	1	-1872.99	106	-3793.08	17
605	Max	-142	0.00	1	0.00	1	0.00	1	2032.07	65	1198.03	49	1935.15	101	7962.64	106	14080.80	103
605	Max	-132	0.00	1	0.00	1	0.00	1	2032.07	65	1198.03	49	1935.15	101	7962.64	106	14080.80	103
605	Max	-131	0.00	1	0.00	1	0.00	1	2032.07	65	1198.03	49	1935.15	101	7962.64	106	14080.80	103
605	Max	-141	0.00	1	0.00	1	0.00	1	2032.07	65	1198.03	49	1935.15	101	7962.64	106	14080.80	103
605	Min.	-142	0.00	1	0.00	1	0.00	1	-787.02	17	-9233.00	130	-4333.59	130	-339.21	49	628.96	17
605	Min.	-132	0.00	1	0.00	1	0.00	1	-787.02	17	-9233.00	130	-4333.59	130	-339.21	49	628.96	17
605	Min.	-131	0.00	1	0.00	1	0.00	1	-787.02	17	-9233.00	130	-4333.59	130	-339.21	49	628.96	17
605	Min.	-141	0.00	1	0.00	1	0.00	1	-787.02	17	-9233.00	130	-4333.59	130	-339.21	49	628.96	17
605	Max	-86	0.00	1	0.00	1	0.00	1	3000.24	108	2242.18	130	3086.17	130	167.33	49	110.28	1
605	Max	-74	0.00	1	0.00	1	0.00	1	3000.24	108	2242.18	130	3086.17	130	167.33	49	110.28	1
605	Max	-73	0.00	1	0.00	1	0.00	1	3000.24	108	2242.18	130	3086.17	130	167.33	49	110.28	1
605	Max	-85	0.00	1	0.00	1	0.00	1	3000.24	108	2242.18	130	3086.17	130	167.33	49	110.28	1
605	Min.	-86	0.00	1	0.00	1	0.00	1	-505.22	65	-1228.50	101	-2105.19	101	-5758.04	130	-14484.60	130
605	Min.	-74	0.00	1	0.00	1	0.00	1	-505.22	65	-1228.50	101	-2105.19	101	-5758.04	130	-14484.60	130
605	Min.	-73	0.00	1	0.00	1	0.00	1	-505.22	65	-1228.50	101	-2105.19	101	-5758.04	130	-14484.60	130
605	Min.	-85	0.00	1	0.00	1	0.00	1	-505.22	65	-1228.50	101	-2105.19	101	-5758.04	130	-14484.60	130
605	Max	-66	0.00	1	0.00	1	0.00	1	580.95	104	728.20	130	1002.35	65	2153.23	107	4432.69	65
605	Max	-54	0.00	1	0.00	1	0.00	1	580.95	104	728.20	130	1002.35	65	2153.23	107	4432.69	65
605	Max	-53	0.00	1	0.00	1	0.00	1	580.95	104	728.20	130	1002.35	65	2153.23	107	4432.69	65
605	Max	-65	0.00	1	0.00	1	0.00	1	580.95	104	728.20	130	1002.35	65	2153.23	107	4432.69	65
605	Min.	-66	0.00	1	0.00	1	0.00	1	-102.58	17	-445.17	101	-562.74	17	-370.60	17	-3284.97	17
605	Min.	-54	0.00	1	0.00	1	0.00	1	-102.58	17	-445.17	101	-562.74	17	-370.60	17	-3284.97	17
605	Min.	-53	0.00	1	0.00	1	0.00	1	-102.58	17	-445.17	101	-562.74	17	-370.60	17	-3284.97	17
605	Min.	-65	0.00	1	0.00	1	0.00	1	-102.58	17	-445.17	101	-562.74	17	-370.60	17	-3284.97	17
605	Max	-190	0.00	1	0.00	1	0.00	1	1257.94	65	1454.85	49	1426.70	101	5121.83	106	9106.81	103
605	Max	-178	0.00	1	0.00	1	0.00	1	1257.94	65	1454.85	49	1426.70	101	5121.83	106	9106.81	103
605	Max	-177	0.00	1	0.00	1	0.00	1	1257.94	65	1454.85	49	1426.70	101	5121.83	106	9106.81	103
605	Max	-189	0.00	1	0.00	1	0.00	1	1257.94	65	1454.85	49	1426.70	101	5121.83	106	9106.81	103
605	Min.	-190	0.00	1	0.00	1	0.00	1	-944.97	17	-7754.63	130	-3845.27	130	-2543.86	49	-1998.56	17
605	Min.	-178	0.00	1	0.00	1	0.00	1	-944.97	17	-7754.63	130	-3845.27	130	-2543.86	49	-1998.56	17
605	Min.	-177	0.00	1	0.00	1	0.00	1	-944.97	17	-7754.63	130	-3845.27	130	-2543.86	49	-1998.56	17
605	Min.	-189	0.00	1	0.00	1	0.00	1	-944.97	17	-7754.63	130	-3845.27	130	-2543.86	49	-1998.56	17
605	Max	-214	0.00	1	0.00	1	0.00	1	-23.93	49	2526.68	49	93.47	65	6315.89	131	383.82	65
605	Max	-202	0.00	1	0.00	1	0.00	1	-23.93	49	2526.68	49	93.47	65	6315.89	131	383.82	65
605	Max	-201	0.00	1	0.00	1	0.00	1	-23.93	49	2526.68	49	93.47	65	6315.89	131	383.82	65
605	Max	-213	0.00	1	0.00	1	0.00	1	-23.93	49	2526.68	49	93.47	65	6315.89	131	383.82	65
605	Min.	-214	0.00	1	0.00	1	0.00	1	-146.26	106	-10992.40	130	-680.18	108	-4961.69	17	-874.02	100
605	Min.	-202	0.00	1	0.00	1	0.00	1	-146.26	106	-10992.40	130	-680.18	108	-4961.69	17	-874.02	100

605	Min.	-201	0.00	1	0.00	1	0.00	1	-146.26	106	-10992.40	130	-680.18	108	-4961.69	17	-874.02	100
605	Min.	-213	0.00	1	0.00	1	0.00	1	-146.26	106	-10992.40	130	-680.18	108	-4961.69	17	-874.02	100
605	Max	-29	0.00	1	0.00	1	0.00	1	108.91	1	2227.74	1	1305.35	104	3279.72	17	4127.06	107
605	Max	-17	0.00	1	0.00	1	0.00	1	108.91	1	2227.74	1	1305.35	104	3279.72	17	4127.06	107
605	Max	-16	0.00	1	0.00	1	0.00	1	108.91	1	2227.74	1	1305.35	104	3279.72	17	4127.06	107
605	Max	-28	0.00	1	0.00	1	0.00	1	108.91	1	2227.74	1	1305.35	104	3279.72	17	4127.06	107
605	Min.	-29	0.00	1	0.00	1	0.00	1	-916.28	130	-11289.10	130	227.54	17	-10237.10	103	-1370.72	17
605	Min.	-17	0.00	1	0.00	1	0.00	1	-916.28	130	-11289.10	130	227.54	17	-10237.10	103	-1370.72	17
605	Min.	-16	0.00	1	0.00	1	0.00	1	-916.28	130	-11289.10	130	227.54	17	-10237.10	103	-1370.72	17
605	Min.	-28	0.00	1	0.00	1	0.00	1	-916.28	130	-11289.10	130	227.54	17	-10237.10	103	-1370.72	17
605	Max	-42	0.00	1	0.00	1	0.00	1	594.41	132	454.91	65	1580.92	130	1055.03	65	8618.36	107
605	Max	-30	0.00	1	0.00	1	0.00	1	594.41	132	454.91	65	1580.92	130	1055.03	65	8618.36	107
605	Max	-29	0.00	1	0.00	1	0.00	1	594.41	132	454.91	65	1580.92	130	1055.03	65	8618.36	107
605	Max	-41	0.00	1	0.00	1	0.00	1	594.41	132	454.91	65	1580.92	130	1055.03	65	8618.36	107
605	Min.	-42	0.00	1	0.00	1	0.00	1	-373.09	103	-322.47	17	-511.35	101	-1216.10	173	-2453.16	17
605	Min.	-30	0.00	1	0.00	1	0.00	1	-373.09	103	-322.47	17	-511.35	101	-1216.10	173	-2453.16	17
605	Min.	-29	0.00	1	0.00	1	0.00	1	-373.09	103	-322.47	17	-511.35	101	-1216.10	173	-2453.16	17
605	Min.	-41	0.00	1	0.00	1	0.00	1	-373.09	103	-322.47	17	-511.35	101	-1216.10	173	-2453.16	17
605	Max	20	0.00	1	0.00	1	0.00	1	2501.41	17	7488.90	101	5271.89	131	61840.50	104	1828.20	65
605	Max	-77	0.00	1	0.00	1	0.00	1	2501.41	17	7488.90	101	5271.89	131	61840.50	104	1828.20	65
605	Max	-76	0.00	1	0.00	1	0.00	1	2501.41	17	7488.90	101	5271.89	131	61840.50	104	1828.20	65
605	Max	-88	0.00	1	0.00	1	0.00	1	2501.41	17	7488.90	101	5271.89	131	61840.50	104	1828.20	65
605	Min.	20	0.00	1	0.00	1	0.00	1	-1440.75	65	-23575.20	130	-2286.64	104	12639.10	65	-10967.10	17
605	Min.	-77	0.00	1	0.00	1	0.00	1	-1440.75	65	-23575.20	130	-2286.64	104	12639.10	65	-10967.10	17
605	Min.	-76	0.00	1	0.00	1	0.00	1	-1440.75	65	-23575.20	130	-2286.64	104	12639.10	65	-10967.10	17
605	Min.	-88	0.00	1	0.00	1	0.00	1	-1440.75	65	-23575.20	130	-2286.64	104	12639.10	65	-10967.10	17
605	Max	-100	0.00	1	0.00	1	0.00	1	1110.21	108	73.24	49	1061.89	65	125.52	65	4057.84	65
605	Max	-89	0.00	1	0.00	1	0.00	1	1110.21	108	73.24	49	1061.89	65	125.52	65	4057.84	65
605	Max	20	0.00	1	0.00	1	0.00	1	1110.21	108	73.24	49	1061.89	65	125.52	65	4057.84	65
605	Max	-99	0.00	1	0.00	1	0.00	1	1110.21	108	73.24	49	1061.89	65	125.52	65	4057.84	65
605	Min.	-100	0.00	1	0.00	1	0.00	1	216.03	177	-328.92	106	-856.82	17	-1071.54	102	-4231.33	17
605	Min.	-89	0.00	1	0.00	1	0.00	1	216.03	177	-328.92	106	-856.82	17	-1071.54	102	-4231.33	17
605	Min.	20	0.00	1	0.00	1	0.00	1	216.03	177	-328.92	106	-856.82	17	-1071.54	102	-4231.33	17
605	Min.	-99	0.00	1	0.00	1	0.00	1	216.03	177	-328.92	106	-856.82	17	-1071.54	102	-4231.33	17
605	Max	-99	0.00	1	0.00	1	0.00	1	1107.75	103	5618.64	101	2425.86	103	47827.90	104	5625.33	65
605	Max	20	0.00	1	0.00	1	0.00	1	1107.75	103	5618.64	101	2425.86	103	47827.90	104	5625.33	65
605	Max	-88	0.00	1	0.00	1	0.00	1	1107.75	103	5618.64	101	2425.86	103	47827.90	104	5625.33	65
605	Max	-98	0.00	1	0.00	1	0.00	1	1107.75	103	5618.64	101	2425.86	103	47827.90	104	5625.33	65
605	Min.	-99	0.00	1	0.00	1	0.00	1	-1053.93	132	-22275.80	130	-1886.33	17	11106.10	65	842.66	17
605	Min.	20	0.00	1	0.00	1	0.00	1	-1053.93	132	-22275.80	130	-1886.33	17	11106.10	65	842.66	17
605	Min.	-88	0.00	1	0.00	1	0.00	1	-1053.93	132	-22275.80	130	-1886.33	17	11106.10	65	842.66	17
605	Min.	-98	0.00	1	0.00	1	0.00	1	-1053.93	132	-22275.80	130	-1886.33	17	11106.10	65	842.66	17
605	Max	-121	0.00	1	0.00	1	0.00	1	1493.81	65	4875.59	101	2072.36	65	41491.90	102	6972.54	103
605	Max	22	0.00	1	0.00	1	0.00	1	1493.81	65	4875.59	101	2072.36	65	41491.90	102	6972.54	103
605	Max	-110	0.00	1	0.00	1	0.00	1	1493.81	65	4875.59	101	2072.36	65	41491.90	102	6972.54	103
605	Max	-120	0.00	1	0.00	1	0.00	1	1493.81	65	4875.59	101	2072.36	65	41491.90	102	6972.54	103
605	Min.	-121	0.00	1	0.00	1	0.00	1	-889.03	132	-21801.80	130	-2947.85	132	12860.00	49	-394.80	17
605	Min.	22	0.00	1	0.00	1	0.00	1	-889.03	132	-21801.80	130	-2947.85	132	12860.00	49	-394.80	17
605	Min.	-110	0.00	1	0.00	1	0.00	1	-889.03	132	-21801.80	130	-2947.85	132	12860.00	49	-394.80	17
605	Min.	-120	0.00	1	0.00	1	0.00	1	-889.03	132	-21801.80	130	-2947.85	132	12860.00	49	-394.80	17
605	Max	-15	0.00	1	0.00	1	0.00	1	48.40	17	1230.19	1	611.75	130	4938.03	132	143.85	65
605	Max	-3	0.00	1	0.00	1	0.00	1	48.40	17	1230.19	1	611.75	130	4938.03	132	143.85	65
605	Max	-2	0.00	1	0.00	1	0.00	1	48.40	17	1230.19	1	611.75	130	4938.03	132	143.85	65
605	Max	-14	0.00	1	0.00	1	0.00	1	48.40	17	1230.19	1	611.75	130	4938.03	132	143.85	65
605	Min.	-15	0.00	1	0.00	1	0.00	1	-42.21	65	-5244.36	130	-195.26	1	-2134.98	65	-428.29	17
605	Min.	-3	0.00	1	0.00	1	0.00	1	-42.21	65	-5244.36	130	-195.26	1	-2134.98	65	-428.29	17
605	Min.	-2	0.00	1	0.00	1	0.00	1	-42.21	65	-5244.36	130	-195.26	1	-2134.98	65	-428.29	17
605	Min.	-14	0.00	1	0.00	1	0.00	1	-42.21	65	-5244.36	130	-195.26	1	-2134.98	65	-428.29	17
605	Max	-204	0.00	1	0.00	1	0.00	1	395.73	103	1781.77	130	246.19	49	5557.99	108	2446.58	65
605	Max	-192	0.00	1	0.00	1	0.00	1	395.73	103	1781.77	130	246.19	49	5557.99	108	2446.58	65
605	Max	-191	0.00	1	0.00	1	0.00	1	395.73	103	1781.77	130	246.19	49	5557.99	108	2446.58	65
605	Max	-203	0.00	1	0.00	1	0.00	1	395.73	103	1781.77	130	246.19	49	5557.99	108	2446.58	65
605	Min.	-204	0.00	1	0.00	1	0.00	1	-170.85	17	-522.50	49	-1035.72	130	-1098.42	65	-4072.79	132
605	Min.	-192	0.00	1	0.00	1	0.00	1	-170.85	17	-522.50	49	-1035.72	130	-1098.42	65	-4072.79	132
605	Min.	-191	0.00	1	0.00	1	0.00	1	-170.85	17	-522.50	49	-1035.72	130	-1098.42	65	-4072.79	132
605	Min.	-203	0.00	1	0.00	1	0.00	1	-170.85	17	-522.50	49	-1035.72	130	-1098.42	65	-4072.79	132
605	Max	-156	0.00	1	0.00	1	0.00	1	872.51	103	951.15	130	645.28	65	2609.07	106	4219.88	65
605	Max	-144	0.00	1	0.00	1	0.00	1	872.51	103	951.15	130	645.28	65	2609.07	106	4219.88	65
605	Max	-143	0.00	1	0.00	1	0.00	1	872.51	103	951.15	130	645.28	65	2609.07	106	4219.88	65
605	Max	-155	0.00	1	0.00	1	0.00	1	872.51	103	951.15	130	645.28	65	2609.07	106	4219.88	65
605	Min.	-156	0.00	1	0.00	1	0.00	1	-107.06	17	-649.43	101	-1311.26	132	-491.21	49	-5113.49	17
605	Min.	-144	0.00	1	0.00	1	0.00	1	-107.06	17	-649.43	101	-1311.26	132	-491.21	49	-5113.49	17
605	Min.	-143	0.00	1	0.00	1	0.00	1	-107.06	17	-649.43	101	-1311.26	132	-491.21	49	-5113.49	17
605	Min.	-155	0.00	1	0.00	1	0.00	1	-107.06	17	-649.43	101	-1311.26	132	-491.21	49	-5113.49	17
605	Max	-96	0.00	1	0.00	1	0.00	1	3470.45	106	1226.69	130	1181.96	101	-17.88	137	2461.90	17
605	Max	-86	0.00	1	0.00	1	0.00	1	3470.45	106	1226.69	130	1181.96	101	-17.88	137	2461.90	17
605	Max	-85	0.00	1	0.00	1	0.00	1	3470.45	106	1226.69	130	1181.96	101	-17.88	137	2461.90	17
605	Max	-95	0.00	1	0.00	1	0.00	1	3470.45	106	1226.69	130	1181.96	101	-17.88	137	2461.90	17
605	Min.	-96	0.00	1	0.00	1	0.00	1	438.25	49	-312.73	101	-277.51	1	-3241.86	130	-2356.77	65
605	Min.	-86	0.00	1	0.00	1	0.00	1	438.25	49	-312.73	101	-277.51	1	-3241.86	130	-2356.77	65
605	Min.	-85	0.00	1	0.00	1	0.00	1	438.25	49	-312.73	101	-277.51	1	-3241.86	130	-2356.77	65
605	Min.	-95	0.00	1	0.00	1	0.00	1	438.25	49	-312.73	101	-277.51	1	-3241.86	130	-2356.77	65
605	Max	-118	0.00	1	0.00	1	0.00	1	4004.36	130	935.65	130	1259.36	101	-137.95	137	5621.02	132
605	Max	-108	0.00	1	0.00	1	0.00	1	4004.36	130	935.65	130	1259.36	101	-137.95	137	5621.02	132
605	Max	-107	0.00	1	0.00	1	0.00	1	4004.36	130	935.65	130	1259.36	101	-137.95	137	5621.02	132
605	Max	-117	0.00	1	0.00	1	0.00	1	4004.36	130	935.65	130	1259.36	101	-137.95	137	5621.02	132
605	Min.	-118	0.00	1	0.00	1	0.00	1	428.59	1	30.95	137	-1489.34	130	-2301.46	130	-895.65	65
605	Min.	-108	0.00	1	0.00	1	0.00	1	428.59	1	30.95	137	-1489.34	130	-2301.46	130	-895.65	65
605	Min.	-107	0.00	1	0.00	1	0.00	1	428.59	1	30.95	137	-1489.34	130	-2301.46	130	-895.65	65
605	Min.	-117	0.00	1	0.00	1	0.00	1	428.59	1	30.95	137	-1489.34	130	-2301.46	130	-895.65	65
605	Max	-140	0.00	1	0.00	1	0.00	1	3007.98	107	2239.71	130	2107.28	101	177.53	1	14511.50	130
605	Max	-130	0.00	1	0.00	1	0.00	1	3007.98	107	2239.71	130	2107.28	101	177.53	1	14511.50	130
605	Max	-129	0.00	1	0.00	1	0.00	1	3007.98	107	2239.71	130	2107.28	101	177.53	1	14511.50	130
605	Max	-139	0.00	1	0.00	1	0.00	1	3007.98	107	2239.71	130	2107.28	101	177.53	1	14511.50	130
605	Min.	-140	0.00	1	0.00	1	0.00	1	-513.12	17	-1224.92	101	-3083.58	130	-5745.48	130	-91.31	49
605	Min.	-130	0.00	1	0.00	1	0.00	1	-513.12	17	-1224.92	101	-3083.58	130	-5745.48	130	-91.31	49
605	Min.	-129	0.00	1	0.00	1	0.00	1	-513.12	17	-1224.92	101	-3083.58	130	-5745.48	130	-91.31	49
605	Min.	-139	0.00	1	0.00	1	0.00	1	-513.12	17	-1224.92	101	-3083.58	130	-5745.48	130	-91.31	49
605	Max	-179	0.00	1	0.00	1	0.00	1	1600.97	104	8877.59	101	2991.81	131	65615.10	103	-1925.01	142
605	Max	-167	0.00	1	0.00	1	0.00	1	1600.97	104	8877.59	101	2991.81	131	65615.10	103	-1925.01	142
605	Max	-166	0.00	1	0.00	1	0.00	1	1600.97	104	8877.59	101	2991.81	131	65615.10	103	-1925.01	142
605	Max	-178	0.00	1	0.00	1	0.00	1	1600.97	104	8877.59	101	2991.81	131	65615.10	103	-1925.01	142
605	Min.	-179	0.00	1	0.00	1	0.00	1	-1550.63	131	-23038.00	130	-3822.48	104	8761.08	17	-12181.50	101
605	Min.	-167	0.00	1	0.00	1	0.00	1	-1550.63	131	-23038.00	130	-3822.48	104	8761.08	17	-12181.50	101
605	Min.	-166	0.00	1	0.00	1	0.00	1	-1550.63	131	-23038.00	130	-3822.48	104	8761.08	17	-12181.50	101

605	Min.	-178	0.00	1	0.00	1	0.00	1	-1550.63	131	-23038.00	130	-3822.48	104	8761.08	17	-12181.50	101
605	Max	-30	0.00	1	0.00	1	0.00	1	376.90	104	1786.83	130	1002.37	130	5532.54	107	4004.01	131
605	Max	-18	0.00	1	0.00	1	0.00	1	376.90	104	1786.83	130	1002.37	130	5532.54	107	4004.01	131
605	Max	-17	0.00	1	0.00	1	0.00	1	376.90	104	1786.83	130	1002.37	130	5532.54	107	4004.01	131
605	Max	-29	0.00	1	0.00	1	0.00	1	376.90	104	1786.83	130	1002.37	130	5532.54	107	4004.01	131
605	Min.	-30	0.00	1	0.00	1	0.00	1	-160.45	65	-529.18	1	-236.80	1	-1138.67	17	-2390.49	17
605	Min.	-18	0.00	1	0.00	1	0.00	1	-160.45	65	-529.18	1	-236.80	1	-1138.67	17	-2390.49	17
605	Min.	-17	0.00	1	0.00	1	0.00	1	-160.45	65	-529.18	1	-236.80	1	-1138.67	17	-2390.49	17
605	Min.	-29	0.00	1	0.00	1	0.00	1	-160.45	65	-529.18	1	-236.80	1	-1138.67	17	-2390.49	17
605	Max	-213	0.00	1	0.00	1	0.00	1	53.68	65	1218.14	49	203.31	49	4982.88	131	461.99	65
605	Max	-201	0.00	1	0.00	1	0.00	1	53.68	65	1218.14	49	203.31	49	4982.88	131	461.99	65
605	Max	-200	0.00	1	0.00	1	0.00	1	53.68	65	1218.14	49	203.31	49	4982.88	131	461.99	65
605	Max	-212	0.00	1	0.00	1	0.00	1	53.68	65	1218.14	49	203.31	49	4982.88	131	461.99	65
605	Min.	-213	0.00	1	0.00	1	0.00	1	-46.48	17	-5243.89	130	-649.59	130	-2107.90	17	-149.17	17
605	Min.	-201	0.00	1	0.00	1	0.00	1	-46.48	17	-5243.89	130	-649.59	130	-2107.90	17	-149.17	17
605	Min.	-200	0.00	1	0.00	1	0.00	1	-46.48	17	-5243.89	130	-649.59	130	-2107.90	17	-149.17	17
605	Min.	-212	0.00	1	0.00	1	0.00	1	-46.48	17	-5243.89	130	-649.59	130	-2107.90	17	-149.17	17
605	Max	-122	0.00	1	0.00	1	0.00	1	1265.18	107	16.67	1	943.13	65	238.29	17	4004.31	65
605	Max	-111	0.00	1	0.00	1	0.00	1	1265.18	107	16.67	1	943.13	65	238.29	17	4004.31	65
605	Max	22	0.00	1	0.00	1	0.00	1	1265.18	107	16.67	1	943.13	65	238.29	17	4004.31	65
605	Max	-121	0.00	1	0.00	1	0.00	1	1265.18	107	16.67	1	943.13	65	238.29	17	4004.31	65
605	Min.	-122	0.00	1	0.00	1	0.00	1	422.90	17	-188.46	106	-1077.46	17	-234.54	98	-4695.75	17
605	Min.	-111	0.00	1	0.00	1	0.00	1	422.90	17	-188.46	106	-1077.46	17	-234.54	98	-4695.75	17
605	Min.	22	0.00	1	0.00	1	0.00	1	422.90	17	-188.46	106	-1077.46	17	-234.54	98	-4695.75	17
605	Min.	-121	0.00	1	0.00	1	0.00	1	422.90	17	-188.46	106	-1077.46	17	-234.54	98	-4695.75	17
605	Max	24	0.00	1	0.00	1	0.00	1	1131.90	104	5631.40	101	1885.23	65	47939.70	103	-827.72	65
605	Max	-121	0.00	1	0.00	1	0.00	1	1131.90	104	5631.40	101	1885.23	65	47939.70	103	-827.72	65
605	Max	-120	0.00	1	0.00	1	0.00	1	1131.90	104	5631.40	101	1885.23	65	47939.70	103	-827.72	65
605	Max	-132	0.00	1	0.00	1	0.00	1	1131.90	104	5631.40	101	1885.23	65	47939.70	103	-827.72	65
605	Min.	24	0.00	1	0.00	1	0.00	1	-1040.29	131	-22289.30	130	-2436.90	104	11123.50	17	-5648.45	17
605	Min.	-121	0.00	1	0.00	1	0.00	1	-1040.29	131	-22289.30	130	-2436.90	104	11123.50	17	-5648.45	17
605	Min.	-120	0.00	1	0.00	1	0.00	1	-1040.29	131	-22289.30	130	-2436.90	104	11123.50	17	-5648.45	17
605	Min.	-132	0.00	1	0.00	1	0.00	1	-1040.29	131	-22289.30	130	-2436.90	104	11123.50	17	-5648.45	17
605	Max	-108	0.00	1	0.00	1	0.00	1	3991.03	130	920.42	130	1482.86	130	-148.80	137	918.05	17
605	Max	-96	0.00	1	0.00	1	0.00	1	3991.03	130	920.42	130	1482.86	130	-148.80	137	918.05	17
605	Max	-95	0.00	1	0.00	1	0.00	1	3991.03	130	920.42	130	1482.86	130	-148.80	137	918.05	17
605	Max	-107	0.00	1	0.00	1	0.00	1	3991.03	130	920.42	130	1482.86	130	-148.80	137	918.05	17
605	Min.	-108	0.00	1	0.00	1	0.00	1	431.11	49	35.36	137	-1259.83	101	-2238.06	130	-5684.70	131
605	Min.	-96	0.00	1	0.00	1	0.00	1	431.11	49	35.36	137	-1259.83	101	-2238.06	130	-5684.70	131
605	Min.	-95	0.00	1	0.00	1	0.00	1	431.11	49	35.36	137	-1259.83	101	-2238.06	130	-5684.70	131
605	Min.	-107	0.00	1	0.00	1	0.00	1	431.11	49	35.36	137	-1259.83	101	-2238.06	130	-5684.70	131
605	Max	-130	0.00	1	0.00	1	0.00	1	3502.13	106	1240.21	130	282.43	49	-1.08	137	2362.96	17
605	Max	-118	0.00	1	0.00	1	0.00	1	3502.13	106	1240.21	130	282.43	49	-1.08	137	2362.96	17
605	Max	-117	0.00	1	0.00	1	0.00	1	3502.13	106	1240.21	130	282.43	49	-1.08	137	2362.96	17
605	Max	-129	0.00	1	0.00	1	0.00	1	3502.13	106	1240.21	130	282.43	49	-1.08	137	2362.96	17
605	Min.	-130	0.00	1	0.00	1	0.00	1	440.21	1	-314.94	101	-1171.02	101	-3298.92	130	-2431.25	65
605	Min.	-118	0.00	1	0.00	1	0.00	1	440.21	1	-314.94	101	-1171.02	101	-3298.92	130	-2431.25	65
605	Min.	-117	0.00	1	0.00	1	0.00	1	440.21	1	-314.94	101	-1171.02	101	-3298.92	130	-2431.25	65
605	Min.	-129	0.00	1	0.00	1	0.00	1	440.21	1	-314.94	101	-1171.02	101	-3298.92	130	-2431.25	65
605	Max	-164	0.00	1	0.00	1	0.00	1	1197.08	65	604.80	101	581.59	101	3944.62	130	10342.10	130
605	Max	-152	0.00	1	0.00	1	0.00	1	1197.08	65	604.80	101	581.59	101	3944.62	130	10342.10	130
605	Max	-151	0.00	1	0.00	1	0.00	1	1197.08	65	604.80	101	581.59	101	3944.62	130	10342.10	130
605	Max	-163	0.00	1	0.00	1	0.00	1	1197.08	65	604.80	101	581.59	101	3944.62	130	10342.10	130
605	Min.	-164	0.00	1	0.00	1	0.00	1	-638.93	17	-1202.60	130	-1763.29	130	-795.67	49	-782.74	49
605	Min.	-152	0.00	1	0.00	1	0.00	1	-638.93	17	-1202.60	130	-1763.29	130	-795.67	49	-782.74	49
605	Min.	-151	0.00	1	0.00	1	0.00	1	-638.93	17	-1202.60	130	-1763.29	130	-795.67	49	-782.74	49
605	Min.	-163	0.00	1	0.00	1	0.00	1	-638.93	17	-1202.60	130	-1763.29	130	-795.67	49	-782.74	49
605	Max	-188	0.00	1	0.00	1	0.00	1	363.48	65	338.73	101	262.91	49	3911.63	130	4225.57	130
605	Max	-176	0.00	1	0.00	1	0.00	1	363.48	65	338.73	101	262.91	49	3911.63	130	4225.57	130
605	Max	-175	0.00	1	0.00	1	0.00	1	363.48	65	338.73	101	262.91	49	3911.63	130	4225.57	130
605	Max	-187	0.00	1	0.00	1	0.00	1	363.48	65	338.73	101	262.91	49	3911.63	130	4225.57	130
605	Min.	-188	0.00	1	0.00	1	0.00	1	-319.06	17	-1356.92	130	-1039.47	130	-922.42	49	-362.51	49
605	Min.	-176	0.00	1	0.00	1	0.00	1	-319.06	17	-1356.92	130	-1039.47	130	-922.42	49	-362.51	49
605	Min.	-175	0.00	1	0.00	1	0.00	1	-319.06	17	-1356.92	130	-1039.47	130	-922.42	49	-362.51	49
605	Min.	-187	0.00	1	0.00	1	0.00	1	-319.06	17	-1356.92	130	-1039.47	130	-922.42	49	-362.51	49
605	Max	-212	0.00	1	0.00	1	0.00	1	18.41	65	264.96	49	35.61	49	2537.80	130	463.64	130
605	Max	-200	0.00	1	0.00	1	0.00	1	18.41	65	264.96	49	35.61	49	2537.80	130	463.64	130
605	Max	-199	0.00	1	0.00	1	0.00	1	18.41	65	264.96	49	35.61	49	2537.80	130	463.64	130
605	Max	-211	0.00	1	0.00	1	0.00	1	18.41	65	264.96	49	35.61	49	2537.80	130	463.64	130
605	Min.	-212	0.00	1	0.00	1	0.00	1	-17.25	17	-1193.81	130	-154.91	132	-811.32	101	-122.81	101
605	Min.	-200	0.00	1	0.00	1	0.00	1	-17.25	17	-1193.81	130	-154.91	132	-811.32	101	-122.81	101
605	Min.	-199	0.00	1	0.00	1	0.00	1	-17.25	17	-1193.81	130	-154.91	132	-811.32	101	-122.81	101
605	Min.	-211	0.00	1	0.00	1	0.00	1	-17.25	17	-1193.81	130	-154.91	132	-811.32	101	-122.81	101
605	Max	-165	0.00	1	0.00	1	0.00	1	1093.27	65	1316.20	101	571.54	49	9104.75	130	2815.56	103
605	Max	-153	0.00	1	0.00	1	0.00	1	1093.27	65	1316.20	101	571.54	49	9104.75	130	2815.56	103
605	Max	-152	0.00	1	0.00	1	0.00	1	1093.27	65	1316.20	101	571.54	49	9104.75	130	2815.56	103
605	Max	-164	0.00	1	0.00	1	0.00	1	1093.27	65	1316.20	101	571.54	49	9104.75	130	2815.56	103
605	Min.	-165	0.00	1	0.00	1	0.00	1	-626.55	17	-4945.32	130	-2689.52	130	-1120.78	49	-88.74	65
605	Min.	-153	0.00	1	0.00	1	0.00	1	-626.55	17	-4945.32	130	-2689.52	130	-1120.78	49	-88.74	65
605	Min.	-152	0.00	1	0.00	1	0.00	1	-626.55	17	-4945.32	130	-2689.52	130	-1120.78	49	-88.74	65
605	Min.	-164	0.00	1	0.00	1	0.00	1	-626.55	17	-4945.32	130	-2689.52	130	-1120.78	49	-88.74	65
605	Max	-189	0.00	1	0.00	1	0.00	1	478.76	103	996.96	49	533.50	49	7394.44	130	1069.07	131
605	Max	-177	0.00	1	0.00	1	0.00	1	478.76	103	996.96	49	533.50	49	7394.44	130	1069.07	131
605	Max	-176	0.00	1	0.00	1	0.00	1	478.76	103	996.96	49	533.50	49	7394.44	130	1069.07	131
605	Max	-188	0.00	1	0.00	1	0.00	1	478.76	103	996.96	49	533.50	49	7394.44	130	1069.07	131
605	Min.	-189	0.00	1	0.00	1	0.00	1	-429.38	132	-5018.08	130	-1987.07	132	-1528.08	49	-509.80	104
605	Min.	-177	0.00	1	0.00	1	0.00	1	-429.38	132	-5018.08	130	-1987.07	132	-1528.08	49	-509.80	104
605	Min.	-176	0.00	1	0.00	1	0.00	1	-429.38	132	-5018.08	130	-1987.07	132	-1528.08	49	-509.80	104
605	Min.	-188	0.00	1	0.00	1	0.00	1	-429.38	132	-5018.08	130	-1987.07	132	-1528.08	49	-509.80	104
605	Max	-78	0.00	1	0.00	1	0.00	1	860.62	104	943.42	130	1305.59	131	2592.43	106	5097.10	65
605	Max	-66	0.00	1	0.00	1	0.00	1	860.62	104	943.42	130	1305.59	131	2592.43	106	5097.10	65
605	Max	-65	0.00	1	0.00	1	0.00	1	860.62	104	943.42	130	1305.59	131	2592.43	106	5097.10	65
605	Max	-77	0.00	1	0.00	1	0.00	1	860.62	104	943.42	130	1305.59	131	2592.43	106	5097.10	65
605	Min.	-78	0.00	1	0.00	1	0.00	1	-107.46	65	-647.00	101	-651.98	17	-487.59	1	-4256.86	17
605	Min.	-66	0.00	1	0.00	1	0.00	1	-107.46	65	-647.00	101	-651.98	17	-487.59	1	-4256.86	17
605	Min.	-65	0.00	1	0.00	1	0.00	1	-107.46	65	-647.00	101	-651.98	17	-487.59	1	-4256.86	17
605	Min.	-77	0.00	1	0.00	1	0.00	1	-107.46	65	-647.00	101	-651.98	17	-487.59	1	-4256.86	17
605	Max	22	0.00	1	0.00	1	0.00	1	1475.49	17	4863.75	101	2902.10	131	41281.10	102	390.41	65
605	Max	-99	0.00	1	0.00	1	0.00	1	1475.49	17	4863.75	101	2902.10	131	41281.10	102	390.41	65
605	Max	-98	0.00	1	0.00	1	0.00	1	1475.49	17	4863.75	101	2902.10	131	41281.10	102	390.41	65
605	Max	-110	0.00	1	0.00	1	0.00	1	1475.49	17	4863.75	101	2902.10	131	41281.10	102	390.41	65
605	Min.	22	0.00	1	0.00	1	0.00	1	-888.57	131	-21787.00	130	-2082.88	17	12829.00	1	-6926.97	104
605	Min.	-99	0.00	1	0.00	1	0.00	1	-888.57	131	-21787.00	130	-2082.88	17	12829.00	1	-6926.97	104
605	Min.	-98	0.00	1	0.00	1	0.00	1	-888.57	131	-21787.00	130	-2082.88	17	12829.00	1	-6926.97	104
605	Min.	-110	0.00	1	0.00	1	0.00	1	-888.57	131	-21787.00	130	-2082.88	17	12829.00	1	-6926.97	104

605	Max	-155	0.00	1	0.00	1	0.00	1	731.13	65	2151.22	49	680.94	65	15716.20	107	4481.53	65
605	Max	-143	0.00	1	0.00	1	0.00	1	731.13	65	2151.22	49	680.94	65	15716.20	107	4481.53	65
605	Max	-142	0.00	1	0.00	1	0.00	1	731.13	65	2151.22	49	680.94	65	15716.20	107	4481.53	65
605	Max	-154	0.00	1	0.00	1	0.00	1	731.13	65	2151.22	49	680.94	65	15716.20	107	4481.53	65
605	Min.	-155	0.00	1	0.00	1	0.00	1	-1058.60	132	-15810.00	130	-2100.16	132	2130.98	65	-3251.67	17
605	Min.	-143	0.00	1	0.00	1	0.00	1	-1058.60	132	-15810.00	130	-2100.16	132	2130.98	65	-3251.67	17
605	Min.	-142	0.00	1	0.00	1	0.00	1	-1058.60	132	-15810.00	130	-2100.16	132	2130.98	65	-3251.67	17
605	Min.	-154	0.00	1	0.00	1	0.00	1	-1058.60	132	-15810.00	130	-2100.16	132	2130.98	65	-3251.67	17
605	Max	-144	0.00	1	0.00	1	0.00	1	1255.74	131	251.20	1	761.85	49	484.04	1	3772.25	65
605	Max	-133	0.00	1	0.00	1	0.00	1	1255.74	131	251.20	1	761.85	49	484.04	1	3772.25	65
605	Max	24	0.00	1	0.00	1	0.00	1	1255.74	131	251.20	1	761.85	49	484.04	1	3772.25	65
605	Max	-143	0.00	1	0.00	1	0.00	1	1255.74	131	251.20	1	761.85	49	484.04	1	3772.25	65
605	Min.	-144	0.00	1	0.00	1	0.00	1	-84.77	17	-888.89	130	-1598.46	132	-1859.50	106	-7233.79	108
605	Min.	-133	0.00	1	0.00	1	0.00	1	-84.77	17	-888.89	130	-1598.46	132	-1859.50	106	-7233.79	108
605	Min.	24	0.00	1	0.00	1	0.00	1	-84.77	17	-888.89	130	-1598.46	132	-1859.50	106	-7233.79	108
605	Min.	-143	0.00	1	0.00	1	0.00	1	-84.77	17	-888.89	130	-1598.46	132	-1859.50	106	-7233.79	108
605	Max	-215	0.00	1	0.00	1	0.00	1	92.08	49	3007.84	49	-19.62	49	6285.74	65	842.09	65
605	Max	-203	0.00	1	0.00	1	0.00	1	92.08	49	3007.84	49	-19.62	49	6285.74	65	842.09	65
605	Max	-202	0.00	1	0.00	1	0.00	1	92.08	49	3007.84	49	-19.62	49	6285.74	65	842.09	65
605	Max	-214	0.00	1	0.00	1	0.00	1	92.08	49	3007.84	49	-19.62	49	6285.74	65	842.09	65
605	Min.	-215	0.00	1	0.00	1	0.00	1	-728.87	130	-13853.60	130	-1006.78	130	-9354.10	17	-2642.14	108
605	Min.	-203	0.00	1	0.00	1	0.00	1	-728.87	130	-13853.60	130	-1006.78	130	-9354.10	17	-2642.14	108
605	Min.	-202	0.00	1	0.00	1	0.00	1	-728.87	130	-13853.60	130	-1006.78	130	-9354.10	17	-2642.14	108
605	Min.	-214	0.00	1	0.00	1	0.00	1	-728.87	130	-13853.60	130	-1006.78	130	-9354.10	17	-2642.14	108
605	Max	-168	0.00	1	0.00	1	0.00	1	563.89	17	683.87	130	562.25	65	2048.92	108	3256.71	65
605	Max	-156	0.00	1	0.00	1	0.00	1	563.89	17	683.87	130	562.25	65	2048.92	108	3256.71	65
605	Max	-155	0.00	1	0.00	1	0.00	1	563.89	17	683.87	130	562.25	65	2048.92	108	3256.71	65
605	Max	-167	0.00	1	0.00	1	0.00	1	563.89	17	683.87	130	562.25	65	2048.92	108	3256.71	65
605	Min.	-168	0.00	1	0.00	1	0.00	1	-102.56	65	-417.40	101	-1010.08	17	-352.88	65	-4423.93	17
605	Min.	-156	0.00	1	0.00	1	0.00	1	-102.56	65	-417.40	101	-1010.08	17	-352.88	65	-4423.93	17
605	Min.	-155	0.00	1	0.00	1	0.00	1	-102.56	65	-417.40	101	-1010.08	17	-352.88	65	-4423.93	17
605	Min.	-167	0.00	1	0.00	1	0.00	1	-102.56	65	-417.40	101	-1010.08	17	-352.88	65	-4423.93	17
605	Max	-143	0.00	1	0.00	1	0.00	1	2494.77	65	7494.32	101	2257.58	103	61732.90	103	10932.00	65
605	Max	24	0.00	1	0.00	1	0.00	1	2494.77	65	7494.32	101	2257.58	103	61732.90	103	10932.00	65
605	Max	-132	0.00	1	0.00	1	0.00	1	2494.77	65	7494.32	101	2257.58	103	61732.90	103	10932.00	65
605	Max	-142	0.00	1	0.00	1	0.00	1	2494.77	65	7494.32	101	2257.58	103	61732.90	103	10932.00	65
605	Min.	-143	0.00	1	0.00	1	0.00	1	-1452.36	17	-23579.20	130	-5290.51	132	12599.70	17	-1854.19	17
605	Min.	24	0.00	1	0.00	1	0.00	1	-1452.36	17	-23579.20	130	-5290.51	132	12599.70	17	-1854.19	17
605	Min.	-132	0.00	1	0.00	1	0.00	1	-1452.36	17	-23579.20	130	-5290.51	132	12599.70	17	-1854.19	17
605	Min.	-142	0.00	1	0.00	1	0.00	1	-1452.36	17	-23579.20	130	-5290.51	132	12599.70	17	-1854.19	17
605	Max	-77	0.00	1	0.00	1	0.00	1	728.77	17	2168.71	1	2086.62	131	15799.60	108	3229.49	65
605	Max	-65	0.00	1	0.00	1	0.00	1	728.77	17	2168.71	1	2086.62	131	15799.60	108	3229.49	65
605	Max	-64	0.00	1	0.00	1	0.00	1	728.77	17	2168.71	1	2086.62	131	15799.60	108	3229.49	65
605	Max	-76	0.00	1	0.00	1	0.00	1	728.77	17	2168.71	1	2086.62	131	15799.60	108	3229.49	65
605	Min.	-77	0.00	1	0.00	1	0.00	1	-1058.34	131	-15830.50	130	-686.14	17	2163.24	17	-4494.08	17
605	Min.	-65	0.00	1	0.00	1	0.00	1	-1058.34	131	-15830.50	130	-686.14	17	2163.24	17	-4494.08	17
605	Min.	-64	0.00	1	0.00	1	0.00	1	-1058.34	131	-15830.50	130	-686.14	17	2163.24	17	-4494.08	17
605	Min.	-76	0.00	1	0.00	1	0.00	1	-1058.34	131	-15830.50	130	-686.14	17	2163.24	17	-4494.08	17
605	Max	-180	0.00	1	0.00	1	0.00	1	773.83	131	604.44	101	490.33	65	788.64	17	5349.39	99
605	Max	-168	0.00	1	0.00	1	0.00	1	773.83	131	604.44	101	490.33	65	788.64	17	5349.39	99
605	Max	-167	0.00	1	0.00	1	0.00	1	773.83	131	604.44	101	490.33	65	788.64	17	5349.39	99
605	Max	-179	0.00	1	0.00	1	0.00	1	773.83	131	604.44	101	490.33	65	788.64	17	5349.39	99
605	Min.	-180	0.00	1	0.00	1	0.00	1	-438.73	17	-1132.32	130	-1194.76	104	-3155.07	106	-3068.96	17
605	Min.	-168	0.00	1	0.00	1	0.00	1	-438.73	17	-1132.32	130	-1194.76	104	-3155.07	106	-3068.96	17
605	Min.	-167	0.00	1	0.00	1	0.00	1	-438.73	17	-1132.32	130	-1194.76	104	-3155.07	106	-3068.96	17
605	Min.	-179	0.00	1	0.00	1	0.00	1	-438.73	17	-1132.32	130	-1194.76	104	-3155.07	106	-3068.96	17
605	Max	-41	0.00	1	0.00	1	0.00	1	1390.62	17	6773.74	101	4257.84	131	45923.20	104	5689.90	65
605	Max	-29	0.00	1	0.00	1	0.00	1	1390.62	17	6773.74	101	4257.84	131	45923.20	104	5689.90	65
605	Max	-28	0.00	1	0.00	1	0.00	1	1390.62	17	6773.74	101	4257.84	131	45923.20	104	5689.90	65
605	Max	-40	0.00	1	0.00	1	0.00	1	1390.62	17	6773.74	101	4257.84	131	45923.20	104	5689.90	65
605	Min.	-41	0.00	1	0.00	1	0.00	1	-1410.94	131	-19893.80	130	-1310.41	1	3627.39	65	-8679.54	17
605	Min.	-29	0.00	1	0.00	1	0.00	1	-1410.94	131	-19893.80	130	-1310.41	1	3627.39	65	-8679.54	17
605	Min.	-28	0.00	1	0.00	1	0.00	1	-1410.94	131	-19893.80	130	-1310.41	1	3627.39	65	-8679.54	17
605	Min.	-40	0.00	1	0.00	1	0.00	1	-1410.94	131	-19893.80	130	-1310.41	1	3627.39	65	-8679.54	17
605	Max	-216	0.00	1	0.00	1	0.00	1	162.10	107	1935.85	132	30.51	49	5272.30	132	1020.37	65
605	Max	-204	0.00	1	0.00	1	0.00	1	162.10	107	1935.85	132	30.51	49	5272.30	132	1020.37	65
605	Max	-203	0.00	1	0.00	1	0.00	1	162.10	107	1935.85	132	30.51	49	5272.30	132	1020.37	65
605	Max	-215	0.00	1	0.00	1	0.00	1	162.10	107	1935.85	132	30.51	49	5272.30	132	1020.37	65
605	Min.	-216	0.00	1	0.00	1	0.00	1	-31.05	65	-507.66	49	-419.17	130	-1993.88	65	-2189.36	132
605	Min.	-204	0.00	1	0.00	1	0.00	1	-31.05	65	-507.66	49	-419.17	130	-1993.88	65	-2189.36	132
605	Min.	-203	0.00	1	0.00	1	0.00	1	-31.05	65	-507.66	49	-419.17	130	-1993.88	65	-2189.36	132
605	Min.	-215	0.00	1	0.00	1	0.00	1	-31.05	65	-507.66	49	-419.17	130	-1993.88	65	-2189.36	132
605	Max	-65	0.00	1	0.00	1	0.00	1	344.73	1	2636.88	1	1613.48	65	17394.20	108	3480.71	65
605	Max	-53	0.00	1	0.00	1	0.00	1	344.73	1	2636.88	1	1613.48	65	17394.20	108	3480.71	65
605	Max	-52	0.00	1	0.00	1	0.00	1	344.73	1	2636.88	1	1613.48	65	17394.20	108	3480.71	65
605	Max	-64	0.00	1	0.00	1	0.00	1	344.73	1	2636.88	1	1613.48	65	17394.20	108	3480.71	65
605	Min.	-65	0.00	1	0.00	1	0.00	1	-1312.65	130	-15931.00	130	-991.56	17	2550.01	17	-1510.85	173
605	Min.	-53	0.00	1	0.00	1	0.00	1	-1312.65	130	-15931.00	130	-991.56	17	2550.01	17	-1510.85	173
605	Min.	-52	0.00	1	0.00	1	0.00	1	-1312.65	130	-15931.00	130	-991.56	17	2550.01	17	-1510.85	173
605	Min.	-64	0.00	1	0.00	1	0.00	1	-1312.65	130	-15931.00	130	-991.56	17	2550.01	17	-1510.85	173
605	Max	-133	0.00	1	0.00	1	0.00	1	1115.01	107	76.16	1	854.18	65	137.09	17	4198.49	65
605	Max	-122	0.00	1	0.00	1	0.00	1	1115.01	107	76.16	1	854.18	65	137.09	17	4198.49	65
605	Max	-121	0.00	1	0.00	1	0.00	1	1115.01	107	76.16	1	854.18	65	137.09	17	4198.49	65
605	Max	24	0.00	1	0.00	1	0.00	1	1115.01	107	76.16	1	854.18	65	137.09	17	4198.49	65
605	Min.	-133	0.00	1	0.00	1	0.00	1	253.72	17	-333.36	106	-1072.26	17	-1030.38	102	-4077.64	17
605	Min.	-122	0.00	1	0.00	1	0.00	1	253.72	17	-333.36	106	-1072.26	17	-1030.38	102	-4077.64	17
605	Min.	-121	0.00	1	0.00	1	0.00	1	253.72	17	-333.36	106	-1072.26	17	-1030.38	102	-4077.64	17
605	Min.	24	0.00	1	0.00	1	0.00	1	253.72	17	-333.36	106	-1072.26	17	-1030.38	102	-4077.64	17
605	Max	-111	0.00	1	0.00	1	0.00	1	1255.97	108	13.63	49	1076.22	65	229.52	65	4667.60	65
605	Max	-100	0.00	1	0.00	1	0.00	1	1255.97	108	13.63	49	1076.22	65	229.52	65	4667.60	65
605	Max	-99	0.00	1	0.00	1	0.00	1	1255.97	108	13.63	49	1076.22	65	229.52	65	4667.60	65
605	Max	22	0.00	1	0.00	1	0.00	1	1255.97	108	13.63	49	1076.22	65	229.52	65	4667.60	65
605	Min.	-111	0.00	1	0.00	1	0.00	1	364.00	177	-180.14	106	-949.43	17	-236.56	100	-4063.29	17
605	Min.	-100	0.00	1	0.00	1	0.00	1	364.00	177	-180.14	106	-949.43	17	-236.56	100	-4063.29	17
605	Min.	-99	0.00	1	0.00	1	0.00	1	364.00	177	-180.14	106	-949.43	17	-236.56	100	-4063.29	17
605	Min.	22	0.00	1	0.00	1	0.00	1	364.00	177	-180.14	106	-949.43	17	-236.56	100	-4063.29	17
605	Max	-192	0.00	1	0.00	1	0.00	1	597.38	131	458.55	17	503.58	101	1064.18	17	2444.39	65
605	Max	-180	0.00	1	0.00	1	0.00	1	597.38	131	458.55	17	503.58	101	1064.18	17	2444.39	65
605	Max	-179	0.00	1	0.00	1	0.00	1	597.38	131	458.55	17	503.58	101	1064.18	17	2444.39	65
605	Max	-191	0.00	1	0.00	1	0.00	1	597.38	131	458.55	17	503.58	101	1064.18	17	2444.39	65
605	Min.	-192	0.00	1	0.00	1	0.00	1	-371.86	104	-321.62	65	-1581.28	130	-1170.25	99	-8619.36	108
605	Min.	-180	0.00	1	0.00	1	0.00	1	-371.86	104	-321.62	65	-1581.28	130	-1170.25	99	-8619.36	108
605	Min.	-179	0.00	1	0.00	1	0.00	1	-371.86	104	-321.62	65	-1581.28	130	-1170.25	99	-8619.36	108
605	Min.	-191	0.00	1	0.00	1	0.00	1	-371.86	104	-321.62	65	-1581.28	130	-1170.25	99	-8619.36	108
605	Max	-191	0.00	1	0.00	1	0.00	1	1383.83	65	6815.07	101	1294.48	49	45872.60	103	8657.82	65

605	Max	-179	0.00	1	0.00	1	0.00	1	1383.83	65	6815.07	101	1294.48	49	45872.60	103	8657.82	65
605	Max	-178	0.00	1	0.00	1	0.00	1	1383.83	65	6815.07	101	1294.48	49	45872.60	103	8657.82	65
605	Max	-190	0.00	1	0.00	1	0.00	1	1383.83	65	6815.07	101	1294.48	49	45872.60	103	8657.82	65
605	Min.	-191	0.00	1	0.00	1	0.00	1	-1422.14	132	-19921.60	130	-4273.64	132	3567.10	17	-5704.82	17
605	Min.	-179	0.00	1	0.00	1	0.00	1	-1422.14	132	-19921.60	130	-4273.64	132	3567.10	17	-5704.82	17
605	Min.	-178	0.00	1	0.00	1	0.00	1	-1422.14	132	-19921.60	130	-4273.64	132	3567.10	17	-5704.82	17
605	Min.	-190	0.00	1	0.00	1	0.00	1	-1422.14	132	-19921.60	130	-4273.64	132	3567.10	17	-5704.82	17
605	Max	-167	0.00	1	0.00	1	0.00	1	362.97	49	2680.71	49	993.92	65	17794.20	107	998.18	65
605	Max	-155	0.00	1	0.00	1	0.00	1	362.97	49	2680.71	49	993.92	65	17794.20	107	998.18	65
605	Max	-154	0.00	1	0.00	1	0.00	1	362.97	49	2680.71	49	993.92	65	17794.20	107	998.18	65
605	Max	-166	0.00	1	0.00	1	0.00	1	362.97	49	2680.71	49	993.92	65	17794.20	107	998.18	65
605	Min.	-167	0.00	1	0.00	1	0.00	1	-1309.71	130	-16040.80	130	-1627.24	17	2722.18	65	-3547.86	17
605	Min.	-155	0.00	1	0.00	1	0.00	1	-1309.71	130	-16040.80	130	-1627.24	17	2722.18	65	-3547.86	17
605	Min.	-154	0.00	1	0.00	1	0.00	1	-1309.71	130	-16040.80	130	-1627.24	17	2722.18	65	-3547.86	17
605	Min.	-166	0.00	1	0.00	1	0.00	1	-1309.71	130	-16040.80	130	-1627.24	17	2722.18	65	-3547.86	17
606	Max	-57	0.00	1	0.00	1	0.00	1	483.74	104	6913.68	101	486.32	49	2347.07	49	-4290.48	1
606	Max	-45	0.00	1	0.00	1	0.00	1	483.74	104	6913.68	101	486.32	49	2347.07	49	-4290.48	1
606	Max	-46	0.00	1	0.00	1	0.00	1	483.74	104	6913.68	101	486.32	49	2347.07	49	-4290.48	1
606	Max	-58	0.00	1	0.00	1	0.00	1	483.74	104	6913.68	101	486.32	49	2347.07	49	-4290.48	1
606	Min.	-57	0.00	1	0.00	1	0.00	1	-1304.47	131	-1093.90	49	-3330.93	106	-5527.26	101	-14731.90	108
606	Min.	-45	0.00	1	0.00	1	0.00	1	-1304.47	131	-1093.90	49	-3330.93	106	-5527.26	101	-14731.90	108
606	Min.	-46	0.00	1	0.00	1	0.00	1	-1304.47	131	-1093.90	49	-3330.93	106	-5527.26	101	-14731.90	108
606	Min.	-58	0.00	1	0.00	1	0.00	1	-1304.47	131	-1093.90	49	-3330.93	106	-5527.26	101	-14731.90	108
606	Max	-79	0.00	1	0.00	1	0.00	1	107.46	17	776.45	130	651.97	65	487.59	49	4256.80	65
606	Max	-67	0.00	1	0.00	1	0.00	1	107.46	17	776.45	130	651.97	65	487.59	49	4256.80	65
606	Max	-68	0.00	1	0.00	1	0.00	1	107.46	17	776.45	130	651.97	65	487.59	49	4256.80	65
606	Max	-80	0.00	1	0.00	1	0.00	1	107.46	17	776.45	130	651.97	65	487.59	49	4256.80	65
606	Min.	-79	0.00	1	0.00	1	0.00	1	-860.61	108	-838.53	101	-1231.33	103	-2592.53	101	-5097.04	17
606	Min.	-67	0.00	1	0.00	1	0.00	1	-860.61	108	-838.53	101	-1231.33	103	-2592.53	101	-5097.04	17
606	Min.	-68	0.00	1	0.00	1	0.00	1	-860.61	108	-838.53	101	-1231.33	103	-2592.53	101	-5097.04	17
606	Min.	-80	0.00	1	0.00	1	0.00	1	-860.61	108	-838.53	101	-1231.33	103	-2592.53	101	-5097.04	17
606	Max	-159	0.00	1	0.00	1	0.00	1	518.54	65	11743.90	101	2626.71	101	-1425.42	166	1468.43	65
606	Max	-147	0.00	1	0.00	1	0.00	1	518.54	65	11743.90	101	2626.71	101	-1425.42	166	1468.43	65
606	Max	-148	0.00	1	0.00	1	0.00	1	518.54	65	11743.90	101	2626.71	101	-1425.42	166	1468.43	65
606	Max	-160	0.00	1	0.00	1	0.00	1	518.54	65	11743.90	101	2626.71	101	-1425.42	166	1468.43	65
606	Min.	-159	0.00	1	0.00	1	0.00	1	-832.36	17	-5201.01	130	-801.07	1	-15273.00	101	-3696.45	131
606	Min.	-147	0.00	1	0.00	1	0.00	1	-832.36	17	-5201.01	130	-801.07	1	-15273.00	101	-3696.45	131
606	Min.	-148	0.00	1	0.00	1	0.00	1	-832.36	17	-5201.01	130	-801.07	1	-15273.00	101	-3696.45	131
606	Min.	-160	0.00	1	0.00	1	0.00	1	-832.36	17	-5201.01	130	-801.07	1	-15273.00	101	-3696.45	131
606	Max	-221	0.00	1	0.00	1	0.00	1	17.25	65	1141.78	101	149.08	104	1412.60	130	194.13	130
606	Max	-209	0.00	1	0.00	1	0.00	1	17.25	65	1141.78	101	149.08	104	1412.60	130	194.13	130
606	Max	-210	0.00	1	0.00	1	0.00	1	17.25	65	1141.78	101	149.08	104	1412.60	130	194.13	130
606	Max	-222	0.00	1	0.00	1	0.00	1	17.25	65	1141.78	101	149.08	104	1412.60	130	194.13	130
606	Min.	-221	0.00	1	0.00	1	0.00	1	-18.41	17	-449.66	130	-35.61	1	-2409.91	101	-430.85	101
606	Min.	-209	0.00	1	0.00	1	0.00	1	-18.41	17	-449.66	130	-35.61	1	-2409.91	101	-430.85	101
606	Min.	-210	0.00	1	0.00	1	0.00	1	-18.41	17	-449.66	130	-35.61	1	-2409.91	101	-430.85	101
606	Min.	-222	0.00	1	0.00	1	0.00	1	-18.41	17	-449.66	130	-35.61	1	-2409.91	101	-430.85	101
606	Max	-67	0.00	1	0.00	1	0.00	1	102.58	65	559.05	130	562.73	65	370.59	65	3284.92	65
606	Max	-55	0.00	1	0.00	1	0.00	1	102.58	65	559.05	130	562.73	65	370.59	65	3284.92	65
606	Max	-56	0.00	1	0.00	1	0.00	1	102.58	65	559.05	130	562.73	65	370.59	65	3284.92	65
606	Max	-68	0.00	1	0.00	1	0.00	1	102.58	65	559.05	130	562.73	65	370.59	65	3284.92	65
606	Min.	-67	0.00	1	0.00	1	0.00	1	-580.94	108	-640.42	101	-1002.34	17	-2153.30	103	-4432.64	17
606	Min.	-55	0.00	1	0.00	1	0.00	1	-580.94	108	-640.42	101	-1002.34	17	-2153.30	103	-4432.64	17
606	Min.	-56	0.00	1	0.00	1	0.00	1	-580.94	108	-640.42	101	-1002.34	17	-2153.30	103	-4432.64	17
606	Min.	-68	0.00	1	0.00	1	0.00	1	-580.94	108	-640.42	101	-1002.34	17	-2153.30	103	-4432.64	17
606	Max	-183	0.00	1	0.00	1	0.00	1	470.52	103	6818.28	101	3430.73	106	2472.19	130	15350.60	107
606	Max	-171	0.00	1	0.00	1	0.00	1	470.52	103	6818.28	101	3430.73	106	2472.19	130	15350.60	107
606	Max	-172	0.00	1	0.00	1	0.00	1	470.52	103	6818.28	101	3430.73	106	2472.19	130	15350.60	107
606	Max	-184	0.00	1	0.00	1	0.00	1	470.52	103	6818.28	101	3430.73	106	2472.19	130	15350.60	107
606	Min.	-183	0.00	1	0.00	1	0.00	1	-1354.50	132	-1052.47	1	-538.95	1	-5313.60	101	4396.70	65
606	Min.	-171	0.00	1	0.00	1	0.00	1	-1354.50	132	-1052.47	1	-538.95	1	-5313.60	101	4396.70	65
606	Min.	-172	0.00	1	0.00	1	0.00	1	-1354.50	132	-1052.47	1	-538.95	1	-5313.60	101	4396.70	65
606	Min.	-184	0.00	1	0.00	1	0.00	1	-1354.50	132	-1052.47	1	-538.95	1	-5313.60	101	4396.70	65
606	Max	-81	0.00	1	0.00	1	0.00	1	516.66	17	11732.50	101	814.52	49	-1426.92	166	3687.44	65
606	Max	-69	0.00	1	0.00	1	0.00	1	516.66	17	11732.50	101	814.52	49	-1426.92	166	3687.44	65
606	Max	-70	0.00	1	0.00	1	0.00	1	516.66	17	11732.50	101	814.52	49	-1426.92	166	3687.44	65
606	Max	-82	0.00	1	0.00	1	0.00	1	516.66	17	11732.50	101	814.52	49	-1426.92	166	3687.44	65
606	Min.	-81	0.00	1	0.00	1	0.00	1	-832.75	65	-5185.86	130	-2621.27	101	-15254.80	101	-1458.35	17
606	Min.	-69	0.00	1	0.00	1	0.00	1	-832.75	65	-5185.86	130	-2621.27	101	-15254.80	101	-1458.35	17
606	Min.	-70	0.00	1	0.00	1	0.00	1	-832.75	65	-5185.86	130	-2621.27	101	-15254.80	101	-1458.35	17
606	Min.	-82	0.00	1	0.00	1	0.00	1	-832.75	65	-5185.86	130	-2621.27	101	-15254.80	101	-1458.35	17
606	Max	-209	0.00	1	0.00	1	0.00	1	85.91	104	1290.87	101	441.25	104	1477.03	130	651.88	130
606	Max	-197	0.00	1	0.00	1	0.00	1	85.91	104	1290.87	101	441.25	104	1477.03	130	651.88	130
606	Max	-198	0.00	1	0.00	1	0.00	1	85.91	104	1290.87	101	441.25	104	1477.03	130	651.88	130
606	Max	-210	0.00	1	0.00	1	0.00	1	85.91	104	1290.87	101	441.25	104	1477.03	130	651.88	130
606	Min.	-209	0.00	1	0.00	1	0.00	1	-64.06	17	-514.74	130	-114.35	17	-3167.88	101	-1281.28	101
606	Min.	-197	0.00	1	0.00	1	0.00	1	-64.06	17	-514.74	130	-114.35	17	-3167.88	101	-1281.28	101
606	Min.	-198	0.00	1	0.00	1	0.00	1	-64.06	17	-514.74	130	-114.35	17	-3167.88	101	-1281.28	101
606	Min.	-210	0.00	1	0.00	1	0.00	1	-64.06	17	-514.74	130	-114.35	17	-3167.88	101	-1281.28	101
606	Max	-146	0.00	1	0.00	1	0.00	1	1452.35	65	22077.10	101	4840.17	104	-12599.70	65	1854.17	65
606	Max	25	0.00	1	0.00	1	0.00	1	1452.35	65	22077.10	101	4840.17	104	-12599.70	65	1854.17	65
606	Max	-135	0.00	1	0.00	1	0.00	1	1452.35	65	22077.10	101	4840.17	104	-12599.70	65	1854.17	65
606	Max	-147	0.00	1	0.00	1	0.00	1	1452.35	65	22077.10	101	4840.17	104	-12599.70	65	1854.17	65
606	Min.	-146	0.00	1	0.00	1	0.00	1	-2494.76	17	-12225.70	130	-3125.96	131	-61731.30	107	-11117.40	131
606	Min.	25	0.00	1	0.00	1	0.00	1	-2494.76	17	-12225.70	130	-3125.96	131	-61731.30	107	-11117.40	131
606	Min.	-135	0.00	1	0.00	1	0.00	1	-2494.76	17	-12225.70	130	-3125.96	131	-61731.30	107	-11117.40	131
606	Min.	-147	0.00	1	0.00	1	0.00	1	-2494.76	17	-12225.70	130	-3125.96	131	-61731.30	107	-11117.40	131
606	Max	-33	0.00	1	0.00	1	0.00	1	446.93	107	10947.10	101	223.53	65	2901.18	17	557.89	65
606	Max	-21	0.00	1	0.00	1	0.00	1	446.93	107	10947.10	101	223.53	65	2901.18	17	557.89	65
606	Max	-22	0.00	1	0.00	1	0.00	1	446.93	107	10947.10	101	223.53	65	2901.18	17	557.89	65
606	Max	-34	0.00	1	0.00	1	0.00	1	446.93	107	10947.10	101	223.53	65	2901.18	17	557.89	65
606	Min.	-33	0.00	1	0.00	1	0.00	1	113.90	65	-4825.29	130	-1190.46	103	-9815.51	104	-2929.16	99
606	Min.	-21	0.00	1	0.00	1	0.00	1	113.90	65	-4825.29	130	-1190.46	103	-9815.51	104	-2929.16	99
606	Min.	-22	0.00	1	0.00	1	0.00	1	113.90	65	-4825.29	130	-1190.46	103	-9815.51	104	-2929.16	99
606	Min.	-34	0.00	1	0.00	1	0.00	1	113.90	65	-4825.29	130	-1190.46	103	-9815.51	104	-2929.16	99
606	Max	-137	0.00	1	0.00	1	0.00	1	-426.15	166	480.24	130	1170.97	106	3115.98	101	2431.21	17
606	Max	-127	0.00	1	0.00	1	0.00	1	-426.15	166	480.24	130	1170.97	106	3115.98	101	2431.21	17
606	Max	-128	0.00	1	0.00	1	0.00	1	-426.15	166	480.24	130	1170.97	106	3115.98	101	2431.21	17
606	Max	-138	0.00	1	0.00	1	0.00	1	-426.15	166	480.24	130	1170.97	106	3115.98	101	2431.21	17
606	Min.	-137	0.00	1	0.00	1	0.00	1	-3502.22	101	-1142.69	101	-282.43	1	-354.51	130	-2362.91	65
606	Min.	-127	0.00	1	0.00	1	0.00	1	-3502.22	101	-1142.69	101	-282.43	1	-354.51	130	-2362.91	65
606	Min.	-128	0.00	1	0.00	1	0.00	1	-3502.22	101	-1142.69	101	-282.43	1	-354.51	130	-2362.91	65
606	Min.	-138	0.00	1	0.00	1	0.00	1	-3502.22	101	-1142.69	101	-282.43	1	-354.51	130	-2362.91	65
606	Max	-207	0.00	1	0.00	1	0.00	1	469.75	108	10965.40	101	1197.58	104	2837.91	65	3066.71	100
606	Max	-195	0.00	1	0.00	1	0.00	1	469.75	108	10965.40	101	1197.58	104	2837.91	65	3066.71	100

606	Max	-196	0.00	1	0.00	1	0.00	1	469.75	108	10965.40	101	1197.58	104	2837.91	65	3066.71	100
606	Max	-208	0.00	1	0.00	1	0.00	1	469.75	108	10965.40	101	1197.58	104	2837.91	65	3066.71	100
606	Min.	-207	0.00	1	0.00	1	0.00	1	118.78	17	-4860.37	130	-224.34	17	-9941.98	103	-544.28	17
606	Min.	-195	0.00	1	0.00	1	0.00	1	118.78	17	-4860.37	130	-224.34	17	-9941.98	103	-544.28	17
606	Min.	-196	0.00	1	0.00	1	0.00	1	118.78	17	-4860.37	130	-224.34	17	-9941.98	103	-544.28	17
606	Min.	-208	0.00	1	0.00	1	0.00	1	118.78	17	-4860.37	130	-224.34	17	-9941.98	103	-544.28	17
606	Max	-80	0.00	1	0.00	1	0.00	1	1002.68	103	15391.20	101	686.12	65	-2163.24	65	4494.06	65
606	Max	-68	0.00	1	0.00	1	0.00	1	1002.68	103	15391.20	101	686.12	65	-2163.24	65	4494.06	65
606	Max	-69	0.00	1	0.00	1	0.00	1	1002.68	103	15391.20	101	686.12	65	-2163.24	65	4494.06	65
606	Max	-81	0.00	1	0.00	1	0.00	1	1002.68	103	15391.20	101	686.12	65	-2163.24	65	4494.06	65
606	Min.	-80	0.00	1	0.00	1	0.00	1	-728.77	65	-4322.91	130	-2082.01	103	-15799.90	104	-3229.47	17
606	Min.	-68	0.00	1	0.00	1	0.00	1	-728.77	65	-4322.91	130	-2082.01	103	-15799.90	104	-3229.47	17
606	Min.	-69	0.00	1	0.00	1	0.00	1	-728.77	65	-4322.91	130	-2082.01	103	-15799.90	104	-3229.47	17
606	Min.	-81	0.00	1	0.00	1	0.00	1	-728.77	65	-4322.91	130	-2082.01	103	-15799.90	104	-3229.47	17
606	Max	-68	0.00	1	0.00	1	0.00	1	1267.03	101	15413.70	101	991.54	65	-2550.00	65	1715.71	173
606	Max	-56	0.00	1	0.00	1	0.00	1	1267.03	101	15413.70	101	991.54	65	-2550.00	65	1715.71	173
606	Max	-57	0.00	1	0.00	1	0.00	1	1267.03	101	15413.70	101	991.54	65	-2550.00	65	1715.71	173
606	Max	-69	0.00	1	0.00	1	0.00	1	1267.03	101	15413.70	101	991.54	65	-2550.00	65	1715.71	173
606	Min.	-68	0.00	1	0.00	1	0.00	1	-619.65	130	-5125.47	130	-1613.46	17	-17394.50	104	-3480.70	17
606	Min.	-56	0.00	1	0.00	1	0.00	1	-619.65	130	-5125.47	130	-1613.46	17	-17394.50	104	-3480.70	17
606	Min.	-57	0.00	1	0.00	1	0.00	1	-619.65	130	-5125.47	130	-1613.46	17	-17394.50	104	-3480.70	17
606	Min.	-69	0.00	1	0.00	1	0.00	1	-619.65	130	-5125.47	130	-1613.46	17	-17394.50	104	-3480.70	17
606	Max	-206	0.00	1	0.00	1	0.00	1	907.45	101	11032.80	101	1355.25	107	11021.60	132	4212.61	104
606	Max	-194	0.00	1	0.00	1	0.00	1	907.45	101	11032.80	101	1355.25	107	11021.60	132	4212.61	104
606	Max	-195	0.00	1	0.00	1	0.00	1	907.45	101	11032.80	101	1355.25	107	11021.60	132	4212.61	104
606	Max	-207	0.00	1	0.00	1	0.00	1	907.45	101	11032.80	101	1355.25	107	11021.60	132	4212.61	104
606	Min.	-206	0.00	1	0.00	1	0.00	1	-156.56	130	-2278.22	130	226.05	17	-3124.42	17	-1374.56	17
606	Min.	-194	0.00	1	0.00	1	0.00	1	-156.56	130	-2278.22	130	226.05	17	-3124.42	17	-1374.56	17
606	Min.	-195	0.00	1	0.00	1	0.00	1	-156.56	130	-2278.22	130	226.05	17	-3124.42	17	-1374.56	17
606	Min.	-207	0.00	1	0.00	1	0.00	1	-156.56	130	-2278.22	130	226.05	17	-3124.42	17	-1374.56	17
606	Max	-205	0.00	1	0.00	1	0.00	1	170.85	65	779.85	130	972.25	101	1098.39	17	3822.81	104
606	Max	-193	0.00	1	0.00	1	0.00	1	170.85	65	779.85	130	972.25	101	1098.39	17	3822.81	104
606	Max	-194	0.00	1	0.00	1	0.00	1	170.85	65	779.85	130	972.25	101	1098.39	17	3822.81	104
606	Max	-206	0.00	1	0.00	1	0.00	1	170.85	65	779.85	130	972.25	101	1098.39	17	3822.81	104
606	Min.	-205	0.00	1	0.00	1	0.00	1	-395.72	107	-1674.08	101	-422.37	130	-5558.18	104	-2712.44	131
606	Min.	-193	0.00	1	0.00	1	0.00	1	-395.72	107	-1674.08	101	-422.37	130	-5558.18	104	-2712.44	131
606	Min.	-194	0.00	1	0.00	1	0.00	1	-395.72	107	-1674.08	101	-422.37	130	-5558.18	104	-2712.44	131
606	Min.	-206	0.00	1	0.00	1	0.00	1	-395.72	107	-1674.08	101	-422.37	130	-5558.18	104	-2712.44	131
606	Max	-124	0.00	1	0.00	1	0.00	1	719.36	104	20646.00	101	2615.31	104	-12860.00	1	394.78	65
606	Max	23	0.00	1	0.00	1	0.00	1	719.36	104	20646.00	101	2615.31	104	-12860.00	1	394.78	65
606	Max	-113	0.00	1	0.00	1	0.00	1	719.36	104	20646.00	101	2615.31	104	-12860.00	1	394.78	65
606	Max	-125	0.00	1	0.00	1	0.00	1	719.36	104	20646.00	101	2615.31	104	-12860.00	1	394.78	65
606	Min.	-124	0.00	1	0.00	1	0.00	1	-1768.11	131	-9426.96	130	-2489.80	131	-41491.00	105	-7787.71	131
606	Min.	23	0.00	1	0.00	1	0.00	1	-1768.11	131	-9426.96	130	-2489.80	131	-41491.00	105	-7787.71	131
606	Min.	-113	0.00	1	0.00	1	0.00	1	-1768.11	131	-9426.96	130	-2489.80	131	-41491.00	105	-7787.71	131
606	Min.	-125	0.00	1	0.00	1	0.00	1	-1768.11	131	-9426.96	130	-2489.80	131	-41491.00	105	-7787.71	131
606	Max	-147	0.00	1	0.00	1	0.00	1	787.02	65	9061.87	101	3950.96	101	438.91	162	-628.97	65
606	Max	-135	0.00	1	0.00	1	0.00	1	787.02	65	9061.87	101	3950.96	101	438.91	162	-628.97	65
606	Max	-136	0.00	1	0.00	1	0.00	1	787.02	65	9061.87	101	3950.96	101	438.91	162	-628.97	65
606	Max	-148	0.00	1	0.00	1	0.00	1	787.02	65	9061.87	101	3950.96	101	438.91	162	-628.97	65
606	Min.	-147	0.00	1	0.00	1	0.00	1	-2032.07	17	-2205.34	130	-2670.25	130	-7962.89	101	-14080.40	107
606	Min.	-135	0.00	1	0.00	1	0.00	1	-2032.07	17	-2205.34	130	-2670.25	130	-7962.89	101	-14080.40	107
606	Min.	-136	0.00	1	0.00	1	0.00	1	-2032.07	17	-2205.34	130	-2670.25	130	-7962.89	101	-14080.40	107
606	Min.	-148	0.00	1	0.00	1	0.00	1	-2032.07	17	-2205.34	130	-2670.25	130	-7962.89	101	-14080.40	107
606	Max	-93	0.00	1	0.00	1	0.00	1	505.21	17	1524.35	130	2567.72	130	5463.77	101	14181.50	101
606	Max	-83	0.00	1	0.00	1	0.00	1	505.21	17	1524.35	130	2567.72	130	5463.77	101	14181.50	101
606	Max	-84	0.00	1	0.00	1	0.00	1	505.21	17	1524.35	130	2567.72	130	5463.77	101	14181.50	101
606	Max	-94	0.00	1	0.00	1	0.00	1	505.21	17	1524.35	130	2567.72	130	5463.77	101	14181.50	101
606	Min.	-93	0.00	1	0.00	1	0.00	1	-3000.30	104	-2001.05	101	-2725.73	101	-928.49	130	-723.59	130
606	Min.	-83	0.00	1	0.00	1	0.00	1	-3000.30	104	-2001.05	101	-2725.73	101	-928.49	130	-723.59	130
606	Min.	-84	0.00	1	0.00	1	0.00	1	-3000.30	104	-2001.05	101	-2725.73	101	-928.49	130	-723.59	130
606	Min.	-94	0.00	1	0.00	1	0.00	1	-3000.30	104	-2001.05	101	-2725.73	101	-928.49	130	-723.59	130
606	Max	-157	0.00	1	0.00	1	0.00	1	107.06	65	780.51	130	1237.10	104	491.21	1	5113.43	65
606	Max	-145	0.00	1	0.00	1	0.00	1	107.06	65	780.51	130	1237.10	104	491.21	1	5113.43	65
606	Max	-146	0.00	1	0.00	1	0.00	1	107.06	65	780.51	130	1237.10	104	491.21	1	5113.43	65
606	Max	-158	0.00	1	0.00	1	0.00	1	107.06	65	780.51	130	1237.10	104	491.21	1	5113.43	65
606	Min.	-157	0.00	1	0.00	1	0.00	1	-872.49	107	-845.72	101	-645.26	17	-2609.17	101	-4219.82	17
606	Min.	-145	0.00	1	0.00	1	0.00	1	-872.49	107	-845.72	101	-645.26	17	-2609.17	101	-4219.82	17
606	Min.	-146	0.00	1	0.00	1	0.00	1	-872.49	107	-845.72	101	-645.26	17	-2609.17	101	-4219.82	17
606	Min.	-158	0.00	1	0.00	1	0.00	1	-872.49	107	-845.72	101	-645.26	17	-2609.17	101	-4219.82	17
606	Max	-145	0.00	1	0.00	1	0.00	1	84.77	65	837.92	101	1451.04	104	1859.57	101	7234.01	104
606	Max	-134	0.00	1	0.00	1	0.00	1	84.77	65	837.92	101	1451.04	104	1859.57	101	7234.01	104
606	Max	25	0.00	1	0.00	1	0.00	1	84.77	65	837.92	101	1451.04	104	1859.57	101	7234.01	104
606	Max	-146	0.00	1	0.00	1	0.00	1	84.77	65	837.92	101	1451.04	104	1859.57	101	7234.01	104
606	Min.	-145	0.00	1	0.00	1	0.00	1	-1214.52	103	-443.94	130	-955.61	131	-532.56	162	-3772.18	17
606	Min.	-134	0.00	1	0.00	1	0.00	1	-1214.52	103	-443.94	130	-955.61	131	-532.56	162	-3772.18	17
606	Min.	25	0.00	1	0.00	1	0.00	1	-1214.52	103	-443.94	130	-955.61	131	-532.56	162	-3772.18	17
606	Min.	-146	0.00	1	0.00	1	0.00	1	-1214.52	103	-443.94	130	-955.61	131	-532.56	162	-3772.18	17
606	Max	-182	0.00	1	0.00	1	0.00	1	1446.54	103	21466.10	101	4120.85	132	-8761.11	65	12181.10	106
606	Max	-170	0.00	1	0.00	1	0.00	1	1446.54	103	21466.10	101	4120.85	132	-8761.11	65	12181.10	106
606	Max	-171	0.00	1	0.00	1	0.00	1	1446.54	103	21466.10	101	4120.85	132	-8761.11	65	12181.10	106
606	Max	-183	0.00	1	0.00	1	0.00	1	1446.54	103	21466.10	101	4120.85	132	-8761.11	65	12181.10	106
606	Min.	-182	0.00	1	0.00	1	0.00	1	-1899.39	132	-13308.70	130	-2459.64	103	-65613.50	107	1924.83	137
606	Min.	-170	0.00	1	0.00	1	0.00	1	-1899.39	132	-13308.70	130	-2459.64	103	-65613.50	107	1924.83	137
606	Min.	-171	0.00	1	0.00	1	0.00	1	-1899.39	132	-13308.70	130	-2459.64	103	-65613.50	107	1924.83	137
606	Min.	-183	0.00	1	0.00	1	0.00	1	-1899.39	132	-13308.70	130	-2459.64	103	-65613.50	107	1924.83	137
606	Max	-208	0.00	1	0.00	1	0.00	1	131.51	65	4894.91	101	1446.53	101	3213.79	130	193.26	65
606	Max	-196	0.00	1	0.00	1	0.00	1	131.51	65	4894.91	101	1446.53	101	3213.79	130	193.26	65
606	Max	-197	0.00	1	0.00	1	0.00	1	131.51	65	4894.91	101	1446.53	101	3213.79	130	193.26	65
606	Max	-209	0.00	1	0.00	1	0.00	1	131.51	65	4894.91	101	1446.53	101	3213.79	130	193.26	65
606	Min.	-208	0.00	1	0.00	1	0.00	1	-180.21	17	-1950.08	130	-735.22	130	-5972.21	101	-1394.54	17
606	Min.	-196	0.00	1	0.00	1	0.00	1	-180.21	17	-1950.08	130	-735.22	130	-5972.21	101	-1394.54	17
606	Min.	-197	0.00	1	0.00	1	0.00	1	-180.21	17	-1950.08	130	-735.22	130	-5972.21	101	-1394.54	17
606	Min.	-209	0.00	1	0.00	1	0.00	1	-180.21	17	-1950.08	130	-735.22	130	-5972.21	101	-1394.54	17
606	Max	-181	0.00	1	0.00	1	0.00	1	519.67	132	1065.69	101	1194.72	108	3155.19	101	3068.92	65
606	Max	-169	0.00	1	0.00	1	0.00	1	519.67	132	1065.69	101	1194.72	108	3155.19	101	3068.92	65
606	Max	-170	0.00	1	0.00	1	0.00	1	519.67	132	1065.69	101	1194.72	108	3155.19	101	3068.92	65
606	Max	-182	0.00	1	0.00	1	0.00	1	519.67	132	1065.69	101	1194.72	108	3155.19	101	3068.92	65
606	Min.	-181	0.00	1	0.00	1	0.00	1	-755.91	17	-798.90	130	-490.31	17	-788.64	65	-5349.38	99
606	Min.	-169	0.00	1	0.00	1	0.00	1	-755.91	17	-798.90	130	-490.31	17	-788.64	65	-5349.38	99
606	Min.	-170	0.00	1	0.00	1	0.00	1	-755.91	17	-798.90	130	-490.31	17	-788.64	65	-5349.38	99
606	Min.	-182	0.00	1	0.00	1	0.00	1	-755.91	17	-798.90	130	-490.31	17	-788.64	65	-5349.38	99
606	Max	-197	0.00	1	0.00	1	0.00	1	319.06	65	1282.63	101	988.79	101	1757.03	130	968.10	130
606	Max	-185	0.00	1	0.00	1	0.00	1	319.06	65	1282.63	101	988.79	101	1757.03	130	968.10	130
606	Max	-186	0.00	1	0.00	1	0.00	1	319.06	65	1282.63	101	988.79	101	1757.03	130	968.10	130

606	Max	-198	0.00	1	0.00	1	0.00	1	319.06	65	1282.63	101	988.79	101	1757.03	130	968.10	130
606	Min.	-197	0.00	1	0.00	1	0.00	1	-363.47	17	-614.71	130	-316.29	130	-3729.15	101	-4035.21	101
606	Min.	-185	0.00	1	0.00	1	0.00	1	-363.47	17	-614.71	130	-316.29	130	-3729.15	101	-4035.21	101
606	Min.	-186	0.00	1	0.00	1	0.00	1	-363.47	17	-614.71	130	-316.29	130	-3729.15	101	-4035.21	101
606	Min.	-198	0.00	1	0.00	1	0.00	1	-363.47	17	-614.71	130	-316.29	130	-3729.15	101	-4035.21	101
606	Max	-173	0.00	1	0.00	1	0.00	1	638.93	65	1101.41	101	1630.39	101	1536.99	130	2156.04	130
606	Max	-161	0.00	1	0.00	1	0.00	1	638.93	65	1101.41	101	1630.39	101	1536.99	130	2156.04	130
606	Max	-162	0.00	1	0.00	1	0.00	1	638.93	65	1101.41	101	1630.39	101	1536.99	130	2156.04	130
606	Max	-174	0.00	1	0.00	1	0.00	1	638.93	65	1101.41	101	1630.39	101	1536.99	130	2156.04	130
606	Min.	-173	0.00	1	0.00	1	0.00	1	-1197.07	17	-836.13	130	-889.16	130	-3789.64	101	-9919.75	101
606	Min.	-161	0.00	1	0.00	1	0.00	1	-1197.07	17	-836.13	130	-889.16	130	-3789.64	101	-9919.75	101
606	Min.	-162	0.00	1	0.00	1	0.00	1	-1197.07	17	-836.13	130	-889.16	130	-3789.64	101	-9919.75	101
606	Min.	-174	0.00	1	0.00	1	0.00	1	-1197.07	17	-836.13	130	-889.16	130	-3789.64	101	-9919.75	101
606	Max	-44	0.00	1	0.00	1	0.00	1	1327.17	103	18653.00	101	2017.91	132	-3627.41	17	8679.51	65
606	Max	-32	0.00	1	0.00	1	0.00	1	1327.17	103	18653.00	101	2017.91	132	-3627.41	17	8679.51	65
606	Max	-33	0.00	1	0.00	1	0.00	1	1327.17	103	18653.00	101	2017.91	132	-3627.41	17	8679.51	65
606	Max	-45	0.00	1	0.00	1	0.00	1	1327.17	103	18653.00	101	2017.91	132	-3627.41	17	8679.51	65
606	Min.	-44	0.00	1	0.00	1	0.00	1	-1390.62	65	-10734.90	130	-3965.31	103	-45922.10	108	-5689.87	17
606	Min.	-32	0.00	1	0.00	1	0.00	1	-1390.62	65	-10734.90	130	-3965.31	103	-45922.10	108	-5689.87	17
606	Min.	-33	0.00	1	0.00	1	0.00	1	-1390.62	65	-10734.90	130	-3965.31	103	-45922.10	108	-5689.87	17
606	Min.	-45	0.00	1	0.00	1	0.00	1	-1390.62	65	-10734.90	130	-3965.31	103	-45922.10	108	-5689.87	17
606	Max	-115	0.00	1	0.00	1	0.00	1	-396.93	166	69.28	130	1464.39	130	2118.90	101	5643.68	103
606	Max	-105	0.00	1	0.00	1	0.00	1	-396.93	166	69.28	130	1464.39	130	2118.90	101	5643.68	103
606	Max	-106	0.00	1	0.00	1	0.00	1	-396.93	166	69.28	130	1464.39	130	2118.90	101	5643.68	103
606	Max	-116	0.00	1	0.00	1	0.00	1	-396.93	166	69.28	130	1464.39	130	2118.90	101	5643.68	103
606	Min.	-115	0.00	1	0.00	1	0.00	1	-3978.31	101	-878.35	101	-1281.48	101	18.49	130	-918.00	65
606	Min.	-105	0.00	1	0.00	1	0.00	1	-3978.31	101	-878.35	101	-1281.48	101	18.49	130	-918.00	65
606	Min.	-106	0.00	1	0.00	1	0.00	1	-3978.31	101	-878.35	101	-1281.48	101	18.49	130	-918.00	65
606	Min.	-116	0.00	1	0.00	1	0.00	1	-3978.31	101	-878.35	101	-1281.48	101	18.49	130	-918.00	65
606	Max	-158	0.00	1	0.00	1	0.00	1	1002.87	104	15371.60	101	2093.78	104	-2130.98	17	3251.65	65
606	Max	-146	0.00	1	0.00	1	0.00	1	1002.87	104	15371.60	101	2093.78	104	-2130.98	17	3251.65	65
606	Max	-147	0.00	1	0.00	1	0.00	1	1002.87	104	15371.60	101	2093.78	104	-2130.98	17	3251.65	65
606	Max	-159	0.00	1	0.00	1	0.00	1	1002.87	104	15371.60	101	2093.78	104	-2130.98	17	3251.65	65
606	Min.	-158	0.00	1	0.00	1	0.00	1	-731.13	17	-4308.46	130	-680.92	17	-15716.50	103	-4481.51	17
606	Min.	-146	0.00	1	0.00	1	0.00	1	-731.13	17	-4308.46	130	-680.92	17	-15716.50	103	-4481.51	17
606	Min.	-147	0.00	1	0.00	1	0.00	1	-731.13	17	-4308.46	130	-680.92	17	-15716.50	103	-4481.51	17
606	Min.	-159	0.00	1	0.00	1	0.00	1	-731.13	17	-4308.46	130	-680.92	17	-15716.50	103	-4481.51	17
606	Max	-219	0.00	1	0.00	1	0.00	1	146.26	101	10532.30	101	680.20	104	4961.67	65	874.02	100
606	Max	-207	0.00	1	0.00	1	0.00	1	146.26	101	10532.30	101	680.20	104	4961.67	65	874.02	100
606	Max	-208	0.00	1	0.00	1	0.00	1	146.26	101	10532.30	101	680.20	104	4961.67	65	874.02	100
606	Max	-220	0.00	1	0.00	1	0.00	1	146.26	101	10532.30	101	680.20	104	4961.67	65	874.02	100
606	Min.	-219	0.00	1	0.00	1	0.00	1	23.93	1	-4354.74	130	-93.46	17	-6178.16	103	-383.81	17
606	Min.	-207	0.00	1	0.00	1	0.00	1	23.93	1	-4354.74	130	-93.46	17	-6178.16	103	-383.81	17
606	Min.	-208	0.00	1	0.00	1	0.00	1	23.93	1	-4354.74	130	-93.46	17	-6178.16	103	-383.81	17
606	Min.	-220	0.00	1	0.00	1	0.00	1	23.93	1	-4354.74	130	-93.46	17	-6178.16	103	-383.81	17
606	Max	-195	0.00	1	0.00	1	0.00	1	944.96	65	7683.52	101	3557.89	101	2813.15	130	1998.54	65
606	Max	-183	0.00	1	0.00	1	0.00	1	944.96	65	7683.52	101	3557.89	101	2813.15	130	1998.54	65
606	Max	-184	0.00	1	0.00	1	0.00	1	944.96	65	7683.52	101	3557.89	101	2813.15	130	1998.54	65
606	Max	-196	0.00	1	0.00	1	0.00	1	944.96	65	7683.52	101	3557.89	101	2813.15	130	1998.54	65
606	Min.	-195	0.00	1	0.00	1	0.00	1	-1257.94	17	-1634.67	130	-2075.70	130	-5122.09	101	-9106.56	107
606	Min.	-183	0.00	1	0.00	1	0.00	1	-1257.94	17	-1634.67	130	-2075.70	130	-5122.09	101	-9106.56	107
606	Min.	-184	0.00	1	0.00	1	0.00	1	-1257.94	17	-1634.67	130	-2075.70	130	-5122.09	101	-9106.56	107
606	Min.	-196	0.00	1	0.00	1	0.00	1	-1257.94	17	-1634.67	130	-2075.70	130	-5122.09	101	-9106.56	107
606	Max	-171	0.00	1	0.00	1	0.00	1	386.87	104	10507.40	101	1793.45	104	-431.91	1	2317.51	65
606	Max	-159	0.00	1	0.00	1	0.00	1	386.87	104	10507.40	101	1793.45	104	-431.91	1	2317.51	65
606	Max	-160	0.00	1	0.00	1	0.00	1	386.87	104	10507.40	101	1793.45	104	-431.91	1	2317.51	65
606	Max	-172	0.00	1	0.00	1	0.00	1	386.87	104	10507.40	101	1793.45	104	-431.91	1	2317.51	65
606	Min.	-171	0.00	1	0.00	1	0.00	1	-310.54	17	-4239.87	130	-157.19	17	-13528.60	101	-743.41	17
606	Min.	-159	0.00	1	0.00	1	0.00	1	-310.54	17	-4239.87	130	-157.19	17	-13528.60	101	-743.41	17
606	Min.	-160	0.00	1	0.00	1	0.00	1	-310.54	17	-4239.87	130	-157.19	17	-13528.60	101	-743.41	17
606	Min.	-172	0.00	1	0.00	1	0.00	1	-310.54	17	-4239.87	130	-157.19	17	-13528.60	101	-743.41	17
606	Max	-135	0.00	1	0.00	1	0.00	1	-412.17	65	10469.90	101	1718.10	108	-723.11	162	7301.44	108
606	Max	-125	0.00	1	0.00	1	0.00	1	-412.17	65	10469.90	101	1718.10	108	-723.11	162	7301.44	108
606	Max	-126	0.00	1	0.00	1	0.00	1	-412.17	65	10469.90	101	1718.10	108	-723.11	162	7301.44	108
606	Max	-136	0.00	1	0.00	1	0.00	1	-412.17	65	10469.90	101	1718.10	108	-723.11	162	7301.44	108
606	Min.	-135	0.00	1	0.00	1	0.00	1	-910.22	132	-3453.18	130	-650.50	1	-11490.50	101	1605.84	65
606	Min.	-125	0.00	1	0.00	1	0.00	1	-910.22	132	-3453.18	130	-650.50	1	-11490.50	101	1605.84	65
606	Min.	-126	0.00	1	0.00	1	0.00	1	-910.22	132	-3453.18	130	-650.50	1	-11490.50	101	1605.84	65
606	Min.	-136	0.00	1	0.00	1	0.00	1	-910.22	132	-3453.18	130	-650.50	1	-11490.50	101	1605.84	65
606	Max	-113	0.00	1	0.00	1	0.00	1	-12.80	17	11217.80	101	1615.33	130	-1148.13	162	8564.40	108
606	Max	-103	0.00	1	0.00	1	0.00	1	-12.80	17	11217.80	101	1615.33	130	-1148.13	162	8564.40	108
606	Max	-104	0.00	1	0.00	1	0.00	1	-12.80	17	11217.80	101	1615.33	130	-1148.13	162	8564.40	108
606	Max	-114	0.00	1	0.00	1	0.00	1	-12.80	17	11217.80	101	1615.33	130	-1148.13	162	8564.40	108
606	Min.	-113	0.00	1	0.00	1	0.00	1	-1308.93	65	-4145.15	130	-1778.24	101	-13041.60	101	966.79	17
606	Min.	-103	0.00	1	0.00	1	0.00	1	-1308.93	65	-4145.15	130	-1778.24	101	-13041.60	101	966.79	17
606	Min.	-104	0.00	1	0.00	1	0.00	1	-1308.93	65	-4145.15	130	-1778.24	101	-13041.60	101	966.79	17
606	Min.	-114	0.00	1	0.00	1	0.00	1	-1308.93	65	-4145.15	130	-1778.24	101	-13041.60	101	966.79	17
606	Max	-91	0.00	1	0.00	1	0.00	1	781.19	17	9055.69	101	2670.89	130	448.24	162	14111.20	108
606	Max	-81	0.00	1	0.00	1	0.00	1	781.19	17	9055.69	101	2670.89	130	448.24	162	14111.20	108
606	Max	-82	0.00	1	0.00	1	0.00	1	781.19	17	9055.69	101	2670.89	130	448.24	162	14111.20	108
606	Max	-92	0.00	1	0.00	1	0.00	1	781.19	17	9055.69	101	2670.89	130	448.24	162	14111.20	108
606	Min.	-91	0.00	1	0.00	1	0.00	1	-2036.18	65	-2197.19	130	-3954.83	101	-7945.48	101	647.85	17
606	Min.	-81	0.00	1	0.00	1	0.00	1	-2036.18	65	-2197.19	130	-3954.83	101	-7945.48	101	647.85	17
606	Min.	-82	0.00	1	0.00	1	0.00	1	-2036.18	65	-2197.19	130	-3954.83	101	-7945.48	101	647.85	17
606	Min.	-92	0.00	1	0.00	1	0.00	1	-2036.18	65	-2197.19	130	-3954.83	101	-7945.48	101	647.85	17
606	Max	-220	0.00	1	0.00	1	0.00	1	46.48	65	5000.56	101	608.57	101	2804.48	132	149.17	65
606	Max	-208	0.00	1	0.00	1	0.00	1	46.48	65	5000.56	101	608.57	101	2804.48	132	149.17	65
606	Max	-209	0.00	1	0.00	1	0.00	1	46.48	65	5000.56	101	608.57	101	2804.48	132	149.17	65
606	Max	-221	0.00	1	0.00	1	0.00	1	46.48	65	5000.56	101	608.57	101	2804.48	132	149.17	65
606	Min.	-220	0.00	1	0.00	1	0.00	1	-53.68	17	-2229.75	130	-300.00	130	-4807.12	103	-461.99	17
606	Min.	-208	0.00	1	0.00	1	0.00	1	-53.68	17	-2229.75	130	-300.00	130	-4807.12	103	-461.99	17
606	Min.	-209	0.00	1	0.00	1	0.00	1	-53.68	17	-2229.75	130	-300.00	130	-4807.12	103	-461.99	17
606	Min.	-221	0.00	1	0.00	1	0.00	1	-53.68	17	-2229.75	130	-300.00	130	-4807.12	103	-461.99	17
606	Max	-196	0.00	1	0.00	1	0.00	1	377.71	104	4831.68	101	1903.05	104	2120.09	130	596.24	132
606	Max	-184	0.00	1	0.00	1	0.00	1	377.71	104	4831.68	101	1903.05	104	2120.09	130	596.24	132
606	Max	-185	0.00	1	0.00	1	0.00	1	377.71	104	4831.68	101	1903.05	104	2120.09	130	596.24	132
606	Max	-197	0.00	1	0.00	1	0.00	1	377.71	104	4831.68	101	1903.05	104	2120.09	130	596.24	132
606	Min.	-196	0.00	1	0.00	1	0.00	1	-550.88	131	-1744.60	130	-564.64	131	-7295.62	101	-968.79	103
606	Min.	-184	0.00	1	0.00	1	0.00	1	-550.88	131	-1744.60	130	-564.64	131	-7295.62	101	-968.79	103
606	Min.	-185	0.00	1	0.00	1	0.00	1	-550.88	131	-1744.60	130	-564.64	131	-7295.62	101	-968.79	103
606	Min.	-197	0.00	1	0.00	1	0.00	1	-550.88	131	-1744.60	130	-564.64	131	-7295.62	101	-968.79	103
606	Max	-172	0.00	1	0.00	1	0.00	1	626.55	65	4681.38	101	2594.59	101	1451.93	130	88.74	17
606	Max	-160	0.00	1	0.00	1	0.00	1	626.55	65	4681.38	101	2594.59	101	1451.93	130	88.74	17
606	Max	-161	0.00	1	0.00	1	0.00	1	626.55	65	4681.38	101	2594.59	101	1451.93	130	88.74	17
606	Max	-173	0.00	1	0.00	1	0.00	1	626.55	65	4681.38	101	2594.59	101	1451.93	130	88.74	17

606	Min.	-172	0.00	1	0.00	1	0.00	1	-1093.26	17	-2373.59	130	-571.53	1	-9089.45	101	-2815.51	107
606	Min.	-160	0.00	1	0.00	1	0.00	1	-1093.26	17	-2373.59	130	-571.53	1	-9089.45	101	-2815.51	107
606	Min.	-161	0.00	1	0.00	1	0.00	1	-1093.26	17	-2373.59	130	-571.53	1	-9089.45	101	-2815.51	107
606	Min.	-173	0.00	1	0.00	1	0.00	1	-1093.26	17	-2373.59	130	-571.53	1	-9089.45	101	-2815.51	107
606	Max	-123	0.00	1	0.00	1	0.00	1	-422.90	65	188.47	101	1077.45	65	234.54	97	4695.68	65
606	Max	-112	0.00	1	0.00	1	0.00	1	-422.90	65	188.47	101	1077.45	65	234.54	97	4695.68	65
606	Max	23	0.00	1	0.00	1	0.00	1	-422.90	65	188.47	101	1077.45	65	234.54	97	4695.68	65
606	Max	-124	0.00	1	0.00	1	0.00	1	-422.90	65	188.47	101	1077.45	65	234.54	97	4695.68	65
606	Min.	-123	0.00	1	0.00	1	0.00	1	-1265.20	103	-16.67	49	-943.12	17	-238.29	65	-4004.24	17
606	Min.	-112	0.00	1	0.00	1	0.00	1	-1265.20	103	-16.67	49	-943.12	17	-238.29	65	-4004.24	17
606	Min.	23	0.00	1	0.00	1	0.00	1	-1265.20	103	-16.67	49	-943.12	17	-238.29	65	-4004.24	17
606	Min.	-124	0.00	1	0.00	1	0.00	1	-1265.20	103	-16.67	49	-943.12	17	-238.29	65	-4004.24	17
606	Max	-125	0.00	1	0.00	1	0.00	1	-10.06	65	11211.60	101	1783.79	101	-1153.75	162	-962.12	65
606	Max	-113	0.00	1	0.00	1	0.00	1	-10.06	65	11211.60	101	1783.79	101	-1153.75	162	-962.12	65
606	Max	-114	0.00	1	0.00	1	0.00	1	-10.06	65	11211.60	101	1783.79	101	-1153.75	162	-962.12	65
606	Max	-126	0.00	1	0.00	1	0.00	1	-10.06	65	11211.60	101	1783.79	101	-1153.75	162	-962.12	65
606	Min.	-125	0.00	1	0.00	1	0.00	1	-1318.20	17	-4144.20	130	-1616.36	130	-13002.40	101	-8638.51	107
606	Min.	-113	0.00	1	0.00	1	0.00	1	-1318.20	17	-4144.20	130	-1616.36	130	-13002.40	101	-8638.51	107
606	Min.	-114	0.00	1	0.00	1	0.00	1	-1318.20	17	-4144.20	130	-1616.36	130	-13002.40	101	-8638.51	107
606	Min.	-126	0.00	1	0.00	1	0.00	1	-1318.20	17	-4144.20	130	-1616.36	130	-13002.40	101	-8638.51	107
606	Max	-103	0.00	1	0.00	1	0.00	1	-397.34	17	10473.70	101	640.24	49	-705.70	162	-1625.77	17
606	Max	-91	0.00	1	0.00	1	0.00	1	-397.34	17	10473.70	101	640.24	49	-705.70	162	-1625.77	17
606	Max	-92	0.00	1	0.00	1	0.00	1	-397.34	17	10473.70	101	640.24	49	-705.70	162	-1625.77	17
606	Max	-104	0.00	1	0.00	1	0.00	1	-397.34	17	10473.70	101	640.24	49	-705.70	162	-1625.77	17
606	Min.	-103	0.00	1	0.00	1	0.00	1	-890.82	123	-3447.37	130	-1721.66	107	-11513.20	101	-7325.12	107
606	Min.	-91	0.00	1	0.00	1	0.00	1	-890.82	123	-3447.37	130	-1721.66	107	-11513.20	101	-7325.12	107
606	Min.	-92	0.00	1	0.00	1	0.00	1	-890.82	123	-3447.37	130	-1721.66	107	-11513.20	101	-7325.12	107
606	Min.	-104	0.00	1	0.00	1	0.00	1	-890.82	123	-3447.37	130	-1721.66	107	-11513.20	101	-7325.12	107
606	Max	-45	0.00	1	0.00	1	0.00	1	939.05	17	7690.61	101	2071.34	130	2774.73	130	9130.28	108
606	Max	-33	0.00	1	0.00	1	0.00	1	939.05	17	7690.61	101	2071.34	130	2774.73	130	9130.28	108
606	Max	-34	0.00	1	0.00	1	0.00	1	939.05	17	7690.61	101	2071.34	130	2774.73	130	9130.28	108
606	Max	-46	0.00	1	0.00	1	0.00	1	939.05	17	7690.61	101	2071.34	130	2774.73	130	9130.28	108
606	Min.	-45	0.00	1	0.00	1	0.00	1	-1263.81	65	-1639.03	130	-3556.97	101	-5143.13	101	-1980.51	17
606	Min.	-33	0.00	1	0.00	1	0.00	1	-1263.81	65	-1639.03	130	-3556.97	101	-5143.13	101	-1980.51	17
606	Min.	-34	0.00	1	0.00	1	0.00	1	-1263.81	65	-1639.03	130	-3556.97	101	-5143.13	101	-1980.51	17
606	Min.	-46	0.00	1	0.00	1	0.00	1	-1263.81	65	-1639.03	130	-3556.97	101	-5143.13	101	-1980.51	17
606	Max	-34	0.00	1	0.00	1	0.00	1	126.47	17	4898.06	101	713.99	130	3176.36	130	1351.78	65
606	Max	-22	0.00	1	0.00	1	0.00	1	126.47	17	4898.06	101	713.99	130	3176.36	130	1351.78	65
606	Max	-23	0.00	1	0.00	1	0.00	1	126.47	17	4898.06	101	713.99	130	3176.36	130	1351.78	65
606	Max	-35	0.00	1	0.00	1	0.00	1	126.47	17	4898.06	101	713.99	130	3176.36	130	1351.78	65
606	Min.	-34	0.00	1	0.00	1	0.00	1	-173.97	65	-1963.36	130	-1409.70	101	-5930.89	101	-194.69	17
606	Min.	-22	0.00	1	0.00	1	0.00	1	-173.97	65	-1963.36	130	-1409.70	101	-5930.89	101	-194.69	17
606	Min.	-23	0.00	1	0.00	1	0.00	1	-173.97	65	-1963.36	130	-1409.70	101	-5930.89	101	-194.69	17
606	Min.	-35	0.00	1	0.00	1	0.00	1	-173.97	65	-1963.36	130	-1409.70	101	-5930.89	101	-194.69	17
606	Max	-69	0.00	1	0.00	1	0.00	1	394.31	103	10579.60	101	181.86	49	-492.51	49	886.26	173
606	Max	-57	0.00	1	0.00	1	0.00	1	394.31	103	10579.60	101	181.86	49	-492.51	49	886.26	173
606	Max	-58	0.00	1	0.00	1	0.00	1	394.31	103	10579.60	101	181.86	49	-492.51	49	886.26	173
606	Max	-70	0.00	1	0.00	1	0.00	1	394.31	103	10579.60	101	181.86	49	-492.51	49	886.26	173
606	Min.	-69	0.00	1	0.00	1	0.00	1	-304.25	65	-4298.04	130	-1830.82	103	-13707.00	101	-2265.12	17
606	Min.	-57	0.00	1	0.00	1	0.00	1	-304.25	65	-4298.04	130	-1830.82	103	-13707.00	101	-2265.12	17
606	Min.	-58	0.00	1	0.00	1	0.00	1	-304.25	65	-4298.04	130	-1830.82	103	-13707.00	101	-2265.12	17
606	Min.	-70	0.00	1	0.00	1	0.00	1	-304.25	65	-4298.04	130	-1830.82	103	-13707.00	101	-2265.12	17
606	Max	-102	0.00	1	0.00	1	0.00	1	896.54	104	21022.00	101	1886.30	65	-11106.10	17	-842.68	65
606	Max	21	0.00	1	0.00	1	0.00	1	896.54	104	21022.00	101	1886.30	65	-11106.10	17	-842.68	65
606	Max	-91	0.00	1	0.00	1	0.00	1	896.54	104	21022.00	101	1886.30	65	-11106.10	17	-842.68	65
606	Max	-103	0.00	1	0.00	1	0.00	1	896.54	104	21022.00	101	1886.30	65	-11106.10	17	-842.68	65
606	Min.	-102	0.00	1	0.00	1	0.00	1	-1487.65	131	-10194.20	130	-2604.65	131	-47826.70	108	-5914.68	131
606	Min.	21	0.00	1	0.00	1	0.00	1	-1487.65	131	-10194.20	130	-2604.65	131	-47826.70	108	-5914.68	131
606	Min.	-91	0.00	1	0.00	1	0.00	1	-1487.65	131	-10194.20	130	-2604.65	131	-47826.70	108	-5914.68	131
606	Min.	-103	0.00	1	0.00	1	0.00	1	-1487.65	131	-10194.20	130	-2604.65	131	-47826.70	108	-5914.68	131
606	Max	-101	0.00	1	0.00	1	0.00	1	-216.03	177	328.94	101	856.80	65	1071.50	105	4231.27	65
606	Max	-90	0.00	1	0.00	1	0.00	1	-216.03	177	328.94	101	856.80	65	1071.50	105	4231.27	65
606	Max	21	0.00	1	0.00	1	0.00	1	-216.03	177	328.94	101	856.80	65	1071.50	105	4231.27	65
606	Max	-102	0.00	1	0.00	1	0.00	1	-216.03	177	328.94	101	856.80	65	1071.50	105	4231.27	65
606	Min.	-101	0.00	1	0.00	1	0.00	1	-1110.23	104	-73.24	1	-1061.88	17	-125.52	17	-4057.78	17
606	Min.	-90	0.00	1	0.00	1	0.00	1	-1110.23	104	-73.24	1	-1061.88	17	-125.52	17	-4057.78	17
606	Min.	21	0.00	1	0.00	1	0.00	1	-1110.23	104	-73.24	1	-1061.88	17	-125.52	17	-4057.78	17
606	Min.	-102	0.00	1	0.00	1	0.00	1	-1110.23	104	-73.24	1	-1061.88	17	-125.52	17	-4057.78	17
606	Max	-126	0.00	1	0.00	1	0.00	1	-514.36	65	6843.23	101	1874.52	65	-2042.25	162	-120.20	17
606	Max	-114	0.00	1	0.00	1	0.00	1	-514.36	65	6843.23	101	1874.52	65	-2042.25	162	-120.20	17
606	Max	-115	0.00	1	0.00	1	0.00	1	-514.36	65	6843.23	101	1874.52	65	-2042.25	162	-120.20	17
606	Max	-127	0.00	1	0.00	1	0.00	1	-514.36	65	6843.23	101	1874.52	65	-2042.25	162	-120.20	17
606	Min.	-126	0.00	1	0.00	1	0.00	1	-2501.88	103	-6126.62	130	-1699.30	17	-13251.50	101	-4074.23	103
606	Min.	-114	0.00	1	0.00	1	0.00	1	-2501.88	103	-6126.62	130	-1699.30	17	-13251.50	101	-4074.23	103
606	Min.	-115	0.00	1	0.00	1	0.00	1	-2501.88	103	-6126.62	130	-1699.30	17	-13251.50	101	-4074.23	103
606	Min.	-127	0.00	1	0.00	1	0.00	1	-2501.88	103	-6126.62	130	-1699.30	17	-13251.50	101	-4074.23	103
606	Max	-104	0.00	1	0.00	1	0.00	1	-583.38	17	6989.35	101	1239.97	65	-2265.84	162	448.82	17
606	Max	-92	0.00	1	0.00	1	0.00	1	-583.38	17	6989.35	101	1239.97	65	-2265.84	162	448.82	17
606	Max	-93	0.00	1	0.00	1	0.00	1	-583.38	17	6989.35	101	1239.97	65	-2265.84	162	448.82	17
606	Max	-105	0.00	1	0.00	1	0.00	1	-583.38	17	6989.35	101	1239.97	65	-2265.84	162	448.82	17
606	Min.	-104	0.00	1	0.00	1	0.00	1	-2135.17	104	-6186.13	130	-1923.17	17	-12867.50	101	-2577.00	103
606	Min.	-92	0.00	1	0.00	1	0.00	1	-2135.17	104	-6186.13	130	-1923.17	17	-12867.50	101	-2577.00	103
606	Min.	-93	0.00	1	0.00	1	0.00	1	-2135.17	104	-6186.13	130	-1923.17	17	-12867.50	101	-2577.00	103
606	Min.	-105	0.00	1	0.00	1	0.00	1	-2135.17	104	-6186.13	130	-1923.17	17	-12867.50	101	-2577.00	103
606	Max	-43	0.00	1	0.00	1	0.00	1	453.35	131	322.46	65	777.50	130	1383.24	173	2453.12	65
606	Max	-31	0.00	1	0.00	1	0.00	1	453.35	131	322.46	65	777.50	130	1383.24	173	2453.12	65
606	Max	-32	0.00	1	0.00	1	0.00	1	453.35	131	322.46	65	777.50	130	1383.24	173	2453.12	65
606	Max	-44	0.00	1	0.00	1	0.00	1	453.35	131	322.46	65	777.50	130	1383.24	173	2453.12	65
606	Min.	-43	0.00	1	0.00	1	0.00	1	-517.44	65	-454.90	17	-1457.57	101	-1055.02	17	-8618.64	103
606	Min.	-31	0.00	1	0.00	1	0.00	1	-517.44	65	-454.90	17	-1457.57	101	-1055.02	17	-8618.64	103
606	Min.	-32	0.00	1	0.00	1	0.00	1	-517.44	65	-454.90	17	-1457.57	101	-1055.02	17	-8618.64	103
606	Min.	-44	0.00	1	0.00	1	0.00	1	-517.44	65	-454.90	17	-1457.57	101	-1055.02	17	-8618.64	103
606	Max	-82	0.00	1	0.00	1	0.00	1	616.02	17	5115.63	101	1444.11	130	299.71	162	5048.18	100
606	Max	-70	0.00	1	0.00	1	0.00	1	616.02	17	5115.63	101	1444.11	130	299.71	162	5048.18	100
606	Max	-71	0.00	1	0.00	1	0.00	1	616.02	17	5115.63	101	1444.11	130	299.71	162	5048.18	100
606	Max	-83	0.00	1	0.00	1	0.00	1	616.02	17	5115.63	101	1444.11	130	299.71	162	5048.18	100
606	Min.	-82	0.00	1	0.00	1	0.00	1	-1574.10	65	-3453.08	130	-3297.88	101	-10405.10	101	572.91	65
606	Min.	-70	0.00	1	0.00	1	0.00	1	-1574.10	65	-3453.08	130	-3297.88	101	-10405.10	101	572.91	65
606	Min.	-71	0.00	1	0.00	1	0.00	1	-1574.10	65	-3453.08	130	-3297.88	101	-10405.10	101	572.91	65
606	Min.	-83	0.00	1	0.00	1	0.00	1	-1574.10	65	-3453.08	130	-3297.88	101	-10405.10	101	572.91	65
606	Max	-70	0.00	1	0.00	1	0.00	1	624.02	17	4686.04	101	587.07	49	1439.48	130	2815.59	108
606	Max	-58	0.00	1	0.00	1	0.00	1	624.02	17	4686.04	101	587.07	49	1439.48	130	2815.59	108
606	Max	-59	0.00	1	0.00	1	0.00	1	624.02	17	4686.04	101	587.07	49	1439.48	130	2815.59	108
606	Max	-71	0.00	1	0.00	1	0.00	1	624.02	17	4686.04	101	587.07	49	1439.48	130	2815.59	108
606	Min.	-70	0.00	1	0.00	1	0.00	1	-1097.54	65	-2391.60	130	-2595.89	101	-9123.56	101	-82.11	65

606	Min.	-58	0.00	1	0.00	1	0.00	1	-1097.54	65	-2391.60	130	-2595.89	101	-9123.56	101	-82.11	65
606	Min.	-59	0.00	1	0.00	1	0.00	1	-1097.54	65	-2391.60	130	-2595.89	101	-9123.56	101	-82.11	65
606	Min.	-71	0.00	1	0.00	1	0.00	1	-1097.54	65	-2391.60	130	-2595.89	101	-9123.56	101	-82.11	65
606	Max	-59	0.00	1	0.00	1	0.00	1	520.63	17	1233.76	101	563.57	130	1853.28	130	7224.68	101
606	Max	-47	0.00	1	0.00	1	0.00	1	520.63	17	1233.76	101	563.57	130	1853.28	130	7224.68	101
606	Max	-48	0.00	1	0.00	1	0.00	1	520.63	17	1233.76	101	563.57	130	1853.28	130	7224.68	101
606	Max	-60	0.00	1	0.00	1	0.00	1	520.63	17	1233.76	101	563.57	130	1853.28	130	7224.68	101
606	Min.	-59	0.00	1	0.00	1	0.00	1	-715.16	65	-721.73	130	-1373.46	101	-4132.49	101	-2187.35	130
606	Min.	-47	0.00	1	0.00	1	0.00	1	-715.16	65	-721.73	130	-1373.46	101	-4132.49	101	-2187.35	130
606	Min.	-48	0.00	1	0.00	1	0.00	1	-715.16	65	-721.73	130	-1373.46	101	-4132.49	101	-2187.35	130
606	Min.	-60	0.00	1	0.00	1	0.00	1	-715.16	65	-721.73	130	-1373.46	101	-4132.49	101	-2187.35	130
606	Max	-35	0.00	1	0.00	1	0.00	1	81.05	103	1283.75	101	112.84	65	1470.85	130	1244.21	101
606	Max	-23	0.00	1	0.00	1	0.00	1	81.05	103	1283.75	101	112.84	65	1470.85	130	1244.21	101
606	Max	-24	0.00	1	0.00	1	0.00	1	81.05	103	1283.75	101	112.84	65	1470.85	130	1244.21	101
606	Max	-36	0.00	1	0.00	1	0.00	1	81.05	103	1283.75	101	112.84	65	1470.85	130	1244.21	101
606	Min.	-35	0.00	1	0.00	1	0.00	1	-62.13	65	-511.85	130	-430.58	103	-3136.61	101	-627.88	130
606	Min.	-23	0.00	1	0.00	1	0.00	1	-62.13	65	-511.85	130	-430.58	103	-3136.61	101	-627.88	130
606	Min.	-24	0.00	1	0.00	1	0.00	1	-62.13	65	-511.85	130	-430.58	103	-3136.61	101	-627.88	130
606	Min.	-36	0.00	1	0.00	1	0.00	1	-62.13	65	-511.85	130	-430.58	103	-3136.61	101	-627.88	130
606	Max	-185	0.00	1	0.00	1	0.00	1	520.16	65	1237.08	101	1365.50	101	1862.82	130	2206.44	130
606	Max	-173	0.00	1	0.00	1	0.00	1	520.16	65	1237.08	101	1365.50	101	1862.82	130	2206.44	130
606	Max	-174	0.00	1	0.00	1	0.00	1	520.16	65	1237.08	101	1365.50	101	1862.82	130	2206.44	130
606	Max	-186	0.00	1	0.00	1	0.00	1	520.16	65	1237.08	101	1365.50	101	1862.82	130	2206.44	130
606	Min.	-185	0.00	1	0.00	1	0.00	1	-704.79	17	-719.17	130	-550.17	130	-4140.35	101	-7165.73	101
606	Min.	-173	0.00	1	0.00	1	0.00	1	-704.79	17	-719.17	130	-550.17	130	-4140.35	101	-7165.73	101
606	Min.	-174	0.00	1	0.00	1	0.00	1	-704.79	17	-719.17	130	-550.17	130	-4140.35	101	-7165.73	101
606	Min.	-186	0.00	1	0.00	1	0.00	1	-704.79	17	-719.17	130	-550.17	130	-4140.35	101	-7165.73	101
606	Max	-161	0.00	1	0.00	1	0.00	1	647.79	65	703.64	101	1897.90	101	681.83	130	2312.96	130
606	Max	-149	0.00	1	0.00	1	0.00	1	647.79	65	703.64	101	1897.90	101	681.83	130	2312.96	130
606	Max	-150	0.00	1	0.00	1	0.00	1	647.79	65	703.64	101	1897.90	101	681.83	130	2312.96	130
606	Max	-162	0.00	1	0.00	1	0.00	1	647.79	65	703.64	101	1897.90	101	681.83	130	2312.96	130
606	Min.	-161	0.00	1	0.00	1	0.00	1	-1921.20	103	-939.35	130	-1465.92	130	-1814.59	101	-12598.20	101
606	Min.	-149	0.00	1	0.00	1	0.00	1	-1921.20	103	-939.35	130	-1465.92	130	-1814.59	101	-12598.20	101
606	Min.	-150	0.00	1	0.00	1	0.00	1	-1921.20	103	-939.35	130	-1465.92	130	-1814.59	101	-12598.20	101
606	Min.	-162	0.00	1	0.00	1	0.00	1	-1921.20	103	-939.35	130	-1465.92	130	-1814.59	101	-12598.20	101
606	Max	-149	0.00	1	0.00	1	0.00	1	513.11	65	1520.69	130	2722.37	101	5451.13	101	730.36	130
606	Max	-137	0.00	1	0.00	1	0.00	1	513.11	65	1520.69	130	2722.37	101	5451.13	101	730.36	130
606	Max	-138	0.00	1	0.00	1	0.00	1	513.11	65	1520.69	130	2722.37	101	5451.13	101	730.36	130
606	Max	-150	0.00	1	0.00	1	0.00	1	513.11	65	1520.69	130	2722.37	101	5451.13	101	730.36	130
606	Min.	-149	0.00	1	0.00	1	0.00	1	-3008.05	103	-1999.28	101	-2569.35	130	-936.49	130	-14205.30	101
606	Min.	-137	0.00	1	0.00	1	0.00	1	-3008.05	103	-1999.28	101	-2569.35	130	-936.49	130	-14205.30	101
606	Min.	-138	0.00	1	0.00	1	0.00	1	-3008.05	103	-1999.28	101	-2569.35	130	-936.49	130	-14205.30	101
606	Min.	-150	0.00	1	0.00	1	0.00	1	-3008.05	103	-1999.28	101	-2569.35	130	-936.49	130	-14205.30	101
606	Max	-127	0.00	1	0.00	1	0.00	1	-397.05	166	77.68	130	1286.94	101	2178.39	101	895.60	17
606	Max	-115	0.00	1	0.00	1	0.00	1	-397.05	166	77.68	130	1286.94	101	2178.39	101	895.60	17
606	Max	-116	0.00	1	0.00	1	0.00	1	-397.05	166	77.68	130	1286.94	101	2178.39	101	895.60	17
606	Max	-128	0.00	1	0.00	1	0.00	1	-397.05	166	77.68	130	1286.94	101	2178.39	101	895.60	17
606	Min.	-127	0.00	1	0.00	1	0.00	1	-3991.93	101	-892.41	101	-1464.88	130	-5.87	130	-5586.09	104
606	Min.	-115	0.00	1	0.00	1	0.00	1	-3991.93	101	-892.41	101	-1464.88	130	-5.87	130	-5586.09	104
606	Min.	-116	0.00	1	0.00	1	0.00	1	-3991.93	101	-892.41	101	-1464.88	130	-5.87	130	-5586.09	104
606	Min.	-128	0.00	1	0.00	1	0.00	1	-3991.93	101	-892.41	101	-1464.88	130	-5.87	130	-5586.09	104
606	Max	-105	0.00	1	0.00	1	0.00	1	-422.70	166	475.47	130	277.50	49	3063.24	101	2356.73	17
606	Max	-93	0.00	1	0.00	1	0.00	1	-422.70	166	475.47	130	277.50	49	3063.24	101	2356.73	17
606	Max	-94	0.00	1	0.00	1	0.00	1	-422.70	166	475.47	130	277.50	49	3063.24	101	2356.73	17
606	Max	-106	0.00	1	0.00	1	0.00	1	-422.70	166	475.47	130	277.50	49	3063.24	101	2356.73	17
606	Min.	-105	0.00	1	0.00	1	0.00	1	-3470.55	101	-1129.79	101	-1181.92	106	-322.75	130	-2461.86	65
606	Min.	-93	0.00	1	0.00	1	0.00	1	-3470.55	101	-1129.79	101	-1181.92	106	-322.75	130	-2461.86	65
606	Min.	-94	0.00	1	0.00	1	0.00	1	-3470.55	101	-1129.79	101	-1181.92	106	-322.75	130	-2461.86	65
606	Min.	-106	0.00	1	0.00	1	0.00	1	-3470.55	101	-1129.79	101	-1181.92	106	-322.75	130	-2461.86	65
606	Max	-47	0.00	1	0.00	1	0.00	1	317.69	17	1282.04	101	317.98	130	1750.78	130	4025.52	101
606	Max	-35	0.00	1	0.00	1	0.00	1	317.69	17	1282.04	101	317.98	130	1750.78	130	4025.52	101
606	Max	-36	0.00	1	0.00	1	0.00	1	317.69	17	1282.04	101	317.98	130	1750.78	130	4025.52	101
606	Max	-48	0.00	1	0.00	1	0.00	1	317.69	17	1282.04	101	317.98	130	1750.78	130	4025.52	101
606	Min.	-47	0.00	1	0.00	1	0.00	1	-364.19	65	-615.01	130	-986.95	101	-3726.93	101	-966.61	130
606	Min.	-35	0.00	1	0.00	1	0.00	1	-364.19	65	-615.01	130	-986.95	101	-3726.93	101	-966.61	130
606	Min.	-36	0.00	1	0.00	1	0.00	1	-364.19	65	-615.01	130	-986.95	101	-3726.93	101	-966.61	130
606	Min.	-48	0.00	1	0.00	1	0.00	1	-364.19	65	-615.01	130	-986.95	101	-3726.93	101	-966.61	130
606	Max	-83	0.00	1	0.00	1	0.00	1	641.09	17	704.23	101	1467.13	130	681.17	130	12576.40	101
606	Max	-71	0.00	1	0.00	1	0.00	1	641.09	17	704.23	101	1467.13	130	681.17	130	12576.40	101
606	Max	-72	0.00	1	0.00	1	0.00	1	641.09	17	704.23	101	1467.13	130	681.17	130	12576.40	101
606	Max	-84	0.00	1	0.00	1	0.00	1	641.09	17	704.23	101	1467.13	130	681.17	130	12576.40	101
606	Min.	-83	0.00	1	0.00	1	0.00	1	-1916.10	104	-937.10	130	-1897.49	101	-1803.34	101	-2310.22	130
606	Min.	-71	0.00	1	0.00	1	0.00	1	-1916.10	104	-937.10	130	-1897.49	101	-1803.34	101	-2310.22	130
606	Min.	-72	0.00	1	0.00	1	0.00	1	-1916.10	104	-937.10	130	-1897.49	101	-1803.34	101	-2310.22	130
606	Min.	-84	0.00	1	0.00	1	0.00	1	-1916.10	104	-937.10	130	-1897.49	101	-1803.34	101	-2310.22	130
606	Max	-71	0.00	1	0.00	1	0.00	1	637.03	17	1096.81	101	900.05	130	1530.66	130	9964.20	101
606	Max	-59	0.00	1	0.00	1	0.00	1	637.03	17	1096.81	101	900.05	130	1530.66	130	9964.20	101
606	Max	-60	0.00	1	0.00	1	0.00	1	637.03	17	1096.81	101	900.05	130	1530.66	130	9964.20	101
606	Max	-72	0.00	1	0.00	1	0.00	1	637.03	17	1096.81	101	900.05	130	1530.66	130	9964.20	101
606	Min.	-71	0.00	1	0.00	1	0.00	1	-1206.70	65	-836.05	130	-1634.40	101	-3775.81	101	-2156.02	130
606	Min.	-59	0.00	1	0.00	1	0.00	1	-1206.70	65	-836.05	130	-1634.40	101	-3775.81	101	-2156.02	130
606	Min.	-60	0.00	1	0.00	1	0.00	1	-1206.70	65	-836.05	130	-1634.40	101	-3775.81	101	-2156.02	130
606	Min.	-72	0.00	1	0.00	1	0.00	1	-1206.70	65	-836.05	130	-1634.40	101	-3775.81	101	-2156.02	130
606	Max	-218	0.00	1	0.00	1	0.00	1	707.00	101	13376.80	101	1002.05	101	9354.07	65	2642.21	104
606	Max	-206	0.00	1	0.00	1	0.00	1	707.00	101	13376.80	101	1002.05	101	9354.07	65	2642.21	104
606	Max	-207	0.00	1	0.00	1	0.00	1	707.00	101	13376.80	101	1002.05	101	9354.07	65	2642.21	104
606	Max	-219	0.00	1	0.00	1	0.00	1	707.00	101	13376.80	101	1002.05	101	9354.07	65	2642.21	104
606	Min.	-218	0.00	1	0.00	1	0.00	1	-178.58	130	-4650.02	130	8.11	166	-6285.72	17	-842.08	17
606	Min.	-206	0.00	1	0.00	1	0.00	1	-178.58	130	-4650.02	130	8.11	166	-6285.72	17	-842.08	17
606	Min.	-207	0.00	1	0.00	1	0.00	1	-178.58	130	-4650.02	130	8.11	166	-6285.72	17	-842.08	17
606	Min.	-219	0.00	1	0.00	1	0.00	1	-178.58	130	-4650.02	130	8.11	166	-6285.72	17	-842.08	17
606	Max	-194	0.00	1	0.00	1	0.00	1	1338.62	104	18673.00	101	3980.84	104	-3567.12	65	5704.80	65
606	Max	-182	0.00	1	0.00	1	0.00	1	1338.62	104	18673.00	101	3980.84	104	-3567.12	65	5704.80	65
606	Max	-183	0.00	1	0.00	1	0.00	1	1338.62	104	18673.00	101	3980.84	104	-3567.12	65	5704.80	65
606	Max	-195	0.00	1	0.00	1	0.00	1	1338.62	104	18673.00	101	3980.84	104	-3567.12	65	5704.80	65
606	Min.	-194	0.00	1	0.00	1	0.00	1	-1383.83	17	-10783.20	130	-2006.71	131	-45871.50	107	-8657.79	17
606	Min.	-182	0.00	1	0.00	1	0.00	1	-1383.83	17	-10783.20	130	-2006.71	131	-45871.50	107	-8657.79	17
606	Min.	-183	0.00	1	0.00	1	0.00	1	-1383.83	17	-10783.20	130	-2006.71	131	-45871.50	107	-8657.79	17
606	Min.	-195	0.00	1	0.00	1	0.00	1	-1383.83	17	-10783.20	130	-2006.71	131	-45871.50	107	-8657.79	17
606	Max	-170	0.00	1	0.00	1	0.00	1	1262.61	101	15505.00	101	1627.22	65	-2722.18	17	3547.85	65
606	Max	-158	0.00	1	0.00	1	0.00	1	1262.61	101	15505.00	101	1627.22	65	-2722.18	17	3547.85	65
606	Max	-159	0.00	1	0.00	1	0.00	1	1262.61	101	15505.00	101	1627.22	65	-2722.18	17	3547.85	65
606	Max	-171	0.00	1	0.00	1	0.00	1	1262.61	101	15505.00	101	1627.22	65	-2722.18	17	3547.85	65
606	Min.	-170	0.00	1	0.00	1	0.00	1	-648.19	130	-5265.35	130	-993.90	17	-17794.50	103	-998.16	17
606	Min.	-158	0.00	1	0.00	1	0.00	1	-648.19	130	-5265.35	130	-993.90	17	-17794.50	103	-998.16	17

606	Min.	-159	0.00	1	0.00	1	0.00	1	-648.19	130	-5265.35	130	-993.90	17	-17794.50	103	-998.16	17
606	Min.	-171	0.00	1	0.00	1	0.00	1	-648.19	130	-5265.35	130	-993.90	17	-17794.50	103	-998.16	17
606	Max	25	0.00	1	0.00	1	0.00	1	881.19	103	21033.00	101	2612.94	132	-11123.50	65	5927.31	132
606	Max	-124	0.00	1	0.00	1	0.00	1	881.19	103	21033.00	101	2612.94	132	-11123.50	65	5927.31	132
606	Max	-125	0.00	1	0.00	1	0.00	1	881.19	103	21033.00	101	2612.94	132	-11123.50	65	5927.31	132
606	Max	-135	0.00	1	0.00	1	0.00	1	881.19	103	21033.00	101	2612.94	132	-11123.50	65	5927.31	132
606	Min.	25	0.00	1	0.00	1	0.00	1	-1511.67	132	-10211.20	130	-1885.20	17	-47938.50	107	827.73	17
606	Min.	-124	0.00	1	0.00	1	0.00	1	-1511.67	132	-10211.20	130	-1885.20	17	-47938.50	107	827.73	17
606	Min.	-125	0.00	1	0.00	1	0.00	1	-1511.67	132	-10211.20	130	-1885.20	17	-47938.50	107	827.73	17
606	Min.	-135	0.00	1	0.00	1	0.00	1	-1511.67	132	-10211.20	130	-1885.20	17	-47938.50	107	827.73	17
606	Max	23	0.00	1	0.00	1	0.00	1	720.07	103	20633.10	101	2483.05	132	-12829.00	49	7736.78	132
606	Max	-102	0.00	1	0.00	1	0.00	1	720.07	103	20633.10	101	2483.05	132	-12829.00	49	7736.78	132
606	Max	-103	0.00	1	0.00	1	0.00	1	720.07	103	20633.10	101	2483.05	132	-12829.00	49	7736.78	132
606	Max	-113	0.00	1	0.00	1	0.00	1	720.07	103	20633.10	101	2483.05	132	-12829.00	49	7736.78	132
606	Min.	23	0.00	1	0.00	1	0.00	1	-1749.28	132	-9411.23	130	-2573.61	103	-41280.20	105	-390.39	17
606	Min.	-102	0.00	1	0.00	1	0.00	1	-1749.28	132	-9411.23	130	-2573.61	103	-41280.20	105	-390.39	17
606	Min.	-103	0.00	1	0.00	1	0.00	1	-1749.28	132	-9411.23	130	-2573.61	103	-41280.20	105	-390.39	17
606	Min.	-113	0.00	1	0.00	1	0.00	1	-1749.28	132	-9411.23	130	-2573.61	103	-41280.20	105	-390.39	17
606	Max	21	0.00	1	0.00	1	0.00	1	1440.75	17	22075.10	101	3152.97	132	-12639.10	17	11155.10	132
606	Max	-80	0.00	1	0.00	1	0.00	1	1440.75	17	22075.10	101	3152.97	132	-12639.10	17	11155.10	132
606	Max	-81	0.00	1	0.00	1	0.00	1	1440.75	17	22075.10	101	3152.97	132	-12639.10	17	11155.10	132
606	Max	-91	0.00	1	0.00	1	0.00	1	1440.75	17	22075.10	101	3152.97	132	-12639.10	17	11155.10	132
606	Min.	21	0.00	1	0.00	1	0.00	1	-2501.40	65	-12218.40	130	-4820.73	103	-61838.90	108	-1828.17	17
606	Min.	-80	0.00	1	0.00	1	0.00	1	-2501.40	65	-12218.40	130	-4820.73	103	-61838.90	108	-1828.17	17
606	Min.	-81	0.00	1	0.00	1	0.00	1	-2501.40	65	-12218.40	130	-4820.73	103	-61838.90	108	-1828.17	17
606	Min.	-91	0.00	1	0.00	1	0.00	1	-2501.40	65	-12218.40	130	-4820.73	103	-61838.90	108	-1828.17	17
606	Max	-56	0.00	1	0.00	1	0.00	1	1469.80	104	21302.90	101	2352.62	104	-8713.53	17	-496.38	173
606	Max	-44	0.00	1	0.00	1	0.00	1	1469.80	104	21302.90	101	2352.62	104	-8713.53	17	-496.38	173
606	Max	-45	0.00	1	0.00	1	0.00	1	1469.80	104	21302.90	101	2352.62	104	-8713.53	17	-496.38	173
606	Max	-57	0.00	1	0.00	1	0.00	1	1469.80	104	21302.90	101	2352.62	104	-8713.53	17	-496.38	173
606	Min.	-56	0.00	1	0.00	1	0.00	1	-1837.05	131	-13070.50	130	-3935.57	131	-64515.40	108	-11747.50	106
606	Min.	-44	0.00	1	0.00	1	0.00	1	-1837.05	131	-13070.50	130	-3935.57	131	-64515.40	108	-11747.50	106
606	Min.	-45	0.00	1	0.00	1	0.00	1	-1837.05	131	-13070.50	130	-3935.57	131	-64515.40	108	-11747.50	106
606	Min.	-57	0.00	1	0.00	1	0.00	1	-1837.05	131	-13070.50	130	-3935.57	131	-64515.40	108	-11747.50	106
606	Max	-32	0.00	1	0.00	1	0.00	1	895.11	101	11139.90	101	-227.54	65	10733.50	131	1370.70	65
606	Max	-20	0.00	1	0.00	1	0.00	1	895.11	101	11139.90	101	-227.54	65	10733.50	131	1370.70	65
606	Max	-21	0.00	1	0.00	1	0.00	1	895.11	101	11139.90	101	-227.54	65	10733.50	131	1370.70	65
606	Max	-33	0.00	1	0.00	1	0.00	1	895.11	101	11139.90	101	-227.54	65	10733.50	131	1370.70	65
606	Min.	-32	0.00	1	0.00	1	0.00	1	-155.03	130	-2372.42	130	-1305.33	108	-3279.72	65	-4127.16	103
606	Min.	-20	0.00	1	0.00	1	0.00	1	-155.03	130	-2372.42	130	-1305.33	108	-3279.72	65	-4127.16	103
606	Min.	-21	0.00	1	0.00	1	0.00	1	-155.03	130	-2372.42	130	-1305.33	108	-3279.72	65	-4127.16	103
606	Min.	-33	0.00	1	0.00	1	0.00	1	-155.03	130	-2372.42	130	-1305.33	108	-3279.72	65	-4127.16	103
606	Max	-217	0.00	1	0.00	1	0.00	1	31.05	17	773.84	131	410.06	101	2603.07	131	2115.45	104
606	Max	-205	0.00	1	0.00	1	0.00	1	31.05	17	773.84	131	410.06	101	2603.07	131	2115.45	104
606	Max	-206	0.00	1	0.00	1	0.00	1	31.05	17	773.84	131	410.06	101	2603.07	131	2115.45	104
606	Max	-218	0.00	1	0.00	1	0.00	1	31.05	17	773.84	131	410.06	101	2603.07	131	2115.45	104
606	Min.	-217	0.00	1	0.00	1	0.00	1	-162.11	103	-1835.09	104	-68.26	130	-4979.09	104	-1020.36	17
606	Min.	-205	0.00	1	0.00	1	0.00	1	-162.11	103	-1835.09	104	-68.26	130	-4979.09	104	-1020.36	17
606	Min.	-206	0.00	1	0.00	1	0.00	1	-162.11	103	-1835.09	104	-68.26	130	-4979.09	104	-1020.36	17
606	Min.	-218	0.00	1	0.00	1	0.00	1	-162.11	103	-1835.09	104	-68.26	130	-4979.09	104	-1020.36	17
606	Max	-193	0.00	1	0.00	1	0.00	1	452.87	132	321.61	17	1458.41	101	1170.25	99	8619.64	104
606	Max	-181	0.00	1	0.00	1	0.00	1	452.87	132	321.61	17	1458.41	101	1170.25	99	8619.64	104
606	Max	-182	0.00	1	0.00	1	0.00	1	452.87	132	321.61	17	1458.41	101	1170.25	99	8619.64	104
606	Max	-194	0.00	1	0.00	1	0.00	1	452.87	132	321.61	17	1458.41	101	1170.25	99	8619.64	104
606	Min.	-193	0.00	1	0.00	1	0.00	1	-517.65	17	-458.54	65	-770.05	130	-1064.17	65	-2444.35	17
606	Min.	-181	0.00	1	0.00	1	0.00	1	-517.65	17	-458.54	65	-770.05	130	-1064.17	65	-2444.35	17
606	Min.	-182	0.00	1	0.00	1	0.00	1	-517.65	17	-458.54	65	-770.05	130	-1064.17	65	-2444.35	17
606	Min.	-194	0.00	1	0.00	1	0.00	1	-517.65	17	-458.54	65	-770.05	130	-1064.17	65	-2444.35	17
606	Max	-169	0.00	1	0.00	1	0.00	1	102.56	17	523.86	130	1010.07	65	352.87	17	4423.88	65
606	Max	-157	0.00	1	0.00	1	0.00	1	102.56	17	523.86	130	1010.07	65	352.87	17	4423.88	65
606	Max	-158	0.00	1	0.00	1	0.00	1	102.56	17	523.86	130	1010.07	65	352.87	17	4423.88	65
606	Max	-170	0.00	1	0.00	1	0.00	1	102.56	17	523.86	130	1010.07	65	352.87	17	4423.88	65
606	Min.	-169	0.00	1	0.00	1	0.00	1	-563.89	65	-599.74	101	-562.24	17	-2048.98	104	-3256.66	17
606	Min.	-157	0.00	1	0.00	1	0.00	1	-563.89	65	-599.74	101	-562.24	17	-2048.98	104	-3256.66	17
606	Min.	-158	0.00	1	0.00	1	0.00	1	-563.89	65	-599.74	101	-562.24	17	-2048.98	104	-3256.66	17
606	Min.	-170	0.00	1	0.00	1	0.00	1	-563.89	65	-599.74	101	-562.24	17	-2048.98	104	-3256.66	17
606	Max	-134	0.00	1	0.00	1	0.00	1	-253.72	65	333.37	101	1072.24	65	1030.33	105	4077.57	65
606	Max	-123	0.00	1	0.00	1	0.00	1	-253.72	65	333.37	101	1072.24	65	1030.33	105	4077.57	65
606	Max	-124	0.00	1	0.00	1	0.00	1	-253.72	65	333.37	101	1072.24	65	1030.33	105	4077.57	65
606	Max	25	0.00	1	0.00	1	0.00	1	-253.72	65	333.37	101	1072.24	65	1030.33	105	4077.57	65
606	Min.	-134	0.00	1	0.00	1	0.00	1	-1115.03	103	-76.16	49	-854.16	17	-137.09	65	-4198.43	17
606	Min.	-123	0.00	1	0.00	1	0.00	1	-1115.03	103	-76.16	49	-854.16	17	-137.09	65	-4198.43	17
606	Min.	-124	0.00	1	0.00	1	0.00	1	-1115.03	103	-76.16	49	-854.16	17	-137.09	65	-4198.43	17
606	Min.	25	0.00	1	0.00	1	0.00	1	-1115.03	103	-76.16	49	-854.16	17	-137.09	65	-4198.43	17
606	Max	-112	0.00	1	0.00	1	0.00	1	-364.00	177	180.14	101	949.42	65	236.56	100	4063.22	65
606	Max	-101	0.00	1	0.00	1	0.00	1	-364.00	177	180.14	101	949.42	65	236.56	100	4063.22	65
606	Max	-102	0.00	1	0.00	1	0.00	1	-364.00	177	180.14	101	949.42	65	236.56	100	4063.22	65
606	Max	23	0.00	1	0.00	1	0.00	1	-364.00	177	180.14	101	949.42	65	236.56	100	4063.22	65
606	Min.	-112	0.00	1	0.00	1	0.00	1	-1255.99	104	-13.63	1	-1076.21	17	-229.52	17	-4667.53	17
606	Min.	-101	0.00	1	0.00	1	0.00	1	-1255.99	104	-13.63	1	-1076.21	17	-229.52	17	-4667.53	17
606	Min.	-102	0.00	1	0.00	1	0.00	1	-1255.99	104	-13.63	1	-1076.21	17	-229.52	17	-4667.53	17
606	Min.	23	0.00	1	0.00	1	0.00	1	-1255.99	104	-13.63	1	-1076.21	17	-229.52	17	-4667.53	17
606	Max	-90	0.00	1	0.00	1	0.00	1	86.59	17	844.73	101	963.77	132	1873.06	101	3793.02	65
606	Max	-79	0.00	1	0.00	1	0.00	1	86.59	17	844.73	101	963.77	132	1873.06	101	3793.02	65
606	Max	-80	0.00	1	0.00	1	0.00	1	86.59	17	844.73	101	963.77	132	1873.06	101	3793.02	65
606	Max	21	0.00	1	0.00	1	0.00	1	86.59	17	844.73	101	963.77	132	1873.06	101	3793.02	65
606	Min.	-90	0.00	1	0.00	1	0.00	1	-1212.84	104	-445.68	130	-1442.34	103	-538.23	162	-7204.57	103
606	Min.	-79	0.00	1	0.00	1	0.00	1	-1212.84	104	-445.68	130	-1442.34	103	-538.23	162	-7204.57	103
606	Min.	-80	0.00	1	0.00	1	0.00	1	-1212.84	104	-445.68	130	-1442.34	103	-538.23	162	-7204.57	103
606	Min.	21	0.00	1	0.00	1	0.00	1	-1212.84	104	-445.68	130	-1442.34	103	-538.23	162	-7204.57	103
606	Max	-55	0.00	1	0.00	1	0.00	1	499.79	131	1027.77	101	496.35	65	3037.26	101	5810.38	173
606	Max	-43	0.00	1	0.00	1	0.00	1	499.79	131	1027.77	101	496.35	65	3037.26	101	5810.38	173
606	Max	-44	0.00	1	0.00	1	0.00	1	499.79	131	1027.77	101	496.35	65	3037.26	101	5810.38	173
606	Max	-56	0.00	1	0.00	1	0.00	1	499.79	131	1027.77	101	496.35	65	3037.26	101	5810.38	173
606	Min.	-55	0.00	1	0.00	1	0.00	1	-739.57	65	-761.43	130	-1191.05	107	-765.46	17	-3086.24	17
606	Min.	-43	0.00	1	0.00	1	0.00	1	-739.57	65	-761.43	130	-1191.05	107	-765.46	17	-3086.24	17
606	Min.	-44	0.00	1	0.00	1	0.00	1	-739.57	65	-761.43	130	-1191.05	107	-765.46	17	-3086.24	17
606	Min.	-56	0.00	1	0.00	1	0.00	1	-739.57	65	-761.43	130	-1191.05	107	-765.46	17	-3086.24	17
606	Max	-31	0.00	1	0.00	1	0.00	1	160.45	17	783.66	130	399.36	130	1138.65	65	2635.40	132
606	Max	-19	0.00	1	0.00	1	0.00	1	160.45	17	783.66	130	399.36	130	1138.65	65	2635.40	132
606	Max	-20	0.00	1	0.00	1	0.00	1	160.45	17	783.66	130	399.36	130	1138.65	65	2635.40	132
606	Max	-32	0.00	1	0.00	1	0.00	1	160.45	17	783.66	130	399.36	130	1138.65	65	2635.40	132
606	Min.	-31	0.00	1	0.00	1	0.00	1	-376.89	108	-1679.37	101	-942.72	101	-5532.73	103	-3762.24	103
606	Min.	-19	0.00	1	0.00	1	0.00	1	-376.89	108	-1679.37	101	-942.72	101	-5532.73	103	-3762.24	103
606	Min.	-20	0.00	1	0.00	1	0.00	1	-376.89	108	-1679.37	101	-942.72	101	-5532.73	103	-3762.24	103

606	Min.	-32	0.00	1	0.00	1	0.00	1	-376.89	108	-1679.37	101	-942.72	101	-5532.73	103	-3762.24	103
606	Max	-20	0.00	1	0.00	1	0.00	1	699.62	101	13463.30	101	8.62	166	9380.40	17	822.19	65
606	Max	-8	0.00	1	0.00	1	0.00	1	699.62	101	13463.30	101	8.62	166	9380.40	17	822.19	65
606	Max	-9	0.00	1	0.00	1	0.00	1	699.62	101	13463.30	101	8.62	166	9380.40	17	822.19	65
606	Max	-21	0.00	1	0.00	1	0.00	1	699.62	101	13463.30	101	8.62	166	9380.40	17	822.19	65
606	Min.	-20	0.00	1	0.00	1	0.00	1	-180.89	130	-4703.67	130	-999.52	101	-6418.67	65	-2566.40	103
606	Min.	-8	0.00	1	0.00	1	0.00	1	-180.89	130	-4703.67	130	-999.52	101	-6418.67	65	-2566.40	103
606	Min.	-9	0.00	1	0.00	1	0.00	1	-180.89	130	-4703.67	130	-999.52	101	-6418.67	65	-2566.40	103
606	Min.	-21	0.00	1	0.00	1	0.00	1	-180.89	130	-4703.67	130	-999.52	101	-6418.67	65	-2566.40	103
606	Max	-19	0.00	1	0.00	1	0.00	1	30.42	65	774.15	132	58.99	130	2683.73	132	968.43	65
606	Max	-7	0.00	1	0.00	1	0.00	1	30.42	65	774.15	132	58.99	130	2683.73	132	968.43	65
606	Max	-8	0.00	1	0.00	1	0.00	1	30.42	65	774.15	132	58.99	130	2683.73	132	968.43	65
606	Max	-20	0.00	1	0.00	1	0.00	1	30.42	65	774.15	132	58.99	130	2683.73	132	968.43	65
606	Min.	-19	0.00	1	0.00	1	0.00	1	-160.42	104	-1836.64	103	-388.79	101	-4956.27	103	-2038.61	103
606	Min.	-7	0.00	1	0.00	1	0.00	1	-160.42	104	-1836.64	103	-388.79	101	-4956.27	103	-2038.61	103
606	Min.	-8	0.00	1	0.00	1	0.00	1	-160.42	104	-1836.64	103	-388.79	101	-4956.27	103	-2038.61	103
606	Min.	-20	0.00	1	0.00	1	0.00	1	-160.42	104	-1836.64	103	-388.79	101	-4956.27	103	-2038.61	103
606	Max	-136	0.00	1	0.00	1	0.00	1	-588.11	65	6992.63	101	1937.50	65	-2286.58	162	2542.07	104
606	Max	-126	0.00	1	0.00	1	0.00	1	-588.11	65	6992.63	101	1937.50	65	-2286.58	162	2542.07	104
606	Max	-127	0.00	1	0.00	1	0.00	1	-588.11	65	6992.63	101	1937.50	65	-2286.58	162	2542.07	104
606	Max	-137	0.00	1	0.00	1	0.00	1	-588.11	65	6992.63	101	1937.50	65	-2286.58	162	2542.07	104
606	Min.	-136	0.00	1	0.00	1	0.00	1	-2162.65	103	-6203.26	130	-1239.86	17	-12850.00	101	-471.02	65
606	Min.	-126	0.00	1	0.00	1	0.00	1	-2162.65	103	-6203.26	130	-1239.86	17	-12850.00	101	-471.02	65
606	Min.	-127	0.00	1	0.00	1	0.00	1	-2162.65	103	-6203.26	130	-1239.86	17	-12850.00	101	-471.02	65
606	Min.	-137	0.00	1	0.00	1	0.00	1	-2162.65	103	-6203.26	130	-1239.86	17	-12850.00	101	-471.02	65
606	Max	-114	0.00	1	0.00	1	0.00	1	-514.34	17	6837.65	101	1711.00	65	-2014.81	162	4107.06	104
606	Max	-104	0.00	1	0.00	1	0.00	1	-514.34	17	6837.65	101	1711.00	65	-2014.81	162	4107.06	104
606	Max	-105	0.00	1	0.00	1	0.00	1	-514.34	17	6837.65	101	1711.00	65	-2014.81	162	4107.06	104
606	Max	-115	0.00	1	0.00	1	0.00	1	-514.34	17	6837.65	101	1711.00	65	-2014.81	162	4107.06	104
606	Min.	-114	0.00	1	0.00	1	0.00	1	-2489.13	104	-6113.12	130	-1866.60	17	-13260.40	101	149.73	65
606	Min.	-104	0.00	1	0.00	1	0.00	1	-2489.13	104	-6113.12	130	-1866.60	17	-13260.40	101	149.73	65
606	Min.	-105	0.00	1	0.00	1	0.00	1	-2489.13	104	-6113.12	130	-1866.60	17	-13260.40	101	149.73	65
606	Min.	-115	0.00	1	0.00	1	0.00	1	-2489.13	104	-6113.12	130	-1866.60	17	-13260.40	101	149.73	65
606	Max	-92	0.00	1	0.00	1	0.00	1	459.38	17	7516.57	101	2700.45	130	-2719.17	65	7468.94	104
606	Max	-82	0.00	1	0.00	1	0.00	1	459.38	17	7516.57	101	2700.45	130	-2719.17	65	7468.94	104
606	Max	-83	0.00	1	0.00	1	0.00	1	459.38	17	7516.57	101	2700.45	130	-2719.17	65	7468.94	104
606	Max	-93	0.00	1	0.00	1	0.00	1	459.38	17	7516.57	101	2700.45	130	-2719.17	65	7468.94	104
606	Min.	-92	0.00	1	0.00	1	0.00	1	-2220.68	65	-6610.05	130	-3995.51	101	-12466.00	104	656.56	65
606	Min.	-82	0.00	1	0.00	1	0.00	1	-2220.68	65	-6610.05	130	-3995.51	101	-12466.00	104	656.56	65
606	Min.	-83	0.00	1	0.00	1	0.00	1	-2220.68	65	-6610.05	130	-3995.51	101	-12466.00	104	656.56	65
606	Min.	-93	0.00	1	0.00	1	0.00	1	-2220.68	65	-6610.05	130	-3995.51	101	-12466.00	104	656.56	65
606	Max	-58	0.00	1	0.00	1	0.00	1	752.95	17	4657.90	101	624.85	130	1430.47	130	4299.82	108
606	Max	-46	0.00	1	0.00	1	0.00	1	752.95	17	4657.90	101	624.85	130	1430.47	130	4299.82	108
606	Max	-47	0.00	1	0.00	1	0.00	1	752.95	17	4657.90	101	624.85	130	1430.47	130	4299.82	108
606	Max	-59	0.00	1	0.00	1	0.00	1	752.95	17	4657.90	101	624.85	130	1430.47	130	4299.82	108
606	Min.	-58	0.00	1	0.00	1	0.00	1	-993.72	65	-1717.70	130	-2652.17	101	-8273.11	101	39.94	17
606	Min.	-46	0.00	1	0.00	1	0.00	1	-993.72	65	-1717.70	130	-2652.17	101	-8273.11	101	39.94	17
606	Min.	-47	0.00	1	0.00	1	0.00	1	-993.72	65	-1717.70	130	-2652.17	101	-8273.11	101	39.94	17
606	Min.	-59	0.00	1	0.00	1	0.00	1	-993.72	65	-1717.70	130	-2652.17	101	-8273.11	101	39.94	17
606	Max	-22	0.00	1	0.00	1	0.00	1	42.21	17	5000.83	101	284.78	130	2767.76	131	428.29	65
606	Max	-10	0.00	1	0.00	1	0.00	1	42.21	17	5000.83	101	284.78	130	2767.76	131	428.29	65
606	Max	-11	0.00	1	0.00	1	0.00	1	42.21	17	5000.83	101	284.78	130	2767.76	131	428.29	65
606	Max	-23	0.00	1	0.00	1	0.00	1	42.21	17	5000.83	101	284.78	130	2767.76	131	428.29	65
606	Min.	-22	0.00	1	0.00	1	0.00	1	-48.40	65	-2238.33	130	-573.03	101	-4766.49	104	-143.85	17
606	Min.	-10	0.00	1	0.00	1	0.00	1	-48.40	65	-2238.33	130	-573.03	101	-4766.49	104	-143.85	17
606	Min.	-11	0.00	1	0.00	1	0.00	1	-48.40	65	-2238.33	130	-573.03	101	-4766.49	104	-143.85	17
606	Min.	-23	0.00	1	0.00	1	0.00	1	-48.40	65	-2238.33	130	-573.03	101	-4766.49	104	-143.85	17
606	Max	-184	0.00	1	0.00	1	0.00	1	761.70	65	4659.61	101	2672.39	101	1435.29	130	-47.75	65
606	Max	-172	0.00	1	0.00	1	0.00	1	761.70	65	4659.61	101	2672.39	101	1435.29	130	-47.75	65
606	Max	-173	0.00	1	0.00	1	0.00	1	761.70	65	4659.61	101	2672.39	101	1435.29	130	-47.75	65
606	Max	-185	0.00	1	0.00	1	0.00	1	761.70	65	4659.61	101	2672.39	101	1435.29	130	-47.75	65
606	Min.	-184	0.00	1	0.00	1	0.00	1	-992.06	17	-1706.03	130	-645.51	130	-8253.05	101	-4415.89	107
606	Min.	-172	0.00	1	0.00	1	0.00	1	-992.06	17	-1706.03	130	-645.51	130	-8253.05	101	-4415.89	107
606	Min.	-173	0.00	1	0.00	1	0.00	1	-992.06	17	-1706.03	130	-645.51	130	-8253.05	101	-4415.89	107
606	Min.	-185	0.00	1	0.00	1	0.00	1	-992.06	17	-1706.03	130	-645.51	130	-8253.05	101	-4415.89	107
606	Max	-160	0.00	1	0.00	1	0.00	1	621.26	65	5116.19	101	3300.87	101	313.18	162	-564.89	17
606	Max	-148	0.00	1	0.00	1	0.00	1	621.26	65	5116.19	101	3300.87	101	313.18	162	-564.89	17
606	Max	-149	0.00	1	0.00	1	0.00	1	621.26	65	5116.19	101	3300.87	101	313.18	162	-564.89	17
606	Max	-161	0.00	1	0.00	1	0.00	1	621.26	65	5116.19	101	3300.87	101	313.18	162	-564.89	17
606	Min.	-160	0.00	1	0.00	1	0.00	1	-1574.84	17	-3457.09	130	-1433.34	130	-10401.60	101	-5036.89	99
606	Min.	-148	0.00	1	0.00	1	0.00	1	-1574.84	17	-3457.09	130	-1433.34	130	-10401.60	101	-5036.89	99
606	Min.	-149	0.00	1	0.00	1	0.00	1	-1574.84	17	-3457.09	130	-1433.34	130	-10401.60	101	-5036.89	99
606	Min.	-161	0.00	1	0.00	1	0.00	1	-1574.84	17	-3457.09	130	-1433.34	130	-10401.60	101	-5036.89	99
606	Max	-148	0.00	1	0.00	1	0.00	1	465.92	65	7516.94	101	4005.17	101	-2712.04	17	-651.98	17
606	Max	-136	0.00	1	0.00	1	0.00	1	465.92	65	7516.94	101	4005.17	101	-2712.04	17	-651.98	17
606	Max	-137	0.00	1	0.00	1	0.00	1	465.92	65	7516.94	101	4005.17	101	-2712.04	17	-651.98	17
606	Max	-149	0.00	1	0.00	1	0.00	1	465.92	65	7516.94	101	4005.17	101	-2712.04	17	-651.98	17
606	Min.	-148	0.00	1	0.00	1	0.00	1	-2222.05	17	-6615.20	130	-2686.82	130	-12457.10	103	-7472.16	103
606	Min.	-136	0.00	1	0.00	1	0.00	1	-2222.05	17	-6615.20	130	-2686.82	130	-12457.10	103	-7472.16	103
606	Min.	-137	0.00	1	0.00	1	0.00	1	-2222.05	17	-6615.20	130	-2686.82	130	-12457.10	103	-7472.16	103
606	Min.	-149	0.00	1	0.00	1	0.00	1	-2222.05	17	-6615.20	130	-2686.82	130	-12457.10	103	-7472.16	103
606	Max	-21	0.00	1	0.00	1	0.00	1	137.72	101	10519.80	101	88.61	65	5017.93	17	372.36	65
606	Max	-9	0.00	1	0.00	1	0.00	1	137.72	101	10519.80	101	88.61	65	5017.93	17	372.36	65
606	Max	-10	0.00	1	0.00	1	0.00	1	137.72	101	10519.80	101	88.61	65	5017.93	17	372.36	65
606	Max	-22	0.00	1	0.00	1	0.00	1	137.72	101	10519.80	101	88.61	65	5017.93	17	372.36	65
606	Min.	-21	0.00	1	0.00	1	0.00	1	18.03	162	-4331.24	130	-649.59	103	-6064.44	104	-808.20	17
606	Min.	-9	0.00	1	0.00	1	0.00	1	18.03	162	-4331.24	130	-649.59	103	-6064.44	104	-808.20	17
606	Min.	-10	0.00	1	0.00	1	0.00	1	18.03	162	-4331.24	130	-649.59	103	-6064.44	104	-808.20	17
606	Min.	-22	0.00	1	0.00	1	0.00	1	18.03	162	-4331.24	130	-649.59	103	-6064.44	104	-808.20	17
606	Max	-23	0.00	1	0.00	1	0.00	1	14.53	17	1135.48	101	33.02	49	1403.39	130	399.05	101
606	Max	-11	0.00	1	0.00	1	0.00	1	14.53	17	1135.48	101	33.02	49	1403.39	130	399.05	101
606	Max	-12	0.00	1	0.00	1	0.00	1	14.53	17	1135.48	101	33.02	49	1403.39	130	399.05	101
606	Max	-24	0.00	1	0.00	1	0.00	1	14.53	17	1135.48	101	33.02	49	1403.39	130	399.05	101
606	Min.	-23	0.00	1	0.00	1	0.00	1	-16.72	65	-448.45	130	-136.04	103	-2381.42	101	-177.36	130
606	Min.	-11	0.00	1	0.00	1	0.00	1	-16.72	65	-448.45	130	-136.04	103	-2381.42	101	-177.36	130
606	Min.	-12	0.00	1	0.00	1	0.00	1	-16.72	65	-448.45	130	-136.04	103	-2381.42	101	-177.36	130
606	Min.	-24	0.00	1	0.00	1	0.00	1	-16.72	65	-448.45	130	-136.04	103	-2381.42	101	-177.36	130
606	Max	-46	0.00	1	0.00	1	0.00	1	377.67	103	4826.18	101	573.02	132	2106.21	130	972.69	104
606	Max	-34	0.00	1	0.00	1	0.00	1	377.67	103	4826.18	101	573.02	132	2106.21	130	972.69	104
606	Max	-35	0.00	1	0.00	1	0.00	1	377.67	103	4826.18	101	573.02	132	2106.21	130	972.69	104
606	Max	-47	0.00	1	0.00	1	0.00	1	377.67	103	4826.18	101	573.02	132	2106.21	130	972.69	104
606	Min.	-46	0.00	1	0.00	1	0.00	1	-551.58	132	-1739.82	130	-1901.81	103	-7286.33	101	-585.80	131
606	Min.	-34	0.00	1	0.00	1	0.00	1	-551.58	132	-1739.82	130	-1901.81	103	-7286.33	101	-585.80	131
606	Min.	-35	0.00	1	0.00	1	0.00	1	-551.58	132	-1739.82	130	-1901.81	103	-7286.33	101	-585.80	131
606	Min.	-47	0.00	1	0.00	1	0.00	1	-551.58	132	-1739.82	130	-1901.81	103	-7286.33	101	-585.80	131

Verifiche e armature pareti

Simbologia

CC = Numero della combinazione delle condizioni di carico elementari
Zona = Zona di verifica
Zv = Coordinata Z di verifica
Xi = Coordinata X iniziale
Xf = Coordinata X finale
Xv = Coordinata X di verifica
TCC = Tipo di combinazione di carico
  SLU = Stato limite ultimo
  SLU S = Stato limite ultimo (azione sismica)
  SLE R = Stato limite d'esercizio, combinazione rara
  SLE F = Stato limite d'esercizio, combinazione frequente
  SLE Q = Stato limite d'esercizio, combinazione quasi permanente
  SLD = Stato limite di danno
  SLV = Stato limite di salvaguardia della vita
  SLC = Stato limite di prevenzione del collasso
  SLO = Stato limite di operatività
  SLU I = Stato limite di resistenza al fuoco
N = Sforzo normale
My = Momento flettente intorno all'asse Y
Nu = Sforzo normale ultimo
Myu = Momento ultimo intorno all'asse Y
Sic. = Sicurezza a rottura
σ_c = Tensione nel calcestruzzo
σ_f = Tensione nel ferro
c = Ricoprimento dell'armatura
s = Distanza minima tra le barre
K3 = Coefficiente di forma del diagramma delle tensioni prima della fessurazione
s_{rm} = Distanza media tra le fessure
Φ = Diametro della barra
A_s = Area complessiva dei ferri nell'area di calcestruzzo efficace
$A_{c\ eff}$ = Area di calcestruzzo efficace
σ_s = Tensione nell'acciaio nella sezione fessurata
σ_{sr} = Tensione nell'acciaio corrispondente al raggiungimento della resistenza a trazione nel calcestruzzo
ε_{sm} = Deformazione unitaria media dell'armatura (*1000)
Wk = Apertura delle fessure
Ty = Taglio in dir. Y
Vsdu = Taglio agente nella direzione del momento ultimo
VRsd = Taglio ultimo lato armatura
VRcd = Taglio ultimo lato calcestruzzo
Vrdu = Taglio ultimo assorbibile dal solo calcestruzzo
Sic.T = Sicurezza a rottura per taglio
Sez. = Sezione di verifica
Spess. = Spessore
Cf = Copriferro
Cls = Tipo di calcestruzzo
Fck = Resistenza caratteristica cilindrica a compressione del calcestruzzo
Fctk = Resistenza caratteristica a trazione del calcestruzzo
Fcd = Resistenza di calcolo a compressione del calcestruzzo
Fctd = Resistenza di calcolo a trazione del calcestruzzo
Acc. = Tipo di acciaio
Fyk = Tensione caratteristica di snervamento dell'acciaio
Fyd = Resistenza di calcolo dell'acciaio

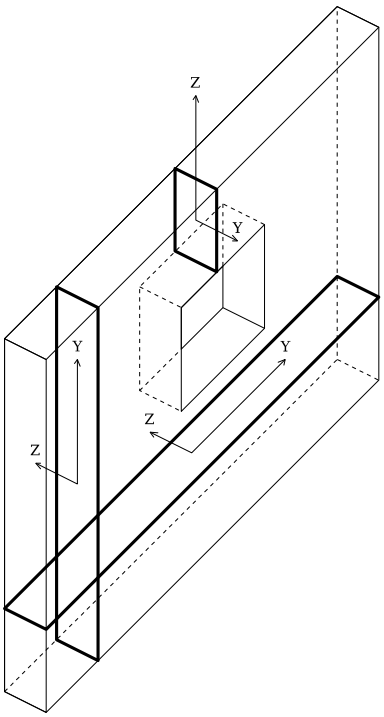


Figura numero 5: Riferimenti sezione

Parete n. 106

Caratteristiche delle sezioni e dei materiali utilizzati

Sez.	Spess. <cm>	Cf <cm>	Cls	Fck <daN/cmq>	Fctk <daN/cmq>	Fcd <daN/cmq>	Fctd <daN/cmq>	Acc.	Fyk <daN/cmq>	Fyd <daN/cmq>
Oriz.	70.00	6.10	C32/40	332.00	21.69	188.13	14.46	B450C	4500.00	3913.04

Verifiche su sezioni orizzontali
Stato limite ultimo - Armatura a flessione

CC	TCC	Zona	Zv <m>	Xi <m>	Xf <m>	N <daN>	My <daNm>	Nu <daN>	Myu <daNm>	Sic.
130	SLU	Diff.	0.00	0.00	4.50	-19048.60	-88028.50	-19051.80	-217880.00	2.475
50	SLD	Diff.	0.00	0.00	4.50	-19304.40	-19004.00	-19305.80	-253923.00	13.362
130	SLU	Diff.	0.65	0.00	4.50	-14622.60	-76279.30	-14627.10	-216581.00	2.839
2	SLD	Diff.	0.65	0.00	4.50	-16171.90	-15623.60	-16173.80	-252995.00	16.193
130	SLU	Diff.	1.30	0.00	4.50	-8780.59	-56258.60	-8784.47	-214864.00	3.819
2	SLD	Diff.	1.30	0.00	4.50	-11915.70	-8398.79	-11918.60	-251733.00	29.973

Stato limite d'esercizio - Armatura a flessione

CC	TCC	Zona	Zv <m>	Xi <m>	Xf <m>	N <daN>	My <daNm>	σ_c <daN/cmq>	σ_f <daN/cmq>
142	SLE R	Diff.	0.00	0.00	4.50	-15212.20	-61974.60	25.49	1126.47
170	SLE Q	Diff.	0.00	0.00	4.50	-20729.30	-14933.90	6.31	183.93
142	SLE R	Diff.	0.65	0.00	4.50	-11929.50	-52160.60	21.43	952.78
170	SLE Q	Diff.	0.65	0.00	4.50	-17545.00	-12305.30	5.20	149.32
142	SLE R	Diff.	1.30	0.00	4.50	-7595.71	-36089.40	14.82	662.76
170	SLE Q	Diff.	1.30	0.00	4.50	-13212.90	-6113.99	2.56	53.83

Verifiche stato limite di formazione delle fessure

CC	TCC	Zona	Zv <m>	Xi <m>	Xf <m>	N <daN>	My <daNm>	c <mm>	s <mm>	K3	s_{rm} <mm>	Φ	A_s <cmq>	$A_{c\ eff}$ <cmq>	σ_s <daN/cmq>	σ_{sr} <daN/cmq>	ε_{sm}	Wk <mm>
170	SLE Q	Diff.	0.00	0.00	4.50	-20729.30	-14933.90	50.00	199.00	0.16	283.70	22.00	87.43	9097.10	183.93	2387.56	0.04	0.02
158	SLE F	Diff.	0.00	0.00	4.50	-10834.20	-55252.10	50.00	199.00	0.17	296.80	22.00	87.43	9097.10	1018.95	3024.32	0.20	0.10
170	SLE Q	Diff.	0.65	0.00	4.50	-17545.00	-12305.30	50.00	199.00	0.16	283.21	22.00	87.43	9097.10	149.32	2365.96	0.03	0.01
158	SLE F	Diff.	0.65	0.00	4.50	-7558.83	-49297.90	50.00	199.00	0.17	297.19	22.00	87.43	9097.10	920.51	3045.31	0.18	0.09
170	SLE Q	Diff.	1.30	0.00	4.50	-13212.90	-6113.99	50.00	199.00	0.14	272.32	22.00	87.43	9097.10	53.83	1935.19	0.01	0.00
158	SLE F	Diff.	1.30	0.00	4.50	-3237.63	-38533.70	50.00	199.00	0.17	297.82	22.00	87.43	9097.10	733.97	3079.06	0.14	0.07

Parete n. 107

Caratteristiche delle sezioni e dei materiali utilizzati

Sez.	Spess. <cm>	Cf <cm>	Cls	Fck <daN/cmq>	Fctk <daN/cmq>	Fcd <daN/cmq>	Fctd <daN/cmq>	Acc.	Fyk <daN/cmq>	Fyd <daN/cmq>
Oriz.	70.00	6.10	C32/40	332.00	21.69	188.13	14.46	B450C	4500.00	3913.04

Verifiche su sezioni orizzontali

Stato limite ultimo - Armatura a flessione

CC	TCC	Zona	Zv <m>	Xi <m>	Xf <m>	N <daN>	My <daNm>	Nu <daN>	Myu <daNm>	Sic.
101	SLU	Diff.	0.00	0.00	4.50	-20766.50	83377.80	-20770.00	218385.00	2.619
50	SLD	Diff.	0.00	0.00	4.50	-19304.60	19004.10	-19305.10	253924.00	13.361
101	SLU	Diff.	0.65	0.00	4.50	-16332.70	70396.90	-16333.50	217082.00	3.084
50	SLD	Diff.	0.65	0.00	4.50	-16171.90	15623.60	-16172.40	252995.00	16.193
101	SLU	Diff.	1.30	0.00	4.50	-10482.60	48682.50	-10486.70	215365.00	4.424
50	SLD	Diff.	1.30	0.00	4.50	-11915.70	8398.80	-11920.20	251734.00	29.973

Stato limite d'esercizio - Armatura a flessione

CC	TCC	Zona	Zv <m>	Xi <m>	Xf <m>	N <daN>	My <daNm>	σ_c <daN/cmq>	σ_f <daN/cmq>
137	SLE R	Diff.	0.00	0.00	4.50	-15211.80	61977.10	25.49	1126.52
169	SLE Q	Diff.	0.00	0.00	4.50	-20729.30	14933.90	6.31	183.93
137	SLE R	Diff.	0.65	0.00	4.50	-11929.10	52162.80	21.44	952.83
169	SLE Q	Diff.	0.65	0.00	4.50	-17545.00	12305.30	5.20	149.32
137	SLE R	Diff.	1.30	0.00	4.50	-7595.31	36091.00	14.82	662.79
169	SLE Q	Diff.	1.30	0.00	4.50	-13212.90	6114.00	2.56	53.83

Verifiche stato limite di formazione delle fessure

CC	TCC	Zona	Zv <m>	Xi <m>	Xf <m>	N <daN>	My <daNm>	c <mm>	s <mm>	K3	s_{rm} <mm>	Φ	A_s <cmq>	$A_{c\ eff}$ <cmq>	σ_s <daN/cmq>	σ_{sr} <daN/cmq>	ε_{sm}	Wk <mm>
169	SLE Q	Diff.	0.00	0.00	4.50	-20729.30	14933.90	50.00	199.00	0.16	283.70	22.00	87.43	9097.08	183.93	2387.56	0.04	0.02
149	SLE F	Diff.	0.00	0.00	4.50	-16232.20	48244.40	50.00	199.00	0.17	295.47	22.00	87.43	9097.08	853.40	2954.46	0.17	0.08
169	SLE Q	Diff.	0.65	0.00	4.50	-17545.00	12305.30	50.00	199.00	0.16	283.21	22.00	87.43	9097.08	149.32	2365.96	0.03	0.01
149	SLE F	Diff.	0.65	0.00	4.50	-12980.30	40584.50	50.00	199.00	0.17	295.63	22.00	87.43	9097.08	721.50	2962.81	0.14	0.07
169	SLE Q	Diff.	1.30	0.00	4.50	-13212.90	6114.00	50.00	199.00	0.14	272.32	22.00	87.43	9097.08	53.83	1935.19	0.01	0.00
149	SLE F	Diff.	1.30	0.00	4.50	-8644.58	27475.10	50.00	199.00	0.17	295.68	22.00	87.43	9097.08	489.21	2965.41	0.09	0.05

Parete n. 206

Caratteristiche delle sezioni e dei materiali utilizzati

Sez.	Spess. <cm>	Cf <cm>	Cls	Fck <daN/cmq>	Fctk <daN/cmq>	Fcd <daN/cmq>	Fctd <daN/cmq>	Acc.	Fyk <daN/cmq>	Fyd <daN/cmq>
Oriz.	50.00	6.10	C32/40	332.00	21.69	188.13	14.46	B450C	4500.00	3913.04

Verifiche su sezioni orizzontali
Stato limite ultimo - Armatura a flessione

CC	TCC	Zona	Zv <m>	Xi <m>	Xf <m>	N <daN>	My <daNm>	Nu <daN>	Myu <daNm>	Sic.
101	SLU	Diff.	0.00	0.00	1.85	-14194.00	16323.40	-14194.90	64991.10	3.981
50	SLD	Diff.	0.00	0.00	1.85	-4415.44	2350.31	-4417.97	74163.30	31.555
102	SLU	Diff.	0.45	0.00	1.85	-12516.30	36873.30	-12520.20	64667.40	1.754
66	SLD	Diff.	0.45	0.00	1.85	-3447.74	8692.25	-3449.08	73973.50	8.510
102	SLU	Diff.	0.90	0.00	1.85	-12516.30	36873.30	-12520.20	64667.40	1.754
66	SLD	Diff.	0.90	0.00	1.85	-3447.75	8692.25	-3449.08	73973.50	8.510

Stato limite d'esercizio - Armatura a flessione

CC	TCC	Zona	Zv <m>	Xi <m>	Xf <m>	N <daN>	My <daNm>	σ_c <daN/cmq>	σ_f <daN/cmq>
137	SLE R	Diff.	0.00	0.00	1.85	-10526.90	12088.10	21.89	676.17
169	SLE Q	Diff.	0.00	0.00	1.85	-5837.01	1475.91	2.70	33.75
138	SLE R	Diff.	0.45	0.00	1.85	-9186.49	26985.20	48.15	1687.28
170	SLE Q	Diff.	0.45	0.00	1.85	-4490.78	8115.96	14.58	485.83
138	SLE R	Diff.	0.90	0.00	1.85	-9186.49	26985.20	48.15	1687.28
170	SLE Q	Diff.	0.90	0.00	1.85	-4490.78	8115.96	14.58	485.83

Verifiche stato limite di formazione delle fessure

CC	TCC	Zona	Zv <m>	Xi <m>	Xf <m>	N <daN>	My <daNm>	c <mm>	s <mm>	K3	s_{rm} <mm>	Φ	A_s <cmq>	$A_{c\ eff}$ <cmq>	σ_s <daN/cmq>	σ_{sr} <daN/cmq>	ε_{sm}	Wk <mm>
169	SLE Q	Diff.	0.00	0.00	1.85	-5837.01	1475.91	50.00	192.00	0.13	247.21	22.00	38.01	3760.30	33.75	1231.91	0.01	0.00
166	SLE F	Diff.	0.00	0.00	1.85	-3496.94	-11054.00	50.00	192.00	0.14	259.94	22.00	38.01	3760.30	694.51	2245.56	0.13	0.06
170	SLE Q	Diff.	0.45	0.00	1.85	-4490.78	8115.96	50.00	192.00	0.14	257.79	22.00	38.01	3760.30	485.83	2187.44	0.09	0.04
150	SLE F	Diff.	0.45	0.00	1.85	-7837.54	20424.70	50.00	192.00	0.14	259.34	22.00	38.01	3760.30	1265.96	2229.18	0.25	0.11
170	SLE Q	Diff.	0.90	0.00	1.85	-4490.78	8115.96	50.00	192.00	0.14	257.79	22.00	38.01	3760.30	485.83	2187.44	0.09	0.04
150	SLE F	Diff.	0.90	0.00	1.85	-7837.54	20424.70	50.00	192.00	0.14	259.34	22.00	38.01	3760.30	1265.96	2229.18	0.25	0.11

Parete n. 207

Caratteristiche delle sezioni e dei materiali utilizzati

Sez.	Spess. <cm>	Cf <cm>	Cls	Fck <daN/cmq>	Fctk <daN/cmq>	Fcd <daN/cmq>	Fctd <daN/cmq>	Acc.	Fyk <daN/cmq>	Fyd <daN/cmq>
Oriz.	50.00	6.10	C32/40	332.00	21.69	188.13	14.46	B450C	4500.00	3913.04

Verifiche su sezioni orizzontali
Stato limite ultimo - Armatura a flessione

CC	TCC	Zona	Zv <m>	Xi <m>	Xf <m>	N <daN>	My <daNm>	Nu <daN>	Myu <daNm>	Sic.
101	SLU	Diff.	0.00	0.00	1.85	-14178.10	16309.70	-14182.60	64988.70	3.985
2	SLD	Diff.	0.00	0.00	1.85	-4408.77	2341.90	-4409.98	74161.70	31.667

102	SLU	Diff.	0.45	0.00	1.85	-12500.70	36819.70	-12503.90	64664.20	1.756
18	SLD	Diff.	0.45	0.00	1.85	-3440.35	8661.83	-3441.11	73971.90	8.540
102	SLU	Diff.	0.90	0.00	1.85	-12500.70	36819.70	-12503.90	64664.20	1.756
18	SLD	Diff.	0.90	0.00	1.85	-3440.35	8661.83	-3441.11	73971.90	8.540

Stato limite d'esercizio - Armatura a flessione

CC	TCC	Zona	Zv <m>	Xi <m>	Xf <m>	N <daN>	My <daNm>	σ_c <daN/cmq>	σ_f <daN/cmq>
137	SLE R	Diff.	0.00	0.00	1.85	-10515.70	12078.80	21.87	675.69
169	SLE Q	Diff.	0.00	0.00	1.85	-5826.30	1467.15	2.68	33.34
138	SLE R	Diff.	0.45	0.00	1.85	-9175.70	26948.50	48.08	1684.96
170	SLE Q	Diff.	0.45	0.00	1.85	-4480.57	8075.27	14.50	483.24
138	SLE R	Diff.	0.90	0.00	1.85	-9175.70	26948.50	48.08	1684.96
170	SLE Q	Diff.	0.90	0.00	1.85	-4480.57	8075.27	14.50	483.24

Verifiche stato limite di formazione delle fessure

CC	TCC	Zona	Zv <m>	Xi <m>	Xf <m>	N <daN>	My <daNm>	c <mm>	s <mm>	K3	s_{rm} <mm>	Φ	A_s <cmq>	$A_{c\ eff}$ <cmq>	σ_s <daN/cmq>	σ_{sr} <daN/cmq>	ε_{sm}	Wk <mm>
169	SLE Q	Diff.	0.00	0.00	1.85	-5826.30	1467.15	50.00	192.00	0.13	247.21	22.00	38.01	3760.30	33.34	1227.17	0.01	0.00
166	SLE F	Diff.	0.00	0.00	1.85	-3486.06	-11060.60	50.00	192.00	0.14	259.95	22.00	38.01	3760.30	695.09	2245.85	0.13	0.06
170	SLE Q	Diff.	0.45	0.00	1.85	-4480.57	8075.27	50.00	192.00	0.14	257.78	22.00	38.01	3760.30	483.24	2187.06	0.09	0.04
150	SLE F	Diff.	0.45	0.00	1.85	-7827.14	20386.60	50.00	192.00	0.14	259.34	22.00	38.01	3760.30	1263.55	2229.13	0.25	0.11
170	SLE Q	Diff.	0.90	0.00	1.85	-4480.57	8075.27	50.00	192.00	0.14	257.78	22.00	38.01	3760.30	483.24	2187.06	0.09	0.04
150	SLE F	Diff.	0.90	0.00	1.85	-7827.14	20386.60	50.00	192.00	0.14	259.34	22.00	38.01	3760.30	1263.55	2229.13	0.25	0.11

Parete n. 208

Caratteristiche delle sezioni e dei materiali utilizzati

Sez.	Spess. <cm>	Cf <cm>	Cls	Fck <daN/cmq>	Fctk <daN/cmq>	Fcd <daN/cmq>	Fctd <daN/cmq>	Acc.	Fyk <daN/cmq>	Fyd <daN/cmq>
Oriz.	50.00	6.10	C32/40	332.00	21.69	188.13	14.46	B450C	4500.00	3913.04

Verifiche su sezioni orizzontali
Stato limite ultimo - Armatura a flessione

CC	TCC	Zona	Zv <m>	Xi <m>	Xf <m>	N <daN>	My <daNm>	Nu <daN>	Myu <daNm>	Sic.
130	SLU	Diff.	0.00	0.00	1.85	-13805.90	-21286.30	-13808.80	-64916.40	3.050
50	SLD	Diff.	0.00	0.00	1.85	-4408.78	-2341.89	-4410.00	-74161.70	31.667
105	SLU	Diff.	0.45	0.00	1.85	-12500.20	-36818.60	-12503.90	-64664.20	1.756
66	SLD	Diff.	0.45	0.00	1.85	-3440.35	-8661.83	-3441.11	-73971.90	8.540
105	SLU	Diff.	0.90	0.00	1.85	-12500.20	-36818.60	-12503.90	-64664.20	1.756
66	SLD	Diff.	0.90	0.00	1.85	-3440.35	-8661.83	-3441.11	-73971.90	8.540

Stato limite d'esercizio - Armatura a flessione

CC	TCC	Zona	Zv <m>	Xi <m>	Xf <m>	N <daN>	My <daNm>	σ_c <daN/cmq>	σ_f <daN/cmq>
142	SLE R	Diff.	0.00	0.00	1.85	-10515.30	-12078.20	21.87	675.65
170	SLE Q	Diff.	0.00	0.00	1.85	-5826.31	-1467.15	2.68	33.34
141	SLE R	Diff.	0.45	0.00	1.85	-9175.34	-26947.60	48.08	1684.91
169	SLE Q	Diff.	0.45	0.00	1.85	-4480.57	-8075.27	14.50	483.24
141	SLE R	Diff.	0.90	0.00	1.85	-9175.34	-26947.60	48.08	1684.91
169	SLE Q	Diff.	0.90	0.00	1.85	-4480.57	-8075.27	14.50	483.24

Verifiche stato limite di formazione delle fessure

CC	TCC	Zona	Zv <m>	Xi <m>	Xf <m>	N <daN>	My <daNm>	c <mm>	s <mm>	K3	s_{rm} <mm>	Φ	A_s <cmq>	$A_{c\ eff}$ <cmq>	σ_s <daN/cmq>	σ_{sr} <daN/cmq>	ε_{sm}	Wk <mm>
170	SLE Q	Diff.	0.00	0.00	1.85	-5826.31	-1467.15	50.00	192.00	0.13	247.21	22.00	38.01	3760.30	33.34	1227.17	0.01	0.00
158	SLE F	Diff.	0.00	0.00	1.85	-5108.76	-14858.80	50.00	192.00	0.14	259.70	22.00	38.01	3760.30	928.43	2238.90	0.18	0.08
169	SLE Q	Diff.	0.45	0.00	1.85	-4480.57	-8075.27	50.00	192.00	0.14	257.78	22.00	38.01	3760.30	483.24	2187.06	0.09	0.04
157	SLE F	Diff.	0.45	0.00	1.85	-3759.84	-28762.70	50.00	192.00	0.14	261.57	22.00	38.01	3760.30	1874.62	2290.09	0.36	0.16
169	SLE Q	Diff.	0.90	0.00	1.85	-4480.57	-8075.27	50.00	192.00	0.14	257.78	22.00	38.01	3760.30	483.24	2187.06	0.09	0.04
157	SLE F	Diff.	0.90	0.00	1.85	-3759.84	-28762.70	50.00	192.00	0.14	261.57	22.00	38.01	3760.30	1874.62	2290.09	0.36	0.16

Parete n. 209

Caratteristiche delle sezioni e dei materiali utilizzati

Sez.	Spess. <cm>	Cf <cm>	Cls	Fck <daN/cmq>	Fctk <daN/cmq>	Fcd <daN/cmq>	Fctd <daN/cmq>	Acc.	Fyk <daN/cmq>	Fyd <daN/cmq>
Oriz.	50.00	6.10	C32/40	332.00	21.69	188.13	14.46	B450C	4500.00	3913.04

Verifiche su sezioni orizzontali
Stato limite ultimo - Armatura a flessione

CC	TCC	Zona	Zv <m>	Xi <m>	Xf <m>	N <daN>	My <daNm>	Nu <daN>	Myu <daNm>	Sic.
130	SLU	Diff.	0.00	0.00	1.85	-13821.50	-21301.20	-13825.00	-64919.60	3.048
2	SLD	Diff.	0.00	0.00	1.85	-4415.45	-2350.31	-4417.97	-74163.30	31.555
105	SLU	Diff.	0.45	0.00	1.85	-12515.80	-36872.20	-12520.20	-64667.40	1.754
18	SLD	Diff.	0.45	0.00	1.85	-3447.75	-8692.24	-3449.06	-73973.50	8.510
105	SLU	Diff.	0.90	0.00	1.85	-12515.80	-36872.20	-12520.20	-64667.40	1.754
18	SLD	Diff.	0.90	0.00	1.85	-3447.75	-8692.24	-3449.06	-73973.50	8.510

Stato limite d'esercizio - Armatura a flessione

CC	TCC	Zona	Zv <m>	Xi <m>	Xf <m>	N <daN>	My <daNm>	σ_c <daN/cmq>	σ_f <daN/cmq>
142	SLE R	Diff.	0.00	0.00	1.85	-10526.50	-12087.50	21.89	676.14
170	SLE Q	Diff.	0.00	0.00	1.85	-5837.01	-1475.91	2.70	33.75
141	SLE R	Diff.	0.45	0.00	1.85	-9186.14	-26984.30	48.14	1687.23
169	SLE Q	Diff.	0.45	0.00	1.85	-4490.78	-8115.95	14.58	485.83
141	SLE R	Diff.	0.90	0.00	1.85	-9186.14	-26984.30	48.14	1687.23
169	SLE Q	Diff.	0.90	0.00	1.85	-4490.78	-8115.95	14.58	485.83

Verifiche stato limite di formazione delle fessure

CC	TCC	Zona	Zv <m>	Xi <m>	Xf <m>	N <daN>	My <daNm>	c <mm>	s <mm>	K3	s_{rm} <mm>	Φ	A_s <cmq>	$A_{c\ eff}$ <cmq>	σ_s <daN/cmq>	σ_{sr} <daN/cmq>	ε_{sm}	Wk <mm>
170	SLE Q	Diff.	0.00	0.00	1.85	-5837.01	-1475.91	50.00	192.00	0.13	247.21	22.00	38.01	3760.30	33.75	1231.91	0.01	0.00
158	SLE F	Diff.	0.00	0.00	1.85	-5121.84	-14869.00	50.00	192.00	0.14	259.69	22.00	38.01	3760.30	928.95	2238.74	0.18	0.08
169	SLE Q	Diff.	0.45	0.00	1.85	-4490.78	-8115.95	50.00	192.00	0.14	257.79	22.00	38.01	3760.30	485.83	2187.44	0.09	0.04
157	SLE F	Diff.	0.45	0.00	1.85	-3772.48	-28805.40	50.00	192.00	0.14	261.56	22.00	38.01	3760.30	1877.31	2290.03	0.36	0.16
169	SLE Q	Diff.	0.90	0.00	1.85	-4490.78	-8115.95	50.00	192.00	0.14	257.79	22.00	38.01	3760.30	485.83	2187.44	0.09	0.04
157	SLE F	Diff.	0.90	0.00	1.85	-3772.48	-28805.40	50.00	192.00	0.14	261.56	22.00	38.01	3760.30	1877.31	2290.03	0.36	0.16

Parete n. 306

Caratteristiche delle sezioni e dei materiali utilizzati

Sez.	Spess. <cm>	Cf <cm>	Cls	Fck <daN/cmq>	Fctk <daN/cmq>	Fcd <daN/cmq>	Fctd <daN/cmq>	Acc.	Fyk <daN/cmq>	Fyd <daN/cmq>
Oriz.	50.00	6.10	C32/40	332.00	21.69	188.13	14.46	B450C	4500.00	3913.04

Verifiche su sezioni orizzontali
Stato limite ultimo - Armatura a flessione

CC	TCC	Zona	Zv <m>	Xi <m>	Xf <m>	N <daN>	My <daNm>	Nu <daN>	Myu <daNm>	Sic.
98	SLU	Diff.	0.00	0.00	4.50	15.40	77849.10	14.72	102407.00	1.315
34	SLD	Diff.	0.00	0.00	4.50	-6747.98	19673.00	-6751.41	124005.00	6.303
98	SLU	Diff.	0.50	0.00	4.50	3010.66	29716.90	3006.91	101793.00	3.425
34	SLD	Diff.	0.50	0.00	4.50	-4511.86	7444.30	-4513.38	123558.00	16.598
130	SLU	Diff.	1.00	0.00	4.50	4583.69	-10981.50	4581.03	-101470.00	9.240
50	SLD	Diff.	1.00	0.00	4.50	-323.17	-140.16	-326.69	-122722.00	>100
98	SLU	Loc.	0.00	0.00	4.50	15.39	77849.10	14.72	102407.00	1.315
34	SLD	Loc.	0.00	0.00	4.50	-6747.98	19673.00	-6751.41	124005.00	6.303

Stato limite d'esercizio - Armatura a flessione

CC	TCC	Zona	Zv <m>	Xi <m>	Xf <m>	N <daN>	My <daNm>	σ_c <daN/cmq>	σ_f <daN/cmq>
138	SLE R	Diff.	0.00	0.00	4.50	-16489.30	57719.50	51.68	2241.54
134	SLE R	Diff.	0.00	0.00	4.50	180.53	56938.90	50.64	2344.01
170	SLE Q	Diff.	0.00	0.00	4.50	-7010.21	19599.10	17.57	749.81
138	SLE R	Diff.	0.50	0.00	4.50	-14221.80	22062.50	19.87	793.67
134	SLE R	Diff.	0.50	0.00	4.50	2398.87	21740.80	19.28	913.95
170	SLE Q	Diff.	0.50	0.00	4.50	-4761.82	7405.98	6.67	266.51
137	SLE R	Diff.	1.00	0.00	4.50	-9298.57	-94.99	0.43	6.24
134	SLE R	Diff.	1.00	0.00	4.50	5446.10	-163.23	0.00	51.87
169	SLE Q	Diff.	1.00	0.00	4.50	-1733.63	-100.71	0.12	1.60
138	SLE R	Loc.	0.00	0.00	4.50	-16489.30	57719.50	51.68	2241.54
134	SLE R	Loc.	0.00	0.00	4.50	180.53	56938.80	50.64	2344.01
170	SLE Q	Loc.	0.00	0.00	4.50	-7010.21	19599.10	17.57	749.82

Verifiche stato limite di formazione delle fessure

CC	TCC	Zona	Zv <m>	Xi <m>	Xf <m>	N <daN>	My <daNm>	c <mm>	s <mm>	K3	s_{rm} <mm>	Φ	A_s <cmq>	$A_{c\ eff}$ <cmq>	σ_s <daN/cmq>	σ_{sr} <daN/cmq>	ε_{sm}	Wk <mm>
170	SLE Q	Diff.	0.00	0.00	4.50	-7010.21	19599.10	50.00	291.87	0.14	326.44	22.00	60.82	8339.56	749.81	3136.99	0.15	0.08
146	SLE F	Diff.	0.00	0.00	4.50	-1263.52	43151.10	50.00	291.87	0.14	330.30	22.00	60.82	8339.56	1765.05	3257.02	0.34	0.19
170	SLE Q	Diff.	0.50	0.00	4.50	-4761.82	7405.98	50.00	291.87	0.14	322.89	22.00	60.82	8339.56	266.51	3029.09	0.05	0.03
146	SLE F	Diff.	0.50	0.00	4.50	962.36	16455.70	50.00	291.87	0.14	331.30	22.00	60.82	8339.56	684.83	3288.35	0.13	0.07
158	SLE F	Diff.	1.00	0.00	4.50	6202.41	-14760.20	50.00	291.87	0.15	335.24	22.00	60.82	8339.56	657.93	3414.18	0.13	0.07
170	SLE Q	Loc.	0.00	0.00	4.50	-7010.21	19599.10	50.00	291.87	0.14	326.44	22.00	60.82	8339.56	749.82	3136.99	0.15	0.08
146	SLE F	Loc.	0.00	0.00	4.50	-1263.52	43151.10	50.00	291.87	0.14	330.30	22.00	60.82	8339.56	1765.05	3257.02	0.34	0.19

Parete n. 307

Caratteristiche delle sezioni e dei materiali utilizzati

Sez.	Spess. <cm>	Cf <cm>	Cls	Fck <daN/cmq>	Fctk <daN/cmq>	Fcd <daN/cmq>	Fctd <daN/cmq>	Acc.	Fyk <daN/cmq>	Fyd <daN/cmq>
Oriz.	50.00	6.10	C32/40	332.00	21.69	188.13	14.46	B450C	4500.00	3913.04

Verifiche su sezioni orizzontali
Stato limite ultimo - Armatura a flessione

CC	TCC	Zona	Zv <m>	Xi <m>	Xf <m>	N <daN>	My <daNm>	Nu <daN>	Myu <daNm>	Sic.
97	SLU	Diff.	0.00	0.00	4.50	15.40	-77849.10	14.72	-102407.00	1.315
34	SLD	Diff.	0.00	0.00	4.50	-6749.27	-19673.00	-6751.41	-124005.00	6.303

121	SLU	Diff.	0.50	0.00	4.50	-1988.31	-35006.60	-1989.69	-104059.00	2.973
34	SLD	Diff.	0.50	0.00	4.50	-4512.04	-7444.30	-4513.41	-123558.00	16.598
122	SLU	Diff.	1.00	0.00	4.50	3273.90	-10360.70	3277.34	-101738.00	9.820
2	SLD	Diff.	1.00	0.00	4.50	-323.17	140.16	-326.69	122722.00	>100
97	SLU	Loc.	0.00	0.00	4.50	15.40	-77849.10	14.72	-102407.00	1.315
34	SLD	Loc.	0.00	0.00	4.50	-6749.27	-19673.00	-6751.41	-124005.00	6.303

Stato limite d'esercizio - Armatura a flessione

CC	TCC	Zona	Zv <m>	Xi <m>	Xf <m>	N <daN>	My <daNm>	σ_c <daN/cmq>	σ_f <daN/cmq>
141	SLE R	Diff.	0.00	0.00	4.50	-16488.60	-57718.00	51.68	2241.48
133	SLE R	Diff.	0.00	0.00	4.50	180.54	-56938.80	50.64	2344.01
169	SLE Q	Diff.	0.00	0.00	4.50	-7010.21	-19599.10	17.57	749.81
141	SLE R	Diff.	0.50	0.00	4.50	-14221.10	-22062.00	19.87	793.65
133	SLE R	Diff.	0.50	0.00	4.50	2398.87	-21740.80	19.28	913.95
169	SLE Q	Diff.	0.50	0.00	4.50	-4761.82	-7405.98	6.67	266.51
142	SLE R	Diff.	1.00	0.00	4.50	-9297.96	94.99	0.43	6.24
133	SLE R	Diff.	1.00	0.00	4.50	5446.10	163.23	0.00	51.87
170	SLE Q	Diff.	1.00	0.00	4.50	-1733.64	100.71	0.12	1.60
141	SLE R	Loc.	0.00	0.00	4.50	-16488.60	-57718.00	51.68	2241.48
133	SLE R	Loc.	0.00	0.00	4.50	180.54	-56938.80	50.64	2344.01
169	SLE Q	Loc.	0.00	0.00	4.50	-7010.21	-19599.10	17.57	749.82

Verifiche stato limite di formazione delle fessure

CC	TCC	Zona	Zv <m>	Xi <m>	Xf <m>	N <daN>	My <daNm>	c <mm>	s <mm>	K3	s_{rm} <mm>	Φ	A_s <cmq>	$A_{c\ eff}$ <cmq>	σ_s <daN/cmq>	σ_{sr} <daN/cmq>	ε_{sm}	Wk <mm>
169	SLE Q	Diff.	0.00	0.00	4.50	-7010.21	-19599.10	50.00	291.87	0.14	326.44	22.00	60.82	8339.56	749.81	3136.99	0.15	0.08
157	SLE F	Diff.	0.00	0.00	4.50	-5485.59	-62770.60	50.00	291.87	0.14	329.63	22.00	60.82	8339.56	2538.03	3236.10	0.49	0.28
169	SLE Q	Diff.	0.50	0.00	4.50	-4761.82	-7405.98	50.00	291.87	0.14	322.89	22.00	60.82	8339.56	266.51	3029.09	0.05	0.03
157	SLE F	Diff.	0.50	0.00	4.50	-3258.84	-33745.10	50.00	291.87	0.14	329.53	22.00	60.82	8339.56	1361.92	3232.78	0.26	0.15
157	SLE F	Diff.	1.00	0.00	4.50	1969.40	-14490.50	50.00	291.87	0.14	332.16	22.00	60.82	8339.56	612.18	3315.72	0.12	0.07
169	SLE Q	Loc.	0.00	0.00	4.50	-7010.21	-19599.10	50.00	291.87	0.14	326.44	22.00	60.82	8339.56	749.82	3136.99	0.15	0.08
157	SLE F	Loc.	0.00	0.00	4.50	-5485.59	-62770.60	50.00	291.87	0.14	329.63	22.00	60.82	8339.56	2538.03	3236.10	0.49	0.28